VISADO
COGITI
VALENCIA
TRLTDCFZ60T66IJ1
VA07290/22

PROYECTO

INSTALACIÓN DE PLANTA GENERACIÓN FOTOVOLTAICA SOBRE LA CUBIERTA DEL SILO DE VEHÍCULOS DE VALENCIA TERMINAL EUROPA, EN MUELLE DIQUE DEL ESTE, EN PUERTO DE VALENCIA

FEBRERO 2022

Documento visado electrónicamente con número: VA07290/22
Código de validación telemática TRLTDCFZ60T66IJ1. Comprobación: https://cogitivalencia.e-gestion.es/Validacion.aspx?CVT=TRLTDCFZ60T66IJ1

grupotec

valenciaport
Autoridad Portuaria de Valencia

VISADO Nº VA07290/22 FECHA: 7/7/22
09613, JAVIER COLI GILABERT

COGITI VALENCIA

Este visado se ha realizado tras las siguientes comprobaciones:

1.- El colegiado firmante dispone de la titulación manifestada, así como, según declaración responsable, de seguro de responsabilidad civil vigente, se encuentra dado de alta en el IAE y cotiza a la Seguridad Social o Mutualidad alternativa.
2.- No consta que el colegiado firmante haya sido inhabilitado profesionalmente ni judicialmente.
3.- La corrección e integridad formal del documento, así como la observancia de la normativa de obligado cumplimiento, en relación con el ejercicio de la profesión.
4.- En caso de aplicación, el proyecto reúne los requisitos que el RITE exige para realizar el visado.

En caso de daños derivados de este trabajo profesional visado, siempre que resulte responsable el autor del mismo, el COGITI Valencia responderá subsidiariamente de los daños que tengan su origen en defectos que hubieran debido ser puestos de manifiesto al visar el trabajo profesional y que guarden relación directa con los elementos que se han visado en este trabajo.

Validación: TRLTDCFZ60T66IJ1
https://cogitivalencia.e-gestion.es/Validacion.aspx?CVT=TRLTDCFZ60T66IJ1

Ingeniero Técnico Industrial

Javier Coli Gilabert

Colegiado nº 9.613

COGITI Valencia

PLANTILLA DE FIRMAS

VISADO COGITI
VALENCIA
VA07290/22
TRLTDCFZ60T66IJ1

RESUMEN DE FIRMAS DIGITALES DEL DOCUMENTO

COLEGIADO 1

JAVIER|COLI|GILABERT

Firmado digitalmente por JAVIER|COLI|GILABERT
Fecha: 2022.07.06 16:55:39 +02'00'

COLEGIADO 2

COLEGIADO 3

COLEGIO

COGITI VALENCIA

Visado VA07290/22 de fecha 07/07/2022
Colegio Oficial de Ingenieros Técnicos Industriales de Valencia

COLEGIO

OTROS

OTROS

Documento visado electrónicamente con número: VA07290/22
Código de validación telemática TRLTDCFZ60T66IJ1. Comprobación: https://cogitivalencia.e-gestion.es/Validacion.aspx?CVT=TRLTDCFZ60T66IJ1

Validada por el Convenio entre COGITI Valencia y Generalidad Valenciana sobre firma electrónica avanzada de fecha 10 de Enero de 2005 y publicado en el Diario oficial de la Generalidad Valenciana nº 5.006 de 16 de Mayo de 2.005. Conforme al Real Decreto-Ley 14/1.999 de 17 de Septiembre sobre firma electrónica y la Directiva 1999/93/CE del Parlamento Europeo y del Consejo de 13 de Diciembre de 1999 sobre reconocimiento legal de la firma electrónica en la Unión Europea. Autoridad de Certificación de la Generalidad Valenciana: www.pki.gva.es Teléfono 902-482-481

VISADO
COGITI
VALENCIA
VA07290/22
TRLTDCFZ60T66IJ1

INDICE

PROYECTO

DOCUMENTO 1. MEMORIA Y ANEJOS.

1.1- **Memoria.**

1.2- **Anejos a la memoria:**

Anejo 1. Sinóptico de arquitectura general.

Anejo 2. Generación fotovoltaica.

Anejo 3. Instalación en MT, CT (Fotovoltaico + VR-FV 043.1).

Anejo 4. Instalación en MT, LSMT 20KV

Anejo 5. Estructura metálica portante y evacuación de aguas.

Anejo 6. Características de equipos (Fichas Técnicas).

Anejo 7. Programa de trabajos. (Gantt)

Anejo 8. Justificación de precios.

Anejo 9. Estudio de seguridad y salud. (ESS)

- 9.1- Memoria. (ESS)
- 9.2- Planos. (ESS)
- 9.3- Pliego esp. (ESS)
- 9.4- Presupuesto. (ESS)

Anejo 10. Gestión de residuos.

Anejo 11. Control de Calidad.

Documento visado electrónicamente con número: VA07290/22
Código de validación telemática TRLTDCFZ60T66IJ1. Comprobación: https://cogitivalencia.e-gestion.es/Validacion.aspx?CVT=TRLTDCFZ60T66IJ1

VISADO
COGITI
VALENCIA
VA07290/22
TRLTDCFZ60T66IJ1

DOCUMENTO 2. PLANOS.

2.1-SITUACIÓN Y EMPLAZAMIENTO. (**GEN01**)

2.2-IMPLANTACIÓN MÓDULOS FV. (**GEN02**)

2.3-IMPLANTACIÓN ALUMBRADO MARQUESINA. (**GEN03**)

2.4-CENTRO DE TRANSFORMACIÓN DE GENERACIÓN. (**GEN04**)

2.5-ESQUEMA UNIFILAR. (**GEN05**)

2.6-ESQUEMA COMUNICACIONES. (**GEN06**)

2.7-ESTRUCTURA METÁLICA PORTANTE (**GEN07**)

2.8-EVACUACUION AGUAS PLUVIALES (**GEN08**)

2.9- DETALLES I ENLACES UNIÓN ESTRUCTURA-EDIFICIO **(GEN09)**

2.10- DETALLES II ENLACES UNIÓN ESTRUCTURA-EDIFICIO **(GEN10)**

2.11- DETALLES III ENLACES UNIÓN ESTRUCTURA-EDIFICIO **(GEN11)**

DOCUMENTO 3. PLIEGO DE PRESCRIPCIONES TÉCNICAS PARTICULARES.

DOCUMENTO 4. PRESUPUESTO.

4.1- **Mediciones.**

4.2- **Cuadros de precios.**

4.2.1- Cuadro Precios N.º 1

4.2.2- Cuadro Precios N.º 2

4.3- **Presupuestos parciales ordenados por capítulos.**

4.3.1- Presupuesto General.

4.3.2-Resumen del Presupuesto.

Documento visado electrónicamente con número: VA07290/22
Código de validación telemática TRLTDCFZ60T66IJ1. Comprobación: https://cogitivalencia.e-gestion.es/Validacion.aspx?CVT=TRLTDCFZ60T66IJ1

VISADO
COGITI
VALENCIA
VA07290/22
TRLTDCFZ60T66IJ1

INSTALACIÓN DE PLANTA GENERACIÓN FOTOVOLTAICA SOBRE LA CUBIERTA DEL SILO DE VEHÍCULOS DE VALENCIA TERMINAL EUROPA, EN MUELLE DIQUE DEL ESTE, EN PUERTO DE VALENCIA.

DOCUMENTO 1.

MEMORIA Y SUS ANEJOS

Documento visado electrónicamente con número: VA07290/22
Código de validación telemática TRLTDCFZ60T66IJ1. Comprobación: https://cogitivalencia.e-gestion.es/Validacion.aspx?CVT=TRLTDCFZ60T66IJ1

VISADO
COGITI
VALENCIA
VA07290/22
TRLTDCFZ60T66IJ1

INSTALACIÓN DE PLANTA GENERACIÓN FOTOVOLTAICA SOBRE LA CUBIERTA DEL SILO DE VEHÍCULOS DE VALENCIA TERMINAL EUROPA, EN MUELLE DIQUE DEL ESTE, EN PUERTO DE VALENCIA.

MEMORIA

Documento visado electrónicamente con número: VA07290/22
Código de validación telemática TRLTDCFZ60T66IJ1. Comprobación: https://cogitivalencia.e-gestion.es/Validacion.aspx?CVT=TRLTDCFZ60T66IJ1

VISADO
COGITI
VALENCIA
VA07290/22
TRLTDCFZ60T66IJ1

INDICE

MEMORIA

1. **ANTECEDENTES.**
2. **OBJETO Y ALCANCE DEL PROYECTO.**
3. **JUSTIFICACIÓN DE LA SOLUCIÓN ADOPTADA.**
4. **ESTADO ACTUAL.**
5. **DESCRIPCIÓN DE LOS TRABAJOS.**

    5.1-INSTALACIÓN DE GENERACIÓN FOTOVOLTAICA.
    5.2- INSTALACIÓNES DE MEDIA TENSIÓN.
    5.3-INTEGRACIÓN E INSTALACIÓN DE SISTEMA CONTROL GENERAL Y CONTROL ANTIVERTIDO.
    5.4- INSTALACIÓN ESTRUCTURA METÁLICA.

6. **SEGURIDAD Y SALUD.**
7. **CUMPLIMIENTO DE LA NORMATIVA OBLIGATORIA.**

    7.1- CUMPLIMIENTO DE LA NORMATIVA URBANÍSTICA.
    7.2- CUMPLIMEINTO DE LA NORMATIVA DE IMPACTO AMBIENTAL.
    7.3- CUMPLIMIENTO DE LA NORMATIVA ESPECIFICA DE INSTALACIONES.

8. **CLASIFICACIÓN DE LAS OBRAS.**
9. **PLAZOS DE EJECUCIÓN.**
10. **PLAZO DE GARANTIA.**
11. **PRECIOS.**

    11.1- PRECIOS APLICADOS A LAS UNIDADES DE OBRA.
    11.2- REVISIÓN DE PRECIOS

12. **RESUMEN DEL PRESUPUESTO DE EJECUCIÓN MATERIAL.**
13. **DECLARACIÓN DE OBRA COMPLETA.**
14. **DOCUMENTOS QUE CONSTITUYEN EL PROYECTO.**
15. **CONCLUSIONES.**

Documento visado electrónicamente con número: VA07290/22
Código de validación telemática TRLTDCFZ60T66IJ1. Comprobación: https://cogitivalencia.e-gestion.es/Validacion.aspx?CVT=TRLTDCFZ60T66IJ1

VISADO
COGITI
VALENCIA
VA07290/22
TRLTDCFZ60T66IJ1

1. ANTECEDENTES.

Las AUTORIDADES PORTUARIAS (AP), son un tipo de organismo público Español adscrito al Ministerio de transportes, Movilidad y Agenda Urbana. Cada AP gestiona uno o varios puertos Españoles, desarrollan sus funciones bajo el principio general de autonomía funcional y de gestión, sin perjuicio de las facultades atribuidas al Ministerio.

La AUTORIDAD PORTUARIA DE VALENCIA (APV) es una de las 28 AP que forman el conjunto de puertos de interés estatal, dependiendo del ENTE PUBLICO PUERTOS DEL ESTADO, que forma parte del MINISTERIO DE TRANSPORTES, MOVILIDAD Y AGENDA URBANA.

La APV gestiona los Puertos de Valencia, Sagunto y Gandía., con la denominación comercial de valenciaport.

El proyecto que se redacta a continuación trata de mejorar la Eficiencia en el consumo de energía eléctrica en el PUERTO DE VALENCIA y en la mejora del control y regulación de los equipos para que funcionen a máximo rendimiento y eficiencia.

El Puerto de Valencia dispone de una red de Media Tensión a 20Kv, distribuyendo en el interior del Puerto de Valencia, tanto en MT como en BT a sus concesionarios, así como para las necesidades propias del Puerto.

Dentro de las necesidades actuales de la AUTORIDAD PORTUARIA DE VALENCIA, en su búsqueda continua por el uso eficiente de la energía y reducción de las emisiones de CO2 a la atmósfera, se pretende ejecutar una instalación solar fotovoltaica en modalidad de AUTOCONSUMO sin vertido a red, según el RD244/2019, de 5763,55 kWp, que permita abastecer una parte de la energía eléctrica que se consume en el Puerto de Valencia mediante energías renovables con capacidad de acumulación.

El Puerto de Valencia dispone en su superficie de una gran densidad de edificaciones industriales Portuarias (Tinglados) así como una serie de Diques de contención, por lo que se decide la implantación de una estación generadora fotovoltaica sobre la cubierta de un silo de vehículos, con una superficie en planta de 30.384m2 aproximadamente, con una pendiente del 4%, para realizar un aprovechamiento óptimo de las superficies sin penalizar la superficie útil portuaria. La central generadora fotovoltaica se instalará sobre la cubierta del silo de Vehiculos de Valencia Terminal Europa en Muelle Dique del Este.

Documento visado electrónicamente con número: VA07290/22
Código de validación telemática TRLTDCFZ60T66IJ1. Comprobación: https://cogitivalencia.e-gestion.es/Validacion.aspx?CVT=TRLTDCFZ60T66IJ1

VISADO
COGITI
VALENCIA
VA07290/22
TRLTDCFZ60T66IJ1

2. OBJETO Y ALCANCE DEL PROYECTO.

El objeto del presente proyecto es definir completamente todos y cada uno de los trabajos necesarios para la ejecución de las actuaciones del proyecto:

"INSTALACIÓN SOLAR FOTOVOLTAICA SOBRE LA CUIBERTA DEL SILO DE VEHÍCULOS DE VALENCIA TERMINAL EUROPA EN MUELLE DIQUE DEL ESTE, EN EL PUERTO DE VALENCIA".

El alcance del presente proyecto se compone de los siguientes puntos:

- **Instalación** de un parque de generación de energía FOTOVOLTAICA (FV) y sus cableados en DC, sobre estructura metálica inclinada a 4º y anclada al silo existente, en modalidad de autoconsumo sin vertido a red.
En la cubierta se instalarán los cableados en DC e inversores. En el techo de la planta baja del silo se instalarán los cableados en AC mientras que los armarios de centralización de series AC BOX se instalarán en las paredes de los núcleos verticales (escaleras). El cableado de salida de los AC BOX en AC discurrirá por bandeja metálica instalada en el techo de la planta baja.

En dos nuevos envolventes de hormigón PFU-7 ORMAZABAL o equivalente, (en adelante VCT-FV 043.1 y VCT-FV 043.2), se instalarán aparellaje en MT y trafos elevadores de tensión. También se instalará sistema de ventilación forzada y detección de incendios.

En nuevo envolvente de hormigón PFU-5 de ORMAZABAL o equivalente, (en adelante VR-FV 043.1) se instalarán 2 armarios de centralización general (MAIN AC BOX), vertido en AC y estación meteorológica.

- **Instalación** de estación meteorológica (DATASOL-MET o equivalente) con medidor de radiación, con célula de referencia, anemómetro, temperatura de celda, temperatura ambiente y sensor de suciedad, con conexión MODBUS TCP.

- **Instalación** en nuevo VCT-FV (043.1), de dos trafos elevadores de tensión de 800/20000V, 1600KVA cada uno, celda de línea, celda de medida de tensión en barras, celda de protección general, celdas de protección de transformador y celda de medida con doble secundario TT y TI , analizador de redes CIRCUTOR o equivalente, central de incendios (AGUILERA ELECTRÓNICA o equivalente) y ventilación forzada.
- **Instalación** en nuevo VCT-FV (043.2), de dos trafos elevadores de tensión de 800/20000V, 1250KVA cada uno, celda de línea, celda de medida de tensión en barras, celda de protección general, celdas de protección de transformador y celda de medida con doble secundario TT y TI , analizador de redes CIRCUTOR

Documento visado electrónicamente con número: VA07290/22
Código de validación telemática TRLTDCFZ60T66IJ1. Comprobación: https://cogitivalencia.e-gestion.es/Validacion.aspx?CVT=TRLTDCFZ60T66IJ1

VISADO
COGITI
VALENCIA
VA07290/22
TRLTDCFZ60T66IJ1

o equivalente, central de incendios (AGUILERA ELECTRÓNICA o equivalente) y ventilación forzada.
- **Instalación** en nuevo VR-FV (043.1), de armario de comunicación, 2 armarios de centralización general FV (MAIN AC BOX) y estación meteorológica.

- **Instalación** de LINEA DE MEDIA TENSIÓN (LSMT) para evacuación al anillo interior de 20KV del Puerto de Valencia, entre nuevo VCT-FV (043.1) y el VCT-043 existente.

- **Instalación** de LINEA DE MEDIA TENSIÓN (LSMT) para evacuación al anillo interior de 20KV del Puerto de Valencia, entre nuevo VCT-FV (043.2) y el VCT-043 existente.

- **Instalación** en el VCT-043 existente, de DOS nuevas celdas de línea para conexión de las LSMT de evacuación, procedentes de los nuevos centros de transformación (VCT-FV 043.1 y VCT-FV 043.2).

- **Sustitución e Instalación**, en el centro de distribución eléctrico (CDD) del Puerto de Valencia, en la celda actual de medida, sustituir los transformadores de tensión y de intensidad existentes, que se encuentran conectados al contador de compañía actualmente instalado, por transformadores de triple secundario, e instalar módulo de control antivertido (PRISMA 310A-RENESYS o equivalente), que se conectará, en paralelo con el contador de compañía, a los nuevos transformadores de triple devanado.

- **Instalación e integración** del sistema de control general y de control ANTIVERTIDO (PRISMA 310A-RENESYS o equivalente) integrándolo en el SCADA existente en APV, instalando armarios de comunicaciones en el CDD y VR-FV (043.1) como nueva electrónica de la red industrial. Las pantallas del SCADA ofrecerán la visibilidad del consumo y generación en tiempo real, así como su exportación a BBDD de históricos. El sistema ANTIVERTIDO controlará los equipos de control y medición instalados en el nuevo VR-FV (043.1), en concordancia con los sistemas de control y medición instalados en el CDD. A través de dicho CDD, el anillo interior del puerto de 20KV se encuentra conectado con el (OPERADOR EXTERNO), en 20Kv.

- **Instalación** de una estructura metálica tipo marquesina a un agua en diente de sierra con una longitud de 255,5m y una anchura de 138,7m. en la que se fijaran los paneles solares, cableados DC e inversores.

Documento visado electrónicamente con número: VA07290/22
Código de validación telemática TRLTDCFZ60T66IJ1. Comprobación: https://cogitivalencia.e-gestion.es/Validacion.aspx?CVT=TRLTDCFZ60T66IJ1

VISADO
COGITI
VALENCIA
VA07290/22
TRLTDCFZ60T66IJ1

3. JUSTIFICACIÓN DE LA SOLUCIÓN ADOPTADA.

El diseño de la actuación ha sido consensuado con la Autoridad Portuaria de Valencia.

Documento visado electrónicamente con número: VA07290/22
Código de validación telemática TRLTDCFZ60T66IJ1. Comprobación: https://cogitivalencia.e-gestion.es/Validacion.aspx?CVT=TRLTDCFZ60T66IJ1

VISADO
COGITI
VALENCIA
VA07290/22
TRLTDCFZ60T66IJ1

4. ESTADO ACTUAL.

- **Existe** centro de distribución eléctrico (CDD), con aparellaje eléctrico en MT. En la celda de medida se encuentra instalado (SIMPLE SECUNDARIO), con TT y TI conectados a contador de compañía
  En este punto se instalará NUEVO TRIPLE SECUNDARIO en la celda de medida, para conectar el sistema de ANTIVERTIDO (Prisma- 310A-RENESYS o equivalente) en PARALELO con el contador de compañía. También se instalará nuevo armario de comunicaciones (RITTAL o equivalente) con Switch de 1Gbps (SIEMENS), según estandarización de APV y se conectará a la RED INDUSTRIAL existente, mediante tendido de FO SM al VR-CDD.

- **Existe** infraestructura general de comunicaciones sobre F.O SM, en los puntos a comunicar equipos implicados en la instalación FV, concretamente en VR-CDD y el VR-017.
  - Entre VR-017 y VR-FV (043.1) se instalará manguera de F.O S.M. (1500mts).
  - Entre VR-FV (043.1) y VCT-043.1, se instalará manguera de F.O s.m (25mts).
  - Entre VR-FV (043.1) y VCT-043.2, se instalará manguera de F.O s.m (25mts).
  - Entre VR-FV (043.1) y VCT-043 existente, se instalará manguera de F.O s.m (25mts).
  - Entre VR-CDD y nuevo armario Rittal o equivalente de COMUNICACIONES en el CDD, junto a celda de medida, se instalará manguera de F.O s.m (100mts).
  - En CDD y VR-FV (043.1), se instalará nuevo armario de comunicaciones (RITTAL), con Switch de 1Gbps (SIEMENS o equivalente), en cada una de las ubicaciones, según estandarización de APV y se conectará a la RED INDUSTRIAL existente.
    - En VR-043.1, se instalará además armario PLC con periferia distribuida.

Documento visado electrónicamente con número: VA07290/22
Código de validación telemática TRLTDCFZ60T66IJ1. Comprobación: https://cogitivalencia.e-gestion.es/Validacion.aspx?CVT=TRLTDCFZ60T66IJ1

VISADO
COGITI
VALENCIA
VA07290/22
TRLTDCFZ60T66IJ1

5. DESCRIPCIÓN DE LOS TRABAJOS.

Los equipos y materiales empleados se han referenciado en el pliego de prescripciones técnicas particulares (PPTP), bien en su correspondiente apartado en los anejos de la memoria con carácter específico, así como en el Documento nº3 del proyecto, con carácter general. Dichas especificaciones tienen unas características muy concretas, las cuales permiten la COMPATIBILIDAD con el resto de componentes actualmente instalados en APV, OPTIMIZANDO la gestión de repuestos, así como la INTEGRACIÓN en el telemando SCADA DE CONTROL Y MONITORIZACIÓN de INSTALACIONES (Win cc de SIEMENS) , existentes en la Autoridad Portuaria de Valencia, por lo que todos los equipos deberán de ser iguales o equivalentes a los descritos, en el caso de ser equivalentes, deberán de ser aprobados por la dirección facultativa para garantizar su compatibilidad en la integración.

A continuación, se describen los elementos que componen la instalación FV de autoconsumo. La ubicación grafica de los diferentes elementos se incluye en el Documento nº2 Planos, y el esquema de la arquitectura general de componentes se encuentra en el Anejo nº1 Sinóptico de arquitectura general.

5.1- INSTALACIÓN DE GENERACIÓN FOTOVOLTAICA.

- ***Instalación*** *de un parque de generación de energía FOTOVOLTAICA (FV) y sus cableados en DC, sobre estructura metálica inclinada a 4º anclada al silo existente, en modalidad de autoconsumo sin vertido a red.*

En la cubierta se instalarán los cableados en DC e inversores. En el techo de la planta baja del silo se instalarán los cableados en AC mientras que los armarios de centralización de series AC BOX se instalarán en las paredes de los núcleos verticales (escaleras). El cableado de salida de los AC BOX en AC discurrirá por bandeja metálica instalada en el techo de la planta baja.

En dos nuevos envolventes de hormigón PFU-7 ORMAZABAL o equivalente *(en adelante VCT-FV 043.1 y VCT-FV 043.2), se instalarán aparellaje en MT y trafos elevadores de tensión. También se instalará sistema de ventilación forzada, detección de incendios.*

En nuevo envolvente de hormigón PFU-5 de ORMAZABAL o equivalente *se instalará armario de centralización general y vertido en AC y estación meteorológica.*

Se instalarán sobre estructura métalica tipo marquesina inclinada, 10.773 **PANELES SOLARES** de medidas 2274x1134x35mm, de 535 Wp de la marca JINKO CHEETAH plus JKM535M-72HL4 o equivalente, de 72 celulas

Documento visado electrónicamente con número: VA07290/22
Código de validación telemática TRLTDCFZ60T66IJ1. Comprobación: https://cogitivalencia.e-gestion.es/Validacion.aspx?CVT=TRLTDCFZ60T66IJ1

VISADO
COGITI
VALENCIA
VA07290/22
TRLTDCFZ60T66IJ1

de alta eficiencia y de tecnología MONOCRISTALINO, Tª 25ºC y radiación 1000w/cm2, espectro AM 1.5.

La tensión de cada panel será de Vmpp=40,36v y a circuito abierto 49,34V.
La instalación se realizará en dos tipos de STRING (de 25 y 24 paneles).

Cada uno de los inversores estará formado por 15 STRING de 25 paneles y un STRING de 24 paneles, de manera que la planta albergará un total de 432 strings, repartidos de la siguiente forma:

- 405 strings conectando 25 paneles en cada uno.
- 27 strings conectando 24 paneles en cada uno.

Siendo un total de 432 strings, 10.773 paneles y potencia pico del sistema generador de 5.763,55 kWp.

La tensión de salida de cada STRING será como máximo de 1500V DC.

Se instalaran distribuidos por la estructura metálica tipo marquesina 27 **INVERSORES** trifásicos HUAWEI-SUN 2000-185KTL-H1 o equivalente, de **185 KWn** y 1500vDC/800vAC, dotado de sistema MPPT.

A cada uno de los 27 inversores se conectarán 399 paneles, con 16 STRING por INVERSOR conectados en PARALELO (1500VDC), 15 de ellos con 25 paneles conectados en SERIE y el string restante con 24 paneles conectados en serie.

Se instalarán en planta baja y junto a los núcleos verticales, **9 armarios eléctricos AC BOX** AISI 316L de centralización de series, que estarán conectados a 3 INVERSORES cada uno.

Los armarios eléctricos (ACBOX) se dispondrán en grupos de 3, junto a cada uno de los 3 núcleos verticales de escalera.

La entrada de tensión de los INVERSORES será <=1500vDC y la salida de 800vAC, por lo que cada armario AC BOX tendrá una entrada y salida de 800vAC, convergiendo a su vez estos 9 armarios a dos armarios eléctricos MAIN AC BOX AISI 316L, con entrada y salida de 800Vac, a instalar en el VR-FV 043.1

Se instalarán en VR-FV 043.1, **2 armarios MAIN-AC BOX** AISI 316L de centralización general. El primero de ellos estará conectado por un lado a los cinco (5) armarios AC BOX y por el otro lado, se encontrará conectado directamente al TRAFO elevador de tensión 800v/20.000v, 2x1600KVA, de evacuación a red de MT de APV. VCT-FV 043.1

Documento visado electrónicamente con número: VA07290/22
Código de validación telemática TRLTDCFZ60T66IJ1. Comprobación: https://cogitivalencia.e-gestion.es/Validacion.aspx?CVT=TRLTDCFZ60T66IJ1

VISADO
COGITI
VALENCIA
VA07290/22
TRLTDCFZ60T66IJ1

El segundo de los armarios MAIN AC BOX estará conectado por un lado a los cuatro (4) armarios AC BOX y por el otro lado, se encontrará conectado directamente al TRAFO elevador de tensión 800v/20.000v, 2x1250KVA, de evacuación a red de MT de APV. VCT-FV 043.2

- ***Instalación*** *de estación meteorológica (DATASOL-MET* o equivalente*) en VR-FV 043.1, con medidor de radiación, con célula de referencia, anemómetro, temperatura de celda, temperatura ambiente y sensor de suciedad, con conexión MODBUS TCP.*

5.2- INSTALACIÓNES DE MEDIA TENSIÓN.

- ***Instalación*** *en envolvente PFU-7(VCT- FV 043.1), de dos trafos elevadores de tensión de 800/20000V, 1600KVA, celda de línea, celda de medida de tensión en barras, celda de protección general, celdas de protección de transformador y celda de medida con doble secundario TT y TI , analizador de redes, central de incendios y ventilación forzada.*

Se instalará **edificio prefabricado** constituido por una envolvente, de estructura monobloque, de hormigón armado, tipo ORMAZABAL PFU-7/20 o equivalente, con ventilación forzada, de dimensiones generales aproximadas 8.100 mm de largo por 2200 mm de fondo por 2.500 mm de altura útil.

Se instalarán **2 transformadores trifásico de 1600 KVA éster 0.80/20 kV,** biodegradable, Ormazabal o equivalente, según Norma UNE 21538 y UNE 548/2014 de Ecodiseño. Bobinado AT continuo de gradiente lineal sin entrecapas. Bobinado BT con ensayo frecuencia industrial 10kV. Ensayos climáticos E3, C3, F1. Potencia nominal: 1600 kVA. Relación: 0.80/20 kV. Tensión secundaria vacío: 800 V. Tensión cortocircuito: 6%. Regulación: +/- 2,5%, +/-5%. Grupo conexión: Dyn11. Dotado de equipo de sondas PT100 para protección térmica, bornero de conexión y termómetro digital (conjunto proteccion termica tipo T que permite visualizar digitalmente las temperaturas de los bobinados) PARA PROTECCIÓN TÉRMICA DEL TRANSFORMADOR y sus conexiones a la alimentación y al elemento disparador de la protección correspondiente, debidamente protegidas contra sobreintensidades.

Documento visado electrónicamente con número: VA07290/22
Código de validación telemática TRLTDCFZ60T66IJ1. Comprobación: https://cogitivalencia.e-gestion.es/Validacion.aspx?CVT=TRLTDCFZ60T66IJ1

VISADO
COGITI
VALENCIA
VA07290/22
TRLTDCFZ60T66IJ1

Se instalará **celda de interruptor de línea** Ormazabal modelo CGMCOSMOS-I o equivalente, con interruptor-seccionador en SF6 de 400A con mando CIT manual, seccionador de puesta a tierra, juego de barras tripolar e indica- dores testigo presencia de tensión instalados.

Se instalará **celda con función disyuntor protección** de Ormazabal modelo CGMCOSMOS-V o equivalente, con seccionador en SF6, relé de protección ekor.rpg, sis- tema de puesta a tierra, captadores de intensidad y enclavamientos instala- dos.

Se instalará **celda de medida de tensión en barras** Ormazabal modelo CGMCOSMOS-P o equivalente, con interruptor-seccionador en SF6 de 400.

Se instalará **celda de medida** Ormazabal modelo CGMCOSMOS-M o equivalente, equipada tres transformadores de intensidad y tres de tensión, de doble devanado, entrada y salida por cable seco, según características deta- lladas en memoria, instalados.

Se instalará **central incendios 2 zonas,** microprocesada para detección de incendios, de la marca Aguilera Electrónica o equivalente, fabricada en ABS, según EN 54 partes 2 y 4, así como sus correspondientes detectores óptico-térmicos y lazos de detección.

- ***Instalación*** *en envolvente PFU-7(VCT- FV 043.2), de dos trafos elevadores de tensión de 800/20000V, 1250KVA, celda de línea, celda de medida de tensión en barras, celda de protección general, celdas de protección de transformador y celda de medida con doble secundario TT y TI , analizador de redes, central de incendios y ventilación forzada.*

Se instalará **edificio prefabricado** constituido por una envolvente, de estructura monobloque, de hormigón armado, tipo ORMAZABAL PFU-7/20 o equivalente con ventilación forzada, de dimensiones generales aproximadas 8.100 mm de largo por 2200 mm de fondo por 2.500 mm de altura útil.

Se instalarán **2 transformadores trifásicos de 1250 KVA éster 0.80/20 kV,** biodegradable, Ormazabal o equivalente, según Norma UNE 21538 y UNE 548/2014 de Ecodiseño. Bobinado AT continuo de gradiente lineal sin entrecapas. Bobinado BT con ensayo frecuencia industrial 10kV. Ensayos climáticos E3, C3, F1. Potencia nominal: 1600 kVA. Relación: 0.80/20 kV. Tensión secundaria vacío: 800 V. Tensión cortocircuito: 6%. Regulación: +/- 2,5%, +/-5%. Grupo conexión: Dyn11. Dotado de equipo de sondas PT100

Documento visado electrónicamente con número: VA07290/22
Código de validación telemática TRLTDCFZ60T66IJ1. Comprobación: https://cogitivalencia.e-gestion.es/Validacion.aspx?CVT=TRLTDCFZ60T66IJ1

VISADO
COGITI
VALENCIA
VA07290/22
TRLTDCFZ60T66IJ1

para protección térmica, bornero de conexión y termómetro digital (conjunto proteccion termica tipo T que permite visualizar digitalmente las temperaturas de los bobinados) PARA PROTECCIÓN TÉRMICA DE TRANSFORMADOR y sus conexiones a la alimentación y al elemento disparador de la protección correspondiente, debidamente protegidas contra sobreintensidades.

Se instalará **celda de interruptor de línea** Ormazabal modelo CGMCOSMOS-I o equivalente, con interruptor-seccionador en SF6 de 400A con mando CIT manual, seccionador de puesta a tierra, juego de barras tripolar e indica- dores testigo presencia de tensión instalados.

Se instalará **celda con función disyuntor protección** de Ormazabal modelo CGMCOSMOS-V o equivalente, con seccionador en SF6, relé de protección ekor.rpg, sis- tema de puesta a tierra, captadores de intensidad y enclavamientos instala- dos.

Se instalará **celda de medida de tensión en barras** Ormazabal modelo CGMCOSMOS-P o equivalente, con interruptor-seccionador en SF6 de 400.

Se instalará **celda de medida** Ormazabal modelo CGMCOSMOS-M o equivalente, equipada tres transformadores de intensidad y tres de tensión, de doble devanado, entrada y salida por cable seco, según características deta- lladas en memoria, instalados.

Se instalará **central incendios 2 zonas,** microprocesada para detección de incendios, de la marca Aguilera Electrónica o equivalente, fabricada en ABS, según EN 54 partes 2 y 4, así como sus correspondientes detectores óptico-térmicos y lazos de detección.

- ***Instalación*** *de NUEVO VR-FV 043.1, formado por nueva envolvente hormigón PFU-5 ORMAZABAL* o equivalente*)* con 2 armarios de centralización general (MAIN AC BOX), vertido en AC y estación meteorológica.

Se instalará **edificio prefabricado PFU-5** constituido por una envolvente, de estructura monobloque, de hormigón armado, tipo ORMAZABAL PFU-5/20 o equivalente con ventilación forzada, de dimensiones generales aproximadas 5.900 mm de largo por 2200 mm de fondo por 2.300 mm de altura útil.

- ***Instalación*** *de LINEA DE MEDIA TENSIÓN (LSMT-1) para evacuación al anillo interior de 20KV del Puerto de Valencia, entre nuevo VCT-FV (043.1) y el VCT-043 existente.*

Documento visado electrónicamente con número: VA07290/22
Código de validación telemática TRLTDCFZ60T66IJ1. Comprobación: https://cogitivalencia.e-gestion.es/Validacion.aspx?CVT=TRLTDCFZ60T66IJ1

VISADO
COGITI
VALENCIA
VA07290/22
TRLTDCFZ60T66IJ1

Se instalará línea subterránea de media tensión, **LSMT 20 KV HEPRZ1 Al 3x(1x240) mm2** compuesta por tres cables unipolares con aislamiento HEPRZ1 y conductor de aluminio 12/20 kV de 3x240 mm² sobre fondo de zanja(0,70x1,20m) bajo tubo, arquetas de 100x100 cm. Incluido kit de 3 botellas terminales de 24 KV, megado y rigidez de la instalación y legalización en servicios territoriales de industria de Valencia.

- ***Instalación*** *de LINEA DE MEDIA TENSIÓN (LSMT-2) para evacuación al anillo interior de 20KV del Puerto de Valencia, entre nuevo VCT-FV (043.2) y el VCT-043 existente.*

Se instalará línea subterránea de media tensión, **LSMT 20 KV HEPRZ1 Al 3x(1x240) mm2** compuesta por tres cables unipolares con aislamiento HEPRZ1 y conductor de aluminio 12/20 kV de 3x240 mm² sobre fondo de zanja(0,70x1,20m) bajo tubo, arquetas de 100x100 cm. Incluido kit de 3 botellas terminales de 24 KV, megado y rigidez de la instalación y legalización en servicios territoriales de industria de Valencia.

- ***Instalación*** *en el VCT-043 existente, de DOS nuevas celdas de línea para conexión de las LSMT de evacuación, procedente de los nuevos centros de transformación VCT-FV 043.1 y 043.2*

  Se instalará **2 celda de interruptor de línea** motorizada Ormazabal modelo CGMCOSMOS-I o equivalente, con interruptor-seccionador en SF6 de 400A con mando tipo BM motorizado 48 Vcc, seccionador de puesta a tierra, juego de barras tripolar e indicadores testigo presencia de tensión instalados.

- ***Sustitución e Instalación****, en el centro de distribución eléctrico (CDD) del Puerto de Valencia, en la celda actual de medida, sustituir los transformadores de tensión y de intensidad existentes, que se encuentran conectados al contador de compañía actualmente instalado, por transformadores de triple devanado, e instalar módulo de control antivertido (PRISMA 310A-RENESYS* o equivalente*), que se conectará en paralelo con el contador de compañía, a los nuevos transformadores de triple devanado.*

  Se sustituirán los transformadores de tensión y de intensidad existentes en la celda de medida marca Ormazabal modelo CGMCOSMOS-M o equivalente del CDD, por transformadores de triple devanado TT,TI,

Documento visado electrónicamente con número: VA07290/22
Código de validación telemática TRLTDCFZ60T66IJ1. Comprobación: https://cogitivalencia.e-gestion.es/Validacion.aspx?CVT=TRLTDCFZ60T66IJ1

VISADO
COGITI
VALENCIA
VA07290/22
TRLTDCFZ60T66IJ1

instalados y conectados de nuevo con el contador de compañía y con el nuevo sistema antivertido.

5.3-INTEGRACIÓN E INSTALACIÓN DE SISTEMA CONTROL GENERAL Y CONTROL ANTIVERTIDO

- ***Instalación e integración*** *del sistema de control general y de control ANTIVERTIDO (PRISMA 310A-RENESYS* o equivalente*) integrándolo en el SCADA existente en APV, instalando armarios de comunicaciones en el CDD y VCT-FV (043.3) como nueva electrónica de la red industrial. Las pantallas del SCADA ofrecerán la visibilidad del consumo y generación en tiempo real, así como su exportación a BBDD de históricos. El sistema ANTIVERTIDO controlará los equipos de control y medición instalados en el nuevo VR-FV (043.1), en concordancia con los sistemas de control y medición instalados en el CDD. A través de dicho CDD, el anillo interior del puerto de 20KV se encuentra conectado con el (OPERADOR EXTERNO), en 20Kv.*

Se instalará en CDD, **sistema antivertido** próximo al módulo de contadores del cliente, modelo PRISMA 310A de RENESYS o equivalente. Permite regular la potencia obtenida de fuentes renovables y aportar garantías físicas y lógicas para decidir qué potencia debemos o deseamos consumir de la red. Integra en el mismo dispositivo un contador para la regulación instantánea y elimina la necesidad de otros componentes externos en la regulación de la potencia. Con cumplimiento de los criterios de la UNE 217001-IN y RD 244/2019.

Se instalará en CDD, **nuevo cuadro de comunicaciones** con envolvente metálica mural de 760x760x300mm, Ref 1073.500 marca RITTAL o equivalente, con SWITCH de comunicaciones XM408-8C de la marca SIEMENS.

Se instalará en VR-FV 043.1, **sistema de control** y supervisión para la gestión integral de la instalación de Fotovoltaica, SMARTLOGGER modelo 3000A de HUAWEI o equivalente.

Se instalará en VR-FV 043.1, **nuevo cuadro de comunicaciones** con envolvente metálica mural de 760x760x300mm, Ref 1073.500 marca RITTAL, con SWITCH de comunicaciones XM408-8C de la marca SIEMENS o equivalente.

Documento visado electrónicamente con número: VA07290/22
Código de validación telemática TRLTDCFZ60T66IJ1. Comprobación: https://cogitivalencia.e-gestion.es/Validacion.aspx?CVT=TRLTDCFZ60T66IJ1

VISADO
COGITI
VALENCIA
VA07290/22
TRLTDCFZ60T66IJ1

Se instalará además en VR-FV 043.1, **nuevo armario PLC** con periferia distribuida.

Se instalarán en VCT-FV (043.1) y VCT-FV (043.2), **analizadores de redes** para panel de medida indirecta, en formato 96x96 o 144x144, modelo CVM-A1500 de la marca Circutor, en armario para tal fin y conectados a los correspondientes dobles secundarios de las celdas de medida.

Se instalará entre armario comunicaciones CDD y VR-CDD, **cable fibra óptica monomodo** 24 fibras SM, 9/125µm en bandeja y canalización, con cubierta antiroedores.

Se instalará entre VR-017 y VR-FV 043.1, **cable fibra óptica monomodo** 24 fibras SM, 9/125µm en bandeja y canalización, con cubierta antiroedores.

Se instalará entre VR-FV 043.1 y VCT-043.1, **cable fibra óptica monomodo** 24 fibras SM, 9/125µm en bandeja y canalización, con cubierta antiroedores.

Se instalará entre VR-FV 043.1 y VCT-043.2, **cable fibra óptica monomodo** 24 fibras SM, 9/125µm en bandeja y canalización, con cubierta antiroedores.

Se instalará entre VR-FV 043.1 y VCT-043 existente, **cable fibra óptica monomodo** 24 fibras SM, 9/125µm en bandeja y canalización, con cubierta antiroedores.

Se conectaran a la red industrial existente el equipo PRISMA 310 A de RENESYS o equivalente conectado a switch (armario COMUNICACIONES) ubicado en CDD.

El equipo SMARTLOGGER HUAWEI 3000ª o equivalente y los analizadores CIRCUTOR o equivalente, se conectaran al switch (armario COMUNICACIONES) instalado en VR-FV 043.1. Una vez conectados a red industrial los equipos anteriores, se procederá a su PARAMETRIZACIÓN para cumplir por una parte la normativa en materia de ANTIVERTIDO .

Se realizaran las correspondientes horas de integración por programador certificado por SIEMENS, en paquete SCADA WinCC y TIA PORTAL/Step7(PLC), para integrar el sistema solar fotovoltaico, en SCADA

Documento visado electrónicamente con número: VA07290/22
Código de validación telemática TRLTDCFZ60T66IJ1. Comprobación: https://cogitivalencia.e-gestion.es/Validacion.aspx?CVT=TRLTDCFZ60T66IJ1

VISADO
COGITI
VALENCIA
VA07290/22
TRLTDCFZ60T66IJ1

de control WINCC corporativo existente en la Autoridad Portuaria de Valencia, monitorizando los estados, la gestión de alarmas y el telemando. Se modificarán las pantallas existentes y se crearán otras nuevas para el acceso a la instalación de Fotovoltaica, a criterio y diseño de APV

5.4- INSTALACIÓN DE ESTRUCTURA METÁLICA.

- ***Instalación*** *de una estructura metálica tipo marquesina a un agua en diente de sierra con una longitud de 255,5m y una anchura de 138,7m. en la que se fijaran los paneles solares y cableados.*

6. SEGURIDAD Y SALUD.

Para dar cumplimiento al R.D. 1627/1997 de 24 de octubre se incluye Anejo nº 8 “Estudio de Seguridad y Salud”, con su correspondiente Memoria, Planos, Pliego de Prescripciones Técnicas Particulares y Presupuesto.

El presupuesto de ejecución material por este concepto asciende a la cantidad de TREINTA MIL SEISCIENTOS NOVENTA Y SIETE EUROS CON CINCUENTA Y DOS CENTIMOS. (30.697,52 €).

7. CUMPLIMIENTO DE LA NORMATIVA OBLIGATORIA.

7.1- Cumplimiento de la normativa urbanística.

Por tratarse de un proyecto de **“INSTALACIÓN DE PLANTA DE GENERACIÓN FOTOVOLTAICA SOBRE CUBIERTA DE SILO DE VEHIULOS DE VALENCIA TERMINAL EUROPA, EN MUELLE DIQUE DEL ESTE EN EL PUERTO DE VALENCIA”**. se considera que el presente proyecto CUMPLE con la normativa urbanística vigente.

7.2- Cumplimiento de normativa de evaluación de impacto ambiental.

Atendiendo a la normativa vigente en materia de evaluación de impacto ambiental:

Directiva 85/337/CEE y sus modificaciones Directiva 97/11/CEE.

Ley 21/2013, de 9 de Diciembre, de evaluación ambiental.

Ley 2/1989, de 3 de marzo, de la Generalitat Valenciana, de Impacto Ambiental.

Decreto 162/1990, de 15 de octubre, del Consell de la Generalitat Valenciana por el que se aprueba el reglamento para la ejecución de la Ley 2/1989.

Documento visado electrónicamente con número: VA07290/22
Código de validación telemática TRLTDCFZ60T66IJ1. Comprobación: https://cogitivalencia.e-gestion.es/Validacion.aspx?CVT=TRLTDCFZ60T66IJ1

VISADO
COGITI
VALENCIA
VA07290/22
TRLTDCFZ60T66IJ1

Al presente proyecto no le es preceptiva la evaluación de impacto ambiental ya que, no es posible inscribirlo en ninguno de los supuestos tasados en los anexos de las distintas leyes.

7.3- Cumplimiento de normativa de Instalaciones

- Real Decreto 244/2019, de 5 de abril, por el que se regulan las condiciones administrativas, técnicas y económicas de las modalidades de suministro de energía eléctrica con autoconsumo y de producción con autoconsumo. El objetivo de este Real Decreto de Autoconsumo es regular estos aspectos que habían quedado abiertos tras la publicación del RDL 15/2018, relacionados con configuraciones de medida, condiciones administrativas y técnicas para conexión a red, los mecanismos de compensación de excedentes para las instalaciones de autoconsumo que se les permita, así como la organización de un registro de autoconsumo administrativo sencillo.

- Decreto Ley 14/2020, de 7 de agosto, del Consell, de medidas para acelerar la implantacion de instalaciones para el aprovechamiento de las energias renovables por la emergencia climatica y la necesidad de la urgente reactivacion economica.

- Real Decreto-ley 15/2018, de 5 de octubre, de medidas urgentes para la transición energética y la protección de los consumidores.

- Real Decreto 1109/2007, de 24 de agosto, por el que se desarrolla la Ley 32/2006, de 18 de octubre, reguladora de la subcontratación en el Sector de la Construcción.

- Ley 32/2006, de 18 de octubre, reguladora de la subcontratación en el Sector de la Construcción.
- Real Decreto 314/2006, de 17 de marzo, por el que se aprueba el Código Técnico de la Edificación y sus modificaciones.

- Real Decreto 842/2002, de 2 de agosto, por el que se aprueba el Reglamento electrotécnico para baja tensión.

- Real Decreto 337/2014, de 9 de mayo, por el que se aprueban el Reglamento sobre condiciones técnicas y garantías de seguridad en instalaciones eléctricas de alta tensión y sus Instrucciones Técnicas Complementarias ITC-RAT 01 a 23

- Real Decreto 223/2008, de 15 de febrero, por el que se aprueban el Reglamento sobre condiciones técnicas y garantías de seguridad en líneas eléctricas de alta tensión y sus instrucciones técnicas complementarias ITC-LAT 01 a 09.

- Real Decreto 614/2001, de 8 de junio, sobre disposiciones mínimas para la protección de la salud y seguridad de los trabajadores frente al riesgo eléctrico.

Documento visado electrónicamente con número: VA07290/22
Código de validación telemática TRLTDCFZ60T66IJ1. Comprobación: https://cogitivalencia.e-gestion.es/Validacion.aspx?CVT=TRLTDCFZ60T66IJ1

VISADO
COGITI
VALENCIA
VA07290/22
TRLTDCFZ60T66IJ1

- Ley 24/2013, de 26 de diciembre, del Sector Eléctrico.
- Real Decreto 1627/1997, de 24 de octubre, por el que se establecen disposiciones mínimas de seguridad y de salud en las obras de construcción.
- Real Decreto 1215/1997, de 18 de julio, por el que se establecen las disposiciones mínimas de seguridad y salud para la utilización por los trabajadores de los equipos de trabajo.
- Real Decreto 773/1997, de 30 de mayo, sobre disposiciones mínimas de seguridad y salud relativas a la utilización por los trabajadores de equipos de protección individual.
- Real Decreto 486/1997, de 14 de abril, por el que se establecen las disposiciones mínimas de seguridad y salud en los lugares de trabajo.
- Real Decreto 485/1997, de 14 de abril, sobre disposiciones mínimas en materia de señalización de seguridad y salud en el trabajo.
- Ley 31/1995, de 8 de noviembre, de Prevención de Riesgos Laborales.

8. CLASIFICACIÓN DE LAS OBRAS.

En aplicación del artículo 232 de la Ley 9/2017, de 8 de noviembre, de Contratos del Sector Público, procede a efectos de la elaboración del proyecto la correspondiente clasificación de las obras a ejecutar.

Según el objeto y la naturaleza de las obras se puede considerar en el grupo a), concretamente como reforma, tal y como dice el apartado 3 del mencionado artículo: “el concepto general de reforma abarca el conjunto de obras de ampliación, mejora, modernización, adaptación, adecuación o refuerzo de un bien inmueble ya existente”.

9. PLAZOS DE EJECUCIÓN.

Según se establece en el Anejo nº 6 “Programa de Trabajos” del presente proyecto, el plazo previsto para la ejecución de las obras e instalaciones auxiliares descritas en el presente “Proyecto de Ejecución de planta fotovoltaica en modalidad de Autoconsumo” es de **24 MESES**.

Documento visado electrónicamente con número: VA07290/22
Código de validación telemática TRLTDCFZ60T66IJ1. Comprobación: https://cogitivalencia.e-gestion.es/Validacion.aspx?CVT=TRLTDCFZ60T66IJ1

VISADO
COGITI
VALENCIA
VA07290/22
TRLTDCFZ60T66IJ1

10. PLAZO DE GARANTIA.

El plazo de garantía de las obras será de 24 MESES, a partir de la recepción de las obras, y la conservación durante el mismo correrá a cargo del Contratista, quien abonará las cantidades correspondientes para la liquidación de desperfectos si éstos han sido a causa de la mala ejecución de las obras.

11. PRECIOS.

a. Precios aplicados a las unidades de obra.

Para el cálculo y obtención de los precios de las distintas unidades de obra se ha partido de diferentes bases de precios, y utilizando los precios de ofertas recibidas y de mercado para los distintos materiales, mano de obra y maquinaria.

Los equipos y materiales empleados disponen de características muy concretas, las cuales permiten la compatibilidad con los sistemas existentes en la Autoridad Portuaria de Valencia.

En el **Anejo nº 10 "Justificación de Precios"** se determina el coeficiente de costes indirectos aplicado a las unidades de obra incluidas en el proyecto. El coeficiente de costes indirectos determinado es del 2,5 % y se encuentra aplicado en todos los precios del cuadro de precios nº 1.

b. Revisión de precios.

Al no ser la duración de las obras superior a dos años, conforme a lo indicado en el artículo 103 de la Ley 9/2017, de 8 de noviembre, de Contratos del Sector Público, no procede la revisión de precios.

12. RESUMEN DEL PRESUPUESTO DE EJECUCIÓN MATERIAL.

El presupuesto aproximado de Ejecución Material (PEM) de las obras e instalaciones descritas en el presente “Proyecto de Ejecución de planta fotovoltaica en modalidad de Autoconsumo” asciende a la cantidad de CATORCE MILLONES CIENTO TREINTA Y TRES MIL CIENTO SEIS EUROS CON DIECISIETE CENTIMOS (14.133.106,17 €).

Documento visado electrónicamente con número: VA07290/22
Código de validación telemática TRLTDCFZ60T66IJ1. Comprobación: https://cogitivalencia.e-gestion.es/Validacion.aspx?CVT=TRLTDCFZ60T66IJ1

VISADO
COGITI
VALENCIA
VA07290/22
TRLTDCFZ60T66IJ1

RESUMEN DE PRESUPUESTO

CAPÍTULO	RESUMEN	IMPORTE	%
01	TRABAJOS PREVIOS	28.146,01	0,20
02	ESTRUCTURA METÁLICA	8.922.376,23	63,13
03	INSTALACIÓN FOTOVOLTAICA	3.482.623,90	24,64
04	INSTALACIÓN CT GENERACIÓN PARTICULAR 2x1600 KVA V.C.T.-FV 043.1	161.746,10	1,14
05	INSTALACIÓN CT GENERACIÓN PARTICULAR 2x1250 KVA V.C.T.-FV 043.2	152.755,52	1,08
06	INSTALACIÓN PREFABRICADO PARA COMUNICACIONES V.R.-FV 043.1	30.336,20	0,21
07	ADECUACIÓN CT EXISTENTE V.C.T. 043	8.176,98	0,06
08	ADECUACIÓN CT EXISTENTE C.D.D.	13.952,55	0,10
09	INSTALACIÓN LSMT 20KV PARTICULAR	9.188,40	0,07
10	INSTALACIÓN ALUMBRADO MARQUESINAS	149.114,83	1,06
11	EVACUACIÓN AGUAS PLUVIALES	1.128.898,04	7,99
12	GESTIÓN DE RESIDUOS	9.251,39	0,07
13	CONTROL DE CALIDAD	5.842,50	0,04
14	SEGURIDAD Y SALUD	30.697,52	0,22

		PRESUPUESTO DE EJECUCIÓN MATERIAL	**14.133.106,17**
13,00	% Gastos generales	1.837.303,80	
6,00	% Beneficio industrial	847.986,37	
	Suma de G.G.+B.I.		2.685.290,17
	PRESUPUESTO TOTAL		**16.818.396,34**

Asciende el presupuesto a la expresada cantidad de DIECISEIS MILLONES OCHOCIENTOS DIECIOCHO MIL TRESCIENTOS NOVENTA Y SEIS EUROS con TREINTA Y CUATRO CÉNTIMOS

21% IVA		3.531.863,23
PRESUPUESTO TOTAL (CON IVA)		**20.350.259,57**

Asciende el presupuesto a la expresada cantidad de VEINTE MILLONES TRESCIENTOS CINCUENTA MIL DOSCIENTOS CINCUENTA Y NUEVE EUROS con CINCUENTA Y SIETE CÉNTIMOS

13. DECLARACIÓN DE OBRA COMPLETA.

En cumplimiento del artículo 127.2 del Real Decreto 1098/2001, de 12 de octubre, por el que se aprueba el Reglamento General de la Ley de Contratos de las Administraciones Públicas, se manifiesta que el Proyecto, comprende una obra completa en el sentido exigido por el artículo 125 del citado Reglamento y que, por comprender todos y cada uno de los elementos precisos para la utilización de la obra, es susceptible de ser entregada al uso general.

Documento visado electrónicamente con número: VA07290/22
Código de validación telemática TRLTDCFZ60T66IJ1. Comprobación: https://cogitivalencia.e-gestion.es/Validacion.aspx?CVT=TRLTDCFZ60T66IJ1

VISADO
COGITI
VALENCIA
VA07290/22
TRLTDCFZ60T66IJ1

14. DOCUMENTOS QUE CONSTITUYEN EL PROYECTO.

PROYECTO

INSTALACIÓN DE PLANTA GENERACIÓN FOTOVOLTAICA SOBRE LA CUBIERTA DEL SILO DE VEHÍCULOS DE VALENCIA TERMINAL EUROPA, EN MUELLE DIQUE DEL ESTE, EN PUERTO DE VALENCIA

FEBRERO 2022

axenia consultores SL

valenciaport
Autoridad Portuaria de Valencia

INDICE

PROYECTO

DOCUMENTO 1. MEMORIA Y ANEJOS.

1.1- **Memoria.**

1.2- **Anejos a la memoria:**

- Anejo 1. Sinóptico de arquitectura general.
- Anejo 2. Generación fotovoltaica.
- Anejo 3. Instalación en MT, CT (Fotovoltaico + VR-FV 043.1).
- Anejo 4. Instalación en MT, LSMT 20KV
- Anejo 5. Estructura metálica portante y evacuación de aguas.
- Anejo 6. Características de equipos (Fichas Técnicas).
- Anejo 7. Programa de trabajos. (Gantt)
- Anejo 8. Justificación de precios.
- Anejo 9. Estudio de seguridad y salud. (ESS)
  - 9.1- Memoria. (ESS)
  - 9.2- Planos. (ESS)
  - 9.3- Pliego esp. (ESS)
  - 9.4- Presupuesto. (ESS)
- Anejo 10. Gestión de residuos.
- Anejo 11. Control de Calidad.

VALENCIA PORT
INSTALACIÓN FOTOVOLTAICA SOBRE CUBIERTA
DE SILO DE VEHICULOS DE VTE EN PUERTO DE VALENCIA.

axenia consultores SL

INDICE

2.1-SITUACIÓN Y EMPLAZAMIENTO. (**GEN01**)

2.2-IMPLANTACIÓN MÓDULOS FV. (**GEN02**)

2.3-IMPLANTACIÓN ALUMBRADO MARQUESINA. (**GEN03**)

2.4-CENTRO DE TRANSFORMACIÓN DE GENERACIÓN. (**GEN04**)

2.5-ESQUEMA UNIFILAR. (**GEN05**)

2.6-ESQUEMA COMUNICACIONES. (**GEN06**)

2.7-ESTRUCTURA METÁLICA PORTANTE (**GEN07**)

2.8-EVACUACUION AGUAS PLUVIALES (**GEN08**)

2.9- DETALLES ENLACES UNIÓN ESTRUCTURA-EDIFICIO **(GEN09)**

Documento visado electrónicamente con número: VA07290/22
Código de validación telemática TRLTDCFZ60T66IJ1. Comprobación: https://cogitivalencia.e-gestion.es/Validacion.aspx?CVT=TRLTDCFZ60T66IJ1

VISADO
COGITI
VALENCIA
VA07290/22
TRLTDCFZ60T66IJ1

15. CONCLUSIONES.

Se entiende que el presente documento describe suficientemente el proyecto de **"INSTALACIÓN DE PLANTA DE GENERA GENERACIÓN FOTOVOLTAICA SOBRE LA CUBIERTA DEL SILO DE VEHÍCULOS DE VALENCIA TERMINAL EUROPA, EN MUELLE DIQUE DEL ESTE, EN PUERTO DE VALENCIA"**

Asimismo, se considera que no se han omitido elementos imprescindibles para la obra, que las partes de la misma cuyas dimensiones resulten diferentes del proyecto en la ejecución por su encaje en el terreno, han sido previstas con la suficiente amplitud y que han sido tenidas en cuenta las circunstancias que pudieran surgir durante la ejecución.

Se estima que todos estos datos, contenidos en el proyecto y que estamos dispuestos a aclarar y completar si fuese necesario, serán suficientes para formar un juicio exacto de lo que se pretende realizar.

Valencia, 17 de Febrero de 2022
EL INGENIERO TÉCNICO INDUSTRIAL



Fdo: Javier Coli Gilabert

Colegiado nº 9.613

Documento visado electrónicamente con número: VA07290/22
Código de validación telemática TRLTDCFZ60T66IJ1. Comprobación: https://cogitivalencia.e-gestion.es/Validacion.aspx?CVT=TRLTDCFZ60T66IJ1

VISADO
COGITI
VALENCIA
VA07290/22
TRLTDCFZ60T66IJ1

INSTALACIÓN DE PLANTA GENERACIÓN FOTOVOLTAICA SOBRE LA CUBIERTA DEL SILO DE VEHÍCULOS DE VALENCIA TERMINAL EUROPA, EN MUELLE DIQUE DEL ESTE, EN PUERTO DE VALENCIA

ANEJOS

Documento visado electrónicamente con número: VA07290/22
Código de validación telemática TRLTDCFZ60T66IJ1. Comprobación: https://cogitivalencia.e-gestion.es/Validacion.aspx?CVT=TRLTDCFZ60T66IJ1

VISADO
COGITI
VALENCIA
VA07290/22
TRLTDCFZ60T66IJ1

INDICE

ANEJOS

1. ANEJOS DE LA MEMORIA.

Anejo 1. Sinóptico de arquitectura general.

Anejo 2. Generación fotovoltaica.

Anejo 3. Instalación en MT, CT (Fotovoltaico + VR-FV 043.1).

Anejo 4. Instalación en MT, LSMT 20KV

Anejo 5. Estructura metálica portante y evacuación de aguas.

Anejo 6. Características de equipos (Fichas Técnicas).

Anejo 7. Programa de trabajos. (Gantt)

Anejo 8. Justificación de precios.

Anejo 9. Estudio de seguridad y salud. (ESS)

- 9.1- Memoria. (ESS)
- 9.2- Planos. (ESS)
- 9.3- Pliego esp. (ESS)
- 9.4- Presupuesto. (ESS)

Anejo 10. Gestión de residuos.

Anejo 11. Control de Calidad

Documento visado electrónicamente con número: VA07290/22
Código de validación telemática TRLTDCFZ60T66IJ1. Comprobación: https://cogitivalencia.e-gestion.es/Validacion.aspx?CVT=TRLTDCFZ60T66IJ1

VISADO
COGITI
VALENCIA
VA07290/22
TRLTDCFZ60T66IJ1

INSTALACIÓN DE PLANTA GENERACIÓN FOTOVOLTAICA SOBRE LA CUBIERTA DEL SILO DE VEHÍCULOS DE VALENCIA TERMINAL EUROPA, EN MUELLE DIQUE DEL ESTE, EN PUERTO DE VALENCIA.

ANEJO Nº1

Sinóptico de Arquitectura General

Documento visado electrónicamente con número: VA07290/22
Código de validación telemática TRLTDCFZ60T66IJ1. Comprobación: https://cogitivalencia.e-gestion.es/Validacion.aspx?CVT=TRLTDCFZ60T66IJ1

VISADO
COGITI
VALENCIA
VA07290/22
TRLTDCFZ60T66IJ1

INDICE

1.1.- Esquema Media Tensión(MT).

Documento visado electrónicamente con número: VA07290/22
Código de validación telemática TRLTDCFZ60T66IJ1. Comprobación: https://cogitivalencia.e-gestion.es/Validacion.aspx?CVT=TRLTDCFZ60T66IJ1

VISADO
COGITI
VALENCIA
VA07290/22
TRLTDCFZ60T66IJ1

1.1.- Esquema Media Tensión(MT).

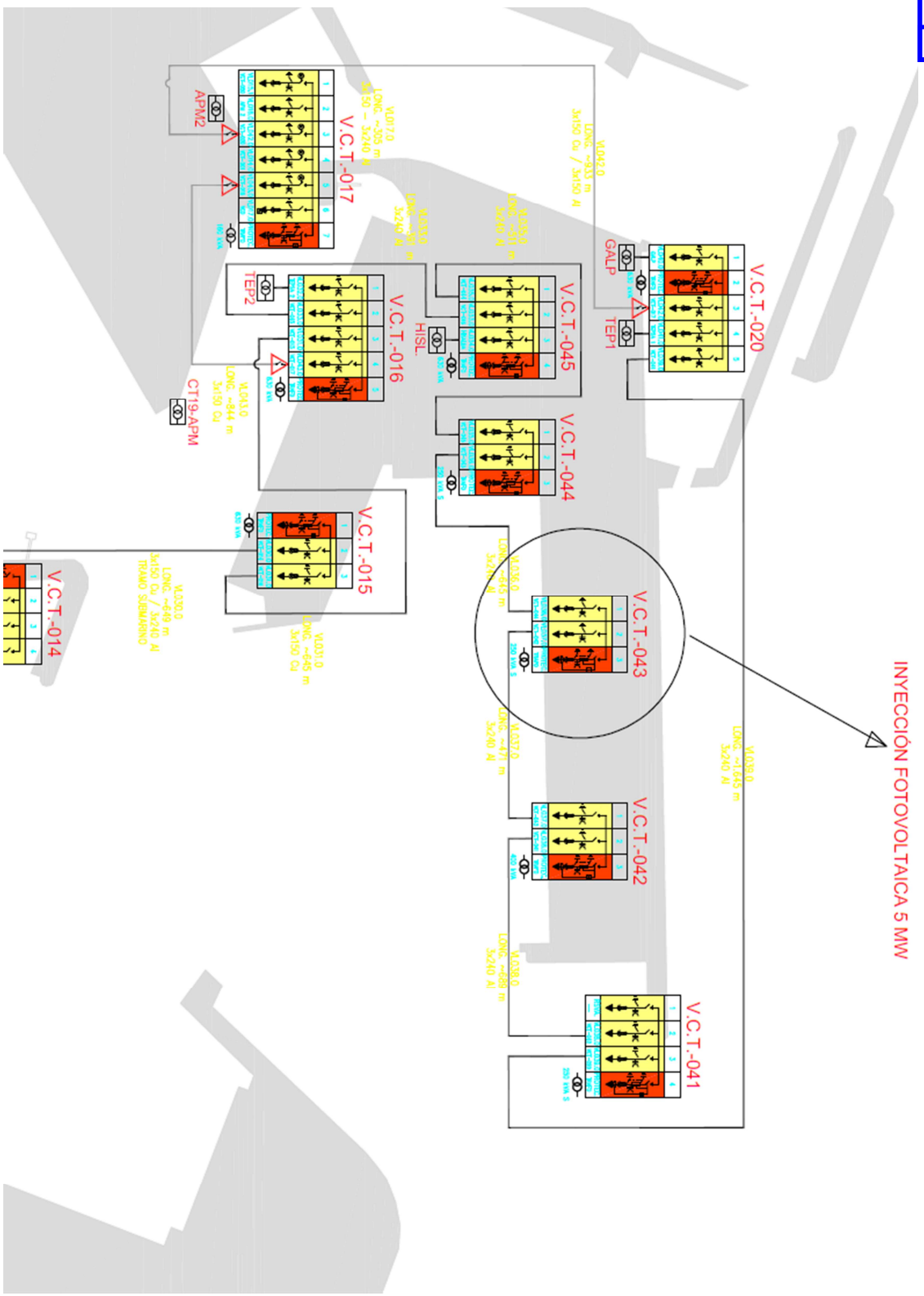

Documento visado electrónicamente con número: VA07290/22
Código de validación telemática TRLTDCFZ60T66IJ1. Comprobación: https://cogitivalencia.e-gestion.es/Validacion.aspx?CVT=TRLTDCFZ60T66IJ1

VISADO
COGITI
VALENCIA
VA07290/22
TRLTDCFZ60T66IJ1

INSTALACIÓN DE PLANTA GENERACIÓN FOTOVOLTAICA SOBRE LA CUBIERTA DEL SILO DE VEHÍCULOS DE VALENCIA TERMINAL EUROPA, EN MUELLE DIQUE DEL ESTE, EN PUERTO DE VALENCIA.

ANEJO Nº2

Generación de acumulación Fotovoltaica

Documento visado electrónicamente con número: VA07290/22
Código de validación telemática TRLTDCFZ60T66IJ1. Comprobación: https://cogitivalencia.e-gestion.es/Validacion.aspx?CVT=TRLTDCFZ60T66IJ1

VISADO
COGITI
VALENCIA
VA07290/22
TRLTDCFZ60T66IJ1

1. MEMORIA 4
1.1. ANTECEDENTES Y OBJETO DE LA MEMORIA. 5
1.2. TITULAR Y PROMOTOR 5
1.3. EMPLAZAMIENTO 5
1.4. NORMATIVA APLICABLE 6
1.5. DESCRIPCION TECNICA DE LA INSTALACION 7
1.5.1. Clasificación 8
1.5.2. Generador fotovoltaico. 9
1.5.3. Acondicionamiento de potencia. 11
1.5.4. Características del campo fotovoltaico 13
1.5.4.1. Estructura soporte 14
1.5.4.2. Cableado. 15
1.5.4.3. Protecciones. 164
1.5.4.4. Sistema antivertido 205
1.5.4.5. Control, monitorización e integración. 207
1.5.4.6. Sistema almacenamiento 209
1.5.5. Punto de conexión. Linea de media Tensión. 137
1.6. DESCRIPCIÓN DE LA ACTIVIDAD Y EL PROCESO 24
1.6.1. Clasificación de la actividad 24
1.6.2. Impacto ambiental 24
1.6.3. Balance energético y medioambiental 24
2. CALCULOS JUSTIFICATIVOS 28
2.1. DIMENSIONADO DEL GENERADOR FOTOVOLTAICO 32
2.1.1. COMPROBACION POR TENSIÓN: 33
2.1.2. COMPROBACION POR INTENSIDAD: 34
2.2. SECCIONES DE CABLEADO 35
2.2.1. Cableado en corriente continua. Final rama – Inversor. 35
2.2.2. Cableado en corriente alterna. Inversor – AC BOX. 37
2.2.3. Cableado en corriente alterna. AC BOX – Main BOX. 38
2.3. CÁLCULO DE PROTECCIONES 39
2.3.1. Protección frente a cortocircuitos y sobrecargas en el tramo CC. 39
2.3.2. Protección frente a sobretensiones en el tramo de CC. 39
2.3.3. Protección frente a contactos indirectos en el tramo de CC. 39
2.3.4. Protección frente a cortocircuitos y sobrecargas en el tramo de AC. 40
2.3.5. Protección frente a cortocircuitos y sobrecargas en el tramo de AC. 42
2.3.6. Separación galvánica en el tramo de AC. 42
2.3.7. Funcionamiento en isla en el tramo de AC. 42
2.3.8. Armónicos y compatibilidad electromagnética en el tramo de AC. 43
2.3.9. Puesta a tierra de la instalación en el tramo de AC. 43

Documento visado electrónicamente con número: VA07290/22
Código de validación telemática TRLTDCFZ60T66IJ1. Comprobación: https://cogitivalencia.e-gestion.es/Validacion.aspx?CVT=TRLTDCFZ60T66IJ1

VISADO
COGITI
VALENCIA
VA07290/22
TRLTDCFZ60T66IJ1

3. PLIEGO DE CONDICIONES 1
3.1. PLIEGO DE CONDICIONES GENERALES 2
3.2. ESPECIFICACIONES DE MATERIALES, EQUIPOS Y EJECUCIÓN 2
3.3. CERTIFICADOS Y DOCUMENTACIÓN. 9
3.4. CONDICIONES FACULTATIVAS 10
3.5. CONDICIONES ECONÓMICAS Y LEGALES. 11
3.6. MANTENIMIENTO DE LA INSTALACIÓN 14

Documento visado electrónicamente con número: VA07290/22
Código de validación telemática TRLTDCFZ60T66IJ1. Comprobación: https://cogitivalencia.e-gestion.es/Validacion.aspx?CVT=TRLTDCFZ60T66IJ1

VISADO
COGITI
VALENCIA
VA07290/22
TRLTDCFZ60T66IJ1

1. MEMORIA

Documento visado electrónicamente con número: VA07290/22
Código de validación telemática TRLTDCFZ60T66IJ1. Comprobación: https://cogitivalencia.e-gestion.es/Validacion.aspx?CVT=TRLTDCFZ60T66IJ1

VISADO
COGITI
VALENCIA
VA07290/22
TRLTDCFZ60T66IJ1

1.1. ANTECEDENTES Y OBJETO DE LA MEMORIA.

Dentro de las necesidades actuales de la AUTORIDAD PORTUARIA DE VALENCIA, en su búsqueda continua por el uso eficiente de la energía y reducción de las emisiones de CO_2 a la atmósfera, ésta pretende ejecutar una instalación solar fotovoltaica en modalidad de AUTOCONSUMO sin vertido a red, según el RD244/2019, de 5.763,55 kWp, que permita abastecer una parte de energía eléctrica renovable al Puerto de Valencia.

El presente proyecto tiene por objeto, definir las condiciones técnicas de la instalación de energía solar fotovoltaica de conexión a red de 5.763,55 kWp de potencia pico, sirviendo de base para la ejecución de la misma, contando para ello, y dando cumplimiento a la legislación vigente.

1.2. TITULAR Y PROMOTOR

- Titular y promotor Autoridad Portuaria de Valencia (Valencia Port)
- Domicilio social: AV, Muelle del Turia, S/N,
- C.P.: 46024 Valencia
- CIF: Q4667047G

1.3. EMPLAZAMIENTO

- Cubierta Silo de coches.
- Puerto de Valencia
- Coordenadas UTM: 39.440366, -0.304180

No se dispone de referencia catastral.

Los módulos fotovoltaicos se ubicarán de forma coplanar sobre la cubierta de la nave indicada.

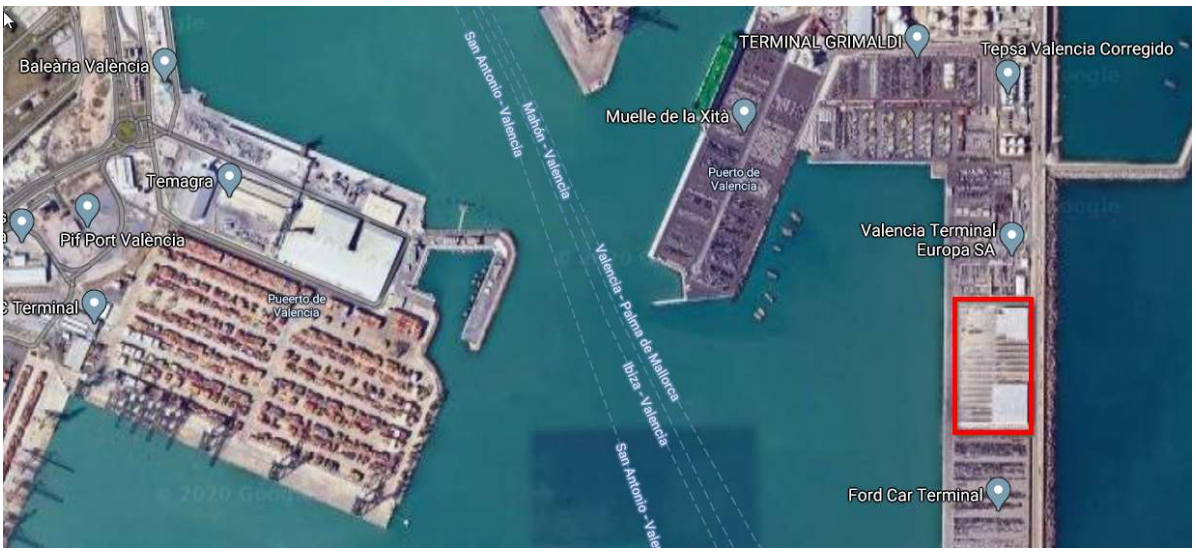

Documento visado electrónicamente con número: VA07290/22
Código de validación telemática TRLTDCFZ60T66IJ1. Comprobación: https://cogitivalencia.e-gestion.es/Validacion.aspx?CVT=TRLTDCFZ60T66IJ1

VISADO
COGITI
VALENCIA
VA07290/22
TRLTDCFZ60T66IJ1

1.4. NORMATIVA APLICABLE

El presente proyecto recoge las características de los materiales, los cálculos que justifican su empleo y la forma de ejecución de las obras a realizar, dando con ello cumplimiento a las siguientes disposiciones:

Real Decreto 244/2019, de 5 de abril, por el que se regulan las condiciones administrativas, técnicas y económicas de las modalidades de suministro de energía eléctrica con autoconsumo y de producción con autoconsumo. El objetivo de este Real Decreto de Autoconsumo es regular estos aspectos que habían quedado abiertos tras la publicación del **RDL 15/2018**, relacionados con configuraciones de medida, condiciones administrativas y técnicas para conexión a red, los mecanismos de compensación de excedentes para las instalaciones de autoconsumo que se les permita, así como la organización de un registro de autoconsumo administrativo sencillo.

Real Decreto-ley 15/2018, de 5 de octubre, de medidas urgentes para la transición energética y la protección de los consumidores.

Real Decreto 1109/2007, de 24 de agosto, por el que se desarrolla la Ley 32/2006, de 18 de octubre, reguladora de la subcontratación en el Sector de la Construcción.

Ley 32/2006, de 18 de octubre, reguladora de la subcontratación en el Sector de la Construcción.
Real Decreto 314/2006, de 17 de marzo, por el que se aprueba el Código Técnico de la Edificación y sus modificaciones.

Real Decreto 842/2002, de 2 de agosto, por el que se aprueba el Reglamento electrotécnico para baja tensión.

UNE-HD 60364-7-712:2017: Instalaciones eléctricas de baja tensión. Parte 7-712: Requisitos para instalaciones o emplazamientos especiales. Sistemas de alimentación solar fotovoltaica (FV)

UNE-HD-5-52:2014/A11:2018: Instalaciones eléctricas de baja tensión. Parte 5-52: Selección e instalación de equipos eléctricos. Canalizaciones.

Real Decreto 614/2001, de 8 de junio, sobre disposiciones mínimas para la protección de la salud y seguridad de los trabajadores frente al riesgo eléctrico.

Real Decreto 1627/1997, de 24 de octubre, por el que se establecen disposiciones mínimas de seguridad y de salud en las obras de construcción.

Real Decreto 1215/1997, de 18 de julio, por el que se establecen las disposiciones mínimas de seguridad y salud para la utilización por los trabajadores de los equipos de trabajo.

Documento visado electrónicamente con número: VA07290/22
Código de validación telemática TRLTDCFZ60T66IJ1. Comprobación: https://cogitivalencia.e-gestion.es/Validacion.aspx?CVT=TRLTDCFZ60T66IJ1

VISADO
COGITI
VALENCIA
VA07290/22
TRLTDCFZ60T66IJ1

Real Decreto 773/1997, de 30 de mayo, sobre disposiciones mínimas de seguridad y salud relativas a la utilización por los trabajadores de equipos de protección individual.

Real Decreto 486/1997, de 14 de abril, por el que se establecen las disposiciones mínimas de seguridad y salud en los lugares de trabajo.

Real Decreto 485/1997, de 14 de abril, sobre disposiciones mínimas en materia de señalización de seguridad y salud en el trabajo.

Ley 31/1995, de 8 de noviembre, de Prevención de Riesgos Laborales.

1.5. DESCRIPCION TECNICA DE LA INSTALACION.

La instalación proyectada se compondrá de un sistema fotovoltaico generador de electricidad. Dicho generador estará constituido por módulos fotovoltaicos conectados eléctricamente entre sí, en cuya salida de corriente continua se situará un inversor de potencia que dotará a la energía generada de las características necesarias para su autoconsumo por parte del cliente.

La instalación consistirá básicamente en la ejecución de una instalación fotovoltaica para autoconsumo, de 5.763,55 kWp. La instalación fotovoltaica estará constituida de 10.773 módulos fotovoltaicos de 535 Wp, instalados sobre estructura metálica inclinada a 4º y con orientación Sur.

Será necesaria la instalación de 27 inversores de 185 kWn, que se instalarán repartidos a lo largo de la cubierta metálica portante, tal y como se puede observar en los planos.

Los inversores cambiarán el régimen de CC a AC, generando dicha potencia en Baja Tensión, a 800 V. Tras los inversores se instalarán 9 cuadros de protección de corriente alterna “AC BOX”, los cuales recogerán, cada uno de ellos, el cableado de 3 inversores. Posteriormente los conductores provenientes de cada uno de estos cuadros AC BOX se reagruparán en los cuadros principales “MAIN AC BOX”, instalándose uno por cada CT en el interior de éstos.

Debido a la gran potencia pico generada en la instalación, serán necesarios 2 Centros de Transformación para agrupar toda la potencia. Así pues, se instalará por un lado un Centro de Transformación de 2x1250KVA y por otro lado un Centro de Transformación de 2x1600KVA para conseguir la señal en Alta tensión, a 20 kV, de tal manera que se pueda conectar directamente al Centro de Transformación existente V.C.T. 043 de 250KVA para aprovechar la energía generada en cualquier localización del puerto.

La distribución de cargas, inversores y cuadros por cada CT se puede ver en el correspondiente esquema unifilar.

Documento visado electrónicamente con número: VA07290/22
Código de validación telemática TRLTDCFZ60T66IJ1. Comprobación: https://cogitivalencia.e-gestion.es/Validacion.aspx?CVT=TRLTDCFZ60T66IJ1

VISADO
COGITI
VALENCIA
VA07290/22
TRLTDCFZ60T66IJ1

Los 4 transformadores a instalar tendrán una relación de transformación de 0,8/20 kV y estarán ubicados en 2 casetas prefabricadas independientes (modelo PFU-7 de Ormazabal o equivalente) destinadas únicamente a esta finalidad.

La acometida a los mismos será mediante bandeja de PVC aislante, la cual discurrirá bajo una estructura elevada entre ambos CT de generación hasta conectar con el Centro de Transformación existente V.C.T. 043, tal y como se puede ver en planos.

Los nuevos transformadores de los CT de generación serán de 2x1250 kVA y 2x1600KVA respectivamente, con una relación de transformación de 0,8/20 kV.

Se ha previsto además un nuevo edificio prefabricado del tipo PFU-5 de Ormazabal o equivalente para ubicar, entre otros, los correspondientes MAIN AC BOX y el smartlogger.

En el Centro de Entrega existente propiedad de la Autoridad Portuaria se instalará el sistema antivertido (PRISMA 310A o equivalente) para garantizar el no vertido de energía a la red, ya que trabajamos con la modalidad de autoconsumo sin excedentes.

El dispositivo recibe la información continua de los consumos del Puerto a través del analizador de redes situado en el punto frontera de la instalación portuaria y los compara con la generación de la instalación fotovoltaica, realizando el control y regulación de la potencia generada por la planta fotovoltaica asegurando el no vertido a la red.

En el caso de que la potencia en el punto frontera sea cero, el dispositivo realiza de manera inmediata el disparo de un relé asociado a un interruptor de protección situado en la cabecera del cuadro de corriente alterna denominado MAIN AC BOX de la instalación fotovoltaica. Dicho interruptor es motorizado para poder rearmarse a distancia por parte del operador en su caso.

1.5.1. Clasificación

Real Decreto 244/2019, respeta los tipos de autoconsumo del **Real Decreto Ley 15/2018**, pero aparecen subdivisiones en el tipo de autoconsumo con excedentes según la modalidad de acogida o no a compensación.

La instalación objeto de este documento se clasifica dentro del grupo de autoconsumo sin excedentes que, según el artículo 4, se define de la siguiente manera:

a) Modalidad de suministro con autoconsumo sin excedentes. Corresponde a las modalidades definidas en el artículo 9.1.a) de la Ley 24/2013, de 26 de diciembre. En estas modalidades se deberá instalar un mecanismo antivertido que impida la inyección de energía excedentaria a la red de transporte o de distribución. En este caso existirá un único tipo de sujeto de los previstos en el artículo 6 de la Ley 24/2013, de 26 de diciembre, que será el sujeto consumidor.

Documento visado electrónicamente con número: VA07290/22
Código de validación telemática TRLTDCFZ60T66IJ1. Comprobación: https://cogitivalencia.e-gestion.es/Validacion.aspx?CVT=TRLTDCFZ60T66IJ1

VISADO
COGITI
VALENCIA
VA07290/22
TRLTDCFZ60T66IJ1

1.5.2. Generador fotovoltaico.

El panel solar previsto en la instalación será el Jinko Cheetah Plus JKM535M-72HL4 o equivalente, que está compuesto de 144 células de alta eficiencia de tecnología monocristalino garantizando una producción muy alta para instalaciones fotovoltaicas.

Para proteger las células contra las condiciones climáticas más adversas, las células están incrustadas entre una protección de cristal endurecido, templado de bajo contenido en hierro, de alta transmisividad; y láminas de TPT y EVA. Marco de aluminio anodizado, estético, estable, que proporciona alta resistencia al viento, a la carga de nieve y con unos accesos sencillos para el montaje.

Los perfiles posteriores están equipados con agujeros de drenaje. De esta forma se elimina el riesgo de que el agua de nieve pueda acumularse en el interior del perfil y pueda congelarse produciendo daños. Cableado con sistema de conexión rápida tipo MC4. Certificados bajo IEC61215, TUV class II, CE, ISO9001:2000. La parte trasera está sellada con láminas PET. El laminado se encuentra en un marco de aluminio resistente y fácil de montar.

La planta albergará un total de 432 strings, repartidos de la siguiente forma:

- 405 strings conectando 25 paneles en cada uno.
- 27 strings conectando 24 paneles en cada uno.

Siendo un total de 10.773 paneles y una potencia pico del sistema generador de 5.763,55 kWp.
Las principales características eléctricas del módulo seleccionado se detallan a continuación:

- Potencia nominal (Pmpp) ..... 535 Wp
- Tolerancia potencia nominal ..... +3%.
- Voltaje punto de máxima potencia (Vmpp) .....40,63 V.
- Corriente punto de máxima potencia (Impp) ....13,17 A.
- Voltaje en circuito abierto (Voc) ....49,34 V.
- Corriente de cortocircuito (Isc) ....13,79 A.
- Coef. temperatura de potencia máxima ....-0,35 %/ºC.
- Coef. temperatura tensión de circuito abierto ....-0,28 %/ºC.
- Coef. temperatura corriente de cortocircuito ....0,048 %/ºC.
- Maxima tensión del sistema 1.500Vdc

Dichas características están referidas a las condiciones estándar de medida (CEM):

- Temperatura de célula ....25ºC.
- Radiación ....1000 W/m2.
- Espectro..... ..... AM 1.5.

Las dimensiones de los módulos fotovoltaicos son las siguientes:

- Longitud .....2.274 mm.
- Anchura ....1.134 mm.
- Espesor ....35 mm.

Documento visado electrónicamente con número: VA07290/22
Código de validación telemática TRLTDCFZ60T66IJ1. Comprobación: https://cogitivalencia.e-gestion.es/Validacion.aspx?CVT=TRLTDCFZ60T66IJ1

VISADO
COGITI
VALENCIA
VA07290/22
TRLTDCFZ60T66IJ1

Engineering Drawings

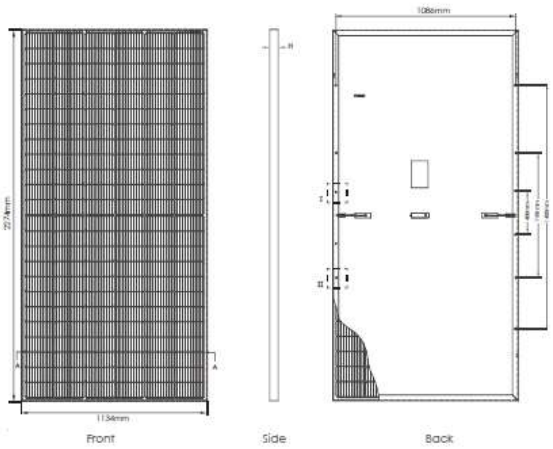

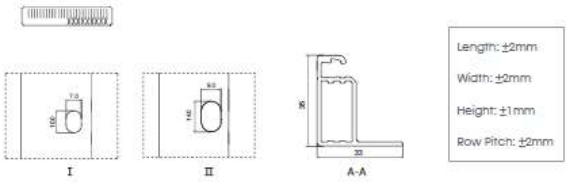

Packaging Configuration

(Two pallets = One stack)

31pcs/pallets, 62pcs/stack, 620pcs/ 40'HQ Container

Electrical Performance & Temperature Dependence

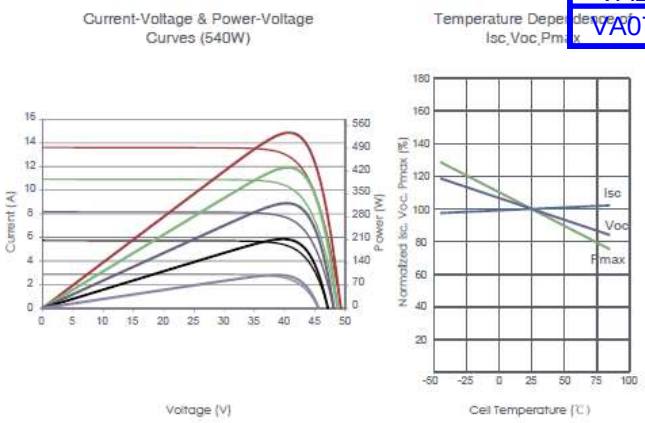

Mechanical Characteristics

Cell Type	P type Mono-crystalline
No. of cells	144 (6×24)
Dimensions	2274×1134×35mm (89.53×44.65×1.38 inch)
Weight	28.9 kg (63.7 lbs)
Front Glass	3.2mm,Anti-Reflection Coating, High Transmission, Low Iron, Tempered Glass
Frame	Anodized Aluminium Alloy
Junction Box	IP68 Rated
Output Cables	TUV 1×4.0mm² (+): 400mm , (-): 200mm or Customized Length

SPECIFICATIONS

Module Type	JKM530M-72HL4 JKM530M-72HL4-V		JKM535M-72HL4 JKM535M-72HL4-V		JKM540M-72HL4 JKM540M-72HL4-V		JKM545M-72HL4 JKM545M-72HL4-V		JKM550M-72HL4 JKM550M-72HL4-V	
	STC	NOCT	STC	NOCT	STC	NOCT	STC	NOCT	STC	NOCT
Maximum Power (Pmax)	530Wp	394Wp	535Wp	398Wp	540Wp	402Wp	545Wp	405Wp	550Wp	409Wp
Maximum Power Voltage (Vmp)	40.56V	37.84V	40.63V	37.91V	40.70V	38.08V	40.80V	38.25V	40.90V	38.42V
Maximum Power Current (Imp)	13.07A	10.42A	13.17A	10.50A	13.27A	10.55A	13.36A	10.60A	13.45A	10.65A
Open-circuit Voltage (Voc)	49.26V	46.50V	49.34V	46.57V	49.42V	46.65V	49.52V	46.74V	49.62V	46.84V
Short-circuit Current (Isc)	13.71A	11.07A	13.79A	11.14A	13.85A	11.19A	13.94A	11.26A	14.03A	11.33A
Module Efficiency STC (%)	20.55%		20.75%		20.94%		21.13%		21.33%	
Operating Temperature(℃)	-40℃~+85℃									
Maximum system voltage	1000/1500VDC (IEC)									
Maximum series fuse rating	25A									
Power tolerance	0~+3%									
Temperature coefficients of Pmax	-0.35%/℃									
Temperature coefficients of Voc	-0.28%/℃									
Temperature coefficients of Isc	0.048%/℃									
Nominal operating cell temperature (NOCT)	45±2℃									

*STC: Irradiance 1000W/m² Cell Temperature 25°C AM=1.5

NOCT: Irradiance 800W/m² Ambient Temperature 20°C AM=1.5 Wind Speed 1m/s

Documento visado electrónicamente con número: VA07290/22
Código de validación telemática TRLTDCFZ60T66IJ1. Comprobación: https://cogitivalencia.e-gestion.es/Validacion.aspx?CVT=TRLTDCFZ60T66IJ1

VISADO
COGITI
VALENCIA
VA07290/22
TRLTDCFZ60T66IJ1

1.5.3. Acondicionamiento de potencia.

Como es sabido, los módulos fotovoltaicos producen energía eléctrica en corriente continua (CC). La función de los equipos inversores es adaptar esa energía eléctrica de corriente continua (CC) a corriente alterna, modificando así mismo los niveles de tensión, en este caso a 800Vac.

Además de generar una onda sinusoidal, los equipos inversores generan un sistema trifásico equilibrado, adaptando potencia generada a los sistemas convencionales de distribución de energía eléctrica.

Se utilizará una instalación descentralizada mediante inversores de string repartidos por la cubierta del edificio.

Los inversores quedarán ubicados bajo la estructura metálica portante a instalar para la colocación de los módulos fotovoltaicos.

Los inversores utilizados en la instalación serán el modelo SUN 2000-185KTL-H1 de la marca HUAWEI o equivalente.

El inversor para conexión a red de 185 kWn está preparado para trabajar con tensiones de hasta 1.500 V en el lado de corriente continua.

El inversor opera automáticamente y controla el arranque y parada del mismo. Incorpora un sistema avanzado de seguimiento de la potencia máxima (MPPT) para maximizar la energía obtenida de los paneles fotovoltaicos.

Para minimizar las pérdidas durante el proceso de inversión, usa tecnología de conmutación mediante transistores bipolares de puerta aislada (IGBT's). Se pueden paralelizar múltiples inversores para instalaciones de más potencia.

El inversor está diseñado acorde con la normativa europea, cumple por lo tanto todos los requisitos CE, así como la normativa aplicable y está certificado por TÜV Rheinland.

Se instalarán un total de 27 inversores, con una potencia nominal total de planta de 4995 kWn.

El inversor cumple con la normativa europea aplicable a estos equipos, contando con todas las protecciones exigidas por el 1699/2011, de 18 de Noviembre:

- Protección de máxima y mínima tensión (1,1 y 0,85 Um, respectivamente).
- Protección de máxima y mínima frecuencia (51 y 49 Hz. respectivamente).
- Transformador de separación galvánica.
- Protección contra funcionamiento en modo isla.
- Protección contra sobretensiones.

Documento visado electrónicamente con número: VA07290/22
Código de validación telemática TRLTDCFZ60T66IJ1. Comprobación: https://cogitivalencia.e-gestion.es/Validacion.aspx?CVT=TRLTDCFZ60T66IJ1

VISADO
COGITI
VALENCIA
VA07290/22
TRLTDCFZ60T66IJ1

- Control de aislamiento.

Los inversores propuestos disponen de monitorización por entrada de string.

Los inversores se comunicarán entre si mediante protocolo RS485. Este protocolo tambien será el empleado para comunicar el Smartlogger a su vez con los inversores.

Las principales características del inversor SUN 2000-185KTL-H1 se detallan a continuación:

SUN2000-185KTL-H1

Technical Specifications

Efficiency	
Max. Efficiency	99.03%
European Efficiency	98.69%
Input	
Max. Input Voltage	1,500 V
Max. Current per MPPT	26 A
Max. Short Circuit Current per MPPT	40 A
Start Voltage	550 V
MPPT Operating Voltage Range	500 V ~ 1,500 V
Nominal Input Voltage	1,080 V
Number of Inputs	18
Number of MPP Trackers	9
Output	
Nominal AC Active Power	185,000 W @25°C, 175,000 W @40°C
Max. AC Apparent Power	185,000 VA
Max. AC Active Power (cosφ=1)	185,000 W
Nominal Output Voltage	800 V, 3W + PE
Rated AC Grid Frequency	50 Hz / 60 Hz
Nominal Output Current	134.9A @25°C, 126.3 A @40°C
Max. Output Current	134.9 A
Adjustable Power Factor Range	0.8 LG ... 0.8 LD
Max. Total Harmonic Distortion	<3%
Protection	
Input-side Disconnection Device	Yes
Anti-islanding Protection	Yes
AC Overcurrent Protection	Yes
DC Reverse-polarity Protection	Yes
PV-array String Fault Monitoring	Yes
DC Surge Arrester	Type II
AC Surge Arrester	Type II
DC Insulation Resistance Detection	Yes
Residual Current Monitoring Unit	Yes
Communication	
Display	LED Indicators, Bluetooth/WLAN + APP
USB	Yes
MBUS	Yes
RS485	Yes
General	
Dimensions (W x H x D)	1,035 x 700 x 365 mm (40.7 x 27.6 x 14.4 inch)
Weight (with mounting plate)	84 kg (185.2 lb.)
Operating Temperature Range	-25°C ~ 60°C (-13°F ~ 140°F)
Cooling Method	Smart Air Cooling
Max. Operating Altitude without Derating	4,000 m (13,123 ft.)
Relative Humidity	0 ~ 100%
DC Connector	Staubli MC4 EVO2
AC Connector	Waterproof Connector + OT/DT Terminal
Protection Degree	IP66
Topology	Transformerless
Standard Compliance (more available upon request)	
Certificate	EN 62109-1/-2, IEC 62109-1/-2, IEC 62920, EN 50530, IEC 62116, IEC 60068, IEC 61683
Grid Code	IEC 61727, IEC 62910, P.O. 12.3, RD 1699, RD 661, RD 413, RD 1565, RD 1663, UNE 206007-1, UNE 206006

Documento visado electrónicamente con número: VA07290/22
Código de validación telemática TRLTDCFZ60T66IJ1. Comprobación: https://cogitivalencia.e-gestion.es/Validacion.aspx?CVT=TRLTDCFZ60T66IJ1

VISADO
COGITI
VALENCIA
VA07290/22
TRLTDCFZ60T66IJ1

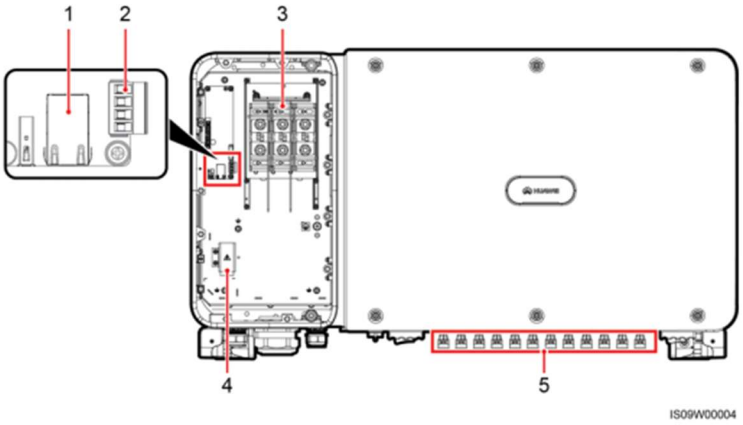

(1) Puerto RS485 (puerto de red RJ45)
(2) Puerto RS485 (caja de terminales)
(3) Caja de terminales de CA
(4) Puerto de potencia para el sistema de seguimiento
(5) Terminal de entrada de CC

1.5.4. Características del campo fotovoltaico

Los generadores fotovoltaicos se han configurado de tal manera que se optimice el rendimiento del inversor (función de la potencia de entrada y la tensión en el punto de máxima potencia).

Las características eléctricas del campo fotovoltaico resultante son las siguientes:

String 25 módulos Jinko JKM535M-72HL4

- Potencia fotovoltaica instalada ..... 13,375 kW
- Corriente de cortocircuito (Isc)..... 13,79 A
- Corriente punto máxima potencia (Impp)..... 13,17 A
- Tensión de circuito abierto (Voc) ..... 1302,58 Vdc
- Tensión punto máxima potencia (Vmpp) ..... 891,32 Vdc
- Número de módulos por string..... 25

String 24 módulos Jinko JKM535M-72HL4

- Potencia fotovoltaica instalada ..... 12,840 kW
- Corriente de cortocircuito (Isc)..... 13,79 A
- Corriente punto máxima potencia (Impp)..... 13,17 A
- Tensión de circuito abierto (Voc) ..... 1250,47 Vdc
- Tensión punto máxima potencia (Vmpp) ..... 855,67 Vdc
- Número de módulos por string..... 24

Documento visado electrónicamente con número: VA07290/22
Código de validación telemática TRLTDCFZ60T66IJ1. Comprobación: https://cogitivalencia.e-gestion.es/Validacion.aspx?CVT=TRLTDCFZ60T66IJ1

VISADO
COGITI
VALENCIA
VA07290/22
TRLTDCFZ60T66IJ1

Campo fotovoltaico asociado a cada inversor

- Potencia fotovoltaica instalada ..... 185 kW
- Corriente de cortocircuito (Isc x nº strings) ..... 220,64 A
- Corriente punto máxima potencia (Impp x nº strings)..... 210,72 A
- Tensión de circuito abierto (Voc) ..... 1302,58 Vdc
- Tensión punto máxima potencia (Vmpp) ..... 891,32 Vdc
- Número de módulos por string..... 25/24
- Número de strings en paralelo..... 16
- Total modulos por inversor 399

Campo fotovoltaico TOTAL

- Numero total de inversores..... 27
- Potencia fotovoltaica instalada ..... 5.763,55 kW
- Corriente de cortocircuito (DC) ..... 5.957,28 A
- Corriente punto máxima potencia (DC)..... 5.689,44 A
- Tensión de circuito abierto (Voc) ..... 1302,58 Vdc
- Tensión punto máxima potencia (Vmpp) ..... 891,32 Vdc
- Número de módulos por string..... 25/24
- Número de strings en paralelo por inversor 16
- Número de strings en paralelo totales 432
- Numero de módulos totales..... 10.773

1.5.4.1. Estructura soporte

Los módulos fotovoltaicos se instalarán sobre una marquesina metálica inclinada (4º) con cubierta de chapa grecada, en forma de “diente de sierra”.

Sobre la chapa grecada se instalará la subestructura del tipo coplanar realizada mediante perfiles de aluminio, los cuales se fijarán a la estructura mediante tornillería de acero inoxidable AISI 316 resistente a la corrosión.

Los módulos fotovoltaicos se fijarán a un sistema de montaje que cumpla estrictamente con la garantía del fabricante para las condiciones de altura, cargas de viento, succión etc.

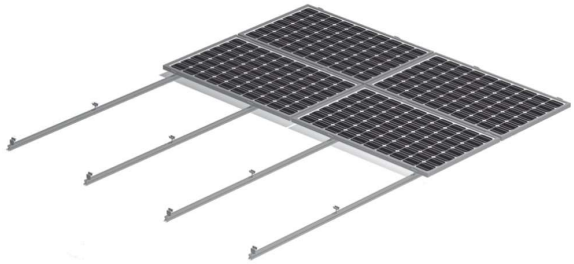

Documento visado electrónicamente con número: VA07290/22
Código de validación telemática TRLTDCFZ60T66IJ1. Comprobación: https://cogitivalencia.e-gestion.es/Validacion.aspx?CVT=TRLTDCFZ60T66IJ1

VISADO
COGITI
VALENCIA
VA07290/22
TRLTDCFZ60T66IJ1

Se recibirá en obra toda la estructura para instalar los 10.773 módulos que componen la totalidad de la planta. La estructura mantendrá la propia orientación de la cubierta, siendo ésta con orientación SUR y pendiente de 4º.

Se dispondrán de pasos en la cubierta para facilitar las labores del personal de mantenimiento.

La estructura estará eléctricamente unida a una toma de tierra, y asegurará un buen contacto eléctrico entre el marco del módulo y la tierra para permitir la protección de las personas frente a posibles pérdidas de aislamiento en el generador.

Debe cumplir con la normativa:

- ASTM A123: Standard Specification for Structural Steel Products .
- ASTM A153: Standard Specification for Zinc Coating (Hot-Dip) on Iron and Steel Hardware
- ASTM A385: Standard Practice for Providing High-Quality Zinc Coatings (Hot-Dip)
- ASTM A653: Standard Specification for Steel Sheet, Zinc-Coated (Galvanized) or Zinc-Iron Alloy Coated (Galvannealed) by the Hot-Dip Process .
- ASTM A767: Standard Specification for Zinc-Coated (Galvanized) Steel Bars for Concrete Reinforcement .
- ASTM A780: Standard Practice for Repair of Damaged and Uncoated Areas of Hot-Dip Galvanized Coatings .
- ASTM A902: Standard Terminology Relating to Metallic Coated Steel Products .
- ASTM D6386-99: Standard Practice for Preparation of Zinc (Hot-Dip Galvanized) Coated Iron and Steel Product and Hardware Surfaces for Painting.

1.5.4.2. Cableado.

La instalación cumple con todas las consideraciones técnicas expuestas en el Reglamento Electrotécnico de Baja Tensión (en adelante, REBT) sobre instalaciones generadoras de baja tensión.

Para el cálculo de la sección de los conductores, se tendrán en cuenta los criterios de Caída de tensión y de Intensidad máxima admisible o calentamiento. Se utilizará cable de cobre flexible unipolar y de aluminio, con aislamiento de XLPE y cubierta de PVC o similar, y su sección será la suficiente para asegurar que las pérdidas por caída de tensión en cables y cajas de conexión sean inferiores al 1,5% en el tramo CC y al 1,5% en el tramo CA. Todos los cables serán adecuados para uso en intemperie, al aire o enterrado, cumpliendo la norma UNE 21123.

Para la conexión directa de los diferentes string con los inversores SUN 2000-185KTL-H1 o equivalente se emplearán conectores rápidos MC4, puesto que además son los que llevan incorporados los módulos fotovoltaicos Jinko.

Los MC4 permiten conectar los módulos entre sí, de manera tal que se pueden construir fácilmente paneles (o strings) empujando los conectores de los paneles adyacentes, únicamente utilizando la mano. En el caso de la desconexión se requieren una herramienta

Documento visado electrónicamente con número: VA07290/22
Código de validación telemática TRLTDCFZ60T66IJ1. Comprobación: https://cogitivalencia.e-gestion.es/Validacion.aspx?CVT=TRLTDCFZ60T66IJ1

VISADO
COGITI
VALENCIA
VA07290/22
TRLTDCFZ60T66IJ1

especial conocida como llave inglesa para conector MC4 y con esta poder desconectarlos; para asegurarse de que no se desconecten accidentalmente cuando se tira de los cables. Los MC4 son universales en el mercado solar.

El sistema MC4 consiste en un diseño de conector macho y hembra. Los conectores macho y hembra se colocan dentro de carcasas de plástico. Para un sellado adecuado, los MC4 requieren el uso de un cable con el diámetro correcto. Normalmente doble aislamiento y protección UV (la mayoría de los cables se deterioran si se usa al aire libre sin protección de la luz solar).

Comúnmente un par de MC4 está conformado de 10 piezas en total, 5 piezas por cada conector como lo vemos a continuación:



Las canalizaciones tendrán las secciones aconsejadas por la ITC-BT-21 (tablas 2 y 9), además de satisfacer la norma UNE-EN 50.086.

En cualquier caso, la sección interior será, como mínimo, igual a 2,5 veces la sección ocupada por los conductores. En general, para el cableado correspondiente al tramo de CA, es decir, el que transcurre desde el armario de protecciones de CA y el armario de interconexión, se seguirá lo dispuesto en la ITC-BT-19. Para los tramos accesibles (alturas respecto al suelo inferiores a 2,5m.), el cableado se instalará bajo tubo, siguiendo lo especificado en ITC-BT-06 (3.1.1.) e ITC-BT-11 (1.2.1.)

Las canalizaciones empleadas en la instalación teniendo en cuenta que las instalaciones a la intemperie deberán cumplir la ITC-BT 030 del REBT 2002 en cuanto a instalaciones en locales mojados.

1.5.4.3. Protecciones.

El sistema de protecciones cumplirá con lo especificado en el REBT y deberá contar, como mínimo, con las siguientes medidas de protección:

Documento visado electrónicamente con número: VA07290/22
Código de validación telemática TRLTDCFZ60T66IJ1. Comprobación: https://cogitivalencia.e-gestion.es/Validacion.aspx?CVT=TRLTDCFZ60T66IJ1

VISADO
COGITI
VALENCIA
VA07290/22
TRLTDCFZ60T66IJ1

Un elemento de corte general: Para proporcionar aislamiento sobre disposiciones mínimas para la protección de la salud y seguridad de los trabajadores frente al riesgo eléctrico.

Un Interruptor automático diferencial: Para proteger a las personas en el caso de derivación de algún elemento a tierra.

- Se ubicará en el MAIN AC BOX y será acorde a lo indicado en el Reglamento Electrotécnico para Baja Tensión.

- En particular, la protección diferencial cumplirá lo indicado en la ITC-BT-25, por lo que su intensidad diferencial-residual máxima será de 300 mA.

Interruptor automático de la conexión: Para la desconexión-conexión automática de la instalación en caso de anomalía de tensión o frecuencia de la red, junto a un relé de enclavamiento.

- De acuerdo a la ITC-BT-01 del REBT, un interruptor automático es aquel capaz de establecer, mantener e interrumpir las intensidades de corriente de servicio, o de establecer e interrumpir automáticamente, en condiciones predeterminadas, intensidades de corriente anormalmente elevadas, tales como las corrientes de cortocircuito. Por otro lado, el RD 1699/2011 establece que la función de este interruptor es la desconexión del generador en caso de actuación de las protecciones voltimétricas de la instalación.

- En consecuencia, se entiende que ambas funciones pueden ser cubiertas por dos elementos, un interruptor automático de la instalación, con protección contra sobreintensidades y capacidad de corte de cortocircuitos, y un elemento de corte del generador, con capacidad de corte en carga, sobre el que actúen las protecciones voltimétricas y los automatismos de conexión y desconexión.

En caso de actuación de la protección de máxima frecuencia, la reconexión sólo se realizará cuando la frecuencia alcance un valor menor o igual a 50 Hz.

Protecciones incluidas en el inversor:

- Interruptor de CC de entrada.
- Protección contra islas eléctricas..
- Protección ante sobrecorriente de salida.
- Protección ante conexión inversa de entrada.
- Detección de fallo de la cadena fotovoltaica.
- Protección contra sobretensión de CA (tipo II).
- Protección contra sobretensión de CC (tipo II).
- Detección de resistencia de aislamiento.
- Monitorización de corriente residual (RCMU).
- Categoria de sobretensión PV II / AC III.

Documento visado electrónicamente con número: VA07290/22
Código de validación telemática TRLTDCFZ60T66IJ1. Comprobación: https://cogitivalencia.e-gestion.es/Validacion.aspx?CVT=TRLTDCFZ60T66IJ1

VISADO
COGITI
VALENCIA
VA07290/22
TRLTDCFZ60T66IJ1

Estas protecciones actuarán preferentemente sobre el elemento de corte del generador, si bien pueden actuar sobre el interruptor automático de la instalación cuando este admita disparos externos y permita realizar la reconexión automática. Las protecciones deberán disponer de los medios que permitan el precintado por la empresa distribuidora tras las verificaciones necesarias.

En caso en el que el equipo generador incorpore alguna de las protecciones antes descritas, éstas deberán cumplir la legislación vigente, en particular los Reglamentos Electrotécnicos y ser precintable, y en este caso no será necesaria la duplicación de las protecciones.

- Interruptor automático magnetotérmico, de menor poder de corte que el interruptor general, para la protección de la línea del inversor en caso de cortocircuitos de menor magnitud.

- Protección contra sobretensiones inducidas tipo II en el tramo de CA. Para la protección en el tramo de CC, se hará uso de las protecciones integradas en el equipo inversor.

Por otra parte, para garantizar unos niveles de protección adecuados frente a contactos directos e indirectos, los módulos fotovoltaicos, cables y cajas de conexión de la parte CC de la instalación contarán con aislamiento clase II. Para complementar esta actuación, el inversor seleccionado incorpora un controlador permanente de aislamiento, el cual permite detectar la ocurrencia de un primer defecto a tierra. En este caso, el equipo se desconecta y se activa una alarma visual en el equipo.

1.5.4.4. Sistema antivertido.

Para evitar el vertido de excedentes de energía se instalará un dispositivo físico (Prisma 310ª o equivalente) en el Centro de Entrega existente propiedad de la Autoridad Portuaria que impida la inyección alguna de energía excedentaria a la red de transporte o distribución. El mismo dispositivo analiza la generación y consumos de energía solar.

El sistema de gestión que contiene el dispositivo permite regular el nivel de generación de cada uno de los inversores de la instalación fotovoltaica. Se fijará una franja de respeto de consumo mínimo a partir del cual el dispositivo realizará la regulación en función del consumo del usuario ajustando el nivel de producción de energía de los inversores al consumo del usuario.

En el caso que el consumo fuese menor que el margen fijado en el dispositivo para garantizar el no vertido, el dispositivo activará de manera inmediata el disparo del relé dispuesto en el interruptor general de cabecera de la instalación fotovoltaica, garantizando el no vertido.

El sistema deberá de estar homologado para controlar los modelos de inversores propuestos con cumplimiento de los criterios de la UNE 217001-IN y RD 244/2019.

Documento visado electrónicamente con número: VA07290/22
Código de validación telemática TRLTDCFZ60T66IJ1. Comprobación: https://cogitivalencia.e-gestion.es/Validacion.aspx?CVT=TRLTDCFZ60T66IJ1

VISADO
COGITI
VALENCIA
VA07290/22
TRLTDCFZ60T66IJ1

REAL ENERGY SYSTEMS

PRISMA 310A

Opciones de integración con SmartLogger e inversores Huawei

Regulador de potencia para el autoconsumo

Con cumplimiento de los criterios de la UNE 217001-IN y RD 244/2019



Figura 1 PRISMA 310A - un controlador dinámico de potencia con inyección CERO compacto

Autoconsumo de electricidad sin excedentes

PRISMA 310A permite regular la potencia obtenida de fuentes renovables y aportar garantías físicas y lógicas para decidir qué potencia debemos o deseamos consumir de la red.

Integra en el mismo dispositivo un contador para la regulación instantánea y elimina la necesidad de otros componentes externos en la regulación de la potencia

- Permite la monitorización del consumo y la potencia instantánea de la instalación (4 cuadrantes)
- Puede utilizarse como contador del SMARTLOGGER
- **Incorpora siempre relé de desconexión de potencia fotovoltaica cuando la inyección de red persiste pasado un tiempo (Ajustable en milisegundos).**
- Puede ser utilizado por Smartlogger para el ajuste de la potencia fotovoltaica desde el propio dispositivo
- **Permite el envío de mensajes de regulación (PRISMA->Smartlogger) de la potencia fotovoltaica requerida**
- **El relé de desconexión+indicador luminoso actúa siempre (independientemente del regulador utilizado). La conexión de este relé a un contactor para la desconexión de la producción fotovoltaica depende de las necesidades de la instalación.**

El relé de desconexión identifica la inyección y es capaz de reaccionar en tiempos menores a los requeridos según informe UNE 217001-IN y Real Decreto 244/2019

Documento visado electrónicamente con número: VA07290/22
Código de validación telemática TRLTDCFZ60T66IJ1. Comprobación: https://cogitivalencia.e-gestion.es/Validacion.aspx?CVT=TRLTDCFZ60T66IJ1

VISADO
COGITI
VALENCIA
VA07290/22
TRLTDCFZ60T66IJ1

1.5.4.5. Control, monitorización e integración.

Se instarán inversores fotovoltaicos con capacidad de comunicación mediante unidades de control. Las principales características de este sistema de monitorización se resumen en:

- INTELIGENTE
  - Reportes proactivos de rendimientos y alarmas.
  - Soporte de diagnóstico inteligente de curvas I-V.
- SIMPLE
  - Acceso fácil a datos en dispositivos móviles.
  - Alarmas por SMS y correo electrónico.
- FIABLE
  - Gestión jerárquica.
  - Almacenamiento de datos durante un período de hasta 25 años con archivos CSV

El equipo de adquisición de datos de la planta (SmartLogger) permite que los valores de la operación de la planta fotovoltaico sean integrados en el actual SCADA (WinCC de Siemens) de la Autoridad Portuaria, realizándose la adquisición de datos de la planta fotovoltaica a través de fibra óptica monomodo.

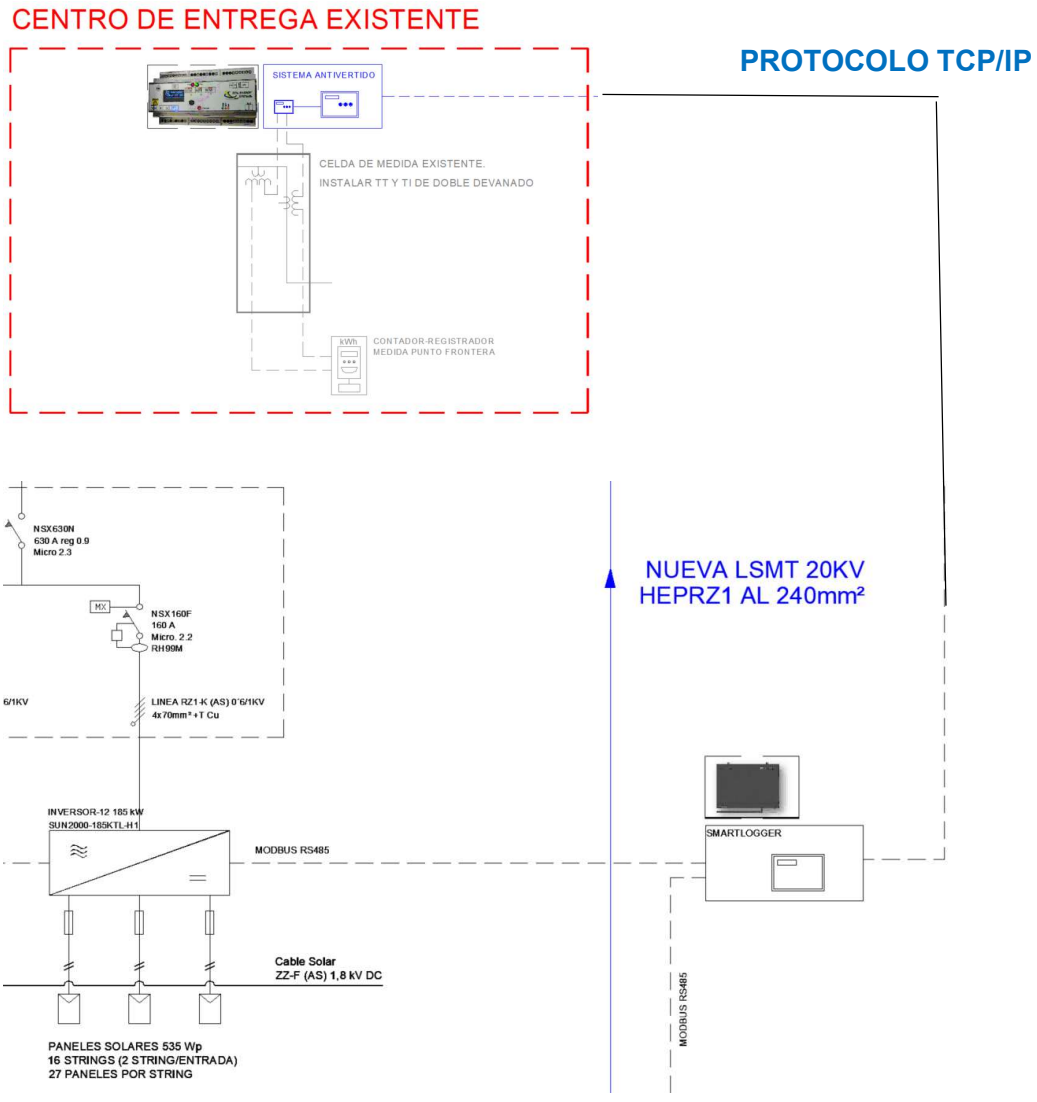

Documento visado electrónicamente con número: VA07290/22
Código de validación telemática TRLTDCFZ60T66IJ1. Comprobación: https://cogitivalencia.e-gestion.es/Validacion.aspx?CVT=TRLTDCFZ60T66IJ1

VISADO
COGITI
VALENCIA
VA07290/22
TRLTDCFZ60T66IJ1

SmartLogger3000A



Inteligente
Diseño de control de exportación inteligente cero

Seguro
Fácil de instalar en el sitio

Fiable
Protección contra sobretensiones

Especificaciones técnicas	SmartLogger3000A
	Gestión de dispositivos
Max. Número de dispositivos manejables	80
	Interfaz de comunicación
WAN	WAN x 1, 10 / 100 / 1000 Mbps
LAN	LAN x 1, 10 / 100 / 1000 Mbps
RS485	COM x 3, 1200 / 2400 / 4800 / 9600 / 19200 / 115200 bps, 1000 m
MBUS	MBUS x 1, 115.2 kbps, Compatible con PLC *OPCIONAL
2G / 3G / 4G [1]	LTE(FDD) : B1,B2,B3,B4,B5,B7,B8,B20 DC-HSPA+/HSPA+/HSPA/UMTS : 850/900/1900/2100 MHz GSM/GPRS/EDGE: 850/900/1800/1900 MHz [2]
Entrada / salida digital / analógica	DI x 4, DO x 2, AI x 4
DO activo	12V, 100mA (conexión con relé, sensor)
	Protocolo de comunicación
Ethernet	Modbus-TCP, IEC 60870-5-104
RS485	Modbus-RTU, IEC 60870-5-103 (estándar), DL / T645
	Interacción
LED	LED Indicator x 3 - RUN, ALM, 4G
WEB	Web incrustada
USB	USB 2.0 x 1
APP	Comunicación por WLAN para la puesta en servicio
	Ambiente
Rango de temperatura de operación	-40°C ~ 60°C
Temperatura de almacenaje	-40°C ~ 70°C
Humedad relativa (sin condensación)	5% ~ 95%
Max. Altitud de operación	4,000 m
	Alimentación
Fuente de alimentación de CA	100 V ~ 240 V, 50 Hz / 60 Hz
Fuente de alimentación de CC	12 V / 24 V
Consumo de energía	Típico 8 W, Max. 15 W
	Datos generales
Dimensiones (W x H x D)	225 x 160 x 44 mm (sin orejas de montaje y antena)
Peso	2 kg
Grado de protección	IP20
Opciones de instalación	Montaje en pared, montaje en riel DIN, montaje de mesa

*1: Al poner dentro de la caja de metal, se necesitará antena extendida.
*2: Para recomendada lista y datos de portadores en frecuencias compatibles, póngase en contacto con los distribuidores locales.

Documento visado electrónicamente con número: VA07290/22
Código de validación telemática TRLTDCFZ60T66IJ1. Comprobación: https://cogitivalencia.e-gestion.es/Validacion.aspx?CVT=TRLTDCFZ60T66IJ1

VISADO
COGITI
VALENCIA
VA07290/22
TRLTDCFZ60T66IJ1

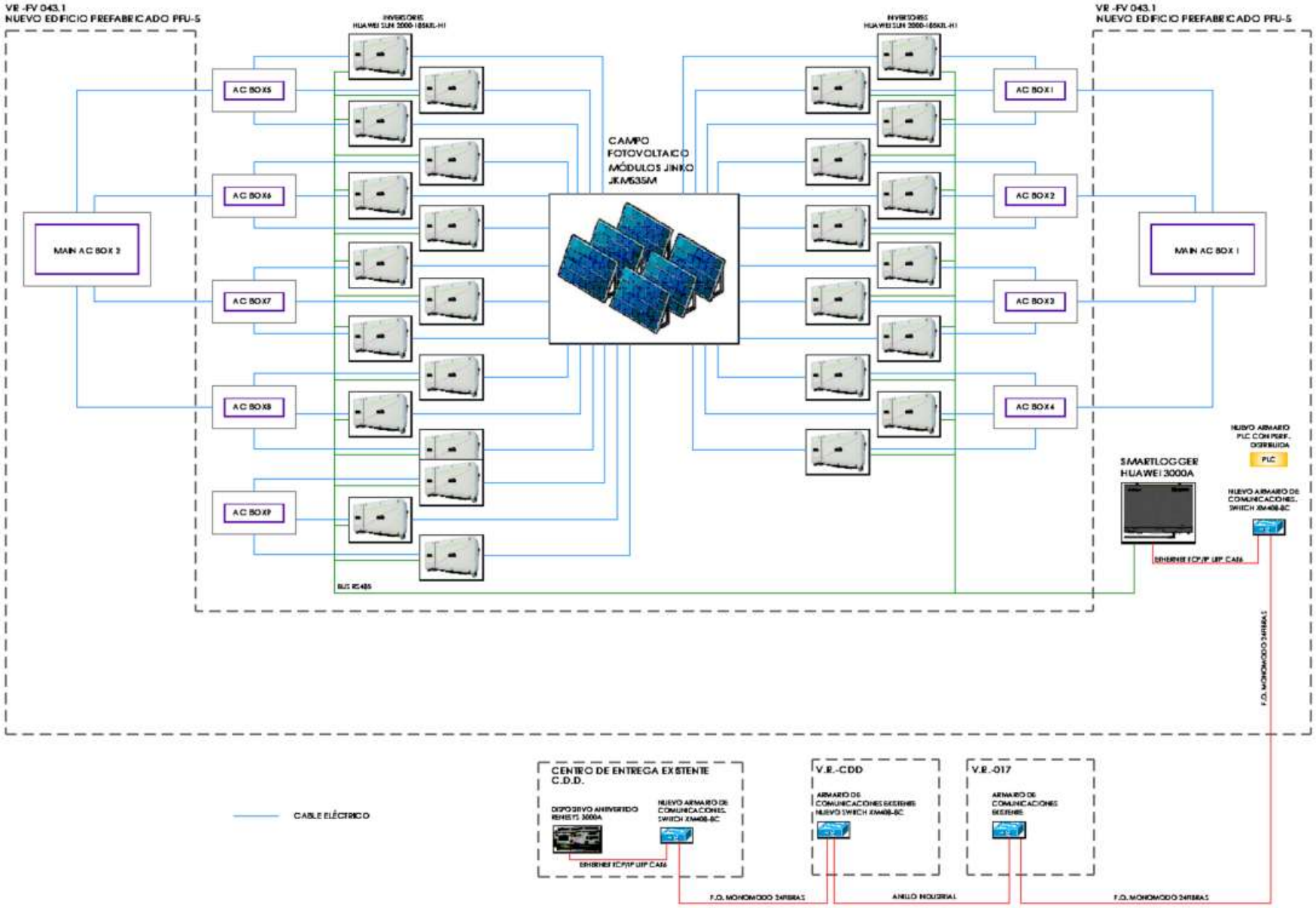

Documento visado electrónicamente con número: VA07290/22
Código de validación telemática TRLTDCFZ60T66IJ1. Comprobación: https://cogitivalencia.e-gestion.es/Validacion.aspx?CVT=TRLTDCFZ60T66IJ1

VISADO
COGITI
VALENCIA
VA07290/22
TRLTDCFZ60T66IJ1

Se integrará la nueva instalación de FV en el scada de control WINCC existente y que se ocupa de la visualización y manejo de las instalaciones , monitorización de los estados y las alarmas mas importantes .

Los equipos a instalar permitirán , mediante protocolo Modbus sobre TCP/IP, la lectura de las variables más significativas (aprox. 10 por equipo) y previamente consensuadas con dirección.

Se modificarán las pantallas existentes y se crearan otras nuevas para el acceso a la instalación de Fotovoltaica:

Menú Principal.
Pantalla ubicación geográfica de las instalaciones del puerto
Pantalla de detalle Inversores
Pantalla de detalle Baterías

Se añadirán las nuevas variables en la tablas correspondientes:

- Añadir alarmas en alarmlogging
- Añadir Tagglogging
- Añadir variables en BBDD

1.5.4.6. Sistema de almacenamiento.

No procede.

1.5.5. Punto de conexión. Línea de Media Tensión.

La instalación consistirá en una línea subterránea de media tensión a 20.000 V del tipo HEPRZ1 y sección 240mm2 AL, que enlazará los nuevos centros de transformación de generación de 2x1250KVA y 2x1600KVA (información técnica detallada en proyecto específico) con el centro de transformación existente propiedad del cliente V.C.T. 043 de 250 KVA, de tal forma que la energía generada se inyecte en la red de media tensión particular y ésta puede ser consumida en cualquier punto del puerto de Valencia.

Será necesario instalar por tanto en el V.C.T.043 dos nuevas celdas modulares de linea con mando motorizado, de la serie CGMcosmos-L de Ormazabal o equivalente con aislamiento y corte en SF6.

Tanto los nuevos CT de generación como la nueva LSMT particular a 20KV indicada anteriormente serán descritos en sendos anejos específicos.

Documento visado electrónicamente con número: VA07290/22
Código de validación telemática TRLTDCFZ60T66IJ1. Comprobación: https://cogitivalencia.e-gestion.es/Validacion.aspx?CVT=TRLTDCFZ60T66IJ1

VISADO
COGITI
VALENCIA
VA07290/22
TRLTDCFZ60T66IJ1

1.6. DESCRIPCIÓN DE LA ACTIVIDAD Y EL PROCESO

1.6.1. Clasificación de la actividad

La actividad a la que se refiere el presente documento se considera como ACTIVIDAD INOCUA (aquella actividad que por su naturaleza, carácter y condiciones de funcionamiento no pueda previsiblemente producir molestias, afectar a las normales condiciones de salubridad e higiene, o implicar daños o riesgos graves a personas o bienes).

La actividad es considerada inocua ya que en su funcionamiento:

- No se producen operaciones que generen emanaciones de gases nocivos o vapores con olor desagradable, humos o partículas en proporciones superiores las marcadas en las Ordenanzas municipales específicas vigentes.
- No utiliza en su proceso elementos químicos inflamables, explosivos, tóxicos, en general, que producen molestias o sean potencialmente peligrosos. No produce emisiones radiactivas.
- No produce vibraciones, por lo que respeta las Ordenanzas municipales específicas vigentes.
- No transmite al exterior niveles superiores a los autorizados por las Ordenanzas municipales específicas vigentes. No produce ruido y ni siquiera posee partes en movimiento. En el ambiente exterior no se alcanzan los niveles sonoros de recepción de 45 dB de día (de 8 a 22h) y 45 dB de noche (de 22 a 8h.).
- La instalación en sí misma no precisa de medidas de seguridad frente al fuego, ya que no posee componentes inflamables ni combustibles. La instalación eléctrica se ajusta a lo dispuesto en su normativa específica, por lo que no entraña riesgos de incendio o explosión.

1.6.2. Impacto ambiental

El autoconsumo fotovoltaico genera electricidad de forma renovable y 100% limpia. Es un factor decisivo para contribuir a la transición energética y frenar el cambio climático.
Logrando evitar la emisión de 383,36 toneladas de CO2 anuales. Esto implica un ahorro de 9.584,09 toneladas de CO2 durante los 25 años de vida útil de la instalación.

1.6.3. Balance energético y medioambiental

Es un hecho de sobra conocido que la estimación de radiación a considerar será la anual tipo incidente sobre una superficie horizontal calculada por el simple y sencillo procedimiento de suponer que coincide con el valor medio medido en el pasado, a lo largo de un número suficiente de años.

La radiación solar es una variable climática que se ha venido registrando en muy pocas estaciones meteorológicas y durante cortos períodos de tiempo. Ello, unido a la variabilidad espacial de la misma, conlleva una insuficiencia en la disponibilidad de la información del potencial de la energía solar en un determinado emplazamiento, lo que provoca dificultades a la hora de estudiar el dimensionado de los sistemas de aprovechamiento de la energía solar.

Documento visado electrónicamente con número: VA07290/22
Código de validación telemática TRLTDCFZ60T66IJ1. Comprobación: https://cogitivalencia.e-gestion.es/Validacion.aspx?CVT=TRLTDCFZ60T66IJ1

VISADO
COGITI
VALENCIA
VA07290/22
TRLTDCFZ60T66IJ1

Para poder determinar la radiación solar en lugares intermedios a los puntos de medida, existen únicamente cuatro alternativas:

Utilizar datos de estaciones cercanas. Esta opción, únicamente es válida si se trata de un terreno llano y la distancia entre estaciones es menor a 10 Km. En caso de terrenos complejos o distancias superiores, la utilización de los datos de radiación de otro emplazamiento para estudiar el comportamiento de la radiación o simular el funcionamiento de una Planta de aprovechamiento de la energía solar, es completamente inadecuada.

Interpolar valores a partir de medidas de la radiación solar. Esta solución, es aplicable cuando la red de estaciones de radiación solar tiene una densidad considerable y dependiendo del tipo de terreno, puede precisarse una densidad de entre 50 y 20 Km. de distancia entre estaciones.

Modelos de interpolación que tienen en cuenta la topografía. Estos modelos, al tener en cuenta la topografía como dato de entrada, pueden utilizar los datos de una red radiométrica de menor densidad que el caso anterior, pero aun así, precisan una densidad en el orden de los 100 Km.

Modelos de tratamiento de imágenes de satélite. Esta alternativa va tomando mayor relevancia día a día. Se basa en el tratamiento de imágenes de satélite geoestacionarios. Estas imágenes son el resultado de la reflexión de los rayos solares en la superficie de la Tierra, por lo que ya han sufrido y llevan implícitas los posibles efectos de la topografía así como de los principales fenómenos atmosféricos que se producen al atravesar la atmósfera los rayos solares.
Para estudiar el recurso solar y determinar la producción energética de la instalación solar se han empleado los valores de radiación han sido obtenidos de “THE EUROPEAN DATA BASE OF DAYLIGHT AND SOLAR RADIATION. SATEL-LIGHT” el año solar tipo suministrado por la base de datos del Satel-light.

En la siguiente tabla se recogen los resultados obtenidos en el estudio de productividad energética de la instalación:

Documento visado electrónicamente con número: VA07290/22
Código de validación telemática TRLTDCFZ60T66IJ1. Comprobación: https://cogitivalencia.e-gestion.es/Validacion.aspx?CVT=TRLTDCFZ60T66IJ1

VISADO
COGITI
VALENCIA
VA07290/22
TRLTDCFZ60T66IJ1

PVsyst V7.2.8
VC6, Simulation date:
09/11/21 09:15
with v7.2.8

Project: Puerto Valencia

Variant: Silo, 27 inv 185kW-800V y módulo 535Wp

Grupotec Servicios de Ingeniería SL (Spain)

Project summary

Geographical Site
Nazaret
España

Situation

Latitude	39.44 °N
Longitude	-0.32 °W
Altitude	6 m
Time zone	UTC+1

Project settings

Albedo	0.20

Meteo data
Nazaret
Meteonorm 7.2 (1997-2006), Sat=17% - Sintético

System summary

Grid-Connected System

No 3D scene defined, no shadings

PV Field Orientation
Fixed plane
Tilt/Azimuth 4 / 0 °

Near Shadings
No Shadings

User's needs
Unlimited load (grid)

System information

PV Array		Inverters	
Nb. of modules	10584 units	Nb. of units	27 units
Pnom total	5662 kWp	Pnom total	4725 kWac
		Pnom ratio	1.198

Results summary

Produced Energy	8251 MWh/year	Specific production	1457 kWh/kWp/year	Perf. Ratio PR	86.62 %

Table of contents

Project and results summary 2
General parameters, PV Array Characteristics, System losses 3
Main results 5
Loss diagram 6
Special graphs 7

Documento visado electrónicamente con número: VA07290/22
Código de validación telemática TRLTDCFZ60T66IJ1. Comprobación: https://cogitivalencia.e-gestion.es/Validacion.aspx?CVT=TRLTDCFZ60T66IJ1

VISADO
COGITI
VALENCIA
VA07290/22
TRLTDCFZ60T66IJ1

PVsyst V7.2.8
VC6, Simulation date:
09/11/21 09:15
with v7.2.8

Project: Puerto Valencia

Variant: Silo, 27 inv 185kW-800V y módulo 535Wp

Grupotec Servicios de Ingeniería SL (Spain)

General parameters

Grid-Connected System — **No 3D scene defined, no shadings**

PV Field Orientation

Orientation	Sheds configuration	Models used
Fixed plane	No 3D scene defined	Transposition Perez
Tilt/Azimuth 4 / 0 °		Diffuse Perez, Meteonorm
		Circumsolar separate

Horizon	Near Shadings	User's needs
Free Horizon	No Shadings	Unlimited load (grid)

PV Array Characteristics

PV module		Inverter	
Manufacturer	Jinkosolar	Manufacturer	Huawei Technologies
Model	JKM535M-72HL4-V	Model	SUN2000-185KTL-H1
(Custom parameters definition)		(Original PVsyst database)	
Unit Nom. Power	535 Wp	Unit Nom. Power	175 kWac
Number of PV modules	10584 units	Number of inverters	27 units
Nominal (STC)	5662 kWp	Total power	4725 kWac
Modules	392 Strings x 27 In series	Operating voltage	550-1500 V
At operating cond. (50°C)		Max. power (=>30°C)	185 kWac
Pmpp	5173 kWp	Pnom ratio (DC:AC)	1.20
U mpp	1000 V		
I mpp	5172 A		

Total PV power		Total inverter power	
Nominal (STC)	5662 kWp	Total power	4725 kWac
Total	10584 modules	Nb. of inverters	27 units
Module area	27293 m²	Pnom ratio	1.20
Cell area	25163 m²		

Array losses

Array Soiling Losses	Thermal Loss factor	DC wiring losses
Loss Fraction 3.0 %	Module temperature according to irradiance	Global array res. 3.2 mΩ
	Uc (const) 20.0 W/m²K	Loss Fraction 1.5 % at STC
	Uv (wind) 0.0 W/m²K/m/s	

LID - Light Induced Degradation	Module Quality Loss	Module mismatch losses
Loss Fraction 2.1 %	Loss Fraction -0.8 %	Loss Fraction 0.8 % at MPP

Strings Mismatch loss
Loss Fraction 0.1 %

IAM loss factor
Incidence effect (IAM): User defined profile

0°	30°	50°	60°	70°	75°	80°	85°	90°
1.000	1.000	1.000	0.999	0.988	0.965	0.925	0.743	0.000

PVsyst V7.2.8
VC6, Simulation date:
09/11/21 09:15
with v7.2.8

Project: Puerto Valencia

Variant: Silo, 27 inv 185kW-800V y módulo 535Wp

Grupotec Servicios de Ingeniería SL (Spain)

AC wiring losses

Inv. output line up to injection point
Inverter voltage 800 Vac tri
Loss Fraction 0.00 % at STC
Inverter: SUN2000-185KTL-H1
Wire section (27 Inv.) Copper 27 x 3 x 50 mm²
Average wires length 0 m

Documento visado electrónicamente con número: VA07290/22
Código de validación telemática TRLTDCFZ60T66IJ1. Comprobación: https://cogitivalencia.e-gestion.es/Validacion.aspx?CVT=TRLTDCFZ60T66IJ1

VISADO
COGITI
VALENCIA
VA07290/22
TRLTDCFZ60T66IJ1

PVsyst V7.2.8
VC6, Simulation date:
09/11/21 09:15
with v7.2.8

Project: Puerto Valencia

Variant: Silo, 27 inv 185kW-800V y módulo 535Wp

Grupotec Servicios de Ingeniería SL (Spain)

Main results

System Production

Produced Energy	8251 MWh/year	Specific production	1457 kWh/kWp/year
		Performance Ratio PR	86.62 %

Normalized productions (per installed kWp)

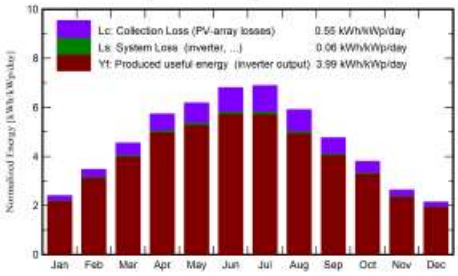

Performance Ratio PR

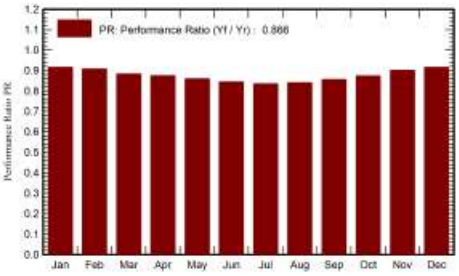

Balances and main results

	GlobHor kWh/m²	DiffHor kWh/m²	T_Amb °C	GlobInc kWh/m²	GlobEff kWh/m²	EArray MWh	E_Grid MWh	PR ratio
January	67.8	29.02	9.91	74.3	71.5	391	385	0.915
February	90.5	36.01	11.05	97.2	93.7	507	499	0.908
March	134.8	49.25	13.92	140.9	136.0	716	705	0.883
April	167.7	67.34	15.62	171.8	166.0	864	851	0.874
May	189.5	80.16	19.22	191.5	184.9	947	932	0.859
June	203.3	86.74	23.41	204.2	197.2	993	977	0.845
July	211.8	82.12	26.13	213.4	206.1	1025	1008	0.834
August	179.8	84.14	26.21	183.1	176.9	886	872	0.841
September	137.7	57.03	22.65	142.7	137.7	703	692	0.856
October	110.8	41.06	19.22	117.7	113.6	592	582	0.874
November	72.5	30.65	13.63	79.0	76.1	410	404	0.902
December	60.2	26.45	10.86	66.4	63.8	349	344	0.916
Year	1626.4	669.97	17.69	1682.2	1623.4	8383	8251	0.866

Legends

GlobHor	Global horizontal irradiation	EArray	Effective energy at the output of the array
DiffHor	Horizontal diffuse irradiation	E_Grid	Energy injected into grid
T_Amb	Ambient Temperature	PR	Performance Ratio
GlobInc	Global incident in coll. plane		
GlobEff	Effective Global, corr. for IAM and shadings		

Documento visado electrónicamente con número: VA07290/22
Código de validación telemática TRLTDCFZ60T66IJ1. Comprobación: https://cogitivalencia.e-gestion.es/Validacion.aspx?CVT=TRLTDCFZ60T66IJ1

VISADO
COGITI
VALENCIA
VA07290/22
TRLTDCFZ60T66IJ1

PVsyst V7.2.8
VC6, Simulation date:
09/11/21 09:15
with v7.2.8

Project: Puerto Valencia
Variant: Silo, 27 inv 185kW-800V y módulo 535Wp
Grupotec Servicios de Ingeniería SL (Spain)

Loss diagram

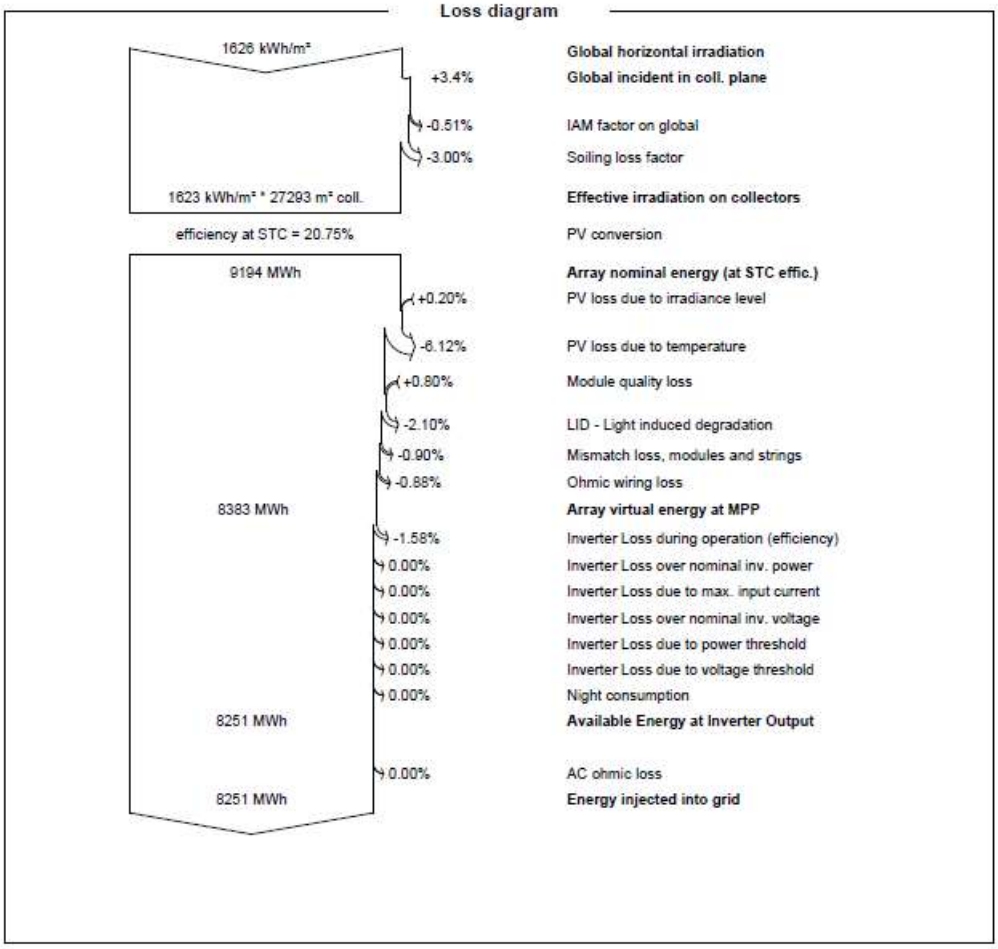

Documento visado electrónicamente con número: VA07290/22
Código de validación telemática TRLTDCFZ60T66IJ1. Comprobación: https://cogitivalencia.e-gestion.es/Validacion.aspx?CVT=TRLTDCFZ60T66IJ1

VISADO
COGITI
VALENCIA
VA07290/22
TRLTDCFZ60T66IJ1

PVsyst V7.2.8
VC6, Simulation date:
09/11/21 09:15
with v7.2.8

Project: Puerto Valencia
Variant: Silo, 27 inv 185kW-800V y módulo 535Wp
Grupotec Servicios de Ingeniería SL (Spain)

Special graphs

Diagrama entrada/salida diaria

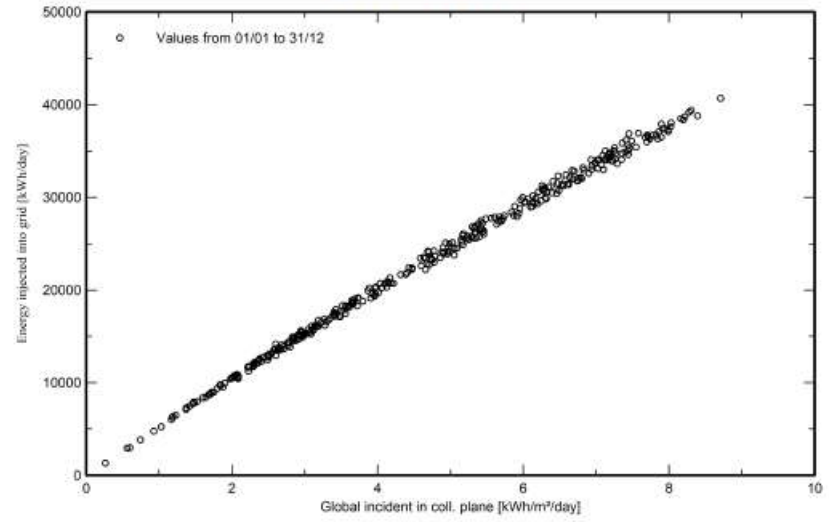

Distribución de la potencia de salida del sistema

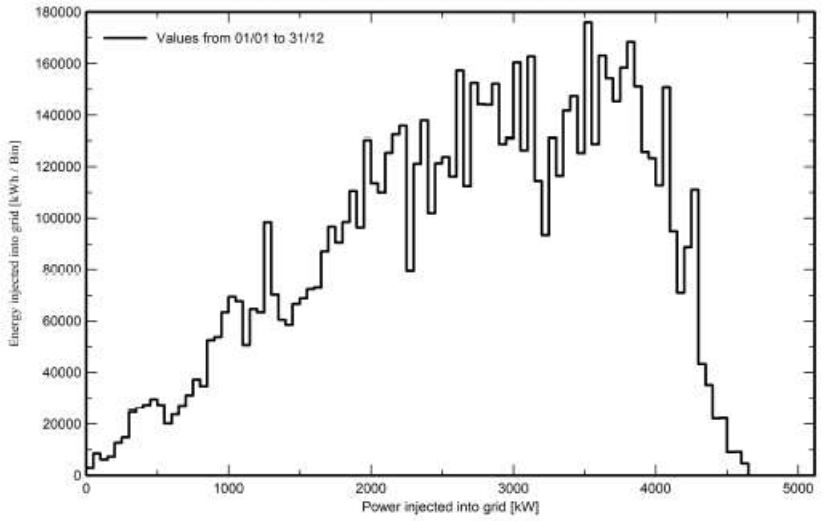

Documento visado electrónicamente con número: VA07290/22
Código de validación telemática TRLTDCFZ60T66IJ1. Comprobación: https://cogitivalencia.e-gestion.es/Validacion.aspx?CVT=TRLTDCFZ60T66IJ1

VISADO
COGITI
VALENCIA
VA07290/22
TRLTDCFZ60T66IJ1

2. CALCULOS JUSTIFICATIVOS

Documento visado electrónicamente con número: VA07290/22
Código de validación telemática TRLTDCFZ60T66IJ1. Comprobación: https://cogitivalencia.e-gestion.es/Validacion.aspx?CVT=TRLTDCFZ60T66IJ1

VISADO
COGITI
VALENCIA
VA07290/22
TRLTDCFZ60T66IJ1

2.1. DIMENSIONADO DEL GENERADOR FOTOVOLTAICO

La elección del factor de dimensionado viene determinada, principalmente, por las características de irradiancia y temperatura de la ubicación, la disposición de los módulos y las características de los equipos empleados.

Para seleccionar el factor de dimensionado que optimiza la captación de energía en relación a los metros cuadrados de captación instalados, se han considerado las características eléctricas de entrada del inversor seleccionado, así como las posibles pérdidas de energía que puedan aparecer en el tramo comprendido entre el generador fotovoltaico y el inversor (temperatura de operación, sombreados parciales, suciedad de los módulos, dispersión de parámetros, efecto Joule en el cableado CC, etc.)

El rango de tensión de continua de trabajo de los inversores en máxima potencia es de 500-1.500 en el inversor HUAWEI SUN 2000-185KTL-HV o equivalente. El rendimiento máximo de un inversor sin transformador de separación galvánica incorporado se obtiene para tensiones cercanas a la tensión de MPPT. No obstante, se deberá considerar la variación de las características de tensión del generador fotovoltaico con la temperatura ambiente y la irradiancia incidente.

Siguiendo estas premisas, y con el objetivo de utilizar la máxima capacidad del inversor a un rendimiento óptimo, se han diseñado 432 strings:

- 405 string conectando 25 módulos en serie.
- 27 string conectando 24 módulos en serie.

Las principales características eléctricas del módulo seleccionado se detallan a continuación:

- Potencia nominal (Pmpp) ..... 535 Wp
- Tolerancia potencia nominal ..... +3%.
- Voltaje punto de máxima potencia (Vmpp) .....40,63 V.
- Corriente punto de máxima potencia (Impp) ....13,17 A.
- Voltaje en circuito abierto (Voc) ....49,34 V.
- Corriente de cortocircuito (Isc) ....13,79 A.
- Coef. temperatura de potencia máxima ....-0,35 %/ºC.
- Coef. temperatura tensión de circuito abierto ....-0,28 %/ºC.
- Coef. temperatura corriente de cortocircuito ....0,048 %/ºC.
- Maxima tensión del sistema 1.500Vdc

Dichas características están referidas a las condiciones estándar de medida (CEM):

- Temperatura de célula ....25ºC.
- Radiación ....1000 W/m2.
- Espectro..... ..... AM 1.5.

Las dimensiones de los módulos fotovoltaicos son las siguientes:

- Longitud .....2.274 mm.
- Anchura ....1.134 mm.
- Espesor ....35 mm.

Documento visado electrónicamente con número: VA07290/22
Código de validación telemática TRLTDCFZ60T66IJ1. Comprobación: https://cogitivalencia.e-gestion.es/Validacion.aspx?CVT=TRLTDCFZ60T66IJ1

VISADO
COGITI
VALENCIA
VA07290/22
TRLTDCFZ60T66IJ1

Características del inversor HUAWEI SUN2000-185KTL-H1

- Rango de tensión MPPT…….. 500 - 1.500 V.
- Máxima tensión CC……. .....hasta 1.500V.
- Máxima corriente de entrada ……. ..... 40 A.

2.1.1. COMPROBACION POR TENSIÓN:

Aplicando el -0,35% de Vmpp (40,63 V) se obtiene que por cada grado que aumenta, se pierden 0,1422V.

La fórmula que determina la tensión mínima de entrada del inversor dependiendo de la temperatura es:

- Para el caso de 25 módulos en serie:

Ventrada min = (nº mod x Vmpp) - (Coef Tª pot max x (Vmpp/100) x Nº mod x (Tªmax-25º))

Sustituyendo tenemos:

Ventrada min = (25 x 40,63) + (-0,36 x (40,63/100) x 25 x (60-25º)) = 891,32

Como podemos comprobar, en el caso en que la temperatura de la célula sea de 60º, la tensión al final de la rama será mayor que la mínima de entrada del inversor.

Comprobamos que: 891,32 > 500.

- Para el caso de 24 módulos en serie:

Ventrada min = (nº mod x Vmpp) - (Coef Tª pot max x (Vmpp/100) x Nº mod x (Tªmax-25º))

Sustituyendo tenemos:

Ventrada min = (24 x 40,63) + (-0,36 x (40,63/100) x 24 x (60-25º)) = 855,67

Como podemos comprobar, en el caso en que la temperatura de la célula sea de 60º, la tensión al final de la rama será mayor que la mínima de entrada del inversor.

Comprobamos que: 855,67 > 500.

Procediendo igual que en el caso anterior, pero trabajando con la tensión en circuito abierto y con coeficiente temperatura tensión de circuito abierto determinaremos la tensión máxima de entrada del inversor.

Documento visado electrónicamente con número: VA07290/22
Código de validación telemática TRLTDCFZ60T66IJ1. Comprobación: https://cogitivalencia.e-gestion.es/Validacion.aspx?CVT=TRLTDCFZ60T66IJ1

VISADO
COGITI
VALENCIA
VA07290/22
TRLTDCFZ60T66IJ1

Aplicando el -0,28% de Voc (49,34) obtenemos que por cada grado que bajamos, aumentamos las pérdidas por un valor de 0,1381V.

- Para el caso de 25 módulos en serie:

Ventrada max = (nº mod x Voc) + (Coef Tª Voc *(Voc/100)) x(Nº mod x (Tª-25))

Sustituyendo tenemos:

Ventrada max = (25 x 49,34) + (-0,28 x (49,34/100) x 25 x (5-25º)) = 1.302,58 V

Comprobamos que: 1302,58 < 1500.

- Para el caso de 24 módulos en serie:

Ventrada max = (nº mod x Voc) + (Coef Tª Voc *(Voc/100)) x(Nº mod x (Tª-25))

Sustituyendo tenemos:

Ventrada max = (24 x 49,34) + (-0,28 x (49,34/100) x 24 x (5-25º)) = 1.250,47 V

Comprobamos que: 1250,47 < 1500.

2.1.2. COMPROBACION POR INTENSIDAD:

Teniendo en cuenta que el Coeficiente de temperatura de la corriente en cortocircuito es de 0,048 %/ºC.

Los inversores de 185 kWn tienen un valor máximo de corriente de cortocircuito por MPPT de 40A, luego, aplicando la fórmula, se cumple que:

I max = (nº series x Isc) + ((Coef temp corto x (Isc/100) x Nº series x (Tmax-25))

I max = (2 x 13,79) + (0,048 x (13,79/100) x 2 x (60-25º)) = 28,04

El inversor tiene un valor máximo de entrada de 40 A por MPPT y 1 MPPT por cada 2 strings (nº series = 2), luego cumplimos que:

28,04 < 40 A

La instalación fotovoltaica consta de sistema generador compuesto por 10.773 módulos fotovoltaicos de células de silicio monocristalino cada uno, en concreto módulos JINKO JKM535M-72HL4 o equivalente con una potencia unitaria máxima de 535 W.

Documento visado electrónicamente con número: VA07290/22
Código de validación telemática TRLTDCFZ60T66IJ1. Comprobación: https://cogitivalencia.e-gestion.es/Validacion.aspx?CVT=TRLTDCFZ60T66IJ1

VISADO
COGITI
VALENCIA
VA07290/22
TRLTDCFZ60T66IJ1

Los módulos se conectarán eléctricamente entre sí en series de 25 y 24 módulos, con un máximo de 16 strings por inversor. Posteriormente se conectarán en paralelo a los inversores correspondientes.

La potencia pico total, es la suma de la potencia pico de todos los módulos fotovoltaicos de la instalación, es decir 5.763,55 kWp.

La salida de los inversores se realizará directamente en régimen trifásico, de tal manera que no habrá problemas de desequilibrios de fases. La potencia nominal de la instalación es el resultante de sumar la potencia nominal de todos los inversores, esto es 4995 kWn.

2.2. SECCIONES DE CABLEADO

La instalación, en cualquiera de las propuestas, cumple con todas las consideraciones técnicas expuestas en el REBT.

La elección de la sección del cableado se ha basado en la aplicación de dos criterios: Criterio Térmico y Criterio de Caída de Tensión. Ambos casos se fundamentan en el Efecto Joule, de modo que la emisión de calor debe quedar siempre por debajo de la soportada por el cable. Se adoptará, en cada situación, la sección mayor de entre las obtenidas mediante los dos métodos citados.

A continuación se justificara la sección y la caída de tensión para cada tramo.

Adoptando para el total de la instalación una caída de tensión máxima de 1,5 % para el tramo de Corriente Continua (C.C.) y un 1,5 % para el de corriente alterna (C.A.)

2.2.1. Cableado en corriente continua. Final rama – Inversor.

Corresponde al tramo de cableado comprendido entre los finales de rama de cada serie doble de módulos y la caja de paralelos de CC. A esta caja llegarán los conductores procedentes de las series de módulos, para ser interconectados y acometer directamente la entrada del inversor.

Para el cableado entre los módulos que constituyen un mismo string, se empleará el conector rápido MC4 que llevan incorporado, de longitud 1,2m. y 4 mm² de sección.

Documento visado electrónicamente con número: VA07290/22
Código de validación telemática TRLTDCFZ60T66IJ1. Comprobación: https://cogitivalencia.e-gestion.es/Validacion.aspx?CVT=TRLTDCFZ60T66IJ1

VISADO
COGITI
VALENCIA
CA07390/22
TRLTDCFZ60T66IJ1

Circuito	Pot Panel (Wp)	ud	Tipo de Circuito			Tensión CC (Vcc)	Long. (m)	CU	AL	C.D.T %	Intens. (A)	Sección cálculo (mm2)	Sección adoptada (mm2)	Línea proyectada	Ø PVC (mm)	C.D.T. real (%)
			III+N 400V	III+N 800V	CC											
INVERSOR 1																
SERIE 1.16	535	24			X	975	140	X		1,50	13,17	4,50	6	RZ1-K 0,6/1KV 1x6+T	Ø25	1,13
SERIE 1.15	535	25			X	1.016	140	X		1,50	13,17	4,32	6	RZ1-K 0,6/1KV 1x6+T	Ø25	1,08
ENTRADA 1.8					X	995	10	X		0,50	26,34	1,89	6	RZ1-K 0,6/1KV 1x6+T	Ø25	0,16
SERIE 1.14	535	25			X	1.016	135	X		1,50	13,17	4,17	6	RZ1-K 0,6/1KV 1x6+T	Ø25	1,04
SERIE 1.13	535	25			X	1.016	135	X		1,50	13,17	4,17	6	RZ1-K 0,6/1KV 1x6+T	Ø25	1,04
ENTRADA 1.7					X	1.016	10	X		0,50	26,34	1,85	6	RZ1-K 0,6/1KV 1x6+T	Ø25	0,15
SERIE 1.12	535	25			X	1.016	130	X		1,50	13,17	4,01	6	RZ1-K 0,6/1KV 1x6+T	Ø25	1,00
SERIE 1.11	535	25			X	1.016	130	X		1,50	13,17	4,01	6	RZ1-K 0,6/1KV 1x6+T	Ø25	1,00
ENTRADA 1.6					X	1.016	10	X		0,50	26,34	1,85	6	RZ1-K 0,6/1KV 1x6+T	Ø25	0,15
SERIE 1.10	535	25			X	1.016	125	X		1,50	13,17	3,86	6	RZ1-K 0,6/1KV 1x6+T	Ø25	0,96
SERIE 1.9	535	25			X	1.016	125	X		1,50	13,17	3,86	6	RZ1-K 0,6/1KV 1x6+T	Ø25	0,96
ENTRADA 1.5					X	1.016	10	X		0,50	26,34	1,85	6	RZ1-K 0,6/1KV 1x6+T	Ø25	0,15
SERIE 1.8	535	25			X	1.016	120	X		1,50	13,17	3,71	6	RZ1-K 0,6/1KV 1x6+T	Ø25	0,93
SERIE 1.7	535	25			X	1.016	120	X		1,50	13,17	3,71	6	RZ1-K 0,6/1KV 1x6+T	Ø25	0,93
ENTRADA 1.4					X	1.016	10	X		0,50	26,34	1,85	6	RZ1-K 0,6/1KV 1x6+T	Ø25	0,15
SERIE 1.6	535	25			X	1.016	115	X		1,50	13,17	3,55	6	RZ1-K 0,6/1KV 1x6+T	Ø25	0,89
SERIE 1.5	535	25			X	1.016	115	X		1,50	13,17	3,55	6	RZ1-K 0,6/1KV 1x6+T	Ø25	0,89
ENTRADA 1.3					X	1.016	10	X		0,50	26,34	1,85	6	RZ1-K 0,6/1KV 1x6+T	Ø25	0,15
SERIE 1.4	535	25			X	1.016	110	X		1,50	13,17	3,40	6	RZ1-K 0,6/1KV 1x6+T	Ø25	0,85
SERIE 1.3	535	25			X	1.016	110	X		1,50	13,17	3,40	6	RZ1-K 0,6/1KV 1x6+T	Ø25	0,85
ENTRADA 1.2					X	1.016	10	X		0,50	26,34	1,85	6	RZ1-K 0,6/1KV 1x6+T	Ø25	0,15
SERIE 1.2	535	25			X	1.016	105	X		1,50	13,17	3,24	6	RZ1-K 0,6/1KV 1x6+T	Ø25	0,81
SERIE 1.1	535	25			X	1.016	105	X		1,50	13,17	3,24	6	RZ1-K 0,6/1KV 1x6+T	Ø25	0,81
ENTRADA 1.1					X	1.016	10	X		0,50	26,34	1,85	6	RZ1-K 0,6/1KV 1x6+T	Ø25	0,15

Circuito	Pot Panel (Wp)	ud	Tipo de Circuito			Tensión CC (Vcc)	Long. (m)	CU	AL	C.D.T %	Intens. (A)	Sección cálculo (mm2)	Sección adoptada (mm2)	Línea proyectada	Ø PVC (mm)	C.D.T. real (%)
			III+N 400V	III+N 800V	CC											
INVERSOR 2																
SERIE 2.16	535	24			X	975	100	X		1,50	13,17	3,22	4	RZ1-K 0,6/1KV 1x4+T	Ø20	1,21
SERIE 2.15	535	25			X	1.016	100	X		1,50	13,17	3,09	4	RZ1-K 0,6/1KV 1x4+T	Ø20	1,16
ENTRADA 2.8					X	995	10	X		0,50	26,34	1,89	4	RZ1-K 0,6/1KV 1x4+T	Ø20	0,24
SERIE 2.14	535	25			X	1.016	95	X		1,50	13,17	2,93	4	RZ1-K 0,6/1KV 1x4+T	Ø20	1,10
SERIE 2.13	535	25			X	1.016	95	X		1,50	13,17	2,93	4	RZ1-K 0,6/1KV 1x4+T	Ø20	1,10
ENTRADA 2.7					X	1.016	10	X		0,50	26,34	1,85	4	RZ1-K 0,6/1KV 1x4+T	Ø20	0,23
SERIE 2.12	535	25			X	1.016	90	X		1,50	13,17	2,78	4	RZ1-K 0,6/1KV 1x4+T	Ø20	1,04
SERIE 2.11	535	25			X	1.016	90	X		1,50	13,17	2,78	4	RZ1-K 0,6/1KV 1x4+T	Ø20	1,04
ENTRADA 2.6					X	1.016	10	X		0,50	26,34	1,85	4	RZ1-K 0,6/1KV 1x4+T	Ø20	0,23
SERIE 2.10	535	25			X	1.016	85	X		1,50	13,17	2,62	4	RZ1-K 0,6/1KV 1x4+T	Ø20	0,98
SERIE 2.9	535	25			X	1.016	85	X		1,50	13,17	2,62	4	RZ1-K 0,6/1KV 1x4+T	Ø20	0,98
ENTRADA 2.5					X	1.016	10	X		0,50	26,34	1,85	4	RZ1-K 0,6/1KV 1x4+T	Ø20	0,23
SERIE 2.8	535	25			X	1.016	80	X		1,50	13,17	2,47	4	RZ1-K 0,6/1KV 1x4+T	Ø20	0,93
SERIE 2.7	535	25			X	1.016	80	X		1,50	13,17	2,47	4	RZ1-K 0,6/1KV 1x4+T	Ø20	0,93
ENTRADA 2.4					X	1.016	10	X		0,50	26,34	1,85	4	RZ1-K 0,6/1KV 1x4+T	Ø20	0,23
SERIE 2.6	535	25			X	1.016	75	X		1,50	13,17	2,32	4	RZ1-K 0,6/1KV 1x4+T	Ø20	0,87
SERIE 2.5	535	25			X	1.016	75	X		1,50	13,17	2,32	4	RZ1-K 0,6/1KV 1x4+T	Ø20	0,87
ENTRADA 2.3					X	1.016	10	X		0,50	26,34	1,85	4	RZ1-K 0,6/1KV 1x4+T	Ø20	0,23
SERIE 2.4	535	25			X	1.016	70	X		1,50	13,17	2,16	4	RZ1-K 0,6/1KV 1x4+T	Ø20	0,81
SERIE 2.3	535	25			X	1.016	70	X		1,50	13,17	2,16	4	RZ1-K 0,6/1KV 1x4+T	Ø20	0,81
ENTRADA 2.2					X	1.016	10	X		0,50	26,34	1,85	4	RZ1-K 0,6/1KV 1x4+T	Ø20	0,23
SERIE 2.2	535	25			X	1.016	65	X		1,50	13,17	2,01	4	RZ1-K 0,6/1KV 1x4+T	Ø20	0,75
SERIE 2.1	535	25			X	1.016	65	X		1,50	13,17	2,01	4	RZ1-K 0,6/1KV 1x4+T	Ø20	0,75
ENTRADA 2.1					X	1.016	10	X		0,50	26,34	1,85	4	RZ1-K 0,6/1KV 1x4+T	Ø20	0,23

Documento visado electrónicamente con número: VA07390/22
Código de validación telemática TRLTDCFZ60T66IJ1. Comprobación: https://cogitivalencia.e-gestion.es/Validacion.aspx?CVT=TRLTDCFZ60T66IJ1

VISADO
COGITI
VALENCIA
VA07290/22
TRLTDCFZ60T66IJ1

Circuito	Pot Panel (Wp)	ud	Tipo de Circuito			Tensión CC (Vcc)	Long. (m)	CU	AL	C.D.T %	Intens. (A)	Sección cálculo (mm2)	Sección adoptada (mm2)	Línea proyectada	ø PVC (mm)	c.d.t real (%)
			III+N 400V	III+N 800V	CC											
INVERSOR 3																
SERIE 3.16	535	24			X	975	60	X		1,50	13,17	1,93	4	RZ1-K 0,6/1KV 1x4+T	Ø20	0,72
SERIE 3.15	535	25			X	1.016	60	X		1,50	13,17	1,85	4	RZ1-K 0,6/1KV 1x4+T	Ø20	0,69
ENTRADA 3.8					X	995	10	X		0,50	26,34	1,89	4	RZ1-K 0,6/1KV 1x4+T	Ø20	0,24
SERIE 3.14	535	25			X	1.016	55	X		1,50	13,17	1,70	4	RZ1-K 0,6/1KV 1x4+T	Ø20	0,64
SERIE 3.13	535	25			X	1.016	55	X		1,50	13,17	1,70	4	RZ1-K 0,6/1KV 1x4+T	Ø20	0,64
ENTRADA 3.7					X	1.016	10	X		0,50	26,34	1,85	4	RZ1-K 0,6/1KV 1x4+T	Ø20	0,23
SERIE 3.12	535	25			X	1.016	50	X		1,50	13,17	1,54	4	RZ1-K 0,6/1KV 1x4+T	Ø20	0,58
SERIE 3.11	535	25			X	1.016	50	X		1,50	13,17	1,54	4	RZ1-K 0,6/1KV 1x4+T	Ø20	0,58
ENTRADA 3.6					X	1.016	10	X		0,50	26,34	1,85	4	RZ1-K 0,6/1KV 1x4+T	Ø20	0,23
SERIE 3.10	535	25			X	1.016	45	X		1,50	13,17	1,39	4	RZ1-K 0,6/1KV 1x4+T	Ø20	0,52
SERIE 3.9	535	25			X	1.016	45	X		1,50	13,17	1,39	4	RZ1-K 0,6/1KV 1x4+T	Ø20	0,52
ENTRADA 3.5					X	1.016	10	X		0,50	26,34	1,85	4	RZ1-K 0,6/1KV 1x4+T	Ø20	0,23
SERIE 3.8	535	25			X	1.016	40	X		1,50	13,17	1,24	4	RZ1-K 0,6/1KV 1x4+T	Ø20	0,46
SERIE 3.7	535	25			X	1.016	40	X		1,50	13,17	1,24	4	RZ1-K 0,6/1KV 1x4+T	Ø20	0,46
ENTRADA 3.4					X	1.016	10	X		0,50	26,34	1,85	4	RZ1-K 0,6/1KV 1x4+T	Ø20	0,23
SERIE 3.6	535	25			X	1.016	35	X		1,50	13,17	1,08	4	RZ1-K 0,6/1KV 1x4+T	Ø20	0,41
SERIE 3.5	535	25			X	1.016	35	X		1,50	13,17	1,08	4	RZ1-K 0,6/1KV 1x4+T	Ø20	0,41
ENTRADA 3.3					X	1.016	10	X		0,50	26,34	1,85	4	RZ1-K 0,6/1KV 1x4+T	Ø20	0,23
SERIE 3.4	535	25			X	1.016	30	X		1,50	13,17	0,93	4	RZ1-K 0,6/1KV 1x4+T	Ø20	0,35
SERIE 3.3	535	25			X	1.016	30	X		1,50	13,17	0,93	4	RZ1-K 0,6/1KV 1x4+T	Ø20	0,35
ENTRADA 3.2					X	1.016	10	X		0,50	26,34	1,85	4	RZ1-K 0,6/1KV 1x4+T	Ø20	0,23
SERIE 3.2	535	25			X	1.016	25	X		1,50	13,17	0,77	4	RZ1-K 0,6/1KV 1x4+T	Ø20	0,29
SERIE 3.1	535	25			X	1.016	25	X		1,50	13,17	0,77	4	RZ1-K 0,6/1KV 1x4+T	Ø20	0,29
ENTRADA 3.1					X	1.016	10	X		0,50	26,34	1,85	4	RZ1-K 0,6/1KV 1x4+T	Ø20	0,23

2.2.2. Cableado en corriente alterna. Inversor – AC BOX.

Se trata del cableado que, saliendo de los inversores, circula en este caso a lo largo del dique, para llegar a conectar con los respectivos AC BOX ubicados en diferentes puntos del mismo. Se trata de un cableado compuesto por 3 fases y con cable de tierras de menor sección.

Se han realizado los cálculos correspondientes a cada tipo de inversor y, con las distancias calculadas, se utilizarán los siguientes conductores:

Documento visado electrónicamente con número: VA07290/22
Código de validación telemática TRLTDCFZ60T66IJ1. Comprobación: https://cogitivalencia.e-gestion.es/Validacion.aspx?CVT=TRLTDCFZ60T66IJ1

VISADO
COGITI
TRLTDCFZ60T66IJ1
VALENCIA
VA07290/22

Circuito	Tipo de Circuito			Potencia instalada (W)	Long. (m)	CU	AL	C.D.T %	Intens. (A)	Sección cálculo (mm2)	Sección adoptada (mm2)	Línea proyectada	Ø PVC (mm)	C.D.T. real (%)
	III+N 400V	III+N 800V	CC											
INV 1.1 - AC BOX-1		X		185.000	50	X		1,00	148,34	25,81	70	RZ1-K 0,6/1KV 4x70+T	Band	0,37
INV 1.2 - AC BOX-1		X		185.000	50	X		1,00	148,34	25,81	70	RZ1-K 0,6/1KV 4x70+T	Band	0,37
INV 1.3 - AC BOX-1		X		185.000	50	X		1,00	148,34	25,81	70	RZ1-K 0,6/1KV 4x70+T	Band	0,37
INV 2.1 - AC BOX-2		X		185.000	50	X		1,00	148,34	25,81	70	RZ1-K 0,6/1KV 4x70+T	Band	0,37
INV 2.2 - AC BOX-2		X		185.000	50	X		1,00	148,34	25,81	70	RZ1-K 0,6/1KV 4x70+T	Band	0,37
INV 2.3 - AC BOX-2		X		185.000	50	X		1,00	148,34	25,81	70	RZ1-K 0,6/1KV 4x70+T	Band	0,37
INV 3.1 - AC BOX-3		X		185.000	50	X		1,00	148,34	25,81	70	RZ1-K 0,6/1KV 4x70+T	Band	0,37
INV 3.2 - AC BOX-3		X		185.000	50	X		1,00	148,34	25,81	70	RZ1-K 0,6/1KV 4x70+T	Band	0,37
INV 3.3 - AC BOX-3		X		185.000	50	X		1,00	148,34	25,81	70	RZ1-K 0,6/1KV 4x70+T	Band	0,37
INV 4.1 - AC BOX-4		X		185.000	50	X		1,00	148,34	25,81	70	RZ1-K 0,6/1KV 4x70+T	Band	0,37
INV 4.2 - AC BOX-4		X		185.000	50	X		1,00	148,34	25,81	70	RZ1-K 0,6/1KV 4x70+T	Band	0,37
INV 4.3 - AC BOX-4		X		185.000	50	X		1,00	148,34	25,81	70	RZ1-K 0,6/1KV 4x70+T	Band	0,37
INV 5.1 - AC BOX-5		X		185.000	50	X		1,00	148,34	25,81	70	RZ1-K 0,6/1KV 4x70+T	Band	0,37
INV 5.2 - AC BOX-5		X		185.000	50	X		1,00	148,34	25,81	70	RZ1-K 0,6/1KV 4x70+T	Band	0,37
INV 5.3 - AC BOX-5		X		185.000	50	X		1,00	148,34	25,81	70	RZ1-K 0,6/1KV 4x70+T	Band	0,37
INV 6.1 - AC BOX-6		X		185.000	50	X		1,00	148,34	25,81	70	RZ1-K 0,6/1KV 4x70+T	Band	0,37
INV 6.2 - AC BOX-6		X		185.000	50	X		1,00	148,34	25,81	70	RZ1-K 0,6/1KV 4x70+T	Band	0,37
INV 6.3 - AC BOX-6		X		185.000	50	X		1,00	148,34	25,81	70	RZ1-K 0,6/1KV 4x70+T	Band	0,37
INV 7.1 - AC BOX-7		X		185.000	50	X		1,00	148,34	25,81	70	RZ1-K 0,6/1KV 4x70+T	Band	0,37
INV 7.2 - AC BOX-7		X		185.000	50	X		1,00	148,34	25,81	70	RZ1-K 0,6/1KV 4x70+T	Band	0,37
INV 7.3 - AC BOX-7		X		185.000	50	X		1,00	148,34	25,81	70	RZ1-K 0,6/1KV 4x70+T	Band	0,37
INV 8.1 - AC BOX-8		X		185.000	50	X		1,00	148,34	25,81	70	RZ1-K 0,6/1KV 4x70+T	Band	0,37
INV 8.2 - AC BOX-8		X		185.000	50	X		1,00	148,34	25,81	70	RZ1-K 0,6/1KV 4x70+T	Band	0,37
INV 8.3 - AC BOX-8		X		185.000	50	X		1,00	148,34	25,81	70	RZ1-K 0,6/1KV 4x70+T	Band	0,37
INV 9.1 - AC BOX-9		X		185.000	50	X		1,00	148,34	25,81	70	RZ1-K 0,6/1KV 4x70+T	Band	0,37
INV 9.2 - AC BOX-9		X		185.000	50	X		1,00	148,34	25,81	70	RZ1-K 0,6/1KV 4x70+T	Band	0,37
INV 9.3 - AC BOX-9		X		185.000	50	X		1,00	148,34	25,81	70	RZ1-K 0,6/1KV 4x70+T	Band	0,37

2.2.3. Cableado en corriente alterna. AC BOX – Main BOX.

Este tramo de cableado en corriente alterna es el comprendido entre cada uno de los cuadros de protecciones AC BOX hasta el cuadro de protecciones general o MAIN BOX. Al igual que antes, estas secciones dependen de la longitud del cableado.

Circuito	Tipo de Circuito			Potencia instalada (W)	Long. (m)	CU	AL	C.D.T %	Intens. (A)	Sección cálculo (mm2)	Sección adoptada (mm2)	Línea proyectada	Ø PVC (mm)	C.D.T. real (%)
	III+N 400V	III+N 800V	CC											
AC BOX-1 - MAIN AC BOX 1		X		555.000	30		X	1,50	445,03	49,55	480	RZ1-K 0,6/1KV 4x(2x240)+T	Band	0,15
AC BOX-2 - MAIN AC BOX 1		X		555.000	45		X	1,50	445,03	74,33	480	RZ1-K 0,6/1KV 4x(2x240)+T	Band	0,23
AC BOX-3 - MAIN AC BOX 1		X		555.000	65		X	1,50	445,03	107,37	480	RZ1-K 0,6/1KV 4x(2x240)+T	Band	0,34
AC BOX-4 - MAIN AC BOX 1		X		555.000	90		X	1,50	445,03	148,66	480	RZ1-K 0,6/1KV 4x(2x240)+T	Band	0,46
AC BOX-5 - MAIN AC BOX 2		X		555.000	120		X	1,50	445,03	198,21	480	RZ1-K 0,6/1KV 4x(2x240)+T	Band	0,62
AC BOX-6 - MAIN AC BOX 2		X		555.000	150		X	1,50	445,03	247,77	480	RZ1-K 0,6/1KV 4x(2x240)+T	Band	0,77
AC BOX-7 - MAIN AC BOX 2		X		555.000	180		X	1,50	445,03	297,32	480	RZ1-K 0,6/1KV 4x(2x240)+T	Band	0,93
AC BOX-8 - MAIN AC BOX 2		X		555.000	210		X	1,50	445,03	346,88	480	RZ1-K 0,6/1KV 4x(2x240)+T	Band	1,08
AC BOX-9 - MAIN AC BOX 2		X		555.000	240		X	1,50	445,03	396,43	480	RZ1-K 0,6/1KV 4x(2x240)+T	Band	1,24
MAIN AC BOX 1 - TRAFO 1		X		1.110.000	20		X	1,00	890,06	99,11	960	RZ1-K 0,6/1KV 4x(4x240)+T	Band	0,10
MAIN AC BOX 1 - TRAFO 2		X		1.110.000	20		X	1,00	890,06	99,11	960	RZ1-K 0,6/1KV 4x(4x240)+T	Band	0,10
MAIN AC BOX 2 - TRAFO 3		X		1.110.000	20		X	1,00	890,06	99,11	960	RZ1-K 0,6/1KV 4x(4x240)+T	Band	0,10
MAIN AC BOX 2 - TRAFO 4		X		1.665.000	20		X	1,00	1335,08	148,66	960	RZ1-K 0,6/1KV 4x(4x240)+T	Band	0,15

Documento visado electrónicamente con número: VA07290/22
Código de validación telemática TRLTDCFZ60T66IJ1. Comprobación: https://cogitivalencia.e-gestion.es/Validacion.aspx?CVT=TRLTDCFZ60T66IJ1

VISADO
COGITI
VALENCIA
VA07290/22
TRLTDCFZ60T66IJ1

2.3. CÁLCULO DE PROTECCIONES

2.3.1. Protección frente a cortocircuitos y sobrecargas en el tramo CC.

El cortocircuito es un punto de trabajo no peligroso para el generador fotovoltaico, ya que la corriente está limitada a un valor muy cercano a la máxima de operación normal del mismo (Isc=13,79 A y Impp=13,17 A).

El cortocircuito puede, sin embargo, ser perjudicial para el inversor. Con este motivo, se incluirán fusibles tipo gG normalizados (según EN 60269) en cada uno de los conductores positivos que irán integrados en el propio inversor.

El inversor seleccionado incorpora dispositivos de protección contra sobretensiones inducidas tanto en su parte de CC como en la de CA, por tanto no se hace necesaria la inclusión de protecciones adicionales, es decir, no se prevé la instalación de cuadros de agrupación de string. Estas agrupaciones se hacen directamente en el inversor, el cual dispone de los fusibles de protección.

2.3.2. Protección frente a sobretensiones en el tramo de CC.

Sobre el generador fotovoltaico, se pueden inducir sobretensiones de origen atmosférico de cierta importancia. Por ello, la entrada CC del inversor se debe proteger mediante dispositivos bipolares de protección clase II. El dispositivo empleado deberá tener las siguientes características:

- Tiempo actuación < 25 ns.
- Corriente máxima actuación < 15 kA
- Tensión residual < 2 kV.

En este caso, el inversor seleccionado incorpora dispositivos de protección contra sobretensiones inducidas tanto en su parte de CC como en la de CA, por tanto no se hace necesaria la inclusión de protecciones adicionales.

En el caso de contar en las cercanías de la instalación de un sistema de protección externa contra rayos, se deberá dotar al circuito de AC de un dispositivo de protección contra caída directa de rayo clase I.

2.3.3. Protección frente a contactos indirectos en el tramo de CC.

El generador fotovoltaico se conectará en modo flotante (sistema IT los conductores activos se encuentran aislados de tierra), proporcionando unos niveles de protección adecuados tanto frente a contactos directos como indirectos. Esta medida por sí misma no constituye una medida eficaz, ya que es un requisito imprescindible que la resistencia de aislamiento de la parte de continua se mantenga por encima de unos niveles de seguridad y no ocurra un primer

Documento visado electrónicamente con número: VA07290/22
Código de validación telemática TRLTDCFZ60T66IJ1. Comprobación: https://cogitivalencia.e-gestion.es/Validacion.aspx?CVT=TRLTDCFZ60T66IJ1

VISADO
COGITI
VALENCIA
VA07290/22
TRLTDCFZ60T66IJ1

defecto a masa o a tierra. En este último caso, se genera una situación de riesgo, que se soluciona mediante:

- El aislamiento clase II de módulos fotovoltaicos, cables y cajas de conexión. Éstas últimas deberán estar dotadas de señales de peligro eléctrico.

- Controlador permanente de aislamiento, integrado en el inversor en este caso, que detecte la aparición de un primer defecto a tierra, cuando la resistencia de aislamiento sea inferior a un valor determinado. Este valor viene determinado por la máxima tensión de circuito abierto que se puede originar en el sistema, constituyendo la condición de mayor peligro eléctrico.

  Las protecciones incluidas en el propio inversor, que se han citado anteriormente, son:

  - Interruptor de CC de entrada.
  - Protección contra islas eléctricas..
  - Protección ante sobrecorriente de salida.
  - Protección ante conexión inversa de entrada.
  - Detección de fallo de la cadena fotovoltaica.
  - Protección contra sobretensión de CA (tipo II).
  - Protección contra sobretensión de CC (tipo II).
  - Detección de resistencia de aislamiento.
  - Monitorización de corriente residual (RCMU).
  - Categoria de sobretensión PV II / AC III.

  Así, el valor de la resistencia de aislamiento vendrá dado por la siguiente expresión:

  RISO (Ώ) = 40xVOC, max (V) -1000

  Adoptando VOC, max un valor próximo a los 37,83V, en condiciones de baja insolación y temperatura ambiente.

Con esta actuación, se garantiza que la corriente de defecto va a ser inferior a 30 mA que marca el umbral de riesgo eléctrico para las personas. El inversor detendrá su funcionamiento y se activará una alarma visual en el equipo.

2.3.4. Protección frente a cortocircuitos y sobrecargas en el tramo de AC.

La corriente de diseño del circuito trifásico a proteger es de A Según norma EN 60269, para protección contra sobrecargas, se debe cumplir que:

I diseño línea ≤ I asignada dispositivo protección ≤ I admisible por la línea

Con estas premisas, las líneas entre cada inversor y los cuadros de alterna (AC BOX y MAIN BOX) será protegida por fusibles tripolares con una intensidad asignada según el tipo de

Documento visado electrónicamente con número: VA07290/22
Código de validación telemática TRLTDCFZ60T66IJ1. Comprobación: https://cogitivalencia.e-gestion.es/Validacion.aspx?CVT=TRLTDCFZ60T66IJ1

VISADO
COGITI
VALENCIA
VA07290/22
TRLTDCFZ60T66IJ1

inversor y un poder de corte de 20 kA. La línea entre el MAIN BOX y el CGBT estará protegida por un interruptor magnetotérmico tipo C y un poder de corte de 20 kA, según la siguiente tabla:

Circuito	Tipo de Circuito			Potencia instalada (W)	CU	AL	Intens. (A)	Sección adoptada (mm2)	Protección (Magnet/fusible)
	III+N 400V	III+N 800V	CC						
INV 1.1 - AC BOX-1		X		185.000	X		148,34	70	NSX160F 4x160A
INV 1.2 - AC BOX-1		X		185.000	X		148,34	70	NSX100F 4x160A
INV 1.3 - AC BOX-1		X		185.000	X		148,34	70	NSX160F 4x160A
INV 2.1 - AC BOX-2		X		185.000	X		148,34	70	NSX100F 4x160A
INV 2.2 - AC BOX-2		X		185.000	X		148,34	70	NSX160F 4x160A
INV 2.3 - AC BOX-2		X		185.000	X		148,34	70	NSX100F 4x160A
INV 3.1 - AC BOX-3		X		185.000	X		148,34	70	NSX160F 4x160A
INV 3.2 - AC BOX-3		X		185.000	X		148,34	70	NSX100F 4x160A
INV 3.3 - AC BOX-3		X		185.000	X		148,34	70	NSX160F 4x160A
INV 4.1 - AC BOX-4		X		185.000	X		148,34	70	NSX100F 4x160A
INV 4.2 - AC BOX-4		X		185.000	X		148,34	70	NSX160F 4x160A
INV 4.3 - AC BOX-4		X		185.000	X		148,34	70	NSX100F 4x160A
INV 5.1 - AC BOX-5		X		185.000	X		148,34	70	NSX160F 4x160A
INV 5.2 - AC BOX-5		X		185.000	X		148,34	70	NSX100F 4x160A
INV 5.3 - AC BOX-5		X		185.000	X		148,34	70	NSX160F 4x160A
INV 6.1 - AC BOX-6		X		185.000	X		148,34	70	NSX100F 4x160A
INV 6.2 - AC BOX-6		X		185.000	X		148,34	70	NSX160F 4x160A
INV 6.3 - AC BOX-6		X		185.000	X		148,34	70	NSX100F 4x160A
INV 7.1 - AC BOX-7		X		185.000	X		148,34	70	NSX160F 4x160A
INV 7.2 - AC BOX-7		X		185.000	X		148,34	70	NSX100F 4x160A
INV 7.3 - AC BOX-7		X		185.000	X		148,34	70	NSX160F 4x160A
INV 8.1 - AC BOX-8		X		185.000	X		148,34	70	NSX100F 4x160A
INV 8.2 - AC BOX-8		X		185.000	X		148,34	70	NSX160F 4x160A
INV 8.3 - AC BOX-8		X		185.000	X		148,34	70	NSX100F 4x160A
INV 9.1 - AC BOX-9		X		185.000	X		148,34	70	NSX160F 4x160A
INV 9.2 - AC BOX-9		X		185.000	X		148,34	70	NSX100F 4x160A
INV 9.3 - AC BOX-9		X		185.000	X		148,34	70	NSX160F 4x160A

Documento visado electrónicamente con número: VA07290/22
Código de validación telemática TRLTDCFZ60T66IJ1. Comprobación: https://cogitivalencia.e-gestion.es/Validacion.aspx?CVT=TRLTDCFZ60T66IJ1

VISADO
COGITI
VALENCIA
VA07290/22
TRLTDCFZ60T66IJ1

Circuito	Tipo de Circuito			Potencia instalada (W)	CU	AL	Intens. (A)	Sección adoptada (mm2)	Protección (Magnet/fusible)
	III+N 400V	III+N 800V	CC						
AC BOX-1 - MAIN AC BOX 1		X		555.000		X	445,03	480	NSX630N 4x800A
AC BOX-2 - MAIN AC BOX 1		X		555.000		X	445,03	480	NSX630N 4x800A
AC BOX-3 - MAIN AC BOX 1		X		555.000		X	445,03	480	NSX630N 4x800A
AC BOX-4 - MAIN AC BOX 1		X		555.000		X	445,03	480	NSX630N 4x800A
AC BOX-5 - MAIN AC BOX 2		X		555.000		X	445,03	480	NSX630N 4x800A
AC BOX-6 - MAIN AC BOX 2		X		555.000		X	445,03	480	NSX630N 4x800A
AC BOX-7 - MAIN AC BOX 2		X		555.000		X	445,03	480	NSX630N 4x800A
AC BOX-8 - MAIN AC BOX 2		X		555.000		X	445,03	480	NSX630N 4x800A
AC BOX-9 - MAIN AC BOX 2		X		555.000		X	445,03	480	NSX250F 4x250A
MAIN AC BOX 1 - TRAFO 1		X		1.110.000		X	890,06	960	NS1000N 4x1600A
MAIN AC BOX 1 - TRAFO 2		X		1.110.000		X	890,06	960	NS1000N 4x1600A
MAIN AC BOX 2 - TRAFO 3		X		1.110.000		X	890,06	960	NS1000N 4x1600A
MAIN AC BOX 2 - TRAFO 4		X		1.665.000		X	1335,08	960	NS1600N 4x1600A

2.3.5. Protección frente a cortocircuitos y sobrecargas en el tramo de AC.

La instalación contará con diferencial de 30 mA de sensibilidad en la parte AC. Con el fin de que el ID esté protegido por el interruptor magnetotérmico, se deberán satisfacer las siguientes condiciones:

- Condición 1: Indiferencial ≥ In magnetotérmico
  La corriente asignada al dispositivo diferencial debe ser igual o superior a la del magnetotérmico de protección.

  Interruptor diferencial:
  IΔn = 30 mA (corriente diferencial nominal)
  IΔnf ≈ IΔn / 2 = 15 mA (corriente diferencial de no funcionamiento)
  In = 100 A

- Condición 2: Resistencia a cortocircuitos Idiferencial = Inc ≥ Pdcmagnetotérmico

2.3.6. Separación galvánica en el tramo de AC.

En este caso, la separación entre los circuitos de corriente continua (generador fotovoltaico) y corriente alterna (red de baja tensión) queda garantizada en el propio inversor.

2.3.7. Funcionamiento en isla en el tramo de AC.

Se debe evitar el funcionamiento en modo isla del generador fotovoltaico, eliminando situaciones de riesgo para los operarios de la compañía distribuidora en caso de quedar la

Documento visado electrónicamente con número: VA07290/22
Código de validación telemática TRLTDCFZ60T66IJ1. Comprobación: https://cogitivalencia.e-gestion.es/Validacion.aspx?CVT=TRLTDCFZ60T66IJ1

VISADO
COGITI
VALENCIA
VA07290/22
TRLTDCFZ60T66IJ1

instalación fotovoltaica desconectada de la red de distribución con consumos asociados en el mismo punto.

El inversor elegido asegura la desconexión de la red en este caso, evitando el funcionamiento en isla.

2.3.8. Armónicos y compatibilidad electromagnética en el tramo de AC.

El fabricante del inversor acredita mediante certificados el cumplimiento de los niveles de emisión e inmunidad frente a armónicos y de compatibilidad electromagnética.

2.3.9. Puesta a tierra de la instalación en el tramo de AC.

De acuerdo con lo dispuesto por el RD 1699/2011 y el REBT, la instalación fotovoltaica tendrá una tierra independiente, de modo que las masas de la instalación estarán conectadas independientemente de la del neutro de la empresa distribuidora, así como de las masas del resto de suministro.

En la parte de CC, el sistema será flotante (esquema IT), con los conductores activos aislados de tierra. Se conectarán a tierra todas las masas metálicas de la instalación (armarios, bandejas, estructura soporte, inversores, etc.).

En el tramo CA se seguirá un esquema TT, con las masas de los equipos eléctricos protegidos por un mismo dispositivo de protección unidas a un mismo conductor de protección, y el neutro puesto a tierra.

<u>Cálculo de la resistencia de tierra:</u>

La resistencia máxima admisible de puesta a tierra se calcula a partir de la expresión:

$$Radm = UL / I\Delta n$$

Donde UL equivale a 50V en locales secos y 24 V en locales húmedos e IΔn es la sensibilidad del dispositivo de protección diferencial.

En este caso, se asume un valor de Radm de 800 Ω

Se emplearán picas normalizadas de cobre de 14,6 mm. de diámetro y dos metros de longitud.

El valor de la resistencia ofrecida por el electrodo de tierra se puede evaluar a partir de la siguiente expresión:

$$R1pica = \rho / L$$

Documento visado electrónicamente con número: VA07290/22
Código de validación telemática TRLTDCFZ60T66IJ1. Comprobación: https://cogitivalencia.e-gestion.es/Validacion.aspx?CVT=TRLTDCFZ60T66IJ1

VISADO
COGITI
VALENCIA
VA07290/22
TRLTDCFZ60T66IJ1

Donde ρ es la resistividad del terreno (en Ω.m) en el que se insertará la pica.

Para terreno suelo pedregoso desnudo, según el REBT, la resistividad puede adoptar valores comprendidos entre los 1500 y los 3.000 Ω.m, dependiendo de factores tales como la temperatura, la humedad, la granulometría, la estratificación, etc.

En el caso más desfavorable de conductividad del terreno, la resistencia de una pica de las características descritas será de:

R1pica = 3.000 (Ω.m)/2m = 1.500 Ω

Por tanto se hace necesario la instalación de más picas para establecer una resistencia de tierra por debajo del límite fijado por Radm.

Para estimar la resistencia de un grupo de picas puestas en paralelo, se recurre a la siguiente expresión:

R total = R1pica x K/n

Siendo K un valor comprendido entre 1,2 y 1,7 (depende del número de picas y de su disposición) y n el número de picas instaladas. Para K=1,7 y cuatro picas en paralelo, se obtiene un valor de resistencia de tierra de 637.5 Ω.

En cualquier caso, dada la variabilidad del valor de ρ que se ha empleado para los cálculos, será necesaria la medición “in situ” de la resistencia de tierra en el punto deseado, con el fin de garantizar la seguridad de la instalación.

En caso de optar por un sistema formado por varias picas en paralelo, estás se situarán a una distancia igual a dos veces su longitud y se interconectarán a través de un conductor enterrado de 35 mm2 mediante soldadura aluminotérmica o grapas de presión inoxidables.

Conductores de protección
Cumplirán con lo establecido en la ITC-BT 18 Tabla 2 del REBT.

Documento visado electrónicamente con número: VA07290/22
Código de validación telemática TRLTDCFZ60T66IJ1. Comprobación: https://cogitivalencia.e-gestion.es/Validacion.aspx?CVT=TRLTDCFZ60T66IJ1

VISADO
COGITI
VALENCIA
TRLTDCFZ60T66IJ1
VA07290/22

3. PLIEGO DE CONDICIONES

Documento visado electrónicamente con número: VA07290/22
Código de validación telemática TRLTDCFZ60T66IJ1. Comprobación: https://cogitivalencia.e-gestion.es/Validacion.aspx?CVT=TRLTDCFZ60T66IJ1

VISADO
COGITI
VALENCIA
VA07290/22
TRLTDCFZ60T66IJ1

3.1. PLIEGO DE CONDICIONES ESPECÍFICAS

El objeto del presente proyecto es establecer las condiciones técnicas necesarias para la ejecución de una instalación fotovoltaica en modalidad de AUTOCONSUMO SIN EXCEDENTES. Dicha instalación incluye los siguientes cometidos:

I. Instalación fotovoltaica propiamente dicha, incluyendo:
   - Ingeniería y dirección de obra.
   - Acopio y aprovisionamiento de materiales.
   - Transporte y carga/descarga de materiales.
   - Montaje y conexionado del conjunto.
   - Pruebas y puesta en marcha de la instalación.

El servicio se realizará en la modalidad llave en mano estando incluidos, por lo tanto, la totalidad de obras y elementos necesarios para el correcto funcionamiento de la instalación aunque no estén expresamente detallados en este proyecto. La instalación se realizará cumpliendo toda la normativa que afecte a instalaciones solares fotovoltaicas, y todos sus componentes deberán haber sido debidamente homologados por los organismos competentes.

3.2. ESPECIFICACIONES DE MATERIALES, EQUIPOS Y EJECUCIÓN

A continuación se describen las especificaciones técnicas de los materiales y equipos principales que componen la instalación. En la ejecución de la instalación se admitirá la modificación de alguno de estos materiales o equipos por otros de características similares, siempre que no afecte al correcto funcionamiento de la instalación fotovoltaica ni suponga un decremento en la producción anual de electricidad.

3.2.1. Sistemas generadores fotovoltaicos

Todos los módulos de silicio cristalino deberán satisfacer las especificaciones UNE-EN 61215, así como estar cualificados por algún laboratorio reconocido, lo que se acreditará mediante la presentación del certificado oficial correspondiente.

El módulo llevará de forma claramente visible en indeleble el modelo y nombre o logotipo del fabricante, así como una identificación individual o número de serie trazable a la fecha de fabricación.

Los módulos deberán llevar los diodos de derivación para evitar posibles averías de las células y sus circuitos por sombreados parciales y tendrán un grado de protección IP65.
Los marcos laterales serán de aluminio o acero inoxidable.

La potencia máxima y corriente de cortocircuito reales referidas a condiciones estándar deberán estar comprendidas en el margen del ±10% de los correspondientes valores nominales de catálogo.

La estructura del generador y el marco de los módulos se conectarán a tierra.

Documento visado electrónicamente con número: VA07290/22
Código de validación telemática TRLTDCFZ60T66IJ1. Comprobación: https://cogitivalencia.e-gestion.es/Validacion.aspx?CVT=TRLTDCFZ60T66IJ1

VISADO
COGITI
VALENCIA
VA07290/22
TRLTDCFZ60T66IJ1

Por motivos de seguridad y para facilitar el mantenimiento y reparación del generador, se instalarán los elementos necesarios para la desconexión, de forma independiente y en ambos terminales de cada una de las ramas del resto del generador. Los string quedarán agrupados dentro del propio inversor, el cual dispondrá de las correspondientes protecciones, no existiendo por tanto cuadros de string distribuidos.

Se deberá de aportar la siguiente documentación por parte del fabricante del módulo:

Requerimientos Generales
Selección fabricante Tier 1: Longi Solar, Jinko Solar, Trinasolar, Canadian, Risen, Qcells.
Tecnología: Célula MONOPERC HALF-CUT
Rangos de Potencia_ 435-450Wp
Track Record Compañía y Track Record del modelo de panel propuesto.
Certificaciones: ISO 9001, ISO 14001 y OHSAS 18001
Ficha Técnica del panel propuesto.
Documento de Garantía del panel: Material y Potencia.
BOMs propuestoss para el panel y certificaciones IEC61215/IEC61730 para los BOMs propuestos.
Certificaciones Específicas BOMs propuestos
IEC 61215-1:2016 - Terrestrial photovoltaic (PV) modules – Design qualification and type approval – Part 1: Test requirements.
IEC 61215-1:2016 - Terrestrial photovoltaic (PV) modules – Design qualification and type approval – Part 1-1: Special requirements for testing of crystalline silicon photovoltaic (PV) modules.
IEC 61215-1-2: 2016 - Terrestrial photovoltaic (PV) modules – Design qualification and type approval – Part 2: Test procedures.
IEC 61730-1:2016 – Photovoltaic (PV) module safety qualification – Part 1: Requirements for construction.
IEC 61730-2:2016 – Photovoltaic (PV) module safety qualification – Part 2" Requirements for testing
Certificaciones Adicionales proporcinada por el fabricante
IEC 61701:2011 – Salt mist corrosion testing of photovoltaic (PV) module
IEC 62716:2013 – Photovoltaic (PV) modules – Ammonia corrosion testing.
IEC 60068-2-68:1994 – Environmental testing – art 2-68: Tests – Test L: Dust and Sand.
PID Test – IEC 62804 - DH chamber, at the rated voltage bias on the module datasheet (i.e. -1000V or -1500V), 85% RH, 85 °C, 300 hours, degradation <5%.
LID Test –60kWh/sqm, degradation <2%.
DH 3000 Test – DH chamber, 85% RH, 85 °C, 3,000 hours, degradation <5% and no wet leakage or junction box failure.
TC 600 Test – TC chamber, per IEC, 600 cycles, degradation <5% and no wet leakage or junction box failure.
HF 30 Test – HF Changer, per IEC, 30 cycles, degradation <5% and no wet leakage or junction box failure.
UV Exposure Test – 90 kWh/sqm. Degradation <5% and no wet leakage or junction box failure.
Dynamic Mechanical Load Test – 1,000 cycles, 1440 PA + TC50 + HF10, degradation <5%.
Certificaciones proporcionada por Organismo independiente al fabricante
IEC 61853-1:2011 – Photovoltaic (PV) module performance testing and energy rating – Part 1: Irradiance and temperature performance measurements and power rating.
IEC 61853-2:2016 – Photovoltaic (PV) module performance testing and energy rating – Part 2: Spectral responsivity, incidence angle and module operating temperature measurements.
Independent .PAN file generation by a reputable 3rd party lab.
CE Certificate of the product
EU Declaration of Conformity
Documentation related to applicable recycling rerquirements (eg PV Cycle)
Independent Factory Inspection Certificates and Reports

Documento visado electrónicamente con número: VA07290/22
Código de validación telemática TRLTDCFZ60T66IJ1. Comprobación: https://cogitivalencia.e-gestion.es/Validacion.aspx?CVT=TRLTDCFZ60T66IJ1

3.2.2. Estructura soporte

El diseño de la estructura se realizará para conseguir la orientación y el ángulo de inclinación óptimos para el generador fotovoltaico, teniendo en cuenta la facilidad de montaje y desmontaje, y la posible necesidad de sustituciones de elementos.

VISADO
COGITI
VALENCIA
VA07290/22
TRLTDCFZ60T66IJ1

La tornillería empleada para la sujeción de los módulos fotovoltaicos será de acero inoxidable, cumpliendo la norma DB-SE-A8.5.

Los topes de sujeción de los módulos a la propia estructura no arrojarán sombra sobre los módulos.

Se dispondrán las estructuras soporte necesarias para montar los módulos sobre la cubierta sin superar el límite de sombras indicado en el punto 4.1.2. del Pliego de Condiciones del IDAE.

La estructura soporte será calculada de acuerdo al CTE para soportar cargas extremas debidas a factores climatológicos adversos, tales como viento, nieve, etc.

Se realizará especial atencion en el calculo a la exposicion del edificio y su cubierta al viento.

Se deberá de aportar la siguiente documentación por parte del fabricante de la estructura:

Requerimientos Generales
Materiales con nivel de corrosión marino con garantía min de 25 años antocorrosión.
Sistema de anclaje compatible con la cubierta que asegure una estanquidad del 100%.
Altura min, del panel al techo de 10cm para evitar pérdidas por temperatura excesivas.
Definición de los pares de aprietes recomendado de todos los elementos.
Certificaciones: ISO 9001, ISO 14001 y OHSAS 18001
Ficha Técnica de la estructura propuesta.
Cálculo estructural certificado por una tercera parte.

3.2.3. Inversor/inversores

Será del tipo adecuado para la conexión a red eléctrica, con una potencia de entrada variable para que sea capaz de extraer en todo momento la máxima potencia que el generador fotovoltaico puede proporcionar a lo largo de cada día.

Las características básicas del inversor serán las siguientes:

- Principio de funcionamiento: fuente de corriente.
- Autoconmutados.
- Seguimiento automático del punto de máxima potencia del generador.
- No funcionarán en isla o modo aislado.

El inversor cumplirá con las directivas comunitarias de Seguridad Eléctrica y Compatibilidad Electromagnética, incorporando protecciones frente a:

- Cortocircuitos en alterna.
- Tensión de red fuera de rango.
- Frecuencia de red fuera de rango.
- Sobretensiones, mediante varistores o similares.
- Perturbaciones presentes en la red como microcortes, pulsos, defectos de ciclos,

Documento visado electrónicamente con número: VA07290/22
Código de validación telemática TRLTDCFZ60T66IJ1. Comprobación: https://cogitivalencia.e-gestion.es/Validacion.aspx?CVT=TRLTDCFZ60T66IJ1

VISADO
COGITI
VALENCIA
VA07290/22
TRLTDCFZ60T66IJ1

ausencia y retorno de red, etc.

El inversor incorporará, al menos, los controles manuales siguientes:

- Encendido y apagado general del inversor.
- Conexión y desconexión del inversor a la interfaz CA. Podrá ser externo al inversor.

Las características eléctricas del inversor serán las siguientes:

El inversor seguirá entregando potencia a la red de forma continuada en condiciones de irradiancia solar un 10% superior a las CEM. Además soportará picos de magnitud un 30% superior a las CEM durante periodos de hasta 10 segundos.

Los valores de eficiencia al 25% y 100% de la potencia de salida nominal deberán ser superiores al 85% y 88% respectivamente (valores medidos incluyendo el transformador de salida, si lo hubiere) para inversores de potencia inferior a 5 kW, y del 90% al 92% para inversores mayores de 5 kW.

El autoconsumo del inversor en modo nocturno ha de ser inferior al 0.5% de su potencia nominal.

El factor de potencia generada deberá ser superior a 0,95 entre el 25% y el 100% de su potencia nominal.

A partir de potencias mayores del 10% de su potencia nominal, el inversor deberá inyectar en red.

El inversor tendrán un grado de protección mínima IP20 para colocación en el interior de edificios y lugares inaccesibles, IP30 para colocación en el interior de edificios y lugares accesibles, y de IP65 para instalación a la intemperie.

El inversor estará garantizado para operación en las siguientes condiciones ambientales: entre 0º y 40º C de temperatura y entre 0% y 85% de humedad relativa.

Se instalara un extintor de CO2 de 89B de eficacia según el apartado 8.3 del reglamento contra incendios de establecimientos industriales. En el cual especifica que no se permite el empleo de agentes extintores conductores de la electricidad sobre fuegos que se desarrollan en presencia de aparatos, cuadros, conductores y otros elementos bajo tensión eléctrica superior a 24 V. La protección de estos se realizará con extintores de dióxido de carbono, o polvo seco BC o ABC.

Se deberá de aportar la siguiente documentación por parte del fabricante del inversor:

Documento visado electrónicamente con número: VA07290/22
Código de validación telemática TRLTDCFZ60T66IJ1. Comprobación: https://cogitivalencia.e-gestion.es/Validacion.aspx?CVT=TRLTDCFZ60T66IJ1

VISADO
COGITI
VALENCIA
VA07290/22
TRLTDCFZ60T66IJ1

Requerimientos Generales
Selección fabricante Tier 1: HUAWEI, SMA, FRONIUS, KACO, INGETEAM, POWER ELECTRONICS
Rangos de Potencia: 100kWp
Track Record Compañía y Track Record del modelo de inversor propuesto.
Certificaciones: ISO 9001, ISO 14001 y OHSAS 18001
Ficha Técnica del inversor propuesto.
Documento de Garantía del inversor con apliación a 10 años.
Certificado de Conformidad emintido por TUV u otro organismo autorizado.
Eficiencia Europea 98.6%
Grado de protección IP65
Disponibilidad de instalación de Kit de puesta a tierra en el polo negativo
Compatibilidad de Gestión con Sistema de Almacenamiento y kit de Inyección 0.
Proteción contra sobreteniones y descargas atmosféricas tanto en el lado AC como DC.
Propuesta de Spare Parts por el fabricante.
Manual de Instalación.

3.2.4. Diseño de la planta fotovoltaica y cableado

Los positivos y negativos de cada grupo de módulos se conducirán separados y protegidos de acuerdo a la normativa vigente.

Los conductores serán de cobre y tendrán la sección adecuada para evitar caídas de tensión y calentamientos. Concretamente, para cualquier condición de trabajo, los conductores de la parte de CC deberán tener la sección suficiente para que la caída de tensión sea inferior del 1% y los de la parte CA para que la caída de tensión sea inferior del 0,5%, teniendo en ambos casos como referencia las tensiones correspondientes a cajas de conexiones.

Se incluirá toda la longitud de cable CC y CA. Deberá tener la longitud necesaria para no generar esfuerzos en los diversos elementos ni posibilidad de enganche por el tránsito normal de personas.

Todo el cableado de continua será de doble aislamiento y adecuado para su uso en intemperie, al aire o enterrado, de acuerdo con la norma UNE 21123.

Por instrucción de la Dirección General de Industria, en la que se indica que las canalizaciones en fotovoltaica al considerarse "locales mojados" por estar a la intemperie (Instrucción ITC-BT 30 punto 2), deben cumplir el punto 2.1 de esta ITC, relativo a las canalizaciones, debiendo ser éstas estancas. Este punto prevé la posibilidad de instalación de los conductores y cables aislados en el interior de tubos (punto 2.1.1) o en el interior de canales aislantes (punto 2.1.2). No se prevé la posibilidad de utilizar canales que no sean aislantes.

<u>Líneas de Baja Tensión de Corriente Continua</u>

Son las líneas trazadas desde las placas de módulos fotovoltaicos hasta su conexión con el inversor de corriente. Su protección se realizará por medio de fusibles con percutor de señalización de fusión.

Documento visado electrónicamente con número: VA07290/22
Código de validación telemática TRLTDCFZ60T66IJ1. Comprobación: https://cogitivalencia.e-gestion.es/Validacion.aspx?CVT=TRLTDCFZ60T66IJ1

VISADO
COGITI
VALENCIA
VA07290/22
TRLTDCFZ60T66IJ1

Los estados de fusión de los fusibles serán monitorizados por el propio inversor con objeto de optimizar el mantenimiento de las plantas.

El trazado de las mismas discurre a través de canal refrigerado de instalación al aire, por lo cual sus características térmicas serán calculadas de acuerdo al REBT para instalación exterior.

La conexión entre placas se realiza en circuitos serie y paralelo según se define en el capítulo de cálculos justificativos, para adecuar las características de salida de los módulos fotovoltaicos a las necesidades propias de la entrada de corriente continua de los inversores, en los cuales se realizará la agrupación de string, no existiendo cajas de centralización distribuidas por la cubierta.

El conexionado de las mismas se realizará, según proceda:

Conexionado entre placas se realizará mediante los conectores rápidos incluidos en las placas.
Conexionado colector de placas. Se realizará en el interior los inversores, ya que como se indica anteriormente no existen cuadros destring distribuidos.
Conexionado colector de placas con armarios de inversores se realizará en el interior de los armarios.

El cable utilizado será:
DN ZZ-F (AS) 1,8 kV DC XX mm² Cu o similar, con certificación para 1500 V

- Designación genérica ..... DN 1,8 kV (2xS) mm2 (AS) Cu UNE 21123 o similar
- Nº de conductores ..... 1 ó 2
- Secciones ..... desde 4 hasta 25 mm2.
- Clase de conductor ..... 2 ó 5, de Cu s/UNE 21-022
- Aislamiento tipo D ..... Etileno-Propileno, s/UNE 21-123
- Cubierta de tipo N ..... Policloropreno del tipo SE1, s/UNE 21-123
- Color de aislamiento ..... Azul, gris, marrón y negro;
- Color de la cubierta ..... negro
- Norma básica ..... UNE 21-123 (Aislamiento seco)
- Normas de ensayo
- No propagación de la llama ..... UNE EN 50265-2-1 ; IEC 60332-1 ; NFC 32070-C2
- Tensión nominal CC ..... 1,8 kV
- Tensión de ensayo ..... 3,5 kV 5 minutos, s/UNE 21-123, secc 3
- Temp máxima de servicio ..... 90°C en el conductor
- Temp máxima de cortocircuito ..... 250°C en el conductor
- Temp mínima para el tendido ..... 10°C

<u>Líneas de Baja Tensión de Corriente Alterna</u>

Son las líneas trazadas desde el inversor de corriente hasta el Transformador de potencia, sus longitudes son extremadamente reducidas y se realizan en el interior de la envolvente de los Centros

Documento visado electrónicamente con número: VA07290/22
Código de validación telemática TRLTDCFZ60T66IJ1. Comprobación: https://cogitivalencia.e-gestion.es/Validacion.aspx?CVT=TRLTDCFZ60T66IJ1

VISADO
COGITI
VALENCIA
VA07290/22
TRLTDCFZ60T66IJ1

de Transformación. La protección se realizará por medio de interruptores automáticos magnetotérmicos.

El cable utilizado será:

RV 0,6/1 kV 3x (1xXX) mm² K Cu o similar

- Designación genérica ..... RV 0,6/1 3x(S)+1/2xS mm2 K Cu UNE 21123 o similar
- Nº de conductores ..... 3, 3,5 y 4
- Secciones ..... desde 6 hasta 240 mm2.
- Clase de conductor..... 1 ó 2, de Cu s/UNE 21-022
- Aislamiento tipo R..... XLPE, tipo DIX3 según HD 603-1.
- Cubierta de tipo V..... PVC, tipo DMV-18 según HD 603-1.
- Color de aislamiento..... Amarillo/verde, azul, gris, marrón y negro;
- Color de la cubierta ..... negro
- Norma básica ..... UNE 21-123 (Aislamiento seco)
- Normas de ensayo .....
- No propagación de la llama ..... UNE EN 50265-2-1 ; IEC 60332-1 ; NFC 32070-C2
- No propagación de incendio ..... UNE EN 50266-2-4; IEC 60332-3.
- Emisión de halógenos ..... UNE EN 50267-2-1; IEC 60754-1; Emisión ClH < 14%.
- Tensión nominal ..... Uo/U = 0,6/1 kV
- Tensión de ensayo ..... 3,5 kV 5 minutos, s/UNE 21-123, secc 3
- Temp máxima de servicio..... 90°C en el conductor
- Temp máxima de cortocircuito..... 250°C en el conductor
- Temp mínima para el tendido ..... 10°C

Requerimientos Generales
Caida de Tensión max. permitida parte DC 1.5% en condiciones STC para el circuito más desfavorable..
Caida de Tensión max. permitida parte AC 1.5% en condicones STC para el circuito más desfavorable.
Cable de String: Cable con especificación solar acorde a la enión del sietema en la parte DC 1000V o 1500V.
Canalizaciones propuesta en techo tipo Rejiband de Acero Galvanizado con tapa.
Ubicación de los inversores en zonas protegidas y accesibles sin necesidad de medios de elevación.
Utilización de DC Box con monitorizadores de String (ubicandolos en zonas accesibles sin necesidad de medios de elevación)
Diseño que permita la limpieza de paneles solares sin riesgo de pisar los paneles.
Disposición de 2 células de referencia por agua para integrarla en la monitorización y cálculo de PR.
Disposición de 1 sensor de suciedad para integrar en el sistema de monitorización.
Configuración eléctrica independizando el agua SW del agua NE.
Ratio max. de potencia pico sobre nominal de 1.15.
Establecer recorrido de lineas de vida y/o pasarelas sin proyectar sombras sobre los paneles solares.
Conexionado de todas las masas metálicas con un sistema de tierra independiente a la nave.
Utilización de elementos de sujeción del cableado de string. parte DC, que impida el contacto de los conectores con el techo.
Sistema de anclaje de la estructura a la cubierta tiene que asegure la estanqueidad durante la vida útil de la planta.

3.2.5. Protecciones

Todas las instalaciones cumplirán con lo dispuesto en el RD 1699/2011 (artículo 11) sobre protecciones en instalaciones fotovoltaicas conectadas a la red de baja tensión y con el esquema unificar que aparece en la Resolución de 31 de mayo de 2001.

Documento visado electrónicamente con número: VA07290/22
Código de validación telemática TRLTDCFZ60T66IJ1. Comprobación: https://cogitivalencia.e-gestion.es/Validacion.aspx?CVT=TRLTDCFZ60T66IJ1

VISADO
COGITI
VALENCIA
VA07290/22
TRLTDCFZ60T66IJ1

El CTE, en el documento técnico HE5, en el apartado 3.2.3.3, establece que la parte de corriente continua de la instalación tendrá un grado de protección Clase II o aislamiento equivalente cuando se trate de emplazamiento accesible. Los materiales situados en la intemperie tendrán al menos un grado de protección IP65.

En conexiones a la red trifásicas las protecciones para la interconexión de máxima y mínima frecuencia y de máxima y mínima tensión serán para cada fase.

3.2.6. Canalizaciones

Estas canalizaciones de líneas subterráneas, deberán proyectarse teniendo en cuenta las siguientes consideraciones:

El radio de curvatura después de colocado el cable será como mínimo, 15 veces el diámetro. Los radios de curvatura en operaciones de tendido será superior a 20 veces su diámetro.

Los cruces de calzadas serán perpendiculares al eje de la calzada o vial, procurando evitarlos, si es posible sin perjuicio del estudio económico de la instalación en proyecto, y si el terreno lo permite.

3.2.7. Puesta a tierra

Todas las instalaciones cumplirán con lo dispuesto en el RD 1699/2011 (artículo 11) sobre protecciones en instalaciones fotovoltaicas conectadas a la red de baja tensión.

Cuando el aislamiento galvánico entre la red de distribución de baja tensión y el generador fotovoltaico no se realice mediante un transformador de aislamiento, se justificarán los elementos utilizados para garantizar esta condición.

Todas las masas de la instalación fotovoltaica, tanto de la sección continua como de la alterna, estarán conectados a una única tierra. Esta tierra será independiente de la del neutro de la empresa distribuidora, de acuerdo con el Reglamento de Baja Tensión.

3.2.8. Armónicos y compatibilidad electromagnética

Todas las instalaciones cumplirán con lo dispuesto en el RD 1699/2011 (artículo 13) sobre armónicos y compatibilidad electromagnética en instalaciones fotovoltaicas conectadas a la red de baja tensión.

3.3. CERTIFICADOS Y DOCUMENTACIÓN.

La instalación deberá ser ejecutada por una Empresa instaladora eléctrica autorizada y con las debidas acreditaciones.

El instalador deberá de proporcionar la documentación siguiente:

Documento visado electrónicamente con número: VA07290/22
Código de validación telemática TRLTDCFZ60T66IJ1. Comprobación: https://cogitivalencia.e-gestion.es/Validacion.aspx?CVT=TRLTDCFZ60T66IJ1

VISADO
COGITI
VALENCIA
VA07290/22
TRLTDCFZ60T66IJ1

Requerimientos Generales
Manual de instalación (incluyendo par de apriete recomendado)
Aprobación por parte del fabricante del panel solar del sistema de anclaje propuesto a la estructura.
Flash-Test de fábrica de los paneles suministrados.
Electroluminiscencia de fábrica de los paneles suminitrados.
Sistema de clasificación de corrientes propuesto por el fabricante.
Procedimiento de montaje propuesto para minimizar la aparición de microcraks en las células solares.
Plan de Seguridad y Salud contemplando todas las medidas Colectivas e individuales durante la fase Construcción.
Prueba de Agua verificando la impermeabilidad de las cubiertas antes del montaje mecánico.
Peritación estructural de la nave para asegurar la integridad durante los 35 años de operación.
Sistema SCADA operativo antes de la prueba PR con la integración de todos ls equipos y sensores.
Sistema de Gestión de Energía operativo antes de la puesta en marcha y con protocolos de seguridad para la gestión del Storage y sistema Anti vertido.
Limpieza de los paneles solares antes de la prueba PR, tanto el CAP como CAD.
Tests a la Recepción de los paneles realizado por 3ª parte independiente
Electroluminiscencia del 3% de los paneles suministrados con criterio de rechazo del Fabricante.
Inspección visual del 3% de los paneles suministrados con criterio de Rechazo del Fabricante.
Tests antes del Certificado de Aprobación Provisional
Electroluminiscencia del 100% de los paneles instalados con metodologia aprobada por la propiedad.
Termografía del 100% de los paneles solares con dron.
Curvas I-V del 100% de los strings.
Inspección Visual de la planta Solar.
Superación de prueba PR durante 10 días con una disponibilidad del 100%.
Realización de pruebas RBT por OCA independiente.
Realización de pruebas MT (Lineas MT y Centros de Transformación) por OCA independiente.
Realización de pruebas MT (Lineas MT y Centros de Transformación) por OCA independiente.
Realización de pruebas MT (Lineas MT y Centros de Transformación) por OCA independiente.
Test al Certificado de Aprobación Definitivo
Electroluminiscencia del 100% de los paneles instalados con metodologia aprobada por la propiedad.
Termografía del 100% de los paneles solares con dron.
Curvas I-V del 100% de los strings.
Superación de prueba PR durante 1o días con una disponibilidad del 100%.
Realización de pruebas RBT por OCA independiente.
Realización de pruebas MT (Lineas MT y Centros de Transformación) por OCA independiente.

3.4. CONDICIONES FACULTATIVAS.

3.4.1. Dirección de las Obras

La propiedad nombrará en su representación a un Técnico competente, que estará encargado directamente de la dirección, control y vigilancia de las obras de este proyecto.
Una vez adjudicadas definitivamente las obras, el Contratista designará un técnico con titulación, al menos de Ingeniero Técnico, que asumirá la dirección de los trabajos que se ejecuten y que actuará como representante suyo ante la propiedad a todos los efectos que se requieran durante la ejecución de las obras.

El Contratista, por sí o por medio de su representante, acompañará a la Dirección de Obra, en las visitas que ésta haga a las obras, siempre que así le fuese solicitado.

Estas obras deberán quedar totalmente terminadas por el contratista por el precio de la contrata en disposición de recibir tensión. Se ejecutarán con arreglo al presente proyecto, declarando el contratista, por el hecho de firmar el correspondiente contrato, que se halla al corriente del mismo y

Documento visado electrónicamente con número: VA07290/22
Código de validación telemática TRLTDCFZ60T66IJ1. Comprobación: https://cogitivalencia.e-gestion.es/Validacion.aspx?CVT=TRLTDCFZ60T66IJ1

VISADO
COGITI
VALENCIA
VA07290/22
TRLTDCFZ60T66IJ1

acepta todas las condiciones impuestas en el siguiente pliego y que conoce la importancia y extensión de las obras.

Quedan comprendidos también en la contrata todos los trabajos auxiliares y aún aquellos que ni figurando en forma expresa y concreta en los documentos del presente proyecto sean necesarios para la total ejecución de las obras y que se estimen como tales por el Director de la obra.

Durante el transcurso de la obra podrá el contratista sugerir cuantas variaciones y modificaciones estime se podrían introducir que, sin alterar lo esencial del proyecto, pudieran mejorar la obra o reducir sus costes, las que llevará a cabo únicamente en el caso de que sean aprobadas por escrito por el Director de la Obra.

COMIENZO: El contratista dará comienzo la obra en el plazo que figure en el contrato establecido con la Propiedad, o en su defecto a los quince días de la adjudicación definitiva o de la firma del contrato.

El Contratista está obligado a notificar por escrito o personalmente en forma directa al Técnico Director la fecha de comienzo de los trabajos.

PLAZO DE EJECUCIÓN: La obra se ejecutará en el plazo que se estipule en el contrato suscrito con la Propiedad o en su defecto en el que figure en las condiciones de este pliego.
Cuando el Contratista, de acuerdo, con alguno de los extremos contenidos en el presente Pliego de Condiciones, o bien en el contrato establecido con la Propiedad, solicite una inspección para poder realizar algún trabajo ulterior que esté condicionado por la misma, vendrá obligado a tener preparada para dicha inspección, una cantidad de obra que corresponda a un ritmo normal de trabajo.

Cuando el ritmo de trabajo establecido por el Contratista, no sea el normal, o bien a petición de una de las partes, se podrá convenir una programación de inspecciones obligatorias de acuerdo con el plan de obra.

3.4.2. Libro de órdenes

El Contratista dispondrá en la obra de un Libro de Órdenes en el que se escribirán las que el Técnico Director estime darle a través del encargado o persona responsable, sin perjuicio de las que le dé por oficio cuando lo crea necesario y que tendrá la obligación de firmar el enterado.

3.5. CONDICIONES ECONÓMICAS Y LEGALES.

3.5.1. Abono de la Obra

En el contrato se deberá fijar detalladamente la forma y plazos que se abonarán las obras.

Documento visado electrónicamente con número: VA07290/22
Código de validación telemática TRLTDCFZ60T66IJ1. Comprobación: https://cogitivalencia.e-gestion.es/Validacion.aspx?CVT=TRLTDCFZ60T66IJ1

VISADO
COGITI
VALENCIA
VA07290/22
TRLTDCFZ60T66IJ1

Las liquidaciones parciales que puedan establecerse tendrán carácter de documentos provisionales a buena cuenta, sujetos a las certificaciones que resulten de la liquidación final. No suponiendo dichas liquidaciones, aprobación ni recepción de las obras que comprenden.

Terminadas las obras se procederá a la liquidación final que se efectuará de acuerdo con los criterios establecidos en el contrato.

3.5.2. Precios

El contratista presentará, al formalizarse el contrato, relación de los precios de las unidades de obra que integran el proyecto, los cuales de ser aceptados tendrán valor contractual y se aplicarán a las posibles variaciones que pueda haber.

Estos precios unitarios, se entiende que comprenden la ejecución total de la unidad de obra, incluyendo todos los trabajos aún los complementarios y los materiales así como la parte proporcional de imposición fiscal, las cargas laborales y otros gastos repercutibles.

En caso de tener que realizarse unidades de obra no previstas en el proyecto, se fijará su precio entre el Técnico Director y el Contratista antes de iniciar la obra y se presentará a la propiedad para su aceptación o no.

3.5.3. Revisión de precios

En el contrato se establecerá si el contratista tiene derecho a revisión de precios y la fórmula a aplicar para calcularla. En defecto de esta última, se aplicará a juicio del Técnico Director alguno de los criterios oficiales aceptados.

3.5.4. Contrato

El contrato se formalizará mediante documento privado, que podrá elevarse a escritura pública a petición de cualquiera de las partes. Comprenderá la adquisición de todos los materiales, transporte, mano de obra, medios auxiliares para la ejecución de la obra proyectada en el plazo estipulado, así como la reconstrucción de las unidades defectuosas, la realización de las obras complementarias y las derivadas de las modificaciones que se introduzcan durante la ejecución, éstas últimas en los términos previstos.

La totalidad de los documentos que componen el Proyecto de la obra serán incorporados al contrato y tanto el contratista como la Propiedad deberán firmarlos en testimonio de que los conocen y aceptan.

3.5.5. Responsabilidades

El Contratista es el responsable de la ejecución de las obras en las condiciones establecidas en el proyecto y en el contrato. Como consecuencia de ello vendrá obligado a la demolición de lo mal

Documento visado electrónicamente con número: VA07290/22
Código de validación telemática TRLTDCFZ60T66IJ1. Comprobación: https://cogitivalencia.e-gestion.es/Validacion.aspx?CVT=TRLTDCFZ60T66IJ1

VISADO
COGITI
VALENCIA
VA07290/22
TRLTDCFZ60T66IJ1

ejecutado y a su reconstrucción correctamente sin que sirva de excusa el que el Técnico Director haya examinado y reconocido las obras.

El contratista es el único responsable de todas las contravenciones que él o su personal cometan durante la ejecución de las obras u operaciones relacionadas con las mismas.

También es responsable de los accidentes o daños que por errores, inexperiencia o empleo de métodos inadecuados se produzcan a la propiedad a los vecinos o terceros en general.

El Contratista es el único responsable del incumplimiento de las disposiciones vigentes en la materia laboral respecto de su personal y por tanto los accidentes que puedan sobrevenir y de los derechos que puedan derivarse de ellos.

3.5.6. Recepción de las Obras y garantía

RECEPCIÓN PROVISIONAL: Una vez terminadas las obras, tendrá lugar la recepción provisional y para ello se practicará en ellas un detenido reconocimiento por el Técnico Director y la Propiedad en presencia del Contratista, levantando acta y empezando a correr desde ese día el plazo de garantía si se hallan en estado de ser admitida.

De no ser admitida se hará constar en el acta y se darán instrucciones al Contratista para subsanar los defectos observados, fijándose un plazo para ello, expirando el cual se procederá a un nuevo reconocimiento a fin de proceder a la recepción provisional.

PLAZO DE GARANTÍA: El plazo de garantía será como mínimo de un año, contado desde la fecha de la recepción provisional, o bien el que se establezca en el contrato también contado desde la misma fecha. Durante este período queda a cargo del Contratista la conservación de las obras y arreglo de los desperfectos causados por asiento de las mismas o por mala construcción.

RECEPCIÓN DEFINITIVA: Se realizará después de transcurrido el plazo de garantía de igual forma que la provisional. A partir de esta fecha cesará la obligación del Contratista de conservar y reparar a su cargo las obras si bien subsistirán las responsabilidades que pudiera tener por defectos ocultos y deficiencias de causa dudosa.

El instaaldor deberá de realizar las pruebas especificas que se detallan a continuación para poder disponer del Certificado de Aprobación Provisional y Definitivo de la obra.

Documento visado electrónicamente con número: VA07290/22
Código de validación telemática TRLTDCFZ60T66IJ1. Comprobación: https://cogitivalencia.e-gestion.es/Validacion.aspx?CVT=TRLTDCFZ60T66IJ1

VISADO
COGITI
VALENCIA
VA07290/22
TRLTDCFZ60T66IJ1

Tests antes del Certificado de Aprobación Provisional
Electroluminiscencia del 100% de los paneles instalados con metodologia aprobada por la propiedad.
Termografía del 100% de los paneles solares con dron.
Curvas I-V del 100% de los strings.
Inspección Visual de la planta Solar.
Superación de prueba PR durante 10 días con una disponibilidad del 100%.
Realización de pruebas RBT por OCA independiente.
Realización de pruebas MT (Lineas MT y Centros de Transformación) por OCA independiente.
Realización de pruebas MT (Lineas MT y Centros de Transformación) por OCA independiente.
Realización de pruebas MT (Lineas MT y Centros de Transformación) por OCA independiente.
Test al Certificado de Aprobación Definitivo
Electroluminiscencia del 100% de los paneles instalados con metodologia aprobada por la propiedad.
Termografía del 100% de los paneles solares con dron.
Curvas I-V del 100% de los strings.
Superación de prueba PR durante 1o días con una disponibilidad del 100%.
Realización de pruebas RBT por OCA independiente.
Realización de pruebas MT (Lineas MT y Centros de Transformación) por OCA independiente.

3.6. MANTENIMIENTO DE LA INSTALACIÓN

Se realizará un mantenimiento preventivo y correctivo de la instalación durante la vida útil de la instalación para asegurar el funcionamiento, aumentar la producción y prolongar la duración de la misma.

3.6.1. Plan de mantenimiento preventivo

Son operaciones de inspección visual, verificación de actuaciones y otros, que aplicados a la instalación deben permitir mantener dentro de límites aceptables las condiciones de funcionamiento, prestaciones, protección y durabilidad de la instalación. Este mantenimiento se llevará a cabo con una periodicidad semestral e incluirá:

MÓDULOS FOTOVOLTAICOS

- Limpieza de los módulos con agua y detergente no abrasivo. Esta operación se debe realizar a primeras horas de la mañana, cuando el módulo está frío.
- Inspección visual de posibles degradaciones internas y de la estanqueidad del panel.
- Control de las conexiones eléctricas y el cableado.
- Revisión de los prensaestopas de la caja de conexión.
-

INVERSOR

- Observación visual general del estado y funcionamiento del inversor.
- Comprobación del conexionado y cableado de los componentes.
- Observación del funcionamiento de los indicadores ópticos.

ESTRUCTURA SOPORTE

- Observación visual de posibles grietas o deformaciones.
- Limpiar zonas con óxido y cubrir con producto de protección anticorrosión.

ARMARIOS DE CONEXIÓN

Documento visado electrónicamente con número: VA07290/22
Código de validación telemática TRLTDCFZ60T66IJ1. Comprobación: https://cogitivalencia.e-gestion.es/Validacion.aspx?CVT=TRLTDCFZ60T66IJ1

VISADO
COGITI
VALENCIA
VA07290/22
TRLTDCFZ60T66IJ1

- Observación de la estanqueidad de los armarios y prensaestopas.
- Cableado general del armario.
- Apriete de bornes y detección de cables con temperatura elevada.
- Señalización de cables en buen estado.
- Comprobación de las protecciones.

CAMINOS DE CABLES

- Eliminar suciedad en las conducciones que se encuentren en el exterior.
- Comprobación visual del aislamiento de los cables.
- Revisión de la fijación a bandejas, muros, etc.
- Señalado de cables en buen estado.

3.6.2. Plan de mantenimiento correctivo

Incluye todas las operaciones de sustitución necesarias para asegurar que el sistema funciona correctamente durante su vida útil.

Se establece un precio anual del contrato de mantenimiento, que incluye las dos visitas anuales de mantenimiento preventivo, así como todas aquellas visitas debidas a un mantenimiento correctivo de la instalación. No se incluirán ni la mano de obra, ni las reposiciones de equipos necesarias más allá del período de garantía.
El mantenimiento debe realizarse por personal técnico cualificado bajo la responsabilidad de la empresa instaladora.

Cada mantenimiento comportará la realización de un informe técnico de cada una de las visitas en el que se refleje el estado de las instalaciones y las incidencias acaecidas. Del mismo modo, será necesario registrar las operaciones de mantenimiento realizadas en un libro de mantenimiento, en el que constará la identificación del personal de mantenimiento (nombre, titulación, autorización de la empresa).

Se deberá de incluir dentro de la fase de Operación y mantenimiento la siguiente información/documentación:

Documento visado electrónicamente con número: VA07290/22
Código de validación telemática TRLTDCFZ60T66IJ1. Comprobación: https://cogitivalencia.e-gestion.es/Validacion.aspx?CVT=TRLTDCFZ60T66IJ1

VISADO
COGITI
VALENCIA
VA07290/22
TRLTDCFZ60T66IJ1

Requerimientos Generales
Plan de Seguridad y Salud contemplando todas las medidas Colectivas e individuales durante la fase Operación y Mantenimiento.
Calendario de Preventivos con procedimiento de Actuación.
Definir stock minimo de materiales para correctivos.
Definir tiempo de actuación de 24hs desde incidencia para establecer las medidas correctivas a implementar en un timepo max. de 48hs.
Disponibilidad anual del 98% (definir eventos de fuerza mayor que no influyen en el cálculo de disponibilidad).
Definir plan de limpiezas en base a las medidas del sensor de suciedad instalado.
Definir empresa que realice la revisión anual de líneas de vida.
Definir empresa que relice el mantenimiento MT y líneas MT con periodicidad anual, trianual exigida por Industria por OCAs independientes.
Definir formato de informe mensual : Indicadores, partes de trabajos (Correctivos, preventivos, OCAs, etc)
Establecer plan de formación de las Actividades de O&M una vez finalice el periodo de garantía de 2 años dado por el EPCista.
Test Anuales a incluir en O&M
Termografía del 100% de los paneles solares con dron.
Curvas I-V del 100% de los strings.

Documento visado electrónicamente con número: VA07290/22
Código de validación telemática TRLTDCFZ60T66IJ1. Comprobación: https://cogitivalencia.e-gestion.es/Validacion.aspx?CVT=TRLTDCFZ60T66IJ1

VISADO
COGITI
VALENCIA
VA07290/22
TRLTDCFZ60T66IJ1

INSTALACIÓN DE PLANTA GENERACIÓN FOTOVOLTAICA SOBRE LA CUBIERTA DEL SILO DE VEHÍCULOS DE VALENCIA TERMINAL EUROPA, EN MUELLE DIQUE DEL ESTE, EN PUERTO DE VALENCIA.

ANEJO Nº3

Instalaciones en MT, CT

Documento visado electrónicamente con número: VA07290/22
Código de validación telemática TRLTDCFZ60T66IJ1. Comprobación: https://cogitivalencia.e-gestion.es/Validacion.aspx?CVT=TRLTDCFZ60T66IJ1

VISADO
COGITI
VALENCIA
VA07290/22
TRLTDCFZ60T66IJ1

El presente proyecto está elaborado conforme al siguiente índice de apartados, en aquellos que le afectan.

1. MEMORIA 4
1.1. RESUMEN DE CARACTERÍSTICAS. 5
1.1.1. Titular. 5
1.1.2. Nº de registro. 5
1.1.3. Emplazamiento. 5
1.1.4. Localidad. 5
1.1.5. Potencia unitaria de cada trafo y potencia total en KVA. 5
1.1.6. Tipo de centro. 5
1.2. OBJETO DEL PROYECTO. 6
1.3. TITULAR. 6
1.4. EMPLAZAMIENTO. 6
1.5. NORMATIVA APLICABLE 6
1.6. CARACTERÍSTICAS GENERALES DEL CENTRO DE TRANSFORMACION. 7
1.7. PROGRAMA DE NECESIDADES Y POTENCIA INSTALADA EN KVA. 7
1.8. DESCRIPCIÓN DE LA INSTALACIÓN. 8
1.8.1. Obra Civil. 8
1.8.2. Justificación de la necesidad o no de estudio de impacto ambiental. 9
1.8.3. Instalación Eléctrica. 9
1.8.3.1. Características de la Red de Evacuación. 9
1.8.3.2. Características de la Aparamenta de Alta Tensión. 10
1.8.3.3. Celda de línea con mando manual. 10
1.8.3.4. Celda de línea con mando motorizado (a instalar en G.C.T.006). 12
1.8.3.5. Celda de medida. 13
1.8.3.6. Celda de protección con interruptor automático. 14
1.8.3.7. Transformador 800kVA. 17
1.8.4. Puesta a Tierra. 18
1.8.4.1. Tierra de protección. 18
1.8.4.2. Tierra de servicio. 18
1.8.4.3. Tierra interior 18
1.8.5. Instalaciones Secundarias. 18
1.8.5.1. Alumbrado. 18
1.8.5.2. Baterías de Condensadores. 19
1.8.5.3. Protección contra Incendios. 19
1.8.5.4. Ventilación. 19
1.8.5.5. Medidas de Seguridad. 19
2. CÁLCULOS ELÉCTRICOS 20
2.1. INTENSIDAD DE ALTA TENSIÓN. 21
2.2. INTENSIDAD DE BAJA TENSIÓN. 21
2.3. CORTOCIRCUITOS. 22

Documento visado electrónicamente con número: VA07290/22
Código de validación telemática TRLTDCFZ60T66IJ1. Comprobación: https://cogitivalencia.e-gestion.es/Validacion.aspx?CVT=TRLTDCFZ60T66IJ1

VISADO
COGITI
VALENCIA
VA07290/22
TRLTDCFZ60T66IJ1

2.3.1. Observaciones. 22
2.3.2. Cálculo de las Corrientes de Cortocircuito. 22
2.3.3. Cortocircuito en el lado de Alta Tensión. 22
2.3.4. Cortocircuito en el lado de Baja Tensión. 23
2.4. DIMENSIONADO DEL EMBARRADO. **23**
2.4.1. Comprobación por densidad de corriente *23*
2.4.2. Comprobación por solicitación electrodinámica *23*
2.4.3. Comprobación por solicitación térmica Sobreintensidad térmica admisible. *23*
2.5. PROTECCIÓN CONTRA SOBRECARGAS Y CORTOCIRCUITOS. **24**
2.5.1. Selección de las protecciones de Alta y Baja Tensión. *24*
2.5.2. Ajuste del dispositivo térmico o de los relés. *24*
2.6. DIMENSIONADO DE LA VENTILACIÓN DEL C.T. **25**
2.7. DIMENSIONADO DEL POZO APAGAFUEGOS **25**
2.8. CÁLCULO DE LAS INSTALACIONES DE PUESTA A TIERRA. **25**
2.8.1. Investigación de las características del suelo *25*
2.8.2. Determinación de las corrientes máximas de puesta a tierra y del tiempo máximo correspondiente a la eliminación del defecto. *25*
2.8.3. Diseño preliminar de la instalación de tierra *26*
2.8.4. Cálculo de la resistencia del sistema de tierras. *27*
2.8.5. Cálculo de las tensiones de paso en el exterior de la instalación *28*
2.8.6. Cálculo de las tensiones de paso en el interior de la instalación *28*
2.8.7. Cálculo de las tensiones aplicadas *29*
2.8.8. Investigación de las tensiones transferibles al exterior *30*
2.8.9. Corrección y ajuste del diseño inicial *30*
3. PLIEGO DE CONDICIONES **31**
3.1. CALIDAD DE LOS MATERIALES. **32**
3.1.1. Obra Civil *32*
3.1.2. Aparamenta de Alta Tensión *32*
3.1.3. Transformadores. *34*
3.1.4. Equipos de Medida. *34*
3.2. NORMAS DE EJECUCIÓN DE LAS INSTALACIONES **35**
3.3. PRUEBAS REGLAMENTARIAS. **35**
3.4. CONDICIONES DE USO, MANTENIMIENTO Y SEGURIDAD **36**
3.5. CERTIFICADOS Y DOCUMENTACIÓN **37**
3.6. LIBRO DE ÓRDENES **37**

Documento visado electrónicamente con número: VA07290/22
Código de validación telemática TRLTDCFZ60T66IJ1. Comprobación: https://cogitivalencia.e-gestion.es/Validacion.aspx?CVT=TRLTDCFZ60T66IJ1

VISADO
COGITI
VALENCIA
VA07290/22
TRLTDCFZ60T66IJ1

Documento visado electrónicamente con número: VA07290/22
Código de validación telemática TRLTDCFZ60T66IJ1. Comprobación: https://cogitivalencia.e-gestion.es/Validacion.aspx?CVT=TRLTDCFZ60T66IJ1

1. MEMORIA

VISADO
COGITI
VALENCIA
VA07290/22
TRLTDCFZ60T66IJ1

1.1. RESUMEN DE CARACTERÍSTICAS.

1.1.1. Titular.

- Titular y promotor Autoridad Portuaria de Valencia
- Domicilio social: AV, Muelle del Turia, S/N,
- C.P.: 46024 Valencia
- CIF: Q4667047G

1.1.2. Nº de registro.

No procede por ser de nueva instalación.

1.1.3. Emplazamiento.

- Silo para almacén de coches.
- Puerto de Valencia
- Coordenadas UTM: 39.440366, -0.304180

En el plano de situación y emplazamiento se puede comprobar la situación exacta de la misma.

1.1.4. Localidad.

La edificación se encuentra en la localidad de Valencia, en el interior del Puerto.

1.1.5. Potencia unitaria de cada trafo y potencia total en KVA.

Se instalarán 4 transformadores en dos Centros de transformación, de las siguientes potencias:

- 2 uds de 1250 KVA (2500KVA)
- 2 uds de 1600 KVA. (3200KVA)

Haciendo un total de 5700 KVA.

Volumen total de dielétrico: 530 l

1.1.6. Tipo de centro.

Los centros de transformación serán del tipo interior (prefabricado en superficie) y con relación de transformación 0,8/20 kV.

Será objeto de proyecto específico, aunque a continuación se detallan sus características más importantes, empleando para su aparellaje celdas prefabricadas bajo envolvente metálica según norma UNE-EN 62271-200.

Será una máquina trifásica elevadora de tensión, siendo la tensión a la entrada de 800 V entre fases y la tensión a la salida de 20KV.

El transformador a instalar tendrá el neutro accesible en baja tensión y refrigeración natural éster biodegradable, marca Ormazabal o equivalente.

Sus características mecánicas y eléctricas se ajustarán a la Norma UNE 21428 y a las normas particulares de la compañía suministradora.

Documento visado electrónicamente con número: VA07290/22
Código de validación telemática TRLTDCFZ60T66IJ1. Comprobación: https://cogitivalencia.e-gestion.es/Validacion.aspx?CVT=TRLTDCFZ60T66IJ1

VISADO
COGITI
TRLTDCFZ60T66IJ1
VALENCIA
VA07290/22

1.2. OBJETO DEL PROYECTO.

El objeto del presente proyecto es especificar las condiciones técnicas, de ejecución y económicas para la instalación de un nuevo centro de transformación de características normalizadas cuyo fin es transformar la potencia producida en una planta fotovoltaica de 5.763,55 kWp, elevando la tensión a 20KV para ser inyectada en la red eléctrica de MT propiedad del cliente sirviendo de base para la ejecución de la misma, contando para ello, y dando cumplimiento a la legislación vigente.

Por todo lo anterior se redacta el presente Proyecto con el objetivo de obtener la autorización administrativa y la ejecución de la instalación que contempla el presente proyecto.

1.3. TITULAR.

- Titular y promotor Autoridad Portuaria de Valencia
- Domicilio social: AV, Muelle del Turia, S/N,
- C.P.: 46024 Valencia
- CIF: Q4667047G

1.4. EMPLAZAMIENTO.

- Silo para almacén de coches.
- Puerto de Valencia
- Coordenadas UTM: 39.440366, -0.304180

1.5. NORMATIVA APLICABLE

El presente proyecto recoge las características de los materiales, los cálculos que justifican su empleo y la forma de ejecución de las obras a realizar, dando con ello cumplimiento a las siguientes disposiciones:

NORMATIVA ESTATAL.

Ley 24/2013, de 26 de diciembre, del Sector Eléctrico.

- **Real Decreto 337/2014**, de 9 de mayo, por el que se aprueban el Reglamento sobre condiciones técnicas y garantías de seguridad en instalaciones eléctricas de alta tensión y sus Instrucciones Técnicas Complementarias ITC-RAT 01 a 23
- **Real Decreto 223/2008**, de 15 de febrero, por el que se aprueban el Reglamento sobre condiciones técnicas y garantías de seguridad en líneas eléctricas de alta tensión y sus instrucciones técnicas complementarias ITC-LAT 01 a 09.
- **Real Decreto 842/2002**, de 2 de agosto, por el que se aprueba el Reglamento electrotécnico para baja tensión.
- **Real Decreto 614/2001**, de 8 de junio, sobre disposiciones mínimas para la protección de la salud y seguridad de los trabajadores frente al riesgo eléctrico.
- **Real Decreto 1955/2000**, de 1 de diciembre, por el que se regulan las actividades de transporte, distribución, comercialización, suministro y procedimientos de autorización de instalaciones de energía eléctrica.
- **Orden de 10 de marzo de 2000** por la que se modifican las Instrucciones Técnicas Complementarias MIE-RAT 01, 02, 06, 14, 15, 16, 17, 18 y 19 del Reglamento sobre condiciones técnicas y garantías de seguridad en centrales eléctricas, subestaciones y centros de

Documento visado electrónicamente con número: VA07290/22
Código de validación telemática TRLTDCFZ60T66IJ1. Comprobación: https://cogitivalencia.e-gestion.es/Validacion.aspx?CVT=TRLTDCFZ60T66IJ1

VISADO
COGITI
VALENCIA
VA07290/22
TRLTDCFZ60T66IJ1

transformación.

- **Real Decreto 1627/1997**, de 24 de octubre, por el que se establecen disposiciones mínimas de seguridad y de salud en las obras de construcción.
- **Real Decreto 1215/1997**, de 18 de julio, por el que se establecen las disposiciones mínimas de seguridad y salud para la utilización por los trabajadores de los equipos de trabajo.
- **Real Decreto 773/1997**, de 30 de mayo, sobre disposiciones mínimas de seguridad y salud relativas a la utilización por los trabajadores de equipos de protección individual.
- **Real Decreto 486/1997**, de 14 de abril, por el que se establecen las disposiciones mínimas de seguridad y salud en los lugares de trabajo.
- **Real Decreto 485/1997**, de 14 de abril, sobre disposiciones mínimas en materia de señalización de seguridad y salud en el trabajo.
- **Ley 31/1995**, de 8 de noviembre, de Prevención de Riesgos Laborales.
- **Ley 21/1992**, de 16 de julio, de Industria.
- **Orden de 18 de octubre de 1984** complementaria de la de 6 de julio que aprueba las instrucciones técnicas complementarias del reglamento sobre condiciones técnicas y garantías de seguridad en centrales eléctricas, subestaciones y centros de transformación (MIE-RAT 20).
- **Orden de 6 de julio de 1984** por la que se aprueban las instrucciones técnicas complementarias (MIE-RAT) del reglamento sobre condiciones técnicas y garantías de seguridad en centrales eléctricas, subestaciones y centros de transformación.

NORMATIVA AUTONÓMICA.

- **Decreto 88/2005**, de 29 de abril, del Consell de la Generalitat, por el que se establecen los procedimientos de autorización de instalaciones de producción, transporte y distribución de energía eléctrica que son competencia de la Generalitat.

1.6. CARACTERÍSTICAS GENERALES DEL CENTRO DE TRANSFORMACION.

El centro de transformación objeto del presente proyecto será de tipo interior, empleando para su aparellaje celdas prefabricadas bajo envolvente metálica según norma UNE-EN 62271-200.

Las celdas a emplear serán del tipo modular de la serie COSMOS de Ormazabal o equivalente, celdas modulares de aislamiento en aire equipadas de aparellaje fijo que utiliza el hexafluoruro de azufre como elemento de corte y extinción de arco.

Responderán en su concepción y fabricación a la definición de aparamenta bajo envolvente metálica compartimentada de acuerdo con la norma UNE-EN 62271-200.

Los compartimentos diferenciados serán los siguientes:

a) Compartimento de aparellaje.
b) Compartimento del juego de barras.
c) Compartimento de conexión de cables.
d) Compartimento de mando.
e) Compartimento de control.

1.7. PROGRAMA DE NECESIDADES Y POTENCIA INSTALADA EN KVA.

De acuerdo con las instalaciones que se van a realizar, la potencia total instalada se estima en 5700 kW, con un factor de potencia de 1 la potencia total aparente será de 5700 KVA aproximadamente.

Documento visado electrónicamente con número: VA07290/22
Código de validación telemática TRLTDCFZ60T66IJ1. Comprobación: https://cogitivalencia.e-gestion.es/Validacion.aspx?CVT=TRLTDCFZ60T66IJ1

VISADO
COGITI
VALENCIA
VA07290/22
TRLTDCFZ60T66IJ1

Tal como indicamos anteriormente, el objetivo del centro de transformación de generación es la de transformar la potencia producida en una planta fotovoltaica de 5.763,55 kWp elevando la tensión a 20kV para ser inyectada en la red eléctrica de MT propiedad del cliente y poder ser consumida en cualquier punto del Puerto de Valencia.

1.8. DESCRIPCIÓN DE LA INSTALACIÓN.

Los transformadores elevadores de 1250 y 1600 KVA estarán ubicados en dos casetas prefabricadas independientes. Se prevé además l ainstalación de una nueva caseta prefabricada para albergar los cuadros principales de la instalación fotovoltaica (MAIN AC BOX), tal y como se ha descrito en el Anejo I de Instalación Fotovoltaica.

Para ello, se instalarán dos casetas prefabricadas de hormigón tipo PFU-7 de ORMAZABAL o equivalente, con sendas puertas peastonales para acceso a la parte de MT. La caseta será de dimensiones 7.900 x 2.200 y altura útil 2.450 mm., cuyas características se describen en esta memoria.

Por otro lado se instalará una caseta prefabricada de hormigón tipo PFU-5 de ORMAZABAL o equivalente, con puerta peatonal para acceso a la parte de BT. La caseta será de dimensiones 5.880 x 2.200 y altura útil 2.450 mm., cuyas características se describen en esta memoria

Se instalará además dos nuevas celda de linea con mando motorizado en el Centro existente propiedad del Cliente V.C.T. 043 de 250 KVA, donde se conectarán los nuevos tramos de LSMT particular de 20 KVA provenientes de los CT de Generación objeto de dicho Anejo II.

1.8.1. Obra Civil.

Se tratará de una construcción prefabricada de hormigón COMPACTO modelo PFU de ORMAZABAL, con dos puertas para acceso peatonal.

Las características más destacadas del prefabricado de la serie PFU o equivalente serán:

- **Compacidad:** Esta serie de prefabricados se montarán enteramente en fábrica. Realizar el montaje en la propia fábrica supondrá obtener:
  - Calidad en Origen,
  - Reducción del tiempo de instalación,
  - Posibilidad de posteriores traslados.

- **Facilidad de instalación:** La innecesaria cimentación y el montaje en fábrica permitirán asegurar una cómoda y fácil instalación.

- **Material:** El material empleado en la fabricación de las piezas (bases, paredes y techos) es hormigón armado. Con la justa dosificación y el vibrado adecuado se conseguirán unas características óptimas de resistencia característica (superior a 250 Kg/cm² a los 28 días de su fabricación) y una perfecta impermeabilización.

- **Equipotencialidad:** La propia armadura de mallazo electrosoldado garantizará la perfecta equipotencialidad de todo el prefabricado. Como se indica en la RU 1303A, las puertas y rejillas de ventilación no estarán conectadas al sistema de equipotencial. Entre la armadura equipotencial, embebida en el hormigón, y las puertas y rejillas existirá una resistencia eléctrica superior a 10.000 ohmnios (RU 1303A).

  Ningún elemento metálico unido al sistema equipotencial será accesible desde el exterior.

Documento visado electrónicamente con número: VA07290/22
Código de validación telemática TRLTDCFZ60T66IJ1. Comprobación: https://cogitivalencia.e-gestion.es/Validacion.aspx?CVT=TRLTDCFZ60T66IJ1

VISADO
COGITI
VALENCIA
VA07290/22
TRLTDCFZ60T66IJ1

- **Impermeabilidad**: Los techos estarán diseñados de tal forma que se impidan las filtraciones y la acumulación de agua sobre éstos, desaguando directamente al exterior desde su perímetro.

- **Grados de protección:** Serán conformes a la UNE 20324/93 de tal forma que la parte exterior del edificio prefabricado será de IP23, excepto las rejillas de ventilación donde el grado de protección será de IP33.

  Los componentes principales que formarán el edificio prefabricado son los que se indican a continuación:

- **Envolvente:** La envolvente (base, paredes y techos) de hormigón armado se fabricará de tal manera que se cargará sobre camión como un solo bloque en la fábrica.

  La envolvente estará diseñada de tal forma que se garantizará una total impermeabilidad y equipotencialidad del conjunto, así como una elevada resistencia mecánica.

  En la base de la envolvente irán dispuestos, tanto en el lateral como en la solera, los orificios para la entrada de cables de Alta y Baja Tensión. Estos orificios son partes debilitadas del hormigón que se deberán romper (desde el interior del prefabricado) para realizar la acometida de cables.

- **Suelos:** Estarán constituidos por elementos planos prefabricados de hormigón armado apoyados en un extremo sobre unos soportes metálicos en forma de U, los cuales constituirán los huecos que permitirán la conexión de cables en las celdas. Los huecos que no queden cubiertos por las celdas o cuadros eléctricos se taparán con unas placas fabricadas para tal efecto. En la parte frontal se dispondrán unas placas de peso reducido que permitirán el acceso de personas a la parte inferior del prefabricado a fin de facilitar las operaciones de conexión de los cables.

- **Puertas y rejillas de ventilación**: Estarán construidas en chapa de acero galvanizado recubierta con pintura epoxy. Esta doble protección, galvanizado más pintura, las hará muy resistentes a la corrosión causada por los agentes atmosféricos. Las puertas estarán abisagradas para que se puedan abatir 180º hacia el exterior, y se podrán mantener en la posición de 90º con un retenedor metálico.

  Se impedirá que las rejilas de ventilación queden obturadas por la maleza o elementos de construción, debiendo realizer las aceras perimetrales necesarias para ello. Con una anchura no inferior a 1m.

1.8.2. Justificación de la necesidad o no de estudio de impacto ambiental.

La instalación proyectada No precisa Estimación/Declaración de Impacto Ambiental, según Decreto 32/2006 de 10 de marzo de la Generalitat Valenciana, por el que se aprueba el Reglamento para la ejecución de la Ley 2/89, de 3 de marzo de Impacto Ambiental.

1.8.3. Instalación Eléctrica.

1.8.3.1. Características de la Red de Evacuación.

La red de evacuación al centro de transformación (conexión Parque FV con red de distribución) será de tipo subterráneo a una tensión de 20 kV y 50 Hz de frecuencia. La potencia de cortocircuito máxima de la red de alimentación será de 350 MVA, según datos proporcionados por la Compañía suministradora.

Documento visado electrónicamente con número: VA07290/22
Código de validación telemática TRLTDCFZ60T66IJ1. Comprobación: https://cogitivalencia.e-gestion.es/Validacion.aspx?CVT=TRLTDCFZ60T66IJ1

VISADO
COGITI
VALENCIA
VA07290/22
TRLTDCFZ60T66IJ1

1.8.3.2. Características de la Aparamenta de Alta Tensión.

- Tensión asignada: 24 kV.
- Tensión soportada entre fases, y entre fases y tierra:
  - a frecuencia industrial (50 Hz), 1 minuto: 50 kV ef.
  - a impulso tipo rayo: 125 kV cresta.
- Intensidad asignada en funciones de línea: 400-630 A.
- Intensidad asignada en interrup. automat. 400-630 A.
- Intensidad asignada en ruptofusibles. 200 A.
- Intensidad nominal admisible durante un segundo: 16 kA ef.
- Valor de cresta de la intensidad nominal admisible: 40 kA cresta,
  es decir, 2.5 veces la intensidad nominal admisible de corta duración.
- Grado de protección de la envolvente: IP2X / IK08.
- Puesta a tierra.

El conductor de puesta a tierra estará dispuesto a todo lo largo de las celdas según UNE-EN 62271-200 , y estará dimensionado para soportar la intensidad admisible de corta duración.

- Embarrado.

El embarrado estará sobredimensionado para soportar sin deformaciones permanentes los esfuerzos dinámicos que en un cortocircuito se puedan presentar y que se detallan en el apartado de cálculos.

1.8.3.3. Celda de línea con mando manual.

Celda CGMCOSMOS-I o equivalente de interruptor-seccionador, de dimensiones: 365 mm. de anchura, 735 mm. de profundidad, 1.740 mm. de altura, y conteniendo:

- Juego de barras tripolar de 400 A.
- Interruptor-seccionador de corte en SF6 de 400 A, tensión de 24 kV y 16 kA.
- Seccionador de puesta a tierra en SF6.
- Indicadores de presencia de tensión.
- Mando tipo B manual.
- Embarrado de puesta a tierra.
- Bornes para conexión de cable.

Estas celdas estarán preparadas para una conexión de cable seco monofásico de sección máxima de 240 mm².

Documento visado electrónicamente con número: VA07290/22
Código de validación telemática TRLTDCFZ60T66IJ1. Comprobación: https://cogitivalencia.e-gestion.es/Validacion.aspx?CVT=TRLTDCFZ60T66IJ1

VISADO
COGITI
VALENCIA
VA07290/22
TRLTDCFZ60T66IJ1

1 Ud. CELDA CGMcosmos-L DE LÍNEA CON AISLAMIENTO Y CORTE EN SF_6



Celda de Media Tensión modular de entrada / salida de cables con las siguientes características particulares:

Valores Eléctricos

- Tensión asignada Ur: 24 kV
- Intensidad asignada: 400 A
- Intensidad de corta duración I_k: 16 kA eficaz – 40 kA cresta 1 s
- clase IAC AF/AFL (opcional): 16 kA 1 s

Construcción

Compartimentos individuales con separación metálica de embarrado – interruptor, de conexión de cables con pasatapas frontales con las 3 fases a la misma altura, mecanismo de maniobras, con esquema sinóptico del circuito principal en la cubierta, y expansión de gases inferior trasera.

Interruptor trifásico categoría E3 (5 CC) según norma IEC 60265-1 de corte en gas SF_6 de 3 posiciones **conectado – seccionado – puesto a tierra** con seccionador de puesta a tierra categoría E2 (5 CC) de capacidad de cierre sobre cortocircuito según norma IEC 62271-102. Ambas secuencias, interruptor y seccionador, ensayadas sobre un mismo elemento.

Mecanismo de maniobra operado mediante palanca, velocidad de accionamiento independiente del operador, manual tipo B con endurancia para el interruptor de clase M1, 1000 maniobras, según norma IEC / UNE-EN 60265-1. Intercambiable en obra en cualquier posición del interruptor sin necesidad de cortar servicio, incorporando elemento de sujeción del interruptor con el mecanismo retirado condenable por candado.

- Interruptor: 2 NA + 2 NC
- Seccionador de PaT: 1 NA + 1 NC

Indicación de posición segura del interruptor (ensayo de cadena cinemática según IEC 62271-102).

3 Pasatapas de 630 A, tipo C, según norma EN 50181 para conexión mediante terminales atornillables (*Ormazabal recomienda conectores Euromold*).

Conjunto de Unión formado por 3 adaptadores elastoméricos con control del campo eléctrico.

Seguridad

1 Indicador luminoso autoalimentado de presencia de tensión ekorVPIS de Ormazabal de acuerdo a norma IEC 61958.

1 Alarma sonora autoalimentada de prevención de puesta a tierra ekorSAS de Ormazabal que se activa cuando habiendo tensión eléctrica en la acometida de Media Tensión, se introduce la palanca en el acceso al eje de accionamiento del seccionador de puesta a tierra. Rango de funcionamiento de acuerdo a IEC 61958.

Protección de personas y bienes ante los efectos de un arco interno, según los criterios del Anexo A de la norma IEC 62271-200 en todos los compartimentos clase IAC AFL (opcional).

Dimensiones y Peso

- Ancho: .....365 mm
- Alto: .....1740 mm
- Fondo:.....735 mm
- Peso: .....100 kg.

Documento visado electrónicamente con número: VA07290/22
Código de validación telemática TRLTDCFZ60T66IJ1. Comprobación: https://cogitivalencia.e-gestion.es/Validacion.aspx?CVT=TRLTDCFZ60T66IJ1

VISADO
COGITI
VALENCIA
VA07290/22
TRLTDCFZ60T66IJ1

1.8.3.4. Celda de línea con mando motorizado (a instalar en V.C.T.043).

Celda CGMCOSMOS-I o equivalente de interruptor-seccionador, de dimensiones: 365 mm. de anchura, 735 mm. de profundidad, 1.740 mm. de altura, y conteniendo:

- Juego de barras tripolar de 400 A.
- Interruptor-seccionador de corte en SF6 de 400 A, tensión de 24 kV y 16 kA.
- Seccionador de puesta a tierra en SF6.
- Indicadores de presencia de tensión.
- Mando BM Motorizado 48Vcc.
- Relé ekor RCI
- Embarrado de puesta a tierra.
- Bornes para conexión de cable.

Estas celdas estarán preparadas para una conexión de cable seco monofásico de sección máxima de 240 mm².

***1 Ud.* CELDA MODULAR CGMcosmos-L de LÍNEA con aislamiento y corte en SF_6**



Celda de Media Tensión modular de entrada / salida de cables con las siguientes características particulares:

Valores Eléctricos

- Tensión asignada Ur:	24 kV
- Intensidad asignada:	**400 A**
- Intensidad de corta duración I_k:	16 kA eficaz – 40 kA cresta 1 s
- clase IAC AF/AFL (opcional):	16 kA 1 s

Construcción

Compartimentos individuales con separación metálica de embarrado – interruptor, de conexión de cables con pasatapas frontales con las 3 fases a la misma altura, mecanismo de maniobras, con esquema sinóptico del circuito principal en la cubierta, y expansión de gases inferior trasera.

Interruptor trifásico categoría E3 (5 CC) según norma IEC 60265-1 de corte en gas SF_6 de 3 posiciones **conectado – seccionado – puesto a tierra** con seccionador de puesta a tierra categoría E2 (5 CC) de capacidad de cierre sobre cortocircuito según norma IEC 62271-102. Ambas secuencias, interruptor y seccionador, ensayadas sobre un mismo elemento.

Mecanismo de maniobra operado mediante palanca, velocidad de accionamiento independiente del operador, con mando **motorizado 48 Vcc** tipo BM, con endurancia para el interruptor de clase M2, 5000 maniobras, según norma IEC / UNE-EN 60265-1 y para el seccionador de puesta a tierra de clase M0, 1000 maniobras. Intercambiable en obra en cualquier posición del interruptor sin necesidad de cortar servicio, incorporando elemento de sujeción del interruptor con el mecanismo retirado condenable por candado. Incorpora contactos de señalización de posición del interruptor – seccionador:

- Interruptor: 2 NA + 2 NC
- Seccionador de PaT: 1 NA + 1 NC

Indicación de posición segura del interruptor (ensayo de cadena cinemática según IEC 62271-102).

3 Pasatapas de 630 A, tipo C, según norma EN 50181 para conexión mediante terminales enchufables o atornillables (*Ormazabal recomienda conectores Euromold*).

Conjunto de Unión formado por 3 adaptadores elastoméricos con control del campo eléctrico.

Documento visado electrónicamente con número: VA07290/22
Código de validación telemática TRLTDCFZ60T66IJ1. Comprobación: https://cogitivalencia.e-gestion.es/Validacion.aspx?CVT=TRLTDCFZ60T66IJ1

VISADO
COGITI
VALENCIA
VA07290/22
TRLTDCFZ60T66IJ1

1.8.3.5. Celda de medida.

Celda CGMCOSMOS-M o equivalente de medida de tensión e intensidad con entrada y salida inferior por cable, de dimensiones: 800 mm de anchura, 1.025 mm. de profundidad, 1.750 mm. de altura y conteniendo:

- Juegos de barras tripolares de 400 A y 16 kA.
- Entrada y salida por cable seco.
- 3 Transformadores de intensidad de relación 50-100/5A, 10VA CL.0.5S, Ith=80In, gama extendida AL 150% y aislamiento 24 kV.
- 3 Transformadores de tensión unipolares, de relación 22.000:V3/110:V3, 10VA, CL0.2, Ft= 1,9 y aislamiento 24 kV.

ORMAZABAL
velatia

1 Ud. CELDA CGMcosmos-M DE MEDIDA



Celda de Media Tensión modular de medida con las siguientes características particulares:

Valores Eléctricos

- Tensión asignada U_r: 24 kV
- Intensidad asignada: 400 A

Construcción

Envolvente metálica destinada alojar los transformadores de medida de tensión e intensidad, permitiendo comunicar con el embarrado del conjunto general de celdas, mediante barras.

Dimensiones y Peso

- Ancho: .....800 mm
- Alto: .....1750 mm
- Fondo:.....1025 mm
- Peso (vacia): .....165 kg

- Cerradura de enclavamiento de puerta.

Elementos Opcionales

- 3 Transformadores de tensión, de relación 22000:√3/110:√3 de 10 VA en clase 0.5.
- 3 Transformadores de intensidad, de relación X-X/5 A, de 10 VA en clase 0.5S.

Documento visado electrónicamente con número: VA07290/22
Código de validación telemática TRLTDCFZ60T66IJ1. Comprobación: https://cogitivalencia.e-gestion.es/Validacion.aspx?CVT=TRLTDCFZ60T66IJ1

VISADO
COGITI
VALENCIA
VA07290/22
TRLTDCFZ60T66IJ1

1.8.3.6. Celda de protección con interruptor automático.

Celda CGMCOSMOS-V o equivalente de protección general con interruptor automático, de dimensiones: 480 mm. de anchura, 845 mm. de profundidad y 1.740 mm. de altura, conteniendo:

- Juegos de barras tripolares de 400 A para conexión superior con celdas adyacentes, de 16 kA.
- Seccionador en SF6.
- Mando tipo B manual.
- Interruptor automático de corte en SF6 (hexafluoruro de azufre), tensión de 24 kV, intensidad de 400 A, poder de corte de 16 kA, con bobina de apertura a emisión de tensión 220 V c.a., 50 Hz.
- Mando RI de actuación manual.
- Embarrado de puesta a tierra.
- Seccionador de puesta a tierra.

Unidad de protección integrada en la celda ekorRPG, marca ORMAZABAL, con display digital para tarado / consulta local y comunicable (RS232 para configuración local, RS485 y fibra óptica opcional). Funciones de protección 50/51 + 50N/51N y disparo mediante señal externa. Incluye captadores de intensidad instalados en los pasatapas de la celda.

Características:

- Rango de potencias: hasta 15000 kVA
- Funciones de Protección:
- Sobreintensidad
- Fases (3 x 50/51)
- Neutro (50N / 51N)
- Neutro Sensible (50Ns / 51Ns) (s/modelo)
- Disparo exterior: Función de protección (49T)
- Detección de faltas a tierra desde 0,5 A
- Posibilidad de pruebas por primario y secundario
- Configurable por software (RS-232) y comunicable (RS-485)
- Histórico de disparos
- Medidas de intensidad: I1, I2, I3 e Io
- Contacto de salida para Test

-Elementos:

- Relé electrónico que dispone en su carátula frontal de teclas y display digital para realizar el ajuste y visualizar los parámetros de protección, medida y control. Para la comunicación dipone de un puerto frontal RS232 y en la parte trasera un puerto RS485 protocolo MODBUS (5 kV).
- Los sensores de intensidad son transformadores toroidales que tienen una relación de 1000 A / 1 A ó 300 A / 1 A. Para la opción de protección homopolar ultrasensible se coloca un toroidal adicional que abarca las tres fases. En el caso de que el equipo sea autoalimentado (desde 5 A por fase) se debe colocar 1 sensor adicional por fase.
- La tarjeta de de alimentación acondiciona la señal de los transformadores de autoalimentación y la convierte en una señal de CC para alimentar el relé de forma segura. Dispone de una entrada de 230 Vca para alimentación auxiliar exterior con un nivel de aislamiento de 10 kV.
- El disparador biestable es un actuador electromecánico de bajo consumo integrado en el mecanismo de maniobra del interruptor.

Documento visado electrónicamente con número: VA07290/22
Código de validación telemática TRLTDCFZ60T66IJ1. Comprobación: https://cogitivalencia.e-gestion.es/Validacion.aspx?CVT=TRLTDCFZ60T66IJ1

VISADO
COGITI
VALENCIA
VA07290/22
TRLTDCFZ60T66IJ1

1 Ud. CELDA CGMCOSMOS-V DE INTERRUPTOR AUTOMÁTICO CON AISLAMIENTO EN SF_6 Y CORTE EN VACÍO



Celda de Media Tensión modular de interruptor automático con las siguientes características particulares:

Valores Eléctricos

- Tensión asignada U_r: 24 kV
- Intensidad asignada: 400 A
- Intensidad de corta duración I_k: 16 kA eficaz – 40 kA cresta 1 s

Construcción

Compartimentos individuales con separación metálica de embarrado – seccionador / interruptor automático, de conexión de cables con pasatapas frontales con las 3 fases a la misma altura, mecanismo de maniobras, con esquema sinóptico del circuito principal en la cubierta, y expansión de gases inferior trasera.

Seccionador – Seccionador de puesta a tierra categoría E2 (5 CC) de capacidad de cierre sobre cortocircuito según norma IEC 62271-102.

Interruptor automático trifásico de corte en vacio según norma IEC 62271-100, secuencia nominal CO - 15 s – CO. Endurancia eléctrica a intensidad asignada de 2000 maniobras y 30 CC (50% DC).

Mecanismo de maniobra de seccionador operado mediante palanca, velocidad de accionamiento independiente del operador, manual tipo B con endurancia para el seccionador de 2000 maniobras, según norma IEC 62271-102. Intercambiable en obra en cualquier posición sin necesidad de cortar servicio, incorporando elemento de sujeción del seccionador con el mecanismo retirado condenable por candado.

Mecanismo de maniobra de interruptor automático accionado por resortes operado mediante botonera frontal y carga de muelles mediante palanca, manual tipo AV con bobinas de apertura y cierre. Endurancia M1, 2000 maniobras, según norma IEC / UNE-EN 62271-100.

Unidad de protección integrada en la celda **ekorRPG**, marca ORMAZABAL, con display digital para tarado / consulta local y comunicable (RS232 para configuración local, RS485 y fibra óptica opcional). Funciones de protección 50/51 + 50N/51N y disparo mediante señal externa. Incluye captadores de intensidad instalados en los pasatapas de la celda.

Indicación de posición segura (ensayo de cadena cinemática según IEC 62271-102).

3 Pasatapas apantallados tipo C, según norma EN 50181 para conexión mediante terminales atornillables (*Ormazabal recomienda conectores Euromold*).

Conjunto de Unión formado por 3 adaptadores elastoméricos con control del campo eléctrico.

Seguridad

1 Indicador luminoso autoalimentado de presencia de tensión ekorVPIS de Ormazabal de acuerdo a norma IEC 61958.

Protección de personas y bienes ante los efectos de un arco interno, según los criterios del Anexo A de la norma IEC 62271-200 en todos los compartimentos clase IAC AFL (opcional).

Dimensiones y Peso

- Ancho: .....480 mm
- Alto: .....1740 mm
- Fondo:.....845 mm
- Peso: .....240 kg

Documento visado electrónicamente con número: VA07290/22
Código de validación telemática TRLTDCFZ60T66IJ1. Comprobación: https://cogitivalencia.e-gestion.es/Validacion.aspx?CVT=TRLTDCFZ60T66IJ1

VISADO
COGITI
VALENCIA
VA07290/22
TRLTDCFZ60T66IJ1



Unidad de Protección: *ekorRPG (incluída en celda de automático)*

Unidad digital de protección desarrollada para su aplicación en la función de protección general o transformadores de gran potencia. Aporta a la protección de fusibles protección contra sobrecargas y defectos fase-tierra de bajo valor. Es autoalimentado a partir de 5 A a través de transformadores de intensidad toroidales, comunicable y configurable por software con histórico de disparos.

- Características:

- Rango de potencias: hasta 15000 kVA
- Funciones de Protección:
- Sobreintensidad
- Fases (3 x 50/51)
- Neutro (50N / 51N)
- Neutro Sensible (50Ns / 51Ns) (s/modelo)
- Disparo exterior: Función de protección (49T)
- Detección de faltas a tierra desde 0,5 A
- Posibilidad de pruebas por primario y secundario
- Configurable por software (RS-232) y comunicable (RS-485)
- Histórico de disparos
- Medidas de intensidad: I1, I2, I3 e Io
- Contacto de salida para Test

- Elementos:

- Relé electrónico que dispone en su carátula frontal de teclas y display digital para realizar el ajuste y visualizar los parámetros de protección, medida y control. Para la comunicación dipone de un puerto frontal RS232 y en la parte trasera un puerto RS485 protocolo MODBUS (5 kV).
- Los sensores de intensidad son transformadores toroidales que tienen una relación de 1000 A / 1 A ó 300 A / 1 A. Para la opción de protección homopolar ultrasensible se coloca un toroidal adicional que abarca las tres fases. En el caso de que el equipo sea autoalimentado (desde 5 A por fase) se debe colocar 1 sensor adicional por fase.
- La tarjeta de de alimentación acondiciona la señal de los transformadores de autoalimentación y la convierte en una señal de CC para alimentar el relé de forma segura. Dispone de una entrada de 230 Vca para alimentación auxiliar exterior con un nivel de aislamiento de 10 kV.
- El disparador biestable es un actuador electromecánico de bajo consumo integrado en el mecanismo de maniobra del interruptor.

- Otras características:

- Ith/Idin = 20 kA /50 kA
- Temperatura = -10 ºC a 60 ºC
- Frecuencia = 50 Hz; 60 Hz ± 1 %
- Ensayos: - De aislamiento según 60255-5
  - De compatibilidad electromagnética según CEI 60255-22-X, CEI 61000-4-X y EN 50081-2/55011
  - Climáticos según CEI 60068-2-X
  - Mecánicos según CEI 60255-21-X
  - De potencia según CEI 60265 y CEI 60056

Así mismo este producto cumple con la directiva de la Unión Europea sobre compatibilidad electromagnética 89/336/EEC y con la CEI 60255. Esta conformidad es resultado de un ensayo realizado según el artículo 10 de la directiva, y recogido en el protocolo B131-01-69-EE acorde a las normas genéricas EN 50081 y EN 50082.

Documento visado electrónicamente con número: VA07290/22
Código de validación telemática TRLTDCFZ60T66IJ1. Comprobación: https://cogitivalencia.e-gestion.es/Validacion.aspx?CVT=TRLTDCFZ60T66IJ1

VISADO
COGITI
VALENCIA
VA07290/22
TRLTDCFZ60T66IJ1

1.8.3.7. Transformador.

Serán cuatro máquinas trifásica elevadora de tensión, siendo la tensión entre fases a la entrada de 0,8 kV y la tensión a la salida de 20kV entre fases.

El transformador a instalar tendrá el neutro accesible en baja tensión y refrigeración natural mediante éster biodegradable, marca ORMAZABAL o equivalente.

La tecnología empleada será la de llenado integral a fin de conseguir una mínima degradación del aceite por oxidación y absorción de humedad, así como unas dimensiones reducidas de la máquina y un mantenimiento mínimo.

Sus características mecánicas y eléctricas se ajustarán a la Norma UNE 21428 y al Reglamento Europeo (UE) 548/2014 de ecodiseño de transformadores, siendo las siguientes:

- Potencia nominal: 1250 kVA.
- Tensión nominal primaria: 800 V.
- Tensión nominal secundaria: 20.000 V.
- Regulación en el secundaria: +/-2,5%, +/-5%, +10%.
- Tensión de cortocircuito: 6 %.
- Grupo de conexión: Dyn11.
- Nivel de aislamiento:
  Tensión de ensayo a onda de choque 1,2/50 s 125 kV.
  Tensión de ensayo a 50 Hz, 1 min, 50 kV.

- Potencia nominal: 1600 kVA.
- Tensión nominal primaria: 800 V.
- Tensión nominal secundaria: 20.000 V.
- Regulación en el secundaria: +/-2,5%, +/-5%, +10%.
- Tensión de cortocircuito: 6 %.
- Grupo de conexión: Dyn11.
- Nivel de aislamiento:
  Tensión de ensayo a onda de choque 1,2/50 s 125 kV.
  Tensión de ensayo a 50 Hz, 1 min, 50 kV.

(*)Tensiones según:
- UNE 21301
- UNE 21428

<u>Conexión en el lado de Alta Tensión:</u>

- Juego de puentes III de cables AT unipolares de aislamiento seco RHZ1, aislamiento 12/20 kV, de 95 mm² en Al con sus correspondientes elementos de conexión.

<u>Conexión en el lado de Baja Tensión:</u>

- Juego de puentes III de cables BT unipolares de aislamiento seco tipo RZV, aislamiento 0.6/1 kV, de 4x240 mm2 Al para las fases y de 2x240 mm2 Al para el neutro.

Documento visado electrónicamente con número: VA07290/22
Código de validación telemática TRLTDCFZ60T66IJ1. Comprobación: https://cogitivalencia.e-gestion.es/Validacion.aspx?CVT=TRLTDCFZ60T66IJ1

VISADO
COGITI
VALENCIA
VA07290/22
TRLTDCFZ60T66IJ1

Dispositivo térmico de protección.

- Termómetro para protección térmica de transformador, incorporado en el mismo, y sus conexiones a la alimentación y al elemento disparador de la protección correspondiente, debidamente protegidas contra sobreintensidades, instalados.

1.8.4. Puesta a Tierra.

1.8.4.1. Tierra de protección.

Se conectarán a tierra los elementos metálicos de la instalación que no estén en tensión normalmente, pero que puedan estarlo a causa de averías o circunstancias externas.

Las celdas dispondrán de una pletina de tierra que las interconectará, constituyendo el colector de tierras de protección.

1.8.4.2. Tierra de servicio.

Se conectarán a tierra el neutro del transformador y los circuitos de baja tensión de los transformadores del equipo de medida, según se indica en el apartado de "Cálculo de la instalación de puesta a tierra" del capítulo 2 de este proyecto.

1.8.4.3. Tierra interior

Las tierras interiores del centro de transformación tendrán la misión de poner en continuidad eléctrica todos los elementos que deban estar conectados a tierra con sus correspondientes tierras exteriores.

La tierra interior de protección se realizará con cable de 50 mm² de cobre desnudo formando un anillo. Este cable conectará a tierra los elementos indicados en el apartado anterior e irá sujeto a las paredes mediante bridas de sujección y conexión, conectando el anillo al final a una caja de seccionamiento con un grado de protección IP54.

La tierra interior de servicio se realizará con cable de 50 mm² de cobre aislado formando un anillo. Este cable conectará a tierra los elementos indicados en el apartado anterior e irá sujeto a las paredes mediante bridas de sujección y conexión, conectando el anillo al final a una caja de seccionamiento con un grado de protección IP54.

Las cajas de seccionamiento de la tierra de servicio y protección estarán separadas por una distancia mínima de 1m.

1.8.5. Instalaciones Secundarias.

1.8.5.1. Alumbrado.

En el interior del centro de transformación se instalará un mínimo de dos puntos de luz capaces de proporcionar un nivel de iluminación suficiente para la comprobación y maniobra de los elementos del mismo. El nivel medio será como mínimo de 150 lux.

Los focos luminosos estarán colocados sobre soportes rígidos y dispuestos de tal forma que se mantenga la máxima uniformidad posible en la iluminación. Además, se deberá poder efectuar la sustitución de lámparas sin peligro de contacto con otros elementos en tensión.

Se dispondrá también un punto de luz de emergencia de carácter autónomo que señalizará los accesos al centro de transformación

Documento visado electrónicamente con número: VA07290/22
Código de validación telemática TRLTDCFZ60T66IJ1. Comprobación: https://cogitivalencia.e-gestion.es/Validacion.aspx?CVT=TRLTDCFZ60T66IJ1

VISADO
COGITI
VALENCIA
VA07290/22
TRLTDCFZ60T66IJ1

1.8.5.2. Baterías de Condensadores.

No se instalarán baterías de condensadores.

1.8.5.3. Protección contra Incendios.

De acuerdo con la instrucción MIERAT 14, se dispondrá como mínimo de un extintor de eficacia equivalente 89 B.

Además, se instalará un sistema de detección de incendios mediante, detectores ópticos de humos y central de incendios.

1.8.5.4. Ventilación.

Las rejillas de ventilación natural están formadas por lamas en forma de "V" invertida, diseñadas para formar un laberinto que evita la entrada de agua de lluvia en el Centro de Transformación y se complementa cada rejilla interiormente con una malla mosquitera.

La ventilación interior del CT se realiza por circulación natural del aire mediante la instalación de rejillas metálicas situadas en la parte inferior de la puerta de acceso al transformador, en la fachada posterior del edificio y y en la espalda del edificio y en la fachada lateral que recae en el lado del transformador.

Puesto que en el interior del centro se instalarán tambien los equipos y cuadros eléctricos de la instalación fotovoltaica, se instalarán dos extractores en la cubierta del edificio que garanticen una mejor ventilación si cabe, compementando la ventilación natural ya comentada.

La justificación técnica de la correcta ventilación del centro se encuentra en el apartado 2.6. de este proyecto.

1.8.5.5. Medidas de Seguridad.

Para la protección del personal y equipos, se debe garantizar que:

1- No será posible acceder a las zonas normalmente en tensión, si éstas no han sido puestas a tierra. Por ello, el sistema de enclavamientos interno de las celdas debe afectar al mando del aparato principal, del seccionador de puesta a tierra y a las tapas de acceso a los cables.

2- Las celdas de entrada y salida serán con aislamiento integral y corte en gas, y las conexiones entre sus embarrados deberán ser apantalladas, consiguiendo con ello la insensibilidad a los agentes externos, y evitando de esta forma la pérdida del suministro en los Centros de Transformación interconectados con éste, incluso en el eventual caso de inundación del Centro de Transformación.

3- Las bornas de conexión de cables y fusibles serán fácilmente accesibles a los operarios de forma que, en las operaciones de mantenimiento, la posición de trabajo normal no carezca de visibilidad sobre estas zonas.

4- Los mandos de la aparamenta estarán situados frente al operario en el momento de realizar la operación, y el diseño de la aparamenta protegerá al operario de la salida de gases en caso de un eventual arco interno.

5- El diseño de las celdas impedirá la incidencia de los gases de escape, producidos en el caso de un arco interno, sobre los cables de MT y BT. Por ello, esta salida de gases no debe estar enfocada en ningún caso hacia el foso de cables.

6.- En caso de incendios, el sistema de extracción se desconectará a través de la señal enviada a través de contacto libre de potencial de la central de incendios.

Documento visado electrónicamente con número: VA07290/22
Código de validación telemática TRLTDCFZ60T66IJ1. Comprobación: https://cogitivalencia.e-gestion.es/Validacion.aspx?CVT=TRLTDCFZ60T66IJ1

VISADO
COGITI
VALENCIA
VA07290/22
TRLTDCFZ60T66IJ1

2. CÁLCULOS ELÉCTRICOS

Documento visado electrónicamente con número: VA07290/22
Código de validación telemática TRLTDCFZ60T66IJ1. Comprobación: https://cogitivalencia.e-gestion.es/Validacion.aspx?CVT=TRLTDCFZ60T66IJ1

VISADO
COGITI
VALENCIA
VA07290/22
TRLTDCFZ60T66IJ1

2.1. INTENSIDAD DE ALTA TENSIÓN.

Se calculará la corriente en el lado de alta tensión para la potencia máxima que se ha diseñado el centro de transformación.

En un sistema trifásico, la intensidad primaria Ip viene determinada por la expresión:

$$Ip = \frac{S}{\sqrt{3} * U}$$

Siendo: S = Potencia del transformador en kVA.

U = Tensión compuesta primaria en kV = 20 kV.

Ip = Intensidad primaria en Amperios.

Sustituyendo valores, tendremos:

Potencia de los transformadores (KVA)	Ip (A)
Transformador 1250kVAs	36.08
Transformador 1250kVAs	36.08
Transformador 1600kVAs	46.18
Transformador 1600kVAs	46.18

2.2. INTENSIDAD DE BAJA TENSIÓN.

En un sistema trifásico la intensidad secundaria Is viene determinada por la expresión:

$$Is = \frac{S - Wfe - Wcu}{\sqrt{3} * U}$$

Siendo:

S = Potencia del transformador en kVA.
Wfe= Pérdidas en el hierro.
Wcu= Pérdidas en los arrollamientos.
U = Tensión compuesta en carga del secundario en kilovoltios = 0.8 kV.
Is = Intensidad secundaria en Amperios.

Sustituyendo valores, tendremos:

Potencia transformador (KVA)	Pérdidas Totales Transformador (KW)	Is (A)
Transformador 1250kVAs	12.8	892.87
Transformador 1600kVAs	15.2	1.143.73

Documento visado electrónicamente con número: VA07290/22
Código de validación telemática TRLTDCFZ60T66IJ1. Comprobación: https://cogitivalencia.e-gestion.es/Validacion.aspx?CVT=TRLTDCFZ60T66IJ1

VISADO
COGITI
VALENCIA
VA07290/22
TRLTDCFZ60T66IJ1

2.3. CORTOCIRCUITOS.

2.3.1. Observaciones.

Para el cálculo de la intensidad de cortocircuito se determina una potencia de cortocircuito de 350 MVA en la red de distribución, dato proporcionado por la Compañía suministradora.

2.3.2. Cálculo de las Corrientes de Cortocircuito.

Para la realización del cálculo de las corrientes de cortocircuito utilizaremos las expresiones:

- Intensidad primaria para cortocircuito en el lado de alta tensión:

$$Iccp = \frac{Scc}{\sqrt{3} * U}$$

Siendo:

Scc = Potencia de cortocircuito de la red en MVA.

U = Tensión primaria en kV.

Iccp = Intensidad de cortocircuito primaria en kA.

- Intensidad primaria para cortocircuito en el lado de baja tensión:

No la vamos a calcular ya que será menor que la calculada en el punto anterior.

- Intensidad secundaria para cortocircuito en el lado de baja tensión (despreciando la impedancia de la red de alta tensión):

$$Iccs = \frac{S}{\sqrt{3} * \frac{Ucc}{100} * Us}$$

Siendo:

S = Potencia del transformador en kVA.
Ucc = Tensión porcentual de cortocircuito del transformador.
Us = Tensión secundaria en carga en voltios.
Iccs= Intensidad de cortocircuito secundaria en kA.

2.3.3. Cortocircuito en el lado de Alta Tensión.

Utilizando la fórmula expuesta anteriormente con:

Scc = 350 MVA.

U = 20 kV.

y sustituyendo valores tendremos una intensidad primaria máxima para un cortocircuito en el lado de A.T. de:

Iccp = 10,1 kA.

Documento visado electrónicamente con número: VA07290/22
Código de validación telemática TRLTDCFZ60T66IJ1. Comprobación: https://cogitivalencia.e-gestion.es/Validacion.aspx?CVT=TRLTDCFZ60T66IJ1

VISADO
COGITI
VALENCIA
VA07290/22
TRLTDCFZ60T66IJ1

2.3.4. Cortocircuito en el lado de Baja Tensión.

Utilizando la fórmula expuesta anteriormente y sustituyendo valores, tendremos:

Potencia del transformador (kVA)	Ucc (%)	Iccs (kA)
1250	6	15.03
1600	6	19.24

Siendo:

- Ucc: Tensión de cortocircuito del transformador en tanto por ciento.
- Iccs: Intensidad secundaria máxima para un cortocircuito en el lado de baja tensión.

2.4. DIMENSIONADO DEL EMBARRADO.

Como resultado de los ensayos que han sido realizados a las celdas fabricadas por Schneider Electric no son necesarios los cálculos teóricos ya que con los certificados de ensayo ya se justifican los valores que se indican tanto en esta memoria como en las placas de características de las celdas.

2.4.1. Comprobación por densidad de corriente

La comprobación por densidad de corriente tiene como objeto verificar que no se supera la máxima densidad de corriente admisible por el elemento conductor cuando por el circule un corriente igual a la corriente nominal máxima.

Para las celdas modelo SM6 seleccionadas para este proyecto se ha obtenido la correspondiente certificación que garantiza cumple con la especificación citada mediante el protocolo de ensayo 51249139XA realizado por VOLTA.

2.4.2. Comprobación por solicitación electrodinámica

La comprobación por solicitación electrodinámica tiene como objeto verificar que los elementos conductores de las celdas incluidas en este proyecto son capaces de soportar el esfuerzo mecánico derivado de un defecto de cortocircuito entre fase.

Para las celdas modelo SM6 seleccionadas para este proyecto se ha obtenido la correspondiente certificación que garantiza cumple con la especificación citada mediante el protocolo de ensayo 51249068XA realizado por VOLTA.

Los ensayos garantizan una resistencia electrodinámica de 40kA.

2.4.3. Comprobación por solicitación térmica Sobreintensidad térmica admisible.

La comprobación por solicitación térmica tienen como objeto comprobar que por motivo de la aparición de un defecto o cortocircuito no se producirá un calentamiento excesivo del elemento conductor principal de las celdas que pudiera así dañarlo.

Para las celdas modelo SM6 seleccionadas para este proyecto se ha obtenido la correspondiente certificación que garantiza cumple con la especificación citada mediante el protocolo de ensayo 51249068XA realizado por VOLTA.

El ensayo garantiza una resistencia térmica de 16kA 1 segundo.

Documento visado electrónicamente con número: VA07290/22
Código de validación telemática TRLTDCFZ60T66IJ1. Comprobación: https://cogitivalencia.e-gestion.es/Validacion.aspx?CVT=TRLTDCFZ60T66IJ1

VISADO
COGITI
VALENCIA
VA07290/22
TRLTDCFZ60T66IJ1

2.5. PROTECCIÓN CONTRA SOBRECARGAS Y CORTOCIRCUITOS.

2.5.1. Selección de las protecciones de Alta y Baja Tensión.

ALTA TENSIÓN.

No se instalarán fusibles de alta tensión al utilizar como interruptor de protección un disyuntor en atmósfera de hexafluoruro de azufre, y ser éste el aparato destinado a interrumpir las corrientes de cortocircuito cuando se produzcan.

BAJA TENSIÓN.

La salida de Baja Tensión del transformador se protegerá mediante un interruptor automático.

La intensidad nominal y el poder de corte de dicho interruptor serán como mínimo igual a los valores de intensidad nominal de Baja Tensión e intensidad máxima de cortocircuito de Baja Tensión indicados en los apartados 2.2 y 2.3.4. respectivamente

2.5.2. Ajuste del dispositivo térmico o de los relés.

El dispositivo térmico se ajustará como máximo conforme a los siguientes valores de temperatura, tomando como temperatura máxima ambiente de 40 ºC.

- Transformadores en baño de aceite o silicona:

  Alarma 90ºC.

  Disparo 100ºC.

- Transformadores encapsulados aislamiento seco clase térmica F:

  Alarma 140ºC.

  Disparo 150ºC.

Los relés de sobreintensidad, si los hubiere, se ajustarán conforme a los siguientes valores y tiempos de actuación, procurando mantener la selectividad con las protecciones aguas arriba y aguas abajo.

- Relé se sobreintensidad de fase (50-51):

  Intensidad de arranque un 40 % por encima de la intensidad primaria.

  Curva Inversa según IEC, con índice de tiempo o factor K = 0.1.

  Disparo Instantáneo por encima del valor de la corriente de inserción de los transformadores y del valor de la intensidad debida a un cortocircuito en el lado de baja tensión, y por debajo de la corriente de cortocircuito primaria. Por lo general se ajustará a 22 veces la intensidad nominal para potencias hasta 1000 kVA, y a 18 veces para potencias superiores.

- Relé se sobreintensidad de tierra (50N-51N):

  Intensidad de arranque al 40 % de la intensidad de arranque de fase para potencias hasta 1000 kVA y al 20 % para potencias superiores.

  Curva Inversa según IEC, con índice de tiempo o factor K = 0.1.

  Disparo Instantáneo ajustado a 4 veces la intensidad de arranque de tierra.

Documento visado electrónicamente con número: VA07290/22
Código de validación telemática TRLTDCFZ60T66IJ1. Comprobación: https://cogitivalencia.e-gestion.es/Validacion.aspx?CVT=TRLTDCFZ60T66IJ1

VISADO
COGITI
VALENCIA
VA07290/22
TRLTDCFZ60T66IJ1

2.6. DIMENSIONADO DE LA VENTILACIÓN DEL C.T.

El edificio empleado en esta aplicación ha sido homologado según los protocolos obtenidos en laboratorio Labein (Vizcaya - España):

- 97624-1-E, para ventilación de transformadores de potencia unitaria hasta 1000 kVA
- 960124-CJ-EB-01, para ventilación de transformador de potencia hasta 1600 kVA

Las rejillas de ventilación de los edificios prefabricados PFU están diseñadas y dispuestas sobre las paredes de manera que la circulación del aire ventile eficazmente la sala del transformador.

Se ha adoptado dos extractores tipo helicoidal con motor monofásico a 220 V 50 Hz. Irán dotados de una defensa de protección de aspiración para evitar que se puedan introducir desde el exterior cuerpos extraños. Dicho extractor se fijará mediante amortiguadores antivibratorios de caucho roscados.

Estarán gobernados por un termostato de ambiente y un interruptor horario con reserva de energía que impida su funcionamiento entre las 22 y las 7 horas.

2.7. DIMENSIONADO DEL POZO APAGAFUEGOS

Al no haber transformadores de aceite como refrigerante, no es necesaria la existencia de pozos apagafuegos.

2.8. CÁLCULO DE LAS INSTALACIONES DE PUESTA A TIERRA.

2.8.1. Investigación de las características del suelo

El Reglamento de Alta Tensión indica que para instalaciones de tercera categoría, y de intensidad de cortocircuito a tierra inferior o igual a 16 kA no será imprescindible realizar la citada investigación previa de la resistividad del suelo, bastando el examen visual del terreno y pudiéndose estimar su resistividad, siendo necesario medirla para corrientes superiores.

Según la investigación previa del terreno donde se instalará este Centro de Transformación, se determina la resistividad media en 150 Ohm•m.

2.8.2. Determinación de las corrientes máximas de puesta a tierra y del tiempo máximo correspondiente a la eliminación del defecto.

Según los datos de la red proporcionados por la compañía suministradora (IBERDROLA), el tiempo máximo de desconexión del defecto es de 0,05s.

Por otra parte, los valores de la impedancia de puesta a tierra del neutro, corresponden a:

Rn = 0 Ω y Xn = 5.7 Ω. con

$$|Zn| = \sqrt{Rn^2 + Xn^2}$$

La intensidad máxima de defecto se producirá en el caso hipotético de que la resistencia de puesta a tierra del Centro de Transformación sea nula. Dicha intensidad será, por tanto igual a:

Documento visado electrónicamente con número: VA07290/22
Código de validación telemática TRLTDCFZ60T66IJ1. Comprobación: https://cogitivalencia.e-gestion.es/Validacion.aspx?CVT=TRLTDCFZ60T66IJ1

VISADO
COGITI
VALENCIA
VA07290/22
TRLTDCFZ60T66IJ1

$$Id(\text{máx}) = \frac{Usmax}{\sqrt{3} * Zn}$$

donde Usmax=20.000 V

con lo que el valor obtenido es Id=2025;79 A, valor que la Compañía redondea a 2228 A.

2.8.3. Diseño preliminar de la instalación de tierra

TIERRA DE PROTECIÓN.

Se conectarán a este sistema las partes metálicas de la instalación que no estén en tensión normalmente pero puedan estarlo a consecuencia de averías o causas fortuitas, tales como los chasis y los bastidores de los aparatos de maniobra, envolventes metálicas de las cabinas prefabricadas y carcasas de los transformadores.

Para los cálculos a realizar emplearemos las expresiones y procedimientos según el "Método de cálculo y proyecto de instalaciones de puesta a tierra para centros de transformación de tercera categoría", editado por UNESA, conforme a las características del centro de transformación objeto del presente cálculo, siendo, entre otras, las siguientes:

Para la tierra de protección optaremos por un sistema de las características que se indican a continuación:

- Identificación: código 5/64 del método de cálculo de tierras de UNESA.
- Parámetros característicos:

Kr = 0.0399 Ω/(Ω*m).

Kp = 0.00588 V/(Ω*m*A).

- Descripción:

Estará constituida por 6 picas en hilera unidas por un conductor horizontal de cobre desnudo de 50 mm² de sección.

Las picas tendrán un diámetro de 14 mm. y una longitud de 4.00 m. Se enterrarán verticalmente a una profundidad de 0.5 m. y la separación entre cada pica y la siguiente será de 6.00 m. Con esta configuración, la longitud de conductor desde la primera pica a la última será de 30 m., dimensión que tendrá que haber disponible en el terreno.

Nota: se pueden utilizar otras configuraciones siempre y cuando los parámetros Kr y Kp de la configuración escogida sean inferiores o iguales a los indicados en el párrafo anterior.

La conexión desde el Centro hasta la primera pica se realizará con cable de cobre aislado de 0.6/1 kV protegido contra daños mecánicos.

TIERRA DE SERVICIO.

Se conectarán a este sistema el neutro del transformador, así como la tierra de los secundarios de los transformadores de tensión e intensidad de la celda de medida.

Documento visado electrónicamente con número: VA07290/22
Código de validación telemática TRLTDCFZ60T66IJ1. Comprobación: https://cogitivalencia.e-gestion.es/Validacion.aspx?CVT=TRLTDCFZ60T66IJ1

VISADO
COGITI
VALENCIA
VA07290/22
TRLTDCFZ60T66IJ1

Las características de las picas serán las mismas que las indicadas para la tierra de protección. La configuración escogida se describe a continuación:

- Identificación: código 5/62 del método de cálculo de tierras de UNESA.
- Parámetros característicos:

  Kr = 0.073 Ω/(Ω*m).

  Kp = 0.012 V/(Ω*m*A).

- Descripción:

Estará constituida por 6 picas en hilera unidas por un conductor horizontal de cobre desnudo de 50 mm² de sección.

Las picas tendrán un diámetro de 14 mm. y una longitud de 2.00 m. Se enterrarán verticalmente a una profundidad de 0.5 m. y la separación entre cada pica y la siguiente será de 3.00 m. Con esta configuración, la longitud de conductor desde la primera pica a la última será de 15 m., dimensión que tendrá que haber disponible en el terreno.

Nota: Se pueden utilizar otras configuraciones siempre y cuando los parámetros Kr y Kp de la configuración escogida sean inferiores o iguales a los indicados en el párrafo anterior.

La conexión desde el Centro hasta la primera pica se realizará con cable de cobre aislado de 0.6/1 kV protegido contra daños mecánicos.

El valor de la resistencia de puesta a tierra de este electrodo deberá ser inferior a 37 Ω. Con este criterio se consigue que un defecto a tierra en una instalación de Baja Tensión protegida contra contactos indirectos por un interruptor diferencial de sensibilidad 650 mA., no ocasione en el electrodo de puesta a tierra una tensión superior a 24 Voltios (=37 x 0,650).

Existirá una separación mínima entre las picas de la tierra de protección y las picas de la tierra de servicio a fin de evitar la posible transferencia de tensiones elevadas a la red de Baja Tensión.

2.8.4. Cálculo de la resistencia del sistema de tierras.

TIERRA DE PROTECCIÓN.

Para el cálculo de la resistencia de la puesta a tierra de las masas del Centro (Rt), intensidad y tensión de defecto correspondientes (Id, Ud), utilizaremos las siguientes fórmulas:

- Resistencia del sistema de puesta a tierra, Rt:

  Rt = Kr *σ .

- Intensidad de defecto, Id:

$$Id = \frac{Usmax\ V}{\sqrt{3} \cdot \sqrt{(Rn + Rt)^2 + Xn^2}}$$

donde Usmax=20.000

Documento visado electrónicamente con número: VA07290/22
Código de validación telemática TRLTDCFZ60T66IJ1. Comprobación: https://cogitivalencia.e-gestion.es/Validacion.aspx?CVT=TRLTDCFZ60T66IJ1

VISADO
COGITI
VALENCIA
VA07290/22
TRLTDCFZ60T66IJ1

- Tensión de defecto, Ud:

Ud = Id * Rt .

Siendo:

σ = 150 Ωm.

Kr = 0.0399 Ω/(Ω m).

se obtienen los siguientes resultados:

Rt = 6 Ω

Id = 1.397 A.

Ud = 8.361 V.

El aislamiento de las instalaciones de baja tensión del C.T. deberá ser mayor o igual que la tensión máxima de defecto calculada (Ud), por lo que deberá ser como mínimo de 6.000 Voltios.

De esta manera se evitará que las sobretensiones que aparezcan al producirse un defecto en la parte de Alta Tensión deterioren los elementos de Baja Tensión del centro, y por ende no afecten a la red de Baja Tensión.

Comprobamos asimismo que la intensidad de defecto calculada es superior a 100 Amperios, lo que permitirá que pueda ser detectada por las protecciones normales.

TIERRA DE SERVICIO.

Rt = Kr *σ = 0.073 * 150 = 11 Ω. (Que vemos que es inferior a 37 Ω.)

2.8.5. Cálculo de las tensiones de paso en el exterior de la instalación

Con el fin de evitar la aparición de tensiones de contacto elevadas en el exterior de la instalación, las puertas y rejas de ventilación metálicas que dan al exterior del centro no tendrán contacto eléctrico alguno con masas conductoras que, a causa de defectos o averías, sean susceptibles de quedar sometidas a tensión.

Con estas medidas de seguridad, no será necesario calcular las tensiones de contacto en el exterior, ya que éstas serán prácticamente nulas.

Por otra parte, la tensión de paso en el exterior vendrá determinada por las características del electrodo y de la resistividad del terreno, por la expresión:

Up = Kp *σ * Id = 0,00588 * 150 * 1397,10 = 1.232,2 V.

2.8.6. Cálculo de las tensiones de paso en el interior de la instalación

El piso del Centro estará constituido por un mallazo electrosoldado con redondos de diámetro no inferior a 4 mm. formando una retícula no superior a 0,30 x 0,30 m. Este mallazo se conectará como mínimo en dos puntos preferentemente opuestos a la puesta a tierra de protección del Centro. Con esta disposición se consigue que la persona que deba acceder a una parte que pueda quedar en tensión, de forma eventual, está sobre una superficie equipotencial, con lo que desaparece el riesgo inherente a la tensión de contacto

Documento visado electrónicamente con número: VA07290/22
Código de validación telemática TRLTDCFZ60T66IJ1. Comprobación: https://cogitivalencia.e-gestion.es/Validacion.aspx?CVT=TRLTDCFZ60T66IJ1

VISADO
COGITI
VALENCIA
VA07290/22
TRLTDCFZ60T66IJ1

y de paso interior. Este mallazo se cubrirá con una capa de hormigón de 10 cm. de espesor como mínimo.

El edifico prefabricado de hormigón EHC estará construido de tal manera que, una vez fabricado, su interior sea una superficie equipotencial. Todas las varillas metálicas embebidas en el hormigón que constituyan la armadura del sistema equipotencial estarán unidas entre sí mediante soldadura eléctrica.

Esta armadura equipotencial se conectará al sistema de tierras de protección (excepto puertas y rejillas, que como ya se ha indicado no tendrán contacto eléctrico con el sistema equipotencial; debiendo estar aisladas de la armadura con una resistencia igual o superior a 10.000 ohmios a los 28 días de fabricación de las paredes).

Así pues, no será necesario el cálculo de las tensiones de paso y contacto en el interior de la instalación, puesto que su valor será prácticamente nulo.

No obstante, y según el método de cálculo empleado, la existencia de una malla equipotencial conectada al electrodo de tierra implica que la tensión de paso de acceso es equivalente al valor de la tensión de defecto, que se obtiene mediante la expresión:

Up acceso = Ud = Rt * Id = 6 * 1397,1 = 8361,6 V.

2.8.7. Cálculo de las tensiones aplicadas

La tensión máxima de contacto aplicada, en voltios que se puede aceptar, será conforme a la Tabla 1 de la ITC-RAT 13 de instalaciones de puestas a tierra que se transcribe a continuación:

Duración de la corriente de falta, t_f (s)	Tensión de contacto aplicada admisible, Uca (V)
0.05	735
0.1	633
0.2	528
0.3	420
0.4	310
0.5	204
1.0	107

El valor de tiempo de duración de la corriente de falta proporcionada por la compañía eléctrica suministradora es de 0.05 seg., dato que aparece en la tabla adjunta, por lo que la máxima tensión de contacto aplicada admisible al cuerpo humano es:

Uca = 735 V

Para la determinación de los valores máximos admisibles de la tensión de paso en el exterior, y en el acceso al Centro, emplearemos las siguientes expresiones:

$$U_{P(exterior)} = 10U_{ca}\left(1 + \frac{2R_{a1} + 6\sigma}{1000}\right)$$

$$U_{P(acceso)} = 10U_{ca}\left(1 + \frac{2R_{a1} + 3\sigma + 3\sigma_h}{1000}\right)$$

Siendo:

Uca = Tensiones de contacto aplicada = 735 V
Ra1 = Resistencia del calzado = 2.000 Ω.m
σ = Resistividad del terreno = 150 Ω.m

Documento visado electrónicamente con número: VA07290/22
Código de validación telemática TRLTDCFZ60T66IJ1. Comprobación: https://cogitivalencia.e-gestion.es/Validacion.aspx?CVT=TRLTDCFZ60T66IJ1

VISADO
COGITI
VALENCIA
VA07290/22
TRLTDCFZ60T66IJ1

σ h = Resistividad del hormigón = 3.000 Ω.m

obtenemos los siguientes resultados:

Up(exterior) = 43.365 V
Up(acceso) = 106.207.5 V

Así pues, comprobamos que los valores calculados son inferiores a los máximos admisibles:

- en el exterior:

Up = 1.232,2 V. < Up(exterior) = 43.365 V.

- en el acceso al C.T.:

Ud = 8.361,6 V. < Up(acceso) = 106.207,5 V.

2.8.8. Investigación de las tensiones transferibles al exterior

Al no existir medios de transferencia de tensiones al exterior no sería necesario un estudio previo para su reducción o eliminación.

No obstante, con el objeto de garantizar que el sistema de puesta a tierra de servicio no alcance tensiones elevadas cuando se produce un defecto, existirá una distancia de separación mínima Dmín, entre los electrodos de los sistemas de puesta a tierra de protección y de servicio, determinada por la expresión:

$$Dmín = \frac{\sigma * Id}{2.000 * \pi}$$

con:

σ= 150 Ω.m.

Id = 391,44 A.

obtenemos el valor de dicha distancia:

Dmín = 9,35 m.

2.8.9. Corrección y ajuste del diseño inicial

No se considera necesario la corrección del sistema proyectado. No obstante, si el valor medido de las tomas de tierra resultara elevado y pudiera dar lugar a tensiones de paso o contacto excesivas, se corregirían estas mediante la disposición de una alfombra aislante en el suelo del Centro, o cualquier otro medio que asegure la no peligrosidad de estas tensiones.

Documento visado electrónicamente con número: VA07290/22
Código de validación telemática TRLTDCFZ60T66IJ1. Comprobación: https://cogitivalencia.e-gestion.es/Validacion.aspx?CVT=TRLTDCFZ60T66IJ1

VISADO
COGITI
VALENCIA
VA07290/22
TRLTDCFZ60T66IJ1

3. PLIEGO DE CONDICIONES

Documento visado electrónicamente con número: VA07290/22
Código de validación telemática TRLTDCFZ60T66IJ1. Comprobación: https://cogitivalencia.e-gestion.es/Validacion.aspx?CVT=TRLTDCFZ60T66IJ1

VISADO
COGITI
VALENCIA
VA07290/22
TRLTDCFZ60T66IJ1

3.1. CALIDAD DE LOS MATERIALES.

3.1.1. Obra Civil.

El edificio destinado a alojar en su interior las instalaciones será una construcción prefabricada de hormigón modelo PFU o equivalente.

Sus elementos constructivos son los descritos en el apartado correspondiente de la Memoria del presente proyecto.

De acuerdo con al Recomendación UNESA 1303-A, el edificio prefabricado estará construido de tal manera que, una vez instalado, su interior sea una superficie equipotencial.

La base del edificio será de hormigón armado con un mallazo equipotencial.

Todas las varillas metálicas embebidas en el hormigón que constituyan la armadura del sistema equipotencial, estarán unidas entre sí mediante soldaduras eléctricas. Las conexiones entre varillas metálicas pertenecientes a diferentes elementos, se efectuarán de forma que se consiga la equipotencialidad entre éstos.

Ningún elemento metálico unido al sistema equipotencial podrá ser accesible desde el exterior del edificio.

Todos los elementos metálicos del edificio que están expuestos al aire serán resistentes a la corrosión por su propia naturaleza, o llevarán el tratamiento protector adecuado que en el caso de ser galvanizado en caliente cumplirá con lo especificado en la RU.-6618-A.

3.1.2. Aparamenta de Alta Tensión.

Las celdas a emplear serán de la serie COSMOS de ORMAZABAL o equivalente, compuesta por celdas modulares equipadas de aparellaje fijo que utiliza el hexafluoruro de azufre como elemento de corte y extinción..

Serán celdas de interior y su grado de protección según la Norma 20-324-94 será IP 2X / IK08 en cuanto a la envolvente externa.

Los cables se conexionarán desde la parte frontal de las cabinas. Los accionamientos manuales irán reagrupados en el frontal de la celda a una altura ergonómica a fin de facilitar la explotación.

El interruptor y el seccionador de puesta a tierra deberá ser un único aparato, de tres posiciones (cerrado, abierto y puesto a tierra) asegurando así la imposibilidad de cierre simultáneo de interruptor y seccionador de puesta a tierra.

El interruptor será en realidad interruptor-seccionador. La posición de seccionador abierto y seccionador de puesta a tierra cerrado serán visibles directamente a través de mirillas, a fin de conseguir una máxima seguridad de explotación en cuanto a la protección de personas se refiere.

* CARACTERÍSTICAS CONSTRUCTIVAS.

Las celdas responderán en su concepción y fabricación a la definición de aparamenta bajo envolvente metálica compartimentada de acuerdo con la norma UNE-EN 62271-200.

Se deberán distinguir al menos los siguientes compartimentos, que se describen a continuación.

a) Compartimento de aparellaje.
b) Compartimento del juego de barras.
c) Compartimento de conexión de cables.
d) Compartimento de mandos.
e) Compartimento de control.

Documento visado electrónicamente con número: VA07290/22
Código de validación telemática TRLTDCFZ60T66IJ1. Comprobación: https://cogitivalencia.e-gestion.es/Validacion.aspx?CVT=TRLTDCFZ60T66IJ1

VISADO
COGITI
VALENCIA
VA07290/22
TRLTDCFZ60T66IJ1

a) Compartimento de aparellaje.

Estará relleno de SF6 y sellado de por vida según se define en UNE-EN 62271-200. El sistema de sellado será comprobado individualmente en fabricación y no se requerirá ninguna manipulación del gas durante toda la vida útil de la instalación (hasta 30 años).

La presión relativa de llenado será de 0,4 bar.

Toda sobrepresión accidental originada en el interior del compartimento aparellaje estará limitada por la apertura de la parte posterior del cárter. Los gases serían canalizados hacia la parte posterior de la cabina sin ninguna manifestación o proyección en la parte frontal.

Las maniobras de cierre y apertura de los interruptores y cierre de los seccionadores de puesta a tierra se efectuarán con la ayuda de un mecanismo de acción brusca independiente del operador.

El seccionador de puesta a tierra dentro del SF6, deberá tener un poder de cierre en cortocircuito de 40 kA.

El interruptor realizará las funciones de corte y seccionamiento.

b) Compartimento del juego de barras.

Se compondrá de tres barras aisladas de cobre conexionadas mediante tornillos de cabeza allen de M8. El par de apriete será de 2,8 mdaN.

c) Compartimento de conexión de cables.

Se podrán conectar cables secos y cables con aislamiento de papel impregnado.

Las extremidades de los cables serán:

- Simplificadas para cables secos.
- Termorretráctiles para cables de papel impregnado.

d) Compartimento de mando.

Contiene los mandos del interruptor y del seccionador de puesta a tierra, así como la señalización de presencia de tensión. Se podrán montar en obra los siguientes accesorios si se requieren posteriormente:

- Motorizaciones.
- Bobinas de cierre y/o apertura.
- Contactos auxiliares.

Este compartimento deberá ser accesible en tensión, pudiéndose motorizar, añadir accesorios o cambiar mandos manteniendo la tensión en el centro.

e) Compartimento de control.

En el caso de mandos motorizados, este compartimento estará equipado de bornas de conexión y fusibles de baja tensión. En cualquier caso, este compartimento será accesible con tensión tanto en barras como en los cables.

Documento visado electrónicamente con número: VA07290/22
Código de validación telemática TRLTDCFZ60T66IJ1. Comprobación: https://cogitivalencia.e-gestion.es/Validacion.aspx?CVT=TRLTDCFZ60T66IJ1

VISADO
COGITI
VALENCIA
VA07290/22
TRLTDCFZ60T66IJ1

* CARACTERÍSTICAS ELÉCTRICAS.

- Tensión nominal ..... 24 kV.
- Nivel de aislamiento:
  a) a la frecuencia industrial de 50 Hz ..... 50 kV ef.1mn.
  b) a impulsos tipo rayo ..... 125 kV cresta.
- Intensidad nominal funciones línea.....400-630 A.
- Intensidad nominal otras funciones .....200/400 A.
- Intensidad de corta duración admisible ..... 16 kA ef. 1s.

* INTERRUPTORES-SECCIONADORES.

En condiciones de servicio, además de las características eléctricas expuestas anteriormente, responderán a las exigencias siguientes:

- Poder de cierre nominal sobre cortocircuito: ..... 40 kA cresta.
- Poder de corte nominal de transformador en vacío:..... 16 A.
- Poder de corte nominal de cables en vacío:..... 25 A.
- Poder de corte (sea por interruptor-fusibles o por interruptor automático):..... 16 kA ef.

* CORTACIRCUITOS-FUSIBLES.

En el caso de utilizar protección ruptofusibles, se utilizarán fusibles del modelo y calibre indicados en el capítulo de Cálculos de esta memoria. Sus dimensiones se corresponderán con las normas DIN-43.625.

* PUESTA A TIERRA.

La conexión del circuito de puesta a tierra se realizará mediante pletinas de cobre de 25 x 5 mm. conectadas en la parte posterior superior de las cabinas formando un colector único.

3.1.3. Transformadores.

El transformador a instalar será trifásico, con neutro accesible en B.T., refrigeración natural en baño de ester biodegradable, con regulación de tensión primaria mediante conmutador accionable estando el transformador desconectado, servicio continuo y demás características detalladas en la memoria.

3.1.4. Equipos de Medida.

El equipo de medida estará compuesto de los transformadores de medida ubicados en la celda de medida de A.T. y el equipo de contadores de energía activa y reactiva ubicado en el armario de contadores, así como de sus correspondientes elementos de conexión, instalación y precintado.

Las características eléctricas de los diferentes elementos están especificada en la memoria.

Los transformadores de medida deberán tener las dimensiones adecuadas de forma que se puedan instalar en la celda de A.T. guardado las distancias correspondientes a su aislamiento. Por ello será preferible que sean suministrados por el propio fabricante de las celdas, ya instalados en la celda. En el caso de que los transformadores no sean suministrados por el fabricante de celdas se le deberá hacer la

Documento visado electrónicamente con número: VA07290/22
Código de validación telemática TRLTDCFZ60T66IJ1. Comprobación: https://cogitivalencia.e-gestion.es/Validacion.aspx?CVT=TRLTDCFZ60T66IJ1

VISADO
COGITI
VALENCIA
VA07290/22
TRLTDCFZ60T66IJ1

consulta sobre el modelo exacto de transformadores que se van a instalar a fin de tener la garantía de que las distancias de aislamiento, pletinas de interconexión, etc. serán las correctas.

Los contadores de energía activa y reactiva estarán homologados por el organismo competente. Sus características eléctricas están especificadas en la memoria

La interconexión entre los secundarios de los transformadores de medida y el equipo o módulo de contadores se realizará con cables de cobre de tipo termoplástico (tipo EVV-0.6/1kV) sin solución de continuidad entre los transformadores y bloques de pruebas.

El bloque de pruebas a instalar en los equipos de medida de 3 hilos será de 7 polos, 4 polos para el circuito de intensidades y 3 polos para el circuito de tensión, mientras que en el equipo de medida de 4 hilos se instalará un bloque de pruebas de 6 polos para el circuito de intensidades y otro bloque de pruebas de 4 polos para el de tensiones, según norma de la compañía NI 76.84.01.

Para cada transformador se instalará un cable bipolar que para los circuitos de tensión tendrá una sección mínima de 6 mm², y 6 mm² para los circuitos de intensidad.

Se instalará al mismo tiempo un Armario de Resistencias de carga, fabricado en chapa, cuya función sea la de consumir la potencia necesaria para que los transformadres trabajen como mínimo, al 25% de su carga de precisión en los casos en que las cargas conectadas al aparato (contadores, relés, etc.) no lleguen al mínimo necesario para garantizar la precisión de la medida

La instalación se realizará bajo un tubo flexo con envolvente metálica.

En general, para todo lo referente al montaje del equipo de medida, precintabilidad, grado de protección, etc. se tendrá en cuenta lo indicado a tal efecto en la normativa de la Compañía Suministradora

3.2. NORMAS DE EJECUCIÓN DE LAS INSTALACIONES.

Todas las normas de construcción e instalación del centro se ajustarán, en todo caso, a los planos, mediciones y calidades que se expresan, así como a las directrices que la Dirección Facultativa estime oportunas.

Además del cumplimiento de lo expuesto, las instalaciones se ajustarán a las normativas que le pudieran afectar, emanadas por organismos oficiales y en particular las de IBERDROLA.

El acopio de materiales se hará de forma que estos no sufran alteraciones durante su depósito en la obra, debiendo retirar y reemplazar todos los que hubieran sufrido alguna descomposición o defecto durante su estancia, manipulación o colocación en la obra.

3.3. PRUEBAS REGLAMENTARIAS.

La aparamenta eléctrica que compone la instalación deberá ser sometida a los diferentes ensayos de tipo y de serie que contemplen las normas UNE o recomendaciones UNESA conforme a las cuales esté fabricada.

Asimismo, una vez ejecutada la instalación, se procederá, por parte de entidad acreditada por los organismos públicos competentes al efecto, a la medición reglamentaria de los siguientes valores:

- Resistencia de aislamiento de la instalación.
- Resistencia del sistema de puesta a tierra.
- Tensiones de paso y de contacto.

Documento visado electrónicamente con número: VA07290/22
Código de validación telemática TRLTDCFZ60T66IJ1. Comprobación: https://cogitivalencia.e-gestion.es/Validacion.aspx?CVT=TRLTDCFZ60T66IJ1

VISADO
COGITI
VALENCIA
VA07290/22
TRLTDCFZ60T66IJ1

3.4. CONDICIONES DE USO, MANTENIMIENTO Y SEGURIDAD.

Cualquier trabajo u operación a realizar en el centro (uso, maniobras, mantenimiento, mediciones, ensayos y verificaciones) se realizarán conforme a las disposiciones generales indicadas en el Real Decreto 614/2001, de 8 de junio, sobre disposiciones mínimas para la protección de la salud y seguridad de los trabajadores frente al riesgo eléctrico.

* PREVENCIONES GENERALES.

1)- Queda terminantemente prohibida la entrada en el local de esta estación a toda persona ajena al servicio y siempre que el encargado del mismo se ausente, deberá dejarlo cerrado con llave.

2)- Se pondrán en sitio visible del local, y a su entrada, placas de aviso de "Peligro de muerte".

3)- En el interior del local no habrá más objetos que los destinados al servicio del centro de transformación, como banqueta, guantes, etc.

4)- No está permitido fumar ni encender cerillas ni cualquier otra clase de combustible en el interior del local del centro de transformación y en caso de incendio no se empleará nunca agua.

5)- No se tocará ninguna parte de la instalación en tensión, aunque se esté aislado.

6)- Todas las maniobras se efectuarán colocándose convenientemente sobre la banqueta.

7)- En sitio bien visible estarán colocadas las instrucciones relativas a los socorros que deben prestarse en los accidentes causados por electricidad, debiendo estar el personal instruido prácticamente a este respecto, para aplicarlas en caso necesario. También, y en sitio visible, debe figurar el presente Reglamento y esquema de todas las conexiones de la instalación, aprobado por la Consejería de Industria, a la que se pasará aviso en el caso de introducir alguna modificación en este centro de transformación, para su inspección y aprobación, en su caso.

PUESTA EN SERVICIO.

8)- Se conectará primero los seccionadores de alta y a continuación el interruptor de alta, dejando en vacío el transformador. Posteriormente, se conectará el interruptor general de baja, procediendo en último término a la maniobra de la red de baja tensión.

9)- Si al poner en servicio una línea se disparase el interruptor automático o hubiera fusión de cartuchos fusibles, antes de volver a conectar se reconocerá detenidamente la línea e instalaciones y, si se observase alguna irregularidad, se dará cuenta de modo inmediato a la empresa suministradora de energía.

SEPARACIÓN DE SERVICIO.

10)- Se procederá en orden inverso al determinado en apartado 8, o sea, desconectando la red de baja tensión y separando después el interruptor de alta y seccionadores.

11)- Si el interruptor fuera automático, sus relés deben regularse por disparo instantáneo con sobrecarga proporcional a la potencia del transformador, según la clase de la instalación.

12)- A fin de asegurar un buen contacto en las mordazas de los fusibles y cuchillas de los interruptores así como en las bornas de fijación de las líneas de alta y de baja tensión, la limpieza se efectuará con la debida frecuencia. Si hubiera de intervenirse en la parte de línea comprendida entre la celda de entrada y seccionador aéreo exterior se avisará por escrito a la compañía suministradora de energía eléctrica para que corte la corriente en la línea alimentadora, no comenzando los trabajos sin la conformidad de ésta, que no restablecerá el servicio hasta recibir, con las debidas garantías, notificación de que la línea de alta se encuentra en perfectas condiciones, para la garantizar la seguridad de personas y cosas.

Documento visado electrónicamente con número: VA07290/22
Código de validación telemática TRLTDCFZ60T66IJ1. Comprobación: https://cogitivalencia.e-gestion.es/Validacion.aspx?CVT=TRLTDCFZ60T66IJ1

VISADO
COGITI
VALENCIA
VA07290/22
TRLTDCFZ60T66IJ1

13)- La limpieza se hará sobre banqueta, con trapos perfectamente secos, y muy atentos a que el aislamiento que es necesario para garantizar la seguridad personal, sólo se consigue teniendo la banqueta en perfectas condiciones y sin apoyar en metales u otros materiales derivados a tierra.

PREVENCIONES ESPECIALES.

14)- No se modificarán los fusibles y al cambiarlos se emplearán de las mismas características de resistencia y curva de fusión.

15)- Para transformadores con líquido refrigerante (aceite éster vegetal) no podrá sobrepasarse un incremento relativo de 60K sobre la temperatura ambiente en dicho líquido. La máxima temperatura ambiente en funcionamiento normal está fijada, según norma CEI 76, en 40ºC, por lo que la temperatura del refrigerante en este caso no podrá superar la temperatura absoluta de 100ºC.

16)- Deben humedecerse con frecuencia las tomas de tierra. Se vigilará el buen estado de los aparatos, y cuando se observase alguna anomalía en el funcionamiento del centro de transformación, se pondrá en conocimiento de la compañía suministradora, para corregirla de acuerdo con ella.

3.5. CERTIFICADOS Y DOCUMENTACIÓN.

Se aportará, para la tramitación de este proyecto ante los organismos públicos, la documentación siguiente:

- Autorización Administrativa.
- Proyecto, suscrito por técnico competente.
- Certificado de tensiones de paso y contacto, por parte de empresa homologada.
- Certificado de Dirección de Obra.
- Contrato de mantenimiento.
- Escrito de conformidad por parte de la Compañía Eléctrica suministradora.

3.6. LIBRO DE ÓRDENES.

Se dispondrá en este centro del correspondiente libro de órdenes en el que se harán constar las incidencias surgidas en el transcurso de su ejecución y explotación.

Documento visado electrónicamente con número: VA07290/22
Código de validación telemática TRLTDCFZ60T66IJ1. Comprobación: https://cogitivalencia.e-gestion.es/Validacion.aspx?CVT=TRLTDCFZ60T66IJ1

VISADO
COGITI
VALENCIA
TRLTDCFZ60T66IJ1
VA07290/22

Documento visado electrónicamente con número: VA07290/22
Código de validación telemática TRLTDCFZ60T66IJ1. Comprobación: https://cogitivalencia.e-gestion.es/Validacion.aspx?CVT=TRLTDCFZ60T66IJ1

VISADO
COGITI
VALENCIA
VA07290/22
TRLTDCFZ60T66IJ1

INSTALACIÓN DE PLANTA GENERACIÓN FOTOVOLTAICA SOBRE LA CUBIERTA DEL SILO DE VEHÍCULOS DE VALENCIA TERMINAL EUROPA, EN MUELLE DIQUE DEL ESTE, EN PUERTO DE VALENCIA.

ANEJO Nº4

Instalaciones en MT, LSMT 20 KV

Documento visado electrónicamente con número: VA07290/22
Código de validación telemática TRLTDCFZ60T66IJ1. Comprobación: https://cogitivalencia.e-gestion.es/Validacion.aspx?CVT=TRLTDCFZ60T66IJ1

VISADO
COGITI
VALENCIA
VA07290/22
TRLTDCFZ60T66IJ1

1. MEMORIA 4
1.1. RESUMEN DE CARACTERÍSTICAS. 5
1.1.1. Titular. 5
1.1.2. Término municipal. 5
1.1.3. Situación. 5
1.1.4. Tensión nominal en kV. 5
1.1.5. Longitud. 5
1.1.6. Nº de conductores y sección. 6
1.1.7. Punto entronque. 6
1.1.8. Final línea. 6
1.1.9. Cruzamientos 6
1.1.10. Paralelismos 6
1.1.11. Paso por zonas que exija condicionado 6
1.2. OBJETO DEL PROYECTO. 6
1.3. NORMATIVA APLICABLE 6
1.4. TITULAR Y PROMOTOR 7
1.5. EMPLAZAMIENTO 8
1.6. POTENCIA A TRANSPORTAR, DESTINO Y USO DE LA ENERGIA TRANSPORTADA. 8
1.7. DESCRIPCIÓN DE LA INSTALACIÓN. 8
1.7.1. Trazado. 8
1.7.2. Punto de entronque y final de línea. 9
1.7.3. Materiales. 9
1.7.3.1. Conductores. 9
1.7.3.2. Canalizaciones. 10
1.7.3.3. Empalmes y terminaciones 10
1.7.4. Cruzamientos 11
1.7.5. Paralelismos 11
1.7.6. Puesta a tierra 11
1.7.7. Protecciones 11
1.7.7.1. Contra sobrecargas y sobreintensidades 11
1.7.7.2. Contra sobretensiones 12
1.7.8. Medidas de señalización de seguridad 12
2. CALCULOS JUSTIFICATIVOS 13
2.1. CALCULOS ELÉCTRICOS. 14
2.1.1. Densidad máxima de corriente. 14
2.1.2. Reactancia y Resistencia. 14
2.1.3. Caída de tensión 14
2.1.4. Pérdida de potencia. 15

Documento visado electrónicamente con número: VA07290/22
Código de validación telemática TRLTDCFZ60T66IJ1. Comprobación: https://cogitivalencia.e-gestion.es/Validacion.aspx?CVT=TRLTDCFZ60T66IJ1

VISADO
COGITI
VALENCIA
VA07290/22
TRLTDCFZ60T66IJ1

2.1.5. Otras características eléctricas. *15*
2.2. CÁLCULOS MECÁNICOS. **16**
2.2.1. Resistencia mecánica en cruzamientos y situaciones especiales *16*
2.2.2. Conductores. *16*
2.2.3. Distancias de seguridad. *17*
2.2.4. Cimentaciones. *17*
2.2.5. Distancias de seguridad en cruzamientos, paralelismos y paso por zonas. *17*
3. PLIEGO DE CONDICIONES **18**
3.1. CALIDAD DE LOS MATERIALES. **19**
3.1.1. Conductores, empalmes y aparamenta eléctrica. *19*
3.2. NORMAS DE EJECUCIÓN DE LA INSTALACIÓN. **19**
3.2.1. Montaje en cables de Media Tensión. *20*
3.3. PRUEBAS REGLAMENTARIAS. **20**
3.4. CONDICIONES DE USO, MANTENIMIENTO Y SEGURIDAD. **20**
3.4.1. Prevenciones generales. *20*
3.4.2. Puesta en servicio. *21*
3.4.3. Separación de servicio. *21*
3.4.4. Prevenciones especiales. *22*
3.5. CERTIFICADOS Y DOCUMENTACIÓN. **22**
3.6. LIBRO DE ORDENES. **22**

Documento visado electrónicamente con número: VA07290/22
Código de validación telemática TRLTDCFZ60T66IJ1. Comprobación: https://cogitivalencia.e-gestion.es/Validacion.aspx?CVT=TRLTDCFZ60T66IJ1

VISADO
COGITI
VALENCIA
VA07290/22
TRLTDCFZ60T66IJ1

Documento visado electrónicamente con número: VA07290/22
Código de validación telemática TRLTDCFZ60T66IJ1. Comprobación: https://cogitivalencia.e-gestion.es/Validacion.aspx?CVT=TRLTDCFZ60T66IJ1

1. MEMORIA

VISADO
COGITI
VALENCIA
VA07290/22
TRLTDCFZ60T66IJ1

1.1. RESUMEN DE CARACTERÍSTICAS.

1.1.1. Titular.

El titular de las instalaciones y peticionario del presente proyecto es:

- Titular y promotor Autoridad Portuaria de Valencia (Valencia Port)
- Domicilio social: AV, Muelle del Turia, S/N,
- C.P.: 46024 Valencia
- CIF: Q4667047G

1.1.2. Término municipal.

La localidad es Gandía, Valencia.

1.1.3. Situación.

- Cubierta Silo de coches.
- Puerto de Valencia
- Coordenadas UTM: 39.440366, -0.304180

No se dispone de referencia catastral.

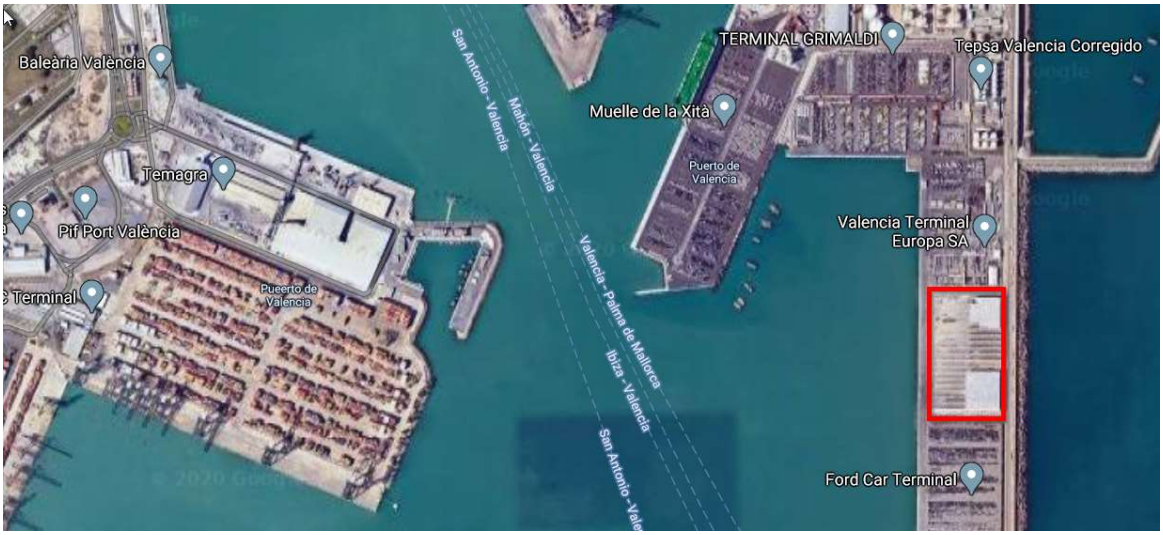

1.1.4. Tensión nominal en kV.

La tensión nominal es de 20 kV.

1.1.5. Longitud.

La longitud de las líneas es de 13m para el caso del CT FV-1 y de 15m para el caso del CT FV-2, ambas transcurrirán todas ellas por el interior de la parcela privada.

Documento visado electrónicamente con número: VA07290/22
Código de validación telemática TRLTDCFZ60T66IJ1. Comprobación: https://cogitivalencia.e-gestion.es/Validacion.aspx?CVT=TRLTDCFZ60T66IJ1

VISADO
COGITI
VALENCIA
VA07290/22
TRLTDCFZ60T66IJ1

1.1.6. Nº de conductores y sección.

La línea objeto de proyecto estará formada por 3 conductores de aluminio de 240 mm² de sección del tipo HEPRZ1.

1.1.7. Punto entronque.

Las líneas parten de las correspondientes celdas de línea integradas en el conjunto de celdas de cada uno de los nuevos Centro de Transformación de Fotovoltaica.

1.1.8. Final línea.

El final de la línea está fijado en las celdas de línea motorizadas a instalar en el Centro de Transformación existente de abonado V.C.T.043 de 250KVA.

1.1.9. Cruzamientos

No existen cruzamientos.

1.1.10. Paralelismos

No existen.

1.1.11. Paso por zonas que exija condicionado

No existen.

1.2. OBJETO DEL PROYECTO.

El objeto del presente proyecto es especificar las condiciones técnicas, de ejecución y económicas de una línea subterránea de media tensión de características normalizadas cuyo fin es la conexión de una planta fotovoltaica de 5.763,55 kWp con la red de distribución interior en MT del cliente, intercalando los CT de Generación de 2x1250 KVA y 2x1600 kVA en dicho anillo interior, sirviendo de base para la ejecución de la misma, contando para ello, y dando cumplimiento a la legislación vigente.

1.3. NORMATIVA APLICABLE

El presente proyecto recoge las características de los materiales, los cálculos que justifican su empleo y la forma de ejecución de las obras a realizar, dando con ello cumplimiento a las siguientes disposiciones:

- Real Decreto 337/2014, de 9 de mayo, por el que se aprueban el Reglamento sobre condiciones técnicas y garantías de seguridad en instalaciones eléctricas de alta tensión y sus Instrucciones Técnicas Complementarias ITC-RAT 01 a 23.
- Real Decreto 223/2008, de 15 de febrero, por el que se aprueban el Reglamento sobre

Documento visado electrónicamente con número: VA07290/22
Código de validación telemática TRLTDCFZ60T66IJ1. Comprobación: https://cogitivalencia.e-gestion.es/Validacion.aspx?CVT=TRLTDCFZ60T66IJ1

VISADO
COGITI
VALENCIA
VA07290/22
TRLTDCFZ60T66IJ1

condiciones técnicas y garantías de seguridad en líneas eléctricas de alta tensión y sus instrucciones técnicas complementarias ITC-LAT 01 a 09.

- Real Decreto 1109/2007, de 24 de agosto, por el que se desarrolla la Ley 32/2006, de 18 de octubre, reguladora de la subcontratación en el Sector de la Construcción. (SI PROCEDE)
- Ley 32/2006, de 18 de octubre, reguladora de la subcontratación en el Sector de la Construcción. (SI PROCEDE)
- Real Decreto 842/2002, de 2 de agosto, por el que se aprueba el Reglamento electrotécnico para baja tensión.
- Real Decreto 614/2001, de 8 de junio, sobre disposiciones mínimas para la protección de la salud y seguridad de los trabajadores frente al riesgo eléctrico.
- Real Decreto 1955/2000, de 1 de diciembre, por el que se regulan las actividades de transporte, distribución, comercialización, suministro y procedimientos de autorización de instalaciones de energía eléctrica.
- Real Decreto 1627/1997, de 24 de octubre, por el que se establecen disposiciones mínimas de seguridad y de salud en las obras de construcción.
- Real Decreto 1215/1997, de 18 de julio, por el que se establecen las disposiciones mínimas de seguridad y salud para la utilización por los trabajadores de los equipos de trabajo.
- Real Decreto 773/1997, de 30 de mayo, sobre disposiciones mínimas de seguridad y salud relativas a la utilización por los trabajadores de equipos de protección individual.
- Real Decreto 486/1997, de 14 de abril, por el que se establecen las disposiciones mínimas de seguridad y salud en los lugares de trabajo.
- Real Decreto 485/1997, de 14 de abril, sobre disposiciones mínimas en materia de señalización de seguridad y salud en el trabajo.
- Ley 31/1995, de 8 de noviembre, de Prevención de Riesgos Laborales. Ley 21/1992, de 16 de julio, de Industria.
- Normas UNE y Recomendaciones UNESA que sean de aplicación.
- Normas Particulares de la Compañía distribuidora.
- N.N.S.S. del ayuntamiento del municipio de ONDA.

1.4. TITULAR Y PROMOTOR

El proyecto se realiza por Autoridad Portuaria, como titular de la instalación, con Q4667047G con domicilio en AV, Muelle del Turia, S/N, 46024 Valencia.

Documento visado electrónicamente con número: VA07290/22
Código de validación telemática TRLTDCFZ60T66IJ1. Comprobación: https://cogitivalencia.e-gestion.es/Validacion.aspx?CVT=TRLTDCFZ60T66IJ1

VISADO
COGITI
VALENCIA
VA07290/22
TRLTDCFZ60T66IJ1

1.5. EMPLAZAMIENTO

- Cubierta nave almacén.
- Puerto de Gandía
- Coordenadas UTM: 38.992533, -0.152150

No se dispone de referencia catastral.

1.6. POTENCIA A TRANSPORTAR, DESTINO Y USO DE LA ENERGIA TRANSPORTADA.

La potencia a transportar inicialmente será de 2500 KVA y 3200 KVA respectivamente, no obstante, en un futuro será variable en función de la demanda y la disposición de la red, pero siempre dentro de la capacidad de transporte y de la caída de tensión admisibles por el conductor.

Dada la capacidad de transporte del conductor correspondiente a este proyecto y la longitud total definida para esta instalación, la capacidad de transporte de las líneas será de 13.639 KVA, aunque transportará 2500 KVA y 3200 KVA correspondientes a los nuevos CT de la instalación fotovoltaica, el destino de la instalación corresponde a la línea de evacuación de una planta fotovoltaica de 5.763,55 kWp ubicada en el mismo emplazamiento, en modalidad de AUTOCONSUMO.

Para el cálculo de la sección se ha optado finalmente por la instalación de dos líneas de aluminio HEPR-Z1 Al-240 mm2 de sección.

1.7. DESCRIPCIÓN DE LA INSTALACIÓN.

1.7.1. Trazado.

La línea objeto del presente proyecto corresponde a las líneas de evacuación de una planta fotovoltaica de 5.763,55 kWp conectada a un Centro de Transformación existente propiedad de la Autoridad Portuaria V.C.T. 043 de 250KVA, ubicado en parcela privada.

En su recorrido, las líneas atraviesan exclusivamente terrenos pertenecientes a la propiedad, de acuerdo con el trazado establecido en los planos del proyecto.

La instalación consistirá en dos líneas subterránea de media tensión a 20.000 V del tipo HEPRZ1 y sección 240mm2 AL, que enlazarán los nuevos centros de transformación de generación de 2500 KVA y 3200 KVA (información técnica detallada en proyecto específico) con el centro de transformación existente propiedad del cliente V.C.T. 043 de 250 KVA, de tal forma que la energía generada se inyecte en la red de media tensión particular y ésta puede ser consumida en cualquier punto del puerto de Gandía.

Será necesario instalar por tanto en el V.C.T.043 dos nuevas celdas modulares de linea con mando motorizado, de la serie CGMcosmos-L de Ormazabal con aislamiento y corte en SF6.

Documento visado electrónicamente con número: VA07290/22
Código de validación telemática TRLTDCFZ60T66IJ1. Comprobación: https://cogitivalencia.e-gestion.es/Validacion.aspx?CVT=TRLTDCFZ60T66IJ1

VISADO
COGITI
VALENCIA
VA07290/22
TRLTDCFZ60T66IJ1

1.7.2. Punto de entronque y final de línea.

Las líneas parten de las celdas de línea integradas en el conjunto de celdas de los nuevos Centro de Transformación de generación indicados.

El final de las líneas están fijados en las celdas de línea con mando motorizado a instalar en el Centro de Transformación existente de abonado V.C.T 043 de 250KVA.

Los puntos de entronque y finales de la línea pueden verse en los planos del proyecto.

La conexión a las celdas se realizará con terminales y botellas adecuadas al tipo y marca de cable empleados.

Las longitudes de las líneas, medidas desde las celdas de los Centro de Fotovoltaica hasta las celdas de entrada ubicadas en el Centro de Transformación V.C.T.043 y de acuerdo con el trazado establecido en planos, es de 13m y 15m respectivamente y se realizarán con conductores de aluminio HEPRZ1 12/20 kV 240mm².

Las líneas transcurrirán todas ellas por el interior de parcela de propiedad particular

1.7.3. Materiales.

1.7.3.1. Conductores.

El aislamiento de los materiales de la instalación estará dimensionado, como mínimo, para la tensión mas elevada de 24kV (Aislamiento pleno).

Los materiales empleados en las conexiones se adaptarán a las celdas empleadas tanto en el centro existente como en el CT proyectado.

El conductor empleado para el tendido de la línea será el denominado cable seco, tipo unipolar, con aislamiento en HEPRZ-1, con las siguientes características:



Tipo de conductor	unipolar 12/20 KV
Aislamiento	HEPRZ-1
Naturaleza y Sección	Al 1x240 mm2
Intensidad máxima admisible	365A
Resistencia kilométrica	0,125 ohmios/km
Reactancia kilométrica	0,106 ohmios/km
Formación de la línea	3x(1x240)mm² simple circuito

Documento visado electrónicamente con número: VA07290/22
Código de validación telemática TRLTDCFZ60T66IJ1. Comprobación: https://cogitivalencia.e-gestion.es/Validacion.aspx?CVT=TRLTDCFZ60T66IJ1

VISADO
COGITI
VALENCIA
VA07290/22
TRLTDCFZ60T66IJ1

En cuanto al tendido del cable, éste deberá ser desenrollado y puesto en su sitio con el mayor cuidado, evitando las torsiones, bucles, etc., y cuidando que el radio del cable sea superior a 30 veces su diámetro durante el tendido y 15 veces una vez instalado.

Si la temperatura ambiente descendiese por debajo de los 0ºC no se efectuará el tendido del cable debido a la rigidez que toma el aislamiento y en ningún caso se dejará el extremo del cable en la zanja sin haber asegurado antes una buena estanqueidad de éste.

En el proyecto que nos ocupa se escoge la línea de sección 3 x 1 x 240 mm² en aluminio, al contar con las características exigidas tal y como pueden verse en las tablas que se muestran a continuación. Especialmente la intensidad máxima admisible supera la máxima exigida por los 2 centros de transformación 2x1250 KVA y 2x1600 KVA.

Se han tomado de la norma UNE 20435, para la temperatura máxima admisible de los conductores y condiciones del tipo de instalación allí establecidas:

1.7.3.2. Canalizaciones.

La línea discurrirá en el primer tramo de su recorrido bajo una estructura metálica elevada paralela a ambos CT de generación. Posteriormente, el segundo tramo del recorrido se dispondrá enterrada y entubada de forma que la parte superior del tubo más próximo a la superficie no sea menor de 0, 8 metros.

Estará construida con tubos de PVC corrugados de doble capa y parte interna lisa embebidos en un dado de hormigón HM150. El diámetro interior de los tubos será de 160 mm, superior a vez y media el diámetro aparente del circuito.

Se evitará, en lo posible, los cambios de dirección de las canalizaciones respetando los cambios de curvatura indicados por el fabricante de los cables. Se dispondrán arquetas cada 40 metros como máximo, registrables en las zonas de menor circulación de vehículos. Las entradas de estas quedarán debidamente selladas en sus extremos.

Sobre la proyección en planta de los cables se instalarán placas con la doble misión de protección mecánica y de señalización.

1.7.3.3. Empalmes y terminaciones

Siempre que sea posible, los cables se instalarán enteros, es decir sin empalmes intermedios. Cuando sea preciso realizarlos, así como para la confección de las terminaciones, se seguirán los procedimientos establecidos por los fabricantes y homologados por la Empresa Distribuidora.
Los operarios que realicen los empalmes y las terminaciones deberán pertenecer a una empresa homologada por la Empresa Distribuidora, conocerán y dispondrán de la documentación necesaria

Documento visado electrónicamente con número: VA07290/22
Código de validación telemática TRLTDCFZ60T66IJ1. Comprobación: https://cogitivalencia.e-gestion.es/Validacion.aspx?CVT=TRLTDCFZ60T66IJ1

VISADO
COGITI
VALENCIA
VA07290/22
TRLTDCFZ60T66IJ1

para evaluar su confección y estarán habilitados para ello.

Se tendrá especial cuidado en los puntos siguientes:

- Dimensiones del pelado de cubierta, capa semiconductora externa e interna
- Utilización correcta de manguitos y engaste con el utillaje necesario
- Limpieza general, aplicación de calor uniformemente en los termorretráctiles y ejecución correcta de los contráctiles.

Los empalmes y las terminaciones estarán identificados con el nombre del operario y de la empresa que los realice.

La línea terminará en celdas prefabricadas normalizadas de alta tensión, por lo que la unión a estas se realizará con botellas prefabricadas de características adecuadas a las dimensiones del cable y modelo de dichas celdas.

1.7.4. Cruzamientos

Será objeto de estudio, replanteo y análisis el trazado de la LSMT antes de su ejecución para confirmar la existencia o no de cruzamientos con otras instalaciones y garantizar el cumplimiento del Reglamento de Alta Tensión y sus Instrucciones Técnicas Complementarias ITC-RAT.

1.7.5. Paralelismos

Será objeto de estudio, replanteo y análisis el trazado de la LSMT antes de su ejecución para confirmar la existencia o no de paralelismos con otras instalaciones y garantizar el cumplimiento del Reglamento de Alta Tensión y sus Instrucciones Técnicas Complementarias ITC-RAT.

1.7.6. Puesta a tierra

Las pantallas metálicas de los cables de media tensión se conectarán a tierra en cada uno de sus extremos.

1.7.7. Protecciones

1.7.7.1. Contra sobrecargas y sobreintensidades

Los cables estarán debidamente protegidos contra sobrecargas y contra los efectos térmicos y dinámicos que puedan originarse debido a las sobreintensidades que puedan producirse en la instalación.
Para la protección contra sobrecargas y sobreintensidades, se utilizarán interruptores automáticos asociados a relés de protección que estarán colocados en las subestaciones, en las cabeceras de las líneas que alimentan a los cables subterráneos.

Documento visado electrónicamente con número: VA07290/22
Código de validación telemática TRLTDCFZ60T66IJ1. Comprobación: https://cogitivalencia.e-gestion.es/Validacion.aspx?CVT=TRLTDCFZ60T66IJ1

VISADO
COGITI
VALENCIA
VA07290/22
TRLTDCFZ60T66IJ1

1.7.7.2. Contra sobretensiones

Los cables aislados deben estar protegidos contra sobretensiones por medio de pararrayos de características adecuadas. Estos se colocarán en los lugares apropiados que puedan ser origen de sobretensiones, particularmente en las conversiones aéreo subterráneas.

En todos los casos, se cumplirá lo referente a coordinación de aislamiento y puesta a tierra de los pararrayos que se contempla en el MIE-RAT 12 y MIE-RAT 13 y en la norma UNE EN 60071 de Coordinación de Aislamiento.

1.7.8. Medidas de señalización de seguridad

Sobre la proyección en planta de los cables se instalarán placas con la doble misión de protección mecánica y de señalización.

Documento visado electrónicamente con número: VA07290/22
Código de validación telemática TRLTDCFZ60T66IJ1. Comprobación: https://cogitivalencia.e-gestion.es/Validacion.aspx?CVT=TRLTDCFZ60T66IJ1

VISADO
COGITI
VALENCIA
VA07290/22
TRLTDCFZ60T66IJ1

Documento visado electrónicamente con número: VA07290/22
Código de validación telemática TRLTDCFZ60T66IJ1. Comprobación: https://cogitivalencia.e-gestion.es/Validacion.aspx?CVT=TRLTDCFZ60T66IJ1

2. CALCULOS JUSTIFICATIVOS

VISADO
COGITI
VALENCIA
VA07290/22
TRLTDCFZ60T66IJ1

2.1. CALCULOS ELÉCTRICOS.

2.1.1. Densidad máxima de corriente.

Según datos del fabricante, la intensidad máxima que puede soportar el cable es de 365 A.
Para el cálculo de la densidad de corriente utilizaremos la expresión:

D = I / S

Siendo:

D =	Densidad de corriente
I =	Intensidad que puede transportar el conductor en Amperios (365 A)
S =	Sección del conductor en mm2. (240 mm2)

Sustituyendo valores tendremos:

D = 365 / 240 = 1,5208 A/mm2

2.1.2. Reactancia y Resistencia.

Para un cable de 240 mm² de aluminio a una temperatura de 20 ºC, tenemos:

- Resistencia = 0,125 Ω/Km.
- Reactancia = 0,106 Ω/Km.

La línea-1 objeto de dicho proyecto mide 15 metros, tenemos:

- Resistencia total = 0,001875 Ω.
- Reactancia total = 0,00159 Ω.

La línea-2 objeto de dicho proyecto mide 13 metros, tenemos:

- Resistencia total = 0,001625 Ω.
- Reactancia total = 0,001378 Ω.

2.1.3. Caída de tensión

Para el cálculo de la caída de tensión, haremos uso de la siguiente fórmula, los cálculos de caída de tensión se efectuarán para el caso más desfavorable, es decir a partir de la corriente máxima permitida por el conductor.

Documento visado electrónicamente con número: VA07290/22
Código de validación telemática TRLTDCFZ60T66IJ1. Comprobación: https://cogitivalencia.e-gestion.es/Validacion.aspx?CVT=TRLTDCFZ60T66IJ1

VISADO
COGITI
VALENCIA
VA07290/22
TRLTDCFZ60T66IJ1

$$\Delta V = \sqrt{3} \cdot I \cdot L \cdot (R\cos\varphi + X\,\mathrm{sen}\varphi)$$

Siendo:

ΔV =	Caída de tensión en voltios
L =	Longitud en metros
I =	Intensidad que transporta el conductor. (365 A)

Sustituyendo valores tendremos:

$$AV1 = \sqrt{3} \cdot 365 \cdot 0.015 \cdot (0{,}125 \cdot 1 + 0{,}106 \cdot 0) = 1{,}18\,V$$
$$AV2 = \sqrt{3} \cdot 365 \cdot 0.013 \cdot (0{,}125 \cdot 1 + 0{,}106 \cdot 0) = 1{,}02\,V$$

La caída de tensión porcentual, será en tal caso:

U1 = (100 * 1,18) / (20.000) = 0,0059%
U2 = (100 * 1,02) / (20.000) = 0,0051%

el valor de la caída de tensión es despreciable, no afectando a los cálculos de proyecto existente.

2.1.4. Pérdida de potencia.

La máxima perdida de potencia se produce cuando por el cable circula la máxima intensidad (415A), aplicando la siguiente fórmula obtenemos la perdida de potencia:

P = V * I * 1.732

Donde:

V =	Caida de tensión
I =	Máxima intensidad que puede circular por el cable.

Sustituyendo valores:

P = 1,18 * 365 * 1.732= 745,97 W

P = 1,02 * 365 * 1.732= 644,82 W

2.1.5. Otras características eléctricas.

A continuación, se calculará la corriente de funcionamiento, de tal forma que quede justificado el empleo del conductor, así como más parámetros como caída de tensión y perdida de potencia

Documento visado electrónicamente con número: VA07290/22
Código de validación telemática TRLTDCFZ60T66IJ1. Comprobación: https://cogitivalencia.e-gestion.es/Validacion.aspx?CVT=TRLTDCFZ60T66IJ1

VISADO
COGITI
VALENCIA
VA07290/22
TRLTDCFZ60T66IJ1

para la corriente calculada.

Corriente de funcionamiento.
Para el cálculo de la corriente de funcionamiento utilizaremos la siguiente fórmula:

$$I = \frac{P}{V\sqrt{3}}$$

Donde:

I =	Corriente de funcionamiento. (A)
P =	Potencia aguas abajo. (KVA)
V =	Tensión nominal de la red de Alta tensión (KV)

La potencia total instalada aguas debajo de esta línea será la que podría llegar a suministrar el CT que es de 800 KVA.

Sustituyendo valores:

$$I1 = \frac{1250}{20 \cdot \sqrt{3}} = 36{,}08\ A$$

$$I2 = \frac{1250}{20 \cdot \sqrt{3}} = 46{,}18\ A$$

2.2. CÁLCULOS MECÁNICOS.

2.2.1. Resistencia mecánica en cruzamientos y situaciones especiales

Aunque se respetarán las distancias de seguridad especificadas en la reglamentación vigente la canalización discurrirá en todo su recorrido subterráneo, incluido cruzamientos, por el interior de tubos de PVC de doble capa de pared interna lisa embebido en un dado de hormigón de 30cm tipo HM200 con una resistencia de 200 Kg/cm².

La instalación de los cables aislados en tubo o sobre bandeja se dispondrá adosada a la pared o en montaje aéreo, siempre a una altura minima de 4metros para garantizar su inaccesibilidad, en las bajantes la tapa de la bandeja solo se puedrá retirar con la ayuda de un útil.

2.2.2. Conductores.

No procede.

Documento visado electrónicamente con número: VA07290/22
Código de validación telemática TRLTDCFZ60T66IJ1. Comprobación: https://cogitivalencia.e-gestion.es/Validacion.aspx?CVT=TRLTDCFZ60T66IJ1

VISADO
COGITI
VALENCIA
VA07290/22
TRLTDCFZ60T66IJ1

2.2.3. Distancias de seguridad.

Se respetarán las distancias de seguridad cuando existan cruzamientos con otras instalaciones de la industria.

Inicialmente no existen cruzamientos ni paralelismos, no obstante se tendrá en cuenta las siguientes condiciones:

- Cruzamientos y paralelismos con otros cables de energía eléctrica:

Los cables de media tensión siempre discurren por debajo de los de baja tensión. En todo su recorrido la distancia entre los cables de la red objeto del proyecto y otros cables de energía eléctrica será de 0,25 metros como mínimo. No existen empalmes.

- Cables de telecomunicación:

En todo su recorrido la distancia entre los cables de la red objeto del proyecto y los cables de telecomunicación será de 0,20 metros como mínimo. No existen empalmes

- Canalizaciones de agua:

En todo su recorrido la distancia entre los cables de la red objeto del proyecto y las canalizaciones de agua será de 0,20 metros como mínimo.

2.2.4. Cimentaciones.

No procede por no existir apoyos.

2.2.5. Distancias de seguridad en cruzamientos, paralelismos y paso por zonas.

La línea transcurrirá toda ella por parcela privada de la propiedad, respetándose las distancias de seguridad cuando existan cruzamientos con otras instalaciones de la industria.

Documento visado electrónicamente con número: VA07290/22
Código de validación telemática TRLTDCFZ60T66IJ1. Comprobación: https://cogitivalencia.e-gestion.es/Validacion.aspx?CVT=TRLTDCFZ60T66IJ1

VISADO
COGITI
VALENCIA
VA07290/22
TRLTDCFZ60T66IJ1

Documento visado electrónicamente con número: VA07290/22
Código de validación telemática TRLTDCFZ60T66IJ1. Comprobación: https://cogitivalencia.e-gestion.es/Validacion.aspx?CVT=TRLTDCFZ60T66IJ1

3. PLIEGO DE CONDICIONES

VISADO
COGITI
VALENCIA
VA07290/22
TRLTDCFZ60T66IJ1

3.1. CALIDAD DE LOS MATERIALES.

Todos los materiales serán de los tipos "aceptados" por la Cía. Suministradora de Electricidad.
El aislamiento de los materiales de la instalación estará dimensionado como mínimo para la tensión más elevada de la red (Aislamiento pleno).

Los materiales siderúrgicos serán como mínimo de acero A-42b. Estarán galvanizados por inmersión en caliente con recubrimiento de zinc de 0,61 kg/m² como mínimo, debiendo ser capaces de soportar cuatro inmersiones en una solución de SO4 Cu al 20 % de una densidad de 1,18 a 18 ºC sin que el hierro quede al descubierto o coloreado parcialmente.

3.1.1. Conductores, empalmes y aparamenta eléctrica.

Los conductores utilizados en la red eléctrica estarán dimensionados para soportar la tensión de servicio y las botellas terminales y empalmes serán adecuados para el tipo de conductor empleado y aptos igualmente para la tensión de servicio.

Los empalmes para conductores con aislamiento seco podrán estar constituidos por un manguito metálico que realice la unión a presión de la parte conductora, sin debilitamiento de sección ni producción de vacíos superficiales.

El aislamiento podrá ser construido a base de cinta semiconductora interior, cinta autovulcanizable, cinta semiconductora capa exterior, cinta metálica de reconstitución de pantalla, cinta para compactar, trenza de tierra y nuevo encintado de compactación final, o utilizando materiales termorretráctiles, o premoldeados u otro sistema de eficacia equivalente. Los empalmes para conductores desnudos podrán ser de plena tracción de los denominados estirados, comprimidos o de varillas preformadas.

3.2. NORMAS DE EJECUCIÓN DE LA INSTALACIÓN.

El contratista efectuará en principio un reconocimiento sobre el terreno del trazado de la canalización, analizando los distintos pasos a ejecutar, y determinando la existencia de bocas de riego, servicios telefónicos, agua, etc..., con objeto de evitar posibles deterioros de estos servicios.

También se determinarán las protecciones precisas, todos los elementos de protección y señalización, los tendrá que tener dispuestos el contratista, antes de dar comienzo la obra.

Documento visado electrónicamente con número: VA07290/22
Código de validación telemática TRLTDCFZ60T66IJ1. Comprobación: https://cogitivalencia.e-gestion.es/Validacion.aspx?CVT=TRLTDCFZ60T66IJ1

VISADO
COGITI
VALENCIA
VA07290/22
TRLTDCFZ60T66IJ1

3.2.1. Montaje en cables de Media Tensión.

Los empalmes en caso necesario, se ejecutarán del tipo denominado reconstituido, siguiendo las normas del fabricante del cable. Se tendrá especial cuidado en no romper el papel al doblar las venas del cable, así como realizar los baños de aceite con la frecuencia necesaria para evitar coqueras. El corte de los rollos se hará por rasgado y no con tijeras o navajas.

Las botellas terminales, serán de los modelos aceptados por Iberdrola, siguiendo las normas del fabricante del cable para su ejecución. Se tendrá especial cuidado en las soldaduras, de forma que no queden poros, por donde pueda penetrar la humedad. El relleno de las botellas, se efectuará calentando previamente éstas, y de forma que la pasta rebase por la parte superior.

Los herrajes soporte de las botellas terminales, tendrán la debida fijación y resistencia mecánica, para soportar el peso de las botellas terminales y cable.

3.3. PRUEBAS REGLAMENTARIAS.

La aparamenta eléctrica que compone la instalación deberá ser sometida a los diferentes ensayos de tipo y de serie que contemplen las normas UNE o recomendaciones UNESA conforme a las cuales esté fabricada.

Asimismo, una vez ejecutada la instalación, se procederá, por parte de entidad acreditada por los organismos públicos competentes al efecto, a la medición reglamentaria de los siguientes valores:

- Resistencia de aislamiento de la instalación.
- Resistencia de puesta a tierra..

3.4. CONDICIONES DE USO, MANTENIMIENTO Y SEGURIDAD.

Tanto en los locales de inicio y final de línea, como en sus instalaciones afectas, se atenderán las siguientes condiciones de uso y seguridad.

3.4.1. Prevenciones generales.

Queda terminantemente prohibida la entrada en el local de esta estación a toda persona ajena al servicio y siempre que el encargado del mismo se ausente, deberá dejarlo cerrado con llave.

Se pndrán en sitio visible del local, y a su entrada, placas de aviso de "Peligro de muerte".

En el interior del local no habrá más objetos que los destinados al servicio del centro de transformación, como banqueta, guantes, etc.

Documento visado electrónicamente con número: VA07290/22
Código de validación telemática TRLTDCFZ60T66IJ1. Comprobación: https://cogitivalencia.e-gestion.es/Validacion.aspx?CVT=TRLTDCFZ60T66IJ1

VISADO
COGITI
VALENCIA
VA07290/22
TRLTDCFZ60T66IJ1

No está permitido fumar ni encender cerillas ni cualquier otra clase de combustible en el interior del local del centro de transformación y en caso de incendio no se empleará nunca agua.

No se tocará ninguna parte de la instalación en tensión, aunque esté aislado.

Todas las maniobras se efectuarán colocándose convenientemente sobre la banqueta.
En sitio bien visible estarán colocadas las instrucciones relativas a los socorros que deben prestarse en los accidentes causados por electricidad, debiendo estar el personal instruido prácticamente a este respecto, para aplicarlas en caso necesario. También, y en sitio visible, debe figurar el presente Reglamento y esquema de todas las conexiones de la instalación, aprobado por la Consejería de Industria, a la que se pasará aviso en el caso de introducir alguna modificación en este centro de transformación, para su inspección y aprobación, en su caso.

3.4.2. Puesta en servicio.

Se conectará primero los seccionadores de alta y a continuación el interruptor de alta, dejando en vacío el transformador. Posteriormente, se conectará el interruptor general de baja, procediendo en último término a la maniobra de la red de baja tensión.

Si al poner en servicio una línea se disparase el interruptor automático o hubiera fusión de cartuchos fusibles, antes de volver a conectar se reconocerá detenidamente la línea e instalaciones y, si se observase alguna irregularidad, se dará cuenta de modo inmediato a la empresa suministradora de energía.

3.4.3. Separación de servicio.

Se procederá en orden inverso al determinado en apartado anterior, o sea, desconectando la red de baja tensión y separando después el interruptor de alta y seccionadores.

Si el interruptor fuera automático, sus relés deben regularse por disparo instantáneo con sobrecarga proporcional a la potencia del transformador, según la clase de la instalación.

A fin de asegurar un buen contacto en las mordazas de los fusibles y cuchillas de los interruptores así como en las bornas de fijación de las líneas de alta y de baja tensión, la limpieza se efectuará con la debida frecuencia.

Si hubiera de intervenirse en la parte de línea comprendida entre la celda de entrada y seccionador aéreo exterior se avisará por escrito a la compañía suministradora de energía eléctrica para que corte la corriente en la línea alimentadora, no comenzando los trabajos sin la conformidad de ésta,

Documento visado electrónicamente con número: VA07290/22
Código de validación telemática TRLTDCFZ60T66IJ1. Comprobación: https://cogitivalencia.e-gestion.es/Validacion.aspx?CVT=TRLTDCFZ60T66IJ1

VISADO
COGITI
VALENCIA
VA07290/22
TRLTDCFZ60T66IJ1

que no restablecerá el servicio hasta recibir, con las debidas garantías, notificación de que la línea de alta se encuentra en perfectas condiciones, para garantizar la seguridad de personas y cosas.

La limpieza se hará sobre banqueta, con trapos perfectamente secos, y muy atentos a que el aislamiento que es necesario para garantizar la seguridad personal, sólo se consigue teniendo la banqueta en perfectas condiciones y sin apoyar en metales u otros materiales derivados a tierra.

3.4.4. Prevenciones especiales.

No se modificarán los fusibles y al cambiarlos se emplearán de las mismas características de resistencia y curva de fusión.

No debe de sobrepasar los 60°C la temperatura del líquido refrigerante, en los aparatos que lo tuvieran, y cuando se precise cambiarlo se empleará de la misma calidad y características.

Deben humedecerse con frecuencia las tomas de tierra. Se vigilará el buen estado de los aparatos, y cuando se observase alguna anomalía en el funcionamiento del centro de transformación, se pondrá en conocimiento de la compañía suministradora, para corregirla de acuerdo con ella.

3.5. CERTIFICADOS Y DOCUMENTACIÓN.

Se aportará, para la tramitación de este proyecto ante los organismos públicos, la documentación siguiente:

- Autorización Administrativa.
- Proyecto, suscrito por técnico competente.
- Certificado de Dirección de Obra.

3.6. LIBRO DE ORDENES.

Es misión del contratista custodiar el Libro de Órdenes y seguimiento de la obra, y dar el enterado a las anotaciones que se practiquen en el mismo por parte del Director Facultativo.

El Contratista facilitará en la obra una oficina en la que existirá una mesa o tablero adecuado, en el que puedan extenderse y consultarse los planos. En dicha oficina tendrá siempre a disposición de la Dirección Facultativa:

Documento visado electrónicamente con número: VA07290/22
Código de validación telemática TRLTDCFZ60T66IJ1. Comprobación: https://cogitivalencia.e-gestion.es/Validacion.aspx?CVT=TRLTDCFZ60T66IJ1

VISADO
COGITI
VALENCIA
VA07290/22
TRLTDCFZ60T66IJ1

- El Proyecto de la instalación completo, incluidos los complementos que en su caso redacte la Dirección Facultativa.
- La Licencia de Obras.
- El Libro de Órdenes y asistencias.
- El Plan de Seguridad e Higiene.
- El Libro de Incidencias.
- La documentación de los seguros suscritos tanto para el personal como para daños a terceros.

En el libro de órdenes se anotará cualquier modificación o incidencia de interés durante la ejecución de la obra.

Documento visado electrónicamente con número: VA07290/22
Código de validación telemática TRLTDCFZ60T66IJ1. Comprobación: https://cogitivalencia.e-gestion.es/Validacion.aspx?CVT=TRLTDCFZ60T66IJ1

VISADO
COGITI
VALENCIA
VA07290/22
TRLTDCFZ60T66IJ1

INSTALACIÓN DE PLANTA GENERACIÓN FOTOVOLTAICA SOBRE LA CUBIERTA DEL SILO DE VEHÍCULOS DE VALENCIA TERMINAL EUROPA, EN MUELLE DIQUE DEL ESTE, EN PUERTO DE VALENCIA.

ANEJO Nº5

Estructura Metálica portante, evacuación de aguas pluviales y estructura prefabricada existente.

Documento visado electrónicamente con número: VA07290/22
Código de validación telemática TRLTDCFZ60T66IJ1. Comprobación: https://cogitivalencia.e-gestion.es/Validacion.aspx?CVT=TRLTDCFZ60T66IJ1

VISADO
COGITI
VALENCIA
VA07290/22
TRLTDCFZ60T66IJ1

Índice

1. INTRODUCCION. 3
2. DESCRIPCIÓN DE LA ESTRUCTURA. 3
3. BASES DE DISEÑO 5
3.1. NORMATIVA 5
3.2. CARACTERÍSTICAS DE LOS MATERIALES A UTILIZAR 5
3.2.1. ACERO ESTRUCTURAL 5
3.3. DURABILIDAD ELELMENTOS DE ACERO 6
3.3.1. CLASE DE EXPOSICIÓN ATMOSFÉRICA (CORROSIVIDAD) 6
3.3.2. SISTEMA DE PROTECCIÓN 7
3.4. HIPÓTESIS DE CARGA 7
3.4.1. ACCIONES GRAVITATORIAS 7
3.4.2. ACCIÓN DEL VIENTO 8
3.4.3. CARGA DE NIEVE 13
3.4.4. ACCIÓN SÍSMICA 14
3.4.5. ACCIONES TÉRMICAS 17
3.5. COMBINACIONES 17
4. JUSTIFICACIÓN DE LA SOLUCIÓN ADOPTADA 18
4.1 MÉTODO DE CÁLCULO 18
5. RESULTADOS OBTENIDOS 19

ANEXO I. LISTADOS DE CALCULO DE LA ESTRUCTURA METÁLICA

ANEXO II. EVACUACIÓN AGUAS PLUVIALES

ANEXO III. VIABILIDAD ESTRUCTURAL SILO EXISTENTE.

Documento visado electrónicamente con número: VA07290/22
Código de validación telemática TRLTDCFZ60T66IJ1. Comprobación: https://cogitivalencia.e-gestion.es/Validacion.aspx?CVT=TRLTDCFZ60T66IJ1

VISADO
COGITI
VALENCIA
VA07290/22
TRLTDCFZ60T66IJ1

1. INTRODUCCION.

La presente Memoria de cálculo de la estructura trata de definir los cálculos realizados para la estructura metálica destinada a instalación de central solar fotovoltaica sobre la cubierta del silo de almacenamiento de coches de VTE en el Puerto de Valencia.

Se exponen las soluciones adoptadas, las Normas de aplicación, la evaluación de las acciones consideradas y el método de cálculo utilizado, para el dimensionado de la estructura correspondiente.

2. DESCRIPCIÓN DE LA ESTRUCTURA.

Se trata de una estructura metálica tipo marquesinas a un agua en diente de sierra con una longitud total de 255,5 m y una anchura de 138,7 m. La estructura metálica está formada por 20 pórticos que cubren el eje longitudinal del silo y se unen a través de vigas de atado y cruces de San Andrés. Los pórticos tienen las siguientes características:

- Distancia entre pórticos: 7,3 m.
- Número de tramos en cada pórtico: 9
- Luz de los tramos (entre los pilares): 28,4 m.
- Inclinación de cada tramo: 4 °
- Altura máxima de pórticos: 7,2 m
- Altura mínima libre: 3,0 m
- Altura de vigas celosía: 2,0 m

Existen dos tipos de pórticos según las diferentes zonas de carga de viento. Las vigas de celosía del primer tipo de pórtico tienen el cordón superior de perfil HEA 160 y el cordón inferior de perfil HEA 180 y las vigas de celosía del segundo tipo de pórtico tienen el cordón superior de perfil HEA 220 y el cordón inferior de perfil HEA 240. Los montantes y los diagonales de las vigas celosía son de perfiles tubulares cuadrados de acero laminado cuya sección para cada pórtico se representa en los planos de la estructura.

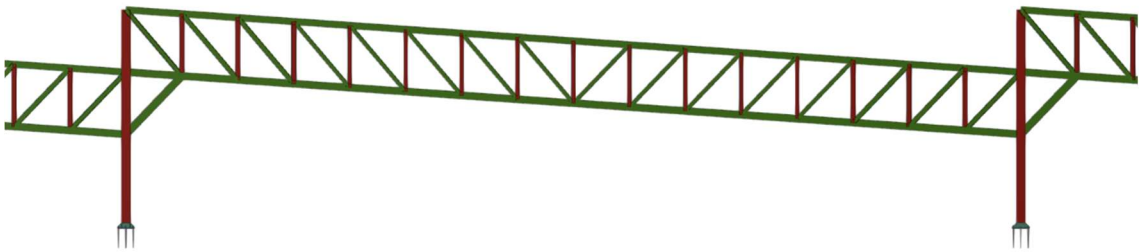

Figura 1. Tramo de pórtico tipo

En la cubierta de la estructura metálica se disponen correas de acero conformado de sección RHS 220x100x3.0 e RHS 220x100x4.0 continuas con máxima separación de 1,1 m. La unión de las correas se debe que ejecutar a una distancia de 1,5-1,8 m del apoyo.

Documento visado electrónicamente con número: VA07290/22
Código de validación telemática TRLTDCFZ60T66IJ1. Comprobación: https://cogitivalencia.e-gestion.es/Validacion.aspx?CVT=TRLTDCFZ60T66IJ1

VISADO
COGITI
VALENCIA
VA07290/22
TRLTDCFZ60T66IJ1

Los pilares de los pórticos consisten en perfiles de acero laminado de sección HEB 280 e HEB 320 con refuerzos de platabandas laterales. La conexión prevista entre los pilares metálicos y la cabeza del pilar es articulada para no aplicar momentos flectores en la cabeza de los pilares existentes de hormigón.

Para minimizar los esfuerzos térmicos, se disponen tres juntas de dilatación, dos en sentido transversal y una en el sentido longitudinal, obteniéndose 6 pastillas o bloques sensiblemente iguales, de dimensiones aproximadas de 75,12 m x 85,20 m. Las juntas de dilatación tienen que coincidir con las juntas de dilatación de la estructura existente.

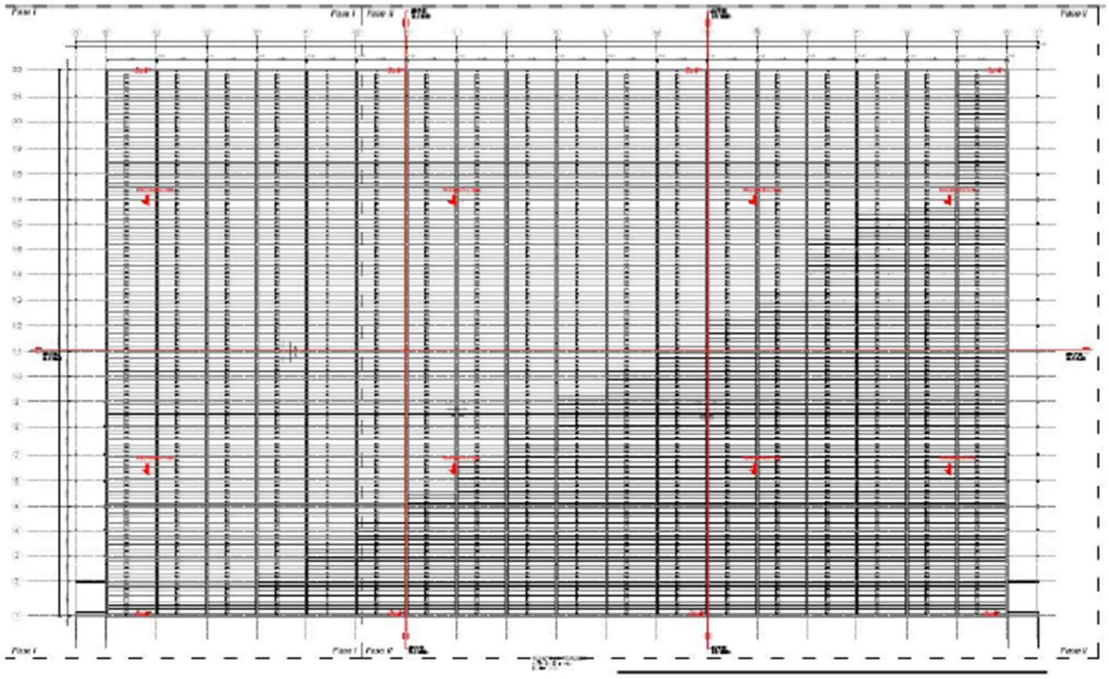

Figura 2. Plano de juntas de dilatación

A lo largo de la cubierta se disponen cruces de San Andrés y vigas de arriostramiento, formadas por perfiles angulares de distintas secciones y perfiles tubulares cuadrados de acero laminado, consiguiendo de esta manera arriostrar la estructura completa frente al viento tanto longitudinal como transversalmente.

Documento visado electrónicamente con número: VA07290/22
Código de validación telemática TRLTDCFZ60T66IJ1. Comprobación: https://cogitivalencia.e-gestion.es/Validacion.aspx?CVT=TRLTDCFZ60T66IJ1

VISADO
COGITI
VALENCIA
VA07290/22
TRLTDCFZ60T66IJ1

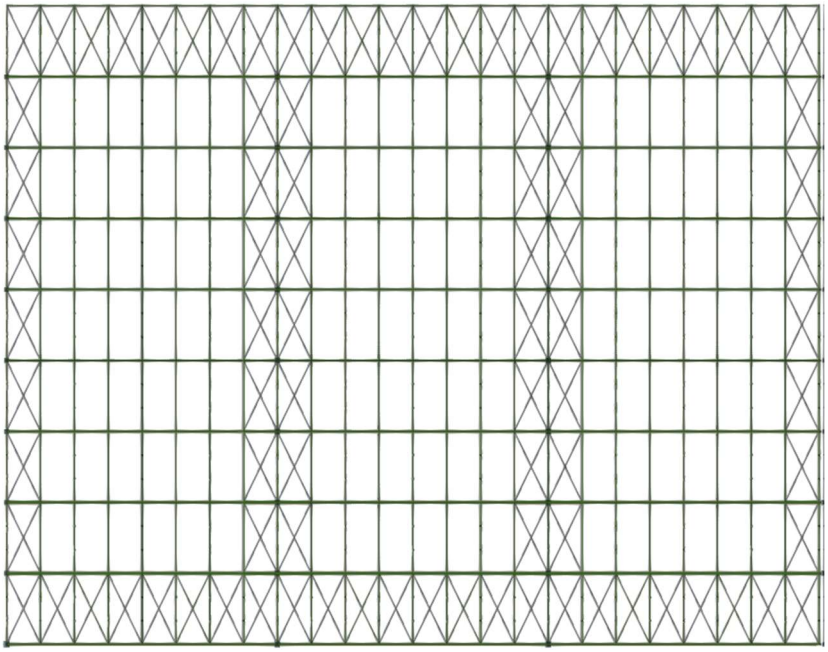

Figura 3. Distribución de cruces de San Andrés en la cubierta en el tramo entre dos juntas de dilatación

3. BASES DE DISEÑO

3.1. NORMATIVA

CTE	CÓDIGO TÉCNICO DE LA EDIFICACIÓN.	
	DB-SE	SEGURIDAD ESTRUCTURAL
	DB-SE-AE	ACCIONES EN LA EDIFICACIÓN.
CE	CÓDIGO ESTRUCTURAL	
NCSE-02	Norma de Construcción Sismorresistente: Parte General y Edificación	
ROM 0.4-95	Recomendaciones para obras marítimas. Acciones climáticas II: Viento.	

3.2. CARACTERÍSTICAS DE LOS MATERIALES A UTILIZAR

3.2.1. ACERO ESTRUCTURAL

Se han utilizado los materiales previstos en proyecto original:

PRODUCTO	TIPO	NORMA
Acero laminado	S275 JR	EAE-11
Acero conformado	S275 JR	EAE-11

Documento visado electrónicamente con número: VA07290/22
Código de validación telemática TRLTDCFZ60T66IJ1. Comprobación: https://cogitivalencia.e-gestion.es/Validacion.aspx?CVT=TRLTDCFZ60T66IJ1

VISADO
COGITI
VALENCIA
VA07290/22
TRLTDCFZ60T66IJ1

3.3. DURABILIDAD ELELMENTOS DE ACERO

3.3.1. CLASE DE EXPOSICIÓN ATMOSFÉRICA (CORROSIVIDAD)

Se definen las clases de exposición en base a los procesos relacionados con la corrosión del acero, relativa a la corrosión atmosférica. La clasificación de acuerdo con el Código Estructural (tabla 80.1.a y 80.1.b) es la que sigue:

Tabla 80.1.a Clases de exposición relativas a la corrosividad atmosférica del acero estructural

Designación	Clase de exposición (corrosividad)	Pérdida de masa por unidad de superficie/pérdida de espesor (tras el primer año de exposición)				Ejemplos de ambientes típicos en un clima templado	
		Acero de bajo contenido en carbono		Cinc		Exterior	Interior
		Pérdida de masa g/m²	Pérdida de espesor µm	Pérdida de masa g/m²	Pérdida de espesor µm		
C I	muy baja	≤ 10	≤ 1,3	≤ 0,7	≤ 0,1	–	Edificios con calefacción y con atmósferas limpias, por ejemplo: oficinas, tiendas, colegios, hoteles.

Designación	Clase de exposición (corrosividad)	Pérdida de masa por unidad de superficie/pérdida de espesor (tras el primer año de exposición)				Ejemplos de ambientes típicos en un clima templado	
		Acero de bajo contenido en carbono		Cinc		Exterior	Interior
		Pérdida de masa g/m²	Pérdida de espesor µm	Pérdida de masa g/m²	Pérdida de espesor µm		
C2	baja	> 10 y hasta 200	> 1,3 y hasta 25	> 0,7 y hasta 5	> 0,1 y hasta 0,7	Atmósferas con bajos niveles de contaminación. Áreas rurales en su mayor parte.	Edificios sin calefacción donde pueden ocurrir condensaciones, por ejemplo: almacenes, polideportivos.
C3	media	> 200 y hasta 400	> 25 y hasta 50	> 5 y hasta 15	> 0,7 y hasta 2,1	Atmósferas urbanas e industriales, con moderada contaminación de dióxido de azufre. Áreas costeras con baja salinidad.	Naves de fabricación con elevada humedad y con algo de contaminación del aire, por ejemplo: plantas de procesado de alimentos, lavanderías, plantas cerveceras, plantas lácteas. Interior de puentes-cajón.
C4	alta	> 400 y hasta 650	> 50 y hasta 80	> I5 y hasta 30	> 2,1 y hasta 4,2	Áreas industriales y áreas costeras con moderada salinidad.	Plantas químicas, piscinas, barcos costeros y astilleros.
C5	muy alta	> 650 y hasta 1.500	> 80 y hasta 200	> 30 y hasta 60	> 4,2 y hasta 8,4	Áreas industriales con elevada humedad y con atmósfera agresiva y áreas costeras con elevada salinidad.	Edificios o áreas con condensaciones casi permanentes, y con contaminación elevada.
CX	extrema	> 1.500 y hasta 5.500	> 200 y hasta 700	> 60 y hasta 180	> 8,4 y hasta 25	Áreas de ultramar con elevada salinidad y áreas industriales con humedad extrema y atmósfera agresiva y atmósferas subtropical y tropical.	Áreas industriales con humedad extrema y atmósfera agresiva.

Tabla 80.1.b Clases de exposición relativas al agua y suelo

Designación	Clase de exposición	Ejemplos
Im1	Agua dulce.	Instalaciones ribereñas, plantas hidroeléctricas.
Im2	Agua de mar o salobre.	Estructuras en contacto con el agua de mar sin protección catódica (por ejemplo áreas portuarias con estructuras como diques, compuertas o embarcaderos).
Im3	Suelo.	Tanques enterrados, pilotes de acero, tuberías de acero.
Im4	Agua de mar o salobre.	Estructuras en contacto con agua de mar con protección catódica (por ejemplo estructuras off-shore).

Documento visado electrónicamente con número: VA07290/22
Código de validación telemática TRLTDCFZ60T66IJ1. Comprobación: https://cogitivalencia.e-gestion.es/Validacion.aspx?CVT=TRLTDCFZ60T66IJ1

VISADO
COGITI
VALENCIA
VA07290/22
TRLTDCFZ60T66IJ1

Para el caso en que nos encontramos, y estando el edificio situado cerca del mar y en contacto con industrias cercanas agresivas altos niveles de contaminación, se considera una clase de exposición C5.

3.3.2. SISTEMA DE PROTECCIÓN

Los elementos de acero se protegerán mediante un sistema de pintura adecuada para la clase de exposición C5 y que aseguren un grado de durabilidad alta (H), superior a 5 años.

El grado de durabilidad alta para la clase C5 lo definen los resultados de los siguientes ensayos (Tabla 86.3.del Código Estructural):

- Ensayo de condensación continua de agua (UNE EN ISO 6270-1): h = 720.
- Ensayo de niebla salina neutra (UNE EN ISO 9227): h = 1440.

Se realizará una protección para un ambiente de corrosividad C5 y durabilidad alta con uno de los sistemas de pintura establecidos en la tabla A.2 de la norma UNE-EN ISO12944-5.

En la fase de fabricación se aplicarán todas las capas, en vacío, dejando para la fase de montaje únicamente los parches de las soldaduras de obra.

3.4. HIPÓTESIS DE CARGA

3.4.1. ACCIONES GRAVITATORIAS

3.4.1.1. Peso propio

Se ha tenido en cuenta el peso propio de la estructura considerando la densidad de los materiales:

- Acero estructural: 78,50 kN/m^3.

3.4.1.2. Cargas muertas

Se han considerado las siguientes cargas muertas:

- Paneles solares 0,15 kN/m2.
- Chapa grecada 0,07 kN/m2.

3.4.1.3. Sobrecarga de uso

Se ha considerado la siguiente sobrecarga de uso:

- Cubiertas ligeras sobre correas (sin forjado) 0,40 kN/m2 Uso mantenimiento (Categoría G1)

Documento visado electrónicamente con número: VA07290/22
Código de validación telemática TRLTDCFZ60T66IJ1. Comprobación: https://cogitivalencia.e-gestion.es/Validacion.aspx?CVT=TRLTDCFZ60T66IJ1

VISADO
COGITI
VALENCIA
VA07290/22
TRLTDCFZ60T66IJ1

3.4.2. ACCIÓN DEL VIENTO

3.4.2.1. Normativa CTE

Los datos que se han tenido en cuenta son los siguientes:

La zona eólica (CTE DB SE-AE):

La zona eólica del municipio de Valencia es A, por lo que la velocidad básica del viento es 26 m/s, con una presión dinámica básica de 0,42 kN/m2.

Grado de Aspereza.

Se ha considerado el entorno “I. Borde del mar o de un lago, con una superficie de agua en la dirección del viento al menos de 5 km de longitud”.

Grado de aspereza		k	L (m)	z(m)
I		0.156	0.003	1

$$c_e = F \cdot (F + 7\,k)$$
$$F = k \ln(\max(z,Z) / L)$$

F	1.39
C_e	3.45

Por lo tanto, la presión debida al viento considerada antes de tener en cuenta el coeficiente de presión exterior es q=0,42*3,45=1,45 kN/m2.

Coeficiente eólico.

Según lo indicado en las tablas del anejo D.10 del CTE-DB SE-AE.

3.4.2.2. Normativa ROM

Velocidad básica escalar

Según lo dispuesto en la tabla 3.2.1.4.1 de la ROM 0.4-95, la velocidad básica escalar para un periodo de retorno de 50 años en el puerto de Valencia es de 28 m/s, tal y como se muestra en la siguiente figura:

Documento visado electrónicamente con número: VA07290/22
Código de validación telemática TRLTDCFZ60T66IJ1. Comprobación: https://cogitivalencia.e-gestion.es/Validacion.aspx?CVT=TRLTDCFZ60T66IJ1

VISADO
COGITI
VALENCIA
VA07290/22
TRLTDCFZ60T66IJ1

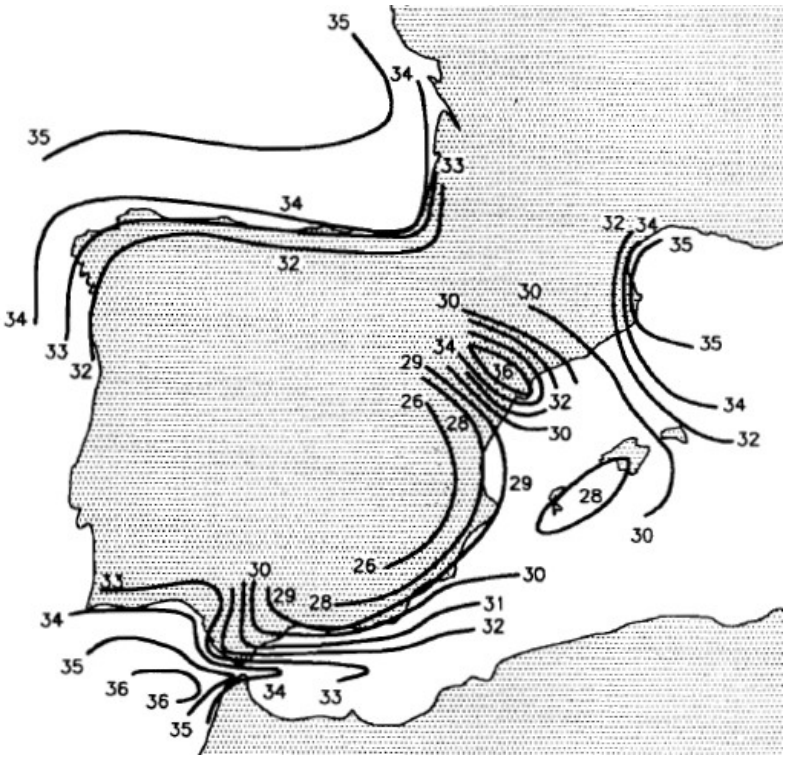

Velocidad del viento de proyecto

La velocidad de viento de proyecto se obtiene de la siguiente expresión:

$$V_{V,t}(z) = V_{b,T,\alpha}(z) \cdot F_A \cdot F_T \cdot F_R$$ =43,9 m/s

Siendo:

$V_{b,T,\alpha}(z) =$ Velocidad básica = 28 m/s

$F_A =$ Factor de rugosidad = 1,12 (según tabla 2.1.4.1.1. de la ROM 0.4-95)

Se considera:

Tipo de ambiente I (Mar abierto llano y campo abierto llano sin obstáculos, p.e. zonas costeras llanas, desiertos, etc…)

La altura en el punto más alto de la marquesina z=22,0 m.

Documento visado electrónicamente con número: VA07290/22
Código de validación telemática TRLTDCFZ60T66IJ1. Comprobación: https://cogitivalencia.e-gestion.es/Validacion.aspx?CVT=TRLTDCFZ60T66IJ1

VISADO
COGITI
VALENCIA
VA07290/22
TRLTDCFZ60T66IJ1

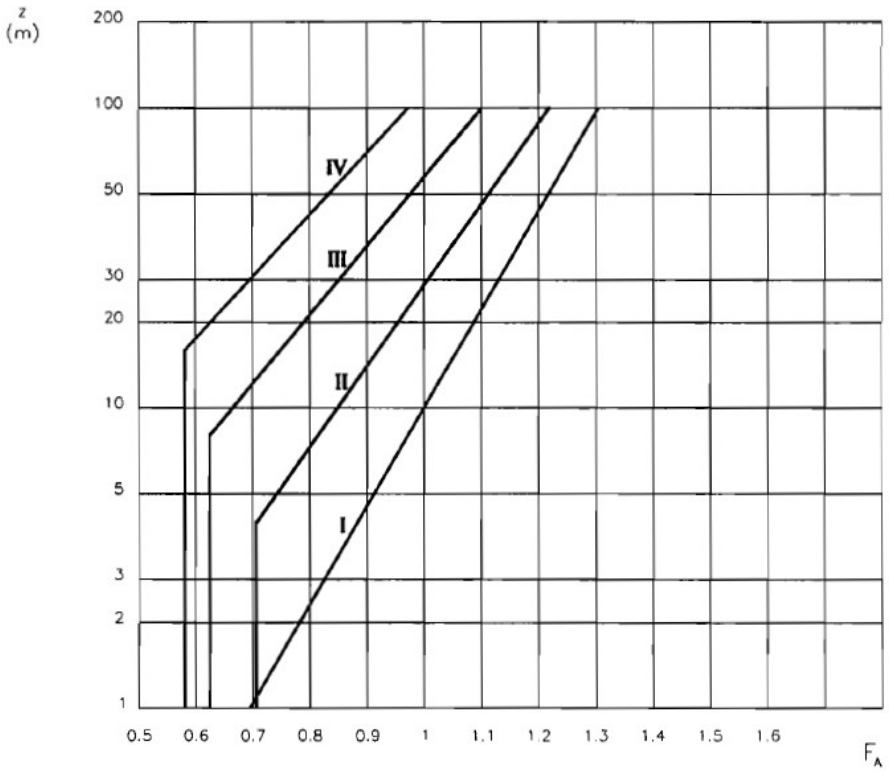

$F_T =$ Factor topográfico = 1,00

$F_R =$ Factor de ráfaga = 1,40 (según tabla 2.1.4.3.1. de la ROM 0.4-95)

TABLA 2.1.4.3.1. FACTOR DE RAFAGA MAXIMA (F_R)

	CATEGORIA DE RUGOSIDAD SUPERFICIAL															
	I				II				III				IV			
DURACION / z (m)	3s	5s	15s	1min	3s	5s	15s	1min	3s	5s	15s	1min	3s	5s	15s	1min
3	1.52	1.50	1.45	1.37	1.76	1.73	1.65	1.54	1.98	1.94	1.84	1.69	2.24	2.18	2.06	1.87
5	1.48	1.46	1.41	1.34	1.73	1.70	1.62	1.51	1.98	1.94	1.84	1.69	2.24	2.18	2.06	1.87
10	1.44	1.42	1.38	1.31	1.63	1.60	1.54	1.44	1.96	1.91	1.82	1.67	2.24	2.18	2.06	1.87
15	1.42	1.40	1.36	1.29	1.59	1.56	1.50	1.41	1.86	1.82	1.73	1.60	2.24	2.18	2.06	1.87
20	1.40	1.38	1.34	1.28	1.56	1.53	1.48	1.39	1.80	1.76	1.68	1.56	2.12	2.07	1.96	1.79
30	1.38	1.37	1.33	1.27	1.52	1.50	1.45	1.37	1.73	1.70	1.62	1.51	1.99	1.94	1.84	1.69
40	1.37	1.36	1.32	1.26	1.50	1.48	1.43	1.35	1.68	1.65	1.58	1.48	1.91	1.87	1.78	1.64
50	1.36	1.35	1.31	1.25	1.48	1.46	1.41	1.34	1.65	1.63	1.56	1.46	1.86	1.82	1.73	1.60
60	1.36	1.34	1.30	1.25	1.47	1.45	1.40	1.33	1.63	1.60	1.54	1.44	1.82	1.78	1.70	1.57
80	1.35	1.33	1.29	1.24	1.45	1.43	1.39	1.32	1.60	1.57	1.51	1.42	1.76	1.73	1.65	1.54
100	1.34	1.32	1.29	1.24	1.44	1.42	1.38	1.31	1.58	1.55	1.49	1.40	1.73	1.70	1.62	1.51

Presión dinámica

La presión dinámica se obtiene de la siguiente expresión en función de la velocidad del viento de proyecto:

$$q_{V,t}(z) = \frac{\rho}{2} \cdot V_{V,t}(z)$$

Documento visado electrónicamente con número: VA07290/22
Código de validación telemática TRLTDCFZ60T66IJ1. Comprobación: https://cogitivalencia.e-gestion.es/Validacion.aspx?CVT=TRLTDCFZ60T66IJ1

VISADO
COGITI
VALENCIA
VA07290/22
TRLTDCFZ60T66IJ1

De la tabla 3.2.2.1.1. de la ROM 0.4, se obtiene directamente la siguiente presión dinámica:

$q_{V,t}$ = 1204,5 Pa = 1,205 kN/m^2

Coeficiente eólico.

Según lo indicado en el apartado 3.2.2.2 de la ROM 0.4 se pueden utilizar los mismos coeficientes eólicos que los indicados en las tablas del anejo D.10 del CTE-DB SE-AE.

> El valor de los Coeficientes Eólicos tanto exteriores como interiores, para la configuración y posición del elemento estructural considerado y dirección de actuación del viento, podrán obtenerse de los Códigos y Normas vigentes, nacionales e internacionales, correspondientes a la acción del viento sobre las estructuras(44). No obstante, para los casos más usuales que se presentan en las

(44) En España Norma NBE-AE/88 "Acciones en la Edificación" y Eurocódigo 1 "Bases de Proyecto y Acciones sobre las Estructuras. Parte 2.3. Acción del Viento".

3.4.2.3. Comparación de normativa CTE y ROM

La presión dinámica de referencia según el CTE se obtiene como:

$$q = q_b \cdot c_e = 0{,}42 \cdot 3{,}45 = 1{,}45\, kN/m^2$$

Este valor es superior a la presión de la ROM $q_{V,t}$ = 1,205 kN/m^2, por lo tanto, la estructura metálica se dimensionará de manera más desfavorable con el criterio del CTE.

3.4.2.4. Carga de viento para el dimensionamiento de la estructura metálica

Para el dimensionamiento de la estructura metálica se va a utilizar la presión de viento calculada con los coeficientes eólicos indicados en las tablas del anejo D.10 del CTE-DB SE-AE. Se ha escogido pendiente de la cubierta α=4° y el factor de obstrucción ϕ=0,6. Para determinar los valores de coeficientes de presión exterior se ha utilizado el método de interpolación. Las cargas aplicadas en la cubierta son las siguientes:

En dirección X			***SUCCIONES***	***PRESIONES***
A	-	*0.740*	*-1.97*	*1.08*
B	-	*2.040*	*-2.80*	*2.98*
C	-	*1.260*	*-3.14*	*1.84*
En dirección Y			***SUCCIONES***	***PRESIONES***
A	-	*0.5*	*-1.53*	*0.73*
B	-	*1.8*	*-2.26*	*2.63*
C	-	*1.1*	*-2.63*	*1.61*

Documento visado electrónicamente con número: VA07290/22
Código de validación telemática TRLTDCFZ60T66IJ1. Comprobación: https://cogitivalencia.e-gestion.es/Validacion.aspx?CVT=TRLTDCFZ60T66IJ1

VISADO
COGITI
VALENCIA
VA07290/22
TRLTDCFZ60T66IJ1

Tabla D.10 Marquesinas a un agua

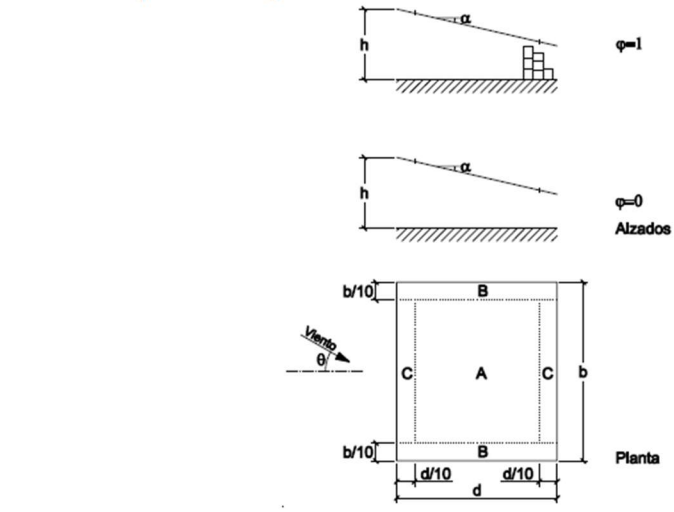

			Coeficientes de presión exterior $c_{p,10}$		
Pendiente de la cubierta α	Efecto del viento hacia	Factor de obstrucción φ	Zona (según figura)		
			A	B	C
0°	Abajo	$0 \le \varphi \le 1$	0,5	1,8	1,1
	Arriba	0	-0,6	-1,3	-1,4
	Arriba	1	-1,5	-1,8	-2,2
5°	Abajo	$0 \le \varphi \le 1$	0,8	2,1	1,3
	Arriba	0	-1,1	-1,7	-1,8
	Arriba	1	-1,6	-2,2	-2,5

3.4.2.5. Carga de viento para la comprobación de la cimentación existente de silo

Para la comprobación de la cimentación existente las reacciones sobre el silo se han determinado aplicando el coeficiente global de fuerza (cf), según lo establecido en el Eurocódigo 1-4, apartado (5) del articulo 7.3 (marquesinas).

> (5) El coeficiente global de fuerza representa la fuerza resultante sobre la estructura. El coeficiente de presión neta representa la presión máxima local para todas las direcciones del viento. Ésta se debería emplear para el cálculo de los elementos de cubierta y fijaciones.

Los coeficientes globales de fuerza se emplean para el cálculo de efectos globales de la estructura, como es el caso del estudio de afección al mismo silo. Con los coeficientes globales de fuerza se obtiene una acción del viento más uniforme y de menor magnitud. En la siguiente tabla se muestran los coeficientes globales de fuerza cf aplicados en el cálculo de las reacciones:

Documento visado electrónicamente con número: VA07290/22
Código de validación telemática TRLTDCFZ60T66IJ1. Comprobación: https://cogitivalencia.e-gestion.es/Validacion.aspx?CVT=TRLTDCFZ60T66IJ1

VISADO
COGITI
VALENCIA
VA07290/22
TRLTDCFZ60T66IJ1

Tabla 7.6
Valores de $c_{p,net}$ y c_f para marquesinas a un agua

Coeficientes de presión neta $c_{p,net}$

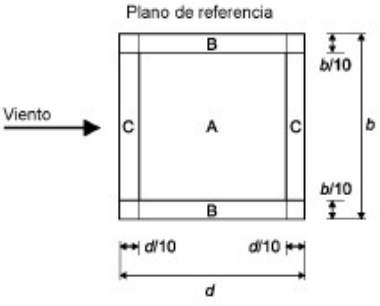

Ángulo de la cubierta α	Bloqueo φ	Coeficiente global de fuerza c_f	Zona A	Zona B	Zona C
0°	Valor máximo para cualquier φ	+ 0,2	+ 0,5	+ 1,8	+ 1,1
	Valor mínimo para $\varphi = 0$	- 0,5	- 0,6	- 1,3	- 1,4
	Valor mínimo para $\varphi = 1$	- 1,3	- 1,5	- 1,8	- 2,2
5°	Valor máximo para cualquier φ	+ 0,4	+ 0,8	+ 2,1	+ 1,3
	Valor mínimo para $\varphi = 0$	- 0,7	- 1,1	- 1,7	- 1,8
	Valor mínimo para $\varphi = 1$	- 1,4	- 1,6	- 2,2	- 2,5
10°	Valor máximo para cualquier φ	+ 0,5	+ 1,2	+ 2,4	+ 1,6
	Valor mínimo para $\varphi = 0$	- 0,9	- 1,5	- 2,0	- 2,1
	Valor mínimo para $\varphi = 1$	- 1,4	- 2,1	- 2,6	- 2,7
15°	Valor máximo para cualquier φ	+ 0,7	+ 1,4	+ 2,7	+ 1,8
	Valor mínimo para $\varphi = 0$	- 1,1	- 1,8	- 2,4	- 2,5
	Valor mínimo para $\varphi = 1$	- 1,4	- 1,6	- 2,9	- 3,0
20°	Valor máximo para cualquier φ	+ 0,8	+ 1,7	+ 2,9	+ 2,1
	Valor mínimo para $\varphi = 0$	- 1,3	- 2,2	- 2,8	- 2,9
	Valor mínimo para $\varphi = 1$	- 1,4	- 1,6	- 2,9	- 3,0
25°	Valor máximo para cualquier φ	+ 1,0	+ 2,0	+ 3,1	+ 2,3
	Valor mínimo para $\varphi = 0$	- 1,6	- 2,6	- 3,2	- 3,2
	Valor mínimo para $\varphi = 1$	- 1,4	- 1,5	- 2,5	- 2,8
30°	Valor máximo para cualquier φ	+ 1,2	+ 2,2	+ 3,2	+ 2,4
	Valor mínimo para $\varphi = 0$	- 1,8	- 3,0	- 3,8	- 3,6
	Valor mínimo para $\varphi = 1$	- 1,4	- 1,5	- 2,2	- 2,7

NOTA – los valores + indican una acción neta en sentido descendente
los valores – indican una acción neta en sentido ascendente

3.4.3. CARGA DE NIEVE

Los datos que se han tenido en cuenta son los siguientes:

- Zona invernal: 5
- Altitud y sobrecarga de nieve característica: La altitud de Valencia es de 0 metros sobre el nivel del mar.

Lo que corresponde a una sobrecarga de nieve sobre el terreno horizontal de 0,20 kN/m2.

Documento visado electrónicamente con número: VA07290/22
Código de validación telemática TRLTDCFZ60T66IJ1. Comprobación: https://cogitivalencia.e-gestion.es/Validacion.aspx?CVT=TRLTDCFZ60T66IJ1

VISADO
COGITI
VALENCIA
VA07290/22
TRLTDCFZ60T66IJ1

3.4.4. ACCIÓN SÍSMICA

De acuerdo con el Real Decreto 997/2002 de 27 de septiembre (Norma de Construcción Sismorresistente: Parte general y Edificación (NCSR-02), las prescripciones de índole general serán de aplicación a todo tipo de construcciones.

Se consideran prescripciones de índole general los siguientes apartados:

a) Clasificación de las construcciones.
b) Mapa de peligrosidad sísmica. Aceleración básica.
c) Aceleración sísmica de cálculo.

Clasificación de la construcción:

Se han clasificado las estructuras como, según la Norma de Construcción Sismorresistente: Parte General y Edificación (NCSR-02), como construcción de importancia normal (Aquellas cuya destrucción por el terremoto pueda ocasionar víctimas, interrumpir un servicio para la colectividad, o producir importantes pérdidas económicas, sin que en ningún caso se trate de un servicio imprescindible ni pueda dar lugar a efectos catastróficos).

Mapa de peligrosidad sísmica. Aceleración sísmica básica:

La aceleración sísmica básica es un valor característico de la aceleración horizontal de la superficie del terreno correspondiente a un período de retorno de 500 años.

La peligrosidad sísmica del territorio nacional se define por medio del mapa de peligrosidad sísmica, el cual suministra, expresada con relación al valor de la gravedad, g, la aceleración sísmica básica, ab - un valor característico de la aceleración horizontal de la superficie del terreno.

Documento visado electrónicamente con número: VA07290/22
Código de validación telemática TRLTDCFZ60T66IJ1. Comprobación: https://cogitivalencia.e-gestion.es/Validacion.aspx?CVT=TRLTDCFZ60T66IJ1

VISADO
COGITI
VALENCIA
VA07290/22
TRLTDCFZ60T66IJ1

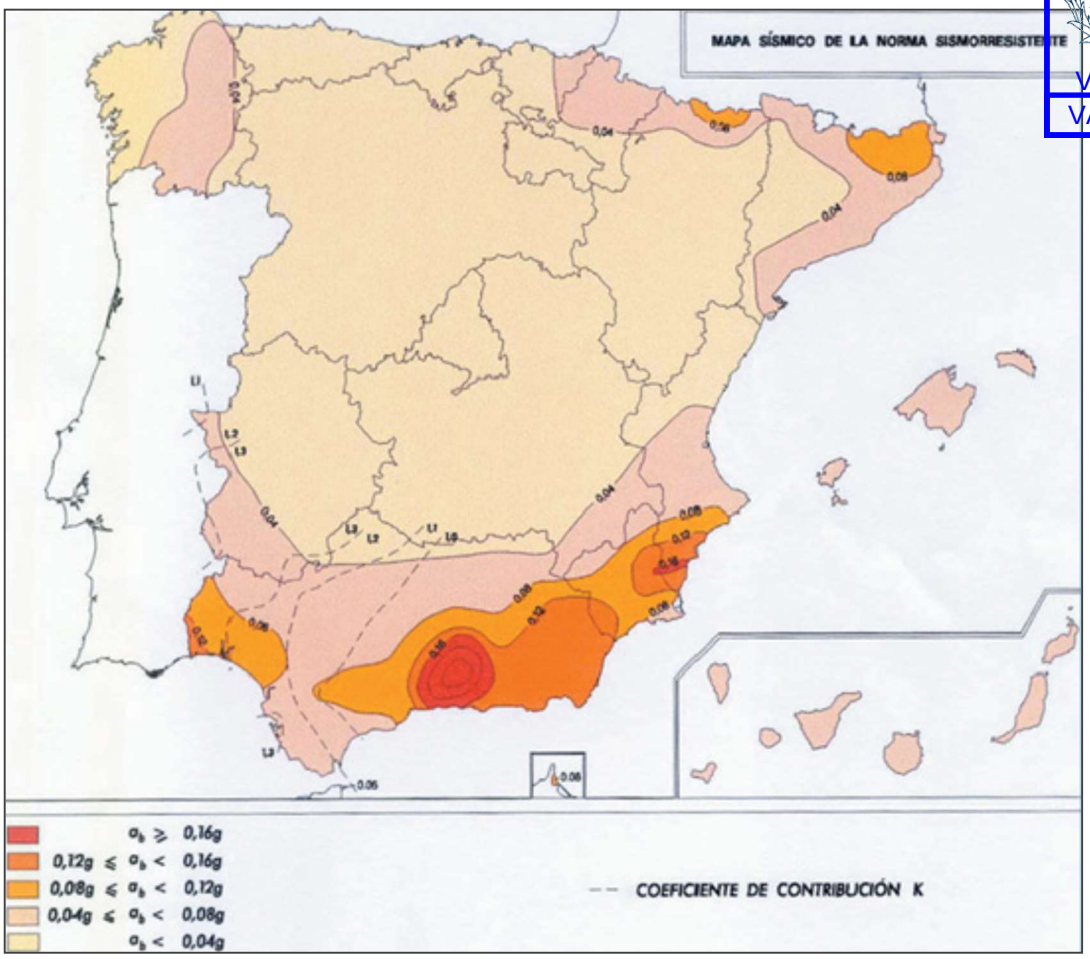

En este caso, la aceleración básica de Valencia es:

ab= 0,06 g

Coeficiente de Riesgo (ρ)

El coeficiente adimensional de riesgo es función de la probabilidad aceptable de que se exceda la aceleración sísmica de cálculo ac en el período de vida para el que se proyecta la construcción. Toma los valores de 1.0 para construcciones de normal importancia; y de 1.3 para construcciones de especial importancia. Por tanto, nos encontramos con un valor ρ = 1,0.

Coeficiente de terreno (C)

Depende de las características geotécnicas del terreno de cimentación, el cual se puede clasificar en los siguientes tipos:

- Terreno tipo I: Roca compactada, suelo cementado o granular muy denso. Velocidad de propagación de las ondas elásticas transversales o de cizalla, Vs > 750 m/s.

Documento visado electrónicamente con número: VA07290/22
Código de validación telemática TRLTDCFZ60T66IJ1. Comprobación: https://cogitivalencia.e-gestion.es/Validacion.aspx?CVT=TRLTDCFZ60T66IJ1

VISADO
COGITI
VALENCIA
VA07290/22
TRLTDCFZ60T66IJ1

- Terreno tipo II: Roca muy fracturada, suelos granulares densos o cohesivos duros. Velocidad de propagación de las ondas elásticas transversales o de cizalla, 750 m/s ≥ Vs > 400 m/s.
- Terreno tipo III: Suelo granular de compacidad media, o suelo cohesivo de consistencia firme a muy firme. Velocidad de propagación de las ondas elásticas transversales o de cizalla, 400 m/s ≥ Vs > 200 m/s.
- Terreno tipo IV: Suelo granular suelto, o suelo cohesivo blando. Velocidad de propagación de las ondas elásticas transversales o de cizalla, Vs ≤ 200 m/s.

A cada uno de estos tipos de terreno se le asigna el valor del coeficiente C indicado en la siguiente tabla:

Terreno	Coeficiente C
Tipo I	1,0
Tipo II	1,3
Tipo III	1,6
Tipo IV	2,0

Se ha considerado un terreno de tipo III, con un coeficiente C de 1,6.

Coeficiente de amplificación del terreno (S)

Una vez conocido el coeficiente C, se obtiene, en función de la aceleración básica, el coeficiente amplificador del terreno según la siguiente formulación:

– Para $\rho \cdot a_c \leq 0{,}1g$ $\quad S = \frac{C}{1{,}25}$

– Para $0{,}1g \leq \rho \cdot a_c \leq 0{,}4g$ $\quad S = \frac{C}{1{,}25} + 3{,}33 \cdot \left(\rho \frac{a_g}{g} - 0{,}1\right) \cdot \left(1 - \frac{C}{1{,}25}\right)$

– Para $\rho \cdot a_c \leq 0{,}1g$ $\quad S = 1{,}0$

En nuestro caso $S = \frac{C}{1{,}25} + 3{,}33 \cdot \left(\rho \frac{a_g}{g} - 0{,}1\right) \cdot \left(1 - \frac{C}{1{,}25}\right)$ =1,03

Aceleración sísmica de cálculo (ac)

La aceleración sísmica de cálculo para todos los tipos de terreno viene dada por la expresión:

$$a_c = S \cdot \rho \cdot a_b$$

Siendo:

Documento visado electrónicamente con número: VA07290/22
Código de validación telemática TRLTDCFZ60T66IJ1. Comprobación: https://cogitivalencia.e-gestion.es/Validacion.aspx?CVT=TRLTDCFZ60T66IJ1

VISADO
COGITI
VALENCIA
VA07290/22
TRLTDCFZ60T66IJ1

S = coeficiente de amplificación del terreno = 1,6/1,25 = 1,28

ρ = Coeficiente adimensional de riesgo = 1,00

ab = aceleración básica = 0,06g

La aceleración sísmica de cálculo obtenida es:

ac = 1,28 · 1,00 · 0,06g = 0,077g

3.4.5. ACCIONES TÉRMICAS

En el proyecto actual de silo para minimizar los esfuerzos térmicos, se disponen tres juntas de dilatación, dos en sentido transversal y una en el sentido longitudinal, obteniéndose 6 pastillas o bloques sensiblemente iguales, de dimensiones aproximadas de 75,12 m x 85,20 m. En el proyecto de la estructura metálica las juntas de dilatación coinciden con las juntas de dilatación de la estructura existente y las longitudes en ambas direcciones son mayores de 40 m, así que es necesario evaluar las acciones térmicas en el cálculo de la estructura.

Los datos que se han tenido en cuenta son los siguientes:

- Temperatura media de: 20,0°C
- Temperatura máxima: 42,0°C
- Temperatura mínima: -5,0°C (Zona invernal 5, Altitud 22,0 m)
- Por lo tanto, la variación de temperatura a considerar es la siguiente:
- Efectos de dilatación: +22,0°C
- Efectos de contracción: -25,0°C

3.5. COMBINACIONES

Estados Límite Últimos

En situación persistente o transitoria:

$$\sum_{i\geq 1}\gamma_{G,i}G_{k,i}+\sum_{j\geq 1}\gamma_{G^*,j}G^*_{k,j}+\gamma_{Q,1}Q_{k,1}+\sum_{i>1}\gamma_{Q,i}\Psi_{0,i}Q_{k,i}$$

En situación accidental sin sismo:

$$\sum_{i\geq 1}\gamma_{G,i}G_{k,i}+\sum_{j\geq 1}\gamma_{G^*,j}G^*_{k,j}+\gamma_{A}A_{k}+\gamma_{Q,1}\Psi_{1.1}Q_{k,1}+\sum_{i>1}\gamma_{Q,i}\Psi_{2,i}Q_{k,i}$$

En situación accidental con sismo:

$$\sum_{i\geq 1}\gamma_{G,i}G_{k,i}+\sum_{j\geq 1}\gamma_{G^*,j}G^*_{k,j}+\gamma_{A}A_{E,k}+\gamma_{Q,1}\Psi_{2.1}Q_{k,1}$$

Estados Límite de Servicio

En situación característica:

Documento visado electrónicamente con número: VA07290/22
Código de validación telemática TRLTDCFZ60T66IJ1. Comprobación: https://cogitivalencia.e-gestion.es/Validacion.aspx?CVT=TRLTDCFZ60T66IJ1

VISADO
COGITI
VALENCIA
VA07290/22
TRLTDCFZ60T66IJ1

$$\sum_{i\geq 1}\gamma_{G,i}G_{k,i}+\sum_{j\geq 1}\gamma_{G^*,j}G^*_{k,j}+\gamma_{Q,1}Q_{k,1}+\sum_{i>1}\gamma_{Q,i}\Psi_{0,i}Q_{k,i}$$

En situación frecuente:

$$\sum_{i\geq 1}\gamma_{G,i}G_{k,i}+\sum_{j\geq 1}\gamma_{G^*,j}G^*_{k,j}+\gamma_{Q,1}\Psi_{1,1}Q_{k,1}+\sum_{i>1}\gamma_{Q,i}\Psi_{2,i}Q_{k,i}$$

En situación cuasipermanente:

$$\sum_{i\geq 1}\gamma_{G,i}G_{k,i}+\sum_{j\geq 1}\gamma_{G^*,j}G^*_{k,j}+\sum_{i\geq 1}\gamma_{Q,i}\Psi_{2,i}Q_{k,i}$$

4. JUSTIFICACIÓN DE LA SOLUCIÓN ADOPTADA

4.1 MÉTODO DE CÁLCULO

Para la obtención de las solicitaciones se han considerado los principios de la Mecánica Racional y las teorías clásicas de la Resistencia de Materiales y Elasticidad.

El método de cálculo aplicado es de los Estados Límites, en el que se pretende limitar que el efecto de las acciones exteriores ponderadas por unos coeficientes sea inferior a la respuesta de la estructura, minorando las resistencias de los materiales.

En los estados límites últimos se comprueban los correspondientes a: equilibrio, agotamiento o rotura, adherencia, anclaje y fatiga (si procede).

En los estados límites de utilización se comprueba: deformaciones (flechas), y vibraciones (si procede).

Definidos los estados de carga según su origen, se procede a calcular las combinaciones posibles con los coeficientes de mayoración y minoración correspondientes de acuerdo con los coeficientes de seguridad y las hipótesis básicas definidas en la norma.

Situación una acción variable:	γfg· G + γfq · Q
Situación dos o más acciones variables:	γfg· G + γfq · Q + 0.6· γfq · W

La obtención de los esfuerzos en las diferentes hipótesis simples del entramado estructural, se harán de acuerdo con un cálculo lineal de primer orden, es decir admitiendo proporcionalidad entre esfuerzos y deformaciones, el principio de superposición de acciones, y un comportamiento lineal y geométrico de los materiales y la estructura.

Para la obtención de las solicitaciones y dimensionado de los elementos estructurales, se ha dispuesto del programa informático CYPE 3D – 2021.d.

Para el cálculo de las uniones metálicas, se ha dispuesto del programa informático IDEA StatiCa 9.

Documento visado electrónicamente con número: VA07290/22
Código de validación telemática TRLTDCFZ60T66IJ1. Comprobación: https://cogitivalencia.e-gestion.es/Validacion.aspx?CVT=TRLTDCFZ60T66IJ1

VISADO
COGITI
VALENCIA
VA07290/22
TRLTDCFZ60T66IJ1

5. RESULTADOS OBTENIDOS

El anexo a la presente memoria de cálculo muestra los resultados obtenidos en el cálculo mediante el listado de cálculo del programa informático empleado.

Documento visado electrónicamente con número: VA07290/22
Código de validación telemática TRLTDCFZ60T66IJ1. Comprobación: https://cogitivalencia.e-gestion.es/Validacion.aspx?CVT=TRLTDCFZ60T66IJ1

VISADO
COGITI
VALENCIA
VA07290/22
TRLTDCFZ60T66IJ1

ANEXO I

LISTADOS DE CALCULO DE LA ESTRUCTURA.

Documento visado electrónicamente con número: VA07290/22
Código de validación telemática TRLTDCFZ60T66IJ1. Comprobación: https://cogitivalencia.e-gestion.es/Validacion.aspx?CVT=TRLTDCFZ60T66IJ1

VISADO
COGITI
VALENCIA
VA07290/22
TRLTDCFZ60T66IJ1

A.1. Listados de cálculo de la estructura metálica

Documento visado electrónicamente con número: VA07290/22
Código de validación telemática TRLTDCFZ60T66IJ1. Comprobación: https://cogitivalencia.e-gestion.es/Validacion.aspx?CVT=TRLTDCFZ60T66IJ1

VISADO
COGITI
VALENCIA
VA07290/22
TRLTDCFZ60T66IJ1

ÍNDICE

1. DATOS DE OBRA 2
1.1. Normas consideradas 2
1.2. Estados límite 2
1.2.1. Situaciones de proyecto 2
1.3. Sismo 4
1.3.1. Datos generales de sismo 4

2. ESTRUCTURA 5
2.1. Geometría 5
2.1.1. Barras 5
2.2. Resultados 271
2.2.1. Barras 271
2.2.2. Sismo 468
2.3. Uniones 472
2.3.1. Memoria de cálculo 472

Documento visado electrónicamente con número: VA07290/22
Código de validación telemática TRLTDCFZ60T66IJ1. Comprobación: https://cogitivalencia.e-gestion.es/Validacion.aspx?CVT=TRLTDCFZ60T66IJ1

VISADO
COGITI
VALENCIA
VA07290/22
TRLTDCFZ60T66IJ1

1. DATOS DE OBRA

1.1. Normas consideradas

Aceros laminados y armados: Código Estructural

Categoría de uso: G1. Cubiertas accesibles únicamente para mantenimiento. No concomitante con el resto de acciones variables

1.2. Estados límite

E.L.U. de rotura. Acero laminado	CTE Cota de nieve: Altitud inferior o igual a 1000 m
Desplazamientos	Acciones características

1.2.1. Situaciones de proyecto

Para las distintas situaciones de proyecto, las combinaciones de acciones se definirán de acuerdo con los siguientes criterios:

- Situaciones persistentes o transitorias

- Con coeficientes de combinación

- Sin coeficientes de combinación

- Situaciones sísmicas

- Con coeficientes de combinación

- Sin coeficientes de combinación

- Donde:

G_k Acción permanente
P_k Acción de pretensado
Q_k Acción variable
A_E Acción sísmica
γ_G Coeficiente parcial de seguridad de las acciones permanentes
γ_P Coeficiente parcial de seguridad de la acción de pretensado
$\gamma_{Q,1}$ Coeficiente parcial de seguridad de la acción variable principal
$\gamma_{Q,i}$ Coeficiente parcial de seguridad de las acciones variables de acompañamiento
γ_{AE} Coeficiente parcial de seguridad de la acción sísmica
$\psi_{p,1}$ Coeficiente de combinación de la acción variable principal
$\psi_{a,i}$ Coeficiente de combinación de las acciones variables de acompañamiento

Para cada situación de proyecto y estado límite los coeficientes a utilizar serán:

Documento visado electrónicamente con número: VA07290/22
Código de validación telemática TRLTDCFZ60T66IJ1. Comprobación: https://cogitivalencia.e-gestion.es/Validacion.aspx?CVT=TRLTDCFZ60T66IJ1

VISADO
COGITI
VALENCIA
VA07290/22
TRLTDCFZ60T66IJ1

E.L.U. de rotura. Acero laminado: Código Estructural

Persistente o transitoria				
	Coeficientes parciales de seguridad (γ)		Coeficientes de combinación (ψ)	
	Favorable	Desfavorable	Principal (ψ_p)	Acompañamiento (ψ_a)
Carga permanente (G)	0.800	1.350	-	-
Sobrecarga (Q)	0.000	1.500	0.000	0.000
Viento (Q)	0.000	1.500	1.000	0.600
Nieve (Q)	0.000	1.500	1.000	0.500
Temperatura (T)	0.000	1.500	1.000	0.600

Persistente o transitoria (G1)				
	Coeficientes parciales de seguridad (γ)		Coeficientes de combinación (ψ)	
	Favorable	Desfavorable	Principal (ψ_p)	Acompañamiento (ψ_a)
Carga permanente (G)	0.800	1.350	-	-
Sobrecarga (Q)	0.000	1.500	1.000	0.000
Viento (Q)	0.000	1.500	0.000	0.000
Nieve (Q)	0.000	1.500	0.000	0.000
Temperatura (T)	0.000	1.500	0.000	0.000

Sísmica				
	Coeficientes parciales de seguridad (γ)		Coeficientes de combinación (ψ)	
	Favorable	Desfavorable	Principal (ψ_p)	Acompañamiento (ψ_a)
Carga permanente (G)	1.000	1.000	-	-
Sobrecarga (Q)	0.000	1.000	0.000	0.000
Viento (Q)	0.000	1.000	0.000	0.000
Nieve (Q)	0.000	1.000	0.000	0.000
Temperatura (T)	0.000	1.000	0.000	0.000
Sismo (E)	-1.000	1.000	1.000	0.300[1]

Notas:
[1] Fracción de las solicitaciones sísmicas a considerar en la dirección ortogonal: Las solicitaciones obtenidas de los resultados del análisis en cada una de las direcciones ortogonales se combinarán con el 30 % de los de la otra.

Desplazamientos

Característica				
	Coeficientes parciales de seguridad (γ)		Coeficientes de combinación (ψ)	
	Favorable	Desfavorable	Principal (ψ_p)	Acompañamiento (ψ_a)
Carga permanente (G)	1.000	1.000	-	-
Sobrecarga (Q)	0.000	1.000	0.000	0.000
Viento (Q)	0.000	1.000	1.000	1.000
Nieve (Q)	0.000	1.000	1.000	1.000
Temperatura (T)	0.000	1.000	1.000	1.000

Documento visado electrónicamente con número: VA07290/22
Código de validación telemática TRLTDCFZ60T66IJ1. Comprobación: https://cogitivalencia.e-gestion.es/Validacion.aspx?CVT=TRLTDCFZ60T66IJ1

VISADO
COGITI
VALENCIA
VA07290/22
TRLTDCFZ60T66IJ1

Característica				
	Coeficientes parciales de seguridad (γ)		Coeficientes de combinación (ψ)	
	Favorable	Desfavorable	Principal (ψ_p)	Acompañamiento (ψ_a)
Carga permanente (G)	1.000	1.000	-	-
Sobrecarga (Q)	0.000	1.000	1.000	1.000
Viento (Q)	0.000	1.000	1.000	1.000
Nieve (Q)	0.000	1.000	1.000	1.000
Temperatura (T)	0.000	1.000	1.000	1.000

Sísmica				
	Coeficientes parciales de seguridad (γ)		Coeficientes de combinación (ψ)	
	Favorable	Desfavorable	Principal (ψ_p)	Acompañamiento (ψ_a)
Carga permanente (G)	1.000	1.000	-	-
Sobrecarga (Q)	0.000	1.000	0.000	0.000
Viento (Q)				
Nieve (Q)				
Temperatura (T)				
Sismo (E)	-1.000	1.000	1.000	0.000

1.3. Sismo

Norma utilizada: NCSE-02

Norma de Construcción Sismorresistente NCSE-02

Método de cálculo: Análisis mediante espectros de respuesta (NCSE-02, 3.6.2)

1.3.1. Datos generales de sismo

Caracterización del emplazamiento

a_b: Aceleración básica (NCSE-02, 2.1 y Anejo 1) **a_b** : *0.060* g

K: Coeficiente de contribución (NCSE-02, 2.1 y Anejo 1) **K** : *1.00*

Tipo de suelo (NCSE-02, 2.4): Tipo III

Sistema estructural

Ductilidad (NCSE-02, Tabla 3.1): Ductilidad baja

Ω: Amortiguamiento (NCSE-02, Tabla 3.1) **Ω** : *5.00* %

Tipo de construcción (NCSE-02, 2.2): Construcciones de importancia normal

Parámetros de cálculo

Número de modos de vibración que intervienen en el análisis: Según norma

Fracción de sobrecarga de uso : *0.50*

Fracción de sobrecarga de nieve : *0.50*

Documento visado electrónicamente con número: VA07290/22
Código de validación telemática TRLTDCFZ60T66IJ1. Comprobación: https://cogitivalencia.e-gestion.es/Validacion.aspx?CVT=TRLTDCFZ60T66IJ1

VISADO
COGITI
VALENCIA
VA07290/22
TRLTDCFZ60T66IJ1

Efectos de la componente sísmica vertical

No se consideran

No se realiza análisis de los efectos de 2º orden

Direcciones de análisis

Acción sísmica según X

Acción sísmica según Y

2. ESTRUCTURA

2.1. Geometría

2.1.1. Barras

2.1.1.1. Materiales utilizados

Materiales utilizados							
Material		E (MPa)	ν	G (MPa)	f_y (MPa)	$\alpha \cdot t$ (m/m°C)	γ (kN/m³)
Tipo	Designación						
Acero laminado	S275 (UNE-EN 10025-2)	210000.00	0.300	81000.00	275.00	0.000012	77.01

Notación:
E: Módulo de elasticidad
ν: Módulo de Poisson
G: Módulo de cortadura
f_y: Límite elástico
$\alpha \cdot t$: Coeficiente de dilatación
γ: Peso específico

2.1.1.2. Descripción

Descripción											
Material		Barra (Ni/Nf)	Pieza (Ni/Nf)	Perfil(Serie)	Longitud (m)			β_{xy}	β_{xz}	$Lb_{Sup.}$ (m)	$Lb_{Inf.}$ (m)
Tipo	Designación				Indeformable origen	Deformable	Indeformable extremo				
Acero laminado	S275 (UNE-EN 10025-2)	N30/N15	N30/N15	SHS 120x5.0 (SHS)	0.088	1.824	0.088	1.00	1.00	-	-
		N31/N16	N31/N16	SHS 120x5.0 (SHS)	0.088	1.824	0.088	1.00	1.00	-	-
		N32/N17	N32/N17	SHS 120x4.0 (SHS)	0.088	1.824	0.088	1.00	1.00	-	-
		N33/N18	N33/N18	SHS 120x4.0 (SHS)	0.088	1.824	0.088	1.00	1.00	-	-
		N34/N19	N34/N19	SHS 120x4.0 (SHS)	0.088	1.835	0.077	1.00	1.00	-	-
		N35/N20	N35/N20	SHS 100x4.0 (SHS)	0.086	1.837	0.077	1.00	1.00	-	-
		N36/N21	N36/N21	SHS 100x4.0 (SHS)	0.086	1.837	0.077	1.00	1.00	-	-
		N37/N22	N37/N22	SHS 100x4.0 (SHS)	0.086	1.837	0.077	1.00	1.00	-	-
		N38/N23	N38/N23	SHS 100x4.0 (SHS)	0.086	1.836	0.078	1.00	1.00	-	-
		N39/N24	N39/N24	SHS 100x4.0 (SHS)	0.086	1.836	0.078	1.00	1.00	-	-
		N40/N25	N40/N25	SHS 120x4.0 (SHS)	0.094	1.828	0.078	1.00	1.00	-	-

Documento visado electrónicamente con número: VA07290/22
Código de validación telemática TRLTDCFZ60T66IJ1. Comprobación: https://cogitivalencia.e-gestion.es/Validacion.aspx?CVT=TRLTDCFZ60T66IJ1

Listados

VISADO
COGITI
VALENCIA
VA07290/22
TRLTDCFZ60T66IJ1

Descripción												
Material		Barra (Ni/Nf)	Pieza (Ni/Nf)	Perfil(Serie)	Longitud (m)			β_{xy}	β_{xz}	$Lb_{sup.}$ (m)	$Lb_{inf.}$ (m)
Tipo	Designación				Indeformable origen	Deformable	Indeformable extremo				
		N41/N26	N41/N26	SHS 120x4.0 (SHS)	0.094	1.812	0.094	1.00	1.00	-	-
		N42/N27	N42/N27	SHS 120x4.0 (SHS)	0.094	1.812	0.094	1.00	1.00	-	-
		N43/N28	N43/N28	SHS 120x5.0 (SHS)	0.094	1.812	0.094	1.00	1.00	-	-
		N44/N29	N44/N29	SHS 120x5.0 (SHS)	0.131	1.775	0.094	1.00	1.00	-	-
		N60/N45	N60/N45	SHS 120x5.0 (SHS)	0.088	1.824	0.088	1.00	1.00	-	-
		N61/N46	N61/N46	SHS 120x5.0 (SHS)	0.088	1.824	0.088	1.00	1.00	-	-
		N62/N47	N62/N47	SHS 120x4.0 (SHS)	0.088	1.824	0.088	1.00	1.00	-	-
		N63/N48	N63/N48	SHS 120x4.0 (SHS)	0.088	1.824	0.088	1.00	1.00	-	-
		N64/N49	N64/N49	SHS 120x4.0 (SHS)	0.088	1.835	0.077	1.00	1.00	-	-
		N65/N50	N65/N50	SHS 100x4.0 (SHS)	0.086	1.837	0.077	1.00	1.00	-	-
		N66/N51	N66/N51	SHS 100x4.0 (SHS)	0.086	1.837	0.077	1.00	1.00	-	-
		N67/N52	N67/N52	SHS 100x4.0 (SHS)	0.086	1.837	0.077	1.00	1.00	-	-
		N68/N53	N68/N53	SHS 100x4.0 (SHS)	0.086	1.836	0.078	1.00	1.00	-	-
		N69/N54	N69/N54	SHS 100x4.0 (SHS)	0.086	1.836	0.078	1.00	1.00	-	-
		N70/N55	N70/N55	SHS 120x4.0 (SHS)	0.094	1.828	0.078	1.00	1.00	-	-
		N71/N56	N71/N56	SHS 120x4.0 (SHS)	0.094	1.812	0.094	1.00	1.00	-	-
		N72/N57	N72/N57	SHS 120x4.0 (SHS)	0.094	1.812	0.094	1.00	1.00	-	-
		N73/N58	N73/N58	SHS 120x5.0 (SHS)	0.094	1.812	0.094	1.00	1.00	-	-
		N74/N59	N74/N59	SHS 120x5.0 (SHS)	0.131	1.775	0.094	1.00	1.00	-	-
		N90/N75	N90/N75	SHS 120x5.0 (SHS)	0.088	1.824	0.088	1.00	1.00	-	-
		N91/N76	N91/N76	SHS 120x5.0 (SHS)	0.088	1.824	0.088	1.00	1.00	-	-
		N92/N77	N92/N77	SHS 120x4.0 (SHS)	0.088	1.824	0.088	1.00	1.00	-	-
		N93/N78	N93/N78	SHS 120x4.0 (SHS)	0.088	1.824	0.088	1.00	1.00	-	-
		N94/N79	N94/N79	SHS 120x4.0 (SHS)	0.088	1.835	0.077	1.00	1.00	-	-
		N95/N80	N95/N80	SHS 100x4.0 (SHS)	0.086	1.837	0.077	1.00	1.00	-	-
		N96/N81	N96/N81	SHS 100x4.0 (SHS)	0.086	1.837	0.077	1.00	1.00	-	-
		N97/N82	N97/N82	SHS 100x4.0 (SHS)	0.086	1.837	0.077	1.00	1.00	-	-
		N98/N83	N98/N83	SHS 100x4.0 (SHS)	0.086	1.836	0.078	1.00	1.00	-	-
		N99/N84	N99/N84	SHS 100x4.0 (SHS)	0.086	1.836	0.078	1.00	1.00	-	-
		N100/N85	N100/N85	SHS 120x4.0 (SHS)	0.094	1.828	0.078	1.00	1.00	-	-
		N101/N86	N101/N86	SHS 120x4.0 (SHS)	0.094	1.812	0.094	1.00	1.00	-	-

Documento visado electrónicamente con número: VA07290/22
Código de validación telemática TRLTDCFZ60T66IJ1. Comprobación: https://cogitivalencia.e-gestion.es/Validacion.aspx?CVT=TRLTDCFZ60T66IJ1

VISADO
COGITI
VALENCIA
VA07290/22
TRLTDCFZ60T66IJ1

Listados

Descripción											
Material		Barra (Ni/Nf)	Pieza (Ni/Nf)	Perfil(Serie)	Longitud (m)			β_{xy}	β_{xz}	Lbsup (m)	Lbinf (m)
Tipo	Designación				Indeformable origen	Deformable	Indeformable extremo				
		N102/N87	N102/N87	SHS 120x4.0 (SHS)	0.094	1.812	0.094	1.00	1.00	-	-
		N103/N88	N103/N88	SHS 120x5.0 (SHS)	0.094	1.812	0.094	1.00	1.00	-	-
		N104/N89	N104/N89	SHS 120x5.0 (SHS)	0.094	1.812	0.094	1.00	1.00	-	-
		N30/N14	N30/N14	SHS 120x10.0 (SHS)	0.111	2.372	0.099	0.80	0.80	-	-
		N31/N15	N31/N15	SHS 120x5.0 (SHS)	0.111	2.372	0.099	0.80	0.80	-	-
		N32/N16	N32/N16	SHS 120x5.0 (SHS)	0.111	2.372	0.099	0.80	0.80	-	-
		N33/N17	N33/N17	SHS 120x4.0 (SHS)	0.111	2.372	0.099	0.80	0.80	-	-
		N34/N18	N34/N18	SHS 120x4.0 (SHS)	0.111	2.372	0.099	0.80	0.80	-	-
		N36/N20	N36/N20	SHS 100x4.0 (SHS)	0.111	2.372	0.099	0.80	0.80	-	-
		N37/N21	N37/N21	SHS 100x4.0 (SHS)	0.111	2.372	0.099	0.80	0.80	-	-
		N37/N23	N37/N23	SHS 100x4.0 (SHS)	0.119	2.544	0.106	0.80	0.80	-	-
		N38/N24	N38/N24	SHS 100x4.0 (SHS)	0.119	2.544	0.106	0.80	0.80	-	-
		N40/N26	N40/N26	SHS 120x4.0 (SHS)	0.119	2.544	0.106	0.80	0.80	-	-
		N41/N27	N41/N27	SHS 120x4.0 (SHS)	0.119	2.544	0.106	0.80	0.80	-	-
		N42/N28	N42/N28	SHS 120x5.0 (SHS)	0.119	2.544	0.106	0.80	0.80	-	-
		N43/N29	N43/N29	SHS 120x5.0 (SHS)	0.119	2.544	0.106	0.80	0.80	-	-
		N44/N9	N44/N9	SHS 120x10.0 (SHS)	0.119	2.431	0.219	0.80	0.80	-	-
		N60/N8	N60/N8	SHS 120x10.0 (SHS)	0.111	2.267	0.204	0.80	0.80	-	-
		N61/N45	N61/N45	SHS 120x5.0 (SHS)	0.111	2.372	0.099	0.80	0.80	-	-
		N62/N46	N62/N46	SHS 120x5.0 (SHS)	0.111	2.372	0.099	0.80	0.80	-	-
		N63/N47	N63/N47	SHS 120x4.0 (SHS)	0.111	2.372	0.099	0.80	0.80	-	-
		N64/N48	N64/N48	SHS 120x4.0 (SHS)	0.111	2.372	0.099	0.80	0.80	-	-
		N66/N50	N66/N50	SHS 100x4.0 (SHS)	0.111	2.372	0.099	0.80	0.80	-	-
		N67/N51	N67/N51	SHS 100x4.0 (SHS)	0.111	2.372	0.099	0.80	0.80	-	-
		N67/N53	N67/N53	SHS 100x4.0 (SHS)	0.119	2.544	0.106	0.80	0.80	-	-
		N68/N54	N68/N54	SHS 100x4.0 (SHS)	0.119	2.544	0.106	0.80	0.80	-	-
		N70/N56	N70/N56	SHS 120x4.0 (SHS)	0.119	2.544	0.106	0.80	0.80	-	-
		N71/N57	N71/N57	SHS 120x4.0 (SHS)	0.119	2.544	0.106	0.80	0.80	-	-
		N72/N58	N72/N58	SHS 120x5.0 (SHS)	0.119	2.544	0.106	0.80	0.80	-	-
		N73/N59	N73/N59	SHS 120x5.0 (SHS)	0.119	2.544	0.106	0.80	0.80	-	-

Documento visado electrónicamente con número: VA07290/22
Código de validación telemática TRLTDCFZ60T66IJ1. Comprobación: https://cogitivalencia.e-gestion.es/Validacion.aspx?CVT=TRLTDCFZ60T66IJ1

VISADO
COGITI
VALENCIA
VA07290/22
TRLTDCFZ60T66IJ1

Listados

Descripción												
Material		Barra (Ni/Nf)	Pieza (Ni/Nf)	Perfil(Serie)	Longitud (m)			β_{xy}	β_{xz}	$Lb_{sup.}$ (m)	$Lb_{inf.}$ (m)
Tipo	Designación				Indeformable origen	Deformable	Indeformable extremo				
		N74/N11	N74/N11	SHS 120x10.0 (SHS)	0.119	2.431	0.219	0.80	0.80	-	-
		N90/N10	N90/N10	SHS 120x10.0 (SHS)	0.111	2.267	0.204	0.80	0.80	-	-
		N91/N75	N91/N75	SHS 120x5.0 (SHS)	0.111	2.372	0.099	0.80	0.80	-	-
		N92/N76	N92/N76	SHS 120x5.0 (SHS)	0.111	2.372	0.099	0.80	0.80	-	-
		N93/N77	N93/N77	SHS 120x4.0 (SHS)	0.111	2.372	0.099	0.80	0.80	-	-
		N94/N78	N94/N78	SHS 120x4.0 (SHS)	0.111	2.372	0.099	0.80	0.80	-	-
		N96/N80	N96/N80	SHS 100x4.0 (SHS)	0.111	2.372	0.099	0.80	0.80	-	-
		N97/N81	N97/N81	SHS 100x4.0 (SHS)	0.111	2.372	0.099	0.80	0.80	-	-
		N97/N83	N97/N83	SHS 100x4.0 (SHS)	0.119	2.544	0.106	0.80	0.80	-	-
		N98/N84	N98/N84	SHS 100x4.0 (SHS)	0.119	2.544	0.106	0.80	0.80	-	-
		N100/N86	N100/N86	SHS 120x4.0 (SHS)	0.119	2.544	0.106	0.80	0.80	-	-
		N101/N87	N101/N87	SHS 120x4.0 (SHS)	0.119	2.544	0.106	0.80	0.80	-	-
		N102/N88	N102/N88	SHS 120x5.0 (SHS)	0.119	2.544	0.106	0.80	0.80	-	-
		N103/N89	N103/N89	SHS 120x5.0 (SHS)	0.119	2.544	0.106	0.80	0.80	-	-
		N104/N13	N104/N13	SHS 120x10.0 (SHS)	0.119	2.431	0.219	0.80	0.80	-	-
		N106/N123	N106/N123	SHS 150x10.0 (SHS)	0.116	1.774	0.110	1.00	1.00	-	-
		N107/N124	N107/N124	SHS 150x10.0 (SHS)	0.116	1.774	0.110	1.00	1.00	-	-
		N108/N125	N108/N125	SHS 150x8.0 (SHS)	0.116	1.778	0.106	1.00	1.00	-	-
		N109/N126	N109/N126	SHS 120x8.0 (SHS)	0.116	1.778	0.106	1.00	1.00	-	-
		N110/N127	N110/N127	SHS 120x8.0 (SHS)	0.116	1.778	0.106	1.00	1.00	-	-
		N111/N128	N111/N128	SHS 120x5.0 (SHS)	0.116	1.778	0.106	1.00	1.00	-	-
		N112/N129	N112/N129	SHS 120x5.0 (SHS)	0.116	1.778	0.106	1.00	1.00	-	-
		N113/N130	N113/N130	SHS 120x5.0 (SHS)	0.116	1.778	0.106	1.00	1.00	-	-
		N114/N131	N114/N131	SHS 120x5.0 (SHS)	0.116	1.778	0.106	1.00	1.00	-	-
		N115/N132	N115/N132	SHS 120x5.0 (SHS)	0.116	1.778	0.106	1.00	1.00	-	-
		N116/N133	N116/N133	SHS 120x8.0 (SHS)	0.116	1.778	0.106	1.00	1.00	-	-
		N117/N134	N117/N134	SHS 120x8.0 (SHS)	0.116	1.778	0.106	1.00	1.00	-	-
		N118/N135	N118/N135	SHS 150x8.0 (SHS)	0.117	1.777	0.106	1.00	1.00	-	-
		N119/N136	N119/N136	SHS 150x10.0 (SHS)	0.117	1.766	0.117	1.00	1.00	-	-

Documento visado electrónicamente con número: VA07290/22
Código de validación telemática TRLTDCFZ60T66IJ1. Comprobación: https://cogitivalencia.e-gestion.es/Validacion.aspx?CVT=TRLTDCFZ60T66IJ1

VISADO
COGITI
VALENCIA
VA07290/22
TRLTDCFZ60T66IJ1

Listados

Descripción											
Material		Barra (Ni/Nf)	Pieza (Ni/Nf)	Perfil(Serie)	Longitud (m)			β_{xy}	β_{xz}	Lbsup (m)	Lbinf (m)
Tipo	Designación				Indeformable origen	Deformable	Indeformable extremo				
		N120/N137	N120/N137	SHS 150x10.0 (SHS)	0.175	1.708	0.117	1.00	1.00	-	-
		N140/N156	N140/N156	SHS 150x10.0 (SHS)	0.116	1.774	0.110	1.00	1.00	-	-
		N141/N157	N141/N157	SHS 150x10.0 (SHS)	0.116	1.774	0.110	1.00	1.00	-	-
		N142/N158	N142/N158	SHS 150x8.0 (SHS)	0.116	1.778	0.106	1.00	1.00	-	-
		N143/N159	N143/N159	SHS 120x8.0 (SHS)	0.116	1.778	0.106	1.00	1.00	-	-
		N144/N160	N144/N160	SHS 120x8.0 (SHS)	0.116	1.778	0.106	1.00	1.00	-	-
		N145/N161	N145/N161	SHS 120x5.0 (SHS)	0.116	1.778	0.106	1.00	1.00	-	-
		N146/N162	N146/N162	SHS 120x5.0 (SHS)	0.116	1.778	0.106	1.00	1.00	-	-
		N147/N163	N147/N163	SHS 120x5.0 (SHS)	0.116	1.778	0.106	1.00	1.00	-	-
		N148/N164	N148/N164	SHS 120x5.0 (SHS)	0.116	1.778	0.106	1.00	1.00	-	-
		N149/N165	N149/N165	SHS 120x5.0 (SHS)	0.116	1.778	0.106	1.00	1.00	-	-
		N150/N166	N150/N166	SHS 120x8.0 (SHS)	0.116	1.778	0.106	1.00	1.00	-	-
		N151/N167	N151/N167	SHS 120x8.0 (SHS)	0.116	1.778	0.106	1.00	1.00	-	-
		N152/N168	N152/N168	SHS 150x8.0 (SHS)	0.117	1.777	0.106	1.00	1.00	-	-
		N153/N169	N153/N169	SHS 150x10.0 (SHS)	0.117	1.766	0.117	1.00	1.00	-	-
		N154/N170	N154/N170	SHS 150x10.0 (SHS)	0.175	1.708	0.117	1.00	1.00	-	-
		N179/N194	N179/N194	SHS 150x10.0 (SHS)	0.116	1.774	0.110	1.00	1.00	-	-
		N180/N195	N180/N195	SHS 150x10.0 (SHS)	0.116	1.774	0.110	1.00	1.00	-	-
		N181/N196	N181/N196	SHS 150x8.0 (SHS)	0.116	1.778	0.106	1.00	1.00	-	-
		N182/N197	N182/N197	SHS 120x8.0 (SHS)	0.116	1.778	0.106	1.00	1.00	-	-
		N183/N198	N183/N198	SHS 120x8.0 (SHS)	0.116	1.778	0.106	1.00	1.00	-	-
		N184/N199	N184/N199	SHS 120x5.0 (SHS)	0.116	1.778	0.106	1.00	1.00	-	-
		N185/N200	N185/N200	SHS 120x5.0 (SHS)	0.116	1.778	0.106	1.00	1.00	-	-
		N186/N201	N186/N201	SHS 120x5.0 (SHS)	0.116	1.778	0.106	1.00	1.00	-	-
		N187/N202	N187/N202	SHS 120x5.0 (SHS)	0.116	1.778	0.106	1.00	1.00	-	-
		N188/N203	N188/N203	SHS 120x5.0 (SHS)	0.116	1.778	0.106	1.00	1.00	-	-
		N189/N204	N189/N204	SHS 120x8.0 (SHS)	0.116	1.778	0.106	1.00	1.00	-	-
		N190/N205	N190/N205	SHS 120x8.0 (SHS)	0.116	1.778	0.106	1.00	1.00	-	-

Documento visado electrónicamente con número: VA07290/22
Código de validación telemática TRLTDCFZ60T66IJ1. Comprobación: https://cogitivalencia.e-gestion.es/Validacion.aspx?CVT=TRLTDCFZ60T66IJ1

Listados

VISADO
COGITI
VALENCIA
VA07290/22
TRLTDCFZ60T66IJ1

Descripción												
Material		Barra (Ni/Nf)	Pieza (Ni/Nf)	Perfil(Serie)	Longitud (m)			β_{xy}	β_{xz}	$Lb_{sup.}$ (m)	$Lb_{inf.}$ (m)
Tipo	Designación				Indeformable origen	Deformable	Indeformable extremo				
		N191/N206	N191/N206	SHS 150x8.0 (SHS)	0.117	1.777	0.106	1.00	1.00	-	-
		N192/N207	N192/N207	SHS 150x10.0 (SHS)	0.117	1.766	0.117	1.00	1.00	-	-
		N193/N208	N193/N208	SHS 150x10.0 (SHS)	0.117	1.766	0.117	1.00	1.00	-	-
		N106/N122	N106/N122	SHS 150x12.5 (SHS)	0.149	2.297	0.136	0.80	0.80	-	-
		N107/N123	N107/N123	SHS 150x8.0 (SHS)	0.149	2.297	0.136	0.80	0.80	-	-
		N108/N124	N108/N124	SHS 150x8.0 (SHS)	0.149	2.297	0.136	0.80	0.80	-	-
		N109/N125	N109/N125	SHS 120x6.0 (SHS)	0.149	2.297	0.136	0.80	0.80	-	-
		N110/N126	N110/N126	SHS 120x6.0 (SHS)	0.149	2.297	0.136	0.80	0.80	-	-
		N112/N128	N112/N128	SHS 120x4.0 (SHS)	0.149	2.297	0.136	0.80	0.80	-	-
		N113/N129	N113/N129	SHS 120x4.0 (SHS)	0.149	2.297	0.136	0.80	0.80	-	-
		N113/N131	N113/N131	SHS 120x4.0 (SHS)	0.160	2.463	0.146	0.80	0.80	-	-
		N114/N132	N114/N132	SHS 120x4.0 (SHS)	0.160	2.463	0.146	0.80	0.80	-	-
		N116/N134	N116/N134	SHS 120x6.0 (SHS)	0.160	2.463	0.146	0.80	0.80	-	-
		N117/N135	N117/N135	SHS 120x6.0 (SHS)	0.160	2.463	0.146	0.80	0.80	-	-
		N118/N136	N118/N136	SHS 150x8.0 (SHS)	0.160	2.463	0.146	0.80	0.80	-	-
		N119/N137	N119/N137	SHS 150x8.0 (SHS)	0.160	2.463	0.146	0.80	0.80	-	-
		N120/N138	N120/N138	SHS 150x12.5 (SHS)	0.160	2.390	0.219	0.80	0.80	-	-
		N140/N121	N140/N121	SHS 150x12.5 (SHS)	0.149	2.229	0.204	0.80	0.80	-	-
		N141/N156	N141/N156	SHS 150x8.0 (SHS)	0.149	2.297	0.136	0.80	0.80	-	-
		N142/N157	N142/N157	SHS 150x8.0 (SHS)	0.149	2.297	0.136	0.80	0.80	-	-
		N143/N158	N143/N158	SHS 120x6.0 (SHS)	0.149	2.297	0.136	0.80	0.80	-	-
		N144/N159	N144/N159	SHS 120x6.0 (SHS)	0.149	2.297	0.136	0.80	0.80	-	-
		N146/N161	N146/N161	SHS 120x4.0 (SHS)	0.149	2.297	0.136	0.80	0.80	-	-
		N147/N162	N147/N162	SHS 120x4.0 (SHS)	0.149	2.297	0.136	0.80	0.80	-	-
		N147/N164	N147/N164	SHS 120x4.0 (SHS)	0.160	2.463	0.146	0.80	0.80	-	-
		N148/N165	N148/N165	SHS 120x4.0 (SHS)	0.160	2.463	0.146	0.80	0.80	-	-
		N150/N167	N150/N167	SHS 120x6.0 (SHS)	0.160	2.463	0.146	0.80	0.80	-	-
		N151/N168	N151/N168	SHS 120x6.0 (SHS)	0.160	2.463	0.146	0.80	0.80	-	-
		N152/N169	N152/N169	SHS 150x8.0 (SHS)	0.160	2.463	0.146	0.80	0.80	-	-

Documento visado electrónicamente con número: VA07290/22
Código de validación telemática TRLTDCFZ60T66IJ1. Comprobación: https://cogitivalencia.e-gestion.es/Validacion.aspx?CVT=TRLTDCFZ60T66IJ1

VISADO
COGITI
VALENCIA
VA07290/22
TRLTDCFZ60T66IJ1

Listados

Descripción											
Material		Barra (Ni/Nf)	Pieza (Ni/Nf)	Perfil(Serie)	Longitud (m)			β_{xy}	β_{xz}	Lbsup (m)	Lbinf (m)
Tipo	Designación				Indeformable origen	Deformable	Indeformable extremo				
		N153/N170	N153/N170	SHS 150x8.0 (SHS)	0.160	2.463	0.146	0.80	0.80	-	-
		N154/N171	N154/N171	SHS 150x12.5 (SHS)	0.160	2.390	0.219	0.80	0.80	-	-
		N179/N155	N179/N155	SHS 150x12.5 (SHS)	0.149	2.229	0.204	0.80	0.80	-	-
		N180/N194	N180/N194	SHS 150x8.0 (SHS)	0.149	2.297	0.136	0.80	0.80	-	-
		N181/N195	N181/N195	SHS 150x8.0 (SHS)	0.149	2.297	0.136	0.80	0.80	-	-
		N182/N196	N182/N196	SHS 120x6.0 (SHS)	0.149	2.297	0.136	0.80	0.80	-	-
		N183/N197	N183/N197	SHS 120x6.0 (SHS)	0.149	2.297	0.136	0.80	0.80	-	-
		N185/N199	N185/N199	SHS 120x4.0 (SHS)	0.149	2.297	0.136	0.80	0.80	-	-
		N186/N200	N186/N200	SHS 120x4.0 (SHS)	0.149	2.297	0.136	0.80	0.80	-	-
		N186/N202	N186/N202	SHS 120x4.0 (SHS)	0.160	2.463	0.146	0.80	0.80	-	-
		N187/N203	N187/N203	SHS 120x4.0 (SHS)	0.160	2.463	0.146	0.80	0.80	-	-
		N189/N205	N189/N205	SHS 120x6.0 (SHS)	0.160	2.463	0.146	0.80	0.80	-	-
		N190/N206	N190/N206	SHS 120x6.0 (SHS)	0.160	2.463	0.146	0.80	0.80	-	-
		N191/N207	N191/N207	SHS 150x8.0 (SHS)	0.160	2.463	0.146	0.80	0.80	-	-
		N192/N208	N192/N208	SHS 150x8.0 (SHS)	0.160	2.463	0.146	0.80	0.80	-	-
		N193/N178	N193/N178	SHS 150x12.5 (SHS)	0.160	2.359	0.250	0.80	0.80	-	-
		N210/N227	N210/N227	SHS 150x10.0 (SHS)	0.116	1.774	0.110	1.00	1.00	-	-
		N211/N228	N211/N228	SHS 150x10.0 (SHS)	0.116	1.774	0.110	1.00	1.00	-	-
		N212/N229	N212/N229	SHS 150x8.0 (SHS)	0.116	1.778	0.106	1.00	1.00	-	-
		N213/N230	N213/N230	SHS 120x8.0 (SHS)	0.116	1.778	0.106	1.00	1.00	-	-
		N214/N231	N214/N231	SHS 120x8.0 (SHS)	0.116	1.778	0.106	1.00	1.00	-	-
		N215/N232	N215/N232	SHS 120x5.0 (SHS)	0.116	1.778	0.106	1.00	1.00	-	-
		N216/N233	N216/N233	SHS 120x5.0 (SHS)	0.116	1.778	0.106	1.00	1.00	-	-
		N217/N234	N217/N234	SHS 120x5.0 (SHS)	0.116	1.778	0.106	1.00	1.00	-	-
		N218/N235	N218/N235	SHS 120x5.0 (SHS)	0.116	1.778	0.106	1.00	1.00	-	-
		N219/N236	N219/N236	SHS 120x5.0 (SHS)	0.116	1.778	0.106	1.00	1.00	-	-
		N220/N237	N220/N237	SHS 120x8.0 (SHS)	0.116	1.778	0.106	1.00	1.00	-	-
		N221/N238	N221/N238	SHS 120x8.0 (SHS)	0.116	1.778	0.106	1.00	1.00	-	-
		N222/N239	N222/N239	SHS 150x8.0 (SHS)	0.117	1.777	0.106	1.00	1.00	-	-

Documento visado electrónicamente con número: VA07290/22
Código de validación telemática TRLTDCFZ60T66IJ1. Comprobación: https://cogitivalencia.e-gestion.es/Validacion.aspx?CVT=TRLTDCFZ60T66IJ1

VISADO
COGITI
VALENCIA
VA07290/22
TRLTDCFZ60T66IJ1

Listados

Descripción											
Material		Barra (Ni/Nf)	Pieza (Ni/Nf)	Perfil(Serie)	Longitud (m)			β_{xy}	β_{xz}	$Lb_{sup.}$ (m)	$Lb_{inf.}$ (m)
Tipo	Designación				Indeformable origen	Deformable	Indeformable extremo				
		N223/N240	N223/N240	SHS 150x10.0 (SHS)	0.117	1.766	0.117	1.00	1.00	-	-
		N224/N241	N224/N241	SHS 150x10.0 (SHS)	0.175	1.708	0.117	1.00	1.00	-	-
		N244/N260	N244/N260	SHS 150x10.0 (SHS)	0.116	1.774	0.110	1.00	1.00	-	-
		N245/N261	N245/N261	SHS 150x10.0 (SHS)	0.116	1.774	0.110	1.00	1.00	-	-
		N246/N262	N246/N262	SHS 150x8.0 (SHS)	0.116	1.778	0.106	1.00	1.00	-	-
		N247/N263	N247/N263	SHS 120x8.0 (SHS)	0.116	1.778	0.106	1.00	1.00	-	-
		N248/N264	N248/N264	SHS 120x8.0 (SHS)	0.116	1.778	0.106	1.00	1.00	-	-
		N249/N265	N249/N265	SHS 120x5.0 (SHS)	0.116	1.778	0.106	1.00	1.00	-	-
		N250/N266	N250/N266	SHS 120x5.0 (SHS)	0.116	1.778	0.106	1.00	1.00	-	-
		N251/N267	N251/N267	SHS 120x5.0 (SHS)	0.116	1.778	0.106	1.00	1.00	-	-
		N252/N268	N252/N268	SHS 120x5.0 (SHS)	0.116	1.778	0.106	1.00	1.00	-	-
		N253/N269	N253/N269	SHS 120x5.0 (SHS)	0.116	1.778	0.106	1.00	1.00	-	-
		N254/N270	N254/N270	SHS 120x8.0 (SHS)	0.116	1.778	0.106	1.00	1.00	-	-
		N255/N271	N255/N271	SHS 120x8.0 (SHS)	0.116	1.778	0.106	1.00	1.00	-	-
		N256/N272	N256/N272	SHS 150x8.0 (SHS)	0.117	1.777	0.106	1.00	1.00	-	-
		N257/N273	N257/N273	SHS 150x10.0 (SHS)	0.117	1.766	0.117	1.00	1.00	-	-
		N258/N274	N258/N274	SHS 150x10.0 (SHS)	0.175	1.708	0.117	1.00	1.00	-	-
		N283/N298	N283/N298	SHS 150x10.0 (SHS)	0.116	1.774	0.110	1.00	1.00	-	-
		N284/N299	N284/N299	SHS 150x10.0 (SHS)	0.116	1.774	0.110	1.00	1.00	-	-
		N285/N300	N285/N300	SHS 150x8.0 (SHS)	0.116	1.778	0.106	1.00	1.00	-	-
		N286/N301	N286/N301	SHS 120x8.0 (SHS)	0.116	1.778	0.106	1.00	1.00	-	-
		N287/N302	N287/N302	SHS 120x8.0 (SHS)	0.116	1.778	0.106	1.00	1.00	-	-
		N288/N303	N288/N303	SHS 120x5.0 (SHS)	0.116	1.778	0.106	1.00	1.00	-	-
		N289/N304	N289/N304	SHS 120x5.0 (SHS)	0.116	1.778	0.106	1.00	1.00	-	-
		N290/N305	N290/N305	SHS 120x5.0 (SHS)	0.116	1.778	0.106	1.00	1.00	-	-
		N291/N306	N291/N306	SHS 120x5.0 (SHS)	0.116	1.778	0.106	1.00	1.00	-	-
		N292/N307	N292/N307	SHS 120x5.0 (SHS)	0.116	1.778	0.106	1.00	1.00	-	-
		N293/N308	N293/N308	SHS 120x8.0 (SHS)	0.116	1.778	0.106	1.00	1.00	-	-

Documento visado electrónicamente con número: VA07290/22
Código de validación telemática TRLTDCFZ60T66IJ1. Comprobación: https://cogitivalencia.e-gestion.es/Validacion.aspx?CVT=TRLTDCFZ60T66IJ1

VISADO
COGITI
VALENCIA
VA07290/22
TRLTDCFZ60T66IJ1

Listados

Descripción											
Material		Barra (Ni/Nf)	Pieza (Ni/Nf)	Perfil(Serie)	Longitud (m)			β_{xy}	β_{xz}	Lbsup (m)	Lbinf (m)
Tipo	Designación				Indeformable origen	Deformable	Indeformable extremo				
		N294/N309	N294/N309	SHS 120x8.0 (SHS)	0.116	1.778	0.106	1.00	1.00	-	-
		N295/N310	N295/N310	SHS 150x8.0 (SHS)	0.117	1.777	0.106	1.00	1.00	-	-
		N296/N311	N296/N311	SHS 150x10.0 (SHS)	0.117	1.766	0.117	1.00	1.00	-	-
		N297/N312	N297/N312	SHS 150x10.0 (SHS)	0.117	1.766	0.117	1.00	1.00	-	-
		N210/N226	N210/N226	SHS 150x12.5 (SHS)	0.149	2.297	0.136	0.80	0.80	-	-
		N211/N227	N211/N227	SHS 150x8.0 (SHS)	0.149	2.297	0.136	0.80	0.80	-	-
		N212/N228	N212/N228	SHS 150x8.0 (SHS)	0.149	2.297	0.136	0.80	0.80	-	-
		N213/N229	N213/N229	SHS 120x6.0 (SHS)	0.149	2.297	0.136	0.80	0.80	-	-
		N214/N230	N214/N230	SHS 120x6.0 (SHS)	0.149	2.297	0.136	0.80	0.80	-	-
		N216/N232	N216/N232	SHS 120x4.0 (SHS)	0.149	2.297	0.136	0.80	0.80	-	-
		N217/N233	N217/N233	SHS 120x4.0 (SHS)	0.149	2.297	0.136	0.80	0.80	-	-
		N217/N235	N217/N235	SHS 120x4.0 (SHS)	0.160	2.463	0.146	0.80	0.80	-	-
		N218/N236	N218/N236	SHS 120x4.0 (SHS)	0.160	2.463	0.146	0.80	0.80	-	-
		N220/N238	N220/N238	SHS 120x6.0 (SHS)	0.160	2.463	0.146	0.80	0.80	-	-
		N221/N239	N221/N239	SHS 120x6.0 (SHS)	0.160	2.463	0.146	0.80	0.80	-	-
		N222/N240	N222/N240	SHS 150x8.0 (SHS)	0.160	2.463	0.146	0.80	0.80	-	-
		N223/N241	N223/N241	SHS 150x8.0 (SHS)	0.160	2.463	0.146	0.80	0.80	-	-
		N224/N242	N224/N242	SHS 150x12.5 (SHS)	0.160	2.390	0.219	0.80	0.80	-	-
		N244/N225	N244/N225	SHS 150x12.5 (SHS)	0.149	2.229	0.204	0.80	0.80	-	-
		N245/N260	N245/N260	SHS 150x8.0 (SHS)	0.149	2.297	0.136	0.80	0.80	-	-
		N246/N261	N246/N261	SHS 150x8.0 (SHS)	0.149	2.297	0.136	0.80	0.80	-	-
		N247/N262	N247/N262	SHS 120x6.0 (SHS)	0.149	2.297	0.136	0.80	0.80	-	-
		N248/N263	N248/N263	SHS 120x6.0 (SHS)	0.149	2.297	0.136	0.80	0.80	-	-
		N250/N265	N250/N265	SHS 120x4.0 (SHS)	0.149	2.297	0.136	0.80	0.80	-	-
		N251/N266	N251/N266	SHS 120x4.0 (SHS)	0.149	2.297	0.136	0.80	0.80	-	-
		N251/N268	N251/N268	SHS 120x4.0 (SHS)	0.160	2.463	0.146	0.80	0.80	-	-
		N252/N269	N252/N269	SHS 120x4.0 (SHS)	0.160	2.463	0.146	0.80	0.80	-	-
		N254/N271	N254/N271	SHS 120x6.0 (SHS)	0.160	2.463	0.146	0.80	0.80	-	-
		N255/N272	N255/N272	SHS 120x6.0 (SHS)	0.160	2.463	0.146	0.80	0.80	-	-

Documento visado electrónicamente con número: VA07290/22
Código de validación telemática TRLTDCFZ60T66IJ1. Comprobación: https://cogitivalencia.e-gestion.es/Validacion.aspx?CVT=TRLTDCFZ60T66IJ1

Listados

VISADO
COGITI
VALENCIA
VA07290/22
TRLTDCFZ60T66IJ1

Descripción												
Material		Barra (Ni/Nf)	Pieza (Ni/Nf)	Perfil(Serie)	Longitud (m)			β_{xy}	β_{xz}	$Lb_{sup.}$ (m)	$Lb_{inf.}$ (m)
Tipo	Designación				Indeformable origen	Deformable	Indeformable extremo				
		N256/N273	N256/N273	SHS 150x8.0 (SHS)	0.160	2.463	0.146	0.80	0.80	-	-
		N257/N274	N257/N274	SHS 150x8.0 (SHS)	0.160	2.463	0.146	0.80	0.80	-	-
		N258/N275	N258/N275	SHS 150x12.5 (SHS)	0.160	2.390	0.219	0.80	0.80	-	-
		N283/N259	N283/N259	SHS 150x12.5 (SHS)	0.149	2.229	0.204	0.80	0.80	-	-
		N284/N298	N284/N298	SHS 150x8.0 (SHS)	0.149	2.297	0.136	0.80	0.80	-	-
		N285/N299	N285/N299	SHS 150x8.0 (SHS)	0.149	2.297	0.136	0.80	0.80	-	-
		N286/N300	N286/N300	SHS 120x6.0 (SHS)	0.149	2.297	0.136	0.80	0.80	-	-
		N287/N301	N287/N301	SHS 120x6.0 (SHS)	0.149	2.297	0.136	0.80	0.80	-	-
		N289/N303	N289/N303	SHS 120x4.0 (SHS)	0.149	2.297	0.136	0.80	0.80	-	-
		N290/N304	N290/N304	SHS 120x4.0 (SHS)	0.149	2.297	0.136	0.80	0.80	-	-
		N290/N306	N290/N306	SHS 120x4.0 (SHS)	0.160	2.463	0.146	0.80	0.80	-	-
		N291/N307	N291/N307	SHS 120x4.0 (SHS)	0.160	2.463	0.146	0.80	0.80	-	-
		N293/N309	N293/N309	SHS 120x6.0 (SHS)	0.160	2.463	0.146	0.80	0.80	-	-
		N294/N310	N294/N310	SHS 120x6.0 (SHS)	0.160	2.463	0.146	0.80	0.80	-	-
		N295/N311	N295/N311	SHS 150x8.0 (SHS)	0.160	2.463	0.146	0.80	0.80	-	-
		N296/N312	N296/N312	SHS 150x8.0 (SHS)	0.160	2.463	0.146	0.80	0.80	-	-
		N297/N282	N297/N282	SHS 150x12.5 (SHS)	0.160	2.359	0.250	0.80	0.80	-	-
		N4/N323	N4/N105	SHS 120x5.0 (SHS)	0.060	2.313	0.060	1.00	3.00	-	-
		N323/N324	N4/N105	SHS 120x5.0 (SHS)	0.060	2.313	0.060	1.00	3.00	-	-
		N324/N105	N4/N105	SHS 120x5.0 (SHS)	0.060	2.241	0.132	1.00	3.00	-	-
		N14/N321	N14/N122	SHS 120x5.0 (SHS)	0.060	2.313	0.060	1.00	3.00	-	-
		N321/N322	N14/N122	SHS 120x5.0 (SHS)	0.060	2.313	0.060	1.00	3.00	-	-
		N322/N122	N14/N122	SHS 120x5.0 (SHS)	0.060	2.298	0.075	1.00	3.00	-	-
		N105/N327	N105/N209	SHS 120x5.0 (SHS)	0.132	2.241	0.060	1.00	3.00	-	-
		N327/N328	N105/N209	SHS 120x5.0 (SHS)	0.060	2.313	0.060	1.00	3.00	-	-
		N328/N209	N105/N209	SHS 120x5.0 (SHS)	0.060	2.241	0.132	1.00	3.00	-	-
		N122/N325	N122/N226	SHS 120x5.0 (SHS)	0.075	2.298	0.060	1.00	3.00	-	-
		N325/N326	N122/N226	SHS 120x5.0 (SHS)	0.060	2.313	0.060	1.00	3.00	-	-
		N326/N226	N122/N226	SHS 120x5.0 (SHS)	0.060	2.298	0.075	1.00	3.00	-	-
		N8/N317	N8/N121	SHS 120x5.0 (SHS)	0.150	2.188	0.095	1.00	3.00	-	-

Documento visado electrónicamente con número: VA07290/22
Código de validación telemática TRLTDCFZ60T66IJ1. Comprobación: https://cogitivalencia.e-gestion.es/Validacion.aspx?CVT=TRLTDCFZ60T66IJ1

VISADO
COGITI
VALENCIA
VA07290/22
TRLTDCFZ60T66IJ1

Listados

Descripción											
Material		Barra (Ni/Nf)	Pieza (Ni/Nf)	Perfil(Serie)	Longitud (m)			β_{xy}	β_{xz}	Lbsup (m)	Lbinf (m)
Tipo	Designación				Indeformable origen	Deformable	Indeformable extremo				
		N317/N318	N8/N121	SHS 120x5.0 (SHS)	0.095	2.243	0.095	1.00	3.00	-	-
		N318/N121	N8/N121	SHS 120x5.0 (SHS)	0.095	2.183	0.155	1.00	3.00	-	-
		N121/N319	N121/N225	SHS 120x5.0 (SHS)	0.155	2.183	0.095	1.00	3.00	-	-
		N319/N320	N121/N225	SHS 120x5.0 (SHS)	0.095	2.243	0.095	1.00	3.00	-	-
		N320/N225	N121/N225	SHS 120x5.0 (SHS)	0.095	2.183	0.155	1.00	3.00	-	-
		N9/N313	N9/N138	SHS 120x5.0 (SHS)	0.095	2.278	0.060	1.00	3.00	-	-
		N313/N314	N9/N138	SHS 120x5.0 (SHS)	0.060	2.313	0.060	1.00	3.00	-	-
		N314/N138	N9/N138	SHS 120x5.0 (SHS)	0.060	2.278	0.095	1.00	3.00	-	-
		N138/N315	N138/N242	SHS 120x5.0 (SHS)	0.095	2.278	0.060	1.00	3.00	-	-
		N315/N316	N138/N242	SHS 120x5.0 (SHS)	0.060	2.313	0.060	1.00	3.00	-	-
		N316/N242	N138/N242	SHS 120x5.0 (SHS)	0.060	2.278	0.095	1.00	3.00	-	-
		N320/N316	N320/N316	SHS 120x5.0 (SHS)	0.078	1.862	0.060	1.00	1.00	-	-
		N319/N315	N319/N315	SHS 120x5.0 (SHS)	0.078	1.862	0.060	1.00	1.00	-	-
		N318/N314	N318/N314	SHS 120x5.0 (SHS)	0.078	1.862	0.060	1.00	1.00	-	-
		N317/N313	N317/N313	SHS 120x5.0 (SHS)	0.078	1.862	0.060	1.00	1.00	-	-
		N323/N321	N323/N321	SHS 120x5.0 (SHS)	0.060	1.880	0.060	1.00	1.00	-	-
		N324/N322	N324/N322	SHS 120x5.0 (SHS)	0.060	1.880	0.060	1.00	1.00	-	-
		N328/N326	N328/N326	SHS 120x5.0 (SHS)	0.060	1.880	0.060	1.00	1.00	-	-
		N327/N325	N327/N325	SHS 120x5.0 (SHS)	0.060	1.880	0.060	1.00	1.00	-	-
		N328/N325	N328/N325	L 50 x 50 x 5 (L)	0.095	2.960	0.095	0.00	0.00	-	-
		N327/N326	N327/N326	L 50 x 50 x 5 (L)	0.095	2.960	0.095	0.00	0.00	-	-
		N324/N321	N324/N321	L 50 x 50 x 5 (L)	0.095	2.960	0.095	0.00	0.00	-	-
		N323/N322	N323/N322	L 50 x 50 x 5 (L)	0.095	2.960	0.095	0.00	0.00	-	-
		N5/N317	N5/N317	SHS 120x5.0 (SHS)	0.195	2.860	0.095	1.00	1.00	-	-
		N139/N318	N139/N318	SHS 120x5.0 (SHS)	0.201	2.854	0.095	1.00	1.00	-	-
		N139/N319	N139/N319	SHS 120x5.0 (SHS)	0.201	2.854	0.095	1.00	1.00	-	-
		N243/N320	N243/N320	SHS 120x5.0 (SHS)	0.201	2.854	0.095	1.00	1.00	-	-
		N6/N329	N6/N329	SHS 120x5.0 (SHS)	0.195	2.860	0.095	1.00	1.00	-	-
		N10/N329	N10/N155	SHS 120x5.0 (SHS)	0.150	2.188	0.095	1.00	3.00	-	-
		N329/N330	N10/N155	SHS 120x5.0 (SHS)	0.095	2.243	0.095	1.00	3.00	-	-
		N330/N155	N10/N155	SHS 120x5.0 (SHS)	0.095	2.183	0.155	1.00	3.00	-	-

Documento visado electrónicamente con número: VA07290/22
Código de validación telemática TRLTDCFZ60T66IJ1. Comprobación: https://cogitivalencia.e-gestion.es/Validacion.aspx?CVT=TRLTDCFZ60T66IJ1

Listados

VISADO
COGITI
VALENCIA
VA07290/22
TRLTDCFZ60T66IJ1

Descripción												
Material		Barra (Ni/Nf)	Pieza (Ni/Nf)	Perfil(Serie)	Longitud (m)			β_{xy}	β_{xz}	$Lb_{sup.}$ (m)	$Lb_{inf.}$ (m)
Tipo	Designación				Indeformable origen	Deformable	Indeformable extremo				
		N329/N331	N329/N331	SHS 120x5.0 (SHS)	0.078	1.862	0.060	1.00	1.00	-	-
		N11/N331	N11/N171	SHS 120x5.0 (SHS)	0.095	2.278	0.060	1.00	3.00	-	-
		N331/N332	N11/N171	SHS 120x5.0 (SHS)	0.060	2.313	0.060	1.00	3.00	-	-
		N332/N171	N11/N171	SHS 120x5.0 (SHS)	0.060	2.278	0.095	1.00	3.00	-	-
		N330/N332	N330/N332	SHS 120x5.0 (SHS)	0.078	1.862	0.060	1.00	1.00	-	-
		N174/N330	N174/N330	SHS 120x5.0 (SHS)	0.201	2.854	0.095	1.00	1.00	-	-
		N174/N333	N174/N333	SHS 120x5.0 (SHS)	0.201	2.854	0.095	1.00	1.00	-	-
		N155/N333	N155/N259	SHS 120x5.0 (SHS)	0.155	2.183	0.095	1.00	3.00	-	-
		N333/N334	N155/N259	SHS 120x5.0 (SHS)	0.095	2.243	0.095	1.00	3.00	-	-
		N334/N259	N155/N259	SHS 120x5.0 (SHS)	0.095	2.183	0.155	1.00	3.00	-	-
		N333/N335	N333/N335	SHS 120x5.0 (SHS)	0.078	1.862	0.060	1.00	1.00	-	-
		N334/N336	N334/N336	SHS 120x5.0 (SHS)	0.078	1.862	0.060	1.00	1.00	-	-
		N278/N334	N278/N334	SHS 120x5.0 (SHS)	0.201	2.854	0.095	1.00	1.00	-	-
		N171/N335	N171/N275	SHS 120x5.0 (SHS)	0.095	2.278	0.060	1.00	3.00	-	-
		N335/N336	N171/N275	SHS 120x5.0 (SHS)	0.060	2.313	0.060	1.00	3.00	-	-
		N336/N275	N171/N275	SHS 120x5.0 (SHS)	0.060	2.278	0.095	1.00	3.00	-	-
		N319/N316	N319/N316	L 50 x 50 x 5 (L)	0.095	2.960	0.095	0.00	0.00	-	-
		N319/N138	N319/N138	SHS 120x5.0 (SHS)	0.095	2.957	0.098	1.00	1.00	-	-
		N318/N138	N318/N138	SHS 120x5.0 (SHS)	0.095	2.957	0.098	1.00	1.00	-	-
		N318/N313	N318/N313	L 50 x 50 x 5 (L)	0.095	2.960	0.095	0.00	0.00	-	-
		N317/N9	N317/N9	SHS 120x5.0 (SHS)	0.095	2.960	0.095	1.00	1.00	-	-
		N317/N314	N317/N314	L 50 x 50 x 5 (L)	0.095	2.960	0.095	0.00	0.00	-	-
		N320/N315	N320/N315	L 50 x 50 x 5 (L)	0.095	2.960	0.095	0.00	0.00	-	-
		N320/N242	N320/N242	SHS 120x5.0 (SHS)	0.095	2.957	0.098	1.00	1.00	-	-
		N333/N336	N333/N336	L 50 x 50 x 5 (L)	0.095	2.960	0.095	0.00	0.00	-	-
		N333/N171	N333/N171	SHS 120x5.0 (SHS)	0.095	2.957	0.098	1.00	1.00	-	-
		N330/N171	N330/N171	SHS 120x5.0 (SHS)	0.095	2.957	0.098	1.00	1.00	-	-
		N330/N331	N330/N331	L 50 x 50 x 5 (L)	0.095	2.960	0.095	0.00	0.00	-	-
		N329/N11	N329/N11	SHS 120x5.0 (SHS)	0.095	2.960	0.095	1.00	1.00	-	-
		N329/N332	N329/N332	L 50 x 50 x 5 (L)	0.095	2.960	0.095	0.00	0.00	-	-
		N334/N335	N334/N335	L 50 x 50 x 5 (L)	0.095	2.960	0.095	0.00	0.00	-	-

Documento visado electrónicamente con número: VA07290/22
Código de validación telemática TRLTDCFZ60T66IJ1. Comprobación: https://cogitivalencia.e-gestion.es/Validacion.aspx?CVT=TRLTDCFZ60T66IJ1

VISADO
COGITI
VALENCIA
VA07290/22
TRLTDCFZ60T66IJ1

Listados

Descripción											
Material		Barra (Ni/Nf)	Pieza (Ni/Nf)	Perfil(Serie)	Longitud (m)			β_{xy}	β_{xz}	Lbsup (m)	Lbinf (m)
Tipo	Designación				Indeformable origen	Deformable	Indeformable extremo				
		N334/N275	N334/N275	SHS 120x5.0 (SHS)	0.095	2.957	0.098	1.00	1.00	-	-
		N178/N340	N178/N282	SHS 120x5.0 (SHS)	0.095	2.278	0.060	1.00	3.00	-	-
		N340/N337	N178/N282	SHS 120x5.0 (SHS)	0.060	2.313	0.060	1.00	3.00	-	-
		N337/N282	N178/N282	SHS 120x5.0 (SHS)	0.060	2.278	0.095	1.00	3.00	-	-
		N338/N282	N338/N282	SHS 120x5.0 (SHS)	0.095	2.957	0.098	1.00	1.00	-	-
		N177/N339	N177/N281	SHS 120x5.0 (SHS)	0.175	2.163	0.095	1.00	3.00	-	-
		N339/N338	N177/N281	SHS 120x5.0 (SHS)	0.095	2.243	0.095	1.00	3.00	-	-
		N338/N281	N177/N281	SHS 120x5.0 (SHS)	0.095	2.163	0.175	1.00	3.00	-	-
		N280/N338	N280/N338	SHS 120x5.0 (SHS)	0.227	2.828	0.095	1.00	1.00	-	-
		N339/N337	N339/N337	L 50 x 50 x 5 (L)	0.095	2.960	0.095	0.00	0.00	-	-
		N338/N340	N338/N340	L 50 x 50 x 5 (L)	0.095	2.960	0.095	0.00	0.00	-	-
		N339/N340	N339/N340	SHS 120x5.0 (SHS)	0.078	1.862	0.060	1.00	1.00	-	-
		N339/N178	N339/N178	SHS 120x5.0 (SHS)	0.095	2.957	0.098	1.00	1.00	-	-
		N338/N337	N338/N337	SHS 120x5.0 (SHS)	0.078	1.862	0.060	1.00	1.00	-	-
		N13/N343	N13/N178	SHS 120x5.0 (SHS)	0.095	2.278	0.060	1.00	3.00	-	-
		N343/N341	N13/N178	SHS 120x5.0 (SHS)	0.060	2.313	0.060	1.00	3.00	-	-
		N341/N178	N13/N178	SHS 120x5.0 (SHS)	0.060	2.278	0.095	1.00	3.00	-	-
		N342/N178	N342/N178	SHS 120x5.0 (SHS)	0.095	2.957	0.098	1.00	1.00	-	-
		N12/N344	N12/N177	SHS 120x5.0 (SHS)	0.150	2.188	0.095	1.00	3.00	-	-
		N344/N342	N12/N177	SHS 120x5.0 (SHS)	0.095	2.243	0.095	1.00	3.00	-	-
		N342/N177	N12/N177	SHS 120x5.0 (SHS)	0.095	2.163	0.175	1.00	3.00	-	-
		N176/N339	N176/N339	SHS 120x5.0 (SHS)	0.227	2.828	0.095	1.00	1.00	-	-
		N176/N342	N176/N342	SHS 120x5.0 (SHS)	0.227	2.828	0.095	1.00	1.00	-	-
		N342/N341	N342/N341	SHS 120x5.0 (SHS)	0.078	1.862	0.060	1.00	1.00	-	-
		N342/N343	N342/N343	L 50 x 50 x 5 (L)	0.095	2.960	0.095	0.00	0.00	-	-
		N344/N341	N344/N341	L 50 x 50 x 5 (L)	0.095	2.960	0.095	0.00	0.00	-	-
		N344/N343	N344/N343	SHS 120x5.0 (SHS)	0.078	1.862	0.060	1.00	1.00	-	-
		N7/N344	N7/N344	SHS 120x5.0 (SHS)	0.195	2.860	0.095	1.00	1.00	-	-
		N344/N13	N344/N13	SHS 120x5.0 (SHS)	0.095	2.960	0.095	1.00	1.00	-	-
		N124/N228	N124/N228	SHS 120x5.0 (SHS)	0.075	7.150	0.075	1.00	1.00	-	-
		N18/N345	N18/N126	SHS 120x5.0 (SHS)	0.060	2.313	0.060	1.00	3.00	-	-

Documento visado electrónicamente con número: VA07290/22
Código de validación telemática TRLTDCFZ60T66IJ1. Comprobación: https://cogitivalencia.e-gestion.es/Validacion.aspx?CVT=TRLTDCFZ60T66IJ1

Listados

VISADO
COGITI
VALENCIA
VA07290/22
TRLTDCFZ60T66IJ1

Descripción												
Material		Barra (Ni/Nf)	Pieza (Ni/Nf)	Perfil(Serie)	Longitud (m)			β_{xy}	β_{xz}	$Lb_{sup.}$ (m)	$Lb_{inf.}$ (m)
Tipo	Designación				Indeformable origen	Deformable	Indeformable extremo				
		N345/N346	N18/N126	SHS 120x5.0 (SHS)	0.060	2.313	0.060	1.00	3.00	-	-
		N346/N126	N18/N126	SHS 120x5.0 (SHS)	0.060	2.313	0.060	1.00	3.00	-	-
		N33/N347	N33/N109	SHS 120x5.0 (SHS)	0.060	2.313	0.060	1.00	3.00	-	-
		N347/N348	N33/N109	SHS 120x5.0 (SHS)	0.060	2.313	0.060	1.00	3.00	-	-
		N348/N109	N33/N109	SHS 120x5.0 (SHS)	0.060	2.313	0.060	1.00	3.00	-	-
		N348/N346	N348/N346	SHS 120x5.0 (SHS)	0.060	1.880	0.060	1.00	1.00	-	-
		N347/N345	N347/N345	SHS 120x5.0 (SHS)	0.060	1.880	0.060	1.00	1.00	-	-
		N348/N345	N348/N345	L 40 x 40 x 4 (L)	0.095	2.960	0.095	0.00	0.00	-	-
		N347/N346	N347/N346	L 40 x 40 x 4 (L)	0.095	2.960	0.095	0.00	0.00	-	-
		N37/N352	N37/N113	SHS 120x5.0 (SHS)	0.050	2.323	0.060	1.00	3.00	-	-
		N352/N349	N37/N113	SHS 120x5.0 (SHS)	0.060	2.313	0.060	1.00	3.00	-	-
		N349/N113	N37/N113	SHS 120x5.0 (SHS)	0.060	2.313	0.060	1.00	3.00	-	-
		N22/N351	N22/N130	SHS 120x5.0 (SHS)	0.050	2.323	0.060	1.00	3.00	-	-
		N351/N350	N22/N130	SHS 120x5.0 (SHS)	0.060	2.313	0.060	1.00	3.00	-	-
		N350/N130	N22/N130	SHS 120x5.0 (SHS)	0.060	2.313	0.060	1.00	3.00	-	-
		N349/N350	N349/N350	SHS 120x5.0 (SHS)	0.060	1.880	0.060	1.00	1.00	-	-
		N352/N350	N352/N350	L 40 x 40 x 4 (L)	0.095	2.960	0.095	0.00	0.00	-	-
		N349/N351	N349/N351	L 40 x 40 x 4 (L)	0.095	2.960	0.095	0.00	0.00	-	-
		N352/N351	N352/N351	SHS 120x5.0 (SHS)	0.060	1.880	0.060	1.00	1.00	-	-
		N41/N356	N41/N117	SHS 120x5.0 (SHS)	0.060	2.313	0.060	1.00	3.00	-	-
		N356/N353	N41/N117	SHS 120x5.0 (SHS)	0.060	2.313	0.060	1.00	3.00	-	-
		N353/N117	N41/N117	SHS 120x5.0 (SHS)	0.060	2.313	0.060	1.00	3.00	-	-
		N26/N355	N26/N134	SHS 120x5.0 (SHS)	0.060	2.313	0.060	1.00	3.00	-	-
		N355/N354	N26/N134	SHS 120x5.0 (SHS)	0.060	2.313	0.060	1.00	3.00	-	-
		N354/N134	N26/N134	SHS 120x5.0 (SHS)	0.060	2.313	0.060	1.00	3.00	-	-
		N353/N354	N353/N354	SHS 120x5.0 (SHS)	0.060	1.880	0.060	1.00	1.00	-	-
		N356/N354	N356/N354	L 40 x 40 x 4 (L)	0.095	2.960	0.095	0.00	0.00	-	-
		N353/N355	N353/N355	L 40 x 40 x 4 (L)	0.095	2.960	0.095	0.00	0.00	-	-
		N356/N355	N356/N355	SHS 120x5.0 (SHS)	0.060	1.880	0.060	1.00	1.00	-	-
		N360/N358	N360/N358	SHS 120x5.0 (SHS)	0.060	1.880	0.060	1.00	1.00	-	-
		N359/N357	N359/N357	SHS 120x5.0 (SHS)	0.060	1.880	0.060	1.00	1.00	-	-

Documento visado electrónicamente con número: VA07290/22
Código de validación telemática TRLTDCFZ60T66IJ1. Comprobación: https://cogitivalencia.e-gestion.es/Validacion.aspx?CVT=TRLTDCFZ60T66IJ1

VISADO
COGITI
VALENCIA
VA07290/22
TRLTDCFZ60T66IJ1

Listados

Descripción											
Material		Barra (Ni/Nf)	Pieza (Ni/Nf)	Perfil(Serie)	Longitud (m)			β_{xy}	β_{xz}	Lbsup (m)	Lbinf (m)
Tipo	Designación				Indeformable origen	Deformable	Indeformable extremo				
		N360/N357	N360/N357	L 40 x 40 x 4 (L)	0.095	2.960	0.095	0.00	0.00	-	-
		N359/N358	N359/N358	L 40 x 40 x 4 (L)	0.095	2.960	0.095	0.00	0.00	-	-
		N113/N362	N113/N217	SHS 120x5.0 (SHS)	0.060	2.313	0.060	1.00	3.00	-	-
		N362/N361	N113/N217	SHS 120x5.0 (SHS)	0.060	2.313	0.060	1.00	3.00	-	-
		N361/N217	N113/N217	SHS 120x5.0 (SHS)	0.060	2.313	0.060	1.00	3.00	-	-
		N130/N364	N130/N234	SHS 120x5.0 (SHS)	0.060	2.313	0.060	1.00	3.00	-	-
		N364/N363	N130/N234	SHS 120x5.0 (SHS)	0.060	2.313	0.060	1.00	3.00	-	-
		N363/N234	N130/N234	SHS 120x5.0 (SHS)	0.060	2.313	0.060	1.00	3.00	-	-
		N361/N363	N361/N363	SHS 120x5.0 (SHS)	0.060	1.880	0.060	1.00	1.00	-	-
		N362/N363	N362/N363	L 40 x 40 x 4 (L)	0.095	2.960	0.095	0.00	0.00	-	-
		N361/N364	N361/N364	L 40 x 40 x 4 (L)	0.095	2.960	0.095	0.00	0.00	-	-
		N362/N364	N362/N364	SHS 120x5.0 (SHS)	0.060	1.880	0.060	1.00	1.00	-	-
		N117/N366	N117/N221	SHS 120x5.0 (SHS)	0.060	2.313	0.060	1.00	3.00	-	-
		N366/N365	N117/N221	SHS 120x5.0 (SHS)	0.060	2.313	0.060	1.00	3.00	-	-
		N365/N221	N117/N221	SHS 120x5.0 (SHS)	0.060	2.313	0.060	1.00	3.00	-	-
		N134/N368	N134/N238	SHS 120x5.0 (SHS)	0.060	2.313	0.060	1.00	3.00	-	-
		N368/N367	N134/N238	SHS 120x5.0 (SHS)	0.060	2.313	0.060	1.00	3.00	-	-
		N367/N238	N134/N238	SHS 120x5.0 (SHS)	0.060	2.313	0.060	1.00	3.00	-	-
		N365/N367	N365/N367	SHS 120x5.0 (SHS)	0.060	1.880	0.060	1.00	1.00	-	-
		N366/N367	N366/N367	L 40 x 40 x 4 (L)	0.095	2.960	0.095	0.00	0.00	-	-
		N365/N368	N365/N368	L 40 x 40 x 4 (L)	0.095	2.960	0.095	0.00	0.00	-	-
		N366/N368	N366/N368	SHS 120x5.0 (SHS)	0.060	1.880	0.060	1.00	1.00	-	-
		N136/N240	N136/N240	SHS 120x5.0 (SHS)	0.075	7.150	0.075	1.00	1.00	-	-
		N48/N369	N48/N159	SHS 120x5.0 (SHS)	0.060	2.313	0.060	1.00	3.00	-	-
		N369/N370	N48/N159	SHS 120x5.0 (SHS)	0.060	2.313	0.060	1.00	3.00	-	-
		N370/N159	N48/N159	SHS 120x5.0 (SHS)	0.060	2.313	0.060	1.00	3.00	-	-
		N63/N371	N63/N143	SHS 120x5.0 (SHS)	0.060	2.313	0.060	1.00	3.00	-	-
		N371/N372	N63/N143	SHS 120x5.0 (SHS)	0.060	2.313	0.060	1.00	3.00	-	-
		N372/N143	N63/N143	SHS 120x5.0 (SHS)	0.060	2.313	0.060	1.00	3.00	-	-
		N372/N370	N372/N370	SHS 120x5.0 (SHS)	0.060	1.880	0.060	1.00	1.00	-	-
		N371/N369	N371/N369	SHS 120x5.0 (SHS)	0.060	1.880	0.060	1.00	1.00	-	-

Documento visado electrónicamente con número: VA07290/22
Código de validación telemática TRLTDCFZ60T66IJ1. Comprobación: https://cogitivalencia.e-gestion.es/Validacion.aspx?CVT=TRLTDCFZ60T66IJ1

VISADO
COGITI
VALENCIA
VA07290/22
TRLTDCFZ60T66IJ1

Listados

Descripción												
Material		Barra (Ni/Nf)	Pieza (Ni/Nf)	Perfil(Serie)	Longitud (m)			β_{xy}	β_{xz}	$Lb_{sup.}$ (m)	$Lb_{inf.}$ (m)	
Tipo	Designación				Indeformable origen	Deformable	Indeformable extremo					
		N372/N369	N372/N369	L 40 x 40 x 4 (L)	0.095	2.960	0.095	0.00	0.00	-	-	
		N371/N370	N371/N370	L 40 x 40 x 4 (L)	0.095	2.960	0.095	0.00	0.00	-	-	
		N67/N374	N67/N147	SHS 120x5.0 (SHS)	0.050	2.323	0.060	1.00	3.00	-	-	
		N374/N373	N67/N147	SHS 120x5.0 (SHS)	0.060	2.313	0.060	1.00	3.00	-	-	
		N373/N147	N67/N147	SHS 120x5.0 (SHS)	0.060	2.313	0.060	1.00	3.00	-	-	
		N52/N376	N52/N163	SHS 120x5.0 (SHS)	0.050	2.323	0.060	1.00	3.00	-	-	
		N376/N375	N52/N163	SHS 120x5.0 (SHS)	0.060	2.313	0.060	1.00	3.00	-	-	
		N375/N163	N52/N163	SHS 120x5.0 (SHS)	0.060	2.313	0.060	1.00	3.00	-	-	
		N373/N375	N373/N375	SHS 120x5.0 (SHS)	0.060	1.880	0.060	1.00	1.00	-	-	
		N374/N375	N374/N375	L 40 x 40 x 4 (L)	0.095	2.960	0.095	0.00	0.00	-	-	
		N373/N376	N373/N376	L 40 x 40 x 4 (L)	0.095	2.960	0.095	0.00	0.00	-	-	
		N374/N376	N374/N376	SHS 120x5.0 (SHS)	0.060	1.880	0.060	1.00	1.00	-	-	
		N71/N378	N71/N151	SHS 120x5.0 (SHS)	0.060	2.313	0.060	1.00	3.00	-	-	
		N378/N377	N71/N151	SHS 120x5.0 (SHS)	0.060	2.313	0.060	1.00	3.00	-	-	
		N377/N151	N71/N151	SHS 120x5.0 (SHS)	0.060	2.313	0.060	1.00	3.00	-	-	
		N56/N380	N56/N167	SHS 120x5.0 (SHS)	0.060	2.313	0.060	1.00	3.00	-	-	
		N380/N379	N56/N167	SHS 120x5.0 (SHS)	0.060	2.313	0.060	1.00	3.00	-	-	
		N379/N167	N56/N167	SHS 120x5.0 (SHS)	0.060	2.313	0.060	1.00	3.00	-	-	
		N377/N379	N377/N379	SHS 120x5.0 (SHS)	0.060	1.880	0.060	1.00	1.00	-	-	
		N378/N379	N378/N379	L 40 x 40 x 4 (L)	0.095	2.960	0.095	0.00	0.00	-	-	
		N377/N380	N377/N380	L 40 x 40 x 4 (L)	0.095	2.960	0.095	0.00	0.00	-	-	
		N378/N380	N378/N380	SHS 120x5.0 (SHS)	0.060	1.880	0.060	1.00	1.00	-	-	
		N157/N261	N157/N261	SHS 120x5.0 (SHS)	0.075	7.150	0.075	1.00	1.00	-	-	
		N159/N381	N159/N263	SHS 120x5.0 (SHS)	0.060	2.313	0.060	1.00	3.00	-	-	
		N381/N382	N159/N263	SHS 120x5.0 (SHS)	0.060	2.313	0.060	1.00	3.00	-	-	
		N382/N263	N159/N263	SHS 120x5.0 (SHS)	0.060	2.313	0.060	1.00	3.00	-	-	
		N143/N383	N143/N247	SHS 120x5.0 (SHS)	0.060	2.313	0.060	1.00	3.00	-	-	
		N383/N384	N143/N247	SHS 120x5.0 (SHS)	0.060	2.313	0.060	1.00	3.00	-	-	
		N384/N247	N143/N247	SHS 120x5.0 (SHS)	0.060	2.313	0.060	1.00	3.00	-	-	
		N384/N382	N384/N382	SHS 120x5.0 (SHS)	0.060	1.880	0.060	1.00	1.00	-	-	
		N383/N381	N383/N381	SHS 120x5.0 (SHS)	0.060	1.880	0.060	1.00	1.00	-	-	

Documento visado electrónicamente con número: VA07290/22
Código de validación telemática TRLTDCFZ60T66IJ1. Comprobación: https://cogitivalencia.e-gestion.es/Validacion.aspx?CVT=TRLTDCFZ60T66IJ1

VISADO
COGITI
VALENCIA
VA07290/22
TRLTDCFZ60T66IJ1

Listados

Descripción											
Material		Barra (Ni/Nf)	Pieza (Ni/Nf)	Perfil(Serie)	Longitud (m)			β_{xy}	β_{xz}	Lbsup (m)	Lbinf (m)
Tipo	Designación				Indeformable origen	Deformable	Indeformable extremo				
		N384/N381	N384/N381	L 40 x 40 x 4 (L)	0.095	2.960	0.095	0.00	0.00	-	-
		N383/N382	N383/N382	L 40 x 40 x 4 (L)	0.095	2.960	0.095	0.00	0.00	-	-
		N147/N386	N147/N251	SHS 120x5.0 (SHS)	0.060	2.313	0.060	1.00	3.00	-	-
		N386/N385	N147/N251	SHS 120x5.0 (SHS)	0.060	2.313	0.060	1.00	3.00	-	-
		N385/N251	N147/N251	SHS 120x5.0 (SHS)	0.060	2.313	0.060	1.00	3.00	-	-
		N163/N388	N163/N267	SHS 120x5.0 (SHS)	0.060	2.313	0.060	1.00	3.00	-	-
		N388/N387	N163/N267	SHS 120x5.0 (SHS)	0.060	2.313	0.060	1.00	3.00	-	-
		N387/N267	N163/N267	SHS 120x5.0 (SHS)	0.060	2.313	0.060	1.00	3.00	-	-
		N385/N387	N385/N387	SHS 120x5.0 (SHS)	0.060	1.880	0.060	1.00	1.00	-	-
		N386/N387	N386/N387	L 40 x 40 x 4 (L)	0.095	2.960	0.095	0.00	0.00	-	-
		N385/N388	N385/N388	L 40 x 40 x 4 (L)	0.095	2.960	0.095	0.00	0.00	-	-
		N386/N388	N386/N388	SHS 120x5.0 (SHS)	0.060	1.880	0.060	1.00	1.00	-	-
		N151/N390	N151/N255	SHS 120x5.0 (SHS)	0.060	2.313	0.060	1.00	3.00	-	-
		N390/N389	N151/N255	SHS 120x5.0 (SHS)	0.060	2.313	0.060	1.00	3.00	-	-
		N389/N255	N151/N255	SHS 120x5.0 (SHS)	0.060	2.313	0.060	1.00	3.00	-	-
		N167/N392	N167/N271	SHS 120x5.0 (SHS)	0.060	2.313	0.060	1.00	3.00	-	-
		N392/N391	N167/N271	SHS 120x5.0 (SHS)	0.060	2.313	0.060	1.00	3.00	-	-
		N391/N271	N167/N271	SHS 120x5.0 (SHS)	0.060	2.313	0.060	1.00	3.00	-	-
		N389/N391	N389/N391	SHS 120x5.0 (SHS)	0.060	1.880	0.060	1.00	1.00	-	-
		N390/N391	N390/N391	L 40 x 40 x 4 (L)	0.095	2.960	0.095	0.00	0.00	-	-
		N389/N392	N389/N392	L 40 x 40 x 4 (L)	0.095	2.960	0.095	0.00	0.00	-	-
		N390/N392	N390/N392	SHS 120x5.0 (SHS)	0.060	1.880	0.060	1.00	1.00	-	-
		N169/N273	N169/N273	SHS 120x5.0 (SHS)	0.075	7.150	0.075	1.00	1.00	-	-
		N78/N393	N78/N197	SHS 120x5.0 (SHS)	0.060	2.313	0.060	1.00	3.00	-	-
		N393/N394	N78/N197	SHS 120x5.0 (SHS)	0.060	2.313	0.060	1.00	3.00	-	-
		N394/N197	N78/N197	SHS 120x5.0 (SHS)	0.060	2.313	0.060	1.00	3.00	-	-
		N93/N395	N93/N182	SHS 120x5.0 (SHS)	0.060	2.313	0.060	1.00	3.00	-	-
		N395/N396	N93/N182	SHS 120x5.0 (SHS)	0.060	2.313	0.060	1.00	3.00	-	-
		N396/N182	N93/N182	SHS 120x5.0 (SHS)	0.060	2.313	0.060	1.00	3.00	-	-
		N396/N394	N396/N394	SHS 120x5.0 (SHS)	0.060	1.880	0.060	1.00	1.00	-	-
		N395/N393	N395/N393	SHS 120x5.0 (SHS)	0.060	1.880	0.060	1.00	1.00	-	-

Documento visado electrónicamente con número: VA07290/22
Código de validación telemática TRLTDCFZ60T66IJ1. Comprobación: https://cogitivalencia.e-gestion.es/Validacion.aspx?CVT=TRLTDCFZ60T66IJ1

Listados

VISADO
COGITI
VALENCIA
VA07290/22
TRLTDCFZ60T66IJ1

Descripción												
Material		Barra (Ni/Nf)	Pieza (Ni/Nf)	Perfil(Serie)	Longitud (m)			β_{xy}	β_{xz}	$Lb_{sup.}$ (m)	$Lb_{inf.}$ (m)
Tipo	Designación				Indeformable origen	Deformable	Indeformable extremo				
		N396/N393	N396/N393	L 40 x 40 x 4 (L)	0.095	2.960	0.095	0.00	0.00	-	-
		N395/N394	N395/N394	L 40 x 40 x 4 (L)	0.095	2.960	0.095	0.00	0.00	-	-
		N97/N398	N97/N186	SHS 120x5.0 (SHS)	0.050	2.323	0.060	1.00	3.00	-	-
		N398/N397	N97/N186	SHS 120x5.0 (SHS)	0.060	2.313	0.060	1.00	3.00	-	-
		N397/N186	N97/N186	SHS 120x5.0 (SHS)	0.060	2.313	0.060	1.00	3.00	-	-
		N82/N400	N82/N201	SHS 120x5.0 (SHS)	0.050	2.323	0.060	1.00	3.00	-	-
		N400/N399	N82/N201	SHS 120x5.0 (SHS)	0.060	2.313	0.060	1.00	3.00	-	-
		N399/N201	N82/N201	SHS 120x5.0 (SHS)	0.060	2.313	0.060	1.00	3.00	-	-
		N397/N399	N397/N399	SHS 120x5.0 (SHS)	0.060	1.880	0.060	1.00	1.00	-	-
		N398/N399	N398/N399	L 40 x 40 x 4 (L)	0.095	2.960	0.095	0.00	0.00	-	-
		N397/N400	N397/N400	L 40 x 40 x 4 (L)	0.095	2.960	0.095	0.00	0.00	-	-
		N398/N400	N398/N400	SHS 120x5.0 (SHS)	0.060	1.880	0.060	1.00	1.00	-	-
		N101/N402	N101/N190	SHS 120x5.0 (SHS)	0.060	2.313	0.060	1.00	3.00	-	-
		N402/N401	N101/N190	SHS 120x5.0 (SHS)	0.060	2.313	0.060	1.00	3.00	-	-
		N401/N190	N101/N190	SHS 120x5.0 (SHS)	0.060	2.313	0.060	1.00	3.00	-	-
		N86/N404	N86/N205	SHS 120x5.0 (SHS)	0.060	2.313	0.060	1.00	3.00	-	-
		N404/N403	N86/N205	SHS 120x5.0 (SHS)	0.060	2.313	0.060	1.00	3.00	-	-
		N403/N205	N86/N205	SHS 120x5.0 (SHS)	0.060	2.313	0.060	1.00	3.00	-	-
		N401/N403	N401/N403	SHS 120x5.0 (SHS)	0.060	1.880	0.060	1.00	1.00	-	-
		N402/N403	N402/N403	L 40 x 40 x 4 (L)	0.095	2.960	0.095	0.00	0.00	-	-
		N401/N404	N401/N404	L 40 x 40 x 4 (L)	0.095	2.960	0.095	0.00	0.00	-	-
		N402/N404	N402/N404	SHS 120x5.0 (SHS)	0.060	1.880	0.060	1.00	1.00	-	-
		N195/N299	N195/N299	SHS 120x5.0 (SHS)	0.075	7.150	0.075	1.00	1.00	-	-
		N197/N405	N197/N301	SHS 120x5.0 (SHS)	0.060	2.313	0.060	1.00	3.00	-	-
		N405/N406	N197/N301	SHS 120x5.0 (SHS)	0.060	2.313	0.060	1.00	3.00	-	-
		N406/N301	N197/N301	SHS 120x5.0 (SHS)	0.060	2.313	0.060	1.00	3.00	-	-
		N182/N407	N182/N286	SHS 120x5.0 (SHS)	0.060	2.313	0.060	1.00	3.00	-	-
		N407/N408	N182/N286	SHS 120x5.0 (SHS)	0.060	2.313	0.060	1.00	3.00	-	-
		N408/N286	N182/N286	SHS 120x5.0 (SHS)	0.060	2.313	0.060	1.00	3.00	-	-
		N408/N406	N408/N406	SHS 120x5.0 (SHS)	0.060	1.880	0.060	1.00	1.00	-	-
		N407/N405	N407/N405	SHS 120x5.0 (SHS)	0.060	1.880	0.060	1.00	1.00	-	-

Documento visado electrónicamente con número: VA07290/22
Código de validación telemática TRLTDCFZ60T66IJ1. Comprobación: https://cogitivalencia.e-gestion.es/Validacion.aspx?CVT=TRLTDCFZ60T66IJ1

VISADO
COGITI
VALENCIA
VA07290/22
TRLTDCFZ60T66IJ1

Descripción											
Material		Barra (Ni/Nf)	Pieza (Ni/Nf)	Perfil(Serie)	Longitud (m)			β_{xy}	β_{xz}	Lbsup (m)	Lbinf (m)
Tipo	Designación				Indeformable origen	Deformable	Indeformable extremo				
		N408/N405	N408/N405	L 40 x 40 x 4 (L)	0.095	2.960	0.095	0.00	0.00	-	-
		N407/N406	N407/N406	L 40 x 40 x 4 (L)	0.095	2.960	0.095	0.00	0.00	-	-
		N186/N410	N186/N290	SHS 120x5.0 (SHS)	0.060	2.313	0.060	1.00	3.00	-	-
		N410/N409	N186/N290	SHS 120x5.0 (SHS)	0.060	2.313	0.060	1.00	3.00	-	-
		N409/N290	N186/N290	SHS 120x5.0 (SHS)	0.060	2.313	0.060	1.00	3.00	-	-
		N201/N412	N201/N305	SHS 120x5.0 (SHS)	0.060	2.313	0.060	1.00	3.00	-	-
		N412/N411	N201/N305	SHS 120x5.0 (SHS)	0.060	2.313	0.060	1.00	3.00	-	-
		N411/N305	N201/N305	SHS 120x5.0 (SHS)	0.060	2.313	0.060	1.00	3.00	-	-
		N409/N411	N409/N411	SHS 120x5.0 (SHS)	0.060	1.880	0.060	1.00	1.00	-	-
		N410/N411	N410/N411	L 40 x 40 x 4 (L)	0.095	2.960	0.095	0.00	0.00	-	-
		N409/N412	N409/N412	L 40 x 40 x 4 (L)	0.095	2.960	0.095	0.00	0.00	-	-
		N410/N412	N410/N412	SHS 120x5.0 (SHS)	0.060	1.880	0.060	1.00	1.00	-	-
		N190/N414	N190/N294	SHS 120x5.0 (SHS)	0.060	2.313	0.060	1.00	3.00	-	-
		N414/N413	N190/N294	SHS 120x5.0 (SHS)	0.060	2.313	0.060	1.00	3.00	-	-
		N413/N294	N190/N294	SHS 120x5.0 (SHS)	0.060	2.313	0.060	1.00	3.00	-	-
		N205/N416	N205/N309	SHS 120x5.0 (SHS)	0.060	2.313	0.060	1.00	3.00	-	-
		N416/N415	N205/N309	SHS 120x5.0 (SHS)	0.060	2.313	0.060	1.00	3.00	-	-
		N415/N309	N205/N309	SHS 120x5.0 (SHS)	0.060	2.313	0.060	1.00	3.00	-	-
		N413/N415	N413/N415	SHS 120x5.0 (SHS)	0.060	1.880	0.060	1.00	1.00	-	-
		N414/N415	N414/N415	L 40 x 40 x 4 (L)	0.095	2.960	0.095	0.00	0.00	-	-
		N413/N416	N413/N416	L 40 x 40 x 4 (L)	0.095	2.960	0.095	0.00	0.00	-	-
		N414/N416	N414/N416	SHS 120x5.0 (SHS)	0.060	1.880	0.060	1.00	1.00	-	-
		N207/N311	N207/N311	SHS 120x5.0 (SHS)	0.075	7.150	0.075	1.00	1.00	-	-
		N14/N124	N14/N124	L 60 x 60 x 5 (L)	0.138	7.899	0.084	0.00	0.00	-	-
		N122/N16	N122/N16	L 60 x 60 x 5 (L)	0.138	7.916	0.067	0.00	0.00	-	-
		N16/N126	N16/N126	L 60 x 60 x 5 (L)	0.067	7.987	0.067	0.00	0.00	-	-
		N124/N18	N124/N18	L 60 x 60 x 5 (L)	0.084	7.970	0.067	0.00	0.00	-	-
		N18/N128	N18/N128	L 60 x 60 x 5 (L)	0.067	7.987	0.067	0.00	0.00	-	-
		N128/N22	N128/N22	L 60 x 60 x 5 (L)	0.067	7.998	0.056	0.00	0.00	-	-
		N22/N132	N22/N132	L 60 x 60 x 5 (L)	0.056	7.998	0.067	0.00	0.00	-	-
		N132/N26	N132/N26	L 60 x 60 x 5 (L)	0.067	7.987	0.067	0.00	0.00	-	-

Documento visado electrónicamente con número: VA07290/22
Código de validación telemática TRLTDCFZ60T66IJ1. Comprobación: https://cogitivalencia.e-gestion.es/Validacion.aspx?CVT=TRLTDCFZ60T66IJ1

Listados

VISADO
COGITI
VALENCIA
VA07290/22
TRLTDCFZ60T66IJ1

Descripción												
Material		Barra (Ni/Nf)	Pieza (Ni/Nf)	Perfil(Serie)	Longitud (m)			β_{xy}	β_{xz}	$Lb_{sup.}$ (m)	$Lb_{inf.}$ (m)	
Tipo	Designación				Indeformable origen	Deformable	Indeformable extremo					
		N26/N136	N26/N136	L 60 x 60 x 5 (L)	0.067	7.970	0.084	0.00	0.00	-	-	
		N136/N9	N136/N9	L 60 x 60 x 5 (L)	0.084	7.899	0.138	0.00	0.00	-	-	
		N28/N138	N28/N138	L 60 x 60 x 5 (L)	0.067	7.916	0.138	0.00	0.00	-	-	
		N134/N28	N134/N28	L 60 x 60 x 5 (L)	0.067	7.987	0.067	0.00	0.00	-	-	
		N24/N134	N24/N134	L 60 x 60 x 5 (L)	0.056	7.998	0.067	0.00	0.00	-	-	
		N130/N24	N130/N24	L 60 x 60 x 5 (L)	0.067	7.998	0.056	0.00	0.00	-	-	
		N20/N130	N20/N130	L 60 x 60 x 5 (L)	0.056	7.998	0.067	0.00	0.00	-	-	
		N126/N20	N126/N20	L 60 x 60 x 5 (L)	0.067	7.998	0.056	0.00	0.00	-	-	
		N122/N228	N122/N228	L 60 x 60 x 5 (L)	0.138	7.899	0.084	0.00	0.00	-	-	
		N226/N124	N226/N124	L 60 x 60 x 5 (L)	0.138	7.899	0.084	0.00	0.00	-	-	
		N8/N157	N8/N157	L 60 x 60 x 5 (L)	0.167	7.870	0.084	0.00	0.00	-	-	
		N157/N48	N157/N48	L 60 x 60 x 5 (L)	0.084	7.970	0.067	0.00	0.00	-	-	
		N48/N161	N48/N161	L 60 x 60 x 5 (L)	0.067	7.987	0.067	0.00	0.00	-	-	
		N161/N52	N161/N52	L 60 x 60 x 5 (L)	0.067	7.998	0.056	0.00	0.00	-	-	
		N52/N165	N52/N165	L 60 x 60 x 5 (L)	0.056	7.998	0.067	0.00	0.00	-	-	
		N165/N56	N165/N56	L 60 x 60 x 5 (L)	0.067	7.987	0.067	0.00	0.00	-	-	
		N56/N169	N56/N169	L 60 x 60 x 5 (L)	0.067	7.970	0.084	0.00	0.00	-	-	
		N169/N11	N169/N11	L 60 x 60 x 5 (L)	0.084	7.899	0.138	0.00	0.00	-	-	
		N58/N171	N58/N171	L 60 x 60 x 5 (L)	0.067	7.916	0.138	0.00	0.00	-	-	
		N167/N58	N167/N58	L 60 x 60 x 5 (L)	0.067	7.987	0.067	0.00	0.00	-	-	
		N54/N167	N54/N167	L 60 x 60 x 5 (L)	0.056	7.998	0.067	0.00	0.00	-	-	
		N163/N54	N163/N54	L 60 x 60 x 5 (L)	0.067	7.998	0.056	0.00	0.00	-	-	
		N50/N163	N50/N163	L 60 x 60 x 5 (L)	0.056	7.998	0.067	0.00	0.00	-	-	
		N159/N50	N159/N50	L 60 x 60 x 5 (L)	0.067	7.998	0.056	0.00	0.00	-	-	
		N46/N159	N46/N159	L 60 x 60 x 5 (L)	0.067	7.987	0.067	0.00	0.00	-	-	
		N121/N46	N121/N46	L 60 x 60 x 5 (L)	0.173	7.881	0.067	0.00	0.00	-	-	
		N10/N195	N10/N195	L 60 x 60 x 5 (L)	0.167	7.870	0.084	0.00	0.00	-	-	
		N195/N78	N195/N78	L 60 x 60 x 5 (L)	0.084	7.970	0.067	0.00	0.00	-	-	
		N78/N199	N78/N199	L 60 x 60 x 5 (L)	0.067	7.987	0.067	0.00	0.00	-	-	
		N199/N82	N199/N82	L 60 x 60 x 5 (L)	0.067	7.998	0.056	0.00	0.00	-	-	
		N82/N203	N82/N203	L 60 x 60 x 5 (L)	0.056	7.998	0.067	0.00	0.00	-	-	

Documento visado electrónicamente con número: VA07290/22
Código de validación telemática TRLTDCFZ60T66IJ1. Comprobación: https://cogitivalencia.e-gestion.es/Validacion.aspx?CVT=TRLTDCFZ60T66IJ1

VISADO
COGITI
VALENCIA
VA07290/22
TRLTDCFZ60T66IJ1

Descripción											
Material		Barra (Ni/Nf)	Pieza (Ni/Nf)	Perfil(Serie)	Longitud (m)			β_{xy}	β_{xz}	Lbsup (m)	Lbinf (m)
Tipo	Designación				Indeformable origen	Deformable	Indeformable extremo				
		N203/N86	N203/N86	L 60 x 60 x 5 (L)	0.067	7.987	0.067	0.00	0.00	-	-
		N86/N207	N86/N207	L 60 x 60 x 5 (L)	0.067	7.970	0.084	0.00	0.00	-	-
		N207/N13	N207/N13	L 60 x 60 x 5 (L)	0.084	7.899	0.138	0.00	0.00	-	-
		N88/N178	N88/N178	L 60 x 60 x 5 (L)	0.067	7.916	0.138	0.00	0.00	-	-
		N205/N88	N205/N88	L 60 x 60 x 5 (L)	0.067	7.987	0.067	0.00	0.00	-	-
		N84/N205	N84/N205	L 60 x 60 x 5 (L)	0.056	7.998	0.067	0.00	0.00	-	-
		N201/N84	N201/N84	L 60 x 60 x 5 (L)	0.067	7.998	0.056	0.00	0.00	-	-
		N80/N201	N80/N201	L 60 x 60 x 5 (L)	0.056	7.998	0.067	0.00	0.00	-	-
		N197/N80	N197/N80	L 60 x 60 x 5 (L)	0.067	7.998	0.056	0.00	0.00	-	-
		N76/N197	N76/N197	L 60 x 60 x 5 (L)	0.067	7.987	0.067	0.00	0.00	-	-
		N155/N76	N155/N76	L 60 x 60 x 5 (L)	0.173	7.881	0.067	0.00	0.00	-	-
		N207/N282	N207/N282	L 60 x 60 x 5 (L)	0.084	7.899	0.138	0.00	0.00	-	-
		N311/N178	N311/N178	L 60 x 60 x 5 (L)	0.084	7.899	0.138	0.00	0.00	-	-
		N136/N242	N136/N242	L 60 x 60 x 5 (L)	0.084	7.899	0.138	0.00	0.00	-	-
		N240/N138	N240/N138	L 60 x 60 x 5 (L)	0.084	7.899	0.138	0.00	0.00	-	-
		N121/N261	N121/N261	L 60 x 60 x 5 (L)	0.173	7.864	0.084	0.00	0.00	-	-
		N225/N157	N225/N157	L 60 x 60 x 5 (L)	0.173	7.864	0.084	0.00	0.00	-	-
		N169/N275	N169/N275	L 60 x 60 x 5 (L)	0.084	7.899	0.138	0.00	0.00	-	-
		N273/N171	N273/N171	L 60 x 60 x 5 (L)	0.084	7.899	0.138	0.00	0.00	-	-
		N155/N299	N155/N299	L 60 x 60 x 5 (L)	0.173	7.864	0.084	0.00	0.00	-	-
		N259/N195	N259/N195	L 60 x 60 x 5 (L)	0.173	7.864	0.084	0.00	0.00	-	-
		N126/N357	N126/N230	SHS 120x5.0 (SHS)	0.060	2.313	0.060	1.00	3.00	-	-
		N357/N358	N126/N230	SHS 120x5.0 (SHS)	0.060	2.313	0.060	1.00	3.00	-	-
		N358/N230	N126/N230	SHS 120x5.0 (SHS)	0.060	2.313	0.060	1.00	3.00	-	-
		N109/N359	N109/N213	SHS 120x5.0 (SHS)	0.060	2.313	0.060	1.00	3.00	-	-
		N359/N360	N109/N213	SHS 120x5.0 (SHS)	0.060	2.313	0.060	1.00	3.00	-	-
		N360/N213	N109/N213	SHS 120x5.0 (SHS)	0.060	2.313	0.060	1.00	3.00	-	-
		N418/N435	N418/N435	SHS 120x5.0 (SHS)	0.088	1.824	0.088	1.00	1.00	-	-
		N419/N436	N419/N436	SHS 120x5.0 (SHS)	0.088	1.824	0.088	1.00	1.00	-	-
		N420/N437	N420/N437	SHS 120x4.0 (SHS)	0.088	1.824	0.088	1.00	1.00	-	-
		N421/N438	N421/N438	SHS 120x4.0 (SHS)	0.088	1.824	0.088	1.00	1.00	-	-

Documento visado electrónicamente con número: VA07290/22
Código de validación telemática TRLTDCFZ60T66IJ1. Comprobación: https://cogitivalencia.e-gestion.es/Validacion.aspx?CVT=TRLTDCFZ60T66IJ1

VISADO
COGITI
VALENCIA
VA07290/22
TRLTDCFZ60T66IJ1

Descripción												
Material		Barra (Ni/Nf)	Pieza (Ni/Nf)	Perfil(Serie)	Longitud (m)			β_{xy}	β_{xz}	$Lb_{sup.}$ (m)	$Lb_{inf.}$ (m)
Tipo	Designación				Indeformable origen	Deformable	Indeformable extremo				
		N422/N439	N422/N439	SHS 120x4.0 (SHS)	0.088	1.835	0.077	1.00	1.00	-	-
		N423/N440	N423/N440	SHS 100x4.0 (SHS)	0.086	1.837	0.077	1.00	1.00	-	-
		N424/N441	N424/N441	SHS 100x4.0 (SHS)	0.086	1.837	0.077	1.00	1.00	-	-
		N425/N442	N425/N442	SHS 100x4.0 (SHS)	0.086	1.837	0.077	1.00	1.00	-	-
		N426/N443	N426/N443	SHS 100x4.0 (SHS)	0.086	1.836	0.078	1.00	1.00	-	-
		N427/N444	N427/N444	SHS 100x4.0 (SHS)	0.086	1.836	0.078	1.00	1.00	-	-
		N428/N445	N428/N445	SHS 120x4.0 (SHS)	0.094	1.828	0.078	1.00	1.00	-	-
		N429/N446	N429/N446	SHS 120x4.0 (SHS)	0.094	1.812	0.094	1.00	1.00	-	-
		N430/N447	N430/N447	SHS 120x4.0 (SHS)	0.094	1.812	0.094	1.00	1.00	-	-
		N431/N448	N431/N448	SHS 120x5.0 (SHS)	0.094	1.812	0.094	1.00	1.00	-	-
		N432/N449	N432/N449	SHS 120x5.0 (SHS)	0.131	1.775	0.094	1.00	1.00	-	-
		N452/N468	N452/N468	SHS 120x5.0 (SHS)	0.088	1.824	0.088	1.00	1.00	-	-
		N453/N469	N453/N469	SHS 120x5.0 (SHS)	0.088	1.824	0.088	1.00	1.00	-	-
		N454/N470	N454/N470	SHS 120x4.0 (SHS)	0.088	1.824	0.088	1.00	1.00	-	-
		N455/N471	N455/N471	SHS 120x4.0 (SHS)	0.088	1.824	0.088	1.00	1.00	-	-
		N456/N472	N456/N472	SHS 120x4.0 (SHS)	0.088	1.835	0.077	1.00	1.00	-	-
		N457/N473	N457/N473	SHS 100x4.0 (SHS)	0.086	1.837	0.077	1.00	1.00	-	-
		N458/N474	N458/N474	SHS 100x4.0 (SHS)	0.086	1.837	0.077	1.00	1.00	-	-
		N459/N475	N459/N475	SHS 100x4.0 (SHS)	0.086	1.837	0.077	1.00	1.00	-	-
		N460/N476	N460/N476	SHS 100x4.0 (SHS)	0.086	1.836	0.078	1.00	1.00	-	-
		N461/N477	N461/N477	SHS 100x4.0 (SHS)	0.086	1.836	0.078	1.00	1.00	-	-
		N462/N478	N462/N478	SHS 120x4.0 (SHS)	0.094	1.828	0.078	1.00	1.00	-	-
		N463/N479	N463/N479	SHS 120x4.0 (SHS)	0.094	1.812	0.094	1.00	1.00	-	-
		N464/N480	N464/N480	SHS 120x4.0 (SHS)	0.094	1.812	0.094	1.00	1.00	-	-
		N465/N481	N465/N481	SHS 120x5.0 (SHS)	0.094	1.812	0.094	1.00	1.00	-	-
		N466/N482	N466/N482	SHS 120x5.0 (SHS)	0.131	1.775	0.094	1.00	1.00	-	-
		N485/N501	N485/N501	SHS 120x5.0 (SHS)	0.088	1.824	0.088	1.00	1.00	-	-
		N486/N502	N486/N502	SHS 120x5.0 (SHS)	0.088	1.824	0.088	1.00	1.00	-	-
		N487/N503	N487/N503	SHS 120x4.0 (SHS)	0.088	1.824	0.088	1.00	1.00	-	-
		N488/N504	N488/N504	SHS 120x4.0 (SHS)	0.088	1.824	0.088	1.00	1.00	-	-
		N489/N505	N489/N505	SHS 120x4.0 (SHS)	0.088	1.835	0.077	1.00	1.00	-	-

Documento visado electrónicamente con número: VA07290/22
Código de validación telemática TRLTDCFZ60T66IJ1. Comprobación: https://cogitivalencia.e-gestion.es/Validacion.aspx?CVT=TRLTDCFZ60T66IJ1

VISADO
COGITI
VALENCIA
VA07290/22
TRLTDCFZ60T66IJ1

Listados

Descripción											
Material		Barra (Ni/Nf)	Pieza (Ni/Nf)	Perfil(Serie)	Longitud (m)			β_{xy}	β_{xz}	Lbsup (m)	Lbinf (m)
Tipo	Designación				Indeformable origen	Deformable	Indeformable extremo				
		N490/N506	N490/N506	SHS 100x4.0 (SHS)	0.086	1.837	0.077	1.00	1.00	-	-
		N491/N507	N491/N507	SHS 100x4.0 (SHS)	0.086	1.837	0.077	1.00	1.00	-	-
		N492/N508	N492/N508	SHS 100x4.0 (SHS)	0.086	1.837	0.077	1.00	1.00	-	-
		N493/N509	N493/N509	SHS 100x4.0 (SHS)	0.086	1.836	0.078	1.00	1.00	-	-
		N494/N510	N494/N510	SHS 100x4.0 (SHS)	0.086	1.836	0.078	1.00	1.00	-	-
		N495/N511	N495/N511	SHS 120x4.0 (SHS)	0.094	1.828	0.078	1.00	1.00	-	-
		N496/N512	N496/N512	SHS 120x4.0 (SHS)	0.094	1.812	0.094	1.00	1.00	-	-
		N497/N513	N497/N513	SHS 120x4.0 (SHS)	0.094	1.812	0.094	1.00	1.00	-	-
		N498/N514	N498/N514	SHS 120x5.0 (SHS)	0.094	1.812	0.094	1.00	1.00	-	-
		N499/N515	N499/N515	SHS 120x5.0 (SHS)	0.094	1.812	0.094	1.00	1.00	-	-
		N418/N434	N418/N434	SHS 120x10.0 (SHS)	0.111	2.372	0.099	0.80	0.80	-	-
		N419/N435	N419/N435	SHS 120x5.0 (SHS)	0.111	2.372	0.099	0.80	0.80	-	-
		N420/N436	N420/N436	SHS 120x5.0 (SHS)	0.111	2.372	0.099	0.80	0.80	-	-
		N421/N437	N421/N437	SHS 120x4.0 (SHS)	0.111	2.372	0.099	0.80	0.80	-	-
		N422/N438	N422/N438	SHS 120x4.0 (SHS)	0.111	2.372	0.099	0.80	0.80	-	-
		N424/N440	N424/N440	SHS 100x4.0 (SHS)	0.111	2.372	0.099	0.80	0.80	-	-
		N425/N441	N425/N441	SHS 100x4.0 (SHS)	0.111	2.372	0.099	0.80	0.80	-	-
		N425/N443	N425/N443	SHS 100x4.0 (SHS)	0.119	2.544	0.106	0.80	0.80	-	-
		N426/N444	N426/N444	SHS 100x4.0 (SHS)	0.119	2.544	0.106	0.80	0.80	-	-
		N428/N446	N428/N446	SHS 120x4.0 (SHS)	0.119	2.544	0.106	0.80	0.80	-	-
		N429/N447	N429/N447	SHS 120x4.0 (SHS)	0.119	2.544	0.106	0.80	0.80	-	-
		N430/N448	N430/N448	SHS 120x5.0 (SHS)	0.119	2.544	0.106	0.80	0.80	-	-
		N431/N449	N431/N449	SHS 120x5.0 (SHS)	0.119	2.544	0.106	0.80	0.80	-	-
		N432/N450	N432/N450	SHS 120x10.0 (SHS)	0.119	2.431	0.219	0.80	0.80	-	-
		N452/N433	N452/N433	SHS 120x10.0 (SHS)	0.111	2.267	0.204	0.80	0.80	-	-
		N453/N468	N453/N468	SHS 120x5.0 (SHS)	0.111	2.372	0.099	0.80	0.80	-	-
		N454/N469	N454/N469	SHS 120x5.0 (SHS)	0.111	2.372	0.099	0.80	0.80	-	-
		N455/N470	N455/N470	SHS 120x4.0 (SHS)	0.111	2.372	0.099	0.80	0.80	-	-
		N456/N471	N456/N471	SHS 120x4.0 (SHS)	0.111	2.372	0.099	0.80	0.80	-	-
		N458/N473	N458/N473	SHS 100x4.0 (SHS)	0.111	2.372	0.099	0.80	0.80	-	-

Documento visado electrónicamente con número: VA07290/22
Código de validación telemática TRLTDCFZ60T66IJ1. Comprobación: https://cogitivalencia.e-gestion.es/Validacion.aspx?CVT=TRLTDCFZ60T66IJ1

VISADO
COGITI
VALENCIA
VA07290/22
TRLTDCFZ60T66IJ1

Listados

Descripción												
Material		Barra (Ni/Nf)	Pieza (Ni/Nf)	Perfil(Serie)	Longitud (m)			β_{xy}	β_{xz}	$Lb_{sup.}$ (m)	$Lb_{inf.}$ (m)
Tipo	Designación				Indeformable origen	Deformable	Indeformable extremo				
		N459/N474	N459/N474	SHS 100x4.0 (SHS)	0.111	2.372	0.099	0.80	0.80	-	-
		N459/N476	N459/N476	SHS 100x4.0 (SHS)	0.119	2.544	0.106	0.80	0.80	-	-
		N460/N477	N460/N477	SHS 100x4.0 (SHS)	0.119	2.544	0.106	0.80	0.80	-	-
		N462/N479	N462/N479	SHS 120x4.0 (SHS)	0.119	2.544	0.106	0.80	0.80	-	-
		N463/N480	N463/N480	SHS 120x4.0 (SHS)	0.119	2.544	0.106	0.80	0.80	-	-
		N464/N481	N464/N481	SHS 120x5.0 (SHS)	0.119	2.544	0.106	0.80	0.80	-	-
		N465/N482	N465/N482	SHS 120x5.0 (SHS)	0.119	2.544	0.106	0.80	0.80	-	-
		N466/N483	N466/N483	SHS 120x10.0 (SHS)	0.119	2.431	0.219	0.80	0.80	-	-
		N485/N467	N485/N467	SHS 120x10.0 (SHS)	0.111	2.267	0.204	0.80	0.80	-	-
		N486/N501	N486/N501	SHS 120x5.0 (SHS)	0.111	2.372	0.099	0.80	0.80	-	-
		N487/N502	N487/N502	SHS 120x5.0 (SHS)	0.111	2.372	0.099	0.80	0.80	-	-
		N488/N503	N488/N503	SHS 120x4.0 (SHS)	0.111	2.372	0.099	0.80	0.80	-	-
		N489/N504	N489/N504	SHS 120x4.0 (SHS)	0.111	2.372	0.099	0.80	0.80	-	-
		N491/N506	N491/N506	SHS 100x4.0 (SHS)	0.111	2.372	0.099	0.80	0.80	-	-
		N492/N507	N492/N507	SHS 100x4.0 (SHS)	0.111	2.372	0.099	0.80	0.80	-	-
		N492/N509	N492/N509	SHS 100x4.0 (SHS)	0.119	2.544	0.106	0.80	0.80	-	-
		N493/N510	N493/N510	SHS 100x4.0 (SHS)	0.119	2.544	0.106	0.80	0.80	-	-
		N495/N512	N495/N512	SHS 120x4.0 (SHS)	0.119	2.544	0.106	0.80	0.80	-	-
		N496/N513	N496/N513	SHS 120x4.0 (SHS)	0.119	2.544	0.106	0.80	0.80	-	-
		N497/N514	N497/N514	SHS 120x5.0 (SHS)	0.119	2.544	0.106	0.80	0.80	-	-
		N498/N515	N498/N515	SHS 120x5.0 (SHS)	0.119	2.544	0.106	0.80	0.80	-	-
		N499/N516	N499/N516	SHS 120x10.0 (SHS)	0.119	2.431	0.219	0.80	0.80	-	-
		N209/N517	N209/N417	SHS 120x5.0 (SHS)	0.132	2.241	0.060	1.00	3.00	-	-
		N517/N518	N209/N417	SHS 120x5.0 (SHS)	0.060	2.313	0.060	1.00	3.00	-	-
		N518/N417	N209/N417	SHS 120x5.0 (SHS)	0.060	2.313	0.060	1.00	3.00	-	-
		N226/N519	N226/N434	SHS 120x5.0 (SHS)	0.075	2.298	0.060	1.00	3.00	-	-
		N519/N520	N226/N434	SHS 120x5.0 (SHS)	0.060	2.313	0.060	1.00	3.00	-	-
		N520/N434	N226/N434	SHS 120x5.0 (SHS)	0.060	2.313	0.060	1.00	3.00	-	-
		N225/N521	N225/N433	SHS 120x5.0 (SHS)	0.155	2.183	0.095	1.00	3.00	-	-
		N521/N522	N225/N433	SHS 120x5.0 (SHS)	0.095	2.243	0.095	1.00	3.00	-	-

Documento visado electrónicamente con número: VA07290/22
Código de validación telemática TRLTDCFZ60T66IJ1. Comprobación: https://cogitivalencia.e-gestion.es/Validacion.aspx?CVT=TRLTDCFZ60T66IJ1

VISADO
COGITI
VALENCIA
VA07290/22
TRLTDCFZ60T66IJ1

Descripción												
Material		Barra (Ni/Nf)	Pieza (Ni/Nf)	Perfil(Serie)	Longitud (m)			β_{xy}	β_{xz}	Lbsup (m)	Lbinf (m)
Tipo	Designación				Indeformable origen	Deformable	Indeformable extremo				
		N522/N433	N225/N433	SHS 120x5.0 (SHS)	0.095	2.188	0.150	1.00	3.00	-	-
		N242/N523	N242/N450	SHS 120x5.0 (SHS)	0.095	2.278	0.060	1.00	3.00	-	-
		N523/N524	N242/N450	SHS 120x5.0 (SHS)	0.060	2.313	0.060	1.00	3.00	-	-
		N524/N450	N242/N450	SHS 120x5.0 (SHS)	0.060	2.278	0.095	1.00	3.00	-	-
		N522/N524	N522/N524	SHS 120x5.0 (SHS)	0.078	1.862	0.060	1.00	1.00	-	-
		N521/N523	N521/N523	SHS 120x5.0 (SHS)	0.078	1.862	0.060	1.00	1.00	-	-
		N518/N520	N518/N520	SHS 120x5.0 (SHS)	0.060	1.880	0.060	1.00	1.00	-	-
		N517/N519	N517/N519	SHS 120x5.0 (SHS)	0.060	1.880	0.060	1.00	1.00	-	-
		N518/N519	N518/N519	L 50 x 50 x 5 (L)	0.095	2.960	0.095	0.00	0.00	-	-
		N517/N520	N517/N520	L 50 x 50 x 5 (L)	0.095	2.960	0.095	0.00	0.00	-	-
		N243/N521	N243/N521	SHS 120x5.0 (SHS)	0.201	2.854	0.095	1.00	1.00	-	-
		N451/N522	N451/N522	SHS 120x5.0 (SHS)	0.195	2.860	0.095	1.00	1.00	-	-
		N278/N525	N278/N525	SHS 120x5.0 (SHS)	0.201	2.854	0.095	1.00	1.00	-	-
		N259/N525	N259/N467	SHS 120x5.0 (SHS)	0.155	2.183	0.095	1.00	3.00	-	-
		N525/N526	N259/N467	SHS 120x5.0 (SHS)	0.095	2.243	0.095	1.00	3.00	-	-
		N526/N467	N259/N467	SHS 120x5.0 (SHS)	0.095	2.188	0.150	1.00	3.00	-	-
		N525/N527	N525/N527	SHS 120x5.0 (SHS)	0.078	1.862	0.060	1.00	1.00	-	-
		N526/N528	N526/N528	SHS 120x5.0 (SHS)	0.078	1.862	0.060	1.00	1.00	-	-
		N484/N526	N484/N526	SHS 120x5.0 (SHS)	0.195	2.860	0.095	1.00	1.00	-	-
		N275/N527	N275/N483	SHS 120x5.0 (SHS)	0.095	2.278	0.060	1.00	3.00	-	-
		N527/N528	N275/N483	SHS 120x5.0 (SHS)	0.060	2.313	0.060	1.00	3.00	-	-
		N528/N483	N275/N483	SHS 120x5.0 (SHS)	0.060	2.278	0.095	1.00	3.00	-	-
		N521/N524	N521/N524	L 50 x 50 x 5 (L)	0.095	2.960	0.095	0.00	0.00	-	-
		N521/N242	N521/N242	SHS 120x5.0 (SHS)	0.095	2.957	0.098	1.00	1.00	-	-
		N522/N523	N522/N523	L 50 x 50 x 5 (L)	0.095	2.960	0.095	0.00	0.00	-	-
		N522/N450	N522/N450	SHS 120x5.0 (SHS)	0.095	2.960	0.095	1.00	1.00	-	-
		N525/N528	N525/N528	L 50 x 50 x 5 (L)	0.095	2.960	0.095	0.00	0.00	-	-
		N525/N275	N525/N275	SHS 120x5.0 (SHS)	0.095	2.957	0.098	1.00	1.00	-	-
		N526/N527	N526/N527	L 50 x 50 x 5 (L)	0.095	2.960	0.095	0.00	0.00	-	-
		N526/N483	N526/N483	SHS 120x5.0 (SHS)	0.095	2.960	0.095	1.00	1.00	-	-
		N282/N530	N282/N516	SHS 120x5.0 (SHS)	0.095	2.278	0.060	1.00	3.00	-	-

Documento visado electrónicamente con número: VA07290/22
Código de validación telemática TRLTDCFZ60T66IJ1. Comprobación: https://cogitivalencia.e-gestion.es/Validacion.aspx?CVT=TRLTDCFZ60T66IJ1

VISADO
COGITI
VALENCIA
VA07290/22
TRLTDCFZ60T66IJ1

Listados

Descripción												
Material		Barra (Ni/Nf)	Pieza (Ni/Nf)	Perfil(Serie)	Longitud (m)			β_{xy}	β_{xz}	$Lb_{sup.}$ (m)	$Lb_{inf.}$ (m)
Tipo	Designación				Indeformable origen	Deformable	Indeformable extremo				
		N530/N529	N282/N516	SHS 120x5.0 (SHS)	0.060	2.313	0.060	1.00	3.00	-	-
		N529/N516	N282/N516	SHS 120x5.0 (SHS)	0.060	2.278	0.095	1.00	3.00	-	-
		N531/N516	N531/N516	SHS 120x5.0 (SHS)	0.095	2.960	0.095	1.00	1.00	-	-
		N281/N532	N281/N500	SHS 120x5.0 (SHS)	0.175	2.163	0.095	1.00	3.00	-	-
		N532/N531	N281/N500	SHS 120x5.0 (SHS)	0.095	2.243	0.095	1.00	3.00	-	-
		N531/N500	N281/N500	SHS 120x5.0 (SHS)	0.095	2.188	0.150	1.00	3.00	-	-
		N533/N531	N533/N531	SHS 120x5.0 (SHS)	0.195	2.860	0.095	1.00	1.00	-	-
		N532/N529	N532/N529	L 50 x 50 x 5 (L)	0.095	2.960	0.095	0.00	0.00	-	-
		N531/N530	N531/N530	L 50 x 50 x 5 (L)	0.095	2.960	0.095	0.00	0.00	-	-
		N532/N530	N532/N530	SHS 120x5.0 (SHS)	0.078	1.862	0.060	1.00	1.00	-	-
		N532/N282	N532/N282	SHS 120x5.0 (SHS)	0.095	2.957	0.098	1.00	1.00	-	-
		N531/N529	N531/N529	SHS 120x5.0 (SHS)	0.078	1.862	0.060	1.00	1.00	-	-
		N280/N532	N280/N532	SHS 120x5.0 (SHS)	0.227	2.828	0.095	1.00	1.00	-	-
		N228/N436	N228/N436	SHS 120x5.0 (SHS)	0.075	7.165	0.060	1.00	1.00	-	-
		N534/N535	N534/N535	SHS 120x5.0 (SHS)	0.060	1.880	0.060	1.00	1.00	-	-
		N536/N537	N536/N537	SHS 120x5.0 (SHS)	0.060	1.880	0.060	1.00	1.00	-	-
		N534/N537	N534/N537	L 40 x 40 x 4 (L)	0.095	2.960	0.095	0.00	0.00	-	-
		N536/N535	N536/N535	L 40 x 40 x 4 (L)	0.095	2.960	0.095	0.00	0.00	-	-
		N217/N539	N217/N425	SHS 120x5.0 (SHS)	0.060	2.313	0.060	1.00	3.00	-	-
		N539/N538	N217/N425	SHS 120x5.0 (SHS)	0.060	2.313	0.060	1.00	3.00	-	-
		N538/N425	N217/N425	SHS 120x5.0 (SHS)	0.060	2.323	0.050	1.00	3.00	-	-
		N234/N541	N234/N442	SHS 120x5.0 (SHS)	0.060	2.313	0.060	1.00	3.00	-	-
		N541/N540	N234/N442	SHS 120x5.0 (SHS)	0.060	2.313	0.060	1.00	3.00	-	-
		N540/N442	N234/N442	SHS 120x5.0 (SHS)	0.060	2.323	0.050	1.00	3.00	-	-
		N538/N540	N538/N540	SHS 120x5.0 (SHS)	0.060	1.880	0.060	1.00	1.00	-	-
		N539/N540	N539/N540	L 40 x 40 x 4 (L)	0.095	2.960	0.095	0.00	0.00	-	-
		N538/N541	N538/N541	L 40 x 40 x 4 (L)	0.095	2.960	0.095	0.00	0.00	-	-
		N539/N541	N539/N541	SHS 120x5.0 (SHS)	0.060	1.880	0.060	1.00	1.00	-	-
		N221/N543	N221/N429	SHS 120x5.0 (SHS)	0.060	2.313	0.060	1.00	3.00	-	-
		N543/N542	N221/N429	SHS 120x5.0 (SHS)	0.060	2.313	0.060	1.00	3.00	-	-
		N542/N429	N221/N429	SHS 120x5.0 (SHS)	0.060	2.313	0.060	1.00	3.00	-	-

Documento visado electrónicamente con número: VA07290/22
Código de validación telemática TRLTDCFZ60T66IJ1. Comprobación: https://cogitivalencia.e-gestion.es/Validacion.aspx?CVT=TRLTDCFZ60T66IJ1

VISADO
COGITI
VALENCIA
VA07290/22
TRLTDCFZ60T66IJ1

Listados

Descripción											
Material		Barra (Ni/Nf)	Pieza (Ni/Nf)	Perfil(Serie)	Longitud (m)			β_{xy}	β_{xz}	Lbsup (m)	Lbinf (m)
Tipo	Designación				Indeformable origen	Deformable	Indeformable extremo				
		N238/N545	N238/N446	SHS 120x5.0 (SHS)	0.060	2.313	0.060	1.00	3.00	-	-
		N545/N544	N238/N446	SHS 120x5.0 (SHS)	0.060	2.313	0.060	1.00	3.00	-	-
		N544/N446	N238/N446	SHS 120x5.0 (SHS)	0.060	2.313	0.060	1.00	3.00	-	-
		N542/N544	N542/N544	SHS 120x5.0 (SHS)	0.060	1.880	0.060	1.00	1.00	-	-
		N543/N544	N543/N544	L 40 x 40 x 4 (L)	0.095	2.960	0.095	0.00	0.00	-	-
		N542/N545	N542/N545	L 40 x 40 x 4 (L)	0.095	2.960	0.095	0.00	0.00	-	-
		N543/N545	N543/N545	SHS 120x5.0 (SHS)	0.060	1.880	0.060	1.00	1.00	-	-
		N240/N448	N240/N448	SHS 120x5.0 (SHS)	0.075	7.165	0.060	1.00	1.00	-	-
		N261/N469	N261/N469	SHS 120x5.0 (SHS)	0.075	7.165	0.060	1.00	1.00	-	-
		N263/N546	N263/N471	SHS 120x5.0 (SHS)	0.060	2.313	0.060	1.00	3.00	-	-
		N546/N547	N263/N471	SHS 120x5.0 (SHS)	0.060	2.313	0.060	1.00	3.00	-	-
		N547/N471	N263/N471	SHS 120x5.0 (SHS)	0.060	2.313	0.060	1.00	3.00	-	-
		N247/N548	N247/N455	SHS 120x5.0 (SHS)	0.060	2.313	0.060	1.00	3.00	-	-
		N548/N549	N247/N455	SHS 120x5.0 (SHS)	0.060	2.313	0.060	1.00	3.00	-	-
		N549/N455	N247/N455	SHS 120x5.0 (SHS)	0.060	2.313	0.060	1.00	3.00	-	-
		N549/N547	N549/N547	SHS 120x5.0 (SHS)	0.060	1.880	0.060	1.00	1.00	-	-
		N548/N546	N548/N546	SHS 120x5.0 (SHS)	0.060	1.880	0.060	1.00	1.00	-	-
		N549/N546	N549/N546	L 40 x 40 x 4 (L)	0.095	2.960	0.095	0.00	0.00	-	-
		N548/N547	N548/N547	L 40 x 40 x 4 (L)	0.095	2.960	0.095	0.00	0.00	-	-
		N251/N551	N251/N459	SHS 120x5.0 (SHS)	0.060	2.313	0.060	1.00	3.00	-	-
		N551/N550	N251/N459	SHS 120x5.0 (SHS)	0.060	2.313	0.060	1.00	3.00	-	-
		N550/N459	N251/N459	SHS 120x5.0 (SHS)	0.060	2.323	0.050	1.00	3.00	-	-
		N267/N553	N267/N475	SHS 120x5.0 (SHS)	0.060	2.313	0.060	1.00	3.00	-	-
		N553/N552	N267/N475	SHS 120x5.0 (SHS)	0.060	2.313	0.060	1.00	3.00	-	-
		N552/N475	N267/N475	SHS 120x5.0 (SHS)	0.060	2.323	0.050	1.00	3.00	-	-
		N550/N552	N550/N552	SHS 120x5.0 (SHS)	0.060	1.880	0.060	1.00	1.00	-	-
		N551/N552	N551/N552	L 40 x 40 x 4 (L)	0.095	2.960	0.095	0.00	0.00	-	-
		N550/N553	N550/N553	L 40 x 40 x 4 (L)	0.095	2.960	0.095	0.00	0.00	-	-
		N551/N553	N551/N553	SHS 120x5.0 (SHS)	0.060	1.880	0.060	1.00	1.00	-	-
		N255/N555	N255/N463	SHS 120x5.0 (SHS)	0.060	2.313	0.060	1.00	3.00	-	-
		N555/N554	N255/N463	SHS 120x5.0 (SHS)	0.060	2.313	0.060	1.00	3.00	-	-

Documento visado electrónicamente con número: VA07290/22
Código de validación telemática TRLTDCFZ60T66IJ1. Comprobación: https://cogitivalencia.e-gestion.es/Validacion.aspx?CVT=TRLTDCFZ60T66IJ1

VISADO
COGITI
VALENCIA
VA07290/22
TRLTDCFZ60T66IJ1

Descripción												
Material		Barra (Ni/Nf)	Pieza (Ni/Nf)	Perfil(Serie)	Longitud (m)			β_{xy}	β_{xz}	$Lb_{sup.}$ (m)	$Lb_{inf.}$ (m)
Tipo	Designación				Indeformable origen	Deformable	Indeformable extremo				
		N554/N463	N255/N463	SHS 120x5.0 (SHS)	0.060	2.313	0.060	1.00	3.00	-	-
		N271/N557	N271/N479	SHS 120x5.0 (SHS)	0.060	2.313	0.060	1.00	3.00	-	-
		N557/N556	N271/N479	SHS 120x5.0 (SHS)	0.060	2.313	0.060	1.00	3.00	-	-
		N556/N479	N271/N479	SHS 120x5.0 (SHS)	0.060	2.313	0.060	1.00	3.00	-	-
		N554/N556	N554/N556	SHS 120x5.0 (SHS)	0.060	1.880	0.060	1.00	1.00	-	-
		N555/N556	N555/N556	L 40 x 40 x 4 (L)	0.095	2.960	0.095	0.00	0.00	-	-
		N554/N557	N554/N557	L 40 x 40 x 4 (L)	0.095	2.960	0.095	0.00	0.00	-	-
		N555/N557	N555/N557	SHS 120x5.0 (SHS)	0.060	1.880	0.060	1.00	1.00	-	-
		N273/N481	N273/N481	SHS 120x5.0 (SHS)	0.075	7.165	0.060	1.00	1.00	-	-
		N299/N502	N299/N502	SHS 120x5.0 (SHS)	0.075	7.165	0.060	1.00	1.00	-	-
		N301/N558	N301/N504	SHS 120x5.0 (SHS)	0.060	2.313	0.060	1.00	3.00	-	-
		N558/N559	N301/N504	SHS 120x5.0 (SHS)	0.060	2.313	0.060	1.00	3.00	-	-
		N559/N504	N301/N504	SHS 120x5.0 (SHS)	0.060	2.313	0.060	1.00	3.00	-	-
		N286/N560	N286/N488	SHS 120x5.0 (SHS)	0.060	2.313	0.060	1.00	3.00	-	-
		N560/N561	N286/N488	SHS 120x5.0 (SHS)	0.060	2.313	0.060	1.00	3.00	-	-
		N561/N488	N286/N488	SHS 120x5.0 (SHS)	0.060	2.313	0.060	1.00	3.00	-	-
		N561/N559	N561/N559	SHS 120x5.0 (SHS)	0.060	1.880	0.060	1.00	1.00	-	-
		N560/N558	N560/N558	SHS 120x5.0 (SHS)	0.060	1.880	0.060	1.00	1.00	-	-
		N561/N558	N561/N558	L 40 x 40 x 4 (L)	0.095	2.960	0.095	0.00	0.00	-	-
		N560/N559	N560/N559	L 40 x 40 x 4 (L)	0.095	2.960	0.095	0.00	0.00	-	-
		N290/N563	N290/N492	SHS 120x5.0 (SHS)	0.060	2.313	0.060	1.00	3.00	-	-
		N563/N562	N290/N492	SHS 120x5.0 (SHS)	0.060	2.313	0.060	1.00	3.00	-	-
		N562/N492	N290/N492	SHS 120x5.0 (SHS)	0.060	2.323	0.050	1.00	3.00	-	-
		N305/N565	N305/N508	SHS 120x5.0 (SHS)	0.060	2.313	0.060	1.00	3.00	-	-
		N565/N564	N305/N508	SHS 120x5.0 (SHS)	0.060	2.313	0.060	1.00	3.00	-	-
		N564/N508	N305/N508	SHS 120x5.0 (SHS)	0.060	2.323	0.050	1.00	3.00	-	-
		N562/N564	N562/N564	SHS 120x5.0 (SHS)	0.060	1.880	0.060	1.00	1.00	-	-
		N563/N564	N563/N564	L 40 x 40 x 4 (L)	0.095	2.960	0.095	0.00	0.00	-	-
		N562/N565	N562/N565	L 40 x 40 x 4 (L)	0.095	2.960	0.095	0.00	0.00	-	-
		N563/N565	N563/N565	SHS 120x5.0 (SHS)	0.060	1.880	0.060	1.00	1.00	-	-
		N294/N567	N294/N496	SHS 120x5.0 (SHS)	0.060	2.313	0.060	1.00	3.00	-	-

Documento visado electrónicamente con número: VA07290/22
Código de validación telemática TRLTDCFZ60T66IJ1. Comprobación: https://cogitivalencia.e-gestion.es/Validacion.aspx?CVT=TRLTDCFZ60T66IJ1

VISADO
COGITI
VALENCIA
VA07290/22
TRLTDCFZ60T66IJ1

Descripción											
Material		Barra (Ni/Nf)	Pieza (Ni/Nf)	Perfil(Serie)	Longitud (m)			β_{xy}	β_{xz}	Lbsup (m)	Lbinf (m)
Tipo	Designación				Indeformable origen	Deformable	Indeformable extremo				
		N567/N566	N294/N496	SHS 120x5.0 (SHS)	0.060	2.313	0.060	1.00	3.00	-	-
		N566/N496	N294/N496	SHS 120x5.0 (SHS)	0.060	2.313	0.060	1.00	3.00	-	-
		N309/N569	N309/N512	SHS 120x5.0 (SHS)	0.060	2.313	0.060	1.00	3.00	-	-
		N569/N568	N309/N512	SHS 120x5.0 (SHS)	0.060	2.313	0.060	1.00	3.00	-	-
		N568/N512	N309/N512	SHS 120x5.0 (SHS)	0.060	2.313	0.060	1.00	3.00	-	-
		N566/N568	N566/N568	SHS 120x5.0 (SHS)	0.060	1.880	0.060	1.00	1.00	-	-
		N567/N568	N567/N568	L 40 x 40 x 4 (L)	0.095	2.960	0.095	0.00	0.00	-	-
		N566/N569	N566/N569	L 40 x 40 x 4 (L)	0.095	2.960	0.095	0.00	0.00	-	-
		N567/N569	N567/N569	SHS 120x5.0 (SHS)	0.060	1.880	0.060	1.00	1.00	-	-
		N311/N514	N311/N514	SHS 120x5.0 (SHS)	0.075	7.165	0.060	1.00	1.00	-	-
		N226/N436	N226/N436	L 60 x 60 x 5 (L)	0.138	7.916	0.067	0.00	0.00	-	-
		N434/N228	N434/N228	L 60 x 60 x 5 (L)	0.138	7.899	0.084	0.00	0.00	-	-
		N311/N516	N311/N516	L 60 x 60 x 5 (L)	0.084	7.899	0.138	0.00	0.00	-	-
		N514/N282	N514/N282	L 60 x 60 x 5 (L)	0.067	7.916	0.138	0.00	0.00	-	-
		N240/N450	N240/N450	L 60 x 60 x 5 (L)	0.084	7.899	0.138	0.00	0.00	-	-
		N448/N242	N448/N242	L 60 x 60 x 5 (L)	0.067	7.916	0.138	0.00	0.00	-	-
		N225/N469	N225/N469	L 60 x 60 x 5 (L)	0.173	7.881	0.067	0.00	0.00	-	-
		N433/N261	N433/N261	L 60 x 60 x 5 (L)	0.167	7.870	0.084	0.00	0.00	-	-
		N273/N483	N273/N483	L 60 x 60 x 5 (L)	0.084	7.899	0.138	0.00	0.00	-	-
		N481/N275	N481/N275	L 60 x 60 x 5 (L)	0.067	7.916	0.138	0.00	0.00	-	-
		N259/N502	N259/N502	L 60 x 60 x 5 (L)	0.173	7.881	0.067	0.00	0.00	-	-
		N467/N299	N467/N299	L 60 x 60 x 5 (L)	0.167	7.870	0.084	0.00	0.00	-	-
		N230/N537	N230/N438	SHS 120x5.0 (SHS)	0.060	2.313	0.060	1.00	3.00	-	-
		N537/N535	N230/N438	SHS 120x5.0 (SHS)	0.060	2.313	0.060	1.00	3.00	-	-
		N535/N438	N230/N438	SHS 120x5.0 (SHS)	0.060	2.313	0.060	1.00	3.00	-	-
		N213/N536	N213/N421	SHS 120x5.0 (SHS)	0.060	2.313	0.060	1.00	3.00	-	-
		N536/N534	N213/N421	SHS 120x5.0 (SHS)	0.060	2.313	0.060	1.00	3.00	-	-
		N534/N421	N213/N421	SHS 120x5.0 (SHS)	0.060	2.313	0.060	1.00	3.00	-	-
		N574/N591	N574/N591	SHS 120x5.0 (SHS)	0.088	1.824	0.088	1.00	1.00	-	-
		N575/N592	N575/N592	SHS 120x5.0 (SHS)	0.088	1.824	0.088	1.00	1.00	-	-
		N576/N593	N576/N593	SHS 120x4.0 (SHS)	0.088	1.824	0.088	1.00	1.00	-	-

Documento visado electrónicamente con número: VA07290/22
Código de validación telemática TRLTDCFZ60T66IJ1. Comprobación: https://cogitivalencia.e-gestion.es/Validacion.aspx?CVT=TRLTDCFZ60T66IJ1

VISADO
COGITI
VALENCIA
VA07290/22
TRLTDCFZ60T66IJ1

Descripción												
Material		Barra (Ni/Nf)	Pieza (Ni/Nf)	Perfil(Serie)	Longitud (m)			β_{xy}	β_{xz}	$Lb_{sup.}$ (m)	$Lb_{inf.}$ (m)
Tipo	Designación				Indeformable origen	Deformable	Indeformable extremo				
		N577/N594	N577/N594	SHS 120x4.0 (SHS)	0.088	1.824	0.088	1.00	1.00	-	-
		N578/N595	N578/N595	SHS 120x4.0 (SHS)	0.088	1.835	0.077	1.00	1.00	-	-
		N579/N596	N579/N596	SHS 100x4.0 (SHS)	0.086	1.837	0.077	1.00	1.00	-	-
		N580/N597	N580/N597	SHS 100x4.0 (SHS)	0.086	1.837	0.077	1.00	1.00	-	-
		N581/N598	N581/N598	SHS 100x4.0 (SHS)	0.086	1.837	0.077	1.00	1.00	-	-
		N582/N599	N582/N599	SHS 100x4.0 (SHS)	0.086	1.836	0.078	1.00	1.00	-	-
		N583/N600	N583/N600	SHS 100x4.0 (SHS)	0.086	1.836	0.078	1.00	1.00	-	-
		N584/N601	N584/N601	SHS 120x4.0 (SHS)	0.094	1.828	0.078	1.00	1.00	-	-
		N585/N602	N585/N602	SHS 120x4.0 (SHS)	0.094	1.812	0.094	1.00	1.00	-	-
		N586/N603	N586/N603	SHS 120x4.0 (SHS)	0.094	1.812	0.094	1.00	1.00	-	-
		N587/N604	N587/N604	SHS 120x5.0 (SHS)	0.094	1.812	0.094	1.00	1.00	-	-
		N588/N605	N588/N605	SHS 120x5.0 (SHS)	0.131	1.775	0.094	1.00	1.00	-	-
		N608/N624	N608/N624	SHS 120x5.0 (SHS)	0.088	1.824	0.088	1.00	1.00	-	-
		N609/N625	N609/N625	SHS 120x5.0 (SHS)	0.088	1.824	0.088	1.00	1.00	-	-
		N610/N626	N610/N626	SHS 120x4.0 (SHS)	0.088	1.824	0.088	1.00	1.00	-	-
		N611/N627	N611/N627	SHS 120x4.0 (SHS)	0.088	1.824	0.088	1.00	1.00	-	-
		N612/N628	N612/N628	SHS 120x4.0 (SHS)	0.088	1.835	0.077	1.00	1.00	-	-
		N613/N629	N613/N629	SHS 100x4.0 (SHS)	0.086	1.837	0.077	1.00	1.00	-	-
		N614/N630	N614/N630	SHS 100x4.0 (SHS)	0.086	1.837	0.077	1.00	1.00	-	-
		N615/N631	N615/N631	SHS 100x4.0 (SHS)	0.086	1.837	0.077	1.00	1.00	-	-
		N616/N632	N616/N632	SHS 100x4.0 (SHS)	0.086	1.836	0.078	1.00	1.00	-	-
		N617/N633	N617/N633	SHS 100x4.0 (SHS)	0.086	1.836	0.078	1.00	1.00	-	-
		N618/N634	N618/N634	SHS 120x4.0 (SHS)	0.094	1.828	0.078	1.00	1.00	-	-
		N619/N635	N619/N635	SHS 120x4.0 (SHS)	0.094	1.812	0.094	1.00	1.00	-	-
		N620/N636	N620/N636	SHS 120x4.0 (SHS)	0.094	1.812	0.094	1.00	1.00	-	-
		N621/N637	N621/N637	SHS 120x5.0 (SHS)	0.094	1.812	0.094	1.00	1.00	-	-
		N622/N638	N622/N638	SHS 120x5.0 (SHS)	0.131	1.775	0.094	1.00	1.00	-	-
		N641/N657	N641/N657	SHS 120x5.0 (SHS)	0.088	1.824	0.088	1.00	1.00	-	-
		N642/N658	N642/N658	SHS 120x5.0 (SHS)	0.088	1.824	0.088	1.00	1.00	-	-
		N643/N659	N643/N659	SHS 120x4.0 (SHS)	0.088	1.824	0.088	1.00	1.00	-	-
		N644/N660	N644/N660	SHS 120x4.0 (SHS)	0.088	1.824	0.088	1.00	1.00	-	-

Documento visado electrónicamente con número: VA07290/22
Código de validación telemática TRLTDCFZ60T66IJ1. Comprobación: https://cogitivalencia.e-gestion.es/Validacion.aspx?CVT=TRLTDCFZ60T66IJ1

VISADO
COGITI
VALENCIA
VA07290/22
TRLTDCFZ60T66IJ1

Listados

Descripción											
Material		Barra (Ni/Nf)	Pieza (Ni/Nf)	Perfil(Serie)	Longitud (m)			β_{xy}	β_{xz}	Lbsup (m)	Lbinf (m)
Tipo	Designación				Indeformable origen	Deformable	Indeformable extremo				
		N645/N661	N645/N661	SHS 120x4.0 (SHS)	0.088	1.835	0.077	1.00	1.00	-	-
		N646/N662	N646/N662	SHS 100x4.0 (SHS)	0.086	1.837	0.077	1.00	1.00	-	-
		N647/N663	N647/N663	SHS 100x4.0 (SHS)	0.086	1.837	0.077	1.00	1.00	-	-
		N648/N664	N648/N664	SHS 100x4.0 (SHS)	0.086	1.837	0.077	1.00	1.00	-	-
		N649/N665	N649/N665	SHS 100x4.0 (SHS)	0.086	1.836	0.078	1.00	1.00	-	-
		N650/N666	N650/N666	SHS 100x4.0 (SHS)	0.086	1.836	0.078	1.00	1.00	-	-
		N651/N667	N651/N667	SHS 120x4.0 (SHS)	0.094	1.828	0.078	1.00	1.00	-	-
		N652/N668	N652/N668	SHS 120x4.0 (SHS)	0.094	1.812	0.094	1.00	1.00	-	-
		N653/N669	N653/N669	SHS 120x4.0 (SHS)	0.094	1.812	0.094	1.00	1.00	-	-
		N654/N670	N654/N670	SHS 120x5.0 (SHS)	0.094	1.812	0.094	1.00	1.00	-	-
		N655/N671	N655/N671	SHS 120x5.0 (SHS)	0.094	1.812	0.094	1.00	1.00	-	-
		N574/N590	N574/N590	SHS 120x10.0 (SHS)	0.111	2.372	0.099	0.80	0.80	-	-
		N575/N591	N575/N591	SHS 120x5.0 (SHS)	0.111	2.372	0.099	0.80	0.80	-	-
		N576/N592	N576/N592	SHS 120x5.0 (SHS)	0.111	2.372	0.099	0.80	0.80	-	-
		N577/N593	N577/N593	SHS 120x4.0 (SHS)	0.111	2.372	0.099	0.80	0.80	-	-
		N578/N594	N578/N594	SHS 120x4.0 (SHS)	0.111	2.372	0.099	0.80	0.80	-	-
		N580/N596	N580/N596	SHS 100x4.0 (SHS)	0.111	2.372	0.099	0.80	0.80	-	-
		N581/N597	N581/N597	SHS 100x4.0 (SHS)	0.111	2.372	0.099	0.80	0.80	-	-
		N581/N599	N581/N599	SHS 100x4.0 (SHS)	0.119	2.544	0.106	0.80	0.80	-	-
		N582/N600	N582/N600	SHS 100x4.0 (SHS)	0.119	2.544	0.106	0.80	0.80	-	-
		N584/N602	N584/N602	SHS 120x4.0 (SHS)	0.119	2.544	0.106	0.80	0.80	-	-
		N585/N603	N585/N603	SHS 120x4.0 (SHS)	0.119	2.544	0.106	0.80	0.80	-	-
		N586/N604	N586/N604	SHS 120x5.0 (SHS)	0.119	2.544	0.106	0.80	0.80	-	-
		N587/N605	N587/N605	SHS 120x5.0 (SHS)	0.119	2.544	0.106	0.80	0.80	-	-
		N588/N606	N588/N606	SHS 120x10.0 (SHS)	0.119	2.431	0.219	0.80	0.80	-	-
		N608/N589	N608/N589	SHS 120x10.0 (SHS)	0.111	2.267	0.204	0.80	0.80	-	-
		N609/N624	N609/N624	SHS 120x5.0 (SHS)	0.111	2.372	0.099	0.80	0.80	-	-
		N610/N625	N610/N625	SHS 120x5.0 (SHS)	0.111	2.372	0.099	0.80	0.80	-	-
		N611/N626	N611/N626	SHS 120x4.0 (SHS)	0.111	2.372	0.099	0.80	0.80	-	-
		N612/N627	N612/N627	SHS 120x4.0 (SHS)	0.111	2.372	0.099	0.80	0.80	-	-

Documento visado electrónicamente con número: VA07290/22
Código de validación telemática TRLTDCFZ60T66IJ1. Comprobación: https://cogitivalencia.e-gestion.es/Validacion.aspx?CVT=TRLTDCFZ60T66IJ1

VISADO
COGITI
VALENCIA
VA07290/22
TRLTDCFZ60T66IJ1

Listados

Descripción												
Material		Barra (Ni/Nf)	Pieza (Ni/Nf)	Perfil(Serie)	Longitud (m)			β_{xy}	β_{xz}	$Lb_{sup.}$ (m)	$Lb_{inf.}$ (m)
Tipo	Designación				Indeformable origen	Deformable	Indeformable extremo				
		N614/N629	N614/N629	SHS 100x4.0 (SHS)	0.111	2.372	0.099	0.80	0.80	-	-
		N615/N630	N615/N630	SHS 100x4.0 (SHS)	0.111	2.372	0.099	0.80	0.80	-	-
		N615/N632	N615/N632	SHS 100x4.0 (SHS)	0.119	2.544	0.106	0.80	0.80	-	-
		N616/N633	N616/N633	SHS 100x4.0 (SHS)	0.119	2.544	0.106	0.80	0.80	-	-
		N618/N635	N618/N635	SHS 120x4.0 (SHS)	0.119	2.544	0.106	0.80	0.80	-	-
		N619/N636	N619/N636	SHS 120x4.0 (SHS)	0.119	2.544	0.106	0.80	0.80	-	-
		N620/N637	N620/N637	SHS 120x5.0 (SHS)	0.119	2.544	0.106	0.80	0.80	-	-
		N621/N638	N621/N638	SHS 120x5.0 (SHS)	0.119	2.544	0.106	0.80	0.80	-	-
		N622/N639	N622/N639	SHS 120x10.0 (SHS)	0.119	2.431	0.219	0.80	0.80	-	-
		N641/N623	N641/N623	SHS 120x10.0 (SHS)	0.111	2.267	0.204	0.80	0.80	-	-
		N642/N657	N642/N657	SHS 120x5.0 (SHS)	0.111	2.372	0.099	0.80	0.80	-	-
		N643/N658	N643/N658	SHS 120x5.0 (SHS)	0.111	2.372	0.099	0.80	0.80	-	-
		N644/N659	N644/N659	SHS 120x4.0 (SHS)	0.111	2.372	0.099	0.80	0.80	-	-
		N645/N660	N645/N660	SHS 120x4.0 (SHS)	0.111	2.372	0.099	0.80	0.80	-	-
		N647/N662	N647/N662	SHS 100x4.0 (SHS)	0.111	2.372	0.099	0.80	0.80	-	-
		N648/N663	N648/N663	SHS 100x4.0 (SHS)	0.111	2.372	0.099	0.80	0.80	-	-
		N648/N665	N648/N665	SHS 100x4.0 (SHS)	0.119	2.544	0.106	0.80	0.80	-	-
		N649/N666	N649/N666	SHS 100x4.0 (SHS)	0.119	2.544	0.106	0.80	0.80	-	-
		N651/N668	N651/N668	SHS 120x4.0 (SHS)	0.119	2.544	0.106	0.80	0.80	-	-
		N652/N669	N652/N669	SHS 120x4.0 (SHS)	0.119	2.544	0.106	0.80	0.80	-	-
		N653/N670	N653/N670	SHS 120x5.0 (SHS)	0.119	2.544	0.106	0.80	0.80	-	-
		N654/N671	N654/N671	SHS 120x5.0 (SHS)	0.119	2.544	0.106	0.80	0.80	-	-
		N655/N672	N655/N672	SHS 120x10.0 (SHS)	0.119	2.431	0.219	0.80	0.80	-	-
		N417/N673	N417/N573	SHS 120x5.0 (SHS)	0.060	2.313	0.060	1.00	3.00	-	-
		N673/N674	N417/N573	SHS 120x5.0 (SHS)	0.060	2.313	0.060	1.00	3.00	-	-
		N674/N573	N417/N573	SHS 120x5.0 (SHS)	0.060	2.313	0.060	1.00	3.00	-	-
		N434/N675	N434/N590	SHS 120x5.0 (SHS)	0.060	2.313	0.060	1.00	3.00	-	-
		N675/N676	N434/N590	SHS 120x5.0 (SHS)	0.060	2.313	0.060	1.00	3.00	-	-
		N676/N590	N434/N590	SHS 120x5.0 (SHS)	0.060	2.313	0.060	1.00	3.00	-	-
		N433/N677	N433/N589	SHS 120x5.0 (SHS)	0.150	2.188	0.095	1.00	3.00	-	-

Documento visado electrónicamente con número: VA07290/22
Código de validación telemática TRLTDCFZ60T66IJ1. Comprobación: https://cogitivalencia.e-gestion.es/Validacion.aspx?CVT=TRLTDCFZ60T66IJ1

VISADO
COGITI
VALENCIA
VA07290/22
TRLTDCFZ60T66IJ1

Descripción											
Material		Barra (Ni/Nf)	Pieza (Ni/Nf)	Perfil(Serie)	Longitud (m)			β_{xy}	β_{xz}	Lbsup (m)	Lbinf (m)
Tipo	Designación				Indeformable origen	Deformable	Indeformable extremo				
		N677/N678	N433/N589	SHS 120x5.0 (SHS)	0.095	2.243	0.095	1.00	3.00	-	-
		N678/N589	N433/N589	SHS 120x5.0 (SHS)	0.095	2.188	0.150	1.00	3.00	-	-
		N450/N679	N450/N606	SHS 120x5.0 (SHS)	0.095	2.278	0.060	1.00	3.00	-	-
		N679/N680	N450/N606	SHS 120x5.0 (SHS)	0.060	2.313	0.060	1.00	3.00	-	-
		N680/N606	N450/N606	SHS 120x5.0 (SHS)	0.060	2.278	0.095	1.00	3.00	-	-
		N678/N680	N678/N680	SHS 120x5.0 (SHS)	0.078	1.862	0.060	1.00	1.00	-	-
		N677/N679	N677/N679	SHS 120x5.0 (SHS)	0.078	1.862	0.060	1.00	1.00	-	-
		N674/N676	N674/N676	SHS 120x5.0 (SHS)	0.060	1.880	0.060	1.00	1.00	-	-
		N673/N675	N673/N675	SHS 120x5.0 (SHS)	0.060	1.880	0.060	1.00	1.00	-	-
		N674/N675	N674/N675	L 50 x 50 x 5 (L)	0.095	2.960	0.095	0.00	0.00	-	-
		N673/N676	N673/N676	L 50 x 50 x 5 (L)	0.095	2.960	0.095	0.00	0.00	-	-
		N451/N677	N451/N677	SHS 120x5.0 (SHS)	0.195	2.860	0.095	1.00	1.00	-	-
		N607/N678	N607/N678	SHS 120x5.0 (SHS)	0.195	2.860	0.095	1.00	1.00	-	-
		N484/N681	N484/N681	SHS 120x5.0 (SHS)	0.195	2.860	0.095	1.00	1.00	-	-
		N467/N681	N467/N623	SHS 120x5.0 (SHS)	0.150	2.188	0.095	1.00	3.00	-	-
		N681/N682	N467/N623	SHS 120x5.0 (SHS)	0.095	2.243	0.095	1.00	3.00	-	-
		N682/N623	N467/N623	SHS 120x5.0 (SHS)	0.095	2.188	0.150	1.00	3.00	-	-
		N681/N683	N681/N683	SHS 120x5.0 (SHS)	0.078	1.862	0.060	1.00	1.00	-	-
		N682/N684	N682/N684	SHS 120x5.0 (SHS)	0.078	1.862	0.060	1.00	1.00	-	-
		N640/N682	N640/N682	SHS 120x5.0 (SHS)	0.195	2.860	0.095	1.00	1.00	-	-
		N483/N683	N483/N639	SHS 120x5.0 (SHS)	0.095	2.278	0.060	1.00	3.00	-	-
		N683/N684	N483/N639	SHS 120x5.0 (SHS)	0.060	2.313	0.060	1.00	3.00	-	-
		N684/N639	N483/N639	SHS 120x5.0 (SHS)	0.060	2.278	0.095	1.00	3.00	-	-
		N677/N680	N677/N680	L 50 x 50 x 5 (L)	0.095	2.960	0.095	0.00	0.00	-	-
		N677/N450	N677/N450	SHS 120x5.0 (SHS)	0.095	2.960	0.095	1.00	1.00	-	-
		N678/N679	N678/N679	L 50 x 50 x 5 (L)	0.095	2.960	0.095	0.00	0.00	-	-
		N678/N606	N678/N606	SHS 120x5.0 (SHS)	0.095	2.960	0.095	1.00	1.00	-	-
		N681/N684	N681/N684	L 50 x 50 x 5 (L)	0.095	2.960	0.095	0.00	0.00	-	-
		N681/N483	N681/N483	SHS 120x5.0 (SHS)	0.095	2.960	0.095	1.00	1.00	-	-
		N682/N683	N682/N683	L 50 x 50 x 5 (L)	0.095	2.960	0.095	0.00	0.00	-	-
		N682/N639	N682/N639	SHS 120x5.0 (SHS)	0.095	2.960	0.095	1.00	1.00	-	-

Documento visado electrónicamente con número: VA07290/22
Código de validación telemática TRLTDCFZ60T66IJ1. Comprobación: https://cogitivalencia.e-gestion.es/Validacion.aspx?CVT=TRLTDCFZ60T66IJ1

VISADO
COGITI
VALENCIA
VA07290/22
TRLTDCFZ60T66IJ1

Descripción												
Material		Barra (Ni/Nf)	Pieza (Ni/Nf)	Perfil(Serie)	Longitud (m)			β_{xy}	β_{xz}	$Lb_{sup.}$ (m)	$Lb_{inf.}$ (m)
Tipo	Designación				Indeformable origen	Deformable	Indeformable extremo				
		N516/N686	N516/N672	SHS 120x5.0 (SHS)	0.095	2.278	0.060	1.00	3.00	-	-
		N686/N685	N516/N672	SHS 120x5.0 (SHS)	0.060	2.313	0.060	1.00	3.00	-	-
		N685/N672	N516/N672	SHS 120x5.0 (SHS)	0.060	2.278	0.095	1.00	3.00	-	-
		N687/N672	N687/N672	SHS 120x5.0 (SHS)	0.095	2.960	0.095	1.00	1.00	-	-
		N500/N688	N500/N656	SHS 120x5.0 (SHS)	0.150	2.188	0.095	1.00	3.00	-	-
		N688/N687	N500/N656	SHS 120x5.0 (SHS)	0.095	2.243	0.095	1.00	3.00	-	-
		N687/N656	N500/N656	SHS 120x5.0 (SHS)	0.095	2.188	0.150	1.00	3.00	-	-
		N689/N687	N689/N687	SHS 120x5.0 (SHS)	0.195	2.860	0.095	1.00	1.00	-	-
		N688/N685	N688/N685	L 50 x 50 x 5 (L)	0.095	2.960	0.095	0.00	0.00	-	-
		N687/N686	N687/N686	L 50 x 50 x 5 (L)	0.095	2.960	0.095	0.00	0.00	-	-
		N688/N686	N688/N686	SHS 120x5.0 (SHS)	0.078	1.862	0.060	1.00	1.00	-	-
		N688/N516	N688/N516	SHS 120x5.0 (SHS)	0.095	2.960	0.095	1.00	1.00	-	-
		N687/N685	N687/N685	SHS 120x5.0 (SHS)	0.078	1.862	0.060	1.00	1.00	-	-
		N533/N688	N533/N688	SHS 120x5.0 (SHS)	0.195	2.860	0.095	1.00	1.00	-	-
		N436/N592	N436/N592	SHS 120x5.0 (SHS)	0.060	7.180	0.060	1.00	1.00	-	-
		N690/N691	N690/N691	SHS 120x5.0 (SHS)	0.060	1.880	0.060	1.00	1.00	-	-
		N692/N693	N692/N693	SHS 120x5.0 (SHS)	0.060	1.880	0.060	1.00	1.00	-	-
		N690/N693	N690/N693	L 40 x 40 x 4 (L)	0.095	2.960	0.095	0.00	0.00	-	-
		N692/N691	N692/N691	L 40 x 40 x 4 (L)	0.095	2.960	0.095	0.00	0.00	-	-
		N425/N695	N425/N581	SHS 120x5.0 (SHS)	0.050	2.323	0.060	1.00	3.00	-	-
		N695/N694	N425/N581	SHS 120x5.0 (SHS)	0.060	2.313	0.060	1.00	3.00	-	-
		N694/N581	N425/N581	SHS 120x5.0 (SHS)	0.060	2.323	0.050	1.00	3.00	-	-
		N442/N697	N442/N598	SHS 120x5.0 (SHS)	0.050	2.323	0.060	1.00	3.00	-	-
		N697/N696	N442/N598	SHS 120x5.0 (SHS)	0.060	2.313	0.060	1.00	3.00	-	-
		N696/N598	N442/N598	SHS 120x5.0 (SHS)	0.060	2.323	0.050	1.00	3.00	-	-
		N694/N696	N694/N696	SHS 120x5.0 (SHS)	0.060	1.880	0.060	1.00	1.00	-	-
		N695/N696	N695/N696	L 40 x 40 x 4 (L)	0.095	2.960	0.095	0.00	0.00	-	-
		N694/N697	N694/N697	L 40 x 40 x 4 (L)	0.095	2.960	0.095	0.00	0.00	-	-
		N695/N697	N695/N697	SHS 120x5.0 (SHS)	0.060	1.880	0.060	1.00	1.00	-	-
		N429/N699	N429/N585	SHS 120x5.0 (SHS)	0.060	2.313	0.060	1.00	3.00	-	-
		N699/N698	N429/N585	SHS 120x5.0 (SHS)	0.060	2.313	0.060	1.00	3.00	-	-

Documento visado electrónicamente con número: VA07290/22
Código de validación telemática TRLTDCFZ60T66IJ1. Comprobación: https://cogitivalencia.e-gestion.es/Validacion.aspx?CVT=TRLTDCFZ60T66IJ1

VISADO
COGITI
VALENCIA
VA07290/22
TRLTDCFZ60T66IJ1

Listados

Descripción											
Material		Barra (Ni/Nf)	Pieza (Ni/Nf)	Perfil(Serie)	Longitud (m)			β_{xy}	β_{xz}	Lbsup (m)	Lbinf (m)
Tipo	Designación				Indeformable origen	Deformable	Indeformable extremo				
		N698/N585	N429/N585	SHS 120x5.0 (SHS)	0.060	2.313	0.060	1.00	3.00	-	-
		N446/N701	N446/N602	SHS 120x5.0 (SHS)	0.060	2.313	0.060	1.00	3.00	-	-
		N701/N700	N446/N602	SHS 120x5.0 (SHS)	0.060	2.313	0.060	1.00	3.00	-	-
		N700/N602	N446/N602	SHS 120x5.0 (SHS)	0.060	2.313	0.060	1.00	3.00	-	-
		N698/N700	N698/N700	SHS 120x5.0 (SHS)	0.060	1.880	0.060	1.00	1.00	-	-
		N699/N700	N699/N700	L 40 x 40 x 4 (L)	0.095	2.960	0.095	0.00	0.00	-	-
		N698/N701	N698/N701	L 40 x 40 x 4 (L)	0.095	2.960	0.095	0.00	0.00	-	-
		N699/N701	N699/N701	SHS 120x5.0 (SHS)	0.060	1.880	0.060	1.00	1.00	-	-
		N448/N604	N448/N604	SHS 120x5.0 (SHS)	0.060	7.180	0.060	1.00	1.00	-	-
		N469/N625	N469/N625	SHS 120x5.0 (SHS)	0.060	7.180	0.060	1.00	1.00	-	-
		N471/N702	N471/N627	SHS 120x5.0 (SHS)	0.060	2.313	0.060	1.00	3.00	-	-
		N702/N703	N471/N627	SHS 120x5.0 (SHS)	0.060	2.313	0.060	1.00	3.00	-	-
		N703/N627	N471/N627	SHS 120x5.0 (SHS)	0.060	2.313	0.060	1.00	3.00	-	-
		N455/N704	N455/N611	SHS 120x5.0 (SHS)	0.060	2.313	0.060	1.00	3.00	-	-
		N704/N705	N455/N611	SHS 120x5.0 (SHS)	0.060	2.313	0.060	1.00	3.00	-	-
		N705/N611	N455/N611	SHS 120x5.0 (SHS)	0.060	2.313	0.060	1.00	3.00	-	-
		N705/N703	N705/N703	SHS 120x5.0 (SHS)	0.060	1.880	0.060	1.00	1.00	-	-
		N704/N702	N704/N702	SHS 120x5.0 (SHS)	0.060	1.880	0.060	1.00	1.00	-	-
		N705/N702	N705/N702	L 40 x 40 x 4 (L)	0.095	2.960	0.095	0.00	0.00	-	-
		N704/N703	N704/N703	L 40 x 40 x 4 (L)	0.095	2.960	0.095	0.00	0.00	-	-
		N459/N707	N459/N615	SHS 120x5.0 (SHS)	0.050	2.323	0.060	1.00	3.00	-	-
		N707/N706	N459/N615	SHS 120x5.0 (SHS)	0.060	2.313	0.060	1.00	3.00	-	-
		N706/N615	N459/N615	SHS 120x5.0 (SHS)	0.060	2.323	0.050	1.00	3.00	-	-
		N475/N709	N475/N631	SHS 120x5.0 (SHS)	0.050	2.323	0.060	1.00	3.00	-	-
		N709/N708	N475/N631	SHS 120x5.0 (SHS)	0.060	2.313	0.060	1.00	3.00	-	-
		N708/N631	N475/N631	SHS 120x5.0 (SHS)	0.060	2.323	0.050	1.00	3.00	-	-
		N706/N708	N706/N708	SHS 120x5.0 (SHS)	0.060	1.880	0.060	1.00	1.00	-	-
		N707/N708	N707/N708	L 40 x 40 x 4 (L)	0.095	2.960	0.095	0.00	0.00	-	-
		N706/N709	N706/N709	L 40 x 40 x 4 (L)	0.095	2.960	0.095	0.00	0.00	-	-
		N707/N709	N707/N709	SHS 120x5.0 (SHS)	0.060	1.880	0.060	1.00	1.00	-	-
		N463/N711	N463/N619	SHS 120x5.0 (SHS)	0.060	2.313	0.060	1.00	3.00	-	-

Documento visado electrónicamente con número: VA07290/22
Código de validación telemática TRLTDCFZ60T66IJ1. Comprobación: https://cogitivalencia.e-gestion.es/Validacion.aspx?CVT=TRLTDCFZ60T66IJ1

VISADO
COGITI
VALENCIA
VA07290/22
TRLTDCFZ60T66IJ1

Descripción												
Material		Barra (Ni/Nf)	Pieza (Ni/Nf)	Perfil(Serie)	Longitud (m)			β_{xy}	β_{xz}	Lb$_{sup.}$ (m)	Lb$_{inf.}$ (m)
Tipo	Designación				Indeformable origen	Deformable	Indeformable extremo				
		N711/N710	N463/N619	SHS 120x5.0 (SHS)	0.060	2.313	0.060	1.00	3.00	-	-
		N710/N619	N463/N619	SHS 120x5.0 (SHS)	0.060	2.313	0.060	1.00	3.00	-	-
		N479/N713	N479/N635	SHS 120x5.0 (SHS)	0.060	2.313	0.060	1.00	3.00	-	-
		N713/N712	N479/N635	SHS 120x5.0 (SHS)	0.060	2.313	0.060	1.00	3.00	-	-
		N712/N635	N479/N635	SHS 120x5.0 (SHS)	0.060	2.313	0.060	1.00	3.00	-	-
		N710/N712	N710/N712	SHS 120x5.0 (SHS)	0.060	1.880	0.060	1.00	1.00	-	-
		N711/N712	N711/N712	L 40 x 40 x 4 (L)	0.095	2.960	0.095	0.00	0.00	-	-
		N710/N713	N710/N713	L 40 x 40 x 4 (L)	0.095	2.960	0.095	0.00	0.00	-	-
		N711/N713	N711/N713	SHS 120x5.0 (SHS)	0.060	1.880	0.060	1.00	1.00	-	-
		N481/N637	N481/N637	SHS 120x5.0 (SHS)	0.060	7.180	0.060	1.00	1.00	-	-
		N502/N658	N502/N658	SHS 120x5.0 (SHS)	0.060	7.180	0.060	1.00	1.00	-	-
		N504/N714	N504/N660	SHS 120x5.0 (SHS)	0.060	2.313	0.060	1.00	3.00	-	-
		N714/N715	N504/N660	SHS 120x5.0 (SHS)	0.060	2.313	0.060	1.00	3.00	-	-
		N715/N660	N504/N660	SHS 120x5.0 (SHS)	0.060	2.313	0.060	1.00	3.00	-	-
		N488/N716	N488/N644	SHS 120x5.0 (SHS)	0.060	2.313	0.060	1.00	3.00	-	-
		N716/N717	N488/N644	SHS 120x5.0 (SHS)	0.060	2.313	0.060	1.00	3.00	-	-
		N717/N644	N488/N644	SHS 120x5.0 (SHS)	0.060	2.313	0.060	1.00	3.00	-	-
		N717/N715	N717/N715	SHS 120x5.0 (SHS)	0.060	1.880	0.060	1.00	1.00	-	-
		N716/N714	N716/N714	SHS 120x5.0 (SHS)	0.060	1.880	0.060	1.00	1.00	-	-
		N717/N714	N717/N714	L 40 x 40 x 4 (L)	0.095	2.960	0.095	0.00	0.00	-	-
		N716/N715	N716/N715	L 40 x 40 x 4 (L)	0.095	2.960	0.095	0.00	0.00	-	-
		N492/N719	N492/N648	SHS 120x5.0 (SHS)	0.050	2.323	0.060	1.00	3.00	-	-
		N719/N718	N492/N648	SHS 120x5.0 (SHS)	0.060	2.313	0.060	1.00	3.00	-	-
		N718/N648	N492/N648	SHS 120x5.0 (SHS)	0.060	2.323	0.050	1.00	3.00	-	-
		N508/N721	N508/N664	SHS 120x5.0 (SHS)	0.050	2.323	0.060	1.00	3.00	-	-
		N721/N720	N508/N664	SHS 120x5.0 (SHS)	0.060	2.313	0.060	1.00	3.00	-	-
		N720/N664	N508/N664	SHS 120x5.0 (SHS)	0.060	2.323	0.050	1.00	3.00	-	-
		N718/N720	N718/N720	SHS 120x5.0 (SHS)	0.060	1.880	0.060	1.00	1.00	-	-
		N719/N720	N719/N720	L 40 x 40 x 4 (L)	0.095	2.960	0.095	0.00	0.00	-	-
		N718/N721	N718/N721	L 40 x 40 x 4 (L)	0.095	2.960	0.095	0.00	0.00	-	-
		N719/N721	N719/N721	SHS 120x5.0 (SHS)	0.060	1.880	0.060	1.00	1.00	-	-

Documento visado electrónicamente con número: VA07290/22
Código de validación telemática TRLTDCFZ60T66IJ1. Comprobación: https://cogitivalencia.e-gestion.es/Validacion.aspx?CVT=TRLTDCFZ60T66IJ1

VISADO
COGITI
VALENCIA
VA07290/22
TRLTDCFZ60T66IJ1

Listados

Descripción											
Material		Barra (Ni/Nf)	Pieza (Ni/Nf)	Perfil(Serie)	Longitud (m)			β_{xy}	β_{xz}	Lbsup (m)	Lbinf (m)
Tipo	Designación				Indeformable origen	Deformable	Indeformable extremo				
		N496/N723	N496/N652	SHS 120x5.0 (SHS)	0.060	2.313	0.060	1.00	3.00	-	-
		N723/N722	N496/N652	SHS 120x5.0 (SHS)	0.060	2.313	0.060	1.00	3.00	-	-
		N722/N652	N496/N652	SHS 120x5.0 (SHS)	0.060	2.313	0.060	1.00	3.00	-	-
		N512/N725	N512/N668	SHS 120x5.0 (SHS)	0.060	2.313	0.060	1.00	3.00	-	-
		N725/N724	N512/N668	SHS 120x5.0 (SHS)	0.060	2.313	0.060	1.00	3.00	-	-
		N724/N668	N512/N668	SHS 120x5.0 (SHS)	0.060	2.313	0.060	1.00	3.00	-	-
		N722/N724	N722/N724	SHS 120x5.0 (SHS)	0.060	1.880	0.060	1.00	1.00	-	-
		N723/N724	N723/N724	L 40 x 40 x 4 (L)	0.095	2.960	0.095	0.00	0.00	-	-
		N722/N725	N722/N725	L 40 x 40 x 4 (L)	0.095	2.960	0.095	0.00	0.00	-	-
		N723/N725	N723/N725	SHS 120x5.0 (SHS)	0.060	1.880	0.060	1.00	1.00	-	-
		N514/N670	N514/N670	SHS 120x5.0 (SHS)	0.060	7.180	0.060	1.00	1.00	-	-
		N434/N592	N434/N592	L 60 x 60 x 5 (L)	0.138	7.916	0.067	0.00	0.00	-	-
		N590/N436	N590/N436	L 60 x 60 x 5 (L)	0.138	7.916	0.067	0.00	0.00	-	-
		N514/N672	N514/N672	L 60 x 60 x 5 (L)	0.067	7.916	0.138	0.00	0.00	-	-
		N670/N516	N670/N516	L 60 x 60 x 5 (L)	0.067	7.916	0.138	0.00	0.00	-	-
		N448/N606	N448/N606	L 60 x 60 x 5 (L)	0.067	7.916	0.138	0.00	0.00	-	-
		N604/N450	N604/N450	L 60 x 60 x 5 (L)	0.067	7.916	0.138	0.00	0.00	-	-
		N433/N625	N433/N625	L 60 x 60 x 5 (L)	0.167	7.887	0.067	0.00	0.00	-	-
		N589/N469	N589/N469	L 60 x 60 x 5 (L)	0.167	7.887	0.067	0.00	0.00	-	-
		N481/N639	N481/N639	L 60 x 60 x 5 (L)	0.067	7.916	0.138	0.00	0.00	-	-
		N637/N483	N637/N483	L 60 x 60 x 5 (L)	0.067	7.916	0.138	0.00	0.00	-	-
		N467/N658	N467/N658	L 60 x 60 x 5 (L)	0.167	7.887	0.067	0.00	0.00	-	-
		N623/N502	N623/N502	L 60 x 60 x 5 (L)	0.167	7.887	0.067	0.00	0.00	-	-
		N438/N693	N438/N594	SHS 120x5.0 (SHS)	0.060	2.313	0.060	1.00	3.00	-	-
		N693/N691	N438/N594	SHS 120x5.0 (SHS)	0.060	2.313	0.060	1.00	3.00	-	-
		N691/N594	N438/N594	SHS 120x5.0 (SHS)	0.060	2.313	0.060	1.00	3.00	-	-
		N421/N692	N421/N577	SHS 120x5.0 (SHS)	0.060	2.313	0.060	1.00	3.00	-	-
		N692/N690	N421/N577	SHS 120x5.0 (SHS)	0.060	2.313	0.060	1.00	3.00	-	-
		N690/N577	N421/N577	SHS 120x5.0 (SHS)	0.060	2.313	0.060	1.00	3.00	-	-
		N730/N747	N730/N747	SHS 120x5.0 (SHS)	0.088	1.824	0.088	1.00	1.00	-	-
		N731/N748	N731/N748	SHS 120x5.0 (SHS)	0.088	1.824	0.088	1.00	1.00	-	-

Documento visado electrónicamente con número: VA07290/22
Código de validación telemática TRLTDCFZ60T66IJ1. Comprobación: https://cogitivalencia.e-gestion.es/Validacion.aspx?CVT=TRLTDCFZ60T66IJ1

VISADO
COGITI
VALENCIA
VA07290/22
TRLTDCFZ60T66IJ1

Listados

Descripción												
Material		Barra (Ni/Nf)	Pieza (Ni/Nf)	Perfil(Serie)	Longitud (m)			β_{xy}	β_{xz}	$Lb_{sup.}$ (m)	$Lb_{inf.}$ (m)
Tipo	Designación				Indeformable origen	Deformable	Indeformable extremo				
		N732/N749	N732/N749	SHS 120x4.0 (SHS)	0.088	1.824	0.088	1.00	1.00	-	-
		N733/N750	N733/N750	SHS 120x4.0 (SHS)	0.088	1.824	0.088	1.00	1.00	-	-
		N734/N751	N734/N751	SHS 120x4.0 (SHS)	0.088	1.835	0.077	1.00	1.00	-	-
		N735/N752	N735/N752	SHS 100x4.0 (SHS)	0.086	1.837	0.077	1.00	1.00	-	-
		N736/N753	N736/N753	SHS 100x4.0 (SHS)	0.086	1.837	0.077	1.00	1.00	-	-
		N737/N754	N737/N754	SHS 100x4.0 (SHS)	0.086	1.837	0.077	1.00	1.00	-	-
		N738/N755	N738/N755	SHS 100x4.0 (SHS)	0.086	1.836	0.078	1.00	1.00	-	-
		N739/N756	N739/N756	SHS 100x4.0 (SHS)	0.086	1.836	0.078	1.00	1.00	-	-
		N740/N757	N740/N757	SHS 120x4.0 (SHS)	0.094	1.828	0.078	1.00	1.00	-	-
		N741/N758	N741/N758	SHS 120x4.0 (SHS)	0.094	1.812	0.094	1.00	1.00	-	-
		N742/N759	N742/N759	SHS 120x4.0 (SHS)	0.094	1.812	0.094	1.00	1.00	-	-
		N743/N760	N743/N760	SHS 120x5.0 (SHS)	0.094	1.812	0.094	1.00	1.00	-	-
		N744/N761	N744/N761	SHS 120x5.0 (SHS)	0.131	1.775	0.094	1.00	1.00	-	-
		N764/N780	N764/N780	SHS 120x5.0 (SHS)	0.088	1.824	0.088	1.00	1.00	-	-
		N765/N781	N765/N781	SHS 120x5.0 (SHS)	0.088	1.824	0.088	1.00	1.00	-	-
		N766/N782	N766/N782	SHS 120x4.0 (SHS)	0.088	1.824	0.088	1.00	1.00	-	-
		N767/N783	N767/N783	SHS 120x4.0 (SHS)	0.088	1.824	0.088	1.00	1.00	-	-
		N768/N784	N768/N784	SHS 120x4.0 (SHS)	0.088	1.835	0.077	1.00	1.00	-	-
		N769/N785	N769/N785	SHS 100x4.0 (SHS)	0.086	1.837	0.077	1.00	1.00	-	-
		N770/N786	N770/N786	SHS 100x4.0 (SHS)	0.086	1.837	0.077	1.00	1.00	-	-
		N771/N787	N771/N787	SHS 100x4.0 (SHS)	0.086	1.837	0.077	1.00	1.00	-	-
		N772/N788	N772/N788	SHS 100x4.0 (SHS)	0.086	1.836	0.078	1.00	1.00	-	-
		N773/N789	N773/N789	SHS 100x4.0 (SHS)	0.086	1.836	0.078	1.00	1.00	-	-
		N774/N790	N774/N790	SHS 120x4.0 (SHS)	0.094	1.828	0.078	1.00	1.00	-	-
		N775/N791	N775/N791	SHS 120x4.0 (SHS)	0.094	1.812	0.094	1.00	1.00	-	-
		N776/N792	N776/N792	SHS 120x4.0 (SHS)	0.094	1.812	0.094	1.00	1.00	-	-
		N777/N793	N777/N793	SHS 120x5.0 (SHS)	0.094	1.812	0.094	1.00	1.00	-	-
		N778/N794	N778/N794	SHS 120x5.0 (SHS)	0.131	1.775	0.094	1.00	1.00	-	-
		N797/N813	N797/N813	SHS 120x5.0 (SHS)	0.088	1.824	0.088	1.00	1.00	-	-
		N798/N814	N798/N814	SHS 120x5.0 (SHS)	0.088	1.824	0.088	1.00	1.00	-	-
		N799/N815	N799/N815	SHS 120x4.0 (SHS)	0.088	1.824	0.088	1.00	1.00	-	-

Documento visado electrónicamente con número: VA07290/22
Código de validación telemática TRLTDCFZ60T66IJ1. Comprobación: https://cogitivalencia.e-gestion.es/Validacion.aspx?CVT=TRLTDCFZ60T66IJ1

VISADO
COGITI
VALENCIA
VA07290/22
TRLTDCFZ60T66IJ1

Descripción												
Material		Barra (Ni/Nf)	Pieza (Ni/Nf)	Perfil(Serie)	Longitud (m)			β_{xy}	β_{xz}	Lbsup (m)	Lbinf (m)
Tipo	Designación				Indeformable origen	Deformable	Indeformable extremo				
		N800/N816	N800/N816	SHS 120x4.0 (SHS)	0.088	1.824	0.088	1.00	1.00	-	-
		N801/N817	N801/N817	SHS 120x4.0 (SHS)	0.088	1.835	0.077	1.00	1.00	-	-
		N802/N818	N802/N818	SHS 100x4.0 (SHS)	0.086	1.837	0.077	1.00	1.00	-	-
		N803/N819	N803/N819	SHS 100x4.0 (SHS)	0.086	1.837	0.077	1.00	1.00	-	-
		N804/N820	N804/N820	SHS 100x4.0 (SHS)	0.086	1.837	0.077	1.00	1.00	-	-
		N805/N821	N805/N821	SHS 100x4.0 (SHS)	0.086	1.836	0.078	1.00	1.00	-	-
		N806/N822	N806/N822	SHS 100x4.0 (SHS)	0.086	1.836	0.078	1.00	1.00	-	-
		N807/N823	N807/N823	SHS 120x4.0 (SHS)	0.094	1.828	0.078	1.00	1.00	-	-
		N808/N824	N808/N824	SHS 120x4.0 (SHS)	0.094	1.812	0.094	1.00	1.00	-	-
		N809/N825	N809/N825	SHS 120x4.0 (SHS)	0.094	1.812	0.094	1.00	1.00	-	-
		N810/N826	N810/N826	SHS 120x5.0 (SHS)	0.094	1.812	0.094	1.00	1.00	-	-
		N811/N827	N811/N827	SHS 120x5.0 (SHS)	0.094	1.812	0.094	1.00	1.00	-	-
		N730/N746	N730/N746	SHS 120x10.0 (SHS)	0.111	2.372	0.099	0.80	0.80	-	-
		N731/N747	N731/N747	SHS 120x5.0 (SHS)	0.111	2.372	0.099	0.80	0.80	-	-
		N732/N748	N732/N748	SHS 120x5.0 (SHS)	0.111	2.372	0.099	0.80	0.80	-	-
		N733/N749	N733/N749	SHS 120x4.0 (SHS)	0.111	2.372	0.099	0.80	0.80	-	-
		N734/N750	N734/N750	SHS 120x4.0 (SHS)	0.111	2.372	0.099	0.80	0.80	-	-
		N736/N752	N736/N752	SHS 100x4.0 (SHS)	0.111	2.372	0.099	0.80	0.80	-	-
		N737/N753	N737/N753	SHS 100x4.0 (SHS)	0.111	2.372	0.099	0.80	0.80	-	-
		N737/N755	N737/N755	SHS 100x4.0 (SHS)	0.119	2.544	0.106	0.80	0.80	-	-
		N738/N756	N738/N756	SHS 100x4.0 (SHS)	0.119	2.544	0.106	0.80	0.80	-	-
		N740/N758	N740/N758	SHS 120x4.0 (SHS)	0.119	2.544	0.106	0.80	0.80	-	-
		N741/N759	N741/N759	SHS 120x4.0 (SHS)	0.119	2.544	0.106	0.80	0.80	-	-
		N742/N760	N742/N760	SHS 120x5.0 (SHS)	0.119	2.544	0.106	0.80	0.80	-	-
		N743/N761	N743/N761	SHS 120x5.0 (SHS)	0.119	2.544	0.106	0.80	0.80	-	-
		N744/N762	N744/N762	SHS 120x10.0 (SHS)	0.119	2.431	0.219	0.80	0.80	-	-
		N764/N745	N764/N745	SHS 120x10.0 (SHS)	0.111	2.267	0.204	0.80	0.80	-	-
		N765/N780	N765/N780	SHS 120x5.0 (SHS)	0.111	2.372	0.099	0.80	0.80	-	-
		N766/N781	N766/N781	SHS 120x5.0 (SHS)	0.111	2.372	0.099	0.80	0.80	-	-
		N767/N782	N767/N782	SHS 120x4.0 (SHS)	0.111	2.372	0.099	0.80	0.80	-	-

Documento visado electrónicamente con número: VA07290/22
Código de validación telemática TRLTDCFZ60T66IJ1. Comprobación: https://cogitivalencia.e-gestion.es/Validacion.aspx?CVT=TRLTDCFZ60T66IJ1

VISADO
COGITI
VALENCIA
VA07290/22
TRLTDCFZ60T66IJ1

Listados

Descripción												
Material		Barra (Ni/Nf)	Pieza (Ni/Nf)	Perfil(Serie)	Longitud (m)			β_{xy}	β_{xz}	$Lb_{sup.}$ (m)	$Lb_{inf.}$ (m)
Tipo	Designación				Indeformable origen	Deformable	Indeformable extremo				
		N768/N783	N768/N783	SHS 120x4.0 (SHS)	0.111	2.372	0.099	0.80	0.80	-	-
		N770/N785	N770/N785	SHS 100x4.0 (SHS)	0.111	2.372	0.099	0.80	0.80	-	-
		N771/N786	N771/N786	SHS 100x4.0 (SHS)	0.111	2.372	0.099	0.80	0.80	-	-
		N771/N788	N771/N788	SHS 100x4.0 (SHS)	0.119	2.544	0.106	0.80	0.80	-	-
		N772/N789	N772/N789	SHS 100x4.0 (SHS)	0.119	2.544	0.106	0.80	0.80	-	-
		N774/N791	N774/N791	SHS 120x4.0 (SHS)	0.119	2.544	0.106	0.80	0.80	-	-
		N775/N792	N775/N792	SHS 120x4.0 (SHS)	0.119	2.544	0.106	0.80	0.80	-	-
		N776/N793	N776/N793	SHS 120x5.0 (SHS)	0.119	2.544	0.106	0.80	0.80	-	-
		N777/N794	N777/N794	SHS 120x5.0 (SHS)	0.119	2.544	0.106	0.80	0.80	-	-
		N778/N795	N778/N795	SHS 120x10.0 (SHS)	0.119	2.431	0.219	0.80	0.80	-	-
		N797/N779	N797/N779	SHS 120x10.0 (SHS)	0.111	2.267	0.204	0.80	0.80	-	-
		N798/N813	N798/N813	SHS 120x5.0 (SHS)	0.111	2.372	0.099	0.80	0.80	-	-
		N799/N814	N799/N814	SHS 120x5.0 (SHS)	0.111	2.372	0.099	0.80	0.80	-	-
		N800/N815	N800/N815	SHS 120x4.0 (SHS)	0.111	2.372	0.099	0.80	0.80	-	-
		N801/N816	N801/N816	SHS 120x4.0 (SHS)	0.111	2.372	0.099	0.80	0.80	-	-
		N803/N818	N803/N818	SHS 100x4.0 (SHS)	0.111	2.372	0.099	0.80	0.80	-	-
		N804/N819	N804/N819	SHS 100x4.0 (SHS)	0.111	2.372	0.099	0.80	0.80	-	-
		N804/N821	N804/N821	SHS 100x4.0 (SHS)	0.119	2.544	0.106	0.80	0.80	-	-
		N805/N822	N805/N822	SHS 100x4.0 (SHS)	0.119	2.544	0.106	0.80	0.80	-	-
		N807/N824	N807/N824	SHS 120x4.0 (SHS)	0.119	2.544	0.106	0.80	0.80	-	-
		N808/N825	N808/N825	SHS 120x4.0 (SHS)	0.119	2.544	0.106	0.80	0.80	-	-
		N809/N826	N809/N826	SHS 120x5.0 (SHS)	0.119	2.544	0.106	0.80	0.80	-	-
		N810/N827	N810/N827	SHS 120x5.0 (SHS)	0.119	2.544	0.106	0.80	0.80	-	-
		N811/N828	N811/N828	SHS 120x10.0 (SHS)	0.119	2.431	0.219	0.80	0.80	-	-
		N573/N829	N573/N729	SHS 120x5.0 (SHS)	0.060	2.313	0.060	1.00	3.00	-	-
		N829/N830	N573/N729	SHS 120x5.0 (SHS)	0.060	2.313	0.060	1.00	3.00	-	-
		N830/N729	N573/N729	SHS 120x5.0 (SHS)	0.060	2.313	0.060	1.00	3.00	-	-
		N590/N831	N590/N746	SHS 120x5.0 (SHS)	0.060	2.313	0.060	1.00	3.00	-	-
		N831/N832	N590/N746	SHS 120x5.0 (SHS)	0.060	2.313	0.060	1.00	3.00	-	-
		N832/N746	N590/N746	SHS 120x5.0 (SHS)	0.060	2.313	0.060	1.00	3.00	-	-

Documento visado electrónicamente con número: VA07290/22
Código de validación telemática TRLTDCFZ60T66IJ1. Comprobación: https://cogitivalencia.e-gestion.es/Validacion.aspx?CVT=TRLTDCFZ60T66IJ1

VISADO
COGITI
VALENCIA
VA07290/22
TRLTDCFZ60T66IJ1

Listados

Descripción											
Material		Barra (Ni/Nf)	Pieza (Ni/Nf)	Perfil(Serie)	Longitud (m)			β_{xy}	β_{xz}	Lbsup (m)	Lbinf (m)
Tipo	Designación				Indeformable origen	Deformable	Indeformable extremo				
		N589/N833	N589/N745	SHS 120x5.0 (SHS)	0.150	2.188	0.095	1.00	3.00	-	-
		N833/N834	N589/N745	SHS 120x5.0 (SHS)	0.095	2.243	0.095	1.00	3.00	-	-
		N834/N745	N589/N745	SHS 120x5.0 (SHS)	0.095	2.188	0.150	1.00	3.00	-	-
		N606/N835	N606/N762	SHS 120x5.0 (SHS)	0.095	2.278	0.060	1.00	3.00	-	-
		N835/N836	N606/N762	SHS 120x5.0 (SHS)	0.060	2.313	0.060	1.00	3.00	-	-
		N836/N762	N606/N762	SHS 120x5.0 (SHS)	0.060	2.278	0.095	1.00	3.00	-	-
		N834/N836	N834/N836	SHS 120x5.0 (SHS)	0.078	1.862	0.060	1.00	1.00	-	-
		N833/N835	N833/N835	SHS 120x5.0 (SHS)	0.078	1.862	0.060	1.00	1.00	-	-
		N830/N832	N830/N832	SHS 120x5.0 (SHS)	0.060	1.880	0.060	1.00	1.00	-	-
		N829/N831	N829/N831	SHS 120x5.0 (SHS)	0.060	1.880	0.060	1.00	1.00	-	-
		N830/N831	N830/N831	L 50 x 50 x 5 (L)	0.095	2.960	0.095	0.00	0.00	-	-
		N829/N832	N829/N832	L 50 x 50 x 5 (L)	0.095	2.960	0.095	0.00	0.00	-	-
		N607/N833	N607/N833	SHS 120x5.0 (SHS)	0.195	2.860	0.095	1.00	1.00	-	-
		N763/N834	N763/N834	SHS 120x5.0 (SHS)	0.195	2.860	0.095	1.00	1.00	-	-
		N640/N837	N640/N837	SHS 120x5.0 (SHS)	0.195	2.860	0.095	1.00	1.00	-	-
		N623/N837	N623/N779	SHS 120x5.0 (SHS)	0.150	2.188	0.095	1.00	3.00	-	-
		N837/N838	N623/N779	SHS 120x5.0 (SHS)	0.095	2.243	0.095	1.00	3.00	-	-
		N838/N779	N623/N779	SHS 120x5.0 (SHS)	0.095	2.188	0.150	1.00	3.00	-	-
		N837/N839	N837/N839	SHS 120x5.0 (SHS)	0.078	1.862	0.060	1.00	1.00	-	-
		N838/N840	N838/N840	SHS 120x5.0 (SHS)	0.078	1.862	0.060	1.00	1.00	-	-
		N796/N838	N796/N838	SHS 120x5.0 (SHS)	0.195	2.860	0.095	1.00	1.00	-	-
		N639/N839	N639/N795	SHS 120x5.0 (SHS)	0.095	2.278	0.060	1.00	3.00	-	-
		N839/N840	N639/N795	SHS 120x5.0 (SHS)	0.060	2.313	0.060	1.00	3.00	-	-
		N840/N795	N639/N795	SHS 120x5.0 (SHS)	0.060	2.278	0.095	1.00	3.00	-	-
		N833/N836	N833/N836	L 50 x 50 x 5 (L)	0.095	2.960	0.095	0.00	0.00	-	-
		N833/N606	N833/N606	SHS 120x5.0 (SHS)	0.095	2.960	0.095	1.00	1.00	-	-
		N834/N835	N834/N835	L 50 x 50 x 5 (L)	0.095	2.960	0.095	0.00	0.00	-	-
		N834/N762	N834/N762	SHS 120x5.0 (SHS)	0.095	2.960	0.095	1.00	1.00	-	-
		N837/N840	N837/N840	L 50 x 50 x 5 (L)	0.095	2.960	0.095	0.00	0.00	-	-
		N837/N639	N837/N639	SHS 120x5.0 (SHS)	0.095	2.960	0.095	1.00	1.00	-	-
		N838/N839	N838/N839	L 50 x 50 x 5 (L)	0.095	2.960	0.095	0.00	0.00	-	-

Documento visado electrónicamente con número: VA07290/22
Código de validación telemática TRLTDCFZ60T66IJ1. Comprobación: https://cogitivalencia.e-gestion.es/Validacion.aspx?CVT=TRLTDCFZ60T66IJ1

VISADO
COGITI
VALENCIA
VA07290/22
TRLTDCFZ60T66IJ1

Listados

Descripción												
Material		Barra (Ni/Nf)	Pieza (Ni/Nf)	Perfil(Serie)	Longitud (m)			β_{xy}	β_{xz}	$Lb_{sup.}$ (m)	$Lb_{inf.}$ (m)
Tipo	Designación				Indeformable origen	Deformable	Indeformable extremo				
		N838/N795	N838/N795	SHS 120x5.0 (SHS)	0.095	2.960	0.095	1.00	1.00	-	-
		N672/N842	N672/N828	SHS 120x5.0 (SHS)	0.095	2.278	0.060	1.00	3.00	-	-
		N842/N841	N672/N828	SHS 120x5.0 (SHS)	0.060	2.313	0.060	1.00	3.00	-	-
		N841/N828	N672/N828	SHS 120x5.0 (SHS)	0.060	2.278	0.095	1.00	3.00	-	-
		N843/N828	N843/N828	SHS 120x5.0 (SHS)	0.095	2.960	0.095	1.00	1.00	-	-
		N656/N844	N656/N812	SHS 120x5.0 (SHS)	0.150	2.188	0.095	1.00	3.00	-	-
		N844/N843	N656/N812	SHS 120x5.0 (SHS)	0.095	2.243	0.095	1.00	3.00	-	-
		N843/N812	N656/N812	SHS 120x5.0 (SHS)	0.095	2.188	0.150	1.00	3.00	-	-
		N845/N843	N845/N843	SHS 120x5.0 (SHS)	0.195	2.860	0.095	1.00	1.00	-	-
		N844/N841	N844/N841	L 50 x 50 x 5 (L)	0.095	2.960	0.095	0.00	0.00	-	-
		N843/N842	N843/N842	L 50 x 50 x 5 (L)	0.095	2.960	0.095	0.00	0.00	-	-
		N844/N842	N844/N842	SHS 120x5.0 (SHS)	0.078	1.862	0.060	1.00	1.00	-	-
		N844/N672	N844/N672	SHS 120x5.0 (SHS)	0.095	2.960	0.095	1.00	1.00	-	-
		N843/N841	N843/N841	SHS 120x5.0 (SHS)	0.078	1.862	0.060	1.00	1.00	-	-
		N689/N844	N689/N844	SHS 120x5.0 (SHS)	0.195	2.860	0.095	1.00	1.00	-	-
		N592/N748	N592/N748	SHS 120x5.0 (SHS)	0.060	7.180	0.060	1.00	1.00	-	-
		N846/N847	N846/N847	SHS 120x5.0 (SHS)	0.060	1.880	0.060	1.00	1.00	-	-
		N848/N849	N848/N849	SHS 120x5.0 (SHS)	0.060	1.880	0.060	1.00	1.00	-	-
		N846/N849	N846/N849	L 40 x 40 x 4 (L)	0.095	2.960	0.095	0.00	0.00	-	-
		N848/N847	N848/N847	L 40 x 40 x 4 (L)	0.095	2.960	0.095	0.00	0.00	-	-
		N581/N851	N581/N737	SHS 120x5.0 (SHS)	0.050	2.323	0.060	1.00	3.00	-	-
		N851/N850	N581/N737	SHS 120x5.0 (SHS)	0.060	2.313	0.060	1.00	3.00	-	-
		N850/N737	N581/N737	SHS 120x5.0 (SHS)	0.060	2.323	0.050	1.00	3.00	-	-
		N598/N853	N598/N754	SHS 120x5.0 (SHS)	0.050	2.323	0.060	1.00	3.00	-	-
		N853/N852	N598/N754	SHS 120x5.0 (SHS)	0.060	2.313	0.060	1.00	3.00	-	-
		N852/N754	N598/N754	SHS 120x5.0 (SHS)	0.060	2.323	0.050	1.00	3.00	-	-
		N850/N852	N850/N852	SHS 120x5.0 (SHS)	0.060	1.880	0.060	1.00	1.00	-	-
		N851/N852	N851/N852	L 40 x 40 x 4 (L)	0.095	2.960	0.095	0.00	0.00	-	-
		N850/N853	N850/N853	L 40 x 40 x 4 (L)	0.095	2.960	0.095	0.00	0.00	-	-
		N851/N853	N851/N853	SHS 120x5.0 (SHS)	0.060	1.880	0.060	1.00	1.00	-	-
		N585/N855	N585/N741	SHS 120x5.0 (SHS)	0.060	2.313	0.060	1.00	3.00	-	-

Documento visado electrónicamente con número: VA07290/22
Código de validación telemática TRLTDCFZ60T66IJ1. Comprobación: https://cogitivalencia.e-gestion.es/Validacion.aspx?CVT=TRLTDCFZ60T66IJ1

VISADO
COGITI
VALENCIA
VA07290/22
TRLTDCFZ60T66IJ1

Listados

Descripción											
Material		Barra (Ni/Nf)	Pieza (Ni/Nf)	Perfil(Serie)	Longitud (m)			β_{xy}	β_{xz}	Lbsup (m)	Lbinf (m)
Tipo	Designación				Indeformable origen	Deformable	Indeformable extremo				
		N855/N854	N585/N741	SHS 120x5.0 (SHS)	0.060	2.313	0.060	1.00	3.00	-	-
		N854/N741	N585/N741	SHS 120x5.0 (SHS)	0.060	2.313	0.060	1.00	3.00	-	-
		N602/N857	N602/N758	SHS 120x5.0 (SHS)	0.060	2.313	0.060	1.00	3.00	-	-
		N857/N856	N602/N758	SHS 120x5.0 (SHS)	0.060	2.313	0.060	1.00	3.00	-	-
		N856/N758	N602/N758	SHS 120x5.0 (SHS)	0.060	2.313	0.060	1.00	3.00	-	-
		N854/N856	N854/N856	SHS 120x5.0 (SHS)	0.060	1.880	0.060	1.00	1.00	-	-
		N855/N856	N855/N856	L 40 x 40 x 4 (L)	0.095	2.960	0.095	0.00	0.00	-	-
		N854/N857	N854/N857	L 40 x 40 x 4 (L)	0.095	2.960	0.095	0.00	0.00	-	-
		N855/N857	N855/N857	SHS 120x5.0 (SHS)	0.060	1.880	0.060	1.00	1.00	-	-
		N604/N760	N604/N760	SHS 120x5.0 (SHS)	0.060	7.180	0.060	1.00	1.00	-	-
		N625/N781	N625/N781	SHS 120x5.0 (SHS)	0.060	7.180	0.060	1.00	1.00	-	-
		N627/N858	N627/N783	SHS 120x5.0 (SHS)	0.060	2.313	0.060	1.00	3.00	-	-
		N858/N859	N627/N783	SHS 120x5.0 (SHS)	0.060	2.313	0.060	1.00	3.00	-	-
		N859/N783	N627/N783	SHS 120x5.0 (SHS)	0.060	2.313	0.060	1.00	3.00	-	-
		N611/N860	N611/N767	SHS 120x5.0 (SHS)	0.060	2.313	0.060	1.00	3.00	-	-
		N860/N861	N611/N767	SHS 120x5.0 (SHS)	0.060	2.313	0.060	1.00	3.00	-	-
		N861/N767	N611/N767	SHS 120x5.0 (SHS)	0.060	2.313	0.060	1.00	3.00	-	-
		N861/N859	N861/N859	SHS 120x5.0 (SHS)	0.060	1.880	0.060	1.00	1.00	-	-
		N860/N858	N860/N858	SHS 120x5.0 (SHS)	0.060	1.880	0.060	1.00	1.00	-	-
		N861/N858	N861/N858	L 40 x 40 x 4 (L)	0.095	2.960	0.095	0.00	0.00	-	-
		N860/N859	N860/N859	L 40 x 40 x 4 (L)	0.095	2.960	0.095	0.00	0.00	-	-
		N615/N863	N615/N771	SHS 120x5.0 (SHS)	0.050	2.323	0.060	1.00	3.00	-	-
		N863/N862	N615/N771	SHS 120x5.0 (SHS)	0.060	2.313	0.060	1.00	3.00	-	-
		N862/N771	N615/N771	SHS 120x5.0 (SHS)	0.060	2.323	0.050	1.00	3.00	-	-
		N631/N865	N631/N787	SHS 120x5.0 (SHS)	0.050	2.323	0.060	1.00	3.00	-	-
		N865/N864	N631/N787	SHS 120x5.0 (SHS)	0.060	2.313	0.060	1.00	3.00	-	-
		N864/N787	N631/N787	SHS 120x5.0 (SHS)	0.060	2.323	0.050	1.00	3.00	-	-
		N862/N864	N862/N864	SHS 120x5.0 (SHS)	0.060	1.880	0.060	1.00	1.00	-	-
		N863/N864	N863/N864	L 40 x 40 x 4 (L)	0.095	2.960	0.095	0.00	0.00	-	-
		N862/N865	N862/N865	L 40 x 40 x 4 (L)	0.095	2.960	0.095	0.00	0.00	-	-
		N863/N865	N863/N865	SHS 120x5.0 (SHS)	0.060	1.880	0.060	1.00	1.00	-	-

Documento visado electrónicamente con número: VA07290/22
Código de validación telemática TRLTDCFZ60T66IJ1. Comprobación: https://cogitivalencia.e-gestion.es/Validacion.aspx?CVT=TRLTDCFZ60T66IJ1

VISADO
COGITI
VALENCIA
VA07290/22
TRLTDCFZ60T66IJ1

Descripción												
Material		Barra (Ni/Nf)	Pieza (Ni/Nf)	Perfil(Serie)	Longitud (m)			β_{xy}	β_{xz}	Lbsup. (m)	Lbinf. (m)
Tipo	Designación				Indeformable origen	Deformable	Indeformable extremo				
		N619/N867	N619/N775	SHS 120x5.0 (SHS)	0.060	2.313	0.060	1.00	3.00	-	-
		N867/N866	N619/N775	SHS 120x5.0 (SHS)	0.060	2.313	0.060	1.00	3.00	-	-
		N866/N775	N619/N775	SHS 120x5.0 (SHS)	0.060	2.313	0.060	1.00	3.00	-	-
		N635/N869	N635/N791	SHS 120x5.0 (SHS)	0.060	2.313	0.060	1.00	3.00	-	-
		N869/N868	N635/N791	SHS 120x5.0 (SHS)	0.060	2.313	0.060	1.00	3.00	-	-
		N868/N791	N635/N791	SHS 120x5.0 (SHS)	0.060	2.313	0.060	1.00	3.00	-	-
		N866/N868	N866/N868	SHS 120x5.0 (SHS)	0.060	1.880	0.060	1.00	1.00	-	-
		N867/N868	N867/N868	L 40 x 40 x 4 (L)	0.095	2.960	0.095	0.00	0.00	-	-
		N866/N869	N866/N869	L 40 x 40 x 4 (L)	0.095	2.960	0.095	0.00	0.00	-	-
		N867/N869	N867/N869	SHS 120x5.0 (SHS)	0.060	1.880	0.060	1.00	1.00	-	-
		N637/N793	N637/N793	SHS 120x5.0 (SHS)	0.060	7.180	0.060	1.00	1.00	-	-
		N658/N814	N658/N814	SHS 120x5.0 (SHS)	0.060	7.180	0.060	1.00	1.00	-	-
		N660/N870	N660/N816	SHS 120x5.0 (SHS)	0.060	2.313	0.060	1.00	3.00	-	-
		N870/N871	N660/N816	SHS 120x5.0 (SHS)	0.060	2.313	0.060	1.00	3.00	-	-
		N871/N816	N660/N816	SHS 120x5.0 (SHS)	0.060	2.313	0.060	1.00	3.00	-	-
		N644/N872	N644/N800	SHS 120x5.0 (SHS)	0.060	2.313	0.060	1.00	3.00	-	-
		N872/N873	N644/N800	SHS 120x5.0 (SHS)	0.060	2.313	0.060	1.00	3.00	-	-
		N873/N800	N644/N800	SHS 120x5.0 (SHS)	0.060	2.313	0.060	1.00	3.00	-	-
		N873/N871	N873/N871	SHS 120x5.0 (SHS)	0.060	1.880	0.060	1.00	1.00	-	-
		N872/N870	N872/N870	SHS 120x5.0 (SHS)	0.060	1.880	0.060	1.00	1.00	-	-
		N873/N870	N873/N870	L 40 x 40 x 4 (L)	0.095	2.960	0.095	0.00	0.00	-	-
		N872/N871	N872/N871	L 40 x 40 x 4 (L)	0.095	2.960	0.095	0.00	0.00	-	-
		N648/N875	N648/N804	SHS 120x5.0 (SHS)	0.050	2.323	0.060	1.00	3.00	-	-
		N875/N874	N648/N804	SHS 120x5.0 (SHS)	0.060	2.313	0.060	1.00	3.00	-	-
		N874/N804	N648/N804	SHS 120x5.0 (SHS)	0.060	2.323	0.050	1.00	3.00	-	-
		N664/N877	N664/N820	SHS 120x5.0 (SHS)	0.050	2.323	0.060	1.00	3.00	-	-
		N877/N876	N664/N820	SHS 120x5.0 (SHS)	0.060	2.313	0.060	1.00	3.00	-	-
		N876/N820	N664/N820	SHS 120x5.0 (SHS)	0.060	2.323	0.050	1.00	3.00	-	-
		N874/N876	N874/N876	SHS 120x5.0 (SHS)	0.060	1.880	0.060	1.00	1.00	-	-
		N875/N876	N875/N876	L 40 x 40 x 4 (L)	0.095	2.960	0.095	0.00	0.00	-	-
		N874/N877	N874/N877	L 40 x 40 x 4 (L)	0.095	2.960	0.095	0.00	0.00	-	-

Documento visado electrónicamente con número: VA07290/22
Código de validación telemática TRLTDCFZ60T66IJ1. Comprobación: https://cogitivalencia.e-gestion.es/Validacion.aspx?CVT=TRLTDCFZ60T66IJ1

VISADO
COGITI
VALENCIA
VA07290/22
TRLTDCFZ60T66IJ1

Listados

Descripción											
Material		Barra (Ni/Nf)	Pieza (Ni/Nf)	Perfil(Serie)	Longitud (m)			β_{xy}	β_{xz}	Lbsup (m)	Lbinf (m)
Tipo	Designación				Indeformable origen	Deformable	Indeformable extremo				
		N875/N877	N875/N877	SHS 120x5.0 (SHS)	0.060	1.880	0.060	1.00	1.00	-	-
		N652/N879	N652/N808	SHS 120x5.0 (SHS)	0.060	2.313	0.060	1.00	3.00	-	-
		N879/N878	N652/N808	SHS 120x5.0 (SHS)	0.060	2.313	0.060	1.00	3.00	-	-
		N878/N808	N652/N808	SHS 120x5.0 (SHS)	0.060	2.313	0.060	1.00	3.00	-	-
		N668/N881	N668/N824	SHS 120x5.0 (SHS)	0.060	2.313	0.060	1.00	3.00	-	-
		N881/N880	N668/N824	SHS 120x5.0 (SHS)	0.060	2.313	0.060	1.00	3.00	-	-
		N880/N824	N668/N824	SHS 120x5.0 (SHS)	0.060	2.313	0.060	1.00	3.00	-	-
		N878/N880	N878/N880	SHS 120x5.0 (SHS)	0.060	1.880	0.060	1.00	1.00	-	-
		N879/N880	N879/N880	L 40 x 40 x 4 (L)	0.095	2.960	0.095	0.00	0.00	-	-
		N878/N881	N878/N881	L 40 x 40 x 4 (L)	0.095	2.960	0.095	0.00	0.00	-	-
		N879/N881	N879/N881	SHS 120x5.0 (SHS)	0.060	1.880	0.060	1.00	1.00	-	-
		N670/N826	N670/N826	SHS 120x5.0 (SHS)	0.060	7.180	0.060	1.00	1.00	-	-
		N590/N748	N590/N748	L 60 x 60 x 5 (L)	0.138	7.916	0.067	0.00	0.00	-	-
		N746/N592	N746/N592	L 60 x 60 x 5 (L)	0.138	7.916	0.067	0.00	0.00	-	-
		N670/N828	N670/N828	L 60 x 60 x 5 (L)	0.067	7.916	0.138	0.00	0.00	-	-
		N826/N672	N826/N672	L 60 x 60 x 5 (L)	0.067	7.916	0.138	0.00	0.00	-	-
		N604/N762	N604/N762	L 60 x 60 x 5 (L)	0.067	7.916	0.138	0.00	0.00	-	-
		N760/N606	N760/N606	L 60 x 60 x 5 (L)	0.067	7.916	0.138	0.00	0.00	-	-
		N589/N781	N589/N781	L 60 x 60 x 5 (L)	0.167	7.887	0.067	0.00	0.00	-	-
		N745/N625	N745/N625	L 60 x 60 x 5 (L)	0.167	7.887	0.067	0.00	0.00	-	-
		N637/N795	N637/N795	L 60 x 60 x 5 (L)	0.067	7.916	0.138	0.00	0.00	-	-
		N793/N639	N793/N639	L 60 x 60 x 5 (L)	0.067	7.916	0.138	0.00	0.00	-	-
		N623/N814	N623/N814	L 60 x 60 x 5 (L)	0.167	7.887	0.067	0.00	0.00	-	-
		N779/N658	N779/N658	L 60 x 60 x 5 (L)	0.167	7.887	0.067	0.00	0.00	-	-
		N594/N849	N594/N750	SHS 120x5.0 (SHS)	0.060	2.313	0.060	1.00	3.00	-	-
		N849/N847	N594/N750	SHS 120x5.0 (SHS)	0.060	2.313	0.060	1.00	3.00	-	-
		N847/N750	N594/N750	SHS 120x5.0 (SHS)	0.060	2.313	0.060	1.00	3.00	-	-
		N577/N848	N577/N733	SHS 120x5.0 (SHS)	0.060	2.313	0.060	1.00	3.00	-	-
		N848/N846	N577/N733	SHS 120x5.0 (SHS)	0.060	2.313	0.060	1.00	3.00	-	-
		N846/N733	N577/N733	SHS 120x5.0 (SHS)	0.060	2.313	0.060	1.00	3.00	-	-
		N886/N903	N886/N903	SHS 120x5.0 (SHS)	0.088	1.824	0.088	1.00	1.00	-	-

Documento visado electrónicamente con número: VA07290/22
Código de validación telemática TRLTDCFZ60T66IJ1. Comprobación: https://cogitivalencia.e-gestion.es/Validacion.aspx?CVT=TRLTDCFZ60T66IJ1

VISADO
COGITI
VALENCIA
VA07290/22
TRLTDCFZ60T66IJ1

Descripción												
Material		Barra (Ni/Nf)	Pieza (Ni/Nf)	Perfil(Serie)	Longitud (m)			β_{xy}	β_{xz}	$Lb_{sup.}$ (m)	$Lb_{inf.}$ (m)
Tipo	Designación				Indeformable origen	Deformable	Indeformable extremo				
		N887/N904	N887/N904	SHS 120x5.0 (SHS)	0.088	1.824	0.088	1.00	1.00	-	-
		N888/N905	N888/N905	SHS 120x4.0 (SHS)	0.088	1.824	0.088	1.00	1.00	-	-
		N889/N906	N889/N906	SHS 120x4.0 (SHS)	0.088	1.824	0.088	1.00	1.00	-	-
		N890/N907	N890/N907	SHS 120x4.0 (SHS)	0.088	1.835	0.077	1.00	1.00	-	-
		N891/N908	N891/N908	SHS 100x4.0 (SHS)	0.086	1.837	0.077	1.00	1.00	-	-
		N892/N909	N892/N909	SHS 100x4.0 (SHS)	0.086	1.837	0.077	1.00	1.00	-	-
		N893/N910	N893/N910	SHS 100x4.0 (SHS)	0.086	1.837	0.077	1.00	1.00	-	-
		N894/N911	N894/N911	SHS 100x4.0 (SHS)	0.086	1.836	0.078	1.00	1.00	-	-
		N895/N912	N895/N912	SHS 100x4.0 (SHS)	0.086	1.836	0.078	1.00	1.00	-	-
		N896/N913	N896/N913	SHS 120x4.0 (SHS)	0.094	1.828	0.078	1.00	1.00	-	-
		N897/N914	N897/N914	SHS 120x4.0 (SHS)	0.094	1.812	0.094	1.00	1.00	-	-
		N898/N915	N898/N915	SHS 120x4.0 (SHS)	0.094	1.812	0.094	1.00	1.00	-	-
		N899/N916	N899/N916	SHS 120x5.0 (SHS)	0.094	1.812	0.094	1.00	1.00	-	-
		N900/N917	N900/N917	SHS 120x5.0 (SHS)	0.131	1.775	0.094	1.00	1.00	-	-
		N920/N936	N920/N936	SHS 120x5.0 (SHS)	0.088	1.824	0.088	1.00	1.00	-	-
		N921/N937	N921/N937	SHS 120x5.0 (SHS)	0.088	1.824	0.088	1.00	1.00	-	-
		N922/N938	N922/N938	SHS 120x4.0 (SHS)	0.088	1.824	0.088	1.00	1.00	-	-
		N923/N939	N923/N939	SHS 120x4.0 (SHS)	0.088	1.824	0.088	1.00	1.00	-	-
		N924/N940	N924/N940	SHS 120x4.0 (SHS)	0.088	1.835	0.077	1.00	1.00	-	-
		N925/N941	N925/N941	SHS 100x4.0 (SHS)	0.086	1.837	0.077	1.00	1.00	-	-
		N926/N942	N926/N942	SHS 100x4.0 (SHS)	0.086	1.837	0.077	1.00	1.00	-	-
		N927/N943	N927/N943	SHS 100x4.0 (SHS)	0.086	1.837	0.077	1.00	1.00	-	-
		N928/N944	N928/N944	SHS 100x4.0 (SHS)	0.086	1.836	0.078	1.00	1.00	-	-
		N929/N945	N929/N945	SHS 100x4.0 (SHS)	0.086	1.836	0.078	1.00	1.00	-	-
		N930/N946	N930/N946	SHS 120x4.0 (SHS)	0.094	1.828	0.078	1.00	1.00	-	-
		N931/N947	N931/N947	SHS 120x4.0 (SHS)	0.094	1.812	0.094	1.00	1.00	-	-
		N932/N948	N932/N948	SHS 120x4.0 (SHS)	0.094	1.812	0.094	1.00	1.00	-	-
		N933/N949	N933/N949	SHS 120x5.0 (SHS)	0.094	1.812	0.094	1.00	1.00	-	-
		N934/N950	N934/N950	SHS 120x5.0 (SHS)	0.131	1.775	0.094	1.00	1.00	-	-
		N953/N969	N953/N969	SHS 120x5.0 (SHS)	0.088	1.824	0.088	1.00	1.00	-	-
		N954/N970	N954/N970	SHS 120x5.0 (SHS)	0.088	1.824	0.088	1.00	1.00	-	-

Documento visado electrónicamente con número: VA07290/22
Código de validación telemática TRLTDCFZ60T66IJ1. Comprobación: https://cogitivalencia.e-gestion.es/Validacion.aspx?CVT=TRLTDCFZ60T66IJ1

VISADO
COGITI
VALENCIA
VA07290/22
TRLTDCFZ60T66IJ1

Descripción											
Material		Barra (Ni/Nf)	Pieza (Ni/Nf)	Perfil(Serie)	Longitud (m)			β_{xy}	β_{xz}	Lbsup (m)	Lbinf (m)
Tipo	Designación				Indeformable origen	Deformable	Indeformable extremo				
		N955/N971	N955/N971	SHS 120x4.0 (SHS)	0.088	1.824	0.088	1.00	1.00	-	-
		N956/N972	N956/N972	SHS 120x4.0 (SHS)	0.088	1.824	0.088	1.00	1.00	-	-
		N957/N973	N957/N973	SHS 120x4.0 (SHS)	0.088	1.835	0.077	1.00	1.00	-	-
		N958/N974	N958/N974	SHS 100x4.0 (SHS)	0.086	1.837	0.077	1.00	1.00	-	-
		N959/N975	N959/N975	SHS 100x4.0 (SHS)	0.086	1.837	0.077	1.00	1.00	-	-
		N960/N976	N960/N976	SHS 100x4.0 (SHS)	0.086	1.837	0.077	1.00	1.00	-	-
		N961/N977	N961/N977	SHS 100x4.0 (SHS)	0.086	1.836	0.078	1.00	1.00	-	-
		N962/N978	N962/N978	SHS 100x4.0 (SHS)	0.086	1.836	0.078	1.00	1.00	-	-
		N963/N979	N963/N979	SHS 120x4.0 (SHS)	0.094	1.828	0.078	1.00	1.00	-	-
		N964/N980	N964/N980	SHS 120x4.0 (SHS)	0.094	1.812	0.094	1.00	1.00	-	-
		N965/N981	N965/N981	SHS 120x4.0 (SHS)	0.094	1.812	0.094	1.00	1.00	-	-
		N966/N982	N966/N982	SHS 120x5.0 (SHS)	0.094	1.812	0.094	1.00	1.00	-	-
		N967/N983	N967/N983	SHS 120x5.0 (SHS)	0.094	1.812	0.094	1.00	1.00	-	-
		N886/N902	N886/N902	SHS 120x10.0 (SHS)	0.111	2.372	0.099	0.80	0.80	-	-
		N887/N903	N887/N903	SHS 120x5.0 (SHS)	0.111	2.372	0.099	0.80	0.80	-	-
		N888/N904	N888/N904	SHS 120x5.0 (SHS)	0.111	2.372	0.099	0.80	0.80	-	-
		N889/N905	N889/N905	SHS 120x4.0 (SHS)	0.111	2.372	0.099	0.80	0.80	-	-
		N890/N906	N890/N906	SHS 120x4.0 (SHS)	0.111	2.372	0.099	0.80	0.80	-	-
		N892/N908	N892/N908	SHS 100x4.0 (SHS)	0.111	2.372	0.099	0.80	0.80	-	-
		N893/N909	N893/N909	SHS 100x4.0 (SHS)	0.111	2.372	0.099	0.80	0.80	-	-
		N893/N911	N893/N911	SHS 100x4.0 (SHS)	0.119	2.544	0.106	0.80	0.80	-	-
		N894/N912	N894/N912	SHS 100x4.0 (SHS)	0.119	2.544	0.106	0.80	0.80	-	-
		N896/N914	N896/N914	SHS 120x4.0 (SHS)	0.119	2.544	0.106	0.80	0.80	-	-
		N897/N915	N897/N915	SHS 120x4.0 (SHS)	0.119	2.544	0.106	0.80	0.80	-	-
		N898/N916	N898/N916	SHS 120x5.0 (SHS)	0.119	2.544	0.106	0.80	0.80	-	-
		N899/N917	N899/N917	SHS 120x5.0 (SHS)	0.119	2.544	0.106	0.80	0.80	-	-
		N900/N918	N900/N918	SHS 120x10.0 (SHS)	0.119	2.431	0.219	0.80	0.80	-	-
		N920/N901	N920/N901	SHS 120x10.0 (SHS)	0.111	2.267	0.204	0.80	0.80	-	-
		N921/N936	N921/N936	SHS 120x5.0 (SHS)	0.111	2.372	0.099	0.80	0.80	-	-
		N922/N937	N922/N937	SHS 120x5.0 (SHS)	0.111	2.372	0.099	0.80	0.80	-	-

Documento visado electrónicamente con número: VA07290/22
Código de validación telemática TRLTDCFZ60T66IJ1. Comprobación: https://cogitivalencia.e-gestion.es/Validacion.aspx?CVT=TRLTDCFZ60T66IJ1

VISADO
COGITI
VALENCIA
VA07290/22
TRLTDCFZ60T66IJ1

Descripción												
Material		Barra (Ni/Nf)	Pieza (Ni/Nf)	Perfil(Serie)	Longitud (m)			β_{xy}	β_{xz}	$Lb_{sup.}$ (m)	$Lb_{inf.}$ (m)
Tipo	Designación				Indeformable origen	Deformable	Indeformable extremo				
		N923/N938	N923/N938	SHS 120x4.0 (SHS)	0.111	2.372	0.099	0.80	0.80	-	-
		N924/N939	N924/N939	SHS 120x4.0 (SHS)	0.111	2.372	0.099	0.80	0.80	-	-
		N926/N941	N926/N941	SHS 100x4.0 (SHS)	0.111	2.372	0.099	0.80	0.80	-	-
		N927/N942	N927/N942	SHS 100x4.0 (SHS)	0.111	2.372	0.099	0.80	0.80	-	-
		N927/N944	N927/N944	SHS 100x4.0 (SHS)	0.119	2.544	0.106	0.80	0.80	-	-
		N928/N945	N928/N945	SHS 100x4.0 (SHS)	0.119	2.544	0.106	0.80	0.80	-	-
		N930/N947	N930/N947	SHS 120x4.0 (SHS)	0.119	2.544	0.106	0.80	0.80	-	-
		N931/N948	N931/N948	SHS 120x4.0 (SHS)	0.119	2.544	0.106	0.80	0.80	-	-
		N932/N949	N932/N949	SHS 120x5.0 (SHS)	0.119	2.544	0.106	0.80	0.80	-	-
		N933/N950	N933/N950	SHS 120x5.0 (SHS)	0.119	2.544	0.106	0.80	0.80	-	-
		N934/N951	N934/N951	SHS 120x10.0 (SHS)	0.119	2.431	0.219	0.80	0.80	-	-
		N953/N935	N953/N935	SHS 120x10.0 (SHS)	0.111	2.267	0.204	0.80	0.80	-	-
		N954/N969	N954/N969	SHS 120x5.0 (SHS)	0.111	2.372	0.099	0.80	0.80	-	-
		N955/N970	N955/N970	SHS 120x5.0 (SHS)	0.111	2.372	0.099	0.80	0.80	-	-
		N956/N971	N956/N971	SHS 120x4.0 (SHS)	0.111	2.372	0.099	0.80	0.80	-	-
		N957/N972	N957/N972	SHS 120x4.0 (SHS)	0.111	2.372	0.099	0.80	0.80	-	-
		N959/N974	N959/N974	SHS 100x4.0 (SHS)	0.111	2.372	0.099	0.80	0.80	-	-
		N960/N975	N960/N975	SHS 100x4.0 (SHS)	0.111	2.372	0.099	0.80	0.80	-	-
		N960/N977	N960/N977	SHS 100x4.0 (SHS)	0.119	2.544	0.106	0.80	0.80	-	-
		N961/N978	N961/N978	SHS 100x4.0 (SHS)	0.119	2.544	0.106	0.80	0.80	-	-
		N963/N980	N963/N980	SHS 120x4.0 (SHS)	0.119	2.544	0.106	0.80	0.80	-	-
		N964/N981	N964/N981	SHS 120x4.0 (SHS)	0.119	2.544	0.106	0.80	0.80	-	-
		N965/N982	N965/N982	SHS 120x5.0 (SHS)	0.119	2.544	0.106	0.80	0.80	-	-
		N966/N983	N966/N983	SHS 120x5.0 (SHS)	0.119	2.544	0.106	0.80	0.80	-	-
		N967/N984	N967/N984	SHS 120x10.0 (SHS)	0.119	2.431	0.219	0.80	0.80	-	-
		N729/N985	N729/N885	SHS 120x5.0 (SHS)	0.060	2.313	0.060	1.00	3.00	-	-
		N985/N986	N729/N885	SHS 120x5.0 (SHS)	0.060	2.313	0.060	1.00	3.00	-	-
		N986/N885	N729/N885	SHS 120x5.0 (SHS)	0.060	2.313	0.060	1.00	3.00	-	-
		N746/N987	N746/N902	SHS 120x5.0 (SHS)	0.060	2.313	0.060	1.00	3.00	-	-
		N987/N988	N746/N902	SHS 120x5.0 (SHS)	0.060	2.313	0.060	1.00	3.00	-	-

Documento visado electrónicamente con número: VA07290/22
Código de validación telemática TRLTDCFZ60T66IJ1. Comprobación: https://cogitivalencia.e-gestion.es/Validacion.aspx?CVT=TRLTDCFZ60T66IJ1

VISADO
COGITI
VALENCIA
VA07290/22
TRLTDCFZ60T66IJ1

Listados

Descripción											
Material		Barra (Ni/Nf)	Pieza (Ni/Nf)	Perfil(Serie)	Longitud (m)			β_{xy}	β_{xz}	Lbsup (m)	Lbinf (m)
Tipo	Designación				Indeformable origen	Deformable	Indeformable extremo				
		N988/N902	N746/N902	SHS 120x5.0 (SHS)	0.060	2.313	0.060	1.00	3.00	-	-
		N745/N989	N745/N901	SHS 120x5.0 (SHS)	0.150	2.188	0.095	1.00	3.00	-	-
		N989/N990	N745/N901	SHS 120x5.0 (SHS)	0.095	2.243	0.095	1.00	3.00	-	-
		N990/N901	N745/N901	SHS 120x5.0 (SHS)	0.095	2.188	0.150	1.00	3.00	-	-
		N762/N991	N762/N918	SHS 120x5.0 (SHS)	0.095	2.278	0.060	1.00	3.00	-	-
		N991/N992	N762/N918	SHS 120x5.0 (SHS)	0.060	2.313	0.060	1.00	3.00	-	-
		N992/N918	N762/N918	SHS 120x5.0 (SHS)	0.060	2.278	0.095	1.00	3.00	-	-
		N990/N992	N990/N992	SHS 120x5.0 (SHS)	0.078	1.862	0.060	1.00	1.00	-	-
		N989/N991	N989/N991	SHS 120x5.0 (SHS)	0.078	1.862	0.060	1.00	1.00	-	-
		N986/N988	N986/N988	SHS 120x5.0 (SHS)	0.060	1.880	0.060	1.00	1.00	-	-
		N985/N987	N985/N987	SHS 120x5.0 (SHS)	0.060	1.880	0.060	1.00	1.00	-	-
		N986/N987	N986/N987	L 50 x 50 x 5 (L)	0.095	2.960	0.095	0.00	0.00	-	-
		N985/N988	N985/N988	L 50 x 50 x 5 (L)	0.095	2.960	0.095	0.00	0.00	-	-
		N763/N989	N763/N989	SHS 120x5.0 (SHS)	0.195	2.860	0.095	1.00	1.00	-	-
		N919/N990	N919/N990	SHS 120x5.0 (SHS)	0.195	2.860	0.095	1.00	1.00	-	-
		N796/N993	N796/N993	SHS 120x5.0 (SHS)	0.195	2.860	0.095	1.00	1.00	-	-
		N779/N993	N779/N935	SHS 120x5.0 (SHS)	0.150	2.188	0.095	1.00	3.00	-	-
		N993/N994	N779/N935	SHS 120x5.0 (SHS)	0.095	2.243	0.095	1.00	3.00	-	-
		N994/N935	N779/N935	SHS 120x5.0 (SHS)	0.095	2.188	0.150	1.00	3.00	-	-
		N993/N995	N993/N995	SHS 120x5.0 (SHS)	0.078	1.862	0.060	1.00	1.00	-	-
		N994/N996	N994/N996	SHS 120x5.0 (SHS)	0.078	1.862	0.060	1.00	1.00	-	-
		N952/N994	N952/N994	SHS 120x5.0 (SHS)	0.195	2.860	0.095	1.00	1.00	-	-
		N795/N995	N795/N951	SHS 120x5.0 (SHS)	0.095	2.278	0.060	1.00	3.00	-	-
		N995/N996	N795/N951	SHS 120x5.0 (SHS)	0.060	2.313	0.060	1.00	3.00	-	-
		N996/N951	N795/N951	SHS 120x5.0 (SHS)	0.060	2.278	0.095	1.00	3.00	-	-
		N989/N992	N989/N992	L 50 x 50 x 5 (L)	0.095	2.960	0.095	0.00	0.00	-	-
		N989/N762	N989/N762	SHS 120x5.0 (SHS)	0.095	2.960	0.095	1.00	1.00	-	-
		N990/N991	N990/N991	L 50 x 50 x 5 (L)	0.095	2.960	0.095	0.00	0.00	-	-
		N990/N918	N990/N918	SHS 120x5.0 (SHS)	0.095	2.960	0.095	1.00	1.00	-	-
		N993/N996	N993/N996	L 50 x 50 x 5 (L)	0.095	2.960	0.095	0.00	0.00	-	-
		N993/N795	N993/N795	SHS 120x5.0 (SHS)	0.095	2.960	0.095	1.00	1.00	-	-

Documento visado electrónicamente con número: VA07290/22
Código de validación telemática TRLTDCFZ60T66IJ1. Comprobación: https://cogitivalencia.e-gestion.es/Validacion.aspx?CVT=TRLTDCFZ60T66IJ1

VISADO
COGITI
VALENCIA
VA07290/22
TRLTDCFZ60T66IJ1

Descripción												
Material		Barra (Ni/Nf)	Pieza (Ni/Nf)	Perfil(Serie)	Longitud (m)			β_{xy}	β_{xz}	$Lb_{sup.}$ (m)	$Lb_{inf.}$ (m)
Tipo	Designación				Indeformable origen	Deformable	Indeformable extremo				
		N994/N995	N994/N995	L 50 x 50 x 5 (L)	0.095	2.960	0.095	0.00	0.00	-	-
		N994/N951	N994/N951	SHS 120x5.0 (SHS)	0.095	2.960	0.095	1.00	1.00	-	-
		N828/N998	N828/N984	SHS 120x5.0 (SHS)	0.095	2.278	0.060	1.00	3.00	-	-
		N998/N997	N828/N984	SHS 120x5.0 (SHS)	0.060	2.313	0.060	1.00	3.00	-	-
		N997/N984	N828/N984	SHS 120x5.0 (SHS)	0.060	2.278	0.095	1.00	3.00	-	-
		N999/N984	N999/N984	SHS 120x5.0 (SHS)	0.095	2.960	0.095	1.00	1.00	-	-
		N812/N1000	N812/N968	SHS 120x5.0 (SHS)	0.150	2.188	0.095	1.00	3.00	-	-
		N1000/N999	N812/N968	SHS 120x5.0 (SHS)	0.095	2.243	0.095	1.00	3.00	-	-
		N999/N968	N812/N968	SHS 120x5.0 (SHS)	0.095	2.188	0.150	1.00	3.00	-	-
		N1001/N999	N1001/N999	SHS 120x5.0 (SHS)	0.195	2.860	0.095	1.00	1.00	-	-
		N1000/N997	N1000/N997	L 50 x 50 x 5 (L)	0.095	2.960	0.095	0.00	0.00	-	-
		N999/N998	N999/N998	L 50 x 50 x 5 (L)	0.095	2.960	0.095	0.00	0.00	-	-
		N1000/N998	N1000/N998	SHS 120x5.0 (SHS)	0.078	1.862	0.060	1.00	1.00	-	-
		N1000/N828	N1000/N828	SHS 120x5.0 (SHS)	0.095	2.960	0.095	1.00	1.00	-	-
		N999/N997	N999/N997	SHS 120x5.0 (SHS)	0.078	1.862	0.060	1.00	1.00	-	-
		N845/N1000	N845/N1000	SHS 120x5.0 (SHS)	0.195	2.860	0.095	1.00	1.00	-	-
		N748/N904	N748/N904	SHS 120x5.0 (SHS)	0.060	7.180	0.060	1.00	1.00	-	-
		N1002/N1003	N1002/N1003	SHS 120x5.0 (SHS)	0.060	1.880	0.060	1.00	1.00	-	-
		N1004/N1005	N1004/N1005	SHS 120x5.0 (SHS)	0.060	1.880	0.060	1.00	1.00	-	-
		N1002/N1005	N1002/N1005	L 40 x 40 x 4 (L)	0.095	2.960	0.095	0.00	0.00	-	-
		N1004/N1003	N1004/N1003	L 40 x 40 x 4 (L)	0.095	2.960	0.095	0.00	0.00	-	-
		N737/N1007	N737/N893	SHS 120x5.0 (SHS)	0.050	2.323	0.060	1.00	3.00	-	-
		N1007/N1006	N737/N893	SHS 120x5.0 (SHS)	0.060	2.313	0.060	1.00	3.00	-	-
		N1006/N893	N737/N893	SHS 120x5.0 (SHS)	0.060	2.323	0.050	1.00	3.00	-	-
		N754/N1009	N754/N910	SHS 120x5.0 (SHS)	0.050	2.323	0.060	1.00	3.00	-	-
		N1009/N1008	N754/N910	SHS 120x5.0 (SHS)	0.060	2.313	0.060	1.00	3.00	-	-
		N1008/N910	N754/N910	SHS 120x5.0 (SHS)	0.060	2.323	0.050	1.00	3.00	-	-
		N1006/N1008	N1006/N1008	SHS 120x5.0 (SHS)	0.060	1.880	0.060	1.00	1.00	-	-
		N1007/N1008	N1007/N1008	L 40 x 40 x 4 (L)	0.095	2.960	0.095	0.00	0.00	-	-
		N1006/N1009	N1006/N1009	L 40 x 40 x 4 (L)	0.095	2.960	0.095	0.00	0.00	-	-
		N1007/N1009	N1007/N1009	SHS 120x5.0 (SHS)	0.060	1.880	0.060	1.00	1.00	-	-

Documento visado electrónicamente con número: VA07290/22
Código de validación telemática TRLTDCFZ60T66IJ1. Comprobación: https://cogitivalencia.e-gestion.es/Validacion.aspx?CVT=TRLTDCFZ60T66IJ1

VISADO
COGITI
VALENCIA
VA07290/22
TRLTDCFZ60T66IJ1

Listados

Descripción											
Material		Barra (Ni/Nf)	Pieza (Ni/Nf)	Perfil(Serie)	Longitud (m)			β_{xy}	β_{xz}	Lbsup (m)	Lbinf (m)
Tipo	Designación				Indeformable origen	Deformable	Indeformable extremo				
		N741/N1011	N741/N897	SHS 120x5.0 (SHS)	0.060	2.313	0.060	1.00	3.00	-	-
		N1011/N1010	N741/N897	SHS 120x5.0 (SHS)	0.060	2.313	0.060	1.00	3.00	-	-
		N1010/N897	N741/N897	SHS 120x5.0 (SHS)	0.060	2.313	0.060	1.00	3.00	-	-
		N758/N1013	N758/N914	SHS 120x5.0 (SHS)	0.060	2.313	0.060	1.00	3.00	-	-
		N1013/N1012	N758/N914	SHS 120x5.0 (SHS)	0.060	2.313	0.060	1.00	3.00	-	-
		N1012/N914	N758/N914	SHS 120x5.0 (SHS)	0.060	2.313	0.060	1.00	3.00	-	-
		N1010/N1012	N1010/N1012	SHS 120x5.0 (SHS)	0.060	1.880	0.060	1.00	1.00	-	-
		N1011/N1012	N1011/N1012	L 40 x 40 x 4 (L)	0.095	2.960	0.095	0.00	0.00	-	-
		N1010/N1013	N1010/N1013	L 40 x 40 x 4 (L)	0.095	2.960	0.095	0.00	0.00	-	-
		N1011/N1013	N1011/N1013	SHS 120x5.0 (SHS)	0.060	1.880	0.060	1.00	1.00	-	-
		N760/N916	N760/N916	SHS 120x5.0 (SHS)	0.060	7.180	0.060	1.00	1.00	-	-
		N781/N937	N781/N937	SHS 120x5.0 (SHS)	0.060	7.180	0.060	1.00	1.00	-	-
		N783/N1014	N783/N939	SHS 120x5.0 (SHS)	0.060	2.313	0.060	1.00	3.00	-	-
		N1014/N1015	N783/N939	SHS 120x5.0 (SHS)	0.060	2.313	0.060	1.00	3.00	-	-
		N1015/N939	N783/N939	SHS 120x5.0 (SHS)	0.060	2.313	0.060	1.00	3.00	-	-
		N767/N1016	N767/N923	SHS 120x5.0 (SHS)	0.060	2.313	0.060	1.00	3.00	-	-
		N1016/N1017	N767/N923	SHS 120x5.0 (SHS)	0.060	2.313	0.060	1.00	3.00	-	-
		N1017/N923	N767/N923	SHS 120x5.0 (SHS)	0.060	2.313	0.060	1.00	3.00	-	-
		N1017/N1015	N1017/N1015	SHS 120x5.0 (SHS)	0.060	1.880	0.060	1.00	1.00	-	-
		N1016/N1014	N1016/N1014	SHS 120x5.0 (SHS)	0.060	1.880	0.060	1.00	1.00	-	-
		N1017/N1014	N1017/N1014	L 40 x 40 x 4 (L)	0.095	2.960	0.095	0.00	0.00	-	-
		N1016/N1015	N1016/N1015	L 40 x 40 x 4 (L)	0.095	2.960	0.095	0.00	0.00	-	-
		N771/N1019	N771/N927	SHS 120x5.0 (SHS)	0.050	2.323	0.060	1.00	3.00	-	-
		N1019/N1018	N771/N927	SHS 120x5.0 (SHS)	0.060	2.313	0.060	1.00	3.00	-	-
		N1018/N927	N771/N927	SHS 120x5.0 (SHS)	0.060	2.323	0.050	1.00	3.00	-	-
		N787/N1021	N787/N943	SHS 120x5.0 (SHS)	0.050	2.323	0.060	1.00	3.00	-	-
		N1021/N1020	N787/N943	SHS 120x5.0 (SHS)	0.060	2.313	0.060	1.00	3.00	-	-
		N1020/N943	N787/N943	SHS 120x5.0 (SHS)	0.060	2.323	0.050	1.00	3.00	-	-
		N1018/N1020	N1018/N1020	SHS 120x5.0 (SHS)	0.060	1.880	0.060	1.00	1.00	-	-
		N1019/N1020	N1019/N1020	L 40 x 40 x 4 (L)	0.095	2.960	0.095	0.00	0.00	-	-
		N1018/N1021	N1018/N1021	L 40 x 40 x 4 (L)	0.095	2.960	0.095	0.00	0.00	-	-

Documento visado electrónicamente con número: VA07290/22
Código de validación telemática TRLTDCFZ60T66IJ1. Comprobación: https://cogitivalencia.e-gestion.es/Validacion.aspx?CVT=TRLTDCFZ60T66IJ1

Listados

VISADO
COGITI
VALENCIA
VA07290/22
TRLTDCFZ60T66IJ1

Descripción												
Material		Barra (Ni/Nf)	Pieza (Ni/Nf)	Perfil(Serie)	Longitud (m)			β_{xy}	β_{xz}	$Lb_{sup.}$ (m)	$Lb_{inf.}$ (m)	
Tipo	Designación				Indeformable origen	Deformable	Indeformable extremo					
		N1019/N1021	N1019/N1021	SHS 120x5.0 (SHS)	0.060	1.880	0.060	1.00	1.00	-	-	
		N775/N1023	N775/N931	SHS 120x5.0 (SHS)	0.060	2.313	0.060	1.00	3.00	-	-	
		N1023/N1022	N775/N931	SHS 120x5.0 (SHS)	0.060	2.313	0.060	1.00	3.00	-	-	
		N1022/N931	N775/N931	SHS 120x5.0 (SHS)	0.060	2.313	0.060	1.00	3.00	-	-	
		N791/N1025	N791/N947	SHS 120x5.0 (SHS)	0.060	2.313	0.060	1.00	3.00	-	-	
		N1025/N1024	N791/N947	SHS 120x5.0 (SHS)	0.060	2.313	0.060	1.00	3.00	-	-	
		N1024/N947	N791/N947	SHS 120x5.0 (SHS)	0.060	2.313	0.060	1.00	3.00	-	-	
		N1022/N1024	N1022/N1024	SHS 120x5.0 (SHS)	0.060	1.880	0.060	1.00	1.00	-	-	
		N1023/N1024	N1023/N1024	L 40 x 40 x 4 (L)	0.095	2.960	0.095	0.00	0.00	-	-	
		N1022/N1025	N1022/N1025	L 40 x 40 x 4 (L)	0.095	2.960	0.095	0.00	0.00	-	-	
		N1023/N1025	N1023/N1025	SHS 120x5.0 (SHS)	0.060	1.880	0.060	1.00	1.00	-	-	
		N793/N949	N793/N949	SHS 120x5.0 (SHS)	0.060	7.180	0.060	1.00	1.00	-	-	
		N814/N970	N814/N970	SHS 120x5.0 (SHS)	0.060	7.180	0.060	1.00	1.00	-	-	
		N816/N1026	N816/N972	SHS 120x5.0 (SHS)	0.060	2.313	0.060	1.00	3.00	-	-	
		N1026/N1027	N816/N972	SHS 120x5.0 (SHS)	0.060	2.313	0.060	1.00	3.00	-	-	
		N1027/N972	N816/N972	SHS 120x5.0 (SHS)	0.060	2.313	0.060	1.00	3.00	-	-	
		N800/N1028	N800/N956	SHS 120x5.0 (SHS)	0.060	2.313	0.060	1.00	3.00	-	-	
		N1028/N1029	N800/N956	SHS 120x5.0 (SHS)	0.060	2.313	0.060	1.00	3.00	-	-	
		N1029/N956	N800/N956	SHS 120x5.0 (SHS)	0.060	2.313	0.060	1.00	3.00	-	-	
		N1029/N1027	N1029/N1027	SHS 120x5.0 (SHS)	0.060	1.880	0.060	1.00	1.00	-	-	
		N1028/N1026	N1028/N1026	SHS 120x5.0 (SHS)	0.060	1.880	0.060	1.00	1.00	-	-	
		N1029/N1026	N1029/N1026	L 40 x 40 x 4 (L)	0.095	2.960	0.095	0.00	0.00	-	-	
		N1028/N1027	N1028/N1027	L 40 x 40 x 4 (L)	0.095	2.960	0.095	0.00	0.00	-	-	
		N804/N1031	N804/N960	SHS 120x5.0 (SHS)	0.050	2.323	0.060	1.00	3.00	-	-	
		N1031/N1030	N804/N960	SHS 120x5.0 (SHS)	0.060	2.313	0.060	1.00	3.00	-	-	
		N1030/N960	N804/N960	SHS 120x5.0 (SHS)	0.060	2.323	0.050	1.00	3.00	-	-	
		N820/N1033	N820/N976	SHS 120x5.0 (SHS)	0.050	2.323	0.060	1.00	3.00	-	-	
		N1033/N1032	N820/N976	SHS 120x5.0 (SHS)	0.060	2.313	0.060	1.00	3.00	-	-	
		N1032/N976	N820/N976	SHS 120x5.0 (SHS)	0.060	2.323	0.050	1.00	3.00	-	-	
		N1030/N1032	N1030/N1032	SHS 120x5.0 (SHS)	0.060	1.880	0.060	1.00	1.00	-	-	
		N1031/N1032	N1031/N1032	L 40 x 40 x 4 (L)	0.095	2.960	0.095	0.00	0.00	-	-	

Documento visado electrónicamente con número: VA07290/22
Código de validación telemática TRLTDCFZ60T66IJ1. Comprobación: https://cogitivalencia.e-gestion.es/Validacion.aspx?CVT=TRLTDCFZ60T66IJ1

VISADO
COGITI
VALENCIA
VA07290/22
TRLTDCFZ60T66IJ1

Listados

Descripción											
Material		Barra (Ni/Nf)	Pieza (Ni/Nf)	Perfil(Serie)	Longitud (m)			β_{xy}	β_{xz}	Lbsup (m)	Lbinf (m)
Tipo	Designación				Indeformable origen	Deformable	Indeformable extremo				
		N1030/N1033	N1030/N1033	L 40 x 40 x 4 (L)	0.095	2.960	0.095	0.00	0.00	-	-
		N1031/N1033	N1031/N1033	SHS 120x5.0 (SHS)	0.060	1.880	0.060	1.00	1.00	-	-
		N808/N1035	N808/N964	SHS 120x5.0 (SHS)	0.060	2.313	0.060	1.00	3.00	-	-
		N1035/N1034	N808/N964	SHS 120x5.0 (SHS)	0.060	2.313	0.060	1.00	3.00	-	-
		N1034/N964	N808/N964	SHS 120x5.0 (SHS)	0.060	2.313	0.060	1.00	3.00	-	-
		N824/N1037	N824/N980	SHS 120x5.0 (SHS)	0.060	2.313	0.060	1.00	3.00	-	-
		N1037/N1036	N824/N980	SHS 120x5.0 (SHS)	0.060	2.313	0.060	1.00	3.00	-	-
		N1036/N980	N824/N980	SHS 120x5.0 (SHS)	0.060	2.313	0.060	1.00	3.00	-	-
		N1034/N1036	N1034/N1036	SHS 120x5.0 (SHS)	0.060	1.880	0.060	1.00	1.00	-	-
		N1035/N1036	N1035/N1036	L 40 x 40 x 4 (L)	0.095	2.960	0.095	0.00	0.00	-	-
		N1034/N1037	N1034/N1037	L 40 x 40 x 4 (L)	0.095	2.960	0.095	0.00	0.00	-	-
		N1035/N1037	N1035/N1037	SHS 120x5.0 (SHS)	0.060	1.880	0.060	1.00	1.00	-	-
		N826/N982	N826/N982	SHS 120x5.0 (SHS)	0.060	7.180	0.060	1.00	1.00	-	-
		N746/N904	N746/N904	L 60 x 60 x 5 (L)	0.138	7.916	0.067	0.00	0.00	-	-
		N902/N748	N902/N748	L 60 x 60 x 5 (L)	0.138	7.916	0.067	0.00	0.00	-	-
		N826/N984	N826/N984	L 60 x 60 x 5 (L)	0.067	7.916	0.138	0.00	0.00	-	-
		N982/N828	N982/N828	L 60 x 60 x 5 (L)	0.067	7.916	0.138	0.00	0.00	-	-
		N760/N918	N760/N918	L 60 x 60 x 5 (L)	0.067	7.916	0.138	0.00	0.00	-	-
		N916/N762	N916/N762	L 60 x 60 x 5 (L)	0.067	7.916	0.138	0.00	0.00	-	-
		N745/N937	N745/N937	L 60 x 60 x 5 (L)	0.167	7.887	0.067	0.00	0.00	-	-
		N901/N781	N901/N781	L 60 x 60 x 5 (L)	0.167	7.887	0.067	0.00	0.00	-	-
		N793/N951	N793/N951	L 60 x 60 x 5 (L)	0.067	7.916	0.138	0.00	0.00	-	-
		N949/N795	N949/N795	L 60 x 60 x 5 (L)	0.067	7.916	0.138	0.00	0.00	-	-
		N779/N970	N779/N970	L 60 x 60 x 5 (L)	0.167	7.887	0.067	0.00	0.00	-	-
		N935/N814	N935/N814	L 60 x 60 x 5 (L)	0.167	7.887	0.067	0.00	0.00	-	-
		N750/N1005	N750/N906	SHS 120x5.0 (SHS)	0.060	2.313	0.060	1.00	3.00	-	-
		N1005/N1003	N750/N906	SHS 120x5.0 (SHS)	0.060	2.313	0.060	1.00	3.00	-	-
		N1003/N906	N750/N906	SHS 120x5.0 (SHS)	0.060	2.313	0.060	1.00	3.00	-	-
		N733/N1004	N733/N889	SHS 120x5.0 (SHS)	0.060	2.313	0.060	1.00	3.00	-	-
		N1004/N1002	N733/N889	SHS 120x5.0 (SHS)	0.060	2.313	0.060	1.00	3.00	-	-
		N1002/N889	N733/N889	SHS 120x5.0 (SHS)	0.060	2.313	0.060	1.00	3.00	-	-

Documento visado electrónicamente con número: VA07290/22
Código de validación telemática TRLTDCFZ60T66IJ1. Comprobación: https://cogitivalencia.e-gestion.es/Validacion.aspx?CVT=TRLTDCFZ60T66IJ1

VISADO
COGITI
VALENCIA
VA07290/22
TRLTDCFZ60T66IJ1

Descripción												
Material		Barra (Ni/Nf)	Pieza (Ni/Nf)	Perfil(Serie)	Longitud (m)			β_{xy}	β_{xz}	$Lb_{sup.}$ (m)	$Lb_{inf.}$ (m)
Tipo	Designación				Indeformable origen	Deformable	Indeformable extremo				
		N1042/N1059	N1042/N1059	SHS 120x5.0 (SHS)	0.088	1.824	0.088	1.00	1.00	-	-
		N1043/N1060	N1043/N1060	SHS 120x5.0 (SHS)	0.088	1.824	0.088	1.00	1.00	-	-
		N1044/N1061	N1044/N1061	SHS 120x4.0 (SHS)	0.088	1.824	0.088	1.00	1.00	-	-
		N1045/N1062	N1045/N1062	SHS 120x4.0 (SHS)	0.088	1.824	0.088	1.00	1.00	-	-
		N1046/N1063	N1046/N1063	SHS 120x4.0 (SHS)	0.088	1.835	0.077	1.00	1.00	-	-
		N1047/N1064	N1047/N1064	SHS 100x4.0 (SHS)	0.086	1.837	0.077	1.00	1.00	-	-
		N1048/N1065	N1048/N1065	SHS 100x4.0 (SHS)	0.086	1.837	0.077	1.00	1.00	-	-
		N1049/N1066	N1049/N1066	SHS 100x4.0 (SHS)	0.086	1.837	0.077	1.00	1.00	-	-
		N1050/N1067	N1050/N1067	SHS 100x4.0 (SHS)	0.086	1.836	0.078	1.00	1.00	-	-
		N1051/N1068	N1051/N1068	SHS 100x4.0 (SHS)	0.086	1.836	0.078	1.00	1.00	-	-
		N1052/N1069	N1052/N1069	SHS 120x4.0 (SHS)	0.094	1.828	0.078	1.00	1.00	-	-
		N1053/N1070	N1053/N1070	SHS 120x4.0 (SHS)	0.094	1.812	0.094	1.00	1.00	-	-
		N1054/N1071	N1054/N1071	SHS 120x4.0 (SHS)	0.094	1.812	0.094	1.00	1.00	-	-
		N1055/N1072	N1055/N1072	SHS 120x5.0 (SHS)	0.094	1.812	0.094	1.00	1.00	-	-
		N1056/N1073	N1056/N1073	SHS 120x5.0 (SHS)	0.131	1.775	0.094	1.00	1.00	-	-
		N1076/N1092	N1076/N1092	SHS 120x5.0 (SHS)	0.088	1.824	0.088	1.00	1.00	-	-
		N1077/N1093	N1077/N1093	SHS 120x5.0 (SHS)	0.088	1.824	0.088	1.00	1.00	-	-
		N1078/N1094	N1078/N1094	SHS 120x4.0 (SHS)	0.088	1.824	0.088	1.00	1.00	-	-
		N1079/N1095	N1079/N1095	SHS 120x4.0 (SHS)	0.088	1.824	0.088	1.00	1.00	-	-
		N1080/N1096	N1080/N1096	SHS 120x4.0 (SHS)	0.088	1.835	0.077	1.00	1.00	-	-
		N1081/N1097	N1081/N1097	SHS 100x4.0 (SHS)	0.086	1.837	0.077	1.00	1.00	-	-
		N1082/N1098	N1082/N1098	SHS 100x4.0 (SHS)	0.086	1.837	0.077	1.00	1.00	-	-
		N1083/N1099	N1083/N1099	SHS 100x4.0 (SHS)	0.086	1.837	0.077	1.00	1.00	-	-
		N1084/N1100	N1084/N1100	SHS 100x4.0 (SHS)	0.086	1.836	0.078	1.00	1.00	-	-
		N1085/N1101	N1085/N1101	SHS 100x4.0 (SHS)	0.086	1.836	0.078	1.00	1.00	-	-
		N1086/N1102	N1086/N1102	SHS 120x4.0 (SHS)	0.094	1.828	0.078	1.00	1.00	-	-
		N1087/N1103	N1087/N1103	SHS 120x4.0 (SHS)	0.094	1.812	0.094	1.00	1.00	-	-
		N1088/N1104	N1088/N1104	SHS 120x4.0 (SHS)	0.094	1.812	0.094	1.00	1.00	-	-
		N1089/N1105	N1089/N1105	SHS 120x5.0 (SHS)	0.094	1.812	0.094	1.00	1.00	-	-
		N1090/N1106	N1090/N1106	SHS 120x5.0 (SHS)	0.131	1.775	0.094	1.00	1.00	-	-
		N1109/N1125	N1109/N1125	SHS 120x5.0 (SHS)	0.088	1.824	0.088	1.00	1.00	-	-

Documento visado electrónicamente con número: VA07290/22
Código de validación telemática TRLTDCFZ60T66IJ1. Comprobación: https://cogitivalencia.e-gestion.es/Validacion.aspx?CVT=TRLTDCFZ60T66IJ1

VISADO
COGITI
VALENCIA
VA07290/22
TRLTDCFZ60T66IJ1

Descripción											
Material		Barra (Ni/Nf)	Pieza (Ni/Nf)	Perfil(Serie)	Longitud (m)			β_{xy}	β_{xz}	Lbsup (m)	Lbinf (m)
Tipo	Designación				Indeformable origen	Deformable	Indeformable extremo				
		N1110/N1126	N1110/N1126	SHS 120x5.0 (SHS)	0.088	1.824	0.088	1.00	1.00	-	-
		N1111/N1127	N1111/N1127	SHS 120x4.0 (SHS)	0.088	1.824	0.088	1.00	1.00	-	-
		N1112/N1128	N1112/N1128	SHS 120x4.0 (SHS)	0.088	1.824	0.088	1.00	1.00	-	-
		N1113/N1129	N1113/N1129	SHS 120x4.0 (SHS)	0.088	1.835	0.077	1.00	1.00	-	-
		N1114/N1130	N1114/N1130	SHS 100x4.0 (SHS)	0.086	1.837	0.077	1.00	1.00	-	-
		N1115/N1131	N1115/N1131	SHS 100x4.0 (SHS)	0.086	1.837	0.077	1.00	1.00	-	-
		N1116/N1132	N1116/N1132	SHS 100x4.0 (SHS)	0.086	1.837	0.077	1.00	1.00	-	-
		N1117/N1133	N1117/N1133	SHS 100x4.0 (SHS)	0.086	1.836	0.078	1.00	1.00	-	-
		N1118/N1134	N1118/N1134	SHS 100x4.0 (SHS)	0.086	1.836	0.078	1.00	1.00	-	-
		N1119/N1135	N1119/N1135	SHS 120x4.0 (SHS)	0.094	1.828	0.078	1.00	1.00	-	-
		N1120/N1136	N1120/N1136	SHS 120x4.0 (SHS)	0.094	1.812	0.094	1.00	1.00	-	-
		N1121/N1137	N1121/N1137	SHS 120x4.0 (SHS)	0.094	1.812	0.094	1.00	1.00	-	-
		N1122/N1138	N1122/N1138	SHS 120x5.0 (SHS)	0.094	1.812	0.094	1.00	1.00	-	-
		N1123/N1139	N1123/N1139	SHS 120x5.0 (SHS)	0.094	1.812	0.094	1.00	1.00	-	-
		N1042/N1058	N1042/N1058	SHS 120x10.0 (SHS)	0.111	2.372	0.099	0.80	0.80	-	-
		N1043/N1059	N1043/N1059	SHS 120x5.0 (SHS)	0.111	2.372	0.099	0.80	0.80	-	-
		N1044/N1060	N1044/N1060	SHS 120x5.0 (SHS)	0.111	2.372	0.099	0.80	0.80	-	-
		N1045/N1061	N1045/N1061	SHS 120x4.0 (SHS)	0.111	2.372	0.099	0.80	0.80	-	-
		N1046/N1062	N1046/N1062	SHS 120x4.0 (SHS)	0.111	2.372	0.099	0.80	0.80	-	-
		N1048/N1064	N1048/N1064	SHS 100x4.0 (SHS)	0.111	2.372	0.099	0.80	0.80	-	-
		N1049/N1065	N1049/N1065	SHS 100x4.0 (SHS)	0.111	2.372	0.099	0.80	0.80	-	-
		N1049/N1067	N1049/N1067	SHS 100x4.0 (SHS)	0.119	2.544	0.106	0.80	0.80	-	-
		N1050/N1068	N1050/N1068	SHS 100x4.0 (SHS)	0.119	2.544	0.106	0.80	0.80	-	-
		N1052/N1070	N1052/N1070	SHS 120x4.0 (SHS)	0.119	2.544	0.106	0.80	0.80	-	-
		N1053/N1071	N1053/N1071	SHS 120x4.0 (SHS)	0.119	2.544	0.106	0.80	0.80	-	-
		N1054/N1072	N1054/N1072	SHS 120x5.0 (SHS)	0.119	2.544	0.106	0.80	0.80	-	-
		N1055/N1073	N1055/N1073	SHS 120x5.0 (SHS)	0.119	2.544	0.106	0.80	0.80	-	-
		N1056/N1074	N1056/N1074	SHS 120x10.0 (SHS)	0.119	2.431	0.219	0.80	0.80	-	-
		N1076/N1057	N1076/N1057	SHS 120x10.0 (SHS)	0.111	2.267	0.204	0.80	0.80	-	-
		N1077/N1092	N1077/N1092	SHS 120x5.0 (SHS)	0.111	2.372	0.099	0.80	0.80	-	-

Documento visado electrónicamente con número: VA07290/22
Código de validación telemática TRLTDCFZ60T66IJ1. Comprobación: https://cogitivalencia.e-gestion.es/Validacion.aspx?CVT=TRLTDCFZ60T66IJ1

VISADO
COGITI
TRLTDCFZ60T66IJ1
VALENCIA
VA07290/22

Listados

Descripción												
Material		Barra (Ni/Nf)	Pieza (Ni/Nf)	Perfil(Serie)	Longitud (m)			β_{xy}	β_{xz}	$Lb_{sup.}$ (m)	$Lb_{inf.}$ (m)
Tipo	Designación				Indeformable origen	Deformable	Indeformable extremo				
		N1078/N1093	N1078/N1093	SHS 120x5.0 (SHS)	0.111	2.372	0.099	0.80	0.80	-	-
		N1079/N1094	N1079/N1094	SHS 120x4.0 (SHS)	0.111	2.372	0.099	0.80	0.80	-	-
		N1080/N1095	N1080/N1095	SHS 120x4.0 (SHS)	0.111	2.372	0.099	0.80	0.80	-	-
		N1082/N1097	N1082/N1097	SHS 100x4.0 (SHS)	0.111	2.372	0.099	0.80	0.80	-	-
		N1083/N1098	N1083/N1098	SHS 100x4.0 (SHS)	0.111	2.372	0.099	0.80	0.80	-	-
		N1083/N1100	N1083/N1100	SHS 100x4.0 (SHS)	0.119	2.544	0.106	0.80	0.80	-	-
		N1084/N1101	N1084/N1101	SHS 100x4.0 (SHS)	0.119	2.544	0.106	0.80	0.80	-	-
		N1086/N1103	N1086/N1103	SHS 120x4.0 (SHS)	0.119	2.544	0.106	0.80	0.80	-	-
		N1087/N1104	N1087/N1104	SHS 120x4.0 (SHS)	0.119	2.544	0.106	0.80	0.80	-	-
		N1088/N1105	N1088/N1105	SHS 120x5.0 (SHS)	0.119	2.544	0.106	0.80	0.80	-	-
		N1089/N1106	N1089/N1106	SHS 120x5.0 (SHS)	0.119	2.544	0.106	0.80	0.80	-	-
		N1090/N1107	N1090/N1107	SHS 120x10.0 (SHS)	0.119	2.431	0.219	0.80	0.80	-	-
		N1109/N1091	N1109/N1091	SHS 120x10.0 (SHS)	0.111	2.267	0.204	0.80	0.80	-	-
		N1110/N1125	N1110/N1125	SHS 120x5.0 (SHS)	0.111	2.372	0.099	0.80	0.80	-	-
		N1111/N1126	N1111/N1126	SHS 120x5.0 (SHS)	0.111	2.372	0.099	0.80	0.80	-	-
		N1112/N1127	N1112/N1127	SHS 120x4.0 (SHS)	0.111	2.372	0.099	0.80	0.80	-	-
		N1113/N1128	N1113/N1128	SHS 120x4.0 (SHS)	0.111	2.372	0.099	0.80	0.80	-	-
		N1115/N1130	N1115/N1130	SHS 100x4.0 (SHS)	0.111	2.372	0.099	0.80	0.80	-	-
		N1116/N1131	N1116/N1131	SHS 100x4.0 (SHS)	0.111	2.372	0.099	0.80	0.80	-	-
		N1116/N1133	N1116/N1133	SHS 100x4.0 (SHS)	0.119	2.544	0.106	0.80	0.80	-	-
		N1117/N1134	N1117/N1134	SHS 100x4.0 (SHS)	0.119	2.544	0.106	0.80	0.80	-	-
		N1119/N1136	N1119/N1136	SHS 120x4.0 (SHS)	0.119	2.544	0.106	0.80	0.80	-	-
		N1120/N1137	N1120/N1137	SHS 120x4.0 (SHS)	0.119	2.544	0.106	0.80	0.80	-	-
		N1121/N1138	N1121/N1138	SHS 120x5.0 (SHS)	0.119	2.544	0.106	0.80	0.80	-	-
		N1122/N1139	N1122/N1139	SHS 120x5.0 (SHS)	0.119	2.544	0.106	0.80	0.80	-	-
		N1123/N1140	N1123/N1140	SHS 120x10.0 (SHS)	0.119	2.431	0.219	0.80	0.80	-	-
		N885/N1141	N885/N1041	SHS 120x5.0 (SHS)	0.060	2.313	0.060	1.00	3.00	-	-
		N1141/N1142	N885/N1041	SHS 120x5.0 (SHS)	0.060	2.313	0.060	1.00	3.00	-	-
		N1142/N1041	N885/N1041	SHS 120x5.0 (SHS)	0.060	2.313	0.060	1.00	3.00	-	-
		N902/N1143	N902/N1058	SHS 120x5.0 (SHS)	0.060	2.313	0.060	1.00	3.00	-	-

Documento visado electrónicamente con número: VA07290/22
Código de validación telemática TRLTDCFZ60T66IJ1. Comprobación: https://cogitivalencia.e-gestion.es/Validacion.aspx?CVT=TRLTDCFZ60T66IJ1

VISADO
COGITI
VALENCIA
VA07290/22
TRLTDCFZ60T66IJ1

Listados

Descripción											
Material		Barra (Ni/Nf)	Pieza (Ni/Nf)	Perfil(Serie)	Longitud (m)			β_{xy}	β_{xz}	Lbsup (m)	Lbinf (m)
Tipo	Designación				Indeformable origen	Deformable	Indeformable extremo				
		N1143/N1144	N902/N1058	SHS 120x5.0 (SHS)	0.060	2.313	0.060	1.00	3.00	-	-
		N1144/N1058	N902/N1058	SHS 120x5.0 (SHS)	0.060	2.313	0.060	1.00	3.00	-	-
		N901/N1145	N901/N1057	SHS 120x5.0 (SHS)	0.150	2.188	0.095	1.00	3.00	-	-
		N1145/N1146	N901/N1057	SHS 120x5.0 (SHS)	0.095	2.243	0.095	1.00	3.00	-	-
		N1146/N1057	N901/N1057	SHS 120x5.0 (SHS)	0.095	2.188	0.150	1.00	3.00	-	-
		N918/N1147	N918/N1074	SHS 120x5.0 (SHS)	0.095	2.278	0.060	1.00	3.00	-	-
		N1147/N1148	N918/N1074	SHS 120x5.0 (SHS)	0.060	2.313	0.060	1.00	3.00	-	-
		N1148/N1074	N918/N1074	SHS 120x5.0 (SHS)	0.060	2.278	0.095	1.00	3.00	-	-
		N1146/N1148	N1146/N1148	SHS 120x5.0 (SHS)	0.078	1.862	0.060	1.00	1.00	-	-
		N1145/N1147	N1145/N1147	SHS 120x5.0 (SHS)	0.078	1.862	0.060	1.00	1.00	-	-
		N1142/N1144	N1142/N1144	SHS 120x5.0 (SHS)	0.060	1.880	0.060	1.00	1.00	-	-
		N1141/N1143	N1141/N1143	SHS 120x5.0 (SHS)	0.060	1.880	0.060	1.00	1.00	-	-
		N1142/N1143	N1142/N1143	L 50 x 50 x 5 (L)	0.095	2.960	0.095	0.00	0.00	-	-
		N1141/N1144	N1141/N1144	L 50 x 50 x 5 (L)	0.095	2.960	0.095	0.00	0.00	-	-
		N919/N1145	N919/N1145	SHS 120x5.0 (SHS)	0.195	2.860	0.095	1.00	1.00	-	-
		N1075/N1146	N1075/N1146	SHS 120x5.0 (SHS)	0.195	2.860	0.095	1.00	1.00	-	-
		N952/N1149	N952/N1149	SHS 120x5.0 (SHS)	0.195	2.860	0.095	1.00	1.00	-	-
		N935/N1149	N935/N1091	SHS 120x5.0 (SHS)	0.150	2.188	0.095	1.00	3.00	-	-
		N1149/N1150	N935/N1091	SHS 120x5.0 (SHS)	0.095	2.243	0.095	1.00	3.00	-	-
		N1150/N1091	N935/N1091	SHS 120x5.0 (SHS)	0.095	2.188	0.150	1.00	3.00	-	-
		N1149/N1151	N1149/N1151	SHS 120x5.0 (SHS)	0.078	1.862	0.060	1.00	1.00	-	-
		N1150/N1152	N1150/N1152	SHS 120x5.0 (SHS)	0.078	1.862	0.060	1.00	1.00	-	-
		N1108/N1150	N1108/N1150	SHS 120x5.0 (SHS)	0.195	2.860	0.095	1.00	1.00	-	-
		N951/N1151	N951/N1107	SHS 120x5.0 (SHS)	0.095	2.278	0.060	1.00	3.00	-	-
		N1151/N1152	N951/N1107	SHS 120x5.0 (SHS)	0.060	2.313	0.060	1.00	3.00	-	-
		N1152/N1107	N951/N1107	SHS 120x5.0 (SHS)	0.060	2.278	0.095	1.00	3.00	-	-
		N1145/N1148	N1145/N1148	L 50 x 50 x 5 (L)	0.095	2.960	0.095	0.00	0.00	-	-
		N1145/N918	N1145/N918	SHS 120x5.0 (SHS)	0.095	2.960	0.095	1.00	1.00	-	-
		N1146/N1147	N1146/N1147	L 50 x 50 x 5 (L)	0.095	2.960	0.095	0.00	0.00	-	-
		N1146/N1074	N1146/N1074	SHS 120x5.0 (SHS)	0.095	2.960	0.095	1.00	1.00	-	-
		N1149/N1152	N1149/N1152	L 50 x 50 x 5 (L)	0.095	2.960	0.095	0.00	0.00	-	-

Documento visado electrónicamente con número: VA07290/22
Código de validación telemática TRLTDCFZ60T66IJ1. Comprobación: https://cogitivalencia.e-gestion.es/Validacion.aspx?CVT=TRLTDCFZ60T66IJ1

VISADO
COGITI
VALENCIA
VA07290/22
TRLTDCFZ60T66IJ1

Listados

Descripción												
Material		Barra (Ni/Nf)	Pieza (Ni/Nf)	Perfil(Serie)	Longitud (m)			β_{xy}	β_{xz}	$Lb_{sup.}$ (m)	$Lb_{inf.}$ (m)
Tipo	Designación				Indeformable origen	Deformable	Indeformable extremo				
		N1149/N951	N1149/N951	SHS 120x5.0 (SHS)	0.095	2.960	0.095	1.00	1.00	-	-
		N1150/N1151	N1150/N1151	L 50 x 50 x 5 (L)	0.095	2.960	0.095	0.00	0.00	-	-
		N1150/N1107	N1150/N1107	SHS 120x5.0 (SHS)	0.095	2.960	0.095	1.00	1.00	-	-
		N984/N1154	N984/N1140	SHS 120x5.0 (SHS)	0.095	2.278	0.060	1.00	3.00	-	-
		N1154/N1153	N984/N1140	SHS 120x5.0 (SHS)	0.060	2.313	0.060	1.00	3.00	-	-
		N1153/N1140	N984/N1140	SHS 120x5.0 (SHS)	0.060	2.278	0.095	1.00	3.00	-	-
		N1155/N1140	N1155/N1140	SHS 120x5.0 (SHS)	0.095	2.960	0.095	1.00	1.00	-	-
		N968/N1156	N968/N1124	SHS 120x5.0 (SHS)	0.150	2.188	0.095	1.00	3.00	-	-
		N1156/N1155	N968/N1124	SHS 120x5.0 (SHS)	0.095	2.243	0.095	1.00	3.00	-	-
		N1155/N1124	N968/N1124	SHS 120x5.0 (SHS)	0.095	2.188	0.150	1.00	3.00	-	-
		N1157/N1155	N1157/N1155	SHS 120x5.0 (SHS)	0.195	2.860	0.095	1.00	1.00	-	-
		N1156/N1153	N1156/N1153	L 50 x 50 x 5 (L)	0.095	2.960	0.095	0.00	0.00	-	-
		N1155/N1154	N1155/N1154	L 50 x 50 x 5 (L)	0.095	2.960	0.095	0.00	0.00	-	-
		N1156/N1154	N1156/N1154	SHS 120x5.0 (SHS)	0.078	1.862	0.060	1.00	1.00	-	-
		N1156/N984	N1156/N984	SHS 120x5.0 (SHS)	0.095	2.960	0.095	1.00	1.00	-	-
		N1155/N1153	N1155/N1153	SHS 120x5.0 (SHS)	0.078	1.862	0.060	1.00	1.00	-	-
		N1001/N1156	N1001/N1156	SHS 120x5.0 (SHS)	0.195	2.860	0.095	1.00	1.00	-	-
		N904/N1060	N904/N1060	SHS 120x5.0 (SHS)	0.060	7.180	0.060	1.00	1.00	-	-
		N1158/N1159	N1158/N1159	SHS 120x5.0 (SHS)	0.060	1.880	0.060	1.00	1.00	-	-
		N1160/N1161	N1160/N1161	SHS 120x5.0 (SHS)	0.060	1.880	0.060	1.00	1.00	-	-
		N1158/N1161	N1158/N1161	L 40 x 40 x 4 (L)	0.095	2.960	0.095	0.00	0.00	-	-
		N1160/N1159	N1160/N1159	L 40 x 40 x 4 (L)	0.095	2.960	0.095	0.00	0.00	-	-
		N893/N1163	N893/N1049	SHS 120x5.0 (SHS)	0.050	2.323	0.060	1.00	3.00	-	-
		N1163/N1162	N893/N1049	SHS 120x5.0 (SHS)	0.060	2.313	0.060	1.00	3.00	-	-
		N1162/N1049	N893/N1049	SHS 120x5.0 (SHS)	0.060	2.323	0.050	1.00	3.00	-	-
		N910/N1165	N910/N1066	SHS 120x5.0 (SHS)	0.050	2.323	0.060	1.00	3.00	-	-
		N1165/N1164	N910/N1066	SHS 120x5.0 (SHS)	0.060	2.313	0.060	1.00	3.00	-	-
		N1164/N1066	N910/N1066	SHS 120x5.0 (SHS)	0.060	2.323	0.050	1.00	3.00	-	-
		N1162/N1164	N1162/N1164	SHS 120x5.0 (SHS)	0.060	1.880	0.060	1.00	1.00	-	-
		N1163/N1164	N1163/N1164	L 40 x 40 x 4 (L)	0.095	2.960	0.095	0.00	0.00	-	-
		N1162/N1165	N1162/N1165	L 40 x 40 x 4 (L)	0.095	2.960	0.095	0.00	0.00	-	-

Documento visado electrónicamente con número: VA07290/22
Código de validación telemática TRLTDCFZ60T66IJ1. Comprobación: https://cogitivalencia.e-gestion.es/Validacion.aspx?CVT=TRLTDCFZ60T66IJ1

VISADO
COGITI
VALENCIA
VA07290/22
TRLTDCFZ60T66IJ1

Listados

Descripción											
Material		Barra (Ni/Nf)	Pieza (Ni/Nf)	Perfil(Serie)	Longitud (m)			β_{xy}	β_{xz}	Lbsup (m)	Lbinf (m)
Tipo	Designación				Indeformable origen	Deformable	Indeformable extremo				
		N1163/N1165	N1163/N1165	SHS 120x5.0 (SHS)	0.060	1.880	0.060	1.00	1.00	-	-
		N897/N1167	N897/N1053	SHS 120x5.0 (SHS)	0.060	2.313	0.060	1.00	3.00	-	-
		N1167/N1166	N897/N1053	SHS 120x5.0 (SHS)	0.060	2.313	0.060	1.00	3.00	-	-
		N1166/N1053	N897/N1053	SHS 120x5.0 (SHS)	0.060	2.313	0.060	1.00	3.00	-	-
		N914/N1169	N914/N1070	SHS 120x5.0 (SHS)	0.060	2.313	0.060	1.00	3.00	-	-
		N1169/N1168	N914/N1070	SHS 120x5.0 (SHS)	0.060	2.313	0.060	1.00	3.00	-	-
		N1168/N1070	N914/N1070	SHS 120x5.0 (SHS)	0.060	2.313	0.060	1.00	3.00	-	-
		N1166/N1168	N1166/N1168	SHS 120x5.0 (SHS)	0.060	1.880	0.060	1.00	1.00	-	-
		N1167/N1168	N1167/N1168	L 40 x 40 x 4 (L)	0.095	2.960	0.095	0.00	0.00	-	-
		N1166/N1169	N1166/N1169	L 40 x 40 x 4 (L)	0.095	2.960	0.095	0.00	0.00	-	-
		N1167/N1169	N1167/N1169	SHS 120x5.0 (SHS)	0.060	1.880	0.060	1.00	1.00	-	-
		N916/N1072	N916/N1072	SHS 120x5.0 (SHS)	0.060	7.180	0.060	1.00	1.00	-	-
		N937/N1093	N937/N1093	SHS 120x5.0 (SHS)	0.060	7.180	0.060	1.00	1.00	-	-
		N939/N1170	N939/N1095	SHS 120x5.0 (SHS)	0.060	2.313	0.060	1.00	3.00	-	-
		N1170/N1171	N939/N1095	SHS 120x5.0 (SHS)	0.060	2.313	0.060	1.00	3.00	-	-
		N1171/N1095	N939/N1095	SHS 120x5.0 (SHS)	0.060	2.313	0.060	1.00	3.00	-	-
		N923/N1172	N923/N1079	SHS 120x5.0 (SHS)	0.060	2.313	0.060	1.00	3.00	-	-
		N1172/N1173	N923/N1079	SHS 120x5.0 (SHS)	0.060	2.313	0.060	1.00	3.00	-	-
		N1173/N1079	N923/N1079	SHS 120x5.0 (SHS)	0.060	2.313	0.060	1.00	3.00	-	-
		N1173/N1171	N1173/N1171	SHS 120x5.0 (SHS)	0.060	1.880	0.060	1.00	1.00	-	-
		N1172/N1170	N1172/N1170	SHS 120x5.0 (SHS)	0.060	1.880	0.060	1.00	1.00	-	-
		N1173/N1170	N1173/N1170	L 40 x 40 x 4 (L)	0.095	2.960	0.095	0.00	0.00	-	-
		N1172/N1171	N1172/N1171	L 40 x 40 x 4 (L)	0.095	2.960	0.095	0.00	0.00	-	-
		N927/N1175	N927/N1083	SHS 120x5.0 (SHS)	0.050	2.323	0.060	1.00	3.00	-	-
		N1175/N1174	N927/N1083	SHS 120x5.0 (SHS)	0.060	2.313	0.060	1.00	3.00	-	-
		N1174/N1083	N927/N1083	SHS 120x5.0 (SHS)	0.060	2.323	0.050	1.00	3.00	-	-
		N943/N1177	N943/N1099	SHS 120x5.0 (SHS)	0.050	2.323	0.060	1.00	3.00	-	-
		N1177/N1176	N943/N1099	SHS 120x5.0 (SHS)	0.060	2.313	0.060	1.00	3.00	-	-
		N1176/N1099	N943/N1099	SHS 120x5.0 (SHS)	0.060	2.323	0.050	1.00	3.00	-	-
		N1174/N1176	N1174/N1176	SHS 120x5.0 (SHS)	0.060	1.880	0.060	1.00	1.00	-	-
		N1175/N1176	N1175/N1176	L 40 x 40 x 4 (L)	0.095	2.960	0.095	0.00	0.00	-	-

Documento visado electrónicamente con número: VA07290/22
Código de validación telemática TRLTDCFZ60T66IJ1. Comprobación: https://cogitivalencia.e-gestion.es/Validacion.aspx?CVT=TRLTDCFZ60T66IJ1

VISADO
COGITI
VALENCIA
VA07290/22
TRLTDCFZ60T66IJ1

Listados

Descripción												
Material		Barra (Ni/Nf)	Pieza (Ni/Nf)	Perfil(Serie)	Longitud (m)			β_{xy}	β_{xz}	$Lb_{sup.}$ (m)	$Lb_{inf.}$ (m)	
Tipo	Designación				Indeformable origen	Deformable	Indeformable extremo					
		N1174/N1177	N1174/N1177	L 40 x 40 x 4 (L)	0.095	2.960	0.095	0.00	0.00	-	-	
		N1175/N1177	N1175/N1177	SHS 120x5.0 (SHS)	0.060	1.880	0.060	1.00	1.00	-	-	
		N931/N1179	N931/N1087	SHS 120x5.0 (SHS)	0.060	2.313	0.060	1.00	3.00	-	-	
		N1179/N1178	N931/N1087	SHS 120x5.0 (SHS)	0.060	2.313	0.060	1.00	3.00	-	-	
		N1178/N1087	N931/N1087	SHS 120x5.0 (SHS)	0.060	2.313	0.060	1.00	3.00	-	-	
		N947/N1181	N947/N1103	SHS 120x5.0 (SHS)	0.060	2.313	0.060	1.00	3.00	-	-	
		N1181/N1180	N947/N1103	SHS 120x5.0 (SHS)	0.060	2.313	0.060	1.00	3.00	-	-	
		N1180/N1103	N947/N1103	SHS 120x5.0 (SHS)	0.060	2.313	0.060	1.00	3.00	-	-	
		N1178/N1180	N1178/N1180	SHS 120x5.0 (SHS)	0.060	1.880	0.060	1.00	1.00	-	-	
		N1179/N1180	N1179/N1180	L 40 x 40 x 4 (L)	0.095	2.960	0.095	0.00	0.00	-	-	
		N1178/N1181	N1178/N1181	L 40 x 40 x 4 (L)	0.095	2.960	0.095	0.00	0.00	-	-	
		N1179/N1181	N1179/N1181	SHS 120x5.0 (SHS)	0.060	1.880	0.060	1.00	1.00	-	-	
		N949/N1105	N949/N1105	SHS 120x5.0 (SHS)	0.060	7.180	0.060	1.00	1.00	-	-	
		N970/N1126	N970/N1126	SHS 120x5.0 (SHS)	0.060	7.180	0.060	1.00	1.00	-	-	
		N972/N1182	N972/N1128	SHS 120x5.0 (SHS)	0.060	2.313	0.060	1.00	3.00	-	-	
		N1182/N1183	N972/N1128	SHS 120x5.0 (SHS)	0.060	2.313	0.060	1.00	3.00	-	-	
		N1183/N1128	N972/N1128	SHS 120x5.0 (SHS)	0.060	2.313	0.060	1.00	3.00	-	-	
		N956/N1184	N956/N1112	SHS 120x5.0 (SHS)	0.060	2.313	0.060	1.00	3.00	-	-	
		N1184/N1185	N956/N1112	SHS 120x5.0 (SHS)	0.060	2.313	0.060	1.00	3.00	-	-	
		N1185/N1112	N956/N1112	SHS 120x5.0 (SHS)	0.060	2.313	0.060	1.00	3.00	-	-	
		N1185/N1183	N1185/N1183	SHS 120x5.0 (SHS)	0.060	1.880	0.060	1.00	1.00	-	-	
		N1184/N1182	N1184/N1182	SHS 120x5.0 (SHS)	0.060	1.880	0.060	1.00	1.00	-	-	
		N1185/N1182	N1185/N1182	L 40 x 40 x 4 (L)	0.095	2.960	0.095	0.00	0.00	-	-	
		N1184/N1183	N1184/N1183	L 40 x 40 x 4 (L)	0.095	2.960	0.095	0.00	0.00	-	-	
		N960/N1187	N960/N1116	SHS 120x5.0 (SHS)	0.050	2.323	0.060	1.00	3.00	-	-	
		N1187/N1186	N960/N1116	SHS 120x5.0 (SHS)	0.060	2.313	0.060	1.00	3.00	-	-	
		N1186/N1116	N960/N1116	SHS 120x5.0 (SHS)	0.060	2.323	0.050	1.00	3.00	-	-	
		N976/N1189	N976/N1132	SHS 120x5.0 (SHS)	0.050	2.323	0.060	1.00	3.00	-	-	
		N1189/N1188	N976/N1132	SHS 120x5.0 (SHS)	0.060	2.313	0.060	1.00	3.00	-	-	
		N1188/N1132	N976/N1132	SHS 120x5.0 (SHS)	0.060	2.323	0.050	1.00	3.00	-	-	
		N1186/N1188	N1186/N1188	SHS 120x5.0 (SHS)	0.060	1.880	0.060	1.00	1.00	-	-	

Documento visado electrónicamente con número: VA07290/22
Código de validación telemática TRLTDCFZ60T66IJ1. Comprobación: https://cogitivalencia.e-gestion.es/Validacion.aspx?CVT=TRLTDCFZ60T66IJ1

VISADO
COGITI
VALENCIA
VA07290/22
TRLTDCFZ60T66IJ1

Listados

Descripción											
Material		Barra (Ni/Nf)	Pieza (Ni/Nf)	Perfil(Serie)	Longitud (m)			β_{xy}	β_{xz}	Lbsup (m)	Lbinf (m)
Tipo	Designación				Indeformable origen	Deformable	Indeformable extremo				
		N1187/N1188	N1187/N1188	L 40 x 40 x 4 (L)	0.095	2.960	0.095	0.00	0.00	-	-
		N1186/N1189	N1186/N1189	L 40 x 40 x 4 (L)	0.095	2.960	0.095	0.00	0.00	-	-
		N1187/N1189	N1187/N1189	SHS 120x5.0 (SHS)	0.060	1.880	0.060	1.00	1.00	-	-
		N964/N1191	N964/N1120	SHS 120x5.0 (SHS)	0.060	2.313	0.060	1.00	3.00	-	-
		N1191/N1190	N964/N1120	SHS 120x5.0 (SHS)	0.060	2.313	0.060	1.00	3.00	-	-
		N1190/N1120	N964/N1120	SHS 120x5.0 (SHS)	0.060	2.313	0.060	1.00	3.00	-	-
		N980/N1193	N980/N1136	SHS 120x5.0 (SHS)	0.060	2.313	0.060	1.00	3.00	-	-
		N1193/N1192	N980/N1136	SHS 120x5.0 (SHS)	0.060	2.313	0.060	1.00	3.00	-	-
		N1192/N1136	N980/N1136	SHS 120x5.0 (SHS)	0.060	2.313	0.060	1.00	3.00	-	-
		N1190/N1192	N1190/N1192	SHS 120x5.0 (SHS)	0.060	1.880	0.060	1.00	1.00	-	-
		N1191/N1192	N1191/N1192	L 40 x 40 x 4 (L)	0.095	2.960	0.095	0.00	0.00	-	-
		N1190/N1193	N1190/N1193	L 40 x 40 x 4 (L)	0.095	2.960	0.095	0.00	0.00	-	-
		N1191/N1193	N1191/N1193	SHS 120x5.0 (SHS)	0.060	1.880	0.060	1.00	1.00	-	-
		N982/N1138	N982/N1138	SHS 120x5.0 (SHS)	0.060	7.180	0.060	1.00	1.00	-	-
		N902/N1060	N902/N1060	L 60 x 60 x 5 (L)	0.138	7.916	0.067	0.00	0.00	-	-
		N1058/N904	N1058/N904	L 60 x 60 x 5 (L)	0.138	7.916	0.067	0.00	0.00	-	-
		N982/N1140	N982/N1140	L 60 x 60 x 5 (L)	0.067	7.916	0.138	0.00	0.00	-	-
		N1138/N984	N1138/N984	L 60 x 60 x 5 (L)	0.067	7.916	0.138	0.00	0.00	-	-
		N916/N1074	N916/N1074	L 60 x 60 x 5 (L)	0.067	7.916	0.138	0.00	0.00	-	-
		N1072/N918	N1072/N918	L 60 x 60 x 5 (L)	0.067	7.916	0.138	0.00	0.00	-	-
		N901/N1093	N901/N1093	L 60 x 60 x 5 (L)	0.167	7.887	0.067	0.00	0.00	-	-
		N1057/N937	N1057/N937	L 60 x 60 x 5 (L)	0.167	7.887	0.067	0.00	0.00	-	-
		N949/N1107	N949/N1107	L 60 x 60 x 5 (L)	0.067	7.916	0.138	0.00	0.00	-	-
		N1105/N951	N1105/N951	L 60 x 60 x 5 (L)	0.067	7.916	0.138	0.00	0.00	-	-
		N935/N1126	N935/N1126	L 60 x 60 x 5 (L)	0.167	7.887	0.067	0.00	0.00	-	-
		N1091/N970	N1091/N970	L 60 x 60 x 5 (L)	0.167	7.887	0.067	0.00	0.00	-	-
		N906/N1161	N906/N1062	SHS 120x5.0 (SHS)	0.060	2.313	0.060	1.00	3.00	-	-
		N1161/N1159	N906/N1062	SHS 120x5.0 (SHS)	0.060	2.313	0.060	1.00	3.00	-	-
		N1159/N1062	N906/N1062	SHS 120x5.0 (SHS)	0.060	2.313	0.060	1.00	3.00	-	-
		N889/N1160	N889/N1045	SHS 120x5.0 (SHS)	0.060	2.313	0.060	1.00	3.00	-	-
		N1160/N1158	N889/N1045	SHS 120x5.0 (SHS)	0.060	2.313	0.060	1.00	3.00	-	-

Documento visado electrónicamente con número: VA07290/22
Código de validación telemática TRLTDCFZ60T66IJ1. Comprobación: https://cogitivalencia.e-gestion.es/Validacion.aspx?CVT=TRLTDCFZ60T66IJ1

VISADO
COGITI
VALENCIA
VA07290/22
TRLTDCFZ60T66IJ1

Descripción												
Material		Barra (Ni/Nf)	Pieza (Ni/Nf)	Perfil(Serie)	Longitud (m)			β_{xy}	β_{xz}	$Lb_{sup.}$ (m)	$Lb_{inf.}$ (m)
Tipo	Designación				Indeformable origen	Deformable	Indeformable extremo				
		N1158/N1045	N889/N1045	SHS 120x5.0 (SHS)	0.060	2.313	0.060	1.00	3.00	-	-
		N1198/N1215	N1198/N1215	SHS 120x5.0 (SHS)	0.088	1.824	0.088	1.00	1.00	-	-
		N1199/N1216	N1199/N1216	SHS 120x5.0 (SHS)	0.088	1.824	0.088	1.00	1.00	-	-
		N1200/N1217	N1200/N1217	SHS 120x4.0 (SHS)	0.088	1.824	0.088	1.00	1.00	-	-
		N1201/N1218	N1201/N1218	SHS 120x4.0 (SHS)	0.088	1.824	0.088	1.00	1.00	-	-
		N1202/N1219	N1202/N1219	SHS 120x4.0 (SHS)	0.088	1.835	0.077	1.00	1.00	-	-
		N1203/N1220	N1203/N1220	SHS 100x4.0 (SHS)	0.086	1.837	0.077	1.00	1.00	-	-
		N1204/N1221	N1204/N1221	SHS 100x4.0 (SHS)	0.086	1.837	0.077	1.00	1.00	-	-
		N1205/N1222	N1205/N1222	SHS 100x4.0 (SHS)	0.086	1.837	0.077	1.00	1.00	-	-
		N1206/N1223	N1206/N1223	SHS 100x4.0 (SHS)	0.086	1.836	0.078	1.00	1.00	-	-
		N1207/N1224	N1207/N1224	SHS 100x4.0 (SHS)	0.086	1.836	0.078	1.00	1.00	-	-
		N1208/N1225	N1208/N1225	SHS 120x4.0 (SHS)	0.094	1.828	0.078	1.00	1.00	-	-
		N1209/N1226	N1209/N1226	SHS 120x4.0 (SHS)	0.094	1.812	0.094	1.00	1.00	-	-
		N1210/N1227	N1210/N1227	SHS 120x4.0 (SHS)	0.094	1.812	0.094	1.00	1.00	-	-
		N1211/N1228	N1211/N1228	SHS 120x5.0 (SHS)	0.094	1.812	0.094	1.00	1.00	-	-
		N1212/N1229	N1212/N1229	SHS 120x5.0 (SHS)	0.131	1.775	0.094	1.00	1.00	-	-
		N1232/N1248	N1232/N1248	SHS 120x5.0 (SHS)	0.088	1.824	0.088	1.00	1.00	-	-
		N1233/N1249	N1233/N1249	SHS 120x5.0 (SHS)	0.088	1.824	0.088	1.00	1.00	-	-
		N1234/N1250	N1234/N1250	SHS 120x4.0 (SHS)	0.088	1.824	0.088	1.00	1.00	-	-
		N1235/N1251	N1235/N1251	SHS 120x4.0 (SHS)	0.088	1.824	0.088	1.00	1.00	-	-
		N1236/N1252	N1236/N1252	SHS 120x4.0 (SHS)	0.088	1.835	0.077	1.00	1.00	-	-
		N1237/N1253	N1237/N1253	SHS 100x4.0 (SHS)	0.086	1.837	0.077	1.00	1.00	-	-
		N1238/N1254	N1238/N1254	SHS 100x4.0 (SHS)	0.086	1.837	0.077	1.00	1.00	-	-
		N1239/N1255	N1239/N1255	SHS 100x4.0 (SHS)	0.086	1.837	0.077	1.00	1.00	-	-
		N1240/N1256	N1240/N1256	SHS 100x4.0 (SHS)	0.086	1.836	0.078	1.00	1.00	-	-
		N1241/N1257	N1241/N1257	SHS 100x4.0 (SHS)	0.086	1.836	0.078	1.00	1.00	-	-
		N1242/N1258	N1242/N1258	SHS 120x4.0 (SHS)	0.094	1.828	0.078	1.00	1.00	-	-
		N1243/N1259	N1243/N1259	SHS 120x4.0 (SHS)	0.094	1.812	0.094	1.00	1.00	-	-
		N1244/N1260	N1244/N1260	SHS 120x4.0 (SHS)	0.094	1.812	0.094	1.00	1.00	-	-
		N1245/N1261	N1245/N1261	SHS 120x5.0 (SHS)	0.094	1.812	0.094	1.00	1.00	-	-
		N1246/N1262	N1246/N1262	SHS 120x5.0 (SHS)	0.131	1.775	0.094	1.00	1.00	-	-

Documento visado electrónicamente con número: VA07290/22
Código de validación telemática TRLTDCFZ60T66IJ1. Comprobación: https://cogitivalencia.e-gestion.es/Validacion.aspx?CVT=TRLTDCFZ60T66IJ1

VISADO
COGITI
VALENCIA
VA07290/22
TRLTDCFZ60T66IJ1

Listados

Descripción											
Material		Barra (Ni/Nf)	Pieza (Ni/Nf)	Perfil(Serie)	Longitud (m)			β_{xy}	β_{xz}	Lbsup (m)	Lbinf (m)
Tipo	Designación				Indeformable origen	Deformable	Indeformable extremo				
		N1265/N1281	N1265/N1281	SHS 120x5.0 (SHS)	0.088	1.824	0.088	1.00	1.00	-	-
		N1266/N1282	N1266/N1282	SHS 120x5.0 (SHS)	0.088	1.824	0.088	1.00	1.00	-	-
		N1267/N1283	N1267/N1283	SHS 120x4.0 (SHS)	0.088	1.824	0.088	1.00	1.00	-	-
		N1268/N1284	N1268/N1284	SHS 120x4.0 (SHS)	0.088	1.824	0.088	1.00	1.00	-	-
		N1269/N1285	N1269/N1285	SHS 120x4.0 (SHS)	0.088	1.835	0.077	1.00	1.00	-	-
		N1270/N1286	N1270/N1286	SHS 100x4.0 (SHS)	0.086	1.837	0.077	1.00	1.00	-	-
		N1271/N1287	N1271/N1287	SHS 100x4.0 (SHS)	0.086	1.837	0.077	1.00	1.00	-	-
		N1272/N1288	N1272/N1288	SHS 100x4.0 (SHS)	0.086	1.837	0.077	1.00	1.00	-	-
		N1273/N1289	N1273/N1289	SHS 100x4.0 (SHS)	0.086	1.836	0.078	1.00	1.00	-	-
		N1274/N1290	N1274/N1290	SHS 100x4.0 (SHS)	0.086	1.836	0.078	1.00	1.00	-	-
		N1275/N1291	N1275/N1291	SHS 120x4.0 (SHS)	0.094	1.828	0.078	1.00	1.00	-	-
		N1276/N1292	N1276/N1292	SHS 120x4.0 (SHS)	0.094	1.812	0.094	1.00	1.00	-	-
		N1277/N1293	N1277/N1293	SHS 120x4.0 (SHS)	0.094	1.812	0.094	1.00	1.00	-	-
		N1278/N1294	N1278/N1294	SHS 120x5.0 (SHS)	0.094	1.812	0.094	1.00	1.00	-	-
		N1279/N1295	N1279/N1295	SHS 120x5.0 (SHS)	0.094	1.812	0.094	1.00	1.00	-	-
		N1198/N1214	N1198/N1214	SHS 120x10.0 (SHS)	0.111	2.372	0.099	0.80	0.80	-	-
		N1199/N1215	N1199/N1215	SHS 120x5.0 (SHS)	0.111	2.372	0.099	0.80	0.80	-	-
		N1200/N1216	N1200/N1216	SHS 120x5.0 (SHS)	0.111	2.372	0.099	0.80	0.80	-	-
		N1201/N1217	N1201/N1217	SHS 120x4.0 (SHS)	0.111	2.372	0.099	0.80	0.80	-	-
		N1202/N1218	N1202/N1218	SHS 120x4.0 (SHS)	0.111	2.372	0.099	0.80	0.80	-	-
		N1204/N1220	N1204/N1220	SHS 100x4.0 (SHS)	0.111	2.372	0.099	0.80	0.80	-	-
		N1205/N1221	N1205/N1221	SHS 100x4.0 (SHS)	0.111	2.372	0.099	0.80	0.80	-	-
		N1205/N1223	N1205/N1223	SHS 100x4.0 (SHS)	0.119	2.544	0.106	0.80	0.80	-	-
		N1206/N1224	N1206/N1224	SHS 100x4.0 (SHS)	0.119	2.544	0.106	0.80	0.80	-	-
		N1208/N1226	N1208/N1226	SHS 120x4.0 (SHS)	0.119	2.544	0.106	0.80	0.80	-	-
		N1209/N1227	N1209/N1227	SHS 120x4.0 (SHS)	0.119	2.544	0.106	0.80	0.80	-	-
		N1210/N1228	N1210/N1228	SHS 120x5.0 (SHS)	0.119	2.544	0.106	0.80	0.80	-	-
		N1211/N1229	N1211/N1229	SHS 120x5.0 (SHS)	0.119	2.544	0.106	0.80	0.80	-	-
		N1212/N1230	N1212/N1230	SHS 120x10.0 (SHS)	0.119	2.431	0.219	0.80	0.80	-	-
		N1232/N1213	N1232/N1213	SHS 120x10.0 (SHS)	0.111	2.267	0.204	0.80	0.80	-	-

Documento visado electrónicamente con número: VA07290/22
Código de validación telemática TRLTDCFZ60T66IJ1. Comprobación: https://cogitivalencia.e-gestion.es/Validacion.aspx?CVT=TRLTDCFZ60T66IJ1

VISADO
COGITI
VALENCIA
VA07290/22
TRLTDCFZ60T66IJ1

Descripción												
Material		Barra (Ni/Nf)	Pieza (Ni/Nf)	Perfil(Serie)	Longitud (m)			β_{xy}	β_{xz}	$Lb_{sup.}$ (m)	$Lb_{inf.}$ (m)
Tipo	Designación				Indeformable origen	Deformable	Indeformable extremo				
		N1233/N1248	N1233/N1248	SHS 120x5.0 (SHS)	0.111	2.372	0.099	0.80	0.80	-	-
		N1234/N1249	N1234/N1249	SHS 120x5.0 (SHS)	0.111	2.372	0.099	0.80	0.80	-	-
		N1235/N1250	N1235/N1250	SHS 120x4.0 (SHS)	0.111	2.372	0.099	0.80	0.80	-	-
		N1236/N1251	N1236/N1251	SHS 120x4.0 (SHS)	0.111	2.372	0.099	0.80	0.80	-	-
		N1238/N1253	N1238/N1253	SHS 100x4.0 (SHS)	0.111	2.372	0.099	0.80	0.80	-	-
		N1239/N1254	N1239/N1254	SHS 100x4.0 (SHS)	0.111	2.372	0.099	0.80	0.80	-	-
		N1239/N1256	N1239/N1256	SHS 100x4.0 (SHS)	0.119	2.544	0.106	0.80	0.80	-	-
		N1240/N1257	N1240/N1257	SHS 100x4.0 (SHS)	0.119	2.544	0.106	0.80	0.80	-	-
		N1242/N1259	N1242/N1259	SHS 120x4.0 (SHS)	0.119	2.544	0.106	0.80	0.80	-	-
		N1243/N1260	N1243/N1260	SHS 120x4.0 (SHS)	0.119	2.544	0.106	0.80	0.80	-	-
		N1244/N1261	N1244/N1261	SHS 120x5.0 (SHS)	0.119	2.544	0.106	0.80	0.80	-	-
		N1245/N1262	N1245/N1262	SHS 120x5.0 (SHS)	0.119	2.544	0.106	0.80	0.80	-	-
		N1246/N1263	N1246/N1263	SHS 120x10.0 (SHS)	0.119	2.431	0.219	0.80	0.80	-	-
		N1265/N1247	N1265/N1247	SHS 120x10.0 (SHS)	0.111	2.267	0.204	0.80	0.80	-	-
		N1266/N1281	N1266/N1281	SHS 120x5.0 (SHS)	0.111	2.372	0.099	0.80	0.80	-	-
		N1267/N1282	N1267/N1282	SHS 120x5.0 (SHS)	0.111	2.372	0.099	0.80	0.80	-	-
		N1268/N1283	N1268/N1283	SHS 120x4.0 (SHS)	0.111	2.372	0.099	0.80	0.80	-	-
		N1269/N1284	N1269/N1284	SHS 120x4.0 (SHS)	0.111	2.372	0.099	0.80	0.80	-	-
		N1271/N1286	N1271/N1286	SHS 100x4.0 (SHS)	0.111	2.372	0.099	0.80	0.80	-	-
		N1272/N1287	N1272/N1287	SHS 100x4.0 (SHS)	0.111	2.372	0.099	0.80	0.80	-	-
		N1272/N1289	N1272/N1289	SHS 100x4.0 (SHS)	0.119	2.544	0.106	0.80	0.80	-	-
		N1273/N1290	N1273/N1290	SHS 100x4.0 (SHS)	0.119	2.544	0.106	0.80	0.80	-	-
		N1275/N1292	N1275/N1292	SHS 120x4.0 (SHS)	0.119	2.544	0.106	0.80	0.80	-	-
		N1276/N1293	N1276/N1293	SHS 120x4.0 (SHS)	0.119	2.544	0.106	0.80	0.80	-	-
		N1277/N1294	N1277/N1294	SHS 120x5.0 (SHS)	0.119	2.544	0.106	0.80	0.80	-	-
		N1278/N1295	N1278/N1295	SHS 120x5.0 (SHS)	0.119	2.544	0.106	0.80	0.80	-	-
		N1279/N1296	N1279/N1296	SHS 120x10.0 (SHS)	0.119	2.431	0.219	0.80	0.80	-	-
		N1041/N1297	N1041/N1197	SHS 120x5.0 (SHS)	0.060	2.313	0.060	1.00	3.00	-	-
		N1297/N1298	N1041/N1197	SHS 120x5.0 (SHS)	0.060	2.313	0.060	1.00	3.00	-	-
		N1298/N1197	N1041/N1197	SHS 120x5.0 (SHS)	0.060	2.313	0.060	1.00	3.00	-	-

Documento visado electrónicamente con número: VA07290/22
Código de validación telemática TRLTDCFZ60T66IJ1. Comprobación: https://cogitivalencia.e-gestion.es/Validacion.aspx?CVT=TRLTDCFZ60T66IJ1

VISADO
COGITI
VALENCIA
VA07290/22
TRLTDCFZ60T66IJ1

Listados

Descripción											
Material		Barra (Ni/Nf)	Pieza (Ni/Nf)	Perfil(Serie)	Longitud (m)			β_{xy}	β_{xz}	Lbsup (m)	Lbinf (m)
Tipo	Designación				Indeformable origen	Deformable	Indeformable extremo				
		N1058/N1299	N1058/N1214	SHS 120x5.0 (SHS)	0.060	2.313	0.060	1.00	3.00	-	-
		N1299/N1300	N1058/N1214	SHS 120x5.0 (SHS)	0.060	2.313	0.060	1.00	3.00	-	-
		N1300/N1214	N1058/N1214	SHS 120x5.0 (SHS)	0.060	2.313	0.060	1.00	3.00	-	-
		N1057/N1301	N1057/N1213	SHS 120x5.0 (SHS)	0.150	2.188	0.095	1.00	3.00	-	-
		N1301/N1302	N1057/N1213	SHS 120x5.0 (SHS)	0.095	2.243	0.095	1.00	3.00	-	-
		N1302/N1213	N1057/N1213	SHS 120x5.0 (SHS)	0.095	2.188	0.150	1.00	3.00	-	-
		N1074/N1303	N1074/N1230	SHS 120x5.0 (SHS)	0.095	2.278	0.060	1.00	3.00	-	-
		N1303/N1304	N1074/N1230	SHS 120x5.0 (SHS)	0.060	2.313	0.060	1.00	3.00	-	-
		N1304/N1230	N1074/N1230	SHS 120x5.0 (SHS)	0.060	2.278	0.095	1.00	3.00	-	-
		N1302/N1304	N1302/N1304	SHS 120x5.0 (SHS)	0.078	1.862	0.060	1.00	1.00	-	-
		N1301/N1303	N1301/N1303	SHS 120x5.0 (SHS)	0.078	1.862	0.060	1.00	1.00	-	-
		N1298/N1300	N1298/N1300	SHS 120x5.0 (SHS)	0.060	1.880	0.060	1.00	1.00	-	-
		N1297/N1299	N1297/N1299	SHS 120x5.0 (SHS)	0.060	1.880	0.060	1.00	1.00	-	-
		N1298/N1299	N1298/N1299	L 50 x 50 x 5 (L)	0.095	2.960	0.095	0.00	0.00	-	-
		N1297/N1300	N1297/N1300	L 50 x 50 x 5 (L)	0.095	2.960	0.095	0.00	0.00	-	-
		N1075/N1301	N1075/N1301	SHS 120x5.0 (SHS)	0.195	2.860	0.095	1.00	1.00	-	-
		N1231/N1302	N1231/N1302	SHS 120x5.0 (SHS)	0.195	2.860	0.095	1.00	1.00	-	-
		N1108/N1305	N1108/N1305	SHS 120x5.0 (SHS)	0.195	2.860	0.095	1.00	1.00	-	-
		N1091/N1305	N1091/N1247	SHS 120x5.0 (SHS)	0.150	2.188	0.095	1.00	3.00	-	-
		N1305/N1306	N1091/N1247	SHS 120x5.0 (SHS)	0.095	2.243	0.095	1.00	3.00	-	-
		N1306/N1247	N1091/N1247	SHS 120x5.0 (SHS)	0.095	2.188	0.150	1.00	3.00	-	-
		N1305/N1307	N1305/N1307	SHS 120x5.0 (SHS)	0.078	1.862	0.060	1.00	1.00	-	-
		N1306/N1308	N1306/N1308	SHS 120x5.0 (SHS)	0.078	1.862	0.060	1.00	1.00	-	-
		N1264/N1306	N1264/N1306	SHS 120x5.0 (SHS)	0.195	2.860	0.095	1.00	1.00	-	-
		N1107/N1307	N1107/N1263	SHS 120x5.0 (SHS)	0.095	2.278	0.060	1.00	3.00	-	-
		N1307/N1308	N1107/N1263	SHS 120x5.0 (SHS)	0.060	2.313	0.060	1.00	3.00	-	-
		N1308/N1263	N1107/N1263	SHS 120x5.0 (SHS)	0.060	2.278	0.095	1.00	3.00	-	-
		N1301/N1304	N1301/N1304	L 50 x 50 x 5 (L)	0.095	2.960	0.095	0.00	0.00	-	-
		N1301/N1074	N1301/N1074	SHS 120x5.0 (SHS)	0.095	2.960	0.095	1.00	1.00	-	-
		N1302/N1303	N1302/N1303	L 50 x 50 x 5 (L)	0.095	2.960	0.095	0.00	0.00	-	-
		N1302/N1230	N1302/N1230	SHS 120x5.0 (SHS)	0.095	2.960	0.095	1.00	1.00	-	-

Documento visado electrónicamente con número: VA07290/22
Código de validación telemática TRLTDCFZ60T66IJ1. Comprobación: https://cogitivalencia.e-gestion.es/Validacion.aspx?CVT=TRLTDCFZ60T66IJ1

VISADO
COGITI
VALENCIA
VA07290/22
TRLTDCFZ60T66IJ1

Descripción												
Material		Barra (Ni/Nf)	Pieza (Ni/Nf)	Perfil(Serie)	Longitud (m)			β_{xy}	β_{xz}	$Lb_{sup.}$ (m)	$Lb_{inf.}$ (m)	
Tipo	Designación				Indeformable origen	Deformable	Indeformable extremo					
		N1305/N1308	N1305/N1308	L 50 x 50 x 5 (L)	0.095	2.960	0.095	0.00	0.00	-	-	
		N1305/N1107	N1305/N1107	SHS 120x5.0 (SHS)	0.095	2.960	0.095	1.00	1.00	-	-	
		N1306/N1307	N1306/N1307	L 50 x 50 x 5 (L)	0.095	2.960	0.095	0.00	0.00	-	-	
		N1306/N1263	N1306/N1263	SHS 120x5.0 (SHS)	0.095	2.960	0.095	1.00	1.00	-	-	
		N1140/N1310	N1140/N1296	SHS 120x5.0 (SHS)	0.095	2.278	0.060	1.00	3.00	-	-	
		N1310/N1309	N1140/N1296	SHS 120x5.0 (SHS)	0.060	2.313	0.060	1.00	3.00	-	-	
		N1309/N1296	N1140/N1296	SHS 120x5.0 (SHS)	0.060	2.278	0.095	1.00	3.00	-	-	
		N1311/N1296	N1311/N1296	SHS 120x5.0 (SHS)	0.095	2.960	0.095	1.00	1.00	-	-	
		N1124/N1312	N1124/N1280	SHS 120x5.0 (SHS)	0.150	2.188	0.095	1.00	3.00	-	-	
		N1312/N1311	N1124/N1280	SHS 120x5.0 (SHS)	0.095	2.243	0.095	1.00	3.00	-	-	
		N1311/N1280	N1124/N1280	SHS 120x5.0 (SHS)	0.095	2.188	0.150	1.00	3.00	-	-	
		N1313/N1311	N1313/N1311	SHS 120x5.0 (SHS)	0.195	2.860	0.095	1.00	1.00	-	-	
		N1312/N1309	N1312/N1309	L 50 x 50 x 5 (L)	0.095	2.960	0.095	0.00	0.00	-	-	
		N1311/N1310	N1311/N1310	L 50 x 50 x 5 (L)	0.095	2.960	0.095	0.00	0.00	-	-	
		N1312/N1310	N1312/N1310	SHS 120x5.0 (SHS)	0.078	1.862	0.060	1.00	1.00	-	-	
		N1312/N1140	N1312/N1140	SHS 120x5.0 (SHS)	0.095	2.960	0.095	1.00	1.00	-	-	
		N1311/N1309	N1311/N1309	SHS 120x5.0 (SHS)	0.078	1.862	0.060	1.00	1.00	-	-	
		N1157/N1312	N1157/N1312	SHS 120x5.0 (SHS)	0.195	2.860	0.095	1.00	1.00	-	-	
		N1060/N1216	N1060/N1216	SHS 120x5.0 (SHS)	0.060	7.180	0.060	1.00	1.00	-	-	
		N1314/N1315	N1314/N1315	SHS 120x5.0 (SHS)	0.060	1.880	0.060	1.00	1.00	-	-	
		N1316/N1317	N1316/N1317	SHS 120x5.0 (SHS)	0.060	1.880	0.060	1.00	1.00	-	-	
		N1314/N1317	N1314/N1317	L 40 x 40 x 4 (L)	0.095	2.960	0.095	0.00	0.00	-	-	
		N1316/N1315	N1316/N1315	L 40 x 40 x 4 (L)	0.095	2.960	0.095	0.00	0.00	-	-	
		N1049/N1319	N1049/N1205	SHS 120x5.0 (SHS)	0.050	2.323	0.060	1.00	3.00	-	-	
		N1319/N1318	N1049/N1205	SHS 120x5.0 (SHS)	0.060	2.313	0.060	1.00	3.00	-	-	
		N1318/N1205	N1049/N1205	SHS 120x5.0 (SHS)	0.060	2.323	0.050	1.00	3.00	-	-	
		N1066/N1321	N1066/N1222	SHS 120x5.0 (SHS)	0.050	2.323	0.060	1.00	3.00	-	-	
		N1321/N1320	N1066/N1222	SHS 120x5.0 (SHS)	0.060	2.313	0.060	1.00	3.00	-	-	
		N1320/N1222	N1066/N1222	SHS 120x5.0 (SHS)	0.060	2.323	0.050	1.00	3.00	-	-	
		N1318/N1320	N1318/N1320	SHS 120x5.0 (SHS)	0.060	1.880	0.060	1.00	1.00	-	-	
		N1319/N1320	N1319/N1320	L 40 x 40 x 4 (L)	0.095	2.960	0.095	0.00	0.00	-	-	

Documento visado electrónicamente con número: VA07290/22
Código de validación telemática TRLTDCFZ60T66IJ1. Comprobación: https://cogitivalencia.e-gestion.es/Validacion.aspx?CVT=TRLTDCFZ60T66IJ1

VISADO
COGITI
VALENCIA
VA07290/22
TRLTDCFZ60T66IJ1

Listados

Descripción											
Material		Barra (Ni/Nf)	Pieza (Ni/Nf)	Perfil(Serie)	Longitud (m)			β_{xy}	β_{xz}	Lbsup (m)	Lbinf (m)
Tipo	Designación				Indeformable origen	Deformable	Indeformable extremo				
		N1318/N1321	N1318/N1321	L 40 x 40 x 4 (L)	0.095	2.960	0.095	0.00	0.00	-	-
		N1319/N1321	N1319/N1321	SHS 120x5.0 (SHS)	0.060	1.880	0.060	1.00	1.00	-	-
		N1053/N1323	N1053/N1209	SHS 120x5.0 (SHS)	0.060	2.313	0.060	1.00	3.00	-	-
		N1323/N1322	N1053/N1209	SHS 120x5.0 (SHS)	0.060	2.313	0.060	1.00	3.00	-	-
		N1322/N1209	N1053/N1209	SHS 120x5.0 (SHS)	0.060	2.313	0.060	1.00	3.00	-	-
		N1070/N1325	N1070/N1226	SHS 120x5.0 (SHS)	0.060	2.313	0.060	1.00	3.00	-	-
		N1325/N1324	N1070/N1226	SHS 120x5.0 (SHS)	0.060	2.313	0.060	1.00	3.00	-	-
		N1324/N1226	N1070/N1226	SHS 120x5.0 (SHS)	0.060	2.313	0.060	1.00	3.00	-	-
		N1322/N1324	N1322/N1324	SHS 120x5.0 (SHS)	0.060	1.880	0.060	1.00	1.00	-	-
		N1323/N1324	N1323/N1324	L 40 x 40 x 4 (L)	0.095	2.960	0.095	0.00	0.00	-	-
		N1322/N1325	N1322/N1325	L 40 x 40 x 4 (L)	0.095	2.960	0.095	0.00	0.00	-	-
		N1323/N1325	N1323/N1325	SHS 120x5.0 (SHS)	0.060	1.880	0.060	1.00	1.00	-	-
		N1072/N1228	N1072/N1228	SHS 120x5.0 (SHS)	0.060	7.180	0.060	1.00	1.00	-	-
		N1093/N1249	N1093/N1249	SHS 120x5.0 (SHS)	0.060	7.180	0.060	1.00	1.00	-	-
		N1095/N1326	N1095/N1251	SHS 120x5.0 (SHS)	0.060	2.313	0.060	1.00	3.00	-	-
		N1326/N1327	N1095/N1251	SHS 120x5.0 (SHS)	0.060	2.313	0.060	1.00	3.00	-	-
		N1327/N1251	N1095/N1251	SHS 120x5.0 (SHS)	0.060	2.313	0.060	1.00	3.00	-	-
		N1079/N1328	N1079/N1235	SHS 120x5.0 (SHS)	0.060	2.313	0.060	1.00	3.00	-	-
		N1328/N1329	N1079/N1235	SHS 120x5.0 (SHS)	0.060	2.313	0.060	1.00	3.00	-	-
		N1329/N1235	N1079/N1235	SHS 120x5.0 (SHS)	0.060	2.313	0.060	1.00	3.00	-	-
		N1329/N1327	N1329/N1327	SHS 120x5.0 (SHS)	0.060	1.880	0.060	1.00	1.00	-	-
		N1328/N1326	N1328/N1326	SHS 120x5.0 (SHS)	0.060	1.880	0.060	1.00	1.00	-	-
		N1329/N1326	N1329/N1326	L 40 x 40 x 4 (L)	0.095	2.960	0.095	0.00	0.00	-	-
		N1328/N1327	N1328/N1327	L 40 x 40 x 4 (L)	0.095	2.960	0.095	0.00	0.00	-	-
		N1083/N1331	N1083/N1239	SHS 120x5.0 (SHS)	0.050	2.323	0.060	1.00	3.00	-	-
		N1331/N1330	N1083/N1239	SHS 120x5.0 (SHS)	0.060	2.313	0.060	1.00	3.00	-	-
		N1330/N1239	N1083/N1239	SHS 120x5.0 (SHS)	0.060	2.323	0.050	1.00	3.00	-	-
		N1099/N1333	N1099/N1255	SHS 120x5.0 (SHS)	0.050	2.323	0.060	1.00	3.00	-	-
		N1333/N1332	N1099/N1255	SHS 120x5.0 (SHS)	0.060	2.313	0.060	1.00	3.00	-	-
		N1332/N1255	N1099/N1255	SHS 120x5.0 (SHS)	0.060	2.323	0.050	1.00	3.00	-	-
		N1330/N1332	N1330/N1332	SHS 120x5.0 (SHS)	0.060	1.880	0.060	1.00	1.00	-	-

Documento visado electrónicamente con número: VA07290/22
Código de validación telemática TRLTDCFZ60T66IJ1. Comprobación: https://cogitivalencia.e-gestion.es/Validacion.aspx?CVT=TRLTDCFZ60T66IJ1

VISADO
COGITI
VALENCIA
VA07290/22
TRLTDCFZ60T66IJ1

Listados

Descripción												
Material		Barra (Ni/Nf)	Pieza (Ni/Nf)	Perfil(Serie)	Longitud (m)			β_{xy}	β_{xz}	$Lb_{sup.}$ (m)	$Lb_{inf.}$ (m)
Tipo	Designación				Indeformable origen	Deformable	Indeformable extremo				
		N1331/N1332	N1331/N1332	L 40 x 40 x 4 (L)	0.095	2.960	0.095	0.00	0.00	-	-
		N1330/N1333	N1330/N1333	L 40 x 40 x 4 (L)	0.095	2.960	0.095	0.00	0.00	-	-
		N1331/N1333	N1331/N1333	SHS 120x5.0 (SHS)	0.060	1.880	0.060	1.00	1.00	-	-
		N1087/N1335	N1087/N1243	SHS 120x5.0 (SHS)	0.060	2.313	0.060	1.00	3.00	-	-
		N1335/N1334	N1087/N1243	SHS 120x5.0 (SHS)	0.060	2.313	0.060	1.00	3.00	-	-
		N1334/N1243	N1087/N1243	SHS 120x5.0 (SHS)	0.060	2.313	0.060	1.00	3.00	-	-
		N1103/N1337	N1103/N1259	SHS 120x5.0 (SHS)	0.060	2.313	0.060	1.00	3.00	-	-
		N1337/N1336	N1103/N1259	SHS 120x5.0 (SHS)	0.060	2.313	0.060	1.00	3.00	-	-
		N1336/N1259	N1103/N1259	SHS 120x5.0 (SHS)	0.060	2.313	0.060	1.00	3.00	-	-
		N1334/N1336	N1334/N1336	SHS 120x5.0 (SHS)	0.060	1.880	0.060	1.00	1.00	-	-
		N1335/N1336	N1335/N1336	L 40 x 40 x 4 (L)	0.095	2.960	0.095	0.00	0.00	-	-
		N1334/N1337	N1334/N1337	L 40 x 40 x 4 (L)	0.095	2.960	0.095	0.00	0.00	-	-
		N1335/N1337	N1335/N1337	SHS 120x5.0 (SHS)	0.060	1.880	0.060	1.00	1.00	-	-
		N1105/N1261	N1105/N1261	SHS 120x5.0 (SHS)	0.060	7.180	0.060	1.00	1.00	-	-
		N1126/N1282	N1126/N1282	SHS 120x5.0 (SHS)	0.060	7.180	0.060	1.00	1.00	-	-
		N1128/N1338	N1128/N1284	SHS 120x5.0 (SHS)	0.060	2.313	0.060	1.00	3.00	-	-
		N1338/N1339	N1128/N1284	SHS 120x5.0 (SHS)	0.060	2.313	0.060	1.00	3.00	-	-
		N1339/N1284	N1128/N1284	SHS 120x5.0 (SHS)	0.060	2.313	0.060	1.00	3.00	-	-
		N1112/N1340	N1112/N1268	SHS 120x5.0 (SHS)	0.060	2.313	0.060	1.00	3.00	-	-
		N1340/N1341	N1112/N1268	SHS 120x5.0 (SHS)	0.060	2.313	0.060	1.00	3.00	-	-
		N1341/N1268	N1112/N1268	SHS 120x5.0 (SHS)	0.060	2.313	0.060	1.00	3.00	-	-
		N1341/N1339	N1341/N1339	SHS 120x5.0 (SHS)	0.060	1.880	0.060	1.00	1.00	-	-
		N1340/N1338	N1340/N1338	SHS 120x5.0 (SHS)	0.060	1.880	0.060	1.00	1.00	-	-
		N1341/N1338	N1341/N1338	L 40 x 40 x 4 (L)	0.095	2.960	0.095	0.00	0.00	-	-
		N1340/N1339	N1340/N1339	L 40 x 40 x 4 (L)	0.095	2.960	0.095	0.00	0.00	-	-
		N1116/N1343	N1116/N1272	SHS 120x5.0 (SHS)	0.050	2.323	0.060	1.00	3.00	-	-
		N1343/N1342	N1116/N1272	SHS 120x5.0 (SHS)	0.060	2.313	0.060	1.00	3.00	-	-
		N1342/N1272	N1116/N1272	SHS 120x5.0 (SHS)	0.060	2.323	0.050	1.00	3.00	-	-
		N1132/N1345	N1132/N1288	SHS 120x5.0 (SHS)	0.050	2.323	0.060	1.00	3.00	-	-
		N1345/N1344	N1132/N1288	SHS 120x5.0 (SHS)	0.060	2.313	0.060	1.00	3.00	-	-
		N1344/N1288	N1132/N1288	SHS 120x5.0 (SHS)	0.060	2.323	0.050	1.00	3.00	-	-

Documento visado electrónicamente con número: VA07290/22
Código de validación telemática TRLTDCFZ60T66IJ1. Comprobación: https://cogitivalencia.e-gestion.es/Validacion.aspx?CVT=TRLTDCFZ60T66IJ1

VISADO
COGITI
VALENCIA
VA07290/22
TRLTDCFZ60T66IJ1

Listados

Descripción											
Material		Barra (Ni/Nf)	Pieza (Ni/Nf)	Perfil(Serie)	Longitud (m)			β_{xy}	β_{xz}	Lbsup (m)	Lbinf (m)
Tipo	Designación				Indeformable origen	Deformable	Indeformable extremo				
		N1342/N1344	N1342/N1344	SHS 120x5.0 (SHS)	0.060	1.880	0.060	1.00	1.00	-	-
		N1343/N1344	N1343/N1344	L 40 x 40 x 4 (L)	0.095	2.960	0.095	0.00	0.00	-	-
		N1342/N1345	N1342/N1345	L 40 x 40 x 4 (L)	0.095	2.960	0.095	0.00	0.00	-	-
		N1343/N1345	N1343/N1345	SHS 120x5.0 (SHS)	0.060	1.880	0.060	1.00	1.00	-	-
		N1120/N1347	N1120/N1276	SHS 120x5.0 (SHS)	0.060	2.313	0.060	1.00	3.00	-	-
		N1347/N1346	N1120/N1276	SHS 120x5.0 (SHS)	0.060	2.313	0.060	1.00	3.00	-	-
		N1346/N1276	N1120/N1276	SHS 120x5.0 (SHS)	0.060	2.313	0.060	1.00	3.00	-	-
		N1136/N1349	N1136/N1292	SHS 120x5.0 (SHS)	0.060	2.313	0.060	1.00	3.00	-	-
		N1349/N1348	N1136/N1292	SHS 120x5.0 (SHS)	0.060	2.313	0.060	1.00	3.00	-	-
		N1348/N1292	N1136/N1292	SHS 120x5.0 (SHS)	0.060	2.313	0.060	1.00	3.00	-	-
		N1346/N1348	N1346/N1348	SHS 120x5.0 (SHS)	0.060	1.880	0.060	1.00	1.00	-	-
		N1347/N1348	N1347/N1348	L 40 x 40 x 4 (L)	0.095	2.960	0.095	0.00	0.00	-	-
		N1346/N1349	N1346/N1349	L 40 x 40 x 4 (L)	0.095	2.960	0.095	0.00	0.00	-	-
		N1347/N1349	N1347/N1349	SHS 120x5.0 (SHS)	0.060	1.880	0.060	1.00	1.00	-	-
		N1138/N1294	N1138/N1294	SHS 120x5.0 (SHS)	0.060	7.180	0.060	1.00	1.00	-	-
		N1058/N1216	N1058/N1216	L 60 x 60 x 5 (L)	0.138	7.916	0.067	0.00	0.00	-	-
		N1214/N1060	N1214/N1060	L 60 x 60 x 5 (L)	0.138	7.916	0.067	0.00	0.00	-	-
		N1138/N1296	N1138/N1296	L 60 x 60 x 5 (L)	0.067	7.916	0.138	0.00	0.00	-	-
		N1294/N1140	N1294/N1140	L 60 x 60 x 5 (L)	0.067	7.916	0.138	0.00	0.00	-	-
		N1072/N1230	N1072/N1230	L 60 x 60 x 5 (L)	0.067	7.916	0.138	0.00	0.00	-	-
		N1228/N1074	N1228/N1074	L 60 x 60 x 5 (L)	0.067	7.916	0.138	0.00	0.00	-	-
		N1057/N1249	N1057/N1249	L 60 x 60 x 5 (L)	0.167	7.887	0.067	0.00	0.00	-	-
		N1213/N1093	N1213/N1093	L 60 x 60 x 5 (L)	0.167	7.887	0.067	0.00	0.00	-	-
		N1105/N1263	N1105/N1263	L 60 x 60 x 5 (L)	0.067	7.916	0.138	0.00	0.00	-	-
		N1261/N1107	N1261/N1107	L 60 x 60 x 5 (L)	0.067	7.916	0.138	0.00	0.00	-	-
		N1091/N1282	N1091/N1282	L 60 x 60 x 5 (L)	0.167	7.887	0.067	0.00	0.00	-	-
		N1247/N1126	N1247/N1126	L 60 x 60 x 5 (L)	0.167	7.887	0.067	0.00	0.00	-	-
		N1062/N1317	N1062/N1218	SHS 120x5.0 (SHS)	0.060	2.313	0.060	1.00	3.00	-	-
		N1317/N1315	N1062/N1218	SHS 120x5.0 (SHS)	0.060	2.313	0.060	1.00	3.00	-	-
		N1315/N1218	N1062/N1218	SHS 120x5.0 (SHS)	0.060	2.313	0.060	1.00	3.00	-	-
		N1045/N1316	N1045/N1201	SHS 120x5.0 (SHS)	0.060	2.313	0.060	1.00	3.00	-	-

Documento visado electrónicamente con número: VA07290/22
Código de validación telemática TRLTDCFZ60T66IJ1. Comprobación: https://cogitivalencia.e-gestion.es/Validacion.aspx?CVT=TRLTDCFZ60T66IJ1

Listados

VISADO
COGITI
VALENCIA
VA07290/22
TRLTDCFZ60T66IJ1

Descripción												
Material		Barra (Ni/Nf)	Pieza (Ni/Nf)	Perfil(Serie)	Longitud (m)			β_{xy}	β_{xz}	$Lb_{sup.}$ (m)	$Lb_{inf.}$ (m)
Tipo	Designación				Indeformable origen	Deformable	Indeformable extremo				
		N1316/N1314	N1045/N1201	SHS 120x5.0 (SHS)	0.060	2.313	0.060	1.00	3.00	-	-
		N1314/N1201	N1045/N1201	SHS 120x5.0 (SHS)	0.060	2.313	0.060	1.00	3.00	-	-
		N1354/N1363	N1354/N1363	SHS 120x5.0 (SHS)	0.060	1.879	0.061	1.00	1.00	-	-
		N1355/N1364	N1355/N1364	SHS 120x5.0 (SHS)	0.060	1.879	0.061	1.00	1.00	-	-
		N1356/N1365	N1356/N1365	SHS 120x5.0 (SHS)	0.060	1.879	0.061	1.00	1.00	-	-
		N1357/N1366	N1357/N1366	SHS 120x5.0 (SHS)	0.060	1.879	0.061	1.00	1.00	-	-
		N1358/N1367	N1358/N1367	SHS 120x5.0 (SHS)	0.060	1.879	0.061	1.00	1.00	-	-
		N1359/N1368	N1359/N1368	SHS 120x5.0 (SHS)	0.060	1.879	0.061	1.00	1.00	-	-
		N1360/N1369	N1360/N1369	SHS 120x5.0 (SHS)	0.060	1.879	0.061	1.00	1.00	-	-
		N1371/N1379	N1371/N1379	SHS 120x5.0 (SHS)	0.060	1.879	0.061	1.00	1.00	-	-
		N1372/N1380	N1372/N1380	SHS 120x5.0 (SHS)	0.060	1.879	0.061	1.00	1.00	-	-
		N1373/N1381	N1373/N1381	SHS 120x5.0 (SHS)	0.060	1.879	0.061	1.00	1.00	-	-
		N1374/N1382	N1374/N1382	SHS 120x5.0 (SHS)	0.060	1.879	0.061	1.00	1.00	-	-
		N1375/N1383	N1375/N1383	SHS 120x5.0 (SHS)	0.060	1.879	0.061	1.00	1.00	-	-
		N1376/N1384	N1376/N1384	SHS 120x5.0 (SHS)	0.060	1.879	0.061	1.00	1.00	-	-
		N1377/N1385	N1377/N1385	SHS 120x5.0 (SHS)	0.060	1.879	0.061	1.00	1.00	-	-
		N1387/N1395	N1387/N1395	SHS 120x5.0 (SHS)	0.060	1.879	0.061	1.00	1.00	-	-
		N1388/N1396	N1388/N1396	SHS 120x5.0 (SHS)	0.060	1.879	0.061	1.00	1.00	-	-
		N1389/N1397	N1389/N1397	SHS 120x5.0 (SHS)	0.060	1.879	0.061	1.00	1.00	-	-
		N1390/N1398	N1390/N1398	SHS 120x5.0 (SHS)	0.060	1.879	0.061	1.00	1.00	-	-
		N1391/N1399	N1391/N1399	SHS 120x5.0 (SHS)	0.060	1.879	0.061	1.00	1.00	-	-
		N1392/N1400	N1392/N1400	SHS 120x5.0 (SHS)	0.060	1.879	0.061	1.00	1.00	-	-
		N1393/N1401	N1393/N1401	SHS 120x5.0 (SHS)	0.060	1.879	0.061	1.00	1.00	-	-
		N1197/N1403	N1197/N1353	SHS 120x5.0 (SHS)	0.060	2.313	0.060	1.00	3.00	-	-
		N1403/N1404	N1197/N1353	SHS 120x5.0 (SHS)	0.060	2.313	0.060	1.00	3.00	-	-
		N1404/N1353	N1197/N1353	SHS 120x5.0 (SHS)	0.060	2.313	0.060	1.00	3.00	-	-
		N1214/N1405	N1214/N1362	SHS 120x5.0 (SHS)	0.060	2.313	0.060	1.00	3.00	-	-
		N1405/N1406	N1214/N1362	SHS 120x5.0 (SHS)	0.060	2.313	0.060	1.00	3.00	-	-
		N1406/N1362	N1214/N1362	SHS 120x5.0 (SHS)	0.060	2.313	0.060	1.00	3.00	-	-
		N1213/N1407	N1213/N1361	SHS 120x5.0 (SHS)	0.150	2.188	0.095	1.00	3.00	-	-
		N1407/N1408	N1213/N1361	SHS 120x5.0 (SHS)	0.095	2.243	0.095	1.00	3.00	-	-

Documento visado electrónicamente con número: VA07290/22
Código de validación telemática TRLTDCFZ60T66IJ1. Comprobación: https://cogitivalencia.e-gestion.es/Validacion.aspx?CVT=TRLTDCFZ60T66IJ1

VISADO
COGITI
VALENCIA
VA07290/22
TRLTDCFZ60T66IJ1

Listados

Descripción											
Material		Barra (Ni/Nf)	Pieza (Ni/Nf)	Perfil(Serie)	Longitud (m)			β_{xy}	β_{xz}	Lbsup (m)	Lbinf (m)
Tipo	Designación				Indeformable origen	Deformable	Indeformable extremo				
		N1408/N1361	N1213/N1361	SHS 120x5.0 (SHS)	0.095	2.278	0.060	1.00	3.00	-	-
		N1230/N1409	N1230/N1370	SHS 120x5.0 (SHS)	0.095	2.278	0.060	1.00	3.00	-	-
		N1409/N1410	N1230/N1370	SHS 120x5.0 (SHS)	0.060	2.313	0.060	1.00	3.00	-	-
		N1410/N1370	N1230/N1370	SHS 120x5.0 (SHS)	0.060	2.278	0.095	1.00	3.00	-	-
		N1408/N1410	N1408/N1410	SHS 120x5.0 (SHS)	0.078	1.862	0.060	1.00	1.00	-	-
		N1407/N1409	N1407/N1409	SHS 120x5.0 (SHS)	0.078	1.862	0.060	1.00	1.00	-	-
		N1404/N1406	N1404/N1406	SHS 120x5.0 (SHS)	0.060	1.880	0.060	1.00	1.00	-	-
		N1403/N1405	N1403/N1405	SHS 120x5.0 (SHS)	0.060	1.880	0.060	1.00	1.00	-	-
		N1404/N1405	N1404/N1405	L 50 x 50 x 5 (L)	0.095	2.960	0.095	0.00	0.00	-	-
		N1403/N1406	N1403/N1406	L 50 x 50 x 5 (L)	0.095	2.960	0.095	0.00	0.00	-	-
		N1231/N1407	N1231/N1407	SHS 120x5.0 (SHS)	0.195	2.860	0.095	1.00	1.00	-	-
		N1264/N1411	N1264/N1411	SHS 120x5.0 (SHS)	0.195	2.860	0.095	1.00	1.00	-	-
		N1247/N1411	N1247/N1378	SHS 120x5.0 (SHS)	0.150	2.188	0.095	1.00	3.00	-	-
		N1411/N1412	N1247/N1378	SHS 120x5.0 (SHS)	0.095	2.243	0.095	1.00	3.00	-	-
		N1412/N1378	N1247/N1378	SHS 120x5.0 (SHS)	0.095	2.278	0.060	1.00	3.00	-	-
		N1411/N1413	N1411/N1413	SHS 120x5.0 (SHS)	0.078	1.862	0.060	1.00	1.00	-	-
		N1412/N1414	N1412/N1414	SHS 120x5.0 (SHS)	0.078	1.862	0.060	1.00	1.00	-	-
		N1263/N1413	N1263/N1386	SHS 120x5.0 (SHS)	0.095	2.278	0.060	1.00	3.00	-	-
		N1413/N1414	N1263/N1386	SHS 120x5.0 (SHS)	0.060	2.313	0.060	1.00	3.00	-	-
		N1414/N1386	N1263/N1386	SHS 120x5.0 (SHS)	0.060	2.278	0.095	1.00	3.00	-	-
		N1407/N1410	N1407/N1410	L 50 x 50 x 5 (L)	0.095	2.960	0.095	0.00	0.00	-	-
		N1407/N1230	N1407/N1230	SHS 120x5.0 (SHS)	0.095	2.960	0.095	1.00	1.00	-	-
		N1408/N1409	N1408/N1409	L 50 x 50 x 5 (L)	0.095	2.960	0.095	0.00	0.00	-	-
		N1408/N1370	N1408/N1370	SHS 120x5.0 (SHS)	0.095	2.960	0.095	1.00	1.00	-	-
		N1411/N1414	N1411/N1414	L 50 x 50 x 5 (L)	0.095	2.960	0.095	0.00	0.00	-	-
		N1411/N1263	N1411/N1263	SHS 120x5.0 (SHS)	0.095	2.960	0.095	1.00	1.00	-	-
		N1412/N1413	N1412/N1413	L 50 x 50 x 5 (L)	0.095	2.960	0.095	0.00	0.00	-	-
		N1412/N1386	N1412/N1386	SHS 120x5.0 (SHS)	0.095	2.960	0.095	1.00	1.00	-	-
		N1296/N1416	N1296/N1402	SHS 120x5.0 (SHS)	0.095	2.278	0.060	1.00	3.00	-	-
		N1416/N1415	N1296/N1402	SHS 120x5.0 (SHS)	0.060	2.313	0.060	1.00	3.00	-	-
		N1415/N1402	N1296/N1402	SHS 120x5.0 (SHS)	0.060	2.278	0.095	1.00	3.00	-	-

Documento visado electrónicamente con número: VA07290/22
Código de validación telemática TRLTDCFZ60T66IJ1. Comprobación: https://cogitivalencia.e-gestion.es/Validacion.aspx?CVT=TRLTDCFZ60T66IJ1

VISADO
COGITI
VALENCIA
VA07290/22
TRLTDCFZ60T66IJ1

Descripción												
Material		Barra (Ni/Nf)	Pieza (Ni/Nf)	Perfil(Serie)	Longitud (m)			β_{xy}	β_{xz}	$Lb_{sup.}$ (m)	$Lb_{inf.}$ (m)
Tipo	Designación				Indeformable origen	Deformable	Indeformable extremo				
		N1417/N1402	N1417/N1402	SHS 120x5.0 (SHS)	0.095	2.960	0.095	1.00	1.00	-	-
		N1280/N1418	N1280/N1394	SHS 120x5.0 (SHS)	0.150	2.188	0.095	1.00	3.00	-	-
		N1418/N1417	N1280/N1394	SHS 120x5.0 (SHS)	0.095	2.243	0.095	1.00	3.00	-	-
		N1417/N1394	N1280/N1394	SHS 120x5.0 (SHS)	0.095	2.278	0.060	1.00	3.00	-	-
		N1418/N1415	N1418/N1415	L 50 x 50 x 5 (L)	0.095	2.960	0.095	0.00	0.00	-	-
		N1417/N1416	N1417/N1416	L 50 x 50 x 5 (L)	0.095	2.960	0.095	0.00	0.00	-	-
		N1418/N1416	N1418/N1416	SHS 120x5.0 (SHS)	0.078	1.862	0.060	1.00	1.00	-	-
		N1418/N1296	N1418/N1296	SHS 120x5.0 (SHS)	0.095	2.960	0.095	1.00	1.00	-	-
		N1417/N1415	N1417/N1415	SHS 120x5.0 (SHS)	0.078	1.862	0.060	1.00	1.00	-	-
		N1313/N1418	N1313/N1418	SHS 120x5.0 (SHS)	0.195	2.860	0.095	1.00	1.00	-	-
		N1419/N1420	N1419/N1420	SHS 120x5.0 (SHS)	0.060	1.880	0.060	1.00	1.00	-	-
		N1421/N1422	N1421/N1422	SHS 120x5.0 (SHS)	0.060	1.880	0.060	1.00	1.00	-	-
		N1419/N1422	N1419/N1422	L 40 x 40 x 4 (L)	0.095	2.960	0.095	0.00	0.00	-	-
		N1421/N1420	N1421/N1420	L 40 x 40 x 4 (L)	0.095	2.960	0.095	0.00	0.00	-	-
		N1205/N1424	N1205/N1357	SHS 120x5.0 (SHS)	0.050	2.323	0.060	1.00	3.00	-	-
		N1424/N1423	N1205/N1357	SHS 120x5.0 (SHS)	0.060	2.313	0.060	1.00	3.00	-	-
		N1423/N1357	N1205/N1357	SHS 120x5.0 (SHS)	0.060	2.313	0.060	1.00	3.00	-	-
		N1222/N1426	N1222/N1366	SHS 120x5.0 (SHS)	0.050	2.323	0.060	1.00	3.00	-	-
		N1426/N1425	N1222/N1366	SHS 120x5.0 (SHS)	0.060	2.313	0.060	1.00	3.00	-	-
		N1425/N1366	N1222/N1366	SHS 120x5.0 (SHS)	0.060	2.313	0.060	1.00	3.00	-	-
		N1423/N1425	N1423/N1425	SHS 120x5.0 (SHS)	0.060	1.880	0.060	1.00	1.00	-	-
		N1424/N1425	N1424/N1425	L 40 x 40 x 4 (L)	0.095	2.960	0.095	0.00	0.00	-	-
		N1423/N1426	N1423/N1426	L 40 x 40 x 4 (L)	0.095	2.960	0.095	0.00	0.00	-	-
		N1424/N1426	N1424/N1426	SHS 120x5.0 (SHS)	0.060	1.880	0.060	1.00	1.00	-	-
		N1209/N1428	N1209/N1359	SHS 120x5.0 (SHS)	0.060	2.313	0.060	1.00	3.00	-	-
		N1428/N1427	N1209/N1359	SHS 120x5.0 (SHS)	0.060	2.313	0.060	1.00	3.00	-	-
		N1427/N1359	N1209/N1359	SHS 120x5.0 (SHS)	0.060	2.313	0.060	1.00	3.00	-	-
		N1226/N1430	N1226/N1368	SHS 120x5.0 (SHS)	0.060	2.313	0.060	1.00	3.00	-	-
		N1430/N1429	N1226/N1368	SHS 120x5.0 (SHS)	0.060	2.313	0.060	1.00	3.00	-	-
		N1429/N1368	N1226/N1368	SHS 120x5.0 (SHS)	0.060	2.313	0.060	1.00	3.00	-	-
		N1427/N1429	N1427/N1429	SHS 120x5.0 (SHS)	0.060	1.880	0.060	1.00	1.00	-	-

Documento visado electrónicamente con número: VA07290/22
Código de validación telemática TRLTDCFZ60T66IJ1. Comprobación: https://cogitivalencia.e-gestion.es/Validacion.aspx?CVT=TRLTDCFZ60T66IJ1

VISADO
COGITI
VALENCIA
VA07290/22
TRLTDCFZ60T66IJ1

Listados

Descripción											
Material		Barra (Ni/Nf)	Pieza (Ni/Nf)	Perfil(Serie)	Longitud (m)			β_{xy}	β_{xz}	Lbsup (m)	Lbinf (m)
Tipo	Designación				Indeformable origen	Deformable	Indeformable extremo				
		N1428/N1429	N1428/N1429	L 40 x 40 x 4 (L)	0.095	2.960	0.095	0.00	0.00	-	-
		N1427/N1430	N1427/N1430	L 40 x 40 x 4 (L)	0.095	2.960	0.095	0.00	0.00	-	-
		N1428/N1430	N1428/N1430	SHS 120x5.0 (SHS)	0.060	1.880	0.060	1.00	1.00	-	-
		N1251/N1431	N1251/N1380	SHS 120x5.0 (SHS)	0.060	2.313	0.060	1.00	3.00	-	-
		N1431/N1432	N1251/N1380	SHS 120x5.0 (SHS)	0.060	2.313	0.060	1.00	3.00	-	-
		N1432/N1380	N1251/N1380	SHS 120x5.0 (SHS)	0.060	2.313	0.060	1.00	3.00	-	-
		N1235/N1433	N1235/N1372	SHS 120x5.0 (SHS)	0.060	2.313	0.060	1.00	3.00	-	-
		N1433/N1434	N1235/N1372	SHS 120x5.0 (SHS)	0.060	2.313	0.060	1.00	3.00	-	-
		N1434/N1372	N1235/N1372	SHS 120x5.0 (SHS)	0.060	2.313	0.060	1.00	3.00	-	-
		N1434/N1432	N1434/N1432	SHS 120x5.0 (SHS)	0.060	1.880	0.060	1.00	1.00	-	-
		N1433/N1431	N1433/N1431	SHS 120x5.0 (SHS)	0.060	1.880	0.060	1.00	1.00	-	-
		N1434/N1431	N1434/N1431	L 40 x 40 x 4 (L)	0.095	2.960	0.095	0.00	0.00	-	-
		N1433/N1432	N1433/N1432	L 40 x 40 x 4 (L)	0.095	2.960	0.095	0.00	0.00	-	-
		N1239/N1436	N1239/N1374	SHS 120x5.0 (SHS)	0.050	2.323	0.060	1.00	3.00	-	-
		N1436/N1435	N1239/N1374	SHS 120x5.0 (SHS)	0.060	2.313	0.060	1.00	3.00	-	-
		N1435/N1374	N1239/N1374	SHS 120x5.0 (SHS)	0.060	2.313	0.060	1.00	3.00	-	-
		N1255/N1438	N1255/N1382	SHS 120x5.0 (SHS)	0.050	2.323	0.060	1.00	3.00	-	-
		N1438/N1437	N1255/N1382	SHS 120x5.0 (SHS)	0.060	2.313	0.060	1.00	3.00	-	-
		N1437/N1382	N1255/N1382	SHS 120x5.0 (SHS)	0.060	2.313	0.060	1.00	3.00	-	-
		N1435/N1437	N1435/N1437	SHS 120x5.0 (SHS)	0.060	1.880	0.060	1.00	1.00	-	-
		N1436/N1437	N1436/N1437	L 40 x 40 x 4 (L)	0.095	2.960	0.095	0.00	0.00	-	-
		N1435/N1438	N1435/N1438	L 40 x 40 x 4 (L)	0.095	2.960	0.095	0.00	0.00	-	-
		N1436/N1438	N1436/N1438	SHS 120x5.0 (SHS)	0.060	1.880	0.060	1.00	1.00	-	-
		N1243/N1440	N1243/N1376	SHS 120x5.0 (SHS)	0.060	2.313	0.060	1.00	3.00	-	-
		N1440/N1439	N1243/N1376	SHS 120x5.0 (SHS)	0.060	2.313	0.060	1.00	3.00	-	-
		N1439/N1376	N1243/N1376	SHS 120x5.0 (SHS)	0.060	2.313	0.060	1.00	3.00	-	-
		N1259/N1442	N1259/N1384	SHS 120x5.0 (SHS)	0.060	2.313	0.060	1.00	3.00	-	-
		N1442/N1441	N1259/N1384	SHS 120x5.0 (SHS)	0.060	2.313	0.060	1.00	3.00	-	-
		N1441/N1384	N1259/N1384	SHS 120x5.0 (SHS)	0.060	2.313	0.060	1.00	3.00	-	-
		N1439/N1441	N1439/N1441	SHS 120x5.0 (SHS)	0.060	1.880	0.060	1.00	1.00	-	-
		N1440/N1441	N1440/N1441	L 40 x 40 x 4 (L)	0.095	2.960	0.095	0.00	0.00	-	-

Documento visado electrónicamente con número: VA07290/22
Código de validación telemática TRLTDCFZ60T66IJ1. Comprobación: https://cogitivalencia.e-gestion.es/Validacion.aspx?CVT=TRLTDCFZ60T66IJ1

VISADO
COGITI
VALENCIA
VA07290/22
TRLTDCFZ60T66IJ1

Descripción												
Material		Barra (Ni/Nf)	Pieza (Ni/Nf)	Perfil(Serie)	Longitud (m)			β_{xy}	β_{xz}	$Lb_{sup.}$ (m)	$Lb_{inf.}$ (m)
Tipo	Designación				Indeformable origen	Deformable	Indeformable extremo				
		N1439/N1442	N1439/N1442	L 40 x 40 x 4 (L)	0.095	2.960	0.095	0.00	0.00	-	-
		N1440/N1442	N1440/N1442	SHS 120x5.0 (SHS)	0.060	1.880	0.060	1.00	1.00	-	-
		N1284/N1443	N1284/N1396	SHS 120x5.0 (SHS)	0.060	2.313	0.060	1.00	3.00	-	-
		N1443/N1444	N1284/N1396	SHS 120x5.0 (SHS)	0.060	2.313	0.060	1.00	3.00	-	-
		N1444/N1396	N1284/N1396	SHS 120x5.0 (SHS)	0.060	2.313	0.060	1.00	3.00	-	-
		N1268/N1445	N1268/N1388	SHS 120x5.0 (SHS)	0.060	2.313	0.060	1.00	3.00	-	-
		N1445/N1446	N1268/N1388	SHS 120x5.0 (SHS)	0.060	2.313	0.060	1.00	3.00	-	-
		N1446/N1388	N1268/N1388	SHS 120x5.0 (SHS)	0.060	2.313	0.060	1.00	3.00	-	-
		N1446/N1444	N1446/N1444	SHS 120x5.0 (SHS)	0.060	1.880	0.060	1.00	1.00	-	-
		N1445/N1443	N1445/N1443	SHS 120x5.0 (SHS)	0.060	1.880	0.060	1.00	1.00	-	-
		N1446/N1443	N1446/N1443	L 40 x 40 x 4 (L)	0.095	2.960	0.095	0.00	0.00	-	-
		N1445/N1444	N1445/N1444	L 40 x 40 x 4 (L)	0.095	2.960	0.095	0.00	0.00	-	-
		N1272/N1448	N1272/N1390	SHS 120x5.0 (SHS)	0.050	2.323	0.060	1.00	3.00	-	-
		N1448/N1447	N1272/N1390	SHS 120x5.0 (SHS)	0.060	2.313	0.060	1.00	3.00	-	-
		N1447/N1390	N1272/N1390	SHS 120x5.0 (SHS)	0.060	2.313	0.060	1.00	3.00	-	-
		N1288/N1450	N1288/N1398	SHS 120x5.0 (SHS)	0.050	2.323	0.060	1.00	3.00	-	-
		N1450/N1449	N1288/N1398	SHS 120x5.0 (SHS)	0.060	2.313	0.060	1.00	3.00	-	-
		N1449/N1398	N1288/N1398	SHS 120x5.0 (SHS)	0.060	2.313	0.060	1.00	3.00	-	-
		N1447/N1449	N1447/N1449	SHS 120x5.0 (SHS)	0.060	1.880	0.060	1.00	1.00	-	-
		N1448/N1449	N1448/N1449	L 40 x 40 x 4 (L)	0.095	2.960	0.095	0.00	0.00	-	-
		N1447/N1450	N1447/N1450	L 40 x 40 x 4 (L)	0.095	2.960	0.095	0.00	0.00	-	-
		N1448/N1450	N1448/N1450	SHS 120x5.0 (SHS)	0.060	1.880	0.060	1.00	1.00	-	-
		N1276/N1452	N1276/N1392	SHS 120x5.0 (SHS)	0.060	2.313	0.060	1.00	3.00	-	-
		N1452/N1451	N1276/N1392	SHS 120x5.0 (SHS)	0.060	2.313	0.060	1.00	3.00	-	-
		N1451/N1392	N1276/N1392	SHS 120x5.0 (SHS)	0.060	2.313	0.060	1.00	3.00	-	-
		N1292/N1454	N1292/N1400	SHS 120x5.0 (SHS)	0.060	2.313	0.060	1.00	3.00	-	-
		N1454/N1453	N1292/N1400	SHS 120x5.0 (SHS)	0.060	2.313	0.060	1.00	3.00	-	-
		N1453/N1400	N1292/N1400	SHS 120x5.0 (SHS)	0.060	2.313	0.060	1.00	3.00	-	-
		N1451/N1453	N1451/N1453	SHS 120x5.0 (SHS)	0.060	1.880	0.060	1.00	1.00	-	-
		N1452/N1453	N1452/N1453	L 40 x 40 x 4 (L)	0.095	2.960	0.095	0.00	0.00	-	-
		N1451/N1454	N1451/N1454	L 40 x 40 x 4 (L)	0.095	2.960	0.095	0.00	0.00	-	-

Documento visado electrónicamente con número: VA07290/22
Código de validación telemática TRLTDCFZ60T66IJ1. Comprobación: https://cogitivalencia.e-gestion.es/Validacion.aspx?CVT=TRLTDCFZ60T66IJ1

VISADO
COGITI
VALENCIA
VA07290/22
TRLTDCFZ60T66IJ1

Listados

Descripción											
Material		Barra (Ni/Nf)	Pieza (Ni/Nf)	Perfil(Serie)	Longitud (m)			β_{xy}	β_{xz}	Lbsup (m)	Lbinf (m)
Tipo	Designación				Indeformable origen	Deformable	Indeformable extremo				
		N1452/N1454	N1452/N1454	SHS 120x5.0 (SHS)	0.060	1.880	0.060	1.00	1.00	-	-
		N1214/N1363	N1214/N1363	L 60 x 60 x 5 (L)	0.138	7.845	0.138	0.00	0.00	-	-
		N1362/N1216	N1362/N1216	L 60 x 60 x 5 (L)	0.138	7.916	0.067	0.00	0.00	-	-
		N1294/N1402	N1294/N1402	L 60 x 60 x 5 (L)	0.067	7.916	0.138	0.00	0.00	-	-
		N1401/N1296	N1401/N1296	L 60 x 60 x 5 (L)	0.138	7.845	0.138	0.00	0.00	-	-
		N1228/N1370	N1228/N1370	L 60 x 60 x 5 (L)	0.067	7.916	0.138	0.00	0.00	-	-
		N1369/N1230	N1369/N1230	L 60 x 60 x 5 (L)	0.138	7.845	0.138	0.00	0.00	-	-
		N1213/N1379	N1213/N1379	L 60 x 60 x 5 (L)	0.167	7.816	0.138	0.00	0.00	-	-
		N1361/N1249	N1361/N1249	L 60 x 60 x 5 (L)	0.138	7.916	0.067	0.00	0.00	-	-
		N1261/N1386	N1261/N1386	L 60 x 60 x 5 (L)	0.067	7.916	0.138	0.00	0.00	-	-
		N1385/N1263	N1385/N1263	L 60 x 60 x 5 (L)	0.138	7.845	0.138	0.00	0.00	-	-
		N1247/N1395	N1247/N1395	L 60 x 60 x 5 (L)	0.167	7.816	0.138	0.00	0.00	-	-
		N1378/N1282	N1378/N1282	L 60 x 60 x 5 (L)	0.138	7.916	0.067	0.00	0.00	-	-
		N1218/N1422	N1218/N1364	SHS 120x5.0 (SHS)	0.060	2.313	0.060	1.00	3.00	-	-
		N1422/N1420	N1218/N1364	SHS 120x5.0 (SHS)	0.060	2.313	0.060	1.00	3.00	-	-
		N1420/N1364	N1218/N1364	SHS 120x5.0 (SHS)	0.060	2.313	0.060	1.00	3.00	-	-
		N1201/N1421	N1201/N1355	SHS 120x5.0 (SHS)	0.060	2.313	0.060	1.00	3.00	-	-
		N1421/N1419	N1201/N1355	SHS 120x5.0 (SHS)	0.060	2.313	0.060	1.00	3.00	-	-
		N1419/N1355	N1201/N1355	SHS 120x5.0 (SHS)	0.060	2.313	0.060	1.00	3.00	-	-
		N1364/N1220	N1364/N1220	L 60 x 60 x 5 (L)	0.138	7.927	0.056	0.00	0.00	-	-
		N1218/N1365	N1218/N1365	L 60 x 60 x 5 (L)	0.067	7.916	0.138	0.00	0.00	-	-
		N1220/N1366	N1220/N1366	L 60 x 60 x 5 (L)	0.056	7.927	0.138	0.00	0.00	-	-
		N1365/N1222	N1365/N1222	L 60 x 60 x 5 (L)	0.138	7.927	0.056	0.00	0.00	-	-
		N1366/N1224	N1366/N1224	L 60 x 60 x 5 (L)	0.138	7.927	0.056	0.00	0.00	-	-
		N1222/N1367	N1222/N1367	L 60 x 60 x 5 (L)	0.056	7.927	0.138	0.00	0.00	-	-
		N1367/N1226	N1367/N1226	L 60 x 60 x 5 (L)	0.138	7.916	0.067	0.00	0.00	-	-
		N1224/N1368	N1224/N1368	L 60 x 60 x 5 (L)	0.056	7.927	0.138	0.00	0.00	-	-
		N1368/N1228	N1368/N1228	L 60 x 60 x 5 (L)	0.138	7.916	0.067	0.00	0.00	-	-
		N1226/N1369	N1226/N1369	L 60 x 60 x 5 (L)	0.067	7.916	0.138	0.00	0.00	-	-
		N1249/N1380	N1249/N1380	L 60 x 60 x 5 (L)	0.067	7.916	0.138	0.00	0.00	-	-
		N1379/N1251	N1379/N1251	L 60 x 60 x 5 (L)	0.138	7.916	0.067	0.00	0.00	-	-

Documento visado electrónicamente con número: VA07290/22
Código de validación telemática TRLTDCFZ60T66IJ1. Comprobación: https://cogitivalencia.e-gestion.es/Validacion.aspx?CVT=TRLTDCFZ60T66IJ1

VISADO
COGITI
VALENCIA
VA07290/22
TRLTDCFZ60T66IJ1

Listados

Descripción												
Material		Barra (Ni/Nf)	Pieza (Ni/Nf)	Perfil(Serie)	Longitud (m)			β_{xy}	β_{xz}	Lbsup. (m)	Lbinf. (m)	
Tipo	Designación				Indeformable origen	Deformable	Indeformable extremo					
		N1380/N1253	N1380/N1253	L 60 x 60 x 5 (L)	0.138	7.927	0.056	0.00	0.00	-	-	
		N1251/N1381	N1251/N1381	L 60 x 60 x 5 (L)	0.067	7.916	0.138	0.00	0.00	-	-	
		N1381/N1255	N1381/N1255	L 60 x 60 x 5 (L)	0.138	7.927	0.056	0.00	0.00	-	-	
		N1253/N1382	N1253/N1382	L 60 x 60 x 5 (L)	0.056	7.927	0.138	0.00	0.00	-	-	
		N1382/N1257	N1382/N1257	L 60 x 60 x 5 (L)	0.138	7.927	0.056	0.00	0.00	-	-	
		N1255/N1383	N1255/N1383	L 60 x 60 x 5 (L)	0.056	7.927	0.138	0.00	0.00	-	-	
		N1257/N1384	N1257/N1384	L 60 x 60 x 5 (L)	0.056	7.927	0.138	0.00	0.00	-	-	
		N1383/N1259	N1383/N1259	L 60 x 60 x 5 (L)	0.138	7.916	0.067	0.00	0.00	-	-	
		N1384/N1261	N1384/N1261	L 60 x 60 x 5 (L)	0.138	7.916	0.067	0.00	0.00	-	-	
		N1259/N1385	N1259/N1385	L 60 x 60 x 5 (L)	0.067	7.916	0.138	0.00	0.00	-	-	
		N1395/N1284	N1395/N1284	L 60 x 60 x 5 (L)	0.138	7.916	0.067	0.00	0.00	-	-	
		N1282/N1396	N1282/N1396	L 60 x 60 x 5 (L)	0.067	7.916	0.138	0.00	0.00	-	-	
		N1396/N1286	N1396/N1286	L 60 x 60 x 5 (L)	0.138	7.927	0.056	0.00	0.00	-	-	
		N1284/N1397	N1284/N1397	L 60 x 60 x 5 (L)	0.067	7.916	0.138	0.00	0.00	-	-	
		N1397/N1288	N1397/N1288	L 60 x 60 x 5 (L)	0.138	7.927	0.056	0.00	0.00	-	-	
		N1286/N1398	N1286/N1398	L 60 x 60 x 5 (L)	0.056	7.927	0.138	0.00	0.00	-	-	
		N1288/N1399	N1288/N1399	L 60 x 60 x 5 (L)	0.056	7.927	0.138	0.00	0.00	-	-	
		N1398/N1290	N1398/N1290	L 60 x 60 x 5 (L)	0.138	7.927	0.056	0.00	0.00	-	-	
		N1399/N1292	N1399/N1292	L 60 x 60 x 5 (L)	0.138	7.916	0.067	0.00	0.00	-	-	
		N1290/N1400	N1290/N1400	L 60 x 60 x 5 (L)	0.056	7.927	0.138	0.00	0.00	-	-	
		N1400/N1294	N1400/N1294	L 60 x 60 x 5 (L)	0.138	7.916	0.067	0.00	0.00	-	-	
		N1292/N1401	N1292/N1401	L 60 x 60 x 5 (L)	0.067	7.916	0.138	0.00	0.00	-	-	
		N1216/N1364	N1216/N1364	L 60 x 60 x 5 (L)	0.067	7.916	0.138	0.00	0.00	-	-	
		N1363/N1218	N1363/N1218	L 60 x 60 x 5 (L)	0.138	7.916	0.067	0.00	0.00	-	-	
		N3/N1455	N3/N1455	HE 280 B (HEB)	-	1.000	-	6.00	6.00	3.000	3.000	
		N1456/N9	N1456/N9	HE 280 B (HEB)	-	1.406	0.094	1.33	1.33	2.000	2.000	
		N1455/N5	N1455/N1456	HE 280 B|I| (HEB)	-	1.869	0.131	3.00	3.00	3.000	3.000	
		N5/N8	N1455/N1456	HE 280 B|I| (HEB)	0.131	1.781	0.088	1.00	1.00	2.000	2.000	
		N8/N1456	N1455/N1456	HE 280 B|I| (HEB)	0.088	0.412	-	4.00	4.00	2.000	2.000	
		N172/N1461	N172/N1461	HE 280 B (HEB)	-	1.000	-	6.00	6.00	3.000	3.000	
		N1500/N138	N1500/N138	HE 280 B (HEB)	-	1.383	0.117	1.33	1.33	2.000	2.000	

Documento visado electrónicamente con número: VA07290/22
Código de validación telemática TRLTDCFZ60T66IJ1. Comprobación: https://cogitivalencia.e-gestion.es/Validacion.aspx?CVT=TRLTDCFZ60T66IJ1

VISADO
COGITI

TRLTDCFZ60T66IJ1
VALENCIA
VA07290/22

Listados

Descripción											
Material		Barra (Ni/Nf)	Pieza (Ni/Nf)	Perfil(Serie)	Longitud (m)			β_{xy}	β_{xz}	Lbsup (m)	Lbinf (m)
Tipo	Designación				Indeformable origen	Deformable	Indeformable extremo				
		N1461/N139	N1461/N1500	HE 280 B|I| (HEB)	-	1.825	0.175	3.00	3.00	3.000	3.000
		N139/N121	N1461/N1500	HE 280 B|I| (HEB)	0.175	1.709	0.116	1.00	1.00	2.000	2.000
		N121/N1500	N1461/N1500	HE 280 B|I| (HEB)	0.116	0.384	-	4.00	4.00	2.000	2.000
		N276/N1462	N276/N1462	HE 280 B (HEB)	-	1.000	-	6.00	6.00	3.000	3.000
		N1501/N242	N1501/N242	HE 280 B (HEB)	-	1.383	0.117	1.33	1.33	2.000	2.000
		N1462/N243	N1462/N1501	HE 280 B|I| (HEB)	-	1.825	0.175	3.00	3.00	3.000	3.000
		N243/N225	N1462/N1501	HE 280 B|I| (HEB)	0.175	1.709	0.116	1.00	1.00	2.000	2.000
		N225/N1501	N1462/N1501	HE 280 B|I| (HEB)	0.116	0.384	-	4.00	4.00	2.000	2.000
		N570/N1463	N570/N1463	HE 280 B (HEB)	-	1.000	-	6.00	6.00	3.000	3.000
		N1502/N450	N1502/N450	HE 280 B (HEB)	-	1.406	0.094	1.33	1.33	2.000	2.000
		N1463/N451	N1463/N1502	HE 280 B|I| (HEB)	-	1.869	0.131	3.00	3.00	3.000	3.000
		N451/N433	N1463/N1502	HE 280 B|I| (HEB)	0.131	1.781	0.088	1.00	1.00	2.000	2.000
		N433/N1502	N1463/N1502	HE 280 B|I| (HEB)	0.088	0.412	-	4.00	4.00	2.000	2.000
		N726/N1464	N726/N1464	HE 280 B (HEB)	-	1.000	-	6.00	6.00	3.000	3.000
		N1503/N606	N1503/N606	HE 280 B (HEB)	-	1.406	0.094	1.33	1.33	2.000	2.000
		N1464/N607	N1464/N1503	HE 280 B|I| (HEB)	-	1.869	0.131	3.00	3.00	3.000	3.000
		N607/N589	N1464/N1503	HE 280 B|I| (HEB)	0.131	1.781	0.088	1.00	1.00	2.000	2.000
		N589/N1503	N1464/N1503	HE 280 B|I| (HEB)	0.088	0.412	-	4.00	4.00	2.000	2.000
		N1038/N1465	N1038/N1465	HE 280 B (HEB)	-	1.000	-	6.00	6.00	3.000	3.000
		N1505/N918	N1505/N918	HE 280 B (HEB)	-	1.406	0.094	1.33	1.33	2.000	2.000
		N1465/N919	N1465/N1505	HE 280 B|I| (HEB)	-	1.869	0.131	3.00	3.00	3.000	3.000
		N919/N901	N1465/N1505	HE 280 B|I| (HEB)	0.131	1.781	0.088	1.00	1.00	2.000	2.000
		N901/N1505	N1465/N1505	HE 280 B|I| (HEB)	0.088	0.412	-	4.00	4.00	2.000	2.000
		N1194/N1466	N1194/N1466	HE 280 B (HEB)	-	1.000	-	6.00	6.00	3.000	3.000
		N1506/N1074	N1506/N1074	HE 280 B (HEB)	-	1.406	0.094	1.33	1.33	2.000	2.000
		N1466/N1075	N1466/N1506	HE 280 B|I| (HEB)	-	1.869	0.131	3.00	3.00	3.000	3.000
		N1075/N1057	N1466/N1506	HE 280 B|I| (HEB)	0.131	1.781	0.088	1.00	1.00	2.000	2.000
		N1057/N1506	N1466/N1506	HE 280 B|I| (HEB)	0.088	0.412	-	4.00	4.00	2.000	2.000
		N1350/N1467	N1350/N1467	HE 280 B (HEB)	-	1.000	-	6.00	6.00	3.000	3.000
		N1507/N1230	N1507/N1230	HE 280 B (HEB)	-	1.406	0.094	1.33	1.33	2.000	2.000
		N1467/N1231	N1467/N1507	HE 280 B|I| (HEB)	-	1.869	0.131	3.00	3.00	3.000	3.000

Documento visado electrónicamente con número: VA07290/22
Código de validación telemática TRLTDCFZ60T66IJ1. Comprobación: https://cogitivalencia.e-gestion.es/Validacion.aspx?CVT=TRLTDCFZ60T66IJ1

VISADO
COGITI
VALENCIA
VA07290/22
TRLTDCFZ60T66IJ1

Descripción												
Material		Barra (Ni/Nf)	Pieza (Ni/Nf)	Perfil(Serie)	Longitud (m)			β_{xy}	β_{xz}	$Lb_{sup.}$ (m)	$Lb_{inf.}$ (m)	
Tipo	Designación				Indeformable origen	Deformable	Indeformable extremo					
		N1231/N1213	N1467/N1507	HE 280 B|I| (HEB)	0.131	1.781	0.088	1.00	1.00	2.000	2.000	
		N1213/N1507	N1467/N1507	HE 280 B|I| (HEB)	0.088	0.412	-	4.00	4.00	2.000	2.000	
		N2/N1457	N2/N1457	HE 280 B (HEB)	-	1.000	-	6.00	6.00	3.000	3.000	
		N1458/N11	N1458/N11	HE 280 B (HEB)	-	1.406	0.094	1.33	1.33	2.000	2.000	
		N1457/N6	N1457/N1458	HE 280 B|I| (HEB)	-	1.869	0.131	3.00	3.00	3.000	3.000	
		N6/N10	N1457/N1458	HE 280 B|I| (HEB)	0.131	1.781	0.088	1.00	1.00	2.000	2.000	
		N10/N1458	N1457/N1458	HE 280 B|I| (HEB)	0.088	0.412	-	4.00	4.00	2.000	2.000	
		N173/N1468	N173/N1468	HE 280 B (HEB)	-	1.000	-	6.00	6.00	3.000	3.000	
		N1492/N171	N1492/N171	HE 280 B (HEB)	-	1.383	0.117	1.33	1.33	2.000	2.000	
		N1468/N174	N1468/N1492	HE 280 B|I| (HEB)	-	1.825	0.175	3.00	3.00	3.000	3.000	
		N174/N155	N1468/N1492	HE 280 B|I| (HEB)	0.175	1.709	0.116	1.00	1.00	2.000	2.000	
		N155/N1492	N1468/N1492	HE 280 B|I| (HEB)	0.116	0.384	-	4.00	4.00	2.000	2.000	
		N277/N1469	N277/N1469	HE 280 B (HEB)	-	1.000	-	6.00	6.00	3.000	3.000	
		N1493/N275	N1493/N275	HE 280 B (HEB)	-	1.383	0.117	1.33	1.33	2.000	2.000	
		N1469/N278	N1469/N1493	HE 280 B|I| (HEB)	-	1.825	0.175	3.00	3.00	3.000	3.000	
		N278/N259	N1469/N1493	HE 280 B|I| (HEB)	0.175	1.709	0.116	1.00	1.00	2.000	2.000	
		N259/N1493	N1469/N1493	HE 280 B|I| (HEB)	0.116	0.384	-	4.00	4.00	2.000	2.000	
		N571/N1470	N571/N1470	HE 280 B (HEB)	-	1.000	-	6.00	6.00	3.000	3.000	
		N1494/N483	N1494/N483	HE 280 B (HEB)	-	1.406	0.094	1.33	1.33	2.000	2.000	
		N1470/N484	N1470/N1494	HE 280 B|I| (HEB)	-	1.869	0.131	3.00	3.00	3.000	3.000	
		N484/N467	N1470/N1494	HE 280 B|I| (HEB)	0.131	1.781	0.088	1.00	1.00	2.000	2.000	
		N467/N1494	N1470/N1494	HE 280 B|I| (HEB)	0.088	0.412	-	4.00	4.00	2.000	2.000	
		N727/N1471	N727/N1471	HE 280 B (HEB)	-	1.000	-	6.00	6.00	3.000	3.000	
		N1495/N639	N1495/N639	HE 280 B (HEB)	-	1.406	0.094	1.33	1.33	2.000	2.000	
		N1471/N640	N1471/N1495	HE 280 B|I| (HEB)	-	1.869	0.131	3.00	3.00	3.000	3.000	
		N640/N623	N1471/N1495	HE 280 B|I| (HEB)	0.131	1.781	0.088	1.00	1.00	2.000	2.000	
		N623/N1495	N1471/N1495	HE 280 B|I| (HEB)	0.088	0.412	-	4.00	4.00	2.000	2.000	
		N883/N1472	N883/N1472	HE 280 B (HEB)	-	1.000	-	6.00	6.00	3.000	3.000	
		N1496/N795	N1496/N795	HE 280 B (HEB)	-	1.406	0.094	1.33	1.33	2.000	2.000	
		N1472/N796	N1472/N1496	HE 280 B|I| (HEB)	-	1.869	0.131	3.00	3.00	3.000	3.000	
		N796/N779	N1472/N1496	HE 280 B|I| (HEB)	0.131	1.781	0.088	1.00	1.00	2.000	2.000	

Documento visado electrónicamente con número: VA07290/22
Código de validación telemática TRLTDCFZ60T66IJ1. Comprobación: https://cogitivalencia.e-gestion.es/Validacion.aspx?CVT=TRLTDCFZ60T66IJ1

VISADO
COGITI
VALENCIA
VA07290/22
TRLTDCFZ60T66IJ1

Descripción											
Material		Barra (Ni/Nf)	Pieza (Ni/Nf)	Perfil(Serie)	Longitud (m)			β_{xy}	β_{xz}	Lbsup (m)	Lbinf (m)
Tipo	Designación				Indeformable origen	Deformable	Indeformable extremo				
		N779/N1496	N1472/N1496	HE 280 B|I| (HEB)	0.088	0.412	-	4.00	4.00	2.000	2.000
		N1039/N1473	N1039/N1473	HE 280 B (HEB)	-	1.000	-	6.00	6.00	3.000	3.000
		N1497/N951	N1497/N951	HE 280 B (HEB)	-	1.406	0.094	1.33	1.33	2.000	2.000
		N1473/N952	N1473/N1497	HE 280 B|I| (HEB)	-	1.869	0.131	3.00	3.00	3.000	3.000
		N952/N935	N1473/N1497	HE 280 B|I| (HEB)	0.131	1.781	0.088	1.00	1.00	2.000	2.000
		N935/N1497	N1473/N1497	HE 280 B|I| (HEB)	0.088	0.412	-	4.00	4.00	2.000	2.000
		N1195/N1474	N1195/N1474	HE 280 B (HEB)	-	1.000	-	6.00	6.00	3.000	3.000
		N1498/N1107	N1498/N1107	HE 280 B (HEB)	-	1.406	0.094	1.33	1.33	2.000	2.000
		N1474/N1108	N1474/N1498	HE 280 B|I| (HEB)	-	1.869	0.131	3.00	3.00	3.000	3.000
		N1108/N1091	N1474/N1498	HE 280 B|I| (HEB)	0.131	1.781	0.088	1.00	1.00	2.000	2.000
		N1091/N1498	N1474/N1498	HE 280 B|I| (HEB)	0.088	0.412	-	4.00	4.00	2.000	2.000
		N1351/N1475	N1351/N1475	HE 280 B (HEB)	-	1.000	-	6.00	6.00	3.000	3.000
		N1499/N1263	N1499/N1263	HE 280 B (HEB)	-	1.422	0.078	1.33	1.33	2.000	2.000
		N1475/N1264	N1475/N1499	HE 280 B|I| (HEB)	-	1.869	0.131	3.00	3.00	3.000	3.000
		N1264/N1247	N1475/N1499	HE 280 B|I| (HEB)	0.131	1.781	0.088	1.00	1.00	2.000	2.000
		N1247/N1499	N1475/N1499	HE 280 B|I| (HEB)	0.088	0.412	-	4.00	4.00	2.000	2.000
		N1/N1459	N1/N1459	HE 280 B (HEB)	-	1.000	-	6.00	10.00	5.000	5.000
		N1460/N13	N1460/N13	HE 280 B (HEB)	-	1.406	0.094	1.33	1.33	2.000	2.000
		N1459/N7	N1459/N1460	HE 280 B|I| (HEB)	-	1.860	0.140	3.00	5.00	5.000	5.000
		N7/N12	N1459/N1460	HE 280 B|I| (HEB)	0.140	1.720	0.140	1.00	5.00	5.000	5.000
		N12/N1460	N1459/N1460	HE 280 B|I| (HEB)	0.140	0.360	-	4.00	4.00	2.000	2.000
		N175/N1476	N175/N1476	HE 320 B (HEB)	-	1.000	-	6.00	10.00	5.000	5.000
		N1484/N178	N1484/N178	HE 320 B (HEB)	-	1.383	0.117	1.33	1.33	2.000	2.000
		N1476/N176	N1476/N1484	HE 320 B|I| (HEB)	-	1.860	0.140	3.00	5.00	5.000	5.000
		N176/N177	N1476/N1484	HE 320 B|I| (HEB)	0.140	1.720	0.140	1.00	5.00	5.000	5.000
		N177/N1484	N1476/N1484	HE 320 B|I| (HEB)	0.140	0.360	-	4.00	4.00	2.000	2.000
		N279/N1477	N279/N1477	HE 320 B (HEB)	-	1.000	-	6.00	10.00	5.000	5.000
		N1485/N282	N1485/N282	HE 320 B (HEB)	-	1.383	0.117	1.33	1.33	2.000	2.000
		N1477/N280	N1477/N1485	HE 320 B|I| (HEB)	-	1.860	0.140	3.00	5.00	5.000	5.000
		N280/N281	N1477/N1485	HE 320 B|I| (HEB)	0.140	1.720	0.140	1.00	5.00	5.000	5.000
		N281/N1485	N1477/N1485	HE 320 B|I| (HEB)	0.140	0.360	-	4.00	4.00	2.000	2.000

Documento visado electrónicamente con número: VA07290/22
Código de validación telemática TRLTDCFZ60T66IJ1. Comprobación: https://cogitivalencia.e-gestion.es/Validacion.aspx?CVT=TRLTDCFZ60T66IJ1

VISADO
COGITI
VALENCIA
VA07290/22
TRLTDCFZ60T66IJ1

Descripción												
Material		Barra (Ni/Nf)	Pieza (Ni/Nf)	Perfil(Serie)	Longitud (m)			β_{xy}	β_{xz}	$Lb_{sup.}$ (m)	$Lb_{inf.}$ (m)	
Tipo	Designación				Indeformable origen	Deformable	Indeformable extremo					
		N572/N1478	N572/N1478	HE 280 B (HEB)	-	1.000	-	6.00	10.00	5.000	5.000	
		N1486/N516	N1486/N516	HE 280 B (HEB)	-	1.406	0.094	1.33	1.33	2.000	2.000	
		N1478/N533	N1478/N1486	HE 280 B|I| (HEB)	-	1.860	0.140	3.00	5.00	5.000	5.000	
		N533/N500	N1478/N1486	HE 280 B|I| (HEB)	0.140	1.720	0.140	1.00	5.00	5.000	5.000	
		N500/N1486	N1478/N1486	HE 280 B|I| (HEB)	0.140	0.360	-	4.00	4.00	2.000	2.000	
		N728/N1479	N728/N1479	HE 280 B (HEB)	-	1.000	-	6.00	10.00	5.000	5.000	
		N1487/N672	N1487/N672	HE 280 B (HEB)	-	1.406	0.094	1.33	1.33	2.000	2.000	
		N1479/N689	N1479/N1487	HE 280 B|I| (HEB)	-	1.860	0.140	3.00	5.00	5.000	5.000	
		N689/N656	N1479/N1487	HE 280 B|I| (HEB)	0.140	1.720	0.140	1.00	5.00	5.000	5.000	
		N656/N1487	N1479/N1487	HE 280 B|I| (HEB)	0.140	0.360	-	4.00	4.00	2.000	2.000	
		N884/N1480	N884/N1480	HE 280 B (HEB)	-	1.000	-	6.00	10.00	5.000	5.000	
		N1488/N828	N1488/N828	HE 280 B (HEB)	-	1.406	0.094	1.33	1.33	2.000	2.000	
		N1480/N845	N1480/N1488	HE 280 B|I| (HEB)	-	1.860	0.140	3.00	5.00	5.000	5.000	
		N845/N812	N1480/N1488	HE 280 B|I| (HEB)	0.140	1.720	0.140	1.00	5.00	5.000	5.000	
		N812/N1488	N1480/N1488	HE 280 B|I| (HEB)	0.140	0.360	-	4.00	4.00	2.000	2.000	
		N1040/N1481	N1040/N1481	HE 280 B (HEB)	-	1.000	-	6.00	10.00	5.000	5.000	
		N1489/N984	N1489/N984	HE 280 B (HEB)	-	1.406	0.094	1.33	1.33	2.000	2.000	
		N1481/N1001	N1481/N1489	HE 280 B|I| (HEB)	-	1.860	0.140	3.00	5.00	5.000	5.000	
		N1001/N968	N1481/N1489	HE 280 B|I| (HEB)	0.140	1.720	0.140	1.00	5.00	5.000	5.000	
		N968/N1489	N1481/N1489	HE 280 B|I| (HEB)	0.140	0.360	-	4.00	4.00	2.000	2.000	
		N1196/N1482	N1196/N1482	HE 280 B (HEB)	-	1.000	-	6.00	10.00	5.000	5.000	
		N1490/N1140	N1490/N1140	HE 280 B (HEB)	-	1.406	0.094	1.33	1.33	2.000	2.000	
		N1482/N1157	N1482/N1490	HE 280 B|I| (HEB)	-	1.860	0.140	3.00	5.00	5.000	5.000	
		N1157/N1124	N1482/N1490	HE 280 B|I| (HEB)	0.140	1.720	0.140	1.00	5.00	5.000	5.000	
		N1124/N1490	N1482/N1490	HE 280 B|I| (HEB)	0.140	0.360	-	4.00	4.00	2.000	2.000	
		N1352/N1483	N1352/N1483	HE 280 B (HEB)	-	1.000	-	6.00	10.00	5.000	5.000	
		N1491/N1296	N1491/N1296	HE 280 B (HEB)	-	1.406	0.094	1.33	1.33	2.000	2.000	
		N1483/N1313	N1483/N1491	HE 280 B|I| (HEB)	-	1.860	0.140	3.00	5.00	5.000	5.000	
		N1313/N1280	N1483/N1491	HE 280 B|I| (HEB)	0.140	1.720	0.140	1.00	5.00	5.000	5.000	
		N1280/N1491	N1483/N1491	HE 280 B|I| (HEB)	0.140	0.360	-	4.00	4.00	2.000	2.000	
		N882/N1508	N882/N1508	HE 280 B (HEB)	-	1.000	-	6.00	6.00	3.000	3.000	

Documento visado electrónicamente con número: VA07290/22
Código de validación telemática TRLTDCFZ60T66IJ1. Comprobación: https://cogitivalencia.e-gestion.es/Validacion.aspx?CVT=TRLTDCFZ60T66IJ1

VISADO
COGITI
VALENCIA
VA07290/22
TRLTDCFZ60T66IJ1

Listados

Descripción											
Material		Barra (Ni/Nf)	Pieza (Ni/Nf)	Perfil(Serie)	Longitud (m)			β_{xy}	β_{xz}	Lbsup (m)	Lbinf (m)
Tipo	Designación				Indeformable origen	Deformable	Indeformable extremo				
		N1504/N762	N1504/N762	HE 280 B (HEB)	-	1.406	0.094	1.33	1.33	2.000	2.000
		N1508/N763	N1508/N1504	HE 280 B|I| (HEB)	-	1.869	0.131	3.00	3.00	3.000	3.000
		N763/N745	N1508/N1504	HE 280 B|I| (HEB)	0.131	1.781	0.088	1.00	1.00	2.000	2.000
		N745/N1504	N1508/N1504	HE 280 B|I| (HEB)	0.088	0.412	-	4.00	4.00	2.000	2.000
		N6/N74	N6/N74	HE 180 B (HEB)	0.204	2.267	0.111	1.00	1.00	-	-
		N174/N154	N174/N154	HE 240 B|I| (HEB)	0.204	2.229	0.149	1.00	1.00	-	-
		N278/N258	N278/N258	HE 240 B|I| (HEB)	0.204	2.229	0.149	1.00	1.00	-	-
		N484/N466	N484/N466	HE 180 B (HEB)	0.204	2.267	0.111	1.00	1.00	-	-
		N640/N622	N640/N622	HE 180 B (HEB)	0.204	2.267	0.111	1.00	1.00	-	-
		N796/N778	N796/N778	HE 180 B (HEB)	0.204	2.267	0.111	1.00	1.00	-	-
		N952/N934	N952/N934	HE 180 B (HEB)	0.204	2.267	0.111	1.00	1.00	-	-
		N1108/N1090	N1108/N1090	HE 180 B (HEB)	0.204	2.267	0.111	1.00	1.00	-	-
		N1264/N1246	N1264/N1246	HE 180 B (HEB)	0.204	2.267	0.111	1.00	1.00	-	-
		N5/N44	N5/N44	HE 180 B (HEB)	0.204	2.267	0.111	1.00	1.00	-	-
		N139/N120	N139/N120	HE 240 B|I| (HEB)	0.204	2.229	0.149	1.00	1.00	-	-
		N243/N224	N243/N224	HE 240 B|I| (HEB)	0.204	2.229	0.149	1.00	1.00	-	-
		N451/N432	N451/N432	HE 180 B (HEB)	0.204	2.267	0.111	1.00	1.00	-	-
		N607/N588	N607/N588	HE 180 B (HEB)	0.204	2.267	0.111	1.00	1.00	-	-
		N763/N744	N763/N744	HE 180 B (HEB)	0.204	2.267	0.111	1.00	1.00	-	-
		N919/N900	N919/N900	HE 180 B (HEB)	0.204	2.267	0.111	1.00	1.00	-	-
		N1075/N1056	N1075/N1056	HE 180 B (HEB)	0.204	2.267	0.111	1.00	1.00	-	-
		N1231/N1212	N1231/N1212	HE 180 B (HEB)	0.204	2.267	0.111	1.00	1.00	-	-
		N4/N30	N4/N31	HE 180 A (HEA)	0.061	1.640	0.078	1.83	1.00	-	-
		N30/N31	N4/N31	HE 180 A (HEA)	0.078	1.623	0.078	1.83	1.00	-	-
		N105/N106	N105/N107	HE 240 A|I| (HEA)	0.076	1.605	0.098	1.83	1.00	-	-
		N106/N107	N105/N107	HE 240 A|I| (HEA)	0.098	1.583	0.098	1.83	1.00	-	-
		N209/N210	N209/N211	HE 240 A|I| (HEA)	0.076	1.605	0.098	1.83	1.00	-	-
		N210/N211	N209/N211	HE 240 A|I| (HEA)	0.098	1.583	0.098	1.83	1.00	-	-
		N417/N418	N417/N419	HE 180 A (HEA)	0.061	1.640	0.078	1.83	1.00	-	-
		N418/N419	N417/N419	HE 180 A (HEA)	0.078	1.623	0.078	1.83	1.00	-	-
		N573/N574	N573/N575	HE 180 A (HEA)	0.061	1.640	0.078	1.83	1.00	-	-

Documento visado electrónicamente con número: VA07290/22
Código de validación telemática TRLTDCFZ60T66IJ1. Comprobación: https://cogitivalencia.e-gestion.es/Validacion.aspx?CVT=TRLTDCFZ60T66IJ1

VISADO
COGITI
VALENCIA
VA07290/22
TRLTDCFZ60T66IJ1

Descripción												
Material		Barra (Ni/Nf)	Pieza (Ni/Nf)	Perfil(Serie)	Longitud (m)			β_{xy}	β_{xz}	$Lb_{sup.}$ (m)	$Lb_{inf.}$ (m)
Tipo	Designación				Indeformable origen	Deformable	Indeformable extremo				
		N574/N575	N573/N575	HE 180 A (HEA)	0.078	1.623	0.078	1.83	1.00	-	-
		N729/N730	N729/N731	HE 180 A (HEA)	0.061	1.640	0.078	1.83	1.00	-	-
		N730/N731	N729/N731	HE 180 A (HEA)	0.078	1.623	0.078	1.83	1.00	-	-
		N885/N886	N885/N887	HE 180 A (HEA)	0.061	1.640	0.078	1.83	1.00	-	-
		N886/N887	N885/N887	HE 180 A (HEA)	0.078	1.623	0.078	1.83	1.00	-	-
		N1041/N1042	N1041/N1043	HE 180 A (HEA)	0.061	1.640	0.078	1.83	1.00	-	-
		N1042/N1043	N1041/N1043	HE 180 A (HEA)	0.078	1.623	0.078	1.83	1.00	-	-
		N1197/N1198	N1197/N1199	HE 180 A (HEA)	0.061	1.640	0.078	1.83	1.00	-	-
		N1198/N1199	N1197/N1199	HE 180 A (HEA)	0.078	1.623	0.078	1.83	1.00	-	-
		N1211/N1212	N1211/N1213	HE 180 A (HEA)	0.084	1.578	0.117	1.83	1.00	-	-
		N1212/N1213	N1211/N1213	HE 180 A (HEA)	0.117	1.521	0.141	1.83	1.00	-	-
		N1055/N1056	N1055/N1057	HE 180 A (HEA)	0.084	1.578	0.117	1.83	1.00	-	-
		N1056/N1057	N1055/N1057	HE 180 A (HEA)	0.117	1.521	0.141	1.83	1.00	-	-
		N899/N900	N899/N901	HE 180 A (HEA)	0.084	1.578	0.117	1.83	1.00	-	-
		N900/N901	N899/N901	HE 180 A (HEA)	0.117	1.521	0.141	1.83	1.00	-	-
		N743/N744	N743/N745	HE 180 A (HEA)	0.084	1.578	0.117	1.83	1.00	-	-
		N744/N745	N743/N745	HE 180 A (HEA)	0.117	1.521	0.141	1.83	1.00	-	-
		N587/N588	N587/N589	HE 180 A (HEA)	0.084	1.578	0.117	1.83	1.00	-	-
		N588/N589	N587/N589	HE 180 A (HEA)	0.117	1.521	0.141	1.83	1.00	-	-
		N431/N432	N431/N433	HE 180 A (HEA)	0.084	1.578	0.117	1.83	1.00	-	-
		N432/N433	N431/N433	HE 180 A (HEA)	0.117	1.521	0.141	1.83	1.00	-	-
		N223/N224	N223/N225	HE 240 A|I| (HEA)	0.105	1.518	0.156	1.83	1.00	-	-
		N224/N225	N223/N225	HE 240 A|I| (HEA)	0.156	1.482	0.141	1.83	1.00	-	-
		N119/N120	N119/N121	HE 240 A|I| (HEA)	0.105	1.518	0.156	1.83	1.00	-	-
		N120/N121	N119/N121	HE 240 A|I| (HEA)	0.156	1.482	0.141	1.83	1.00	-	-
		N43/N44	N43/N8	HE 180 A (HEA)	0.084	1.578	0.117	1.83	1.00	-	-
		N44/N8	N43/N8	HE 180 A (HEA)	0.117	1.521	0.141	1.83	1.00	-	-
		N5/N60	N5/N61	HE 180 A (HEA)	0.141	1.560	0.078	1.83	1.00	-	-
		N60/N61	N5/N61	HE 180 A (HEA)	0.078	1.623	0.078	1.83	1.00	-	-
		N139/N140	N139/N141	HE 240 A|I| (HEA)	0.141	1.540	0.098	1.83	1.00	-	-
		N140/N141	N139/N141	HE 240 A|I| (HEA)	0.098	1.583	0.098	1.83	1.00	-	-

Documento visado electrónicamente con número: VA07290/22
Código de validación telemática TRLTDCFZ60T66IJ1. Comprobación: https://cogitivalencia.e-gestion.es/Validacion.aspx?CVT=TRLTDCFZ60T66IJ1

VISADO
COGITI
VALENCIA
VA07290/22
TRLTDCFZ60T66IJ1

Listados

Descripción											
Material		Barra (Ni/Nf)	Pieza (Ni/Nf)	Perfil(Serie)	Longitud (m)			β_{xy}	β_{xz}	Lbsup (m)	Lbinf (m)
Tipo	Designación				Indeformable origen	Deformable	Indeformable extremo				
		N243/N244	N243/N245	HE 240 A|I| (HEA)	0.141	1.540	0.098	1.83	1.00	-	-
		N244/N245	N243/N245	HE 240 A|I| (HEA)	0.098	1.583	0.098	1.83	1.00	-	-
		N257/N258	N257/N259	HE 240 A|I| (HEA)	0.105	1.518	0.156	1.83	1.00	-	-
		N258/N259	N257/N259	HE 240 A|I| (HEA)	0.156	1.482	0.141	1.83	1.00	-	-
		N153/N154	N153/N155	HE 240 A|I| (HEA)	0.105	1.518	0.156	1.83	1.00	-	-
		N154/N155	N153/N155	HE 240 A|I| (HEA)	0.156	1.482	0.141	1.83	1.00	-	-
		N73/N74	N73/N10	HE 180 A (HEA)	0.084	1.578	0.117	1.83	1.00	-	-
		N74/N10	N73/N10	HE 180 A (HEA)	0.117	1.521	0.141	1.83	1.00	-	-
		N6/N90	N6/N91	HE 180 A (HEA)	0.141	1.560	0.078	1.83	1.00	-	-
		N90/N91	N6/N91	HE 180 A (HEA)	0.078	1.623	0.078	1.83	1.00	-	-
		N174/N179	N174/N180	HE 240 A|I| (HEA)	0.141	1.540	0.098	1.83	1.00	-	-
		N179/N180	N174/N180	HE 240 A|I| (HEA)	0.098	1.583	0.098	1.83	1.00	-	-
		N278/N283	N278/N284	HE 240 A|I| (HEA)	0.141	1.540	0.098	1.83	1.00	-	-
		N283/N284	N278/N284	HE 240 A|I| (HEA)	0.098	1.583	0.098	1.83	1.00	-	-
		N484/N485	N484/N486	HE 180 A (HEA)	0.141	1.560	0.078	1.83	1.00	-	-
		N485/N486	N484/N486	HE 180 A (HEA)	0.078	1.623	0.078	1.83	1.00	-	-
		N640/N641	N640/N642	HE 180 A (HEA)	0.141	1.560	0.078	1.83	1.00	-	-
		N641/N642	N640/N642	HE 180 A (HEA)	0.078	1.623	0.078	1.83	1.00	-	-
		N796/N797	N796/N798	HE 180 A (HEA)	0.141	1.560	0.078	1.83	1.00	-	-
		N797/N798	N796/N798	HE 180 A (HEA)	0.078	1.623	0.078	1.83	1.00	-	-
		N952/N953	N952/N954	HE 180 A (HEA)	0.141	1.560	0.078	1.83	1.00	-	-
		N953/N954	N952/N954	HE 180 A (HEA)	0.078	1.623	0.078	1.83	1.00	-	-
		N1108/N1109	N1108/N1110	HE 180 A (HEA)	0.141	1.560	0.078	1.83	1.00	-	-
		N1109/N1110	N1108/N1110	HE 180 A (HEA)	0.078	1.623	0.078	1.83	1.00	-	-
		N1264/N1265	N1264/N1266	HE 180 A (HEA)	0.141	1.560	0.078	1.74	1.00	-	-
		N1265/N1266	N1264/N1266	HE 180 A (HEA)	0.078	1.623	0.078	1.83	1.00	-	-
		N103/N104	N103/N12	HE 180 A (HEA)	0.084	1.611	0.084	1.83	1.00	-	-
		N104/N12	N103/N12	HE 180 A (HEA)	0.084	1.554	0.141	1.83	1.00	-	-
		N192/N193	N192/N177	HE 240 A|I| (HEA)	0.105	1.569	0.105	1.83	1.00	-	-
		N193/N177	N192/N177	HE 240 A|I| (HEA)	0.105	1.513	0.161	1.83	1.00	-	-
		N296/N297	N296/N281	HE 240 A|I| (HEA)	0.105	1.569	0.105	1.83	1.00	-	-

Documento visado electrónicamente con número: VA07290/22
Código de validación telemática TRLTDCFZ60T66IJ1. Comprobación: https://cogitivalencia.e-gestion.es/Validacion.aspx?CVT=TRLTDCFZ60T66IJ1

VISADO
COGITI
VALENCIA
VA07290/22
TRLTDCFZ60T66IJ1

Descripción												
Material		Barra (Ni/Nf)	Pieza (Ni/Nf)	Perfil(Serie)	Longitud (m)			β_{xy}	β_{xz}	$Lb_{sup.}$ (m)	$Lb_{inf.}$ (m)
Tipo	Designación				Indeformable origen	Deformable	Indeformable extremo				
		N297/N281	N296/N281	HE 240 A|I| (HEA)	0.105	1.513	0.161	1.83	1.00	-	-
		N498/N499	N498/N500	HE 180 A (HEA)	0.084	1.611	0.084	1.83	1.00	-	-
		N499/N500	N498/N500	HE 180 A (HEA)	0.084	1.554	0.141	1.83	1.00	-	-
		N654/N655	N654/N656	HE 180 A (HEA)	0.084	1.611	0.084	1.83	1.00	-	-
		N655/N656	N654/N656	HE 180 A (HEA)	0.084	1.554	0.141	1.83	1.00	-	-
		N810/N811	N810/N812	HE 180 A (HEA)	0.084	1.611	0.084	1.83	1.00	-	-
		N811/N812	N810/N812	HE 180 A (HEA)	0.084	1.554	0.141	1.83	1.00	-	-
		N966/N967	N966/N968	HE 180 A (HEA)	0.084	1.611	0.084	1.83	1.00	-	-
		N967/N968	N966/N968	HE 180 A (HEA)	0.084	1.554	0.141	1.83	1.00	-	-
		N1122/N1123	N1122/N1124	HE 180 A (HEA)	0.084	1.611	0.084	1.83	1.00	-	-
		N1123/N1124	N1122/N1124	HE 180 A (HEA)	0.084	1.554	0.141	1.83	1.00	-	-
		N1278/N1279	N1278/N1280	HE 180 A (HEA)	0.084	1.611	0.084	1.83	1.00	-	-
		N1279/N1280	N1278/N1280	HE 180 A (HEA)	0.084	1.554	0.141	1.83	1.00	-	-
		N107/N211	N107/N211	SHS 120x5.0 (SHS)	0.132	7.036	0.132	1.00	1.00	-	-
		N211/N419	N211/N419	SHS 120x5.0 (SHS)	0.132	7.108	0.060	1.00	1.00	-	-
		N419/N575	N419/N575	SHS 120x5.0 (SHS)	0.060	7.180	0.060	1.00	1.00	-	-
		N575/N731	N575/N731	SHS 120x5.0 (SHS)	0.060	7.180	0.060	1.00	1.00	-	-
		N731/N887	N731/N887	SHS 120x5.0 (SHS)	0.060	7.180	0.060	1.00	1.00	-	-
		N887/N1043	N887/N1043	SHS 120x5.0 (SHS)	0.060	7.180	0.060	1.00	1.00	-	-
		N1043/N1199	N1043/N1199	SHS 120x5.0 (SHS)	0.060	7.180	0.060	1.00	1.00	-	-
		N115/N219	N115/N219	SHS 120x5.0 (SHS)	0.060	7.180	0.060	1.00	1.00	-	-
		N219/N427	N219/N427	SHS 120x5.0 (SHS)	0.060	7.190	0.050	1.00	1.00	-	-
		N427/N583	N427/N583	SHS 120x5.0 (SHS)	0.050	7.200	0.050	1.00	1.00	-	-
		N583/N739	N583/N739	SHS 120x5.0 (SHS)	0.050	7.200	0.050	1.00	1.00	-	-
		N739/N895	N739/N895	SHS 120x5.0 (SHS)	0.050	7.200	0.050	1.00	1.00	-	-
		N895/N1051	N895/N1051	SHS 120x5.0 (SHS)	0.050	7.200	0.050	1.00	1.00	-	-
		N1051/N1207	N1051/N1207	SHS 120x5.0 (SHS)	0.050	7.200	0.050	1.00	1.00	-	-
		N119/N223	N119/N223	SHS 120x5.0 (SHS)	0.132	7.036	0.132	1.00	1.00	-	-
		N223/N431	N223/N431	SHS 120x5.0 (SHS)	0.132	7.108	0.060	1.00	1.00	-	-
		N431/N587	N431/N587	SHS 120x5.0 (SHS)	0.060	7.180	0.060	1.00	1.00	-	-
		N587/N743	N587/N743	SHS 120x5.0 (SHS)	0.060	7.180	0.060	1.00	1.00	-	-

Documento visado electrónicamente con número: VA07290/22
Código de validación telemática TRLTDCFZ60T66IJ1. Comprobación: https://cogitivalencia.e-gestion.es/Validacion.aspx?CVT=TRLTDCFZ60T66IJ1

VISADO
COGITI
VALENCIA
VA07290/22
TRLTDCFZ60T66IJ1

Descripción											
Material		Barra (Ni/Nf)	Pieza (Ni/Nf)	Perfil(Serie)	Longitud (m)			β_{xy}	β_{xz}	Lbsup (m)	Lbinf (m)
Tipo	Designación				Indeformable origen	Deformable	Indeformable extremo				
		N743/N899	N743/N899	SHS 120x5.0 (SHS)	0.060	7.180	0.060	1.00	1.00	-	-
		N899/N1055	N899/N1055	SHS 120x5.0 (SHS)	0.060	7.180	0.060	1.00	1.00	-	-
		N1055/N1211	N1055/N1211	SHS 120x5.0 (SHS)	0.060	7.180	0.060	1.00	1.00	-	-
		N31/N1509	N31/N107	SHS 120x5.0 (SHS)	0.060	2.313	0.060	1.00	3.00	-	-
		N1509/N1510	N31/N107	SHS 120x5.0 (SHS)	0.060	2.313	0.060	1.00	3.00	-	-
		N1510/N107	N31/N107	SHS 120x5.0 (SHS)	0.060	2.241	0.132	1.00	3.00	-	-
		N1509/N1511	N1509/N1511	L 40 x 40 x 4 (L)	0.095	2.960	0.095	0.00	0.00	-	-
		N1510/N1512	N1510/N1512	L 40 x 40 x 4 (L)	0.095	2.960	0.095	0.00	0.00	-	-
		N1510/N1511	N1510/N1511	SHS 120x5.0 (SHS)	0.060	1.880	0.060	1.00	1.00	-	-
		N1509/N1512	N1509/N1512	SHS 120x5.0 (SHS)	0.060	1.880	0.060	1.00	1.00	-	-
		N16/N1512	N16/N124	SHS 120x5.0 (SHS)	0.060	2.313	0.060	1.00	3.00	-	-
		N1512/N1511	N16/N124	SHS 120x5.0 (SHS)	0.060	2.313	0.060	1.00	3.00	-	-
		N1511/N124	N16/N124	SHS 120x5.0 (SHS)	0.060	2.298	0.075	1.00	3.00	-	-
		N35/N1513	N35/N111	SHS 120x5.0 (SHS)	0.050	2.323	0.060	1.00	3.00	-	-
		N1513/N1514	N35/N111	SHS 120x5.0 (SHS)	0.060	2.313	0.060	1.00	3.00	-	-
		N1514/N111	N35/N111	SHS 120x5.0 (SHS)	0.060	2.313	0.060	1.00	3.00	-	-
		N1513/N1515	N1513/N1515	L 40 x 40 x 4 (L)	0.095	2.960	0.095	0.00	0.00	-	-
		N1514/N1516	N1514/N1516	L 40 x 40 x 4 (L)	0.095	2.960	0.095	0.00	0.00	-	-
		N1514/N1515	N1514/N1515	SHS 120x5.0 (SHS)	0.060	1.880	0.060	1.00	1.00	-	-
		N1513/N1516	N1513/N1516	SHS 120x5.0 (SHS)	0.060	1.880	0.060	1.00	1.00	-	-
		N20/N1516	N20/N128	SHS 120x5.0 (SHS)	0.050	2.323	0.060	1.00	3.00	-	-
		N1516/N1515	N20/N128	SHS 120x5.0 (SHS)	0.060	2.313	0.060	1.00	3.00	-	-
		N1515/N128	N20/N128	SHS 120x5.0 (SHS)	0.060	2.313	0.060	1.00	3.00	-	-
		N39/N1517	N39/N115	SHS 120x5.0 (SHS)	0.050	2.323	0.060	1.00	3.00	-	-
		N1517/N1518	N39/N115	SHS 120x5.0 (SHS)	0.060	2.313	0.060	1.00	3.00	-	-
		N1518/N115	N39/N115	SHS 120x5.0 (SHS)	0.060	2.313	0.060	1.00	3.00	-	-
		N1517/N1519	N1517/N1519	L 40 x 40 x 4 (L)	0.095	2.960	0.095	0.00	0.00	-	-
		N1518/N1520	N1518/N1520	L 40 x 40 x 4 (L)	0.095	2.960	0.095	0.00	0.00	-	-
		N1518/N1519	N1518/N1519	SHS 120x5.0 (SHS)	0.060	1.880	0.060	1.00	1.00	-	-
		N1517/N1520	N1517/N1520	SHS 120x5.0 (SHS)	0.060	1.880	0.060	1.00	1.00	-	-
		N24/N1520	N24/N132	SHS 120x5.0 (SHS)	0.050	2.323	0.060	1.00	3.00	-	-

Documento visado electrónicamente con número: VA07290/22
Código de validación telemática TRLTDCFZ60T66IJ1. Comprobación: https://cogitivalencia.e-gestion.es/Validacion.aspx?CVT=TRLTDCFZ60T66IJ1

Listados

VISADO
COGITI
VALENCIA
VA07290/22
TRLTDCFZ60T66IJ1

Descripción												
Material		Barra (Ni/Nf)	Pieza (Ni/Nf)	Perfil(Serie)	Longitud (m)			β_{xy}	β_{xz}	$Lb_{sup.}$ (m)	$Lb_{inf.}$ (m)
Tipo	Designación				Indeformable origen	Deformable	Indeformable extremo				
		N1520/N1519	N24/N132	SHS 120x5.0 (SHS)	0.060	2.313	0.060	1.00	3.00	-	-
		N1519/N132	N24/N132	SHS 120x5.0 (SHS)	0.060	2.313	0.060	1.00	3.00	-	-
		N1521/N1522	N1521/N1522	SHS 120x5.0 (SHS)	0.060	1.880	0.060	1.00	1.00	-	-
		N1523/N1524	N1523/N1524	SHS 120x5.0 (SHS)	0.060	1.880	0.060	1.00	1.00	-	-
		N1523/N1522	N1523/N1522	L 40 x 40 x 4 (L)	0.095	2.960	0.095	0.00	0.00	-	-
		N1521/N1524	N1521/N1524	L 40 x 40 x 4 (L)	0.095	2.960	0.095	0.00	0.00	-	-
		N28/N1522	N28/N136	SHS 120x5.0 (SHS)	0.060	2.313	0.060	1.00	3.00	-	-
		N1522/N1524	N28/N136	SHS 120x5.0 (SHS)	0.060	2.313	0.060	1.00	3.00	-	-
		N1524/N136	N28/N136	SHS 120x5.0 (SHS)	0.060	2.298	0.075	1.00	3.00	-	-
		N43/N1521	N43/N119	SHS 120x5.0 (SHS)	0.060	2.313	0.060	1.00	3.00	-	-
		N1521/N1523	N43/N119	SHS 120x5.0 (SHS)	0.060	2.313	0.060	1.00	3.00	-	-
		N1523/N119	N43/N119	SHS 120x5.0 (SHS)	0.060	2.241	0.132	1.00	3.00	-	-
		N1525/N1526	N1525/N1526	SHS 120x5.0 (SHS)	0.060	1.880	0.060	1.00	1.00	-	-
		N1527/N1526	N1527/N1526	L 40 x 40 x 4 (L)	0.095	2.960	0.095	0.00	0.00	-	-
		N1199/N1525	N1199/N1354	SHS 120x5.0 (SHS)	0.060	2.313	0.060	1.00	3.00	-	-
		N1525/N1527	N1199/N1354	SHS 120x5.0 (SHS)	0.060	2.313	0.060	1.00	3.00	-	-
		N1527/N1354	N1199/N1354	SHS 120x5.0 (SHS)	0.060	2.313	0.060	1.00	3.00	-	-
		N1216/N1526	N1216/N1363	SHS 120x5.0 (SHS)	0.060	2.313	0.060	1.00	3.00	-	-
		N1526/N1528	N1216/N1363	SHS 120x5.0 (SHS)	0.060	2.313	0.060	1.00	3.00	-	-
		N1528/N1363	N1216/N1363	SHS 120x5.0 (SHS)	0.060	2.313	0.060	1.00	3.00	-	-
		N1527/N1528	N1527/N1528	SHS 120x5.0 (SHS)	0.060	1.880	0.060	1.00	1.00	-	-
		N1525/N1528	N1525/N1528	L 40 x 40 x 4 (L)	0.095	2.960	0.095	0.00	0.00	-	-
		N1529/N1530	N1529/N1530	SHS 120x5.0 (SHS)	0.060	1.880	0.060	1.00	1.00	-	-
		N1531/N1530	N1531/N1530	L 40 x 40 x 4 (L)	0.095	2.960	0.095	0.00	0.00	-	-
		N1203/N1529	N1203/N1356	SHS 120x5.0 (SHS)	0.050	2.323	0.060	1.00	3.00	-	-
		N1529/N1531	N1203/N1356	SHS 120x5.0 (SHS)	0.060	2.313	0.060	1.00	3.00	-	-
		N1531/N1356	N1203/N1356	SHS 120x5.0 (SHS)	0.060	2.313	0.060	1.00	3.00	-	-
		N1220/N1530	N1220/N1365	SHS 120x5.0 (SHS)	0.050	2.323	0.060	1.00	3.00	-	-
		N1530/N1532	N1220/N1365	SHS 120x5.0 (SHS)	0.060	2.313	0.060	1.00	3.00	-	-
		N1532/N1365	N1220/N1365	SHS 120x5.0 (SHS)	0.060	2.313	0.060	1.00	3.00	-	-
		N1531/N1532	N1531/N1532	SHS 120x5.0 (SHS)	0.060	1.880	0.060	1.00	1.00	-	-

Documento visado electrónicamente con número: VA07290/22
Código de validación telemática TRLTDCFZ60T66IJ1. Comprobación: https://cogitivalencia.e-gestion.es/Validacion.aspx?CVT=TRLTDCFZ60T66IJ1

VISADO
COGITI
VALENCIA
VA07290/22
TRLTDCFZ60T66IJ1

Listados

Descripción											
Material		Barra (Ni/Nf)	Pieza (Ni/Nf)	Perfil(Serie)	Longitud (m)			β_{xy}	β_{xz}	Lbsup (m)	Lbinf (m)
Tipo	Designación				Indeformable origen	Deformable	Indeformable extremo				
		N1529/N1532	N1529/N1532	L 40 x 40 x 4 (L)	0.095	2.960	0.095	0.00	0.00	-	-
		N1533/N1534	N1533/N1534	SHS 120x5.0 (SHS)	0.060	1.880	0.060	1.00	1.00	-	-
		N1535/N1534	N1535/N1534	L 40 x 40 x 4 (L)	0.095	2.960	0.095	0.00	0.00	-	-
		N1207/N1533	N1207/N1358	SHS 120x5.0 (SHS)	0.050	2.323	0.060	1.00	3.00	-	-
		N1533/N1535	N1207/N1358	SHS 120x5.0 (SHS)	0.060	2.313	0.060	1.00	3.00	-	-
		N1535/N1358	N1207/N1358	SHS 120x5.0 (SHS)	0.060	2.313	0.060	1.00	3.00	-	-
		N1224/N1534	N1224/N1367	SHS 120x5.0 (SHS)	0.050	2.323	0.060	1.00	3.00	-	-
		N1534/N1536	N1224/N1367	SHS 120x5.0 (SHS)	0.060	2.313	0.060	1.00	3.00	-	-
		N1536/N1367	N1224/N1367	SHS 120x5.0 (SHS)	0.060	2.313	0.060	1.00	3.00	-	-
		N1535/N1536	N1535/N1536	SHS 120x5.0 (SHS)	0.060	1.880	0.060	1.00	1.00	-	-
		N1533/N1536	N1533/N1536	L 40 x 40 x 4 (L)	0.095	2.960	0.095	0.00	0.00	-	-
		N1537/N1538	N1537/N1538	SHS 120x5.0 (SHS)	0.060	1.880	0.060	1.00	1.00	-	-
		N1539/N1538	N1539/N1538	L 40 x 40 x 4 (L)	0.095	2.960	0.095	0.00	0.00	-	-
		N1211/N1537	N1211/N1360	SHS 120x5.0 (SHS)	0.060	2.313	0.060	1.00	3.00	-	-
		N1537/N1539	N1211/N1360	SHS 120x5.0 (SHS)	0.060	2.313	0.060	1.00	3.00	-	-
		N1539/N1360	N1211/N1360	SHS 120x5.0 (SHS)	0.060	2.313	0.060	1.00	3.00	-	-
		N1228/N1538	N1228/N1369	SHS 120x5.0 (SHS)	0.060	2.313	0.060	1.00	3.00	-	-
		N1538/N1540	N1228/N1369	SHS 120x5.0 (SHS)	0.060	2.313	0.060	1.00	3.00	-	-
		N1540/N1369	N1228/N1369	SHS 120x5.0 (SHS)	0.060	2.313	0.060	1.00	3.00	-	-
		N1539/N1540	N1539/N1540	SHS 120x5.0 (SHS)	0.060	1.880	0.060	1.00	1.00	-	-
		N1537/N1540	N1537/N1540	L 40 x 40 x 4 (L)	0.095	2.960	0.095	0.00	0.00	-	-
		N1047/N1203	N1047/N1203	SHS 120x5.0 (SHS)	0.050	7.200	0.050	1.00	1.00	-	-
		N891/N1047	N891/N1047	SHS 120x5.0 (SHS)	0.050	7.200	0.050	1.00	1.00	-	-
		N735/N891	N735/N891	SHS 120x5.0 (SHS)	0.050	7.200	0.050	1.00	1.00	-	-
		N579/N735	N579/N735	SHS 120x5.0 (SHS)	0.050	7.200	0.050	1.00	1.00	-	-
		N423/N579	N423/N579	SHS 120x5.0 (SHS)	0.050	7.200	0.050	1.00	1.00	-	-
		N215/N423	N215/N423	SHS 120x5.0 (SHS)	0.060	7.190	0.050	1.00	1.00	-	-
		N111/N215	N111/N215	SHS 120x5.0 (SHS)	0.060	7.180	0.060	1.00	1.00	-	-
		N1541/N1542	N1541/N1542	SHS 120x5.0 (SHS)	0.060	1.880	0.060	1.00	1.00	-	-
		N1543/N1544	N1543/N1544	SHS 120x5.0 (SHS)	0.060	1.880	0.060	1.00	1.00	-	-
		N1233/N1541	N1233/N1371	SHS 120x5.0 (SHS)	0.060	2.313	0.060	1.00	3.00	-	-

Documento visado electrónicamente con número: VA07290/22
Código de validación telemática TRLTDCFZ60T66IJ1. Comprobación: https://cogitivalencia.e-gestion.es/Validacion.aspx?CVT=TRLTDCFZ60T66IJ1

VISADO
COGITI
VALENCIA
VA07290/22
TRLTDCFZ60T66IJ1

Listados

Descripción												
Material		Barra (Ni/Nf)	Pieza (Ni/Nf)	Perfil(Serie)	Longitud (m)			β_{xy}	β_{xz}	$Lb_{sup.}$ (m)	$Lb_{inf.}$ (m)
Tipo	Designación				Indeformable origen	Deformable	Indeformable extremo				
		N1541/N1543	N1233/N1371	SHS 120x5.0 (SHS)	0.060	2.313	0.060	1.00	3.00	-	-
		N1543/N1371	N1233/N1371	SHS 120x5.0 (SHS)	0.060	2.313	0.060	1.00	3.00	-	-
		N1249/N1542	N1249/N1379	SHS 120x5.0 (SHS)	0.060	2.313	0.060	1.00	3.00	-	-
		N1542/N1544	N1249/N1379	SHS 120x5.0 (SHS)	0.060	2.313	0.060	1.00	3.00	-	-
		N1544/N1379	N1249/N1379	SHS 120x5.0 (SHS)	0.060	2.313	0.060	1.00	3.00	-	-
		N1541/N1544	N1541/N1544	L 40 x 40 x 4 (L)	0.095	2.960	0.095	0.00	0.00	-	-
		N1543/N1542	N1543/N1542	L 40 x 40 x 4 (L)	0.095	2.960	0.095	0.00	0.00	-	-
		N1545/N1546	N1545/N1546	SHS 120x5.0 (SHS)	0.060	1.880	0.060	1.00	1.00	-	-
		N1547/N1548	N1547/N1548	SHS 120x5.0 (SHS)	0.060	1.880	0.060	1.00	1.00	-	-
		N46/N1548	N46/N157	SHS 120x5.0 (SHS)	0.060	2.313	0.060	1.00	3.00	-	-
		N1548/N1546	N46/N157	SHS 120x5.0 (SHS)	0.060	2.313	0.060	1.00	3.00	-	-
		N1546/N157	N46/N157	SHS 120x5.0 (SHS)	0.060	2.298	0.075	1.00	3.00	-	-
		N61/N1547	N61/N141	SHS 120x5.0 (SHS)	0.060	2.313	0.060	1.00	3.00	-	-
		N1547/N1545	N61/N141	SHS 120x5.0 (SHS)	0.060	2.313	0.060	1.00	3.00	-	-
		N1545/N141	N61/N141	SHS 120x5.0 (SHS)	0.060	2.241	0.132	1.00	3.00	-	-
		N1547/N1546	N1547/N1546	L 40 x 40 x 4 (L)	0.095	2.960	0.095	0.00	0.00	-	-
		N1545/N1548	N1545/N1548	L 40 x 40 x 4 (L)	0.095	2.960	0.095	0.00	0.00	-	-
		N1549/N1550	N1549/N1550	SHS 120x5.0 (SHS)	0.060	1.880	0.060	1.00	1.00	-	-
		N1551/N1552	N1551/N1552	SHS 120x5.0 (SHS)	0.060	1.880	0.060	1.00	1.00	-	-
		N1237/N1549	N1237/N1373	SHS 120x5.0 (SHS)	0.050	2.323	0.060	1.00	3.00	-	-
		N1549/N1551	N1237/N1373	SHS 120x5.0 (SHS)	0.060	2.313	0.060	1.00	3.00	-	-
		N1551/N1373	N1237/N1373	SHS 120x5.0 (SHS)	0.060	2.313	0.060	1.00	3.00	-	-
		N1253/N1550	N1253/N1381	SHS 120x5.0 (SHS)	0.050	2.323	0.060	1.00	3.00	-	-
		N1550/N1552	N1253/N1381	SHS 120x5.0 (SHS)	0.060	2.313	0.060	1.00	3.00	-	-
		N1552/N1381	N1253/N1381	SHS 120x5.0 (SHS)	0.060	2.313	0.060	1.00	3.00	-	-
		N1549/N1552	N1549/N1552	L 40 x 40 x 4 (L)	0.095	2.960	0.095	0.00	0.00	-	-
		N1551/N1550	N1551/N1550	L 40 x 40 x 4 (L)	0.095	2.960	0.095	0.00	0.00	-	-
		N1553/N1554	N1553/N1554	SHS 120x5.0 (SHS)	0.060	1.880	0.060	1.00	1.00	-	-
		N1555/N1556	N1555/N1556	SHS 120x5.0 (SHS)	0.060	1.880	0.060	1.00	1.00	-	-
		N50/N1556	N50/N161	SHS 120x5.0 (SHS)	0.050	2.323	0.060	1.00	3.00	-	-
		N1556/N1554	N50/N161	SHS 120x5.0 (SHS)	0.060	2.313	0.060	1.00	3.00	-	-

Documento visado electrónicamente con número: VA07290/22
Código de validación telemática TRLTDCFZ60T66IJ1. Comprobación: https://cogitivalencia.e-gestion.es/Validacion.aspx?CVT=TRLTDCFZ60T66IJ1

VISADO
COGITI
VALENCIA
VA07290/22
TRLTDCFZ60T66IJ1

Listados

Descripción											
Material		Barra (Ni/Nf)	Pieza (Ni/Nf)	Perfil(Serie)	Longitud (m)			β_{xy}	β_{xz}	Lbsup (m)	Lbinf (m)
Tipo	Designación				Indeformable origen	Deformable	Indeformable extremo				
		N1554/N161	N50/N161	SHS 120x5.0 (SHS)	0.060	2.313	0.060	1.00	3.00	-	-
		N65/N1555	N65/N145	SHS 120x5.0 (SHS)	0.050	2.323	0.060	1.00	3.00	-	-
		N1555/N1553	N65/N145	SHS 120x5.0 (SHS)	0.060	2.313	0.060	1.00	3.00	-	-
		N1553/N145	N65/N145	SHS 120x5.0 (SHS)	0.060	2.313	0.060	1.00	3.00	-	-
		N1555/N1554	N1555/N1554	L 40 x 40 x 4 (L)	0.095	2.960	0.095	0.00	0.00	-	-
		N1553/N1556	N1553/N1556	L 40 x 40 x 4 (L)	0.095	2.960	0.095	0.00	0.00	-	-
		N1557/N1558	N1557/N1558	SHS 120x5.0 (SHS)	0.060	1.880	0.060	1.00	1.00	-	-
		N1559/N1560	N1559/N1560	SHS 120x5.0 (SHS)	0.060	1.880	0.060	1.00	1.00	-	-
		N1241/N1557	N1241/N1375	SHS 120x5.0 (SHS)	0.050	2.323	0.060	1.00	3.00	-	-
		N1557/N1559	N1241/N1375	SHS 120x5.0 (SHS)	0.060	2.313	0.060	1.00	3.00	-	-
		N1559/N1375	N1241/N1375	SHS 120x5.0 (SHS)	0.060	2.313	0.060	1.00	3.00	-	-
		N1257/N1558	N1257/N1383	SHS 120x5.0 (SHS)	0.050	2.323	0.060	1.00	3.00	-	-
		N1558/N1560	N1257/N1383	SHS 120x5.0 (SHS)	0.060	2.313	0.060	1.00	3.00	-	-
		N1560/N1383	N1257/N1383	SHS 120x5.0 (SHS)	0.060	2.313	0.060	1.00	3.00	-	-
		N1557/N1560	N1557/N1560	L 40 x 40 x 4 (L)	0.095	2.960	0.095	0.00	0.00	-	-
		N1559/N1558	N1559/N1558	L 40 x 40 x 4 (L)	0.095	2.960	0.095	0.00	0.00	-	-
		N1561/N1562	N1561/N1562	SHS 120x5.0 (SHS)	0.060	1.880	0.060	1.00	1.00	-	-
		N1563/N1564	N1563/N1564	SHS 120x5.0 (SHS)	0.060	1.880	0.060	1.00	1.00	-	-
		N54/N1564	N54/N165	SHS 120x5.0 (SHS)	0.050	2.323	0.060	1.00	3.00	-	-
		N1564/N1562	N54/N165	SHS 120x5.0 (SHS)	0.060	2.313	0.060	1.00	3.00	-	-
		N1562/N165	N54/N165	SHS 120x5.0 (SHS)	0.060	2.313	0.060	1.00	3.00	-	-
		N69/N1563	N69/N149	SHS 120x5.0 (SHS)	0.050	2.323	0.060	1.00	3.00	-	-
		N1563/N1561	N69/N149	SHS 120x5.0 (SHS)	0.060	2.313	0.060	1.00	3.00	-	-
		N1561/N149	N69/N149	SHS 120x5.0 (SHS)	0.060	2.313	0.060	1.00	3.00	-	-
		N1563/N1562	N1563/N1562	L 40 x 40 x 4 (L)	0.095	2.960	0.095	0.00	0.00	-	-
		N1561/N1564	N1561/N1564	L 40 x 40 x 4 (L)	0.095	2.960	0.095	0.00	0.00	-	-
		N1565/N1566	N1565/N1566	SHS 120x5.0 (SHS)	0.060	1.880	0.060	1.00	1.00	-	-
		N1567/N1568	N1567/N1568	SHS 120x5.0 (SHS)	0.060	1.880	0.060	1.00	1.00	-	-
		N1245/N1565	N1245/N1377	SHS 120x5.0 (SHS)	0.060	2.313	0.060	1.00	3.00	-	-
		N1565/N1567	N1245/N1377	SHS 120x5.0 (SHS)	0.060	2.313	0.060	1.00	3.00	-	-
		N1567/N1377	N1245/N1377	SHS 120x5.0 (SHS)	0.060	2.313	0.060	1.00	3.00	-	-

Documento visado electrónicamente con número: VA07290/22
Código de validación telemática TRLTDCFZ60T66IJ1. Comprobación: https://cogitivalencia.e-gestion.es/Validacion.aspx?CVT=TRLTDCFZ60T66IJ1

Listados

VISADO
COGITI
VALENCIA
VA07290/22
TRLTDCFZ60T66IJ1

Descripción												
Material		Barra (Ni/Nf)	Pieza (Ni/Nf)	Perfil(Serie)	Longitud (m)			β_{xy}	β_{xz}	$Lb_{sup.}$ (m)	$Lb_{inf.}$ (m)	
Tipo	Designación				Indeformable origen	Deformable	Indeformable extremo					
		N1261/N1566	N1261/N1385	SHS 120x5.0 (SHS)	0.060	2.313	0.060	1.00	3.00	-	-	
		N1566/N1568	N1261/N1385	SHS 120x5.0 (SHS)	0.060	2.313	0.060	1.00	3.00	-	-	
		N1568/N1385	N1261/N1385	SHS 120x5.0 (SHS)	0.060	2.313	0.060	1.00	3.00	-	-	
		N1565/N1568	N1565/N1568	L 40 x 40 x 4 (L)	0.095	2.960	0.095	0.00	0.00	-	-	
		N1567/N1566	N1567/N1566	L 40 x 40 x 4 (L)	0.095	2.960	0.095	0.00	0.00	-	-	
		N1569/N1570	N1569/N1570	SHS 120x5.0 (SHS)	0.060	1.880	0.060	1.00	1.00	-	-	
		N1571/N1572	N1571/N1572	SHS 120x5.0 (SHS)	0.060	1.880	0.060	1.00	1.00	-	-	
		N58/N1572	N58/N169	SHS 120x5.0 (SHS)	0.060	2.313	0.060	1.00	3.00	-	-	
		N1572/N1570	N58/N169	SHS 120x5.0 (SHS)	0.060	2.313	0.060	1.00	3.00	-	-	
		N1570/N169	N58/N169	SHS 120x5.0 (SHS)	0.060	2.298	0.075	1.00	3.00	-	-	
		N73/N1571	N73/N153	SHS 120x5.0 (SHS)	0.060	2.313	0.060	1.00	3.00	-	-	
		N1571/N1569	N73/N153	SHS 120x5.0 (SHS)	0.060	2.313	0.060	1.00	3.00	-	-	
		N1569/N153	N73/N153	SHS 120x5.0 (SHS)	0.060	2.241	0.132	1.00	3.00	-	-	
		N1571/N1570	N1571/N1570	L 40 x 40 x 4 (L)	0.095	2.960	0.095	0.00	0.00	-	-	
		N1569/N1572	N1569/N1572	L 40 x 40 x 4 (L)	0.095	2.960	0.095	0.00	0.00	-	-	
		N1573/N1574	N1573/N1574	SHS 120x5.0 (SHS)	0.060	1.880	0.060	1.00	1.00	-	-	
		N1575/N1576	N1575/N1576	SHS 120x5.0 (SHS)	0.060	1.880	0.060	1.00	1.00	-	-	
		N1266/N1573	N1266/N1387	SHS 120x5.0 (SHS)	0.060	2.313	0.060	1.00	3.00	-	-	
		N1573/N1575	N1266/N1387	SHS 120x5.0 (SHS)	0.060	2.313	0.060	1.00	3.00	-	-	
		N1575/N1387	N1266/N1387	SHS 120x5.0 (SHS)	0.060	2.313	0.060	1.00	3.00	-	-	
		N1282/N1574	N1282/N1395	SHS 120x5.0 (SHS)	0.060	2.313	0.060	1.00	3.00	-	-	
		N1574/N1576	N1282/N1395	SHS 120x5.0 (SHS)	0.060	2.313	0.060	1.00	3.00	-	-	
		N1576/N1395	N1282/N1395	SHS 120x5.0 (SHS)	0.060	2.313	0.060	1.00	3.00	-	-	
		N1573/N1576	N1573/N1576	L 40 x 40 x 4 (L)	0.095	2.960	0.095	0.00	0.00	-	-	
		N1575/N1574	N1575/N1574	L 40 x 40 x 4 (L)	0.095	2.960	0.095	0.00	0.00	-	-	
		N1577/N1578	N1577/N1578	SHS 120x5.0 (SHS)	0.060	1.880	0.060	1.00	1.00	-	-	
		N1579/N1580	N1579/N1580	SHS 120x5.0 (SHS)	0.060	1.880	0.060	1.00	1.00	-	-	
		N76/N1580	N76/N195	SHS 120x5.0 (SHS)	0.060	2.313	0.060	1.00	3.00	-	-	
		N1580/N1578	N76/N195	SHS 120x5.0 (SHS)	0.060	2.313	0.060	1.00	3.00	-	-	
		N1578/N195	N76/N195	SHS 120x5.0 (SHS)	0.060	2.298	0.075	1.00	3.00	-	-	
		N91/N1579	N91/N180	SHS 120x5.0 (SHS)	0.060	2.313	0.060	1.00	3.00	-	-	

Documento visado electrónicamente con número: VA07290/22
Código de validación telemática TRLTDCFZ60T66IJ1. Comprobación: https://cogitivalencia.e-gestion.es/Validacion.aspx?CVT=TRLTDCFZ60T66IJ1

VISADO
COGITI
VALENCIA
VA07290/22
TRLTDCFZ60T66IJ1

Listados

Descripción											
Material		Barra (Ni/Nf)	Pieza (Ni/Nf)	Perfil(Serie)	Longitud (m)			β_{xy}	β_{xz}	Lbsup (m)	Lbinf (m)
Tipo	Designación				Indeformable origen	Deformable	Indeformable extremo				
		N1579/N1577	N91/N180	SHS 120x5.0 (SHS)	0.060	2.313	0.060	1.00	3.00	-	-
		N1577/N180	N91/N180	SHS 120x5.0 (SHS)	0.060	2.241	0.132	1.00	3.00	-	-
		N1579/N1578	N1579/N1578	L 40 x 40 x 4 (L)	0.095	2.960	0.095	0.00	0.00	-	-
		N1577/N1580	N1577/N1580	L 40 x 40 x 4 (L)	0.095	2.960	0.095	0.00	0.00	-	-
		N1581/N1582	N1581/N1582	SHS 120x5.0 (SHS)	0.060	1.880	0.060	1.00	1.00	-	-
		N1583/N1584	N1583/N1584	SHS 120x5.0 (SHS)	0.060	1.880	0.060	1.00	1.00	-	-
		N1270/N1581	N1270/N1389	SHS 120x5.0 (SHS)	0.050	2.323	0.060	1.00	3.00	-	-
		N1581/N1583	N1270/N1389	SHS 120x5.0 (SHS)	0.060	2.313	0.060	1.00	3.00	-	-
		N1583/N1389	N1270/N1389	SHS 120x5.0 (SHS)	0.060	2.313	0.060	1.00	3.00	-	-
		N1286/N1582	N1286/N1397	SHS 120x5.0 (SHS)	0.050	2.323	0.060	1.00	3.00	-	-
		N1582/N1584	N1286/N1397	SHS 120x5.0 (SHS)	0.060	2.313	0.060	1.00	3.00	-	-
		N1584/N1397	N1286/N1397	SHS 120x5.0 (SHS)	0.060	2.313	0.060	1.00	3.00	-	-
		N1581/N1584	N1581/N1584	L 40 x 40 x 4 (L)	0.095	2.960	0.095	0.00	0.00	-	-
		N1583/N1582	N1583/N1582	L 40 x 40 x 4 (L)	0.095	2.960	0.095	0.00	0.00	-	-
		N1585/N1586	N1585/N1586	SHS 120x5.0 (SHS)	0.060	1.880	0.060	1.00	1.00	-	-
		N1587/N1588	N1587/N1588	SHS 120x5.0 (SHS)	0.060	1.880	0.060	1.00	1.00	-	-
		N80/N1588	N80/N199	SHS 120x5.0 (SHS)	0.050	2.323	0.060	1.00	3.00	-	-
		N1588/N1586	N80/N199	SHS 120x5.0 (SHS)	0.060	2.313	0.060	1.00	3.00	-	-
		N1586/N199	N80/N199	SHS 120x5.0 (SHS)	0.060	2.313	0.060	1.00	3.00	-	-
		N95/N1587	N95/N184	SHS 120x5.0 (SHS)	0.050	2.323	0.060	1.00	3.00	-	-
		N1587/N1585	N95/N184	SHS 120x5.0 (SHS)	0.060	2.313	0.060	1.00	3.00	-	-
		N1585/N184	N95/N184	SHS 120x5.0 (SHS)	0.060	2.313	0.060	1.00	3.00	-	-
		N1587/N1586	N1587/N1586	L 40 x 40 x 4 (L)	0.095	2.960	0.095	0.00	0.00	-	-
		N1585/N1588	N1585/N1588	L 40 x 40 x 4 (L)	0.095	2.960	0.095	0.00	0.00	-	-
		N1589/N1590	N1589/N1590	SHS 120x5.0 (SHS)	0.060	1.880	0.060	1.00	1.00	-	-
		N1591/N1592	N1591/N1592	SHS 120x5.0 (SHS)	0.060	1.880	0.060	1.00	1.00	-	-
		N1274/N1589	N1274/N1391	SHS 120x5.0 (SHS)	0.050	2.323	0.060	1.00	3.00	-	-
		N1589/N1591	N1274/N1391	SHS 120x5.0 (SHS)	0.060	2.313	0.060	1.00	3.00	-	-
		N1591/N1391	N1274/N1391	SHS 120x5.0 (SHS)	0.060	2.313	0.060	1.00	3.00	-	-
		N1290/N1590	N1290/N1399	SHS 120x5.0 (SHS)	0.050	2.323	0.060	1.00	3.00	-	-
		N1590/N1592	N1290/N1399	SHS 120x5.0 (SHS)	0.060	2.313	0.060	1.00	3.00	-	-

Documento visado electrónicamente con número: VA07290/22
Código de validación telemática TRLTDCFZ60T66IJ1. Comprobación: https://cogitivalencia.e-gestion.es/Validacion.aspx?CVT=TRLTDCFZ60T66IJ1

VISADO
COGITI
VALENCIA
VA07290/22
TRLTDCFZ60T66IJ1

Listados

Descripción												
Material		Barra (Ni/Nf)	Pieza (Ni/Nf)	Perfil(Serie)	Longitud (m)			β_{xy}	β_{xz}	Lbsup. (m)	Lbinf. (m)	
Tipo	Designación				Indeformable origen	Deformable	Indeformable extremo					
		N1592/N1399	N1290/N1399	SHS 120x5.0 (SHS)	0.060	2.313	0.060	1.00	3.00	-	-	
		N1589/N1592	N1589/N1592	L 40 x 40 x 4 (L)	0.095	2.960	0.095	0.00	0.00	-	-	
		N1591/N1590	N1591/N1590	L 40 x 40 x 4 (L)	0.095	2.960	0.095	0.00	0.00	-	-	
		N1593/N1594	N1593/N1594	SHS 120x5.0 (SHS)	0.060	1.880	0.060	1.00	1.00	-	-	
		N1595/N1596	N1595/N1596	SHS 120x5.0 (SHS)	0.060	1.880	0.060	1.00	1.00	-	-	
		N84/N1596	N84/N203	SHS 120x5.0 (SHS)	0.050	2.323	0.060	1.00	3.00	-	-	
		N1596/N1594	N84/N203	SHS 120x5.0 (SHS)	0.060	2.313	0.060	1.00	3.00	-	-	
		N1594/N203	N84/N203	SHS 120x5.0 (SHS)	0.060	2.313	0.060	1.00	3.00	-	-	
		N99/N1595	N99/N188	SHS 120x5.0 (SHS)	0.050	2.323	0.060	1.00	3.00	-	-	
		N1595/N1593	N99/N188	SHS 120x5.0 (SHS)	0.060	2.313	0.060	1.00	3.00	-	-	
		N1593/N188	N99/N188	SHS 120x5.0 (SHS)	0.060	2.313	0.060	1.00	3.00	-	-	
		N1595/N1594	N1595/N1594	L 40 x 40 x 4 (L)	0.095	2.960	0.095	0.00	0.00	-	-	
		N1593/N1596	N1593/N1596	L 40 x 40 x 4 (L)	0.095	2.960	0.095	0.00	0.00	-	-	
		N1597/N1598	N1597/N1598	SHS 120x5.0 (SHS)	0.060	1.880	0.060	1.00	1.00	-	-	
		N1599/N1600	N1599/N1600	SHS 120x5.0 (SHS)	0.060	1.880	0.060	1.00	1.00	-	-	
		N1278/N1597	N1278/N1393	SHS 120x5.0 (SHS)	0.060	2.313	0.060	1.00	3.00	-	-	
		N1597/N1599	N1278/N1393	SHS 120x5.0 (SHS)	0.060	2.313	0.060	1.00	3.00	-	-	
		N1599/N1393	N1278/N1393	SHS 120x5.0 (SHS)	0.060	2.313	0.060	1.00	3.00	-	-	
		N1294/N1598	N1294/N1401	SHS 120x5.0 (SHS)	0.060	2.313	0.060	1.00	3.00	-	-	
		N1598/N1600	N1294/N1401	SHS 120x5.0 (SHS)	0.060	2.313	0.060	1.00	3.00	-	-	
		N1600/N1401	N1294/N1401	SHS 120x5.0 (SHS)	0.060	2.313	0.060	1.00	3.00	-	-	
		N1597/N1600	N1597/N1600	L 40 x 40 x 4 (L)	0.095	2.960	0.095	0.00	0.00	-	-	
		N1599/N1598	N1599/N1598	L 40 x 40 x 4 (L)	0.095	2.960	0.095	0.00	0.00	-	-	
		N1601/N1602	N1601/N1602	SHS 120x5.0 (SHS)	0.060	1.880	0.060	1.00	1.00	-	-	
		N1603/N1604	N1603/N1604	SHS 120x5.0 (SHS)	0.060	1.880	0.060	1.00	1.00	-	-	
		N88/N1604	N88/N207	SHS 120x5.0 (SHS)	0.060	2.313	0.060	1.00	3.00	-	-	
		N1604/N1602	N88/N207	SHS 120x5.0 (SHS)	0.060	2.313	0.060	1.00	3.00	-	-	
		N1602/N207	N88/N207	SHS 120x5.0 (SHS)	0.060	2.298	0.075	1.00	3.00	-	-	
		N103/N1603	N103/N192	SHS 120x5.0 (SHS)	0.060	2.313	0.060	1.00	3.00	-	-	
		N1603/N1601	N103/N192	SHS 120x5.0 (SHS)	0.060	2.313	0.060	1.00	3.00	-	-	
		N1601/N192	N103/N192	SHS 120x5.0 (SHS)	0.060	2.241	0.132	1.00	3.00	-	-	

Documento visado electrónicamente con número: VA07290/22
Código de validación telemática TRLTDCFZ60T66IJ1. Comprobación: https://cogitivalencia.e-gestion.es/Validacion.aspx?CVT=TRLTDCFZ60T66IJ1

VISADO
COGITI
VALENCIA
VA07290/22
TRLTDCFZ60T66IJ1

Descripción											
Material		Barra (Ni/Nf)	Pieza (Ni/Nf)	Perfil(Serie)	Longitud (m)			β_{xy}	β_{xz}	Lbsup (m)	Lbinf (m)
Tipo	Designación				Indeformable origen	Deformable	Indeformable extremo				
		N1603/N1602	N1603/N1602	L 40 x 40 x 4 (L)	0.095	2.960	0.095	0.00	0.00	-	-
		N1601/N1604	N1601/N1604	L 40 x 40 x 4 (L)	0.095	2.960	0.095	0.00	0.00	-	-
		N141/N245	N141/N245	SHS 120x5.0 (SHS)	0.132	7.036	0.132	1.00	1.00	-	-
		N245/N453	N245/N453	SHS 120x5.0 (SHS)	0.132	7.108	0.060	1.00	1.00	-	-
		N453/N609	N453/N609	SHS 120x5.0 (SHS)	0.060	7.180	0.060	1.00	1.00	-	-
		N609/N765	N609/N765	SHS 120x5.0 (SHS)	0.060	7.180	0.060	1.00	1.00	-	-
		N765/N921	N765/N921	SHS 120x5.0 (SHS)	0.060	7.180	0.060	1.00	1.00	-	-
		N921/N1077	N921/N1077	SHS 120x5.0 (SHS)	0.060	7.180	0.060	1.00	1.00	-	-
		N1077/N1233	N1077/N1233	SHS 120x5.0 (SHS)	0.060	7.180	0.060	1.00	1.00	-	-
		N1081/N1237	N1081/N1237	SHS 120x5.0 (SHS)	0.050	7.200	0.050	1.00	1.00	-	-
		N925/N1081	N925/N1081	SHS 120x5.0 (SHS)	0.050	7.200	0.050	1.00	1.00	-	-
		N929/N1085	N929/N1085	SHS 120x5.0 (SHS)	0.050	7.200	0.050	1.00	1.00	-	-
		N1085/N1241	N1085/N1241	SHS 120x5.0 (SHS)	0.050	7.200	0.050	1.00	1.00	-	-
		N933/N1089	N933/N1089	SHS 120x5.0 (SHS)	0.060	7.180	0.060	1.00	1.00	-	-
		N1089/N1245	N1089/N1245	SHS 120x5.0 (SHS)	0.060	7.180	0.060	1.00	1.00	-	-
		N769/N925	N769/N925	SHS 120x5.0 (SHS)	0.050	7.200	0.050	1.00	1.00	-	-
		N613/N769	N613/N769	SHS 120x5.0 (SHS)	0.050	7.200	0.050	1.00	1.00	-	-
		N773/N929	N773/N929	SHS 120x5.0 (SHS)	0.050	7.200	0.050	1.00	1.00	-	-
		N617/N773	N617/N773	SHS 120x5.0 (SHS)	0.050	7.200	0.050	1.00	1.00	-	-
		N777/N933	N777/N933	SHS 120x5.0 (SHS)	0.060	7.180	0.060	1.00	1.00	-	-
		N621/N777	N621/N777	SHS 120x5.0 (SHS)	0.060	7.180	0.060	1.00	1.00	-	-
		N457/N613	N457/N613	SHS 120x5.0 (SHS)	0.050	7.200	0.050	1.00	1.00	-	-
		N249/N457	N249/N457	SHS 120x5.0 (SHS)	0.060	7.190	0.050	1.00	1.00	-	-
		N461/N617	N461/N617	SHS 120x5.0 (SHS)	0.050	7.200	0.050	1.00	1.00	-	-
		N253/N461	N253/N461	SHS 120x5.0 (SHS)	0.060	7.190	0.050	1.00	1.00	-	-
		N465/N621	N465/N621	SHS 120x5.0 (SHS)	0.060	7.180	0.060	1.00	1.00	-	-
		N257/N465	N257/N465	SHS 120x5.0 (SHS)	0.132	7.108	0.060	1.00	1.00	-	-
		N145/N249	N145/N249	SHS 120x5.0 (SHS)	0.060	7.180	0.060	1.00	1.00	-	-
		N149/N253	N149/N253	SHS 120x5.0 (SHS)	0.060	7.180	0.060	1.00	1.00	-	-
		N153/N257	N153/N257	SHS 120x5.0 (SHS)	0.132	7.036	0.132	1.00	1.00	-	-
		N180/N284	N180/N284	SHS 120x5.0 (SHS)	0.132	7.036	0.132	1.00	1.00	-	-

Documento visado electrónicamente con número: VA07290/22
Código de validación telemática TRLTDCFZ60T66IJ1. Comprobación: https://cogitivalencia.e-gestion.es/Validacion.aspx?CVT=TRLTDCFZ60T66IJ1

VISADO
COGITI
VALENCIA
VA07290/22
TRLTDCFZ60T66IJ1

Descripción												
Material		Barra (Ni/Nf)	Pieza (Ni/Nf)	Perfil(Serie)	Longitud (m)			β_{xy}	β_{xz}	$Lb_{sup.}$ (m)	$Lb_{inf.}$ (m)
Tipo	Designación				Indeformable origen	Deformable	Indeformable extremo				
		N284/N486	N284/N486	SHS 120x5.0 (SHS)	0.132	7.108	0.060	1.00	1.00	-	-
		N486/N642	N486/N642	SHS 120x5.0 (SHS)	0.060	7.180	0.060	1.00	1.00	-	-
		N642/N798	N642/N798	SHS 120x5.0 (SHS)	0.060	7.180	0.060	1.00	1.00	-	-
		N798/N954	N798/N954	SHS 120x5.0 (SHS)	0.060	7.180	0.060	1.00	1.00	-	-
		N954/N1110	N954/N1110	SHS 120x5.0 (SHS)	0.060	7.180	0.060	1.00	1.00	-	-
		N1110/N1266	N1110/N1266	SHS 120x5.0 (SHS)	0.060	7.180	0.060	1.00	1.00	-	-
		N1114/N1270	N1114/N1270	SHS 120x5.0 (SHS)	0.050	7.200	0.050	1.00	1.00	-	-
		N958/N1114	N958/N1114	SHS 120x5.0 (SHS)	0.050	7.200	0.050	1.00	1.00	-	-
		N962/N1118	N962/N1118	SHS 120x5.0 (SHS)	0.050	7.200	0.050	1.00	1.00	-	-
		N1118/N1274	N1118/N1274	SHS 120x5.0 (SHS)	0.050	7.200	0.050	1.00	1.00	-	-
		N966/N1122	N966/N1122	SHS 120x5.0 (SHS)	0.060	7.180	0.060	1.00	1.00	-	-
		N1122/N1278	N1122/N1278	SHS 120x5.0 (SHS)	0.060	7.180	0.060	1.00	1.00	-	-
		N802/N958	N802/N958	SHS 120x5.0 (SHS)	0.050	7.200	0.050	1.00	1.00	-	-
		N646/N802	N646/N802	SHS 120x5.0 (SHS)	0.050	7.200	0.050	1.00	1.00	-	-
		N806/N962	N806/N962	SHS 120x5.0 (SHS)	0.050	7.200	0.050	1.00	1.00	-	-
		N650/N806	N650/N806	SHS 120x5.0 (SHS)	0.050	7.200	0.050	1.00	1.00	-	-
		N810/N966	N810/N966	SHS 120x5.0 (SHS)	0.060	7.180	0.060	1.00	1.00	-	-
		N654/N810	N654/N810	SHS 120x5.0 (SHS)	0.060	7.180	0.060	1.00	1.00	-	-
		N490/N646	N490/N646	SHS 120x5.0 (SHS)	0.050	7.200	0.050	1.00	1.00	-	-
		N288/N490	N288/N490	SHS 120x5.0 (SHS)	0.060	7.190	0.050	1.00	1.00	-	-
		N494/N650	N494/N650	SHS 120x5.0 (SHS)	0.050	7.200	0.050	1.00	1.00	-	-
		N292/N494	N292/N494	SHS 120x5.0 (SHS)	0.060	7.190	0.050	1.00	1.00	-	-
		N498/N654	N498/N654	SHS 120x5.0 (SHS)	0.060	7.180	0.060	1.00	1.00	-	-
		N296/N498	N296/N498	SHS 120x5.0 (SHS)	0.132	7.108	0.060	1.00	1.00	-	-
		N184/N288	N184/N288	SHS 120x5.0 (SHS)	0.060	7.180	0.060	1.00	1.00	-	-
		N188/N292	N188/N292	SHS 120x5.0 (SHS)	0.060	7.180	0.060	1.00	1.00	-	-
		N192/N296	N192/N296	SHS 120x5.0 (SHS)	0.132	7.036	0.132	1.00	1.00	-	-
		N4/N14	N4/N14	SHS 120x5.0 (SHS)	0.086	1.826	0.088	1.00	1.00	-	-
		N105/N122	N105/N122	SHS 150x10.0 (SHS)	0.116	1.774	0.110	1.00	1.00	-	-
		N209/N226	N209/N226	SHS 150x10.0 (SHS)	0.116	1.774	0.110	1.00	1.00	-	-

Documento visado electrónicamente con número: VA07290/22
Código de validación telemática TRLTDCFZ60T66IJ1. Comprobación: https://cogitivalencia.e-gestion.es/Validacion.aspx?CVT=TRLTDCFZ60T66IJ1

VISADO
COGITI
VALENCIA
VA07290/22
TRLTDCFZ60T66IJ1

Listados

Descripción											
Material		Barra (Ni/Nf)	Pieza (Ni/Nf)	Perfil(Serie)	Longitud (m)			β_{xy}	β_{xz}	Lbsup (m)	Lbinf (m)
Tipo	Designación				Indeformable origen	Deformable	Indeformable extremo				
		N729/N746	N729/N746	SHS 120x5.0 (SHS)	0.086	1.826	0.088	1.00	1.00	-	-
		N885/N902	N885/N902	SHS 120x5.0 (SHS)	0.086	1.826	0.088	1.00	1.00	-	-
		N1041/N1058	N1041/N1058	SHS 120x5.0 (SHS)	0.086	1.826	0.088	1.00	1.00	-	-
		N573/N590	N573/N590	SHS 120x5.0 (SHS)	0.086	1.826	0.088	1.00	1.00	-	-
		N1197/N1214	N1197/N1214	SHS 120x5.0 (SHS)	0.086	1.826	0.088	1.00	1.00	-	-
		N1353/N1362	N1353/N1362	SHS 120x5.0 (SHS)	0.060	1.879	0.061	1.00	1.00	-	-
		N1606/N4	N1606/N4	HE 180 A (HEA)	-	0.139	0.061	5.00	1.00	0.200	0.200
		N1605/N14	N1605/N14	HE 160 A (HEA)	-	0.139	0.061	5.00	1.00	0.200	0.200
		N1607/N105	N1607/N105	HE 240 A|I| (HEA)	-	0.124	0.076	5.00	1.00	0.200	0.200
		N1608/N122	N1608/N122	HE 220 A (HEA)	-	0.124	0.076	5.00	1.00	0.200	0.200
		N1609/N209	N1609/N209	HE 240 A|I| (HEA)	-	0.124	0.076	5.00	1.00	0.200	0.200
		N1610/N226	N1610/N226	HE 220 A (HEA)	-	0.124	0.076	5.00	1.00	0.200	0.200
		N1611/N573	N1611/N573	HE 180 A (HEA)	-	0.139	0.061	5.00	1.00	0.200	0.200
		N1612/N590	N1612/N590	HE 160 A (HEA)	-	0.139	0.061	5.00	1.00	0.200	0.200
		N1613/N729	N1613/N729	HE 180 A (HEA)	-	0.139	0.061	5.00	1.00	0.200	0.200
		N1614/N746	N1614/N746	HE 160 A (HEA)	-	0.139	0.061	5.00	1.00	0.200	0.200
		N1615/N885	N1615/N885	HE 180 A (HEA)	-	0.139	0.061	5.00	1.00	0.200	0.200
		N1616/N902	N1616/N902	HE 160 A (HEA)	-	0.139	0.061	5.00	1.00	0.200	0.200
		N1617/N1041	N1617/N1041	HE 180 A (HEA)	-	0.139	0.061	5.00	1.00	0.200	0.200
		N1618/N1058	N1618/N1058	HE 160 A (HEA)	-	0.139	0.061	5.00	1.00	0.200	0.200
		N1619/N1197	N1619/N1197	HE 180 A (HEA)	-	0.139	0.061	5.00	1.00	0.200	0.200
		N1620/N1214	N1620/N1214	HE 160 A (HEA)	-	0.139	0.061	5.00	1.00	0.200	0.200
		N1621/N434	N1621/N434	HE 160 A (HEA)	-	0.139	0.061	5.00	1.00	0.200	0.200
		N1622/N417	N1622/N417	HE 180 A (HEA)	-	0.139	0.061	5.00	1.00	0.200	0.200
		N417/N434	N417/N434	SHS 120x5.0 (SHS)	0.086	1.826	0.088	1.00	1.00	-	-
		N1623/N7	N1623/N7	HE 280 B (HEB)	-	0.160	0.140	1.00	1.00	-	-
		N1624/N12	N1624/N12	HE 280 B (HEB)	-	0.160	0.140	1.00	1.00	-	-
		N1625/N177	N1625/N177	HE 280 B (HEB)	-	0.140	0.160	1.00	1.00	-	-
		N1626/N176	N1626/N176	HE 280 B (HEB)	-	0.140	0.160	1.00	1.00	-	-
		N1627/N281	N1627/N281	HE 280 B (HEB)	-	0.140	0.160	1.00	1.00	-	-
		N1628/N280	N1628/N280	HE 280 B (HEB)	-	0.140	0.160	1.00	1.00	-	-

Documento visado electrónicamente con número: VA07290/22
Código de validación telemática TRLTDCFZ60T66IJ1. Comprobación: https://cogitivalencia.e-gestion.es/Validacion.aspx?CVT=TRLTDCFZ60T66IJ1

VISADO
COGITI
VALENCIA
VA07290/22
TRLTDCFZ60T66IJ1

Descripción												
Material		Barra (Ni/Nf)	Pieza (Ni/Nf)	Perfil(Serie)	Longitud (m)			β_{xy}	β_{xz}	$Lb_{sup.}$ (m)	$Lb_{inf.}$ (m)
Tipo	Designación				Indeformable origen	Deformable	Indeformable extremo				
		N1629/N500	N1629/N500	HE 280 B (HEB)	-	0.160	0.140	1.00	1.00	-	-
		N1630/N533	N1630/N533	HE 280 B (HEB)	-	0.160	0.140	1.00	1.00	-	-
		N1631/N656	N1631/N656	HE 280 B (HEB)	-	0.160	0.140	1.00	1.00	-	-
		N1632/N689	N1632/N689	HE 280 B (HEB)	-	0.160	0.140	1.00	1.00	-	-
		N1633/N812	N1633/N812	HE 280 B (HEB)	-	0.160	0.140	1.00	1.00	-	-
		N1634/N845	N1634/N845	HE 280 B (HEB)	-	0.160	0.140	1.00	1.00	-	-
		N1635/N968	N1635/N968	HE 280 B (HEB)	-	0.160	0.140	1.00	1.00	-	-
		N1636/N1001	N1636/N1001	HE 280 B (HEB)	-	0.160	0.140	1.00	1.00	-	-
		N1637/N1124	N1637/N1124	HE 280 B (HEB)	-	0.160	0.140	1.00	1.00	-	-
		N1638/N1157	N1638/N1157	HE 280 B (HEB)	-	0.160	0.140	1.00	1.00	-	-
		N1639/N1280	N1639/N1280	HE 280 B (HEB)	-	0.160	0.140	1.00	1.00	-	-
		N1640/N1313	N1640/N1313	HE 280 B (HEB)	-	0.160	0.140	1.00	1.00	-	-
		N1642/N1643	N1642/N1658	HE 160 A (HEA)	0.078	1.623	0.078	0.56	1.00	1.779	1.779
		N1643/N1644	N1642/N1658	HE 160 A (HEA)	0.078	1.623	0.078	0.56	1.00	1.779	1.779
		N1644/N1645	N1642/N1658	HE 160 A (HEA)	0.078	1.623	0.078	0.56	1.00	1.779	1.779
		N1645/N1646	N1642/N1658	HE 160 A (HEA)	0.078	1.623	0.078	0.56	1.00	1.779	1.779
		N1646/N1647	N1642/N1658	HE 160 A (HEA)	0.078	1.636	0.065	0.56	1.00	1.779	1.779
		N1647/N3437	N1642/N1658	HE 160 A (HEA)	0.065	0.825	-	1.12	1.00	0.890	0.890
		N3437/N1648	N1642/N1658	HE 160 A (HEA)	-	0.825	0.065	1.12	1.00	0.890	0.890
		N1648/N1649	N1642/N1658	HE 160 A (HEA)	0.065	1.649	0.065	0.56	1.00	1.779	1.779
		N1649/N1650	N1642/N1658	HE 160 A (HEA)	0.065	1.663	0.051	0.56	1.00	1.779	1.779
		N1650/N1651	N1642/N1658	HE 160 A (HEA)	0.051	1.658	0.070	0.56	1.00	1.779	1.779
		N1651/N1652	N1642/N1658	HE 160 A (HEA)	0.070	1.639	0.070	0.56	1.00	1.779	1.779
		N1652/N3454	N1642/N1658	HE 160 A (HEA)	0.070	0.820	-	1.12	1.00	0.890	0.890
		N3454/N1653	N1642/N1658	HE 160 A (HEA)	-	0.820	0.070	1.12	1.00	0.890	0.890
		N1653/N1654	N1642/N1658	HE 160 A (HEA)	0.070	1.625	0.084	0.56	1.00	1.779	1.779
		N1654/N1655	N1642/N1658	HE 160 A (HEA)	0.084	1.611	0.084	0.56	1.00	1.779	1.779
		N1655/N1656	N1642/N1658	HE 160 A (HEA)	0.084	1.611	0.084	0.56	1.00	1.779	1.779
		N1656/N1657	N1642/N1658	HE 160 A (HEA)	0.084	1.611	0.084	0.56	1.00	1.779	1.779
		N1657/N1658	N1642/N1658	HE 160 A (HEA)	0.084	1.554	0.141	0.56	1.00	1.779	1.779
		N1659/N1660	N1659/N1675	HE 160 A (HEA)	0.141	1.560	0.078	0.56	1.00	1.779	1.779

Documento visado electrónicamente con número: VA07290/22
Código de validación telemática TRLTDCFZ60T66IJ1. Comprobación: https://cogitivalencia.e-gestion.es/Validacion.aspx?CVT=TRLTDCFZ60T66IJ1

VISADO
COGITI
VALENCIA
VA07290/22
TRLTDCFZ60T66IJ1

Listados

Descripción											
Material		Barra (Ni/Nf)	Pieza (Ni/Nf)	Perfil(Serie)	Longitud (m)			β_{xy}	β_{xz}	Lbsup (m)	Lbinf (m)
Tipo	Designación				Indeformable origen	Deformable	Indeformable extremo				
		N1660/N1661	N1659/N1675	HE 160 A (HEA)	0.078	1.623	0.078	0.56	1.00	1.779	1.779
		N1661/N1662	N1659/N1675	HE 160 A (HEA)	0.078	1.623	0.078	0.56	1.00	1.779	1.779
		N1662/N1663	N1659/N1675	HE 160 A (HEA)	0.078	1.623	0.078	0.56	1.00	1.779	1.779
		N1663/N1664	N1659/N1675	HE 160 A (HEA)	0.078	1.636	0.065	0.56	1.00	1.779	1.779
		N1664/N3455	N1659/N1675	HE 160 A (HEA)	0.065	0.825	-	1.12	1.00	0.890	0.890
		N3455/N1665	N1659/N1675	HE 160 A (HEA)	-	0.825	0.065	1.12	1.00	0.890	0.890
		N1665/N1666	N1659/N1675	HE 160 A (HEA)	0.065	1.649	0.065	0.56	1.00	1.779	1.779
		N1666/N1667	N1659/N1675	HE 160 A (HEA)	0.065	1.663	0.051	0.56	1.00	1.779	1.779
		N1667/N1668	N1659/N1675	HE 160 A (HEA)	0.051	1.658	0.070	0.56	1.00	1.779	1.779
		N1668/N1669	N1659/N1675	HE 160 A (HEA)	0.070	1.639	0.070	0.56	1.00	1.779	1.779
		N1669/N3472	N1659/N1675	HE 160 A (HEA)	0.070	0.820	-	1.12	1.00	0.890	0.890
		N3472/N1670	N1659/N1675	HE 160 A (HEA)	-	0.820	0.070	1.12	1.00	0.890	0.890
		N1670/N1671	N1659/N1675	HE 160 A (HEA)	0.070	1.625	0.084	0.56	1.00	1.779	1.779
		N1671/N1672	N1659/N1675	HE 160 A (HEA)	0.084	1.611	0.084	0.56	1.00	1.779	1.779
		N1672/N1673	N1659/N1675	HE 160 A (HEA)	0.084	1.611	0.084	0.56	1.00	1.779	1.779
		N1673/N1674	N1659/N1675	HE 160 A (HEA)	0.084	1.611	0.084	0.56	1.00	1.779	1.779
		N1674/N1675	N1659/N1675	HE 160 A (HEA)	0.084	1.554	0.141	0.56	1.00	1.779	1.779
		N1676/N1677	N1676/N1692	HE 160 A (HEA)	0.141	1.560	0.078	0.56	1.00	1.779	1.779
		N1677/N1678	N1676/N1692	HE 160 A (HEA)	0.078	1.623	0.078	0.56	1.00	1.779	1.779
		N1678/N1679	N1676/N1692	HE 160 A (HEA)	0.078	1.623	0.078	0.56	1.00	1.779	1.779
		N1679/N1680	N1676/N1692	HE 160 A (HEA)	0.078	1.623	0.078	0.56	1.00	1.779	1.779
		N1680/N1681	N1676/N1692	HE 160 A (HEA)	0.078	1.636	0.065	0.56	1.00	1.779	1.779
		N1681/N3473	N1676/N1692	HE 160 A (HEA)	0.065	0.825	-	1.12	1.00	0.890	0.890
		N3473/N1682	N1676/N1692	HE 160 A (HEA)	-	0.825	0.065	1.12	1.00	0.890	0.890
		N1682/N1683	N1676/N1692	HE 160 A (HEA)	0.065	1.649	0.065	0.56	1.00	1.779	1.779
		N1683/N1684	N1676/N1692	HE 160 A (HEA)	0.065	1.663	0.051	0.56	1.00	1.779	1.779
		N1684/N1685	N1676/N1692	HE 160 A (HEA)	0.051	1.658	0.070	0.56	1.00	1.779	1.779
		N1685/N1686	N1676/N1692	HE 160 A (HEA)	0.070	1.639	0.070	0.56	1.00	1.779	1.779
		N1686/N3490	N1676/N1692	HE 160 A (HEA)	0.070	0.820	-	1.12	1.00	0.890	0.890
		N3490/N1687	N1676/N1692	HE 160 A (HEA)	-	0.820	0.070	1.12	1.00	0.890	0.890
		N1687/N1688	N1676/N1692	HE 160 A (HEA)	0.070	1.625	0.084	0.56	1.00	1.779	1.779

Documento visado electrónicamente con número: VA07290/22
Código de validación telemática TRLTDCFZ60T66IJ1. Comprobación: https://cogitivalencia.e-gestion.es/Validacion.aspx?CVT=TRLTDCFZ60T66IJ1

VISADO
COGITI
VALENCIA
VA07290/22
TRLTDCFZ60T66IJ1

Descripción												
Material		Barra (Ni/Nf)	Pieza (Ni/Nf)	Perfil(Serie)	Longitud (m)			β_{xy}	β_{xz}	$Lb_{sup.}$ (m)	$Lb_{inf.}$ (m)	
Tipo	Designación				Indeformable origen	Deformable	Indeformable extremo					
		N1688/N1689	N1676/N1692	HE 160 A (HEA)	0.084	1.611	0.084	0.56	1.00	1.779	1.779	
		N1689/N1690	N1676/N1692	HE 160 A (HEA)	0.084	1.611	0.084	0.56	1.00	1.779	1.779	
		N1690/N1691	N1676/N1692	HE 160 A (HEA)	0.084	1.611	0.084	0.56	1.00	1.779	1.779	
		N1691/N1692	N1676/N1692	HE 160 A (HEA)	0.084	1.554	0.141	0.56	1.00	1.779	1.779	
		N1693/N1643	N1693/N1643	SHS 120x5.0 (SHS)	0.088	1.824	0.088	1.00	1.00	-	-	
		N1694/N1644	N1694/N1644	SHS 120x5.0 (SHS)	0.088	1.824	0.088	1.00	1.00	-	-	
		N1695/N1645	N1695/N1645	SHS 120x4.0 (SHS)	0.088	1.824	0.088	1.00	1.00	-	-	
		N1696/N1646	N1696/N1646	SHS 120x4.0 (SHS)	0.088	1.824	0.088	1.00	1.00	-	-	
		N1697/N1647	N1697/N1647	SHS 120x4.0 (SHS)	0.088	1.835	0.077	1.00	1.00	-	-	
		N1698/N1648	N1698/N1648	SHS 100x4.0 (SHS)	0.086	1.837	0.077	1.00	1.00	-	-	
		N1699/N1649	N1699/N1649	SHS 100x4.0 (SHS)	0.086	1.837	0.077	1.00	1.00	-	-	
		N1700/N1650	N1700/N1650	SHS 100x4.0 (SHS)	0.086	1.837	0.077	1.00	1.00	-	-	
		N1701/N1651	N1701/N1651	SHS 100x4.0 (SHS)	0.086	1.836	0.078	1.00	1.00	-	-	
		N1702/N1652	N1702/N1652	SHS 100x4.0 (SHS)	0.086	1.836	0.078	1.00	1.00	-	-	
		N1703/N1653	N1703/N1653	SHS 120x4.0 (SHS)	0.094	1.828	0.078	1.00	1.00	-	-	
		N1704/N1654	N1704/N1654	SHS 120x4.0 (SHS)	0.094	1.812	0.094	1.00	1.00	-	-	
		N1705/N1655	N1705/N1655	SHS 120x4.0 (SHS)	0.094	1.812	0.094	1.00	1.00	-	-	
		N1706/N1656	N1706/N1656	SHS 120x5.0 (SHS)	0.094	1.812	0.094	1.00	1.00	-	-	
		N1707/N1657	N1707/N1657	SHS 120x5.0 (SHS)	0.131	1.775	0.094	1.00	1.00	-	-	
		N1708/N1660	N1708/N1660	SHS 120x5.0 (SHS)	0.088	1.824	0.088	1.00	1.00	-	-	
		N1709/N1661	N1709/N1661	SHS 120x5.0 (SHS)	0.088	1.824	0.088	1.00	1.00	-	-	
		N1710/N1662	N1710/N1662	SHS 120x4.0 (SHS)	0.088	1.824	0.088	1.00	1.00	-	-	
		N1711/N1663	N1711/N1663	SHS 120x4.0 (SHS)	0.088	1.824	0.088	1.00	1.00	-	-	
		N1712/N1664	N1712/N1664	SHS 120x4.0 (SHS)	0.088	1.835	0.077	1.00	1.00	-	-	
		N1713/N1665	N1713/N1665	SHS 100x4.0 (SHS)	0.086	1.837	0.077	1.00	1.00	-	-	
		N1714/N1666	N1714/N1666	SHS 100x4.0 (SHS)	0.086	1.837	0.077	1.00	1.00	-	-	
		N1715/N1667	N1715/N1667	SHS 100x4.0 (SHS)	0.086	1.837	0.077	1.00	1.00	-	-	
		N1716/N1668	N1716/N1668	SHS 100x4.0 (SHS)	0.086	1.836	0.078	1.00	1.00	-	-	
		N1717/N1669	N1717/N1669	SHS 100x4.0 (SHS)	0.086	1.836	0.078	1.00	1.00	-	-	
		N1718/N1670	N1718/N1670	SHS 120x4.0 (SHS)	0.094	1.828	0.078	1.00	1.00	-	-	
		N1719/N1671	N1719/N1671	SHS 120x4.0 (SHS)	0.094	1.812	0.094	1.00	1.00	-	-	

Documento visado electrónicamente con número: VA07290/22
Código de validación telemática TRLTDCFZ60T66IJ1. Comprobación: https://cogitivalencia.e-gestion.es/Validacion.aspx?CVT=TRLTDCFZ60T66IJ1

VISADO
COGITI
VALENCIA
VA07290/22
TRLTDCFZ60T66IJ1

Listados

Descripción											
Material		Barra (Ni/Nf)	Pieza (Ni/Nf)	Perfil(Serie)	Longitud (m)			β_{xy}	β_{xz}	Lbsup (m)	Lbinf (m)
Tipo	Designación				Indeformable origen	Deformable	Indeformable extremo				
		N1720/N1672	N1720/N1672	SHS 120x4.0 (SHS)	0.094	1.812	0.094	1.00	1.00	-	-
		N1721/N1673	N1721/N1673	SHS 120x5.0 (SHS)	0.094	1.812	0.094	1.00	1.00	-	-
		N1722/N1674	N1722/N1674	SHS 120x5.0 (SHS)	0.131	1.775	0.094	1.00	1.00	-	-
		N1723/N1677	N1723/N1677	SHS 120x5.0 (SHS)	0.088	1.824	0.088	1.00	1.00	-	-
		N1724/N1678	N1724/N1678	SHS 120x5.0 (SHS)	0.088	1.824	0.088	1.00	1.00	-	-
		N1725/N1679	N1725/N1679	SHS 120x4.0 (SHS)	0.088	1.824	0.088	1.00	1.00	-	-
		N1726/N1680	N1726/N1680	SHS 120x4.0 (SHS)	0.088	1.824	0.088	1.00	1.00	-	-
		N1727/N1681	N1727/N1681	SHS 120x4.0 (SHS)	0.088	1.835	0.077	1.00	1.00	-	-
		N1728/N1682	N1728/N1682	SHS 100x4.0 (SHS)	0.086	1.837	0.077	1.00	1.00	-	-
		N1729/N1683	N1729/N1683	SHS 100x4.0 (SHS)	0.086	1.837	0.077	1.00	1.00	-	-
		N1730/N1684	N1730/N1684	SHS 100x4.0 (SHS)	0.086	1.837	0.077	1.00	1.00	-	-
		N1731/N1685	N1731/N1685	SHS 100x4.0 (SHS)	0.086	1.836	0.078	1.00	1.00	-	-
		N1732/N1686	N1732/N1686	SHS 100x4.0 (SHS)	0.086	1.836	0.078	1.00	1.00	-	-
		N1733/N1687	N1733/N1687	SHS 120x4.0 (SHS)	0.094	1.828	0.078	1.00	1.00	-	-
		N1734/N1688	N1734/N1688	SHS 120x4.0 (SHS)	0.094	1.812	0.094	1.00	1.00	-	-
		N1735/N1689	N1735/N1689	SHS 120x4.0 (SHS)	0.094	1.812	0.094	1.00	1.00	-	-
		N1736/N1690	N1736/N1690	SHS 120x5.0 (SHS)	0.094	1.812	0.094	1.00	1.00	-	-
		N1737/N1691	N1737/N1691	SHS 120x5.0 (SHS)	0.094	1.812	0.094	1.00	1.00	-	-
		N1693/N1642	N1693/N1642	SHS 120x10.0 (SHS)	0.111	2.372	0.099	0.80	0.80	-	-
		N1694/N1643	N1694/N1643	SHS 120x5.0 (SHS)	0.111	2.372	0.099	0.80	0.80	-	-
		N1695/N1644	N1695/N1644	SHS 120x5.0 (SHS)	0.111	2.372	0.099	0.80	0.80	-	-
		N1696/N1645	N1696/N1645	SHS 120x4.0 (SHS)	0.111	2.372	0.099	0.80	0.80	-	-
		N1697/N1646	N1697/N1646	SHS 120x4.0 (SHS)	0.111	2.372	0.099	0.80	0.80	-	-
		N1698/N1647	N1698/N1647	SHS 100x4.0 (SHS)	0.111	2.372	0.099	0.80	0.80	-	-
		N1699/N1648	N1699/N1648	SHS 100x4.0 (SHS)	0.111	2.372	0.099	0.80	0.80	-	-
		N1700/N1649	N1700/N1649	SHS 100x4.0 (SHS)	0.111	2.372	0.099	0.80	0.80	-	-
		N1700/N1651	N1700/N1651	SHS 100x4.0 (SHS)	0.119	2.544	0.106	0.80	0.80	-	-
		N1701/N1652	N1701/N1652	SHS 100x4.0 (SHS)	0.119	2.544	0.106	0.80	0.80	-	-
		N1702/N1653	N1702/N1653	SHS 100x4.0 (SHS)	0.119	2.544	0.106	0.80	0.80	-	-
		N1703/N1654	N1703/N1654	SHS 120x4.0 (SHS)	0.119	2.544	0.106	0.80	0.80	-	-
		N1704/N1655	N1704/N1655	SHS 120x4.0 (SHS)	0.119	2.544	0.106	0.80	0.80	-	-

Documento visado electrónicamente con número: VA07290/22
Código de validación telemática TRLTDCFZ60T66IJ1. Comprobación: https://cogitivalencia.e-gestion.es/Validacion.aspx?CVT=TRLTDCFZ60T66IJ1

VISADO
COGITI
VALENCIA
VA07290/22
TRLTDCFZ60T66IJ1

Listados

Descripción												
Material		Barra (Ni/Nf)	Pieza (Ni/Nf)	Perfil(Serie)	Longitud (m)			β_{xy}	β_{xz}	$Lb_{sup.}$ (m)	$Lb_{inf.}$ (m)
Tipo	Designación				Indeformable origen	Deformable	Indeformable extremo				
		N1705/N1656	N1705/N1656	SHS 120x5.0 (SHS)	0.119	2.544	0.106	0.80	0.80	-	-
		N1706/N1657	N1706/N1657	SHS 120x5.0 (SHS)	0.119	2.544	0.106	0.80	0.80	-	-
		N1707/N1658	N1707/N1658	SHS 120x10.0 (SHS)	0.119	2.431	0.219	0.80	0.80	-	-
		N1708/N1659	N1708/N1659	SHS 120x10.0 (SHS)	0.111	2.267	0.204	0.80	0.80	-	-
		N1709/N1660	N1709/N1660	SHS 120x5.0 (SHS)	0.111	2.372	0.099	0.80	0.80	-	-
		N1710/N1661	N1710/N1661	SHS 120x5.0 (SHS)	0.111	2.372	0.099	0.80	0.80	-	-
		N1711/N1662	N1711/N1662	SHS 120x4.0 (SHS)	0.111	2.372	0.099	0.80	0.80	-	-
		N1712/N1663	N1712/N1663	SHS 120x4.0 (SHS)	0.111	2.372	0.099	0.80	0.80	-	-
		N1713/N1664	N1713/N1664	SHS 100x4.0 (SHS)	0.111	2.372	0.099	0.80	0.80	-	-
		N1714/N1665	N1714/N1665	SHS 100x4.0 (SHS)	0.111	2.372	0.099	0.80	0.80	-	-
		N1715/N1666	N1715/N1666	SHS 100x4.0 (SHS)	0.111	2.372	0.099	0.80	0.80	-	-
		N1715/N1668	N1715/N1668	SHS 100x4.0 (SHS)	0.119	2.544	0.106	0.80	0.80	-	-
		N1716/N1669	N1716/N1669	SHS 100x4.0 (SHS)	0.119	2.544	0.106	0.80	0.80	-	-
		N1717/N1670	N1717/N1670	SHS 100x4.0 (SHS)	0.119	2.544	0.106	0.80	0.80	-	-
		N1718/N1671	N1718/N1671	SHS 120x4.0 (SHS)	0.119	2.544	0.106	0.80	0.80	-	-
		N1719/N1672	N1719/N1672	SHS 120x4.0 (SHS)	0.119	2.544	0.106	0.80	0.80	-	-
		N1720/N1673	N1720/N1673	SHS 120x5.0 (SHS)	0.119	2.544	0.106	0.80	0.80	-	-
		N1721/N1674	N1721/N1674	SHS 120x5.0 (SHS)	0.119	2.544	0.106	0.80	0.80	-	-
		N1722/N1675	N1722/N1675	SHS 120x10.0 (SHS)	0.119	2.431	0.219	0.80	0.80	-	-
		N1723/N1676	N1723/N1676	SHS 120x10.0 (SHS)	0.111	2.267	0.204	0.80	0.80	-	-
		N1724/N1677	N1724/N1677	SHS 120x5.0 (SHS)	0.111	2.372	0.099	0.80	0.80	-	-
		N1725/N1678	N1725/N1678	SHS 120x5.0 (SHS)	0.111	2.372	0.099	0.80	0.80	-	-
		N1726/N1679	N1726/N1679	SHS 120x4.0 (SHS)	0.111	2.372	0.099	0.80	0.80	-	-
		N1727/N1680	N1727/N1680	SHS 120x4.0 (SHS)	0.111	2.372	0.099	0.80	0.80	-	-
		N1728/N1681	N1728/N1681	SHS 100x4.0 (SHS)	0.111	2.372	0.099	0.80	0.80	-	-
		N1729/N1682	N1729/N1682	SHS 100x4.0 (SHS)	0.111	2.372	0.099	0.80	0.80	-	-
		N1730/N1683	N1730/N1683	SHS 100x4.0 (SHS)	0.111	2.372	0.099	0.80	0.80	-	-
		N1730/N1685	N1730/N1685	SHS 100x4.0 (SHS)	0.119	2.544	0.106	0.80	0.80	-	-
		N1731/N1686	N1731/N1686	SHS 100x4.0 (SHS)	0.119	2.544	0.106	0.80	0.80	-	-
		N1732/N1687	N1732/N1687	SHS 100x4.0 (SHS)	0.119	2.544	0.106	0.80	0.80	-	-

Documento visado electrónicamente con número: VA07290/22
Código de validación telemática TRLTDCFZ60T66IJ1. Comprobación: https://cogitivalencia.e-gestion.es/Validacion.aspx?CVT=TRLTDCFZ60T66IJ1

VISADO
COGITI
VALENCIA
VA07290/22
TRLTDCFZ60T66IJ1

Listados

Descripción											
Material		Barra (Ni/Nf)	Pieza (Ni/Nf)	Perfil(Serie)	Longitud (m)			β_{xy}	β_{xz}	Lbsup (m)	Lbinf (m)
Tipo	Designación				Indeformable origen	Deformable	Indeformable extremo				
		N1733/N1688	N1733/N1688	SHS 120x4.0 (SHS)	0.119	2.544	0.106	0.80	0.80	-	-
		N1734/N1689	N1734/N1689	SHS 120x4.0 (SHS)	0.119	2.544	0.106	0.80	0.80	-	-
		N1735/N1690	N1735/N1690	SHS 120x5.0 (SHS)	0.119	2.544	0.106	0.80	0.80	-	-
		N1736/N1691	N1736/N1691	SHS 120x5.0 (SHS)	0.119	2.544	0.106	0.80	0.80	-	-
		N1737/N1692	N1737/N1692	SHS 120x10.0 (SHS)	0.119	2.431	0.219	0.80	0.80	-	-
		N1738/N1739	N1738/N1754	HE 220 A (HEA)	0.098	1.583	0.098	0.56	1.00	1.779	1.779
		N1739/N1740	N1738/N1754	HE 220 A (HEA)	0.098	1.583	0.098	0.56	1.00	1.779	1.779
		N1740/N1741	N1738/N1754	HE 220 A (HEA)	0.098	1.603	0.078	0.56	1.00	1.779	1.779
		N1741/N1742	N1738/N1754	HE 220 A (HEA)	0.078	1.623	0.078	0.56	1.00	1.779	1.779
		N1742/N1743	N1738/N1754	HE 220 A (HEA)	0.078	1.623	0.078	0.56	1.00	1.779	1.779
		N1743/N3438	N1738/N1754	HE 220 A (HEA)	0.078	0.812	-	1.12	1.00	0.890	0.890
		N3438/N1744	N1738/N1754	HE 220 A (HEA)	-	0.812	0.078	1.12	1.00	0.890	0.890
		N1744/N1745	N1738/N1754	HE 220 A (HEA)	0.078	1.623	0.078	0.56	1.00	1.779	1.779
		N1745/N1746	N1738/N1754	HE 220 A (HEA)	0.078	1.640	0.061	0.56	1.00	1.779	1.779
		N1746/N1747	N1738/N1754	HE 220 A (HEA)	0.061	1.634	0.084	0.56	1.00	1.779	1.779
		N1747/N1748	N1738/N1754	HE 220 A (HEA)	0.084	1.611	0.084	0.56	1.00	1.779	1.779
		N1748/N3453	N1738/N1754	HE 220 A (HEA)	0.084	0.806	-	1.12	1.00	0.890	0.890
		N3453/N1749	N1738/N1754	HE 220 A (HEA)	-	0.806	0.084	1.12	1.00	0.890	0.890
		N1749/N1750	N1738/N1754	HE 220 A (HEA)	0.084	1.611	0.084	0.56	1.00	1.779	1.779
		N1750/N1751	N1738/N1754	HE 220 A (HEA)	0.084	1.611	0.084	0.56	1.00	1.779	1.779
		N1751/N1752	N1738/N1754	HE 220 A (HEA)	0.084	1.590	0.105	0.56	1.00	1.779	1.779
		N1752/N1753	N1738/N1754	HE 220 A (HEA)	0.105	1.569	0.105	0.56	1.00	1.779	1.779
		N1753/N1754	N1738/N1754	HE 220 A (HEA)	0.105	1.533	0.141	0.56	1.00	1.779	1.779
		N1755/N1756	N1755/N1771	HE 220 A (HEA)	0.141	1.540	0.098	0.50	0.50	0.890	0.890
		N1756/N1757	N1755/N1771	HE 220 A (HEA)	0.098	1.583	0.098	0.56	1.00	1.779	1.779
		N1757/N1758	N1755/N1771	HE 220 A (HEA)	0.098	1.603	0.078	0.56	1.00	1.779	1.779
		N1758/N1759	N1755/N1771	HE 220 A (HEA)	0.078	1.623	0.078	0.56	1.00	1.779	1.779
		N1759/N1760	N1755/N1771	HE 220 A (HEA)	0.078	1.623	0.078	0.56	1.00	1.779	1.779
		N1760/N3456	N1755/N1771	HE 220 A (HEA)	0.078	0.812	-	1.12	1.00	0.890	0.890
		N3456/N1761	N1755/N1771	HE 220 A (HEA)	-	0.812	0.078	1.12	1.00	0.890	0.890
		N1761/N1762	N1755/N1771	HE 220 A (HEA)	0.078	1.623	0.078	0.56	1.00	1.779	1.779

Documento visado electrónicamente con número: VA07290/22
Código de validación telemática TRLTDCFZ60T66IJ1. Comprobación: https://cogitivalencia.e-gestion.es/Validacion.aspx?CVT=TRLTDCFZ60T66IJ1

VISADO
COGITI
VALENCIA
VA07290/22
TRLTDCFZ60T66IJ1

Descripción												
Material		Barra (Ni/Nf)	Pieza (Ni/Nf)	Perfil(Serie)	Longitud (m)			β_{xy}	β_{xz}	$Lb_{sup.}$ (m)	$Lb_{inf.}$ (m)	
Tipo	Designación				Indeformable origen	Deformable	Indeformable extremo					
		N1762/N1763	N1755/N1771	HE 220 A (HEA)	0.078	1.640	0.061	0.56	1.00	1.779	1.779	
		N1763/N1764	N1755/N1771	HE 220 A (HEA)	0.061	1.634	0.084	0.56	1.00	1.779	1.779	
		N1764/N1765	N1755/N1771	HE 220 A (HEA)	0.084	1.611	0.084	0.56	1.00	1.779	1.779	
		N1765/N3471	N1755/N1771	HE 220 A (HEA)	0.084	0.806	-	1.12	1.00	0.890	0.890	
		N3471/N1766	N1755/N1771	HE 220 A (HEA)	-	0.806	0.084	1.12	1.00	0.890	0.890	
		N1766/N1767	N1755/N1771	HE 220 A (HEA)	0.084	1.611	0.084	0.56	1.00	1.779	1.779	
		N1767/N1768	N1755/N1771	HE 220 A (HEA)	0.084	1.611	0.084	0.56	1.00	1.779	1.779	
		N1768/N1769	N1755/N1771	HE 220 A (HEA)	0.084	1.590	0.105	0.56	1.00	1.779	1.779	
		N1769/N1770	N1755/N1771	HE 220 A (HEA)	0.105	1.569	0.105	0.56	1.00	1.779	1.779	
		N1770/N1771	N1755/N1771	HE 220 A (HEA)	0.105	1.533	0.141	0.56	1.00	1.779	1.779	
		N1772/N1773	N1772/N1788	HE 220 A (HEA)	0.141	1.540	0.098	0.56	1.00	1.779	1.779	
		N1773/N1774	N1772/N1788	HE 220 A (HEA)	0.098	1.583	0.098	0.56	1.00	1.779	1.779	
		N1774/N1775	N1772/N1788	HE 220 A (HEA)	0.098	1.603	0.078	0.56	1.00	1.779	1.779	
		N1775/N1776	N1772/N1788	HE 220 A (HEA)	0.078	1.623	0.078	0.56	1.00	1.779	1.779	
		N1776/N1777	N1772/N1788	HE 220 A (HEA)	0.078	1.623	0.078	0.56	1.00	1.779	1.779	
		N1777/N3474	N1772/N1788	HE 220 A (HEA)	0.078	0.812	-	1.12	1.00	0.890	0.890	
		N3474/N1778	N1772/N1788	HE 220 A (HEA)	-	0.812	0.078	1.12	1.00	0.890	0.890	
		N1778/N1779	N1772/N1788	HE 220 A (HEA)	0.078	1.623	0.078	0.56	1.00	1.779	1.779	
		N1779/N1780	N1772/N1788	HE 220 A (HEA)	0.078	1.640	0.061	0.56	1.00	1.779	1.779	
		N1780/N1781	N1772/N1788	HE 220 A (HEA)	0.061	1.634	0.084	0.56	1.00	1.779	1.779	
		N1781/N1782	N1772/N1788	HE 220 A (HEA)	0.084	1.611	0.084	0.56	1.00	1.779	1.779	
		N1782/N3489	N1772/N1788	HE 220 A (HEA)	0.084	0.806	-	1.12	1.00	0.890	0.890	
		N3489/N1783	N1772/N1788	HE 220 A (HEA)	-	0.806	0.084	1.12	1.00	0.890	0.890	
		N1783/N1784	N1772/N1788	HE 220 A (HEA)	0.084	1.611	0.084	0.56	1.00	1.779	1.779	
		N1784/N1785	N1772/N1788	HE 220 A (HEA)	0.084	1.611	0.084	0.56	1.00	1.779	1.779	
		N1785/N1786	N1772/N1788	HE 220 A (HEA)	0.084	1.590	0.105	0.56	1.00	1.779	1.779	
		N1786/N1787	N1772/N1788	HE 220 A (HEA)	0.105	1.569	0.105	0.56	1.00	1.779	1.779	
		N1787/N1788	N1772/N1788	HE 220 A (HEA)	0.105	1.513	0.161	0.56	1.00	1.779	1.779	
		N1789/N1739	N1789/N1739	SHS 150x10.0 (SHS)	0.116	1.774	0.110	1.00	1.00	-	-	
		N1790/N1740	N1790/N1740	SHS 150x10.0 (SHS)	0.116	1.774	0.110	1.00	1.00	-	-	

Documento visado electrónicamente con número: VA07290/22
Código de validación telemática TRLTDCFZ60T66IJ1. Comprobación: https://cogitivalencia.e-gestion.es/Validacion.aspx?CVT=TRLTDCFZ60T66IJ1

VISADO
COGITI
VALENCIA
VA07290/22
TRLTDCFZ60T66IJ1

Descripción											
Material		Barra (Ni/Nf)	Pieza (Ni/Nf)	Perfil(Serie)	Longitud (m)			β_{xy}	β_{xz}	Lbxy (m)	Lbxz (m)
Tipo	Designación				Indeformable origen	Deformable	Indeformable extremo				
		N1791/N1741	N1791/N1741	SHS 150x8.0 (SHS)	0.116	1.778	0.106	1.00	1.00	-	-
		N1792/N1742	N1792/N1742	SHS 120x8.0 (SHS)	0.116	1.778	0.106	1.00	1.00	-	-
		N1793/N1743	N1793/N1743	SHS 120x8.0 (SHS)	0.116	1.778	0.106	1.00	1.00	-	-
		N1794/N1744	N1794/N1744	SHS 120x5.0 (SHS)	0.116	1.778	0.106	1.00	1.00	-	-
		N1795/N1745	N1795/N1745	SHS 120x5.0 (SHS)	0.116	1.778	0.106	1.00	1.00	-	-
		N1796/N1746	N1796/N1746	SHS 120x5.0 (SHS)	0.116	1.778	0.106	1.00	1.00	-	-
		N1797/N1747	N1797/N1747	SHS 120x5.0 (SHS)	0.116	1.778	0.106	1.00	1.00	-	-
		N1798/N1748	N1798/N1748	SHS 120x5.0 (SHS)	0.116	1.778	0.106	1.00	1.00	-	-
		N1799/N1749	N1799/N1749	SHS 120x8.0 (SHS)	0.116	1.778	0.106	1.00	1.00	-	-
		N1800/N1750	N1800/N1750	SHS 120x8.0 (SHS)	0.116	1.778	0.106	1.00	1.00	-	-
		N1801/N1751	N1801/N1751	SHS 150x8.0 (SHS)	0.117	1.777	0.106	1.00	1.00	-	-
		N1802/N1752	N1802/N1752	SHS 150x10.0 (SHS)	0.117	1.766	0.117	1.00	1.00	-	-
		N1803/N1753	N1803/N1753	SHS 150x10.0 (SHS)	0.175	1.708	0.117	1.00	1.00	-	-
		N1804/N1756	N1804/N1756	SHS 150x10.0 (SHS)	0.116	1.774	0.110	1.00	1.00	-	-
		N1805/N1757	N1805/N1757	SHS 150x10.0 (SHS)	0.116	1.774	0.110	1.00	1.00	-	-
		N1806/N1758	N1806/N1758	SHS 150x8.0 (SHS)	0.116	1.778	0.106	1.00	1.00	-	-
		N1807/N1759	N1807/N1759	SHS 120x8.0 (SHS)	0.116	1.778	0.106	1.00	1.00	-	-
		N1808/N1760	N1808/N1760	SHS 120x8.0 (SHS)	0.116	1.778	0.106	1.00	1.00	-	-
		N1809/N1761	N1809/N1761	SHS 120x5.0 (SHS)	0.116	1.778	0.106	1.00	1.00	-	-
		N1810/N1762	N1810/N1762	SHS 120x5.0 (SHS)	0.116	1.778	0.106	1.00	1.00	-	-
		N1811/N1763	N1811/N1763	SHS 120x5.0 (SHS)	0.116	1.778	0.106	1.00	1.00	-	-
		N1812/N1764	N1812/N1764	SHS 120x5.0 (SHS)	0.116	1.778	0.106	1.00	1.00	-	-
		N1813/N1765	N1813/N1765	SHS 120x5.0 (SHS)	0.116	1.778	0.106	1.00	1.00	-	-
		N1814/N1766	N1814/N1766	SHS 120x8.0 (SHS)	0.116	1.778	0.106	1.00	1.00	-	-
		N1815/N1767	N1815/N1767	SHS 120x8.0 (SHS)	0.116	1.778	0.106	1.00	1.00	-	-
		N1816/N1768	N1816/N1768	SHS 150x8.0 (SHS)	0.117	1.777	0.106	1.00	1.00	-	-
		N1817/N1769	N1817/N1769	SHS 150x10.0 (SHS)	0.117	1.766	0.117	1.00	1.00	-	-
		N1818/N1770	N1818/N1770	SHS 150x10.0 (SHS)	0.175	1.708	0.117	1.00	1.00	-	-

Documento visado electrónicamente con número: VA07290/22
Código de validación telemática TRLTDCFZ60T66IJ1. Comprobación: https://cogitivalencia.e-gestion.es/Validacion.aspx?CVT=TRLTDCFZ60T66IJ1

VISADO
COGITI
VALENCIA
VA07290/22
TRLTDCFZ60T66IJ1

Descripción												
Material		Barra (Ni/Nf)	Pieza (Ni/Nf)	Perfil(Serie)	Longitud (m)			β_{xy}	β_{xz}	$Lb_{sup.}$ (m)	$Lb_{inf.}$ (m)
Tipo	Designación				Indeformable origen	Deformable	Indeformable extremo				
		N1819/N1773	N1819/N1773	SHS 150x10.0 (SHS)	0.116	1.774	0.110	1.00	1.00	-	-
		N1820/N1774	N1820/N1774	SHS 150x10.0 (SHS)	0.116	1.774	0.110	1.00	1.00	-	-
		N1821/N1775	N1821/N1775	SHS 150x8.0 (SHS)	0.116	1.778	0.106	1.00	1.00	-	-
		N1822/N1776	N1822/N1776	SHS 120x8.0 (SHS)	0.116	1.778	0.106	1.00	1.00	-	-
		N1823/N1777	N1823/N1777	SHS 120x8.0 (SHS)	0.116	1.778	0.106	1.00	1.00	-	-
		N1824/N1778	N1824/N1778	SHS 120x5.0 (SHS)	0.116	1.778	0.106	1.00	1.00	-	-
		N1825/N1779	N1825/N1779	SHS 120x5.0 (SHS)	0.116	1.778	0.106	1.00	1.00	-	-
		N1826/N1780	N1826/N1780	SHS 120x5.0 (SHS)	0.116	1.778	0.106	1.00	1.00	-	-
		N1827/N1781	N1827/N1781	SHS 120x5.0 (SHS)	0.116	1.778	0.106	1.00	1.00	-	-
		N1828/N1782	N1828/N1782	SHS 120x5.0 (SHS)	0.116	1.778	0.106	1.00	1.00	-	-
		N1829/N1783	N1829/N1783	SHS 120x8.0 (SHS)	0.116	1.778	0.106	1.00	1.00	-	-
		N1830/N1784	N1830/N1784	SHS 120x8.0 (SHS)	0.116	1.778	0.106	1.00	1.00	-	-
		N1831/N1785	N1831/N1785	SHS 150x8.0 (SHS)	0.117	1.777	0.106	1.00	1.00	-	-
		N1832/N1786	N1832/N1786	SHS 150x10.0 (SHS)	0.117	1.766	0.117	1.00	1.00	-	-
		N1833/N1787	N1833/N1787	SHS 150x10.0 (SHS)	0.117	1.766	0.117	1.00	1.00	-	-
		N1789/N1738	N1789/N1738	SHS 150x12.5 (SHS)	0.149	2.297	0.136	0.80	0.80	-	-
		N1790/N1739	N1790/N1739	SHS 150x8.0 (SHS)	0.149	2.297	0.136	0.80	0.80	-	-
		N1791/N1740	N1791/N1740	SHS 150x8.0 (SHS)	0.149	2.297	0.136	0.80	0.80	-	-
		N1792/N1741	N1792/N1741	SHS 120x6.0 (SHS)	0.149	2.297	0.136	0.80	0.80	-	-
		N1793/N1742	N1793/N1742	SHS 120x6.0 (SHS)	0.149	2.297	0.136	0.80	0.80	-	-
		N1794/N1743	N1794/N1743	SHS 120x4.0 (SHS)	0.149	2.297	0.136	0.80	0.80	-	-
		N1795/N1744	N1795/N1744	SHS 120x4.0 (SHS)	0.149	2.297	0.136	0.80	0.80	-	-
		N1796/N1745	N1796/N1745	SHS 120x4.0 (SHS)	0.149	2.297	0.136	0.80	0.80	-	-
		N1796/N1747	N1796/N1747	SHS 120x4.0 (SHS)	0.160	2.463	0.146	0.80	0.80	-	-
		N1797/N1748	N1797/N1748	SHS 120x4.0 (SHS)	0.160	2.463	0.146	0.80	0.80	-	-
		N1798/N1749	N1798/N1749	SHS 120x4.0 (SHS)	0.160	2.463	0.146	0.80	0.80	-	-
		N1799/N1750	N1799/N1750	SHS 120x6.0 (SHS)	0.160	2.463	0.146	0.80	0.80	-	-
		N1800/N1751	N1800/N1751	SHS 120x6.0 (SHS)	0.160	2.463	0.146	0.80	0.80	-	-
		N1801/N1752	N1801/N1752	SHS 150x8.0 (SHS)	0.160	2.463	0.146	0.80	0.80	-	-

Documento visado electrónicamente con número: VA07290/22
Código de validación telemática TRLTDCFZ60T66IJ1. Comprobación: https://cogitivalencia.e-gestion.es/Validacion.aspx?CVT=TRLTDCFZ60T66IJ1

VISADO
COGITI
VALENCIA
VA07290/22
TRLTDCFZ60T66IJ1

Listados

Descripción											
Material		Barra (Ni/Nf)	Pieza (Ni/Nf)	Perfil(Serie)	Longitud (m)			β_{xy}	β_{xz}	Lbsup (m)	Lbinf (m)
Tipo	Designación				Indeformable origen	Deformable	Indeformable extremo				
		N1802/N1753	N1802/N1753	SHS 150x8.0 (SHS)	0.160	2.463	0.146	0.80	0.80	-	-
		N1803/N1754	N1803/N1754	SHS 150x12.5 (SHS)	0.160	2.390	0.219	0.80	0.80	-	-
		N1804/N1755	N1804/N1755	SHS 150x12.5 (SHS)	0.149	2.229	0.204	0.80	0.80	-	-
		N1805/N1756	N1805/N1756	SHS 150x8.0 (SHS)	0.149	2.297	0.136	0.80	0.80	-	-
		N1806/N1757	N1806/N1757	SHS 150x8.0 (SHS)	0.149	2.297	0.136	0.80	0.80	-	-
		N1807/N1758	N1807/N1758	SHS 120x6.0 (SHS)	0.149	2.297	0.136	0.80	0.80	-	-
		N1808/N1759	N1808/N1759	SHS 120x6.0 (SHS)	0.149	2.297	0.136	0.80	0.80	-	-
		N1809/N1760	N1809/N1760	SHS 120x4.0 (SHS)	0.149	2.297	0.136	0.80	0.80	-	-
		N1810/N1761	N1810/N1761	SHS 120x4.0 (SHS)	0.149	2.297	0.136	0.80	0.80	-	-
		N1811/N1762	N1811/N1762	SHS 120x4.0 (SHS)	0.149	2.297	0.136	0.80	0.80	-	-
		N1811/N1764	N1811/N1764	SHS 120x4.0 (SHS)	0.160	2.463	0.146	0.80	0.80	-	-
		N1812/N1765	N1812/N1765	SHS 120x4.0 (SHS)	0.160	2.463	0.146	0.80	0.80	-	-
		N1813/N1766	N1813/N1766	SHS 120x4.0 (SHS)	0.160	2.463	0.146	0.80	0.80	-	-
		N1814/N1767	N1814/N1767	SHS 120x6.0 (SHS)	0.160	2.463	0.146	0.80	0.80	-	-
		N1815/N1768	N1815/N1768	SHS 120x6.0 (SHS)	0.160	2.463	0.146	0.80	0.80	-	-
		N1816/N1769	N1816/N1769	SHS 150x8.0 (SHS)	0.160	2.463	0.146	0.80	0.80	-	-
		N1817/N1770	N1817/N1770	SHS 150x8.0 (SHS)	0.160	2.463	0.146	0.80	0.80	-	-
		N1818/N1771	N1818/N1771	SHS 150x12.5 (SHS)	0.160	2.390	0.219	0.80	0.80	-	-
		N1819/N1772	N1819/N1772	SHS 150x12.5 (SHS)	0.149	2.229	0.204	0.80	0.80	-	-
		N1820/N1773	N1820/N1773	SHS 150x8.0 (SHS)	0.149	2.297	0.136	0.80	0.80	-	-
		N1821/N1774	N1821/N1774	SHS 150x8.0 (SHS)	0.149	2.297	0.136	0.80	0.80	-	-
		N1822/N1775	N1822/N1775	SHS 120x6.0 (SHS)	0.149	2.297	0.136	0.80	0.80	-	-
		N1823/N1776	N1823/N1776	SHS 120x6.0 (SHS)	0.149	2.297	0.136	0.80	0.80	-	-
		N1824/N1777	N1824/N1777	SHS 120x4.0 (SHS)	0.149	2.297	0.136	0.80	0.80	-	-
		N1825/N1778	N1825/N1778	SHS 120x4.0 (SHS)	0.149	2.297	0.136	0.80	0.80	-	-
		N1826/N1779	N1826/N1779	SHS 120x4.0 (SHS)	0.149	2.297	0.136	0.80	0.80	-	-
		N1826/N1781	N1826/N1781	SHS 120x4.0 (SHS)	0.160	2.463	0.146	0.80	0.80	-	-
		N1827/N1782	N1827/N1782	SHS 120x4.0 (SHS)	0.160	2.463	0.146	0.80	0.80	-	-
		N1828/N1783	N1828/N1783	SHS 120x4.0 (SHS)	0.160	2.463	0.146	0.80	0.80	-	-
		N1829/N1784	N1829/N1784	SHS 120x6.0 (SHS)	0.160	2.463	0.146	0.80	0.80	-	-

Documento visado electrónicamente con número: VA07290/22
Código de validación telemática TRLTDCFZ60T66IJ1. Comprobación: https://cogitivalencia.e-gestion.es/Validacion.aspx?CVT=TRLTDCFZ60T66IJ1

VISADO
COGITI
VALENCIA
VA07290/22
TRLTDCFZ60T66IJ1

Descripción												
Material		Barra (Ni/Nf)	Pieza (Ni/Nf)	Perfil(Serie)	Longitud (m)			β_{xy}	β_{xz}	$Lb_{sup.}$ (m)	$Lb_{inf.}$ (m)
Tipo	Designación				Indeformable origen	Deformable	Indeformable extremo				
		N1830/N1785	N1830/N1785	SHS 120x6.0 (SHS)	0.160	2.463	0.146	0.80	0.80	-	-
		N1831/N1786	N1831/N1786	SHS 150x8.0 (SHS)	0.160	2.463	0.146	0.80	0.80	-	-
		N1832/N1787	N1832/N1787	SHS 150x8.0 (SHS)	0.160	2.463	0.146	0.80	0.80	-	-
		N1833/N1788	N1833/N1788	SHS 150x12.5 (SHS)	0.160	2.359	0.250	0.80	0.80	-	-
		N1834/N1835	N1834/N1850	HE 220 A (HEA)	0.098	1.583	0.098	0.56	1.00	1.779	1.779
		N1835/N1836	N1834/N1850	HE 220 A (HEA)	0.098	1.583	0.098	0.56	1.00	1.779	1.779
		N1836/N1837	N1834/N1850	HE 220 A (HEA)	0.098	1.603	0.078	0.56	1.00	1.779	1.779
		N1837/N1838	N1834/N1850	HE 220 A (HEA)	0.078	1.623	0.078	0.56	1.00	1.779	1.779
		N1838/N1839	N1834/N1850	HE 220 A (HEA)	0.078	1.623	0.078	0.56	1.00	1.779	1.779
		N1839/N3439	N1834/N1850	HE 220 A (HEA)	0.078	0.812	-	1.12	1.00	0.890	0.890
		N3439/N1840	N1834/N1850	HE 220 A (HEA)	-	0.812	0.078	1.12	1.00	0.890	0.890
		N1840/N1841	N1834/N1850	HE 220 A (HEA)	0.078	1.623	0.078	0.56	1.00	1.779	1.779
		N1841/N1842	N1834/N1850	HE 220 A (HEA)	0.078	1.640	0.061	0.56	1.00	1.779	1.779
		N1842/N1843	N1834/N1850	HE 220 A (HEA)	0.061	1.634	0.084	0.56	1.00	1.779	1.779
		N1843/N1844	N1834/N1850	HE 220 A (HEA)	0.084	1.611	0.084	0.56	1.00	1.779	1.779
		N1844/N3452	N1834/N1850	HE 220 A (HEA)	0.084	0.806	-	1.12	1.00	0.890	0.890
		N3452/N1845	N1834/N1850	HE 220 A (HEA)	-	0.806	0.084	1.12	1.00	0.890	0.890
		N1845/N1846	N1834/N1850	HE 220 A (HEA)	0.084	1.611	0.084	0.56	1.00	1.779	1.779
		N1846/N1847	N1834/N1850	HE 220 A (HEA)	0.084	1.611	0.084	0.56	1.00	1.779	1.779
		N1847/N1848	N1834/N1850	HE 220 A (HEA)	0.084	1.590	0.105	0.56	1.00	1.779	1.779
		N1848/N1849	N1834/N1850	HE 220 A (HEA)	0.105	1.569	0.105	0.56	1.00	1.779	1.779
		N1849/N1850	N1834/N1850	HE 220 A (HEA)	0.105	1.533	0.141	0.56	1.00	1.779	1.779
		N1851/N1852	N1851/N1867	HE 220 A (HEA)	0.141	1.540	0.098	0.56	1.00	1.779	1.779
		N1852/N1853	N1851/N1867	HE 220 A (HEA)	0.098	1.583	0.098	0.56	1.00	1.779	1.779
		N1853/N1854	N1851/N1867	HE 220 A (HEA)	0.098	1.603	0.078	0.56	1.00	1.779	1.779
		N1854/N1855	N1851/N1867	HE 220 A (HEA)	0.078	1.623	0.078	0.56	1.00	1.779	1.779
		N1855/N1856	N1851/N1867	HE 220 A (HEA)	0.078	1.623	0.078	0.56	1.00	1.779	1.779
		N1856/N3457	N1851/N1867	HE 220 A (HEA)	0.078	0.812	-	1.12	1.00	0.890	0.890
		N3457/N1857	N1851/N1867	HE 220 A (HEA)	-	0.812	0.078	1.12	1.00	0.890	0.890
		N1857/N1858	N1851/N1867	HE 220 A (HEA)	0.078	1.623	0.078	0.56	1.00	1.779	1.779
		N1858/N1859	N1851/N1867	HE 220 A (HEA)	0.078	1.640	0.061	0.56	1.00	1.779	1.779

Documento visado electrónicamente con número: VA07290/22
Código de validación telemática TRLTDCFZ60T66IJ1. Comprobación: https://cogitivalencia.e-gestion.es/Validacion.aspx?CVT=TRLTDCFZ60T66IJ1

VISADO
COGITI
VALENCIA
VA07290/22
TRLTDCFZ60T66IJ1

Listados

Descripción											
Material		Barra (Ni/Nf)	Pieza (Ni/Nf)	Perfil(Serie)	Longitud (m)			β_{xy}	β_{xz}	Lbsup (m)	Lbinf (m)
Tipo	Designación				Indeformable origen	Deformable	Indeformable extremo				
		N1859/N1860	N1851/N1867	HE 220 A (HEA)	0.061	1.634	0.084	0.56	1.00	1.779	1.779
		N1860/N1861	N1851/N1867	HE 220 A (HEA)	0.084	1.611	0.084	0.56	1.00	1.779	1.779
		N1861/N3470	N1851/N1867	HE 220 A (HEA)	0.084	0.806	-	1.12	1.00	0.890	0.890
		N3470/N1862	N1851/N1867	HE 220 A (HEA)	-	0.806	0.084	1.12	1.00	0.890	0.890
		N1862/N1863	N1851/N1867	HE 220 A (HEA)	0.084	1.611	0.084	0.56	1.00	1.779	1.779
		N1863/N1864	N1851/N1867	HE 220 A (HEA)	0.084	1.611	0.084	0.56	1.00	1.779	1.779
		N1864/N1865	N1851/N1867	HE 220 A (HEA)	0.084	1.590	0.105	0.56	1.00	1.779	1.779
		N1865/N1866	N1851/N1867	HE 220 A (HEA)	0.105	1.569	0.105	0.56	1.00	1.779	1.779
		N1866/N1867	N1851/N1867	HE 220 A (HEA)	0.105	1.533	0.141	0.56	1.00	1.779	1.779
		N1868/N1869	N1868/N1884	HE 220 A (HEA)	0.141	1.540	0.098	0.56	1.00	1.779	1.779
		N1869/N1870	N1868/N1884	HE 220 A (HEA)	0.098	1.583	0.098	0.56	1.00	1.779	1.779
		N1870/N1871	N1868/N1884	HE 220 A (HEA)	0.098	1.603	0.078	0.56	1.00	1.779	1.779
		N1871/N1872	N1868/N1884	HE 220 A (HEA)	0.078	1.623	0.078	0.56	1.00	1.779	1.779
		N1872/N1873	N1868/N1884	HE 220 A (HEA)	0.078	1.623	0.078	0.56	1.00	1.779	1.779
		N1873/N3475	N1868/N1884	HE 220 A (HEA)	0.078	0.812	-	1.12	1.00	0.890	0.890
		N3475/N1874	N1868/N1884	HE 220 A (HEA)	-	0.812	0.078	1.12	1.00	0.890	0.890
		N1874/N1875	N1868/N1884	HE 220 A (HEA)	0.078	1.623	0.078	0.56	1.00	1.779	1.779
		N1875/N1876	N1868/N1884	HE 220 A (HEA)	0.078	1.640	0.061	0.56	1.00	1.779	1.779
		N1876/N1877	N1868/N1884	HE 220 A (HEA)	0.061	1.634	0.084	0.56	1.00	1.779	1.779
		N1877/N1878	N1868/N1884	HE 220 A (HEA)	0.084	1.611	0.084	0.56	1.00	1.779	1.779
		N1878/N3488	N1868/N1884	HE 220 A (HEA)	0.084	0.806	-	1.12	1.00	0.890	0.890
		N3488/N1879	N1868/N1884	HE 220 A (HEA)	-	0.806	0.084	1.12	1.00	0.890	0.890
		N1879/N1880	N1868/N1884	HE 220 A (HEA)	0.084	1.611	0.084	0.56	1.00	1.779	1.779
		N1880/N1881	N1868/N1884	HE 220 A (HEA)	0.084	1.611	0.084	0.56	1.00	1.779	1.779
		N1881/N1882	N1868/N1884	HE 220 A (HEA)	0.084	1.590	0.105	0.56	1.00	1.779	1.779
		N1882/N1883	N1868/N1884	HE 220 A (HEA)	0.105	1.569	0.105	0.56	1.00	1.779	1.779
		N1883/N1884	N1868/N1884	HE 220 A (HEA)	0.105	1.513	0.161	0.56	1.00	1.779	1.779
		N1885/N1835	N1885/N1835	SHS 150x10.0 (SHS)	0.116	1.774	0.110	1.00	1.00	-	-
		N1886/N1836	N1886/N1836	SHS 150x10.0 (SHS)	0.116	1.774	0.110	1.00	1.00	-	-
		N1887/N1837	N1887/N1837	SHS 150x8.0 (SHS)	0.116	1.778	0.106	1.00	1.00	-	-

Documento visado electrónicamente con número: VA07290/22
Código de validación telemática TRLTDCFZ60T66IJ1. Comprobación: https://cogitivalencia.e-gestion.es/Validacion.aspx?CVT=TRLTDCFZ60T66IJ1

VISADO
COGITI
VALENCIA
VA07290/22
TRLTDCFZ60T66IJ1

Descripción												
Material		Barra (Ni/Nf)	Pieza (Ni/Nf)	Perfil(Serie)	Longitud (m)			β_{xy}	β_{xz}	$Lb_{sup.}$ (m)	$Lb_{inf.}$ (m)
Tipo	Designación				Indeformable origen	Deformable	Indeformable extremo				
		N1888/N1838	N1888/N1838	SHS 120x8.0 (SHS)	0.116	1.778	0.106	1.00	1.00	-	-
		N1889/N1839	N1889/N1839	SHS 120x8.0 (SHS)	0.116	1.778	0.106	1.00	1.00	-	-
		N1890/N1840	N1890/N1840	SHS 120x5.0 (SHS)	0.116	1.778	0.106	1.00	1.00	-	-
		N1891/N1841	N1891/N1841	SHS 120x5.0 (SHS)	0.116	1.778	0.106	1.00	1.00	-	-
		N1892/N1842	N1892/N1842	SHS 120x5.0 (SHS)	0.116	1.778	0.106	1.00	1.00	-	-
		N1893/N1843	N1893/N1843	SHS 120x5.0 (SHS)	0.116	1.778	0.106	1.00	1.00	-	-
		N1894/N1844	N1894/N1844	SHS 120x5.0 (SHS)	0.116	1.778	0.106	1.00	1.00	-	-
		N1895/N1845	N1895/N1845	SHS 120x8.0 (SHS)	0.116	1.778	0.106	1.00	1.00	-	-
		N1896/N1846	N1896/N1846	SHS 120x8.0 (SHS)	0.116	1.778	0.106	1.00	1.00	-	-
		N1897/N1847	N1897/N1847	SHS 150x8.0 (SHS)	0.117	1.777	0.106	1.00	1.00	-	-
		N1898/N1848	N1898/N1848	SHS 150x10.0 (SHS)	0.117	1.766	0.117	1.00	1.00	-	-
		N1899/N1849	N1899/N1849	SHS 150x10.0 (SHS)	0.175	1.708	0.117	1.00	1.00	-	-
		N1900/N1852	N1900/N1852	SHS 150x10.0 (SHS)	0.116	1.774	0.110	1.00	1.00	-	-
		N1901/N1853	N1901/N1853	SHS 150x10.0 (SHS)	0.116	1.774	0.110	1.00	1.00	-	-
		N1902/N1854	N1902/N1854	SHS 150x8.0 (SHS)	0.116	1.778	0.106	1.00	1.00	-	-
		N1903/N1855	N1903/N1855	SHS 120x8.0 (SHS)	0.116	1.778	0.106	1.00	1.00	-	-
		N1904/N1856	N1904/N1856	SHS 120x8.0 (SHS)	0.116	1.778	0.106	1.00	1.00	-	-
		N1905/N1857	N1905/N1857	SHS 120x5.0 (SHS)	0.116	1.778	0.106	1.00	1.00	-	-
		N1906/N1858	N1906/N1858	SHS 120x5.0 (SHS)	0.116	1.778	0.106	1.00	1.00	-	-
		N1907/N1859	N1907/N1859	SHS 120x5.0 (SHS)	0.116	1.778	0.106	1.00	1.00	-	-
		N1908/N1860	N1908/N1860	SHS 120x5.0 (SHS)	0.116	1.778	0.106	1.00	1.00	-	-
		N1909/N1861	N1909/N1861	SHS 120x5.0 (SHS)	0.116	1.778	0.106	1.00	1.00	-	-
		N1910/N1862	N1910/N1862	SHS 120x8.0 (SHS)	0.116	1.778	0.106	1.00	1.00	-	-
		N1911/N1863	N1911/N1863	SHS 120x8.0 (SHS)	0.116	1.778	0.106	1.00	1.00	-	-
		N1912/N1864	N1912/N1864	SHS 150x8.0 (SHS)	0.117	1.777	0.106	1.00	1.00	-	-
		N1913/N1865	N1913/N1865	SHS 150x10.0 (SHS)	0.117	1.766	0.117	1.00	1.00	-	-
		N1914/N1866	N1914/N1866	SHS 150x10.0 (SHS)	0.175	1.708	0.117	1.00	1.00	-	-
		N1915/N1869	N1915/N1869	SHS 150x10.0 (SHS)	0.116	1.774	0.110	1.00	1.00	-	-

Documento visado electrónicamente con número: VA07290/22
Código de validación telemática TRLTDCFZ60T66IJ1. Comprobación: https://cogitivalencia.e-gestion.es/Validacion.aspx?CVT=TRLTDCFZ60T66IJ1

VISADO
COGITI
VALENCIA
VA07290/22
TRLTDCFZ60T66IJ1

Descripción											
Material		Barra (Ni/Nf)	Pieza (Ni/Nf)	Perfil(Serie)	Longitud (m)			β_{xy}	β_{xz}	Lbsup (m)	Lbinf (m)
Tipo	Designación				Indeformable origen	Deformable	Indeformable extremo				
		N1916/N1870	N1916/N1870	SHS 150x10.0 (SHS)	0.116	1.774	0.110	1.00	1.00	-	-
		N1917/N1871	N1917/N1871	SHS 150x8.0 (SHS)	0.116	1.778	0.106	1.00	1.00	-	-
		N1918/N1872	N1918/N1872	SHS 120x8.0 (SHS)	0.116	1.778	0.106	1.00	1.00	-	-
		N1919/N1873	N1919/N1873	SHS 120x8.0 (SHS)	0.116	1.778	0.106	1.00	1.00	-	-
		N1920/N1874	N1920/N1874	SHS 120x5.0 (SHS)	0.116	1.778	0.106	1.00	1.00	-	-
		N1921/N1875	N1921/N1875	SHS 120x5.0 (SHS)	0.116	1.778	0.106	1.00	1.00	-	-
		N1922/N1876	N1922/N1876	SHS 120x5.0 (SHS)	0.116	1.778	0.106	1.00	1.00	-	-
		N1923/N1877	N1923/N1877	SHS 120x5.0 (SHS)	0.116	1.778	0.106	1.00	1.00	-	-
		N1924/N1878	N1924/N1878	SHS 120x5.0 (SHS)	0.116	1.778	0.106	1.00	1.00	-	-
		N1925/N1879	N1925/N1879	SHS 120x8.0 (SHS)	0.116	1.778	0.106	1.00	1.00	-	-
		N1926/N1880	N1926/N1880	SHS 120x8.0 (SHS)	0.116	1.778	0.106	1.00	1.00	-	-
		N1927/N1881	N1927/N1881	SHS 150x8.0 (SHS)	0.117	1.777	0.106	1.00	1.00	-	-
		N1928/N1882	N1928/N1882	SHS 150x10.0 (SHS)	0.117	1.766	0.117	1.00	1.00	-	-
		N1929/N1883	N1929/N1883	SHS 150x10.0 (SHS)	0.117	1.766	0.117	1.00	1.00	-	-
		N1885/N1834	N1885/N1834	SHS 150x12.5 (SHS)	0.149	2.297	0.136	0.80	0.80	-	-
		N1886/N1835	N1886/N1835	SHS 150x8.0 (SHS)	0.149	2.297	0.136	0.80	0.80	-	-
		N1887/N1836	N1887/N1836	SHS 150x8.0 (SHS)	0.149	2.297	0.136	0.80	0.80	-	-
		N1888/N1837	N1888/N1837	SHS 120x6.0 (SHS)	0.149	2.297	0.136	0.80	0.80	-	-
		N1889/N1838	N1889/N1838	SHS 120x6.0 (SHS)	0.149	2.297	0.136	0.80	0.80	-	-
		N1890/N1839	N1890/N1839	SHS 120x4.0 (SHS)	0.149	2.297	0.136	0.80	0.80	-	-
		N1891/N1840	N1891/N1840	SHS 120x4.0 (SHS)	0.149	2.297	0.136	0.80	0.80	-	-
		N1892/N1841	N1892/N1841	SHS 120x4.0 (SHS)	0.149	2.297	0.136	0.80	0.80	-	-
		N1892/N1843	N1892/N1843	SHS 120x4.0 (SHS)	0.160	2.463	0.146	0.80	0.80	-	-
		N1893/N1844	N1893/N1844	SHS 120x4.0 (SHS)	0.160	2.463	0.146	0.80	0.80	-	-
		N1894/N1845	N1894/N1845	SHS 120x4.0 (SHS)	0.160	2.463	0.146	0.80	0.80	-	-
		N1895/N1846	N1895/N1846	SHS 120x6.0 (SHS)	0.160	2.463	0.146	0.80	0.80	-	-
		N1896/N1847	N1896/N1847	SHS 120x6.0 (SHS)	0.160	2.463	0.146	0.80	0.80	-	-
		N1897/N1848	N1897/N1848	SHS 150x8.0 (SHS)	0.160	2.463	0.146	0.80	0.80	-	-
		N1898/N1849	N1898/N1849	SHS 150x8.0 (SHS)	0.160	2.463	0.146	0.80	0.80	-	-

Documento visado electrónicamente con número: VA07290/22
Código de validación telemática TRLTDCFZ60T66IJ1. Comprobación: https://cogitivalencia.e-gestion.es/Validacion.aspx?CVT=TRLTDCFZ60T66IJ1

Listados

VISADO
COGITI
VALENCIA
VA07290/22
TRLTDCFZ60T66IJ1

Descripción												
Material		Barra (Ni/Nf)	Pieza (Ni/Nf)	Perfil(Serie)	Longitud (m)			β_{xy}	β_{xz}	$Lb_{sup.}$ (m)	$Lb_{inf.}$ (m)
Tipo	Designación				Indeformable origen	Deformable	Indeformable extremo				
		N1899/N1850	N1899/N1850	SHS 150x12.5 (SHS)	0.160	2.390	0.219	0.80	0.80	-	-
		N1900/N1851	N1900/N1851	SHS 150x12.5 (SHS)	0.149	2.229	0.204	0.80	0.80	-	-
		N1901/N1852	N1901/N1852	SHS 150x8.0 (SHS)	0.149	2.297	0.136	0.80	0.80	-	-
		N1902/N1853	N1902/N1853	SHS 150x8.0 (SHS)	0.149	2.297	0.136	0.80	0.80	-	-
		N1903/N1854	N1903/N1854	SHS 120x6.0 (SHS)	0.149	2.297	0.136	0.80	0.80	-	-
		N1904/N1855	N1904/N1855	SHS 120x6.0 (SHS)	0.149	2.297	0.136	0.80	0.80	-	-
		N1905/N1856	N1905/N1856	SHS 120x4.0 (SHS)	0.149	2.297	0.136	0.80	0.80	-	-
		N1906/N1857	N1906/N1857	SHS 120x4.0 (SHS)	0.149	2.297	0.136	0.80	0.80	-	-
		N1907/N1858	N1907/N1858	SHS 120x4.0 (SHS)	0.149	2.297	0.136	0.80	0.80	-	-
		N1907/N1860	N1907/N1860	SHS 120x4.0 (SHS)	0.160	2.463	0.146	0.80	0.80	-	-
		N1908/N1861	N1908/N1861	SHS 120x4.0 (SHS)	0.160	2.463	0.146	0.80	0.80	-	-
		N1909/N1862	N1909/N1862	SHS 120x4.0 (SHS)	0.160	2.463	0.146	0.80	0.80	-	-
		N1910/N1863	N1910/N1863	SHS 120x6.0 (SHS)	0.160	2.463	0.146	0.80	0.80	-	-
		N1911/N1864	N1911/N1864	SHS 120x6.0 (SHS)	0.160	2.463	0.146	0.80	0.80	-	-
		N1912/N1865	N1912/N1865	SHS 150x8.0 (SHS)	0.160	2.463	0.146	0.80	0.80	-	-
		N1913/N1866	N1913/N1866	SHS 150x8.0 (SHS)	0.160	2.463	0.146	0.80	0.80	-	-
		N1914/N1867	N1914/N1867	SHS 150x12.5 (SHS)	0.160	2.390	0.219	0.80	0.80	-	-
		N1915/N1868	N1915/N1868	SHS 150x12.5 (SHS)	0.149	2.229	0.204	0.80	0.80	-	-
		N1916/N1869	N1916/N1869	SHS 150x8.0 (SHS)	0.149	2.297	0.136	0.80	0.80	-	-
		N1917/N1870	N1917/N1870	SHS 150x8.0 (SHS)	0.149	2.297	0.136	0.80	0.80	-	-
		N1918/N1871	N1918/N1871	SHS 120x6.0 (SHS)	0.149	2.297	0.136	0.80	0.80	-	-
		N1919/N1872	N1919/N1872	SHS 120x6.0 (SHS)	0.149	2.297	0.136	0.80	0.80	-	-
		N1920/N1873	N1920/N1873	SHS 120x4.0 (SHS)	0.149	2.297	0.136	0.80	0.80	-	-
		N1921/N1874	N1921/N1874	SHS 120x4.0 (SHS)	0.149	2.297	0.136	0.80	0.80	-	-
		N1922/N1875	N1922/N1875	SHS 120x4.0 (SHS)	0.149	2.297	0.136	0.80	0.80	-	-
		N1922/N1877	N1922/N1877	SHS 120x4.0 (SHS)	0.160	2.463	0.146	0.80	0.80	-	-
		N1923/N1878	N1923/N1878	SHS 120x4.0 (SHS)	0.160	2.463	0.146	0.80	0.80	-	-
		N1924/N1879	N1924/N1879	SHS 120x4.0 (SHS)	0.160	2.463	0.146	0.80	0.80	-	-
		N1925/N1880	N1925/N1880	SHS 120x6.0 (SHS)	0.160	2.463	0.146	0.80	0.80	-	-
		N1926/N1881	N1926/N1881	SHS 120x6.0 (SHS)	0.160	2.463	0.146	0.80	0.80	-	-

Documento visado electrónicamente con número: VA07290/22
Código de validación telemática TRLTDCFZ60T66IJ1. Comprobación: https://cogitivalencia.e-gestion.es/Validacion.aspx?CVT=TRLTDCFZ60T66IJ1

VISADO
COGITI
VALENCIA
VA07290/22
TRLTDCFZ60T66IJ1

Listados

Descripción											
Material		Barra (Ni/Nf)	Pieza (Ni/Nf)	Perfil(Serie)	Longitud (m)			β_{xy}	β_{xz}	Lbsup (m)	Lbinf (m)
Tipo	Designación				Indeformable origen	Deformable	Indeformable extremo				
		N1927/N1882	N1927/N1882	SHS 150x8.0 (SHS)	0.160	2.463	0.146	0.80	0.80	-	-
		N1928/N1883	N1928/N1883	SHS 150x8.0 (SHS)	0.160	2.463	0.146	0.80	0.80	-	-
		N1929/N1884	N1929/N1884	SHS 150x12.5 (SHS)	0.160	2.359	0.250	0.80	0.80	-	-
		N1930/N1931	N1930/N1933	SHS 120x5.0 (SHS)	0.060	2.313	0.060	1.00	3.00	-	-
		N1931/N1932	N1930/N1933	SHS 120x5.0 (SHS)	0.060	2.313	0.060	1.00	3.00	-	-
		N1932/N1933	N1930/N1933	SHS 120x5.0 (SHS)	0.060	2.243	0.130	1.00	3.00	-	-
		N1642/N1934	N1642/N1738	SHS 120x5.0 (SHS)	0.060	2.313	0.060	1.00	3.00	-	-
		N1934/N1935	N1642/N1738	SHS 120x5.0 (SHS)	0.060	2.313	0.060	1.00	3.00	-	-
		N1935/N1738	N1642/N1738	SHS 120x5.0 (SHS)	0.060	2.298	0.075	1.00	3.00	-	-
		N1933/N1936	N1933/N1938	SHS 120x5.0 (SHS)	0.130	2.243	0.060	1.00	3.00	-	-
		N1936/N1937	N1933/N1938	SHS 120x5.0 (SHS)	0.060	2.313	0.060	1.00	3.00	-	-
		N1937/N1938	N1933/N1938	SHS 120x5.0 (SHS)	0.060	2.243	0.130	1.00	3.00	-	-
		N1738/N1939	N1738/N1834	SHS 120x5.0 (SHS)	0.075	2.298	0.060	1.00	3.00	-	-
		N1939/N1940	N1738/N1834	SHS 120x5.0 (SHS)	0.060	2.313	0.060	1.00	3.00	-	-
		N1940/N1834	N1738/N1834	SHS 120x5.0 (SHS)	0.060	2.298	0.075	1.00	3.00	-	-
		N1659/N1942	N1659/N1755	SHS 120x5.0 (SHS)	0.150	2.188	0.095	1.00	3.00	-	-
		N1942/N1941	N1659/N1755	SHS 120x5.0 (SHS)	0.095	2.243	0.095	1.00	3.00	-	-
		N1941/N1755	N1659/N1755	SHS 120x5.0 (SHS)	0.095	2.183	0.155	1.00	3.00	-	-
		N1755/N1943	N1755/N1851	SHS 120x5.0 (SHS)	0.155	2.183	0.095	1.00	3.00	-	-
		N1943/N1944	N1755/N1851	SHS 120x5.0 (SHS)	0.095	2.243	0.095	1.00	3.00	-	-
		N1944/N1851	N1755/N1851	SHS 120x5.0 (SHS)	0.095	2.183	0.155	1.00	3.00	-	-
		N1658/N1946	N1658/N1754	SHS 120x5.0 (SHS)	0.095	2.278	0.060	1.00	3.00	-	-
		N1946/N1945	N1658/N1754	SHS 120x5.0 (SHS)	0.060	2.313	0.060	1.00	3.00	-	-
		N1945/N1754	N1658/N1754	SHS 120x5.0 (SHS)	0.060	2.278	0.095	1.00	3.00	-	-
		N1754/N1947	N1754/N1850	SHS 120x5.0 (SHS)	0.095	2.278	0.060	1.00	3.00	-	-
		N1947/N1948	N1754/N1850	SHS 120x5.0 (SHS)	0.060	2.313	0.060	1.00	3.00	-	-
		N1948/N1850	N1754/N1850	SHS 120x5.0 (SHS)	0.060	2.278	0.095	1.00	3.00	-	-
		N1944/N1948	N1944/N1948	SHS 120x5.0 (SHS)	0.078	1.862	0.060	1.00	1.00	-	-
		N1943/N1947	N1943/N1947	SHS 120x5.0 (SHS)	0.078	1.862	0.060	1.00	1.00	-	-
		N1941/N1945	N1941/N1945	SHS 120x5.0 (SHS)	0.078	1.862	0.060	1.00	1.00	-	-
		N1942/N1946	N1942/N1946	SHS 120x5.0 (SHS)	0.078	1.862	0.060	1.00	1.00	-	-

Documento visado electrónicamente con número: VA07290/22
Código de validación telemática TRLTDCFZ60T66IJ1. Comprobación: https://cogitivalencia.e-gestion.es/Validacion.aspx?CVT=TRLTDCFZ60T66IJ1

VISADO
COGITI
VALENCIA
VA07290/22
TRLTDCFZ60T66IJ1

Listados

Descripción												
Material		Barra (Ni/Nf)	Pieza (Ni/Nf)	Perfil(Serie)	Longitud (m)			β_{xy}	β_{xz}	$Lb_{sup.}$ (m)	$Lb_{inf.}$ (m)
Tipo	Designación				Indeformable origen	Deformable	Indeformable extremo				
		N1931/N1934	N1931/N1934	SHS 120x5.0 (SHS)	0.060	1.880	0.060	1.00	1.00	-	-
		N1932/N1935	N1932/N1935	SHS 120x5.0 (SHS)	0.060	1.880	0.060	1.00	1.00	-	-
		N1937/N1940	N1937/N1940	SHS 120x5.0 (SHS)	0.060	1.880	0.060	1.00	1.00	-	-
		N1936/N1939	N1936/N1939	SHS 120x5.0 (SHS)	0.060	1.880	0.060	1.00	1.00	-	-
		N1937/N1939	N1937/N1939	L 50 x 50 x 5 (L)	0.095	2.960	0.095	0.00	0.00	-	-
		N1936/N1940	N1936/N1940	L 50 x 50 x 5 (L)	0.095	2.960	0.095	0.00	0.00	-	-
		N1932/N1934	N1932/N1934	L 50 x 50 x 5 (L)	0.095	2.960	0.095	0.00	0.00	-	-
		N1931/N1935	N1931/N1935	L 50 x 50 x 5 (L)	0.095	2.960	0.095	0.00	0.00	-	-
		N1949/N1942	N1949/N1942	SHS 120x5.0 (SHS)	0.195	2.860	0.095	1.00	1.00	-	-
		N1950/N1941	N1950/N1941	SHS 120x5.0 (SHS)	0.201	2.854	0.095	1.00	1.00	-	-
		N1950/N1943	N1950/N1943	SHS 120x5.0 (SHS)	0.201	2.854	0.095	1.00	1.00	-	-
		N1951/N1944	N1951/N1944	SHS 120x5.0 (SHS)	0.201	2.854	0.095	1.00	1.00	-	-
		N1952/N1953	N1952/N1953	SHS 120x5.0 (SHS)	0.195	2.860	0.095	1.00	1.00	-	-
		N1676/N1953	N1676/N1772	SHS 120x5.0 (SHS)	0.150	2.188	0.095	1.00	3.00	-	-
		N1953/N1954	N1676/N1772	SHS 120x5.0 (SHS)	0.095	2.243	0.095	1.00	3.00	-	-
		N1954/N1772	N1676/N1772	SHS 120x5.0 (SHS)	0.095	2.183	0.155	1.00	3.00	-	-
		N1953/N1955	N1953/N1955	SHS 120x5.0 (SHS)	0.078	1.862	0.060	1.00	1.00	-	-
		N1675/N1955	N1675/N1771	SHS 120x5.0 (SHS)	0.095	2.278	0.060	1.00	3.00	-	-
		N1955/N1956	N1675/N1771	SHS 120x5.0 (SHS)	0.060	2.313	0.060	1.00	3.00	-	-
		N1956/N1771	N1675/N1771	SHS 120x5.0 (SHS)	0.060	2.278	0.095	1.00	3.00	-	-
		N1954/N1956	N1954/N1956	SHS 120x5.0 (SHS)	0.078	1.862	0.060	1.00	1.00	-	-
		N1957/N1954	N1957/N1954	SHS 120x5.0 (SHS)	0.201	2.854	0.095	1.00	1.00	-	-
		N1957/N1958	N1957/N1958	SHS 120x5.0 (SHS)	0.201	2.854	0.095	1.00	1.00	-	-
		N1772/N1958	N1772/N1868	SHS 120x5.0 (SHS)	0.155	2.183	0.095	1.00	3.00	-	-
		N1958/N1959	N1772/N1868	SHS 120x5.0 (SHS)	0.095	2.243	0.095	1.00	3.00	-	-
		N1959/N1868	N1772/N1868	SHS 120x5.0 (SHS)	0.095	2.183	0.155	1.00	3.00	-	-
		N1958/N1960	N1958/N1960	SHS 120x5.0 (SHS)	0.078	1.862	0.060	1.00	1.00	-	-
		N1959/N1961	N1959/N1961	SHS 120x5.0 (SHS)	0.078	1.862	0.060	1.00	1.00	-	-
		N1962/N1959	N1962/N1959	SHS 120x5.0 (SHS)	0.201	2.854	0.095	1.00	1.00	-	-
		N1771/N1960	N1771/N1867	SHS 120x5.0 (SHS)	0.095	2.278	0.060	1.00	3.00	-	-
		N1960/N1961	N1771/N1867	SHS 120x5.0 (SHS)	0.060	2.313	0.060	1.00	3.00	-	-

Documento visado electrónicamente con número: VA07290/22
Código de validación telemática TRLTDCFZ60T66IJ1. Comprobación: https://cogitivalencia.e-gestion.es/Validacion.aspx?CVT=TRLTDCFZ60T66IJ1

VISADO
COGITI
VALENCIA
VA07290/22
TRLTDCFZ60T66IJ1

Descripción												
Material		Barra (Ni/Nf)	Pieza (Ni/Nf)	Perfil(Serie)	Longitud (m)			β_{xy}	β_{xz}	Lbsup (m)	Lbinf (m)
Tipo	Designación				Indeformable origen	Deformable	Indeformable extremo				
		N1961/N1867	N1771/N1867	SHS 120x5.0 (SHS)	0.060	2.278	0.095	1.00	3.00	-	-
		N1943/N1948	N1943/N1948	L 50 x 50 x 5 (L)	0.095	2.960	0.095	0.00	0.00	-	-
		N1943/N1754	N1943/N1754	SHS 120x4.0 (SHS)	0.095	2.957	0.098	1.00	1.00	-	-
		N1941/N1754	N1941/N1754	SHS 120x4.0 (SHS)	0.095	2.957	0.098	1.00	1.00	-	-
		N1941/N1946	N1941/N1946	L 50 x 50 x 5 (L)	0.095	2.960	0.095	0.00	0.00	-	-
		N1942/N1658	N1942/N1658	SHS 120x4.0 (SHS)	0.095	2.960	0.095	1.00	1.00	-	-
		N1942/N1945	N1942/N1945	L 50 x 50 x 5 (L)	0.095	2.960	0.095	0.00	0.00	-	-
		N1944/N1947	N1944/N1947	L 50 x 50 x 5 (L)	0.095	2.960	0.095	0.00	0.00	-	-
		N1944/N1850	N1944/N1850	SHS 120x4.0 (SHS)	0.095	2.957	0.098	1.00	1.00	-	-
		N1958/N1961	N1958/N1961	L 50 x 50 x 5 (L)	0.095	2.960	0.095	0.00	0.00	-	-
		N1958/N1771	N1958/N1771	SHS 120x4.0 (SHS)	0.095	2.957	0.098	1.00	1.00	-	-
		N1954/N1771	N1954/N1771	SHS 120x4.0 (SHS)	0.095	2.957	0.098	1.00	1.00	-	-
		N1954/N1955	N1954/N1955	L 50 x 50 x 5 (L)	0.095	2.960	0.095	0.00	0.00	-	-
		N1953/N1675	N1953/N1675	SHS 120x4.0 (SHS)	0.095	2.960	0.095	1.00	1.00	-	-
		N1953/N1956	N1953/N1956	L 50 x 50 x 5 (L)	0.095	2.960	0.095	0.00	0.00	-	-
		N1959/N1960	N1959/N1960	L 50 x 50 x 5 (L)	0.095	2.960	0.095	0.00	0.00	-	-
		N1959/N1867	N1959/N1867	SHS 120x4.0 (SHS)	0.095	2.957	0.098	1.00	1.00	-	-
		N1788/N1964	N1788/N1884	SHS 120x5.0 (SHS)	0.095	2.278	0.060	1.00	3.00	-	-
		N1964/N1963	N1788/N1884	SHS 120x5.0 (SHS)	0.060	2.313	0.060	1.00	3.00	-	-
		N1963/N1884	N1788/N1884	SHS 120x5.0 (SHS)	0.060	2.278	0.095	1.00	3.00	-	-
		N1965/N1884	N1965/N1884	SHS 120x4.0 (SHS)	0.095	2.957	0.098	1.00	1.00	-	-
		N1968/N1967	N1968/N1966	SHS 120x5.0 (SHS)	0.175	2.163	0.095	1.00	3.00	-	-
		N1967/N1965	N1968/N1966	SHS 120x5.0 (SHS)	0.095	2.243	0.095	1.00	3.00	-	-
		N1965/N1966	N1968/N1966	SHS 120x5.0 (SHS)	0.095	2.163	0.175	1.00	3.00	-	-
		N1969/N1965	N1969/N1965	SHS 120x5.0 (SHS)	0.227	2.828	0.095	1.00	1.00	-	-
		N1967/N1963	N1967/N1963	L 50 x 50 x 5 (L)	0.095	2.960	0.095	0.00	0.00	-	-
		N1965/N1964	N1965/N1964	L 50 x 50 x 5 (L)	0.095	2.960	0.095	0.00	0.00	-	-
		N1967/N1964	N1967/N1964	SHS 120x5.0 (SHS)	0.078	1.862	0.060	1.00	1.00	-	-
		N1967/N1788	N1967/N1788	SHS 120x4.0 (SHS)	0.095	2.957	0.098	1.00	1.00	-	-
		N1965/N1963	N1965/N1963	SHS 120x5.0 (SHS)	0.078	1.862	0.060	1.00	1.00	-	-
		N1692/N1971	N1692/N1788	SHS 120x5.0 (SHS)	0.095	2.278	0.060	1.00	3.00	-	-

Documento visado electrónicamente con número: VA07290/22
Código de validación telemática TRLTDCFZ60T66IJ1. Comprobación: https://cogitivalencia.e-gestion.es/Validacion.aspx?CVT=TRLTDCFZ60T66IJ1

VISADO
COGITI
VALENCIA
VA07290/22
TRLTDCFZ60T66IJ1

Listados

Descripción												
Material		Barra (Ni/Nf)	Pieza (Ni/Nf)	Perfil(Serie)	Longitud (m)			β_{xy}	β_{xz}	$Lb_{sup.}$ (m)	$Lb_{inf.}$ (m)	
Tipo	Designación				Indeformable origen	Deformable	Indeformable extremo					
		N1971/N1970	N1692/N1788	SHS 120x5.0 (SHS)	0.060	2.313	0.060	1.00	3.00	-	-	
		N1970/N1788	N1692/N1788	SHS 120x5.0 (SHS)	0.060	2.278	0.095	1.00	3.00	-	-	
		N1972/N1788	N1972/N1788	SHS 120x4.0 (SHS)	0.095	2.957	0.098	1.00	1.00	-	-	
		N1974/N1973	N1974/N1968	SHS 120x5.0 (SHS)	0.150	2.188	0.095	1.00	3.00	-	-	
		N1973/N1972	N1974/N1968	SHS 120x5.0 (SHS)	0.095	2.243	0.095	1.00	3.00	-	-	
		N1972/N1968	N1974/N1968	SHS 120x5.0 (SHS)	0.095	2.163	0.175	1.00	3.00	-	-	
		N1975/N1967	N1975/N1967	SHS 120x5.0 (SHS)	0.227	2.828	0.095	1.00	1.00	-	-	
		N1975/N1972	N1975/N1972	SHS 120x5.0 (SHS)	0.227	2.828	0.095	1.00	1.00	-	-	
		N1972/N1970	N1972/N1970	SHS 120x5.0 (SHS)	0.078	1.862	0.060	1.00	1.00	-	-	
		N1972/N1971	N1972/N1971	L 50 x 50 x 5 (L)	0.095	2.960	0.095	0.00	0.00	-	-	
		N1973/N1970	N1973/N1970	L 50 x 50 x 5 (L)	0.095	2.960	0.095	0.00	0.00	-	-	
		N1973/N1971	N1973/N1971	SHS 120x5.0 (SHS)	0.078	1.862	0.060	1.00	1.00	-	-	
		N1976/N1973	N1976/N1973	SHS 120x5.0 (SHS)	0.195	2.860	0.095	1.00	1.00	-	-	
		N1973/N1692	N1973/N1692	SHS 120x4.0 (SHS)	0.095	2.960	0.095	1.00	1.00	-	-	
		N1740/N1836	N1740/N1836	SHS 120x5.0 (SHS)	0.075	7.150	0.075	1.00	1.00	-	-	
		N1646/N1977	N1646/N1742	SHS 120x5.0 (SHS)	0.060	2.313	0.060	1.00	3.00	-	-	
		N1977/N1978	N1646/N1742	SHS 120x5.0 (SHS)	0.060	2.313	0.060	1.00	3.00	-	-	
		N1978/N1742	N1646/N1742	SHS 120x5.0 (SHS)	0.060	2.313	0.060	1.00	3.00	-	-	
		N1696/N1979	N1696/N1792	SHS 120x5.0 (SHS)	0.060	2.313	0.060	1.00	3.00	-	-	
		N1979/N1980	N1696/N1792	SHS 120x5.0 (SHS)	0.060	2.313	0.060	1.00	3.00	-	-	
		N1980/N1792	N1696/N1792	SHS 120x5.0 (SHS)	0.060	2.313	0.060	1.00	3.00	-	-	
		N1980/N1978	N1980/N1978	SHS 120x5.0 (SHS)	0.060	1.880	0.060	1.00	1.00	-	-	
		N1979/N1977	N1979/N1977	SHS 120x5.0 (SHS)	0.060	1.880	0.060	1.00	1.00	-	-	
		N1980/N1977	N1980/N1977	L 40 x 40 x 4 (L)	0.095	2.960	0.095	0.00	0.00	-	-	
		N1979/N1978	N1979/N1978	L 40 x 40 x 4 (L)	0.095	2.960	0.095	0.00	0.00	-	-	
		N1700/N1982	N1700/N1796	SHS 120x5.0 (SHS)	0.050	2.323	0.060	1.00	3.00	-	-	
		N1982/N1981	N1700/N1796	SHS 120x5.0 (SHS)	0.060	2.313	0.060	1.00	3.00	-	-	
		N1981/N1796	N1700/N1796	SHS 120x5.0 (SHS)	0.060	2.313	0.060	1.00	3.00	-	-	
		N1650/N1984	N1650/N1746	SHS 120x5.0 (SHS)	0.050	2.323	0.060	1.00	3.00	-	-	
		N1984/N1983	N1650/N1746	SHS 120x5.0 (SHS)	0.060	2.313	0.060	1.00	3.00	-	-	
		N1983/N1746	N1650/N1746	SHS 120x5.0 (SHS)	0.060	2.313	0.060	1.00	3.00	-	-	

Documento visado electrónicamente con número: VA07290/22
Código de validación telemática TRLTDCFZ60T66IJ1. Comprobación: https://cogitivalencia.e-gestion.es/Validacion.aspx?CVT=TRLTDCFZ60T66IJ1

VISADO
COGITI
VALENCIA
VA07290/22
TRLTDCFZ60T66IJ1

Descripción											
Material		Barra (Ni/Nf)	Pieza (Ni/Nf)	Perfil(Serie)	Longitud (m)			β_{xy}	β_{xz}	Lbsup (m)	Lbinf (m)
Tipo	Designación				Indeformable origen	Deformable	Indeformable extremo				
		N1981/N1983	N1981/N1983	SHS 120x5.0 (SHS)	0.060	1.880	0.060	1.00	1.00	-	-
		N1982/N1983	N1982/N1983	L 40 x 40 x 4 (L)	0.095	2.960	0.095	0.00	0.00	-	-
		N1981/N1984	N1981/N1984	L 40 x 40 x 4 (L)	0.095	2.960	0.095	0.00	0.00	-	-
		N1982/N1984	N1982/N1984	SHS 120x5.0 (SHS)	0.060	1.880	0.060	1.00	1.00	-	-
		N1704/N1986	N1704/N1800	SHS 120x5.0 (SHS)	0.060	2.313	0.060	1.00	3.00	-	-
		N1986/N1985	N1704/N1800	SHS 120x5.0 (SHS)	0.060	2.313	0.060	1.00	3.00	-	-
		N1985/N1800	N1704/N1800	SHS 120x5.0 (SHS)	0.060	2.313	0.060	1.00	3.00	-	-
		N1654/N1988	N1654/N1750	SHS 120x5.0 (SHS)	0.060	2.313	0.060	1.00	3.00	-	-
		N1988/N1987	N1654/N1750	SHS 120x5.0 (SHS)	0.060	2.313	0.060	1.00	3.00	-	-
		N1987/N1750	N1654/N1750	SHS 120x5.0 (SHS)	0.060	2.313	0.060	1.00	3.00	-	-
		N1985/N1987	N1985/N1987	SHS 120x5.0 (SHS)	0.060	1.880	0.060	1.00	1.00	-	-
		N1986/N1987	N1986/N1987	L 40 x 40 x 4 (L)	0.095	2.960	0.095	0.00	0.00	-	-
		N1985/N1988	N1985/N1988	L 40 x 40 x 4 (L)	0.095	2.960	0.095	0.00	0.00	-	-
		N1986/N1988	N1986/N1988	SHS 120x5.0 (SHS)	0.060	1.880	0.060	1.00	1.00	-	-
		N1989/N1990	N1989/N1990	SHS 120x5.0 (SHS)	0.060	1.880	0.060	1.00	1.00	-	-
		N1991/N1992	N1991/N1992	SHS 120x5.0 (SHS)	0.060	1.880	0.060	1.00	1.00	-	-
		N1989/N1992	N1989/N1992	L 40 x 40 x 4 (L)	0.095	2.960	0.095	0.00	0.00	-	-
		N1991/N1990	N1991/N1990	L 40 x 40 x 4 (L)	0.095	2.960	0.095	0.00	0.00	-	-
		N1796/N1994	N1796/N1892	SHS 120x5.0 (SHS)	0.060	2.313	0.060	1.00	3.00	-	-
		N1994/N1993	N1796/N1892	SHS 120x5.0 (SHS)	0.060	2.313	0.060	1.00	3.00	-	-
		N1993/N1892	N1796/N1892	SHS 120x5.0 (SHS)	0.060	2.313	0.060	1.00	3.00	-	-
		N1746/N1996	N1746/N1842	SHS 120x5.0 (SHS)	0.060	2.313	0.060	1.00	3.00	-	-
		N1996/N1995	N1746/N1842	SHS 120x5.0 (SHS)	0.060	2.313	0.060	1.00	3.00	-	-
		N1995/N1842	N1746/N1842	SHS 120x5.0 (SHS)	0.060	2.313	0.060	1.00	3.00	-	-
		N1993/N1995	N1993/N1995	SHS 120x5.0 (SHS)	0.060	1.880	0.060	1.00	1.00	-	-
		N1994/N1995	N1994/N1995	L 40 x 40 x 4 (L)	0.095	2.960	0.095	0.00	0.00	-	-
		N1993/N1996	N1993/N1996	L 40 x 40 x 4 (L)	0.095	2.960	0.095	0.00	0.00	-	-
		N1994/N1996	N1994/N1996	SHS 120x5.0 (SHS)	0.060	1.880	0.060	1.00	1.00	-	-
		N1800/N1998	N1800/N1896	SHS 120x5.0 (SHS)	0.060	2.313	0.060	1.00	3.00	-	-
		N1998/N1997	N1800/N1896	SHS 120x5.0 (SHS)	0.060	2.313	0.060	1.00	3.00	-	-
		N1997/N1896	N1800/N1896	SHS 120x5.0 (SHS)	0.060	2.313	0.060	1.00	3.00	-	-

Documento visado electrónicamente con número: VA07290/22
Código de validación telemática TRLTDCFZ60T66IJ1. Comprobación: https://cogitivalencia.e-gestion.es/Validacion.aspx?CVT=TRLTDCFZ60T66IJ1

Listados

VISADO
COGITI
VALENCIA
VA07290/22
TRLTDCFZ60T66IJ1

Descripción												
Material		Barra (Ni/Nf)	Pieza (Ni/Nf)	Perfil(Serie)	Longitud (m)			β_{xy}	β_{xz}	$Lb_{sup.}$ (m)	$Lb_{inf.}$ (m)	
Tipo	Designación				Indeformable origen	Deformable	Indeformable extremo					
		N1750/N2000	N1750/N1846	SHS 120x5.0 (SHS)	0.060	2.313	0.060	1.00	3.00	-	-	
		N2000/N1999	N1750/N1846	SHS 120x5.0 (SHS)	0.060	2.313	0.060	1.00	3.00	-	-	
		N1999/N1846	N1750/N1846	SHS 120x5.0 (SHS)	0.060	2.313	0.060	1.00	3.00	-	-	
		N1997/N1999	N1997/N1999	SHS 120x5.0 (SHS)	0.060	1.880	0.060	1.00	1.00	-	-	
		N1998/N1999	N1998/N1999	L 40 x 40 x 4 (L)	0.095	2.960	0.095	0.00	0.00	-	-	
		N1997/N2000	N1997/N2000	L 40 x 40 x 4 (L)	0.095	2.960	0.095	0.00	0.00	-	-	
		N1998/N2000	N1998/N2000	SHS 120x5.0 (SHS)	0.060	1.880	0.060	1.00	1.00	-	-	
		N1752/N1848	N1752/N1848	SHS 120x5.0 (SHS)	0.075	7.150	0.075	1.00	1.00	-	-	
		N1663/N2001	N1663/N1759	SHS 120x5.0 (SHS)	0.060	2.313	0.060	1.00	3.00	-	-	
		N2001/N2002	N1663/N1759	SHS 120x5.0 (SHS)	0.060	2.313	0.060	1.00	3.00	-	-	
		N2002/N1759	N1663/N1759	SHS 120x5.0 (SHS)	0.060	2.313	0.060	1.00	3.00	-	-	
		N1711/N2003	N1711/N1807	SHS 120x5.0 (SHS)	0.060	2.313	0.060	1.00	3.00	-	-	
		N2003/N2004	N1711/N1807	SHS 120x5.0 (SHS)	0.060	2.313	0.060	1.00	3.00	-	-	
		N2004/N1807	N1711/N1807	SHS 120x5.0 (SHS)	0.060	2.313	0.060	1.00	3.00	-	-	
		N2004/N2002	N2004/N2002	SHS 120x5.0 (SHS)	0.060	1.880	0.060	1.00	1.00	-	-	
		N2003/N2001	N2003/N2001	SHS 120x5.0 (SHS)	0.060	1.880	0.060	1.00	1.00	-	-	
		N2004/N2001	N2004/N2001	L 40 x 40 x 4 (L)	0.095	2.960	0.095	0.00	0.00	-	-	
		N2003/N2002	N2003/N2002	L 40 x 40 x 4 (L)	0.095	2.960	0.095	0.00	0.00	-	-	
		N1715/N2006	N1715/N1811	SHS 120x5.0 (SHS)	0.050	2.323	0.060	1.00	3.00	-	-	
		N2006/N2005	N1715/N1811	SHS 120x5.0 (SHS)	0.060	2.313	0.060	1.00	3.00	-	-	
		N2005/N1811	N1715/N1811	SHS 120x5.0 (SHS)	0.060	2.313	0.060	1.00	3.00	-	-	
		N1667/N2008	N1667/N1763	SHS 120x5.0 (SHS)	0.050	2.323	0.060	1.00	3.00	-	-	
		N2008/N2007	N1667/N1763	SHS 120x5.0 (SHS)	0.060	2.313	0.060	1.00	3.00	-	-	
		N2007/N1763	N1667/N1763	SHS 120x5.0 (SHS)	0.060	2.313	0.060	1.00	3.00	-	-	
		N2005/N2007	N2005/N2007	SHS 120x5.0 (SHS)	0.060	1.880	0.060	1.00	1.00	-	-	
		N2006/N2007	N2006/N2007	L 40 x 40 x 4 (L)	0.095	2.960	0.095	0.00	0.00	-	-	
		N2005/N2008	N2005/N2008	L 40 x 40 x 4 (L)	0.095	2.960	0.095	0.00	0.00	-	-	
		N2006/N2008	N2006/N2008	SHS 120x5.0 (SHS)	0.060	1.880	0.060	1.00	1.00	-	-	
		N1719/N2010	N1719/N1815	SHS 120x5.0 (SHS)	0.060	2.313	0.060	1.00	3.00	-	-	
		N2010/N2009	N1719/N1815	SHS 120x5.0 (SHS)	0.060	2.313	0.060	1.00	3.00	-	-	
		N2009/N1815	N1719/N1815	SHS 120x5.0 (SHS)	0.060	2.313	0.060	1.00	3.00	-	-	

Documento visado electrónicamente con número: VA07290/22
Código de validación telemática TRLTDCFZ60T66IJ1. Comprobación: https://cogitivalencia.e-gestion.es/Validacion.aspx?CVT=TRLTDCFZ60T66IJ1

VISADO
COGITI
VALENCIA
VA07290/22
TRLTDCFZ60T66IJ1

Listados

Descripción											
Material		Barra (Ni/Nf)	Pieza (Ni/Nf)	Perfil(Serie)	Longitud (m)			β_{xy}	β_{xz}	Lbsup (m)	Lbinf (m)
Tipo	Designación				Indeformable origen	Deformable	Indeformable extremo				
		N1671/N2012	N1671/N1767	SHS 120x5.0 (SHS)	0.060	2.313	0.060	1.00	3.00	-	-
		N2012/N2011	N1671/N1767	SHS 120x5.0 (SHS)	0.060	2.313	0.060	1.00	3.00	-	-
		N2011/N1767	N1671/N1767	SHS 120x5.0 (SHS)	0.060	2.313	0.060	1.00	3.00	-	-
		N2009/N2011	N2009/N2011	SHS 120x5.0 (SHS)	0.060	1.880	0.060	1.00	1.00	-	-
		N2010/N2011	N2010/N2011	L 40 x 40 x 4 (L)	0.095	2.960	0.095	0.00	0.00	-	-
		N2009/N2012	N2009/N2012	L 40 x 40 x 4 (L)	0.095	2.960	0.095	0.00	0.00	-	-
		N2010/N2012	N2010/N2012	SHS 120x5.0 (SHS)	0.060	1.880	0.060	1.00	1.00	-	-
		N1757/N1853	N1757/N1853	SHS 120x5.0 (SHS)	0.075	7.150	0.075	1.00	1.00	-	-
		N1759/N2013	N1759/N1855	SHS 120x5.0 (SHS)	0.060	2.313	0.060	1.00	3.00	-	-
		N2013/N2014	N1759/N1855	SHS 120x5.0 (SHS)	0.060	2.313	0.060	1.00	3.00	-	-
		N2014/N1855	N1759/N1855	SHS 120x5.0 (SHS)	0.060	2.313	0.060	1.00	3.00	-	-
		N1807/N2015	N1807/N1903	SHS 120x5.0 (SHS)	0.060	2.313	0.060	1.00	3.00	-	-
		N2015/N2016	N1807/N1903	SHS 120x5.0 (SHS)	0.060	2.313	0.060	1.00	3.00	-	-
		N2016/N1903	N1807/N1903	SHS 120x5.0 (SHS)	0.060	2.313	0.060	1.00	3.00	-	-
		N2016/N2014	N2016/N2014	SHS 120x5.0 (SHS)	0.060	1.880	0.060	1.00	1.00	-	-
		N2015/N2013	N2015/N2013	SHS 120x5.0 (SHS)	0.060	1.880	0.060	1.00	1.00	-	-
		N2016/N2013	N2016/N2013	L 40 x 40 x 4 (L)	0.095	2.960	0.095	0.00	0.00	-	-
		N2015/N2014	N2015/N2014	L 40 x 40 x 4 (L)	0.095	2.960	0.095	0.00	0.00	-	-
		N1811/N2018	N1811/N1907	SHS 120x5.0 (SHS)	0.060	2.313	0.060	1.00	3.00	-	-
		N2018/N2017	N1811/N1907	SHS 120x5.0 (SHS)	0.060	2.313	0.060	1.00	3.00	-	-
		N2017/N1907	N1811/N1907	SHS 120x5.0 (SHS)	0.060	2.313	0.060	1.00	3.00	-	-
		N1763/N2020	N1763/N1859	SHS 120x5.0 (SHS)	0.060	2.313	0.060	1.00	3.00	-	-
		N2020/N2019	N1763/N1859	SHS 120x5.0 (SHS)	0.060	2.313	0.060	1.00	3.00	-	-
		N2019/N1859	N1763/N1859	SHS 120x5.0 (SHS)	0.060	2.313	0.060	1.00	3.00	-	-
		N2017/N2019	N2017/N2019	SHS 120x5.0 (SHS)	0.060	1.880	0.060	1.00	1.00	-	-
		N2018/N2019	N2018/N2019	L 40 x 40 x 4 (L)	0.095	2.960	0.095	0.00	0.00	-	-
		N2017/N2020	N2017/N2020	L 40 x 40 x 4 (L)	0.095	2.960	0.095	0.00	0.00	-	-
		N2018/N2020	N2018/N2020	SHS 120x5.0 (SHS)	0.060	1.880	0.060	1.00	1.00	-	-
		N1815/N2022	N1815/N1911	SHS 120x5.0 (SHS)	0.060	2.313	0.060	1.00	3.00	-	-
		N2022/N2021	N1815/N1911	SHS 120x5.0 (SHS)	0.060	2.313	0.060	1.00	3.00	-	-
		N2021/N1911	N1815/N1911	SHS 120x5.0 (SHS)	0.060	2.313	0.060	1.00	3.00	-	-

Documento visado electrónicamente con número: VA07290/22
Código de validación telemática TRLTDCFZ60T66IJ1. Comprobación: https://cogitivalencia.e-gestion.es/Validacion.aspx?CVT=TRLTDCFZ60T66IJ1

VISADO
COGITI
VALENCIA
VA07290/22
TRLTDCFZ60T66IJ1

Listados

Descripción												
Material		Barra (Ni/Nf)	Pieza (Ni/Nf)	Perfil(Serie)	Longitud (m)			β_{xy}	β_{xz}	$Lb_{sup.}$ (m)	$Lb_{inf.}$ (m)
Tipo	Designación				Indeformable origen	Deformable	Indeformable extremo				
		N1767/N2024	N1767/N1863	SHS 120x5.0 (SHS)	0.060	2.313	0.060	1.00	3.00	-	-
		N2024/N2023	N1767/N1863	SHS 120x5.0 (SHS)	0.060	2.313	0.060	1.00	3.00	-	-
		N2023/N1863	N1767/N1863	SHS 120x5.0 (SHS)	0.060	2.313	0.060	1.00	3.00	-	-
		N2021/N2023	N2021/N2023	SHS 120x5.0 (SHS)	0.060	1.880	0.060	1.00	1.00	-	-
		N2022/N2023	N2022/N2023	L 40 x 40 x 4 (L)	0.095	2.960	0.095	0.00	0.00	-	-
		N2021/N2024	N2021/N2024	L 40 x 40 x 4 (L)	0.095	2.960	0.095	0.00	0.00	-	-
		N2022/N2024	N2022/N2024	SHS 120x5.0 (SHS)	0.060	1.880	0.060	1.00	1.00	-	-
		N1769/N1865	N1769/N1865	SHS 120x5.0 (SHS)	0.075	7.150	0.075	1.00	1.00	-	-
		N1680/N2025	N1680/N1776	SHS 120x5.0 (SHS)	0.060	2.313	0.060	1.00	3.00	-	-
		N2025/N2026	N1680/N1776	SHS 120x5.0 (SHS)	0.060	2.313	0.060	1.00	3.00	-	-
		N2026/N1776	N1680/N1776	SHS 120x5.0 (SHS)	0.060	2.313	0.060	1.00	3.00	-	-
		N1726/N2027	N1726/N1822	SHS 120x5.0 (SHS)	0.060	2.313	0.060	1.00	3.00	-	-
		N2027/N2028	N1726/N1822	SHS 120x5.0 (SHS)	0.060	2.313	0.060	1.00	3.00	-	-
		N2028/N1822	N1726/N1822	SHS 120x5.0 (SHS)	0.060	2.313	0.060	1.00	3.00	-	-
		N2028/N2026	N2028/N2026	SHS 120x5.0 (SHS)	0.060	1.880	0.060	1.00	1.00	-	-
		N2027/N2025	N2027/N2025	SHS 120x5.0 (SHS)	0.060	1.880	0.060	1.00	1.00	-	-
		N2028/N2025	N2028/N2025	L 40 x 40 x 4 (L)	0.095	2.960	0.095	0.00	0.00	-	-
		N2027/N2026	N2027/N2026	L 40 x 40 x 4 (L)	0.095	2.960	0.095	0.00	0.00	-	-
		N1730/N2030	N1730/N1826	SHS 120x5.0 (SHS)	0.050	2.323	0.060	1.00	3.00	-	-
		N2030/N2029	N1730/N1826	SHS 120x5.0 (SHS)	0.060	2.313	0.060	1.00	3.00	-	-
		N2029/N1826	N1730/N1826	SHS 120x5.0 (SHS)	0.060	2.313	0.060	1.00	3.00	-	-
		N1684/N2032	N1684/N1780	SHS 120x5.0 (SHS)	0.050	2.323	0.060	1.00	3.00	-	-
		N2032/N2031	N1684/N1780	SHS 120x5.0 (SHS)	0.060	2.313	0.060	1.00	3.00	-	-
		N2031/N1780	N1684/N1780	SHS 120x5.0 (SHS)	0.060	2.313	0.060	1.00	3.00	-	-
		N2029/N2031	N2029/N2031	SHS 120x5.0 (SHS)	0.060	1.880	0.060	1.00	1.00	-	-
		N2030/N2031	N2030/N2031	L 40 x 40 x 4 (L)	0.095	2.960	0.095	0.00	0.00	-	-
		N2029/N2032	N2029/N2032	L 40 x 40 x 4 (L)	0.095	2.960	0.095	0.00	0.00	-	-
		N2030/N2032	N2030/N2032	SHS 120x5.0 (SHS)	0.060	1.880	0.060	1.00	1.00	-	-
		N1734/N2034	N1734/N1830	SHS 120x5.0 (SHS)	0.060	2.313	0.060	1.00	3.00	-	-
		N2034/N2033	N1734/N1830	SHS 120x5.0 (SHS)	0.060	2.313	0.060	1.00	3.00	-	-
		N2033/N1830	N1734/N1830	SHS 120x5.0 (SHS)	0.060	2.313	0.060	1.00	3.00	-	-

Documento visado electrónicamente con número: VA07290/22
Código de validación telemática TRLTDCFZ60T66IJ1. Comprobación: https://cogitivalencia.e-gestion.es/Validacion.aspx?CVT=TRLTDCFZ60T66IJ1

VISADO
COGITI
VALENCIA
VA07290/22
TRLTDCFZ60T66IJ1

Descripción												
Material		Barra (Ni/Nf)	Pieza (Ni/Nf)	Perfil(Serie)	Longitud (m)			β_{xy}	β_{xz}	Lbsup (m)	Lbinf (m)
Tipo	Designación				Indeformable origen	Deformable	Indeformable extremo				
		N1688/N2036	N1688/N1784	SHS 120x5.0 (SHS)	0.060	2.313	0.060	1.00	3.00	-	-
		N2036/N2035	N1688/N1784	SHS 120x5.0 (SHS)	0.060	2.313	0.060	1.00	3.00	-	-
		N2035/N1784	N1688/N1784	SHS 120x5.0 (SHS)	0.060	2.313	0.060	1.00	3.00	-	-
		N2033/N2035	N2033/N2035	SHS 120x5.0 (SHS)	0.060	1.880	0.060	1.00	1.00	-	-
		N2034/N2035	N2034/N2035	L 40 x 40 x 4 (L)	0.095	2.960	0.095	0.00	0.00	-	-
		N2033/N2036	N2033/N2036	L 40 x 40 x 4 (L)	0.095	2.960	0.095	0.00	0.00	-	-
		N2034/N2036	N2034/N2036	SHS 120x5.0 (SHS)	0.060	1.880	0.060	1.00	1.00	-	-
		N1774/N1870	N1774/N1870	SHS 120x5.0 (SHS)	0.075	7.150	0.075	1.00	1.00	-	-
		N1776/N2037	N1776/N1872	SHS 120x5.0 (SHS)	0.060	2.313	0.060	1.00	3.00	-	-
		N2037/N2038	N1776/N1872	SHS 120x5.0 (SHS)	0.060	2.313	0.060	1.00	3.00	-	-
		N2038/N1872	N1776/N1872	SHS 120x5.0 (SHS)	0.060	2.313	0.060	1.00	3.00	-	-
		N1822/N2039	N1822/N1918	SHS 120x5.0 (SHS)	0.060	2.313	0.060	1.00	3.00	-	-
		N2039/N2040	N1822/N1918	SHS 120x5.0 (SHS)	0.060	2.313	0.060	1.00	3.00	-	-
		N2040/N1918	N1822/N1918	SHS 120x5.0 (SHS)	0.060	2.313	0.060	1.00	3.00	-	-
		N2040/N2038	N2040/N2038	SHS 120x5.0 (SHS)	0.060	1.880	0.060	1.00	1.00	-	-
		N2039/N2037	N2039/N2037	SHS 120x5.0 (SHS)	0.060	1.880	0.060	1.00	1.00	-	-
		N2040/N2037	N2040/N2037	L 40 x 40 x 4 (L)	0.095	2.960	0.095	0.00	0.00	-	-
		N2039/N2038	N2039/N2038	L 40 x 40 x 4 (L)	0.095	2.960	0.095	0.00	0.00	-	-
		N1826/N2042	N1826/N1922	SHS 120x5.0 (SHS)	0.060	2.313	0.060	1.00	3.00	-	-
		N2042/N2041	N1826/N1922	SHS 120x5.0 (SHS)	0.060	2.313	0.060	1.00	3.00	-	-
		N2041/N1922	N1826/N1922	SHS 120x5.0 (SHS)	0.060	2.313	0.060	1.00	3.00	-	-
		N1780/N2044	N1780/N1876	SHS 120x5.0 (SHS)	0.060	2.313	0.060	1.00	3.00	-	-
		N2044/N2043	N1780/N1876	SHS 120x5.0 (SHS)	0.060	2.313	0.060	1.00	3.00	-	-
		N2043/N1876	N1780/N1876	SHS 120x5.0 (SHS)	0.060	2.313	0.060	1.00	3.00	-	-
		N2041/N2043	N2041/N2043	SHS 120x5.0 (SHS)	0.060	1.880	0.060	1.00	1.00	-	-
		N2042/N2043	N2042/N2043	L 40 x 40 x 4 (L)	0.095	2.960	0.095	0.00	0.00	-	-
		N2041/N2044	N2041/N2044	L 40 x 40 x 4 (L)	0.095	2.960	0.095	0.00	0.00	-	-
		N2042/N2044	N2042/N2044	SHS 120x5.0 (SHS)	0.060	1.880	0.060	1.00	1.00	-	-
		N1830/N2046	N1830/N1926	SHS 120x5.0 (SHS)	0.060	2.313	0.060	1.00	3.00	-	-
		N2046/N2045	N1830/N1926	SHS 120x5.0 (SHS)	0.060	2.313	0.060	1.00	3.00	-	-
		N2045/N1926	N1830/N1926	SHS 120x5.0 (SHS)	0.060	2.313	0.060	1.00	3.00	-	-

Documento visado electrónicamente con número: VA07290/22
Código de validación telemática TRLTDCFZ60T66IJ1. Comprobación: https://cogitivalencia.e-gestion.es/Validacion.aspx?CVT=TRLTDCFZ60T66IJ1

VISADO
COGITI
VALENCIA
VA07290/22
TRLTDCFZ60T66IJ1

Listados

Descripción												
Material		Barra (Ni/Nf)	Pieza (Ni/Nf)	Perfil(Serie)	Longitud (m)			β_{xy}	β_{xz}	$Lb_{sup.}$ (m)	$Lb_{inf.}$ (m)	
Tipo	Designación				Indeformable origen	Deformable	Indeformable extremo					
		N1784/N2048	N1784/N1880	SHS 120x5.0 (SHS)	0.060	2.313	0.060	1.00	3.00	-	-	
		N2048/N2047	N1784/N1880	SHS 120x5.0 (SHS)	0.060	2.313	0.060	1.00	3.00	-	-	
		N2047/N1880	N1784/N1880	SHS 120x5.0 (SHS)	0.060	2.313	0.060	1.00	3.00	-	-	
		N2045/N2047	N2045/N2047	SHS 120x5.0 (SHS)	0.060	1.880	0.060	1.00	1.00	-	-	
		N2046/N2047	N2046/N2047	L 40 x 40 x 4 (L)	0.095	2.960	0.095	0.00	0.00	-	-	
		N2045/N2048	N2045/N2048	L 40 x 40 x 4 (L)	0.095	2.960	0.095	0.00	0.00	-	-	
		N2046/N2048	N2046/N2048	SHS 120x5.0 (SHS)	0.060	1.880	0.060	1.00	1.00	-	-	
		N1786/N1882	N1786/N1882	SHS 120x5.0 (SHS)	0.075	7.150	0.075	1.00	1.00	-	-	
		N1642/N1740	N1642/N1740	L 60 x 60 x 5 (L)	0.138	7.899	0.084	0.00	0.00	-	-	
		N1738/N1644	N1738/N1644	L 60 x 60 x 5 (L)	0.138	7.916	0.067	0.00	0.00	-	-	
		N1644/N1742	N1644/N1742	L 60 x 60 x 5 (L)	0.067	7.987	0.067	0.00	0.00	-	-	
		N1740/N1646	N1740/N1646	L 60 x 60 x 5 (L)	0.084	7.970	0.067	0.00	0.00	-	-	
		N1646/N1744	N1646/N1744	L 60 x 60 x 5 (L)	0.067	7.987	0.067	0.00	0.00	-	-	
		N1744/N1650	N1744/N1650	L 60 x 60 x 5 (L)	0.067	7.998	0.056	0.00	0.00	-	-	
		N1650/N1748	N1650/N1748	L 60 x 60 x 5 (L)	0.056	7.998	0.067	0.00	0.00	-	-	
		N1748/N1654	N1748/N1654	L 60 x 60 x 5 (L)	0.067	7.987	0.067	0.00	0.00	-	-	
		N1654/N1752	N1654/N1752	L 60 x 60 x 5 (L)	0.067	7.970	0.084	0.00	0.00	-	-	
		N1752/N1658	N1752/N1658	L 60 x 60 x 5 (L)	0.084	7.899	0.138	0.00	0.00	-	-	
		N1656/N1754	N1656/N1754	L 60 x 60 x 5 (L)	0.067	7.916	0.138	0.00	0.00	-	-	
		N1750/N1656	N1750/N1656	L 60 x 60 x 5 (L)	0.067	7.987	0.067	0.00	0.00	-	-	
		N1652/N1750	N1652/N1750	L 60 x 60 x 5 (L)	0.056	7.998	0.067	0.00	0.00	-	-	
		N1746/N1652	N1746/N1652	L 60 x 60 x 5 (L)	0.067	7.998	0.056	0.00	0.00	-	-	
		N1648/N1746	N1648/N1746	L 60 x 60 x 5 (L)	0.056	7.998	0.067	0.00	0.00	-	-	
		N1742/N1648	N1742/N1648	L 60 x 60 x 5 (L)	0.067	7.998	0.056	0.00	0.00	-	-	
		N1738/N1836	N1738/N1836	L 60 x 60 x 5 (L)	0.138	7.899	0.084	0.00	0.00	-	-	
		N1834/N1740	N1834/N1740	L 60 x 60 x 5 (L)	0.138	7.899	0.084	0.00	0.00	-	-	
		N1659/N1757	N1659/N1757	L 60 x 60 x 5 (L)	0.167	7.870	0.084	0.00	0.00	-	-	
		N1757/N1663	N1757/N1663	L 60 x 60 x 5 (L)	0.084	7.970	0.067	0.00	0.00	-	-	
		N1663/N1761	N1663/N1761	L 60 x 60 x 5 (L)	0.067	7.987	0.067	0.00	0.00	-	-	
		N1761/N1667	N1761/N1667	L 60 x 60 x 5 (L)	0.067	7.998	0.056	0.00	0.00	-	-	
		N1667/N1765	N1667/N1765	L 60 x 60 x 5 (L)	0.056	7.998	0.067	0.00	0.00	-	-	

Documento visado electrónicamente con número: VA07290/22
Código de validación telemática TRLTDCFZ60T66IJ1. Comprobación: https://cogitivalencia.e-gestion.es/Validacion.aspx?CVT=TRLTDCFZ60T66IJ1

VISADO
COGITI
VALENCIA
VA07290/22
TRLTDCFZ60T66IJ1

Listados

Descripción											
Material		Barra (Ni/Nf)	Pieza (Ni/Nf)	Perfil(Serie)	Longitud (m)			β_{xy}	β_{xz}	Lbsup (m)	Lbinf (m)
Tipo	Designación				Indeformable origen	Deformable	Indeformable extremo				
		N1765/N1671	N1765/N1671	L 60 x 60 x 5 (L)	0.067	7.987	0.067	0.00	0.00	-	-
		N1671/N1769	N1671/N1769	L 60 x 60 x 5 (L)	0.067	7.970	0.084	0.00	0.00	-	-
		N1769/N1675	N1769/N1675	L 60 x 60 x 5 (L)	0.084	7.899	0.138	0.00	0.00	-	-
		N1673/N1771	N1673/N1771	L 60 x 60 x 5 (L)	0.067	7.916	0.138	0.00	0.00	-	-
		N1767/N1673	N1767/N1673	L 60 x 60 x 5 (L)	0.067	7.987	0.067	0.00	0.00	-	-
		N1669/N1767	N1669/N1767	L 60 x 60 x 5 (L)	0.056	7.998	0.067	0.00	0.00	-	-
		N1763/N1669	N1763/N1669	L 60 x 60 x 5 (L)	0.067	7.998	0.056	0.00	0.00	-	-
		N1665/N1763	N1665/N1763	L 60 x 60 x 5 (L)	0.056	7.998	0.067	0.00	0.00	-	-
		N1759/N1665	N1759/N1665	L 60 x 60 x 5 (L)	0.067	7.998	0.056	0.00	0.00	-	-
		N1661/N1759	N1661/N1759	L 60 x 60 x 5 (L)	0.067	7.987	0.067	0.00	0.00	-	-
		N1755/N1661	N1755/N1661	L 60 x 60 x 5 (L)	0.173	7.881	0.067	0.00	0.00	-	-
		N1676/N1774	N1676/N1774	L 60 x 60 x 5 (L)	0.167	7.870	0.084	0.00	0.00	-	-
		N1774/N1680	N1774/N1680	L 60 x 60 x 5 (L)	0.084	7.970	0.067	0.00	0.00	-	-
		N1680/N1778	N1680/N1778	L 60 x 60 x 5 (L)	0.067	7.987	0.067	0.00	0.00	-	-
		N1778/N1684	N1778/N1684	L 60 x 60 x 5 (L)	0.067	7.998	0.056	0.00	0.00	-	-
		N1684/N1782	N1684/N1782	L 60 x 60 x 5 (L)	0.056	7.998	0.067	0.00	0.00	-	-
		N1782/N1688	N1782/N1688	L 60 x 60 x 5 (L)	0.067	7.987	0.067	0.00	0.00	-	-
		N1688/N1786	N1688/N1786	L 60 x 60 x 5 (L)	0.067	7.970	0.084	0.00	0.00	-	-
		N1786/N1692	N1786/N1692	L 60 x 60 x 5 (L)	0.084	7.899	0.138	0.00	0.00	-	-
		N1690/N1788	N1690/N1788	L 60 x 60 x 5 (L)	0.067	7.916	0.138	0.00	0.00	-	-
		N1784/N1690	N1784/N1690	L 60 x 60 x 5 (L)	0.067	7.987	0.067	0.00	0.00	-	-
		N1686/N1784	N1686/N1784	L 60 x 60 x 5 (L)	0.056	7.998	0.067	0.00	0.00	-	-
		N1780/N1686	N1780/N1686	L 60 x 60 x 5 (L)	0.067	7.998	0.056	0.00	0.00	-	-
		N1682/N1780	N1682/N1780	L 60 x 60 x 5 (L)	0.056	7.998	0.067	0.00	0.00	-	-
		N1776/N1682	N1776/N1682	L 60 x 60 x 5 (L)	0.067	7.998	0.056	0.00	0.00	-	-
		N1678/N1776	N1678/N1776	L 60 x 60 x 5 (L)	0.067	7.987	0.067	0.00	0.00	-	-
		N1772/N1678	N1772/N1678	L 60 x 60 x 5 (L)	0.173	7.881	0.067	0.00	0.00	-	-
		N1786/N1884	N1786/N1884	L 60 x 60 x 5 (L)	0.084	7.899	0.138	0.00	0.00	-	-
		N1882/N1788	N1882/N1788	L 60 x 60 x 5 (L)	0.084	7.899	0.138	0.00	0.00	-	-
		N1752/N1850	N1752/N1850	L 60 x 60 x 5 (L)	0.084	7.899	0.138	0.00	0.00	-	-
		N1848/N1754	N1848/N1754	L 60 x 60 x 5 (L)	0.084	7.899	0.138	0.00	0.00	-	-

Documento visado electrónicamente con número: VA07290/22
Código de validación telemática TRLTDCFZ60T66IJ1. Comprobación: https://cogitivalencia.e-gestion.es/Validacion.aspx?CVT=TRLTDCFZ60T66IJ1

VISADO
COGITI
VALENCIA
VA07290/22
TRLTDCFZ60T66IJ1

Listados

Descripción												
Material		Barra (Ni/Nf)	Pieza (Ni/Nf)	Perfil(Serie)	Longitud (m)			β_{xy}	β_{xz}	$Lb_{sup.}$ (m)	$Lb_{inf.}$ (m)	
Tipo	Designación				Indeformable origen	Deformable	Indeformable extremo					
		N1755/N1853	N1755/N1853	L 60 x 60 x 5 (L)	0.173	7.864	0.084	0.00	0.00	-	-	
		N1851/N1757	N1851/N1757	L 60 x 60 x 5 (L)	0.173	7.864	0.084	0.00	0.00	-	-	
		N1769/N1867	N1769/N1867	L 60 x 60 x 5 (L)	0.084	7.899	0.138	0.00	0.00	-	-	
		N1865/N1771	N1865/N1771	L 60 x 60 x 5 (L)	0.084	7.899	0.138	0.00	0.00	-	-	
		N1772/N1870	N1772/N1870	L 60 x 60 x 5 (L)	0.173	7.864	0.084	0.00	0.00	-	-	
		N1868/N1774	N1868/N1774	L 60 x 60 x 5 (L)	0.173	7.864	0.084	0.00	0.00	-	-	
		N1742/N1992	N1742/N1838	SHS 120x5.0 (SHS)	0.060	2.313	0.060	1.00	3.00	-	-	
		N1992/N1990	N1742/N1838	SHS 120x5.0 (SHS)	0.060	2.313	0.060	1.00	3.00	-	-	
		N1990/N1838	N1742/N1838	SHS 120x5.0 (SHS)	0.060	2.313	0.060	1.00	3.00	-	-	
		N1792/N1991	N1792/N1888	SHS 120x5.0 (SHS)	0.060	2.313	0.060	1.00	3.00	-	-	
		N1991/N1989	N1792/N1888	SHS 120x5.0 (SHS)	0.060	2.313	0.060	1.00	3.00	-	-	
		N1989/N1888	N1792/N1888	SHS 120x5.0 (SHS)	0.060	2.313	0.060	1.00	3.00	-	-	
		N2049/N2050	N2049/N2065	HE 160 A (HEA)	0.078	1.623	0.078	0.56	1.00	1.779	1.779	
		N2050/N2051	N2049/N2065	HE 160 A (HEA)	0.078	1.623	0.078	0.56	1.00	1.779	1.779	
		N2051/N2052	N2049/N2065	HE 160 A (HEA)	0.078	1.623	0.078	0.56	1.00	1.779	1.779	
		N2052/N2053	N2049/N2065	HE 160 A (HEA)	0.078	1.623	0.078	0.56	1.00	1.779	1.779	
		N2053/N2054	N2049/N2065	HE 160 A (HEA)	0.078	1.636	0.065	0.56	1.00	1.779	1.779	
		N2054/N3440	N2049/N2065	HE 160 A (HEA)	0.065	0.825	-	1.12	1.00	0.890	0.890	
		N3440/N2055	N2049/N2065	HE 160 A (HEA)	-	0.825	0.065	1.12	1.00	0.890	0.890	
		N2055/N2056	N2049/N2065	HE 160 A (HEA)	0.065	1.649	0.065	0.56	1.00	1.779	1.779	
		N2056/N2057	N2049/N2065	HE 160 A (HEA)	0.065	1.663	0.051	0.56	1.00	1.779	1.779	
		N2057/N2058	N2049/N2065	HE 160 A (HEA)	0.051	1.658	0.070	0.56	1.00	1.779	1.779	
		N2058/N2059	N2049/N2065	HE 160 A (HEA)	0.070	1.639	0.070	0.56	1.00	1.779	1.779	
		N2059/N3451	N2049/N2065	HE 160 A (HEA)	0.070	0.820	-	1.12	1.00	0.890	0.890	
		N3451/N2060	N2049/N2065	HE 160 A (HEA)	-	0.820	0.070	1.12	1.00	0.890	0.890	
		N2060/N2061	N2049/N2065	HE 160 A (HEA)	0.070	1.625	0.084	0.56	1.00	1.779	1.779	
		N2061/N2062	N2049/N2065	HE 160 A (HEA)	0.084	1.611	0.084	0.56	1.00	1.779	1.779	
		N2062/N2063	N2049/N2065	HE 160 A (HEA)	0.084	1.611	0.084	0.56	1.00	1.779	1.779	
		N2063/N2064	N2049/N2065	HE 160 A (HEA)	0.084	1.611	0.084	0.56	1.00	1.779	1.779	
		N2064/N2065	N2049/N2065	HE 160 A (HEA)	0.084	1.554	0.141	0.56	1.00	1.779	1.779	
		N2066/N2067	N2066/N2082	HE 180 A (HEA)	0.141	1.560	0.078	1.83	1.00	-	-	

Documento visado electrónicamente con número: VA07290/22
Código de validación telemática TRLTDCFZ60T66IJ1. Comprobación: https://cogitivalencia.e-gestion.es/Validacion.aspx?CVT=TRLTDCFZ60T66IJ1

VISADO
COGITI
VALENCIA
VA07290/22
TRLTDCFZ60T66IJ1

Listados

Descripción											
Material		Barra (Ni/Nf)	Pieza (Ni/Nf)	Perfil(Serie)	Longitud (m)			β_{xy}	β_{xz}	Lbsup (m)	Lbinf (m)
Tipo	Designación				Indeformable origen	Deformable	Indeformable extremo				
		N2067/N2068	N2066/N2082	HE 180 A (HEA)	0.078	1.623	0.078	1.83	1.00	-	-
		N2068/N2069	N2066/N2082	HE 180 A (HEA)	0.078	1.623	0.078	1.83	1.00	-	-
		N2069/N2070	N2066/N2082	HE 180 A (HEA)	0.078	1.623	0.078	1.83	1.00	-	-
		N2070/N2071	N2066/N2082	HE 180 A (HEA)	0.078	1.623	0.078	1.83	1.00	-	-
		N2071/N2072	N2066/N2082	HE 180 A (HEA)	0.078	1.636	0.065	1.83	1.00	-	-
		N2072/N2073	N2066/N2082	HE 180 A (HEA)	0.065	1.649	0.065	1.83	1.00	-	-
		N2073/N2074	N2066/N2082	HE 180 A (HEA)	0.065	1.644	0.070	1.83	1.00	-	-
		N2074/N2075	N2066/N2082	HE 180 A (HEA)	0.070	1.639	0.070	1.83	1.00	-	-
		N2075/N2076	N2066/N2082	HE 180 A (HEA)	0.070	1.639	0.070	1.83	1.00	-	-
		N2076/N2077	N2066/N2082	HE 180 A (HEA)	0.070	1.625	0.084	1.83	1.00	-	-
		N2077/N2078	N2066/N2082	HE 180 A (HEA)	0.084	1.611	0.084	1.83	1.00	-	-
		N2078/N2079	N2066/N2082	HE 180 A (HEA)	0.084	1.611	0.084	1.83	1.00	-	-
		N2079/N2080	N2066/N2082	HE 180 A (HEA)	0.084	1.611	0.084	1.83	1.00	-	-
		N2080/N2081	N2066/N2082	HE 180 A (HEA)	0.084	1.578	0.117	1.83	1.00	-	-
		N2081/N2082	N2066/N2082	HE 180 A (HEA)	0.117	1.521	0.141	1.83	1.00	-	-
		N2083/N2084	N2083/N2099	HE 160 A (HEA)	0.141	1.560	0.078	0.56	1.00	1.779	1.779
		N2084/N2085	N2083/N2099	HE 160 A (HEA)	0.078	1.623	0.078	0.56	1.00	1.779	1.779
		N2085/N2086	N2083/N2099	HE 160 A (HEA)	0.078	1.623	0.078	0.56	1.00	1.779	1.779
		N2086/N2087	N2083/N2099	HE 160 A (HEA)	0.078	1.623	0.078	0.56	1.00	1.779	1.779
		N2087/N2088	N2083/N2099	HE 160 A (HEA)	0.078	1.636	0.065	0.56	1.00	1.779	1.779
		N2088/N3458	N2083/N2099	HE 160 A (HEA)	0.065	0.825	-	1.12	1.00	0.890	0.890
		N3458/N2089	N2083/N2099	HE 160 A (HEA)	-	0.825	0.065	1.12	1.00	0.890	0.890
		N2089/N2090	N2083/N2099	HE 160 A (HEA)	0.065	1.649	0.065	0.56	1.00	1.779	1.779
		N2090/N2091	N2083/N2099	HE 160 A (HEA)	0.065	1.663	0.051	0.56	1.00	1.779	1.779
		N2091/N2092	N2083/N2099	HE 160 A (HEA)	0.051	1.658	0.070	0.56	1.00	1.779	1.779
		N2092/N2093	N2083/N2099	HE 160 A (HEA)	0.070	1.639	0.070	0.56	1.00	1.779	1.779
		N2093/N3469	N2083/N2099	HE 160 A (HEA)	0.070	0.820	-	1.12	1.00	0.890	0.890
		N3469/N2094	N2083/N2099	HE 160 A (HEA)	-	0.820	0.070	1.12	1.00	0.890	0.890
		N2094/N2095	N2083/N2099	HE 160 A (HEA)	0.070	1.625	0.084	0.56	1.00	1.779	1.779
		N2095/N2096	N2083/N2099	HE 160 A (HEA)	0.084	1.611	0.084	0.56	1.00	1.779	1.779
		N2096/N2097	N2083/N2099	HE 160 A (HEA)	0.084	1.611	0.084	0.56	1.00	1.779	1.779

Documento visado electrónicamente con número: VA07290/22
Código de validación telemática TRLTDCFZ60T66IJ1. Comprobación: https://cogitivalencia.e-gestion.es/Validacion.aspx?CVT=TRLTDCFZ60T66IJ1

VISADO
COGITI
VALENCIA
VA07290/22
TRLTDCFZ60T66IJ1

Descripción												
Material		Barra (Ni/Nf)	Pieza (Ni/Nf)	Perfil(Serie)	Longitud (m)			β_{xy}	β_{xz}	$Lb_{sup.}$ (m)	$Lb_{inf.}$ (m)	
Tipo	Designación				Indeformable origen	Deformable	Indeformable extremo					
		N2097/N2098	N2083/N2099	HE 160 A (HEA)	0.084	1.611	0.084	0.56	1.00	1.779	1.779	
		N2098/N2099	N2083/N2099	HE 160 A (HEA)	0.084	1.554	0.141	0.56	1.00	1.779	1.779	
		N2082/N2100	N2082/N2115	HE 160 A (HEA)	0.141	1.560	0.078	0.56	1.00	1.779	1.779	
		N2100/N2101	N2082/N2115	HE 160 A (HEA)	0.078	1.623	0.078	0.56	1.00	1.779	1.779	
		N2101/N2102	N2082/N2115	HE 160 A (HEA)	0.078	1.623	0.078	0.56	1.00	1.779	1.779	
		N2102/N2103	N2082/N2115	HE 160 A (HEA)	0.078	1.623	0.078	0.56	1.00	1.779	1.779	
		N2103/N2104	N2082/N2115	HE 160 A (HEA)	0.078	1.636	0.065	0.56	1.00	1.779	1.779	
		N2104/N3476	N2082/N2115	HE 160 A (HEA)	0.065	0.825	-	1.12	1.00	0.890	0.890	
		N3476/N2105	N2082/N2115	HE 160 A (HEA)	-	0.825	0.065	1.12	1.00	0.890	0.890	
		N2105/N2106	N2082/N2115	HE 160 A (HEA)	0.065	1.649	0.065	0.56	1.00	1.779	1.779	
		N2106/N2107	N2082/N2115	HE 160 A (HEA)	0.065	1.663	0.051	0.56	1.00	1.779	1.779	
		N2107/N2108	N2082/N2115	HE 160 A (HEA)	0.051	1.658	0.070	0.56	1.00	1.779	1.779	
		N2108/N2109	N2082/N2115	HE 160 A (HEA)	0.070	1.639	0.070	0.56	1.00	1.779	1.779	
		N2109/N3487	N2082/N2115	HE 160 A (HEA)	0.070	0.820	-	1.12	1.00	0.890	0.890	
		N3487/N2110	N2082/N2115	HE 160 A (HEA)	-	0.820	0.070	1.12	1.00	0.890	0.890	
		N2110/N2111	N2082/N2115	HE 160 A (HEA)	0.070	1.625	0.084	0.56	1.00	1.779	1.779	
		N2111/N2112	N2082/N2115	HE 160 A (HEA)	0.084	1.611	0.084	0.56	1.00	1.779	1.779	
		N2112/N2113	N2082/N2115	HE 160 A (HEA)	0.084	1.611	0.084	0.56	1.00	1.779	1.779	
		N2113/N2114	N2082/N2115	HE 160 A (HEA)	0.084	1.611	0.084	0.56	1.00	1.779	1.779	
		N2114/N2115	N2082/N2115	HE 160 A (HEA)	0.084	1.554	0.141	0.56	1.00	1.779	1.779	
		N2116/N2050	N2116/N2050	SHS 120x5.0 (SHS)	0.088	1.824	0.088	1.00	1.00	-	-	
		N2117/N2051	N2117/N2051	SHS 120x5.0 (SHS)	0.088	1.824	0.088	1.00	1.00	-	-	
		N2118/N2052	N2118/N2052	SHS 120x4.0 (SHS)	0.088	1.824	0.088	1.00	1.00	-	-	
		N2119/N2053	N2119/N2053	SHS 120x4.0 (SHS)	0.088	1.824	0.088	1.00	1.00	-	-	
		N2120/N2054	N2120/N2054	SHS 120x4.0 (SHS)	0.088	1.835	0.077	1.00	1.00	-	-	
		N2121/N2055	N2121/N2055	SHS 100x4.0 (SHS)	0.086	1.837	0.077	1.00	1.00	-	-	
		N2122/N2056	N2122/N2056	SHS 100x4.0 (SHS)	0.086	1.837	0.077	1.00	1.00	-	-	
		N2123/N2057	N2123/N2057	SHS 100x4.0 (SHS)	0.086	1.837	0.077	1.00	1.00	-	-	
		N2124/N2058	N2124/N2058	SHS 100x4.0 (SHS)	0.086	1.836	0.078	1.00	1.00	-	-	
		N2125/N2059	N2125/N2059	SHS 100x4.0 (SHS)	0.086	1.836	0.078	1.00	1.00	-	-	
		N2126/N2060	N2126/N2060	SHS 120x4.0 (SHS)	0.094	1.828	0.078	1.00	1.00	-	-	

Documento visado electrónicamente con número: VA07290/22
Código de validación telemática TRLTDCFZ60T66IJ1. Comprobación: https://cogitivalencia.e-gestion.es/Validacion.aspx?CVT=TRLTDCFZ60T66IJ1

VISADO
COGITI
VALENCIA
VA07290/22
TRLTDCFZ60T66IJ1

Descripción											
Material		Barra (Ni/Nf)	Pieza (Ni/Nf)	Perfil(Serie)	Longitud (m)			β_{xy}	β_{xz}	Lbsup (m)	Lbinf (m)
Tipo	Designación				Indeformable origen	Deformable	Indeformable extremo				
		N2127/N2061	N2127/N2061	SHS 120x4.0 (SHS)	0.094	1.812	0.094	1.00	1.00	-	-
		N2128/N2062	N2128/N2062	SHS 120x4.0 (SHS)	0.094	1.812	0.094	1.00	1.00	-	-
		N2129/N2063	N2129/N2063	SHS 120x5.0 (SHS)	0.094	1.812	0.094	1.00	1.00	-	-
		N2130/N2064	N2130/N2064	SHS 120x5.0 (SHS)	0.131	1.775	0.094	1.00	1.00	-	-
		N2067/N2084	N2067/N2084	SHS 120x5.0 (SHS)	0.088	1.824	0.088	1.00	1.00	-	-
		N2068/N2085	N2068/N2085	SHS 120x5.0 (SHS)	0.088	1.824	0.088	1.00	1.00	-	-
		N2069/N2086	N2069/N2086	SHS 120x4.0 (SHS)	0.088	1.824	0.088	1.00	1.00	-	-
		N2070/N2087	N2070/N2087	SHS 120x4.0 (SHS)	0.088	1.824	0.088	1.00	1.00	-	-
		N2071/N2088	N2071/N2088	SHS 120x4.0 (SHS)	0.088	1.835	0.077	1.00	1.00	-	-
		N2072/N2089	N2072/N2089	SHS 100x4.0 (SHS)	0.086	1.837	0.077	1.00	1.00	-	-
		N2073/N2090	N2073/N2090	SHS 100x4.0 (SHS)	0.086	1.837	0.077	1.00	1.00	-	-
		N2074/N2091	N2074/N2091	SHS 100x4.0 (SHS)	0.086	1.837	0.077	1.00	1.00	-	-
		N2075/N2092	N2075/N2092	SHS 100x4.0 (SHS)	0.086	1.836	0.078	1.00	1.00	-	-
		N2076/N2093	N2076/N2093	SHS 100x4.0 (SHS)	0.086	1.836	0.078	1.00	1.00	-	-
		N2077/N2094	N2077/N2094	SHS 120x4.0 (SHS)	0.094	1.828	0.078	1.00	1.00	-	-
		N2078/N2095	N2078/N2095	SHS 120x4.0 (SHS)	0.094	1.812	0.094	1.00	1.00	-	-
		N2079/N2096	N2079/N2096	SHS 120x4.0 (SHS)	0.094	1.812	0.094	1.00	1.00	-	-
		N2080/N2097	N2080/N2097	SHS 120x5.0 (SHS)	0.094	1.812	0.094	1.00	1.00	-	-
		N2081/N2098	N2081/N2098	SHS 120x5.0 (SHS)	0.131	1.775	0.094	1.00	1.00	-	-
		N2131/N2100	N2131/N2100	SHS 120x5.0 (SHS)	0.088	1.824	0.088	1.00	1.00	-	-
		N2132/N2101	N2132/N2101	SHS 120x5.0 (SHS)	0.088	1.824	0.088	1.00	1.00	-	-
		N2133/N2102	N2133/N2102	SHS 120x4.0 (SHS)	0.088	1.824	0.088	1.00	1.00	-	-
		N2134/N2103	N2134/N2103	SHS 120x4.0 (SHS)	0.088	1.824	0.088	1.00	1.00	-	-
		N2135/N2104	N2135/N2104	SHS 120x4.0 (SHS)	0.088	1.835	0.077	1.00	1.00	-	-
		N2136/N2105	N2136/N2105	SHS 100x4.0 (SHS)	0.086	1.837	0.077	1.00	1.00	-	-
		N2137/N2106	N2137/N2106	SHS 100x4.0 (SHS)	0.086	1.837	0.077	1.00	1.00	-	-
		N2138/N2107	N2138/N2107	SHS 100x4.0 (SHS)	0.086	1.837	0.077	1.00	1.00	-	-
		N2139/N2108	N2139/N2108	SHS 100x4.0 (SHS)	0.086	1.836	0.078	1.00	1.00	-	-
		N2140/N2109	N2140/N2109	SHS 100x4.0 (SHS)	0.086	1.836	0.078	1.00	1.00	-	-
		N2141/N2110	N2141/N2110	SHS 120x4.0 (SHS)	0.094	1.828	0.078	1.00	1.00	-	-
		N2142/N2111	N2142/N2111	SHS 120x4.0 (SHS)	0.094	1.812	0.094	1.00	1.00	-	-

Documento visado electrónicamente con número: VA07290/22
Código de validación telemática TRLTDCFZ60T66IJ1. Comprobación: https://cogitivalencia.e-gestion.es/Validacion.aspx?CVT=TRLTDCFZ60T66IJ1

VISADO
COGITI
VALENCIA
VA07290/22
TRLTDCFZ60T66IJ1

Descripción												
Material		Barra (Ni/Nf)	Pieza (Ni/Nf)	Perfil(Serie)	Longitud (m)			β_{xy}	β_{xz}	$Lb_{sup.}$ (m)	$Lb_{inf.}$ (m)
Tipo	Designación				Indeformable origen	Deformable	Indeformable extremo				
		N2143/N2112	N2143/N2112	SHS 120x4.0 (SHS)	0.094	1.812	0.094	1.00	1.00	-	-
		N2144/N2113	N2144/N2113	SHS 120x5.0 (SHS)	0.094	1.812	0.094	1.00	1.00	-	-
		N2145/N2114	N2145/N2114	SHS 120x5.0 (SHS)	0.094	1.812	0.094	1.00	1.00	-	-
		N2116/N2049	N2116/N2049	SHS 120x10.0 (SHS)	0.111	2.372	0.099	0.80	0.80	-	-
		N2117/N2050	N2117/N2050	SHS 120x5.0 (SHS)	0.111	2.372	0.099	0.80	0.80	-	-
		N2118/N2051	N2118/N2051	SHS 120x5.0 (SHS)	0.111	2.372	0.099	0.80	0.80	-	-
		N2119/N2052	N2119/N2052	SHS 120x4.0 (SHS)	0.111	2.372	0.099	0.80	0.80	-	-
		N2120/N2053	N2120/N2053	SHS 120x4.0 (SHS)	0.111	2.372	0.099	0.80	0.80	-	-
		N2121/N2054	N2121/N2054	SHS 100x4.0 (SHS)	0.111	2.372	0.099	0.80	0.80	-	-
		N2122/N2055	N2122/N2055	SHS 100x4.0 (SHS)	0.111	2.372	0.099	0.80	0.80	-	-
		N2123/N2056	N2123/N2056	SHS 100x4.0 (SHS)	0.111	2.372	0.099	0.80	0.80	-	-
		N2123/N2058	N2123/N2058	SHS 100x4.0 (SHS)	0.119	2.544	0.106	0.80	0.80	-	-
		N2124/N2059	N2124/N2059	SHS 100x4.0 (SHS)	0.119	2.544	0.106	0.80	0.80	-	-
		N2125/N2060	N2125/N2060	SHS 100x4.0 (SHS)	0.119	2.544	0.106	0.80	0.80	-	-
		N2126/N2061	N2126/N2061	SHS 120x4.0 (SHS)	0.119	2.544	0.106	0.80	0.80	-	-
		N2127/N2062	N2127/N2062	SHS 120x4.0 (SHS)	0.119	2.544	0.106	0.80	0.80	-	-
		N2128/N2063	N2128/N2063	SHS 120x5.0 (SHS)	0.119	2.544	0.106	0.80	0.80	-	-
		N2129/N2064	N2129/N2064	SHS 120x5.0 (SHS)	0.119	2.544	0.106	0.80	0.80	-	-
		N2130/N2065	N2130/N2065	SHS 120x10.0 (SHS)	0.119	2.431	0.219	0.80	0.80	-	-
		N2067/N2083	N2067/N2083	SHS 120x10.0 (SHS)	0.111	2.267	0.204	0.80	0.80	-	-
		N2068/N2084	N2068/N2084	SHS 120x5.0 (SHS)	0.111	2.372	0.099	0.80	0.80	-	-
		N2069/N2085	N2069/N2085	SHS 120x5.0 (SHS)	0.111	2.372	0.099	0.80	0.80	-	-
		N2070/N2086	N2070/N2086	SHS 120x4.0 (SHS)	0.111	2.372	0.099	0.80	0.80	-	-
		N2071/N2087	N2071/N2087	SHS 120x4.0 (SHS)	0.111	2.372	0.099	0.80	0.80	-	-
		N2072/N2088	N2072/N2088	SHS 100x4.0 (SHS)	0.111	2.372	0.099	0.80	0.80	-	-
		N2073/N2089	N2073/N2089	SHS 100x4.0 (SHS)	0.111	2.372	0.099	0.80	0.80	-	-
		N2074/N2090	N2074/N2090	SHS 100x4.0 (SHS)	0.111	2.372	0.099	0.80	0.80	-	-
		N2074/N2092	N2074/N2092	SHS 100x4.0 (SHS)	0.119	2.544	0.106	0.80	0.80	-	-
		N2075/N2093	N2075/N2093	SHS 100x4.0 (SHS)	0.119	2.544	0.106	0.80	0.80	-	-
		N2076/N2094	N2076/N2094	SHS 100x4.0 (SHS)	0.119	2.544	0.106	0.80	0.80	-	-

Documento visado electrónicamente con número: VA07290/22
Código de validación telemática TRLTDCFZ60T66IJ1. Comprobación: https://cogitivalencia.e-gestion.es/Validacion.aspx?CVT=TRLTDCFZ60T66IJ1

VISADO
COGITI
VALENCIA
VA07290/22
TRLTDCFZ60T66IJ1

Listados

Descripción											
Material		Barra (Ni/Nf)	Pieza (Ni/Nf)	Perfil(Serie)	Longitud (m)			β_{xy}	β_{xz}	Lbsup (m)	Lbinf (m)
Tipo	Designación				Indeformable origen	Deformable	Indeformable extremo				
		N2077/N2095	N2077/N2095	SHS 120x4.0 (SHS)	0.119	2.544	0.106	0.80	0.80	-	-
		N2078/N2096	N2078/N2096	SHS 120x4.0 (SHS)	0.119	2.544	0.106	0.80	0.80	-	-
		N2079/N2097	N2079/N2097	SHS 120x5.0 (SHS)	0.119	2.544	0.106	0.80	0.80	-	-
		N2080/N2098	N2080/N2098	SHS 120x5.0 (SHS)	0.119	2.544	0.106	0.80	0.80	-	-
		N2081/N2099	N2081/N2099	SHS 120x10.0 (SHS)	0.119	2.431	0.219	0.80	0.80	-	-
		N2131/N2082	N2131/N2082	SHS 120x10.0 (SHS)	0.111	2.267	0.204	0.80	0.80	-	-
		N2132/N2100	N2132/N2100	SHS 120x5.0 (SHS)	0.111	2.372	0.099	0.80	0.80	-	-
		N2133/N2101	N2133/N2101	SHS 120x5.0 (SHS)	0.111	2.372	0.099	0.80	0.80	-	-
		N2134/N2102	N2134/N2102	SHS 120x4.0 (SHS)	0.111	2.372	0.099	0.80	0.80	-	-
		N2135/N2103	N2135/N2103	SHS 120x4.0 (SHS)	0.111	2.372	0.099	0.80	0.80	-	-
		N2136/N2104	N2136/N2104	SHS 100x4.0 (SHS)	0.111	2.372	0.099	0.80	0.80	-	-
		N2137/N2105	N2137/N2105	SHS 100x4.0 (SHS)	0.111	2.372	0.099	0.80	0.80	-	-
		N2138/N2106	N2138/N2106	SHS 100x4.0 (SHS)	0.111	2.372	0.099	0.80	0.80	-	-
		N2138/N2108	N2138/N2108	SHS 100x4.0 (SHS)	0.119	2.544	0.106	0.80	0.80	-	-
		N2139/N2109	N2139/N2109	SHS 100x4.0 (SHS)	0.119	2.544	0.106	0.80	0.80	-	-
		N2140/N2110	N2140/N2110	SHS 100x4.0 (SHS)	0.119	2.544	0.106	0.80	0.80	-	-
		N2141/N2111	N2141/N2111	SHS 120x4.0 (SHS)	0.119	2.544	0.106	0.80	0.80	-	-
		N2142/N2112	N2142/N2112	SHS 120x4.0 (SHS)	0.119	2.544	0.106	0.80	0.80	-	-
		N2143/N2113	N2143/N2113	SHS 120x5.0 (SHS)	0.119	2.544	0.106	0.80	0.80	-	-
		N2144/N2114	N2144/N2114	SHS 120x5.0 (SHS)	0.119	2.544	0.106	0.80	0.80	-	-
		N2145/N2115	N2145/N2115	SHS 120x10.0 (SHS)	0.119	2.431	0.219	0.80	0.80	-	-
		N1938/N2146	N1938/N2148	SHS 120x5.0 (SHS)	0.130	2.243	0.060	1.00	3.00	-	-
		N2146/N2147	N1938/N2148	SHS 120x5.0 (SHS)	0.060	2.313	0.060	1.00	3.00	-	-
		N2147/N2148	N1938/N2148	SHS 120x5.0 (SHS)	0.060	2.313	0.060	1.00	3.00	-	-
		N1834/N2149	N1834/N2049	SHS 120x5.0 (SHS)	0.075	2.298	0.060	1.00	3.00	-	-
		N2149/N2150	N1834/N2049	SHS 120x5.0 (SHS)	0.060	2.313	0.060	1.00	3.00	-	-
		N2150/N2049	N1834/N2049	SHS 120x5.0 (SHS)	0.060	2.313	0.060	1.00	3.00	-	-
		N1851/N2151	N1851/N2083	SHS 120x5.0 (SHS)	0.155	2.183	0.095	1.00	3.00	-	-
		N2151/N2152	N1851/N2083	SHS 120x5.0 (SHS)	0.095	2.243	0.095	1.00	3.00	-	-
		N2152/N2083	N1851/N2083	SHS 120x5.0 (SHS)	0.095	2.188	0.150	1.00	3.00	-	-

Documento visado electrónicamente con número: VA07290/22
Código de validación telemática TRLTDCFZ60T66IJ1. Comprobación: https://cogitivalencia.e-gestion.es/Validacion.aspx?CVT=TRLTDCFZ60T66IJ1

VISADO
COGITI
VALENCIA
VA07290/22
TRLTDCFZ60T66IJ1

Descripción												
Material		Barra (Ni/Nf)	Pieza (Ni/Nf)	Perfil(Serie)	Longitud (m)			β_{xy}	β_{xz}	$Lb_{sup.}$ (m)	$Lb_{inf.}$ (m)
Tipo	Designación				Indeformable origen	Deformable	Indeformable extremo				
		N1850/N2153	N1850/N2065	SHS 120x5.0 (SHS)	0.095	2.278	0.060	1.00	3.00	-	-
		N2153/N2154	N1850/N2065	SHS 120x5.0 (SHS)	0.060	2.313	0.060	1.00	3.00	-	-
		N2154/N2065	N1850/N2065	SHS 120x5.0 (SHS)	0.060	2.278	0.095	1.00	3.00	-	-
		N2152/N2154	N2152/N2154	SHS 120x5.0 (SHS)	0.078	1.862	0.060	1.00	1.00	-	-
		N2151/N2153	N2151/N2153	SHS 120x5.0 (SHS)	0.078	1.862	0.060	1.00	1.00	-	-
		N2147/N2150	N2147/N2150	SHS 120x5.0 (SHS)	0.060	1.880	0.060	1.00	1.00	-	-
		N2146/N2149	N2146/N2149	SHS 120x5.0 (SHS)	0.060	1.880	0.060	1.00	1.00	-	-
		N2147/N2149	N2147/N2149	L 50 x 50 x 5 (L)	0.095	2.960	0.095	0.00	0.00	-	-
		N2146/N2150	N2146/N2150	L 50 x 50 x 5 (L)	0.095	2.960	0.095	0.00	0.00	-	-
		N1951/N2151	N1951/N2151	SHS 120x5.0 (SHS)	0.201	2.854	0.095	1.00	1.00	-	-
		N2066/N2152	N2066/N2152	SHS 120x5.0 (SHS)	0.195	2.860	0.095	1.00	1.00	-	-
		N1962/N2155	N1962/N2155	SHS 120x5.0 (SHS)	0.201	2.854	0.095	1.00	1.00	-	-
		N1868/N2155	N1868/N2082	SHS 120x5.0 (SHS)	0.155	2.183	0.095	1.00	3.00	-	-
		N2155/N2156	N1868/N2082	SHS 120x5.0 (SHS)	0.095	2.243	0.095	1.00	3.00	-	-
		N2156/N2082	N1868/N2082	SHS 120x5.0 (SHS)	0.095	2.188	0.150	1.00	3.00	-	-
		N2155/N2157	N2155/N2157	SHS 120x5.0 (SHS)	0.078	1.862	0.060	1.00	1.00	-	-
		N2156/N2158	N2156/N2158	SHS 120x5.0 (SHS)	0.078	1.862	0.060	1.00	1.00	-	-
		N2159/N2156	N2159/N2156	SHS 120x5.0 (SHS)	0.195	2.860	0.095	1.00	1.00	-	-
		N1867/N2157	N1867/N2099	SHS 120x5.0 (SHS)	0.095	2.278	0.060	1.00	3.00	-	-
		N2157/N2158	N1867/N2099	SHS 120x5.0 (SHS)	0.060	2.313	0.060	1.00	3.00	-	-
		N2158/N2099	N1867/N2099	SHS 120x5.0 (SHS)	0.060	2.278	0.095	1.00	3.00	-	-
		N2151/N2154	N2151/N2154	L 50 x 50 x 5 (L)	0.095	2.960	0.095	0.00	0.00	-	-
		N2151/N1850	N2151/N1850	SHS 120x4.0 (SHS)	0.095	2.957	0.098	1.00	1.00	-	-
		N2152/N2153	N2152/N2153	L 50 x 50 x 5 (L)	0.095	2.960	0.095	0.00	0.00	-	-
		N2152/N2065	N2152/N2065	SHS 120x4.0 (SHS)	0.095	2.960	0.095	1.00	1.00	-	-
		N2155/N2158	N2155/N2158	L 50 x 50 x 5 (L)	0.095	2.960	0.095	0.00	0.00	-	-
		N2155/N1867	N2155/N1867	SHS 120x4.0 (SHS)	0.095	2.957	0.098	1.00	1.00	-	-
		N2156/N2157	N2156/N2157	L 50 x 50 x 5 (L)	0.095	2.960	0.095	0.00	0.00	-	-
		N2156/N2099	N2156/N2099	SHS 120x4.0 (SHS)	0.095	2.960	0.095	1.00	1.00	-	-
		N1884/N2161	N1884/N2115	SHS 120x5.0 (SHS)	0.095	2.278	0.060	1.00	3.00	-	-
		N2161/N2160	N1884/N2115	SHS 120x5.0 (SHS)	0.060	2.313	0.060	1.00	3.00	-	-

Documento visado electrónicamente con número: VA07290/22
Código de validación telemática TRLTDCFZ60T66IJ1. Comprobación: https://cogitivalencia.e-gestion.es/Validacion.aspx?CVT=TRLTDCFZ60T66IJ1

VISADO
COGITI
VALENCIA
VA07290/22
TRLTDCFZ60T66IJ1

Listados

Descripción											
Material		Barra (Ni/Nf)	Pieza (Ni/Nf)	Perfil(Serie)	Longitud (m)			β_{xy}	β_{xz}	Lbsup (m)	Lbinf (m)
Tipo	Designación				Indeformable origen	Deformable	Indeformable extremo				
		N2160/N2115	N1884/N2115	SHS 120x5.0 (SHS)	0.060	2.278	0.095	1.00	3.00	-	-
		N2162/N2115	N2162/N2115	SHS 120x4.0 (SHS)	0.095	2.960	0.095	1.00	1.00	-	-
		N1966/N2164	N1966/N2163	SHS 120x5.0 (SHS)	0.175	2.163	0.095	1.00	3.00	-	-
		N2164/N2162	N1966/N2163	SHS 120x5.0 (SHS)	0.095	2.243	0.095	1.00	3.00	-	-
		N2162/N2163	N1966/N2163	SHS 120x5.0 (SHS)	0.095	2.188	0.150	1.00	3.00	-	-
		N2165/N2162	N2165/N2162	SHS 120x5.0 (SHS)	0.195	2.860	0.095	1.00	1.00	-	-
		N2164/N2160	N2164/N2160	L 50 x 50 x 5 (L)	0.095	2.960	0.095	0.00	0.00	-	-
		N2162/N2161	N2162/N2161	L 50 x 50 x 5 (L)	0.095	2.960	0.095	0.00	0.00	-	-
		N2164/N2161	N2164/N2161	SHS 120x5.0 (SHS)	0.078	1.862	0.060	1.00	1.00	-	-
		N2164/N1884	N2164/N1884	SHS 120x4.0 (SHS)	0.095	2.957	0.098	1.00	1.00	-	-
		N2162/N2160	N2162/N2160	SHS 120x5.0 (SHS)	0.078	1.862	0.060	1.00	1.00	-	-
		N1969/N2164	N1969/N2164	SHS 120x5.0 (SHS)	0.227	2.828	0.095	1.00	1.00	-	-
		N1836/N2051	N1836/N2051	SHS 120x5.0 (SHS)	0.075	7.165	0.060	1.00	1.00	-	-
		N2166/N2167	N2166/N2167	SHS 120x5.0 (SHS)	0.060	1.880	0.060	1.00	1.00	-	-
		N2168/N2169	N2168/N2169	SHS 120x5.0 (SHS)	0.060	1.880	0.060	1.00	1.00	-	-
		N2166/N2169	N2166/N2169	L 40 x 40 x 4 (L)	0.095	2.960	0.095	0.00	0.00	-	-
		N2168/N2167	N2168/N2167	L 40 x 40 x 4 (L)	0.095	2.960	0.095	0.00	0.00	-	-
		N1892/N2171	N1892/N2123	SHS 120x5.0 (SHS)	0.060	2.313	0.060	1.00	3.00	-	-
		N2171/N2170	N1892/N2123	SHS 120x5.0 (SHS)	0.060	2.313	0.060	1.00	3.00	-	-
		N2170/N2123	N1892/N2123	SHS 120x5.0 (SHS)	0.060	2.323	0.050	1.00	3.00	-	-
		N1842/N2173	N1842/N2057	SHS 120x5.0 (SHS)	0.060	2.313	0.060	1.00	3.00	-	-
		N2173/N2172	N1842/N2057	SHS 120x5.0 (SHS)	0.060	2.313	0.060	1.00	3.00	-	-
		N2172/N2057	N1842/N2057	SHS 120x5.0 (SHS)	0.060	2.323	0.050	1.00	3.00	-	-
		N2170/N2172	N2170/N2172	SHS 120x5.0 (SHS)	0.060	1.880	0.060	1.00	1.00	-	-
		N2171/N2172	N2171/N2172	L 40 x 40 x 4 (L)	0.095	2.960	0.095	0.00	0.00	-	-
		N2170/N2173	N2170/N2173	L 40 x 40 x 4 (L)	0.095	2.960	0.095	0.00	0.00	-	-
		N2171/N2173	N2171/N2173	SHS 120x5.0 (SHS)	0.060	1.880	0.060	1.00	1.00	-	-
		N1896/N2175	N1896/N2127	SHS 120x5.0 (SHS)	0.060	2.313	0.060	1.00	3.00	-	-
		N2175/N2174	N1896/N2127	SHS 120x5.0 (SHS)	0.060	2.313	0.060	1.00	3.00	-	-
		N2174/N2127	N1896/N2127	SHS 120x5.0 (SHS)	0.060	2.313	0.060	1.00	3.00	-	-
		N1846/N2177	N1846/N2061	SHS 120x5.0 (SHS)	0.060	2.313	0.060	1.00	3.00	-	-

Documento visado electrónicamente con número: VA07290/22
Código de validación telemática TRLTDCFZ60T66IJ1. Comprobación: https://cogitivalencia.e-gestion.es/Validacion.aspx?CVT=TRLTDCFZ60T66IJ1

Listados

VISADO
COGITI
VALENCIA
VA07290/22
TRLTDCFZ60T66IJ1

Descripción												
Material		Barra (Ni/Nf)	Pieza (Ni/Nf)	Perfil(Serie)	Longitud (m)			β_{xy}	β_{xz}	$Lb_{sup.}$ (m)	$Lb_{inf.}$ (m)
Tipo	Designación				Indeformable origen	Deformable	Indeformable extremo				
		N2177/N2176	N1846/N2061	SHS 120x5.0 (SHS)	0.060	2.313	0.060	1.00	3.00	-	-
		N2176/N2061	N1846/N2061	SHS 120x5.0 (SHS)	0.060	2.313	0.060	1.00	3.00	-	-
		N2174/N2176	N2174/N2176	SHS 120x5.0 (SHS)	0.060	1.880	0.060	1.00	1.00	-	-
		N2175/N2176	N2175/N2176	L 40 x 40 x 4 (L)	0.095	2.960	0.095	0.00	0.00	-	-
		N2174/N2177	N2174/N2177	L 40 x 40 x 4 (L)	0.095	2.960	0.095	0.00	0.00	-	-
		N2175/N2177	N2175/N2177	SHS 120x5.0 (SHS)	0.060	1.880	0.060	1.00	1.00	-	-
		N1848/N2063	N1848/N2063	SHS 120x5.0 (SHS)	0.075	7.165	0.060	1.00	1.00	-	-
		N1853/N2085	N1853/N2085	SHS 120x5.0 (SHS)	0.075	7.165	0.060	1.00	1.00	-	-
		N1855/N2178	N1855/N2087	SHS 120x5.0 (SHS)	0.060	2.313	0.060	1.00	3.00	-	-
		N2178/N2179	N1855/N2087	SHS 120x5.0 (SHS)	0.060	2.313	0.060	1.00	3.00	-	-
		N2179/N2087	N1855/N2087	SHS 120x5.0 (SHS)	0.060	2.313	0.060	1.00	3.00	-	-
		N1903/N2180	N1903/N2070	SHS 120x5.0 (SHS)	0.060	2.313	0.060	1.00	3.00	-	-
		N2180/N2181	N1903/N2070	SHS 120x5.0 (SHS)	0.060	2.313	0.060	1.00	3.00	-	-
		N2181/N2070	N1903/N2070	SHS 120x5.0 (SHS)	0.060	2.313	0.060	1.00	3.00	-	-
		N2181/N2179	N2181/N2179	SHS 120x5.0 (SHS)	0.060	1.880	0.060	1.00	1.00	-	-
		N2180/N2178	N2180/N2178	SHS 120x5.0 (SHS)	0.060	1.880	0.060	1.00	1.00	-	-
		N2181/N2178	N2181/N2178	L 40 x 40 x 4 (L)	0.095	2.960	0.095	0.00	0.00	-	-
		N2180/N2179	N2180/N2179	L 40 x 40 x 4 (L)	0.095	2.960	0.095	0.00	0.00	-	-
		N1907/N2183	N1907/N2074	SHS 120x5.0 (SHS)	0.060	2.313	0.060	1.00	3.00	-	-
		N2183/N2182	N1907/N2074	SHS 120x5.0 (SHS)	0.060	2.313	0.060	1.00	3.00	-	-
		N2182/N2074	N1907/N2074	SHS 120x5.0 (SHS)	0.060	2.323	0.050	1.00	3.00	-	-
		N1859/N2185	N1859/N2091	SHS 120x5.0 (SHS)	0.060	2.313	0.060	1.00	3.00	-	-
		N2185/N2184	N1859/N2091	SHS 120x5.0 (SHS)	0.060	2.313	0.060	1.00	3.00	-	-
		N2184/N2091	N1859/N2091	SHS 120x5.0 (SHS)	0.060	2.323	0.050	1.00	3.00	-	-
		N2182/N2184	N2182/N2184	SHS 120x5.0 (SHS)	0.060	1.880	0.060	1.00	1.00	-	-
		N2183/N2184	N2183/N2184	L 40 x 40 x 4 (L)	0.095	2.960	0.095	0.00	0.00	-	-
		N2182/N2185	N2182/N2185	L 40 x 40 x 4 (L)	0.095	2.960	0.095	0.00	0.00	-	-
		N2183/N2185	N2183/N2185	SHS 120x5.0 (SHS)	0.060	1.880	0.060	1.00	1.00	-	-
		N1911/N2187	N1911/N2078	SHS 120x5.0 (SHS)	0.060	2.313	0.060	1.00	3.00	-	-
		N2187/N2186	N1911/N2078	SHS 120x5.0 (SHS)	0.060	2.313	0.060	1.00	3.00	-	-
		N2186/N2078	N1911/N2078	SHS 120x5.0 (SHS)	0.060	2.313	0.060	1.00	3.00	-	-

Documento visado electrónicamente con número: VA07290/22
Código de validación telemática TRLTDCFZ60T66IJ1. Comprobación: https://cogitivalencia.e-gestion.es/Validacion.aspx?CVT=TRLTDCFZ60T66IJ1

VISADO
COGITI
VALENCIA
VA07290/22
TRLTDCFZ60T66IJ1

Listados

Descripción											
Material		Barra (Ni/Nf)	Pieza (Ni/Nf)	Perfil(Serie)	Longitud (m)			β_{xy}	β_{xz}	Lbsup (m)	Lbinf (m)
Tipo	Designación				Indeformable origen	Deformable	Indeformable extremo				
		N1863/N2189	N1863/N2095	SHS 120x5.0 (SHS)	0.060	2.313	0.060	1.00	3.00	-	-
		N2189/N2188	N1863/N2095	SHS 120x5.0 (SHS)	0.060	2.313	0.060	1.00	3.00	-	-
		N2188/N2095	N1863/N2095	SHS 120x5.0 (SHS)	0.060	2.313	0.060	1.00	3.00	-	-
		N2186/N2188	N2186/N2188	SHS 120x5.0 (SHS)	0.060	1.880	0.060	1.00	1.00	-	-
		N2187/N2188	N2187/N2188	L 40 x 40 x 4 (L)	0.095	2.960	0.095	0.00	0.00	-	-
		N2186/N2189	N2186/N2189	L 40 x 40 x 4 (L)	0.095	2.960	0.095	0.00	0.00	-	-
		N2187/N2189	N2187/N2189	SHS 120x5.0 (SHS)	0.060	1.880	0.060	1.00	1.00	-	-
		N1865/N2097	N1865/N2097	SHS 120x5.0 (SHS)	0.075	7.165	0.060	1.00	1.00	-	-
		N1870/N2101	N1870/N2101	SHS 120x5.0 (SHS)	0.075	7.165	0.060	1.00	1.00	-	-
		N1872/N2190	N1872/N2103	SHS 120x5.0 (SHS)	0.060	2.313	0.060	1.00	3.00	-	-
		N2190/N2191	N1872/N2103	SHS 120x5.0 (SHS)	0.060	2.313	0.060	1.00	3.00	-	-
		N2191/N2103	N1872/N2103	SHS 120x5.0 (SHS)	0.060	2.313	0.060	1.00	3.00	-	-
		N1918/N2192	N1918/N2134	SHS 120x5.0 (SHS)	0.060	2.313	0.060	1.00	3.00	-	-
		N2192/N2193	N1918/N2134	SHS 120x5.0 (SHS)	0.060	2.313	0.060	1.00	3.00	-	-
		N2193/N2134	N1918/N2134	SHS 120x5.0 (SHS)	0.060	2.313	0.060	1.00	3.00	-	-
		N2193/N2191	N2193/N2191	SHS 120x5.0 (SHS)	0.060	1.880	0.060	1.00	1.00	-	-
		N2192/N2190	N2192/N2190	SHS 120x5.0 (SHS)	0.060	1.880	0.060	1.00	1.00	-	-
		N2193/N2190	N2193/N2190	L 40 x 40 x 4 (L)	0.095	2.960	0.095	0.00	0.00	-	-
		N2192/N2191	N2192/N2191	L 40 x 40 x 4 (L)	0.095	2.960	0.095	0.00	0.00	-	-
		N1922/N2195	N1922/N2138	SHS 120x5.0 (SHS)	0.060	2.313	0.060	1.00	3.00	-	-
		N2195/N2194	N1922/N2138	SHS 120x5.0 (SHS)	0.060	2.313	0.060	1.00	3.00	-	-
		N2194/N2138	N1922/N2138	SHS 120x5.0 (SHS)	0.060	2.323	0.050	1.00	3.00	-	-
		N1876/N2197	N1876/N2107	SHS 120x5.0 (SHS)	0.060	2.313	0.060	1.00	3.00	-	-
		N2197/N2196	N1876/N2107	SHS 120x5.0 (SHS)	0.060	2.313	0.060	1.00	3.00	-	-
		N2196/N2107	N1876/N2107	SHS 120x5.0 (SHS)	0.060	2.323	0.050	1.00	3.00	-	-
		N2194/N2196	N2194/N2196	SHS 120x5.0 (SHS)	0.060	1.880	0.060	1.00	1.00	-	-
		N2195/N2196	N2195/N2196	L 40 x 40 x 4 (L)	0.095	2.960	0.095	0.00	0.00	-	-
		N2194/N2197	N2194/N2197	L 40 x 40 x 4 (L)	0.095	2.960	0.095	0.00	0.00	-	-
		N2195/N2197	N2195/N2197	SHS 120x5.0 (SHS)	0.060	1.880	0.060	1.00	1.00	-	-
		N1926/N2199	N1926/N2142	SHS 120x5.0 (SHS)	0.060	2.313	0.060	1.00	3.00	-	-
		N2199/N2198	N1926/N2142	SHS 120x5.0 (SHS)	0.060	2.313	0.060	1.00	3.00	-	-

Documento visado electrónicamente con número: VA07290/22
Código de validación telemática TRLTDCFZ60T66IJ1. Comprobación: https://cogitivalencia.e-gestion.es/Validacion.aspx?CVT=TRLTDCFZ60T66IJ1

VISADO
COGITI
VALENCIA
VA07290/22
TRLTDCFZ60T66IJ1

Descripción												
Material		Barra (Ni/Nf)	Pieza (Ni/Nf)	Perfil(Serie)	Longitud (m)			β_{xy}	β_{xz}	$Lb_{sup.}$ (m)	$Lb_{inf.}$ (m)
Tipo	Designación				Indeformable origen	Deformable	Indeformable extremo				
		N2198/N2142	N1926/N2142	SHS 120x5.0 (SHS)	0.060	2.313	0.060	1.00	3.00	-	-
		N1880/N2201	N1880/N2111	SHS 120x5.0 (SHS)	0.060	2.313	0.060	1.00	3.00	-	-
		N2201/N2200	N1880/N2111	SHS 120x5.0 (SHS)	0.060	2.313	0.060	1.00	3.00	-	-
		N2200/N2111	N1880/N2111	SHS 120x5.0 (SHS)	0.060	2.313	0.060	1.00	3.00	-	-
		N2198/N2200	N2198/N2200	SHS 120x5.0 (SHS)	0.060	1.880	0.060	1.00	1.00	-	-
		N2199/N2200	N2199/N2200	L 40 x 40 x 4 (L)	0.095	2.960	0.095	0.00	0.00	-	-
		N2198/N2201	N2198/N2201	L 40 x 40 x 4 (L)	0.095	2.960	0.095	0.00	0.00	-	-
		N2199/N2201	N2199/N2201	SHS 120x5.0 (SHS)	0.060	1.880	0.060	1.00	1.00	-	-
		N1882/N2113	N1882/N2113	SHS 120x5.0 (SHS)	0.075	7.165	0.060	1.00	1.00	-	-
		N1834/N2051	N1834/N2051	L 60 x 60 x 5 (L)	0.138	7.916	0.067	0.00	0.00	-	-
		N2049/N1836	N2049/N1836	L 60 x 60 x 5 (L)	0.138	7.899	0.084	0.00	0.00	-	-
		N1882/N2115	N1882/N2115	L 60 x 60 x 5 (L)	0.084	7.899	0.138	0.00	0.00	-	-
		N2113/N1884	N2113/N1884	L 60 x 60 x 5 (L)	0.067	7.916	0.138	0.00	0.00	-	-
		N1848/N2065	N1848/N2065	L 60 x 60 x 5 (L)	0.084	7.899	0.138	0.00	0.00	-	-
		N2063/N1850	N2063/N1850	L 60 x 60 x 5 (L)	0.067	7.916	0.138	0.00	0.00	-	-
		N1851/N2085	N1851/N2085	L 60 x 60 x 5 (L)	0.173	7.881	0.067	0.00	0.00	-	-
		N2083/N1853	N2083/N1853	L 60 x 60 x 5 (L)	0.167	7.870	0.084	0.00	0.00	-	-
		N1865/N2099	N1865/N2099	L 60 x 60 x 5 (L)	0.084	7.899	0.138	0.00	0.00	-	-
		N2097/N1867	N2097/N1867	L 60 x 60 x 5 (L)	0.067	7.916	0.138	0.00	0.00	-	-
		N1868/N2101	N1868/N2101	L 60 x 60 x 5 (L)	0.173	7.881	0.067	0.00	0.00	-	-
		N2082/N1870	N2082/N1870	L 60 x 60 x 5 (L)	0.167	7.870	0.084	0.00	0.00	-	-
		N1838/N2169	N1838/N2053	SHS 120x5.0 (SHS)	0.060	2.313	0.060	1.00	3.00	-	-
		N2169/N2167	N1838/N2053	SHS 120x5.0 (SHS)	0.060	2.313	0.060	1.00	3.00	-	-
		N2167/N2053	N1838/N2053	SHS 120x5.0 (SHS)	0.060	2.313	0.060	1.00	3.00	-	-
		N1888/N2168	N1888/N2119	SHS 120x5.0 (SHS)	0.060	2.313	0.060	1.00	3.00	-	-
		N2168/N2166	N1888/N2119	SHS 120x5.0 (SHS)	0.060	2.313	0.060	1.00	3.00	-	-
		N2166/N2119	N1888/N2119	SHS 120x5.0 (SHS)	0.060	2.313	0.060	1.00	3.00	-	-
		N2202/N2203	N2202/N2218	HE 160 A (HEA)	0.078	1.623	0.078	0.56	1.00	1.779	1.779
		N2203/N2204	N2202/N2218	HE 160 A (HEA)	0.078	1.623	0.078	0.56	1.00	1.779	1.779
		N2204/N2205	N2202/N2218	HE 160 A (HEA)	0.078	1.623	0.078	0.56	1.00	1.779	1.779
		N2205/N2206	N2202/N2218	HE 160 A (HEA)	0.078	1.623	0.078	0.56	1.00	1.779	1.779

Documento visado electrónicamente con número: VA07290/22
Código de validación telemática TRLTDCFZ60T66IJ1. Comprobación: https://cogitivalencia.e-gestion.es/Validacion.aspx?CVT=TRLTDCFZ60T66IJ1

VISADO
COGITI
VALENCIA
VA07290/22
TRLTDCFZ60T66IJ1

Listados

Descripción											
Material		Barra (Ni/Nf)	Pieza (Ni/Nf)	Perfil(Serie)	Longitud (m)			β_{xy}	β_{xz}	Lbsup (m)	Lbinf (m)
Tipo	Designación				Indeformable origen	Deformable	Indeformable extremo				
		N2206/N2207	N2202/N2218	HE 160 A (HEA)	0.078	1.636	0.065	0.56	1.00	1.779	1.779
		N2207/N3441	N2202/N2218	HE 160 A (HEA)	0.065	0.825	-	1.12	1.00	0.890	0.890
		N3441/N2208	N2202/N2218	HE 160 A (HEA)	-	0.825	0.065	1.12	1.00	0.890	0.890
		N2208/N2209	N2202/N2218	HE 160 A (HEA)	0.065	1.649	0.065	0.56	1.00	1.779	1.779
		N2209/N2210	N2202/N2218	HE 160 A (HEA)	0.065	1.663	0.051	0.56	1.00	1.779	1.779
		N2210/N2211	N2202/N2218	HE 160 A (HEA)	0.051	1.658	0.070	0.56	1.00	1.779	1.779
		N2211/N2212	N2202/N2218	HE 160 A (HEA)	0.070	1.639	0.070	0.56	1.00	1.779	1.779
		N2212/N3450	N2202/N2218	HE 160 A (HEA)	0.070	0.820	-	1.12	1.00	0.890	0.890
		N3450/N2213	N2202/N2218	HE 160 A (HEA)	-	0.820	0.070	1.12	1.00	0.890	0.890
		N2213/N2214	N2202/N2218	HE 160 A (HEA)	0.070	1.625	0.084	0.56	1.00	1.779	1.779
		N2214/N2215	N2202/N2218	HE 160 A (HEA)	0.084	1.611	0.084	0.56	1.00	1.779	1.779
		N2215/N2216	N2202/N2218	HE 160 A (HEA)	0.084	1.611	0.084	0.56	1.00	1.779	1.779
		N2216/N2217	N2202/N2218	HE 160 A (HEA)	0.084	1.611	0.084	0.56	1.00	1.779	1.779
		N2217/N2218	N2202/N2218	HE 160 A (HEA)	0.084	1.554	0.141	0.56	1.00	1.779	1.779
		N2219/N2220	N2219/N2235	HE 180 A (HEA)	0.141	1.560	0.078	1.83	1.00	-	-
		N2220/N2221	N2219/N2235	HE 180 A (HEA)	0.078	1.623	0.078	1.83	1.00	-	-
		N2221/N2222	N2219/N2235	HE 180 A (HEA)	0.078	1.623	0.078	1.83	1.00	-	-
		N2222/N2223	N2219/N2235	HE 180 A (HEA)	0.078	1.623	0.078	1.83	1.00	-	-
		N2223/N2224	N2219/N2235	HE 180 A (HEA)	0.078	1.623	0.078	1.83	1.00	-	-
		N2224/N2225	N2219/N2235	HE 180 A (HEA)	0.078	1.636	0.065	1.83	1.00	-	-
		N2225/N2226	N2219/N2235	HE 180 A (HEA)	0.065	1.649	0.065	1.83	1.00	-	-
		N2226/N2227	N2219/N2235	HE 180 A (HEA)	0.065	1.644	0.070	1.83	1.00	-	-
		N2227/N2228	N2219/N2235	HE 180 A (HEA)	0.070	1.639	0.070	1.83	1.00	-	-
		N2228/N2229	N2219/N2235	HE 180 A (HEA)	0.070	1.639	0.070	1.83	1.00	-	-
		N2229/N2230	N2219/N2235	HE 180 A (HEA)	0.070	1.625	0.084	1.83	1.00	-	-
		N2230/N2231	N2219/N2235	HE 180 A (HEA)	0.084	1.611	0.084	1.83	1.00	-	-
		N2231/N2232	N2219/N2235	HE 180 A (HEA)	0.084	1.611	0.084	1.83	1.00	-	-
		N2232/N2233	N2219/N2235	HE 180 A (HEA)	0.084	1.611	0.084	1.83	1.00	-	-
		N2233/N2234	N2219/N2235	HE 180 A (HEA)	0.084	1.578	0.117	1.83	1.00	-	-
		N2234/N2235	N2219/N2235	HE 180 A (HEA)	0.117	1.521	0.141	1.83	1.00	-	-
		N2236/N2237	N2236/N2252	HE 160 A (HEA)	0.141	1.560	0.078	0.56	1.00	1.779	1.779

Documento visado electrónicamente con número: VA07290/22
Código de validación telemática TRLTDCFZ60T66IJ1. Comprobación: https://cogitivalencia.e-gestion.es/Validacion.aspx?CVT=TRLTDCFZ60T66IJ1

VISADO
COGITI
VALENCIA
VA07290/22
TRLTDCFZ60T66IJ1

Descripción												
Material		Barra (Ni/Nf)	Pieza (Ni/Nf)	Perfil(Serie)	Longitud (m)			β_{xy}	β_{xz}	$Lb_{sup.}$ (m)	$Lb_{inf.}$ (m)	
Tipo	Designación				Indeformable origen	Deformable	Indeformable extremo					
		N2237/N2238	N2236/N2252	HE 160 A (HEA)	0.078	1.623	0.078	0.56	1.00	1.779	1.779	
		N2238/N2239	N2236/N2252	HE 160 A (HEA)	0.078	1.623	0.078	0.56	1.00	1.779	1.779	
		N2239/N2240	N2236/N2252	HE 160 A (HEA)	0.078	1.623	0.078	0.56	1.00	1.779	1.779	
		N2240/N2241	N2236/N2252	HE 160 A (HEA)	0.078	1.636	0.065	0.56	1.00	1.779	1.779	
		N2241/N3459	N2236/N2252	HE 160 A (HEA)	0.065	0.825	-	1.12	1.00	0.890	0.890	
		N3459/N2242	N2236/N2252	HE 160 A (HEA)	-	0.825	0.065	1.12	1.00	0.890	0.890	
		N2242/N2243	N2236/N2252	HE 160 A (HEA)	0.065	1.649	0.065	0.56	1.00	1.779	1.779	
		N2243/N2244	N2236/N2252	HE 160 A (HEA)	0.065	1.663	0.051	0.56	1.00	1.779	1.779	
		N2244/N2245	N2236/N2252	HE 160 A (HEA)	0.051	1.658	0.070	0.56	1.00	1.779	1.779	
		N2245/N2246	N2236/N2252	HE 160 A (HEA)	0.070	1.639	0.070	0.56	1.00	1.779	1.779	
		N2246/N3468	N2236/N2252	HE 160 A (HEA)	0.070	0.820	-	1.12	1.00	0.890	0.890	
		N3468/N2247	N2236/N2252	HE 160 A (HEA)	-	0.820	0.070	1.12	1.00	0.890	0.890	
		N2247/N2248	N2236/N2252	HE 160 A (HEA)	0.070	1.625	0.084	0.56	1.00	1.779	1.779	
		N2248/N2249	N2236/N2252	HE 160 A (HEA)	0.084	1.611	0.084	0.56	1.00	1.779	1.779	
		N2249/N2250	N2236/N2252	HE 160 A (HEA)	0.084	1.611	0.084	0.56	1.00	1.779	1.779	
		N2250/N2251	N2236/N2252	HE 160 A (HEA)	0.084	1.611	0.084	0.56	1.00	1.779	1.779	
		N2251/N2252	N2236/N2252	HE 160 A (HEA)	0.084	1.554	0.141	0.56	1.00	1.779	1.779	
		N2235/N2253	N2235/N2268	HE 160 A (HEA)	0.141	1.560	0.078	0.56	1.00	1.779	1.779	
		N2253/N2254	N2235/N2268	HE 160 A (HEA)	0.078	1.623	0.078	0.56	1.00	1.779	1.779	
		N2254/N2255	N2235/N2268	HE 160 A (HEA)	0.078	1.623	0.078	0.56	1.00	1.779	1.779	
		N2255/N2256	N2235/N2268	HE 160 A (HEA)	0.078	1.623	0.078	0.56	1.00	1.779	1.779	
		N2256/N2257	N2235/N2268	HE 160 A (HEA)	0.078	1.636	0.065	0.56	1.00	1.779	1.779	
		N2257/N3477	N2235/N2268	HE 160 A (HEA)	0.065	0.825	-	1.12	1.00	0.890	0.890	
		N3477/N2258	N2235/N2268	HE 160 A (HEA)	-	0.825	0.065	1.12	1.00	0.890	0.890	
		N2258/N2259	N2235/N2268	HE 160 A (HEA)	0.065	1.649	0.065	0.56	1.00	1.779	1.779	
		N2259/N2260	N2235/N2268	HE 160 A (HEA)	0.065	1.663	0.051	0.56	1.00	1.779	1.779	
		N2260/N2261	N2235/N2268	HE 160 A (HEA)	0.051	1.658	0.070	0.56	1.00	1.779	1.779	
		N2261/N2262	N2235/N2268	HE 160 A (HEA)	0.070	1.639	0.070	0.56	1.00	1.779	1.779	
		N2262/N3486	N2235/N2268	HE 160 A (HEA)	0.070	0.820	-	1.12	1.00	0.890	0.890	
		N3486/N2263	N2235/N2268	HE 160 A (HEA)	-	0.820	0.070	1.12	1.00	0.890	0.890	
		N2263/N2264	N2235/N2268	HE 160 A (HEA)	0.070	1.625	0.084	0.56	1.00	1.779	1.779	

Documento visado electrónicamente con número: VA07290/22
Código de validación telemática TRLTDCFZ60T66IJ1. Comprobación: https://cogitivalencia.e-gestion.es/Validacion.aspx?CVT=TRLTDCFZ60T66IJ1

VISADO
COGITI
VALENCIA
VA07290/22
TRLTDCFZ60T66IJ1

Descripción												
Material		Barra (Ni/Nf)	Pieza (Ni/Nf)	Perfil(Serie)	Longitud (m)			β_{xy}	β_{xz}	Lbsup (m)	Lbinf (m)
Tipo	Designación				Indeformable origen	Deformable	Indeformable extremo				
		N2264/N2265	N2235/N2268	HE 160 A (HEA)	0.084	1.611	0.084	0.56	1.00	1.779	1.779
		N2265/N2266	N2235/N2268	HE 160 A (HEA)	0.084	1.611	0.084	0.56	1.00	1.779	1.779
		N2266/N2267	N2235/N2268	HE 160 A (HEA)	0.084	1.611	0.084	0.56	1.00	1.779	1.779
		N2267/N2268	N2235/N2268	HE 160 A (HEA)	0.084	1.554	0.141	0.56	1.00	1.779	1.779
		N2269/N2203	N2269/N2203	SHS 120x5.0 (SHS)	0.088	1.824	0.088	1.00	1.00	-	-
		N2270/N2204	N2270/N2204	SHS 120x5.0 (SHS)	0.088	1.824	0.088	1.00	1.00	-	-
		N2271/N2205	N2271/N2205	SHS 120x4.0 (SHS)	0.088	1.824	0.088	1.00	1.00	-	-
		N2272/N2206	N2272/N2206	SHS 120x4.0 (SHS)	0.088	1.824	0.088	1.00	1.00	-	-
		N2273/N2207	N2273/N2207	SHS 120x4.0 (SHS)	0.088	1.835	0.077	1.00	1.00	-	-
		N2274/N2208	N2274/N2208	SHS 100x4.0 (SHS)	0.086	1.837	0.077	1.00	1.00	-	-
		N2275/N2209	N2275/N2209	SHS 100x4.0 (SHS)	0.086	1.837	0.077	1.00	1.00	-	-
		N2276/N2210	N2276/N2210	SHS 100x4.0 (SHS)	0.086	1.837	0.077	1.00	1.00	-	-
		N2277/N2211	N2277/N2211	SHS 100x4.0 (SHS)	0.086	1.836	0.078	1.00	1.00	-	-
		N2278/N2212	N2278/N2212	SHS 100x4.0 (SHS)	0.086	1.836	0.078	1.00	1.00	-	-
		N2279/N2213	N2279/N2213	SHS 120x4.0 (SHS)	0.094	1.828	0.078	1.00	1.00	-	-
		N2280/N2214	N2280/N2214	SHS 120x4.0 (SHS)	0.094	1.812	0.094	1.00	1.00	-	-
		N2281/N2215	N2281/N2215	SHS 120x4.0 (SHS)	0.094	1.812	0.094	1.00	1.00	-	-
		N2282/N2216	N2282/N2216	SHS 120x5.0 (SHS)	0.094	1.812	0.094	1.00	1.00	-	-
		N2283/N2217	N2283/N2217	SHS 120x5.0 (SHS)	0.131	1.775	0.094	1.00	1.00	-	-
		N2220/N2237	N2220/N2237	SHS 120x5.0 (SHS)	0.088	1.824	0.088	1.00	1.00	-	-
		N2221/N2238	N2221/N2238	SHS 120x5.0 (SHS)	0.088	1.824	0.088	1.00	1.00	-	-
		N2222/N2239	N2222/N2239	SHS 120x4.0 (SHS)	0.088	1.824	0.088	1.00	1.00	-	-
		N2223/N2240	N2223/N2240	SHS 120x4.0 (SHS)	0.088	1.824	0.088	1.00	1.00	-	-
		N2224/N2241	N2224/N2241	SHS 120x4.0 (SHS)	0.088	1.835	0.077	1.00	1.00	-	-
		N2225/N2242	N2225/N2242	SHS 100x4.0 (SHS)	0.086	1.837	0.077	1.00	1.00	-	-
		N2226/N2243	N2226/N2243	SHS 100x4.0 (SHS)	0.086	1.837	0.077	1.00	1.00	-	-
		N2227/N2244	N2227/N2244	SHS 100x4.0 (SHS)	0.086	1.837	0.077	1.00	1.00	-	-
		N2228/N2245	N2228/N2245	SHS 100x4.0 (SHS)	0.086	1.836	0.078	1.00	1.00	-	-
		N2229/N2246	N2229/N2246	SHS 100x4.0 (SHS)	0.086	1.836	0.078	1.00	1.00	-	-
		N2230/N2247	N2230/N2247	SHS 120x4.0 (SHS)	0.094	1.828	0.078	1.00	1.00	-	-
		N2231/N2248	N2231/N2248	SHS 120x4.0 (SHS)	0.094	1.812	0.094	1.00	1.00	-	-

Documento visado electrónicamente con número: VA07290/22
Código de validación telemática TRLTDCFZ60T66IJ1. Comprobación: https://cogitivalencia.e-gestion.es/Validacion.aspx?CVT=TRLTDCFZ60T66IJ1

VISADO
COGITI
VALENCIA
VA07290/22
TRLTDCFZ60T66IJ1

Descripción												
Material		Barra (Ni/Nf)	Pieza (Ni/Nf)	Perfil(Serie)	Longitud (m)			β_{xy}	β_{xz}	$Lb_{sup.}$ (m)	$Lb_{inf.}$ (m)
Tipo	Designación				Indeformable origen	Deformable	Indeformable extremo				
		N2232/N2249	N2232/N2249	SHS 120x4.0 (SHS)	0.094	1.812	0.094	1.00	1.00	-	-
		N2233/N2250	N2233/N2250	SHS 120x5.0 (SHS)	0.094	1.812	0.094	1.00	1.00	-	-
		N2234/N2251	N2234/N2251	SHS 120x5.0 (SHS)	0.131	1.775	0.094	1.00	1.00	-	-
		N2284/N2253	N2284/N2253	SHS 120x5.0 (SHS)	0.088	1.824	0.088	1.00	1.00	-	-
		N2285/N2254	N2285/N2254	SHS 120x5.0 (SHS)	0.088	1.824	0.088	1.00	1.00	-	-
		N2286/N2255	N2286/N2255	SHS 120x4.0 (SHS)	0.088	1.824	0.088	1.00	1.00	-	-
		N2287/N2256	N2287/N2256	SHS 120x4.0 (SHS)	0.088	1.824	0.088	1.00	1.00	-	-
		N2288/N2257	N2288/N2257	SHS 120x4.0 (SHS)	0.088	1.835	0.077	1.00	1.00	-	-
		N2289/N2258	N2289/N2258	SHS 100x4.0 (SHS)	0.086	1.837	0.077	1.00	1.00	-	-
		N2290/N2259	N2290/N2259	SHS 100x4.0 (SHS)	0.086	1.837	0.077	1.00	1.00	-	-
		N2291/N2260	N2291/N2260	SHS 100x4.0 (SHS)	0.086	1.837	0.077	1.00	1.00	-	-
		N2292/N2261	N2292/N2261	SHS 100x4.0 (SHS)	0.086	1.836	0.078	1.00	1.00	-	-
		N2293/N2262	N2293/N2262	SHS 100x4.0 (SHS)	0.086	1.836	0.078	1.00	1.00	-	-
		N2294/N2263	N2294/N2263	SHS 120x4.0 (SHS)	0.094	1.828	0.078	1.00	1.00	-	-
		N2295/N2264	N2295/N2264	SHS 120x4.0 (SHS)	0.094	1.812	0.094	1.00	1.00	-	-
		N2296/N2265	N2296/N2265	SHS 120x4.0 (SHS)	0.094	1.812	0.094	1.00	1.00	-	-
		N2297/N2266	N2297/N2266	SHS 120x5.0 (SHS)	0.094	1.812	0.094	1.00	1.00	-	-
		N2298/N2267	N2298/N2267	SHS 120x5.0 (SHS)	0.094	1.812	0.094	1.00	1.00	-	-
		N2269/N2202	N2269/N2202	SHS 120x10.0 (SHS)	0.111	2.372	0.099	0.80	0.80	-	-
		N2270/N2203	N2270/N2203	SHS 120x5.0 (SHS)	0.111	2.372	0.099	0.80	0.80	-	-
		N2271/N2204	N2271/N2204	SHS 120x5.0 (SHS)	0.111	2.372	0.099	0.80	0.80	-	-
		N2272/N2205	N2272/N2205	SHS 120x4.0 (SHS)	0.111	2.372	0.099	0.80	0.80	-	-
		N2273/N2206	N2273/N2206	SHS 120x4.0 (SHS)	0.111	2.372	0.099	0.80	0.80	-	-
		N2274/N2207	N2274/N2207	SHS 100x4.0 (SHS)	0.111	2.372	0.099	0.80	0.80	-	-
		N2275/N2208	N2275/N2208	SHS 100x4.0 (SHS)	0.111	2.372	0.099	0.80	0.80	-	-
		N2276/N2209	N2276/N2209	SHS 100x4.0 (SHS)	0.111	2.372	0.099	0.80	0.80	-	-
		N2276/N2211	N2276/N2211	SHS 100x4.0 (SHS)	0.119	2.544	0.106	0.80	0.80	-	-
		N2277/N2212	N2277/N2212	SHS 100x4.0 (SHS)	0.119	2.544	0.106	0.80	0.80	-	-
		N2278/N2213	N2278/N2213	SHS 100x4.0 (SHS)	0.119	2.544	0.106	0.80	0.80	-	-
		N2279/N2214	N2279/N2214	SHS 120x4.0 (SHS)	0.119	2.544	0.106	0.80	0.80	-	-
		N2280/N2215	N2280/N2215	SHS 120x4.0 (SHS)	0.119	2.544	0.106	0.80	0.80	-	-

Documento visado electrónicamente con número: VA07290/22
Código de validación telemática TRLTDCFZ60T66IJ1. Comprobación: https://cogitivalencia.e-gestion.es/Validacion.aspx?CVT=TRLTDCFZ60T66IJ1

VISADO
COGITI
VALENCIA
VA07290/22
TRLTDCFZ60T66IJ1

Listados

Descripción											
Material		Barra (Ni/Nf)	Pieza (Ni/Nf)	Perfil(Serie)	Longitud (m)			β_{xy}	β_{xz}	Lbsup (m)	Lbinf (m)
Tipo	Designación				Indeformable origen	Deformable	Indeformable extremo				
		N2281/N2216	N2281/N2216	SHS 120x5.0 (SHS)	0.119	2.544	0.106	0.80	0.80	-	-
		N2282/N2217	N2282/N2217	SHS 120x5.0 (SHS)	0.119	2.544	0.106	0.80	0.80	-	-
		N2283/N2218	N2283/N2218	SHS 120x10.0 (SHS)	0.119	2.431	0.219	0.80	0.80	-	-
		N2220/N2236	N2220/N2236	SHS 120x10.0 (SHS)	0.111	2.267	0.204	0.80	0.80	-	-
		N2221/N2237	N2221/N2237	SHS 120x5.0 (SHS)	0.111	2.372	0.099	0.80	0.80	-	-
		N2222/N2238	N2222/N2238	SHS 120x5.0 (SHS)	0.111	2.372	0.099	0.80	0.80	-	-
		N2223/N2239	N2223/N2239	SHS 120x4.0 (SHS)	0.111	2.372	0.099	0.80	0.80	-	-
		N2224/N2240	N2224/N2240	SHS 120x4.0 (SHS)	0.111	2.372	0.099	0.80	0.80	-	-
		N2225/N2241	N2225/N2241	SHS 100x4.0 (SHS)	0.111	2.372	0.099	0.80	0.80	-	-
		N2226/N2242	N2226/N2242	SHS 100x4.0 (SHS)	0.111	2.372	0.099	0.80	0.80	-	-
		N2227/N2243	N2227/N2243	SHS 100x4.0 (SHS)	0.111	2.372	0.099	0.80	0.80	-	-
		N2227/N2245	N2227/N2245	SHS 100x4.0 (SHS)	0.119	2.544	0.106	0.80	0.80	-	-
		N2228/N2246	N2228/N2246	SHS 100x4.0 (SHS)	0.119	2.544	0.106	0.80	0.80	-	-
		N2229/N2247	N2229/N2247	SHS 100x4.0 (SHS)	0.119	2.544	0.106	0.80	0.80	-	-
		N2230/N2248	N2230/N2248	SHS 120x4.0 (SHS)	0.119	2.544	0.106	0.80	0.80	-	-
		N2231/N2249	N2231/N2249	SHS 120x4.0 (SHS)	0.119	2.544	0.106	0.80	0.80	-	-
		N2232/N2250	N2232/N2250	SHS 120x5.0 (SHS)	0.119	2.544	0.106	0.80	0.80	-	-
		N2233/N2251	N2233/N2251	SHS 120x5.0 (SHS)	0.119	2.544	0.106	0.80	0.80	-	-
		N2234/N2252	N2234/N2252	SHS 120x10.0 (SHS)	0.119	2.431	0.219	0.80	0.80	-	-
		N2284/N2235	N2284/N2235	SHS 120x10.0 (SHS)	0.111	2.267	0.204	0.80	0.80	-	-
		N2285/N2253	N2285/N2253	SHS 120x5.0 (SHS)	0.111	2.372	0.099	0.80	0.80	-	-
		N2286/N2254	N2286/N2254	SHS 120x5.0 (SHS)	0.111	2.372	0.099	0.80	0.80	-	-
		N2287/N2255	N2287/N2255	SHS 120x4.0 (SHS)	0.111	2.372	0.099	0.80	0.80	-	-
		N2288/N2256	N2288/N2256	SHS 120x4.0 (SHS)	0.111	2.372	0.099	0.80	0.80	-	-
		N2289/N2257	N2289/N2257	SHS 100x4.0 (SHS)	0.111	2.372	0.099	0.80	0.80	-	-
		N2290/N2258	N2290/N2258	SHS 100x4.0 (SHS)	0.111	2.372	0.099	0.80	0.80	-	-
		N2291/N2259	N2291/N2259	SHS 100x4.0 (SHS)	0.111	2.372	0.099	0.80	0.80	-	-
		N2291/N2261	N2291/N2261	SHS 100x4.0 (SHS)	0.119	2.544	0.106	0.80	0.80	-	-
		N2292/N2262	N2292/N2262	SHS 100x4.0 (SHS)	0.119	2.544	0.106	0.80	0.80	-	-
		N2293/N2263	N2293/N2263	SHS 100x4.0 (SHS)	0.119	2.544	0.106	0.80	0.80	-	-

Documento visado electrónicamente con número: VA07290/22
Código de validación telemática TRLTDCFZ60T66IJ1. Comprobación: https://cogitivalencia.e-gestion.es/Validacion.aspx?CVT=TRLTDCFZ60T66IJ1

VISADO
COGITI
VALENCIA
VA07290/22
TRLTDCFZ60T66IJ1

Descripción												
Material		Barra (Ni/Nf)	Pieza (Ni/Nf)	Perfil(Serie)	Longitud (m)			β_{xy}	β_{xz}	$Lb_{sup.}$ (m)	$Lb_{inf.}$ (m)
Tipo	Designación				Indeformable origen	Deformable	Indeformable extremo				
		N2294/N2264	N2294/N2264	SHS 120x4.0 (SHS)	0.119	2.544	0.106	0.80	0.80	-	-
		N2295/N2265	N2295/N2265	SHS 120x4.0 (SHS)	0.119	2.544	0.106	0.80	0.80	-	-
		N2296/N2266	N2296/N2266	SHS 120x5.0 (SHS)	0.119	2.544	0.106	0.80	0.80	-	-
		N2297/N2267	N2297/N2267	SHS 120x5.0 (SHS)	0.119	2.544	0.106	0.80	0.80	-	-
		N2298/N2268	N2298/N2268	SHS 120x10.0 (SHS)	0.119	2.431	0.219	0.80	0.80	-	-
		N2148/N2299	N2148/N2301	SHS 120x5.0 (SHS)	0.060	2.313	0.060	1.00	3.00	-	-
		N2299/N2300	N2148/N2301	SHS 120x5.0 (SHS)	0.060	2.313	0.060	1.00	3.00	-	-
		N2300/N2301	N2148/N2301	SHS 120x5.0 (SHS)	0.060	2.313	0.060	1.00	3.00	-	-
		N2049/N2302	N2049/N2202	SHS 120x5.0 (SHS)	0.060	2.313	0.060	1.00	3.00	-	-
		N2302/N2303	N2049/N2202	SHS 120x5.0 (SHS)	0.060	2.313	0.060	1.00	3.00	-	-
		N2303/N2202	N2049/N2202	SHS 120x5.0 (SHS)	0.060	2.313	0.060	1.00	3.00	-	-
		N2083/N2304	N2083/N2236	SHS 120x5.0 (SHS)	0.150	2.188	0.095	1.00	3.00	-	-
		N2304/N2305	N2083/N2236	SHS 120x5.0 (SHS)	0.095	2.243	0.095	1.00	3.00	-	-
		N2305/N2236	N2083/N2236	SHS 120x5.0 (SHS)	0.095	2.188	0.150	1.00	3.00	-	-
		N2065/N2306	N2065/N2218	SHS 120x5.0 (SHS)	0.095	2.278	0.060	1.00	3.00	-	-
		N2306/N2307	N2065/N2218	SHS 120x5.0 (SHS)	0.060	2.313	0.060	1.00	3.00	-	-
		N2307/N2218	N2065/N2218	SHS 120x5.0 (SHS)	0.060	2.278	0.095	1.00	3.00	-	-
		N2305/N2307	N2305/N2307	SHS 120x5.0 (SHS)	0.078	1.862	0.060	1.00	1.00	-	-
		N2304/N2306	N2304/N2306	SHS 120x5.0 (SHS)	0.078	1.862	0.060	1.00	1.00	-	-
		N2300/N2303	N2300/N2303	SHS 120x5.0 (SHS)	0.060	1.880	0.060	1.00	1.00	-	-
		N2299/N2302	N2299/N2302	SHS 120x5.0 (SHS)	0.060	1.880	0.060	1.00	1.00	-	-
		N2300/N2302	N2300/N2302	L 50 x 50 x 5 (L)	0.095	2.960	0.095	0.00	0.00	-	-
		N2299/N2303	N2299/N2303	L 50 x 50 x 5 (L)	0.095	2.960	0.095	0.00	0.00	-	-
		N2066/N2304	N2066/N2304	SHS 120x5.0 (SHS)	0.195	2.860	0.095	1.00	1.00	-	-
		N2219/N2305	N2219/N2305	SHS 120x5.0 (SHS)	0.195	2.860	0.095	1.00	1.00	-	-
		N2159/N2308	N2159/N2308	SHS 120x5.0 (SHS)	0.195	2.860	0.095	1.00	1.00	-	-
		N2082/N2308	N2082/N2235	SHS 120x5.0 (SHS)	0.150	2.188	0.095	1.00	3.00	-	-
		N2308/N2309	N2082/N2235	SHS 120x5.0 (SHS)	0.095	2.243	0.095	1.00	3.00	-	-
		N2309/N2235	N2082/N2235	SHS 120x5.0 (SHS)	0.095	2.188	0.150	1.00	3.00	-	-
		N2308/N2310	N2308/N2310	SHS 120x5.0 (SHS)	0.078	1.862	0.060	1.00	1.00	-	-
		N2309/N2311	N2309/N2311	SHS 120x5.0 (SHS)	0.078	1.862	0.060	1.00	1.00	-	-

Documento visado electrónicamente con número: VA07290/22
Código de validación telemática TRLTDCFZ60T66IJ1. Comprobación: https://cogitivalencia.e-gestion.es/Validacion.aspx?CVT=TRLTDCFZ60T66IJ1

VISADO
COGITI
VALENCIA
VA07290/22
TRLTDCFZ60T66IJ1

Descripción												
Material		Barra (Ni/Nf)	Pieza (Ni/Nf)	Perfil(Serie)	Longitud (m)			β_{xy}	β_{xz}	Lbsup (m)	Lbinf (m)
Tipo	Designación				Indeformable origen	Deformable	Indeformable extremo				
		N2312/N2309	N2312/N2309	SHS 120x5.0 (SHS)	0.195	2.860	0.095	1.00	1.00	-	-
		N2099/N2310	N2099/N2252	SHS 120x5.0 (SHS)	0.095	2.278	0.060	1.00	3.00	-	-
		N2310/N2311	N2099/N2252	SHS 120x5.0 (SHS)	0.060	2.313	0.060	1.00	3.00	-	-
		N2311/N2252	N2099/N2252	SHS 120x5.0 (SHS)	0.060	2.278	0.095	1.00	3.00	-	-
		N2304/N2307	N2304/N2307	L 50 x 50 x 5 (L)	0.095	2.960	0.095	0.00	0.00	-	-
		N2304/N2065	N2304/N2065	SHS 120x4.0 (SHS)	0.095	2.960	0.095	1.00	1.00	-	-
		N2305/N2306	N2305/N2306	L 50 x 50 x 5 (L)	0.095	2.960	0.095	0.00	0.00	-	-
		N2305/N2218	N2305/N2218	SHS 120x4.0 (SHS)	0.095	2.960	0.095	1.00	1.00	-	-
		N2308/N2311	N2308/N2311	L 50 x 50 x 5 (L)	0.095	2.960	0.095	0.00	0.00	-	-
		N2308/N2099	N2308/N2099	SHS 120x4.0 (SHS)	0.095	2.960	0.095	1.00	1.00	-	-
		N2309/N2310	N2309/N2310	L 50 x 50 x 5 (L)	0.095	2.960	0.095	0.00	0.00	-	-
		N2309/N2252	N2309/N2252	SHS 120x4.0 (SHS)	0.095	2.960	0.095	1.00	1.00	-	-
		N2115/N2314	N2115/N2268	SHS 120x5.0 (SHS)	0.095	2.278	0.060	1.00	3.00	-	-
		N2314/N2313	N2115/N2268	SHS 120x5.0 (SHS)	0.060	2.313	0.060	1.00	3.00	-	-
		N2313/N2268	N2115/N2268	SHS 120x5.0 (SHS)	0.060	2.278	0.095	1.00	3.00	-	-
		N2315/N2268	N2315/N2268	SHS 120x4.0 (SHS)	0.095	2.960	0.095	1.00	1.00	-	-
		N2163/N2317	N2163/N2316	SHS 120x5.0 (SHS)	0.150	2.188	0.095	1.00	3.00	-	-
		N2317/N2315	N2163/N2316	SHS 120x5.0 (SHS)	0.095	2.243	0.095	1.00	3.00	-	-
		N2315/N2316	N2163/N2316	SHS 120x5.0 (SHS)	0.095	2.188	0.150	1.00	3.00	-	-
		N2318/N2315	N2318/N2315	SHS 120x5.0 (SHS)	0.195	2.860	0.095	1.00	1.00	-	-
		N2317/N2313	N2317/N2313	L 50 x 50 x 5 (L)	0.095	2.960	0.095	0.00	0.00	-	-
		N2315/N2314	N2315/N2314	L 50 x 50 x 5 (L)	0.095	2.960	0.095	0.00	0.00	-	-
		N2317/N2314	N2317/N2314	SHS 120x5.0 (SHS)	0.078	1.862	0.060	1.00	1.00	-	-
		N2317/N2115	N2317/N2115	SHS 120x4.0 (SHS)	0.095	2.960	0.095	1.00	1.00	-	-
		N2315/N2313	N2315/N2313	SHS 120x5.0 (SHS)	0.078	1.862	0.060	1.00	1.00	-	-
		N2165/N2317	N2165/N2317	SHS 120x5.0 (SHS)	0.195	2.860	0.095	1.00	1.00	-	-
		N2051/N2204	N2051/N2204	SHS 120x5.0 (SHS)	0.060	7.180	0.060	1.00	1.00	-	-
		N2319/N2320	N2319/N2320	SHS 120x5.0 (SHS)	0.060	1.880	0.060	1.00	1.00	-	-
		N2321/N2322	N2321/N2322	SHS 120x5.0 (SHS)	0.060	1.880	0.060	1.00	1.00	-	-
		N2319/N2322	N2319/N2322	L 40 x 40 x 4 (L)	0.095	2.960	0.095	0.00	0.00	-	-
		N2321/N2320	N2321/N2320	L 40 x 40 x 4 (L)	0.095	2.960	0.095	0.00	0.00	-	-

Documento visado electrónicamente con número: VA07290/22
Código de validación telemática TRLTDCFZ60T66IJ1. Comprobación: https://cogitivalencia.e-gestion.es/Validacion.aspx?CVT=TRLTDCFZ60T66IJ1

VISADO
COGITI
VALENCIA
VA07290/22
TRLTDCFZ60T66IJ1

Listados

Descripción												
Material		Barra (Ni/Nf)	Pieza (Ni/Nf)	Perfil(Serie)	Longitud (m)			β_{xy}	β_{xz}	$Lb_{sup.}$ (m)	$Lb_{inf.}$ (m)	
Tipo	Designación				Indeformable origen	Deformable	Indeformable extremo					
		N2123/N2324	N2123/N2276	SHS 120x5.0 (SHS)	0.050	2.323	0.060	1.00	3.00	-	-	
		N2324/N2323	N2123/N2276	SHS 120x5.0 (SHS)	0.060	2.313	0.060	1.00	3.00	-	-	
		N2323/N2276	N2123/N2276	SHS 120x5.0 (SHS)	0.060	2.323	0.050	1.00	3.00	-	-	
		N2057/N2326	N2057/N2210	SHS 120x5.0 (SHS)	0.050	2.323	0.060	1.00	3.00	-	-	
		N2326/N2325	N2057/N2210	SHS 120x5.0 (SHS)	0.060	2.313	0.060	1.00	3.00	-	-	
		N2325/N2210	N2057/N2210	SHS 120x5.0 (SHS)	0.060	2.323	0.050	1.00	3.00	-	-	
		N2323/N2325	N2323/N2325	SHS 120x5.0 (SHS)	0.060	1.880	0.060	1.00	1.00	-	-	
		N2324/N2325	N2324/N2325	L 40 x 40 x 4 (L)	0.095	2.960	0.095	0.00	0.00	-	-	
		N2323/N2326	N2323/N2326	L 40 x 40 x 4 (L)	0.095	2.960	0.095	0.00	0.00	-	-	
		N2324/N2326	N2324/N2326	SHS 120x5.0 (SHS)	0.060	1.880	0.060	1.00	1.00	-	-	
		N2127/N2328	N2127/N2280	SHS 120x5.0 (SHS)	0.060	2.313	0.060	1.00	3.00	-	-	
		N2328/N2327	N2127/N2280	SHS 120x5.0 (SHS)	0.060	2.313	0.060	1.00	3.00	-	-	
		N2327/N2280	N2127/N2280	SHS 120x5.0 (SHS)	0.060	2.313	0.060	1.00	3.00	-	-	
		N2061/N2330	N2061/N2214	SHS 120x5.0 (SHS)	0.060	2.313	0.060	1.00	3.00	-	-	
		N2330/N2329	N2061/N2214	SHS 120x5.0 (SHS)	0.060	2.313	0.060	1.00	3.00	-	-	
		N2329/N2214	N2061/N2214	SHS 120x5.0 (SHS)	0.060	2.313	0.060	1.00	3.00	-	-	
		N2327/N2329	N2327/N2329	SHS 120x5.0 (SHS)	0.060	1.880	0.060	1.00	1.00	-	-	
		N2328/N2329	N2328/N2329	L 40 x 40 x 4 (L)	0.095	2.960	0.095	0.00	0.00	-	-	
		N2327/N2330	N2327/N2330	L 40 x 40 x 4 (L)	0.095	2.960	0.095	0.00	0.00	-	-	
		N2328/N2330	N2328/N2330	SHS 120x5.0 (SHS)	0.060	1.880	0.060	1.00	1.00	-	-	
		N2063/N2216	N2063/N2216	SHS 120x5.0 (SHS)	0.060	7.180	0.060	1.00	1.00	-	-	
		N2085/N2238	N2085/N2238	SHS 120x5.0 (SHS)	0.060	7.180	0.060	1.00	1.00	-	-	
		N2087/N2331	N2087/N2240	SHS 120x5.0 (SHS)	0.060	2.313	0.060	1.00	3.00	-	-	
		N2331/N2332	N2087/N2240	SHS 120x5.0 (SHS)	0.060	2.313	0.060	1.00	3.00	-	-	
		N2332/N2240	N2087/N2240	SHS 120x5.0 (SHS)	0.060	2.313	0.060	1.00	3.00	-	-	
		N2070/N2333	N2070/N2223	SHS 120x5.0 (SHS)	0.060	2.313	0.060	1.00	3.00	-	-	
		N2333/N2334	N2070/N2223	SHS 120x5.0 (SHS)	0.060	2.313	0.060	1.00	3.00	-	-	
		N2334/N2223	N2070/N2223	SHS 120x5.0 (SHS)	0.060	2.313	0.060	1.00	3.00	-	-	
		N2334/N2332	N2334/N2332	SHS 120x5.0 (SHS)	0.060	1.880	0.060	1.00	1.00	-	-	
		N2333/N2331	N2333/N2331	SHS 120x5.0 (SHS)	0.060	1.880	0.060	1.00	1.00	-	-	
		N2334/N2331	N2334/N2331	L 40 x 40 x 4 (L)	0.095	2.960	0.095	0.00	0.00	-	-	

Documento visado electrónicamente con número: VA07290/22
Código de validación telemática TRLTDCFZ60T66IJ1. Comprobación: https://cogitivalencia.e-gestion.es/Validacion.aspx?CVT=TRLTDCFZ60T66IJ1

VISADO
COGITI
VALENCIA
VA07290/22
TRLTDCFZ60T66IJ1

Descripción											
Material		Barra (Ni/Nf)	Pieza (Ni/Nf)	Perfil(Serie)	Longitud (m)			β_{xy}	β_{xz}	Lbsup (m)	Lbinf (m)
Tipo	Designación				Indeformable origen	Deformable	Indeformable extremo				
		N2333/N2332	N2333/N2332	L 40 x 40 x 4 (L)	0.095	2.960	0.095	0.00	0.00	-	-
		N2074/N2336	N2074/N2227	SHS 120x5.0 (SHS)	0.050	2.323	0.060	1.00	3.00	-	-
		N2336/N2335	N2074/N2227	SHS 120x5.0 (SHS)	0.060	2.313	0.060	1.00	3.00	-	-
		N2335/N2227	N2074/N2227	SHS 120x5.0 (SHS)	0.060	2.323	0.050	1.00	3.00	-	-
		N2091/N2338	N2091/N2244	SHS 120x5.0 (SHS)	0.050	2.323	0.060	1.00	3.00	-	-
		N2338/N2337	N2091/N2244	SHS 120x5.0 (SHS)	0.060	2.313	0.060	1.00	3.00	-	-
		N2337/N2244	N2091/N2244	SHS 120x5.0 (SHS)	0.060	2.323	0.050	1.00	3.00	-	-
		N2335/N2337	N2335/N2337	SHS 120x5.0 (SHS)	0.060	1.880	0.060	1.00	1.00	-	-
		N2336/N2337	N2336/N2337	L 40 x 40 x 4 (L)	0.095	2.960	0.095	0.00	0.00	-	-
		N2335/N2338	N2335/N2338	L 40 x 40 x 4 (L)	0.095	2.960	0.095	0.00	0.00	-	-
		N2336/N2338	N2336/N2338	SHS 120x5.0 (SHS)	0.060	1.880	0.060	1.00	1.00	-	-
		N2078/N2340	N2078/N2231	SHS 120x5.0 (SHS)	0.060	2.313	0.060	1.00	3.00	-	-
		N2340/N2339	N2078/N2231	SHS 120x5.0 (SHS)	0.060	2.313	0.060	1.00	3.00	-	-
		N2339/N2231	N2078/N2231	SHS 120x5.0 (SHS)	0.060	2.313	0.060	1.00	3.00	-	-
		N2095/N2342	N2095/N2248	SHS 120x5.0 (SHS)	0.060	2.313	0.060	1.00	3.00	-	-
		N2342/N2341	N2095/N2248	SHS 120x5.0 (SHS)	0.060	2.313	0.060	1.00	3.00	-	-
		N2341/N2248	N2095/N2248	SHS 120x5.0 (SHS)	0.060	2.313	0.060	1.00	3.00	-	-
		N2339/N2341	N2339/N2341	SHS 120x5.0 (SHS)	0.060	1.880	0.060	1.00	1.00	-	-
		N2340/N2341	N2340/N2341	L 40 x 40 x 4 (L)	0.095	2.960	0.095	0.00	0.00	-	-
		N2339/N2342	N2339/N2342	L 40 x 40 x 4 (L)	0.095	2.960	0.095	0.00	0.00	-	-
		N2340/N2342	N2340/N2342	SHS 120x5.0 (SHS)	0.060	1.880	0.060	1.00	1.00	-	-
		N2097/N2250	N2097/N2250	SHS 120x5.0 (SHS)	0.060	7.180	0.060	1.00	1.00	-	-
		N2101/N2254	N2101/N2254	SHS 120x5.0 (SHS)	0.060	7.180	0.060	1.00	1.00	-	-
		N2103/N2343	N2103/N2256	SHS 120x5.0 (SHS)	0.060	2.313	0.060	1.00	3.00	-	-
		N2343/N2344	N2103/N2256	SHS 120x5.0 (SHS)	0.060	2.313	0.060	1.00	3.00	-	-
		N2344/N2256	N2103/N2256	SHS 120x5.0 (SHS)	0.060	2.313	0.060	1.00	3.00	-	-
		N2134/N2345	N2134/N2287	SHS 120x5.0 (SHS)	0.060	2.313	0.060	1.00	3.00	-	-
		N2345/N2346	N2134/N2287	SHS 120x5.0 (SHS)	0.060	2.313	0.060	1.00	3.00	-	-
		N2346/N2287	N2134/N2287	SHS 120x5.0 (SHS)	0.060	2.313	0.060	1.00	3.00	-	-
		N2346/N2344	N2346/N2344	SHS 120x5.0 (SHS)	0.060	1.880	0.060	1.00	1.00	-	-
		N2345/N2343	N2345/N2343	SHS 120x5.0 (SHS)	0.060	1.880	0.060	1.00	1.00	-	-

Documento visado electrónicamente con número: VA07290/22
Código de validación telemática TRLTDCFZ60T66IJ1. Comprobación: https://cogitivalencia.e-gestion.es/Validacion.aspx?CVT=TRLTDCFZ60T66IJ1

VISADO
COGITI
VALENCIA
VA07290/22
TRLTDCFZ60T66IJ1

Descripción												
Material		Barra (Ni/Nf)	Pieza (Ni/Nf)	Perfil(Serie)	Longitud (m)			β_{xy}	β_{xz}	$Lb_{sup.}$ (m)	$Lb_{inf.}$ (m)	
Tipo	Designación				Indeformable origen	Deformable	Indeformable extremo					
		N2346/N2343	N2346/N2343	L 40 x 40 x 4 (L)	0.095	2.960	0.095	0.00	0.00	-	-	
		N2345/N2344	N2345/N2344	L 40 x 40 x 4 (L)	0.095	2.960	0.095	0.00	0.00	-	-	
		N2138/N2348	N2138/N2291	SHS 120x5.0 (SHS)	0.050	2.323	0.060	1.00	3.00	-	-	
		N2348/N2347	N2138/N2291	SHS 120x5.0 (SHS)	0.060	2.313	0.060	1.00	3.00	-	-	
		N2347/N2291	N2138/N2291	SHS 120x5.0 (SHS)	0.060	2.323	0.050	1.00	3.00	-	-	
		N2107/N2350	N2107/N2260	SHS 120x5.0 (SHS)	0.050	2.323	0.060	1.00	3.00	-	-	
		N2350/N2349	N2107/N2260	SHS 120x5.0 (SHS)	0.060	2.313	0.060	1.00	3.00	-	-	
		N2349/N2260	N2107/N2260	SHS 120x5.0 (SHS)	0.060	2.323	0.050	1.00	3.00	-	-	
		N2347/N2349	N2347/N2349	SHS 120x5.0 (SHS)	0.060	1.880	0.060	1.00	1.00	-	-	
		N2348/N2349	N2348/N2349	L 40 x 40 x 4 (L)	0.095	2.960	0.095	0.00	0.00	-	-	
		N2347/N2350	N2347/N2350	L 40 x 40 x 4 (L)	0.095	2.960	0.095	0.00	0.00	-	-	
		N2348/N2350	N2348/N2350	SHS 120x5.0 (SHS)	0.060	1.880	0.060	1.00	1.00	-	-	
		N2142/N2352	N2142/N2295	SHS 120x5.0 (SHS)	0.060	2.313	0.060	1.00	3.00	-	-	
		N2352/N2351	N2142/N2295	SHS 120x5.0 (SHS)	0.060	2.313	0.060	1.00	3.00	-	-	
		N2351/N2295	N2142/N2295	SHS 120x5.0 (SHS)	0.060	2.313	0.060	1.00	3.00	-	-	
		N2111/N2354	N2111/N2264	SHS 120x5.0 (SHS)	0.060	2.313	0.060	1.00	3.00	-	-	
		N2354/N2353	N2111/N2264	SHS 120x5.0 (SHS)	0.060	2.313	0.060	1.00	3.00	-	-	
		N2353/N2264	N2111/N2264	SHS 120x5.0 (SHS)	0.060	2.313	0.060	1.00	3.00	-	-	
		N2351/N2353	N2351/N2353	SHS 120x5.0 (SHS)	0.060	1.880	0.060	1.00	1.00	-	-	
		N2352/N2353	N2352/N2353	L 40 x 40 x 4 (L)	0.095	2.960	0.095	0.00	0.00	-	-	
		N2351/N2354	N2351/N2354	L 40 x 40 x 4 (L)	0.095	2.960	0.095	0.00	0.00	-	-	
		N2352/N2354	N2352/N2354	SHS 120x5.0 (SHS)	0.060	1.880	0.060	1.00	1.00	-	-	
		N2113/N2266	N2113/N2266	SHS 120x5.0 (SHS)	0.060	7.180	0.060	1.00	1.00	-	-	
		N2049/N2204	N2049/N2204	L 60 x 60 x 5 (L)	0.138	7.916	0.067	0.00	0.00	-	-	
		N2202/N2051	N2202/N2051	L 60 x 60 x 5 (L)	0.138	7.916	0.067	0.00	0.00	-	-	
		N2113/N2268	N2113/N2268	L 60 x 60 x 5 (L)	0.067	7.916	0.138	0.00	0.00	-	-	
		N2266/N2115	N2266/N2115	L 60 x 60 x 5 (L)	0.067	7.916	0.138	0.00	0.00	-	-	
		N2063/N2218	N2063/N2218	L 60 x 60 x 5 (L)	0.067	7.916	0.138	0.00	0.00	-	-	
		N2216/N2065	N2216/N2065	L 60 x 60 x 5 (L)	0.067	7.916	0.138	0.00	0.00	-	-	
		N2083/N2238	N2083/N2238	L 60 x 60 x 5 (L)	0.167	7.887	0.067	0.00	0.00	-	-	
		N2236/N2085	N2236/N2085	L 60 x 60 x 5 (L)	0.167	7.887	0.067	0.00	0.00	-	-	

Documento visado electrónicamente con número: VA07290/22
Código de validación telemática TRLTDCFZ60T66IJ1. Comprobación: https://cogitivalencia.e-gestion.es/Validacion.aspx?CVT=TRLTDCFZ60T66IJ1

VISADO
COGITI
VALENCIA
VA07290/22
TRLTDCFZ60T66IJ1

Descripción											
Material		Barra (Ni/Nf)	Pieza (Ni/Nf)	Perfil(Serie)	Longitud (m)			β_{xy}	β_{xz}	Lbsup (m)	Lbinf (m)
Tipo	Designación				Indeformable origen	Deformable	Indeformable extremo				
		N2097/N2252	N2097/N2252	L 60 x 60 x 5 (L)	0.067	7.916	0.138	0.00	0.00	-	-
		N2250/N2099	N2250/N2099	L 60 x 60 x 5 (L)	0.067	7.916	0.138	0.00	0.00	-	-
		N2082/N2254	N2082/N2254	L 60 x 60 x 5 (L)	0.167	7.887	0.067	0.00	0.00	-	-
		N2235/N2101	N2235/N2101	L 60 x 60 x 5 (L)	0.167	7.887	0.067	0.00	0.00	-	-
		N2053/N2322	N2053/N2206	SHS 120x5.0 (SHS)	0.060	2.313	0.060	1.00	3.00	-	-
		N2322/N2320	N2053/N2206	SHS 120x5.0 (SHS)	0.060	2.313	0.060	1.00	3.00	-	-
		N2320/N2206	N2053/N2206	SHS 120x5.0 (SHS)	0.060	2.313	0.060	1.00	3.00	-	-
		N2119/N2321	N2119/N2272	SHS 120x5.0 (SHS)	0.060	2.313	0.060	1.00	3.00	-	-
		N2321/N2319	N2119/N2272	SHS 120x5.0 (SHS)	0.060	2.313	0.060	1.00	3.00	-	-
		N2319/N2272	N2119/N2272	SHS 120x5.0 (SHS)	0.060	2.313	0.060	1.00	3.00	-	-
		N2355/N2356	N2355/N2371	HE 160 A (HEA)	0.078	1.623	0.078	0.56	1.00	1.779	1.779
		N2356/N2357	N2355/N2371	HE 160 A (HEA)	0.078	1.623	0.078	0.56	1.00	1.779	1.779
		N2357/N2358	N2355/N2371	HE 160 A (HEA)	0.078	1.623	0.078	0.56	1.00	1.779	1.779
		N2358/N2359	N2355/N2371	HE 160 A (HEA)	0.078	1.623	0.078	0.56	1.00	1.779	1.779
		N2359/N2360	N2355/N2371	HE 160 A (HEA)	0.078	1.636	0.065	0.56	1.00	1.779	1.779
		N2360/N3442	N2355/N2371	HE 160 A (HEA)	0.065	0.825	-	1.12	1.00	0.890	0.890
		N3442/N2361	N2355/N2371	HE 160 A (HEA)	-	0.825	0.065	1.12	1.00	0.890	0.890
		N2361/N2362	N2355/N2371	HE 160 A (HEA)	0.065	1.649	0.065	0.56	1.00	1.779	1.779
		N2362/N2363	N2355/N2371	HE 160 A (HEA)	0.065	1.663	0.051	0.56	1.00	1.779	1.779
		N2363/N2364	N2355/N2371	HE 160 A (HEA)	0.051	1.658	0.070	0.56	1.00	1.779	1.779
		N2364/N2365	N2355/N2371	HE 160 A (HEA)	0.070	1.639	0.070	0.56	1.00	1.779	1.779
		N2365/N3449	N2355/N2371	HE 160 A (HEA)	0.070	0.820	-	1.12	1.00	0.890	0.890
		N3449/N2366	N2355/N2371	HE 160 A (HEA)	-	0.820	0.070	1.12	1.00	0.890	0.890
		N2366/N2367	N2355/N2371	HE 160 A (HEA)	0.070	1.625	0.084	0.56	1.00	1.779	1.779
		N2367/N2368	N2355/N2371	HE 160 A (HEA)	0.084	1.611	0.084	0.56	1.00	1.779	1.779
		N2368/N2369	N2355/N2371	HE 160 A (HEA)	0.084	1.611	0.084	0.56	1.00	1.779	1.779
		N2369/N2370	N2355/N2371	HE 160 A (HEA)	0.084	1.611	0.084	0.56	1.00	1.779	1.779
		N2370/N2371	N2355/N2371	HE 160 A (HEA)	0.084	1.554	0.141	0.56	1.00	1.779	1.779
		N2372/N2373	N2372/N2388	HE 180 A (HEA)	0.141	1.560	0.078	1.83	1.00	-	-
		N2373/N2374	N2372/N2388	HE 180 A (HEA)	0.078	1.623	0.078	1.83	1.00	-	-
		N2374/N2375	N2372/N2388	HE 180 A (HEA)	0.078	1.623	0.078	1.83	1.00	-	-

Documento visado electrónicamente con número: VA07290/22
Código de validación telemática TRLTDCFZ60T66IJ1. Comprobación: https://cogitivalencia.e-gestion.es/Validacion.aspx?CVT=TRLTDCFZ60T66IJ1

VISADO
COGITI
VALENCIA
VA07290/22
TRLTDCFZ60T66IJ1

Listados

Descripción												
Material		Barra (Ni/Nf)	Pieza (Ni/Nf)	Perfil(Serie)	Longitud (m)			β_{xy}	β_{xz}	$Lb_{sup.}$ (m)	$Lb_{inf.}$ (m)	
Tipo	Designación				Indeformable origen	Deformable	Indeformable extremo					
		N2375/N2376	N2372/N2388	HE 180 A (HEA)	0.078	1.623	0.078	1.83	1.00	-	-	
		N2376/N2377	N2372/N2388	HE 180 A (HEA)	0.078	1.623	0.078	1.83	1.00	-	-	
		N2377/N2378	N2372/N2388	HE 180 A (HEA)	0.078	1.636	0.065	1.83	1.00	-	-	
		N2378/N2379	N2372/N2388	HE 180 A (HEA)	0.065	1.649	0.065	1.83	1.00	-	-	
		N2379/N2380	N2372/N2388	HE 180 A (HEA)	0.065	1.644	0.070	1.83	1.00	-	-	
		N2380/N2381	N2372/N2388	HE 180 A (HEA)	0.070	1.639	0.070	1.83	1.00	-	-	
		N2381/N2382	N2372/N2388	HE 180 A (HEA)	0.070	1.639	0.070	1.83	1.00	-	-	
		N2382/N2383	N2372/N2388	HE 180 A (HEA)	0.070	1.625	0.084	1.83	1.00	-	-	
		N2383/N2384	N2372/N2388	HE 180 A (HEA)	0.084	1.611	0.084	1.83	1.00	-	-	
		N2384/N2385	N2372/N2388	HE 180 A (HEA)	0.084	1.611	0.084	1.83	1.00	-	-	
		N2385/N2386	N2372/N2388	HE 180 A (HEA)	0.084	1.611	0.084	1.83	1.00	-	-	
		N2386/N2387	N2372/N2388	HE 180 A (HEA)	0.084	1.578	0.117	1.83	1.00	-	-	
		N2387/N2388	N2372/N2388	HE 180 A (HEA)	0.117	1.521	0.141	1.83	1.00	-	-	
		N2389/N2390	N2389/N2405	HE 160 A (HEA)	0.141	1.560	0.078	0.56	1.00	1.779	1.779	
		N2390/N2391	N2389/N2405	HE 160 A (HEA)	0.078	1.623	0.078	0.56	1.00	1.779	1.779	
		N2391/N2392	N2389/N2405	HE 160 A (HEA)	0.078	1.623	0.078	0.56	1.00	1.779	1.779	
		N2392/N2393	N2389/N2405	HE 160 A (HEA)	0.078	1.623	0.078	0.56	1.00	1.779	1.779	
		N2393/N2394	N2389/N2405	HE 160 A (HEA)	0.078	1.636	0.065	0.56	1.00	1.779	1.779	
		N2394/N3460	N2389/N2405	HE 160 A (HEA)	0.065	0.825	-	1.12	1.00	0.890	0.890	
		N3460/N2395	N2389/N2405	HE 160 A (HEA)	-	0.825	0.065	1.12	1.00	0.890	0.890	
		N2395/N2396	N2389/N2405	HE 160 A (HEA)	0.065	1.649	0.065	0.56	1.00	1.779	1.779	
		N2396/N2397	N2389/N2405	HE 160 A (HEA)	0.065	1.663	0.051	0.56	1.00	1.779	1.779	
		N2397/N2398	N2389/N2405	HE 160 A (HEA)	0.051	1.658	0.070	0.56	1.00	1.779	1.779	
		N2398/N2399	N2389/N2405	HE 160 A (HEA)	0.070	1.639	0.070	0.56	1.00	1.779	1.779	
		N2399/N3467	N2389/N2405	HE 160 A (HEA)	0.070	0.820	-	1.12	1.00	0.890	0.890	
		N3467/N2400	N2389/N2405	HE 160 A (HEA)	-	0.820	0.070	1.12	1.00	0.890	0.890	
		N2400/N2401	N2389/N2405	HE 160 A (HEA)	0.070	1.625	0.084	0.56	1.00	1.779	1.779	
		N2401/N2402	N2389/N2405	HE 160 A (HEA)	0.084	1.611	0.084	0.56	1.00	1.779	1.779	
		N2402/N2403	N2389/N2405	HE 160 A (HEA)	0.084	1.611	0.084	0.56	1.00	1.779	1.779	
		N2403/N2404	N2389/N2405	HE 160 A (HEA)	0.084	1.611	0.084	0.56	1.00	1.779	1.779	
		N2404/N2405	N2389/N2405	HE 160 A (HEA)	0.084	1.554	0.141	0.56	1.00	1.779	1.779	

Documento visado electrónicamente con número: VA07290/22
Código de validación telemática TRLTDCFZ60T66IJ1. Comprobación: https://cogitivalencia.e-gestion.es/Validacion.aspx?CVT=TRLTDCFZ60T66IJ1

VISADO
COGITI
VALENCIA
VA07290/22
TRLTDCFZ60T66IJ1

Listados

Descripción												
Material		Barra (Ni/Nf)	Pieza (Ni/Nf)	Perfil(Serie)	Longitud (m)			β_{xy}	β_{xz}	Lbsup (m)	Lbinf (m)
Tipo	Designación				Indeformable origen	Deformable	Indeformable extremo				
		N2388/N2406	N2388/N2421	HE 160 A (HEA)	0.141	1.560	0.078	0.56	1.00	1.779	1.779
		N2406/N2407	N2388/N2421	HE 160 A (HEA)	0.078	1.623	0.078	0.56	1.00	1.779	1.779
		N2407/N2408	N2388/N2421	HE 160 A (HEA)	0.078	1.623	0.078	0.56	1.00	1.779	1.779
		N2408/N2409	N2388/N2421	HE 160 A (HEA)	0.078	1.623	0.078	0.56	1.00	1.779	1.779
		N2409/N2410	N2388/N2421	HE 160 A (HEA)	0.078	1.636	0.065	0.56	1.00	1.779	1.779
		N2410/N3478	N2388/N2421	HE 160 A (HEA)	0.065	0.825	-	1.12	1.00	0.890	0.890
		N3478/N2411	N2388/N2421	HE 160 A (HEA)	-	0.825	0.065	1.12	1.00	0.890	0.890
		N2411/N2412	N2388/N2421	HE 160 A (HEA)	0.065	1.649	0.065	0.56	1.00	1.779	1.779
		N2412/N2413	N2388/N2421	HE 160 A (HEA)	0.065	1.663	0.051	0.56	1.00	1.779	1.779
		N2413/N2414	N2388/N2421	HE 160 A (HEA)	0.051	1.658	0.070	0.56	1.00	1.779	1.779
		N2414/N2415	N2388/N2421	HE 160 A (HEA)	0.070	1.639	0.070	0.56	1.00	1.779	1.779
		N2415/N3485	N2388/N2421	HE 160 A (HEA)	0.070	0.820	-	1.12	1.00	0.890	0.890
		N3485/N2416	N2388/N2421	HE 160 A (HEA)	-	0.820	0.070	1.12	1.00	0.890	0.890
		N2416/N2417	N2388/N2421	HE 160 A (HEA)	0.070	1.625	0.084	0.56	1.00	1.779	1.779
		N2417/N2418	N2388/N2421	HE 160 A (HEA)	0.084	1.611	0.084	0.56	1.00	1.779	1.779
		N2418/N2419	N2388/N2421	HE 160 A (HEA)	0.084	1.611	0.084	0.56	1.00	1.779	1.779
		N2419/N2420	N2388/N2421	HE 160 A (HEA)	0.084	1.611	0.084	0.56	1.00	1.779	1.779
		N2420/N2421	N2388/N2421	HE 160 A (HEA)	0.084	1.554	0.141	0.56	1.00	1.779	1.779
		N2422/N2356	N2422/N2356	SHS 120x5.0 (SHS)	0.088	1.824	0.088	1.00	1.00	-	-
		N2423/N2357	N2423/N2357	SHS 120x5.0 (SHS)	0.088	1.824	0.088	1.00	1.00	-	-
		N2424/N2358	N2424/N2358	SHS 120x4.0 (SHS)	0.088	1.824	0.088	1.00	1.00	-	-
		N2425/N2359	N2425/N2359	SHS 120x4.0 (SHS)	0.088	1.824	0.088	1.00	1.00	-	-
		N2426/N2360	N2426/N2360	SHS 120x4.0 (SHS)	0.088	1.835	0.077	1.00	1.00	-	-
		N2427/N2361	N2427/N2361	SHS 100x4.0 (SHS)	0.086	1.837	0.077	1.00	1.00	-	-
		N2428/N2362	N2428/N2362	SHS 100x4.0 (SHS)	0.086	1.837	0.077	1.00	1.00	-	-
		N2429/N2363	N2429/N2363	SHS 100x4.0 (SHS)	0.086	1.837	0.077	1.00	1.00	-	-
		N2430/N2364	N2430/N2364	SHS 100x4.0 (SHS)	0.086	1.836	0.078	1.00	1.00	-	-
		N2431/N2365	N2431/N2365	SHS 100x4.0 (SHS)	0.086	1.836	0.078	1.00	1.00	-	-
		N2432/N2366	N2432/N2366	SHS 120x4.0 (SHS)	0.094	1.828	0.078	1.00	1.00	-	-
		N2433/N2367	N2433/N2367	SHS 120x4.0 (SHS)	0.094	1.812	0.094	1.00	1.00	-	-
		N2434/N2368	N2434/N2368	SHS 120x4.0 (SHS)	0.094	1.812	0.094	1.00	1.00	-	-

Documento visado electrónicamente con número: VA07290/22
Código de validación telemática TRLTDCFZ60T66IJ1. Comprobación: https://cogitivalencia.e-gestion.es/Validacion.aspx?CVT=TRLTDCFZ60T66IJ1

VISADO
COGITI
VALENCIA
VA07290/22
TRLTDCFZ60T66IJ1

Descripción												
Material		Barra (Ni/Nf)	Pieza (Ni/Nf)	Perfil(Serie)	Longitud (m)			β_{xy}	β_{xz}	$Lb_{sup.}$ (m)	$Lb_{inf.}$ (m)
Tipo	Designación				Indeformable origen	Deformable	Indeformable extremo				
		N2435/N2369	N2435/N2369	SHS 120x5.0 (SHS)	0.094	1.812	0.094	1.00	1.00	-	-
		N2436/N2370	N2436/N2370	SHS 120x5.0 (SHS)	0.131	1.775	0.094	1.00	1.00	-	-
		N2373/N2390	N2373/N2390	SHS 120x5.0 (SHS)	0.088	1.824	0.088	1.00	1.00	-	-
		N2374/N2391	N2374/N2391	SHS 120x5.0 (SHS)	0.088	1.824	0.088	1.00	1.00	-	-
		N2375/N2392	N2375/N2392	SHS 120x4.0 (SHS)	0.088	1.824	0.088	1.00	1.00	-	-
		N2376/N2393	N2376/N2393	SHS 120x4.0 (SHS)	0.088	1.824	0.088	1.00	1.00	-	-
		N2377/N2394	N2377/N2394	SHS 120x4.0 (SHS)	0.088	1.835	0.077	1.00	1.00	-	-
		N2378/N2395	N2378/N2395	SHS 100x4.0 (SHS)	0.086	1.837	0.077	1.00	1.00	-	-
		N2379/N2396	N2379/N2396	SHS 100x4.0 (SHS)	0.086	1.837	0.077	1.00	1.00	-	-
		N2380/N2397	N2380/N2397	SHS 100x4.0 (SHS)	0.086	1.837	0.077	1.00	1.00	-	-
		N2381/N2398	N2381/N2398	SHS 100x4.0 (SHS)	0.086	1.836	0.078	1.00	1.00	-	-
		N2382/N2399	N2382/N2399	SHS 100x4.0 (SHS)	0.086	1.836	0.078	1.00	1.00	-	-
		N2383/N2400	N2383/N2400	SHS 120x4.0 (SHS)	0.094	1.828	0.078	1.00	1.00	-	-
		N2384/N2401	N2384/N2401	SHS 120x4.0 (SHS)	0.094	1.812	0.094	1.00	1.00	-	-
		N2385/N2402	N2385/N2402	SHS 120x4.0 (SHS)	0.094	1.812	0.094	1.00	1.00	-	-
		N2386/N2403	N2386/N2403	SHS 120x5.0 (SHS)	0.094	1.812	0.094	1.00	1.00	-	-
		N2387/N2404	N2387/N2404	SHS 120x5.0 (SHS)	0.131	1.775	0.094	1.00	1.00	-	-
		N2437/N2406	N2437/N2406	SHS 120x5.0 (SHS)	0.088	1.824	0.088	1.00	1.00	-	-
		N2438/N2407	N2438/N2407	SHS 120x5.0 (SHS)	0.088	1.824	0.088	1.00	1.00	-	-
		N2439/N2408	N2439/N2408	SHS 120x4.0 (SHS)	0.088	1.824	0.088	1.00	1.00	-	-
		N2440/N2409	N2440/N2409	SHS 120x4.0 (SHS)	0.088	1.824	0.088	1.00	1.00	-	-
		N2441/N2410	N2441/N2410	SHS 120x4.0 (SHS)	0.088	1.835	0.077	1.00	1.00	-	-
		N2442/N2411	N2442/N2411	SHS 100x4.0 (SHS)	0.086	1.837	0.077	1.00	1.00	-	-
		N2443/N2412	N2443/N2412	SHS 100x4.0 (SHS)	0.086	1.837	0.077	1.00	1.00	-	-
		N2444/N2413	N2444/N2413	SHS 100x4.0 (SHS)	0.086	1.837	0.077	1.00	1.00	-	-
		N2445/N2414	N2445/N2414	SHS 100x4.0 (SHS)	0.086	1.836	0.078	1.00	1.00	-	-
		N2446/N2415	N2446/N2415	SHS 100x4.0 (SHS)	0.086	1.836	0.078	1.00	1.00	-	-
		N2447/N2416	N2447/N2416	SHS 120x4.0 (SHS)	0.094	1.828	0.078	1.00	1.00	-	-
		N2448/N2417	N2448/N2417	SHS 120x4.0 (SHS)	0.094	1.812	0.094	1.00	1.00	-	-
		N2449/N2418	N2449/N2418	SHS 120x4.0 (SHS)	0.094	1.812	0.094	1.00	1.00	-	-
		N2450/N2419	N2450/N2419	SHS 120x5.0 (SHS)	0.094	1.812	0.094	1.00	1.00	-	-

Documento visado electrónicamente con número: VA07290/22
Código de validación telemática TRLTDCFZ60T66IJ1. Comprobación: https://cogitivalencia.e-gestion.es/Validacion.aspx?CVT=TRLTDCFZ60T66IJ1

VISADO
COGITI
VALENCIA
VA07290/22
TRLTDCFZ60T66IJ1

Listados

Descripción											
Material		Barra (Ni/Nf)	Pieza (Ni/Nf)	Perfil(Serie)	Longitud (m)			β_{xy}	β_{xz}	Lbsup (m)	Lbinf (m)
Tipo	Designación				Indeformable origen	Deformable	Indeformable extremo				
		N2451/N2420	N2451/N2420	SHS 120x5.0 (SHS)	0.094	1.812	0.094	1.00	1.00	-	-
		N2422/N2355	N2422/N2355	SHS 120x10.0 (SHS)	0.111	2.372	0.099	0.80	0.80	-	-
		N2423/N2356	N2423/N2356	SHS 120x5.0 (SHS)	0.111	2.372	0.099	0.80	0.80	-	-
		N2424/N2357	N2424/N2357	SHS 120x5.0 (SHS)	0.111	2.372	0.099	0.80	0.80	-	-
		N2425/N2358	N2425/N2358	SHS 120x4.0 (SHS)	0.111	2.372	0.099	0.80	0.80	-	-
		N2426/N2359	N2426/N2359	SHS 120x4.0 (SHS)	0.111	2.372	0.099	0.80	0.80	-	-
		N2427/N2360	N2427/N2360	SHS 100x4.0 (SHS)	0.111	2.372	0.099	0.80	0.80	-	-
		N2428/N2361	N2428/N2361	SHS 100x4.0 (SHS)	0.111	2.372	0.099	0.80	0.80	-	-
		N2429/N2362	N2429/N2362	SHS 100x4.0 (SHS)	0.111	2.372	0.099	0.80	0.80	-	-
		N2429/N2364	N2429/N2364	SHS 100x4.0 (SHS)	0.119	2.544	0.106	0.80	0.80	-	-
		N2430/N2365	N2430/N2365	SHS 100x4.0 (SHS)	0.119	2.544	0.106	0.80	0.80	-	-
		N2431/N2366	N2431/N2366	SHS 100x4.0 (SHS)	0.119	2.544	0.106	0.80	0.80	-	-
		N2432/N2367	N2432/N2367	SHS 120x4.0 (SHS)	0.119	2.544	0.106	0.80	0.80	-	-
		N2433/N2368	N2433/N2368	SHS 120x4.0 (SHS)	0.119	2.544	0.106	0.80	0.80	-	-
		N2434/N2369	N2434/N2369	SHS 120x5.0 (SHS)	0.119	2.544	0.106	0.80	0.80	-	-
		N2435/N2370	N2435/N2370	SHS 120x5.0 (SHS)	0.119	2.544	0.106	0.80	0.80	-	-
		N2436/N2371	N2436/N2371	SHS 120x10.0 (SHS)	0.119	2.431	0.219	0.80	0.80	-	-
		N2373/N2389	N2373/N2389	SHS 120x10.0 (SHS)	0.111	2.267	0.204	0.80	0.80	-	-
		N2374/N2390	N2374/N2390	SHS 120x5.0 (SHS)	0.111	2.372	0.099	0.80	0.80	-	-
		N2375/N2391	N2375/N2391	SHS 120x5.0 (SHS)	0.111	2.372	0.099	0.80	0.80	-	-
		N2376/N2392	N2376/N2392	SHS 120x4.0 (SHS)	0.111	2.372	0.099	0.80	0.80	-	-
		N2377/N2393	N2377/N2393	SHS 120x4.0 (SHS)	0.111	2.372	0.099	0.80	0.80	-	-
		N2378/N2394	N2378/N2394	SHS 100x4.0 (SHS)	0.111	2.372	0.099	0.80	0.80	-	-
		N2379/N2395	N2379/N2395	SHS 100x4.0 (SHS)	0.111	2.372	0.099	0.80	0.80	-	-
		N2380/N2396	N2380/N2396	SHS 100x4.0 (SHS)	0.111	2.372	0.099	0.80	0.80	-	-
		N2380/N2398	N2380/N2398	SHS 100x4.0 (SHS)	0.119	2.544	0.106	0.80	0.80	-	-
		N2381/N2399	N2381/N2399	SHS 100x4.0 (SHS)	0.119	2.544	0.106	0.80	0.80	-	-
		N2382/N2400	N2382/N2400	SHS 100x4.0 (SHS)	0.119	2.544	0.106	0.80	0.80	-	-
		N2383/N2401	N2383/N2401	SHS 120x4.0 (SHS)	0.119	2.544	0.106	0.80	0.80	-	-
		N2384/N2402	N2384/N2402	SHS 120x4.0 (SHS)	0.119	2.544	0.106	0.80	0.80	-	-

Documento visado electrónicamente con número: VA07290/22
Código de validación telemática TRLTDCFZ60T66IJ1. Comprobación: https://cogitivalencia.e-gestion.es/Validacion.aspx?CVT=TRLTDCFZ60T66IJ1

VISADO
COGITI
VALENCIA
VA07290/22
TRLTDCFZ60T66IJ1

Descripción												
Material		Barra (Ni/Nf)	Pieza (Ni/Nf)	Perfil(Serie)	Longitud (m)			β_{xy}	β_{xz}	$Lb_{sup.}$ (m)	$Lb_{inf.}$ (m)
Tipo	Designación				Indeformable origen	Deformable	Indeformable extremo				
		N2385/N2403	N2385/N2403	SHS 120x5.0 (SHS)	0.119	2.544	0.106	0.80	0.80	-	-
		N2386/N2404	N2386/N2404	SHS 120x5.0 (SHS)	0.119	2.544	0.106	0.80	0.80	-	-
		N2387/N2405	N2387/N2405	SHS 120x10.0 (SHS)	0.119	2.431	0.219	0.80	0.80	-	-
		N2437/N2388	N2437/N2388	SHS 120x10.0 (SHS)	0.111	2.267	0.204	0.80	0.80	-	-
		N2438/N2406	N2438/N2406	SHS 120x5.0 (SHS)	0.111	2.372	0.099	0.80	0.80	-	-
		N2439/N2407	N2439/N2407	SHS 120x5.0 (SHS)	0.111	2.372	0.099	0.80	0.80	-	-
		N2440/N2408	N2440/N2408	SHS 120x4.0 (SHS)	0.111	2.372	0.099	0.80	0.80	-	-
		N2441/N2409	N2441/N2409	SHS 120x4.0 (SHS)	0.111	2.372	0.099	0.80	0.80	-	-
		N2442/N2410	N2442/N2410	SHS 100x4.0 (SHS)	0.111	2.372	0.099	0.80	0.80	-	-
		N2443/N2411	N2443/N2411	SHS 100x4.0 (SHS)	0.111	2.372	0.099	0.80	0.80	-	-
		N2444/N2412	N2444/N2412	SHS 100x4.0 (SHS)	0.111	2.372	0.099	0.80	0.80	-	-
		N2444/N2414	N2444/N2414	SHS 100x4.0 (SHS)	0.119	2.544	0.106	0.80	0.80	-	-
		N2445/N2415	N2445/N2415	SHS 100x4.0 (SHS)	0.119	2.544	0.106	0.80	0.80	-	-
		N2446/N2416	N2446/N2416	SHS 100x4.0 (SHS)	0.119	2.544	0.106	0.80	0.80	-	-
		N2447/N2417	N2447/N2417	SHS 120x4.0 (SHS)	0.119	2.544	0.106	0.80	0.80	-	-
		N2448/N2418	N2448/N2418	SHS 120x4.0 (SHS)	0.119	2.544	0.106	0.80	0.80	-	-
		N2449/N2419	N2449/N2419	SHS 120x5.0 (SHS)	0.119	2.544	0.106	0.80	0.80	-	-
		N2450/N2420	N2450/N2420	SHS 120x5.0 (SHS)	0.119	2.544	0.106	0.80	0.80	-	-
		N2451/N2421	N2451/N2421	SHS 120x10.0 (SHS)	0.119	2.431	0.219	0.80	0.80	-	-
		N2301/N2452	N2301/N2454	SHS 120x5.0 (SHS)	0.060	2.313	0.060	1.00	3.00	-	-
		N2452/N2453	N2301/N2454	SHS 120x5.0 (SHS)	0.060	2.313	0.060	1.00	3.00	-	-
		N2453/N2454	N2301/N2454	SHS 120x5.0 (SHS)	0.060	2.313	0.060	1.00	3.00	-	-
		N2202/N2455	N2202/N2355	SHS 120x5.0 (SHS)	0.060	2.313	0.060	1.00	3.00	-	-
		N2455/N2456	N2202/N2355	SHS 120x5.0 (SHS)	0.060	2.313	0.060	1.00	3.00	-	-
		N2456/N2355	N2202/N2355	SHS 120x5.0 (SHS)	0.060	2.313	0.060	1.00	3.00	-	-
		N2236/N2457	N2236/N2389	SHS 120x5.0 (SHS)	0.150	2.188	0.095	1.00	3.00	-	-
		N2457/N2458	N2236/N2389	SHS 120x5.0 (SHS)	0.095	2.243	0.095	1.00	3.00	-	-
		N2458/N2389	N2236/N2389	SHS 120x5.0 (SHS)	0.095	2.188	0.150	1.00	3.00	-	-
		N2218/N2459	N2218/N2371	SHS 120x5.0 (SHS)	0.095	2.278	0.060	1.00	3.00	-	-
		N2459/N2460	N2218/N2371	SHS 120x5.0 (SHS)	0.060	2.313	0.060	1.00	3.00	-	-

Documento visado electrónicamente con número: VA07290/22
Código de validación telemática TRLTDCFZ60T66IJ1. Comprobación: https://cogitivalencia.e-gestion.es/Validacion.aspx?CVT=TRLTDCFZ60T66IJ1

VISADO
COGITI
VALENCIA
VA07290/22
TRLTDCFZ60T66IJ1

Descripción												
Material		Barra (Ni/Nf)	Pieza (Ni/Nf)	Perfil(Serie)	Longitud (m)			β_{xy}	β_{xz}	Lbsup (m)	Lbinf (m)
Tipo	Designación				Indeformable origen	Deformable	Indeformable extremo				
		N2460/N2371	N2218/N2371	SHS 120x5.0 (SHS)	0.060	2.278	0.095	1.00	3.00	-	-
		N2458/N2460	N2458/N2460	SHS 120x5.0 (SHS)	0.078	1.862	0.060	1.00	1.00	-	-
		N2457/N2459	N2457/N2459	SHS 120x5.0 (SHS)	0.078	1.862	0.060	1.00	1.00	-	-
		N2453/N2456	N2453/N2456	SHS 120x5.0 (SHS)	0.060	1.880	0.060	1.00	1.00	-	-
		N2452/N2455	N2452/N2455	SHS 120x5.0 (SHS)	0.060	1.880	0.060	1.00	1.00	-	-
		N2453/N2455	N2453/N2455	L 50 x 50 x 5 (L)	0.095	2.960	0.095	0.00	0.00	-	-
		N2452/N2456	N2452/N2456	L 50 x 50 x 5 (L)	0.095	2.960	0.095	0.00	0.00	-	-
		N2219/N2457	N2219/N2457	SHS 120x5.0 (SHS)	0.195	2.860	0.095	1.00	1.00	-	-
		N2372/N2458	N2372/N2458	SHS 120x5.0 (SHS)	0.195	2.860	0.095	1.00	1.00	-	-
		N2312/N2461	N2312/N2461	SHS 120x5.0 (SHS)	0.195	2.860	0.095	1.00	1.00	-	-
		N2235/N2461	N2235/N2388	SHS 120x5.0 (SHS)	0.150	2.188	0.095	1.00	3.00	-	-
		N2461/N2462	N2235/N2388	SHS 120x5.0 (SHS)	0.095	2.243	0.095	1.00	3.00	-	-
		N2462/N2388	N2235/N2388	SHS 120x5.0 (SHS)	0.095	2.188	0.150	1.00	3.00	-	-
		N2461/N2463	N2461/N2463	SHS 120x5.0 (SHS)	0.078	1.862	0.060	1.00	1.00	-	-
		N2462/N2464	N2462/N2464	SHS 120x5.0 (SHS)	0.078	1.862	0.060	1.00	1.00	-	-
		N2465/N2462	N2465/N2462	SHS 120x5.0 (SHS)	0.195	2.860	0.095	1.00	1.00	-	-
		N2252/N2463	N2252/N2405	SHS 120x5.0 (SHS)	0.095	2.278	0.060	1.00	3.00	-	-
		N2463/N2464	N2252/N2405	SHS 120x5.0 (SHS)	0.060	2.313	0.060	1.00	3.00	-	-
		N2464/N2405	N2252/N2405	SHS 120x5.0 (SHS)	0.060	2.278	0.095	1.00	3.00	-	-
		N2457/N2460	N2457/N2460	L 50 x 50 x 5 (L)	0.095	2.960	0.095	0.00	0.00	-	-
		N2457/N2218	N2457/N2218	SHS 120x4.0 (SHS)	0.095	2.960	0.095	1.00	1.00	-	-
		N2458/N2459	N2458/N2459	L 50 x 50 x 5 (L)	0.095	2.960	0.095	0.00	0.00	-	-
		N2458/N2371	N2458/N2371	SHS 120x4.0 (SHS)	0.095	2.960	0.095	1.00	1.00	-	-
		N2461/N2464	N2461/N2464	L 50 x 50 x 5 (L)	0.095	2.960	0.095	0.00	0.00	-	-
		N2461/N2252	N2461/N2252	SHS 120x4.0 (SHS)	0.095	2.960	0.095	1.00	1.00	-	-
		N2462/N2463	N2462/N2463	L 50 x 50 x 5 (L)	0.095	2.960	0.095	0.00	0.00	-	-
		N2462/N2405	N2462/N2405	SHS 120x4.0 (SHS)	0.095	2.960	0.095	1.00	1.00	-	-
		N2268/N2467	N2268/N2421	SHS 120x5.0 (SHS)	0.095	2.278	0.060	1.00	3.00	-	-
		N2467/N2466	N2268/N2421	SHS 120x5.0 (SHS)	0.060	2.313	0.060	1.00	3.00	-	-
		N2466/N2421	N2268/N2421	SHS 120x5.0 (SHS)	0.060	2.278	0.095	1.00	3.00	-	-
		N2468/N2421	N2468/N2421	SHS 120x4.0 (SHS)	0.095	2.960	0.095	1.00	1.00	-	-

Documento visado electrónicamente con número: VA07290/22
Código de validación telemática TRLTDCFZ60T66IJ1. Comprobación: https://cogitivalencia.e-gestion.es/Validacion.aspx?CVT=TRLTDCFZ60T66IJ1

VISADO
COGITI
VALENCIA
VA07290/22
TRLTDCFZ60T66IJ1

Listados

Descripción												
Material		Barra (Ni/Nf)	Pieza (Ni/Nf)	Perfil(Serie)	Longitud (m)			β_{xy}	β_{xz}	Lbsup. (m)	Lbinf. (m)	
Tipo	Designación				Indeformable origen	Deformable	Indeformable extremo					
		N2316/N2470	N2316/N2469	SHS 120x5.0 (SHS)	0.150	2.188	0.095	1.00	3.00	-	-	
		N2470/N2468	N2316/N2469	SHS 120x5.0 (SHS)	0.095	2.243	0.095	1.00	3.00	-	-	
		N2468/N2469	N2316/N2469	SHS 120x5.0 (SHS)	0.095	2.188	0.150	1.00	3.00	-	-	
		N2471/N2468	N2471/N2468	SHS 120x5.0 (SHS)	0.195	2.860	0.095	1.00	1.00	-	-	
		N2470/N2466	N2470/N2466	L 50 x 50 x 5 (L)	0.095	2.960	0.095	0.00	0.00	-	-	
		N2468/N2467	N2468/N2467	L 50 x 50 x 5 (L)	0.095	2.960	0.095	0.00	0.00	-	-	
		N2470/N2467	N2470/N2467	SHS 120x5.0 (SHS)	0.078	1.862	0.060	1.00	1.00	-	-	
		N2470/N2268	N2470/N2268	SHS 120x4.0 (SHS)	0.095	2.960	0.095	1.00	1.00	-	-	
		N2468/N2466	N2468/N2466	SHS 120x5.0 (SHS)	0.078	1.862	0.060	1.00	1.00	-	-	
		N2318/N2470	N2318/N2470	SHS 120x5.0 (SHS)	0.195	2.860	0.095	1.00	1.00	-	-	
		N2204/N2357	N2204/N2357	SHS 120x5.0 (SHS)	0.060	7.180	0.060	1.00	1.00	-	-	
		N2472/N2473	N2472/N2473	SHS 120x5.0 (SHS)	0.060	1.880	0.060	1.00	1.00	-	-	
		N2474/N2475	N2474/N2475	SHS 120x5.0 (SHS)	0.060	1.880	0.060	1.00	1.00	-	-	
		N2472/N2475	N2472/N2475	L 40 x 40 x 4 (L)	0.095	2.960	0.095	0.00	0.00	-	-	
		N2474/N2473	N2474/N2473	L 40 x 40 x 4 (L)	0.095	2.960	0.095	0.00	0.00	-	-	
		N2276/N2477	N2276/N2429	SHS 120x5.0 (SHS)	0.050	2.323	0.060	1.00	3.00	-	-	
		N2477/N2476	N2276/N2429	SHS 120x5.0 (SHS)	0.060	2.313	0.060	1.00	3.00	-	-	
		N2476/N2429	N2276/N2429	SHS 120x5.0 (SHS)	0.060	2.323	0.050	1.00	3.00	-	-	
		N2210/N2479	N2210/N2363	SHS 120x5.0 (SHS)	0.050	2.323	0.060	1.00	3.00	-	-	
		N2479/N2478	N2210/N2363	SHS 120x5.0 (SHS)	0.060	2.313	0.060	1.00	3.00	-	-	
		N2478/N2363	N2210/N2363	SHS 120x5.0 (SHS)	0.060	2.323	0.050	1.00	3.00	-	-	
		N2476/N2478	N2476/N2478	SHS 120x5.0 (SHS)	0.060	1.880	0.060	1.00	1.00	-	-	
		N2477/N2478	N2477/N2478	L 40 x 40 x 4 (L)	0.095	2.960	0.095	0.00	0.00	-	-	
		N2476/N2479	N2476/N2479	L 40 x 40 x 4 (L)	0.095	2.960	0.095	0.00	0.00	-	-	
		N2477/N2479	N2477/N2479	SHS 120x5.0 (SHS)	0.060	1.880	0.060	1.00	1.00	-	-	
		N2280/N2481	N2280/N2433	SHS 120x5.0 (SHS)	0.060	2.313	0.060	1.00	3.00	-	-	
		N2481/N2480	N2280/N2433	SHS 120x5.0 (SHS)	0.060	2.313	0.060	1.00	3.00	-	-	
		N2480/N2433	N2280/N2433	SHS 120x5.0 (SHS)	0.060	2.313	0.060	1.00	3.00	-	-	
		N2214/N2483	N2214/N2367	SHS 120x5.0 (SHS)	0.060	2.313	0.060	1.00	3.00	-	-	
		N2483/N2482	N2214/N2367	SHS 120x5.0 (SHS)	0.060	2.313	0.060	1.00	3.00	-	-	
		N2482/N2367	N2214/N2367	SHS 120x5.0 (SHS)	0.060	2.313	0.060	1.00	3.00	-	-	

Documento visado electrónicamente con número: VA07290/22
Código de validación telemática TRLTDCFZ60T66IJ1. Comprobación: https://cogitivalencia.e-gestion.es/Validacion.aspx?CVT=TRLTDCFZ60T66IJ1

VISADO
COGITI
VALENCIA
VA07290/22
TRLTDCFZ60T66IJ1

Listados

Descripción											
Material		Barra (Ni/Nf)	Pieza (Ni/Nf)	Perfil(Serie)	Longitud (m)			β_{xy}	β_{xz}	Lbsup (m)	Lbinf (m)
Tipo	Designación				Indeformable origen	Deformable	Indeformable extremo				
		N2480/N2482	N2480/N2482	SHS 120x5.0 (SHS)	0.060	1.880	0.060	1.00	1.00	-	-
		N2481/N2482	N2481/N2482	L 40 x 40 x 4 (L)	0.095	2.960	0.095	0.00	0.00	-	-
		N2480/N2483	N2480/N2483	L 40 x 40 x 4 (L)	0.095	2.960	0.095	0.00	0.00	-	-
		N2481/N2483	N2481/N2483	SHS 120x5.0 (SHS)	0.060	1.880	0.060	1.00	1.00	-	-
		N2216/N2369	N2216/N2369	SHS 120x5.0 (SHS)	0.060	7.180	0.060	1.00	1.00	-	-
		N2238/N2391	N2238/N2391	SHS 120x5.0 (SHS)	0.060	7.180	0.060	1.00	1.00	-	-
		N2240/N2484	N2240/N2393	SHS 120x5.0 (SHS)	0.060	2.313	0.060	1.00	3.00	-	-
		N2484/N2485	N2240/N2393	SHS 120x5.0 (SHS)	0.060	2.313	0.060	1.00	3.00	-	-
		N2485/N2393	N2240/N2393	SHS 120x5.0 (SHS)	0.060	2.313	0.060	1.00	3.00	-	-
		N2223/N2486	N2223/N2376	SHS 120x5.0 (SHS)	0.060	2.313	0.060	1.00	3.00	-	-
		N2486/N2487	N2223/N2376	SHS 120x5.0 (SHS)	0.060	2.313	0.060	1.00	3.00	-	-
		N2487/N2376	N2223/N2376	SHS 120x5.0 (SHS)	0.060	2.313	0.060	1.00	3.00	-	-
		N2487/N2485	N2487/N2485	SHS 120x5.0 (SHS)	0.060	1.880	0.060	1.00	1.00	-	-
		N2486/N2484	N2486/N2484	SHS 120x5.0 (SHS)	0.060	1.880	0.060	1.00	1.00	-	-
		N2487/N2484	N2487/N2484	L 40 x 40 x 4 (L)	0.095	2.960	0.095	0.00	0.00	-	-
		N2486/N2485	N2486/N2485	L 40 x 40 x 4 (L)	0.095	2.960	0.095	0.00	0.00	-	-
		N2227/N2489	N2227/N2380	SHS 120x5.0 (SHS)	0.050	2.323	0.060	1.00	3.00	-	-
		N2489/N2488	N2227/N2380	SHS 120x5.0 (SHS)	0.060	2.313	0.060	1.00	3.00	-	-
		N2488/N2380	N2227/N2380	SHS 120x5.0 (SHS)	0.060	2.323	0.050	1.00	3.00	-	-
		N2244/N2491	N2244/N2397	SHS 120x5.0 (SHS)	0.050	2.323	0.060	1.00	3.00	-	-
		N2491/N2490	N2244/N2397	SHS 120x5.0 (SHS)	0.060	2.313	0.060	1.00	3.00	-	-
		N2490/N2397	N2244/N2397	SHS 120x5.0 (SHS)	0.060	2.323	0.050	1.00	3.00	-	-
		N2488/N2490	N2488/N2490	SHS 120x5.0 (SHS)	0.060	1.880	0.060	1.00	1.00	-	-
		N2489/N2490	N2489/N2490	L 40 x 40 x 4 (L)	0.095	2.960	0.095	0.00	0.00	-	-
		N2488/N2491	N2488/N2491	L 40 x 40 x 4 (L)	0.095	2.960	0.095	0.00	0.00	-	-
		N2489/N2491	N2489/N2491	SHS 120x5.0 (SHS)	0.060	1.880	0.060	1.00	1.00	-	-
		N2231/N2493	N2231/N2384	SHS 120x5.0 (SHS)	0.060	2.313	0.060	1.00	3.00	-	-
		N2493/N2492	N2231/N2384	SHS 120x5.0 (SHS)	0.060	2.313	0.060	1.00	3.00	-	-
		N2492/N2384	N2231/N2384	SHS 120x5.0 (SHS)	0.060	2.313	0.060	1.00	3.00	-	-
		N2248/N2495	N2248/N2401	SHS 120x5.0 (SHS)	0.060	2.313	0.060	1.00	3.00	-	-
		N2495/N2494	N2248/N2401	SHS 120x5.0 (SHS)	0.060	2.313	0.060	1.00	3.00	-	-

Documento visado electrónicamente con número: VA07290/22
Código de validación telemática TRLTDCFZ60T66IJ1. Comprobación: https://cogitivalencia.e-gestion.es/Validacion.aspx?CVT=TRLTDCFZ60T66IJ1

VISADO
COGITI
VALENCIA
VA07290/22
TRLTDCFZ60T66IJ1

Descripción												
Material		Barra (Ni/Nf)	Pieza (Ni/Nf)	Perfil(Serie)	Longitud (m)			β_{xy}	β_{xz}	$Lb_{sup.}$ (m)	$Lb_{inf.}$ (m)
Tipo	Designación				Indeformable origen	Deformable	Indeformable extremo				
		N2494/N2401	N2248/N2401	SHS 120x5.0 (SHS)	0.060	2.313	0.060	1.00	3.00	-	-
		N2492/N2494	N2492/N2494	SHS 120x5.0 (SHS)	0.060	1.880	0.060	1.00	1.00	-	-
		N2493/N2494	N2493/N2494	L 40 x 40 x 4 (L)	0.095	2.960	0.095	0.00	0.00	-	-
		N2492/N2495	N2492/N2495	L 40 x 40 x 4 (L)	0.095	2.960	0.095	0.00	0.00	-	-
		N2493/N2495	N2493/N2495	SHS 120x5.0 (SHS)	0.060	1.880	0.060	1.00	1.00	-	-
		N2250/N2403	N2250/N2403	SHS 120x5.0 (SHS)	0.060	7.180	0.060	1.00	1.00	-	-
		N2254/N2407	N2254/N2407	SHS 120x5.0 (SHS)	0.060	7.180	0.060	1.00	1.00	-	-
		N2256/N2496	N2256/N2409	SHS 120x5.0 (SHS)	0.060	2.313	0.060	1.00	3.00	-	-
		N2496/N2497	N2256/N2409	SHS 120x5.0 (SHS)	0.060	2.313	0.060	1.00	3.00	-	-
		N2497/N2409	N2256/N2409	SHS 120x5.0 (SHS)	0.060	2.313	0.060	1.00	3.00	-	-
		N2287/N2498	N2287/N2440	SHS 120x5.0 (SHS)	0.060	2.313	0.060	1.00	3.00	-	-
		N2498/N2499	N2287/N2440	SHS 120x5.0 (SHS)	0.060	2.313	0.060	1.00	3.00	-	-
		N2499/N2440	N2287/N2440	SHS 120x5.0 (SHS)	0.060	2.313	0.060	1.00	3.00	-	-
		N2499/N2497	N2499/N2497	SHS 120x5.0 (SHS)	0.060	1.880	0.060	1.00	1.00	-	-
		N2498/N2496	N2498/N2496	SHS 120x5.0 (SHS)	0.060	1.880	0.060	1.00	1.00	-	-
		N2499/N2496	N2499/N2496	L 40 x 40 x 4 (L)	0.095	2.960	0.095	0.00	0.00	-	-
		N2498/N2497	N2498/N2497	L 40 x 40 x 4 (L)	0.095	2.960	0.095	0.00	0.00	-	-
		N2291/N2501	N2291/N2444	SHS 120x5.0 (SHS)	0.050	2.323	0.060	1.00	3.00	-	-
		N2501/N2500	N2291/N2444	SHS 120x5.0 (SHS)	0.060	2.313	0.060	1.00	3.00	-	-
		N2500/N2444	N2291/N2444	SHS 120x5.0 (SHS)	0.060	2.323	0.050	1.00	3.00	-	-
		N2260/N2503	N2260/N2413	SHS 120x5.0 (SHS)	0.050	2.323	0.060	1.00	3.00	-	-
		N2503/N2502	N2260/N2413	SHS 120x5.0 (SHS)	0.060	2.313	0.060	1.00	3.00	-	-
		N2502/N2413	N2260/N2413	SHS 120x5.0 (SHS)	0.060	2.323	0.050	1.00	3.00	-	-
		N2500/N2502	N2500/N2502	SHS 120x5.0 (SHS)	0.060	1.880	0.060	1.00	1.00	-	-
		N2501/N2502	N2501/N2502	L 40 x 40 x 4 (L)	0.095	2.960	0.095	0.00	0.00	-	-
		N2500/N2503	N2500/N2503	L 40 x 40 x 4 (L)	0.095	2.960	0.095	0.00	0.00	-	-
		N2501/N2503	N2501/N2503	SHS 120x5.0 (SHS)	0.060	1.880	0.060	1.00	1.00	-	-
		N2295/N2505	N2295/N2448	SHS 120x5.0 (SHS)	0.060	2.313	0.060	1.00	3.00	-	-
		N2505/N2504	N2295/N2448	SHS 120x5.0 (SHS)	0.060	2.313	0.060	1.00	3.00	-	-
		N2504/N2448	N2295/N2448	SHS 120x5.0 (SHS)	0.060	2.313	0.060	1.00	3.00	-	-
		N2264/N2507	N2264/N2417	SHS 120x5.0 (SHS)	0.060	2.313	0.060	1.00	3.00	-	-

Documento visado electrónicamente con número: VA07290/22
Código de validación telemática TRLTDCFZ60T66IJ1. Comprobación: https://cogitivalencia.e-gestion.es/Validacion.aspx?CVT=TRLTDCFZ60T66IJ1

VISADO
COGITI
VALENCIA
VA07290/22
TRLTDCFZ60T66IJ1

Descripción											
Material		Barra (Ni/Nf)	Pieza (Ni/Nf)	Perfil(Serie)	Longitud (m)			β_{xy}	β_{xz}	Lbsup (m)	Lbinf (m)
Tipo	Designación				Indeformable origen	Deformable	Indeformable extremo				
		N2507/N2506	N2264/N2417	SHS 120x5.0 (SHS)	0.060	2.313	0.060	1.00	3.00	-	-
		N2506/N2417	N2264/N2417	SHS 120x5.0 (SHS)	0.060	2.313	0.060	1.00	3.00	-	-
		N2504/N2506	N2504/N2506	SHS 120x5.0 (SHS)	0.060	1.880	0.060	1.00	1.00	-	-
		N2505/N2506	N2505/N2506	L 40 x 40 x 4 (L)	0.095	2.960	0.095	0.00	0.00	-	-
		N2504/N2507	N2504/N2507	L 40 x 40 x 4 (L)	0.095	2.960	0.095	0.00	0.00	-	-
		N2505/N2507	N2505/N2507	SHS 120x5.0 (SHS)	0.060	1.880	0.060	1.00	1.00	-	-
		N2266/N2419	N2266/N2419	SHS 120x5.0 (SHS)	0.060	7.180	0.060	1.00	1.00	-	-
		N2202/N2357	N2202/N2357	L 60 x 60 x 5 (L)	0.138	7.916	0.067	0.00	0.00	-	-
		N2355/N2204	N2355/N2204	L 60 x 60 x 5 (L)	0.138	7.916	0.067	0.00	0.00	-	-
		N2266/N2421	N2266/N2421	L 60 x 60 x 5 (L)	0.067	7.916	0.138	0.00	0.00	-	-
		N2419/N2268	N2419/N2268	L 60 x 60 x 5 (L)	0.067	7.916	0.138	0.00	0.00	-	-
		N2216/N2371	N2216/N2371	L 60 x 60 x 5 (L)	0.067	7.916	0.138	0.00	0.00	-	-
		N2369/N2218	N2369/N2218	L 60 x 60 x 5 (L)	0.067	7.916	0.138	0.00	0.00	-	-
		N2236/N2391	N2236/N2391	L 60 x 60 x 5 (L)	0.167	7.887	0.067	0.00	0.00	-	-
		N2389/N2238	N2389/N2238	L 60 x 60 x 5 (L)	0.167	7.887	0.067	0.00	0.00	-	-
		N2250/N2405	N2250/N2405	L 60 x 60 x 5 (L)	0.067	7.916	0.138	0.00	0.00	-	-
		N2403/N2252	N2403/N2252	L 60 x 60 x 5 (L)	0.067	7.916	0.138	0.00	0.00	-	-
		N2235/N2407	N2235/N2407	L 60 x 60 x 5 (L)	0.167	7.887	0.067	0.00	0.00	-	-
		N2388/N2254	N2388/N2254	L 60 x 60 x 5 (L)	0.167	7.887	0.067	0.00	0.00	-	-
		N2206/N2475	N2206/N2359	SHS 120x5.0 (SHS)	0.060	2.313	0.060	1.00	3.00	-	-
		N2475/N2473	N2206/N2359	SHS 120x5.0 (SHS)	0.060	2.313	0.060	1.00	3.00	-	-
		N2473/N2359	N2206/N2359	SHS 120x5.0 (SHS)	0.060	2.313	0.060	1.00	3.00	-	-
		N2272/N2474	N2272/N2425	SHS 120x5.0 (SHS)	0.060	2.313	0.060	1.00	3.00	-	-
		N2474/N2472	N2272/N2425	SHS 120x5.0 (SHS)	0.060	2.313	0.060	1.00	3.00	-	-
		N2472/N2425	N2272/N2425	SHS 120x5.0 (SHS)	0.060	2.313	0.060	1.00	3.00	-	-
		N2508/N2509	N2508/N2524	HE 160 A (HEA)	0.078	1.623	0.078	0.56	1.00	1.779	1.779
		N2509/N2510	N2508/N2524	HE 160 A (HEA)	0.078	1.623	0.078	0.56	1.00	1.779	1.779
		N2510/N2511	N2508/N2524	HE 160 A (HEA)	0.078	1.623	0.078	0.56	1.00	1.779	1.779
		N2511/N2512	N2508/N2524	HE 160 A (HEA)	0.078	1.623	0.078	0.56	1.00	1.779	1.779
		N2512/N2513	N2508/N2524	HE 160 A (HEA)	0.078	1.636	0.065	0.56	1.00	1.779	1.779
		N2513/N3443	N2508/N2524	HE 160 A (HEA)	0.065	0.825	-	1.12	1.00	0.890	0.890

Documento visado electrónicamente con número: VA07290/22
Código de validación telemática TRLTDCFZ60T66IJ1. Comprobación: https://cogitivalencia.e-gestion.es/Validacion.aspx?CVT=TRLTDCFZ60T66IJ1

VISADO
COGITI
VALENCIA
VA07290/22
TRLTDCFZ60T66IJ1

Descripción												
Material		Barra (Ni/Nf)	Pieza (Ni/Nf)	Perfil(Serie)	Longitud (m)			β_{xy}	β_{xz}	$Lb_{sup.}$ (m)	$Lb_{inf.}$ (m)
Tipo	Designación				Indeformable origen	Deformable	Indeformable extremo				
		N3443/N2514	N2508/N2524	HE 160 A (HEA)	-	0.825	0.065	1.12	1.00	0.890	0.890
		N2514/N2515	N2508/N2524	HE 160 A (HEA)	0.065	1.649	0.065	0.56	1.00	1.779	1.779
		N2515/N2516	N2508/N2524	HE 160 A (HEA)	0.065	1.663	0.051	0.56	1.00	1.779	1.779
		N2516/N2517	N2508/N2524	HE 160 A (HEA)	0.051	1.658	0.070	0.56	1.00	1.779	1.779
		N2517/N2518	N2508/N2524	HE 160 A (HEA)	0.070	1.639	0.070	0.56	1.00	1.779	1.779
		N2518/N3448	N2508/N2524	HE 160 A (HEA)	0.070	0.820	-	1.12	1.00	0.890	0.890
		N3448/N2519	N2508/N2524	HE 160 A (HEA)	-	0.820	0.070	1.12	1.00	0.890	0.890
		N2519/N2520	N2508/N2524	HE 160 A (HEA)	0.070	1.625	0.084	0.56	1.00	1.779	1.779
		N2520/N2521	N2508/N2524	HE 160 A (HEA)	0.084	1.611	0.084	0.56	1.00	1.779	1.779
		N2521/N2522	N2508/N2524	HE 160 A (HEA)	0.084	1.611	0.084	0.56	1.00	1.779	1.779
		N2522/N2523	N2508/N2524	HE 160 A (HEA)	0.084	1.611	0.084	0.56	1.00	1.779	1.779
		N2523/N2524	N2508/N2524	HE 160 A (HEA)	0.084	1.554	0.141	0.56	1.00	1.779	1.779
		N2525/N2526	N2525/N2541	HE 180 A (HEA)	0.141	1.560	0.078	1.83	1.00	-	-
		N2526/N2527	N2525/N2541	HE 180 A (HEA)	0.078	1.623	0.078	1.83	1.00	-	-
		N2527/N2528	N2525/N2541	HE 180 A (HEA)	0.078	1.623	0.078	1.83	1.00	-	-
		N2528/N2529	N2525/N2541	HE 180 A (HEA)	0.078	1.623	0.078	1.83	1.00	-	-
		N2529/N2530	N2525/N2541	HE 180 A (HEA)	0.078	1.623	0.078	1.83	1.00	-	-
		N2530/N2531	N2525/N2541	HE 180 A (HEA)	0.078	1.636	0.065	1.83	1.00	-	-
		N2531/N2532	N2525/N2541	HE 180 A (HEA)	0.065	1.649	0.065	1.83	1.00	-	-
		N2532/N2533	N2525/N2541	HE 180 A (HEA)	0.065	1.644	0.070	1.83	1.00	-	-
		N2533/N2534	N2525/N2541	HE 180 A (HEA)	0.070	1.639	0.070	1.83	1.00	-	-
		N2534/N2535	N2525/N2541	HE 180 A (HEA)	0.070	1.639	0.070	1.83	1.00	-	-
		N2535/N2536	N2525/N2541	HE 180 A (HEA)	0.070	1.625	0.084	1.83	1.00	-	-
		N2536/N2537	N2525/N2541	HE 180 A (HEA)	0.084	1.611	0.084	1.83	1.00	-	-
		N2537/N2538	N2525/N2541	HE 180 A (HEA)	0.084	1.611	0.084	1.83	1.00	-	-
		N2538/N2539	N2525/N2541	HE 180 A (HEA)	0.084	1.611	0.084	1.83	1.00	-	-
		N2539/N2540	N2525/N2541	HE 180 A (HEA)	0.084	1.578	0.117	1.83	1.00	-	-
		N2540/N2541	N2525/N2541	HE 180 A (HEA)	0.117	1.521	0.141	1.83	1.00	-	-
		N2542/N2543	N2542/N2558	HE 160 A (HEA)	0.141	1.560	0.078	0.56	1.00	1.779	1.779
		N2543/N2544	N2542/N2558	HE 160 A (HEA)	0.078	1.623	0.078	0.56	1.00	1.779	1.779
		N2544/N2545	N2542/N2558	HE 160 A (HEA)	0.078	1.623	0.078	0.56	1.00	1.779	1.779

Documento visado electrónicamente con número: VA07290/22
Código de validación telemática TRLTDCFZ60T66IJ1. Comprobación: https://cogitivalencia.e-gestion.es/Validacion.aspx?CVT=TRLTDCFZ60T66IJ1

VISADO
COGITI
VALENCIA
VA07290/22
TRLTDCFZ60T66IJ1

Descripción												
Material		Barra (Ni/Nf)	Pieza (Ni/Nf)	Perfil(Serie)	Longitud (m)			β_{xy}	β_{xz}	Lbsup (m)	Lbinf (m)
Tipo	Designación				Indeformable origen	Deformable	Indeformable extremo				
		N2545/N2546	N2542/N2558	HE 160 A (HEA)	0.078	1.623	0.078	0.56	1.00	1.779	1.779
		N2546/N2547	N2542/N2558	HE 160 A (HEA)	0.078	1.636	0.065	0.56	1.00	1.779	1.779
		N2547/N3461	N2542/N2558	HE 160 A (HEA)	0.065	0.825	-	1.12	1.00	0.890	0.890
		N3461/N2548	N2542/N2558	HE 160 A (HEA)	-	0.825	0.065	1.12	1.00	0.890	0.890
		N2548/N2549	N2542/N2558	HE 160 A (HEA)	0.065	1.649	0.065	0.56	1.00	1.779	1.779
		N2549/N2550	N2542/N2558	HE 160 A (HEA)	0.065	1.663	0.051	0.56	1.00	1.779	1.779
		N2550/N2551	N2542/N2558	HE 160 A (HEA)	0.051	1.658	0.070	0.56	1.00	1.779	1.779
		N2551/N2552	N2542/N2558	HE 160 A (HEA)	0.070	1.639	0.070	0.56	1.00	1.779	1.779
		N2552/N3466	N2542/N2558	HE 160 A (HEA)	0.070	0.820	-	1.12	1.00	0.890	0.890
		N3466/N2553	N2542/N2558	HE 160 A (HEA)	-	0.820	0.070	1.12	1.00	0.890	0.890
		N2553/N2554	N2542/N2558	HE 160 A (HEA)	0.070	1.625	0.084	0.56	1.00	1.779	1.779
		N2554/N2555	N2542/N2558	HE 160 A (HEA)	0.084	1.611	0.084	0.56	1.00	1.779	1.779
		N2555/N2556	N2542/N2558	HE 160 A (HEA)	0.084	1.611	0.084	0.56	1.00	1.779	1.779
		N2556/N2557	N2542/N2558	HE 160 A (HEA)	0.084	1.611	0.084	0.56	1.00	1.779	1.779
		N2557/N2558	N2542/N2558	HE 160 A (HEA)	0.084	1.554	0.141	0.56	1.00	1.779	1.779
		N2541/N2559	N2541/N2574	HE 160 A (HEA)	0.141	1.560	0.078	0.56	1.00	1.779	1.779
		N2559/N2560	N2541/N2574	HE 160 A (HEA)	0.078	1.623	0.078	0.56	1.00	1.779	1.779
		N2560/N2561	N2541/N2574	HE 160 A (HEA)	0.078	1.623	0.078	0.56	1.00	1.779	1.779
		N2561/N2562	N2541/N2574	HE 160 A (HEA)	0.078	1.623	0.078	0.56	1.00	1.779	1.779
		N2562/N2563	N2541/N2574	HE 160 A (HEA)	0.078	1.636	0.065	0.56	1.00	1.779	1.779
		N2563/N3479	N2541/N2574	HE 160 A (HEA)	0.065	0.825	-	1.12	1.00	0.890	0.890
		N3479/N2564	N2541/N2574	HE 160 A (HEA)	-	0.825	0.065	1.12	1.00	0.890	0.890
		N2564/N2565	N2541/N2574	HE 160 A (HEA)	0.065	1.649	0.065	0.56	1.00	1.779	1.779
		N2565/N2566	N2541/N2574	HE 160 A (HEA)	0.065	1.663	0.051	0.56	1.00	1.779	1.779
		N2566/N2567	N2541/N2574	HE 160 A (HEA)	0.051	1.658	0.070	0.56	1.00	1.779	1.779
		N2567/N2568	N2541/N2574	HE 160 A (HEA)	0.070	1.639	0.070	0.56	1.00	1.779	1.779
		N2568/N3484	N2541/N2574	HE 160 A (HEA)	0.070	0.820	-	1.12	1.00	0.890	0.890
		N3484/N2569	N2541/N2574	HE 160 A (HEA)	-	0.820	0.070	1.12	1.00	0.890	0.890
		N2569/N2570	N2541/N2574	HE 160 A (HEA)	0.070	1.625	0.084	0.56	1.00	1.779	1.779
		N2570/N2571	N2541/N2574	HE 160 A (HEA)	0.084	1.611	0.084	0.56	1.00	1.779	1.779
		N2571/N2572	N2541/N2574	HE 160 A (HEA)	0.084	1.611	0.084	0.56	1.00	1.779	1.779

Documento visado electrónicamente con número: VA07290/22
Código de validación telemática TRLTDCFZ60T66IJ1. Comprobación: https://cogitivalencia.e-gestion.es/Validacion.aspx?CVT=TRLTDCFZ60T66IJ1

VISADO
COGITI
VALENCIA
VA07290/22
TRLTDCFZ60T66IJ1

Descripción												
Material		Barra (Ni/Nf)	Pieza (Ni/Nf)	Perfil(Serie)	Longitud (m)			β_{xy}	β_{xz}	$Lb_{sup.}$ (m)	$Lb_{inf.}$ (m)	
Tipo	Designación				Indeformable origen	Deformable	Indeformable extremo					
		N2572/N2573	N2541/N2574	HE 160 A (HEA)	0.084	1.611	0.084	0.56	1.00	1.779	1.779	
		N2573/N2574	N2541/N2574	HE 160 A (HEA)	0.084	1.554	0.141	0.56	1.00	1.779	1.779	
		N2575/N2509	N2575/N2509	SHS 120x5.0 (SHS)	0.088	1.824	0.088	1.00	1.00	-	-	
		N2576/N2510	N2576/N2510	SHS 120x5.0 (SHS)	0.088	1.824	0.088	1.00	1.00	-	-	
		N2577/N2511	N2577/N2511	SHS 120x4.0 (SHS)	0.088	1.824	0.088	1.00	1.00	-	-	
		N2578/N2512	N2578/N2512	SHS 120x4.0 (SHS)	0.088	1.824	0.088	1.00	1.00	-	-	
		N2579/N2513	N2579/N2513	SHS 120x4.0 (SHS)	0.088	1.835	0.077	1.00	1.00	-	-	
		N2580/N2514	N2580/N2514	SHS 100x4.0 (SHS)	0.086	1.837	0.077	1.00	1.00	-	-	
		N2581/N2515	N2581/N2515	SHS 100x4.0 (SHS)	0.086	1.837	0.077	1.00	1.00	-	-	
		N2582/N2516	N2582/N2516	SHS 100x4.0 (SHS)	0.086	1.837	0.077	1.00	1.00	-	-	
		N2583/N2517	N2583/N2517	SHS 100x4.0 (SHS)	0.086	1.836	0.078	1.00	1.00	-	-	
		N2584/N2518	N2584/N2518	SHS 100x4.0 (SHS)	0.086	1.836	0.078	1.00	1.00	-	-	
		N2585/N2519	N2585/N2519	SHS 120x4.0 (SHS)	0.094	1.828	0.078	1.00	1.00	-	-	
		N2586/N2520	N2586/N2520	SHS 120x4.0 (SHS)	0.094	1.812	0.094	1.00	1.00	-	-	
		N2587/N2521	N2587/N2521	SHS 120x4.0 (SHS)	0.094	1.812	0.094	1.00	1.00	-	-	
		N2588/N2522	N2588/N2522	SHS 120x5.0 (SHS)	0.094	1.812	0.094	1.00	1.00	-	-	
		N2589/N2523	N2589/N2523	SHS 120x5.0 (SHS)	0.131	1.775	0.094	1.00	1.00	-	-	
		N2526/N2543	N2526/N2543	SHS 120x5.0 (SHS)	0.088	1.824	0.088	1.00	1.00	-	-	
		N2527/N2544	N2527/N2544	SHS 120x5.0 (SHS)	0.088	1.824	0.088	1.00	1.00	-	-	
		N2528/N2545	N2528/N2545	SHS 120x4.0 (SHS)	0.088	1.824	0.088	1.00	1.00	-	-	
		N2529/N2546	N2529/N2546	SHS 120x4.0 (SHS)	0.088	1.824	0.088	1.00	1.00	-	-	
		N2530/N2547	N2530/N2547	SHS 120x4.0 (SHS)	0.088	1.835	0.077	1.00	1.00	-	-	
		N2531/N2548	N2531/N2548	SHS 100x4.0 (SHS)	0.086	1.837	0.077	1.00	1.00	-	-	
		N2532/N2549	N2532/N2549	SHS 100x4.0 (SHS)	0.086	1.837	0.077	1.00	1.00	-	-	
		N2533/N2550	N2533/N2550	SHS 100x4.0 (SHS)	0.086	1.837	0.077	1.00	1.00	-	-	
		N2534/N2551	N2534/N2551	SHS 100x4.0 (SHS)	0.086	1.836	0.078	1.00	1.00	-	-	
		N2535/N2552	N2535/N2552	SHS 100x4.0 (SHS)	0.086	1.836	0.078	1.00	1.00	-	-	
		N2536/N2553	N2536/N2553	SHS 120x4.0 (SHS)	0.094	1.828	0.078	1.00	1.00	-	-	
		N2537/N2554	N2537/N2554	SHS 120x4.0 (SHS)	0.094	1.812	0.094	1.00	1.00	-	-	
		N2538/N2555	N2538/N2555	SHS 120x4.0 (SHS)	0.094	1.812	0.094	1.00	1.00	-	-	
		N2539/N2556	N2539/N2556	SHS 120x5.0 (SHS)	0.094	1.812	0.094	1.00	1.00	-	-	

Documento visado electrónicamente con número: VA07290/22
Código de validación telemática TRLTDCFZ60T66IJ1. Comprobación: https://cogitivalencia.e-gestion.es/Validacion.aspx?CVT=TRLTDCFZ60T66IJ1

VISADO
COGITI
VALENCIA
VA07290/22
TRLTDCFZ60T66IJ1

Listados

Descripción											
Material		Barra (Ni/Nf)	Pieza (Ni/Nf)	Perfil(Serie)	Longitud (m)			β_{xy}	β_{xz}	Lbsup (m)	Lbinf (m)
Tipo	Designación				Indeformable origen	Deformable	Indeformable extremo				
		N2540/N2557	N2540/N2557	SHS 120x5.0 (SHS)	0.131	1.775	0.094	1.00	1.00	-	-
		N2590/N2559	N2590/N2559	SHS 120x5.0 (SHS)	0.088	1.824	0.088	1.00	1.00	-	-
		N2591/N2560	N2591/N2560	SHS 120x5.0 (SHS)	0.088	1.824	0.088	1.00	1.00	-	-
		N2592/N2561	N2592/N2561	SHS 120x4.0 (SHS)	0.088	1.824	0.088	1.00	1.00	-	-
		N2593/N2562	N2593/N2562	SHS 120x4.0 (SHS)	0.088	1.824	0.088	1.00	1.00	-	-
		N2594/N2563	N2594/N2563	SHS 120x4.0 (SHS)	0.088	1.835	0.077	1.00	1.00	-	-
		N2595/N2564	N2595/N2564	SHS 100x4.0 (SHS)	0.086	1.837	0.077	1.00	1.00	-	-
		N2596/N2565	N2596/N2565	SHS 100x4.0 (SHS)	0.086	1.837	0.077	1.00	1.00	-	-
		N2597/N2566	N2597/N2566	SHS 100x4.0 (SHS)	0.086	1.837	0.077	1.00	1.00	-	-
		N2598/N2567	N2598/N2567	SHS 100x4.0 (SHS)	0.086	1.836	0.078	1.00	1.00	-	-
		N2599/N2568	N2599/N2568	SHS 100x4.0 (SHS)	0.086	1.836	0.078	1.00	1.00	-	-
		N2600/N2569	N2600/N2569	SHS 120x4.0 (SHS)	0.094	1.828	0.078	1.00	1.00	-	-
		N2601/N2570	N2601/N2570	SHS 120x4.0 (SHS)	0.094	1.812	0.094	1.00	1.00	-	-
		N2602/N2571	N2602/N2571	SHS 120x4.0 (SHS)	0.094	1.812	0.094	1.00	1.00	-	-
		N2603/N2572	N2603/N2572	SHS 120x5.0 (SHS)	0.094	1.812	0.094	1.00	1.00	-	-
		N2604/N2573	N2604/N2573	SHS 120x5.0 (SHS)	0.094	1.812	0.094	1.00	1.00	-	-
		N2575/N2508	N2575/N2508	SHS 120x10.0 (SHS)	0.111	2.372	0.099	0.80	0.80	-	-
		N2576/N2509	N2576/N2509	SHS 120x5.0 (SHS)	0.111	2.372	0.099	0.80	0.80	-	-
		N2577/N2510	N2577/N2510	SHS 120x5.0 (SHS)	0.111	2.372	0.099	0.80	0.80	-	-
		N2578/N2511	N2578/N2511	SHS 120x4.0 (SHS)	0.111	2.372	0.099	0.80	0.80	-	-
		N2579/N2512	N2579/N2512	SHS 120x4.0 (SHS)	0.111	2.372	0.099	0.80	0.80	-	-
		N2580/N2513	N2580/N2513	SHS 100x4.0 (SHS)	0.111	2.372	0.099	0.80	0.80	-	-
		N2581/N2514	N2581/N2514	SHS 100x4.0 (SHS)	0.111	2.372	0.099	0.80	0.80	-	-
		N2582/N2515	N2582/N2515	SHS 100x4.0 (SHS)	0.111	2.372	0.099	0.80	0.80	-	-
		N2582/N2517	N2582/N2517	SHS 100x4.0 (SHS)	0.119	2.544	0.106	0.80	0.80	-	-
		N2583/N2518	N2583/N2518	SHS 100x4.0 (SHS)	0.119	2.544	0.106	0.80	0.80	-	-
		N2584/N2519	N2584/N2519	SHS 100x4.0 (SHS)	0.119	2.544	0.106	0.80	0.80	-	-
		N2585/N2520	N2585/N2520	SHS 120x4.0 (SHS)	0.119	2.544	0.106	0.80	0.80	-	-
		N2586/N2521	N2586/N2521	SHS 120x4.0 (SHS)	0.119	2.544	0.106	0.80	0.80	-	-
		N2587/N2522	N2587/N2522	SHS 120x5.0 (SHS)	0.119	2.544	0.106	0.80	0.80	-	-
		N2588/N2523	N2588/N2523	SHS 120x5.0 (SHS)	0.119	2.544	0.106	0.80	0.80	-	-

Documento visado electrónicamente con número: VA07290/22
Código de validación telemática TRLTDCFZ60T66IJ1. Comprobación: https://cogitivalencia.e-gestion.es/Validacion.aspx?CVT=TRLTDCFZ60T66IJ1

VISADO
COGITI
VALENCIA
VA07290/22
TRLTDCFZ60T66IJ1

Descripción												
Material		Barra (Ni/Nf)	Pieza (Ni/Nf)	Perfil(Serie)	Longitud (m)			β_{xy}	β_{xz}	$Lb_{sup.}$ (m)	$Lb_{inf.}$ (m)
Tipo	Designación				Indeformable origen	Deformable	Indeformable extremo				
		N2589/N2524	N2589/N2524	SHS 120x10.0 (SHS)	0.119	2.431	0.219	0.80	0.80	-	-
		N2526/N2542	N2526/N2542	SHS 120x10.0 (SHS)	0.111	2.267	0.204	0.80	0.80	-	-
		N2527/N2543	N2527/N2543	SHS 120x5.0 (SHS)	0.111	2.372	0.099	0.80	0.80	-	-
		N2528/N2544	N2528/N2544	SHS 120x5.0 (SHS)	0.111	2.372	0.099	0.80	0.80	-	-
		N2529/N2545	N2529/N2545	SHS 120x4.0 (SHS)	0.111	2.372	0.099	0.80	0.80	-	-
		N2530/N2546	N2530/N2546	SHS 120x4.0 (SHS)	0.111	2.372	0.099	0.80	0.80	-	-
		N2531/N2547	N2531/N2547	SHS 100x4.0 (SHS)	0.111	2.372	0.099	0.80	0.80	-	-
		N2532/N2548	N2532/N2548	SHS 100x4.0 (SHS)	0.111	2.372	0.099	0.80	0.80	-	-
		N2533/N2549	N2533/N2549	SHS 100x4.0 (SHS)	0.111	2.372	0.099	0.80	0.80	-	-
		N2533/N2551	N2533/N2551	SHS 100x4.0 (SHS)	0.119	2.544	0.106	0.80	0.80	-	-
		N2534/N2552	N2534/N2552	SHS 100x4.0 (SHS)	0.119	2.544	0.106	0.80	0.80	-	-
		N2535/N2553	N2535/N2553	SHS 100x4.0 (SHS)	0.119	2.544	0.106	0.80	0.80	-	-
		N2536/N2554	N2536/N2554	SHS 120x4.0 (SHS)	0.119	2.544	0.106	0.80	0.80	-	-
		N2537/N2555	N2537/N2555	SHS 120x4.0 (SHS)	0.119	2.544	0.106	0.80	0.80	-	-
		N2538/N2556	N2538/N2556	SHS 120x5.0 (SHS)	0.119	2.544	0.106	0.80	0.80	-	-
		N2539/N2557	N2539/N2557	SHS 120x5.0 (SHS)	0.119	2.544	0.106	0.80	0.80	-	-
		N2540/N2558	N2540/N2558	SHS 120x10.0 (SHS)	0.119	2.431	0.219	0.80	0.80	-	-
		N2590/N2541	N2590/N2541	SHS 120x10.0 (SHS)	0.111	2.267	0.204	0.80	0.80	-	-
		N2591/N2559	N2591/N2559	SHS 120x5.0 (SHS)	0.111	2.372	0.099	0.80	0.80	-	-
		N2592/N2560	N2592/N2560	SHS 120x5.0 (SHS)	0.111	2.372	0.099	0.80	0.80	-	-
		N2593/N2561	N2593/N2561	SHS 120x4.0 (SHS)	0.111	2.372	0.099	0.80	0.80	-	-
		N2594/N2562	N2594/N2562	SHS 120x4.0 (SHS)	0.111	2.372	0.099	0.80	0.80	-	-
		N2595/N2563	N2595/N2563	SHS 100x4.0 (SHS)	0.111	2.372	0.099	0.80	0.80	-	-
		N2596/N2564	N2596/N2564	SHS 100x4.0 (SHS)	0.111	2.372	0.099	0.80	0.80	-	-
		N2597/N2565	N2597/N2565	SHS 100x4.0 (SHS)	0.111	2.372	0.099	0.80	0.80	-	-
		N2597/N2567	N2597/N2567	SHS 100x4.0 (SHS)	0.119	2.544	0.106	0.80	0.80	-	-
		N2598/N2568	N2598/N2568	SHS 100x4.0 (SHS)	0.119	2.544	0.106	0.80	0.80	-	-
		N2599/N2569	N2599/N2569	SHS 100x4.0 (SHS)	0.119	2.544	0.106	0.80	0.80	-	-
		N2600/N2570	N2600/N2570	SHS 120x4.0 (SHS)	0.119	2.544	0.106	0.80	0.80	-	-
		N2601/N2571	N2601/N2571	SHS 120x4.0 (SHS)	0.119	2.544	0.106	0.80	0.80	-	-

Documento visado electrónicamente con número: VA07290/22
Código de validación telemática TRLTDCFZ60T66IJ1. Comprobación: https://cogitivalencia.e-gestion.es/Validacion.aspx?CVT=TRLTDCFZ60T66IJ1

VISADO
COGITI
VALENCIA
VA07290/22
TRLTDCFZ60T66IJ1

Listados

Descripción											
Material		Barra (Ni/Nf)	Pieza (Ni/Nf)	Perfil(Serie)	Longitud (m)			β_{xy}	β_{xz}	Lbsup (m)	Lbinf (m)
Tipo	Designación				Indeformable origen	Deformable	Indeformable extremo				
		N2602/N2572	N2602/N2572	SHS 120x5.0 (SHS)	0.119	2.544	0.106	0.80	0.80	-	-
		N2603/N2573	N2603/N2573	SHS 120x5.0 (SHS)	0.119	2.544	0.106	0.80	0.80	-	-
		N2604/N2574	N2604/N2574	SHS 120x10.0 (SHS)	0.119	2.431	0.219	0.80	0.80	-	-
		N2454/N2605	N2454/N2607	SHS 120x5.0 (SHS)	0.060	2.313	0.060	1.00	3.00	-	-
		N2605/N2606	N2454/N2607	SHS 120x5.0 (SHS)	0.060	2.313	0.060	1.00	3.00	-	-
		N2606/N2607	N2454/N2607	SHS 120x5.0 (SHS)	0.060	2.313	0.060	1.00	3.00	-	-
		N2355/N2608	N2355/N2508	SHS 120x5.0 (SHS)	0.060	2.313	0.060	1.00	3.00	-	-
		N2608/N2609	N2355/N2508	SHS 120x5.0 (SHS)	0.060	2.313	0.060	1.00	3.00	-	-
		N2609/N2508	N2355/N2508	SHS 120x5.0 (SHS)	0.060	2.313	0.060	1.00	3.00	-	-
		N2389/N2610	N2389/N2542	SHS 120x5.0 (SHS)	0.150	2.188	0.095	1.00	3.00	-	-
		N2610/N2611	N2389/N2542	SHS 120x5.0 (SHS)	0.095	2.243	0.095	1.00	3.00	-	-
		N2611/N2542	N2389/N2542	SHS 120x5.0 (SHS)	0.095	2.188	0.150	1.00	3.00	-	-
		N2371/N2612	N2371/N2524	SHS 120x5.0 (SHS)	0.095	2.278	0.060	1.00	3.00	-	-
		N2612/N2613	N2371/N2524	SHS 120x5.0 (SHS)	0.060	2.313	0.060	1.00	3.00	-	-
		N2613/N2524	N2371/N2524	SHS 120x5.0 (SHS)	0.060	2.278	0.095	1.00	3.00	-	-
		N2611/N2613	N2611/N2613	SHS 120x5.0 (SHS)	0.078	1.862	0.060	1.00	1.00	-	-
		N2610/N2612	N2610/N2612	SHS 120x5.0 (SHS)	0.078	1.862	0.060	1.00	1.00	-	-
		N2606/N2609	N2606/N2609	SHS 120x5.0 (SHS)	0.060	1.880	0.060	1.00	1.00	-	-
		N2605/N2608	N2605/N2608	SHS 120x5.0 (SHS)	0.060	1.880	0.060	1.00	1.00	-	-
		N2606/N2608	N2606/N2608	L 50 x 50 x 5 (L)	0.095	2.960	0.095	0.00	0.00	-	-
		N2605/N2609	N2605/N2609	L 50 x 50 x 5 (L)	0.095	2.960	0.095	0.00	0.00	-	-
		N2372/N2610	N2372/N2610	SHS 120x5.0 (SHS)	0.195	2.860	0.095	1.00	1.00	-	-
		N2525/N2611	N2525/N2611	SHS 120x5.0 (SHS)	0.195	2.860	0.095	1.00	1.00	-	-
		N2465/N2614	N2465/N2614	SHS 120x5.0 (SHS)	0.195	2.860	0.095	1.00	1.00	-	-
		N2388/N2614	N2388/N2541	SHS 120x5.0 (SHS)	0.150	2.188	0.095	1.00	3.00	-	-
		N2614/N2615	N2388/N2541	SHS 120x5.0 (SHS)	0.095	2.243	0.095	1.00	3.00	-	-
		N2615/N2541	N2388/N2541	SHS 120x5.0 (SHS)	0.095	2.188	0.150	1.00	3.00	-	-
		N2614/N2616	N2614/N2616	SHS 120x5.0 (SHS)	0.078	1.862	0.060	1.00	1.00	-	-
		N2615/N2617	N2615/N2617	SHS 120x5.0 (SHS)	0.078	1.862	0.060	1.00	1.00	-	-
		N2618/N2615	N2618/N2615	SHS 120x5.0 (SHS)	0.195	2.860	0.095	1.00	1.00	-	-
		N2405/N2616	N2405/N2558	SHS 120x5.0 (SHS)	0.095	2.278	0.060	1.00	3.00	-	-

Documento visado electrónicamente con número: VA07290/22
Código de validación telemática TRLTDCFZ60T66IJ1. Comprobación: https://cogitivalencia.e-gestion.es/Validacion.aspx?CVT=TRLTDCFZ60T66IJ1

VISADO
COGITI
VALENCIA
VA07290/22
TRLTDCFZ60T66IJ1

Descripción												
Material		Barra (Ni/Nf)	Pieza (Ni/Nf)	Perfil(Serie)	Longitud (m)			β_{xy}	β_{xz}	$Lb_{sup.}$ (m)	$Lb_{inf.}$ (m)	
Tipo	Designación				Indeformable origen	Deformable	Indeformable extremo					
		N2616/N2617	N2405/N2558	SHS 120x5.0 (SHS)	0.060	2.313	0.060	1.00	3.00	-	-	
		N2617/N2558	N2405/N2558	SHS 120x5.0 (SHS)	0.060	2.278	0.095	1.00	3.00	-	-	
		N2610/N2613	N2610/N2613	L 50 x 50 x 5 (L)	0.095	2.960	0.095	0.00	0.00	-	-	
		N2610/N2371	N2610/N2371	SHS 120x4.0 (SHS)	0.095	2.960	0.095	1.00	1.00	-	-	
		N2611/N2612	N2611/N2612	L 50 x 50 x 5 (L)	0.095	2.960	0.095	0.00	0.00	-	-	
		N2611/N2524	N2611/N2524	SHS 120x4.0 (SHS)	0.095	2.960	0.095	1.00	1.00	-	-	
		N2614/N2617	N2614/N2617	L 50 x 50 x 5 (L)	0.095	2.960	0.095	0.00	0.00	-	-	
		N2614/N2405	N2614/N2405	SHS 120x4.0 (SHS)	0.095	2.960	0.095	1.00	1.00	-	-	
		N2615/N2616	N2615/N2616	L 50 x 50 x 5 (L)	0.095	2.960	0.095	0.00	0.00	-	-	
		N2615/N2558	N2615/N2558	SHS 120x4.0 (SHS)	0.095	2.960	0.095	1.00	1.00	-	-	
		N2421/N2620	N2421/N2574	SHS 120x5.0 (SHS)	0.095	2.278	0.060	1.00	3.00	-	-	
		N2620/N2619	N2421/N2574	SHS 120x5.0 (SHS)	0.060	2.313	0.060	1.00	3.00	-	-	
		N2619/N2574	N2421/N2574	SHS 120x5.0 (SHS)	0.060	2.278	0.095	1.00	3.00	-	-	
		N2621/N2574	N2621/N2574	SHS 120x4.0 (SHS)	0.095	2.960	0.095	1.00	1.00	-	-	
		N2469/N2623	N2469/N2622	SHS 120x5.0 (SHS)	0.150	2.188	0.095	1.00	3.00	-	-	
		N2623/N2621	N2469/N2622	SHS 120x5.0 (SHS)	0.095	2.243	0.095	1.00	3.00	-	-	
		N2621/N2622	N2469/N2622	SHS 120x5.0 (SHS)	0.095	2.188	0.150	1.00	3.00	-	-	
		N2624/N2621	N2624/N2621	SHS 120x5.0 (SHS)	0.195	2.860	0.095	1.00	1.00	-	-	
		N2623/N2619	N2623/N2619	L 50 x 50 x 5 (L)	0.095	2.960	0.095	0.00	0.00	-	-	
		N2621/N2620	N2621/N2620	L 50 x 50 x 5 (L)	0.095	2.960	0.095	0.00	0.00	-	-	
		N2623/N2620	N2623/N2620	SHS 120x5.0 (SHS)	0.078	1.862	0.060	1.00	1.00	-	-	
		N2623/N2421	N2623/N2421	SHS 120x4.0 (SHS)	0.095	2.960	0.095	1.00	1.00	-	-	
		N2621/N2619	N2621/N2619	SHS 120x5.0 (SHS)	0.078	1.862	0.060	1.00	1.00	-	-	
		N2471/N2623	N2471/N2623	SHS 120x5.0 (SHS)	0.195	2.860	0.095	1.00	1.00	-	-	
		N2357/N2510	N2357/N2510	SHS 120x5.0 (SHS)	0.060	7.180	0.060	1.00	1.00	-	-	
		N2625/N2626	N2625/N2626	SHS 120x5.0 (SHS)	0.060	1.880	0.060	1.00	1.00	-	-	
		N2627/N2628	N2627/N2628	SHS 120x5.0 (SHS)	0.060	1.880	0.060	1.00	1.00	-	-	
		N2625/N2628	N2625/N2628	L 40 x 40 x 4 (L)	0.095	2.960	0.095	0.00	0.00	-	-	
		N2627/N2626	N2627/N2626	L 40 x 40 x 4 (L)	0.095	2.960	0.095	0.00	0.00	-	-	
		N2429/N2630	N2429/N2582	SHS 120x5.0 (SHS)	0.050	2.323	0.060	1.00	3.00	-	-	
		N2630/N2629	N2429/N2582	SHS 120x5.0 (SHS)	0.060	2.313	0.060	1.00	3.00	-	-	

Documento visado electrónicamente con número: VA07290/22
Código de validación telemática TRLTDCFZ60T66IJ1. Comprobación: https://cogitivalencia.e-gestion.es/Validacion.aspx?CVT=TRLTDCFZ60T66IJ1

VISADO
COGITI
VALENCIA
VA07290/22
TRLTDCFZ60T66IJ1

Listados

Descripción											
Material		Barra (Ni/Nf)	Pieza (Ni/Nf)	Perfil(Serie)	Longitud (m)			β_{xy}	β_{xz}	Lbsup (m)	Lbinf (m)
Tipo	Designación				Indeformable origen	Deformable	Indeformable extremo				
		N2629/N2582	N2429/N2582	SHS 120x5.0 (SHS)	0.060	2.323	0.050	1.00	3.00	-	-
		N2363/N2632	N2363/N2516	SHS 120x5.0 (SHS)	0.050	2.323	0.060	1.00	3.00	-	-
		N2632/N2631	N2363/N2516	SHS 120x5.0 (SHS)	0.060	2.313	0.060	1.00	3.00	-	-
		N2631/N2516	N2363/N2516	SHS 120x5.0 (SHS)	0.060	2.323	0.050	1.00	3.00	-	-
		N2629/N2631	N2629/N2631	SHS 120x5.0 (SHS)	0.060	1.880	0.060	1.00	1.00	-	-
		N2630/N2631	N2630/N2631	L 40 x 40 x 4 (L)	0.095	2.960	0.095	0.00	0.00	-	-
		N2629/N2632	N2629/N2632	L 40 x 40 x 4 (L)	0.095	2.960	0.095	0.00	0.00	-	-
		N2630/N2632	N2630/N2632	SHS 120x5.0 (SHS)	0.060	1.880	0.060	1.00	1.00	-	-
		N2433/N2634	N2433/N2586	SHS 120x5.0 (SHS)	0.060	2.313	0.060	1.00	3.00	-	-
		N2634/N2633	N2433/N2586	SHS 120x5.0 (SHS)	0.060	2.313	0.060	1.00	3.00	-	-
		N2633/N2586	N2433/N2586	SHS 120x5.0 (SHS)	0.060	2.313	0.060	1.00	3.00	-	-
		N2367/N2636	N2367/N2520	SHS 120x5.0 (SHS)	0.060	2.313	0.060	1.00	3.00	-	-
		N2636/N2635	N2367/N2520	SHS 120x5.0 (SHS)	0.060	2.313	0.060	1.00	3.00	-	-
		N2635/N2520	N2367/N2520	SHS 120x5.0 (SHS)	0.060	2.313	0.060	1.00	3.00	-	-
		N2633/N2635	N2633/N2635	SHS 120x5.0 (SHS)	0.060	1.880	0.060	1.00	1.00	-	-
		N2634/N2635	N2634/N2635	L 40 x 40 x 4 (L)	0.095	2.960	0.095	0.00	0.00	-	-
		N2633/N2636	N2633/N2636	L 40 x 40 x 4 (L)	0.095	2.960	0.095	0.00	0.00	-	-
		N2634/N2636	N2634/N2636	SHS 120x5.0 (SHS)	0.060	1.880	0.060	1.00	1.00	-	-
		N2369/N2522	N2369/N2522	SHS 120x5.0 (SHS)	0.060	7.180	0.060	1.00	1.00	-	-
		N2391/N2544	N2391/N2544	SHS 120x5.0 (SHS)	0.060	7.180	0.060	1.00	1.00	-	-
		N2393/N2637	N2393/N2546	SHS 120x5.0 (SHS)	0.060	2.313	0.060	1.00	3.00	-	-
		N2637/N2638	N2393/N2546	SHS 120x5.0 (SHS)	0.060	2.313	0.060	1.00	3.00	-	-
		N2638/N2546	N2393/N2546	SHS 120x5.0 (SHS)	0.060	2.313	0.060	1.00	3.00	-	-
		N2376/N2639	N2376/N2529	SHS 120x5.0 (SHS)	0.060	2.313	0.060	1.00	3.00	-	-
		N2639/N2640	N2376/N2529	SHS 120x5.0 (SHS)	0.060	2.313	0.060	1.00	3.00	-	-
		N2640/N2529	N2376/N2529	SHS 120x5.0 (SHS)	0.060	2.313	0.060	1.00	3.00	-	-
		N2640/N2638	N2640/N2638	SHS 120x5.0 (SHS)	0.060	1.880	0.060	1.00	1.00	-	-
		N2639/N2637	N2639/N2637	SHS 120x5.0 (SHS)	0.060	1.880	0.060	1.00	1.00	-	-
		N2640/N2637	N2640/N2637	L 40 x 40 x 4 (L)	0.095	2.960	0.095	0.00	0.00	-	-
		N2639/N2638	N2639/N2638	L 40 x 40 x 4 (L)	0.095	2.960	0.095	0.00	0.00	-	-
		N2380/N2642	N2380/N2533	SHS 120x5.0 (SHS)	0.050	2.323	0.060	1.00	3.00	-	-

Documento visado electrónicamente con número: VA07290/22
Código de validación telemática TRLTDCFZ60T66IJ1. Comprobación: https://cogitivalencia.e-gestion.es/Validacion.aspx?CVT=TRLTDCFZ60T66IJ1

VISADO
COGITI
VALENCIA
VA07290/22
TRLTDCFZ60T66IJ1

Listados

Descripción												
Material		Barra (Ni/Nf)	Pieza (Ni/Nf)	Perfil(Serie)	Longitud (m)			β_{xy}	β_{xz}	$Lb_{sup.}$ (m)	$Lb_{inf.}$ (m)	
Tipo	Designación				Indeformable origen	Deformable	Indeformable extremo					
		N2642/N2641	N2380/N2533	SHS 120x5.0 (SHS)	0.060	2.313	0.060	1.00	3.00	-	-	
		N2641/N2533	N2380/N2533	SHS 120x5.0 (SHS)	0.060	2.323	0.050	1.00	3.00	-	-	
		N2397/N2644	N2397/N2550	SHS 120x5.0 (SHS)	0.050	2.323	0.060	1.00	3.00	-	-	
		N2644/N2643	N2397/N2550	SHS 120x5.0 (SHS)	0.060	2.313	0.060	1.00	3.00	-	-	
		N2643/N2550	N2397/N2550	SHS 120x5.0 (SHS)	0.060	2.323	0.050	1.00	3.00	-	-	
		N2641/N2643	N2641/N2643	SHS 120x5.0 (SHS)	0.060	1.880	0.060	1.00	1.00	-	-	
		N2642/N2643	N2642/N2643	L 40 x 40 x 4 (L)	0.095	2.960	0.095	0.00	0.00	-	-	
		N2641/N2644	N2641/N2644	L 40 x 40 x 4 (L)	0.095	2.960	0.095	0.00	0.00	-	-	
		N2642/N2644	N2642/N2644	SHS 120x5.0 (SHS)	0.060	1.880	0.060	1.00	1.00	-	-	
		N2384/N2646	N2384/N2537	SHS 120x5.0 (SHS)	0.060	2.313	0.060	1.00	3.00	-	-	
		N2646/N2645	N2384/N2537	SHS 120x5.0 (SHS)	0.060	2.313	0.060	1.00	3.00	-	-	
		N2645/N2537	N2384/N2537	SHS 120x5.0 (SHS)	0.060	2.313	0.060	1.00	3.00	-	-	
		N2401/N2648	N2401/N2554	SHS 120x5.0 (SHS)	0.060	2.313	0.060	1.00	3.00	-	-	
		N2648/N2647	N2401/N2554	SHS 120x5.0 (SHS)	0.060	2.313	0.060	1.00	3.00	-	-	
		N2647/N2554	N2401/N2554	SHS 120x5.0 (SHS)	0.060	2.313	0.060	1.00	3.00	-	-	
		N2645/N2647	N2645/N2647	SHS 120x5.0 (SHS)	0.060	1.880	0.060	1.00	1.00	-	-	
		N2646/N2647	N2646/N2647	L 40 x 40 x 4 (L)	0.095	2.960	0.095	0.00	0.00	-	-	
		N2645/N2648	N2645/N2648	L 40 x 40 x 4 (L)	0.095	2.960	0.095	0.00	0.00	-	-	
		N2646/N2648	N2646/N2648	SHS 120x5.0 (SHS)	0.060	1.880	0.060	1.00	1.00	-	-	
		N2403/N2556	N2403/N2556	SHS 120x5.0 (SHS)	0.060	7.180	0.060	1.00	1.00	-	-	
		N2407/N2560	N2407/N2560	SHS 120x5.0 (SHS)	0.060	7.180	0.060	1.00	1.00	-	-	
		N2409/N2649	N2409/N2562	SHS 120x5.0 (SHS)	0.060	2.313	0.060	1.00	3.00	-	-	
		N2649/N2650	N2409/N2562	SHS 120x5.0 (SHS)	0.060	2.313	0.060	1.00	3.00	-	-	
		N2650/N2562	N2409/N2562	SHS 120x5.0 (SHS)	0.060	2.313	0.060	1.00	3.00	-	-	
		N2440/N2651	N2440/N2593	SHS 120x5.0 (SHS)	0.060	2.313	0.060	1.00	3.00	-	-	
		N2651/N2652	N2440/N2593	SHS 120x5.0 (SHS)	0.060	2.313	0.060	1.00	3.00	-	-	
		N2652/N2593	N2440/N2593	SHS 120x5.0 (SHS)	0.060	2.313	0.060	1.00	3.00	-	-	
		N2652/N2650	N2652/N2650	SHS 120x5.0 (SHS)	0.060	1.880	0.060	1.00	1.00	-	-	
		N2651/N2649	N2651/N2649	SHS 120x5.0 (SHS)	0.060	1.880	0.060	1.00	1.00	-	-	
		N2652/N2649	N2652/N2649	L 40 x 40 x 4 (L)	0.095	2.960	0.095	0.00	0.00	-	-	
		N2651/N2650	N2651/N2650	L 40 x 40 x 4 (L)	0.095	2.960	0.095	0.00	0.00	-	-	

Documento visado electrónicamente con número: VA07290/22
Código de validación telemática TRLTDCFZ60T66IJ1. Comprobación: https://cogitivalencia.e-gestion.es/Validacion.aspx?CVT=TRLTDCFZ60T66IJ1

VISADO
COGITI
VALENCIA
VA07290/22
TRLTDCFZ60T66IJ1

Listados

Descripción											
Material		Barra (Ni/Nf)	Pieza (Ni/Nf)	Perfil(Serie)	Longitud (m)			β_{xy}	β_{xz}	Lbsup (m)	Lbinf (m)
Tipo	Designación				Indeformable origen	Deformable	Indeformable extremo				
		N2444/N2654	N2444/N2597	SHS 120x5.0 (SHS)	0.050	2.323	0.060	1.00	3.00	-	-
		N2654/N2653	N2444/N2597	SHS 120x5.0 (SHS)	0.060	2.313	0.060	1.00	3.00	-	-
		N2653/N2597	N2444/N2597	SHS 120x5.0 (SHS)	0.060	2.323	0.050	1.00	3.00	-	-
		N2413/N2656	N2413/N2566	SHS 120x5.0 (SHS)	0.050	2.323	0.060	1.00	3.00	-	-
		N2656/N2655	N2413/N2566	SHS 120x5.0 (SHS)	0.060	2.313	0.060	1.00	3.00	-	-
		N2655/N2566	N2413/N2566	SHS 120x5.0 (SHS)	0.060	2.323	0.050	1.00	3.00	-	-
		N2653/N2655	N2653/N2655	SHS 120x5.0 (SHS)	0.060	1.880	0.060	1.00	1.00	-	-
		N2654/N2655	N2654/N2655	L 40 x 40 x 4 (L)	0.095	2.960	0.095	0.00	0.00	-	-
		N2653/N2656	N2653/N2656	L 40 x 40 x 4 (L)	0.095	2.960	0.095	0.00	0.00	-	-
		N2654/N2656	N2654/N2656	SHS 120x5.0 (SHS)	0.060	1.880	0.060	1.00	1.00	-	-
		N2448/N2658	N2448/N2601	SHS 120x5.0 (SHS)	0.060	2.313	0.060	1.00	3.00	-	-
		N2658/N2657	N2448/N2601	SHS 120x5.0 (SHS)	0.060	2.313	0.060	1.00	3.00	-	-
		N2657/N2601	N2448/N2601	SHS 120x5.0 (SHS)	0.060	2.313	0.060	1.00	3.00	-	-
		N2417/N2660	N2417/N2570	SHS 120x5.0 (SHS)	0.060	2.313	0.060	1.00	3.00	-	-
		N2660/N2659	N2417/N2570	SHS 120x5.0 (SHS)	0.060	2.313	0.060	1.00	3.00	-	-
		N2659/N2570	N2417/N2570	SHS 120x5.0 (SHS)	0.060	2.313	0.060	1.00	3.00	-	-
		N2657/N2659	N2657/N2659	SHS 120x5.0 (SHS)	0.060	1.880	0.060	1.00	1.00	-	-
		N2658/N2659	N2658/N2659	L 40 x 40 x 4 (L)	0.095	2.960	0.095	0.00	0.00	-	-
		N2657/N2660	N2657/N2660	L 40 x 40 x 4 (L)	0.095	2.960	0.095	0.00	0.00	-	-
		N2658/N2660	N2658/N2660	SHS 120x5.0 (SHS)	0.060	1.880	0.060	1.00	1.00	-	-
		N2419/N2572	N2419/N2572	SHS 120x5.0 (SHS)	0.060	7.180	0.060	1.00	1.00	-	-
		N2355/N2510	N2355/N2510	L 60 x 60 x 5 (L)	0.138	7.916	0.067	0.00	0.00	-	-
		N2508/N2357	N2508/N2357	L 60 x 60 x 5 (L)	0.138	7.916	0.067	0.00	0.00	-	-
		N2419/N2574	N2419/N2574	L 60 x 60 x 5 (L)	0.067	7.916	0.138	0.00	0.00	-	-
		N2572/N2421	N2572/N2421	L 60 x 60 x 5 (L)	0.067	7.916	0.138	0.00	0.00	-	-
		N2369/N2524	N2369/N2524	L 60 x 60 x 5 (L)	0.067	7.916	0.138	0.00	0.00	-	-
		N2522/N2371	N2522/N2371	L 60 x 60 x 5 (L)	0.067	7.916	0.138	0.00	0.00	-	-
		N2389/N2544	N2389/N2544	L 60 x 60 x 5 (L)	0.167	7.887	0.067	0.00	0.00	-	-
		N2542/N2391	N2542/N2391	L 60 x 60 x 5 (L)	0.167	7.887	0.067	0.00	0.00	-	-
		N2403/N2558	N2403/N2558	L 60 x 60 x 5 (L)	0.067	7.916	0.138	0.00	0.00	-	-
		N2556/N2405	N2556/N2405	L 60 x 60 x 5 (L)	0.067	7.916	0.138	0.00	0.00	-	-

Documento visado electrónicamente con número: VA07290/22
Código de validación telemática TRLTDCFZ60T66IJ1. Comprobación: https://cogitivalencia.e-gestion.es/Validacion.aspx?CVT=TRLTDCFZ60T66IJ1

VISADO
COGITI
VALENCIA
VA07290/22
TRLTDCFZ60T66IJ1

Listados

Descripción												
Material		Barra (Ni/Nf)	Pieza (Ni/Nf)	Perfil(Serie)	Longitud (m)			β_{xy}	β_{xz}	$Lb_{sup.}$ (m)	$Lb_{inf.}$ (m)	
Tipo	Designación				Indeformable origen	Deformable	Indeformable extremo					
		N2388/N2560	N2388/N2560	L 60 x 60 x 5 (L)	0.167	7.887	0.067	0.00	0.00	-	-	
		N2541/N2407	N2541/N2407	L 60 x 60 x 5 (L)	0.167	7.887	0.067	0.00	0.00	-	-	
		N2359/N2628	N2359/N2512	SHS 120x5.0 (SHS)	0.060	2.313	0.060	1.00	3.00	-	-	
		N2628/N2626	N2359/N2512	SHS 120x5.0 (SHS)	0.060	2.313	0.060	1.00	3.00	-	-	
		N2626/N2512	N2359/N2512	SHS 120x5.0 (SHS)	0.060	2.313	0.060	1.00	3.00	-	-	
		N2425/N2627	N2425/N2578	SHS 120x5.0 (SHS)	0.060	2.313	0.060	1.00	3.00	-	-	
		N2627/N2625	N2425/N2578	SHS 120x5.0 (SHS)	0.060	2.313	0.060	1.00	3.00	-	-	
		N2625/N2578	N2425/N2578	SHS 120x5.0 (SHS)	0.060	2.313	0.060	1.00	3.00	-	-	
		N2661/N2662	N2661/N2677	HE 160 A (HEA)	0.078	1.623	0.078	0.56	1.00	1.779	1.779	
		N2662/N2663	N2661/N2677	HE 160 A (HEA)	0.078	1.623	0.078	0.56	1.00	1.779	1.779	
		N2663/N2664	N2661/N2677	HE 160 A (HEA)	0.078	1.623	0.078	0.56	1.00	1.779	1.779	
		N2664/N2665	N2661/N2677	HE 160 A (HEA)	0.078	1.623	0.078	0.56	1.00	1.779	1.779	
		N2665/N2666	N2661/N2677	HE 160 A (HEA)	0.078	1.636	0.065	0.56	1.00	1.779	1.779	
		N2666/N3444	N2661/N2677	HE 160 A (HEA)	0.065	0.825	-	1.12	1.00	0.890	0.890	
		N3444/N2667	N2661/N2677	HE 160 A (HEA)	-	0.825	0.065	1.12	1.00	0.890	0.890	
		N2667/N2668	N2661/N2677	HE 160 A (HEA)	0.065	1.649	0.065	0.56	1.00	1.779	1.779	
		N2668/N2669	N2661/N2677	HE 160 A (HEA)	0.065	1.663	0.051	0.56	1.00	1.779	1.779	
		N2669/N2670	N2661/N2677	HE 160 A (HEA)	0.051	1.658	0.070	0.56	1.00	1.779	1.779	
		N2670/N2671	N2661/N2677	HE 160 A (HEA)	0.070	1.639	0.070	0.56	1.00	1.779	1.779	
		N2671/N3447	N2661/N2677	HE 160 A (HEA)	0.070	0.820	-	1.12	1.00	0.890	0.890	
		N3447/N2672	N2661/N2677	HE 160 A (HEA)	-	0.820	0.070	1.12	1.00	0.890	0.890	
		N2672/N2673	N2661/N2677	HE 160 A (HEA)	0.070	1.625	0.084	0.56	1.00	1.779	1.779	
		N2673/N2674	N2661/N2677	HE 160 A (HEA)	0.084	1.611	0.084	0.56	1.00	1.779	1.779	
		N2674/N2675	N2661/N2677	HE 160 A (HEA)	0.084	1.611	0.084	0.56	1.00	1.779	1.779	
		N2675/N2676	N2661/N2677	HE 160 A (HEA)	0.084	1.611	0.084	0.56	1.00	1.779	1.779	
		N2676/N2677	N2661/N2677	HE 160 A (HEA)	0.084	1.554	0.141	0.56	1.00	1.779	1.779	
		N2678/N2679	N2678/N2694	HE 180 A (HEA)	0.141	1.560	0.078	1.83	1.00	-	-	
		N2679/N2680	N2678/N2694	HE 180 A (HEA)	0.078	1.623	0.078	1.83	1.00	-	-	
		N2680/N2681	N2678/N2694	HE 180 A (HEA)	0.078	1.623	0.078	1.83	1.00	-	-	
		N2681/N2682	N2678/N2694	HE 180 A (HEA)	0.078	1.623	0.078	1.83	1.00	-	-	
		N2682/N2683	N2678/N2694	HE 180 A (HEA)	0.078	1.623	0.078	1.83	1.00	-	-	

Documento visado electrónicamente con número: VA07290/22
Código de validación telemática TRLTDCFZ60T66IJ1. Comprobación: https://cogitivalencia.e-gestion.es/Validacion.aspx?CVT=TRLTDCFZ60T66IJ1

VISADO
COGITI
VALENCIA
VA07290/22
TRLTDCFZ60T66IJ1

Descripción											
Material		Barra (Ni/Nf)	Pieza (Ni/Nf)	Perfil(Serie)	Longitud (m)			β_{xy}	β_{xz}	Lbsup (m)	Lbinf (m)
Tipo	Designación				Indeformable origen	Deformable	Indeformable extremo				
		N2683/N2684	N2678/N2694	HE 180 A (HEA)	0.078	1.636	0.065	1.83	1.00	-	-
		N2684/N2685	N2678/N2694	HE 180 A (HEA)	0.065	1.649	0.065	1.83	1.00	-	-
		N2685/N2686	N2678/N2694	HE 180 A (HEA)	0.065	1.644	0.070	1.83	1.00	-	-
		N2686/N2687	N2678/N2694	HE 180 A (HEA)	0.070	1.639	0.070	1.83	1.00	-	-
		N2687/N2688	N2678/N2694	HE 180 A (HEA)	0.070	1.639	0.070	1.83	1.00	-	-
		N2688/N2689	N2678/N2694	HE 180 A (HEA)	0.070	1.625	0.084	1.83	1.00	-	-
		N2689/N2690	N2678/N2694	HE 180 A (HEA)	0.084	1.611	0.084	1.83	1.00	-	-
		N2690/N2691	N2678/N2694	HE 180 A (HEA)	0.084	1.611	0.084	1.83	1.00	-	-
		N2691/N2692	N2678/N2694	HE 180 A (HEA)	0.084	1.611	0.084	1.83	1.00	-	-
		N2692/N2693	N2678/N2694	HE 180 A (HEA)	0.084	1.578	0.117	1.83	1.00	-	-
		N2693/N2694	N2678/N2694	HE 180 A (HEA)	0.117	1.521	0.141	1.83	1.00	-	-
		N2695/N2696	N2695/N2711	HE 160 A (HEA)	0.141	1.560	0.078	0.56	1.00	1.779	1.779
		N2696/N2697	N2695/N2711	HE 160 A (HEA)	0.078	1.623	0.078	0.56	1.00	1.779	1.779
		N2697/N2698	N2695/N2711	HE 160 A (HEA)	0.078	1.623	0.078	0.56	1.00	1.779	1.779
		N2698/N2699	N2695/N2711	HE 160 A (HEA)	0.078	1.623	0.078	0.56	1.00	1.779	1.779
		N2699/N2700	N2695/N2711	HE 160 A (HEA)	0.078	1.636	0.065	0.56	1.00	1.779	1.779
		N2700/N3462	N2695/N2711	HE 160 A (HEA)	0.065	0.825	-	1.12	1.00	0.890	0.890
		N3462/N2701	N2695/N2711	HE 160 A (HEA)	-	0.825	0.065	1.12	1.00	0.890	0.890
		N2701/N2702	N2695/N2711	HE 160 A (HEA)	0.065	1.649	0.065	0.56	1.00	1.779	1.779
		N2702/N2703	N2695/N2711	HE 160 A (HEA)	0.065	1.663	0.051	0.56	1.00	1.779	1.779
		N2703/N2704	N2695/N2711	HE 160 A (HEA)	0.051	1.658	0.070	0.56	1.00	1.779	1.779
		N2704/N2705	N2695/N2711	HE 160 A (HEA)	0.070	1.639	0.070	0.56	1.00	1.779	1.779
		N2705/N3465	N2695/N2711	HE 160 A (HEA)	0.070	0.820	-	1.12	1.00	0.890	0.890
		N3465/N2706	N2695/N2711	HE 160 A (HEA)	-	0.820	0.070	1.12	1.00	0.890	0.890
		N2706/N2707	N2695/N2711	HE 160 A (HEA)	0.070	1.625	0.084	0.56	1.00	1.779	1.779
		N2707/N2708	N2695/N2711	HE 160 A (HEA)	0.084	1.611	0.084	0.56	1.00	1.779	1.779
		N2708/N2709	N2695/N2711	HE 160 A (HEA)	0.084	1.611	0.084	0.56	1.00	1.779	1.779
		N2709/N2710	N2695/N2711	HE 160 A (HEA)	0.084	1.611	0.084	0.56	1.00	1.779	1.779
		N2710/N2711	N2695/N2711	HE 160 A (HEA)	0.084	1.554	0.141	0.56	1.00	1.779	1.779
		N2694/N2712	N2694/N2727	HE 160 A (HEA)	0.141	1.560	0.078	0.56	1.00	1.779	1.779
		N2712/N2713	N2694/N2727	HE 160 A (HEA)	0.078	1.623	0.078	0.56	1.00	1.779	1.779

Documento visado electrónicamente con número: VA07290/22
Código de validación telemática TRLTDCFZ60T66IJ1. Comprobación: https://cogitivalencia.e-gestion.es/Validacion.aspx?CVT=TRLTDCFZ60T66IJ1

VISADO
COGITI
VALENCIA
VA07290/22
TRLTDCFZ60T66IJ1

Descripción												
Material		Barra (Ni/Nf)	Pieza (Ni/Nf)	Perfil(Serie)	Longitud (m)			β_{xy}	β_{xz}	$Lb_{sup.}$ (m)	$Lb_{inf.}$ (m)	
Tipo	Designación				Indeformable origen	Deformable	Indeformable extremo					
		N2713/N2714	N2694/N2727	HE 160 A (HEA)	0.078	1.623	0.078	0.56	1.00	1.779	1.779	
		N2714/N2715	N2694/N2727	HE 160 A (HEA)	0.078	1.623	0.078	0.56	1.00	1.779	1.779	
		N2715/N2716	N2694/N2727	HE 160 A (HEA)	0.078	1.636	0.065	0.56	1.00	1.779	1.779	
		N2716/N3480	N2694/N2727	HE 160 A (HEA)	0.065	0.825	-	1.12	1.00	0.890	0.890	
		N3480/N2717	N2694/N2727	HE 160 A (HEA)	-	0.825	0.065	1.12	1.00	0.890	0.890	
		N2717/N2718	N2694/N2727	HE 160 A (HEA)	0.065	1.649	0.065	0.56	1.00	1.779	1.779	
		N2718/N2719	N2694/N2727	HE 160 A (HEA)	0.065	1.663	0.051	0.56	1.00	1.779	1.779	
		N2719/N2720	N2694/N2727	HE 160 A (HEA)	0.051	1.658	0.070	0.56	1.00	1.779	1.779	
		N2720/N2721	N2694/N2727	HE 160 A (HEA)	0.070	1.639	0.070	0.56	1.00	1.779	1.779	
		N2721/N3483	N2694/N2727	HE 160 A (HEA)	0.070	0.820	-	1.12	1.00	0.890	0.890	
		N3483/N2722	N2694/N2727	HE 160 A (HEA)	-	0.820	0.070	1.12	1.00	0.890	0.890	
		N2722/N2723	N2694/N2727	HE 160 A (HEA)	0.070	1.625	0.084	0.56	1.00	1.779	1.779	
		N2723/N2724	N2694/N2727	HE 160 A (HEA)	0.084	1.611	0.084	0.56	1.00	1.779	1.779	
		N2724/N2725	N2694/N2727	HE 160 A (HEA)	0.084	1.611	0.084	0.56	1.00	1.779	1.779	
		N2725/N2726	N2694/N2727	HE 160 A (HEA)	0.084	1.611	0.084	0.56	1.00	1.779	1.779	
		N2726/N2727	N2694/N2727	HE 160 A (HEA)	0.084	1.554	0.141	0.56	1.00	1.779	1.779	
		N2728/N2662	N2728/N2662	SHS 120x5.0 (SHS)	0.088	1.824	0.088	1.00	1.00	-	-	
		N2729/N2663	N2729/N2663	SHS 120x5.0 (SHS)	0.088	1.824	0.088	1.00	1.00	-	-	
		N2730/N2664	N2730/N2664	SHS 120x4.0 (SHS)	0.088	1.824	0.088	1.00	1.00	-	-	
		N2731/N2665	N2731/N2665	SHS 120x4.0 (SHS)	0.088	1.824	0.088	1.00	1.00	-	-	
		N2732/N2666	N2732/N2666	SHS 120x4.0 (SHS)	0.088	1.835	0.077	1.00	1.00	-	-	
		N2733/N2667	N2733/N2667	SHS 100x4.0 (SHS)	0.086	1.837	0.077	1.00	1.00	-	-	
		N2734/N2668	N2734/N2668	SHS 100x4.0 (SHS)	0.086	1.837	0.077	1.00	1.00	-	-	
		N2735/N2669	N2735/N2669	SHS 100x4.0 (SHS)	0.086	1.837	0.077	1.00	1.00	-	-	
		N2736/N2670	N2736/N2670	SHS 100x4.0 (SHS)	0.086	1.836	0.078	1.00	1.00	-	-	
		N2737/N2671	N2737/N2671	SHS 100x4.0 (SHS)	0.086	1.836	0.078	1.00	1.00	-	-	
		N2738/N2672	N2738/N2672	SHS 120x4.0 (SHS)	0.094	1.828	0.078	1.00	1.00	-	-	
		N2739/N2673	N2739/N2673	SHS 120x4.0 (SHS)	0.094	1.812	0.094	1.00	1.00	-	-	
		N2740/N2674	N2740/N2674	SHS 120x4.0 (SHS)	0.094	1.812	0.094	1.00	1.00	-	-	
		N2741/N2675	N2741/N2675	SHS 120x5.0 (SHS)	0.094	1.812	0.094	1.00	1.00	-	-	
		N2742/N2676	N2742/N2676	SHS 120x5.0 (SHS)	0.131	1.775	0.094	1.00	1.00	-	-	

Documento visado electrónicamente con número: VA07290/22
Código de validación telemática TRLTDCFZ60T66IJ1. Comprobación: https://cogitivalencia.e-gestion.es/Validacion.aspx?CVT=TRLTDCFZ60T66IJ1

VISADO
COGITI
VALENCIA
VA07290/22
TRLTDCFZ60T66IJ1

Descripción											
Material		Barra (Ni/Nf)	Pieza (Ni/Nf)	Perfil(Serie)	Longitud (m)			β_{xy}	β_{xz}	Lbsup (m)	Lbinf (m)
Tipo	Designación				Indeformable origen	Deformable	Indeformable extremo				
		N2679/N2696	N2679/N2696	SHS 120x5.0 (SHS)	0.088	1.824	0.088	1.00	1.00	-	-
		N2680/N2697	N2680/N2697	SHS 120x5.0 (SHS)	0.088	1.824	0.088	1.00	1.00	-	-
		N2681/N2698	N2681/N2698	SHS 120x4.0 (SHS)	0.088	1.824	0.088	1.00	1.00	-	-
		N2682/N2699	N2682/N2699	SHS 120x4.0 (SHS)	0.088	1.824	0.088	1.00	1.00	-	-
		N2683/N2700	N2683/N2700	SHS 120x4.0 (SHS)	0.088	1.835	0.077	1.00	1.00	-	-
		N2684/N2701	N2684/N2701	SHS 100x4.0 (SHS)	0.086	1.837	0.077	1.00	1.00	-	-
		N2685/N2702	N2685/N2702	SHS 100x4.0 (SHS)	0.086	1.837	0.077	1.00	1.00	-	-
		N2686/N2703	N2686/N2703	SHS 100x4.0 (SHS)	0.086	1.837	0.077	1.00	1.00	-	-
		N2687/N2704	N2687/N2704	SHS 100x4.0 (SHS)	0.086	1.836	0.078	1.00	1.00	-	-
		N2688/N2705	N2688/N2705	SHS 100x4.0 (SHS)	0.086	1.836	0.078	1.00	1.00	-	-
		N2689/N2706	N2689/N2706	SHS 120x4.0 (SHS)	0.094	1.828	0.078	1.00	1.00	-	-
		N2690/N2707	N2690/N2707	SHS 120x4.0 (SHS)	0.094	1.812	0.094	1.00	1.00	-	-
		N2691/N2708	N2691/N2708	SHS 120x4.0 (SHS)	0.094	1.812	0.094	1.00	1.00	-	-
		N2692/N2709	N2692/N2709	SHS 120x5.0 (SHS)	0.094	1.812	0.094	1.00	1.00	-	-
		N2693/N2710	N2693/N2710	SHS 120x5.0 (SHS)	0.131	1.775	0.094	1.00	1.00	-	-
		N2743/N2712	N2743/N2712	SHS 120x5.0 (SHS)	0.088	1.824	0.088	1.00	1.00	-	-
		N2744/N2713	N2744/N2713	SHS 120x5.0 (SHS)	0.088	1.824	0.088	1.00	1.00	-	-
		N2745/N2714	N2745/N2714	SHS 120x4.0 (SHS)	0.088	1.824	0.088	1.00	1.00	-	-
		N2746/N2715	N2746/N2715	SHS 120x4.0 (SHS)	0.088	1.824	0.088	1.00	1.00	-	-
		N2747/N2716	N2747/N2716	SHS 120x4.0 (SHS)	0.088	1.835	0.077	1.00	1.00	-	-
		N2748/N2717	N2748/N2717	SHS 100x4.0 (SHS)	0.086	1.837	0.077	1.00	1.00	-	-
		N2749/N2718	N2749/N2718	SHS 100x4.0 (SHS)	0.086	1.837	0.077	1.00	1.00	-	-
		N2750/N2719	N2750/N2719	SHS 100x4.0 (SHS)	0.086	1.837	0.077	1.00	1.00	-	-
		N2751/N2720	N2751/N2720	SHS 100x4.0 (SHS)	0.086	1.836	0.078	1.00	1.00	-	-
		N2752/N2721	N2752/N2721	SHS 100x4.0 (SHS)	0.086	1.836	0.078	1.00	1.00	-	-
		N2753/N2722	N2753/N2722	SHS 120x4.0 (SHS)	0.094	1.828	0.078	1.00	1.00	-	-
		N2754/N2723	N2754/N2723	SHS 120x4.0 (SHS)	0.094	1.812	0.094	1.00	1.00	-	-
		N2755/N2724	N2755/N2724	SHS 120x4.0 (SHS)	0.094	1.812	0.094	1.00	1.00	-	-
		N2756/N2725	N2756/N2725	SHS 120x5.0 (SHS)	0.094	1.812	0.094	1.00	1.00	-	-
		N2757/N2726	N2757/N2726	SHS 120x5.0 (SHS)	0.094	1.812	0.094	1.00	1.00	-	-
		N2728/N2661	N2728/N2661	SHS 120x10.0 (SHS)	0.111	2.372	0.099	0.80	0.80	-	-

Documento visado electrónicamente con número: VA07290/22
Código de validación telemática TRLTDCFZ60T66IJ1. Comprobación: https://cogitivalencia.e-gestion.es/Validacion.aspx?CVT=TRLTDCFZ60T66IJ1

VISADO
COGITI
VALENCIA
VA07290/22
TRLTDCFZ60T66IJ1

Descripción												
Material		Barra (Ni/Nf)	Pieza (Ni/Nf)	Perfil(Serie)	Longitud (m)			β_{xy}	β_{xz}	Lb$_{sup.}$ (m)	Lb$_{inf.}$ (m)
Tipo	Designación				Indeformable origen	Deformable	Indeformable extremo				
		N2729/N2662	N2729/N2662	SHS 120x5.0 (SHS)	0.111	2.372	0.099	0.80	0.80	-	-
		N2730/N2663	N2730/N2663	SHS 120x5.0 (SHS)	0.111	2.372	0.099	0.80	0.80	-	-
		N2731/N2664	N2731/N2664	SHS 120x4.0 (SHS)	0.111	2.372	0.099	0.80	0.80	-	-
		N2732/N2665	N2732/N2665	SHS 120x4.0 (SHS)	0.111	2.372	0.099	0.80	0.80	-	-
		N2733/N2666	N2733/N2666	SHS 100x4.0 (SHS)	0.111	2.372	0.099	0.80	0.80	-	-
		N2734/N2667	N2734/N2667	SHS 100x4.0 (SHS)	0.111	2.372	0.099	0.80	0.80	-	-
		N2735/N2668	N2735/N2668	SHS 100x4.0 (SHS)	0.111	2.372	0.099	0.80	0.80	-	-
		N2735/N2670	N2735/N2670	SHS 100x4.0 (SHS)	0.119	2.544	0.106	0.80	0.80	-	-
		N2736/N2671	N2736/N2671	SHS 100x4.0 (SHS)	0.119	2.544	0.106	0.80	0.80	-	-
		N2737/N2672	N2737/N2672	SHS 100x4.0 (SHS)	0.119	2.544	0.106	0.80	0.80	-	-
		N2738/N2673	N2738/N2673	SHS 120x4.0 (SHS)	0.119	2.544	0.106	0.80	0.80	-	-
		N2739/N2674	N2739/N2674	SHS 120x4.0 (SHS)	0.119	2.544	0.106	0.80	0.80	-	-
		N2740/N2675	N2740/N2675	SHS 120x5.0 (SHS)	0.119	2.544	0.106	0.80	0.80	-	-
		N2741/N2676	N2741/N2676	SHS 120x5.0 (SHS)	0.119	2.544	0.106	0.80	0.80	-	-
		N2742/N2677	N2742/N2677	SHS 120x10.0 (SHS)	0.119	2.431	0.219	0.80	0.80	-	-
		N2679/N2695	N2679/N2695	SHS 120x10.0 (SHS)	0.111	2.267	0.204	0.80	0.80	-	-
		N2680/N2696	N2680/N2696	SHS 120x5.0 (SHS)	0.111	2.372	0.099	0.80	0.80	-	-
		N2681/N2697	N2681/N2697	SHS 120x5.0 (SHS)	0.111	2.372	0.099	0.80	0.80	-	-
		N2682/N2698	N2682/N2698	SHS 120x4.0 (SHS)	0.111	2.372	0.099	0.80	0.80	-	-
		N2683/N2699	N2683/N2699	SHS 120x4.0 (SHS)	0.111	2.372	0.099	0.80	0.80	-	-
		N2684/N2700	N2684/N2700	SHS 100x4.0 (SHS)	0.111	2.372	0.099	0.80	0.80	-	-
		N2685/N2701	N2685/N2701	SHS 100x4.0 (SHS)	0.111	2.372	0.099	0.80	0.80	-	-
		N2686/N2702	N2686/N2702	SHS 100x4.0 (SHS)	0.111	2.372	0.099	0.80	0.80	-	-
		N2686/N2704	N2686/N2704	SHS 100x4.0 (SHS)	0.119	2.544	0.106	0.80	0.80	-	-
		N2687/N2705	N2687/N2705	SHS 100x4.0 (SHS)	0.119	2.544	0.106	0.80	0.80	-	-
		N2688/N2706	N2688/N2706	SHS 100x4.0 (SHS)	0.119	2.544	0.106	0.80	0.80	-	-
		N2689/N2707	N2689/N2707	SHS 120x4.0 (SHS)	0.119	2.544	0.106	0.80	0.80	-	-
		N2690/N2708	N2690/N2708	SHS 120x4.0 (SHS)	0.119	2.544	0.106	0.80	0.80	-	-
		N2691/N2709	N2691/N2709	SHS 120x5.0 (SHS)	0.119	2.544	0.106	0.80	0.80	-	-
		N2692/N2710	N2692/N2710	SHS 120x5.0 (SHS)	0.119	2.544	0.106	0.80	0.80	-	-

Documento visado electrónicamente con número: VA07290/22
Código de validación telemática TRLTDCFZ60T66IJ1. Comprobación: https://cogitivalencia.e-gestion.es/Validacion.aspx?CVT=TRLTDCFZ60T66IJ1

VISADO
COGITI
VALENCIA
VA07290/22
TRLTDCFZ60T66IJ1

Listados

Descripción											
Material		Barra (Ni/Nf)	Pieza (Ni/Nf)	Perfil(Serie)	Longitud (m)			β_{xy}	β_{xz}	Lbsup (m)	Lbinf (m)
Tipo	Designación				Indeformable origen	Deformable	Indeformable extremo				
		N2693/N2711	N2693/N2711	SHS 120x10.0 (SHS)	0.119	2.431	0.219	0.80	0.80	-	-
		N2743/N2694	N2743/N2694	SHS 120x10.0 (SHS)	0.111	2.267	0.204	0.80	0.80	-	-
		N2744/N2712	N2744/N2712	SHS 120x5.0 (SHS)	0.111	2.372	0.099	0.80	0.80	-	-
		N2745/N2713	N2745/N2713	SHS 120x5.0 (SHS)	0.111	2.372	0.099	0.80	0.80	-	-
		N2746/N2714	N2746/N2714	SHS 120x4.0 (SHS)	0.111	2.372	0.099	0.80	0.80	-	-
		N2747/N2715	N2747/N2715	SHS 120x4.0 (SHS)	0.111	2.372	0.099	0.80	0.80	-	-
		N2748/N2716	N2748/N2716	SHS 100x4.0 (SHS)	0.111	2.372	0.099	0.80	0.80	-	-
		N2749/N2717	N2749/N2717	SHS 100x4.0 (SHS)	0.111	2.372	0.099	0.80	0.80	-	-
		N2750/N2718	N2750/N2718	SHS 100x4.0 (SHS)	0.111	2.372	0.099	0.80	0.80	-	-
		N2750/N2720	N2750/N2720	SHS 100x4.0 (SHS)	0.119	2.544	0.106	0.80	0.80	-	-
		N2751/N2721	N2751/N2721	SHS 100x4.0 (SHS)	0.119	2.544	0.106	0.80	0.80	-	-
		N2752/N2722	N2752/N2722	SHS 100x4.0 (SHS)	0.119	2.544	0.106	0.80	0.80	-	-
		N2753/N2723	N2753/N2723	SHS 120x4.0 (SHS)	0.119	2.544	0.106	0.80	0.80	-	-
		N2754/N2724	N2754/N2724	SHS 120x4.0 (SHS)	0.119	2.544	0.106	0.80	0.80	-	-
		N2755/N2725	N2755/N2725	SHS 120x5.0 (SHS)	0.119	2.544	0.106	0.80	0.80	-	-
		N2756/N2726	N2756/N2726	SHS 120x5.0 (SHS)	0.119	2.544	0.106	0.80	0.80	-	-
		N2757/N2727	N2757/N2727	SHS 120x10.0 (SHS)	0.119	2.431	0.219	0.80	0.80	-	-
		N2607/N2758	N2607/N2760	SHS 120x5.0 (SHS)	0.060	2.313	0.060	1.00	3.00	-	-
		N2758/N2759	N2607/N2760	SHS 120x5.0 (SHS)	0.060	2.313	0.060	1.00	3.00	-	-
		N2759/N2760	N2607/N2760	SHS 120x5.0 (SHS)	0.060	2.313	0.060	1.00	3.00	-	-
		N2508/N2761	N2508/N2661	SHS 120x5.0 (SHS)	0.060	2.313	0.060	1.00	3.00	-	-
		N2761/N2762	N2508/N2661	SHS 120x5.0 (SHS)	0.060	2.313	0.060	1.00	3.00	-	-
		N2762/N2661	N2508/N2661	SHS 120x5.0 (SHS)	0.060	2.313	0.060	1.00	3.00	-	-
		N2542/N2763	N2542/N2695	SHS 120x5.0 (SHS)	0.150	2.188	0.095	1.00	3.00	-	-
		N2763/N2764	N2542/N2695	SHS 120x5.0 (SHS)	0.095	2.243	0.095	1.00	3.00	-	-
		N2764/N2695	N2542/N2695	SHS 120x5.0 (SHS)	0.095	2.188	0.150	1.00	3.00	-	-
		N2524/N2765	N2524/N2677	SHS 120x5.0 (SHS)	0.095	2.278	0.060	1.00	3.00	-	-
		N2765/N2766	N2524/N2677	SHS 120x5.0 (SHS)	0.060	2.313	0.060	1.00	3.00	-	-
		N2766/N2677	N2524/N2677	SHS 120x5.0 (SHS)	0.060	2.278	0.095	1.00	3.00	-	-
		N2764/N2766	N2764/N2766	SHS 120x5.0 (SHS)	0.078	1.862	0.060	1.00	1.00	-	-

Documento visado electrónicamente con número: VA07290/22
Código de validación telemática TRLTDCFZ60T66IJ1. Comprobación: https://cogitivalencia.e-gestion.es/Validacion.aspx?CVT=TRLTDCFZ60T66IJ1

VISADO
COGITI
VALENCIA
VA07290/22
TRLTDCFZ60T66IJ1

Listados

Descripción												
Material		Barra (Ni/Nf)	Pieza (Ni/Nf)	Perfil(Serie)	Longitud (m)			β_{xy}	β_{xz}	$Lb_{sup.}$ (m)	$Lb_{inf.}$ (m)	
Tipo	Designación				Indeformable origen	Deformable	Indeformable extremo					
		N2763/N2765	N2763/N2765	SHS 120x5.0 (SHS)	0.078	1.862	0.060	1.00	1.00	-	-	
		N2759/N2762	N2759/N2762	SHS 120x5.0 (SHS)	0.060	1.880	0.060	1.00	1.00	-	-	
		N2758/N2761	N2758/N2761	SHS 120x5.0 (SHS)	0.060	1.880	0.060	1.00	1.00	-	-	
		N2759/N2761	N2759/N2761	L 50 x 50 x 5 (L)	0.095	2.960	0.095	0.00	0.00	-	-	
		N2758/N2762	N2758/N2762	L 50 x 50 x 5 (L)	0.095	2.960	0.095	0.00	0.00	-	-	
		N2525/N2763	N2525/N2763	SHS 120x5.0 (SHS)	0.195	2.860	0.095	1.00	1.00	-	-	
		N2678/N2764	N2678/N2764	SHS 120x5.0 (SHS)	0.195	2.860	0.095	1.00	1.00	-	-	
		N2618/N2767	N2618/N2767	SHS 120x5.0 (SHS)	0.195	2.860	0.095	1.00	1.00	-	-	
		N2541/N2767	N2541/N2694	SHS 120x5.0 (SHS)	0.150	2.188	0.095	1.00	3.00	-	-	
		N2767/N2768	N2541/N2694	SHS 120x5.0 (SHS)	0.095	2.243	0.095	1.00	3.00	-	-	
		N2768/N2694	N2541/N2694	SHS 120x5.0 (SHS)	0.095	2.188	0.150	1.00	3.00	-	-	
		N2767/N2769	N2767/N2769	SHS 120x5.0 (SHS)	0.078	1.862	0.060	1.00	1.00	-	-	
		N2768/N2770	N2768/N2770	SHS 120x5.0 (SHS)	0.078	1.862	0.060	1.00	1.00	-	-	
		N2771/N2768	N2771/N2768	SHS 120x5.0 (SHS)	0.195	2.860	0.095	1.00	1.00	-	-	
		N2558/N2769	N2558/N2711	SHS 120x5.0 (SHS)	0.095	2.278	0.060	1.00	3.00	-	-	
		N2769/N2770	N2558/N2711	SHS 120x5.0 (SHS)	0.060	2.313	0.060	1.00	3.00	-	-	
		N2770/N2711	N2558/N2711	SHS 120x5.0 (SHS)	0.060	2.278	0.095	1.00	3.00	-	-	
		N2763/N2766	N2763/N2766	L 50 x 50 x 5 (L)	0.095	2.960	0.095	0.00	0.00	-	-	
		N2763/N2524	N2763/N2524	SHS 120x4.0 (SHS)	0.095	2.960	0.095	1.00	1.00	-	-	
		N2764/N2765	N2764/N2765	L 50 x 50 x 5 (L)	0.095	2.960	0.095	0.00	0.00	-	-	
		N2764/N2677	N2764/N2677	SHS 120x4.0 (SHS)	0.095	2.960	0.095	1.00	1.00	-	-	
		N2767/N2770	N2767/N2770	L 50 x 50 x 5 (L)	0.095	2.960	0.095	0.00	0.00	-	-	
		N2767/N2558	N2767/N2558	SHS 120x4.0 (SHS)	0.095	2.960	0.095	1.00	1.00	-	-	
		N2768/N2769	N2768/N2769	L 50 x 50 x 5 (L)	0.095	2.960	0.095	0.00	0.00	-	-	
		N2768/N2711	N2768/N2711	SHS 120x4.0 (SHS)	0.095	2.960	0.095	1.00	1.00	-	-	
		N2574/N2773	N2574/N2727	SHS 120x5.0 (SHS)	0.095	2.278	0.060	1.00	3.00	-	-	
		N2773/N2772	N2574/N2727	SHS 120x5.0 (SHS)	0.060	2.313	0.060	1.00	3.00	-	-	
		N2772/N2727	N2574/N2727	SHS 120x5.0 (SHS)	0.060	2.278	0.095	1.00	3.00	-	-	
		N2774/N2727	N2774/N2727	SHS 120x4.0 (SHS)	0.095	2.960	0.095	1.00	1.00	-	-	
		N2622/N2776	N2622/N2775	SHS 120x5.0 (SHS)	0.150	2.188	0.095	1.00	3.00	-	-	
		N2776/N2774	N2622/N2775	SHS 120x5.0 (SHS)	0.095	2.243	0.095	1.00	3.00	-	-	

Documento visado electrónicamente con número: VA07290/22
Código de validación telemática TRLTDCFZ60T66IJ1. Comprobación: https://cogitivalencia.e-gestion.es/Validacion.aspx?CVT=TRLTDCFZ60T66IJ1

VISADO
COGITI
VALENCIA
VA07290/22
TRLTDCFZ60T66IJ1

Listados

Descripción											
Material		Barra (Ni/Nf)	Pieza (Ni/Nf)	Perfil(Serie)	Longitud (m)			β_{xy}	β_{xz}	Lbsup (m)	Lbinf (m)
Tipo	Designación				Indeformable origen	Deformable	Indeformable extremo				
		N2774/N2775	N2622/N2775	SHS 120x5.0 (SHS)	0.095	2.188	0.150	1.00	3.00	-	-
		N2777/N2774	N2777/N2774	SHS 120x5.0 (SHS)	0.195	2.860	0.095	1.00	1.00	-	-
		N2776/N2772	N2776/N2772	L 50 x 50 x 5 (L)	0.095	2.960	0.095	0.00	0.00	-	-
		N2774/N2773	N2774/N2773	L 50 x 50 x 5 (L)	0.095	2.960	0.095	0.00	0.00	-	-
		N2776/N2773	N2776/N2773	SHS 120x5.0 (SHS)	0.078	1.862	0.060	1.00	1.00	-	-
		N2776/N2574	N2776/N2574	SHS 120x4.0 (SHS)	0.095	2.960	0.095	1.00	1.00	-	-
		N2774/N2772	N2774/N2772	SHS 120x5.0 (SHS)	0.078	1.862	0.060	1.00	1.00	-	-
		N2624/N2776	N2624/N2776	SHS 120x5.0 (SHS)	0.195	2.860	0.095	1.00	1.00	-	-
		N2510/N2663	N2510/N2663	SHS 120x5.0 (SHS)	0.060	7.180	0.060	1.00	1.00	-	-
		N2778/N2779	N2778/N2779	SHS 120x5.0 (SHS)	0.060	1.880	0.060	1.00	1.00	-	-
		N2780/N2781	N2780/N2781	SHS 120x5.0 (SHS)	0.060	1.880	0.060	1.00	1.00	-	-
		N2778/N2781	N2778/N2781	L 40 x 40 x 4 (L)	0.095	2.960	0.095	0.00	0.00	-	-
		N2780/N2779	N2780/N2779	L 40 x 40 x 4 (L)	0.095	2.960	0.095	0.00	0.00	-	-
		N2582/N2783	N2582/N2735	SHS 120x5.0 (SHS)	0.050	2.323	0.060	1.00	3.00	-	-
		N2783/N2782	N2582/N2735	SHS 120x5.0 (SHS)	0.060	2.313	0.060	1.00	3.00	-	-
		N2782/N2735	N2582/N2735	SHS 120x5.0 (SHS)	0.060	2.323	0.050	1.00	3.00	-	-
		N2516/N2785	N2516/N2669	SHS 120x5.0 (SHS)	0.050	2.323	0.060	1.00	3.00	-	-
		N2785/N2784	N2516/N2669	SHS 120x5.0 (SHS)	0.060	2.313	0.060	1.00	3.00	-	-
		N2784/N2669	N2516/N2669	SHS 120x5.0 (SHS)	0.060	2.323	0.050	1.00	3.00	-	-
		N2782/N2784	N2782/N2784	SHS 120x5.0 (SHS)	0.060	1.880	0.060	1.00	1.00	-	-
		N2783/N2784	N2783/N2784	L 40 x 40 x 4 (L)	0.095	2.960	0.095	0.00	0.00	-	-
		N2782/N2785	N2782/N2785	L 40 x 40 x 4 (L)	0.095	2.960	0.095	0.00	0.00	-	-
		N2783/N2785	N2783/N2785	SHS 120x5.0 (SHS)	0.060	1.880	0.060	1.00	1.00	-	-
		N2586/N2787	N2586/N2739	SHS 120x5.0 (SHS)	0.060	2.313	0.060	1.00	3.00	-	-
		N2787/N2786	N2586/N2739	SHS 120x5.0 (SHS)	0.060	2.313	0.060	1.00	3.00	-	-
		N2786/N2739	N2586/N2739	SHS 120x5.0 (SHS)	0.060	2.313	0.060	1.00	3.00	-	-
		N2520/N2789	N2520/N2673	SHS 120x5.0 (SHS)	0.060	2.313	0.060	1.00	3.00	-	-
		N2789/N2788	N2520/N2673	SHS 120x5.0 (SHS)	0.060	2.313	0.060	1.00	3.00	-	-
		N2788/N2673	N2520/N2673	SHS 120x5.0 (SHS)	0.060	2.313	0.060	1.00	3.00	-	-
		N2786/N2788	N2786/N2788	SHS 120x5.0 (SHS)	0.060	1.880	0.060	1.00	1.00	-	-
		N2787/N2788	N2787/N2788	L 40 x 40 x 4 (L)	0.095	2.960	0.095	0.00	0.00	-	-

Documento visado electrónicamente con número: VA07290/22
Código de validación telemática TRLTDCFZ60T66IJ1. Comprobación: https://cogitivalencia.e-gestion.es/Validacion.aspx?CVT=TRLTDCFZ60T66IJ1

VISADO
COGITI
VALENCIA
VA07290/22
TRLTDCFZ60T66IJ1

Listados

Descripción												
Material		Barra (Ni/Nf)	Pieza (Ni/Nf)	Perfil(Serie)	Longitud (m)			β_{xy}	β_{xz}	$Lb_{sup.}$ (m)	$Lb_{inf.}$ (m)
Tipo	Designación				Indeformable origen	Deformable	Indeformable extremo				
		N2786/N2789	N2786/N2789	L 40 x 40 x 4 (L)	0.095	2.960	0.095	0.00	0.00	-	-
		N2787/N2789	N2787/N2789	SHS 120x5.0 (SHS)	0.060	1.880	0.060	1.00	1.00	-	-
		N2522/N2675	N2522/N2675	SHS 120x5.0 (SHS)	0.060	7.180	0.060	1.00	1.00	-	-
		N2544/N2697	N2544/N2697	SHS 120x5.0 (SHS)	0.060	7.180	0.060	1.00	1.00	-	-
		N2546/N2790	N2546/N2699	SHS 120x5.0 (SHS)	0.060	2.313	0.060	1.00	3.00	-	-
		N2790/N2791	N2546/N2699	SHS 120x5.0 (SHS)	0.060	2.313	0.060	1.00	3.00	-	-
		N2791/N2699	N2546/N2699	SHS 120x5.0 (SHS)	0.060	2.313	0.060	1.00	3.00	-	-
		N2529/N2792	N2529/N2682	SHS 120x5.0 (SHS)	0.060	2.313	0.060	1.00	3.00	-	-
		N2792/N2793	N2529/N2682	SHS 120x5.0 (SHS)	0.060	2.313	0.060	1.00	3.00	-	-
		N2793/N2682	N2529/N2682	SHS 120x5.0 (SHS)	0.060	2.313	0.060	1.00	3.00	-	-
		N2793/N2791	N2793/N2791	SHS 120x5.0 (SHS)	0.060	1.880	0.060	1.00	1.00	-	-
		N2792/N2790	N2792/N2790	SHS 120x5.0 (SHS)	0.060	1.880	0.060	1.00	1.00	-	-
		N2793/N2790	N2793/N2790	L 40 x 40 x 4 (L)	0.095	2.960	0.095	0.00	0.00	-	-
		N2792/N2791	N2792/N2791	L 40 x 40 x 4 (L)	0.095	2.960	0.095	0.00	0.00	-	-
		N2533/N2795	N2533/N2686	SHS 120x5.0 (SHS)	0.050	2.323	0.060	1.00	3.00	-	-
		N2795/N2794	N2533/N2686	SHS 120x5.0 (SHS)	0.060	2.313	0.060	1.00	3.00	-	-
		N2794/N2686	N2533/N2686	SHS 120x5.0 (SHS)	0.060	2.323	0.050	1.00	3.00	-	-
		N2550/N2797	N2550/N2703	SHS 120x5.0 (SHS)	0.050	2.323	0.060	1.00	3.00	-	-
		N2797/N2796	N2550/N2703	SHS 120x5.0 (SHS)	0.060	2.313	0.060	1.00	3.00	-	-
		N2796/N2703	N2550/N2703	SHS 120x5.0 (SHS)	0.060	2.323	0.050	1.00	3.00	-	-
		N2794/N2796	N2794/N2796	SHS 120x5.0 (SHS)	0.060	1.880	0.060	1.00	1.00	-	-
		N2795/N2796	N2795/N2796	L 40 x 40 x 4 (L)	0.095	2.960	0.095	0.00	0.00	-	-
		N2794/N2797	N2794/N2797	L 40 x 40 x 4 (L)	0.095	2.960	0.095	0.00	0.00	-	-
		N2795/N2797	N2795/N2797	SHS 120x5.0 (SHS)	0.060	1.880	0.060	1.00	1.00	-	-
		N2537/N2799	N2537/N2690	SHS 120x5.0 (SHS)	0.060	2.313	0.060	1.00	3.00	-	-
		N2799/N2798	N2537/N2690	SHS 120x5.0 (SHS)	0.060	2.313	0.060	1.00	3.00	-	-
		N2798/N2690	N2537/N2690	SHS 120x5.0 (SHS)	0.060	2.313	0.060	1.00	3.00	-	-
		N2554/N2801	N2554/N2707	SHS 120x5.0 (SHS)	0.060	2.313	0.060	1.00	3.00	-	-
		N2801/N2800	N2554/N2707	SHS 120x5.0 (SHS)	0.060	2.313	0.060	1.00	3.00	-	-
		N2800/N2707	N2554/N2707	SHS 120x5.0 (SHS)	0.060	2.313	0.060	1.00	3.00	-	-
		N2798/N2800	N2798/N2800	SHS 120x5.0 (SHS)	0.060	1.880	0.060	1.00	1.00	-	-

Documento visado electrónicamente con número: VA07290/22
Código de validación telemática TRLTDCFZ60T66IJ1. Comprobación: https://cogitivalencia.e-gestion.es/Validacion.aspx?CVT=TRLTDCFZ60T66IJ1

VISADO
COGITI
VALENCIA
VA07290/22
TRLTDCFZ60T66IJ1

Listados

Descripción											
Material		Barra (Ni/Nf)	Pieza (Ni/Nf)	Perfil(Serie)	Longitud (m)			β_{xy}	β_{xz}	Lbsup (m)	Lbinf (m)
Tipo	Designación				Indeformable origen	Deformable	Indeformable extremo				
		N2799/N2800	N2799/N2800	L 40 x 40 x 4 (L)	0.095	2.960	0.095	0.00	0.00	-	-
		N2798/N2801	N2798/N2801	L 40 x 40 x 4 (L)	0.095	2.960	0.095	0.00	0.00	-	-
		N2799/N2801	N2799/N2801	SHS 120x5.0 (SHS)	0.060	1.880	0.060	1.00	1.00	-	-
		N2556/N2709	N2556/N2709	SHS 120x5.0 (SHS)	0.060	7.180	0.060	1.00	1.00	-	-
		N2560/N2713	N2560/N2713	SHS 120x5.0 (SHS)	0.060	7.180	0.060	1.00	1.00	-	-
		N2562/N2802	N2562/N2715	SHS 120x5.0 (SHS)	0.060	2.313	0.060	1.00	3.00	-	-
		N2802/N2803	N2562/N2715	SHS 120x5.0 (SHS)	0.060	2.313	0.060	1.00	3.00	-	-
		N2803/N2715	N2562/N2715	SHS 120x5.0 (SHS)	0.060	2.313	0.060	1.00	3.00	-	-
		N2593/N2804	N2593/N2746	SHS 120x5.0 (SHS)	0.060	2.313	0.060	1.00	3.00	-	-
		N2804/N2805	N2593/N2746	SHS 120x5.0 (SHS)	0.060	2.313	0.060	1.00	3.00	-	-
		N2805/N2746	N2593/N2746	SHS 120x5.0 (SHS)	0.060	2.313	0.060	1.00	3.00	-	-
		N2805/N2803	N2805/N2803	SHS 120x5.0 (SHS)	0.060	1.880	0.060	1.00	1.00	-	-
		N2804/N2802	N2804/N2802	SHS 120x5.0 (SHS)	0.060	1.880	0.060	1.00	1.00	-	-
		N2805/N2802	N2805/N2802	L 40 x 40 x 4 (L)	0.095	2.960	0.095	0.00	0.00	-	-
		N2804/N2803	N2804/N2803	L 40 x 40 x 4 (L)	0.095	2.960	0.095	0.00	0.00	-	-
		N2597/N2807	N2597/N2750	SHS 120x5.0 (SHS)	0.050	2.323	0.060	1.00	3.00	-	-
		N2807/N2806	N2597/N2750	SHS 120x5.0 (SHS)	0.060	2.313	0.060	1.00	3.00	-	-
		N2806/N2750	N2597/N2750	SHS 120x5.0 (SHS)	0.060	2.323	0.050	1.00	3.00	-	-
		N2566/N2809	N2566/N2719	SHS 120x5.0 (SHS)	0.050	2.323	0.060	1.00	3.00	-	-
		N2809/N2808	N2566/N2719	SHS 120x5.0 (SHS)	0.060	2.313	0.060	1.00	3.00	-	-
		N2808/N2719	N2566/N2719	SHS 120x5.0 (SHS)	0.060	2.323	0.050	1.00	3.00	-	-
		N2806/N2808	N2806/N2808	SHS 120x5.0 (SHS)	0.060	1.880	0.060	1.00	1.00	-	-
		N2807/N2808	N2807/N2808	L 40 x 40 x 4 (L)	0.095	2.960	0.095	0.00	0.00	-	-
		N2806/N2809	N2806/N2809	L 40 x 40 x 4 (L)	0.095	2.960	0.095	0.00	0.00	-	-
		N2807/N2809	N2807/N2809	SHS 120x5.0 (SHS)	0.060	1.880	0.060	1.00	1.00	-	-
		N2601/N2811	N2601/N2754	SHS 120x5.0 (SHS)	0.060	2.313	0.060	1.00	3.00	-	-
		N2811/N2810	N2601/N2754	SHS 120x5.0 (SHS)	0.060	2.313	0.060	1.00	3.00	-	-
		N2810/N2754	N2601/N2754	SHS 120x5.0 (SHS)	0.060	2.313	0.060	1.00	3.00	-	-
		N2570/N2813	N2570/N2723	SHS 120x5.0 (SHS)	0.060	2.313	0.060	1.00	3.00	-	-
		N2813/N2812	N2570/N2723	SHS 120x5.0 (SHS)	0.060	2.313	0.060	1.00	3.00	-	-
		N2812/N2723	N2570/N2723	SHS 120x5.0 (SHS)	0.060	2.313	0.060	1.00	3.00	-	-

Documento visado electrónicamente con número: VA07290/22
Código de validación telemática TRLTDCFZ60T66IJ1. Comprobación: https://cogitivalencia.e-gestion.es/Validacion.aspx?CVT=TRLTDCFZ60T66IJ1

VISADO
COGITI
VALENCIA
VA07290/22
TRLTDCFZ60T66IJ1

Descripción												
Material		Barra (Ni/Nf)	Pieza (Ni/Nf)	Perfil(Serie)	Longitud (m)			β_{xy}	β_{xz}	Lbsup. (m)	Lbinf. (m)	
Tipo	Designación				Indeformable origen	Deformable	Indeformable extremo					
		N2810/N2812	N2810/N2812	SHS 120x5.0 (SHS)	0.060	1.880	0.060	1.00	1.00	-	-	
		N2811/N2812	N2811/N2812	L 40 x 40 x 4 (L)	0.095	2.960	0.095	0.00	0.00	-	-	
		N2810/N2813	N2810/N2813	L 40 x 40 x 4 (L)	0.095	2.960	0.095	0.00	0.00	-	-	
		N2811/N2813	N2811/N2813	SHS 120x5.0 (SHS)	0.060	1.880	0.060	1.00	1.00	-	-	
		N2572/N2725	N2572/N2725	SHS 120x5.0 (SHS)	0.060	7.180	0.060	1.00	1.00	-	-	
		N2508/N2663	N2508/N2663	L 60 x 60 x 5 (L)	0.138	7.916	0.067	0.00	0.00	-	-	
		N2661/N2510	N2661/N2510	L 60 x 60 x 5 (L)	0.138	7.916	0.067	0.00	0.00	-	-	
		N2572/N2727	N2572/N2727	L 60 x 60 x 5 (L)	0.067	7.916	0.138	0.00	0.00	-	-	
		N2725/N2574	N2725/N2574	L 60 x 60 x 5 (L)	0.067	7.916	0.138	0.00	0.00	-	-	
		N2522/N2677	N2522/N2677	L 60 x 60 x 5 (L)	0.067	7.916	0.138	0.00	0.00	-	-	
		N2675/N2524	N2675/N2524	L 60 x 60 x 5 (L)	0.067	7.916	0.138	0.00	0.00	-	-	
		N2542/N2697	N2542/N2697	L 60 x 60 x 5 (L)	0.167	7.887	0.067	0.00	0.00	-	-	
		N2695/N2544	N2695/N2544	L 60 x 60 x 5 (L)	0.167	7.887	0.067	0.00	0.00	-	-	
		N2556/N2711	N2556/N2711	L 60 x 60 x 5 (L)	0.067	7.916	0.138	0.00	0.00	-	-	
		N2709/N2558	N2709/N2558	L 60 x 60 x 5 (L)	0.067	7.916	0.138	0.00	0.00	-	-	
		N2541/N2713	N2541/N2713	L 60 x 60 x 5 (L)	0.167	7.887	0.067	0.00	0.00	-	-	
		N2694/N2560	N2694/N2560	L 60 x 60 x 5 (L)	0.167	7.887	0.067	0.00	0.00	-	-	
		N2512/N2781	N2512/N2665	SHS 120x5.0 (SHS)	0.060	2.313	0.060	1.00	3.00	-	-	
		N2781/N2779	N2512/N2665	SHS 120x5.0 (SHS)	0.060	2.313	0.060	1.00	3.00	-	-	
		N2779/N2665	N2512/N2665	SHS 120x5.0 (SHS)	0.060	2.313	0.060	1.00	3.00	-	-	
		N2578/N2780	N2578/N2731	SHS 120x5.0 (SHS)	0.060	2.313	0.060	1.00	3.00	-	-	
		N2780/N2778	N2578/N2731	SHS 120x5.0 (SHS)	0.060	2.313	0.060	1.00	3.00	-	-	
		N2778/N2731	N2578/N2731	SHS 120x5.0 (SHS)	0.060	2.313	0.060	1.00	3.00	-	-	
		N2814/N2815	N2814/N2830	HE 160 A (HEA)	0.078	1.623	0.078	0.56	1.00	1.779	1.779	
		N2815/N2816	N2814/N2830	HE 160 A (HEA)	0.078	1.623	0.078	0.56	1.00	1.779	1.779	
		N2816/N2817	N2814/N2830	HE 160 A (HEA)	0.078	1.623	0.078	0.56	1.00	1.779	1.779	
		N2817/N2818	N2814/N2830	HE 160 A (HEA)	0.078	1.623	0.078	0.56	1.00	1.779	1.779	
		N2818/N2819	N2814/N2830	HE 160 A (HEA)	0.078	1.636	0.065	0.56	1.00	1.779	1.779	
		N2819/N3445	N2814/N2830	HE 160 A (HEA)	0.065	0.825	-	1.12	1.00	0.890	0.890	
		N3445/N2820	N2814/N2830	HE 160 A (HEA)	-	0.825	0.065	1.12	1.00	0.890	0.890	
		N2820/N2821	N2814/N2830	HE 160 A (HEA)	0.065	1.649	0.065	0.56	1.00	1.779	1.779	

Documento visado electrónicamente con número: VA07290/22
Código de validación telemática TRLTDCFZ60T66IJ1. Comprobación: https://cogitivalencia.e-gestion.es/Validacion.aspx?CVT=TRLTDCFZ60T66IJ1

VISADO
COGITI
VALENCIA
VA07290/22
TRLTDCFZ60T66IJ1

Descripción											
Material		Barra (Ni/Nf)	Pieza (Ni/Nf)	Perfil(Serie)	Longitud (m)			β_{xy}	β_{xz}	Lbsup (m)	Lbinf (m)
Tipo	Designación				Indeformable origen	Deformable	Indeformable extremo				
		N2821/N2822	N2814/N2830	HE 160 A (HEA)	0.065	1.663	0.051	0.56	1.00	1.779	1.779
		N2822/N2823	N2814/N2830	HE 160 A (HEA)	0.051	1.658	0.070	0.56	1.00	1.779	1.779
		N2823/N2824	N2814/N2830	HE 160 A (HEA)	0.070	1.639	0.070	0.56	1.00	1.779	1.779
		N2824/N3446	N2814/N2830	HE 160 A (HEA)	0.070	0.820	-	1.12	1.00	0.890	0.890
		N3446/N2825	N2814/N2830	HE 160 A (HEA)	-	0.820	0.070	1.12	1.00	0.890	0.890
		N2825/N2826	N2814/N2830	HE 160 A (HEA)	0.070	1.625	0.084	0.56	1.00	1.779	1.779
		N2826/N2827	N2814/N2830	HE 160 A (HEA)	0.084	1.611	0.084	0.56	1.00	1.779	1.779
		N2827/N2828	N2814/N2830	HE 160 A (HEA)	0.084	1.611	0.084	0.56	1.00	1.779	1.779
		N2828/N2829	N2814/N2830	HE 160 A (HEA)	0.084	1.611	0.084	0.56	1.00	1.779	1.779
		N2829/N2830	N2814/N2830	HE 160 A (HEA)	0.084	1.554	0.141	0.56	1.00	1.779	1.779
		N2831/N2832	N2831/N2847	HE 180 A (HEA)	0.141	1.560	0.078	1.83	1.00	-	-
		N2832/N2833	N2831/N2847	HE 180 A (HEA)	0.078	1.623	0.078	1.83	1.00	-	-
		N2833/N2834	N2831/N2847	HE 180 A (HEA)	0.078	1.623	0.078	1.83	1.00	-	-
		N2834/N2835	N2831/N2847	HE 180 A (HEA)	0.078	1.623	0.078	1.83	1.00	-	-
		N2835/N2836	N2831/N2847	HE 180 A (HEA)	0.078	1.623	0.078	1.83	1.00	-	-
		N2836/N2837	N2831/N2847	HE 180 A (HEA)	0.078	1.636	0.065	1.83	1.00	-	-
		N2837/N2838	N2831/N2847	HE 180 A (HEA)	0.065	1.649	0.065	1.83	1.00	-	-
		N2838/N2839	N2831/N2847	HE 180 A (HEA)	0.065	1.644	0.070	1.83	1.00	-	-
		N2839/N2840	N2831/N2847	HE 180 A (HEA)	0.070	1.639	0.070	1.83	1.00	-	-
		N2840/N2841	N2831/N2847	HE 180 A (HEA)	0.070	1.639	0.070	1.83	1.00	-	-
		N2841/N2842	N2831/N2847	HE 180 A (HEA)	0.070	1.625	0.084	1.83	1.00	-	-
		N2842/N2843	N2831/N2847	HE 180 A (HEA)	0.084	1.611	0.084	1.83	1.00	-	-
		N2843/N2844	N2831/N2847	HE 180 A (HEA)	0.084	1.611	0.084	1.83	1.00	-	-
		N2844/N2845	N2831/N2847	HE 180 A (HEA)	0.084	1.611	0.084	1.83	1.00	-	-
		N2845/N2846	N2831/N2847	HE 180 A (HEA)	0.084	1.578	0.117	1.83	1.00	-	-
		N2846/N2847	N2831/N2847	HE 180 A (HEA)	0.117	1.521	0.141	1.83	1.00	-	-
		N2848/N2849	N2848/N2864	HE 160 A (HEA)	0.141	1.560	0.078	0.56	1.00	1.779	1.779
		N2849/N2850	N2848/N2864	HE 160 A (HEA)	0.078	1.623	0.078	0.56	1.00	1.779	1.779
		N2850/N2851	N2848/N2864	HE 160 A (HEA)	0.078	1.623	0.078	0.56	1.00	1.779	1.779
		N2851/N2852	N2848/N2864	HE 160 A (HEA)	0.078	1.623	0.078	0.56	1.00	1.779	1.779
		N2852/N2853	N2848/N2864	HE 160 A (HEA)	0.078	1.636	0.065	0.56	1.00	1.779	1.779

Documento visado electrónicamente con número: VA07290/22
Código de validación telemática TRLTDCFZ60T66IJ1. Comprobación: https://cogitivalencia.e-gestion.es/Validacion.aspx?CVT=TRLTDCFZ60T66IJ1

VISADO
COGITI
VALENCIA
VA07290/22
TRLTDCFZ60T66IJ1

Descripción												
Material		Barra (Ni/Nf)	Pieza (Ni/Nf)	Perfil(Serie)	Longitud (m)			β_{xy}	β_{xz}	$Lb_{sup.}$ (m)	$Lb_{inf.}$ (m)	
Tipo	Designación				Indeformable origen	Deformable	Indeformable extremo					
		N2853/N3463	N2848/N2864	HE 160 A (HEA)	0.065	0.825	-	1.12	1.00	0.890	0.890	
		N3463/N2854	N2848/N2864	HE 160 A (HEA)	-	0.825	0.065	1.12	1.00	0.890	0.890	
		N2854/N2855	N2848/N2864	HE 160 A (HEA)	0.065	1.649	0.065	0.56	1.00	1.779	1.779	
		N2855/N2856	N2848/N2864	HE 160 A (HEA)	0.065	1.663	0.051	0.56	1.00	1.779	1.779	
		N2856/N2857	N2848/N2864	HE 160 A (HEA)	0.051	1.658	0.070	0.56	1.00	1.779	1.779	
		N2857/N2858	N2848/N2864	HE 160 A (HEA)	0.070	1.639	0.070	0.56	1.00	1.779	1.779	
		N2858/N3464	N2848/N2864	HE 160 A (HEA)	0.070	0.820	-	1.12	1.00	0.890	0.890	
		N3464/N2859	N2848/N2864	HE 160 A (HEA)	-	0.820	0.070	1.12	1.00	0.890	0.890	
		N2859/N2860	N2848/N2864	HE 160 A (HEA)	0.070	1.625	0.084	0.56	1.00	1.779	1.779	
		N2860/N2861	N2848/N2864	HE 160 A (HEA)	0.084	1.611	0.084	0.56	1.00	1.779	1.779	
		N2861/N2862	N2848/N2864	HE 160 A (HEA)	0.084	1.611	0.084	0.56	1.00	1.779	1.779	
		N2862/N2863	N2848/N2864	HE 160 A (HEA)	0.084	1.611	0.084	0.56	1.00	1.779	1.779	
		N2863/N2864	N2848/N2864	HE 160 A (HEA)	0.084	1.554	0.141	0.56	1.00	1.779	1.779	
		N2847/N2865	N2847/N2880	HE 160 A (HEA)	0.141	1.560	0.078	0.56	1.00	1.779	1.779	
		N2865/N2866	N2847/N2880	HE 160 A (HEA)	0.078	1.623	0.078	0.56	1.00	1.779	1.779	
		N2866/N2867	N2847/N2880	HE 160 A (HEA)	0.078	1.623	0.078	0.56	1.00	1.779	1.779	
		N2867/N2868	N2847/N2880	HE 160 A (HEA)	0.078	1.623	0.078	0.56	1.00	1.779	1.779	
		N2868/N2869	N2847/N2880	HE 160 A (HEA)	0.078	1.636	0.065	0.56	1.00	1.779	1.779	
		N2869/N3481	N2847/N2880	HE 160 A (HEA)	0.065	0.825	-	1.12	1.00	0.890	0.890	
		N3481/N2870	N2847/N2880	HE 160 A (HEA)	-	0.825	0.065	1.12	1.00	0.890	0.890	
		N2870/N2871	N2847/N2880	HE 160 A (HEA)	0.065	1.649	0.065	0.56	1.00	1.779	1.779	
		N2871/N2872	N2847/N2880	HE 160 A (HEA)	0.065	1.663	0.051	0.56	1.00	1.779	1.779	
		N2872/N2873	N2847/N2880	HE 160 A (HEA)	0.051	1.658	0.070	0.56	1.00	1.779	1.779	
		N2873/N2874	N2847/N2880	HE 160 A (HEA)	0.070	1.639	0.070	0.56	1.00	1.779	1.779	
		N2874/N3482	N2847/N2880	HE 160 A (HEA)	0.070	0.820	-	1.12	1.00	0.890	0.890	
		N3482/N2875	N2847/N2880	HE 160 A (HEA)	-	0.820	0.070	1.12	1.00	0.890	0.890	
		N2875/N2876	N2847/N2880	HE 160 A (HEA)	0.070	1.625	0.084	0.56	1.00	1.779	1.779	
		N2876/N2877	N2847/N2880	HE 160 A (HEA)	0.084	1.611	0.084	0.56	1.00	1.779	1.779	
		N2877/N2878	N2847/N2880	HE 160 A (HEA)	0.084	1.611	0.084	0.56	1.00	1.779	1.779	
		N2878/N2879	N2847/N2880	HE 160 A (HEA)	0.084	1.611	0.084	0.56	1.00	1.779	1.779	
		N2879/N2880	N2847/N2880	HE 160 A (HEA)	0.084	1.554	0.141	0.56	1.00	1.779	1.779	

Documento visado electrónicamente con número: VA07290/22
Código de validación telemática TRLTDCFZ60T66IJ1. Comprobación: https://cogitivalencia.e-gestion.es/Validacion.aspx?CVT=TRLTDCFZ60T66IJ1

VISADO
COGITI
VALENCIA
VA07290/22
TRLTDCFZ60T66IJ1

Listados

Descripción											
Material		Barra (Ni/Nf)	Pieza (Ni/Nf)	Perfil(Serie)	Longitud (m)			β_{xy}	β_{xz}	Lbsup (m)	Lbinf (m)
Tipo	Designación				Indeformable origen	Deformable	Indeformable extremo				
		N2881/N2815	N2881/N2815	SHS 120x5.0 (SHS)	0.088	1.824	0.088	1.00	1.00	-	-
		N2882/N2816	N2882/N2816	SHS 120x5.0 (SHS)	0.088	1.824	0.088	1.00	1.00	-	-
		N2883/N2817	N2883/N2817	SHS 120x4.0 (SHS)	0.088	1.824	0.088	1.00	1.00	-	-
		N2884/N2818	N2884/N2818	SHS 120x4.0 (SHS)	0.088	1.824	0.088	1.00	1.00	-	-
		N2885/N2819	N2885/N2819	SHS 120x4.0 (SHS)	0.088	1.835	0.077	1.00	1.00	-	-
		N2886/N2820	N2886/N2820	SHS 100x4.0 (SHS)	0.086	1.837	0.077	1.00	1.00	-	-
		N2887/N2821	N2887/N2821	SHS 100x4.0 (SHS)	0.086	1.837	0.077	1.00	1.00	-	-
		N2888/N2822	N2888/N2822	SHS 100x4.0 (SHS)	0.086	1.837	0.077	1.00	1.00	-	-
		N2889/N2823	N2889/N2823	SHS 100x4.0 (SHS)	0.086	1.836	0.078	1.00	1.00	-	-
		N2890/N2824	N2890/N2824	SHS 100x4.0 (SHS)	0.086	1.836	0.078	1.00	1.00	-	-
		N2891/N2825	N2891/N2825	SHS 120x4.0 (SHS)	0.094	1.828	0.078	1.00	1.00	-	-
		N2892/N2826	N2892/N2826	SHS 120x4.0 (SHS)	0.094	1.812	0.094	1.00	1.00	-	-
		N2893/N2827	N2893/N2827	SHS 120x4.0 (SHS)	0.094	1.812	0.094	1.00	1.00	-	-
		N2894/N2828	N2894/N2828	SHS 120x5.0 (SHS)	0.094	1.812	0.094	1.00	1.00	-	-
		N2895/N2829	N2895/N2829	SHS 120x5.0 (SHS)	0.131	1.775	0.094	1.00	1.00	-	-
		N2832/N2849	N2832/N2849	SHS 120x5.0 (SHS)	0.088	1.824	0.088	1.00	1.00	-	-
		N2833/N2850	N2833/N2850	SHS 120x5.0 (SHS)	0.088	1.824	0.088	1.00	1.00	-	-
		N2834/N2851	N2834/N2851	SHS 120x4.0 (SHS)	0.088	1.824	0.088	1.00	1.00	-	-
		N2835/N2852	N2835/N2852	SHS 120x4.0 (SHS)	0.088	1.824	0.088	1.00	1.00	-	-
		N2836/N2853	N2836/N2853	SHS 120x4.0 (SHS)	0.088	1.835	0.077	1.00	1.00	-	-
		N2837/N2854	N2837/N2854	SHS 100x4.0 (SHS)	0.086	1.837	0.077	1.00	1.00	-	-
		N2838/N2855	N2838/N2855	SHS 100x4.0 (SHS)	0.086	1.837	0.077	1.00	1.00	-	-
		N2839/N2856	N2839/N2856	SHS 100x4.0 (SHS)	0.086	1.837	0.077	1.00	1.00	-	-
		N2840/N2857	N2840/N2857	SHS 100x4.0 (SHS)	0.086	1.836	0.078	1.00	1.00	-	-
		N2841/N2858	N2841/N2858	SHS 100x4.0 (SHS)	0.086	1.836	0.078	1.00	1.00	-	-
		N2842/N2859	N2842/N2859	SHS 120x4.0 (SHS)	0.094	1.828	0.078	1.00	1.00	-	-
		N2843/N2860	N2843/N2860	SHS 120x4.0 (SHS)	0.094	1.812	0.094	1.00	1.00	-	-
		N2844/N2861	N2844/N2861	SHS 120x4.0 (SHS)	0.094	1.812	0.094	1.00	1.00	-	-
		N2845/N2862	N2845/N2862	SHS 120x5.0 (SHS)	0.094	1.812	0.094	1.00	1.00	-	-
		N2846/N2863	N2846/N2863	SHS 120x5.0 (SHS)	0.131	1.775	0.094	1.00	1.00	-	-
		N2896/N2865	N2896/N2865	SHS 120x5.0 (SHS)	0.088	1.824	0.088	1.00	1.00	-	-

Documento visado electrónicamente con número: VA07290/22
Código de validación telemática TRLTDCFZ60T66IJ1. Comprobación: https://cogitivalencia.e-gestion.es/Validacion.aspx?CVT=TRLTDCFZ60T66IJ1

VISADO
COGITI
VALENCIA
VA07290/22
TRLTDCFZ60T66IJ1

Descripción												
Material		Barra (Ni/Nf)	Pieza (Ni/Nf)	Perfil(Serie)	Longitud (m)			β_{xy}	β_{xz}	$Lb_{sup.}$ (m)	$Lb_{inf.}$ (m)	
Tipo	Designación				Indeformable origen	Deformable	Indeformable extremo					
		N2897/N2866	N2897/N2866	SHS 120x5.0 (SHS)	0.088	1.824	0.088	1.00	1.00	-	-	
		N2898/N2867	N2898/N2867	SHS 120x4.0 (SHS)	0.088	1.824	0.088	1.00	1.00	-	-	
		N2899/N2868	N2899/N2868	SHS 120x4.0 (SHS)	0.088	1.824	0.088	1.00	1.00	-	-	
		N2900/N2869	N2900/N2869	SHS 120x4.0 (SHS)	0.088	1.835	0.077	1.00	1.00	-	-	
		N2901/N2870	N2901/N2870	SHS 100x4.0 (SHS)	0.086	1.837	0.077	1.00	1.00	-	-	
		N2902/N2871	N2902/N2871	SHS 100x4.0 (SHS)	0.086	1.837	0.077	1.00	1.00	-	-	
		N2903/N2872	N2903/N2872	SHS 100x4.0 (SHS)	0.086	1.837	0.077	1.00	1.00	-	-	
		N2904/N2873	N2904/N2873	SHS 100x4.0 (SHS)	0.086	1.836	0.078	1.00	1.00	-	-	
		N2905/N2874	N2905/N2874	SHS 100x4.0 (SHS)	0.086	1.836	0.078	1.00	1.00	-	-	
		N2906/N2875	N2906/N2875	SHS 120x4.0 (SHS)	0.094	1.828	0.078	1.00	1.00	-	-	
		N2907/N2876	N2907/N2876	SHS 120x4.0 (SHS)	0.094	1.812	0.094	1.00	1.00	-	-	
		N2908/N2877	N2908/N2877	SHS 120x4.0 (SHS)	0.094	1.812	0.094	1.00	1.00	-	-	
		N2909/N2878	N2909/N2878	SHS 120x5.0 (SHS)	0.094	1.812	0.094	1.00	1.00	-	-	
		N2910/N2879	N2910/N2879	SHS 120x5.0 (SHS)	0.094	1.812	0.094	1.00	1.00	-	-	
		N2881/N2814	N2881/N2814	SHS 120x10.0 (SHS)	0.111	2.372	0.099	0.80	0.80	-	-	
		N2882/N2815	N2882/N2815	SHS 120x5.0 (SHS)	0.111	2.372	0.099	0.80	0.80	-	-	
		N2883/N2816	N2883/N2816	SHS 120x5.0 (SHS)	0.111	2.372	0.099	0.80	0.80	-	-	
		N2884/N2817	N2884/N2817	SHS 120x4.0 (SHS)	0.111	2.372	0.099	0.80	0.80	-	-	
		N2885/N2818	N2885/N2818	SHS 120x4.0 (SHS)	0.111	2.372	0.099	0.80	0.80	-	-	
		N2886/N2819	N2886/N2819	SHS 100x4.0 (SHS)	0.111	2.372	0.099	0.80	0.80	-	-	
		N2887/N2820	N2887/N2820	SHS 100x4.0 (SHS)	0.111	2.372	0.099	0.80	0.80	-	-	
		N2888/N2821	N2888/N2821	SHS 100x4.0 (SHS)	0.111	2.372	0.099	0.80	0.80	-	-	
		N2888/N2823	N2888/N2823	SHS 100x4.0 (SHS)	0.119	2.544	0.106	0.80	0.80	-	-	
		N2889/N2824	N2889/N2824	SHS 100x4.0 (SHS)	0.119	2.544	0.106	0.80	0.80	-	-	
		N2890/N2825	N2890/N2825	SHS 100x4.0 (SHS)	0.119	2.544	0.106	0.80	0.80	-	-	
		N2891/N2826	N2891/N2826	SHS 120x4.0 (SHS)	0.119	2.544	0.106	0.80	0.80	-	-	
		N2892/N2827	N2892/N2827	SHS 120x4.0 (SHS)	0.119	2.544	0.106	0.80	0.80	-	-	
		N2893/N2828	N2893/N2828	SHS 120x5.0 (SHS)	0.119	2.544	0.106	0.80	0.80	-	-	
		N2894/N2829	N2894/N2829	SHS 120x5.0 (SHS)	0.119	2.544	0.106	0.80	0.80	-	-	
		N2895/N2830	N2895/N2830	SHS 120x10.0 (SHS)	0.119	2.431	0.219	0.80	0.80	-	-	

Documento visado electrónicamente con número: VA07290/22
Código de validación telemática TRLTDCFZ60T66IJ1. Comprobación: https://cogitivalencia.e-gestion.es/Validacion.aspx?CVT=TRLTDCFZ60T66IJ1

VISADO
COGITI
VALENCIA
VA07290/22
TRLTDCFZ60T66IJ1

Listados

Descripción											
Material		Barra (Ni/Nf)	Pieza (Ni/Nf)	Perfil(Serie)	Longitud (m)			β_{xy}	β_{xz}	Lbsup (m)	Lbinf (m)
Tipo	Designación				Indeformable origen	Deformable	Indeformable extremo				
		N2832/N2848	N2832/N2848	SHS 120x10.0 (SHS)	0.111	2.267	0.204	0.80	0.80	-	-
		N2833/N2849	N2833/N2849	SHS 120x5.0 (SHS)	0.111	2.372	0.099	0.80	0.80	-	-
		N2834/N2850	N2834/N2850	SHS 120x5.0 (SHS)	0.111	2.372	0.099	0.80	0.80	-	-
		N2835/N2851	N2835/N2851	SHS 120x4.0 (SHS)	0.111	2.372	0.099	0.80	0.80	-	-
		N2836/N2852	N2836/N2852	SHS 120x4.0 (SHS)	0.111	2.372	0.099	0.80	0.80	-	-
		N2837/N2853	N2837/N2853	SHS 100x4.0 (SHS)	0.111	2.372	0.099	0.80	0.80	-	-
		N2838/N2854	N2838/N2854	SHS 100x4.0 (SHS)	0.111	2.372	0.099	0.80	0.80	-	-
		N2839/N2855	N2839/N2855	SHS 100x4.0 (SHS)	0.111	2.372	0.099	0.80	0.80	-	-
		N2839/N2857	N2839/N2857	SHS 100x4.0 (SHS)	0.119	2.544	0.106	0.80	0.80	-	-
		N2840/N2858	N2840/N2858	SHS 100x4.0 (SHS)	0.119	2.544	0.106	0.80	0.80	-	-
		N2841/N2859	N2841/N2859	SHS 100x4.0 (SHS)	0.119	2.544	0.106	0.80	0.80	-	-
		N2842/N2860	N2842/N2860	SHS 120x4.0 (SHS)	0.119	2.544	0.106	0.80	0.80	-	-
		N2843/N2861	N2843/N2861	SHS 120x4.0 (SHS)	0.119	2.544	0.106	0.80	0.80	-	-
		N2844/N2862	N2844/N2862	SHS 120x5.0 (SHS)	0.119	2.544	0.106	0.80	0.80	-	-
		N2845/N2863	N2845/N2863	SHS 120x5.0 (SHS)	0.119	2.544	0.106	0.80	0.80	-	-
		N2846/N2864	N2846/N2864	SHS 120x10.0 (SHS)	0.119	2.431	0.219	0.80	0.80	-	-
		N2896/N2847	N2896/N2847	SHS 120x10.0 (SHS)	0.111	2.267	0.204	0.80	0.80	-	-
		N2897/N2865	N2897/N2865	SHS 120x5.0 (SHS)	0.111	2.372	0.099	0.80	0.80	-	-
		N2898/N2866	N2898/N2866	SHS 120x5.0 (SHS)	0.111	2.372	0.099	0.80	0.80	-	-
		N2899/N2867	N2899/N2867	SHS 120x4.0 (SHS)	0.111	2.372	0.099	0.80	0.80	-	-
		N2900/N2868	N2900/N2868	SHS 120x4.0 (SHS)	0.111	2.372	0.099	0.80	0.80	-	-
		N2901/N2869	N2901/N2869	SHS 100x4.0 (SHS)	0.111	2.372	0.099	0.80	0.80	-	-
		N2902/N2870	N2902/N2870	SHS 100x4.0 (SHS)	0.111	2.372	0.099	0.80	0.80	-	-
		N2903/N2871	N2903/N2871	SHS 100x4.0 (SHS)	0.111	2.372	0.099	0.80	0.80	-	-
		N2903/N2873	N2903/N2873	SHS 100x4.0 (SHS)	0.119	2.544	0.106	0.80	0.80	-	-
		N2904/N2874	N2904/N2874	SHS 100x4.0 (SHS)	0.119	2.544	0.106	0.80	0.80	-	-
		N2905/N2875	N2905/N2875	SHS 100x4.0 (SHS)	0.119	2.544	0.106	0.80	0.80	-	-
		N2906/N2876	N2906/N2876	SHS 120x4.0 (SHS)	0.119	2.544	0.106	0.80	0.80	-	-
		N2907/N2877	N2907/N2877	SHS 120x4.0 (SHS)	0.119	2.544	0.106	0.80	0.80	-	-
		N2908/N2878	N2908/N2878	SHS 120x5.0 (SHS)	0.119	2.544	0.106	0.80	0.80	-	-

Documento visado electrónicamente con número: VA07290/22
Código de validación telemática TRLTDCFZ60T66IJ1. Comprobación: https://cogitivalencia.e-gestion.es/Validacion.aspx?CVT=TRLTDCFZ60T66IJ1

VISADO
COGITI
VALENCIA
VA07290/22
TRLTDCFZ60T66IJ1

Descripción												
Material		Barra (Ni/Nf)	Pieza (Ni/Nf)	Perfil(Serie)	Longitud (m)			β_{xy}	β_{xz}	$Lb_{sup.}$ (m)	$Lb_{inf.}$ (m)
Tipo	Designación				Indeformable origen	Deformable	Indeformable extremo				
		N2909/N2879	N2909/N2879	SHS 120x5.0 (SHS)	0.119	2.544	0.106	0.80	0.80	-	-
		N2910/N2880	N2910/N2880	SHS 120x10.0 (SHS)	0.119	2.431	0.219	0.80	0.80	-	-
		N2760/N2911	N2760/N2913	SHS 120x5.0 (SHS)	0.060	2.313	0.060	1.00	3.00	-	-
		N2911/N2912	N2760/N2913	SHS 120x5.0 (SHS)	0.060	2.313	0.060	1.00	3.00	-	-
		N2912/N2913	N2760/N2913	SHS 120x5.0 (SHS)	0.060	2.313	0.060	1.00	3.00	-	-
		N2661/N2914	N2661/N2814	SHS 120x5.0 (SHS)	0.060	2.313	0.060	1.00	3.00	-	-
		N2914/N2915	N2661/N2814	SHS 120x5.0 (SHS)	0.060	2.313	0.060	1.00	3.00	-	-
		N2915/N2814	N2661/N2814	SHS 120x5.0 (SHS)	0.060	2.313	0.060	1.00	3.00	-	-
		N2695/N2916	N2695/N2848	SHS 120x5.0 (SHS)	0.150	2.188	0.095	1.00	3.00	-	-
		N2916/N2917	N2695/N2848	SHS 120x5.0 (SHS)	0.095	2.243	0.095	1.00	3.00	-	-
		N2917/N2848	N2695/N2848	SHS 120x5.0 (SHS)	0.095	2.188	0.150	1.00	3.00	-	-
		N2677/N2918	N2677/N2830	SHS 120x5.0 (SHS)	0.095	2.278	0.060	1.00	3.00	-	-
		N2918/N2919	N2677/N2830	SHS 120x5.0 (SHS)	0.060	2.313	0.060	1.00	3.00	-	-
		N2919/N2830	N2677/N2830	SHS 120x5.0 (SHS)	0.060	2.278	0.095	1.00	3.00	-	-
		N2917/N2919	N2917/N2919	SHS 120x5.0 (SHS)	0.078	1.862	0.060	1.00	1.00	-	-
		N2916/N2918	N2916/N2918	SHS 120x5.0 (SHS)	0.078	1.862	0.060	1.00	1.00	-	-
		N2912/N2915	N2912/N2915	SHS 120x5.0 (SHS)	0.060	1.880	0.060	1.00	1.00	-	-
		N2911/N2914	N2911/N2914	SHS 120x5.0 (SHS)	0.060	1.880	0.060	1.00	1.00	-	-
		N2912/N2914	N2912/N2914	L 50 x 50 x 5 (L)	0.095	2.960	0.095	0.00	0.00	-	-
		N2911/N2915	N2911/N2915	L 50 x 50 x 5 (L)	0.095	2.960	0.095	0.00	0.00	-	-
		N2678/N2916	N2678/N2916	SHS 120x5.0 (SHS)	0.195	2.860	0.095	1.00	1.00	-	-
		N2831/N2917	N2831/N2917	SHS 120x5.0 (SHS)	0.195	2.860	0.095	1.00	1.00	-	-
		N2771/N2920	N2771/N2920	SHS 120x5.0 (SHS)	0.195	2.860	0.095	1.00	1.00	-	-
		N2694/N2920	N2694/N2847	SHS 120x5.0 (SHS)	0.150	2.188	0.095	1.00	3.00	-	-
		N2920/N2921	N2694/N2847	SHS 120x5.0 (SHS)	0.095	2.243	0.095	1.00	3.00	-	-
		N2921/N2847	N2694/N2847	SHS 120x5.0 (SHS)	0.095	2.188	0.150	1.00	3.00	-	-
		N2920/N2922	N2920/N2922	SHS 120x5.0 (SHS)	0.078	1.862	0.060	1.00	1.00	-	-
		N2921/N2923	N2921/N2923	SHS 120x5.0 (SHS)	0.078	1.862	0.060	1.00	1.00	-	-
		N2924/N2921	N2924/N2921	SHS 120x5.0 (SHS)	0.195	2.860	0.095	1.00	1.00	-	-
		N2711/N2922	N2711/N2864	SHS 120x5.0 (SHS)	0.095	2.278	0.060	1.00	3.00	-	-
		N2922/N2923	N2711/N2864	SHS 120x5.0 (SHS)	0.060	2.313	0.060	1.00	3.00	-	-

Documento visado electrónicamente con número: VA07290/22
Código de validación telemática TRLTDCFZ60T66IJ1. Comprobación: https://cogitivalencia.e-gestion.es/Validacion.aspx?CVT=TRLTDCFZ60T66IJ1

VISADO
COGITI
VALENCIA
VA07290/22
TRLTDCFZ60T66IJ1

Listados

Descripción											
Material		Barra (Ni/Nf)	Pieza (Ni/Nf)	Perfil(Serie)	Longitud (m)			β_{xy}	β_{xz}	Lbsup (m)	Lbinf (m)
Tipo	Designación				Indeformable origen	Deformable	Indeformable extremo				
		N2923/N2864	N2711/N2864	SHS 120x5.0 (SHS)	0.060	2.278	0.095	1.00	3.00	-	-
		N2916/N2919	N2916/N2919	L 50 x 50 x 5 (L)	0.095	2.960	0.095	0.00	0.00	-	-
		N2916/N2677	N2916/N2677	SHS 120x4.0 (SHS)	0.095	2.960	0.095	1.00	1.00	-	-
		N2917/N2918	N2917/N2918	L 50 x 50 x 5 (L)	0.095	2.960	0.095	0.00	0.00	-	-
		N2917/N2830	N2917/N2830	SHS 120x4.0 (SHS)	0.095	2.960	0.095	1.00	1.00	-	-
		N2920/N2923	N2920/N2923	L 50 x 50 x 5 (L)	0.095	2.960	0.095	0.00	0.00	-	-
		N2920/N2711	N2920/N2711	SHS 120x4.0 (SHS)	0.095	2.960	0.095	1.00	1.00	-	-
		N2921/N2922	N2921/N2922	L 50 x 50 x 5 (L)	0.095	2.960	0.095	0.00	0.00	-	-
		N2921/N2864	N2921/N2864	SHS 120x4.0 (SHS)	0.095	2.960	0.095	1.00	1.00	-	-
		N2727/N2926	N2727/N2880	SHS 120x5.0 (SHS)	0.095	2.278	0.060	1.00	3.00	-	-
		N2926/N2925	N2727/N2880	SHS 120x5.0 (SHS)	0.060	2.313	0.060	1.00	3.00	-	-
		N2925/N2880	N2727/N2880	SHS 120x5.0 (SHS)	0.060	2.278	0.095	1.00	3.00	-	-
		N2927/N2880	N2927/N2880	SHS 120x4.0 (SHS)	0.095	2.960	0.095	1.00	1.00	-	-
		N2775/N2929	N2775/N2928	SHS 120x5.0 (SHS)	0.150	2.188	0.095	1.00	3.00	-	-
		N2929/N2927	N2775/N2928	SHS 120x5.0 (SHS)	0.095	2.243	0.095	1.00	3.00	-	-
		N2927/N2928	N2775/N2928	SHS 120x5.0 (SHS)	0.095	2.188	0.150	1.00	3.00	-	-
		N2930/N2927	N2930/N2927	SHS 120x5.0 (SHS)	0.195	2.860	0.095	1.00	1.00	-	-
		N2929/N2925	N2929/N2925	L 50 x 50 x 5 (L)	0.095	2.960	0.095	0.00	0.00	-	-
		N2927/N2926	N2927/N2926	L 50 x 50 x 5 (L)	0.095	2.960	0.095	0.00	0.00	-	-
		N2929/N2926	N2929/N2926	SHS 120x5.0 (SHS)	0.078	1.862	0.060	1.00	1.00	-	-
		N2929/N2727	N2929/N2727	SHS 120x4.0 (SHS)	0.095	2.960	0.095	1.00	1.00	-	-
		N2927/N2925	N2927/N2925	SHS 120x5.0 (SHS)	0.078	1.862	0.060	1.00	1.00	-	-
		N2777/N2929	N2777/N2929	SHS 120x5.0 (SHS)	0.195	2.860	0.095	1.00	1.00	-	-
		N2663/N2816	N2663/N2816	SHS 120x5.0 (SHS)	0.060	7.180	0.060	1.00	1.00	-	-
		N2931/N2932	N2931/N2932	SHS 120x5.0 (SHS)	0.060	1.880	0.060	1.00	1.00	-	-
		N2933/N2934	N2933/N2934	SHS 120x5.0 (SHS)	0.060	1.880	0.060	1.00	1.00	-	-
		N2931/N2934	N2931/N2934	L 40 x 40 x 4 (L)	0.095	2.960	0.095	0.00	0.00	-	-
		N2933/N2932	N2933/N2932	L 40 x 40 x 4 (L)	0.095	2.960	0.095	0.00	0.00	-	-
		N2735/N2936	N2735/N2888	SHS 120x5.0 (SHS)	0.050	2.323	0.060	1.00	3.00	-	-
		N2936/N2935	N2735/N2888	SHS 120x5.0 (SHS)	0.060	2.313	0.060	1.00	3.00	-	-
		N2935/N2888	N2735/N2888	SHS 120x5.0 (SHS)	0.060	2.323	0.050	1.00	3.00	-	-

Documento visado electrónicamente con número: VA07290/22
Código de validación telemática TRLTDCFZ60T66IJ1. Comprobación: https://cogitivalencia.e-gestion.es/Validacion.aspx?CVT=TRLTDCFZ60T66IJ1

VISADO
COGITI
VALENCIA
VA07290/22
TRLTDCFZ60T66IJ1

Descripción												
Material		Barra (Ni/Nf)	Pieza (Ni/Nf)	Perfil(Serie)	Longitud (m)			β_{xy}	β_{xz}	$Lb_{sup.}$ (m)	$Lb_{inf.}$ (m)	
Tipo	Designación				Indeformable origen	Deformable	Indeformable extremo					
		N2669/N2938	N2669/N2822	SHS 120x5.0 (SHS)	0.050	2.323	0.060	1.00	3.00	-	-	
		N2938/N2937	N2669/N2822	SHS 120x5.0 (SHS)	0.060	2.313	0.060	1.00	3.00	-	-	
		N2937/N2822	N2669/N2822	SHS 120x5.0 (SHS)	0.060	2.323	0.050	1.00	3.00	-	-	
		N2935/N2937	N2935/N2937	SHS 120x5.0 (SHS)	0.060	1.880	0.060	1.00	1.00	-	-	
		N2936/N2937	N2936/N2937	L 40 x 40 x 4 (L)	0.095	2.960	0.095	0.00	0.00	-	-	
		N2935/N2938	N2935/N2938	L 40 x 40 x 4 (L)	0.095	2.960	0.095	0.00	0.00	-	-	
		N2936/N2938	N2936/N2938	SHS 120x5.0 (SHS)	0.060	1.880	0.060	1.00	1.00	-	-	
		N2739/N2940	N2739/N2892	SHS 120x5.0 (SHS)	0.060	2.313	0.060	1.00	3.00	-	-	
		N2940/N2939	N2739/N2892	SHS 120x5.0 (SHS)	0.060	2.313	0.060	1.00	3.00	-	-	
		N2939/N2892	N2739/N2892	SHS 120x5.0 (SHS)	0.060	2.313	0.060	1.00	3.00	-	-	
		N2673/N2942	N2673/N2826	SHS 120x5.0 (SHS)	0.060	2.313	0.060	1.00	3.00	-	-	
		N2942/N2941	N2673/N2826	SHS 120x5.0 (SHS)	0.060	2.313	0.060	1.00	3.00	-	-	
		N2941/N2826	N2673/N2826	SHS 120x5.0 (SHS)	0.060	2.313	0.060	1.00	3.00	-	-	
		N2939/N2941	N2939/N2941	SHS 120x5.0 (SHS)	0.060	1.880	0.060	1.00	1.00	-	-	
		N2940/N2941	N2940/N2941	L 40 x 40 x 4 (L)	0.095	2.960	0.095	0.00	0.00	-	-	
		N2939/N2942	N2939/N2942	L 40 x 40 x 4 (L)	0.095	2.960	0.095	0.00	0.00	-	-	
		N2940/N2942	N2940/N2942	SHS 120x5.0 (SHS)	0.060	1.880	0.060	1.00	1.00	-	-	
		N2675/N2828	N2675/N2828	SHS 120x5.0 (SHS)	0.060	7.180	0.060	1.00	1.00	-	-	
		N2697/N2850	N2697/N2850	SHS 120x5.0 (SHS)	0.060	7.180	0.060	1.00	1.00	-	-	
		N2699/N2943	N2699/N2852	SHS 120x5.0 (SHS)	0.060	2.313	0.060	1.00	3.00	-	-	
		N2943/N2944	N2699/N2852	SHS 120x5.0 (SHS)	0.060	2.313	0.060	1.00	3.00	-	-	
		N2944/N2852	N2699/N2852	SHS 120x5.0 (SHS)	0.060	2.313	0.060	1.00	3.00	-	-	
		N2682/N2945	N2682/N2835	SHS 120x5.0 (SHS)	0.060	2.313	0.060	1.00	3.00	-	-	
		N2945/N2946	N2682/N2835	SHS 120x5.0 (SHS)	0.060	2.313	0.060	1.00	3.00	-	-	
		N2946/N2835	N2682/N2835	SHS 120x5.0 (SHS)	0.060	2.313	0.060	1.00	3.00	-	-	
		N2946/N2944	N2946/N2944	SHS 120x5.0 (SHS)	0.060	1.880	0.060	1.00	1.00	-	-	
		N2945/N2943	N2945/N2943	SHS 120x5.0 (SHS)	0.060	1.880	0.060	1.00	1.00	-	-	
		N2946/N2943	N2946/N2943	L 40 x 40 x 4 (L)	0.095	2.960	0.095	0.00	0.00	-	-	
		N2945/N2944	N2945/N2944	L 40 x 40 x 4 (L)	0.095	2.960	0.095	0.00	0.00	-	-	
		N2686/N2948	N2686/N2839	SHS 120x5.0 (SHS)	0.050	2.323	0.060	1.00	3.00	-	-	
		N2948/N2947	N2686/N2839	SHS 120x5.0 (SHS)	0.060	2.313	0.060	1.00	3.00	-	-	

Documento visado electrónicamente con número: VA07290/22
Código de validación telemática TRLTDCFZ60T66IJ1. Comprobación: https://cogitivalencia.e-gestion.es/Validacion.aspx?CVT=TRLTDCFZ60T66IJ1

VISADO
COGITI
VALENCIA
VA07290/22
TRLTDCFZ60T66IJ1

Listados

Descripción											
Material		Barra (Ni/Nf)	Pieza (Ni/Nf)	Perfil(Serie)	Longitud (m)			β_{xy}	β_{xz}	Lbsup (m)	Lbinf (m)
Tipo	Designación				Indeformable origen	Deformable	Indeformable extremo				
		N2947/N2839	N2686/N2839	SHS 120x5.0 (SHS)	0.060	2.323	0.050	1.00	3.00	-	-
		N2703/N2950	N2703/N2856	SHS 120x5.0 (SHS)	0.050	2.323	0.060	1.00	3.00	-	-
		N2950/N2949	N2703/N2856	SHS 120x5.0 (SHS)	0.060	2.313	0.060	1.00	3.00	-	-
		N2949/N2856	N2703/N2856	SHS 120x5.0 (SHS)	0.060	2.323	0.050	1.00	3.00	-	-
		N2947/N2949	N2947/N2949	SHS 120x5.0 (SHS)	0.060	1.880	0.060	1.00	1.00	-	-
		N2948/N2949	N2948/N2949	L 40 x 40 x 4 (L)	0.095	2.960	0.095	0.00	0.00	-	-
		N2947/N2950	N2947/N2950	L 40 x 40 x 4 (L)	0.095	2.960	0.095	0.00	0.00	-	-
		N2948/N2950	N2948/N2950	SHS 120x5.0 (SHS)	0.060	1.880	0.060	1.00	1.00	-	-
		N2690/N2952	N2690/N2843	SHS 120x5.0 (SHS)	0.060	2.313	0.060	1.00	3.00	-	-
		N2952/N2951	N2690/N2843	SHS 120x5.0 (SHS)	0.060	2.313	0.060	1.00	3.00	-	-
		N2951/N2843	N2690/N2843	SHS 120x5.0 (SHS)	0.060	2.313	0.060	1.00	3.00	-	-
		N2707/N2954	N2707/N2860	SHS 120x5.0 (SHS)	0.060	2.313	0.060	1.00	3.00	-	-
		N2954/N2953	N2707/N2860	SHS 120x5.0 (SHS)	0.060	2.313	0.060	1.00	3.00	-	-
		N2953/N2860	N2707/N2860	SHS 120x5.0 (SHS)	0.060	2.313	0.060	1.00	3.00	-	-
		N2951/N2953	N2951/N2953	SHS 120x5.0 (SHS)	0.060	1.880	0.060	1.00	1.00	-	-
		N2952/N2953	N2952/N2953	L 40 x 40 x 4 (L)	0.095	2.960	0.095	0.00	0.00	-	-
		N2951/N2954	N2951/N2954	L 40 x 40 x 4 (L)	0.095	2.960	0.095	0.00	0.00	-	-
		N2952/N2954	N2952/N2954	SHS 120x5.0 (SHS)	0.060	1.880	0.060	1.00	1.00	-	-
		N2709/N2862	N2709/N2862	SHS 120x5.0 (SHS)	0.060	7.180	0.060	1.00	1.00	-	-
		N2713/N2866	N2713/N2866	SHS 120x5.0 (SHS)	0.060	7.180	0.060	1.00	1.00	-	-
		N2715/N2955	N2715/N2868	SHS 120x5.0 (SHS)	0.060	2.313	0.060	1.00	3.00	-	-
		N2955/N2956	N2715/N2868	SHS 120x5.0 (SHS)	0.060	2.313	0.060	1.00	3.00	-	-
		N2956/N2868	N2715/N2868	SHS 120x5.0 (SHS)	0.060	2.313	0.060	1.00	3.00	-	-
		N2746/N2957	N2746/N2899	SHS 120x5.0 (SHS)	0.060	2.313	0.060	1.00	3.00	-	-
		N2957/N2958	N2746/N2899	SHS 120x5.0 (SHS)	0.060	2.313	0.060	1.00	3.00	-	-
		N2958/N2899	N2746/N2899	SHS 120x5.0 (SHS)	0.060	2.313	0.060	1.00	3.00	-	-
		N2958/N2956	N2958/N2956	SHS 120x5.0 (SHS)	0.060	1.880	0.060	1.00	1.00	-	-
		N2957/N2955	N2957/N2955	SHS 120x5.0 (SHS)	0.060	1.880	0.060	1.00	1.00	-	-
		N2958/N2955	N2958/N2955	L 40 x 40 x 4 (L)	0.095	2.960	0.095	0.00	0.00	-	-
		N2957/N2956	N2957/N2956	L 40 x 40 x 4 (L)	0.095	2.960	0.095	0.00	0.00	-	-
		N2750/N2960	N2750/N2903	SHS 120x5.0 (SHS)	0.050	2.323	0.060	1.00	3.00	-	-

Documento visado electrónicamente con número: VA07290/22
Código de validación telemática TRLTDCFZ60T66IJ1. Comprobación: https://cogitivalencia.e-gestion.es/Validacion.aspx?CVT=TRLTDCFZ60T66IJ1

VISADO
COGITI
VALENCIA
VA07290/22
TRLTDCFZ60T66IJ1

Descripción												
Material		Barra (Ni/Nf)	Pieza (Ni/Nf)	Perfil(Serie)	Longitud (m)			β_{xy}	β_{xz}	$Lb_{sup.}$ (m)	$Lb_{inf.}$ (m)
Tipo	Designación				Indeformable origen	Deformable	Indeformable extremo				
		N2960/N2959	N2750/N2903	SHS 120x5.0 (SHS)	0.060	2.313	0.060	1.00	3.00	-	-
		N2959/N2903	N2750/N2903	SHS 120x5.0 (SHS)	0.060	2.323	0.050	1.00	3.00	-	-
		N2719/N2962	N2719/N2872	SHS 120x5.0 (SHS)	0.050	2.323	0.060	1.00	3.00	-	-
		N2962/N2961	N2719/N2872	SHS 120x5.0 (SHS)	0.060	2.313	0.060	1.00	3.00	-	-
		N2961/N2872	N2719/N2872	SHS 120x5.0 (SHS)	0.060	2.323	0.050	1.00	3.00	-	-
		N2959/N2961	N2959/N2961	SHS 120x5.0 (SHS)	0.060	1.880	0.060	1.00	1.00	-	-
		N2960/N2961	N2960/N2961	L 40 x 40 x 4 (L)	0.095	2.960	0.095	0.00	0.00	-	-
		N2959/N2962	N2959/N2962	L 40 x 40 x 4 (L)	0.095	2.960	0.095	0.00	0.00	-	-
		N2960/N2962	N2960/N2962	SHS 120x5.0 (SHS)	0.060	1.880	0.060	1.00	1.00	-	-
		N2754/N2964	N2754/N2907	SHS 120x5.0 (SHS)	0.060	2.313	0.060	1.00	3.00	-	-
		N2964/N2963	N2754/N2907	SHS 120x5.0 (SHS)	0.060	2.313	0.060	1.00	3.00	-	-
		N2963/N2907	N2754/N2907	SHS 120x5.0 (SHS)	0.060	2.313	0.060	1.00	3.00	-	-
		N2723/N2966	N2723/N2876	SHS 120x5.0 (SHS)	0.060	2.313	0.060	1.00	3.00	-	-
		N2966/N2965	N2723/N2876	SHS 120x5.0 (SHS)	0.060	2.313	0.060	1.00	3.00	-	-
		N2965/N2876	N2723/N2876	SHS 120x5.0 (SHS)	0.060	2.313	0.060	1.00	3.00	-	-
		N2963/N2965	N2963/N2965	SHS 120x5.0 (SHS)	0.060	1.880	0.060	1.00	1.00	-	-
		N2964/N2965	N2964/N2965	L 40 x 40 x 4 (L)	0.095	2.960	0.095	0.00	0.00	-	-
		N2963/N2966	N2963/N2966	L 40 x 40 x 4 (L)	0.095	2.960	0.095	0.00	0.00	-	-
		N2964/N2966	N2964/N2966	SHS 120x5.0 (SHS)	0.060	1.880	0.060	1.00	1.00	-	-
		N2725/N2878	N2725/N2878	SHS 120x5.0 (SHS)	0.060	7.180	0.060	1.00	1.00	-	-
		N2661/N2816	N2661/N2816	L 60 x 60 x 5 (L)	0.138	7.916	0.067	0.00	0.00	-	-
		N2814/N2663	N2814/N2663	L 60 x 60 x 5 (L)	0.138	7.916	0.067	0.00	0.00	-	-
		N2725/N2880	N2725/N2880	L 60 x 60 x 5 (L)	0.067	7.916	0.138	0.00	0.00	-	-
		N2878/N2727	N2878/N2727	L 60 x 60 x 5 (L)	0.067	7.916	0.138	0.00	0.00	-	-
		N2675/N2830	N2675/N2830	L 60 x 60 x 5 (L)	0.067	7.916	0.138	0.00	0.00	-	-
		N2828/N2677	N2828/N2677	L 60 x 60 x 5 (L)	0.067	7.916	0.138	0.00	0.00	-	-
		N2695/N2850	N2695/N2850	L 60 x 60 x 5 (L)	0.167	7.887	0.067	0.00	0.00	-	-
		N2848/N2697	N2848/N2697	L 60 x 60 x 5 (L)	0.167	7.887	0.067	0.00	0.00	-	-
		N2709/N2864	N2709/N2864	L 60 x 60 x 5 (L)	0.067	7.916	0.138	0.00	0.00	-	-
		N2862/N2711	N2862/N2711	L 60 x 60 x 5 (L)	0.067	7.916	0.138	0.00	0.00	-	-
		N2694/N2866	N2694/N2866	L 60 x 60 x 5 (L)	0.167	7.887	0.067	0.00	0.00	-	-

Documento visado electrónicamente con número: VA07290/22
Código de validación telemática TRLTDCFZ60T66IJ1. Comprobación: https://cogitivalencia.e-gestion.es/Validacion.aspx?CVT=TRLTDCFZ60T66IJ1

VISADO
COGITI
VALENCIA
VA07290/22
TRLTDCFZ60T66IJ1

Listados

Descripción											
Material		Barra (Ni/Nf)	Pieza (Ni/Nf)	Perfil(Serie)	Longitud (m)			β_{xy}	β_{xz}	Lbsup (m)	Lbinf (m)
Tipo	Designación				Indeformable origen	Deformable	Indeformable extremo				
		N2847/N2713	N2847/N2713	L 60 x 60 x 5 (L)	0.167	7.887	0.067	0.00	0.00	-	-
		N2665/N2934	N2665/N2818	SHS 120x5.0 (SHS)	0.060	2.313	0.060	1.00	3.00	-	-
		N2934/N2932	N2665/N2818	SHS 120x5.0 (SHS)	0.060	2.313	0.060	1.00	3.00	-	-
		N2932/N2818	N2665/N2818	SHS 120x5.0 (SHS)	0.060	2.313	0.060	1.00	3.00	-	-
		N2731/N2933	N2731/N2884	SHS 120x5.0 (SHS)	0.060	2.313	0.060	1.00	3.00	-	-
		N2933/N2931	N2731/N2884	SHS 120x5.0 (SHS)	0.060	2.313	0.060	1.00	3.00	-	-
		N2931/N2884	N2731/N2884	SHS 120x5.0 (SHS)	0.060	2.313	0.060	1.00	3.00	-	-
		N3001/N2968	N3001/N2968	SHS 120x5.0 (SHS)	0.060	1.879	0.061	1.00	1.00	-	-
		N3002/N2969	N3002/N2969	SHS 120x5.0 (SHS)	0.060	1.879	0.061	1.00	1.00	-	-
		N3003/N2970	N3003/N2970	SHS 120x5.0 (SHS)	0.060	1.879	0.061	1.00	1.00	-	-
		N3004/N2971	N3004/N2971	SHS 120x5.0 (SHS)	0.060	1.879	0.061	1.00	1.00	-	-
		N3005/N2972	N3005/N2972	SHS 120x5.0 (SHS)	0.060	1.879	0.061	1.00	1.00	-	-
		N3006/N2973	N3006/N2973	SHS 120x5.0 (SHS)	0.060	1.879	0.061	1.00	1.00	-	-
		N3007/N2974	N3007/N2974	SHS 120x5.0 (SHS)	0.060	1.879	0.061	1.00	1.00	-	-
		N2976/N2985	N2976/N2985	SHS 120x5.0 (SHS)	0.060	1.879	0.061	1.00	1.00	-	-
		N2977/N2986	N2977/N2986	SHS 120x5.0 (SHS)	0.060	1.879	0.061	1.00	1.00	-	-
		N2978/N2987	N2978/N2987	SHS 120x5.0 (SHS)	0.060	1.879	0.061	1.00	1.00	-	-
		N2979/N2988	N2979/N2988	SHS 120x5.0 (SHS)	0.060	1.879	0.061	1.00	1.00	-	-
		N2980/N2989	N2980/N2989	SHS 120x5.0 (SHS)	0.060	1.879	0.061	1.00	1.00	-	-
		N2981/N2990	N2981/N2990	SHS 120x5.0 (SHS)	0.060	1.879	0.061	1.00	1.00	-	-
		N2982/N2991	N2982/N2991	SHS 120x5.0 (SHS)	0.060	1.879	0.061	1.00	1.00	-	-
		N3008/N2993	N3008/N2993	SHS 120x5.0 (SHS)	0.060	1.879	0.061	1.00	1.00	-	-
		N3009/N2994	N3009/N2994	SHS 120x5.0 (SHS)	0.060	1.879	0.061	1.00	1.00	-	-
		N3010/N2995	N3010/N2995	SHS 120x5.0 (SHS)	0.060	1.879	0.061	1.00	1.00	-	-
		N3011/N2996	N3011/N2996	SHS 120x5.0 (SHS)	0.060	1.879	0.061	1.00	1.00	-	-
		N3012/N2997	N3012/N2997	SHS 120x5.0 (SHS)	0.060	1.879	0.061	1.00	1.00	-	-
		N3013/N2998	N3013/N2998	SHS 120x5.0 (SHS)	0.060	1.879	0.061	1.00	1.00	-	-
		N3014/N2999	N3014/N2999	SHS 120x5.0 (SHS)	0.060	1.879	0.061	1.00	1.00	-	-
		N2913/N3015	N2913/N3017	SHS 120x5.0 (SHS)	0.060	2.313	0.060	1.00	3.00	-	-
		N3015/N3016	N2913/N3017	SHS 120x5.0 (SHS)	0.060	2.313	0.060	1.00	3.00	-	-
		N3016/N3017	N2913/N3017	SHS 120x5.0 (SHS)	0.060	2.313	0.060	1.00	3.00	-	-

Documento visado electrónicamente con número: VA07290/22
Código de validación telemática TRLTDCFZ60T66IJ1. Comprobación: https://cogitivalencia.e-gestion.es/Validacion.aspx?CVT=TRLTDCFZ60T66IJ1

Listados

VISADO
COGITI
VALENCIA
VA07290/22
TRLTDCFZ60T66IJ1

Descripción												
Material		Barra (Ni/Nf)	Pieza (Ni/Nf)	Perfil(Serie)	Longitud (m)			β_{xy}	β_{xz}	$Lb_{sup.}$ (m)	$Lb_{inf.}$ (m)	
Tipo	Designación				Indeformable origen	Deformable	Indeformable extremo					
		N2814/N3018	N2814/N2967	SHS 120x5.0 (SHS)	0.060	2.313	0.060	1.00	3.00	-	-	
		N3018/N3019	N2814/N2967	SHS 120x5.0 (SHS)	0.060	2.313	0.060	1.00	3.00	-	-	
		N3019/N2967	N2814/N2967	SHS 120x5.0 (SHS)	0.060	2.313	0.060	1.00	3.00	-	-	
		N2848/N3020	N2848/N2984	SHS 120x5.0 (SHS)	0.150	2.188	0.095	1.00	2.96	-	-	
		N3020/N3021	N2848/N2984	SHS 120x5.0 (SHS)	0.095	2.243	0.095	1.00	3.00	-	-	
		N3021/N2984	N2848/N2984	SHS 120x5.0 (SHS)	0.095	2.278	0.060	1.00	3.00	-	-	
		N2830/N3022	N2830/N2975	SHS 120x5.0 (SHS)	0.095	2.278	0.060	1.00	3.00	-	-	
		N3022/N3023	N2830/N2975	SHS 120x5.0 (SHS)	0.060	2.313	0.060	1.00	3.00	-	-	
		N3023/N2975	N2830/N2975	SHS 120x5.0 (SHS)	0.060	2.278	0.095	1.00	3.00	-	-	
		N3021/N3023	N3021/N3023	SHS 120x5.0 (SHS)	0.078	1.862	0.060	1.00	1.00	-	-	
		N3020/N3022	N3020/N3022	SHS 120x5.0 (SHS)	0.078	1.862	0.060	1.00	1.00	-	-	
		N3016/N3019	N3016/N3019	SHS 120x5.0 (SHS)	0.060	1.880	0.060	1.00	1.00	-	-	
		N3015/N3018	N3015/N3018	SHS 120x5.0 (SHS)	0.060	1.880	0.060	1.00	1.00	-	-	
		N3016/N3018	N3016/N3018	L 50 x 50 x 5 (L)	0.095	2.960	0.095	0.00	0.00	-	-	
		N3015/N3019	N3015/N3019	L 50 x 50 x 5 (L)	0.095	2.960	0.095	0.00	0.00	-	-	
		N2831/N3020	N2831/N3020	SHS 120x5.0 (SHS)	0.195	2.860	0.095	1.00	1.00	-	-	
		N2924/N3024	N2924/N3024	SHS 120x5.0 (SHS)	0.195	2.860	0.095	1.00	1.00	-	-	
		N2847/N3024	N2847/N2983	SHS 120x5.0 (SHS)	0.150	2.188	0.095	1.00	3.00	-	-	
		N3024/N3025	N2847/N2983	SHS 120x5.0 (SHS)	0.095	2.243	0.095	1.00	3.00	-	-	
		N3025/N2983	N2847/N2983	SHS 120x5.0 (SHS)	0.095	2.278	0.060	1.00	3.00	-	-	
		N3024/N3026	N3024/N3026	SHS 120x5.0 (SHS)	0.078	1.862	0.060	1.00	1.00	-	-	
		N3025/N3027	N3025/N3027	SHS 120x5.0 (SHS)	0.078	1.862	0.060	1.00	1.00	-	-	
		N2864/N3026	N2864/N2992	SHS 120x5.0 (SHS)	0.095	2.278	0.060	1.00	3.00	-	-	
		N3026/N3027	N2864/N2992	SHS 120x5.0 (SHS)	0.060	2.313	0.060	1.00	3.00	-	-	
		N3027/N2992	N2864/N2992	SHS 120x5.0 (SHS)	0.060	2.278	0.095	1.00	3.00	-	-	
		N3020/N3023	N3020/N3023	L 50 x 50 x 5 (L)	0.095	2.960	0.095	0.00	0.00	-	-	
		N3020/N2830	N3020/N2830	SHS 120x4.0 (SHS)	0.095	2.960	0.095	1.00	1.00	-	-	
		N3021/N3022	N3021/N3022	L 50 x 50 x 5 (L)	0.095	2.960	0.095	0.00	0.00	-	-	
		N3021/N2975	N3021/N2975	SHS 120x4.0 (SHS)	0.095	2.960	0.095	1.00	1.00	-	-	
		N3024/N3027	N3024/N3027	L 50 x 50 x 5 (L)	0.095	2.960	0.095	0.00	0.00	-	-	
		N3024/N2864	N3024/N2864	SHS 120x4.0 (SHS)	0.095	2.960	0.095	1.00	1.00	-	-	

Documento visado electrónicamente con número: VA07290/22
Código de validación telemática TRLTDCFZ60T66IJ1. Comprobación: https://cogitivalencia.e-gestion.es/Validacion.aspx?CVT=TRLTDCFZ60T66IJ1

VISADO
COGITI
VALENCIA
VA07290/22
TRLTDCFZ60T66IJ1

Listados

Descripción											
Material		Barra (Ni/Nf)	Pieza (Ni/Nf)	Perfil(Serie)	Longitud (m)			β_{xy}	β_{xz}	Lbsup (m)	Lbinf (m)
Tipo	Designación				Indeformable origen	Deformable	Indeformable extremo				
		N3025/N3026	N3025/N3026	L 50 x 50 x 5 (L)	0.095	2.960	0.095	0.00	0.00	-	-
		N3025/N2992	N3025/N2992	SHS 120x4.0 (SHS)	0.095	2.960	0.095	1.00	1.00	-	-
		N2880/N3029	N2880/N3000	SHS 120x5.0 (SHS)	0.095	2.278	0.060	1.00	3.00	-	-
		N3029/N3028	N2880/N3000	SHS 120x5.0 (SHS)	0.060	2.313	0.060	1.00	3.00	-	-
		N3028/N3000	N2880/N3000	SHS 120x5.0 (SHS)	0.060	2.278	0.095	1.00	3.00	-	-
		N3030/N3000	N3030/N3000	SHS 120x4.0 (SHS)	0.095	2.960	0.095	1.00	1.00	-	-
		N2928/N3032	N2928/N3031	SHS 120x5.0 (SHS)	0.150	2.188	0.095	1.00	3.00	-	-
		N3032/N3030	N2928/N3031	SHS 120x5.0 (SHS)	0.095	2.243	0.095	1.00	3.00	-	-
		N3030/N3031	N2928/N3031	SHS 120x5.0 (SHS)	0.095	2.278	0.060	1.00	3.00	-	-
		N3032/N3028	N3032/N3028	L 50 x 50 x 5 (L)	0.095	2.960	0.095	0.00	0.00	-	-
		N3030/N3029	N3030/N3029	L 50 x 50 x 5 (L)	0.095	2.960	0.095	0.00	0.00	-	-
		N3032/N3029	N3032/N3029	SHS 120x5.0 (SHS)	0.078	1.862	0.060	1.00	1.00	-	-
		N3032/N2880	N3032/N2880	SHS 120x4.0 (SHS)	0.095	2.960	0.095	1.00	1.00	-	-
		N3030/N3028	N3030/N3028	SHS 120x5.0 (SHS)	0.078	1.862	0.060	1.00	1.00	-	-
		N2930/N3032	N2930/N3032	SHS 120x5.0 (SHS)	0.195	2.860	0.095	1.00	1.00	-	-
		N3033/N3034	N3033/N3034	SHS 120x5.0 (SHS)	0.060	1.880	0.060	1.00	1.00	-	-
		N3035/N3036	N3035/N3036	SHS 120x5.0 (SHS)	0.060	1.880	0.060	1.00	1.00	-	-
		N3033/N3036	N3033/N3036	L 40 x 40 x 4 (L)	0.095	2.960	0.095	0.00	0.00	-	-
		N3035/N3034	N3035/N3034	L 40 x 40 x 4 (L)	0.095	2.960	0.095	0.00	0.00	-	-
		N2888/N3038	N2888/N3004	SHS 120x5.0 (SHS)	0.050	2.323	0.060	1.00	3.00	-	-
		N3038/N3037	N2888/N3004	SHS 120x5.0 (SHS)	0.060	2.313	0.060	1.00	3.00	-	-
		N3037/N3004	N2888/N3004	SHS 120x5.0 (SHS)	0.060	2.313	0.060	1.00	3.00	-	-
		N2822/N3040	N2822/N2971	SHS 120x5.0 (SHS)	0.050	2.323	0.060	1.00	3.00	-	-
		N3040/N3039	N2822/N2971	SHS 120x5.0 (SHS)	0.060	2.313	0.060	1.00	3.00	-	-
		N3039/N2971	N2822/N2971	SHS 120x5.0 (SHS)	0.060	2.313	0.060	1.00	3.00	-	-
		N3037/N3039	N3037/N3039	SHS 120x5.0 (SHS)	0.060	1.880	0.060	1.00	1.00	-	-
		N3038/N3039	N3038/N3039	L 40 x 40 x 4 (L)	0.095	2.960	0.095	0.00	0.00	-	-
		N3037/N3040	N3037/N3040	L 40 x 40 x 4 (L)	0.095	2.960	0.095	0.00	0.00	-	-
		N3038/N3040	N3038/N3040	SHS 120x5.0 (SHS)	0.060	1.880	0.060	1.00	1.00	-	-
		N2892/N3042	N2892/N3006	SHS 120x5.0 (SHS)	0.060	2.313	0.060	1.00	3.00	-	-
		N3042/N3041	N2892/N3006	SHS 120x5.0 (SHS)	0.060	2.313	0.060	1.00	3.00	-	-

Documento visado electrónicamente con número: VA07290/22
Código de validación telemática TRLTDCFZ60T66IJ1. Comprobación: https://cogitivalencia.e-gestion.es/Validacion.aspx?CVT=TRLTDCFZ60T66IJ1

Listados

VISADO
COGITI
VALENCIA
VA07290/22
TRLTDCFZ60T66IJ1

Descripción												
Material		Barra (Ni/Nf)	Pieza (Ni/Nf)	Perfil(Serie)	Longitud (m)			β_{xy}	β_{xz}	$Lb_{sup.}$ (m)	$Lb_{inf.}$ (m)	
Tipo	Designación				Indeformable origen	Deformable	Indeformable extremo					
		N3041/N3006	N2892/N3006	SHS 120x5.0 (SHS)	0.060	2.313	0.060	1.00	3.00	-	-	
		N2826/N3044	N2826/N2973	SHS 120x5.0 (SHS)	0.060	2.313	0.060	1.00	3.00	-	-	
		N3044/N3043	N2826/N2973	SHS 120x5.0 (SHS)	0.060	2.313	0.060	1.00	3.00	-	-	
		N3043/N2973	N2826/N2973	SHS 120x5.0 (SHS)	0.060	2.313	0.060	1.00	3.00	-	-	
		N3041/N3043	N3041/N3043	SHS 120x5.0 (SHS)	0.060	1.880	0.060	1.00	1.00	-	-	
		N3042/N3043	N3042/N3043	L 40 x 40 x 4 (L)	0.095	2.960	0.095	0.00	0.00	-	-	
		N3041/N3044	N3041/N3044	L 40 x 40 x 4 (L)	0.095	2.960	0.095	0.00	0.00	-	-	
		N3042/N3044	N3042/N3044	SHS 120x5.0 (SHS)	0.060	1.880	0.060	1.00	1.00	-	-	
		N2852/N3045	N2852/N2986	SHS 120x5.0 (SHS)	0.060	2.313	0.060	1.00	3.00	-	-	
		N3045/N3046	N2852/N2986	SHS 120x5.0 (SHS)	0.060	2.313	0.060	1.00	3.00	-	-	
		N3046/N2986	N2852/N2986	SHS 120x5.0 (SHS)	0.060	2.313	0.060	1.00	3.00	-	-	
		N2835/N3047	N2835/N2977	SHS 120x5.0 (SHS)	0.060	2.313	0.060	1.00	3.00	-	-	
		N3047/N3048	N2835/N2977	SHS 120x5.0 (SHS)	0.060	2.313	0.060	1.00	3.00	-	-	
		N3048/N2977	N2835/N2977	SHS 120x5.0 (SHS)	0.060	2.313	0.060	1.00	3.00	-	-	
		N3048/N3046	N3048/N3046	SHS 120x5.0 (SHS)	0.060	1.880	0.060	1.00	1.00	-	-	
		N3047/N3045	N3047/N3045	SHS 120x5.0 (SHS)	0.060	1.880	0.060	1.00	1.00	-	-	
		N3048/N3045	N3048/N3045	L 40 x 40 x 4 (L)	0.095	2.960	0.095	0.00	0.00	-	-	
		N3047/N3046	N3047/N3046	L 40 x 40 x 4 (L)	0.095	2.960	0.095	0.00	0.00	-	-	
		N2839/N3050	N2839/N2979	SHS 120x5.0 (SHS)	0.050	2.323	0.060	1.00	3.00	-	-	
		N3050/N3049	N2839/N2979	SHS 120x5.0 (SHS)	0.060	2.313	0.060	1.00	3.00	-	-	
		N3049/N2979	N2839/N2979	SHS 120x5.0 (SHS)	0.060	2.313	0.060	1.00	3.00	-	-	
		N2856/N3052	N2856/N2988	SHS 120x5.0 (SHS)	0.050	2.323	0.060	1.00	3.00	-	-	
		N3052/N3051	N2856/N2988	SHS 120x5.0 (SHS)	0.060	2.313	0.060	1.00	3.00	-	-	
		N3051/N2988	N2856/N2988	SHS 120x5.0 (SHS)	0.060	2.313	0.060	1.00	3.00	-	-	
		N3049/N3051	N3049/N3051	SHS 120x5.0 (SHS)	0.060	1.880	0.060	1.00	1.00	-	-	
		N3050/N3051	N3050/N3051	L 40 x 40 x 4 (L)	0.095	2.960	0.095	0.00	0.00	-	-	
		N3049/N3052	N3049/N3052	L 40 x 40 x 4 (L)	0.095	2.960	0.095	0.00	0.00	-	-	
		N3050/N3052	N3050/N3052	SHS 120x5.0 (SHS)	0.060	1.880	0.060	1.00	1.00	-	-	
		N2843/N3054	N2843/N2981	SHS 120x5.0 (SHS)	0.060	2.313	0.060	1.00	3.00	-	-	
		N3054/N3053	N2843/N2981	SHS 120x5.0 (SHS)	0.060	2.313	0.060	1.00	3.00	-	-	
		N3053/N2981	N2843/N2981	SHS 120x5.0 (SHS)	0.060	2.313	0.060	1.00	3.00	-	-	

Documento visado electrónicamente con número: VA07290/22
Código de validación telemática TRLTDCFZ60T66IJ1. Comprobación: https://cogitivalencia.e-gestion.es/Validacion.aspx?CVT=TRLTDCFZ60T66IJ1

VISADO
COGITI
VALENCIA
VA07290/22
TRLTDCFZ60T66IJ1

Listados

Descripción											
Material		Barra (Ni/Nf)	Pieza (Ni/Nf)	Perfil(Serie)	Longitud (m)			β_{xy}	β_{xz}	Lbsup (m)	Lbinf (m)
Tipo	Designación				Indeformable origen	Deformable	Indeformable extremo				
		N2860/N3056	N2860/N2990	SHS 120x5.0 (SHS)	0.060	2.313	0.060	1.00	3.00	-	-
		N3056/N3055	N2860/N2990	SHS 120x5.0 (SHS)	0.060	2.313	0.060	1.00	3.00	-	-
		N3055/N2990	N2860/N2990	SHS 120x5.0 (SHS)	0.060	2.313	0.060	1.00	3.00	-	-
		N3053/N3055	N3053/N3055	SHS 120x5.0 (SHS)	0.060	1.880	0.060	1.00	1.00	-	-
		N3054/N3055	N3054/N3055	L 40 x 40 x 4 (L)	0.095	2.960	0.095	0.00	0.00	-	-
		N3053/N3056	N3053/N3056	L 40 x 40 x 4 (L)	0.095	2.960	0.095	0.00	0.00	-	-
		N3054/N3056	N3054/N3056	SHS 120x5.0 (SHS)	0.060	1.880	0.060	1.00	1.00	-	-
		N2868/N3057	N2868/N2994	SHS 120x5.0 (SHS)	0.060	2.313	0.060	1.00	3.00	-	-
		N3057/N3058	N2868/N2994	SHS 120x5.0 (SHS)	0.060	2.313	0.060	1.00	3.00	-	-
		N3058/N2994	N2868/N2994	SHS 120x5.0 (SHS)	0.060	2.313	0.060	1.00	3.00	-	-
		N2899/N3059	N2899/N3009	SHS 120x5.0 (SHS)	0.060	2.313	0.060	1.00	3.00	-	-
		N3059/N3060	N2899/N3009	SHS 120x5.0 (SHS)	0.060	2.313	0.060	1.00	3.00	-	-
		N3060/N3009	N2899/N3009	SHS 120x5.0 (SHS)	0.060	2.313	0.060	1.00	3.00	-	-
		N3060/N3058	N3060/N3058	SHS 120x5.0 (SHS)	0.060	1.880	0.060	1.00	1.00	-	-
		N3059/N3057	N3059/N3057	SHS 120x5.0 (SHS)	0.060	1.880	0.060	1.00	1.00	-	-
		N3060/N3057	N3060/N3057	L 40 x 40 x 4 (L)	0.095	2.960	0.095	0.00	0.00	-	-
		N3059/N3058	N3059/N3058	L 40 x 40 x 4 (L)	0.095	2.960	0.095	0.00	0.00	-	-
		N2903/N3062	N2903/N3011	SHS 120x5.0 (SHS)	0.050	2.323	0.060	1.00	3.00	-	-
		N3062/N3061	N2903/N3011	SHS 120x5.0 (SHS)	0.060	2.313	0.060	1.00	3.00	-	-
		N3061/N3011	N2903/N3011	SHS 120x5.0 (SHS)	0.060	2.313	0.060	1.00	3.00	-	-
		N2872/N3064	N2872/N2996	SHS 120x5.0 (SHS)	0.050	2.323	0.060	1.00	3.00	-	-
		N3064/N3063	N2872/N2996	SHS 120x5.0 (SHS)	0.060	2.313	0.060	1.00	3.00	-	-
		N3063/N2996	N2872/N2996	SHS 120x5.0 (SHS)	0.060	2.313	0.060	1.00	3.00	-	-
		N3061/N3063	N3061/N3063	SHS 120x5.0 (SHS)	0.060	1.880	0.060	1.00	1.00	-	-
		N3062/N3063	N3062/N3063	L 40 x 40 x 4 (L)	0.095	2.960	0.095	0.00	0.00	-	-
		N3061/N3064	N3061/N3064	L 40 x 40 x 4 (L)	0.095	2.960	0.095	0.00	0.00	-	-
		N3062/N3064	N3062/N3064	SHS 120x5.0 (SHS)	0.060	1.880	0.060	1.00	1.00	-	-
		N2907/N3066	N2907/N3013	SHS 120x5.0 (SHS)	0.060	2.313	0.060	1.00	3.00	-	-
		N3066/N3065	N2907/N3013	SHS 120x5.0 (SHS)	0.060	2.313	0.060	1.00	3.00	-	-
		N3065/N3013	N2907/N3013	SHS 120x5.0 (SHS)	0.060	2.313	0.060	1.00	3.00	-	-
		N2876/N3068	N2876/N2998	SHS 120x5.0 (SHS)	0.060	2.313	0.060	1.00	3.00	-	-

Documento visado electrónicamente con número: VA07290/22
Código de validación telemática TRLTDCFZ60T66IJ1. Comprobación: https://cogitivalencia.e-gestion.es/Validacion.aspx?CVT=TRLTDCFZ60T66IJ1

Listados

VISADO
COGITI
VALENCIA
VA07290/22
TRLTDCFZ60T66IJ1

Descripción												
Material		Barra (Ni/Nf)	Pieza (Ni/Nf)	Perfil(Serie)	Longitud (m)			β_{xy}	β_{xz}	$Lb_{sup.}$ (m)	$Lb_{inf.}$ (m)
Tipo	Designación				Indeformable origen	Deformable	Indeformable extremo				
		N3068/N3067	N2876/N2998	SHS 120x5.0 (SHS)	0.060	2.313	0.060	1.00	3.00	-	-
		N3067/N2998	N2876/N2998	SHS 120x5.0 (SHS)	0.060	2.313	0.060	1.00	3.00	-	-
		N3065/N3067	N3065/N3067	SHS 120x5.0 (SHS)	0.060	1.880	0.060	1.00	1.00	-	-
		N3066/N3067	N3066/N3067	L 40 x 40 x 4 (L)	0.095	2.960	0.095	0.00	0.00	-	-
		N3065/N3068	N3065/N3068	L 40 x 40 x 4 (L)	0.095	2.960	0.095	0.00	0.00	-	-
		N3066/N3068	N3066/N3068	SHS 120x5.0 (SHS)	0.060	1.880	0.060	1.00	1.00	-	-
		N2814/N2968	N2814/N2968	L 60 x 60 x 5 (L)	0.138	7.845	0.138	0.00	0.00	-	-
		N2967/N2816	N2967/N2816	L 60 x 60 x 5 (L)	0.138	7.916	0.067	0.00	0.00	-	-
		N2878/N3000	N2878/N3000	L 60 x 60 x 5 (L)	0.067	7.916	0.138	0.00	0.00	-	-
		N2999/N2880	N2999/N2880	L 60 x 60 x 5 (L)	0.138	7.845	0.138	0.00	0.00	-	-
		N2828/N2975	N2828/N2975	L 60 x 60 x 5 (L)	0.067	7.916	0.138	0.00	0.00	-	-
		N2974/N2830	N2974/N2830	L 60 x 60 x 5 (L)	0.138	7.845	0.138	0.00	0.00	-	-
		N2848/N2985	N2848/N2985	L 60 x 60 x 5 (L)	0.167	7.816	0.138	0.00	0.00	-	-
		N2984/N2850	N2984/N2850	L 60 x 60 x 5 (L)	0.138	7.916	0.067	0.00	0.00	-	-
		N2862/N2992	N2862/N2992	L 60 x 60 x 5 (L)	0.067	7.916	0.138	0.00	0.00	-	-
		N2991/N2864	N2991/N2864	L 60 x 60 x 5 (L)	0.138	7.845	0.138	0.00	0.00	-	-
		N2847/N2993	N2847/N2993	L 60 x 60 x 5 (L)	0.167	7.816	0.138	0.00	0.00	-	-
		N2983/N2866	N2983/N2866	L 60 x 60 x 5 (L)	0.138	7.916	0.067	0.00	0.00	-	-
		N2818/N3036	N2818/N2969	SHS 120x5.0 (SHS)	0.060	2.313	0.060	1.00	3.00	-	-
		N3036/N3034	N2818/N2969	SHS 120x5.0 (SHS)	0.060	2.313	0.060	1.00	3.00	-	-
		N3034/N2969	N2818/N2969	SHS 120x5.0 (SHS)	0.060	2.313	0.060	1.00	3.00	-	-
		N2884/N3035	N2884/N3002	SHS 120x5.0 (SHS)	0.060	2.313	0.060	1.00	3.00	-	-
		N3035/N3033	N2884/N3002	SHS 120x5.0 (SHS)	0.060	2.313	0.060	1.00	3.00	-	-
		N3033/N3002	N2884/N3002	SHS 120x5.0 (SHS)	0.060	2.313	0.060	1.00	3.00	-	-
		N2969/N2820	N2969/N2820	L 60 x 60 x 5 (L)	0.138	7.927	0.056	0.00	0.00	-	-
		N2818/N2970	N2818/N2970	L 60 x 60 x 5 (L)	0.067	7.916	0.138	0.00	0.00	-	-
		N2820/N2971	N2820/N2971	L 60 x 60 x 5 (L)	0.056	7.927	0.138	0.00	0.00	-	-
		N2970/N2822	N2970/N2822	L 60 x 60 x 5 (L)	0.138	7.927	0.056	0.00	0.00	-	-
		N2971/N2824	N2971/N2824	L 60 x 60 x 5 (L)	0.138	7.927	0.056	0.00	0.00	-	-
		N2822/N2972	N2822/N2972	L 60 x 60 x 5 (L)	0.056	7.927	0.138	0.00	0.00	-	-
		N2972/N2826	N2972/N2826	L 60 x 60 x 5 (L)	0.138	7.916	0.067	0.00	0.00	-	-

Documento visado electrónicamente con número: VA07290/22
Código de validación telemática TRLTDCFZ60T66IJ1. Comprobación: https://cogitivalencia.e-gestion.es/Validacion.aspx?CVT=TRLTDCFZ60T66IJ1

VISADO
COGITI
VALENCIA
VA07290/22
TRLTDCFZ60T66IJ1

Listados

Descripción											
Material		Barra (Ni/Nf)	Pieza (Ni/Nf)	Perfil(Serie)	Longitud (m)			β_{xy}	β_{xz}	Lbsup (m)	Lbinf (m)
Tipo	Designación				Indeformable origen	Deformable	Indeformable extremo				
		N2824/N2973	N2824/N2973	L 60 x 60 x 5 (L)	0.056	7.927	0.138	0.00	0.00	-	-
		N2973/N2828	N2973/N2828	L 60 x 60 x 5 (L)	0.138	7.916	0.067	0.00	0.00	-	-
		N2826/N2974	N2826/N2974	L 60 x 60 x 5 (L)	0.067	7.916	0.138	0.00	0.00	-	-
		N2850/N2986	N2850/N2986	L 60 x 60 x 5 (L)	0.067	7.916	0.138	0.00	0.00	-	-
		N2985/N2852	N2985/N2852	L 60 x 60 x 5 (L)	0.138	7.916	0.067	0.00	0.00	-	-
		N2986/N2854	N2986/N2854	L 60 x 60 x 5 (L)	0.138	7.927	0.056	0.00	0.00	-	-
		N2852/N2987	N2852/N2987	L 60 x 60 x 5 (L)	0.067	7.916	0.138	0.00	0.00	-	-
		N2987/N2856	N2987/N2856	L 60 x 60 x 5 (L)	0.138	7.927	0.056	0.00	0.00	-	-
		N2854/N2988	N2854/N2988	L 60 x 60 x 5 (L)	0.056	7.927	0.138	0.00	0.00	-	-
		N2988/N2858	N2988/N2858	L 60 x 60 x 5 (L)	0.138	7.927	0.056	0.00	0.00	-	-
		N2856/N2989	N2856/N2989	L 60 x 60 x 5 (L)	0.056	7.927	0.138	0.00	0.00	-	-
		N2858/N2990	N2858/N2990	L 60 x 60 x 5 (L)	0.056	7.927	0.138	0.00	0.00	-	-
		N2989/N2860	N2989/N2860	L 60 x 60 x 5 (L)	0.138	7.916	0.067	0.00	0.00	-	-
		N2990/N2862	N2990/N2862	L 60 x 60 x 5 (L)	0.138	7.916	0.067	0.00	0.00	-	-
		N2860/N2991	N2860/N2991	L 60 x 60 x 5 (L)	0.067	7.916	0.138	0.00	0.00	-	-
		N2993/N2868	N2993/N2868	L 60 x 60 x 5 (L)	0.138	7.916	0.067	0.00	0.00	-	-
		N2866/N2994	N2866/N2994	L 60 x 60 x 5 (L)	0.067	7.916	0.138	0.00	0.00	-	-
		N2994/N2870	N2994/N2870	L 60 x 60 x 5 (L)	0.138	7.927	0.056	0.00	0.00	-	-
		N2868/N2995	N2868/N2995	L 60 x 60 x 5 (L)	0.067	7.916	0.138	0.00	0.00	-	-
		N2995/N2872	N2995/N2872	L 60 x 60 x 5 (L)	0.138	7.927	0.056	0.00	0.00	-	-
		N2870/N2996	N2870/N2996	L 60 x 60 x 5 (L)	0.056	7.927	0.138	0.00	0.00	-	-
		N2872/N2997	N2872/N2997	L 60 x 60 x 5 (L)	0.056	7.927	0.138	0.00	0.00	-	-
		N2996/N2874	N2996/N2874	L 60 x 60 x 5 (L)	0.138	7.927	0.056	0.00	0.00	-	-
		N2997/N2876	N2997/N2876	L 60 x 60 x 5 (L)	0.138	7.916	0.067	0.00	0.00	-	-
		N2874/N2998	N2874/N2998	L 60 x 60 x 5 (L)	0.056	7.927	0.138	0.00	0.00	-	-
		N2998/N2878	N2998/N2878	L 60 x 60 x 5 (L)	0.138	7.916	0.067	0.00	0.00	-	-
		N2876/N2999	N2876/N2999	L 60 x 60 x 5 (L)	0.067	7.916	0.138	0.00	0.00	-	-
		N2816/N2969	N2816/N2969	L 60 x 60 x 5 (L)	0.067	7.916	0.138	0.00	0.00	-	-
		N2968/N2818	N2968/N2818	L 60 x 60 x 5 (L)	0.138	7.916	0.067	0.00	0.00	-	-
		N3069/N3070	N3069/N3070	HE 280 B (HEB)	-	1.000	-	6.00	6.00	3.000	3.000
		N3071/N1658	N3071/N1658	HE 280 B (HEB)	-	1.406	0.094	1.33	1.33	2.000	2.000

Documento visado electrónicamente con número: VA07290/22
Código de validación telemática TRLTDCFZ60T66IJ1. Comprobación: https://cogitivalencia.e-gestion.es/Validacion.aspx?CVT=TRLTDCFZ60T66IJ1

Listados

VISADO
COGITI
VALENCIA
VA07290/22
TRLTDCFZ60T66IJ1

Descripción												
Material		Barra (Ni/Nf)	Pieza (Ni/Nf)	Perfil(Serie)	Longitud (m)			β_{xy}	β_{xz}	$Lb_{sup.}$ (m)	$Lb_{inf.}$ (m)	
Tipo	Designación				Indeformable origen	Deformable	Indeformable extremo					
		N3070/N1949	N3070/N3071	HE 280 B|I| (HEB)	-	1.869	0.131	3.00	3.00	3.000	3.000	
		N1949/N1659	N3070/N3071	HE 280 B|I| (HEB)	0.131	1.781	0.088	1.00	1.00	2.000	2.000	
		N1659/N3071	N3070/N3071	HE 280 B|I| (HEB)	0.088	0.412	-	4.00	4.00	2.000	2.000	
		N3072/N3073	N3072/N3073	HE 280 B (HEB)	-	1.000	-	6.00	6.00	3.000	3.000	
		N3074/N1754	N3074/N1754	HE 280 B (HEB)	-	1.383	0.117	1.33	1.33	2.000	2.000	
		N3073/N1950	N3073/N3074	HE 280 B|I| (HEB)	-	1.825	0.175	3.00	3.00	3.000	3.000	
		N1950/N1755	N3073/N3074	HE 280 B|I| (HEB)	0.175	1.709	0.116	1.00	1.00	2.000	2.000	
		N1755/N3074	N3073/N3074	HE 280 B|I| (HEB)	0.116	0.384	-	4.00	4.00	2.000	2.000	
		N3075/N3076	N3075/N3076	HE 280 B (HEB)	-	1.000	-	6.00	6.00	3.000	3.000	
		N3077/N1850	N3077/N1850	HE 280 B (HEB)	-	1.383	0.117	1.33	1.33	2.000	2.000	
		N3076/N1951	N3076/N3077	HE 280 B|I| (HEB)	-	1.825	0.175	3.00	3.00	3.000	3.000	
		N1951/N1851	N3076/N3077	HE 280 B|I| (HEB)	0.175	1.709	0.116	1.00	1.00	2.000	2.000	
		N1851/N3077	N3076/N3077	HE 280 B|I| (HEB)	0.116	0.384	-	4.00	4.00	2.000	2.000	
		N3078/N3079	N3078/N3079	HE 280 B (HEB)	-	1.000	-	6.00	6.00	3.000	3.000	
		N3080/N2065	N3080/N2065	HE 280 B (HEB)	-	1.406	0.094	1.33	1.33	2.000	2.000	
		N3079/N2066	N3079/N3080	HE 280 B|I| (HEB)	-	1.869	0.131	3.00	3.00	3.000	3.000	
		N2066/N2083	N3079/N3080	HE 280 B|I| (HEB)	0.131	1.781	0.088	1.00	1.00	2.000	2.000	
		N2083/N3080	N3079/N3080	HE 280 B|I| (HEB)	0.088	0.412	-	4.00	4.00	2.000	2.000	
		N3081/N3082	N3081/N3082	HE 280 B (HEB)	-	1.000	-	6.00	6.00	3.000	3.000	
		N3083/N2218	N3083/N2218	HE 280 B (HEB)	-	1.406	0.094	1.33	1.33	2.000	2.000	
		N3082/N2219	N3082/N3083	HE 280 B|I| (HEB)	-	1.869	0.131	3.00	3.00	3.000	3.000	
		N2219/N2236	N3082/N3083	HE 280 B|I| (HEB)	0.131	1.781	0.088	1.00	1.00	2.000	2.000	
		N2236/N3083	N3082/N3083	HE 280 B|I| (HEB)	0.088	0.412	-	4.00	4.00	2.000	2.000	
		N3084/N3085	N3084/N3085	HE 280 B (HEB)	-	1.000	-	6.00	6.00	3.000	3.000	
		N3086/N2524	N3086/N2524	HE 280 B (HEB)	-	1.406	0.094	1.33	1.33	2.000	2.000	
		N3085/N2525	N3085/N3086	HE 280 B|I| (HEB)	-	1.869	0.131	3.00	3.00	3.000	3.000	
		N2525/N2542	N3085/N3086	HE 280 B|I| (HEB)	0.131	1.781	0.088	1.00	1.00	2.000	2.000	
		N2542/N3086	N3085/N3086	HE 280 B|I| (HEB)	0.088	0.412	-	4.00	4.00	2.000	2.000	
		N3087/N3088	N3087/N3088	HE 280 B (HEB)	-	1.000	-	6.00	6.00	3.000	3.000	
		N3089/N2677	N3089/N2677	HE 280 B (HEB)	-	1.406	0.094	1.33	1.33	2.000	2.000	
		N3088/N2678	N3088/N3089	HE 280 B|I| (HEB)	-	1.869	0.131	3.00	3.00	3.000	3.000	

Documento visado electrónicamente con número: VA07290/22
Código de validación telemática TRLTDCFZ60T66IJ1. Comprobación: https://cogitivalencia.e-gestion.es/Validacion.aspx?CVT=TRLTDCFZ60T66IJ1

VISADO
COGITI
VALENCIA
VA07290/22
TRLTDCFZ60T66IJ1

Listados

Descripción											
Material		Barra (Ni/Nf)	Pieza (Ni/Nf)	Perfil(Serie)	Longitud (m)			β_{xy}	β_{xz}	Lbsup (m)	Lbinf (m)
Tipo	Designación				Indeformable origen	Deformable	Indeformable extremo				
		N2678/N2695	N3088/N3089	HE 280 B|I| (HEB)	0.131	1.781	0.088	1.00	1.00	2.000	2.000
		N2695/N3089	N3088/N3089	HE 280 B|I| (HEB)	0.088	0.412	-	4.00	4.00	2.000	2.000
		N3090/N3091	N3090/N3091	HE 280 B (HEB)	-	1.000	-	6.00	6.00	3.000	3.000
		N3092/N2830	N3092/N2830	HE 280 B (HEB)	-	1.406	0.094	1.33	1.33	2.000	2.000
		N3091/N2831	N3091/N3092	HE 280 B|I| (HEB)	-	1.869	0.131	3.00	3.00	3.000	3.000
		N2831/N2848	N3091/N3092	HE 280 B|I| (HEB)	0.131	1.781	0.088	1.00	1.00	2.000	2.000
		N2848/N3092	N3091/N3092	HE 280 B|I| (HEB)	0.088	0.412	-	4.00	4.00	2.000	2.000
		N3093/N3094	N3093/N3094	HE 280 B (HEB)	-	1.000	-	6.00	6.00	3.000	3.000
		N3095/N1675	N3095/N1675	HE 280 B (HEB)	-	1.406	0.094	1.33	1.33	2.000	2.000
		N3094/N1952	N3094/N3095	HE 280 B|I| (HEB)	-	1.869	0.131	3.00	3.00	3.000	3.000
		N1952/N1676	N3094/N3095	HE 280 B|I| (HEB)	0.131	1.781	0.088	1.00	1.00	2.000	2.000
		N1676/N3095	N3094/N3095	HE 280 B|I| (HEB)	0.088	0.412	-	4.00	4.00	2.000	2.000
		N3096/N3097	N3096/N3097	HE 280 B (HEB)	-	1.000	-	6.00	6.00	3.000	3.000
		N3098/N1771	N3098/N1771	HE 280 B (HEB)	-	1.383	0.117	1.33	1.33	2.000	2.000
		N3097/N1957	N3097/N3098	HE 280 B|I| (HEB)	-	1.825	0.175	3.00	3.00	3.000	3.000
		N1957/N1772	N3097/N3098	HE 280 B|I| (HEB)	0.175	1.709	0.116	1.00	1.00	2.000	2.000
		N1772/N3098	N3097/N3098	HE 280 B|I| (HEB)	0.116	0.384	-	4.00	4.00	2.000	2.000
		N3099/N3100	N3099/N3100	HE 280 B (HEB)	-	1.000	-	6.00	6.00	3.000	3.000
		N3101/N1867	N3101/N1867	HE 280 B (HEB)	-	1.383	0.117	1.33	1.33	2.000	2.000
		N3100/N1962	N3100/N3101	HE 280 B|I| (HEB)	-	1.825	0.175	3.00	3.00	3.000	3.000
		N1962/N1868	N3100/N3101	HE 280 B|I| (HEB)	0.175	1.709	0.116	1.00	1.00	2.000	2.000
		N1868/N3101	N3100/N3101	HE 280 B|I| (HEB)	0.116	0.384	-	4.00	4.00	2.000	2.000
		N3102/N3103	N3102/N3103	HE 280 B (HEB)	-	1.000	-	6.00	6.00	3.000	3.000
		N3104/N2099	N3104/N2099	HE 280 B (HEB)	-	1.406	0.094	1.33	1.33	2.000	2.000
		N3103/N2159	N3103/N3104	HE 280 B|I| (HEB)	-	1.869	0.131	3.00	3.00	3.000	3.000
		N2159/N2082	N3103/N3104	HE 280 B|I| (HEB)	0.131	1.781	0.088	1.00	1.00	2.000	2.000
		N2082/N3104	N3103/N3104	HE 280 B|I| (HEB)	0.088	0.412	-	4.00	4.00	2.000	2.000
		N3105/N3106	N3105/N3106	HE 280 B (HEB)	-	1.000	-	6.00	6.00	3.000	3.000
		N3107/N2252	N3107/N2252	HE 280 B (HEB)	-	1.406	0.094	1.33	1.33	2.000	2.000
		N3106/N2312	N3106/N3107	HE 280 B|I| (HEB)	-	1.869	0.131	3.00	3.00	3.000	3.000
		N2312/N2235	N3106/N3107	HE 280 B|I| (HEB)	0.131	1.781	0.088	1.00	1.00	2.000	2.000

Documento visado electrónicamente con número: VA07290/22
Código de validación telemática TRLTDCFZ60T66IJ1. Comprobación: https://cogitivalencia.e-gestion.es/Validacion.aspx?CVT=TRLTDCFZ60T66IJ1

VISADO
COGITI
VALENCIA
VA07290/22
TRLTDCFZ60T66IJ1

Descripción												
Material		Barra (Ni/Nf)	Pieza (Ni/Nf)	Perfil(Serie)	Longitud (m)			β_{xy}	β_{xz}	$Lb_{sup.}$ (m)	$Lb_{inf.}$ (m)	
Tipo	Designación				Indeformable origen	Deformable	Indeformable extremo					
		N2235/N3107	N3106/N3107	HE 280 B|I| (HEB)	0.088	0.412	-	4.00	4.00	2.000	2.000	
		N3108/N3109	N3108/N3109	HE 280 B (HEB)	-	1.000	-	6.00	6.00	3.000	3.000	
		N3110/N2405	N3110/N2405	HE 280 B (HEB)	-	1.406	0.094	1.33	1.33	2.000	2.000	
		N3109/N2465	N3109/N3110	HE 280 B|I| (HEB)	-	1.869	0.131	3.00	3.00	3.000	3.000	
		N2465/N2388	N3109/N3110	HE 280 B|I| (HEB)	0.131	1.781	0.088	1.00	1.00	2.000	2.000	
		N2388/N3110	N3109/N3110	HE 280 B|I| (HEB)	0.088	0.412	-	4.00	4.00	2.000	2.000	
		N3111/N3112	N3111/N3112	HE 280 B (HEB)	-	1.000	-	6.00	6.00	3.000	3.000	
		N3113/N2558	N3113/N2558	HE 280 B (HEB)	-	1.406	0.094	1.33	1.33	2.000	2.000	
		N3112/N2618	N3112/N3113	HE 280 B|I| (HEB)	-	1.869	0.131	3.00	3.00	3.000	3.000	
		N2618/N2541	N3112/N3113	HE 280 B|I| (HEB)	0.131	1.781	0.088	1.00	1.00	2.000	2.000	
		N2541/N3113	N3112/N3113	HE 280 B|I| (HEB)	0.088	0.412	-	4.00	4.00	2.000	2.000	
		N3114/N3115	N3114/N3115	HE 280 B (HEB)	-	1.000	-	6.00	6.00	3.000	3.000	
		N3116/N2711	N3116/N2711	HE 280 B (HEB)	-	1.406	0.094	1.33	1.33	2.000	2.000	
		N3115/N2771	N3115/N3116	HE 280 B|I| (HEB)	-	1.869	0.131	3.00	3.00	3.000	3.000	
		N2771/N2694	N3115/N3116	HE 280 B|I| (HEB)	0.131	1.781	0.088	1.00	1.00	2.000	2.000	
		N2694/N3116	N3115/N3116	HE 280 B|I| (HEB)	0.088	0.412	-	4.00	4.00	2.000	2.000	
		N3117/N3118	N3117/N3118	HE 280 B (HEB)	-	1.000	-	6.00	6.00	3.000	3.000	
		N3119/N2864	N3119/N2864	HE 280 B (HEB)	-	1.406	0.094	1.33	1.33	2.000	2.000	
		N3118/N2924	N3118/N3119	HE 280 B|I| (HEB)	-	1.869	0.131	3.00	3.00	3.000	3.000	
		N2924/N2847	N3118/N3119	HE 280 B|I| (HEB)	0.131	1.781	0.088	1.00	1.00	2.000	2.000	
		N2847/N3119	N3118/N3119	HE 280 B|I| (HEB)	0.088	0.412	-	4.00	4.00	2.000	2.000	
		N3120/N3121	N3120/N3121	HE 280 B (HEB)	-	1.000	-	6.00	10.00	5.000	5.000	
		N3122/N1692	N3122/N1692	HE 280 B (HEB)	-	1.406	0.094	1.33	1.33	2.000	2.000	
		N3121/N1976	N3121/N3122	HE 280 B|I| (HEB)	-	1.860	0.140	3.00	5.00	5.000	5.000	
		N1976/N1974	N3121/N3122	HE 280 B|I| (HEB)	0.140	1.720	0.140	1.00	5.00	5.000	5.000	
		N1974/N3122	N3121/N3122	HE 280 B|I| (HEB)	0.140	0.360	-	4.00	4.00	2.000	2.000	
		N3123/N3124	N3123/N3124	HE 320 B (HEB)	-	1.000	-	6.00	10.00	5.000	5.000	
		N3125/N1788	N3125/N1788	HE 320 B (HEB)	-	1.383	0.117	1.33	1.33	2.000	2.000	
		N3124/N1975	N3124/N3125	HE 320 B|I| (HEB)	-	1.860	0.140	3.00	5.00	5.000	5.000	
		N1975/N1968	N3124/N3125	HE 320 B|I| (HEB)	0.140	1.720	0.140	1.00	5.00	5.000	5.000	
		N1968/N3125	N3124/N3125	HE 320 B|I| (HEB)	0.140	0.360	-	4.00	4.00	2.000	2.000	

Documento visado electrónicamente con número: VA07290/22
Código de validación telemática TRLTDCFZ60T66IJ1. Comprobación: https://cogitivalencia.e-gestion.es/Validacion.aspx?CVT=TRLTDCFZ60T66IJ1

VISADO
COGITI
VALENCIA
VA07290/22
TRLTDCFZ60T66IJ1

Descripción											
Material		Barra (Ni/Nf)	Pieza (Ni/Nf)	Perfil(Serie)	Longitud (m)			β_{xy}	β_{xz}	Lbxy (m)	Lbxz (m)
Tipo	Designación				Indeformable origen	Deformable	Indeformable extremo				
		N3126/N3127	N3126/N3127	HE 320 B (HEB)	-	1.000	-	6.00	10.00	5.000	5.000
		N3128/N1884	N3128/N1884	HE 320 B (HEB)	-	1.383	0.117	1.33	1.33	2.000	2.000
		N3127/N1969	N3127/N3128	HE 320 B|I| (HEB)	-	1.860	0.140	3.00	5.00	5.000	5.000
		N1969/N1966	N3127/N3128	HE 320 B|I| (HEB)	0.140	1.720	0.140	1.00	5.00	5.000	5.000
		N1966/N3128	N3127/N3128	HE 320 B|I| (HEB)	0.140	0.360	-	4.00	4.00	2.000	2.000
		N3129/N3130	N3129/N3130	HE 280 B (HEB)	-	1.000	-	6.00	10.00	5.000	5.000
		N3131/N2115	N3131/N2115	HE 280 B (HEB)	-	1.406	0.094	1.33	1.33	2.000	2.000
		N3130/N2165	N3130/N3131	HE 280 B|I| (HEB)	-	1.860	0.140	3.00	5.00	5.000	5.000
		N2165/N2163	N3130/N3131	HE 280 B|I| (HEB)	0.140	1.720	0.140	1.00	5.00	5.000	5.000
		N2163/N3131	N3130/N3131	HE 280 B|I| (HEB)	0.140	0.360	-	4.00	4.00	2.000	2.000
		N3132/N3133	N3132/N3133	HE 280 B (HEB)	-	1.000	-	6.00	10.00	5.000	5.000
		N3134/N2268	N3134/N2268	HE 280 B (HEB)	-	1.406	0.094	1.33	1.33	2.000	2.000
		N3133/N2318	N3133/N3134	HE 280 B|I| (HEB)	-	1.860	0.140	3.00	5.00	5.000	5.000
		N2318/N2316	N3133/N3134	HE 280 B|I| (HEB)	0.140	1.720	0.140	1.00	5.00	5.000	5.000
		N2316/N3134	N3133/N3134	HE 280 B|I| (HEB)	0.140	0.360	-	4.00	4.00	2.000	2.000
		N3135/N3136	N3135/N3136	HE 280 B (HEB)	-	1.000	-	6.00	10.00	5.000	5.000
		N3137/N2421	N3137/N2421	HE 280 B (HEB)	-	1.406	0.094	1.33	1.33	2.000	2.000
		N3136/N2471	N3136/N3137	HE 280 B|I| (HEB)	-	1.860	0.140	3.00	5.00	5.000	5.000
		N2471/N2469	N3136/N3137	HE 280 B|I| (HEB)	0.140	1.720	0.140	1.00	5.00	5.000	5.000
		N2469/N3137	N3136/N3137	HE 280 B|I| (HEB)	0.140	0.360	-	4.00	4.00	2.000	2.000
		N3138/N3139	N3138/N3139	HE 280 B (HEB)	-	1.000	-	6.00	10.00	5.000	5.000
		N3140/N2574	N3140/N2574	HE 280 B (HEB)	-	1.406	0.094	1.33	1.33	2.000	2.000
		N3139/N2624	N3139/N3140	HE 280 B|I| (HEB)	-	1.860	0.140	3.00	5.00	5.000	5.000
		N2624/N2622	N3139/N3140	HE 280 B|I| (HEB)	0.140	1.720	0.140	1.00	5.00	5.000	5.000
		N2622/N3140	N3139/N3140	HE 280 B|I| (HEB)	0.140	0.360	-	4.00	4.00	2.000	2.000
		N3141/N3142	N3141/N3142	HE 280 B (HEB)	-	1.000	-	6.00	10.00	5.000	5.000
		N3143/N2727	N3143/N2727	HE 280 B (HEB)	-	1.406	0.094	1.33	1.33	2.000	2.000
		N3142/N2777	N3142/N3143	HE 280 B|I| (HEB)	-	1.860	0.140	3.00	5.00	5.000	5.000
		N2777/N2775	N3142/N3143	HE 280 B|I| (HEB)	0.140	1.720	0.140	1.00	5.00	5.000	5.000
		N2775/N3143	N3142/N3143	HE 280 B|I| (HEB)	0.140	0.360	-	4.00	4.00	2.000	2.000
		N3144/N3145	N3144/N3145	HE 280 B (HEB)	-	1.000	-	6.00	10.00	5.000	5.000

Documento visado electrónicamente con número: VA07290/22
Código de validación telemática TRLTDCFZ60T66IJ1. Comprobación: https://cogitivalencia.e-gestion.es/Validacion.aspx?CVT=TRLTDCFZ60T66IJ1

VISADO
COGITI
VALENCIA
VA07290/22
TRLTDCFZ60T66IJ1

Descripción												
Material		Barra (Ni/Nf)	Pieza (Ni/Nf)	Perfil(Serie)	Longitud (m)			β_{xy}	β_{xz}	$Lb_{sup.}$ (m)	$Lb_{inf.}$ (m)	
Tipo	Designación				Indeformable origen	Deformable	Indeformable extremo					
		N3146/N2880	N3146/N2880	HE 280 B (HEB)	-	1.406	0.094	1.33	1.33	2.000	2.000	
		N3145/N2930	N3145/N3146	HE 280 B|I| (HEB)	-	1.860	0.140	3.00	5.00	5.000	5.000	
		N2930/N2928	N3145/N3146	HE 280 B|I| (HEB)	0.140	1.720	0.140	1.00	5.00	5.000	5.000	
		N2928/N3146	N3145/N3146	HE 280 B|I| (HEB)	0.140	0.360	-	4.00	4.00	2.000	2.000	
		N3147/N3148	N3147/N3148	HE 280 B (HEB)	-	1.000	-	6.00	6.00	3.000	3.000	
		N3149/N2371	N3149/N2371	HE 280 B (HEB)	-	1.406	0.094	1.33	1.33	2.000	2.000	
		N3148/N2372	N3148/N3149	HE 280 B|I| (HEB)	-	1.869	0.131	3.00	3.00	3.000	3.000	
		N2372/N2389	N3148/N3149	HE 280 B|I| (HEB)	0.131	1.781	0.088	1.00	1.00	2.000	2.000	
		N2389/N3149	N3148/N3149	HE 280 B|I| (HEB)	0.088	0.412	-	4.00	4.00	2.000	2.000	
		N1952/N1722	N1952/N1722	HE 180 B (HEB)	0.204	2.267	0.111	1.00	1.00	-	-	
		N1957/N1818	N1957/N1818	HE 240 B|I| (HEB)	0.204	2.229	0.149	1.00	1.00	-	-	
		N1962/N1914	N1962/N1914	HE 240 B|I| (HEB)	0.204	2.229	0.149	1.00	1.00	-	-	
		N2159/N2081	N2159/N2081	HE 180 B (HEB)	0.204	2.267	0.111	1.00	1.00	-	-	
		N2312/N2234	N2312/N2234	HE 180 B (HEB)	0.204	2.267	0.111	1.00	1.00	-	-	
		N2465/N2387	N2465/N2387	HE 180 B (HEB)	0.204	2.267	0.111	1.00	1.00	-	-	
		N2618/N2540	N2618/N2540	HE 180 B (HEB)	0.204	2.267	0.111	1.00	1.00	-	-	
		N2771/N2693	N2771/N2693	HE 180 B (HEB)	0.204	2.267	0.111	1.00	1.00	-	-	
		N2924/N2846	N2924/N2846	HE 180 B (HEB)	0.204	2.267	0.111	1.00	1.00	-	-	
		N1949/N1707	N1949/N1707	HE 180 B (HEB)	0.204	2.267	0.111	1.00	1.00	-	-	
		N1950/N1803	N1950/N1803	HE 240 B|I| (HEB)	0.204	2.229	0.149	1.00	1.00	-	-	
		N1951/N1899	N1951/N1899	HE 240 B|I| (HEB)	0.204	2.229	0.149	1.00	1.00	-	-	
		N2066/N2130	N2066/N2130	HE 180 B (HEB)	0.204	2.267	0.111	1.00	1.00	-	-	
		N2219/N2283	N2219/N2283	HE 180 B (HEB)	0.204	2.267	0.111	1.00	1.00	-	-	
		N2372/N2436	N2372/N2436	HE 180 B (HEB)	0.204	2.267	0.111	1.00	1.00	-	-	
		N2525/N2589	N2525/N2589	HE 180 B (HEB)	0.204	2.267	0.111	1.00	1.00	-	-	
		N2678/N2742	N2678/N2742	HE 180 B (HEB)	0.204	2.267	0.111	1.00	1.00	-	-	
		N2831/N2895	N2831/N2895	HE 180 B (HEB)	0.204	2.267	0.111	1.00	1.00	-	-	
		N1724/N1725	N1724/N1728	HE 180 A (HEA)	0.061	1.640	0.078	1.83	1.00	-	-	
		N1725/N1726	N1724/N1728	HE 180 A (HEA)	0.078	1.623	0.078	1.83	1.00	-	-	
		N1726/N1727	N1724/N1728	HE 180 A (HEA)	0.078	1.623	0.078	1.83	1.00	-	-	
		N1727/N1728	N1724/N1728	HE 180 A (HEA)	0.078	1.636	0.065	1.83	1.00	-	-	

Documento visado electrónicamente con número: VA07290/22
Código de validación telemática TRLTDCFZ60T66IJ1. Comprobación: https://cogitivalencia.e-gestion.es/Validacion.aspx?CVT=TRLTDCFZ60T66IJ1

VISADO
COGITI
VALENCIA
VA07290/22
TRLTDCFZ60T66IJ1

Listados

Descripción											
Material		Barra (Ni/Nf)	Pieza (Ni/Nf)	Perfil(Serie)	Longitud (m)			β_{xy}	β_{xz}	Lbsup (m)	Lbinf (m)
Tipo	Designación				Indeformable origen	Deformable	Indeformable extremo				
		N1732/N1733	N1732/N1736	HE 180 A (HEA)	0.070	1.625	0.084	1.83	1.00	-	-
		N1733/N1734	N1732/N1736	HE 180 A (HEA)	0.084	1.611	0.084	1.83	1.00	-	-
		N1734/N1735	N1732/N1736	HE 180 A (HEA)	0.084	1.611	0.084	1.83	1.00	-	-
		N1735/N1736	N1732/N1736	HE 180 A (HEA)	0.084	1.634	0.061	1.83	1.00	-	-
		N1828/N1829	N1828/N1832	HE 240 A (HEA)	0.084	1.611	0.084	1.83	1.00	-	-
		N1829/N1830	N1828/N1832	HE 240 A (HEA)	0.084	1.611	0.084	1.83	1.00	-	-
		N1830/N1831	N1828/N1832	HE 240 A (HEA)	0.084	1.590	0.105	1.83	1.00	-	-
		N1831/N1832	N1828/N1832	HE 240 A (HEA)	0.105	1.598	0.076	1.83	1.00	-	-
		N1820/N1821	N1820/N1824	HE 240 A (HEA)	0.076	1.605	0.098	1.83	1.00	-	-
		N1821/N1822	N1820/N1824	HE 240 A (HEA)	0.098	1.603	0.078	1.83	1.00	-	-
		N1822/N1823	N1820/N1824	HE 240 A (HEA)	0.078	1.623	0.078	1.83	1.00	-	-
		N1823/N1824	N1820/N1824	HE 240 A (HEA)	0.078	1.623	0.078	1.83	1.00	-	-
		N1916/N1917	N1916/N1920	HE 240 A (HEA)	0.076	1.605	0.098	1.83	1.00	-	-
		N1917/N1918	N1916/N1920	HE 240 A (HEA)	0.098	1.603	0.078	1.83	1.00	-	-
		N1918/N1919	N1916/N1920	HE 240 A (HEA)	0.078	1.623	0.078	1.83	1.00	-	-
		N1919/N1920	N1916/N1920	HE 240 A (HEA)	0.078	1.623	0.078	1.83	1.00	-	-
		N1924/N1925	N1924/N1928	HE 240 A (HEA)	0.084	1.611	0.084	1.83	1.00	-	-
		N1925/N1926	N1924/N1928	HE 240 A (HEA)	0.084	1.611	0.084	1.83	1.00	-	-
		N1926/N1927	N1924/N1928	HE 240 A (HEA)	0.084	1.590	0.105	1.83	1.00	-	-
		N1927/N1928	N1924/N1928	HE 240 A (HEA)	0.105	1.598	0.076	1.83	1.00	-	-
		N2132/N2133	N2132/N2136	HE 180 A (HEA)	0.061	1.640	0.078	1.83	1.00	-	-
		N2133/N2134	N2132/N2136	HE 180 A (HEA)	0.078	1.623	0.078	1.83	1.00	-	-
		N2134/N2135	N2132/N2136	HE 180 A (HEA)	0.078	1.623	0.078	1.83	1.00	-	-
		N2135/N2136	N2132/N2136	HE 180 A (HEA)	0.078	1.636	0.065	1.83	1.00	-	-
		N2140/N2141	N2140/N2144	HE 180 A (HEA)	0.070	1.625	0.084	1.83	1.00	-	-
		N2141/N2142	N2140/N2144	HE 180 A (HEA)	0.084	1.611	0.084	1.83	1.00	-	-
		N2142/N2143	N2140/N2144	HE 180 A (HEA)	0.084	1.611	0.084	1.83	1.00	-	-
		N2143/N2144	N2140/N2144	HE 180 A (HEA)	0.084	1.634	0.061	1.83	1.00	-	-
		N2285/N2286	N2285/N2289	HE 180 A (HEA)	0.061	1.640	0.078	1.83	1.00	-	-
		N2286/N2287	N2285/N2289	HE 180 A (HEA)	0.078	1.623	0.078	1.83	1.00	-	-
		N2287/N2288	N2285/N2289	HE 180 A (HEA)	0.078	1.623	0.078	1.83	1.00	-	-

Documento visado electrónicamente con número: VA07290/22
Código de validación telemática TRLTDCFZ60T66IJ1. Comprobación: https://cogitivalencia.e-gestion.es/Validacion.aspx?CVT=TRLTDCFZ60T66IJ1

Listados

VISADO
COGITI
VALENCIA
VA07290/22
TRLTDCFZ60T66IJ1

Descripción												
Material		Barra (Ni/Nf)	Pieza (Ni/Nf)	Perfil(Serie)	Longitud (m)			β_{xy}	β_{xz}	$Lb_{sup.}$ (m)	$Lb_{inf.}$ (m)
Tipo	Designación				Indeformable origen	Deformable	Indeformable extremo				
		N2288/N2289	N2285/N2289	HE 180 A (HEA)	0.078	1.636	0.065	1.83	1.00	-	-
		N2293/N2294	N2293/N2297	HE 180 A (HEA)	0.070	1.625	0.084	1.83	1.00	-	-
		N2294/N2295	N2293/N2297	HE 180 A (HEA)	0.084	1.611	0.084	1.83	1.00	-	-
		N2295/N2296	N2293/N2297	HE 180 A (HEA)	0.084	1.611	0.084	1.83	1.00	-	-
		N2296/N2297	N2293/N2297	HE 180 A (HEA)	0.084	1.634	0.061	1.83	1.00	-	-
		N2438/N2439	N2438/N2442	HE 180 A (HEA)	0.061	1.640	0.078	1.83	1.00	-	-
		N2439/N2440	N2438/N2442	HE 180 A (HEA)	0.078	1.623	0.078	1.83	1.00	-	-
		N2440/N2441	N2438/N2442	HE 180 A (HEA)	0.078	1.623	0.078	1.83	1.00	-	-
		N2441/N2442	N2438/N2442	HE 180 A (HEA)	0.078	1.636	0.065	1.83	1.00	-	-
		N2446/N2447	N2446/N2450	HE 180 A (HEA)	0.070	1.625	0.084	1.83	1.00	-	-
		N2447/N2448	N2446/N2450	HE 180 A (HEA)	0.084	1.611	0.084	1.83	1.00	-	-
		N2448/N2449	N2446/N2450	HE 180 A (HEA)	0.084	1.611	0.084	1.83	1.00	-	-
		N2449/N2450	N2446/N2450	HE 180 A (HEA)	0.084	1.634	0.061	1.83	1.00	-	-
		N2591/N2592	N2591/N2595	HE 180 A (HEA)	0.061	1.640	0.078	1.83	1.00	-	-
		N2592/N2593	N2591/N2595	HE 180 A (HEA)	0.078	1.623	0.078	1.83	1.00	-	-
		N2593/N2594	N2591/N2595	HE 180 A (HEA)	0.078	1.623	0.078	1.83	1.00	-	-
		N2594/N2595	N2591/N2595	HE 180 A (HEA)	0.078	1.636	0.065	1.83	1.00	-	-
		N2599/N2600	N2599/N2603	HE 180 A (HEA)	0.070	1.625	0.084	1.83	1.00	-	-
		N2600/N2601	N2599/N2603	HE 180 A (HEA)	0.084	1.611	0.084	1.83	1.00	-	-
		N2601/N2602	N2599/N2603	HE 180 A (HEA)	0.084	1.611	0.084	1.83	1.00	-	-
		N2602/N2603	N2599/N2603	HE 180 A (HEA)	0.084	1.634	0.061	1.83	1.00	-	-
		N2744/N2745	N2744/N2748	HE 180 A (HEA)	0.061	1.640	0.078	1.83	1.00	-	-
		N2745/N2746	N2744/N2748	HE 180 A (HEA)	0.078	1.623	0.078	1.83	1.00	-	-
		N2746/N2747	N2744/N2748	HE 180 A (HEA)	0.078	1.623	0.078	1.83	1.00	-	-
		N2747/N2748	N2744/N2748	HE 180 A (HEA)	0.078	1.636	0.065	1.83	1.00	-	-
		N2752/N2753	N2752/N2756	HE 180 A (HEA)	0.070	1.625	0.084	1.83	1.00	-	-
		N2753/N2754	N2752/N2756	HE 180 A (HEA)	0.084	1.611	0.084	1.83	1.00	-	-
		N2754/N2755	N2752/N2756	HE 180 A (HEA)	0.084	1.611	0.084	1.83	1.00	-	-
		N2755/N2756	N2752/N2756	HE 180 A (HEA)	0.084	1.634	0.061	1.83	1.00	-	-
		N2897/N2898	N2897/N2901	HE 180 A (HEA)	0.061	1.640	0.078	1.83	1.00	-	-
		N2898/N2899	N2897/N2901	HE 180 A (HEA)	0.078	1.623	0.078	1.83	1.00	-	-

Documento visado electrónicamente con número: VA07290/22
Código de validación telemática TRLTDCFZ60T66IJ1. Comprobación: https://cogitivalencia.e-gestion.es/Validacion.aspx?CVT=TRLTDCFZ60T66IJ1

VISADO
COGITI
VALENCIA
VA07290/22
TRLTDCFZ60T66IJ1

Listados

Descripción											
Material		Barra (Ni/Nf)	Pieza (Ni/Nf)	Perfil(Serie)	Longitud (m)			β_{xy}	β_{xz}	Lbsup (m)	Lbinf (m)
Tipo	Designación				Indeformable origen	Deformable	Indeformable extremo				
		N2899/N2900	N2897/N2901	HE 180 A (HEA)	0.078	1.623	0.078	1.83	1.00	-	-
		N2900/N2901	N2897/N2901	HE 180 A (HEA)	0.078	1.636	0.065	1.83	1.00	-	-
		N2905/N2906	N2905/N2909	HE 180 A (HEA)	0.070	1.625	0.084	1.83	1.00	-	-
		N2906/N2907	N2905/N2909	HE 180 A (HEA)	0.084	1.611	0.084	1.83	1.00	-	-
		N2907/N2908	N2905/N2909	HE 180 A (HEA)	0.084	1.611	0.084	1.83	1.00	-	-
		N2908/N2909	N2905/N2909	HE 180 A (HEA)	0.084	1.634	0.061	1.83	1.00	-	-
		N1694/N1695	N1694/N1698	HE 180 A (HEA)	0.061	1.640	0.078	1.83	1.00	-	-
		N1695/N1696	N1694/N1698	HE 180 A (HEA)	0.078	1.623	0.078	1.83	1.00	-	-
		N1696/N1697	N1694/N1698	HE 180 A (HEA)	0.078	1.623	0.078	1.83	1.00	-	-
		N1697/N1698	N1694/N1698	HE 180 A (HEA)	0.078	1.636	0.065	1.83	1.00	-	-
		N1702/N1703	N1702/N1706	HE 180 A (HEA)	0.070	1.625	0.084	1.83	1.00	-	-
		N1703/N1704	N1702/N1706	HE 180 A (HEA)	0.084	1.611	0.084	1.83	1.00	-	-
		N1704/N1705	N1702/N1706	HE 180 A (HEA)	0.084	1.611	0.084	1.83	1.00	-	-
		N1705/N1706	N1702/N1706	HE 180 A (HEA)	0.084	1.634	0.061	1.83	1.00	-	-
		N1790/N1791	N1790/N1794	HE 240 A (HEA)	0.076	1.605	0.098	1.83	1.00	-	-
		N1791/N1792	N1790/N1794	HE 240 A (HEA)	0.098	1.603	0.078	1.83	1.00	-	-
		N1792/N1793	N1790/N1794	HE 240 A (HEA)	0.078	1.623	0.078	1.83	1.00	-	-
		N1793/N1794	N1790/N1794	HE 240 A (HEA)	0.078	1.623	0.078	1.83	1.00	-	-
		N1798/N1799	N1798/N1802	HE 240 A (HEA)	0.084	1.611	0.084	1.83	1.00	-	-
		N1799/N1800	N1798/N1802	HE 240 A (HEA)	0.084	1.611	0.084	1.83	1.00	-	-
		N1800/N1801	N1798/N1802	HE 240 A (HEA)	0.084	1.590	0.105	1.83	1.00	-	-
		N1801/N1802	N1798/N1802	HE 240 A (HEA)	0.105	1.598	0.076	1.83	1.00	-	-
		N1886/N1887	N1886/N1890	HE 240 A (HEA)	0.076	1.605	0.098	1.83	1.00	-	-
		N1887/N1888	N1886/N1890	HE 240 A (HEA)	0.098	1.603	0.078	1.83	1.00	-	-
		N1888/N1889	N1886/N1890	HE 240 A (HEA)	0.078	1.623	0.078	1.83	1.00	-	-
		N1889/N1890	N1886/N1890	HE 240 A (HEA)	0.078	1.623	0.078	1.83	1.00	-	-
		N1894/N1895	N1894/N1898	HE 240 A (HEA)	0.084	1.611	0.084	1.83	1.00	-	-
		N1895/N1896	N1894/N1898	HE 240 A (HEA)	0.084	1.611	0.084	1.83	1.00	-	-
		N1896/N1897	N1894/N1898	HE 240 A (HEA)	0.084	1.590	0.105	1.83	1.00	-	-
		N1897/N1898	N1894/N1898	HE 240 A (HEA)	0.105	1.598	0.076	1.83	1.00	-	-
		N2117/N2118	N2117/N2121	HE 180 A (HEA)	0.061	1.640	0.078	1.83	1.00	-	-

Documento visado electrónicamente con número: VA07290/22
Código de validación telemática TRLTDCFZ60T66IJ1. Comprobación: https://cogitivalencia.e-gestion.es/Validacion.aspx?CVT=TRLTDCFZ60T66IJ1

Listados

VISADO
COGITI
VALENCIA
VA07290/22
TRLTDCFZ60T66IJ1

Descripción												
Material		Barra (Ni/Nf)	Pieza (Ni/Nf)	Perfil(Serie)	Longitud (m)			β_{xy}	β_{xz}	$Lb_{sup.}$ (m)	$Lb_{inf.}$ (m)
Tipo	Designación				Indeformable origen	Deformable	Indeformable extremo				
		N2118/N2119	N2117/N2121	HE 180 A (HEA)	0.078	1.623	0.078	1.83	1.00	-	-
		N2119/N2120	N2117/N2121	HE 180 A (HEA)	0.078	1.623	0.078	1.83	1.00	-	-
		N2120/N2121	N2117/N2121	HE 180 A (HEA)	0.078	1.636	0.065	1.83	1.00	-	-
		N2125/N2126	N2125/N2129	HE 180 A (HEA)	0.070	1.625	0.084	1.83	1.00	-	-
		N2126/N2127	N2125/N2129	HE 180 A (HEA)	0.084	1.611	0.084	1.83	1.00	-	-
		N2127/N2128	N2125/N2129	HE 180 A (HEA)	0.084	1.611	0.084	1.83	1.00	-	-
		N2128/N2129	N2125/N2129	HE 180 A (HEA)	0.084	1.634	0.061	1.83	1.00	-	-
		N2270/N2271	N2270/N2274	HE 180 A (HEA)	0.061	1.640	0.078	1.83	1.00	-	-
		N2271/N2272	N2270/N2274	HE 180 A (HEA)	0.078	1.623	0.078	1.83	1.00	-	-
		N2272/N2273	N2270/N2274	HE 180 A (HEA)	0.078	1.623	0.078	1.83	1.00	-	-
		N2273/N2274	N2270/N2274	HE 180 A (HEA)	0.078	1.636	0.065	1.83	1.00	-	-
		N2278/N2279	N2278/N2282	HE 180 A (HEA)	0.070	1.625	0.084	1.83	1.00	-	-
		N2279/N2280	N2278/N2282	HE 180 A (HEA)	0.084	1.611	0.084	1.83	1.00	-	-
		N2280/N2281	N2278/N2282	HE 180 A (HEA)	0.084	1.611	0.084	1.83	1.00	-	-
		N2281/N2282	N2278/N2282	HE 180 A (HEA)	0.084	1.634	0.061	1.83	1.00	-	-
		N2423/N2424	N2423/N2427	HE 180 A (HEA)	0.061	1.640	0.078	1.83	1.00	-	-
		N2424/N2425	N2423/N2427	HE 180 A (HEA)	0.078	1.623	0.078	1.83	1.00	-	-
		N2425/N2426	N2423/N2427	HE 180 A (HEA)	0.078	1.623	0.078	1.83	1.00	-	-
		N2426/N2427	N2423/N2427	HE 180 A (HEA)	0.078	1.636	0.065	1.83	1.00	-	-
		N2431/N2432	N2431/N2435	HE 180 A (HEA)	0.070	1.625	0.084	1.83	1.00	-	-
		N2432/N2433	N2431/N2435	HE 180 A (HEA)	0.084	1.611	0.084	1.83	1.00	-	-
		N2433/N2434	N2431/N2435	HE 180 A (HEA)	0.084	1.611	0.084	1.83	1.00	-	-
		N2434/N2435	N2431/N2435	HE 180 A (HEA)	0.084	1.634	0.061	1.83	1.00	-	-
		N2576/N2577	N2576/N2580	HE 180 A (HEA)	0.061	1.640	0.078	1.83	1.00	-	-
		N2577/N2578	N2576/N2580	HE 180 A (HEA)	0.078	1.623	0.078	1.83	1.00	-	-
		N2578/N2579	N2576/N2580	HE 180 A (HEA)	0.078	1.623	0.078	1.83	1.00	-	-
		N2579/N2580	N2576/N2580	HE 180 A (HEA)	0.078	1.636	0.065	1.83	1.00	-	-
		N2584/N2585	N2584/N2588	HE 180 A (HEA)	0.070	1.625	0.084	1.83	1.00	-	-
		N2585/N2586	N2584/N2588	HE 180 A (HEA)	0.084	1.611	0.084	1.83	1.00	-	-
		N2586/N2587	N2584/N2588	HE 180 A (HEA)	0.084	1.611	0.084	1.83	1.00	-	-
		N2587/N2588	N2584/N2588	HE 180 A (HEA)	0.084	1.634	0.061	1.83	1.00	-	-

Documento visado electrónicamente con número: VA07290/22
Código de validación telemática TRLTDCFZ60T66IJ1. Comprobación: https://cogitivalencia.e-gestion.es/Validacion.aspx?CVT=TRLTDCFZ60T66IJ1

VISADO
COGITI
VALENCIA
VA07290/22
TRLTDCFZ60T66IJ1

Descripción											
Material		Barra (Ni/Nf)	Pieza (Ni/Nf)	Perfil(Serie)	Longitud (m)			β_{xy}	β_{xz}	Lbsup (m)	Lbinf (m)
Tipo	Designación				Indeformable origen	Deformable	Indeformable extremo				
		N2729/N2730	N2729/N2733	HE 180 A (HEA)	0.061	1.640	0.078	1.83	1.00	-	-
		N2730/N2731	N2729/N2733	HE 180 A (HEA)	0.078	1.623	0.078	1.83	1.00	-	-
		N2731/N2732	N2729/N2733	HE 180 A (HEA)	0.078	1.623	0.078	1.83	1.00	-	-
		N2732/N2733	N2729/N2733	HE 180 A (HEA)	0.078	1.636	0.065	1.83	1.00	-	-
		N2737/N2738	N2737/N2741	HE 180 A (HEA)	0.070	1.625	0.084	1.83	1.00	-	-
		N2738/N2739	N2737/N2741	HE 180 A (HEA)	0.084	1.611	0.084	1.83	1.00	-	-
		N2739/N2740	N2737/N2741	HE 180 A (HEA)	0.084	1.611	0.084	1.83	1.00	-	-
		N2740/N2741	N2737/N2741	HE 180 A (HEA)	0.084	1.634	0.061	1.83	1.00	-	-
		N2882/N2883	N2882/N2886	HE 180 A (HEA)	0.061	1.640	0.078	1.83	1.00	-	-
		N2883/N2884	N2882/N2886	HE 180 A (HEA)	0.078	1.623	0.078	1.83	1.00	-	-
		N2884/N2885	N2882/N2886	HE 180 A (HEA)	0.078	1.623	0.078	1.83	1.00	-	-
		N2885/N2886	N2882/N2886	HE 180 A (HEA)	0.078	1.636	0.065	1.83	1.00	-	-
		N2890/N2891	N2890/N2894	HE 180 A (HEA)	0.070	1.625	0.084	1.83	1.00	-	-
		N2891/N2892	N2890/N2894	HE 180 A (HEA)	0.084	1.611	0.084	1.83	1.00	-	-
		N2892/N2893	N2890/N2894	HE 180 A (HEA)	0.084	1.611	0.084	1.83	1.00	-	-
		N2893/N2894	N2890/N2894	HE 180 A (HEA)	0.084	1.634	0.061	1.83	1.00	-	-
		N1930/N1693	N1930/N1694	HE 180 A (HEA)	0.061	1.640	0.078	1.83	1.00	-	-
		N1693/N1694	N1930/N1694	HE 180 A (HEA)	0.078	1.623	0.078	1.83	1.00	-	-
		N1933/N1789	N1933/N1790	HE 240 A|I| (HEA)	0.076	1.605	0.098	1.83	1.00	-	-
		N1789/N1790	N1933/N1790	HE 240 A|I| (HEA)	0.098	1.583	0.098	1.83	1.00	-	-
		N1938/N1885	N1938/N1886	HE 240 A|I| (HEA)	0.076	1.605	0.098	1.83	1.00	-	-
		N1885/N1886	N1938/N1886	HE 240 A|I| (HEA)	0.098	1.583	0.098	1.83	1.00	-	-
		N2148/N2116	N2148/N2117	HE 180 A (HEA)	0.061	1.640	0.078	1.83	1.00	-	-
		N2116/N2117	N2148/N2117	HE 180 A (HEA)	0.078	1.623	0.078	1.83	1.00	-	-
		N2301/N2269	N2301/N2270	HE 180 A (HEA)	0.061	1.640	0.078	1.83	1.00	-	-
		N2269/N2270	N2301/N2270	HE 180 A (HEA)	0.078	1.623	0.078	1.83	1.00	-	-
		N2454/N2422	N2454/N2423	HE 180 A (HEA)	0.061	1.640	0.078	1.83	1.00	-	-
		N2422/N2423	N2454/N2423	HE 180 A (HEA)	0.078	1.623	0.078	1.83	1.00	-	-
		N2607/N2575	N2607/N2576	HE 180 A (HEA)	0.061	1.640	0.078	1.83	1.00	-	-
		N2575/N2576	N2607/N2576	HE 180 A (HEA)	0.078	1.623	0.078	1.83	1.00	-	-
		N2760/N2728	N2760/N2729	HE 180 A (HEA)	0.061	1.640	0.078	1.83	1.00	-	-

Documento visado electrónicamente con número: VA07290/22
Código de validación telemática TRLTDCFZ60T66IJ1. Comprobación: https://cogitivalencia.e-gestion.es/Validacion.aspx?CVT=TRLTDCFZ60T66IJ1

VISADO
COGITI
VALENCIA
VA07290/22
TRLTDCFZ60T66IJ1

Descripción												
Material		Barra (Ni/Nf)	Pieza (Ni/Nf)	Perfil(Serie)	Longitud (m)			β_{xy}	β_{xz}	$Lb_{sup.}$ (m)	$Lb_{inf.}$ (m)
Tipo	Designación				Indeformable origen	Deformable	Indeformable extremo				
		N2728/N2729	N2760/N2729	HE 180 A (HEA)	0.078	1.623	0.078	1.83	1.00	-	-
		N2913/N2881	N2913/N2882	HE 180 A (HEA)	0.061	1.640	0.078	1.83	1.00	-	-
		N2881/N2882	N2913/N2882	HE 180 A (HEA)	0.078	1.623	0.078	1.83	1.00	-	-
		N1698/N1699	N1698/N1702	HE 180 A (HEA)	0.051	1.663	0.065	1.83	1.00	-	-
		N1699/N1700	N1698/N1702	HE 180 A (HEA)	0.065	1.644	0.070	1.83	1.00	-	-
		N1700/N1701	N1698/N1702	HE 180 A (HEA)	0.070	1.639	0.070	1.83	1.00	-	-
		N1701/N1702	N1698/N1702	HE 180 A (HEA)	0.070	1.658	0.051	1.83	1.00	-	-
		N1794/N1795	N1794/N1798	HE 240 A (HEA)	0.061	1.640	0.078	1.83	1.00	-	-
		N1795/N1796	N1794/N1798	HE 240 A (HEA)	0.078	1.617	0.084	1.83	1.00	-	-
		N1796/N1797	N1794/N1798	HE 240 A (HEA)	0.084	1.611	0.084	1.83	1.00	-	-
		N1797/N1798	N1794/N1798	HE 240 A (HEA)	0.084	1.634	0.061	1.83	1.00	-	-
		N1890/N1891	N1890/N1894	HE 240 A (HEA)	0.061	1.640	0.078	1.83	1.00	-	-
		N1891/N1892	N1890/N1894	HE 240 A (HEA)	0.078	1.617	0.084	1.83	1.00	-	-
		N1892/N1893	N1890/N1894	HE 240 A (HEA)	0.084	1.611	0.084	1.83	1.00	-	-
		N1893/N1894	N1890/N1894	HE 240 A (HEA)	0.084	1.634	0.061	1.83	1.00	-	-
		N2121/N2122	N2121/N2125	HE 180 A (HEA)	0.051	1.663	0.065	1.83	1.00	-	-
		N2122/N2123	N2121/N2125	HE 180 A (HEA)	0.065	1.644	0.070	1.83	1.00	-	-
		N2123/N2124	N2121/N2125	HE 180 A (HEA)	0.070	1.639	0.070	1.83	1.00	-	-
		N2124/N2125	N2121/N2125	HE 180 A (HEA)	0.070	1.658	0.051	1.83	1.00	-	-
		N2274/N2275	N2274/N2278	HE 180 A (HEA)	0.051	1.663	0.065	1.83	1.00	-	-
		N2275/N2276	N2274/N2278	HE 180 A (HEA)	0.065	1.644	0.070	1.83	1.00	-	-
		N2276/N2277	N2274/N2278	HE 180 A (HEA)	0.070	1.639	0.070	1.83	1.00	-	-
		N2277/N2278	N2274/N2278	HE 180 A (HEA)	0.070	1.658	0.051	1.83	1.00	-	-
		N2427/N2428	N2427/N2431	HE 180 A (HEA)	0.051	1.663	0.065	1.83	1.00	-	-
		N2428/N2429	N2427/N2431	HE 180 A (HEA)	0.065	1.644	0.070	1.83	1.00	-	-
		N2429/N2430	N2427/N2431	HE 180 A (HEA)	0.070	1.639	0.070	1.83	1.00	-	-
		N2430/N2431	N2427/N2431	HE 180 A (HEA)	0.070	1.658	0.051	1.83	1.00	-	-
		N2580/N2581	N2580/N2584	HE 180 A (HEA)	0.051	1.663	0.065	1.83	1.00	-	-
		N2581/N2582	N2580/N2584	HE 180 A (HEA)	0.065	1.644	0.070	1.83	1.00	-	-
		N2582/N2583	N2580/N2584	HE 180 A (HEA)	0.070	1.639	0.070	1.83	1.00	-	-
		N2583/N2584	N2580/N2584	HE 180 A (HEA)	0.070	1.658	0.051	1.83	1.00	-	-

Documento visado electrónicamente con número: VA07290/22
Código de validación telemática TRLTDCFZ60T66IJ1. Comprobación: https://cogitivalencia.e-gestion.es/Validacion.aspx?CVT=TRLTDCFZ60T66IJ1

VISADO
COGITI
VALENCIA
VA07290/22
TRLTDCFZ60T66IJ1

Listados

Descripción											
Material		Barra (Ni/Nf)	Pieza (Ni/Nf)	Perfil(Serie)	Longitud (m)			β_{xy}	β_{xz}	Lbsup (m)	Lbinf (m)
Tipo	Designación				Indeformable origen	Deformable	Indeformable extremo				
		N2733/N2734	N2733/N2737	HE 180 A (HEA)	0.051	1.663	0.065	1.83	1.00	-	-
		N2734/N2735	N2733/N2737	HE 180 A (HEA)	0.065	1.644	0.070	1.83	1.00	-	-
		N2735/N2736	N2733/N2737	HE 180 A (HEA)	0.070	1.639	0.070	1.83	1.00	-	-
		N2736/N2737	N2733/N2737	HE 180 A (HEA)	0.070	1.658	0.051	1.83	1.00	-	-
		N2886/N2887	N2886/N2890	HE 180 A (HEA)	0.051	1.663	0.065	1.83	1.00	-	-
		N2887/N2888	N2886/N2890	HE 180 A (HEA)	0.065	1.644	0.070	1.83	1.00	-	-
		N2888/N2889	N2886/N2890	HE 180 A (HEA)	0.070	1.639	0.070	1.83	1.00	-	-
		N2889/N2890	N2886/N2890	HE 180 A (HEA)	0.070	1.658	0.051	1.83	1.00	-	-
		N2894/N2895	N2894/N2848	HE 180 A (HEA)	0.084	1.578	0.117	1.83	1.00	-	-
		N2895/N2848	N2894/N2848	HE 180 A (HEA)	0.117	1.521	0.141	1.83	1.00	-	-
		N2741/N2742	N2741/N2695	HE 180 A (HEA)	0.084	1.578	0.117	1.83	1.00	-	-
		N2742/N2695	N2741/N2695	HE 180 A (HEA)	0.117	1.521	0.141	1.83	1.00	-	-
		N2588/N2589	N2588/N2542	HE 180 A (HEA)	0.084	1.578	0.117	1.83	1.00	-	-
		N2589/N2542	N2588/N2542	HE 180 A (HEA)	0.117	1.521	0.141	1.83	1.00	-	-
		N2435/N2436	N2435/N2389	HE 180 A (HEA)	0.084	1.578	0.117	1.83	1.00	-	-
		N2436/N2389	N2435/N2389	HE 180 A (HEA)	0.117	1.521	0.141	1.83	1.00	-	-
		N2282/N2283	N2282/N2236	HE 180 A (HEA)	0.084	1.578	0.117	1.83	1.00	-	-
		N2283/N2236	N2282/N2236	HE 180 A (HEA)	0.117	1.521	0.141	1.83	1.00	-	-
		N2129/N2130	N2129/N2083	HE 180 A (HEA)	0.084	1.578	0.117	1.83	1.00	-	-
		N2130/N2083	N2129/N2083	HE 180 A (HEA)	0.117	1.521	0.141	1.83	1.00	-	-
		N1898/N1899	N1898/N1851	HE 240 A|I| (HEA)	0.105	1.518	0.156	1.83	1.00	-	-
		N1899/N1851	N1898/N1851	HE 240 A|I| (HEA)	0.156	1.482	0.141	1.83	1.00	-	-
		N1802/N1803	N1802/N1755	HE 240 A|I| (HEA)	0.105	1.518	0.156	1.83	1.00	-	-
		N1803/N1755	N1802/N1755	HE 240 A|I| (HEA)	0.156	1.482	0.141	1.83	1.00	-	-
		N1706/N1707	N1706/N1659	HE 180 A (HEA)	0.084	1.578	0.117	1.83	1.00	-	-
		N1707/N1659	N1706/N1659	HE 180 A (HEA)	0.117	1.521	0.141	1.83	1.00	-	-
		N1905/N1906	N1905/N1909	HE 240 A (HEA)	0.061	1.640	0.078	1.83	1.00	-	-
		N1906/N1907	N1905/N1909	HE 240 A (HEA)	0.078	1.617	0.084	1.83	1.00	-	-
		N1907/N1908	N1905/N1909	HE 240 A (HEA)	0.084	1.611	0.084	1.83	1.00	-	-
		N1908/N1909	N1905/N1909	HE 240 A (HEA)	0.084	1.634	0.061	1.83	1.00	-	-
		N1809/N1810	N1809/N1813	HE 240 A (HEA)	0.061	1.640	0.078	1.83	1.00	-	-

Documento visado electrónicamente con número: VA07290/22
Código de validación telemática TRLTDCFZ60T66IJ1. Comprobación: https://cogitivalencia.e-gestion.es/Validacion.aspx?CVT=TRLTDCFZ60T66IJ1

VISADO
COGITI
VALENCIA
VA07290/22
TRLTDCFZ60T66IJ1

Descripción												
Material		Barra (Ni/Nf)	Pieza (Ni/Nf)	Perfil(Serie)	Longitud (m)			β_{xy}	β_{xz}	$Lb_{sup.}$ (m)	$Lb_{inf.}$ (m)
Tipo	Designación				Indeformable origen	Deformable	Indeformable extremo				
		N1810/N1811	N1809/N1813	HE 240 A (HEA)	0.078	1.617	0.084	1.83	1.00	-	-
		N1811/N1812	N1809/N1813	HE 240 A (HEA)	0.084	1.611	0.084	1.83	1.00	-	-
		N1812/N1813	N1809/N1813	HE 240 A (HEA)	0.084	1.634	0.061	1.83	1.00	-	-
		N1713/N1714	N1713/N1717	HE 180 A (HEA)	0.051	1.663	0.065	1.83	1.00	-	-
		N1714/N1715	N1713/N1717	HE 180 A (HEA)	0.065	1.644	0.070	1.83	1.00	-	-
		N1715/N1716	N1713/N1717	HE 180 A (HEA)	0.070	1.639	0.070	1.83	1.00	-	-
		N1716/N1717	N1713/N1717	HE 180 A (HEA)	0.070	1.658	0.051	1.83	1.00	-	-
		N1709/N1710	N1709/N1713	HE 180 A (HEA)	0.061	1.640	0.078	1.83	1.00	-	-
		N1710/N1711	N1709/N1713	HE 180 A (HEA)	0.078	1.623	0.078	1.83	1.00	-	-
		N1711/N1712	N1709/N1713	HE 180 A (HEA)	0.078	1.623	0.078	1.83	1.00	-	-
		N1712/N1713	N1709/N1713	HE 180 A (HEA)	0.078	1.636	0.065	1.83	1.00	-	-
		N1805/N1806	N1805/N1809	HE 240 A (HEA)	0.076	1.605	0.098	1.83	1.00	-	-
		N1806/N1807	N1805/N1809	HE 240 A (HEA)	0.098	1.603	0.078	1.83	1.00	-	-
		N1807/N1808	N1805/N1809	HE 240 A (HEA)	0.078	1.623	0.078	1.83	1.00	-	-
		N1808/N1809	N1805/N1809	HE 240 A (HEA)	0.078	1.623	0.078	1.83	1.00	-	-
		N1901/N1902	N1901/N1905	HE 240 A (HEA)	0.076	1.605	0.098	1.83	1.00	-	-
		N1902/N1903	N1901/N1905	HE 240 A (HEA)	0.098	1.603	0.078	1.83	1.00	-	-
		N1903/N1904	N1901/N1905	HE 240 A (HEA)	0.078	1.623	0.078	1.83	1.00	-	-
		N1904/N1905	N1901/N1905	HE 240 A (HEA)	0.078	1.623	0.078	1.83	1.00	-	-
		N1909/N1910	N1909/N1913	HE 240 A (HEA)	0.084	1.611	0.084	1.83	1.00	-	-
		N1910/N1911	N1909/N1913	HE 240 A (HEA)	0.084	1.611	0.084	1.83	1.00	-	-
		N1911/N1912	N1909/N1913	HE 240 A (HEA)	0.084	1.590	0.105	1.83	1.00	-	-
		N1912/N1913	N1909/N1913	HE 240 A (HEA)	0.105	1.598	0.076	1.83	1.00	-	-
		N1813/N1814	N1813/N1817	HE 240 A (HEA)	0.084	1.611	0.084	1.83	1.00	-	-
		N1814/N1815	N1813/N1817	HE 240 A (HEA)	0.084	1.611	0.084	1.83	1.00	-	-
		N1815/N1816	N1813/N1817	HE 240 A (HEA)	0.084	1.590	0.105	1.83	1.00	-	-
		N1816/N1817	N1813/N1817	HE 240 A (HEA)	0.105	1.598	0.076	1.83	1.00	-	-
		N1717/N1718	N1717/N1721	HE 180 A (HEA)	0.070	1.625	0.084	1.83	1.00	-	-
		N1718/N1719	N1717/N1721	HE 180 A (HEA)	0.084	1.611	0.084	1.83	1.00	-	-
		N1719/N1720	N1717/N1721	HE 180 A (HEA)	0.084	1.611	0.084	1.83	1.00	-	-
		N1720/N1721	N1717/N1721	HE 180 A (HEA)	0.084	1.634	0.061	1.83	1.00	-	-

Documento visado electrónicamente con número: VA07290/22
Código de validación telemática TRLTDCFZ60T66IJ1. Comprobación: https://cogitivalencia.e-gestion.es/Validacion.aspx?CVT=TRLTDCFZ60T66IJ1

VISADO
COGITI
VALENCIA
VA07290/22
TRLTDCFZ60T66IJ1

Listados

Descripción											
Material		Barra (Ni/Nf)	Pieza (Ni/Nf)	Perfil(Serie)	Longitud (m)			β_{xy}	β_{xz}	Lbsup (m)	Lbinf (m)
Tipo	Designación				Indeformable origen	Deformable	Indeformable extremo				
		N1949/N1708	N1949/N1709	HE 180 A (HEA)	0.141	1.560	0.078	1.83	1.00	-	-
		N1708/N1709	N1949/N1709	HE 180 A (HEA)	0.078	1.623	0.078	1.83	1.00	-	-
		N1950/N1804	N1950/N1805	HE 240 A|I| (HEA)	0.141	1.540	0.098	1.83	1.00	-	-
		N1804/N1805	N1950/N1805	HE 240 A|I| (HEA)	0.098	1.583	0.098	1.83	1.00	-	-
		N1951/N1900	N1951/N1901	HE 240 A|I| (HEA)	0.141	1.540	0.098	1.83	1.00	-	-
		N1900/N1901	N1951/N1901	HE 240 A|I| (HEA)	0.098	1.583	0.098	1.83	1.00	-	-
		N1913/N1914	N1913/N1868	HE 240 A|I| (HEA)	0.105	1.518	0.156	1.83	1.00	-	-
		N1914/N1868	N1913/N1868	HE 240 A|I| (HEA)	0.156	1.482	0.141	1.83	1.00	-	-
		N1817/N1818	N1817/N1772	HE 240 A|I| (HEA)	0.105	1.518	0.156	1.83	1.00	-	-
		N1818/N1772	N1817/N1772	HE 240 A|I| (HEA)	0.156	1.482	0.141	1.83	1.00	-	-
		N1721/N1722	N1721/N1676	HE 180 A (HEA)	0.084	1.578	0.117	1.83	1.00	-	-
		N1722/N1676	N1721/N1676	HE 180 A (HEA)	0.117	1.521	0.141	1.83	1.00	-	-
		N1952/N1723	N1952/N1724	HE 180 A (HEA)	0.141	1.560	0.078	1.83	1.00	-	-
		N1723/N1724	N1952/N1724	HE 180 A (HEA)	0.078	1.623	0.078	1.83	1.00	-	-
		N1957/N1819	N1957/N1820	HE 240 A|I| (HEA)	0.141	1.540	0.098	1.83	1.00	-	-
		N1819/N1820	N1957/N1820	HE 240 A|I| (HEA)	0.098	1.583	0.098	1.83	1.00	-	-
		N1962/N1915	N1962/N1916	HE 240 A|I| (HEA)	0.141	1.540	0.098	1.83	1.00	-	-
		N1915/N1916	N1962/N1916	HE 240 A|I| (HEA)	0.098	1.583	0.098	1.83	1.00	-	-
		N2159/N2131	N2159/N2132	HE 180 A (HEA)	0.141	1.560	0.078	1.83	1.00	-	-
		N2131/N2132	N2159/N2132	HE 180 A (HEA)	0.078	1.623	0.078	1.83	1.00	-	-
		N2312/N2284	N2312/N2285	HE 180 A (HEA)	0.141	1.560	0.078	1.83	1.00	-	-
		N2284/N2285	N2312/N2285	HE 180 A (HEA)	0.078	1.623	0.078	1.83	1.00	-	-
		N2465/N2437	N2465/N2438	HE 180 A (HEA)	0.141	1.560	0.078	1.83	1.00	-	-
		N2437/N2438	N2465/N2438	HE 180 A (HEA)	0.078	1.623	0.078	1.83	1.00	-	-
		N2618/N2590	N2618/N2591	HE 180 A (HEA)	0.141	1.560	0.078	1.83	1.00	-	-
		N2590/N2591	N2618/N2591	HE 180 A (HEA)	0.078	1.623	0.078	1.83	1.00	-	-
		N2771/N2743	N2771/N2744	HE 180 A (HEA)	0.141	1.560	0.078	1.83	1.00	-	-
		N2743/N2744	N2771/N2744	HE 180 A (HEA)	0.078	1.623	0.078	1.83	1.00	-	-
		N2924/N2896	N2924/N2897	HE 180 A (HEA)	0.141	1.560	0.078	1.74	1.00	-	-
		N2896/N2897	N2924/N2897	HE 180 A (HEA)	0.078	1.623	0.078	1.83	1.00	-	-
		N2901/N2902	N2901/N2905	HE 180 A (HEA)	0.051	1.663	0.065	1.83	1.00	-	-

Documento visado electrónicamente con número: VA07290/22
Código de validación telemática TRLTDCFZ60T66IJ1. Comprobación: https://cogitivalencia.e-gestion.es/Validacion.aspx?CVT=TRLTDCFZ60T66IJ1

VISADO
COGITI
VALENCIA
VA07290/22
TRLTDCFZ60T66IJ1

Listados

Descripción												
Material		Barra (Ni/Nf)	Pieza (Ni/Nf)	Perfil(Serie)	Longitud (m)			β_{xy}	β_{xz}	$Lb_{sup.}$ (m)	$Lb_{inf.}$ (m)
Tipo	Designación				Indeformable origen	Deformable	Indeformable extremo				
		N2902/N2903	N2901/N2905	HE 180 A (HEA)	0.065	1.644	0.070	1.83	1.00	-	-
		N2903/N2904	N2901/N2905	HE 180 A (HEA)	0.070	1.639	0.070	1.83	1.00	-	-
		N2904/N2905	N2901/N2905	HE 180 A (HEA)	0.070	1.658	0.051	1.83	1.00	-	-
		N2748/N2749	N2748/N2752	HE 180 A (HEA)	0.051	1.663	0.065	1.83	1.00	-	-
		N2749/N2750	N2748/N2752	HE 180 A (HEA)	0.065	1.644	0.070	1.83	1.00	-	-
		N2750/N2751	N2748/N2752	HE 180 A (HEA)	0.070	1.639	0.070	1.83	1.00	-	-
		N2751/N2752	N2748/N2752	HE 180 A (HEA)	0.070	1.658	0.051	1.83	1.00	-	-
		N2595/N2596	N2595/N2599	HE 180 A (HEA)	0.051	1.663	0.065	1.83	1.00	-	-
		N2596/N2597	N2595/N2599	HE 180 A (HEA)	0.065	1.644	0.070	1.83	1.00	-	-
		N2597/N2598	N2595/N2599	HE 180 A (HEA)	0.070	1.639	0.070	1.83	1.00	-	-
		N2598/N2599	N2595/N2599	HE 180 A (HEA)	0.070	1.658	0.051	1.83	1.00	-	-
		N2442/N2443	N2442/N2446	HE 180 A (HEA)	0.051	1.663	0.065	1.83	1.00	-	-
		N2443/N2444	N2442/N2446	HE 180 A (HEA)	0.065	1.644	0.070	1.83	1.00	-	-
		N2444/N2445	N2442/N2446	HE 180 A (HEA)	0.070	1.639	0.070	1.83	1.00	-	-
		N2445/N2446	N2442/N2446	HE 180 A (HEA)	0.070	1.658	0.051	1.83	1.00	-	-
		N2289/N2290	N2289/N2293	HE 180 A (HEA)	0.051	1.663	0.065	1.83	1.00	-	-
		N2290/N2291	N2289/N2293	HE 180 A (HEA)	0.065	1.644	0.070	1.83	1.00	-	-
		N2291/N2292	N2289/N2293	HE 180 A (HEA)	0.070	1.639	0.070	1.83	1.00	-	-
		N2292/N2293	N2289/N2293	HE 180 A (HEA)	0.070	1.658	0.051	1.83	1.00	-	-
		N2136/N2137	N2136/N2140	HE 180 A (HEA)	0.051	1.663	0.065	1.83	1.00	-	-
		N2137/N2138	N2136/N2140	HE 180 A (HEA)	0.065	1.644	0.070	1.83	1.00	-	-
		N2138/N2139	N2136/N2140	HE 180 A (HEA)	0.070	1.639	0.070	1.83	1.00	-	-
		N2139/N2140	N2136/N2140	HE 180 A (HEA)	0.070	1.658	0.051	1.83	1.00	-	-
		N1920/N1921	N1920/N1924	HE 240 A (HEA)	0.061	1.640	0.078	1.83	1.00	-	-
		N1921/N1922	N1920/N1924	HE 240 A (HEA)	0.078	1.617	0.084	1.83	1.00	-	-
		N1922/N1923	N1920/N1924	HE 240 A (HEA)	0.084	1.611	0.084	1.83	1.00	-	-
		N1923/N1924	N1920/N1924	HE 240 A (HEA)	0.084	1.634	0.061	1.83	1.00	-	-
		N1824/N1825	N1824/N1828	HE 240 A (HEA)	0.061	1.640	0.078	1.83	1.00	-	-
		N1825/N1826	N1824/N1828	HE 240 A (HEA)	0.078	1.617	0.084	1.83	1.00	-	-
		N1826/N1827	N1824/N1828	HE 240 A (HEA)	0.084	1.611	0.084	1.83	1.00	-	-
		N1827/N1828	N1824/N1828	HE 240 A (HEA)	0.084	1.634	0.061	1.83	1.00	-	-

Documento visado electrónicamente con número: VA07290/22
Código de validación telemática TRLTDCFZ60T66IJ1. Comprobación: https://cogitivalencia.e-gestion.es/Validacion.aspx?CVT=TRLTDCFZ60T66IJ1

VISADO
COGITI
VALENCIA
VA07290/22
TRLTDCFZ60T66IJ1

Listados

Descripción											
Material		Barra (Ni/Nf)	Pieza (Ni/Nf)	Perfil(Serie)	Longitud (m)			β_{xy}	β_{xz}	Lbsup (m)	Lbinf (m)
Tipo	Designación				Indeformable origen	Deformable	Indeformable extremo				
		N1728/N1729	N1728/N1732	HE 180 A (HEA)	0.051	1.663	0.065	1.83	1.00	-	-
		N1729/N1730	N1728/N1732	HE 180 A (HEA)	0.065	1.644	0.070	1.83	1.00	-	-
		N1730/N1731	N1728/N1732	HE 180 A (HEA)	0.070	1.639	0.070	1.83	1.00	-	-
		N1731/N1732	N1728/N1732	HE 180 A (HEA)	0.070	1.658	0.051	1.83	1.00	-	-
		N1736/N1737	N1736/N1974	HE 180 A (HEA)	0.084	1.611	0.084	1.83	1.00	-	-
		N1737/N1974	N1736/N1974	HE 180 A (HEA)	0.084	1.554	0.141	1.83	1.00	-	-
		N1832/N1833	N1832/N1968	HE 240 A|I| (HEA)	0.105	1.569	0.105	1.83	1.00	-	-
		N1833/N1968	N1832/N1968	HE 240 A|I| (HEA)	0.105	1.513	0.161	1.83	1.00	-	-
		N1928/N1929	N1928/N1966	HE 240 A|I| (HEA)	0.105	1.569	0.105	1.83	1.00	-	-
		N1929/N1966	N1928/N1966	HE 240 A|I| (HEA)	0.105	1.513	0.161	1.83	1.00	-	-
		N2144/N2145	N2144/N2163	HE 180 A (HEA)	0.084	1.611	0.084	1.83	1.00	-	-
		N2145/N2163	N2144/N2163	HE 180 A (HEA)	0.084	1.554	0.141	1.83	1.00	-	-
		N2297/N2298	N2297/N2316	HE 180 A (HEA)	0.084	1.611	0.084	1.83	1.00	-	-
		N2298/N2316	N2297/N2316	HE 180 A (HEA)	0.084	1.554	0.141	1.83	1.00	-	-
		N2450/N2451	N2450/N2469	HE 180 A (HEA)	0.084	1.611	0.084	1.83	1.00	-	-
		N2451/N2469	N2450/N2469	HE 180 A (HEA)	0.084	1.554	0.141	1.83	1.00	-	-
		N2603/N2604	N2603/N2622	HE 180 A (HEA)	0.084	1.611	0.084	1.83	1.00	-	-
		N2604/N2622	N2603/N2622	HE 180 A (HEA)	0.084	1.554	0.141	1.83	1.00	-	-
		N2756/N2757	N2756/N2775	HE 180 A (HEA)	0.084	1.611	0.084	1.83	1.00	-	-
		N2757/N2775	N2756/N2775	HE 180 A (HEA)	0.084	1.554	0.141	1.83	1.00	-	-
		N2909/N2910	N2909/N2928	HE 180 A (HEA)	0.084	1.611	0.084	1.83	1.00	-	-
		N2910/N2928	N2909/N2928	HE 180 A (HEA)	0.084	1.554	0.141	1.83	1.00	-	-
		N1790/N1886	N1790/N1886	SHS 120x5.0 (SHS)	0.130	7.040	0.130	1.00	1.00	-	-
		N1886/N2117	N1886/N2117	SHS 120x5.0 (SHS)	0.130	7.110	0.060	1.00	1.00	-	-
		N2117/N2270	N2117/N2270	SHS 120x5.0 (SHS)	0.060	7.180	0.060	1.00	1.00	-	-
		N2270/N2423	N2270/N2423	SHS 120x5.0 (SHS)	0.060	7.180	0.060	1.00	1.00	-	-
		N2423/N2576	N2423/N2576	SHS 120x5.0 (SHS)	0.060	7.180	0.060	1.00	1.00	-	-
		N2576/N2729	N2576/N2729	SHS 120x5.0 (SHS)	0.060	7.180	0.060	1.00	1.00	-	-
		N2729/N2882	N2729/N2882	SHS 120x5.0 (SHS)	0.060	7.180	0.060	1.00	1.00	-	-
		N1798/N1894	N1798/N1894	SHS 120x5.0 (SHS)	0.060	7.180	0.060	1.00	1.00	-	-
		N1894/N2125	N1894/N2125	SHS 120x5.0 (SHS)	0.060	7.190	0.050	1.00	1.00	-	-

Documento visado electrónicamente con número: VA07290/22
Código de validación telemática TRLTDCFZ60T66IJ1. Comprobación: https://cogitivalencia.e-gestion.es/Validacion.aspx?CVT=TRLTDCFZ60T66IJ1

VISADO
COGITI
VALENCIA
VA07290/22
TRLTDCFZ60T66IJ1

Listados

Descripción												
Material		Barra (Ni/Nf)	Pieza (Ni/Nf)	Perfil(Serie)	Longitud (m)			β_{xy}	β_{xz}	$Lb_{sup.}$ (m)	$Lb_{inf.}$ (m)	
Tipo	Designación				Indeformable origen	Deformable	Indeformable extremo					
		N2125/N2278	N2125/N2278	SHS 120x5.0 (SHS)	0.050	7.200	0.050	1.00	1.00	-	-	
		N2278/N2431	N2278/N2431	SHS 120x5.0 (SHS)	0.050	7.200	0.050	1.00	1.00	-	-	
		N2431/N2584	N2431/N2584	SHS 120x5.0 (SHS)	0.050	7.200	0.050	1.00	1.00	-	-	
		N2584/N2737	N2584/N2737	SHS 120x5.0 (SHS)	0.050	7.200	0.050	1.00	1.00	-	-	
		N2737/N2890	N2737/N2890	SHS 120x5.0 (SHS)	0.050	7.200	0.050	1.00	1.00	-	-	
		N1802/N1898	N1802/N1898	SHS 120x5.0 (SHS)	0.130	7.040	0.130	1.00	1.00	-	-	
		N1898/N2129	N1898/N2129	SHS 120x5.0 (SHS)	0.130	7.110	0.060	1.00	1.00	-	-	
		N2129/N2282	N2129/N2282	SHS 120x5.0 (SHS)	0.060	7.180	0.060	1.00	1.00	-	-	
		N2282/N2435	N2282/N2435	SHS 120x5.0 (SHS)	0.060	7.180	0.060	1.00	1.00	-	-	
		N2435/N2588	N2435/N2588	SHS 120x5.0 (SHS)	0.060	7.180	0.060	1.00	1.00	-	-	
		N2588/N2741	N2588/N2741	SHS 120x5.0 (SHS)	0.060	7.180	0.060	1.00	1.00	-	-	
		N2741/N2894	N2741/N2894	SHS 120x5.0 (SHS)	0.060	7.180	0.060	1.00	1.00	-	-	
		N1694/N3150	N1694/N1790	SHS 120x5.0 (SHS)	0.060	2.313	0.060	1.00	3.00	-	-	
		N3150/N3151	N1694/N1790	SHS 120x5.0 (SHS)	0.060	2.313	0.060	1.00	3.00	-	-	
		N3151/N1790	N1694/N1790	SHS 120x5.0 (SHS)	0.060	2.243	0.130	1.00	3.00	-	-	
		N3150/N3152	N3150/N3152	L 40 x 40 x 4 (L)	0.095	2.960	0.095	0.00	0.00	-	-	
		N3151/N3153	N3151/N3153	L 40 x 40 x 4 (L)	0.095	2.960	0.095	0.00	0.00	-	-	
		N3151/N3152	N3151/N3152	SHS 120x5.0 (SHS)	0.060	1.880	0.060	1.00	1.00	-	-	
		N3150/N3153	N3150/N3153	SHS 120x5.0 (SHS)	0.060	1.880	0.060	1.00	1.00	-	-	
		N1644/N3153	N1644/N1740	SHS 120x5.0 (SHS)	0.060	2.313	0.060	1.00	3.00	-	-	
		N3153/N3152	N1644/N1740	SHS 120x5.0 (SHS)	0.060	2.313	0.060	1.00	3.00	-	-	
		N3152/N1740	N1644/N1740	SHS 120x5.0 (SHS)	0.060	2.298	0.075	1.00	3.00	-	-	
		N1698/N3154	N1698/N1794	SHS 120x5.0 (SHS)	0.050	2.323	0.060	1.00	3.00	-	-	
		N3154/N3155	N1698/N1794	SHS 120x5.0 (SHS)	0.060	2.313	0.060	1.00	3.00	-	-	
		N3155/N1794	N1698/N1794	SHS 120x5.0 (SHS)	0.060	2.313	0.060	1.00	3.00	-	-	
		N3154/N3156	N3154/N3156	L 40 x 40 x 4 (L)	0.095	2.960	0.095	0.00	0.00	-	-	
		N3155/N3157	N3155/N3157	L 40 x 40 x 4 (L)	0.095	2.960	0.095	0.00	0.00	-	-	
		N3155/N3156	N3155/N3156	SHS 120x5.0 (SHS)	0.060	1.880	0.060	1.00	1.00	-	-	
		N3154/N3157	N3154/N3157	SHS 120x5.0 (SHS)	0.060	1.880	0.060	1.00	1.00	-	-	
		N1648/N3157	N1648/N1744	SHS 120x5.0 (SHS)	0.050	2.323	0.060	1.00	3.00	-	-	
		N3157/N3156	N1648/N1744	SHS 120x5.0 (SHS)	0.060	2.313	0.060	1.00	3.00	-	-	

Documento visado electrónicamente con número: VA07290/22
Código de validación telemática TRLTDCFZ60T66IJ1. Comprobación: https://cogitivalencia.e-gestion.es/Validacion.aspx?CVT=TRLTDCFZ60T66IJ1

VISADO
COGITI
VALENCIA
VA07290/22
TRLTDCFZ60T66IJ1

Listados

Descripción											
Material		Barra (Ni/Nf)	Pieza (Ni/Nf)	Perfil(Serie)	Longitud (m)			β_{xy}	β_{xz}	Lbsup (m)	Lbinf (m)
Tipo	Designación				Indeformable origen	Deformable	Indeformable extremo				
		N3156/N1744	N1648/N1744	SHS 120x5.0 (SHS)	0.060	2.313	0.060	1.00	3.00	-	-
		N1702/N3158	N1702/N1798	SHS 120x5.0 (SHS)	0.050	2.323	0.060	1.00	3.00	-	-
		N3158/N3159	N1702/N1798	SHS 120x5.0 (SHS)	0.060	2.313	0.060	1.00	3.00	-	-
		N3159/N1798	N1702/N1798	SHS 120x5.0 (SHS)	0.060	2.313	0.060	1.00	3.00	-	-
		N3158/N3160	N3158/N3160	L 40 x 40 x 4 (L)	0.095	2.960	0.095	0.00	0.00	-	-
		N3159/N3161	N3159/N3161	L 40 x 40 x 4 (L)	0.095	2.960	0.095	0.00	0.00	-	-
		N3159/N3160	N3159/N3160	SHS 120x5.0 (SHS)	0.060	1.880	0.060	1.00	1.00	-	-
		N3158/N3161	N3158/N3161	SHS 120x5.0 (SHS)	0.060	1.880	0.060	1.00	1.00	-	-
		N1652/N3161	N1652/N1748	SHS 120x5.0 (SHS)	0.050	2.323	0.060	1.00	3.00	-	-
		N3161/N3160	N1652/N1748	SHS 120x5.0 (SHS)	0.060	2.313	0.060	1.00	3.00	-	-
		N3160/N1748	N1652/N1748	SHS 120x5.0 (SHS)	0.060	2.313	0.060	1.00	3.00	-	-
		N3162/N3163	N3162/N3163	SHS 120x5.0 (SHS)	0.060	1.880	0.060	1.00	1.00	-	-
		N3164/N3165	N3164/N3165	SHS 120x5.0 (SHS)	0.060	1.880	0.060	1.00	1.00	-	-
		N3164/N3163	N3164/N3163	L 40 x 40 x 4 (L)	0.095	2.960	0.095	0.00	0.00	-	-
		N3162/N3165	N3162/N3165	L 40 x 40 x 4 (L)	0.095	2.960	0.095	0.00	0.00	-	-
		N1656/N3163	N1656/N1752	SHS 120x5.0 (SHS)	0.060	2.313	0.060	1.00	3.00	-	-
		N3163/N3165	N1656/N1752	SHS 120x5.0 (SHS)	0.060	2.313	0.060	1.00	3.00	-	-
		N3165/N1752	N1656/N1752	SHS 120x5.0 (SHS)	0.060	2.298	0.075	1.00	3.00	-	-
		N1706/N3162	N1706/N1802	SHS 120x5.0 (SHS)	0.060	2.313	0.060	1.00	3.00	-	-
		N3162/N3164	N1706/N1802	SHS 120x5.0 (SHS)	0.060	2.313	0.060	1.00	3.00	-	-
		N3164/N1802	N1706/N1802	SHS 120x5.0 (SHS)	0.060	2.243	0.130	1.00	3.00	-	-
		N3166/N3167	N3166/N3167	SHS 120x5.0 (SHS)	0.060	1.880	0.060	1.00	1.00	-	-
		N3168/N3167	N3168/N3167	L 40 x 40 x 4 (L)	0.095	2.960	0.095	0.00	0.00	-	-
		N2882/N3166	N2882/N3001	SHS 120x5.0 (SHS)	0.060	2.313	0.060	1.00	3.00	-	-
		N3166/N3168	N2882/N3001	SHS 120x5.0 (SHS)	0.060	2.313	0.060	1.00	3.00	-	-
		N3168/N3001	N2882/N3001	SHS 120x5.0 (SHS)	0.060	2.313	0.060	1.00	3.00	-	-
		N2816/N3167	N2816/N2968	SHS 120x5.0 (SHS)	0.060	2.313	0.060	1.00	3.00	-	-
		N3167/N3169	N2816/N2968	SHS 120x5.0 (SHS)	0.060	2.313	0.060	1.00	3.00	-	-
		N3169/N2968	N2816/N2968	SHS 120x5.0 (SHS)	0.060	2.313	0.060	1.00	3.00	-	-
		N3168/N3169	N3168/N3169	SHS 120x5.0 (SHS)	0.060	1.880	0.060	1.00	1.00	-	-
		N3166/N3169	N3166/N3169	L 40 x 40 x 4 (L)	0.095	2.960	0.095	0.00	0.00	-	-

Documento visado electrónicamente con número: VA07290/22
Código de validación telemática TRLTDCFZ60T66IJ1. Comprobación: https://cogitivalencia.e-gestion.es/Validacion.aspx?CVT=TRLTDCFZ60T66IJ1

VISADO
COGITI
VALENCIA
VA07290/22
TRLTDCFZ60T66IJ1

Listados

Descripción												
Material		Barra (Ni/Nf)	Pieza (Ni/Nf)	Perfil(Serie)	Longitud (m)			β_{xy}	β_{xz}	$Lb_{sup.}$ (m)	$Lb_{inf.}$ (m)
Tipo	Designación				Indeformable origen	Deformable	Indeformable extremo				
		N3170/N3171	N3170/N3171	SHS 120x5.0 (SHS)	0.060	1.880	0.060	1.00	1.00	-	-
		N3172/N3171	N3172/N3171	L 40 x 40 x 4 (L)	0.095	2.960	0.095	0.00	0.00	-	-
		N2886/N3170	N2886/N3003	SHS 120x5.0 (SHS)	0.050	2.323	0.060	1.00	3.00	-	-
		N3170/N3172	N2886/N3003	SHS 120x5.0 (SHS)	0.060	2.313	0.060	1.00	3.00	-	-
		N3172/N3003	N2886/N3003	SHS 120x5.0 (SHS)	0.060	2.313	0.060	1.00	3.00	-	-
		N2820/N3171	N2820/N2970	SHS 120x5.0 (SHS)	0.050	2.323	0.060	1.00	3.00	-	-
		N3171/N3173	N2820/N2970	SHS 120x5.0 (SHS)	0.060	2.313	0.060	1.00	3.00	-	-
		N3173/N2970	N2820/N2970	SHS 120x5.0 (SHS)	0.060	2.313	0.060	1.00	3.00	-	-
		N3172/N3173	N3172/N3173	SHS 120x5.0 (SHS)	0.060	1.880	0.060	1.00	1.00	-	-
		N3170/N3173	N3170/N3173	L 40 x 40 x 4 (L)	0.095	2.960	0.095	0.00	0.00	-	-
		N3174/N3175	N3174/N3175	SHS 120x5.0 (SHS)	0.060	1.880	0.060	1.00	1.00	-	-
		N3176/N3175	N3176/N3175	L 40 x 40 x 4 (L)	0.095	2.960	0.095	0.00	0.00	-	-
		N2890/N3174	N2890/N3005	SHS 120x5.0 (SHS)	0.050	2.323	0.060	1.00	3.00	-	-
		N3174/N3176	N2890/N3005	SHS 120x5.0 (SHS)	0.060	2.313	0.060	1.00	3.00	-	-
		N3176/N3005	N2890/N3005	SHS 120x5.0 (SHS)	0.060	2.313	0.060	1.00	3.00	-	-
		N2824/N3175	N2824/N2972	SHS 120x5.0 (SHS)	0.050	2.323	0.060	1.00	3.00	-	-
		N3175/N3177	N2824/N2972	SHS 120x5.0 (SHS)	0.060	2.313	0.060	1.00	3.00	-	-
		N3177/N2972	N2824/N2972	SHS 120x5.0 (SHS)	0.060	2.313	0.060	1.00	3.00	-	-
		N3176/N3177	N3176/N3177	SHS 120x5.0 (SHS)	0.060	1.880	0.060	1.00	1.00	-	-
		N3174/N3177	N3174/N3177	L 40 x 40 x 4 (L)	0.095	2.960	0.095	0.00	0.00	-	-
		N3178/N3179	N3178/N3179	SHS 120x5.0 (SHS)	0.060	1.880	0.060	1.00	1.00	-	-
		N3180/N3179	N3180/N3179	L 40 x 40 x 4 (L)	0.095	2.960	0.095	0.00	0.00	-	-
		N2894/N3178	N2894/N3007	SHS 120x5.0 (SHS)	0.060	2.313	0.060	1.00	3.00	-	-
		N3178/N3180	N2894/N3007	SHS 120x5.0 (SHS)	0.060	2.313	0.060	1.00	3.00	-	-
		N3180/N3007	N2894/N3007	SHS 120x5.0 (SHS)	0.060	2.313	0.060	1.00	3.00	-	-
		N2828/N3179	N2828/N2974	SHS 120x5.0 (SHS)	0.060	2.313	0.060	1.00	3.00	-	-
		N3179/N3181	N2828/N2974	SHS 120x5.0 (SHS)	0.060	2.313	0.060	1.00	3.00	-	-
		N3181/N2974	N2828/N2974	SHS 120x5.0 (SHS)	0.060	2.313	0.060	1.00	3.00	-	-
		N3180/N3181	N3180/N3181	SHS 120x5.0 (SHS)	0.060	1.880	0.060	1.00	1.00	-	-
		N3178/N3181	N3178/N3181	L 40 x 40 x 4 (L)	0.095	2.960	0.095	0.00	0.00	-	-
		N2733/N2886	N2733/N2886	SHS 120x5.0 (SHS)	0.050	7.200	0.050	1.00	1.00	-	-

Documento visado electrónicamente con número: VA07290/22
Código de validación telemática TRLTDCFZ60T66IJ1. Comprobación: https://cogitivalencia.e-gestion.es/Validacion.aspx?CVT=TRLTDCFZ60T66IJ1

VISADO
COGITI
VALENCIA
VA07290/22
TRLTDCFZ60T66IJ1

Listados

Descripción											
Material		Barra (Ni/Nf)	Pieza (Ni/Nf)	Perfil(Serie)	Longitud (m)			β_{xy}	β_{xz}	Lbsup (m)	Lbinf (m)
Tipo	Designación				Indeformable origen	Deformable	Indeformable extremo				
		N2580/N2733	N2580/N2733	SHS 120x5.0 (SHS)	0.050	7.200	0.050	1.00	1.00	-	-
		N2427/N2580	N2427/N2580	SHS 120x5.0 (SHS)	0.050	7.200	0.050	1.00	1.00	-	-
		N2274/N2427	N2274/N2427	SHS 120x5.0 (SHS)	0.050	7.200	0.050	1.00	1.00	-	-
		N2121/N2274	N2121/N2274	SHS 120x5.0 (SHS)	0.050	7.200	0.050	1.00	1.00	-	-
		N1890/N2121	N1890/N2121	SHS 120x5.0 (SHS)	0.060	7.190	0.050	1.00	1.00	-	-
		N1794/N1890	N1794/N1890	SHS 120x5.0 (SHS)	0.060	7.180	0.060	1.00	1.00	-	-
		N3182/N3183	N3182/N3183	SHS 120x5.0 (SHS)	0.060	1.880	0.060	1.00	1.00	-	-
		N3184/N3185	N3184/N3185	SHS 120x5.0 (SHS)	0.060	1.880	0.060	1.00	1.00	-	-
		N2833/N3182	N2833/N2976	SHS 120x5.0 (SHS)	0.060	2.313	0.060	1.00	3.00	-	-
		N3182/N3184	N2833/N2976	SHS 120x5.0 (SHS)	0.060	2.313	0.060	1.00	3.00	-	-
		N3184/N2976	N2833/N2976	SHS 120x5.0 (SHS)	0.060	2.313	0.060	1.00	3.00	-	-
		N2850/N3183	N2850/N2985	SHS 120x5.0 (SHS)	0.060	2.313	0.060	1.00	3.00	-	-
		N3183/N3185	N2850/N2985	SHS 120x5.0 (SHS)	0.060	2.313	0.060	1.00	3.00	-	-
		N3185/N2985	N2850/N2985	SHS 120x5.0 (SHS)	0.060	2.313	0.060	1.00	3.00	-	-
		N3182/N3185	N3182/N3185	L 40 x 40 x 4 (L)	0.095	2.960	0.095	0.00	0.00	-	-
		N3184/N3183	N3184/N3183	L 40 x 40 x 4 (L)	0.095	2.960	0.095	0.00	0.00	-	-
		N3186/N3187	N3186/N3187	SHS 120x5.0 (SHS)	0.060	1.880	0.060	1.00	1.00	-	-
		N3188/N3189	N3188/N3189	SHS 120x5.0 (SHS)	0.060	1.880	0.060	1.00	1.00	-	-
		N1661/N3189	N1661/N1757	SHS 120x5.0 (SHS)	0.060	2.313	0.060	1.00	3.00	-	-
		N3189/N3187	N1661/N1757	SHS 120x5.0 (SHS)	0.060	2.313	0.060	1.00	3.00	-	-
		N3187/N1757	N1661/N1757	SHS 120x5.0 (SHS)	0.060	2.298	0.075	1.00	3.00	-	-
		N1709/N3188	N1709/N1805	SHS 120x5.0 (SHS)	0.060	2.313	0.060	1.00	3.00	-	-
		N3188/N3186	N1709/N1805	SHS 120x5.0 (SHS)	0.060	2.313	0.060	1.00	3.00	-	-
		N3186/N1805	N1709/N1805	SHS 120x5.0 (SHS)	0.060	2.243	0.130	1.00	3.00	-	-
		N3188/N3187	N3188/N3187	L 40 x 40 x 4 (L)	0.095	2.960	0.095	0.00	0.00	-	-
		N3186/N3189	N3186/N3189	L 40 x 40 x 4 (L)	0.095	2.960	0.095	0.00	0.00	-	-
		N3190/N3191	N3190/N3191	SHS 120x5.0 (SHS)	0.060	1.880	0.060	1.00	1.00	-	-
		N3192/N3193	N3192/N3193	SHS 120x5.0 (SHS)	0.060	1.880	0.060	1.00	1.00	-	-
		N2837/N3190	N2837/N2978	SHS 120x5.0 (SHS)	0.050	2.323	0.060	1.00	3.00	-	-
		N3190/N3192	N2837/N2978	SHS 120x5.0 (SHS)	0.060	2.313	0.060	1.00	3.00	-	-
		N3192/N2978	N2837/N2978	SHS 120x5.0 (SHS)	0.060	2.313	0.060	1.00	3.00	-	-

Documento visado electrónicamente con número: VA07290/22
Código de validación telemática TRLTDCFZ60T66IJ1. Comprobación: https://cogitivalencia.e-gestion.es/Validacion.aspx?CVT=TRLTDCFZ60T66IJ1

VISADO
COGITI
VALENCIA
VA07290/22
TRLTDCFZ60T66IJ1

Listados

Descripción												
Material		Barra (Ni/Nf)	Pieza (Ni/Nf)	Perfil(Serie)	Longitud (m)			β_{xy}	β_{xz}	$Lb_{sup.}$ (m)	$Lb_{inf.}$ (m)	
Tipo	Designación				Indeformable origen	Deformable	Indeformable extremo					
		N2854/N3191	N2854/N2987	SHS 120x5.0 (SHS)	0.050	2.323	0.060	1.00	3.00	-	-	
		N3191/N3193	N2854/N2987	SHS 120x5.0 (SHS)	0.060	2.313	0.060	1.00	3.00	-	-	
		N3193/N2987	N2854/N2987	SHS 120x5.0 (SHS)	0.060	2.313	0.060	1.00	3.00	-	-	
		N3190/N3193	N3190/N3193	L 40 x 40 x 4 (L)	0.095	2.960	0.095	0.00	0.00	-	-	
		N3192/N3191	N3192/N3191	L 40 x 40 x 4 (L)	0.095	2.960	0.095	0.00	0.00	-	-	
		N3194/N3195	N3194/N3195	SHS 120x5.0 (SHS)	0.060	1.880	0.060	1.00	1.00	-	-	
		N3196/N3197	N3196/N3197	SHS 120x5.0 (SHS)	0.060	1.880	0.060	1.00	1.00	-	-	
		N1665/N3197	N1665/N1761	SHS 120x5.0 (SHS)	0.050	2.323	0.060	1.00	3.00	-	-	
		N3197/N3195	N1665/N1761	SHS 120x5.0 (SHS)	0.060	2.313	0.060	1.00	3.00	-	-	
		N3195/N1761	N1665/N1761	SHS 120x5.0 (SHS)	0.060	2.313	0.060	1.00	3.00	-	-	
		N1713/N3196	N1713/N1809	SHS 120x5.0 (SHS)	0.050	2.323	0.060	1.00	3.00	-	-	
		N3196/N3194	N1713/N1809	SHS 120x5.0 (SHS)	0.060	2.313	0.060	1.00	3.00	-	-	
		N3194/N1809	N1713/N1809	SHS 120x5.0 (SHS)	0.060	2.313	0.060	1.00	3.00	-	-	
		N3196/N3195	N3196/N3195	L 40 x 40 x 4 (L)	0.095	2.960	0.095	0.00	0.00	-	-	
		N3194/N3197	N3194/N3197	L 40 x 40 x 4 (L)	0.095	2.960	0.095	0.00	0.00	-	-	
		N3198/N3199	N3198/N3199	SHS 120x5.0 (SHS)	0.060	1.880	0.060	1.00	1.00	-	-	
		N3200/N3201	N3200/N3201	SHS 120x5.0 (SHS)	0.060	1.880	0.060	1.00	1.00	-	-	
		N2841/N3198	N2841/N2980	SHS 120x5.0 (SHS)	0.050	2.323	0.060	1.00	3.00	-	-	
		N3198/N3200	N2841/N2980	SHS 120x5.0 (SHS)	0.060	2.313	0.060	1.00	3.00	-	-	
		N3200/N2980	N2841/N2980	SHS 120x5.0 (SHS)	0.060	2.313	0.060	1.00	3.00	-	-	
		N2858/N3199	N2858/N2989	SHS 120x5.0 (SHS)	0.050	2.323	0.060	1.00	3.00	-	-	
		N3199/N3201	N2858/N2989	SHS 120x5.0 (SHS)	0.060	2.313	0.060	1.00	3.00	-	-	
		N3201/N2989	N2858/N2989	SHS 120x5.0 (SHS)	0.060	2.313	0.060	1.00	3.00	-	-	
		N3198/N3201	N3198/N3201	L 40 x 40 x 4 (L)	0.095	2.960	0.095	0.00	0.00	-	-	
		N3200/N3199	N3200/N3199	L 40 x 40 x 4 (L)	0.095	2.960	0.095	0.00	0.00	-	-	
		N3202/N3203	N3202/N3203	SHS 120x5.0 (SHS)	0.060	1.880	0.060	1.00	1.00	-	-	
		N3204/N3205	N3204/N3205	SHS 120x5.0 (SHS)	0.060	1.880	0.060	1.00	1.00	-	-	
		N1669/N3205	N1669/N1765	SHS 120x5.0 (SHS)	0.050	2.323	0.060	1.00	3.00	-	-	
		N3205/N3203	N1669/N1765	SHS 120x5.0 (SHS)	0.060	2.313	0.060	1.00	3.00	-	-	
		N3203/N1765	N1669/N1765	SHS 120x5.0 (SHS)	0.060	2.313	0.060	1.00	3.00	-	-	
		N1717/N3204	N1717/N1813	SHS 120x5.0 (SHS)	0.050	2.323	0.060	1.00	3.00	-	-	

Documento visado electrónicamente con número: VA07290/22
Código de validación telemática TRLTDCFZ60T66IJ1. Comprobación: https://cogitivalencia.e-gestion.es/Validacion.aspx?CVT=TRLTDCFZ60T66IJ1

VISADO
COGITI
VALENCIA
VA07290/22
TRLTDCFZ60T66IJ1

Listados

Descripción											
Material		Barra (Ni/Nf)	Pieza (Ni/Nf)	Perfil(Serie)	Longitud (m)			β_{xy}	β_{xz}	Lbsup (m)	Lbinf (m)
Tipo	Designación				Indeformable origen	Deformable	Indeformable extremo				
		N3204/N3202	N1717/N1813	SHS 120x5.0 (SHS)	0.060	2.313	0.060	1.00	3.00	-	-
		N3202/N1813	N1717/N1813	SHS 120x5.0 (SHS)	0.060	2.313	0.060	1.00	3.00	-	-
		N3204/N3203	N3204/N3203	L 40 x 40 x 4 (L)	0.095	2.960	0.095	0.00	0.00	-	-
		N3202/N3205	N3202/N3205	L 40 x 40 x 4 (L)	0.095	2.960	0.095	0.00	0.00	-	-
		N3206/N3207	N3206/N3207	SHS 120x5.0 (SHS)	0.060	1.880	0.060	1.00	1.00	-	-
		N3208/N3209	N3208/N3209	SHS 120x5.0 (SHS)	0.060	1.880	0.060	1.00	1.00	-	-
		N2845/N3206	N2845/N2982	SHS 120x5.0 (SHS)	0.060	2.313	0.060	1.00	3.00	-	-
		N3206/N3208	N2845/N2982	SHS 120x5.0 (SHS)	0.060	2.313	0.060	1.00	3.00	-	-
		N3208/N2982	N2845/N2982	SHS 120x5.0 (SHS)	0.060	2.313	0.060	1.00	3.00	-	-
		N2862/N3207	N2862/N2991	SHS 120x5.0 (SHS)	0.060	2.313	0.060	1.00	3.00	-	-
		N3207/N3209	N2862/N2991	SHS 120x5.0 (SHS)	0.060	2.313	0.060	1.00	3.00	-	-
		N3209/N2991	N2862/N2991	SHS 120x5.0 (SHS)	0.060	2.313	0.060	1.00	3.00	-	-
		N3206/N3209	N3206/N3209	L 40 x 40 x 4 (L)	0.095	2.960	0.095	0.00	0.00	-	-
		N3208/N3207	N3208/N3207	L 40 x 40 x 4 (L)	0.095	2.960	0.095	0.00	0.00	-	-
		N3210/N3211	N3210/N3211	SHS 120x5.0 (SHS)	0.060	1.880	0.060	1.00	1.00	-	-
		N3212/N3213	N3212/N3213	SHS 120x5.0 (SHS)	0.060	1.880	0.060	1.00	1.00	-	-
		N1673/N3213	N1673/N1769	SHS 120x5.0 (SHS)	0.060	2.313	0.060	1.00	3.00	-	-
		N3213/N3211	N1673/N1769	SHS 120x5.0 (SHS)	0.060	2.313	0.060	1.00	3.00	-	-
		N3211/N1769	N1673/N1769	SHS 120x5.0 (SHS)	0.060	2.298	0.075	1.00	3.00	-	-
		N1721/N3212	N1721/N1817	SHS 120x5.0 (SHS)	0.060	2.313	0.060	1.00	3.00	-	-
		N3212/N3210	N1721/N1817	SHS 120x5.0 (SHS)	0.060	2.313	0.060	1.00	3.00	-	-
		N3210/N1817	N1721/N1817	SHS 120x5.0 (SHS)	0.060	2.243	0.130	1.00	3.00	-	-
		N3212/N3211	N3212/N3211	L 40 x 40 x 4 (L)	0.095	2.960	0.095	0.00	0.00	-	-
		N3210/N3213	N3210/N3213	L 40 x 40 x 4 (L)	0.095	2.960	0.095	0.00	0.00	-	-
		N3214/N3215	N3214/N3215	SHS 120x5.0 (SHS)	0.060	1.880	0.060	1.00	1.00	-	-
		N3216/N3217	N3216/N3217	SHS 120x5.0 (SHS)	0.060	1.880	0.060	1.00	1.00	-	-
		N2897/N3214	N2897/N3008	SHS 120x5.0 (SHS)	0.060	2.313	0.060	1.00	3.00	-	-
		N3214/N3216	N2897/N3008	SHS 120x5.0 (SHS)	0.060	2.313	0.060	1.00	3.00	-	-
		N3216/N3008	N2897/N3008	SHS 120x5.0 (SHS)	0.060	2.313	0.060	1.00	3.00	-	-
		N2866/N3215	N2866/N2993	SHS 120x5.0 (SHS)	0.060	2.313	0.060	1.00	3.00	-	-
		N3215/N3217	N2866/N2993	SHS 120x5.0 (SHS)	0.060	2.313	0.060	1.00	3.00	-	-

Documento visado electrónicamente con número: VA07290/22
Código de validación telemática TRLTDCFZ60T66IJ1. Comprobación: https://cogitivalencia.e-gestion.es/Validacion.aspx?CVT=TRLTDCFZ60T66IJ1

VISADO
COGITI
VALENCIA
VA07290/22
TRLTDCFZ60T66IJ1

Descripción												
Material		Barra (Ni/Nf)	Pieza (Ni/Nf)	Perfil(Serie)	Longitud (m)			β_{xy}	β_{xz}	$Lb_{sup.}$ (m)	$Lb_{inf.}$ (m)
Tipo	Designación				Indeformable origen	Deformable	Indeformable extremo				
		N3217/N2993	N2866/N2993	SHS 120x5.0 (SHS)	0.060	2.313	0.060	1.00	3.00	-	-
		N3214/N3217	N3214/N3217	L 40 x 40 x 4 (L)	0.095	2.960	0.095	0.00	0.00	-	-
		N3216/N3215	N3216/N3215	L 40 x 40 x 4 (L)	0.095	2.960	0.095	0.00	0.00	-	-
		N3218/N3219	N3218/N3219	SHS 120x5.0 (SHS)	0.060	1.880	0.060	1.00	1.00	-	-
		N3220/N3221	N3220/N3221	SHS 120x5.0 (SHS)	0.060	1.880	0.060	1.00	1.00	-	-
		N1678/N3221	N1678/N1774	SHS 120x5.0 (SHS)	0.060	2.313	0.060	1.00	3.00	-	-
		N3221/N3219	N1678/N1774	SHS 120x5.0 (SHS)	0.060	2.313	0.060	1.00	3.00	-	-
		N3219/N1774	N1678/N1774	SHS 120x5.0 (SHS)	0.060	2.298	0.075	1.00	3.00	-	-
		N1724/N3220	N1724/N1820	SHS 120x5.0 (SHS)	0.060	2.313	0.060	1.00	3.00	-	-
		N3220/N3218	N1724/N1820	SHS 120x5.0 (SHS)	0.060	2.313	0.060	1.00	3.00	-	-
		N3218/N1820	N1724/N1820	SHS 120x5.0 (SHS)	0.060	2.243	0.130	1.00	3.00	-	-
		N3220/N3219	N3220/N3219	L 40 x 40 x 4 (L)	0.095	2.960	0.095	0.00	0.00	-	-
		N3218/N3221	N3218/N3221	L 40 x 40 x 4 (L)	0.095	2.960	0.095	0.00	0.00	-	-
		N3222/N3223	N3222/N3223	SHS 120x5.0 (SHS)	0.060	1.880	0.060	1.00	1.00	-	-
		N3224/N3225	N3224/N3225	SHS 120x5.0 (SHS)	0.060	1.880	0.060	1.00	1.00	-	-
		N2901/N3222	N2901/N3010	SHS 120x5.0 (SHS)	0.050	2.323	0.060	1.00	3.00	-	-
		N3222/N3224	N2901/N3010	SHS 120x5.0 (SHS)	0.060	2.313	0.060	1.00	3.00	-	-
		N3224/N3010	N2901/N3010	SHS 120x5.0 (SHS)	0.060	2.313	0.060	1.00	3.00	-	-
		N2870/N3223	N2870/N2995	SHS 120x5.0 (SHS)	0.050	2.323	0.060	1.00	3.00	-	-
		N3223/N3225	N2870/N2995	SHS 120x5.0 (SHS)	0.060	2.313	0.060	1.00	3.00	-	-
		N3225/N2995	N2870/N2995	SHS 120x5.0 (SHS)	0.060	2.313	0.060	1.00	3.00	-	-
		N3222/N3225	N3222/N3225	L 40 x 40 x 4 (L)	0.095	2.960	0.095	0.00	0.00	-	-
		N3224/N3223	N3224/N3223	L 40 x 40 x 4 (L)	0.095	2.960	0.095	0.00	0.00	-	-
		N3226/N3227	N3226/N3227	SHS 120x5.0 (SHS)	0.060	1.880	0.060	1.00	1.00	-	-
		N3228/N3229	N3228/N3229	SHS 120x5.0 (SHS)	0.060	1.880	0.060	1.00	1.00	-	-
		N1682/N3229	N1682/N1778	SHS 120x5.0 (SHS)	0.050	2.323	0.060	1.00	3.00	-	-
		N3229/N3227	N1682/N1778	SHS 120x5.0 (SHS)	0.060	2.313	0.060	1.00	3.00	-	-
		N3227/N1778	N1682/N1778	SHS 120x5.0 (SHS)	0.060	2.313	0.060	1.00	3.00	-	-
		N1728/N3228	N1728/N1824	SHS 120x5.0 (SHS)	0.050	2.323	0.060	1.00	3.00	-	-
		N3228/N3226	N1728/N1824	SHS 120x5.0 (SHS)	0.060	2.313	0.060	1.00	3.00	-	-
		N3226/N1824	N1728/N1824	SHS 120x5.0 (SHS)	0.060	2.313	0.060	1.00	3.00	-	-

Documento visado electrónicamente con número: VA07290/22
Código de validación telemática TRLTDCFZ60T66IJ1. Comprobación: https://cogitivalencia.e-gestion.es/Validacion.aspx?CVT=TRLTDCFZ60T66IJ1

VISADO
COGITI
VALENCIA
VA07290/22
TRLTDCFZ60T66IJ1

Listados

Descripción											
Material		Barra (Ni/Nf)	Pieza (Ni/Nf)	Perfil(Serie)	Longitud (m)			β_{xy}	β_{xz}	Lbsup (m)	Lbinf (m)
Tipo	Designación				Indeformable origen	Deformable	Indeformable extremo				
		N3228/N3227	N3228/N3227	L 40 x 40 x 4 (L)	0.095	2.960	0.095	0.00	0.00	-	-
		N3226/N3229	N3226/N3229	L 40 x 40 x 4 (L)	0.095	2.960	0.095	0.00	0.00	-	-
		N3230/N3231	N3230/N3231	SHS 120x5.0 (SHS)	0.060	1.880	0.060	1.00	1.00	-	-
		N3232/N3233	N3232/N3233	SHS 120x5.0 (SHS)	0.060	1.880	0.060	1.00	1.00	-	-
		N2905/N3230	N2905/N3012	SHS 120x5.0 (SHS)	0.050	2.323	0.060	1.00	3.00	-	-
		N3230/N3232	N2905/N3012	SHS 120x5.0 (SHS)	0.060	2.313	0.060	1.00	3.00	-	-
		N3232/N3012	N2905/N3012	SHS 120x5.0 (SHS)	0.060	2.313	0.060	1.00	3.00	-	-
		N2874/N3231	N2874/N2997	SHS 120x5.0 (SHS)	0.050	2.323	0.060	1.00	3.00	-	-
		N3231/N3233	N2874/N2997	SHS 120x5.0 (SHS)	0.060	2.313	0.060	1.00	3.00	-	-
		N3233/N2997	N2874/N2997	SHS 120x5.0 (SHS)	0.060	2.313	0.060	1.00	3.00	-	-
		N3230/N3233	N3230/N3233	L 40 x 40 x 4 (L)	0.095	2.960	0.095	0.00	0.00	-	-
		N3232/N3231	N3232/N3231	L 40 x 40 x 4 (L)	0.095	2.960	0.095	0.00	0.00	-	-
		N3234/N3235	N3234/N3235	SHS 120x5.0 (SHS)	0.060	1.880	0.060	1.00	1.00	-	-
		N3236/N3237	N3236/N3237	SHS 120x5.0 (SHS)	0.060	1.880	0.060	1.00	1.00	-	-
		N1686/N3237	N1686/N1782	SHS 120x5.0 (SHS)	0.050	2.323	0.060	1.00	3.00	-	-
		N3237/N3235	N1686/N1782	SHS 120x5.0 (SHS)	0.060	2.313	0.060	1.00	3.00	-	-
		N3235/N1782	N1686/N1782	SHS 120x5.0 (SHS)	0.060	2.313	0.060	1.00	3.00	-	-
		N1732/N3236	N1732/N1828	SHS 120x5.0 (SHS)	0.050	2.323	0.060	1.00	3.00	-	-
		N3236/N3234	N1732/N1828	SHS 120x5.0 (SHS)	0.060	2.313	0.060	1.00	3.00	-	-
		N3234/N1828	N1732/N1828	SHS 120x5.0 (SHS)	0.060	2.313	0.060	1.00	3.00	-	-
		N3236/N3235	N3236/N3235	L 40 x 40 x 4 (L)	0.095	2.960	0.095	0.00	0.00	-	-
		N3234/N3237	N3234/N3237	L 40 x 40 x 4 (L)	0.095	2.960	0.095	0.00	0.00	-	-
		N3238/N3239	N3238/N3239	SHS 120x5.0 (SHS)	0.060	1.880	0.060	1.00	1.00	-	-
		N3240/N3241	N3240/N3241	SHS 120x5.0 (SHS)	0.060	1.880	0.060	1.00	1.00	-	-
		N2909/N3238	N2909/N3014	SHS 120x5.0 (SHS)	0.060	2.313	0.060	1.00	3.00	-	-
		N3238/N3240	N2909/N3014	SHS 120x5.0 (SHS)	0.060	2.313	0.060	1.00	3.00	-	-
		N3240/N3014	N2909/N3014	SHS 120x5.0 (SHS)	0.060	2.313	0.060	1.00	3.00	-	-
		N2878/N3239	N2878/N2999	SHS 120x5.0 (SHS)	0.060	2.313	0.060	1.00	3.00	-	-
		N3239/N3241	N2878/N2999	SHS 120x5.0 (SHS)	0.060	2.313	0.060	1.00	3.00	-	-
		N3241/N2999	N2878/N2999	SHS 120x5.0 (SHS)	0.060	2.313	0.060	1.00	3.00	-	-
		N3238/N3241	N3238/N3241	L 40 x 40 x 4 (L)	0.095	2.960	0.095	0.00	0.00	-	-

Documento visado electrónicamente con número: VA07290/22
Código de validación telemática TRLTDCFZ60T66IJ1. Comprobación: https://cogitivalencia.e-gestion.es/Validacion.aspx?CVT=TRLTDCFZ60T66IJ1

VISADO
COGITI
VALENCIA
VA07290/22
TRLTDCFZ60T66IJ1

Listados

Descripción												
Material		Barra (Ni/Nf)	Pieza (Ni/Nf)	Perfil(Serie)	Longitud (m)			β_{xy}	β_{xz}	$Lb_{sup.}$ (m)	$Lb_{inf.}$ (m)
Tipo	Designación				Indeformable origen	Deformable	Indeformable extremo				
		N3240/N3239	N3240/N3239	L 40 x 40 x 4 (L)	0.095	2.960	0.095	0.00	0.00	-	-
		N3242/N3243	N3242/N3243	SHS 120x5.0 (SHS)	0.060	1.880	0.060	1.00	1.00	-	-
		N3244/N3245	N3244/N3245	SHS 120x5.0 (SHS)	0.060	1.880	0.060	1.00	1.00	-	-
		N1690/N3245	N1690/N1786	SHS 120x5.0 (SHS)	0.060	2.313	0.060	1.00	3.00	-	-
		N3245/N3243	N1690/N1786	SHS 120x5.0 (SHS)	0.060	2.313	0.060	1.00	3.00	-	-
		N3243/N1786	N1690/N1786	SHS 120x5.0 (SHS)	0.060	2.298	0.075	1.00	3.00	-	-
		N1736/N3244	N1736/N1832	SHS 120x5.0 (SHS)	0.060	2.313	0.060	1.00	3.00	-	-
		N3244/N3242	N1736/N1832	SHS 120x5.0 (SHS)	0.060	2.313	0.060	1.00	3.00	-	-
		N3242/N1832	N1736/N1832	SHS 120x5.0 (SHS)	0.060	2.243	0.130	1.00	3.00	-	-
		N3244/N3243	N3244/N3243	L 40 x 40 x 4 (L)	0.095	2.960	0.095	0.00	0.00	-	-
		N3242/N3245	N3242/N3245	L 40 x 40 x 4 (L)	0.095	2.960	0.095	0.00	0.00	-	-
		N1805/N1901	N1805/N1901	SHS 120x5.0 (SHS)	0.130	7.040	0.130	1.00	1.00	-	-
		N1901/N2068	N1901/N2068	SHS 120x5.0 (SHS)	0.130	7.110	0.060	1.00	1.00	-	-
		N2068/N2221	N2068/N2221	SHS 120x5.0 (SHS)	0.060	7.180	0.060	1.00	1.00	-	-
		N2221/N2374	N2221/N2374	SHS 120x5.0 (SHS)	0.060	7.180	0.060	1.00	1.00	-	-
		N2374/N2527	N2374/N2527	SHS 120x5.0 (SHS)	0.060	7.180	0.060	1.00	1.00	-	-
		N2527/N2680	N2527/N2680	SHS 120x5.0 (SHS)	0.060	7.180	0.060	1.00	1.00	-	-
		N2680/N2833	N2680/N2833	SHS 120x5.0 (SHS)	0.060	7.180	0.060	1.00	1.00	-	-
		N2684/N2837	N2684/N2837	SHS 120x5.0 (SHS)	0.050	7.200	0.050	1.00	1.00	-	-
		N2531/N2684	N2531/N2684	SHS 120x5.0 (SHS)	0.050	7.200	0.050	1.00	1.00	-	-
		N2535/N2688	N2535/N2688	SHS 120x5.0 (SHS)	0.050	7.200	0.050	1.00	1.00	-	-
		N2688/N2841	N2688/N2841	SHS 120x5.0 (SHS)	0.050	7.200	0.050	1.00	1.00	-	-
		N2539/N2692	N2539/N2692	SHS 120x5.0 (SHS)	0.060	7.180	0.060	1.00	1.00	-	-
		N2692/N2845	N2692/N2845	SHS 120x5.0 (SHS)	0.060	7.180	0.060	1.00	1.00	-	-
		N2378/N2531	N2378/N2531	SHS 120x5.0 (SHS)	0.050	7.200	0.050	1.00	1.00	-	-
		N2225/N2378	N2225/N2378	SHS 120x5.0 (SHS)	0.050	7.200	0.050	1.00	1.00	-	-
		N2382/N2535	N2382/N2535	SHS 120x5.0 (SHS)	0.050	7.200	0.050	1.00	1.00	-	-
		N2229/N2382	N2229/N2382	SHS 120x5.0 (SHS)	0.050	7.200	0.050	1.00	1.00	-	-
		N2386/N2539	N2386/N2539	SHS 120x5.0 (SHS)	0.060	7.180	0.060	1.00	1.00	-	-
		N2233/N2386	N2233/N2386	SHS 120x5.0 (SHS)	0.060	7.180	0.060	1.00	1.00	-	-
		N2072/N2225	N2072/N2225	SHS 120x5.0 (SHS)	0.050	7.200	0.050	1.00	1.00	-	-

Documento visado electrónicamente con número: VA07290/22
Código de validación telemática TRLTDCFZ60T66IJ1. Comprobación: https://cogitivalencia.e-gestion.es/Validacion.aspx?CVT=TRLTDCFZ60T66IJ1

VISADO
COGITI
VALENCIA
VA07290/22
TRLTDCFZ60T66IJ1

Descripción											
Material		Barra (Ni/Nf)	Pieza (Ni/Nf)	Perfil(Serie)	Longitud (m)			β_{xy}	β_{xz}	Lbsup (m)	Lbinf (m)
Tipo	Designación				Indeformable origen	Deformable	Indeformable extremo				
		N1905/N2072	N1905/N2072	SHS 120x5.0 (SHS)	0.060	7.190	0.050	1.00	1.00	-	-
		N2076/N2229	N2076/N2229	SHS 120x5.0 (SHS)	0.050	7.200	0.050	1.00	1.00	-	-
		N1909/N2076	N1909/N2076	SHS 120x5.0 (SHS)	0.060	7.190	0.050	1.00	1.00	-	-
		N2080/N2233	N2080/N2233	SHS 120x5.0 (SHS)	0.060	7.180	0.060	1.00	1.00	-	-
		N1913/N2080	N1913/N2080	SHS 120x5.0 (SHS)	0.130	7.110	0.060	1.00	1.00	-	-
		N1809/N1905	N1809/N1905	SHS 120x5.0 (SHS)	0.060	7.180	0.060	1.00	1.00	-	-
		N1813/N1909	N1813/N1909	SHS 120x5.0 (SHS)	0.060	7.180	0.060	1.00	1.00	-	-
		N1817/N1913	N1817/N1913	SHS 120x5.0 (SHS)	0.130	7.040	0.130	1.00	1.00	-	-
		N1820/N1916	N1820/N1916	SHS 120x5.0 (SHS)	0.130	7.040	0.130	1.00	1.00	-	-
		N1916/N2132	N1916/N2132	SHS 120x5.0 (SHS)	0.130	7.110	0.060	1.00	1.00	-	-
		N2132/N2285	N2132/N2285	SHS 120x5.0 (SHS)	0.060	7.180	0.060	1.00	1.00	-	-
		N2285/N2438	N2285/N2438	SHS 120x5.0 (SHS)	0.060	7.180	0.060	1.00	1.00	-	-
		N2438/N2591	N2438/N2591	SHS 120x5.0 (SHS)	0.060	7.180	0.060	1.00	1.00	-	-
		N2591/N2744	N2591/N2744	SHS 120x5.0 (SHS)	0.060	7.180	0.060	1.00	1.00	-	-
		N2744/N2897	N2744/N2897	SHS 120x5.0 (SHS)	0.060	7.180	0.060	1.00	1.00	-	-
		N2748/N2901	N2748/N2901	SHS 120x5.0 (SHS)	0.050	7.200	0.050	1.00	1.00	-	-
		N2595/N2748	N2595/N2748	SHS 120x5.0 (SHS)	0.050	7.200	0.050	1.00	1.00	-	-
		N2599/N2752	N2599/N2752	SHS 120x5.0 (SHS)	0.050	7.200	0.050	1.00	1.00	-	-
		N2752/N2905	N2752/N2905	SHS 120x5.0 (SHS)	0.050	7.200	0.050	1.00	1.00	-	-
		N2603/N2756	N2603/N2756	SHS 120x5.0 (SHS)	0.060	7.180	0.060	1.00	1.00	-	-
		N2756/N2909	N2756/N2909	SHS 120x5.0 (SHS)	0.060	7.180	0.060	1.00	1.00	-	-
		N2442/N2595	N2442/N2595	SHS 120x5.0 (SHS)	0.050	7.200	0.050	1.00	1.00	-	-
		N2289/N2442	N2289/N2442	SHS 120x5.0 (SHS)	0.050	7.200	0.050	1.00	1.00	-	-
		N2446/N2599	N2446/N2599	SHS 120x5.0 (SHS)	0.050	7.200	0.050	1.00	1.00	-	-
		N2293/N2446	N2293/N2446	SHS 120x5.0 (SHS)	0.050	7.200	0.050	1.00	1.00	-	-
		N2450/N2603	N2450/N2603	SHS 120x5.0 (SHS)	0.060	7.180	0.060	1.00	1.00	-	-
		N2297/N2450	N2297/N2450	SHS 120x5.0 (SHS)	0.060	7.180	0.060	1.00	1.00	-	-
		N2136/N2289	N2136/N2289	SHS 120x5.0 (SHS)	0.050	7.200	0.050	1.00	1.00	-	-
		N1920/N2136	N1920/N2136	SHS 120x5.0 (SHS)	0.060	7.190	0.050	1.00	1.00	-	-
		N2140/N2293	N2140/N2293	SHS 120x5.0 (SHS)	0.050	7.200	0.050	1.00	1.00	-	-
		N1924/N2140	N1924/N2140	SHS 120x5.0 (SHS)	0.060	7.190	0.050	1.00	1.00	-	-

Documento visado electrónicamente con número: VA07290/22
Código de validación telemática TRLTDCFZ60T66IJ1. Comprobación: https://cogitivalencia.e-gestion.es/Validacion.aspx?CVT=TRLTDCFZ60T66IJ1

VISADO
COGITI
VALENCIA
VA07290/22
TRLTDCFZ60T66IJ1

Descripción												
Material		Barra (Ni/Nf)	Pieza (Ni/Nf)	Perfil(Serie)	Longitud (m)			β_{xy}	β_{xz}	$Lb_{sup.}$ (m)	$Lb_{inf.}$ (m)
Tipo	Designación				Indeformable origen	Deformable	Indeformable extremo				
		N2144/N2297	N2144/N2297	SHS 120x5.0 (SHS)	0.060	7.180	0.060	1.00	1.00	-	-
		N1928/N2144	N1928/N2144	SHS 120x5.0 (SHS)	0.130	7.110	0.060	1.00	1.00	-	-
		N1824/N1920	N1824/N1920	SHS 120x5.0 (SHS)	0.060	7.180	0.060	1.00	1.00	-	-
		N1828/N1924	N1828/N1924	SHS 120x5.0 (SHS)	0.060	7.180	0.060	1.00	1.00	-	-
		N1832/N1928	N1832/N1928	SHS 120x5.0 (SHS)	0.130	7.040	0.130	1.00	1.00	-	-
		N1930/N1642	N1930/N1642	SHS 120x5.0 (SHS)	0.086	1.826	0.088	1.00	1.00	-	-
		N1933/N1738	N1933/N1738	SHS 150x10.0 (SHS)	0.116	1.774	0.110	1.00	1.00	-	-
		N1938/N1834	N1938/N1834	SHS 150x10.0 (SHS)	0.116	1.774	0.110	1.00	1.00	-	-
		N2454/N2355	N2454/N2355	SHS 120x5.0 (SHS)	0.086	1.826	0.088	1.00	1.00	-	-
		N2607/N2508	N2607/N2508	SHS 120x5.0 (SHS)	0.086	1.826	0.088	1.00	1.00	-	-
		N2760/N2661	N2760/N2661	SHS 120x5.0 (SHS)	0.086	1.826	0.088	1.00	1.00	-	-
		N2301/N2202	N2301/N2202	SHS 120x5.0 (SHS)	0.086	1.826	0.088	1.00	1.00	-	-
		N2913/N2814	N2913/N2814	SHS 120x5.0 (SHS)	0.086	1.826	0.088	1.00	1.00	-	-
		N3017/N2967	N3017/N2967	SHS 120x5.0 (SHS)	0.060	1.879	0.061	1.00	1.00	-	-
		N1641/N1930	N1641/N1930	HE 180 A (HEA)	-	0.139	0.061	5.00	1.00	0.200	0.200
		N3246/N1642	N3246/N1642	HE 160 A (HEA)	-	0.139	0.061	5.00	1.00	0.200	0.200
		N3247/N1933	N3247/N1933	HE 240 A|I| (HEA)	-	0.124	0.076	5.00	1.00	0.200	0.200
		N3248/N1738	N3248/N1738	HE 220 A (HEA)	-	0.124	0.076	5.00	1.00	0.200	0.200
		N3249/N1938	N3249/N1938	HE 240 A|I| (HEA)	-	0.124	0.076	5.00	1.00	0.200	0.200
		N3250/N1834	N3250/N1834	HE 220 A (HEA)	-	0.124	0.076	5.00	1.00	0.200	0.200
		N3251/N2301	N3251/N2301	HE 180 A (HEA)	-	0.139	0.061	5.00	1.00	0.200	0.200
		N3252/N2202	N3252/N2202	HE 160 A (HEA)	-	0.139	0.061	5.00	1.00	0.200	0.200
		N3253/N2454	N3253/N2454	HE 180 A (HEA)	-	0.139	0.061	5.00	1.00	0.200	0.200
		N3254/N2355	N3254/N2355	HE 160 A (HEA)	-	0.139	0.061	5.00	1.00	0.200	0.200
		N3255/N2607	N3255/N2607	HE 180 A (HEA)	-	0.139	0.061	5.00	1.00	0.200	0.200
		N3256/N2508	N3256/N2508	HE 160 A (HEA)	-	0.139	0.061	5.00	1.00	0.200	0.200
		N3257/N2760	N3257/N2760	HE 180 A (HEA)	-	0.139	0.061	5.00	1.00	0.200	0.200
		N3258/N2661	N3258/N2661	HE 160 A (HEA)	-	0.139	0.061	5.00	1.00	0.200	0.200
		N3259/N2913	N3259/N2913	HE 180 A (HEA)	-	0.139	0.061	5.00	1.00	0.200	0.200
		N3260/N2814	N3260/N2814	HE 160 A (HEA)	-	0.139	0.061	5.00	1.00	0.200	0.200

Documento visado electrónicamente con número: VA07290/22
Código de validación telemática TRLTDCFZ60T66IJ1. Comprobación: https://cogitivalencia.e-gestion.es/Validacion.aspx?CVT=TRLTDCFZ60T66IJ1

VISADO
COGITI
VALENCIA
VA07290/22
TRLTDCFZ60T66IJ1

Listados

Descripción											
Material		Barra (Ni/Nf)	Pieza (Ni/Nf)	Perfil(Serie)	Longitud (m)			β_{xy}	β_{xz}	Lbsup (m)	Lbinf (m)
Tipo	Designación				Indeformable origen	Deformable	Indeformable extremo				
		N3261/N2049	N3261/N2049	HE 160 A (HEA)	-	0.139	0.061	5.00	1.00	0.200	0.200
		N3262/N2148	N3262/N2148	HE 180 A (HEA)	-	0.139	0.061	5.00	1.00	0.200	0.200
		N2148/N2049	N2148/N2049	SHS 120x5.0 (SHS)	0.086	1.826	0.088	1.00	1.00	-	-
		N3263/N1976	N3263/N1976	HE 280 B (HEB)	-	0.160	0.140	1.00	1.00	-	-
		N3264/N1974	N3264/N1974	HE 280 B (HEB)	-	0.160	0.140	1.00	1.00	-	-
		N3265/N1968	N3265/N1968	HE 280 B (HEB)	-	0.140	0.160	1.00	1.00	-	-
		N3266/N1975	N3266/N1975	HE 280 B (HEB)	-	0.140	0.160	1.00	1.00	-	-
		N3267/N1966	N3267/N1966	HE 280 B (HEB)	-	0.140	0.160	1.00	1.00	-	-
		N3268/N1969	N3268/N1969	HE 280 B (HEB)	-	0.140	0.160	1.00	1.00	-	-
		N3269/N2163	N3269/N2163	HE 280 B (HEB)	-	0.160	0.140	1.00	1.00	-	-
		N3270/N2165	N3270/N2165	HE 280 B (HEB)	-	0.160	0.140	1.00	1.00	-	-
		N3271/N2316	N3271/N2316	HE 280 B (HEB)	-	0.160	0.140	1.00	1.00	-	-
		N3272/N2318	N3272/N2318	HE 280 B (HEB)	-	0.160	0.140	1.00	1.00	-	-
		N3273/N2469	N3273/N2469	HE 280 B (HEB)	-	0.160	0.140	1.00	1.00	-	-
		N3274/N2471	N3274/N2471	HE 280 B (HEB)	-	0.160	0.140	1.00	1.00	-	-
		N3275/N2622	N3275/N2622	HE 280 B (HEB)	-	0.160	0.140	1.00	1.00	-	-
		N3276/N2624	N3276/N2624	HE 280 B (HEB)	-	0.160	0.140	1.00	1.00	-	-
		N3277/N2775	N3277/N2775	HE 280 B (HEB)	-	0.160	0.140	1.00	1.00	-	-
		N3278/N2777	N3278/N2777	HE 280 B (HEB)	-	0.160	0.140	1.00	1.00	-	-
		N3279/N2928	N3279/N2928	HE 280 B (HEB)	-	0.160	0.140	1.00	1.00	-	-
		N3280/N2930	N3280/N2930	HE 280 B (HEB)	-	0.160	0.140	1.00	1.00	-	-
		N1361/N1370	N1361/N1370	SHS 120x5.0 (SHS)	0.061	1.861	0.078	1.00	1.00	-	-
		N1378/N1386	N1378/N1386	SHS 120x5.0 (SHS)	0.061	1.861	0.078	1.00	1.00	-	-
		N1394/N1402	N1394/N1402	SHS 120x5.0 (SHS)	0.060	1.862	0.078	1.00	1.00	-	-
		N2984/N2975	N2984/N2975	SHS 120x5.0 (SHS)	0.061	1.861	0.078	1.00	1.00	-	-
		N2983/N2992	N2983/N2992	SHS 120x5.0 (SHS)	0.061	1.861	0.078	1.00	1.00	-	-
		N3031/N3000	N3031/N3000	SHS 120x5.0 (SHS)	0.060	1.862	0.078	1.00	1.00	-	-
		N2999/N3000	N2999/N3000	SHS 120x5.0 (SHS)	0.061	3.437	0.061	1.00	1.00	-	-
		N2998/N2999	N2998/N2999	SHS 120x5.0 (SHS)	0.061	3.437	0.061	1.00	1.00	-	-
		N2997/N2998	N2997/N2998	SHS 120x5.0 (SHS)	0.061	3.437	0.061	1.00	1.00	-	-
		N2996/N2997	N2996/N2997	SHS 120x5.0 (SHS)	0.061	3.437	0.061	1.00	1.00	-	-

Documento visado electrónicamente con número: VA07290/22
Código de validación telemática TRLTDCFZ60T66IJ1. Comprobación: https://cogitivalencia.e-gestion.es/Validacion.aspx?CVT=TRLTDCFZ60T66IJ1

VISADO
COGITI
VALENCIA
VA07290/22
TRLTDCFZ60T66IJ1

Descripción												
Material		Barra (Ni/Nf)	Pieza (Ni/Nf)	Perfil(Serie)	Longitud (m)			β_{xy}	β_{xz}	$Lb_{sup.}$ (m)	$Lb_{inf.}$ (m)
Tipo	Designación				Indeformable origen	Deformable	Indeformable extremo				
		N2995/N2996	N2995/N2996	SHS 120x5.0 (SHS)	0.061	3.437	0.061	1.00	1.00	-	-
		N2994/N2995	N2994/N2995	SHS 120x5.0 (SHS)	0.061	3.437	0.061	1.00	1.00	-	-
		N2993/N2994	N2993/N2994	SHS 120x5.0 (SHS)	0.061	3.437	0.061	1.00	1.00	-	-
		N2983/N2993	N2983/N2993	SHS 120x5.0 (SHS)	0.061	3.437	0.061	1.00	1.00	-	-
		N2991/N2992	N2991/N2992	SHS 120x5.0 (SHS)	0.061	3.437	0.061	1.00	1.00	-	-
		N2990/N2991	N2990/N2991	SHS 120x5.0 (SHS)	0.061	3.437	0.061	1.00	1.00	-	-
		N2989/N2990	N2989/N2990	SHS 120x5.0 (SHS)	0.061	3.437	0.061	1.00	1.00	-	-
		N2988/N2989	N2988/N2989	SHS 120x5.0 (SHS)	0.061	3.437	0.061	1.00	1.00	-	-
		N2987/N2988	N2987/N2988	SHS 120x5.0 (SHS)	0.061	3.437	0.061	1.00	1.00	-	-
		N2986/N2987	N2986/N2987	SHS 120x5.0 (SHS)	0.061	3.437	0.061	1.00	1.00	-	-
		N2985/N2986	N2985/N2986	SHS 120x5.0 (SHS)	0.061	3.437	0.061	1.00	1.00	-	-
		N2984/N2985	N2984/N2985	SHS 120x5.0 (SHS)	0.061	3.437	0.061	1.00	1.00	-	-
		N2967/N2968	N2967/N2968	SHS 120x5.0 (SHS)	0.061	3.437	0.061	1.00	1.00	-	-
		N2968/N2969	N2968/N2969	SHS 120x5.0 (SHS)	0.061	3.437	0.061	1.00	1.00	-	-
		N2969/N2970	N2969/N2970	SHS 120x5.0 (SHS)	0.061	3.437	0.061	1.00	1.00	-	-
		N2970/N2971	N2970/N2971	SHS 120x5.0 (SHS)	0.061	3.437	0.061	1.00	1.00	-	-
		N2971/N2972	N2971/N2972	SHS 120x5.0 (SHS)	0.061	3.437	0.061	1.00	1.00	-	-
		N2972/N2973	N2972/N2973	SHS 120x5.0 (SHS)	0.061	3.437	0.061	1.00	1.00	-	-
		N2973/N2974	N2973/N2974	SHS 120x5.0 (SHS)	0.061	3.437	0.061	1.00	1.00	-	-
		N2974/N2975	N2974/N2975	SHS 120x5.0 (SHS)	0.061	3.437	0.061	1.00	1.00	-	-
		N1378/N1395	N1378/N1395	SHS 120x5.0 (SHS)	0.061	3.437	0.061	1.00	1.00	-	-
		N1395/N1396	N1395/N1396	SHS 120x5.0 (SHS)	0.061	3.437	0.061	1.00	1.00	-	-
		N1396/N1397	N1396/N1397	SHS 120x5.0 (SHS)	0.061	3.437	0.061	1.00	1.00	-	-
		N1397/N1398	N1397/N1398	SHS 120x5.0 (SHS)	0.061	3.437	0.061	1.00	1.00	-	-
		N1398/N1399	N1398/N1399	SHS 120x5.0 (SHS)	0.061	3.437	0.061	1.00	1.00	-	-
		N1399/N1400	N1399/N1400	SHS 120x5.0 (SHS)	0.061	3.437	0.061	1.00	1.00	-	-
		N1400/N1401	N1400/N1401	SHS 120x5.0 (SHS)	0.061	3.437	0.061	1.00	1.00	-	-
		N1401/N1402	N1401/N1402	SHS 120x5.0 (SHS)	0.061	3.437	0.061	1.00	1.00	-	-
		N1361/N1379	N1361/N1379	SHS 120x5.0 (SHS)	0.061	3.437	0.061	1.00	1.00	-	-
		N1379/N1380	N1379/N1380	SHS 120x5.0 (SHS)	0.061	3.437	0.061	1.00	1.00	-	-
		N1380/N1381	N1380/N1381	SHS 120x5.0 (SHS)	0.061	3.437	0.061	1.00	1.00	-	-

Documento visado electrónicamente con número: VA07290/22
Código de validación telemática TRLTDCFZ60T66IJ1. Comprobación: https://cogitivalencia.e-gestion.es/Validacion.aspx?CVT=TRLTDCFZ60T66IJ1

VISADO
COGITI
VALENCIA
VA07290/22
TRLTDCFZ60T66IJ1

Descripción											
Material		Barra (Ni/Nf)	Pieza (Ni/Nf)	Perfil(Serie)	Longitud (m)			β_{xy}	β_{xz}	Lbsup (m)	Lbinf (m)
Tipo	Designación				Indeformable origen	Deformable	Indeformable extremo				
		N1381/N1382	N1381/N1382	SHS 120x5.0 (SHS)	0.061	3.437	0.061	1.00	1.00	-	-
		N1382/N1383	N1382/N1383	SHS 120x5.0 (SHS)	0.061	3.437	0.061	1.00	1.00	-	-
		N1383/N1384	N1383/N1384	SHS 120x5.0 (SHS)	0.061	3.437	0.061	1.00	1.00	-	-
		N1384/N1385	N1384/N1385	SHS 120x5.0 (SHS)	0.061	3.437	0.061	1.00	1.00	-	-
		N1385/N1386	N1385/N1386	SHS 120x5.0 (SHS)	0.061	3.437	0.061	1.00	1.00	-	-
		N1362/N1363	N1362/N1363	SHS 120x5.0 (SHS)	0.061	3.437	0.061	1.00	1.00	-	-
		N1363/N1364	N1363/N1364	SHS 120x5.0 (SHS)	0.061	3.437	0.061	1.00	1.00	-	-
		N1364/N1365	N1364/N1365	SHS 120x5.0 (SHS)	0.061	3.437	0.061	1.00	1.00	-	-
		N1365/N1366	N1365/N1366	SHS 120x5.0 (SHS)	0.061	3.437	0.061	1.00	1.00	-	-
		N1366/N1367	N1366/N1367	SHS 120x5.0 (SHS)	0.061	3.437	0.061	1.00	1.00	-	-
		N1367/N1368	N1367/N1368	SHS 120x5.0 (SHS)	0.061	3.437	0.061	1.00	1.00	-	-
		N1368/N1369	N1368/N1369	SHS 120x5.0 (SHS)	0.061	3.437	0.061	1.00	1.00	-	-
		N1369/N1370	N1369/N1370	SHS 120x5.0 (SHS)	0.061	3.437	0.061	1.00	1.00	-	-
		N3000/N3281	N3000/N3281	SHS 120x5.0 (SHS)	0.060	0.040	-	1.00	1.00	-	-
		N3031/N3282	N3031/N3282	SHS 120x5.0 (SHS)	0.060	0.040	-	1.00	1.00	-	-
		N2999/N3283	N2999/N3283	SHS 120x5.0 (SHS)	0.060	0.040	-	1.00	1.00	-	-
		N3014/N3284	N3014/N3284	SHS 120x5.0 (SHS)	0.060	0.040	-	1.00	1.00	-	-
		N2998/N3285	N2998/N3285	SHS 120x5.0 (SHS)	0.060	0.040	-	1.00	1.00	-	-
		N3013/N3286	N3013/N3286	SHS 120x5.0 (SHS)	0.060	0.040	-	1.00	1.00	-	-
		N2997/N3287	N2997/N3287	SHS 120x5.0 (SHS)	0.060	0.040	-	1.00	1.00	-	-
		N3012/N3288	N3012/N3288	SHS 120x5.0 (SHS)	0.060	0.040	-	1.00	1.00	-	-
		N2996/N3289	N2996/N3289	SHS 120x5.0 (SHS)	0.060	0.040	-	1.00	1.00	-	-
		N3011/N3290	N3011/N3290	SHS 120x5.0 (SHS)	0.060	0.040	-	1.00	1.00	-	-
		N2995/N3291	N2995/N3291	SHS 120x5.0 (SHS)	0.060	0.040	-	1.00	1.00	-	-
		N3010/N3292	N3010/N3292	SHS 120x5.0 (SHS)	0.060	0.040	-	1.00	1.00	-	-
		N2994/N3293	N2994/N3293	SHS 120x5.0 (SHS)	0.060	0.040	-	1.00	1.00	-	-
		N3009/N3294	N3009/N3294	SHS 120x5.0 (SHS)	0.060	0.040	-	1.00	1.00	-	-
		N2993/N3295	N2993/N3295	SHS 120x5.0 (SHS)	0.060	0.040	-	1.00	1.00	-	-
		N3008/N3296	N3008/N3296	SHS 120x5.0 (SHS)	0.060	0.040	-	1.00	1.00	-	-
		N2992/N3297	N2992/N3297	SHS 120x5.0 (SHS)	0.060	0.040	-	1.00	1.00	-	-
		N2983/N3298	N2983/N3298	SHS 120x5.0 (SHS)	0.060	0.040	-	1.00	1.00	-	-

Documento visado electrónicamente con número: VA07290/22
Código de validación telemática TRLTDCFZ60T66IJ1. Comprobación: https://cogitivalencia.e-gestion.es/Validacion.aspx?CVT=TRLTDCFZ60T66IJ1

VISADO
COGITI
VALENCIA
VA07290/22
TRLTDCFZ60T66IJ1

Listados

Descripción												
Material		Barra (Ni/Nf)	Pieza (Ni/Nf)	Perfil(Serie)	Longitud (m)			β_{xy}	β_{xz}	$Lb_{sup.}$ (m)	$Lb_{inf.}$ (m)
Tipo	Designación				Indeformable origen	Deformable	Indeformable extremo				
		N2991/N3299	N2991/N3299	SHS 120x5.0 (SHS)	0.060	0.040	-	1.00	1.00	-	-
		N2982/N3300	N2982/N3300	SHS 120x5.0 (SHS)	0.060	0.040	-	1.00	1.00	-	-
		N2981/N3301	N2981/N3301	SHS 120x5.0 (SHS)	0.060	0.040	-	1.00	1.00	-	-
		N2990/N3302	N2990/N3302	SHS 120x5.0 (SHS)	0.060	0.040	-	1.00	1.00	-	-
		N2980/N3303	N2980/N3303	SHS 120x5.0 (SHS)	0.060	0.040	-	1.00	1.00	-	-
		N2989/N3304	N2989/N3304	SHS 120x5.0 (SHS)	0.060	0.040	-	1.00	1.00	-	-
		N2979/N3305	N2979/N3305	SHS 120x5.0 (SHS)	0.060	0.040	-	1.00	1.00	-	-
		N2988/N3306	N2988/N3306	SHS 120x5.0 (SHS)	0.060	0.040	-	1.00	1.00	-	-
		N2978/N3307	N2978/N3307	SHS 120x5.0 (SHS)	0.060	0.040	-	1.00	1.00	-	-
		N2987/N3308	N2987/N3308	SHS 120x5.0 (SHS)	0.060	0.040	-	1.00	1.00	-	-
		N2977/N3309	N2977/N3309	SHS 120x5.0 (SHS)	0.060	0.040	-	1.00	1.00	-	-
		N2986/N3310	N2986/N3310	SHS 120x5.0 (SHS)	0.060	0.040	-	1.00	1.00	-	-
		N2976/N3311	N2976/N3311	SHS 120x5.0 (SHS)	0.060	0.040	-	1.00	1.00	-	-
		N2985/N3312	N2985/N3312	SHS 120x5.0 (SHS)	0.060	0.040	-	1.00	1.00	-	-
		N2984/N3313	N2984/N3313	SHS 120x5.0 (SHS)	0.060	0.040	-	1.00	1.00	-	-
		N2975/N3314	N2975/N3314	SHS 120x5.0 (SHS)	0.060	0.040	-	1.00	1.00	-	-
		N3007/N3315	N3007/N3315	SHS 120x5.0 (SHS)	0.060	0.040	-	1.00	1.00	-	-
		N2974/N3316	N2974/N3316	SHS 120x5.0 (SHS)	0.060	0.040	-	1.00	1.00	-	-
		N3006/N3317	N3006/N3317	SHS 120x5.0 (SHS)	0.060	0.040	-	1.00	1.00	-	-
		N2973/N3318	N2973/N3318	SHS 120x5.0 (SHS)	0.060	0.040	-	1.00	1.00	-	-
		N3005/N3319	N3005/N3319	SHS 120x5.0 (SHS)	0.060	0.040	-	1.00	1.00	-	-
		N2972/N3320	N2972/N3320	SHS 120x5.0 (SHS)	0.060	0.040	-	1.00	1.00	-	-
		N3004/N3321	N3004/N3321	SHS 120x5.0 (SHS)	0.060	0.040	-	1.00	1.00	-	-
		N2971/N3322	N2971/N3322	SHS 120x5.0 (SHS)	0.060	0.040	-	1.00	1.00	-	-
		N3003/N3323	N3003/N3323	SHS 120x5.0 (SHS)	0.060	0.040	-	1.00	1.00	-	-
		N2970/N3324	N2970/N3324	SHS 120x5.0 (SHS)	0.060	0.040	-	1.00	1.00	-	-
		N3002/N3325	N3002/N3325	SHS 120x5.0 (SHS)	0.060	0.040	-	1.00	1.00	-	-
		N2969/N3326	N2969/N3326	SHS 120x5.0 (SHS)	0.060	0.040	-	1.00	1.00	-	-
		N3001/N3327	N3001/N3327	SHS 120x5.0 (SHS)	0.060	0.040	-	1.00	1.00	-	-
		N2968/N3328	N2968/N3328	SHS 120x5.0 (SHS)	0.060	0.040	-	1.00	1.00	-	-
		N3017/N3329	N3017/N3329	SHS 120x5.0 (SHS)	0.060	0.040	-	1.00	1.00	-	-

Documento visado electrónicamente con número: VA07290/22
Código de validación telemática TRLTDCFZ60T66IJ1. Comprobación: https://cogitivalencia.e-gestion.es/Validacion.aspx?CVT=TRLTDCFZ60T66IJ1

VISADO
COGITI
VALENCIA
VA07290/22
TRLTDCFZ60T66IJ1

Listados

Descripción											
Material		Barra (Ni/Nf)	Pieza (Ni/Nf)	Perfil(Serie)	Longitud (m)			β_{xy}	β_{xz}	Lbsup (m)	Lbinf (m)
Tipo	Designación				Indeformable origen	Deformable	Indeformable extremo				
		N2967/N3330	N2967/N3330	SHS 120x5.0 (SHS)	0.060	0.040	-	1.00	1.00	-	-
		N1394/N3331	N1394/N3331	SHS 120x5.0 (SHS)	0.060	0.040	-	1.00	1.00	-	-
		N1402/N3332	N1402/N3332	SHS 120x5.0 (SHS)	0.060	0.040	-	1.00	1.00	-	-
		N1393/N3333	N1393/N3333	SHS 120x5.0 (SHS)	0.060	0.040	-	1.00	1.00	-	-
		N1401/N3334	N1401/N3334	SHS 120x5.0 (SHS)	0.060	0.040	-	1.00	1.00	-	-
		N1392/N3335	N1392/N3335	SHS 120x5.0 (SHS)	0.060	0.040	-	1.00	1.00	-	-
		N1400/N3336	N1400/N3336	SHS 120x5.0 (SHS)	0.060	0.040	-	1.00	1.00	-	-
		N1391/N3337	N1391/N3337	SHS 120x5.0 (SHS)	0.060	0.040	-	1.00	1.00	-	-
		N1399/N3338	N1399/N3338	SHS 120x5.0 (SHS)	0.060	0.040	-	1.00	1.00	-	-
		N1390/N3339	N1390/N3339	SHS 120x5.0 (SHS)	0.060	0.040	-	1.00	1.00	-	-
		N1398/N3340	N1398/N3340	SHS 120x5.0 (SHS)	0.060	0.040	-	1.00	1.00	-	-
		N1389/N3341	N1389/N3341	SHS 120x5.0 (SHS)	0.060	0.040	-	1.00	1.00	-	-
		N1397/N3342	N1397/N3342	SHS 120x5.0 (SHS)	0.060	0.040	-	1.00	1.00	-	-
		N1388/N3343	N1388/N3343	SHS 120x5.0 (SHS)	0.060	0.040	-	1.00	1.00	-	-
		N1396/N3344	N1396/N3344	SHS 120x5.0 (SHS)	0.060	0.040	-	1.00	1.00	-	-
		N1387/N3345	N1387/N3345	SHS 120x5.0 (SHS)	0.060	0.040	-	1.00	1.00	-	-
		N1395/N3346	N1395/N3346	SHS 120x5.0 (SHS)	0.060	0.040	-	1.00	1.00	-	-
		N1378/N3347	N1378/N3347	SHS 120x5.0 (SHS)	0.060	0.040	-	1.00	1.00	-	-
		N1386/N3348	N1386/N3348	SHS 120x5.0 (SHS)	0.060	0.040	-	1.00	1.00	-	-
		N1377/N3349	N1377/N3349	SHS 120x5.0 (SHS)	0.060	0.040	-	1.00	1.00	-	-
		N1385/N3350	N1385/N3350	SHS 120x5.0 (SHS)	0.060	0.040	-	1.00	1.00	-	-
		N1376/N3351	N1376/N3351	SHS 120x5.0 (SHS)	0.060	0.040	-	1.00	1.00	-	-
		N1384/N3352	N1384/N3352	SHS 120x5.0 (SHS)	0.060	0.040	-	1.00	1.00	-	-
		N1375/N3353	N1375/N3353	SHS 120x5.0 (SHS)	0.060	0.040	-	1.00	1.00	-	-
		N1383/N3354	N1383/N3354	SHS 120x5.0 (SHS)	0.060	0.040	-	1.00	1.00	-	-
		N1374/N3355	N1374/N3355	SHS 120x5.0 (SHS)	0.060	0.040	-	1.00	1.00	-	-
		N1382/N3356	N1382/N3356	SHS 120x5.0 (SHS)	0.060	0.040	-	1.00	1.00	-	-
		N1373/N3357	N1373/N3357	SHS 120x5.0 (SHS)	0.060	0.040	-	1.00	1.00	-	-
		N1381/N3358	N1381/N3358	SHS 120x5.0 (SHS)	0.060	0.040	-	1.00	1.00	-	-
		N1372/N3359	N1372/N3359	SHS 120x5.0 (SHS)	0.060	0.040	-	1.00	1.00	-	-
		N1380/N3360	N1380/N3360	SHS 120x5.0 (SHS)	0.060	0.040	-	1.00	1.00	-	-

Documento visado electrónicamente con número: VA07290/22
Código de validación telemática TRLTDCFZ60T66IJ1. Comprobación: https://cogitivalencia.e-gestion.es/Validacion.aspx?CVT=TRLTDCFZ60T66IJ1

VISADO
COGITI
VALENCIA
VA07290/22
TRLTDCFZ60T66IJ1

Descripción												
Material		Barra (Ni/Nf)	Pieza (Ni/Nf)	Perfil(Serie)	Longitud (m)			β_{xy}	β_{xz}	$Lb_{sup.}$ (m)	$Lb_{inf.}$ (m)
Tipo	Designación				Indeformable origen	Deformable	Indeformable extremo				
		N1371/N3361	N1371/N3361	SHS 120x5.0 (SHS)	0.060	0.040	-	1.00	1.00	-	-
		N1379/N3362	N1379/N3362	SHS 120x5.0 (SHS)	0.060	0.040	-	1.00	1.00	-	-
		N1361/N3363	N1361/N3363	SHS 120x5.0 (SHS)	0.060	0.040	-	1.00	1.00	-	-
		N1370/N3364	N1370/N3364	SHS 120x5.0 (SHS)	0.060	0.040	-	1.00	1.00	-	-
		N1360/N3365	N1360/N3365	SHS 120x5.0 (SHS)	0.060	0.040	-	1.00	1.00	-	-
		N1369/N3366	N1369/N3366	SHS 120x5.0 (SHS)	0.060	0.040	-	1.00	1.00	-	-
		N1359/N3367	N1359/N3367	SHS 120x5.0 (SHS)	0.060	0.040	-	1.00	1.00	-	-
		N1368/N3368	N1368/N3368	SHS 120x5.0 (SHS)	0.060	0.040	-	1.00	1.00	-	-
		N1358/N3369	N1358/N3369	SHS 120x5.0 (SHS)	0.060	0.040	-	1.00	1.00	-	-
		N1367/N3370	N1367/N3370	SHS 120x5.0 (SHS)	0.060	0.040	-	1.00	1.00	-	-
		N1357/N3371	N1357/N3371	SHS 120x5.0 (SHS)	0.060	0.040	-	1.00	1.00	-	-
		N1366/N3372	N1366/N3372	SHS 120x5.0 (SHS)	0.060	0.040	-	1.00	1.00	-	-
		N1356/N3373	N1356/N3373	SHS 120x5.0 (SHS)	0.060	0.040	-	1.00	1.00	-	-
		N1365/N3374	N1365/N3374	SHS 120x5.0 (SHS)	0.060	0.040	-	1.00	1.00	-	-
		N1355/N3375	N1355/N3375	SHS 120x5.0 (SHS)	0.060	0.040	-	1.00	1.00	-	-
		N1364/N3376	N1364/N3376	SHS 120x5.0 (SHS)	0.060	0.040	-	1.00	1.00	-	-
		N1354/N3377	N1354/N3377	SHS 120x5.0 (SHS)	0.060	0.040	-	1.00	1.00	-	-
		N1363/N3378	N1363/N3378	SHS 120x5.0 (SHS)	0.060	0.040	-	1.00	1.00	-	-
		N1353/N3379	N1353/N3379	SHS 120x5.0 (SHS)	0.060	0.040	-	1.00	1.00	-	-
		N1362/N3380	N1362/N3380	SHS 120x5.0 (SHS)	0.060	0.040	-	1.00	1.00	-	-
		N3383/N19	N3383/N19	SHS 100x4.0 (SHS)	-	1.192	0.099	0.80	0.80	-	-
		N35/N3383	N35/N3383	SHS 100x4.0 (SHS)	0.111	1.180	-	0.80	0.80	-	-
		N14/N15	N14/N3381	HE 160 A (HEA)	0.078	1.623	0.078	0.56	1.00	1.779	1.779
		N15/N16	N14/N3381	HE 160 A (HEA)	0.078	1.623	0.078	0.56	1.00	1.779	1.779
		N16/N17	N14/N3381	HE 160 A (HEA)	0.078	1.623	0.078	0.56	1.00	1.779	1.779
		N17/N18	N14/N3381	HE 160 A (HEA)	0.078	1.623	0.078	0.56	1.00	1.779	1.779
		N18/N19	N14/N3381	HE 160 A (HEA)	0.078	1.636	0.065	0.56	1.00	1.779	1.779
		N19/N3381	N14/N3381	HE 160 A (HEA)	0.065	0.825	-	1.12	1.00	0.890	0.890
		N3381/N20	N3381/N3400	HE 160 A (HEA)	-	0.825	0.065	1.12	1.00	0.890	0.890
		N20/N21	N3381/N3400	HE 160 A (HEA)	0.065	1.649	0.065	0.56	1.00	1.779	1.779
		N21/N22	N3381/N3400	HE 160 A (HEA)	0.065	1.663	0.051	0.56	1.00	1.779	1.779

Documento visado electrónicamente con número: VA07290/22
Código de validación telemática TRLTDCFZ60T66IJ1. Comprobación: https://cogitivalencia.e-gestion.es/Validacion.aspx?CVT=TRLTDCFZ60T66IJ1

VISADO
COGITI
VALENCIA
VA07290/22
TRLTDCFZ60T66IJ1

Listados

Descripción											
Material		Barra (Ni/Nf)	Pieza (Ni/Nf)	Perfil(Serie)	Longitud (m)			β_{xy}	β_{xz}	Lbsup (m)	Lbinf (m)
Tipo	Designación				Indeformable origen	Deformable	Indeformable extremo				
		N22/N23	N3381/N3400	HE 160 A (HEA)	0.051	1.658	0.070	0.56	1.00	1.779	1.779
		N23/N24	N3381/N3400	HE 160 A (HEA)	0.070	1.639	0.070	0.56	1.00	1.779	1.779
		N24/N3400	N3381/N3400	HE 160 A (HEA)	0.070	0.820	-	1.12	1.00	0.890	0.890
		N3400/N25	N3400/N9	HE 160 A (HEA)	-	0.820	0.070	1.12	1.00	0.890	0.890
		N25/N26	N3400/N9	HE 160 A (HEA)	0.070	1.625	0.084	0.56	1.00	1.779	1.779
		N26/N27	N3400/N9	HE 160 A (HEA)	0.084	1.611	0.084	0.56	1.00	1.779	1.779
		N27/N28	N3400/N9	HE 160 A (HEA)	0.084	1.611	0.084	0.56	1.00	1.779	1.779
		N28/N29	N3400/N9	HE 160 A (HEA)	0.084	1.611	0.084	0.56	1.00	1.779	1.779
		N29/N9	N3400/N9	HE 160 A (HEA)	0.084	1.554	0.141	0.56	1.00	1.779	1.779
		N122/N123	N122/N3384	HE 220 A (HEA)	0.098	1.583	0.098	0.56	1.00	1.779	1.779
		N123/N124	N122/N3384	HE 220 A (HEA)	0.098	1.583	0.098	0.56	1.00	1.779	1.779
		N124/N125	N122/N3384	HE 220 A (HEA)	0.098	1.603	0.078	0.56	1.00	1.779	1.779
		N125/N126	N122/N3384	HE 220 A (HEA)	0.078	1.623	0.078	0.56	1.00	1.779	1.779
		N126/N127	N122/N3384	HE 220 A (HEA)	0.078	1.623	0.078	0.56	1.00	1.779	1.779
		N127/N3384	N122/N3384	HE 220 A (HEA)	0.078	0.812	-	1.12	1.00	0.890	0.890
		N3384/N128	N3384/N3399	HE 220 A (HEA)	-	0.812	0.078	1.12	1.00	0.890	0.890
		N128/N129	N3384/N3399	HE 220 A (HEA)	0.078	1.623	0.078	0.56	1.00	1.779	1.779
		N129/N130	N3384/N3399	HE 220 A (HEA)	0.078	1.640	0.061	0.56	1.00	1.779	1.779
		N130/N131	N3384/N3399	HE 220 A (HEA)	0.061	1.634	0.084	0.56	1.00	1.779	1.779
		N131/N132	N3384/N3399	HE 220 A (HEA)	0.084	1.611	0.084	0.56	1.00	1.779	1.779
		N132/N3399	N3384/N3399	HE 220 A (HEA)	0.084	0.806	-	1.12	1.00	0.890	0.890
		N3399/N133	N3399/N138	HE 220 A (HEA)	-	0.806	0.084	1.12	1.00	0.890	0.890
		N133/N134	N3399/N138	HE 220 A (HEA)	0.084	1.611	0.084	0.56	1.00	1.779	1.779
		N134/N135	N3399/N138	HE 220 A (HEA)	0.084	1.611	0.084	0.56	1.00	1.779	1.779
		N135/N136	N3399/N138	HE 220 A (HEA)	0.084	1.590	0.105	0.56	1.00	1.779	1.779
		N136/N137	N3399/N138	HE 220 A (HEA)	0.105	1.569	0.105	0.56	1.00	1.779	1.779
		N137/N138	N3399/N138	HE 220 A (HEA)	0.105	1.533	0.141	0.56	1.00	1.779	1.779
		N226/N227	N226/N3385	HE 220 A (HEA)	0.098	1.583	0.098	0.56	1.00	1.779	1.779
		N227/N228	N226/N3385	HE 220 A (HEA)	0.098	1.583	0.098	0.56	1.00	1.779	1.779
		N228/N229	N226/N3385	HE 220 A (HEA)	0.098	1.603	0.078	0.56	1.00	1.779	1.779
		N229/N230	N226/N3385	HE 220 A (HEA)	0.078	1.623	0.078	0.56	1.00	1.779	1.779

Documento visado electrónicamente con número: VA07290/22
Código de validación telemática TRLTDCFZ60T66IJ1. Comprobación: https://cogitivalencia.e-gestion.es/Validacion.aspx?CVT=TRLTDCFZ60T66IJ1

VISADO
COGITI
VALENCIA
VA07290/22
TRLTDCFZ60T66IJ1

Descripción												
Material		Barra (Ni/Nf)	Pieza (Ni/Nf)	Perfil(Serie)	Longitud (m)			β_{xy}	β_{xz}	$Lb_{sup.}$ (m)	$Lb_{inf.}$ (m)	
Tipo	Designación				Indeformable origen	Deformable	Indeformable extremo					
		N230/N231	N226/N3385	HE 220 A (HEA)	0.078	1.623	0.078	0.56	1.00	1.779	1.779	
		N231/N3385	N226/N3385	HE 220 A (HEA)	0.078	0.812	-	1.12	1.00	0.890	0.890	
		N3385/N232	N3385/N3398	HE 220 A (HEA)	-	0.812	0.078	1.12	1.00	0.890	0.890	
		N232/N233	N3385/N3398	HE 220 A (HEA)	0.078	1.623	0.078	0.56	1.00	1.779	1.779	
		N233/N234	N3385/N3398	HE 220 A (HEA)	0.078	1.640	0.061	0.56	1.00	1.779	1.779	
		N234/N235	N3385/N3398	HE 220 A (HEA)	0.061	1.634	0.084	0.56	1.00	1.779	1.779	
		N235/N236	N3385/N3398	HE 220 A (HEA)	0.084	1.611	0.084	0.56	1.00	1.779	1.779	
		N236/N3398	N3385/N3398	HE 220 A (HEA)	0.084	0.806	-	1.12	1.00	0.890	0.890	
		N3398/N237	N3398/N242	HE 220 A (HEA)	-	0.806	0.084	1.12	1.00	0.890	0.890	
		N237/N238	N3398/N242	HE 220 A (HEA)	0.084	1.611	0.084	0.56	1.00	1.779	1.779	
		N238/N239	N3398/N242	HE 220 A (HEA)	0.084	1.611	0.084	0.56	1.00	1.779	1.779	
		N239/N240	N3398/N242	HE 220 A (HEA)	0.084	1.590	0.105	0.56	1.00	1.779	1.779	
		N240/N241	N3398/N242	HE 220 A (HEA)	0.105	1.569	0.105	0.56	1.00	1.779	1.779	
		N241/N242	N3398/N242	HE 220 A (HEA)	0.105	1.533	0.141	0.56	1.00	1.779	1.779	
		N434/N435	N434/N3386	HE 160 A (HEA)	0.078	1.623	0.078	0.56	1.00	1.779	1.779	
		N435/N436	N434/N3386	HE 160 A (HEA)	0.078	1.623	0.078	0.56	1.00	1.779	1.779	
		N436/N437	N434/N3386	HE 160 A (HEA)	0.078	1.623	0.078	0.56	1.00	1.779	1.779	
		N437/N438	N434/N3386	HE 160 A (HEA)	0.078	1.623	0.078	0.56	1.00	1.779	1.779	
		N438/N439	N434/N3386	HE 160 A (HEA)	0.078	1.636	0.065	0.56	1.00	1.779	1.779	
		N439/N3386	N434/N3386	HE 160 A (HEA)	0.065	0.825	-	1.12	1.00	0.890	0.890	
		N3386/N440	N3386/N3397	HE 160 A (HEA)	-	0.825	0.065	1.12	1.00	0.890	0.890	
		N440/N441	N3386/N3397	HE 160 A (HEA)	0.065	1.649	0.065	0.56	1.00	1.779	1.779	
		N441/N442	N3386/N3397	HE 160 A (HEA)	0.065	1.663	0.051	0.56	1.00	1.779	1.779	
		N442/N443	N3386/N3397	HE 160 A (HEA)	0.051	1.658	0.070	0.56	1.00	1.779	1.779	
		N443/N444	N3386/N3397	HE 160 A (HEA)	0.070	1.639	0.070	0.56	1.00	1.779	1.779	
		N444/N3397	N3386/N3397	HE 160 A (HEA)	0.070	0.820	-	1.12	1.00	0.890	0.890	
		N3397/N445	N3397/N450	HE 160 A (HEA)	-	0.820	0.070	1.12	1.00	0.890	0.890	
		N445/N446	N3397/N450	HE 160 A (HEA)	0.070	1.625	0.084	0.56	1.00	1.779	1.779	
		N446/N447	N3397/N450	HE 160 A (HEA)	0.084	1.611	0.084	0.56	1.00	1.779	1.779	
		N447/N448	N3397/N450	HE 160 A (HEA)	0.084	1.611	0.084	0.56	1.00	1.779	1.779	
		N448/N449	N3397/N450	HE 160 A (HEA)	0.084	1.611	0.084	0.56	1.00	1.779	1.779	

Documento visado electrónicamente con número: VA07290/22
Código de validación telemática TRLTDCFZ60T66IJ1. Comprobación: https://cogitivalencia.e-gestion.es/Validacion.aspx?CVT=TRLTDCFZ60T66IJ1

VISADO
COGITI
VALENCIA
VA07290/22
TRLTDCFZ60T66IJ1

Descripción											
Material		Barra (Ni/Nf)	Pieza (Ni/Nf)	Perfil(Serie)	Longitud (m)			β_{xy}	β_{xz}	Lbsup (m)	Lbinf (m)
Tipo	Designación				Indeformable origen	Deformable	Indeformable extremo				
		N449/N450	N3397/N450	HE 160 A (HEA)	0.084	1.554	0.141	0.56	1.00	1.779	1.779
		N590/N591	N590/N3387	HE 160 A (HEA)	0.078	1.623	0.078	0.56	1.00	1.779	1.779
		N591/N592	N590/N3387	HE 160 A (HEA)	0.078	1.623	0.078	0.56	1.00	1.779	1.779
		N592/N593	N590/N3387	HE 160 A (HEA)	0.078	1.623	0.078	0.56	1.00	1.779	1.779
		N593/N594	N590/N3387	HE 160 A (HEA)	0.078	1.623	0.078	0.56	1.00	1.779	1.779
		N594/N595	N590/N3387	HE 160 A (HEA)	0.078	1.636	0.065	0.56	1.00	1.779	1.779
		N595/N3387	N590/N3387	HE 160 A (HEA)	0.065	0.825	-	1.12	1.00	0.890	0.890
		N3387/N596	N3387/N3396	HE 160 A (HEA)	-	0.825	0.065	1.12	1.00	0.890	0.890
		N596/N597	N3387/N3396	HE 160 A (HEA)	0.065	1.649	0.065	0.56	1.00	1.779	1.779
		N597/N598	N3387/N3396	HE 160 A (HEA)	0.065	1.663	0.051	0.56	1.00	1.779	1.779
		N598/N599	N3387/N3396	HE 160 A (HEA)	0.051	1.658	0.070	0.56	1.00	1.779	1.779
		N599/N600	N3387/N3396	HE 160 A (HEA)	0.070	1.639	0.070	0.56	1.00	1.779	1.779
		N600/N3396	N3387/N3396	HE 160 A (HEA)	0.070	0.820	-	1.12	1.00	0.890	0.890
		N3396/N601	N3396/N606	HE 160 A (HEA)	-	0.820	0.070	1.12	1.00	0.890	0.890
		N601/N602	N3396/N606	HE 160 A (HEA)	0.070	1.625	0.084	0.56	1.00	1.779	1.779
		N602/N603	N3396/N606	HE 160 A (HEA)	0.084	1.611	0.084	0.56	1.00	1.779	1.779
		N603/N604	N3396/N606	HE 160 A (HEA)	0.084	1.611	0.084	0.56	1.00	1.779	1.779
		N604/N605	N3396/N606	HE 160 A (HEA)	0.084	1.611	0.084	0.56	1.00	1.779	1.779
		N605/N606	N3396/N606	HE 160 A (HEA)	0.084	1.554	0.141	0.56	1.00	1.779	1.779
		N746/N747	N746/N3388	HE 160 A (HEA)	0.078	1.623	0.078	0.56	1.00	1.779	1.779
		N747/N748	N746/N3388	HE 160 A (HEA)	0.078	1.623	0.078	0.56	1.00	1.779	1.779
		N748/N749	N746/N3388	HE 160 A (HEA)	0.078	1.623	0.078	0.56	1.00	1.779	1.779
		N749/N750	N746/N3388	HE 160 A (HEA)	0.078	1.623	0.078	0.56	1.00	1.779	1.779
		N750/N751	N746/N3388	HE 160 A (HEA)	0.078	1.636	0.065	0.56	1.00	1.779	1.779
		N751/N3388	N746/N3388	HE 160 A (HEA)	0.065	0.825	-	1.12	1.00	0.890	0.890
		N3388/N752	N3388/N3395	HE 160 A (HEA)	-	0.825	0.065	1.12	1.00	0.890	0.890
		N752/N753	N3388/N3395	HE 160 A (HEA)	0.065	1.649	0.065	0.56	1.00	1.779	1.779
		N753/N754	N3388/N3395	HE 160 A (HEA)	0.065	1.663	0.051	0.56	1.00	1.779	1.779
		N754/N755	N3388/N3395	HE 160 A (HEA)	0.051	1.658	0.070	0.56	1.00	1.779	1.779
		N755/N756	N3388/N3395	HE 160 A (HEA)	0.070	1.639	0.070	0.56	1.00	1.779	1.779
		N756/N3395	N3388/N3395	HE 160 A (HEA)	0.070	0.820	-	1.12	1.00	0.890	0.890

Documento visado electrónicamente con número: VA07290/22
Código de validación telemática TRLTDCFZ60T66IJ1. Comprobación: https://cogitivalencia.e-gestion.es/Validacion.aspx?CVT=TRLTDCFZ60T66IJ1

VISADO
COGITI
VALENCIA
VA07290/22
TRLTDCFZ60T66IJ1

Descripción												
Material		Barra (Ni/Nf)	Pieza (Ni/Nf)	Perfil(Serie)	Longitud (m)			β_{xy}	β_{xz}	Lbsup. (m)	Lbinf. (m)
Tipo	Designación				Indeformable origen	Deformable	Indeformable extremo				
		N3395/N757	N3395/N762	HE 160 A (HEA)	-	0.820	0.070	1.12	1.00	0.890	0.890
		N757/N758	N3395/N762	HE 160 A (HEA)	0.070	1.625	0.084	0.56	1.00	1.779	1.779
		N758/N759	N3395/N762	HE 160 A (HEA)	0.084	1.611	0.084	0.56	1.00	1.779	1.779
		N759/N760	N3395/N762	HE 160 A (HEA)	0.084	1.611	0.084	0.56	1.00	1.779	1.779
		N760/N761	N3395/N762	HE 160 A (HEA)	0.084	1.611	0.084	0.56	1.00	1.779	1.779
		N761/N762	N3395/N762	HE 160 A (HEA)	0.084	1.554	0.141	0.56	1.00	1.779	1.779
		N902/N903	N902/N3389	HE 160 A (HEA)	0.078	1.623	0.078	0.56	1.00	1.779	1.779
		N903/N904	N902/N3389	HE 160 A (HEA)	0.078	1.623	0.078	0.56	1.00	1.779	1.779
		N904/N905	N902/N3389	HE 160 A (HEA)	0.078	1.623	0.078	0.56	1.00	1.779	1.779
		N905/N906	N902/N3389	HE 160 A (HEA)	0.078	1.623	0.078	0.56	1.00	1.779	1.779
		N906/N907	N902/N3389	HE 160 A (HEA)	0.078	1.636	0.065	0.56	1.00	1.779	1.779
		N907/N3389	N902/N3389	HE 160 A (HEA)	0.065	0.825	-	1.12	1.00	0.890	0.890
		N3389/N908	N3389/N3394	HE 160 A (HEA)	-	0.825	0.065	1.12	1.00	0.890	0.890
		N908/N909	N3389/N3394	HE 160 A (HEA)	0.065	1.649	0.065	0.56	1.00	1.779	1.779
		N909/N910	N3389/N3394	HE 160 A (HEA)	0.065	1.663	0.051	0.56	1.00	1.779	1.779
		N910/N911	N3389/N3394	HE 160 A (HEA)	0.051	1.658	0.070	0.56	1.00	1.779	1.779
		N911/N912	N3389/N3394	HE 160 A (HEA)	0.070	1.639	0.070	0.56	1.00	1.779	1.779
		N912/N3394	N3389/N3394	HE 160 A (HEA)	0.070	0.820	-	1.12	1.00	0.890	0.890
		N3394/N913	N3394/N918	HE 160 A (HEA)	-	0.820	0.070	1.12	1.00	0.890	0.890
		N913/N914	N3394/N918	HE 160 A (HEA)	0.070	1.625	0.084	0.56	1.00	1.779	1.779
		N914/N915	N3394/N918	HE 160 A (HEA)	0.084	1.611	0.084	0.56	1.00	1.779	1.779
		N915/N916	N3394/N918	HE 160 A (HEA)	0.084	1.611	0.084	0.56	1.00	1.779	1.779
		N916/N917	N3394/N918	HE 160 A (HEA)	0.084	1.611	0.084	0.56	1.00	1.779	1.779
		N917/N918	N3394/N918	HE 160 A (HEA)	0.084	1.554	0.141	0.56	1.00	1.779	1.779
		N1058/N1059	N1058/N3390	HE 160 A (HEA)	0.078	1.623	0.078	0.56	1.00	1.779	1.779
		N1059/N1060	N1058/N3390	HE 160 A (HEA)	0.078	1.623	0.078	0.56	1.00	1.779	1.779
		N1060/N1061	N1058/N3390	HE 160 A (HEA)	0.078	1.623	0.078	0.56	1.00	1.779	1.779
		N1061/N1062	N1058/N3390	HE 160 A (HEA)	0.078	1.623	0.078	0.56	1.00	1.779	1.779
		N1062/N1063	N1058/N3390	HE 160 A (HEA)	0.078	1.636	0.065	0.56	1.00	1.779	1.779
		N1063/N3390	N1058/N3390	HE 160 A (HEA)	0.065	0.825	-	1.12	1.00	0.890	0.890
		N3390/N1064	N3390/N3393	HE 160 A (HEA)	-	0.825	0.065	1.12	1.00	0.890	0.890

Documento visado electrónicamente con número: VA07290/22
Código de validación telemática TRLTDCFZ60T66IJ1. Comprobación: https://cogitivalencia.e-gestion.es/Validacion.aspx?CVT=TRLTDCFZ60T66IJ1

VISADO
COGITI
VALENCIA
VA07290/22
TRLTDCFZ60T66IJ1

Descripción											
Material		Barra (Ni/Nf)	Pieza (Ni/Nf)	Perfil(Serie)	Longitud (m)			β_{xy}	β_{xz}	Lbsup (m)	Lbinf (m)
Tipo	Designación				Indeformable origen	Deformable	Indeformable extremo				
		N1064/N1065	N3390/N3393	HE 160 A (HEA)	0.065	1.649	0.065	0.56	1.00	1.779	1.779
		N1065/N1066	N3390/N3393	HE 160 A (HEA)	0.065	1.663	0.051	0.56	1.00	1.779	1.779
		N1066/N1067	N3390/N3393	HE 160 A (HEA)	0.051	1.658	0.070	0.56	1.00	1.779	1.779
		N1067/N1068	N3390/N3393	HE 160 A (HEA)	0.070	1.639	0.070	0.56	1.00	1.779	1.779
		N1068/N3393	N3390/N3393	HE 160 A (HEA)	0.070	0.820	-	1.12	1.00	0.890	0.890
		N3393/N1069	N3393/N1074	HE 160 A (HEA)	-	0.820	0.070	1.12	1.00	0.890	0.890
		N1069/N1070	N3393/N1074	HE 160 A (HEA)	0.070	1.625	0.084	0.56	1.00	1.779	1.779
		N1070/N1071	N3393/N1074	HE 160 A (HEA)	0.084	1.611	0.084	0.56	1.00	1.779	1.779
		N1071/N1072	N3393/N1074	HE 160 A (HEA)	0.084	1.611	0.084	0.56	1.00	1.779	1.779
		N1072/N1073	N3393/N1074	HE 160 A (HEA)	0.084	1.611	0.084	0.56	1.00	1.779	1.779
		N1073/N1074	N3393/N1074	HE 160 A (HEA)	0.084	1.554	0.141	0.56	1.00	1.779	1.779
		N1214/N1215	N1214/N3391	HE 160 A (HEA)	0.078	1.623	0.078	0.56	1.00	1.779	1.779
		N1215/N1216	N1214/N3391	HE 160 A (HEA)	0.078	1.623	0.078	0.56	1.00	1.779	1.779
		N1216/N1217	N1214/N3391	HE 160 A (HEA)	0.078	1.623	0.078	0.56	1.00	1.779	1.779
		N1217/N1218	N1214/N3391	HE 160 A (HEA)	0.078	1.623	0.078	0.56	1.00	1.779	1.779
		N1218/N1219	N1214/N3391	HE 160 A (HEA)	0.078	1.636	0.065	0.56	1.00	1.779	1.779
		N1219/N3391	N1214/N3391	HE 160 A (HEA)	0.065	0.825	-	1.12	1.00	0.890	0.890
		N3391/N1220	N3391/N3392	HE 160 A (HEA)	-	0.825	0.065	1.12	1.00	0.890	0.890
		N1220/N1221	N3391/N3392	HE 160 A (HEA)	0.065	1.649	0.065	0.56	1.00	1.779	1.779
		N1221/N1222	N3391/N3392	HE 160 A (HEA)	0.065	1.663	0.051	0.56	1.00	1.779	1.779
		N1222/N1223	N3391/N3392	HE 160 A (HEA)	0.051	1.658	0.070	0.56	1.00	1.779	1.779
		N1223/N1224	N3391/N3392	HE 160 A (HEA)	0.070	1.639	0.070	0.56	1.00	1.779	1.779
		N1224/N3392	N3391/N3392	HE 160 A (HEA)	0.070	0.820	-	1.12	1.00	0.890	0.890
		N3392/N1225	N3392/N1230	HE 160 A (HEA)	-	0.820	0.070	1.12	1.00	0.890	0.890
		N1225/N1226	N3392/N1230	HE 160 A (HEA)	0.070	1.625	0.084	0.56	1.00	1.779	1.779
		N1226/N1227	N3392/N1230	HE 160 A (HEA)	0.084	1.611	0.084	0.56	1.00	1.779	1.779
		N1227/N1228	N3392/N1230	HE 160 A (HEA)	0.084	1.611	0.084	0.56	1.00	1.779	1.779
		N1228/N1229	N3392/N1230	HE 160 A (HEA)	0.084	1.611	0.084	0.56	1.00	1.779	1.779
		N1229/N1230	N3392/N1230	HE 160 A (HEA)	0.084	1.554	0.141	0.56	1.00	1.779	1.779
		N1213/N1248	N1213/N3410	HE 160 A (HEA)	0.141	1.560	0.078	0.56	1.00	1.779	1.779
		N1248/N1249	N1213/N3410	HE 160 A (HEA)	0.078	1.623	0.078	0.56	1.00	1.779	1.779

Documento visado electrónicamente con número: VA07290/22
Código de validación telemática TRLTDCFZ60T66IJ1. Comprobación: https://cogitivalencia.e-gestion.es/Validacion.aspx?CVT=TRLTDCFZ60T66IJ1

VISADO
COGITI
VALENCIA
VA07290/22
TRLTDCFZ60T66IJ1

Descripción												
Material		Barra (Ni/Nf)	Pieza (Ni/Nf)	Perfil(Serie)	Longitud (m)			β_{xy}	β_{xz}	$Lb_{sup.}$ (m)	$Lb_{inf.}$ (m)	
Tipo	Designación				Indeformable origen	Deformable	Indeformable extremo					
		N1249/N1250	N1213/N3410	HE 160 A (HEA)	0.078	1.623	0.078	0.56	1.00	1.779	1.779	
		N1250/N1251	N1213/N3410	HE 160 A (HEA)	0.078	1.623	0.078	0.56	1.00	1.779	1.779	
		N1251/N1252	N1213/N3410	HE 160 A (HEA)	0.078	1.636	0.065	0.56	1.00	1.779	1.779	
		N1252/N3410	N1213/N3410	HE 160 A (HEA)	0.065	0.825	-	1.12	1.00	0.890	0.890	
		N3410/N1253	N3410/N3411	HE 160 A (HEA)	-	0.825	0.065	1.12	1.00	0.890	0.890	
		N1253/N1254	N3410/N3411	HE 160 A (HEA)	0.065	1.649	0.065	0.56	1.00	1.779	1.779	
		N1254/N1255	N3410/N3411	HE 160 A (HEA)	0.065	1.663	0.051	0.56	1.00	1.779	1.779	
		N1255/N1256	N3410/N3411	HE 160 A (HEA)	0.051	1.658	0.070	0.56	1.00	1.779	1.779	
		N1256/N1257	N3410/N3411	HE 160 A (HEA)	0.070	1.639	0.070	0.56	1.00	1.779	1.779	
		N1257/N3411	N3410/N3411	HE 160 A (HEA)	0.070	0.820	-	1.12	1.00	0.890	0.890	
		N3411/N1258	N3411/N1263	HE 160 A (HEA)	-	0.820	0.070	1.12	1.00	0.890	0.890	
		N1258/N1259	N3411/N1263	HE 160 A (HEA)	0.070	1.625	0.084	0.56	1.00	1.779	1.779	
		N1259/N1260	N3411/N1263	HE 160 A (HEA)	0.084	1.611	0.084	0.56	1.00	1.779	1.779	
		N1260/N1261	N3411/N1263	HE 160 A (HEA)	0.084	1.611	0.084	0.56	1.00	1.779	1.779	
		N1261/N1262	N3411/N1263	HE 160 A (HEA)	0.084	1.611	0.084	0.56	1.00	1.779	1.779	
		N1262/N1263	N3411/N1263	HE 160 A (HEA)	0.084	1.554	0.141	0.56	1.00	1.779	1.779	
		N1057/N1092	N1057/N3409	HE 160 A (HEA)	0.141	1.560	0.078	0.56	1.00	1.779	1.779	
		N1092/N1093	N1057/N3409	HE 160 A (HEA)	0.078	1.623	0.078	0.56	1.00	1.779	1.779	
		N1093/N1094	N1057/N3409	HE 160 A (HEA)	0.078	1.623	0.078	0.56	1.00	1.779	1.779	
		N1094/N1095	N1057/N3409	HE 160 A (HEA)	0.078	1.623	0.078	0.56	1.00	1.779	1.779	
		N1095/N1096	N1057/N3409	HE 160 A (HEA)	0.078	1.636	0.065	0.56	1.00	1.779	1.779	
		N1096/N3409	N1057/N3409	HE 160 A (HEA)	0.065	0.825	-	1.12	1.00	0.890	0.890	
		N3409/N1097	N3409/N3412	HE 160 A (HEA)	-	0.825	0.065	1.12	1.00	0.890	0.890	
		N1097/N1098	N3409/N3412	HE 160 A (HEA)	0.065	1.649	0.065	0.56	1.00	1.779	1.779	
		N1098/N1099	N3409/N3412	HE 160 A (HEA)	0.065	1.663	0.051	0.56	1.00	1.779	1.779	
		N1099/N1100	N3409/N3412	HE 160 A (HEA)	0.051	1.658	0.070	0.56	1.00	1.779	1.779	
		N1100/N1101	N3409/N3412	HE 160 A (HEA)	0.070	1.639	0.070	0.56	1.00	1.779	1.779	
		N1101/N3412	N3409/N3412	HE 160 A (HEA)	0.070	0.820	-	1.12	1.00	0.890	0.890	
		N3412/N1102	N3412/N1107	HE 160 A (HEA)	-	0.820	0.070	1.12	1.00	0.890	0.890	
		N1102/N1103	N3412/N1107	HE 160 A (HEA)	0.070	1.625	0.084	0.56	1.00	1.779	1.779	
		N1103/N1104	N3412/N1107	HE 160 A (HEA)	0.084	1.611	0.084	0.56	1.00	1.779	1.779	

Documento visado electrónicamente con número: VA07290/22
Código de validación telemática TRLTDCFZ60T66IJ1. Comprobación: https://cogitivalencia.e-gestion.es/Validacion.aspx?CVT=TRLTDCFZ60T66IJ1

VISADO
COGITI
VALENCIA
VA07290/22
TRLTDCFZ60T66IJ1

Descripción												
Material		Barra (Ni/Nf)	Pieza (Ni/Nf)	Perfil(Serie)	Longitud (m)			β_{xy}	β_{xz}	Lbsup (m)	Lbinf (m)
Tipo	Designación				Indeformable origen	Deformable	Indeformable extremo				
		N1104/N1105	N3412/N1107	HE 160 A (HEA)	0.084	1.611	0.084	0.56	1.00	1.779	1.779
		N1105/N1106	N3412/N1107	HE 160 A (HEA)	0.084	1.611	0.084	0.56	1.00	1.779	1.779
		N1106/N1107	N3412/N1107	HE 160 A (HEA)	0.084	1.554	0.141	0.56	1.00	1.779	1.779
		N901/N936	N901/N3408	HE 160 A (HEA)	0.141	1.560	0.078	0.56	1.00	1.779	1.779
		N936/N937	N901/N3408	HE 160 A (HEA)	0.078	1.623	0.078	0.56	1.00	1.779	1.779
		N937/N938	N901/N3408	HE 160 A (HEA)	0.078	1.623	0.078	0.56	1.00	1.779	1.779
		N938/N939	N901/N3408	HE 160 A (HEA)	0.078	1.623	0.078	0.56	1.00	1.779	1.779
		N939/N940	N901/N3408	HE 160 A (HEA)	0.078	1.636	0.065	0.56	1.00	1.779	1.779
		N940/N3408	N901/N3408	HE 160 A (HEA)	0.065	0.825	-	1.12	1.00	0.890	0.890
		N3408/N941	N3408/N3413	HE 160 A (HEA)	-	0.825	0.065	1.12	1.00	0.890	0.890
		N941/N942	N3408/N3413	HE 160 A (HEA)	0.065	1.649	0.065	0.56	1.00	1.779	1.779
		N942/N943	N3408/N3413	HE 160 A (HEA)	0.065	1.663	0.051	0.56	1.00	1.779	1.779
		N943/N944	N3408/N3413	HE 160 A (HEA)	0.051	1.658	0.070	0.56	1.00	1.779	1.779
		N944/N945	N3408/N3413	HE 160 A (HEA)	0.070	1.639	0.070	0.56	1.00	1.779	1.779
		N945/N3413	N3408/N3413	HE 160 A (HEA)	0.070	0.820	-	1.12	1.00	0.890	0.890
		N3413/N946	N3413/N951	HE 160 A (HEA)	-	0.820	0.070	1.12	1.00	0.890	0.890
		N946/N947	N3413/N951	HE 160 A (HEA)	0.070	1.625	0.084	0.56	1.00	1.779	1.779
		N947/N948	N3413/N951	HE 160 A (HEA)	0.084	1.611	0.084	0.56	1.00	1.779	1.779
		N948/N949	N3413/N951	HE 160 A (HEA)	0.084	1.611	0.084	0.56	1.00	1.779	1.779
		N949/N950	N3413/N951	HE 160 A (HEA)	0.084	1.611	0.084	0.56	1.00	1.779	1.779
		N950/N951	N3413/N951	HE 160 A (HEA)	0.084	1.554	0.141	0.56	1.00	1.779	1.779
		N745/N780	N745/N3407	HE 160 A (HEA)	0.141	1.560	0.078	0.56	1.00	1.779	1.779
		N780/N781	N745/N3407	HE 160 A (HEA)	0.078	1.623	0.078	0.56	1.00	1.779	1.779
		N781/N782	N745/N3407	HE 160 A (HEA)	0.078	1.623	0.078	0.56	1.00	1.779	1.779
		N782/N783	N745/N3407	HE 160 A (HEA)	0.078	1.623	0.078	0.56	1.00	1.779	1.779
		N783/N784	N745/N3407	HE 160 A (HEA)	0.078	1.636	0.065	0.56	1.00	1.779	1.779
		N784/N3407	N745/N3407	HE 160 A (HEA)	0.065	0.825	-	1.12	1.00	0.890	0.890
		N3407/N785	N3407/N3414	HE 160 A (HEA)	-	0.825	0.065	1.12	1.00	0.890	0.890
		N785/N786	N3407/N3414	HE 160 A (HEA)	0.065	1.649	0.065	0.56	1.00	1.779	1.779
		N786/N787	N3407/N3414	HE 160 A (HEA)	0.065	1.663	0.051	0.56	1.00	1.779	1.779
		N787/N788	N3407/N3414	HE 160 A (HEA)	0.051	1.658	0.070	0.56	1.00	1.779	1.779

Documento visado electrónicamente con número: VA07290/22
Código de validación telemática TRLTDCFZ60T66IJ1. Comprobación: https://cogitivalencia.e-gestion.es/Validacion.aspx?CVT=TRLTDCFZ60T66IJ1

VISADO
COGITI
VALENCIA
VA07290/22
TRLTDCFZ60T66IJ1

Descripción												
Material		Barra (Ni/Nf)	Pieza (Ni/Nf)	Perfil(Serie)	Longitud (m)			β_{xy}	β_{xz}	Lbsup. (m)	Lbinf. (m)
Tipo	Designación				Indeformable origen	Deformable	Indeformable extremo				
		N788/N789	N3407/N3414	HE 160 A (HEA)	0.070	1.639	0.070	0.56	1.00	1.779	1.779
		N789/N3414	N3407/N3414	HE 160 A (HEA)	0.070	0.820	-	1.12	1.00	0.890	0.890
		N3414/N790	N3414/N795	HE 160 A (HEA)	-	0.820	0.070	1.12	1.00	0.890	0.890
		N790/N791	N3414/N795	HE 160 A (HEA)	0.070	1.625	0.084	0.56	1.00	1.779	1.779
		N791/N792	N3414/N795	HE 160 A (HEA)	0.084	1.611	0.084	0.56	1.00	1.779	1.779
		N792/N793	N3414/N795	HE 160 A (HEA)	0.084	1.611	0.084	0.56	1.00	1.779	1.779
		N793/N794	N3414/N795	HE 160 A (HEA)	0.084	1.611	0.084	0.56	1.00	1.779	1.779
		N794/N795	N3414/N795	HE 160 A (HEA)	0.084	1.554	0.141	0.56	1.00	1.779	1.779
		N589/N624	N589/N3406	HE 160 A (HEA)	0.141	1.560	0.078	0.56	1.00	1.779	1.779
		N624/N625	N589/N3406	HE 160 A (HEA)	0.078	1.623	0.078	0.56	1.00	1.779	1.779
		N625/N626	N589/N3406	HE 160 A (HEA)	0.078	1.623	0.078	0.56	1.00	1.779	1.779
		N626/N627	N589/N3406	HE 160 A (HEA)	0.078	1.623	0.078	0.56	1.00	1.779	1.779
		N627/N628	N589/N3406	HE 160 A (HEA)	0.078	1.636	0.065	0.56	1.00	1.779	1.779
		N628/N3406	N589/N3406	HE 160 A (HEA)	0.065	0.825	-	1.12	1.00	0.890	0.890
		N3406/N629	N3406/N3415	HE 160 A (HEA)	-	0.825	0.065	1.12	1.00	0.890	0.890
		N629/N630	N3406/N3415	HE 160 A (HEA)	0.065	1.649	0.065	0.56	1.00	1.779	1.779
		N630/N631	N3406/N3415	HE 160 A (HEA)	0.065	1.663	0.051	0.56	1.00	1.779	1.779
		N631/N632	N3406/N3415	HE 160 A (HEA)	0.051	1.658	0.070	0.56	1.00	1.779	1.779
		N632/N633	N3406/N3415	HE 160 A (HEA)	0.070	1.639	0.070	0.56	1.00	1.779	1.779
		N633/N3415	N3406/N3415	HE 160 A (HEA)	0.070	0.820	-	1.12	1.00	0.890	0.890
		N3415/N634	N3415/N639	HE 160 A (HEA)	-	0.820	0.070	1.12	1.00	0.890	0.890
		N634/N635	N3415/N639	HE 160 A (HEA)	0.070	1.625	0.084	0.56	1.00	1.779	1.779
		N635/N636	N3415/N639	HE 160 A (HEA)	0.084	1.611	0.084	0.56	1.00	1.779	1.779
		N636/N637	N3415/N639	HE 160 A (HEA)	0.084	1.611	0.084	0.56	1.00	1.779	1.779
		N637/N638	N3415/N639	HE 160 A (HEA)	0.084	1.611	0.084	0.56	1.00	1.779	1.779
		N638/N639	N3415/N639	HE 160 A (HEA)	0.084	1.554	0.141	0.56	1.00	1.779	1.779
		N433/N468	N433/N3405	HE 160 A (HEA)	0.141	1.560	0.078	0.56	1.00	1.779	1.779
		N468/N469	N433/N3405	HE 160 A (HEA)	0.078	1.623	0.078	0.56	1.00	1.779	1.779
		N469/N470	N433/N3405	HE 160 A (HEA)	0.078	1.623	0.078	0.56	1.00	1.779	1.779
		N470/N471	N433/N3405	HE 160 A (HEA)	0.078	1.623	0.078	0.56	1.00	1.779	1.779
		N471/N472	N433/N3405	HE 160 A (HEA)	0.078	1.636	0.065	0.56	1.00	1.779	1.779

Documento visado electrónicamente con número: VA07290/22
Código de validación telemática TRLTDCFZ60T66IJ1. Comprobación: https://cogitivalencia.e-gestion.es/Validacion.aspx?CVT=TRLTDCFZ60T66IJ1

VISADO
COGITI
VALENCIA
VA07290/22
TRLTDCFZ60T66IJ1

Descripción											
Material		Barra (Ni/Nf)	Pieza (Ni/Nf)	Perfil(Serie)	Longitud (m)			β_{xy}	β_{xz}	Lbsup (m)	Lbinf (m)
Tipo	Designación				Indeformable origen	Deformable	Indeformable extremo				
		N472/N3405	N433/N3405	HE 160 A (HEA)	0.065	0.825	-	1.12	1.00	0.890	0.890
		N3405/N473	N3405/N3416	HE 160 A (HEA)	-	0.825	0.065	1.12	1.00	0.890	0.890
		N473/N474	N3405/N3416	HE 160 A (HEA)	0.065	1.649	0.065	0.56	1.00	1.779	1.779
		N474/N475	N3405/N3416	HE 160 A (HEA)	0.065	1.663	0.051	0.56	1.00	1.779	1.779
		N475/N476	N3405/N3416	HE 160 A (HEA)	0.051	1.658	0.070	0.56	1.00	1.779	1.779
		N476/N477	N3405/N3416	HE 160 A (HEA)	0.070	1.639	0.070	0.56	1.00	1.779	1.779
		N477/N3416	N3405/N3416	HE 160 A (HEA)	0.070	0.820	-	1.12	1.00	0.890	0.890
		N3416/N478	N3416/N483	HE 160 A (HEA)	-	0.820	0.070	1.12	1.00	0.890	0.890
		N478/N479	N3416/N483	HE 160 A (HEA)	0.070	1.625	0.084	0.56	1.00	1.779	1.779
		N479/N480	N3416/N483	HE 160 A (HEA)	0.084	1.611	0.084	0.56	1.00	1.779	1.779
		N480/N481	N3416/N483	HE 160 A (HEA)	0.084	1.611	0.084	0.56	1.00	1.779	1.779
		N481/N482	N3416/N483	HE 160 A (HEA)	0.084	1.611	0.084	0.56	1.00	1.779	1.779
		N482/N483	N3416/N483	HE 160 A (HEA)	0.084	1.554	0.141	0.56	1.00	1.779	1.779
		N225/N260	N225/N3404	HE 220 A (HEA)	0.141	1.540	0.098	0.56	1.00	1.779	1.779
		N260/N261	N225/N3404	HE 220 A (HEA)	0.098	1.583	0.098	0.56	1.00	1.779	1.779
		N261/N262	N225/N3404	HE 220 A (HEA)	0.098	1.603	0.078	0.56	1.00	1.779	1.779
		N262/N263	N225/N3404	HE 220 A (HEA)	0.078	1.623	0.078	0.56	1.00	1.779	1.779
		N263/N264	N225/N3404	HE 220 A (HEA)	0.078	1.623	0.078	0.56	1.00	1.779	1.779
		N264/N3404	N225/N3404	HE 220 A (HEA)	0.078	0.812	-	1.12	1.00	0.890	0.890
		N3404/N265	N3404/N3417	HE 220 A (HEA)	-	0.812	0.078	1.12	1.00	0.890	0.890
		N265/N266	N3404/N3417	HE 220 A (HEA)	0.078	1.623	0.078	0.56	1.00	1.779	1.779
		N266/N267	N3404/N3417	HE 220 A (HEA)	0.078	1.640	0.061	0.56	1.00	1.779	1.779
		N267/N268	N3404/N3417	HE 220 A (HEA)	0.061	1.634	0.084	0.56	1.00	1.779	1.779
		N268/N269	N3404/N3417	HE 220 A (HEA)	0.084	1.611	0.084	0.56	1.00	1.779	1.779
		N269/N3417	N3404/N3417	HE 220 A (HEA)	0.084	0.806	-	1.12	1.00	0.890	0.890
		N3417/N270	N3417/N275	HE 220 A (HEA)	-	0.806	0.084	1.12	1.00	0.890	0.890
		N270/N271	N3417/N275	HE 220 A (HEA)	0.084	1.611	0.084	0.56	1.00	1.779	1.779
		N271/N272	N3417/N275	HE 220 A (HEA)	0.084	1.611	0.084	0.56	1.00	1.779	1.779
		N272/N273	N3417/N275	HE 220 A (HEA)	0.084	1.590	0.105	0.56	1.00	1.779	1.779
		N273/N274	N3417/N275	HE 220 A (HEA)	0.105	1.569	0.105	0.56	1.00	1.779	1.779
		N274/N275	N3417/N275	HE 220 A (HEA)	0.105	1.533	0.141	0.56	1.00	1.779	1.779

Documento visado electrónicamente con número: VA07290/22
Código de validación telemática TRLTDCFZ60T66IJ1. Comprobación: https://cogitivalencia.e-gestion.es/Validacion.aspx?CVT=TRLTDCFZ60T66IJ1

VISADO
COGITI
VALENCIA
VA07290/22
TRLTDCFZ60T66IJ1

Descripción												
Material		Barra (Ni/Nf)	Pieza (Ni/Nf)	Perfil(Serie)	Longitud (m)			β_{xy}	β_{xz}	$Lb_{sup.}$ (m)	$Lb_{inf.}$ (m)	
Tipo	Designación				Indeformable origen	Deformable	Indeformable extremo					
		N121/N156	N121/N3403	HE 220 A (HEA)	0.141	1.540	0.098	0.50	0.50	1.779	1.779	
		N156/N157	N121/N3403	HE 220 A (HEA)	0.098	1.583	0.098	0.56	1.00	1.779	1.779	
		N157/N158	N121/N3403	HE 220 A (HEA)	0.098	1.603	0.078	0.56	1.00	1.779	1.779	
		N158/N159	N121/N3403	HE 220 A (HEA)	0.078	1.623	0.078	0.56	1.00	1.779	1.779	
		N159/N160	N121/N3403	HE 220 A (HEA)	0.078	1.623	0.078	0.56	1.00	1.779	1.779	
		N160/N3403	N121/N3403	HE 220 A (HEA)	0.078	0.812	-	1.12	1.00	0.890	0.890	
		N3403/N161	N3403/N3418	HE 220 A (HEA)	-	0.812	0.078	1.12	1.00	0.890	0.890	
		N161/N162	N3403/N3418	HE 220 A (HEA)	0.078	1.623	0.078	0.56	1.00	1.779	1.779	
		N162/N163	N3403/N3418	HE 220 A (HEA)	0.078	1.640	0.061	0.56	1.00	1.779	1.779	
		N163/N164	N3403/N3418	HE 220 A (HEA)	0.061	1.634	0.084	0.56	1.00	1.779	1.779	
		N164/N165	N3403/N3418	HE 220 A (HEA)	0.084	1.611	0.084	0.56	1.00	1.779	1.779	
		N165/N3418	N3403/N3418	HE 220 A (HEA)	0.084	0.806	-	1.12	1.00	0.890	0.890	
		N3418/N166	N3418/N171	HE 220 A (HEA)	-	0.806	0.084	1.12	1.00	0.890	0.890	
		N166/N167	N3418/N171	HE 220 A (HEA)	0.084	1.611	0.084	0.56	1.00	1.779	1.779	
		N167/N168	N3418/N171	HE 220 A (HEA)	0.084	1.611	0.084	0.56	1.00	1.779	1.779	
		N168/N169	N3418/N171	HE 220 A (HEA)	0.084	1.590	0.105	0.56	1.00	1.779	1.779	
		N169/N170	N3418/N171	HE 220 A (HEA)	0.105	1.569	0.105	0.56	1.00	1.779	1.779	
		N170/N171	N3418/N171	HE 220 A (HEA)	0.105	1.533	0.141	0.56	1.00	1.779	1.779	
		N8/N45	N8/N3401	HE 160 A (HEA)	0.141	1.560	0.078	0.56	1.00	1.779	1.779	
		N45/N46	N8/N3401	HE 160 A (HEA)	0.078	1.623	0.078	0.56	1.00	1.779	1.779	
		N46/N47	N8/N3401	HE 160 A (HEA)	0.078	1.623	0.078	0.56	1.00	1.779	1.779	
		N47/N48	N8/N3401	HE 160 A (HEA)	0.078	1.623	0.078	0.56	1.00	1.779	1.779	
		N48/N49	N8/N3401	HE 160 A (HEA)	0.078	1.636	0.065	0.56	1.00	1.779	1.779	
		N49/N3401	N8/N3401	HE 160 A (HEA)	0.065	0.825	-	1.12	1.00	0.890	0.890	
		N3401/N50	N3401/N3402	HE 160 A (HEA)	-	0.825	0.065	1.12	1.00	0.890	0.890	
		N50/N51	N3401/N3402	HE 160 A (HEA)	0.065	1.649	0.065	0.56	1.00	1.779	1.779	
		N51/N52	N3401/N3402	HE 160 A (HEA)	0.065	1.663	0.051	0.56	1.00	1.779	1.779	
		N52/N53	N3401/N3402	HE 160 A (HEA)	0.051	1.658	0.070	0.56	1.00	1.779	1.779	
		N53/N54	N3401/N3402	HE 160 A (HEA)	0.070	1.639	0.070	0.56	1.00	1.779	1.779	
		N54/N3402	N3401/N3402	HE 160 A (HEA)	0.070	0.820	-	1.12	1.00	0.890	0.890	
		N3402/N55	N3402/N11	HE 160 A (HEA)	-	0.820	0.070	1.12	1.00	0.890	0.890	

Documento visado electrónicamente con número: VA07290/22
Código de validación telemática TRLTDCFZ60T66IJ1. Comprobación: https://cogitivalencia.e-gestion.es/Validacion.aspx?CVT=TRLTDCFZ60T66IJ1

VISADO
COGITI
VALENCIA
VA07290/22
TRLTDCFZ60T66IJ1

Descripción											
Material		Barra (Ni/Nf)	Pieza (Ni/Nf)	Perfil(Serie)	Longitud (m)			β_{xy}	β_{xz}	Lbsup (m)	Lbinf (m)
Tipo	Designación				Indeformable origen	Deformable	Indeformable extremo				
		N55/N56	N3402/N11	HE 160 A (HEA)	0.070	1.625	0.084	0.56	1.00	1.779	1.779
		N56/N57	N3402/N11	HE 160 A (HEA)	0.084	1.611	0.084	0.56	1.00	1.779	1.779
		N57/N58	N3402/N11	HE 160 A (HEA)	0.084	1.611	0.084	0.56	1.00	1.779	1.779
		N58/N59	N3402/N11	HE 160 A (HEA)	0.084	1.611	0.084	0.56	1.00	1.779	1.779
		N59/N11	N3402/N11	HE 160 A (HEA)	0.084	1.554	0.141	0.56	1.00	1.779	1.779
		N10/N75	N10/N3419	HE 160 A (HEA)	0.141	1.560	0.078	0.56	1.00	1.779	1.779
		N75/N76	N10/N3419	HE 160 A (HEA)	0.078	1.623	0.078	0.56	1.00	1.779	1.779
		N76/N77	N10/N3419	HE 160 A (HEA)	0.078	1.623	0.078	0.56	1.00	1.779	1.779
		N77/N78	N10/N3419	HE 160 A (HEA)	0.078	1.623	0.078	0.56	1.00	1.779	1.779
		N78/N79	N10/N3419	HE 160 A (HEA)	0.078	1.636	0.065	0.56	1.00	1.779	1.779
		N79/N3419	N10/N3419	HE 160 A (HEA)	0.065	0.825	-	1.12	1.00	0.890	0.890
		N3419/N80	N3419/N3436	HE 160 A (HEA)	-	0.825	0.065	1.12	1.00	0.890	0.890
		N80/N81	N3419/N3436	HE 160 A (HEA)	0.065	1.649	0.065	0.56	1.00	1.779	1.779
		N81/N82	N3419/N3436	HE 160 A (HEA)	0.065	1.663	0.051	0.56	1.00	1.779	1.779
		N82/N83	N3419/N3436	HE 160 A (HEA)	0.051	1.658	0.070	0.56	1.00	1.779	1.779
		N83/N84	N3419/N3436	HE 160 A (HEA)	0.070	1.639	0.070	0.56	1.00	1.779	1.779
		N84/N3436	N3419/N3436	HE 160 A (HEA)	0.070	0.820	-	1.12	1.00	0.890	0.890
		N3436/N85	N3436/N13	HE 160 A (HEA)	-	0.820	0.070	1.12	1.00	0.890	0.890
		N85/N86	N3436/N13	HE 160 A (HEA)	0.070	1.625	0.084	0.56	1.00	1.779	1.779
		N86/N87	N3436/N13	HE 160 A (HEA)	0.084	1.611	0.084	0.56	1.00	1.779	1.779
		N87/N88	N3436/N13	HE 160 A (HEA)	0.084	1.611	0.084	0.56	1.00	1.779	1.779
		N88/N89	N3436/N13	HE 160 A (HEA)	0.084	1.611	0.084	0.56	1.00	1.779	1.779
		N89/N13	N3436/N13	HE 160 A (HEA)	0.084	1.554	0.141	0.56	1.00	1.779	1.779
		N155/N194	N155/N3420	HE 220 A (HEA)	0.141	1.540	0.098	0.56	1.00	1.779	1.779
		N194/N195	N155/N3420	HE 220 A (HEA)	0.098	1.583	0.098	0.56	1.00	1.779	1.779
		N195/N196	N155/N3420	HE 220 A (HEA)	0.098	1.603	0.078	0.56	1.00	1.779	1.779
		N196/N197	N155/N3420	HE 220 A (HEA)	0.078	1.623	0.078	0.56	1.00	1.779	1.779
		N197/N198	N155/N3420	HE 220 A (HEA)	0.078	1.623	0.078	0.56	1.00	1.779	1.779
		N198/N3420	N155/N3420	HE 220 A (HEA)	0.078	0.812	-	1.12	1.00	0.890	0.890
		N3420/N199	N3420/N3435	HE 220 A (HEA)	-	0.812	0.078	1.12	1.00	0.890	0.890
		N199/N200	N3420/N3435	HE 220 A (HEA)	0.078	1.623	0.078	0.56	1.00	1.779	1.779

Documento visado electrónicamente con número: VA07290/22
Código de validación telemática TRLTDCFZ60T66IJ1. Comprobación: https://cogitivalencia.e-gestion.es/Validacion.aspx?CVT=TRLTDCFZ60T66IJ1

VISADO
COGITI
VALENCIA
VA07290/22
TRLTDCFZ60T66IJ1

Descripción												
Material		Barra (Ni/Nf)	Pieza (Ni/Nf)	Perfil(Serie)	Longitud (m)			β_{xy}	β_{xz}	$Lb_{sup.}$ (m)	$Lb_{inf.}$ (m)	
Tipo	Designación				Indeformable origen	Deformable	Indeformable extremo					
		N200/N201	N3420/N3435	HE 220 A (HEA)	0.078	1.640	0.061	0.56	1.00	1.779	1.779	
		N201/N202	N3420/N3435	HE 220 A (HEA)	0.061	1.634	0.084	0.56	1.00	1.779	1.779	
		N202/N203	N3420/N3435	HE 220 A (HEA)	0.084	1.611	0.084	0.56	1.00	1.779	1.779	
		N203/N3435	N3420/N3435	HE 220 A (HEA)	0.084	0.806	-	1.12	1.00	0.890	0.890	
		N3435/N204	N3435/N178	HE 220 A (HEA)	-	0.806	0.084	1.12	1.00	0.890	0.890	
		N204/N205	N3435/N178	HE 220 A (HEA)	0.084	1.611	0.084	0.56	1.00	1.779	1.779	
		N205/N206	N3435/N178	HE 220 A (HEA)	0.084	1.611	0.084	0.56	1.00	1.779	1.779	
		N206/N207	N3435/N178	HE 220 A (HEA)	0.084	1.590	0.105	0.56	1.00	1.779	1.779	
		N207/N208	N3435/N178	HE 220 A (HEA)	0.105	1.569	0.105	0.56	1.00	1.779	1.779	
		N208/N178	N3435/N178	HE 220 A (HEA)	0.105	1.513	0.161	0.56	1.00	1.779	1.779	
		N259/N298	N259/N3421	HE 220 A (HEA)	0.141	1.540	0.098	0.56	1.00	1.779	1.779	
		N298/N299	N259/N3421	HE 220 A (HEA)	0.098	1.583	0.098	0.56	1.00	1.779	1.779	
		N299/N300	N259/N3421	HE 220 A (HEA)	0.098	1.603	0.078	0.56	1.00	1.779	1.779	
		N300/N301	N259/N3421	HE 220 A (HEA)	0.078	1.623	0.078	0.56	1.00	1.779	1.779	
		N301/N302	N259/N3421	HE 220 A (HEA)	0.078	1.623	0.078	0.56	1.00	1.779	1.779	
		N302/N3421	N259/N3421	HE 220 A (HEA)	0.078	0.812	-	1.12	1.00	0.890	0.890	
		N3421/N303	N3421/N3434	HE 220 A (HEA)	-	0.812	0.078	1.12	1.00	0.890	0.890	
		N303/N304	N3421/N3434	HE 220 A (HEA)	0.078	1.623	0.078	0.56	1.00	1.779	1.779	
		N304/N305	N3421/N3434	HE 220 A (HEA)	0.078	1.640	0.061	0.56	1.00	1.779	1.779	
		N305/N306	N3421/N3434	HE 220 A (HEA)	0.061	1.634	0.084	0.56	1.00	1.779	1.779	
		N306/N307	N3421/N3434	HE 220 A (HEA)	0.084	1.611	0.084	0.56	1.00	1.779	1.779	
		N307/N3434	N3421/N3434	HE 220 A (HEA)	0.084	0.806	-	1.12	1.00	0.890	0.890	
		N3434/N308	N3434/N282	HE 220 A (HEA)	-	0.806	0.084	1.12	1.00	0.890	0.890	
		N308/N309	N3434/N282	HE 220 A (HEA)	0.084	1.611	0.084	0.56	1.00	1.779	1.779	
		N309/N310	N3434/N282	HE 220 A (HEA)	0.084	1.611	0.084	0.56	1.00	1.779	1.779	
		N310/N311	N3434/N282	HE 220 A (HEA)	0.084	1.590	0.105	0.56	1.00	1.779	1.779	
		N311/N312	N3434/N282	HE 220 A (HEA)	0.105	1.569	0.105	0.56	1.00	1.779	1.779	
		N312/N282	N3434/N282	HE 220 A (HEA)	0.105	1.513	0.161	0.56	1.00	1.779	1.779	
		N467/N501	N467/N3422	HE 160 A (HEA)	0.141	1.560	0.078	0.56	1.00	1.779	1.779	
		N501/N502	N467/N3422	HE 160 A (HEA)	0.078	1.623	0.078	0.56	1.00	1.779	1.779	
		N502/N503	N467/N3422	HE 160 A (HEA)	0.078	1.623	0.078	0.56	1.00	1.779	1.779	

Documento visado electrónicamente con número: VA07290/22
Código de validación telemática TRLTDCFZ60T66IJ1. Comprobación: https://cogitivalencia.e-gestion.es/Validacion.aspx?CVT=TRLTDCFZ60T66IJ1

VISADO
COGITI
VALENCIA
VA07290/22
TRLTDCFZ60T66IJ1

Listados

Descripción											
Material		Barra (Ni/Nf)	Pieza (Ni/Nf)	Perfil(Serie)	Longitud (m)			β_{xy}	β_{xz}	Lbsup (m)	Lbinf (m)
Tipo	Designación				Indeformable origen	Deformable	Indeformable extremo				
		N503/N504	N467/N3422	HE 160 A (HEA)	0.078	1.623	0.078	0.56	1.00	1.779	1.779
		N504/N505	N467/N3422	HE 160 A (HEA)	0.078	1.636	0.065	0.56	1.00	1.779	1.779
		N505/N3422	N467/N3422	HE 160 A (HEA)	0.065	0.825	-	1.12	1.00	0.890	0.890
		N3422/N506	N3422/N3433	HE 160 A (HEA)	-	0.825	0.065	1.12	1.00	0.890	0.890
		N506/N507	N3422/N3433	HE 160 A (HEA)	0.065	1.649	0.065	0.56	1.00	1.779	1.779
		N507/N508	N3422/N3433	HE 160 A (HEA)	0.065	1.663	0.051	0.56	1.00	1.779	1.779
		N508/N509	N3422/N3433	HE 160 A (HEA)	0.051	1.658	0.070	0.56	1.00	1.779	1.779
		N509/N510	N3422/N3433	HE 160 A (HEA)	0.070	1.639	0.070	0.56	1.00	1.779	1.779
		N510/N3433	N3422/N3433	HE 160 A (HEA)	0.070	0.820	-	1.12	1.00	0.890	0.890
		N3433/N511	N3433/N516	HE 160 A (HEA)	-	0.820	0.070	1.12	1.00	0.890	0.890
		N511/N512	N3433/N516	HE 160 A (HEA)	0.070	1.625	0.084	0.56	1.00	1.779	1.779
		N512/N513	N3433/N516	HE 160 A (HEA)	0.084	1.611	0.084	0.56	1.00	1.779	1.779
		N513/N514	N3433/N516	HE 160 A (HEA)	0.084	1.611	0.084	0.56	1.00	1.779	1.779
		N514/N515	N3433/N516	HE 160 A (HEA)	0.084	1.611	0.084	0.56	1.00	1.779	1.779
		N515/N516	N3433/N516	HE 160 A (HEA)	0.084	1.554	0.141	0.56	1.00	1.779	1.779
		N623/N657	N623/N3423	HE 160 A (HEA)	0.141	1.560	0.078	0.56	1.00	1.779	1.779
		N657/N658	N623/N3423	HE 160 A (HEA)	0.078	1.623	0.078	0.56	1.00	1.779	1.779
		N658/N659	N623/N3423	HE 160 A (HEA)	0.078	1.623	0.078	0.56	1.00	1.779	1.779
		N659/N660	N623/N3423	HE 160 A (HEA)	0.078	1.623	0.078	0.56	1.00	1.779	1.779
		N660/N661	N623/N3423	HE 160 A (HEA)	0.078	1.636	0.065	0.56	1.00	1.779	1.779
		N661/N3423	N623/N3423	HE 160 A (HEA)	0.065	0.825	-	1.12	1.00	0.890	0.890
		N3423/N662	N3423/N3432	HE 160 A (HEA)	-	0.825	0.065	1.12	1.00	0.890	0.890
		N662/N663	N3423/N3432	HE 160 A (HEA)	0.065	1.649	0.065	0.56	1.00	1.779	1.779
		N663/N664	N3423/N3432	HE 160 A (HEA)	0.065	1.663	0.051	0.56	1.00	1.779	1.779
		N664/N665	N3423/N3432	HE 160 A (HEA)	0.051	1.658	0.070	0.56	1.00	1.779	1.779
		N665/N666	N3423/N3432	HE 160 A (HEA)	0.070	1.639	0.070	0.56	1.00	1.779	1.779
		N666/N3432	N3423/N3432	HE 160 A (HEA)	0.070	0.820	-	1.12	1.00	0.890	0.890
		N3432/N667	N3432/N672	HE 160 A (HEA)	-	0.820	0.070	1.12	1.00	0.890	0.890
		N667/N668	N3432/N672	HE 160 A (HEA)	0.070	1.625	0.084	0.56	1.00	1.779	1.779
		N668/N669	N3432/N672	HE 160 A (HEA)	0.084	1.611	0.084	0.56	1.00	1.779	1.779
		N669/N670	N3432/N672	HE 160 A (HEA)	0.084	1.611	0.084	0.56	1.00	1.779	1.779

Documento visado electrónicamente con número: VA07290/22
Código de validación telemática TRLTDCFZ60T66IJ1. Comprobación: https://cogitivalencia.e-gestion.es/Validacion.aspx?CVT=TRLTDCFZ60T66IJ1

VISADO
COGITI
VALENCIA
VA07290/22
TRLTDCFZ60T66IJ1

Descripción												
Material		Barra (Ni/Nf)	Pieza (Ni/Nf)	Perfil(Serie)	Longitud (m)			β_{xy}	β_{xz}	$Lb_{sup.}$ (m)	$Lb_{inf.}$ (m)	
Tipo	Designación				Indeformable origen	Deformable	Indeformable extremo					
		N670/N671	N3432/N672	HE 160 A (HEA)	0.084	1.611	0.084	0.56	1.00	1.779	1.779	
		N671/N672	N3432/N672	HE 160 A (HEA)	0.084	1.554	0.141	0.56	1.00	1.779	1.779	
		N779/N813	N779/N3424	HE 160 A (HEA)	0.141	1.560	0.078	0.56	1.00	1.779	1.779	
		N813/N814	N779/N3424	HE 160 A (HEA)	0.078	1.623	0.078	0.56	1.00	1.779	1.779	
		N814/N815	N779/N3424	HE 160 A (HEA)	0.078	1.623	0.078	0.56	1.00	1.779	1.779	
		N815/N816	N779/N3424	HE 160 A (HEA)	0.078	1.623	0.078	0.56	1.00	1.779	1.779	
		N816/N817	N779/N3424	HE 160 A (HEA)	0.078	1.636	0.065	0.56	1.00	1.779	1.779	
		N817/N3424	N779/N3424	HE 160 A (HEA)	0.065	0.825	-	1.12	1.00	0.890	0.890	
		N3424/N818	N3424/N3431	HE 160 A (HEA)	-	0.825	0.065	1.12	1.00	0.890	0.890	
		N818/N819	N3424/N3431	HE 160 A (HEA)	0.065	1.649	0.065	0.56	1.00	1.779	1.779	
		N819/N820	N3424/N3431	HE 160 A (HEA)	0.065	1.663	0.051	0.56	1.00	1.779	1.779	
		N820/N821	N3424/N3431	HE 160 A (HEA)	0.051	1.658	0.070	0.56	1.00	1.779	1.779	
		N821/N822	N3424/N3431	HE 160 A (HEA)	0.070	1.639	0.070	0.56	1.00	1.779	1.779	
		N822/N3431	N3424/N3431	HE 160 A (HEA)	0.070	0.820	-	1.12	1.00	0.890	0.890	
		N3431/N823	N3431/N828	HE 160 A (HEA)	-	0.820	0.070	1.12	1.00	0.890	0.890	
		N823/N824	N3431/N828	HE 160 A (HEA)	0.070	1.625	0.084	0.56	1.00	1.779	1.779	
		N824/N825	N3431/N828	HE 160 A (HEA)	0.084	1.611	0.084	0.56	1.00	1.779	1.779	
		N825/N826	N3431/N828	HE 160 A (HEA)	0.084	1.611	0.084	0.56	1.00	1.779	1.779	
		N826/N827	N3431/N828	HE 160 A (HEA)	0.084	1.611	0.084	0.56	1.00	1.779	1.779	
		N827/N828	N3431/N828	HE 160 A (HEA)	0.084	1.554	0.141	0.56	1.00	1.779	1.779	
		N935/N969	N935/N3425	HE 160 A (HEA)	0.141	1.560	0.078	0.56	1.00	1.779	1.779	
		N969/N970	N935/N3425	HE 160 A (HEA)	0.078	1.623	0.078	0.56	1.00	1.779	1.779	
		N970/N971	N935/N3425	HE 160 A (HEA)	0.078	1.623	0.078	0.56	1.00	1.779	1.779	
		N971/N972	N935/N3425	HE 160 A (HEA)	0.078	1.623	0.078	0.56	1.00	1.779	1.779	
		N972/N973	N935/N3425	HE 160 A (HEA)	0.078	1.636	0.065	0.56	1.00	1.779	1.779	
		N973/N3425	N935/N3425	HE 160 A (HEA)	0.065	0.825	-	1.12	1.00	0.890	0.890	
		N3425/N974	N3425/N3430	HE 160 A (HEA)	-	0.825	0.065	1.12	1.00	0.890	0.890	
		N974/N975	N3425/N3430	HE 160 A (HEA)	0.065	1.649	0.065	0.56	1.00	1.779	1.779	
		N975/N976	N3425/N3430	HE 160 A (HEA)	0.065	1.663	0.051	0.56	1.00	1.779	1.779	
		N976/N977	N3425/N3430	HE 160 A (HEA)	0.051	1.658	0.070	0.56	1.00	1.779	1.779	
		N977/N978	N3425/N3430	HE 160 A (HEA)	0.070	1.639	0.070	0.56	1.00	1.779	1.779	

Documento visado electrónicamente con número: VA07290/22
Código de validación telemática TRLTDCFZ60T66IJ1. Comprobación: https://cogitivalencia.e-gestion.es/Validacion.aspx?CVT=TRLTDCFZ60T66IJ1

VISADO
COGITI
VALENCIA
VA07290/22
TRLTDCFZ60T66IJ1

Descripción											
Material		Barra (Ni/Nf)	Pieza (Ni/Nf)	Perfil(Serie)	Longitud (m)			β_{xy}	β_{xz}	Lbsup (m)	Lbinf (m)
Tipo	Designación				Indeformable origen	Deformable	Indeformable extremo				
		N978/N3430	N3425/N3430	HE 160 A (HEA)	0.070	0.820	-	1.12	1.00	0.890	0.890
		N3430/N979	N3430/N984	HE 160 A (HEA)	-	0.820	0.070	1.12	1.00	0.890	0.890
		N979/N980	N3430/N984	HE 160 A (HEA)	0.070	1.625	0.084	0.56	1.00	1.779	1.779
		N980/N981	N3430/N984	HE 160 A (HEA)	0.084	1.611	0.084	0.56	1.00	1.779	1.779
		N981/N982	N3430/N984	HE 160 A (HEA)	0.084	1.611	0.084	0.56	1.00	1.779	1.779
		N982/N983	N3430/N984	HE 160 A (HEA)	0.084	1.611	0.084	0.56	1.00	1.779	1.779
		N983/N984	N3430/N984	HE 160 A (HEA)	0.084	1.554	0.141	0.56	1.00	1.779	1.779
		N1091/N1125	N1091/N3426	HE 160 A (HEA)	0.141	1.560	0.078	0.56	1.00	1.779	1.779
		N1125/N1126	N1091/N3426	HE 160 A (HEA)	0.078	1.623	0.078	0.56	1.00	1.779	1.779
		N1126/N1127	N1091/N3426	HE 160 A (HEA)	0.078	1.623	0.078	0.56	1.00	1.779	1.779
		N1127/N1128	N1091/N3426	HE 160 A (HEA)	0.078	1.623	0.078	0.56	1.00	1.779	1.779
		N1128/N1129	N1091/N3426	HE 160 A (HEA)	0.078	1.636	0.065	0.56	1.00	1.779	1.779
		N1129/N3426	N1091/N3426	HE 160 A (HEA)	0.065	0.825	-	1.12	1.00	0.890	0.890
		N3426/N1130	N3426/N3429	HE 160 A (HEA)	-	0.825	0.065	1.12	1.00	0.890	0.890
		N1130/N1131	N3426/N3429	HE 160 A (HEA)	0.065	1.649	0.065	0.56	1.00	1.779	1.779
		N1131/N1132	N3426/N3429	HE 160 A (HEA)	0.065	1.663	0.051	0.56	1.00	1.779	1.779
		N1132/N1133	N3426/N3429	HE 160 A (HEA)	0.051	1.658	0.070	0.56	1.00	1.779	1.779
		N1133/N1134	N3426/N3429	HE 160 A (HEA)	0.070	1.639	0.070	0.56	1.00	1.779	1.779
		N1134/N3429	N3426/N3429	HE 160 A (HEA)	0.070	0.820	-	1.12	1.00	0.890	0.890
		N3429/N1135	N3429/N1140	HE 160 A (HEA)	-	0.820	0.070	1.12	1.00	0.890	0.890
		N1135/N1136	N3429/N1140	HE 160 A (HEA)	0.070	1.625	0.084	0.56	1.00	1.779	1.779
		N1136/N1137	N3429/N1140	HE 160 A (HEA)	0.084	1.611	0.084	0.56	1.00	1.779	1.779
		N1137/N1138	N3429/N1140	HE 160 A (HEA)	0.084	1.611	0.084	0.56	1.00	1.779	1.779
		N1138/N1139	N3429/N1140	HE 160 A (HEA)	0.084	1.611	0.084	0.56	1.00	1.779	1.779
		N1139/N1140	N3429/N1140	HE 160 A (HEA)	0.084	1.554	0.141	0.56	1.00	1.779	1.779
		N1247/N1281	N1247/N3427	HE 160 A (HEA)	0.141	1.560	0.078	0.56	1.00	1.779	1.779
		N1281/N1282	N1247/N3427	HE 160 A (HEA)	0.078	1.623	0.078	0.56	1.00	1.779	1.779
		N1282/N1283	N1247/N3427	HE 160 A (HEA)	0.078	1.623	0.078	0.56	1.00	1.779	1.779
		N1283/N1284	N1247/N3427	HE 160 A (HEA)	0.078	1.623	0.078	0.56	1.00	1.779	1.779
		N1284/N1285	N1247/N3427	HE 160 A (HEA)	0.078	1.636	0.065	0.56	1.00	1.779	1.779
		N1285/N3427	N1247/N3427	HE 160 A (HEA)	0.065	0.825	-	1.12	1.00	0.890	0.890

Documento visado electrónicamente con número: VA07290/22
Código de validación telemática TRLTDCFZ60T66IJ1. Comprobación: https://cogitivalencia.e-gestion.es/Validacion.aspx?CVT=TRLTDCFZ60T66IJ1

VISADO
COGITI
VALENCIA
VA07290/22
TRLTDCFZ60T66IJ1

Descripción												
Material		Barra (Ni/Nf)	Pieza (Ni/Nf)	Perfil(Serie)	Longitud (m)			β_{xy}	β_{xz}	Lbsup. (m)	Lbinf. (m)	
Tipo	Designación				Indeformable origen	Deformable	Indeformable extremo					
		N3427/N1286	N3427/N3428	HE 160 A (HEA)	-	0.825	0.065	1.12	1.00	0.890	0.890	
		N1286/N1287	N3427/N3428	HE 160 A (HEA)	0.065	1.649	0.065	0.56	1.00	1.779	1.779	
		N1287/N1288	N3427/N3428	HE 160 A (HEA)	0.065	1.663	0.051	0.56	1.00	1.779	1.779	
		N1288/N1289	N3427/N3428	HE 160 A (HEA)	0.051	1.658	0.070	0.56	1.00	1.779	1.779	
		N1289/N1290	N3427/N3428	HE 160 A (HEA)	0.070	1.639	0.070	0.56	1.00	1.779	1.779	
		N1290/N3428	N3427/N3428	HE 160 A (HEA)	0.070	0.820	-	1.12	1.00	0.890	0.890	
		N3428/N1291	N3428/N1296	HE 160 A (HEA)	-	0.820	0.070	1.12	1.00	0.890	0.890	
		N1291/N1292	N3428/N1296	HE 160 A (HEA)	0.070	1.625	0.084	0.56	1.00	1.779	1.779	
		N1292/N1293	N3428/N1296	HE 160 A (HEA)	0.084	1.611	0.084	0.56	1.00	1.779	1.779	
		N1293/N1294	N3428/N1296	HE 160 A (HEA)	0.084	1.611	0.084	0.56	1.00	1.779	1.779	
		N1294/N1295	N3428/N1296	HE 160 A (HEA)	0.084	1.611	0.084	0.56	1.00	1.779	1.779	
		N1295/N1296	N3428/N1296	HE 160 A (HEA)	0.084	1.554	0.141	0.56	1.00	1.779	1.779	
		N3507/N25	N3507/N25	SHS 100x4.0 (SHS)	-	1.278	0.106	0.80	0.80	-	-	
		N39/N3507	N39/N3507	SHS 100x4.0 (SHS)	0.119	1.265	-	0.80	0.80	-	-	
		N3505/N127	N3505/N127	SHS 120x5.0 (SHS)	-	1.155	0.136	0.80	0.80	-	-	
		N111/N3505	N111/N3505	SHS 120x5.0 (SHS)	0.149	1.142	-	0.80	0.80	-	-	
		N3506/N133	N3506/N133	SHS 120x5.0 (SHS)	-	1.238	0.146	0.80	0.80	-	-	
		N115/N3506	N115/N3506	SHS 120x5.0 (SHS)	0.160	1.224	-	0.80	0.80	-	-	
		N3503/N231	N3503/N231	SHS 120x5.0 (SHS)	-	1.155	0.136	0.80	0.80	-	-	
		N215/N3503	N215/N3503	SHS 120x5.0 (SHS)	0.149	1.142	-	0.80	0.80	-	-	
		N3504/N237	N3504/N237	SHS 120x5.0 (SHS)	-	1.238	0.146	0.80	0.80	-	-	
		N219/N3504	N219/N3504	SHS 120x5.0 (SHS)	0.160	1.224	-	0.80	0.80	-	-	
		N3501/N439	N3501/N439	SHS 100x4.0 (SHS)	-	1.192	0.099	0.80	0.80	-	-	
		N423/N3501	N423/N3501	SHS 100x4.0 (SHS)	0.111	1.180	-	0.80	0.80	-	-	
		N3502/N445	N3502/N445	SHS 100x4.0 (SHS)	-	1.278	0.106	0.80	0.80	-	-	
		N427/N3502	N427/N3502	SHS 100x4.0 (SHS)	0.119	1.265	-	0.80	0.80	-	-	
		N3499/N595	N3499/N595	SHS 100x4.0 (SHS)	-	1.192	0.099	0.80	0.80	-	-	
		N579/N3499	N579/N3499	SHS 100x4.0 (SHS)	0.111	1.180	-	0.80	0.80	-	-	
		N3500/N601	N3500/N601	SHS 100x4.0 (SHS)	-	1.278	0.106	0.80	0.80	-	-	
		N583/N3500	N583/N3500	SHS 100x4.0 (SHS)	0.119	1.265	-	0.80	0.80	-	-	
		N3498/N757	N3498/N757	SHS 100x4.0 (SHS)	-	1.278	0.106	0.80	0.80	-	-	

Documento visado electrónicamente con número: VA07290/22
Código de validación telemática TRLTDCFZ60T66IJ1. Comprobación: https://cogitivalencia.e-gestion.es/Validacion.aspx?CVT=TRLTDCFZ60T66IJ1

VISADO
COGITI
VALENCIA
VA07290/22
TRLTDCFZ60T66IJ1

Listados

Descripción											
Material		Barra (Ni/Nf)	Pieza (Ni/Nf)	Perfil(Serie)	Longitud (m)			β_{xy}	β_{xz}	Lbsup (m)	Lbinf (m)
Tipo	Designación				Indeformable origen	Deformable	Indeformable extremo				
		N739/N3498	N739/N3498	SHS 100x4.0 (SHS)	0.119	1.265	-	0.80	0.80	-	-
		N3497/N751	N3497/N751	SHS 100x4.0 (SHS)	-	1.192	0.099	0.80	0.80	-	-
		N735/N3497	N735/N3497	SHS 100x4.0 (SHS)	0.111	1.180	-	0.80	0.80	-	-
		N3495/N907	N3495/N907	SHS 100x4.0 (SHS)	-	1.192	0.099	0.80	0.80	-	-
		N891/N3495	N891/N3495	SHS 100x4.0 (SHS)	0.111	1.180	-	0.80	0.80	-	-
		N3496/N913	N3496/N913	SHS 100x4.0 (SHS)	-	1.278	0.106	0.80	0.80	-	-
		N895/N3496	N895/N3496	SHS 100x4.0 (SHS)	0.119	1.265	-	0.80	0.80	-	-
		N3493/N1063	N3493/N1063	SHS 100x4.0 (SHS)	-	1.192	0.099	0.80	0.80	-	-
		N1047/N3493	N1047/N3493	SHS 100x4.0 (SHS)	0.111	1.180	-	0.80	0.80	-	-
		N3494/N1069	N3494/N1069	SHS 100x4.0 (SHS)	-	1.278	0.106	0.80	0.80	-	-
		N1051/N3494	N1051/N3494	SHS 100x4.0 (SHS)	0.119	1.265	-	0.80	0.80	-	-
		N3491/N1219	N3491/N1219	SHS 100x4.0 (SHS)	-	1.192	0.099	0.80	0.80	-	-
		N1203/N3491	N1203/N3491	SHS 100x4.0 (SHS)	0.111	1.180	-	0.80	0.80	-	-
		N3492/N1225	N3492/N1225	SHS 100x4.0 (SHS)	-	1.278	0.106	0.80	0.80	-	-
		N1207/N3492	N1207/N3492	SHS 100x4.0 (SHS)	0.119	1.265	-	0.80	0.80	-	-
		N3525/N1258	N3525/N1258	SHS 100x4.0 (SHS)	-	1.278	0.106	0.80	0.80	-	-
		N1241/N3525	N1241/N3525	SHS 100x4.0 (SHS)	0.119	1.265	-	0.80	0.80	-	-
		N3524/N1252	N3524/N1252	SHS 100x4.0 (SHS)	-	1.192	0.099	0.80	0.80	-	-
		N1237/N3524	N1237/N3524	SHS 100x4.0 (SHS)	0.111	1.180	-	0.80	0.80	-	-
		N3522/N1096	N3522/N1096	SHS 100x4.0 (SHS)	-	1.192	0.099	0.80	0.80	-	-
		N1081/N3522	N1081/N3522	SHS 100x4.0 (SHS)	0.111	1.180	-	0.80	0.80	-	-
		N3523/N1102	N3523/N1102	SHS 100x4.0 (SHS)	-	1.278	0.106	0.80	0.80	-	-
		N1085/N3523	N1085/N3523	SHS 100x4.0 (SHS)	0.119	1.265	-	0.80	0.80	-	-
		N3520/N940	N3520/N940	SHS 100x4.0 (SHS)	-	1.192	0.099	0.80	0.80	-	-
		N925/N3520	N925/N3520	SHS 100x4.0 (SHS)	0.111	1.180	-	0.80	0.80	-	-
		N3521/N946	N3521/N946	SHS 100x4.0 (SHS)	-	1.278	0.106	0.80	0.80	-	-
		N929/N3521	N929/N3521	SHS 100x4.0 (SHS)	0.119	1.265	-	0.80	0.80	-	-
		N3518/N784	N3518/N784	SHS 100x4.0 (SHS)	-	1.192	0.099	0.80	0.80	-	-
		N769/N3518	N769/N3518	SHS 100x4.0 (SHS)	0.111	1.180	-	0.80	0.80	-	-
		N3519/N790	N3519/N790	SHS 100x4.0 (SHS)	-	1.278	0.106	0.80	0.80	-	-
		N773/N3519	N773/N3519	SHS 100x4.0 (SHS)	0.119	1.265	-	0.80	0.80	-	-

Documento visado electrónicamente con número: VA07290/22
Código de validación telemática TRLTDCFZ60T66IJ1. Comprobación: https://cogitivalencia.e-gestion.es/Validacion.aspx?CVT=TRLTDCFZ60T66IJ1

VISADO
COGITI
VALENCIA
VA07290/22
TRLTDCFZ60T66IJ1

Descripción												
Material		Barra (Ni/Nf)	Pieza (Ni/Nf)	Perfil(Serie)	Longitud (m)			β_{xy}	β_{xz}	$Lb_{sup.}$ (m)	$Lb_{inf.}$ (m)
Tipo	Designación				Indeformable origen	Deformable	Indeformable extremo				
		N3516/N628	N3516/N628	SHS 100x4.0 (SHS)	-	1.192	0.099	0.80	0.80	-	-
		N613/N3516	N613/N3516	SHS 100x4.0 (SHS)	0.111	1.180	-	0.80	0.80	-	-
		N3515/N634	N3515/N634	SHS 100x4.0 (SHS)	-	1.278	0.106	0.80	0.80	-	-
		N617/N3515	N617/N3515	SHS 100x4.0 (SHS)	0.119	1.265	-	0.80	0.80	-	-
		N3514/N478	N3514/N478	SHS 100x4.0 (SHS)	-	1.278	0.106	0.80	0.80	-	-
		N461/N3514	N461/N3514	SHS 100x4.0 (SHS)	0.119	1.265	-	0.80	0.80	-	-
		N3517/N472	N3517/N472	SHS 100x4.0 (SHS)	-	1.192	0.099	0.80	0.80	-	-
		N457/N3517	N457/N3517	SHS 100x4.0 (SHS)	0.111	1.180	-	0.80	0.80	-	-
		N3512/N264	N3512/N264	SHS 120x5.0 (SHS)	-	1.155	0.136	0.80	0.80	-	-
		N249/N3512	N249/N3512	SHS 120x5.0 (SHS)	0.149	1.142	-	0.80	0.80	-	-
		N3513/N270	N3513/N270	SHS 120x5.0 (SHS)	-	1.238	0.146	0.80	0.80	-	-
		N253/N3513	N253/N3513	SHS 120x5.0 (SHS)	0.160	1.224	-	0.80	0.80	-	-
		N3511/N160	N3511/N160	SHS 120x5.0 (SHS)	-	1.155	0.136	0.80	0.80	-	-
		N145/N3511	N145/N3511	SHS 120x5.0 (SHS)	0.149	1.142	-	0.80	0.80	-	-
		N3510/N166	N3510/N166	SHS 120x5.0 (SHS)	-	1.238	0.146	0.80	0.80	-	-
		N149/N3510	N149/N3510	SHS 120x5.0 (SHS)	0.160	1.224	-	0.80	0.80	-	-
		N3508/N49	N3508/N49	SHS 100x4.0 (SHS)	-	1.192	0.099	0.80	0.80	-	-
		N65/N3508	N65/N3508	SHS 100x4.0 (SHS)	0.111	1.180	-	0.80	0.80	-	-
		N3509/N55	N3509/N55	SHS 100x4.0 (SHS)	-	1.278	0.106	0.80	0.80	-	-
		N69/N3509	N69/N3509	SHS 100x4.0 (SHS)	0.119	1.265	-	0.80	0.80	-	-
		N3527/N85	N3527/N85	SHS 100x4.0 (SHS)	-	1.278	0.106	0.80	0.80	-	-
		N99/N3527	N99/N3527	SHS 100x4.0 (SHS)	0.119	1.265	-	0.80	0.80	-	-
		N3526/N79	N3526/N79	SHS 100x4.0 (SHS)	-	1.192	0.099	0.80	0.80	-	-
		N95/N3526	N95/N3526	SHS 100x4.0 (SHS)	0.111	1.180	-	0.80	0.80	-	-
		N3529/N198	N3529/N198	SHS 120x5.0 (SHS)	-	1.155	0.136	0.80	0.80	-	-
		N184/N3529	N184/N3529	SHS 120x5.0 (SHS)	0.149	1.142	-	0.80	0.80	-	-
		N3528/N204	N3528/N204	SHS 120x5.0 (SHS)	-	1.238	0.146	0.80	0.80	-	-
		N188/N3528	N188/N3528	SHS 120x5.0 (SHS)	0.160	1.224	-	0.80	0.80	-	-
		N3530/N302	N3530/N302	SHS 120x5.0 (SHS)	-	1.155	0.136	0.80	0.80	-	-
		N288/N3530	N288/N3530	SHS 120x5.0 (SHS)	0.149	1.142	-	0.80	0.80	-	-
		N3531/N308	N3531/N308	SHS 120x5.0 (SHS)	-	1.238	0.146	0.80	0.80	-	-

Documento visado electrónicamente con número: VA07290/22
Código de validación telemática TRLTDCFZ60T66IJ1. Comprobación: https://cogitivalencia.e-gestion.es/Validacion.aspx?CVT=TRLTDCFZ60T66IJ1

VISADO
COGITI
VALENCIA
VA07290/22
TRLTDCFZ60T66IJ1

Listados

Descripción											
Material		Barra (Ni/Nf)	Pieza (Ni/Nf)	Perfil(Serie)	Longitud (m)			β_{xy}	β_{xz}	Lbsup (m)	Lbinf (m)
Tipo	Designación				Indeformable origen	Deformable	Indeformable extremo				
		N292/N3531	N292/N3531	SHS 120x5.0 (SHS)	0.160	1.224	-	0.80	0.80	-	-
		N3532/N505	N3532/N505	SHS 100x4.0 (SHS)	-	1.192	0.099	0.80	0.80	-	-
		N490/N3532	N490/N3532	SHS 100x4.0 (SHS)	0.111	1.180	-	0.80	0.80	-	-
		N3533/N511	N3533/N511	SHS 100x4.0 (SHS)	-	1.278	0.106	0.80	0.80	-	-
		N494/N3533	N494/N3533	SHS 100x4.0 (SHS)	0.119	1.265	-	0.80	0.80	-	-
		N3534/N661	N3534/N661	SHS 100x4.0 (SHS)	-	1.192	0.099	0.80	0.80	-	-
		N646/N3534	N646/N3534	SHS 100x4.0 (SHS)	0.111	1.180	-	0.80	0.80	-	-
		N3535/N667	N3535/N667	SHS 100x4.0 (SHS)	-	1.278	0.106	0.80	0.80	-	-
		N650/N3535	N650/N3535	SHS 100x4.0 (SHS)	0.119	1.265	-	0.80	0.80	-	-
		N3537/N823	N3537/N823	SHS 100x4.0 (SHS)	-	1.278	0.106	0.80	0.80	-	-
		N806/N3537	N806/N3537	SHS 100x4.0 (SHS)	0.119	1.265	-	0.80	0.80	-	-
		N3536/N817	N3536/N817	SHS 100x4.0 (SHS)	-	1.192	0.099	0.80	0.80	-	-
		N802/N3536	N802/N3536	SHS 100x4.0 (SHS)	0.111	1.180	-	0.80	0.80	-	-
		N3538/N973	N3538/N973	SHS 100x4.0 (SHS)	-	1.192	0.099	0.80	0.80	-	-
		N958/N3538	N958/N3538	SHS 100x4.0 (SHS)	0.111	1.180	-	0.80	0.80	-	-
		N3539/N979	N3539/N979	SHS 100x4.0 (SHS)	-	1.278	0.106	0.80	0.80	-	-
		N962/N3539	N962/N3539	SHS 100x4.0 (SHS)	0.119	1.265	-	0.80	0.80	-	-
		N3540/N1129	N3540/N1129	SHS 100x4.0 (SHS)	-	1.192	0.099	0.80	0.80	-	-
		N1114/N3540	N1114/N3540	SHS 100x4.0 (SHS)	0.111	1.180	-	0.80	0.80	-	-
		N3541/N1135	N3541/N1135	SHS 100x4.0 (SHS)	-	1.278	0.106	0.80	0.80	-	-
		N1118/N3541	N1118/N3541	SHS 100x4.0 (SHS)	0.119	1.265	-	0.80	0.80	-	-
		N3542/N1285	N3542/N1285	SHS 100x4.0 (SHS)	-	1.192	0.099	0.80	0.80	-	-
		N1270/N3542	N1270/N3542	SHS 100x4.0 (SHS)	0.111	1.180	-	0.80	0.80	-	-
		N3543/N1291	N3543/N1291	SHS 100x4.0 (SHS)	-	1.278	0.106	0.80	0.80	-	-
		N1274/N3543	N1274/N3543	SHS 100x4.0 (SHS)	0.119	1.265	-	0.80	0.80	-	-
		N3591/N184	N3591/N3592	HE 240 A (HEA)	-	0.812	0.078	3.65	1.00	-	-
		N184/N185	N3591/N3592	HE 240 A (HEA)	0.078	1.623	0.078	1.83	1.00	-	-
		N185/N186	N3591/N3592	HE 240 A (HEA)	0.078	1.617	0.084	1.83	1.00	-	-
		N186/N187	N3591/N3592	HE 240 A (HEA)	0.084	1.611	0.084	1.83	1.00	-	-
		N187/N188	N3591/N3592	HE 240 A (HEA)	0.084	1.611	0.084	1.83	1.00	-	-
		N188/N3592	N3591/N3592	HE 240 A (HEA)	0.084	0.806	-	3.65	1.00	-	-

Documento visado electrónicamente con número: VA07290/22
Código de validación telemática TRLTDCFZ60T66IJ1. Comprobación: https://cogitivalencia.e-gestion.es/Validacion.aspx?CVT=TRLTDCFZ60T66IJ1

VISADO
COGITI
VALENCIA
VA07290/22
TRLTDCFZ60T66IJ1

Listados

Descripción												
Material		Barra (Ni/Nf)	Pieza (Ni/Nf)	Perfil(Serie)	Longitud (m)			β_{xy}	β_{xz}	$Lb_{sup.}$ (m)	$Lb_{inf.}$ (m)
Tipo	Designación				Indeformable origen	Deformable	Indeformable extremo				
		N180/N181	N180/N3591	HE 240 A (HEA)	0.076	1.605	0.098	1.83	1.00	-	-
		N181/N182	N180/N3591	HE 240 A (HEA)	0.098	1.603	0.078	1.83	1.00	-	-
		N182/N183	N180/N3591	HE 240 A (HEA)	0.078	1.623	0.078	1.83	1.00	-	-
		N183/N3591	N180/N3591	HE 240 A (HEA)	0.078	0.812	-	3.65	1.00	-	-
		N3592/N189	N3592/N192	HE 240 A (HEA)	-	0.806	0.084	3.65	1.00	-	-
		N189/N190	N3592/N192	HE 240 A (HEA)	0.084	1.611	0.084	1.83	1.00	-	-
		N190/N191	N3592/N192	HE 240 A (HEA)	0.084	1.590	0.105	1.83	1.00	-	-
		N191/N192	N3592/N192	HE 240 A (HEA)	0.105	1.598	0.076	1.83	1.00	-	-
		N91/N92	N91/N3594	HE 180 A (HEA)	0.061	1.640	0.078	1.83	1.00	-	-
		N92/N93	N91/N3594	HE 180 A (HEA)	0.078	1.623	0.078	1.83	1.00	-	-
		N93/N94	N91/N3594	HE 180 A (HEA)	0.078	1.623	0.078	1.83	1.00	-	-
		N94/N3594	N91/N3594	HE 180 A (HEA)	0.078	0.812	-	3.65	1.00	-	-
		N3594/N95	N3594/N3593	HE 180 A (HEA)	-	0.825	0.065	3.65	1.00	-	-
		N95/N96	N3594/N3593	HE 180 A (HEA)	0.065	1.649	0.065	1.83	1.00	-	-
		N96/N97	N3594/N3593	HE 180 A (HEA)	0.065	1.644	0.070	1.83	1.00	-	-
		N97/N98	N3594/N3593	HE 180 A (HEA)	0.070	1.639	0.070	1.83	1.00	-	-
		N98/N99	N3594/N3593	HE 180 A (HEA)	0.070	1.639	0.070	1.83	1.00	-	-
		N99/N3593	N3594/N3593	HE 180 A (HEA)	0.070	0.820	-	3.65	1.00	-	-
		N3593/N100	N3593/N103	HE 180 A (HEA)	-	0.806	0.084	3.65	1.00	-	-
		N100/N101	N3593/N103	HE 180 A (HEA)	0.084	1.611	0.084	1.83	1.00	-	-
		N101/N102	N3593/N103	HE 180 A (HEA)	0.084	1.611	0.084	1.83	1.00	-	-
		N102/N103	N3593/N103	HE 180 A (HEA)	0.084	1.634	0.061	1.83	1.00	-	-
		N284/N285	N284/N3590	HE 240 A (HEA)	0.076	1.605	0.098	1.83	1.00	-	-
		N285/N286	N284/N3590	HE 240 A (HEA)	0.098	1.603	0.078	1.83	1.00	-	-
		N286/N287	N284/N3590	HE 240 A (HEA)	0.078	1.623	0.078	1.83	1.00	-	-
		N287/N3590	N284/N3590	HE 240 A (HEA)	0.078	0.812	-	3.65	1.00	-	-
		N3590/N288	N3590/N3589	HE 240 A (HEA)	-	0.812	0.078	3.65	1.00	-	-
		N288/N289	N3590/N3589	HE 240 A (HEA)	0.078	1.623	0.078	1.83	1.00	-	-
		N289/N290	N3590/N3589	HE 240 A (HEA)	0.078	1.617	0.084	1.83	1.00	-	-
		N290/N291	N3590/N3589	HE 240 A (HEA)	0.084	1.611	0.084	1.83	1.00	-	-
		N291/N292	N3590/N3589	HE 240 A (HEA)	0.084	1.611	0.084	1.83	1.00	-	-

Documento visado electrónicamente con número: VA07290/22
Código de validación telemática TRLTDCFZ60T66IJ1. Comprobación: https://cogitivalencia.e-gestion.es/Validacion.aspx?CVT=TRLTDCFZ60T66IJ1

VISADO
COGITI
VALENCIA
VA07290/22
TRLTDCFZ60T66IJ1

Descripción											
Material		Barra (Ni/Nf)	Pieza (Ni/Nf)	Perfil(Serie)	Longitud (m)			β_{xy}	β_{xz}	Lbsup (m)	Lbinf (m)
Tipo	Designación				Indeformable origen	Deformable	Indeformable extremo				
		N292/N3589	N3590/N3589	HE 240 A (HEA)	0.084	0.806	-	3.65	1.00	-	-
		N3589/N293	N3589/N296	HE 240 A (HEA)	-	0.806	0.084	3.65	1.00	-	-
		N293/N294	N3589/N296	HE 240 A (HEA)	0.084	1.611	0.084	1.83	1.00	-	-
		N294/N295	N3589/N296	HE 240 A (HEA)	0.084	1.590	0.105	1.83	1.00	-	-
		N295/N296	N3589/N296	HE 240 A (HEA)	0.105	1.598	0.076	1.83	1.00	-	-
		N486/N487	N486/N3587	HE 180 A (HEA)	0.061	1.640	0.078	1.83	1.00	-	-
		N487/N488	N486/N3587	HE 180 A (HEA)	0.078	1.623	0.078	1.83	1.00	-	-
		N488/N489	N486/N3587	HE 180 A (HEA)	0.078	1.623	0.078	1.83	1.00	-	-
		N489/N3587	N486/N3587	HE 180 A (HEA)	0.078	0.812	-	3.65	1.00	-	-
		N3587/N490	N3587/N3588	HE 180 A (HEA)	-	0.825	0.065	3.65	1.00	-	-
		N490/N491	N3587/N3588	HE 180 A (HEA)	0.065	1.649	0.065	1.83	1.00	-	-
		N491/N492	N3587/N3588	HE 180 A (HEA)	0.065	1.644	0.070	1.83	1.00	-	-
		N492/N493	N3587/N3588	HE 180 A (HEA)	0.070	1.639	0.070	1.83	1.00	-	-
		N493/N494	N3587/N3588	HE 180 A (HEA)	0.070	1.639	0.070	1.83	1.00	-	-
		N494/N3588	N3587/N3588	HE 180 A (HEA)	0.070	0.820	-	3.65	1.00	-	-
		N3588/N495	N3588/N498	HE 180 A (HEA)	-	0.806	0.084	3.65	1.00	-	-
		N495/N496	N3588/N498	HE 180 A (HEA)	0.084	1.611	0.084	1.83	1.00	-	-
		N496/N497	N3588/N498	HE 180 A (HEA)	0.084	1.611	0.084	1.83	1.00	-	-
		N497/N498	N3588/N498	HE 180 A (HEA)	0.084	1.634	0.061	1.83	1.00	-	-
		N642/N643	N642/N3586	HE 180 A (HEA)	0.061	1.640	0.078	1.83	1.00	-	-
		N643/N644	N642/N3586	HE 180 A (HEA)	0.078	1.623	0.078	1.83	1.00	-	-
		N644/N645	N642/N3586	HE 180 A (HEA)	0.078	1.623	0.078	1.83	1.00	-	-
		N645/N3586	N642/N3586	HE 180 A (HEA)	0.078	0.812	-	3.65	1.00	-	-
		N3586/N646	N3586/N3585	HE 180 A (HEA)	-	0.825	0.065	3.65	1.00	-	-
		N646/N647	N3586/N3585	HE 180 A (HEA)	0.065	1.649	0.065	1.83	1.00	-	-
		N647/N648	N3586/N3585	HE 180 A (HEA)	0.065	1.644	0.070	1.83	1.00	-	-
		N648/N649	N3586/N3585	HE 180 A (HEA)	0.070	1.639	0.070	1.83	1.00	-	-
		N649/N650	N3586/N3585	HE 180 A (HEA)	0.070	1.639	0.070	1.83	1.00	-	-
		N650/N3585	N3586/N3585	HE 180 A (HEA)	0.070	0.820	-	3.65	1.00	-	-
		N3585/N651	N3585/N654	HE 180 A (HEA)	-	0.806	0.084	3.65	1.00	-	-
		N651/N652	N3585/N654	HE 180 A (HEA)	0.084	1.611	0.084	1.83	1.00	-	-

Documento visado electrónicamente con número: VA07290/22
Código de validación telemática TRLTDCFZ60T66IJ1. Comprobación: https://cogitivalencia.e-gestion.es/Validacion.aspx?CVT=TRLTDCFZ60T66IJ1

VISADO
COGITI
VALENCIA
VA07290/22
TRLTDCFZ60T66IJ1

Descripción												
Material		Barra (Ni/Nf)	Pieza (Ni/Nf)	Perfil(Serie)	Longitud (m)			β_{xy}	β_{xz}	Lbsup. (m)	Lbinf. (m)
Tipo	Designación				Indeformable origen	Deformable	Indeformable extremo				
		N652/N653	N3585/N654	HE 180 A (HEA)	0.084	1.611	0.084	1.83	1.00	-	-
		N653/N654	N3585/N654	HE 180 A (HEA)	0.084	1.634	0.061	1.83	1.00	-	-
		N798/N799	N798/N3583	HE 180 A (HEA)	0.061	1.640	0.078	1.83	1.00	-	-
		N799/N800	N798/N3583	HE 180 A (HEA)	0.078	1.623	0.078	1.83	1.00	-	-
		N800/N801	N798/N3583	HE 180 A (HEA)	0.078	1.623	0.078	1.83	1.00	-	-
		N801/N3583	N798/N3583	HE 180 A (HEA)	0.078	0.812	-	3.65	1.00	-	-
		N3583/N802	N3583/N3584	HE 180 A (HEA)	-	0.825	0.065	3.65	1.00	-	-
		N802/N803	N3583/N3584	HE 180 A (HEA)	0.065	1.649	0.065	1.83	1.00	-	-
		N803/N804	N3583/N3584	HE 180 A (HEA)	0.065	1.644	0.070	1.83	1.00	-	-
		N804/N805	N3583/N3584	HE 180 A (HEA)	0.070	1.639	0.070	1.83	1.00	-	-
		N805/N806	N3583/N3584	HE 180 A (HEA)	0.070	1.639	0.070	1.83	1.00	-	-
		N806/N3584	N3583/N3584	HE 180 A (HEA)	0.070	0.820	-	3.65	1.00	-	-
		N3584/N807	N3584/N810	HE 180 A (HEA)	-	0.806	0.084	3.65	1.00	-	-
		N807/N808	N3584/N810	HE 180 A (HEA)	0.084	1.611	0.084	1.83	1.00	-	-
		N808/N809	N3584/N810	HE 180 A (HEA)	0.084	1.611	0.084	1.83	1.00	-	-
		N809/N810	N3584/N810	HE 180 A (HEA)	0.084	1.634	0.061	1.83	1.00	-	-
		N954/N955	N954/N3582	HE 180 A (HEA)	0.061	1.640	0.078	1.83	1.00	-	-
		N955/N956	N954/N3582	HE 180 A (HEA)	0.078	1.623	0.078	1.83	1.00	-	-
		N956/N957	N954/N3582	HE 180 A (HEA)	0.078	1.623	0.078	1.83	1.00	-	-
		N957/N3582	N954/N3582	HE 180 A (HEA)	0.078	0.812	-	3.65	1.00	-	-
		N3582/N958	N3582/N3581	HE 180 A (HEA)	-	0.825	0.065	3.65	1.00	-	-
		N958/N959	N3582/N3581	HE 180 A (HEA)	0.065	1.649	0.065	1.83	1.00	-	-
		N959/N960	N3582/N3581	HE 180 A (HEA)	0.065	1.644	0.070	1.83	1.00	-	-
		N960/N961	N3582/N3581	HE 180 A (HEA)	0.070	1.639	0.070	1.83	1.00	-	-
		N961/N962	N3582/N3581	HE 180 A (HEA)	0.070	1.639	0.070	1.83	1.00	-	-
		N962/N3581	N3582/N3581	HE 180 A (HEA)	0.070	0.820	-	3.65	1.00	-	-
		N3581/N963	N3581/N966	HE 180 A (HEA)	-	0.806	0.084	3.65	1.00	-	-
		N963/N964	N3581/N966	HE 180 A (HEA)	0.084	1.611	0.084	1.83	1.00	-	-
		N964/N965	N3581/N966	HE 180 A (HEA)	0.084	1.611	0.084	1.83	1.00	-	-
		N965/N966	N3581/N966	HE 180 A (HEA)	0.084	1.634	0.061	1.83	1.00	-	-
		N1110/N1111	N1110/N3579	HE 180 A (HEA)	0.061	1.640	0.078	1.83	1.00	-	-

Documento visado electrónicamente con número: VA07290/22
Código de validación telemática TRLTDCFZ60T66IJ1. Comprobación: https://cogitivalencia.e-gestion.es/Validacion.aspx?CVT=TRLTDCFZ60T66IJ1

VISADO
COGITI
VALENCIA
VA07290/22
TRLTDCFZ60T66IJ1

Listados

Descripción											
Material		Barra (Ni/Nf)	Pieza (Ni/Nf)	Perfil(Serie)	Longitud (m)			β_{xy}	β_{xz}	Lbsup (m)	Lbinf (m)
Tipo	Designación				Indeformable origen	Deformable	Indeformable extremo				
		N1111/N1112	N1110/N3579	HE 180 A (HEA)	0.078	1.623	0.078	1.83	1.00	-	-
		N1112/N1113	N1110/N3579	HE 180 A (HEA)	0.078	1.623	0.078	1.83	1.00	-	-
		N1113/N3579	N1110/N3579	HE 180 A (HEA)	0.078	0.812	-	3.65	1.00	-	-
		N3579/N1114	N3579/N3580	HE 180 A (HEA)	-	0.825	0.065	3.65	1.00	-	-
		N1114/N1115	N3579/N3580	HE 180 A (HEA)	0.065	1.649	0.065	1.83	1.00	-	-
		N1115/N1116	N3579/N3580	HE 180 A (HEA)	0.065	1.644	0.070	1.83	1.00	-	-
		N1116/N1117	N3579/N3580	HE 180 A (HEA)	0.070	1.639	0.070	1.83	1.00	-	-
		N1117/N1118	N3579/N3580	HE 180 A (HEA)	0.070	1.639	0.070	1.83	1.00	-	-
		N1118/N3580	N3579/N3580	HE 180 A (HEA)	0.070	0.820	-	3.65	1.00	-	-
		N3580/N1119	N3580/N1122	HE 180 A (HEA)	-	0.806	0.084	3.65	1.00	-	-
		N1119/N1120	N3580/N1122	HE 180 A (HEA)	0.084	1.611	0.084	1.83	1.00	-	-
		N1120/N1121	N3580/N1122	HE 180 A (HEA)	0.084	1.611	0.084	1.83	1.00	-	-
		N1121/N1122	N3580/N1122	HE 180 A (HEA)	0.084	1.634	0.061	1.83	1.00	-	-
		N1266/N1267	N1266/N3577	HE 180 A (HEA)	0.061	1.640	0.078	1.83	1.00	-	-
		N1267/N1268	N1266/N3577	HE 180 A (HEA)	0.078	1.623	0.078	1.83	1.00	-	-
		N1268/N1269	N1266/N3577	HE 180 A (HEA)	0.078	1.623	0.078	1.83	1.00	-	-
		N1269/N3577	N1266/N3577	HE 180 A (HEA)	0.078	0.812	-	3.65	1.00	-	-
		N3577/N1270	N3577/N3578	HE 180 A (HEA)	-	0.825	0.065	3.65	1.00	-	-
		N1270/N1271	N3577/N3578	HE 180 A (HEA)	0.065	1.649	0.065	1.83	1.00	-	-
		N1271/N1272	N3577/N3578	HE 180 A (HEA)	0.065	1.644	0.070	1.83	1.00	-	-
		N1272/N1273	N3577/N3578	HE 180 A (HEA)	0.070	1.639	0.070	1.83	1.00	-	-
		N1273/N1274	N3577/N3578	HE 180 A (HEA)	0.070	1.639	0.070	1.83	1.00	-	-
		N1274/N3578	N3577/N3578	HE 180 A (HEA)	0.070	0.820	-	3.65	1.00	-	-
		N3578/N1275	N3578/N1278	HE 180 A (HEA)	-	0.806	0.084	3.65	1.00	-	-
		N1275/N1276	N3578/N1278	HE 180 A (HEA)	0.084	1.611	0.084	1.83	1.00	-	-
		N1276/N1277	N3578/N1278	HE 180 A (HEA)	0.084	1.611	0.084	1.83	1.00	-	-
		N1277/N1278	N3578/N1278	HE 180 A (HEA)	0.084	1.634	0.061	1.83	1.00	-	-
		N61/N62	N61/N3560	HE 180 A (HEA)	0.061	1.640	0.078	1.83	1.00	-	-
		N62/N63	N61/N3560	HE 180 A (HEA)	0.078	1.623	0.078	1.83	1.00	-	-
		N63/N64	N61/N3560	HE 180 A (HEA)	0.078	1.623	0.078	1.83	1.00	-	-
		N64/N3560	N61/N3560	HE 180 A (HEA)	0.078	0.812	-	3.65	1.00	-	-

Documento visado electrónicamente con número: VA07290/22
Código de validación telemática TRLTDCFZ60T66IJ1. Comprobación: https://cogitivalencia.e-gestion.es/Validacion.aspx?CVT=TRLTDCFZ60T66IJ1

VISADO
COGITI
VALENCIA
VA07290/22
TRLTDCFZ60T66IJ1

Descripción												
Material		Barra (Ni/Nf)	Pieza (Ni/Nf)	Perfil(Serie)	Longitud (m)			β_{xy}	β_{xz}	$Lb_{sup.}$ (m)	$Lb_{inf.}$ (m)
Tipo	Designación				Indeformable origen	Deformable	Indeformable extremo				
		N3560/N65	N3560/N3561	HE 180 A (HEA)	-	0.825	0.065	3.65	1.00	-	-
		N65/N66	N3560/N3561	HE 180 A (HEA)	0.065	1.649	0.065	1.83	1.00	-	-
		N66/N67	N3560/N3561	HE 180 A (HEA)	0.065	1.644	0.070	1.83	1.00	-	-
		N67/N68	N3560/N3561	HE 180 A (HEA)	0.070	1.639	0.070	1.83	1.00	-	-
		N68/N69	N3560/N3561	HE 180 A (HEA)	0.070	1.639	0.070	1.83	1.00	-	-
		N69/N3561	N3560/N3561	HE 180 A (HEA)	0.070	0.820	-	3.65	1.00	-	-
		N3561/N70	N3561/N73	HE 180 A (HEA)	-	0.806	0.084	3.65	1.00	-	-
		N70/N71	N3561/N73	HE 180 A (HEA)	0.084	1.611	0.084	1.83	1.00	-	-
		N71/N72	N3561/N73	HE 180 A (HEA)	0.084	1.611	0.084	1.83	1.00	-	-
		N72/N73	N3561/N73	HE 180 A (HEA)	0.084	1.634	0.061	1.83	1.00	-	-
		N141/N142	N141/N3563	HE 240 A (HEA)	0.076	1.605	0.098	1.83	1.00	-	-
		N142/N143	N141/N3563	HE 240 A (HEA)	0.098	1.603	0.078	1.83	1.00	-	-
		N143/N144	N141/N3563	HE 240 A (HEA)	0.078	1.623	0.078	1.83	1.00	-	-
		N144/N3563	N141/N3563	HE 240 A (HEA)	0.078	0.812	-	3.65	1.00	-	-
		N3563/N145	N3563/N3562	HE 240 A (HEA)	-	0.812	0.078	3.65	1.00	-	-
		N145/N146	N3563/N3562	HE 240 A (HEA)	0.078	1.623	0.078	1.83	1.00	-	-
		N146/N147	N3563/N3562	HE 240 A (HEA)	0.078	1.617	0.084	1.83	1.00	-	-
		N147/N148	N3563/N3562	HE 240 A (HEA)	0.084	1.611	0.084	1.83	1.00	-	-
		N148/N149	N3563/N3562	HE 240 A (HEA)	0.084	1.611	0.084	1.83	1.00	-	-
		N149/N3562	N3563/N3562	HE 240 A (HEA)	0.084	0.806	-	3.65	1.00	-	-
		N3562/N150	N3562/N153	HE 240 A (HEA)	-	0.806	0.084	3.65	1.00	-	-
		N150/N151	N3562/N153	HE 240 A (HEA)	0.084	1.611	0.084	1.83	1.00	-	-
		N151/N152	N3562/N153	HE 240 A (HEA)	0.084	1.590	0.105	1.83	1.00	-	-
		N152/N153	N3562/N153	HE 240 A (HEA)	0.105	1.598	0.076	1.83	1.00	-	-
		N245/N246	N245/N3564	HE 240 A (HEA)	0.076	1.605	0.098	1.83	1.00	-	-
		N246/N247	N245/N3564	HE 240 A (HEA)	0.098	1.603	0.078	1.83	1.00	-	-
		N247/N248	N245/N3564	HE 240 A (HEA)	0.078	1.623	0.078	1.83	1.00	-	-
		N248/N3564	N245/N3564	HE 240 A (HEA)	0.078	0.812	-	3.65	1.00	-	-
		N3564/N249	N3564/N3565	HE 240 A (HEA)	-	0.812	0.078	3.65	1.00	-	-
		N249/N250	N3564/N3565	HE 240 A (HEA)	0.078	1.623	0.078	1.83	1.00	-	-
		N250/N251	N3564/N3565	HE 240 A (HEA)	0.078	1.617	0.084	1.83	1.00	-	-

Documento visado electrónicamente con número: VA07290/22
Código de validación telemática TRLTDCFZ60T66IJ1. Comprobación: https://cogitivalencia.e-gestion.es/Validacion.aspx?CVT=TRLTDCFZ60T66IJ1

VISADO
COGITI
VALENCIA
VA07290/22
TRLTDCFZ60T66IJ1

Descripción											
Material		Barra (Ni/Nf)	Pieza (Ni/Nf)	Perfil(Serie)	Longitud (m)			β_{xy}	β_{xz}	Lbsup (m)	Lbinf (m)
Tipo	Designación				Indeformable origen	Deformable	Indeformable extremo				
		N251/N252	N3564/N3565	HE 240 A (HEA)	0.084	1.611	0.084	1.83	1.00	-	-
		N252/N253	N3564/N3565	HE 240 A (HEA)	0.084	1.611	0.084	1.83	1.00	-	-
		N253/N3565	N3564/N3565	HE 240 A (HEA)	0.084	0.806	-	3.65	1.00	-	-
		N3565/N254	N3565/N257	HE 240 A (HEA)	-	0.806	0.084	3.65	1.00	-	-
		N254/N255	N3565/N257	HE 240 A (HEA)	0.084	1.611	0.084	1.83	1.00	-	-
		N255/N256	N3565/N257	HE 240 A (HEA)	0.084	1.590	0.105	1.83	1.00	-	-
		N256/N257	N3565/N257	HE 240 A (HEA)	0.105	1.598	0.076	1.83	1.00	-	-
		N453/N454	N453/N3566	HE 180 A (HEA)	0.061	1.640	0.078	1.83	1.00	-	-
		N454/N455	N453/N3566	HE 180 A (HEA)	0.078	1.623	0.078	1.83	1.00	-	-
		N455/N456	N453/N3566	HE 180 A (HEA)	0.078	1.623	0.078	1.83	1.00	-	-
		N456/N3566	N453/N3566	HE 180 A (HEA)	0.078	0.812	-	3.65	1.00	-	-
		N451/N452	N451/N453	HE 180 A (HEA)	0.141	1.560	0.078	1.83	1.00	-	-
		N452/N453	N451/N453	HE 180 A (HEA)	0.078	1.623	0.078	1.83	1.00	-	-
		N3566/N457	N3566/N3595	HE 180 A (HEA)	-	0.825	0.065	3.65	1.00	-	-
		N457/N458	N3566/N3595	HE 180 A (HEA)	0.065	1.649	0.065	1.83	1.00	-	-
		N458/N459	N3566/N3595	HE 180 A (HEA)	0.065	1.644	0.070	1.83	1.00	-	-
		N459/N460	N3566/N3595	HE 180 A (HEA)	0.070	1.639	0.070	1.83	1.00	-	-
		N460/N461	N3566/N3595	HE 180 A (HEA)	0.070	1.639	0.070	1.83	1.00	-	-
		N461/N3595	N3566/N3595	HE 180 A (HEA)	0.070	0.820	-	3.65	1.00	-	-
		N3595/N462	N3595/N465	HE 180 A (HEA)	-	0.806	0.084	3.65	1.00	-	-
		N462/N463	N3595/N465	HE 180 A (HEA)	0.084	1.611	0.084	1.83	1.00	-	-
		N463/N464	N3595/N465	HE 180 A (HEA)	0.084	1.611	0.084	1.83	1.00	-	-
		N464/N465	N3595/N465	HE 180 A (HEA)	0.084	1.634	0.061	1.83	1.00	-	-
		N465/N466	N465/N467	HE 180 A (HEA)	0.084	1.578	0.117	1.83	1.00	-	-
		N466/N467	N465/N467	HE 180 A (HEA)	0.117	1.521	0.141	1.83	1.00	-	-
		N607/N608	N607/N609	HE 180 A (HEA)	0.141	1.560	0.078	1.83	1.00	-	-
		N608/N609	N607/N609	HE 180 A (HEA)	0.078	1.623	0.078	1.83	1.00	-	-
		N609/N610	N609/N3567	HE 180 A (HEA)	0.061	1.640	0.078	1.83	1.00	-	-
		N610/N611	N609/N3567	HE 180 A (HEA)	0.078	1.623	0.078	1.83	1.00	-	-
		N611/N612	N609/N3567	HE 180 A (HEA)	0.078	1.623	0.078	1.83	1.00	-	-
		N612/N3567	N609/N3567	HE 180 A (HEA)	0.078	0.812	-	3.65	1.00	-	-

Documento visado electrónicamente con número: VA07290/22
Código de validación telemática TRLTDCFZ60T66IJ1. Comprobación: https://cogitivalencia.e-gestion.es/Validacion.aspx?CVT=TRLTDCFZ60T66IJ1

VISADO
COGITI
VALENCIA
VA07290/22
TRLTDCFZ60T66IJ1

Listados

Descripción												
Material		Barra (Ni/Nf)	Pieza (Ni/Nf)	Perfil(Serie)	Longitud (m)			β_{xy}	β_{xz}	$Lb_{sup.}$ (m)	$Lb_{inf.}$ (m)
Tipo	Designación				Indeformable origen	Deformable	Indeformable extremo				
		N3567/N613	N3567/N3568	HE 180 A (HEA)	-	0.825	0.065	3.65	1.00	-	-
		N613/N614	N3567/N3568	HE 180 A (HEA)	0.065	1.649	0.065	1.83	1.00	-	-
		N614/N615	N3567/N3568	HE 180 A (HEA)	0.065	1.644	0.070	1.83	1.00	-	-
		N615/N616	N3567/N3568	HE 180 A (HEA)	0.070	1.639	0.070	1.83	1.00	-	-
		N616/N617	N3567/N3568	HE 180 A (HEA)	0.070	1.639	0.070	1.83	1.00	-	-
		N617/N3568	N3567/N3568	HE 180 A (HEA)	0.070	0.820	-	3.65	1.00	-	-
		N3568/N618	N3568/N621	HE 180 A (HEA)	-	0.806	0.084	3.65	1.00	-	-
		N618/N619	N3568/N621	HE 180 A (HEA)	0.084	1.611	0.084	1.83	1.00	-	-
		N619/N620	N3568/N621	HE 180 A (HEA)	0.084	1.611	0.084	1.83	1.00	-	-
		N620/N621	N3568/N621	HE 180 A (HEA)	0.084	1.634	0.061	1.83	1.00	-	-
		N621/N622	N621/N623	HE 180 A (HEA)	0.084	1.578	0.117	1.83	1.00	-	-
		N622/N623	N621/N623	HE 180 A (HEA)	0.117	1.521	0.141	1.83	1.00	-	-
		N763/N764	N763/N765	HE 180 A (HEA)	0.141	1.560	0.078	1.83	1.00	-	-
		N764/N765	N763/N765	HE 180 A (HEA)	0.078	1.623	0.078	1.83	1.00	-	-
		N765/N766	N765/N3569	HE 180 A (HEA)	0.061	1.640	0.078	1.83	1.00	-	-
		N766/N767	N765/N3569	HE 180 A (HEA)	0.078	1.623	0.078	1.83	1.00	-	-
		N767/N768	N765/N3569	HE 180 A (HEA)	0.078	1.623	0.078	1.83	1.00	-	-
		N768/N3569	N765/N3569	HE 180 A (HEA)	0.078	0.812	-	3.65	1.00	-	-
		N3569/N769	N3569/N3570	HE 180 A (HEA)	-	0.825	0.065	3.65	1.00	-	-
		N769/N770	N3569/N3570	HE 180 A (HEA)	0.065	1.649	0.065	1.83	1.00	-	-
		N770/N771	N3569/N3570	HE 180 A (HEA)	0.065	1.644	0.070	1.83	1.00	-	-
		N771/N772	N3569/N3570	HE 180 A (HEA)	0.070	1.639	0.070	1.83	1.00	-	-
		N772/N773	N3569/N3570	HE 180 A (HEA)	0.070	1.639	0.070	1.83	1.00	-	-
		N773/N3570	N3569/N3570	HE 180 A (HEA)	0.070	0.820	-	3.65	1.00	-	-
		N3570/N774	N3570/N777	HE 180 A (HEA)	-	0.806	0.084	3.65	1.00	-	-
		N774/N775	N3570/N777	HE 180 A (HEA)	0.084	1.611	0.084	1.83	1.00	-	-
		N775/N776	N3570/N777	HE 180 A (HEA)	0.084	1.611	0.084	1.83	1.00	-	-
		N776/N777	N3570/N777	HE 180 A (HEA)	0.084	1.634	0.061	1.83	1.00	-	-
		N777/N778	N777/N779	HE 180 A (HEA)	0.084	1.578	0.117	1.83	1.00	-	-
		N778/N779	N777/N779	HE 180 A (HEA)	0.117	1.521	0.141	1.83	1.00	-	-
		N919/N920	N919/N921	HE 180 A (HEA)	0.141	1.560	0.078	1.83	1.00	-	-

Documento visado electrónicamente con número: VA07290/22
Código de validación telemática TRLTDCFZ60T66IJ1. Comprobación: https://cogitivalencia.e-gestion.es/Validacion.aspx?CVT=TRLTDCFZ60T66IJ1

VISADO
COGITI
VALENCIA
VA07290/22
TRLTDCFZ60T66IJ1

Descripción											
Material		Barra (Ni/Nf)	Pieza (Ni/Nf)	Perfil(Serie)	Longitud (m)			β_{xy}	β_{xz}	Lbsup (m)	Lbinf (m)
Tipo	Designación				Indeformable origen	Deformable	Indeformable extremo				
		N920/N921	N919/N921	HE 180 A (HEA)	0.078	1.623	0.078	1.83	1.00	-	-
		N921/N922	N921/N3572	HE 180 A (HEA)	0.061	1.640	0.078	1.83	1.00	-	-
		N922/N923	N921/N3572	HE 180 A (HEA)	0.078	1.623	0.078	1.83	1.00	-	-
		N923/N924	N921/N3572	HE 180 A (HEA)	0.078	1.623	0.078	1.83	1.00	-	-
		N924/N3572	N921/N3572	HE 180 A (HEA)	0.078	0.812	-	3.65	1.00	-	-
		N3572/N925	N3572/N3571	HE 180 A (HEA)	-	0.825	0.065	3.65	1.00	-	-
		N925/N926	N3572/N3571	HE 180 A (HEA)	0.065	1.649	0.065	1.83	1.00	-	-
		N926/N927	N3572/N3571	HE 180 A (HEA)	0.065	1.644	0.070	1.83	1.00	-	-
		N927/N928	N3572/N3571	HE 180 A (HEA)	0.070	1.639	0.070	1.83	1.00	-	-
		N928/N929	N3572/N3571	HE 180 A (HEA)	0.070	1.639	0.070	1.83	1.00	-	-
		N929/N3571	N3572/N3571	HE 180 A (HEA)	0.070	0.820	-	3.65	1.00	-	-
		N3571/N930	N3571/N933	HE 180 A (HEA)	-	0.806	0.084	3.65	1.00	-	-
		N930/N931	N3571/N933	HE 180 A (HEA)	0.084	1.611	0.084	1.83	1.00	-	-
		N931/N932	N3571/N933	HE 180 A (HEA)	0.084	1.611	0.084	1.83	1.00	-	-
		N932/N933	N3571/N933	HE 180 A (HEA)	0.084	1.634	0.061	1.83	1.00	-	-
		N933/N934	N933/N935	HE 180 A (HEA)	0.084	1.578	0.117	1.83	1.00	-	-
		N934/N935	N933/N935	HE 180 A (HEA)	0.117	1.521	0.141	1.83	1.00	-	-
		N1075/N1076	N1075/N1077	HE 180 A (HEA)	0.141	1.560	0.078	1.83	1.00	-	-
		N1076/N1077	N1075/N1077	HE 180 A (HEA)	0.078	1.623	0.078	1.83	1.00	-	-
		N1077/N1078	N1077/N3573	HE 180 A (HEA)	0.061	1.640	0.078	1.83	1.00	-	-
		N1078/N1079	N1077/N3573	HE 180 A (HEA)	0.078	1.623	0.078	1.83	1.00	-	-
		N1079/N1080	N1077/N3573	HE 180 A (HEA)	0.078	1.623	0.078	1.83	1.00	-	-
		N1080/N3573	N1077/N3573	HE 180 A (HEA)	0.078	0.812	-	3.65	1.00	-	-
		N3573/N1081	N3573/N3574	HE 180 A (HEA)	-	0.825	0.065	3.65	1.00	-	-
		N1081/N1082	N3573/N3574	HE 180 A (HEA)	0.065	1.649	0.065	1.83	1.00	-	-
		N1082/N1083	N3573/N3574	HE 180 A (HEA)	0.065	1.644	0.070	1.83	1.00	-	-
		N1083/N1084	N3573/N3574	HE 180 A (HEA)	0.070	1.639	0.070	1.83	1.00	-	-
		N1084/N1085	N3573/N3574	HE 180 A (HEA)	0.070	1.639	0.070	1.83	1.00	-	-
		N1085/N3574	N3573/N3574	HE 180 A (HEA)	0.070	0.820	-	3.65	1.00	-	-
		N3574/N1086	N3574/N1089	HE 180 A (HEA)	-	0.806	0.084	3.65	1.00	-	-
		N1086/N1087	N3574/N1089	HE 180 A (HEA)	0.084	1.611	0.084	1.83	1.00	-	-

Documento visado electrónicamente con número: VA07290/22
Código de validación telemática TRLTDCFZ60T66IJ1. Comprobación: https://cogitivalencia.e-gestion.es/Validacion.aspx?CVT=TRLTDCFZ60T66IJ1

VISADO
COGITI
VALENCIA
VA07290/22
TRLTDCFZ60T66IJ1

Descripción												
Material		Barra (Ni/Nf)	Pieza (Ni/Nf)	Perfil(Serie)	Longitud (m)			β_{xy}	β_{xz}	$Lb_{sup.}$ (m)	$Lb_{inf.}$ (m)
Tipo	Designación				Indeformable origen	Deformable	Indeformable extremo				
		N1087/N1088	N3574/N1089	HE 180 A (HEA)	0.084	1.611	0.084	1.83	1.00	-	-
		N1088/N1089	N3574/N1089	HE 180 A (HEA)	0.084	1.634	0.061	1.83	1.00	-	-
		N1089/N1090	N1089/N1091	HE 180 A (HEA)	0.084	1.578	0.117	1.83	1.00	-	-
		N1090/N1091	N1089/N1091	HE 180 A (HEA)	0.117	1.521	0.141	1.83	1.00	-	-
		N3576/N1237	N3576/N3575	HE 180 A (HEA)	-	0.825	0.065	3.65	1.00	-	-
		N1237/N1238	N3576/N3575	HE 180 A (HEA)	0.065	1.649	0.065	1.83	1.00	-	-
		N1238/N1239	N3576/N3575	HE 180 A (HEA)	0.065	1.644	0.070	1.83	1.00	-	-
		N1239/N1240	N3576/N3575	HE 180 A (HEA)	0.070	1.639	0.070	1.83	1.00	-	-
		N1240/N1241	N3576/N3575	HE 180 A (HEA)	0.070	1.639	0.070	1.83	1.00	-	-
		N1241/N3575	N3576/N3575	HE 180 A (HEA)	0.070	0.820	-	3.65	1.00	-	-
		N1233/N1234	N1233/N3576	HE 180 A (HEA)	0.061	1.640	0.078	1.83	1.00	-	-
		N1234/N1235	N1233/N3576	HE 180 A (HEA)	0.078	1.623	0.078	1.83	1.00	-	-
		N1235/N1236	N1233/N3576	HE 180 A (HEA)	0.078	1.623	0.078	1.83	1.00	-	-
		N1236/N3576	N1233/N3576	HE 180 A (HEA)	0.078	0.812	-	3.65	1.00	-	-
		N1231/N1232	N1231/N1233	HE 180 A (HEA)	0.141	1.560	0.078	1.83	1.00	-	-
		N1232/N1233	N1231/N1233	HE 180 A (HEA)	0.078	1.623	0.078	1.83	1.00	-	-
		N3575/N1242	N3575/N1245	HE 180 A (HEA)	-	0.806	0.084	3.65	1.00	-	-
		N1242/N1243	N3575/N1245	HE 180 A (HEA)	0.084	1.611	0.084	1.83	1.00	-	-
		N1243/N1244	N3575/N1245	HE 180 A (HEA)	0.084	1.611	0.084	1.83	1.00	-	-
		N1244/N1245	N3575/N1245	HE 180 A (HEA)	0.084	1.634	0.061	1.83	1.00	-	-
		N1245/N1246	N1245/N1247	HE 180 A (HEA)	0.084	1.578	0.117	1.83	1.00	-	-
		N1246/N1247	N1245/N1247	HE 180 A (HEA)	0.117	1.521	0.141	1.83	1.00	-	-
		N1199/N1200	N1199/N3546	HE 180 A (HEA)	0.061	1.640	0.078	1.83	1.00	-	-
		N1200/N1201	N1199/N3546	HE 180 A (HEA)	0.078	1.623	0.078	1.83	1.00	-	-
		N1201/N1202	N1199/N3546	HE 180 A (HEA)	0.078	1.623	0.078	1.83	1.00	-	-
		N1202/N3546	N1199/N3546	HE 180 A (HEA)	0.078	0.812	-	3.65	1.00	-	-
		N3546/N1203	N3546/N3547	HE 180 A (HEA)	-	0.825	0.065	3.65	1.00	-	-
		N1203/N1204	N3546/N3547	HE 180 A (HEA)	0.065	1.649	0.065	1.83	1.00	-	-
		N1204/N1205	N3546/N3547	HE 180 A (HEA)	0.065	1.644	0.070	1.83	1.00	-	-
		N1205/N1206	N3546/N3547	HE 180 A (HEA)	0.070	1.639	0.070	1.83	1.00	-	-
		N1206/N1207	N3546/N3547	HE 180 A (HEA)	0.070	1.639	0.070	1.83	1.00	-	-

Documento visado electrónicamente con número: VA07290/22
Código de validación telemática TRLTDCFZ60T66IJ1. Comprobación: https://cogitivalencia.e-gestion.es/Validacion.aspx?CVT=TRLTDCFZ60T66IJ1

VISADO
COGITI
VALENCIA
VA07290/22
TRLTDCFZ60T66IJ1

Descripción											
Material		Barra (Ni/Nf)	Pieza (Ni/Nf)	Perfil(Serie)	Longitud (m)			β_{xy}	β_{xz}	Lbsup (m)	Lbinf (m)
Tipo	Designación				Indeformable origen	Deformable	Indeformable extremo				
		N1207/N3547	N3546/N3547	HE 180 A (HEA)	0.070	0.820	-	3.65	1.00	-	-
		N3547/N1208	N3547/N1211	HE 180 A (HEA)	-	0.806	0.084	3.65	1.00	-	-
		N1208/N1209	N3547/N1211	HE 180 A (HEA)	0.084	1.611	0.084	1.83	1.00	-	-
		N1209/N1210	N3547/N1211	HE 180 A (HEA)	0.084	1.611	0.084	1.83	1.00	-	-
		N1210/N1211	N3547/N1211	HE 180 A (HEA)	0.084	1.634	0.061	1.83	1.00	-	-
		N1043/N1044	N1043/N3544	HE 180 A (HEA)	0.061	1.640	0.078	1.83	1.00	-	-
		N1044/N1045	N1043/N3544	HE 180 A (HEA)	0.078	1.623	0.078	1.83	1.00	-	-
		N1045/N1046	N1043/N3544	HE 180 A (HEA)	0.078	1.623	0.078	1.83	1.00	-	-
		N1046/N3544	N1043/N3544	HE 180 A (HEA)	0.078	0.812	-	3.65	1.00	-	-
		N3544/N1047	N3544/N3545	HE 180 A (HEA)	-	0.825	0.065	3.65	1.00	-	-
		N1047/N1048	N3544/N3545	HE 180 A (HEA)	0.065	1.649	0.065	1.83	1.00	-	-
		N1048/N1049	N3544/N3545	HE 180 A (HEA)	0.065	1.644	0.070	1.83	1.00	-	-
		N1049/N1050	N3544/N3545	HE 180 A (HEA)	0.070	1.639	0.070	1.83	1.00	-	-
		N1050/N1051	N3544/N3545	HE 180 A (HEA)	0.070	1.639	0.070	1.83	1.00	-	-
		N1051/N3545	N3544/N3545	HE 180 A (HEA)	0.070	0.820	-	3.65	1.00	-	-
		N3545/N1052	N3545/N1055	HE 180 A (HEA)	-	0.806	0.084	3.65	1.00	-	-
		N1052/N1053	N3545/N1055	HE 180 A (HEA)	0.084	1.611	0.084	1.83	1.00	-	-
		N1053/N1054	N3545/N1055	HE 180 A (HEA)	0.084	1.611	0.084	1.83	1.00	-	-
		N1054/N1055	N3545/N1055	HE 180 A (HEA)	0.084	1.634	0.061	1.83	1.00	-	-
		N887/N888	N887/N3548	HE 180 A (HEA)	0.061	1.640	0.078	1.83	1.00	-	-
		N888/N889	N887/N3548	HE 180 A (HEA)	0.078	1.623	0.078	1.83	1.00	-	-
		N889/N890	N887/N3548	HE 180 A (HEA)	0.078	1.623	0.078	1.83	1.00	-	-
		N890/N3548	N887/N3548	HE 180 A (HEA)	0.078	0.812	-	3.65	1.00	-	-
		N3548/N891	N3548/N3596	HE 180 A (HEA)	-	0.825	0.065	3.65	1.00	-	-
		N891/N892	N3548/N3596	HE 180 A (HEA)	0.065	1.649	0.065	1.83	1.00	-	-
		N892/N893	N3548/N3596	HE 180 A (HEA)	0.065	1.644	0.070	1.83	1.00	-	-
		N893/N894	N3548/N3596	HE 180 A (HEA)	0.070	1.639	0.070	1.83	1.00	-	-
		N894/N895	N3548/N3596	HE 180 A (HEA)	0.070	1.639	0.070	1.83	1.00	-	-
		N895/N3596	N3548/N3596	HE 180 A (HEA)	0.070	0.820	-	3.65	1.00	-	-
		N3596/N896	N3596/N899	HE 180 A (HEA)	-	0.806	0.084	3.65	1.00	-	-
		N896/N897	N3596/N899	HE 180 A (HEA)	0.084	1.611	0.084	1.83	1.00	-	-

Documento visado electrónicamente con número: VA07290/22
Código de validación telemática TRLTDCFZ60T66IJ1. Comprobación: https://cogitivalencia.e-gestion.es/Validacion.aspx?CVT=TRLTDCFZ60T66IJ1

VISADO
COGITI
VALENCIA
VA07290/22
TRLTDCFZ60T66IJ1

Descripción												
Material		Barra (Ni/Nf)	Pieza (Ni/Nf)	Perfil(Serie)	Longitud (m)			β_{xy}	β_{xz}	Lbsup. (m)	Lbinf. (m)
Tipo	Designación				Indeformable origen	Deformable	Indeformable extremo				
		N897/N898	N3596/N899	HE 180 A (HEA)	0.084	1.611	0.084	1.83	1.00	-	-
		N898/N899	N3596/N899	HE 180 A (HEA)	0.084	1.634	0.061	1.83	1.00	-	-
		N731/N732	N731/N3550	HE 180 A (HEA)	0.061	1.640	0.078	1.83	1.00	-	-
		N732/N733	N731/N3550	HE 180 A (HEA)	0.078	1.623	0.078	1.83	1.00	-	-
		N733/N734	N731/N3550	HE 180 A (HEA)	0.078	1.623	0.078	1.83	1.00	-	-
		N734/N3550	N731/N3550	HE 180 A (HEA)	0.078	0.812	-	3.65	1.00	-	-
		N3550/N735	N3550/N3549	HE 180 A (HEA)	-	0.825	0.065	3.65	1.00	-	-
		N735/N736	N3550/N3549	HE 180 A (HEA)	0.065	1.649	0.065	1.83	1.00	-	-
		N736/N737	N3550/N3549	HE 180 A (HEA)	0.065	1.644	0.070	1.83	1.00	-	-
		N737/N738	N3550/N3549	HE 180 A (HEA)	0.070	1.639	0.070	1.83	1.00	-	-
		N738/N739	N3550/N3549	HE 180 A (HEA)	0.070	1.639	0.070	1.83	1.00	-	-
		N739/N3549	N3550/N3549	HE 180 A (HEA)	0.070	0.820	-	3.65	1.00	-	-
		N3549/N740	N3549/N743	HE 180 A (HEA)	-	0.806	0.084	3.65	1.00	-	-
		N740/N741	N3549/N743	HE 180 A (HEA)	0.084	1.611	0.084	1.83	1.00	-	-
		N741/N742	N3549/N743	HE 180 A (HEA)	0.084	1.611	0.084	1.83	1.00	-	-
		N742/N743	N3549/N743	HE 180 A (HEA)	0.084	1.634	0.061	1.83	1.00	-	-
		N575/N576	N575/N3551	HE 180 A (HEA)	0.061	1.640	0.078	1.83	1.00	-	-
		N576/N577	N575/N3551	HE 180 A (HEA)	0.078	1.623	0.078	1.83	1.00	-	-
		N577/N578	N575/N3551	HE 180 A (HEA)	0.078	1.623	0.078	1.83	1.00	-	-
		N578/N3551	N575/N3551	HE 180 A (HEA)	0.078	0.812	-	3.65	1.00	-	-
		N3551/N579	N3551/N3552	HE 180 A (HEA)	-	0.825	0.065	3.65	1.00	-	-
		N579/N580	N3551/N3552	HE 180 A (HEA)	0.065	1.649	0.065	1.83	1.00	-	-
		N580/N581	N3551/N3552	HE 180 A (HEA)	0.065	1.644	0.070	1.83	1.00	-	-
		N581/N582	N3551/N3552	HE 180 A (HEA)	0.070	1.639	0.070	1.83	1.00	-	-
		N582/N583	N3551/N3552	HE 180 A (HEA)	0.070	1.639	0.070	1.83	1.00	-	-
		N583/N3552	N3551/N3552	HE 180 A (HEA)	0.070	0.820	-	3.65	1.00	-	-
		N3552/N584	N3552/N587	HE 180 A (HEA)	-	0.806	0.084	3.65	1.00	-	-
		N584/N585	N3552/N587	HE 180 A (HEA)	0.084	1.611	0.084	1.83	1.00	-	-
		N585/N586	N3552/N587	HE 180 A (HEA)	0.084	1.611	0.084	1.83	1.00	-	-
		N586/N587	N3552/N587	HE 180 A (HEA)	0.084	1.634	0.061	1.83	1.00	-	-
		N419/N420	N419/N3554	HE 180 A (HEA)	0.061	1.640	0.078	1.83	1.00	-	-

Documento visado electrónicamente con número: VA07290/22
Código de validación telemática TRLTDCFZ60T66IJ1. Comprobación: https://cogitivalencia.e-gestion.es/Validacion.aspx?CVT=TRLTDCFZ60T66IJ1

VISADO
COGITI
VALENCIA
VA07290/22
TRLTDCFZ60T66IJ1

Descripción											
Material		Barra (Ni/Nf)	Pieza (Ni/Nf)	Perfil(Serie)	Longitud (m)			β_{xy}	β_{xz}	Lbsup (m)	Lbinf (m)
Tipo	Designación				Indeformable origen	Deformable	Indeformable extremo				
		N420/N421	N419/N3554	HE 180 A (HEA)	0.078	1.623	0.078	1.83	1.00	-	-
		N421/N422	N419/N3554	HE 180 A (HEA)	0.078	1.623	0.078	1.83	1.00	-	-
		N422/N3554	N419/N3554	HE 180 A (HEA)	0.078	0.812	-	3.65	1.00	-	-
		N3554/N423	N3554/N3553	HE 180 A (HEA)	-	0.825	0.065	3.65	1.00	-	-
		N423/N424	N3554/N3553	HE 180 A (HEA)	0.065	1.649	0.065	1.83	1.00	-	-
		N424/N425	N3554/N3553	HE 180 A (HEA)	0.065	1.644	0.070	1.83	1.00	-	-
		N425/N426	N3554/N3553	HE 180 A (HEA)	0.070	1.639	0.070	1.83	1.00	-	-
		N426/N427	N3554/N3553	HE 180 A (HEA)	0.070	1.639	0.070	1.83	1.00	-	-
		N427/N3553	N3554/N3553	HE 180 A (HEA)	0.070	0.820	-	3.65	1.00	-	-
		N3553/N428	N3553/N431	HE 180 A (HEA)	-	0.806	0.084	3.65	1.00	-	-
		N428/N429	N3553/N431	HE 180 A (HEA)	0.084	1.611	0.084	1.83	1.00	-	-
		N429/N430	N3553/N431	HE 180 A (HEA)	0.084	1.611	0.084	1.83	1.00	-	-
		N430/N431	N3553/N431	HE 180 A (HEA)	0.084	1.634	0.061	1.83	1.00	-	-
		N211/N212	N211/N3555	HE 240 A (HEA)	0.076	1.605	0.098	1.83	1.00	-	-
		N212/N213	N211/N3555	HE 240 A (HEA)	0.098	1.603	0.078	1.83	1.00	-	-
		N213/N214	N211/N3555	HE 240 A (HEA)	0.078	1.623	0.078	1.83	1.00	-	-
		N214/N3555	N211/N3555	HE 240 A (HEA)	0.078	0.812	-	3.65	1.00	-	-
		N3555/N215	N3555/N3556	HE 240 A (HEA)	-	0.812	0.078	3.65	1.00	-	-
		N215/N216	N3555/N3556	HE 240 A (HEA)	0.078	1.623	0.078	1.83	1.00	-	-
		N216/N217	N3555/N3556	HE 240 A (HEA)	0.078	1.617	0.084	1.83	1.00	-	-
		N217/N218	N3555/N3556	HE 240 A (HEA)	0.084	1.611	0.084	1.83	1.00	-	-
		N218/N219	N3555/N3556	HE 240 A (HEA)	0.084	1.611	0.084	1.83	1.00	-	-
		N219/N3556	N3555/N3556	HE 240 A (HEA)	0.084	0.806	-	3.65	1.00	-	-
		N3556/N220	N3556/N223	HE 240 A (HEA)	-	0.806	0.084	3.65	1.00	-	-
		N220/N221	N3556/N223	HE 240 A (HEA)	0.084	1.611	0.084	1.83	1.00	-	-
		N221/N222	N3556/N223	HE 240 A (HEA)	0.084	1.590	0.105	1.83	1.00	-	-
		N222/N223	N3556/N223	HE 240 A (HEA)	0.105	1.598	0.076	1.83	1.00	-	-
		N107/N108	N107/N3558	HE 240 A (HEA)	0.076	1.605	0.098	1.83	1.00	-	-
		N108/N109	N107/N3558	HE 240 A (HEA)	0.098	1.603	0.078	1.83	1.00	-	-
		N109/N110	N107/N3558	HE 240 A (HEA)	0.078	1.623	0.078	1.83	1.00	-	-
		N110/N3558	N107/N3558	HE 240 A (HEA)	0.078	0.812	-	3.65	1.00	-	-

Documento visado electrónicamente con número: VA07290/22
Código de validación telemática TRLTDCFZ60T66IJ1. Comprobación: https://cogitivalencia.e-gestion.es/Validacion.aspx?CVT=TRLTDCFZ60T66IJ1

VISADO
COGITI
VALENCIA
VA07290/22
TRLTDCFZ60T66IJ1

Descripción												
Material		Barra (Ni/Nf)	Pieza (Ni/Nf)	Perfil(Serie)	Longitud (m)			β_{xy}	β_{xz}	$Lb_{Sup.}$ (m)	$Lb_{Inf.}$ (m)
Tipo	Designación				Indeformable origen	Deformable	Indeformable extremo				
		N3558/N111	N3558/N3557	HE 240 A (HEA)	-	0.812	0.078	3.65	1.00	-	-
		N111/N112	N3558/N3557	HE 240 A (HEA)	0.078	1.623	0.078	1.83	1.00	-	-
		N112/N113	N3558/N3557	HE 240 A (HEA)	0.078	1.617	0.084	1.83	1.00	-	-
		N113/N114	N3558/N3557	HE 240 A (HEA)	0.084	1.611	0.084	1.83	1.00	-	-
		N114/N115	N3558/N3557	HE 240 A (HEA)	0.084	1.611	0.084	1.83	1.00	-	-
		N115/N3557	N3558/N3557	HE 240 A (HEA)	0.084	0.806	-	3.65	1.00	-	-
		N3557/N116	N3557/N119	HE 240 A (HEA)	-	0.806	0.084	3.65	1.00	-	-
		N116/N117	N3557/N119	HE 240 A (HEA)	0.084	1.611	0.084	1.83	1.00	-	-
		N117/N118	N3557/N119	HE 240 A (HEA)	0.084	1.590	0.105	1.83	1.00	-	-
		N118/N119	N3557/N119	HE 240 A (HEA)	0.105	1.598	0.076	1.83	1.00	-	-
		N31/N32	N31/N3382	HE 180 A (HEA)	0.061	1.640	0.078	1.83	1.00	-	-
		N32/N33	N31/N3382	HE 180 A (HEA)	0.078	1.623	0.078	1.83	1.00	-	-
		N33/N34	N31/N3382	HE 180 A (HEA)	0.078	1.623	0.078	1.83	1.00	-	-
		N34/N3382	N31/N3382	HE 180 A (HEA)	0.078	0.812	-	3.65	1.00	-	-
		N3382/N35	N3382/N3559	HE 180 A (HEA)	-	0.825	0.065	3.65	1.00	-	-
		N35/N36	N3382/N3559	HE 180 A (HEA)	0.065	1.649	0.065	1.83	1.00	-	-
		N36/N37	N3382/N3559	HE 180 A (HEA)	0.065	1.644	0.070	1.83	1.00	-	-
		N37/N38	N3382/N3559	HE 180 A (HEA)	0.070	1.639	0.070	1.83	1.00	-	-
		N38/N39	N3382/N3559	HE 180 A (HEA)	0.070	1.639	0.070	1.83	1.00	-	-
		N39/N3559	N3382/N3559	HE 180 A (HEA)	0.070	0.820	-	3.65	1.00	-	-
		N3559/N40	N3559/N43	HE 180 A (HEA)	-	0.806	0.084	3.65	1.00	-	-
		N40/N41	N3559/N43	HE 180 A (HEA)	0.084	1.611	0.084	1.83	1.00	-	-
		N41/N42	N3559/N43	HE 180 A (HEA)	0.084	1.611	0.084	1.83	1.00	-	-
		N42/N43	N3559/N43	HE 180 A (HEA)	0.084	1.634	0.061	1.83	1.00	-	-

Notación:
Ni: Nudo inicial
Nf: Nudo final
β_{xy}: Coeficiente de pandeo en el plano 'XY'
β_{xz}: Coeficiente de pandeo en el plano 'XZ'
$Lb_{Sup.}$: Separación entre arriostramientos del ala superior
$Lb_{Inf.}$: Separación entre arriostramientos del ala inferior

2.1.1.3. Características mecánicas

Tipos de pieza	
Ref.	Piezas

Documento visado electrónicamente con número: VA07290/22
Código de validación telemática TRLTDCFZ60T66IJ1. Comprobación: https://cogitivalencia.e-gestion.es/Validacion.aspx?CVT=TRLTDCFZ60T66IJ1

Listados

VISADO
COGITI
VALENCIA
VA07290/22
TRLTDCFZ60T66IJ1

Tipos de pieza	
Ref.	Piezas
1	N30/N15, N31/N16, N43/N28, N44/N29, N60/N45, N61/N46, N73/N58, N74/N59, N90/N75, N91/N76, N103/N88, N104/N89, N31/N15, N32/N16, N42/N28, N43/N29, N61/N45, N62/N46, N72/N58, N73/N59, N91/N75, N92/N76, N102/N88, N103/N89, N111/N128, N112/N129, N113/N130, N114/N131, N115/N132, N145/N161, N146/N162, N147/N163, N148/N164, N149/N165, N184/N199, N185/N200, N186/N201, N187/N202, N188/N203, N215/N232, N216/N233, N217/N234, N218/N235, N219/N236, N249/N265, N250/N266, N251/N267, N252/N268, N253/N269, N288/N303, N289/N304, N290/N305, N291/N306, N292/N307, N4/N105, N14/N122, N105/N209, N122/N226, N8/N121, N121/N225, N9/N138, N138/N242, N320/N316, N319/N315, N318/N314, N317/N313, N323/N321, N324/N322, N328/N326, N327/N325, N5/N317, N139/N318, N139/N319, N243/N320, N6/N329, N10/N155, N329/N331, N11/N171, N330/N332, N174/N330, N174/N333, N155/N259, N333/N335, N334/N336, N278/N334, N171/N275, N319/N138, N318/N138, N317/N9, N320/N242, N333/N171, N330/N171, N329/N11, N334/N275, N178/N282, N338/N282, N177/N281, N280/N338, N339/N340, N339/N178, N338/N337, N13/N178, N342/N178, N12/N177, N176/N339, N176/N342, N342/N341, N344/N343, N7/N344, N344/N13, N124/N228, N18/N126, N33/N109, N348/N346, N347/N345, N37/N113, N22/N130, N349/N350, N352/N351, N41/N117, N26/N134, N353/N354, N356/N355, N360/N358, N359/N357, N113/N217, N130/N234, N361/N363, N362/N364, N117/N221, N134/N238, N365/N367, N366/N368, N136/N240, N48/N159, N63/N143, N372/N370, N371/N369, N67/N147, N52/N163, N373/N375, N374/N376, N71/N151, N56/N167, N377/N379, N378/N380, N157/N261, N159/N263, N143/N247, N384/N382, N383/N381, N147/N251, N163/N267, N385/N387, N386/N388, N151/N255, N167/N271, N389/N391, N390/N392, N169/N273, N78/N197, N93/N182, N396/N394, N395/N393, N97/N186, N82/N201, N397/N399, N398/N400, N101/N190, N86/N205, N401/N403, N402/N404, N195/N299, N197/N301, N182/N286, N408/N406, N407/N405, N186/N290, N201/N305, N409/N411, N410/N412, N190/N294, N205/N309, N413/N415, N414/N416, N207/N311, N126/N230, N109/N213, N418/N435, N419/N436, N431/N448, N432/N449, N452/N468, N453/N469, N465/N481, N466/N482, N485/N501, N486/N502, N498/N514, N499/N515, N419/N435, N420/N436, N430/N448, N431/N449, N453/N468, N454/N469, N464/N481, N465/N482, N486/N501, N487/N502, N497/N514, N498/N515, N209/N417, N226/N434, N225/N433, N242/N450, N522/N524, N521/N523, N518/N520, N517/N519, N243/N521, N451/N522, N278/N525, N259/N467, N525/N527, N526/N528, N484/N526, N275/N483, N521/N242, N522/N450, N525/N275, N526/N483, N282/N516, N531/N516, N281/N500, N533/N531, N532/N530, N532/N282, N531/N529, N280/N532, N228/N436, N534/N535, N536/N537, N217/N425, N234/N442, N538/N540, N539/N541, N221/N429, N238/N446, N542/N544, N543/N545, N240/N448, N261/N469, N263/N471, N247/N455, N549/N547, N548/N546, N251/N459, N267/N475, N550/N552, N551/N553, N255/N463, N271/N479, N554/N556, N555/N557, N273/N481, N299/N502, N301/N504, N286/N488, N561/N559, N560/N558, N290/N492, N305/N508, N562/N564, N563/N565, N294/N496, N309/N512, N566/N568, N567/N569, N311/N514, N230/N438, N213/N421, N574/N591, N575/N592, N587/N604, N588/N605, N608/N624, N609/N625, N621/N637, N622/N638, N641/N657, N642/N658, N654/N670, N655/N671, N575/N591, N576/N592, N586/N604, N587/N605, N609/N624, N610/N625, N620/N637, N621/N638, N642/N657, N643/N658, N653/N670, N654/N671, N417/N573, N434/N590, N433/N589, N450/N606, N678/N680, N677/N679, N674/N676, N673/N675, N451/N677, N607/N678, N484/N681, N467/N623, N681/N683, N682/N684, N640/N682, N483/N639, N677/N450, N678/N606, N681/N483, N682/N639, N516/N672, N687/N672, N500/N656, N689/N687, N688/N686, N688/N516, N687/N685, N533/N688, N436/N592, N690/N691, N692/N693, N425/N581, N442/N598, N694/N696, N695/N697, N429/N585, N446/N602, N698/N700, N699/N701, N448/N604, N469/N625, N471/N627, N455/N611, N705/N703, N704/N702, N459/N615, N475/N631, N706/N708, N707/N709, N463/N619, N479/N635, N710/N712, N711/N713, N481/N637, N502/N658, N504/N660, N488/N644, N717/N715, N716/N714, N492/N648, N508/N664, N718/N720, N719/N721, N496/N652, N512/N668, N722/N724, N723/N725, N514/N670, N438/N594, N421/N577, N730/N747, N731/N748, N743/N760, N744/N761, N764/N780, N765/N781, N777/N793, N778/N794, N797/N813, N798/N814, N810/N826, N811/N827, N731/N747, N732/N748, N742/N760, N743/N761, N765/N780, N766/N781, N776/N793, N777/N794, N798/N813, N799/N814, N809/N826, N810/N827, N573/N729, N590/N746, N589/N745, N606/N762, N834/N836, N833/N835, N830/N832, N829/N831, N607/N833, N763/N834, N640/N837, N623/N779, N837/N839, N838/N840, N796/N838, N639/N795, N833/N606, N834/N762, N837/N639, N838/N795, N672/N828, N843/N828, N656/N812, N845/N843, N844/N842, N844/N672, N843/N841, N689/N844, N592/N748, N846/N847, N848/N849, N581/N737, N598/N754, N850/N852, N851/N853, N585/N741, N602/N758, N854/N856, N855/N857, N604/N760, N625/N781, N627/N783, N611/N767, N861/N859, N860/N858, N615/N771, N631/N787, N862/N864, N863/N865, N619/N775, N635/N791, N866/N868, N867/N869, N637/N793, N658/N814, N660/N816, N644/N800, N873/N871, N872/N870, N648/N804,
	N664/N820, N874/N876, N875/N877, N652/N808, N668/N824, N878/N880, N879/N881, N670/N826, N594/N750, N577/N733, N886/N903, N887/N904, N899/N916, N900/N917, N920/N936, N921/N937, N933/N949, N934/N950, N953/N969, N954/N970, N966/N982, N967/N983, N887/N903, N888/N904, N898/N916, N899/N917, N921/N936, N922/N937, N932/N949, N933/N950, N954/N969, N955/N970, N965/N982, N966/N983, N729/N885, N746/N902, N745/N901, N762/N918, N990/N992, N989/N991,

Documento visado electrónicamente con número: VA07290/22
Código de validación telemática TRLTDCFZ60T66IJ1. Comprobación: https://cogitivalencia.e-gestion.es/Validacion.aspx?CVT=TRLTDCFZ60T66IJ1

VISADO
COGITI
VALENCIA
VA07290/22
TRLTDCFZ60T66IJ1

Tipos de pieza	
Ref.	Piezas
2	N32/N17, N33/N18, N34/N19, N40/N25, N41/N26, N42/N27, N62/N47, N63/N48, N64/N49, N70/N55, N71/N56, N72/N57, N92/N77, N93/N78, N94/N79, N100/N85, N101/N86, N102/N87, N33/N17, N34/N18, N40/N26, N41/N27, N63/N47, N64/N48, N70/N56, N71/N57, N93/N77, N94/N78, N100/N86, N101/N87, N112/N128, N113/N129, N113/N131, N114/N132, N146/N161, N147/N162, N147/N164, N148/N165, N185/N199, N186/N200, N186/N202, N187/N203, N216/N232, N217/N233, N217/N235, N218/N236, N250/N265, N251/N266, N251/N268, N252/N269, N289/N303, N290/N304, N290/N306, N291/N307, N420/N437, N421/N438, N422/N439, N428/N445, N429/N446, N430/N447, N454/N470, N455/N471, N456/N472, N462/N478, N463/N479, N464/N480, N487/N503, N488/N504, N489/N505, N495/N511, N496/N512, N497/N513, N421/N437, N422/N438, N428/N446, N429/N447, N455/N470, N456/N471, N462/N479, N463/N480, N488/N503, N489/N504, N495/N512, N496/N513, N576/N593, N577/N594, N578/N595, N584/N601, N585/N602, N586/N603, N610/N626, N611/N627, N612/N628, N618/N634, N619/N635, N620/N636, N643/N659, N644/N660, N645/N661, N651/N667, N652/N668, N653/N669, N577/N593, N578/N594, N584/N602, N585/N603, N611/N626, N612/N627, N618/N635, N619/N636, N644/N659, N645/N660, N651/N668, N652/N669, N732/N749, N733/N750, N734/N751, N740/N757, N741/N758, N742/N759, N766/N782, N767/N783, N768/N784, N774/N790, N775/N791, N776/N792, N799/N815, N800/N816, N801/N817, N807/N823, N808/N824, N809/N825, N733/N749, N734/N750, N740/N758, N741/N759, N767/N782, N768/N783, N774/N791, N775/N792, N800/N815, N801/N816, N807/N824, N808/N825, N888/N905, N889/N906, N890/N907, N896/N913, N897/N914, N898/N915, N922/N938, N923/N939, N924/N940, N930/N946, N931/N947, N932/N948, N955/N971, N956/N972, N957/N973, N963/N979, N964/N980, N965/N981, N889/N905, N890/N906, N896/N914, N897/N915, N923/N938, N924/N939, N930/N947, N931/N948, N956/N971, N957/N972, N963/N980, N964/N981, N1044/N1061, N1045/N1062, N1046/N1063, N1052/N1069, N1053/N1070, N1054/N1071, N1078/N1094, N1079/N1095, N1080/N1096, N1086/N1102, N1087/N1103, N1088/N1104, N1111/N1127, N1112/N1128, N1113/N1129, N1119/N1135, N1120/N1136, N1121/N1137, N1045/N1061, N1046/N1062, N1052/N1070, N1053/N1071, N1079/N1094, N1080/N1095, N1086/N1103, N1087/N1104, N1112/N1127, N1113/N1128, N1119/N1136, N1120/N1137, N1200/N1217, N1201/N1218, N1202/N1219, N1208/N1225, N1209/N1226, N1210/N1227, N1234/N1250, N1235/N1251, N1236/N1252, N1242/N1258, N1243/N1259, N1244/N1260, N1267/N1283, N1268/N1284, N1269/N1285, N1275/N1291, N1276/N1292, N1277/N1293, N1201/N1217, N1202/N1218, N1208/N1226, N1209/N1227, N1235/N1250, N1236/N1251, N1242/N1259, N1243/N1260, N1268/N1283, N1269/N1284, N1275/N1292, N1276/N1293, N1695/N1645, N1696/N1646, N1697/N1647, N1703/N1653, N1704/N1654, N1705/N1655, N1710/N1662, N1711/N1663, N1712/N1664, N1718/N1670, N1719/N1671, N1720/N1672, N1725/N1679, N1726/N1680, N1727/N1681, N1733/N1687, N1734/N1688, N1735/N1689, N1696/N1645, N1697/N1646, N1703/N1654, N1704/N1655, N1711/N1662, N1712/N1663, N1718/N1671, N1719/N1672, N1726/N1679, N1727/N1680, N1733/N1688, N1734/N1689, N1794/N1743, N1795/N1744, N1796/N1745, N1796/N1747, N1797/N1748, N1798/N1749, N1809/N1760, N1810/N1761, N1811/N1762, N1811/N1764, N1812/N1765, N1813/N1766, N1824/N1777, N1825/N1778, N1826/N1779, N1826/N1781, N1827/N1782, N1828/N1783, N1890/N1839, N1891/N1840, N1892/N1841, N1892/N1843, N1893/N1844, N1894/N1845, N1905/N1856, N1906/N1857, N1907/N1858, N1907/N1860, N1908/N1861, N1909/N1862, N1920/N1873, N1921/N1874, N1922/N1875, N1922/N1877, N1923/N1878, N1924/N1879, N1943/N1754, N1941/N1754, N1942/N1658, N1944/N1850, N1958/N1771, N1954/N1771, N1953/N1675, N1959/N1867, N1965/N1884, N1967/N1788, N1972/N1788, N1973/N1692, N2118/N2052, N2119/N2053, N2120/N2054, N2126/N2060, N2127/N2061, N2128/N2062, N2069/N2086, N2070/N2087, N2071/N2088, N2077/N2094, N2078/N2095, N2079/N2096, N2133/N2102, N2134/N2103, N2135/N2104, N2141/N2110, N2142/N2111, N2143/N2112, N2119/N2052, N2120/N2053, N2126/N2061, N2127/N2062, N2070/N2086, N2071/N2087, N2077/N2095, N2078/N2096, N2134/N2102, N2135/N2103, N2141/N2111, N2142/N2112, N2151/N1850, N2152/N2065, N2155/N1867, N2156/N2099, N2162/N2115, N2164/N1884, N2271/N2205, N2272/N2206, N2273/N2207, N2279/N2213, N2280/N2214, N2281/N2215, N2222/N2239, N2223/N2240, N2224/N2241, N2230/N2247, N2231/N2248, N2232/N2249, N2286/N2255, N2287/N2256, N2288/N2257, N2294/N2263, N2295/N2264, N2296/N2265, N2272/N2205, N2273/N2206, N2279/N2214, N2280/N2215, N2223/N2239, N2224/N2240, N2230/N2248, N2231/N2249, N2287/N2255, N2288/N2256, N2294/N2264, N2295/N2265, N2304/N2065, N2305/N2218, N2308/N2099, N2309/N2252, N2315/N2268, N2317/N2115, N2424/N2358, N2425/N2359, N2426/N2360, N2432/N2366, N2433/N2367, N2434/N2368, N2375/N2392, N2376/N2393, N2377/N2394, N2383/N2400, N2384/N2401, N2385/N2402, N2439/N2408, N2440/N2409, N2441/N2410, N2447/N2416, N2448/N2417, N2449/N2418, N2425/N2358, N2426/N2359, N2432/N2367, N2433/N2368, N2376/N2392, N2377/N2393, N2383/N2401, N2384/N2402, N2440/N2408, N2441/N2409, N2447/N2417, N2448/N2418, N2457/N2218, N2458/N2371, N2461/N2252, N2462/N2405, N2468/N2421, N2470/N2268,

Documento visado electrónicamente con número: VA07290/22
Código de validación telemática TRLTDCFZ60T66IJ1. Comprobación: https://cogitivalencia.e-gestion.es/Validacion.aspx?CVT=TRLTDCFZ60T66IJ1

VISADO
COGITI
VALENCIA
VA07290/22
TRLTDCFZ60T66IJ1

Tipos de pieza	
Ref.	Piezas
3	N35/N20, N36/N21, N37/N22, N38/N23, N39/N24, N65/N50, N66/N51, N67/N52, N68/N53, N69/N54, N95/N80, N96/N81, N97/N82, N98/N83, N99/N84, N36/N20, N37/N21, N37/N23, N38/N24, N66/N50, N67/N51, N67/N53, N68/N54, N96/N80, N97/N81, N97/N83, N98/N84, N423/N440, N424/N441, N425/N442, N426/N443, N427/N444, N457/N473, N458/N474, N459/N475, N460/N476, N461/N477, N490/N506, N491/N507, N492/N508, N493/N509, N494/N510, N424/N440, N425/N441, N425/N443, N426/N444, N458/N473, N459/N474, N459/N476, N460/N477, N491/N506, N492/N507, N492/N509, N493/N510, N579/N596, N580/N597, N581/N598, N582/N599, N583/N600, N613/N629, N614/N630, N615/N631, N616/N632, N617/N633, N646/N662, N647/N663, N648/N664, N649/N665, N650/N666, N580/N596, N581/N597, N581/N599, N582/N600, N614/N629, N615/N630, N615/N632, N616/N633, N647/N662, N648/N663, N648/N665, N649/N666, N735/N752, N736/N753, N737/N754, N738/N755, N739/N756, N769/N785, N770/N786, N771/N787, N772/N788, N773/N789, N802/N818, N803/N819, N804/N820, N805/N821, N806/N822, N736/N752, N737/N753, N737/N755, N738/N756, N770/N785, N771/N786, N771/N788, N772/N789, N803/N818, N804/N819, N804/N821, N805/N822, N891/N908, N892/N909, N893/N910, N894/N911, N895/N912, N925/N941, N926/N942, N927/N943, N928/N944, N929/N945, N958/N974, N959/N975, N960/N976, N961/N977, N962/N978, N892/N908, N893/N909, N893/N911, N894/N912, N926/N941, N927/N942, N927/N944, N928/N945, N959/N974, N960/N975, N960/N977, N961/N978, N1047/N1064, N1048/N1065, N1049/N1066, N1050/N1067, N1051/N1068, N1081/N1097, N1082/N1098, N1083/N1099, N1084/N1100, N1085/N1101, N1114/N1130, N1115/N1131, N1116/N1132, N1117/N1133, N1118/N1134, N1048/N1064, N1049/N1065, N1049/N1067, N1050/N1068, N1082/N1097, N1083/N1098, N1083/N1100, N1084/N1101, N1115/N1130, N1116/N1131, N1116/N1133, N1117/N1134, N1203/N1220, N1204/N1221, N1205/N1222, N1206/N1223, N1207/N1224, N1237/N1253, N1238/N1254, N1239/N1255, N1240/N1256, N1241/N1257, N1270/N1286, N1271/N1287, N1272/N1288, N1273/N1289, N1274/N1290, N1204/N1220, N1205/N1221, N1205/N1223, N1206/N1224, N1238/N1253, N1239/N1254, N1239/N1256, N1240/N1257, N1271/N1286, N1272/N1287, N1272/N1289, N1273/N1290, N1698/N1648, N1699/N1649, N1700/N1650, N1701/N1651, N1702/N1652, N1713/N1665, N1714/N1666, N1715/N1667, N1716/N1668, N1717/N1669, N1728/N1682, N1729/N1683, N1730/N1684, N1731/N1685, N1732/N1686, N1698/N1647, N1699/N1648, N1700/N1649, N1700/N1651, N1701/N1652, N1702/N1653, N1713/N1664, N1714/N1665, N1715/N1666, N1715/N1668, N1716/N1669, N1717/N1670, N1728/N1681, N1729/N1682, N1730/N1683, N1730/N1685, N1731/N1686, N1732/N1687, N2121/N2055, N2122/N2056, N2123/N2057, N2124/N2058, N2125/N2059, N2072/N2089, N2073/N2090, N2074/N2091, N2075/N2092, N2076/N2093, N2136/N2105, N2137/N2106, N2138/N2107, N2139/N2108, N2140/N2109, N2121/N2054, N2122/N2055, N2123/N2056, N2123/N2058, N2124/N2059, N2125/N2060, N2072/N2088, N2073/N2089, N2074/N2090, N2074/N2092, N2075/N2093, N2076/N2094, N2136/N2104, N2137/N2105, N2138/N2106, N2138/N2108, N2139/N2109, N2140/N2110, N2274/N2208, N2275/N2209, N2276/N2210, N2277/N2211, N2278/N2212, N2225/N2242, N2226/N2243, N2227/N2244, N2228/N2245, N2229/N2246, N2289/N2258, N2290/N2259, N2291/N2260, N2292/N2261, N2293/N2262, N2274/N2207, N2275/N2208, N2276/N2209, N2276/N2211, N2277/N2212, N2278/N2213, N2225/N2241, N2226/N2242, N2227/N2243, N2227/N2245, N2228/N2246, N2229/N2247, N2289/N2257, N2290/N2258, N2291/N2259, N2291/N2261, N2292/N2262, N2293/N2263, N2427/N2361, N2428/N2362, N2429/N2363, N2430/N2364, N2431/N2365, N2378/N2395, N2379/N2396, N2380/N2397, N2381/N2398, N2382/N2399, N2442/N2411, N2443/N2412, N2444/N2413, N2445/N2414, N2446/N2415, N2427/N2360, N2428/N2361, N2429/N2362, N2429/N2364, N2430/N2365, N2431/N2366, N2378/N2394, N2379/N2395, N2380/N2396, N2380/N2398, N2381/N2399, N2382/N2400, N2442/N2410, N2443/N2411, N2444/N2412, N2444/N2414, N2445/N2415, N2446/N2416, N2580/N2514, N2581/N2515, N2582/N2516, N2583/N2517, N2584/N2518, N2531/N2548, N2532/N2549, N2533/N2550, N2534/N2551, N2535/N2552, N2595/N2564, N2596/N2565, N2597/N2566, N2598/N2567, N2599/N2568, N2580/N2513, N2581/N2514, N2582/N2515, N2582/N2517, N2583/N2518, N2584/N2519, N2531/N2547, N2532/N2548, N2533/N2549, N2533/N2551, N2534/N2552, N2535/N2553, N2595/N2563, N2596/N2564, N2597/N2565, N2597/N2567, N2598/N2568, N2599/N2569, N2733/N2667, N2734/N2668, N2735/N2669, N2736/N2670, N2737/N2671, N2684/N2701, N2685/N2702, N2686/N2703, N2687/N2704, N2688/N2705, N2748/N2717, N2749/N2718, N2750/N2719, N2751/N2720, N2752/N2721, N2733/N2666, N2734/N2667, N2735/N2668, N2735/N2670, N2736/N2671, N2737/N2672, N2684/N2700, N2685/N2701, N2686/N2702, N2686/N2704, N2687/N2705,
	N2688/N2706, N2748/N2716, N2749/N2717, N2750/N2718, N2750/N2720, N2751/N2721, N2752/N2722, N2886/N2820, N2887/N2821, N2888/N2822, N2889/N2823, N2890/N2824, N2837/N2854, N2838/N2855, N2839/N2856, N2840/N2857, N2841/N2858, N2901/N2870, N2902/N2871, N2903/N2872, N2904/N2873, N2905/N2874, N2886/N2819, N2887/N2820, N2888/N2821, N2888/N2823, N2889/N2824, N2890/N2825, N2837/N2853, N2838/N2854,

Documento visado electrónicamente con número: VA07290/22
Código de validación telemática TRLTDCFZ60T66IJ1. Comprobación: https://cogitivalencia.e-gestion.es/Validacion.aspx?CVT=TRLTDCFZ60T66IJ1

VISADO
COGITI
VALENCIA
VA07290/22
TRLTDCFZ60T66IJ1

Listados

Tipos de pieza	
Ref.	Piezas
4	N30/N14, N44/N9, N60/N8, N74/N11, N90/N10, N104/N13, N418/N434, N432/N450, N452/N433, N466/N483, N485/N467, N499/N516, N574/N590, N588/N606, N608/N589, N622/N639, N641/N623, N655/N672, N730/N746, N744/N762, N764/N745, N778/N795, N797/N779, N811/N828, N886/N902, N900/N918, N920/N901, N934/N951, N953/N935, N967/N984, N1042/N1058, N1056/N1074, N1076/N1057, N1090/N1107, N1109/N1091, N1123/N1140, N1198/N1214, N1212/N1230, N1232/N1213, N1246/N1263, N1265/N1247, N1279/N1296, N1693/N1642, N1707/N1658, N1708/N1659, N1722/N1675, N1723/N1676, N1737/N1692, N2116/N2049, N2130/N2065, N2067/N2083, N2081/N2099, N2131/N2082, N2145/N2115, N2269/N2202, N2283/N2218, N2220/N2236, N2234/N2252, N2284/N2235, N2298/N2268, N2422/N2355, N2436/N2371, N2373/N2389, N2387/N2405, N2437/N2388, N2451/N2421, N2575/N2508, N2589/N2524, N2526/N2542, N2540/N2558, N2590/N2541, N2604/N2574, N2728/N2661, N2742/N2677, N2679/N2695, N2693/N2711, N2743/N2694, N2757/N2727, N2881/N2814, N2895/N2830, N2832/N2848, N2846/N2864, N2896/N2847 y N2910/N2880
5	N106/N123, N107/N124, N119/N136, N120/N137, N140/N156, N141/N157, N153/N169, N154/N170, N179/N194, N180/N195, N192/N207, N193/N208, N210/N227, N211/N228, N223/N240, N224/N241, N244/N260, N245/N261, N257/N273, N258/N274, N283/N298, N284/N299, N296/N311, N297/N312, N105/N122, N209/N226, N1789/N1739, N1790/N1740, N1802/N1752, N1803/N1753, N1804/N1756, N1805/N1757, N1817/N1769, N1818/N1770, N1819/N1773, N1820/N1774, N1832/N1786, N1833/N1787, N1885/N1835, N1886/N1836, N1898/N1848, N1899/N1849, N1900/N1852, N1901/N1853, N1913/N1865, N1914/N1866, N1915/N1869, N1916/N1870, N1928/N1882, N1929/N1883, N1933/N1738 y N1938/N1834
6	N108/N125, N118/N135, N142/N158, N152/N168, N181/N196, N191/N206, N107/N123, N108/N124, N118/N136, N119/N137, N141/N156, N142/N157, N152/N169, N153/N170, N180/N194, N181/N195, N191/N207, N192/N208, N212/N229, N222/N239, N246/N262, N256/N272, N285/N300, N295/N310, N211/N227, N212/N228, N222/N240, N223/N241, N245/N260, N246/N261, N256/N273, N257/N274, N284/N298, N285/N299, N295/N311, N296/N312, N1791/N1741, N1801/N1751, N1806/N1758, N1816/N1768, N1821/N1775, N1831/N1785, N1790/N1739, N1791/N1740, N1801/N1752, N1802/N1753, N1805/N1756, N1806/N1757, N1816/N1769, N1817/N1770, N1820/N1773, N1821/N1774, N1831/N1786, N1832/N1787, N1887/N1837, N1897/N1847, N1902/N1854, N1912/N1864, N1917/N1871, N1927/N1881, N1886/N1835, N1887/N1836, N1897/N1848, N1898/N1849, N1901/N1852, N1902/N1853, N1912/N1865, N1913/N1866, N1916/N1869, N1917/N1870, N1927/N1882 y N1928/N1883
7	N109/N126, N110/N127, N116/N133, N117/N134, N143/N159, N144/N160, N150/N166, N151/N167, N182/N197, N183/N198, N189/N204, N190/N205, N213/N230, N214/N231, N220/N237, N221/N238, N247/N263, N248/N264, N254/N270, N255/N271, N286/N301, N287/N302, N293/N308, N294/N309, N1792/N1742, N1793/N1743, N1799/N1749, N1800/N1750, N1807/N1759, N1808/N1760, N1814/N1766, N1815/N1767, N1822/N1776, N1823/N1777, N1829/N1783, N1830/N1784, N1888/N1838, N1889/N1839, N1895/N1845, N1896/N1846, N1903/N1855, N1904/N1856, N1910/N1862, N1911/N1863, N1918/N1872, N1919/N1873, N1925/N1879 y N1926/N1880
8	N106/N122, N120/N138, N140/N121, N154/N171, N179/N155, N193/N178, N210/N226, N224/N242, N244/N225, N258/N275, N283/N259, N297/N282, N1789/N1738, N1803/N1754, N1804/N1755, N1818/N1771, N1819/N1772, N1833/N1788, N1885/N1834, N1899/N1850, N1900/N1851, N1914/N1867, N1915/N1868 y N1929/N1884
9	N109/N125, N110/N126, N116/N134, N117/N135, N143/N158, N144/N159, N150/N167, N151/N168, N182/N196, N183/N197, N189/N205, N190/N206, N213/N229, N214/N230, N220/N238, N221/N239, N247/N262, N248/N263, N254/N271, N255/N272, N286/N300, N287/N301, N293/N309, N294/N310, N1792/N1741, N1793/N1742, N1799/N1750, N1800/N1751, N1807/N1758, N1808/N1759, N1814/N1767, N1815/N1768, N1822/N1775, N1823/N1776, N1829/N1784, N1830/N1785, N1888/N1837, N1889/N1838, N1895/N1846, N1896/N1847, N1903/N1854, N1904/N1855, N1910/N1863, N1911/N1864, N1918/N1871, N1919/N1872, N1925/N1880 y N1926/N1881

Documento visado electrónicamente con número: VA07290/22
Código de validación telemática TRLTDCFZ60T66IJ1. Comprobación: https://cogitivalencia.e-gestion.es/Validacion.aspx?CVT=TRLTDCFZ60T66IJ1

VISADO
COGITI
VALENCIA
VA07290/22
TRLTDCFZ60T66IJ1

Tipos de pieza	
Ref.	Piezas
10	N328/N325, N327/N326, N324/N321, N323/N322, N319/N316, N318/N313, N317/N314, N320/N315, N333/N336, N330/N331, N329/N332, N334/N335, N339/N337, N338/N340, N342/N343, N344/N341, N518/N519, N517/N520, N521/N524, N522/N523, N525/N528, N526/N527, N532/N529, N531/N530, N674/N675, N673/N676, N677/N680, N678/N679, N681/N684, N682/N683, N688/N685, N687/N686, N830/N831, N829/N832, N833/N836, N834/N835, N837/N840, N838/N839, N844/N841, N843/N842, N986/N987, N985/N988, N989/N992, N990/N991, N993/N996, N994/N995, N1000/N997, N999/N998, N1142/N1143, N1141/N1144, N1145/N1148, N1146/N1147, N1149/N1152, N1150/N1151, N1156/N1153, N1155/N1154, N1298/N1299, N1297/N1300, N1301/N1304, N1302/N1303, N1305/N1308, N1306/N1307, N1312/N1309, N1311/N1310, N1404/N1405, N1403/N1406, N1407/N1410, N1408/N1409, N1411/N1414, N1412/N1413, N1418/N1415, N1417/N1416, N1937/N1939, N1936/N1940, N1932/N1934, N1931/N1935, N1943/N1948, N1941/N1946, N1942/N1945, N1944/N1947, N1958/N1961, N1954/N1955, N1953/N1956, N1959/N1960, N1967/N1963, N1965/N1964, N1972/N1971, N1973/N1970, N2147/N2149, N2146/N2150, N2151/N2154, N2152/N2153, N2155/N2158, N2156/N2157, N2164/N2160, N2162/N2161, N2300/N2302, N2299/N2303, N2304/N2307, N2305/N2306, N2308/N2311, N2309/N2310, N2317/N2313, N2315/N2314, N2453/N2455, N2452/N2456, N2457/N2460, N2458/N2459, N2461/N2464, N2462/N2463, N2470/N2466, N2468/N2467, N2606/N2608, N2605/N2609, N2610/N2613, N2611/N2612, N2614/N2617, N2615/N2616, N2623/N2619, N2621/N2620, N2759/N2761, N2758/N2762, N2763/N2766, N2764/N2765, N2767/N2770, N2768/N2769, N2776/N2772, N2774/N2773, N2912/N2914, N2911/N2915, N2916/N2919, N2917/N2918, N2920/N2923, N2921/N2922, N2929/N2925, N2927/N2926, N3016/N3018, N3015/N3019, N3020/N3023, N3021/N3022, N3024/N3027, N3025/N3026, N3032/N3028 y N3030/N3029

Documento visado electrónicamente con número: VA07290/22
Código de validación telemática TRLTDCFZ60T66IJ1. Comprobación: https://cogitivalencia.e-gestion.es/Validacion.aspx?CVT=TRLTDCFZ60T66IJ1

VISADO
COGITI
VALENCIA
VA07290/22
TRLTDCFZ60T66IJ1

Tipos de pieza

Ref.	Piezas
11	N348/N345, N347/N346, N352/N350, N349/N351, N356/N354, N353/N355, N360/N357, N359/N358, N362/N363, N361/N364, N366/N367, N365/N368, N372/N369, N371/N370, N374/N375, N373/N376, N378/N379, N377/N380, N384/N381, N383/N382, N386/N387, N385/N388, N390/N391, N389/N392, N396/N393, N395/N394, N398/N399, N397/N400, N402/N403, N401/N404, N408/N405, N407/N406, N410/N411, N409/N412, N414/N415, N413/N416, N534/N537, N536/N535, N539/N540, N538/N541, N543/N544, N542/N545, N549/N546, N548/N547, N551/N552, N550/N553, N555/N556, N554/N557, N561/N558, N560/N559, N563/N564, N562/N565, N567/N568, N566/N569, N690/N693, N692/N691, N695/N696, N694/N697, N699/N700, N698/N701, N705/N702, N704/N703, N707/N708, N706/N709, N711/N712, N710/N713, N717/N714, N716/N715, N719/N720, N718/N721, N723/N724, N722/N725, N846/N849, N848/N847, N851/N852, N850/N853, N855/N856, N854/N857, N861/N858, N860/N859, N863/N864, N862/N865, N867/N868, N866/N869, N873/N870, N872/N871, N875/N876, N874/N877, N879/N880, N878/N881, N1002/N1005, N1004/N1003, N1007/N1008, N1006/N1009, N1011/N1012, N1010/N1013, N1017/N1014, N1016/N1015, N1019/N1020, N1018/N1021, N1023/N1024, N1022/N1025, N1029/N1026, N1028/N1027, N1031/N1032, N1030/N1033, N1035/N1036, N1034/N1037, N1158/N1161, N1160/N1159, N1163/N1164, N1162/N1165, N1167/N1168, N1166/N1169, N1173/N1170, N1172/N1171, N1175/N1176, N1174/N1177, N1179/N1180, N1178/N1181, N1185/N1182, N1184/N1183, N1187/N1188, N1186/N1189, N1191/N1192, N1190/N1193, N1314/N1317, N1316/N1315, N1319/N1320, N1318/N1321, N1323/N1324, N1322/N1325, N1329/N1326, N1328/N1327, N1331/N1332, N1330/N1333, N1335/N1336, N1334/N1337, N1341/N1338, N1340/N1339, N1343/N1344, N1342/N1345, N1347/N1348, N1346/N1349, N1419/N1422, N1421/N1420, N1424/N1425, N1423/N1426, N1428/N1429, N1427/N1430, N1434/N1431, N1433/N1432, N1436/N1437, N1435/N1438, N1440/N1441, N1439/N1442, N1446/N1443, N1445/N1444, N1448/N1449, N1447/N1450, N1452/N1453, N1451/N1454, N1509/N1511, N1510/N1512, N1513/N1515, N1514/N1516, N1517/N1519, N1518/N1520, N1523/N1522, N1521/N1524, N1527/N1526, N1525/N1528, N1531/N1530, N1529/N1532, N1535/N1534, N1533/N1536, N1539/N1538, N1537/N1540, N1541/N1544, N1543/N1542, N1547/N1546, N1545/N1548, N1549/N1552, N1551/N1550, N1555/N1554, N1553/N1556, N1557/N1560, N1559/N1558, N1563/N1562, N1561/N1564, N1565/N1568, N1567/N1566, N1571/N1570, N1569/N1572, N1573/N1576, N1575/N1574, N1579/N1578, N1577/N1580, N1581/N1584, N1583/N1582, N1587/N1586, N1585/N1588, N1589/N1592, N1591/N1590, N1595/N1594, N1593/N1596, N1597/N1600, N1599/N1598, N1603/N1602, N1601/N1604, N1980/N1977, N1979/N1978, N1982/N1983, N1981/N1984, N1986/N1987, N1985/N1988, N1989/N1992, N1991/N1990, N1994/N1995, N1993/N1996, N1998/N1999, N1997/N2000, N2004/N2001, N2003/N2002, N2006/N2007, N2005/N2008, N2010/N2011, N2009/N2012, N2016/N2013, N2015/N2014, N2018/N2019, N2017/N2020, N2022/N2023, N2021/N2024, N2028/N2025, N2027/N2026, N2030/N2031, N2029/N2032, N2034/N2035, N2033/N2036, N2040/N2037, N2039/N2038, N2042/N2043, N2041/N2044, N2046/N2047, N2045/N2048, N2166/N2169, N2168/N2167, N2171/N2172, N2170/N2173, N2175/N2176, N2174/N2177, N2181/N2178, N2180/N2179, N2183/N2184, N2182/N2185, N2187/N2188, N2186/N2189, N2193/N2190, N2192/N2191, N2195/N2196, N2194/N2197, N2199/N2200, N2198/N2201, N2319/N2322, N2321/N2320, N2324/N2325, N2323/N2326, N2328/N2329, N2327/N2330, N2334/N2331, N2333/N2332, N2336/N2337, N2335/N2338, N2340/N2341, N2339/N2342, N2346/N2343, N2345/N2344, N2348/N2349, N2347/N2350, N2352/N2353, N2351/N2354, N2472/N2475, N2474/N2473, N2477/N2478, N2476/N2479, N2481/N2482, N2480/N2483, N2487/N2484, N2486/N2485, N2489/N2490, N2488/N2491, N2493/N2494, N2492/N2495, N2499/N2496, N2498/N2497, N2501/N2502, N2500/N2503, N2505/N2506, N2504/N2507, N2625/N2628, N2627/N2626, N2630/N2631, N2629/N2632, N2634/N2635, N2633/N2636, N2640/N2637, N2639/N2638, N2642/N2643, N2641/N2644, N2646/N2647, N2645/N2648, N2652/N2649, N2651/N2650, N2654/N2655, N2653/N2656, N2658/N2659, N2657/N2660, N2778/N2781, N2780/N2779, N2783/N2784, N2782/N2785, N2787/N2788, N2786/N2789, N2793/N2790, N2792/N2791, N2795/N2796, N2794/N2797, N2799/N2800, N2798/N2801, N2805/N2802, N2804/N2803, N2807/N2808, N2806/N2809, N2811/N2812, N2810/N2813, N2931/N2934, N2933/N2932, N2936/N2937, N2935/N2938, N2940/N2941, N2939/N2942, N2946/N2943, N2945/N2944, N2948/N2949, N2947/N2950, N2952/N2953, N2951/N2954, N2958/N2955, N2957/N2956, N2960/N2961, N2959/N2962, N2964/N2965, N2963/N2966, N3033/N3036, N3035/N3034, N3038/N3039, N3037/N3040, N3042/N3043, N3041/N3044, N3048/N3045, N3047/N3046, N3050/N3051, N3049/N3052, N3054/N3055, N3053/N3056, N3060/N3057, N3059/N3058, N3062/N3063, N3061/N3064, N3066/N3067, N3065/N3068, N3150/N3152, N3151/N3153, N3154/N3156, N3155/N3157, N3158/N3160, N3159/N3161, N3164/N3163, N3162/N3165, N3168/N3167, N3166/N3169, N3172/N3171, N3170/N3173, N3176/N3175, N3174/N3177, N3180/N3179, N3178/N3181, N3182/N3185, N3184/N3183, N3188/N3187, N3186/N3189, N3190/N3193, N3192/N3191, N3196/N3195,

Documento visado electrónicamente con número: VA07290/22
Código de validación telemática TRLTDCFZ60T66IJ1. Comprobación: https://cogitivalencia.e-gestion.es/Validacion.aspx?CVT=TRLTDCFZ60T66IJ1

VISADO
COGITI
VALENCIA
VA07290/22
TRLTDCFZ60T66IJ1

Listados

Tipos de pieza	
Ref.	Piezas
12	N14/N124, N122/N16, N16/N126, N124/N18, N18/N128, N128/N22, N22/N132, N132/N26, N26/N136, N136/N9, N28/N138, N134/N28, N24/N134, N130/N24, N20/N130, N126/N20, N122/N228, N226/N124, N8/N157, N157/N48, N48/N161, N161/N52, N52/N165, N165/N56, N56/N169, N169/N11, N58/N171, N167/N58, N54/N167, N163/N54, N50/N163, N159/N50, N46/N159, N121/N46, N10/N195, N195/N78, N78/N199, N199/N82, N82/N203, N203/N86, N86/N207, N207/N13, N88/N178, N205/N88, N84/N205, N201/N84, N80/N201, N197/N80, N76/N197, N155/N76, N207/N282, N311/N178, N136/N242, N240/N138, N121/N261, N225/N157, N169/N275, N273/N171, N155/N299, N259/N195, N226/N436, N434/N228, N311/N516, N514/N282, N240/N450, N448/N242, N225/N469, N433/N261, N273/N483, N481/N275, N259/N502, N467/N299, N434/N592, N590/N436, N514/N672, N670/N516, N448/N606, N604/N450, N433/N625, N589/N469, N481/N639, N637/N483, N467/N658, N623/N502, N590/N748, N746/N592, N670/N828, N826/N672, N604/N762, N760/N606, N589/N781, N745/N625, N637/N795, N793/N639, N623/N814, N779/N658, N746/N904, N902/N748, N826/N984, N982/N828, N760/N918, N916/N762, N745/N937, N901/N781, N793/N951, N949/N795, N779/N970, N935/N814, N902/N1060, N1058/N904, N982/N1140, N1138/N984, N916/N1074, N1072/N918, N901/N1093, N1057/N937, N949/N1107, N1105/N951, N935/N1126, N1091/N970, N1058/N1216, N1214/N1060, N1138/N1296, N1294/N1140, N1072/N1230, N1228/N1074, N1057/N1249, N1213/N1093, N1105/N1263, N1261/N1107, N1091/N1282, N1247/N1126, N1214/N1363, N1362/N1216, N1294/N1402, N1401/N1296, N1228/N1370, N1369/N1230, N1213/N1379, N1361/N1249, N1261/N1386, N1385/N1263, N1247/N1395, N1378/N1282, N1364/N1220, N1218/N1365, N1220/N1366, N1365/N1222, N1366/N1224, N1222/N1367, N1367/N1226, N1224/N1368, N1368/N1228, N1226/N1369, N1249/N1380, N1379/N1251, N1380/N1253, N1251/N1381, N1381/N1255, N1253/N1382, N1382/N1257, N1255/N1383, N1257/N1384, N1383/N1259, N1384/N1261, N1259/N1385, N1395/N1284, N1282/N1396, N1396/N1286, N1284/N1397, N1397/N1288, N1286/N1398, N1288/N1399, N1398/N1290, N1399/N1292, N1290/N1400, N1400/N1294, N1292/N1401, N1216/N1364, N1363/N1218, N1642/N1740, N1738/N1644, N1644/N1742, N1740/N1646, N1646/N1744, N1744/N1650, N1650/N1748, N1748/N1654, N1654/N1752, N1752/N1658, N1656/N1754, N1750/N1656, N1652/N1750, N1746/N1652, N1648/N1746, N1742/N1648, N1738/N1836, N1834/N1740, N1659/N1757, N1757/N1663, N1663/N1761, N1761/N1667, N1667/N1765, N1765/N1671, N1671/N1769, N1769/N1675, N1673/N1771, N1767/N1673, N1669/N1767, N1763/N1669, N1665/N1763, N1759/N1665, N1661/N1759, N1755/N1661, N1676/N1774, N1774/N1680, N1680/N1778, N1778/N1684, N1684/N1782, N1782/N1688, N1688/N1786, N1786/N1692, N1690/N1788, N1784/N1690, N1686/N1784, N1780/N1686, N1682/N1780, N1776/N1682, N1678/N1776, N1772/N1678, N1786/N1884, N1882/N1788, N1752/N1850, N1848/N1754, N1755/N1853, N1851/N1757, N1769/N1867, N1865/N1771, N1772/N1870, N1868/N1774, N1834/N2051, N2049/N1836, N1882/N2115, N2113/N1884, N1848/N2065, N2063/N1850, N1851/N2085, N2083/N1853, N1865/N2099, N2097/N1867, N1868/N2101, N2082/N1870, N2049/N2204, N2202/N2051, N2113/N2268, N2266/N2115, N2063/N2218, N2216/N2065, N2083/N2238, N2236/N2085, N2097/N2252, N2250/N2099, N2082/N2254, N2235/N2101, N2202/N2357, N2355/N2204, N2266/N2421, N2419/N2268, N2216/N2371, N2369/N2218, N2236/N2391, N2389/N2238, N2250/N2405, N2403/N2252, N2235/N2407, N2388/N2254, N2355/N2510, N2508/N2357, N2419/N2574, N2572/N2421, N2369/N2524, N2522/N2371, N2389/N2544, N2542/N2391, N2403/N2558, N2556/N2405, N2388/N2560, N2541/N2407, N2508/N2663, N2661/N2510, N2572/N2727, N2725/N2574, N2522/N2677, N2675/N2524, N2542/N2697, N2695/N2544, N2556/N2711, N2709/N2558, N2541/N2713, N2694/N2560, N2661/N2816, N2814/N2663, N2725/N2880, N2878/N2727, N2675/N2830, N2828/N2677, N2695/N2850, N2848/N2697, N2709/N2864, N2862/N2711, N2694/N2866, N2847/N2713, N2814/N2968, N2967/N2816, N2878/N3000, N2999/N2880, N2828/N2975, N2974/N2830, N2848/N2985, N2984/N2850, N2862/N2992, N2991/N2864, N2847/N2993, N2983/N2866, N2969/N2820, N2818/N2970, N2820/N2971, N2970/N2822, N2971/N2824, N2822/N2972, N2972/N2826, N2824/N2973, N2973/N2828, N2826/N2974, N2850/N2986, N2985/N2852, N2986/N2854, N2852/N2987, N2987/N2856, N2854/N2988, N2988/N2858, N2856/N2989, N2858/N2990, N2989/N2860, N2990/N2862, N2860/N2991, N2993/N2868, N2866/N2994, N2994/N2870, N2868/N2995, N2995/N2872, N2870/N2996, N2872/N2997, N2996/N2874, N2997/N2876, N2874/N2998, N2998/N2878, N2876/N2999, N2816/N2969 y N2968/N2818

Documento visado electrónicamente con número: VA07290/22
Código de validación telemática TRLTDCFZ60T66IJ1. Comprobación: https://cogitivalencia.e-gestion.es/Validacion.aspx?CVT=TRLTDCFZ60T66IJ1

VISADO
COGITI
VALENCIA
VA07290/22
TRLTDCFZ60T66IJ1

Listados

Tipos de pieza	
Ref.	Piezas
13	N3/N1455, N1456/N9, N172/N1461, N1500/N138, N276/N1462, N1501/N242, N570/N1463, N1502/N450, N726/N1464, N1503/N606, N1038/N1465, N1505/N918, N1194/N1466, N1506/N1074, N1350/N1467, N1507/N1230, N2/N1457, N1458/N11, N173/N1468, N1492/N171, N277/N1469, N1493/N275, N571/N1470, N1494/N483, N727/N1471, N1495/N639, N883/N1472, N1496/N795, N1039/N1473, N1497/N951, N1195/N1474, N1498/N1107, N1351/N1475, N1499/N1263, N1/N1459, N1460/N13, N572/N1478, N1486/N516, N728/N1479, N1487/N672, N884/N1480, N1488/N828, N1040/N1481, N1489/N984, N1196/N1482, N1490/N1140, N1352/N1483, N1491/N1296, N882/N1508, N1504/N762, N1623/N7, N1624/N12, N1625/N177, N1626/N176, N1627/N281, N1628/N280, N1629/N500, N1630/N533, N1631/N656, N1632/N689, N1633/N812, N1634/N845, N1635/N968, N1636/N1001, N1637/N1124, N1638/N1157, N1639/N1280, N1640/N1313, N3069/N3070, N3071/N1658, N3072/N3073, N3074/N1754, N3075/N3076, N3077/N1850, N3078/N3079, N3080/N2065, N3081/N3082, N3083/N2218, N3084/N3085, N3086/N2524, N3087/N3088, N3089/N2677, N3090/N3091, N3092/N2830, N3093/N3094, N3095/N1675, N3096/N3097, N3098/N1771, N3099/N3100, N3101/N1867, N3102/N3103, N3104/N2099, N3105/N3106, N3107/N2252, N3108/N3109, N3110/N2405, N3111/N3112, N3113/N2558, N3114/N3115, N3116/N2711, N3117/N3118, N3119/N2864, N3120/N3121, N3122/N1692, N3129/N3130, N3131/N2115, N3132/N3133, N3134/N2268, N3135/N3136, N3137/N2421, N3138/N3139, N3140/N2574, N3141/N3142, N3143/N2727, N3144/N3145, N3146/N2880, N3147/N3148, N3149/N2371, N3263/N1976, N3264/N1974, N3265/N1968, N3266/N1975, N3267/N1966, N3268/N1969, N3269/N2163, N3270/N2165, N3271/N2316, N3272/N2318, N3273/N2469, N3274/N2471, N3275/N2622, N3276/N2624, N3277/N2775, N3278/N2777, N3279/N2928 y N3280/N2930
14	N1455/N1456, N1463/N1502, N1464/N1503, N1465/N1505, N1466/N1506, N1467/N1507, N1457/N1458, N1470/N1494, N1471/N1495, N1472/N1496, N1473/N1497, N1474/N1498, N1475/N1499, N1459/N1460, N1478/N1486, N1479/N1487, N1480/N1488, N1481/N1489, N1482/N1490, N1483/N1491, N1508/N1504, N3070/N3071, N3079/N3080, N3082/N3083, N3085/N3086, N3088/N3089, N3091/N3092, N3094/N3095, N3103/N3104, N3106/N3107, N3109/N3110, N3112/N3113, N3115/N3116, N3118/N3119, N3121/N3122, N3130/N3131, N3133/N3134, N3136/N3137, N3139/N3140, N3142/N3143, N3145/N3146 y N3148/N3149
15	N1461/N1500, N1462/N1501, N1468/N1492, N1469/N1493, N3073/N3074, N3076/N3077, N3097/N3098 y N3100/N3101
16	N175/N1476, N1484/N178, N279/N1477, N1485/N282, N3123/N3124, N3125/N1788, N3126/N3127 y N3128/N1884
17	N1476/N1484, N1477/N1485, N3124/N3125 y N3127/N3128
18	N6/N74, N484/N466, N640/N622, N796/N778, N952/N934, N1108/N1090, N1264/N1246, N5/N44, N451/N432, N607/N588, N763/N744, N919/N900, N1075/N1056, N1231/N1212, N1952/N1722, N2159/N2081, N2312/N2234, N2465/N2387, N2618/N2540, N2771/N2693, N2924/N2846, N1949/N1707, N2066/N2130, N2219/N2283, N2372/N2436, N2525/N2589, N2678/N2742 y N2831/N2895
19	N174/N154, N278/N258, N139/N120, N243/N224, N1957/N1818, N1962/N1914, N1950/N1803 y N1951/N1899

Documento visado electrónicamente con número: VA07290/22
Código de validación telemática TRLTDCFZ60T66IJ1. Comprobación: https://cogitivalencia.e-gestion.es/Validacion.aspx?CVT=TRLTDCFZ60T66IJ1

VISADO
COGITI
VALENCIA
VA07290/22
TRLTDCFZ60T66IJ1

Tipos de pieza	
Ref.	Piezas
20	N4/N31, N417/N419, N573/N575, N729/N731, N885/N887, N1041/N1043, N1197/N1199, N1211/N1213, N1055/N1057, N899/N901, N743/N745, N587/N589, N431/N433, N43/N8, N5/N61, N73/N10, N6/N91, N484/N486, N640/N642, N796/N798, N952/N954, N1108/N1110, N1264/N1266, N103/N12, N498/N500, N654/N656, N810/N812, N966/N968, N1122/N1124, N1278/N1280, N1606/N4, N1611/N573, N1613/N729, N1615/N885, N1617/N1041, N1619/N1197, N1622/N417, N2066/N2082, N2219/N2235, N2372/N2388, N2525/N2541, N2678/N2694, N2831/N2847, N1724/N1728, N1732/N1736, N2132/N2136, N2140/N2144, N2285/N2289, N2293/N2297, N2438/N2442, N2446/N2450, N2591/N2595, N2599/N2603, N2744/N2748, N2752/N2756, N2897/N2901, N2905/N2909, N1694/N1698, N1702/N1706, N2117/N2121, N2125/N2129, N2270/N2274, N2278/N2282, N2423/N2427, N2431/N2435, N2576/N2580, N2584/N2588, N2729/N2733, N2737/N2741, N2882/N2886, N2890/N2894, N1930/N1694, N2148/N2117, N2301/N2270, N2454/N2423, N2607/N2576, N2760/N2729, N2913/N2882, N1698/N1702, N2121/N2125, N2274/N2278, N2427/N2431, N2580/N2584, N2733/N2737, N2886/N2890, N2894/N2848, N2741/N2695, N2588/N2542, N2435/N2389, N2282/N2236, N2129/N2083, N1706/N1659, N1713/N1717, N1709/N1713, N1717/N1721, N1949/N1709, N1721/N1676, N1952/N1724, N2159/N2132, N2312/N2285, N2465/N2438, N2618/N2591, N2771/N2744, N2924/N2897, N2901/N2905, N2748/N2752, N2595/N2599, N2442/N2446, N2289/N2293, N2136/N2140, N1728/N1732, N1736/N1974, N2144/N2163, N2297/N2316, N2450/N2469, N2603/N2622, N2756/N2775, N2909/N2928, N1641/N1930, N3251/N2301, N3253/N2454, N3255/N2607, N3257/N2760, N3259/N2913, N3262/N2148, N91/N3594, N3594/N3593, N3593/N103, N486/N3587, N3587/N3588, N3588/N498, N642/N3586, N3586/N3585, N3585/N654, N798/N3583, N3583/N3584, N3584/N810, N954/N3582, N3582/N3581, N3581/N966, N1110/N3579, N3579/N3580, N3580/N1122, N1266/N3577, N3577/N3578, N3578/N1278, N61/N3560, N3560/N3561, N3561/N73, N453/N3566, N451/N453, N3566/N3595, N3595/N465, N465/N467, N607/N609, N609/N3567, N3567/N3568, N3568/N621, N621/N623, N763/N765, N765/N3569, N3569/N3570, N3570/N777, N777/N779, N919/N921, N921/N3572, N3572/N3571, N3571/N933, N933/N935, N1075/N1077, N1077/N3573, N3573/N3574, N3574/N1089, N1089/N1091, N3576/N3575, N1233/N3576, N1231/N1233, N3575/N1245, N1245/N1247, N1199/N3546, N3546/N3547, N3547/N1211, N1043/N3544, N3544/N3545, N3545/N1055, N887/N3548, N3548/N3596, N3596/N899, N731/N3550, N3550/N3549, N3549/N743, N575/N3551, N3551/N3552, N3552/N587, N419/N3554, N3554/N3553, N3553/N431, N31/N3382, N3382/N3559 y N3559/N43
21	N105/N107, N209/N211, N223/N225, N119/N121, N139/N141, N243/N245, N257/N259, N153/N155, N174/N180, N278/N284, N192/N177, N296/N281, N1607/N105 y N1609/N209
22	N1605/N14, N1612/N590, N1614/N746, N1616/N902, N1618/N1058, N1620/N1214, N1621/N434, N1642/N1658, N1659/N1675, N1676/N1692, N2049/N2065, N2083/N2099, N2082/N2115, N2202/N2218, N2236/N2252, N2235/N2268, N2355/N2371, N2389/N2405, N2388/N2421, N2508/N2524, N2542/N2558, N2541/N2574, N2661/N2677, N2695/N2711, N2694/N2727, N2814/N2830, N2848/N2864, N2847/N2880, N3246/N1642, N3252/N2202, N3254/N2355, N3256/N2508, N3258/N2661, N3260/N2814, N3261/N2049, N14/N3381, N3381/N3400, N3400/N9, N434/N3386, N3386/N3397, N3397/N450, N590/N3387, N3387/N3396, N3396/N606, N746/N3388, N3388/N3395, N3395/N762, N902/N3389, N3389/N3394, N3394/N918, N1058/N3390, N3390/N3393, N3393/N1074, N1214/N3391, N3391/N3392, N3392/N1230, N1213/N3410, N3410/N3411, N3411/N1263, N1057/N3409, N3409/N3412, N3412/N1107, N901/N3408, N3408/N3413, N3413/N951, N745/N3407, N3407/N3414, N3414/N795, N589/N3406, N3406/N3415, N3415/N639, N433/N3405, N3405/N3416, N3416/N483, N8/N3401, N3401/N3402, N3402/N11, N10/N3419, N3419/N3436, N3436/N13, N467/N3422, N3422/N3433, N3433/N516, N623/N3423, N3423/N3432, N3432/N672, N779/N3424, N3424/N3431, N3431/N828, N935/N3425, N3425/N3430, N3430/N984, N1091/N3426, N3426/N3429, N3429/N1140, N1247/N3427, N3427/N3428 y N3428/N1296
23	N1608/N122, N1610/N226, N1738/N1754, N1755/N1771, N1772/N1788, N1834/N1850, N1851/N1867, N1868/N1884, N3248/N1738, N3250/N1834, N122/N3384, N3384/N3399, N3399/N138, N226/N3385, N3385/N3398, N3398/N242, N225/N3404, N3404/N3417, N3417/N275, N121/N3403, N3403/N3418, N3418/N171, N155/N3420, N3420/N3435, N3435/N178, N259/N3421, N3421/N3434 y N3434/N282

Documento visado electrónicamente con número: VA07290/22
Código de validación telemática TRLTDCFZ60T66IJ1. Comprobación: https://cogitivalencia.e-gestion.es/Validacion.aspx?CVT=TRLTDCFZ60T66IJ1

VISADO
COGITI
TRLTDCFZ60T66IJ1
VALENCIA
VA07290/22

Listados

Tipos de pieza	
Ref.	Piezas
24	N1828/N1832, N1820/N1824, N1916/N1920, N1924/N1928, N1790/N1794, N1798/N1802, N1886/N1890, N1894/N1898, N1794/N1798, N1890/N1894, N1905/N1909, N1809/N1813, N1805/N1809, N1901/N1905, N1909/N1913, N1813/N1817, N1920/N1924, N1824/N1828, N3591/N3592, N180/N3591, N3592/N192, N284/N3590, N3590/N3589, N3589/N296, N141/N3563, N3563/N3562, N3562/N153, N245/N3564, N3564/N3565, N3565/N257, N211/N3555, N3555/N3556, N3556/N223, N107/N3558, N3558/N3557 y N3557/N119
25	N1933/N1790, N1938/N1886, N1898/N1851, N1802/N1755, N1950/N1805, N1951/N1901, N1913/N1868, N1817/N1772, N1957/N1820, N1962/N1916, N1832/N1968, N1928/N1966, N3247/N1933 y N3249/N1938

Características mecánicas

Material		Ref.	Descripción	A (cm²)	Avy (cm²)	Avz (cm²)	Iyy (cm4)	Izz (cm4)	It (cm4)
Tipo	Designación								
Acero laminado	S275 (UNE-EN 10025-2)	1	SHS 120x5.0, (SHS)	22.34	9.58	9.58	484.16	484.16	778.02
		2	SHS 120x4.0, (SHS)	18.14	7.73	7.73	401.53	401.53	636.40
		3	SHS 100x4.0, (SHS)	14.94	6.40	6.40	225.78	225.78	361.82
		4	SHS 120x10.0, (SHS)	40.49	18.33	18.33	767.80	767.80	1368.29
		5	SHS 150x10.0, (SHS)	52.49	23.33	23.33	1640.07	1640.07	2829.77
		6	SHS 150x8.0, (SHS)	43.19	18.93	18.93	1404.76	1404.76	2359.73
		7	SHS 120x8.0, (SHS)	33.59	14.93	14.93	671.77	671.77	1159.07
		8	SHS 150x12.5, (SHS)	61.89	28.65	28.65	1792.28	1792.28	3292.57
		9	SHS 120x6.0, (SHS)	26.41	11.40	11.40	560.06	560.06	912.50
		10	L 50 x 50 x 5, (L)	4.80	2.25	2.25	10.96	10.96	0.40
		11	L 40 x 40 x 4, (L)	3.08	1.44	1.44	4.47	4.47	0.16
		12	L 60 x 60 x 5, (L)	5.82	2.75	2.75	19.37	19.37	0.48
		13	HE 280 B, (HEB)	131.40	75.60	23.06	19270.00	6595.00	146.09
		14	HE 280 B, Con platabandas laterales, (HEB) Cordón continuo Espesor de platabanda: 10.0 mm	183.40	118.93	66.39	22199.33	17532.33	27395.22
		15	HE 280 B, Con platabandas laterales, (HEB) Cordón continuo Espesor de platabanda: 15.0 mm	209.40	140.60	88.06	23664.00	23579.50	35429.23
		16	HE 320 B, (HEB)	161.30	92.25	28.88	30820.00	9239.00	230.45
		17	HE 320 B, Con platabandas laterales, (HEB) Cordón continuo Espesor de platabanda: 25.0 mm	303.80	211.00	147.63	40465.47	46942.13	68468.19
		18	HE 180 B, (HEB)	65.30	37.80	11.63	3831.00	1363.00	42.21
		19	HE 240 B, Con platabandas laterales, (HEB) Cordón continuo Espesor de platabanda: 10.0 mm	150.00	97.87	55.21	13034.67	10801.67	16877.09
		20	HE 180 A, (HEA)	45.30	25.65	8.21	2510.00	924.60	14.89
		21	HE 240 A, Con platabandas laterales, (HEA) Cordón continuo Espesor de platabanda: 12.0 mm	127.20	85.20	55.91	9615.20	10776.55	15454.38
		22	HE 160 A, (HEA)	38.80	21.60	7.24	1673.00	615.60	12.10
		23	HE 220 A, (HEA)	64.30	36.30	11.84	5410.00	1955.00	28.61
		24	HE 240 A, (HEA)	76.80	43.20	13.91	7763.00	2769.00	42.14
		25	HE 240 A, Con platabandas laterales, (HEA) Cordón continuo Espesor de platabanda: 10.0 mm	118.80	78.20	48.91	9306.50	9335.00	13969.33

Documento visado electrónicamente con número: VA07290/22
Código de validación telemática TRLTDCFZ60T66IJ1. Comprobación: https://cogitivalencia.e-gestion.es/Validacion.aspx?CVT=TRLTDCFZ60T66IJ1

VISADO
COGITI
VALENCIA
VA07290/22
TRLTDCFZ60T66IJ1

Características mecánicas										
Material		Ref.	Descripción	A (cm²)	Avy (cm²)	Avz (cm²)	Iyy (cm4)	Izz (cm4)	It (cm4)	
Tipo	Designación									

Notación:
Ref.: Referencia
A: Área de la sección transversal
Avy: Área de cortante de la sección según el eje local 'Y'
Avz: Área de cortante de la sección según el eje local 'Z'
Iyy: Inercia de la sección alrededor del eje local 'Y'
Izz: Inercia de la sección alrededor del eje local 'Z'
It: Inercia a torsión
Las características mecánicas de las piezas corresponden a la sección en el punto medio de las mismas.

2.2. Resultados

2.2.1. Barras

2.2.1.1. Comprobaciones E.L.U. (Resumido)

Barras	COMPROBACIONES (CÓDIGO ESTRUCTURAL)														Estado
	λ_w	N_t	N_c	M_Y	M_Z	V_Z	V_Y	M_YV_Z	M_ZV_Y	NM_YM_Z	$NM_YM_ZV_YV_Z$	M_t	M_tV_Z	M_tV_Y	
N30/N15	$\lambda_w \leq \lambda_{w,máx}$ Cumple	x: 1.911 m η = 24.6	x: 0.088 m η = 44.5	x: 0.088 m η = 1.0	x: 1.912 m η = 9.0	η < 0.1	η = 1.4	η < 0.1	η < 0.1	x: 1.912 m η = 53.2	η < 0.1	η = 1.0	η < 0.1	η = 1.4	**CUMPLE η = 53.2**
N31/N16	$\lambda_w \leq \lambda_{w,máx}$ Cumple	x: 1.911 m η = 19.1	x: 0.088 m η = 35.6	x: 0.088 m η = 1.0	x: 0.088 m η = 15.9	η = 0.1	η = 2.4	η < 0.1	η < 0.1	x: 0.088 m η = 52.0	η < 0.1	η = 0.5	η = 0.1	η = 2.5	**CUMPLE η = 52.0**
N32/N17	$\lambda_w \leq \lambda_{w,máx}$ Cumple	x: 1.911 m η = 18.8	x: 0.088 m η = 34.7	x: 1.912 m η = 0.2	x: 0.088 m η = 13.0	η < 0.1	η = 2.1	η < 0.1	η < 0.1	x: 0.088 m η = 47.9	η < 0.1	η = 0.3	η < 0.1	η = 2.1	**CUMPLE η = 47.9**
N33/N18	$\lambda_w \leq \lambda_{w,máx}$ Cumple	x: 1.911 m η = 14.0	x: 0.088 m η = 25.9	x: 0.088 m η = 0.8	x: 0.088 m η = 11.1	η = 0.1	η = 1.7	η < 0.1	η < 0.1	x: 0.088 m η = 37.4	η < 0.1	η = 0.7	η = 0.1	η = 1.7	**CUMPLE η = 37.4**
N34/N19	$\lambda_w \leq \lambda_{w,máx}$ Cumple	x: 1.922 m η = 9.2	x: 0.088 m η = 14.4	x: 0.088 m η = 0.8	x: 0.088 m η = 7.4	η < 0.1	η = 1.1	η < 0.1	η < 0.1	x: 0.088 m η = 22.1	η < 0.1	η = 1.1	η < 0.1	η = 1.1	**CUMPLE η = 22.1**
N35/N20	$\lambda_w \leq \lambda_{w,máx}$ Cumple	x: 1.922 m η = 5.5	x: 0.086 m η = 8.1	x: 0.086 m η = 0.8	x: 0.086 m η = 3.2	η = 0.1	η = 0.4	η < 0.1	η < 0.1	x: 0.086 m η = 11.7	η < 0.1	η = 0.1	η = 0.1	η = 0.4	**CUMPLE η = 11.7**
N36/N21	$\lambda_w \leq \lambda_{w,máx}$ Cumple	x: 1.922 m η = 2.3	x: 0.086 m η = 1.5	x: 0.086 m η = 0.7	x: 1.923 m η = 0.5	η < 0.1	η < 0.1	η < 0.1	η < 0.1	x: 1.923 m η = 3.1	η < 0.1	η = 0.8	η < 0.1	η < 0.1	**CUMPLE η = 3.1**
N37/N22	$\lambda_w \leq \lambda_{w,máx}$ Cumple	x: 1.922 m η = 5.9	x: 0.086 m η = 8.6	x: 1.923 m η = 0.7	x: 0.086 m η = 6.5	η = 0.1	η = 0.8	η < 0.1	η < 0.1	x: 0.086 m η = 15.5	η < 0.1	η = 0.2	η = 0.1	η = 0.8	**CUMPLE η = 15.5**
N38/N23	$\lambda_w \leq \lambda_{w,máx}$ Cumple	x: 1.921 m η = 19.5	x: 0.086 m η = 35.6	x: 0.086 m η = 0.4	x: 0.086 m η = 14.4	η < 0.1	η = 1.9	η < 0.1	η < 0.1	x: 0.086 m η = 50.8	η < 0.1	η = 0.6	η < 0.1	η = 1.9	**CUMPLE η = 50.8**
N39/N24	$\lambda_w \leq \lambda_{w,máx}$ Cumple	x: 1.921 m η = 25.6	x: 0.086 m η = 47.6	x: 0.086 m η = 0.7	x: 0.086 m η = 19.2	η = 0.1	η = 2.5	η < 0.1	η < 0.1	x: 0.086 m η = 68.4	η < 0.1	η = 0.4	η = 0.1	η = 2.5	**CUMPLE η = 68.4**
N40/N25	$\lambda_w \leq \lambda_{w,máx}$ Cumple	x: 1.921 m η = 25.9	x: 0.094 m η = 45.3	x: 0.094 m η = 0.6	x: 0.094 m η = 23.8	η < 0.1	η = 3.8	η < 0.1	η < 0.1	x: 0.094 m η = 69.8	η < 0.1	η = 1.1	η < 0.1	η = 3.9	**CUMPLE η = 69.8**
N41/N26	$\lambda_w \leq \lambda_{w,máx}$ Cumple	x: 1.905 m η = 30.6	x: 0.094 m η = 53.9	x: 0.094 m η = 0.7	x: 0.094 m η = 27.5	η = 0.1	η = 4.4	η < 0.1	η < 0.1	x: 0.094 m η = 82.4	η < 0.1	η = 1.1	η = 0.1	η = 4.4	**CUMPLE η = 82.4**
N42/N27	$\lambda_w \leq \lambda_{w,máx}$ Cumple	x: 1.905 m η = 35.3	x: 0.094 m η = 62.5	x: 1.905 m η = 0.5	x: 1.906 m η = 27.9	η < 0.1	η = 4.5	η < 0.1	η < 0.1	x: 0.094 m η = 91.1	η < 0.1	η = 0.8	η < 0.1	η = 4.6	**CUMPLE η = 91.1**
N43/N28	$\lambda_w \leq \lambda_{w,máx}$ Cumple	x: 1.905 m η = 32.0	x: 0.094 m η = 57.6	x: 0.094 m η = 0.5	x: 0.094 m η = 34.2	η < 0.1	η = 5.3	η < 0.1	η < 0.1	x: 0.094 m η = 92.6	η < 0.1	η = 0.4	η < 0.1	η = 5.4	**CUMPLE η = 92.6**
N44/N29	$\lambda_w \leq \lambda_{w,máx}$ Cumple	x: 1.905 m η = 37.8	x: 0.131 m η = 67.6	x: 0.131 m η = 1.9	x: 0.131 m η = 2.0	η = 0.2	η = 0.1	η < 0.1	η < 0.1	x: 0.131 m η = 69.7	η < 0.1	η = 0.2	η = 0.2	η = 0.1	**CUMPLE η = 69.7**
N60/N45	$\lambda_w \leq \lambda_{w,máx}$ Cumple	x: 1.911 m η = 25.1	x: 0.088 m η = 48.6	x: 0.088 m η = 1.2	x: 1.912 m η = 20.4	η = 0.1	η = 2.9	η < 0.1	η < 0.1	x: 1.912 m η = 69.3	η < 0.1	η = 0.7	η = 0.1	η = 2.9	**CUMPLE η = 69.3**
N61/N46	$\lambda_w \leq \lambda_{w,máx}$ Cumple	x: 1.911 m η = 24.5	x: 0.088 m η = 46.2	x: 0.088 m η = 0.8	x: 0.088 m η = 17.9	η < 0.1	η = 2.8	η < 0.1	η < 0.1	x: 0.088 m η = 64.3	η < 0.1	η = 0.5	η < 0.1	η = 2.8	**CUMPLE η = 64.3**
N62/N47	$\lambda_w \leq \lambda_{w,máx}$ Cumple	x: 1.911 m η = 24.5	x: 0.088 m η = 46.6	x: 1.911 m η = 0.5	x: 0.088 m η = 17.1	η < 0.1	η = 2.8	η < 0.1	η < 0.1	x: 0.088 m η = 64.1	η < 0.1	η = 0.6	η < 0.1	η = 2.8	**CUMPLE η = 64.1**
N63/N48	$\lambda_w \leq \lambda_{w,máx}$ Cumple	x: 1.911 m η = 20.0	x: 0.088 m η = 38.1	x: 0.088 m η = 0.6	x: 0.088 m η = 15.4	η < 0.1	η = 2.4	η < 0.1	η < 0.1	x: 0.088 m η = 54.1	η < 0.1	η = 0.8	η < 0.1	η = 2.4	**CUMPLE η = 54.1**
N64/N49	$\lambda_w \leq \lambda_{w,máx}$ Cumple	x: 1.922 m η = 15.3	x: 0.088 m η = 29.4	x: 0.088 m η = 0.5	x: 0.088 m η = 12.2	η < 0.1	η = 1.9	η < 0.1	η < 0.1	x: 0.088 m η = 41.9	η < 0.1	η = 0.7	η < 0.1	η = 1.9	**CUMPLE η = 41.9**
N65/N50	$\lambda_w \leq \lambda_{w,máx}$ Cumple	x: 1.922 m η = 12.6	x: 0.086 m η = 26.8	x: 0.086 m η = 0.6	x: 0.086 m η = 8.4	η = 0.1	η = 1.1	η < 0.1	η < 0.1	x: 0.086 m η = 35.8	η < 0.1	η = 0.1	η = 0.1	η = 1.1	**CUMPLE η = 35.8**
N66/N51	$\lambda_w \leq \lambda_{w,máx}$ Cumple	x: 1.922 m η = 6.7	x: 0.086 m η = 15.2	x: 0.086 m η = 0.3	x: 0.086 m η = 4.9	η < 0.1	η = 0.6	η < 0.1	η < 0.1	x: 0.086 m η = 20.3	η < 0.1	η = 0.4	η < 0.1	η = 0.6	**CUMPLE η = 20.3**
N67/N52	$\lambda_w \leq \lambda_{w,máx}$ Cumple	x: 1.922 m η = 6.0	x: 0.086 m η = 8.6	x: 1.923 m η = 0.6	x: 0.086 m η = 1.3	η = 0.1	η = 0.2	η < 0.1	η < 0.1	x: 1.923 m η = 9.9	η < 0.1	η = 0.1	η = 0.1	η = 0.2	**CUMPLE η = 9.9**
N68/N53	$\lambda_w \leq \lambda_{w,máx}$ Cumple	x: 1.921 m η = 11.8	x: 0.086 m η = 18.9	x: 0.086 m η = 0.3	x: 0.086 m η = 7.0	η < 0.1	η = 0.9	η < 0.1	η < 0.1	x: 0.086 m η = 26.1	η < 0.1	η = 0.4	η < 0.1	η = 0.9	**CUMPLE η = 26.1**
N69/N54	$\lambda_w \leq \lambda_{w,máx}$ Cumple	x: 1.921 m η = 17.6	x: 0.086 m η = 30.4	x: 0.086 m η = 0.6	x: 0.086 m η = 11.6	η = 0.1	η = 1.5	η < 0.1	η < 0.1	x: 0.086 m η = 42.7	η < 0.1	η = 0.2	η = 0.1	η = 1.5	**CUMPLE η = 42.7**
N70/N55	$\lambda_w \leq \lambda_{w,máx}$ Cumple	x: 1.921 m η = 19.3	x: 0.094 m η = 32.0	x: 0.094 m η = 0.4	x: 0.094 m η = 16.2	η < 0.1	η = 2.6	η < 0.1	η < 0.1	x: 0.094 m η = 48.5	η < 0.1	η = 0.7	η < 0.1	η = 2.6	**CUMPLE η = 48.5**
N71/N56	$\lambda_w \leq \lambda_{w,máx}$ Cumple	x: 1.905 m η = 24.0	x: 0.094 m η = 40.7	x: 0.094 m η = 0.5	x: 0.094 m η = 20.3	η < 0.1	η = 3.2	η < 0.1	η < 0.1	x: 0.094 m η = 61.5	η < 0.1	η = 0.8	η < 0.1	η = 3.3	**CUMPLE η = 61.5**
N72/N57	$\lambda_w \leq \lambda_{w,máx}$ Cumple	x: 1.905 m η = 28.6	x: 0.094 m η = 49.2	x: 1.905 m η = 0.5	x: 0.094 m η = 21.3	η < 0.1	η = 3.5	η < 0.1	η < 0.1	x: 0.094 m η = 70.9	η < 0.1	η = 0.7	η < 0.1	η = 3.5	**CUMPLE η = 70.9**
N73/N58	$\lambda_w \leq \lambda_{w,máx}$ Cumple	x: 1.905 m η = 26.7	x: 0.094 m η = 46.7	x: 0.094 m η = 0.5	x: 0.094 m η = 28.2	η < 0.1	η = 4.4	η < 0.1	η < 0.1	x: 0.094 m η = 75.5	η < 0.1	η = 0.3	η < 0.1	η = 4.4	**CUMPLE η = 75.5**
N74/N59	$\lambda_w \leq \lambda_{w,máx}$ Cumple	x: 1.905 m η = 32.1	x: 0.131 m η = 56.5	x: 0.131 m η = 2.0	x: 0.131 m η = 5.6	η = 0.2	η = 0.7	η < 0.1	η < 0.1	x: 0.131 m η = 62.3	η < 0.1	η = 0.3	η = 0.2	η = 0.7	**CUMPLE η = 62.3**
N90/N75	$\lambda_w \leq \lambda_{w,máx}$ Cumple	x: 1.911 m η = 31.7	x: 0.088 m η = 57.9	x: 0.088 m η = 1.4	x: 1.912 m η = 23.9	η = 0.1	η = 3.5	η < 0.1	η < 0.1	x: 1.912 m η = 82.3	η < 0.1	η = 0.8	η = 0.1	η = 3.5	**CUMPLE η = 82.3**

Código de validación telemática: TRLTDCFZ60T66IJ1. Comprobación: https://cogitivalencia.e-gestion.es/Validacion.aspx?CVT=TRLTDCFZ60T66IJ1

VISADO
COGITI
Estado
VALENCIA
VA07290/22
TRLTDCFZ60T66IJ1

Barras	COMPROBACIONES (CÓDIGO ESTRUCTURAL)														
	λ_w	N_t	N_c	M_Y	M_Z	V_Z	V_Y	M_YV_Z	M_ZV_Y	NM_YM_Z	$NM_YM_ZV_YV_Z$	M_t	M_tV_Z	M_tV_Y	
N91/N76	$\lambda_w \leq \lambda_{w,máx}$ Cumple	x: 1.911 m η = 30.5	x: 0.088 m η = 55.3	x: 0.088 m η = 0.9	x: 0.088 m η = 21.7	η < 0.1	η = 3.4	η < 0.1	η < 0.1	x: 0.088 m η = 77.5	η < 0.1	η = 0.6	η < 0.1	η = 3.4	**CUMPLE η = 77.5**
N92/N77	$\lambda_w \leq \lambda_{w,máx}$ Cumple	x: 1.911 m η = 32.1	x: 0.088 m η = 57.6	x: 1.911 m η = 0.6	x: 0.088 m η = 21.7	η < 0.1	η = 3.5	η < 0.1	η < 0.1	x: 0.088 m η = 79.9	η < 0.1	η = 0.7	η < 0.1	η = 3.5	**CUMPLE η = 79.9**
N93/N78	$\lambda_w \leq \lambda_{w,máx}$ Cumple	x: 1.911 m η = 27.5	x: 0.088 m η = 49.1	x: 0.088 m η = 0.8	x: 0.088 m η = 20.4	η = 0.1	η = 3.2	η < 0.1	η < 0.1	x: 0.088 m η = 70.4	η < 0.1	η = 1.0	η = 0.1	η = 3.2	**CUMPLE η = 70.4**
N94/N79	$\lambda_w \leq \lambda_{w,máx}$ Cumple	x: 1.922 m η = 22.7	x: 0.088 m η = 40.4	x: 0.088 m η = 0.6	x: 0.088 m η = 17.6	η < 0.1	η = 2.8	η < 0.1	η < 0.1	x: 0.088 m η = 58.5	η < 0.1	η = 0.9	η < 0.1	η = 2.8	**CUMPLE η = 58.5**
N95/N80	$\lambda_w \leq \lambda_{w,máx}$ Cumple	x: 1.922 m η = 21.6	x: 0.086 m η = 40.9	x: 0.086 m η = 0.7	x: 0.086 m η = 13.8	η = 0.1	η = 1.8	η < 0.1	η < 0.1	x: 0.086 m η = 55.8	η < 0.1	η = 0.3	η = 0.1	η = 1.8	**CUMPLE η = 55.8**
N96/N81	$\lambda_w \leq \lambda_{w,máx}$ Cumple	x: 1.922 m η = 15.5	x: 0.086 m η = 29.0	x: 1.922 m η = 0.4	x: 0.086 m η = 10.0	η < 0.1	η = 1.3	η < 0.1	η < 0.1	x: 0.086 m η = 39.6	η < 0.1	η = 0.5	η < 0.1	η = 1.3	**CUMPLE η = 39.6**
N97/N82	$\lambda_w \leq \lambda_{w,máx}$ Cumple	x: 1.922 m η = 6.0	x: 0.086 m η = 8.8	x: 1.923 m η = 0.7	x: 0.086 m η = 4.0	η = 0.1	η = 0.5	η < 0.1	η < 0.1	x: 0.086 m η = 13.2	η < 0.1	η = 0.1	η = 0.1	η = 0.5	**CUMPLE η = 13.2**
N98/N83	$\lambda_w \leq \lambda_{w,máx}$ Cumple	x: 1.921 m η = 4.0	x: 0.086 m η = 5.1	x: 0.086 m η = 0.4	x: 1.922 m η = 2.5	η < 0.1	η = 0.3	η < 0.1	η < 0.1	x: 1.922 m η = 7.6	η < 0.1	η = 0.7	η < 0.1	η = 0.3	**CUMPLE η = 7.6**
N99/N84	$\lambda_w \leq \lambda_{w,máx}$ Cumple	x: 1.921 m η = 9.8	x: 0.086 m η = 18.0	x: 0.086 m η = 0.7	x: 0.086 m η = 6.8	η = 0.1	η = 0.9	η < 0.1	η < 0.1	x: 0.086 m η = 25.2	η < 0.1	η = 0.2	η = 0.1	η = 0.9	**CUMPLE η = 25.2**
N100/N85	$\lambda_w \leq \lambda_{w,máx}$ Cumple	x: 1.921 m η = 13.0	x: 0.094 m η = 22.7	x: 0.094 m η = 0.6	x: 0.094 m η = 11.7	η < 0.1	η = 1.9	η < 0.1	η < 0.1	x: 0.094 m η = 34.7	η < 0.1	η = 1.1	η < 0.1	η = 1.9	**CUMPLE η = 34.7**
N101/N86	$\lambda_w \leq \lambda_{w,máx}$ Cumple	x: 1.905 m η = 17.7	x: 0.094 m η = 31.4	x: 0.094 m η = 0.7	x: 0.094 m η = 16.0	η = 0.1	η = 2.6	η < 0.1	η < 0.1	x: 0.094 m η = 48.0	η < 0.1	η = 0.8	η = 0.1	η = 2.6	**CUMPLE η = 48.0**
N102/N87	$\lambda_w \leq \lambda_{w,máx}$ Cumple	x: 1.905 m η = 22.5	x: 0.094 m η = 40.2	x: 1.906 m η = 0.3	x: 0.094 m η = 18.7	η < 0.1	η = 3.0	η < 0.1	η < 0.1	x: 0.094 m η = 59.2	η < 0.1	η = 0.5	η < 0.1	η = 3.0	**CUMPLE η = 59.2**
N103/N88	$\lambda_w \leq \lambda_{w,máx}$ Cumple	x: 1.905 m η = 22.0	x: 0.094 m η = 39.7	x: 0.094 m η = 0.8	x: 1.906 m η = 19.8	η = 0.1	η = 3.2	η < 0.1	η < 0.1	x: 0.094 m η = 59.8	η < 0.1	η = 0.6	η = 0.1	η = 3.2	**CUMPLE η = 59.8**
N104/N89	$\lambda_w \leq \lambda_{w,máx}$ Cumple	x: 1.905 m η = 26.7	x: 0.094 m η = 48.8	x: 0.094 m η = 0.8	x: 0.094 m η = 24.5	η < 0.1	η = 3.6	η < 0.1	η < 0.1	x: 0.094 m η = 74.0	η < 0.1	η = 0.8	η < 0.1	η = 3.6	**CUMPLE η = 74.0**
N30/N14	$\lambda_w \leq \lambda_{w,máx}$ Cumple	x: 2.482 m η = 29.4	x: 0.111 m η = 22.6	x: 2.483 m η = 19.7	x: 2.483 m η = 1.1	x: 0.111 m η = 1.9	η = 0.1	η < 0.1	η < 0.1	x: 2.483 m η = 50.1	η < 0.1	η = 0.7	x: 0.111 m η = 1.9	η = 0.1	**CUMPLE η = 50.1**
N31/N15	$\lambda_w \leq \lambda_{w,máx}$ Cumple	x: 2.482 m η = 37.9	x: 0.111 m η = 28.2	x: 0.111 m η = 5.9	x: 0.111 m η = 1.3	x: 0.111 m η = 0.8	η < 0.1	η < 0.1	η < 0.1	x: 0.111 m η = 44.1	η < 0.1	η = 0.8	x: 0.111 m η = 0.8	η < 0.1	**CUMPLE η = 44.1**
N32/N16	$\lambda_w \leq \lambda_{w,máx}$ Cumple	x: 2.482 m η = 31.8	x: 0.111 m η = 23.8	x: 2.483 m η = 7.7	x: 2.483 m η = 1.2	x: 0.111 m η = 0.9	η < 0.1	η < 0.1	η < 0.1	x: 2.483 m η = 39.8	η < 0.1	η = 0.7	x: 0.111 m η = 0.9	η < 0.1	**CUMPLE η = 39.8**
N33/N17	$\lambda_w \leq \lambda_{w,máx}$ Cumple	x: 2.482 m η = 28.7	x: 0.111 m η = 21.0	x: 2.483 m η = 7.0	x: 0.111 m η = 0.9	x: 0.111 m η = 0.8	η < 0.1	η < 0.1	η < 0.1	x: 2.483 m η = 36.1	η < 0.1	η = 0.5	x: 0.111 m η = 0.8	η < 0.1	**CUMPLE η = 36.1**
N34/N18	$\lambda_w \leq \lambda_{w,máx}$ Cumple	x: 2.482 m η = 18.9	x: 0.111 m η = 11.6	x: 2.483 m η = 5.7	x: 0.111 m η = 1.0	x: 0.111 m η = 0.6	η < 0.1	η < 0.1	η < 0.1	x: 2.483 m η = 25.2	η < 0.1	η = 0.6	x: 0.111 m η = 0.6	η < 0.1	**CUMPLE η = 25.2**
N36/N20	$\lambda_w \leq \lambda_{w,máx}$ Cumple	x: 2.482 m η = 2.0	x: 0.111 m η = 2.3	x: 1.495 m η = 2.3	x: 0.111 m η = 1.0	x: 0.111 m η = 0.1	η = 0.1	η < 0.1	η < 0.1	x: 0.111 m η = 4.5	η < 0.1	η = 0.4	x: 0.111 m η = 0.1	η = 0.1	**CUMPLE η = 4.5**
N37/N21	$\lambda_w \leq \lambda_{w,máx}$ Cumple	x: 2.482 m η = 10.6	x: 0.111 m η = 18.4	x: 0.111 m η = 4.6	x: 0.111 m η = 0.9	x: 2.482 m η = 0.4	η < 0.1	η < 0.1	η < 0.1	x: 0.111 m η = 23.3	η < 0.1	η = 0.4	x: 2.482 m η = 0.4	η < 0.1	**CUMPLE η = 23.3**
N37/N23	$\lambda_w \leq \lambda_{w,máx}$ Cumple	x: 2.662 m η = 27.1	x: 0.119 m η = 24.5	x: 2.663 m η = 5.7	x: 2.662 m η = 0.6	x: 0.119 m η = 0.5	η < 0.1	η < 0.1	η < 0.1	x: 2.663 m η = 33.2	η < 0.1	η = 0.4	x: 0.119 m η = 0.5	η < 0.1	**CUMPLE η = 33.2**
N38/N24	$\lambda_w \leq \lambda_{w,máx}$ Cumple	x: 2.662 m η = 40.1	x: 0.119 m η = 36.1	x: 2.663 m η = 9.0	x: 0.119 m η = 0.8	x: 0.119 m η = 0.9	η < 0.1	η < 0.1	η < 0.1	x: 2.663 m η = 49.4	η < 0.1	x: 1.179 m η = 0.3	x: 0.119 m η = 0.9	η < 0.1	**CUMPLE η = 49.4**
N40/N26	$\lambda_w \leq \lambda_{w,máx}$ Cumple	x: 2.662 m η = 54.1	x: 0.119 m η = 44.0	x: 2.663 m η = 10.9	x: 0.119 m η = 1.1	x: 0.119 m η = 1.3	η < 0.1	η < 0.1	η < 0.1	x: 2.663 m η = 65.9	η < 0.1	η = 0.6	x: 0.119 m η = 1.3	η < 0.1	**CUMPLE η = 65.9**
N41/N27	$\lambda_w \leq \lambda_{w,máx}$ Cumple	x: 2.662 m η = 63.4	x: 0.119 m η = 50.8	x: 0.119 m η = 11.7	x: 0.119 m η = 0.8	x: 0.119 m η = 1.5	η < 0.1	η < 0.1	η < 0.1	x: 0.119 m η = 75.8	η < 0.1	η = 0.5	x: 0.119 m η = 1.5	η < 0.1	**CUMPLE η = 75.8**
N42/N28	$\lambda_w \leq \lambda_{w,máx}$ Cumple	x: 2.662 m η = 62.1	x: 0.119 m η = 50.0	x: 0.119 m η = 12.6	x: 2.662 m η = 1.0	x: 0.119 m η = 1.6	η < 0.1	η < 0.1	η < 0.1	x: 0.119 m η = 75.2	η < 0.1	η = 0.6	x: 0.119 m η = 1.6	η < 0.1	**CUMPLE η = 75.2**
N43/N29	$\lambda_w \leq \lambda_{w,máx}$ Cumple	x: 2.662 m η = 62.2	x: 0.119 m η = 49.6	x: 0.119 m η = 11.1	x: 0.119 m η = 0.9	x: 0.119 m η = 0.8	η < 0.1	η < 0.1	η < 0.1	x: 0.119 m η = 73.6	η < 0.1	η = 0.7	x: 0.119 m η = 0.8	η < 0.1	**CUMPLE η = 73.6**
N44/N9	$\lambda_w \leq \lambda_{w,máx}$ Cumple	x: 2.549 m η = 42.1	x: 0.119 m η = 73.4	x: 2.55 m η = 13.1	x: 2.55 m η = 1.6	x: 0.119 m η = 1.5	η = 0.1	η < 0.1	η < 0.1	x: 2.55 m η = 87.4	η < 0.1	η = 0.9	x: 0.119 m η = 1.5	η = 0.1	**CUMPLE η = 87.4**
N60/N8	$\lambda_w \leq \lambda_{w,máx}$ Cumple	x: 2.377 m η = 32.0	x: 0.111 m η = 25.1	x: 2.378 m η = 17.4	x: 2.378 m η = 1.6	x: 2.377 m η = 1.5	η = 0.2	η < 0.1	η < 0.1	x: 2.378 m η = 49.6	η < 0.1	η = 0.7	x: 2.377 m η = 1.5	η = 0.2	**CUMPLE η = 49.6**
N61/N45	$\lambda_w \leq \lambda_{w,máx}$ Cumple	x: 2.482 m η = 49.6	x: 0.111 m η = 36.0	x: 0.111 m η = 12.6	x: 0.111 m η = 1.2	x: 0.111 m η = 1.6	η < 0.1	η < 0.1	η < 0.1	x: 0.111 m η = 62.1	η < 0.1	η = 0.8	x: 0.111 m η = 1.6	η < 0.1	**CUMPLE η = 62.1**
N62/N46	$\lambda_w \leq \lambda_{w,máx}$ Cumple	x: 2.482 m η = 42.4	x: 0.111 m η = 31.0	x: 0.111 m η = 8.9	x: 2.483 m η = 1.1	x: 0.111 m η = 1.1	η < 0.1	η < 0.1	η < 0.1	x: 0.111 m η = 51.6	η < 0.1	η = 0.7	x: 0.111 m η = 1.1	η < 0.1	**CUMPLE η = 51.6**
N63/N47	$\lambda_w \leq \lambda_{w,máx}$ Cumple	x: 2.482 m η = 42.0	x: 0.111 m η = 30.0	x: 0.111 m η = 8.4	x: 2.483 m η = 0.6	x: 0.111 m η = 1.2	η < 0.1	η < 0.1	η < 0.1	x: 0.111 m η = 50.8	η < 0.1	η = 0.4	x: 0.111 m η = 1.2	η < 0.1	**CUMPLE η = 50.8**
N64/N48	$\lambda_w \leq \lambda_{w,máx}$ Cumple	x: 2.482 m η = 32.7	x: 0.111 m η = 23.2	x: 2.483 m η = 6.8	x: 0.111 m η = 0.8	x: 0.111 m η = 0.9	η < 0.1	η < 0.1	η < 0.1	x: 2.483 m η = 40.1	η < 0.1	η = 0.6	x: 0.111 m η = 1.0	η < 0.1	**CUMPLE η = 40.1**
N66/N50	$\lambda_w \leq \lambda_{w,máx}$ Cumple	x: 2.482 m η = 16.1	x: 0.111 m η = 8.5	x: 2.483 m η = 4.0	x: 0.111 m η = 0.5	x: 0.111 m η = 0.5	η < 0.1	η < 0.1	η < 0.1	x: 2.483 m η = 20.3	η < 0.1	η = 0.2	x: 0.111 m η = 0.5	η < 0.1	**CUMPLE η = 20.3**
N67/N51	$\lambda_w \leq \lambda_{w,máx}$ Cumple	x: 2.482 m η = 4.0	x: 0.111 m η = 0.9	x: 2.088 m η = 1.8	x: 0.111 m η = 0.7	x: 0.111 m η = 0.2	η < 0.1	η < 0.1	η < 0.1	x: 2.088 m η = 5.9	η < 0.1	η = 0.4	x: 0.111 m η = 0.2	η < 0.1	**CUMPLE η = 5.9**
N67/N53	$\lambda_w \leq \lambda_{w,máx}$ Cumple	x: 2.662 m η = 8.5	x: 0.119 m η = 7.6	x: 2.663 m η = 2.6	x: 0.119 m η = 0.6	x: 0.119 m η = 0.3	η < 0.1	η < 0.1	η < 0.1	x: 2.663 m η = 11.2	η < 0.1	η = 0.4	x: 0.119 m η = 0.3	η < 0.1	**CUMPLE η = 11.2**
N68/N54	$\lambda_w \leq \lambda_{w,máx}$ Cumple	x: 2.662 m η = 21.3	x: 0.119 m η = 21.6	x: 2.663 m η = 4.9	x: 0.119 m η = 0.5	x: 0.119 m η = 0.5	η < 0.1	η < 0.1	η < 0.1	x: 2.663 m η = 26.4	η < 0.1	η = 0.2	x: 0.119 m η = 0.5	η < 0.1	**CUMPLE η = 26.4**
N70/N56	$\lambda_w \leq \lambda_{w,máx}$ Cumple	x: 2.662 m η = 38.3	x: 0.119 m η = 32.6	x: 2.663 m η = 7.6	x: 0.119 m η = 0.7	x: 0.119 m η = 1.0	η < 0.1	η < 0.1	η < 0.1	x: 2.663 m η = 46.5	η < 0.1	η = 0.6	x: 0.119 m η = 1.0	η < 0.1	**CUMPLE η = 46.5**
N71/N57	$\lambda_w \leq \lambda_{w,máx}$ Cumple	x: 2.662 m η = 47.8	x: 0.119 m η = 39.6	x: 0.119 m η = 9.2	x: 0.119 m η = 0.6	x: 0.119 m η = 1.2	η < 0.1	η < 0.1	η < 0.1	x: 0.119 m η = 57.4	η < 0.1	η = 0.5	x: 0.119 m η = 1.2	η < 0.1	**CUMPLE η = 57.4**
N72/N58	$\lambda_w \leq \lambda_{w,máx}$ Cumple	x: 2.662 m η = 49.1	x: 0.119 m η = 40.6	x: 0.119 m η = 10.2	x: 2.662 m η = 0.9	x: 0.119 m η = 1.3	η < 0.1	η < 0.1	η < 0.1	x: 0.119 m η = 59.6	η < 0.1	η = 0.6	x: 0.119 m η = 1.3	η < 0.1	**CUMPLE η = 59.6**
N73/N59	$\lambda_w \leq \lambda_{w,máx}$ Cumple	x: 2.662 m η = 49.8	x: 0.119 m η = 40.5	x: 0.119 m η = 9.2	x: 0.119 m η = 0.9	x: 0.119 m η = 0.6	η < 0.1	η < 0.1	η < 0.1	x: 0.119 m η = 59.2	η < 0.1	η = 0.7	x: 0.119 m η = 0.6	η < 0.1	**CUMPLE η = 59.2**
N74/N11	$\lambda_w \leq \lambda_{w,máx}$ Cumple	x: 2.549 m η = 38.8	x: 0.119 m η = 70.8	x: 2.55 m η = 12.1	x: 2.55 m η = 1.5	x: 0.119 m η = 1.3	η = 0.1	η < 0.1	η < 0.1	x: 2.55 m η = 83.8	η < 0.1	η = 0.9	x: 0.119 m η = 1.3	η = 0.1	**CUMPLE η = 83.8**
N90/N10	$\lambda_w \leq \lambda_{w,máx}$ Cumple	x: 2.377 m η = 36.7	x: 0.111 m η = 29.2	x: 2.378 m η = 13.7	x: 2.378 m η = 1.7	x: 2.377 m η = 1.0	η = 0.2	η < 0.1	η < 0.1	x: 2.378 m η = 50.3	η < 0.1	η = 0.7	x: 2.377 m η = 1.0	η = 0.2	**CUMPLE η = 50.3**

Documento visado electrónicamente con número: VA07290/22
Código de validación telemática TRLTDCFZ60T66IJ1. Comprobación: https://cogitivalencia.e-gestion.es/Validacion.aspx?CVT=TRLTDCFZ60T66IJ1

VISADO
COGITI
Estado
VALENCIA
VA07290/22
TRLTDCFZ60T66IJ1

Listados

Barras	COMPROBACIONES (CÓDIGO ESTRUCTURAL)														
	λ_w	N_t	N_c	M_Y	M_Z	V_Z	V_Y	M_YV_Z	M_ZV_Y	NM_YM_Z	$NM_YM_ZV_YV_Z$	M_t	M_tV_Z	M_tV_Y	Estado
N91/N75	$\lambda_w \leq \lambda_{w,máx}$ Cumple	x: 2.482 m η = 59.6	x: 0.111 m η = 45.7	x: 0.111 m η = 13.6	x: 0.111 m η = 1.4	x: 0.111 m η = 1.8	η < 0.1	η < 0.1	η < 0.1	x: 0.111 m η = 73.5	η < 0.1	η = 0.8	x: 0.111 m η = 1.8	η < 0.1	**CUMPLE η = 73.5**
N92/N76	$\lambda_w \leq \lambda_{w,máx}$ Cumple	x: 2.482 m η = 52.3	x: 0.111 m η = 40.5	x: 0.111 m η = 10.7	x: 2.483 m η = 1.2	x: 0.111 m η = 1.4	η < 0.1	η < 0.1	η < 0.1	x: 0.111 m η = 63.4	η < 0.1	η = 0.7	x: 0.111 m η = 1.4	η < 0.1	**CUMPLE η = 63.4**
N93/N77	$\lambda_w \leq \lambda_{w,máx}$ Cumple	x: 2.482 m η = 54.0	x: 0.111 m η = 41.5	x: 2.483 m η = 10.5	x: 0.111 m η = 0.8	x: 0.111 m η = 1.4	η < 0.1	η < 0.1	η < 0.1	x: 2.483 m η = 65.0	η < 0.1	η = 0.4	x: 0.111 m η = 1.4	η < 0.1	**CUMPLE η = 65.0**
N94/N78	$\lambda_w \leq \lambda_{w,máx}$ Cumple	x: 2.482 m η = 44.8	x: 0.111 m η = 34.8	x: 2.483 m η = 9.5	x: 0.111 m η = 0.9	x: 0.111 m η = 1.2	η < 0.1	η < 0.1	η < 0.1	x: 2.483 m η = 55.0	η < 0.1	η = 0.5	x: 0.111 m η = 1.2	η < 0.1	**CUMPLE η = 55.0**
N96/N80	$\lambda_w \leq \lambda_{w,máx}$ Cumple	x: 2.482 m η = 30.3	x: 0.111 m η = 25.7	x: 2.483 m η = 7.2	x: 0.111 m η = 0.6	x: 0.111 m η = 0.7	η < 0.1	η < 0.1	η < 0.1	x: 2.483 m η = 37.7	η < 0.1	η = 0.2	x: 0.111 m η = 0.7	η < 0.1	**CUMPLE η = 37.7**
N97/N81	$\lambda_w \leq \lambda_{w,máx}$ Cumple	x: 2.482 m η = 18.3	x: 0.111 m η = 15.3	x: 2.483 m η = 4.4	x: 0.111 m η = 0.6	x: 0.111 m η = 0.4	η < 0.1	η < 0.1	η < 0.1	x: 2.483 m η = 23.0	η < 0.1	η = 0.4	x: 0.111 m η = 0.4	η < 0.1	**CUMPLE η = 23.0**
N97/N83	$\lambda_w \leq \lambda_{w,máx}$ Cumple	x: 2.662 m η = 5.3	x: 0.119 m η = 7.3	x: 0.331 m η = 3.0	x: 2.663 m η = 0.7	x: 2.662 m η = 0.2	η < 0.1	η < 0.1	η < 0.1	x: 0.331 m η = 10.6	η < 0.1	η = 0.4	x: 2.662 m η = 0.2	η < 0.1	**CUMPLE η = 10.6**
N98/N84	$\lambda_w \leq \lambda_{w,máx}$ Cumple	x: 2.662 m η = 7.5	x: 0.119 m η = 5.2	x: 2.663 m η = 3.4	x: 0.119 m η = 0.8	x: 0.119 m η = 0.3	η < 0.1	η < 0.1	η < 0.1	x: 2.663 m η = 11.0	η < 0.1	η = 0.3	x: 0.119 m η = 0.3	η < 0.1	**CUMPLE η = 11.0**
N100/N86	$\lambda_w \leq \lambda_{w,máx}$ Cumple	x: 2.662 m η = 27.2	x: 0.119 m η = 21.8	x: 2.663 m η = 7.0	x: 0.119 m η = 1.0	x: 0.119 m η = 0.7	η < 0.1	η < 0.1	η < 0.1	x: 2.663 m η = 34.8	η < 0.1	η = 0.5	x: 0.119 m η = 0.7	η < 0.1	**CUMPLE η = 34.8**
N101/N87	$\lambda_w \leq \lambda_{w,máx}$ Cumple	x: 2.662 m η = 37.4	x: 0.119 m η = 29.3	x: 2.663 m η = 8.0	x: 0.119 m η = 0.8	x: 0.119 m η = 0.9	η < 0.1	η < 0.1	η < 0.1	x: 2.663 m η = 45.8	η < 0.1	η = 0.5	x: 0.119 m η = 0.9	η < 0.1	**CUMPLE η = 45.8**
N102/N88	$\lambda_w \leq \lambda_{w,máx}$ Cumple	x: 2.662 m η = 39.3	x: 0.119 m η = 31.1	x: 2.663 m η = 8.8	x: 2.663 m η = 1.1	x: 0.119 m η = 1.1	η < 0.1	η < 0.1	η < 0.1	x: 2.663 m η = 48.7	η < 0.1	η = 0.5	x: 0.119 m η = 1.1	η < 0.1	**CUMPLE η = 48.7**
N103/N89	$\lambda_w \leq \lambda_{w,máx}$ Cumple	x: 2.662 m η = 47.6	x: 0.119 m η = 37.3	x: 0.119 m η = 6.2	x: 2.662 m η = 1.3	x: 0.119 m η = 0.8	η < 0.1	η < 0.1	η < 0.1	x: 0.119 m η = 54.3	η < 0.1	η = 0.8	x: 0.119 m η = 0.8	η < 0.1	**CUMPLE η = 54.3**
N104/N13	$\lambda_w \leq \lambda_{w,máx}$ Cumple	x: 2.549 m η = 27.5	x: 0.119 m η = 22.2	x: 0.119 m η = 15.5	x: 2.55 m η = 1.2	x: 0.119 m η = 1.7	η = 0.1	η < 0.1	η < 0.1	x: 0.119 m η = 43.3	η < 0.1	η = 0.5	x: 0.119 m η = 1.7	η = 0.1	**CUMPLE η = 43.3**
N106/N123	$\lambda_w \leq \lambda_{w,máx}$ Cumple	x: 1.889 m η = 19.7	x: 0.116 m η = 32.5	x: 1.89 m η = 1.3	x: 1.89 m η = 14.0	η = 0.1	η = 2.8	η < 0.1	η < 0.1	x: 0.116 m η = 45.8	η < 0.1	η = 1.5	η = 0.1	η = 2.8	**CUMPLE η = 45.8**
N107/N124	$\lambda_w \leq \lambda_{w,máx}$ Cumple	x: 1.889 m η = 15.5	x: 0.116 m η = 23.7	x: 0.116 m η = 2.9	x: 0.116 m η = 16.8	η = 0.3	η = 3.1	η < 0.1	η < 0.1	x: 0.116 m η = 41.0	η < 0.1	η = 0.6	η = 0.3	η = 3.2	**CUMPLE η = 41.0**
N108/N125	$\lambda_w \leq \lambda_{w,máx}$ Cumple	x: 1.893 m η = 14.8	x: 0.116 m η = 22.4	x: 0.116 m η = 0.3	x: 0.116 m η = 14.7	η < 0.1	η = 2.9	η < 0.1	η < 0.1	x: 0.116 m η = 36.9	η < 0.1	η = 0.4	η < 0.1	η = 2.9	**CUMPLE η = 36.9**
N109/N126	$\lambda_w \leq \lambda_{w,máx}$ Cumple	x: 1.893 m η = 14.1	x: 0.116 m η = 25.4	x: 1.893 m η = 0.4	x: 0.116 m η = 12.5	η < 0.1	η = 1.9	η < 0.1	η < 0.1	x: 0.116 m η = 38.1	η < 0.1	η = 0.6	η < 0.1	η = 1.9	**CUMPLE η = 38.1**
N110/N127	$\lambda_w \leq \lambda_{w,máx}$ Cumple	x: 1.893 m η = 9.4	x: 0.116 m η = 14.0	x: 0.116 m η = 0.8	x: 0.116 m η = 8.1	η < 0.1	η = 1.2	η < 0.1	η < 0.1	x: 0.116 m η = 22.4	η < 0.1	η = 1.2	η < 0.1	η = 1.2	**CUMPLE η = 22.4**
N111/N128	$\lambda_w \leq \lambda_{w,máx}$ Cumple	x: 1.893 m η = 6.3	x: 0.116 m η = 9.0	x: 1.894 m η = 0.4	x: 0.116 m η = 3.9	η = 0.1	η = 0.5	η < 0.1	η < 0.1	x: 0.116 m η = 13.0	η < 0.1	η = 0.2	η = 0.1	η = 0.5	**CUMPLE η = 13.0**
N112/N129	$\lambda_w \leq \lambda_{w,máx}$ Cumple	x: 1.893 m η = 2.3	x: 0.116 m η = 1.5	x: 0.116 m η = 0.8	x: 1.894 m η = 2.0	η < 0.1	η = 0.3	η < 0.1	η < 0.1	x: 1.894 m η = 4.8	η < 0.1	η = 1.0	η < 0.1	η = 0.3	**CUMPLE η = 4.8**
N113/N130	$\lambda_w \leq \lambda_{w,máx}$ Cumple	x: 1.893 m η = 7.3	x: 0.116 m η = 10.3	x: 1.894 m η = 0.3	x: 0.116 m η = 11.9	η < 0.1	η = 1.9	η < 0.1	η < 0.1	x: 0.116 m η = 22.3	η < 0.1	x: 1.005 m η = 0.3	η < 0.1	η = 1.9	**CUMPLE η = 22.3**
N114/N131	$\lambda_w \leq \lambda_{w,máx}$ Cumple	x: 1.893 m η = 23.8	x: 0.116 m η = 40.8	x: 0.116 m η = 0.5	x: 0.116 m η = 24.6	η < 0.1	η = 4.0	η < 0.1	η < 0.1	x: 0.116 m η = 65.8	η < 0.1	x: 1.005 m η = 0.8	η < 0.1	η = 4.0	**CUMPLE η = 65.8**
N115/N132	$\lambda_w \leq \lambda_{w,máx}$ Cumple	x: 1.893 m η = 31.4	x: 0.116 m η = 54.1	x: 1.894 m η = 0.3	x: 1.894 m η = 30.1	η < 0.1	η = 4.9	η < 0.1	η < 0.1	x: 1.894 m η = 84.6	η < 0.1	η = 0.4	η < 0.1	η = 4.9	**CUMPLE η = 84.6**
N116/N133	$\lambda_w \leq \lambda_{w,máx}$ Cumple	x: 1.893 m η = 26.6	x: 0.116 m η = 46.9	x: 1.893 m η = 0.5	x: 1.894 m η = 28.8	η < 0.1	η = 4.5	η < 0.1	η < 0.1	x: 0.116 m η = 76.1	η < 0.1	η = 1.1	η < 0.1	η = 4.6	**CUMPLE η = 76.1**
N117/N134	$\lambda_w \leq \lambda_{w,máx}$ Cumple	x: 1.893 m η = 30.8	x: 0.116 m η = 54.7	x: 1.893 m η = 0.4	x: 0.116 m η = 33.0	η < 0.1	η = 5.2	η < 0.1	η < 0.1	x: 0.116 m η = 88.1	η < 0.1	η = 1.1	η < 0.1	η = 5.2	**CUMPLE η = 88.1**
N118/N135	$\lambda_w \leq \lambda_{w,máx}$ Cumple	x: 1.893 m η = 27.6	x: 0.117 m η = 45.9	x: 0.117 m η = 0.4	x: 1.894 m η = 33.4	η < 0.1	η = 6.6	η < 0.1	η < 0.1	x: 1.894 m η = 77.9	η < 0.1	η = 0.7	η < 0.1	η = 6.7	**CUMPLE η = 77.9**
N119/N136	$\lambda_w \leq \lambda_{w,máx}$ Cumple	x: 1.882 m η = 25.9	x: 0.117 m η = 43.7	x: 0.117 m η = 1.5	x: 0.117 m η = 38.4	η = 0.1	η = 7.2	η < 0.1	η < 0.1	x: 0.117 m η = 80.5	η < 0.1	η = 0.4	η = 0.1	η = 7.2	**CUMPLE η = 80.5**
N120/N137	$\lambda_w \leq \lambda_{w,máx}$ Cumple	x: 1.882 m η = 29.7	x: 0.175 m η = 49.9	x: 0.175 m η = 1.6	x: 0.175 m η = 10.3	η = 0.2	η = 1.7	η < 0.1	η < 0.1	x: 0.175 m η = 59.9	η < 0.1	η = 0.4	η = 0.2	η = 1.7	**CUMPLE η = 59.9**
N140/N156	$\lambda_w \leq \lambda_{w,máx}$ Cumple	x: 1.889 m η = 20.5	x: 0.116 m η = 36.8	x: 0.116 m η = 2.9	x: 1.89 m η = 20.5	η = 0.2	η = 3.7	η < 0.1	η < 0.1	x: 1.89 m η = 56.4	η < 0.1	η = 0.6	η = 0.2	η = 3.7	**CUMPLE η = 56.4**
N141/N157	$\lambda_w \leq \lambda_{w,máx}$ Cumple	x: 1.889 m η = 20.9	x: 0.116 m η = 36.2	x: 0.116 m η = 2.8	x: 0.116 m η = 19.9	η = 0.3	η = 3.8	η < 0.1	η < 0.1	x: 0.116 m η = 55.5	η < 0.1	η = 0.2	η = 0.3	η = 3.8	**CUMPLE η = 55.5**
N142/N158	$\lambda_w \leq \lambda_{w,máx}$ Cumple	x: 1.893 m η = 20.5	x: 0.116 m η = 35.5	x: 0.116 m η = 0.5	x: 1.894 m η = 20.8	η < 0.1	η = 4.2	η < 0.1	η < 0.1	x: 1.894 m η = 55.7	η < 0.1	η = 0.6	η < 0.1	η = 4.2	**CUMPLE η = 55.7**
N143/N159	$\lambda_w \leq \lambda_{w,máx}$ Cumple	x: 1.893 m η = 21.6	x: 0.116 m η = 40.0	x: 1.893 m η = 0.3	x: 0.116 m η = 19.2	η < 0.1	η = 3.0	η < 0.1	η < 0.1	x: 0.116 m η = 59.4	η < 0.1	η = 0.8	η < 0.1	η = 3.0	**CUMPLE η = 59.4**
N144/N160	$\lambda_w \leq \lambda_{w,máx}$ Cumple	x: 1.893 m η = 17.0	x: 0.116 m η = 31.5	x: 0.116 m η = 0.5	x: 0.116 m η = 15.3	η < 0.1	η = 2.4	η < 0.1	η < 0.1	x: 0.116 m η = 47.0	η < 0.1	η = 0.7	η < 0.1	η = 2.4	**CUMPLE η = 47.0**
N145/N161	$\lambda_w \leq \lambda_{w,máx}$ Cumple	x: 1.893 m η = 17.2	x: 0.116 m η = 31.7	x: 1.894 m η = 0.3	x: 0.116 m η = 13.5	η < 0.1	η = 2.2	η < 0.1	η < 0.1	x: 0.116 m η = 45.4	η < 0.1	η = 0.1	η < 0.1	η = 2.2	**CUMPLE η = 45.4**
N146/N162	$\lambda_w \leq \lambda_{w,máx}$ Cumple	x: 1.893 m η = 9.7	x: 0.116 m η = 15.6	x: 0.116 m η = 0.4	x: 0.116 m η = 8.7	η < 0.1	η = 1.4	η < 0.1	η < 0.1	x: 0.116 m η = 24.5	η < 0.1	η = 0.5	η < 0.1	η = 1.4	**CUMPLE η = 24.5**
N147/N163	$\lambda_w \leq \lambda_{w,máx}$ Cumple	x: 1.893 m η = 7.6	x: 0.116 m η = 10.9	x: 1.893 m η = 0.2	x: 1.894 m η = 1.6	η < 0.1	η = 0.3	η < 0.1	η < 0.1	x: 1.894 m η = 12.1	η < 0.1	η = 0.1	η < 0.1	η = 0.3	**CUMPLE η = 12.1**
N148/N164	$\lambda_w \leq \lambda_{w,máx}$ Cumple	x: 1.893 m η = 13.8	x: 0.116 m η = 21.2	x: 0.116 m η = 0.3	x: 0.116 m η = 11.6	η < 0.1	η = 1.9	η < 0.1	η < 0.1	x: 0.116 m η = 33.0	η < 0.1	η = 0.6	η < 0.1	η = 1.9	**CUMPLE η = 33.0**
N149/N165	$\lambda_w \leq \lambda_{w,máx}$ Cumple	x: 1.893 m η = 21.2	x: 0.116 m η = 34.2	x: 1.894 m η = 0.3	x: 0.116 m η = 17.7	η < 0.1	η = 2.9	η < 0.1	η < 0.1	x: 0.116 m η = 52.1	η < 0.1	η = 0.2	η < 0.1	η = 2.9	**CUMPLE η = 52.1**
N150/N166	$\lambda_w \leq \lambda_{w,máx}$ Cumple	x: 1.893 m η = 19.7	x: 0.116 m η = 33.2	x: 0.116 m η = 0.4	x: 0.116 m η = 19.6	η < 0.1	η = 3.1	η < 0.1	η < 0.1	x: 0.116 m η = 52.9	η < 0.1	η = 0.8	η < 0.1	η = 3.1	**CUMPLE η = 52.9**
N151/N167	$\lambda_w \leq \lambda_{w,máx}$ Cumple	x: 1.893 m η = 24.1	x: 0.116 m η = 41.4	x: 1.893 m η = 0.3	x: 0.116 m η = 24.4	η < 0.1	η = 3.8	η < 0.1	η < 0.1	x: 0.116 m η = 66.0	η < 0.1	η = 0.8	η < 0.1	η = 3.8	**CUMPLE η = 66.0**
N152/N168	$\lambda_w \leq \lambda_{w,máx}$ Cumple	x: 1.893 m η = 22.4	x: 0.117 m η = 36.3	x: 0.117 m η = 0.3	x: 1.894 m η = 25.7	η < 0.1	η = 5.1	η < 0.1	η < 0.1	x: 1.894 m η = 61.1	η < 0.1	η = 0.6	η < 0.1	η = 5.1	**CUMPLE η = 61.1**
N153/N169	$\lambda_w \leq \lambda_{w,máx}$ Cumple	x: 1.882 m η = 21.7	x: 0.117 m η = 35.8	x: 0.117 m η = 1.6	x: 0.117 m η = 32.0	η = 0.1	η = 5.9	η < 0.1	η < 0.1	x: 0.117 m η = 66.7	η < 0.1	η = 0.3	η = 0.1	η = 6.0	**CUMPLE η = 66.7**
N154/N170	$\lambda_w \leq \lambda_{w,máx}$ Cumple	x: 1.882 m η = 25.4	x: 0.175 m η = 42.0	x: 0.175 m η = 1.7	x: 0.175 m η = 14.1	η = 0.2	η = 2.5	η < 0.1	η < 0.1	x: 0.175 m η = 55.6	η < 0.1	η = 0.5	η = 0.2	η = 2.5	**CUMPLE η = 55.6**

Documento visado electrónicamente con número VA07290/22
Código de validación telemática TRLTDCFZ60T66IJ1. Comprobación: https://cogitivalencia.e-gestion.es/Validacion.aspx?CVT=TRLTDCFZ60T66IJ1

Listados

VISADO
COGITI
Estado
VALENCIA
VA07290/22
TRLTDCFZ60T66IJ1

Barras	COMPROBACIONES (CÓDIGO ESTRUCTURAL)														
	λ_w	N_t	N_c	M_Y	M_Z	V_Z	V_Y	M_YV_Z	M_ZV_Y	NM_YM_Z	$NM_YM_ZV_YV_Z$	M_t	M_tV_Z	M_tV_Y	
N179/N194	$\lambda_w \leq \lambda_{w,máx}$ Cumple	x: 1.889 m η = 25.1	x: 0.116 m η = 43.1	x: 0.116 m η = 3.3	x: 1.89 m η = 24.2	η = 0.3	η = 4.5	η < 0.1	η < 0.1	x: 1.89 m η = 66.3	η < 0.1	η = 0.7	η = 0.3	η = 4.5	**CUMPLE η = 66.3**
N180/N195	$\lambda_w \leq \lambda_{w,máx}$ Cumple	x: 1.889 m η = 25.1	x: 0.116 m η = 42.2	x: 0.116 m η = 3.4	x: 0.116 m η = 23.5	η = 0.3	η = 4.5	η < 0.1	η < 0.1	x: 0.116 m η = 65.2	η < 0.1	η = 0.4	η = 0.3	η = 4.5	**CUMPLE η = 65.2**
N181/N196	$\lambda_w \leq \lambda_{w,máx}$ Cumple	x: 1.893 m η = 25.6	x: 0.116 m η = 42.8	x: 0.116 m η = 0.6	x: 1.894 m η = 25.7	η < 0.1	η = 5.1	η < 0.1	η < 0.1	x: 1.894 m η = 67.5	η < 0.1	η = 0.7	η < 0.1	η = 5.2	**CUMPLE η = 67.5**
N182/N197	$\lambda_w \leq \lambda_{w,máx}$ Cumple	x: 1.893 m η = 28.1	x: 0.116 m η = 50.2	x: 1.893 m η = 0.5	x: 0.116 m η = 24.8	η < 0.1	η = 3.9	η < 0.1	η < 0.1	x: 0.116 m η = 75.3	η < 0.1	η = 1.0	η < 0.1	η = 3.9	**CUMPLE η = 75.3**
N183/N198	$\lambda_w \leq \lambda_{w,máx}$ Cumple	x: 1.893 m η = 23.7	x: 0.116 m η = 42.1	x: 0.116 m η = 0.6	x: 0.116 m η = 21.3	η < 0.1	η = 3.3	η < 0.1	η < 0.1	x: 0.116 m η = 63.7	η < 0.1	η = 1.0	η < 0.1	η = 3.4	**CUMPLE η = 63.7**
N184/N199	$\lambda_w \leq \lambda_{w,máx}$ Cumple	x: 1.893 m η = 27.1	x: 0.116 m η = 47.0	x: 1.894 m η = 0.4	x: 0.116 m η = 21.4	η = 0.1	η = 3.5	η < 0.1	η < 0.1	x: 0.116 m η = 68.8	η < 0.1	η = 0.3	η = 0.1	η = 3.5	**CUMPLE η = 68.8**
N185/N200	$\lambda_w \leq \lambda_{w,máx}$ Cumple	x: 1.893 m η = 19.6	x: 0.116 m η = 33.8	x: 0.116 m η = 0.5	x: 0.116 m η = 17.0	η < 0.1	η = 2.7	η < 0.1	η < 0.1	x: 0.116 m η = 51.2	η < 0.1	η = 0.6	η < 0.1	η = 2.7	**CUMPLE η = 51.2**
N186/N201	$\lambda_w \leq \lambda_{w,máx}$ Cumple	x: 1.893 m η = 7.7	x: 0.116 m η = 10.8	x: 1.894 m η = 0.2	x: 0.116 m η = 7.5	η < 0.1	η = 1.1	η < 0.1	η < 0.1	x: 0.116 m η = 18.4	η < 0.1	η = 0.2	η < 0.1	η = 1.1	**CUMPLE η = 18.4**
N187/N202	$\lambda_w \leq \lambda_{w,máx}$ Cumple	x: 1.893 m η = 4.7	x: 0.116 m η = 5.7	x: 0.116 m η = 0.5	x: 1.894 m η = 3.0	η < 0.1	η = 0.5	η < 0.1	η < 0.1	x: 1.894 m η = 8.7	η < 0.1	η = 0.9	η < 0.1	η = 0.5	**CUMPLE η = 8.7**
N188/N203	$\lambda_w \leq \lambda_{w,máx}$ Cumple	x: 1.893 m η = 11.8	x: 0.116 m η = 16.4	x: 1.894 m η = 0.3	x: 0.116 m η = 9.4	η = 0.1	η = 1.5	η < 0.1	η < 0.1	x: 0.116 m η = 26.0	η < 0.1	η = 0.2	η = 0.1	η = 1.5	**CUMPLE η = 26.0**
N189/N204	$\lambda_w \leq \lambda_{w,máx}$ Cumple	x: 1.893 m η = 13.2	x: 0.116 m η = 22.8	x: 1.893 m η = 0.5	x: 1.894 m η = 13.4	η < 0.1	η = 2.1	η < 0.1	η < 0.1	x: 0.116 m η = 36.3	η < 0.1	η = 1.2	η < 0.1	η = 2.1	**CUMPLE η = 36.3**
N190/N205	$\lambda_w \leq \lambda_{w,máx}$ Cumple	x: 1.893 m η = 17.7	x: 0.116 m η = 31.1	x: 1.893 m η = 0.3	x: 0.116 m η = 18.5	η < 0.1	η = 2.9	η < 0.1	η < 0.1	x: 0.116 m η = 49.7	η < 0.1	η = 0.8	η < 0.1	η = 2.9	**CUMPLE η = 49.7**
N191/N206	$\lambda_w \leq \lambda_{w,máx}$ Cumple	x: 1.893 m η = 17.6	x: 0.117 m η = 29.1	x: 0.117 m η = 0.3	x: 1.894 m η = 21.2	η < 0.1	η = 4.3	η < 0.1	η < 0.1	x: 0.117 m η = 49.7	η < 0.1	η = 0.4	η < 0.1	η = 4.3	**CUMPLE η = 49.7**
N192/N207	$\lambda_w \leq \lambda_{w,máx}$ Cumple	x: 1.882 m η = 17.4	x: 0.117 m η = 29.2	x: 0.117 m η = 2.3	x: 1.883 m η = 20.5	η = 0.2	η = 4.0	η < 0.1	η < 0.1	x: 0.117 m η = 49.5	η < 0.1	η = 0.4	η = 0.2	η = 4.1	**CUMPLE η = 49.5**
N193/N208	$\lambda_w \leq \lambda_{w,máx}$ Cumple	x: 1.882 m η = 22.2	x: 0.117 m η = 37.7	x: 0.117 m η = 1.1	x: 0.117 m η = 31.2	η < 0.1	η = 5.5	η < 0.1	η < 0.1	x: 0.117 m η = 67.8	η < 0.1	η = 1.2	η < 0.1	η = 5.5	**CUMPLE η = 67.8**
N106/N122	$\lambda_w \leq \lambda_{w,máx}$ Cumple	x: 2.445 m η = 35.4	x: 0.149 m η = 25.8	x: 2.446 m η = 16.8	x: 0.149 m η = 1.7	x: 0.149 m η = 2.1	η = 0.1	η < 0.1	η < 0.1	x: 2.446 m η = 52.0	η < 0.1	η = 0.1	x: 0.149 m η = 2.1	η = 0.1	**CUMPLE η = 52.0**
N107/N123	$\lambda_w \leq \lambda_{w,máx}$ Cumple	x: 2.445 m η = 35.3	x: 0.149 m η = 22.5	x: 2.446 m η = 7.4	x: 2.446 m η = 2.6	x: 0.149 m η = 1.2	η = 0.2	η < 0.1	η < 0.1	x: 2.446 m η = 43.6	η < 0.1	η = 1.1	x: 0.149 m η = 1.2	η = 0.2	**CUMPLE η = 43.6**
N108/N124	$\lambda_w \leq \lambda_{w,máx}$ Cumple	x: 2.445 m η = 30.0	x: 0.149 m η = 19.5	x: 2.446 m η = 7.8	x: 2.446 m η = 0.7	x: 0.149 m η = 1.1	η < 0.1	η < 0.1	η < 0.1	x: 2.446 m η = 37.8	η < 0.1	η = 1.0	x: 0.149 m η = 1.1	η < 0.1	**CUMPLE η = 37.8**
N109/N125	$\lambda_w \leq \lambda_{w,máx}$ Cumple	x: 2.445 m η = 34.2	x: 0.149 m η = 26.3	x: 2.446 m η = 6.9	x: 0.149 m η = 0.9	x: 0.149 m η = 0.8	η = 0.1	η < 0.1	η < 0.1	x: 2.446 m η = 41.3	η < 0.1	η = 0.5	x: 0.149 m η = 0.8	η = 0.1	**CUMPLE η = 41.3**
N110/N126	$\lambda_w \leq \lambda_{w,máx}$ Cumple	x: 2.445 m η = 23.2	x: 0.149 m η = 15.1	x: 2.446 m η = 7.0	x: 0.149 m η = 1.1	x: 0.149 m η = 0.7	η < 0.1	η < 0.1	η < 0.1	x: 2.446 m η = 30.7	η < 0.1	η = 0.6	x: 0.149 m η = 0.7	η < 0.1	**CUMPLE η = 30.7**
N112/N128	$\lambda_w \leq \lambda_{w,máx}$ Cumple	x: 2.445 m η = 2.5	x: 0.149 m η = 2.9	x: 1.106 m η = 3.0	x: 0.149 m η = 1.4	x: 0.149 m η = 0.1	η = 0.1	η < 0.1	η < 0.1	x: 0.723 m η = 6.4	η < 0.1	η = 0.5	x: 0.149 m η = 0.1	η = 0.1	**CUMPLE η = 6.4**
N113/N129	$\lambda_w \leq \lambda_{w,máx}$ Cumple	x: 2.445 m η = 16.5	x: 0.149 m η = 28.0	x: 0.149 m η = 7.5	x: 2.446 m η = 1.1	x: 2.445 m η = 0.6	x: 1.68 m η = 0.1	η < 0.1	η < 0.1	x: 0.149 m η = 35.8	η < 0.1	η = 0.4	x: 2.445 m η = 0.6	x: 1.68 m η = 0.1	**CUMPLE η = 35.8**
N113/N131	$\lambda_w \leq \lambda_{w,máx}$ Cumple	x: 2.622 m η = 40.5	x: 0.16 m η = 33.2	x: 2.623 m η = 10.1	x: 2.623 m η = 0.9	x: 0.16 m η = 1.0	η = 0.1	η < 0.1	η < 0.1	x: 2.623 m η = 51.1	η < 0.1	η = 0.4	x: 0.16 m η = 1.0	η = 0.1	**CUMPLE η = 51.1**
N114/N132	$\lambda_w \leq \lambda_{w,máx}$ Cumple	x: 2.622 m η = 59.3	x: 0.16 m η = 49.0	x: 2.623 m η = 14.5	x: 0.16 m η = 1.1	x: 0.16 m η = 1.6	η = 0.1	η < 0.1	η < 0.1	x: 2.623 m η = 73.9	η < 0.1	x: 0.981 m η = 0.3	x: 0.16 m η = 1.6	η = 0.1	**CUMPLE η = 73.9**
N116/N134	$\lambda_w \leq \lambda_{w,máx}$ Cumple	x: 2.622 m η = 69.6	x: 0.16 m η = 57.5	x: 2.623 m η = 14.3	x: 0.16 m η = 1.0	x: 0.16 m η = 1.7	η < 0.1	η < 0.1	η < 0.1	x: 2.623 m η = 84.7	η < 0.1	η = 0.5	x: 0.16 m η = 1.7	η < 0.1	**CUMPLE η = 84.7**
N117/N135	$\lambda_w \leq \lambda_{w,máx}$ Cumple	x: 2.622 m η = 78.7	x: 0.16 m η = 64.2	x: 0.16 m η = 13.1	x: 0.16 m η = 1.0	x: 0.16 m η = 1.6	η = 0.1	η < 0.1	η < 0.1	x: 0.16 m η = 92.6	η < 0.1	η = 0.5	x: 0.16 m η = 1.6	η = 0.1	**CUMPLE η = 92.6**
N118/N136	$\lambda_w \leq \lambda_{w,máx}$ Cumple	x: 2.622 m η = 60.8	x: 0.16 m η = 46.3	x: 0.16 m η = 13.1	x: 0.16 m η = 1.2	x: 0.16 m η = 1.9	η < 0.1	η < 0.1	η < 0.1	x: 0.16 m η = 74.6	η < 0.1	η = 0.8	x: 0.16 m η = 1.9	η < 0.1	**CUMPLE η = 74.6**
N119/N137	$\lambda_w \leq \lambda_{w,máx}$ Cumple	x: 2.622 m η = 53.5	x: 0.16 m η = 40.5	x: 0.16 m η = 14.3	x: 2.623 m η = 0.8	x: 0.16 m η = 1.3	η < 0.1	η < 0.1	η < 0.1	x: 0.16 m η = 67.7	η < 0.1	η = 0.8	x: 0.16 m η = 1.3	η < 0.1	**CUMPLE η = 67.7**
N120/N138	$\lambda_w \leq \lambda_{w,máx}$ Cumple	x: 2.549 m η = 49.6	x: 0.16 m η = 83.3	x: 2.55 m η = 12.9	x: 2.55 m η = 1.0	x: 0.16 m η = 1.7	η = 0.1	η < 0.1	η < 0.1	x: 2.55 m η = 95.5	η < 0.1	η = 0.3	x: 0.16 m η = 1.7	η = 0.1	**CUMPLE η = 95.5**
N140/N121	$\lambda_w \leq \lambda_{w,máx}$ Cumple	x: 2.377 m η = 41.5	x: 0.149 m η = 32.1	x: 2.378 m η = 15.9	x: 2.378 m η = 0.9	x: 2.377 m η = 1.5	η = 0.1	η < 0.1	η < 0.1	x: 2.378 m η = 57.7	η < 0.1	η = 1.3	x: 2.377 m η = 1.5	η = 0.1	**CUMPLE η = 57.7**
N141/N156	$\lambda_w \leq \lambda_{w,máx}$ Cumple	x: 2.445 m η = 48.4	x: 0.149 m η = 34.1	x: 0.149 m η = 14.2	x: 2.446 m η = 1.1	x: 0.149 m η = 2.2	η = 0.1	η < 0.1	η < 0.1	x: 0.149 m η = 62.4	η < 0.1	η = 1.1	x: 0.149 m η = 2.2	η = 0.1	**CUMPLE η = 62.4**
N142/N157	$\lambda_w \leq \lambda_{w,máx}$ Cumple	x: 2.445 m η = 42.4	x: 0.149 m η = 30.5	x: 0.149 m η = 10.0	x: 0.149 m η = 1.2	x: 0.149 m η = 1.5	η < 0.1	η < 0.1	η < 0.1	x: 0.149 m η = 52.7	η < 0.1	η = 0.9	x: 0.149 m η = 1.5	η < 0.1	**CUMPLE η = 52.7**
N143/N158	$\lambda_w \leq \lambda_{w,máx}$ Cumple	x: 2.445 m η = 53.9	x: 0.149 m η = 40.7	x: 0.149 m η = 9.4	x: 0.149 m η = 0.6	x: 0.149 m η = 1.2	η < 0.1	η < 0.1	η < 0.1	x: 0.149 m η = 63.8	η < 0.1	η = 0.4	x: 0.149 m η = 1.2	η < 0.1	**CUMPLE η = 63.8**
N144/N159	$\lambda_w \leq \lambda_{w,máx}$ Cumple	x: 2.445 m η = 43.4	x: 0.149 m η = 32.9	x: 2.446 m η = 9.1	x: 0.149 m η = 0.7	x: 0.149 m η = 1.2	η < 0.1	η < 0.1	η < 0.1	x: 2.446 m η = 53.1	η < 0.1	η = 0.5	x: 0.149 m η = 1.2	η < 0.1	**CUMPLE η = 53.1**
N146/N161	$\lambda_w \leq \lambda_{w,máx}$ Cumple	x: 2.445 m η = 25.1	x: 0.149 m η = 14.8	x: 2.446 m η = 6.8	x: 0.149 m η = 0.8	x: 0.149 m η = 0.9	η < 0.1	η < 0.1	η < 0.1	x: 2.446 m η = 32.0	η < 0.1	η = 0.2	x: 0.149 m η = 0.9	η < 0.1	**CUMPLE η = 32.0**
N147/N162	$\lambda_w \leq \lambda_{w,máx}$ Cumple	x: 2.445 m η = 6.2	x: 0.149 m η = 1.7	x: 2.446 m η = 3.2	x: 2.446 m η = 0.7	x: 0.149 m η = 0.3	η < 0.1	η < 0.1	η < 0.1	x: 2.446 m η = 9.7	η < 0.1	η = 0.4	x: 0.149 m η = 0.3	η < 0.1	**CUMPLE η = 9.7**
N147/N164	$\lambda_w \leq \lambda_{w,máx}$ Cumple	x: 2.622 m η = 11.2	x: 0.16 m η = 9.4	x: 2.623 m η = 4.3	x: 2.623 m η = 0.7	x: 0.16 m η = 0.4	η < 0.1	η < 0.1	η < 0.1	x: 2.623 m η = 15.8	η < 0.1	η = 0.4	x: 0.16 m η = 0.4	η < 0.1	**CUMPLE η = 15.8**
N148/N165	$\lambda_w \leq \lambda_{w,máx}$ Cumple	x: 2.622 m η = 30.7	x: 0.16 m η = 27.7	x: 2.623 m η = 7.9	x: 0.16 m η = 0.7	x: 0.16 m η = 0.9	η < 0.1	η < 0.1	η < 0.1	x: 2.623 m η = 38.6	η < 0.1	η = 0.2	x: 0.16 m η = 0.9	η < 0.1	**CUMPLE η = 38.6**
N150/N167	$\lambda_w \leq \lambda_{w,máx}$ Cumple	x: 2.622 m η = 49.3	x: 0.16 m η = 42.3	x: 2.623 m η = 10.0	x: 0.16 m η = 0.6	x: 0.16 m η = 1.3	x: 1.597 m η < 0.1	η < 0.1	η < 0.1	x: 2.623 m η = 59.8	η < 0.1	η = 0.5	x: 0.16 m η = 1.3	x: 1.597 m η < 0.1	**CUMPLE η = 59.8**
N151/N168	$\lambda_w \leq \lambda_{w,máx}$ Cumple	x: 2.622 m η = 59.6	x: 0.16 m η = 50.0	x: 0.16 m η = 10.3	x: 0.16 m η = 0.6	x: 0.16 m η = 1.3	η < 0.1	η < 0.1	η < 0.1	x: 0.16 m η = 70.4	η < 0.1	η = 0.5	x: 0.16 m η = 1.3	η < 0.1	**CUMPLE η = 70.4**
N152/N169	$\lambda_w \leq \lambda_{w,máx}$ Cumple	x: 2.622 m η = 48.4	x: 0.16 m η = 37.7	x: 0.16 m η = 10.7	x: 0.16 m η = 1.1	x: 0.16 m η = 1.5	η < 0.1	η < 0.1	η < 0.1	x: 0.16 m η = 59.5	η < 0.1	η = 0.8	x: 0.16 m η = 1.5	η < 0.1	**CUMPLE η = 59.5**
N153/N170	$\lambda_w \leq \lambda_{w,máx}$ Cumple	x: 2.622 m η = 42.4	x: 0.16 m η = 32.6	x: 0.16 m η = 12.1	x: 2.623 m η = 0.8	x: 0.16 m η = 1.0	η = 0.1	η < 0.1	η < 0.1	x: 0.16 m η = 54.5	η < 0.1	η = 0.8	x: 0.16 m η = 1.0	η = 0.1	**CUMPLE η = 54.5**
N154/N171	$\lambda_w \leq \lambda_{w,máx}$ Cumple	x: 2.549 m η = 48.2	x: 0.16 m η = 82.5	x: 2.55 m η = 12.0	x: 2.55 m η = 1.2	x: 0.16 m η = 1.5	η = 0.1	η < 0.1	η < 0.1	x: 2.55 m η = 93.7	η < 0.1	η = 0.3	x: 0.16 m η = 1.5	η = 0.1	**CUMPLE η = 93.7**

Documento visado electrónicamente con número: VA07290/22
Código de validación telemática TRLTDCFZ60T66IJ1. Comprobación: https://cogitivalencia.e-gestion.es/Validacion.aspx?CVT=TRLTDCFZ60T66IJ1

VISADO
COGITI
TRLTDCFZ60T66IJ1
VALENCIA
VA07290/22
Documento visado electrónicamente con número VA07290/22
Código de validación telemática TRLTDCFZ60T66IJ1. Comprobación: https://cogitivalencia.e-gestion.es/Validacion.aspx?CVT=TRLTDCFZ60T66IJ1

Barras	COMPROBACIONES (CÓDIGO ESTRUCTURAL)														Estado
	λ_w	N_t	N_c	M_Y	M_Z	V_Z	V_Y	M_YV_Z	M_ZV_Y	NM_YM_Z	$NM_YM_ZV_YV_Z$	M_t	M_tV_Z	M_tV_Y	
N179/N155	$\lambda_w \leq \lambda_{w,máx}$ Cumple	x: 2.377 m η = 45.3	x: 0.149 m η = 34.5	x: 2.378 m η = 12.3	x: 2.378 m η = 0.9	x: 2.377 m η = 1.0	η = 0.1	η < 0.1	η < 0.1	x: 2.378 m η = 57.7	η < 0.1	η = 1.5	x: 2.377 m η = 1.0	η = 0.1	**CUMPLE** **η = 57.7**
N180/N194	$\lambda_w \leq \lambda_{w,máx}$ Cumple	x: 2.445 m η = 57.0	x: 0.149 m η = 41.8	x: 0.149 m η = 15.0	x: 2.446 m η = 1.3	x: 0.149 m η = 2.3	η = 0.1	η < 0.1	η < 0.1	x: 0.149 m η = 71.9	η < 0.1	η = 1.2	x: 0.149 m η = 2.3	η = 0.1	**CUMPLE** **η = 71.9**
N181/N195	$\lambda_w \leq \lambda_{w,máx}$ Cumple	x: 2.445 m η = 51.2	x: 0.149 m η = 38.1	x: 0.149 m η = 11.6	x: 0.149 m η = 1.3	x: 0.149 m η = 1.8	η = 0.1	η < 0.1	η < 0.1	x: 0.149 m η = 63.2	η < 0.1	η = 0.9	x: 0.149 m η = 1.8	η = 0.1	**CUMPLE** **η = 63.2**
N182/N196	$\lambda_w \leq \lambda_{w,máx}$ Cumple	x: 2.445 m η = 67.6	x: 0.149 m η = 53.4	x: 0.149 m η = 11.2	x: 0.149 m η = 0.9	x: 0.149 m η = 1.5	η < 0.1	η < 0.1	η < 0.1	x: 0.149 m η = 79.5	η < 0.1	η = 0.4	x: 0.149 m η = 1.5	η < 0.1	**CUMPLE** **η = 79.5**
N183/N197	$\lambda_w \leq \lambda_{w,máx}$ Cumple	x: 2.445 m η = 57.9	x: 0.149 m η = 46.3	x: 2.446 m η = 12.2	x: 0.149 m η = 1.0	x: 0.149 m η = 1.6	η < 0.1	η < 0.1	η < 0.1	x: 2.446 m η = 70.9	η < 0.1	η = 0.4	x: 0.149 m η = 1.6	η < 0.1	**CUMPLE** **η = 70.9**
N185/N199	$\lambda_w \leq \lambda_{w,máx}$ Cumple	x: 2.445 m η = 45.6	x: 0.149 m η = 36.4	x: 2.446 m η = 11.6	x: 0.149 m η = 0.9	x: 0.149 m η = 1.4	η = 0.1	η < 0.1	η < 0.1	x: 2.446 m η = 57.3	η < 0.1	η = 0.2	x: 0.149 m η = 1.4	η = 0.1	**CUMPLE** **η = 57.3**
N186/N200	$\lambda_w \leq \lambda_{w,máx}$ Cumple	x: 2.445 m η = 27.8	x: 0.149 m η = 21.8	x: 2.446 m η = 7.7	x: 2.446 m η = 0.9	x: 0.149 m η = 0.8	η = 0.1	η < 0.1	η < 0.1	x: 2.446 m η = 36.0	η < 0.1	η = 0.4	x: 0.149 m η = 0.8	η = 0.1	**CUMPLE** **η = 36.0**
N186/N202	$\lambda_w \leq \lambda_{w,máx}$ Cumple	x: 2.622 m η = 8.7	x: 0.16 m η = 12.6	x: 0.16 m η = 4.7	x: 2.623 m η = 0.9	x: 2.622 m η = 0.3	η < 0.1	η < 0.1	η < 0.1	x: 0.16 m η = 17.5	η < 0.1	η = 0.4	x: 2.622 m η = 0.3	η < 0.1	**CUMPLE** **η = 17.5**
N187/N203	$\lambda_w \leq \lambda_{w,máx}$ Cumple	x: 2.622 m η = 9.5	x: 0.16 m η = 7.0	x: 2.623 m η = 4.9	x: 0.16 m η = 1.2	x: 0.16 m η = 0.4	η = 0.1	η < 0.1	η < 0.1	x: 2.623 m η = 14.6	η < 0.1	η = 0.3	x: 0.16 m η = 0.4	η = 0.1	**CUMPLE** **η = 14.6**
N189/N205	$\lambda_w \leq \lambda_{w,máx}$ Cumple	x: 2.622 m η = 33.8	x: 0.16 m η = 28.2	x: 2.623 m η = 8.7	x: 0.16 m η = 1.0	x: 0.16 m η = 0.9	η < 0.1	η < 0.1	η < 0.1	x: 2.623 m η = 43.1	η < 0.1	η = 0.5	x: 0.16 m η = 0.9	η < 0.1	**CUMPLE** **η = 43.1**
N190/N206	$\lambda_w \leq \lambda_{w,máx}$ Cumple	x: 2.622 m η = 44.8	x: 0.16 m η = 36.6	x: 2.623 m η = 7.8	x: 0.16 m η = 0.8	x: 0.16 m η = 0.9	η = 0.1	η < 0.1	η < 0.1	x: 2.623 m η = 53.0	η < 0.1	η = 0.5	x: 0.16 m η = 0.9	η = 0.1	**CUMPLE** **η = 53.0**
N191/N207	$\lambda_w \leq \lambda_{w,máx}$ Cumple	x: 2.622 m η = 37.3	x: 0.16 m η = 28.4	x: 2.623 m η = 9.3	x: 0.16 m η = 0.8	x: 0.16 m η = 1.4	η < 0.1	η < 0.1	η < 0.1	x: 2.623 m η = 46.9	η < 0.1	η = 0.9	x: 0.16 m η = 1.4	η < 0.1	**CUMPLE** **η = 46.9**
N192/N208	$\lambda_w \leq \lambda_{w,máx}$ Cumple	x: 2.622 m η = 45.9	x: 0.16 m η = 34.3	x: 0.16 m η = 5.5	x: 2.623 m η = 2.0	x: 0.16 m η = 0.9	η = 0.2	η < 0.1	η < 0.1	x: 2.623 m η = 51.6	η < 0.1	η = 1.0	x: 0.16 m η = 0.9	η = 0.2	**CUMPLE** **η = 51.6**
N193/N178	$\lambda_w \leq \lambda_{w,máx}$ Cumple	x: 2.518 m η = 27.6	x: 0.16 m η = 18.4	x: 0.16 m η = 20.9	x: 2.519 m η = 1.9	x: 0.16 m η = 2.8	η = 0.1	η < 0.1	η < 0.1	x: 0.16 m η = 48.0	η < 0.1	η = 0.5	x: 0.16 m η = 2.8	η = 0.1	**CUMPLE** **η = 48.0**
N210/N227	$\lambda_w \leq \lambda_{w,máx}$ Cumple	x: 1.889 m η = 17.4	x: 0.116 m η = 21.3	x: 1.89 m η = 1.8	x: 1.89 m η = 10.5	η = 0.1	η = 2.0	η < 0.1	η < 0.1	x: 0.116 m η = 31.2	η < 0.1	η = 1.9	η = 0.1	η = 2.1	**CUMPLE** **η = 31.2**
N211/N228	$\lambda_w \leq \lambda_{w,máx}$ Cumple	x: 1.889 m η = 12.9	x: 0.116 m η = 17.1	x: 0.116 m η = 3.8	x: 0.116 m η = 12.1	η = 0.4	η = 2.3	η < 0.1	η < 0.1	x: 0.116 m η = 30.0	η < 0.1	η = 0.7	η = 0.4	η = 2.3	**CUMPLE** **η = 30.0**
N212/N229	$\lambda_w \leq \lambda_{w,máx}$ Cumple	x: 1.893 m η = 12.2	x: 0.116 m η = 16.0	x: 0.116 m η = 0.5	x: 0.116 m η = 10.8	η < 0.1	η = 2.1	η < 0.1	η < 0.1	x: 0.116 m η = 26.7	η < 0.1	η = 0.8	η < 0.1	η = 2.1	**CUMPLE** **η = 26.7**
N213/N230	$\lambda_w \leq \lambda_{w,máx}$ Cumple	x: 1.893 m η = 11.6	x: 0.116 m η = 15.1	x: 0.116 m η = 0.5	x: 0.116 m η = 9.0	η < 0.1	η = 1.4	η < 0.1	η < 0.1	x: 0.116 m η = 24.3	η < 0.1	η = 0.7	η < 0.1	η = 1.4	**CUMPLE** **η = 24.3**
N214/N231	$\lambda_w \leq \lambda_{w,máx}$ Cumple	x: 1.893 m η = 7.6	x: 0.116 m η = 9.7	x: 0.116 m η = 0.6	x: 0.116 m η = 5.8	η < 0.1	η = 0.9	η < 0.1	η < 0.1	x: 0.116 m η = 15.7	η < 0.1	η = 0.9	η < 0.1	η = 0.9	**CUMPLE** **η = 15.7**
N215/N232	$\lambda_w \leq \lambda_{w,máx}$ Cumple	x: 1.893 m η = 4.9	x: 0.116 m η = 6.1	x: 0.116 m η = 0.4	x: 0.116 m η = 2.8	η < 0.1	η = 0.4	η < 0.1	η < 0.1	x: 0.116 m η = 8.8	η < 0.1	η = 0.5	η < 0.1	η = 0.4	**CUMPLE** **η = 8.8**
N216/N233	$\lambda_w \leq \lambda_{w,máx}$ Cumple	x: 1.893 m η = 2.0	x: 0.116 m η = 1.7	x: 0.116 m η = 0.6	x: 1.894 m η = 1.3	η < 0.1	η = 0.2	η < 0.1	η < 0.1	x: 1.894 m η = 3.7	η < 0.1	η = 0.8	η < 0.1	η = 0.2	**CUMPLE** **η = 3.7**
N217/N234	$\lambda_w \leq \lambda_{w,máx}$ Cumple	x: 1.893 m η = 6.2	x: 0.116 m η = 7.6	x: 0.116 m η = 0.5	x: 0.116 m η = 8.8	η = 0.1	η = 1.4	η < 0.1	η < 0.1	x: 0.116 m η = 16.6	η < 0.1	η = 0.3	η = 0.1	η = 1.4	**CUMPLE** **η = 16.6**
N218/N235	$\lambda_w \leq \lambda_{w,máx}$ Cumple	x: 1.893 m η = 20.5	x: 0.116 m η = 29.8	x: 0.116 m η = 0.5	x: 0.116 m η = 18.4	η < 0.1	η = 3.0	η < 0.1	η < 0.1	x: 0.116 m η = 48.4	η < 0.1	η = 0.8	η < 0.1	η = 3.0	**CUMPLE** **η = 48.4**
N219/N236	$\lambda_w \leq \lambda_{w,máx}$ Cumple	x: 1.893 m η = 26.9	x: 0.116 m η = 39.1	x: 0.116 m η = 0.2	x: 1.894 m η = 22.0	η < 0.1	η = 3.6	η < 0.1	η < 0.1	x: 1.894 m η = 61.3	η < 0.1	η = 0.4	η < 0.1	η = 3.6	**CUMPLE** **η = 61.3**
N220/N237	$\lambda_w \leq \lambda_{w,máx}$ Cumple	x: 1.893 m η = 22.6	x: 0.116 m η = 33.8	x: 0.116 m η = 0.5	x: 1.894 m η = 20.9	η < 0.1	η = 3.3	η < 0.1	η < 0.1	x: 0.116 m η = 54.8	η < 0.1	η = 0.9	η < 0.1	η = 3.3	**CUMPLE** **η = 54.8**
N221/N238	$\lambda_w \leq \lambda_{w,máx}$ Cumple	x: 1.893 m η = 26.1	x: 0.116 m η = 39.5	x: 0.116 m η = 0.4	x: 0.116 m η = 23.9	η < 0.1	η = 3.8	η < 0.1	η < 0.1	x: 0.116 m η = 63.6	η < 0.1	η = 0.6	η < 0.1	η = 3.8	**CUMPLE** **η = 63.6**
N222/N239	$\lambda_w \leq \lambda_{w,máx}$ Cumple	x: 1.893 m η = 23.3	x: 0.117 m η = 33.1	x: 0.117 m η = 0.2	x: 1.894 m η = 24.3	η < 0.1	η = 4.8	η < 0.1	η < 0.1	x: 1.894 m η = 56.6	η < 0.1	η = 0.4	η < 0.1	η = 4.8	**CUMPLE** **η = 56.6**
N223/N240	$\lambda_w \leq \lambda_{w,máx}$ Cumple	x: 1.882 m η = 21.9	x: 0.117 m η = 31.5	x: 0.117 m η = 2.3	x: 0.117 m η = 27.7	η = 0.2	η = 5.2	η < 0.1	η < 0.1	x: 0.117 m η = 58.7	η < 0.1	η = 0.4	η = 0.2	η = 5.2	**CUMPLE** **η = 58.7**
N224/N241	$\lambda_w \leq \lambda_{w,máx}$ Cumple	x: 1.882 m η = 26.0	x: 0.175 m η = 36.6	x: 0.175 m η = 2.1	x: 0.175 m η = 7.3	η = 0.2	η = 1.2	η < 0.1	η < 0.1	x: 0.175 m η = 44.0	η < 0.1	η = 0.7	η = 0.2	η = 1.3	**CUMPLE** **η = 44.0**
N244/N260	$\lambda_w \leq \lambda_{w,máx}$ Cumple	x: 1.889 m η = 17.3	x: 0.116 m η = 23.5	x: 0.116 m η = 3.1	x: 1.89 m η = 14.6	η = 0.2	η = 2.6	η < 0.1	η < 0.1	x: 1.89 m η = 37.7	η < 0.1	η = 0.9	η = 0.2	η = 2.6	**CUMPLE** **η = 37.7**
N245/N261	$\lambda_w \leq \lambda_{w,máx}$ Cumple	x: 1.889 m η = 17.0	x: 0.116 m η = 22.7	x: 0.116 m η = 3.5	x: 0.116 m η = 14.0	η = 0.3	η = 2.7	η < 0.1	η < 0.1	x: 0.116 m η = 36.5	η < 0.1	η = 0.4	η = 0.3	η = 2.7	**CUMPLE** **η = 36.5**
N246/N262	$\lambda_w \leq \lambda_{w,máx}$ Cumple	x: 1.893 m η = 16.5	x: 0.116 m η = 22.3	x: 0.116 m η = 0.3	x: 1.894 m η = 14.7	η < 0.1	η = 2.9	η < 0.1	η < 0.1	x: 1.894 m η = 36.7	η < 0.1	η = 0.3	η < 0.1	η = 2.9	**CUMPLE** **η = 36.7**
N247/N263	$\lambda_w \leq \lambda_{w,máx}$ Cumple	x: 1.893 m η = 17.4	x: 0.116 m η = 27.9	x: 0.116 m η = 0.7	x: 0.116 m η = 13.5	η < 0.1	η = 2.1	η < 0.1	η < 0.1	x: 0.116 m η = 41.6	η < 0.1	η = 1.2	η < 0.1	η = 2.1	**CUMPLE** **η = 41.6**
N248/N264	$\lambda_w \leq \lambda_{w,máx}$ Cumple	x: 1.893 m η = 13.6	x: 0.116 m η = 21.8	x: 0.116 m η = 1.5	x: 0.116 m η = 10.7	η < 0.1	η = 1.7	η < 0.1	η < 0.1	x: 0.116 m η = 32.7	η < 0.1	η = 1.9	η < 0.1	η = 1.7	**CUMPLE** **η = 32.7**
N249/N265	$\lambda_w \leq \lambda_{w,máx}$ Cumple	x: 1.893 m η = 13.7	x: 0.116 m η = 21.9	x: 0.116 m η = 0.3	x: 0.116 m η = 9.4	η < 0.1	η = 1.5	η < 0.1	η < 0.1	x: 0.116 m η = 31.3	η < 0.1	η = 0.3	η < 0.1	η = 1.5	**CUMPLE** **η = 31.3**
N250/N266	$\lambda_w \leq \lambda_{w,máx}$ Cumple	x: 1.893 m η = 7.4	x: 0.116 m η = 10.8	x: 0.116 m η = 1.6	x: 0.116 m η = 6.1	η < 0.1	η = 1.0	η < 0.1	η < 0.1	x: 0.116 m η = 17.1	η < 0.1	η = 2.2	η < 0.1	η = 1.0	**CUMPLE** **η = 17.1**
N251/N267	$\lambda_w \leq \lambda_{w,máx}$ Cumple	x: 1.893 m η = 6.4	x: 0.116 m η = 7.8	x: 0.116 m η = 0.7	x: 0.116 m η = 1.8	η = 0.1	η = 0.3	η < 0.1	η < 0.1	x: 0.116 m η = 8.9	η < 0.1	η = 0.3	η = 0.1	η = 0.3	**CUMPLE** **η = 8.9**
N252/N268	$\lambda_w \leq \lambda_{w,máx}$ Cumple	x: 1.893 m η = 12.0	x: 0.116 m η = 13.0	x: 0.116 m η = 1.2	x: 0.116 m η = 8.7	η < 0.1	η = 1.4	η < 0.1	η < 0.1	x: 0.116 m η = 21.9	η < 0.1	η = 2.1	η < 0.1	η = 1.4	**CUMPLE** **η = 21.9**
N253/N269	$\lambda_w \leq \lambda_{w,máx}$ Cumple	x: 1.893 m η = 18.2	x: 0.116 m η = 24.4	x: 0.116 m η = 1.2	x: 0.116 m η = 12.8	η = 0.1	η = 2.1	η < 0.1	η < 0.1	x: 0.116 m η = 37.3	η < 0.1	η = 1.5	η = 0.1	η = 2.1	**CUMPLE** **η = 37.3**
N254/N270	$\lambda_w \leq \lambda_{w,máx}$ Cumple	x: 1.893 m η = 16.6	x: 0.116 m η = 23.5	x: 0.116 m η = 1.6	x: 0.116 m η = 14.0	η < 0.1	η = 2.2	η < 0.1	η < 0.1	x: 0.116 m η = 37.6	η < 0.1	η = 1.9	η < 0.1	η = 2.2	**CUMPLE** **η = 37.6**
N255/N271	$\lambda_w \leq \lambda_{w,máx}$ Cumple	x: 1.893 m η = 20.2	x: 0.116 m η = 29.4	x: 0.116 m η = 1.0	x: 0.116 m η = 17.4	η < 0.1	η = 2.7	η < 0.1	η < 0.1	x: 0.116 m η = 47.0	η < 0.1	x: 1.672 m η = 2.4	η < 0.1	η = 2.7	**CUMPLE** **η = 47.0**
N256/N272	$\lambda_w \leq \lambda_{w,máx}$ Cumple	x: 1.893 m η = 18.7	x: 0.117 m η = 23.1	x: 0.117 m η = 0.3	x: 1.894 m η = 18.3	η < 0.1	η = 3.7	η < 0.1	η < 0.1	x: 1.894 m η = 41.0	η < 0.1	η = 0.3	η < 0.1	η = 3.7	**CUMPLE** **η = 41.0**
N257/N273	$\lambda_w \leq \lambda_{w,máx}$ Cumple	x: 1.882 m η = 18.1	x: 0.117 m η = 22.7	x: 0.117 m η = 2.1	x: 0.117 m η = 22.8	η = 0.2	η = 4.2	η < 0.1	η < 0.1	x: 0.117 m η = 45.2	η < 0.1	η = 0.5	η = 0.2	η = 4.2	**CUMPLE** **η = 45.2**

VISADO
COGITI
Estado
VALENCIA
VA07290/22
TRLTDCFZ60T66IJ1

Listados

Barras	COMPROBACIONES (CÓDIGO ESTRUCTURAL)															
	λ_w	N_t	N_c	M_Y	M_Z	V_Z	V_Y	M_YV_Z	M_ZV_Y	NM_YM_Z	$NM_YM_ZV_YV_Z$	M_t	M_tV_Z	M_tV_Y	
N258/N274	$\lambda_w \leq \lambda_{w,máx}$ Cumple	x: 1.882 m η = 22.1	x: 0.175 m η = 30.5	x: 0.175 m η = 2.1	x: 0.175 m η = 10.3	η = 0.2	η = 1.8	η < 0.1	η < 0.1	x: 0.175 m η = 40.7	η < 0.1	η = 0.7	η = 0.2	η = 1.8	**CUMPLE η = 40.7**
N283/N298	$\lambda_w \leq \lambda_{w,máx}$ Cumple	x: 1.889 m η = 21.5	x: 0.116 m η = 31.2	x: 0.116 m η = 3.4	x: 1.89 m η = 17.5	η = 0.3	η = 3.3	η < 0.1	η < 0.1	x: 1.89 m η = 48.3	η < 0.1	η = 1.0	η = 0.3	η = 3.3	**CUMPLE η = 48.3**
N284/N299	$\lambda_w \leq \lambda_{w,máx}$ Cumple	x: 1.889 m η = 20.9	x: 0.116 m η = 30.2	x: 0.116 m η = 4.1	x: 0.116 m η = 16.9	η = 0.4	η = 3.2	η < 0.1	η < 0.1	x: 0.116 m η = 47.2	η < 0.1	η = 0.6	η = 0.4	η = 3.2	**CUMPLE η = 47.2**
N285/N300	$\lambda_w \leq \lambda_{w,máx}$ Cumple	x: 1.893 m η = 21.3	x: 0.116 m η = 30.6	x: 0.116 m η = 0.3	x: 1.894 m η = 18.5	η < 0.1	η = 3.7	η < 0.1	η < 0.1	x: 1.894 m η = 48.5	η < 0.1	η = 0.3	η < 0.1	η = 3.7	**CUMPLE η = 48.5**
N286/N301	$\lambda_w \leq \lambda_{w,máx}$ Cumple	x: 1.893 m η = 23.4	x: 0.116 m η = 35.7	x: 1.893 m η = 0.9	x: 0.116 m η = 17.8	η < 0.1	η = 2.8	η < 0.1	η < 0.1	x: 0.116 m η = 53.7	η < 0.1	η = 1.7	η < 0.1	η = 2.8	**CUMPLE η = 53.7**
N287/N302	$\lambda_w \leq \lambda_{w,máx}$ Cumple	x: 1.893 m η = 19.7	x: 0.116 m η = 29.8	x: 0.116 m η = 1.5	x: 0.116 m η = 15.2	η < 0.1	η = 2.4	η < 0.1	η < 0.1	x: 0.116 m η = 45.3	η < 0.1	η = 1.4	η < 0.1	η = 2.4	**CUMPLE η = 45.3**
N288/N303	$\lambda_w \leq \lambda_{w,máx}$ Cumple	x: 1.893 m η = 22.7	x: 0.116 m η = 33.3	x: 0.116 m η = 0.9	x: 0.116 m η = 15.4	η < 0.1	η = 2.5	η < 0.1	η < 0.1	x: 0.116 m η = 48.9	η < 0.1	η = 1.1	η < 0.1	η = 2.5	**CUMPLE η = 48.9**
N289/N304	$\lambda_w \leq \lambda_{w,máx}$ Cumple	x: 1.893 m η = 16.4	x: 0.116 m η = 24.1	x: 0.116 m η = 1.1	x: 0.116 m η = 12.5	η < 0.1	η = 2.0	η < 0.1	η < 0.1	x: 0.116 m η = 36.8	η < 0.1	x: 1.227 m η = 1.5	η < 0.1	η = 2.0	**CUMPLE η = 36.8**
N290/N305	$\lambda_w \leq \lambda_{w,máx}$ Cumple	x: 1.893 m η = 6.5	x: 0.116 m η = 8.0	x: 0.116 m η = 0.6	x: 0.116 m η = 5.3	η = 0.1	η = 0.8	η < 0.1	η < 0.1	x: 0.116 m η = 13.4	η < 0.1	η = 0.1	η = 0.1	η = 0.8	**CUMPLE η = 13.4**
N291/N306	$\lambda_w \leq \lambda_{w,máx}$ Cumple	x: 1.893 m η = 4.2	x: 0.116 m η = 4.6	x: 0.116 m η = 0.9	x: 1.894 m η = 2.8	η < 0.1	η = 0.5	η < 0.1	η < 0.1	x: 1.894 m η = 7.5	η < 0.1	η = 1.6	η < 0.1	η = 0.5	**CUMPLE η = 7.5**
N292/N307	$\lambda_w \leq \lambda_{w,máx}$ Cumple	x: 1.893 m η = 10.2	x: 0.116 m η = 12.0	x: 1.893 m η = 0.1	x: 0.116 m η = 7.2	η < 0.1	η = 1.2	η < 0.1	η < 0.1	x: 0.116 m η = 19.3	η < 0.1	η = 0.3	η < 0.1	η = 1.2	**CUMPLE η = 19.3**
N293/N308	$\lambda_w \leq \lambda_{w,máx}$ Cumple	x: 1.893 m η = 11.2	x: 0.116 m η = 13.8	x: 0.116 m η = 0.8	x: 1.894 m η = 9.9	η < 0.1	η = 1.6	η < 0.1	η < 0.1	x: 0.116 m η = 23.8	η < 0.1	η = 1.4	η < 0.1	η = 1.6	**CUMPLE η = 23.8**
N294/N309	$\lambda_w \leq \lambda_{w,máx}$ Cumple	x: 1.893 m η = 15.0	x: 0.116 m η = 22.6	x: 0.116 m η = 0.5	x: 0.116 m η = 13.6	η < 0.1	η = 2.1	η < 0.1	η < 0.1	x: 0.116 m η = 36.4	η < 0.1	η = 0.9	η < 0.1	η = 2.2	**CUMPLE η = 36.4**
N295/N310	$\lambda_w \leq \lambda_{w,máx}$ Cumple	x: 1.893 m η = 14.9	x: 0.117 m η = 19.0	x: 0.117 m η = 0.3	x: 1.894 m η = 15.7	η < 0.1	η = 3.2	η < 0.1	η < 0.1	x: 0.117 m η = 34.4	η < 0.1	η = 0.4	η < 0.1	η = 3.2	**CUMPLE η = 34.4**
N296/N311	$\lambda_w \leq \lambda_{w,máx}$ Cumple	x: 1.882 m η = 14.7	x: 0.117 m η = 18.9	x: 0.117 m η = 3.1	x: 1.883 m η = 14.9	η = 0.3	η = 2.9	η < 0.1	η < 0.1	x: 0.117 m η = 34.1	η < 0.1	η = 0.5	η = 0.3	η = 2.9	**CUMPLE η = 34.1**
N297/N312	$\lambda_w \leq \lambda_{w,máx}$ Cumple	x: 1.882 m η = 19.6	x: 0.117 m η = 28.2	x: 0.117 m η = 1.4	x: 0.117 m η = 23.5	η < 0.1	η = 4.1	η < 0.1	η < 0.1	x: 0.117 m η = 51.3	η < 0.1	η = 1.6	η < 0.1	η = 4.1	**CUMPLE η = 51.3**
N210/N226	$\lambda_w \leq \lambda_{w,máx}$ Cumple	x: 2.445 m η = 26.2	x: 0.149 m η = 19.8	x: 2.446 m η = 15.9	x: 0.149 m η = 2.1	x: 2.445 m η = 1.9	η = 0.1	η < 0.1	η < 0.1	x: 2.446 m η = 39.1	η < 0.1	η = 0.1	x: 2.445 m η = 1.9	η = 0.1	**CUMPLE η = 39.1**
N211/N227	$\lambda_w \leq \lambda_{w,máx}$ Cumple	x: 2.445 m η = 25.5	x: 0.149 m η = 18.7	x: 2.446 m η = 5.5	x: 2.446 m η = 3.3	x: 0.149 m η = 0.9	η = 0.3	η < 0.1	η < 0.1	x: 2.446 m η = 32.1	η < 0.1	η = 1.3	x: 0.149 m η = 0.9	η = 0.3	**CUMPLE η = 32.1**
N212/N228	$\lambda_w \leq \lambda_{w,máx}$ Cumple	x: 2.445 m η = 21.7	x: 0.149 m η = 16.1	x: 2.446 m η = 5.4	x: 2.446 m η = 0.7	x: 0.149 m η = 0.8	η < 0.1	η < 0.1	η < 0.1	x: 2.446 m η = 27.0	η < 0.1	η = 1.1	x: 0.149 m η = 0.8	η < 0.1	**CUMPLE η = 27.0**
N213/N229	$\lambda_w \leq \lambda_{w,máx}$ Cumple	x: 2.445 m η = 25.0	x: 0.149 m η = 21.9	x: 2.446 m η = 4.9	x: 0.149 m η = 1.1	x: 0.149 m η = 0.6	η = 0.1	η < 0.1	η < 0.1	x: 2.446 m η = 29.9	η < 0.1	η = 0.5	x: 0.149 m η = 0.6	η = 0.1	**CUMPLE η = 29.9**
N214/N230	$\lambda_w \leq \lambda_{w,máx}$ Cumple	x: 2.445 m η = 16.2	x: 0.149 m η = 12.1	x: 2.446 m η = 4.9	x: 0.149 m η = 1.2	x: 0.149 m η = 0.5	η < 0.1	η < 0.1	η < 0.1	x: 2.446 m η = 21.7	η < 0.1	η = 0.7	x: 0.149 m η = 0.5	η < 0.1	**CUMPLE η = 21.7**
N216/N232	$\lambda_w \leq \lambda_{w,máx}$ Cumple	x: 2.445 m η = 2.7	x: 0.149 m η = 2.3	x: 1.106 m η = 2.2	x: 0.149 m η = 1.1	x: 2.445 m η = 0.1	η < 0.1	η < 0.1	η < 0.1	x: 0.149 m η = 5.7	η < 0.1	η = 0.5	x: 2.445 m η = 0.1	η < 0.1	**CUMPLE η = 5.7**
N217/N233	$\lambda_w \leq \lambda_{w,máx}$ Cumple	x: 2.445 m η = 14.4	x: 0.149 m η = 20.1	x: 0.149 m η = 5.6	x: 2.446 m η = 1.1	x: 2.445 m η = 0.5	x: 0.532 m η < 0.1	η < 0.1	η < 0.1	x: 0.149 m η = 25.8	η < 0.1	x: 0.532 m η = 0.5	x: 2.445 m η = 0.5	x: 0.532 m η < 0.1	**CUMPLE η = 25.8**
N217/N235	$\lambda_w \leq \lambda_{w,máx}$ Cumple	x: 2.622 m η = 30.5	x: 0.16 m η = 29.4	x: 2.623 m η = 7.3	x: 2.623 m η = 0.7	x: 0.16 m η = 0.7	η = 0.1	η < 0.1	η < 0.1	x: 2.623 m η = 38.1	η < 0.1	x: 2.007 m η = 0.3	x: 0.16 m η = 0.8	η = 0.1	**CUMPLE η = 38.1**
N218/N236	$\lambda_w \leq \lambda_{w,máx}$ Cumple	x: 2.622 m η = 43.7	x: 0.16 m η = 42.4	x: 2.623 m η = 10.5	x: 2.623 m η = 0.7	x: 0.16 m η = 1.2	x: 2.007 m η = 0.1	η < 0.1	η < 0.1	x: 2.623 m η = 54.3	η < 0.1	x: 2.007 m η = 0.6	x: 0.16 m η = 1.2	x: 2.007 m η = 0.1	**CUMPLE η = 54.3**
N220/N238	$\lambda_w \leq \lambda_{w,máx}$ Cumple	x: 2.622 m η = 50.2	x: 0.16 m η = 48.8	x: 2.623 m η = 10.3	x: 0.16 m η = 1.0	x: 0.16 m η = 1.3	x: 2.622 m η < 0.1	η < 0.1	η < 0.1	x: 2.623 m η = 61.2	η < 0.1	η = 0.5	x: 0.16 m η = 1.3	x: 2.622 m η < 0.1	**CUMPLE η = 61.2**
N221/N239	$\lambda_w \leq \lambda_{w,máx}$ Cumple	x: 2.622 m η = 57.3	x: 0.16 m η = 54.7	x: 0.16 m η = 9.6	x: 0.16 m η = 0.9	x: 0.16 m η = 1.2	η < 0.1	η < 0.1	η < 0.1	x: 0.16 m η = 67.5	η < 0.1	η = 0.5	x: 0.16 m η = 1.2	η < 0.1	**CUMPLE η = 67.5**
N222/N240	$\lambda_w \leq \lambda_{w,máx}$ Cumple	x: 2.622 m η = 44.0	x: 0.16 m η = 39.0	x: 0.16 m η = 9.5	x: 0.16 m η = 0.9	x: 0.16 m η = 1.4	η < 0.1	η < 0.1	η < 0.1	x: 0.16 m η = 54.1	η < 0.1	η = 0.8	x: 0.16 m η = 1.4	η < 0.1	**CUMPLE η = 54.1**
N223/N241	$\lambda_w \leq \lambda_{w,máx}$ Cumple	x: 2.622 m η = 38.7	x: 0.16 m η = 34.2	x: 0.16 m η = 10.4	x: 2.623 m η = 1.1	x: 0.16 m η = 0.9	η = 0.1	η < 0.1	η < 0.1	x: 0.16 m η = 48.9	η < 0.1	η = 0.9	x: 0.16 m η = 0.9	η = 0.1	**CUMPLE η = 48.9**
N224/N242	$\lambda_w \leq \lambda_{w,máx}$ Cumple	x: 2.549 m η = 43.0	x: 0.16 m η = 60.9	x: 2.55 m η = 9.5	x: 2.55 m η = 1.2	x: 0.16 m η = 1.3	η = 0.1	η < 0.1	η < 0.1	x: 2.55 m η = 70.2	η < 0.1	η = 0.4	x: 0.16 m η = 1.3	η = 0.1	**CUMPLE η = 70.2**
N244/N225	$\lambda_w \leq \lambda_{w,máx}$ Cumple	x: 2.377 m η = 30.2	x: 0.149 m η = 27.7	x: 2.378 m η = 12.1	x: 2.377 m η = 0.6	x: 0.149 m η = 1.4	η < 0.1	η < 0.1	η < 0.1	x: 2.378 m η = 42.8	η < 0.1	η = 1.4	x: 0.149 m η = 1.4	η < 0.1	**CUMPLE η = 42.8**
N245/N260	$\lambda_w \leq \lambda_{w,máx}$ Cumple	x: 2.445 m η = 34.2	x: 0.149 m η = 27.5	x: 0.149 m η = 10.3	x: 2.446 m η = 1.6	x: 0.149 m η = 1.6	η = 0.2	η < 0.1	η < 0.1	x: 0.149 m η = 44.2	η < 0.1	η = 1.3	x: 0.149 m η = 1.6	η = 0.2	**CUMPLE η = 44.2**
N246/N261	$\lambda_w \leq \lambda_{w,máx}$ Cumple	x: 2.445 m η = 29.9	x: 0.149 m η = 21.9	x: 0.149 m η = 7.1	x: 0.149 m η = 0.8	x: 0.149 m η = 1.1	η < 0.1	η < 0.1	η < 0.1	x: 0.149 m η = 37.1	η < 0.1	η = 0.9	x: 0.149 m η = 1.1	η < 0.1	**CUMPLE η = 37.1**
N247/N262	$\lambda_w \leq \lambda_{w,máx}$ Cumple	x: 2.445 m η = 38.1	x: 0.149 m η = 32.9	x: 0.149 m η = 6.7	x: 0.149 m η = 0.7	x: 0.149 m η = 0.9	x: 1.68 m η = 0.1	η < 0.1	η < 0.1	x: 0.149 m η = 45.3	η < 0.1	η = 0.4	x: 0.149 m η = 0.9	x: 1.68 m η = 0.1	**CUMPLE η = 45.3**
N248/N263	$\lambda_w \leq \lambda_{w,máx}$ Cumple	x: 2.445 m η = 30.2	x: 0.149 m η = 26.3	x: 2.446 m η = 6.3	x: 0.149 m η = 2.3	x: 0.149 m η = 0.9	η = 0.1	η < 0.1	η < 0.1	x: 2.446 m η = 37.1	η < 0.1	η = 0.6	x: 0.149 m η = 0.9	η = 0.1	**CUMPLE η = 37.1**
N250/N265	$\lambda_w \leq \lambda_{w,máx}$ Cumple	x: 2.445 m η = 17.6	x: 0.149 m η = 11.4	x: 2.446 m η = 4.6	x: 0.149 m η = 2.0	x: 0.149 m η = 0.6	η = 0.2	η < 0.1	η < 0.1	x: 2.446 m η = 22.4	η < 0.1	η = 0.6	x: 0.149 m η = 0.6	η = 0.2	**CUMPLE η = 22.4**
N251/N266	$\lambda_w \leq \lambda_{w,máx}$ Cumple	x: 2.445 m η = 4.5	x: 0.149 m η = 0.7	x: 2.446 m η = 2.1	x: 2.446 m η = 2.4	x: 0.149 m η = 0.2	η < 0.1	η < 0.1	η < 0.1	x: 2.446 m η = 6.9	η < 0.1	x: 0.723 m η = 0.8	x: 0.149 m η = 0.2	η < 0.1	**CUMPLE η = 6.9**
N251/N268	$\lambda_w \leq \lambda_{w,máx}$ Cumple	x: 2.622 m η = 9.0	x: 0.16 m η = 9.1	x: 2.623 m η = 3.2	x: 2.623 m η = 2.6	x: 0.16 m η = 0.3	x: 1.391 m η = 0.1	η < 0.1	η < 0.1	x: 2.623 m η = 12.5	η < 0.1	η = 0.9	x: 0.16 m η = 0.3	x: 1.391 m η = 0.1	**CUMPLE η = 12.5**
N252/N269	$\lambda_w \leq \lambda_{w,máx}$ Cumple	x: 2.622 m η = 22.6	x: 0.16 m η = 24.3	x: 2.623 m η = 5.6	x: 0.16 m η = 2.2	x: 0.16 m η = 0.7	η = 0.1	η < 0.1	η < 0.1	x: 2.623 m η = 29.7	η < 0.1	η = 0.2	x: 0.16 m η = 0.7	η = 0.1	**CUMPLE η = 29.7**
N254/N271	$\lambda_w \leq \lambda_{w,máx}$ Cumple	x: 2.622 m η = 35.1	x: 0.16 m η = 35.7	x: 2.623 m η = 7.0	x: 0.16 m η = 3.3	x: 0.16 m η = 0.9	η = 0.1	η < 0.1	η < 0.1	x: 2.623 m η = 42.5	η < 0.1	η = 0.6	x: 0.16 m η = 0.9	η = 0.1	**CUMPLE η = 42.5**
N255/N272	$\lambda_w \leq \lambda_{w,máx}$ Cumple	x: 2.622 m η = 42.8	x: 0.16 m η = 42.1	x: 0.16 m η = 7.5	x: 0.16 m η = 1.5	x: 0.16 m η = 0.9	x: 1.597 m η = 0.1	η < 0.1	η < 0.1	x: 0.16 m η = 50.6	η < 0.1	x: 1.802 m η = 0.5	x: 0.16 m η = 0.9	x: 1.597 m η = 0.1	**CUMPLE η = 50.6**
N256/N273	$\lambda_w \leq \lambda_{w,máx}$ Cumple	x: 2.622 m η = 34.6	x: 0.16 m η = 31.5	x: 0.16 m η = 7.7	x: 0.16 m η = 0.8	x: 0.16 m η = 1.1	η < 0.1	η < 0.1	η < 0.1	x: 0.16 m η = 42.5	η < 0.1	η = 0.9	x: 0.16 m η = 1.1	η < 0.1	**CUMPLE η = 42.5**
N257/N274	$\lambda_w \leq \lambda_{w,máx}$ Cumple	x: 2.622 m η = 30.2	x: 0.16 m η = 27.1	x: 0.16 m η = 8.7	x: 2.623 m η = 1.1	x: 0.16 m η = 0.7	η = 0.1	η < 0.1	η < 0.1	x: 0.16 m η = 38.9	η < 0.1	η = 1.0	x: 0.16 m η = 0.7	η = 0.1	**CUMPLE η = 38.9**

Documento visado electrónicamente con número: VA07290/22
Código de validación telemática TRLTDCFZ60T66IJ1. Comprobación: https://cogitivalencia.e-gestion.es/Validacion.aspx?CVT=TRLTDCFZ60T66IJ1

VISADO
COGITI
VALENCIA
VA07290/22
TRLTDCFZ60T66IJ1
Documento visado electrónicamente con número VA07290/22
Código de validación telemática TRLTDCFZ60T66IJ1. Comprobación: https://cogitivalencia.e-gestion.es/Validacion.aspx?CVT=TRLTDCFZ60T66IJ1

Barras	COMPROBACIONES (CÓDIGO ESTRUCTURAL)														Estado
	λ_w	N_t	N_c	M_Y	M_Z	V_Z	V_Y	M_YV_Z	M_ZV_Y	NM_YM_Z	$NM_YM_ZV_YV_Z$	M_t	M_tV_Z	M_tV_Y	
N258/N275	$\lambda_w \leq \lambda_{w,máx}$ Cumple	x: 2.549 m η = 41.4	x: 0.16 m η = 60.1	x: 2.55 m η = 8.7	x: 2.55 m η = 1.4	x: 0.16 m η = 1.2	η = 0.1	η < 0.1	η < 0.1	x: 2.55 m η = 68.5	η < 0.1	η = 0.4	x: 0.16 m η = 1.2	η = 0.1	**CUMPLE η = 68.5**
N283/N259	$\lambda_w \leq \lambda_{w,máx}$ Cumple	x: 2.377 m η = 33.2	x: 0.149 m η = 29.9	x: 2.378 m η = 9.3	x: 2.377 m η = 0.7	x: 0.149 m η = 0.8	η < 0.1	η < 0.1	η < 0.1	x: 2.378 m η = 42.8	η < 0.1	η = 1.5	x: 0.149 m η = 0.8	η < 0.1	**CUMPLE η = 42.8**
N284/N298	$\lambda_w \leq \lambda_{w,máx}$ Cumple	x: 2.445 m η = 40.8	x: 0.149 m η = 34.7	x: 0.149 m η = 10.9	x: 2.446 m η = 1.7	x: 0.149 m η = 1.7	η = 0.2	η < 0.1	η < 0.1	x: 0.149 m η = 51.7	η < 0.1	η = 1.3	x: 0.149 m η = 1.7	η = 0.2	**CUMPLE η = 51.7**
N285/N299	$\lambda_w \leq \lambda_{w,máx}$ Cumple	x: 2.445 m η = 36.6	x: 0.149 m η = 31.6	x: 0.149 m η = 8.3	x: 0.149 m η = 0.9	x: 0.149 m η = 1.3	η < 0.1	η < 0.1	η < 0.1	x: 0.149 m η = 45.3	η < 0.1	η = 0.9	x: 0.149 m η = 1.3	η < 0.1	**CUMPLE η = 45.3**
N286/N300	$\lambda_w \leq \lambda_{w,máx}$ Cumple	x: 2.445 m η = 48.7	x: 0.149 m η = 44.7	x: 0.149 m η = 8.0	x: 0.149 m η = 1.0	x: 0.149 m η = 1.1	x: 1.489 m η = 0.1	η < 0.1	η < 0.1	x: 0.149 m η = 57.3	η < 0.1	η = 0.4	x: 0.149 m η = 1.1	x: 1.489 m η = 0.1	**CUMPLE η = 57.3**
N287/N301	$\lambda_w \leq \lambda_{w,máx}$ Cumple	x: 2.445 m η = 41.1	x: 0.149 m η = 38.4	x: 2.446 m η = 8.7	x: 0.149 m η = 2.7	x: 0.149 m η = 1.2	η = 0.1	η < 0.1	η < 0.1	x: 2.446 m η = 50.5	η < 0.1	η = 0.7	x: 0.149 m η = 1.2	η = 0.1	**CUMPLE η = 50.5**
N289/N303	$\lambda_w \leq \lambda_{w,máx}$ Cumple	x: 2.445 m η = 32.9	x: 0.149 m η = 30.4	x: 2.446 m η = 8.3	x: 0.149 m η = 1.8	x: 0.149 m η = 1.0	η = 0.1	η < 0.1	η < 0.1	x: 2.446 m η = 41.3	η < 0.1	η = 0.3	x: 0.149 m η = 1.0	η = 0.1	**CUMPLE η = 41.3**
N290/N304	$\lambda_w \leq \lambda_{w,máx}$ Cumple	x: 2.445 m η = 20.4	x: 0.149 m η = 15.5	x: 2.446 m η = 5.4	x: 2.446 m η = 1.9	x: 0.149 m η = 0.6	x: 1.489 m η = 0.1	η < 0.1	η < 0.1	x: 2.446 m η = 26.1	η < 0.1	x: 1.489 m η = 0.8	x: 0.149 m η = 0.6	x: 1.489 m η = 0.1	**CUMPLE η = 26.1**
N290/N306	$\lambda_w \leq \lambda_{w,máx}$ Cumple	x: 2.622 m η = 6.9	x: 0.16 m η = 8.1	x: 0.16 m η = 3.4	x: 2.623 m η = 1.7	x: 2.622 m η = 0.3	x: 1.391 m η = 0.1	η < 0.1	η < 0.1	x: 0.16 m η = 11.6	η < 0.1	x: 1.391 m η = 0.6	x: 2.622 m η = 0.3	x: 1.391 m η = 0.1	**CUMPLE η = 11.6**
N291/N307	$\lambda_w \leq \lambda_{w,máx}$ Cumple	x: 2.622 m η = 8.1	x: 0.16 m η = 6.5	x: 2.623 m η = 3.7	x: 0.16 m η = 1.5	x: 0.16 m η = 0.3	x: 2.007 m η = 0.1	η < 0.1	η < 0.1	x: 2.623 m η = 12.0	η < 0.1	x: 2.007 m η = 0.5	x: 0.16 m η = 0.3	x: 2.007 m η = 0.1	**CUMPLE η = 12.0**
N293/N309	$\lambda_w \leq \lambda_{w,máx}$ Cumple	x: 2.622 m η = 24.7	x: 0.16 m η = 23.9	x: 2.623 m η = 6.3	x: 0.16 m η = 1.7	x: 0.16 m η = 0.7	x: 1.597 m η < 0.1	η < 0.1	η < 0.1	x: 2.623 m η = 31.5	η < 0.1	η = 0.6	x: 0.16 m η = 0.7	x: 1.597 m η < 0.1	**CUMPLE η = 31.5**
N294/N310	$\lambda_w \leq \lambda_{w,máx}$ Cumple	x: 2.622 m η = 33.3	x: 0.16 m η = 31.3	x: 2.623 m η = 5.6	x: 0.16 m η = 1.0	x: 0.16 m η = 0.7	x: 2.007 m η = 0.1	η < 0.1	η < 0.1	x: 2.623 m η = 39.1	η < 0.1	η = 0.5	x: 0.16 m η = 0.7	x: 2.007 m η = 0.1	**CUMPLE η = 39.1**
N295/N311	$\lambda_w \leq \lambda_{w,máx}$ Cumple	x: 2.622 m η = 27.3	x: 0.16 m η = 20.9	x: 2.623 m η = 6.7	x: 2.623 m η = 0.7	x: 0.16 m η = 1.0	η < 0.1	η < 0.1	η < 0.1	x: 2.623 m η = 34.2	η < 0.1	η = 1.0	x: 0.16 m η = 1.0	η < 0.1	**CUMPLE η = 34.2**
N296/N312	$\lambda_w \leq \lambda_{w,máx}$ Cumple	x: 2.622 m η = 33.7	x: 0.16 m η = 29.1	x: 0.16 m η = 4.0	x: 2.623 m η = 2.6	x: 0.16 m η = 0.7	η = 0.2	η < 0.1	η < 0.1	x: 2.623 m η = 37.9	η < 0.1	η = 1.2	x: 0.16 m η = 0.7	η = 0.2	**CUMPLE η = 37.9**
N297/N282	$\lambda_w \leq \lambda_{w,máx}$ Cumple	x: 2.518 m η = 20.2	x: 0.16 m η = 16.0	x: 0.16 m η = 16.4	x: 2.519 m η = 2.4	x: 0.16 m η = 2.2	η = 0.1	η < 0.1	η < 0.1	x: 0.16 m η = 36.2	η < 0.1	η = 0.5	x: 0.16 m η = 2.2	η = 0.1	**CUMPLE η = 36.2**
N4/N323	$\lambda_w \leq \lambda_{w,máx}$ Cumple	η = 0.1	η = 0.6	x: 2.373 m η = 2.4	x: 0.06 m η = 3.5	η = 0.2	x: 0.06 m η = 0.6	η < 0.1	η < 0.1	x: 0.06 m η = 5.4	η < 0.1	η = 2.5	η = 0.2	x: 0.06 m η = 0.6	**CUMPLE η = 5.4**
N323/N324	$\lambda_w \leq \lambda_{w,máx}$ Cumple	η = 0.2	η = 0.6	x: 0.06 m η = 1.9	x: 1.409 m η = 1.1	η = 0.2	x: 0.06 m η = 0.2	η < 0.1	η < 0.1	x: 0.06 m η = 2.6	η < 0.1	η = 0.2	η = 0.2	x: 0.06 m η = 0.2	**CUMPLE η = 2.6**
N324/N105	$\lambda_w \leq \lambda_{w,máx}$ Cumple	x: 0.62 m η = 0.1	η = 0.7	x: 2.301 m η = 5.1	x: 2.301 m η = 5.2	η = 0.3	x: 2.301 m η = 0.7	η < 0.1	η < 0.1	x: 2.301 m η = 8.7	η < 0.1	η = 2.1	η = 0.3	x: 2.301 m η = 0.7	**CUMPLE η = 8.7**
N14/N321	$\lambda_w \leq \lambda_{w,máx}$ Cumple	N_{Ed} = 0.00 N.P.(1)	η = 13.1	x: 0.06 m η = 4.7	x: 0.06 m η = 4.1	η = 0.3	x: 0.06 m η = 0.6	η < 0.1	η < 0.1	x: 0.06 m η = 20.1	η < 0.1	η = 2.8	η = 0.3	x: 0.06 m η = 0.6	**CUMPLE η = 20.1**
N321/N322	$\lambda_w \leq \lambda_{w,máx}$ Cumple	N_{Ed} = 0.00 N.P.(1)	η = 13.5	x: 2.373 m η = 1.3	x: 1.409 m η = 1.4	η = 0.1	x: 0.06 m η = 0.2	η < 0.1	η < 0.1	x: 2.373 m η = 15.0	η < 0.1	η = 0.2	η = 0.1	x: 0.06 m η = 0.2	**CUMPLE η = 15.0**
N322/N122	$\lambda_w \leq \lambda_{w,máx}$ Cumple	N_{Ed} = 0.00 N.P.(1)	η = 12.8	x: 0.06 m η = 1.8	x: 2.358 m η = 6.8	η = 0.1	x: 2.358 m η = 0.9	η < 0.1	η < 0.1	x: 2.358 m η = 16.8	η < 0.1	η = 2.0	η = 0.1	x: 2.358 m η = 0.9	**CUMPLE η = 16.8**
N105/N327	$\lambda_w \leq \lambda_{w,máx}$ Cumple	η = 0.1	η = 0.2	x: 0.132 m η = 3.7	x: 0.132 m η = 5.9	η = 0.1	x: 0.132 m η = 0.8	η < 0.1	η < 0.1	x: 0.132 m η = 8.2	η < 0.1	η = 2.8	η = 0.1	x: 0.132 m η = 0.8	**CUMPLE η = 8.2**
N327/N328	$\lambda_w \leq \lambda_{w,máx}$ Cumple	η = 0.1	η = 0.1	x: 0.06 m η = 2.0	x: 1.217 m η = 1.1	η = 0.2	x: 2.373 m η = 0.2	η < 0.1	η < 0.1	x: 0.06 m η = 2.8	η < 0.1	η = 1.4	η = 0.2	x: 2.373 m η = 0.2	**CUMPLE η = 2.8**
N328/N209	$\lambda_w \leq \lambda_{w,máx}$ Cumple	η < 0.1	η = 0.1	x: 2.301 m η = 6.2	x: 2.301 m η = 4.9	η = 0.4	x: 2.301 m η = 0.7	η < 0.1	η < 0.1	x: 2.301 m η = 8.3	η < 0.1	η = 1.6	η = 0.4	x: 2.301 m η = 0.7	**CUMPLE η = 8.3**
N122/N325	$\lambda_w \leq \lambda_{w,máx}$ Cumple	η < 0.1	η = 11.1	x: 0.075 m η = 3.5	x: 0.075 m η = 6.0	η = 0.2	x: 0.075 m η = 0.8	η < 0.1	η < 0.1	x: 0.075 m η = 17.0	η < 0.1	η = 2.7	η = 0.2	x: 0.075 m η = 0.8	**CUMPLE η = 17.0**
N325/N326	$\lambda_w \leq \lambda_{w,máx}$ Cumple	N_{Ed} = 0.00 N.P.(1)	η = 11.7	x: 2.373 m η = 1.2	x: 1.217 m η = 1.3	η = 0.1	x: 0.06 m η = 0.2	η < 0.1	η < 0.1	x: 2.373 m η = 13.2	η < 0.1	η = 1.4	η = 0.1	x: 0.06 m η = 0.2	**CUMPLE η = 13.2**
N326/N226	$\lambda_w \leq \lambda_{w,máx}$ Cumple	N_{Ed} = 0.00 N.P.(1)	η = 11.2	x: 2.358 m η = 2.8	x: 2.358 m η = 5.6	η = 0.3	x: 2.358 m η = 0.7	η < 0.1	η < 0.1	x: 0.06 m η = 15.1	η < 0.1	η = 1.6	η = 0.3	x: 2.358 m η = 0.8	**CUMPLE η = 15.1**
N8/N317	$\lambda_w \leq \lambda_{w,máx}$ Cumple	x: 1.463 m η = 2.3	η = 45.8	x: 2.338 m η = 2.6	x: 0.15 m η = 3.2	η = 0.3	x: 0.15 m η = 0.5	η < 0.1	η < 0.1	x: 0.15 m η = 50.2	η < 0.1	η = 1.1	η = 0.3	x: 0.15 m η = 0.5	**CUMPLE η = 50.2**
N317/N318	$\lambda_w \leq \lambda_{w,máx}$ Cumple	η = 4.7	η = 26.5	x: 2.338 m η = 0.4	x: 2.338 m η = 5.9	η < 0.1	x: 2.338 m η = 0.9	η < 0.1	η < 0.1	x: 2.338 m η = 30.6	η < 0.1	η = 0.3	η < 0.1	x: 2.338 m η = 0.9	**CUMPLE η = 30.6**
N318/N121	$\lambda_w \leq \lambda_{w,máx}$ Cumple	η = 4.6	η = 66.1	x: 2.278 m η = 3.6	x: 0.095 m η = 2.9	η = 0.5	x: 0.095 m η = 0.5	η < 0.1	η < 0.1	x: 2.278 m η = 70.4	η < 0.1	η = 1.7	η = 0.5	x: 0.095 m η = 0.5	**CUMPLE η = 70.4**
N121/N319	$\lambda_w \leq \lambda_{w,máx}$ Cumple	η = 2.4	η = 57.9	x: 0.155 m η = 4.4	x: 0.155 m η = 3.0	η = 0.5	x: 0.155 m η = 0.5	η < 0.1	η < 0.1	x: 0.155 m η = 61.5	η < 0.1	η = 1.6	η = 0.5	x: 0.155 m η = 0.5	**CUMPLE η = 61.5**
N319/N320	$\lambda_w \leq \lambda_{w,máx}$ Cumple	η = 8.5	η = 28.2	x: 2.338 m η = 0.8	x: 2.338 m η = 5.4	η = 0.1	x: 2.338 m η = 0.8	η < 0.1	η < 0.1	x: 2.338 m η = 31.6	η < 0.1	η = 0.6	η = 0.1	x: 2.338 m η = 0.8	**CUMPLE η = 31.6**
N320/N225	$\lambda_w \leq \lambda_{w,máx}$ Cumple	η = 3.2	η = 59.7	x: 0.095 m η = 2.5	x: 0.095 m η = 2.8	η = 0.3	x: 0.095 m η = 0.5	η < 0.1	η < 0.1	x: 0.095 m η = 62.8	η < 0.1	η = 1.4	η = 0.3	x: 0.095 m η = 0.5	**CUMPLE η = 62.8**
N9/N313	$\lambda_w \leq \lambda_{w,máx}$ Cumple	x: 0.854 m η = 0.8	η = 32.3	x: 0.095 m η = 2.3	x: 0.095 m η = 2.3	η = 0.2	x: 0.095 m η = 0.4	η < 0.1	η < 0.1	x: 0.095 m η = 34.8	η < 0.1	η = 1.0	η = 0.2	x: 0.095 m η = 0.4	**CUMPLE η = 34.8**
N313/N314	$\lambda_w \leq \lambda_{w,máx}$ Cumple	η = 0.8	η = 32.0	x: 2.373 m η = 1.2	x: 2.373 m η = 5.2	η < 0.1	x: 2.373 m η = 0.8	η < 0.1	η < 0.1	x: 0.06 m η = 34.7	η < 0.1	η = 0.1	η < 0.1	x: 2.373 m η = 0.8	**CUMPLE η = 34.7**
N314/N138	$\lambda_w \leq \lambda_{w,máx}$ Cumple	η = 1.2	η = 29.3	x: 2.338 m η = 2.2	x: 2.338 m η = 5.0	η = 0.2	x: 2.338 m η = 0.7	η < 0.1	η < 0.1	x: 2.338 m η = 33.6	η < 0.1	η = 0.7	η = 0.2	x: 2.338 m η = 0.7	**CUMPLE η = 33.6**
N138/N315	$\lambda_w \leq \lambda_{w,máx}$ Cumple	η = 0.8	η = 32.8	x: 0.095 m η = 2.5	x: 0.095 m η = 4.8	η = 0.2	x: 0.095 m η = 0.7	η < 0.1	η < 0.1	x: 0.095 m η = 37.2	η < 0.1	η = 1.0	η = 0.3	x: 0.095 m η = 0.7	**CUMPLE η = 37.2**
N315/N316	$\lambda_w \leq \lambda_{w,máx}$ Cumple	η = 0.8	η = 32.5	x: 2.373 m η = 1.0	x: 2.373 m η = 4.4	η < 0.1	x: 2.373 m η = 0.7	η < 0.1	η < 0.1	x: 0.06 m η = 35.8	η < 0.1	η = 0.6	η < 0.1	x: 2.373 m η = 0.7	**CUMPLE η = 35.8**
N316/N242	$\lambda_w \leq \lambda_{w,máx}$ Cumple	η = 1.6	η = 26.5	x: 2.338 m η = 1.7	x: 2.338 m η = 5.0	η = 0.2	x: 2.338 m η = 0.7	η < 0.1	η < 0.1	x: 2.338 m η = 30.7	η < 0.1	η = 0.3	η = 0.2	x: 2.338 m η = 0.7	**CUMPLE η = 30.7**
N320/N316	$\lambda_w \leq \lambda_{w,máx}$ Cumple	x: 1.939 m η = 0.1	x: 0.078 m η = 3.7	x: 1.94 m η = 3.3	x: 0.078 m η = 3.0	η = 0.4	η = 0.2	η < 0.1	η < 0.1	x: 0.078 m η = 6.9	η < 0.1	η = 0.2	η = 0.4	η = 0.2	**CUMPLE η = 6.9**
N319/N315	$\lambda_w \leq \lambda_{w,máx}$ Cumple	x: 1.939 m η = 0.2	x: 0.078 m η = 2.0	x: 0.078 m η = 2.6	x: 0.078 m η = 3.3	η = 0.4	η = 0.2	η < 0.1	η < 0.1	x: 0.078 m η = 5.0	η < 0.1	η = 0.9	η = 0.4	η = 0.2	**CUMPLE η = 5.0**
N318/N314	$\lambda_w \leq \lambda_{w,máx}$ Cumple	x: 1.939 m η = 0.2	x: 0.078 m η = 4.1	x: 0.078 m η = 2.7	x: 0.078 m η = 3.7	η = 0.4	η = 0.2	η < 0.1	η < 0.1	x: 0.078 m η = 8.1	η < 0.1	η = 0.5	η = 0.4	η = 0.2	**CUMPLE η = 8.1**
N317/N313	$\lambda_w \leq \lambda_{w,máx}$ Cumple	x: 1.939 m η = 0.2	x: 0.078 m η = 2.3	x: 0.078 m η = 2.6	x: 0.078 m η = 3.5	η = 0.4	η = 0.2	η < 0.1	η < 0.1	x: 0.078 m η = 5.1	η < 0.1	η = 0.5	η = 0.4	η = 0.2	**CUMPLE η = 5.1**

VISADO
COGITI
Estado
VALENCIA
VA07290/22
TRLTDCFZ60T66IJ1

Barras	COMPROBACIONES (CÓDIGO ESTRUCTURAL)														
	λ_w	N_t	N_c	M_Y	M_Z	V_Z	V_Y	M_YV_Z	M_ZV_Y	NM_YM_Z	$NM_YM_ZV_YV_Z$	M_t	M_tV_Z	M_tV_Y	
N323/N321	$\lambda_w \leq \lambda_{w,máx}$ Cumple	x: 1.939 m η < 0.1	x: 0.06 m η = 0.1	x: 1.94 m η = 2.8	x: 1.94 m η = 2.1	η = 0.4	η = 0.3	η < 0.1	η < 0.1	x: 1.94 m η = 4.6	η < 0.1	η = 0.9	η = 0.4	η = 0.3	**CUMPLE η = 4.6**
N324/N322	$\lambda_w \leq \lambda_{w,máx}$ Cumple	x: 1.939 m η = 0.1	x: 0.06 m η = 0.1	x: 1.94 m η = 3.7	x: 1.94 m η = 1.6	η = 0.5	η = 0.2	η < 0.1	η < 0.1	x: 1.94 m η = 5.2	η < 0.1	η = 0.7	η = 0.5	η = 0.2	**CUMPLE η = 5.2**
N328/N326	$\lambda_w \leq \lambda_{w,máx}$ Cumple	x: 1.939 m η = 0.1	x: 0.06 m η = 0.1	x: 1.94 m η = 3.1	x: 0.06 m η = 1.7	η = 0.5	η = 0.2	η < 0.1	η < 0.1	x: 1.94 m η = 4.6	η < 0.1	η = 1.8	η = 0.5	η = 0.2	**CUMPLE η = 4.6**
N327/N325	$\lambda_w \leq \lambda_{w,máx}$ Cumple	x: 1.939 m η = 0.1	x: 0.06 m η = 0.1	x: 1.94 m η = 3.3	x: 0.06 m η = 1.3	η = 0.5	η = 0.1	η < 0.1	η < 0.1	x: 1.94 m η = 4.6	η < 0.1	η = 0.7	η = 0.5	η = 0.1	**CUMPLE η = 4.6**
N5/N317	$\lambda_w \leq \lambda_{w,máx}$ Cumple	x: 3.054 m η = 10.1	x: 2.851 m η = 5.1	x: 0.195 m η = 6.4	x: 0.195 m η = 5.2	x: 3.055 m η = 0.7	η = 0.2	η < 0.1	η < 0.1	x: 0.195 m η = 19.6	η < 0.1	η = 4.1	x: 3.055 m η = 0.7	η = 0.2	**CUMPLE η = 19.6**
N139/N318	$\lambda_w \leq \lambda_{w,máx}$ Cumple	x: 3.054 m η = 15.9	x: 0.201 m η = 15.7	x: 0.201 m η = 5.3	x: 0.201 m η = 4.8	x: 3.055 m η = 0.6	η = 0.2	η < 0.1	η < 0.1	x: 3.055 m η = 23.0	η < 0.1	η = 3.4	x: 3.055 m η = 0.6	η = 0.2	**CUMPLE η = 23.0**
N139/N319	$\lambda_w \leq \lambda_{w,máx}$ Cumple	x: 3.054 m η = 15.2	x: 0.201 m η = 4.2	x: 0.201 m η = 5.3	x: 0.201 m η = 4.6	x: 3.055 m η = 0.6	η = 0.2	η < 0.1	η < 0.1	x: 3.055 m η = 21.0	η < 0.1	η = 3.2	x: 3.055 m η = 0.6	η = 0.2	**CUMPLE η = 21.0**
N243/N320	$\lambda_w \leq \lambda_{w,máx}$ Cumple	x: 3.054 m η = 15.2	x: 0.201 m η = 14.0	x: 0.201 m η = 5.1	x: 0.201 m η = 5.0	x: 3.055 m η = 0.6	η = 0.2	η < 0.1	η < 0.1	x: 3.055 m η = 21.6	η < 0.1	η = 3.0	x: 3.055 m η = 0.6	η = 0.2	**CUMPLE η = 21.6**
N6/N329	$\lambda_w \leq \lambda_{w,máx}$ Cumple	x: 3.054 m η = 11.5	x: 0.195 m η = 3.6	x: 0.195 m η = 7.1	x: 3.055 m η = 4.5	x: 3.055 m η = 0.7	η = 0.2	η < 0.1	η < 0.1	x: 0.195 m η = 19.1	η < 0.1	η = 2.9	x: 3.055 m η = 0.8	η = 0.2	**CUMPLE η = 19.1**
N10/N329	$\lambda_w \leq \lambda_{w,máx}$ Cumple	x: 1.901 m η = 1.6	η = 50.7	x: 2.338 m η = 3.3	x: 0.15 m η = 3.3	η = 0.4	x: 0.15 m η = 0.5	η < 0.1	η < 0.1	x: 2.338 m η = 55.0	η < 0.1	η = 1.1	η = 0.4	x: 0.15 m η = 0.5	**CUMPLE η = 55.0**
N329/N330	$\lambda_w \leq \lambda_{w,máx}$ Cumple	η = 5.2	η = 26.9	x: 0.095 m η = 0.5	x: 2.338 m η = 5.9	η = 0.1	x: 2.338 m η = 0.9	η < 0.1	η < 0.1	x: 2.338 m η = 31.1	η < 0.1	η = 0.2	η = 0.1	x: 2.338 m η = 0.9	**CUMPLE η = 31.1**
N330/N155	$\lambda_w \leq \lambda_{w,máx}$ Cumple	η = 4.2	η = 62.9	x: 2.278 m η = 4.7	x: 0.095 m η = 3.2	η = 0.6	x: 0.095 m η = 0.5	η < 0.1	η < 0.1	x: 2.278 m η = 67.0	η < 0.1	η = 1.8	η = 0.6	x: 0.095 m η = 0.5	**CUMPLE η = 67.0**
N329/N331	$\lambda_w \leq \lambda_{w,máx}$ Cumple	x: 1.939 m η = 0.2	x: 0.078 m η = 1.7	x: 0.078 m η = 2.7	x: 0.078 m η = 3.4	η = 0.4	η = 0.2	η < 0.1	η < 0.1	x: 0.078 m η = 5.0	η < 0.1	η = 0.5	η = 0.4	η = 0.2	**CUMPLE η = 5.0**
N11/N331	$\lambda_w \leq \lambda_{w,máx}$ Cumple	η = 0.6	η = 32.8	x: 0.095 m η = 2.6	x: 0.095 m η = 2.5	η = 0.2	x: 0.095 m η = 0.5	η < 0.1	η < 0.1	x: 0.095 m η = 35.8	η < 0.1	η = 1.2	η = 0.2	x: 0.095 m η = 0.5	**CUMPLE η = 35.8**
N331/N332	$\lambda_w \leq \lambda_{w,máx}$ Cumple	η = 0.6	η = 32.4	x: 2.373 m η = 1.3	x: 2.373 m η = 5.3	η < 0.1	x: 2.373 m η = 0.8	η < 0.1	η < 0.1	x: 0.06 m η = 35.3	η < 0.1	η = 0.1	η < 0.1	x: 2.373 m η = 0.8	**CUMPLE η = 35.3**
N332/N171	$\lambda_w \leq \lambda_{w,máx}$ Cumple	η = 0.9	η = 28.4	x: 0.06 m η = 1.6	x: 2.338 m η = 4.9	η = 0.2	x: 2.338 m η = 0.7	η < 0.1	η < 0.1	x: 2.338 m η = 32.5	η < 0.1	η = 0.7	η = 0.2	x: 2.338 m η = 0.7	**CUMPLE η = 32.5**
N330/N332	$\lambda_w \leq \lambda_{w,máx}$ Cumple	x: 1.939 m η = 0.2	x: 0.078 m η = 4.2	x: 1.94 m η = 2.9	x: 0.078 m η = 3.6	η = 0.4	η = 0.2	η < 0.1	η < 0.1	x: 0.078 m η = 8.3	η < 0.1	η = 0.4	η = 0.4	η = 0.2	**CUMPLE η = 8.3**
N174/N330	$\lambda_w \leq \lambda_{w,máx}$ Cumple	x: 3.054 m η = 15.3	x: 0.201 m η = 15.5	x: 0.201 m η = 5.1	x: 3.055 m η = 4.9	x: 3.055 m η = 0.5	η = 0.2	η < 0.1	η < 0.1	x: 3.055 m η = 22.0	η < 0.1	η = 2.5	x: 3.055 m η = 0.5	η = 0.2	**CUMPLE η = 22.0**
N174/N333	$\lambda_w \leq \lambda_{w,máx}$ Cumple	x: 3.054 m η = 16.3	x: 0.201 m η = 3.0	x: 0.201 m η = 6.0	x: 3.055 m η = 4.9	x: 3.055 m η = 0.6	η = 0.2	η < 0.1	η < 0.1	x: 3.055 m η = 21.9	η < 0.1	η = 2.5	x: 3.055 m η = 0.6	η = 0.2	**CUMPLE η = 21.9**
N155/N333	$\lambda_w \leq \lambda_{w,máx}$ Cumple	η = 2.4	η = 60.7	x: 0.155 m η = 4.6	x: 0.155 m η = 3.1	η = 0.6	x: 0.155 m η = 0.5	η < 0.1	η < 0.1	x: 2.338 m η = 63.5	η < 0.1	η = 1.7	η = 0.6	x: 0.155 m η = 0.5	**CUMPLE η = 63.5**
N333/N334	$\lambda_w \leq \lambda_{w,máx}$ Cumple	η = 9.1	η = 26.1	x: 0.095 m η = 0.5	x: 2.338 m η = 6.0	η = 0.1	x: 2.338 m η = 0.9	η < 0.1	η < 0.1	x: 2.338 m η = 29.8	η < 0.1	η = 0.2	η = 0.1	x: 2.338 m η = 0.9	**CUMPLE η = 29.8**
N334/N259	$\lambda_w \leq \lambda_{w,máx}$ Cumple	η = 3.3	η = 55.4	x: 0.095 m η = 2.7	x: 0.095 m η = 3.1	η = 0.3	x: 0.095 m η = 0.5	η < 0.1	η < 0.1	x: 2.278 m η = 58.2	η < 0.1	η = 1.3	η = 0.3	x: 0.095 m η = 0.5	**CUMPLE η = 58.2**
N333/N335	$\lambda_w \leq \lambda_{w,máx}$ Cumple	x: 1.939 m η = 0.2	x: 0.078 m η = 1.6	x: 0.078 m η = 2.9	x: 0.078 m η = 3.6	η = 0.4	η = 0.2	η < 0.1	η < 0.1	x: 0.078 m η = 5.5	η < 0.1	η = 0.5	η = 0.4	η = 0.2	**CUMPLE η = 5.5**
N334/N336	$\lambda_w \leq \lambda_{w,máx}$ Cumple	x: 1.939 m η = 0.1	x: 0.078 m η = 4.1	x: 1.94 m η = 3.6	x: 0.078 m η = 2.6	η = 0.5	η = 0.2	η < 0.1	η < 0.1	x: 0.078 m η = 7.5	η < 0.1	η = 0.3	η = 0.5	η = 0.2	**CUMPLE η = 7.5**
N278/N334	$\lambda_w \leq \lambda_{w,máx}$ Cumple	x: 3.054 m η = 14.6	x: 0.201 m η = 13.7	x: 0.201 m η = 5.2	x: 3.055 m η = 3.2	x: 3.055 m η = 0.5	x: 3.054 m η = 0.1	η < 0.1	η < 0.1	x: 3.055 m η = 20.3	η < 0.1	η = 2.1	x: 3.055 m η = 0.5	η = 0.1	**CUMPLE η = 20.3**
N171/N335	$\lambda_w \leq \lambda_{w,máx}$ Cumple	η = 0.7	η = 33.4	x: 0.095 m η = 2.1	x: 0.095 m η = 5.0	η = 0.2	x: 0.095 m η = 0.7	η < 0.1	η < 0.1	x: 0.095 m η = 37.4	η < 0.1	η = 0.9	η = 0.2	x: 0.095 m η = 0.7	**CUMPLE η = 37.4**
N335/N336	$\lambda_w \leq \lambda_{w,máx}$ Cumple	η = 0.6	η = 33.0	x: 0.06 m η = 1.1	x: 2.373 m η = 4.8	η < 0.1	x: 2.373 m η = 0.7	η < 0.1	η < 0.1	x: 0.06 m η = 36.9	η < 0.1	η = 0.2	η < 0.1	x: 2.373 m η = 0.7	**CUMPLE η = 36.9**
N336/N275	$\lambda_w \leq \lambda_{w,máx}$ Cumple	η = 0.6	η = 25.8	x: 2.338 m η = 2.0	x: 2.338 m η = 4.8	η = 0.2	x: 2.338 m η = 0.6	η < 0.1	η < 0.1	x: 2.338 m η = 30.0	η < 0.1	η = 0.5	η = 0.2	x: 2.338 m η = 0.6	**CUMPLE η = 30.0**
N319/N138	$\lambda_w \leq \lambda_{w,máx}$ Cumple	x: 3.051 m η = 13.4	x: 0.095 m η = 2.3	x: 3.052 m η = 4.1	x: 0.095 m η = 3.2	x: 3.052 m η = 0.5	η = 0.2	η < 0.1	η < 0.1	x: 0.095 m η = 18.2	η < 0.1	η = 1.1	x: 3.052 m η = 0.5	η = 0.2	**CUMPLE η = 18.2**
N318/N138	$\lambda_w \leq \lambda_{w,máx}$ Cumple	x: 3.051 m η = 13.2	x: 0.095 m η = 3.7	x: 3.052 m η = 4.3	x: 0.095 m η = 2.6	x: 3.052 m η = 0.6	η = 0.1	η < 0.1	η < 0.1	x: 3.052 m η = 18.3	η < 0.1	η = 1.1	x: 3.052 m η = 0.6	η = 0.1	**CUMPLE η = 18.3**
N317/N9	$\lambda_w \leq \lambda_{w,máx}$ Cumple	x: 3.054 m η = 8.1	x: 0.729 m η = 1.0	x: 0.095 m η = 2.4	x: 0.095 m η = 2.1	x: 3.055 m η = 0.4	η = 0.1	η < 0.1	η < 0.1	x: 0.095 m η = 10.8	η < 0.1	η = 1.4	x: 3.055 m η = 0.4	η = 0.1	**CUMPLE η = 10.8**
N320/N242	$\lambda_w \leq \lambda_{w,máx}$ Cumple	x: 3.051 m η = 14.8	x: 0.095 m η = 3.5	x: 3.052 m η = 4.1	x: 0.095 m η = 1.6	x: 3.052 m η = 0.5	η = 0.1	η < 0.1	η < 0.1	x: 3.052 m η = 19.4	η < 0.1	η = 1.0	x: 3.052 m η = 0.5	η = 0.1	**CUMPLE η = 19.4**
N333/N171	$\lambda_w \leq \lambda_{w,máx}$ Cumple	x: 3.051 m η = 13.8	x: 0.095 m η = 2.5	x: 3.052 m η = 4.2	x: 0.095 m η = 2.5	x: 3.052 m η = 0.6	η = 0.1	η < 0.1	η < 0.1	x: 0.095 m η = 18.3	η < 0.1	η = 1.2	x: 3.052 m η = 0.6	η = 0.1	**CUMPLE η = 18.3**
N330/N171	$\lambda_w \leq \lambda_{w,máx}$ Cumple	x: 3.051 m η = 13.1	x: 0.095 m η = 3.4	x: 3.052 m η = 4.2	x: 0.095 m η = 2.5	x: 3.052 m η = 0.6	η = 0.1	η < 0.1	η < 0.1	x: 0.095 m η = 18.2	η < 0.1	η = 1.1	x: 3.052 m η = 0.6	η = 0.1	**CUMPLE η = 18.2**
N329/N11	$\lambda_w \leq \lambda_{w,máx}$ Cumple	x: 3.054 m η = 8.6	x: 0.095 m η = 1.3	x: 0.095 m η = 2.6	x: 0.095 m η = 1.8	x: 3.055 m η = 0.4	η < 0.1	η < 0.1	η < 0.1	x: 0.095 m η = 11.5	η < 0.1	η = 1.6	x: 3.055 m η = 0.4	η < 0.1	**CUMPLE η = 11.5**
N334/N275	$\lambda_w \leq \lambda_{w,máx}$ Cumple	x: 3.051 m η = 14.5	x: 0.095 m η = 3.2	x: 3.052 m η = 4.0	x: 0.095 m η = 1.7	x: 3.052 m η = 0.5	η = 0.1	η < 0.1	η < 0.1	x: 0.095 m η = 18.8	η < 0.1	η = 1.0	x: 3.052 m η = 0.5	η = 0.1	**CUMPLE η = 18.8**
N178/N340	$\lambda_w \leq \lambda_{w,máx}$ Cumple	x: 2.372 m η = 0.2	η = 28.1	x: 0.095 m η = 4.6	x: 0.095 m η = 5.4	η = 0.5	x: 0.095 m η = 0.7	η < 0.1	η < 0.1	x: 0.095 m η = 32.6	η < 0.1	η = 2.7	η = 0.5	x: 0.095 m η = 0.7	**CUMPLE η = 32.6**
N340/N337	$\lambda_w \leq \lambda_{w,máx}$ Cumple	η = 0.2	η = 27.8	x: 2.373 m η = 2.1	x: 0.06 m η = 5.5	η = 0.1	x: 2.373 m η = 0.8	η < 0.1	η < 0.1	x: 0.06 m η = 30.9	η < 0.1	η = 1.1	η = 0.1	x: 2.373 m η = 0.8	**CUMPLE η = 30.9**
N337/N282	$\lambda_w \leq \lambda_{w,máx}$ Cumple	η = 0.8	η = 15.8	x: 2.338 m η = 3.4	x: 2.338 m η = 3.8	η = 0.3	x: 2.338 m η = 0.5	η < 0.1	η < 0.1	x: 2.338 m η = 18.5	η < 0.1	η = 1.3	η = 0.4	x: 2.338 m η = 0.5	**CUMPLE η = 18.5**
N338/N282	$\lambda_w \leq \lambda_{w,máx}$ Cumple	x: 3.051 m η = 12.6	x: 0.095 m η = 1.9	x: 3.052 m η = 3.1	x: 0.095 m η = 2.1	x: 3.052 m η = 0.4	η = 0.1	η < 0.1	η < 0.1	x: 3.052 m η = 16.2	η < 0.1	η = 2.7	x: 3.052 m η = 0.4	η = 0.1	**CUMPLE η = 16.2**
N177/N339	$\lambda_w \leq \lambda_{w,máx}$ Cumple	η = 2.3	η = 62.1	x: 0.175 m η = 7.1	x: 2.338 m η = 2.2	η = 0.8	x: 0.175 m η = 0.4	η < 0.1	η < 0.1	x: 0.175 m η = 64.0	η < 0.1	η = 1.4	η = 0.8	x: 0.175 m η = 0.4	**CUMPLE η = 64.0**
N339/N338	$\lambda_w \leq \lambda_{w,máx}$ Cumple	η = 8.4	η = 15.9	x: 0.095 m η = 2.4	x: 2.338 m η = 6.9	η = 0.3	x: 2.338 m η = 1.0	η < 0.1	η < 0.1	x: 2.338 m η = 21.6	η < 0.1	η = 1.3	η = 0.3	x: 2.338 m η = 1.0	**CUMPLE η = 21.6**
N338/N281	$\lambda_w \leq \lambda_{w,máx}$ Cumple	η = 4.1	η = 39.5	x: 0.095 m η = 4.2	x: 0.095 m η = 2.3	η = 0.4	x: 0.095 m η = 0.4	η < 0.1	η < 0.1	x: 2.258 m η = 41.6	η < 0.1	η = 1.6	η = 0.4	x: 0.095 m η = 0.4	**CUMPLE η = 41.6**

Documento visado electrónicamente con número: VA07290/22
Código de validación telemática TRLTDCFZ60T66IJ1. Comprobación: https://cogitivalencia.e-gestion.es/Validacion.aspx?CVT=TRLTDCFZ60T66IJ1

Listados

Barras	COMPROBACIONES (CÓDIGO ESTRUCTURAL)														Estado
	λ_w	N_t	N_c	M_Y	M_Z	V_Z	V_Y	M_YV_Z	M_ZV_Y	NM_YM_Z	$NM_YM_ZV_YV_Z$	M_t	M_tV_Z	M_tV_Y	
N280/N338	$\lambda_w \leq \lambda_{w,máx}$ Cumple	x: 3.054 m η = 10.3	x: 0.227 m η = 12.7	x: 0.227 m η = 3.6	x: 3.055 m η = 8.1	x: 3.055 m η = 0.4	η = 0.2	η < 0.1	η < 0.1	x: 3.055 m η = 16.9	η < 0.1	η = 6.8	x: 3.055 m η = 0.4	η = 0.2	**CUMPLE η = 16.9**
N339/N340	$\lambda_w \leq \lambda_{w,máx}$ Cumple	x: 1.939 m η = 0.3	x: 0.078 m η = 1.4	x: 0.078 m η = 3.1	x: 0.078 m η = 7.0	η = 0.4	η = 0.4	η < 0.1	η < 0.1	x: 0.078 m η = 8.4	η < 0.1	η = 1.7	η = 0.4	η = 0.4	**CUMPLE η = 8.4**
N339/N178	$\lambda_w \leq \lambda_{w,máx}$ Cumple	x: 3.051 m η = 13.7	x: 0.095 m η = 2.2	x: 3.052 m η = 4.4	x: 0.095 m η = 5.1	x: 3.052 m η = 0.6	η = 0.1	η < 0.1	η < 0.1	x: 0.095 m η = 18.6	η < 0.1	η = 2.9	x: 3.052 m η = 0.6	η = 0.1	**CUMPLE η = 18.6**
N338/N337	$\lambda_w \leq \lambda_{w,máx}$ Cumple	x: 1.939 m η < 0.1	x: 0.078 m η = 4.6	x: 1.94 m η = 3.8	x: 0.078 m η = 6.7	η = 0.5	η = 0.4	η < 0.1	η < 0.1	x: 0.078 m η = 11.2	η < 0.1	η = 0.4	η = 0.5	η = 0.4	**CUMPLE η = 11.2**
N13/N343	$\lambda_w \leq \lambda_{w,máx}$ Cumple	N_{Ed} = 0.00 N.P.(1)	η = 28.4	x: 0.095 m η = 3.5	x: 2.373 m η = 1.8	η = 0.4	x: 0.095 m η = 0.4	η < 0.1	η < 0.1	x: 0.095 m η = 31.3	η < 0.1	η = 2.4	η = 0.4	x: 0.095 m η = 0.4	**CUMPLE η = 31.3**
N343/N341	$\lambda_w \leq \lambda_{w,máx}$ Cumple	N_{Ed} = 0.00 N.P.(1)	η = 28.0	x: 0.06 m η = 2.2	x: 2.373 m η = 4.5	η < 0.1	x: 2.373 m η = 0.7	η < 0.1	η < 0.1	x: 0.06 m η = 31.9	η < 0.1	η = 0.3	η < 0.1	x: 2.373 m η = 0.7	**CUMPLE η = 31.9**
N341/N178	$\lambda_w \leq \lambda_{w,máx}$ Cumple	x: 2.337 m η = 0.3	η = 17.8	x: 2.338 m η = 4.7	x: 2.338 m η = 3.7	η = 0.5	x: 2.338 m η = 0.5	η < 0.1	η < 0.1	x: 2.338 m η = 20.6	η < 0.1	η = 2.4	η = 0.5	x: 2.338 m η = 0.5	**CUMPLE η = 20.6**
N342/N178	$\lambda_w \leq \lambda_{w,máx}$ Cumple	x: 3.051 m η = 11.3	x: 0.095 m η = 2.4	x: 3.052 m η = 3.2	x: 0.095 m η = 4.0	x: 3.052 m η = 0.4	η = 0.1	η < 0.1	η < 0.1	x: 3.052 m η = 15.1	η < 0.1	η = 3.2	x: 3.052 m η = 0.4	η = 0.1	**CUMPLE η = 15.1**
N12/N344	$\lambda_w \leq \lambda_{w,máx}$ Cumple	x: 1.901 m η = 1.2	η = 34.3	x: 2.338 m η = 4.7	x: 0.15 m η = 3.1	η = 0.6	x: 0.15 m η = 0.5	η < 0.1	η < 0.1	x: 2.338 m η = 37.7	η < 0.1	η = 1.8	η = 0.6	x: 0.15 m η = 0.5	**CUMPLE η = 37.7**
N344/N342	$\lambda_w \leq \lambda_{w,máx}$ Cumple	η = 5.9	η = 18.5	x: 2.338 m η = 1.0	x: 2.338 m η = 5.9	η = 0.1	x: 2.338 m η = 0.8	η < 0.1	η < 0.1	x: 2.338 m η = 22.9	η < 0.1	η = 0.5	η = 0.1	x: 2.338 m η = 0.8	**CUMPLE η = 22.9**
N342/N177	$\lambda_w \leq \lambda_{w,máx}$ Cumple	η = 3.9	η = 44.6	x: 0.095 m η = 4.9	x: 0.095 m η = 2.2	η = 0.6	x: 0.095 m η = 0.4	η < 0.1	η < 0.1	x: 2.258 m η = 45.6	η < 0.1	η = 1.5	η = 0.6	x: 0.095 m η = 0.4	**CUMPLE η = 45.6**
N176/N339	$\lambda_w \leq \lambda_{w,máx}$ Cumple	x: 3.054 m η = 18.9	x: 0.227 m η = 3.1	x: 0.227 m η = 5.3	x: 3.055 m η = 9.0	x: 3.055 m η = 0.6	η = 0.1	η < 0.1	η < 0.1	x: 0.227 m η = 27.9	η < 0.1	η = 7.1	x: 3.055 m η = 0.6	η = 0.1	**CUMPLE η = 27.9**
N176/N342	$\lambda_w \leq \lambda_{w,máx}$ Cumple	x: 3.054 m η = 10.0	x: 0.227 m η = 12.8	x: 0.227 m η = 3.6	x: 3.055 m η = 9.0	x: 3.055 m η = 0.4	η = 0.1	η < 0.1	η < 0.1	x: 0.227 m η = 18.1	η < 0.1	η = 7.6	x: 0.227 m η = 0.4	η = 0.1	**CUMPLE η = 18.1**
N342/N341	$\lambda_w \leq \lambda_{w,máx}$ Cumple	N_{Ed} = 0.00 N.P.(1)	x: 0.078 m η = 4.0	x: 1.94 m η = 3.1	x: 0.078 m η = 7.3	η = 0.4	η = 0.4	η < 0.1	η < 0.1	x: 0.078 m η = 10.5	η < 0.1	η = 1.2	η = 0.4	η = 0.4	**CUMPLE η = 10.5**
N344/N343	$\lambda_w \leq \lambda_{w,máx}$ Cumple	x: 1.939 m η = 0.2	x: 0.078 m η = 1.3	x: 0.078 m η = 3.3	x: 0.078 m η = 7.8	η = 0.5	η = 0.4	η < 0.1	η < 0.1	x: 0.078 m η = 8.8	η < 0.1	η = 0.7	η = 0.5	η = 0.4	**CUMPLE η = 8.8**
N7/N344	$\lambda_w \leq \lambda_{w,máx}$ Cumple	x: 3.054 m η = 11.5	x: 0.195 m η = 2.5	x: 0.195 m η = 5.9	x: 3.055 m η = 9.6	x: 3.055 m η = 0.7	η = 0.2	η < 0.1	η < 0.1	x: 3.055 m η = 21.5	η < 0.1	η = 7.4	x: 3.055 m η = 0.7	η = 0.2	**CUMPLE η = 21.5**
N344/N13	$\lambda_w \leq \lambda_{w,máx}$ Cumple	x: 3.054 m η = 7.8	x: 0.095 m η = 0.8	x: 0.095 m η = 2.4	x: 3.055 m η = 4.4	x: 3.055 m η = 0.4	η = 0.1	η < 0.1	η < 0.1	x: 3.055 m η = 11.7	η < 0.1	η = 3.3	x: 3.055 m η = 0.4	η = 0.1	**CUMPLE η = 11.7**
N124/N228	x: 0.522 m $\lambda_w \leq \lambda_{w,máx}$ Cumple	η = 2.7	η = 40.8	M_{Ed} = 0.00 N.P.(2)	x: 3.65 m η = 5.9	V_{Ed} = 0.00 N.P.(3)	x: 0.075 m η = 0.5	N.P.(4)	x: 0.522 m η < 0.1	x: 3.65 m η = 47.8	x: 0.522 m η < 0.1	M_{Ed} = 0.00 N.P.(5)	N.P.(6)	N.P.(6)	**CUMPLE η = 47.8**
N18/N345	x: 0.061 m $\lambda_w \leq \lambda_{w,máx}$ Cumple	η = 1.4	η = 27.3	x: 2.372 m η = 0.1	x: 2.373 m η = 15.4	η < 0.1	x: 0.06 m η = 1.1	x: 0.253 m η < 0.1	x: 0.061 m η < 0.1	x: 2.373 m η = 31.2	x: 0.061 m η < 0.1	M_{Ed} = 0.00 N.P.(5)	N.P.(6)	N.P.(6)	**CUMPLE η = 31.2**
N345/N346	$\lambda_w \leq \lambda_{w,máx}$ Cumple	η = 0.4	η = 27.5	x: 0.06 m η < 0.1	x: 0.06 m η = 3.9	η < 0.1	x: 2.373 m η = 0.5	x: 0.06 m η < 0.1	η < 0.1	x: 2.181 m η = 29.2	η < 0.1	η = 0.1	η < 0.1	x: 2.373 m η = 0.5	**CUMPLE η = 29.2**
N346/N126	x: 0.06 m $\lambda_w \leq \lambda_{w,máx}$ Cumple	η = 0.4	η = 25.8	x: 0.06 m η = 0.1	x: 0.06 m η = 14.0	η < 0.1	x: 2.373 m η = 1.0	x: 0.06 m η < 0.1	x: 0.06 m η < 0.1	x: 0.06 m η = 32.7	x: 0.06 m η < 0.1	M_{Ed} = 0.00 N.P.(5)	N.P.(6)	N.P.(6)	**CUMPLE η = 32.7**
N33/N347	x: 0.061 m $\lambda_w \leq \lambda_{w,máx}$ Cumple	η = 0.1	η = 14.3	x: 2.372 m η = 0.1	x: 2.373 m η = 16.0	η < 0.1	x: 0.06 m η = 1.2	x: 0.253 m η < 0.1	x: 0.061 m η < 0.1	x: 2.373 m η = 23.8	x: 0.061 m η < 0.1	M_{Ed} = 0.00 N.P.(5)	N.P.(6)	N.P.(6)	**CUMPLE η = 23.8**
N347/N348	$\lambda_w \leq \lambda_{w,máx}$ Cumple	η = 0.4	η = 14.3	x: 0.06 m η < 0.1	x: 0.06 m η = 4.1	η < 0.1	x: 2.373 m η = 0.5	x: 0.06 m η < 0.1	η < 0.1	x: 2.373 m η = 15.3	η < 0.1	η = 0.1	η < 0.1	x: 2.373 m η = 0.5	**CUMPLE η = 15.3**
N348/N109	x: 0.06 m $\lambda_w \leq \lambda_{w,máx}$ Cumple	η = 1.0	η = 15.5	x: 0.06 m η = 0.1	x: 0.06 m η = 12.8	η < 0.1	x: 2.373 m η = 1.0	x: 0.06 m η < 0.1	x: 0.06 m η < 0.1	x: 0.06 m η = 21.7	x: 0.06 m η < 0.1	M_{Ed} = 0.00 N.P.(5)	N.P.(6)	N.P.(6)	**CUMPLE η = 21.7**
N348/N346	$\lambda_w \leq \lambda_{w,máx}$ Cumple	x: 1.939 m η = 0.1	x: 0.06 m η = 0.3	x: 1.94 m η = 10.1	x: 0.06 m η = 0.1	η = 1.5	η < 0.1	η < 0.1	x: 0.06 m η < 0.1	x: 1.94 m η = 10.2	η < 0.1	η = 0.1	η = 1.6	η < 0.1	**CUMPLE η = 10.2**
N347/N345	$\lambda_w \leq \lambda_{w,máx}$ Cumple	x: 1.939 m η = 0.1	x: 0.06 m η = 0.3	x: 0.06 m η = 11.5	x: 0.06 m η = 0.1	η = 1.8	η < 0.1	η < 0.1	x: 0.06 m η < 0.1	x: 0.06 m η = 11.8	η < 0.1	η = 0.1	η = 1.8	η < 0.1	**CUMPLE η = 11.8**
N37/N352	x: 0.051 m $\lambda_w \leq \lambda_{w,máx}$ Cumple	η = 0.2	η = 14.8	x: 2.372 m η < 0.1	x: 2.373 m η = 18.6	η < 0.1	x: 0.05 m η = 1.3	N.P.(4)	x: 0.051 m η < 0.1	x: 2.373 m η = 25.6	x: 0.051 m η < 0.1	M_{Ed} = 0.00 N.P.(5)	N.P.(6)	N.P.(6)	**CUMPLE η = 25.6**
N352/N349	$\lambda_w \leq \lambda_{w,máx}$ Cumple	η = 0.5	η = 15.2	x: 0.06 m η < 0.1	x: 0.06 m η = 4.9	η < 0.1	x: 2.373 m η = 0.6	N.P.(4)	η < 0.1	x: 2.373 m η = 16.6	η < 0.1	η < 0.1	η < 0.1	x: 2.373 m η = 0.2	**CUMPLE η = 16.6**
N349/N113	x: 0.06 m $\lambda_w \leq \lambda_{w,máx}$ Cumple	η = 1.3	η = 16.6	x: 0.06 m η < 0.1	x: 0.06 m η = 15.1	η < 0.1	x: 2.373 m η = 1.1	N.P.(4)	x: 0.06 m η < 0.1	x: 0.06 m η = 23.8	x: 0.06 m η < 0.1	M_{Ed} = 0.00 N.P.(5)	N.P.(6)	N.P.(6)	**CUMPLE η = 23.8**
N22/N351	x: 0.051 m $\lambda_w \leq \lambda_{w,máx}$ Cumple	η = 1.1	η = 21.2	x: 2.372 m η < 0.1	x: 2.373 m η = 18.3	η < 0.1	x: 0.05 m η = 1.3	N.P.(4)	x: 0.051 m η < 0.1	x: 2.373 m η = 25.0	x: 0.051 m η < 0.1	M_{Ed} = 0.00 N.P.(5)	N.P.(6)	N.P.(6)	**CUMPLE η = 25.0**
N351/N350	$\lambda_w \leq \lambda_{w,máx}$ Cumple	N_{Ed} = 0.00 N.P.(1)	η = 21.2	x: 0.06 m η < 0.1	x: 0.06 m η = 4.8	η < 0.1	x: 2.373 m η = 0.6	N.P.(4)	η < 0.1	x: 2.373 m η = 23.1	η < 0.1	η < 0.1	η < 0.1	x: 2.373 m η = 0.2	**CUMPLE η = 23.1**
N350/N130	x: 0.06 m $\lambda_w \leq \lambda_{w,máx}$ Cumple	N_{Ed} = 0.00 N.P.(1)	η = 19.9	x: 0.06 m η < 0.1	x: 0.06 m η = 16.2	η < 0.1	x: 2.373 m η = 1.2	N.P.(4)	x: 0.06 m η < 0.1	x: 0.06 m η = 25.9	x: 0.06 m η < 0.1	M_{Ed} = 0.00 N.P.(5)	N.P.(6)	N.P.(6)	**CUMPLE η = 25.9**
N349/N350	$\lambda_w \leq \lambda_{w,máx}$ Cumple	x: 1.939 m η < 0.1	x: 0.06 m η = 0.4	x: 1.94 m η = 11.5	x: 0.06 m η < 0.1	η = 1.8	η < 0.1	η < 0.1	x: 0.06 m η < 0.1	x: 1.94 m η = 11.7	η < 0.1	η < 0.1	η = 0.7	η < 0.1	**CUMPLE η = 11.7**
N352/N351	$\lambda_w \leq \lambda_{w,máx}$ Cumple	x: 1.939 m η = 0.1	x: 0.06 m η = 0.4	x: 0.06 m η = 13.1	x: 0.06 m η < 0.1	η = 2.1	η < 0.1	η < 0.1	x: 0.06 m η < 0.1	x: 0.06 m η = 13.5	η < 0.1	η < 0.1	η = 0.9	η < 0.1	**CUMPLE η = 13.5**
N41/N356	x: 0.061 m $\lambda_w \leq \lambda_{w,máx}$ Cumple	η = 0.1	η = 14.2	x: 2.372 m η = 0.1	x: 2.373 m η = 12.4	η < 0.1	x: 0.06 m η = 0.9	x: 0.253 m η < 0.1	x: 0.061 m η < 0.1	x: 2.373 m η = 21.9	x: 0.061 m η < 0.1	M_{Ed} = 0.00 N.P.(5)	N.P.(6)	N.P.(6)	**CUMPLE η = 21.9**
N356/N353	$\lambda_w \leq \lambda_{w,máx}$ Cumple	η = 0.3	η = 13.0	x: 0.06 m η < 0.1	x: 0.06 m η = 2.9	η < 0.1	x: 2.373 m η = 0.3	x: 0.06 m η < 0.1	η < 0.1	x: 0.06 m η = 14.3	η < 0.1	η = 0.1	η < 0.1	x: 2.373 m η = 0.3	**CUMPLE η = 14.3**
N353/N117	x: 0.06 m $\lambda_w \leq \lambda_{w,máx}$ Cumple	η = 0.4	η = 13.7	x: 0.06 m η = 0.1	x: 0.06 m η = 9.0	η < 0.1	x: 2.373 m η = 0.7	x: 0.06 m η < 0.1	x: 0.06 m η < 0.1	x: 0.06 m η = 17.7	x: 0.06 m η < 0.1	M_{Ed} = 0.00 N.P.(5)	N.P.(6)	N.P.(6)	**CUMPLE η = 17.7**
N26/N355	x: 0.061 m $\lambda_w \leq \lambda_{w,máx}$ Cumple	η < 0.1	η = 21.7	x: 2.372 m η = 0.1	x: 2.373 m η = 11.5	η < 0.1	x: 0.06 m η = 0.9	x: 0.253 m η < 0.1	x: 0.061 m η < 0.1	x: 2.373 m η = 28.7	x: 0.061 m η < 0.1	M_{Ed} = 0.00 N.P.(5)	N.P.(6)	N.P.(6)	**CUMPLE η = 28.7**

VISADO
COGITI
VALENCIA
VA07290/22
TRLTDCFZ60T66IJ1
Documento visado electrónicamente con número VA07290/22
Código de validación telemática TRLTDCFZ60T66IJ1. Comprobación: https://cogitivalencia.e-gestion.es/Validacion.aspx?CVT=TRLTDCFZ60T66IJ1

VISADO
COGITI
Estado
VALENCIA
VA07290/22
TRLTDCFZ60T66IJ1

Barras	COMPROBACIONES (CÓDIGO ESTRUCTURAL)															
	λ_w	N_t	N_c	M_y	M_z	V_z	V_y	M_yV_z	M_zV_y	NM_yM_z	$NM_yM_zV_yV_z$	M_t	M_tV_z	M_tV_y	
N355/N354	$\lambda_w \leq \lambda_{w,máx}$ Cumple	N_{Ed} = 0.00 N.P.(1)	η = 24.5	x: 0.06 m η < 0.1	x: 1.988 m η = 2.6	η < 0.1	x: 2.373 m η = 0.3	x: 0.06 m η < 0.1	η < 0.1	x: 0.06 m η = 26.0	η < 0.1	η = 0.1	η < 0.1	x: 2.373 m η = 0.3	**CUMPLE η = 26.2**
N354/N134	x: 0.06 m $\lambda_w \leq \lambda_{w,máx}$ Cumple	η < 0.1	η = 23.8	x: 0.06 m η = 0.1	x: 0.06 m η = 10.8	η < 0.1	x: 2.373 m η = 0.8	x: 0.06 m η < 0.1	x: 0.06 m η < 0.1	x: 0.06 m η = 26.2	x: 0.06 m η < 0.1	M_{Ed} = 0.00 N.P.(5)	N.P.(6)	N.P.(6)	**CUMPLE η = 26.2**
N353/N354	$\lambda_w \leq \lambda_{w,máx}$ Cumple	x: 1.939 m η = 0.1	x: 0.06 m η = 0.2	x: 1.94 m η = 8.0	x: 0.06 m η < 0.1	η = 1.2	η < 0.1	η < 0.1	x: 0.06 m η < 0.1	x: 1.94 m η = 8.1	η < 0.1	η = 0.1	η = 1.2	η < 0.1	**CUMPLE η = 8.1**
N356/N355	$\lambda_w \leq \lambda_{w,máx}$ Cumple	x: 1.939 m η = 0.1	x: 0.06 m η = 0.2	x: 0.06 m η = 9.2	x: 0.06 m η < 0.1	η = 1.4	η < 0.1	η < 0.1	x: 0.06 m η < 0.1	x: 0.06 m η = 9.4	η < 0.1	η = 0.1	η = 1.4	η < 0.1	**CUMPLE η = 9.4**
N360/N358	$\lambda_w \leq \lambda_{w,máx}$ Cumple	x: 1.939 m η < 0.1	x: 0.06 m η = 0.3	x: 1.94 m η = 11.0	x: 0.06 m η = 0.3	η = 1.7	η < 0.1	η < 0.1	x: 0.06 m η < 0.1	x: 1.94 m η = 11.4	η < 0.1	η = 0.4	η = 1.7	η < 0.1	**CUMPLE η = 11.4**
N359/N357	$\lambda_w \leq \lambda_{w,máx}$ Cumple	x: 1.939 m η < 0.1	x: 0.06 m η = 0.3	x: 1.94 m η = 10.8	x: 0.06 m η = 0.3	η = 1.7	η < 0.1	η < 0.1	x: 0.06 m η < 0.1	x: 1.94 m η = 11.0	η < 0.1	η = 0.4	η = 1.7	η < 0.1	**CUMPLE η = 11.0**
N113/N362	x: 0.061 m $\lambda_w \leq \lambda_{w,máx}$ Cumple	η = 0.9	η = 14.0	x: 2.372 m η = 0.1	x: 2.373 m η = 16.8	η < 0.1	x: 0.06 m η = 1.2	x: 0.446 m η < 0.1	x: 0.061 m η < 0.1	x: 2.373 m η = 24.2	x: 0.061 m η < 0.1	M_{Ed} = 0.00 N.P.(5)	N.P.(6)	N.P.(6)	**CUMPLE η = 24.2**
N362/N361	$\lambda_w \leq \lambda_{w,máx}$ Cumple	η = 0.3	η = 12.1	x: 0.06 m η < 0.1	x: 2.373 m η = 4.4	η < 0.1	x: 0.06 m η = 0.6	x: 0.06 m η < 0.1	η < 0.1	x: 0.06 m η = 14.1	η < 0.1	η < 0.1	η < 0.1	x: 0.06 m η = 0.6	**CUMPLE η = 14.1**
N361/N217	x: 0.06 m $\lambda_w \leq \lambda_{w,máx}$ Cumple	η = 0.2	η = 10.0	x: 0.06 m η = 0.1	x: 0.06 m η = 17.2	η < 0.1	x: 2.373 m η = 1.2	x: 0.06 m η < 0.1	x: 0.06 m η < 0.1	x: 0.06 m η = 17.8	x: 0.06 m η < 0.1	M_{Ed} = 0.00 N.P.(5)	N.P.(6)	N.P.(6)	**CUMPLE η = 17.8**
N130/N364	x: 0.061 m $\lambda_w \leq \lambda_{w,máx}$ Cumple	η = 2.2	η = 10.8	x: 2.372 m η = 0.1	x: 2.373 m η = 17.0	η < 0.1	x: 0.06 m η = 1.2	x: 0.446 m η < 0.1	x: 0.061 m η < 0.1	x: 2.373 m η = 17.4	x: 0.061 m η < 0.1	M_{Ed} = 0.00 N.P.(5)	N.P.(6)	N.P.(6)	**CUMPLE η = 17.4**
N364/N363	$\lambda_w \leq \lambda_{w,máx}$ Cumple	x: 1.024 m η = 1.8	η = 11.6	x: 0.06 m η < 0.1	x: 2.373 m η = 4.7	η < 0.1	x: 0.06 m η = 0.6	x: 0.06 m η < 0.1	η < 0.1	x: 1.024 m η = 12.8	η < 0.1	η < 0.1	η < 0.1	x: 0.06 m η = 0.6	**CUMPLE η = 12.8**
N363/N234	x: 0.06 m $\lambda_w \leq \lambda_{w,máx}$ Cumple	η = 1.9	η = 11.0	x: 0.06 m η = 0.1	x: 0.06 m η = 17.8	η < 0.1	x: 2.373 m η = 1.3	x: 0.06 m η < 0.1	x: 0.06 m η < 0.1	x: 0.06 m η = 18.7	x: 0.06 m η < 0.1	M_{Ed} = 0.00 N.P.(5)	N.P.(6)	N.P.(6)	**CUMPLE η = 18.7**
N361/N363	$\lambda_w \leq \lambda_{w,máx}$ Cumple	x: 1.939 m η = 0.1	x: 0.06 m η = 0.3	x: 1.94 m η = 12.6	x: 0.06 m η < 0.1	η = 2.0	η < 0.1	η < 0.1	x: 0.06 m η < 0.1	x: 1.94 m η = 12.9	η < 0.1	η = 0.1	η = 2.0	η < 0.1	**CUMPLE η = 12.9**
N362/N364	$\lambda_w \leq \lambda_{w,máx}$ Cumple	x: 1.939 m η = 0.1	x: 0.06 m η = 0.3	x: 1.94 m η = 12.1	x: 0.06 m η < 0.1	η = 1.9	η < 0.1	η < 0.1	x: 0.06 m η < 0.1	x: 1.94 m η = 12.4	η < 0.1	η = 0.1	η = 1.9	η < 0.1	**CUMPLE η = 12.4**
N117/N366	x: 0.061 m $\lambda_w \leq \lambda_{w,máx}$ Cumple	η = 0.3	η = 11.5	x: 2.373 m η = 0.4	x: 2.373 m η = 13.7	η < 0.1	x: 0.06 m η = 1.0	x: 0.253 m η < 0.1	x: 0.061 m η < 0.1	x: 2.373 m η = 19.5	x: 0.061 m η < 0.1	M_{Ed} = 0.00 N.P.(5)	N.P.(6)	N.P.(6)	**CUMPLE η = 19.5**
N366/N365	$\lambda_w \leq \lambda_{w,máx}$ Cumple	η = 0.3	η = 9.9	x: 0.06 m η = 0.1	x: 2.373 m η = 3.3	η < 0.1	x: 2.373 m η = 0.4	x: 0.06 m η < 0.1	η < 0.1	x: 0.06 m η = 11.3	η < 0.1	η = 0.3	η < 0.1	x: 2.373 m η = 0.4	**CUMPLE η = 11.3**
N365/N221	x: 0.06 m $\lambda_w \leq \lambda_{w,máx}$ Cumple	η = 0.3	η = 10.5	x: 0.06 m η = 0.4	x: 0.06 m η = 13.8	η < 0.1	x: 2.373 m η = 1.0	x: 0.06 m η < 0.1	x: 0.06 m η < 0.1	x: 0.06 m η = 15.0	x: 0.06 m η < 0.1	M_{Ed} = 0.00 N.P.(5)	N.P.(6)	N.P.(6)	**CUMPLE η = 15.0**
N134/N368	x: 0.061 m $\lambda_w \leq \lambda_{w,máx}$ Cumple	η = 1.0	η = 10.3	x: 2.373 m η = 0.4	x: 2.373 m η = 14.4	η < 0.1	x: 0.06 m η = 1.1	x: 0.253 m η < 0.1	x: 0.061 m η < 0.1	x: 2.373 m η = 15.6	x: 0.061 m η < 0.1	M_{Ed} = 0.00 N.P.(5)	N.P.(6)	N.P.(6)	**CUMPLE η = 15.6**
N368/N367	$\lambda_w \leq \lambda_{w,máx}$ Cumple	x: 0.831 m η = 0.6	η = 11.0	x: 0.06 m η = 0.1	x: 0.06 m η = 3.6	η < 0.1	x: 2.373 m η = 0.4	x: 0.06 m η < 0.1	η < 0.1	x: 2.373 m η = 12.7	η < 0.1	η = 0.3	η < 0.1	x: 2.373 m η = 0.4	**CUMPLE η = 12.7**
N367/N238	x: 0.06 m $\lambda_w \leq \lambda_{w,máx}$ Cumple	η = 0.8	η = 8.7	x: 0.06 m η = 0.4	x: 0.06 m η = 13.8	η < 0.1	x: 2.373 m η = 1.0	x: 0.06 m η < 0.1	x: 0.06 m η < 0.1	x: 0.06 m η = 15.6	x: 0.06 m η < 0.1	M_{Ed} = 0.00 N.P.(5)	N.P.(6)	N.P.(6)	**CUMPLE η = 15.6**
N365/N367	$\lambda_w \leq \lambda_{w,máx}$ Cumple	x: 1.939 m η = 0.1	x: 0.06 m η = 0.2	x: 0.06 m η = 10.0	x: 0.06 m η = 0.2	η = 1.6	η < 0.1	η < 0.1	x: 0.06 m η < 0.1	x: 0.06 m η = 10.4	η < 0.1	η = 0.4	η = 1.6	η < 0.1	**CUMPLE η = 10.4**
N366/N368	$\lambda_w \leq \lambda_{w,máx}$ Cumple	x: 1.939 m η = 0.1	x: 0.06 m η = 0.2	x: 1.94 m η = 10.4	x: 0.06 m η = 0.2	η = 1.6	η < 0.1	η < 0.1	x: 0.06 m η < 0.1	x: 1.94 m η = 10.7	η < 0.1	η = 0.4	η = 1.6	η < 0.1	**CUMPLE η = 10.7**
N136/N240	x: 0.522 m $\lambda_w \leq \lambda_{w,máx}$ Cumple	η = 2.4	η = 22.7	M_{Ed} = 0.00 N.P.(2)	x: 3.65 m η = 5.9	V_{Ed} = 0.00 N.P.(3)	x: 0.075 m η = 0.5	N.P.(4)	x: 0.522 m η < 0.1	x: 3.65 m η = 29.2	x: 0.522 m η < 0.1	M_{Ed} = 0.00 N.P.(5)	N.P.(6)	N.P.(6)	**CUMPLE η = 29.2**
N48/N369	x: 0.061 m $\lambda_w \leq \lambda_{w,máx}$ Cumple	η = 0.2	η = 22.4	x: 2.372 m η = 0.1	x: 2.373 m η = 10.3	η < 0.1	x: 0.06 m η = 0.8	x: 0.253 m η < 0.1	x: 0.061 m η < 0.1	x: 2.373 m η = 28.9	x: 0.061 m η < 0.1	M_{Ed} = 0.00 N.P.(5)	N.P.(6)	N.P.(6)	**CUMPLE η = 28.9**
N369/N370	$\lambda_w \leq \lambda_{w,máx}$ Cumple	N_{Ed} = 0.00 N.P.(1)	η = 24.7	x: 0.06 m η < 0.1	x: 1.795 m η = 2.4	η < 0.1	x: 2.373 m η = 0.3	x: 0.06 m η < 0.1	η < 0.1	x: 0.446 m η = 26.1	η < 0.1	η < 0.1	η < 0.1	x: 2.373 m η = 0.3	**CUMPLE η = 26.1**
N370/N159	x: 0.06 m $\lambda_w \leq \lambda_{w,máx}$ Cumple	N_{Ed} = 0.00 N.P.(1)	η = 23.9	x: 0.06 m η = 0.1	x: 0.06 m η = 9.8	η < 0.1	x: 2.373 m η = 0.8	x: 0.06 m η < 0.1	x: 0.06 m η < 0.1	x: 0.06 m η = 27.1	x: 0.06 m η < 0.1	M_{Ed} = 0.00 N.P.(5)	N.P.(6)	N.P.(6)	**CUMPLE η = 27.1**
N63/N371	x: 0.061 m $\lambda_w \leq \lambda_{w,máx}$ Cumple	η = 0.1	η = 14.0	x: 2.372 m η = 0.1	x: 2.373 m η = 10.9	η < 0.1	x: 0.06 m η = 0.8	x: 0.253 m η < 0.1	x: 0.061 m η < 0.1	x: 2.373 m η = 20.8	x: 0.061 m η < 0.1	M_{Ed} = 0.00 N.P.(5)	N.P.(6)	N.P.(6)	**CUMPLE η = 20.8**
N371/N372	$\lambda_w \leq \lambda_{w,máx}$ Cumple	η = 0.3	η = 12.9	x: 0.06 m η < 0.1	x: 0.253 m η = 2.4	η < 0.1	x: 2.373 m η = 0.3	x: 0.06 m η < 0.1	η < 0.1	x: 0.06 m η = 14.0	η < 0.1	η < 0.1	η < 0.1	x: 2.373 m η = 0.3	**CUMPLE η = 14.0**
N372/N143	x: 0.06 m $\lambda_w \leq \lambda_{w,máx}$ Cumple	η = 0.2	η = 13.3	x: 0.06 m η = 0.1	x: 0.06 m η = 8.3	η < 0.1	x: 2.373 m η = 0.7	x: 0.06 m η < 0.1	x: 0.06 m η < 0.1	x: 0.06 m η = 17.1	x: 0.06 m η < 0.1	M_{Ed} = 0.00 N.P.(5)	N.P.(6)	N.P.(6)	**CUMPLE η = 17.1**
N372/N370	$\lambda_w \leq \lambda_{w,máx}$ Cumple	x: 1.939 m η = 0.1	x: 0.06 m η = 0.1	x: 1.94 m η = 7.4	x: 0.06 m η < 0.1	η = 1.1	η < 0.1	η < 0.1	x: 0.06 m η < 0.1	x: 1.94 m η = 7.4	η < 0.1	η = 0.1	η = 1.1	η < 0.1	**CUMPLE η = 7.4**
N371/N369	$\lambda_w \leq \lambda_{w,máx}$ Cumple	x: 1.939 m η = 0.1	x: 0.06 m η = 0.1	x: 0.06 m η = 8.2	x: 0.06 m η < 0.1	η = 1.3	η < 0.1	η < 0.1	x: 0.06 m η < 0.1	x: 0.06 m η = 8.4	η < 0.1	η = 0.1	η = 1.3	η < 0.1	**CUMPLE η = 8.4**
N67/N374	x: 0.051 m $\lambda_w \leq \lambda_{w,máx}$ Cumple	η = 0.1	η = 14.5	x: 2.372 m η < 0.1	x: 2.373 m η = 13.4	η < 0.1	x: 0.05 m η = 1.0	N.P.(4)	x: 0.051 m η < 0.1	x: 2.373 m η = 22.9	x: 0.051 m η < 0.1	M_{Ed} = 0.00 N.P.(5)	N.P.(6)	N.P.(6)	**CUMPLE η = 22.9**
N374/N373	$\lambda_w \leq \lambda_{w,máx}$ Cumple	η = 0.3	η = 13.4	x: 0.06 m η < 0.1	x: 0.06 m η = 3.2	η < 0.1	x: 2.373 m η = 0.4	N.P.(4)	η < 0.1	x: 0.06 m η = 14.7	η < 0.1	η < 0.1	η < 0.1	x: 0.06 m η = 0.2	**CUMPLE η = 14.7**
N373/N147	x: 0.06 m $\lambda_w \leq \lambda_{w,máx}$ Cumple	η = 0.6	η = 14.4	x: 0.06 m η < 0.1	x: 0.06 m η = 10.8	η < 0.1	x: 2.373 m η = 0.8	N.P.(4)	x: 0.06 m η < 0.1	x: 0.06 m η = 19.2	x: 0.06 m η < 0.1	M_{Ed} = 0.00 N.P.(5)	N.P.(6)	N.P.(6)	**CUMPLE η = 19.2**
N52/N376	x: 0.051 m $\lambda_w \leq \lambda_{w,máx}$ Cumple	η = 0.5	η = 16.8	x: 2.372 m η < 0.1	x: 2.373 m η = 13.3	η < 0.1	x: 0.05 m η = 1.0	N.P.(4)	x: 0.051 m η < 0.1	x: 2.373 m η = 22.7	x: 0.051 m η < 0.1	M_{Ed} = 0.00 N.P.(5)	N.P.(6)	N.P.(6)	**CUMPLE η = 22.7**
N376/N375	$\lambda_w \leq \lambda_{w,máx}$ Cumple	N_{Ed} = 0.00 N.P.(1)	η = 18.2	x: 0.06 m η < 0.1	x: 0.06 m η = 3.1	η < 0.1	x: 2.373 m η = 0.4	N.P.(4)	η < 0.1	x: 0.06 m η = 20.2	η < 0.1	η < 0.1	η < 0.1	x: 0.06 m η = 0.2	**CUMPLE η = 20.2**

Documento visado electrónicamente con número: VA07290/22
Código de validación telemática TRLTDCFZ60T66IJ1. Comprobación: https://cogitivalencia.e-gestion.es/Validacion.aspx?CVT=TRLTDCFZ60T66IJ1

Listados

Barras	COMPROBACIONES (CÓDIGO ESTRUCTURAL)														
	λ_w	N_t	N_c	M_Y	M_Z	V_Z	V_Y	M_YV_Z	M_ZV_Y	NM_YM_Z	$NM_YM_ZV_YV_Z$	M_t	M_tV_Z	M_tV_Y	Estado
N375/N163	x: 0.06 m $\lambda_w \leq \lambda_{w,máx}$ Cumple	η < 0.1	η = 17.8	x: 0.06 m η < 0.1	x: 0.06 m η = 11.9	η < 0.1	x: 2.373 m η = 0.9	N.P.(4)	x: 0.06 m η < 0.1	x: 0.06 m η = 21.6	x: 0.06 m η < 0.1	M_{Ed} = 0.00 N.P.(5)	N.P.(6)	N.P.(6)	**CUMPLE η = 21.6**
N373/N375	$\lambda_w \leq \lambda_{w,máx}$ Cumple	x: 1.939 m η = 0.1	x: 0.06 m η = 0.2	x: 1.94 m η = 8.8	x: 0.06 m η < 0.1	η = 1.4	η < 0.1	η < 0.1	x: 0.06 m η < 0.1	x: 1.94 m η = 8.9	η < 0.1	η < 0.1	η = 1.1	η < 0.1	**CUMPLE η = 8.9**
N374/N376	$\lambda_w \leq \lambda_{w,máx}$ Cumple	x: 1.939 m η = 0.1	x: 0.06 m η = 0.2	x: 0.06 m η = 9.9	x: 0.06 m η < 0.1	η = 1.6	η < 0.1	η < 0.1	x: 0.06 m η < 0.1	x: 0.06 m η = 10.1	η < 0.1	η < 0.1	η = 1.6	η < 0.1	**CUMPLE η = 10.1**
N71/N378	x: 0.061 m $\lambda_w \leq \lambda_{w,máx}$ Cumple	η = 0.1	η = 14.0	x: 2.372 m η = 0.1	x: 2.373 m η = 10.6	η < 0.1	x: 0.06 m η = 0.8	x: 0.253 m η < 0.1	x: 0.061 m η < 0.1	x: 2.373 m η = 20.6	x: 0.061 m η < 0.1	M_{Ed} = 0.00 N.P.(5)	N.P.(6)	N.P.(6)	**CUMPLE η = 20.6**
N378/N377	$\lambda_w \leq \lambda_{w,máx}$ Cumple	η = 0.3	η = 12.9	x: 0.06 m η < 0.1	x: 0.253 m η = 2.3	η < 0.1	x: 2.373 m η = 0.3	x: 0.06 m η < 0.1	η < 0.1	x: 0.06 m η = 14.0	η < 0.1	η = 0.1	η < 0.1	x: 2.373 m η = 0.3	**CUMPLE η = 14.0**
N377/N151	x: 0.06 m $\lambda_w \leq \lambda_{w,máx}$ Cumple	η = 0.1	η = 12.8	x: 0.06 m η = 0.1	x: 0.06 m η = 7.9	η < 0.1	x: 2.373 m η = 0.7	x: 0.06 m η < 0.1	x: 0.06 m η < 0.1	x: 0.06 m η = 16.0	x: 0.06 m η < 0.1	M_{Ed} = 0.00 N.P.(5)	N.P.(6)	N.P.(6)	**CUMPLE η = 16.0**
N56/N380	x: 0.061 m $\lambda_w \leq \lambda_{w,máx}$ Cumple	η = 0.2	η = 24.2	x: 2.372 m η = 0.1	x: 2.373 m η = 10.0	η < 0.1	x: 0.06 m η = 0.8	x: 0.253 m η < 0.1	x: 0.061 m η < 0.1	x: 2.373 m η = 30.5	x: 0.061 m η < 0.1	M_{Ed} = 0.00 N.P.(5)	N.P.(6)	N.P.(6)	**CUMPLE η = 30.5**
N380/N379	$\lambda_w \leq \lambda_{w,máx}$ Cumple	N_{Ed} = 0.00 N.P.(1)	η = 25.9	x: 0.06 m η < 0.1	x: 1.602 m η = 2.4	η < 0.1	x: 2.373 m η = 0.3	x: 0.06 m η < 0.1	η < 0.1	x: 0.638 m η = 27.3	η < 0.1	η = 0.1	η < 0.1	x: 2.373 m η = 0.3	**CUMPLE η = 27.3**
N379/N167	x: 0.06 m $\lambda_w \leq \lambda_{w,máx}$ Cumple	x: 2.372 m η = 0.1	η = 25.1	x: 0.06 m η = 0.1	x: 0.06 m η = 9.5	η < 0.1	x: 2.373 m η = 0.8	x: 0.06 m η < 0.1	x: 0.06 m η < 0.1	x: 0.06 m η = 29.4	x: 0.06 m η < 0.1	M_{Ed} = 0.00 N.P.(5)	N.P.(6)	N.P.(6)	**CUMPLE η = 29.4**
N377/N379	$\lambda_w \leq \lambda_{w,máx}$ Cumple	x: 1.939 m η = 0.1	x: 0.06 m η = 0.1	x: 1.94 m η = 7.3	x: 0.06 m η < 0.1	η = 1.1	η < 0.1	η < 0.1	x: 0.06 m η < 0.1	x: 1.94 m η = 7.3	η < 0.1	η = 0.1	η = 1.1	η < 0.1	**CUMPLE η = 7.3**
N378/N380	$\lambda_w \leq \lambda_{w,máx}$ Cumple	x: 1.939 m η = 0.1	x: 0.06 m η = 0.1	x: 0.06 m η = 8.1	x: 0.06 m η < 0.1	η = 1.3	η < 0.1	η < 0.1	x: 0.06 m η < 0.1	x: 0.06 m η = 8.2	η < 0.1	η = 0.1	η = 1.3	η < 0.1	**CUMPLE η = 8.2**
N157/N261	x: 0.522 m $\lambda_w \leq \lambda_{w,máx}$ Cumple	η = 1.4	η = 26.8	M_{Ed} = 0.00 N.P.(2)	x: 3.65 m η = 5.9	V_{Ed} = 0.00 N.P.(3)	x: 0.075 m η = 0.5	N.P.(4)	x: 0.522 m η < 0.1	x: 3.65 m η = 33.4	x: 0.522 m η < 0.1	M_{Ed} = 0.00 N.P.(5)	N.P.(6)	N.P.(6)	**CUMPLE η = 33.4**
N159/N381	x: 0.061 m $\lambda_w \leq \lambda_{w,máx}$ Cumple	η = 1.2	η = 7.0	x: 2.372 m η = 0.2	x: 2.373 m η = 12.3	η < 0.1	x: 0.06 m η = 0.9	x: 0.253 m η < 0.1	x: 0.061 m η < 0.1	x: 2.373 m η = 12.9	x: 0.061 m η < 0.1	M_{Ed} = 0.00 N.P.(5)	N.P.(6)	N.P.(6)	**CUMPLE η = 12.9**
N381/N382	$\lambda_w \leq \lambda_{w,máx}$ Cumple	x: 1.409 m η = 1.0	η = 7.8	x: 0.06 m η < 0.1	x: 0.06 m η = 2.8	η < 0.1	x: 2.373 m η = 0.4	x: 0.06 m η < 0.1	η < 0.1	x: 2.181 m η = 9.3	η < 0.1	η = 0.2	η < 0.1	x: 2.373 m η = 0.4	**CUMPLE η = 9.3**
N382/N263	x: 0.06 m $\lambda_w \leq \lambda_{w,máx}$ Cumple	η = 1.2	η = 6.5	x: 0.06 m η = 0.2	x: 0.06 m η = 11.2	η < 0.1	x: 2.373 m η = 0.9	x: 0.06 m η < 0.1	x: 0.06 m η < 0.1	x: 0.06 m η = 12.1	x: 0.06 m η < 0.1	M_{Ed} = 0.00 N.P.(5)	N.P.(6)	N.P.(6)	**CUMPLE η = 12.1**
N143/N383	x: 0.061 m $\lambda_w \leq \lambda_{w,máx}$ Cumple	η = 0.1	η = 10.6	x: 2.372 m η = 0.2	x: 2.373 m η = 11.8	η < 0.1	x: 0.06 m η = 0.9	x: 0.253 m η < 0.1	x: 0.061 m η < 0.1	x: 2.373 m η = 17.8	x: 0.061 m η < 0.1	M_{Ed} = 0.00 N.P.(5)	N.P.(6)	N.P.(6)	**CUMPLE η = 17.8**
N383/N384	$\lambda_w \leq \lambda_{w,máx}$ Cumple	η = 0.3	η = 9.5	x: 0.06 m η < 0.1	x: 0.06 m η = 2.6	η < 0.1	x: 2.373 m η = 0.3	x: 0.06 m η < 0.1	η < 0.1	x: 0.06 m η = 10.4	η < 0.1	η = 0.2	η < 0.1	x: 2.373 m η = 0.3	**CUMPLE η = 10.4**
N384/N247	x: 0.06 m $\lambda_w \leq \lambda_{w,máx}$ Cumple	η = 0.2	η = 9.9	x: 0.06 m η = 0.2	x: 0.06 m η = 10.9	η < 0.1	x: 2.373 m η = 0.8	x: 0.06 m η < 0.1	x: 0.06 m η < 0.1	x: 0.06 m η = 13.8	x: 0.06 m η < 0.1	M_{Ed} = 0.00 N.P.(5)	N.P.(6)	N.P.(6)	**CUMPLE η = 13.8**
N384/N382	$\lambda_w \leq \lambda_{w,máx}$ Cumple	x: 1.939 m η = 0.1	x: 0.06 m η = 0.2	x: 1.94 m η = 8.4	x: 0.06 m η = 0.1	η = 1.3	η < 0.1	η < 0.1	x: 0.06 m η < 0.1	x: 1.94 m η = 8.5	η < 0.1	η = 0.2	η = 1.3	η < 0.1	**CUMPLE η = 8.5**
N383/N381	$\lambda_w \leq \lambda_{w,máx}$ Cumple	x: 1.939 m η = 0.1	x: 0.06 m η = 0.2	x: 1.94 m η = 9.1	x: 0.06 m η = 0.1	η = 1.4	η < 0.1	η < 0.1	x: 0.06 m η < 0.1	x: 1.94 m η = 9.2	η < 0.1	η = 0.2	η = 1.4	η < 0.1	**CUMPLE η = 9.2**
N147/N386	x: 0.061 m $\lambda_w \leq \lambda_{w,máx}$ Cumple	η = 0.3	η = 12.4	x: 2.372 m η < 0.1	x: 2.373 m η = 14.3	η < 0.1	x: 0.06 m η = 1.1	N.P.(4)	x: 0.061 m η < 0.1	x: 2.373 m η = 21.2	x: 0.061 m η < 0.1	M_{Ed} = 0.00 N.P.(5)	N.P.(6)	N.P.(6)	**CUMPLE η = 21.2**
N386/N385	$\lambda_w \leq \lambda_{w,máx}$ Cumple	x: 0.638 m η = 0.2	η = 10.9	x: 0.06 m η < 0.1	x: 0.06 m η = 3.5	η < 0.1	x: 2.373 m η = 0.5	N.P.(4)	η < 0.1	x: 0.06 m η = 12.4	η < 0.1	η < 0.1	η < 0.1	x: 2.373 m η = 0.2	**CUMPLE η = 12.4**
N385/N251	x: 0.06 m $\lambda_w \leq \lambda_{w,máx}$ Cumple	η = 0.1	η = 10.4	x: 0.06 m η < 0.1	x: 0.06 m η = 12.8	η < 0.1	x: 2.373 m η = 1.0	N.P.(4)	x: 0.06 m η < 0.1	x: 0.06 m η = 13.9	x: 0.06 m η < 0.1	M_{Ed} = 0.00 N.P.(5)	N.P.(6)	N.P.(6)	**CUMPLE η = 13.9**
N163/N388	x: 0.061 m $\lambda_w \leq \lambda_{w,máx}$ Cumple	η = 3.3	η = 11.9	x: 2.372 m η < 0.1	x: 2.373 m η = 14.5	η < 0.1	x: 0.06 m η = 1.1	N.P.(4)	x: 0.061 m η < 0.1	x: 2.373 m η = 15.4	x: 0.061 m η < 0.1	M_{Ed} = 0.00 N.P.(5)	N.P.(6)	N.P.(6)	**CUMPLE η = 15.4**
N388/N387	$\lambda_w \leq \lambda_{w,máx}$ Cumple	η = 3.0	η = 12.8	x: 0.06 m η < 0.1	x: 0.06 m η = 3.5	η < 0.1	x: 2.373 m η = 0.5	N.P.(4)	η < 0.1	x: 1.217 m η = 13.7	η < 0.1	η < 0.1	η < 0.1	x: 2.373 m η = 0.2	**CUMPLE η = 13.7**
N387/N267	x: 0.06 m $\lambda_w \leq \lambda_{w,máx}$ Cumple	η = 3.1	η = 12.0	x: 0.06 m η < 0.1	x: 0.06 m η = 13.5	η < 0.1	x: 2.373 m η = 1.0	N.P.(4)	x: 0.06 m η < 0.1	x: 0.06 m η = 15.3	x: 0.06 m η < 0.1	M_{Ed} = 0.00 N.P.(5)	N.P.(6)	N.P.(6)	**CUMPLE η = 15.3**
N385/N387	$\lambda_w \leq \lambda_{w,máx}$ Cumple	x: 1.939 m η = 0.1	x: 0.06 m η = 0.3	x: 1.94 m η = 9.8	x: 0.06 m η < 0.1	η = 1.5	η < 0.1	η < 0.1	N.P.(4)	x: 1.94 m η = 10.0	η < 0.1	η < 0.1	η = 0.7	η < 0.1	**CUMPLE η = 10.0**
N386/N388	$\lambda_w \leq \lambda_{w,máx}$ Cumple	x: 1.939 m η = 0.1	x: 0.06 m η = 0.3	x: 1.94 m η = 10.6	x: 0.06 m η < 0.1	η = 1.7	η < 0.1	η < 0.1	N.P.(4)	x: 1.94 m η = 10.7	η < 0.1	η < 0.1	η = 0.8	η < 0.1	**CUMPLE η = 10.7**
N151/N390	x: 0.061 m $\lambda_w \leq \lambda_{w,máx}$ Cumple	η = 0.1	η = 10.4	x: 2.372 m η = 0.2	x: 2.373 m η = 11.9	η < 0.1	x: 0.06 m η = 0.9	x: 0.253 m η < 0.1	x: 0.061 m η < 0.1	x: 2.373 m η = 17.6	x: 0.061 m η < 0.1	M_{Ed} = 0.00 N.P.(5)	N.P.(6)	N.P.(6)	**CUMPLE η = 17.6**
N390/N389	$\lambda_w \leq \lambda_{w,máx}$ Cumple	η = 0.4	η = 9.4	x: 0.06 m η < 0.1	x: 0.06 m η = 2.6	η < 0.1	x: 2.373 m η = 0.4	x: 0.06 m η < 0.1	η < 0.1	x: 0.831 m η = 10.1	η < 0.1	η = 0.2	η < 0.1	x: 2.373 m η = 0.4	**CUMPLE η = 10.1**
N389/N255	x: 0.06 m $\lambda_w \leq \lambda_{w,máx}$ Cumple	η = 0.3	η = 10.0	x: 0.06 m η = 0.2	x: 0.06 m η = 10.9	η < 0.1	x: 2.373 m η = 0.8	x: 0.06 m η < 0.1	x: 0.06 m η < 0.1	x: 0.06 m η = 14.1	x: 0.06 m η < 0.1	M_{Ed} = 0.00 N.P.(5)	N.P.(6)	N.P.(6)	**CUMPLE η = 14.1**
N167/N392	x: 0.061 m $\lambda_w \leq \lambda_{w,máx}$ Cumple	η = 2.1	η = 8.8	x: 2.372 m η = 0.2	x: 2.373 m η = 12.5	η < 0.1	x: 0.06 m η = 0.9	x: 0.253 m η < 0.1	x: 0.061 m η < 0.1	x: 2.373 m η = 13.1	x: 0.061 m η < 0.1	M_{Ed} = 0.00 N.P.(5)	N.P.(6)	N.P.(6)	**CUMPLE η = 13.1**
N392/N391	$\lambda_w \leq \lambda_{w,máx}$ Cumple	x: 1.409 m η = 1.9	x: 1.409 m η = 10.2	x: 0.06 m η < 0.1	x: 0.06 m η = 2.9	η < 0.1	x: 2.373 m η = 0.4	x: 0.06 m η < 0.1	η < 0.1	x: 0.638 m η = 11.0	η < 0.1	η = 0.2	η < 0.1	x: 2.373 m η = 0.4	**CUMPLE η = 11.0**
N391/N271	x: 0.06 m $\lambda_w \leq \lambda_{w,máx}$ Cumple	η = 2.1	η = 9.4	x: 0.06 m η = 0.2	x: 0.06 m η = 11.1	η < 0.1	x: 2.373 m η = 0.9	x: 0.06 m η < 0.1	x: 0.06 m η < 0.1	x: 0.06 m η = 12.1	x: 0.06 m η < 0.1	M_{Ed} = 0.00 N.P.(5)	N.P.(6)	N.P.(6)	**CUMPLE η = 12.1**
N389/N391	$\lambda_w \leq \lambda_{w,máx}$ Cumple	x: 1.939 m η = 0.1	x: 0.06 m η = 0.2	x: 1.94 m η = 8.3	x: 0.06 m η = 0.1	η = 1.3	η < 0.1	η < 0.1	x: 0.06 m η < 0.1	x: 1.94 m η = 8.5	η < 0.1	η = 0.2	η = 1.3	η < 0.1	**CUMPLE η = 8.5**
N390/N392	$\lambda_w \leq \lambda_{w,máx}$ Cumple	x: 1.939 m η = 0.1	x: 0.06 m η = 0.2	x: 1.94 m η = 9.3	x: 0.06 m η = 0.1	η = 1.5	η < 0.1	η < 0.1	x: 0.06 m η < 0.1	x: 1.94 m η = 9.4	η < 0.1	η = 0.2	η = 1.5	η < 0.1	**CUMPLE η = 9.4**

VISADO
COGITI
VALENCIA
VA07290/22
TRLTDCFZ60T66IJ1
Documento visado electrónicamente con número VA07290/22
Código de validación telemática TRLTDCFZ60T66IJ1. Comprobación: https://cogitivalencia.e-gestion.es/Validacion.aspx?CVT=TRLTDCFZ60T66IJ1

VISADO
COGITI
Estado
VALENCIA
VA07290/22
TRLTDCFZ60T66IJ1

Barras	COMPROBACIONES (CÓDIGO ESTRUCTURAL)															
	λ_w	N_t	N_c	M_Y	M_Z	V_Z	V_Y	M_YV_Z	M_ZV_Y	NM_YM_Z	$NM_YM_ZV_YV_Z$	M_t	M_tV_Z	M_tV_Y	Estado
N169/N273	x: 0.522 m $\lambda_w \leq \lambda_{w,máx}$ Cumple	η = 1.6	η = 25.8	M_{Ed} = 0.00 N.P.(2)	x: 3.65 m η = 5.9	V_{Ed} = 0.00 N.P.(3)	x: 0.075 m η = 0.5	N.P.(4)	x: 0.522 m η < 0.1	x: 3.65 m η = 32.4	x: 0.522 m η < 0.1	M_{Ed} = 0.00 N.P.(5)	N.P.(6)	N.P.(6)	**CUMPLE** **η = 32.4**
N78/N393	x: 0.061 m $\lambda_w \leq \lambda_{w,máx}$ Cumple	η = 0.2	η = 22.5	x: 2.372 m η = 0.1	x: 2.373 m η = 11.6	η < 0.1	x: 0.06 m η = 0.9	x: 0.253 m η < 0.1	x: 0.061 m η < 0.1	x: 2.373 m η = 29.9	x: 0.061 m η < 0.1	M_{Ed} = 0.00 N.P.(5)	N.P.(6)	N.P.(6)	**CUMPLE** **η = 29.9**
N393/N394	$\lambda_w \leq \lambda_{w,máx}$ Cumple	N_{Ed} = 0.00 N.P.(1)	η = 25.4	x: 0.06 m η < 0.1	x: 2.181 m η = 2.7	η < 0.1	x: 2.373 m η = 0.4	x: 0.06 m η < 0.1	η < 0.1	x: 0.06 m η = 27.1	η < 0.1	η = 0.1	η < 0.1	x: 2.373 m η = 0.4	**CUMPLE** **η = 27.1**
N394/N197	x: 0.06 m $\lambda_w \leq \lambda_{w,máx}$ Cumple	N_{Ed} = 0.00 N.P.(1)	η = 24.8	x: 0.06 m η = 0.1	x: 0.06 m η = 11.5	η < 0.1	x: 2.373 m η = 0.9	x: 0.06 m η < 0.1	x: 0.06 m η < 0.1	x: 0.06 m η = 27.1	x: 0.06 m η < 0.1	M_{Ed} = 0.00 N.P.(5)	N.P.(6)	N.P.(6)	**CUMPLE** **η = 27.1**
N93/N395	x: 0.061 m $\lambda_w \leq \lambda_{w,máx}$ Cumple	η = 0.1	η = 14.1	x: 2.372 m η = 0.1	x: 2.373 m η = 12.4	η < 0.1	x: 0.06 m η = 0.9	x: 0.253 m η < 0.1	x: 0.061 m η < 0.1	x: 2.373 m η = 21.9	x: 0.061 m η < 0.1	M_{Ed} = 0.00 N.P.(5)	N.P.(6)	N.P.(6)	**CUMPLE** **η = 21.9**
N395/N396	$\lambda_w \leq \lambda_{w,máx}$ Cumple	η = 0.3	η = 13.6	x: 0.06 m η < 0.1	x: 0.06 m η = 2.9	η < 0.1	x: 2.373 m η = 0.4	x: 0.06 m η < 0.1	η < 0.1	x: 0.06 m η = 14.3	η < 0.1	η = 0.1	η < 0.1	x: 2.373 m η = 0.4	**CUMPLE** **η = 14.3**
N396/N182	x: 0.06 m $\lambda_w \leq \lambda_{w,máx}$ Cumple	η = 0.5	η = 14.7	x: 0.06 m η = 0.1	x: 0.06 m η = 9.8	η < 0.1	x: 2.373 m η = 0.8	x: 0.06 m η < 0.1	x: 0.06 m η < 0.1	x: 0.06 m η = 19.9	x: 0.06 m η < 0.1	M_{Ed} = 0.00 N.P.(5)	N.P.(6)	N.P.(6)	**CUMPLE** **η = 19.9**
N396/N394	$\lambda_w \leq \lambda_{w,máx}$ Cumple	x: 1.939 m η = 0.1	x: 0.06 m η = 0.2	x: 1.94 m η = 8.5	x: 0.06 m η < 0.1	η = 1.3	η < 0.1	η < 0.1	x: 0.06 m η < 0.1	x: 1.94 m η = 8.5	η < 0.1	η = 0.1	η = 1.3	η < 0.1	**CUMPLE** **η = 8.5**
N395/N393	$\lambda_w \leq \lambda_{w,máx}$ Cumple	x: 1.939 m η = 0.1	x: 0.06 m η = 0.2	x: 0.06 m η = 9.2	x: 0.06 m η < 0.1	η = 1.4	η < 0.1	η < 0.1	x: 0.06 m η < 0.1	x: 0.06 m η = 9.4	η < 0.1	η = 0.1	η = 1.4	η < 0.1	**CUMPLE** **η = 9.4**
N97/N398	x: 0.051 m $\lambda_w \leq \lambda_{w,máx}$ Cumple	η = 0.2	η = 14.8	x: 2.372 m η < 0.1	x: 2.373 m η = 17.6	η < 0.1	x: 0.05 m η = 1.3	N.P.(4)	x: 0.051 m η < 0.1	x: 2.373 m η = 24.9	x: 0.051 m η < 0.1	M_{Ed} = 0.00 N.P.(5)	N.P.(6)	N.P.(6)	**CUMPLE** **η = 24.9**
N398/N397	$\lambda_w \leq \lambda_{w,máx}$ Cumple	η = 0.4	η = 15.1	x: 0.06 m η < 0.1	x: 0.06 m η = 4.6	η < 0.1	x: 2.373 m η = 0.6	N.P.(4)	η < 0.1	x: 2.373 m η = 16.3	η < 0.1	η < 0.1	η < 0.1	x: 2.373 m η = 0.2	**CUMPLE** **η = 16.3**
N397/N186	x: 0.06 m $\lambda_w \leq \lambda_{w,máx}$ Cumple	η = 1.2	η = 16.3	x: 0.06 m η < 0.1	x: 0.06 m η = 13.9	η < 0.1	x: 2.373 m η = 1.0	N.P.(4)	x: 0.06 m η < 0.1	x: 0.06 m η = 23.2	x: 0.06 m η < 0.1	M_{Ed} = 0.00 N.P.(5)	N.P.(6)	N.P.(6)	**CUMPLE** **η = 23.2**
N82/N400	x: 0.051 m $\lambda_w \leq \lambda_{w,máx}$ Cumple	η = 1.0	η = 20.2	x: 2.372 m η < 0.1	x: 2.373 m η = 17.3	η < 0.1	x: 0.05 m η = 1.2	N.P.(4)	x: 0.051 m η < 0.1	x: 2.373 m η = 24.3	x: 0.051 m η < 0.1	M_{Ed} = 0.00 N.P.(5)	N.P.(6)	N.P.(6)	**CUMPLE** **η = 24.3**
N400/N399	$\lambda_w \leq \lambda_{w,máx}$ Cumple	N_{Ed} = 0.00 N.P.(1)	η = 20.4	x: 0.06 m η < 0.1	x: 0.06 m η = 4.5	η < 0.1	x: 2.373 m η = 0.6	N.P.(4)	η < 0.1	x: 2.373 m η = 22.0	η < 0.1	η < 0.1	η < 0.1	x: 2.373 m η = 0.2	**CUMPLE** **η = 22.0**
N399/N201	x: 0.06 m $\lambda_w \leq \lambda_{w,máx}$ Cumple	N_{Ed} = 0.00 N.P.(1)	η = 19.2	x: 0.06 m η < 0.1	x: 0.06 m η = 15.0	η < 0.1	x: 2.373 m η = 1.1	N.P.(4)	x: 0.06 m η < 0.1	x: 0.06 m η = 24.6	x: 0.06 m η < 0.1	M_{Ed} = 0.00 N.P.(5)	N.P.(6)	N.P.(6)	**CUMPLE** **η = 24.6**
N397/N399	$\lambda_w \leq \lambda_{w,máx}$ Cumple	x: 1.939 m η = 0.1	x: 0.06 m η = 0.3	x: 1.94 m η = 10.7	x: 0.06 m η < 0.1	η = 1.7	η < 0.1	η < 0.1	N.P.(4)	x: 1.94 m η = 10.9	η < 0.1	η < 0.1	η = 0.6	η < 0.1	**CUMPLE** **η = 10.9**
N398/N400	$\lambda_w \leq \lambda_{w,máx}$ Cumple	x: 1.939 m η = 0.1	x: 0.06 m η = 0.3	x: 0.06 m η = 12.5	x: 0.06 m η < 0.1	η = 2.0	η < 0.1	η < 0.1	N.P.(4)	x: 0.06 m η = 12.8	η < 0.1	η < 0.1	η = 0.8	η < 0.1	**CUMPLE** **η = 12.8**
N101/N402	x: 0.061 m $\lambda_w \leq \lambda_{w,máx}$ Cumple	η = 0.1	η = 14.3	x: 2.372 m η = 0.1	x: 2.373 m η = 14.3	η < 0.1	x: 0.06 m η = 1.1	x: 0.253 m η < 0.1	x: 0.061 m η < 0.1	x: 2.373 m η = 23.0	x: 0.061 m η < 0.1	M_{Ed} = 0.00 N.P.(5)	N.P.(6)	N.P.(6)	**CUMPLE** **η = 23.0**
N402/N401	$\lambda_w \leq \lambda_{w,máx}$ Cumple	η = 0.4	η = 13.6	x: 0.06 m η < 0.1	x: 0.06 m η = 3.5	η < 0.1	x: 2.373 m η = 0.4	x: 0.06 m η < 0.1	η < 0.1	x: 0.06 m η = 14.5	η < 0.1	η = 0.1	η < 0.1	x: 2.373 m η = 0.4	**CUMPLE** **η = 14.5**
N401/N190	x: 0.06 m $\lambda_w \leq \lambda_{w,máx}$ Cumple	η = 0.8	η = 14.9	x: 0.06 m η = 0.1	x: 0.06 m η = 11.0	η < 0.1	x: 2.373 m η = 0.8	x: 0.06 m η < 0.1	x: 0.06 m η < 0.1	x: 0.06 m η = 20.4	x: 0.06 m η < 0.1	M_{Ed} = 0.00 N.P.(5)	N.P.(6)	N.P.(6)	**CUMPLE** **η = 20.4**
N86/N404	x: 0.061 m $\lambda_w \leq \lambda_{w,máx}$ Cumple	η = 0.9	η = 25.1	x: 2.372 m η = 0.1	x: 2.373 m η = 13.6	η < 0.1	x: 0.06 m η = 1.0	x: 0.253 m η < 0.1	x: 0.061 m η < 0.1	x: 2.373 m η = 30.0	x: 0.061 m η < 0.1	M_{Ed} = 0.00 N.P.(5)	N.P.(6)	N.P.(6)	**CUMPLE** **η = 30.0**
N404/N403	$\lambda_w \leq \lambda_{w,máx}$ Cumple	η = 0.1	η = 25.8	x: 0.06 m η < 0.1	x: 0.06 m η = 3.2	η < 0.1	x: 2.373 m η = 0.4	x: 0.06 m η < 0.1	η < 0.1	x: 0.06 m η = 27.2	η < 0.1	η = 0.1	η < 0.1	x: 2.373 m η = 0.4	**CUMPLE** **η = 27.2**
N403/N205	x: 0.06 m $\lambda_w \leq \lambda_{w,máx}$ Cumple	x: 2.372 m η = 0.1	η = 24.7	x: 0.06 m η = 0.1	x: 0.06 m η = 12.4	η < 0.1	x: 2.373 m η = 0.9	x: 0.06 m η < 0.1	x: 0.06 m η < 0.1	x: 0.06 m η = 30.5	x: 0.06 m η < 0.1	M_{Ed} = 0.00 N.P.(5)	N.P.(6)	N.P.(6)	**CUMPLE** **η = 30.5**
N401/N403	$\lambda_w \leq \lambda_{w,máx}$ Cumple	x: 1.939 m η = 0.1	x: 0.06 m η = 0.2	x: 1.94 m η = 9.0	x: 0.06 m η = 0.1	η = 1.4	η < 0.1	η < 0.1	x: 0.06 m η < 0.1	x: 1.94 m η = 9.1	η < 0.1	η = 0.1	η = 1.4	η < 0.1	**CUMPLE** **η = 9.1**
N402/N404	$\lambda_w \leq \lambda_{w,máx}$ Cumple	x: 1.939 m η = 0.1	x: 0.06 m η = 0.2	x: 0.06 m η = 10.4	x: 0.06 m η = 0.1	η = 1.6	η < 0.1	η < 0.1	x: 0.06 m η < 0.1	x: 0.06 m η = 10.7	η < 0.1	η = 0.1	η = 1.6	η < 0.1	**CUMPLE** **η = 10.7**
N195/N299	x: 0.522 m $\lambda_w \leq \lambda_{w,máx}$ Cumple	η = 1.7	η = 25.7	M_{Ed} = 0.00 N.P.(2)	x: 3.65 m η = 5.9	V_{Ed} = 0.00 N.P.(3)	x: 0.075 m η = 0.5	N.P.(4)	x: 0.522 m η < 0.1	x: 3.65 m η = 32.3	x: 0.522 m η < 0.1	M_{Ed} = 0.00 N.P.(5)	N.P.(6)	N.P.(6)	**CUMPLE** **η = 32.3**
N197/N405	x: 0.061 m $\lambda_w \leq \lambda_{w,máx}$ Cumple	η = 2.4	x: 1.409 m η = 10.3	x: 2.373 m η = 0.4	x: 2.373 m η = 13.1	η < 0.1	x: 0.06 m η = 1.0	x: 0.253 m η < 0.1	x: 0.061 m η < 0.1	x: 2.373 m η = 15.4	x: 0.061 m η < 0.1	M_{Ed} = 0.00 N.P.(5)	N.P.(6)	N.P.(6)	**CUMPLE** **η = 15.4**
N405/N406	$\lambda_w \leq \lambda_{w,máx}$ Cumple	x: 1.409 m η = 2.2	x: 1.988 m η = 11.5	x: 0.06 m η = 0.1	x: 2.373 m η = 3.3	η < 0.1	x: 0.06 m η = 0.4	x: 0.06 m η < 0.1	η < 0.1	x: 0.253 m η = 12.5	η < 0.1	η = 0.3	η < 0.1	x: 0.06 m η = 0.4	**CUMPLE** **η = 12.5**
N406/N301	x: 0.06 m $\lambda_w \leq \lambda_{w,máx}$ Cumple	η = 2.4	η = 10.8	x: 0.06 m η = 0.4	x: 0.06 m η = 13.4	η < 0.1	x: 2.373 m η = 1.0	x: 0.06 m η < 0.1	x: 0.06 m η < 0.1	x: 0.06 m η = 14.9	x: 0.06 m η < 0.1	M_{Ed} = 0.00 N.P.(5)	N.P.(6)	N.P.(6)	**CUMPLE** **η = 14.9**
N182/N407	x: 0.061 m $\lambda_w \leq \lambda_{w,máx}$ Cumple	η = 0.3	η = 12.4	x: 2.373 m η = 0.4	x: 2.373 m η = 12.5	η < 0.1	x: 0.06 m η = 0.9	x: 0.253 m η < 0.1	x: 0.061 m η < 0.1	x: 2.373 m η = 19.8	x: 0.061 m η < 0.1	M_{Ed} = 0.00 N.P.(5)	N.P.(6)	N.P.(6)	**CUMPLE** **η = 19.8**
N407/N408	$\lambda_w \leq \lambda_{w,máx}$ Cumple	η = 0.3	η = 11.0	x: 0.06 m η = 0.1	x: 2.373 m η = 3.2	η < 0.1	x: 0.06 m η = 0.4	x: 0.06 m η < 0.1	η < 0.1	x: 0.06 m η = 12.2	η < 0.1	η = 0.3	η < 0.1	x: 0.06 m η = 0.4	**CUMPLE** **η = 12.2**
N408/N286	x: 0.06 m $\lambda_w \leq \lambda_{w,máx}$ Cumple	η = 0.1	η = 10.2	x: 0.06 m η = 0.4	x: 0.06 m η = 13.3	η < 0.1	x: 2.373 m η = 1.0	x: 0.06 m η < 0.1	x: 0.06 m η < 0.1	x: 0.06 m η = 14.3	x: 0.06 m η < 0.1	M_{Ed} = 0.00 N.P.(5)	N.P.(6)	N.P.(6)	**CUMPLE** **η = 14.3**
N408/N406	$\lambda_w \leq \lambda_{w,máx}$ Cumple	x: 1.939 m η = 0.1	x: 0.06 m η = 0.2	x: 1.94 m η = 9.7	x: 0.06 m η = 0.2	η = 1.6	η < 0.1	η < 0.1	x: 0.06 m η < 0.1	x: 0.06 m η = 10.1	η < 0.1	η = 0.4	η = 1.6	η < 0.1	**CUMPLE** **η = 10.1**
N407/N405	$\lambda_w \leq \lambda_{w,máx}$ Cumple	x: 1.939 m η = 0.1	x: 0.06 m η = 0.2	x: 1.94 m η = 9.6	x: 0.06 m η = 0.2	η = 1.5	η < 0.1	η < 0.1	x: 0.06 m η < 0.1	x: 1.94 m η = 9.8	η < 0.1	η = 0.4	η = 1.5	η < 0.1	**CUMPLE** **η = 9.8**
N186/N410	x: 0.061 m $\lambda_w \leq \lambda_{w,máx}$ Cumple	η = 0.8	η = 13.9	x: 2.372 m η < 0.1	x: 2.373 m η = 16.5	η < 0.1	x: 0.06 m η = 1.2	x: 0.446 m η < 0.1	x: 0.061 m η < 0.1	x: 2.373 m η = 23.9	x: 0.061 m η < 0.1	M_{Ed} = 0.00 N.P.(5)	N.P.(6)	N.P.(6)	**CUMPLE** **η = 23.9**

Documento visado electrónicamente con número: VA07290/22
Código de validación telemática TRLTDCFZ60T66IJ1. Comprobación: https://cogitivalencia.e-gestion.es/Validacion.aspx?CVT=TRLTDCFZ60T66IJ1

VISADO
COGITI
Estado
VALENCIA
VA07290/22
TRLTDCFZ60T66IJ1

Barras	COMPROBACIONES (CÓDIGO ESTRUCTURAL)														Estado
	λ_w	N_t	N_c	M_Y	M_Z	V_Z	V_Y	M_YV_Z	M_ZV_Y	NM_YM_Z	$NM_YM_ZV_YV_Z$	M_t	M_tV_Z	M_tV_Y	
N410/N409	$\lambda_w \leq \lambda_{w,máx}$ Cumple	x: 0.831 m η = 0.3	η = 12.1	x: 0.06 m η < 0.1	x: 0.06 m η = 4.2	η < 0.1	x: 0.06 m η = 0.5	x: 0.06 m η < 0.1	η < 0.1	x: 0.06 m η = 14.0	η < 0.1	η < 0.1	η < 0.1	x: 0.06 m η = 0.5	**CUMPLE η = 14.0**
N409/N290	x: 0.06 m $\lambda_w \leq \lambda_{w,máx}$ Cumple	η = 0.2	η = 10.3	x: 0.06 m η < 0.1	x: 0.06 m η = 16.4	η < 0.1	x: 2.373 m η = 1.2	x: 0.06 m η < 0.1	x: 0.06 m η < 0.1	x: 0.06 m η = 17.1	x: 0.06 m η < 0.1	M_{Ed} = 0.00 N.P.(5)	N.P.(6)	N.P.(6)	**CUMPLE η = 17.1**
N201/N412	x: 0.061 m $\lambda_w \leq \lambda_{w,máx}$ Cumple	x: 0.061 m η = 2.5	η = 10.2	x: 2.372 m η < 0.1	x: 2.373 m η = 16.6	η < 0.1	x: 0.06 m η = 1.2	x: 0.446 m η < 0.1	x: 0.061 m η < 0.1	x: 2.373 m η = 17.0	x: 0.061 m η < 0.1	M_{Ed} = 0.00 N.P.(5)	N.P.(6)	N.P.(6)	**CUMPLE η = 17.0**
N412/N411	$\lambda_w \leq \lambda_{w,máx}$ Cumple	x: 0.831 m η = 2.1	η = 11.0	x: 0.06 m η < 0.1	x: 2.373 m η = 4.5	η < 0.1	x: 0.06 m η = 0.6	x: 0.06 m η < 0.1	η < 0.1	x: 1.024 m η = 12.2	η < 0.1	η < 0.1	η < 0.1	x: 0.06 m η = 0.6	**CUMPLE η = 12.2**
N411/N305	x: 0.06 m $\lambda_w \leq \lambda_{w,máx}$ Cumple	x: 2.181 m η = 2.3	η = 10.4	x: 0.06 m η < 0.1	x: 0.06 m η = 17.1	η < 0.1	x: 2.373 m η = 1.2	x: 0.06 m η < 0.1	x: 0.06 m η < 0.1	x: 0.06 m η = 17.9	x: 0.06 m η < 0.1	M_{Ed} = 0.00 N.P.(5)	N.P.(6)	N.P.(6)	**CUMPLE η = 17.9**
N409/N411	$\lambda_w \leq \lambda_{w,máx}$ Cumple	x: 1.939 m η = 0.1	x: 0.06 m η = 0.3	x: 1.94 m η = 12.1	x: 0.06 m η < 0.1	η = 1.9	η < 0.1	η < 0.1	x: 0.06 m η < 0.1	x: 1.94 m η = 12.4	η < 0.1	η < 0.1	η = 1.9	η < 0.1	**CUMPLE η = 12.4**
N410/N412	$\lambda_w \leq \lambda_{w,máx}$ Cumple	x: 1.939 m η = 0.1	x: 0.06 m η = 0.3	x: 1.94 m η = 11.9	x: 0.06 m η < 0.1	η = 1.9	η < 0.1	η < 0.1	x: 0.06 m η < 0.1	x: 1.94 m η = 12.2	η < 0.1	η < 0.1	η = 1.9	η < 0.1	**CUMPLE η = 12.2**
N190/N414	x: 0.061 m $\lambda_w \leq \lambda_{w,máx}$ Cumple	η = 0.6	η = 12.0	x: 2.373 m η = 0.4	x: 2.373 m η = 14.7	η < 0.1	x: 0.06 m η = 1.1	x: 0.253 m η < 0.1	x: 0.061 m η < 0.1	x: 2.373 m η = 21.3	x: 0.061 m η < 0.1	M_{Ed} = 0.00 N.P.(5)	N.P.(6)	N.P.(6)	**CUMPLE η = 21.3**
N414/N413	$\lambda_w \leq \lambda_{w,máx}$ Cumple	x: 1.024 m η = 0.3	η = 10.4	x: 0.06 m η = 0.1	x: 2.373 m η = 3.6	η < 0.1	x: 2.373 m η = 0.5	x: 0.06 m η < 0.1	η < 0.1	x: 0.06 m η = 12.2	η < 0.1	η = 0.3	η < 0.1	x: 2.373 m η = 0.5	**CUMPLE η = 12.2**
N413/N294	x: 0.06 m $\lambda_w \leq \lambda_{w,máx}$ Cumple	η = 0.2	η = 9.4	x: 0.06 m η = 0.4	x: 0.06 m η = 14.7	η < 0.1	x: 2.373 m η = 1.1	x: 0.06 m η < 0.1	x: 0.06 m η < 0.1	x: 0.06 m η = 15.4	x: 0.06 m η < 0.1	M_{Ed} = 0.00 N.P.(5)	N.P.(6)	N.P.(6)	**CUMPLE η = 15.4**
N205/N416	x: 0.061 m $\lambda_w \leq \lambda_{w,máx}$ Cumple	η = 2.2	η = 8.0	x: 2.373 m η = 0.4	x: 2.373 m η = 15.1	η < 0.1	x: 0.06 m η = 1.1	x: 0.253 m η < 0.1	x: 0.061 m η < 0.1	x: 2.373 m η = 15.7	x: 0.061 m η < 0.1	M_{Ed} = 0.00 N.P.(5)	N.P.(6)	N.P.(6)	**CUMPLE η = 15.7**
N416/N415	$\lambda_w \leq \lambda_{w,máx}$ Cumple	x: 0.831 m η = 1.9	x: 0.831 m η = 9.0	x: 0.06 m η = 0.1	x: 2.373 m η = 3.8	η < 0.1	x: 0.06 m η = 0.5	x: 0.06 m η < 0.1	η < 0.1	x: 0.831 m η = 9.9	η < 0.1	η = 0.3	η < 0.1	x: 0.06 m η = 0.5	**CUMPLE η = 9.9**
N415/N309	x: 0.06 m $\lambda_w \leq \lambda_{w,máx}$ Cumple	η = 2.1	η = 8.3	x: 0.06 m η = 0.4	x: 0.06 m η = 15.1	η < 0.1	x: 2.373 m η = 1.1	x: 0.06 m η < 0.1	x: 0.06 m η < 0.1	x: 0.06 m η = 15.9	x: 0.06 m η < 0.1	M_{Ed} = 0.00 N.P.(5)	N.P.(6)	N.P.(6)	**CUMPLE η = 15.9**
N413/N415	$\lambda_w \leq \lambda_{w,máx}$ Cumple	x: 1.939 m η < 0.1	x: 0.06 m η = 0.3	x: 1.94 m η = 10.8	x: 0.06 m η = 0.2	η = 1.7	η < 0.1	η < 0.1	x: 0.06 m η < 0.1	x: 1.94 m η = 11.2	η < 0.1	η = 0.4	η = 1.7	η < 0.1	**CUMPLE η = 11.2**
N414/N416	$\lambda_w \leq \lambda_{w,máx}$ Cumple	x: 1.939 m η < 0.1	x: 0.06 m η = 0.3	x: 1.94 m η = 10.9	x: 0.06 m η = 0.2	η = 1.7	η < 0.1	η < 0.1	x: 0.06 m η < 0.1	x: 1.94 m η = 11.2	η < 0.1	η = 0.4	η = 1.7	η < 0.1	**CUMPLE η = 11.2**
N207/N311	x: 0.522 m $\lambda_w \leq \lambda_{w,máx}$ Cumple	η = 2.5	η = 36.3	M_{Ed} = 0.00 N.P.(2)	x: 3.65 m η = 5.9	V_{Ed} = 0.00 N.P.(3)	x: 0.075 m η = 0.5	N.P.(4)	x: 0.522 m η < 0.1	x: 3.65 m η = 43.2	x: 0.522 m η < 0.1	M_{Ed} = 0.00 N.P.(5)	N.P.(6)	N.P.(6)	**CUMPLE η = 43.2**
N126/N357	x: 0.061 m $\lambda_w \leq \lambda_{w,máx}$ Cumple	η = 0.9	η = 1.0	x: 2.373 m η = 0.5	x: 2.373 m η = 15.0	η < 0.1	x: 0.06 m η = 1.1	x: 0.253 m η < 0.1	x: 0.061 m η < 0.1	x: 2.373 m η = 15.4	x: 0.061 m η < 0.1	M_{Ed} = 0.00 N.P.(5)	N.P.(6)	N.P.(6)	**CUMPLE η = 15.4**
N357/N358	$\lambda_w \leq \lambda_{w,máx}$ Cumple	η = 0.6	η = 5.7	x: 0.06 m η = 0.1	x: 2.373 m η = 3.9	η < 0.1	x: 0.06 m η = 0.5	x: 0.06 m η < 0.1	η < 0.1	x: 0.06 m η = 8.0	η < 0.1	η = 0.4	η < 0.1	x: 0.06 m η = 0.5	**CUMPLE η = 8.0**
N358/N230	x: 0.06 m $\lambda_w \leq \lambda_{w,máx}$ Cumple	η = 1.0	η = 5.6	x: 0.06 m η = 0.5	x: 0.06 m η = 15.4	η < 0.1	x: 2.373 m η = 1.1	x: 0.06 m η < 0.1	x: 0.06 m η < 0.1	x: 0.06 m η = 16.7	x: 0.06 m η < 0.1	M_{Ed} = 0.00 N.P.(5)	N.P.(6)	N.P.(6)	**CUMPLE η = 16.7**
N109/N359	x: 0.061 m $\lambda_w \leq \lambda_{w,máx}$ Cumple	η = 0.7	η = 12.3	x: 2.373 m η = 0.5	x: 2.373 m η = 14.5	η < 0.1	x: 0.06 m η = 1.1	x: 0.253 m η < 0.1	x: 0.061 m η < 0.1	x: 2.373 m η = 21.6	x: 0.061 m η < 0.1	M_{Ed} = 0.00 N.P.(5)	N.P.(6)	N.P.(6)	**CUMPLE η = 21.6**
N359/N360	$\lambda_w \leq \lambda_{w,máx}$ Cumple	η = 0.3	η = 10.7	x: 0.06 m η = 0.1	x: 2.373 m η = 3.8	η < 0.1	x: 0.06 m η = 0.5	x: 0.06 m η < 0.1	η < 0.1	x: 0.06 m η = 12.5	η < 0.1	η = 0.4	η < 0.1	x: 0.06 m η = 0.5	**CUMPLE η = 12.5**
N360/N213	x: 0.06 m $\lambda_w \leq \lambda_{w,máx}$ Cumple	η = 0.2	η = 8.9	x: 0.06 m η = 0.5	x: 0.06 m η = 15.0	η < 0.1	x: 2.373 m η = 1.1	x: 0.06 m η < 0.1	x: 0.06 m η < 0.1	x: 0.06 m η = 15.6	x: 0.06 m η < 0.1	M_{Ed} = 0.00 N.P.(5)	N.P.(6)	N.P.(6)	**CUMPLE η = 15.6**
N418/N435	$\lambda_w \leq \lambda_{w,máx}$ Cumple	x: 1.911 m η = 36.5	x: 0.088 m η = 42.5	x: 0.088 m η = 2.1	x: 1.912 m η = 7.8	η = 0.1	η = 1.2	η < 0.1	η < 0.1	x: 0.088 m η = 50.2	η < 0.1	η = 1.9	η = 0.1	η = 1.2	**CUMPLE η = 50.2**
N419/N436	$\lambda_w \leq \lambda_{w,máx}$ Cumple	x: 1.911 m η = 25.3	x: 0.088 m η = 31.5	x: 0.088 m η = 0.9	x: 0.088 m η = 13.9	η < 0.1	η = 2.1	η < 0.1	η < 0.1	x: 0.088 m η = 45.7	η < 0.1	η = 0.5	η < 0.1	η = 2.1	**CUMPLE η = 45.7**
N420/N437	$\lambda_w \leq \lambda_{w,máx}$ Cumple	x: 1.911 m η = 24.1	x: 0.088 m η = 30.0	x: 0.088 m η = 0.9	x: 0.088 m η = 11.3	η < 0.1	η = 1.8	η < 0.1	η < 0.1	x: 0.088 m η = 41.4	η < 0.1	η = 1.0	η < 0.1	η = 1.8	**CUMPLE η = 41.4**
N421/N438	$\lambda_w \leq \lambda_{w,máx}$ Cumple	x: 1.911 m η = 18.0	x: 0.088 m η = 22.2	x: 0.088 m η = 0.8	x: 0.088 m η = 9.4	η = 0.1	η = 1.4	η < 0.1	η < 0.1	x: 0.088 m η = 32.1	η < 0.1	η = 1.1	η = 0.1	η = 1.4	**CUMPLE η = 32.1**
N422/N439	$\lambda_w \leq \lambda_{w,máx}$ Cumple	x: 1.922 m η = 11.8	x: 0.088 m η = 12.1	x: 0.088 m η = 1.3	x: 0.088 m η = 6.1	η < 0.1	η = 0.9	η < 0.1	η < 0.1	x: 0.088 m η = 18.5	η < 0.1	η = 1.3	η < 0.1	η = 0.9	**CUMPLE η = 18.5**
N423/N440	$\lambda_w \leq \lambda_{w,máx}$ Cumple	x: 1.922 m η = 6.4	x: 0.086 m η = 6.4	x: 1.922 m η = 0.1	x: 0.086 m η = 2.5	x: 0.821 m η < 0.1	η = 0.3	η < 0.1	η < 0.1	x: 0.086 m η = 8.9	η < 0.1	η = 0.3	x: 0.821 m η < 0.1	η = 0.3	**CUMPLE η = 8.9**
N424/N441	$\lambda_w \leq \lambda_{w,máx}$ Cumple	x: 1.922 m η = 2.2	x: 0.086 m η = 2.1	x: 1.922 m η = 0.9	x: 1.923 m η = 1.0	η < 0.1	η = 0.1	η < 0.1	η < 0.1	x: 1.923 m η = 3.3	η < 0.1	η = 1.4	η < 0.1	η = 0.1	**CUMPLE η = 3.3**
N425/N442	$\lambda_w \leq \lambda_{w,máx}$ Cumple	x: 1.922 m η = 7.4	x: 0.086 m η = 7.6	x: 0.086 m η = 1.1	x: 0.086 m η = 6.0	η = 0.1	η = 0.8	η < 0.1	η < 0.1	x: 0.086 m η = 14.2	η < 0.1	η = 0.2	η = 0.1	η = 0.8	**CUMPLE η = 14.2**
N426/N443	$\lambda_w \leq \lambda_{w,máx}$ Cumple	x: 1.921 m η = 25.4	x: 0.086 m η = 31.8	x: 0.086 m η = 1.2	x: 0.086 m η = 12.7	η < 0.1	η = 1.6	η < 0.1	η < 0.1	x: 0.086 m η = 45.0	η < 0.1	η = 1.7	η < 0.1	η = 1.7	**CUMPLE η = 45.0**
N427/N444	$\lambda_w \leq \lambda_{w,máx}$ Cumple	x: 1.921 m η = 33.7	x: 0.086 m η = 41.8	x: 0.086 m η = 0.2	x: 0.086 m η = 16.9	η < 0.1	η = 2.2	η < 0.1	η < 0.1	x: 0.086 m η = 59.6	η < 0.1	η = 0.3	η < 0.1	η = 2.2	**CUMPLE η = 59.6**
N428/N445	$\lambda_w \leq \lambda_{w,máx}$ Cumple	x: 1.921 m η = 34.1	x: 0.094 m η = 39.9	x: 0.094 m η = 1.3	x: 0.094 m η = 20.9	η = 0.1	η = 3.4	η < 0.1	η < 0.1	x: 0.094 m η = 61.3	η < 0.1	η = 1.9	η = 0.1	η = 3.4	**CUMPLE η = 61.3**
N429/N446	$\lambda_w \leq \lambda_{w,máx}$ Cumple	x: 1.905 m η = 40.2	x: 0.094 m η = 47.7	x: 0.094 m η = 0.6	x: 0.094 m η = 24.3	η = 0.1	η = 3.9	η < 0.1	η < 0.1	x: 0.094 m η = 72.7	η < 0.1	x: 1.905 m η = 1.0	η = 0.1	η = 3.9	**CUMPLE η = 72.7**
N430/N447	$\lambda_w \leq \lambda_{w,máx}$ Cumple	x: 1.905 m η = 46.3	x: 0.094 m η = 55.4	x: 0.094 m η = 0.3	x: 1.906 m η = 24.8	η < 0.1	η = 4.0	η < 0.1	η < 0.1	x: 0.094 m η = 80.6	η < 0.1	x: 1.362 m η = 0.3	η < 0.1	η = 4.0	**CUMPLE η = 80.6**
N431/N448	$\lambda_w \leq \lambda_{w,máx}$ Cumple	x: 1.905 m η = 42.9	x: 0.094 m η = 51.7	x: 0.094 m η = 0.4	x: 0.094 m η = 30.6	η < 0.1	η = 4.7	η < 0.1	η < 0.1	x: 0.094 m η = 82.8	η < 0.1	η = 0.3	η < 0.1	η = 4.8	**CUMPLE η = 82.8**
N432/N449	$\lambda_w \leq \lambda_{w,máx}$ Cumple	x: 1.905 m η = 54.1	x: 0.131 m η = 63.5	x: 0.131 m η = 0.7	x: 0.131 m η = 1.4	η < 0.1	η = 0.1	η < 0.1	η < 0.1	x: 0.131 m η = 65.3	η < 0.1	η = 0.8	η < 0.1	η = 0.1	**CUMPLE η = 65.3**
N452/N468	$\lambda_w \leq \lambda_{w,máx}$ Cumple	x: 1.911 m η = 38.6	x: 0.088 m η = 47.2	x: 0.088 m η = 1.5	x: 1.912 m η = 19.2	η = 0.1	η = 2.8	η < 0.1	η < 0.1	x: 1.912 m η = 66.6	η < 0.1	η = 0.9	η = 0.1	η = 2.8	**CUMPLE η = 66.6**

Documento visado electrónicamente con número: VA07290/22
Código de validación telemática TRLTDCFZ60T66IJ1. Comprobación: https://cogitivalencia.e-gestion.es/Validacion.aspx?CVT=TRLTDCFZ60T66IJ1

VISADO
COGITI
Estado
VALENCIA
VA07290/22
TRLTDCFZ60T66IJ1

Barras	COMPROBACIONES (CÓDIGO ESTRUCTURAL)															
	λ_w	N_t	N_c	M_Y	M_Z	V_Z	V_Y	M_YV_Z	M_ZV_Y	NM_YM_Z	$NM_YM_ZV_YV_Z$	M_t	M_tV_Z	M_tV_Y	
N453/N469	$\lambda_w \leq \lambda_{w,máx}$ Cumple	x: 1.911 m η = 33.9	x: 0.088 m η = 42.1	x: 0.088 m η = 0.6	x: 0.088 m η = 16.1	η < 0.1	η = 2.5	η < 0.1	η < 0.1	x: 0.088 m η = 58.4	η < 0.1	η = 0.4	η < 0.1	η = 2.5	**CUMPLE η = 58.4**
N454/N470	$\lambda_w \leq \lambda_{w,máx}$ Cumple	x: 1.911 m η = 33.4	x: 0.088 m η = 41.9	x: 1.911 m η = 0.4	x: 0.088 m η = 15.5	η < 0.1	η = 2.5	η < 0.1	η < 0.1	x: 0.088 m η = 57.7	η < 0.1	η = 0.2	η < 0.1	η = 2.5	**CUMPLE η = 57.7**
N455/N471	$\lambda_w \leq \lambda_{w,máx}$ Cumple	x: 1.911 m η = 27.4	x: 0.088 m η = 34.2	x: 0.088 m η = 1.1	x: 0.088 m η = 13.9	η < 0.1	η = 2.2	η < 0.1	η < 0.1	x: 0.088 m η = 48.6	η < 0.1	η = 2.0	η < 0.1	η = 2.2	**CUMPLE η = 48.6**
N456/N472	$\lambda_w \leq \lambda_{w,máx}$ Cumple	x: 1.922 m η = 21.1	x: 0.088 m η = 26.3	x: 0.088 m η = 2.9	x: 0.088 m η = 11.0	η = 0.1	η = 1.7	η < 0.1	η < 0.1	x: 0.088 m η = 37.5	η < 0.1	η = 3.3	η = 0.1	η = 1.7	**CUMPLE η = 37.5**
N457/N473	$\lambda_w \leq \lambda_{w,máx}$ Cumple	x: 1.922 m η = 17.7	x: 0.086 m η = 23.8	x: 0.086 m η = 0.5	x: 0.086 m η = 7.6	η < 0.1	η = 1.0	η < 0.1	η < 0.1	x: 0.086 m η = 31.6	η < 0.1	η = 0.5	η < 0.1	η = 1.0	**CUMPLE η = 31.6**
N458/N474	$\lambda_w \leq \lambda_{w,máx}$ Cumple	x: 1.922 m η = 9.5	x: 0.086 m η = 10.9	x: 0.086 m η = 2.6	x: 0.086 m η = 4.5	η < 0.1	η = 0.6	η < 0.1	η < 0.1	x: 0.086 m η = 15.7	η < 0.1	η = 3.1	η < 0.1	η = 0.6	**CUMPLE η = 15.7**
N459/N475	$\lambda_w \leq \lambda_{w,máx}$ Cumple	x: 1.922 m η = 7.7	x: 0.086 m η = 7.8	x: 0.086 m η = 1.4	x: 1.923 m η = 1.3	η = 0.1	η = 0.2	η < 0.1	η < 0.1	x: 1.923 m η = 9.6	η < 0.1	η = 0.2	η = 0.1	η = 0.2	**CUMPLE η = 9.6**
N460/N476	$\lambda_w \leq \lambda_{w,máx}$ Cumple	x: 1.921 m η = 14.7	x: 0.086 m η = 16.6	x: 0.086 m η = 2.3	x: 0.086 m η = 6.6	η < 0.1	η = 0.9	η < 0.1	η < 0.1	x: 0.086 m η = 22.8	η < 0.1	η = 3.5	η < 0.1	η = 0.9	**CUMPLE η = 22.8**
N461/N477	$\lambda_w \leq \lambda_{w,máx}$ Cumple	x: 1.921 m η = 22.8	x: 0.086 m η = 26.4	x: 0.086 m η = 0.3	x: 0.086 m η = 10.7	η < 0.1	η = 1.4	η < 0.1	η < 0.1	x: 0.086 m η = 36.9	η < 0.1	η = 0.4	η < 0.1	η = 1.4	**CUMPLE η = 36.9**
N462/N478	$\lambda_w \leq \lambda_{w,máx}$ Cumple	x: 1.921 m η = 25.2	x: 0.094 m η = 28.1	x: 0.094 m η = 2.5	x: 0.094 m η = 14.7	η = 0.1	η = 2.4	η < 0.1	η < 0.1	x: 0.094 m η = 42.5	η < 0.1	η = 3.7	η = 0.1	η = 2.4	**CUMPLE η = 42.5**
N463/N479	$\lambda_w \leq \lambda_{w,máx}$ Cumple	x: 1.905 m η = 31.4	x: 0.094 m η = 36.0	x: 0.094 m η = 1.1	x: 0.094 m η = 18.1	η < 0.1	η = 2.9	η < 0.1	η < 0.1	x: 0.094 m η = 54.4	η < 0.1	x: 1.544 m η = 2.4	η < 0.1	η = 2.9	**CUMPLE η = 54.4**
N464/N480	$\lambda_w \leq \lambda_{w,máx}$ Cumple	x: 1.905 m η = 37.5	x: 0.094 m η = 43.8	x: 0.094 m η = 0.3	x: 1.906 m η = 19.1	η < 0.1	η = 3.1	η < 0.1	η < 0.1	x: 0.094 m η = 63.0	η < 0.1	η = 0.2	η < 0.1	η = 3.1	**CUMPLE η = 63.0**
N465/N481	$\lambda_w \leq \lambda_{w,máx}$ Cumple	x: 1.905 m η = 35.9	x: 0.094 m η = 42.2	x: 0.094 m η = 0.3	x: 0.094 m η = 25.4	η < 0.1	η = 3.9	η < 0.1	η < 0.1	x: 0.094 m η = 67.8	η < 0.1	η = 0.4	η < 0.1	η = 3.9	**CUMPLE η = 67.8**
N466/N482	$\lambda_w \leq \lambda_{w,máx}$ Cumple	x: 1.905 m η = 46.8	x: 0.131 m η = 53.8	x: 0.131 m η = 0.6	x: 0.131 m η = 4.5	η < 0.1	η = 0.5	η < 0.1	η < 0.1	x: 0.131 m η = 58.6	η < 0.1	η = 0.7	η < 0.1	η = 0.5	**CUMPLE η = 58.6**
N485/N501	$\lambda_w \leq \lambda_{w,máx}$ Cumple	x: 1.911 m η = 46.2	x: 0.088 m η = 55.0	x: 0.088 m η = 1.7	x: 1.912 m η = 22.0	η = 0.1	η = 3.2	η < 0.1	η < 0.1	x: 1.912 m η = 77.5	η < 0.1	η = 1.0	η = 0.1	η = 3.3	**CUMPLE η = 77.5**
N486/N502	$\lambda_w \leq \lambda_{w,máx}$ Cumple	x: 1.911 m η = 41.1	x: 0.088 m η = 49.8	x: 0.088 m η = 0.7	x: 0.088 m η = 19.2	η < 0.1	η = 3.0	η < 0.1	η < 0.1	x: 0.088 m η = 69.4	η < 0.1	η = 0.5	η < 0.1	η = 3.0	**CUMPLE η = 69.4**
N487/N503	$\lambda_w \leq \lambda_{w,máx}$ Cumple	x: 1.911 m η = 42.3	x: 0.088 m η = 51.2	x: 1.911 m η = 0.4	x: 0.088 m η = 19.3	η < 0.1	η = 3.1	η < 0.1	η < 0.1	x: 0.088 m η = 70.9	η < 0.1	η = 0.2	η < 0.1	η = 3.1	**CUMPLE η = 70.9**
N488/N504	$\lambda_w \leq \lambda_{w,máx}$ Cumple	x: 1.911 m η = 36.4	x: 0.088 m η = 43.6	x: 1.912 m η = 1.5	x: 0.088 m η = 18.0	η = 0.1	η = 2.8	η < 0.1	η < 0.1	x: 0.088 m η = 62.3	η < 0.1	η = 2.5	η = 0.1	η = 2.9	**CUMPLE η = 62.3**
N489/N505	$\lambda_w \leq \lambda_{w,máx}$ Cumple	x: 1.922 m η = 30.2	x: 0.088 m η = 35.7	x: 0.088 m η = 2.9	x: 0.088 m η = 15.4	η = 0.1	η = 2.4	η < 0.1	η < 0.1	x: 0.088 m η = 51.6	η < 0.1	η = 2.1	η = 0.1	η = 2.5	**CUMPLE η = 51.6**
N490/N506	$\lambda_w \leq \lambda_{w,máx}$ Cumple	x: 1.922 m η = 28.7	x: 0.086 m η = 36.1	x: 0.086 m η = 1.0	x: 0.086 m η = 12.2	η < 0.1	η = 1.6	η < 0.1	η < 0.1	x: 0.086 m η = 48.9	η < 0.1	x: 1.739 m η = 1.2	η < 0.1	η = 1.6	**CUMPLE η = 48.9**
N491/N507	$\lambda_w \leq \lambda_{w,máx}$ Cumple	x: 1.922 m η = 20.5	x: 0.086 m η = 26.1	x: 0.086 m η = 1.5	x: 0.086 m η = 8.8	η < 0.1	η = 1.1	η < 0.1	η < 0.1	x: 0.086 m η = 35.4	η < 0.1	x: 1.739 m η = 1.9	η < 0.1	η = 1.1	**CUMPLE η = 35.4**
N492/N508	$\lambda_w \leq \lambda_{w,máx}$ Cumple	x: 1.922 m η = 7.7	x: 0.086 m η = 7.7	x: 1.923 m η = 0.9	x: 0.086 m η = 3.7	η = 0.1	η = 0.4	η < 0.1	η < 0.1	x: 0.086 m η = 12.1	η < 0.1	η = 0.3	η = 0.1	η = 0.4	**CUMPLE η = 12.1**
N493/N509	$\lambda_w \leq \lambda_{w,máx}$ Cumple	x: 1.921 m η = 4.3	x: 0.086 m η = 4.1	x: 0.086 m η = 0.9	x: 1.922 m η = 2.0	η < 0.1	η = 0.3	η < 0.1	η < 0.1	x: 1.922 m η = 6.2	η < 0.1	η = 1.4	η < 0.1	η = 0.3	**CUMPLE η = 6.2**
N494/N510	$\lambda_w \leq \lambda_{w,máx}$ Cumple	x: 1.921 m η = 12.3	x: 0.086 m η = 11.8	x: 0.086 m η = 0.8	x: 0.086 m η = 5.6	η < 0.1	η = 0.7	η < 0.1	η < 0.1	x: 0.086 m η = 17.8	η < 0.1	η = 1.1	η < 0.1	η = 0.7	**CUMPLE η = 17.8**
N495/N511	$\lambda_w \leq \lambda_{w,máx}$ Cumple	x: 1.921 m η = 16.6	x: 0.094 m η = 16.5	x: 0.094 m η = 1.7	x: 0.094 m η = 9.9	η = 0.1	η = 1.6	η < 0.1	η < 0.1	x: 0.094 m η = 26.7	η < 0.1	η = 1.7	η = 0.1	η = 1.6	**CUMPLE η = 26.7**
N496/N512	$\lambda_w \leq \lambda_{w,máx}$ Cumple	x: 1.905 m η = 22.7	x: 0.094 m η = 27.2	x: 0.094 m η = 1.0	x: 0.094 m η = 13.9	η = 0.1	η = 2.2	η < 0.1	η < 0.1	x: 0.094 m η = 41.5	η < 0.1	η = 2.0	η = 0.1	η = 2.2	**CUMPLE η = 41.5**
N497/N513	$\lambda_w \leq \lambda_{w,máx}$ Cumple	x: 1.905 m η = 28.8	x: 0.094 m η = 35.1	x: 0.094 m η = 0.6	x: 0.094 m η = 16.3	η < 0.1	η = 2.6	η < 0.1	η < 0.1	x: 0.094 m η = 51.5	η < 0.1	η = 0.7	η < 0.1	η = 2.6	**CUMPLE η = 51.5**
N498/N514	$\lambda_w \leq \lambda_{w,máx}$ Cumple	x: 1.905 m η = 29.1	x: 0.094 m η = 35.3	x: 0.094 m η = 0.5	x: 0.094 m η = 17.1	η < 0.1	η = 2.7	η < 0.1	η < 0.1	x: 0.094 m η = 52.6	η < 0.1	η = 0.5	η < 0.1	η = 2.7	**CUMPLE η = 52.6**
N499/N515	$\lambda_w \leq \lambda_{w,máx}$ Cumple	x: 1.905 m η = 39.0	x: 0.094 m η = 46.2	x: 0.094 m η = 1.0	x: 0.094 m η = 22.6	η < 0.1	η = 3.3	η < 0.1	η < 0.1	x: 0.094 m η = 69.3	η < 0.1	η = 1.6	η < 0.1	η = 3.3	**CUMPLE η = 69.3**
N418/N434	$\lambda_w \leq \lambda_{w,máx}$ Cumple	x: 2.482 m η = 28.1	x: 0.111 m η = 33.7	x: 2.483 m η = 25.3	x: 0.111 m η = 1.5	x: 2.482 m η = 2.4	η = 0.1	η < 0.1	η < 0.1	x: 2.483 m η = 59.0	η < 0.1	η = 0.1	x: 2.482 m η = 2.4	η = 0.1	**CUMPLE η = 59.0**
N419/N435	$\lambda_w \leq \lambda_{w,máx}$ Cumple	x: 2.482 m η = 33.5	x: 0.111 m η = 36.8	x: 0.111 m η = 5.3	x: 2.483 m η = 2.2	x: 0.111 m η = 0.8	η < 0.1	η < 0.1	η < 0.1	x: 2.483 m η = 41.4	η < 0.1	η = 0.9	x: 0.111 m η = 0.8	η < 0.1	**CUMPLE η = 41.4**
N420/N436	$\lambda_w \leq \lambda_{w,máx}$ Cumple	x: 2.482 m η = 27.5	x: 0.111 m η = 30.6	x: 2.483 m η = 6.4	x: 2.483 m η = 1.1	x: 0.111 m η = 0.8	η = 0.1	η < 0.1	η < 0.1	x: 2.483 m η = 37.1	η < 0.1	η = 0.7	x: 0.111 m η = 0.8	η = 0.1	**CUMPLE η = 37.1**
N421/N437	$\lambda_w \leq \lambda_{w,máx}$ Cumple	x: 2.482 m η = 24.7	x: 0.111 m η = 26.3	x: 2.483 m η = 6.2	x: 0.111 m η = 1.1	x: 0.111 m η = 0.7	x: 1.099 m η = 0.1	η < 0.1	η < 0.1	x: 2.483 m η = 32.7	η < 0.1	η = 0.6	x: 0.111 m η = 0.7	x: 1.099 m η = 0.1	**CUMPLE η = 32.7**
N422/N438	$\lambda_w \leq \lambda_{w,máx}$ Cumple	x: 2.482 m η = 15.9	x: 0.111 m η = 15.0	x: 2.483 m η = 5.0	x: 0.111 m η = 1.9	x: 0.111 m η = 0.5	x: 0.902 m η < 0.1	η < 0.1	η < 0.1	x: 2.483 m η = 21.3	η < 0.1	η = 0.6	x: 0.111 m η = 0.5	x: 0.902 m η < 0.1	**CUMPLE η = 21.3**
N424/N440	$\lambda_w \leq \lambda_{w,máx}$ Cumple	x: 2.482 m η = 2.8	x: 0.111 m η = 2.2	x: 0.111 m η = 2.1	x: 0.111 m η = 1.0	x: 0.111 m η = 0.1	η = 0.1	η < 0.1	η < 0.1	x: 0.111 m η = 5.6	η < 0.1	η = 0.5	x: 0.111 m η = 0.1	η = 0.1	**CUMPLE η = 5.6**
N425/N441	$\lambda_w \leq \lambda_{w,máx}$ Cumple	x: 2.482 m η = 14.5	x: 0.111 m η = 16.7	x: 0.111 m η = 4.5	x: 0.111 m η = 1.6	x: 2.482 m η = 0.3	x: 1.099 m η < 0.1	η < 0.1	η < 0.1	x: 0.111 m η = 20.9	η < 0.1	x: 0.506 m η = 0.6	x: 2.482 m η = 0.3	x: 1.099 m η < 0.1	**CUMPLE η = 20.9**
N425/N443	$\lambda_w \leq \lambda_{w,máx}$ Cumple	x: 2.662 m η = 24.2	x: 0.119 m η = 31.3	x: 2.663 m η = 5.6	x: 2.663 m η = 1.9	x: 0.119 m η = 0.5	x: 1.815 m η = 0.1	η < 0.1	η < 0.1	x: 2.663 m η = 37.3	η < 0.1	x: 2.239 m η = 0.8	x: 0.119 m η = 0.5	x: 1.815 m η = 0.1	**CUMPLE η = 37.3**
N426/N444	$\lambda_w \leq \lambda_{w,máx}$ Cumple	x: 2.662 m η = 35.7	x: 0.119 m η = 47.1	x: 2.663 m η = 8.4	x: 0.119 m η = 1.3	x: 0.119 m η = 0.8	x: 2.027 m η = 0.1	η < 0.1	η < 0.1	x: 2.663 m η = 56.3	η < 0.1	x: 2.027 m η = 0.7	x: 0.119 m η = 0.8	x: 2.027 m η = 0.1	**CUMPLE η = 56.3**
N428/N446	$\lambda_w \leq \lambda_{w,máx}$ Cumple	x: 2.662 m η = 47.7	x: 0.119 m η = 57.9	x: 2.663 m η = 9.9	x: 0.119 m η = 2.0	x: 0.119 m η = 1.2	x: 2.451 m η = 0.1	η < 0.1	η < 0.1	x: 2.663 m η = 68.4	η < 0.1	η = 0.4	x: 0.119 m η = 1.2	x: 2.451 m η = 0.1	**CUMPLE η = 68.4**
N429/N447	$\lambda_w \leq \lambda_{w,máx}$ Cumple	x: 2.662 m η = 56.3	x: 0.119 m η = 66.4	x: 2.663 m η = 10.4	x: 0.119 m η = 0.7	x: 0.119 m η = 1.3	x: 0.543 m η = 0.1	η < 0.1	η < 0.1	x: 2.663 m η = 77.4	η < 0.1	x: 2.451 m η = 0.5	x: 0.119 m η = 1.3	x: 0.543 m η = 0.1	**CUMPLE η = 77.4**
N430/N448	$\lambda_w \leq \lambda_{w,máx}$ Cumple	x: 2.662 m η = 55.1	x: 0.119 m η = 65.7	x: 0.119 m η = 11.0	x: 2.663 m η = 0.8	x: 0.119 m η = 1.4	η < 0.1	η < 0.1	η < 0.1	x: 0.119 m η = 76.6	η < 0.1	η = 0.5	x: 0.119 m η = 1.4	η < 0.1	**CUMPLE η = 76.6**
N431/N449	$\lambda_w \leq \lambda_{w,máx}$ Cumple	x: 2.662 m η = 55.9	x: 0.119 m η = 66.2	x: 0.119 m η = 10.2	x: 2.662 m η = 1.1	x: 0.119 m η = 0.8	η < 0.1	η < 0.1	η < 0.1	x: 0.119 m η = 76.3	η < 0.1	η = 0.6	x: 0.119 m η = 0.8	η < 0.1	**CUMPLE η = 76.3**
N432/N450	$\lambda_w \leq \lambda_{w,máx}$ Cumple	x: 2.549 m η = 53.0	x: 0.119 m η = 64.4	x: 2.55 m η = 12.8	x: 2.55 m η = 0.9	x: 2.549 m η = 1.4	η < 0.1	η < 0.1	η < 0.1	x: 2.55 m η = 77.0	η < 0.1	η = 0.3	x: 2.549 m η = 1.4	η < 0.1	**CUMPLE η = 77.0**

Documento visado electrónicamente con número: VA07290/22
Código de validación telemática TRLTDCFZ60T66IJ1. Comprobación: https://cogitivalencia.e-gestion.es/Validacion.aspx?CVT=TRLTDCFZ60T66IJ1

Listados

VISADO
COGITI
VALENCIA
VA07290/22
TRLTDCFZ60T66IJ1
Documento visado electrónicamente con número VA07290/22
Código de validación telemática TRLTDCFZ60T66IJ1. Comprobación: https://cogitivalencia.e-gestion.es/Validacion.aspx?CVT=TRLTDCFZ60T66IJ1

Barras	COMPROBACIONES (CÓDIGO ESTRUCTURAL)														Estado
	λ_w	N_t	N_c	M_Y	M_Z	V_Z	V_Y	M_YV_Z	M_ZV_Y	NM_YM_Z	$NM_YM_ZV_YV_Z$	M_t	M_tV_Z	M_tV_Y	
N452/N433	$\lambda_w \le \lambda_{w,máx}$ Cumple	x: 2.377 m η = 30.7	x: 0.111 m η = 37.3	x: 2.378 m η = 17.2	x: 0.111 m η = 1.6	x: 0.111 m η = 1.6	η = 0.1	η < 0.1	η < 0.1	x: 2.378 m η = 54.6	η < 0.1	η = 0.8	x: 0.111 m η = 1.6	η = 0.1	**CUMPLE η = 54.6**
N453/N468	$\lambda_w \le \lambda_{w,máx}$ Cumple	x: 2.482 m η = 45.4	x: 0.111 m η = 50.0	x: 2.483 m η = 11.7	x: 0.111 m η = 1.3	x: 0.111 m η = 1.5	x: 0.309 m η < 0.1	η < 0.1	η < 0.1	x: 2.483 m η = 61.9	η < 0.1	η = 0.8	x: 0.111 m η = 1.5	x: 0.309 m η < 0.1	**CUMPLE η = 61.9**
N454/N469	$\lambda_w \le \lambda_{w,máx}$ Cumple	x: 2.482 m η = 38.1	x: 0.111 m η = 42.3	x: 0.111 m η = 7.9	x: 2.483 m η = 0.8	x: 0.111 m η = 1.0	η < 0.1	η < 0.1	η < 0.1	x: 0.111 m η = 48.9	η < 0.1	η = 0.5	x: 0.111 m η = 1.0	η < 0.1	**CUMPLE η = 48.9**
N455/N470	$\lambda_w \le \lambda_{w,máx}$ Cumple	x: 2.482 m η = 37.9	x: 0.111 m η = 40.9	x: 0.111 m η = 7.6	x: 0.111 m η = 0.9	x: 0.111 m η = 1.1	x: 1.495 m η = 0.1	η < 0.1	η < 0.1	x: 2.483 m η = 48.4	η < 0.1	η = 0.4	x: 0.111 m η = 1.1	x: 1.495 m η = 0.1	**CUMPLE η = 48.4**
N456/N471	$\lambda_w \le \lambda_{w,máx}$ Cumple	x: 2.482 m η = 29.2	x: 0.111 m η = 32.2	x: 2.483 m η = 6.1	x: 0.111 m η = 3.8	x: 0.111 m η = 0.9	η = 0.1	η < 0.1	η < 0.1	x: 2.483 m η = 38.6	η < 0.1	η = 0.6	x: 0.111 m η = 0.9	η = 0.1	**CUMPLE η = 38.6**
N458/N473	$\lambda_w \le \lambda_{w,máx}$ Cumple	x: 2.482 m η = 14.7	x: 0.111 m η = 15.6	x: 2.483 m η = 3.8	x: 0.111 m η = 2.7	x: 0.111 m η = 0.4	x: 2.088 m η = 0.2	η < 0.1	η < 0.1	x: 2.483 m η = 19.5	η < 0.1	x: 2.088 m η = 0.7	x: 0.111 m η = 0.4	x: 2.088 m η = 0.2	**CUMPLE η = 19.5**
N459/N474	$\lambda_w \le \lambda_{w,máx}$ Cumple	x: 2.482 m η = 3.9	x: 0.111 m η = 0.9	x: 2.483 m η = 1.8	x: 2.483 m η = 3.5	x: 0.111 m η = 0.2	η = 0.1	η < 0.1	η < 0.1	x: 2.088 m η = 5.7	η < 0.1	x: 1.495 m η = 1.5	x: 0.111 m η = 0.2	η = 0.1	**CUMPLE η = 5.7**
N459/N476	$\lambda_w \le \lambda_{w,máx}$ Cumple	x: 2.662 m η = 7.3	x: 0.119 m η = 8.4	x: 2.663 m η = 3.0	x: 2.663 m η = 3.7	x: 2.662 m η = 0.3	x: 1.603 m η = 0.1	η < 0.1	η < 0.1	x: 2.663 m η = 11.6	η < 0.1	x: 1.603 m η = 1.4	x: 2.662 m η = 0.3	x: 1.603 m η = 0.1	**CUMPLE η = 11.6**
N460/N477	$\lambda_w \le \lambda_{w,máx}$ Cumple	x: 2.662 m η = 18.7	x: 0.119 m η = 26.9	x: 2.663 m η = 5.2	x: 0.119 m η = 3.0	x: 2.662 m η = 0.5	x: 2.239 m η = 0.2	η < 0.1	η < 0.1	x: 2.663 m η = 32.4	η < 0.1	x: 2.239 m η = 0.8	x: 2.662 m η = 0.5	x: 2.239 m η = 0.2	**CUMPLE η = 32.4**
N462/N479	$\lambda_w \le \lambda_{w,máx}$ Cumple	x: 2.662 m η = 33.7	x: 0.119 m η = 42.7	x: 2.663 m η = 7.3	x: 0.119 m η = 3.9	x: 0.119 m η = 0.9	η = 0.1	η < 0.1	η < 0.1	x: 2.663 m η = 50.4	η < 0.1	η = 0.5	x: 0.119 m η = 0.9	η = 0.1	**CUMPLE η = 50.4**
N463/N480	$\lambda_w \le \lambda_{w,máx}$ Cumple	x: 2.662 m η = 42.6	x: 0.119 m η = 51.6	x: 0.119 m η = 8.2	x: 0.119 m η = 1.3	x: 0.119 m η = 1.1	x: 1.815 m η = 0.1	η < 0.1	η < 0.1	x: 2.663 m η = 60.2	η < 0.1	η = 0.5	x: 0.119 m η = 1.1	x: 1.815 m η = 0.1	**CUMPLE η = 60.2**
N464/N481	$\lambda_w \le \lambda_{w,máx}$ Cumple	x: 2.662 m η = 43.7	x: 0.119 m η = 53.4	x: 0.119 m η = 8.9	x: 2.663 m η = 0.8	x: 0.119 m η = 1.1	η < 0.1	η < 0.1	η < 0.1	x: 0.119 m η = 62.1	η < 0.1	η = 0.5	x: 0.119 m η = 1.1	η < 0.1	**CUMPLE η = 62.1**
N465/N482	$\lambda_w \le \lambda_{w,máx}$ Cumple	x: 2.662 m η = 45.1	x: 0.119 m η = 54.4	x: 0.119 m η = 8.5	x: 2.662 m η = 1.1	x: 0.119 m η = 0.6	η < 0.1	η < 0.1	η < 0.1	x: 0.119 m η = 62.9	η < 0.1	η = 0.7	x: 0.119 m η = 0.6	η < 0.1	**CUMPLE η = 62.9**
N466/N483	$\lambda_w \le \lambda_{w,máx}$ Cumple	x: 2.549 m η = 49.8	x: 0.119 m η = 62.5	x: 2.55 m η = 12.1	x: 2.55 m η = 1.2	x: 2.549 m η = 1.2	η < 0.1	η < 0.1	η < 0.1	x: 2.55 m η = 73.9	η < 0.1	η = 0.3	x: 2.549 m η = 1.2	η < 0.1	**CUMPLE η = 73.9**
N485/N467	$\lambda_w \le \lambda_{w,máx}$ Cumple	x: 2.377 m η = 34.6	x: 0.111 m η = 42.2	x: 2.378 m η = 12.4	x: 0.111 m η = 1.8	x: 0.111 m η = 1.0	η = 0.1	η < 0.1	η < 0.1	x: 2.378 m η = 54.4	η < 0.1	η = 0.9	x: 0.111 m η = 1.0	η = 0.1	**CUMPLE η = 54.4**
N486/N501	$\lambda_w \le \lambda_{w,máx}$ Cumple	x: 2.482 m η = 53.8	x: 0.111 m η = 61.4	x: 0.111 m η = 12.4	x: 0.111 m η = 1.3	x: 0.111 m η = 1.6	x: 0.111 m η < 0.1	η < 0.1	η < 0.1	x: 2.483 m η = 74.2	η < 0.1	η = 0.8	x: 0.111 m η = 1.6	x: 0.111 m η < 0.1	**CUMPLE η = 74.2**
N487/N502	$\lambda_w \le \lambda_{w,máx}$ Cumple	x: 2.482 m η = 46.6	x: 0.111 m η = 53.6	x: 0.111 m η = 9.4	x: 2.483 m η = 0.9	x: 0.111 m η = 1.2	η < 0.1	η < 0.1	η < 0.1	x: 0.111 m η = 62.2	η < 0.1	η = 0.5	x: 0.111 m η = 1.2	η < 0.1	**CUMPLE η = 62.2**
N488/N503	$\lambda_w \le \lambda_{w,máx}$ Cumple	x: 2.482 m η = 48.1	x: 0.111 m η = 54.6	x: 2.483 m η = 9.6	x: 0.111 m η = 1.2	x: 0.111 m η = 1.3	x: 1.495 m η = 0.1	η < 0.1	η < 0.1	x: 2.483 m η = 64.4	η < 0.1	η = 0.5	x: 0.111 m η = 1.3	x: 1.495 m η = 0.1	**CUMPLE η = 64.4**
N489/N504	$\lambda_w \le \lambda_{w,máx}$ Cumple	x: 2.482 m η = 39.6	x: 0.111 m η = 46.3	x: 2.483 m η = 8.6	x: 0.111 m η = 4.1	x: 0.111 m η = 1.1	x: 1.692 m η = 0.1	η < 0.1	η < 0.1	x: 2.483 m η = 55.2	η < 0.1	x: 1.692 m η = 0.9	x: 0.111 m η = 1.1	x: 1.692 m η = 0.1	**CUMPLE η = 55.2**
N491/N506	$\lambda_w \le \lambda_{w,máx}$ Cumple	x: 2.482 m η = 27.3	x: 0.111 m η = 33.9	x: 2.483 m η = 6.8	x: 0.111 m η = 2.0	x: 0.111 m η = 0.7	η = 0.1	η < 0.1	η < 0.1	x: 2.483 m η = 41.1	η < 0.1	η = 0.3	x: 0.111 m η = 0.7	η = 0.1	**CUMPLE η = 41.1**
N492/N507	$\lambda_w \le \lambda_{w,máx}$ Cumple	x: 2.482 m η = 16.6	x: 0.111 m η = 19.8	x: 2.483 m η = 4.4	x: 2.483 m η = 2.0	x: 0.111 m η = 0.4	η < 0.1	η < 0.1	η < 0.1	x: 2.483 m η = 24.3	η < 0.1	η = 0.8	x: 0.111 m η = 0.4	η < 0.1	**CUMPLE η = 24.3**
N492/N509	$\lambda_w \le \lambda_{w,máx}$ Cumple	x: 2.662 m η = 7.8	x: 0.119 m η = 7.0	x: 0.119 m η = 3.1	x: 2.663 m η = 1.8	x: 2.662 m η = 0.2	η = 0.1	η < 0.1	η < 0.1	x: 0.119 m η = 10.9	η < 0.1	x: 0.119 m η = 0.7	x: 2.662 m η = 0.2	η = 0.1	**CUMPLE η = 10.9**
N493/N510	$\lambda_w \le \lambda_{w,máx}$ Cumple	x: 2.662 m η = 6.2	x: 0.119 m η = 5.7	x: 2.663 m η = 3.4	x: 0.119 m η = 1.5	x: 0.119 m η = 0.3	η < 0.1	η < 0.1	η < 0.1	x: 2.663 m η = 9.2	η < 0.1	η = 0.4	x: 0.119 m η = 0.3	η < 0.1	**CUMPLE η = 9.2**
N495/N512	$\lambda_w \le \lambda_{w,máx}$ Cumple	x: 2.662 m η = 23.3	x: 0.119 m η = 27.9	x: 2.663 m η = 6.3	x: 0.119 m η = 2.9	x: 0.119 m η = 0.7	η = 0.1	η < 0.1	η < 0.1	x: 2.663 m η = 34.5	η < 0.1	η = 0.6	x: 0.119 m η = 0.7	η = 0.1	**CUMPLE η = 34.5**
N496/N513	$\lambda_w \le \lambda_{w,máx}$ Cumple	x: 2.662 m η = 32.5	x: 0.119 m η = 37.1	x: 2.663 m η = 7.3	x: 0.119 m η = 1.1	x: 0.119 m η = 0.8	x: 2.027 m η = 0.1	η < 0.1	η < 0.1	x: 2.663 m η = 44.5	η < 0.1	η = 0.5	x: 0.119 m η = 0.8	x: 2.027 m η = 0.1	**CUMPLE η = 44.5**
N497/N514	$\lambda_w \le \lambda_{w,máx}$ Cumple	x: 2.662 m η = 34.3	x: 0.119 m η = 40.0	x: 2.663 m η = 7.4	x: 2.663 m η = 1.0	x: 0.119 m η = 0.9	η = 0.1	η < 0.1	η < 0.1	x: 2.663 m η = 47.5	η < 0.1	η = 0.5	x: 0.119 m η = 0.9	η = 0.1	**CUMPLE η = 47.5**
N498/N515	$\lambda_w \le \lambda_{w,máx}$ Cumple	x: 2.662 m η = 42.4	x: 0.119 m η = 49.1	x: 2.663 m η = 6.2	x: 2.663 m η = 2.0	x: 0.119 m η = 0.8	η < 0.1	η < 0.1	η < 0.1	x: 2.663 m η = 55.5	η < 0.1	η = 0.8	x: 0.119 m η = 0.8	η < 0.1	**CUMPLE η = 55.5**
N499/N516	$\lambda_w \le \lambda_{w,máx}$ Cumple	x: 2.549 m η = 26.1	x: 0.119 m η = 32.9	x: 0.119 m η = 14.1	x: 2.55 m η = 1.9	x: 0.119 m η = 1.6	η < 0.1	η < 0.1	η < 0.1	x: 0.119 m η = 45.9	η < 0.1	η = 0.5	x: 0.119 m η = 1.6	η < 0.1	**CUMPLE η = 45.9**
N209/N517	$\lambda_w \le \lambda_{w,máx}$ Cumple	η = 0.2	η = 0.6	x: 2.373 m η = 2.4	x: 0.132 m η = 7.2	η = 0.2	x: 0.132 m η = 0.9	η < 0.1	η < 0.1	x: 0.132 m η = 9.1	η < 0.1	η = 1.4	η = 0.2	x: 0.132 m η = 0.9	**CUMPLE η = 9.1**
N517/N518	$\lambda_w \le \lambda_{w,máx}$ Cumple	η = 0.2	η = 0.5	x: 0.06 m η = 1.4	x: 0.831 m η = 1.2	η = 0.1	x: 2.373 m η = 0.2	η < 0.1	η < 0.1	x: 0.06 m η = 2.4	η < 0.1	η = 1.2	η = 0.1	x: 2.373 m η = 0.2	**CUMPLE η = 2.4**
N518/N417	$\lambda_w \le \lambda_{w,máx}$ Cumple	η = 0.1	η = 0.4	x: 2.373 m η = 4.9	x: 2.373 m η = 4.9	η = 0.3	x: 2.373 m η = 0.7	η < 0.1	η < 0.1	x: 2.373 m η = 7.7	η < 0.1	η = 3.1	η = 0.3	x: 2.373 m η = 0.7	**CUMPLE η = 7.7**
N226/N519	$\lambda_w \le \lambda_{w,máx}$ Cumple	η = 0.2	η = 10.3	x: 0.075 m η = 5.3	x: 0.075 m η = 6.3	η = 0.3	x: 0.075 m η = 0.8	η < 0.1	η < 0.1	x: 0.075 m η = 18.7	η < 0.1	η = 1.4	η = 0.4	x: 0.075 m η = 0.8	**CUMPLE η = 18.7**
N519/N520	$\lambda_w \le \lambda_{w,máx}$ Cumple	N_{Ed} = 0.00 N.P.(1)	η = 11.7	x: 2.373 m η = 2.4	x: 1.409 m η = 1.4	η = 0.2	x: 0.06 m η = 0.2	η < 0.1	η < 0.1	x: 2.373 m η = 14.3	η < 0.1	η = 1.4	η = 0.2	x: 0.06 m η = 0.2	**CUMPLE η = 14.3**
N520/N434	$\lambda_w \le \lambda_{w,máx}$ Cumple	η < 0.1	η = 11.3	x: 0.06 m η = 2.5	x: 2.373 m η = 6.9	η = 0.2	x: 2.373 m η = 0.9	η < 0.1	η < 0.1	x: 2.373 m η = 15.0	η < 0.1	η = 4.6	η = 0.2	x: 2.373 m η = 0.9	**CUMPLE η = 15.0**
N225/N521	$\lambda_w \le \lambda_{w,máx}$ Cumple	η = 1.3	η = 55.2	x: 0.155 m η = 2.4	x: 0.155 m η = 2.9	η = 0.3	x: 0.155 m η = 0.5	η < 0.1	η < 0.1	x: 2.338 m η = 58.3	η < 0.1	η = 1.4	η = 0.3	x: 0.155 m η = 0.5	**CUMPLE η = 58.3**
N521/N522	$\lambda_w \le \lambda_{w,máx}$ Cumple	η = 8.4	x: 1.404 m η = 20.2	x: 2.338 m η = 1.2	x: 2.338 m η = 4.6	η = 0.1	x: 2.338 m η = 0.7	η < 0.1	η < 0.1	x: 0.095 m η = 21.5	η < 0.1	η = 0.6	η = 0.1	x: 2.338 m η = 0.7	**CUMPLE η = 21.5**
N522/N433	$\lambda_w \le \lambda_{w,máx}$ Cumple	η = 4.1	η = 55.7	x: 2.283 m η = 2.6	x: 0.095 m η = 2.7	η = 0.3	x: 0.095 m η = 0.5	η < 0.1	η < 0.1	x: 2.283 m η = 59.5	η < 0.1	η = 1.0	η = 0.3	x: 0.095 m η = 0.5	**CUMPLE η = 59.5**
N242/N523	$\lambda_w \le \lambda_{w,máx}$ Cumple	η = 1.0	η = 27.4	x: 0.095 m η = 1.7	x: 0.095 m η = 4.6	η = 0.2	x: 0.095 m η = 0.6	η < 0.1	η < 0.1	x: 0.095 m η = 31.0	η < 0.1	η = 0.3	η = 0.2	x: 0.095 m η = 0.6	**CUMPLE η = 31.0**
N523/N524	$\lambda_w \le \lambda_{w,máx}$ Cumple	η = 1.0	η = 27.2	x: 0.06 m η = 1.0	x: 2.373 m η = 4.0	η < 0.1	x: 2.373 m η = 0.6	η < 0.1	η < 0.1	x: 0.06 m η = 30.2	η < 0.1	η = 0.7	η < 0.1	x: 2.373 m η = 0.6	**CUMPLE η = 30.2**
N524/N450	$\lambda_w \le \lambda_{w,máx}$ Cumple	η = 1.3	η = 22.1	x: 2.338 m η = 2.2	x: 2.338 m η = 4.6	η = 0.2	x: 2.338 m η = 0.6	η < 0.1	η < 0.1	x: 2.338 m η = 26.6	η < 0.1	η = 1.1	η = 0.2	x: 2.338 m η = 0.6	**CUMPLE η = 26.6**
N522/N524	$\lambda_w \le \lambda_{w,máx}$ Cumple	x: 1.939 m η = 0.1	x: 0.078 m η = 3.3	x: 1.94 m η = 2.8	x: 0.078 m η = 3.1	η = 0.4	η = 0.2	η < 0.1	η < 0.1	x: 0.078 m η = 6.8	η < 0.1	η = 0.8	η = 0.4	η = 0.2	**CUMPLE η = 6.8**
N521/N523	$\lambda_w \le \lambda_{w,máx}$ Cumple	x: 1.939 m η = 0.2	x: 0.078 m η = 1.5	x: 1.94 m η = 2.2	x: 0.078 m η = 2.9	η = 0.3	η = 0.2	η < 0.1	η < 0.1	x: 0.078 m η = 4.6	η < 0.1	η = 0.2	η = 0.3	η = 0.2	**CUMPLE η = 4.6**
N518/N520	$\lambda_w \le \lambda_{w,máx}$ Cumple	x: 1.939 m η = 0.1	x: 0.06 m η = 0.1	x: 1.94 m η = 3.9	x: 1.94 m η = 2.5	η = 0.5	η = 0.3	η < 0.1	η < 0.1	x: 1.94 m η = 6.3	η < 0.1	η = 0.4	η = 0.5	η = 0.3	**CUMPLE η = 6.3**

VISADO
COGITI
Estado
VALENCIA
VA07290/22
TRLTDCFZ60T66IJ1

Barras	COMPROBACIONES (CÓDIGO ESTRUCTURAL)														
	λ_w	N_t	N_c	M_Y	M_Z	V_Z	V_Y	M_YV_Z	M_ZV_Y	NM_YM_Z	$NM_YM_ZV_YV_Z$	M_t	M_tV_Z	M_tV_Y	
N517/N519	$\lambda_w \leq \lambda_{w,máx}$ Cumple	x: 1.939 m η = 0.1	x: 0.06 m η = 0.1	x: 0.06 m η = 3.6	x: 1.94 m η = 1.6	η = 0.5	η = 0.1	η < 0.1	η < 0.1	x: 1.94 m η = 4.6	η < 0.1	η = 1.6	η = 0.5	η = 0.1	**CUMPLE η = 0.5**
N243/N521	$\lambda_w \leq \lambda_{w,máx}$ Cumple	x: 3.054 m η = 14.5	x: 0.201 m η = 4.6	x: 0.201 m η = 5.2	x: 0.201 m η = 4.0	x: 3.055 m η = 0.6	η = 0.2	η < 0.1	η < 0.1	x: 3.055 m η = 20.3	η < 0.1	η = 3.4	x: 3.055 m η = 0.6	η = 0.2	**CUMPLE η = 20.3**
N451/N522	$\lambda_w \leq \lambda_{w,máx}$ Cumple	x: 3.054 m η = 14.9	x: 0.195 m η = 11.1	x: 0.195 m η = 5.8	x: 0.195 m η = 7.3	x: 3.055 m η = 0.6	η = 0.3	η < 0.1	η < 0.1	x: 0.195 m η = 23.6	η < 0.1	η = 4.1	x: 3.055 m η = 0.6	η = 0.3	**CUMPLE η = 23.6**
N278/N525	$\lambda_w \leq \lambda_{w,máx}$ Cumple	x: 3.054 m η = 15.6	x: 0.201 m η = 2.7	x: 0.201 m η = 5.8	x: 3.055 m η = 3.6	x: 3.055 m η = 0.6	η = 0.2	η < 0.1	η < 0.1	x: 3.055 m η = 20.9	η < 0.1	η = 2.3	x: 3.055 m η = 0.6	η = 0.2	**CUMPLE η = 20.9**
N259/N525	$\lambda_w \leq \lambda_{w,máx}$ Cumple	η = 1.3	η = 57.8	x: 2.338 m η = 2.9	x: 0.155 m η = 2.9	η = 0.4	x: 0.155 m η = 0.5	η < 0.1	η < 0.1	x: 2.338 m η = 61.9	η < 0.1	η = 1.3	η = 0.4	x: 0.155 m η = 0.5	**CUMPLE η = 61.9**
N525/N526	$\lambda_w \leq \lambda_{w,máx}$ Cumple	η = 8.8	η = 17.3	x: 0.095 m η = 1.1	x: 2.338 m η = 4.9	η = 0.1	x: 2.338 m η = 0.7	η < 0.1	η < 0.1	x: 2.338 m η = 21.1	η < 0.1	η = 0.3	η = 0.1	x: 2.338 m η = 0.7	**CUMPLE η = 21.1**
N526/N467	$\lambda_w \leq \lambda_{w,máx}$ Cumple	η = 3.1	η = 52.0	x: 2.283 m η = 4.0	x: 0.095 m η = 3.0	η = 0.4	x: 0.095 m η = 0.5	η < 0.1	η < 0.1	x: 2.283 m η = 55.9	η < 0.1	η = 1.1	η = 0.4	x: 0.095 m η = 0.5	**CUMPLE η = 55.9**
N525/N527	$\lambda_w \leq \lambda_{w,máx}$ Cumple	x: 1.939 m η = 0.2	x: 0.078 m η = 1.4	x: 0.078 m η = 2.4	x: 0.078 m η = 2.8	η = 0.4	η = 0.2	η < 0.1	η < 0.1	x: 0.078 m η = 4.7	η < 0.1	η = 0.2	η = 0.4	η = 0.2	**CUMPLE η = 4.7**
N526/N528	$\lambda_w \leq \lambda_{w,máx}$ Cumple	x: 1.939 m η = 0.1	x: 0.078 m η = 3.5	x: 1.94 m η = 3.1	x: 0.078 m η = 3.1	η = 0.4	η = 0.2	η < 0.1	η < 0.1	x: 0.078 m η = 7.3	η < 0.1	η = 0.6	η = 0.4	η = 0.2	**CUMPLE η = 7.3**
N484/N526	$\lambda_w \leq \lambda_{w,máx}$ Cumple	x: 3.054 m η = 14.5	x: 0.195 m η = 10.9	x: 0.195 m η = 6.2	x: 3.055 m η = 4.3	x: 0.195 m η = 0.6	η = 0.2	η < 0.1	η < 0.1	x: 3.055 m η = 21.0	η < 0.1	η = 2.5	x: 0.195 m η = 0.6	η = 0.2	**CUMPLE η = 21.0**
N275/N527	$\lambda_w \leq \lambda_{w,máx}$ Cumple	η = 0.6	η = 28.1	x: 0.095 m η = 2.0	x: 0.095 m η = 4.8	η = 0.2	x: 0.095 m η = 0.7	η < 0.1	η < 0.1	x: 0.095 m η = 32.2	η < 0.1	η = 0.4	η = 0.2	x: 0.095 m η = 0.7	**CUMPLE η = 32.2**
N527/N528	$\lambda_w \leq \lambda_{w,máx}$ Cumple	η < 0.1	η = 27.8	x: 2.373 m η = 0.9	x: 2.373 m η = 4.1	η < 0.1	x: 2.373 m η = 0.7	η < 0.1	η < 0.1	x: 0.06 m η = 30.9	η < 0.1	η = 0.5	η < 0.1	x: 2.373 m η = 0.7	**CUMPLE η = 30.9**
N528/N483	$\lambda_w \leq \lambda_{w,máx}$ Cumple	η = 0.3	η = 21.4	x: 2.338 m η = 1.9	x: 2.338 m η = 4.5	η = 0.2	x: 2.338 m η = 0.6	η < 0.1	η < 0.1	x: 2.338 m η = 25.4	η < 0.1	η = 1.1	η = 0.2	x: 2.338 m η = 0.6	**CUMPLE η = 25.4**
N521/N242	$\lambda_w \leq \lambda_{w,máx}$ Cumple	x: 3.051 m η = 13.3	x: 0.095 m η = 1.9	x: 3.052 m η = 3.9	x: 0.095 m η = 1.8	x: 3.052 m η = 0.5	η = 0.1	η < 0.1	η < 0.1	x: 3.052 m η = 17.5	η < 0.1	η = 0.9	x: 3.052 m η = 0.5	η = 0.1	**CUMPLE η = 17.5**
N522/N450	$\lambda_w \leq \lambda_{w,máx}$ Cumple	x: 3.054 m η = 14.0	x: 0.095 m η = 1.9	x: 3.055 m η = 3.9	x: 0.095 m η = 2.7	x: 3.055 m η = 0.5	η = 0.1	η < 0.1	η < 0.1	x: 3.055 m η = 19.1	η < 0.1	η = 1.3	x: 3.055 m η = 0.5	η = 0.1	**CUMPLE η = 19.1**
N525/N275	$\lambda_w \leq \lambda_{w,máx}$ Cumple	x: 3.051 m η = 13.9	x: 0.095 m η = 2.2	x: 3.052 m η = 4.0	x: 0.095 m η = 1.5	x: 3.052 m η = 0.5	η = 0.1	η < 0.1	η < 0.1	x: 3.052 m η = 18.0	η < 0.1	η = 1.0	x: 3.052 m η = 0.5	η = 0.1	**CUMPLE η = 18.0**
N526/N483	$\lambda_w \leq \lambda_{w,máx}$ Cumple	x: 3.054 m η = 13.8	x: 0.095 m η = 1.5	x: 3.055 m η = 3.8	x: 0.095 m η = 2.1	x: 3.055 m η = 0.5	η < 0.1	η < 0.1	η < 0.1	x: 3.055 m η = 18.5	η < 0.1	η = 1.3	x: 3.055 m η = 0.5	η < 0.1	**CUMPLE η = 18.5**
N282/N530	$\lambda_w \leq \lambda_{w,máx}$ Cumple	x: 1.424 m η = 0.6	η = 23.8	x: 0.095 m η = 3.2	x: 0.095 m η = 5.3	η = 0.4	x: 0.095 m η = 0.7	η < 0.1	η < 0.1	x: 0.095 m η = 28.2	η < 0.1	η = 1.4	η = 0.4	x: 0.095 m η = 0.7	**CUMPLE η = 28.2**
N530/N529	$\lambda_w \leq \lambda_{w,máx}$ Cumple	η = 0.3	η = 23.6	x: 0.06 m η = 2.0	x: 0.06 m η = 4.2	η = 0.1	x: 2.373 m η = 0.6	η < 0.1	η < 0.1	x: 0.06 m η = 27.5	η < 0.1	η = 0.9	η = 0.1	x: 2.373 m η = 0.6	**CUMPLE η = 27.5**
N529/N516	$\lambda_w \leq \lambda_{w,máx}$ Cumple	x: 0.63 m η = 0.3	η = 13.1	x: 2.338 m η = 4.4	x: 2.338 m η = 4.2	η = 0.4	x: 2.338 m η = 0.5	η < 0.1	η < 0.1	x: 2.338 m η = 16.4	η < 0.1	η = 2.6	η = 0.4	x: 2.338 m η = 0.6	**CUMPLE η = 16.4**
N531/N516	$\lambda_w \leq \lambda_{w,máx}$ Cumple	x: 3.054 m η = 13.6	x: 0.095 m η = 1.8	x: 3.055 m η = 3.4	x: 3.054 m η = 3.5	x: 3.055 m η = 0.5	η < 0.1	η < 0.1	η < 0.1	x: 3.055 m η = 17.9	η < 0.1	η = 3.1	x: 3.055 m η = 0.5	η < 0.1	**CUMPLE η = 17.9**
N281/N532	$\lambda_w \leq \lambda_{w,máx}$ Cumple	η = 1.1	η = 53.9	x: 0.175 m η = 5.2	x: 2.338 m η = 2.0	η = 0.6	x: 0.175 m η = 0.4	η < 0.1	η < 0.1	x: 0.175 m η = 55.6	η < 0.1	η = 1.6	η = 0.6	x: 0.175 m η = 0.4	**CUMPLE η = 55.6**
N532/N531	$\lambda_w \leq \lambda_{w,máx}$ Cumple	η = 10.6	x: 1.404 m η = 10.2	x: 0.095 m η = 1.0	x: 2.338 m η = 4.7	η = 0.1	x: 2.338 m η = 0.7	η < 0.1	η < 0.1	x: 2.338 m η = 14.1	η < 0.1	η = 0.8	η = 0.1	x: 2.338 m η = 0.7	**CUMPLE η = 14.1**
N531/N500	$\lambda_w \leq \lambda_{w,máx}$ Cumple	η = 3.9	η = 39.2	x: 0.095 m η = 4.4	x: 0.095 m η = 2.1	η = 0.5	x: 0.095 m η = 0.4	η < 0.1	η < 0.1	x: 0.095 m η = 40.1	η < 0.1	η = 1.5	η = 0.5	x: 0.095 m η = 0.4	**CUMPLE η = 40.1**
N533/N531	$\lambda_w \leq \lambda_{w,máx}$ Cumple	x: 3.054 m η = 12.0	x: 0.195 m η = 6.0	x: 0.195 m η = 4.2	x: 3.055 m η = 8.2	x: 0.195 m η = 0.4	η = 0.2	η < 0.1	η < 0.1	x: 3.055 m η = 18.5	η < 0.1	η = 6.6	x: 0.195 m η = 0.5	η = 0.2	**CUMPLE η = 18.5**
N532/N530	$\lambda_w \leq \lambda_{w,máx}$ Cumple	x: 1.939 m η = 0.2	x: 0.078 m η = 1.2	x: 0.078 m η = 2.0	x: 0.078 m η = 6.5	η = 0.3	η = 0.4	η < 0.1	η < 0.1	x: 0.078 m η = 7.5	η < 0.1	η = 0.5	η = 0.3	η = 0.4	**CUMPLE η = 7.5**
N532/N282	$\lambda_w \leq \lambda_{w,máx}$ Cumple	x: 3.051 m η = 14.9	x: 0.095 m η = 1.6	x: 3.052 m η = 4.2	x: 0.095 m η = 3.1	x: 3.052 m η = 0.6	η = 0.1	η < 0.1	η < 0.1	x: 0.095 m η = 19.3	η < 0.1	η = 2.4	x: 3.052 m η = 0.6	η = 0.1	**CUMPLE η = 19.3**
N531/N529	$\lambda_w \leq \lambda_{w,máx}$ Cumple	N_{Ed} = 0.00 N.P.[1]	x: 0.078 m η = 3.3	x: 1.94 m η = 3.4	x: 0.078 m η = 6.7	η = 0.5	η = 0.4	η < 0.1	η < 0.1	x: 0.078 m η = 10.4	η < 0.1	η = 1.3	η = 0.5	η = 0.4	**CUMPLE η = 10.4**
N280/N532	$\lambda_w \leq \lambda_{w,máx}$ Cumple	x: 3.054 m η = 18.7	x: 0.227 m η = 3.2	x: 0.227 m η = 5.0	x: 3.055 m η = 8.2	x: 3.055 m η = 0.6	η = 0.2	η < 0.1	η < 0.1	x: 3.055 m η = 27.0	η < 0.1	η = 6.1	x: 3.055 m η = 0.6	η = 0.2	**CUMPLE η = 27.0**
N228/N436	x: 0.523 m $\lambda_w \leq \lambda_{w,máx}$ Cumple	η = 0.8	η = 31.4	M_{Ed} = 0.00 N.P.[2]	x: 3.658 m η = 6.0	V_{Ed} = 0.00 N.P.[3]	x: 0.075 m η = 0.5	N.P.[4]	x: 0.523 m η < 0.1	x: 3.658 m η = 38.1	x: 0.523 m η < 0.1	M_{Ed} = 0.00 N.P.[5]	N.P.[6]	N.P.[6]	**CUMPLE η = 38.1**
N534/N535	$\lambda_w \leq \lambda_{w,máx}$ Cumple	x: 1.939 m η = 0.1	x: 0.06 m η = 0.5	x: 1.94 m η = 15.7	x: 0.06 m η = 0.2	η = 2.4	η < 0.1	η < 0.1	x: 0.06 m η < 0.1	x: 1.94 m η = 16.2	η < 0.1	η = 0.4	η = 2.5	η < 0.1	**CUMPLE η = 16.2**
N536/N537	$\lambda_w \leq \lambda_{w,máx}$ Cumple	x: 1.939 m η = 0.1	x: 0.06 m η = 0.5	x: 1.94 m η = 15.3	x: 0.06 m η = 0.2	η = 2.4	η < 0.1	η < 0.1	x: 0.06 m η < 0.1	x: 0.06 m η = 15.9	η < 0.1	η = 0.4	η = 2.4	η < 0.1	**CUMPLE η = 15.9**
N217/N539	x: 0.061 m $\lambda_w \leq \lambda_{w,máx}$ Cumple	η = 0.4	η = 10.9	x: 2.372 m η = 0.1	x: 2.373 m η = 25.8	η < 0.1	x: 0.06 m η = 1.8	x: 0.253 m η < 0.1	x: 0.061 m η < 0.1	x: 2.373 m η = 29.6	x: 0.061 m η < 0.1	M_{Ed} = 0.00 N.P.[5]	N.P.[6]	N.P.[6]	**CUMPLE η = 29.6**
N539/N538	$\lambda_w \leq \lambda_{w,máx}$ Cumple	η = 0.4	η = 10.5	x: 2.372 m η < 0.1	x: 2.373 m η = 7.4	η < 0.1	x: 0.06 m η = 1.0	x: 0.06 m η < 0.1	η < 0.1	x: 2.373 m η = 12.8	η < 0.1	η = 0.1	η < 0.1	x: 0.06 m η = 1.0	**CUMPLE η = 12.8**
N538/N425	x: 0.06 m $\lambda_w \leq \lambda_{w,máx}$ Cumple	η = 1.5	η = 12.4	x: 0.06 m η = 0.1	x: 0.06 m η = 25.8	η < 0.1	x: 2.383 m η = 1.8	x: 0.06 m η < 0.1	x: 0.06 m η < 0.1	x: 0.06 m η = 29.3	x: 0.06 m η < 0.1	M_{Ed} = 0.00 N.P.[5]	N.P.[6]	N.P.[6]	**CUMPLE η = 29.3**
N234/N541	x: 0.061 m $\lambda_w \leq \lambda_{w,máx}$ Cumple	η = 1.9	η = 10.7	x: 2.372 m η = 0.1	x: 2.373 m η = 25.7	η < 0.1	x: 0.06 m η = 1.8	x: 0.253 m η < 0.1	x: 0.061 m η < 0.1	x: 2.373 m η = 27.2	x: 0.061 m η < 0.1	M_{Ed} = 0.00 N.P.[5]	N.P.[6]	N.P.[6]	**CUMPLE η = 27.2**
N541/N540	$\lambda_w \leq \lambda_{w,máx}$ Cumple	x: 0.831 m η = 0.7	η = 9.7	x: 2.372 m η < 0.1	x: 2.373 m η = 7.8	η < 0.1	x: 0.06 m η = 1.0	x: 0.06 m η < 0.1	η < 0.1	x: 2.373 m η = 13.9	η < 0.1	η = 0.1	η < 0.1	x: 0.06 m η = 1.0	**CUMPLE η = 13.9**
N540/N442	x: 0.06 m $\lambda_w \leq \lambda_{w,máx}$ Cumple	η = 1.1	η = 9.6	x: 0.06 m η = 0.1	x: 0.06 m η = 26.8	η < 0.1	x: 2.383 m η = 1.8	x: 0.06 m η < 0.1	x: 0.06 m η < 0.1	x: 0.06 m η = 27.0	x: 0.06 m η < 0.1	M_{Ed} = 0.00 N.P.[5]	N.P.[6]	N.P.[6]	**CUMPLE η = 27.0**
N538/N540	$\lambda_w \leq \lambda_{w,máx}$ Cumple	x: 1.939 m η = 0.1	x: 0.06 m η = 0.6	x: 1.94 m η = 18.2	x: 0.06 m η < 0.1	η = 2.9	η < 0.1	η < 0.1	x: 0.06 m η < 0.1	x: 1.94 m η = 18.8	η < 0.1	η = 0.1	η = 2.9	η < 0.1	**CUMPLE η = 18.8**
N539/N541	$\lambda_w \leq \lambda_{w,máx}$ Cumple	x: 1.939 m η = 0.1	x: 0.06 m η = 0.6	x: 0.06 m η = 17.7	x: 0.06 m η < 0.1	η = 2.8	η < 0.1	η < 0.1	x: 0.06 m η < 0.1	x: 0.06 m η = 18.3	η < 0.1	η = 0.1	η = 2.8	η < 0.1	**CUMPLE η = 18.3**
N221/N543	x: 0.061 m $\lambda_w \leq \lambda_{w,máx}$ Cumple	η = 0.5	η = 9.8	x: 2.373 m η = 0.4	x: 2.373 m η = 19.0	η < 0.1	x: 0.06 m η = 1.4	x: 0.253 m η < 0.1	x: 0.061 m η < 0.1	x: 2.373 m η = 22.2	x: 0.061 m η < 0.1	M_{Ed} = 0.00 N.P.[5]	N.P.[6]	N.P.[6]	**CUMPLE η = 22.2**

Documento visado electrónicamente con número: VA07290/22
Código de validación telemática TRLTDCFZ60T66IJ1. Comprobación: https://cogitivalencia.e-gestion.es/Validacion.aspx?CVT=TRLTDCFZ60T66IJ1

Listados

Barras	COMPROBACIONES (CÓDIGO ESTRUCTURAL)														Estado
	λ_w	N_t	N_c	M_Y	M_Z	V_Z	V_Y	M_YV_Z	M_ZV_Y	NM_YM_Z	$NM_YM_ZV_YV_Z$	M_t	M_tV_Z	M_tV_Y	
N543/N542	$\lambda_w \leq \lambda_{w,máx}$ Cumple	x: 0.638 m η = 0.4	η = 7.8	x: 0.06 m η = 0.1	x: 0.06 m η = 5.1	η < 0.1	x: 2.373 m η = 0.6	x: 0.06 m η < 0.1	η < 0.1	x: 0.06 m η = 10.3	η < 0.1	η = 0.3	η < 0.1	x: 2.373 m η = 0.6	**CUMPLE η = 10.3**
N542/N429	x: 0.06 m $\lambda_w \leq \lambda_{w,máx}$ Cumple	η = 0.8	η = 8.9	x: 0.06 m η = 0.4	x: 0.06 m η = 17.1	η < 0.1	x: 2.373 m η = 1.2	x: 0.06 m η < 0.1	x: 0.06 m η < 0.1	x: 0.06 m η = 18.5	x: 0.06 m η < 0.1	M_{Ed} = 0.00 N.P.(5)	N.P.(6)	N.P.(6)	**CUMPLE η = 18.5**
N238/N545	x: 0.061 m $\lambda_w \leq \lambda_{w,máx}$ Cumple	η = 0.6	η = 8.6	x: 2.373 m η = 0.4	x: 2.373 m η = 18.6	η < 0.1	x: 0.06 m η = 1.3	x: 0.253 m η < 0.1	x: 0.061 m η < 0.1	x: 2.373 m η = 20.9	x: 0.061 m η < 0.1	M_{Ed} = 0.00 N.P.(5)	N.P.(6)	N.P.(6)	**CUMPLE η = 20.9**
N545/N544	$\lambda_w \leq \lambda_{w,máx}$ Cumple	η = 0.7	η = 13.5	x: 0.06 m η = 0.1	x: 2.373 m η = 5.2	η < 0.1	x: 2.373 m η = 0.6	x: 0.06 m η < 0.1	η < 0.1	x: 0.06 m η = 16.2	η < 0.1	η = 0.3	η < 0.1	x: 2.373 m η = 0.6	**CUMPLE η = 16.2**
N544/N446	x: 0.06 m $\lambda_w \leq \lambda_{w,máx}$ Cumple	η = 2.1	η = 13.4	x: 0.06 m η = 0.4	x: 0.06 m η = 18.9	η < 0.1	x: 2.373 m η = 1.3	x: 0.06 m η < 0.1	x: 0.06 m η < 0.1	x: 0.06 m η = 20.5	x: 0.06 m η < 0.1	M_{Ed} = 0.00 N.P.(5)	N.P.(6)	N.P.(6)	**CUMPLE η = 20.5**
N542/N544	$\lambda_w \leq \lambda_{w,máx}$ Cumple	x: 1.939 m η = 0.1	x: 0.06 m η = 0.4	x: 1.94 m η = 13.2	x: 0.06 m η = 0.2	η = 2.0	η < 0.1	η < 0.1	x: 0.06 m η < 0.1	x: 1.94 m η = 13.6	η < 0.1	η = 0.4	η = 2.0	η < 0.1	**CUMPLE η = 13.6**
N543/N545	$\lambda_w \leq \lambda_{w,máx}$ Cumple	x: 1.939 m η = 0.1	x: 0.06 m η = 0.4	x: 0.06 m η = 13.4	x: 0.06 m η = 0.2	η = 2.1	η < 0.1	η < 0.1	x: 0.06 m η < 0.1	x: 0.06 m η = 13.8	η < 0.1	η = 0.4	η = 2.1	η < 0.1	**CUMPLE η = 13.8**
N240/N448	x: 0.523 m $\lambda_w \leq \lambda_{w,máx}$ Cumple	η = 3.3	η = 21.8	M_{Ed} = 0.00 N.P.(2)	x: 3.658 m η = 6.0	V_{Ed} = 0.00 N.P.(3)	x: 0.075 m η = 0.5	N.P.(4)	x: 0.523 m η < 0.1	x: 3.658 m η = 28.3	x: 0.523 m η < 0.1	M_{Ed} = 0.00 N.P.(5)	N.P.(6)	N.P.(6)	**CUMPLE η = 28.3**
N261/N469	x: 0.523 m $\lambda_w \leq \lambda_{w,máx}$ Cumple	η = 0.6	η = 23.8	M_{Ed} = 0.00 N.P.(2)	x: 3.658 m η = 6.0	V_{Ed} = 0.00 N.P.(3)	x: 0.075 m η = 0.5	N.P.(4)	x: 0.523 m η < 0.1	x: 3.658 m η = 30.4	x: 0.523 m η < 0.1	M_{Ed} = 0.00 N.P.(5)	N.P.(6)	N.P.(6)	**CUMPLE η = 30.4**
N263/N546	x: 0.061 m $\lambda_w \leq \lambda_{w,máx}$ Cumple	η = 0.5	η = 6.3	x: 2.373 m η = 0.2	x: 2.373 m η = 15.4	η < 0.1	x: 0.06 m η = 1.1	x: 0.253 m η < 0.1	x: 0.061 m η < 0.1	x: 2.373 m η = 16.4	x: 0.061 m η < 0.1	M_{Ed} = 0.00 N.P.(5)	N.P.(6)	N.P.(6)	**CUMPLE η = 16.4**
N546/N547	$\lambda_w \leq \lambda_{w,máx}$ Cumple	x: 1.409 m η = 0.2	η = 9.4	x: 0.06 m η = 0.1	x: 2.373 m η = 4.2	η < 0.1	x: 2.373 m η = 0.5	x: 0.06 m η < 0.1	η < 0.1	x: 0.06 m η = 11.4	η < 0.1	η = 0.2	η < 0.1	x: 2.373 m η = 0.5	**CUMPLE η = 11.4**
N547/N471	x: 0.06 m $\lambda_w \leq \lambda_{w,máx}$ Cumple	η = 0.9	η = 8.8	x: 0.06 m η = 0.2	x: 0.06 m η = 16.1	η < 0.1	x: 2.373 m η = 1.2	x: 0.06 m η < 0.1	x: 0.06 m η < 0.1	x: 0.06 m η = 16.4	x: 0.06 m η < 0.1	M_{Ed} = 0.00 N.P.(5)	N.P.(6)	N.P.(6)	**CUMPLE η = 16.4**
N247/N548	x: 0.061 m $\lambda_w \leq \lambda_{w,máx}$ Cumple	η = 0.4	η = 8.8	x: 2.373 m η = 0.2	x: 2.373 m η = 15.9	η < 0.1	x: 0.06 m η = 1.2	x: 0.253 m η < 0.1	x: 0.061 m η < 0.1	x: 2.373 m η = 18.8	x: 0.061 m η < 0.1	M_{Ed} = 0.00 N.P.(5)	N.P.(6)	N.P.(6)	**CUMPLE η = 18.8**
N548/N549	$\lambda_w \leq \lambda_{w,máx}$ Cumple	η = 0.2	η = 7.1	x: 0.06 m η = 0.1	x: 0.06 m η = 4.0	η < 0.1	x: 2.373 m η = 0.5	x: 0.06 m η < 0.1	η < 0.1	x: 0.06 m η = 8.9	η < 0.1	η = 0.2	η < 0.1	x: 2.373 m η = 0.5	**CUMPLE η = 8.9**
N549/N455	x: 0.06 m $\lambda_w \leq \lambda_{w,máx}$ Cumple	η = 0.4	η = 7.9	x: 0.06 m η = 0.2	x: 0.06 m η = 14.4	η < 0.1	x: 2.373 m η = 1.1	x: 0.06 m η < 0.1	x: 0.06 m η < 0.1	x: 0.06 m η = 15.5	x: 0.06 m η < 0.1	M_{Ed} = 0.00 N.P.(5)	N.P.(6)	N.P.(6)	**CUMPLE η = 15.5**
N549/N547	$\lambda_w \leq \lambda_{w,máx}$ Cumple	x: 1.939 m η = 0.1	x: 0.06 m η = 0.3	x: 1.94 m η = 11.4	x: 0.06 m η = 0.1	η = 1.7	η < 0.1	η < 0.1	x: 0.06 m η < 0.1	x: 1.94 m η = 11.7	η < 0.1	η = 0.2	η = 1.8	η < 0.1	**CUMPLE η = 11.7**
N548/N546	$\lambda_w \leq \lambda_{w,máx}$ Cumple	x: 1.939 m η = 0.1	x: 0.06 m η = 0.3	x: 0.06 m η = 11.4	x: 0.06 m η = 0.1	η = 1.8	η < 0.1	η < 0.1	x: 0.06 m η < 0.1	x: 0.06 m η = 11.7	η < 0.1	η = 0.2	η = 1.8	η < 0.1	**CUMPLE η = 11.7**
N251/N551	x: 0.061 m $\lambda_w \leq \lambda_{w,máx}$ Cumple	η = 0.4	η = 10.5	x: 2.372 m η < 0.1	x: 2.373 m η = 19.6	η < 0.1	x: 0.06 m η = 1.4	N.P.(4)	x: 0.061 m η < 0.1	x: 2.373 m η = 23.1	x: 0.061 m η < 0.1	M_{Ed} = 0.00 N.P.(5)	N.P.(6)	N.P.(6)	**CUMPLE η = 23.1**
N551/N550	$\lambda_w \leq \lambda_{w,máx}$ Cumple	η = 0.3	η = 8.9	x: 0.06 m η < 0.1	x: 0.06 m η = 5.3	η < 0.1	x: 2.373 m η = 0.7	N.P.(4)	η < 0.1	x: 0.06 m η = 10.9	η < 0.1	η < 0.1	η < 0.1	x: 2.373 m η = 0.3	**CUMPLE η = 10.9**
N550/N459	x: 0.06 m $\lambda_w \leq \lambda_{w,máx}$ Cumple	η = 0.7	η = 10.3	x: 0.06 m η < 0.1	x: 0.06 m η = 18.6	η < 0.1	x: 2.383 m η = 1.3	N.P.(4)	x: 0.06 m η < 0.1	x: 0.06 m η = 20.6	x: 0.06 m η < 0.1	M_{Ed} = 0.00 N.P.(5)	N.P.(6)	N.P.(6)	**CUMPLE η = 20.6**
N267/N553	x: 0.061 m $\lambda_w \leq \lambda_{w,máx}$ Cumple	η = 2.0	η = 8.3	x: 2.372 m η < 0.1	x: 2.373 m η = 19.5	η < 0.1	x: 0.06 m η = 1.4	N.P.(4)	x: 0.061 m η < 0.1	x: 2.373 m η = 20.3	x: 0.061 m η < 0.1	M_{Ed} = 0.00 N.P.(5)	N.P.(6)	N.P.(6)	**CUMPLE η = 20.3**
N553/N552	$\lambda_w \leq \lambda_{w,máx}$ Cumple	x: 1.409 m η = 1.5	x: 1.409 m η = 9.6	x: 0.06 m η < 0.1	x: 2.373 m η = 5.4	η < 0.1	x: 2.373 m η = 0.7	N.P.(4)	η < 0.1	x: 0.06 m η = 10.8	η < 0.1	η < 0.1	η < 0.1	x: 2.373 m η = 0.3	**CUMPLE η = 10.8**
N552/N475	x: 0.06 m $\lambda_w \leq \lambda_{w,máx}$ Cumple	x: 0.06 m η = 1.7	x: 0.06 m η = 9.1	x: 0.06 m η < 0.1	x: 0.06 m η = 19.7	η < 0.1	x: 2.383 m η = 1.4	N.P.(4)	x: 0.06 m η < 0.1	x: 0.06 m η = 20.0	x: 0.06 m η < 0.1	M_{Ed} = 0.00 N.P.(5)	N.P.(6)	N.P.(6)	**CUMPLE η = 20.0**
N550/N552	$\lambda_w \leq \lambda_{w,máx}$ Cumple	x: 1.939 m η = 0.1	x: 0.06 m η = 0.4	x: 1.94 m η = 13.8	x: 0.06 m η < 0.1	η = 2.1	η < 0.1	η < 0.1	x: 0.06 m η < 0.1	x: 1.94 m η = 14.1	η < 0.1	η < 0.1	η = 0.5	η < 0.1	**CUMPLE η = 14.1**
N551/N553	$\lambda_w \leq \lambda_{w,máx}$ Cumple	x: 1.939 m η = 0.1	x: 0.06 m η = 0.4	x: 0.06 m η = 13.8	x: 0.06 m η < 0.1	η = 2.2	η < 0.1	η < 0.1	x: 0.06 m η < 0.1	x: 0.06 m η = 14.2	η < 0.1	η < 0.1	η = 1.1	η < 0.1	**CUMPLE η = 14.2**
N255/N555	x: 0.061 m $\lambda_w \leq \lambda_{w,máx}$ Cumple	η = 0.4	η = 8.4	x: 2.372 m η = 0.2	x: 2.373 m η = 15.4	η < 0.1	x: 0.06 m η = 1.1	x: 0.253 m η < 0.1	x: 0.061 m η < 0.1	x: 2.373 m η = 18.2	x: 0.061 m η < 0.1	M_{Ed} = 0.00 N.P.(5)	N.P.(6)	N.P.(6)	**CUMPLE η = 18.2**
N555/N554	$\lambda_w \leq \lambda_{w,máx}$ Cumple	η = 0.2	η = 6.8	x: 0.06 m η < 0.1	x: 0.06 m η = 3.9	η < 0.1	x: 2.373 m η = 0.5	x: 0.06 m η < 0.1	η < 0.1	x: 0.06 m η = 8.5	η < 0.1	η = 0.2	η < 0.1	x: 2.373 m η = 0.5	**CUMPLE η = 8.5**
N554/N463	x: 0.06 m $\lambda_w \leq \lambda_{w,máx}$ Cumple	η = 0.4	η = 7.5	x: 0.06 m η = 0.2	x: 0.06 m η = 13.4	η < 0.1	x: 2.373 m η = 1.0	x: 0.06 m η < 0.1	x: 0.06 m η < 0.1	x: 0.06 m η = 14.4	x: 0.06 m η < 0.1	M_{Ed} = 0.00 N.P.(5)	N.P.(6)	N.P.(6)	**CUMPLE η = 14.4**
N271/N557	x: 0.061 m $\lambda_w \leq \lambda_{w,máx}$ Cumple	η = 0.3	η = 5.7	x: 2.372 m η = 0.2	x: 2.373 m η = 14.9	η < 0.1	x: 0.06 m η = 1.1	x: 0.253 m η < 0.1	x: 0.061 m η < 0.1	x: 2.373 m η = 15.8	x: 0.061 m η < 0.1	M_{Ed} = 0.00 N.P.(5)	N.P.(6)	N.P.(6)	**CUMPLE η = 15.8**
N557/N556	$\lambda_w \leq \lambda_{w,máx}$ Cumple	η = 0.3	η = 8.9	x: 0.06 m η < 0.1	x: 2.373 m η = 4.0	η < 0.1	x: 2.373 m η = 0.5	x: 0.06 m η < 0.1	η < 0.1	x: 0.06 m η = 10.8	η < 0.1	η = 0.2	η < 0.1	x: 2.373 m η = 0.5	**CUMPLE η = 10.8**
N556/N479	x: 0.06 m $\lambda_w \leq \lambda_{w,máx}$ Cumple	η = 1.2	η = 8.3	x: 0.06 m η = 0.2	x: 0.06 m η = 15.2	η < 0.1	x: 2.373 m η = 1.1	x: 0.06 m η < 0.1	x: 0.06 m η < 0.1	x: 0.06 m η = 16.0	x: 0.06 m η < 0.1	M_{Ed} = 0.00 N.P.(5)	N.P.(6)	N.P.(6)	**CUMPLE η = 16.0**
N554/N556	$\lambda_w \leq \lambda_{w,máx}$ Cumple	x: 1.939 m η = 0.1	x: 0.06 m η = 0.3	x: 1.94 m η = 10.9	x: 0.06 m η = 0.1	η = 1.7	η < 0.1	η < 0.1	x: 0.06 m η < 0.1	x: 1.94 m η = 11.1	η < 0.1	η = 0.2	η = 1.7	η < 0.1	**CUMPLE η = 11.1**
N555/N557	$\lambda_w \leq \lambda_{w,máx}$ Cumple	x: 1.939 m η = 0.1	x: 0.06 m η = 0.3	x: 0.06 m η = 11.1	x: 0.06 m η = 0.1	η = 1.7	η < 0.1	η < 0.1	x: 0.06 m η < 0.1	x: 0.06 m η = 11.4	η < 0.1	η = 0.2	η = 1.7	η < 0.1	**CUMPLE η = 11.4**
N273/N481	x: 0.523 m $\lambda_w \leq \lambda_{w,máx}$ Cumple	η = 1.5	η = 20.7	M_{Ed} = 0.00 N.P.(2)	x: 3.658 m η = 6.0	V_{Ed} = 0.00 N.P.(3)	x: 0.075 m η = 0.5	N.P.(4)	x: 0.523 m η < 0.1	x: 3.658 m η = 27.2	x: 0.523 m η < 0.1	M_{Ed} = 0.00 N.P.(5)	N.P.(6)	N.P.(6)	**CUMPLE η = 27.2**
N299/N502	x: 0.523 m $\lambda_w \leq \lambda_{w,máx}$ Cumple	η = 0.6	η = 25.0	M_{Ed} = 0.00 N.P.(2)	x: 3.658 m η = 6.0	V_{Ed} = 0.00 N.P.(3)	x: 0.075 m η = 0.5	N.P.(4)	x: 0.523 m η < 0.1	x: 3.658 m η = 31.5	x: 0.523 m η < 0.1	M_{Ed} = 0.00 N.P.(5)	N.P.(6)	N.P.(6)	**CUMPLE η = 31.5**

VISADO COGITI
VALENCIA VA07290/22
TRLTDCFZ60T66IJ1
Documento visado electrónicamente con número VA07290/22
Código de validación telemática TRLTDCFZ60T66IJ1. Comprobación: https://cogitivalencia.e-gestion.es/Validacion.aspx?CVT=TRLTDCFZ60T66IJ1

VISADO
COGITI
Estado
VALENCIA
VA07290/22
TRLTDCFZ60T66IJ1

Barras	COMPROBACIONES (CÓDIGO ESTRUCTURAL)															
	λ_w	N_t	N_c	M_Y	M_Z	V_Z	V_Y	M_YV_Z	M_ZV_Y	NM_YM_Z	$NM_YM_ZV_YV_Z$	M_t	M_tV_Z	M_tV_Y	
N301/N558	x: 0.061 m $\lambda_w \leq \lambda_{w,máx}$ Cumple	η = 1.1	η = 10.0	x: 2.373 m η = 0.4	x: 2.373 m η = 18.8	η < 0.1	x: 0.06 m η = 1.3	x: 0.253 m η < 0.1	x: 0.061 m η < 0.1	x: 2.373 m η = 20.2	x: 0.061 m η < 0.1	M_{Ed} = 0.00 N.P.(5)	N.P.(6)	N.P.(6)	**CUMPLE** **η = 20.2**
N558/N559	$\lambda_w \leq \lambda_{w,máx}$ Cumple	η = 0.6	η = 12.7	x: 0.06 m η = 0.1	x: 2.373 m η = 5.4	η < 0.1	x: 2.373 m η = 0.6	x: 0.06 m η < 0.1	η < 0.1	x: 0.06 m η = 15.4	η < 0.1	η = 0.3	η < 0.1	x: 2.373 m η = 0.6	**CUMPLE** **η = 15.4**
N559/N504	x: 0.06 m $\lambda_w \leq \lambda_{w,máx}$ Cumple	η = 1.4	η = 12.6	x: 0.06 m η = 0.4	x: 0.06 m η = 19.5	η < 0.1	x: 2.373 m η = 1.4	x: 0.06 m η < 0.1	x: 0.06 m η < 0.1	x: 0.06 m η = 20.5	x: 0.06 m η < 0.1	M_{Ed} = 0.00 N.P.(5)	N.P.(6)	N.P.(6)	**CUMPLE** **η = 20.5**
N286/N560	x: 0.061 m $\lambda_w \leq \lambda_{w,máx}$ Cumple	η = 0.4	η = 9.8	x: 2.373 m η = 0.4	x: 2.373 m η = 19.0	η < 0.1	x: 0.06 m η = 1.4	x: 0.253 m η < 0.1	x: 0.061 m η < 0.1	x: 2.373 m η = 22.2	x: 0.061 m η < 0.1	M_{Ed} = 0.00 N.P.(5)	N.P.(6)	N.P.(6)	**CUMPLE** **η = 22.2**
N560/N561	$\lambda_w \leq \lambda_{w,máx}$ Cumple	η = 0.3	η = 9.6	x: 0.06 m η = 0.1	x: 0.06 m η = 5.1	η < 0.1	x: 2.373 m η = 0.6	x: 0.06 m η < 0.1	η < 0.1	x: 2.373 m η = 11.1	η < 0.1	η = 0.3	η < 0.1	x: 2.373 m η = 0.6	**CUMPLE** **η = 11.1**
N561/N488	x: 0.06 m $\lambda_w \leq \lambda_{w,máx}$ Cumple	η = 0.7	η = 11.0	x: 0.06 m η = 0.4	x: 0.06 m η = 17.9	η < 0.1	x: 2.373 m η = 1.3	x: 0.06 m η < 0.1	x: 0.06 m η < 0.1	x: 0.06 m η = 19.8	x: 0.06 m η < 0.1	M_{Ed} = 0.00 N.P.(5)	N.P.(6)	N.P.(6)	**CUMPLE** **η = 19.8**
N561/N559	$\lambda_w \leq \lambda_{w,máx}$ Cumple	x: 1.939 m η = 0.1	x: 0.06 m η = 0.4	x: 1.94 m η = 13.6	x: 0.06 m η = 0.2	η = 2.1	η < 0.1	η < 0.1	x: 0.06 m η < 0.1	x: 1.94 m η = 14.0	η < 0.1	η = 0.4	η = 2.1	η < 0.1	**CUMPLE** **η = 14.0**
N560/N558	$\lambda_w \leq \lambda_{w,máx}$ Cumple	x: 1.939 m η = 0.1	x: 0.06 m η = 0.4	x: 0.06 m η = 13.4	x: 0.06 m η = 0.2	η = 2.1	η < 0.1	η < 0.1	x: 0.06 m η < 0.1	x: 0.06 m η = 13.9	η < 0.1	η = 0.4	η = 2.1	η < 0.1	**CUMPLE** **η = 13.9**
N290/N563	x: 0.061 m $\lambda_w \leq \lambda_{w,máx}$ Cumple	η = 0.4	η = 11.3	x: 2.372 m η < 0.1	x: 2.373 m η = 25.1	η < 0.1	x: 0.06 m η = 1.7	x: 0.446 m η < 0.1	x: 0.061 m η < 0.1	x: 2.373 m η = 28.9	x: 0.061 m η < 0.1	M_{Ed} = 0.00 N.P.(5)	N.P.(6)	N.P.(6)	**CUMPLE** **η = 28.9**
N563/N562	$\lambda_w \leq \lambda_{w,máx}$ Cumple	η = 0.4	η = 10.6	x: 2.372 m η < 0.1	x: 2.373 m η = 7.1	η < 0.1	x: 0.06 m η = 0.9	x: 0.06 m η < 0.1	η < 0.1	x: 2.373 m η = 12.8	η < 0.1	η < 0.1	η < 0.1	x: 0.06 m η = 0.9	**CUMPLE** **η = 12.8**
N562/N492	x: 0.06 m $\lambda_w \leq \lambda_{w,máx}$ Cumple	η = 1.3	η = 12.4	x: 0.06 m η < 0.1	x: 0.06 m η = 25.2	η < 0.1	x: 2.383 m η = 1.7	x: 0.06 m η < 0.1	x: 0.06 m η < 0.1	x: 0.06 m η = 28.3	x: 0.06 m η < 0.1	M_{Ed} = 0.00 N.P.(5)	N.P.(6)	N.P.(6)	**CUMPLE** **η = 28.3**
N305/N565	x: 0.061 m $\lambda_w \leq \lambda_{w,máx}$ Cumple	η = 1.7	η = 10.1	x: 2.372 m η < 0.1	x: 2.373 m η = 25.2	η < 0.1	x: 0.06 m η = 1.7	x: 0.446 m η < 0.1	x: 0.061 m η < 0.1	x: 2.373 m η = 26.4	x: 0.061 m η < 0.1	M_{Ed} = 0.00 N.P.(5)	N.P.(6)	N.P.(6)	**CUMPLE** **η = 26.4**
N565/N564	$\lambda_w \leq \lambda_{w,máx}$ Cumple	x: 1.024 m η = 0.8	η = 9.1	x: 2.372 m η < 0.1	x: 2.373 m η = 7.5	η < 0.1	x: 0.06 m η = 0.9	x: 0.06 m η < 0.1	η < 0.1	x: 2.373 m η = 13.3	η < 0.1	η < 0.1	η < 0.1	x: 0.06 m η = 0.9	**CUMPLE** **η = 13.3**
N564/N508	x: 0.06 m $\lambda_w \leq \lambda_{w,máx}$ Cumple	η = 1.0	η = 9.0	x: 0.06 m η < 0.1	x: 0.06 m η = 26.0	η < 0.1	x: 2.383 m η = 1.8	x: 0.06 m η < 0.1	x: 0.06 m η < 0.1	x: 0.06 m η = 26.4	x: 0.06 m η < 0.1	M_{Ed} = 0.00 N.P.(5)	N.P.(6)	N.P.(6)	**CUMPLE** **η = 26.4**
N562/N564	$\lambda_w \leq \lambda_{w,máx}$ Cumple	x: 1.939 m η = 0.1	x: 0.06 m η = 0.6	x: 1.94 m η = 17.8	x: 0.06 m η < 0.1	η = 2.8	η < 0.1	η < 0.1	x: 0.06 m η < 0.1	x: 1.94 m η = 18.3	η < 0.1	η < 0.1	η = 2.8	η < 0.1	**CUMPLE** **η = 18.3**
N563/N565	$\lambda_w \leq \lambda_{w,máx}$ Cumple	x: 1.939 m η = 0.1	x: 0.06 m η = 0.6	x: 1.94 m η = 17.2	x: 0.06 m η < 0.1	η = 2.7	η < 0.1	η < 0.1	x: 0.06 m η < 0.1	x: 0.06 m η = 17.8	η < 0.1	η < 0.1	η = 2.7	η < 0.1	**CUMPLE** **η = 17.8**
N294/N567	x: 0.061 m $\lambda_w \leq \lambda_{w,máx}$ Cumple	η = 0.4	η = 8.5	x: 2.373 m η = 0.4	x: 2.373 m η = 20.8	η < 0.1	x: 0.06 m η = 1.5	x: 0.253 m η < 0.1	x: 0.061 m η < 0.1	x: 2.373 m η = 23.9	x: 0.061 m η < 0.1	M_{Ed} = 0.00 N.P.(5)	N.P.(6)	N.P.(6)	**CUMPLE** **η = 23.9**
N567/N566	$\lambda_w \leq \lambda_{w,máx}$ Cumple	x: 0.06 m η = 0.6	η = 7.8	x: 0.06 m η = 0.1	x: 0.06 m η = 5.7	η < 0.1	x: 2.373 m η = 0.7	x: 0.06 m η < 0.1	η < 0.1	x: 2.373 m η = 9.5	η < 0.1	η = 0.3	η < 0.1	x: 2.373 m η = 0.7	**CUMPLE** **η = 9.5**
N566/N496	x: 0.06 m $\lambda_w \leq \lambda_{w,máx}$ Cumple	η = 1.0	η = 9.3	x: 0.06 m η = 0.4	x: 0.06 m η = 20.2	η < 0.1	x: 2.373 m η = 1.4	x: 0.06 m η < 0.1	x: 0.06 m η < 0.1	x: 0.06 m η = 22.5	x: 0.06 m η < 0.1	M_{Ed} = 0.00 N.P.(5)	N.P.(6)	N.P.(6)	**CUMPLE** **η = 22.5**
N309/N569	x: 0.061 m $\lambda_w \leq \lambda_{w,máx}$ Cumple	η = 1.8	η = 6.9	x: 2.373 m η = 0.4	x: 2.373 m η = 20.8	η < 0.1	x: 0.06 m η = 1.5	x: 0.253 m η < 0.1	x: 0.061 m η < 0.1	x: 2.373 m η = 21.3	x: 0.061 m η < 0.1	M_{Ed} = 0.00 N.P.(5)	N.P.(6)	N.P.(6)	**CUMPLE** **η = 21.3**
N569/N568	$\lambda_w \leq \lambda_{w,máx}$ Cumple	η = 1.3	η = 9.4	x: 0.06 m η = 0.1	x: 2.373 m η = 6.0	η < 0.1	x: 0.06 m η = 0.7	x: 0.06 m η < 0.1	η < 0.1	x: 0.06 m η = 10.7	η < 0.1	η = 0.3	η < 0.1	x: 0.06 m η = 0.7	**CUMPLE** **η = 10.7**
N568/N512	x: 0.06 m $\lambda_w \leq \lambda_{w,máx}$ Cumple	η = 1.4	η = 9.0	x: 0.06 m η = 0.4	x: 0.06 m η = 21.5	η < 0.1	x: 2.373 m η = 1.5	x: 0.06 m η < 0.1	x: 0.06 m η < 0.1	x: 0.06 m η = 22.9	x: 0.06 m η < 0.1	M_{Ed} = 0.00 N.P.(5)	N.P.(6)	N.P.(6)	**CUMPLE** **η = 22.9**
N566/N568	$\lambda_w \leq \lambda_{w,máx}$ Cumple	x: 1.939 m η = 0.1	x: 0.06 m η = 0.5	x: 1.94 m η = 14.9	x: 0.06 m η = 0.2	η = 2.3	η < 0.1	η < 0.1	x: 0.06 m η < 0.1	x: 1.94 m η = 15.3	η < 0.1	η = 0.4	η = 2.3	η < 0.1	**CUMPLE** **η = 15.3**
N567/N569	$\lambda_w \leq \lambda_{w,máx}$ Cumple	x: 1.939 m η = 0.1	x: 0.06 m η = 0.5	x: 0.06 m η = 14.5	x: 0.06 m η = 0.2	η = 2.3	η < 0.1	η < 0.1	x: 0.06 m η < 0.1	x: 0.06 m η = 15.1	η < 0.1	η = 0.4	η = 2.3	η < 0.1	**CUMPLE** **η = 15.1**
N311/N514	x: 0.523 m $\lambda_w \leq \lambda_{w,máx}$ Cumple	η = 2.1	η = 27.5	M_{Ed} = 0.00 N.P.(2)	x: 3.658 m η = 6.0	V_{Ed} = 0.00 N.P.(3)	x: 0.075 m η = 0.5	N.P.(4)	x: 0.523 m η < 0.1	x: 3.658 m η = 34.1	x: 0.523 m η < 0.1	M_{Ed} = 0.00 N.P.(5)	N.P.(6)	N.P.(6)	**CUMPLE** **η = 34.1**
N230/N537	x: 0.061 m $\lambda_w \leq \lambda_{w,máx}$ Cumple	η = 1.0	η = 5.6	x: 2.373 m η = 0.4	x: 2.373 m η = 22.2	η < 0.1	x: 0.06 m η = 1.6	x: 0.253 m η < 0.1	x: 0.061 m η < 0.1	x: 2.373 m η = 23.1	x: 0.061 m η < 0.1	M_{Ed} = 0.00 N.P.(5)	N.P.(6)	N.P.(6)	**CUMPLE** **η = 23.1**
N537/N535	$\lambda_w \leq \lambda_{w,máx}$ Cumple	N_{Ed} = 0.00 N.P.(1)	η = 1.1	x: 0.06 m η = 0.1	x: 2.373 m η = 6.4	η < 0.1	x: 0.06 m η = 0.8	x: 0.06 m η < 0.1	η < 0.1	x: 2.373 m η = 7.7	η < 0.1	η = 0.3	η < 0.1	x: 0.06 m η = 0.8	**CUMPLE** **η = 7.7**
N535/N438	x: 0.06 m $\lambda_w \leq \lambda_{w,máx}$ Cumple	η = 0.9	η = 1.2	x: 0.06 m η = 0.4	x: 0.06 m η = 22.8	η < 0.1	x: 2.373 m η = 1.6	x: 0.06 m η < 0.1	x: 0.06 m η < 0.1	x: 0.06 m η = 23.8	x: 0.06 m η < 0.1	M_{Ed} = 0.00 N.P.(5)	N.P.(6)	N.P.(6)	**CUMPLE** **η = 23.8**
N213/N536	x: 0.061 m $\lambda_w \leq \lambda_{w,máx}$ Cumple	η = 0.3	η = 8.4	x: 2.373 m η = 0.4	x: 2.373 m η = 22.1	η < 0.1	x: 0.06 m η = 1.5	x: 0.253 m η < 0.1	x: 0.061 m η < 0.1	x: 2.373 m η = 25.2	x: 0.061 m η < 0.1	M_{Ed} = 0.00 N.P.(5)	N.P.(6)	N.P.(6)	**CUMPLE** **η = 25.2**
N536/N534	$\lambda_w \leq \lambda_{w,máx}$ Cumple	η = 0.4	η = 8.1	x: 0.06 m η = 0.1	x: 0.06 m η = 6.1	η < 0.1	x: 0.06 m η = 0.8	x: 0.06 m η < 0.1	η < 0.1	x: 2.373 m η = 10.0	η < 0.1	η = 0.3	η < 0.1	x: 0.06 m η = 0.8	**CUMPLE** **η = 10.0**
N534/N421	x: 0.06 m $\lambda_w \leq \lambda_{w,máx}$ Cumple	η = 1.2	η = 9.8	x: 0.06 m η = 0.4	x: 0.06 m η = 21.7	η < 0.1	x: 2.373 m η = 1.5	x: 0.06 m η < 0.1	x: 0.06 m η < 0.1	x: 0.06 m η = 24.5	x: 0.06 m η < 0.1	M_{Ed} = 0.00 N.P.(5)	N.P.(6)	N.P.(6)	**CUMPLE** **η = 24.5**
N574/N591	$\lambda_w \leq \lambda_{w,máx}$ Cumple	x: 1.911 m η = 37.0	x: 0.088 m η = 42.8	x: 0.088 m η = 2.2	x: 1.912 m η = 7.8	η = 0.1	η = 1.2	η < 0.1	η < 0.1	x: 0.088 m η = 50.7	η < 0.1	η = 2.0	η = 0.1	η = 1.2	**CUMPLE** **η = 50.7**
N575/N592	$\lambda_w \leq \lambda_{w,máx}$ Cumple	x: 1.911 m η = 25.7	x: 0.088 m η = 31.8	x: 0.088 m η = 1.0	x: 0.088 m η = 14.1	η < 0.1	η = 2.1	η < 0.1	η < 0.1	x: 0.088 m η = 46.2	η < 0.1	η = 0.6	η < 0.1	η = 2.2	**CUMPLE** **η = 46.2**
N576/N593	$\lambda_w \leq \lambda_{w,máx}$ Cumple	x: 1.911 m η = 24.7	x: 0.088 m η = 30.4	x: 0.088 m η = 0.9	x: 0.088 m η = 11.4	η < 0.1	η = 1.8	η < 0.1	η < 0.1	x: 0.088 m η = 41.9	η < 0.1	η = 1.0	η < 0.1	η = 1.8	**CUMPLE** **η = 41.9**
N577/N594	$\lambda_w \leq \lambda_{w,máx}$ Cumple	x: 1.911 m η = 18.3	x: 0.088 m η = 22.4	x: 0.088 m η = 0.8	x: 0.088 m η = 9.6	η < 0.1	η = 1.5	η < 0.1	η < 0.1	x: 0.088 m η = 32.4	η < 0.1	η = 1.2	η < 0.1	η = 1.5	**CUMPLE** **η = 32.4**
N578/N595	$\lambda_w \leq \lambda_{w,máx}$ Cumple	x: 1.922 m η = 11.9	x: 0.088 m η = 12.2	x: 0.088 m η = 1.4	x: 0.088 m η = 6.2	η < 0.1	η = 0.9	η < 0.1	η < 0.1	x: 0.088 m η = 18.7	η < 0.1	η = 1.3	η < 0.1	η = 0.9	**CUMPLE** **η = 18.7**

Documento visado electrónicamente con número: VA07290/22
Código de validación telemática TRLTDCFZ60T66IJ1. Comprobación: https://cogitivalencia.e-gestion.es/Validacion.aspx?CVT=TRLTDCFZ60T66IJ1

VISADO
COGITI
VALENCIA
VA07290/22
TRLTDCFZ60T66IJ1
Documento visado electrónicamente con número VA07290/22. Código de validación telemática TRLTDCFZ60T66IJ1. Comprobación: https://cogitivalencia.e-gestion.es/Validacion.aspx?CVT=TRLTDCFZ60T66IJ1

Barras	COMPROBACIONES (CÓDIGO ESTRUCTURAL)														Estado
	λ_w	N_t	N_c	M_Y	M_Z	V_Z	V_Y	M_YV_Z	M_ZV_Y	NM_YM_Z	$NM_YM_ZV_YV_Z$	M_t	M_tV_Z	M_tV_Y	
N579/N596	$\lambda_w \leq \lambda_{w,máx}$ Cumple	x: 1.922 m η = 6.5	x: 0.086 m η = 6.5	x: 1.922 m η = 0.1	x: 0.086 m η = 2.5	x: 0.821 m η < 0.1	η = 0.3	η < 0.1	η < 0.1	x: 0.086 m η = 9.1	η < 0.1	η = 0.3	x: 0.821 m η < 0.1	η = 0.3	**CUMPLE η = 9.1**
N580/N597	$\lambda_w \leq \lambda_{w,máx}$ Cumple	x: 1.922 m η = 2.1	x: 0.086 m η = 2.1	x: 1.922 m η = 0.9	x: 1.923 m η = 0.9	η < 0.1	η = 0.1	η < 0.1	η < 0.1	x: 1.923 m η = 3.2	η < 0.1	η = 1.4	η < 0.1	η = 0.1	**CUMPLE η = 3.2**
N581/N598	$\lambda_w \leq \lambda_{w,máx}$ Cumple	x: 1.922 m η = 7.8	x: 0.086 m η = 7.7	x: 0.086 m η = 1.0	x: 0.086 m η = 6.1	η = 0.1	η = 0.8	η < 0.1	η < 0.1	x: 0.086 m η = 14.3	η < 0.1	η = 0.3	η = 0.1	η = 0.8	**CUMPLE η = 14.3**
N582/N599	$\lambda_w \leq \lambda_{w,máx}$ Cumple	x: 1.921 m η = 26.1	x: 0.086 m η = 32.1	x: 0.086 m η = 1.2	x: 0.086 m η = 13.0	x: 1.188 m η < 0.1	η = 1.7	η < 0.1	η < 0.1	x: 0.086 m η = 45.5	η < 0.1	x: 1.188 m η = 1.8	x: 1.188 m η < 0.1	η = 1.7	**CUMPLE η = 45.5**
N583/N600	$\lambda_w \leq \lambda_{w,máx}$ Cumple	x: 1.921 m η = 34.3	x: 0.086 m η = 42.1	x: 0.086 m η = 0.2	x: 0.086 m η = 17.3	η < 0.1	η = 2.3	η < 0.1	η < 0.1	x: 0.086 m η = 60.1	η < 0.1	η = 0.3	η < 0.1	η = 2.3	**CUMPLE η = 60.1**
N584/N601	$\lambda_w \leq \lambda_{w,máx}$ Cumple	x: 1.921 m η = 34.7	x: 0.094 m η = 40.1	x: 0.094 m η = 1.4	x: 0.094 m η = 21.2	η = 0.1	η = 3.4	η < 0.1	η < 0.1	x: 0.094 m η = 61.7	η < 0.1	η = 1.9	η = 0.1	η = 3.4	**CUMPLE η = 61.7**
N585/N602	$\lambda_w \leq \lambda_{w,máx}$ Cumple	x: 1.905 m η = 41.0	x: 0.094 m η = 48.1	x: 0.094 m η = 0.5	x: 0.094 m η = 24.5	η < 0.1	η = 3.9	η < 0.1	η < 0.1	x: 0.094 m η = 73.2	η < 0.1	x: 0.819 m η = 1.1	η < 0.1	η = 3.9	**CUMPLE η = 73.2**
N586/N603	$\lambda_w \leq \lambda_{w,máx}$ Cumple	x: 1.905 m η = 47.2	x: 0.094 m η = 55.9	x: 0.094 m η = 0.3	x: 1.906 m η = 25.1	η < 0.1	η = 4.1	η < 0.1	η < 0.1	x: 0.094 m η = 81.4	η < 0.1	η = 0.3	η < 0.1	η = 4.1	**CUMPLE η = 81.4**
N587/N604	$\lambda_w \leq \lambda_{w,máx}$ Cumple	x: 1.905 m η = 43.7	x: 0.094 m η = 52.1	x: 0.094 m η = 0.4	x: 0.094 m η = 30.8	η < 0.1	η = 4.8	η < 0.1	η < 0.1	x: 0.094 m η = 83.5	η < 0.1	η = 0.4	η < 0.1	η = 4.8	**CUMPLE η = 83.5**
N588/N605	$\lambda_w \leq \lambda_{w,máx}$ Cumple	x: 1.905 m η = 54.9	x: 0.131 m η = 63.9	x: 0.131 m η = 1.0	x: 0.131 m η = 1.4	η < 0.1	η = 0.1	η < 0.1	η < 0.1	x: 0.131 m η = 66.0	η < 0.1	η = 1.1	η = 0.1	η = 0.1	**CUMPLE η = 66.0**
N608/N624	$\lambda_w \leq \lambda_{w,máx}$ Cumple	x: 1.911 m η = 38.8	x: 0.088 m η = 47.6	x: 0.088 m η = 1.6	x: 1.912 m η = 19.4	η = 0.1	η = 2.8	η < 0.1	η < 0.1	x: 1.912 m η = 67.2	η < 0.1	η = 1.0	η = 0.1	η = 2.8	**CUMPLE η = 67.2**
N609/N625	$\lambda_w \leq \lambda_{w,máx}$ Cumple	x: 1.911 m η = 34.3	x: 0.088 m η = 42.5	x: 0.088 m η = 0.6	x: 0.088 m η = 16.3	η < 0.1	η = 2.5	η < 0.1	η < 0.1	x: 0.088 m η = 59.0	η < 0.1	η = 0.4	η < 0.1	η = 2.5	**CUMPLE η = 59.0**
N610/N626	$\lambda_w \leq \lambda_{w,máx}$ Cumple	x: 1.911 m η = 33.8	x: 0.088 m η = 42.3	x: 1.911 m η = 0.3	x: 0.088 m η = 15.7	η < 0.1	η = 2.5	η < 0.1	η < 0.1	x: 0.088 m η = 58.3	η < 0.1	η = 0.3	η < 0.1	η = 2.5	**CUMPLE η = 58.3**
N611/N627	$\lambda_w \leq \lambda_{w,máx}$ Cumple	x: 1.911 m η = 27.7	x: 0.088 m η = 34.6	x: 1.911 m η = 1.1	x: 0.088 m η = 14.1	η < 0.1	η = 2.2	η < 0.1	η < 0.1	x: 0.088 m η = 49.1	η < 0.1	η = 2.1	η < 0.1	η = 2.2	**CUMPLE η = 49.1**
N612/N628	$\lambda_w \leq \lambda_{w,máx}$ Cumple	x: 1.922 m η = 21.3	x: 0.088 m η = 26.5	x: 0.088 m η = 2.9	x: 0.088 m η = 11.1	η = 0.1	η = 1.8	η < 0.1	η < 0.1	x: 0.088 m η = 37.9	η < 0.1	η = 3.2	η = 0.1	η = 1.8	**CUMPLE η = 37.9**
N613/N629	$\lambda_w \leq \lambda_{w,máx}$ Cumple	x: 1.922 m η = 17.9	x: 0.086 m η = 24.2	x: 0.086 m η = 0.4	x: 0.086 m η = 7.7	η < 0.1	η = 1.0	η < 0.1	η < 0.1	x: 0.086 m η = 32.1	η < 0.1	η = 0.7	η < 0.1	η = 1.0	**CUMPLE η = 32.1**
N614/N630	$\lambda_w \leq \lambda_{w,máx}$ Cumple	x: 1.922 m η = 9.7	x: 0.086 m η = 11.2	x: 0.086 m η = 2.7	x: 0.086 m η = 4.6	η < 0.1	η = 0.6	η < 0.1	η < 0.1	x: 0.086 m η = 16.1	η < 0.1	η = 3.1	η < 0.1	η = 0.6	**CUMPLE η = 16.1**
N615/N631	$\lambda_w \leq \lambda_{w,máx}$ Cumple	x: 1.922 m η = 8.0	x: 0.086 m η = 7.9	x: 0.086 m η = 1.8	x: 1.923 m η = 1.4	η = 0.1	η = 0.2	η < 0.1	η < 0.1	x: 1.923 m η = 9.5	η < 0.1	η = 1.4	η = 0.1	η = 0.2	**CUMPLE η = 9.5**
N616/N632	$\lambda_w \leq \lambda_{w,máx}$ Cumple	x: 1.921 m η = 15.0	x: 0.086 m η = 16.5	x: 0.086 m η = 1.9	x: 0.086 m η = 6.8	η < 0.1	η = 0.9	η < 0.1	η < 0.1	x: 0.086 m η = 22.9	η < 0.1	η = 3.9	η < 0.1	η = 0.9	**CUMPLE η = 22.9**
N617/N633	$\lambda_w \leq \lambda_{w,máx}$ Cumple	x: 1.921 m η = 23.1	x: 0.086 m η = 26.4	x: 0.086 m η = 0.4	x: 0.086 m η = 10.9	η < 0.1	η = 1.4	η < 0.1	η < 0.1	x: 0.086 m η = 36.9	η < 0.1	x: 1.004 m η = 0.3	η < 0.1	η = 1.4	**CUMPLE η = 36.9**
N618/N634	$\lambda_w \leq \lambda_{w,máx}$ Cumple	x: 1.921 m η = 25.5	x: 0.094 m η = 28.1	x: 0.094 m η = 3.4	x: 0.094 m η = 14.9	η = 0.2	η = 2.4	η < 0.1	η < 0.1	x: 0.094 m η = 42.6	η < 0.1	η = 4.2	η = 0.2	η = 2.4	**CUMPLE η = 42.6**
N619/N635	$\lambda_w \leq \lambda_{w,máx}$ Cumple	x: 1.905 m η = 31.8	x: 0.094 m η = 36.1	x: 0.094 m η = 1.6	x: 0.094 m η = 18.4	η < 0.1	η = 2.9	η < 0.1	η < 0.1	x: 0.094 m η = 54.5	η < 0.1	η = 3.7	η < 0.1	η = 2.9	**CUMPLE η = 54.5**
N620/N636	$\lambda_w \leq \lambda_{w,máx}$ Cumple	x: 1.905 m η = 38.1	x: 0.094 m η = 44.0	x: 1.905 m η = 0.5	x: 1.906 m η = 19.2	η < 0.1	η = 3.1	η < 0.1	η < 0.1	x: 0.094 m η = 63.3	η < 0.1	η = 0.3	η < 0.1	η = 3.1	**CUMPLE η = 63.3**
N621/N637	$\lambda_w \leq \lambda_{w,máx}$ Cumple	x: 1.905 m η = 36.3	x: 0.094 m η = 42.4	x: 0.094 m η = 0.4	x: 0.094 m η = 25.5	η < 0.1	η = 3.9	η < 0.1	η < 0.1	x: 0.094 m η = 68.1	η < 0.1	η = 0.6	η < 0.1	η = 3.9	**CUMPLE η = 68.1**
N622/N638	$\lambda_w \leq \lambda_{w,máx}$ Cumple	x: 1.905 m η = 47.3	x: 0.131 m η = 54.0	x: 0.131 m η = 0.8	x: 0.131 m η = 4.6	η < 0.1	η = 0.6	η < 0.1	η < 0.1	x: 0.131 m η = 59.0	η < 0.1	η = 1.0	η < 0.1	η = 0.6	**CUMPLE η = 59.0**
N641/N657	$\lambda_w \leq \lambda_{w,máx}$ Cumple	x: 1.911 m η = 46.9	x: 0.088 m η = 55.5	x: 0.088 m η = 1.7	x: 1.912 m η = 22.3	η = 0.1	η = 3.3	η < 0.1	η < 0.1	x: 1.912 m η = 78.3	η < 0.1	η = 1.1	η = 0.1	η = 3.3	**CUMPLE η = 78.3**
N642/N658	$\lambda_w \leq \lambda_{w,máx}$ Cumple	x: 1.911 m η = 41.8	x: 0.088 m η = 50.3	x: 0.088 m η = 0.7	x: 0.088 m η = 19.4	η < 0.1	η = 3.0	η < 0.1	η < 0.1	x: 0.088 m η = 70.1	η < 0.1	η = 0.5	η < 0.1	η = 3.0	**CUMPLE η = 70.1**
N643/N659	$\lambda_w \leq \lambda_{w,máx}$ Cumple	x: 1.911 m η = 43.1	x: 0.088 m η = 51.8	x: 1.911 m η = 0.4	x: 0.088 m η = 19.5	η < 0.1	η = 3.2	η < 0.1	η < 0.1	x: 0.088 m η = 71.7	η < 0.1	η = 0.2	η < 0.1	η = 3.2	**CUMPLE η = 71.7**
N644/N660	$\lambda_w \leq \lambda_{w,máx}$ Cumple	x: 1.911 m η = 37.0	x: 0.088 m η = 44.1	x: 1.911 m η = 1.5	x: 0.088 m η = 18.3	η < 0.1	η = 2.9	η < 0.1	η < 0.1	x: 0.088 m η = 63.0	η < 0.1	η = 2.5	η < 0.1	η = 2.9	**CUMPLE η = 63.0**
N645/N661	$\lambda_w \leq \lambda_{w,máx}$ Cumple	x: 1.922 m η = 30.6	x: 0.088 m η = 36.1	x: 0.088 m η = 2.8	x: 0.088 m η = 15.6	η = 0.1	η = 2.5	η < 0.1	η < 0.1	x: 0.088 m η = 52.2	η < 0.1	η = 2.0	η = 0.1	η = 2.5	**CUMPLE η = 52.2**
N646/N662	$\lambda_w \leq \lambda_{w,máx}$ Cumple	x: 1.922 m η = 29.2	x: 0.086 m η = 36.6	x: 0.086 m η = 1.1	x: 0.086 m η = 12.4	η < 0.1	η = 1.6	η < 0.1	η < 0.1	x: 0.086 m η = 49.6	η < 0.1	η = 1.4	η < 0.1	η = 1.6	**CUMPLE η = 49.6**
N647/N663	$\lambda_w \leq \lambda_{w,máx}$ Cumple	x: 1.922 m η = 21.0	x: 0.086 m η = 26.6	x: 0.086 m η = 1.5	x: 0.086 m η = 9.0	η < 0.1	η = 1.1	η < 0.1	η < 0.1	x: 0.086 m η = 36.1	η < 0.1	x: 1.739 m η = 1.8	η < 0.1	η = 1.1	**CUMPLE η = 36.1**
N648/N664	$\lambda_w \leq \lambda_{w,máx}$ Cumple	x: 1.922 m η = 8.0	x: 0.086 m η = 7.9	x: 0.086 m η = 0.8	x: 0.086 m η = 3.8	η = 0.1	η = 0.5	η < 0.1	η < 0.1	x: 0.086 m η = 12.2	η < 0.1	x: 1.922 m η = 0.4	η = 0.1	η = 0.4	**CUMPLE η = 12.2**
N649/N665	$\lambda_w \leq \lambda_{w,máx}$ Cumple	x: 1.921 m η = 4.5	x: 0.086 m η = 4.0	x: 0.086 m η = 1.6	x: 1.922 m η = 2.0	η < 0.1	η = 0.3	η < 0.1	η < 0.1	x: 1.922 m η = 6.6	η < 0.1	η = 2.3	η < 0.1	η = 0.3	**CUMPLE η = 6.6**
N650/N666	$\lambda_w \leq \lambda_{w,máx}$ Cumple	x: 1.921 m η = 12.5	x: 0.086 m η = 11.8	x: 0.086 m η = 0.2	x: 0.086 m η = 5.6	η < 0.1	η = 0.7	η < 0.1	η < 0.1	x: 0.086 m η = 18.1	η < 0.1	η = 0.3	η < 0.1	η = 0.7	**CUMPLE η = 18.1**
N651/N667	$\lambda_w \leq \lambda_{w,máx}$ Cumple	x: 1.921 m η = 16.8	x: 0.094 m η = 16.5	x: 0.094 m η = 1.7	x: 0.094 m η = 9.9	η = 0.1	η = 1.6	η < 0.1	η < 0.1	x: 0.094 m η = 27.0	η < 0.1	η = 2.6	η = 0.1	η = 1.6	**CUMPLE η = 27.0**
N652/N668	$\lambda_w \leq \lambda_{w,máx}$ Cumple	x: 1.905 m η = 23.1	x: 0.094 m η = 27.4	x: 0.094 m η = 0.8	x: 0.094 m η = 13.9	η < 0.1	η = 2.2	η < 0.1	η < 0.1	x: 0.094 m η = 41.7	η < 0.1	η = 1.6	η < 0.1	η = 2.2	**CUMPLE η = 41.7**
N653/N669	$\lambda_w \leq \lambda_{w,máx}$ Cumple	x: 1.905 m η = 29.4	x: 0.094 m η = 35.3	x: 0.094 m η = 0.7	x: 0.094 m η = 16.4	η < 0.1	η = 2.7	η < 0.1	η < 0.1	x: 0.094 m η = 52.0	η < 0.1	η = 0.8	η < 0.1	η = 2.7	**CUMPLE η = 52.0**
N654/N670	$\lambda_w \leq \lambda_{w,máx}$ Cumple	x: 1.905 m η = 29.6	x: 0.094 m η = 35.5	x: 0.094 m η = 0.5	x: 0.094 m η = 17.2	η < 0.1	η = 2.7	η < 0.1	η < 0.1	x: 0.094 m η = 53.0	η < 0.1	η = 0.5	η < 0.1	η = 2.8	**CUMPLE η = 53.0**
N655/N671	$\lambda_w \leq \lambda_{w,máx}$ Cumple	x: 1.905 m η = 39.5	x: 0.094 m η = 46.4	x: 0.094 m η = 1.2	x: 0.094 m η = 22.7	η < 0.1	η = 3.3	η < 0.1	η < 0.1	x: 0.094 m η = 69.7	η < 0.1	η = 1.7	η < 0.1	η = 3.4	**CUMPLE η = 69.7**
N574/N590	$\lambda_w \leq \lambda_{w,máx}$ Cumple	x: 2.482 m η = 28.3	x: 0.111 m η = 34.2	x: 2.483 m η = 25.6	x: 0.111 m η = 1.7	x: 2.482 m η = 2.4	η = 0.1	η < 0.1	η < 0.1	x: 2.483 m η = 59.8	η < 0.1	η = 0.2	x: 2.482 m η = 2.4	η = 0.1	**CUMPLE η = 59.8**
N575/N591	$\lambda_w \leq \lambda_{w,máx}$ Cumple	x: 2.482 m η = 33.8	x: 0.111 m η = 37.5	x: 0.111 m η = 5.3	x: 2.483 m η = 2.3	x: 0.111 m η = 0.8	η < 0.1	η < 0.1	η < 0.1	x: 2.483 m η = 42.1	η < 0.1	η = 0.9	x: 0.111 m η = 0.8	η < 0.1	**CUMPLE η = 42.1**
N576/N592	$\lambda_w \leq \lambda_{w,máx}$ Cumple	x: 2.482 m η = 27.9	x: 0.111 m η = 31.3	x: 2.483 m η = 6.5	x: 2.483 m η = 1.1	x: 0.111 m η = 0.8	η = 0.1	η < 0.1	η < 0.1	x: 2.483 m η = 37.9	η < 0.1	η = 0.7	x: 0.111 m η = 0.8	η = 0.1	**CUMPLE η = 37.9**

VISADO
COGITI
Estado
VALENCIA
VA07290/22
TRLTDCFZ60T66IJ1

Barras	COMPROBACIONES (CÓDIGO ESTRUCTURAL)															
	λ_w	N_t	N_c	M_Y	M_Z	V_Z	V_Y	M_YV_Z	M_ZV_Y	NM_YM_Z	$NM_YM_ZV_YV_Z$	M_t	M_tV_Z	M_tV_Y	
N577/N593	$\lambda_w \leq \lambda_{w,máx}$ Cumple	x: 2.482 m η = 25.1	x: 0.111 m η = 27.2	x: 2.483 m η = 6.4	x: 0.111 m η = 1.3	x: 0.111 m η = 0.7	x: 2.482 m η = 0.1	η < 0.1	η < 0.1	x: 2.483 m η = 33.6	η < 0.1	η = 0.7	x: 0.111 m η = 0.7	x: 2.48… η = 0.1	**CUMPLE η = 33.6**
N578/N594	$\lambda_w \leq \lambda_{w,máx}$ Cumple	x: 2.482 m η = 16.0	x: 0.111 m η = 15.1	x: 2.483 m η = 5.1	x: 0.111 m η = 1.9	x: 0.111 m η = 0.5	x: 0.704 m η < 0.1	η < 0.1	η < 0.1	x: 2.483 m η = 21.6	η < 0.1	η = 0.7	x: 0.111 m η = 0.5	x: 0.70… η < 0.1	**CUMPLE η = 21.6**
N580/N596	$\lambda_w \leq \lambda_{w,máx}$ Cumple	x: 2.482 m η = 2.7	x: 0.111 m η = 2.1	x: 0.111 m η = 2.1	x: 0.111 m η = 1.0	x: 0.111 m η = 0.1	η = 0.1	η < 0.1	η < 0.1	x: 0.111 m η = 5.6	η < 0.1	η = 0.5	x: 0.111 m η = 0.1	η = 0.1	**CUMPLE η = 5.6**
N581/N597	$\lambda_w \leq \lambda_{w,máx}$ Cumple	x: 2.482 m η = 14.4	x: 0.111 m η = 16.6	x: 0.111 m η = 4.6	x: 0.111 m η = 1.5	x: 2.482 m η = 0.3	η < 0.1	η < 0.1	η < 0.1	x: 0.111 m η = 20.7	η < 0.1	x: 0.111 m η = 0.6	x: 2.482 m η = 0.3	η < 0.1	**CUMPLE η = 20.7**
N581/N599	$\lambda_w \leq \lambda_{w,máx}$ Cumple	x: 2.662 m η = 24.5	x: 0.119 m η = 32.4	x: 2.663 m η = 5.7	x: 2.663 m η = 1.9	x: 0.119 m η = 0.5	x: 2.027 m η = 0.1	η < 0.1	η < 0.1	x: 2.663 m η = 38.6	η < 0.1	x: 2.451 m η = 0.8	x: 0.119 m η = 0.5	x: 2.027 m η = 0.1	**CUMPLE η = 38.6**
N582/N600	$\lambda_w \leq \lambda_{w,máx}$ Cumple	x: 2.662 m η = 36.1	x: 0.119 m η = 48.3	x: 2.663 m η = 8.6	x: 0.119 m η = 1.4	x: 0.119 m η = 0.8	x: 2.451 m η = 0.1	η < 0.1	η < 0.1	x: 2.663 m η = 57.8	η < 0.1	x: 2.451 m η = 0.7	x: 0.119 m η = 0.8	x: 2.451 m η = 0.1	**CUMPLE η = 57.8**
N584/N602	$\lambda_w \leq \lambda_{w,máx}$ Cumple	x: 2.662 m η = 48.0	x: 0.119 m η = 58.8	x: 2.663 m η = 10.0	x: 0.119 m η = 2.1	x: 0.119 m η = 1.2	x: 2.662 m η = 0.1	η < 0.1	η < 0.1	x: 2.663 m η = 69.5	η < 0.1	η = 0.4	x: 0.119 m η = 1.2	x: 2.662 m η = 0.1	**CUMPLE η = 69.5**
N585/N603	$\lambda_w \leq \lambda_{w,máx}$ Cumple	x: 2.662 m η = 56.8	x: 0.119 m η = 67.9	x: 2.663 m η = 10.6	x: 0.119 m η = 0.7	x: 0.119 m η = 1.3	x: 1.391 m η = 0.1	η < 0.1	η < 0.1	x: 2.663 m η = 79.1	η < 0.1	x: 1.391 m η = 0.5	x: 0.119 m η = 1.4	x: 1.391 m η = 0.1	**CUMPLE η = 79.1**
N586/N604	$\lambda_w \leq \lambda_{w,máx}$ Cumple	x: 2.662 m η = 55.6	x: 0.119 m η = 67.0	x: 0.119 m η = 11.1	x: 2.663 m η = 0.8	x: 0.119 m η = 1.4	η < 0.1	η < 0.1	η < 0.1	x: 2.663 m η = 78.2	η < 0.1	η = 0.5	x: 0.119 m η = 1.4	η < 0.1	**CUMPLE η = 78.2**
N587/N605	$\lambda_w \leq \lambda_{w,máx}$ Cumple	x: 2.662 m η = 56.3	x: 0.119 m η = 67.4	x: 0.119 m η = 10.3	x: 2.662 m η = 1.3	x: 0.119 m η = 0.8	η < 0.1	η < 0.1	η < 0.1	x: 0.119 m η = 77.8	η < 0.1	η = 0.6	x: 0.119 m η = 0.8	η < 0.1	**CUMPLE η = 77.8**
N588/N606	$\lambda_w \leq \lambda_{w,máx}$ Cumple	x: 2.549 m η = 54.1	x: 0.119 m η = 64.7	x: 2.55 m η = 13.0	x: 2.549 m η = 1.0	x: 2.549 m η = 1.4	η < 0.1	η < 0.1	η < 0.1	x: 2.55 m η = 77.5	η < 0.1	η = 0.4	x: 2.549 m η = 1.4	η < 0.1	**CUMPLE η = 77.5**
N608/N589	$\lambda_w \leq \lambda_{w,máx}$ Cumple	x: 2.377 m η = 30.9	x: 0.111 m η = 37.7	x: 2.378 m η = 17.5	x: 0.111 m η = 1.7	x: 0.111 m η = 1.6	η = 0.1	η < 0.1	η < 0.1	x: 2.378 m η = 55.2	η < 0.1	η = 0.9	x: 0.111 m η = 1.6	η = 0.1	**CUMPLE η = 55.2**
N609/N624	$\lambda_w \leq \lambda_{w,máx}$ Cumple	x: 2.482 m η = 45.8	x: 0.111 m η = 50.5	x: 2.483 m η = 11.9	x: 2.482 m η = 1.4	x: 0.111 m η = 1.5	η < 0.1	η < 0.1	η < 0.1	x: 2.483 m η = 62.4	η < 0.1	η = 0.8	x: 2.482 m η = 1.5	η < 0.1	**CUMPLE η = 62.4**
N610/N625	$\lambda_w \leq \lambda_{w,máx}$ Cumple	x: 2.482 m η = 38.6	x: 0.111 m η = 42.8	x: 0.111 m η = 8.0	x: 2.483 m η = 0.8	x: 0.111 m η = 1.0	η < 0.1	η < 0.1	η < 0.1	x: 0.111 m η = 49.5	η < 0.1	η = 0.5	x: 0.111 m η = 1.0	η < 0.1	**CUMPLE η = 49.5**
N611/N626	$\lambda_w \leq \lambda_{w,máx}$ Cumple	x: 2.482 m η = 38.4	x: 0.111 m η = 41.5	x: 0.111 m η = 7.7	x: 0.111 m η = 1.0	x: 0.111 m η = 1.1	η = 0.1	η < 0.1	η < 0.1	x: 2.483 m η = 49.2	η < 0.1	η = 0.5	x: 0.111 m η = 1.1	η = 0.1	**CUMPLE η = 49.2**
N612/N627	$\lambda_w \leq \lambda_{w,máx}$ Cumple	x: 2.482 m η = 29.5	x: 0.111 m η = 32.5	x: 2.483 m η = 6.2	x: 0.111 m η = 3.8	x: 0.111 m η = 0.9	η = 0.1	η < 0.1	η < 0.1	x: 2.483 m η = 39.0	η < 0.1	η = 0.6	x: 0.111 m η = 0.9	η = 0.1	**CUMPLE η = 39.0**
N614/N629	$\lambda_w \leq \lambda_{w,máx}$ Cumple	x: 2.482 m η = 15.1	x: 0.111 m η = 15.9	x: 2.483 m η = 3.8	x: 0.111 m η = 2.9	x: 0.111 m η = 0.4	x: 2.285 m η = 0.2	η < 0.1	η < 0.1	x: 2.483 m η = 19.9	η < 0.1	x: 2.285 m η = 0.6	x: 0.111 m η = 0.4	x: 2.285 m η = 0.2	**CUMPLE η = 19.9**
N615/N630	$\lambda_w \leq \lambda_{w,máx}$ Cumple	x: 2.482 m η = 4.2	x: 0.111 m η = 1.1	x: 2.483 m η = 1.9	x: 2.483 m η = 4.3	x: 0.111 m η = 0.2	η = 0.2	η < 0.1	η < 0.1	x: 2.483 m η = 6.4	η < 0.1	x: 1.099 m η = 1.9	x: 0.111 m η = 0.2	η = 0.2	**CUMPLE η = 6.4**
N615/N632	$\lambda_w \leq \lambda_{w,máx}$ Cumple	x: 2.662 m η = 7.2	x: 0.119 m η = 8.8	x: 2.663 m η = 3.1	x: 0.119 m η = 4.1	x: 2.662 m η = 0.3	η < 0.1	η < 0.1	η < 0.1	x: 2.663 m η = 12.1	η < 0.1	η = 0.9	x: 2.662 m η = 0.3	η < 0.1	**CUMPLE η = 12.1**
N616/N633	$\lambda_w \leq \lambda_{w,máx}$ Cumple	x: 2.662 m η = 18.8	x: 0.119 m η = 27.5	x: 2.663 m η = 5.3	x: 0.119 m η = 2.5	x: 2.662 m η = 0.5	η = 0.2	η < 0.1	η < 0.1	x: 2.663 m η = 33.1	η < 0.1	η = 0.7	x: 2.662 m η = 0.5	η = 0.2	**CUMPLE η = 33.1**
N618/N635	$\lambda_w \leq \lambda_{w,máx}$ Cumple	x: 2.662 m η = 33.7	x: 0.119 m η = 43.1	x: 2.663 m η = 7.4	x: 0.119 m η = 5.5	x: 0.119 m η = 0.9	η = 0.2	η < 0.1	η < 0.1	x: 2.663 m η = 50.9	η < 0.1	η = 0.6	x: 0.119 m η = 0.9	η = 0.2	**CUMPLE η = 50.9**
N619/N636	$\lambda_w \leq \lambda_{w,máx}$ Cumple	x: 2.662 m η = 42.8	x: 0.119 m η = 52.5	x: 2.663 m η = 8.3	x: 0.119 m η = 1.8	x: 0.119 m η = 1.1	η = 0.2	η < 0.1	η < 0.1	x: 2.663 m η = 61.1	η < 0.1	x: 1.815 m η = 0.7	x: 0.119 m η = 1.1	η = 0.2	**CUMPLE η = 61.1**
N620/N637	$\lambda_w \leq \lambda_{w,máx}$ Cumple	x: 2.662 m η = 43.9	x: 0.119 m η = 54.1	x: 0.119 m η = 9.0	x: 2.662 m η = 0.8	x: 0.119 m η = 1.1	η < 0.1	η < 0.1	η < 0.1	x: 0.119 m η = 63.0	η < 0.1	η = 0.5	x: 0.119 m η = 1.1	η < 0.1	**CUMPLE η = 63.0**
N621/N638	$\lambda_w \leq \lambda_{w,máx}$ Cumple	x: 2.662 m η = 45.3	x: 0.119 m η = 55.1	x: 0.119 m η = 8.5	x: 2.662 m η = 1.3	x: 0.119 m η = 0.6	η < 0.1	η < 0.1	η < 0.1	x: 0.119 m η = 63.7	η < 0.1	η = 0.7	x: 0.119 m η = 0.6	η < 0.1	**CUMPLE η = 63.7**
N622/N639	$\lambda_w \leq \lambda_{w,máx}$ Cumple	x: 2.549 m η = 50.8	x: 0.119 m η = 62.7	x: 2.55 m η = 12.2	x: 2.55 m η = 1.1	x: 2.549 m η = 1.3	η < 0.1	η < 0.1	η < 0.1	x: 2.55 m η = 74.2	η < 0.1	η = 0.3	x: 2.549 m η = 1.3	η < 0.1	**CUMPLE η = 74.2**
N641/N623	$\lambda_w \leq \lambda_{w,máx}$ Cumple	x: 2.377 m η = 34.9	x: 0.111 m η = 42.8	x: 2.378 m η = 12.6	x: 0.111 m η = 1.8	x: 0.111 m η = 1.0	η = 0.1	η < 0.1	η < 0.1	x: 2.378 m η = 55.2	η < 0.1	η = 0.9	x: 0.111 m η = 1.0	η = 0.1	**CUMPLE η = 55.2**
N642/N657	$\lambda_w \leq \lambda_{w,máx}$ Cumple	x: 2.482 m η = 54.3	x: 0.111 m η = 62.4	x: 0.111 m η = 12.5	x: 2.482 m η = 1.4	x: 0.111 m η = 1.6	η < 0.1	η < 0.1	η < 0.1	x: 2.483 m η = 75.3	η < 0.1	η = 0.7	x: 0.111 m η = 1.6	η < 0.1	**CUMPLE η = 75.3**
N643/N658	$\lambda_w \leq \lambda_{w,máx}$ Cumple	x: 2.482 m η = 47.1	x: 0.111 m η = 54.6	x: 0.111 m η = 9.5	x: 2.483 m η = 0.9	x: 0.111 m η = 1.2	η < 0.1	η < 0.1	η < 0.1	x: 0.111 m η = 63.4	η < 0.1	η = 0.5	x: 0.111 m η = 1.2	η < 0.1	**CUMPLE η = 63.4**
N644/N659	$\lambda_w \leq \lambda_{w,máx}$ Cumple	x: 2.482 m η = 48.8	x: 0.111 m η = 55.8	x: 2.483 m η = 9.8	x: 0.111 m η = 1.2	x: 0.111 m η = 1.3	x: 1.89 m η = 0.1	η < 0.1	η < 0.1	x: 2.483 m η = 65.8	η < 0.1	x: 1.89 m η = 0.4	x: 0.111 m η = 1.3	x: 1.89 m η = 0.1	**CUMPLE η = 65.8**
N645/N660	$\lambda_w \leq \lambda_{w,máx}$ Cumple	x: 2.482 m η = 40.0	x: 0.111 m η = 47.0	x: 2.483 m η = 8.7	x: 0.111 m η = 4.0	x: 0.111 m η = 1.1	η = 0.1	η < 0.1	η < 0.1	x: 2.483 m η = 56.1	η < 0.1	η = 0.9	x: 0.111 m η = 1.1	η = 0.1	**CUMPLE η = 56.1**
N647/N662	$\lambda_w \leq \lambda_{w,máx}$ Cumple	x: 2.482 m η = 27.8	x: 0.111 m η = 34.8	x: 2.483 m η = 6.9	x: 0.111 m η = 2.0	x: 0.111 m η = 0.7	η < 0.1	η < 0.1	η < 0.1	x: 2.483 m η = 42.2	η < 0.1	η = 0.4	x: 0.111 m η = 0.7	η < 0.1	**CUMPLE η = 42.2**
N648/N663	$\lambda_w \leq \lambda_{w,máx}$ Cumple	x: 2.482 m η = 17.1	x: 0.111 m η = 20.6	x: 2.483 m η = 4.5	x: 2.483 m η = 2.3	x: 0.111 m η = 0.4	η = 0.1	η < 0.1	η < 0.1	x: 2.483 m η = 25.3	η < 0.1	η = 1.0	x: 0.111 m η = 0.4	η = 0.1	**CUMPLE η = 25.3**
N648/N665	$\lambda_w \leq \lambda_{w,máx}$ Cumple	x: 2.662 m η = 7.6	x: 0.119 m η = 7.1	x: 0.119 m η = 3.2	x: 2.663 m η = 2.3	x: 2.662 m η = 0.2	η < 0.1	η < 0.1	η < 0.1	x: 0.119 m η = 10.7	η < 0.1	x: 0.119 m η = 0.8	x: 2.662 m η = 0.2	η < 0.1	**CUMPLE η = 10.7**
N649/N666	$\lambda_w \leq \lambda_{w,máx}$ Cumple	x: 2.662 m η = 6.2	x: 0.119 m η = 6.0	x: 2.663 m η = 3.5	x: 0.119 m η = 2.0	x: 0.119 m η = 0.3	x: 2.239 m η = 0.1	η < 0.1	η < 0.1	x: 2.663 m η = 9.6	η < 0.1	x: 2.239 m η = 0.6	x: 0.119 m η = 0.3	x: 2.239 m η = 0.1	**CUMPLE η = 9.6**
N651/N668	$\lambda_w \leq \lambda_{w,máx}$ Cumple	x: 2.662 m η = 23.3	x: 0.119 m η = 28.2	x: 2.663 m η = 6.4	x: 0.119 m η = 2.8	x: 0.119 m η = 0.7	η = 0.1	η < 0.1	η < 0.1	x: 2.663 m η = 34.9	η < 0.1	η = 0.5	x: 0.119 m η = 0.7	η = 0.1	**CUMPLE η = 34.9**
N652/N669	$\lambda_w \leq \lambda_{w,máx}$ Cumple	x: 2.662 m η = 32.8	x: 0.119 m η = 38.1	x: 2.663 m η = 7.5	x: 0.119 m η = 1.1	x: 0.119 m η = 0.8	x: 1.603 m η = 0.1	η < 0.1	η < 0.1	x: 2.663 m η = 45.8	η < 0.1	η = 0.5	x: 0.119 m η = 0.8	x: 1.603 m η = 0.1	**CUMPLE η = 45.8**
N653/N670	$\lambda_w \leq \lambda_{w,máx}$ Cumple	x: 2.662 m η = 34.5	x: 0.119 m η = 40.9	x: 2.663 m η = 7.4	x: 2.663 m η = 1.0	x: 0.119 m η = 0.9	η = 0.1	η < 0.1	η < 0.1	x: 2.663 m η = 48.6	η < 0.1	η = 0.6	x: 0.119 m η = 0.9	η = 0.1	**CUMPLE η = 48.6**
N654/N671	$\lambda_w \leq \lambda_{w,máx}$ Cumple	x: 2.662 m η = 42.7	x: 0.119 m η = 50.0	x: 2.663 m η = 6.3	x: 2.663 m η = 2.2	x: 0.119 m η = 0.8	η < 0.1	η < 0.1	η < 0.1	x: 2.663 m η = 56.6	η < 0.1	η = 0.9	x: 0.119 m η = 0.8	η < 0.1	**CUMPLE η = 56.6**
N655/N672	$\lambda_w \leq \lambda_{w,máx}$ Cumple	x: 2.549 m η = 26.3	x: 0.119 m η = 33.4	x: 0.119 m η = 14.1	x: 2.55 m η = 1.8	x: 0.119 m η = 1.6	η < 0.1	η < 0.1	η < 0.1	x: 0.119 m η = 46.7	η < 0.1	η = 0.5	x: 0.119 m η = 1.6	η < 0.1	**CUMPLE η = 46.7**
N417/N673	$\lambda_w \leq \lambda_{w,máx}$ Cumple	x: 1.024 m η < 0.1	η = 0.2	x: 2.373 m η = 2.7	x: 0.06 m η = 4.9	η = 0.2	x: 0.06 m η = 0.7	η < 0.1	η < 0.1	x: 0.06 m η = 5.5	η < 0.1	η = 2.4	η = 0.2	x: 0.06 m η = 0.7	**CUMPLE η = 5.5**
N673/N674	$\lambda_w \leq \lambda_{w,máx}$ Cumple	x: 1.217 m η = 0.1	η = 0.1	x: 0.06 m η = 2.0	x: 1.217 m η = 1.1	η = 0.1	x: 0.06 m η = 0.2	η < 0.1	η < 0.1	x: 0.06 m η = 2.3	η < 0.1	η = 0.1	η = 0.1	x: 0.06 m η = 0.2	**CUMPLE η = 2.3**
N674/N573	$\lambda_w \leq \lambda_{w,máx}$ Cumple	η < 0.1	η = 0.2	x: 2.373 m η = 5.7	x: 2.373 m η = 5.4	η = 0.4	x: 2.373 m η = 0.7	η < 0.1	η < 0.1	x: 2.373 m η = 9.2	η < 0.1	η = 2.6	η = 0.4	x: 2.373 m η = 0.7	**CUMPLE η = 9.2**
N434/N675	$\lambda_w \leq \lambda_{w,máx}$ Cumple	η = 0.3	η = 9.5	x: 0.06 m η = 5.7	x: 0.06 m η = 6.5	η = 0.4	x: 0.06 m η = 0.8	η < 0.1	η < 0.1	x: 0.06 m η = 17.6	η < 0.1	η = 3.7	η = 0.4	x: 0.06 m η = 0.9	**CUMPLE η = 17.6**

Documento visado electrónicamente con número: VA07290/22
Código de validación telemática TRLTDCFZ60T66IJ1. Comprobación: https://cogitivalencia.e-gestion.es/Validacion.aspx?CVT=TRLTDCFZ60T66IJ1

VISADO
COGITI
VALENCIA
VA07290/22
TRLTDCFZ60T66IJ1

Listados

Barras	COMPROBACIONES (CÓDIGO ESTRUCTURAL)														Estado
	λ_w	N_t	N_c	M_Y	M_Z	V_Z	V_Y	M_YV_Z	M_ZV_Y	NM_YM_Z	$NM_YM_ZV_YV_Z$	M_t	M_tV_Z	M_tV_Y	
N675/N676	$\lambda_w \leq \lambda_{w,máx}$ Cumple	η = 0.2	η = 10.1	x: 2.373 m η = 1.9	x: 1.217 m η = 1.5	η = 0.1	x: 2.373 m η = 0.2	η < 0.1	η < 0.1	x: 2.373 m η = 12.1	η < 0.1	η = 0.1	η = 0.1	x: 2.373 m η = 0.2	**CUMPLE η = 12.1**
N676/N590	$\lambda_w \leq \lambda_{w,máx}$ Cumple	η = 0.3	η = 9.4	x: 0.06 m η = 2.6	x: 2.373 m η = 5.9	η = 0.2	x: 2.373 m η = 0.8	η < 0.1	η < 0.1	x: 0.06 m η = 13.8	η < 0.1	η = 3.8	η = 0.2	x: 2.373 m η = 0.8	**CUMPLE η = 13.8**
N433/N677	$\lambda_w \leq \lambda_{w,máx}$ Cumple	η = 2.1	η = 55.0	x: 0.15 m η = 2.7	x: 0.15 m η = 3.3	η = 0.4	x: 0.15 m η = 0.5	η < 0.1	η < 0.1	x: 0.15 m η = 58.6	η < 0.1	η = 1.1	η = 0.4	x: 0.15 m η = 0.5	**CUMPLE η = 58.6**
N677/N678	$\lambda_w \leq \lambda_{w,máx}$ Cumple	η = 8.7	x: 1.03 m η = 26.0	x: 2.338 m η = 0.6	x: 2.338 m η = 4.2	η < 0.1	x: 2.338 m η = 0.6	η < 0.1	η < 0.1	x: 2.338 m η = 27.2	η < 0.1	η = 0.1	η < 0.1	x: 2.338 m η = 0.6	**CUMPLE η = 27.2**
N678/N589	$\lambda_w \leq \lambda_{w,máx}$ Cumple	η = 4.3	η = 57.2	x: 0.095 m η = 2.6	x: 0.095 m η = 2.6	η = 0.3	x: 0.095 m η = 0.5	η < 0.1	η < 0.1	x: 2.283 m η = 61.0	η < 0.1	η = 1.1	η = 0.3	x: 0.095 m η = 0.5	**CUMPLE η = 61.0**
N450/N679	$\lambda_w \leq \lambda_{w,máx}$ Cumple	η = 0.8	η = 23.6	x: 0.095 m η = 2.4	x: 0.095 m η = 4.4	η = 0.2	x: 0.095 m η = 0.6	η < 0.1	η < 0.1	x: 0.095 m η = 27.7	η < 0.1	η = 0.9	η = 0.2	x: 0.095 m η = 0.6	**CUMPLE η = 27.7**
N679/N680	$\lambda_w \leq \lambda_{w,máx}$ Cumple	η = 0.8	η = 24.0	x: 2.372 m η = 1.1	x: 2.373 m η = 3.7	η < 0.1	x: 2.373 m η = 0.6	η < 0.1	η < 0.1	x: 2.372 m η = 25.9	η < 0.1	η = 0.1	η < 0.1	x: 2.373 m η = 0.5	**CUMPLE η = 25.9**
N680/N606	$\lambda_w \leq \lambda_{w,máx}$ Cumple	η = 1.2	η = 24.0	x: 2.338 m η = 1.9	x: 2.338 m η = 4.6	η = 0.2	x: 2.338 m η = 0.6	η < 0.1	η < 0.1	x: 2.338 m η = 28.4	η < 0.1	η = 0.9	η = 0.2	x: 2.338 m η = 0.6	**CUMPLE η = 28.4**
N678/N680	$\lambda_w \leq \lambda_{w,máx}$ Cumple	x: 1.939 m η = 0.1	x: 0.078 m η = 3.0	x: 1.94 m η = 2.4	x: 0.078 m η = 3.3	η = 0.3	η = 0.2	η < 0.1	η < 0.1	x: 0.078 m η = 6.5	η < 0.1	η = 0.4	η = 0.3	η = 0.2	**CUMPLE η = 6.5**
N677/N679	$\lambda_w \leq \lambda_{w,máx}$ Cumple	x: 1.939 m η = 0.1	x: 0.078 m η = 1.1	x: 1.94 m η = 2.4	x: 0.078 m η = 3.4	η = 0.4	η = 0.2	η < 0.1	η < 0.1	x: 0.078 m η = 4.6	η < 0.1	η = 0.4	η = 0.4	η = 0.2	**CUMPLE η = 4.6**
N674/N676	$\lambda_w \leq \lambda_{w,máx}$ Cumple	x: 1.939 m η = 0.1	x: 0.06 m η = 0.1	x: 1.94 m η = 3.2	x: 1.94 m η = 2.9	η = 0.4	η = 0.3	η < 0.1	η < 0.1	x: 1.94 m η = 5.9	η < 0.1	η = 1.0	η = 0.4	η = 0.3	**CUMPLE η = 5.9**
N673/N675	$\lambda_w \leq \lambda_{w,máx}$ Cumple	x: 1.939 m η = 0.1	x: 0.06 m η = 0.1	x: 1.94 m η = 3.4	x: 1.94 m η = 2.9	η = 0.4	η = 0.3	η < 0.1	η < 0.1	x: 1.94 m η = 6.1	η < 0.1	η = 1.0	η = 0.4	η = 0.3	**CUMPLE η = 6.1**
N451/N677	$\lambda_w \leq \lambda_{w,máx}$ Cumple	x: 3.054 m η = 13.8	x: 2.033 m η = 5.1	x: 0.195 m η = 5.6	x: 0.195 m η = 5.9	x: 3.055 m η = 0.6	η = 0.2	η < 0.1	η < 0.1	x: 0.195 m η = 21.2	η < 0.1	η = 4.6	x: 3.055 m η = 0.6	η = 0.2	**CUMPLE η = 21.2**
N607/N678	$\lambda_w \leq \lambda_{w,máx}$ Cumple	x: 3.054 m η = 15.2	x: 0.195 m η = 10.5	x: 0.195 m η = 5.9	x: 0.195 m η = 6.8	x: 3.055 m η = 0.6	η = 0.3	η < 0.1	η < 0.1	x: 0.195 m η = 23.7	η < 0.1	η = 4.4	x: 3.055 m η = 0.6	η = 0.3	**CUMPLE η = 23.7**
N484/N681	$\lambda_w \leq \lambda_{w,máx}$ Cumple	x: 3.054 m η = 14.8	x: 0.195 m η = 2.4	x: 0.195 m η = 6.4	x: 3.055 m η = 4.4	x: 3.055 m η = 0.7	η = 0.2	η < 0.1	η < 0.1	x: 3.055 m η = 21.2	η < 0.1	η = 2.9	x: 3.055 m η = 0.7	η = 0.2	**CUMPLE η = 21.2**
N467/N681	$\lambda_w \leq \lambda_{w,máx}$ Cumple	η = 1.9	η = 56.8	x: 2.338 m η = 3.1	x: 0.15 m η = 3.2	η = 0.4	x: 0.15 m η = 0.5	η < 0.1	η < 0.1	x: 2.338 m η = 59.4	η < 0.1	η = 1.1	η = 0.4	x: 0.15 m η = 0.5	**CUMPLE η = 59.4**
N681/N682	$\lambda_w \leq \lambda_{w,máx}$ Cumple	η = 8.8	η = 16.3	x: 2.338 m η = 0.5	x: 2.338 m η = 4.3	η < 0.1	x: 2.338 m η = 0.6	η < 0.1	η < 0.1	x: 2.338 m η = 19.4	η < 0.1	η = 0.1	η < 0.1	x: 2.338 m η = 0.6	**CUMPLE η = 19.4**
N682/N623	$\lambda_w \leq \lambda_{w,máx}$ Cumple	η = 3.7	η = 53.2	x: 2.283 m η = 3.5	x: 0.095 m η = 3.0	η = 0.4	x: 0.095 m η = 0.5	η < 0.1	η < 0.1	x: 2.283 m η = 56.9	η < 0.1	η = 1.2	η = 0.5	x: 0.095 m η = 0.5	**CUMPLE η = 56.9**
N681/N683	$\lambda_w \leq \lambda_{w,máx}$ Cumple	x: 1.939 m η = 0.1	x: 0.078 m η = 1.2	x: 0.078 m η = 2.3	x: 0.078 m η = 3.3	η = 0.4	η = 0.2	η < 0.1	η < 0.1	x: 0.078 m η = 4.8	η < 0.1	η = 0.4	η = 0.4	η = 0.2	**CUMPLE η = 4.8**
N682/N684	$\lambda_w \leq \lambda_{w,máx}$ Cumple	x: 1.939 m η = 0.1	x: 0.078 m η = 3.1	x: 1.94 m η = 2.6	x: 0.078 m η = 3.3	η = 0.3	η = 0.2	η < 0.1	η < 0.1	x: 0.078 m η = 6.7	η < 0.1	η = 0.4	η = 0.3	η = 0.2	**CUMPLE η = 6.7**
N640/N682	$\lambda_w \leq \lambda_{w,máx}$ Cumple	x: 3.054 m η = 14.9	x: 0.195 m η = 10.4	x: 0.195 m η = 6.1	x: 3.055 m η = 4.5	x: 0.195 m η = 0.6	η = 0.2	η < 0.1	η < 0.1	x: 3.055 m η = 21.6	η < 0.1	η = 2.7	x: 3.055 m η = 0.6	η = 0.2	**CUMPLE η = 21.6**
N483/N683	$\lambda_w \leq \lambda_{w,máx}$ Cumple	η = 0.1	η = 22.1	x: 0.095 m η = 2.2	x: 0.095 m η = 4.6	η = 0.2	x: 0.095 m η = 0.6	η < 0.1	η < 0.1	x: 0.095 m η = 26.3	η < 0.1	η = 1.0	η = 0.2	x: 0.095 m η = 0.6	**CUMPLE η = 26.3**
N683/N684	$\lambda_w \leq \lambda_{w,máx}$ Cumple	η = 0.1	η = 22.1	x: 2.373 m η = 1.1	x: 2.373 m η = 3.8	η < 0.1	x: 2.373 m η = 0.6	η < 0.1	η < 0.1	x: 0.06 m η = 24.4	η < 0.1	η < 0.1	η < 0.1	x: 2.373 m η = 0.6	**CUMPLE η = 24.4**
N684/N639	$\lambda_w \leq \lambda_{w,máx}$ Cumple	η = 0.5	η = 21.6	x: 2.338 m η = 1.6	x: 2.338 m η = 4.5	η = 0.2	x: 2.338 m η = 0.6	η < 0.1	η < 0.1	x: 2.338 m η = 25.8	η < 0.1	η = 1.0	η = 0.2	x: 2.338 m η = 0.6	**CUMPLE η = 25.8**
N677/N450	$\lambda_w \leq \lambda_{w,máx}$ Cumple	x: 3.054 m η = 13.2	x: 0.095 m η = 3.2	x: 3.055 m η = 3.8	x: 0.095 m η = 2.0	x: 3.055 m η = 0.5	η = 0.1	η < 0.1	η < 0.1	x: 3.055 m η = 18.0	η < 0.1	η = 1.3	x: 3.055 m η = 0.5	η = 0.1	**CUMPLE η = 18.0**
N678/N606	$\lambda_w \leq \lambda_{w,máx}$ Cumple	x: 3.054 m η = 13.8	x: 0.095 m η = 2.4	x: 3.055 m η = 3.9	x: 0.095 m η = 2.2	x: 3.055 m η = 0.5	η = 0.1	η < 0.1	η < 0.1	x: 3.055 m η = 18.9	η < 0.1	η = 1.3	x: 3.055 m η = 0.5	η = 0.1	**CUMPLE η = 18.9**
N681/N483	$\lambda_w \leq \lambda_{w,máx}$ Cumple	x: 3.054 m η = 13.8	x: 0.095 m η = 1.6	x: 3.055 m η = 3.8	x: 0.095 m η = 1.6	x: 3.055 m η = 0.5	η < 0.1	η < 0.1	η < 0.1	x: 3.055 m η = 18.4	η < 0.1	η = 1.4	x: 3.055 m η = 0.5	η < 0.1	**CUMPLE η = 18.4**
N682/N639	$\lambda_w \leq \lambda_{w,máx}$ Cumple	x: 3.054 m η = 13.7	x: 0.095 m η = 1.8	x: 3.055 m η = 3.8	x: 0.095 m η = 1.9	x: 3.055 m η = 0.5	η < 0.1	η < 0.1	η < 0.1	x: 3.055 m η = 18.3	η < 0.1	η = 1.3	x: 3.055 m η = 0.5	η < 0.1	**CUMPLE η = 18.3**
N516/N686	$\lambda_w \leq \lambda_{w,máx}$ Cumple	x: 2.372 m η = 0.3	η = 13.5	x: 0.095 m η = 3.9	x: 0.095 m η = 4.2	η = 0.4	x: 0.095 m η = 0.6	η < 0.1	η < 0.1	x: 0.095 m η = 16.7	η < 0.1	η = 2.1	η = 0.4	x: 0.095 m η = 0.6	**CUMPLE η = 16.7**
N686/N685	$\lambda_w \leq \lambda_{w,máx}$ Cumple	x: 1.217 m η = 0.3	η = 13.4	x: 0.06 m η = 1.8	x: 0.06 m η = 2.9	η < 0.1	x: 2.373 m η = 0.5	η < 0.1	η < 0.1	x: 0.06 m η = 15.2	η < 0.1	η = 0.1	η < 0.1	x: 2.373 m η = 0.5	**CUMPLE η = 15.2**
N685/N672	$\lambda_w \leq \lambda_{w,máx}$ Cumple	η = 0.7	η = 9.4	x: 2.338 m η = 4.0	x: 2.338 m η = 4.2	η = 0.4	x: 2.338 m η = 0.5	η < 0.1	η < 0.1	x: 2.338 m η = 12.8	η < 0.1	η = 2.2	η = 0.4	x: 2.338 m η = 0.6	**CUMPLE η = 12.8**
N687/N672	$\lambda_w \leq \lambda_{w,máx}$ Cumple	x: 3.054 m η = 13.4	x: 0.095 m η = 2.0	x: 3.055 m η = 3.4	x: 3.055 m η = 3.3	x: 3.055 m η = 0.5	η = 0.1	η < 0.1	η < 0.1	x: 3.055 m η = 17.8	η < 0.1	η = 3.1	x: 3.055 m η = 0.5	η = 0.1	**CUMPLE η = 17.8**
N500/N688	$\lambda_w \leq \lambda_{w,máx}$ Cumple	η = 1.3	η = 46.6	x: 0.15 m η = 5.2	x: 0.15 m η = 2.4	η = 0.7	x: 0.15 m η = 0.4	η < 0.1	η < 0.1	x: 0.15 m η = 48.1	η < 0.1	η = 1.8	η = 0.7	x: 0.15 m η = 0.4	**CUMPLE η = 48.1**
N688/N687	$\lambda_w \leq \lambda_{w,máx}$ Cumple	η = 11.1	η = 9.1	x: 0.095 m η = 0.8	x: 2.338 m η = 3.6	η = 0.1	x: 2.338 m η = 0.5	η < 0.1	η < 0.1	x: 2.338 m η = 13.0	η < 0.1	η = 0.2	η = 0.1	x: 2.338 m η = 0.6	**CUMPLE η = 13.0**
N687/N656	$\lambda_w \leq \lambda_{w,máx}$ Cumple	η = 3.8	η = 38.3	x: 0.095 m η = 4.4	x: 0.095 m η = 2.1	η = 0.5	x: 0.095 m η = 0.4	η < 0.1	η < 0.1	x: 0.095 m η = 39.1	η < 0.1	η = 1.6	η = 0.5	x: 0.095 m η = 0.4	**CUMPLE η = 39.1**
N689/N687	$\lambda_w \leq \lambda_{w,máx}$ Cumple	x: 3.054 m η = 12.6	x: 0.195 m η = 5.9	x: 0.195 m η = 4.3	x: 3.055 m η = 8.4	x: 0.195 m η = 0.4	η = 0.2	η < 0.1	η < 0.1	x: 3.055 m η = 19.1	η < 0.1	η = 6.6	x: 0.195 m η = 0.5	η = 0.2	**CUMPLE η = 19.1**
N688/N686	$\lambda_w \leq \lambda_{w,máx}$ Cumple	x: 1.939 m η = 0.1	x: 0.078 m η = 0.9	x: 0.078 m η = 2.0	x: 0.078 m η = 7.0	η = 0.3	η = 0.4	η < 0.1	η < 0.1	x: 0.078 m η = 7.7	η < 0.1	η = 0.8	η = 0.3	η = 0.4	**CUMPLE η = 7.7**
N688/N516	$\lambda_w \leq \lambda_{w,máx}$ Cumple	x: 3.054 m η = 14.0	x: 0.095 m η = 1.8	x: 3.055 m η = 3.5	x: 0.095 m η = 3.3	x: 3.055 m η = 0.5	η < 0.1	η < 0.1	η < 0.1	x: 3.055 m η = 17.8	η < 0.1	η = 2.9	x: 3.055 m η = 0.5	η < 0.1	**CUMPLE η = 17.8**
N687/N685	$\lambda_w \leq \lambda_{w,máx}$ Cumple	N_{Ed} = 0.00 N.P.(1)	x: 0.078 m η = 2.4	x: 1.94 m η = 2.6	x: 0.078 m η = 6.9	η = 0.3	η = 0.4	η < 0.1	η < 0.1	x: 0.078 m η = 9.4	η < 0.1	η = 0.7	η = 0.3	η = 0.4	**CUMPLE η = 9.4**
N533/N688	$\lambda_w \leq \lambda_{w,máx}$ Cumple	x: 3.054 m η = 16.3	x: 0.195 m η = 2.3	x: 0.195 m η = 5.3	x: 3.055 m η = 8.9	x: 3.055 m η = 0.6	η = 0.2	η < 0.1	η < 0.1	x: 3.055 m η = 25.5	η < 0.1	η = 6.5	x: 3.055 m η = 0.6	η = 0.2	**CUMPLE η = 25.5**
N436/N592	x: 0.509 m $\lambda_w \leq \lambda_{w,máx}$ Cumple	η = 1.1	η = 14.8	M_{Ed} = 0.00 N.P.(2)	x: 3.65 m η = 6.0	V_{Ed} = 0.00 N.P.(3)	x: 0.06 m η = 0.5	N.P.(4)	x: 0.509 m η < 0.1	x: 3.65 m η = 21.2	x: 0.509 m η < 0.1	M_{Ed} = 0.00 N.P.(5)	N.P.(6)	N.P.(6)	**CUMPLE η = 21.2**
N690/N691	$\lambda_w \leq \lambda_{w,máx}$ Cumple	x: 1.939 m η = 0.1	x: 0.06 m η = 0.3	x: 1.94 m η = 9.3	x: 0.06 m η < 0.1	η = 1.4	η < 0.1	η < 0.1	x: 0.06 m η < 0.1	x: 1.94 m η = 9.4	η < 0.1	η < 0.1	η = 1.4	η < 0.1	**CUMPLE η = 9.4**
N692/N693	$\lambda_w \leq \lambda_{w,máx}$ Cumple	x: 1.939 m η = 0.1	x: 0.06 m η = 0.3	x: 0.06 m η = 10.6	x: 0.06 m η < 0.1	η = 1.7	η < 0.1	η < 0.1	x: 0.06 m η < 0.1	x: 0.06 m η = 10.8	η < 0.1	η < 0.1	η = 1.7	η < 0.1	**CUMPLE η = 10.8**

Documento visado electrónicamente con número VA07290/22
Código de validación telemática TRLTDCFZ60T66IJ1. Comprobación: https://cogitivalencia.e-gestion.es/Validacion.aspx?CVT=TRLTDCFZ60T66IJ1

VISADO
COGITI
VALENCIA
VA07290/22
TRLTDCFZ60T66IJ1

Listados

Barras	COMPROBACIONES (CÓDIGO ESTRUCTURAL)															
	λ_w	N_t	N_c	M_Y	M_Z	V_Z	V_Y	M_YV_Z	M_ZV_Y	NM_YM_Z	$NM_YM_ZV_YV_Z$	M_t	M_tV_Z	M_tV_Y	Estado
N425/N695	x: 0.244 m $\lambda_w \leq \lambda_{w,máx}$ Cumple	η = 1.3	η = 11.5	x: 2.372 m η < 0.1	x: 2.373 m η = 16.5	η < 0.1	x: 0.05 m η = 1.2	N.P.(4)	x: 0.244 m η < 0.1	x: 2.373 m η = 17.2	x: 0.244 m η < 0.1	M_{Ed} = 0.00 N.P.(5)	N.P.(6)	N.P.(6)	**CUMPLE** **η = 1.2**
N695/N694	$\lambda_w \leq \lambda_{w,máx}$ Cumple	η = 1.7	η = 12.1	x: 0.06 m η < 0.1	x: 0.06 m η = 4.3	η < 0.1	x: 2.373 m η = 0.5	N.P.(4)	η < 0.1	x: 2.373 m η = 13.2	η < 0.1	x: 0.446 m η < 0.1	η < 0.1	x: 2.373 m η = 0.2	**CUMPLE** **η = 13.2**
N694/N581	x: 0.06 m $\lambda_w \leq \lambda_{w,máx}$ Cumple	η = 2.1	η = 13.1	x: 0.06 m η < 0.1	x: 0.06 m η = 12.8	η < 0.1	x: 2.383 m η = 1.0	N.P.(4)	x: 0.06 m η < 0.1	x: 0.06 m η = 20.0	x: 0.06 m η < 0.1	M_{Ed} = 0.00 N.P.(5)	N.P.(6)	N.P.(6)	**CUMPLE** **η = 20.0**
N442/N697	x: 0.244 m $\lambda_w \leq \lambda_{w,máx}$ Cumple	η = 1.1	η = 9.8	x: 2.372 m η < 0.1	x: 2.373 m η = 16.4	η < 0.1	x: 0.05 m η = 1.2	N.P.(4)	x: 0.051 m η < 0.1	x: 2.373 m η = 19.2	x: 0.244 m η < 0.1	M_{Ed} = 0.00 N.P.(5)	N.P.(6)	N.P.(6)	**CUMPLE** **η = 19.2**
N697/N696	$\lambda_w \leq \lambda_{w,máx}$ Cumple	η = 1.1	η = 13.5	x: 0.06 m η < 0.1	x: 0.06 m η = 4.3	η < 0.1	x: 2.373 m η = 0.5	N.P.(4)	η < 0.1	x: 0.06 m η = 15.8	η < 0.1	η < 0.1	η < 0.1	x: 2.373 m η = 0.2	**CUMPLE** **η = 15.8**
N696/N598	x: 0.06 m $\lambda_w \leq \lambda_{w,máx}$ Cumple	η = 1.9	η = 13.1	x: 0.06 m η < 0.1	x: 0.06 m η = 13.9	η < 0.1	x: 2.383 m η = 1.0	N.P.(4)	x: 0.06 m η < 0.1	x: 0.06 m η = 14.8	x: 0.06 m η < 0.1	M_{Ed} = 0.00 N.P.(5)	N.P.(6)	N.P.(6)	**CUMPLE** **η = 14.8**
N694/N696	$\lambda_w \leq \lambda_{w,máx}$ Cumple	x: 1.939 m η = 0.1	x: 0.06 m η = 0.3	x: 1.94 m η = 10.1	x: 0.06 m η < 0.1	η = 1.6	η < 0.1	η < 0.1	N.P.(4)	x: 1.94 m η = 10.3	η < 0.1	η < 0.1	η = 0.5	η < 0.1	**CUMPLE** **η = 10.3**
N695/N697	$\lambda_w \leq \lambda_{w,máx}$ Cumple	x: 1.939 m η = 0.1	x: 0.06 m η = 0.3	x: 0.06 m η = 11.8	x: 0.06 m η < 0.1	η = 1.9	η < 0.1	η < 0.1	N.P.(4)	x: 0.06 m η = 12.1	η < 0.1	η < 0.1	η = 0.9	η < 0.1	**CUMPLE** **η = 12.1**
N429/N699	x: 0.253 m $\lambda_w \leq \lambda_{w,máx}$ Cumple	η = 0.7	η = 8.3	x: 2.372 m η < 0.1	x: 2.373 m η = 13.2	η < 0.1	x: 0.06 m η = 1.0	x: 0.253 m η < 0.1	x: 0.061 m η < 0.1	x: 2.373 m η = 13.8	x: 0.253 m η < 0.1	M_{Ed} = 0.00 N.P.(5)	N.P.(6)	N.P.(6)	**CUMPLE** **η = 13.8**
N699/N698	$\lambda_w \leq \lambda_{w,máx}$ Cumple	η = 1.0	η = 7.7	x: 0.06 m η < 0.1	x: 0.06 m η = 3.2	η < 0.1	x: 2.373 m η = 0.4	N.P.(4)	η < 0.1	x: 1.409 m η = 8.1	η < 0.1	η < 0.1	η < 0.1	x: 0.06 m η = 0.3	**CUMPLE** **η = 8.1**
N698/N585	x: 0.06 m $\lambda_w \leq \lambda_{w,máx}$ Cumple	η = 1.0	η = 8.5	x: 0.06 m η < 0.1	x: 0.06 m η = 9.2	η < 0.1	x: 2.373 m η = 0.7	x: 0.06 m η < 0.1	x: 0.06 m η < 0.1	x: 0.06 m η = 12.0	x: 0.06 m η < 0.1	M_{Ed} = 0.00 N.P.(5)	N.P.(6)	N.P.(6)	**CUMPLE** **η = 12.0**
N446/N701	x: 0.253 m $\lambda_w \leq \lambda_{w,máx}$ Cumple	η = 2.1	η = 13.4	x: 2.372 m η < 0.1	x: 2.373 m η = 12.5	η < 0.1	x: 0.06 m η = 0.9	x: 0.253 m η < 0.1	x: 0.061 m η < 0.1	x: 2.373 m η = 20.4	x: 0.253 m η < 0.1	M_{Ed} = 0.00 N.P.(5)	N.P.(6)	N.P.(6)	**CUMPLE** **η = 20.4**
N701/N700	$\lambda_w \leq \lambda_{w,máx}$ Cumple	η = 2.0	η = 16.1	x: 0.06 m η < 0.1	x: 0.06 m η = 3.0	η < 0.1	x: 2.373 m η = 0.4	N.P.(4)	η < 0.1	x: 0.06 m η = 17.7	η < 0.1	η < 0.1	η < 0.1	x: 0.06 m η = 0.3	**CUMPLE** **η = 17.7**
N700/N602	x: 0.06 m $\lambda_w \leq \lambda_{w,máx}$ Cumple	η = 2.4	η = 15.4	x: 0.06 m η < 0.1	x: 0.06 m η = 11.0	η < 0.1	x: 2.373 m η = 0.8	x: 0.06 m η < 0.1	x: 0.06 m η < 0.1	x: 0.06 m η = 18.0	x: 0.06 m η < 0.1	M_{Ed} = 0.00 N.P.(5)	N.P.(6)	N.P.(6)	**CUMPLE** **η = 18.0**
N698/N700	$\lambda_w \leq \lambda_{w,máx}$ Cumple	x: 1.939 m η = 0.1	x: 0.06 m η = 0.2	x: 1.94 m η = 8.2	x: 0.06 m η < 0.1	η = 1.2	η < 0.1	η < 0.1	x: 0.06 m η < 0.1	x: 1.94 m η = 8.3	η < 0.1	η < 0.1	η = 1.2	η < 0.1	**CUMPLE** **η = 8.3**
N699/N701	$\lambda_w \leq \lambda_{w,máx}$ Cumple	x: 1.939 m η = 0.1	x: 0.06 m η = 0.2	x: 0.06 m η = 9.6	x: 0.06 m η < 0.1	η = 1.5	η < 0.1	η < 0.1	x: 0.06 m η < 0.1	x: 0.06 m η = 9.8	η < 0.1	η < 0.1	η = 1.2	η < 0.1	**CUMPLE** **η = 9.8**
N448/N604	x: 0.509 m $\lambda_w \leq \lambda_{w,máx}$ Cumple	η = 3.5	η = 19.4	M_{Ed} = 0.00 N.P.(2)	x: 3.65 m η = 6.0	V_{Ed} = 0.00 N.P.(3)	x: 0.06 m η = 0.5	N.P.(4)	x: 0.509 m η < 0.1	x: 3.65 m η = 25.8	x: 0.509 m η < 0.1	M_{Ed} = 0.00 N.P.(5)	N.P.(6)	N.P.(6)	**CUMPLE** **η = 25.8**
N469/N625	x: 0.509 m $\lambda_w \leq \lambda_{w,máx}$ Cumple	η = 1.0	η = 19.3	M_{Ed} = 0.00 N.P.(2)	x: 3.65 m η = 6.0	V_{Ed} = 0.00 N.P.(3)	x: 0.06 m η = 0.5	N.P.(4)	x: 0.509 m η < 0.1	x: 3.65 m η = 25.7	x: 0.509 m η < 0.1	M_{Ed} = 0.00 N.P.(5)	N.P.(6)	N.P.(6)	**CUMPLE** **η = 25.7**
N471/N702	x: 0.061 m $\lambda_w \leq \lambda_{w,máx}$ Cumple	η = 0.9	η = 8.8	x: 2.372 m η < 0.1	x: 2.373 m η = 10.9	η < 0.1	x: 0.06 m η = 0.8	x: 0.253 m η < 0.1	x: 0.061 m η < 0.1	x: 2.373 m η = 14.9	x: 0.061 m η < 0.1	M_{Ed} = 0.00 N.P.(5)	N.P.(6)	N.P.(6)	**CUMPLE** **η = 14.9**
N702/N703	$\lambda_w \leq \lambda_{w,máx}$ Cumple	η = 0.8	η = 10.8	x: 0.06 m η < 0.1	x: 0.06 m η = 2.4	η < 0.1	x: 2.373 m η = 0.3	x: 0.06 m η < 0.1	η < 0.1	x: 0.638 m η = 12.2	η < 0.1	x: 1.217 m η < 0.1	η < 0.1	x: 2.373 m η = 0.2	**CUMPLE** **η = 12.2**
N703/N627	x: 0.06 m $\lambda_w \leq \lambda_{w,máx}$ Cumple	η = 1.1	η = 9.9	x: 0.06 m η < 0.1	x: 0.06 m η = 9.8	η < 0.1	x: 2.373 m η = 0.8	x: 0.06 m η < 0.1	x: 0.06 m η < 0.1	x: 0.06 m η = 13.5	x: 0.06 m η < 0.1	M_{Ed} = 0.00 N.P.(5)	N.P.(6)	N.P.(6)	**CUMPLE** **η = 13.5**
N455/N704	x: 0.061 m $\lambda_w \leq \lambda_{w,máx}$ Cumple	η = 0.3	η = 7.1	x: 2.372 m η < 0.1	x: 2.373 m η = 11.5	η < 0.1	x: 0.06 m η = 0.9	x: 0.253 m η < 0.1	x: 0.061 m η < 0.1	x: 2.373 m η = 12.4	x: 0.061 m η < 0.1	M_{Ed} = 0.00 N.P.(5)	N.P.(6)	N.P.(6)	**CUMPLE** **η = 12.4**
N704/N705	$\lambda_w \leq \lambda_{w,máx}$ Cumple	η = 0.6	η = 6.4	x: 0.06 m η < 0.1	x: 0.06 m η = 2.6	η < 0.1	x: 2.373 m η = 0.3	x: 0.06 m η < 0.1	η < 0.1	x: 1.024 m η = 6.8	η < 0.1	η < 0.1	η < 0.1	x: 2.373 m η = 0.2	**CUMPLE** **η = 6.8**
N705/N611	x: 0.06 m $\lambda_w \leq \lambda_{w,máx}$ Cumple	η = 0.5	η = 7.0	x: 0.06 m η < 0.1	x: 0.06 m η = 8.3	η < 0.1	x: 2.373 m η = 0.7	x: 0.06 m η < 0.1	x: 0.06 m η < 0.1	x: 0.06 m η = 10.4	x: 0.06 m η < 0.1	M_{Ed} = 0.00 N.P.(5)	N.P.(6)	N.P.(6)	**CUMPLE** **η = 10.4**
N705/N703	$\lambda_w \leq \lambda_{w,máx}$ Cumple	x: 1.939 m η = 0.1	x: 0.06 m η = 0.2	x: 1.94 m η = 7.5	x: 0.06 m η < 0.1	η = 1.1	η < 0.1	η < 0.1	x: 0.06 m η < 0.1	x: 1.94 m η = 7.5	η < 0.1	η < 0.1	η = 0.7	η < 0.1	**CUMPLE** **η = 7.5**
N704/N702	$\lambda_w \leq \lambda_{w,máx}$ Cumple	x: 1.939 m η = 0.1	x: 0.06 m η = 0.2	x: 0.06 m η = 8.6	x: 0.06 m η < 0.1	η = 1.3	η < 0.1	η < 0.1	x: 0.06 m η < 0.1	x: 0.06 m η = 8.7	η < 0.1	x: 1 m η < 0.1	x: 1 m η = 0.8	η < 0.1	**CUMPLE** **η = 8.7**
N459/N707	x: 0.051 m $\lambda_w \leq \lambda_{w,máx}$ Cumple	η = 0.7	η = 9.7	x: 2.372 m η < 0.1	x: 2.373 m η = 13.2	η < 0.1	x: 0.05 m η = 1.0	x: 0.244 m η < 0.1	x: 0.051 m η < 0.1	x: 2.373 m η = 14.1	x: 0.051 m η < 0.1	M_{Ed} = 0.00 N.P.(5)	N.P.(6)	N.P.(6)	**CUMPLE** **η = 14.1**
N707/N706	$\lambda_w \leq \lambda_{w,máx}$ Cumple	η = 1.0	η = 9.1	x: 0.06 m η < 0.1	x: 0.06 m η = 3.2	η < 0.1	x: 2.373 m η = 0.4	N.P.(4)	η < 0.1	x: 1.409 m η = 9.6	η < 0.1	η < 0.1	η < 0.1	x: 2.373 m η = 0.2	**CUMPLE** **η = 9.6**
N706/N615	x: 0.06 m $\lambda_w \leq \lambda_{w,máx}$ Cumple	η = 1.1	η = 9.8	x: 0.06 m η < 0.1	x: 0.06 m η = 9.7	η < 0.1	x: 2.383 m η = 0.8	x: 0.06 m η < 0.1	x: 0.06 m η < 0.1	x: 0.06 m η = 13.5	x: 0.06 m η < 0.1	M_{Ed} = 0.00 N.P.(5)	N.P.(6)	N.P.(6)	**CUMPLE** **η = 13.5**
N475/N709	x: 0.051 m $\lambda_w \leq \lambda_{w,máx}$ Cumple	η = 0.8	η = 7.9	x: 2.372 m η < 0.1	x: 2.373 m η = 13.0	η < 0.1	x: 0.05 m η = 1.0	x: 0.244 m η < 0.1	x: 0.051 m η < 0.1	x: 2.373 m η = 15.0	x: 0.051 m η < 0.1	M_{Ed} = 0.00 N.P.(5)	N.P.(6)	N.P.(6)	**CUMPLE** **η = 15.0**
N709/N708	$\lambda_w \leq \lambda_{w,máx}$ Cumple	η = 0.6	η = 10.4	x: 0.06 m η < 0.1	x: 0.06 m η = 3.1	η < 0.1	x: 2.373 m η = 0.4	N.P.(4)	η < 0.1	x: 0.253 m η = 11.9	η < 0.1	η < 0.1	η < 0.1	x: 2.373 m η = 0.2	**CUMPLE** **η = 11.9**
N708/N631	x: 0.06 m $\lambda_w \leq \lambda_{w,máx}$ Cumple	η = 1.0	η = 9.6	x: 0.06 m η < 0.1	x: 0.06 m η = 10.8	η < 0.1	x: 2.383 m η = 0.8	x: 0.06 m η < 0.1	x: 0.06 m η < 0.1	x: 0.06 m η = 12.7	x: 0.06 m η < 0.1	M_{Ed} = 0.00 N.P.(5)	N.P.(6)	N.P.(6)	**CUMPLE** **η = 12.7**
N706/N708	$\lambda_w \leq \lambda_{w,máx}$ Cumple	x: 1.939 m η = 0.1	x: 0.06 m η = 0.2	x: 1.94 m η = 8.2	x: 0.06 m η < 0.1	η = 1.3	η < 0.1	η < 0.1	x: 0.06 m η < 0.1	x: 1.94 m η = 8.2	η < 0.1	η < 0.1	η = 0.7	η < 0.1	**CUMPLE** **η = 8.2**
N707/N709	$\lambda_w \leq \lambda_{w,máx}$ Cumple	x: 1.939 m η = 0.1	x: 0.06 m η = 0.2	x: 0.06 m η = 9.6	x: 0.06 m η < 0.1	η = 1.5	η < 0.1	η < 0.1	x: 0.06 m η < 0.1	x: 0.06 m η = 9.9	η < 0.1	η < 0.1	η = 0.9	η < 0.1	**CUMPLE** **η = 9.9**
N463/N711	x: 0.061 m $\lambda_w \leq \lambda_{w,máx}$ Cumple	η = 0.4	η = 6.9	x: 2.372 m η < 0.1	x: 2.373 m η = 11.1	η < 0.1	x: 0.06 m η = 0.9	x: 0.253 m η < 0.1	x: 0.061 m η < 0.1	x: 2.373 m η = 11.9	x: 0.061 m η < 0.1	M_{Ed} = 0.00 N.P.(5)	N.P.(6)	N.P.(6)	**CUMPLE** **η = 11.9**

Documento visado electrónicamente con número: VA07290/22
Código de validación telemática TRLTDCFZ60T66IJ1. Comprobación: https://cogitivalencia.e-gestion.es/Validacion.aspx?CVT=TRLTDCFZ60T66IJ1

VISADO
COGITI
VALENCIA
VA07290/22
TRLTDCFZ60T66IJ1

Barras	COMPROBACIONES (CÓDIGO ESTRUCTURAL)														Estado
	λ_w	N_t	N_c	M_Y	M_Z	V_Z	V_Y	M_YV_Z	M_ZV_Y	NM_YM_Z	$NM_YM_ZV_YV_Z$	M_t	M_tV_Z	M_tV_Y	
N711/N710	$\lambda_w \leq \lambda_{w,máx}$ Cumple	η = 0.7	η = 6.0	x: 0.06 m η < 0.1	x: 0.253 m η = 2.5	η < 0.1	x: 2.373 m η = 0.3	x: 0.06 m η < 0.1	η < 0.1	x: 0.831 m η = 6.4	η < 0.1	η < 0.1	η < 0.1	x: 2.373 m η = 0.2	**CUMPLE η = 6.4**
N710/N619	x: 0.06 m $\lambda_w \leq \lambda_{w,máx}$ Cumple	η = 0.6	η = 6.5	x: 0.06 m η < 0.1	x: 0.06 m η = 7.6	η < 0.1	x: 2.373 m η = 0.6	x: 0.06 m η < 0.1	x: 0.06 m η < 0.1	x: 0.06 m η = 9.7	x: 0.06 m η < 0.1	M_{Ed} = 0.00 N.P.(5)	N.P.(6)	N.P.(6)	**CUMPLE η = 9.7**
N479/N713	x: 0.061 m $\lambda_w \leq \lambda_{w,máx}$ Cumple	η = 1.2	η = 8.3	x: 2.372 m η < 0.1	x: 2.373 m η = 10.4	η < 0.1	x: 0.06 m η = 0.8	x: 0.253 m η < 0.1	x: 0.061 m η < 0.1	x: 2.373 m η = 14.2	x: 0.061 m η < 0.1	M_{Ed} = 0.00 N.P.(5)	N.P.(6)	N.P.(6)	**CUMPLE η = 14.2**
N713/N712	$\lambda_w \leq \lambda_{w,máx}$ Cumple	η = 1.1	η = 10.3	x: 0.06 m η < 0.1	x: 1.409 m η = 2.3	η < 0.1	x: 2.373 m η = 0.3	x: 0.06 m η < 0.1	η < 0.1	x: 0.253 m η = 11.7	η < 0.1	η < 0.1	η < 0.1	x: 2.373 m η = 0.2	**CUMPLE η = 11.7**
N712/N635	x: 0.06 m $\lambda_w \leq \lambda_{w,máx}$ Cumple	η = 1.3	η = 9.5	x: 0.06 m η < 0.1	x: 0.06 m η = 9.4	η < 0.1	x: 2.373 m η = 0.7	x: 0.06 m η < 0.1	x: 0.06 m η < 0.1	x: 0.06 m η = 13.1	x: 0.06 m η < 0.1	M_{Ed} = 0.00 N.P.(5)	N.P.(6)	N.P.(6)	**CUMPLE η = 13.1**
N710/N712	$\lambda_w \leq \lambda_{w,máx}$ Cumple	x: 1.939 m η = 0.1	x: 0.06 m η = 0.1	x: 1.94 m η = 7.2	x: 0.06 m η < 0.1	η = 1.1	η < 0.1	η < 0.1	x: 0.06 m η < 0.1	x: 1.94 m η = 7.2	η < 0.1	η < 0.1	η = 0.8	η < 0.1	**CUMPLE η = 7.2**
N711/N713	$\lambda_w \leq \lambda_{w,máx}$ Cumple	x: 1.939 m η = 0.1	x: 0.06 m η = 0.1	x: 0.06 m η = 8.3	x: 0.06 m η < 0.1	η = 1.3	η < 0.1	η < 0.1	x: 0.06 m η < 0.1	x: 0.06 m η = 8.5	η < 0.1	η < 0.1	η = 0.9	η < 0.1	**CUMPLE η = 8.5**
N481/N637	x: 0.509 m $\lambda_w \leq \lambda_{w,máx}$ Cumple	η = 2.7	η = 19.8	M_{Ed} = 0.00 N.P.(2)	x: 3.65 m η = 6.0	V_{Ed} = 0.00 N.P.(3)	x: 0.06 m η = 0.5	N.P.(4)	x: 0.509 m η < 0.1	x: 3.65 m η = 26.3	x: 0.509 m η < 0.1	M_{Ed} = 0.00 N.P.(5)	N.P.(6)	N.P.(6)	**CUMPLE η = 26.3**
N502/N658	x: 0.509 m $\lambda_w \leq \lambda_{w,máx}$ Cumple	η = 1.0	η = 16.9	M_{Ed} = 0.00 N.P.(2)	x: 3.65 m η = 6.0	V_{Ed} = 0.00 N.P.(3)	x: 0.06 m η = 0.5	N.P.(4)	x: 0.509 m η < 0.1	x: 3.65 m η = 23.3	x: 0.509 m η < 0.1	M_{Ed} = 0.00 N.P.(5)	N.P.(6)	N.P.(6)	**CUMPLE η = 23.3**
N504/N714	x: 0.061 m $\lambda_w \leq \lambda_{w,máx}$ Cumple	η = 1.3	η = 12.5	x: 2.372 m η < 0.1	x: 2.373 m η = 12.9	η < 0.1	x: 0.06 m η = 1.0	x: 0.253 m η < 0.1	x: 0.061 m η < 0.1	x: 2.373 m η = 19.8	x: 0.061 m η < 0.1	M_{Ed} = 0.00 N.P.(5)	N.P.(6)	N.P.(6)	**CUMPLE η = 19.8**
N714/N715	$\lambda_w \leq \lambda_{w,máx}$ Cumple	η = 1.3	η = 15.4	x: 0.06 m η < 0.1	x: 0.06 m η = 3.1	η < 0.1	x: 2.373 m η = 0.4	x: 0.06 m η < 0.1	η < 0.1	x: 0.06 m η = 17.1	η < 0.1	x: 1.217 m η < 0.1	η < 0.1	x: 0.06 m η = 0.3	**CUMPLE η = 17.1**
N715/N660	x: 0.06 m $\lambda_w \leq \lambda_{w,máx}$ Cumple	η = 1.8	η = 14.7	x: 0.06 m η < 0.1	x: 0.06 m η = 11.4	η < 0.1	x: 2.373 m η = 0.9	x: 0.06 m η < 0.1	x: 0.06 m η < 0.1	x: 0.06 m η = 17.2	x: 0.06 m η < 0.1	M_{Ed} = 0.00 N.P.(5)	N.P.(6)	N.P.(6)	**CUMPLE η = 17.2**
N488/N716	x: 0.061 m $\lambda_w \leq \lambda_{w,máx}$ Cumple	η = 0.6	η = 10.4	x: 2.372 m η < 0.1	x: 2.373 m η = 13.4	η < 0.1	x: 0.06 m η = 1.0	x: 0.253 m η < 0.1	x: 0.061 m η < 0.1	x: 2.373 m η = 14.0	x: 0.061 m η < 0.1	M_{Ed} = 0.00 N.P.(5)	N.P.(6)	N.P.(6)	**CUMPLE η = 14.0**
N716/N717	$\lambda_w \leq \lambda_{w,máx}$ Cumple	η = 1.0	η = 10.1	x: 0.06 m η < 0.1	x: 0.06 m η = 3.3	η < 0.1	x: 2.373 m η = 0.4	x: 0.06 m η < 0.1	η < 0.1	x: 1.795 m η = 10.6	η < 0.1	η < 0.1	η < 0.1	x: 0.06 m η = 0.3	**CUMPLE η = 10.6**
N717/N644	x: 0.06 m $\lambda_w \leq \lambda_{w,máx}$ Cumple	η = 1.0	η = 11.1	x: 0.06 m η < 0.1	x: 0.06 m η = 9.8	η < 0.1	x: 2.373 m η = 0.8	x: 0.06 m η < 0.1	x: 0.06 m η < 0.1	x: 0.06 m η = 15.2	x: 0.06 m η < 0.1	M_{Ed} = 0.00 N.P.(5)	N.P.(6)	N.P.(6)	**CUMPLE η = 15.2**
N717/N715	$\lambda_w \leq \lambda_{w,máx}$ Cumple	x: 1.939 m η = 0.1	x: 0.06 m η = 0.2	x: 1.94 m η = 8.5	x: 0.06 m η < 0.1	η = 1.3	η < 0.1	η < 0.1	x: 0.06 m η < 0.1	x: 1.94 m η = 8.5	η < 0.1	x: 1 m η < 0.1	η = 1.3	η < 0.1	**CUMPLE η = 8.5**
N716/N714	$\lambda_w \leq \lambda_{w,máx}$ Cumple	x: 1.939 m η = 0.1	x: 0.06 m η = 0.2	x: 0.06 m η = 9.7	x: 0.06 m η < 0.1	η = 1.5	η < 0.1	η < 0.1	x: 0.06 m η < 0.1	x: 0.06 m η = 9.9	η < 0.1	x: 1 m η < 0.1	η = 1.0	η < 0.1	**CUMPLE η = 9.9**
N492/N719	x: 0.051 m $\lambda_w \leq \lambda_{w,máx}$ Cumple	η = 1.2	η = 11.6	x: 2.373 m η = 0.9	x: 2.373 m η = 16.2	η = 0.1	x: 0.05 m η = 1.2	x: 0.051 m η < 0.1	x: 0.051 m η < 0.1	x: 2.373 m η = 16.5	x: 0.051 m η < 0.1	M_{Ed} = 0.00 N.P.(5)	N.P.(6)	N.P.(6)	**CUMPLE η = 16.5**
N719/N718	$\lambda_w \leq \lambda_{w,máx}$ Cumple	η = 1.6	η = 12.0	x: 2.373 m η = 1.4	x: 0.06 m η = 4.2	η < 0.1	x: 2.373 m η = 0.5	η < 0.1	η < 0.1	x: 2.372 m η = 12.8	η < 0.1	η = 0.1	η < 0.1	x: 2.373 m η = 0.2	**CUMPLE η = 12.8**
N718/N648	x: 0.06 m $\lambda_w \leq \lambda_{w,máx}$ Cumple	η = 1.9	η = 13.0	x: 0.06 m η = 1.6	x: 0.06 m η = 12.6	η = 0.1	x: 2.383 m η = 0.9	x: 0.06 m η < 0.1	x: 0.06 m η < 0.1	x: 0.06 m η = 19.4	x: 0.06 m η < 0.1	M_{Ed} = 0.00 N.P.(5)	N.P.(6)	N.P.(6)	**CUMPLE η = 19.4**
N508/N721	x: 0.051 m $\lambda_w \leq \lambda_{w,máx}$ Cumple	η = 1.1	η = 9.1	x: 2.372 m η = 0.1	x: 2.373 m η = 16.2	η < 0.1	x: 0.05 m η = 1.2	x: 0.051 m η < 0.1	x: 0.051 m η < 0.1	x: 2.373 m η = 18.7	x: 0.051 m η < 0.1	M_{Ed} = 0.00 N.P.(5)	N.P.(6)	N.P.(6)	**CUMPLE η = 18.7**
N721/N720	$\lambda_w \leq \lambda_{w,máx}$ Cumple	η = 1.1	η = 12.8	x: 2.372 m η = 0.3	x: 0.06 m η = 4.2	η < 0.1	x: 2.373 m η = 0.5	η < 0.1	η < 0.1	x: 0.06 m η = 15.0	η < 0.1	η = 0.1	η < 0.1	x: 2.373 m η = 0.2	**CUMPLE η = 15.0**
N720/N664	x: 0.06 m $\lambda_w \leq \lambda_{w,máx}$ Cumple	η = 1.9	η = 12.4	x: 0.06 m η = 0.1	x: 0.06 m η = 13.5	η < 0.1	x: 2.383 m η = 1.0	x: 0.06 m η < 0.1	x: 0.06 m η < 0.1	x: 0.06 m η = 14.5	x: 0.06 m η < 0.1	M_{Ed} = 0.00 N.P.(5)	N.P.(6)	N.P.(6)	**CUMPLE η = 14.5**
N718/N720	$\lambda_w \leq \lambda_{w,máx}$ Cumple	x: 1.939 m η = 0.1	x: 0.06 m η = 0.3	x: 1.94 m η = 9.9	x: 0.06 m η = 0.1	η = 1.5	η < 0.1	η < 0.1	x: 0.06 m η < 0.1	x: 1.94 m η = 10.0	η < 0.1	η = 0.3	η = 0.6	η < 0.1	**CUMPLE η = 10.0**
N719/N721	$\lambda_w \leq \lambda_{w,máx}$ Cumple	x: 1.939 m η = 0.1	x: 0.06 m η = 0.3	x: 0.06 m η = 11.6	x: 0.06 m η = 0.1	η = 1.8	η < 0.1	η < 0.1	x: 0.06 m η < 0.1	x: 0.06 m η = 11.9	η < 0.1	η = 0.4	η = 0.9	η < 0.1	**CUMPLE η = 11.9**
N496/N723	x: 0.061 m $\lambda_w \leq \lambda_{w,máx}$ Cumple	η = 0.9	η = 8.5	x: 2.372 m η < 0.1	x: 2.373 m η = 14.0	η < 0.1	x: 0.06 m η = 1.0	x: 0.253 m η < 0.1	x: 0.061 m η < 0.1	x: 2.373 m η = 14.2	x: 0.061 m η < 0.1	M_{Ed} = 0.00 N.P.(5)	N.P.(6)	N.P.(6)	**CUMPLE η = 14.2**
N723/N722	$\lambda_w \leq \lambda_{w,máx}$ Cumple	η = 1.3	η = 8.5	x: 0.06 m η < 0.1	x: 0.06 m η = 3.5	η < 0.1	x: 2.373 m η = 0.4	x: 0.06 m η < 0.1	η < 0.1	x: 1.988 m η = 9.0	η < 0.1	η < 0.1	η < 0.1	x: 2.373 m η = 0.4	**CUMPLE η = 9.0**
N722/N652	x: 0.06 m $\lambda_w \leq \lambda_{w,máx}$ Cumple	η = 1.5	η = 9.3	x: 0.06 m η < 0.1	x: 0.06 m η = 10.5	η < 0.1	x: 2.373 m η = 0.8	x: 0.06 m η < 0.1	x: 0.06 m η < 0.1	x: 0.06 m η = 14.4	x: 0.06 m η < 0.1	M_{Ed} = 0.00 N.P.(5)	N.P.(6)	N.P.(6)	**CUMPLE η = 14.4**
N512/N725	x: 0.061 m $\lambda_w \leq \lambda_{w,máx}$ Cumple	η = 1.4	η = 6.4	x: 2.372 m η < 0.1	x: 2.373 m η = 13.5	η < 0.1	x: 0.06 m η = 1.0	x: 0.253 m η < 0.1	x: 0.061 m η < 0.1	x: 2.373 m η = 15.5	x: 0.061 m η < 0.1	M_{Ed} = 0.00 N.P.(5)	N.P.(6)	N.P.(6)	**CUMPLE η = 15.5**
N725/N724	$\lambda_w \leq \lambda_{w,máx}$ Cumple	η = 1.3	η = 9.6	x: 0.06 m η < 0.1	x: 0.06 m η = 3.3	η < 0.1	x: 2.373 m η = 0.4	x: 0.06 m η < 0.1	η < 0.1	x: 0.06 m η = 11.6	η < 0.1	η < 0.1	η < 0.1	x: 2.373 m η = 0.4	**CUMPLE η = 11.6**
N724/N668	x: 0.06 m $\lambda_w \leq \lambda_{w,máx}$ Cumple	η = 1.9	η = 9.2	x: 0.06 m η < 0.1	x: 0.06 m η = 11.9	η < 0.1	x: 2.373 m η = 0.9	x: 0.06 m η < 0.1	x: 0.06 m η < 0.1	x: 0.06 m η = 13.5	x: 0.06 m η < 0.1	M_{Ed} = 0.00 N.P.(5)	N.P.(6)	N.P.(6)	**CUMPLE η = 13.5**
N722/N724	$\lambda_w \leq \lambda_{w,máx}$ Cumple	x: 1.939 m η = 0.1	x: 0.06 m η = 0.2	x: 1.94 m η = 8.9	x: 0.06 m η < 0.1	η = 1.3	η < 0.1	η < 0.1	x: 0.06 m η < 0.1	x: 1.94 m η = 8.9	η < 0.1	η < 0.1	η = 1.3	η < 0.1	**CUMPLE η = 8.9**
N723/N725	$\lambda_w \leq \lambda_{w,máx}$ Cumple	x: 1.939 m η = 0.1	x: 0.06 m η = 0.2	x: 0.06 m η = 10.1	x: 0.06 m η < 0.1	η = 1.6	η < 0.1	η < 0.1	x: 0.06 m η < 0.1	x: 0.06 m η = 10.4	η < 0.1	η < 0.1	η = 1.6	η < 0.1	**CUMPLE η = 10.4**
N514/N670	x: 0.509 m $\lambda_w \leq \lambda_{w,máx}$ Cumple	η = 2.0	η = 15.7	M_{Ed} = 0.00 N.P.(2)	x: 3.65 m η = 6.0	V_{Ed} = 0.00 N.P.(3)	x: 0.06 m η = 0.5	N.P.(4)	x: 0.509 m η < 0.1	x: 3.65 m η = 22.0	x: 0.509 m η < 0.1	M_{Ed} = 0.00 N.P.(5)	N.P.(6)	N.P.(6)	**CUMPLE η = 22.0**
N438/N693	x: 0.061 m $\lambda_w \leq \lambda_{w,máx}$ Cumple	η = 0.9	η = 1.1	x: 2.181 m η < 0.1	x: 2.373 m η = 14.5	η < 0.1	x: 0.06 m η = 1.1	x: 0.253 m η < 0.1	x: 0.061 m η < 0.1	x: 2.373 m η = 15.8	x: 0.061 m η < 0.1	M_{Ed} = 0.00 N.P.(5)	N.P.(6)	N.P.(6)	**CUMPLE η = 15.8**

Documento visado electrónicamente con número VA07290/22 Código de validación telemática TRLTDCFZ60T66IJ1. Comprobación: https://cogitivalencia.e-gestion.es/Validacion.aspx?CVT=TRLTDCFZ60T66IJ1

VISADO
COGITI
Estado
VALENCIA
VA07290/22
TRLTDCFZ60T66IJ1

Barras	COMPROBACIONES (CÓDIGO ESTRUCTURAL)														
	λ_w	N_t	N_c	M_y	M_z	V_z	V_y	M_yV_z	M_zV_y	NM_yM_z	$NM_yM_zV_yV_z$	M_t	M_tV_z	M_tV_y	
N693/N691	$\lambda_w \leq \lambda_{w,máx}$ Cumple	η = 0.9	η = 9.0	x: 0.06 m η < 0.1	x: 0.06 m η = 3.6	η < 0.1	x: 2.373 m η = 0.5	x: 0.06 m η < 0.1	η < 0.1	x: 0.06 m η = 11.2	η < 0.1	η < 0.1	η < 0.1	x: 2.373 m η = 0.5	**CUMPLE η = 11.2**
N691/N594	x: 0.06 m $\lambda_w \leq \lambda_{w,máx}$ Cumple	η = 1.5	η = 8.6	x: 0.253 m η < 0.1	x: 0.06 m η = 12.5	η < 0.1	x: 2.373 m η = 0.9	x: 0.06 m η < 0.1	x: 0.06 m η < 0.1	x: 0.06 m η = 13.8	x: 0.06 m η < 0.1	M_{Ed} = 0.00 N.P.(5)	N.P.(6)	N.P.(6)	**CUMPLE η = 13.8**
N421/N692	x: 0.061 m $\lambda_w \leq \lambda_{w,máx}$ Cumple	η = 1.1	η = 8.8	x: 2.181 m η < 0.1	x: 2.373 m η = 14.7	η < 0.1	x: 0.06 m η = 1.1	x: 0.253 m η < 0.1	x: 0.061 m η < 0.1	x: 2.373 m η = 15.1	x: 0.061 m η < 0.1	M_{Ed} = 0.00 N.P.(5)	N.P.(6)	N.P.(6)	**CUMPLE η = 15.1**
N692/N690	$\lambda_w \leq \lambda_{w,máx}$ Cumple	η = 1.4	η = 9.0	x: 0.06 m η < 0.1	x: 0.06 m η = 3.7	η < 0.1	x: 2.373 m η = 0.5	x: 0.06 m η < 0.1	η < 0.1	x: 2.373 m η = 9.9	η < 0.1	η < 0.1	η < 0.1	x: 2.373 m η = 0.5	**CUMPLE η = 9.9**
N690/N577	x: 0.06 m $\lambda_w \leq \lambda_{w,máx}$ Cumple	η = 1.6	η = 10.0	x: 0.253 m η < 0.1	x: 0.06 m η = 11.4	η < 0.1	x: 2.373 m η = 0.9	x: 0.06 m η < 0.1	x: 0.06 m η < 0.1	x: 0.06 m η = 16.0	x: 0.06 m η < 0.1	M_{Ed} = 0.00 N.P.(5)	N.P.(6)	N.P.(6)	**CUMPLE η = 16.0**
N730/N747	$\lambda_w \leq \lambda_{w,máx}$ Cumple	x: 1.911 m η = 37.1	x: 0.088 m η = 42.9	x: 0.088 m η = 2.1	x: 1.912 m η = 7.8	η = 0.1	η = 1.2	η < 0.1	η < 0.1	x: 0.088 m η = 50.8	η < 0.1	η = 2.0	η = 0.1	η = 1.2	**CUMPLE η = 50.8**
N731/N748	$\lambda_w \leq \lambda_{w,máx}$ Cumple	x: 1.911 m η = 25.8	x: 0.088 m η = 31.9	x: 0.088 m η = 1.0	x: 0.088 m η = 14.1	η < 0.1	η = 2.1	η < 0.1	η < 0.1	x: 0.088 m η = 46.4	η < 0.1	η = 0.6	η < 0.1	η = 2.2	**CUMPLE η = 46.4**
N732/N749	$\lambda_w \leq \lambda_{w,máx}$ Cumple	x: 1.911 m η = 24.8	x: 0.088 m η = 30.5	x: 0.088 m η = 0.8	x: 0.088 m η = 11.5	η < 0.1	η = 1.8	η < 0.1	η < 0.1	x: 0.088 m η = 42.1	η < 0.1	η = 0.9	η < 0.1	η = 1.8	**CUMPLE η = 42.1**
N733/N750	$\lambda_w \leq \lambda_{w,máx}$ Cumple	x: 1.911 m η = 18.4	x: 0.088 m η = 22.5	x: 0.088 m η = 1.0	x: 0.088 m η = 9.6	η = 0.1	η = 1.5	η < 0.1	η < 0.1	x: 0.088 m η = 32.6	η < 0.1	η = 1.2	η = 0.1	η = 1.5	**CUMPLE η = 32.6**
N734/N751	$\lambda_w \leq \lambda_{w,máx}$ Cumple	x: 1.922 m η = 12.0	x: 0.088 m η = 12.2	x: 0.088 m η = 1.4	x: 0.088 m η = 6.2	η < 0.1	η = 0.9	η < 0.1	η < 0.1	x: 0.088 m η = 18.9	η < 0.1	η = 1.4	η < 0.1	η = 1.0	**CUMPLE η = 18.9**
N735/N752	$\lambda_w \leq \lambda_{w,máx}$ Cumple	x: 1.922 m η = 6.6	x: 0.086 m η = 6.6	x: 1.922 m η = 0.2	x: 0.086 m η = 2.6	x: 0.821 m η < 0.1	η = 0.3	η < 0.1	η < 0.1	x: 0.086 m η = 9.2	η < 0.1	η = 0.3	x: 0.821 m η < 0.1	η = 0.3	**CUMPLE η = 9.2**
N736/N753	$\lambda_w \leq \lambda_{w,máx}$ Cumple	x: 1.922 m η = 2.1	x: 0.086 m η = 2.0	x: 1.922 m η = 1.0	x: 1.923 m η = 0.8	η < 0.1	η = 0.1	η < 0.1	η < 0.1	x: 1.923 m η = 3.1	η < 0.1	η = 1.4	η < 0.1	η = 0.1	**CUMPLE η = 3.1**
N737/N754	$\lambda_w \leq \lambda_{w,máx}$ Cumple	x: 1.922 m η = 7.8	x: 0.086 m η = 7.7	x: 0.086 m η = 1.0	x: 0.086 m η = 6.1	η = 0.1	η = 0.8	η < 0.1	η < 0.1	x: 0.086 m η = 14.4	η < 0.1	η = 0.3	η = 0.1	η = 0.8	**CUMPLE η = 14.4**
N738/N755	$\lambda_w \leq \lambda_{w,máx}$ Cumple	x: 1.921 m η = 26.1	x: 0.086 m η = 32.0	x: 0.086 m η = 1.2	x: 0.086 m η = 13.0	η < 0.1	η = 1.7	η < 0.1	η < 0.1	x: 0.086 m η = 45.5	η < 0.1	x: 1.371 m η = 1.8	η < 0.1	η = 1.7	**CUMPLE η = 45.5**
N739/N756	$\lambda_w \leq \lambda_{w,máx}$ Cumple	x: 1.921 m η = 34.3	x: 0.086 m η = 42.1	x: 0.086 m η = 0.2	x: 0.086 m η = 17.3	η < 0.1	η = 2.3	η < 0.1	η < 0.1	x: 0.086 m η = 60.0	η < 0.1	η = 0.3	η < 0.1	η = 2.3	**CUMPLE η = 60.0**
N740/N757	$\lambda_w \leq \lambda_{w,máx}$ Cumple	x: 1.921 m η = 34.7	x: 0.094 m η = 40.1	x: 0.094 m η = 1.4	x: 0.094 m η = 21.2	η = 0.1	η = 3.4	η < 0.1	η < 0.1	x: 0.094 m η = 61.7	η < 0.1	η = 2.0	η = 0.1	η = 3.4	**CUMPLE η = 61.7**
N741/N758	$\lambda_w \leq \lambda_{w,máx}$ Cumple	x: 1.905 m η = 41.0	x: 0.094 m η = 48.1	x: 0.094 m η = 0.6	x: 0.094 m η = 24.5	η < 0.1	η = 3.9	η < 0.1	η < 0.1	x: 0.094 m η = 73.3	η < 0.1	η = 1.1	η < 0.1	η = 3.9	**CUMPLE η = 73.3**
N742/N759	$\lambda_w \leq \lambda_{w,máx}$ Cumple	x: 1.905 m η = 47.2	x: 0.094 m η = 55.9	x: 0.094 m η = 0.3	x: 1.906 m η = 25.1	η < 0.1	η = 4.1	η < 0.1	η < 0.1	x: 0.094 m η = 81.4	η < 0.1	η = 0.3	η < 0.1	η = 4.1	**CUMPLE η = 81.4**
N743/N760	$\lambda_w \leq \lambda_{w,máx}$ Cumple	x: 1.905 m η = 43.7	x: 0.094 m η = 52.1	x: 0.094 m η = 0.5	x: 0.094 m η = 30.8	η < 0.1	η = 4.8	η < 0.1	η < 0.1	x: 0.094 m η = 83.5	η < 0.1	η = 0.6	η < 0.1	η = 4.8	**CUMPLE η = 83.5**
N744/N761	$\lambda_w \leq \lambda_{w,máx}$ Cumple	x: 1.905 m η = 54.9	x: 0.131 m η = 63.9	x: 0.131 m η = 1.2	x: 0.131 m η = 1.5	η = 0.1	η = 0.1	η < 0.1	η < 0.1	x: 0.131 m η = 66.1	η < 0.1	η = 1.2	η = 0.1	η = 0.1	**CUMPLE η = 66.1**
N764/N780	$\lambda_w \leq \lambda_{w,máx}$ Cumple	x: 1.911 m η = 39.0	x: 0.088 m η = 47.7	x: 0.088 m η = 1.6	x: 1.912 m η = 19.4	η = 0.1	η = 2.8	η < 0.1	η < 0.1	x: 1.912 m η = 67.5	η < 0.1	η = 1.0	η = 0.1	η = 2.8	**CUMPLE η = 67.5**
N765/N781	$\lambda_w \leq \lambda_{w,máx}$ Cumple	x: 1.911 m η = 34.4	x: 0.088 m η = 42.6	x: 0.088 m η = 0.6	x: 0.088 m η = 16.3	η < 0.1	η = 2.5	η < 0.1	η < 0.1	x: 0.088 m η = 59.2	η < 0.1	η = 0.5	η < 0.1	η = 2.5	**CUMPLE η = 59.2**
N766/N782	$\lambda_w \leq \lambda_{w,máx}$ Cumple	x: 1.911 m η = 33.9	x: 0.088 m η = 42.5	x: 0.088 m η = 0.5	x: 0.088 m η = 15.8	η < 0.1	η = 2.6	η < 0.1	η < 0.1	x: 0.088 m η = 58.5	η < 0.1	η = 0.4	η < 0.1	η = 2.6	**CUMPLE η = 58.5**
N767/N783	$\lambda_w \leq \lambda_{w,máx}$ Cumple	x: 1.911 m η = 27.8	x: 0.088 m η = 34.8	x: 0.088 m η = 1.2	x: 0.088 m η = 14.2	η < 0.1	η = 2.2	η < 0.1	η < 0.1	x: 0.088 m η = 49.3	η < 0.1	x: 0.088 m η = 2.1	η < 0.1	η = 2.2	**CUMPLE η = 49.3**
N768/N784	$\lambda_w \leq \lambda_{w,máx}$ Cumple	x: 1.922 m η = 21.4	x: 0.088 m η = 26.7	x: 0.088 m η = 3.0	x: 0.088 m η = 11.2	η = 0.1	η = 1.8	η < 0.1	η < 0.1	x: 0.088 m η = 38.2	η < 0.1	η = 3.4	η = 0.1	η = 1.8	**CUMPLE η = 38.2**
N769/N785	$\lambda_w \leq \lambda_{w,máx}$ Cumple	x: 1.922 m η = 18.0	x: 0.086 m η = 24.4	x: 0.086 m η = 0.5	x: 0.086 m η = 7.8	η < 0.1	η = 1.0	η < 0.1	η < 0.1	x: 0.086 m η = 32.4	η < 0.1	η = 0.5	η < 0.1	η = 1.0	**CUMPLE η = 32.4**
N770/N786	$\lambda_w \leq \lambda_{w,máx}$ Cumple	x: 1.922 m η = 9.8	x: 0.086 m η = 11.4	x: 0.086 m η = 2.6	x: 0.086 m η = 4.7	η < 0.1	η = 0.6	η < 0.1	η < 0.1	x: 0.086 m η = 16.3	η < 0.1	η = 3.1	η < 0.1	η = 0.6	**CUMPLE η = 16.3**
N771/N787	$\lambda_w \leq \lambda_{w,máx}$ Cumple	x: 1.922 m η = 8.0	x: 0.086 m η = 7.9	x: 0.086 m η = 1.3	x: 1.923 m η = 1.3	η = 0.1	η = 0.2	η < 0.1	η < 0.1	x: 1.923 m η = 9.5	η < 0.1	η = 0.2	η = 0.1	η = 0.2	**CUMPLE η = 9.5**
N772/N788	$\lambda_w \leq \lambda_{w,máx}$ Cumple	x: 1.921 m η = 14.9	x: 0.086 m η = 16.3	x: 0.086 m η = 2.4	x: 0.086 m η = 6.7	η < 0.1	η = 0.9	η < 0.1	η < 0.1	x: 0.086 m η = 22.6	η < 0.1	x: 1.921 m η = 3.5	η < 0.1	η = 0.9	**CUMPLE η = 22.6**
N773/N789	$\lambda_w \leq \lambda_{w,máx}$ Cumple	x: 1.921 m η = 23.0	x: 0.086 m η = 26.2	x: 0.086 m η = 0.3	x: 0.086 m η = 10.8	η < 0.1	η = 1.4	η < 0.1	η < 0.1	x: 0.086 m η = 36.6	η < 0.1	η = 0.4	η < 0.1	η = 1.4	**CUMPLE η = 36.6**
N774/N790	$\lambda_w \leq \lambda_{w,máx}$ Cumple	x: 1.921 m η = 25.4	x: 0.094 m η = 28.0	x: 0.094 m η = 2.5	x: 0.094 m η = 14.8	η = 0.1	η = 2.4	η < 0.1	η < 0.1	x: 0.094 m η = 42.3	η < 0.1	η = 3.8	η = 0.1	η = 2.4	**CUMPLE η = 42.3**
N775/N791	$\lambda_w \leq \lambda_{w,máx}$ Cumple	x: 1.905 m η = 31.7	x: 0.094 m η = 36.0	x: 0.094 m η = 1.1	x: 0.094 m η = 18.3	η < 0.1	η = 2.9	η < 0.1	η < 0.1	x: 0.094 m η = 54.3	η < 0.1	η = 2.4	η < 0.1	η = 2.9	**CUMPLE η = 54.3**
N776/N792	$\lambda_w \leq \lambda_{w,máx}$ Cumple	x: 1.905 m η = 37.9	x: 0.094 m η = 43.8	x: 0.094 m η = 0.4	x: 1.906 m η = 19.2	η < 0.1	η = 3.1	η < 0.1	η < 0.1	x: 0.094 m η = 63.2	η < 0.1	η = 0.3	η < 0.1	η = 3.1	**CUMPLE η = 63.2**
N777/N793	$\lambda_w \leq \lambda_{w,máx}$ Cumple	x: 1.905 m η = 36.2	x: 0.094 m η = 42.3	x: 0.094 m η = 0.4	x: 0.094 m η = 25.4	η < 0.1	η = 3.9	η < 0.1	η < 0.1	x: 0.094 m η = 68.0	η < 0.1	η = 0.4	η < 0.1	η = 3.9	**CUMPLE η = 68.0**
N778/N794	$\lambda_w \leq \lambda_{w,máx}$ Cumple	x: 1.905 m η = 47.2	x: 0.131 m η = 53.9	x: 0.131 m η = 1.0	x: 0.131 m η = 4.6	η < 0.1	η = 0.6	η < 0.1	η < 0.1	x: 0.131 m η = 59.0	η < 0.1	η = 1.1	η < 0.1	η = 0.6	**CUMPLE η = 59.0**
N797/N813	$\lambda_w \leq \lambda_{w,máx}$ Cumple	x: 1.911 m η = 47.0	x: 0.088 m η = 55.7	x: 0.088 m η = 1.8	x: 1.912 m η = 22.3	η = 0.1	η = 3.3	η < 0.1	η < 0.1	x: 1.912 m η = 78.6	η < 0.1	η = 1.2	η = 0.1	η = 3.3	**CUMPLE η = 78.6**
N798/N814	$\lambda_w \leq \lambda_{w,máx}$ Cumple	x: 1.911 m η = 41.9	x: 0.088 m η = 50.4	x: 0.088 m η = 0.7	x: 0.088 m η = 19.5	η < 0.1	η = 3.0	η < 0.1	η < 0.1	x: 0.088 m η = 70.4	η < 0.1	η = 0.6	η < 0.1	η = 3.0	**CUMPLE η = 70.4**
N799/N815	$\lambda_w \leq \lambda_{w,máx}$ Cumple	x: 1.911 m η = 43.3	x: 0.088 m η = 52.0	x: 1.911 m η = 0.4	x: 0.088 m η = 19.6	η < 0.1	η = 3.2	η < 0.1	η < 0.1	x: 0.088 m η = 72.0	η < 0.1	η = 0.3	η < 0.1	η = 3.2	**CUMPLE η = 72.0**
N800/N816	$\lambda_w \leq \lambda_{w,máx}$ Cumple	x: 1.911 m η = 37.1	x: 0.088 m η = 44.3	x: 1.911 m η = 1.5	x: 0.088 m η = 18.3	η < 0.1	η = 2.9	η < 0.1	η < 0.1	x: 0.088 m η = 63.3	η < 0.1	x: 0.088 m η = 2.5	η < 0.1	η = 2.9	**CUMPLE η = 63.3**
N801/N817	$\lambda_w \leq \lambda_{w,máx}$ Cumple	x: 1.922 m η = 30.8	x: 0.088 m η = 36.2	x: 0.088 m η = 2.7	x: 0.088 m η = 15.7	η = 0.1	η = 2.5	η < 0.1	η < 0.1	x: 0.088 m η = 52.5	η < 0.1	η = 1.8	η = 0.1	η = 2.5	**CUMPLE η = 52.5**
N802/N818	$\lambda_w \leq \lambda_{w,máx}$ Cumple	x: 1.922 m η = 29.4	x: 0.086 m η = 36.8	x: 0.086 m η = 1.2	x: 0.086 m η = 12.4	η < 0.1	η = 1.6	η < 0.1	η < 0.1	x: 0.086 m η = 49.8	η < 0.1	x: 1.372 m η = 1.6	η < 0.1	η = 1.6	**CUMPLE η = 49.8**
N803/N819	$\lambda_w \leq \lambda_{w,máx}$ Cumple	x: 1.922 m η = 21.2	x: 0.086 m η = 26.8	x: 1.922 m η = 1.6	x: 0.086 m η = 9.1	η < 0.1	η = 1.1	η < 0.1	η < 0.1	x: 0.086 m η = 36.4	η < 0.1	η = 1.7	η < 0.1	η = 1.1	**CUMPLE η = 36.4**

Documento visado electrónicamente con número: VA07290/22
Código de validación telemática TRLTDCFZ60T66IJ1. Comprobación: https://cogitivalencia.e-gestion.es/Validacion.aspx?CVT=TRLTDCFZ60T66IJ1

Listados

Barras	COMPROBACIONES (CÓDIGO ESTRUCTURAL)														Estado
	λ_w	N_t	N_c	M_Y	M_Z	V_Z	V_Y	M_YV_Z	M_ZV_Y	NM_YM_Z	$NM_YM_ZV_YV_Z$	M_t	M_tV_Z	M_tV_Y	
N804/N820	$\lambda_w \le \lambda_{w,máx}$ Cumple	x: 1.922 m η = 8.0	x: 0.086 m η = 7.9	x: 0.086 m η = 1.2	x: 0.086 m η = 3.9	x: 1.922 m η = 0.1	η = 0.5	η < 0.1	η < 0.1	x: 0.086 m η = 12.3	η < 0.1	x: 1.739 m η = 1.2	x: 1.922 m η = 0.1	η = 0.5	**CUMPLE η = 12.3**
N805/N821	$\lambda_w \le \lambda_{w,máx}$ Cumple	x: 1.921 m η = 4.4	x: 0.086 m η = 4.0	x: 0.086 m η = 0.8	x: 1.922 m η = 2.0	η < 0.1	η = 0.3	η < 0.1	η < 0.1	x: 1.922 m η = 6.5	η < 0.1	η = 2.0	η < 0.1	η = 0.3	**CUMPLE η = 6.5**
N806/N822	$\lambda_w \le \lambda_{w,máx}$ Cumple	x: 1.921 m η = 12.5	x: 0.086 m η = 11.7	x: 1.921 m η = 0.6	x: 0.086 m η = 5.6	η < 0.1	η = 0.7	η < 0.1	η < 0.1	x: 0.086 m η = 18.0	η < 0.1	η = 0.8	η < 0.1	η = 0.7	**CUMPLE η = 18.0**
N807/N823	$\lambda_w \le \lambda_{w,máx}$ Cumple	x: 1.921 m η = 16.8	x: 0.094 m η = 16.4	x: 0.094 m η = 1.2	x: 0.094 m η = 9.9	η < 0.1	η = 1.6	η < 0.1	η < 0.1	x: 0.094 m η = 26.9	η < 0.1	η = 1.9	η < 0.1	η = 1.6	**CUMPLE η = 26.9**
N808/N824	$\lambda_w \le \lambda_{w,máx}$ Cumple	x: 1.905 m η = 23.1	x: 0.094 m η = 27.3	x: 0.094 m η = 0.7	x: 0.094 m η = 13.9	η < 0.1	η = 2.2	η < 0.1	η < 0.1	x: 0.094 m η = 41.6	η < 0.1	η = 1.2	η < 0.1	η = 2.2	**CUMPLE η = 41.6**
N809/N825	$\lambda_w \le \lambda_{w,máx}$ Cumple	x: 1.905 m η = 29.4	x: 0.094 m η = 35.3	x: 0.094 m η = 0.7	x: 0.094 m η = 16.4	η < 0.1	η = 2.7	η < 0.1	η < 0.1	x: 0.094 m η = 51.9	η < 0.1	η = 0.8	η < 0.1	η = 2.7	**CUMPLE η = 51.9**
N810/N826	$\lambda_w \le \lambda_{w,máx}$ Cumple	x: 1.905 m η = 29.6	x: 0.094 m η = 35.5	x: 0.094 m η = 0.6	x: 0.094 m η = 17.2	η < 0.1	η = 2.7	η < 0.1	η < 0.1	x: 0.094 m η = 53.0	η < 0.1	η = 0.6	η < 0.1	η = 2.8	**CUMPLE η = 53.0**
N811/N827	$\lambda_w \le \lambda_{w,máx}$ Cumple	x: 1.905 m η = 39.5	x: 0.094 m η = 46.4	x: 0.094 m η = 1.3	x: 0.094 m η = 22.6	η < 0.1	η = 3.3	η < 0.1	η < 0.1	x: 0.094 m η = 69.7	η < 0.1	η = 1.9	η < 0.1	η = 3.4	**CUMPLE η = 69.7**
N730/N746	$\lambda_w \le \lambda_{w,máx}$ Cumple	x: 2.482 m η = 28.4	x: 0.111 m η = 34.3	x: 2.483 m η = 25.7	x: 0.111 m η = 1.7	x: 2.482 m η = 2.4	η = 0.1	η < 0.1	η < 0.1	x: 2.483 m η = 60.2	η < 0.1	η = 0.2	x: 2.482 m η = 2.4	η = 0.1	**CUMPLE η = 60.2**
N731/N747	$\lambda_w \le \lambda_{w,máx}$ Cumple	x: 2.482 m η = 33.9	x: 0.111 m η = 37.6	x: 0.111 m η = 5.3	x: 2.483 m η = 2.3	x: 0.111 m η = 0.8	η < 0.1	η < 0.1	η < 0.1	x: 2.483 m η = 42.1	η < 0.1	η = 0.9	x: 0.111 m η = 0.8	η < 0.1	**CUMPLE η = 42.1**
N732/N748	$\lambda_w \le \lambda_{w,máx}$ Cumple	x: 2.482 m η = 28.0	x: 0.111 m η = 31.4	x: 2.483 m η = 6.5	x: 2.483 m η = 1.0	x: 0.111 m η = 0.8	η = 0.1	η < 0.1	η < 0.1	x: 2.483 m η = 38.0	η < 0.1	η = 0.6	x: 0.111 m η = 0.8	η = 0.1	**CUMPLE η = 38.0**
N733/N749	$\lambda_w \le \lambda_{w,máx}$ Cumple	x: 2.482 m η = 25.2	x: 0.111 m η = 27.3	x: 2.483 m η = 6.4	x: 0.111 m η = 1.5	x: 0.111 m η = 0.7	x: 2.482 m η = 0.1	η < 0.1	η < 0.1	x: 2.483 m η = 33.8	η < 0.1	η = 0.7	x: 0.111 m η = 0.7	x: 2.482 m η = 0.1	**CUMPLE η = 33.8**
N734/N750	$\lambda_w \le \lambda_{w,máx}$ Cumple	x: 2.482 m η = 16.1	x: 0.111 m η = 15.2	x: 2.483 m η = 5.1	x: 0.111 m η = 2.0	x: 0.111 m η = 0.5	η < 0.1	η < 0.1	η < 0.1	x: 2.483 m η = 21.8	η < 0.1	η = 0.8	x: 0.111 m η = 0.5	η < 0.1	**CUMPLE η = 21.8**
N736/N752	$\lambda_w \le \lambda_{w,máx}$ Cumple	x: 2.482 m η = 2.6	x: 0.111 m η = 2.1	x: 0.111 m η = 2.1	x: 0.111 m η = 1.0	x: 0.111 m η = 0.1	η = 0.1	η < 0.1	η < 0.1	x: 0.111 m η = 5.6	η < 0.1	η = 0.6	x: 0.111 m η = 0.1	η = 0.1	**CUMPLE η = 5.6**
N737/N753	$\lambda_w \le \lambda_{w,máx}$ Cumple	x: 2.482 m η = 14.3	x: 0.111 m η = 16.5	x: 0.111 m η = 4.6	x: 0.111 m η = 1.5	x: 2.482 m η = 0.3	η < 0.1	η < 0.1	η < 0.1	x: 0.111 m η = 20.6	η < 0.1	η = 0.6	x: 2.482 m η = 0.3	η < 0.1	**CUMPLE η = 20.6**
N737/N755	$\lambda_w \le \lambda_{w,máx}$ Cumple	x: 2.662 m η = 24.5	x: 0.119 m η = 32.4	x: 2.663 m η = 5.7	x: 2.663 m η = 1.9	x: 0.119 m η = 0.5	η = 0.1	η < 0.1	η < 0.1	x: 2.663 m η = 38.6	η < 0.1	η = 0.8	x: 0.119 m η = 0.5	η = 0.1	**CUMPLE η = 38.6**
N738/N756	$\lambda_w \le \lambda_{w,máx}$ Cumple	x: 2.662 m η = 36.0	x: 0.119 m η = 48.3	x: 2.663 m η = 8.6	x: 0.119 m η = 1.4	x: 0.119 m η = 0.8	x: 2.027 m η = 0.1	η < 0.1	η < 0.1	x: 2.663 m η = 57.8	η < 0.1	x: 2.027 m η = 0.7	x: 0.119 m η = 0.8	x: 2.027 m η = 0.1	**CUMPLE η = 57.8**
N740/N758	$\lambda_w \le \lambda_{w,máx}$ Cumple	x: 2.662 m η = 48.0	x: 0.119 m η = 58.8	x: 2.663 m η = 10.1	x: 0.119 m η = 2.1	x: 0.119 m η = 1.2	η = 0.1	η < 0.1	η < 0.1	x: 2.663 m η = 69.5	η < 0.1	η = 0.4	x: 0.119 m η = 1.2	η = 0.1	**CUMPLE η = 69.5**
N741/N759	$\lambda_w \le \lambda_{w,máx}$ Cumple	x: 2.662 m η = 56.8	x: 0.119 m η = 68.0	x: 2.663 m η = 10.7	x: 0.119 m η = 0.7	x: 0.119 m η = 1.3	x: 0.755 m η = 0.1	η < 0.1	η < 0.1	x: 2.663 m η = 79.2	η < 0.1	x: 1.391 m η = 0.5	x: 0.119 m η = 1.4	x: 0.755 m η = 0.1	**CUMPLE η = 79.2**
N742/N760	$\lambda_w \le \lambda_{w,máx}$ Cumple	x: 2.662 m η = 55.6	x: 0.119 m η = 67.1	x: 0.119 m η = 11.1	x: 2.663 m η = 0.9	x: 0.119 m η = 1.4	η < 0.1	η < 0.1	η < 0.1	x: 2.663 m η = 78.4	η < 0.1	η = 0.5	x: 0.119 m η = 1.4	η < 0.1	**CUMPLE η = 78.4**
N743/N761	$\lambda_w \le \lambda_{w,máx}$ Cumple	x: 2.662 m η = 56.3	x: 0.119 m η = 67.4	x: 0.119 m η = 10.3	x: 2.662 m η = 1.4	x: 0.119 m η = 0.8	η < 0.1	η < 0.1	η < 0.1	x: 0.119 m η = 78.0	η < 0.1	η = 0.7	x: 0.119 m η = 0.8	η < 0.1	**CUMPLE η = 78.0**
N744/N762	$\lambda_w \le \lambda_{w,máx}$ Cumple	x: 2.549 m η = 53.9	x: 0.119 m η = 64.5	x: 2.55 m η = 13.0	x: 2.549 m η = 1.2	x: 2.549 m η = 1.4	η < 0.1	η < 0.1	η < 0.1	x: 2.55 m η = 77.3	η < 0.1	η = 0.5	x: 2.549 m η = 1.4	η < 0.1	**CUMPLE η = 77.3**
N764/N745	$\lambda_w \le \lambda_{w,máx}$ Cumple	x: 2.377 m η = 30.9	x: 0.111 m η = 37.7	x: 2.378 m η = 17.3	x: 0.111 m η = 1.7	x: 0.111 m η = 1.6	η = 0.1	η < 0.1	η < 0.1	x: 2.378 m η = 55.0	η < 0.1	η = 0.9	x: 0.111 m η = 1.6	η = 0.1	**CUMPLE η = 55.0**
N765/N780	$\lambda_w \le \lambda_{w,máx}$ Cumple	x: 2.482 m η = 46.0	x: 0.111 m η = 50.7	x: 2.483 m η = 11.8	x: 2.482 m η = 1.4	x: 0.111 m η = 1.5	η < 0.1	η < 0.1	η < 0.1	x: 2.483 m η = 62.5	η < 0.1	η = 0.8	x: 0.111 m η = 1.5	η < 0.1	**CUMPLE η = 62.5**
N766/N781	$\lambda_w \le \lambda_{w,máx}$ Cumple	x: 2.482 m η = 38.7	x: 0.111 m η = 43.0	x: 0.111 m η = 8.1	x: 2.483 m η = 0.8	x: 0.111 m η = 1.0	η < 0.1	η < 0.1	η < 0.1	x: 0.111 m η = 49.8	η < 0.1	η = 0.5	x: 0.111 m η = 1.0	η < 0.1	**CUMPLE η = 49.8**
N767/N782	$\lambda_w \le \lambda_{w,máx}$ Cumple	x: 2.482 m η = 38.6	x: 0.111 m η = 41.7	x: 0.111 m η = 7.7	x: 0.111 m η = 1.1	x: 0.111 m η = 1.1	x: 1.099 m η = 0.1	η < 0.1	η < 0.1	x: 2.483 m η = 49.5	η < 0.1	η = 0.5	x: 0.111 m η = 1.1	x: 1.099 m η = 0.1	**CUMPLE η = 49.5**
N768/N783	$\lambda_w \le \lambda_{w,máx}$ Cumple	x: 2.482 m η = 29.7	x: 0.111 m η = 32.6	x: 2.483 m η = 6.2	x: 0.111 m η = 3.9	x: 0.111 m η = 0.9	η = 0.1	η < 0.1	η < 0.1	x: 2.483 m η = 39.3	η < 0.1	η = 0.7	x: 0.111 m η = 0.9	η = 0.1	**CUMPLE η = 39.3**
N770/N785	$\lambda_w \le \lambda_{w,máx}$ Cumple	x: 2.482 m η = 15.3	x: 0.111 m η = 16.1	x: 2.483 m η = 3.8	x: 0.111 m η = 2.8	x: 0.111 m η = 0.4	η = 0.2	η < 0.1	η < 0.1	x: 2.483 m η = 20.1	η < 0.1	x: 2.088 m η = 0.7	x: 0.111 m η = 0.4	η = 0.2	**CUMPLE η = 20.1**
N771/N786	$\lambda_w \le \lambda_{w,máx}$ Cumple	x: 2.482 m η = 4.4	x: 0.111 m η = 1.3	x: 2.483 m η = 1.9	x: 2.483 m η = 3.6	x: 0.111 m η = 0.2	η = 0.1	η < 0.1	η < 0.1	x: 2.285 m η = 6.3	η < 0.1	x: 0.111 m η = 1.5	x: 0.111 m η = 0.2	η = 0.1	**CUMPLE η = 6.3**
N771/N788	$\lambda_w \le \lambda_{w,máx}$ Cumple	x: 2.662 m η = 7.0	x: 0.119 m η = 8.6	x: 2.663 m η = 3.1	x: 2.663 m η = 3.7	x: 2.662 m η = 0.3	η = 0.1	η < 0.1	η < 0.1	x: 2.663 m η = 11.9	η < 0.1	η = 1.4	x: 2.662 m η = 0.3	η = 0.1	**CUMPLE η = 11.9**
N772/N789	$\lambda_w \le \lambda_{w,máx}$ Cumple	x: 2.662 m η = 18.5	x: 0.119 m η = 27.3	x: 2.663 m η = 5.3	x: 0.119 m η = 3.0	x: 2.662 m η = 0.5	η = 0.2	η < 0.1	η < 0.1	x: 2.663 m η = 32.8	η < 0.1	x: 2.239 m η = 0.8	x: 2.662 m η = 0.5	η = 0.2	**CUMPLE η = 32.8**
N774/N791	$\lambda_w \le \lambda_{w,máx}$ Cumple	x: 2.662 m η = 33.5	x: 0.119 m η = 42.9	x: 2.663 m η = 7.4	x: 0.119 m η = 4.0	x: 0.119 m η = 0.9	η = 0.1	η < 0.1	η < 0.1	x: 2.663 m η = 50.6	η < 0.1	η = 0.5	x: 0.119 m η = 0.9	η = 0.1	**CUMPLE η = 50.6**
N775/N792	$\lambda_w \le \lambda_{w,máx}$ Cumple	x: 2.662 m η = 42.7	x: 0.119 m η = 52.3	x: 2.663 m η = 8.2	x: 0.119 m η = 1.4	x: 0.119 m η = 1.1	x: 1.603 m η = 0.1	η < 0.1	η < 0.1	x: 2.663 m η = 60.9	η < 0.1	η = 0.4	x: 0.119 m η = 1.1	x: 1.603 m η = 0.1	**CUMPLE η = 60.9**
N776/N793	$\lambda_w \le \lambda_{w,máx}$ Cumple	x: 2.662 m η = 43.8	x: 0.119 m η = 54.0	x: 0.119 m η = 9.0	x: 2.663 m η = 0.9	x: 0.119 m η = 1.1	η < 0.1	η < 0.1	η < 0.1	x: 2.663 m η = 62.8	η < 0.1	η = 0.5	x: 0.119 m η = 1.1	η = 0.1	**CUMPLE η = 62.8**
N777/N794	$\lambda_w \le \lambda_{w,máx}$ Cumple	x: 2.662 m η = 45.1	x: 0.119 m η = 54.9	x: 0.119 m η = 8.5	x: 2.663 m η = 1.4	x: 0.119 m η = 0.6	η < 0.1	η < 0.1	η < 0.1	x: 0.119 m η = 63.7	η < 0.1	η = 0.7	x: 0.119 m η = 0.6	η < 0.1	**CUMPLE η = 63.7**
N778/N795	$\lambda_w \le \lambda_{w,máx}$ Cumple	x: 2.549 m η = 50.6	x: 0.119 m η = 62.4	x: 2.55 m η = 12.2	x: 2.549 m η = 1.1	x: 2.549 m η = 1.3	η < 0.1	η < 0.1	η < 0.1	x: 2.55 m η = 73.8	η < 0.1	η = 0.4	x: 2.549 m η = 1.3	η < 0.1	**CUMPLE η = 73.8**
N797/N779	$\lambda_w \le \lambda_{w,máx}$ Cumple	x: 2.377 m η = 34.9	x: 0.111 m η = 42.8	x: 2.378 m η = 12.4	x: 0.111 m η = 1.9	x: 0.111 m η = 1.0	η = 0.1	η < 0.1	η < 0.1	x: 2.378 m η = 55.1	η < 0.1	η = 0.9	x: 0.111 m η = 1.0	η = 0.1	**CUMPLE η = 55.1**
N798/N813	$\lambda_w \le \lambda_{w,máx}$ Cumple	x: 2.482 m η = 54.5	x: 0.111 m η = 62.6	x: 0.111 m η = 12.5	x: 2.482 m η = 1.5	x: 0.111 m η = 1.6	η < 0.1	η < 0.1	η < 0.1	x: 2.483 m η = 75.4	η < 0.1	η = 0.7	x: 0.111 m η = 1.6	η < 0.1	**CUMPLE η = 75.4**
N799/N814	$\lambda_w \le \lambda_{w,máx}$ Cumple	x: 2.482 m η = 47.3	x: 0.111 m η = 54.8	x: 0.111 m η = 9.6	x: 2.483 m η = 0.9	x: 0.111 m η = 1.2	η < 0.1	η < 0.1	η < 0.1	x: 0.111 m η = 63.8	η < 0.1	η = 0.4	x: 0.111 m η = 1.2	η < 0.1	**CUMPLE η = 63.8**
N800/N815	$\lambda_w \le \lambda_{w,máx}$ Cumple	x: 2.482 m η = 49.0	x: 0.111 m η = 56.0	x: 2.483 m η = 9.8	x: 0.111 m η = 1.2	x: 0.111 m η = 1.3	x: 1.495 m η = 0.1	η < 0.1	η < 0.1	x: 2.483 m η = 66.3	η < 0.1	η = 0.5	x: 0.111 m η = 1.3	x: 1.495 m η = 0.1	**CUMPLE η = 66.3**
N801/N816	$\lambda_w \le \lambda_{w,máx}$ Cumple	x: 2.482 m η = 40.2	x: 0.111 m η = 47.2	x: 2.483 m η = 8.8	x: 0.111 m η = 4.0	x: 0.111 m η = 1.1	η = 0.1	η < 0.1	η < 0.1	x: 2.483 m η = 56.5	η < 0.1	η = 0.9	x: 0.111 m η = 1.1	η = 0.1	**CUMPLE η = 56.5**
N803/N818	$\lambda_w \le \lambda_{w,máx}$ Cumple	x: 2.482 m η = 28.0	x: 0.111 m η = 35.1	x: 2.483 m η = 7.0	x: 0.111 m η = 2.1	x: 0.111 m η = 0.7	η < 0.1	η < 0.1	η < 0.1	x: 2.483 m η = 42.5	η < 0.1	η = 0.5	x: 0.111 m η = 0.7	η < 0.1	**CUMPLE η = 42.5**
N804/N819	$\lambda_w \le \lambda_{w,máx}$ Cumple	x: 2.482 m η = 17.3	x: 0.111 m η = 20.9	x: 2.483 m η = 4.5	x: 2.483 m η = 2.7	x: 0.111 m η = 0.4	x: 0.111 m η = 0.2	η < 0.1	η < 0.1	x: 2.483 m η = 25.6	η < 0.1	x: 0.111 m η = 1.3	x: 0.111 m η = 0.4	x: 0.111 m η = 0.2	**CUMPLE η = 25.6**

VISADO
COGITI
TRLTDCFZ60T66IJ1
VALENCIA
VA07290/22
Documento visado electrónicamente con número VA07290/22
Código de validación telemática TRLTDCFZ60T66IJ1. Comprobación: https://cogitivalencia.e-gestion.es/Validacion.aspx?CVT=TRLTDCFZ60T66IJ1

VISADO
COGITI
Estado
VALENCIA
VA07290/22
TRLTDCFZ60T66IJ1

Barras	COMPROBACIONES (CÓDIGO ESTRUCTURAL)															
	λ_w	N_t	N_c	M_Y	M_Z	V_Z	V_Y	M_YV_Z	M_ZV_Y	NM_YM_Z	$NM_YM_ZV_YV_Z$	M_t	M_tV_Z	M_tV_Y	
N804/N821	$\lambda_w \leq \lambda_{w,máx}$ Cumple	x: 2.662 m η = 7.7	x: 0.119 m η = 7.2	x: 0.119 m η = 3.2	x: 0.119 m η = 2.9	x: 2.662 m η = 0.2	η = 0.1	η < 0.1	η < 0.1	x: 0.119 m η = 10.9	η < 0.1	η = 0.2	x: 2.662 m η = 0.2	η = 0.1	**CUMPLE η = 10.9**
N805/N822	$\lambda_w \leq \lambda_{w,máx}$ Cumple	x: 2.662 m η = 6.1	x: 0.119 m η = 5.9	x: 2.663 m η = 3.4	x: 2.663 m η = 1.5	x: 0.119 m η = 0.3	x: 0.967 m η = 0.1	η < 0.1	η < 0.1	x: 2.663 m η = 9.5	η < 0.1	x: 0.967 m η = 0.8	x: 0.119 m η = 0.3	x: 0.96 m η = 0.1	**CUMPLE η = 9.5**
N807/N824	$\lambda_w \leq \lambda_{w,máx}$ Cumple	x: 2.662 m η = 23.2	x: 0.119 m η = 28.1	x: 2.663 m η = 6.4	x: 0.119 m η = 2.0	x: 0.119 m η = 0.7	η = 0.1	η < 0.1	η < 0.1	x: 2.663 m η = 34.8	η < 0.1	η = 0.5	x: 0.119 m η = 0.7	η = 0.1	**CUMPLE η = 34.8**
N808/N825	$\lambda_w \leq \lambda_{w,máx}$ Cumple	x: 2.662 m η = 32.7	x: 0.119 m η = 38.1	x: 2.663 m η = 7.5	x: 0.119 m η = 1.0	x: 0.119 m η = 0.8	x: 2.451 m η = 0.1	η < 0.1	η < 0.1	x: 2.663 m η = 45.7	η < 0.1	η = 0.5	x: 0.119 m η = 0.8	x: 2.451 m η = 0.1	**CUMPLE η = 45.7**
N809/N826	$\lambda_w \leq \lambda_{w,máx}$ Cumple	x: 2.662 m η = 34.5	x: 0.119 m η = 40.8	x: 2.663 m η = 7.4	x: 2.663 m η = 1.1	x: 0.119 m η = 0.9	η = 0.1	η < 0.1	η < 0.1	x: 2.663 m η = 48.7	η < 0.1	η = 0.6	x: 0.119 m η = 0.9	η = 0.1	**CUMPLE η = 48.7**
N810/N827	$\lambda_w \leq \lambda_{w,máx}$ Cumple	x: 2.662 m η = 42.6	x: 0.119 m η = 50.0	x: 2.663 m η = 6.3	x: 2.663 m η = 2.3	x: 0.119 m η = 0.8	η < 0.1	η < 0.1	η < 0.1	x: 2.663 m η = 56.8	η < 0.1	η = 0.9	x: 0.119 m η = 0.8	η < 0.1	**CUMPLE η = 56.8**
N811/N828	$\lambda_w \leq \lambda_{w,máx}$ Cumple	x: 2.549 m η = 26.3	x: 0.119 m η = 33.4	x: 0.119 m η = 14.0	x: 2.55 m η = 1.9	x: 0.119 m η = 1.6	η < 0.1	η < 0.1	η < 0.1	x: 0.119 m η = 46.7	η < 0.1	η = 0.5	x: 0.119 m η = 1.6	η < 0.1	**CUMPLE η = 46.7**
N573/N829	$\lambda_w \leq \lambda_{w,máx}$ Cumple	η < 0.1	η = 0.1	x: 2.373 m η = 2.6	x: 0.06 m η = 5.2	η = 0.2	x: 0.06 m η = 0.7	η < 0.1	η < 0.1	x: 0.06 m η = 5.6	η < 0.1	η = 2.5	η = 0.2	x: 0.06 m η = 0.7	**CUMPLE η = 5.6**
N829/N830	$\lambda_w \leq \lambda_{w,máx}$ Cumple	η = 0.1	η = 0.1	x: 0.06 m η = 1.9	x: 1.217 m η = 1.1	η = 0.1	x: 0.06 m η = 0.2	η < 0.1	η < 0.1	x: 0.446 m η = 2.6	η < 0.1	η = 0.1	η = 0.1	x: 0.06 m η = 0.2	**CUMPLE η = 2.6**
N830/N729	$\lambda_w \leq \lambda_{w,máx}$ Cumple	η < 0.1	η = 0.1	x: 2.373 m η = 5.6	x: 2.373 m η = 5.2	η = 0.4	x: 2.373 m η = 0.7	η < 0.1	η < 0.1	x: 2.373 m η = 9.8	η < 0.1	η = 2.6	η = 0.4	x: 2.373 m η = 0.7	**CUMPLE η = 9.8**
N590/N831	$\lambda_w \leq \lambda_{w,máx}$ Cumple	η = 0.4	η = 7.5	x: 0.06 m η = 5.1	x: 0.06 m η = 6.3	η = 0.4	x: 0.06 m η = 0.8	η < 0.1	η < 0.1	x: 0.06 m η = 15.2	η < 0.1	η = 3.8	η = 0.4	x: 0.06 m η = 0.8	**CUMPLE η = 15.2**
N831/N832	$\lambda_w \leq \lambda_{w,máx}$ Cumple	η = 0.3	η = 8.0	x: 2.373 m η = 1.8	x: 1.217 m η = 1.5	η = 0.1	x: 2.373 m η = 0.2	η < 0.1	η < 0.1	x: 2.372 m η = 9.9	η < 0.1	η = 0.1	η = 0.1	x: 2.373 m η = 0.2	**CUMPLE η = 9.9**
N832/N746	$\lambda_w \leq \lambda_{w,máx}$ Cumple	η = 0.4	η = 7.5	x: 2.373 m η = 2.8	x: 2.373 m η = 6.1	η = 0.3	x: 2.373 m η = 0.8	η < 0.1	η < 0.1	x: 0.06 m η = 11.6	η < 0.1	η = 3.8	η = 0.3	x: 2.373 m η = 0.8	**CUMPLE η = 11.6**
N589/N833	$\lambda_w \leq \lambda_{w,máx}$ Cumple	η = 3.1	η = 54.0	x: 0.15 m η = 2.8	x: 0.15 m η = 3.3	η = 0.4	x: 0.15 m η = 0.5	η < 0.1	η < 0.1	x: 0.15 m η = 57.5	η < 0.1	η = 1.1	η = 0.4	x: 0.15 m η = 0.5	**CUMPLE η = 57.5**
N833/N834	$\lambda_w \leq \lambda_{w,máx}$ Cumple	η = 8.8	x: 0.843 m η = 16.2	x: 2.338 m η = 0.4	x: 2.338 m η = 4.1	x: 2.151 m η < 0.1	x: 2.338 m η = 0.6	η < 0.1	η < 0.1	x: 2.338 m η = 17.5	η < 0.1	η = 0.1	x: 2.151 m η < 0.1	x: 2.338 m η = 0.6	**CUMPLE η = 17.5**
N834/N745	$\lambda_w \leq \lambda_{w,máx}$ Cumple	η = 4.7	η = 59.0	x: 0.095 m η = 2.6	x: 0.095 m η = 2.6	η = 0.3	x: 0.095 m η = 0.5	η < 0.1	η < 0.1	x: 2.283 m η = 62.9	η < 0.1	η = 1.1	η = 0.4	x: 0.095 m η = 0.5	**CUMPLE η = 62.9**
N606/N835	$\lambda_w \leq \lambda_{w,máx}$ Cumple	η = 1.5	η = 23.2	x: 0.095 m η = 2.3	x: 0.095 m η = 4.4	η = 0.2	x: 0.095 m η = 0.6	η < 0.1	η < 0.1	x: 0.095 m η = 27.2	η < 0.1	η = 0.9	η = 0.2	x: 0.095 m η = 0.6	**CUMPLE η = 27.2**
N835/N836	$\lambda_w \leq \lambda_{w,máx}$ Cumple	η = 1.3	η = 25.5	x: 2.372 m η = 1.1	x: 2.373 m η = 3.6	η < 0.1	x: 2.373 m η = 0.6	η < 0.1	η < 0.1	x: 2.372 m η = 27.5	η < 0.1	x: 1.217 m η < 0.1	η < 0.1	x: 2.373 m η = 0.6	**CUMPLE η = 27.5**
N836/N762	$\lambda_w \leq \lambda_{w,máx}$ Cumple	η = 1.9	η = 25.5	x: 2.338 m η = 1.9	x: 2.338 m η = 4.6	η = 0.2	x: 2.338 m η = 0.6	η < 0.1	η < 0.1	x: 2.338 m η = 30.0	η < 0.1	η = 0.9	η = 0.2	x: 2.338 m η = 0.6	**CUMPLE η = 30.0**
N834/N836	$\lambda_w \leq \lambda_{w,máx}$ Cumple	x: 1.939 m η = 0.1	x: 0.078 m η = 2.9	x: 1.94 m η = 2.3	x: 0.078 m η = 3.3	η = 0.3	η = 0.2	η < 0.1	η < 0.1	x: 0.078 m η = 6.5	η < 0.1	η = 0.4	η = 0.3	η = 0.2	**CUMPLE η = 6.5**
N833/N835	$\lambda_w \leq \lambda_{w,máx}$ Cumple	x: 1.939 m η = 0.1	x: 0.078 m η = 1.5	x: 1.94 m η = 2.5	x: 0.078 m η = 3.4	η = 0.3	η = 0.2	η < 0.1	η < 0.1	x: 0.079 m η = 4.7	η < 0.1	η = 0.4	η = 0.3	η = 0.2	**CUMPLE η = 4.7**
N830/N832	$\lambda_w \leq \lambda_{w,máx}$ Cumple	x: 1.939 m η = 0.1	x: 0.06 m η = 0.1	x: 1.94 m η = 3.3	x: 1.94 m η = 3.0	η = 0.4	η = 0.3	η < 0.1	η < 0.1	x: 1.94 m η = 6.2	η < 0.1	η = 1.0	η = 0.4	η = 0.3	**CUMPLE η = 6.2**
N829/N831	$\lambda_w \leq \lambda_{w,máx}$ Cumple	x: 1.939 m η = 0.1	x: 0.06 m η = 0.1	x: 1.94 m η = 3.4	x: 1.94 m η = 2.9	η = 0.4	η = 0.3	η < 0.1	η < 0.1	x: 1.94 m η = 6.0	η < 0.1	η = 0.9	η = 0.4	η = 0.3	**CUMPLE η = 6.0**
N607/N833	$\lambda_w \leq \lambda_{w,máx}$ Cumple	x: 3.054 m η = 13.6	x: 0.195 m η = 2.7	x: 0.195 m η = 5.4	x: 0.195 m η = 6.2	x: 3.055 m η = 0.6	η = 0.2	η < 0.1	η < 0.1	x: 0.195 m η = 21.3	η < 0.1	η = 4.6	x: 3.055 m η = 0.6	η = 0.2	**CUMPLE η = 21.3**
N763/N834	$\lambda_w \leq \lambda_{w,máx}$ Cumple	x: 3.054 m η = 15.3	x: 0.195 m η = 10.3	x: 0.195 m η = 6.0	x: 0.195 m η = 6.3	x: 3.055 m η = 0.6	η = 0.2	η < 0.1	η < 0.1	x: 0.195 m η = 23.5	η < 0.1	η = 4.4	x: 3.055 m η = 0.6	η = 0.2	**CUMPLE η = 23.5**
N640/N837	$\lambda_w \leq \lambda_{w,máx}$ Cumple	x: 3.054 m η = 14.7	x: 0.195 m η = 2.5	x: 0.195 m η = 6.2	x: 3.055 m η = 4.5	x: 3.055 m η = 0.7	η = 0.2	η < 0.1	η < 0.1	x: 3.055 m η = 21.0	η < 0.1	η = 2.9	x: 3.055 m η = 0.7	η = 0.2	**CUMPLE η = 21.0**
N623/N837	$\lambda_w \leq \lambda_{w,máx}$ Cumple	η = 2.1	η = 55.1	x: 2.338 m η = 3.2	x: 0.15 m η = 3.2	η = 0.4	x: 0.15 m η = 0.5	η < 0.1	η < 0.1	x: 2.338 m η = 57.7	η < 0.1	η = 1.1	η = 0.4	x: 0.15 m η = 0.5	**CUMPLE η = 57.7**
N837/N838	$\lambda_w \leq \lambda_{w,máx}$ Cumple	η = 8.9	η = 12.5	x: 2.338 m η = 0.4	x: 2.338 m η = 4.3	η < 0.1	x: 2.338 m η = 0.6	η < 0.1	η < 0.1	x: 2.338 m η = 15.6	η < 0.1	x: 2.337 m η = 0.2	η < 0.1	x: 2.338 m η = 0.6	**CUMPLE η = 15.6**
N838/N779	$\lambda_w \leq \lambda_{w,máx}$ Cumple	η = 4.4	η = 54.3	x: 2.283 m η = 3.6	x: 0.095 m η = 3.0	η = 0.5	x: 0.095 m η = 0.5	η < 0.1	η < 0.1	x: 2.283 m η = 58.1	η < 0.1	η = 1.2	η = 0.5	x: 0.095 m η = 0.5	**CUMPLE η = 58.1**
N837/N839	$\lambda_w \leq \lambda_{w,máx}$ Cumple	x: 1.939 m η = 0.1	x: 0.078 m η = 1.2	x: 0.078 m η = 2.4	x: 0.078 m η = 3.4	η = 0.4	η = 0.2	η < 0.1	η < 0.1	x: 0.078 m η = 4.9	η < 0.1	η = 0.4	η = 0.4	η = 0.2	**CUMPLE η = 4.9**
N838/N840	$\lambda_w \leq \lambda_{w,máx}$ Cumple	x: 1.939 m η = 0.1	x: 0.078 m η = 3.0	x: 1.94 m η = 2.6	x: 0.078 m η = 3.3	η = 0.3	η = 0.2	η < 0.1	η < 0.1	x: 0.078 m η = 6.7	η < 0.1	η = 0.4	η = 0.3	η = 0.2	**CUMPLE η = 6.7**
N796/N838	$\lambda_w \leq \lambda_{w,máx}$ Cumple	x: 3.054 m η = 15.0	x: 0.195 m η = 6.9	x: 0.195 m η = 6.0	x: 3.055 m η = 4.6	x: 3.055 m η = 0.6	η = 0.2	η < 0.1	η < 0.1	x: 3.055 m η = 21.8	η < 0.1	η = 2.7	x: 3.055 m η = 0.6	η = 0.2	**CUMPLE η = 21.8**
N639/N839	$\lambda_w \leq \lambda_{w,máx}$ Cumple	η = 0.7	η = 21.5	x: 0.095 m η = 2.1	x: 0.095 m η = 4.5	η = 0.2	x: 0.095 m η = 0.6	η < 0.1	η < 0.1	x: 0.095 m η = 25.8	η < 0.1	η = 1.0	η = 0.2	x: 0.095 m η = 0.6	**CUMPLE η = 25.8**
N839/N840	$\lambda_w \leq \lambda_{w,máx}$ Cumple	η = 0.7	η = 22.7	x: 2.372 m η = 1.0	x: 2.373 m η = 3.7	η < 0.1	x: 2.373 m η = 0.6	η < 0.1	η < 0.1	x: 2.372 m η = 24.7	η < 0.1	η = 0.1	η < 0.1	x: 2.373 m η = 0.6	**CUMPLE η = 24.7**
N840/N795	$\lambda_w \leq \lambda_{w,máx}$ Cumple	η = 1.2	η = 22.7	x: 2.338 m η = 1.6	x: 2.338 m η = 4.5	η = 0.2	x: 2.338 m η = 0.6	η < 0.1	η < 0.1	x: 2.338 m η = 26.9	η < 0.1	η = 1.0	η = 0.2	x: 2.338 m η = 0.6	**CUMPLE η = 26.9**
N833/N606	$\lambda_w \leq \lambda_{w,máx}$ Cumple	x: 3.054 m η = 13.2	x: 0.095 m η = 1.0	x: 3.055 m η = 3.7	x: 0.095 m η = 2.1	x: 3.055 m η = 0.5	η = 0.1	η < 0.1	η < 0.1	x: 3.055 m η = 18.1	η < 0.1	η = 1.3	x: 3.055 m η = 0.5	η = 0.1	**CUMPLE η = 18.1**
N834/N762	$\lambda_w \leq \lambda_{w,máx}$ Cumple	x: 3.054 m η = 13.8	x: 0.095 m η = 1.9	x: 3.055 m η = 3.9	x: 0.095 m η = 2.1	x: 3.055 m η = 0.5	η = 0.1	η < 0.1	η < 0.1	x: 3.055 m η = 18.8	η < 0.1	η = 1.3	x: 3.055 m η = 0.5	η = 0.1	**CUMPLE η = 18.8**
N837/N639	$\lambda_w \leq \lambda_{w,máx}$ Cumple	x: 3.054 m η = 13.8	x: 0.095 m η = 1.3	x: 3.055 m η = 3.8	x: 0.095 m η = 1.7	x: 3.055 m η = 0.5	η < 0.1	η < 0.1	η < 0.1	x: 3.055 m η = 18.4	η < 0.1	η = 1.4	x: 3.055 m η = 0.5	η < 0.1	**CUMPLE η = 18.4**
N838/N795	$\lambda_w \leq \lambda_{w,máx}$ Cumple	x: 3.054 m η = 13.7	x: 0.095 m η = 1.7	x: 3.055 m η = 3.8	x: 0.095 m η = 1.8	x: 3.055 m η = 0.5	x: 1.786 m η < 0.1	η < 0.1	η < 0.1	x: 3.055 m η = 18.4	η < 0.1	η = 1.3	x: 3.055 m η = 0.5	x: 1.786 m η < 0.1	**CUMPLE η = 18.4**
N672/N842	$\lambda_w \leq \lambda_{w,máx}$ Cumple	x: 0.665 m η = 0.5	η = 11.3	x: 0.095 m η = 3.9	x: 0.095 m η = 4.3	η = 0.4	x: 0.095 m η = 0.6	η < 0.1	η < 0.1	x: 0.095 m η = 14.6	η < 0.1	η = 2.1	η = 0.4	x: 0.095 m η = 0.6	**CUMPLE η = 14.6**
N842/N841	$\lambda_w \leq \lambda_{w,máx}$ Cumple	η = 0.5	η = 11.2	x: 0.06 m η = 1.8	x: 0.06 m η = 2.8	η < 0.1	x: 2.373 m η = 0.5	η < 0.1	η < 0.1	x: 0.06 m η = 13.1	η < 0.1	η = 0.1	η < 0.1	x: 2.373 m η = 0.5	**CUMPLE η = 13.1**
N841/N828	$\lambda_w \leq \lambda_{w,máx}$ Cumple	η = 1.6	η = 9.6	x: 2.338 m η = 3.9	x: 2.338 m η = 4.2	η = 0.4	x: 2.338 m η = 0.6	η < 0.1	η < 0.1	x: 2.338 m η = 13.7	η < 0.1	η = 2.2	η = 0.4	x: 2.338 m η = 0.6	**CUMPLE η = 13.7**
N843/N828	$\lambda_w \leq \lambda_{w,máx}$ Cumple	x: 3.054 m η = 13.7	x: 0.095 m η = 2.0	x: 3.055 m η = 3.4	x: 3.055 m η = 3.4	x: 3.055 m η = 0.5	η = 0.1	η < 0.1	η < 0.1	x: 3.055 m η = 18.0	η < 0.1	η = 3.0	x: 3.055 m η = 0.5	η = 0.1	**CUMPLE η = 18.0**

Documento visado electrónicamente con número: VA07290/22
Código de validación telemática TRLTDCFZ60T66IJ1. Comprobación: https://cogitivalencia.e-gestion.es/Validacion.aspx?CVT=TRLTDCFZ60T66IJ1

VISADO
COGITI
Estado
VALENCIA
VA07299/22
TRLTDCFZ60T66IJ1

Barras	COMPROBACIONES (CÓDIGO ESTRUCTURAL)														
	λ_w	N_t	N_c	M_Y	M_Z	V_Z	V_Y	M_YV_Z	M_ZV_Y	NM_YM_Z	$NM_YM_ZV_YV_Z$	M_t	M_tV_Z	M_tV_Y	
N656/N844	$\lambda_w \leq \lambda_{w,máx}$ Cumple	η = 1.2	η = 44.9	x: 0.15 m η = 5.3	x: 0.15 m η = 2.4	η = 0.7	x: 0.15 m η = 0.4	η < 0.1	η < 0.1	x: 0.15 m η = 46.5	η < 0.1	η = 1.8	η = 0.7	x: 0.15 m η = 0.4	**CUMPLE η = 46.5**
N844/N843	$\lambda_w \leq \lambda_{w,máx}$ Cumple	η = 11.8	x: 1.03 m η = 8.9	x: 0.095 m η = 0.9	x: 2.338 m η = 3.5	η = 0.1	x: 2.338 m η = 0.5	η < 0.1	η < 0.1	x: 2.338 m η = 13.9	η < 0.1	η = 0.2	η = 0.1	x: 2.338 m η = 0.5	**CUMPLE η = 13.9**
N843/N812	$\lambda_w \leq \lambda_{w,máx}$ Cumple	η = 4.0	η = 36.7	x: 0.095 m η = 4.3	x: 0.095 m η = 2.1	η = 0.5	x: 0.095 m η = 0.4	η < 0.1	η < 0.1	x: 0.095 m η = 37.4	η < 0.1	η = 1.6	η = 0.5	x: 0.095 m η = 0.4	**CUMPLE η = 37.4**
N845/N843	$\lambda_w \leq \lambda_{w,máx}$ Cumple	x: 3.054 m η = 12.9	x: 0.195 m η = 5.8	x: 0.195 m η = 4.3	x: 3.055 m η = 8.4	x: 0.195 m η = 0.4	η = 0.2	η < 0.1	η < 0.1	x: 3.055 m η = 19.4	η < 0.1	η = 6.6	x: 0.195 m η = 0.5	η = 0.2	**CUMPLE η = 19.4**
N844/N842	$\lambda_w \leq \lambda_{w,máx}$ Cumple	x: 1.939 m η = 0.1	x: 0.078 m η = 0.9	x: 0.078 m η = 1.9	x: 0.078 m η = 7.0	η = 0.3	η = 0.4	η < 0.1	η < 0.1	x: 0.078 m η = 7.7	η < 0.1	η = 0.8	η = 0.3	η = 0.4	**CUMPLE η = 7.7**
N844/N672	$\lambda_w \leq \lambda_{w,máx}$ Cumple	x: 3.054 m η = 14.3	x: 0.095 m η = 1.8	x: 3.055 m η = 3.5	x: 0.095 m η = 3.3	x: 3.055 m η = 0.5	η < 0.1	η < 0.1	η < 0.1	x: 3.055 m η = 18.2	η < 0.1	η = 2.9	x: 3.055 m η = 0.5	η < 0.1	**CUMPLE η = 18.2**
N843/N841	$\lambda_w \leq \lambda_{w,máx}$ Cumple	N_{Ed} = 0.00 N.P.(1)	x: 0.078 m η = 2.3	x: 1.94 m η = 2.6	x: 0.078 m η = 6.8	η = 0.3	η = 0.4	η < 0.1	η < 0.1	x: 0.078 m η = 9.2	η < 0.1	η = 0.7	η = 0.3	η = 0.4	**CUMPLE η = 9.2**
N689/N844	$\lambda_w \leq \lambda_{w,máx}$ Cumple	x: 3.054 m η = 16.6	x: 0.195 m η = 2.5	x: 0.195 m η = 5.1	x: 3.055 m η = 8.8	x: 3.055 m η = 0.6	η = 0.2	η < 0.1	η < 0.1	x: 3.055 m η = 25.8	η < 0.1	η = 6.4	x: 3.055 m η = 0.6	η = 0.2	**CUMPLE η = 25.8**
N592/N748	x: 0.509 m $\lambda_w \leq \lambda_{w,máx}$ Cumple	η = 0.9	η = 17.9	M_{Ed} = 0.00 N.P.(2)	x: 3.65 m η = 6.0	V_{Ed} = 0.00 N.P.(3)	x: 0.06 m η = 0.5	N.P.(4)	x: 0.509 m η < 0.1	x: 3.65 m η = 24.3	x: 0.509 m η < 0.1	M_{Ed} = 0.00 N.P.(5)	N.P.(6)	N.P.(6)	**CUMPLE η = 24.3**
N846/N847	$\lambda_w \leq \lambda_{w,máx}$ Cumple	x: 1.939 m η = 0.1	x: 0.06 m η = 0.3	x: 1.94 m η = 9.4	x: 0.06 m η < 0.1	η = 1.4	η < 0.1	η < 0.1	x: 0.06 m η < 0.1	x: 1.94 m η = 9.5	η < 0.1	η < 0.1	η = 0.6	η < 0.1	**CUMPLE η = 9.5**
N848/N849	$\lambda_w \leq \lambda_{w,máx}$ Cumple	x: 1.939 m η = 0.1	x: 0.06 m η = 0.3	x: 0.06 m η = 10.7	x: 0.06 m η < 0.1	η = 1.7	η < 0.1	η < 0.1	x: 0.06 m η < 0.1	x: 0.06 m η = 11.0	η < 0.1	η < 0.1	η = 0.9	η < 0.1	**CUMPLE η = 11.0**
N581/N851	x: 0.051 m $\lambda_w \leq \lambda_{w,máx}$ Cumple	η = 1.8	η = 12.2	x: 2.372 m η < 0.1	x: 2.373 m η = 16.8	η < 0.1	x: 0.05 m η = 1.2	N.P.(4)	x: 0.051 m η < 0.1	x: 2.373 m η = 18.6	x: 0.051 m η < 0.1	M_{Ed} = 0.00 N.P.(5)	N.P.(6)	N.P.(6)	**CUMPLE η = 18.6**
N851/N850	$\lambda_w \leq \lambda_{w,máx}$ Cumple	η = 2.4	η = 14.3	x: 0.06 m η < 0.1	x: 0.06 m η = 4.4	η < 0.1	x: 2.373 m η = 0.5	N.P.(4)	η < 0.1	x: 2.373 m η = 15.9	η < 0.1	η < 0.1	η < 0.1	x: 2.373 m η = 0.2	**CUMPLE η = 15.9**
N850/N737	x: 0.06 m $\lambda_w \leq \lambda_{w,máx}$ Cumple	η = 3.0	η = 15.8	x: 0.06 m η < 0.1	x: 0.06 m η = 13.0	η < 0.1	x: 2.383 m η = 1.0	N.P.(4)	x: 0.06 m η < 0.1	x: 0.06 m η = 22.5	x: 0.06 m η < 0.1	M_{Ed} = 0.00 N.P.(5)	N.P.(6)	N.P.(6)	**CUMPLE η = 22.5**
N598/N853	x: 0.051 m $\lambda_w \leq \lambda_{w,máx}$ Cumple	η = 2.0	η = 13.2	x: 2.372 m η < 0.1	x: 2.373 m η = 16.8	η < 0.1	x: 0.05 m η = 1.2	N.P.(4)	x: 0.051 m η < 0.1	x: 2.373 m η = 23.6	x: 0.051 m η < 0.1	M_{Ed} = 0.00 N.P.(5)	N.P.(6)	N.P.(6)	**CUMPLE η = 23.6**
N853/N852	$\lambda_w \leq \lambda_{w,máx}$ Cumple	η = 2.0	η = 18.3	x: 0.06 m η < 0.1	x: 0.06 m η = 4.5	η < 0.1	x: 2.373 m η = 0.5	N.P.(4)	η < 0.1	x: 0.06 m η = 21.1	η < 0.1	η < 0.1	η < 0.1	x: 2.373 m η = 0.2	**CUMPLE η = 21.1**
N852/N754	x: 0.06 m $\lambda_w \leq \lambda_{w,máx}$ Cumple	η = 2.8	η = 18.2	x: 0.06 m η < 0.1	x: 0.06 m η = 14.0	η < 0.1	x: 2.383 m η = 1.0	N.P.(4)	x: 0.06 m η < 0.1	x: 0.06 m η = 19.0	x: 0.06 m η < 0.1	M_{Ed} = 0.00 N.P.(5)	N.P.(6)	N.P.(6)	**CUMPLE η = 19.0**
N850/N852	$\lambda_w \leq \lambda_{w,máx}$ Cumple	x: 1.939 m η = 0.1	x: 0.06 m η = 0.3	x: 1.94 m η = 10.2	x: 0.06 m η < 0.1	η = 1.6	η < 0.1	η < 0.1	N.P.(4)	x: 1.94 m η = 10.4	η < 0.1	η < 0.1	η = 0.5	η < 0.1	**CUMPLE η = 10.4**
N851/N853	$\lambda_w \leq \lambda_{w,máx}$ Cumple	x: 1.939 m η = 0.1	x: 0.06 m η = 0.3	x: 0.06 m η = 11.9	x: 0.06 m η < 0.1	η = 1.9	η < 0.1	η < 0.1	N.P.(4)	x: 0.06 m η = 12.2	η < 0.1	η < 0.1	η = 0.9	η < 0.1	**CUMPLE η = 12.2**
N585/N855	x: 0.061 m $\lambda_w \leq \lambda_{w,máx}$ Cumple	η = 0.9	η = 7.9	x: 2.372 m η < 0.1	x: 2.373 m η = 13.6	η < 0.1	x: 0.06 m η = 1.0	x: 0.253 m η < 0.1	x: 0.061 m η < 0.1	x: 2.373 m η = 14.0	x: 0.061 m η < 0.1	M_{Ed} = 0.00 N.P.(5)	N.P.(6)	N.P.(6)	**CUMPLE η = 14.0**
N855/N854	$\lambda_w \leq \lambda_{w,máx}$ Cumple	η = 1.3	η = 7.6	x: 0.06 m η < 0.1	x: 0.06 m η = 3.4	η < 0.1	x: 2.373 m η = 0.4	N.P.(4)	η < 0.1	x: 2.373 m η = 8.1	η < 0.1	x: 1.217 m η < 0.1	η < 0.1	x: 2.373 m η = 0.2	**CUMPLE η = 8.1**
N854/N741	x: 0.06 m $\lambda_w \leq \lambda_{w,máx}$ Cumple	η = 1.6	η = 8.5	x: 0.06 m η < 0.1	x: 0.06 m η = 9.6	η < 0.1	x: 2.373 m η = 0.8	x: 0.06 m η < 0.1	x: 0.06 m η < 0.1	x: 0.06 m η = 13.3	x: 0.06 m η < 0.1	M_{Ed} = 0.00 N.P.(5)	N.P.(6)	N.P.(6)	**CUMPLE η = 13.3**
N602/N857	x: 0.061 m $\lambda_w \leq \lambda_{w,máx}$ Cumple	η = 2.4	η = 15.4	x: 2.372 m η < 0.1	x: 2.373 m η = 13.0	η < 0.1	x: 0.06 m η = 1.0	x: 0.253 m η < 0.1	x: 0.061 m η < 0.1	x: 2.373 m η = 23.2	x: 0.061 m η < 0.1	M_{Ed} = 0.00 N.P.(5)	N.P.(6)	N.P.(6)	**CUMPLE η = 23.2**
N857/N856	$\lambda_w \leq \lambda_{w,máx}$ Cumple	η = 2.4	η = 18.8	x: 0.06 m η < 0.1	x: 0.06 m η = 3.2	η < 0.1	x: 2.373 m η = 0.4	N.P.(4)	η < 0.1	x: 0.06 m η = 20.8	η < 0.1	x: 1.217 m η < 0.1	η < 0.1	x: 2.373 m η = 0.2	**CUMPLE η = 20.8**
N856/N758	x: 0.06 m $\lambda_w \leq \lambda_{w,máx}$ Cumple	η = 2.9	η = 18.3	x: 0.06 m η < 0.1	x: 0.06 m η = 11.2	η < 0.1	x: 2.373 m η = 0.9	x: 0.06 m η < 0.1	x: 0.06 m η < 0.1	x: 0.06 m η = 20.0	x: 0.06 m η < 0.1	M_{Ed} = 0.00 N.P.(5)	N.P.(6)	N.P.(6)	**CUMPLE η = 20.0**
N854/N856	$\lambda_w \leq \lambda_{w,máx}$ Cumple	x: 1.939 m η = 0.1	x: 0.06 m η = 0.2	x: 1.94 m η = 8.4	x: 0.06 m η < 0.1	η = 1.3	η < 0.1	η < 0.1	x: 0.06 m η < 0.1	x: 1.94 m η = 8.5	η < 0.1	η < 0.1	η = 0.6	η < 0.1	**CUMPLE η = 8.5**
N855/N857	$\lambda_w \leq \lambda_{w,máx}$ Cumple	x: 1.939 m η = 0.1	x: 0.06 m η = 0.2	x: 0.06 m η = 9.9	x: 0.06 m η < 0.1	η = 1.5	η < 0.1	η < 0.1	x: 0.06 m η < 0.1	x: 0.06 m η = 10.1	η < 0.1	η < 0.1	η = 0.8	η < 0.1	**CUMPLE η = 10.1**
N604/N760	x: 0.509 m $\lambda_w \leq \lambda_{w,máx}$ Cumple	η = 4.7	η = 17.8	M_{Ed} = 0.00 N.P.(2)	x: 3.65 m η = 6.0	V_{Ed} = 0.00 N.P.(3)	x: 0.06 m η = 0.5	N.P.(4)	x: 0.509 m η < 0.1	x: 3.65 m η = 24.3	x: 0.509 m η < 0.1	M_{Ed} = 0.00 N.P.(5)	N.P.(6)	N.P.(6)	**CUMPLE η = 24.3**
N625/N781	x: 0.509 m $\lambda_w \leq \lambda_{w,máx}$ Cumple	η = 0.8	η = 21.9	M_{Ed} = 0.00 N.P.(2)	x: 3.65 m η = 6.0	V_{Ed} = 0.00 N.P.(3)	x: 0.06 m η = 0.5	N.P.(4)	x: 0.509 m η < 0.1	x: 3.65 m η = 28.5	x: 0.509 m η < 0.1	M_{Ed} = 0.00 N.P.(5)	N.P.(6)	N.P.(6)	**CUMPLE η = 28.5**
N627/N858	x: 0.061 m $\lambda_w \leq \lambda_{w,máx}$ Cumple	η = 1.1	η = 9.8	x: 2.372 m η < 0.1	x: 2.373 m η = 11.4	η < 0.1	x: 0.06 m η = 0.9	x: 0.253 m η < 0.1	x: 0.061 m η < 0.1	x: 2.373 m η = 16.7	x: 0.061 m η < 0.1	M_{Ed} = 0.00 N.P.(5)	N.P.(6)	N.P.(6)	**CUMPLE η = 16.7**
N858/N859	$\lambda_w \leq \lambda_{w,máx}$ Cumple	η = 1.0	η = 12.6	x: 0.06 m η < 0.1	x: 0.06 m η = 2.6	η < 0.1	x: 2.373 m η = 0.3	x: 0.06 m η < 0.1	η < 0.1	x: 0.06 m η = 14.2	η < 0.1	x: 1.217 m η < 0.1	η < 0.1	x: 2.373 m η = 0.2	**CUMPLE η = 14.2**
N859/N783	x: 0.06 m $\lambda_w \leq \lambda_{w,máx}$ Cumple	η = 1.4	η = 11.9	x: 0.06 m η < 0.1	x: 0.06 m η = 9.9	η < 0.1	x: 2.373 m η = 0.8	x: 0.06 m η < 0.1	x: 0.06 m η < 0.1	x: 0.06 m η = 14.5	x: 0.06 m η < 0.1	M_{Ed} = 0.00 N.P.(5)	N.P.(6)	N.P.(6)	**CUMPLE η = 14.5**
N611/N860	x: 0.061 m $\lambda_w \leq \lambda_{w,máx}$ Cumple	η = 0.4	η = 6.3	x: 2.372 m η < 0.1	x: 2.373 m η = 11.8	η < 0.1	x: 0.06 m η = 0.9	x: 0.253 m η < 0.1	x: 0.061 m η < 0.1	x: 2.373 m η = 12.1	x: 0.061 m η < 0.1	M_{Ed} = 0.00 N.P.(5)	N.P.(6)	N.P.(6)	**CUMPLE η = 12.1**
N860/N861	$\lambda_w \leq \lambda_{w,máx}$ Cumple	η = 0.8	η = 1.3	x: 0.06 m η < 0.1	x: 0.06 m η = 2.8	η < 0.1	x: 2.373 m η = 0.3	x: 0.06 m η < 0.1	η < 0.1	x: 0.253 m η = 3.2	η < 0.1	η < 0.1	η < 0.1	x: 2.373 m η = 0.2	**CUMPLE η = 3.2**
N861/N767	x: 0.06 m $\lambda_w \leq \lambda_{w,máx}$ Cumple	η = 0.8	η = 6.1	x: 0.06 m η < 0.1	x: 0.06 m η = 8.5	η < 0.1	x: 2.373 m η = 0.7	x: 0.06 m η < 0.1	x: 0.06 m η < 0.1	x: 0.06 m η = 9.5	x: 0.06 m η < 0.1	M_{Ed} = 0.00 N.P.(5)	N.P.(6)	N.P.(6)	**CUMPLE η = 9.5**
N861/N859	$\lambda_w \leq \lambda_{w,máx}$ Cumple	x: 1.939 m η = 0.1	x: 0.06 m η = 0.2	x: 1.94 m η = 7.6	x: 0.06 m η < 0.1	η = 1.1	η < 0.1	η < 0.1	x: 0.06 m η < 0.1	x: 1.94 m η = 7.6	η < 0.1	η < 0.1	x: 0.812 m η = 0.7	η < 0.1	**CUMPLE η = 7.6**
N860/N858	$\lambda_w \leq \lambda_{w,máx}$ Cumple	x: 1.939 m η = 0.1	x: 0.06 m η = 0.2	x: 0.06 m η = 8.8	x: 0.06 m η < 0.1	η = 1.4	η < 0.1	η < 0.1	x: 0.06 m η < 0.1	x: 0.06 m η = 8.9	η < 0.1	η < 0.1	η = 0.9	η < 0.1	**CUMPLE η = 8.9**

Documento visado electrónicamente con número VA07299/22 en https://cogitvalencia.e-gestion.es/Validacion.aspx?CV=TRLTDCFZ60T66IJ1. Código de validación telemática: TRLTDCFZ60T66IJ1. Comprobación: https://cogitvalencia.e-gestion.es/Validacion.aspx?CV=TRLTDCFZ60T66IJ1

VISADO
COGITI
Estado
VALENCIA
VA07290/22
TRLTDCFZ60T66IJ1

Barras	COMPROBACIONES (CÓDIGO ESTRUCTURAL)														
	λ_w	N_t	N_c	M_Y	M_Z	V_Z	V_Y	M_YV_Z	M_ZV_Y	NM_YM_Z	$NM_YM_ZV_YV_Z$	M_t	M_tV_Z	M_tV_Y	
N615/N863	x: 0.051 m $\lambda_w \leq \lambda_{w,máx}$ Cumple	η = 0.9	η = 9.2	x: 2.372 m η < 0.1	x: 2.373 m η = 13.4	η < 0.1	x: 0.05 m η = 1.0	x: 0.244 m η < 0.1	x: 0.051 m η < 0.1	x: 2.373 m η = 13.6	x: 0.051 m η < 0.1	M_{Ed} = 0.00 N.P.(5)	N.P.(6)	N.P.(6)	**CUMPLE** **η = 13.6**
N863/N862	$\lambda_w \leq \lambda_{w,máx}$ Cumple	η = 1.3	η = 8.6	x: 0.06 m η < 0.1	x: 0.06 m η = 3.3	η < 0.1	x: 2.373 m η = 0.4	N.P.(4)	η < 0.1	x: 1.409 m η = 9.1	η < 0.1	η < 0.1	η < 0.1	x: 2.373 m η = 0.2	**CUMPLE** **η = 9.1**
N862/N771	x: 0.06 m $\lambda_w \leq \lambda_{w,máx}$ Cumple	η = 1.5	η = 9.4	x: 0.06 m η < 0.1	x: 0.06 m η = 9.9	η < 0.1	x: 2.383 m η = 0.8	x: 0.06 m η < 0.1	x: 0.06 m η < 0.1	x: 0.06 m η = 14.1	x: 0.06 m η < 0.1	M_{Ed} = 0.00 N.P.(5)	N.P.(6)	N.P.(6)	**CUMPLE** **η = 14.1**
N631/N865	x: 0.051 m $\lambda_w \leq \lambda_{w,máx}$ Cumple	η = 1.0	η = 9.6	x: 2.372 m η < 0.1	x: 2.373 m η = 13.2	η < 0.1	x: 0.05 m η = 1.0	x: 0.244 m η < 0.1	x: 0.051 m η < 0.1	x: 2.373 m η = 17.6	x: 0.051 m η < 0.1	M_{Ed} = 0.00 N.P.(5)	N.P.(6)	N.P.(6)	**CUMPLE** **η = 17.6**
N865/N864	$\lambda_w \leq \lambda_{w,máx}$ Cumple	η = 0.9	η = 13.1	x: 0.06 m η < 0.1	x: 0.06 m η = 3.2	η < 0.1	x: 2.373 m η = 0.4	N.P.(4)	η < 0.1	x: 0.06 m η = 15.1	η < 0.1	η < 0.1	η < 0.1	x: 2.373 m η = 0.2	**CUMPLE** **η = 15.1**
N864/N787	x: 0.06 m $\lambda_w \leq \lambda_{w,máx}$ Cumple	η = 1.4	η = 12.6	x: 0.06 m η < 0.1	x: 0.06 m η = 11.0	η < 0.1	x: 2.383 m η = 0.8	x: 0.06 m η < 0.1	x: 0.06 m η < 0.1	x: 0.06 m η = 14.5	x: 0.06 m η < 0.1	M_{Ed} = 0.00 N.P.(5)	N.P.(6)	N.P.(6)	**CUMPLE** **η = 14.5**
N862/N864	$\lambda_w \leq \lambda_{w,máx}$ Cumple	x: 1.939 m η = 0.1	x: 0.06 m η = 0.2	x: 1.94 m η = 8.3	x: 0.06 m η < 0.1	η = 1.3	η < 0.1	η < 0.1	x: 0.06 m η < 0.1	x: 1.94 m η = 8.3	η < 0.1	η < 0.1	η = 0.7	η < 0.1	**CUMPLE** **η = 8.3**
N863/N865	$\lambda_w \leq \lambda_{w,máx}$ Cumple	x: 1.939 m η = 0.1	x: 0.06 m η = 0.2	x: 0.06 m η = 9.8	x: 0.06 m η < 0.1	η = 1.6	η < 0.1	η < 0.1	x: 0.06 m η < 0.1	x: 0.06 m η = 10.0	η < 0.1	η < 0.1	x: 0.812 m η = 0.9	η < 0.1	**CUMPLE** **η = 10.0**
N619/N867	x: 0.061 m $\lambda_w \leq \lambda_{w,máx}$ Cumple	η = 0.5	η = 5.9	x: 2.372 m η < 0.1	x: 2.373 m η = 11.5	η < 0.1	x: 0.06 m η = 0.9	x: 0.253 m η < 0.1	x: 0.061 m η < 0.1	x: 2.373 m η = 11.7	x: 0.061 m η < 0.1	M_{Ed} = 0.00 N.P.(5)	N.P.(6)	N.P.(6)	**CUMPLE** **η = 11.7**
N867/N866	$\lambda_w \leq \lambda_{w,máx}$ Cumple	η = 0.9	η = 1.2	x: 0.06 m η < 0.1	x: 0.06 m η = 2.6	η < 0.1	x: 2.373 m η = 0.3	x: 0.06 m η < 0.1	η < 0.1	x: 0.446 m η = 3.2	η < 0.1	x: 1.217 m η < 0.1	η < 0.1	x: 2.373 m η = 0.2	**CUMPLE** **η = 3.2**
N866/N775	x: 0.06 m $\lambda_w \leq \lambda_{w,máx}$ Cumple	η = 0.9	η = 5.7	x: 0.06 m η < 0.1	x: 0.06 m η = 8.0	η < 0.1	x: 2.373 m η = 0.7	x: 0.06 m η < 0.1	x: 0.06 m η < 0.1	x: 0.06 m η = 8.9	x: 0.06 m η < 0.1	M_{Ed} = 0.00 N.P.(5)	N.P.(6)	N.P.(6)	**CUMPLE** **η = 8.9**
N635/N869	x: 0.061 m $\lambda_w \leq \lambda_{w,máx}$ Cumple	η = 1.3	η = 9.2	x: 2.372 m η < 0.1	x: 2.373 m η = 10.8	η < 0.1	x: 0.06 m η = 0.8	x: 0.253 m η < 0.1	x: 0.061 m η < 0.1	x: 2.373 m η = 15.8	x: 0.061 m η < 0.1	M_{Ed} = 0.00 N.P.(5)	N.P.(6)	N.P.(6)	**CUMPLE** **η = 15.8**
N869/N868	$\lambda_w \leq \lambda_{w,máx}$ Cumple	η = 1.2	η = 11.8	x: 0.06 m η < 0.1	x: 0.253 m η = 2.4	η < 0.1	x: 2.373 m η = 0.3	x: 0.06 m η < 0.1	η < 0.1	x: 0.253 m η = 13.3	η < 0.1	η < 0.1	η < 0.1	x: 2.373 m η = 0.2	**CUMPLE** **η = 13.3**
N868/N791	x: 0.06 m $\lambda_w \leq \lambda_{w,máx}$ Cumple	η = 1.5	η = 11.1	x: 0.06 m η < 0.1	x: 0.06 m η = 9.6	η < 0.1	x: 2.373 m η = 0.8	x: 0.06 m η < 0.1	x: 0.06 m η < 0.1	x: 0.06 m η = 13.9	x: 0.06 m η < 0.1	M_{Ed} = 0.00 N.P.(5)	N.P.(6)	N.P.(6)	**CUMPLE** **η = 13.9**
N866/N868	$\lambda_w \leq \lambda_{w,máx}$ Cumple	x: 1.939 m η = 0.1	x: 0.06 m η = 0.2	x: 1.94 m η = 7.4	x: 0.06 m η < 0.1	η = 1.1	η < 0.1	η < 0.1	x: 0.06 m η < 0.1	x: 1.94 m η = 7.4	η < 0.1	η < 0.1	x: 1 m η = 0.8	η < 0.1	**CUMPLE** **η = 7.4**
N867/N869	$\lambda_w \leq \lambda_{w,máx}$ Cumple	x: 1.939 m η = 0.1	x: 0.06 m η = 0.2	x: 0.06 m η = 8.5	x: 0.06 m η < 0.1	η = 1.3	η < 0.1	η < 0.1	x: 0.06 m η < 0.1	x: 0.06 m η = 8.7	η < 0.1	x: 1 m η < 0.1	x: 0.812 m η = 0.9	η < 0.1	**CUMPLE** **η = 8.7**
N637/N793	x: 0.509 m $\lambda_w \leq \lambda_{w,máx}$ Cumple	η = 4.2	η = 18.5	M_{Ed} = 0.00 N.P.(2)	x: 3.65 m η = 6.0	V_{Ed} = 0.00 N.P.(3)	x: 0.06 m η = 0.5	N.P.(4)	x: 0.509 m η < 0.1	x: 3.65 m η = 25.0	x: 0.509 m η < 0.1	M_{Ed} = 0.00 N.P.(5)	N.P.(6)	N.P.(6)	**CUMPLE** **η = 25.0**
N658/N814	x: 0.509 m $\lambda_w \leq \lambda_{w,máx}$ Cumple	η = 0.9	η = 18.9	M_{Ed} = 0.00 N.P.(2)	x: 3.65 m η = 6.0	V_{Ed} = 0.00 N.P.(3)	x: 0.06 m η = 0.5	N.P.(4)	x: 0.509 m η < 0.1	x: 3.65 m η = 25.3	x: 0.509 m η < 0.1	M_{Ed} = 0.00 N.P.(5)	N.P.(6)	N.P.(6)	**CUMPLE** **η = 25.3**
N660/N870	x: 0.061 m $\lambda_w \leq \lambda_{w,máx}$ Cumple	η = 1.8	η = 14.6	x: 2.372 m η < 0.1	x: 2.373 m η = 13.4	η < 0.1	x: 0.06 m η = 1.0	x: 0.253 m η < 0.1	x: 0.061 m η < 0.1	x: 2.373 m η = 22.3	x: 0.061 m η < 0.1	M_{Ed} = 0.00 N.P.(5)	N.P.(6)	N.P.(6)	**CUMPLE** **η = 22.3**
N870/N871	$\lambda_w \leq \lambda_{w,máx}$ Cumple	η = 1.7	η = 17.7	x: 0.06 m η < 0.1	x: 0.06 m η = 3.3	η < 0.1	x: 2.373 m η = 0.4	x: 0.06 m η < 0.1	η < 0.1	x: 0.06 m η = 19.6	η < 0.1	η < 0.1	η < 0.1	x: 2.373 m η = 0.2	**CUMPLE** **η = 19.6**
N871/N816	x: 0.06 m $\lambda_w \leq \lambda_{w,máx}$ Cumple	η = 2.3	η = 17.1	x: 0.06 m η < 0.1	x: 0.06 m η = 11.2	η < 0.1	x: 2.373 m η = 0.9	x: 0.06 m η < 0.1	x: 0.06 m η < 0.1	x: 0.06 m η = 19.2	x: 0.06 m η < 0.1	M_{Ed} = 0.00 N.P.(5)	N.P.(6)	N.P.(6)	**CUMPLE** **η = 19.2**
N644/N872	x: 0.061 m $\lambda_w \leq \lambda_{w,máx}$ Cumple	η = 0.8	η = 10.6	x: 2.372 m η < 0.1	x: 2.373 m η = 13.7	η < 0.1	x: 0.06 m η = 1.0	x: 0.253 m η < 0.1	x: 0.061 m η < 0.1	x: 2.373 m η = 14.0	x: 0.061 m η < 0.1	M_{Ed} = 0.00 N.P.(5)	N.P.(6)	N.P.(6)	**CUMPLE** **η = 14.0**
N872/N873	$\lambda_w \leq \lambda_{w,máx}$ Cumple	η = 1.3	η = 10.2	x: 0.06 m η < 0.1	x: 0.06 m η = 3.4	η < 0.1	x: 2.373 m η = 0.4	x: 0.06 m η < 0.1	η < 0.1	x: 1.988 m η = 10.7	η < 0.1	x: 1.217 m η < 0.1	η < 0.1	x: 2.373 m η = 0.2	**CUMPLE** **η = 10.7**
N873/N800	x: 0.06 m $\lambda_w \leq \lambda_{w,máx}$ Cumple	η = 1.5	η = 11.3	x: 0.06 m η < 0.1	x: 0.06 m η = 9.9	η < 0.1	x: 2.373 m η = 0.8	x: 0.06 m η < 0.1	x: 0.06 m η < 0.1	x: 0.06 m η = 15.1	x: 0.06 m η < 0.1	M_{Ed} = 0.00 N.P.(5)	N.P.(6)	N.P.(6)	**CUMPLE** **η = 15.1**
N873/N871	$\lambda_w \leq \lambda_{w,máx}$ Cumple	x: 1.939 m η = 0.1	x: 0.06 m η = 0.2	x: 1.94 m η = 8.4	x: 0.06 m η < 0.1	η = 1.3	η < 0.1	η < 0.1	x: 0.06 m η < 0.1	x: 1.94 m η = 8.5	η < 0.1	η < 0.1	η = 0.7	η < 0.1	**CUMPLE** **η = 8.5**
N872/N870	$\lambda_w \leq \lambda_{w,máx}$ Cumple	x: 1.939 m η = 0.1	x: 0.06 m η = 0.2	x: 0.06 m η = 9.9	x: 0.06 m η < 0.1	η = 1.6	η < 0.1	η < 0.1	x: 0.06 m η < 0.1	x: 0.06 m η = 10.1	η < 0.1	x: 1 m η < 0.1	η = 1.0	η < 0.1	**CUMPLE** **η = 10.1**
N648/N875	x: 0.051 m $\lambda_w \leq \lambda_{w,máx}$ Cumple	η = 1.7	η = 12.2	x: 2.373 m η = 0.7	x: 2.373 m η = 16.4	η < 0.1	x: 0.05 m η = 1.2	x: 0.051 m η < 0.1	x: 0.051 m η < 0.1	x: 2.373 m η = 17.7	x: 0.051 m η < 0.1	M_{Ed} = 0.00 N.P.(5)	N.P.(6)	N.P.(6)	**CUMPLE** **η = 17.7**
N875/N874	$\lambda_w \leq \lambda_{w,máx}$ Cumple	η = 2.2	η = 13.7	x: 2.373 m η = 1.1	x: 2.373 m η = 4.3	η < 0.1	x: 2.373 m η = 0.5	η < 0.1	η < 0.1	x: 2.373 m η = 15.2	η < 0.1	η < 0.1	η < 0.1	x: 2.373 m η = 0.2	**CUMPLE** **η = 15.2**
N874/N804	x: 0.06 m $\lambda_w \leq \lambda_{w,máx}$ Cumple	η = 2.8	η = 15.1	x: 0.06 m η = 1.3	x: 0.06 m η = 12.6	η = 0.1	x: 2.383 m η = 0.9	x: 0.06 m η < 0.1	x: 0.06 m η < 0.1	x: 0.06 m η = 21.6	x: 0.06 m η < 0.1	M_{Ed} = 0.00 N.P.(5)	N.P.(6)	N.P.(6)	**CUMPLE** **η = 21.6**
N664/N877	x: 0.051 m $\lambda_w \leq \lambda_{w,máx}$ Cumple	η = 1.9	η = 12.5	x: 2.372 m η < 0.1	x: 2.373 m η = 16.5	η < 0.1	x: 0.05 m η = 1.2	x: 0.244 m η < 0.1	x: 0.051 m η < 0.1	x: 2.373 m η = 22.7	x: 0.051 m η < 0.1	M_{Ed} = 0.00 N.P.(5)	N.P.(6)	N.P.(6)	**CUMPLE** **η = 22.7**
N877/N876	$\lambda_w \leq \lambda_{w,máx}$ Cumple	η = 1.9	η = 17.5	x: 2.372 m η = 0.2	x: 0.06 m η = 4.4	η < 0.1	x: 2.373 m η = 0.5	η < 0.1	η < 0.1	x: 0.06 m η = 20.2	η < 0.1	η < 0.1	η < 0.1	x: 2.373 m η = 0.2	**CUMPLE** **η = 20.2**
N876/N820	x: 0.06 m $\lambda_w \leq \lambda_{w,máx}$ Cumple	η = 2.7	η = 17.4	x: 0.06 m η < 0.1	x: 0.06 m η = 13.4	η < 0.1	x: 2.383 m η = 1.0	x: 0.06 m η < 0.1	x: 0.06 m η < 0.1	x: 0.06 m η = 18.1	x: 0.06 m η < 0.1	M_{Ed} = 0.00 N.P.(5)	N.P.(6)	N.P.(6)	**CUMPLE** **η = 18.1**
N874/N876	$\lambda_w \leq \lambda_{w,máx}$ Cumple	x: 1.939 m η = 0.1	x: 0.06 m η = 0.3	x: 1.94 m η = 9.9	x: 0.06 m η < 0.1	η = 1.5	η < 0.1	η < 0.1	x: 0.06 m η < 0.1	x: 1.94 m η = 10.0	η < 0.1	η = 0.3	η = 0.6	η < 0.1	**CUMPLE** **η = 10.0**
N875/N877	$\lambda_w \leq \lambda_{w,máx}$ Cumple	x: 1.939 m η = 0.1	x: 0.06 m η = 0.3	x: 1.94 m η = 11.7	x: 0.06 m η < 0.1	η = 1.8	η < 0.1	η < 0.1	x: 0.06 m η < 0.1	x: 0.06 m η = 12.0	η < 0.1	η = 0.3	η = 0.9	η < 0.1	**CUMPLE** **η = 12.0**
N652/N879	x: 0.061 m $\lambda_w \leq \lambda_{w,máx}$ Cumple	η = 1.3	η = 8.5	x: 2.372 m η < 0.1	x: 2.373 m η = 14.3	η < 0.1	x: 0.06 m η = 1.1	x: 0.253 m η < 0.1	x: 0.061 m η < 0.1	x: 2.373 m η = 15.2	x: 0.061 m η < 0.1	M_{Ed} = 0.00 N.P.(5)	N.P.(6)	N.P.(6)	**CUMPLE** **η = 15.2**

Documento visado electrónicamente con número: VA07290/22
Código de validación telemática TRLTDCFZ60T66IJ1. Comprobación: https://cogitivalencia.e-gestion.es/Validacion.aspx?CVT=TRLTDCFZ60T66IJ1

VISADO
COGITI
Estado
VALENCIA
VA07299/22
TRLTDCFZ60T66IJ1

Barras	COMPROBACIONES (CÓDIGO ESTRUCTURAL)														
	λ_w	N_t	N_c	M_Y	M_Z	V_Z	V_Y	M_YV_Z	M_ZV_Y	NM_YM_Z	$NM_YM_ZV_YV_Z$	M_t	M_tV_Z	M_tV_Y	
N879/N878	$\lambda_w \leq \lambda_{w,máx}$ Cumple	η = 1.8	η = 9.4	x: 0.06 m η < 0.1	x: 0.06 m η = 3.6	η < 0.1	x: 2.373 m η = 0.4	N.P.(4)	η < 0.1	x: 2.373 m η = 10.5	η < 0.1	η < 0.1	η < 0.1	x: 2.373 m η = 0.2	**CUMPLE η = 10.5**
N878/N808	x: 0.06 m $\lambda_w \leq \lambda_{w,máx}$ Cumple	η = 2.1	η = 10.6	x: 0.06 m η < 0.1	x: 0.06 m η = 10.7	η < 0.1	x: 2.373 m η = 0.8	x: 0.06 m η < 0.1	x: 0.06 m η < 0.1	x: 0.06 m η = 16.2	x: 0.06 m η < 0.1	M_{Ed} = 0.00 N.P.(5)	N.P.(6)	N.P.(6)	**CUMPLE η = 16.2**
N668/N881	x: 0.061 m $\lambda_w \leq \lambda_{w,máx}$ Cumple	η = 1.9	η = 8.7	x: 2.372 m η < 0.1	x: 2.373 m η = 13.8	η < 0.1	x: 0.06 m η = 1.0	x: 0.253 m η < 0.1	x: 0.061 m η < 0.1	x: 2.373 m η = 17.2	x: 0.061 m η < 0.1	M_{Ed} = 0.00 N.P.(5)	N.P.(6)	N.P.(6)	**CUMPLE η = 17.2**
N881/N880	$\lambda_w \leq \lambda_{w,máx}$ Cumple	η = 1.8	η = 12.7	x: 0.06 m η < 0.1	x: 0.06 m η = 3.4	η < 0.1	x: 2.373 m η = 0.4	N.P.(4)	η < 0.1	x: 0.06 m η = 14.8	η < 0.1	η < 0.1	η < 0.1	x: 2.373 m η = 0.2	**CUMPLE η = 14.8**
N880/N824	x: 0.06 m $\lambda_w \leq \lambda_{w,máx}$ Cumple	η = 2.4	η = 12.3	x: 0.06 m η < 0.1	x: 0.06 m η = 12.1	η < 0.1	x: 2.373 m η = 0.9	x: 0.06 m η < 0.1	x: 0.06 m η < 0.1	x: 0.06 m η = 14.1	x: 0.06 m η < 0.1	M_{Ed} = 0.00 N.P.(5)	N.P.(6)	N.P.(6)	**CUMPLE η = 14.1**
N878/N880	$\lambda_w \leq \lambda_{w,máx}$ Cumple	x: 1.939 m η = 0.1	x: 0.06 m η = 0.2	x: 1.94 m η = 9.0	x: 0.06 m η < 0.1	η = 1.4	x: 1 m η < 0.1	η < 0.1	x: 0.06 m η < 0.1	x: 1.94 m η = 9.1	η < 0.1	x: 1 m η < 0.1	x: 1 m η = 0.6	x: 1 m η < 0.1	**CUMPLE η = 9.1**
N879/N881	$\lambda_w \leq \lambda_{w,máx}$ Cumple	x: 1.939 m η = 0.1	x: 0.06 m η = 0.2	x: 0.06 m η = 10.3	x: 0.06 m η < 0.1	η = 1.6	η < 0.1	η < 0.1	x: 0.06 m η < 0.1	x: 0.06 m η = 10.5	η < 0.1	η < 0.1	x: 1 m η = 0.9	η < 0.1	**CUMPLE η = 10.5**
N670/N826	x: 0.509 m $\lambda_w \leq \lambda_{w,máx}$ Cumple	η = 2.5	η = 11.0	M_{Ed} = 0.00 N.P.(2)	x: 3.65 m η = 6.0	V_{Ed} = 0.00 N.P.(3)	x: 0.06 m η = 0.5	N.P.(4)	x: 0.509 m η < 0.1	x: 3.65 m η = 17.2	x: 0.509 m η < 0.1	M_{Ed} = 0.00 N.P.(5)	N.P.(6)	N.P.(6)	**CUMPLE η = 17.2**
N594/N849	x: 0.061 m $\lambda_w \leq \lambda_{w,máx}$ Cumple	η = 1.5	η = 8.0	x: 2.372 m η < 0.1	x: 2.373 m η = 14.7	η < 0.1	x: 0.06 m η = 1.1	x: 0.253 m η < 0.1	x: 0.061 m η < 0.1	x: 2.373 m η = 17.4	x: 0.061 m η < 0.1	M_{Ed} = 0.00 N.P.(5)	N.P.(6)	N.P.(6)	**CUMPLE η = 17.4**
N849/N847	$\lambda_w \leq \lambda_{w,máx}$ Cumple	η = 1.5	η = 12.4	x: 0.06 m η < 0.1	x: 0.06 m η = 3.7	η < 0.1	x: 2.373 m η = 0.5	N.P.(4)	η < 0.1	x: 0.06 m η = 14.7	η < 0.1	x: 1.217 m η < 0.1	η < 0.1	x: 2.373 m η = 0.2	**CUMPLE η = 14.7**
N847/N750	x: 0.06 m $\lambda_w \leq \lambda_{w,máx}$ Cumple	η = 2.2	η = 12.1	x: 0.06 m η < 0.1	x: 0.06 m η = 12.7	η < 0.1	x: 2.373 m η = 1.0	x: 0.06 m η < 0.1	x: 0.06 m η < 0.1	x: 0.06 m η = 14.5	x: 0.06 m η < 0.1	M_{Ed} = 0.00 N.P.(5)	N.P.(6)	N.P.(6)	**CUMPLE η = 14.5**
N577/N848	x: 0.061 m $\lambda_w \leq \lambda_{w,máx}$ Cumple	η = 1.4	η = 9.1	x: 2.372 m η < 0.1	x: 2.373 m η = 14.9	η < 0.1	x: 0.06 m η = 1.1	x: 0.253 m η < 0.1	x: 0.061 m η < 0.1	x: 2.373 m η = 16.3	x: 0.061 m η < 0.1	M_{Ed} = 0.00 N.P.(5)	N.P.(6)	N.P.(6)	**CUMPLE η = 16.3**
N848/N846	$\lambda_w \leq \lambda_{w,máx}$ Cumple	η = 1.9	η = 10.7	x: 0.06 m η < 0.1	x: 0.06 m η = 3.8	η < 0.1	x: 2.373 m η = 0.5	N.P.(4)	η < 0.1	x: 2.373 m η = 12.0	η < 0.1	x: 1.217 m η < 0.1	η < 0.1	x: 2.373 m η = 0.2	**CUMPLE η = 12.0**
N846/N733	x: 0.06 m $\lambda_w \leq \lambda_{w,máx}$ Cumple	η = 2.4	η = 12.1	x: 0.06 m η < 0.1	x: 0.06 m η = 11.5	η < 0.1	x: 2.373 m η = 0.9	x: 0.06 m η < 0.1	x: 0.06 m η < 0.1	x: 0.06 m η = 18.0	x: 0.06 m η < 0.1	M_{Ed} = 0.00 N.P.(5)	N.P.(6)	N.P.(6)	**CUMPLE η = 18.0**
N886/N903	$\lambda_w \leq \lambda_{w,máx}$ Cumple	x: 1.911 m η = 37.2	x: 0.088 m η = 43.0	x: 0.088 m η = 2.0	x: 1.912 m η = 7.9	η = 0.1	η = 1.2	η < 0.1	η < 0.1	x: 0.088 m η = 50.8	η < 0.1	η = 1.9	η = 0.1	η = 1.2	**CUMPLE η = 50.8**
N887/N904	$\lambda_w \leq \lambda_{w,máx}$ Cumple	x: 1.911 m η = 26.0	x: 0.088 m η = 32.0	x: 0.088 m η = 0.9	x: 0.088 m η = 14.1	η < 0.1	η = 2.2	η < 0.1	η < 0.1	x: 0.088 m η = 46.5	η < 0.1	η = 0.7	η < 0.1	η = 2.2	**CUMPLE η = 46.5**
N888/N905	$\lambda_w \leq \lambda_{w,máx}$ Cumple	x: 1.911 m η = 24.9	x: 0.088 m η = 30.6	x: 0.088 m η = 0.9	x: 0.088 m η = 11.5	η < 0.1	η = 1.8	η < 0.1	η < 0.1	x: 0.088 m η = 42.2	η < 0.1	η = 0.9	η < 0.1	η = 1.8	**CUMPLE η = 42.2**
N889/N906	$\lambda_w \leq \lambda_{w,máx}$ Cumple	x: 1.911 m η = 18.6	x: 0.088 m η = 22.6	x: 0.088 m η = 1.2	x: 0.088 m η = 9.6	η = 0.1	η = 1.5	η < 0.1	η < 0.1	x: 0.088 m η = 32.8	η < 0.1	η = 1.2	η = 0.1	η = 1.5	**CUMPLE η = 32.8**
N890/N907	$\lambda_w \leq \lambda_{w,máx}$ Cumple	x: 1.922 m η = 12.1	x: 0.088 m η = 12.3	x: 0.088 m η = 1.4	x: 0.088 m η = 6.3	η < 0.1	η = 0.9	η < 0.1	η < 0.1	x: 0.088 m η = 19.0	η < 0.1	η = 1.4	η < 0.1	η = 1.0	**CUMPLE η = 19.0**
N891/N908	$\lambda_w \leq \lambda_{w,máx}$ Cumple	x: 1.922 m η = 6.7	x: 0.086 m η = 6.7	x: 1.922 m η = 0.2	x: 0.086 m η = 2.6	x: 1.005 m η < 0.1	η = 0.3	η < 0.1	η < 0.1	x: 0.086 m η = 9.3	η < 0.1	η = 0.3	x: 1.005 m η < 0.1	η = 0.3	**CUMPLE η = 9.3**
N892/N909	$\lambda_w \leq \lambda_{w,máx}$ Cumple	x: 1.922 m η = 2.0	x: 0.086 m η = 1.8	x: 1.922 m η = 1.0	x: 1.923 m η = 0.8	η < 0.1	η = 0.1	η < 0.1	η < 0.1	x: 1.923 m η = 3.0	η < 0.1	η = 1.4	η < 0.1	η = 0.1	**CUMPLE η = 3.0**
N893/N910	$\lambda_w \leq \lambda_{w,máx}$ Cumple	x: 1.922 m η = 7.8	x: 0.086 m η = 7.8	x: 0.086 m η = 1.0	x: 0.086 m η = 6.0	η = 0.1	η = 0.8	η < 0.1	η < 0.1	x: 0.086 m η = 14.4	η < 0.1	η = 0.4	η = 0.1	η = 0.8	**CUMPLE η = 14.4**
N894/N911	$\lambda_w \leq \lambda_{w,máx}$ Cumple	x: 1.921 m η = 25.9	x: 0.086 m η = 31.9	x: 0.086 m η = 1.2	x: 0.086 m η = 12.9	η < 0.1	η = 1.7	η < 0.1	η < 0.1	x: 0.086 m η = 45.3	η < 0.1	x: 0.82 m η = 1.8	η < 0.1	η = 1.7	**CUMPLE η = 45.3**
N895/N912	$\lambda_w \leq \lambda_{w,máx}$ Cumple	x: 1.921 m η = 34.2	x: 0.086 m η = 42.0	x: 0.086 m η = 0.2	x: 0.086 m η = 17.2	η < 0.1	η = 2.3	η < 0.1	η < 0.1	x: 0.086 m η = 59.8	η < 0.1	η = 0.4	η < 0.1	η = 2.3	**CUMPLE η = 59.8**
N896/N913	$\lambda_w \leq \lambda_{w,máx}$ Cumple	x: 1.921 m η = 34.5	x: 0.094 m η = 40.0	x: 0.094 m η = 1.4	x: 0.094 m η = 21.1	x: 0.825 m η = 0.1	η = 3.4	η < 0.1	η < 0.1	x: 0.094 m η = 61.5	η < 0.1	x: 0.825 m η = 2.0	x: 0.825 m η = 0.1	η = 3.4	**CUMPLE η = 61.5**
N897/N914	$\lambda_w \leq \lambda_{w,máx}$ Cumple	x: 1.905 m η = 40.9	x: 0.094 m η = 48.0	x: 0.094 m η = 0.7	x: 0.094 m η = 24.5	η = 0.1	η = 3.9	η < 0.1	η < 0.1	x: 0.094 m η = 73.2	η < 0.1	x: 0.819 m η = 1.2	η = 0.1	η = 3.9	**CUMPLE η = 73.2**
N898/N915	$\lambda_w \leq \lambda_{w,máx}$ Cumple	x: 1.905 m η = 47.1	x: 0.094 m η = 55.8	x: 0.094 m η = 0.3	x: 1.906 m η = 25.0	η < 0.1	η = 4.1	η < 0.1	η < 0.1	x: 0.094 m η = 81.2	η < 0.1	η = 0.4	η < 0.1	η = 4.1	**CUMPLE η = 81.2**
N899/N916	$\lambda_w \leq \lambda_{w,máx}$ Cumple	x: 1.905 m η = 43.6	x: 0.094 m η = 52.0	x: 0.094 m η = 0.6	x: 0.094 m η = 30.8	η < 0.1	η = 4.8	η < 0.1	η < 0.1	x: 0.094 m η = 83.5	η < 0.1	η = 0.8	η < 0.1	η = 4.8	**CUMPLE η = 83.5**
N900/N917	$\lambda_w \leq \lambda_{w,máx}$ Cumple	x: 1.905 m η = 54.8	x: 0.131 m η = 63.8	x: 0.131 m η = 1.4	x: 0.131 m η = 1.6	η = 0.1	η = 0.1	η < 0.1	η < 0.1	x: 0.131 m η = 66.2	η < 0.1	η = 1.4	η = 0.1	η = 0.1	**CUMPLE η = 66.2**
N920/N936	$\lambda_w \leq \lambda_{w,máx}$ Cumple	x: 1.911 m η = 39.3	x: 0.088 m η = 48.0	x: 0.088 m η = 1.5	x: 1.912 m η = 19.5	η = 0.1	η = 2.8	η < 0.1	η < 0.1	x: 1.912 m η = 67.9	η < 0.1	η = 1.0	η = 0.1	η = 2.8	**CUMPLE η = 67.9**
N921/N937	$\lambda_w \leq \lambda_{w,máx}$ Cumple	x: 1.911 m η = 34.6	x: 0.088 m η = 42.8	x: 0.088 m η = 0.7	x: 0.088 m η = 16.3	η < 0.1	η = 2.5	η < 0.1	η < 0.1	x: 0.088 m η = 59.4	η < 0.1	η = 0.5	η < 0.1	η = 2.5	**CUMPLE η = 59.4**
N922/N938	$\lambda_w \leq \lambda_{w,máx}$ Cumple	x: 1.911 m η = 34.3	x: 0.088 m η = 42.7	x: 0.088 m η = 0.6	x: 0.088 m η = 15.9	η < 0.1	η = 2.6	η < 0.1	η < 0.1	x: 0.088 m η = 58.9	η < 0.1	η = 0.6	η < 0.1	η = 2.6	**CUMPLE η = 58.9**
N923/N939	$\lambda_w \leq \lambda_{w,máx}$ Cumple	x: 1.911 m η = 28.2	x: 0.088 m η = 35.0	x: 0.088 m η = 1.2	x: 0.088 m η = 14.2	η < 0.1	η = 2.2	η < 0.1	η < 0.1	x: 0.088 m η = 49.7	η < 0.1	x: 0.088 m η = 2.2	η < 0.1	η = 2.3	**CUMPLE η = 49.7**
N924/N940	$\lambda_w \leq \lambda_{w,máx}$ Cumple	x: 1.922 m η = 21.7	x: 0.088 m η = 26.9	x: 0.088 m η = 3.0	x: 0.088 m η = 11.3	η = 0.1	η = 1.8	η < 0.1	η < 0.1	x: 0.088 m η = 38.5	η < 0.1	η = 3.4	η = 0.1	η = 1.8	**CUMPLE η = 38.5**
N925/N941	$\lambda_w \leq \lambda_{w,máx}$ Cumple	x: 1.922 m η = 18.4	x: 0.086 m η = 24.6	x: 0.086 m η = 0.4	x: 0.086 m η = 7.9	η < 0.1	η = 1.0	η < 0.1	η < 0.1	x: 0.086 m η = 32.8	η < 0.1	η = 0.7	η < 0.1	η = 1.0	**CUMPLE η = 32.8**
N926/N942	$\lambda_w \leq \lambda_{w,máx}$ Cumple	x: 1.922 m η = 10.2	x: 0.086 m η = 11.6	x: 0.086 m η = 2.8	x: 0.086 m η = 4.8	η < 0.1	η = 0.6	η < 0.1	η < 0.1	x: 0.086 m η = 16.7	η < 0.1	η = 3.2	η < 0.1	η = 0.6	**CUMPLE η = 16.7**
N927/N943	$\lambda_w \leq \lambda_{w,máx}$ Cumple	x: 1.922 m η = 8.0	x: 0.086 m η = 7.9	x: 0.086 m η = 2.0	x: 1.923 m η = 1.1	η = 0.1	η = 0.1	η < 0.1	η < 0.1	x: 1.923 m η = 9.4	η < 0.1	η = 1.2	η = 0.2	η = 0.1	**CUMPLE η = 9.4**
N928/N944	$\lambda_w \leq \lambda_{w,máx}$ Cumple	x: 1.921 m η = 14.4	x: 0.086 m η = 16.0	x: 1.921 m η = 1.1	x: 0.086 m η = 6.5	η < 0.1	η = 0.8	η < 0.1	η < 0.1	x: 0.086 m η = 22.1	η < 0.1	x: 1.921 m η = 2.8	η < 0.1	η = 0.8	**CUMPLE η = 22.1**
N929/N945	$\lambda_w \leq \lambda_{w,máx}$ Cumple	x: 1.921 m η = 22.5	x: 0.086 m η = 25.9	x: 1.921 m η = 0.9	x: 0.086 m η = 10.6	η < 0.1	η = 1.4	η < 0.1	η < 0.1	x: 0.086 m η = 36.1	η < 0.1	η = 1.1	η < 0.1	η = 1.4	**CUMPLE η = 36.1**
N930/N946	$\lambda_w \leq \lambda_{w,máx}$ Cumple	x: 1.921 m η = 25.0	x: 0.094 m η = 27.7	x: 0.094 m η = 1.7	x: 0.094 m η = 14.6	η = 0.1	η = 2.3	η < 0.1	η < 0.1	x: 0.094 m η = 41.9	η < 0.1	η = 2.7	η = 0.1	η = 2.4	**CUMPLE η = 41.9**

Código de validación telemática: TRLTDCFZ60T66IJ1. Comprobación: https://coginvalencia.e-gestion.es/Validacion.aspx?CV=TRLTDCFZ60T66IJ1

VISADO
COGITI
Estado
VALENCIA
VA07290/22
TRLTDCFZ60T66IJ1

Barras	COMPROBACIONES (CÓDIGO ESTRUCTURAL)														
	λ_w	N_t	N_c	M_Y	M_Z	V_Z	V_Y	M_YV_Z	M_ZV_Y	NM_YM_Z	$NM_YM_ZV_YV_Z$	M_t	M_tV_Z	M_tV_Y	
N931/N947	$\lambda_w \leq \lambda_{w,máx}$ Cumple	x: 1.905 m η = 31.3	x: 0.094 m η = 35.7	x: 0.094 m η = 0.8	x: 0.094 m η = 18.1	η < 0.1	η = 2.9	η < 0.1	η < 0.1	x: 0.094 m η = 53.9	η < 0.1	η = 1.5	η < 0.1	η = 2.9	**CUMPLE η = 53.9**
N932/N948	$\lambda_w \leq \lambda_{w,máx}$ Cumple	x: 1.905 m η = 37.6	x: 0.094 m η = 43.6	x: 0.094 m η = 0.4	x: 1.906 m η = 19.1	η < 0.1	η = 3.1	η < 0.1	η < 0.1	x: 0.094 m η = 62.8	η < 0.1	η = 0.3	η < 0.1	η = 3.1	**CUMPLE η = 62.8**
N933/N949	$\lambda_w \leq \lambda_{w,máx}$ Cumple	x: 1.905 m η = 35.9	x: 0.094 m η = 42.1	x: 0.094 m η = 0.5	x: 0.094 m η = 25.4	η < 0.1	η = 3.9	η < 0.1	η < 0.1	x: 0.094 m η = 67.7	η < 0.1	η = 0.5	η < 0.1	η = 3.9	**CUMPLE η = 67.7**
N934/N950	$\lambda_w \leq \lambda_{w,máx}$ Cumple	x: 1.905 m η = 46.8	x: 0.131 m η = 53.7	x: 0.131 m η = 1.1	x: 0.131 m η = 4.7	η < 0.1	η = 0.6	η < 0.1	η < 0.1	x: 0.131 m η = 58.9	η < 0.1	η = 1.2	η < 0.1	η = 0.6	**CUMPLE η = 58.9**
N953/N969	$\lambda_w \leq \lambda_{w,máx}$ Cumple	x: 1.911 m η = 47.4	x: 0.088 m η = 55.9	x: 0.088 m η = 1.7	x: 1.912 m η = 22.4	η = 0.1	η = 3.3	η < 0.1	η < 0.1	x: 1.912 m η = 79.0	η < 0.1	η = 1.2	η = 0.1	η = 3.4	**CUMPLE η = 79.0**
N954/N970	$\lambda_w \leq \lambda_{w,máx}$ Cumple	x: 1.911 m η = 42.1	x: 0.088 m η = 50.5	x: 0.088 m η = 0.8	x: 0.088 m η = 19.5	η < 0.1	η = 3.0	η < 0.1	η < 0.1	x: 0.088 m η = 70.6	η < 0.1	η = 0.8	η < 0.1	η = 3.0	**CUMPLE η = 70.6**
N955/N971	$\lambda_w \leq \lambda_{w,máx}$ Cumple	x: 1.911 m η = 43.5	x: 0.088 m η = 52.2	x: 0.088 m η = 0.4	x: 0.088 m η = 19.7	η < 0.1	η = 3.2	η < 0.1	η < 0.1	x: 0.088 m η = 72.4	η < 0.1	η = 0.5	η < 0.1	η = 3.2	**CUMPLE η = 72.4**
N956/N972	$\lambda_w \leq \lambda_{w,máx}$ Cumple	x: 1.911 m η = 37.4	x: 0.088 m η = 44.5	x: 1.911 m η = 1.5	x: 0.088 m η = 18.4	η = 0.1	η = 2.9	η < 0.1	η < 0.1	x: 0.088 m η = 63.7	η < 0.1	x: 0.088 m η = 2.5	η = 0.1	η = 2.9	**CUMPLE η = 63.7**
N957/N973	$\lambda_w \leq \lambda_{w,máx}$ Cumple	x: 1.922 m η = 31.0	x: 0.088 m η = 36.4	x: 0.088 m η = 2.8	x: 0.088 m η = 15.8	η = 0.1	η = 2.5	η < 0.1	η < 0.1	x: 0.088 m η = 52.8	η < 0.1	η = 2.0	η = 0.1	η = 2.5	**CUMPLE η = 52.8**
N958/N974	$\lambda_w \leq \lambda_{w,máx}$ Cumple	x: 1.922 m η = 29.7	x: 0.086 m η = 37.1	x: 0.086 m η = 1.1	x: 0.086 m η = 12.5	η < 0.1	η = 1.6	η < 0.1	η < 0.1	x: 0.086 m η = 50.2	η < 0.1	x: 1.922 m η = 1.4	η < 0.1	η = 1.6	**CUMPLE η = 50.2**
N959/N975	$\lambda_w \leq \lambda_{w,máx}$ Cumple	x: 1.922 m η = 21.5	x: 0.086 m η = 27.1	x: 0.086 m η = 1.5	x: 0.086 m η = 9.2	η < 0.1	η = 1.2	η < 0.1	η < 0.1	x: 0.086 m η = 36.7	η < 0.1	x: 1.739 m η = 1.7	η < 0.1	η = 1.2	**CUMPLE η = 36.7**
N960/N976	$\lambda_w \leq \lambda_{w,máx}$ Cumple	x: 1.922 m η = 8.0	x: 0.086 m η = 7.9	x: 0.086 m η = 0.8	x: 0.086 m η = 4.0	η = 0.1	η = 0.5	η < 0.1	η < 0.1	x: 0.086 m η = 12.5	η < 0.1	x: 1.922 m η = 0.4	η = 0.1	η = 0.5	**CUMPLE η = 12.5**
N961/N977	$\lambda_w \leq \lambda_{w,máx}$ Cumple	x: 1.921 m η = 4.1	x: 0.086 m η = 3.8	x: 0.086 m η = 1.5	x: 1.922 m η = 1.9	η < 0.1	η = 0.2	η < 0.1	η < 0.1	x: 1.922 m η = 6.1	η < 0.1	η = 2.3	η < 0.1	η = 0.2	**CUMPLE η = 6.1**
N962/N978	$\lambda_w \leq \lambda_{w,máx}$ Cumple	x: 1.921 m η = 12.2	x: 0.086 m η = 11.6	x: 0.27 m η = 0.2	x: 0.086 m η = 5.5	η < 0.1	η = 0.7	η < 0.1	η < 0.1	x: 0.086 m η = 17.5	η < 0.1	η = 0.3	η < 0.1	η = 0.7	**CUMPLE η = 17.5**
N963/N979	$\lambda_w \leq \lambda_{w,máx}$ Cumple	x: 1.921 m η = 16.5	x: 0.094 m η = 16.3	x: 0.094 m η = 1.6	x: 0.094 m η = 9.8	η = 0.1	η = 1.6	η < 0.1	η < 0.1	x: 0.094 m η = 26.5	η < 0.1	η = 2.5	η = 0.1	η = 1.6	**CUMPLE η = 26.5**
N964/N980	$\lambda_w \leq \lambda_{w,máx}$ Cumple	x: 1.905 m η = 22.9	x: 0.094 m η = 27.2	x: 0.094 m η = 0.9	x: 0.094 m η = 13.9	η = 0.1	η = 2.2	η < 0.1	η < 0.1	x: 0.094 m η = 41.5	η < 0.1	η = 1.6	η = 0.1	η = 2.2	**CUMPLE η = 41.5**
N965/N981	$\lambda_w \leq \lambda_{w,máx}$ Cumple	x: 1.905 m η = 29.2	x: 0.094 m η = 35.1	x: 0.094 m η = 0.6	x: 0.094 m η = 16.4	η < 0.1	η = 2.7	η < 0.1	η < 0.1	x: 0.094 m η = 51.7	η < 0.1	η = 0.6	η < 0.1	η = 2.7	**CUMPLE η = 51.7**
N966/N982	$\lambda_w \leq \lambda_{w,máx}$ Cumple	x: 1.905 m η = 29.4	x: 0.094 m η = 35.4	x: 0.094 m η = 0.6	x: 0.094 m η = 17.1	η < 0.1	η = 2.7	η < 0.1	η < 0.1	x: 0.094 m η = 52.9	η < 0.1	η = 0.7	η < 0.1	η = 2.8	**CUMPLE η = 52.9**
N967/N983	$\lambda_w \leq \lambda_{w,máx}$ Cumple	x: 1.905 m η = 39.2	x: 0.094 m η = 46.2	x: 0.094 m η = 1.3	x: 0.094 m η = 22.5	η < 0.1	η = 3.3	η < 0.1	η < 0.1	x: 0.094 m η = 69.5	η < 0.1	η = 1.9	η < 0.1	η = 3.4	**CUMPLE η = 69.5**
N886/N902	$\lambda_w \leq \lambda_{w,máx}$ Cumple	x: 2.482 m η = 28.4	x: 0.111 m η = 34.4	x: 2.483 m η = 25.8	x: 2.483 m η = 1.7	x: 2.482 m η = 2.4	η = 0.1	η < 0.1	η < 0.1	x: 2.483 m η = 61.1	η < 0.1	η = 0.4	x: 2.482 m η = 2.4	η = 0.1	**CUMPLE η = 61.1**
N887/N903	$\lambda_w \leq \lambda_{w,máx}$ Cumple	x: 2.482 m η = 34.0	x: 0.111 m η = 37.8	x: 0.111 m η = 5.4	x: 2.483 m η = 2.2	x: 0.111 m η = 0.8	η < 0.1	η < 0.1	η < 0.1	x: 2.483 m η = 42.2	η < 0.1	η = 0.8	x: 0.111 m η = 0.8	η < 0.1	**CUMPLE η = 42.2**
N888/N904	$\lambda_w \leq \lambda_{w,máx}$ Cumple	x: 2.482 m η = 28.1	x: 0.111 m η = 31.6	x: 2.483 m η = 6.6	x: 2.483 m η = 1.1	x: 0.111 m η = 0.8	η = 0.1	η < 0.1	η < 0.1	x: 2.483 m η = 38.2	η < 0.1	η = 0.6	x: 0.111 m η = 0.8	η = 0.1	**CUMPLE η = 38.2**
N889/N905	$\lambda_w \leq \lambda_{w,máx}$ Cumple	x: 2.482 m η = 25.3	x: 0.111 m η = 27.5	x: 2.483 m η = 6.4	x: 0.111 m η = 1.8	x: 0.111 m η = 0.7	x: 0.902 m η = 0.1	η < 0.1	η < 0.1	x: 2.483 m η = 34.3	η < 0.1	η = 0.8	x: 0.111 m η = 0.7	x: 0.902 m η = 0.1	**CUMPLE η = 34.3**
N890/N906	$\lambda_w \leq \lambda_{w,máx}$ Cumple	x: 2.482 m η = 16.2	x: 0.111 m η = 15.4	x: 2.483 m η = 5.1	x: 0.111 m η = 2.0	x: 0.111 m η = 0.5	x: 0.111 m η < 0.1	η < 0.1	η < 0.1	x: 2.483 m η = 22.0	η < 0.1	η = 0.9	x: 0.111 m η = 0.5	x: 0.111 m η < 0.1	**CUMPLE η = 22.0**
N892/N908	$\lambda_w \leq \lambda_{w,máx}$ Cumple	x: 2.482 m η = 2.3	x: 0.111 m η = 2.0	x: 1.495 m η = 2.0	x: 0.111 m η = 1.1	x: 0.111 m η = 0.1	x: 2.088 m η = 0.1	η < 0.1	η < 0.1	x: 0.111 m η = 5.4	η < 0.1	η = 0.6	x: 0.111 m η = 0.1	x: 2.088 m η = 0.1	**CUMPLE η = 5.4**
N893/N909	$\lambda_w \leq \lambda_{w,máx}$ Cumple	x: 2.482 m η = 14.1	x: 0.111 m η = 16.3	x: 0.111 m η = 4.6	x: 0.704 m η = 1.5	x: 2.482 m η = 0.3	η < 0.1	η < 0.1	η < 0.1	x: 0.111 m η = 20.4	η < 0.1	x: 0.704 m η = 0.6	x: 2.482 m η = 0.3	η < 0.1	**CUMPLE η = 20.4**
N893/N911	$\lambda_w \leq \lambda_{w,máx}$ Cumple	x: 2.662 m η = 24.3	x: 0.119 m η = 32.1	x: 2.663 m η = 5.7	x: 2.663 m η = 2.0	x: 0.119 m η = 0.5	x: 2.027 m η = 0.1	η < 0.1	η < 0.1	x: 2.663 m η = 38.2	η < 0.1	x: 2.027 m η = 0.8	x: 0.119 m η = 0.5	x: 2.027 m η = 0.1	**CUMPLE η = 38.2**
N894/N912	$\lambda_w \leq \lambda_{w,máx}$ Cumple	x: 2.662 m η = 35.9	x: 0.119 m η = 48.0	x: 2.663 m η = 8.6	x: 0.119 m η = 1.4	x: 0.119 m η = 0.8	x: 2.027 m η = 0.1	η < 0.1	η < 0.1	x: 2.663 m η = 57.4	η < 0.1	x: 2.027 m η = 0.7	x: 0.119 m η = 0.8	x: 2.027 m η = 0.1	**CUMPLE η = 57.4**
N896/N914	$\lambda_w \leq \lambda_{w,máx}$ Cumple	x: 2.662 m η = 47.8	x: 0.119 m η = 58.6	x: 2.663 m η = 10.0	x: 0.119 m η = 2.1	x: 0.119 m η = 1.2	x: 2.239 m η = 0.1	η < 0.1	η < 0.1	x: 2.663 m η = 69.2	η < 0.1	η = 0.4	x: 0.119 m η = 1.2	x: 2.239 m η = 0.1	**CUMPLE η = 69.2**
N897/N915	$\lambda_w \leq \lambda_{w,máx}$ Cumple	x: 2.662 m η = 56.7	x: 0.119 m η = 67.8	x: 2.663 m η = 10.7	x: 0.119 m η = 0.8	x: 0.119 m η = 1.3	x: 2.662 m η = 0.1	η < 0.1	η < 0.1	x: 2.663 m η = 79.0	η < 0.1	x: 2.662 m η = 0.5	x: 0.119 m η = 1.4	x: 2.662 m η = 0.1	**CUMPLE η = 79.0**
N898/N916	$\lambda_w \leq \lambda_{w,máx}$ Cumple	x: 2.662 m η = 55.5	x: 0.119 m η = 66.9	x: 0.119 m η = 11.1	x: 2.663 m η = 1.0	x: 0.119 m η = 1.4	η < 0.1	η < 0.1	η < 0.1	x: 2.663 m η = 78.2	η < 0.1	η = 0.5	x: 0.119 m η = 1.4	η < 0.1	**CUMPLE η = 78.2**
N899/N917	$\lambda_w \leq \lambda_{w,máx}$ Cumple	x: 2.662 m η = 56.3	x: 0.119 m η = 67.3	x: 0.119 m η = 10.3	x: 2.662 m η = 1.6	x: 0.119 m η = 0.8	η < 0.1	η < 0.1	η < 0.1	x: 0.119 m η = 77.9	η < 0.1	η = 0.7	x: 0.119 m η = 0.8	η < 0.1	**CUMPLE η = 77.9**
N900/N918	$\lambda_w \leq \lambda_{w,máx}$ Cumple	x: 2.549 m η = 53.2	x: 0.119 m η = 64.0	x: 2.55 m η = 13.0	x: 2.55 m η = 1.4	x: 2.549 m η = 1.4	η < 0.1	η < 0.1	η < 0.1	x: 2.55 m η = 76.9	η < 0.1	η = 0.6	x: 2.549 m η = 1.4	η < 0.1	**CUMPLE η = 76.9**
N920/N901	$\lambda_w \leq \lambda_{w,máx}$ Cumple	x: 2.377 m η = 31.0	x: 0.111 m η = 37.8	x: 2.378 m η = 16.7	x: 0.111 m η = 1.7	x: 0.111 m η = 1.5	η = 0.2	η < 0.1	η < 0.1	x: 2.378 m η = 54.6	η < 0.1	η = 0.9	x: 0.111 m η = 1.5	η = 0.2	**CUMPLE η = 54.6**
N921/N936	$\lambda_w \leq \lambda_{w,máx}$ Cumple	x: 2.482 m η = 46.2	x: 0.111 m η = 51.2	x: 2.483 m η = 11.7	x: 2.482 m η = 1.4	x: 0.111 m η = 1.5	η < 0.1	η < 0.1	η < 0.1	x: 2.483 m η = 62.9	η < 0.1	η = 0.8	x: 0.111 m η = 1.5	η < 0.1	**CUMPLE η = 62.9**
N922/N937	$\lambda_w \leq \lambda_{w,máx}$ Cumple	x: 2.482 m η = 38.9	x: 0.111 m η = 43.4	x: 0.111 m η = 8.1	x: 2.483 m η = 0.8	x: 0.111 m η = 1.0	η = 0.1	η < 0.1	η < 0.1	x: 0.111 m η = 50.5	η < 0.1	η = 0.5	x: 0.111 m η = 1.0	η = 0.1	**CUMPLE η = 50.5**
N923/N938	$\lambda_w \leq \lambda_{w,máx}$ Cumple	x: 2.482 m η = 38.8	x: 0.111 m η = 42.3	x: 0.111 m η = 7.8	x: 0.111 m η = 1.2	x: 0.111 m η = 1.1	x: 0.902 m η = 0.1	η < 0.1	η < 0.1	x: 2.483 m η = 50.2	η < 0.1	η = 0.6	x: 0.111 m η = 1.1	x: 0.902 m η = 0.1	**CUMPLE η = 50.2**
N924/N939	$\lambda_w \leq \lambda_{w,máx}$ Cumple	x: 2.482 m η = 29.9	x: 0.111 m η = 33.2	x: 2.483 m η = 6.3	x: 0.111 m η = 3.9	x: 0.111 m η = 0.9	η = 0.1	η < 0.1	η < 0.1	x: 2.483 m η = 40.0	η < 0.1	η = 0.7	x: 0.111 m η = 0.9	η = 0.1	**CUMPLE η = 40.0**
N926/N941	$\lambda_w \leq \lambda_{w,máx}$ Cumple	x: 2.482 m η = 15.6	x: 0.111 m η = 16.8	x: 2.483 m η = 3.9	x: 0.111 m η = 3.0	x: 0.111 m η = 0.4	η = 0.2	η < 0.1	η < 0.1	x: 2.483 m η = 20.9	η < 0.1	x: 2.285 m η = 0.6	x: 0.111 m η = 0.4	η = 0.2	**CUMPLE η = 20.9**
N927/N942	$\lambda_w \leq \lambda_{w,máx}$ Cumple	x: 2.482 m η = 4.7	x: 0.111 m η = 1.8	x: 2.483 m η = 2.0	x: 2.483 m η = 4.4	x: 0.111 m η = 0.2	η = 0.2	η < 0.1	η < 0.1	x: 2.285 m η = 6.6	η < 0.1	x: 0.111 m η = 2.0	x: 0.111 m η = 0.2	η = 0.2	**CUMPLE η = 6.6**
N927/N944	$\lambda_w \leq \lambda_{w,máx}$ Cumple	x: 2.662 m η = 6.6	x: 0.119 m η = 8.0	x: 2.663 m η = 3.0	x: 0.119 m η = 3.8	x: 2.662 m η = 0.2	η = 0.1	η < 0.1	η < 0.1	x: 2.663 m η = 11.1	η < 0.1	η = 0.5	x: 2.662 m η = 0.2	η = 0.1	**CUMPLE η = 11.1**
N928/N945	$\lambda_w \leq \lambda_{w,máx}$ Cumple	x: 2.662 m η = 18.2	x: 0.119 m η = 26.4	x: 2.663 m η = 5.1	x: 2.663 m η = 2.1	x: 2.662 m η = 0.5	η = 0.1	η < 0.1	η < 0.1	x: 2.663 m η = 31.8	η < 0.1	x: 0.967 m η = 1.1	x: 2.662 m η = 0.5	η = 0.1	**CUMPLE η = 31.8**
N930/N947	$\lambda_w \leq \lambda_{w,máx}$ Cumple	x: 2.662 m η = 33.2	x: 0.119 m η = 42.2	x: 2.663 m η = 7.3	x: 0.119 m η = 2.7	x: 0.119 m η = 0.9	η = 0.1	η < 0.1	η < 0.1	x: 2.663 m η = 49.8	η < 0.1	η = 0.4	x: 0.119 m η = 0.9	η = 0.1	**CUMPLE η = 49.8**

Documento visado electrónicamente con número: VA07290/22
Código de validación telemática TRLTDCFZ60T66IJ1. Comprobación: https://cogitivalencia.e-gestion.es/Validacion.aspx?CVT=TRLTDCFZ60T66IJ1

VISADO
COGITI
Estado
VALENCIA
VA07298/22
TRLTDCFZ60T66IJ1

Barras	COMPROBACIONES (CÓDIGO ESTRUCTURAL)														
	λ_w	N_t	N_c	M_Y	M_Z	V_Z	V_Y	M_YV_Z	M_ZV_Y	NM_YM_Z	$NM_YM_ZV_YV_Z$	M_t	M_tV_Z	M_tV_Y	
N931/N948	$\lambda_w \leq \lambda_{w,máx}$ Cumple	x: 2.662 m η = 42.4	x: 0.119 m η = 51.7	x: 2.663 m η = 8.2	x: 0.119 m η = 1.0	x: 0.119 m η = 1.0	η = 0.1	η < 0.1	η < 0.1	x: 2.663 m η = 60.2	η < 0.1	η = 0.4	x: 0.119 m η = 1.0	η = 0.1	**CUMPLE η = 60.2**
N932/N949	$\lambda_w \leq \lambda_{w,máx}$ Cumple	x: 2.662 m η = 43.6	x: 0.119 m η = 53.4	x: 0.119 m η = 8.9	x: 2.663 m η = 0.9	x: 0.119 m η = 1.1	η = 0.1	η < 0.1	η < 0.1	x: 2.663 m η = 62.2	η < 0.1	η = 0.5	x: 0.119 m η = 1.1	η = 0.1	**CUMPLE η = 62.2**
N933/N950	$\lambda_w \leq \lambda_{w,máx}$ Cumple	x: 2.662 m η = 44.9	x: 0.119 m η = 54.4	x: 0.119 m η = 8.5	x: 2.663 m η = 1.6	x: 0.119 m η = 0.6	η < 0.1	η < 0.1	η < 0.1	x: 0.119 m η = 63.2	η < 0.1	η = 0.8	x: 0.119 m η = 0.6	η < 0.1	**CUMPLE η = 63.2**
N934/N951	$\lambda_w \leq \lambda_{w,máx}$ Cumple	x: 2.549 m η = 49.8	x: 0.119 m η = 61.9	x: 2.55 m η = 12.1	x: 2.549 m η = 1.3	x: 2.549 m η = 1.2	η < 0.1	η < 0.1	η < 0.1	x: 2.55 m η = 73.3	η < 0.1	η = 0.5	x: 2.549 m η = 1.2	η < 0.1	**CUMPLE η = 73.3**
N953/N935	$\lambda_w \leq \lambda_{w,máx}$ Cumple	x: 2.377 m η = 34.9	x: 0.111 m η = 42.8	x: 2.378 m η = 11.9	x: 0.111 m η = 1.8	x: 0.111 m η = 0.9	η = 0.1	η < 0.1	η < 0.1	x: 2.378 m η = 54.6	η < 0.1	η = 0.9	x: 0.111 m η = 0.9	η = 0.1	**CUMPLE η = 54.6**
N954/N969	$\lambda_w \leq \lambda_{w,máx}$ Cumple	x: 2.482 m η = 54.7	x: 0.111 m η = 63.0	x: 0.111 m η = 12.5	x: 2.482 m η = 1.5	x: 0.111 m η = 1.6	η < 0.1	η < 0.1	η < 0.1	x: 0.111 m η = 75.7	η < 0.1	η = 0.7	x: 0.111 m η = 1.6	η < 0.1	**CUMPLE η = 75.7**
N955/N970	$\lambda_w \leq \lambda_{w,máx}$ Cumple	x: 2.482 m η = 47.5	x: 0.111 m η = 55.1	x: 0.111 m η = 9.6	x: 2.483 m η = 0.9	x: 0.111 m η = 1.2	η < 0.1	η < 0.1	η < 0.1	x: 0.111 m η = 64.4	η < 0.1	η = 0.4	x: 0.111 m η = 1.2	η < 0.1	**CUMPLE η = 64.4**
N956/N971	$\lambda_w \leq \lambda_{w,máx}$ Cumple	x: 2.482 m η = 49.2	x: 0.111 m η = 56.4	x: 2.483 m η = 9.8	x: 0.111 m η = 1.2	x: 0.111 m η = 1.3	x: 1.692 m η = 0.1	η < 0.1	η < 0.1	x: 2.483 m η = 66.9	η < 0.1	η = 0.6	x: 0.111 m η = 1.3	x: 1.692 m η = 0.1	**CUMPLE η = 66.9**
N957/N972	$\lambda_w \leq \lambda_{w,máx}$ Cumple	x: 2.482 m η = 40.4	x: 0.111 m η = 47.6	x: 2.483 m η = 8.8	x: 0.111 m η = 4.1	x: 0.111 m η = 1.1	η = 0.1	η < 0.1	η < 0.1	x: 2.483 m η = 57.1	η < 0.1	η = 0.9	x: 0.111 m η = 1.1	η = 0.1	**CUMPLE η = 57.1**
N959/N974	$\lambda_w \leq \lambda_{w,máx}$ Cumple	x: 2.482 m η = 28.3	x: 0.111 m η = 35.6	x: 2.483 m η = 7.0	x: 0.111 m η = 2.0	x: 0.111 m η = 0.7	η < 0.1	η < 0.1	η < 0.1	x: 2.483 m η = 43.1	η < 0.1	η = 0.4	x: 0.111 m η = 0.7	η < 0.1	**CUMPLE η = 43.1**
N960/N975	$\lambda_w \leq \lambda_{w,máx}$ Cumple	x: 2.482 m η = 17.6	x: 0.111 m η = 21.4	x: 2.483 m η = 4.5	x: 2.483 m η = 2.3	x: 0.111 m η = 0.4	x: 1.495 m η = 0.1	η < 0.1	η < 0.1	x: 2.483 m η = 26.2	η < 0.1	x: 1.495 m η = 1.0	x: 0.111 m η = 0.4	x: 1.495 m η = 0.1	**CUMPLE η = 26.2**
N960/N977	$\lambda_w \leq \lambda_{w,máx}$ Cumple	x: 2.662 m η = 8.2	x: 0.119 m η = 7.5	x: 0.119 m η = 3.3	x: 2.663 m η = 2.2	x: 2.662 m η = 0.2	η < 0.1	η < 0.1	η < 0.1	x: 0.119 m η = 11.5	η < 0.1	x: 0.119 m η = 0.8	x: 2.662 m η = 0.2	η < 0.1	**CUMPLE η = 11.5**
N961/N978	$\lambda_w \leq \lambda_{w,máx}$ Cumple	x: 2.662 m η = 5.9	x: 0.119 m η = 5.4	x: 2.663 m η = 3.4	x: 0.119 m η = 2.0	x: 0.119 m η = 0.2	x: 1.391 m η = 0.1	η < 0.1	η < 0.1	x: 2.663 m η = 9.0	η < 0.1	x: 1.391 m η = 0.6	x: 0.119 m η = 0.2	x: 1.391 m η = 0.1	**CUMPLE η = 9.0**
N963/N980	$\lambda_w \leq \lambda_{w,máx}$ Cumple	x: 2.662 m η = 23.0	x: 0.119 m η = 27.7	x: 2.663 m η = 6.3	x: 0.119 m η = 2.7	x: 0.119 m η = 0.7	η = 0.1	η < 0.1	η < 0.1	x: 2.663 m η = 34.3	η < 0.1	η = 0.5	x: 0.119 m η = 0.7	η = 0.1	**CUMPLE η = 34.3**
N964/N981	$\lambda_w \leq \lambda_{w,máx}$ Cumple	x: 2.662 m η = 32.6	x: 0.119 m η = 37.7	x: 2.663 m η = 7.4	x: 0.119 m η = 1.2	x: 0.119 m η = 0.8	x: 2.451 m η = 0.1	η < 0.1	η < 0.1	x: 2.663 m η = 45.2	η < 0.1	η = 0.5	x: 0.119 m η = 0.8	x: 2.451 m η = 0.1	**CUMPLE η = 45.2**
N965/N982	$\lambda_w \leq \lambda_{w,máx}$ Cumple	x: 2.662 m η = 34.4	x: 0.119 m η = 40.5	x: 2.663 m η = 7.4	x: 2.663 m η = 1.2	x: 0.119 m η = 0.9	η = 0.1	η < 0.1	η < 0.1	x: 2.663 m η = 48.4	η < 0.1	η = 0.6	x: 0.119 m η = 0.9	η = 0.1	**CUMPLE η = 48.4**
N966/N983	$\lambda_w \leq \lambda_{w,máx}$ Cumple	x: 2.662 m η = 42.5	x: 0.119 m η = 49.6	x: 2.663 m η = 6.4	x: 2.663 m η = 2.4	x: 0.119 m η = 0.8	η < 0.1	η < 0.1	η < 0.1	x: 2.663 m η = 56.6	η < 0.1	η = 0.9	x: 0.119 m η = 0.8	η < 0.1	**CUMPLE η = 56.6**
N967/N984	$\lambda_w \leq \lambda_{w,máx}$ Cumple	x: 2.549 m η = 26.3	x: 0.119 m η = 33.3	x: 0.119 m η = 13.8	x: 2.55 m η = 2.1	x: 0.119 m η = 1.6	η < 0.1	η < 0.1	η < 0.1	x: 0.119 m η = 46.4	η < 0.1	η = 0.6	x: 0.119 m η = 1.6	η < 0.1	**CUMPLE η = 46.4**
N729/N985	$\lambda_w \leq \lambda_{w,máx}$ Cumple	η = 0.1	η = 0.1	x: 0.06 m η = 2.7	x: 0.06 m η = 5.2	η = 0.2	x: 0.06 m η = 0.7	η < 0.1	η < 0.1	x: 2.373 m η = 5.9	η < 0.1	η = 2.5	η = 0.2	x: 0.06 m η = 0.7	**CUMPLE η = 5.9**
N985/N986	$\lambda_w \leq \lambda_{w,máx}$ Cumple	η = 0.2	η = 0.1	x: 0.06 m η = 1.8	x: 1.217 m η = 1.2	η = 0.1	x: 0.06 m η = 0.2	η < 0.1	η < 0.1	x: 0.446 m η = 2.5	η < 0.1	η = 0.1	η = 0.1	x: 0.06 m η = 0.2	**CUMPLE η = 2.5**
N986/N885	$\lambda_w \leq \lambda_{w,máx}$ Cumple	η = 0.1	η = 0.2	x: 2.373 m η = 5.4	x: 2.373 m η = 5.2	η = 0.4	x: 2.373 m η = 0.7	η < 0.1	η < 0.1	x: 2.373 m η = 10.7	η < 0.1	η = 2.6	η = 0.4	x: 2.373 m η = 0.7	**CUMPLE η = 10.7**
N746/N987	$\lambda_w \leq \lambda_{w,máx}$ Cumple	η = 0.9	η = 6.2	x: 0.06 m η = 4.6	x: 0.06 m η = 6.0	η = 0.3	x: 0.06 m η = 0.8	η < 0.1	η < 0.1	x: 0.06 m η = 13.4	η < 0.1	η = 3.8	η = 0.4	x: 0.06 m η = 0.8	**CUMPLE η = 13.4**
N987/N988	$\lambda_w \leq \lambda_{w,máx}$ Cumple	η = 0.8	η = 6.8	x: 2.373 m η = 1.7	x: 1.217 m η = 1.5	η = 0.1	x: 0.06 m η = 0.2	η < 0.1	η < 0.1	x: 2.373 m η = 8.5	η < 0.1	η = 0.1	η = 0.1	x: 0.06 m η = 0.2	**CUMPLE η = 8.5**
N988/N902	$\lambda_w \leq \lambda_{w,máx}$ Cumple	η = 1.0	η = 6.3	x: 2.373 m η = 4.1	x: 2.373 m η = 6.6	η = 0.3	x: 2.373 m η = 0.8	η < 0.1	η < 0.1	x: 2.373 m η = 11.2	η < 0.1	η = 3.9	η = 0.3	x: 2.373 m η = 0.9	**CUMPLE η = 11.2**
N745/N989	$\lambda_w \leq \lambda_{w,máx}$ Cumple	η = 2.2	η = 53.7	x: 0.15 m η = 3.0	x: 0.15 m η = 3.3	η = 0.4	x: 0.15 m η = 0.5	η < 0.1	η < 0.1	x: 0.15 m η = 57.2	η < 0.1	η = 1.1	η = 0.4	x: 0.15 m η = 0.5	**CUMPLE η = 57.2**
N989/N990	$\lambda_w \leq \lambda_{w,máx}$ Cumple	η = 9.0	η = 11.9	x: 0.095 m η = 0.5	x: 2.338 m η = 3.9	η < 0.1	x: 2.338 m η = 0.6	η < 0.1	η < 0.1	x: 2.338 m η = 14.6	η < 0.1	η = 0.1	η < 0.1	x: 2.338 m η = 0.6	**CUMPLE η = 14.6**
N990/N901	$\lambda_w \leq \lambda_{w,máx}$ Cumple	η = 5.6	η = 61.8	x: 0.095 m η = 2.7	x: 0.095 m η = 2.6	η = 0.4	x: 0.095 m η = 0.5	η < 0.1	η < 0.1	x: 0.095 m η = 65.8	η < 0.1	η = 1.1	η = 0.4	x: 0.095 m η = 0.5	**CUMPLE η = 65.8**
N762/N991	$\lambda_w \leq \lambda_{w,máx}$ Cumple	η = 1.1	η = 23.9	x: 0.095 m η = 2.1	x: 0.095 m η = 4.4	η = 0.2	x: 0.095 m η = 0.6	η < 0.1	η < 0.1	x: 0.095 m η = 27.8	η < 0.1	η = 0.9	η = 0.2	x: 0.095 m η = 0.6	**CUMPLE η = 27.8**
N991/N992	$\lambda_w \leq \lambda_{w,máx}$ Cumple	η = 1.0	η = 28.2	x: 0.06 m η = 1.1	x: 2.373 m η = 3.5	η < 0.1	x: 2.373 m η = 0.5	η < 0.1	η < 0.1	x: 2.372 m η = 30.2	η < 0.1	η < 0.1	η < 0.1	x: 2.373 m η = 0.5	**CUMPLE η = 30.2**
N992/N918	$\lambda_w \leq \lambda_{w,máx}$ Cumple	η = 2.9	η = 28.2	x: 2.338 m η = 2.0	x: 2.338 m η = 4.7	η = 0.2	x: 2.338 m η = 0.6	η < 0.1	η < 0.1	x: 2.338 m η = 32.9	η < 0.1	η = 1.0	η = 0.2	x: 2.338 m η = 0.6	**CUMPLE η = 32.9**
N990/N992	$\lambda_w \leq \lambda_{w,máx}$ Cumple	x: 1.939 m η = 0.1	x: 0.078 m η = 2.7	x: 1.94 m η = 2.4	x: 0.078 m η = 3.3	η = 0.3	η = 0.2	η < 0.1	η < 0.1	x: 0.078 m η = 6.3	η < 0.1	η = 0.4	η = 0.3	η = 0.2	**CUMPLE η = 6.3**
N989/N991	$\lambda_w \leq \lambda_{w,máx}$ Cumple	x: 1.939 m η = 0.1	x: 0.078 m η = 1.6	x: 1.94 m η = 2.6	x: 0.078 m η = 3.4	η = 0.3	η = 0.2	η < 0.1	η < 0.1	x: 0.078 m η = 4.8	η < 0.1	η = 0.4	η = 0.3	η = 0.2	**CUMPLE η = 4.8**
N986/N988	$\lambda_w \leq \lambda_{w,máx}$ Cumple	x: 1.939 m η = 0.1	x: 0.06 m η = 0.1	x: 1.94 m η = 3.5	x: 1.94 m η = 3.1	η = 0.5	η = 0.3	η < 0.1	η < 0.1	x: 1.94 m η = 6.5	η < 0.1	η = 1.0	η = 0.5	η = 0.3	**CUMPLE η = 6.5**
N985/N987	$\lambda_w \leq \lambda_{w,máx}$ Cumple	x: 1.939 m η = 0.1	x: 0.06 m η = 0.1	x: 1.94 m η = 3.2	x: 1.94 m η = 2.8	η = 0.5	η = 0.2	η < 0.1	η < 0.1	x: 1.94 m η = 5.8	η < 0.1	η = 0.8	η = 0.5	η = 0.3	**CUMPLE η = 5.8**
N763/N989	$\lambda_w \leq \lambda_{w,máx}$ Cumple	x: 3.054 m η = 13.3	x: 0.195 m η = 3.0	x: 0.195 m η = 5.2	x: 0.195 m η = 6.3	x: 3.055 m η = 0.6	η = 0.2	η < 0.1	η < 0.1	x: 0.195 m η = 21.4	η < 0.1	η = 4.4	x: 3.055 m η = 0.6	η = 0.2	**CUMPLE η = 21.4**
N919/N990	$\lambda_w \leq \lambda_{w,máx}$ Cumple	x: 3.054 m η = 15.3	x: 0.195 m η = 6.7	x: 0.195 m η = 6.2	x: 0.195 m η = 5.4	x: 3.055 m η = 0.6	η = 0.2	η < 0.1	η < 0.1	x: 0.195 m η = 22.9	η < 0.1	η = 4.3	x: 3.055 m η = 0.6	η = 0.2	**CUMPLE η = 22.9**
N796/N993	$\lambda_w \leq \lambda_{w,máx}$ Cumple	x: 3.054 m η = 14.5	x: 0.195 m η = 2.6	x: 0.195 m η = 6.0	x: 3.055 m η = 4.6	x: 3.055 m η = 0.6	η = 0.2	η < 0.1	η < 0.1	x: 3.055 m η = 20.7	η < 0.1	η = 2.8	x: 3.055 m η = 0.7	η = 0.3	**CUMPLE η = 20.7**
N779/N993	$\lambda_w \leq \lambda_{w,máx}$ Cumple	η = 1.8	η = 54.4	x: 2.338 m η = 3.2	x: 0.15 m η = 3.2	η = 0.4	x: 0.15 m η = 0.5	η < 0.1	η < 0.1	x: 2.338 m η = 56.9	η < 0.1	η = 1.2	η = 0.4	x: 0.15 m η = 0.5	**CUMPLE η = 56.9**
N993/N994	$\lambda_w \leq \lambda_{w,máx}$ Cumple	η = 9.0	η = 9.2	x: 2.338 m η = 0.3	x: 2.338 m η = 4.5	η < 0.1	x: 2.338 m η = 0.7	η < 0.1	η < 0.1	x: 2.338 m η = 12.2	η < 0.1	x: 1.964 m η = 0.1	η < 0.1	x: 2.338 m η = 0.7	**CUMPLE η = 12.2**
N994/N935	$\lambda_w \leq \lambda_{w,máx}$ Cumple	η = 4.9	η = 57.1	x: 2.283 m η = 3.5	x: 0.095 m η = 3.0	η = 0.5	x: 0.095 m η = 0.5	η < 0.1	η < 0.1	x: 2.283 m η = 61.0	η < 0.1	η = 1.2	η = 0.5	x: 0.095 m η = 0.5	**CUMPLE η = 61.0**
N993/N995	$\lambda_w \leq \lambda_{w,máx}$ Cumple	x: 1.939 m η = 0.1	x: 0.078 m η = 1.3	x: 0.078 m η = 2.5	x: 0.078 m η = 3.4	η = 0.4	η = 0.2	η < 0.1	η < 0.1	x: 0.078 m η = 5.0	η < 0.1	η = 0.4	η = 0.4	η = 0.2	**CUMPLE η = 5.0**
N994/N996	$\lambda_w \leq \lambda_{w,máx}$ Cumple	x: 1.939 m η = 0.1	x: 0.078 m η = 3.1	x: 1.94 m η = 2.7	x: 0.078 m η = 3.3	η = 0.3	η = 0.2	η < 0.1	η < 0.1	x: 0.078 m η = 6.9	η < 0.1	η = 0.4	η = 0.3	η = 0.2	**CUMPLE η = 6.9**
N952/N994	$\lambda_w \leq \lambda_{w,máx}$ Cumple	x: 3.054 m η = 15.2	x: 0.195 m η = 6.7	x: 0.195 m η = 6.0	x: 3.055 m η = 4.6	x: 3.055 m η = 0.6	η = 0.2	η < 0.1	η < 0.1	x: 3.055 m η = 22.1	η < 0.1	η = 2.6	x: 3.055 m η = 0.6	η = 0.2	**CUMPLE η = 22.1**

Código de validación telemática: TRLTDCFZ60T66IJ1. Comprobación: https://coginvalencia.e-gestion.es/Validacion.aspx?CVT= TRLTDCFZ60T66IJ1 VA07298/22

VISADO
COGITI
Estado
VALENCIA
VA07290/22
TRLTDCFZ60T66IJ1

Listados

Barras	COMPROBACIONES (CÓDIGO ESTRUCTURAL)															
	λ_w	N_t	N_c	M_Y	M_Z	V_Z	V_Y	M_YV_Z	M_ZV_Y	NM_YM_Z	$NM_YM_ZV_YV_Z$	M_t	M_tV_Z	M_tV_Y	
N795/N995	$\lambda_w \leq \lambda_{w,máx}$ Cumple	η = 0.7	η = 21.2	x: 0.095 m η = 2.0	x: 0.095 m η = 4.5	η = 0.2	x: 0.095 m η = 0.6	η < 0.1	η < 0.1	x: 0.095 m η = 25.4	η < 0.1	η = 1.0	η = 0.2	x: 0.095 m η = 0.6	**CUMPLE η = 25.4**
N995/N996	$\lambda_w \leq \lambda_{w,máx}$ Cumple	η = 0.5	η = 24.1	x: 2.372 m η = 1.0	x: 2.373 m η = 3.7	η < 0.1	x: 2.373 m η = 0.6	η < 0.1	η < 0.1	x: 2.372 m η = 26.2	η < 0.1	η = 0.1	η < 0.1	x: 2.373 m η = 0.6	**CUMPLE η = 26.2**
N996/N951	$\lambda_w \leq \lambda_{w,máx}$ Cumple	η = 1.9	η = 24.1	x: 2.338 m η = 1.7	x: 2.338 m η = 4.6	η = 0.2	x: 2.338 m η = 0.6	η < 0.1	η < 0.1	x: 2.338 m η = 28.4	η < 0.1	η = 1.1	η = 0.2	x: 2.338 m η = 0.6	**CUMPLE η = 28.4**
N989/N762	$\lambda_w \leq \lambda_{w,máx}$ Cumple	x: 3.054 m η = 13.0	x: 0.095 m η = 0.5	x: 3.055 m η = 3.7	x: 0.095 m η = 2.3	x: 3.055 m η = 0.5	η = 0.1	η < 0.1	η < 0.1	x: 3.055 m η = 17.9	η < 0.1	η = 1.3	x: 3.055 m η = 0.5	η = 0.1	**CUMPLE η = 17.9**
N990/N918	$\lambda_w \leq \lambda_{w,máx}$ Cumple	x: 3.054 m η = 13.6	x: 0.095 m η = 2.0	x: 3.055 m η = 4.0	x: 0.095 m η = 2.0	x: 3.055 m η = 0.5	η = 0.1	η < 0.1	η < 0.1	x: 3.055 m η = 18.6	η < 0.1	η = 1.4	x: 3.055 m η = 0.5	η = 0.1	**CUMPLE η = 18.6**
N993/N795	$\lambda_w \leq \lambda_{w,máx}$ Cumple	x: 3.054 m η = 13.7	x: 0.095 m η = 0.8	x: 3.055 m η = 3.8	x: 0.095 m η = 1.7	x: 3.055 m η = 0.5	η < 0.1	η < 0.1	η < 0.1	x: 3.055 m η = 18.3	η < 0.1	η = 1.4	x: 3.055 m η = 0.5	η < 0.1	**CUMPLE η = 18.3**
N994/N951	$\lambda_w \leq \lambda_{w,máx}$ Cumple	x: 3.054 m η = 13.7	x: 0.095 m η = 1.8	x: 3.055 m η = 3.9	x: 0.095 m η = 1.7	x: 3.055 m η = 0.5	η < 0.1	η < 0.1	η < 0.1	x: 3.055 m η = 18.4	η < 0.1	η = 1.4	x: 3.055 m η = 0.5	η < 0.1	**CUMPLE η = 18.4**
N828/N998	$\lambda_w \leq \lambda_{w,máx}$ Cumple	η = 0.1	η = 9.0	x: 0.095 m η = 3.8	x: 0.095 m η = 4.3	η = 0.4	x: 0.095 m η = 0.6	η < 0.1	η < 0.1	x: 0.095 m η = 13.1	η < 0.1	η = 2.1	η = 0.4	x: 0.095 m η = 0.6	**CUMPLE η = 13.1**
N998/N997	$\lambda_w \leq \lambda_{w,máx}$ Cumple	η = 0.1	η = 9.9	x: 0.06 m η = 1.8	x: 0.06 m η = 2.9	η < 0.1	x: 2.373 m η = 0.5	η < 0.1	η < 0.1	x: 1.217 m η = 11.6	η < 0.1	η = 0.2	η < 0.1	x: 2.373 m η = 0.5	**CUMPLE η = 11.6**
N997/N984	$\lambda_w \leq \lambda_{w,máx}$ Cumple	η = 2.4	η = 9.5	x: 2.338 m η = 3.9	x: 2.338 m η = 4.2	η = 0.4	x: 2.338 m η = 0.6	η < 0.1	η < 0.1	x: 2.338 m η = 13.6	η < 0.1	η = 2.2	η = 0.4	x: 2.338 m η = 0.6	**CUMPLE η = 13.6**
N999/N984	$\lambda_w \leq \lambda_{w,máx}$ Cumple	x: 3.054 m η = 13.8	x: 0.095 m η = 1.9	x: 3.055 m η = 3.4	x: 3.055 m η = 3.4	x: 3.055 m η = 0.5	η = 0.1	η < 0.1	η < 0.1	x: 3.055 m η = 18.0	η < 0.1	η = 3.0	x: 3.055 m η = 0.5	η = 0.1	**CUMPLE η = 18.0**
N812/N1000	$\lambda_w \leq \lambda_{w,máx}$ Cumple	η = 1.1	η = 42.4	x: 0.15 m η = 5.5	x: 0.15 m η = 2.4	η = 0.7	x: 0.15 m η = 0.4	η < 0.1	η < 0.1	x: 0.15 m η = 43.9	η < 0.1	η = 1.8	η = 0.7	x: 0.15 m η = 0.4	**CUMPLE η = 43.9**
N1000/N999	$\lambda_w \leq \lambda_{w,máx}$ Cumple	η = 12.7	x: 0.843 m η = 9.5	x: 0.095 m η = 1.0	x: 2.338 m η = 3.5	η = 0.1	x: 2.338 m η = 0.5	η < 0.1	η < 0.1	x: 2.338 m η = 14.8	η < 0.1	η = 0.2	η = 0.1	x: 2.338 m η = 0.5	**CUMPLE η = 14.8**
N999/N968	$\lambda_w \leq \lambda_{w,máx}$ Cumple	η = 4.1	η = 34.6	x: 0.095 m η = 4.2	x: 0.095 m η = 2.1	η = 0.5	x: 0.095 m η = 0.4	η < 0.1	η < 0.1	x: 2.283 m η = 35.2	η < 0.1	η = 1.6	η = 0.5	x: 0.095 m η = 0.4	**CUMPLE η = 35.2**
N1001/N999	$\lambda_w \leq \lambda_{w,máx}$ Cumple	x: 3.054 m η = 13.3	x: 0.195 m η = 5.7	x: 0.195 m η = 4.3	x: 3.055 m η = 8.2	x: 0.195 m η = 0.4	η = 0.2	η < 0.1	η < 0.1	x: 3.055 m η = 19.6	η < 0.1	η = 6.5	x: 0.195 m η = 0.5	η = 0.2	**CUMPLE η = 19.6**
N1000/N998	$\lambda_w \leq \lambda_{w,máx}$ Cumple	x: 1.939 m η = 0.1	x: 0.078 m η = 0.9	x: 0.078 m η = 2.0	x: 0.078 m η = 6.9	η = 0.3	η = 0.4	η < 0.1	η < 0.1	x: 0.078 m η = 7.8	η < 0.1	η = 0.8	η = 0.3	η = 0.4	**CUMPLE η = 7.8**
N1000/N828	$\lambda_w \leq \lambda_{w,máx}$ Cumple	x: 3.054 m η = 14.7	x: 0.095 m η = 1.8	x: 3.055 m η = 3.5	x: 0.095 m η = 3.4	x: 3.055 m η = 0.5	η < 0.1	η < 0.1	η < 0.1	x: 3.055 m η = 18.5	η < 0.1	η = 2.8	x: 3.055 m η = 0.5	η < 0.1	**CUMPLE η = 18.5**
N999/N997	$\lambda_w \leq \lambda_{w,máx}$ Cumple	N_{Ed} = 0.00 N.P.(1)	x: 0.078 m η = 2.4	x: 1.94 m η = 2.5	x: 0.078 m η = 6.7	η = 0.3	η = 0.4	η < 0.1	η < 0.1	x: 0.078 m η = 9.2	η < 0.1	η = 0.7	η = 0.3	η = 0.4	**CUMPLE η = 9.2**
N845/N1000	$\lambda_w \leq \lambda_{w,máx}$ Cumple	x: 3.054 m η = 16.8	x: 0.195 m η = 2.5	x: 0.195 m η = 5.1	x: 3.055 m η = 8.8	x: 3.055 m η = 0.6	η = 0.2	η < 0.1	η < 0.1	x: 3.055 m η = 26.1	η < 0.1	η = 6.3	x: 3.055 m η = 0.6	η = 0.2	**CUMPLE η = 26.1**
N748/N904	x: 0.509 m $\lambda_w \leq \lambda_{w,máx}$ Cumple	η = 1.3	η = 20.8	M_{Ed} = 0.00 N.P.(2)	x: 3.65 m η = 6.0	V_{Ed} = 0.00 N.P.(3)	x: 0.06 m η = 0.5	N.P.(4)	x: 0.509 m η < 0.1	x: 3.65 m η = 27.3	x: 0.509 m η < 0.1	M_{Ed} = 0.00 N.P.(5)	N.P.(6)	N.P.(6)	**CUMPLE η = 27.3**
N1002/N1003	$\lambda_w \leq \lambda_{w,máx}$ Cumple	x: 1.939 m η = 0.1	x: 0.06 m η = 0.3	x: 1.94 m η = 10.2	x: 0.06 m η < 0.1	η = 1.6	η < 0.1	η < 0.1	x: 0.06 m η < 0.1	x: 1.94 m η = 10.3	η < 0.1	η < 0.1	η = 0.6	η < 0.1	**CUMPLE η = 10.3**
N1004/N1005	$\lambda_w \leq \lambda_{w,máx}$ Cumple	x: 1.939 m η = 0.1	x: 0.06 m η = 0.3	x: 0.06 m η = 11.5	x: 0.06 m η < 0.1	η = 1.8	η < 0.1	η < 0.1	x: 0.06 m η < 0.1	x: 0.06 m η = 11.8	η < 0.1	η < 0.1	η = 1.0	η < 0.1	**CUMPLE η = 11.8**
N737/N1007	x: 0.051 m $\lambda_w \leq \lambda_{w,máx}$ Cumple	η = 2.8	η = 14.7	x: 2.372 m η < 0.1	x: 2.373 m η = 18.4	η < 0.1	x: 0.05 m η = 1.3	N.P.(4)	x: 0.051 m η < 0.1	x: 2.373 m η = 21.1	x: 0.051 m η < 0.1	M_{Ed} = 0.00 N.P.(5)	N.P.(6)	N.P.(6)	**CUMPLE η = 21.1**
N1007/N1006	$\lambda_w \leq \lambda_{w,máx}$ Cumple	η = 3.3	η = 17.7	x: 0.06 m η < 0.1	x: 0.06 m η = 5.0	η < 0.1	x: 2.373 m η = 0.6	N.P.(4)	η < 0.1	x: 2.373 m η = 19.7	η < 0.1	η < 0.1	η < 0.1	x: 2.373 m η = 0.2	**CUMPLE η = 19.7**
N1006/N893	x: 0.06 m $\lambda_w \leq \lambda_{w,máx}$ Cumple	η = 4.2	η = 19.4	x: 0.06 m η < 0.1	x: 0.06 m η = 14.6	η < 0.1	x: 2.383 m η = 1.1	N.P.(4)	x: 0.06 m η < 0.1	x: 0.06 m η = 27.2	x: 0.06 m η < 0.1	M_{Ed} = 0.00 N.P.(5)	N.P.(6)	N.P.(6)	**CUMPLE η = 27.2**
N754/N1009	x: 0.051 m $\lambda_w \leq \lambda_{w,máx}$ Cumple	η = 2.8	η = 18.4	x: 2.372 m η < 0.1	x: 2.373 m η = 18.4	η < 0.1	x: 0.05 m η = 1.3	N.P.(4)	x: 0.051 m η < 0.1	x: 2.373 m η = 30.1	x: 0.051 m η < 0.1	M_{Ed} = 0.00 N.P.(5)	N.P.(6)	N.P.(6)	**CUMPLE η = 30.1**
N1009/N1008	$\lambda_w \leq \lambda_{w,máx}$ Cumple	η = 2.9	η = 24.3	x: 0.06 m η < 0.1	x: 0.06 m η = 5.1	η < 0.1	x: 2.373 m η = 0.6	N.P.(4)	η < 0.1	x: 0.06 m η = 27.6	η < 0.1	x: 2.372 m η < 0.1	η < 0.1	x: 2.373 m η = 0.2	**CUMPLE η = 27.6**
N1008/N910	x: 0.06 m $\lambda_w \leq \lambda_{w,máx}$ Cumple	η = 3.9	η = 24.5	x: 0.06 m η < 0.1	x: 0.06 m η = 15.5	η < 0.1	x: 2.383 m η = 1.1	N.P.(4)	x: 0.06 m η < 0.1	x: 0.06 m η = 26.3	x: 0.06 m η < 0.1	M_{Ed} = 0.00 N.P.(5)	N.P.(6)	N.P.(6)	**CUMPLE η = 26.3**
N1006/N1008	$\lambda_w \leq \lambda_{w,máx}$ Cumple	x: 1.939 m η = 0.1	x: 0.06 m η = 0.4	x: 1.94 m η = 11.2	x: 0.06 m η < 0.1	η = 1.7	η < 0.1	η < 0.1	N.P.(4)	x: 1.94 m η = 11.4	η < 0.1	x: 0.06 m η < 0.1	η = 0.5	η < 0.1	**CUMPLE η = 11.4**
N1007/N1009	$\lambda_w \leq \lambda_{w,máx}$ Cumple	x: 1.939 m η = 0.1	x: 0.06 m η = 0.4	x: 1.94 m η = 12.8	x: 0.06 m η < 0.1	η = 2.0	η < 0.1	η < 0.1	N.P.(4)	x: 0.06 m η = 13.2	η < 0.1	η < 0.1	η = 1.0	η < 0.1	**CUMPLE η = 13.2**
N741/N1011	x: 0.061 m $\lambda_w \leq \lambda_{w,máx}$ Cumple	η = 1.4	η = 8.0	x: 2.372 m η < 0.1	x: 2.373 m η = 14.9	η < 0.1	x: 0.06 m η = 1.1	x: 0.253 m η < 0.1	x: 0.061 m η < 0.1	x: 2.373 m η = 15.7	x: 0.061 m η < 0.1	M_{Ed} = 0.00 N.P.(5)	N.P.(6)	N.P.(6)	**CUMPLE η = 15.7**
N1011/N1010	$\lambda_w \leq \lambda_{w,máx}$ Cumple	η = 1.9	η = 9.3	x: 0.06 m η < 0.1	x: 0.06 m η = 3.9	η < 0.1	x: 2.373 m η = 0.5	N.P.(4)	η < 0.1	x: 2.373 m η = 10.4	η < 0.1	x: 1.024 m η < 0.1	η < 0.1	x: 2.373 m η = 0.2	**CUMPLE η = 10.4**
N1010/N897	x: 0.06 m $\lambda_w \leq \lambda_{w,máx}$ Cumple	η = 2.2	η = 10.6	x: 0.06 m η < 0.1	x: 0.06 m η = 10.8	η < 0.1	x: 2.373 m η = 0.8	x: 0.06 m η < 0.1	x: 0.06 m η < 0.1	x: 0.06 m η = 15.9	x: 0.06 m η < 0.1	M_{Ed} = 0.00 N.P.(5)	N.P.(6)	N.P.(6)	**CUMPLE η = 15.9**
N758/N1013	x: 0.061 m $\lambda_w \leq \lambda_{w,máx}$ Cumple	η = 2.8	η = 18.1	x: 2.372 m η < 0.1	x: 2.373 m η = 14.4	η < 0.1	x: 0.06 m η = 1.1	x: 0.253 m η < 0.1	x: 0.061 m η < 0.1	x: 2.373 m η = 27.3	x: 0.061 m η < 0.1	M_{Ed} = 0.00 N.P.(5)	N.P.(6)	N.P.(6)	**CUMPLE η = 27.3**
N1013/N1012	$\lambda_w \leq \lambda_{w,máx}$ Cumple	η = 2.8	η = 22.4	x: 0.06 m η < 0.1	x: 0.06 m η = 3.7	η < 0.1	x: 2.373 m η = 0.5	N.P.(4)	η < 0.1	x: 0.06 m η = 24.8	η < 0.1	η < 0.1	η < 0.1	x: 2.373 m η = 0.2	**CUMPLE η = 24.8**
N1012/N914	x: 0.06 m $\lambda_w \leq \lambda_{w,máx}$ Cumple	η = 3.4	η = 22.2	x: 0.06 m η < 0.1	x: 0.06 m η = 12.3	η < 0.1	x: 2.373 m η = 0.9	x: 0.06 m η < 0.1	x: 0.06 m η < 0.1	x: 1.024 m η = 22.6	x: 0.06 m η < 0.1	M_{Ed} = 0.00 N.P.(5)	N.P.(6)	N.P.(6)	**CUMPLE η = 22.6**
N1010/N1012	$\lambda_w \leq \lambda_{w,máx}$ Cumple	x: 1.939 m η = 0.1	x: 0.06 m η = 0.3	x: 1.94 m η = 9.1	x: 0.06 m η < 0.1	η = 1.4	η < 0.1	η < 0.1	x: 0.06 m η < 0.1	x: 1.94 m η = 9.2	η < 0.1	η < 0.1	η = 0.6	η < 0.1	**CUMPLE η = 9.2**
N1011/N1013	$\lambda_w \leq \lambda_{w,máx}$ Cumple	x: 1.939 m η = 0.1	x: 0.06 m η = 0.3	x: 0.06 m η = 10.6	x: 0.06 m η < 0.1	η = 1.7	η < 0.1	η < 0.1	x: 0.06 m η < 0.1	x: 0.06 m η = 10.9	η < 0.1	η < 0.1	η = 0.9	η < 0.1	**CUMPLE η = 10.9**
N760/N916	x: 0.509 m $\lambda_w \leq \lambda_{w,máx}$ Cumple	η = 4.4	η = 16.5	M_{Ed} = 0.00 N.P.(2)	x: 3.65 m η = 6.0	V_{Ed} = 0.00 N.P.(3)	x: 0.06 m η = 0.5	N.P.(4)	x: 0.509 m η < 0.1	x: 3.65 m η = 22.9	x: 0.509 m η < 0.1	M_{Ed} = 0.00 N.P.(5)	N.P.(6)	N.P.(6)	**CUMPLE η = 22.9**

Documento visado electrónicamente con número: VA07290/22
Código de validación telemática TRLTDCFZ60T66IJ1. Comprobación: https://cogitivalencia.e-gestion.es/Validacion.aspx?CVT=TRLTDCFZ60T66IJ1

VISADO COGITI
VALENCIA
VA07290/22
TRLTDCFZ60T66IJ1

Barras	COMPROBACIONES (CÓDIGO ESTRUCTURAL)														Estado
	λ_w	N_t	N_c	M_Y	M_Z	V_Z	V_Y	M_YV_Z	M_ZV_Y	NM_YM_Z	$NM_YM_ZV_YV_Z$	M_t	M_tV_Z	M_tV_Y	
N781/N937	x: 0.509 m $\lambda_w \leq \lambda_{w,máx}$ Cumple	η = 1.0	η = 24.5	M_{Ed} = 0.00 N.P.(2)	x: 3.65 m η = 6.0	V_{Ed} = 0.00 N.P.(3)	x: 0.06 m η = 0.5	N.P.(4)	x: 0.509 m η < 0.1	x: 3.65 m η = 31.1	x: 0.509 m η < 0.1	M_{Ed} = 0.00 N.P.(5)	N.P.(6)	N.P.(6)	**CUMPLE η = 31.1**
N783/N1014	x: 0.061 m $\lambda_w \leq \lambda_{w,máx}$ Cumple	η = 1.4	η = 11.6	x: 2.372 m η < 0.1	x: 2.373 m η = 12.2	η < 0.1	x: 0.06 m η = 0.9	x: 0.253 m η < 0.1	x: 0.061 m η < 0.1	x: 2.373 m η = 19.2	x: 0.061 m η < 0.1	M_{Ed} = 0.00 N.P.(5)	N.P.(6)	N.P.(6)	**CUMPLE η = 19.2**
N1014/N1015	$\lambda_w \leq \lambda_{w,máx}$ Cumple	η = 1.3	η = 14.8	x: 0.06 m η < 0.1	x: 0.06 m η = 2.9	η < 0.1	x: 2.373 m η = 0.4	x: 0.06 m η < 0.1	η < 0.1	x: 0.06 m η = 16.6	η < 0.1	η < 0.1	η < 0.1	x: 0.06 m η = 0.2	**CUMPLE η = 16.6**
N1015/N939	x: 0.06 m $\lambda_w \leq \lambda_{w,máx}$ Cumple	η = 1.7	η = 14.3	x: 0.06 m η < 0.1	x: 0.06 m η = 10.1	η < 0.1	x: 2.373 m η = 0.8	x: 0.06 m η < 0.1	x: 0.06 m η < 0.1	x: 0.06 m η = 16.0	x: 0.06 m η < 0.1	M_{Ed} = 0.00 N.P.(5)	N.P.(6)	N.P.(6)	**CUMPLE η = 16.0**
N767/N1016	x: 0.061 m $\lambda_w \leq \lambda_{w,máx}$ Cumple	η = 0.7	η = 1.3	x: 2.372 m η < 0.1	x: 2.373 m η = 12.5	η < 0.1	x: 0.06 m η = 0.9	x: 0.253 m η < 0.1	x: 0.061 m η < 0.1	x: 2.373 m η = 12.8	x: 0.061 m η < 0.1	M_{Ed} = 0.00 N.P.(5)	N.P.(6)	N.P.(6)	**CUMPLE η = 12.8**
N1016/N1017	$\lambda_w \leq \lambda_{w,máx}$ Cumple	η = 1.1	η = 1.3	x: 0.06 m η < 0.1	x: 0.06 m η = 3.0	η < 0.1	x: 2.373 m η = 0.4	x: 0.06 m η < 0.1	η < 0.1	x: 0.06 m η = 3.7	η < 0.1	η < 0.1	η < 0.1	x: 0.06 m η = 0.2	**CUMPLE η = 3.7**
N1017/N923	x: 0.06 m $\lambda_w \leq \lambda_{w,máx}$ Cumple	η = 1.2	η = 6.4	x: 0.06 m η < 0.1	x: 0.06 m η = 8.8	η < 0.1	x: 2.373 m η = 0.7	x: 0.06 m η < 0.1	x: 0.06 m η < 0.1	x: 0.06 m η = 10.9	x: 0.06 m η < 0.1	M_{Ed} = 0.00 N.P.(5)	N.P.(6)	N.P.(6)	**CUMPLE η = 10.9**
N1017/N1015	$\lambda_w \leq \lambda_{w,máx}$ Cumple	x: 1.939 m η = 0.1	x: 0.06 m η = 0.2	x: 1.94 m η = 7.7	x: 0.06 m η < 0.1	η = 1.2	η < 0.1	η < 0.1	x: 0.06 m η < 0.1	x: 1.94 m η = 7.7	η < 0.1	η < 0.1	η = 1.2	η < 0.1	**CUMPLE η = 7.7**
N1016/N1014	$\lambda_w \leq \lambda_{w,máx}$ Cumple	x: 1.939 m η = 0.1	x: 0.06 m η = 0.2	x: 0.06 m η = 9.2	x: 0.06 m η < 0.1	η = 1.4	η < 0.1	η < 0.1	x: 0.06 m η < 0.1	x: 0.06 m η = 9.3	η < 0.1	η < 0.1	η = 1.1	η < 0.1	**CUMPLE η = 9.3**
N771/N1019	x: 0.051 m $\lambda_w \leq \lambda_{w,máx}$ Cumple	η = 1.4	η = 8.8	x: 2.372 m η < 0.1	x: 2.373 m η = 14.3	η < 0.1	x: 0.05 m η = 1.1	x: 0.244 m η < 0.1	x: 0.051 m η < 0.1	x: 2.373 m η = 14.8	x: 0.051 m η < 0.1	M_{Ed} = 0.00 N.P.(5)	N.P.(6)	N.P.(6)	**CUMPLE η = 14.8**
N1019/N1018	$\lambda_w \leq \lambda_{w,máx}$ Cumple	η = 1.8	η = 9.2	x: 0.06 m η < 0.1	x: 0.06 m η = 3.6	η < 0.1	x: 2.373 m η = 0.4	x: 0.06 m η < 0.1	η < 0.1	x: 2.373 m η = 10.3	η < 0.1	η < 0.1	η < 0.1	x: 2.373 m η = 0.2	**CUMPLE η = 10.3**
N1018/N927	x: 0.06 m $\lambda_w \leq \lambda_{w,máx}$ Cumple	η = 2.1	η = 10.4	x: 0.06 m η < 0.1	x: 0.06 m η = 10.5	η < 0.1	x: 2.383 m η = 0.8	x: 0.06 m η < 0.1	x: 0.06 m η < 0.1	x: 0.06 m η = 15.9	x: 0.06 m η < 0.1	M_{Ed} = 0.00 N.P.(5)	N.P.(6)	N.P.(6)	**CUMPLE η = 15.9**
N787/N1021	x: 0.051 m $\lambda_w \leq \lambda_{w,máx}$ Cumple	η = 1.4	η = 12.7	x: 2.372 m η < 0.1	x: 2.373 m η = 14.2	η < 0.1	x: 0.05 m η = 1.0	x: 0.244 m η < 0.1	x: 0.051 m η < 0.1	x: 2.373 m η = 21.5	x: 0.051 m η < 0.1	M_{Ed} = 0.00 N.P.(5)	N.P.(6)	N.P.(6)	**CUMPLE η = 21.5**
N1021/N1020	$\lambda_w \leq \lambda_{w,máx}$ Cumple	η = 1.4	η = 16.7	x: 0.06 m η < 0.1	x: 0.06 m η = 3.6	η < 0.1	x: 2.373 m η = 0.4	x: 0.06 m η < 0.1	η < 0.1	x: 0.06 m η = 19.0	η < 0.1	η < 0.1	η < 0.1	x: 2.373 m η = 0.2	**CUMPLE η = 19.0**
N1020/N943	x: 0.06 m $\lambda_w \leq \lambda_{w,máx}$ Cumple	η = 1.9	η = 16.4	x: 0.06 m η < 0.1	x: 0.06 m η = 11.5	η < 0.1	x: 2.383 m η = 0.9	x: 0.06 m η < 0.1	x: 0.06 m η < 0.1	x: 0.641 m η = 17.3	x: 0.06 m η < 0.1	M_{Ed} = 0.00 N.P.(5)	N.P.(6)	N.P.(6)	**CUMPLE η = 17.3**
N1018/N1020	$\lambda_w \leq \lambda_{w,máx}$ Cumple	x: 1.939 m η = 0.1	x: 0.06 m η = 0.2	x: 1.94 m η = 8.6	x: 0.06 m η < 0.1	η = 1.3	η < 0.1	η < 0.1	x: 0.06 m η < 0.1	x: 1.94 m η = 8.7	η < 0.1	η < 0.1	η = 0.6	η < 0.1	**CUMPLE η = 8.7**
N1019/N1021	$\lambda_w \leq \lambda_{w,máx}$ Cumple	x: 1.939 m η = 0.1	x: 0.06 m η = 0.2	x: 0.06 m η = 10.3	x: 0.06 m η < 0.1	η = 1.6	η < 0.1	η < 0.1	x: 0.06 m η < 0.1	x: 0.06 m η = 10.5	η < 0.1	η < 0.1	x: 1 m η = 0.9	η < 0.1	**CUMPLE η = 10.5**
N775/N1023	x: 0.061 m $\lambda_w \leq \lambda_{w,máx}$ Cumple	η = 0.8	η = 1.2	x: 2.372 m η < 0.1	x: 2.373 m η = 12.2	η < 0.1	x: 0.06 m η = 0.9	x: 0.253 m η < 0.1	x: 0.061 m η < 0.1	x: 2.373 m η = 12.5	x: 0.061 m η < 0.1	M_{Ed} = 0.00 N.P.(5)	N.P.(6)	N.P.(6)	**CUMPLE η = 12.5**
N1023/N1022	$\lambda_w \leq \lambda_{w,máx}$ Cumple	η = 1.1	η = 1.1	x: 0.06 m η < 0.1	x: 0.06 m η = 2.9	η < 0.1	x: 2.373 m η = 0.3	x: 0.06 m η < 0.1	η < 0.1	x: 0.253 m η = 3.7	η < 0.1	η < 0.1	η < 0.1	x: 2.373 m η = 0.2	**CUMPLE η = 3.7**
N1022/N931	x: 0.06 m $\lambda_w \leq \lambda_{w,máx}$ Cumple	η = 1.2	η = 5.7	x: 0.06 m η < 0.1	x: 0.06 m η = 8.5	η < 0.1	x: 2.373 m η = 0.7	x: 0.06 m η < 0.1	x: 0.06 m η < 0.1	x: 0.06 m η = 9.7	x: 0.06 m η < 0.1	M_{Ed} = 0.00 N.P.(5)	N.P.(6)	N.P.(6)	**CUMPLE η = 9.7**
N791/N1025	x: 0.061 m $\lambda_w \leq \lambda_{w,máx}$ Cumple	η = 1.5	η = 10.8	x: 2.372 m η < 0.1	x: 2.373 m η = 11.6	η < 0.1	x: 0.06 m η = 0.9	x: 0.253 m η < 0.1	x: 0.061 m η < 0.1	x: 2.373 m η = 17.9	x: 0.061 m η < 0.1	M_{Ed} = 0.00 N.P.(5)	N.P.(6)	N.P.(6)	**CUMPLE η = 17.9**
N1025/N1024	$\lambda_w \leq \lambda_{w,máx}$ Cumple	η = 1.4	η = 13.8	x: 0.06 m η < 0.1	x: 0.06 m η = 2.7	η < 0.1	x: 2.373 m η = 0.3	x: 0.06 m η < 0.1	η < 0.1	x: 0.06 m η = 15.4	η < 0.1	η < 0.1	η < 0.1	x: 2.373 m η = 0.2	**CUMPLE η = 15.4**
N1024/N947	x: 0.06 m $\lambda_w \leq \lambda_{w,máx}$ Cumple	η = 1.7	η = 13.1	x: 0.06 m η < 0.1	x: 0.06 m η = 10.1	η < 0.1	x: 2.373 m η = 0.8	x: 0.06 m η < 0.1	x: 0.06 m η < 0.1	x: 0.06 m η = 15.2	x: 0.06 m η < 0.1	M_{Ed} = 0.00 N.P.(5)	N.P.(6)	N.P.(6)	**CUMPLE η = 15.2**
N1022/N1024	$\lambda_w \leq \lambda_{w,máx}$ Cumple	x: 1.939 m η = 0.1	x: 0.06 m η = 0.2	x: 1.94 m η = 7.7	x: 0.06 m η < 0.1	η = 1.2	η < 0.1	η < 0.1	x: 0.06 m η < 0.1	x: 1.94 m η = 7.7	η < 0.1	η < 0.1	η = 0.7	η < 0.1	**CUMPLE η = 7.7**
N1023/N1025	$\lambda_w \leq \lambda_{w,máx}$ Cumple	x: 1.939 m η = 0.1	x: 0.06 m η = 0.2	x: 0.06 m η = 9.0	x: 0.06 m η < 0.1	η = 1.4	η < 0.1	η < 0.1	x: 0.06 m η < 0.1	x: 0.06 m η = 9.1	η < 0.1	η < 0.1	η = 0.9	η < 0.1	**CUMPLE η = 9.1**
N793/N949	x: 0.509 m $\lambda_w \leq \lambda_{w,máx}$ Cumple	η = 4.3	η = 19.3	M_{Ed} = 0.00 N.P.(2)	x: 3.65 m η = 6.0	V_{Ed} = 0.00 N.P.(3)	x: 0.06 m η = 0.5	N.P.(4)	x: 0.509 m η < 0.1	x: 3.65 m η = 25.8	x: 0.509 m η < 0.1	M_{Ed} = 0.00 N.P.(5)	N.P.(6)	N.P.(6)	**CUMPLE η = 25.8**
N814/N970	x: 0.509 m $\lambda_w \leq \lambda_{w,máx}$ Cumple	η = 1.1	η = 19.6	M_{Ed} = 0.00 N.P.(2)	x: 3.65 m η = 6.0	V_{Ed} = 0.00 N.P.(3)	x: 0.06 m η = 0.5	N.P.(4)	x: 0.509 m η < 0.1	x: 3.65 m η = 26.1	x: 0.509 m η < 0.1	M_{Ed} = 0.00 N.P.(5)	N.P.(6)	N.P.(6)	**CUMPLE η = 26.1**
N816/N1026	x: 0.061 m $\lambda_w \leq \lambda_{w,máx}$ Cumple	η = 2.3	η = 17.1	x: 2.372 m η < 0.1	x: 2.373 m η = 14.6	η < 0.1	x: 0.06 m η = 1.1	x: 0.253 m η < 0.1	x: 0.061 m η < 0.1	x: 2.373 m η = 26.1	x: 0.061 m η < 0.1	M_{Ed} = 0.00 N.P.(5)	N.P.(6)	N.P.(6)	**CUMPLE η = 26.1**
N1026/N1027	$\lambda_w \leq \lambda_{w,máx}$ Cumple	η = 2.2	η = 21.2	x: 0.06 m η < 0.1	x: 0.06 m η = 3.7	η < 0.1	x: 2.373 m η = 0.5	x: 0.06 m η < 0.1	η < 0.1	x: 0.06 m η = 23.6	η < 0.1	η < 0.1	η < 0.1	x: 0.06 m η = 0.3	**CUMPLE η = 23.6**
N1027/N972	x: 0.06 m $\lambda_w \leq \lambda_{w,máx}$ Cumple	η = 2.9	η = 21.0	x: 0.06 m η < 0.1	x: 0.06 m η = 11.7	η < 0.1	x: 2.373 m η = 0.9	x: 0.06 m η < 0.1	x: 0.06 m η < 0.1	x: 0.253 m η = 21.6	x: 0.06 m η < 0.1	M_{Ed} = 0.00 N.P.(5)	N.P.(6)	N.P.(6)	**CUMPLE η = 21.6**
N800/N1028	x: 0.061 m $\lambda_w \leq \lambda_{w,máx}$ Cumple	η = 1.4	η = 10.8	x: 2.372 m η < 0.1	x: 2.373 m η = 14.7	η < 0.1	x: 0.06 m η = 1.1	x: 0.253 m η < 0.1	x: 0.061 m η < 0.1	x: 2.373 m η = 15.6	x: 0.061 m η < 0.1	M_{Ed} = 0.00 N.P.(5)	N.P.(6)	N.P.(6)	**CUMPLE η = 15.6**
N1028/N1029	$\lambda_w \leq \lambda_{w,máx}$ Cumple	η = 1.8	η = 10.8	x: 0.06 m η < 0.1	x: 0.06 m η = 3.8	η < 0.1	x: 2.373 m η = 0.5	x: 0.06 m η < 0.1	η < 0.1	x: 1.988 m η = 11.3	η < 0.1	η < 0.1	η < 0.1	x: 0.06 m η = 0.3	**CUMPLE η = 11.3**
N1029/N956	x: 0.06 m $\lambda_w \leq \lambda_{w,máx}$ Cumple	η = 2.2	η = 11.7	x: 0.06 m η < 0.1	x: 0.06 m η = 10.6	η < 0.1	x: 2.373 m η = 0.8	x: 0.06 m η < 0.1	x: 0.06 m η < 0.1	x: 0.06 m η = 16.1	x: 0.06 m η < 0.1	M_{Ed} = 0.00 N.P.(5)	N.P.(6)	N.P.(6)	**CUMPLE η = 16.1**
N1029/N1027	$\lambda_w \leq \lambda_{w,máx}$ Cumple	x: 1.939 m η = 0.1	x: 0.06 m η = 0.3	x: 1.94 m η = 8.8	x: 0.06 m η < 0.1	η = 1.4	η < 0.1	η < 0.1	x: 0.06 m η < 0.1	x: 1.94 m η = 8.8	η < 0.1	η < 0.1	η = 1.4	η < 0.1	**CUMPLE η = 8.8**
N1028/N1026	$\lambda_w \leq \lambda_{w,máx}$ Cumple	x: 1.939 m η = 0.1	x: 0.06 m η = 0.3	x: 0.06 m η = 10.5	x: 0.06 m η < 0.1	η = 1.7	η < 0.1	η < 0.1	x: 0.06 m η < 0.1	x: 0.06 m η = 10.7	η < 0.1	x: 1 m η < 0.1	η = 1.6	η < 0.1	**CUMPLE η = 10.7**

Documento visado electrónicamente con número VA07290/22. Código de validación telemática TRLTDCFZ60T66IJ1. Comprobación: https://cogitivalencia.e-gestion.es/Validacion.aspx?CVT=TRLTDCFZ60T66IJ1

VISADO
COGITI
VALENCIA
VA07290/22
TRLTDCFZ60T66IJ1

Barras	COMPROBACIONES (CÓDIGO ESTRUCTURAL)															
	λ_w	N_t	N_c	M_Y	M_Z	V_Z	V_Y	M_YV_Z	M_ZV_Y	NM_YM_Z	$NM_YM_ZV_YV_Z$	M_t	M_tV_Z	M_tV_Y	Estado
N804/N1031	x: 0.051 m $\lambda_w \leq \lambda_{w,máx}$ Cumple	η = 2.5	η = 14.2	x: 2.372 m η < 0.1	x: 2.373 m η = 17.8	η < 0.1	x: 0.05 m η = 1.3	x: 0.244 m η < 0.1	x: 0.051 m η < 0.1	x: 2.373 m η = 19.9	x: 0.051 m η < 0.1	M_{Ed} = 0.00 N.P.(5)	N.P.(6)	N.P.(6)	**CUMPLE** **η = 19.9**
N1031/N1030	$\lambda_w \leq \lambda_{w,máx}$ Cumple	η = 3.1	η = 16.7	x: 0.06 m η < 0.1	x: 0.06 m η = 4.8	η < 0.1	x: 2.373 m η = 0.6	x: 0.06 m η < 0.1	η < 0.1	x: 2.373 m η = 18.5	η < 0.1	η < 0.1	η < 0.1	x: 2.373 m η = 0.2	**CUMPLE** **η = 18.5**
N1030/N960	x: 0.06 m $\lambda_w \leq \lambda_{w,máx}$ Cumple	η = 3.8	η = 18.3	x: 0.06 m η < 0.1	x: 0.06 m η = 13.8	η < 0.1	x: 2.383 m η = 1.0	x: 0.06 m η < 0.1	x: 0.06 m η < 0.1	x: 0.06 m η = 25.4	x: 0.06 m η < 0.1	M_{Ed} = 0.00 N.P.(5)	N.P.(6)	N.P.(6)	**CUMPLE** **η = 25.4**
N820/N1033	x: 0.051 m $\lambda_w \leq \lambda_{w,máx}$ Cumple	η = 2.7	η = 17.6	x: 2.372 m η < 0.1	x: 2.373 m η = 18.0	η < 0.1	x: 0.05 m η = 1.3	x: 0.244 m η < 0.1	x: 0.051 m η < 0.1	x: 2.373 m η = 29.0	x: 0.051 m η < 0.1	M_{Ed} = 0.00 N.P.(5)	N.P.(6)	N.P.(6)	**CUMPLE** **η = 29.0**
N1033/N1032	$\lambda_w \leq \lambda_{w,máx}$ Cumple	η = 2.7	η = 23.3	x: 0.06 m η < 0.1	x: 0.06 m η = 4.9	η < 0.1	x: 2.373 m η = 0.6	x: 0.06 m η < 0.1	η < 0.1	x: 0.06 m η = 26.5	η < 0.1	η < 0.1	η < 0.1	x: 2.373 m η = 0.2	**CUMPLE** **η = 26.5**
N1032/N976	x: 0.06 m $\lambda_w \leq \lambda_{w,máx}$ Cumple	η = 3.7	η = 23.4	x: 0.06 m η < 0.1	x: 0.06 m η = 14.5	η < 0.1	x: 2.383 m η = 1.1	x: 0.06 m η < 0.1	x: 0.06 m η < 0.1	x: 0.06 m η = 25.0	x: 0.06 m η < 0.1	M_{Ed} = 0.00 N.P.(5)	N.P.(6)	N.P.(6)	**CUMPLE** **η = 25.0**
N1030/N1032	$\lambda_w \leq \lambda_{w,máx}$ Cumple	x: 1.939 m η = 0.1	x: 0.06 m η = 0.4	x: 1.94 m η = 10.6	x: 0.06 m η < 0.1	η = 1.6	η < 0.1	η < 0.1	x: 0.06 m η < 0.1	x: 1.94 m η = 10.7	η < 0.1	η < 0.1	η = 0.5	η < 0.1	**CUMPLE** **η = 10.7**
N1031/N1033	$\lambda_w \leq \lambda_{w,máx}$ Cumple	x: 1.939 m η = 0.1	x: 0.06 m η = 0.4	x: 1.94 m η = 12.6	x: 0.06 m η < 0.1	η = 2.0	η < 0.1	η < 0.1	x: 0.06 m η < 0.1	x: 1.94 m η = 12.9	η < 0.1	η < 0.1	η = 1.0	η < 0.1	**CUMPLE** **η = 12.9**
N808/N1035	x: 0.061 m $\lambda_w \leq \lambda_{w,máx}$ Cumple	η = 2.0	η = 10.0	x: 2.372 m η < 0.1	x: 2.373 m η = 15.4	η < 0.1	x: 0.06 m η = 1.1	x: 0.253 m η < 0.1	x: 0.061 m η < 0.1	x: 2.373 m η = 17.0	x: 0.061 m η < 0.1	M_{Ed} = 0.00 N.P.(5)	N.P.(6)	N.P.(6)	**CUMPLE** **η = 17.0**
N1035/N1034	$\lambda_w \leq \lambda_{w,máx}$ Cumple	η = 2.4	η = 11.8	x: 0.06 m η < 0.1	x: 0.06 m η = 4.0	η < 0.1	x: 2.373 m η = 0.5	N.P.(4)	η < 0.1	x: 2.373 m η = 13.1	η < 0.1	x: 1.409 m η < 0.1	η < 0.1	x: 2.373 m η = 0.2	**CUMPLE** **η = 13.1**
N1034/N964	x: 0.06 m $\lambda_w \leq \lambda_{w,máx}$ Cumple	η = 2.9	η = 13.2	x: 0.06 m η < 0.1	x: 0.06 m η = 11.7	η < 0.1	x: 2.373 m η = 0.9	x: 0.06 m η < 0.1	x: 0.06 m η < 0.1	x: 0.06 m η = 19.1	x: 0.06 m η < 0.1	M_{Ed} = 0.00 N.P.(5)	N.P.(6)	N.P.(6)	**CUMPLE** **η = 19.1**
N824/N1037	x: 0.061 m $\lambda_w \leq \lambda_{w,máx}$ Cumple	η = 2.4	η = 11.8	x: 2.372 m η < 0.1	x: 2.373 m η = 15.0	η < 0.1	x: 0.06 m η = 1.1	x: 0.253 m η < 0.1	x: 0.061 m η < 0.1	x: 2.373 m η = 21.1	x: 0.061 m η < 0.1	M_{Ed} = 0.00 N.P.(5)	N.P.(6)	N.P.(6)	**CUMPLE** **η = 21.1**
N1037/N1036	$\lambda_w \leq \lambda_{w,máx}$ Cumple	η = 2.4	η = 16.3	x: 0.06 m η < 0.1	x: 0.06 m η = 3.9	η < 0.1	x: 2.373 m η = 0.5	N.P.(4)	η < 0.1	x: 0.06 m η = 18.7	η < 0.1	η < 0.1	η < 0.1	x: 2.373 m η = 0.2	**CUMPLE** **η = 18.7**
N1036/N980	x: 0.06 m $\lambda_w \leq \lambda_{w,máx}$ Cumple	η = 3.1	η = 16.0	x: 0.06 m η < 0.1	x: 0.06 m η = 13.1	η < 0.1	x: 2.373 m η = 1.0	x: 0.06 m η < 0.1	x: 0.06 m η < 0.1	x: 1.217 m η = 16.5	x: 0.06 m η < 0.1	M_{Ed} = 0.00 N.P.(5)	N.P.(6)	N.P.(6)	**CUMPLE** **η = 16.5**
N1034/N1036	$\lambda_w \leq \lambda_{w,máx}$ Cumple	x: 1.939 m η = 0.1	x: 0.06 m η = 0.3	x: 1.94 m η = 9.6	x: 0.06 m η < 0.1	η = 1.5	η < 0.1	η < 0.1	x: 0.06 m η < 0.1	x: 1.94 m η = 9.7	η < 0.1	η < 0.1	η = 1.1	η < 0.1	**CUMPLE** **η = 9.7**
N1035/N1037	$\lambda_w \leq \lambda_{w,máx}$ Cumple	x: 1.939 m η = 0.1	x: 0.06 m η = 0.3	x: 0.06 m η = 11.0	x: 0.06 m η < 0.1	η = 1.7	η < 0.1	η < 0.1	x: 0.06 m η < 0.1	x: 0.06 m η = 11.2	η < 0.1	x: 1 m η < 0.1	η = 1.0	η < 0.1	**CUMPLE** **η = 11.2**
N826/N982	x: 0.509 m $\lambda_w \leq \lambda_{w,máx}$ Cumple	η = 2.6	η = 12.8	M_{Ed} = 0.00 N.P.(2)	x: 3.65 m η = 6.0	V_{Ed} = 0.00 N.P.(3)	x: 0.06 m η = 0.5	N.P.(4)	x: 0.509 m η < 0.1	x: 3.65 m η = 19.1	x: 0.509 m η < 0.1	M_{Ed} = 0.00 N.P.(5)	N.P.(6)	N.P.(6)	**CUMPLE** **η = 19.1**
N750/N1005	x: 0.061 m $\lambda_w \leq \lambda_{w,máx}$ Cumple	η = 2.2	η = 11.5	x: 2.372 m η < 0.1	x: 2.373 m η = 15.9	η < 0.1	x: 0.06 m η = 1.2	x: 0.253 m η < 0.1	x: 0.061 m η < 0.1	x: 2.373 m η = 21.4	x: 0.061 m η < 0.1	M_{Ed} = 0.00 N.P.(5)	N.P.(6)	N.P.(6)	**CUMPLE** **η = 21.4**
N1005/N1003	$\lambda_w \leq \lambda_{w,máx}$ Cumple	η = 2.2	η = 16.4	x: 0.06 m η < 0.1	x: 0.06 m η = 4.2	η < 0.1	x: 2.373 m η = 0.5	N.P.(4)	η < 0.1	x: 0.06 m η = 19.0	η < 0.1	η < 0.1	η < 0.1	x: 2.373 m η = 0.2	**CUMPLE** **η = 19.0**
N1003/N906	x: 0.06 m $\lambda_w \leq \lambda_{w,máx}$ Cumple	η = 3.0	η = 16.3	x: 0.06 m η < 0.1	x: 0.06 m η = 13.9	η < 0.1	x: 2.373 m η = 1.0	x: 0.06 m η < 0.1	x: 0.06 m η < 0.1	x: 0.06 m η = 17.0	x: 0.06 m η < 0.1	M_{Ed} = 0.00 N.P.(5)	N.P.(6)	N.P.(6)	**CUMPLE** **η = 17.0**
N733/N1004	x: 0.061 m $\lambda_w \leq \lambda_{w,máx}$ Cumple	η = 2.2	η = 11.2	x: 2.372 m η < 0.1	x: 2.373 m η = 16.2	η < 0.1	x: 0.06 m η = 1.2	x: 0.253 m η < 0.1	x: 0.061 m η < 0.1	x: 2.373 m η = 18.4	x: 0.061 m η < 0.1	M_{Ed} = 0.00 N.P.(5)	N.P.(6)	N.P.(6)	**CUMPLE** **η = 18.4**
N1004/N1002	$\lambda_w \leq \lambda_{w,máx}$ Cumple	η = 2.7	η = 13.4	x: 0.06 m η < 0.1	x: 0.06 m η = 4.3	η < 0.1	x: 2.373 m η = 0.5	N.P.(4)	η < 0.1	x: 2.373 m η = 14.9	η < 0.1	η < 0.1	η < 0.1	x: 2.373 m η = 0.2	**CUMPLE** **η = 14.9**
N1002/N889	x: 0.06 m $\lambda_w \leq \lambda_{w,máx}$ Cumple	η = 3.3	η = 14.9	x: 0.06 m η < 0.1	x: 0.06 m η = 12.7	η < 0.1	x: 2.373 m η = 1.0	x: 0.06 m η < 0.1	x: 0.06 m η < 0.1	x: 0.06 m η = 21.3	x: 0.06 m η < 0.1	M_{Ed} = 0.00 N.P.(5)	N.P.(6)	N.P.(6)	**CUMPLE** **η = 21.3**
N1042/N1059	$\lambda_w \leq \lambda_{w,máx}$ Cumple	x: 1.911 m η = 37.5	x: 0.088 m η = 43.0	x: 0.088 m η = 2.1	x: 1.912 m η = 7.8	η = 0.1	η = 1.2	η < 0.1	η < 0.1	x: 0.088 m η = 50.6	η < 0.1	η = 1.9	η = 0.1	η = 1.2	**CUMPLE** **η = 50.6**
N1043/N1060	$\lambda_w \leq \lambda_{w,máx}$ Cumple	x: 1.911 m η = 26.0	x: 0.088 m η = 31.7	x: 0.088 m η = 1.1	x: 0.088 m η = 14.1	η < 0.1	η = 2.1	η < 0.1	η < 0.1	x: 0.088 m η = 46.2	η < 0.1	η = 0.9	η < 0.1	η = 2.2	**CUMPLE** **η = 46.2**
N1044/N1061	$\lambda_w \leq \lambda_{w,máx}$ Cumple	x: 1.911 m η = 25.0	x: 0.088 m η = 30.3	x: 0.088 m η = 1.0	x: 0.088 m η = 11.4	η < 0.1	η = 1.8	η < 0.1	η < 0.1	x: 0.088 m η = 41.9	η < 0.1	η = 1.0	η < 0.1	η = 1.8	**CUMPLE** **η = 41.9**
N1045/N1062	$\lambda_w \leq \lambda_{w,máx}$ Cumple	x: 1.911 m η = 18.7	x: 0.088 m η = 22.4	x: 0.088 m η = 1.4	x: 0.088 m η = 9.5	η = 0.1	η = 1.5	η < 0.1	η < 0.1	x: 0.088 m η = 32.6	η < 0.1	η = 1.2	η = 0.1	η = 1.5	**CUMPLE** **η = 32.6**
N1046/N1063	$\lambda_w \leq \lambda_{w,máx}$ Cumple	x: 1.922 m η = 12.4	x: 0.088 m η = 12.2	x: 0.088 m η = 1.4	x: 0.088 m η = 6.2	x: 1.006 m η = 0.1	η = 0.9	η < 0.1	η < 0.1	x: 0.088 m η = 19.1	η < 0.1	x: 1.006 m η = 1.4	x: 1.006 m η = 0.1	η = 0.9	**CUMPLE** **η = 19.1**
N1047/N1064	$\lambda_w \leq \lambda_{w,máx}$ Cumple	x: 1.922 m η = 7.0	x: 0.086 m η = 6.6	x: 1.739 m η = 0.2	x: 0.086 m η = 2.6	η < 0.1	η = 0.3	η < 0.1	η < 0.1	x: 0.086 m η = 9.5	η < 0.1	η = 0.3	η < 0.1	η = 0.3	**CUMPLE** **η = 9.5**
N1048/N1065	$\lambda_w \leq \lambda_{w,máx}$ Cumple	x: 1.922 m η = 2.0	x: 0.086 m η = 1.3	x: 1.922 m η = 1.0	x: 1.923 m η = 0.7	η < 0.1	η = 0.1	η < 0.1	η < 0.1	x: 1.923 m η = 2.9	η < 0.1	η = 1.4	η < 0.1	η = 0.1	**CUMPLE** **η = 2.9**
N1049/N1066	$\lambda_w \leq \lambda_{w,máx}$ Cumple	x: 1.922 m η = 7.7	x: 0.086 m η = 7.6	x: 0.086 m η = 1.1	x: 0.086 m η = 5.7	η = 0.1	η = 0.7	η < 0.1	η < 0.1	x: 0.086 m η = 14.0	η < 0.1	η = 0.5	η = 0.1	η = 0.7	**CUMPLE** **η = 14.0**
N1050/N1067	$\lambda_w \leq \lambda_{w,máx}$ Cumple	x: 1.921 m η = 25.2	x: 0.086 m η = 31.4	x: 0.086 m η = 1.2	x: 0.086 m η = 12.5	η < 0.1	η = 1.6	η < 0.1	η < 0.1	x: 0.086 m η = 44.6	η < 0.1	η = 1.8	η < 0.1	η = 1.6	**CUMPLE** **η = 44.6**
N1051/N1068	$\lambda_w \leq \lambda_{w,máx}$ Cumple	x: 1.921 m η = 33.4	x: 0.086 m η = 41.4	x: 0.086 m η = 0.2	x: 0.086 m η = 16.8	η < 0.1	η = 2.2	η < 0.1	η < 0.1	x: 0.086 m η = 59.1	η < 0.1	η = 0.4	η < 0.1	η = 2.2	**CUMPLE** **η = 59.1**
N1052/N1069	$\lambda_w \leq \lambda_{w,máx}$ Cumple	x: 1.921 m η = 33.9	x: 0.094 m η = 39.6	x: 0.094 m η = 1.4	x: 0.094 m η = 20.8	η = 0.1	η = 3.4	η < 0.1	η < 0.1	x: 0.094 m η = 61.0	η < 0.1	η = 2.0	η = 0.1	η = 3.4	**CUMPLE** **η = 61.0**
N1053/N1070	$\lambda_w \leq \lambda_{w,máx}$ Cumple	x: 1.905 m η = 40.2	x: 0.094 m η = 47.5	x: 0.094 m η = 0.7	x: 0.094 m η = 24.3	η = 0.1	η = 3.9	η < 0.1	η < 0.1	x: 0.094 m η = 72.6	η < 0.1	η = 1.2	η = 0.1	η = 3.9	**CUMPLE** **η = 72.6**
N1054/N1071	$\lambda_w \leq \lambda_{w,máx}$ Cumple	x: 1.905 m η = 46.4	x: 0.094 m η = 55.3	x: 0.094 m η = 0.3	x: 1.906 m η = 24.8	η < 0.1	η = 4.0	η < 0.1	η < 0.1	x: 0.094 m η = 80.5	η < 0.1	η = 0.5	η < 0.1	η = 4.0	**CUMPLE** **η = 80.5**
N1055/N1072	$\lambda_w \leq \lambda_{w,máx}$ Cumple	x: 1.905 m η = 43.1	x: 0.094 m η = 51.6	x: 0.094 m η = 0.6	x: 0.094 m η = 30.6	η < 0.1	η = 4.7	η < 0.1	η < 0.1	x: 0.094 m η = 83.0	η < 0.1	η = 1.0	η < 0.1	η = 4.8	**CUMPLE** **η = 83.0**
N1056/N1073	$\lambda_w \leq \lambda_{w,máx}$ Cumple	x: 1.905 m η = 54.2	x: 0.131 m η = 63.3	x: 0.131 m η = 1.4	x: 0.131 m η = 1.7	η = 0.1	η = 0.1	η < 0.1	η < 0.1	x: 0.131 m η = 65.9	η < 0.1	η = 1.5	η = 0.1	η = 0.1	**CUMPLE** **η = 65.9**

Documento visado electrónicamente con número: VA07290/22
Código de validación telemática TRLTDCFZ60T66IJ1. Comprobación: https://cogitivalencia.e-gestion.es/Validacion.aspx?CVT=TRLTDCFZ60T66IJ1

VISADO
COGITI
TRLTDCFZ60T66IJ1
VALENCIA
VA07290/22
Documento visado electrónicamente con número VA07290/22
Código de validación telemática TRLTDCFZ60T66IJ1. Comprobación: https://cogitivalencia.e-gestion.es/Validacion.aspx?CVT=TRLTDCFZ60T66IJ1

Barras	COMPROBACIONES (CÓDIGO ESTRUCTURAL)														Estado
	λ_w	N_t	N_c	M_Y	M_Z	V_Z	V_Y	M_YV_Z	M_ZV_Y	NM_YM_Z	$NM_YM_ZV_YV_Z$	M_t	M_tV_Z	M_tV_Y	
N1076/N1092	$\lambda_w \leq \lambda_{w,máx}$ Cumple	x: 1.911 m η = 40.1	x: 0.088 m η = 48.3	x: 0.088 m η = 1.5	x: 1.912 m η = 19.6	η = 0.1	η = 2.9	η < 0.1	η < 0.1	x: 1.912 m η = 68.4	η < 0.1	η = 1.0	η = 0.1	η = 2.9	**CUMPLE η = 68.4**
N1077/N1093	$\lambda_w \leq \lambda_{w,máx}$ Cumple	x: 1.911 m η = 35.3	x: 0.088 m η = 43.1	x: 0.088 m η = 0.7	x: 0.088 m η = 16.4	η < 0.1	η = 2.5	η < 0.1	η < 0.1	x: 0.088 m η = 59.8	η < 0.1	η = 0.6	η < 0.1	η = 2.5	**CUMPLE η = 59.8**
N1078/N1094	$\lambda_w \leq \lambda_{w,máx}$ Cumple	x: 1.911 m η = 35.0	x: 0.088 m η = 43.0	x: 0.088 m η = 0.7	x: 0.088 m η = 16.0	η < 0.1	η = 2.6	η < 0.1	η < 0.1	x: 0.088 m η = 59.2	η < 0.1	η = 0.7	η < 0.1	η = 2.6	**CUMPLE η = 59.2**
N1079/N1095	$\lambda_w \leq \lambda_{w,máx}$ Cumple	x: 1.911 m η = 28.9	x: 0.088 m η = 35.3	x: 0.088 m η = 1.1	x: 0.088 m η = 14.4	η < 0.1	η = 2.3	η < 0.1	η < 0.1	x: 0.088 m η = 50.1	η < 0.1	x: 0.088 m η = 2.1	η = 0.1	η = 2.3	**CUMPLE η = 50.1**
N1080/N1096	$\lambda_w \leq \lambda_{w,máx}$ Cumple	x: 1.922 m η = 22.5	x: 0.088 m η = 27.2	x: 0.088 m η = 2.9	x: 0.088 m η = 11.4	η = 0.1	η = 1.8	η < 0.1	η < 0.1	x: 0.088 m η = 38.8	η < 0.1	η = 3.3	η = 0.1	η = 1.8	**CUMPLE η = 38.8**
N1081/N1097	$\lambda_w \leq \lambda_{w,máx}$ Cumple	x: 1.922 m η = 19.4	x: 0.086 m η = 25.0	x: 0.086 m η = 0.5	x: 0.086 m η = 8.0	η < 0.1	η = 1.0	η < 0.1	η < 0.1	x: 0.086 m η = 33.2	η < 0.1	η = 0.5	η < 0.1	η = 1.0	**CUMPLE η = 33.2**
N1082/N1098	$\lambda_w \leq \lambda_{w,máx}$ Cumple	x: 1.922 m η = 11.2	x: 0.086 m η = 11.9	x: 0.086 m η = 2.6	x: 0.086 m η = 4.9	η < 0.1	η = 0.6	η < 0.1	η < 0.1	x: 0.086 m η = 17.0	η < 0.1	η = 3.1	η < 0.1	η = 0.6	**CUMPLE η = 17.0**
N1083/N1099	$\lambda_w \leq \lambda_{w,máx}$ Cumple	x: 1.922 m η = 8.0	x: 0.086 m η = 7.9	x: 0.086 m η = 1.4	x: 1.923 m η = 0.7	η = 0.1	η = 0.1	η < 0.1	η < 0.1	x: 1.923 m η = 9.1	η < 0.1	η = 0.2	η = 0.1	η = 0.1	**CUMPLE η = 9.1**
N1084/N1100	$\lambda_w \leq \lambda_{w,máx}$ Cumple	x: 1.921 m η = 13.3	x: 0.086 m η = 15.6	x: 0.086 m η = 2.3	x: 0.086 m η = 6.0	η < 0.1	η = 0.8	η < 0.1	η < 0.1	x: 0.086 m η = 21.6	η < 0.1	x: 1.738 m η = 3.4	η < 0.1	η = 0.8	**CUMPLE η = 21.6**
N1085/N1101	$\lambda_w \leq \lambda_{w,máx}$ Cumple	x: 1.921 m η = 21.4	x: 0.086 m η = 25.4	x: 0.086 m η = 0.3	x: 0.086 m η = 10.1	η < 0.1	η = 1.3	η < 0.1	η < 0.1	x: 0.086 m η = 35.6	η < 0.1	η = 0.4	η < 0.1	η = 1.3	**CUMPLE η = 35.6**
N1086/N1102	$\lambda_w \leq \lambda_{w,máx}$ Cumple	x: 1.921 m η = 24.1	x: 0.094 m η = 27.4	x: 0.094 m η = 2.5	x: 0.094 m η = 14.1	η = 0.1	η = 2.3	η < 0.1	η < 0.1	x: 0.094 m η = 41.7	η < 0.1	η = 3.7	η = 0.1	η = 2.3	**CUMPLE η = 41.7**
N1087/N1103	$\lambda_w \leq \lambda_{w,máx}$ Cumple	x: 1.905 m η = 30.5	x: 0.094 m η = 35.4	x: 0.094 m η = 1.0	x: 0.094 m η = 18.0	η < 0.1	η = 2.9	η < 0.1	η < 0.1	x: 0.094 m η = 53.7	η < 0.1	x: 1.362 m η = 2.3	η < 0.1	η = 2.9	**CUMPLE η = 53.7**
N1088/N1104	$\lambda_w \leq \lambda_{w,máx}$ Cumple	x: 1.905 m η = 36.7	x: 0.094 m η = 43.2	x: 1.905 m η = 0.4	x: 1.906 m η = 19.1	η < 0.1	η = 3.1	η < 0.1	η < 0.1	x: 0.094 m η = 62.6	η < 0.1	η = 0.3	η < 0.1	η = 3.1	**CUMPLE η = 62.6**
N1089/N1105	$\lambda_w \leq \lambda_{w,máx}$ Cumple	x: 1.905 m η = 35.2	x: 0.094 m η = 41.8	x: 0.094 m η = 0.5	x: 0.094 m η = 25.3	η < 0.1	η = 3.9	η < 0.1	η < 0.1	x: 0.094 m η = 67.6	η < 0.1	η = 0.7	η < 0.1	η = 3.9	**CUMPLE η = 67.6**
N1090/N1106	$\lambda_w \leq \lambda_{w,máx}$ Cumple	x: 1.905 m η = 46.0	x: 0.131 m η = 53.3	x: 0.131 m η = 1.0	x: 0.131 m η = 4.7	η < 0.1	η = 0.6	η < 0.1	η < 0.1	x: 0.131 m η = 58.5	η < 0.1	η = 1.3	η < 0.1	η = 0.6	**CUMPLE η = 58.5**
N1109/N1125	$\lambda_w \leq \lambda_{w,máx}$ Cumple	x: 1.911 m η = 47.7	x: 0.088 m η = 56.1	x: 0.088 m η = 1.6	x: 1.912 m η = 22.4	η = 0.1	η = 3.4	η < 0.1	η < 0.1	x: 1.912 m η = 79.2	η < 0.1	η = 1.2	η = 0.1	η = 3.4	**CUMPLE η = 79.2**
N1110/N1126	$\lambda_w \leq \lambda_{w,máx}$ Cumple	x: 1.911 m η = 42.2	x: 0.088 m η = 50.5	x: 0.088 m η = 0.8	x: 0.088 m η = 19.5	η < 0.1	η = 3.0	η < 0.1	η < 0.1	x: 0.088 m η = 70.6	η < 0.1	η = 1.0	η < 0.1	η = 3.0	**CUMPLE η = 70.6**
N1111/N1127	$\lambda_w \leq \lambda_{w,máx}$ Cumple	x: 1.911 m η = 43.7	x: 0.088 m η = 52.3	x: 0.088 m η = 0.6	x: 0.088 m η = 19.7	η < 0.1	η = 3.2	η < 0.1	η < 0.1	x: 0.088 m η = 72.5	η < 0.1	η = 0.7	η < 0.1	η = 3.2	**CUMPLE η = 72.5**
N1112/N1128	$\lambda_w \leq \lambda_{w,máx}$ Cumple	x: 1.911 m η = 37.6	x: 0.088 m η = 44.6	x: 1.911 m η = 1.5	x: 0.088 m η = 18.5	η = 0.1	η = 2.9	η < 0.1	η < 0.1	x: 0.088 m η = 63.9	η < 0.1	x: 0.088 m η = 2.5	η = 0.1	η = 2.9	**CUMPLE η = 63.9**
N1113/N1129	$\lambda_w \leq \lambda_{w,máx}$ Cumple	x: 1.922 m η = 31.4	x: 0.088 m η = 36.6	x: 0.088 m η = 2.7	x: 0.088 m η = 15.8	x: 1.006 m η = 0.1	η = 2.5	η < 0.1	η < 0.1	x: 0.088 m η = 53.0	η < 0.1	x: 1.006 m η = 1.9	x: 1.006 m η = 0.1	η = 2.5	**CUMPLE η = 53.0**
N1114/N1130	$\lambda_w \leq \lambda_{w,máx}$ Cumple	x: 1.922 m η = 30.1	x: 0.086 m η = 37.3	x: 0.086 m η = 1.2	x: 0.086 m η = 12.6	η < 0.1	η = 1.6	η < 0.1	η < 0.1	x: 0.086 m η = 50.5	η < 0.1	x: 1.922 m η = 1.5	η < 0.1	η = 1.6	**CUMPLE η = 50.5**
N1115/N1131	$\lambda_w \leq \lambda_{w,máx}$ Cumple	x: 1.922 m η = 21.9	x: 0.086 m η = 27.3	x: 1.922 m η = 1.6	x: 0.086 m η = 9.2	η < 0.1	η = 1.2	η < 0.1	η < 0.1	x: 0.086 m η = 37.0	η < 0.1	x: 1.922 m η = 1.6	η < 0.1	η = 1.2	**CUMPLE η = 37.0**
N1116/N1132	$\lambda_w \leq \lambda_{w,máx}$ Cumple	x: 1.922 m η = 7.9	x: 0.086 m η = 7.9	x: 0.086 m η = 1.1	x: 0.086 m η = 4.2	η = 0.1	η = 0.5	η < 0.1	η < 0.1	x: 0.086 m η = 12.5	η < 0.1	η = 1.2	η = 0.1	η = 0.5	**CUMPLE η = 12.5**
N1117/N1133	$\lambda_w \leq \lambda_{w,máx}$ Cumple	x: 1.921 m η = 3.5	x: 0.086 m η = 3.4	x: 0.086 m η = 1.1	x: 1.922 m η = 1.9	x: 1.188 m η < 0.1	η = 0.2	η < 0.1	η < 0.1	x: 1.922 m η = 5.4	η < 0.1	x: 1.188 m η = 2.4	x: 1.188 m η < 0.1	η = 0.2	**CUMPLE η = 5.4**
N1118/N1134	$\lambda_w \leq \lambda_{w,máx}$ Cumple	x: 1.921 m η = 11.5	x: 0.086 m η = 11.2	x: 1.922 m η = 0.3	x: 0.086 m η = 5.3	η < 0.1	η = 0.7	η < 0.1	η < 0.1	x: 0.086 m η = 16.7	η < 0.1	η = 0.3	η < 0.1	η = 0.7	**CUMPLE η = 16.7**
N1119/N1135	$\lambda_w \leq \lambda_{w,máx}$ Cumple	x: 1.921 m η = 16.0	x: 0.094 m η = 15.9	x: 0.094 m η = 1.8	x: 0.094 m η = 9.7	η = 0.1	η = 1.6	η < 0.1	η < 0.1	x: 0.094 m η = 26.0	η < 0.1	x: 0.46 m η = 2.4	η = 0.1	η = 1.6	**CUMPLE η = 26.0**
N1120/N1136	$\lambda_w \leq \lambda_{w,máx}$ Cumple	x: 1.905 m η = 22.2	x: 0.094 m η = 26.7	x: 0.094 m η = 1.0	x: 0.094 m η = 13.7	η = 0.1	η = 2.2	η < 0.1	η < 0.1	x: 0.094 m η = 40.9	η < 0.1	η = 1.9	η = 0.1	η = 2.2	**CUMPLE η = 40.9**
N1121/N1137	$\lambda_w \leq \lambda_{w,máx}$ Cumple	x: 1.905 m η = 28.5	x: 0.094 m η = 34.6	x: 0.094 m η = 0.3	x: 0.094 m η = 16.2	η < 0.1	η = 2.6	η < 0.1	η < 0.1	x: 0.094 m η = 51.0	η < 0.1	η = 0.3	η < 0.1	η = 2.6	**CUMPLE η = 51.0**
N1122/N1138	$\lambda_w \leq \lambda_{w,máx}$ Cumple	x: 1.905 m η = 28.8	x: 0.094 m η = 35.0	x: 0.094 m η = 0.7	x: 0.094 m η = 17.0	η < 0.1	η = 2.7	η < 0.1	η < 0.1	x: 0.094 m η = 52.4	η < 0.1	η = 0.9	η < 0.1	η = 2.7	**CUMPLE η = 52.4**
N1123/N1139	$\lambda_w \leq \lambda_{w,máx}$ Cumple	x: 1.905 m η = 38.5	x: 0.094 m η = 45.7	x: 0.094 m η = 1.2	x: 0.094 m η = 22.2	η < 0.1	η = 3.3	η < 0.1	η < 0.1	x: 0.094 m η = 68.7	η < 0.1	η = 1.9	η < 0.1	η = 3.3	**CUMPLE η = 68.7**
N1042/N1058	$\lambda_w \leq \lambda_{w,máx}$ Cumple	x: 2.482 m η = 28.3	x: 0.111 m η = 34.4	x: 2.483 m η = 25.8	x: 2.483 m η = 3.9	x: 2.482 m η = 2.4	η = 0.3	η < 0.1	η < 0.1	x: 2.483 m η = 62.7	η < 0.1	η = 1.0	x: 2.482 m η = 2.4	η = 0.3	**CUMPLE η = 62.7**
N1043/N1059	$\lambda_w \leq \lambda_{w,máx}$ Cumple	x: 2.482 m η = 33.7	x: 0.111 m η = 37.8	x: 0.111 m η = 5.3	x: 2.482 m η = 2.1	x: 0.111 m η = 0.8	η < 0.1	η < 0.1	η < 0.1	x: 2.483 m η = 42.2	η < 0.1	η = 0.9	x: 0.111 m η = 0.8	η < 0.1	**CUMPLE η = 42.2**
N1044/N1060	$\lambda_w \leq \lambda_{w,máx}$ Cumple	x: 2.482 m η = 27.8	x: 0.111 m η = 31.8	x: 2.483 m η = 6.6	x: 2.483 m η = 1.3	x: 0.111 m η = 0.8	η = 0.1	η < 0.1	η < 0.1	x: 2.483 m η = 38.5	η < 0.1	η = 0.9	x: 0.111 m η = 0.8	η = 0.1	**CUMPLE η = 38.5**
N1045/N1061	$\lambda_w \leq \lambda_{w,máx}$ Cumple	x: 2.482 m η = 25.0	x: 0.111 m η = 27.7	x: 2.483 m η = 6.4	x: 0.111 m η = 2.0	x: 0.111 m η = 0.7	x: 1.297 m η = 0.1	η < 0.1	η < 0.1	x: 2.483 m η = 34.7	η < 0.1	η = 0.9	x: 0.111 m η = 0.7	x: 1.297 m η = 0.1	**CUMPLE η = 34.7**
N1046/N1062	$\lambda_w \leq \lambda_{w,máx}$ Cumple	x: 2.482 m η = 16.1	x: 0.111 m η = 15.7	x: 2.483 m η = 5.2	x: 2.483 m η = 2.1	x: 0.111 m η = 0.5	η < 0.1	η < 0.1	η < 0.1	x: 2.483 m η = 22.3	η < 0.1	η = 1.1	x: 0.111 m η = 0.5	η < 0.1	**CUMPLE η = 22.3**
N1048/N1064	$\lambda_w \leq \lambda_{w,máx}$ Cumple	x: 2.482 m η = 1.7	x: 0.111 m η = 2.0	x: 2.483 m η = 2.0	x: 0.111 m η = 1.2	x: 0.111 m η = 0.1	x: 1.099 m η = 0.1	η < 0.1	η < 0.1	x: 0.111 m η = 4.8	η < 0.1	η = 0.6	x: 0.111 m η = 0.1	x: 1.099 m η = 0.1	**CUMPLE η = 4.8**
N1049/N1065	$\lambda_w \leq \lambda_{w,máx}$ Cumple	x: 2.482 m η = 13.4	x: 0.111 m η = 16.1	x: 0.111 m η = 4.4	x: 1.297 m η = 1.5	x: 2.482 m η = 0.3	η < 0.1	η < 0.1	η < 0.1	x: 0.111 m η = 20.2	η < 0.1	x: 1.297 m η = 0.6	x: 2.482 m η = 0.3	η < 0.1	**CUMPLE η = 20.2**
N1049/N1067	$\lambda_w \leq \lambda_{w,máx}$ Cumple	x: 2.662 m η = 23.8	x: 0.119 m η = 30.8	x: 2.663 m η = 5.6	x: 2.663 m η = 1.9	x: 0.119 m η = 0.4	x: 1.603 m η = 0.1	η < 0.1	η < 0.1	x: 2.663 m η = 36.7	η < 0.1	x: 1.603 m η = 0.8	x: 0.119 m η = 0.4	x: 1.603 m η = 0.1	**CUMPLE η = 36.7**
N1050/N1068	$\lambda_w \leq \lambda_{w,máx}$ Cumple	x: 2.662 m η = 35.3	x: 0.119 m η = 46.6	x: 2.663 m η = 8.4	x: 0.119 m η = 1.4	x: 0.119 m η = 0.8	x: 1.179 m η = 0.1	η < 0.1	η < 0.1	x: 2.663 m η = 55.7	η < 0.1	x: 1.179 m η = 0.6	x: 0.119 m η = 0.8	x: 1.179 m η = 0.1	**CUMPLE η = 55.7**
N1052/N1070	$\lambda_w \leq \lambda_{w,máx}$ Cumple	x: 2.662 m η = 47.4	x: 0.119 m η = 57.5	x: 2.663 m η = 9.9	x: 0.119 m η = 2.1	x: 0.119 m η = 1.2	x: 1.815 m η = 0.1	η < 0.1	η < 0.1	x: 2.663 m η = 68.2	η < 0.1	η = 0.4	x: 0.119 m η = 1.2	x: 1.815 m η = 0.1	**CUMPLE η = 68.2**
N1053/N1071	$\lambda_w \leq \lambda_{w,máx}$ Cumple	x: 2.662 m η = 56.1	x: 0.119 m η = 66.6	x: 2.663 m η = 10.6	x: 0.119 m η = 0.9	x: 0.119 m η = 1.3	x: 2.027 m η = 0.1	η < 0.1	η < 0.1	x: 2.663 m η = 77.7	η < 0.1	η = 0.5	x: 0.119 m η = 1.3	x: 2.027 m η = 0.1	**CUMPLE η = 77.7**
N1054/N1072	$\lambda_w \leq \lambda_{w,máx}$ Cumple	x: 2.662 m η = 55.0	x: 0.119 m η = 65.9	x: 0.119 m η = 10.9	x: 2.663 m η = 1.1	x: 0.119 m η = 1.4	η < 0.1	η < 0.1	η < 0.1	x: 2.663 m η = 77.1	η < 0.1	η = 0.4	x: 0.119 m η = 1.4	η < 0.1	**CUMPLE η = 77.1**
N1055/N1073	$\lambda_w \leq \lambda_{w,máx}$ Cumple	x: 2.662 m η = 55.8	x: 0.119 m η = 66.3	x: 0.119 m η = 10.3	x: 2.662 m η = 1.7	x: 0.119 m η = 0.8	η < 0.1	η < 0.1	η < 0.1	x: 0.119 m η = 77.0	η < 0.1	η = 0.7	x: 0.119 m η = 0.8	η < 0.1	**CUMPLE η = 77.0**

VISADO
COGITI
Estado
VALENCIA
VA07290/22
TRLTDCFZ60T66IJ1

Listados

Barras	COMPROBACIONES (CÓDIGO ESTRUCTURAL)															
	λ_w	N_t	N_c	M_Y	M_Z	V_Z	V_Y	M_YV_Z	M_ZV_Y	NM_YM_Z	$NM_YM_ZV_YV_Z$	M_t	M_tV_Z	M_tV_Y	
N1056/N1074	$\lambda_w \leq \lambda_{w,máx}$ Cumple	x: 2.549 m η = 51.5	x: 0.119 m η = 62.7	x: 2.55 m η = 12.9	x: 2.55 m η = 2.0	x: 2.549 m η = 1.4	η = 0.1	η < 0.1	η < 0.1	x: 2.55 m η = 75.7	η < 0.1	η = 0.8	x: 2.549 m η = 1.4	η = 0.1	**CUMPLE η = 75.7**
N1076/N1057	$\lambda_w \leq \lambda_{w,máx}$ Cumple	x: 2.377 m η = 31.0	x: 0.111 m η = 38.1	x: 2.378 m η = 15.5	x: 2.378 m η = 1.7	x: 0.111 m η = 1.3	η = 0.2	η < 0.1	η < 0.1	x: 2.378 m η = 53.7	η < 0.1	η = 0.9	x: 0.111 m η = 1.3	η = 0.2	**CUMPLE η = 53.7**
N1077/N1092	$\lambda_w \leq \lambda_{w,máx}$ Cumple	x: 2.482 m η = 46.4	x: 0.111 m η = 52.1	x: 0.111 m η = 11.6	x: 2.482 m η = 1.4	x: 0.111 m η = 1.5	η < 0.1	η < 0.1	η < 0.1	x: 2.483 m η = 64.1	η < 0.1	η = 0.8	x: 0.111 m η = 1.5	η < 0.1	**CUMPLE η = 64.1**
N1078/N1093	$\lambda_w \leq \lambda_{w,máx}$ Cumple	x: 2.482 m η = 39.2	x: 0.111 m η = 44.4	x: 0.111 m η = 8.2	x: 2.483 m η = 0.8	x: 0.111 m η = 1.0	η = 0.1	η < 0.1	η < 0.1	x: 0.111 m η = 51.8	η < 0.1	η = 0.5	x: 0.111 m η = 1.0	η = 0.1	**CUMPLE η = 51.8**
N1079/N1094	$\lambda_w \leq \lambda_{w,máx}$ Cumple	x: 2.482 m η = 39.1	x: 0.111 m η = 43.4	x: 0.111 m η = 7.8	x: 0.111 m η = 1.3	x: 0.111 m η = 1.1	x: 2.088 m η = 0.1	η < 0.1	η < 0.1	x: 2.483 m η = 51.8	η < 0.1	η = 0.6	x: 0.111 m η = 1.1	x: 2.088 m η = 0.1	**CUMPLE η = 51.8**
N1080/N1095	$\lambda_w \leq \lambda_{w,máx}$ Cumple	x: 2.482 m η = 30.2	x: 0.111 m η = 34.4	x: 2.483 m η = 6.5	x: 0.111 m η = 3.8	x: 0.111 m η = 0.9	x: 1.495 m η = 0.1	η < 0.1	η < 0.1	x: 2.483 m η = 41.6	η < 0.1	η = 0.7	x: 0.111 m η = 0.9	x: 1.495 m η = 0.1	**CUMPLE η = 41.6**
N1082/N1097	$\lambda_w \leq \lambda_{w,máx}$ Cumple	x: 2.482 m η = 15.9	x: 0.111 m η = 18.4	x: 2.483 m η = 4.2	x: 0.111 m η = 2.7	x: 0.111 m η = 0.5	x: 1.495 m η = 0.2	η < 0.1	η < 0.1	x: 2.483 m η = 22.8	η < 0.1	x: 1.495 m η = 0.7	x: 0.111 m η = 0.5	x: 1.495 m η = 0.2	**CUMPLE η = 22.8**
N1083/N1098	$\lambda_w \leq \lambda_{w,máx}$ Cumple	x: 2.482 m η = 5.1	x: 0.111 m η = 3.2	x: 2.483 m η = 2.2	x: 2.483 m η = 3.5	x: 0.111 m η = 0.2	η = 0.1	η < 0.1	η < 0.1	x: 2.285 m η = 7.2	η < 0.1	x: 1.692 m η = 1.5	x: 0.111 m η = 0.2	η = 0.1	**CUMPLE η = 7.2**
N1083/N1100	$\lambda_w \leq \lambda_{w,máx}$ Cumple	x: 2.662 m η = 6.1	x: 0.119 m η = 6.5	x: 2.663 m η = 2.8	x: 2.663 m η = 3.6	x: 2.662 m η = 0.2	x: 1.179 m η = 0.1	η < 0.1	η < 0.1	x: 2.663 m η = 9.3	η < 0.1	x: 1.179 m η = 1.4	x: 2.662 m η = 0.2	x: 1.179 m η = 0.1	**CUMPLE η = 9.3**
N1084/N1101	$\lambda_w \leq \lambda_{w,máx}$ Cumple	x: 2.662 m η = 17.7	x: 0.119 m η = 24.4	x: 2.663 m η = 4.9	x: 0.119 m η = 2.9	x: 0.119 m η = 0.5	η = 0.2	η < 0.1	η < 0.1	x: 2.663 m η = 29.4	η < 0.1	x: 2.239 m η = 0.8	x: 0.119 m η = 0.5	η = 0.2	**CUMPLE η = 29.4**
N1086/N1103	$\lambda_w \leq \lambda_{w,máx}$ Cumple	x: 2.662 m η = 32.8	x: 0.119 m η = 40.7	x: 2.663 m η = 7.1	x: 0.119 m η = 3.9	x: 0.119 m η = 0.9	η = 0.1	η < 0.1	η < 0.1	x: 2.663 m η = 48.0	η < 0.1	η = 0.4	x: 0.119 m η = 0.9	η = 0.1	**CUMPLE η = 48.0**
N1087/N1104	$\lambda_w \leq \lambda_{w,máx}$ Cumple	x: 2.662 m η = 42.0	x: 0.119 m η = 50.2	x: 0.119 m η = 8.1	x: 0.119 m η = 1.2	x: 0.119 m η = 1.0	η = 0.1	η < 0.1	η < 0.1	x: 2.663 m η = 58.6	η < 0.1	x: 1.815 m η = 0.5	x: 0.119 m η = 1.0	η = 0.1	**CUMPLE η = 58.6**
N1088/N1105	$\lambda_w \leq \lambda_{w,máx}$ Cumple	x: 2.662 m η = 43.2	x: 0.119 m η = 52.2	x: 0.119 m η = 8.9	x: 2.663 m η = 1.0	x: 0.119 m η = 1.1	η = 0.1	η < 0.1	η < 0.1	x: 2.663 m η = 60.7	η < 0.1	η = 0.5	x: 0.119 m η = 1.1	η = 0.1	**CUMPLE η = 60.7**
N1089/N1106	$\lambda_w \leq \lambda_{w,máx}$ Cumple	x: 2.662 m η = 44.6	x: 0.119 m η = 53.3	x: 0.119 m η = 8.5	x: 2.663 m η = 1.7	x: 0.119 m η = 0.6	η < 0.1	η < 0.1	η < 0.1	x: 0.119 m η = 62.0	η < 0.1	η = 0.8	x: 0.119 m η = 0.6	η < 0.1	**CUMPLE η = 62.0**
N1090/N1107	$\lambda_w \leq \lambda_{w,máx}$ Cumple	x: 2.549 m η = 47.9	x: 0.119 m η = 61.0	x: 2.55 m η = 11.9	x: 2.55 m η = 1.6	x: 0.119 m η = 1.2	η < 0.1	η < 0.1	η < 0.1	x: 2.55 m η = 72.5	η < 0.1	η = 0.7	x: 0.119 m η = 1.2	η < 0.1	**CUMPLE η = 72.5**
N1109/N1091	$\lambda_w \leq \lambda_{w,máx}$ Cumple	x: 2.377 m η = 34.8	x: 0.111 m η = 42.6	x: 2.378 m η = 10.8	x: 0.111 m η = 1.8	x: 0.111 m η = 0.8	η = 0.1	η < 0.1	η < 0.1	x: 2.378 m η = 53.2	η < 0.1	η = 0.9	x: 0.111 m η = 0.8	η = 0.1	**CUMPLE η = 53.2**
N1110/N1125	$\lambda_w \leq \lambda_{w,máx}$ Cumple	x: 2.482 m η = 54.8	x: 0.111 m η = 63.3	x: 0.111 m η = 12.4	x: 2.482 m η = 1.4	x: 0.111 m η = 1.6	η < 0.1	η < 0.1	η < 0.1	x: 0.111 m η = 75.8	η < 0.1	η = 0.6	x: 0.111 m η = 1.6	η < 0.1	**CUMPLE η = 75.8**
N1111/N1126	$\lambda_w \leq \lambda_{w,máx}$ Cumple	x: 2.482 m η = 47.5	x: 0.111 m η = 55.3	x: 0.111 m η = 9.7	x: 2.483 m η = 1.0	x: 0.111 m η = 1.2	η < 0.1	η < 0.1	η < 0.1	x: 0.111 m η = 64.9	η < 0.1	η = 0.4	x: 0.111 m η = 1.2	η < 0.1	**CUMPLE η = 64.9**
N1112/N1127	$\lambda_w \leq \lambda_{w,máx}$ Cumple	x: 2.482 m η = 49.2	x: 0.111 m η = 56.7	x: 2.483 m η = 9.8	x: 0.111 m η = 1.2	x: 0.111 m η = 1.3	x: 2.088 m η = 0.1	η < 0.1	η < 0.1	x: 2.483 m η = 67.3	η < 0.1	η = 0.6	x: 0.111 m η = 1.3	x: 2.088 m η = 0.1	**CUMPLE η = 67.3**
N1113/N1128	$\lambda_w \leq \lambda_{w,máx}$ Cumple	x: 2.482 m η = 40.6	x: 0.111 m η = 48.1	x: 2.483 m η = 8.8	x: 0.111 m η = 3.9	x: 0.111 m η = 1.1	x: 1.692 m η = 0.1	η < 0.1	η < 0.1	x: 2.483 m η = 57.7	η < 0.1	x: 1.692 m η = 0.9	x: 0.111 m η = 1.1	x: 1.692 m η = 0.1	**CUMPLE η = 57.7**
N1115/N1130	$\lambda_w \leq \lambda_{w,máx}$ Cumple	x: 2.482 m η = 28.5	x: 0.111 m η = 36.2	x: 2.483 m η = 7.1	x: 0.111 m η = 2.0	x: 0.111 m η = 0.7	η < 0.1	η < 0.1	η < 0.1	x: 2.483 m η = 43.8	η < 0.1	x: 1.297 m η = 0.5	x: 0.111 m η = 0.7	η < 0.1	**CUMPLE η = 43.8**
N1116/N1131	$\lambda_w \leq \lambda_{w,máx}$ Cumple	x: 2.482 m η = 17.9	x: 0.111 m η = 22.2	x: 2.483 m η = 4.6	x: 2.483 m η = 2.6	x: 0.111 m η = 0.4	x: 0.704 m η = 0.2	η < 0.1	η < 0.1	x: 2.483 m η = 27.0	η < 0.1	x: 0.704 m η = 1.3	x: 0.111 m η = 0.4	x: 0.704 m η = 0.2	**CUMPLE η = 27.0**
N1116/N1133	$\lambda_w \leq \lambda_{w,máx}$ Cumple	x: 2.662 m η = 9.2	x: 0.119 m η = 8.1	x: 0.119 m η = 3.3	x: 0.119 m η = 2.8	x: 2.662 m η = 0.2	x: 1.815 m η = 0.1	η < 0.1	η < 0.1	x: 0.119 m η = 12.5	η < 0.1	x: 1.815 m η = 0.4	x: 2.662 m η = 0.2	x: 1.815 m η = 0.1	**CUMPLE η = 12.5**
N1117/N1134	$\lambda_w \leq \lambda_{w,máx}$ Cumple	x: 2.662 m η = 5.3	x: 0.119 m η = 4.5	x: 2.663 m η = 3.2	x: 0.119 m η = 1.4	x: 0.119 m η = 0.2	x: 1.603 m η = 0.1	η < 0.1	η < 0.1	x: 2.662 m η = 8.2	η < 0.1	x: 1.603 m η = 0.6	x: 0.119 m η = 0.2	x: 1.603 m η = 0.1	**CUMPLE η = 8.2**
N1119/N1136	$\lambda_w \leq \lambda_{w,máx}$ Cumple	x: 2.662 m η = 22.5	x: 0.119 m η = 26.7	x: 2.663 m η = 6.2	x: 0.119 m η = 3.0	x: 0.119 m η = 0.6	x: 1.603 m η = 0.1	η < 0.1	η < 0.1	x: 2.663 m η = 33.2	η < 0.1	x: 1.815 m η = 0.5	x: 0.119 m η = 0.6	x: 1.603 m η = 0.1	**CUMPLE η = 33.2**
N1120/N1137	$\lambda_w \leq \lambda_{w,máx}$ Cumple	x: 2.662 m η = 32.0	x: 0.119 m η = 36.5	x: 2.663 m η = 7.3	x: 0.119 m η = 1.3	x: 0.119 m η = 0.8	x: 1.815 m η = 0.1	η < 0.1	η < 0.1	x: 2.663 m η = 44.0	η < 0.1	η = 0.6	x: 0.119 m η = 0.8	x: 1.815 m η = 0.1	**CUMPLE η = 44.0**
N1121/N1138	$\lambda_w \leq \lambda_{w,máx}$ Cumple	x: 2.662 m η = 33.9	x: 0.119 m η = 39.5	x: 2.663 m η = 7.3	x: 2.663 m η = 1.3	x: 0.119 m η = 0.9	η = 0.1	η < 0.1	η < 0.1	x: 2.663 m η = 47.3	η < 0.1	η = 0.6	x: 0.119 m η = 0.9	η = 0.1	**CUMPLE η = 47.3**
N1122/N1139	$\lambda_w \leq \lambda_{w,máx}$ Cumple	x: 2.662 m η = 42.0	x: 0.119 m η = 48.6	x: 2.663 m η = 6.5	x: 2.663 m η = 2.4	x: 0.119 m η = 0.8	η < 0.1	η < 0.1	η < 0.1	x: 2.663 m η = 55.8	η < 0.1	η = 0.9	x: 0.119 m η = 0.8	η < 0.1	**CUMPLE η = 55.8**
N1123/N1140	$\lambda_w \leq \lambda_{w,máx}$ Cumple	x: 2.549 m η = 26.1	x: 0.119 m η = 33.0	x: 0.119 m η = 13.4	x: 2.55 m η = 2.4	x: 0.119 m η = 1.5	η < 0.1	η < 0.1	η < 0.1	x: 0.119 m η = 45.5	η < 0.1	η = 0.7	x: 0.119 m η = 1.5	η < 0.1	**CUMPLE η = 45.5**
N885/N1141	$\lambda_w \leq \lambda_{w,máx}$ Cumple	η = 0.2	η = 0.1	x: 0.06 m η = 3.7	x: 0.06 m η = 5.4	η = 0.3	x: 0.06 m η = 0.7	η < 0.1	η < 0.1	x: 0.06 m η = 7.2	η < 0.1	η = 2.4	η = 0.3	x: 0.06 m η = 0.7	**CUMPLE η = 7.2**
N1141/N1142	$\lambda_w \leq \lambda_{w,máx}$ Cumple	η = 0.2	η < 0.1	x: 0.06 m η = 1.7	x: 1.217 m η = 1.2	η = 0.1	x: 0.06 m η = 0.2	η < 0.1	η < 0.1	x: 0.446 m η = 2.5	η < 0.1	η = 0.4	η = 0.1	x: 0.06 m η = 0.2	**CUMPLE η = 2.5**
N1142/N1041	$\lambda_w \leq \lambda_{w,máx}$ Cumple	η = 0.2	η = 0.1	x: 2.373 m η = 5.1	x: 2.373 m η = 5.2	η = 0.4	x: 2.373 m η = 0.7	η < 0.1	η < 0.1	x: 2.373 m η = 10.4	η < 0.1	η = 2.4	η = 0.4	x: 2.373 m η = 0.7	**CUMPLE η = 10.4**
N902/N1143	$\lambda_w \leq \lambda_{w,máx}$ Cumple	η = 2.2	η = 5.7	x: 0.06 m η = 4.4	x: 0.06 m η = 5.6	η = 0.3	x: 0.06 m η = 0.7	η < 0.1	η < 0.1	x: 0.06 m η = 10.6	η < 0.1	η = 3.8	η = 0.4	x: 0.06 m η = 0.7	**CUMPLE η = 10.6**
N1143/N1144	$\lambda_w \leq \lambda_{w,máx}$ Cumple	η = 2.2	η = 6.6	x: 0.06 m η = 1.8	x: 1.602 m η = 1.5	η = 0.2	x: 0.06 m η = 0.2	η < 0.1	η < 0.1	x: 0.638 m η = 8.0	η < 0.1	η = 0.4	η = 0.2	x: 0.06 m η = 0.2	**CUMPLE η = 8.0**
N1144/N1058	$\lambda_w \leq \lambda_{w,máx}$ Cumple	η = 2.4	η = 6.2	x: 2.373 m η = 7.6	x: 2.373 m η = 7.9	η = 0.5	x: 2.373 m η = 1.0	η < 0.1	η < 0.1	x: 2.373 m η = 17.0	η < 0.1	η = 4.2	η = 0.5	x: 2.373 m η = 1.0	**CUMPLE η = 17.0**
N901/N1145	$\lambda_w \leq \lambda_{w,máx}$ Cumple	x: 1.463 m η = 1.5	η = 54.3	x: 0.15 m η = 3.5	x: 0.15 m η = 3.3	η = 0.4	x: 0.15 m η = 0.5	η < 0.1	η < 0.1	x: 0.15 m η = 58.0	η < 0.1	η = 1.1	η = 0.4	x: 0.15 m η = 0.5	**CUMPLE η = 58.0**
N1145/N1146	$\lambda_w \leq \lambda_{w,máx}$ Cumple	η = 8.9	η = 11.0	x: 0.095 m η = 1.0	x: 2.338 m η = 4.2	η = 0.1	x: 2.338 m η = 0.6	η < 0.1	η < 0.1	x: 2.338 m η = 13.6	η < 0.1	η = 0.2	η = 0.1	x: 2.338 m η = 0.6	**CUMPLE η = 13.6**
N1146/N1057	$\lambda_w \leq \lambda_{w,máx}$ Cumple	η = 6.5	η = 65.6	x: 0.095 m η = 3.0	x: 0.095 m η = 2.6	η = 0.4	x: 0.095 m η = 0.5	η < 0.1	η < 0.1	x: 0.095 m η = 70.1	η < 0.1	η = 1.1	η = 0.4	x: 0.095 m η = 0.5	**CUMPLE η = 70.1**
N918/N1147	$\lambda_w \leq \lambda_{w,máx}$ Cumple	x: 0.475 m η = 0.6	η = 26.4	x: 0.095 m η = 1.7	x: 0.095 m η = 4.4	η = 0.2	x: 0.095 m η = 0.6	η < 0.1	η < 0.1	x: 0.095 m η = 30.2	η < 0.1	η = 0.9	η = 0.2	x: 0.095 m η = 0.6	**CUMPLE η = 30.2**
N1147/N1148	$\lambda_w \leq \lambda_{w,máx}$ Cumple	N_{Ed} = 0.00 N.P.(1)	η = 33.0	x: 0.06 m η = 1.3	x: 2.373 m η = 3.4	η < 0.1	x: 2.373 m η = 0.5	η < 0.1	η < 0.1	x: 2.373 m η = 35.2	η < 0.1	η = 0.1	η < 0.1	x: 2.373 m η = 0.5	**CUMPLE η = 35.2**
N1148/N1074	$\lambda_w \leq \lambda_{w,máx}$ Cumple	η = 2.6	η = 33.1	x: 2.338 m η = 2.3	x: 2.338 m η = 4.8	η = 0.2	x: 2.338 m η = 0.7	η < 0.1	η < 0.1	x: 2.338 m η = 38.3	η < 0.1	η = 0.9	η = 0.2	x: 2.338 m η = 0.7	**CUMPLE η = 38.3**
N1146/N1148	$\lambda_w \leq \lambda_{w,máx}$ Cumple	x: 1.939 m η = 0.1	x: 0.078 m η = 2.8	x: 1.94 m η = 2.4	x: 0.078 m η = 3.3	η = 0.3	η = 0.2	η < 0.1	η < 0.1	x: 0.078 m η = 6.6	η < 0.1	η = 0.4	η = 0.3	η = 0.2	**CUMPLE η = 6.6**
N1145/N1147	$\lambda_w \leq \lambda_{w,máx}$ Cumple	x: 1.939 m η = 0.1	x: 0.078 m η = 1.8	x: 1.94 m η = 2.8	x: 0.078 m η = 3.4	η = 0.3	η = 0.2	η < 0.1	η < 0.1	x: 0.078 m η = 5.4	η < 0.1	η = 0.4	η = 0.3	η = 0.2	**CUMPLE η = 5.4**

Documento visado electrónicamente con número: VA07290/22
Código de validación telemática TRLTDCFZ60T66IJ1. Comprobación: https://cogitivalencia.e-gestion.es/Validacion.aspx?CVT=TRLTDCFZ60T66IJ1

VISADO COGITI
VALENCIA
VA07290/22
TRLTDCFZ60T66IJ1
Documento visado electrónicamente con número VA07290/22
Código de validación telemática TRLTDCFZ60T66IJ1. Comprobación: https://cogitivalencia.e-gestion.es/Validacion.aspx?CVT=TRLTDCFZ60T66IJ1

Barras	COMPROBACIONES (CÓDIGO ESTRUCTURAL)														Estado
	λ_w	N_t	N_c	M_Y	M_Z	V_Z	V_Y	M_YV_Z	M_ZV_Y	NM_YM_Z	$NM_YM_ZV_YV_Z$	M_t	M_tV_Z	M_tV_Y	
N1142/N1144	$\lambda_w \leq \lambda_{w,máx}$ Cumple	x: 1.939 m η = 0.1	x: 0.06 m η = 0.1	x: 1.94 m η = 4.0	x: 1.94 m η = 3.5	η = 0.5	η = 0.3	η < 0.1	η < 0.1	x: 1.94 m η = 7.3	η < 0.1	η = 1.2	η = 0.5	η = 0.4	**CUMPLE η = 7.3**
N1141/N1143	$\lambda_w \leq \lambda_{w,máx}$ Cumple	x: 1.939 m η < 0.1	x: 0.06 m η = 0.1	x: 0.06 m η = 3.3	x: 1.94 m η = 2.6	η = 0.5	η = 0.2	η < 0.1	η < 0.1	x: 1.94 m η = 5.1	η < 0.1	η = 0.9	η = 0.5	η = 0.2	**CUMPLE η = 5.1**
N919/N1145	$\lambda_w \leq \lambda_{w,máx}$ Cumple	x: 3.054 m η = 12.8	x: 0.195 m η = 3.3	x: 0.195 m η = 5.0	x: 0.195 m η = 6.3	x: 3.055 m η = 0.6	η = 0.2	η < 0.1	η < 0.1	x: 0.195 m η = 21.6	η < 0.1	η = 4.0	x: 3.055 m η = 0.6	η = 0.2	**CUMPLE η = 21.6**
N1075/N1146	$\lambda_w \leq \lambda_{w,máx}$ Cumple	x: 3.054 m η = 15.5	x: 0.195 m η = 6.4	x: 0.195 m η = 6.6	x: 3.055 m η = 4.3	x: 3.055 m η = 0.7	η = 0.2	η < 0.1	η < 0.1	x: 3.055 m η = 23.2	η < 0.1	η = 4.0	x: 3.055 m η = 0.7	η = 0.2	**CUMPLE η = 23.2**
N952/N1149	$\lambda_w \leq \lambda_{w,máx}$ Cumple	x: 3.054 m η = 14.2	x: 0.195 m η = 2.7	x: 0.195 m η = 5.8	x: 3.055 m η = 4.7	x: 3.055 m η = 0.6	η = 0.3	η < 0.1	η < 0.1	x: 3.055 m η = 20.4	η < 0.1	η = 2.4	x: 3.055 m η = 0.6	η = 0.3	**CUMPLE η = 20.4**
N935/N1149	$\lambda_w \leq \lambda_{w,máx}$ Cumple	η = 0.6	η = 55.1	x: 0.15 m η = 4.0	x: 0.15 m η = 3.3	η = 0.5	x: 0.15 m η = 0.5	η < 0.1	η < 0.1	x: 0.15 m η = 57.6	η < 0.1	η = 1.2	η = 0.5	x: 0.15 m η = 0.5	**CUMPLE η = 57.6**
N1149/N1150	$\lambda_w \leq \lambda_{w,máx}$ Cumple	η = 8.2	x: 1.591 m η = 8.4	x: 0.095 m η = 0.6	x: 2.338 m η = 4.8	η = 0.1	x: 2.338 m η = 0.7	η < 0.1	η < 0.1	x: 2.338 m η = 11.0	η < 0.1	η = 0.1	η = 0.1	x: 2.338 m η = 0.7	**CUMPLE η = 11.0**
N1150/N1091	$\lambda_w \leq \lambda_{w,máx}$ Cumple	η = 5.7	η = 66.1	x: 0.095 m η = 3.3	x: 0.095 m η = 3.0	η = 0.5	x: 0.095 m η = 0.5	η < 0.1	η < 0.1	x: 2.283 m η = 70.2	η < 0.1	η = 1.1	η = 0.5	x: 0.095 m η = 0.5	**CUMPLE η = 70.2**
N1149/N1151	$\lambda_w \leq \lambda_{w,máx}$ Cumple	x: 1.939 m η = 0.1	x: 0.078 m η = 1.5	x: 0.078 m η = 2.7	x: 0.078 m η = 3.4	η = 0.4	η = 0.2	η < 0.1	η < 0.1	x: 0.078 m η = 5.6	η < 0.1	η = 0.4	η = 0.4	η = 0.2	**CUMPLE η = 5.6**
N1150/N1152	$\lambda_w \leq \lambda_{w,máx}$ Cumple	x: 1.939 m η = 0.1	x: 0.078 m η = 3.3	x: 1.94 m η = 2.9	x: 0.078 m η = 3.2	η = 0.4	η = 0.2	η < 0.1	η < 0.1	x: 0.078 m η = 7.2	η < 0.1	η = 0.4	η = 0.4	η = 0.2	**CUMPLE η = 7.2**
N1108/N1150	$\lambda_w \leq \lambda_{w,máx}$ Cumple	x: 3.054 m η = 15.4	x: 0.195 m η = 6.4	x: 0.195 m η = 6.3	x: 3.055 m η = 4.6	x: 3.055 m η = 0.6	η = 0.3	η < 0.1	η < 0.1	x: 3.055 m η = 22.7	η < 0.1	η = 2.3	x: 3.055 m η = 0.6	η = 0.3	**CUMPLE η = 22.7**
N951/N1151	$\lambda_w \leq \lambda_{w,máx}$ Cumple	N_{Ed} = 0.00 N.P.(1)	η = 20.6	x: 0.095 m η = 1.7	x: 0.095 m η = 4.4	η = 0.2	x: 0.095 m η = 0.6	η < 0.1	η < 0.1	x: 0.095 m η = 24.6	η < 0.1	η = 1.0	η = 0.2	x: 0.095 m η = 0.6	**CUMPLE η = 24.6**
N1151/N1152	$\lambda_w \leq \lambda_{w,máx}$ Cumple	N_{Ed} = 0.00 N.P.(1)	η = 24.0	x: 0.06 m η = 1.1	x: 2.373 m η = 3.9	η < 0.1	x: 2.373 m η = 0.6	η < 0.1	η < 0.1	x: 2.372 m η = 26.0	η < 0.1	x: 1.217 m η < 0.1	η < 0.1	x: 2.373 m η = 0.6	**CUMPLE η = 26.0**
N1152/N1107	$\lambda_w \leq \lambda_{w,máx}$ Cumple	η = 2.6	η = 24.0	x: 2.338 m η = 1.9	x: 2.338 m η = 4.9	η = 0.2	x: 2.338 m η = 0.7	η < 0.1	η < 0.1	x: 2.338 m η = 28.6	η < 0.1	η = 1.2	η = 0.2	x: 2.338 m η = 0.7	**CUMPLE η = 28.6**
N1145/N918	$\lambda_w \leq \lambda_{w,máx}$ Cumple	x: 3.054 m η = 13.1	x: 0.095 m η = 0.4	x: 3.055 m η = 3.7	x: 0.095 m η = 2.4	x: 3.055 m η = 0.5	η = 0.1	η < 0.1	η < 0.1	x: 3.055 m η = 17.9	η < 0.1	η = 1.2	x: 3.055 m η = 0.5	η = 0.1	**CUMPLE η = 17.9**
N1146/N1074	$\lambda_w \leq \lambda_{w,máx}$ Cumple	x: 3.054 m η = 13.4	x: 0.095 m η = 2.2	x: 3.055 m η = 4.1	x: 0.095 m η = 1.7	x: 3.055 m η = 0.5	η < 0.1	η < 0.1	η < 0.1	x: 3.055 m η = 18.2	η < 0.1	η = 1.5	x: 3.055 m η = 0.5	η < 0.1	**CUMPLE η = 18.2**
N1149/N951	$\lambda_w \leq \lambda_{w,máx}$ Cumple	x: 3.054 m η = 13.1	x: 0.095 m η = 0.4	x: 3.055 m η = 3.8	x: 0.095 m η = 1.8	x: 3.055 m η = 0.5	η < 0.1	η < 0.1	η < 0.1	x: 3.055 m η = 17.8	η < 0.1	η = 1.4	x: 3.055 m η = 0.5	η < 0.1	**CUMPLE η = 17.8**
N1150/N1107	$\lambda_w \leq \lambda_{w,máx}$ Cumple	x: 3.054 m η = 14.2	x: 0.095 m η = 2.1	x: 3.055 m η = 4.2	x: 3.055 m η = 1.8	x: 3.055 m η = 0.5	η < 0.1	η < 0.1	η < 0.1	x: 3.055 m η = 19.2	η < 0.1	η = 1.5	x: 3.055 m η = 0.5	η < 0.1	**CUMPLE η = 19.2**
N984/N1154	$\lambda_w \leq \lambda_{w,máx}$ Cumple	η = 0.4	η = 8.2	x: 0.095 m η = 3.6	x: 0.095 m η = 4.2	η = 0.4	x: 0.095 m η = 0.6	η < 0.1	η < 0.1	x: 0.095 m η = 11.4	η < 0.1	η = 2.0	η = 0.4	x: 0.095 m η = 0.6	**CUMPLE η = 11.4**
N1154/N1153	$\lambda_w \leq \lambda_{w,máx}$ Cumple	η = 0.5	η = 11.2	x: 0.06 m η = 1.9	x: 0.06 m η = 3.1	η < 0.1	x: 2.373 m η = 0.5	η < 0.1	η < 0.1	x: 0.06 m η = 13.4	η < 0.1	η = 0.2	η < 0.1	x: 2.373 m η = 0.5	**CUMPLE η = 13.4**
N1153/N1140	$\lambda_w \leq \lambda_{w,máx}$ Cumple	η = 3.2	η = 11.3	x: 2.338 m η = 3.7	x: 2.338 m η = 4.4	η = 0.4	x: 2.338 m η = 0.6	η < 0.1	η < 0.1	x: 2.338 m η = 14.9	η < 0.1	η = 2.1	η = 0.4	x: 2.338 m η = 0.6	**CUMPLE η = 14.9**
N1155/N1140	$\lambda_w \leq \lambda_{w,máx}$ Cumple	x: 3.054 m η = 14.6	x: 0.095 m η = 2.0	x: 3.055 m η = 3.5	x: 3.055 m η = 3.3	x: 3.055 m η = 0.5	η = 0.1	η < 0.1	η < 0.1	x: 3.055 m η = 18.3	η < 0.1	η = 2.9	x: 3.055 m η = 0.5	η = 0.1	**CUMPLE η = 18.3**
N968/N1156	$\lambda_w \leq \lambda_{w,máx}$ Cumple	η = 1.0	η = 39.6	x: 0.15 m η = 5.6	x: 0.15 m η = 2.4	η = 0.7	x: 0.15 m η = 0.4	η < 0.1	η < 0.1	x: 0.15 m η = 41.4	η < 0.1	η = 1.8	η = 0.7	x: 0.15 m η = 0.4	**CUMPLE η = 41.4**
N1156/N1155	$\lambda_w \leq \lambda_{w,máx}$ Cumple	η = 13.7	η = 10.4	x: 0.095 m η = 1.1	x: 2.338 m η = 3.9	η = 0.1	x: 2.338 m η = 0.6	η < 0.1	η < 0.1	x: 2.338 m η = 16.4	η < 0.1	η = 0.2	η = 0.1	x: 2.338 m η = 0.6	**CUMPLE η = 16.4**
N1155/N1124	$\lambda_w \leq \lambda_{w,máx}$ Cumple	η = 4.1	η = 35.1	x: 0.095 m η = 3.9	x: 0.095 m η = 2.2	η = 0.5	x: 0.095 m η = 0.4	η < 0.1	η < 0.1	x: 2.283 m η = 36.4	η < 0.1	η = 1.5	η = 0.5	x: 0.095 m η = 0.4	**CUMPLE η = 36.4**
N1157/N1155	$\lambda_w \leq \lambda_{w,máx}$ Cumple	x: 3.054 m η = 13.9	x: 0.195 m η = 5.9	x: 0.195 m η = 4.4	x: 3.055 m η = 7.8	x: 0.195 m η = 0.4	η = 0.2	η < 0.1	η < 0.1	x: 3.055 m η = 20.0	η < 0.1	η = 6.2	x: 0.195 m η = 0.5	η = 0.2	**CUMPLE η = 20.0**
N1156/N1154	$\lambda_w \leq \lambda_{w,máx}$ Cumple	x: 1.939 m η = 0.1	x: 1.009 m η = 1.0	x: 0.078 m η = 2.2	x: 0.078 m η = 6.8	η = 0.3	η = 0.4	η < 0.1	η < 0.1	x: 0.078 m η = 8.3	η < 0.1	η = 0.8	η = 0.3	η = 0.4	**CUMPLE η = 8.3**
N1156/N984	$\lambda_w \leq \lambda_{w,máx}$ Cumple	x: 3.054 m η = 14.9	x: 0.095 m η = 2.0	x: 3.055 m η = 3.4	x: 0.095 m η = 3.4	x: 3.055 m η = 0.5	η < 0.1	η < 0.1	η < 0.1	x: 3.055 m η = 18.8	η < 0.1	η = 2.8	x: 3.055 m η = 0.5	η < 0.1	**CUMPLE η = 18.8**
N1155/N1153	$\lambda_w \leq \lambda_{w,máx}$ Cumple	N_{Ed} = 0.00 N.P.(1)	x: 0.078 m η = 2.6	x: 1.94 m η = 2.7	x: 0.078 m η = 6.5	η = 0.3	η = 0.4	η < 0.1	η < 0.1	x: 0.078 m η = 9.3	η < 0.1	η = 0.6	η = 0.3	η = 0.4	**CUMPLE η = 9.3**
N1001/N1156	$\lambda_w \leq \lambda_{w,máx}$ Cumple	x: 3.054 m η = 17.2	x: 0.195 m η = 2.7	x: 0.195 m η = 5.1	x: 3.055 m η = 8.8	x: 3.055 m η = 0.6	η = 0.2	η < 0.1	η < 0.1	x: 3.055 m η = 26.6	η < 0.1	η = 6.1	x: 3.055 m η = 0.6	η = 0.2	**CUMPLE η = 26.6**
N904/N1060	x: 0.509 m $\lambda_w \leq \lambda_{w,máx}$ Cumple	η = 2.8	η = 18.7	M_{Ed} = 0.00 N.P.(2)	x: 3.65 m η = 6.0	V_{Ed} = 0.00 N.P.(3)	x: 0.06 m η = 0.5	N.P.(4)	x: 0.509 m η < 0.1	x: 3.65 m η = 25.1	x: 0.509 m η < 0.1	M_{Ed} = 0.00 N.P.(5)	N.P.(6)	N.P.(6)	**CUMPLE η = 25.1**
N1158/N1159	$\lambda_w \leq \lambda_{w,máx}$ Cumple	x: 1.939 m η < 0.1	x: 0.06 m η = 0.4	x: 1.94 m η = 11.1	x: 0.06 m η < 0.1	η = 1.7	η < 0.1	η < 0.1	x: 0.06 m η < 0.1	x: 1.94 m η = 11.3	η < 0.1	η < 0.1	η = 1.7	η < 0.1	**CUMPLE η = 11.3**
N1160/N1161	$\lambda_w \leq \lambda_{w,máx}$ Cumple	x: 1.939 m η < 0.1	x: 0.06 m η = 0.4	x: 0.06 m η = 12.4	x: 0.06 m η < 0.1	η = 2.0	η < 0.1	η < 0.1	x: 0.06 m η < 0.1	x: 0.06 m η = 12.8	η < 0.1	η < 0.1	η = 1.9	η < 0.1	**CUMPLE η = 12.8**
N893/N1163	x: 0.051 m $\lambda_w \leq \lambda_{w,máx}$ Cumple	η = 3.9	η = 18.2	x: 2.372 m η < 0.1	x: 2.373 m η = 20.4	η < 0.1	x: 0.05 m η = 1.4	N.P.(4)	x: 0.051 m η < 0.1	x: 2.373 m η = 24.1	x: 0.051 m η < 0.1	M_{Ed} = 0.00 N.P.(5)	N.P.(6)	N.P.(6)	**CUMPLE η = 24.1**
N1163/N1162	$\lambda_w \leq \lambda_{w,máx}$ Cumple	η = 4.5	η = 22.1	x: 0.06 m η < 0.1	x: 0.06 m η = 5.8	η < 0.1	x: 2.373 m η = 0.7	N.P.(4)	η < 0.1	x: 2.373 m η = 24.6	η < 0.1	η < 0.1	η < 0.1	x: 2.373 m η = 0.2	**CUMPLE η = 24.6**
N1162/N1049	x: 0.06 m $\lambda_w \leq \lambda_{w,máx}$ Cumple	η = 5.6	η = 24.2	x: 0.06 m η < 0.1	x: 0.06 m η = 16.3	η < 0.1	x: 2.383 m η = 1.2	N.P.(4)	x: 0.06 m η < 0.1	x: 0.06 m η = 33.4	x: 0.06 m η < 0.1	M_{Ed} = 0.00 N.P.(5)	N.P.(6)	N.P.(6)	**CUMPLE η = 33.4**
N910/N1165	x: 0.051 m $\lambda_w \leq \lambda_{w,máx}$ Cumple	η = 4.0	η = 24.7	x: 2.372 m η < 0.1	x: 2.373 m η = 20.3	η < 0.1	x: 0.05 m η = 1.4	N.P.(4)	x: 0.051 m η < 0.1	x: 2.373 m η = 37.8	x: 0.051 m η < 0.1	M_{Ed} = 0.00 N.P.(5)	N.P.(6)	N.P.(6)	**CUMPLE η = 37.8**
N1165/N1164	$\lambda_w \leq \lambda_{w,máx}$ Cumple	η = 4.1	η = 31.4	x: 0.06 m η < 0.1	x: 0.06 m η = 5.8	η < 0.1	x: 2.373 m η = 0.7	N.P.(4)	η < 0.1	x: 0.06 m η = 35.2	η < 0.1	η < 0.1	η < 0.1	x: 2.373 m η = 0.2	**CUMPLE η = 35.2**
N1164/N1066	x: 0.06 m $\lambda_w \leq \lambda_{w,máx}$ Cumple	η = 5.3	η = 31.8	x: 0.06 m η < 0.1	x: 0.06 m η = 17.3	η < 0.1	x: 2.383 m η = 1.2	N.P.(4)	x: 0.06 m η < 0.1	x: 0.06 m η = 35.0	x: 0.06 m η < 0.1	M_{Ed} = 0.00 N.P.(5)	N.P.(6)	N.P.(6)	**CUMPLE η = 35.0**
N1162/N1164	$\lambda_w \leq \lambda_{w,máx}$ Cumple	x: 1.939 m η = 0.1	x: 0.06 m η = 0.4	x: 1.94 m η = 12.4	x: 0.06 m η < 0.1	η = 1.9	η < 0.1	η < 0.1	N.P.(4)	x: 1.94 m η = 12.6	η < 0.1	η < 0.1	η = 1.9	η < 0.1	**CUMPLE η = 12.6**
N1163/N1165	$\lambda_w \leq \lambda_{w,máx}$ Cumple	x: 1.939 m η = 0.1	x: 0.06 m η = 0.4	x: 0.06 m η = 14.0	x: 0.06 m η < 0.1	η = 2.2	η < 0.1	η < 0.1	N.P.(4)	x: 0.06 m η = 14.5	η < 0.1	η < 0.1	η = 1.0	η < 0.1	**CUMPLE η = 14.5**

VISADO
COGITI
VALENCIA
VA07290/22
TRLTDCFZ60T66IJ1

Barras	COMPROBACIONES (CÓDIGO ESTRUCTURAL)															
	λ_w	N_t	N_c	M_Y	M_Z	V_Z	V_Y	M_YV_Z	M_ZV_Y	NM_YM_Z	$NM_YM_ZV_YV_Z$	M_t	M_tV_Z	M_tV_Y	Estado
N897/N1167	x: 0.253 m $\lambda_w \leq \lambda_{w,máx}$ Cumple	η = 2.1	η = 10.2	x: 2.372 m η < 0.1	x: 2.373 m η = 16.4	η < 0.1	x: 0.06 m η = 1.2	x: 0.253 m η < 0.1	x: 0.061 m η < 0.1	x: 2.373 m η = 18.1	x: 0.253 m η < 0.1	M_{Ed} = 0.00 N.P.(5)	N.P.(6)	N.P.(6)	**CUMPLE** **η = 18.1**
N1167/N1166	$\lambda_w \leq \lambda_{w,máx}$ Cumple	η = 2.6	η = 12.1	x: 0.06 m η < 0.1	x: 0.06 m η = 4.4	η < 0.1	x: 2.373 m η = 0.5	N.P.(4)	η < 0.1	x: 2.373 m η = 13.5	η < 0.1	η < 0.1	η < 0.1	x: 2.373 m η = 0.5	**CUMPLE** **η = 13.5**
N1166/N1053	x: 0.06 m $\lambda_w \leq \lambda_{w,máx}$ Cumple	η = 3.1	η = 13.6	x: 0.06 m η < 0.1	x: 0.06 m η = 12.1	η < 0.1	x: 2.373 m η = 0.9	x: 0.06 m η < 0.1	x: 0.06 m η < 0.1	x: 0.06 m η = 19.5	x: 0.06 m η < 0.1	M_{Ed} = 0.00 N.P.(5)	N.P.(6)	N.P.(6)	**CUMPLE** **η = 19.5**
N914/N1169	x: 0.253 m $\lambda_w \leq \lambda_{w,máx}$ Cumple	η = 3.4	η = 22.0	x: 2.372 m η < 0.1	x: 2.373 m η = 15.8	η < 0.1	x: 0.06 m η = 1.2	x: 0.253 m η < 0.1	x: 0.253 m η < 0.1	x: 2.373 m η = 32.2	x: 0.253 m η < 0.1	M_{Ed} = 0.00 N.P.(5)	N.P.(6)	N.P.(6)	**CUMPLE** **η = 32.2**
N1169/N1168	$\lambda_w \leq \lambda_{w,máx}$ Cumple	η = 3.4	η = 27.0	x: 0.06 m η < 0.1	x: 0.06 m η = 4.2	η < 0.1	x: 2.373 m η = 0.5	N.P.(4)	η < 0.1	x: 0.06 m η = 29.7	η < 0.1	η < 0.1	η < 0.1	x: 2.373 m η = 0.5	**CUMPLE** **η = 29.7**
N1168/N1070	x: 0.06 m $\lambda_w \leq \lambda_{w,máx}$ Cumple	η = 4.2	η = 26.9	x: 0.06 m η < 0.1	x: 0.06 m η = 13.6	η < 0.1	x: 2.373 m η = 1.0	x: 0.06 m η < 0.1	x: 0.06 m η < 0.1	x: 0.06 m η = 27.6	x: 0.06 m η < 0.1	M_{Ed} = 0.00 N.P.(5)	N.P.(6)	N.P.(6)	**CUMPLE** **η = 27.6**
N1166/N1168	$\lambda_w \leq \lambda_{w,máx}$ Cumple	x: 1.939 m η = 0.1	x: 0.06 m η = 0.3	x: 1.94 m η = 10.0	x: 0.06 m η < 0.1	η = 1.5	η < 0.1	η < 0.1	x: 0.06 m η < 0.1	x: 1.94 m η = 10.1	η < 0.1	η < 0.1	η = 1.5	η < 0.1	**CUMPLE** **η = 10.1**
N1167/N1169	$\lambda_w \leq \lambda_{w,máx}$ Cumple	x: 1.939 m η = 0.1	x: 0.06 m η = 0.3	x: 0.06 m η = 11.5	x: 0.06 m η < 0.1	η = 1.8	η < 0.1	η < 0.1	x: 0.06 m η < 0.1	x: 0.06 m η = 11.8	η < 0.1	η < 0.1	η = 1.8	η < 0.1	**CUMPLE** **η = 11.8**
N916/N1072	x: 0.509 m $\lambda_w \leq \lambda_{w,máx}$ Cumple	η = 2.9	η = 13.2	M_{Ed} = 0.00 N.P.(2)	x: 3.65 m η = 6.0	V_{Ed} = 0.00 N.P.(3)	x: 0.06 m η = 0.5	N.P.(4)	x: 0.509 m η < 0.1	x: 3.65 m η = 19.5	x: 0.509 m η < 0.1	M_{Ed} = 0.00 N.P.(5)	N.P.(6)	N.P.(6)	**CUMPLE** **η = 19.5**
N937/N1093	x: 0.509 m $\lambda_w \leq \lambda_{w,máx}$ Cumple	η = 2.1	η = 23.3	M_{Ed} = 0.00 N.P.(2)	x: 3.65 m η = 6.0	V_{Ed} = 0.00 N.P.(3)	x: 0.06 m η = 0.5	N.P.(4)	x: 0.509 m η < 0.1	x: 3.65 m η = 29.8	x: 0.509 m η < 0.1	M_{Ed} = 0.00 N.P.(5)	N.P.(6)	N.P.(6)	**CUMPLE** **η = 29.8**
N939/N1170	x: 0.061 m $\lambda_w \leq \lambda_{w,máx}$ Cumple	η = 1.7	η = 14.1	x: 2.372 m η < 0.1	x: 2.373 m η = 13.5	η < 0.1	x: 0.06 m η = 1.0	x: 0.253 m η < 0.1	x: 0.061 m η < 0.1	x: 2.373 m η = 22.5	x: 0.061 m η < 0.1	M_{Ed} = 0.00 N.P.(5)	N.P.(6)	N.P.(6)	**CUMPLE** **η = 22.5**
N1170/N1171	$\lambda_w \leq \lambda_{w,máx}$ Cumple	η = 1.7	η = 17.9	x: 0.06 m η < 0.1	x: 0.06 m η = 3.3	η < 0.1	x: 2.373 m η = 0.4	x: 0.06 m η < 0.1	η < 0.1	x: 0.06 m η = 20.0	η < 0.1	η < 0.1	η < 0.1	x: 2.373 m η = 0.4	**CUMPLE** **η = 20.0**
N1171/N1095	x: 0.06 m $\lambda_w \leq \lambda_{w,máx}$ Cumple	η = 2.1	η = 17.5	x: 0.06 m η < 0.1	x: 0.06 m η = 10.4	η < 0.1	x: 2.373 m η = 0.8	x: 0.06 m η < 0.1	x: 0.06 m η < 0.1	x: 0.446 m η = 18.5	x: 0.06 m η < 0.1	M_{Ed} = 0.00 N.P.(5)	N.P.(6)	N.P.(6)	**CUMPLE** **η = 18.5**
N923/N1172	x: 0.061 m $\lambda_w \leq \lambda_{w,máx}$ Cumple	η = 1.0	η = 6.0	x: 2.372 m η < 0.1	x: 2.373 m η = 13.6	η < 0.1	x: 0.06 m η = 1.0	x: 0.253 m η < 0.1	x: 0.061 m η < 0.1	x: 2.373 m η = 14.5	x: 0.061 m η < 0.1	M_{Ed} = 0.00 N.P.(5)	N.P.(6)	N.P.(6)	**CUMPLE** **η = 14.5**
N1172/N1173	$\lambda_w \leq \lambda_{w,máx}$ Cumple	η = 1.4	η = 6.4	x: 0.06 m η < 0.1	x: 0.06 m η = 3.4	η < 0.1	x: 2.373 m η = 0.4	x: 0.06 m η < 0.1	η < 0.1	x: 2.372 m η = 7.1	η < 0.1	η < 0.1	η < 0.1	x: 2.373 m η = 0.4	**CUMPLE** **η = 7.1**
N1173/N1079	x: 0.06 m $\lambda_w \leq \lambda_{w,máx}$ Cumple	η = 1.7	η = 7.5	x: 0.06 m η < 0.1	x: 0.06 m η = 9.3	η < 0.1	x: 2.373 m η = 0.7	x: 0.06 m η < 0.1	x: 0.06 m η < 0.1	x: 0.06 m η = 11.9	x: 0.06 m η < 0.1	M_{Ed} = 0.00 N.P.(5)	N.P.(6)	N.P.(6)	**CUMPLE** **η = 11.9**
N1173/N1171	$\lambda_w \leq \lambda_{w,máx}$ Cumple	x: 1.939 m η = 0.1	x: 0.06 m η = 0.2	x: 1.94 m η = 7.9	x: 0.06 m η < 0.1	η = 1.2	η < 0.1	η < 0.1	x: 0.06 m η < 0.1	x: 1.94 m η = 7.9	η < 0.1	η < 0.1	η = 1.2	η < 0.1	**CUMPLE** **η = 7.9**
N1172/N1170	$\lambda_w \leq \lambda_{w,máx}$ Cumple	x: 1.939 m η = 0.1	x: 0.06 m η = 0.2	x: 0.06 m η = 9.8	x: 0.06 m η < 0.1	η = 1.6	η < 0.1	η < 0.1	x: 0.06 m η < 0.1	x: 0.06 m η = 10.0	η < 0.1	x: 1 m η < 0.1	η = 1.6	η < 0.1	**CUMPLE** **η = 10.0**
N927/N1175	x: 0.051 m $\lambda_w \leq \lambda_{w,máx}$ Cumple	η = 1.9	η = 9.8	x: 2.372 m η < 0.1	x: 2.373 m η = 15.7	η < 0.1	x: 0.05 m η = 1.1	x: 0.244 m η < 0.1	x: 0.051 m η < 0.1	x: 2.373 m η = 17.1	x: 0.051 m η < 0.1	M_{Ed} = 0.00 N.P.(5)	N.P.(6)	N.P.(6)	**CUMPLE** **η = 17.1**
N1175/N1174	$\lambda_w \leq \lambda_{w,máx}$ Cumple	η = 2.4	η = 11.3	x: 0.06 m η < 0.1	x: 0.06 m η = 4.1	η < 0.1	x: 2.373 m η = 0.5	x: 0.06 m η < 0.1	η < 0.1	x: 2.373 m η = 12.5	η < 0.1	η < 0.1	η < 0.1	x: 0.06 m η = 0.3	**CUMPLE** **η = 12.5**
N1174/N1083	x: 0.06 m $\lambda_w \leq \lambda_{w,máx}$ Cumple	η = 2.8	η = 12.6	x: 0.06 m η < 0.1	x: 0.06 m η = 11.3	η < 0.1	x: 2.383 m η = 0.9	x: 0.06 m η < 0.1	x: 0.06 m η < 0.1	x: 0.06 m η = 18.2	x: 0.06 m η < 0.1	M_{Ed} = 0.00 N.P.(5)	N.P.(6)	N.P.(6)	**CUMPLE** **η = 18.2**
N943/N1177	x: 0.051 m $\lambda_w \leq \lambda_{w,máx}$ Cumple	η = 1.9	η = 16.5	x: 2.372 m η < 0.1	x: 2.373 m η = 15.8	η < 0.1	x: 0.05 m η = 1.1	x: 0.244 m η < 0.1	x: 0.051 m η < 0.1	x: 2.373 m η = 26.5	x: 0.051 m η < 0.1	M_{Ed} = 0.00 N.P.(5)	N.P.(6)	N.P.(6)	**CUMPLE** **η = 26.5**
N1177/N1176	$\lambda_w \leq \lambda_{w,máx}$ Cumple	η = 1.9	η = 21.2	x: 0.06 m η < 0.1	x: 0.06 m η = 4.2	η < 0.1	x: 2.373 m η = 0.5	x: 0.06 m η < 0.1	η < 0.1	x: 0.06 m η = 23.9	η < 0.1	x: 1.024 m η < 0.1	η < 0.1	x: 0.06 m η = 0.3	**CUMPLE** **η = 23.9**
N1176/N1099	x: 0.06 m $\lambda_w \leq \lambda_{w,máx}$ Cumple	η = 2.6	η = 21.1	x: 0.06 m η < 0.1	x: 0.06 m η = 12.2	η < 0.1	x: 2.383 m η = 0.9	x: 0.06 m η < 0.1	x: 0.06 m η < 0.1	x: 1.415 m η = 21.4	x: 0.06 m η < 0.1	M_{Ed} = 0.00 N.P.(5)	N.P.(6)	N.P.(6)	**CUMPLE** **η = 21.4**
N1174/N1176	$\lambda_w \leq \lambda_{w,máx}$ Cumple	x: 1.939 m η = 0.1	x: 0.06 m η = 0.3	x: 1.94 m η = 9.1	x: 0.06 m η < 0.1	η = 1.4	η < 0.1	η < 0.1	x: 0.06 m η < 0.1	x: 1.94 m η = 9.2	η < 0.1	η < 0.1	η = 1.4	η < 0.1	**CUMPLE** **η = 9.2**
N1175/N1177	$\lambda_w \leq \lambda_{w,máx}$ Cumple	x: 1.939 m η = 0.1	x: 0.06 m η = 0.3	x: 1.94 m η = 11.2	x: 0.06 m η < 0.1	η = 1.8	η < 0.1	η < 0.1	x: 0.06 m η < 0.1	x: 0.06 m η = 11.5	η < 0.1	η < 0.1	η = 1.6	η < 0.1	**CUMPLE** **η = 11.5**
N931/N1179	x: 0.061 m $\lambda_w \leq \lambda_{w,máx}$ Cumple	η = 1.1	η = 1.3	x: 2.372 m η < 0.1	x: 2.373 m η = 13.3	η < 0.1	x: 0.06 m η = 1.0	x: 0.253 m η < 0.1	x: 0.061 m η < 0.1	x: 2.373 m η = 14.2	x: 0.061 m η < 0.1	M_{Ed} = 0.00 N.P.(5)	N.P.(6)	N.P.(6)	**CUMPLE** **η = 14.2**
N1179/N1178	$\lambda_w \leq \lambda_{w,máx}$ Cumple	η = 1.5	η = 6.2	x: 0.06 m η < 0.1	x: 0.06 m η = 3.3	η < 0.1	x: 2.373 m η = 0.4	x: 0.06 m η < 0.1	η < 0.1	x: 2.373 m η = 7.0	η < 0.1	η < 0.1	η < 0.1	x: 2.373 m η = 0.2	**CUMPLE** **η = 7.0**
N1178/N1087	x: 0.06 m $\lambda_w \leq \lambda_{w,máx}$ Cumple	η = 1.7	η = 7.3	x: 0.06 m η < 0.1	x: 0.06 m η = 9.3	η < 0.1	x: 2.373 m η = 0.7	x: 0.06 m η < 0.1	x: 0.06 m η < 0.1	x: 0.06 m η = 11.9	x: 0.06 m η < 0.1	M_{Ed} = 0.00 N.P.(5)	N.P.(6)	N.P.(6)	**CUMPLE** **η = 11.9**
N947/N1181	x: 0.061 m $\lambda_w \leq \lambda_{w,máx}$ Cumple	η = 1.7	η = 12.8	x: 2.372 m η < 0.1	x: 2.373 m η = 12.8	η < 0.1	x: 0.06 m η = 1.0	x: 0.253 m η < 0.1	x: 0.061 m η < 0.1	x: 2.373 m η = 20.7	x: 0.061 m η < 0.1	M_{Ed} = 0.00 N.P.(5)	N.P.(6)	N.P.(6)	**CUMPLE** **η = 20.7**
N1181/N1180	$\lambda_w \leq \lambda_{w,máx}$ Cumple	η = 1.6	η = 16.3	x: 0.06 m η < 0.1	x: 0.06 m η = 3.1	η < 0.1	x: 2.373 m η = 0.4	x: 0.06 m η < 0.1	η < 0.1	x: 0.06 m η = 18.2	η < 0.1	η < 0.1	η < 0.1	x: 2.373 m η = 0.2	**CUMPLE** **η = 18.2**
N1180/N1103	x: 0.06 m $\lambda_w \leq \lambda_{w,máx}$ Cumple	η = 2.1	η = 15.8	x: 0.06 m η < 0.1	x: 0.06 m η = 10.8	η < 0.1	x: 2.373 m η = 0.8	x: 0.06 m η < 0.1	x: 0.06 m η < 0.1	x: 0.253 m η = 17.2	x: 0.06 m η < 0.1	M_{Ed} = 0.00 N.P.(5)	N.P.(6)	N.P.(6)	**CUMPLE** **η = 17.2**
N1178/N1180	$\lambda_w \leq \lambda_{w,máx}$ Cumple	x: 1.939 m η = 0.1	x: 0.06 m η = 0.2	x: 1.94 m η = 8.2	x: 0.06 m η < 0.1	η = 1.2	η < 0.1	η < 0.1	x: 0.06 m η < 0.1	x: 1.94 m η = 8.2	η < 0.1	η < 0.1	x: 1 m η = 0.6	η < 0.1	**CUMPLE** **η = 8.2**
N1179/N1181	$\lambda_w \leq \lambda_{w,máx}$ Cumple	x: 1.939 m η = 0.1	x: 0.06 m η = 0.2	x: 0.06 m η = 9.7	x: 0.06 m η < 0.1	η = 1.5	η < 0.1	η < 0.1	x: 0.06 m η < 0.1	x: 0.06 m η = 9.9	η < 0.1	x: 1 m η < 0.1	η = 0.9	η < 0.1	**CUMPLE** **η = 9.9**
N949/N1105	x: 0.509 m $\lambda_w \leq \lambda_{w,máx}$ Cumple	η = 4.0	η = 20.1	M_{Ed} = 0.00 N.P.(2)	x: 3.65 m η = 6.0	V_{Ed} = 0.00 N.P.(3)	x: 0.06 m η = 0.5	N.P.(4)	x: 0.509 m η < 0.1	x: 3.65 m η = 26.6	x: 0.509 m η < 0.1	M_{Ed} = 0.00 N.P.(5)	N.P.(6)	N.P.(6)	**CUMPLE** **η = 26.6**

Documento visado electrónicamente con número: VA07290/22
Código de validación telemática TRLTDCFZ60T66IJ1. Comprobación: https://cogitivalencia.e-gestion.es/Validacion.aspx?CVT=TRLTDCFZ60T66IJ1

Listados

VISADO COGITI VALENCIA VA07290/22 TRLTDCFZ60T66IJ1

Barras	COMPROBACIONES (CÓDIGO ESTRUCTURAL)														Estado
	λ_w	N_t	N_c	M_Y	M_Z	V_Z	V_Y	M_YV_Z	M_ZV_Y	NM_YM_Z	$NM_YM_ZV_YV_Z$	M_t	M_tV_Z	M_tV_Y	
N970/N1126	x: 0.509 m $\lambda_w \leq \lambda_{w,máx}$ Cumple	η = 2.0	η = 18.3	M_{Ed} = 0.00 N.P.(2)	x: 3.65 m η = 6.0	V_{Ed} = 0.00 N.P.(3)	x: 0.06 m η = 0.5	N.P.(4)	x: 0.509 m η < 0.1	x: 3.65 m η = 24.7	x: 0.509 m η < 0.1	M_{Ed} = 0.00 N.P.(5)	N.P.(6)	N.P.(6)	**CUMPLE η = 24.7**
N972/N1182	x: 0.061 m $\lambda_w \leq \lambda_{w,máx}$ Cumple	η = 2.9	η = 20.9	x: 2.372 m η < 0.1	x: 2.373 m η = 16.3	η < 0.1	x: 0.06 m η = 1.2	x: 0.253 m η < 0.1	x: 0.061 m η < 0.1	x: 2.373 m η = 31.3	x: 0.061 m η < 0.1	M_{Ed} = 0.00 N.P.(5)	N.P.(6)	N.P.(6)	**CUMPLE η = 31.3**
N1182/N1183	$\lambda_w \leq \lambda_{w,máx}$ Cumple	η = 2.9	η = 26.0	x: 0.06 m η < 0.1	x: 0.06 m η = 4.3	η < 0.1	x: 2.373 m η = 0.5	x: 0.06 m η < 0.1	η < 0.1	x: 0.06 m η = 28.8	η < 0.1	η < 0.1	η < 0.1	x: 2.373 m η = 0.5	**CUMPLE η = 28.8**
N1183/N1128	x: 0.06 m $\lambda_w \leq \lambda_{w,máx}$ Cumple	η = 3.6	η = 26.0	x: 0.06 m η < 0.1	x: 0.06 m η = 12.4	η < 0.1	x: 2.373 m η = 0.9	x: 0.06 m η < 0.1	x: 0.06 m η < 0.1	x: 0.06 m η = 27.0	x: 0.06 m η < 0.1	M_{Ed} = 0.00 N.P.(5)	N.P.(6)	N.P.(6)	**CUMPLE η = 27.0**
N956/N1184	x: 0.061 m $\lambda_w \leq \lambda_{w,máx}$ Cumple	η = 2.0	η = 11.2	x: 2.372 m η < 0.1	x: 2.373 m η = 16.3	η < 0.1	x: 0.06 m η = 1.2	x: 0.253 m η < 0.1	x: 0.061 m η < 0.1	x: 2.373 m η = 17.7	x: 0.061 m η < 0.1	M_{Ed} = 0.00 N.P.(5)	N.P.(6)	N.P.(6)	**CUMPLE η = 17.7**
N1184/N1185	$\lambda_w \leq \lambda_{w,máx}$ Cumple	η = 2.5	η = 11.8	x: 0.06 m η < 0.1	x: 0.06 m η = 4.3	η < 0.1	x: 2.373 m η = 0.5	x: 0.06 m η < 0.1	η < 0.1	x: 2.373 m η = 12.9	η < 0.1	η < 0.1	η < 0.1	x: 2.373 m η = 0.5	**CUMPLE η = 12.9**
N1185/N1112	x: 0.06 m $\lambda_w \leq \lambda_{w,máx}$ Cumple	η = 3.0	η = 13.1	x: 0.06 m η < 0.1	x: 0.06 m η = 11.3	η < 0.1	x: 2.373 m η = 0.9	x: 0.06 m η < 0.1	x: 0.06 m η < 0.1	x: 0.06 m η = 18.0	x: 0.06 m η < 0.1	M_{Ed} = 0.00 N.P.(5)	N.P.(6)	N.P.(6)	**CUMPLE η = 18.0**
N1185/N1183	$\lambda_w \leq \lambda_{w,máx}$ Cumple	x: 1.939 m η = 0.1	x: 0.06 m η = 0.3	x: 1.94 m η = 9.2	x: 0.06 m η < 0.1	η = 1.4	η < 0.1	η < 0.1	x: 0.06 m η < 0.1	x: 1.94 m η = 9.3	η < 0.1	η < 0.1	η = 1.4	η < 0.1	**CUMPLE η = 9.3**
N1184/N1182	$\lambda_w \leq \lambda_{w,máx}$ Cumple	x: 1.939 m η = 0.1	x: 0.06 m η = 0.3	x: 1.94 m η = 11.5	x: 0.06 m η < 0.1	η = 1.8	η < 0.1	η < 0.1	x: 0.06 m η < 0.1	x: 0.06 m η = 11.8	η < 0.1	η < 0.1	η = 1.8	η < 0.1	**CUMPLE η = 11.8**
N960/N1187	x: 0.051 m $\lambda_w \leq \lambda_{w,máx}$ Cumple	η = 3.6	η = 17.3	x: 2.372 m η < 0.1	x: 2.373 m η = 19.6	η < 0.1	x: 0.05 m η = 1.4	x: 0.244 m η < 0.1	x: 0.051 m η < 0.1	x: 2.373 m η = 22.5	x: 0.051 m η < 0.1	M_{Ed} = 0.00 N.P.(5)	N.P.(6)	N.P.(6)	**CUMPLE η = 22.5**
N1187/N1186	$\lambda_w \leq \lambda_{w,máx}$ Cumple	η = 4.2	η = 20.3	x: 0.06 m η < 0.1	x: 0.06 m η = 5.5	η < 0.1	x: 2.373 m η = 0.7	N.P.(4)	η < 0.1	x: 2.373 m η = 22.3	η < 0.1	x: 0.638 m η < 0.1	η < 0.1	x: 2.373 m η = 0.3	**CUMPLE η = 22.3**
N1186/N1116	x: 0.06 m $\lambda_w \leq \lambda_{w,máx}$ Cumple	η = 5.1	η = 22.1	x: 0.06 m η < 0.1	x: 0.06 m η = 15.0	η < 0.1	x: 2.383 m η = 1.1	x: 0.06 m η < 0.1	x: 0.06 m η < 0.1	x: 0.06 m η = 29.9	x: 0.06 m η < 0.1	M_{Ed} = 0.00 N.P.(5)	N.P.(6)	N.P.(6)	**CUMPLE η = 29.9**
N976/N1189	x: 0.051 m $\lambda_w \leq \lambda_{w,máx}$ Cumple	η = 3.7	η = 23.6	x: 2.372 m η < 0.1	x: 2.373 m η = 20.3	η < 0.1	x: 0.05 m η = 1.4	x: 0.244 m η < 0.1	x: 0.051 m η < 0.1	x: 2.373 m η = 36.7	x: 0.051 m η < 0.1	M_{Ed} = 0.00 N.P.(5)	N.P.(6)	N.P.(6)	**CUMPLE η = 36.7**
N1189/N1188	$\lambda_w \leq \lambda_{w,máx}$ Cumple	η = 3.8	η = 30.3	x: 0.06 m η < 0.1	x: 0.06 m η = 5.7	η < 0.1	x: 2.373 m η = 0.7	N.P.(4)	η < 0.1	x: 0.06 m η = 34.1	η < 0.1	η < 0.1	η < 0.1	x: 2.373 m η = 0.3	**CUMPLE η = 34.1**
N1188/N1132	x: 0.06 m $\lambda_w \leq \lambda_{w,máx}$ Cumple	η = 4.9	η = 30.7	x: 0.06 m η < 0.1	x: 0.06 m η = 15.3	η < 0.1	x: 2.383 m η = 1.1	x: 0.06 m η < 0.1	x: 0.06 m η < 0.1	x: 0.06 m η = 33.8	x: 0.06 m η < 0.1	M_{Ed} = 0.00 N.P.(5)	N.P.(6)	N.P.(6)	**CUMPLE η = 33.8**
N1186/N1188	$\lambda_w \leq \lambda_{w,máx}$ Cumple	x: 1.939 m η = 0.1	x: 0.06 m η = 0.4	x: 1.94 m η = 11.1	x: 0.06 m η < 0.1	η = 1.8	η < 0.1	η < 0.1	x: 0.06 m η < 0.1	x: 1.94 m η = 11.3	η < 0.1	η < 0.1	η = 0.5	η < 0.1	**CUMPLE η = 11.3**
N1187/N1189	$\lambda_w \leq \lambda_{w,máx}$ Cumple	x: 1.939 m η = 0.1	x: 0.06 m η = 0.4	x: 1.94 m η = 14.0	x: 0.06 m η < 0.1	η = 2.2	η < 0.1	η < 0.1	x: 0.06 m η < 0.1	x: 1.94 m η = 14.3	η < 0.1	η < 0.1	η = 1.0	η < 0.1	**CUMPLE η = 14.3**
N964/N1191	x: 0.061 m $\lambda_w \leq \lambda_{w,máx}$ Cumple	η = 2.8	η = 12.5	x: 2.372 m η < 0.1	x: 2.373 m η = 16.9	η < 0.1	x: 0.06 m η = 1.2	x: 0.253 m η < 0.1	x: 0.061 m η < 0.1	x: 2.373 m η = 19.3	x: 0.061 m η < 0.1	M_{Ed} = 0.00 N.P.(5)	N.P.(6)	N.P.(6)	**CUMPLE η = 19.3**
N1191/N1190	$\lambda_w \leq \lambda_{w,máx}$ Cumple	η = 3.3	η = 14.8	x: 0.06 m η < 0.1	x: 0.06 m η = 4.6	η < 0.1	x: 2.373 m η = 0.5	x: 0.06 m η < 0.1	η < 0.1	x: 2.373 m η = 16.3	η < 0.1	η < 0.1	η < 0.1	x: 2.373 m η = 0.5	**CUMPLE η = 16.3**
N1190/N1120	x: 0.06 m $\lambda_w \leq \lambda_{w,máx}$ Cumple	η = 3.9	η = 16.3	x: 0.06 m η < 0.1	x: 0.06 m η = 12.8	η < 0.1	x: 2.373 m η = 1.0	x: 0.06 m η < 0.1	x: 0.06 m η < 0.1	x: 0.06 m η = 22.9	x: 0.06 m η < 0.1	M_{Ed} = 0.00 N.P.(5)	N.P.(6)	N.P.(6)	**CUMPLE η = 22.9**
N980/N1193	x: 0.061 m $\lambda_w \leq \lambda_{w,máx}$ Cumple	η = 3.0	η = 15.6	x: 2.372 m η < 0.1	x: 2.373 m η = 16.7	η < 0.1	x: 0.06 m η = 1.2	x: 0.253 m η < 0.1	x: 0.061 m η < 0.1	x: 2.373 m η = 26.1	x: 0.061 m η < 0.1	M_{Ed} = 0.00 N.P.(5)	N.P.(6)	N.P.(6)	**CUMPLE η = 26.1**
N1193/N1192	$\lambda_w \leq \lambda_{w,máx}$ Cumple	η = 3.1	η = 20.8	x: 0.06 m η < 0.1	x: 0.06 m η = 4.5	η < 0.1	x: 2.373 m η = 0.5	x: 0.06 m η < 0.1	η < 0.1	x: 0.06 m η = 23.7	η < 0.1	η < 0.1	η < 0.1	x: 2.373 m η = 0.5	**CUMPLE η = 23.7**
N1192/N1136	x: 0.06 m $\lambda_w \leq \lambda_{w,máx}$ Cumple	η = 3.9	η = 20.8	x: 0.06 m η < 0.1	x: 0.06 m η = 14.0	η < 0.1	x: 2.373 m η = 1.0	x: 0.06 m η < 0.1	x: 0.06 m η < 0.1	x: 0.06 m η = 21.8	x: 0.06 m η < 0.1	M_{Ed} = 0.00 N.P.(5)	N.P.(6)	N.P.(6)	**CUMPLE η = 21.8**
N1190/N1192	$\lambda_w \leq \lambda_{w,máx}$ Cumple	x: 1.939 m η = 0.1	x: 0.06 m η = 0.3	x: 1.94 m η = 10.2	x: 0.06 m η < 0.1	η = 1.6	η < 0.1	η < 0.1	x: 0.06 m η < 0.1	x: 1.94 m η = 10.4	η < 0.1	η < 0.1	η = 1.6	η < 0.1	**CUMPLE η = 10.4**
N1191/N1193	$\lambda_w \leq \lambda_{w,máx}$ Cumple	x: 1.939 m η = 0.1	x: 0.06 m η = 0.3	x: 0.06 m η = 11.9	x: 0.06 m η < 0.1	η = 1.9	η < 0.1	η < 0.1	x: 0.06 m η < 0.1	x: 0.06 m η = 12.2	η < 0.1	η < 0.1	η = 1.9	η < 0.1	**CUMPLE η = 12.2**
N982/N1138	x: 0.509 m $\lambda_w \leq \lambda_{w,máx}$ Cumple	η = 3.1	η = 15.9	M_{Ed} = 0.00 N.P.(2)	x: 3.65 m η = 6.0	V_{Ed} = 0.00 N.P.(3)	x: 0.06 m η = 0.5	N.P.(4)	x: 0.509 m η < 0.1	x: 3.65 m η = 22.3	x: 0.509 m η < 0.1	M_{Ed} = 0.00 N.P.(5)	N.P.(6)	N.P.(6)	**CUMPLE η = 22.3**
N906/N1161	x: 0.061 m $\lambda_w \leq \lambda_{w,máx}$ Cumple	η = 3.1	η = 15.8	x: 2.372 m η < 0.1	x: 2.373 m η = 17.4	η < 0.1	x: 0.06 m η = 1.3	x: 0.253 m η < 0.1	x: 0.061 m η < 0.1	x: 2.373 m η = 26.8	x: 0.061 m η < 0.1	M_{Ed} = 0.00 N.P.(5)	N.P.(6)	N.P.(6)	**CUMPLE η = 26.8**
N1161/N1159	$\lambda_w \leq \lambda_{w,máx}$ Cumple	η = 3.1	η = 21.3	x: 0.06 m η < 0.1	x: 0.06 m η = 4.7	η < 0.1	x: 2.373 m η = 0.6	N.P.(4)	η < 0.1	x: 0.06 m η = 24.3	η < 0.1	η < 0.1	η < 0.1	x: 2.373 m η = 0.6	**CUMPLE η = 24.3**
N1159/N1062	x: 0.06 m $\lambda_w \leq \lambda_{w,máx}$ Cumple	η = 4.1	η = 21.5	x: 0.06 m η < 0.1	x: 0.06 m η = 15.4	η < 0.1	x: 2.373 m η = 1.1	x: 0.06 m η < 0.1	x: 0.06 m η < 0.1	x: 0.06 m η = 23.4	x: 0.06 m η < 0.1	M_{Ed} = 0.00 N.P.(5)	N.P.(6)	N.P.(6)	**CUMPLE η = 23.4**
N889/N1160	x: 0.061 m $\lambda_w \leq \lambda_{w,máx}$ Cumple	η = 3.1	η = 13.9	x: 2.372 m η < 0.1	x: 2.373 m η = 17.8	η < 0.1	x: 0.06 m η = 1.3	x: 0.253 m η < 0.1	x: 0.061 m η < 0.1	x: 2.373 m η = 20.8	x: 0.061 m η < 0.1	M_{Ed} = 0.00 N.P.(5)	N.P.(6)	N.P.(6)	**CUMPLE η = 20.8**
N1160/N1158	$\lambda_w \leq \lambda_{w,máx}$ Cumple	η = 3.6	η = 16.8	x: 0.06 m η < 0.1	x: 0.06 m η = 4.9	η < 0.1	x: 2.373 m η = 0.6	N.P.(4)	η < 0.1	x: 2.373 m η = 18.7	η < 0.1	η < 0.1	η < 0.1	x: 2.373 m η = 0.6	**CUMPLE η = 18.7**
N1158/N1045	x: 0.06 m $\lambda_w \leq \lambda_{w,máx}$ Cumple	η = 4.4	η = 18.6	x: 0.06 m η < 0.1	x: 0.06 m η = 14.0	η < 0.1	x: 2.373 m η = 1.0	x: 0.06 m η < 0.1	x: 0.06 m η < 0.1	x: 0.06 m η = 26.0	x: 0.06 m η < 0.1	M_{Ed} = 0.00 N.P.(5)	N.P.(6)	N.P.(6)	**CUMPLE η = 26.0**
N1198/N1215	$\lambda_w \leq \lambda_{w,máx}$ Cumple	x: 1.911 m η = 35.8	x: 0.088 m η = 39.3	x: 0.088 m η = 3.1	x: 1.912 m η = 6.7	η = 0.2	η = 1.0	η < 0.1	η < 0.1	x: 0.088 m η = 46.1	η < 0.1	η = 2.2	η = 0.2	η = 1.1	**CUMPLE η = 46.1**
N1199/N1216	$\lambda_w \leq \lambda_{w,máx}$ Cumple	x: 1.911 m η = 24.7	x: 0.088 m η = 28.5	x: 0.088 m η = 1.6	x: 0.088 m η = 12.8	η = 0.1	η = 1.9	η < 0.1	η < 0.1	x: 0.088 m η = 41.2	η < 0.1	η = 1.1	η = 0.1	η = 2.0	**CUMPLE η = 41.2**
N1200/N1217	$\lambda_w \leq \lambda_{w,máx}$ Cumple	x: 1.911 m η = 24.1	x: 0.088 m η = 27.0	x: 0.088 m η = 1.1	x: 0.088 m η = 10.0	η = 0.1	η = 1.6	η < 0.1	η < 0.1	x: 0.088 m η = 37.3	η < 0.1	η = 1.1	η = 0.1	η = 1.6	**CUMPLE η = 37.3**
N1201/N1218	$\lambda_w \leq \lambda_{w,máx}$ Cumple	x: 1.911 m η = 18.6	x: 0.088 m η = 17.1	x: 1.912 m η = 1.6	x: 0.088 m η = 8.7	η = 0.1	η = 1.3	η < 0.1	η < 0.1	x: 1.912 m η = 28.0	η < 0.1	η = 1.2	η = 0.1	η = 1.4	**CUMPLE η = 28.0**

Documento visado electrónicamente con número VA07290/22 Código de validación telemática TRLTDCFZ60T66IJ1. Comprobación: https://cogitivalencia.e-gestion.es/Validacion.aspx?CVT=TRLTDCFZ60T66IJ1

VISADO
COGITI
Estado
VALENCIA
VA07290/22
TRLTDCFZ60T66IJ1

Barras	COMPROBACIONES (CÓDIGO ESTRUCTURAL)															
	λ_w	N_t	N_c	M_Y	M_Z	V_Z	V_Y	M_YV_Z	M_ZV_Y	NM_YM_Z	$NM_YM_ZV_YV_Z$	M_t	M_tV_Z	M_tV_Y	
N1202/N1219	$\lambda_w \leq \lambda_{w,máx}$ Cumple	x: 1.922 m η = 13.1	x: 0.088 m η = 11.2	x: 0.088 m η = 1.7	x: 0.088 m η = 5.9	η = 0.1	η = 0.9	η < 0.1	η < 0.1	x: 0.088 m η = 19.6	η < 0.1	η = 2.1	η = 0.1	η = 0.9	**CUMPLE η = 19.6**
N1203/N1220	$\lambda_w \leq \lambda_{w,máx}$ Cumple	x: 1.922 m η = 9.0	x: 0.086 m η = 6.2	x: 0.086 m η = 1.4	x: 0.086 m η = 2.9	η = 0.2	η = 0.3	η < 0.1	η < 0.1	x: 0.086 m η = 13.2	η < 0.1	η = 0.3	η = 0.2	η = 0.3	**CUMPLE η = 13.2**
N1204/N1221	$\lambda_w \leq \lambda_{w,máx}$ Cumple	x: 1.922 m η = 5.6	x: 0.086 m η = 0.4	x: 0.086 m η = 1.1	x: 1.923 m η = 1.4	η < 0.1	η = 0.2	η < 0.1	η < 0.1	x: 0.086 m η = 7.9	η < 0.1	η = 1.3	η < 0.1	η = 0.2	**CUMPLE η = 7.9**
N1205/N1222	$\lambda_w \leq \lambda_{w,máx}$ Cumple	x: 1.922 m η = 6.7	x: 0.086 m η = 6.4	x: 1.923 m η = 1.4	x: 0.086 m η = 6.1	η = 0.2	η = 0.8	η < 0.1	η < 0.1	x: 0.086 m η = 13.2	η < 0.1	η = 0.7	η = 0.2	η = 0.8	**CUMPLE η = 13.2**
N1206/N1223	$\lambda_w \leq \lambda_{w,máx}$ Cumple	x: 1.921 m η = 22.0	x: 0.086 m η = 30.9	x: 1.921 m η = 0.6	x: 0.086 m η = 12.5	η < 0.1	η = 1.6	η < 0.1	η < 0.1	x: 0.086 m η = 44.0	η < 0.1	η = 1.1	η < 0.1	η = 1.6	**CUMPLE η = 44.0**
N1207/N1224	$\lambda_w \leq \lambda_{w,máx}$ Cumple	x: 1.921 m η = 29.3	x: 0.086 m η = 40.2	x: 1.922 m η = 1.2	x: 0.086 m η = 16.6	η = 0.1	η = 2.2	η < 0.1	η < 0.1	x: 0.086 m η = 58.0	η < 0.1	η = 0.5	η = 0.1	η = 2.2	**CUMPLE η = 58.0**
N1208/N1225	$\lambda_w \leq \lambda_{w,máx}$ Cumple	x: 1.921 m η = 30.0	x: 0.094 m η = 37.9	x: 0.094 m η = 1.3	x: 0.094 m η = 20.3	η < 0.1	η = 3.3	η < 0.1	η < 0.1	x: 0.094 m η = 59.0	η < 0.1	η = 2.2	η < 0.1	η = 3.3	**CUMPLE η = 59.0**
N1209/N1226	$\lambda_w \leq \lambda_{w,máx}$ Cumple	x: 1.905 m η = 35.7	x: 0.094 m η = 45.2	x: 1.906 m η = 1.0	x: 0.094 m η = 23.7	η = 0.1	η = 3.8	η < 0.1	η < 0.1	x: 0.094 m η = 69.4	η < 0.1	η = 1.2	η = 0.1	η = 3.8	**CUMPLE η = 69.4**
N1210/N1227	$\lambda_w \leq \lambda_{w,máx}$ Cumple	x: 1.905 m η = 41.4	x: 0.094 m η = 52.4	x: 0.094 m η = 0.3	x: 1.906 m η = 24.1	η < 0.1	η = 3.9	η < 0.1	η < 0.1	x: 0.094 m η = 77.0	η < 0.1	η = 0.6	η < 0.1	η = 3.9	**CUMPLE η = 77.0**
N1211/N1228	$\lambda_w \leq \lambda_{w,máx}$ Cumple	x: 1.905 m η = 39.0	x: 0.094 m η = 49.3	x: 0.094 m η = 0.7	x: 0.094 m η = 29.9	η < 0.1	η = 4.6	η < 0.1	η < 0.1	x: 0.094 m η = 80.0	η < 0.1	η = 1.3	η < 0.1	η = 4.7	**CUMPLE η = 80.0**
N1212/N1229	$\lambda_w \leq \lambda_{w,máx}$ Cumple	x: 1.905 m η = 49.4	x: 0.131 m η = 60.1	x: 0.131 m η = 1.5	x: 1.906 m η = 3.4	η = 0.1	η = 0.4	η < 0.1	η < 0.1	x: 1.906 m η = 63.0	η < 0.1	η = 1.5	η = 0.1	η = 0.4	**CUMPLE η = 63.0**
N1232/N1248	$\lambda_w \leq \lambda_{w,máx}$ Cumple	x: 1.911 m η = 40.9	x: 0.088 m η = 47.0	x: 0.088 m η = 1.3	x: 1.912 m η = 19.2	η = 0.1	η = 2.9	η < 0.1	η < 0.1	x: 1.912 m η = 66.3	η < 0.1	η = 1.1	η = 0.1	η = 2.9	**CUMPLE η = 66.3**
N1233/N1249	$\lambda_w \leq \lambda_{w,máx}$ Cumple	x: 1.911 m η = 35.8	x: 0.088 m η = 41.5	x: 0.088 m η = 0.6	x: 0.088 m η = 16.0	η < 0.1	η = 2.5	η < 0.1	η < 0.1	x: 0.088 m η = 57.6	η < 0.1	η = 0.8	η < 0.1	η = 2.5	**CUMPLE η = 57.6**
N1234/N1250	$\lambda_w \leq \lambda_{w,máx}$ Cumple	x: 1.911 m η = 36.1	x: 0.088 m η = 41.4	x: 0.088 m η = 0.8	x: 0.088 m η = 15.5	η < 0.1	η = 2.5	η < 0.1	η < 0.1	x: 0.088 m η = 57.0	η < 0.1	η = 0.8	η < 0.1	η = 2.5	**CUMPLE η = 57.0**
N1235/N1251	$\lambda_w \leq \lambda_{w,máx}$ Cumple	x: 1.911 m η = 30.3	x: 0.088 m η = 34.1	x: 1.912 m η = 0.9	x: 0.088 m η = 13.9	η < 0.1	η = 2.2	η < 0.1	η < 0.1	x: 0.088 m η = 48.3	η < 0.1	η = 0.8	η < 0.1	η = 2.2	**CUMPLE η = 48.3**
N1236/N1252	$\lambda_w \leq \lambda_{w,máx}$ Cumple	x: 1.922 m η = 24.3	x: 0.088 m η = 26.6	x: 0.088 m η = 0.8	x: 0.088 m η = 11.1	η < 0.1	η = 1.8	η < 0.1	η < 0.1	x: 0.088 m η = 38.1	η < 0.1	η = 1.0	η < 0.1	η = 1.8	**CUMPLE η = 38.1**
N1237/N1253	$\lambda_w \leq \lambda_{w,máx}$ Cumple	x: 1.922 m η = 22.0	x: 0.086 m η = 24.8	x: 0.086 m η = 0.7	x: 0.086 m η = 7.9	η = 0.1	η = 1.0	η < 0.1	η < 0.1	x: 0.086 m η = 33.2	η < 0.1	η = 0.1	η = 0.1	η = 1.0	**CUMPLE η = 33.2**
N1238/N1254	$\lambda_w \leq \lambda_{w,máx}$ Cumple	x: 1.922 m η = 14.6	x: 0.086 m η = 15.2	x: 0.086 m η = 0.6	x: 0.086 m η = 4.7	η < 0.1	η = 0.6	η < 0.1	η < 0.1	x: 0.086 m η = 20.3	η < 0.1	η = 0.6	η < 0.1	η = 0.6	**CUMPLE η = 20.3**
N1239/N1255	$\lambda_w \leq \lambda_{w,máx}$ Cumple	x: 1.922 m η = 7.5	x: 0.086 m η = 7.1	x: 1.923 m η = 0.8	x: 0.086 m η = 2.0	η = 0.1	η = 0.2	η < 0.1	η < 0.1	x: 0.086 m η = 9.3	η < 0.1	η = 0.3	η = 0.1	η = 0.2	**CUMPLE η = 9.3**
N1240/N1256	$\lambda_w \leq \lambda_{w,máx}$ Cumple	x: 1.921 m η = 10.9	x: 0.086 m η = 15.8	x: 0.086 m η = 0.5	x: 0.086 m η = 7.1	η < 0.1	η = 0.9	η < 0.1	η < 0.1	x: 0.086 m η = 23.0	η < 0.1	η = 0.7	η < 0.1	η = 0.9	**CUMPLE η = 23.0**
N1241/N1257	$\lambda_w \leq \lambda_{w,máx}$ Cumple	x: 1.921 m η = 18.4	x: 0.086 m η = 25.7	x: 1.922 m η = 0.8	x: 0.086 m η = 10.6	η = 0.1	η = 1.4	η < 0.1	η < 0.1	x: 0.086 m η = 36.6	η < 0.1	η = 0.3	η = 0.1	η = 1.4	**CUMPLE η = 36.6**
N1242/N1258	$\lambda_w \leq \lambda_{w,máx}$ Cumple	x: 1.921 m η = 21.3	x: 0.094 m η = 27.2	x: 0.094 m η = 0.8	x: 0.094 m η = 14.7	η < 0.1	η = 2.4	η < 0.1	η < 0.1	x: 0.094 m η = 42.5	η < 0.1	η = 1.4	η < 0.1	η = 2.4	**CUMPLE η = 42.5**
N1243/N1259	$\lambda_w \leq \lambda_{w,máx}$ Cumple	x: 1.905 m η = 27.3	x: 0.094 m η = 34.8	x: 1.906 m η = 0.6	x: 0.094 m η = 18.3	η = 0.1	η = 2.9	η < 0.1	η < 0.1	x: 0.094 m η = 53.4	η < 0.1	η = 0.9	η = 0.1	η = 2.9	**CUMPLE η = 53.4**
N1244/N1260	$\lambda_w \leq \lambda_{w,máx}$ Cumple	x: 1.905 m η = 33.2	x: 0.094 m η = 42.2	x: 1.905 m η = 0.2	x: 1.906 m η = 19.4	η < 0.1	η = 3.2	η < 0.1	η < 0.1	x: 0.094 m η = 61.9	η < 0.1	η = 0.3	η < 0.1	η = 3.2	**CUMPLE η = 61.9**
N1245/N1261	$\lambda_w \leq \lambda_{w,máx}$ Cumple	x: 1.905 m η = 32.6	x: 0.094 m η = 41.3	x: 0.094 m η = 0.7	x: 0.094 m η = 25.2	η < 0.1	η = 3.9	η < 0.1	η < 0.1	x: 0.094 m η = 67.0	η < 0.1	η = 0.8	η < 0.1	η = 3.9	**CUMPLE η = 67.0**
N1246/N1262	$\lambda_w \leq \lambda_{w,máx}$ Cumple	x: 1.905 m η = 41.9	x: 0.131 m η = 50.8	x: 0.131 m η = 1.5	x: 0.131 m η = 2.8	η = 0.1	η = 0.3	η < 0.1	η < 0.1	x: 0.131 m η = 53.7	η < 0.1	η = 1.3	η = 0.1	η = 0.3	**CUMPLE η = 53.7**
N1265/N1281	$\lambda_w \leq \lambda_{w,máx}$ Cumple	x: 1.911 m η = 44.8	x: 0.088 m η = 52.6	x: 0.088 m η = 1.6	x: 1.912 m η = 21.5	η = 0.1	η = 3.3	η < 0.1	η < 0.1	x: 1.912 m η = 74.7	η < 0.1	η = 1.4	η = 0.1	η = 3.3	**CUMPLE η = 74.7**
N1266/N1282	$\lambda_w \leq \lambda_{w,máx}$ Cumple	x: 1.911 m η = 38.9	x: 0.088 m η = 46.7	x: 1.911 m η = 0.9	x: 0.088 m η = 18.7	η < 0.1	η = 2.9	η < 0.1	η < 0.1	x: 0.088 m η = 65.6	η < 0.1	η = 1.2	η < 0.1	η = 2.9	**CUMPLE η = 65.6**
N1267/N1283	$\lambda_w \leq \lambda_{w,máx}$ Cumple	x: 1.911 m η = 40.2	x: 0.088 m η = 48.0	x: 0.088 m η = 0.8	x: 0.088 m η = 18.6	η < 0.1	η = 3.0	η < 0.1	η < 0.1	x: 0.088 m η = 66.7	η < 0.1	η = 0.8	η < 0.1	η = 3.0	**CUMPLE η = 66.7**
N1268/N1284	$\lambda_w \leq \lambda_{w,máx}$ Cumple	x: 1.911 m η = 34.5	x: 0.088 m η = 41.0	x: 1.912 m η = 1.3	x: 0.088 m η = 17.5	η = 0.1	η = 2.8	η < 0.1	η < 0.1	x: 0.088 m η = 58.6	η < 0.1	η = 1.2	η = 0.1	η = 2.8	**CUMPLE η = 58.6**
N1269/N1285	$\lambda_w \leq \lambda_{w,máx}$ Cumple	x: 1.922 m η = 28.7	x: 0.088 m η = 33.8	x: 0.088 m η = 1.1	x: 0.088 m η = 14.9	η < 0.1	η = 2.4	η < 0.1	η < 0.1	x: 0.088 m η = 49.1	η < 0.1	η = 1.5	η < 0.1	η = 2.4	**CUMPLE η = 49.1**
N1270/N1286	$\lambda_w \leq \lambda_{w,máx}$ Cumple	x: 1.922 m η = 27.5	x: 0.086 m η = 34.5	x: 1.923 m η = 1.0	x: 0.086 m η = 11.9	η = 0.1	η = 1.5	η < 0.1	η < 0.1	x: 0.086 m η = 47.0	η < 0.1	η = 0.3	η = 0.1	η = 1.5	**CUMPLE η = 47.0**
N1271/N1287	$\lambda_w \leq \lambda_{w,máx}$ Cumple	x: 1.922 m η = 20.3	x: 0.086 m η = 25.3	x: 1.922 m η = 0.7	x: 0.086 m η = 8.6	η < 0.1	η = 1.1	η < 0.1	η < 0.1	x: 0.086 m η = 34.0	η < 0.1	η = 0.7	η < 0.1	η = 1.1	**CUMPLE η = 34.0**
N1272/N1288	$\lambda_w \leq \lambda_{w,máx}$ Cumple	x: 1.922 m η = 7.1	x: 0.086 m η = 6.7	x: 1.923 m η = 1.3	x: 0.086 m η = 4.0	η = 0.1	η = 0.5	η < 0.1	η < 0.1	x: 0.086 m η = 11.8	η < 0.1	η = 0.5	η = 0.1	η = 0.5	**CUMPLE η = 11.8**
N1273/N1289	$\lambda_w \leq \lambda_{w,máx}$ Cumple	x: 1.921 m η = 2.3	x: 0.086 m η = 1.6	x: 0.086 m η = 1.0	x: 1.922 m η = 1.2	η < 0.1	η = 0.2	η < 0.1	η < 0.1	x: 1.922 m η = 3.3	η < 0.1	η = 1.5	η < 0.1	η = 0.2	**CUMPLE η = 3.3**
N1274/N1290	$\lambda_w \leq \lambda_{w,máx}$ Cumple	x: 1.921 m η = 9.4	x: 0.086 m η = 8.8	x: 1.922 m η = 1.1	x: 0.086 m η = 4.1	η = 0.1	η = 0.5	η < 0.1	η < 0.1	x: 1.922 m η = 13.9	η < 0.1	η = 0.4	η = 0.1	η = 0.5	**CUMPLE η = 13.9**
N1275/N1291	$\lambda_w \leq \lambda_{w,máx}$ Cumple	x: 1.921 m η = 13.6	x: 0.094 m η = 13.5	x: 0.094 m η = 1.5	x: 0.094 m η = 8.1	η = 0.1	η = 1.3	η < 0.1	η < 0.1	x: 0.094 m η = 22.4	η < 0.1	η = 2.4	η = 0.1	η = 1.3	**CUMPLE η = 22.4**
N1276/N1292	$\lambda_w \leq \lambda_{w,máx}$ Cumple	x: 1.905 m η = 19.2	x: 0.094 m η = 22.8	x: 1.906 m η = 1.2	x: 0.094 m η = 11.5	η = 0.1	η = 1.8	η < 0.1	η < 0.1	x: 1.906 m η = 34.7	η < 0.1	η = 1.4	η = 0.1	η = 1.9	**CUMPLE η = 34.7**
N1277/N1293	$\lambda_w \leq \lambda_{w,máx}$ Cumple	x: 1.905 m η = 24.8	x: 0.094 m η = 29.8	x: 0.094 m η = 0.3	x: 0.094 m η = 13.7	η < 0.1	η = 2.2	η < 0.1	η < 0.1	x: 0.094 m η = 43.6	η < 0.1	x: 1 m η = 0.4	η < 0.1	η = 2.2	**CUMPLE η = 43.6**
N1278/N1294	$\lambda_w \leq \lambda_{w,máx}$ Cumple	x: 1.905 m η = 25.6	x: 0.094 m η = 30.8	x: 1.906 m η = 0.8	x: 0.094 m η = 14.8	η < 0.1	η = 2.4	η < 0.1	η < 0.1	x: 0.094 m η = 45.9	η < 0.1	η = 1.1	η < 0.1	η = 2.4	**CUMPLE η = 45.9**
N1279/N1295	$\lambda_w \leq \lambda_{w,máx}$ Cumple	x: 1.905 m η = 34.7	x: 0.094 m η = 41.0	x: 0.275 m η = 1.2	x: 0.094 m η = 19.5	η < 0.1	η = 2.9	η < 0.1	η < 0.1	x: 0.094 m η = 61.3	η < 0.1	η = 1.9	η < 0.1	η = 2.9	**CUMPLE η = 61.3**
N1198/N1214	$\lambda_w \leq \lambda_{w,máx}$ Cumple	x: 2.482 m η = 25.9	x: 0.111 m η = 32.9	x: 2.483 m η = 24.9	x: 2.483 m η = 7.8	x: 2.482 m η = 2.3	η = 0.5	η < 0.1	η < 0.1	x: 2.483 m η = 62.0	η < 0.1	η = 2.2	x: 2.482 m η = 2.4	η = 0.5	**CUMPLE η = 62.0**
N1199/N1215	$\lambda_w \leq \lambda_{w,máx}$ Cumple	x: 2.482 m η = 29.9	x: 0.111 m η = 35.5	x: 0.111 m η = 4.6	x: 0.111 m η = 2.3	x: 0.111 m η = 0.7	η = 0.1	η < 0.1	η < 0.1	x: 0.111 m η = 39.4	η < 0.1	η = 0.9	x: 0.111 m η = 0.7	η = 0.1	**CUMPLE η = 39.4**

Documento visado electrónicamente con número: VA07290/22
Código de validación telemática TRLTDCFZ60T66IJ1. Comprobación: https://cogitivalencia.e-gestion.es/Validacion.aspx?CVT=TRLTDCFZ60T66IJ1

VISADO
COGITI
TRLTDCFZ60T66IJ1
VALENCIA
VA07290/22

Listados

Barras	COMPROBACIONES (CÓDIGO ESTRUCTURAL)														Estado
	λ_w	N_t	N_c	M_Y	M_Z	V_Z	V_Y	M_YV_Z	M_ZV_Y	NM_YM_Z	$NM_YM_ZV_YV_Z$	M_t	M_tV_Z	M_tV_Y	
N1200/N1216	$\lambda_w \leq \lambda_{w,máx}$ Cumple	x: 2.482 m η = 24.8	x: 0.111 m η = 30.5	x: 2.483 m η = 6.3	x: 2.483 m η = 1.6	x: 0.111 m η = 0.7	η = 0.1	η < 0.1	η < 0.1	x: 2.483 m η = 37.3	η < 0.1	η = 1.1	x: 0.111 m η = 0.7	η = 0.1	CUMPLE η = 37.3
N1201/N1217	$\lambda_w \leq \lambda_{w,máx}$ Cumple	x: 2.482 m η = 21.4	x: 0.111 m η = 26.3	x: 2.483 m η = 6.2	x: 0.111 m η = 2.1	x: 0.111 m η = 0.7	η = 0.1	η < 0.1	η < 0.1	x: 2.483 m η = 33.2	η < 0.1	η = 0.9	x: 0.111 m η = 0.7	η = 0.1	CUMPLE η = 33.2
N1202/N1218	$\lambda_w \leq \lambda_{w,máx}$ Cumple	x: 2.482 m η = 14.7	x: 0.111 m η = 19.8	x: 2.483 m η = 5.1	x: 0.111 m η = 2.1	x: 2.482 m η = 0.5	η = 0.1	η < 0.1	η < 0.1	x: 2.483 m η = 25.8	η < 0.1	η = 1.1	x: 2.482 m η = 0.5	η = 0.1	**CUMPLE η = 25.8**
N1204/N1220	$\lambda_w \leq \lambda_{w,máx}$ Cumple	x: 2.482 m η = 0.7	x: 0.111 m η = 6.7	x: 2.483 m η = 2.5	x: 2.483 m η = 1.4	x: 2.482 m η = 0.2	η = 0.1	η < 0.1	η < 0.1	x: 0.111 m η = 9.1	η < 0.1	η = 0.6	x: 2.482 m η = 0.2	η = 0.1	**CUMPLE η = 9.1**
N1205/N1221	$\lambda_w \leq \lambda_{w,máx}$ Cumple	x: 2.482 m η = 12.0	x: 0.111 m η = 19.3	x: 0.111 m η = 3.9	x: 2.482 m η = 1.3	x: 2.482 m η = 0.4	η = 0.1	η < 0.1	η < 0.1	x: 0.111 m η = 23.7	η < 0.1	η = 0.4	x: 2.482 m η = 0.4	η = 0.1	**CUMPLE η = 23.7**
N1205/N1223	$\lambda_w \leq \lambda_{w,máx}$ Cumple	x: 2.662 m η = 23.3	x: 0.119 m η = 25.1	x: 2.663 m η = 4.9	x: 2.663 m η = 1.1	x: 0.119 m η = 0.4	η = 0.1	η < 0.1	η < 0.1	x: 2.663 m η = 30.8	η < 0.1	η = 0.4	x: 0.119 m η = 0.4	η = 0.1	**CUMPLE η = 30.8**
N1206/N1224	$\lambda_w \leq \lambda_{w,máx}$ Cumple	x: 2.662 m η = 34.6	x: 0.119 m η = 40.4	x: 2.663 m η = 7.4	x: 0.119 m η = 0.9	x: 0.119 m η = 0.7	η < 0.1	η < 0.1	η < 0.1	x: 2.663 m η = 48.3	η < 0.1	η = 0.3	x: 0.119 m η = 0.7	η < 0.1	**CUMPLE η = 48.3**
N1208/N1226	$\lambda_w \leq \lambda_{w,máx}$ Cumple	x: 2.662 m η = 45.3	x: 0.119 m η = 50.6	x: 2.663 m η = 9.0	x: 0.119 m η = 2.0	x: 0.119 m η = 1.1	η = 0.1	η < 0.1	η < 0.1	x: 2.663 m η = 60.2	η < 0.1	η = 0.5	x: 0.119 m η = 1.1	η = 0.1	**CUMPLE η = 60.2**
N1209/N1227	$\lambda_w \leq \lambda_{w,máx}$ Cumple	x: 2.662 m η = 52.7	x: 0.119 m η = 58.1	x: 0.119 m η = 10.0	x: 0.119 m η = 1.3	x: 0.119 m η = 1.3	η = 0.1	η < 0.1	η < 0.1	x: 2.663 m η = 68.0	η < 0.1	η = 0.5	x: 0.119 m η = 1.3	η = 0.1	**CUMPLE η = 68.0**
N1210/N1228	$\lambda_w \leq \lambda_{w,máx}$ Cumple	x: 2.662 m η = 52.1	x: 0.119 m η = 58.7	x: 0.119 m η = 10.4	x: 2.663 m η = 1.1	x: 0.119 m η = 1.3	η < 0.1	η < 0.1	η < 0.1	x: 2.663 m η = 68.6	η < 0.1	η = 0.4	x: 0.119 m η = 1.3	η < 0.1	**CUMPLE η = 68.6**
N1211/N1229	$\lambda_w \leq \lambda_{w,máx}$ Cumple	x: 2.662 m η = 53.0	x: 0.119 m η = 59.6	x: 0.119 m η = 10.2	x: 2.662 m η = 1.7	x: 0.119 m η = 0.8	η < 0.1	η < 0.1	η < 0.1	x: 0.119 m η = 69.5	η < 0.1	η = 0.7	x: 0.119 m η = 0.8	η < 0.1	**CUMPLE η = 69.5**
N1212/N1230	$\lambda_w \leq \lambda_{w,máx}$ Cumple	x: 2.549 m η = 43.7	x: 0.119 m η = 54.5	x: 2.55 m η = 12.2	x: 2.55 m η = 1.6	x: 2.549 m η = 1.3	η = 0.1	η < 0.1	η < 0.1	x: 2.55 m η = 66.0	η < 0.1	η = 0.7	x: 2.549 m η = 1.3	η = 0.1	**CUMPLE η = 66.0**
N1232/N1213	$\lambda_w \leq \lambda_{w,máx}$ Cumple	x: 2.377 m η = 29.7	x: 0.111 m η = 37.8	x: 2.378 m η = 12.1	x: 2.378 m η = 2.6	x: 0.111 m η = 0.9	η = 0.2	η < 0.1	η < 0.1	x: 2.378 m η = 50.3	η < 0.1	η = 1.0	x: 0.111 m η = 0.9	η = 0.2	**CUMPLE η = 50.3**
N1233/N1248	$\lambda_w \leq \lambda_{w,máx}$ Cumple	x: 2.482 m η = 44.8	x: 0.111 m η = 53.0	x: 0.111 m η = 11.1	x: 2.483 m η = 1.4	x: 2.482 m η = 1.5	η < 0.1	η < 0.1	η < 0.1	x: 2.483 m η = 64.4	η < 0.1	η = 0.8	x: 2.482 m η = 1.5	η < 0.1	**CUMPLE η = 64.4**
N1234/N1249	$\lambda_w \leq \lambda_{w,máx}$ Cumple	x: 2.482 m η = 37.6	x: 0.111 m η = 45.6	x: 0.111 m η = 7.8	x: 0.111 m η = 0.9	x: 0.111 m η = 1.0	η = 0.1	η < 0.1	η < 0.1	x: 0.111 m η = 53.7	η < 0.1	η = 0.4	x: 0.111 m η = 1.0	η = 0.1	**CUMPLE η = 53.7**
N1235/N1250	$\lambda_w \leq \lambda_{w,máx}$ Cumple	x: 2.482 m η = 37.3	x: 0.111 m η = 45.0	x: 2.483 m η = 8.0	x: 0.111 m η = 1.2	x: 2.482 m η = 1.1	η < 0.1	η < 0.1	η < 0.1	x: 2.483 m η = 53.7	η < 0.1	η = 0.6	x: 2.482 m η = 1.1	η < 0.1	**CUMPLE η = 53.7**
N1236/N1251	$\lambda_w \leq \lambda_{w,máx}$ Cumple	x: 2.482 m η = 29.6	x: 0.111 m η = 37.1	x: 2.483 m η = 6.9	x: 0.111 m η = 1.0	x: 2.482 m η = 0.9	η < 0.1	η < 0.1	η < 0.1	x: 2.483 m η = 44.6	η < 0.1	η = 0.7	x: 2.482 m η = 0.9	η < 0.1	**CUMPLE η = 44.6**
N1238/N1253	$\lambda_w \leq \lambda_{w,máx}$ Cumple	x: 2.482 m η = 16.0	x: 0.111 m η = 23.7	x: 2.483 m η = 4.9	x: 0.111 m η = 0.8	x: 2.482 m η = 0.5	η < 0.1	η < 0.1	η < 0.1	x: 2.483 m η = 29.1	η < 0.1	η = 0.3	x: 2.482 m η = 0.5	η < 0.1	**CUMPLE η = 29.1**
N1239/N1254	$\lambda_w \leq \lambda_{w,máx}$ Cumple	x: 2.482 m η = 5.4	x: 0.111 m η = 7.9	x: 2.483 m η = 3.0	x: 2.483 m η = 0.8	x: 2.482 m η = 0.3	η < 0.1	η < 0.1	η < 0.1	x: 2.483 m η = 11.2	η < 0.1	η = 0.4	x: 2.482 m η = 0.3	η < 0.1	**CUMPLE η = 11.2**
N1239/N1256	$\lambda_w \leq \lambda_{w,máx}$ Cumple	x: 2.662 m η = 7.6	x: 0.119 m η = 3.1	x: 2.663 m η = 2.3	x: 2.663 m η = 0.8	x: 0.119 m η = 0.2	η < 0.1	η < 0.1	η < 0.1	x: 2.662 m η = 9.7	η < 0.1	η = 0.3	x: 0.119 m η = 0.2	η < 0.1	**CUMPLE η = 9.7**
N1240/N1257	$\lambda_w \leq \lambda_{w,máx}$ Cumple	x: 2.662 m η = 18.0	x: 0.119 m η = 19.6	x: 2.663 m η = 4.1	x: 0.119 m η = 0.8	x: 0.119 m η = 0.5	η = 0.1	η < 0.1	η < 0.1	x: 2.663 m η = 23.8	η < 0.1	η = 0.1	x: 0.119 m η = 0.5	η = 0.1	**CUMPLE η = 23.8**
N1242/N1259	$\lambda_w \leq \lambda_{w,máx}$ Cumple	x: 2.662 m η = 32.6	x: 0.119 m η = 35.9	x: 2.663 m η = 6.4	x: 0.119 m η = 1.3	x: 0.119 m η = 0.9	η < 0.1	η < 0.1	η < 0.1	x: 2.663 m η = 42.5	η < 0.1	η = 0.4	x: 0.119 m η = 0.9	η < 0.1	**CUMPLE η = 42.5**
N1243/N1260	$\lambda_w \leq \lambda_{w,máx}$ Cumple	x: 2.662 m η = 40.9	x: 0.119 m η = 44.4	x: 0.119 m η = 8.1	x: 0.119 m η = 0.7	x: 0.119 m η = 1.0	η < 0.1	η < 0.1	η < 0.1	x: 2.663 m η = 52.1	η < 0.1	η = 0.4	x: 0.119 m η = 1.0	η < 0.1	**CUMPLE η = 52.1**
N1244/N1261	$\lambda_w \leq \lambda_{w,máx}$ Cumple	x: 2.662 m η = 42.1	x: 0.119 m η = 47.1	x: 0.119 m η = 8.6	x: 2.663 m η = 0.9	x: 0.119 m η = 1.0	η < 0.1	η < 0.1	η < 0.1	x: 2.663 m η = 54.7	η < 0.1	η = 0.4	x: 0.119 m η = 1.0	η < 0.1	**CUMPLE η = 54.7**
N1245/N1262	$\lambda_w \leq \lambda_{w,máx}$ Cumple	x: 2.662 m η = 44.2	x: 0.119 m η = 49.4	x: 0.119 m η = 9.3	x: 2.662 m η = 1.6	x: 0.119 m η = 0.8	η < 0.1	η < 0.1	η < 0.1	x: 0.119 m η = 58.0	η < 0.1	η = 0.8	x: 0.119 m η = 0.8	η < 0.1	**CUMPLE η = 58.0**
N1246/N1263	x: 0.119 m $\lambda_w \leq \lambda_{w,máx}$ Cumple	x: 2.549 m η = 41.2	x: 0.119 m η = 56.4	x: 0.119 m η = 2.9	x: 0.119 m η = 1.9	x: 0.119 m η = 0.3	η = 0.1	x: 0.119 m η < 0.1	x: 0.119 m η < 0.1	x: 0.119 m η = 60.3	x: 0.119 m η < 0.1	M_{Ed} = 0.00 N.P.(5)	N.P.(6)	N.P.(6)	**CUMPLE η = 60.3**
N1265/N1247	$\lambda_w \leq \lambda_{w,máx}$ Cumple	x: 2.377 m η = 32.3	x: 0.111 m η = 39.5	x: 2.378 m η = 8.5	x: 2.378 m η = 2.3	x: 2.377 m η = 0.5	η = 0.1	η < 0.1	η < 0.1	x: 2.378 m η = 47.6	η < 0.1	η = 0.9	x: 2.377 m η = 0.5	η = 0.1	**CUMPLE η = 47.6**
N1266/N1281	$\lambda_w \leq \lambda_{w,máx}$ Cumple	x: 2.482 m η = 50.5	x: 0.111 m η = 58.2	x: 0.111 m η = 11.4	x: 2.482 m η = 1.5	x: 0.111 m η = 1.5	η < 0.1	η < 0.1	η < 0.1	x: 0.111 m η = 69.9	η < 0.1	η = 0.6	x: 0.111 m η = 1.5	η < 0.1	**CUMPLE η = 69.9**
N1267/N1282	$\lambda_w \leq \lambda_{w,máx}$ Cumple	x: 2.482 m η = 43.6	x: 0.111 m η = 50.8	x: 0.111 m η = 8.9	x: 2.482 m η = 1.0	x: 0.111 m η = 1.1	η < 0.1	η < 0.1	η < 0.1	x: 0.111 m η = 59.8	η < 0.1	η = 0.4	x: 0.111 m η = 1.1	η < 0.1	**CUMPLE η = 59.8**
N1268/N1283	$\lambda_w \leq \lambda_{w,máx}$ Cumple	x: 2.482 m η = 44.6	x: 0.111 m η = 51.3	x: 2.483 m η = 9.0	x: 0.111 m η = 1.5	x: 0.111 m η = 1.2	η < 0.1	η < 0.1	η < 0.1	x: 2.483 m η = 61.0	η < 0.1	η = 0.6	x: 0.111 m η = 1.2	η < 0.1	**CUMPLE η = 61.0**
N1269/N1284	$\lambda_w \leq \lambda_{w,máx}$ Cumple	x: 2.482 m η = 37.4	x: 0.111 m η = 43.8	x: 2.483 m η = 8.0	x: 0.111 m η = 1.6	x: 0.111 m η = 1.0	η < 0.1	η < 0.1	η < 0.1	x: 2.483 m η = 52.6	η < 0.1	η = 0.6	x: 0.111 m η = 1.1	η < 0.1	**CUMPLE η = 52.6**
N1271/N1286	$\lambda_w \leq \lambda_{w,máx}$ Cumple	x: 2.482 m η = 26.2	x: 0.111 m η = 33.2	x: 2.483 m η = 6.4	x: 0.111 m η = 0.9	x: 0.111 m η = 0.6	η < 0.1	η < 0.1	η < 0.1	x: 2.483 m η = 40.0	η < 0.1	η = 0.4	x: 0.111 m η = 0.6	η < 0.1	**CUMPLE η = 40.0**
N1272/N1287	$\lambda_w \leq \lambda_{w,máx}$ Cumple	x: 2.482 m η = 15.9	x: 0.111 m η = 19.7	x: 2.483 m η = 4.3	x: 2.483 m η = 1.1	x: 0.111 m η = 0.4	η = 0.1	η < 0.1	η < 0.1	x: 2.483 m η = 24.5	η < 0.1	η = 0.4	x: 0.111 m η = 0.4	η = 0.1	**CUMPLE η = 24.5**
N1272/N1289	$\lambda_w \leq \lambda_{w,máx}$ Cumple	x: 2.662 m η = 9.0	x: 0.119 m η = 8.9	x: 0.119 m η = 2.9	x: 2.663 m η = 1.3	x: 2.662 m η = 0.2	η < 0.1	η < 0.1	η < 0.1	x: 0.119 m η = 12.1	η < 0.1	η = 0.3	x: 2.662 m η = 0.2	η < 0.1	**CUMPLE η = 12.1**
N1273/N1290	$\lambda_w \leq \lambda_{w,máx}$ Cumple	x: 2.662 m η = 2.6	x: 0.119 m η = 2.7	x: 2.663 m η = 2.5	x: 0.119 m η = 1.4	x: 0.119 m η = 0.2	η = 0.1	η < 0.1	η < 0.1	x: 2.663 m η = 5.4	η < 0.1	η = 0.4	x: 0.119 m η = 0.2	η = 0.1	**CUMPLE η = 5.4**
N1275/N1292	$\lambda_w \leq \lambda_{w,máx}$ Cumple	x: 2.662 m η = 18.9	x: 0.119 m η = 22.6	x: 2.663 m η = 5.2	x: 0.119 m η = 2.2	x: 0.119 m η = 0.5	η = 0.1	η < 0.1	η < 0.1	x: 2.663 m η = 28.3	η < 0.1	η = 0.6	x: 0.119 m η = 0.5	η = 0.1	**CUMPLE η = 28.3**
N1276/N1293	$\lambda_w \leq \lambda_{w,máx}$ Cumple	x: 2.662 m η = 26.4	x: 0.119 m η = 30.3	x: 2.663 m η = 6.4	x: 0.119 m η = 1.2	x: 0.119 m η = 0.7	η = 0.1	η < 0.1	η < 0.1	x: 2.663 m η = 36.9	η < 0.1	η = 0.6	x: 0.119 m η = 0.7	η = 0.1	**CUMPLE η = 36.9**
N1277/N1294	$\lambda_w \leq \lambda_{w,máx}$ Cumple	x: 2.662 m η = 29.1	x: 0.119 m η = 34.3	x: 2.663 m η = 6.2	x: 2.663 m η = 1.2	x: 0.119 m η = 0.8	η = 0.1	η < 0.1	η < 0.1	x: 2.663 m η = 41.0	η < 0.1	η = 0.6	x: 0.119 m η = 0.8	η = 0.1	**CUMPLE η = 41.0**
N1278/N1295	$\lambda_w \leq \lambda_{w,máx}$ Cumple	x: 2.662 m η = 36.7	x: 0.119 m η = 42.6	x: 2.663 m η = 6.3	x: 2.663 m η = 2.5	x: 0.119 m η = 0.7	η < 0.1	η < 0.1	η < 0.1	x: 2.663 m η = 49.4	η < 0.1	η = 0.9	x: 0.119 m η = 0.7	η < 0.1	**CUMPLE η = 49.4**
N1279/N1296	$\lambda_w \leq \lambda_{w,máx}$ Cumple	x: 2.549 m η = 23.9	x: 0.119 m η = 30.7	x: 0.119 m η = 11.5	x: 2.55 m η = 2.6	x: 0.119 m η = 1.3	η = 0.1	η < 0.1	η < 0.1	x: 0.119 m η = 40.5	η < 0.1	η = 1.1	x: 0.119 m η = 1.3	η = 0.1	**CUMPLE η = 40.5**
N1041/N1297	$\lambda_w \leq \lambda_{w,máx}$ Cumple	η = 0.9	η = 0.3	x: 0.06 m η = 6.6	x: 0.06 m η = 5.4	η = 0.3	x: 0.06 m η = 0.8	η < 0.1	η < 0.1	x: 0.06 m η = 9.3	η < 0.1	η = 2.7	η = 0.3	x: 0.06 m η = 0.8	**CUMPLE η = 9.3**
N1297/N1298	$\lambda_w \leq \lambda_{w,máx}$ Cumple	η = 0.7	η = 0.1	x: 2.373 m η = 3.0	x: 1.217 m η = 1.2	η = 0.3	x: 0.06 m η = 0.2	η < 0.1	η < 0.1	x: 2.373 m η = 3.7	η < 0.1	η = 1.1	η = 0.3	x: 0.06 m η = 0.2	**CUMPLE η = 3.7**
N1298/N1197	$\lambda_w \leq \lambda_{w,máx}$ Cumple	η = 0.5	η = 0.1	x: 2.373 m η = 6.2	x: 2.373 m η = 5.1	η = 0.4	x: 2.373 m η = 0.7	η < 0.1	η < 0.1	x: 2.373 m η = 10.9	η < 0.1	η = 1.7	η = 0.4	x: 2.373 m η = 0.7	**CUMPLE η = 10.9**

Documento visado electrónicamente con número VA07290/22
Código de validación telemática TRLTDCFZ60T66IJ1. Comprobación: https://cogitivalencia.e-gestion.es/Validacion.aspx?CVT=TRLTDCFZ60T66IJ1

VISADO
COGITI
Estado
VALENCIA
VA07290/22
TRLTDCFZ60T66IJ1

Barras	COMPROBACIONES (CÓDIGO ESTRUCTURAL)															
	λ_w	N_t	N_c	M_Y	M_Z	V_Z	V_Y	M_YV_Z	M_ZV_Y	NM_YM_Z	$NM_YM_ZV_YV_Z$	M_t	M_tV_Z	M_tV_Y	
N1058/N1299	$\lambda_w \leq \lambda_{w,máx}$ Cumple	η = 3.0	η = 14.7	x: 0.06 m η = 9.6	x: 0.06 m η = 5.3	η = 0.5	x: 0.06 m η = 0.7	η < 0.1	η < 0.1	x: 0.06 m η = 19.0	η < 0.1	η = 4.0	η = 0.5	x: 0.0 η = 0.7	**CUMPLE η = 18.0**
N1299/N1300	$\lambda_w \leq \lambda_{w,máx}$ Cumple	η = 3.0	η = 15.8	x: 0.06 m η = 3.6	x: 2.181 m η = 1.9	η = 0.5	x: 0.06 m η = 0.3	η < 0.1	η < 0.1	x: 0.06 m η = 18.0	η < 0.1	η = 1.1	η = 0.5	x: 0.0 η = 0.3	**CUMPLE η = 18.0**
N1300/N1214	$\lambda_w \leq \lambda_{w,máx}$ Cumple	η = 3.2	η = 15.4	x: 2.373 m η = 15.4	x: 2.373 m η = 10.5	η = 0.8	x: 2.373 m η = 1.2	η < 0.1	η < 0.1	x: 2.373 m η = 26.6	η < 0.1	η = 4.1	η = 0.9	x: 2.373 m η = 1.3	**CUMPLE η = 26.6**
N1057/N1301	$\lambda_w \leq \lambda_{w,máx}$ Cumple	x: 1.901 m η = 1.0	η = 64.8	x: 0.15 m η = 5.5	x: 0.15 m η = 3.4	η = 0.5	x: 0.15 m η = 0.5	η < 0.1	η < 0.1	x: 0.15 m η = 68.2	η < 0.1	η = 1.2	η = 0.5	x: 0.15 m η = 0.5	**CUMPLE η = 68.2**
N1301/N1302	$\lambda_w \leq \lambda_{w,máx}$ Cumple	η = 4.1	η = 13.8	x: 0.095 m η = 2.1	x: 2.338 m η = 4.0	η = 0.3	x: 2.338 m η = 0.6	η < 0.1	η < 0.1	x: 0.095 m η = 15.4	η < 0.1	η = 0.9	η = 0.3	x: 2.338 m η = 0.6	**CUMPLE η = 15.4**
N1302/N1213	$\lambda_w \leq \lambda_{w,máx}$ Cumple	η = 4.8	η = 73.8	x: 0.095 m η = 3.3	x: 0.095 m η = 2.5	η = 0.4	x: 0.095 m η = 0.4	η < 0.1	η < 0.1	x: 2.283 m η = 78.3	η < 0.1	η = 1.3	η = 0.4	x: 0.095 m η = 0.5	**CUMPLE η = 78.3**
N1074/N1303	$\lambda_w \leq \lambda_{w,máx}$ Cumple	η = 0.4	η = 21.8	x: 2.373 m η = 2.0	x: 0.095 m η = 4.2	η = 0.2	x: 0.095 m η = 0.6	η < 0.1	η < 0.1	x: 0.095 m η = 26.4	η < 0.1	η = 1.3	η = 0.2	x: 0.095 m η = 0.6	**CUMPLE η = 26.4**
N1303/N1304	$\lambda_w \leq \lambda_{w,máx}$ Cumple	η = 0.5	η = 26.6	x: 0.06 m η = 1.7	x: 2.373 m η = 3.4	η = 0.1	x: 2.373 m η = 0.5	η < 0.1	η < 0.1	x: 2.373 m η = 28.8	η < 0.1	η = 0.7	η = 0.1	x: 2.373 m η = 0.5	**CUMPLE η = 28.8**
N1304/N1230	$\lambda_w \leq \lambda_{w,máx}$ Cumple	η = 3.3	η = 26.6	x: 2.338 m η = 4.4	x: 2.338 m η = 4.6	η = 0.3	x: 2.338 m η = 0.6	η < 0.1	η < 0.1	x: 2.338 m η = 30.4	η < 0.1	η = 1.0	η = 0.3	x: 2.338 m η = 0.6	**CUMPLE η = 30.4**
N1302/N1304	$\lambda_w \leq \lambda_{w,máx}$ Cumple	x: 1.939 m η = 0.1	x: 0.078 m η = 2.8	x: 1.94 m η = 2.6	x: 0.078 m η = 3.3	η = 0.3	η = 0.2	η < 0.1	η < 0.1	x: 0.078 m η = 6.4	η < 0.1	η = 0.5	η = 0.3	η = 0.2	**CUMPLE η = 6.4**
N1301/N1303	$\lambda_w \leq \lambda_{w,máx}$ Cumple	x: 1.939 m η = 0.1	x: 0.078 m η = 1.7	x: 0.078 m η = 2.2	x: 0.078 m η = 3.5	η = 0.3	η = 0.2	η < 0.1	η < 0.1	x: 0.078 m η = 4.7	η < 0.1	η = 0.9	η = 0.3	η = 0.2	**CUMPLE η = 4.7**
N1298/N1300	$\lambda_w \leq \lambda_{w,máx}$ Cumple	x: 1.939 m η < 0.1	x: 0.06 m η = 0.1	x: 1.94 m η = 4.9	x: 1.94 m η = 4.0	η = 0.6	η = 0.4	η < 0.1	η < 0.1	x: 1.94 m η = 8.5	η < 0.1	η = 1.9	η = 0.7	η = 0.4	**CUMPLE η = 8.5**
N1297/N1299	$\lambda_w \leq \lambda_{w,máx}$ Cumple	x: 1.939 m η < 0.1	x: 0.06 m η = 0.1	x: 0.06 m η = 3.4	x: 1.94 m η = 2.2	η = 0.5	η = 0.2	η < 0.1	η < 0.1	x: 1.94 m η = 4.7	η < 0.1	η = 0.7	η = 0.5	η = 0.3	**CUMPLE η = 4.7**
N1075/N1301	$\lambda_w \leq \lambda_{w,máx}$ Cumple	x: 3.054 m η = 12.7	x: 0.195 m η = 3.6	x: 0.195 m η = 5.3	x: 0.195 m η = 6.5	x: 3.055 m η = 0.6	η = 0.2	η < 0.1	η < 0.1	x: 0.195 m η = 22.7	η < 0.1	η = 3.1	x: 3.055 m η = 0.6	η = 0.2	**CUMPLE η = 22.7**
N1231/N1302	$\lambda_w \leq \lambda_{w,máx}$ Cumple	x: 3.054 m η = 14.3	x: 0.195 m η = 6.6	x: 0.195 m η = 6.5	x: 3.055 m η = 4.5	x: 3.055 m η = 0.7	η = 0.3	η < 0.1	η < 0.1	x: 3.055 m η = 22.9	η < 0.1	η = 3.6	x: 3.055 m η = 0.7	η = 0.3	**CUMPLE η = 22.9**
N1108/N1305	$\lambda_w \leq \lambda_{w,máx}$ Cumple	x: 3.054 m η = 14.0	x: 0.195 m η = 2.8	x: 0.195 m η = 5.5	x: 3.055 m η = 5.4	x: 3.055 m η = 0.6	η = 0.3	η < 0.1	η < 0.1	x: 3.055 m η = 19.8	η < 0.1	η = 1.7	x: 3.055 m η = 0.6	η = 0.3	**CUMPLE η = 19.8**
N1091/N1305	$\lambda_w \leq \lambda_{w,máx}$ Cumple	x: 1.244 m η = 0.3	η = 57.4	x: 0.15 m η = 5.6	x: 0.15 m η = 3.3	η = 0.6	x: 0.15 m η = 0.5	η < 0.1	η < 0.1	x: 0.15 m η = 61.1	η < 0.1	η = 1.4	η = 0.6	x: 0.15 m η = 0.5	**CUMPLE η = 61.1**
N1305/N1306	$\lambda_w \leq \lambda_{w,máx}$ Cumple	η = 3.3	η = 12.8	x: 0.095 m η = 1.4	x: 2.338 m η = 5.6	η = 0.2	x: 2.338 m η = 0.8	η < 0.1	η < 0.1	x: 0.095 m η = 15.1	η < 0.1	η = 0.6	η = 0.2	x: 2.338 m η = 0.8	**CUMPLE η = 15.1**
N1306/N1247	$\lambda_w \leq \lambda_{w,máx}$ Cumple	η = 4.6	η = 90.1	x: 0.095 m η = 3.4	x: 0.095 m η = 3.0	η = 0.3	x: 0.095 m η = 0.5	η < 0.1	η < 0.1	x: 0.095 m η = 92.9	η < 0.1	η = 1.0	η = 0.3	x: 0.095 m η = 0.5	**CUMPLE η = 92.9**
N1305/N1307	$\lambda_w \leq \lambda_{w,máx}$ Cumple	x: 1.939 m η = 0.2	x: 0.078 m η = 1.4	x: 0.078 m η = 3.1	x: 0.078 m η = 3.6	η = 0.4	η = 0.2	η < 0.1	η < 0.1	x: 0.078 m η = 5.8	η < 0.1	η = 0.6	η = 0.4	η = 0.2	**CUMPLE η = 5.8**
N1306/N1308	$\lambda_w \leq \lambda_{w,máx}$ Cumple	x: 1.939 m η < 0.1	x: 0.078 m η = 3.7	x: 1.94 m η = 3.7	x: 0.078 m η = 3.0	η = 0.5	η = 0.1	η < 0.1	η < 0.1	x: 1.94 m η = 7.9	η < 0.1	η = 0.7	η = 0.5	η = 0.1	**CUMPLE η = 7.9**
N1264/N1306	$\lambda_w \leq \lambda_{w,máx}$ Cumple	x: 3.054 m η = 14.2	x: 0.195 m η = 6.5	x: 0.195 m η = 6.7	x: 3.055 m η = 4.2	x: 3.055 m η = 0.8	η = 0.3	η < 0.1	η < 0.1	x: 3.055 m η = 22.6	η < 0.1	η = 1.8	x: 3.055 m η = 0.8	η = 0.3	**CUMPLE η = 22.6**
N1107/N1307	$\lambda_w \leq \lambda_{w,máx}$ Cumple	N_{Ed} = 0.00 N.P.(1)	η = 21.2	x: 2.373 m η = 1.7	x: 0.095 m η = 3.9	η = 0.2	x: 0.095 m η = 0.6	η < 0.1	η < 0.1	x: 2.373 m η = 24.0	η < 0.1	η = 1.1	η = 0.2	x: 0.095 m η = 0.6	**CUMPLE η = 24.0**
N1307/N1308	$\lambda_w \leq \lambda_{w,máx}$ Cumple	N_{Ed} = 0.00 N.P.(1)	η = 20.7	x: 0.06 m η = 1.5	x: 0.06 m η = 4.3	η = 0.1	x: 2.373 m η = 0.6	η < 0.1	η < 0.1	x: 0.06 m η = 24.4	η < 0.1	η = 0.4	η = 0.1	x: 2.373 m η = 0.6	**CUMPLE η = 24.4**
N1308/N1263	$\lambda_w \leq \lambda_{w,máx}$ Cumple	η = 2.6	η = 14.9	x: 2.338 m η = 3.4	x: 2.338 m η = 5.4	η = 0.2	x: 2.338 m η = 0.7	η < 0.1	η < 0.1	x: 2.338 m η = 19.0	η < 0.1	η = 1.6	η = 0.2	x: 2.338 m η = 0.7	**CUMPLE η = 19.0**
N1301/N1074	$\lambda_w \leq \lambda_{w,máx}$ Cumple	x: 3.054 m η = 12.0	x: 0.095 m η = 0.5	x: 3.055 m η = 3.7	x: 0.095 m η = 2.7	x: 3.055 m η = 0.5	η = 0.1	η < 0.1	η < 0.1	x: 3.055 m η = 16.5	η < 0.1	η = 1.2	x: 3.055 m η = 0.5	η = 0.1	**CUMPLE η = 16.5**
N1302/N1230	$\lambda_w \leq \lambda_{w,máx}$ Cumple	x: 3.054 m η = 13.1	x: 0.095 m η = 2.2	x: 3.055 m η = 4.0	x: 0.095 m η = 1.0	x: 3.055 m η = 0.5	η = 0.1	η < 0.1	η < 0.1	x: 3.055 m η = 17.9	η < 0.1	η = 2.0	x: 3.055 m η = 0.5	η = 0.1	**CUMPLE η = 17.9**
N1305/N1107	$\lambda_w \leq \lambda_{w,máx}$ Cumple	x: 3.054 m η = 10.6	x: 0.095 m η = 0.4	x: 3.055 m η = 3.7	x: 3.055 m η = 2.1	x: 3.055 m η = 0.5	η < 0.1	η < 0.1	η < 0.1	x: 3.055 m η = 15.4	η < 0.1	η = 1.2	x: 3.055 m η = 0.5	η < 0.1	**CUMPLE η = 15.4**
N1306/N1263	$\lambda_w \leq \lambda_{w,máx}$ Cumple	x: 3.054 m η = 15.6	x: 0.095 m η = 2.2	x: 3.055 m η = 4.5	x: 3.055 m η = 2.6	x: 3.055 m η = 0.6	η = 0.1	η < 0.1	η < 0.1	x: 3.055 m η = 22.4	η < 0.1	η = 2.0	x: 3.055 m η = 0.6	η = 0.1	**CUMPLE η = 22.4**
N1140/N1310	$\lambda_w \leq \lambda_{w,máx}$ Cumple	η = 3.2	η = 15.7	x: 2.373 m η = 2.7	x: 0.095 m η = 3.8	η = 0.3	x: 0.095 m η = 0.6	η < 0.1	η < 0.1	x: 2.373 m η = 17.7	η < 0.1	η = 2.1	η = 0.4	x: 0.095 m η = 0.6	**CUMPLE η = 17.7**
N1310/N1309	$\lambda_w \leq \lambda_{w,máx}$ Cumple	η = 3.3	η = 15.4	x: 0.06 m η = 2.2	x: 0.06 m η = 4.6	η = 0.1	x: 2.373 m η = 0.7	η < 0.1	η < 0.1	x: 0.06 m η = 17.9	η < 0.1	η = 0.6	η = 0.1	x: 2.373 m η = 0.7	**CUMPLE η = 17.9**
N1309/N1296	$\lambda_w \leq \lambda_{w,máx}$ Cumple	η = 7.2	η = 12.8	x: 2.338 m η = 4.1	x: 2.338 m η = 4.3	η = 0.4	x: 2.338 m η = 0.5	η < 0.1	η < 0.1	x: 2.338 m η = 16.5	η < 0.1	η = 1.7	η = 0.4	x: 2.338 m η = 0.5	**CUMPLE η = 16.5**
N1311/N1296	$\lambda_w \leq \lambda_{w,máx}$ Cumple	x: 3.054 m η = 16.0	x: 0.095 m η = 2.3	x: 3.055 m η = 3.4	x: 3.054 m η = 2.2	x: 3.055 m η = 0.4	η < 0.1	η < 0.1	η < 0.1	x: 3.055 m η = 20.1	η < 0.1	η = 2.7	x: 3.055 m η = 0.4	η < 0.1	**CUMPLE η = 20.1**
N1124/N1312	$\lambda_w \leq \lambda_{w,máx}$ Cumple	η = 0.9	η = 41.0	x: 0.15 m η = 6.9	x: 0.15 m η = 2.4	η = 0.7	x: 0.15 m η = 0.4	η < 0.1	η < 0.1	x: 0.15 m η = 44.1	η < 0.1	η = 1.7	η = 0.7	x: 0.15 m η = 0.4	**CUMPLE η = 44.1**
N1312/N1311	$\lambda_w \leq \lambda_{w,máx}$ Cumple	η = 9.7	η = 9.2	x: 2.338 m η = 2.0	x: 2.338 m η = 5.9	η = 0.2	x: 2.338 m η = 0.8	η < 0.1	η < 0.1	x: 2.338 m η = 16.2	η < 0.1	η = 0.5	η = 0.2	x: 2.338 m η = 0.8	**CUMPLE η = 16.2**
N1311/N1280	$\lambda_w \leq \lambda_{w,máx}$ Cumple	η = 4.6	η = 50.9	x: 0.095 m η = 3.5	x: 0.095 m η = 2.3	η = 0.3	x: 0.095 m η = 0.4	η < 0.1	η < 0.1	x: 2.283 m η = 53.0	η < 0.1	η = 1.3	η = 0.3	x: 0.095 m η = 0.4	**CUMPLE η = 53.0**
N1313/N1311	$\lambda_w \leq \lambda_{w,máx}$ Cumple	x: 3.054 m η = 12.0	x: 0.195 m η = 6.0	x: 0.195 m η = 4.6	x: 3.055 m η = 6.5	x: 3.055 m η = 0.5	η = 0.2	η < 0.1	η < 0.1	x: 3.055 m η = 18.1	η < 0.1	η = 5.5	x: 3.055 m η = 0.5	η = 0.2	**CUMPLE η = 18.1**
N1312/N1310	$\lambda_w \leq \lambda_{w,máx}$ Cumple	x: 1.939 m η = 0.2	x: 0.078 m η = 1.2	x: 0.078 m η = 3.3	x: 0.078 m η = 6.5	η = 0.4	η = 0.4	η < 0.1	η < 0.1	x: 0.078 m η = 9.2	η < 0.1	η = 0.8	η = 0.4	η = 0.4	**CUMPLE η = 9.2**
N1312/N1140	$\lambda_w \leq \lambda_{w,máx}$ Cumple	x: 3.054 m η = 12.4	x: 0.095 m η = 1.7	x: 3.055 m η = 3.4	x: 0.095 m η = 3.5	x: 3.055 m η = 0.5	η < 0.1	η < 0.1	η < 0.1	x: 3.055 m η = 16.5	η < 0.1	η = 2.4	x: 3.055 m η = 0.5	η < 0.1	**CUMPLE η = 16.5**
N1311/N1309	$\lambda_w \leq \lambda_{w,máx}$ Cumple	N_{Ed} = 0.00 N.P.(1)	x: 0.078 m η = 3.7	x: 1.94 m η = 3.9	x: 0.078 m η = 5.5	η = 0.5	η = 0.3	η < 0.1	η < 0.1	x: 0.078 m η = 9.8	η < 0.1	η = 0.5	η = 0.5	η = 0.3	**CUMPLE η = 9.8**
N1157/N1312	$\lambda_w \leq \lambda_{w,máx}$ Cumple	x: 3.054 m η = 17.9	x: 0.195 m η = 2.7	x: 0.195 m η = 5.0	x: 3.055 m η = 8.6	x: 3.055 m η = 0.6	η = 0.1	η < 0.1	η < 0.1	x: 3.055 m η = 27.2	η < 0.1	η = 5.6	x: 3.055 m η = 0.6	η = 0.1	**CUMPLE η = 27.2**
N1060/N1216	x: 0.509 m $\lambda_w \leq \lambda_{w,máx}$ Cumple	η = 4.0	η = 14.6	M_{Ed} = 0.00 N.P.(2)	x: 3.65 m η = 6.0	V_{Ed} = 0.00 N.P.(3)	x: 0.06 m η = 0.5	N.P.(4)	x: 0.509 m η < 0.1	x: 3.65 m η = 21.0	x: 0.509 m η < 0.1	M_{Ed} = 0.00 N.P.(5)	N.P.(6)	N.P.(6)	**CUMPLE η = 21.0**
N1314/N1315	$\lambda_w \leq \lambda_{w,máx}$ Cumple	x: 1.939 m η < 0.1	x: 0.06 m η = 0.3	x: 1.94 m η = 10.1	x: 0.06 m η = 0.1	η = 1.5	η < 0.1	η < 0.1	x: 0.06 m η < 0.1	x: 1.94 m η = 10.2	η < 0.1	η = 0.2	η = 1.5	η < 0.1	**CUMPLE η = 10.2**

Documento visado electrónicamente con número: VA07290/22
Código de validación telemática TRLTDCFZ60T66IJ1. Comprobación: https://cogitivalencia.e-gestion.es/Validacion.aspx?CVT=TRLTDCFZ60T66IJ1

VISADO
COGITI
VALENCIA
VA07290/22
TRLTDCFZ60T66IJ1

Barras	COMPROBACIONES (CÓDIGO ESTRUCTURAL)														Estado
	λ_w	N_t	N_c	M_Y	M_Z	V_Z	V_Y	M_YV_Z	M_ZV_Y	NM_YM_Z	$NM_YM_ZV_YV_Z$	M_t	M_tV_Z	M_tV_Y	
N1316/N1317	$\lambda_w \leq \lambda_{w,máx}$ Cumple	x: 1.939 m η < 0.1	x: 0.06 m η = 0.3	x: 0.06 m η = 11.6	x: 0.06 m η = 0.1	η = 1.8	η < 0.1	η < 0.1	x: 0.06 m η < 0.1	x: 0.06 m η = 11.9	η < 0.1	η = 0.2	η = 1.8	η < 0.1	**CUMPLE** **η = 11.9**
N1049/N1319	x: 0.051 m $\lambda_w \leq \lambda_{w,máx}$ Cumple	η = 5.3	η = 23.0	x: 2.372 m η < 0.1	x: 2.373 m η = 18.6	η < 0.1	x: 0.05 m η = 1.3	x: 0.631 m η < 0.1	x: 0.051 m η < 0.1	x: 2.373 m η = 25.4	x: 0.051 m η < 0.1	M_{Ed} = 0.00 N.P.(5)	N.P.(6)	N.P.(6)	**CUMPLE** **η = 25.4**
N1319/N1318	$\lambda_w \leq \lambda_{w,máx}$ Cumple	η = 5.8	η = 25.6	x: 0.06 m η < 0.1	x: 0.06 m η = 5.2	η < 0.1	x: 2.373 m η = 0.6	N.P.(4)	η < 0.1	x: 2.373 m η = 27.4	η < 0.1	η < 0.1	η < 0.1	x: 2.373 m η = 0.6	**CUMPLE** **η = 27.4**
N1318/N1205	x: 0.06 m $\lambda_w \leq \lambda_{w,máx}$ Cumple	η = 6.5	η = 27.3	x: 0.06 m η < 0.1	x: 0.06 m η = 13.5	η < 0.1	x: 2.383 m η = 1.0	x: 0.06 m η < 0.1	x: 0.06 m η < 0.1	x: 0.06 m η = 34.7	x: 0.06 m η < 0.1	M_{Ed} = 0.00 N.P.(5)	N.P.(6)	N.P.(6)	**CUMPLE** **η = 34.7**
N1066/N1321	x: 0.051 m $\lambda_w \leq \lambda_{w,máx}$ Cumple	η = 5.3	η = 32.1	x: 2.372 m η < 0.1	x: 2.373 m η = 18.4	η < 0.1	x: 0.05 m η = 1.3	x: 0.631 m η < 0.1	x: 0.051 m η < 0.1	x: 2.373 m η = 43.9	x: 0.051 m η < 0.1	M_{Ed} = 0.00 N.P.(5)	N.P.(6)	N.P.(6)	**CUMPLE** **η = 43.9**
N1321/N1320	$\lambda_w \leq \lambda_{w,máx}$ Cumple	η = 5.4	η = 37.7	x: 0.06 m η < 0.1	x: 0.06 m η = 5.1	η < 0.1	x: 2.373 m η = 0.6	N.P.(4)	η < 0.1	x: 0.06 m η = 41.1	η < 0.1	η < 0.1	η < 0.1	x: 2.373 m η = 0.6	**CUMPLE** **η = 41.1**
N1320/N1222	x: 0.06 m $\lambda_w \leq \lambda_{w,máx}$ Cumple	η = 6.2	η = 37.8	x: 0.06 m η < 0.1	x: 0.06 m η = 14.6	η < 0.1	x: 2.383 m η = 1.1	x: 0.06 m η < 0.1	x: 0.06 m η < 0.1	x: 0.06 m η = 39.4	x: 0.06 m η < 0.1	M_{Ed} = 0.00 N.P.(5)	N.P.(6)	N.P.(6)	**CUMPLE** **η = 39.4**
N1318/N1320	$\lambda_w \leq \lambda_{w,máx}$ Cumple	x: 1.939 m η = 0.1	x: 0.06 m η = 0.4	x: 1.94 m η = 10.7	x: 0.06 m η < 0.1	η = 1.7	η < 0.1	η < 0.1	x: 0.06 m η < 0.1	x: 1.94 m η = 10.9	η < 0.1	η < 0.1	η = 1.7	η < 0.1	**CUMPLE** **η = 10.9**
N1319/N1321	$\lambda_w \leq \lambda_{w,máx}$ Cumple	x: 1.939 m η = 0.1	x: 0.06 m η = 0.4	x: 0.06 m η = 12.9	x: 0.06 m η < 0.1	η = 2.0	η < 0.1	η < 0.1	x: 0.06 m η < 0.1	x: 0.06 m η = 13.3	η < 0.1	η < 0.1	η = 2.0	η < 0.1	**CUMPLE** **η = 13.3**
N1053/N1323	x: 0.061 m $\lambda_w \leq \lambda_{w,máx}$ Cumple	η = 2.9	η = 13.1	x: 2.373 m η = 0.3	x: 2.373 m η = 15.6	η < 0.1	x: 0.06 m η = 1.1	x: 0.253 m η < 0.1	x: 0.061 m η < 0.1	x: 2.373 m η = 18.6	x: 0.061 m η < 0.1	M_{Ed} = 0.00 N.P.(5)	N.P.(6)	N.P.(6)	**CUMPLE** **η = 18.6**
N1323/N1322	$\lambda_w \leq \lambda_{w,máx}$ Cumple	η = 3.4	η = 14.7	x: 0.06 m η = 0.1	x: 0.06 m η = 4.2	η < 0.1	x: 2.373 m η = 0.5	x: 0.06 m η < 0.1	η < 0.1	x: 2.373 m η = 15.8	η < 0.1	η = 0.2	η < 0.1	x: 2.373 m η = 0.5	**CUMPLE** **η = 15.8**
N1322/N1209	x: 0.06 m $\lambda_w \leq \lambda_{w,máx}$ Cumple	η = 3.8	η = 16.0	x: 0.06 m η = 0.3	x: 0.06 m η = 10.8	η < 0.1	x: 2.373 m η = 0.8	x: 0.06 m η < 0.1	x: 0.06 m η < 0.1	x: 0.06 m η = 21.4	x: 0.06 m η < 0.1	M_{Ed} = 0.00 N.P.(5)	N.P.(6)	N.P.(6)	**CUMPLE** **η = 21.4**
N1070/N1325	x: 0.061 m $\lambda_w \leq \lambda_{w,máx}$ Cumple	η = 4.2	η = 26.8	x: 2.373 m η = 0.3	x: 2.373 m η = 14.6	η < 0.1	x: 0.06 m η = 1.1	x: 0.253 m η < 0.1	x: 0.061 m η < 0.1	x: 2.373 m η = 36.3	x: 0.061 m η < 0.1	M_{Ed} = 0.00 N.P.(5)	N.P.(6)	N.P.(6)	**CUMPLE** **η = 36.3**
N1325/N1324	$\lambda_w \leq \lambda_{w,máx}$ Cumple	η = 4.1	η = 31.0	x: 0.06 m η = 0.1	x: 0.06 m η = 3.7	η < 0.1	x: 2.373 m η = 0.5	x: 0.06 m η < 0.1	η < 0.1	x: 0.06 m η = 33.4	η < 0.1	η = 0.2	η < 0.1	x: 2.373 m η = 0.5	**CUMPLE** **η = 33.4**
N1324/N1226	x: 0.06 m $\lambda_w \leq \lambda_{w,máx}$ Cumple	η = 4.7	η = 30.7	x: 0.06 m η = 0.3	x: 0.06 m η = 12.6	η < 0.1	x: 2.373 m η = 1.0	x: 0.06 m η < 0.1	x: 0.06 m η < 0.1	x: 0.831 m η = 31.4	x: 0.06 m η < 0.1	M_{Ed} = 0.00 N.P.(5)	N.P.(6)	N.P.(6)	**CUMPLE** **η = 31.4**
N1322/N1324	$\lambda_w \leq \lambda_{w,máx}$ Cumple	x: 1.939 m η = 0.1	x: 0.06 m η = 0.3	x: 1.94 m η = 9.4	x: 0.06 m η = 0.2	η = 1.4	η < 0.1	η < 0.1	x: 0.06 m η < 0.1	x: 1.94 m η = 9.5	η < 0.1	η = 0.3	η = 1.4	η < 0.1	**CUMPLE** **η = 9.5**
N1323/N1325	$\lambda_w \leq \lambda_{w,máx}$ Cumple	x: 1.939 m η = 0.1	x: 0.06 m η = 0.3	x: 0.06 m η = 11.0	x: 0.06 m η = 0.2	η = 1.7	η < 0.1	η < 0.1	x: 0.06 m η < 0.1	x: 0.06 m η = 11.3	η < 0.1	η = 0.3	η = 1.7	η < 0.1	**CUMPLE** **η = 11.3**
N1072/N1228	x: 0.509 m $\lambda_w \leq \lambda_{w,máx}$ Cumple	η = 0.4	η = 30.9	M_{Ed} = 0.00 N.P.(2)	x: 3.65 m η = 6.0	V_{Ed} = 0.00 N.P.(3)	x: 0.06 m η = 0.5	N.P.(4)	x: 0.509 m η < 0.1	x: 3.65 m η = 37.6	x: 0.509 m η < 0.1	M_{Ed} = 0.00 N.P.(5)	N.P.(6)	N.P.(6)	**CUMPLE** **η = 37.6**
N1093/N1249	x: 0.509 m $\lambda_w \leq \lambda_{w,máx}$ Cumple	η = 2.0	η = 18.4	M_{Ed} = 0.00 N.P.(2)	x: 3.65 m η = 6.0	V_{Ed} = 0.00 N.P.(3)	x: 0.06 m η = 0.5	N.P.(4)	x: 0.509 m η < 0.1	x: 3.65 m η = 24.9	x: 0.509 m η < 0.1	M_{Ed} = 0.00 N.P.(5)	N.P.(6)	N.P.(6)	**CUMPLE** **η = 24.9**
N1095/N1326	x: 0.061 m $\lambda_w \leq \lambda_{w,máx}$ Cumple	η = 2.2	η = 17.4	x: 2.372 m η = 0.1	x: 2.373 m η = 16.5	η < 0.1	x: 0.06 m η = 1.2	x: 0.253 m η < 0.1	x: 0.061 m η < 0.1	x: 2.373 m η = 27.8	x: 0.061 m η < 0.1	M_{Ed} = 0.00 N.P.(5)	N.P.(6)	N.P.(6)	**CUMPLE** **η = 27.8**
N1326/N1327	$\lambda_w \leq \lambda_{w,máx}$ Cumple	η = 2.1	η = 22.5	x: 0.06 m η < 0.1	x: 0.06 m η = 4.4	η < 0.1	x: 2.373 m η = 0.5	x: 0.06 m η < 0.1	η < 0.1	x: 0.06 m η = 25.3	η < 0.1	η = 0.1	η < 0.1	x: 2.373 m η = 0.5	**CUMPLE** **η = 25.3**
N1327/N1251	x: 0.06 m $\lambda_w \leq \lambda_{w,máx}$ Cumple	η = 2.7	η = 22.5	x: 0.06 m η = 0.1	x: 0.06 m η = 10.6	η < 0.1	x: 2.373 m η = 0.8	x: 0.06 m η < 0.1	x: 0.06 m η < 0.1	x: 0.06 m η = 23.4	x: 0.06 m η < 0.1	M_{Ed} = 0.00 N.P.(5)	N.P.(6)	N.P.(6)	**CUMPLE** **η = 23.4**
N1079/N1328	x: 0.061 m $\lambda_w \leq \lambda_{w,máx}$ Cumple	η = 1.7	η = 7.1	x: 2.372 m η = 0.1	x: 2.373 m η = 16.3	η < 0.1	x: 0.06 m η = 1.2	x: 0.253 m η < 0.1	x: 0.061 m η < 0.1	x: 2.373 m η = 17.7	x: 0.061 m η < 0.1	M_{Ed} = 0.00 N.P.(5)	N.P.(6)	N.P.(6)	**CUMPLE** **η = 17.7**
N1328/N1329	$\lambda_w \leq \lambda_{w,máx}$ Cumple	η = 2.2	η = 7.4	x: 0.06 m η < 0.1	x: 0.06 m η = 4.3	η < 0.1	x: 2.373 m η = 0.5	x: 0.06 m η < 0.1	η < 0.1	x: 2.372 m η = 8.0	η < 0.1	η = 0.1	η < 0.1	x: 2.373 m η = 0.5	**CUMPLE** **η = 8.0**
N1329/N1235	x: 0.06 m $\lambda_w \leq \lambda_{w,máx}$ Cumple	η = 2.7	η = 8.4	x: 0.06 m η = 0.1	x: 0.06 m η = 9.8	η < 0.1	x: 2.373 m η = 0.8	x: 0.06 m η < 0.1	x: 0.06 m η < 0.1	x: 0.06 m η = 12.4	x: 0.06 m η < 0.1	M_{Ed} = 0.00 N.P.(5)	N.P.(6)	N.P.(6)	**CUMPLE** **η = 12.4**
N1329/N1327	$\lambda_w \leq \lambda_{w,máx}$ Cumple	x: 1.939 m η < 0.1	x: 0.06 m η = 0.3	x: 1.94 m η = 8.1	x: 0.06 m η < 0.1	η = 1.3	η < 0.1	η < 0.1	x: 0.06 m η < 0.1	x: 1.94 m η = 8.2	η < 0.1	η = 0.1	η = 1.3	η < 0.1	**CUMPLE** **η = 8.2**
N1328/N1326	$\lambda_w \leq \lambda_{w,máx}$ Cumple	x: 1.939 m η < 0.1	x: 0.06 m η = 0.3	x: 1.94 m η = 11.6	x: 0.06 m η < 0.1	η = 1.8	η < 0.1	η < 0.1	x: 0.06 m η < 0.1	x: 1.94 m η = 11.9	η < 0.1	η = 0.1	η = 1.8	η < 0.1	**CUMPLE** **η = 11.9**
N1083/N1331	x: 0.051 m $\lambda_w \leq \lambda_{w,máx}$ Cumple	η = 2.6	η = 11.9	x: 2.372 m η = 0.1	x: 2.373 m η = 18.1	η < 0.1	x: 0.05 m η = 1.3	x: 0.244 m η < 0.1	x: 0.051 m η < 0.1	x: 2.373 m η = 20.2	x: 0.051 m η < 0.1	M_{Ed} = 0.00 N.P.(5)	N.P.(6)	N.P.(6)	**CUMPLE** **η = 20.2**
N1331/N1330	$\lambda_w \leq \lambda_{w,máx}$ Cumple	η = 3.1	η = 13.3	x: 0.06 m η = 0.1	x: 0.06 m η = 4.9	η < 0.1	x: 2.373 m η = 0.6	η < 0.1	η < 0.1	x: 2.373 m η = 14.5	η < 0.1	η < 0.1	η < 0.1	x: 2.373 m η = 0.6	**CUMPLE** **η = 14.5**
N1330/N1239	x: 0.06 m $\lambda_w \leq \lambda_{w,máx}$ Cumple	η = 3.7	η = 14.6	x: 0.06 m η = 0.1	x: 0.06 m η = 11.8	η < 0.1	x: 2.383 m η = 0.9	x: 0.06 m η < 0.1	x: 0.06 m η < 0.1	x: 0.06 m η = 20.0	x: 0.06 m η < 0.1	M_{Ed} = 0.00 N.P.(5)	N.P.(6)	N.P.(6)	**CUMPLE** **η = 20.0**
N1099/N1333	x: 0.051 m $\lambda_w \leq \lambda_{w,máx}$ Cumple	η = 2.6	η = 21.3	x: 2.373 m η = 0.5	x: 2.373 m η = 18.8	η < 0.1	x: 0.05 m η = 1.3	x: 0.051 m η < 0.1	x: 0.051 m η < 0.1	x: 2.373 m η = 33.3	x: 0.051 m η < 0.1	M_{Ed} = 0.00 N.P.(5)	N.P.(6)	N.P.(6)	**CUMPLE** **η = 33.3**
N1333/N1332	$\lambda_w \leq \lambda_{w,máx}$ Cumple	η = 2.6	η = 27.3	x: 0.06 m η = 0.4	x: 0.06 m η = 5.2	η < 0.1	x: 2.373 m η = 0.6	η < 0.1	η < 0.1	x: 0.06 m η = 30.7	η < 0.1	η < 0.1	η < 0.1	x: 2.373 m η = 0.6	**CUMPLE** **η = 30.7**
N1332/N1255	x: 0.06 m $\lambda_w \leq \lambda_{w,máx}$ Cumple	η = 3.3	η = 27.5	x: 0.06 m η = 0.3	x: 0.06 m η = 12.0	η < 0.1	x: 2.383 m η = 0.9	x: 0.06 m η < 0.1	x: 0.06 m η < 0.1	x: 0.06 m η = 29.6	x: 0.06 m η < 0.1	M_{Ed} = 0.00 N.P.(5)	N.P.(6)	N.P.(6)	**CUMPLE** **η = 29.6**
N1330/N1332	$\lambda_w \leq \lambda_{w,máx}$ Cumple	x: 1.939 m η = 0.1	x: 0.06 m η = 0.4	x: 1.94 m η = 9.0	x: 0.06 m η < 0.1	η = 1.4	η < 0.1	η < 0.1	x: 0.06 m η < 0.1	x: 1.94 m η = 9.1	η < 0.1	η = 0.1	η = 1.4	η < 0.1	**CUMPLE** **η = 9.1**
N1331/N1333	$\lambda_w \leq \lambda_{w,máx}$ Cumple	x: 1.939 m η = 0.1	x: 0.06 m η = 0.4	x: 1.94 m η = 13.0	x: 0.06 m η < 0.1	η = 2.0	η < 0.1	η < 0.1	x: 0.06 m η < 0.1	x: 1.94 m η = 13.3	η < 0.1	η = 0.1	η = 2.0	η < 0.1	**CUMPLE** **η = 13.3**

Documento visado electrónicamente con número: VA07290/22
Código de validación telemática: TRLTDCFZ60T66IJ1. Comprobación: https://cogitivalencia.e-gestion.es/Validacion.aspx?CVT=TRLTDCFZ60T66IJ1

VISADO
COGITI
VALENCIA
VA07290/22
TRLTDCFZ60T66IJ1

Listados

Barras	COMPROBACIONES (CÓDIGO ESTRUCTURAL)															
	λ_w	N_t	N_c	M_Y	M_Z	V_Z	V_Y	M_YV_Z	M_ZV_Y	NM_YM_Z	$NM_YM_ZV_YV_Z$	M_t	M_tV_Z	M_tV_Y	Estado
N1087/N1335	x: 0.061 m $\lambda_w \leq \lambda_{w,máx}$ Cumple	η = 1.7	η = 7.0	x: 2.372 m η < 0.1	x: 2.373 m η = 14.9	η < 0.1	x: 0.06 m η = 1.1	x: 0.253 m η < 0.1	x: 0.061 m η < 0.1	x: 2.373 m η = 16.5	x: 0.061 m η < 0.1	M_{Ed} = 0.00 N.P.(5)	N.P.(6)	N.P.(6)	**CUMPLE** **η = 16.5**
N1335/N1334	$\lambda_w \leq \lambda_{w,máx}$ Cumple	η = 2.1	η = 8.1	x: 0.06 m η < 0.1	x: 0.06 m η = 3.9	η < 0.1	x: 2.373 m η = 0.5	x: 0.06 m η < 0.1	η < 0.1	x: 2.373 m η = 9.2	η < 0.1	x: 0.253 m η < 0.1	η < 0.1	x: 2.373 m η = 0.5	**CUMPLE** **η = 9.2**
N1334/N1243	x: 0.06 m $\lambda_w \leq \lambda_{w,máx}$ Cumple	η = 2.6	η = 9.4	x: 0.06 m η < 0.1	x: 0.06 m η = 10.1	η < 0.1	x: 2.373 m η = 0.8	x: 0.06 m η < 0.1	x: 0.06 m η < 0.1	x: 0.06 m η = 14.3	x: 0.06 m η < 0.1	M_{Ed} = 0.00 N.P.(5)	N.P.(6)	N.P.(6)	**CUMPLE** **η = 14.3**
N1103/N1337	x: 0.061 m $\lambda_w \leq \lambda_{w,máx}$ Cumple	η = 2.0	η = 15.5	x: 2.372 m η < 0.1	x: 2.373 m η = 14.1	η < 0.1	x: 0.06 m η = 1.0	x: 0.253 m η < 0.1	x: 0.061 m η < 0.1	x: 2.373 m η = 24.3	x: 0.061 m η < 0.1	M_{Ed} = 0.00 N.P.(5)	N.P.(6)	N.P.(6)	**CUMPLE** **η = 24.3**
N1337/N1336	$\lambda_w \leq \lambda_{w,máx}$ Cumple	η = 2.0	η = 19.5	x: 0.06 m η < 0.1	x: 0.06 m η = 3.5	η < 0.1	x: 2.373 m η = 0.5	x: 0.06 m η < 0.1	η < 0.1	x: 0.06 m η = 21.8	η < 0.1	η < 0.1	η < 0.1	x: 2.373 m η = 0.5	**CUMPLE** **η = 21.8**
N1336/N1259	x: 0.06 m $\lambda_w \leq \lambda_{w,máx}$ Cumple	η = 2.5	η = 19.2	x: 0.06 m η < 0.1	x: 0.06 m η = 11.7	η < 0.1	x: 2.373 m η = 0.9	x: 0.06 m η < 0.1	x: 0.06 m η < 0.1	x: 0.831 m η = 20.0	x: 0.06 m η < 0.1	M_{Ed} = 0.00 N.P.(5)	N.P.(6)	N.P.(6)	**CUMPLE** **η = 20.0**
N1334/N1336	$\lambda_w \leq \lambda_{w,máx}$ Cumple	x: 1.939 m η = 0.1	x: 0.06 m η = 0.3	x: 1.94 m η = 8.7	x: 0.06 m η < 0.1	η = 1.3	η < 0.1	η < 0.1	x: 0.06 m η < 0.1	x: 1.94 m η = 8.8	η < 0.1	η < 0.1	η = 1.3	η < 0.1	**CUMPLE** **η = 8.8**
N1335/N1337	$\lambda_w \leq \lambda_{w,máx}$ Cumple	x: 1.939 m η = 0.1	x: 0.06 m η = 0.3	x: 0.06 m η = 10.6	x: 0.06 m η < 0.1	η = 1.7	η < 0.1	η < 0.1	x: 0.06 m η < 0.1	x: 0.06 m η = 10.9	η < 0.1	η < 0.1	η = 1.7	η < 0.1	**CUMPLE** **η = 10.9**
N1105/N1261	x: 0.509 m $\lambda_w \leq \lambda_{w,máx}$ Cumple	η = 1.4	η = 24.3	M_{Ed} = 0.00 N.P.(2)	x: 3.65 m η = 6.0	V_{Ed} = 0.00 N.P.(3)	x: 0.06 m η = 0.5	N.P.(4)	x: 0.509 m η < 0.1	x: 3.65 m η = 30.9	x: 0.509 m η < 0.1	M_{Ed} = 0.00 N.P.(5)	N.P.(6)	N.P.(6)	**CUMPLE** **η = 30.9**
N1126/N1282	x: 0.509 m $\lambda_w \leq \lambda_{w,máx}$ Cumple	η = 1.4	η = 20.6	M_{Ed} = 0.00 N.P.(2)	x: 3.65 m η = 6.0	V_{Ed} = 0.00 N.P.(3)	x: 0.06 m η = 0.5	N.P.(4)	x: 0.509 m η < 0.1	x: 3.65 m η = 27.0	x: 0.509 m η < 0.1	M_{Ed} = 0.00 N.P.(5)	N.P.(6)	N.P.(6)	**CUMPLE** **η = 27.0**
N1128/N1338	x: 0.061 m $\lambda_w \leq \lambda_{w,máx}$ Cumple	η = 3.7	η = 26.0	x: 2.372 m η = 0.2	x: 2.373 m η = 17.7	η < 0.1	x: 0.06 m η = 1.3	x: 0.253 m η < 0.1	x: 0.061 m η < 0.1	x: 2.373 m η = 37.6	x: 0.061 m η < 0.1	M_{Ed} = 0.00 N.P.(5)	N.P.(6)	N.P.(6)	**CUMPLE** **η = 37.6**
N1338/N1339	$\lambda_w \leq \lambda_{w,máx}$ Cumple	η = 3.6	η = 31.7	x: 0.06 m η = 0.1	x: 0.06 m η = 4.8	η < 0.1	x: 2.373 m η = 0.6	x: 0.06 m η < 0.1	η < 0.1	x: 0.06 m η = 35.0	η < 0.1	η = 0.2	η < 0.1	x: 2.373 m η = 0.6	**CUMPLE** **η = 35.0**
N1339/N1284	x: 0.06 m $\lambda_w \leq \lambda_{w,máx}$ Cumple	η = 4.1	η = 31.9	x: 0.06 m η = 0.2	x: 0.06 m η = 10.6	η < 0.1	x: 2.373 m η = 0.8	x: 0.06 m η < 0.1	x: 0.06 m η < 0.1	x: 0.06 m η = 33.9	x: 0.06 m η < 0.1	M_{Ed} = 0.00 N.P.(5)	N.P.(6)	N.P.(6)	**CUMPLE** **η = 33.9**
N1112/N1340	x: 0.061 m $\lambda_w \leq \lambda_{w,máx}$ Cumple	η = 2.8	η = 12.7	x: 2.372 m η = 0.2	x: 2.373 m η = 17.7	η < 0.1	x: 0.06 m η = 1.3	x: 0.253 m η < 0.1	x: 0.061 m η < 0.1	x: 2.373 m η = 20.2	x: 0.061 m η < 0.1	M_{Ed} = 0.00 N.P.(5)	N.P.(6)	N.P.(6)	**CUMPLE** **η = 20.2**
N1340/N1341	$\lambda_w \leq \lambda_{w,máx}$ Cumple	η = 3.3	η = 12.4	x: 0.06 m η = 0.1	x: 0.06 m η = 4.8	η < 0.1	x: 2.373 m η = 0.6	x: 0.06 m η < 0.1	η < 0.1	x: 2.373 m η = 13.1	η < 0.1	η = 0.2	η < 0.1	x: 2.373 m η = 0.6	**CUMPLE** **η = 13.1**
N1341/N1268	x: 0.06 m $\lambda_w \leq \lambda_{w,máx}$ Cumple	η = 3.8	η = 13.3	x: 0.06 m η = 0.2	x: 0.06 m η = 9.6	η < 0.1	x: 2.373 m η = 0.8	x: 0.06 m η < 0.1	x: 0.06 m η < 0.1	x: 0.06 m η = 18.0	x: 0.06 m η < 0.1	M_{Ed} = 0.00 N.P.(5)	N.P.(6)	N.P.(6)	**CUMPLE** **η = 18.0**
N1341/N1339	$\lambda_w \leq \lambda_{w,máx}$ Cumple	x: 1.939 m η = 0.1	x: 0.06 m η = 0.4	x: 1.94 m η = 8.1	x: 0.06 m η = 0.1	η = 1.2	η < 0.1	η < 0.1	x: 0.06 m η < 0.1	x: 1.94 m η = 8.2	η < 0.1	η = 0.2	η = 1.2	η < 0.1	**CUMPLE** **η = 8.2**
N1340/N1338	$\lambda_w \leq \lambda_{w,máx}$ Cumple	x: 1.939 m η = 0.1	x: 0.06 m η = 0.4	x: 1.94 m η = 12.3	x: 0.06 m η = 0.1	η = 2.0	η < 0.1	η < 0.1	x: 0.06 m η < 0.1	x: 0.06 m η = 12.7	η < 0.1	η = 0.2	η = 2.0	η < 0.1	**CUMPLE** **η = 12.7**
N1116/N1343	x: 0.051 m $\lambda_w \leq \lambda_{w,máx}$ Cumple	η = 4.8	η = 21.1	x: 2.372 m η = 0.1	x: 2.373 m η = 20.4	η < 0.1	x: 0.05 m η = 1.4	x: 0.437 m η < 0.1	x: 0.051 m η < 0.1	x: 2.373 m η = 24.5	x: 0.051 m η < 0.1	M_{Ed} = 0.00 N.P.(5)	N.P.(6)	N.P.(6)	**CUMPLE** **η = 24.5**
N1343/N1342	$\lambda_w \leq \lambda_{w,máx}$ Cumple	η = 5.3	η = 21.8	x: 0.06 m η < 0.1	x: 0.06 m η = 5.8	η < 0.1	x: 2.373 m η = 0.7	x: 0.06 m η < 0.1	η < 0.1	x: 2.373 m η = 23.3	η < 0.1	η < 0.1	η < 0.1	x: 2.373 m η = 0.7	**CUMPLE** **η = 23.3**
N1342/N1272	x: 0.06 m $\lambda_w \leq \lambda_{w,máx}$ Cumple	η = 6.0	η = 23.2	x: 0.06 m η = 0.1	x: 0.06 m η = 11.9	η < 0.1	x: 2.383 m η = 0.9	x: 0.06 m η < 0.1	x: 0.06 m η < 0.1	x: 0.06 m η = 29.5	x: 0.06 m η < 0.1	M_{Ed} = 0.00 N.P.(5)	N.P.(6)	N.P.(6)	**CUMPLE** **η = 29.5**
N1132/N1345	x: 0.051 m $\lambda_w \leq \lambda_{w,máx}$ Cumple	η = 4.9	η = 31.0	x: 2.372 m η = 0.1	x: 2.373 m η = 21.1	η < 0.1	x: 0.05 m η = 1.5	x: 0.437 m η < 0.1	x: 0.051 m η < 0.1	x: 2.373 m η = 44.9	x: 0.051 m η < 0.1	M_{Ed} = 0.00 N.P.(5)	N.P.(6)	N.P.(6)	**CUMPLE** **η = 44.9**
N1345/N1344	$\lambda_w \leq \lambda_{w,máx}$ Cumple	η = 4.9	η = 38.0	x: 0.06 m η < 0.1	x: 0.06 m η = 6.1	η < 0.1	x: 2.373 m η = 0.7	x: 0.06 m η < 0.1	η < 0.1	x: 0.06 m η = 42.1	η < 0.1	η < 0.1	η < 0.1	x: 2.373 m η = 0.7	**CUMPLE** **η = 42.1**
N1344/N1288	x: 0.06 m $\lambda_w \leq \lambda_{w,máx}$ Cumple	η = 5.6	η = 38.5	x: 0.06 m η = 0.1	x: 0.06 m η = 12.1	η < 0.1	x: 2.383 m η = 0.9	x: 0.06 m η < 0.1	x: 0.06 m η < 0.1	x: 0.06 m η = 42.3	x: 0.06 m η < 0.1	M_{Ed} = 0.00 N.P.(5)	N.P.(6)	N.P.(6)	**CUMPLE** **η = 42.3**
N1342/N1344	$\lambda_w \leq \lambda_{w,máx}$ Cumple	x: 1.939 m η < 0.1	x: 0.06 m η = 0.4	x: 1.94 m η = 9.1	x: 0.06 m η < 0.1	η = 1.4	η < 0.1	η < 0.1	x: 0.06 m η < 0.1	x: 1.94 m η = 9.2	η < 0.1	η = 0.1	η = 1.5	η < 0.1	**CUMPLE** **η = 9.2**
N1343/N1345	$\lambda_w \leq \lambda_{w,máx}$ Cumple	x: 1.939 m η < 0.1	x: 0.06 m η = 0.4	x: 1.94 m η = 14.4	x: 0.06 m η < 0.1	η = 2.3	η < 0.1	η < 0.1	x: 0.06 m η < 0.1	x: 1.94 m η = 14.8	η < 0.1	η = 0.1	η = 2.3	η < 0.1	**CUMPLE** **η = 14.8**
N1120/N1347	x: 0.061 m $\lambda_w \leq \lambda_{w,máx}$ Cumple	η = 3.7	η = 15.7	x: 2.373 m η = 0.2	x: 2.373 m η = 16.6	η < 0.1	x: 0.06 m η = 1.2	x: 0.253 m η < 0.1	x: 0.061 m η < 0.1	x: 2.373 m η = 20.1	x: 0.061 m η < 0.1	M_{Ed} = 0.00 N.P.(5)	N.P.(6)	N.P.(6)	**CUMPLE** **η = 20.1**
N1347/N1346	$\lambda_w \leq \lambda_{w,máx}$ Cumple	η = 4.2	η = 16.5	x: 0.06 m η = 0.1	x: 0.06 m η = 4.5	η < 0.1	x: 2.373 m η = 0.6	x: 0.06 m η < 0.1	η < 0.1	x: 2.373 m η = 17.4	η < 0.1	η = 0.2	η < 0.1	x: 2.373 m η = 0.6	**CUMPLE** **η = 17.4**
N1346/N1276	x: 0.06 m $\lambda_w \leq \lambda_{w,máx}$ Cumple	η = 4.7	η = 17.6	x: 0.06 m η = 0.2	x: 0.06 m η = 10.6	η < 0.1	x: 2.373 m η = 0.8	x: 0.06 m η < 0.1	x: 0.06 m η < 0.1	x: 0.06 m η = 22.9	x: 0.06 m η < 0.1	M_{Ed} = 0.00 N.P.(5)	N.P.(6)	N.P.(6)	**CUMPLE** **η = 22.9**
N1136/N1349	x: 0.061 m $\lambda_w \leq \lambda_{w,máx}$ Cumple	η = 3.9	η = 20.4	x: 2.373 m η = 0.2	x: 2.373 m η = 17.0	η < 0.1	x: 0.06 m η = 1.2	x: 0.253 m η < 0.1	x: 0.061 m η < 0.1	x: 2.373 m η = 31.3	x: 0.061 m η < 0.1	M_{Ed} = 0.00 N.P.(5)	N.P.(6)	N.P.(6)	**CUMPLE** **η = 31.3**
N1349/N1348	$\lambda_w \leq \lambda_{w,máx}$ Cumple	η = 3.9	η = 25.8	x: 0.06 m η = 0.1	x: 0.06 m η = 4.6	η < 0.1	x: 2.373 m η = 0.6	x: 0.06 m η < 0.1	η < 0.1	x: 0.06 m η = 28.8	η < 0.1	η = 0.2	η < 0.1	x: 2.373 m η = 0.6	**CUMPLE** **η = 28.8**
N1348/N1292	x: 0.06 m $\lambda_w \leq \lambda_{w,máx}$ Cumple	η = 4.5	η = 25.8	x: 0.06 m η = 0.2	x: 0.06 m η = 11.1	η < 0.1	x: 2.373 m η = 0.9	x: 0.06 m η < 0.1	x: 0.06 m η < 0.1	x: 0.06 m η = 27.0	x: 0.06 m η < 0.1	M_{Ed} = 0.00 N.P.(5)	N.P.(6)	N.P.(6)	**CUMPLE** **η = 27.0**
N1346/N1348	$\lambda_w \leq \lambda_{w,máx}$ Cumple	x: 1.939 m η < 0.1	x: 0.06 m η = 0.3	x: 1.94 m η = 8.5	x: 0.06 m η = 0.1	η = 1.3	η < 0.1	η < 0.1	x: 0.06 m η < 0.1	x: 1.94 m η = 8.6	η < 0.1	η = 0.2	η = 1.3	η < 0.1	**CUMPLE** **η = 8.6**
N1347/N1349	$\lambda_w \leq \lambda_{w,máx}$ Cumple	x: 1.939 m η < 0.1	x: 0.06 m η = 0.3	x: 1.94 m η = 11.9	x: 0.06 m η = 0.1	η = 1.9	η < 0.1	η < 0.1	x: 0.06 m η < 0.1	x: 1.94 m η = 12.2	η < 0.1	η = 0.2	η = 1.9	η < 0.1	**CUMPLE** **η = 12.2**
N1138/N1294	x: 0.509 m $\lambda_w \leq \lambda_{w,máx}$ Cumple	η = 2.5	η = 18.1	M_{Ed} = 0.00 N.P.(2)	x: 3.65 m η = 6.0	V_{Ed} = 0.00 N.P.(3)	x: 0.06 m η = 0.5	N.P.(4)	x: 0.509 m η < 0.1	x: 3.65 m η = 24.5	x: 0.509 m η < 0.1	M_{Ed} = 0.00 N.P.(5)	N.P.(6)	N.P.(6)	**CUMPLE** **η = 24.5**

Documento visado electrónicamente con número: VA07290/22
Código de validación telemática TRLTDCFZ60T66IJ1. Comprobación: https://cogitivalencia.e-gestion.es/Validacion.aspx?CVT=TRLTDCFZ60T66IJ1

VISADO
COGITI
VALENCIA
VA07290/22
TRLTDCFZ60T66IJ1

Barras	COMPROBACIONES (CÓDIGO ESTRUCTURAL)														Estado
	λ_w	N_t	N_c	M_Y	M_Z	V_Z	V_Y	M_YV_Z	M_ZV_Y	NM_YM_Z	$NM_YM_ZV_YV_Z$	M_t	M_tV_Z	M_tV_Y	
N1062/N1317	x: 0.061 m $\lambda_w \leq \lambda_{w,máx}$ Cumple	η = 4.3	η = 21.2	x: 2.372 m η = 0.2	x: 2.373 m η = 16.1	η < 0.1	x: 0.06 m η = 1.2	x: 0.253 m η < 0.1	x: 0.061 m η < 0.1	x: 2.373 m η = 31.6	x: 0.061 m η < 0.1	M_{Ed} = 0.00 N.P.(5)	N.P.(6)	N.P.(6)	**CUMPLE** **η = 31.6**
N1317/N1315	$\lambda_w \leq \lambda_{w,máx}$ Cumple	η = 4.3	η = 26.3	x: 0.06 m η < 0.1	x: 0.06 m η = 4.3	η < 0.1	x: 2.373 m η = 0.5	x: 0.06 m η < 0.1	η < 0.1	x: 0.06 m η = 29.1	η < 0.1	η = 0.2	η < 0.1	x: 2.373 m η = 0.5	**CUMPLE** **η = 29.1**
N1315/N1218	x: 0.06 m $\lambda_w \leq \lambda_{w,máx}$ Cumple	η = 5.1	η = 26.3	x: 0.06 m η = 0.2	x: 0.06 m η = 13.6	η < 0.1	x: 2.373 m η = 1.0	x: 0.06 m η < 0.1	x: 0.06 m η < 0.1	x: 0.06 m η = 27.6	x: 0.06 m η < 0.1	M_{Ed} = 0.00 N.P.(5)	N.P.(6)	N.P.(6)	**CUMPLE** **η = 27.6**
N1045/N1316	x: 0.061 m $\lambda_w \leq \lambda_{w,máx}$ Cumple	η = 4.2	η = 17.5	x: 2.372 m η = 0.2	x: 2.373 m η = 16.5	η < 0.1	x: 0.06 m η = 1.2	x: 0.253 m η < 0.1	x: 0.061 m η < 0.1	x: 2.373 m η = 20.7	x: 0.061 m η < 0.1	M_{Ed} = 0.00 N.P.(5)	N.P.(6)	N.P.(6)	**CUMPLE** **η = 20.7**
N1316/N1314	$\lambda_w \leq \lambda_{w,máx}$ Cumple	η = 4.7	η = 19.6	x: 0.06 m η < 0.1	x: 0.06 m η = 4.5	η < 0.1	x: 2.373 m η = 0.5	x: 0.06 m η < 0.1	η < 0.1	x: 2.373 m η = 21.1	η < 0.1	η = 0.2	η < 0.1	x: 2.373 m η = 0.5	**CUMPLE** **η = 21.1**
N1314/N1201	x: 0.06 m $\lambda_w \leq \lambda_{w,máx}$ Cumple	η = 5.2	η = 21.1	x: 0.06 m η = 0.2	x: 0.06 m η = 12.2	η < 0.1	x: 2.373 m η = 0.9	x: 0.06 m η < 0.1	x: 0.06 m η < 0.1	x: 0.06 m η = 27.6	x: 0.06 m η < 0.1	M_{Ed} = 0.00 N.P.(5)	N.P.(6)	N.P.(6)	**CUMPLE** **η = 27.6**
N1354/N1363	$\lambda_w \leq \lambda_{w,máx}$ Cumple	x: 1.938 m η = 0.1	x: 0.06 m η = 0.1	x: 1.939 m η = 15.4	x: 0.06 m η = 0.8	η = 2.5	η = 0.1	η < 0.1	η < 0.1	x: 0.06 m η = 15.9	η < 0.1	η = 1.2	η = 2.5	η = 0.1	**CUMPLE** **η = 15.9**
N1355/N1364	$\lambda_w \leq \lambda_{w,máx}$ Cumple	x: 1.938 m η < 0.1	x: 0.06 m η = 0.1	x: 1.939 m η = 23.0	x: 0.06 m η = 0.6	η = 3.7	η = 0.1	η < 0.1	η < 0.1	x: 1.939 m η = 23.5	η < 0.1	η = 0.8	η = 3.7	η = 0.1	**CUMPLE** **η = 23.5**
N1356/N1365	$\lambda_w \leq \lambda_{w,máx}$ Cumple	x: 1.938 m η = 0.2	x: 0.06 m η = 0.2	x: 0.06 m η = 22.8	x: 0.06 m η = 0.3	η = 3.6	η < 0.1	η < 0.1	η < 0.1	x: 0.06 m η = 23.1	η < 0.1	η = 0.5	η = 3.6	η < 0.1	**CUMPLE** **η = 23.1**
N1357/N1366	$\lambda_w \leq \lambda_{w,máx}$ Cumple	x: 1.938 m η < 0.1	x: 0.06 m η = 0.1	x: 1.939 m η = 27.7	x: 0.06 m η = 0.2	η = 4.4	η < 0.1	η < 0.1	η < 0.1	x: 0.06 m η = 27.8	η < 0.1	η = 0.7	η = 4.4	η < 0.1	**CUMPLE** **η = 27.8**
N1358/N1367	$\lambda_w \leq \lambda_{w,máx}$ Cumple	x: 1.938 m η = 0.1	x: 0.06 m η = 0.2	x: 0.06 m η = 19.8	x: 0.06 m η = 0.5	η = 3.2	η = 0.1	η < 0.1	η < 0.1	x: 0.06 m η = 20.2	η < 0.1	η = 0.8	η = 3.2	η = 0.1	**CUMPLE** **η = 20.2**
N1359/N1368	$\lambda_w \leq \lambda_{w,máx}$ Cumple	x: 1.938 m η = 0.1	x: 0.06 m η = 0.1	x: 1.939 m η = 17.8	x: 0.06 m η = 0.6	η = 2.8	η = 0.1	η < 0.1	η < 0.1	x: 0.06 m η = 18.2	η < 0.1	η = 0.9	η = 2.9	η = 0.1	**CUMPLE** **η = 18.2**
N1360/N1369	$\lambda_w \leq \lambda_{w,máx}$ Cumple	x: 1.938 m η = 0.1	x: 0.06 m η = 0.1	x: 1.939 m η = 9.3	x: 0.06 m η = 0.6	η = 1.5	η = 0.1	η < 0.1	η < 0.1	x: 0.06 m η = 9.6	η < 0.1	η = 0.9	η = 1.5	η = 0.1	**CUMPLE** **η = 9.6**
N1371/N1379	$\lambda_w \leq \lambda_{w,máx}$ Cumple	x: 1.938 m η = 0.1	x: 0.06 m η = 0.1	x: 1.939 m η = 8.2	x: 1.939 m η = 0.3	η = 1.3	η < 0.1	η < 0.1	η < 0.1	x: 1.939 m η = 8.4	η < 0.1	η = 0.4	η = 1.3	η < 0.1	**CUMPLE** **η = 8.4**
N1372/N1380	$\lambda_w \leq \lambda_{w,máx}$ Cumple	x: 1.938 m η < 0.1	x: 0.06 m η = 0.1	x: 1.939 m η = 12.4	x: 0.06 m η = 0.2	η = 2.0	η < 0.1	η < 0.1	η < 0.1	x: 0.06 m η = 12.6	η < 0.1	η = 0.3	η = 2.0	η < 0.1	**CUMPLE** **η = 12.6**
N1373/N1381	$\lambda_w \leq \lambda_{w,máx}$ Cumple	x: 1.938 m η = 0.1	x: 0.06 m η = 0.1	x: 0.06 m η = 14.1	x: 0.06 m η = 0.1	η = 2.2	η < 0.1	η < 0.1	η < 0.1	x: 1.939 m η = 14.2	η < 0.1	η = 0.2	η = 2.2	η < 0.1	**CUMPLE** **η = 14.2**
N1374/N1382	$\lambda_w \leq \lambda_{w,máx}$ Cumple	x: 1.938 m η < 0.1	x: 0.06 m η = 0.1	x: 1.939 m η = 17.5	x: 0.06 m η = 0.1	η = 2.8	η < 0.1	η < 0.1	η < 0.1	x: 0.06 m η = 17.6	η < 0.1	η = 0.3	η = 2.8	η < 0.1	**CUMPLE** **η = 17.6**
N1375/N1383	$\lambda_w \leq \lambda_{w,máx}$ Cumple	x: 1.938 m η = 0.1	x: 0.06 m η = 0.2	x: 0.06 m η = 12.8	x: 0.06 m η = 0.2	η = 2.0	η < 0.1	η < 0.1	η < 0.1	x: 0.06 m η = 13.1	η < 0.1	η = 0.4	η = 2.1	η < 0.1	**CUMPLE** **η = 13.1**
N1376/N1384	$\lambda_w \leq \lambda_{w,máx}$ Cumple	x: 1.938 m η < 0.1	x: 0.06 m η = 0.1	x: 1.939 m η = 12.6	x: 0.06 m η = 0.3	η = 2.0	η < 0.1	η < 0.1	η < 0.1	x: 1.939 m η = 12.8	η < 0.1	η = 0.5	η = 2.0	η < 0.1	**CUMPLE** **η = 12.8**
N1377/N1385	$\lambda_w \leq \lambda_{w,máx}$ Cumple	x: 1.938 m η = 0.1	x: 0.06 m η = 0.1	x: 1.939 m η = 6.9	x: 0.06 m η = 0.3	η = 1.1	η < 0.1	η < 0.1	η < 0.1	x: 0.06 m η = 7.1	η < 0.1	η = 0.4	η = 1.1	η < 0.1	**CUMPLE** **η = 7.1**
N1387/N1395	$\lambda_w \leq \lambda_{w,máx}$ Cumple	x: 1.938 m η = 0.1	x: 0.06 m η = 0.1	x: 1.939 m η = 10.6	x: 0.06 m η = 0.5	η = 1.7	η = 0.1	η < 0.1	η < 0.1	x: 1.939 m η = 10.9	η < 0.1	η = 0.5	η = 1.7	η = 0.1	**CUMPLE** **η = 10.9**
N1388/N1396	$\lambda_w \leq \lambda_{w,máx}$ Cumple	x: 1.938 m η = 0.1	x: 0.06 m η = 0.1	x: 1.939 m η = 17.2	x: 0.06 m η = 0.5	η = 2.7	η = 0.1	η < 0.1	η < 0.1	x: 0.06 m η = 17.5	η < 0.1	η = 0.5	η = 2.8	η = 0.1	**CUMPLE** **η = 17.5**
N1389/N1397	$\lambda_w \leq \lambda_{w,máx}$ Cumple	x: 1.938 m η = 0.1	x: 0.06 m η = 0.2	x: 0.06 m η = 20.3	x: 0.06 m η = 0.3	η = 3.2	η < 0.1	η < 0.1	η < 0.1	x: 0.06 m η = 20.6	η < 0.1	η = 0.4	η = 3.2	η < 0.1	**CUMPLE** **η = 20.6**
N1390/N1398	$\lambda_w \leq \lambda_{w,máx}$ Cumple	x: 1.938 m η < 0.1	x: 0.06 m η = 0.1	x: 1.939 m η = 26.0	x: 0.06 m η = 0.1	η = 4.1	η < 0.1	η < 0.1	η < 0.1	x: 0.06 m η = 26.0	η < 0.1	η = 0.5	η = 4.2	η < 0.1	**CUMPLE** **η = 26.0**
N1391/N1399	$\lambda_w \leq \lambda_{w,máx}$ Cumple	x: 1.938 m η = 0.2	x: 0.06 m η = 0.2	x: 0.06 m η = 20.5	x: 0.06 m η = 0.3	η = 3.3	η < 0.1	η < 0.1	η < 0.1	x: 0.06 m η = 20.8	η < 0.1	η = 0.6	η = 3.3	η < 0.1	**CUMPLE** **η = 20.8**
N1392/N1400	$\lambda_w \leq \lambda_{w,máx}$ Cumple	x: 1.938 m η < 0.1	x: 0.06 m η = 0.1	x: 1.939 m η = 21.1	x: 0.06 m η = 0.6	η = 3.4	η = 0.1	η < 0.1	η < 0.1	x: 0.06 m η = 21.5	η < 0.1	η = 0.9	η = 3.4	η = 0.1	**CUMPLE** **η = 21.5**
N1393/N1401	$\lambda_w \leq \lambda_{w,máx}$ Cumple	x: 1.938 m η = 0.1	x: 0.06 m η = 0.1	x: 0.06 m η = 13.2	x: 0.06 m η = 0.8	η = 2.1	η = 0.1	η < 0.1	η < 0.1	x: 0.06 m η = 13.7	η < 0.1	η = 1.2	η = 2.1	η = 0.1	**CUMPLE** **η = 13.7**
N1197/N1403	$\lambda_w \leq \lambda_{w,máx}$ Cumple	η = 1.5	η = 0.1	x: 0.06 m η = 6.2	x: 0.06 m η = 5.7	η = 0.2	x: 0.06 m η = 0.8	η < 0.1	η < 0.1	x: 0.06 m η = 8.8	η < 0.1	η = 4.4	η = 0.2	x: 0.06 m η = 0.8	**CUMPLE** **η = 8.8**
N1403/N1404	$\lambda_w \leq \lambda_{w,máx}$ Cumple	η = 1.2	N_{Ed} = 0.00 N.P.(7)	x: 0.06 m η = 5.2	x: 2.373 m η = 1.7	η = 0.3	x: 0.06 m η = 0.3	η < 0.1	η < 0.1	x: 0.06 m η = 7.4	η < 0.1	η = 3.6	η = 0.3	x: 0.06 m η = 0.3	**CUMPLE** **η = 7.4**
N1404/N1353	$\lambda_w \leq \lambda_{w,máx}$ Cumple	η = 1.0	N_{Ed} = 0.00 N.P.(7)	x: 2.373 m η = 2.2	x: 2.373 m η = 7.3	η = 0.3	x: 2.373 m η = 1.1	η < 0.1	η < 0.1	x: 2.373 m η = 10.3	η < 0.1	η = 3.3	η = 0.3	x: 2.373 m η = 1.1	**CUMPLE** **η = 10.3**
N1214/N1405	$\lambda_w \leq \lambda_{w,máx}$ Cumple	η = 0.7	η = 20.4	x: 0.06 m η = 14.0	x: 0.06 m η = 5.3	η = 0.6	x: 0.06 m η = 0.8	η < 0.1	η < 0.1	x: 0.06 m η = 27.6	η < 0.1	η = 5.2	η = 0.6	x: 0.06 m η = 0.8	**CUMPLE** **η = 27.6**
N1405/N1406	$\lambda_w \leq \lambda_{w,máx}$ Cumple	η = 0.5	η = 20.9	x: 0.06 m η = 6.1	x: 2.181 m η = 1.5	η = 0.5	x: 0.06 m η = 0.3	η < 0.1	η < 0.1	x: 0.06 m η = 23.7	η < 0.1	η = 4.1	η = 0.5	x: 0.06 m η = 0.3	**CUMPLE** **η = 23.7**
N1406/N1362	$\lambda_w \leq \lambda_{w,máx}$ Cumple	η = 0.7	η = 20.3	x: 2.373 m η = 7.3	x: 2.373 m η = 7.1	η = 0.5	x: 2.373 m η = 1.0	η < 0.1	η < 0.1	x: 2.373 m η = 25.7	η < 0.1	η = 3.5	η = 0.5	x: 2.373 m η = 1.1	**CUMPLE** **η = 25.7**
N1213/N1407	$\lambda_w \leq \lambda_{w,máx}$ Cumple	η = 0.7	η = 78.9	x: 0.15 m η = 4.1	x: 0.15 m η = 3.4	η = 0.4	x: 0.15 m η = 0.5	η < 0.1	η < 0.1	x: 0.15 m η = 82.0	η < 0.1	η = 0.7	η = 0.4	x: 0.15 m η = 0.5	**CUMPLE** **η = 82.0**
N1407/N1408	$\lambda_w \leq \lambda_{w,máx}$ Cumple	η = 3.2	η = 23.0	x: 0.095 m η = 1.5	x: 0.095 m η = 4.7	η = 0.2	x: 0.095 m η = 0.6	η < 0.1	η < 0.1	x: 0.095 m η = 27.4	η < 0.1	η = 1.5	η = 0.2	x: 0.095 m η = 0.6	**CUMPLE** **η = 27.4**
N1408/N1361	$\lambda_w \leq \lambda_{w,máx}$ Cumple	η = 1.4	η = 8.1	x: 2.373 m η = 1.8	x: 1.234 m η = 0.7	η = 0.2	x: 0.095 m η = 0.2	η < 0.1	η < 0.1	x: 0.095 m η = 9.0	η < 0.1	η = 1.2	η = 0.2	x: 0.095 m η = 0.2	**CUMPLE** **η = 9.0**
N1230/N1409	$\lambda_w \leq \lambda_{w,máx}$ Cumple	η = 3.9	η = 16.9	x: 0.095 m η = 3.1	x: 0.095 m η = 4.1	η = 0.3	x: 0.095 m η = 0.5	η < 0.1	η < 0.1	x: 0.095 m η = 20.4	η < 0.1	η = 1.8	η = 0.3	x: 0.095 m η = 0.5	**CUMPLE** **η = 20.4**
N1409/N1410	$\lambda_w \leq \lambda_{w,máx}$ Cumple	η = 1.9	η = 19.7	x: 2.373 m η = 0.9	x: 0.06 m η = 1.9	η = 0.1	x: 0.06 m η = 0.4	η < 0.1	η < 0.1	x: 2.373 m η = 20.8	η < 0.1	η = 1.8	η = 0.1	x: 0.06 m η = 0.4	**CUMPLE** **η = 20.8**
N1410/N1370	$\lambda_w \leq \lambda_{w,máx}$ Cumple	η = 1.9	η = 20.0	x: 2.338 m η = 0.7	x: 0.06 m η = 1.0	η = 0.1	x: 0.06 m η = 0.3	η < 0.1	η < 0.1	x: 1.959 m η = 20.8	η < 0.1	η = 1.4	η = 0.1	x: 0.06 m η = 0.3	**CUMPLE** **η = 20.8**
N1408/N1410	$\lambda_w \leq \lambda_{w,máx}$ Cumple	x: 1.939 m η < 0.1	x: 0.078 m η = 1.5	x: 0.078 m η = 2.4	x: 0.078 m η = 0.8	η = 0.4	η < 0.1	η < 0.1	η < 0.1	x: 0.078 m η = 2.8	η < 0.1	η = 1.4	η = 0.4	η < 0.1	**CUMPLE** **η = 2.8**
N1407/N1409	$\lambda_w \leq \lambda_{w,máx}$ Cumple	x: 1.939 m η = 0.1	x: 0.078 m η = 2.4	x: 1.94 m η = 2.6	x: 0.078 m η = 2.2	η = 0.3	η = 0.2	η < 0.1	η < 0.1	x: 1.94 m η = 5.0	η < 0.1	η = 1.6	η = 0.3	η = 0.2	**CUMPLE** **η = 5.0**

Documento visado electrónicamente con número: VA07290/22 Código de validación telemática TRLTDCFZ60T66IJ1. Comprobación: https://cogitivalencia.e-gestion.es/Validacion.aspx?CVT=TRLTDCFZ60T66IJ1

VISADO
COGITI
Estado
VALENCIA
VA07290/22
TRLTDCFZ60T66IJ1

Barras	COMPROBACIONES (CÓDIGO ESTRUCTURAL)														
	λ_w	N_t	N_c	M_Y	M_Z	V_Z	V_Y	M_YV_Z	M_ZV_Y	NM_YM_Z	$NM_YM_ZV_YV_Z$	M_t	M_tV_Z	M_tV_Y	
N1404/N1406	$\lambda_w \leq \lambda_{w,máx}$ Cumple	x: 1.939 m η < 0.1	x: 0.06 m η = 0.2	x: 1.94 m η = 5.4	x: 1.94 m η = 0.7	η = 0.9	η = 0.1	η < 0.1	η < 0.1	x: 1.94 m η = 5.8	η < 0.1	η = 3.9	η = 0.9	η = 0.1	**CUMPLE η = 7.2**
N1403/N1405	$\lambda_w \leq \lambda_{w,máx}$ Cumple	x: 1.939 m η < 0.1	x: 0.06 m η = 0.2	x: 1.94 m η = 3.5	x: 0.06 m η = 2.0	η = 0.6	η = 0.2	η < 0.1	η < 0.1	x: 1.94 m η = 4.0	η < 0.1	η = 2.7	η = 0.6	η = 0.2	**CUMPLE η = 4.0**
N1231/N1407	$\lambda_w \leq \lambda_{w,máx}$ Cumple	x: 3.054 m η = 9.2	x: 0.195 m η = 3.3	x: 0.195 m η = 5.1	x: 0.195 m η = 3.9	x: 3.055 m η = 0.6	η = 0.2	η < 0.1	η < 0.1	x: 0.195 m η = 17.7	η < 0.1	η = 2.3	x: 3.055 m η = 0.6	η = 0.2	**CUMPLE η = 17.7**
N1264/N1411	$\lambda_w \leq \lambda_{w,máx}$ Cumple	x: 3.054 m η = 10.6	x: 0.195 m η = 2.6	x: 0.195 m η = 5.0	x: 3.055 m η = 5.1	x: 3.055 m η = 0.6	η = 0.3	η < 0.1	η < 0.1	x: 3.055 m η = 18.5	η < 0.1	η = 1.5	x: 3.055 m η = 0.6	η = 0.3	**CUMPLE η = 18.5**
N1247/N1411	$\lambda_w \leq \lambda_{w,máx}$ Cumple	x: 0.588 m η = 0.1	η = 68.1	x: 0.15 m η = 4.7	x: 0.15 m η = 3.4	η = 0.5	x: 0.15 m η = 0.5	η < 0.1	η < 0.1	x: 0.15 m η = 73.5	η < 0.1	η = 1.4	η = 0.5	x: 0.15 m η = 0.5	**CUMPLE η = 73.5**
N1411/N1412	$\lambda_w \leq \lambda_{w,máx}$ Cumple	η = 3.8	η = 24.5	x: 0.095 m η = 0.9	x: 2.338 m η = 2.9	η = 0.1	x: 2.338 m η = 0.5	η < 0.1	η < 0.1	x: 0.095 m η = 26.1	η < 0.1	η = 0.8	η = 0.1	x: 2.338 m η = 0.5	**CUMPLE η = 26.1**
N1412/N1378	$\lambda_w \leq \lambda_{w,máx}$ Cumple	η = 1.4	η = 28.8	x: 2.373 m η = 0.6	x: 1.424 m η = 0.5	x: 0.665 m η < 0.1	x: 0.095 m η = 0.2	η < 0.1	η < 0.1	x: 1.424 m η = 29.6	η < 0.1	η = 0.4	x: 0.665 m η < 0.1	x: 0.095 m η = 0.2	**CUMPLE η = 29.6**
N1411/N1413	$\lambda_w \leq \lambda_{w,máx}$ Cumple	x: 1.939 m η = 0.1	x: 0.078 m η = 1.2	x: 0.078 m η = 2.1	x: 0.078 m η = 3.2	η = 0.3	η = 0.2	η < 0.1	η < 0.1	x: 0.078 m η = 5.0	η < 0.1	η = 0.9	η = 0.3	η = 0.2	**CUMPLE η = 5.0**
N1412/N1414	$\lambda_w \leq \lambda_{w,máx}$ Cumple	N_{Ed} = 0.00 N.P.(1)	x: 0.078 m η = 2.3	x: 1.94 m η = 1.6	x: 0.078 m η = 0.4	η = 0.2	η < 0.1	η < 0.1	η < 0.1	x: 1.94 m η = 3.9	η < 0.1	η = 0.6	η = 0.2	η < 0.1	**CUMPLE η = 3.9**
N1263/N1413	$\lambda_w \leq \lambda_{w,máx}$ Cumple	η = 2.1	η = 21.4	x: 0.095 m η = 3.4	x: 0.095 m η = 3.4	η = 0.2	x: 0.095 m η = 0.5	η < 0.1	η < 0.1	x: 0.095 m η = 24.1	η < 0.1	η = 1.7	η = 0.2	x: 0.095 m η = 0.5	**CUMPLE η = 24.1**
N1413/N1414	$\lambda_w \leq \lambda_{w,máx}$ Cumple	η = 1.0	η = 21.1	x: 0.06 m η = 1.2	x: 0.06 m η = 3.0	η = 0.1	x: 2.373 m η = 0.5	η < 0.1	η < 0.1	x: 0.06 m η = 23.7	η < 0.1	η = 1.1	η = 0.1	x: 2.373 m η = 0.5	**CUMPLE η = 23.7**
N1414/N1386	$\lambda_w \leq \lambda_{w,máx}$ Cumple	η = 1.0	η = 10.7	x: 2.338 m η = 1.7	x: 0.06 m η = 1.3	η = 0.1	x: 0.06 m η = 0.3	η < 0.1	η < 0.1	x: 2.338 m η = 12.7	η < 0.1	η = 0.7	η = 0.1	x: 0.06 m η = 0.3	**CUMPLE η = 12.7**
N1407/N1230	$\lambda_w \leq \lambda_{w,máx}$ Cumple	x: 3.054 m η = 11.9	x: 0.306 m η = 1.5	x: 3.055 m η = 3.6	x: 0.095 m η = 3.0	x: 3.055 m η = 0.5	η = 0.1	η < 0.1	η < 0.1	x: 3.055 m η = 16.4	η < 0.1	η = 1.4	x: 3.055 m η = 0.5	η = 0.1	**CUMPLE η = 16.4**
N1408/N1370	$\lambda_w \leq \lambda_{w,máx}$ Cumple	x: 3.054 m η = 2.9	x: 0.095 m η = 3.5	x: 3.055 m η = 1.1	x: 0.095 m η = 1.5	x: 0.095 m η = 0.2	η < 0.1	η < 0.1	η < 0.1	x: 3.055 m η = 5.2	η < 0.1	η = 0.2	x: 0.095 m η = 0.2	η < 0.1	**CUMPLE η = 5.2**
N1411/N1263	$\lambda_w \leq \lambda_{w,máx}$ Cumple	x: 3.054 m η = 9.2	x: 0.095 m η = 1.1	x: 3.055 m η = 3.2	x: 3.055 m η = 1.9	x: 3.055 m η = 0.4	η < 0.1	η < 0.1	η < 0.1	x: 3.055 m η = 13.3	η < 0.1	η = 1.8	x: 3.055 m η = 0.5	η < 0.1	**CUMPLE η = 13.3**
N1412/N1386	$\lambda_w \leq \lambda_{w,máx}$ Cumple	x: 3.054 m η = 4.0	x: 0.095 m η = 1.3	x: 0.095 m η = 1.2	x: 3.055 m η = 0.8	x: 0.095 m η = 0.3	η = 0.1	η < 0.1	η < 0.1	x: 3.054 m η = 5.6	η < 0.1	η = 0.5	x: 0.095 m η = 0.3	η = 0.1	**CUMPLE η = 5.6**
N1296/N1416	$\lambda_w \leq \lambda_{w,máx}$ Cumple	η = 0.1	η = 21.4	x: 0.095 m η = 5.8	x: 0.095 m η = 3.6	η = 0.3	x: 0.095 m η = 0.5	η < 0.1	η < 0.1	x: 0.095 m η = 28.0	η < 0.1	η = 2.9	η = 0.4	x: 0.095 m η = 0.5	**CUMPLE η = 28.0**
N1416/N1415	$\lambda_w \leq \lambda_{w,máx}$ Cumple	N_{Ed} = 0.00 N.P.(1)	η = 21.0	x: 0.06 m η = 3.3	x: 0.06 m η = 3.2	η = 0.3	x: 2.373 m η = 0.5	η < 0.1	η < 0.1	x: 0.06 m η = 26.6	η < 0.1	η = 2.6	η = 0.3	x: 2.373 m η = 0.5	**CUMPLE η = 26.6**
N1415/N1402	$\lambda_w \leq \lambda_{w,máx}$ Cumple	N_{Ed} = 0.00 N.P.(1)	η = 20.6	x: 2.338 m η = 3.9	x: 0.06 m η = 1.8	η = 0.3	x: 0.06 m η = 0.3	η < 0.1	η < 0.1	x: 2.338 m η = 22.1	η < 0.1	η = 2.1	η = 0.3	x: 0.06 m η = 0.4	**CUMPLE η = 22.1**
N1417/N1402	$\lambda_w \leq \lambda_{w,máx}$ Cumple	x: 3.054 m η = 4.0	x: 0.095 m η = 0.8	x: 0.095 m η = 1.4	x: 3.055 m η = 3.5	x: 0.095 m η = 0.3	η = 0.1	η < 0.1	η < 0.1	x: 3.055 m η = 8.3	η < 0.1	η = 0.7	x: 0.095 m η = 0.3	η = 0.1	**CUMPLE η = 8.3**
N1280/N1418	$\lambda_w \leq \lambda_{w,máx}$ Cumple	η = 1.1	η = 52.3	x: 0.15 m η = 8.5	x: 0.15 m η = 2.3	η = 0.7	x: 0.15 m η = 0.4	η < 0.1	η < 0.1	x: 0.15 m η = 58.6	η < 0.1	η = 1.1	η = 0.7	x: 0.15 m η = 0.4	**CUMPLE η = 58.6**
N1418/N1417	$\lambda_w \leq \lambda_{w,máx}$ Cumple	η = 3.7	η = 6.5	x: 0.095 m η = 4.6	x: 2.338 m η = 2.9	η = 0.3	x: 2.338 m η = 0.4	η < 0.1	η < 0.1	x: 0.095 m η = 9.3	η < 0.1	η = 2.6	η = 0.4	x: 2.338 m η = 0.4	**CUMPLE η = 9.3**
N1417/N1394	$\lambda_w \leq \lambda_{w,máx}$ Cumple	η = 0.8	N_{Ed} = 0.00 N.P.(7)	x: 0.095 m η = 1.6	x: 0.095 m η = 0.5	η = 0.2	x: 2.373 m η = 0.2	η < 0.1	η < 0.1	x: 2.373 m η = 2.4	η < 0.1	η = 2.0	η = 0.2	x: 2.373 m η = 0.2	**CUMPLE η = 2.4**
N1418/N1416	$\lambda_w \leq \lambda_{w,máx}$ Cumple	x: 1.939 m η = 0.2	x: 0.078 m η = 0.9	x: 0.078 m η = 2.4	x: 0.078 m η = 4.8	η = 0.3	η = 0.3	η < 0.1	η < 0.1	x: 0.078 m η = 6.8	η < 0.1	η = 2.3	η = 0.3	η = 0.3	**CUMPLE η = 6.8**
N1418/N1296	$\lambda_w \leq \lambda_{w,máx}$ Cumple	x: 3.054 m η = 10.4	x: 0.095 m η = 0.6	x: 3.055 m η = 3.2	x: 0.095 m η = 4.5	x: 3.055 m η = 0.5	η = 0.1	η < 0.1	η < 0.1	x: 3.055 m η = 16.4	η < 0.1	η = 2.1	x: 3.055 m η = 0.5	η = 0.1	**CUMPLE η = 16.4**
N1417/N1415	$\lambda_w \leq \lambda_{w,máx}$ Cumple	N_{Ed} = 0.00 N.P.(1)	x: 0.078 m η = 2.3	x: 1.94 m η = 1.5	x: 0.078 m η = 1.3	η = 0.2	η = 0.1	η < 0.1	η < 0.1	x: 1.94 m η = 3.8	η < 0.1	η = 2.0	η = 0.2	η = 0.1	**CUMPLE η = 3.8**
N1313/N1418	$\lambda_w \leq \lambda_{w,máx}$ Cumple	x: 3.054 m η = 13.5	x: 0.195 m η = 2.3	x: 0.195 m η = 4.5	x: 3.054 m η = 7.2	x: 3.055 m η = 0.6	η = 0.1	η < 0.1	η < 0.1	x: 0.195 m η = 23.3	η < 0.1	η = 3.9	x: 3.055 m η = 0.6	η = 0.1	**CUMPLE η = 23.3**
N1419/N1420	$\lambda_w \leq \lambda_{w,máx}$ Cumple	N_{Ed} = 0.00 N.P.(1)	x: 0.06 m η = 1.0	x: 0.06 m η = 14.9	x: 0.06 m η = 0.3	η = 2.4	η = 0.1	η < 0.1	η < 0.1	x: 0.06 m η = 16.1	η < 0.1	η = 0.8	η = 2.4	η = 0.1	**CUMPLE η = 16.1**
N1421/N1422	$\lambda_w \leq \lambda_{w,máx}$ Cumple	N_{Ed} = 0.00 N.P.(1)	x: 0.06 m η = 1.0	x: 1.94 m η = 26.9	x: 1.94 m η = 0.8	η = 4.2	η = 0.1	η < 0.1	η < 0.1	x: 1.94 m η = 28.4	η < 0.1	η = 1.7	η = 4.3	η = 0.1	**CUMPLE η = 28.4**
N1205/N1424	x: 0.051 m $\lambda_w \leq \lambda_{w,máx}$ Cumple	η = 6.2	η = 25.8	x: 2.373 m η = 0.5	x: 2.373 m η = 48.6	η < 0.1	x: 0.05 m η = 3.1	x: 0.244 m η < 0.1	x: 0.051 m η < 0.1	x: 2.373 m η = 60.3	x: 0.051 m η < 0.1	M_{Ed} = 0.00 N.P.(5)	N.P.(6)	N.P.(6)	**CUMPLE η = 60.3**
N1424/N1423	$\lambda_w \leq \lambda_{w,máx}$ Cumple	η = 3.0	η = 19.3	x: 2.373 m η = 0.7	x: 0.06 m η = 13.6	η < 0.1	x: 2.372 m η = 1.5	η < 0.1	η < 0.1	x: 0.06 m η = 28.3	η < 0.1	η = 0.2	η < 0.1	x: 2.372 m η = 1.5	**CUMPLE η = 28.3**
N1423/N1357	$\lambda_w \leq \lambda_{w,máx}$ Cumple	η = 2.3	η = 0.9	x: 0.06 m η = 0.6	x: 0.06 m η = 27.2	η < 0.1	x: 2.373 m η = 3.5	η < 0.1	η < 0.1	x: 0.06 m η = 28.6	η < 0.1	η = 0.3	η < 0.1	x: 2.373 m η = 3.5	**CUMPLE η = 28.6**
N1222/N1426	x: 0.051 m $\lambda_w \leq \lambda_{w,máx}$ Cumple	η = 2.8	η = 76.1	x: 2.373 m η = 0.5	x: 2.373 m η = 49.8	η < 0.1	x: 0.05 m η = 3.2	x: 0.244 m η < 0.1	x: 0.051 m η < 0.1	x: 2.373 m η = 87.6	x: 0.051 m η < 0.1	M_{Ed} = 0.00 N.P.(5)	N.P.(6)	N.P.(6)	**CUMPLE η = 87.6**
N1426/N1425	$\lambda_w \leq \lambda_{w,máx}$ Cumple	N_{Ed} = 0.00 N.P.(1)	η = 74.1	x: 2.373 m η = 0.8	x: 0.06 m η = 14.3	η < 0.1	x: 2.372 m η = 1.6	η < 0.1	η < 0.1	x: 2.373 m η = 77.9	η < 0.1	η = 0.2	η < 0.1	x: 2.372 m η = 1.6	**CUMPLE η = 77.9**
N1425/N1366	$\lambda_w \leq \lambda_{w,máx}$ Cumple	N_{Ed} = 0.00 N.P.(1)	η = 71.1	x: 2.373 m η = 1.6	x: 0.06 m η = 27.2	η = 0.1	x: 2.373 m η = 3.5	η < 0.1	η < 0.1	x: 2.373 m η = 78.0	η < 0.1	η = 0.3	η = 0.1	x: 2.373 m η = 3.5	**CUMPLE η = 78.0**
N1423/N1425	$\lambda_w \leq \lambda_{w,máx}$ Cumple	N_{Ed} = 0.00 N.P.(1)	x: 0.06 m η = 1.3	x: 0.06 m η = 17.8	x: 1.94 m η = 0.2	η = 2.8	η < 0.1	η < 0.1	η < 0.1	x: 0.06 m η = 19.0	η < 0.1	η = 0.1	η = 2.8	η < 0.1	**CUMPLE η = 19.0**
N1424/N1426	$\lambda_w \leq \lambda_{w,máx}$ Cumple	N_{Ed} = 0.00 N.P.(1)	x: 0.06 m η = 1.3	x: 1.94 m η = 34.0	x: 0.06 m η = 0.1	η = 5.4	η < 0.1	η < 0.1	η < 0.1	x: 1.94 m η = 35.3	η < 0.1	η = 0.3	η = 5.4	η < 0.1	**CUMPLE η = 35.3**
N1209/N1428	x: 0.061 m $\lambda_w \leq \lambda_{w,máx}$ Cumple	η = 3.7	η = 15.3	x: 2.373 m η = 2.0	x: 2.373 m η = 30.1	η = 0.1	x: 0.06 m η = 2.1	x: 0.253 m η < 0.1	x: 0.061 m η < 0.1	x: 2.373 m η = 37.1	x: 0.061 m η < 0.1	M_{Ed} = 0.00 N.P.(5)	N.P.(6)	N.P.(6)	**CUMPLE η = 37.1**
N1428/N1427	$\lambda_w \leq \lambda_{w,máx}$ Cumple	η = 2.4	η = 11.2	x: 2.372 m η = 0.8	x: 0.06 m η = 8.0	η < 0.1	x: 2.373 m η = 0.9	η < 0.1	η < 0.1	x: 0.06 m η = 16.9	η < 0.1	η = 1.0	η < 0.1	x: 2.373 m η = 0.9	**CUMPLE η = 16.9**
N1427/N1359	$\lambda_w \leq \lambda_{w,máx}$ Cumple	η = 1.9	η = 0.5	x: 2.373 m η = 0.6	x: 0.06 m η = 16.9	η < 0.1	x: 2.373 m η = 2.2	η < 0.1	η < 0.1	x: 0.06 m η = 17.7	η < 0.1	η = 0.8	η < 0.1	x: 2.373 m η = 2.3	**CUMPLE η = 17.7**
N1226/N1430	x: 0.061 m $\lambda_w \leq \lambda_{w,máx}$ Cumple	η = 2.4	η = 36.8	x: 2.373 m η = 1.7	x: 2.373 m η = 32.1	η = 0.1	x: 0.06 m η = 2.2	x: 0.253 m η < 0.1	x: 0.061 m η < 0.1	x: 2.373 m η = 41.6	x: 0.061 m η < 0.1	M_{Ed} = 0.00 N.P.(5)	N.P.(6)	N.P.(6)	**CUMPLE η = 41.6**

Documento visado electrónicamente con número: VA07290/22
Código de validación telemática TRLTDCFZ60T66IJ1. Comprobación: https://cogitivalencia.e-gestion.es/Validacion.aspx?CVT=TRLTDCFZ60T66IJ1

VISADO
COGITI
TRLTDCFZ60T66IJ1
VALENCIA
VA07290/22
Documento visado electrónicamente con número: VA07290/22
Código de validación telemática TRLTDCFZ60T66IJ1. Comprobación: https://cogitivalencia.e-gestion.es/Validacion.aspx?CVT=TRLTDCFZ60T66IJ1

Barras	COMPROBACIONES (CÓDIGO ESTRUCTURAL)														Estado
	λ_w	N_t	N_c	M_Y	M_Z	V_Z	V_Y	M_YV_Z	M_ZV_Y	NM_YM_Z	$NM_YM_ZV_YV_Z$	M_t	M_tV_Z	M_tV_Y	
N1430/N1429	$\lambda_w \le \lambda_{w,máx}$ Cumple	η < 0.1	η = 36.2	x: 0.06 m η = 0.5	x: 0.06 m η = 9.2	η < 0.1	x: 2.373 m η = 1.0	η < 0.1	η < 0.1	x: 2.373 m η = 38.3	η < 0.1	η = 1.0	η < 0.1	x: 2.373 m η = 1.0	**CUMPLE η = 38.3**
N1429/N1368	$\lambda_w \le \lambda_{w,máx}$ Cumple	N_{Ed} = 0.00 N.P.(1)	η = 31.6	x: 2.372 m η = 0.6	x: 0.06 m η = 17.0	η < 0.1	x: 2.373 m η = 2.2	η < 0.1	η < 0.1	x: 2.373 m η = 38.4	η < 0.1	η = 0.8	η < 0.1	x: 2.373 m η = 2.3	**CUMPLE η = 38.4**
N1427/N1429	$\lambda_w \le \lambda_{w,máx}$ Cumple	x: 1.939 m η < 0.1	x: 0.06 m η = 0.8	x: 0.06 m η = 11.6	x: 0.06 m η = 0.2	η = 1.8	η < 0.1	η < 0.1	η < 0.1	x: 0.06 m η = 12.5	η < 0.1	η = 0.7	η = 1.9	η < 0.1	**CUMPLE η = 12.5**
N1428/N1430	$\lambda_w \le \lambda_{w,máx}$ Cumple	x: 1.939 m η = 0.1	x: 0.06 m η = 0.7	x: 1.94 m η = 22.2	x: 1.94 m η = 0.8	η = 3.5	η = 0.1	η < 0.1	η < 0.1	x: 1.94 m η = 23.2	η < 0.1	η = 1.6	η = 3.5	η = 0.1	**CUMPLE η = 23.2**
N1251/N1431	x: 0.061 m $\lambda_w \le \lambda_{w,máx}$ Cumple	N_{Ed} = 0.00 N.P.(1)	η = 23.7	x: 2.373 m η = 1.0	x: 2.373 m η = 20.4	η = 0.1	x: 0.06 m η = 1.4	x: 0.253 m η < 0.1	x: 0.061 m η < 0.1	x: 2.373 m η = 36.8	x: 0.061 m η < 0.1	M_{Ed} = 0.00 N.P.(5)	N.P.(6)	N.P.(6)	**CUMPLE η = 36.8**
N1431/N1432	$\lambda_w \le \lambda_{w,máx}$ Cumple	N_{Ed} = 0.00 N.P.(1)	η = 29.5	x: 2.372 m η = 0.4	x: 0.06 m η = 5.6	η < 0.1	x: 2.373 m η = 0.7	η < 0.1	η < 0.1	x: 0.06 m η = 33.4	η < 0.1	η = 0.5	η < 0.1	x: 2.373 m η = 0.7	**CUMPLE η = 33.4**
N1432/N1380	$\lambda_w \le \lambda_{w,máx}$ Cumple	N_{Ed} = 0.00 N.P.(1)	η = 29.5	x: 2.373 m η = 0.8	x: 0.06 m η = 11.6	η < 0.1	x: 2.373 m η = 1.6	η < 0.1	η < 0.1	x: 0.06 m η = 32.9	η < 0.1	η = 0.3	η < 0.1	x: 2.373 m η = 1.6	**CUMPLE η = 32.9**
N1235/N1433	x: 0.061 m $\lambda_w \le \lambda_{w,máx}$ Cumple	η = 2.7	η = 8.0	x: 2.373 m η = 0.9	x: 2.373 m η = 18.5	η = 0.1	x: 0.06 m η = 1.3	x: 0.253 m η < 0.1	x: 0.061 m η < 0.1	x: 2.373 m η = 21.3	x: 0.061 m η < 0.1	M_{Ed} = 0.00 N.P.(5)	N.P.(6)	N.P.(6)	**CUMPLE η = 21.3**
N1433/N1434	$\lambda_w \le \lambda_{w,máx}$ Cumple	η = 2.1	η = 1.3	x: 2.372 m η = 0.3	x: 0.06 m η = 4.5	η < 0.1	x: 2.373 m η = 0.6	η < 0.1	η < 0.1	x: 0.06 m η = 5.9	η < 0.1	η = 0.5	η < 0.1	x: 2.373 m η = 0.6	**CUMPLE η = 5.9**
N1434/N1372	$\lambda_w \le \lambda_{w,máx}$ Cumple	η = 1.8	η = 0.2	x: 0.06 m η = 0.3	x: 0.06 m η = 11.5	η < 0.1	x: 2.373 m η = 1.6	η < 0.1	η < 0.1	x: 0.06 m η = 12.2	η < 0.1	η = 0.3	η < 0.1	x: 2.373 m η = 1.6	**CUMPLE η = 12.2**
N1434/N1432	$\lambda_w \le \lambda_{w,máx}$ Cumple	x: 1.939 m η < 0.1	x: 0.06 m η = 0.4	x: 0.06 m η = 8.3	x: 0.06 m η = 0.2	η = 1.3	η < 0.1	η < 0.1	η < 0.1	x: 0.06 m η = 8.9	η < 0.1	η = 0.4	η = 1.3	η < 0.1	**CUMPLE η = 8.9**
N1433/N1431	$\lambda_w \le \lambda_{w,máx}$ Cumple	x: 1.939 m η < 0.1	x: 0.06 m η = 0.4	x: 1.94 m η = 14.2	x: 1.94 m η = 0.4	η = 2.2	η = 0.1	η < 0.1	η < 0.1	x: 1.94 m η = 14.7	η < 0.1	η = 0.8	η = 2.2	η = 0.1	**CUMPLE η = 14.7**
N1239/N1436	x: 0.051 m $\lambda_w \le \lambda_{w,máx}$ Cumple	η = 3.6	η = 13.8	x: 2.372 m η = 0.1	x: 2.373 m η = 28.2	η < 0.1	x: 0.05 m η = 1.9	x: 0.244 m η < 0.1	x: 0.051 m η < 0.1	x: 2.373 m η = 33.1	x: 0.051 m η < 0.1	M_{Ed} = 0.00 N.P.(5)	N.P.(6)	N.P.(6)	**CUMPLE η = 33.1**
N1436/N1435	$\lambda_w \le \lambda_{w,máx}$ Cumple	η = 2.3	η = 10.0	x: 2.372 m η = 0.3	x: 0.06 m η = 7.6	η < 0.1	x: 2.373 m η = 0.9	η < 0.1	η < 0.1	x: 0.06 m η = 14.8	η < 0.1	η = 0.1	η < 0.1	x: 2.373 m η = 0.9	**CUMPLE η = 14.8**
N1435/N1374	$\lambda_w \le \lambda_{w,máx}$ Cumple	η = 1.9	η = 0.4	x: 0.06 m η = 0.3	x: 0.06 m η = 16.7	η < 0.1	x: 2.373 m η = 2.2	η < 0.1	η < 0.1	x: 0.06 m η = 17.7	η < 0.1	η = 0.1	η < 0.1	x: 2.373 m η = 2.2	**CUMPLE η = 17.7**
N1255/N1438	x: 0.051 m $\lambda_w \le \lambda_{w,máx}$ Cumple	N_{Ed} = 0.00 N.P.(1)	η = 31.7	x: 2.372 m η = 0.2	x: 2.373 m η = 29.4	η < 0.1	x: 0.05 m η = 2.0	x: 0.244 m η < 0.1	x: 0.051 m η < 0.1	x: 2.373 m η = 43.1	x: 0.051 m η < 0.1	M_{Ed} = 0.00 N.P.(5)	N.P.(6)	N.P.(6)	**CUMPLE η = 43.1**
N1438/N1437	$\lambda_w \le \lambda_{w,máx}$ Cumple	N_{Ed} = 0.00 N.P.(1)	η = 29.7	x: 2.372 m η = 0.4	x: 0.06 m η = 8.3	η < 0.1	x: 2.373 m η = 0.9	η < 0.1	η < 0.1	x: 0.06 m η = 33.0	η < 0.1	η = 0.1	η < 0.1	x: 2.373 m η = 0.9	**CUMPLE η = 33.0**
N1437/N1382	$\lambda_w \le \lambda_{w,máx}$ Cumple	N_{Ed} = 0.00 N.P.(1)	η = 22.2	x: 2.373 m η = 0.7	x: 0.06 m η = 16.7	η < 0.1	x: 2.373 m η = 2.2	η < 0.1	η < 0.1	x: 0.06 m η = 31.4	η < 0.1	η = 0.1	η < 0.1	x: 2.373 m η = 2.2	**CUMPLE η = 31.4**
N1435/N1437	$\lambda_w \le \lambda_{w,máx}$ Cumple	N_{Ed} = 0.00 N.P.(1)	x: 0.06 m η = 0.7	x: 0.06 m η = 11.5	x: 1.939 m η = 0.1	η = 1.8	η < 0.1	η < 0.1	η < 0.1	x: 0.06 m η = 12.2	η < 0.1	η < 0.1	η = 1.8	η < 0.1	**CUMPLE η = 12.2**
N1436/N1438	$\lambda_w \le \lambda_{w,máx}$ Cumple	x: 1.939 m η < 0.1	x: 0.06 m η = 0.7	x: 1.94 m η = 20.4	x: 1.939 m η < 0.1	η = 3.2	η < 0.1	η < 0.1	x: 0.06 m η < 0.1	x: 1.94 m η = 21.0	η < 0.1	η = 0.1	η = 3.2	η < 0.1	**CUMPLE η = 21.0**
N1243/N1440	x: 0.061 m $\lambda_w \le \lambda_{w,máx}$ Cumple	η = 2.6	η = 9.1	x: 2.373 m η = 1.1	x: 2.373 m η = 20.7	η = 0.1	x: 0.06 m η = 1.5	x: 0.253 m η < 0.1	x: 0.061 m η < 0.1	x: 2.373 m η = 23.7	x: 0.061 m η < 0.1	M_{Ed} = 0.00 N.P.(5)	N.P.(6)	N.P.(6)	**CUMPLE η = 23.7**
N1440/N1439	$\lambda_w \le \lambda_{w,máx}$ Cumple	η = 2.0	η = 6.3	x: 2.372 m η = 0.4	x: 0.06 m η = 5.2	η < 0.1	x: 2.373 m η = 0.6	η < 0.1	η < 0.1	x: 0.06 m η = 9.7	η < 0.1	η = 0.6	η < 0.1	x: 2.373 m η = 0.6	**CUMPLE η = 9.7**
N1439/N1376	$\lambda_w \le \lambda_{w,máx}$ Cumple	η = 1.8	η = 0.2	x: 2.372 m η = 0.3	x: 0.06 m η = 11.6	η < 0.1	x: 2.373 m η = 1.6	η < 0.1	η < 0.1	x: 0.06 m η = 12.2	η < 0.1	η = 0.4	η < 0.1	x: 2.373 m η = 1.6	**CUMPLE η = 12.2**
N1259/N1442	x: 0.061 m $\lambda_w \le \lambda_{w,máx}$ Cumple	N_{Ed} = 0.00 N.P.(1)	η = 29.8	x: 2.373 m η = 0.9	x: 2.373 m η = 22.2	η = 0.1	x: 0.06 m η = 1.6	x: 0.253 m η < 0.1	x: 0.061 m η < 0.1	x: 2.373 m η = 32.0	x: 0.061 m η < 0.1	M_{Ed} = 0.00 N.P.(5)	N.P.(6)	N.P.(6)	**CUMPLE η = 32.0**
N1442/N1441	$\lambda_w \le \lambda_{w,máx}$ Cumple	N_{Ed} = 0.00 N.P.(1)	η = 30.2	x: 0.06 m η = 0.2	x: 0.06 m η = 6.1	η < 0.1	x: 2.373 m η = 0.7	η < 0.1	η < 0.1	x: 1.795 m η = 31.2	η < 0.1	η = 0.6	η < 0.1	x: 2.373 m η = 0.7	**CUMPLE η = 31.2**
N1441/N1384	$\lambda_w \le \lambda_{w,máx}$ Cumple	N_{Ed} = 0.00 N.P.(1)	η = 28.1	x: 2.372 m η = 0.4	x: 0.06 m η = 11.6	η < 0.1	x: 2.373 m η = 1.6	η < 0.1	η < 0.1	x: 2.373 m η = 32.5	η < 0.1	η = 0.4	η < 0.1	x: 2.373 m η = 1.6	**CUMPLE η = 32.5**
N1439/N1441	$\lambda_w \le \lambda_{w,máx}$ Cumple	x: 1.939 m η < 0.1	x: 0.06 m η = 0.5	x: 0.06 m η = 8.4	x: 1.94 m η = 0.1	η = 1.3	η < 0.1	η < 0.1	η < 0.1	x: 0.06 m η = 8.9	η < 0.1	η = 0.4	η = 1.3	η < 0.1	**CUMPLE η = 8.9**
N1440/N1442	$\lambda_w \le \lambda_{w,máx}$ Cumple	x: 1.939 m η = 0.1	x: 0.06 m η = 0.5	x: 1.94 m η = 15.5	x: 1.94 m η = 0.4	η = 2.4	η = 0.1	η < 0.1	η < 0.1	x: 1.94 m η = 16.0	η < 0.1	η = 0.9	η = 2.4	η = 0.1	**CUMPLE η = 16.0**
N1284/N1443	x: 0.061 m $\lambda_w \le \lambda_{w,máx}$ Cumple	η = 1.1	η = 41.6	x: 2.373 m η = 1.7	x: 2.373 m η = 27.9	η = 0.1	x: 0.06 m η = 1.9	x: 0.253 m η < 0.1	x: 0.061 m η < 0.1	x: 2.373 m η = 51.4	x: 0.061 m η < 0.1	M_{Ed} = 0.00 N.P.(5)	N.P.(6)	N.P.(6)	**CUMPLE η = 51.4**
N1443/N1444	$\lambda_w \le \lambda_{w,máx}$ Cumple	N_{Ed} = 0.00 N.P.(1)	η = 40.3	x: 0.06 m η = 0.5	x: 0.06 m η = 8.0	η < 0.1	x: 2.373 m η = 0.9	η < 0.1	η < 0.1	x: 2.373 m η = 43.3	η < 0.1	η = 1.0	η < 0.1	x: 2.373 m η = 0.9	**CUMPLE η = 43.3**
N1444/N1396	$\lambda_w \le \lambda_{w,máx}$ Cumple	N_{Ed} = 0.00 N.P.(1)	η = 33.6	x: 2.373 m η = 0.5	x: 0.06 m η = 16.4	η < 0.1	x: 2.373 m η = 2.2	η < 0.1	η < 0.1	x: 2.373 m η = 42.4	η < 0.1	η = 0.7	η < 0.1	x: 2.373 m η = 2.2	**CUMPLE η = 42.4**
N1268/N1445	x: 0.061 m $\lambda_w \le \lambda_{w,máx}$ Cumple	η = 3.8	η = 12.8	x: 2.373 m η = 1.7	x: 2.373 m η = 25.9	η = 0.1	x: 0.06 m η = 1.8	x: 0.253 m η < 0.1	x: 0.061 m η < 0.1	x: 2.373 m η = 31.3	x: 0.061 m η < 0.1	M_{Ed} = 0.00 N.P.(5)	N.P.(6)	N.P.(6)	**CUMPLE η = 31.3**
N1445/N1446	$\lambda_w \le \lambda_{w,máx}$ Cumple	η = 2.4	η = 9.2	x: 0.06 m η = 0.5	x: 0.06 m η = 6.9	η < 0.1	x: 2.373 m η = 0.8	η < 0.1	η < 0.1	x: 0.06 m η = 13.8	η < 0.1	η = 1.0	η < 0.1	x: 2.373 m η = 0.8	**CUMPLE η = 13.8**
N1446/N1388	$\lambda_w \le \lambda_{w,máx}$ Cumple	η = 1.9	η = 0.4	x: 2.373 m η = 0.4	x: 0.06 m η = 16.3	η < 0.1	x: 2.373 m η = 2.2	η < 0.1	η < 0.1	x: 0.06 m η = 17.2	η < 0.1	η = 0.6	η < 0.1	x: 2.373 m η = 2.2	**CUMPLE η = 17.2**
N1446/N1444	$\lambda_w \le \lambda_{w,máx}$ Cumple	N_{Ed} = 0.00 N.P.(1)	x: 0.06 m η = 0.7	x: 0.06 m η = 11.3	x: 0.06 m η = 0.3	η = 1.8	η < 0.1	η < 0.1	η < 0.1	x: 0.06 m η = 12.1	η < 0.1	η = 0.7	η = 1.8	η < 0.1	**CUMPLE η = 12.1**
N1445/N1443	$\lambda_w \le \lambda_{w,máx}$ Cumple	N_{Ed} = 0.00 N.P.(1)	x: 0.06 m η = 0.7	x: 1.94 m η = 19.3	x: 1.94 m η = 0.7	η = 3.0	η = 0.1	η < 0.1	η < 0.1	x: 1.94 m η = 20.2	η < 0.1	η = 1.6	η = 3.1	η = 0.1	**CUMPLE η = 20.2**
N1272/N1448	x: 0.051 m $\lambda_w \le \lambda_{w,máx}$ Cumple	η = 5.7	η = 22.1	x: 2.373 m η = 0.3	x: 2.373 m η = 42.6	η < 0.1	x: 0.05 m η = 2.8	x: 0.244 m η < 0.1	x: 0.051 m η < 0.1	x: 2.373 m η = 51.8	x: 0.051 m η < 0.1	M_{Ed} = 0.00 N.P.(5)	N.P.(6)	N.P.(6)	**CUMPLE η = 51.8**
N1448/N1447	$\lambda_w \le \lambda_{w,máx}$ Cumple	η = 2.9	η = 16.3	x: 2.373 m η = 0.5	x: 0.06 m η = 12.0	η < 0.1	x: 0.06 m η = 1.4	η < 0.1	η < 0.1	x: 0.06 m η = 23.9	η < 0.1	η = 0.2	η < 0.1	x: 0.06 m η = 1.4	**CUMPLE η = 23.9**
N1447/N1390	$\lambda_w \le \lambda_{w,máx}$ Cumple	η = 2.3	η = 0.8	x: 0.06 m η = 0.5	x: 0.06 m η = 25.5	η < 0.1	x: 2.373 m η = 3.3	η < 0.1	η < 0.1	x: 0.06 m η = 27.1	η < 0.1	η = 0.2	η < 0.1	x: 2.373 m η = 3.3	**CUMPLE η = 27.1**

VISADO
COGITI
Estado
VALENCIA
VA07290/22
TRLTDCFZ60T66IJ1

Listados

Barras	COMPROBACIONES (CÓDIGO ESTRUCTURAL)															
	λ_w	N_t	N_c	M_Y	M_Z	V_Z	V_Y	M_YV_Z	M_ZV_Y	NM_YM_Z	$NM_YM_ZV_YV_Z$	M_t	M_tV_Z	M_tV_Y	
N1288/N1450	x: 0.051 m $\lambda_w \leq \lambda_{w,máx}$ Cumple	η = 1.9	η = 77.9	x: 2.373 m η = 0.4	x: 2.373 m η = 42.9	η < 0.1	x: 0.05 m η = 2.8	x: 0.244 m η < 0.1	x: 0.051 m η < 0.1	x: 2.373 m η = 92.9	x: 0.051 m η < 0.1	M_{Ed} = 0.00 N.P.(5)	N.P.(6)	N.P.(6)	**CUMPLE** **η = 92.9**
N1450/N1449	$\lambda_w \leq \lambda_{w,máx}$ Cumple	N_{Ed} = 0.00 N.P.(1)	η = 75.6	x: 2.373 m η = 0.6	x: 0.06 m η = 12.3	η < 0.1	x: 2.372 m η = 1.3	η < 0.1	η < 0.1	x: 2.373 m η = 79.8	η < 0.1	η = 0.2	η < 0.1	x: 2.372 m η = 1.3	**CUMPLE** **η = 79.8**
N1449/N1398	$\lambda_w \leq \lambda_{w,máx}$ Cumple	N_{Ed} = 0.00 N.P.(1)	η = 66.2	x: 2.373 m η = 1.3	x: 0.06 m η = 25.3	η < 0.1	x: 2.373 m η = 3.2	η < 0.1	η < 0.1	x: 2.373 m η = 79.6	η < 0.1	η = 0.2	η < 0.1	x: 2.373 m η = 3.2	**CUMPLE** **η = 79.6**
N1447/N1449	$\lambda_w \leq \lambda_{w,máx}$ Cumple	N_{Ed} = 0.00 N.P.(1)	x: 0.06 m η = 1.2	x: 1.94 m η = 16.7	x: 1.94 m η = 0.2	η = 2.7	η < 0.1	η < 0.1	η < 0.1	x: 0.06 m η = 17.9	η < 0.1	η = 0.1	η = 2.7	η < 0.1	**CUMPLE** **η = 17.9**
N1448/N1450	$\lambda_w \leq \lambda_{w,máx}$ Cumple	N_{Ed} = 0.00 N.P.(1)	x: 0.06 m η = 1.1	x: 1.94 m η = 29.4	x: 0.06 m η = 0.1	η = 4.7	η < 0.1	η < 0.1	η < 0.1	x: 1.94 m η = 30.5	η < 0.1	η = 0.2	η = 4.7	η < 0.1	**CUMPLE** **η = 30.5**
N1276/N1452	x: 0.061 m $\lambda_w \leq \lambda_{w,máx}$ Cumple	η = 4.7	η = 16.9	x: 2.373 m η = 1.9	x: 2.373 m η = 32.9	η = 0.1	x: 0.06 m η = 2.2	x: 0.253 m η < 0.1	x: 0.061 m η < 0.1	x: 2.373 m η = 40.8	x: 0.061 m η < 0.1	M_{Ed} = 0.00 N.P.(5)	N.P.(6)	N.P.(6)	**CUMPLE** **η = 40.8**
N1452/N1451	$\lambda_w \leq \lambda_{w,máx}$ Cumple	η = 2.6	η = 12.4	x: 2.372 m η = 0.8	x: 0.06 m η = 9.1	η < 0.1	x: 0.06 m η = 1.1	η < 0.1	η < 0.1	x: 0.06 m η = 18.5	η < 0.1	η = 1.0	η < 0.1	x: 0.06 m η = 1.1	**CUMPLE** **η = 18.5**
N1451/N1392	$\lambda_w \leq \lambda_{w,máx}$ Cumple	η = 2.1	η = 0.6	x: 2.373 m η = 0.6	x: 0.06 m η = 20.4	η < 0.1	x: 2.373 m η = 2.7	η < 0.1	η < 0.1	x: 0.06 m η = 21.4	η < 0.1	η = 0.8	η < 0.1	x: 2.373 m η = 2.7	**CUMPLE** **η = 21.4**
N1292/N1454	x: 0.061 m $\lambda_w \leq \lambda_{w,máx}$ Cumple	η = 2.8	η = 49.3	x: 2.373 m η = 1.6	x: 2.373 m η = 34.6	η = 0.1	x: 0.06 m η = 2.3	x: 0.253 m η < 0.1	x: 0.061 m η < 0.1	x: 2.373 m η = 58.2	x: 0.061 m η < 0.1	M_{Ed} = 0.00 N.P.(5)	N.P.(6)	N.P.(6)	**CUMPLE** **η = 58.2**
N1454/N1453	$\lambda_w \leq \lambda_{w,máx}$ Cumple	N_{Ed} = 0.00 N.P.(1)	η = 47.9	x: 0.06 m η = 0.4	x: 0.06 m η = 9.9	η < 0.1	x: 2.373 m η = 1.1	η < 0.1	η < 0.1	x: 2.373 m η = 50.8	η < 0.1	η = 1.0	η < 0.1	x: 2.372 m η = 1.1	**CUMPLE** **η = 50.8**
N1453/N1400	$\lambda_w \leq \lambda_{w,máx}$ Cumple	N_{Ed} = 0.00 N.P.(1)	η = 41.5	x: 2.372 m η = 0.9	x: 0.06 m η = 20.4	η < 0.1	x: 2.373 m η = 2.7	η < 0.1	η < 0.1	x: 0.06 m η = 50.7	η < 0.1	η = 0.8	η < 0.1	x: 2.373 m η = 2.7	**CUMPLE** **η = 50.7**
N1451/N1453	$\lambda_w \leq \lambda_{w,máx}$ Cumple	N_{Ed} = 0.00 N.P.(1)	x: 0.06 m η = 0.9	x: 0.06 m η = 13.7	x: 0.06 m η = 0.2	η = 2.2	η < 0.1	η < 0.1	η < 0.1	x: 0.06 m η = 14.7	η < 0.1	η = 0.7	η = 2.2	η < 0.1	**CUMPLE** **η = 14.7**
N1452/N1454	$\lambda_w \leq \lambda_{w,máx}$ Cumple	N_{Ed} = 0.00 N.P.(1)	x: 0.06 m η = 0.9	x: 1.94 m η = 23.7	x: 1.94 m η = 0.8	η = 3.7	η = 0.1	η < 0.1	η < 0.1	x: 1.94 m η = 24.8	η < 0.1	η = 1.6	η = 3.8	η = 0.1	**CUMPLE** **η = 24.8**
N1218/N1422	x: 0.061 m $\lambda_w \leq \lambda_{w,máx}$ Cumple	η = 0.1	η = 47.4	x: 2.373 m η = 2.0	x: 2.373 m η = 39.5	η = 0.1	x: 0.06 m η = 2.6	x: 0.253 m η < 0.1	x: 0.061 m η < 0.1	x: 2.373 m η = 59.7	x: 0.061 m η < 0.1	M_{Ed} = 0.00 N.P.(5)	N.P.(6)	N.P.(6)	**CUMPLE** **η = 59.7**
N1422/N1420	$\lambda_w \leq \lambda_{w,máx}$ Cumple	N_{Ed} = 0.00 N.P.(1)	η = 50.2	x: 2.372 m η = 0.7	x: 0.06 m η = 11.4	η < 0.1	x: 2.372 m η = 1.2	η < 0.1	η < 0.1	x: 0.06 m η = 54.9	η < 0.1	η = 1.1	η < 0.1	x: 2.372 m η = 1.3	**CUMPLE** **η = 54.9**
N1420/N1364	$\lambda_w \leq \lambda_{w,máx}$ Cumple	N_{Ed} = 0.00 N.P.(1)	η = 50.2	x: 2.373 m η = 1.2	x: 0.06 m η = 22.5	η = 0.1	x: 2.373 m η = 2.9	η < 0.1	η < 0.1	x: 0.06 m η = 58.0	η < 0.1	η = 0.8	η = 0.1	x: 2.373 m η = 2.9	**CUMPLE** **η = 58.0**
N1201/N1421	x: 0.061 m $\lambda_w \leq \lambda_{w,máx}$ Cumple	η = 5.1	η = 19.8	x: 2.373 m η = 1.9	x: 2.373 m η = 37.8	η = 0.1	x: 0.06 m η = 2.5	x: 0.253 m η < 0.1	x: 0.061 m η < 0.1	x: 2.373 m η = 47.3	x: 0.061 m η < 0.1	M_{Ed} = 0.00 N.P.(5)	N.P.(6)	N.P.(6)	**CUMPLE** **η = 47.3**
N1421/N1419	$\lambda_w \leq \lambda_{w,máx}$ Cumple	η = 2.7	η = 14.6	x: 2.372 m η = 0.7	x: 0.06 m η = 10.4	η < 0.1	x: 2.372 m η = 1.2	η < 0.1	η < 0.1	x: 0.06 m η = 21.6	η < 0.1	η = 1.1	η < 0.1	x: 2.372 m η = 1.2	**CUMPLE** **η = 21.6**
N1419/N1355	$\lambda_w \leq \lambda_{w,máx}$ Cumple	η = 2.2	η = 0.7	x: 2.373 m η = 0.5	x: 0.06 m η = 22.4	η < 0.1	x: 2.373 m η = 2.9	η < 0.1	η < 0.1	x: 0.06 m η = 23.6	η < 0.1	η = 0.8	η < 0.1	x: 2.373 m η = 2.9	**CUMPLE** **η = 23.6**
N3/N1455	$\lambda_w \leq \lambda_{w,máx}$ Cumple	x: 1 m η = 12.0	x: 0 m η = 35.7	x: 1 m η = 20.0	x: 1 m η = 11.0	η = 13.1	η = 1.3	η < 0.1	η < 0.1	x: 1 m η = 45.5	η < 0.1	η = 0.2	η = 13.1	η = 1.3	**CUMPLE** **η = 45.5**
N1456/N9	$\lambda_w \leq \lambda_{w,máx}$ Cumple	x: 1.405 m η = 13.3	x: 0 m η = 10.1	x: 0 m η = 25.6	x: 0 m η = 6.1	η = 13.5	η = 0.5	η < 0.1	η < 0.1	x: 0 m η = 41.8	η < 0.1	η = 0.2	η = 13.5	η = 0.5	**CUMPLE** **η = 41.8**
N1455/N5	$\lambda_w \leq \lambda_{w,máx}$ Cumple	x: 1.868 m η = 8.7	x: 0 m η = 19.8	x: 1.869 m η = 51.9	x: 1.869 m η = 15.1	η = 6.6	η = 1.3	η < 0.1	η < 0.1	x: 1.869 m η = 68.5	η < 0.1	η < 0.1	η = 6.6	η = 1.3	**CUMPLE** **η = 68.5**
N5/N8	$\lambda_w \leq \lambda_{w,máx}$ Cumple	x: 1.911 m η = 3.4	x: 0.131 m η = 3.4	x: 0.131 m η = 38.2	x: 0.131 m η = 13.8	η = 6.5	η = 2.2	η < 0.1	η < 0.1	x: 0.131 m η = 45.4	η < 0.1	η = 0.6	η = 6.5	η = 2.2	**CUMPLE** **η = 45.4**
N8/N1456	$\lambda_w \leq \lambda_{w,máx}$ Cumple	x: 0.5 m η = 9.5	x: 0.088 m η = 7.3	x: 0.088 m η = 30.7	x: 0.088 m η = 3.7	η = 6.8	η = 0.5	η < 0.1	η < 0.1	x: 0.088 m η = 41.7	η < 0.1	η < 0.1	η = 6.8	η = 0.5	**CUMPLE** **η = 41.7**
N172/N1461	$\lambda_w \leq \lambda_{w,máx}$ Cumple	x: 1 m η = 24.0	x: 0 m η = 68.0	x: 1 m η = 26.8	x: 1 m η = 15.4	η = 17.5	η = 1.8	η < 0.1	η < 0.1	x: 1 m η = 83.8	η < 0.1	η = 0.1	η = 17.5	η = 1.8	**CUMPLE** **η = 83.8**
N1500/N138	$\lambda_w \leq \lambda_{w,máx}$ Cumple	x: 1.382 m η = 25.3	x: 0 m η = 19.2	x: 0 m η = 34.2	x: 0 m η = 0.7	η = 21.7	η < 0.1	η < 0.1	η < 0.1	x: 0 m η = 59.4	η < 0.1	η = 0.1	η = 21.7	η < 0.1	**CUMPLE** **η = 59.4**
N1461/N139	$\lambda_w \leq \lambda_{w,máx}$ Cumple	x: 1.824 m η = 15.1	x: 0 m η = 31.6	x: 1.825 m η = 61.2	x: 1.825 m η = 16.2	η = 6.7	η = 1.8	η < 0.1	η < 0.1	x: 1.825 m η = 82.2	η < 0.1	η < 0.1	η = 6.7	η = 1.8	**CUMPLE** **η = 82.2**
N139/N121	$\lambda_w \leq \lambda_{w,máx}$ Cumple	x: 1.883 m η = 5.9	x: 0.175 m η = 5.5	x: 0.175 m η = 31.0	x: 0.175 m η = 12.6	η = 5.1	η = 2.3	η < 0.1	η < 0.1	x: 0.175 m η = 39.5	η < 0.1	η = 1.4	η = 5.2	η = 2.4	**CUMPLE** **η = 39.5**
N121/N1500	$\lambda_w \leq \lambda_{w,máx}$ Cumple	x: 0.5 m η = 15.8	x: 0.116 m η = 12.0	x: 0.116 m η = 37.8	x: 0.116 m η = 0.3	η = 8.3	η < 0.1	η < 0.1	η < 0.1	x: 0.116 m η = 53.6	η < 0.1	η < 0.1	η = 8.3	η < 0.1	**CUMPLE** **η = 53.6**
N276/N1462	$\lambda_w \leq \lambda_{w,máx}$ Cumple	x: 1 m η = 20.9	x: 0 m η = 50.5	x: 1 m η = 27.7	x: 1 m η = 15.2	η = 18.0	η = 1.8	η < 0.1	η < 0.1	x: 1 m η = 65.7	η < 0.1	η = 0.1	η = 18.1	η = 1.8	**CUMPLE** **η = 65.7**
N1501/N242	$\lambda_w \leq \lambda_{w,máx}$ Cumple	x: 1.382 m η = 18.3	x: 0 m η = 16.8	x: 0 m η = 24.5	x: 0 m η = 0.7	η = 15.5	η < 0.1	η < 0.1	η < 0.1	x: 0 m η = 43.1	η < 0.1	η = 0.1	η = 15.5	η < 0.1	**CUMPLE** **η = 43.1**
N1462/N243	$\lambda_w \leq \lambda_{w,máx}$ Cumple	x: 1.824 m η = 13.2	x: 0 m η = 23.5	x: 1.825 m η = 63.2	x: 1.825 m η = 16.0	η = 6.9	η = 1.8	η < 0.1	η < 0.1	x: 1.825 m η = 79.5	η < 0.1	η < 0.1	η = 6.9	η = 1.8	**CUMPLE** **η = 79.5**
N243/N225	$\lambda_w \leq \lambda_{w,máx}$ Cumple	x: 1.883 m η = 4.2	x: 0.175 m η = 4.8	x: 0.175 m η = 31.9	x: 0.175 m η = 12.5	η = 5.7	η = 2.3	η < 0.1	η < 0.1	x: 0.175 m η = 38.0	η < 0.1	η = 1.6	η = 5.7	η = 2.3	**CUMPLE** **η = 38.0**
N225/N1501	$\lambda_w \leq \lambda_{w,máx}$ Cumple	x: 0.5 m η = 11.5	x: 0.116 m η = 10.5	x: 0.116 m η = 27.1	x: 0.116 m η = 0.3	η = 5.9	η < 0.1	η < 0.1	η < 0.1	x: 0.116 m η = 38.7	η < 0.1	η < 0.1	η = 5.9	η < 0.1	**CUMPLE** **η = 38.7**
N570/N1463	$\lambda_w \leq \lambda_{w,máx}$ Cumple	x: 1 m η = 18.5	x: 0 m η = 34.7	x: 1 m η = 22.1	x: 1 m η = 11.0	η = 14.5	η = 1.3	η < 0.1	η < 0.1	x: 1 m η = 50.4	η < 0.1	η = 0.1	η = 14.5	η = 1.3	**CUMPLE** **η = 50.4**
N1502/N450	$\lambda_w \leq \lambda_{w,máx}$ Cumple	x: 1.405 m η = 11.2	x: 0 m η = 13.4	x: 0 m η = 23.5	x: 0 m η = 1.9	η = 12.1	η = 0.1	η < 0.1	η < 0.1	x: 0 m η = 34.1	η < 0.1	η = 0.1	η = 12.1	η = 0.1	**CUMPLE** **η = 34.1**
N1463/N451	$\lambda_w \leq \lambda_{w,máx}$ Cumple	x: 1.868 m η = 13.3	x: 0 m η = 19.2	x: 1.869 m η = 57.3	x: 1.869 m η = 15.1	η = 7.3	η = 1.3	η < 0.1	η < 0.1	x: 1.869 m η = 73.6	η < 0.1	η < 0.1	η = 7.3	η = 1.3	**CUMPLE** **η = 73.6**
N451/N433	$\lambda_w \leq \lambda_{w,máx}$ Cumple	x: 1.911 m η = 2.0	x: 0.131 m η = 3.7	x: 0.131 m η = 42.0	x: 0.131 m η = 13.7	η = 6.8	η = 2.0	η < 0.1	η < 0.1	x: 0.131 m η = 47.3	η < 0.1	η = 0.7	η = 6.8	η = 2.1	**CUMPLE** **η = 47.3**
N433/N1502	$\lambda_w \leq \lambda_{w,máx}$ Cumple	x: 0.5 m η = 8.0	x: 0.088 m η = 9.6	x: 0.088 m η = 28.0	x: 0.088 m η = 1.1	η = 6.1	η = 0.1	η < 0.1	η < 0.1	x: 0.088 m η = 35.3	η < 0.1	η < 0.1	η = 6.1	η = 0.1	**CUMPLE** **η = 35.3**
N726/N1464	$\lambda_w \leq \lambda_{w,máx}$ Cumple	x: 1 m η = 18.7	x: 0 m η = 34.9	x: 1 m η = 22.5	x: 1 m η = 11.0	η = 14.7	η = 1.3	η < 0.1	η < 0.1	x: 1 m η = 50.3	η < 0.1	η = 0.1	η = 14.7	η = 1.3	**CUMPLE** **η = 50.3**
N1503/N606	$\lambda_w \leq \lambda_{w,máx}$ Cumple	x: 1.405 m η = 11.3	x: 0 m η = 13.7	x: 0 m η = 23.8	x: 0 m η = 1.8	η = 12.2	η = 0.1	η < 0.1	η < 0.1	x: 0 m η = 34.8	η < 0.1	η = 0.1	η = 12.2	η = 0.1	**CUMPLE** **η = 34.8**

Documento visado electrónicamente con número: VA07290/22
Código de validación telemática TRLTDCFZ60T66IJ1. Comprobación: https://cogitivalencia.e-gestion.es/Validacion.aspx?CVT=TRLTDCFZ60T66IJ1

Listados

Barras	COMPROBACIONES (CÓDIGO ESTRUCTURAL)													Estado
	λ_w	N_t	N_c	M_Y	M_Z	V_Z	V_Y	M_YV_Z	M_ZV_Y	NM_YM_Z	$NM_YM_ZV_YV_Z$	M_t	M_tV_Z	M_tV_Y	
N1464/N607	$\lambda_w \le \lambda_{w,máx}$ Cumple	x: 1.868 m η = 13.4	x: 0 m η = 19.3	x: 1.869 m η = 58.3	x: 1.869 m η = 15.2	η = 7.4	η = 1.3	η < 0.1	η < 0.1	x: 1.869 m η = 74.8	η < 0.1	η < 0.1	η = 7.4	η = 1.3	**CUMPLE η = 74.8**
N607/N589	$\lambda_w \le \lambda_{w,máx}$ Cumple	x: 1.911 m η = 2.0	x: 0.131 m η = 3.8	x: 0.131 m η = 42.7	x: 0.131 m η = 13.8	η = 6.8	η = 2.0	η < 0.1	η < 0.1	x: 0.131 m η = 48.2	η < 0.1	η = 0.8	η = 6.8	η = 2.0	**CUMPLE η = 48.2**
N589/N1503	$\lambda_w \le \lambda_{w,máx}$ Cumple	x: 0.5 m η = 8.1	x: 0.088 m η = 9.8	x: 0.088 m η = 28.4	x: 0.088 m η = 1.1	η = 6.2	η = 0.1	η < 0.1	η < 0.1	x: 0.088 m η = 35.9	η < 0.1	η < 0.1	η = 6.2	η = 0.1	**CUMPLE η = 35.9**
N1038/N1465	$\lambda_w \le \lambda_{w,máx}$ Cumple	x: 1 m η = 18.7	x: 0 m η = 34.9	x: 1 m η = 19.8	x: 1 m η = 11.5	η = 12.9	η = 1.4	η < 0.1	η < 0.1	x: 1 m η = 49.1	η < 0.1	η = 0.1	η = 12.9	η = 1.4	**CUMPLE η = 49.1**
N1505/N918	$\lambda_w \le \lambda_{w,máx}$ Cumple	x: 1.405 m η = 11.3	x: 0 m η = 13.6	x: 0 m η = 24.2	x: 0 m η = 1.7	η = 12.4	η = 0.1	η < 0.1	η < 0.1	x: 0 m η = 35.5	η < 0.1	η = 0.1	η = 12.4	η = 0.1	**CUMPLE η = 35.5**
N1465/N919	$\lambda_w \le \lambda_{w,máx}$ Cumple	x: 1.868 m η = 13.4	x: 0 m η = 19.4	x: 1.869 m η = 51.2	x: 1.869 m η = 15.8	η = 6.5	η = 1.4	η < 0.1	η < 0.1	x: 1.869 m η = 67.6	η < 0.1	η < 0.1	η = 6.5	η = 1.4	**CUMPLE η = 67.6**
N919/N901	$\lambda_w \le \lambda_{w,máx}$ Cumple	x: 1.911 m η = 2.0	x: 0.131 m η = 3.7	x: 0.131 m η = 37.5	x: 0.131 m η = 14.3	η = 5.8	η = 2.1	η < 0.1	η < 0.1	x: 0.131 m η = 42.9	η < 0.1	η = 0.8	η = 5.8	η = 2.1	**CUMPLE η = 42.9**
N901/N1505	$\lambda_w \le \lambda_{w,máx}$ Cumple	x: 0.5 m η = 8.0	x: 0.088 m η = 9.7	x: 0.088 m η = 28.7	x: 0.088 m η = 1.0	η = 6.3	η = 0.1	η < 0.1	η < 0.1	x: 0.088 m η = 36.3	η < 0.1	η < 0.1	η = 6.3	η = 0.1	**CUMPLE η = 36.3**
N1194/N1466	$\lambda_w \le \lambda_{w,máx}$ Cumple	x: 1 m η = 18.9	x: 0 m η = 34.9	x: 1 m η = 15.6	x: 1 m η = 11.9	η = 10.2	η = 1.4	η < 0.1	η < 0.1	x: 1 m η = 47.8	η < 0.1	η = 0.2	η = 10.2	η = 1.4	**CUMPLE η = 47.8**
N1506/N1074	$\lambda_w \le \lambda_{w,máx}$ Cumple	x: 1.405 m η = 11.0	x: 0 m η = 13.1	x: 0 m η = 24.3	x: 0 m η = 1.9	η = 12.4	η = 0.1	η < 0.1	η < 0.1	x: 0 m η = 36.1	η < 0.1	η = 0.2	η = 12.4	η = 0.1	**CUMPLE η = 36.1**
N1466/N1075	$\lambda_w \le \lambda_{w,máx}$ Cumple	x: 1.868 m η = 13.6	x: 0 m η = 19.4	x: 1.869 m η = 40.3	x: 1.869 m η = 16.4	η = 5.1	η = 1.4	η < 0.1	η < 0.1	x: 1.869 m η = 56.5	η < 0.1	η < 0.1	η = 5.1	η = 1.4	**CUMPLE η = 56.5**
N1075/N1057	$\lambda_w \le \lambda_{w,máx}$ Cumple	x: 1.911 m η = 1.8	x: 0.131 m η = 3.3	x: 0.131 m η = 29.6	x: 0.131 m η = 14.7	η = 4.5	η = 2.1	η < 0.1	η < 0.1	x: 0.131 m η = 34.4	η < 0.1	η = 0.8	η = 4.5	η = 2.1	**CUMPLE η = 34.4**
N1057/N1506	$\lambda_w \le \lambda_{w,máx}$ Cumple	x: 0.5 m η = 7.9	x: 0.088 m η = 9.4	x: 0.088 m η = 28.9	x: 0.088 m η = 1.1	η = 6.3	η = 0.1	η < 0.1	η < 0.1	x: 0.088 m η = 36.6	η < 0.1	η < 0.1	η = 6.3	η = 0.1	**CUMPLE η = 36.6**
N1350/N1467	$\lambda_w \le \lambda_{w,máx}$ Cumple	x: 1 m η = 17.9	x: 0 m η = 33.7	x: 1 m η = 8.8	x: 1 m η = 11.8	η = 5.8	η = 1.4	η < 0.1	η < 0.1	x: 1 m η = 44.1	η < 0.1	η = 0.3	η = 5.8	η = 1.4	**CUMPLE η = 44.1**
N1507/N1230	$\lambda_w \le \lambda_{w,máx}$ Cumple	x: 1.405 m η = 9.5	x: 0 m η = 11.1	x: 0 m η = 22.9	x: 0 m η = 1.7	η = 11.5	η = 0.2	η < 0.1	η < 0.1	x: 0 m η = 34.7	η < 0.1	η = 0.2	η = 11.5	η = 0.2	**CUMPLE η = 34.7**
N1467/N1231	$\lambda_w \le \lambda_{w,máx}$ Cumple	x: 1.868 m η = 12.9	x: 0 m η = 18.7	x: 1.869 m η = 22.9	x: 1.869 m η = 16.2	η = 2.9	η = 1.4	η < 0.1	η < 0.1	x: 1.869 m η = 38.3	η < 0.1	η < 0.1	η = 2.9	η = 1.4	**CUMPLE η = 38.3**
N1231/N1213	$\lambda_w \le \lambda_{w,máx}$ Cumple	x: 1.911 m η = 0.9	x: 0.131 m η = 2.2	x: 1.912 m η = 18.2	x: 0.131 m η = 14.5	η = 4.7	η = 2.1	η < 0.1	η < 0.1	x: 0.131 m η = 23.6	η < 0.1	η = 0.7	η = 4.7	η = 2.1	**CUMPLE η = 23.6**
N1213/N1507	$\lambda_w \le \lambda_{w,máx}$ Cumple	x: 0.5 m η = 6.8	x: 0.088 m η = 8.0	x: 0.088 m η = 27.1	x: 0.088 m η = 1.1	η = 5.8	η = 0.2	η < 0.1	η < 0.1	x: 0.088 m η = 35.4	η < 0.1	η < 0.1	η = 5.8	η = 0.2	**CUMPLE η = 35.4**
N2/N1457	$\lambda_w \le \lambda_{w,máx}$ Cumple	x: 1 m η = 12.1	x: 0 m η = 35.1	x: 1 m η = 7.6	x: 1 m η = 12.5	η = 5.0	η = 1.5	η < 0.1	η < 0.1	x: 1 m η = 40.2	η < 0.1	η = 0.1	η = 5.0	η = 1.5	**CUMPLE η = 40.2**
N1458/N11	$\lambda_w \le \lambda_{w,máx}$ Cumple	x: 1.405 m η = 12.7	x: 0 m η = 9.3	x: 0 m η = 27.1	x: 0 m η = 6.1	η = 14.2	η = 0.5	η < 0.1	η < 0.1	x: 0 m η = 42.0	η < 0.1	η = 0.2	η = 14.2	η = 0.5	**CUMPLE η = 42.0**
N1457/N6	$\lambda_w \le \lambda_{w,máx}$ Cumple	x: 1.868 m η = 8.7	x: 0 m η = 19.4	x: 1.869 m η = 19.8	x: 1.869 m η = 17.1	η = 2.5	η = 1.5	η < 0.1	η < 0.1	x: 1.869 m η = 37.2	η < 0.1	η < 0.1	η = 2.5	η = 1.5	**CUMPLE η = 37.2**
N6/N10	$\lambda_w \le \lambda_{w,máx}$ Cumple	x: 1.911 m η = 2.2	x: 0.131 m η = 2.2	x: 1.912 m η = 22.5	x: 0.131 m η = 15.7	η = 3.6	η = 2.4	η < 0.1	η < 0.1	x: 1.912 m η = 25.3	η < 0.1	η = 0.6	η = 3.6	η = 2.4	**CUMPLE η = 25.3**
N10/N1458	$\lambda_w \le \lambda_{w,máx}$ Cumple	x: 0.5 m η = 9.1	x: 0.088 m η = 6.7	x: 0.088 m η = 32.4	x: 0.088 m η = 3.7	η = 7.2	η = 0.5	η < 0.1	η < 0.1	x: 0.088 m η = 42.1	η < 0.1	η < 0.1	η = 7.2	η = 0.5	**CUMPLE η = 42.1**
N173/N1468	$\lambda_w \le \lambda_{w,máx}$ Cumple	x: 1 m η = 24.1	x: 0 m η = 66.9	x: 1 m η = 9.8	x: 1 m η = 17.2	η = 6.4	η = 2.1	η < 0.1	η < 0.1	x: 1 m η = 71.0	η < 0.1	η = 0.1	η = 6.4	η = 2.1	**CUMPLE η = 71.0**
N1492/N171	$\lambda_w \le \lambda_{w,máx}$ Cumple	x: 1.382 m η = 24.9	x: 0 m η = 18.6	x: 0 m η = 35.4	x: 0 m η = 0.9	η = 22.3	η = 0.1	η < 0.1	η < 0.1	x: 0 m η = 60.3	η < 0.1	η = 0.1	η = 21.8	η = 0.1	**CUMPLE η = 60.3**
N1468/N174	$\lambda_w \le \lambda_{w,máx}$ Cumple	x: 1.824 m η = 15.2	x: 0 m η = 31.1	x: 1.825 m η = 22.4	x: 1.825 m η = 18.1	η = 2.5	η = 2.1	η < 0.1	η < 0.1	x: 1.825 m η = 44.9	η < 0.1	η < 0.1	η = 2.5	η = 2.1	**CUMPLE η = 44.9**
N174/N155	$\lambda_w \le \lambda_{w,máx}$ Cumple	x: 1.883 m η = 4.5	x: 0.175 m η = 4.5	x: 1.884 m η = 16.2	x: 0.175 m η = 14.1	x: 1.883 m η = 2.6	η = 2.6	η < 0.1	η < 0.1	x: 0.175 m η = 21.0	η < 0.1	η = 1.6	x: 1.883 m η = 2.6	η = 2.7	**CUMPLE η = 21.0**
N155/N1492	$\lambda_w \le \lambda_{w,máx}$ Cumple	x: 0.5 m η = 15.6	x: 0.116 m η = 11.7	x: 0.116 m η = 39.1	x: 0.116 m η = 0.4	η = 8.5	η = 0.1	η < 0.1	η < 0.1	x: 0.116 m η = 54.7	η < 0.1	η < 0.1	η = 8.3	η = 0.1	**CUMPLE η = 54.7**
N277/N1469	$\lambda_w \le \lambda_{w,máx}$ Cumple	x: 1 m η = 21.0	x: 0 m η = 49.6	x: 1 m η = 11.6	x: 1 m η = 17.0	η = 7.6	η = 2.0	η < 0.1	η < 0.1	x: 1 m η = 60.5	η < 0.1	η = 0.1	η = 7.6	η = 2.0	**CUMPLE η = 60.5**
N1493/N275	$\lambda_w \le \lambda_{w,máx}$ Cumple	x: 1.382 m η = 18.0	x: 0 m η = 16.2	x: 0 m η = 25.5	x: 0 m η = 0.9	η = 16.0	η = 0.1	η < 0.1	η < 0.1	x: 0 m η = 43.8	η < 0.1	η = 0.1	η = 16.0	η = 0.1	**CUMPLE η = 43.8**
N1469/N278	$\lambda_w \le \lambda_{w,máx}$ Cumple	x: 1.824 m η = 13.2	x: 0 m η = 23.1	x: 1.825 m η = 26.5	x: 1.825 m η = 17.9	η = 2.9	η = 2.0	η < 0.1	η < 0.1	x: 1.825 m η = 46.0	η < 0.1	η < 0.1	η = 2.9	η = 2.0	**CUMPLE η = 46.0**
N278/N259	$\lambda_w \le \lambda_{w,máx}$ Cumple	x: 1.883 m η = 3.1	x: 0.175 m η = 3.8	x: 0.175 m η = 14.1	x: 0.175 m η = 14.0	η = 2.6	η = 2.6	η < 0.1	η < 0.1	x: 0.175 m η = 21.8	η < 0.1	η = 1.8	η = 2.6	η = 2.6	**CUMPLE η = 21.8**
N259/N1493	$\lambda_w \le \lambda_{w,máx}$ Cumple	x: 0.5 m η = 11.3	x: 0.116 m η = 10.2	x: 0.116 m η = 28.1	x: 0.116 m η = 0.4	η = 6.1	η = 0.1	η < 0.1	η < 0.1	x: 0.116 m η = 39.6	η < 0.1	η < 0.1	η = 6.1	η = 0.1	**CUMPLE η = 39.6**
N571/N1470	$\lambda_w \le \lambda_{w,máx}$ Cumple	x: 1 m η = 18.6	x: 0 m η = 34.3	x: 1 m η = 8.3	x: 1 m η = 12.3	η = 5.5	η = 1.5	η < 0.1	η < 0.1	x: 1 m η = 46.1	η < 0.1	η = 0.1	η = 5.5	η = 1.5	**CUMPLE η = 46.1**
N1494/N483	$\lambda_w \le \lambda_{w,máx}$ Cumple	x: 1.405 m η = 10.8	x: 0 m η = 12.6	x: 0 m η = 24.6	x: 0 m η = 2.0	η = 12.6	η = 0.2	η < 0.1	η < 0.1	x: 0 m η = 36.7	η < 0.1	η = 0.1	η = 12.3	η = 0.2	**CUMPLE η = 36.7**
N1470/N484	$\lambda_w \le \lambda_{w,máx}$ Cumple	x: 1.868 m η = 13.4	x: 0 m η = 19.0	x: 1.869 m η = 21.7	x: 1.869 m η = 16.9	η = 2.8	η = 1.5	η < 0.1	η < 0.1	x: 1.869 m η = 41.0	η < 0.1	η < 0.1	η = 2.8	η = 1.5	**CUMPLE η = 41.0**
N484/N467	$\lambda_w \le \lambda_{w,máx}$ Cumple	x: 1.911 m η = 1.0	x: 0.131 m η = 2.6	x: 1.912 m η = 19.9	x: 0.131 m η = 15.5	η = 4.2	η = 2.3	η < 0.1	η < 0.1	x: 0.131 m η = 24.0	η < 0.1	η = 0.8	η = 4.2	η = 2.3	**CUMPLE η = 24.0**
N467/N1494	$\lambda_w \le \lambda_{w,máx}$ Cumple	x: 0.5 m η = 7.7	x: 0.088 m η = 9.0	x: 0.088 m η = 29.3	x: 0.088 m η = 1.2	η = 6.4	η = 0.2	η < 0.1	η < 0.1	x: 0.088 m η = 37.6	η < 0.1	η < 0.1	η = 6.2	η = 0.2	**CUMPLE η = 37.6**
N727/N1471	$\lambda_w \le \lambda_{w,máx}$ Cumple	x: 1 m η = 18.8	x: 0 m η = 34.4	x: 1 m η = 8.4	x: 1 m η = 12.1	η = 5.6	η = 1.5	η < 0.1	η < 0.1	x: 1 m η = 45.8	η < 0.1	η = 0.1	η = 5.6	η = 1.5	**CUMPLE η = 45.8**
N1495/N639	$\lambda_w \le \lambda_{w,máx}$ Cumple	x: 1.405 m η = 10.9	x: 0 m η = 12.9	x: 0 m η = 25.0	x: 0 m η = 1.9	η = 12.8	η = 0.1	η < 0.1	η < 0.1	x: 0 m η = 37.5	η < 0.1	η < 0.1	η = 12.8	η = 0.1	**CUMPLE η = 37.5**
N1471/N640	$\lambda_w \le \lambda_{w,máx}$ Cumple	x: 1.868 m η = 13.5	x: 0 m η = 19.1	x: 1.869 m η = 21.9	x: 1.869 m η = 16.7	η = 2.8	η = 1.5	η < 0.1	η < 0.1	x: 1.869 m η = 40.7	η < 0.1	η < 0.1	η = 2.8	η = 1.5	**CUMPLE η = 40.7**
N640/N623	$\lambda_w \le \lambda_{w,máx}$ Cumple	x: 1.911 m η = 1.0	x: 0.131 m η = 2.6	x: 1.912 m η = 20.3	x: 0.131 m η = 15.3	η = 4.3	η = 2.2	η < 0.1	η < 0.1	x: 0.131 m η = 23.7	η < 0.1	η = 0.9	η = 4.3	η = 2.3	**CUMPLE η = 23.7**
N623/N1495	$\lambda_w \le \lambda_{w,máx}$ Cumple	x: 0.5 m η = 7.7	x: 0.088 m η = 9.2	x: 0.088 m η = 29.6	x: 0.088 m η = 1.1	η = 6.4	η = 0.1	η < 0.1	η < 0.1	x: 0.088 m η = 38.4	η < 0.1	η < 0.1	η = 6.4	η = 0.1	**CUMPLE η = 38.4**

VISADO COGITI VALENCIA VA07290/22
TRLTDCFZ60T66IJ1
Documento visado electrónicamente con número VA07290/22. Código de validación telemática TRLTDCFZ60T66IJ1. Comprobación: https://cogitivalencia.e-gestion.es/Validacion.aspx?CVT=TRLTDCFZ60T66IJ1

VISADO
COGITI
Estado
VALENCIA
VA07290/22
TRLTDCFZ60T66IJ1

Barras	COMPROBACIONES (CÓDIGO ESTRUCTURAL)															
	λ_w	N_t	N_c	M_Y	M_Z	V_Z	V_Y	M_YV_Z	M_ZV_Y	NM_YM_Z	$NM_YM_ZV_YV_Z$	M_t	M_tV_Z	M_tV_Y	
N883/N1472	$\lambda_w \leq \lambda_{w,máx}$ Cumple	x: 1 m η = 18.8	x: 0 m η = 34.4	x: 1 m η = 7.8	x: 1 m η = 12.0	η = 5.2	η = 1.4	η < 0.1	η < 0.1	x: 1 m η = 45.4	η < 0.1	η = 0.1	η = 5.2	η = 1.4	**CUMPLE η = 45.4**
N1496/N795	$\lambda_w \leq \lambda_{w,máx}$ Cumple	x: 1.405 m η = 10.8	x: 0 m η = 12.8	x: 0 m η = 25.1	x: 0 m η = 1.9	η = 12.8	η = 0.1	η < 0.1	η < 0.1	x: 0 m η = 37.7	η < 0.1	x: 1.405 m η < 0.1	η = 12.6	η = 0.1	**CUMPLE η = 37.7**
N1472/N796	$\lambda_w \leq \lambda_{w,máx}$ Cumple	x: 1.868 m η = 13.5	x: 0 m η = 19.1	x: 1.869 m η = 20.4	x: 1.869 m η = 16.5	η = 2.6	η = 1.4	η < 0.1	η < 0.1	x: 1.869 m η = 39.2	η < 0.1	η < 0.1	η = 2.6	η = 1.4	**CUMPLE η = 39.2**
N796/N779	$\lambda_w \leq \lambda_{w,máx}$ Cumple	x: 1.911 m η = 1.0	x: 0.131 m η = 2.6	x: 1.912 m η = 20.5	x: 0.131 m η = 15.1	η = 4.3	η = 2.2	η < 0.1	η < 0.1	x: 0.131 m η = 22.6	η < 0.1	η = 0.9	η = 4.3	η = 2.2	**CUMPLE η = 22.6**
N779/N1496	$\lambda_w \leq \lambda_{w,máx}$ Cumple	x: 0.5 m η = 7.7	x: 0.088 m η = 9.2	x: 0.088 m η = 29.8	x: 0.088 m η = 1.1	η = 6.5	η = 0.1	η < 0.1	η < 0.1	x: 0.088 m η = 38.6	η < 0.1	η < 0.1	η = 6.3	η = 0.1	**CUMPLE η = 38.6**
N1039/N1473	$\lambda_w \leq \lambda_{w,máx}$ Cumple	x: 1 m η = 18.8	x: 0 m η = 34.4	x: 1 m η = 6.1	x: 1 m η = 11.8	η = 4.0	η = 1.4	η < 0.1	η < 0.1	x: 1 m η = 45.1	η < 0.1	η = 0.2	η = 4.0	η = 1.4	**CUMPLE η = 45.1**
N1497/N951	$\lambda_w \leq \lambda_{w,máx}$ Cumple	x: 1.405 m η = 10.7	x: 0 m η = 12.6	x: 0 m η = 25.2	x: 0 m η = 2.0	η = 12.9	η = 0.2	η < 0.1	η < 0.1	x: 0 m η = 37.9	η < 0.1	η = 0.1	η = 12.6	η = 0.1	**CUMPLE η = 37.9**
N1473/N952	$\lambda_w \leq \lambda_{w,máx}$ Cumple	x: 1.868 m η = 13.5	x: 0 m η = 19.0	x: 1.869 m η = 15.9	x: 1.869 m η = 16.3	η = 2.0	η = 1.4	η < 0.1	η < 0.1	x: 1.869 m η = 35.6	η < 0.1	η < 0.1	η = 2.0	η = 1.4	**CUMPLE η = 35.6**
N952/N935	$\lambda_w \leq \lambda_{w,máx}$ Cumple	x: 1.911 m η = 0.9	x: 0.131 m η = 2.4	x: 1.912 m η = 20.8	x: 0.131 m η = 14.9	η = 4.7	η = 2.2	η < 0.1	η < 0.1	x: 1.912 m η = 22.2	η < 0.1	η = 0.8	η = 4.7	η = 2.2	**CUMPLE η = 22.2**
N935/N1497	$\lambda_w \leq \lambda_{w,máx}$ Cumple	x: 0.5 m η = 7.6	x: 0.088 m η = 9.0	x: 0.088 m η = 30.0	x: 0.088 m η = 1.2	η = 6.5	η = 0.2	η < 0.1	η < 0.1	x: 0.088 m η = 38.8	η < 0.1	η < 0.1	η = 6.4	η = 0.1	**CUMPLE η = 38.8**
N1195/N1474	$\lambda_w \leq \lambda_{w,máx}$ Cumple	x: 1 m η = 18.9	x: 0 m η = 34.3	x: 1 m η = 4.4	x: 1 m η = 11.7	η = 2.9	η = 1.4	η < 0.1	η < 0.1	x: 1 m η = 46.0	η < 0.1	η = 0.2	η = 2.5	η = 1.4	**CUMPLE η = 46.0**
N1498/N1107	$\lambda_w \leq \lambda_{w,máx}$ Cumple	x: 1.405 m η = 10.4	x: 0 m η = 11.9	x: 0 m η = 25.5	x: 0 m η = 2.3	η = 12.9	η = 0.2	η < 0.1	η < 0.1	x: 0 m η = 37.7	η < 0.1	η = 0.2	η = 12.9	η = 0.2	**CUMPLE η = 37.7**
N1474/N1108	$\lambda_w \leq \lambda_{w,máx}$ Cumple	x: 1.868 m η = 13.6	x: 0 m η = 19.0	x: 1.869 m η = 11.4	x: 1.869 m η = 16.1	η = 1.4	η = 1.4	η < 0.1	η < 0.1	x: 1.869 m η = 37.0	η < 0.1	η < 0.1	η = 1.3	η = 1.4	**CUMPLE η = 37.0**
N1108/N1091	$\lambda_w \leq \lambda_{w,máx}$ Cumple	x: 1.911 m η = 0.7	x: 0.131 m η = 2.0	x: 1.912 m η = 21.2	x: 0.131 m η = 14.8	η = 5.5	η = 2.2	η < 0.1	η < 0.1	x: 1.912 m η = 22.7	η < 0.1	η = 0.8	η = 5.5	η = 2.2	**CUMPLE η = 22.7**
N1091/N1498	$\lambda_w \leq \lambda_{w,máx}$ Cumple	x: 0.5 m η = 7.4	x: 0.088 m η = 8.5	x: 0.088 m η = 30.1	x: 0.088 m η = 1.4	η = 6.5	η = 0.2	η < 0.1	η < 0.1	x: 0.088 m η = 38.8	η < 0.1	η < 0.1	η = 6.5	η = 0.2	**CUMPLE η = 38.8**
N1351/N1475	$\lambda_w \leq \lambda_{w,máx}$ Cumple	x: 1 m η = 17.5	x: 0 m η = 33.1	x: 1 m η = 5.5	x: 1 m η = 11.7	η = 3.6	η = 1.4	η < 0.1	η < 0.1	x: 1 m η = 46.9	η < 0.1	η = 0.3	η = 3.6	η = 1.4	**CUMPLE η = 46.9**
N1499/N1263	$\lambda_w \leq \lambda_{w,máx}$ Cumple	x: 1.421 m η = 9.0	x: 0 m η = 9.6	x: 0 m η = 24.4	x: 0 m η = 2.1	η = 10.5	η = 0.2	η < 0.1	η < 0.1	x: 0 m η = 34.4	η < 0.1	η = 0.3	η = 10.5	η = 0.2	**CUMPLE η = 34.4**
N1475/N1264	$\lambda_w \leq \lambda_{w,máx}$ Cumple	x: 1.868 m η = 12.6	x: 0 m η = 18.3	x: 1.869 m η = 14.2	x: 1.869 m η = 16.1	η = 1.8	η = 1.4	η < 0.1	η < 0.1	x: 1.869 m η = 40.6	η < 0.1	η < 0.1	η = 1.8	η = 1.4	**CUMPLE η = 40.6**
N1264/N1247	$\lambda_w \leq \lambda_{w,máx}$ Cumple	x: 1.911 m η = 0.3	x: 0.131 m η = 1.8	x: 1.912 m η = 19.5	x: 0.131 m η = 14.8	η = 6.0	η = 2.2	η < 0.1	η < 0.1	x: 0.131 m η = 20.3	η < 0.1	η = 0.8	η = 6.0	η = 2.2	**CUMPLE η = 20.3**
N1247/N1499	$\lambda_w \leq \lambda_{w,máx}$ Cumple	x: 0.5 m η = 6.4	x: 0.088 m η = 6.9	x: 0.088 m η = 27.9	x: 0.088 m η = 1.3	η = 5.3	η = 0.2	η < 0.1	η < 0.1	x: 0.088 m η = 35.0	η < 0.1	η < 0.1	η = 5.3	η = 0.2	**CUMPLE η = 35.0**
N1/N1459	$\lambda_w \leq \lambda_{w,máx}$ Cumple	x: 1 m η = 9.2	x: 0 m η = 27.7	x: 1 m η = 12.7	x: 1 m η = 9.6	η = 8.4	η = 1.2	η < 0.1	η < 0.1	x: 1 m η = 42.5	η < 0.1	η = 0.2	η = 8.4	η = 1.2	**CUMPLE η = 42.5**
N1460/N13	$\lambda_w \leq \lambda_{w,máx}$ Cumple	x: 1.405 m η = 4.5	x: 0 m η = 7.5	x: 0 m η = 51.1	x: 0 m η = 6.3	η = 22.3	η = 0.5	η < 0.1	η < 0.1	x: 0 m η = 59.8	η < 0.1	η = 0.3	η = 22.4	η = 0.5	**CUMPLE η = 59.8**
N1459/N7	$\lambda_w \leq \lambda_{w,máx}$ Cumple	x: 1.859 m η = 6.6	x: 0 m η = 21.3	x: 1.86 m η = 33.1	x: 1.86 m η = 13.2	η = 4.2	η = 1.2	η < 0.1	η < 0.1	x: 1.86 m η = 60.0	η < 0.1	η < 0.1	η = 4.2	η = 1.2	**CUMPLE η = 60.0**
N7/N12	$\lambda_w \leq \lambda_{w,máx}$ Cumple	x: 1.859 m η = 6.8	x: 0.14 m η = 21.9	x: 1.86 m η = 55.6	x: 0.14 m η = 12.2	η = 4.2	η = 2.2	η < 0.1	η < 0.1	x: 1.86 m η = 82.3	η < 0.1	η = 0.1	η = 4.2	η = 2.2	**CUMPLE η = 82.3**
N12/N1460	$\lambda_w \leq \lambda_{w,máx}$ Cumple	x: 0.5 m η = 3.2	x: 0.14 m η = 5.4	x: 0.14 m η = 56.9	x: 0.14 m η = 3.7	η = 11.3	η = 0.5	η < 0.1	η < 0.1	x: 0.14 m η = 63.0	η < 0.1	η < 0.1	η = 11.3	η = 0.5	**CUMPLE η = 63.0**
N175/N1476	$\lambda_w \leq \lambda_{w,máx}$ Cumple	x: 1 m η = 14.7	x: 0 m η = 39.8	x: 1 m η = 18.4	x: 1 m η = 13.0	η = 13.4	η = 1.6	η < 0.1	η < 0.1	x: 1 m η = 60.5	η < 0.1	η = 0.3	η = 13.4	η = 1.7	**CUMPLE η = 60.5**
N1484/N178	$\lambda_w \leq \lambda_{w,máx}$ Cumple	x: 1.382 m η = 5.5	x: 0 m η = 9.7	x: 0 m η = 56.3	x: 0 m η = 0.8	η = 27.8	η = 0.1	η < 0.1	η < 0.1	x: 0 m η = 65.5	η < 0.1	η = 0.4	η = 27.8	η = 0.1	**CUMPLE η = 65.5**
N1476/N176	$\lambda_w \leq \lambda_{w,máx}$ Cumple	x: 1.859 m η = 7.8	x: 0 m η = 23.0	x: 1.86 m η = 36.6	x: 1.86 m η = 10.0	η = 3.9	η = 1.6	η < 0.1	η < 0.1	x: 1.86 m η = 64.4	η < 0.1	η < 0.1	η = 3.9	η = 1.6	**CUMPLE η = 64.4**
N176/N177	$\lambda_w \leq \lambda_{w,máx}$ Cumple	x: 1.859 m η = 8.3	x: 0.14 m η = 25.1	x: 1.86 m η = 59.4	x: 0.14 m η = 9.5	η = 3.9	η = 2.3	η < 0.1	η < 0.1	x: 1.86 m η = 90.1	η < 0.1	η = 0.2	η = 3.9	η = 2.3	**CUMPLE η = 90.1**
N177/N1484	$\lambda_w \leq \lambda_{w,máx}$ Cumple	x: 0.5 m η = 2.9	x: 0.14 m η = 5.2	x: 0.14 m η = 48.4	x: 0.14 m η = 0.3	η = 8.0	η = 0.1	η < 0.1	η < 0.1	x: 0.14 m η = 52.7	η < 0.1	η < 0.1	η = 8.0	η = 0.1	**CUMPLE η = 52.7**
N279/N1477	$\lambda_w \leq \lambda_{w,máx}$ Cumple	x: 1 m η = 13.2	x: 0 m η = 30.5	x: 1 m η = 15.0	x: 1 m η = 12.7	η = 10.9	η = 1.6	η < 0.1	η < 0.1	x: 1 m η = 46.8	η < 0.1	η = 0.3	η = 10.9	η = 1.6	**CUMPLE η = 46.8**
N1485/N282	$\lambda_w \leq \lambda_{w,máx}$ Cumple	x: 1.382 m η = 4.9	x: 0 m η = 7.6	x: 0 m η = 45.3	x: 0 m η = 0.7	η = 22.5	η = 0.1	η < 0.1	η < 0.1	x: 0 m η = 52.5	η < 0.1	η = 0.5	η = 22.5	η = 0.1	**CUMPLE η = 52.5**
N1477/N280	$\lambda_w \leq \lambda_{w,máx}$ Cumple	x: 1.859 m η = 7.0	x: 0 m η = 17.6	x: 1.86 m η = 29.8	x: 1.86 m η = 9.7	η = 3.2	η = 1.6	η < 0.1	η < 0.1	x: 1.86 m η = 51.0	η < 0.1	η < 0.1	η = 3.2	η = 1.6	**CUMPLE η = 51.0**
N280/N281	$\lambda_w \leq \lambda_{w,máx}$ Cumple	x: 1.859 m η = 7.5	x: 0.14 m η = 19.7	x: 1.86 m η = 48.0	x: 0.14 m η = 9.4	η = 3.1	η = 2.3	η < 0.1	η < 0.1	x: 1.86 m η = 71.2	η < 0.1	η = 0.1	η = 3.1	η = 2.3	**CUMPLE η = 71.2**
N281/N1485	$\lambda_w \leq \lambda_{w,máx}$ Cumple	x: 0.5 m η = 2.6	x: 0.14 m η = 4.1	x: 0.14 m η = 38.9	x: 0.14 m η = 0.3	η = 6.5	η = 0.1	η < 0.1	η < 0.1	x: 0.14 m η = 42.5	η < 0.1	η < 0.1	η = 6.5	η = 0.1	**CUMPLE η = 42.5**
N572/N1478	$\lambda_w \leq \lambda_{w,máx}$ Cumple	x: 1 m η = 14.4	x: 0 m η = 27.5	x: 1 m η = 11.3	x: 1 m η = 8.6	η = 7.5	η = 1.0	η < 0.1	η < 0.1	x: 1 m η = 42.0	η < 0.1	η = 0.2	η = 7.5	η = 1.0	**CUMPLE η = 42.0**
N1486/N516	$\lambda_w \leq \lambda_{w,máx}$ Cumple	x: 1.405 m η = 6.6	x: 0 m η = 8.4	x: 0 m η = 45.9	x: 0 m η = 1.8	η = 19.9	η = 0.2	η < 0.1	η < 0.1	x: 0 m η = 54.1	η < 0.1	η = 0.3	η = 19.9	η = 0.2	**CUMPLE η = 54.1**
N1478/N533	$\lambda_w \leq \lambda_{w,máx}$ Cumple	x: 1.859 m η = 10.4	x: 0 m η = 21.2	x: 1.86 m η = 29.4	x: 1.86 m η = 11.8	η = 3.8	η = 1.0	η < 0.1	η < 0.1	x: 1.86 m η = 54.8	η < 0.1	η < 0.1	η = 3.8	η = 1.0	**CUMPLE η = 54.8**
N533/N500	$\lambda_w \leq \lambda_{w,máx}$ Cumple	x: 1.859 m η = 9.9	x: 0.14 m η = 22.2	x: 1.86 m η = 49.6	x: 0.14 m η = 10.9	η = 3.7	η = 1.6	η < 0.1	η < 0.1	x: 1.86 m η = 75.5	η < 0.1	η = 0.2	η = 3.7	η = 1.6	**CUMPLE η = 75.5**
N500/N1486	$\lambda_w \leq \lambda_{w,máx}$ Cumple	x: 0.5 m η = 4.7	x: 0.14 m η = 6.0	x: 0.14 m η = 51.1	x: 0.14 m η = 1.1	η = 10.0	η = 0.2	η < 0.1	η < 0.1	x: 0.14 m η = 57.0	η < 0.1	η < 0.1	η = 10.0	η = 0.2	**CUMPLE η = 57.0**
N728/N1479	$\lambda_w \leq \lambda_{w,máx}$ Cumple	x: 1 m η = 14.6	x: 0 m η = 27.7	x: 1 m η = 11.2	x: 1 m η = 8.6	η = 7.4	η = 1.0	η < 0.1	η < 0.1	x: 1 m η = 42.1	η < 0.1	η = 0.1	η = 7.4	η = 1.0	**CUMPLE η = 42.1**
N1487/N672	$\lambda_w \leq \lambda_{w,máx}$ Cumple	x: 1.405 m η = 6.7	x: 0 m η = 8.4	x: 0 m η = 45.8	x: 0 m η = 1.7	η = 19.8	η = 0.1	η < 0.1	η < 0.1	x: 0 m η = 54.0	η < 0.1	η = 0.3	η = 19.8	η = 0.1	**CUMPLE η = 54.0**
N1479/N689	$\lambda_w \leq \lambda_{w,máx}$ Cumple	x: 1.859 m η = 10.5	x: 0 m η = 21.3	x: 1.86 m η = 29.2	x: 1.86 m η = 11.8	η = 3.7	η = 1.0	η < 0.1	η < 0.1	x: 1.86 m η = 55.1	η < 0.1	η < 0.1	η = 3.7	η = 1.0	**CUMPLE η = 55.1**

Documento visado electrónicamente con número: VA07290/22
Código de validación telemática TRLTDCFZ60T66IJ1. Comprobación: https://cogitivalencia.e-gestion.es/Validacion.aspx?CVT=TRLTDCFZ60T66IJ1

VISADO COGITI VALENCIA VA07290/22 TRLTDCFZ60T66IJ1

Barras	COMPROBACIONES (CÓDIGO ESTRUCTURAL)														Estado
	λ_w	N_t	N_c	M_Y	M_Z	V_Z	V_Y	M_YV_Z	M_ZV_Y	NM_YM_Z	$NM_YM_ZV_YV_Z$	M_t	M_tV_Z	M_tV_Y	
N689/N656	$\lambda_w \leq \lambda_{w,máx}$ Cumple	x: 1.859 m η = 10.0	x: 0.14 m η = 22.3	x: 1.86 m η = 49.3	x: 0.14 m η = 10.9	η = 3.7	η = 1.6	η < 0.1	η < 0.1	x: 1.86 m η = 75.3	η < 0.1	η = 0.2	η = 3.7	η = 1.6	**CUMPLE η = 75.3**
N656/N1487	$\lambda_w \leq \lambda_{w,máx}$ Cumple	x: 0.5 m η = 4.8	x: 0.14 m η = 6.0	x: 0.14 m η = 50.9	x: 0.14 m η = 1.0	η = 10.0	η = 0.1	η < 0.1	η < 0.1	x: 0.14 m η = 56.8	η < 0.1	η < 0.1	η = 10.0	η = 0.1	**CUMPLE η = 56.8**
N884/N1480	$\lambda_w \leq \lambda_{w,máx}$ Cumple	x: 1 m η = 14.6	x: 0 m η = 27.7	x: 1 m η = 11.1	x: 1 m η = 8.6	η = 7.3	η = 1.0	η < 0.1	η < 0.1	x: 1 m η = 42.1	η < 0.1	η = 0.1	η = 7.3	η = 1.0	**CUMPLE η = 42.1**
N1488/N828	$\lambda_w \leq \lambda_{w,máx}$ Cumple	x: 1.405 m η = 6.7	x: 0 m η = 8.4	x: 0 m η = 45.3	x: 0 m η = 1.7	η = 19.6	η = 0.1	η < 0.1	η < 0.1	x: 0 m η = 53.6	η < 0.1	η = 0.3	η = 19.6	η = 0.1	**CUMPLE η = 53.6**
N1480/N845	$\lambda_w \leq \lambda_{w,máx}$ Cumple	x: 1.859 m η = 10.5	x: 0 m η = 21.3	x: 1.86 m η = 28.8	x: 1.86 m η = 11.8	η = 3.7	η = 1.0	η < 0.1	η < 0.1	x: 1.86 m η = 55.0	η < 0.1	η < 0.1	η = 3.7	η = 1.0	**CUMPLE η = 55.0**
N845/N812	$\lambda_w \leq \lambda_{w,máx}$ Cumple	x: 1.859 m η = 10.0	x: 0.14 m η = 22.3	x: 1.86 m η = 48.7	x: 0.14 m η = 10.9	η = 3.6	η = 1.6	η < 0.1	η < 0.1	x: 1.86 m η = 74.7	η < 0.1	η = 0.2	η = 3.6	η = 1.6	**CUMPLE η = 74.7**
N812/N1488	$\lambda_w \leq \lambda_{w,máx}$ Cumple	x: 0.5 m η = 4.8	x: 0.14 m η = 6.0	x: 0.14 m η = 50.4	x: 0.14 m η = 1.0	η = 9.9	η = 0.1	η < 0.1	η < 0.1	x: 0.14 m η = 56.3	η < 0.1	η < 0.1	η = 9.9	η = 0.1	**CUMPLE η = 56.3**
N1040/N1481	$\lambda_w \leq \lambda_{w,máx}$ Cumple	x: 1 m η = 14.6	x: 0 m η = 27.6	x: 1 m η = 10.8	x: 1 m η = 8.7	η = 7.1	η = 1.0	η < 0.1	η < 0.1	x: 1 m η = 42.1	η < 0.1	η = 0.1	η = 7.1	η = 1.0	**CUMPLE η = 42.1**
N1489/N984	$\lambda_w \leq \lambda_{w,máx}$ Cumple	x: 1.405 m η = 6.7	x: 0 m η = 8.4	x: 0 m η = 44.6	x: 0 m η = 1.7	η = 19.2	η = 0.1	η < 0.1	η < 0.1	x: 0 m η = 52.8	η < 0.1	η = 0.3	η = 19.3	η = 0.1	**CUMPLE η = 52.8**
N1481/N1001	$\lambda_w \leq \lambda_{w,máx}$ Cumple	x: 1.859 m η = 10.5	x: 0 m η = 21.3	x: 1.86 m η = 28.1	x: 1.86 m η = 11.9	η = 3.6	η = 1.0	η < 0.1	η < 0.1	x: 1.86 m η = 54.6	η < 0.1	η < 0.1	η = 3.6	η = 1.0	**CUMPLE η = 54.6**
N1001/N968	$\lambda_w \leq \lambda_{w,máx}$ Cumple	x: 1.859 m η = 9.9	x: 0.14 m η = 22.2	x: 1.86 m η = 47.8	x: 0.14 m η = 11.0	η = 3.6	η = 1.7	η < 0.1	η < 0.1	x: 1.86 m η = 73.6	η < 0.1	η = 0.2	η = 3.6	η = 1.7	**CUMPLE η = 73.6**
N968/N1489	$\lambda_w \leq \lambda_{w,máx}$ Cumple	x: 0.5 m η = 4.8	x: 0.14 m η = 6.1	x: 0.14 m η = 49.5	x: 0.14 m η = 1.0	η = 9.7	η = 0.1	η < 0.1	η < 0.1	x: 0.14 m η = 55.5	η < 0.1	η < 0.1	η = 9.7	η = 0.1	**CUMPLE η = 55.5**
N1196/N1482	$\lambda_w \leq \lambda_{w,máx}$ Cumple	x: 1 m η = 14.7	x: 0 m η = 27.4	x: 1 m η = 10.3	x: 1 m η = 8.7	η = 6.8	η = 1.0	η < 0.1	η < 0.1	x: 1 m η = 41.5	η < 0.1	η = 0.2	η = 6.8	η = 1.0	**CUMPLE η = 41.5**
N1490/N1140	$\lambda_w \leq \lambda_{w,máx}$ Cumple	x: 1.405 m η = 6.6	x: 0 m η = 8.3	x: 0 m η = 42.9	x: 0 m η = 1.9	η = 18.5	η = 0.2	η < 0.1	η < 0.1	x: 0 m η = 51.2	η < 0.1	η = 0.3	η = 18.5	η = 0.2	**CUMPLE η = 51.2**
N1482/N1157	$\lambda_w \leq \lambda_{w,máx}$ Cumple	x: 1.859 m η = 10.6	x: 0 m η = 21.1	x: 1.86 m η = 26.8	x: 1.86 m η = 12.0	η = 3.4	η = 1.0	η < 0.1	η < 0.1	x: 1.86 m η = 53.2	η < 0.1	η < 0.1	η = 3.4	η = 1.0	**CUMPLE η = 53.2**
N1157/N1124	$\lambda_w \leq \lambda_{w,máx}$ Cumple	x: 1.859 m η = 9.6	x: 0.14 m η = 21.8	x: 1.86 m η = 45.8	x: 0.14 m η = 11.1	η = 3.4	η = 1.7	η < 0.1	η < 0.1	x: 1.86 m η = 71.1	η < 0.1	η = 0.3	η = 3.4	η = 1.7	**CUMPLE η = 71.1**
N1124/N1490	$\lambda_w \leq \lambda_{w,máx}$ Cumple	x: 0.5 m η = 4.7	x: 0.14 m η = 6.0	x: 0.14 m η = 47.7	x: 0.14 m η = 1.2	η = 9.3	η = 0.2	η < 0.1	η < 0.1	x: 0.14 m η = 53.6	η < 0.1	η < 0.1	η = 9.3	η = 0.2	**CUMPLE η = 53.6**
N1352/N1483	$\lambda_w \leq \lambda_{w,máx}$ Cumple	x: 1 m η = 13.4	x: 0 m η = 25.3	x: 1 m η = 8.8	x: 1 m η = 7.9	η = 5.8	η = 0.9	η < 0.1	η < 0.1	x: 1 m η = 38.3	η < 0.1	η = 0.4	η = 5.8	η = 0.9	**CUMPLE η = 38.3**
N1491/N1296	$\lambda_w \leq \lambda_{w,máx}$ Cumple	x: 1.405 m η = 6.2	x: 0 m η = 7.7	x: 0 m η = 35.8	x: 0 m η = 1.7	η = 15.2	η = 0.2	η < 0.1	η < 0.1	x: 0 m η = 43.5	η < 0.1	η = 0.2	η = 15.2	η = 0.2	**CUMPLE η = 43.5**
N1483/N1313	$\lambda_w \leq \lambda_{w,máx}$ Cumple	x: 1.859 m η = 9.7	x: 0 m η = 19.5	x: 1.86 m η = 23.0	x: 1.86 m η = 10.8	η = 2.9	η = 0.9	η < 0.1	η < 0.1	x: 1.86 m η = 46.7	η < 0.1	η < 0.1	η = 2.9	η = 0.9	**CUMPLE η = 46.7**
N1313/N1280	$\lambda_w \leq \lambda_{w,máx}$ Cumple	x: 1.859 m η = 8.5	x: 0.14 m η = 19.6	x: 1.86 m η = 38.2	x: 0.14 m η = 10.0	η = 2.9	η = 1.5	η < 0.1	η < 0.1	x: 1.86 m η = 59.9	η < 0.1	η = 0.4	η = 2.9	η = 1.5	**CUMPLE η = 59.9**
N1280/N1491	$\lambda_w \leq \lambda_{w,máx}$ Cumple	x: 0.5 m η = 4.4	x: 0.14 m η = 5.5	x: 0.14 m η = 39.7	x: 0.14 m η = 1.0	η = 7.7	η = 0.2	η < 0.1	η < 0.1	x: 0.14 m η = 45.2	η < 0.1	η < 0.1	η = 7.7	η = 0.2	**CUMPLE η = 45.2**
N882/N1508	$\lambda_w \leq \lambda_{w,máx}$ Cumple	x: 1 m η = 18.7	x: 0 m η = 34.9	x: 1 m η = 21.8	x: 1 m η = 11.2	η = 14.3	η = 1.3	η < 0.1	η < 0.1	x: 1 m η = 49.9	η < 0.1	η = 0.1	η = 14.3	η = 1.3	**CUMPLE η = 49.9**
N1504/N762	$\lambda_w \leq \lambda_{w,máx}$ Cumple	x: 1.405 m η = 11.3	x: 0 m η = 13.7	x: 0 m η = 24.0	x: 0 m η = 1.7	η = 12.3	η = 0.1	η < 0.1	η < 0.1	x: 0 m η = 35.0	η < 0.1	η = 0.1	η = 12.3	η = 0.1	**CUMPLE η = 35.0**
N1508/N763	$\lambda_w \leq \lambda_{w,máx}$ Cumple	x: 1.868 m η = 13.4	x: 0 m η = 19.4	x: 1.869 m η = 56.5	x: 1.869 m η = 15.4	η = 7.2	η = 1.3	η < 0.1	η < 0.1	x: 1.869 m η = 73.0	η < 0.1	η < 0.1	η = 7.2	η = 1.3	**CUMPLE η = 73.0**
N763/N745	$\lambda_w \leq \lambda_{w,máx}$ Cumple	x: 1.911 m η = 2.0	x: 0.131 m η = 3.7	x: 0.131 m η = 41.4	x: 0.131 m η = 13.9	η = 6.5	η = 2.1	η < 0.1	η < 0.1	x: 0.131 m η = 46.9	η < 0.1	η = 0.7	η = 6.5	η = 2.1	**CUMPLE η = 46.9**
N745/N1504	$\lambda_w \leq \lambda_{w,máx}$ Cumple	x: 0.5 m η = 8.1	x: 0.088 m η = 9.8	x: 0.088 m η = 28.5	x: 0.088 m η = 1.0	η = 6.2	η = 0.1	η < 0.1	η < 0.1	x: 0.088 m η = 36.1	η < 0.1	η < 0.1	η = 6.2	η = 0.1	**CUMPLE η = 36.1**
N6/N74	$\lambda_w \leq \lambda_{w,máx}$ Cumple	x: 2.47 m η = 38.6	x: 0.204 m η = 75.3	x: 0.204 m η = 12.5	x: 0.204 m η = 3.7	x: 2.471 m η = 1.6	η = 0.2	η < 0.1	η < 0.1	x: 0.204 m η = 83.3	η < 0.1	η = 0.4	x: 2.471 m η = 1.6	η = 0.2	**CUMPLE η = 83.3**
N174/N154	$\lambda_w \leq \lambda_{w,máx}$ Cumple	x: 2.432 m η = 34.9	x: 0.204 m η = 56.0	x: 2.433 m η = 20.4	x: 0.204 m η = 2.8	x: 2.433 m η = 1.8	η = 0.3	η < 0.1	η < 0.1	x: 2.433 m η = 74.8	η < 0.1	η = 4.5	x: 2.433 m η = 1.8	η = 0.3	**CUMPLE η = 74.8**
N278/N258	$\lambda_w \leq \lambda_{w,máx}$ Cumple	x: 2.432 m η = 30.1	x: 0.204 m η = 40.8	x: 2.433 m η = 14.1	x: 0.204 m η = 2.4	x: 2.432 m η = 1.8	η = 0.2	η < 0.1	η < 0.1	x: 2.433 m η = 54.0	η < 0.1	η = 4.7	x: 2.432 m η = 1.8	η = 0.2	**CUMPLE η = 54.0**
N484/N466	$\lambda_w \leq \lambda_{w,máx}$ Cumple	x: 2.47 m η = 52.0	x: 0.204 m η = 68.4	x: 0.204 m η = 13.9	x: 0.204 m η = 2.1	x: 2.471 m η = 2.0	η = 0.1	η < 0.1	η < 0.1	x: 0.204 m η = 74.7	η < 0.1	η = 0.5	x: 2.471 m η = 2.0	η = 0.1	**CUMPLE η = 74.7**
N640/N622	$\lambda_w \leq \lambda_{w,máx}$ Cumple	x: 2.47 m η = 52.8	x: 0.204 m η = 68.7	x: 0.204 m η = 14.1	x: 0.204 m η = 2.0	x: 2.471 m η = 1.9	η = 0.1	η < 0.1	η < 0.1	x: 0.204 m η = 75.1	η < 0.1	η = 0.5	x: 2.471 m η = 1.9	η = 0.1	**CUMPLE η = 75.1**
N796/N778	$\lambda_w \leq \lambda_{w,máx}$ Cumple	x: 2.47 m η = 52.6	x: 0.204 m η = 68.5	x: 0.204 m η = 13.5	x: 0.204 m η = 2.3	x: 2.471 m η = 2.0	η = 0.1	η < 0.1	η < 0.1	x: 0.204 m η = 74.9	η < 0.1	η = 0.5	x: 2.471 m η = 2.1	η = 0.1	**CUMPLE η = 74.9**
N952/N934	$\lambda_w \leq \lambda_{w,máx}$ Cumple	x: 2.47 m η = 52.0	x: 0.204 m η = 68.1	x: 0.204 m η = 11.6	x: 0.204 m η = 2.6	x: 2.471 m η = 1.6	η = 0.1	η < 0.1	η < 0.1	x: 0.204 m η = 74.5	η < 0.1	η = 0.5	x: 2.471 m η = 1.6	η = 0.1	**CUMPLE η = 74.5**
N1108/N1090	$\lambda_w \leq \lambda_{w,máx}$ Cumple	x: 2.47 m η = 50.6	x: 0.204 m η = 67.4	x: 2.471 m η = 11.8	x: 0.204 m η = 3.2	x: 2.471 m η = 1.6	η = 0.1	η < 0.1	η < 0.1	x: 2.471 m η = 73.7	η < 0.1	η = 0.6	x: 2.471 m η = 1.6	η = 0.1	**CUMPLE η = 73.7**
N1264/N1246	$\lambda_w \leq \lambda_{w,máx}$ Cumple	x: 2.47 m η = 44.5	x: 0.204 m η = 63.2	x: 2.471 m η = 13.4	x: 0.204 m η = 4.5	x: 2.471 m η = 2.6	η = 0.1	η < 0.1	η < 0.1	x: 2.471 m η = 71.2	η < 0.1	η = 0.6	x: 2.471 m η = 2.6	η = 0.1	**CUMPLE η = 71.2**
N5/N44	$\lambda_w \leq \lambda_{w,máx}$ Cumple	x: 2.47 m η = 43.0	x: 0.204 m η = 82.8	x: 0.204 m η = 25.7	x: 0.204 m η = 3.3	x: 2.471 m η = 4.6	η = 0.1	η < 0.1	η < 0.1	x: 0.204 m η = 96.6	η < 0.1	η = 0.4	x: 2.471 m η = 4.6	η = 0.1	**CUMPLE η = 96.6**
N139/N120	$\lambda_w \leq \lambda_{w,máx}$ Cumple	x: 2.432 m η = 37.8	x: 0.204 m η = 60.4	x: 0.204 m η = 25.8	x: 0.204 m η = 2.8	x: 2.433 m η = 3.1	η = 0.3	η < 0.1	η < 0.1	x: 0.204 m η = 81.1	η < 0.1	η = 4.1	x: 2.433 m η = 3.2	η = 0.3	**CUMPLE η = 81.1**
N243/N224	$\lambda_w \leq \lambda_{w,máx}$ Cumple	x: 2.432 m η = 32.8	x: 0.204 m η = 44.2	x: 0.204 m η = 26.0	x: 0.204 m η = 2.4	x: 2.433 m η = 3.3	η = 0.2	η < 0.1	η < 0.1	x: 0.204 m η = 62.1	η < 0.1	η = 4.2	x: 2.433 m η = 3.4	η = 0.2	**CUMPLE η = 62.1**
N451/N432	$\lambda_w \leq \lambda_{w,máx}$ Cumple	x: 2.47 m η = 57.3	x: 0.204 m η = 74.8	x: 0.204 m η = 29.4	x: 0.204 m η = 2.3	x: 2.471 m η = 4.8	η = 0.1	η < 0.1	η < 0.1	x: 0.204 m η = 86.9	η < 0.1	η = 0.4	x: 2.471 m η = 4.8	η = 0.1	**CUMPLE η = 86.9**
N607/N588	$\lambda_w \leq \lambda_{w,máx}$ Cumple	x: 2.47 m η = 58.3	x: 0.204 m η = 75.3	x: 0.204 m η = 29.9	x: 0.204 m η = 2.5	x: 2.471 m η = 4.9	η = 0.1	η < 0.1	η < 0.1	x: 0.204 m η = 88.3	η < 0.1	η = 0.4	x: 2.471 m η = 4.9	η = 0.1	**CUMPLE η = 88.3**
N763/N744	$\lambda_w \leq \lambda_{w,máx}$ Cumple	x: 2.47 m η = 58.3	x: 0.204 m η = 75.1	x: 0.204 m η = 29.2	x: 0.204 m η = 2.8	x: 2.471 m η = 4.7	η = 0.1	η < 0.1	η < 0.1	x: 0.204 m η = 87.8	η < 0.1	η = 0.5	x: 2.471 m η = 4.7	η = 0.1	**CUMPLE η = 87.8**
N919/N900	$\lambda_w \leq \lambda_{w,máx}$ Cumple	x: 2.47 m η = 57.8	x: 0.204 m η = 74.7	x: 0.204 m η = 27.2	x: 0.204 m η = 3.2	x: 2.471 m η = 4.2	η = 0.1	η < 0.1	η < 0.1	x: 0.204 m η = 86.4	η < 0.1	η = 0.5	x: 2.471 m η = 4.2	η = 0.1	**CUMPLE η = 86.4**

Documento visado electrónicamente con número VA07290/22. Código de validación telemática TRLTDCFZ60T66IJ1. Comprobación: https://cogitivalencia.e-gestion.es/Validacion.aspx?CVT=TRLTDCFZ60T66IJ1

VISADO
COGITI
Estado
VALENCIA
VA07290/22
TRLTDCFZ60T66IJ1

Barras	COMPROBACIONES (CÓDIGO ESTRUCTURAL)														
	λ_w	N_t	N_c	M_Y	M_Z	V_Z	V_Y	M_YV_Z	M_ZV_Y	NM_YM_Z	$NM_YM_ZV_YV_Z$	M_t	M_tV_Z	M_tV_Y	
N1075/N1056	$\lambda_w \leq \lambda_{w,máx}$ Cumple	x: 2.47 m η = 56.5	x: 0.204 m η = 73.7	x: 0.204 m η = 23.0	x: 0.204 m η = 4.0	x: 2.471 m η = 3.3	η = 0.1	η < 0.1	η < 0.1	x: 0.204 m η = 84.5	η < 0.1	η = 0.5	x: 2.471 m η = 3.3	η = 0.1	**CUMPLE η = 84.5**
N1231/N1212	$\lambda_w \leq \lambda_{w,máx}$ Cumple	x: 2.47 m η = 48.8	x: 0.204 m η = 66.0	x: 0.204 m η = 15.1	x: 0.204 m η = 4.4	x: 2.471 m η = 3.0	η = 0.2	η < 0.1	η < 0.1	x: 0.204 m η = 73.3	η < 0.1	η = 0.5	x: 2.471 m η = 3.0	η = 0.2	**CUMPLE η = 73.3**
N4/N30	$\lambda_w \leq \lambda_{w,máx}$ Cumple	x: 1.7 m η = 0.9	x: 0.061 m η = 0.6	x: 0.061 m η = 21.1	x: 0.061 m η = 1.9	x: 1.701 m η = 5.8	η = 0.1	η < 0.1	η < 0.1	x: 0.061 m η = 21.8	η < 0.1	η = 0.1	x: 1.701 m η = 5.8	η = 0.1	**CUMPLE η = 21.8**
N30/N31	$\lambda_w \leq \lambda_{w,máx}$ Cumple	x: 1.7 m η = 19.4	x: 0.078 m η = 18.9	x: 0.078 m η = 9.4	x: 1.701 m η = 2.5	x: 0.078 m η = 4.5	η = 0.1	η < 0.1	η < 0.1	x: 1.701 m η = 29.0	η < 0.1	η = 0.1	x: 0.078 m η = 4.5	η = 0.1	**CUMPLE η = 29.0**
N105/N106	$\lambda_w \leq \lambda_{w,máx}$ Cumple	x: 1.68 m η = 0.8	x: 0.076 m η = 0.5	x: 0.076 m η = 18.5	x: 0.076 m η = 0.6	x: 1.681 m η = 3.1	η = 0.1	η < 0.1	η < 0.1	x: 0.076 m η = 19.2	η < 0.1	η = 0.9	x: 1.681 m η = 3.1	η = 0.1	**CUMPLE η = 19.2**
N106/N107	$\lambda_w \leq \lambda_{w,máx}$ Cumple	x: 1.68 m η = 13.0	x: 0.098 m η = 8.3	x: 1.681 m η = 9.5	x: 1.681 m η = 1.5	x: 0.098 m η = 2.6	η = 0.1	η < 0.1	η < 0.1	x: 1.681 m η = 23.2	η < 0.1	η = 1.3	x: 0.098 m η = 2.6	η = 0.1	**CUMPLE η = 23.2**
N209/N210	$\lambda_w \leq \lambda_{w,máx}$ Cumple	x: 1.68 m η = 0.6	x: 0.076 m η = 0.5	x: 0.076 m η = 17.4	x: 0.076 m η = 0.9	x: 1.681 m η = 2.9	η = 0.2	η < 0.1	η < 0.1	x: 0.076 m η = 18.1	η < 0.1	η = 1.3	x: 1.681 m η = 2.9	η = 0.2	**CUMPLE η = 18.1**
N210/N211	$\lambda_w \leq \lambda_{w,máx}$ Cumple	x: 1.68 m η = 9.7	x: 0.098 m η = 7.3	x: 1.681 m η = 7.0	x: 1.681 m η = 1.4	x: 0.098 m η = 2.0	η = 0.1	η < 0.1	η < 0.1	x: 1.681 m η = 17.5	η < 0.1	η = 1.7	x: 0.098 m η = 2.0	η = 0.1	**CUMPLE η = 17.5**
N417/N418	$\lambda_w \leq \lambda_{w,máx}$ Cumple	x: 1.7 m η = 1.0	x: 0.061 m η = 0.9	x: 0.061 m η = 21.4	x: 0.061 m η = 2.4	x: 1.701 m η = 5.8	η = 0.1	η < 0.1	η < 0.1	x: 0.061 m η = 23.3	η < 0.1	η = 0.1	x: 1.701 m η = 5.7	η = 0.1	**CUMPLE η = 23.3**
N418/N419	$\lambda_w \leq \lambda_{w,máx}$ Cumple	x: 1.7 m η = 18.6	x: 0.078 m η = 28.4	x: 0.078 m η = 8.6	x: 1.701 m η = 1.7	x: 0.078 m η = 4.2	η = 0.1	η < 0.1	η < 0.1	x: 1.701 m η = 34.0	η < 0.1	η = 0.3	x: 0.078 m η = 4.2	η = 0.1	**CUMPLE η = 34.0**
N573/N574	$\lambda_w \leq \lambda_{w,máx}$ Cumple	x: 1.7 m η = 1.0	x: 0.061 m η = 0.9	x: 0.061 m η = 21.5	x: 0.061 m η = 3.0	x: 1.701 m η = 5.8	η = 0.2	η < 0.1	η < 0.1	x: 0.061 m η = 23.9	η < 0.1	η = 0.1	x: 1.701 m η = 5.8	η = 0.2	**CUMPLE η = 23.9**
N574/N575	$\lambda_w \leq \lambda_{w,máx}$ Cumple	x: 1.7 m η = 18.7	x: 0.078 m η = 28.8	x: 0.078 m η = 8.7	x: 1.701 m η = 2.0	x: 0.078 m η = 4.2	η = 0.1	η < 0.1	η < 0.1	x: 1.701 m η = 34.6	η < 0.1	η = 0.3	x: 0.078 m η = 4.2	η = 0.1	**CUMPLE η = 34.6**
N729/N730	$\lambda_w \leq \lambda_{w,máx}$ Cumple	x: 1.7 m η = 1.0	x: 0.061 m η = 1.0	x: 0.061 m η = 21.5	x: 0.061 m η = 3.1	x: 1.701 m η = 5.8	η = 0.2	η < 0.1	η < 0.1	x: 0.061 m η = 24.1	η < 0.1	η = 0.1	x: 1.701 m η = 5.8	η = 0.2	**CUMPLE η = 24.1**
N730/N731	$\lambda_w \leq \lambda_{w,máx}$ Cumple	x: 1.7 m η = 18.8	x: 0.078 m η = 28.9	x: 0.078 m η = 8.8	x: 1.701 m η = 2.3	x: 0.078 m η = 4.2	η = 0.1	η < 0.1	η < 0.1	x: 1.701 m η = 34.8	η < 0.1	η = 0.3	x: 0.078 m η = 4.2	η = 0.1	**CUMPLE η = 34.8**
N885/N886	$\lambda_w \leq \lambda_{w,máx}$ Cumple	x: 1.7 m η = 1.0	x: 0.061 m η = 1.0	x: 0.061 m η = 21.5	x: 0.061 m η = 3.0	x: 1.701 m η = 5.8	η = 0.2	η < 0.1	η < 0.1	x: 0.061 m η = 24.1	η < 0.1	η = 0.1	x: 1.701 m η = 5.8	η = 0.2	**CUMPLE η = 24.1**
N886/N887	$\lambda_w \leq \lambda_{w,máx}$ Cumple	x: 1.7 m η = 18.8	x: 0.078 m η = 29.0	x: 0.078 m η = 8.8	x: 1.701 m η = 2.4	x: 0.078 m η = 4.2	η = 0.1	η < 0.1	η < 0.1	x: 1.701 m η = 34.9	η < 0.1	η = 0.3	x: 0.078 m η = 4.2	η = 0.1	**CUMPLE η = 34.9**
N1041/N1042	$\lambda_w \leq \lambda_{w,máx}$ Cumple	x: 1.7 m η = 1.0	x: 0.061 m η = 1.0	x: 0.061 m η = 21.4	x: 0.061 m η = 2.8	x: 1.701 m η = 5.8	η = 0.2	η < 0.1	η < 0.1	x: 0.061 m η = 24.1	η < 0.1	η = 0.3	x: 1.701 m η = 5.8	η = 0.2	**CUMPLE η = 24.1**
N1042/N1043	$\lambda_w \leq \lambda_{w,máx}$ Cumple	x: 1.7 m η = 18.7	x: 0.078 m η = 29.1	x: 0.078 m η = 8.7	x: 1.701 m η = 2.6	x: 0.078 m η = 4.2	η = 0.2	η < 0.1	η < 0.1	x: 1.701 m η = 35.0	η < 0.1	η = 0.3	x: 0.078 m η = 4.2	η = 0.2	**CUMPLE η = 35.0**
N1197/N1198	$\lambda_w \leq \lambda_{w,máx}$ Cumple	x: 1.7 m η = 0.9	x: 0.061 m η = 0.8	x: 0.061 m η = 20.0	x: 0.061 m η = 3.1	x: 1.701 m η = 5.4	η = 0.2	η < 0.1	η < 0.1	x: 0.061 m η = 23.2	η < 0.1	η = 0.4	x: 1.701 m η = 5.4	η = 0.2	**CUMPLE η = 23.2**
N1198/N1199	$\lambda_w \leq \lambda_{w,máx}$ Cumple	x: 1.7 m η = 17.1	x: 0.078 m η = 27.7	x: 0.078 m η = 7.5	x: 1.701 m η = 2.8	x: 0.078 m η = 3.7	η = 0.2	η < 0.1	η < 0.1	x: 1.701 m η = 33.7	η < 0.1	η = 0.4	x: 0.078 m η = 3.7	η = 0.2	**CUMPLE η = 33.7**
N1211/N1212	$\lambda_w \leq \lambda_{w,máx}$ Cumple	x: 1.661 m η = 30.8	x: 0.084 m η = 66.0	x: 1.662 m η = 35.5	x: 1.662 m η = 3.1	x: 1.662 m η = 11.5	η = 0.3	η < 0.1	η < 0.1	x: 1.662 m η = 89.3	η < 0.1	η = 0.2	x: 1.662 m η = 11.5	η = 0.3	**CUMPLE η = 89.3**
N1212/N1213	$\lambda_w \leq \lambda_{w,máx}$ Cumple	x: 1.637 m η = 42.2	x: 0.117 m η = 82.1	x: 0.117 m η = 16.5	x: 1.638 m η = 5.1	x: 1.638 m η = 5.8	η = 0.2	η < 0.1	η < 0.1	x: 0.117 m η = 93.5	η < 0.1	x: 1.068 m η < 0.1	x: 0.117 m η = 1.2	x: 1.068 m η = 0.1	**CUMPLE η = 93.5**
N1055/N1056	$\lambda_w \leq \lambda_{w,máx}$ Cumple	x: 1.661 m η = 36.3	x: 0.084 m η = 55.5	x: 1.662 m η = 36.3	x: 1.662 m η = 3.1	x: 1.662 m η = 11.8	η = 0.2	η < 0.1	η < 0.1	x: 1.662 m η = 78.6	η < 0.1	η = 0.3	x: 1.662 m η = 11.8	η = 0.2	**CUMPLE η = 78.6**
N1056/N1057	$\lambda_w \leq \lambda_{w,máx}$ Cumple	x: 1.637 m η = 47.4	x: 0.117 m η = 75.0	x: 0.117 m η = 21.8	x: 1.638 m η = 4.7	x: 1.638 m η = 8.2	η = 0.2	η < 0.1	η < 0.1	x: 0.117 m η = 89.8	η < 0.1	x: 0.117 m η < 0.1	x: 0.117 m η = 1.8	x: 0.688 m η = 0.1	**CUMPLE η = 89.8**
N899/N900	$\lambda_w \leq \lambda_{w,máx}$ Cumple	x: 1.661 m η = 38.9	x: 0.084 m η = 57.1	x: 1.662 m η = 36.3	x: 1.662 m η = 2.4	x: 1.662 m η = 11.8	η = 0.2	η < 0.1	η < 0.1	x: 1.662 m η = 79.5	η < 0.1	η = 0.2	x: 1.662 m η = 11.8	η = 0.2	**CUMPLE η = 79.5**
N900/N901	$\lambda_w \leq \lambda_{w,máx}$ Cumple	x: 1.637 m η = 47.6	x: 0.117 m η = 74.0	x: 0.117 m η = 23.7	x: 1.638 m η = 4.0	x: 1.638 m η = 9.2	η = 0.1	η < 0.1	η < 0.1	x: 0.117 m η = 89.0	η < 0.1	x: 0.117 m η < 0.1	x: 0.117 m η = 2.2	x: 0.688 m η = 0.1	**CUMPLE η = 89.0**
N743/N744	$\lambda_w \leq \lambda_{w,máx}$ Cumple	x: 1.661 m η = 39.8	x: 0.084 m η = 57.8	x: 1.662 m η = 36.3	x: 1.662 m η = 2.0	x: 1.662 m η = 11.8	η = 0.1	η < 0.1	η < 0.1	x: 1.662 m η = 79.8	η < 0.1	η = 0.2	x: 1.662 m η = 11.8	η = 0.1	**CUMPLE η = 79.8**
N744/N745	$\lambda_w \leq \lambda_{w,máx}$ Cumple	x: 1.637 m η = 47.6	x: 0.117 m η = 73.8	x: 0.117 m η = 24.5	x: 1.638 m η = 3.5	x: 1.638 m η = 9.7	η = 0.1	η < 0.1	η < 0.1	x: 0.117 m η = 88.9	η < 0.1	η < 0.1	x: 0.117 m η = 2.4	x: 0.688 m η = 0.1	**CUMPLE η = 88.9**
N587/N588	$\lambda_w \leq \lambda_{w,máx}$ Cumple	x: 1.661 m η = 40.1	x: 0.084 m η = 58.3	x: 1.662 m η = 36.2	x: 1.662 m η = 1.7	x: 1.662 m η = 11.8	η = 0.1	η < 0.1	η < 0.1	x: 1.662 m η = 79.9	η < 0.1	η = 0.1	x: 1.662 m η = 11.8	η = 0.1	**CUMPLE η = 79.9**
N588/N589	$\lambda_w \leq \lambda_{w,máx}$ Cumple	x: 1.637 m η = 47.5	x: 0.117 m η = 73.7	x: 0.117 m η = 24.8	x: 1.638 m η = 3.0	x: 1.638 m η = 9.8	η = 0.1	η < 0.1	η < 0.1	x: 0.117 m η = 88.6	η < 0.1	η < 0.1	x: 0.117 m η = 2.7	x: 0.117 m η = 0.1	**CUMPLE η = 88.6**
N431/N432	$\lambda_w \leq \lambda_{w,máx}$ Cumple	x: 1.661 m η = 39.2	x: 0.084 m η = 58.1	x: 1.662 m η = 35.9	x: 1.662 m η = 1.4	x: 1.662 m η = 11.7	x: 0.479 m η = 0.1	η < 0.1	η < 0.1	x: 1.662 m η = 79.3	η < 0.1	η = 0.1	x: 0.084 m η = 10.9	x: 0.479 m η = 0.1	**CUMPLE η = 79.3**
N432/N433	$\lambda_w \leq \lambda_{w,máx}$ Cumple	x: 1.637 m η = 47.1	x: 0.117 m η = 72.6	x: 0.117 m η = 24.4	x: 1.638 m η = 2.6	x: 1.638 m η = 9.6	η = 0.1	η < 0.1	η < 0.1	x: 0.117 m η = 86.9	η < 0.1	η < 0.1	x: 0.117 m η = 2.7	x: 1.068 m η = 0.1	**CUMPLE η = 86.9**
N223/N224	$\lambda_w \leq \lambda_{w,máx}$ Cumple	x: 1.622 m η = 17.3	x: 0.105 m η = 20.5	x: 1.623 m η = 38.8	x: 1.623 m η = 2.5	x: 1.623 m η = 7.8	η = 0.3	η < 0.1	η < 0.1	x: 1.623 m η = 58.8	η < 0.1	η = 1.0	x: 1.623 m η = 7.8	η = 0.3	**CUMPLE η = 58.8**
N224/N225	$\lambda_w \leq \lambda_{w,máx}$ Cumple	x: 1.637 m η = 27.4	x: 0.156 m η = 20.9	x: 0.156 m η = 25.7	x: 1.638 m η = 2.5	x: 1.637 m η = 6.2	η = 0.4	η < 0.1	η < 0.1	x: 0.156 m η = 54.1	η < 0.1	η = 0.6	x: 1.637 m η = 6.2	η = 0.4	**CUMPLE η = 54.1**
N119/N120	$\lambda_w \leq \lambda_{w,máx}$ Cumple	x: 1.622 m η = 19.8	x: 0.105 m η = 31.3	x: 1.623 m η = 53.7	x: 1.623 m η = 2.4	x: 1.623 m η = 10.7	η = 0.3	η < 0.1	η < 0.1	x: 1.623 m η = 80.8	η < 0.1	η = 0.7	x: 1.623 m η = 10.7	η = 0.3	**CUMPLE η = 80.8**
N120/N121	$\lambda_w \leq \lambda_{w,máx}$ Cumple	x: 1.637 m η = 37.6	x: 0.156 m η = 24.5	x: 0.156 m η = 34.3	x: 1.638 m η = 2.4	x: 0.156 m η = 8.0	η = 0.4	η < 0.1	η < 0.1	x: 0.156 m η = 72.7	η < 0.1	η = 0.6	x: 0.156 m η = 8.0	η = 0.4	**CUMPLE η = 72.7**
N43/N44	$\lambda_w \leq \lambda_{w,máx}$ Cumple	x: 1.661 m η = 31.1	x: 0.084 m η = 65.7	x: 1.662 m η = 39.6	x: 0.084 m η = 2.9	x: 1.662 m η = 12.8	η = 0.2	η < 0.1	η < 0.1	x: 1.662 m η = 88.8	η < 0.1	η = 0.1	x: 1.662 m η = 12.8	η = 0.2	**CUMPLE η = 88.8**
N44/N8	$\lambda_w \leq \lambda_{w,máx}$ Cumple	x: 1.637 m η = 52.2	x: 0.117 m η = 53.7	x: 0.117 m η = 24.0	x: 1.638 m η = 2.3	x: 0.117 m η = 9.1	η = 0.1	η < 0.1	η < 0.1	x: 0.117 m η = 76.3	η < 0.1	η < 0.1	x: 0.117 m η = 1.9	x: 0.878 m η = 0.1	**CUMPLE η = 76.3**
N5/N60	$\lambda_w \leq \lambda_{w,máx}$ Cumple	x: 1.7 m η = 31.8	x: 0.141 m η = 88.6	x: 0.141 m η = 25.1	x: 0.141 m η = 3.5	x: 0.141 m η = 9.2	η = 0.2	η < 0.1	η < 0.1	x: 0.141 m η = 96.8	η < 0.1	η = 0.3	x: 0.141 m η = 9.2	η = 0.2	**CUMPLE η = 96.8**
N60/N61	$\lambda_w \leq \lambda_{w,máx}$ Cumple	x: 1.7 m η = 19.4	x: 0.078 m η = 58.1	x: 0.078 m η = 15.6	x: 1.701 m η = 3.0	x: 0.078 m η = 5.2	η = 0.2	η < 0.1	η < 0.1	x: 0.078 m η = 67.2	η < 0.1	η = 0.2	x: 0.078 m η = 4.9	η = 0.2	**CUMPLE η = 67.2**
N139/N140	$\lambda_w \leq \lambda_{w,máx}$ Cumple	x: 1.68 m η = 25.0	x: 0.141 m η = 46.7	x: 0.141 m η = 23.5	x: 0.141 m η = 2.2	x: 0.141 m η = 5.5	η = 0.2	η < 0.1	η < 0.1	x: 0.141 m η = 54.5	η < 0.1	η = 2.7	x: 0.141 m η = 5.6	η = 0.2	**CUMPLE η = 54.5**
N140/N141	$\lambda_w \leq \lambda_{w,máx}$ Cumple	x: 1.68 m η = 15.8	x: 0.098 m η = 31.2	x: 0.098 m η = 17.5	x: 0.098 m η = 2.1	x: 0.098 m η = 3.6	η = 0.3	η < 0.1	η < 0.1	x: 0.098 m η = 44.4	η < 0.1	η = 1.3	x: 0.098 m η = 3.6	η = 0.3	**CUMPLE η = 44.4**
N243/N244	$\lambda_w \leq \lambda_{w,máx}$ Cumple	x: 1.68 m η = 20.4	x: 0.141 m η = 33.6	x: 0.141 m η = 24.6	x: 0.141 m η = 2.7	x: 0.141 m η = 5.6	η = 0.2	η < 0.1	η < 0.1	x: 0.141 m η = 44.9	η < 0.1	η = 2.9	x: 0.141 m η = 5.6	η = 0.2	**CUMPLE η = 44.9**

Documento visado electrónicamente con número: VA07290/22
Código de validación telemática TRLTDCFZ60T66IJ1. Comprobación: https://cogitivalencia.e-gestion.es/Validacion.aspx?CVT=TRLTDCFZ60T66IJ1

VISADO
COGITI
VALENCIA
VA07290/22
TRLTDCFZ60T66IJ1

Listados

Barras	COMPROBACIONES (CÓDIGO ESTRUCTURAL)														Estado
	λ_w	N_t	N_c	M_Y	M_Z	V_Z	V_Y	M_YV_Z	M_ZV_Y	NM_YM_Z	$NM_YM_ZV_YV_Z$	M_t	M_tV_Z	M_tV_Y	
N244/N245	$\lambda_w \le \lambda_{w,máx}$ Cumple	x: 1.68 m η = 12.6	x: 0.098 m η = 20.0	x: 0.098 m η = 13.0	x: 0.098 m η = 2.3	x: 0.098 m η = 2.7	η = 0.3	η < 0.1	η < 0.1	x: 0.098 m η = 31.6	η < 0.1	η = 1.6	x: 0.098 m η = 2.7	η = 0.3	**CUMPLE η = 31.6**
N257/N258	$\lambda_w \le \lambda_{w,máx}$ Cumple	x: 1.622 m η = 16.4	x: 0.105 m η = 20.7	x: 1.623 m η = 35.8	x: 1.623 m η = 2.8	x: 1.623 m η = 7.0	η = 0.3	η < 0.1	η < 0.1	x: 1.623 m η = 55.8	η < 0.1	η = 1.0	x: 1.623 m η = 7.0	η = 0.3	**CUMPLE η = 55.8**
N258/N259	$\lambda_w \le \lambda_{w,máx}$ Cumple	x: 1.637 m η = 25.8	x: 0.156 m η = 20.8	x: 0.156 m η = 21.4	x: 1.638 m η = 2.8	x: 0.156 m η = 4.9	η = 0.3	η < 0.1	η < 0.1	x: 0.156 m η = 47.1	η < 0.1	η = 0.7	x: 0.156 m η = 4.9	η = 0.3	**CUMPLE η = 47.1**
N153/N154	$\lambda_w \le \lambda_{w,máx}$ Cumple	x: 1.622 m η = 18.9	x: 0.105 m η = 31.5	x: 1.623 m η = 49.8	x: 1.623 m η = 2.7	x: 1.623 m η = 9.7	η = 0.3	η < 0.1	η < 0.1	x: 1.623 m η = 77.1	η < 0.1	η = 0.7	x: 1.623 m η = 9.8	η = 0.3	**CUMPLE η = 77.1**
N154/N155	$\lambda_w \le \lambda_{w,máx}$ Cumple	x: 1.637 m η = 35.7	x: 0.156 m η = 24.4	x: 0.156 m η = 28.6	x: 1.638 m η = 2.7	x: 0.156 m η = 6.3	η = 0.4	η < 0.1	η < 0.1	x: 0.156 m η = 63.9	η < 0.1	η = 0.8	x: 0.156 m η = 6.3	η = 0.4	**CUMPLE η = 63.9**
N73/N74	$\lambda_w \le \lambda_{w,máx}$ Cumple	x: 1.661 m η = 27.9	x: 0.084 m η = 63.4	x: 1.662 m η = 36.5	x: 0.084 m η = 3.2	x: 1.662 m η = 11.5	η = 0.2	η < 0.1	η < 0.1	x: 1.662 m η = 84.5	η < 0.1	η = 0.1	x: 1.662 m η = 11.5	η = 0.2	**CUMPLE η = 84.5**
N74/N10	$\lambda_w \le \lambda_{w,máx}$ Cumple	x: 1.637 m η = 48.2	x: 0.117 m η = 51.1	x: 0.117 m η = 18.7	x: 1.638 m η = 2.4	x: 0.117 m η = 6.5	η = 0.1	η < 0.1	η < 0.1	x: 0.117 m η = 66.9	η < 0.1	η < 0.1	x: 0.117 m η = 1.5	x: 0.878 m η < 0.1	**CUMPLE η = 66.9**
N6/N90	$\lambda_w \le \lambda_{w,máx}$ Cumple	x: 1.7 m η = 37.9	x: 0.141 m η = 92.0	x: 1.701 m η = 9.7	x: 0.141 m η = 3.4	x: 0.141 m η = 3.9	η = 0.2	η < 0.1	η < 0.1	x: 1.701 m η = 97.4	η < 0.1	η = 0.3	x: 0.141 m η = 3.6	η = 0.1	**CUMPLE η = 97.4**
N90/N91	$\lambda_w \le \lambda_{w,máx}$ Cumple	x: 1.7 m η = 23.1	x: 0.078 m η = 56.5	x: 0.078 m η = 14.7	x: 1.701 m η = 2.7	x: 0.078 m η = 5.2	η = 0.1	η < 0.1	η < 0.1	x: 0.078 m η = 65.0	η < 0.1	η = 0.1	x: 0.078 m η = 5.2	η = 0.1	**CUMPLE η = 65.0**
N174/N179	$\lambda_w \le \lambda_{w,máx}$ Cumple	x: 1.68 m η = 26.8	x: 0.141 m η = 46.5	x: 1.681 m η = 9.5	x: 0.141 m η = 2.3	x: 0.141 m η = 2.1	η = 0.2	η < 0.1	η < 0.1	x: 1.681 m η = 52.1	η < 0.1	η = 3.0	x: 0.141 m η = 2.2	η = 0.2	**CUMPLE η = 52.1**
N179/N180	$\lambda_w \le \lambda_{w,máx}$ Cumple	x: 1.68 m η = 16.5	x: 0.098 m η = 29.1	x: 0.098 m η = 15.5	x: 0.098 m η = 2.2	x: 0.098 m η = 3.5	η = 0.3	η < 0.1	η < 0.1	x: 0.098 m η = 41.9	η < 0.1	η = 1.6	x: 0.098 m η = 3.5	η = 0.3	**CUMPLE η = 41.9**
N278/N283	$\lambda_w \le \lambda_{w,máx}$ Cumple	x: 1.68 m η = 22.4	x: 0.141 m η = 33.3	x: 0.141 m η = 10.3	x: 0.141 m η = 2.9	x: 0.141 m η = 2.4	η = 0.2	η < 0.1	η < 0.1	x: 1.681 m η = 37.7	η < 0.1	η = 3.3	x: 0.141 m η = 2.4	η = 0.2	**CUMPLE η = 37.7**
N283/N284	$\lambda_w \le \lambda_{w,máx}$ Cumple	x: 1.68 m η = 13.5	x: 0.098 m η = 18.4	x: 0.098 m η = 11.4	x: 0.098 m η = 2.3	x: 0.098 m η = 2.6	η = 0.3	η < 0.1	η < 0.1	x: 0.098 m η = 29.9	η < 0.1	η = 1.9	x: 0.098 m η = 2.6	η = 0.3	**CUMPLE η = 29.9**
N484/N485	$\lambda_w \le \lambda_{w,máx}$ Cumple	x: 1.7 m η = 51.6	x: 0.141 m η = 84.2	x: 0.141 m η = 10.7	x: 0.141 m η = 3.1	x: 0.141 m η = 3.9	η = 0.2	η < 0.1	η < 0.1	x: 1.701 m η = 88.7	η < 0.1	η = 0.4	x: 0.141 m η = 3.9	η = 0.2	**CUMPLE η = 88.7**
N485/N486	$\lambda_w \le \lambda_{w,máx}$ Cumple	x: 1.7 m η = 30.2	x: 0.078 m η = 50.7	x: 0.078 m η = 12.9	x: 0.078 m η = 2.0	x: 0.078 m η = 4.7	η = 0.1	η < 0.1	η < 0.1	x: 0.078 m η = 58.6	η < 0.1	η = 0.2	x: 1.701 m η = 4.6	η = 0.1	**CUMPLE η = 58.6**
N640/N641	$\lambda_w \le \lambda_{w,máx}$ Cumple	x: 1.7 m η = 52.6	x: 0.141 m η = 85.5	x: 0.141 m η = 10.6	x: 0.141 m η = 3.4	x: 0.141 m η = 4.0	η = 0.2	η < 0.1	η < 0.1	x: 0.141 m η = 90.2	η < 0.1	η = 0.4	x: 0.141 m η = 4.0	η = 0.2	**CUMPLE η = 90.2**
N641/N642	$\lambda_w \le \lambda_{w,máx}$ Cumple	x: 1.7 m η = 30.9	x: 0.078 m η = 51.8	x: 0.078 m η = 13.1	x: 0.078 m η = 2.0	x: 1.701 m η = 4.7	η = 0.1	η < 0.1	η < 0.1	x: 0.078 m η = 59.8	η < 0.1	η = 0.2	x: 1.701 m η = 4.7	η = 0.1	**CUMPLE η = 59.8**
N796/N797	$\lambda_w \le \lambda_{w,máx}$ Cumple	x: 1.7 m η = 53.0	x: 0.141 m η = 86.1	x: 0.141 m η = 10.6	x: 0.141 m η = 3.7	x: 0.141 m η = 3.7	η = 0.2	η < 0.1	η < 0.1	x: 0.141 m η = 91.7	η < 0.1	η = 0.4	x: 0.141 m η = 3.2	η = 0.2	**CUMPLE η = 91.7**
N797/N798	$\lambda_w \le \lambda_{w,máx}$ Cumple	x: 1.7 m η = 31.3	x: 0.078 m η = 52.3	x: 0.078 m η = 13.0	x: 0.078 m η = 2.0	x: 1.701 m η = 4.7	η = 0.1	η < 0.1	η < 0.1	x: 0.078 m η = 60.3	η < 0.1	η = 0.2	x: 1.701 m η = 4.7	η = 0.1	**CUMPLE η = 60.3**
N952/N953	$\lambda_w \le \lambda_{w,máx}$ Cumple	x: 1.7 m η = 53.9	x: 0.141 m η = 87.0	x: 0.141 m η = 8.6	x: 0.141 m η = 4.1	x: 0.141 m η = 3.0	η = 0.2	η < 0.1	η < 0.1	x: 0.141 m η = 93.7	η < 0.1	η = 0.4	x: 0.141 m η = 2.6	η = 0.2	**CUMPLE η = 93.7**
N953/N954	$\lambda_w \le \lambda_{w,máx}$ Cumple	x: 1.7 m η = 32.1	x: 0.078 m η = 53.2	x: 0.078 m η = 12.7	x: 1.701 m η = 2.1	x: 0.078 m η = 4.6	η = 0.2	η < 0.1	η < 0.1	x: 0.078 m η = 61.1	η < 0.1	η = 0.2	x: 0.078 m η = 4.6	η = 0.2	**CUMPLE η = 61.1**
N1108/N1109	$\lambda_w \le \lambda_{w,máx}$ Cumple	x: 1.7 m η = 55.2	x: 0.141 m η = 88.1	x: 0.141 m η = 9.4	x: 0.141 m η = 4.1	x: 0.141 m η = 1.6	η = 0.2	η < 0.1	η < 0.1	x: 0.141 m η = 96.4	η < 0.1	η = 0.3	x: 0.141 m η = 1.6	η = 0.2	**CUMPLE η = 96.4**
N1109/N1110	$\lambda_w \le \lambda_{w,máx}$ Cumple	x: 1.7 m η = 33.4	x: 0.078 m η = 54.4	x: 0.078 m η = 12.4	x: 1.701 m η = 2.6	x: 0.078 m η = 4.5	η = 0.2	η < 0.1	η < 0.1	x: 0.078 m η = 62.1	η < 0.1	η = 0.2	x: 0.078 m η = 4.5	η = 0.2	**CUMPLE η = 62.1**
N1264/N1265	$\lambda_w \le \lambda_{w,máx}$ Cumple	x: 1.7 m η = 51.4	x: 0.141 m η = 82.5	x: 0.141 m η = 12.4	x: 0.141 m η = 4.5	x: 0.141 m η = 2.2	η = 0.2	η < 0.1	η < 0.1	x: 0.141 m η = 93.7	η < 0.1	η = 0.3	x: 0.141 m η = 2.2	η = 0.2	**CUMPLE η = 93.7**
N1265/N1266	$\lambda_w \le \lambda_{w,máx}$ Cumple	x: 1.7 m η = 31.3	x: 0.078 m η = 54.3	x: 0.078 m η = 10.8	x: 1.701 m η = 3.6	x: 0.078 m η = 4.0	η = 0.2	η < 0.1	η < 0.1	x: 0.078 m η = 61.4	η < 0.1	η = 0.3	x: 0.078 m η = 4.0	η = 0.2	**CUMPLE η = 61.4**
N103/N104	$\lambda_w \le \lambda_{w,máx}$ Cumple	x: 1.694 m η = 3.9	x: 0.084 m η = 5.1	x: 0.084 m η = 6.6	x: 1.695 m η = 2.4	x: 1.695 m η = 1.9	η = 0.1	η < 0.1	η < 0.1	x: 0.084 m η = 11.1	η < 0.1	η = 0.1	x: 1.695 m η = 1.9	η = 0.1	**CUMPLE η = 11.1**
N104/N12	$\lambda_w \le \lambda_{w,máx}$ Cumple	x: 1.637 m η = 9.5	x: 0.084 m η = 23.9	x: 1.638 m η = 59.9	x: 1.638 m η = 2.9	x: 1.638 m η = 18.2	η = 0.1	η < 0.1	η < 0.1	x: 1.638 m η = 78.3	η < 0.1	η = 0.2	x: 1.638 m η = 18.2	η = 0.1	**CUMPLE η = 78.3**
N192/N193	$\lambda_w \le \lambda_{w,máx}$ Cumple	x: 1.673 m η = 1.8	x: 0.105 m η = 3.2	x: 0.105 m η = 7.1	x: 1.674 m η = 1.5	x: 0.105 m η = 0.6	η = 0.1	η < 0.1	η < 0.1	x: 0.105 m η = 9.0	η < 0.1	η = 1.1	x: 0.105 m η = 0.6	η = 0.1	**CUMPLE η = 9.0**
N193/N177	$\lambda_w \le \lambda_{w,máx}$ Cumple	x: 1.617 m η = 5.7	x: 0.105 m η = 9.1	x: 1.618 m η = 80.8	x: 1.617 m η = 1.1	x: 1.618 m η = 15.8	η = 0.1	η < 0.1	η < 0.1	x: 1.618 m η = 89.4	η < 0.1	η = 1.4	x: 1.618 m η = 15.9	η = 0.1	**CUMPLE η = 89.4**
N296/N297	$\lambda_w \le \lambda_{w,máx}$ Cumple	x: 1.673 m η = 1.7	x: 0.105 m η = 3.0	x: 1.674 m η = 5.9	x: 1.674 m η = 1.5	x: 0.105 m η = 0.6	η = 0.1	η < 0.1	η < 0.1	x: 1.674 m η = 7.8	η < 0.1	η = 1.5	x: 0.105 m η = 0.6	η = 0.1	**CUMPLE η = 7.8**
N297/N281	$\lambda_w \le \lambda_{w,máx}$ Cumple	x: 1.617 m η = 5.2	x: 0.105 m η = 7.3	x: 1.618 m η = 64.1	x: 1.618 m η = 1.1	x: 1.618 m η = 12.6	η = 0.1	η < 0.1	η < 0.1	x: 1.618 m η = 71.3	η < 0.1	η = 1.9	x: 1.618 m η = 12.7	η = 0.1	**CUMPLE η = 71.3**
N498/N499	$\lambda_w \le \lambda_{w,máx}$ Cumple	x: 1.694 m η = 5.4	x: 0.084 m η = 10.1	x: 0.084 m η = 6.2	x: 1.695 m η = 2.5	x: 1.695 m η = 1.7	η = 0.1	η < 0.1	η < 0.1	x: 0.084 m η = 13.8	η < 0.1	η = 0.2	x: 1.695 m η = 1.7	η = 0.1	**CUMPLE η = 13.8**
N499/N500	$\lambda_w \le \lambda_{w,máx}$ Cumple	x: 1.637 m η = 12.0	x: 0.084 m η = 21.3	x: 1.638 m η = 54.7	x: 1.638 m η = 3.1	x: 1.638 m η = 16.8	η = 0.1	η < 0.1	η < 0.1	x: 1.638 m η = 70.5	η < 0.1	η = 0.1	x: 0.084 m η = 15.1	η = 0.1	**CUMPLE η = 70.5**
N654/N655	$\lambda_w \le \lambda_{w,máx}$ Cumple	x: 1.694 m η = 5.4	x: 0.084 m η = 10.2	x: 0.084 m η = 6.3	x: 1.695 m η = 2.5	x: 1.695 m η = 1.8	η = 0.1	η < 0.1	η < 0.1	x: 0.084 m η = 14.0	η < 0.1	η = 0.2	x: 1.695 m η = 1.8	η = 0.1	**CUMPLE η = 14.0**
N655/N656	$\lambda_w \le \lambda_{w,máx}$ Cumple	x: 1.637 m η = 12.2	x: 0.084 m η = 21.2	x: 1.638 m η = 54.6	x: 1.638 m η = 3.3	x: 1.638 m η = 16.7	η = 0.1	η < 0.1	η < 0.1	x: 1.638 m η = 70.5	η < 0.1	η = 0.1	x: 0.084 m η = 15.4	η = 0.1	**CUMPLE η = 70.5**
N810/N811	$\lambda_w \le \lambda_{w,máx}$ Cumple	x: 1.694 m η = 5.5	x: 0.084 m η = 10.4	x: 0.084 m η = 6.3	x: 1.695 m η = 2.6	x: 1.695 m η = 1.8	η = 0.2	η < 0.1	η < 0.1	x: 0.084 m η = 14.5	η < 0.1	η = 0.2	x: 1.695 m η = 1.8	η = 0.2	**CUMPLE η = 14.5**
N811/N812	$\lambda_w \le \lambda_{w,máx}$ Cumple	x: 1.637 m η = 12.1	x: 0.084 m η = 21.0	x: 1.638 m η = 54.2	x: 1.638 m η = 3.5	x: 1.638 m η = 16.6	η = 0.1	η < 0.1	η < 0.1	x: 1.638 m η = 70.1	η < 0.1	η = 0.1	x: 0.084 m η = 15.3	η = 0.1	**CUMPLE η = 70.1**
N966/N967	$\lambda_w \le \lambda_{w,máx}$ Cumple	x: 1.694 m η = 5.7	x: 0.084 m η = 11.2	x: 0.084 m η = 6.4	x: 1.695 m η = 2.8	x: 1.695 m η = 1.8	η = 0.2	η < 0.1	η < 0.1	x: 0.084 m η = 15.6	η < 0.1	η = 0.3	x: 1.695 m η = 1.8	η = 0.2	**CUMPLE η = 15.6**
N967/N968	$\lambda_w \le \lambda_{w,máx}$ Cumple	x: 1.637 m η = 11.5	x: 0.084 m η = 20.6	x: 1.638 m η = 53.4	x: 1.638 m η = 3.9	x: 1.638 m η = 16.4	η = 0.2	η < 0.1	η < 0.1	x: 1.638 m η = 69.4	η < 0.1	η = 0.1	x: 1.638 m η = 16.4	η = 0.2	**CUMPLE η = 69.4**
N1122/N1123	$\lambda_w \le \lambda_{w,máx}$ Cumple	x: 1.694 m η = 6.2	x: 0.084 m η = 12.9	x: 0.084 m η = 6.4	x: 1.695 m η = 3.2	x: 1.695 m η = 1.9	η = 0.2	η < 0.1	η < 0.1	x: 0.084 m η = 17.6	η < 0.1	η = 0.3	x: 1.695 m η = 1.9	η = 0.2	**CUMPLE η = 17.6**
N1123/N1124	$\lambda_w \le \lambda_{w,máx}$ Cumple	x: 1.637 m η = 10.4	x: 0.084 m η = 19.8	x: 1.638 m η = 51.8	x: 1.638 m η = 4.7	x: 1.638 m η = 15.9	η = 0.2	η < 0.1	η < 0.1	x: 1.638 m η = 68.0	η < 0.1	η = 0.1	x: 1.638 m η = 15.9	η = 0.2	**CUMPLE η = 68.0**
N1278/N1279	$\lambda_w \le \lambda_{w,máx}$ Cumple	x: 1.694 m η = 6.9	x: 0.084 m η = 15.6	x: 0.084 m η = 6.0	x: 1.695 m η = 4.1	x: 0.084 m η = 1.9	η = 0.3	η < 0.1	η < 0.1	x: 0.084 m η = 19.2	η < 0.1	η = 0.3	x: 0.084 m η = 1.9	η = 0.3	**CUMPLE η = 19.2**
N1279/N1280	$\lambda_w \le \lambda_{w,máx}$ Cumple	x: 1.637 m η = 7.4	x: 0.084 m η = 16.4	x: 1.638 m η = 43.9	x: 1.638 m η = 6.6	x: 1.638 m η = 13.5	η = 0.3	η < 0.1	η < 0.1	x: 1.638 m η = 59.4	η < 0.1	η = 0.1	x: 0.084 m η = 10.9	η = 0.2	**CUMPLE η = 59.4**

Documento visado electrónicamente con número VA07290/22
Código de validación telemática TRLTDCFZ60T66IJ1. Comprobación: https://cogitivalencia.e-gestion.es/Validacion.aspx?CVT=TRLTDCFZ60T66IJ1

VISADO
COGITI
Estado
VALENCIA
VA07290/22
TRLTDCFZ60T66IJ1

Barras	COMPROBACIONES (CÓDIGO ESTRUCTURAL)														
	λ_w	N_t	N_c	M_Y	M_Z	V_Z	V_Y	M_YV_Z	M_ZV_Y	NM_YM_Z	$NM_YM_ZV_YV_Z$	M_t	M_tV_Z	M_tV_Y	
N107/N211	x: 0.572 m $\lambda_w \leq \lambda_{w,máx}$ Cumple	η = 1.2	η = 1.2	M_{Ed} = 0.00 N.P.(2)	x: 3.65 m η = 5.8	V_{Ed} = 0.00 N.P.(3)	x: 0.132 m η = 0.5	N.P.(4)	x: 0.572 m η < 0.1	x: 3.65 m η = 7.1	x: 0.572 m η < 0.1	M_{Ed} = 0.00 N.P.(5)	N.P.(6)	N.P.(6)	**CUMPLE** **η = 7.1**
N211/N419	x: 0.576 m $\lambda_w \leq \lambda_{w,máx}$ Cumple	η = 1.7	η = 7.6	M_{Ed} = 0.00 N.P.(2)	x: 3.686 m η = 5.9	V_{Ed} = 0.00 N.P.(3)	x: 0.132 m η = 0.5	N.P.(4)	x: 0.576 m η < 0.1	x: 3.686 m η = 12.9	x: 0.576 m η < 0.1	M_{Ed} = 0.00 N.P.(5)	N.P.(6)	N.P.(6)	**CUMPLE** **η = 12.9**
N419/N575	x: 0.509 m $\lambda_w \leq \lambda_{w,máx}$ Cumple	η = 1.8	η = 8.3	M_{Ed} = 0.00 N.P.(2)	x: 3.65 m η = 6.0	V_{Ed} = 0.00 N.P.(3)	x: 0.06 m η = 0.5	N.P.(4)	x: 0.509 m η < 0.1	x: 3.65 m η = 13.6	x: 0.509 m η < 0.1	M_{Ed} = 0.00 N.P.(5)	N.P.(6)	N.P.(6)	**CUMPLE** **η = 13.6**
N575/N731	x: 0.509 m $\lambda_w \leq \lambda_{w,máx}$ Cumple	η = 2.0	η = 9.0	M_{Ed} = 0.00 N.P.(2)	x: 3.65 m η = 6.0	V_{Ed} = 0.00 N.P.(3)	x: 0.06 m η = 0.5	N.P.(4)	x: 0.509 m η < 0.1	x: 3.65 m η = 14.2	x: 0.509 m η < 0.1	M_{Ed} = 0.00 N.P.(5)	N.P.(6)	N.P.(6)	**CUMPLE** **η = 14.2**
N731/N887	x: 0.509 m $\lambda_w \leq \lambda_{w,máx}$ Cumple	η = 2.2	η = 9.7	M_{Ed} = 0.00 N.P.(2)	x: 3.65 m η = 6.0	V_{Ed} = 0.00 N.P.(3)	x: 0.06 m η = 0.5	N.P.(4)	x: 0.509 m η < 0.1	x: 3.65 m η = 14.8	x: 0.509 m η < 0.1	M_{Ed} = 0.00 N.P.(5)	N.P.(6)	N.P.(6)	**CUMPLE** **η = 14.8**
N887/N1043	x: 0.509 m $\lambda_w \leq \lambda_{w,máx}$ Cumple	η = 2.4	η = 10.4	M_{Ed} = 0.00 N.P.(2)	x: 3.65 m η = 6.0	V_{Ed} = 0.00 N.P.(3)	x: 0.06 m η = 0.5	N.P.(4)	x: 0.509 m η < 0.1	x: 3.65 m η = 15.5	x: 0.509 m η < 0.1	M_{Ed} = 0.00 N.P.(5)	N.P.(6)	N.P.(6)	**CUMPLE** **η = 15.5**
N1043/N1199	x: 0.509 m $\lambda_w \leq \lambda_{w,máx}$ Cumple	η = 2.7	η = 11.3	M_{Ed} = 0.00 N.P.(2)	x: 3.65 m η = 6.0	V_{Ed} = 0.00 N.P.(3)	x: 0.06 m η = 0.5	N.P.(4)	x: 0.509 m η < 0.1	x: 3.65 m η = 16.2	x: 0.509 m η < 0.1	M_{Ed} = 0.00 N.P.(5)	N.P.(6)	N.P.(6)	**CUMPLE** **η = 16.2**
N115/N219	x: 0.509 m $\lambda_w \leq \lambda_{w,máx}$ Cumple	η = 2.0	η = 8.2	M_{Ed} = 0.00 N.P.(2)	x: 3.65 m η = 6.0	V_{Ed} = 0.00 N.P.(3)	x: 0.06 m η = 0.5	N.P.(4)	x: 0.509 m η < 0.1	x: 3.65 m η = 13.6	x: 0.509 m η < 0.1	M_{Ed} = 0.00 N.P.(5)	N.P.(6)	N.P.(6)	**CUMPLE** **η = 13.6**
N219/N427	x: 0.509 m $\lambda_w \leq \lambda_{w,máx}$ Cumple	η = 2.6	η = 10.4	M_{Ed} = 0.00 N.P.(2)	x: 3.655 m η = 6.0	V_{Ed} = 0.00 N.P.(3)	x: 0.06 m η = 0.5	N.P.(4)	x: 0.509 m η < 0.1	x: 3.655 m η = 15.6	x: 0.509 m η < 0.1	M_{Ed} = 0.00 N.P.(5)	N.P.(6)	N.P.(6)	**CUMPLE** **η = 15.6**
N427/N583	x: 0.5 m $\lambda_w \leq \lambda_{w,máx}$ Cumple	η = 2.8	η = 11.3	M_{Ed} = 0.00 N.P.(2)	x: 3.65 m η = 6.0	V_{Ed} = 0.00 N.P.(3)	x: 0.05 m η = 0.5	N.P.(4)	x: 0.5 m η < 0.1	x: 3.65 m η = 16.4	x: 0.5 m η < 0.1	M_{Ed} = 0.00 N.P.(5)	N.P.(6)	N.P.(6)	**CUMPLE** **η = 16.4**
N583/N739	x: 0.5 m $\lambda_w \leq \lambda_{w,máx}$ Cumple	η = 3.0	η = 12.3	M_{Ed} = 0.00 N.P.(2)	x: 3.65 m η = 6.0	V_{Ed} = 0.00 N.P.(3)	x: 0.05 m η = 0.5	N.P.(4)	x: 0.5 m η < 0.1	x: 3.65 m η = 17.3	x: 0.5 m η < 0.1	M_{Ed} = 0.00 N.P.(5)	N.P.(6)	N.P.(6)	**CUMPLE** **η = 17.3**
N739/N895	x: 0.5 m $\lambda_w \leq \lambda_{w,máx}$ Cumple	η = 3.3	η = 13.3	M_{Ed} = 0.00 N.P.(2)	x: 3.65 m η = 6.0	V_{Ed} = 0.00 N.P.(3)	x: 0.05 m η = 0.5	N.P.(4)	x: 0.5 m η < 0.1	x: 3.65 m η = 18.1	x: 0.5 m η < 0.1	M_{Ed} = 0.00 N.P.(5)	N.P.(6)	N.P.(6)	**CUMPLE** **η = 18.1**
N895/N1051	x: 0.5 m $\lambda_w \leq \lambda_{w,máx}$ Cumple	η = 3.6	η = 14.2	M_{Ed} = 0.00 N.P.(2)	x: 3.65 m η = 6.0	V_{Ed} = 0.00 N.P.(3)	x: 0.05 m η = 0.5	N.P.(4)	x: 0.5 m η < 0.1	x: 3.65 m η = 19.0	x: 0.5 m η < 0.1	M_{Ed} = 0.00 N.P.(5)	N.P.(6)	N.P.(6)	**CUMPLE** **η = 19.0**
N1051/N1207	x: 0.5 m $\lambda_w \leq \lambda_{w,máx}$ Cumple	η = 3.9	η = 15.2	M_{Ed} = 0.00 N.P.(2)	x: 3.65 m η = 6.0	V_{Ed} = 0.00 N.P.(3)	x: 0.05 m η = 0.5	N.P.(4)	x: 0.5 m η < 0.1	x: 3.65 m η = 19.8	x: 0.5 m η < 0.1	M_{Ed} = 0.00 N.P.(5)	N.P.(6)	N.P.(6)	**CUMPLE** **η = 19.8**
N119/N223	x: 0.572 m $\lambda_w \leq \lambda_{w,máx}$ Cumple	η = 0.3	η = 0.8	M_{Ed} = 0.00 N.P.(2)	x: 3.65 m η = 5.8	V_{Ed} = 0.00 N.P.(3)	x: 0.132 m η = 0.5	N.P.(4)	x: 0.572 m η < 0.1	x: 3.65 m η = 6.7	x: 0.572 m η < 0.1	M_{Ed} = 0.00 N.P.(5)	N.P.(6)	N.P.(6)	**CUMPLE** **η = 6.7**
N223/N431	x: 0.576 m $\lambda_w \leq \lambda_{w,máx}$ Cumple	η = 0.4	η = 1.0	M_{Ed} = 0.00 N.P.(2)	x: 3.686 m η = 5.9	V_{Ed} = 0.00 N.P.(3)	x: 0.132 m η = 0.5	N.P.(4)	x: 0.576 m η < 0.1	x: 3.686 m η = 7.0	x: 0.576 m η < 0.1	M_{Ed} = 0.00 N.P.(5)	N.P.(6)	N.P.(6)	**CUMPLE** **η = 7.0**
N431/N587	x: 0.509 m $\lambda_w \leq \lambda_{w,máx}$ Cumple	η = 0.4	η = 1.0	M_{Ed} = 0.00 N.P.(2)	x: 3.65 m η = 6.0	V_{Ed} = 0.00 N.P.(3)	x: 0.06 m η = 0.5	N.P.(4)	x: 0.509 m η < 0.1	x: 3.65 m η = 7.1	x: 0.509 m η < 0.1	M_{Ed} = 0.00 N.P.(5)	N.P.(6)	N.P.(6)	**CUMPLE** **η = 7.1**
N587/N743	x: 0.509 m $\lambda_w \leq \lambda_{w,máx}$ Cumple	η = 0.5	η = 0.9	M_{Ed} = 0.00 N.P.(2)	x: 3.65 m η = 6.0	V_{Ed} = 0.00 N.P.(3)	x: 0.06 m η = 0.5	N.P.(4)	x: 0.509 m η < 0.1	x: 3.65 m η = 7.0	x: 0.509 m η < 0.1	M_{Ed} = 0.00 N.P.(5)	N.P.(6)	N.P.(6)	**CUMPLE** **η = 7.0**
N743/N899	x: 0.509 m $\lambda_w \leq \lambda_{w,máx}$ Cumple	η = 0.6	η = 0.9	M_{Ed} = 0.00 N.P.(2)	x: 3.65 m η = 6.0	V_{Ed} = 0.00 N.P.(3)	x: 0.06 m η = 0.5	N.P.(4)	x: 0.509 m η < 0.1	x: 3.65 m η = 7.0	x: 0.509 m η < 0.1	M_{Ed} = 0.00 N.P.(5)	N.P.(6)	N.P.(6)	**CUMPLE** **η = 7.0**
N899/N1055	x: 0.509 m $\lambda_w \leq \lambda_{w,máx}$ Cumple	η = 0.8	η = 1.0	M_{Ed} = 0.00 N.P.(2)	x: 3.65 m η = 6.0	V_{Ed} = 0.00 N.P.(3)	x: 0.06 m η = 0.5	N.P.(4)	x: 0.509 m η < 0.1	x: 3.65 m η = 7.0	x: 0.509 m η < 0.1	M_{Ed} = 0.00 N.P.(5)	N.P.(6)	N.P.(6)	**CUMPLE** **η = 7.0**
N1055/N1211	x: 0.509 m $\lambda_w \leq \lambda_{w,máx}$ Cumple	η = 1.0	η = 1.0	M_{Ed} = 0.00 N.P.(2)	x: 3.65 m η = 6.0	V_{Ed} = 0.00 N.P.(3)	x: 0.06 m η = 0.5	N.P.(4)	x: 0.509 m η < 0.1	x: 3.65 m η = 7.0	x: 0.509 m η < 0.1	M_{Ed} = 0.00 N.P.(5)	N.P.(6)	N.P.(6)	**CUMPLE** **η = 7.0**
N31/N1509	x: 0.061 m $\lambda_w \leq \lambda_{w,máx}$ Cumple	η = 0.1	η = 0.2	x: 2.372 m η = 0.2	x: 2.373 m η = 14.0	η < 0.1	x: 0.06 m η = 1.0	x: 0.253 m η < 0.1	x: 0.061 m η < 0.1	x: 2.373 m η = 14.2	x: 0.061 m η < 0.1	M_{Ed} = 0.00 N.P.(5)	N.P.(6)	N.P.(6)	**CUMPLE** **η = 14.2**
N1509/N1510	$\lambda_w \leq \lambda_{w,máx}$ Cumple	η = 0.5	η = 0.5	x: 0.06 m η < 0.1	x: 0.06 m η = 3.5	η < 0.1	x: 2.373 m η = 0.4	x: 0.06 m η < 0.1	η < 0.1	x: 0.06 m η = 3.9	η < 0.1	η = 0.1	η < 0.1	x: 2.373 m η = 0.4	**CUMPLE** **η = 3.9**
N1510/N107	x: 0.06 m $\lambda_w \leq \lambda_{w,máx}$ Cumple	η = 0.8	η = 0.8	x: 0.06 m η = 0.2	x: 0.06 m η = 12.0	η < 0.1	x: 2.301 m η = 0.9	x: 0.06 m η < 0.1	x: 0.06 m η < 0.1	x: 0.06 m η = 13.0	x: 0.06 m η < 0.1	M_{Ed} = 0.00 N.P.(5)	N.P.(6)	N.P.(6)	**CUMPLE** **η = 13.0**
N1510/N1511	$\lambda_w \leq \lambda_{w,máx}$ Cumple	x: 1.939 m η < 0.1	x: 0.06 m η = 0.2	x: 1.94 m η = 9.5	x: 0.06 m η = 0.1	η = 1.5	η < 0.1	η < 0.1	x: 0.06 m η < 0.1	x: 1.94 m η = 9.7	η < 0.1	η = 0.2	η = 1.5	η < 0.1	**CUMPLE** **η = 9.7**
N1509/N1512	$\lambda_w \leq \lambda_{w,máx}$ Cumple	x: 1.939 m η = 0.1	x: 0.06 m η = 0.2	x: 0.06 m η = 10.1	x: 0.06 m η = 0.1	η = 1.6	η < 0.1	η < 0.1	x: 0.06 m η < 0.1	x: 0.06 m η = 10.4	η < 0.1	η = 0.2	η = 1.6	η < 0.1	**CUMPLE** **η = 10.4**
N16/N1512	x: 0.061 m $\lambda_w \leq \lambda_{w,máx}$ Cumple	N_{Ed} = 0.00 N.P.(1)	η = 47.0	x: 2.372 m η = 0.2	x: 2.373 m η = 13.5	η < 0.1	x: 0.06 m η = 1.0	x: 0.253 m η < 0.1	x: 0.061 m η < 0.1	x: 2.373 m η = 56.4	x: 0.061 m η < 0.1	M_{Ed} = 0.00 N.P.(5)	N.P.(6)	N.P.(6)	**CUMPLE** **η = 56.4**
N1512/N1511	$\lambda_w \leq \lambda_{w,máx}$ Cumple	N_{Ed} = 0.00 N.P.(1)	η = 51.0	x: 2.372 m η < 0.1	x: 0.06 m η = 3.3	η < 0.1	x: 2.373 m η = 0.4	x: 0.06 m η < 0.1	η < 0.1	x: 0.06 m η = 53.3	η < 0.1	η = 0.1	η < 0.1	x: 2.373 m η = 0.4	**CUMPLE** **η = 53.3**
N1511/N124	x: 0.06 m $\lambda_w \leq \lambda_{w,máx}$ Cumple	N_{Ed} = 0.00 N.P.(1)	η = 50.6	x: 0.06 m η = 0.2	x: 0.06 m η = 12.9	η < 0.1	x: 2.358 m η = 1.0	x: 0.06 m η < 0.1	x: 0.06 m η < 0.1	x: 1.018 m η = 51.3	x: 0.06 m η < 0.1	M_{Ed} = 0.00 N.P.(5)	N.P.(6)	N.P.(6)	**CUMPLE** **η = 51.3**
N35/N1513	x: 0.051 m $\lambda_w \leq \lambda_{w,máx}$ Cumple	η = 0.2	η = 0.3	x: 2.373 m η = 1.7	x: 2.373 m η = 21.4	η = 0.1	x: 0.05 m η = 1.5	x: 0.051 m η < 0.1	x: 0.051 m η < 0.1	x: 2.373 m η = 21.6	x: 0.051 m η < 0.1	M_{Ed} = 0.00 N.P.(5)	N.P.(6)	N.P.(6)	**CUMPLE** **η = 21.6**
N1513/N1514	$\lambda_w \leq \lambda_{w,máx}$ Cumple	η = 0.9	η = 6.1	x: 0.06 m η = 1.5	x: 0.06 m η = 5.8	η = 0.1	x: 2.373 m η = 0.7	η < 0.1	η < 0.1	x: 2.373 m η = 9.2	η < 0.1	η = 0.1	η = 0.1	x: 2.373 m η = 0.7	**CUMPLE** **η = 9.2**
N1514/N111	x: 0.06 m $\lambda_w \leq \lambda_{w,máx}$ Cumple	η = 2.0	η = 8.5	x: 0.06 m η = 1.0	x: 0.06 m η = 19.2	η = 0.1	x: 2.373 m η = 1.4	x: 0.06 m η < 0.1	x: 0.06 m η < 0.1	x: 0.06 m η = 22.0	x: 0.06 m η < 0.1	M_{Ed} = 0.00 N.P.(5)	N.P.(6)	N.P.(6)	**CUMPLE** **η = 22.0**

Documento visado electrónicamente con número: VA07290/22
Código de validación telemática TRLTDCFZ60T66IJ1. Comprobación: https://cogitivalencia.e-gestion.es/Validacion.aspx?CVT=TRLTDCFZ60T66IJ1

VISADO
COGITI
Estado
VALENCIA
VA07298/22
TRLTDCFZ60T66IJ1

Barras	COMPROBACIONES (CÓDIGO ESTRUCTURAL)														
	λ_w	N_t	N_c	M_Y	M_Z	V_Z	V_Y	M_YV_Z	M_ZV_Y	NM_YM_Z	$NM_YM_ZV_YV_Z$	M_t	M_tV_Z	M_tV_Y	
N1514/N1515	$\lambda_w \leq \lambda_{w,máx}$ Cumple	x: 1.939 m η = 0.1	x: 0.06 m η = 0.5	x: 1.94 m η = 14.1	x: 0.06 m η = 0.1	η = 2.2	η < 0.1	η < 0.1	x: 0.06 m η < 0.1	x: 1.94 m η = 14.4	η < 0.1	η = 0.4	η = 2.2	η < 0.1	**CUMPLE η = 14.4**
N1513/N1516	$\lambda_w \leq \lambda_{w,máx}$ Cumple	x: 1.939 m η = 0.1	x: 0.06 m η = 0.5	x: 0.06 m η = 14.9	x: 0.06 m η = 0.1	η = 2.4	η < 0.1	η < 0.1	x: 0.06 m η < 0.1	x: 0.06 m η = 15.4	η < 0.1	η = 0.3	η = 2.4	η < 0.1	**CUMPLE η = 15.4**
N20/N1516	x: 0.051 m $\lambda_w \leq \lambda_{w,máx}$ Cumple	η = 3.4	η = 20.1	x: 2.372 m η = 0.1	x: 2.373 m η = 21.2	η < 0.1	x: 0.05 m η = 1.5	x: 0.051 m η < 0.1	x: 0.051 m η < 0.1	x: 2.373 m η = 25.4	x: 0.051 m η < 0.1	M_{Ed} = 0.00 N.P.(5)	N.P.(6)	N.P.(6)	**CUMPLE η = 25.4**
N1516/N1515	$\lambda_w \leq \lambda_{w,máx}$ Cumple	η = 1.7	η = 19.1	x: 0.06 m η = 0.3	x: 0.06 m η = 5.7	η < 0.1	x: 2.373 m η = 0.7	η < 0.1	η < 0.1	x: 2.373 m η = 22.6	η < 0.1	η = 0.1	η < 0.1	x: 2.373 m η = 0.7	**CUMPLE η = 22.6**
N1515/N128	x: 0.06 m $\lambda_w \leq \lambda_{w,máx}$ Cumple	η = 1.5	η = 13.2	x: 0.06 m η = 0.1	x: 0.06 m η = 20.3	η < 0.1	x: 2.373 m η = 1.4	x: 0.06 m η < 0.1	x: 0.06 m η < 0.1	x: 0.06 m η = 24.6	x: 0.06 m η < 0.1	M_{Ed} = 0.00 N.P.(5)	N.P.(6)	N.P.(6)	**CUMPLE η = 24.6**
N39/N1517	x: 0.051 m $\lambda_w \leq \lambda_{w,máx}$ Cumple	η = 0.2	η = 0.3	x: 2.372 m η = 0.1	x: 2.373 m η = 18.8	η < 0.1	x: 0.05 m η = 1.3	x: 0.437 m η < 0.1	x: 0.051 m η < 0.1	x: 2.373 m η = 19.0	x: 0.051 m η < 0.1	M_{Ed} = 0.00 N.P.(5)	N.P.(6)	N.P.(6)	**CUMPLE η = 19.0**
N1517/N1518	$\lambda_w \leq \lambda_{w,máx}$ Cumple	η = 0.8	η = 1.0	x: 0.06 m η < 0.1	x: 0.06 m η = 5.0	η < 0.1	x: 2.373 m η = 0.6	x: 0.06 m η < 0.1	η < 0.1	x: 0.06 m η = 5.8	η < 0.1	η < 0.1	η < 0.1	x: 2.373 m η = 0.6	**CUMPLE η = 5.8**
N1518/N115	x: 0.06 m $\lambda_w \leq \lambda_{w,máx}$ Cumple	η = 1.6	η = 6.2	x: 0.06 m η = 0.1	x: 0.06 m η = 15.5	η < 0.1	x: 2.373 m η = 1.1	x: 0.06 m η < 0.1	x: 0.06 m η < 0.1	x: 0.06 m η = 17.4	x: 0.06 m η < 0.1	M_{Ed} = 0.00 N.P.(5)	N.P.(6)	N.P.(6)	**CUMPLE η = 17.4**
N1518/N1519	$\lambda_w \leq \lambda_{w,máx}$ Cumple	x: 1.939 m η < 0.1	x: 0.06 m η = 0.4	x: 1.94 m η = 12.1	x: 0.06 m η < 0.1	η = 1.9	η < 0.1	η < 0.1	x: 0.06 m η < 0.1	x: 1.94 m η = 12.3	η < 0.1	η = 0.1	η = 1.9	η < 0.1	**CUMPLE η = 12.3**
N1517/N1520	$\lambda_w \leq \lambda_{w,máx}$ Cumple	x: 1.939 m η = 0.1	x: 0.06 m η = 0.4	x: 0.06 m η = 13.3	x: 0.06 m η < 0.1	η = 2.1	η < 0.1	η < 0.1	x: 0.06 m η < 0.1	x: 0.06 m η = 13.7	η < 0.1	η = 0.1	η = 2.1	η < 0.1	**CUMPLE η = 13.7**
N24/N1520	x: 0.051 m $\lambda_w \leq \lambda_{w,máx}$ Cumple	η = 2.3	η = 16.2	x: 2.372 m η = 0.1	x: 2.373 m η = 17.7	η < 0.1	x: 0.05 m η = 1.3	x: 0.437 m η < 0.1	x: 0.051 m η < 0.1	x: 2.373 m η = 20.1	x: 0.051 m η < 0.1	M_{Ed} = 0.00 N.P.(5)	N.P.(6)	N.P.(6)	**CUMPLE η = 20.1**
N1520/N1519	$\lambda_w \leq \lambda_{w,máx}$ Cumple	η = 0.9	η = 15.7	x: 0.06 m η < 0.1	x: 2.373 m η = 4.6	η < 0.1	x: 2.373 m η = 0.6	x: 0.06 m η < 0.1	η < 0.1	x: 2.373 m η = 18.5	η < 0.1	η < 0.1	η < 0.1	x: 2.373 m η = 0.6	**CUMPLE η = 18.5**
N1519/N132	x: 0.06 m $\lambda_w \leq \lambda_{w,máx}$ Cumple	η = 0.9	η = 12.1	x: 0.06 m η = 0.1	x: 0.06 m η = 17.2	η < 0.1	x: 2.373 m η = 1.2	x: 0.06 m η < 0.1	x: 0.06 m η < 0.1	x: 0.06 m η = 21.0	x: 0.06 m η < 0.1	M_{Ed} = 0.00 N.P.(5)	N.P.(6)	N.P.(6)	**CUMPLE η = 21.0**
N1521/N1522	$\lambda_w \leq \lambda_{w,máx}$ Cumple	x: 1.939 m η = 0.1	x: 0.06 m η = 0.1	x: 1.94 m η = 6.6	x: 0.06 m η < 0.1	η = 1.0	η < 0.1	η < 0.1	x: 0.06 m η < 0.1	x: 1.94 m η = 6.7	η < 0.1	η = 0.1	η = 1.0	η < 0.1	**CUMPLE η = 6.7**
N1523/N1524	$\lambda_w \leq \lambda_{w,máx}$ Cumple	x: 1.939 m η < 0.1	x: 0.06 m η = 0.1	x: 1.94 m η = 7.0	x: 0.06 m η < 0.1	η = 1.1	η < 0.1	η < 0.1	x: 0.06 m η < 0.1	x: 1.94 m η = 7.0	η < 0.1	η = 0.1	η = 1.1	η < 0.1	**CUMPLE η = 7.0**
N28/N1522	x: 0.061 m $\lambda_w \leq \lambda_{w,máx}$ Cumple	N_{Ed} = 0.00 N.P.(1)	η = 31.5	x: 2.372 m η = 0.1	x: 2.373 m η = 8.5	η < 0.1	x: 0.06 m η = 0.7	x: 0.253 m η < 0.1	x: 0.061 m η < 0.1	x: 2.373 m η = 36.0	x: 0.061 m η < 0.1	M_{Ed} = 0.00 N.P.(5)	N.P.(6)	N.P.(6)	**CUMPLE η = 36.0**
N1522/N1524	$\lambda_w \leq \lambda_{w,máx}$ Cumple	N_{Ed} = 0.00 N.P.(1)	η = 32.6	x: 0.06 m η < 0.1	x: 1.409 m η = 2.2	η < 0.1	x: 0.06 m η = 0.2	x: 0.06 m η < 0.1	η < 0.1	x: 1.217 m η = 33.7	η < 0.1	η = 0.1	η < 0.1	x: 0.06 m η = 0.2	**CUMPLE η = 33.7**
N1524/N136	x: 0.06 m $\lambda_w \leq \lambda_{w,máx}$ Cumple	N_{Ed} = 0.00 N.P.(1)	η = 31.5	x: 0.06 m η = 0.1	x: 0.06 m η = 9.0	η < 0.1	x: 2.358 m η = 0.7	x: 0.06 m η < 0.1	x: 0.06 m η < 0.1	x: 0.06 m η = 35.9	x: 0.06 m η < 0.1	M_{Ed} = 0.00 N.P.(5)	N.P.(6)	N.P.(6)	**CUMPLE η = 35.9**
N43/N1521	x: 0.061 m $\lambda_w \leq \lambda_{w,máx}$ Cumple	η = 0.1	η = 0.2	x: 2.372 m η = 0.1	x: 2.373 m η = 7.9	η < 0.1	x: 0.06 m η = 0.7	x: 0.253 m η < 0.1	x: 0.061 m η < 0.1	x: 2.373 m η = 8.0	x: 0.061 m η < 0.1	M_{Ed} = 0.00 N.P.(5)	N.P.(6)	N.P.(6)	**CUMPLE η = 8.0**
N1521/N1523	$\lambda_w \leq \lambda_{w,máx}$ Cumple	η = 0.3	η = 0.1	x: 0.06 m η < 0.1	x: 1.217 m η = 2.2	η < 0.1	x: 0.06 m η = 0.2	x: 0.06 m η < 0.1	η < 0.1	x: 1.217 m η = 2.4	η < 0.1	η = 0.1	η < 0.1	x: 0.06 m η = 0.2	**CUMPLE η = 2.4**
N1523/N119	x: 0.06 m $\lambda_w \leq \lambda_{w,máx}$ Cumple	η = 0.1	η = 0.4	x: 0.06 m η = 0.1	x: 0.06 m η = 8.4	η < 0.1	x: 2.301 m η = 0.7	x: 0.06 m η < 0.1	x: 0.06 m η < 0.1	x: 0.06 m η = 8.8	x: 0.06 m η < 0.1	M_{Ed} = 0.00 N.P.(5)	N.P.(6)	N.P.(6)	**CUMPLE η = 8.8**
N1525/N1526	$\lambda_w \leq \lambda_{w,máx}$ Cumple	x: 1.939 m η < 0.1	x: 0.06 m η = 0.6	x: 1.94 m η = 18.9	x: 1.94 m η = 1.2	η = 3.0	η = 0.2	η < 0.1	η < 0.1	x: 1.94 m η = 20.1	η < 0.1	η = 2.5	η = 3.0	η = 0.2	**CUMPLE η = 20.1**
N1199/N1525	x: 0.061 m $\lambda_w \leq \lambda_{w,máx}$ Cumple	η = 2.9	η = 12.3	x: 2.373 m η = 2.8	x: 2.373 m η = 25.5	η = 0.2	x: 0.06 m η = 1.8	x: 0.253 m η < 0.1	x: 0.061 m η < 0.1	x: 2.373 m η = 31.2	x: 0.061 m η < 0.1	M_{Ed} = 0.00 N.P.(5)	N.P.(6)	N.P.(6)	**CUMPLE η = 31.2**
N1525/N1527	$\lambda_w \leq \lambda_{w,máx}$ Cumple	η = 1.2	η = 8.9	x: 2.372 m η = 1.0	x: 0.06 m η = 6.6	η < 0.1	x: 2.373 m η = 0.8	η < 0.1	η < 0.1	x: 0.06 m η = 13.6	η < 0.1	η = 1.6	η < 0.1	x: 2.373 m η = 0.8	**CUMPLE η = 13.6**
N1527/N1354	$\lambda_w \leq \lambda_{w,máx}$ Cumple	η = 0.7	η = 0.4	x: 2.373 m η = 0.8	x: 0.06 m η = 14.6	η = 0.1	x: 2.373 m η = 2.0	η < 0.1	η < 0.1	x: 0.06 m η = 15.5	η < 0.1	η = 1.1	η = 0.1	x: 2.373 m η = 2.0	**CUMPLE η = 15.5**
N1216/N1526	x: 0.061 m $\lambda_w \leq \lambda_{w,máx}$ Cumple	N_{Ed} = 0.00 N.P.(1)	η = 64.7	x: 2.373 m η = 2.9	x: 2.373 m η = 27.3	η = 0.2	x: 0.06 m η = 1.9	x: 0.253 m η < 0.1	x: 0.061 m η < 0.1	x: 2.373 m η = 78.8	x: 0.061 m η < 0.1	M_{Ed} = 0.00 N.P.(5)	N.P.(6)	N.P.(6)	**CUMPLE η = 78.8**
N1526/N1528	$\lambda_w \leq \lambda_{w,máx}$ Cumple	N_{Ed} = 0.00 N.P.(1)	η = 70.2	x: 2.372 m η = 1.0	x: 0.06 m η = 7.7	η < 0.1	x: 2.373 m η = 0.9	η < 0.1	η < 0.1	x: 0.06 m η = 74.4	η < 0.1	η = 1.6	η < 0.1	x: 2.373 m η = 0.9	**CUMPLE η = 74.4**
N1528/N1363	$\lambda_w \leq \lambda_{w,máx}$ Cumple	N_{Ed} = 0.00 N.P.(1)	η = 70.5	x: 2.372 m η = 1.7	x: 0.06 m η = 14.8	η = 0.1	x: 2.373 m η = 2.0	η < 0.1	η < 0.1	x: 2.372 m η = 74.7	η < 0.1	η = 1.2	η = 0.1	x: 2.373 m η = 2.0	**CUMPLE η = 74.7**
N1527/N1528	$\lambda_w \leq \lambda_{w,máx}$ Cumple	N_{Ed} = 0.00 N.P.(1)	x: 0.06 m η = 0.6	x: 0.06 m η = 10.3	x: 0.06 m η = 0.5	η = 1.6	η = 0.1	η < 0.1	η < 0.1	x: 0.06 m η = 11.1	η < 0.1	η = 1.1	η = 1.7	η = 0.1	**CUMPLE η = 11.1**
N1529/N1530	$\lambda_w \leq \lambda_{w,máx}$ Cumple	x: 1.939 m η < 0.1	x: 0.06 m η = 1.1	x: 1.94 m η = 30.4	x: 1.94 m η = 0.4	η = 4.8	η = 0.1	η < 0.1	η < 0.1	x: 1.94 m η = 31.7	η < 0.1	η = 0.8	η = 4.9	η = 0.1	**CUMPLE η = 31.7**
N1203/N1529	x: 0.051 m $\lambda_w \leq \lambda_{w,máx}$ Cumple	η = 4.9	η = 22.7	x: 2.373 m η = 0.8	x: 2.373 m η = 43.3	η = 0.1	x: 0.05 m η = 2.8	x: 0.244 m η < 0.1	x: 0.051 m η < 0.1	x: 2.373 m η = 53.4	x: 0.051 m η < 0.1	M_{Ed} = 0.00 N.P.(5)	N.P.(6)	N.P.(6)	**CUMPLE η = 53.4**
N1529/N1531	$\lambda_w \leq \lambda_{w,máx}$ Cumple	η = 1.7	η = 16.9	x: 2.372 m η = 0.4	x: 0.06 m η = 12.1	η < 0.1	x: 2.372 m η = 1.3	η < 0.1	η < 0.1	x: 0.06 m η = 24.6	η < 0.1	η = 0.5	η < 0.1	x: 2.372 m η = 1.3	**CUMPLE η = 24.6**
N1531/N1356	$\lambda_w \leq \lambda_{w,máx}$ Cumple	η = 1.0	η = 0.8	x: 0.06 m η = 0.4	x: 0.06 m η = 22.4	η < 0.1	x: 2.373 m η = 2.9	η < 0.1	η < 0.1	x: 0.06 m η = 23.5	η < 0.1	η = 0.3	η < 0.1	x: 2.373 m η = 2.9	**CUMPLE η = 23.5**
N1220/N1530	x: 0.051 m $\lambda_w \leq \lambda_{w,máx}$ Cumple	N_{Ed} = 0.00 N.P.(1)	η = 37.0	x: 2.373 m η = 1.0	x: 2.373 m η = 44.6	η = 0.1	x: 0.05 m η = 2.9	x: 0.244 m η < 0.1	x: 0.051 m η < 0.1	x: 2.373 m η = 55.6	x: 0.051 m η < 0.1	M_{Ed} = 0.00 N.P.(5)	N.P.(6)	N.P.(6)	**CUMPLE η = 55.6**
N1530/N1532	$\lambda_w \leq \lambda_{w,máx}$ Cumple	N_{Ed} = 0.00 N.P.(1)	η = 45.7	x: 2.372 m η = 0.5	x: 0.06 m η = 12.9	η < 0.1	x: 2.372 m η = 1.4	η < 0.1	η < 0.1	x: 0.06 m η = 51.8	η < 0.1	η = 0.5	η < 0.1	x: 2.372 m η = 1.4	**CUMPLE η = 51.8**
N1532/N1365	$\lambda_w \leq \lambda_{w,máx}$ Cumple	η = 2.6	η = 46.7	x: 2.373 m η = 1.0	x: 0.06 m η = 22.5	η < 0.1	x: 2.373 m η = 2.9	η < 0.1	η < 0.1	x: 0.06 m η = 55.4	η < 0.1	η = 0.4	η < 0.1	x: 2.373 m η = 2.9	**CUMPLE η = 55.4**
N1531/N1532	$\lambda_w \leq \lambda_{w,máx}$ Cumple	N_{Ed} = 0.00 N.P.(1)	x: 0.06 m η = 1.1	x: 1.94 m η = 15.0	x: 0.06 m η = 0.2	η = 2.4	η < 0.1	η < 0.1	η < 0.1	x: 0.06 m η = 16.0	η < 0.1	η = 0.3	η = 2.4	η < 0.1	**CUMPLE η = 16.0**

Código de validación telemática TRLTDCFZ60T66IJ1. Comprobación: https://coglivalencia.e-gestion.es/Validacion.aspx?CVT=TRLTDCFZ60T66IJ1

Listados

VISADO
COGITI
Estado
VALENCIA
VA07290/22
TRLTDCFZ60T66IJ1

Barras	COMPROBACIONES (CÓDIGO ESTRUCTURAL)															
	λ_w	N_t	N_c	M_y	M_z	V_z	V_y	M_yV_z	M_zV_y	NM_yM_z	$NM_yM_zV_yV_z$	M_t	M_tV_z	M_tV_y	
N1533/N1534	$\lambda_w \leq \lambda_{w,máx}$ Cumple	N_{Ed} = 0.00 N.P.(1)	x: 0.06 m η = 0.9	x: 1.94 m η = 23.2	x: 1.94 m η = 0.5	η = 3.6	η = 0.1	η < 0.1	η < 0.1	x: 1.94 m η = 24.1	η < 0.1	η = 1.1	η = 3.7	η = 0.1	**CUMPLE η = 24.1**
N1207/N1533	x: 0.051 m $\lambda_w \leq \lambda_{w,máx}$ Cumple	η = 4.1	η = 16.2	x: 2.373 m η = 1.4	x: 2.373 m η = 31.8	η = 0.1	x: 0.05 m η = 2.2	x: 0.244 m η < 0.1	x: 0.051 m η < 0.1	x: 2.373 m η = 39.1	x: 0.051 m η < 0.1	M_{Ed} = 0.00 N.P.(5)	N.P.(6)	N.P.(6)	**CUMPLE η = 39.1**
N1533/N1535	$\lambda_w \leq \lambda_{w,máx}$ Cumple	η = 1.5	η = 11.8	x: 2.372 m η = 0.7	x: 0.06 m η = 8.6	η < 0.1	x: 2.373 m η = 1.0	η < 0.1	η < 0.1	x: 0.06 m η = 17.8	η < 0.1	η = 0.7	η < 0.1	x: 2.373 m η = 1.0	**CUMPLE η = 17.8**
N1535/N1358	$\lambda_w \leq \lambda_{w,máx}$ Cumple	η = 0.9	η = 0.5	x: 2.373 m η = 0.6	x: 0.06 m η = 19.2	η < 0.1	x: 2.373 m η = 2.5	η < 0.1	η < 0.1	x: 0.06 m η = 20.2	η < 0.1	η = 0.6	η < 0.1	x: 2.373 m η = 2.5	**CUMPLE η = 20.2**
N1224/N1534	x: 0.051 m $\lambda_w \leq \lambda_{w,máx}$ Cumple	N_{Ed} = 0.00 N.P.(1)	η = 30.6	x: 2.373 m η = 1.1	x: 2.373 m η = 33.7	η = 0.1	x: 0.05 m η = 2.3	x: 0.244 m η < 0.1	x: 0.051 m η < 0.1	x: 2.373 m η = 43.8	x: 0.051 m η < 0.1	M_{Ed} = 0.00 N.P.(5)	N.P.(6)	N.P.(6)	**CUMPLE η = 43.8**
N1534/N1536	$\lambda_w \leq \lambda_{w,máx}$ Cumple	N_{Ed} = 0.00 N.P.(1)	η = 36.4	x: 2.373 m η = 0.3	x: 0.06 m η = 9.8	η < 0.1	x: 2.373 m η = 1.1	η < 0.1	η < 0.1	x: 0.06 m η = 40.5	η < 0.1	η = 0.7	η < 0.1	x: 2.373 m η = 1.1	**CUMPLE η = 40.5**
N1536/N1367	$\lambda_w \leq \lambda_{w,máx}$ Cumple	η = 1.6	η = 36.9	x: 2.373 m η = 0.9	x: 0.06 m η = 19.4	η < 0.1	x: 2.373 m η = 2.5	η < 0.1	η < 0.1	x: 0.06 m η = 41.7	η < 0.1	η = 0.6	η < 0.1	x: 2.373 m η = 2.6	**CUMPLE η = 41.7**
N1535/N1536	$\lambda_w \leq \lambda_{w,máx}$ Cumple	N_{Ed} = 0.00 N.P.(1)	x: 0.06 m η = 0.8	x: 0.06 m η = 13.1	x: 0.06 m η = 0.2	η = 2.1	η < 0.1	η < 0.1	η < 0.1	x: 0.06 m η = 14.0	η < 0.1	η = 0.5	η = 2.1	η < 0.1	**CUMPLE η = 14.0**
N1537/N1538	$\lambda_w \leq \lambda_{w,máx}$ Cumple	x: 1.939 m η < 0.1	x: 0.06 m η = 0.3	x: 1.94 m η = 10.2	x: 1.94 m η = 0.8	η = 1.6	η = 0.1	η < 0.1	η < 0.1	x: 1.94 m η = 10.8	η < 0.1	η = 1.7	η = 1.6	η = 0.1	**CUMPLE η = 10.8**
N1211/N1537	x: 0.061 m $\lambda_w \leq \lambda_{w,máx}$ Cumple	η = 1.3	η = 1.0	x: 2.373 m η = 2.0	x: 2.373 m η = 12.6	η = 0.1	x: 0.06 m η = 0.9	x: 0.253 m η < 0.1	x: 0.061 m η < 0.1	x: 2.373 m η = 14.7	x: 0.061 m η < 0.1	M_{Ed} = 0.00 N.P.(5)	N.P.(6)	N.P.(6)	**CUMPLE η = 14.7**
N1537/N1539	$\lambda_w \leq \lambda_{w,máx}$ Cumple	η = 0.7	η = 0.7	x: 2.372 m η = 0.8	x: 0.06 m η = 2.8	η < 0.1	x: 2.373 m η = 0.4	η < 0.1	η < 0.1	x: 0.06 m η = 3.7	η < 0.1	η = 1.1	η < 0.1	x: 2.373 m η = 0.4	**CUMPLE η = 3.7**
N1539/N1360	$\lambda_w \leq \lambda_{w,máx}$ Cumple	η = 0.4	η = 0.1	x: 2.373 m η = 0.6	x: 2.373 m η = 8.3	η < 0.1	x: 2.373 m η = 1.2	η < 0.1	η < 0.1	x: 2.373 m η = 9.1	η < 0.1	η = 0.8	η < 0.1	x: 2.373 m η = 1.2	**CUMPLE η = 9.1**
N1228/N1538	x: 0.061 m $\lambda_w \leq \lambda_{w,máx}$ Cumple	N_{Ed} = 0.00 N.P.(1)	η = 42.4	x: 2.373 m η = 1.8	x: 2.373 m η = 14.7	η = 0.1	x: 0.06 m η = 1.1	x: 0.253 m η < 0.1	x: 0.061 m η < 0.1	x: 2.373 m η = 52.2	x: 0.061 m η < 0.1	M_{Ed} = 0.00 N.P.(5)	N.P.(6)	N.P.(6)	**CUMPLE η = 52.2**
N1538/N1540	$\lambda_w \leq \lambda_{w,máx}$ Cumple	N_{Ed} = 0.00 N.P.(1)	η = 45.9	x: 0.06 m η = 0.6	x: 0.06 m η = 4.1	η < 0.1	x: 2.373 m η = 0.5	η < 0.1	η < 0.1	x: 0.06 m η = 48.5	η < 0.1	η = 1.1	η < 0.1	x: 2.373 m η = 0.5	**CUMPLE η = 48.5**
N1540/N1369	$\lambda_w \leq \lambda_{w,máx}$ Cumple	N_{Ed} = 0.00 N.P.(1)	η = 45.5	x: 2.373 m η = 0.8	x: 2.373 m η = 8.3	η < 0.1	x: 2.373 m η = 1.2	η < 0.1	η < 0.1	x: 2.373 m η = 47.5	η < 0.1	η = 0.9	η < 0.1	x: 2.373 m η = 1.2	**CUMPLE η = 47.5**
N1539/N1540	$\lambda_w \leq \lambda_{w,máx}$ Cumple	x: 1.939 m η < 0.1	x: 0.06 m η = 0.3	x: 0.06 m η = 6.4	x: 0.06 m η = 0.3	η = 1.0	η < 0.1	η < 0.1	η < 0.1	x: 0.06 m η = 6.8	η < 0.1	η = 0.8	η = 1.0	η < 0.1	**CUMPLE η = 6.8**
N1047/N1203	x: 0.5 m $\lambda_w \leq \lambda_{w,máx}$ Cumple	η = 4.6	η = 21.3	M_{Ed} = 0.00 N.P.(2)	x: 3.65 m η = 6.0	V_{Ed} = 0.00 N.P.(3)	x: 0.05 m η = 0.5	N.P.(4)	x: 0.5 m η < 0.1	x: 3.65 m η = 26.0	x: 0.5 m η < 0.1	M_{Ed} = 0.00 N.P.(5)	N.P.(6)	N.P.(6)	**CUMPLE η = 26.0**
N891/N1047	x: 0.5 m $\lambda_w \leq \lambda_{w,máx}$ Cumple	η = 4.3	η = 19.7	M_{Ed} = 0.00 N.P.(2)	x: 3.65 m η = 6.0	V_{Ed} = 0.00 N.P.(3)	x: 0.05 m η = 0.5	N.P.(4)	x: 0.5 m η < 0.1	x: 3.65 m η = 24.5	x: 0.5 m η < 0.1	M_{Ed} = 0.00 N.P.(5)	N.P.(6)	N.P.(6)	**CUMPLE η = 24.5**
N735/N891	x: 0.5 m $\lambda_w \leq \lambda_{w,máx}$ Cumple	η = 4.0	η = 18.2	M_{Ed} = 0.00 N.P.(2)	x: 3.65 m η = 6.0	V_{Ed} = 0.00 N.P.(3)	x: 0.05 m η = 0.5	N.P.(4)	x: 0.5 m η < 0.1	x: 3.65 m η = 23.0	x: 0.5 m η < 0.1	M_{Ed} = 0.00 N.P.(5)	N.P.(6)	N.P.(6)	**CUMPLE η = 23.0**
N579/N735	x: 0.5 m $\lambda_w \leq \lambda_{w,máx}$ Cumple	η = 3.6	η = 16.8	M_{Ed} = 0.00 N.P.(2)	x: 3.65 m η = 6.0	V_{Ed} = 0.00 N.P.(3)	x: 0.05 m η = 0.5	N.P.(4)	x: 0.5 m η < 0.1	x: 3.65 m η = 21.7	x: 0.5 m η < 0.1	M_{Ed} = 0.00 N.P.(5)	N.P.(6)	N.P.(6)	**CUMPLE η = 21.7**
N423/N579	x: 0.5 m $\lambda_w \leq \lambda_{w,máx}$ Cumple	η = 3.4	η = 15.4	M_{Ed} = 0.00 N.P.(2)	x: 3.65 m η = 6.0	V_{Ed} = 0.00 N.P.(3)	x: 0.05 m η = 0.5	N.P.(4)	x: 0.5 m η < 0.1	x: 3.65 m η = 20.5	x: 0.5 m η < 0.1	M_{Ed} = 0.00 N.P.(5)	N.P.(6)	N.P.(6)	**CUMPLE η = 20.5**
N215/N423	x: 0.509 m $\lambda_w \leq \lambda_{w,máx}$ Cumple	η = 3.1	η = 14.2	M_{Ed} = 0.00 N.P.(2)	x: 3.655 m η = 6.0	V_{Ed} = 0.00 N.P.(3)	x: 0.06 m η = 0.5	N.P.(4)	x: 0.509 m η < 0.1	x: 3.655 m η = 19.4	x: 0.509 m η < 0.1	M_{Ed} = 0.00 N.P.(5)	N.P.(6)	N.P.(6)	**CUMPLE η = 19.4**
N111/N215	x: 0.509 m $\lambda_w \leq \lambda_{w,máx}$ Cumple	η = 2.5	η = 11.2	M_{Ed} = 0.00 N.P.(2)	x: 3.65 m η = 6.0	V_{Ed} = 0.00 N.P.(3)	x: 0.06 m η = 0.5	N.P.(4)	x: 0.509 m η < 0.1	x: 3.65 m η = 16.6	x: 0.509 m η < 0.1	M_{Ed} = 0.00 N.P.(5)	N.P.(6)	N.P.(6)	**CUMPLE η = 16.6**
N1541/N1542	$\lambda_w \leq \lambda_{w,máx}$ Cumple	x: 1.939 m η = 0.1	x: 0.06 m η = 0.2	x: 1.94 m η = 11.2	x: 1.94 m η = 0.4	η = 1.7	η = 0.1	η < 0.1	η < 0.1	x: 1.94 m η = 11.5	η < 0.1	η = 0.7	η = 1.7	η = 0.1	**CUMPLE η = 11.5**
N1543/N1544	$\lambda_w \leq \lambda_{w,máx}$ Cumple	x: 1.939 m η < 0.1	x: 0.06 m η = 0.3	x: 0.06 m η = 5.8	x: 1.94 m η = 0.2	η = 0.9	η < 0.1	η < 0.1	η < 0.1	x: 0.06 m η = 6.1	η < 0.1	η = 0.3	η = 0.9	η < 0.1	**CUMPLE η = 6.1**
N1233/N1541	x: 0.061 m $\lambda_w \leq \lambda_{w,máx}$ Cumple	η = 1.0	η = 1.2	x: 2.373 m η = 0.8	x: 2.373 m η = 13.8	η = 0.1	x: 0.06 m η = 1.0	x: 0.253 m η < 0.1	x: 0.061 m η < 0.1	x: 2.373 m η = 15.3	x: 0.061 m η < 0.1	M_{Ed} = 0.00 N.P.(5)	N.P.(6)	N.P.(6)	**CUMPLE η = 15.3**
N1541/N1543	$\lambda_w \leq \lambda_{w,máx}$ Cumple	η = 0.6	η = 0.8	x: 2.372 m η = 0.4	x: 0.06 m η = 3.1	η < 0.1	x: 2.373 m η = 0.4	η < 0.1	η < 0.1	x: 0.06 m η = 3.6	η < 0.1	η = 0.5	η < 0.1	x: 2.373 m η = 0.4	**CUMPLE η = 3.6**
N1543/N1371	$\lambda_w \leq \lambda_{w,máx}$ Cumple	η = 0.4	η = 0.1	x: 0.06 m η = 0.4	x: 2.373 m η = 7.4	η < 0.1	x: 2.373 m η = 1.1	η < 0.1	η < 0.1	x: 2.373 m η = 7.9	η < 0.1	η = 0.3	η < 0.1	x: 2.373 m η = 1.1	**CUMPLE η = 7.9**
N1249/N1542	x: 0.061 m $\lambda_w \leq \lambda_{w,máx}$ Cumple	N_{Ed} = 0.00 N.P.(1)	η = 22.7	x: 2.373 m η = 0.9	x: 2.373 m η = 15.9	η = 0.1	x: 0.06 m η = 1.2	x: 0.253 m η < 0.1	x: 0.061 m η < 0.1	x: 2.373 m η = 32.2	x: 0.061 m η < 0.1	M_{Ed} = 0.00 N.P.(5)	N.P.(6)	N.P.(6)	**CUMPLE η = 32.2**
N1542/N1544	$\lambda_w \leq \lambda_{w,máx}$ Cumple	N_{Ed} = 0.00 N.P.(1)	η = 26.5	x: 2.372 m η = 0.6	x: 0.06 m η = 4.3	η < 0.1	x: 2.373 m η = 0.5	η < 0.1	η < 0.1	x: 0.06 m η = 29.2	η < 0.1	η = 0.5	η < 0.1	x: 2.373 m η = 0.5	**CUMPLE η = 29.2**
N1544/N1379	$\lambda_w \leq \lambda_{w,máx}$ Cumple	N_{Ed} = 0.00 N.P.(1)	η = 26.5	x: 2.373 m η = 1.0	x: 2.373 m η = 7.4	η < 0.1	x: 2.373 m η = 1.1	η < 0.1	η < 0.1	x: 0.06 m η = 28.2	η < 0.1	η = 0.3	η < 0.1	x: 2.373 m η = 1.1	**CUMPLE η = 28.2**
N1545/N1546	$\lambda_w \leq \lambda_{w,máx}$ Cumple	x: 1.939 m η < 0.1	x: 0.06 m η = 0.1	x: 1.94 m η = 7.0	x: 0.06 m η = 0.1	η = 1.1	η < 0.1	η < 0.1	x: 0.06 m η < 0.1	x: 1.94 m η = 7.1	η < 0.1	η = 0.1	η = 1.1	η < 0.1	**CUMPLE η = 7.1**
N1547/N1548	$\lambda_w \leq \lambda_{w,máx}$ Cumple	x: 1.939 m η < 0.1	x: 0.06 m η = 0.1	x: 0.06 m η = 6.0	x: 0.06 m η = 0.1	η = 0.9	η < 0.1	η < 0.1	x: 0.06 m η < 0.1	x: 0.06 m η = 6.1	η < 0.1	η = 0.1	η = 0.9	η < 0.1	**CUMPLE η = 6.1**
N46/N1548	x: 0.061 m $\lambda_w \leq \lambda_{w,máx}$ Cumple	N_{Ed} = 0.00 N.P.(1)	η = 32.0	x: 2.372 m η = 0.1	x: 2.373 m η = 7.2	η < 0.1	x: 0.06 m η = 0.6	x: 0.253 m η < 0.1	x: 0.061 m η < 0.1	x: 2.373 m η = 36.4	x: 0.061 m η < 0.1	M_{Ed} = 0.00 N.P.(5)	N.P.(6)	N.P.(6)	**CUMPLE η = 36.4**
N1548/N1546	$\lambda_w \leq \lambda_{w,máx}$ Cumple	N_{Ed} = 0.00 N.P.(1)	η = 33.0	x: 2.372 m η < 0.1	x: 1.409 m η = 2.2	η < 0.1	x: 0.06 m η = 0.2	x: 0.06 m η < 0.1	η < 0.1	x: 1.217 m η = 34.1	η < 0.1	η = 0.1	η < 0.1	x: 0.06 m η = 0.2	**CUMPLE η = 34.1**
N1546/N157	x: 0.06 m $\lambda_w \leq \lambda_{w,máx}$ Cumple	N_{Ed} = 0.00 N.P.(1)	η = 31.7	x: 0.06 m η = 0.1	x: 0.06 m η = 9.1	η < 0.1	x: 2.358 m η = 0.7	x: 0.06 m η < 0.1	x: 0.06 m η < 0.1	x: 0.06 m η = 36.6	x: 0.06 m η < 0.1	M_{Ed} = 0.00 N.P.(5)	N.P.(6)	N.P.(6)	**CUMPLE η = 36.6**
N61/N1547	x: 0.061 m $\lambda_w \leq \lambda_{w,máx}$ Cumple	η < 0.1	η = 0.3	x: 2.372 m η = 0.1	x: 2.373 m η = 7.5	η < 0.1	x: 0.06 m η = 0.6	x: 0.253 m η < 0.1	x: 0.061 m η < 0.1	x: 2.373 m η = 7.6	x: 0.061 m η < 0.1	M_{Ed} = 0.00 N.P.(5)	N.P.(6)	N.P.(6)	**CUMPLE η = 7.6**

Documento visado electrónicamente con número: VA07290/22
Código de validación telemática TRLTDCFZ60T66IJ1. Comprobación: https://cogitivalencia.e-gestion.es/Validacion.aspx?CVT=TRLTDCFZ60T66IJ1

VISADO
COGITI
Estado
VALENCIA
VA07290/22
TRLTDCFZ60T66IJ1

Barras	COMPROBACIONES (CÓDIGO ESTRUCTURAL)														
	λ_w	N_t	N_c	M_Y	M_Z	V_Z	V_Y	M_YV_Z	M_ZV_Y	NM_YM_Z	$NM_YM_ZV_YV_Z$	M_t	M_tV_Z	M_tV_Y	
N1547/N1545	$\lambda_w \leq \lambda_{w,máx}$ Cumple	η = 0.3	η = 0.2	x: 0.06 m η < 0.1	x: 1.409 m η = 2.1	η < 0.1	x: 0.06 m η = 0.2	η < 0.1	η < 0.1	x: 1.409 m η = 2.3	η < 0.1	η = 0.1	η < 0.1	x: 0.06 m η = 0.1	**CUMPLE η = 2.3**
N1545/N141	x: 0.06 m $\lambda_w \leq \lambda_{w,máx}$ Cumple	η = 0.1	η = 0.4	x: 0.06 m η = 0.1	x: 0.06 m η = 8.3	η < 0.1	x: 2.301 m η = 0.7	x: 0.06 m η < 0.1	x: 0.06 m η < 0.1	x: 0.06 m η = 8.6	x: 0.06 m η < 0.1	M_{Ed} = 0.00 N.P.(5)	N.P.(6)	N.P.(6)	**CUMPLE η = 8.6**
N1549/N1550	$\lambda_w \leq \lambda_{w,máx}$ Cumple	x: 1.939 m η = 0.1	x: 0.06 m η = 0.6	x: 1.94 m η = 18.1	x: 1.94 m η = 0.3	η = 2.8	η < 0.1	η < 0.1	η < 0.1	x: 1.94 m η = 18.7	η < 0.1	η = 0.5	η = 2.9	η < 0.1	**CUMPLE η = 18.7**
N1551/N1552	$\lambda_w \leq \lambda_{w,máx}$ Cumple	x: 1.939 m η < 0.1	x: 0.06 m η = 0.6	x: 0.06 m η = 9.4	x: 0.06 m η = 0.1	η = 1.5	η < 0.1	η < 0.1	η < 0.1	x: 0.06 m η = 10.0	η < 0.1	η = 0.2	η = 1.5	η < 0.1	**CUMPLE η = 10.0**
N1237/N1549	x: 0.051 m $\lambda_w \leq \lambda_{w,máx}$ Cumple	η = 2.6	η = 11.4	x: 2.373 m η = 0.5	x: 2.373 m η = 24.6	η < 0.1	x: 0.05 m η = 1.7	x: 0.244 m η < 0.1	x: 0.051 m η < 0.1	x: 2.373 m η = 28.5	x: 0.051 m η < 0.1	M_{Ed} = 0.00 N.P.(5)	N.P.(6)	N.P.(6)	**CUMPLE η = 28.5**
N1549/N1551	$\lambda_w \leq \lambda_{w,máx}$ Cumple	η = 1.1	η = 8.1	x: 0.06 m η = 0.1	x: 0.06 m η = 6.3	η < 0.1	x: 2.373 m η = 0.8	η < 0.1	η < 0.1	x: 0.06 m η = 12.0	η < 0.1	η = 0.3	η < 0.1	x: 2.373 m η = 0.8	**CUMPLE η = 12.0**
N1551/N1373	$\lambda_w \leq \lambda_{w,máx}$ Cumple	η = 0.6	η = 0.3	x: 0.06 m η = 0.2	x: 0.06 m η = 13.3	η < 0.1	x: 2.373 m η = 1.8	η < 0.1	η < 0.1	x: 0.06 m η = 14.0	η < 0.1	η = 0.2	η < 0.1	x: 2.373 m η = 1.8	**CUMPLE η = 14.0**
N1253/N1550	x: 0.051 m $\lambda_w \leq \lambda_{w,máx}$ Cumple	N_{Ed} = 0.00 N.P.(1)	η = 10.4	x: 2.373 m η = 0.7	x: 2.373 m η = 26.1	η < 0.1	x: 0.05 m η = 1.8	x: 0.244 m η < 0.1	x: 0.051 m η < 0.1	x: 2.373 m η = 30.3	x: 0.051 m η < 0.1	M_{Ed} = 0.00 N.P.(5)	N.P.(6)	N.P.(6)	**CUMPLE η = 30.3**
N1550/N1552	$\lambda_w \leq \lambda_{w,máx}$ Cumple	N_{Ed} = 0.00 N.P.(1)	η = 19.2	x: 2.372 m η = 0.3	x: 0.06 m η = 7.3	η < 0.1	x: 2.373 m η = 0.8	η < 0.1	η < 0.1	x: 0.06 m η = 24.0	η < 0.1	η = 0.3	η < 0.1	x: 2.373 m η = 0.8	**CUMPLE η = 24.0**
N1552/N1381	$\lambda_w \leq \lambda_{w,máx}$ Cumple	η = 0.6	η = 20.0	x: 2.373 m η = 0.5	x: 0.06 m η = 13.4	η < 0.1	x: 2.373 m η = 1.8	η < 0.1	η < 0.1	x: 0.06 m η = 25.5	η < 0.1	η = 0.2	η < 0.1	x: 2.373 m η = 1.8	**CUMPLE η = 25.5**
N1553/N1554	$\lambda_w \leq \lambda_{w,máx}$ Cumple	x: 1.939 m η < 0.1	x: 0.06 m η = 0.3	x: 1.94 m η = 10.0	x: 0.06 m η < 0.1	η = 1.5	η < 0.1	η < 0.1	x: 0.06 m η < 0.1	x: 1.94 m η = 10.1	η < 0.1	η < 0.1	η = 1.5	η < 0.1	**CUMPLE η = 10.1**
N1555/N1556	$\lambda_w \leq \lambda_{w,máx}$ Cumple	x: 1.939 m η = 0.1	x: 0.06 m η = 0.3	x: 0.06 m η = 10.7	x: 0.06 m η < 0.1	η = 1.7	η < 0.1	η < 0.1	x: 0.06 m η < 0.1	x: 0.06 m η = 11.0	η < 0.1	η < 0.1	η = 1.7	η < 0.1	**CUMPLE η = 11.0**
N50/N1556	x: 0.051 m $\lambda_w \leq \lambda_{w,máx}$ Cumple	η = 1.2	η = 14.3	x: 2.372 m η < 0.1	x: 2.373 m η = 14.4	η < 0.1	x: 0.05 m η = 1.1	x: 0.824 m η < 0.1	x: 0.051 m η < 0.1	x: 2.373 m η = 16.4	x: 0.051 m η < 0.1	M_{Ed} = 0.00 N.P.(5)	N.P.(6)	N.P.(6)	**CUMPLE η = 16.4**
N1556/N1554	$\lambda_w \leq \lambda_{w,máx}$ Cumple	η = 0.4	η = 14.5	x: 0.06 m η < 0.1	x: 0.06 m η = 3.5	η < 0.1	x: 2.373 m η = 0.5	N.P.(4)	η < 0.1	x: 2.373 m η = 16.5	η < 0.1	η < 0.1	η < 0.1	x: 2.373 m η = 0.5	**CUMPLE η = 16.5**
N1554/N161	x: 0.06 m $\lambda_w \leq \lambda_{w,máx}$ Cumple	η = 0.5	η = 11.6	x: 0.06 m η < 0.1	x: 0.06 m η = 13.8	η < 0.1	x: 2.373 m η = 1.0	x: 0.06 m η < 0.1	x: 0.06 m η < 0.1	x: 0.06 m η = 19.2	x: 0.06 m η < 0.1	M_{Ed} = 0.00 N.P.(5)	N.P.(6)	N.P.(6)	**CUMPLE η = 19.2**
N65/N1555	x: 0.051 m $\lambda_w \leq \lambda_{w,máx}$ Cumple	η = 0.1	η = 0.2	x: 2.372 m η < 0.1	x: 2.373 m η = 14.8	η < 0.1	x: 0.05 m η = 1.1	x: 0.824 m η < 0.1	x: 0.051 m η < 0.1	x: 2.373 m η = 14.9	x: 0.051 m η < 0.1	M_{Ed} = 0.00 N.P.(5)	N.P.(6)	N.P.(6)	**CUMPLE η = 14.9**
N1555/N1553	$\lambda_w \leq \lambda_{w,máx}$ Cumple	η = 0.6	η = 0.6	x: 0.06 m η < 0.1	x: 0.06 m η = 3.7	η < 0.1	x: 2.373 m η = 0.5	N.P.(4)	η < 0.1	x: 0.06 m η = 4.1	η < 0.1	η < 0.1	η < 0.1	x: 2.373 m η = 0.5	**CUMPLE η = 4.1**
N1553/N145	x: 0.06 m $\lambda_w \leq \lambda_{w,máx}$ Cumple	η = 0.9	η = 0.9	x: 0.06 m η < 0.1	x: 0.06 m η = 12.5	η < 0.1	x: 2.373 m η = 0.9	x: 0.06 m η < 0.1	x: 0.06 m η < 0.1	x: 0.06 m η = 13.4	x: 0.06 m η < 0.1	M_{Ed} = 0.00 N.P.(5)	N.P.(6)	N.P.(6)	**CUMPLE η = 13.4**
N1557/N1558	$\lambda_w \leq \lambda_{w,máx}$ Cumple	x: 1.939 m η = 0.1	x: 0.06 m η = 0.5	x: 1.94 m η = 17.0	x: 1.94 m η = 0.3	η = 2.7	η < 0.1	η < 0.1	η < 0.1	x: 1.94 m η = 17.5	η < 0.1	η = 0.5	η = 2.7	η < 0.1	**CUMPLE η = 17.5**
N1559/N1560	$\lambda_w \leq \lambda_{w,máx}$ Cumple	x: 1.939 m η < 0.1	x: 0.06 m η = 0.6	x: 0.06 m η = 8.7	x: 0.06 m η < 0.1	η = 1.4	η < 0.1	η < 0.1	η < 0.1	x: 0.06 m η = 9.2	η < 0.1	η = 0.2	η = 1.4	η < 0.1	**CUMPLE η = 9.2**
N1241/N1557	x: 0.051 m $\lambda_w \leq \lambda_{w,máx}$ Cumple	η = 2.3	η = 10.5	x: 2.373 m η = 0.7	x: 2.373 m η = 23.2	η < 0.1	x: 0.05 m η = 1.6	x: 0.244 m η < 0.1	x: 0.051 m η < 0.1	x: 2.373 m η = 26.8	x: 0.051 m η < 0.1	M_{Ed} = 0.00 N.P.(5)	N.P.(6)	N.P.(6)	**CUMPLE η = 26.8**
N1557/N1559	$\lambda_w \leq \lambda_{w,máx}$ Cumple	η = 1.0	η = 7.4	x: 2.372 m η = 0.4	x: 0.06 m η = 5.9	η < 0.1	x: 2.373 m η = 0.7	η < 0.1	η < 0.1	x: 0.06 m η = 11.2	η < 0.1	η = 0.3	η < 0.1	x: 2.373 m η = 0.7	**CUMPLE η = 11.2**
N1559/N1375	$\lambda_w \leq \lambda_{w,máx}$ Cumple	η = 0.6	η = 0.3	x: 2.372 m η = 0.3	x: 0.06 m η = 12.1	η < 0.1	x: 2.373 m η = 1.7	η < 0.1	η < 0.1	x: 0.06 m η = 12.7	η < 0.1	η = 0.3	η < 0.1	x: 2.373 m η = 1.7	**CUMPLE η = 12.7**
N1257/N1558	x: 0.051 m $\lambda_w \leq \lambda_{w,máx}$ Cumple	N_{Ed} = 0.00 N.P.(1)	η = 14.2	x: 2.373 m η = 0.5	x: 2.373 m η = 24.5	η < 0.1	x: 0.05 m η = 1.7	x: 0.244 m η < 0.1	x: 0.051 m η < 0.1	x: 2.373 m η = 26.4	x: 0.051 m η < 0.1	M_{Ed} = 0.00 N.P.(5)	N.P.(6)	N.P.(6)	**CUMPLE η = 26.4**
N1558/N1560	$\lambda_w \leq \lambda_{w,máx}$ Cumple	N_{Ed} = 0.00 N.P.(1)	η = 16.9	x: 2.372 m η = 0.2	x: 0.06 m η = 6.7	η < 0.1	x: 2.373 m η = 0.8	η < 0.1	η < 0.1	x: 0.06 m η = 20.9	η < 0.1	η = 0.3	η < 0.1	x: 2.373 m η = 0.8	**CUMPLE η = 20.9**
N1560/N1383	$\lambda_w \leq \lambda_{w,máx}$ Cumple	η = 0.2	η = 17.5	x: 2.372 m η = 0.5	x: 0.06 m η = 12.2	η < 0.1	x: 2.373 m η = 1.7	η < 0.1	η < 0.1	x: 0.06 m η = 22.1	η < 0.1	η = 0.3	η < 0.1	x: 2.373 m η = 1.7	**CUMPLE η = 22.1**
N1561/N1562	$\lambda_w \leq \lambda_{w,máx}$ Cumple	x: 1.939 m η = 0.1	x: 0.06 m η = 0.2	x: 1.94 m η = 9.4	x: 0.06 m η < 0.1	η = 1.4	η < 0.1	η < 0.1	x: 0.06 m η < 0.1	x: 1.94 m η = 9.5	η < 0.1	η < 0.1	η = 1.4	η < 0.1	**CUMPLE η = 9.5**
N1563/N1564	$\lambda_w \leq \lambda_{w,máx}$ Cumple	x: 1.939 m η < 0.1	x: 0.06 m η = 0.2	x: 0.06 m η = 10.4	x: 0.06 m η < 0.1	η = 1.6	η < 0.1	η < 0.1	x: 0.06 m η < 0.1	x: 0.06 m η = 10.7	η < 0.1	η < 0.1	η = 1.6	η < 0.1	**CUMPLE η = 10.7**
N54/N1564	x: 0.051 m $\lambda_w \leq \lambda_{w,máx}$ Cumple	η = 1.1	η = 13.8	x: 2.372 m η < 0.1	x: 2.373 m η = 13.9	η < 0.1	x: 0.05 m η = 1.0	x: 0.244 m η < 0.1	x: 0.051 m η < 0.1	x: 2.373 m η = 16.1	x: 0.051 m η < 0.1	M_{Ed} = 0.00 N.P.(5)	N.P.(6)	N.P.(6)	**CUMPLE η = 16.1**
N1564/N1562	$\lambda_w \leq \lambda_{w,máx}$ Cumple	η = 0.4	η = 14.0	x: 0.06 m η < 0.1	x: 0.06 m η = 3.3	η < 0.1	x: 2.373 m η = 0.4	x: 0.06 m η < 0.1	η < 0.1	x: 2.372 m η = 15.9	η < 0.1	η < 0.1	η < 0.1	x: 2.373 m η = 0.4	**CUMPLE η = 15.9**
N1562/N165	x: 0.06 m $\lambda_w \leq \lambda_{w,máx}$ Cumple	η = 0.5	η = 11.3	x: 0.06 m η < 0.1	x: 0.06 m η = 12.9	η < 0.1	x: 2.373 m η = 1.0	x: 0.06 m η < 0.1	x: 0.06 m η < 0.1	x: 0.06 m η = 18.7	x: 0.06 m η < 0.1	M_{Ed} = 0.00 N.P.(5)	N.P.(6)	N.P.(6)	**CUMPLE η = 18.7**
N69/N1563	x: 0.051 m $\lambda_w \leq \lambda_{w,máx}$ Cumple	η = 0.1	η = 0.2	x: 2.372 m η < 0.1	x: 2.373 m η = 14.4	η < 0.1	x: 0.05 m η = 1.1	x: 0.244 m η < 0.1	x: 0.051 m η < 0.1	x: 2.373 m η = 14.5	x: 0.051 m η < 0.1	M_{Ed} = 0.00 N.P.(5)	N.P.(6)	N.P.(6)	**CUMPLE η = 14.5**
N1563/N1561	$\lambda_w \leq \lambda_{w,máx}$ Cumple	η = 0.5	η = 0.5	x: 0.06 m η < 0.1	x: 0.06 m η = 3.5	η < 0.1	x: 2.373 m η = 0.4	x: 0.06 m η < 0.1	η < 0.1	x: 0.06 m η = 3.9	η < 0.1	η < 0.1	η < 0.1	x: 2.373 m η = 0.4	**CUMPLE η = 3.9**
N1561/N149	x: 0.06 m $\lambda_w \leq \lambda_{w,máx}$ Cumple	η = 0.8	η = 0.8	x: 0.06 m η < 0.1	x: 0.06 m η = 11.4	η < 0.1	x: 2.373 m η = 0.9	x: 0.06 m η < 0.1	x: 0.06 m η < 0.1	x: 0.06 m η = 12.2	x: 0.06 m η < 0.1	M_{Ed} = 0.00 N.P.(5)	N.P.(6)	N.P.(6)	**CUMPLE η = 12.2**
N1565/N1566	$\lambda_w \leq \lambda_{w,máx}$ Cumple	x: 1.939 m η < 0.1	x: 0.06 m η = 0.2	x: 1.94 m η = 10.0	x: 1.94 m η = 0.4	η = 1.5	η = 0.1	η < 0.1	η < 0.1	x: 1.94 m η = 10.3	η < 0.1	η = 0.9	η = 1.6	η = 0.1	**CUMPLE η = 10.3**
N1567/N1568	$\lambda_w \leq \lambda_{w,máx}$ Cumple	x: 1.939 m η < 0.1	x: 0.06 m η = 0.3	x: 0.06 m η = 4.9	x: 0.06 m η = 0.1	η = 0.8	η < 0.1	η < 0.1	η < 0.1	x: 0.06 m η = 5.1	η < 0.1	η = 0.4	η = 0.8	η < 0.1	**CUMPLE η = 5.1**
N1245/N1565	x: 0.061 m $\lambda_w \leq \lambda_{w,máx}$ Cumple	η = 0.6	η = 1.0	x: 2.373 m η = 1.0	x: 2.373 m η = 12.4	η = 0.1	x: 0.06 m η = 0.9	x: 0.253 m η < 0.1	x: 0.061 m η < 0.1	x: 2.373 m η = 13.6	x: 0.061 m η < 0.1	M_{Ed} = 0.00 N.P.(5)	N.P.(6)	N.P.(6)	**CUMPLE η = 13.6**

Documento validado electrónicamente con número de VA07290/22. Código de validación telemática TRLTDCFZ60T66IJ1. Comprobación: https://coglivalencia.e-gestion.es/Validacion.aspx?CVT=TRLTDCFZ60T66IJ1

VISADO
COGITI
Estado
VALENCIA
VA07290/22
TRLTDCFZ60T66IJ1

Barras	COMPROBACIONES (CÓDIGO ESTRUCTURAL)														
	λ_w	N_t	N_c	M_y	M_z	V_z	V_y	M_yV_z	M_zV_y	NM_yM_z	$NM_yM_zV_yV_z$	M_t	M_tV_z	M_tV_y	Estado
N1565/N1567	$\lambda_w \leq \lambda_{w,máx}$ Cumple	$\eta = 0.5$	$\eta = 0.6$	x: 2.372 m $\eta = 0.4$	x: 0.06 m $\eta = 2.8$	$\eta < 0.1$	x: 2.373 m $\eta = 0.4$	$\eta < 0.1$	$\eta < 0.1$	x: 0.06 m $\eta = 3.2$	$\eta < 0.1$	$\eta = 0.6$	$\eta < 0.1$	x: 2.373 m $\eta = 0.4$	**CUMPLE $\eta = 0.6$**
N1567/N1377	$\lambda_w \leq \lambda_{w,máx}$ Cumple	$\eta = 0.3$	$\eta = 0.1$	x: 2.372 m $\eta = 0.3$	x: 2.373 m $\eta = 6.1$	$\eta < 0.1$	x: 2.373 m $\eta = 0.9$	$\eta < 0.1$	$\eta < 0.1$	x: 2.373 m $\eta = 6.6$	$\eta < 0.1$	$\eta = 0.4$	$\eta < 0.1$	x: 2.373 m $\eta = 0.9$	**CUMPLE $\eta = 6.6$**
N1261/N1566	x: 0.061 m $\lambda_w \leq \lambda_{w,máx}$ Cumple	$N_{Ed} = 0.00$ N.P.(1)	$\eta = 29.6$	x: 2.373 m $\eta = 0.9$	x: 2.373 m $\eta = 14.3$	$\eta = 0.1$	x: 0.06 m $\eta = 1.1$	x: 0.253 m $\eta < 0.1$	x: 0.061 m $\eta < 0.1$	x: 2.373 m $\eta = 38.1$	x: 0.061 m $\eta < 0.1$	$M_{Ed} = 0.00$ N.P.(5)	N.P.(6)	N.P.(6)	**CUMPLE $\eta = 38.1$**
N1566/N1568	$\lambda_w \leq \lambda_{w,máx}$ Cumple	$N_{Ed} = 0.00$ N.P.(1)	$\eta = 33.0$	x: 2.372 m $\eta = 0.3$	x: 0.06 m $\eta = 3.9$	$\eta < 0.1$	x: 2.373 m $\eta = 0.5$	$\eta < 0.1$	$\eta < 0.1$	x: 0.06 m $\eta = 35.2$	$\eta < 0.1$	$\eta = 0.6$	$\eta < 0.1$	x: 2.373 m $\eta = 0.5$	**CUMPLE $\eta = 35.2$**
N1568/N1385	$\lambda_w \leq \lambda_{w,máx}$ Cumple	$N_{Ed} = 0.00$ N.P.(1)	$\eta = 32.6$	x: 2.373 m $\eta = 0.7$	x: 2.373 m $\eta = 6.1$	$\eta < 0.1$	x: 2.373 m $\eta = 0.9$	$\eta < 0.1$	$\eta < 0.1$	x: 2.373 m $\eta = 34.3$	$\eta < 0.1$	$\eta = 0.4$	$\eta < 0.1$	x: 2.373 m $\eta = 0.9$	**CUMPLE $\eta = 34.3$**
N1569/N1570	$\lambda_w \leq \lambda_{w,máx}$ Cumple	x: 1.939 m $\eta < 0.1$	x: 0.06 m $\eta = 0.1$	x: 1.94 m $\eta = 7.3$	x: 0.06 m $\eta < 0.1$	$\eta = 1.1$	$\eta < 0.1$	$\eta < 0.1$	x: 0.06 m $\eta < 0.1$	x: 1.94 m $\eta = 7.4$	$\eta < 0.1$	$\eta < 0.1$	$\eta = 1.1$	$\eta < 0.1$	**CUMPLE $\eta = 7.4$**
N1571/N1572	$\lambda_w \leq \lambda_{w,máx}$ Cumple	x: 1.939 m $\eta = 0.1$	x: 0.06 m $\eta = 0.1$	x: 1.94 m $\eta = 7.0$	x: 0.06 m $\eta < 0.1$	$\eta = 1.1$	$\eta < 0.1$	$\eta < 0.1$	x: 0.06 m $\eta < 0.1$	x: 1.94 m $\eta = 7.1$	$\eta < 0.1$	$\eta < 0.1$	$\eta = 1.1$	$\eta < 0.1$	**CUMPLE $\eta = 7.1$**
N58/N1572	x: 0.061 m $\lambda_w \leq \lambda_{w,máx}$ Cumple	$\eta = 0.3$	$\eta = 30.9$	x: 2.372 m $\eta < 0.1$	x: 2.373 m $\eta = 9.2$	$\eta < 0.1$	x: 0.06 m $\eta = 0.7$	x: 0.253 m $\eta < 0.1$	x: 0.061 m $\eta < 0.1$	x: 2.373 m $\eta = 35.1$	x: 0.061 m $\eta < 0.1$	$M_{Ed} = 0.00$ N.P.(5)	N.P.(6)	N.P.(6)	**CUMPLE $\eta = 35.1$**
N1572/N1570	$\lambda_w \leq \lambda_{w,máx}$ Cumple	$N_{Ed} = 0.00$ N.P.(1)	$\eta = 31.9$	x: 0.06 m $\eta < 0.1$	x: 1.217 m $\eta = 2.2$	$\eta < 0.1$	x: 0.06 m $\eta = 0.2$	x: 0.06 m $\eta < 0.1$	$\eta < 0.1$	x: 1.409 m $\eta = 33.0$	$\eta < 0.1$	$\eta < 0.1$	$\eta < 0.1$	x: 0.06 m $\eta = 0.2$	**CUMPLE $\eta = 33.0$**
N1570/N169	x: 0.06 m $\lambda_w \leq \lambda_{w,máx}$ Cumple	$\eta = 0.1$	$\eta = 30.6$	x: 0.06 m $\eta < 0.1$	x: 0.06 m $\eta = 9.6$	$\eta < 0.1$	x: 2.358 m $\eta = 0.8$	x: 0.06 m $\eta < 0.1$	x: 0.06 m $\eta < 0.1$	x: 0.06 m $\eta = 35.5$	x: 0.06 m $\eta < 0.1$	$M_{Ed} = 0.00$ N.P.(5)	N.P.(6)	N.P.(6)	**CUMPLE $\eta = 35.5$**
N73/N1571	x: 0.061 m $\lambda_w \leq \lambda_{w,máx}$ Cumple	$\eta = 0.1$	$\eta = 0.3$	x: 2.372 m $\eta < 0.1$	x: 2.373 m $\eta = 8.5$	$\eta < 0.1$	x: 0.06 m $\eta = 0.7$	x: 0.253 m $\eta < 0.1$	x: 0.061 m $\eta < 0.1$	x: 2.373 m $\eta = 8.6$	x: 0.061 m $\eta < 0.1$	$M_{Ed} = 0.00$ N.P.(5)	N.P.(6)	N.P.(6)	**CUMPLE $\eta = 8.6$**
N1571/N1569	$\lambda_w \leq \lambda_{w,máx}$ Cumple	$\eta = 0.4$	$\eta = 0.3$	x: 0.06 m $\eta < 0.1$	x: 1.602 m $\eta = 2.2$	$\eta < 0.1$	x: 0.06 m $\eta = 0.2$	x: 0.06 m $\eta < 0.1$	$\eta < 0.1$	x: 1.602 m $\eta = 2.3$	$\eta < 0.1$	$\eta < 0.1$	$\eta < 0.1$	x: 0.06 m $\eta = 0.2$	**CUMPLE $\eta = 2.3$**
N1569/N153	x: 0.06 m $\lambda_w \leq \lambda_{w,máx}$ Cumple	$\eta = 0.3$	$\eta = 0.5$	x: 0.06 m $\eta < 0.1$	x: 0.06 m $\eta = 9.4$	$\eta < 0.1$	x: 2.301 m $\eta = 0.8$	x: 0.06 m $\eta < 0.1$	x: 0.06 m $\eta < 0.1$	x: 0.06 m $\eta = 9.8$	x: 0.06 m $\eta < 0.1$	$M_{Ed} = 0.00$ N.P.(5)	N.P.(6)	N.P.(6)	**CUMPLE $\eta = 9.8$**
N1573/N1574	$\lambda_w \leq \lambda_{w,máx}$ Cumple	x: 1.939 m $\eta = 0.1$	x: 0.06 m $\eta = 0.4$	x: 1.94 m $\eta = 13.1$	x: 1.94 m $\eta = 0.8$	$\eta = 2.0$	$\eta = 0.1$	$\eta < 0.1$	$\eta < 0.1$	x: 1.94 m $\eta = 13.7$	$\eta < 0.1$	$\eta = 1.7$	$\eta = 2.1$	$\eta = 0.1$	**CUMPLE $\eta = 13.7$**
N1575/N1576	$\lambda_w \leq \lambda_{w,máx}$ Cumple	x: 1.939 m $\eta < 0.1$	x: 0.06 m $\eta = 0.4$	x: 0.06 m $\eta = 7.2$	x: 0.06 m $\eta = 0.3$	$\eta = 1.1$	$\eta < 0.1$	$\eta < 0.1$	$\eta < 0.1$	x: 0.06 m $\eta = 7.7$	$\eta < 0.1$	$\eta = 0.7$	$\eta = 1.2$	$\eta < 0.1$	**CUMPLE $\eta = 7.7$**
N1266/N1573	x: 0.061 m $\lambda_w \leq \lambda_{w,máx}$ Cumple	$\eta = 1.6$	$\eta = 6.9$	x: 2.373 m $\eta = 1.8$	x: 2.373 m $\eta = 16.7$	$\eta = 0.1$	x: 0.06 m $\eta = 1.2$	x: 0.253 m $\eta < 0.1$	x: 0.061 m $\eta < 0.1$	x: 2.373 m $\eta = 19.5$	x: 0.061 m $\eta < 0.1$	$M_{Ed} = 0.00$ N.P.(5)	N.P.(6)	N.P.(6)	**CUMPLE $\eta = 19.5$**
N1573/N1575	$\lambda_w \leq \lambda_{w,máx}$ Cumple	$\eta = 0.8$	$\eta = 1.1$	x: 0.06 m $\eta = 0.5$	x: 0.06 m $\eta = 3.9$	$\eta < 0.1$	x: 2.373 m $\eta = 0.5$	$\eta < 0.1$	$\eta < 0.1$	x: 0.06 m $\eta = 5.1$	$\eta < 0.1$	$\eta = 1.1$	$\eta < 0.1$	x: 2.373 m $\eta = 0.5$	**CUMPLE $\eta = 5.1$**
N1575/N1387	$\lambda_w \leq \lambda_{w,máx}$ Cumple	$\eta = 0.5$	$\eta = 0.2$	x: 2.373 m $\eta = 0.4$	x: 0.06 m $\eta = 9.6$	$\eta < 0.1$	x: 2.373 m $\eta = 1.4$	$\eta < 0.1$	$\eta < 0.1$	x: 2.373 m $\eta = 10.3$	$\eta < 0.1$	$\eta = 0.7$	$\eta < 0.1$	x: 2.373 m $\eta = 1.4$	**CUMPLE $\eta = 10.3$**
N1282/N1574	x: 0.061 m $\lambda_w \leq \lambda_{w,máx}$ Cumple	$\eta = 1.5$	$\eta = 49.2$	x: 2.373 m $\eta = 1.9$	x: 2.373 m $\eta = 18.9$	$\eta = 0.1$	x: 0.06 m $\eta = 1.3$	x: 0.253 m $\eta < 0.1$	x: 0.061 m $\eta < 0.1$	x: 2.373 m $\eta = 52.4$	x: 0.061 m $\eta < 0.1$	$M_{Ed} = 0.00$ N.P.(5)	N.P.(6)	N.P.(6)	**CUMPLE $\eta = 52.4$**
N1574/N1576	$\lambda_w \leq \lambda_{w,máx}$ Cumple	$\eta = 0.2$	$\eta = 49.5$	x: 0.06 m $\eta = 0.6$	x: 0.06 m $\eta = 5.2$	$\eta < 0.1$	x: 2.373 m $\eta = 0.6$	$\eta < 0.1$	$\eta < 0.1$	x: 1.795 m $\eta = 51.1$	$\eta < 0.1$	$\eta = 1.1$	$\eta < 0.1$	x: 2.373 m $\eta = 0.6$	**CUMPLE $\eta = 51.1$**
N1576/N1395	$\lambda_w \leq \lambda_{w,máx}$ Cumple	$\eta = 0.2$	$\eta = 47.1$	x: 2.373 m $\eta = 0.7$	x: 0.06 m $\eta = 9.8$	$\eta < 0.1$	x: 2.373 m $\eta = 1.4$	$\eta < 0.1$	$\eta < 0.1$	x: 2.373 m $\eta = 52.6$	$\eta < 0.1$	$\eta = 0.7$	$\eta < 0.1$	x: 2.373 m $\eta = 1.4$	**CUMPLE $\eta = 52.6$**
N1577/N1578	$\lambda_w \leq \lambda_{w,máx}$ Cumple	x: 1.939 m $\eta < 0.1$	x: 0.06 m $\eta = 0.1$	x: 1.94 m $\eta = 7.8$	x: 0.06 m $\eta < 0.1$	$\eta = 1.2$	$\eta < 0.1$	$\eta < 0.1$	x: 0.06 m $\eta < 0.1$	x: 1.94 m $\eta = 7.9$	$\eta < 0.1$	$\eta = 0.1$	$\eta = 1.2$	$\eta < 0.1$	**CUMPLE $\eta = 7.9$**
N1579/N1580	$\lambda_w \leq \lambda_{w,máx}$ Cumple	x: 1.939 m $\eta = 0.1$	x: 0.06 m $\eta = 0.1$	x: 0.06 m $\eta = 7.0$	x: 0.06 m $\eta < 0.1$	$\eta = 1.1$	$\eta < 0.1$	$\eta < 0.1$	x: 0.06 m $\eta < 0.1$	x: 0.06 m $\eta = 7.1$	$\eta < 0.1$	$\eta = 0.1$	$\eta = 1.1$	$\eta < 0.1$	**CUMPLE $\eta = 7.1$**
N76/N1580	x: 0.061 m $\lambda_w \leq \lambda_{w,máx}$ Cumple	$N_{Ed} = 0.00$ N.P.(1)	$\eta = 34.3$	x: 2.372 m $\eta = 0.1$	x: 2.373 m $\eta = 7.8$	$\eta < 0.1$	x: 0.06 m $\eta = 0.6$	x: 0.253 m $\eta < 0.1$	x: 0.061 m $\eta < 0.1$	x: 2.373 m $\eta = 39.1$	x: 0.061 m $\eta < 0.1$	$M_{Ed} = 0.00$ N.P.(5)	N.P.(6)	N.P.(6)	**CUMPLE $\eta = 39.1$**
N1580/N1578	$\lambda_w \leq \lambda_{w,máx}$ Cumple	$N_{Ed} = 0.00$ N.P.(1)	$\eta = 35.5$	x: 2.372 m $\eta < 0.1$	x: 1.795 m $\eta = 2.3$	$\eta < 0.1$	x: 0.06 m $\eta = 0.2$	x: 0.06 m $\eta < 0.1$	$\eta < 0.1$	x: 1.024 m $\eta = 36.6$	$\eta < 0.1$	$\eta = 0.1$	$\eta < 0.1$	x: 0.06 m $\eta = 0.2$	**CUMPLE $\eta = 36.6$**
N1578/N195	x: 0.06 m $\lambda_w \leq \lambda_{w,máx}$ Cumple	$N_{Ed} = 0.00$ N.P.(1)	$\eta = 34.4$	x: 0.06 m $\eta = 0.1$	x: 0.06 m $\eta = 10.3$	$\eta < 0.1$	x: 2.358 m $\eta = 0.8$	x: 0.06 m $\eta < 0.1$	x: 0.06 m $\eta < 0.1$	x: 0.06 m $\eta = 38.8$	x: 0.06 m $\eta < 0.1$	$M_{Ed} = 0.00$ N.P.(5)	N.P.(6)	N.P.(6)	**CUMPLE $\eta = 38.8$**
N91/N1579	x: 0.061 m $\lambda_w \leq \lambda_{w,máx}$ Cumple	$\eta < 0.1$	$\eta = 0.2$	x: 2.372 m $\eta = 0.1$	x: 2.373 m $\eta = 9.1$	$\eta < 0.1$	x: 0.06 m $\eta = 0.7$	x: 0.253 m $\eta < 0.1$	x: 0.061 m $\eta < 0.1$	x: 2.373 m $\eta = 9.2$	x: 0.061 m $\eta < 0.1$	$M_{Ed} = 0.00$ N.P.(5)	N.P.(6)	N.P.(6)	**CUMPLE $\eta = 9.2$**
N1579/N1577	$\lambda_w \leq \lambda_{w,máx}$ Cumple	$\eta = 0.3$	$\eta = 0.3$	x: 0.06 m $\eta < 0.1$	x: 0.831 m $\eta = 2.2$	$\eta < 0.1$	x: 0.06 m $\eta = 0.3$	$\eta < 0.1$	$\eta < 0.1$	x: 0.831 m $\eta = 2.5$	$\eta < 0.1$	$\eta = 0.1$	$\eta < 0.1$	x: 0.06 m $\eta = 0.3$	**CUMPLE $\eta = 2.5$**
N1577/N180	x: 0.06 m $\lambda_w \leq \lambda_{w,máx}$ Cumple	$\eta = 0.2$	$\eta = 0.6$	x: 0.06 m $\eta = 0.1$	x: 0.06 m $\eta = 9.3$	$\eta < 0.1$	x: 2.301 m $\eta = 0.8$	x: 0.06 m $\eta < 0.1$	x: 0.06 m $\eta < 0.1$	x: 0.06 m $\eta = 9.9$	x: 0.06 m $\eta < 0.1$	$M_{Ed} = 0.00$ N.P.(5)	N.P.(6)	N.P.(6)	**CUMPLE $\eta = 9.9$**
N1581/N1582	$\lambda_w \leq \lambda_{w,máx}$ Cumple	$N_{Ed} = 0.00$ N.P.(1)	x: 0.06 m $\eta = 0.9$	x: 1.94 m $\eta = 22.9$	x: 1.94 m $\eta = 0.5$	$\eta = 3.6$	$\eta = 0.1$	$\eta < 0.1$	$\eta < 0.1$	x: 1.94 m $\eta = 23.8$	$\eta < 0.1$	$\eta = 1.0$	$\eta = 3.7$	$\eta = 0.1$	**CUMPLE $\eta = 23.8$**
N1583/N1584	$\lambda_w \leq \lambda_{w,máx}$ Cumple	$N_{Ed} = 0.00$ N.P.(1)	x: 0.06 m $\eta = 0.9$	x: 1.94 m $\eta = 13.3$	x: 0.06 m $\eta = 0.2$	$\eta = 2.1$	$\eta < 0.1$	$\eta < 0.1$	$\eta < 0.1$	x: 0.06 m $\eta = 14.3$	$\eta < 0.1$	$\eta = 0.4$	$\eta = 2.1$	$\eta < 0.1$	**CUMPLE $\eta = 14.3$**
N1270/N1581	x: 0.051 m $\lambda_w \leq \lambda_{w,máx}$ Cumple	$\eta = 4.2$	$\eta = 16.0$	x: 2.373 m $\eta = 1.1$	x: 2.373 m $\eta = 32.2$	$\eta = 0.1$	x: 0.05 m $\eta = 2.2$	x: 0.244 m $\eta < 0.1$	x: 0.051 m $\eta < 0.1$	x: 2.373 m $\eta = 38.9$	x: 0.051 m $\eta < 0.1$	$M_{Ed} = 0.00$ N.P.(5)	N.P.(6)	N.P.(6)	**CUMPLE $\eta = 38.9$**
N1581/N1583	$\lambda_w \leq \lambda_{w,máx}$ Cumple	$\eta = 1.5$	$\eta = 11.7$	x: 0.06 m $\eta = 0.3$	x: 0.06 m $\eta = 8.8$	$\eta < 0.1$	x: 0.06 m $\eta = 1.0$	$\eta < 0.1$	$\eta < 0.1$	x: 0.06 m $\eta = 17.4$	$\eta < 0.1$	$\eta = 0.6$	$\eta < 0.1$	x: 0.06 m $\eta = 1.0$	**CUMPLE $\eta = 17.4$**
N1583/N1389	$\lambda_w \leq \lambda_{w,máx}$ Cumple	$\eta = 0.9$	$\eta = 0.5$	x: 0.06 m $\eta = 0.2$	x: 0.06 m $\eta = 19.7$	$\eta < 0.1$	x: 2.373 m $\eta = 2.6$	$\eta < 0.1$	$\eta < 0.1$	x: 0.06 m $\eta = 20.9$	$\eta < 0.1$	$\eta = 0.4$	$\eta < 0.1$	x: 2.373 m $\eta = 2.6$	**CUMPLE $\eta = 20.9$**
N1286/N1582	x: 0.051 m $\lambda_w \leq \lambda_{w,máx}$ Cumple	$N_{Ed} = 0.00$ N.P.(1)	$\eta = 31.2$	x: 2.373 m $\eta = 1.2$	x: 2.373 m $\eta = 33.0$	$\eta = 0.1$	x: 0.05 m $\eta = 2.2$	x: 0.244 m $\eta < 0.1$	x: 0.051 m $\eta < 0.1$	x: 2.373 m $\eta = 43.6$	x: 0.051 m $\eta < 0.1$	$M_{Ed} = 0.00$ N.P.(5)	N.P.(6)	N.P.(6)	**CUMPLE $\eta = 43.6$**
N1582/N1584	$\lambda_w \leq \lambda_{w,máx}$ Cumple	$N_{Ed} = 0.00$ N.P.(1)	$\eta = 29.0$	x: 0.06 m $\eta = 0.4$	x: 0.06 m $\eta = 9.4$	$\eta < 0.1$	x: 2.373 m $\eta = 1.0$	$\eta < 0.1$	$\eta < 0.1$	x: 0.06 m $\eta = 32.9$	$\eta < 0.1$	$\eta = 0.6$	$\eta < 0.1$	x: 2.373 m $\eta = 1.1$	**CUMPLE $\eta = 32.9$**
N1584/N1397	$\lambda_w \leq \lambda_{w,máx}$ Cumple	$\eta = 1.3$	$\eta = 23.4$	x: 2.373 m $\eta = 0.6$	x: 0.06 m $\eta = 19.8$	$\eta < 0.1$	x: 2.373 m $\eta = 2.6$	$\eta < 0.1$	$\eta < 0.1$	x: 2.373 m $\eta = 30.6$	$\eta < 0.1$	$\eta = 0.4$	$\eta < 0.1$	x: 2.373 m $\eta = 2.6$	**CUMPLE $\eta = 30.6$**
N1585/N1586	$\lambda_w \leq \lambda_{w,máx}$ Cumple	x: 1.939 m $\eta < 0.1$	x: 0.06 m $\eta = 0.4$	x: 1.94 m $\eta = 11.8$	x: 0.06 m $\eta < 0.1$	$\eta = 1.8$	$\eta < 0.1$	$\eta < 0.1$	x: 0.06 m $\eta < 0.1$	x: 1.94 m $\eta = 12.0$	$\eta < 0.1$	$\eta = 0.1$	$\eta = 1.8$	$\eta < 0.1$	**CUMPLE $\eta = 12.0$**

Documento visado electrónicamente con número: VA07290/22
Código de validación telemática TRLTDCFZ60T66IJ1. Comprobación: https://cogitivalencia.e-gestion.es/Validacion.aspx?CVT=TRLTDCFZ60T66IJ1

VISADO
COGITI
Estado
VALENCIA
VA07293/22
TRLTDCFZ60T66IJ1

Barras	COMPROBACIONES (CÓDIGO ESTRUCTURAL)														
	λ_w	N_t	N_c	M_Y	M_Z	V_Z	V_Y	M_YV_Z	M_ZV_Y	NM_YM_Z	$NM_YM_ZV_YV_Z$	M_t	M_tV_Z	M_tV_Y	
N1587/N1588	$\lambda_w \leq \lambda_{w,máx}$ Cumple	x: 1.939 m η < 0.1	x: 0.06 m η = 0.4	x: 0.06 m η = 12.9	x: 0.06 m η < 0.1	η = 2.0	η < 0.1	η < 0.1	x: 0.06 m η < 0.1	x: 0.06 m η = 13.3	η < 0.1	η = 0.1	η = 2.0	η < 0.1	**CUMPLE η = 13.3**
N80/N1588	x: 0.051 m $\lambda_w \leq \lambda_{w,máx}$ Cumple	η = 2.2	η = 16.1	x: 2.372 m η = 0.1	x: 2.373 m η = 17.4	η < 0.1	x: 0.05 m η = 1.2	x: 0.244 m η < 0.1	x: 0.051 m η < 0.1	x: 2.373 m η = 19.6	x: 0.051 m η < 0.1	M_{Ed} = 0.00 N.P.(5)	N.P.(6)	N.P.(6)	**CUMPLE η = 19.6**
N1588/N1586	$\lambda_w \leq \lambda_{w,máx}$ Cumple	η = 0.9	η = 15.7	x: 0.06 m η < 0.1	x: 0.06 m η = 4.5	η < 0.1	x: 2.373 m η = 0.6	x: 0.06 m η < 0.1	η < 0.1	x: 2.373 m η = 18.3	η < 0.1	η < 0.1	η < 0.1	x: 2.373 m η = 0.6	**CUMPLE η = 18.3**
N1586/N199	x: 0.06 m $\lambda_w \leq \lambda_{w,máx}$ Cumple	η = 0.9	η = 12.5	x: 0.06 m η = 0.1	x: 0.06 m η = 16.7	η < 0.1	x: 2.373 m η = 1.2	x: 0.06 m η < 0.1	x: 0.06 m η < 0.1	x: 0.06 m η = 20.9	x: 0.06 m η < 0.1	M_{Ed} = 0.00 N.P.(5)	N.P.(6)	N.P.(6)	**CUMPLE η = 20.9**
N95/N1587	x: 0.051 m $\lambda_w \leq \lambda_{w,máx}$ Cumple	η = 0.2	η = 0.3	x: 2.372 m η = 0.1	x: 2.373 m η = 18.3	η < 0.1	x: 0.05 m η = 1.3	x: 0.244 m η < 0.1	x: 0.051 m η < 0.1	x: 2.373 m η = 18.5	x: 0.051 m η < 0.1	M_{Ed} = 0.00 N.P.(5)	N.P.(6)	N.P.(6)	**CUMPLE η = 18.5**
N1587/N1585	$\lambda_w \leq \lambda_{w,máx}$ Cumple	η = 0.7	η = 0.9	x: 0.06 m η < 0.1	x: 0.06 m η = 4.9	η < 0.1	x: 2.373 m η = 0.6	x: 0.06 m η < 0.1	η < 0.1	x: 0.06 m η = 5.6	η < 0.1	η < 0.1	η < 0.1	x: 2.373 m η = 0.6	**CUMPLE η = 5.6**
N1585/N184	x: 0.06 m $\lambda_w \leq \lambda_{w,máx}$ Cumple	η = 1.5	η = 5.8	x: 0.06 m η = 0.1	x: 0.06 m η = 15.1	η < 0.1	x: 2.373 m η = 1.1	x: 0.06 m η < 0.1	x: 0.06 m η < 0.1	x: 0.06 m η = 16.6	x: 0.06 m η < 0.1	M_{Ed} = 0.00 N.P.(5)	N.P.(6)	N.P.(6)	**CUMPLE η = 16.6**
N1589/N1590	$\lambda_w \leq \lambda_{w,máx}$ Cumple	x: 1.939 m η < 0.1	x: 0.06 m η = 0.9	x: 1.94 m η = 25.4	x: 1.94 m η = 0.4	η = 4.0	η = 0.1	η < 0.1	η < 0.1	x: 1.94 m η = 26.3	η < 0.1	η = 0.8	η = 4.0	η = 0.1	**CUMPLE η = 26.3**
N1591/N1592	$\lambda_w \leq \lambda_{w,máx}$ Cumple	N_{Ed} = 0.00 N.P.(1)	x: 0.06 m η = 0.9	x: 1.94 m η = 13.5	x: 0.06 m η = 0.1	η = 2.2	η < 0.1	η < 0.1	η < 0.1	x: 0.06 m η = 14.4	η < 0.1	η = 0.4	η = 2.2	η < 0.1	**CUMPLE η = 14.4**
N1274/N1589	x: 0.051 m $\lambda_w \leq \lambda_{w,máx}$ Cumple	η = 4.3	η = 18.3	x: 2.373 m η = 1.0	x: 2.373 m η = 35.6	η = 0.1	x: 0.05 m η = 2.4	x: 0.244 m η < 0.1	x: 0.051 m η < 0.1	x: 2.373 m η = 43.5	x: 0.051 m η < 0.1	M_{Ed} = 0.00 N.P.(5)	N.P.(6)	N.P.(6)	**CUMPLE η = 43.5**
N1589/N1591	$\lambda_w \leq \lambda_{w,máx}$ Cumple	η = 1.5	η = 13.4	x: 2.372 m η = 0.5	x: 0.06 m η = 9.8	η < 0.1	x: 2.373 m η = 1.1	η < 0.1	η < 0.1	x: 0.06 m η = 19.9	η < 0.1	η = 0.5	η < 0.1	x: 2.373 m η = 1.1	**CUMPLE η = 19.9**
N1591/N1391	$\lambda_w \leq \lambda_{w,máx}$ Cumple	η = 0.9	η = 0.6	x: 2.372 m η = 0.4	x: 0.06 m η = 20.0	η < 0.1	x: 2.373 m η = 2.6	η < 0.1	η < 0.1	x: 0.06 m η = 21.1	η < 0.1	η = 0.4	η < 0.1	x: 2.373 m η = 2.6	**CUMPLE η = 21.1**
N1290/N1590	x: 0.051 m $\lambda_w \leq \lambda_{w,máx}$ Cumple	η = 0.8	η = 37.1	x: 2.373 m η = 0.7	x: 2.373 m η = 37.0	η < 0.1	x: 0.05 m η = 2.5	x: 0.244 m η < 0.1	x: 0.051 m η < 0.1	x: 2.373 m η = 42.6	x: 0.051 m η < 0.1	M_{Ed} = 0.00 N.P.(5)	N.P.(6)	N.P.(6)	**CUMPLE η = 42.6**
N1590/N1592	$\lambda_w \leq \lambda_{w,máx}$ Cumple	N_{Ed} = 0.00 N.P.(1)	η = 36.4	x: 2.373 m η = 0.3	x: 0.06 m η = 10.6	η < 0.1	x: 2.373 m η = 1.2	η < 0.1	η < 0.1	x: 2.373 m η = 38.4	η < 0.1	η = 0.5	η < 0.1	x: 2.373 m η = 1.2	**CUMPLE η = 38.4**
N1592/N1399	$\lambda_w \leq \lambda_{w,máx}$ Cumple	η = 1.2	η = 34.0	x: 2.373 m η = 0.7	x: 0.06 m η = 20.1	η < 0.1	x: 2.373 m η = 2.6	η < 0.1	η < 0.1	x: 2.373 m η = 39.1	η < 0.1	η = 0.5	η < 0.1	x: 2.373 m η = 2.6	**CUMPLE η = 39.1**
N1593/N1594	$\lambda_w \leq \lambda_{w,máx}$ Cumple	x: 1.939 m η < 0.1	x: 0.06 m η = 0.4	x: 1.94 m η = 12.7	x: 0.06 m η < 0.1	η = 2.0	η < 0.1	η < 0.1	x: 0.06 m η < 0.1	x: 1.94 m η = 13.0	η < 0.1	η = 0.1	η = 2.0	η < 0.1	**CUMPLE η = 13.0**
N1595/N1596	$\lambda_w \leq \lambda_{w,máx}$ Cumple	x: 1.939 m η = 0.1	x: 0.06 m η = 0.4	x: 0.06 m η = 13.9	x: 0.06 m η < 0.1	η = 2.2	η < 0.1	η < 0.1	x: 0.06 m η < 0.1	x: 0.06 m η = 14.4	η < 0.1	η = 0.1	η = 2.2	η < 0.1	**CUMPLE η = 14.4**
N84/N1596	x: 0.051 m $\lambda_w \leq \lambda_{w,máx}$ Cumple	η = 3.0	η = 18.7	x: 2.372 m η = 0.1	x: 2.373 m η = 19.5	η < 0.1	x: 0.05 m η = 1.4	x: 0.244 m η < 0.1	x: 0.051 m η < 0.1	x: 2.373 m η = 22.5	x: 0.051 m η < 0.1	M_{Ed} = 0.00 N.P.(5)	N.P.(6)	N.P.(6)	**CUMPLE η = 22.5**
N1596/N1594	$\lambda_w \leq \lambda_{w,máx}$ Cumple	η = 1.5	η = 18.0	x: 0.06 m η < 0.1	x: 0.06 m η = 5.2	η < 0.1	x: 2.373 m η = 0.7	x: 0.06 m η < 0.1	η < 0.1	x: 2.373 m η = 21.0	η < 0.1	η < 0.1	η < 0.1	x: 2.373 m η = 0.7	**CUMPLE η = 21.0**
N1594/N203	x: 0.06 m $\lambda_w \leq \lambda_{w,máx}$ Cumple	η = 1.4	η = 13.5	x: 0.06 m η = 0.1	x: 0.06 m η = 18.1	η < 0.1	x: 2.373 m η = 1.3	x: 0.06 m η < 0.1	x: 0.06 m η < 0.1	x: 0.06 m η = 23.2	x: 0.06 m η < 0.1	M_{Ed} = 0.00 N.P.(5)	N.P.(6)	N.P.(6)	**CUMPLE η = 23.2**
N99/N1595	x: 0.051 m $\lambda_w \leq \lambda_{w,máx}$ Cumple	η = 0.2	η = 0.3	x: 2.372 m η = 0.1	x: 2.373 m η = 19.9	η < 0.1	x: 0.05 m η = 1.4	x: 0.244 m η < 0.1	x: 0.051 m η < 0.1	x: 2.373 m η = 20.1	x: 0.051 m η < 0.1	M_{Ed} = 0.00 N.P.(5)	N.P.(6)	N.P.(6)	**CUMPLE η = 20.1**
N1595/N1593	$\lambda_w \leq \lambda_{w,máx}$ Cumple	η = 0.8	η = 1.2	x: 0.06 m η < 0.1	x: 0.06 m η = 5.3	η < 0.1	x: 2.373 m η = 0.7	x: 0.06 m η < 0.1	η < 0.1	x: 0.06 m η = 6.2	η < 0.1	η < 0.1	η < 0.1	x: 2.373 m η = 0.7	**CUMPLE η = 6.2**
N1593/N188	x: 0.06 m $\lambda_w \leq \lambda_{w,máx}$ Cumple	η = 1.8	η = 7.0	x: 0.06 m η = 0.1	x: 0.06 m η = 16.9	η < 0.1	x: 2.373 m η = 1.2	x: 0.06 m η < 0.1	x: 0.06 m η < 0.1	x: 0.06 m η = 19.1	x: 0.06 m η < 0.1	M_{Ed} = 0.00 N.P.(5)	N.P.(6)	N.P.(6)	**CUMPLE η = 19.1**
N1597/N1598	$\lambda_w \leq \lambda_{w,máx}$ Cumple	x: 1.939 m η < 0.1	x: 0.06 m η = 0.5	x: 1.94 m η = 14.8	x: 1.94 m η = 1.1	η = 2.3	η = 0.2	η < 0.1	η < 0.1	x: 1.94 m η = 15.6	η < 0.1	η = 2.1	η = 2.3	η = 0.2	**CUMPLE η = 15.6**
N1599/N1600	$\lambda_w \leq \lambda_{w,máx}$ Cumple	x: 1.939 m η < 0.1	x: 0.06 m η = 0.5	x: 0.06 m η = 8.9	x: 0.06 m η = 0.4	η = 1.4	η = 0.1	η < 0.1	η < 0.1	x: 0.06 m η = 9.6	η < 0.1	η = 1.0	η = 1.4	η = 0.1	**CUMPLE η = 9.6**
N1278/N1597	x: 0.061 m $\lambda_w \leq \lambda_{w,máx}$ Cumple	η = 2.4	η = 8.7	x: 2.373 m η = 2.6	x: 2.373 m η = 19.5	η = 0.2	x: 0.06 m η = 1.4	x: 0.253 m η < 0.1	x: 0.061 m η < 0.1	x: 2.373 m η = 23.4	x: 0.061 m η < 0.1	M_{Ed} = 0.00 N.P.(5)	N.P.(6)	N.P.(6)	**CUMPLE η = 23.4**
N1597/N1599	$\lambda_w \leq \lambda_{w,máx}$ Cumple	η = 1.0	η = 6.0	x: 2.372 m η = 1.0	x: 0.06 m η = 4.9	η < 0.1	x: 2.373 m η = 0.6	η < 0.1	η < 0.1	x: 0.06 m η = 9.6	η < 0.1	η = 1.4	η < 0.1	x: 2.373 m η = 0.6	**CUMPLE η = 9.6**
N1599/N1393	$\lambda_w \leq \lambda_{w,máx}$ Cumple	η = 0.6	η = 0.2	x: 2.373 m η = 0.9	x: 0.06 m η = 12.3	η < 0.1	x: 2.373 m η = 1.7	η < 0.1	η < 0.1	x: 2.373 m η = 13.3	η < 0.1	η = 1.0	η < 0.1	x: 2.373 m η = 1.7	**CUMPLE η = 13.3**
N1294/N1598	x: 0.061 m $\lambda_w \leq \lambda_{w,máx}$ Cumple	N_{Ed} = 0.00 N.P.(1)	η = 68.6	x: 2.373 m η = 2.3	x: 2.373 m η = 21.3	η = 0.1	x: 0.06 m η = 1.5	x: 0.253 m η < 0.1	x: 0.061 m η < 0.1	x: 2.373 m η = 79.6	x: 0.061 m η < 0.1	M_{Ed} = 0.00 N.P.(5)	N.P.(6)	N.P.(6)	**CUMPLE η = 79.6**
N1598/N1600	$\lambda_w \leq \lambda_{w,máx}$ Cumple	N_{Ed} = 0.00 N.P.(1)	η = 72.8	x: 2.373 m η = 0.7	x: 0.06 m η = 5.9	η < 0.1	x: 2.373 m η = 0.7	η < 0.1	η < 0.1	x: 0.06 m η = 76.2	η < 0.1	η = 1.4	η < 0.1	x: 2.373 m η = 0.7	**CUMPLE η = 76.2**
N1600/N1401	$\lambda_w \leq \lambda_{w,máx}$ Cumple	N_{Ed} = 0.00 N.P.(1)	η = 73.0	x: 2.373 m η = 1.4	x: 0.06 m η = 12.5	η = 0.1	x: 2.373 m η = 1.7	η < 0.1	η < 0.1	x: 2.373 m η = 75.9	η < 0.1	η = 1.1	η = 0.1	x: 2.373 m η = 1.7	**CUMPLE η = 75.9**
N1601/N1602	$\lambda_w \leq \lambda_{w,máx}$ Cumple	x: 1.939 m η < 0.1	x: 0.06 m η = 0.2	x: 1.94 m η = 8.3	x: 0.06 m η = 0.1	η = 1.3	η < 0.1	η < 0.1	x: 0.06 m η < 0.1	x: 1.94 m η = 8.4	η < 0.1	η = 0.2	η = 1.3	η < 0.1	**CUMPLE η = 8.4**
N1603/N1604	$\lambda_w \leq \lambda_{w,máx}$ Cumple	x: 1.939 m η = 0.1	x: 0.06 m η = 0.2	x: 0.06 m η = 8.7	x: 0.06 m η = 0.1	η = 1.3	η < 0.1	η < 0.1	x: 0.06 m η < 0.1	x: 0.06 m η = 8.9	η < 0.1	η = 0.2	η = 1.3	η < 0.1	**CUMPLE η = 8.9**
N88/N1604	x: 0.061 m $\lambda_w \leq \lambda_{w,máx}$ Cumple	N_{Ed} = 0.00 N.P.(1)	η = 42.9	x: 2.372 m η = 0.2	x: 2.373 m η = 10.8	η < 0.1	x: 0.06 m η = 0.8	x: 0.253 m η < 0.1	x: 0.061 m η < 0.1	x: 2.373 m η = 50.3	x: 0.061 m η < 0.1	M_{Ed} = 0.00 N.P.(5)	N.P.(6)	N.P.(6)	**CUMPLE η = 50.3**
N1604/N1602	$\lambda_w \leq \lambda_{w,máx}$ Cumple	N_{Ed} = 0.00 N.P.(1)	η = 45.7	x: 2.372 m η < 0.1	x: 2.181 m η = 2.5	η < 0.1	x: 2.373 m η = 0.3	x: 0.06 m η < 0.1	η < 0.1	x: 0.06 m η = 47.4	η < 0.1	η = 0.1	η < 0.1	x: 2.373 m η = 0.3	**CUMPLE η = 47.4**
N1602/N207	x: 0.06 m $\lambda_w \leq \lambda_{w,máx}$ Cumple	N_{Ed} = 0.00 N.P.(1)	η = 45.0	x: 0.06 m η = 0.2	x: 0.06 m η = 11.1	η < 0.1	x: 2.358 m η = 0.9	x: 0.06 m η < 0.1	x: 0.06 m η < 0.1	x: 0.06 m η = 47.2	x: 0.06 m η < 0.1	M_{Ed} = 0.00 N.P.(5)	N.P.(6)	N.P.(6)	**CUMPLE η = 47.2**
N103/N1603	x: 0.061 m $\lambda_w \leq \lambda_{w,máx}$ Cumple	η = 0.1	η = 0.1	x: 2.372 m η = 0.2	x: 2.373 m η = 11.7	η < 0.1	x: 0.06 m η = 0.9	x: 0.253 m η < 0.1	x: 0.061 m η < 0.1	x: 2.373 m η = 11.9	x: 0.061 m η < 0.1	M_{Ed} = 0.00 N.P.(5)	N.P.(6)	N.P.(6)	**CUMPLE η = 11.9**

Código de validación telemática: TRLTDCFZ60T66IJ1. Comprobación: https://cogitivalencia.e-gestion.es/Validacion.aspx?CVT=TRLTDCFZ60T66IJ1

VISADO
COGITI
Estado
VALENCIA
VA07290/22
TRLTDCFZ60T66IJ1

Barras	COMPROBACIONES (CÓDIGO ESTRUCTURAL)														
	λ_w	N_t	N_c	M_Y	M_Z	V_Z	V_Y	M_YV_Z	M_ZV_Y	NM_YM_Z	$NM_YM_ZV_YV_Z$	M_t	M_tV_Z	M_tV_Y	
N1603/N1601	$\lambda_w \leq \lambda_{w,máx}$ Cumple	$\eta = 0.5$	$\eta = 0.3$	x: 0.06 m $\eta < 0.1$	x: 0.06 m $\eta = 2.7$	$\eta < 0.1$	x: 2.373 m $\eta = 0.3$	$\eta < 0.1$	$\eta < 0.1$	x: 0.06 m $\eta = 3.2$	$\eta < 0.1$	$\eta = 0.1$	$\eta < 0.1$	x: 2.373 m $\eta = 0.3$	**CUMPLE** **$\eta = 0.3$**
N1601/N192	x: 0.06 m $\lambda_w \leq \lambda_{w,máx}$ Cumple	$\eta = 0.6$	$\eta = 0.6$	x: 0.06 m $\eta = 0.2$	x: 0.06 m $\eta = 10.1$	$\eta < 0.1$	x: 2.301 m $\eta = 0.8$	x: 0.06 m $\eta < 0.1$	x: 0.06 m $\eta < 0.1$	x: 0.06 m $\eta = 10.8$	x: 0.06 m $\eta < 0.1$	$M_{Ed} = 0.00$ N.P.(5)	N.P.(6)	N.P.(6)	**CUMPLE** **$\eta = 10.8$**
N141/N245	x: 0.572 m $\lambda_w \leq \lambda_{w,máx}$ Cumple	$\eta = 0.1$	$\eta = 0.9$	$M_{Ed} = 0.00$ N.P.(2)	x: 3.65 m $\eta = 5.8$	$V_{Ed} = 0.00$ N.P.(3)	x: 0.132 m $\eta = 0.5$	N.P.(4)	x: 0.572 m $\eta < 0.1$	x: 3.65 m $\eta = 6.8$	x: 0.572 m $\eta < 0.1$	$M_{Ed} = 0.00$ N.P.(5)	N.P.(6)	N.P.(6)	**CUMPLE** **$\eta = 6.8$**
N245/N453	x: 0.576 m $\lambda_w \leq \lambda_{w,máx}$ Cumple	$\eta = 0.5$	$\eta = 5.7$	$M_{Ed} = 0.00$ N.P.(2)	x: 3.686 m $\eta = 5.9$	$V_{Ed} = 0.00$ N.P.(3)	x: 0.132 m $\eta = 0.5$	N.P.(4)	x: 0.576 m $\eta < 0.1$	x: 3.686 m $\eta = 9.2$	x: 0.576 m $\eta < 0.1$	$M_{Ed} = 0.00$ N.P.(5)	N.P.(6)	N.P.(6)	**CUMPLE** **$\eta = 9.2$**
N453/N609	x: 0.509 m $\lambda_w \leq \lambda_{w,máx}$ Cumple	$\eta = 0.5$	$\eta = 5.9$	$M_{Ed} = 0.00$ N.P.(2)	x: 3.65 m $\eta = 6.0$	$V_{Ed} = 0.00$ N.P.(3)	x: 0.06 m $\eta = 0.5$	N.P.(4)	x: 0.509 m $\eta < 0.1$	x: 3.65 m $\eta = 11.7$	x: 0.509 m $\eta < 0.1$	$M_{Ed} = 0.00$ N.P.(5)	N.P.(6)	N.P.(6)	**CUMPLE** **$\eta = 11.7$**
N609/N765	x: 0.509 m $\lambda_w \leq \lambda_{w,máx}$ Cumple	$\eta = 0.6$	$\eta = 6.0$	$M_{Ed} = 0.00$ N.P.(2)	x: 3.65 m $\eta = 6.0$	$V_{Ed} = 0.00$ N.P.(3)	x: 0.06 m $\eta = 0.5$	N.P.(4)	x: 0.509 m $\eta < 0.1$	x: 3.65 m $\eta = 11.7$	x: 0.509 m $\eta < 0.1$	$M_{Ed} = 0.00$ N.P.(5)	N.P.(6)	N.P.(6)	**CUMPLE** **$\eta = 11.7$**
N765/N921	x: 0.509 m $\lambda_w \leq \lambda_{w,máx}$ Cumple	$\eta = 0.7$	$\eta = 6.0$	$M_{Ed} = 0.00$ N.P.(2)	x: 3.65 m $\eta = 6.0$	$V_{Ed} = 0.00$ N.P.(3)	x: 0.06 m $\eta = 0.5$	N.P.(4)	x: 0.509 m $\eta < 0.1$	x: 3.65 m $\eta = 11.7$	x: 0.509 m $\eta < 0.1$	$M_{Ed} = 0.00$ N.P.(5)	N.P.(6)	N.P.(6)	**CUMPLE** **$\eta = 11.7$**
N921/N1077	x: 0.509 m $\lambda_w \leq \lambda_{w,máx}$ Cumple	$\eta = 0.8$	$\eta = 5.9$	$M_{Ed} = 0.00$ N.P.(2)	x: 3.65 m $\eta = 6.0$	$V_{Ed} = 0.00$ N.P.(3)	x: 0.06 m $\eta = 0.5$	N.P.(4)	x: 0.509 m $\eta < 0.1$	x: 3.65 m $\eta = 9.5$	x: 0.509 m $\eta < 0.1$	$M_{Ed} = 0.00$ N.P.(5)	N.P.(6)	N.P.(6)	**CUMPLE** **$\eta = 9.5$**
N1077/N1233	x: 0.509 m $\lambda_w \leq \lambda_{w,máx}$ Cumple	$\eta = 0.9$	$\eta = 1.3$	$M_{Ed} = 0.00$ N.P.(2)	x: 3.65 m $\eta = 6.0$	$V_{Ed} = 0.00$ N.P.(3)	x: 0.06 m $\eta = 0.5$	N.P.(4)	x: 0.509 m $\eta < 0.1$	x: 3.65 m $\eta = 7.4$	x: 0.509 m $\eta < 0.1$	$M_{Ed} = 0.00$ N.P.(5)	N.P.(6)	N.P.(6)	**CUMPLE** **$\eta = 7.4$**
N1081/N1237	x: 0.5 m $\lambda_w \leq \lambda_{w,máx}$ Cumple	$\eta = 2.4$	$\eta = 10.7$	$M_{Ed} = 0.00$ N.P.(2)	x: 3.65 m $\eta = 6.0$	$V_{Ed} = 0.00$ N.P.(3)	x: 0.05 m $\eta = 0.5$	N.P.(4)	x: 0.5 m $\eta < 0.1$	x: 3.65 m $\eta = 15.9$	x: 0.5 m $\eta < 0.1$	$M_{Ed} = 0.00$ N.P.(5)	N.P.(6)	N.P.(6)	**CUMPLE** **$\eta = 15.9$**
N925/N1081	x: 0.5 m $\lambda_w \leq \lambda_{w,máx}$ Cumple	$\eta = 2.2$	$\eta = 9.9$	$M_{Ed} = 0.00$ N.P.(2)	x: 3.65 m $\eta = 6.0$	$V_{Ed} = 0.00$ N.P.(3)	x: 0.05 m $\eta = 0.5$	N.P.(4)	x: 0.5 m $\eta < 0.1$	x: 3.65 m $\eta = 15.1$	x: 0.5 m $\eta < 0.1$	$M_{Ed} = 0.00$ N.P.(5)	N.P.(6)	N.P.(6)	**CUMPLE** **$\eta = 15.1$**
N929/N1085	x: 0.5 m $\lambda_w \leq \lambda_{w,máx}$ Cumple	$\eta = 1.9$	$\eta = 9.0$	$M_{Ed} = 0.00$ N.P.(2)	x: 3.65 m $\eta = 6.0$	$V_{Ed} = 0.00$ N.P.(3)	x: 0.05 m $\eta = 0.5$	N.P.(4)	x: 0.5 m $\eta < 0.1$	x: 3.65 m $\eta = 14.3$	x: 0.5 m $\eta < 0.1$	$M_{Ed} = 0.00$ N.P.(5)	N.P.(6)	N.P.(6)	**CUMPLE** **$\eta = 14.3$**
N1085/N1241	x: 0.5 m $\lambda_w \leq \lambda_{w,máx}$ Cumple	$\eta = 2.1$	$\eta = 9.8$	$M_{Ed} = 0.00$ N.P.(2)	x: 3.65 m $\eta = 6.0$	$V_{Ed} = 0.00$ N.P.(3)	x: 0.05 m $\eta = 0.5$	N.P.(4)	x: 0.5 m $\eta < 0.1$	x: 3.65 m $\eta = 14.9$	x: 0.5 m $\eta < 0.1$	$M_{Ed} = 0.00$ N.P.(5)	N.P.(6)	N.P.(6)	**CUMPLE** **$\eta = 14.9$**
N933/N1089	x: 0.509 m $\lambda_w \leq \lambda_{w,máx}$ Cumple	$\eta = 0.6$	$\eta = 1.2$	$M_{Ed} = 0.00$ N.P.(2)	x: 3.65 m $\eta = 6.0$	$V_{Ed} = 0.00$ N.P.(3)	x: 0.06 m $\eta = 0.5$	N.P.(4)	x: 0.509 m $\eta < 0.1$	x: 3.65 m $\eta = 7.4$	x: 0.509 m $\eta < 0.1$	$M_{Ed} = 0.00$ N.P.(5)	N.P.(6)	N.P.(6)	**CUMPLE** **$\eta = 7.4$**
N1089/N1245	x: 0.509 m $\lambda_w \leq \lambda_{w,máx}$ Cumple	$\eta = 0.5$	$\eta = 1.1$	$M_{Ed} = 0.00$ N.P.(2)	x: 3.65 m $\eta = 6.0$	$V_{Ed} = 0.00$ N.P.(3)	x: 0.06 m $\eta = 0.5$	N.P.(4)	x: 0.509 m $\eta < 0.1$	x: 3.65 m $\eta = 7.2$	x: 0.509 m $\eta < 0.1$	$M_{Ed} = 0.00$ N.P.(5)	N.P.(6)	N.P.(6)	**CUMPLE** **$\eta = 7.2$**
N769/N925	x: 0.5 m $\lambda_w \leq \lambda_{w,máx}$ Cumple	$\eta = 2.0$	$\eta = 9.1$	$M_{Ed} = 0.00$ N.P.(2)	x: 3.65 m $\eta = 6.0$	$V_{Ed} = 0.00$ N.P.(3)	x: 0.05 m $\eta = 0.5$	N.P.(4)	x: 0.5 m $\eta < 0.1$	x: 3.65 m $\eta = 14.3$	x: 0.5 m $\eta < 0.1$	$M_{Ed} = 0.00$ N.P.(5)	N.P.(6)	N.P.(6)	**CUMPLE** **$\eta = 14.3$**
N613/N769	x: 0.5 m $\lambda_w \leq \lambda_{w,máx}$ Cumple	$\eta = 1.8$	$\eta = 8.3$	$M_{Ed} = 0.00$ N.P.(2)	x: 3.65 m $\eta = 6.0$	$V_{Ed} = 0.00$ N.P.(3)	x: 0.05 m $\eta = 0.5$	N.P.(4)	x: 0.5 m $\eta < 0.1$	x: 3.65 m $\eta = 13.7$	x: 0.5 m $\eta < 0.1$	$M_{Ed} = 0.00$ N.P.(5)	N.P.(6)	N.P.(6)	**CUMPLE** **$\eta = 13.7$**
N773/N929	x: 0.5 m $\lambda_w \leq \lambda_{w,máx}$ Cumple	$\eta = 1.8$	$\eta = 8.4$	$M_{Ed} = 0.00$ N.P.(2)	x: 3.65 m $\eta = 6.0$	$V_{Ed} = 0.00$ N.P.(3)	x: 0.05 m $\eta = 0.5$	N.P.(4)	x: 0.5 m $\eta < 0.1$	x: 3.65 m $\eta = 13.7$	x: 0.5 m $\eta < 0.1$	$M_{Ed} = 0.00$ N.P.(5)	N.P.(6)	N.P.(6)	**CUMPLE** **$\eta = 13.7$**
N617/N773	x: 0.5 m $\lambda_w \leq \lambda_{w,máx}$ Cumple	$\eta = 1.6$	$\eta = 7.7$	$M_{Ed} = 0.00$ N.P.(2)	x: 3.65 m $\eta = 6.0$	$V_{Ed} = 0.00$ N.P.(3)	x: 0.05 m $\eta = 0.5$	N.P.(4)	x: 0.5 m $\eta < 0.1$	x: 3.65 m $\eta = 13.1$	x: 0.5 m $\eta < 0.1$	$M_{Ed} = 0.00$ N.P.(5)	N.P.(6)	N.P.(6)	**CUMPLE** **$\eta = 13.1$**
N777/N933	x: 0.509 m $\lambda_w \leq \lambda_{w,máx}$ Cumple	$\eta = 0.6$	$\eta = 5.5$	$M_{Ed} = 0.00$ N.P.(2)	x: 3.65 m $\eta = 6.0$	$V_{Ed} = 0.00$ N.P.(3)	x: 0.06 m $\eta = 0.5$	N.P.(4)	x: 0.509 m $\eta < 0.1$	x: 3.65 m $\eta = 9.2$	x: 0.509 m $\eta < 0.1$	$M_{Ed} = 0.00$ N.P.(5)	N.P.(6)	N.P.(6)	**CUMPLE** **$\eta = 9.2$**
N621/N777	x: 0.509 m $\lambda_w \leq \lambda_{w,máx}$ Cumple	$\eta = 0.7$	$\eta = 5.7$	$M_{Ed} = 0.00$ N.P.(2)	x: 3.65 m $\eta = 6.0$	$V_{Ed} = 0.00$ N.P.(3)	x: 0.06 m $\eta = 0.5$	N.P.(4)	x: 0.509 m $\eta < 0.1$	x: 3.65 m $\eta = 9.3$	x: 0.509 m $\eta < 0.1$	$M_{Ed} = 0.00$ N.P.(5)	N.P.(6)	N.P.(6)	**CUMPLE** **$\eta = 9.3$**
N457/N613	x: 0.5 m $\lambda_w \leq \lambda_{w,máx}$ Cumple	$\eta = 1.7$	$\eta = 7.6$	$M_{Ed} = 0.00$ N.P.(2)	x: 3.65 m $\eta = 6.0$	$V_{Ed} = 0.00$ N.P.(3)	x: 0.05 m $\eta = 0.5$	N.P.(4)	x: 0.5 m $\eta < 0.1$	x: 3.65 m $\eta = 13.0$	x: 0.5 m $\eta < 0.1$	$M_{Ed} = 0.00$ N.P.(5)	N.P.(6)	N.P.(6)	**CUMPLE** **$\eta = 13.0$**
N249/N457	x: 0.509 m $\lambda_w \leq \lambda_{w,máx}$ Cumple	$\eta = 1.5$	$\eta = 6.8$	$M_{Ed} = 0.00$ N.P.(2)	x: 3.655 m $\eta = 6.0$	$V_{Ed} = 0.00$ N.P.(3)	x: 0.06 m $\eta = 0.5$	N.P.(4)	x: 0.509 m $\eta < 0.1$	x: 3.655 m $\eta = 12.3$	x: 0.509 m $\eta < 0.1$	$M_{Ed} = 0.00$ N.P.(5)	N.P.(6)	N.P.(6)	**CUMPLE** **$\eta = 12.3$**
N461/N617	x: 0.5 m $\lambda_w \leq \lambda_{w,máx}$ Cumple	$\eta = 1.5$	$\eta = 7.0$	$M_{Ed} = 0.00$ N.P.(2)	x: 3.65 m $\eta = 6.0$	$V_{Ed} = 0.00$ N.P.(3)	x: 0.05 m $\eta = 0.5$	N.P.(4)	x: 0.5 m $\eta < 0.1$	x: 3.65 m $\eta = 12.5$	x: 0.5 m $\eta < 0.1$	$M_{Ed} = 0.00$ N.P.(5)	N.P.(6)	N.P.(6)	**CUMPLE** **$\eta = 12.5$**
N253/N461	x: 0.509 m $\lambda_w \leq \lambda_{w,máx}$ Cumple	$\eta = 1.3$	$\eta = 6.3$	$M_{Ed} = 0.00$ N.P.(2)	x: 3.655 m $\eta = 6.0$	$V_{Ed} = 0.00$ N.P.(3)	x: 0.06 m $\eta = 0.5$	N.P.(4)	x: 0.509 m $\eta < 0.1$	x: 3.655 m $\eta = 11.8$	x: 0.509 m $\eta < 0.1$	$M_{Ed} = 0.00$ N.P.(5)	N.P.(6)	N.P.(6)	**CUMPLE** **$\eta = 11.8$**
N465/N621	x: 0.509 m $\lambda_w \leq \lambda_{w,máx}$ Cumple	$\eta = 0.7$	$\eta = 5.6$	$M_{Ed} = 0.00$ N.P.(2)	x: 3.65 m $\eta = 6.0$	$V_{Ed} = 0.00$ N.P.(3)	x: 0.06 m $\eta = 0.5$	N.P.(4)	x: 0.509 m $\eta < 0.1$	x: 3.65 m $\eta = 9.3$	x: 0.509 m $\eta < 0.1$	$M_{Ed} = 0.00$ N.P.(5)	N.P.(6)	N.P.(6)	**CUMPLE** **$\eta = 9.3$**
N257/N465	x: 0.576 m $\lambda_w \leq \lambda_{w,máx}$ Cumple	$\eta = 0.6$	$\eta = 1.3$	$M_{Ed} = 0.00$ N.P.(2)	x: 3.686 m $\eta = 5.9$	$V_{Ed} = 0.00$ N.P.(3)	x: 0.132 m $\eta = 0.5$	N.P.(4)	x: 0.576 m $\eta < 0.1$	x: 3.686 m $\eta = 7.4$	x: 0.576 m $\eta < 0.1$	$M_{Ed} = 0.00$ N.P.(5)	N.P.(6)	N.P.(6)	**CUMPLE** **$\eta = 7.4$**
N145/N249	x: 0.509 m $\lambda_w \leq \lambda_{w,máx}$ Cumple	$\eta = 1.2$	$\eta = 1.2$	$M_{Ed} = 0.00$ N.P.(2)	x: 3.65 m $\eta = 6.0$	$V_{Ed} = 0.00$ N.P.(3)	x: 0.06 m $\eta = 0.5$	N.P.(4)	x: 0.509 m $\eta < 0.1$	x: 3.65 m $\eta = 7.4$	x: 0.509 m $\eta < 0.1$	$M_{Ed} = 0.00$ N.P.(5)	N.P.(6)	N.P.(6)	**CUMPLE** **$\eta = 7.4$**
N149/N253	x: 0.509 m $\lambda_w \leq \lambda_{w,máx}$ Cumple	$\eta = 1.0$	$\eta = 1.1$	$M_{Ed} = 0.00$ N.P.(2)	x: 3.65 m $\eta = 6.0$	$V_{Ed} = 0.00$ N.P.(3)	x: 0.06 m $\eta = 0.5$	N.P.(4)	x: 0.509 m $\eta < 0.1$	x: 3.65 m $\eta = 7.2$	x: 0.509 m $\eta < 0.1$	$M_{Ed} = 0.00$ N.P.(5)	N.P.(6)	N.P.(6)	**CUMPLE** **$\eta = 7.2$**
N153/N257	x: 0.572 m $\lambda_w \leq \lambda_{w,máx}$ Cumple	$\eta = 0.4$	$\eta = 1.0$	$M_{Ed} = 0.00$ N.P.(2)	x: 3.65 m $\eta = 5.8$	$V_{Ed} = 0.00$ N.P.(3)	x: 0.132 m $\eta = 0.5$	N.P.(4)	x: 0.572 m $\eta < 0.1$	x: 3.65 m $\eta = 7.0$	x: 0.572 m $\eta < 0.1$	$M_{Ed} = 0.00$ N.P.(5)	N.P.(6)	N.P.(6)	**CUMPLE** **$\eta = 7.0$**
N180/N284	x: 0.572 m $\lambda_w \leq \lambda_{w,máx}$ Cumple	$\eta = 0.4$	$\eta = 0.9$	$M_{Ed} = 0.00$ N.P.(2)	x: 3.65 m $\eta = 5.8$	$V_{Ed} = 0.00$ N.P.(3)	x: 0.132 m $\eta = 0.5$	N.P.(4)	x: 0.572 m $\eta < 0.1$	x: 3.65 m $\eta = 6.8$	x: 0.572 m $\eta < 0.1$	$M_{Ed} = 0.00$ N.P.(5)	N.P.(6)	N.P.(6)	**CUMPLE** **$\eta = 6.8$**

Documento visado electrónicamente con número: VA07290/22
Código de validación telemática TRLTDCFZ60T66IJ1. Comprobación: https://cogitivalencia.e-gestion.es/Validacion.aspx?CVT=TRLTDCFZ60T66IJ1

VISADO
COGITI
Estado
VALENCIA
VA07299/22
TRLTDCFZ60T66IJ1

Barras	COMPROBACIONES (CÓDIGO ESTRUCTURAL)														
	λ_w	N_t	N_c	M_Y	M_Z	V_Z	V_Y	M_YV_Z	M_ZV_Y	NM_YM_Z	$NM_YM_ZV_YV_Z$	M_t	M_tV_Z	M_tV_Y	
N284/N486	x: 0.576 m $\lambda_w \leq \lambda_{w,máx}$ Cumple	η = 0.9	η = 5.9	M_{Ed} = 0.00 N.P.(2)	x: 3.686 m η = 5.9	V_{Ed} = 0.00 N.P.(3)	x: 0.132 m η = 0.5	N.P.(4)	x: 0.576 m η < 0.1	x: 3.686 m η = 9.4	x: 0.576 m η < 0.1	M_{Ed} = 0.00 N.P.(5)	N.P.(6)	N.P.(6)	**CUMPLE** **η = 9.4**
N486/N642	x: 0.509 m $\lambda_w \leq \lambda_{w,máx}$ Cumple	η = 1.0	η = 6.3	M_{Ed} = 0.00 N.P.(2)	x: 3.65 m η = 6.0	V_{Ed} = 0.00 N.P.(3)	x: 0.06 m η = 0.5	N.P.(4)	x: 0.509 m η < 0.1	x: 3.65 m η = 11.9	x: 0.509 m η < 0.1	M_{Ed} = 0.00 N.P.(5)	N.P.(6)	N.P.(6)	**CUMPLE** **η = 11.9**
N642/N798	x: 0.509 m $\lambda_w \leq \lambda_{w,máx}$ Cumple	η = 1.1	η = 6.7	M_{Ed} = 0.00 N.P.(2)	x: 3.65 m η = 6.0	V_{Ed} = 0.00 N.P.(3)	x: 0.06 m η = 0.5	N.P.(4)	x: 0.509 m η < 0.1	x: 3.65 m η = 12.2	x: 0.509 m η < 0.1	M_{Ed} = 0.00 N.P.(5)	N.P.(6)	N.P.(6)	**CUMPLE** **η = 12.2**
N798/N954	x: 0.509 m $\lambda_w \leq \lambda_{w,máx}$ Cumple	η = 1.2	η = 7.0	M_{Ed} = 0.00 N.P.(2)	x: 3.65 m η = 6.0	V_{Ed} = 0.00 N.P.(3)	x: 0.06 m η = 0.5	N.P.(4)	x: 0.509 m η < 0.1	x: 3.65 m η = 12.4	x: 0.509 m η < 0.1	M_{Ed} = 0.00 N.P.(5)	N.P.(6)	N.P.(6)	**CUMPLE** **η = 12.4**
N954/N1110	x: 0.509 m $\lambda_w \leq \lambda_{w,máx}$ Cumple	η = 1.3	η = 7.1	M_{Ed} = 0.00 N.P.(2)	x: 3.65 m η = 6.0	V_{Ed} = 0.00 N.P.(3)	x: 0.06 m η = 0.5	N.P.(4)	x: 0.509 m η < 0.1	x: 3.65 m η = 12.5	x: 0.509 m η < 0.1	M_{Ed} = 0.00 N.P.(5)	N.P.(6)	N.P.(6)	**CUMPLE** **η = 12.5**
N1110/N1266	x: 0.509 m $\lambda_w \leq \lambda_{w,máx}$ Cumple	η = 1.5	η = 7.1	M_{Ed} = 0.00 N.P.(2)	x: 3.65 m η = 6.0	V_{Ed} = 0.00 N.P.(3)	x: 0.06 m η = 0.5	N.P.(4)	x: 0.509 m η < 0.1	x: 3.65 m η = 12.4	x: 0.509 m η < 0.1	M_{Ed} = 0.00 N.P.(5)	N.P.(6)	N.P.(6)	**CUMPLE** **η = 12.4**
N1114/N1270	x: 0.5 m $\lambda_w \leq \lambda_{w,máx}$ Cumple	η = 3.9	η = 15.1	M_{Ed} = 0.00 N.P.(2)	x: 3.65 m η = 6.0	V_{Ed} = 0.00 N.P.(3)	x: 0.05 m η = 0.5	N.P.(4)	x: 0.5 m η < 0.1	x: 3.65 m η = 19.8	x: 0.5 m η < 0.1	M_{Ed} = 0.00 N.P.(5)	N.P.(6)	N.P.(6)	**CUMPLE** **η = 19.8**
N958/N1114	x: 0.5 m $\lambda_w \leq \lambda_{w,máx}$ Cumple	η = 3.6	η = 13.9	M_{Ed} = 0.00 N.P.(2)	x: 3.65 m η = 6.0	V_{Ed} = 0.00 N.P.(3)	x: 0.05 m η = 0.5	N.P.(4)	x: 0.5 m η < 0.1	x: 3.65 m η = 18.8	x: 0.5 m η < 0.1	M_{Ed} = 0.00 N.P.(5)	N.P.(6)	N.P.(6)	**CUMPLE** **η = 18.8**
N962/N1118	x: 0.5 m $\lambda_w \leq \lambda_{w,máx}$ Cumple	η = 3.8	η = 16.2	M_{Ed} = 0.00 N.P.(2)	x: 3.65 m η = 6.0	V_{Ed} = 0.00 N.P.(3)	x: 0.05 m η = 0.5	N.P.(4)	x: 0.5 m η < 0.1	x: 3.65 m η = 21.0	x: 0.5 m η < 0.1	M_{Ed} = 0.00 N.P.(5)	N.P.(6)	N.P.(6)	**CUMPLE** **η = 21.0**
N1118/N1274	x: 0.5 m $\lambda_w \leq \lambda_{w,máx}$ Cumple	η = 4.0	η = 17.3	M_{Ed} = 0.00 N.P.(2)	x: 3.65 m η = 6.0	V_{Ed} = 0.00 N.P.(3)	x: 0.05 m η = 0.5	N.P.(4)	x: 0.5 m η < 0.1	x: 3.65 m η = 22.0	x: 0.5 m η < 0.1	M_{Ed} = 0.00 N.P.(5)	N.P.(6)	N.P.(6)	**CUMPLE** **η = 22.0**
N966/N1122	x: 0.509 m $\lambda_w \leq \lambda_{w,máx}$ Cumple	η = 1.9	η = 7.5	M_{Ed} = 0.00 N.P.(2)	x: 3.65 m η = 6.0	V_{Ed} = 0.00 N.P.(3)	x: 0.06 m η = 0.5	N.P.(4)	x: 0.509 m η < 0.1	x: 3.65 m η = 12.6	x: 0.509 m η < 0.1	M_{Ed} = 0.00 N.P.(5)	N.P.(6)	N.P.(6)	**CUMPLE** **η = 12.6**
N1122/N1278	x: 0.509 m $\lambda_w \leq \lambda_{w,máx}$ Cumple	η = 2.2	η = 8.4	M_{Ed} = 0.00 N.P.(2)	x: 3.65 m η = 6.0	V_{Ed} = 0.00 N.P.(3)	x: 0.06 m η = 0.5	N.P.(4)	x: 0.509 m η < 0.1	x: 3.65 m η = 13.4	x: 0.509 m η < 0.1	M_{Ed} = 0.00 N.P.(5)	N.P.(6)	N.P.(6)	**CUMPLE** **η = 13.4**
N802/N958	x: 0.5 m $\lambda_w \leq \lambda_{w,máx}$ Cumple	η = 3.3	η = 12.8	M_{Ed} = 0.00 N.P.(2)	x: 3.65 m η = 6.0	V_{Ed} = 0.00 N.P.(3)	x: 0.05 m η = 0.5	N.P.(4)	x: 0.5 m η < 0.1	x: 3.65 m η = 17.8	x: 0.5 m η < 0.1	M_{Ed} = 0.00 N.P.(5)	N.P.(6)	N.P.(6)	**CUMPLE** **η = 17.8**
N646/N802	x: 0.5 m $\lambda_w \leq \lambda_{w,máx}$ Cumple	η = 3.0	η = 11.8	M_{Ed} = 0.00 N.P.(2)	x: 3.65 m η = 6.0	V_{Ed} = 0.00 N.P.(3)	x: 0.05 m η = 0.5	N.P.(4)	x: 0.5 m η < 0.1	x: 3.65 m η = 16.8	x: 0.5 m η < 0.1	M_{Ed} = 0.00 N.P.(5)	N.P.(6)	N.P.(6)	**CUMPLE** **η = 16.8**
N806/N962	x: 0.5 m $\lambda_w \leq \lambda_{w,máx}$ Cumple	η = 3.5	η = 15.1	M_{Ed} = 0.00 N.P.(2)	x: 3.65 m η = 6.0	V_{Ed} = 0.00 N.P.(3)	x: 0.05 m η = 0.5	N.P.(4)	x: 0.5 m η < 0.1	x: 3.65 m η = 19.9	x: 0.5 m η < 0.1	M_{Ed} = 0.00 N.P.(5)	N.P.(6)	N.P.(6)	**CUMPLE** **η = 19.9**
N650/N806	x: 0.5 m $\lambda_w \leq \lambda_{w,máx}$ Cumple	η = 3.2	η = 14.0	M_{Ed} = 0.00 N.P.(2)	x: 3.65 m η = 6.0	V_{Ed} = 0.00 N.P.(3)	x: 0.05 m η = 0.5	N.P.(4)	x: 0.5 m η < 0.1	x: 3.65 m η = 18.9	x: 0.5 m η < 0.1	M_{Ed} = 0.00 N.P.(5)	N.P.(6)	N.P.(6)	**CUMPLE** **η = 18.9**
N810/N966	x: 0.509 m $\lambda_w \leq \lambda_{w,máx}$ Cumple	η = 1.7	η = 6.7	M_{Ed} = 0.00 N.P.(2)	x: 3.65 m η = 6.0	V_{Ed} = 0.00 N.P.(3)	x: 0.06 m η = 0.5	N.P.(4)	x: 0.509 m η < 0.1	x: 3.65 m η = 11.9	x: 0.509 m η < 0.1	M_{Ed} = 0.00 N.P.(5)	N.P.(6)	N.P.(6)	**CUMPLE** **η = 11.9**
N654/N810	x: 0.509 m $\lambda_w \leq \lambda_{w,máx}$ Cumple	η = 1.6	η = 6.1	M_{Ed} = 0.00 N.P.(2)	x: 3.65 m η = 6.0	V_{Ed} = 0.00 N.P.(3)	x: 0.06 m η = 0.5	N.P.(4)	x: 0.509 m η < 0.1	x: 3.65 m η = 9.7	x: 0.509 m η < 0.1	M_{Ed} = 0.00 N.P.(5)	N.P.(6)	N.P.(6)	**CUMPLE** **η = 9.7**
N490/N646	x: 0.5 m $\lambda_w \leq \lambda_{w,máx}$ Cumple	η = 2.7	η = 10.8	M_{Ed} = 0.00 N.P.(2)	x: 3.65 m η = 6.0	V_{Ed} = 0.00 N.P.(3)	x: 0.05 m η = 0.5	N.P.(4)	x: 0.5 m η < 0.1	x: 3.65 m η = 15.9	x: 0.5 m η < 0.1	M_{Ed} = 0.00 N.P.(5)	N.P.(6)	N.P.(6)	**CUMPLE** **η = 15.9**
N288/N490	x: 0.509 m $\lambda_w \leq \lambda_{w,máx}$ Cumple	η = 2.5	η = 9.8	M_{Ed} = 0.00 N.P.(2)	x: 3.655 m η = 6.0	V_{Ed} = 0.00 N.P.(3)	x: 0.06 m η = 0.5	N.P.(4)	x: 0.509 m η < 0.1	x: 3.655 m η = 15.1	x: 0.509 m η < 0.1	M_{Ed} = 0.00 N.P.(5)	N.P.(6)	N.P.(6)	**CUMPLE** **η = 15.1**
N494/N650	x: 0.5 m $\lambda_w \leq \lambda_{w,máx}$ Cumple	η = 3.0	η = 12.9	M_{Ed} = 0.00 N.P.(2)	x: 3.65 m η = 6.0	V_{Ed} = 0.00 N.P.(3)	x: 0.05 m η = 0.5	N.P.(4)	x: 0.5 m η < 0.1	x: 3.65 m η = 18.0	x: 0.5 m η < 0.1	M_{Ed} = 0.00 N.P.(5)	N.P.(6)	N.P.(6)	**CUMPLE** **η = 18.0**
N292/N494	x: 0.509 m $\lambda_w \leq \lambda_{w,máx}$ Cumple	η = 2.7	η = 11.9	M_{Ed} = 0.00 N.P.(2)	x: 3.655 m η = 6.0	V_{Ed} = 0.00 N.P.(3)	x: 0.06 m η = 0.5	N.P.(4)	x: 0.509 m η < 0.1	x: 3.655 m η = 17.1	x: 0.509 m η < 0.1	M_{Ed} = 0.00 N.P.(5)	N.P.(6)	N.P.(6)	**CUMPLE** **η = 17.1**
N498/N654	x: 0.509 m $\lambda_w \leq \lambda_{w,máx}$ Cumple	η = 1.4	η = 5.5	M_{Ed} = 0.00 N.P.(2)	x: 3.65 m η = 6.0	V_{Ed} = 0.00 N.P.(3)	x: 0.06 m η = 0.5	N.P.(4)	x: 0.509 m η < 0.1	x: 3.65 m η = 9.2	x: 0.509 m η < 0.1	M_{Ed} = 0.00 N.P.(5)	N.P.(6)	N.P.(6)	**CUMPLE** **η = 9.2**
N296/N498	x: 0.576 m $\lambda_w \leq \lambda_{w,máx}$ Cumple	η = 1.3	η = 1.2	M_{Ed} = 0.00 N.P.(2)	x: 3.686 m η = 5.9	V_{Ed} = 0.00 N.P.(3)	x: 0.132 m η = 0.5	N.P.(4)	x: 0.576 m η < 0.1	x: 3.686 m η = 7.2	x: 0.576 m η < 0.1	M_{Ed} = 0.00 N.P.(5)	N.P.(6)	N.P.(6)	**CUMPLE** **η = 7.2**
N184/N288	x: 0.509 m $\lambda_w \leq \lambda_{w,máx}$ Cumple	η = 2.0	η = 7.7	M_{Ed} = 0.00 N.P.(2)	x: 3.65 m η = 6.0	V_{Ed} = 0.00 N.P.(3)	x: 0.06 m η = 0.5	N.P.(4)	x: 0.509 m η < 0.1	x: 3.65 m η = 13.2	x: 0.509 m η < 0.1	M_{Ed} = 0.00 N.P.(5)	N.P.(6)	N.P.(6)	**CUMPLE** **η = 13.2**
N188/N292	x: 0.509 m $\lambda_w \leq \lambda_{w,máx}$ Cumple	η = 2.2	η = 9.4	M_{Ed} = 0.00 N.P.(2)	x: 3.65 m η = 6.0	V_{Ed} = 0.00 N.P.(3)	x: 0.06 m η = 0.5	N.P.(4)	x: 0.509 m η < 0.1	x: 3.65 m η = 14.8	x: 0.509 m η < 0.1	M_{Ed} = 0.00 N.P.(5)	N.P.(6)	N.P.(6)	**CUMPLE** **η = 14.8**
N192/N296	x: 0.572 m $\lambda_w \leq \lambda_{w,máx}$ Cumple	η = 0.9	η = 0.9	M_{Ed} = 0.00 N.P.(2)	x: 3.65 m η = 5.8	V_{Ed} = 0.00 N.P.(3)	x: 0.132 m η = 0.5	N.P.(4)	x: 0.572 m η < 0.1	x: 3.65 m η = 6.7	x: 0.572 m η < 0.1	M_{Ed} = 0.00 N.P.(5)	N.P.(6)	N.P.(6)	**CUMPLE** **η = 6.7**
N4/N14	$\lambda_w \leq \lambda_{w,máx}$ Cumple	x: 1.911 m η = 11.3	x: 0.086 m η = 30.1	x: 1.912 m η = 38.4	x: 0.086 m η = 3.6	η = 6.0	η = 0.5	η < 0.1	η < 0.1	x: 0.086 m η = 69.1	η < 0.1	η = 0.7	η = 6.0	η = 0.5	**CUMPLE** **η = 69.1**
N105/N122	$\lambda_w \leq \lambda_{w,máx}$ Cumple	x: 1.889 m η = 10.7	x: 0.116 m η = 30.3	x: 0.116 m η = 32.4	x: 0.116 m η = 1.7	η = 6.2	η = 0.2	η < 0.1	η < 0.1	x: 0.116 m η = 61.3	η < 0.1	η = 0.6	η = 6.3	η = 0.2	**CUMPLE** **η = 61.3**
N209/N226	$\lambda_w \leq \lambda_{w,máx}$ Cumple	x: 1.889 m η = 9.7	x: 0.116 m η = 24.6	x: 0.116 m η = 25.3	x: 0.116 m η = 1.8	η = 4.7	η = 0.2	η < 0.1	η < 0.1	x: 0.116 m η = 47.1	η < 0.1	η = 0.8	η = 4.7	η = 0.2	**CUMPLE** **η = 47.1**
N729/N746	$\lambda_w \leq \lambda_{w,máx}$ Cumple	x: 1.911 m η = 18.2	x: 0.086 m η = 30.9	x: 1.912 m η = 41.9	x: 0.086 m η = 0.3	η = 6.0	η < 0.1	η < 0.1	η < 0.1	x: 0.086 m η = 67.7	η < 0.1	η = 0.4	η = 6.0	η < 0.1	**CUMPLE** **η = 67.7**
N885/N902	$\lambda_w \leq \lambda_{w,máx}$ Cumple	x: 1.911 m η = 18.3	x: 0.086 m η = 31.0	x: 1.912 m η = 42.0	x: 0.086 m η = 0.6	η = 6.0	η = 0.1	η < 0.1	η < 0.1	x: 0.086 m η = 67.8	η < 0.1	η = 0.8	η = 6.1	η = 0.1	**CUMPLE** **η = 67.8**

Documento visado electrónicamente con número: VA07299/22. Código de validación telemática: TRLTDCFZ60T66IJ1. Comprobación: https://cogitivalencia.e-gestion.es/Validacion.aspx?CVT=TRLTDCFZ60T66IJ1

VISADO
COGITI
Estado
VALENCIA
VA07290/22
TRLTDCFZ60T66IJ1

Barras	COMPROBACIONES (CÓDIGO ESTRUCTURAL)														
	λ_w	N_t	N_c	M_Y	M_Z	V_Z	V_Y	M_YV_Z	M_ZV_Y	NM_YM_Z	$NM_YM_ZV_YV_Z$	M_t	M_tV_Z	M_tV_Y	
N1041/N1058	$\lambda_w \leq \lambda_{w,máx}$ Cumple	x: 1.911 m η = 18.3	x: 0.086 m η = 30.8	x: 1.912 m η = 42.1	x: 0.086 m η = 1.3	η = 6.0	η = 0.1	η < 0.1	η < 0.1	x: 0.086 m η = 67.2	η < 0.1	η = 2.0	η = 6.0	η = 0.1	**CUMPLE η = 67.5**
N573/N590	$\lambda_w \leq \lambda_{w,máx}$ Cumple	x: 1.911 m η = 18.2	x: 0.086 m η = 30.9	x: 1.912 m η = 41.8	x: 0.086 m η = 0.2	η = 6.0	η < 0.1	η < 0.1	η < 0.1	x: 0.086 m η = 67.5	η < 0.1	η = 0.3	η = 6.0	η < 0.1	**CUMPLE η = 67.5**
N1197/N1214	$\lambda_w \leq \lambda_{w,máx}$ Cumple	x: 1.911 m η = 17.0	x: 0.086 m η = 28.6	x: 1.912 m η = 40.4	x: 0.086 m η = 2.2	η = 5.6	η = 0.2	η < 0.1	η < 0.1	x: 0.086 m η = 62.2	η < 0.1	η = 4.1	η = 5.8	η = 0.2	**CUMPLE η = 62.2**
N1353/N1362	$\lambda_w \leq \lambda_{w,máx}$ Cumple	x: 1.938 m η = 0.2	x: 0.06 m η = 0.3	x: 1.939 m η = 2.5	x: 1.939 m η = 8.5	η = 0.4	η = 1.3	η < 0.1	η < 0.1	x: 1.939 m η = 9.6	η < 0.1	η = 3.5	η = 0.4	η = 1.3	**CUMPLE η = 9.6**
N1606/N4	x: 0.07 m $\lambda_w \leq \lambda_{w,máx}$ Cumple	x: 0.138 m η = 0.4	x: 0 m η = 0.8	x: 0.139 m η = 22.6	x: 0.139 m η = 2.0	x: 0 m η = 63.1	η = 1.1	x: 0.139 m η = 23.1	x: 0.07 m η < 0.1	x: 0.139 m η = 23.6	x: 0.139 m η = 24.1	M_{Ed} = 0.00 N.P.(5)	N.P.(6)	N.P.(6)	**CUMPLE η = 63.1**
N1605/N14	x: 0.07 m $\lambda_w \leq \lambda_{w,máx}$ Cumple	x: 0.138 m η = 0.9	x: 0 m η = 1.0	x: 0.139 m η = 31.1	x: 0.139 m η = 5.8	x: 0 m η = 71.7	η = 2.8	x: 0.139 m η = 32.9	x: 0.07 m η < 0.1	x: 0.139 m η = 33.5	x: 0.139 m η = 36.1	M_{Ed} = 0.00 N.P.(5)	N.P.(6)	N.P.(6)	**CUMPLE η = 71.7**
N1607/N105	x: 0.062 m $\lambda_w \leq \lambda_{w,máx}$ Cumple	x: 0.123 m η = 0.3	x: 0 m η = 0.7	x: 0.124 m η = 17.2	x: 0.124 m η = 0.2	x: 0 m η = 33.5	η = 0.6	x: 0.062 m η < 0.1	x: 0.062 m η < 0.1	x: 0.124 m η = 17.9	x: 0.062 m η < 0.1	M_{Ed} = 0.00 N.P.(5)	N.P.(6)	N.P.(6)	**CUMPLE η = 33.5**
N1608/N122	x: 0.062 m $\lambda_w \leq \lambda_{w,máx}$ Cumple	x: 0.123 m η = 1.1	x: 0 m η = 1.0	x: 0.124 m η = 22.5	x: 0.124 m η = 3.3	x: 0.124 m η = 86.4	η = 2.4	x: 0.124 m η = 26.2	x: 0.062 m η < 0.1	x: 0.124 m η = 24.5	x: 0.124 m η = 28.4	M_{Ed} = 0.00 N.P.(5)	N.P.(6)	N.P.(6)	**CUMPLE η = 86.4**
N1609/N209	x: 0.062 m $\lambda_w \leq \lambda_{w,máx}$ Cumple	x: 0.123 m η = 0.3	x: 0 m η = 0.7	x: 0.124 m η = 15.5	x: 0.124 m η = 0.1	x: 0 m η = 30.4	η = 0.1	x: 0.062 m η < 0.1	x: 0.062 m η < 0.1	x: 0.124 m η = 16.2	x: 0.062 m η < 0.1	M_{Ed} = 0.00 N.P.(5)	N.P.(6)	N.P.(6)	**CUMPLE η = 30.4**
N1610/N226	x: 0.062 m $\lambda_w \leq \lambda_{w,máx}$ Cumple	x: 0.123 m η = 1.1	x: 0 m η = 0.7	x: 0.124 m η = 21.5	x: 0.124 m η = 4.1	x: 0.124 m η = 82.9	η = 3.0	x: 0.124 m η = 24.4	x: 0.062 m η < 0.1	x: 0.124 m η = 25.0	x: 0.124 m η = 27.9	M_{Ed} = 0.00 N.P.(5)	N.P.(6)	N.P.(6)	**CUMPLE η = 82.9**
N1611/N573	x: 0.07 m $\lambda_w \leq \lambda_{w,máx}$ Cumple	x: 0.138 m η = 0.6	x: 0 m η = 0.8	x: 0.139 m η = 23.2	x: 0.139 m η = 0.6	x: 0 m η = 64.7	η = 0.3	x: 0.139 m η = 23.8	x: 0.07 m η < 0.1	x: 0.139 m η = 24.1	x: 0.139 m η = 24.8	M_{Ed} = 0.00 N.P.(5)	N.P.(6)	N.P.(6)	**CUMPLE η = 64.7**
N1612/N590	x: 0.07 m $\lambda_w \leq \lambda_{w,máx}$ Cumple	x: 0.138 m η = 1.2	x: 0 m η = 1.0	x: 0.139 m η = 38.4	x: 0.139 m η = 6.5	x: 0.139 m η = 88.5	η = 3.1	x: 0.139 m η = 46.6	x: 0.07 m η < 0.1	x: 0.139 m η = 43.3	x: 0.139 m η = 51.7	M_{Ed} = 0.00 N.P.(5)	N.P.(6)	N.P.(6)	**CUMPLE η = 88.5**
N1613/N729	x: 0.07 m $\lambda_w \leq \lambda_{w,máx}$ Cumple	x: 0.138 m η = 0.6	x: 0 m η = 0.8	x: 0.139 m η = 23.2	x: 0.139 m η = 0.4	x: 0 m η = 64.7	η = 0.2	x: 0.139 m η = 23.8	x: 0.07 m η < 0.1	x: 0.139 m η = 24.1	x: 0.139 m η = 24.8	M_{Ed} = 0.00 N.P.(5)	N.P.(6)	N.P.(6)	**CUMPLE η = 64.7**
N1614/N746	x: 0.07 m $\lambda_w \leq \lambda_{w,máx}$ Cumple	x: 0.138 m η = 1.2	x: 0 m η = 1.0	x: 0.139 m η = 38.4	x: 0.139 m η = 5.2	x: 0.139 m η = 88.7	η = 2.5	x: 0.139 m η = 46.8	x: 0.07 m η < 0.1	x: 0.139 m η = 40.5	x: 0.139 m η = 49.0	M_{Ed} = 0.00 N.P.(5)	N.P.(6)	N.P.(6)	**CUMPLE η = 88.7**
N1615/N885	x: 0.07 m $\lambda_w \leq \lambda_{w,máx}$ Cumple	x: 0.138 m η = 0.6	x: 0 m η = 0.8	x: 0.139 m η = 23.2	x: 0.139 m η = 0.6	x: 0 m η = 64.7	η = 0.3	x: 0.139 m η = 23.8	x: 0.07 m η < 0.1	x: 0.139 m η = 24.1	x: 0.139 m η = 24.8	M_{Ed} = 0.00 N.P.(5)	N.P.(6)	N.P.(6)	**CUMPLE η = 64.7**
N1616/N902	x: 0.07 m $\lambda_w \leq \lambda_{w,máx}$ Cumple	x: 0.138 m η = 1.2	x: 0 m η = 1.0	x: 0.139 m η = 38.6	x: 0.139 m η = 8.7	x: 0.139 m η = 89.0	η = 4.2	x: 0.139 m η = 47.1	x: 0.07 m η < 0.1	x: 0.139 m η = 44.4	x: 0.139 m η = 53.1	M_{Ed} = 0.00 N.P.(5)	N.P.(6)	N.P.(6)	**CUMPLE η = 89.0**
N1617/N1041	x: 0.07 m $\lambda_w \leq \lambda_{w,máx}$ Cumple	x: 0.138 m η = 0.6	x: 0 m η = 0.8	x: 0.139 m η = 23.1	x: 0.139 m η = 1.8	x: 0 m η = 64.3	η = 1.0	x: 0.139 m η = 23.6	x: 0.07 m η < 0.1	x: 0.139 m η = 24.5	x: 0.139 m η = 25.3	M_{Ed} = 0.00 N.P.(5)	N.P.(6)	N.P.(6)	**CUMPLE η = 64.3**
N1618/N1058	x: 0.07 m $\lambda_w \leq \lambda_{w,máx}$ Cumple	x: 0.138 m η = 1.2	x: 0 m η = 1.0	x: 0.139 m η = 38.8	x: 0.139 m η = 20.2	x: 0.139 m η = 89.4	η = 9.6	x: 0.139 m η = 47.6	x: 0.07 m η < 0.1	x: 0.139 m η = 56.0	x: 0.139 m η = 65.0	M_{Ed} = 0.00 N.P.(5)	N.P.(6)	N.P.(6)	**CUMPLE η = 89.4**
N1619/N1197	x: 0.07 m $\lambda_w \leq \lambda_{w,máx}$ Cumple	x: 0.138 m η = 0.5	x: 0 m η = 0.8	x: 0.139 m η = 21.4	x: 0.139 m η = 2.7	x: 0 m η = 59.7	η = 1.5	x: 0.139 m η = 21.6	x: 0.07 m η < 0.1	x: 0.139 m η = 23.9	x: 0.139 m η = 25.0	M_{Ed} = 0.00 N.P.(5)	N.P.(6)	N.P.(6)	**CUMPLE η = 59.7**
N1620/N1214	x: 0.07 m $\lambda_w \leq \lambda_{w,máx}$ Cumple	x: 0.138 m η = 1.2	x: 0 m η = 0.9	x: 0.139 m η = 37.4	x: 0.139 m η = 35.8	x: 0.139 m η = 86.2	η = 17.1	x: 0.139 m η = 44.3	x: 0.07 m η < 0.1	x: 0.139 m η = 69.6	x: 0.139 m η = 76.7	M_{Ed} = 0.00 N.P.(5)	N.P.(6)	N.P.(6)	**CUMPLE η = 86.2**
N1621/N434	x: 0.07 m $\lambda_w \leq \lambda_{w,máx}$ Cumple	x: 0.138 m η = 1.2	x: 0 m η = 1.0	x: 0.139 m η = 37.9	x: 0.139 m η = 8.0	x: 0.139 m η = 87.5	η = 3.8	x: 0.139 m η = 45.6	x: 0.07 m η < 0.1	x: 0.139 m η = 45.7	x: 0.139 m η = 53.5	M_{Ed} = 0.00 N.P.(5)	N.P.(6)	N.P.(6)	**CUMPLE η = 87.5**
N1622/N417	x: 0.07 m $\lambda_w \leq \lambda_{w,máx}$ Cumple	x: 0.138 m η = 0.6	x: 0 m η = 0.8	x: 0.139 m η = 23.1	x: 0.139 m η = 0.7	x: 0 m η = 64.3	η = 0.4	x: 0.139 m η = 23.6	x: 0.07 m η < 0.1	x: 0.139 m η = 23.9	x: 0.139 m η = 24.5	M_{Ed} = 0.00 N.P.(5)	N.P.(6)	N.P.(6)	**CUMPLE η = 64.3**
N417/N434	$\lambda_w \leq \lambda_{w,máx}$ Cumple	x: 1.911 m η = 18.0	x: 0.086 m η = 30.8	x: 1.912 m η = 41.2	x: 0.086 m η = 1.3	η = 5.9	η = 0.2	η < 0.1	η < 0.1	x: 0.086 m η = 67.5	η < 0.1	η = 0.3	η = 6.0	η = 0.2	**CUMPLE η = 67.5**
N1623/N7	x: 0.08 m $\lambda_w \leq \lambda_{w,máx}$ Cumple	N_{Ed} = 0.00 N.P.(1)	N_{Ed} = 0.00 N.P.(7)	x: 0.16 m η = 1.0	M_{Ed} = 0.00 N.P.(2)	x: 0 m η = 4.0	V_{Ed} = 0.00 N.P.(3)	x: 0.08 m η < 0.1	N.P.(4)	N.P.(8)	N.P.(9)	M_{Ed} = 0.00 N.P.(5)	N.P.(6)	N.P.(6)	**CUMPLE η = 4.0**
N1624/N12	x: 0.08 m $\lambda_w \leq \lambda_{w,máx}$ Cumple	N_{Ed} = 0.00 N.P.(1)	N_{Ed} = 0.00 N.P.(7)	x: 0.16 m η = 10.3	M_{Ed} = 0.00 N.P.(2)	x: 0.16 m η = 41.5	V_{Ed} = 0.00 N.P.(3)	x: 0.08 m η < 0.1	N.P.(4)	N.P.(8)	N.P.(9)	M_{Ed} = 0.00 N.P.(5)	N.P.(6)	N.P.(6)	**CUMPLE η = 41.5**
N1625/N177	x: 0.07 m $\lambda_w \leq \lambda_{w,máx}$ Cumple	N_{Ed} = 0.00 N.P.(1)	N_{Ed} = 0.00 N.P.(7)	x: 0.14 m η = 18.6	M_{Ed} = 0.00 N.P.(2)	x: 0.14 m η = 86.0	V_{Ed} = 0.00 N.P.(3)	x: 0.14 m η = 21.6	N.P.(4)	N.P.(8)	N.P.(9)	M_{Ed} = 0.00 N.P.(5)	N.P.(6)	N.P.(6)	**CUMPLE η = 86.0**
N1626/N176	x: 0.07 m $\lambda_w \leq \lambda_{w,máx}$ Cumple	N_{Ed} = 0.00 N.P.(1)	N_{Ed} = 0.00 N.P.(7)	x: 0.14 m η = 3.1	M_{Ed} = 0.00 N.P.(2)	x: 0 m η = 14.3	V_{Ed} = 0.00 N.P.(3)	x: 0.07 m η < 0.1	N.P.(4)	N.P.(8)	N.P.(9)	M_{Ed} = 0.00 N.P.(5)	N.P.(6)	N.P.(6)	**CUMPLE η = 14.3**
N1627/N281	x: 0.07 m $\lambda_w \leq \lambda_{w,máx}$ Cumple	N_{Ed} = 0.00 N.P.(1)	N_{Ed} = 0.00 N.P.(7)	x: 0.14 m η = 14.6	M_{Ed} = 0.00 N.P.(2)	x: 0.14 m η = 67.2	V_{Ed} = 0.00 N.P.(3)	x: 0.14 m η = 15.0	N.P.(4)	N.P.(8)	N.P.(9)	M_{Ed} = 0.00 N.P.(5)	N.P.(6)	N.P.(6)	**CUMPLE η = 67.2**
N1628/N280	x: 0.07 m $\lambda_w \leq \lambda_{w,máx}$ Cumple	N_{Ed} = 0.00 N.P.(1)	N_{Ed} = 0.00 N.P.(7)	x: 0.14 m η = 3.1	M_{Ed} = 0.00 N.P.(2)	x: 0 m η = 14.2	V_{Ed} = 0.00 N.P.(3)	x: 0.07 m η < 0.1	N.P.(4)	N.P.(8)	N.P.(9)	M_{Ed} = 0.00 N.P.(5)	N.P.(6)	N.P.(6)	**CUMPLE η = 14.2**
N1629/N500	x: 0.08 m $\lambda_w \leq \lambda_{w,máx}$ Cumple	N_{Ed} = 0.00 N.P.(1)	N_{Ed} = 0.00 N.P.(7)	x: 0.16 m η = 9.6	M_{Ed} = 0.00 N.P.(2)	x: 0.16 m η = 38.6	V_{Ed} = 0.00 N.P.(3)	x: 0.08 m η < 0.1	N.P.(4)	N.P.(8)	N.P.(9)	M_{Ed} = 0.00 N.P.(5)	N.P.(6)	N.P.(6)	**CUMPLE η = 38.6**
N1630/N533	x: 0.08 m $\lambda_w \leq \lambda_{w,máx}$ Cumple	N_{Ed} = 0.00 N.P.(1)	N_{Ed} = 0.00 N.P.(7)	x: 0.16 m η = 1.6	M_{Ed} = 0.00 N.P.(2)	x: 0.16 m η = 6.5	V_{Ed} = 0.00 N.P.(3)	x: 0.08 m η < 0.1	N.P.(4)	N.P.(8)	N.P.(9)	M_{Ed} = 0.00 N.P.(5)	N.P.(6)	N.P.(6)	**CUMPLE η = 6.5**
N1631/N656	x: 0.08 m $\lambda_w \leq \lambda_{w,máx}$ Cumple	N_{Ed} = 0.00 N.P.(1)	N_{Ed} = 0.00 N.P.(7)	x: 0.16 m η = 9.6	M_{Ed} = 0.00 N.P.(2)	x: 0.16 m η = 38.7	V_{Ed} = 0.00 N.P.(3)	x: 0.08 m η < 0.1	N.P.(4)	N.P.(8)	N.P.(9)	M_{Ed} = 0.00 N.P.(5)	N.P.(6)	N.P.(6)	**CUMPLE η = 38.7**

Documento visado electrónicamente con número: VA07290/22
Código de validación telemática TRLTDCFZ60T66IJ1. Comprobación: https://cogitivalencia.e-gestion.es/Validacion.aspx?CVT=TRLTDCFZ60T66IJ1

Listados

Barras	COMPROBACIONES (CÓDIGO ESTRUCTURAL)													Estado
	λ_w	N_t	N_c	M_Y	M_Z	V_Z	V_Y	M_YV_Z	M_ZV_Y	NM_YM_Z	$NM_YM_ZV_YV_Z$	M_t	M_tV_Z	M_tV_Y	
N1632/N689	x: 0.08 m $\lambda_w \leq \lambda_{w,máx}$ Cumple	N_{Ed} = 0.00 N.P.(1)	N_{Ed} = 0.00 N.P.(7)	x: 0.16 m η = 1.6	M_{Ed} = 0.00 N.P.(2)	x: 0.16 m η = 6.6	V_{Ed} = 0.00 N.P.(3)	x: 0.08 m η < 0.1	N.P.(4)	N.P.(8)	N.P.(9)	M_{Ed} = 0.00 N.P.(5)	N.P.(6)	N.P.(6)	**CUMPLE** **η = 6.6**
N1633/N812	x: 0.08 m $\lambda_w \leq \lambda_{w,máx}$ Cumple	N_{Ed} = 0.00 N.P.(1)	N_{Ed} = 0.00 N.P.(7)	x: 0.16 m η = 9.6	M_{Ed} = 0.00 N.P.(2)	x: 0.16 m η = 38.6	V_{Ed} = 0.00 N.P.(3)	x: 0.08 m η < 0.1	N.P.(4)	N.P.(8)	N.P.(9)	M_{Ed} = 0.00 N.P.(5)	N.P.(6)	N.P.(6)	**CUMPLE** **η = 38.6**
N1634/N845	x: 0.08 m $\lambda_w \leq \lambda_{w,máx}$ Cumple	N_{Ed} = 0.00 N.P.(1)	N_{Ed} = 0.00 N.P.(7)	x: 0.16 m η = 1.7	M_{Ed} = 0.00 N.P.(2)	x: 0.16 m η = 6.8	V_{Ed} = 0.00 N.P.(3)	x: 0.08 m η < 0.1	N.P.(4)	N.P.(8)	N.P.(9)	M_{Ed} = 0.00 N.P.(5)	N.P.(6)	N.P.(6)	**CUMPLE** **η = 6.8**
N1635/N968	x: 0.08 m $\lambda_w \leq \lambda_{w,máx}$ Cumple	N_{Ed} = 0.00 N.P.(1)	N_{Ed} = 0.00 N.P.(7)	x: 0.16 m η = 9.5	M_{Ed} = 0.00 N.P.(2)	x: 0.16 m η = 38.3	V_{Ed} = 0.00 N.P.(3)	x: 0.08 m η < 0.1	N.P.(4)	N.P.(8)	N.P.(9)	M_{Ed} = 0.00 N.P.(5)	N.P.(6)	N.P.(6)	**CUMPLE** **η = 38.3**
N1636/N1001	x: 0.08 m $\lambda_w \leq \lambda_{w,máx}$ Cumple	N_{Ed} = 0.00 N.P.(1)	N_{Ed} = 0.00 N.P.(7)	x: 0.16 m η = 1.8	M_{Ed} = 0.00 N.P.(2)	x: 0.16 m η = 7.1	V_{Ed} = 0.00 N.P.(3)	x: 0.08 m η < 0.1	N.P.(4)	N.P.(8)	N.P.(9)	M_{Ed} = 0.00 N.P.(5)	N.P.(6)	N.P.(6)	**CUMPLE** **η = 7.1**
N1637/N1124	x: 0.08 m $\lambda_w \leq \lambda_{w,máx}$ Cumple	N_{Ed} = 0.00 N.P.(1)	N_{Ed} = 0.00 N.P.(7)	x: 0.16 m η = 9.3	M_{Ed} = 0.00 N.P.(2)	x: 0.16 m η = 37.5	V_{Ed} = 0.00 N.P.(3)	x: 0.08 m η < 0.1	N.P.(4)	N.P.(8)	N.P.(9)	M_{Ed} = 0.00 N.P.(5)	N.P.(6)	N.P.(6)	**CUMPLE** **η = 37.5**
N1638/N1157	x: 0.08 m $\lambda_w \leq \lambda_{w,máx}$ Cumple	N_{Ed} = 0.00 N.P.(1)	N_{Ed} = 0.00 N.P.(7)	x: 0.16 m η = 2.1	M_{Ed} = 0.00 N.P.(2)	x: 0 m η = 8.3	V_{Ed} = 0.00 N.P.(3)	x: 0.08 m η < 0.1	N.P.(4)	N.P.(8)	N.P.(9)	M_{Ed} = 0.00 N.P.(5)	N.P.(6)	N.P.(6)	**CUMPLE** **η = 8.3**
N1639/N1280	x: 0.08 m $\lambda_w \leq \lambda_{w,máx}$ Cumple	N_{Ed} = 0.00 N.P.(1)	N_{Ed} = 0.00 N.P.(7)	x: 0.16 m η = 8.0	M_{Ed} = 0.00 N.P.(2)	x: 0.16 m η = 32.4	V_{Ed} = 0.00 N.P.(3)	x: 0.08 m η < 0.1	N.P.(4)	N.P.(8)	N.P.(9)	M_{Ed} = 0.00 N.P.(5)	N.P.(6)	N.P.(6)	**CUMPLE** **η = 32.4**
N1640/N1313	x: 0.08 m $\lambda_w \leq \lambda_{w,máx}$ Cumple	N_{Ed} = 0.00 N.P.(1)	N_{Ed} = 0.00 N.P.(7)	x: 0.16 m η = 2.6	M_{Ed} = 0.00 N.P.(2)	x: 0 m η = 10.7	V_{Ed} = 0.00 N.P.(3)	x: 0.08 m η < 0.1	N.P.(4)	N.P.(8)	N.P.(9)	M_{Ed} = 0.00 N.P.(5)	N.P.(6)	N.P.(6)	**CUMPLE** **η = 10.7**
N1642/N1643	$\lambda_w \leq \lambda_{w,máx}$ Cumple	x: 1.7 m η = 14.0	x: 0.078 m η = 27.3	x: 0.078 m η = 33.8	x: 1.701 m η = 1.5	x: 1.701 m η = 17.0	η = 0.1	η < 0.1	η < 0.1	x: 0.078 m η = 59.1	η < 0.1	η = 0.2	x: 1.701 m η = 17.0	η = 0.1	**CUMPLE** **η = 59.1**
N1643/N1644	$\lambda_w \leq \lambda_{w,máx}$ Cumple	x: 1.7 m η = 23.6	x: 0.078 m η = 45.4	x: 0.078 m η = 17.9	x: 1.701 m η = 3.4	x: 0.078 m η = 11.9	η = 0.1	η < 0.1	η < 0.1	x: 0.078 m η = 59.6	η < 0.1	η = 0.1	x: 0.078 m η = 9.8	η = 0.1	**CUMPLE** **η = 59.6**
N1644/N1645	$\lambda_w \leq \lambda_{w,máx}$ Cumple	x: 1.7 m η = 32.1	x: 0.078 m η = 60.9	x: 1.093 m η = 7.1	x: 0.078 m η = 3.3	x: 0.078 m η = 8.9	η = 0.1	η < 0.1	η < 0.1	x: 1.093 m η = 62.7	η < 0.1	η = 0.1	x: 0.078 m η = 5.9	η = 0.1	**CUMPLE** **η = 62.7**
N1645/N1646	$\lambda_w \leq \lambda_{w,máx}$ Cumple	x: 1.7 m η = 38.1	x: 0.078 m η = 72.4	x: 1.093 m η = 7.9	x: 1.701 m η = 1.8	x: 0.078 m η = 9.2	η = 0.1	η < 0.1	η < 0.1	x: 1.093 m η = 73.9	η < 0.1	η = 0.1	x: 0.078 m η = 5.8	η = 0.1	**CUMPLE** **η = 73.9**
N1646/N1647	$\lambda_w \leq \lambda_{w,máx}$ Cumple	x: 1.713 m η = 43.5	x: 0.078 m η = 79.5	x: 0.896 m η = 8.2	x: 0.078 m η = 2.3	x: 0.078 m η = 8.4	η = 0.1	η < 0.1	η < 0.1	x: 0.896 m η = 80.5	η < 0.1	η = 0.2	x: 0.078 m η = 8.4	η = 0.1	**CUMPLE** **η = 80.5**
N1647/N3437	$\lambda_w \leq \lambda_{w,máx}$ Cumple	x: 0.89 m η = 45.3	x: 0.065 m η = 76.0	x: 0.89 m η = 8.8	x: 0.065 m η = 1.0	x: 0.065 m η = 8.5	η = 0.1	η < 0.1	η < 0.1	x: 0.89 m η = 81.1	η < 0.1	η = 0.1	x: 0.065 m η = 8.5	η = 0.1	**CUMPLE** **η = 81.1**
N3437/N1648	$\lambda_w \leq \lambda_{w,máx}$ Cumple	x: 0.824 m η = 45.3	x: 0 m η = 75.9	x: 0 m η = 8.8	x: 0.825 m η = 2.0	x: 0.825 m η = 7.2	η = 0.1	η < 0.1	η < 0.1	x: 0 m η = 81.1	η < 0.1	η = 0.1	x: 0.825 m η = 7.2	η = 0.1	**CUMPLE** **η = 81.1**
N1648/N1649	$\lambda_w \leq \lambda_{w,máx}$ Cumple	x: 1.713 m η = 46.0	x: 0.065 m η = 84.0	x: 0.89 m η = 8.6	x: 0.065 m η = 1.8	x: 1.714 m η = 8.3	η = 0.1	η < 0.1	η < 0.1	x: 0.89 m η = 85.2	η < 0.1	η = 0.1	x: 1.714 m η = 6.1	η = 0.1	**CUMPLE** **η = 85.2**
N1649/N1650	$\lambda_w \leq \lambda_{w,máx}$ Cumple	x: 1.727 m η = 43.4	x: 0.065 m η = 80.3	x: 0.897 m η = 9.1	x: 1.728 m η = 2.5	x: 0.065 m η = 8.4	η = 0.1	η < 0.1	η < 0.1	x: 0.897 m η = 82.3	η < 0.1	η = 0.1	x: 0.065 m η = 6.2	η = 0.1	**CUMPLE** **η = 82.3**
N1650/N1651	$\lambda_w \leq \lambda_{w,máx}$ Cumple	x: 1.708 m η = 44.3	x: 0.051 m η = 79.4	x: 0.88 m η = 9.5	x: 0.051 m η = 2.6	x: 1.709 m η = 8.7	η = 0.1	η < 0.1	η < 0.1	x: 0.88 m η = 82.0	η < 0.1	x: 0.466 m η < 0.1	x: 1.709 m η = 0.8	x: 0.466 m η < 0.1	**CUMPLE** **η = 82.0**
N1651/N1652	$\lambda_w \leq \lambda_{w,máx}$ Cumple	x: 1.708 m η = 39.4	x: 0.07 m η = 72.0	x: 0.685 m η = 8.6	x: 1.709 m η = 3.4	x: 1.709 m η = 8.9	η = 0.1	η < 0.1	η < 0.1	x: 0.89 m η = 74.3	η < 0.1	x: 0.07 m η < 0.1	x: 1.709 m η = 0.8	x: 0.07 m η < 0.1	**CUMPLE** **η = 74.3**
N1652/N3454	$\lambda_w \leq \lambda_{w,máx}$ Cumple	x: 0.89 m η = 32.7	x: 0.07 m η = 53.4	x: 0.685 m η = 7.1	x: 0.07 m η = 3.9	x: 0.07 m η = 5.8	η = 0.2	η < 0.1	η < 0.1	x: 0.685 m η = 57.7	η < 0.1	η = 0.1	x: 0.07 m η = 4.3	η = 0.2	**CUMPLE** **η = 57.7**
N3454/N1653	$\lambda_w \leq \lambda_{w,máx}$ Cumple	x: 0.819 m η = 32.7	x: 0 m η = 53.4	x: 0.82 m η = 9.2	x: 0 m η = 1.4	x: 0.82 m η = 9.9	η = 0.2	η < 0.1	η < 0.1	x: 0.82 m η = 60.1	η < 0.1	η = 0.1	x: 0.82 m η = 7.2	η = 0.2	**CUMPLE** **η = 60.1**
N1653/N1654	$\lambda_w \leq \lambda_{w,máx}$ Cumple	x: 1.694 m η = 23.5	x: 0.07 m η = 43.4	x: 1.695 m η = 9.2	x: 1.695 m η = 4.7	x: 1.695 m η = 9.6	η = 0.2	η < 0.1	η < 0.1	x: 1.695 m η = 48.9	η < 0.1	η = 0.2	x: 1.695 m η = 9.6	η = 0.2	**CUMPLE** **η = 48.9**
N1654/N1655	$\lambda_w \leq \lambda_{w,máx}$ Cumple	x: 1.694 m η = 12.5	x: 0.084 m η = 23.8	x: 1.695 m η = 13.2	x: 0.084 m η = 4.2	x: 1.695 m η = 10.8	η = 0.2	η < 0.1	η < 0.1	x: 1.695 m η = 34.8	η < 0.1	η = 0.1	x: 1.695 m η = 10.8	η = 0.2	**CUMPLE** **η = 34.8**
N1655/N1656	$\lambda_w \leq \lambda_{w,máx}$ Cumple	x: 1.694 m η = 0.2	x: 0.084 m η = 2.2	x: 1.695 m η = 12.3	x: 1.695 m η = 5.3	x: 1.695 m η = 10.0	η = 0.2	η < 0.1	η < 0.1	x: 1.695 m η = 14.3	η < 0.1	η < 0.1	x: 1.695 m η = 1.0	η = 0.1	**CUMPLE** **η = 14.3**
N1656/N1657	$\lambda_w \leq \lambda_{w,máx}$ Cumple	x: 1.694 m η = 23.6	x: 0.084 m η = 17.5	x: 1.695 m η = 34.4	x: 0.084 m η = 6.8	x: 1.695 m η = 15.3	η = 0.2	η < 0.1	η < 0.1	x: 1.695 m η = 58.1	η < 0.1	η < 0.1	x: 1.695 m η = 1.7	x: 0.487 m η = 0.1	**CUMPLE** **η = 58.1**
N1657/N1658	$\lambda_w \leq \lambda_{w,máx}$ Cumple	x: 1.637 m η = 46.3	x: 0.084 m η = 37.6	x: 0.084 m η = 32.7	x: 0.084 m η = 3.0	x: 0.084 m η = 18.9	η = 0.2	η < 0.1	η < 0.1	x: 0.084 m η = 79.2	η < 0.1	x: 0.084 m η < 0.1	x: 0.084 m η = 2.3	x: 0.278 m η = 0.1	**CUMPLE** **η = 79.2**
N1659/N1660	$\lambda_w \leq \lambda_{w,máx}$ Cumple	x: 1.7 m η = 47.9	x: 0.141 m η = 26.8	x: 0.141 m η = 47.2	x: 1.701 m η = 1.5	x: 0.141 m η = 17.6	η = 0.1	η < 0.1	η < 0.1	x: 0.141 m η = 93.0	η < 0.1	η = 0.2	x: 0.141 m η = 17.0	η = 0.1	**CUMPLE** **η = 93.0**
N1660/N1661	$\lambda_w \leq \lambda_{w,máx}$ Cumple	x: 1.7 m η = 30.9	x: 0.078 m η = 10.9	x: 0.078 m η = 9.3	x: 1.701 m η = 2.3	x: 0.078 m η = 8.8	η = 0.1	η < 0.1	η < 0.1	x: 0.078 m η = 39.8	η < 0.1	η = 0.1	x: 0.078 m η = 8.9	η = 0.1	**CUMPLE** **η = 39.8**
N1661/N1662	$\lambda_w \leq \lambda_{w,máx}$ Cumple	x: 1.7 m η = 16.1	x: 1.498 m η = 3.1	x: 0.078 m η = 13.0	x: 0.078 m η = 1.1	x: 0.078 m η = 9.8	η = 0.1	η < 0.1	η < 0.1	x: 0.078 m η = 26.0	η < 0.1	η = 0.1	x: 0.078 m η = 6.5	η = 0.1	**CUMPLE** **η = 26.0**
N1662/N1663	$\lambda_w \leq \lambda_{w,máx}$ Cumple	x: 1.7 m η = 19.8	x: 0.078 m η = 9.5	x: 0.078 m η = 10.4	x: 1.701 m η = 2.2	x: 0.078 m η = 9.5	η = 0.1	η < 0.1	η < 0.1	x: 0.078 m η = 26.3	η < 0.1	η = 0.1	x: 0.078 m η = 5.9	η = 0.1	**CUMPLE** **η = 26.3**
N1663/N1664	$\lambda_w \leq \lambda_{w,máx}$ Cumple	x: 1.713 m η = 23.9	x: 0.078 m η = 23.5	x: 0.078 m η = 7.9	x: 0.078 m η = 2.6	x: 0.078 m η = 8.8	η = 0.1	η < 0.1	η < 0.1	x: 0.078 m η = 29.9	η < 0.1	η = 0.1	x: 0.078 m η = 6.4	η = 0.1	**CUMPLE** **η = 29.9**
N1664/N3455	$\lambda_w \leq \lambda_{w,máx}$ Cumple	x: 0.89 m η = 27.1	x: 0.065 m η = 28.1	x: 0.065 m η = 7.5	x: 0.89 m η = 0.8	x: 0.065 m η = 8.9	η = 0.1	η < 0.1	η < 0.1	x: 0.065 m η = 35.3	η < 0.1	η < 0.1	x: 0.065 m η = 0.9	x: 0.684 m η < 0.1	**CUMPLE** **η = 35.3**
N3455/N1665	$\lambda_w \leq \lambda_{w,máx}$ Cumple	x: 0.824 m η = 27.1	x: 0 m η = 28.0	x: 0.206 m η = 5.6	x: 0.825 m η = 1.9	x: 0.825 m η = 6.8	η = 0.1	η < 0.1	η < 0.1	x: 0.206 m η = 33.5	η < 0.1	η < 0.1	x: 0.825 m η = 0.6	x: 0 m η < 0.1	**CUMPLE** **η = 33.5**
N1665/N1666	$\lambda_w \leq \lambda_{w,máx}$ Cumple	x: 1.713 m η = 27.1	x: 0.065 m η = 37.9	x: 0.89 m η = 6.3	x: 0.065 m η = 1.7	x: 0.065 m η = 8.1	η = 0.1	η < 0.1	η < 0.1	x: 0.89 m η = 40.7	η < 0.1	x: 1.096 m η < 0.1	x: 0.065 m η = 0.7	x: 1.302 m η < 0.1	**CUMPLE** **η = 40.7**
N1666/N1667	$\lambda_w \leq \lambda_{w,máx}$ Cumple	x: 1.727 m η = 26.3	x: 0.065 m η = 39.2	x: 0.897 m η = 6.8	x: 1.728 m η = 2.0	x: 0.065 m η = 8.3	η = 0.1	η < 0.1	η < 0.1	x: 0.897 m η = 42.5	η < 0.1	η < 0.1	x: 0.065 m η = 0.8	η < 0.1	**CUMPLE** **η = 42.5**
N1667/N1668	$\lambda_w \leq \lambda_{w,máx}$ Cumple	x: 1.708 m η = 26.1	x: 0.051 m η = 39.4	x: 0.88 m η = 7.0	x: 0.051 m η = 2.0	x: 1.709 m η = 8.3	η = 0.1	η < 0.1	η < 0.1	x: 0.88 m η = 42.8	η < 0.1	η < 0.1	x: 1.709 m η = 0.8	x: 1.502 m η < 0.1	**CUMPLE** **η = 42.8**
N1668/N1669	$\lambda_w \leq \lambda_{w,máx}$ Cumple	x: 1.708 m η = 24.0	x: 0.07 m η = 37.0	x: 0.89 m η = 6.5	x: 1.709 m η = 0.9	x: 1.709 m η = 8.2	η = 0.1	η < 0.1	η < 0.1	x: 0.89 m η = 40.1	η < 0.1	x: 0.89 m η < 0.1	x: 1.709 m η = 0.7	x: 0.89 m η < 0.1	**CUMPLE** **η = 40.1**
N1669/N3472	$\lambda_w \leq \lambda_{w,máx}$ Cumple	x: 0.89 m η = 19.1	x: 0.07 m η = 26.3	x: 0.685 m η = 5.6	x: 0.07 m η = 1.0	x: 0.07 m η = 6.5	η = 0.1	η < 0.1	η < 0.1	x: 0.685 m η = 31.7	η < 0.1	x: 0.89 m η < 0.1	x: 0.07 m η = 0.6	x: 0.89 m η = 0.1	**CUMPLE** **η = 31.7**

VISADO COGITI
VALENCIA
VA07290/22
TRLTDCFZ60T66IJ1
Documento visado electrónicamente con número VA07290/22
Código de validación telemática TRLTDCFZ60T66IJ1. Comprobación: https://cogitivalencia.e-gestion.es/Validacion.aspx?CVT=TRLTDCFZ60T66IJ1

VISADO
COGITI
Estado
VALENCIA
VA07290/22
TRLTDCFZ60T66IJ1

Barras	COMPROBACIONES (CÓDIGO ESTRUCTURAL)														
	λ_w	N_t	N_c	M_Y	M_Z	V_Z	V_Y	M_YV_Z	M_ZV_Y	NM_YM_Z	$NM_YM_ZV_YV_Z$	M_t	M_tV_Z	M_tV_Y	
N3472/N1670	$\lambda_w \leq \lambda_{w,máx}$ Cumple	x: 0.819 m η = 19.1	x: 0 m η = 26.3	x: 0.82 m η = 8.2	x: 0.82 m η = 0.6	x: 0.82 m η = 9.2	η = 0.1	η < 0.1	η < 0.1	x: 0.82 m η = 34.5	η < 0.1	x: 0 m η < 0.1	x: 0.82 m η = 0.9	x: 0 m η < 0.1	**CUMPLE η = 72.5**
N1670/N1671	$\lambda_w \leq \lambda_{w,máx}$ Cumple	x: 1.694 m η = 12.8	x: 0.07 m η = 17.7	x: 1.695 m η = 8.5	x: 1.695 m η = 1.8	x: 1.695 m η = 9.0	η = 0.1	η < 0.1	η < 0.1	x: 1.695 m η = 26.5	η < 0.1	η = 0.1	x: 1.695 m η = 6.7	η < 0.1	**CUMPLE η = 26.5**
N1671/N1672	$\lambda_w \leq \lambda_{w,máx}$ Cumple	x: 1.694 m η = 4.2	x: 0.084 m η = 5.8	x: 1.695 m η = 11.8	x: 0.084 m η = 1.7	x: 1.695 m η = 10.0	η = 0.1	η < 0.1	η < 0.1	x: 1.695 m η = 17.6	η < 0.1	η = 0.1	x: 1.695 m η = 6.1	η < 0.1	**CUMPLE η = 17.6**
N1672/N1673	$\lambda_w \leq \lambda_{w,máx}$ Cumple	x: 1.694 m η = 9.7	x: 0.084 m η = 6.9	x: 1.695 m η = 11.1	x: 1.695 m η = 1.7	x: 1.695 m η = 9.4	η = 0.1	η < 0.1	η < 0.1	x: 1.695 m η = 21.1	η < 0.1	η < 0.1	x: 1.695 m η = 0.9	η < 0.1	**CUMPLE η = 21.1**
N1673/N1674	$\lambda_w \leq \lambda_{w,máx}$ Cumple	x: 1.694 m η = 28.0	x: 0.084 m η = 20.1	x: 1.695 m η = 31.3	x: 0.084 m η = 2.7	x: 1.695 m η = 14.3	η = 0.1	η < 0.1	η < 0.1	x: 1.695 m η = 59.3	η < 0.1	η < 0.1	x: 1.695 m η = 1.6	η < 0.1	**CUMPLE η = 59.3**
N1674/N1675	$\lambda_w \leq \lambda_{w,máx}$ Cumple	x: 1.637 m η = 46.0	x: 0.084 m η = 37.1	x: 0.084 m η = 31.5	x: 1.638 m η = 1.8	x: 0.084 m η = 18.7	η = 0.1	η < 0.1	η < 0.1	x: 0.084 m η = 77.5	η < 0.1	x: 1.055 m η < 0.1	x: 0.084 m η = 2.3	η < 0.1	**CUMPLE η = 77.5**
N1676/N1677	$\lambda_w \leq \lambda_{w,máx}$ Cumple	x: 1.7 m η = 41.8	x: 0.141 m η = 29.8	x: 0.141 m η = 45.4	x: 1.701 m η = 1.3	x: 0.141 m η = 17.1	η = 0.1	η < 0.1	η < 0.1	x: 0.141 m η = 87.5	η < 0.1	η = 0.1	x: 0.141 m η = 17.0	η = 0.1	**CUMPLE η = 87.5**
N1677/N1678	$\lambda_w \leq \lambda_{w,máx}$ Cumple	x: 1.7 m η = 17.1	x: 0.078 m η = 10.0	x: 0.078 m η = 10.8	x: 1.701 m η = 2.7	x: 0.078 m η = 9.5	η = 0.1	η < 0.1	η < 0.1	x: 0.078 m η = 28.0	η < 0.1	η = 0.1	x: 0.078 m η = 9.5	η = 0.1	**CUMPLE η = 28.0**
N1678/N1679	$\lambda_w \leq \lambda_{w,máx}$ Cumple	x: 1.7 m η = 6.5	x: 0.078 m η = 5.5	x: 0.078 m η = 13.6	x: 0.078 m η = 1.7	x: 0.078 m η = 10.2	η = 0.1	η < 0.1	η < 0.1	x: 0.078 m η = 19.1	η < 0.1	η = 0.1	x: 0.078 m η = 6.4	η = 0.1	**CUMPLE η = 19.1**
N1679/N1680	$\lambda_w \leq \lambda_{w,máx}$ Cumple	x: 1.7 m η = 17.3	x: 0.078 m η = 27.5	x: 0.078 m η = 11.0	x: 1.701 m η = 2.3	x: 0.078 m η = 10.1	η = 0.1	η < 0.1	η < 0.1	x: 0.078 m η = 36.1	η < 0.1	η = 0.1	x: 0.078 m η = 7.2	η = 0.1	**CUMPLE η = 36.1**
N1680/N1681	$\lambda_w \leq \lambda_{w,máx}$ Cumple	x: 1.713 m η = 27.0	x: 0.078 m η = 45.1	x: 0.078 m η = 8.0	x: 0.078 m η = 2.8	x: 0.078 m η = 9.2	η = 0.1	η < 0.1	η < 0.1	x: 0.078 m η = 49.3	η < 0.1	η = 0.2	x: 0.078 m η = 9.2	η = 0.1	**CUMPLE η = 49.3**
N1681/N3473	$\lambda_w \leq \lambda_{w,máx}$ Cumple	x: 0.89 m η = 34.9	x: 0.065 m η = 53.6	x: 0.065 m η = 7.7	x: 0.065 m η = 0.9	x: 0.065 m η = 9.5	η = 0.1	η < 0.1	η < 0.1	x: 0.065 m η = 58.9	η < 0.1	η = 0.1	x: 0.065 m η = 6.8	x: 0.271 m η < 0.1	**CUMPLE η = 58.9**
N3473/N1682	$\lambda_w \leq \lambda_{w,máx}$ Cumple	x: 0.824 m η = 34.9	x: 0 m η = 53.6	x: 0.206 m η = 6.9	x: 0.825 m η = 2.0	x: 0.825 m η = 6.3	η = 0.1	η < 0.1	η < 0.1	x: 0.206 m η = 57.9	η < 0.1	η = 0.1	x: 0.825 m η = 4.8	η < 0.1	**CUMPLE η = 57.9**
N1682/N1683	$\lambda_w \leq \lambda_{w,máx}$ Cumple	x: 1.713 m η = 41.1	x: 0.065 m η = 70.0	x: 0.89 m η = 8.2	x: 0.065 m η = 1.8	x: 0.065 m η = 8.6	η = 0.1	η < 0.1	η < 0.1	x: 0.89 m η = 71.9	η < 0.1	η = 0.1	x: 0.065 m η = 6.3	η < 0.1	**CUMPLE η = 71.9**
N1683/N1684	$\lambda_w \leq \lambda_{w,máx}$ Cumple	x: 1.727 m η = 44.7	x: 0.065 m η = 76.3	x: 0.897 m η = 8.9	x: 1.728 m η = 2.4	x: 0.065 m η = 8.5	η = 0.1	η < 0.1	η < 0.1	x: 0.897 m η = 78.5	η < 0.1	η < 0.1	x: 0.065 m η = 0.8	x: 1.105 m η < 0.1	**CUMPLE η = 78.5**
N1684/N1685	$\lambda_w \leq \lambda_{w,máx}$ Cumple	x: 1.708 m η = 44.5	x: 0.051 m η = 76.5	x: 0.88 m η = 8.8	x: 0.051 m η = 2.4	x: 1.709 m η = 8.2	η = 0.1	η < 0.1	η < 0.1	x: 0.88 m η = 78.6	η < 0.1	η < 0.1	x: 1.709 m η = 0.7	η < 0.1	**CUMPLE η = 78.6**
N1685/N1686	$\lambda_w \leq \lambda_{w,máx}$ Cumple	x: 1.708 m η = 46.1	x: 0.07 m η = 79.0	x: 0.89 m η = 8.5	x: 1.709 m η = 1.2	x: 0.07 m η = 7.9	η = 0.1	η < 0.1	η < 0.1	x: 0.89 m η = 80.5	η < 0.1	η = 0.1	x: 1.709 m η = 5.8	η < 0.1	**CUMPLE η = 80.5**
N1686/N3490	$\lambda_w \leq \lambda_{w,máx}$ Cumple	x: 0.89 m η = 44.1	x: 0.07 m η = 69.4	x: 0.89 m η = 8.2	x: 0.07 m η = 1.3	x: 0.07 m η = 6.8	η = 0.1	η < 0.1	η < 0.1	x: 0.89 m η = 74.1	η < 0.1	η = 0.1	x: 0.07 m η = 5.1	η = 0.1	**CUMPLE η = 74.1**
N3490/N1687	$\lambda_w \leq \lambda_{w,máx}$ Cumple	x: 0.819 m η = 44.1	x: 0 m η = 69.4	x: 0 m η = 8.2	x: 0.82 m η = 0.9	x: 0.82 m η = 8.8	η = 0.1	η < 0.1	η < 0.1	x: 0 m η = 74.1	η < 0.1	η = 0.1	x: 0.82 m η = 6.4	η = 0.1	**CUMPLE η = 74.1**
N1687/N1688	$\lambda_w \leq \lambda_{w,máx}$ Cumple	x: 1.694 m η = 41.3	x: 0.07 m η = 71.1	x: 0.883 m η = 7.5	x: 1.695 m η = 2.4	x: 1.695 m η = 8.7	η = 0.1	η < 0.1	η < 0.1	x: 0.883 m η = 72.4	η < 0.1	η = 0.2	x: 1.695 m η = 8.7	η = 0.1	**CUMPLE η = 72.4**
N1688/N1689	$\lambda_w \leq \lambda_{w,máx}$ Cumple	x: 1.694 m η = 34.9	x: 0.084 m η = 62.3	x: 1.695 m η = 7.8	x: 0.084 m η = 2.1	x: 1.695 m η = 9.6	η = 0.1	η < 0.1	η < 0.1	x: 0.688 m η = 64.2	η < 0.1	η = 0.1	x: 1.695 m η = 5.9	η = 0.1	**CUMPLE η = 64.2**
N1689/N1690	$\lambda_w \leq \lambda_{w,máx}$ Cumple	x: 1.694 m η = 28.0	x: 0.084 m η = 49.6	x: 1.695 m η = 8.3	x: 1.695 m η = 2.1	x: 1.695 m η = 9.4	η = 0.1	η < 0.1	η < 0.1	x: 1.695 m η = 53.6	η < 0.1	η < 0.1	x: 1.695 m η = 0.9	η < 0.1	**CUMPLE η = 53.6**
N1690/N1691	$\lambda_w \leq \lambda_{w,máx}$ Cumple	x: 1.694 m η = 18.1	x: 0.084 m η = 31.9	x: 1.695 m η = 14.7	x: 0.084 m η = 3.2	x: 1.695 m η = 11.1	η = 0.1	η < 0.1	η < 0.1	x: 1.695 m η = 43.0	η < 0.1	η = 0.1	x: 1.695 m η = 11.1	η = 0.1	**CUMPLE η = 43.0**
N1691/N1692	$\lambda_w \leq \lambda_{w,máx}$ Cumple	x: 1.637 m η = 7.1	x: 0.084 m η = 10.2	x: 1.638 m η = 8.9	x: 1.638 m η = 1.9	x: 1.638 m η = 8.5	η = 0.1	η < 0.1	η < 0.1	x: 1.638 m η = 19.7	η < 0.1	η = 0.1	x: 1.638 m η = 7.7	η = 0.1	**CUMPLE η = 19.7**
N1693/N1643	$\lambda_w \leq \lambda_{w,máx}$ Cumple	x: 1.911 m η = 25.0	x: 0.088 m η = 47.2	x: 0.088 m η = 0.8	x: 0.088 m η = 7.9	η = 0.1	η = 1.1	η < 0.1	η < 0.1	x: 0.088 m η = 55.2	η < 0.1	η = 0.7	η = 0.1	η = 1.1	**CUMPLE η = 55.2**
N1694/N1644	$\lambda_w \leq \lambda_{w,máx}$ Cumple	x: 1.911 m η = 18.7	x: 0.088 m η = 35.6	x: 0.088 m η = 0.7	x: 0.088 m η = 16.4	η < 0.1	η = 2.6	η < 0.1	η < 0.1	x: 0.088 m η = 52.5	η < 0.1	η = 0.9	η < 0.1	η = 2.6	**CUMPLE η = 52.5**
N1695/N1645	$\lambda_w \leq \lambda_{w,máx}$ Cumple	x: 1.911 m η = 18.6	x: 0.088 m η = 35.4	x: 0.088 m η = 0.5	x: 0.088 m η = 13.1	η < 0.1	η = 2.1	η < 0.1	η < 0.1	x: 0.088 m η = 48.8	η < 0.1	η = 0.9	η < 0.1	η = 2.1	**CUMPLE η = 48.8**
N1696/N1646	$\lambda_w \leq \lambda_{w,máx}$ Cumple	x: 1.911 m η = 13.7	x: 0.088 m η = 26.4	x: 0.088 m η = 0.8	x: 0.088 m η = 11.3	η = 0.1	η = 1.7	η < 0.1	η < 0.1	x: 0.088 m η = 38.3	η < 0.1	η = 0.7	η = 0.1	η = 1.7	**CUMPLE η = 38.3**
N1697/N1647	$\lambda_w \leq \lambda_{w,máx}$ Cumple	x: 1.922 m η = 8.9	x: 0.088 m η = 14.9	x: 0.088 m η = 1.1	x: 0.088 m η = 7.6	η < 0.1	η = 1.2	η < 0.1	η < 0.1	x: 0.088 m η = 22.7	η < 0.1	η = 1.4	η < 0.1	η = 1.2	**CUMPLE η = 22.7**
N1698/N1648	$\lambda_w \leq \lambda_{w,máx}$ Cumple	x: 1.922 m η = 4.7	x: 0.086 m η = 8.7	x: 0.086 m η = 0.7	x: 0.086 m η = 3.4	η = 0.1	η = 0.4	η < 0.1	η < 0.1	x: 0.086 m η = 12.5	η < 0.1	η = 0.3	η = 0.1	η = 0.4	**CUMPLE η = 12.5**
N1699/N1649	$\lambda_w \leq \lambda_{w,máx}$ Cumple	x: 1.922 m η = 2.0	x: 0.086 m η = 4.6	x: 0.086 m η = 0.7	x: 1.923 m η = 1.4	η < 0.1	η = 0.2	η < 0.1	η < 0.1	x: 0.086 m η = 6.3	η < 0.1	η = 0.9	η < 0.1	η = 0.2	**CUMPLE η = 6.3**
N1700/N1650	$\lambda_w \leq \lambda_{w,máx}$ Cumple	x: 1.922 m η = 5.9	x: 0.086 m η = 8.6	x: 1.923 m η = 0.8	x: 0.086 m η = 6.6	η = 0.1	η = 0.9	η < 0.1	η < 0.1	x: 0.086 m η = 15.6	η < 0.1	η = 0.7	η = 0.1	η = 0.9	**CUMPLE η = 15.6**
N1701/N1651	$\lambda_w \leq \lambda_{w,máx}$ Cumple	x: 1.921 m η = 21.3	x: 0.086 m η = 36.0	x: 0.086 m η = 0.6	x: 0.086 m η = 14.6	η < 0.1	η = 1.9	η < 0.1	η < 0.1	x: 0.086 m η = 51.3	η < 0.1	η = 0.7	η < 0.1	η = 1.9	**CUMPLE η = 51.3**
N1702/N1652	$\lambda_w \leq \lambda_{w,máx}$ Cumple	x: 1.921 m η = 26.9	x: 0.086 m η = 47.9	x: 0.086 m η = 0.9	x: 0.086 m η = 19.4	η = 0.1	η = 2.6	η < 0.1	η < 0.1	x: 0.086 m η = 68.9	η < 0.1	η = 0.5	η = 0.1	η = 2.6	**CUMPLE η = 68.9**
N1703/N1653	$\lambda_w \leq \lambda_{w,máx}$ Cumple	x: 1.921 m η = 27.0	x: 0.094 m η = 45.5	x: 0.094 m η = 1.1	x: 0.094 m η = 24.0	η < 0.1	η = 3.9	η < 0.1	η < 0.1	x: 0.094 m η = 70.3	η < 0.1	η = 1.9	η < 0.1	η = 3.9	**CUMPLE η = 70.3**
N1704/N1654	$\lambda_w \leq \lambda_{w,máx}$ Cumple	x: 1.905 m η = 31.7	x: 0.094 m η = 54.2	x: 0.094 m η = 0.7	x: 0.094 m η = 27.8	η = 0.1	η = 4.4	η < 0.1	η < 0.1	x: 0.094 m η = 83.0	η < 0.1	η = 1.5	η = 0.1	η = 4.5	**CUMPLE η = 83.0**
N1705/N1655	$\lambda_w \leq \lambda_{w,máx}$ Cumple	x: 1.905 m η = 36.4	x: 0.094 m η = 62.8	x: 1.906 m η = 0.5	x: 1.906 m η = 28.1	η < 0.1	η = 4.6	η < 0.1	η < 0.1	x: 0.094 m η = 91.7	η < 0.1	η = 0.5	η < 0.1	η = 4.6	**CUMPLE η = 91.7**
N1706/N1656	$\lambda_w \leq \lambda_{w,máx}$ Cumple	x: 1.905 m η = 33.0	x: 0.094 m η = 57.8	x: 0.094 m η = 0.7	x: 0.094 m η = 34.4	η < 0.1	η = 5.4	η < 0.1	η < 0.1	x: 0.094 m η = 93.1	η < 0.1	η = 0.5	η < 0.1	η = 5.4	**CUMPLE η = 93.1**
N1707/N1657	$\lambda_w \leq \lambda_{w,máx}$ Cumple	x: 1.905 m η = 38.6	x: 0.131 m η = 67.8	x: 0.131 m η = 1.6	x: 0.131 m η = 2.8	η = 0.1	η = 0.3	η < 0.1	η < 0.1	x: 0.131 m η = 69.8	η < 0.1	η = 0.4	η = 0.1	η = 0.3	**CUMPLE η = 69.8**
N1708/N1660	$\lambda_w \leq \lambda_{w,máx}$ Cumple	x: 1.911 m η = 24.9	x: 0.088 m η = 49.0	x: 0.088 m η = 1.7	x: 1.912 m η = 20.4	η = 0.1	η = 2.9	η < 0.1	η < 0.1	x: 1.912 m η = 69.8	η < 0.1	η = 0.7	η = 0.1	η = 2.9	**CUMPLE η = 69.8**
N1709/N1661	$\lambda_w \leq \lambda_{w,máx}$ Cumple	x: 1.911 m η = 24.3	x: 0.088 m η = 46.6	x: 0.088 m η = 0.9	x: 0.088 m η = 17.8	η < 0.1	η = 2.8	η < 0.1	η < 0.1	x: 0.088 m η = 64.7	η < 0.1	η = 0.5	η < 0.1	η = 2.8	**CUMPLE η = 64.7**
N1710/N1662	$\lambda_w \leq \lambda_{w,máx}$ Cumple	x: 1.911 m η = 24.3	x: 0.088 m η = 47.0	x: 1.911 m η = 0.7	x: 0.088 m η = 17.1	η < 0.1	η = 2.8	η < 0.1	η < 0.1	x: 0.088 m η = 64.6	η < 0.1	η = 0.9	η < 0.1	η = 2.8	**CUMPLE η = 64.6**
N1711/N1663	$\lambda_w \leq \lambda_{w,máx}$ Cumple	x: 1.911 m η = 19.7	x: 0.088 m η = 38.6	x: 0.088 m η = 0.7	x: 0.088 m η = 15.5	η = 0.1	η = 2.4	η < 0.1	η < 0.1	x: 0.088 m η = 54.6	η < 0.1	η = 0.9	η = 0.1	η = 2.5	**CUMPLE η = 54.6**

Documento visado electrónicamente con número: VA07290/22
Código de validación telemática TRLTDCFZ60T66IJ1. Comprobación: https://cogitivalencia.e-gestion.es/Validacion.aspx?CVT=TRLTDCFZ60T66IJ1

VISADO
COGITI
VALENCIA
VA07290/22
TRLTDCFZ60T66IJ1

Barras	COMPROBACIONES (CÓDIGO ESTRUCTURAL)														Estado
	λ_w	N_t	N_c	M_Y	M_Z	V_Z	V_Y	M_YV_Z	M_ZV_Y	NM_YM_Z	$NM_YM_ZV_YV_Z$	M_t	M_tV_Z	M_tV_Y	
N1712/N1664	$\lambda_w \leq \lambda_{w,máx}$ Cumple	x: 1.922 m η = 15.0	x: 0.088 m η = 29.8	x: 0.088 m η = 0.5	x: 0.088 m η = 12.3	η < 0.1	η = 1.9	η < 0.1	η < 0.1	x: 0.088 m η = 42.4	η < 0.1	η = 0.7	η < 0.1	η = 2.0	**CUMPLE** **η = 42.4**
N1713/N1665	$\lambda_w \leq \lambda_{w,máx}$ Cumple	x: 1.922 m η = 12.3	x: 0.086 m η = 27.3	x: 0.086 m η = 0.7	x: 0.086 m η = 8.5	η = 0.1	η = 1.1	η < 0.1	η < 0.1	x: 0.086 m η = 36.4	η < 0.1	η = 0.1	η = 0.1	η = 1.1	**CUMPLE** **η = 36.4**
N1714/N1666	$\lambda_w \leq \lambda_{w,máx}$ Cumple	x: 1.922 m η = 6.4	x: 0.086 m η = 15.7	x: 0.086 m η = 0.3	x: 0.086 m η = 4.9	η < 0.1	η = 0.6	η < 0.1	η < 0.1	x: 0.086 m η = 20.8	η < 0.1	η = 0.4	η < 0.1	η = 0.6	**CUMPLE** **η = 20.8**
N1715/N1667	$\lambda_w \leq \lambda_{w,máx}$ Cumple	x: 1.922 m η = 5.9	x: 0.086 m η = 8.7	x: 1.923 m η = 0.6	x: 0.086 m η = 2.2	η = 0.1	η = 0.3	η < 0.1	η < 0.1	x: 1.923 m η = 9.9	η < 0.1	η = 0.1	η = 0.1	η = 0.3	**CUMPLE** **η = 9.9**
N1716/N1668	$\lambda_w \leq \lambda_{w,máx}$ Cumple	x: 1.921 m η = 13.0	x: 0.086 m η = 19.1	x: 0.086 m η = 0.3	x: 0.086 m η = 7.1	η < 0.1	η = 0.9	η < 0.1	η < 0.1	x: 0.086 m η = 26.5	η < 0.1	η = 0.4	η < 0.1	η = 0.9	**CUMPLE** **η = 26.5**
N1717/N1669	$\lambda_w \leq \lambda_{w,máx}$ Cumple	x: 1.921 m η = 18.4	x: 0.086 m η = 30.6	x: 0.086 m η = 0.6	x: 0.086 m η = 11.8	η = 0.1	η = 1.5	η < 0.1	η < 0.1	x: 0.086 m η = 43.1	η < 0.1	η = 0.2	η = 0.1	η = 1.5	**CUMPLE** **η = 43.1**
N1718/N1670	$\lambda_w \leq \lambda_{w,máx}$ Cumple	x: 1.921 m η = 19.9	x: 0.094 m η = 32.2	x: 0.094 m η = 0.4	x: 0.094 m η = 16.3	η < 0.1	η = 2.6	η < 0.1	η < 0.1	x: 0.094 m η = 48.9	η < 0.1	η = 0.7	η < 0.1	η = 2.6	**CUMPLE** **η = 48.9**
N1719/N1671	$\lambda_w \leq \lambda_{w,máx}$ Cumple	x: 1.905 m η = 24.6	x: 0.094 m η = 40.8	x: 0.094 m η = 0.5	x: 0.094 m η = 20.4	η < 0.1	η = 3.3	η < 0.1	η < 0.1	x: 0.094 m η = 61.8	η < 0.1	η = 0.7	η < 0.1	η = 3.3	**CUMPLE** **η = 61.8**
N1720/N1672	$\lambda_w \leq \lambda_{w,máx}$ Cumple	x: 1.905 m η = 29.2	x: 0.094 m η = 49.4	x: 1.905 m η = 0.5	x: 0.094 m η = 21.4	η < 0.1	η = 3.5	η < 0.1	η < 0.1	x: 0.094 m η = 71.2	η < 0.1	η = 0.7	η < 0.1	η = 3.5	**CUMPLE** **η = 71.2**
N1721/N1673	$\lambda_w \leq \lambda_{w,máx}$ Cumple	x: 1.905 m η = 27.2	x: 0.094 m η = 46.8	x: 0.094 m η = 0.5	x: 0.094 m η = 28.4	η < 0.1	η = 4.4	η < 0.1	η < 0.1	x: 0.094 m η = 75.8	η < 0.1	η = 0.3	η < 0.1	η = 4.4	**CUMPLE** **η = 75.8**
N1722/N1674	$\lambda_w \leq \lambda_{w,máx}$ Cumple	x: 1.905 m η = 32.7	x: 0.131 m η = 56.7	x: 0.131 m η = 1.9	x: 0.131 m η = 5.7	η = 0.2	η = 0.7	η < 0.1	η < 0.1	x: 0.131 m η = 62.6	η < 0.1	η = 0.3	η = 0.2	η = 0.7	**CUMPLE** **η = 62.6**
N1723/N1677	$\lambda_w \leq \lambda_{w,máx}$ Cumple	x: 1.911 m η = 31.8	x: 0.088 m η = 58.4	x: 0.088 m η = 1.5	x: 1.912 m η = 24.2	η = 0.1	η = 3.5	η < 0.1	η < 0.1	x: 1.912 m η = 83.0	η < 0.1	η = 0.8	η = 0.1	η = 3.6	**CUMPLE** **η = 83.0**
N1724/N1678	$\lambda_w \leq \lambda_{w,máx}$ Cumple	x: 1.911 m η = 30.7	x: 0.088 m η = 55.7	x: 0.088 m η = 0.9	x: 0.088 m η = 21.9	η < 0.1	η = 3.4	η < 0.1	η < 0.1	x: 0.088 m η = 78.2	η < 0.1	η = 0.6	η < 0.1	η = 3.4	**CUMPLE** **η = 78.2**
N1725/N1679	$\lambda_w \leq \lambda_{w,máx}$ Cumple	x: 1.911 m η = 32.2	x: 0.088 m η = 58.1	x: 1.911 m η = 0.5	x: 0.088 m η = 21.9	η < 0.1	η = 3.5	η < 0.1	η < 0.1	x: 0.088 m η = 80.7	η < 0.1	η = 0.7	η < 0.1	η = 3.5	**CUMPLE** **η = 80.7**
N1726/N1680	$\lambda_w \leq \lambda_{w,máx}$ Cumple	x: 1.911 m η = 27.7	x: 0.088 m η = 49.6	x: 0.088 m η = 0.8	x: 0.088 m η = 20.7	η = 0.1	η = 3.3	η < 0.1	η < 0.1	x: 0.088 m η = 71.2	η < 0.1	η = 1.0	η = 0.1	η = 3.3	**CUMPLE** **η = 71.2**
N1727/N1681	$\lambda_w \leq \lambda_{w,máx}$ Cumple	x: 1.922 m η = 22.9	x: 0.088 m η = 40.9	x: 0.088 m η = 0.6	x: 0.088 m η = 17.9	η < 0.1	η = 2.8	η < 0.1	η < 0.1	x: 0.088 m η = 59.3	η < 0.1	η = 0.9	η < 0.1	η = 2.9	**CUMPLE** **η = 59.3**
N1728/N1682	$\lambda_w \leq \lambda_{w,máx}$ Cumple	x: 1.922 m η = 21.8	x: 0.086 m η = 41.6	x: 0.086 m η = 0.8	x: 0.086 m η = 14.1	η = 0.1	η = 1.8	η < 0.1	η < 0.1	x: 0.086 m η = 56.8	η < 0.1	η = 0.3	η = 0.1	η = 1.8	**CUMPLE** **η = 56.8**
N1729/N1683	$\lambda_w \leq \lambda_{w,máx}$ Cumple	x: 1.922 m η = 15.8	x: 0.086 m η = 29.7	x: 1.922 m η = 0.4	x: 0.086 m η = 10.2	η < 0.1	η = 1.3	η < 0.1	η < 0.1	x: 0.086 m η = 40.5	η < 0.1	η = 0.5	η < 0.1	η = 1.3	**CUMPLE** **η = 40.5**
N1730/N1684	$\lambda_w \leq \lambda_{w,máx}$ Cumple	x: 1.922 m η = 6.0	x: 0.086 m η = 8.8	x: 1.923 m η = 0.7	x: 0.086 m η = 4.3	η = 0.1	η = 0.5	η < 0.1	η < 0.1	x: 0.086 m η = 13.4	η < 0.1	η = 0.2	η = 0.1	η = 0.5	**CUMPLE** **η = 13.4**
N1731/N1685	$\lambda_w \leq \lambda_{w,máx}$ Cumple	x: 1.921 m η = 3.8	x: 0.086 m η = 4.6	x: 0.086 m η = 0.5	x: 1.922 m η = 2.2	η < 0.1	η = 0.3	η < 0.1	η < 0.1	x: 1.922 m η = 6.9	η < 0.1	η = 0.7	η < 0.1	η = 0.3	**CUMPLE** **η = 6.9**
N1732/N1686	$\lambda_w \leq \lambda_{w,máx}$ Cumple	x: 1.921 m η = 9.5	x: 0.086 m η = 17.3	x: 0.086 m η = 0.7	x: 0.086 m η = 6.5	η = 0.1	η = 0.9	η < 0.1	η < 0.1	x: 0.086 m η = 24.3	η < 0.1	η = 0.2	η = 0.1	η = 0.9	**CUMPLE** **η = 24.3**
N1733/N1687	$\lambda_w \leq \lambda_{w,máx}$ Cumple	x: 1.921 m η = 12.8	x: 0.094 m η = 22.2	x: 0.094 m η = 0.6	x: 0.094 m η = 11.5	η < 0.1	η = 1.9	η < 0.1	η < 0.1	x: 0.094 m η = 33.9	η < 0.1	η = 1.2	η < 0.1	η = 1.9	**CUMPLE** **η = 33.9**
N1734/N1688	$\lambda_w \leq \lambda_{w,máx}$ Cumple	x: 1.905 m η = 17.5	x: 0.094 m η = 31.0	x: 0.094 m η = 0.7	x: 0.094 m η = 15.8	η = 0.1	η = 2.5	η < 0.1	η < 0.1	x: 0.094 m η = 47.3	η < 0.1	η = 0.7	η = 0.1	η = 2.6	**CUMPLE** **η = 47.3**
N1735/N1689	$\lambda_w \leq \lambda_{w,máx}$ Cumple	x: 1.905 m η = 22.2	x: 0.094 m η = 39.8	x: 1.906 m η = 0.4	x: 0.094 m η = 18.4	η < 0.1	η = 3.0	η < 0.1	η < 0.1	x: 0.094 m η = 58.5	η < 0.1	η = 0.5	η < 0.1	η = 3.0	**CUMPLE** **η = 58.5**
N1736/N1690	$\lambda_w \leq \lambda_{w,máx}$ Cumple	x: 1.905 m η = 21.8	x: 0.094 m η = 39.4	x: 0.094 m η = 0.8	x: 1.906 m η = 19.6	η = 0.1	η = 3.1	η < 0.1	η < 0.1	x: 0.094 m η = 59.5	η < 0.1	η = 0.6	η = 0.1	η = 3.2	**CUMPLE** **η = 59.5**
N1737/N1691	$\lambda_w \leq \lambda_{w,máx}$ Cumple	x: 1.905 m η = 26.3	x: 0.094 m η = 48.0	x: 0.094 m η = 0.8	x: 0.094 m η = 23.6	η < 0.1	η = 3.5	η < 0.1	η < 0.1	x: 0.094 m η = 72.2	η < 0.1	η = 0.8	η < 0.1	η = 3.5	**CUMPLE** **η = 72.2**
N1693/N1642	$\lambda_w \leq \lambda_{w,máx}$ Cumple	x: 2.482 m η = 29.6	x: 0.111 m η = 22.3	x: 2.483 m η = 32.2	x: 2.483 m η = 2.1	x: 0.111 m η = 3.1	η = 0.1	η < 0.1	η < 0.1	x: 2.483 m η = 63.9	η < 0.1	η = 0.5	x: 0.111 m η = 3.1	η = 0.1	**CUMPLE** **η = 63.9**
N1694/N1643	$\lambda_w \leq \lambda_{w,máx}$ Cumple	x: 2.482 m η = 38.0	x: 0.111 m η = 27.6	x: 0.111 m η = 4.3	x: 2.483 m η = 0.9	x: 0.111 m η = 0.5	η < 0.1	η < 0.1	η < 0.1	x: 0.111 m η = 42.2	η < 0.1	η = 0.7	x: 0.111 m η = 0.5	η < 0.1	**CUMPLE** **η = 42.2**
N1695/N1644	$\lambda_w \leq \lambda_{w,máx}$ Cumple	x: 2.482 m η = 32.4	x: 0.111 m η = 23.5	x: 2.483 m η = 8.4	x: 2.482 m η = 0.6	x: 0.111 m η = 1.0	η < 0.1	η < 0.1	η < 0.1	x: 2.483 m η = 41.0	η < 0.1	η = 0.7	x: 0.111 m η = 1.0	η < 0.1	**CUMPLE** **η = 41.0**
N1696/N1645	$\lambda_w \leq \lambda_{w,máx}$ Cumple	x: 2.482 m η = 29.3	x: 0.111 m η = 20.5	x: 2.483 m η = 7.1	x: 0.111 m η = 0.6	x: 0.111 m η = 0.8	η < 0.1	η < 0.1	η < 0.1	x: 2.483 m η = 36.8	η < 0.1	η = 0.4	x: 0.111 m η = 0.8	η < 0.1	**CUMPLE** **η = 36.8**
N1697/N1646	$\lambda_w \leq \lambda_{w,máx}$ Cumple	x: 2.482 m η = 19.6	x: 0.111 m η = 11.3	x: 2.483 m η = 5.9	x: 0.111 m η = 1.6	x: 0.111 m η = 0.6	η = 0.1	η < 0.1	η < 0.1	x: 2.483 m η = 26.1	η < 0.1	η = 0.4	x: 0.111 m η = 0.6	η = 0.1	**CUMPLE** **η = 26.1**
N1698/N1647	$\lambda_w \leq \lambda_{w,máx}$ Cumple	x: 2.482 m η = 12.0	x: 0.111 m η = 5.9	x: 2.483 m η = 3.6	x: 2.483 m η = 1.4	x: 0.111 m η = 0.3	η = 0.1	η < 0.1	η < 0.1	x: 2.483 m η = 16.0	η < 0.1	η = 0.3	x: 0.111 m η = 0.3	η = 0.1	**CUMPLE** **η = 16.0**
N1699/N1648	$\lambda_w \leq \lambda_{w,máx}$ Cumple	x: 2.482 m η = 6.0	x: 0.111 m η = 1.9	x: 1.692 m η = 2.3	x: 0.111 m η = 1.0	x: 0.111 m η = 0.2	η = 0.1	η < 0.1	η < 0.1	x: 0.111 m η = 8.7	η < 0.1	η = 0.4	x: 0.111 m η = 0.2	η = 0.1	**CUMPLE** **η = 8.7**
N1700/N1649	$\lambda_w \leq \lambda_{w,máx}$ Cumple	x: 2.482 m η = 14.1	x: 0.111 m η = 18.8	x: 0.111 m η = 4.6	x: 0.111 m η = 0.9	x: 2.482 m η = 0.4	η < 0.1	η < 0.1	η < 0.1	x: 0.111 m η = 23.8	η < 0.1	η = 0.4	x: 2.482 m η = 0.4	η < 0.1	**CUMPLE** **η = 23.8**
N1700/N1651	$\lambda_w \leq \lambda_{w,máx}$ Cumple	x: 2.662 m η = 27.4	x: 0.119 m η = 28.6	x: 2.663 m η = 5.8	x: 0.119 m η = 1.4	x: 0.119 m η = 0.5	η = 0.1	η < 0.1	η < 0.1	x: 2.663 m η = 33.5	η < 0.1	η = 0.3	x: 0.119 m η = 0.5	η = 0.1	**CUMPLE** **η = 33.5**
N1701/N1652	$\lambda_w \leq \lambda_{w,máx}$ Cumple	x: 2.662 m η = 40.4	x: 0.119 m η = 39.6	x: 2.663 m η = 9.1	x: 2.663 m η = 0.9	x: 0.119 m η = 0.9	η = 0.1	η < 0.1	η < 0.1	x: 2.663 m η = 49.8	η < 0.1	η = 0.5	x: 0.119 m η = 0.9	η = 0.1	**CUMPLE** **η = 49.8**
N1702/N1653	$\lambda_w \leq \lambda_{w,máx}$ Cumple	x: 2.662 m η = 53.0	x: 0.119 m η = 48.9	x: 2.663 m η = 8.9	x: 2.663 m η = 1.6	x: 0.119 m η = 0.9	η < 0.1	η < 0.1	η < 0.1	x: 2.663 m η = 62.8	η < 0.1	η = 0.4	x: 0.119 m η = 0.9	η < 0.1	**CUMPLE** **η = 62.8**
N1703/N1654	$\lambda_w \leq \lambda_{w,máx}$ Cumple	x: 2.662 m η = 54.4	x: 0.119 m η = 45.8	x: 2.663 m η = 11.0	x: 0.119 m η = 1.3	x: 0.119 m η = 1.3	η < 0.1	η < 0.1	η < 0.1	x: 2.663 m η = 66.3	η < 0.1	η = 0.7	x: 0.119 m η = 1.3	η < 0.1	**CUMPLE** **η = 66.3**
N1704/N1655	$\lambda_w \leq \lambda_{w,máx}$ Cumple	x: 2.662 m η = 63.8	x: 0.119 m η = 52.7	x: 0.119 m η = 11.7	x: 0.119 m η = 0.8	x: 0.119 m η = 1.5	η < 0.1	η < 0.1	η < 0.1	x: 0.119 m η = 76.2	η < 0.1	η = 0.6	x: 0.119 m η = 1.5	η < 0.1	**CUMPLE** **η = 76.2**
N1705/N1656	$\lambda_w \leq \lambda_{w,máx}$ Cumple	x: 2.662 m η = 62.4	x: 0.119 m η = 51.6	x: 0.119 m η = 12.7	x: 2.663 m η = 1.7	x: 0.119 m η = 1.6	η < 0.1	η < 0.1	η < 0.1	x: 0.119 m η = 75.5	η < 0.1	η = 1.4	x: 0.119 m η = 1.6	η < 0.1	**CUMPLE** **η = 75.5**
N1706/N1657	$\lambda_w \leq \lambda_{w,máx}$ Cumple	x: 2.662 m η = 62.5	x: 0.119 m η = 51.1	x: 0.119 m η = 11.1	x: 0.119 m η = 1.7	x: 0.119 m η = 0.8	η < 0.1	η < 0.1	η < 0.1	x: 0.119 m η = 73.9	η < 0.1	η = 1.5	x: 0.119 m η = 0.8	η < 0.1	**CUMPLE** **η = 73.9**
N1707/N1658	$\lambda_w \leq \lambda_{w,máx}$ Cumple	x: 2.549 m η = 42.3	x: 0.119 m η = 73.3	x: 2.55 m η = 13.0	x: 0.119 m η = 1.2	x: 0.119 m η = 1.5	η = 0.1	η < 0.1	η < 0.1	x: 2.55 m η = 87.2	η < 0.1	η = 0.8	x: 0.119 m η = 1.5	η = 0.1	**CUMPLE** **η = 87.2**
N1708/N1659	$\lambda_w \leq \lambda_{w,máx}$ Cumple	x: 2.377 m η = 32.0	x: 0.111 m η = 24.6	x: 2.378 m η = 17.3	x: 2.378 m η = 2.7	x: 2.377 m η = 1.5	η = 0.3	η < 0.1	η < 0.1	x: 2.378 m η = 49.3	η < 0.1	η = 1.4	x: 2.377 m η = 1.5	η = 0.3	**CUMPLE** **η = 49.3**

Documento visado electrónicamente con número VA07290/22
Código de validación telemática TRLTDCFZ60T66IJ1. Comprobación: https://cogitivalencia.e-gestion.es/Validacion.aspx?CVT=TRLTDCFZ60T66IJ1

VISADO
COGITI
Estado
VALENCIA
VA07290/22
TRLTDCFZ60T66IJ1

Barras	COMPROBACIONES (CÓDIGO ESTRUCTURAL)														
	λ_w	N_t	N_c	M_Y	M_Z	V_Z	V_Y	M_YV_Z	M_ZV_Y	NM_YM_Z	$NM_YM_ZV_YV_Z$	M_t	M_tV_Z	M_tV_Y	
N1709/N1660	$\lambda_w \leq \lambda_{w,máx}$ Cumple	x: 2.482 m η = 50.0	x: 0.111 m η = 35.7	x: 0.111 m η = 12.5	x: 0.111 m η = 1.3	x: 0.111 m η = 1.6	η < 0.1	η < 0.1	η < 0.1	x: 0.111 m η = 62.6	η < 0.1	η = 0.8	x: 0.111 m η = 1.6	η < 0.1	**CUMPLE η = 62.6**
N1710/N1661	$\lambda_w \leq \lambda_{w,máx}$ Cumple	x: 2.482 m η = 42.8	x: 0.111 m η = 30.7	x: 0.111 m η = 9.1	x: 2.483 m η = 1.1	x: 0.111 m η = 1.1	η < 0.1	η < 0.1	η < 0.1	x: 0.111 m η = 52.2	η < 0.1	η = 0.5	x: 0.111 m η = 1.1	η < 0.1	**CUMPLE η = 52.2**
N1711/N1662	$\lambda_w \leq \lambda_{w,máx}$ Cumple	x: 2.482 m η = 42.5	x: 0.111 m η = 29.6	x: 0.111 m η = 8.5	x: 2.483 m η = 0.6	x: 0.111 m η = 1.2	η < 0.1	η < 0.1	η < 0.1	x: 0.111 m η = 51.4	η < 0.1	η = 0.6	x: 0.111 m η = 1.2	η < 0.1	**CUMPLE η = 51.4**
N1712/N1663	$\lambda_w \leq \lambda_{w,máx}$ Cumple	x: 2.482 m η = 33.1	x: 0.111 m η = 22.9	x: 2.483 m η = 6.9	x: 0.111 m η = 0.8	x: 0.111 m η = 1.0	η < 0.1	η < 0.1	η < 0.1	x: 2.483 m η = 40.6	η < 0.1	η = 0.6	x: 0.111 m η = 1.0	η < 0.1	**CUMPLE η = 40.6**
N1713/N1664	$\lambda_w \leq \lambda_{w,máx}$ Cumple	x: 2.482 m η = 28.4	x: 0.111 m η = 19.8	x: 2.483 m η = 5.0	x: 2.483 m η = 0.6	x: 0.111 m η = 0.6	η < 0.1	η < 0.1	η < 0.1	x: 2.483 m η = 33.8	η < 0.1	η = 0.3	x: 0.111 m η = 0.6	η < 0.1	**CUMPLE η = 33.8**
N1714/N1665	$\lambda_w \leq \lambda_{w,máx}$ Cumple	x: 2.482 m η = 16.6	x: 0.111 m η = 8.2	x: 2.483 m η = 4.1	x: 2.482 m η = 0.6	x: 0.111 m η = 0.5	η < 0.1	η < 0.1	η < 0.1	x: 2.483 m η = 20.9	η < 0.1	η = 0.4	x: 0.111 m η = 0.5	η < 0.1	**CUMPLE η = 20.9**
N1715/N1666	$\lambda_w \leq \lambda_{w,máx}$ Cumple	x: 2.482 m η = 5.7	x: 1.099 m η = 0.2	x: 0.111 m η = 2.0	x: 0.111 m η = 0.7	x: 0.111 m η = 0.2	η < 0.1	η < 0.1	η < 0.1	x: 2.285 m η = 7.4	η < 0.1	η = 0.4	x: 0.111 m η = 0.2	η < 0.1	**CUMPLE η = 7.4**
N1715/N1668	$\lambda_w \leq \lambda_{w,máx}$ Cumple	x: 2.662 m η = 8.7	x: 0.119 m η = 13.1	x: 2.663 m η = 2.7	x: 0.119 m η = 0.5	x: 0.119 m η = 0.3	η < 0.1	η < 0.1	η < 0.1	x: 2.663 m η = 15.8	η < 0.1	η = 0.4	x: 0.119 m η = 0.3	η < 0.1	**CUMPLE η = 15.8**
N1716/N1669	$\lambda_w \leq \lambda_{w,máx}$ Cumple	x: 2.662 m η = 21.5	x: 0.119 m η = 23.9	x: 2.663 m η = 5.0	x: 0.119 m η = 0.5	x: 0.119 m η = 0.5	η < 0.1	η < 0.1	η < 0.1	x: 2.663 m η = 28.5	η < 0.1	η = 0.2	x: 0.119 m η = 0.5	η < 0.1	**CUMPLE η = 28.5**
N1717/N1670	$\lambda_w \leq \lambda_{w,máx}$ Cumple	x: 2.662 m η = 34.0	x: 0.119 m η = 33.2	x: 2.663 m η = 5.7	x: 2.663 m η = 0.6	x: 0.119 m η = 0.6	η < 0.1	η < 0.1	η < 0.1	x: 2.663 m η = 40.2	η < 0.1	η = 0.1	x: 2.662 m η = 0.5	η < 0.1	**CUMPLE η = 40.2**
N1718/N1671	$\lambda_w \leq \lambda_{w,máx}$ Cumple	x: 2.662 m η = 38.5	x: 0.119 m η = 33.7	x: 2.663 m η = 7.7	x: 0.119 m η = 0.9	x: 0.119 m η = 1.0	η < 0.1	η < 0.1	η < 0.1	x: 2.663 m η = 46.7	η < 0.1	η = 0.5	x: 0.119 m η = 1.0	η < 0.1	**CUMPLE η = 46.7**
N1719/N1672	$\lambda_w \leq \lambda_{w,máx}$ Cumple	x: 2.662 m η = 48.0	x: 0.119 m η = 40.6	x: 0.119 m η = 9.2	x: 2.663 m η = 0.7	x: 0.119 m η = 1.2	η < 0.1	η < 0.1	η < 0.1	x: 0.119 m η = 57.6	η < 0.1	η = 0.4	x: 0.119 m η = 1.2	η < 0.1	**CUMPLE η = 57.6**
N1720/N1673	$\lambda_w \leq \lambda_{w,máx}$ Cumple	x: 2.662 m η = 49.2	x: 0.119 m η = 41.5	x: 0.119 m η = 10.3	x: 2.662 m η = 1.0	x: 0.119 m η = 1.3	η < 0.1	η < 0.1	η < 0.1	x: 0.119 m η = 59.8	η < 0.1	η = 0.7	x: 0.119 m η = 1.3	η < 0.1	**CUMPLE η = 59.8**
N1721/N1674	$\lambda_w \leq \lambda_{w,máx}$ Cumple	x: 2.662 m η = 49.9	x: 0.119 m η = 41.3	x: 0.119 m η = 9.3	x: 0.119 m η = 1.0	x: 0.119 m η = 0.6	η < 0.1	η < 0.1	η < 0.1	x: 0.119 m η = 59.3	η < 0.1	η = 0.7	x: 0.119 m η = 0.6	η < 0.1	**CUMPLE η = 59.3**
N1722/N1675	$\lambda_w \leq \lambda_{w,máx}$ Cumple	x: 2.549 m η = 40.0	x: 0.119 m η = 71.2	x: 2.55 m η = 12.2	x: 2.55 m η = 1.0	x: 0.119 m η = 1.3	η = 0.1	η < 0.1	η < 0.1	x: 2.55 m η = 84.2	η < 0.1	η = 1.0	x: 0.119 m η = 1.3	η = 0.1	**CUMPLE η = 84.2**
N1723/N1676	$\lambda_w \leq \lambda_{w,máx}$ Cumple	x: 2.377 m η = 36.9	x: 0.111 m η = 29.3	x: 2.378 m η = 13.4	x: 2.378 m η = 1.7	x: 2.377 m η = 1.0	η = 0.2	η < 0.1	η < 0.1	x: 2.378 m η = 50.2	η < 0.1	η = 0.8	x: 2.377 m η = 1.0	η = 0.2	**CUMPLE η = 50.2**
N1724/N1677	$\lambda_w \leq \lambda_{w,máx}$ Cumple	x: 2.482 m η = 60.1	x: 0.111 m η = 45.9	x: 0.111 m η = 13.7	x: 0.111 m η = 1.3	x: 0.111 m η = 1.8	η < 0.1	η < 0.1	η < 0.1	x: 0.111 m η = 74.0	η < 0.1	η = 0.8	x: 0.111 m η = 1.8	η < 0.1	**CUMPLE η = 74.0**
N1725/N1678	$\lambda_w \leq \lambda_{w,máx}$ Cumple	x: 2.482 m η = 52.8	x: 0.111 m η = 40.8	x: 0.111 m η = 10.8	x: 2.483 m η = 1.2	x: 0.111 m η = 1.4	η < 0.1	η < 0.1	η < 0.1	x: 0.111 m η = 63.9	η < 0.1	η = 0.6	x: 0.111 m η = 1.4	η < 0.1	**CUMPLE η = 63.9**
N1726/N1679	$\lambda_w \leq \lambda_{w,máx}$ Cumple	x: 2.482 m η = 54.6	x: 0.111 m η = 41.8	x: 2.483 m η = 10.6	x: 0.111 m η = 0.7	x: 0.111 m η = 1.4	η < 0.1	η < 0.1	η < 0.1	x: 2.483 m η = 65.7	η < 0.1	η = 0.6	x: 0.111 m η = 1.4	η < 0.1	**CUMPLE η = 65.7**
N1727/N1680	$\lambda_w \leq \lambda_{w,máx}$ Cumple	x: 2.482 m η = 45.3	x: 0.111 m η = 35.1	x: 2.483 m η = 9.6	x: 0.111 m η = 0.9	x: 0.111 m η = 1.2	η < 0.1	η < 0.1	η < 0.1	x: 2.483 m η = 55.7	η < 0.1	η = 0.6	x: 0.111 m η = 1.2	η < 0.1	**CUMPLE η = 55.7**
N1728/N1681	$\lambda_w \leq \lambda_{w,máx}$ Cumple	x: 2.482 m η = 43.0	x: 0.111 m η = 35.7	x: 2.483 m η = 7.6	x: 2.483 m η = 0.9	x: 0.111 m η = 0.8	η < 0.1	η < 0.1	η < 0.1	x: 2.483 m η = 51.4	η < 0.1	η = 0.3	x: 0.111 m η = 0.8	η < 0.1	**CUMPLE η = 51.4**
N1729/N1682	$\lambda_w \leq \lambda_{w,máx}$ Cumple	x: 2.482 m η = 31.0	x: 0.111 m η = 26.1	x: 2.483 m η = 7.4	x: 0.111 m η = 0.6	x: 0.111 m η = 0.8	η < 0.1	η < 0.1	η < 0.1	x: 2.483 m η = 38.5	η < 0.1	η = 0.4	x: 0.111 m η = 0.8	η < 0.1	**CUMPLE η = 38.5**
N1730/N1683	$\lambda_w \leq \lambda_{w,máx}$ Cumple	x: 2.482 m η = 19.0	x: 0.111 m η = 15.7	x: 2.483 m η = 4.5	x: 0.111 m η = 0.7	x: 0.111 m η = 0.4	η < 0.1	η < 0.1	η < 0.1	x: 2.483 m η = 23.8	η < 0.1	η = 0.4	x: 0.111 m η = 0.4	η < 0.1	**CUMPLE η = 23.8**
N1730/N1685	$\lambda_w \leq \lambda_{w,máx}$ Cumple	x: 2.662 m η = 5.7	x: 0.119 m η = 8.0	x: 0.331 m η = 3.1	x: 2.663 m η = 0.7	x: 2.662 m η = 0.2	η < 0.1	η < 0.1	η < 0.1	x: 0.331 m η = 11.4	η < 0.1	η = 0.4	x: 2.662 m η = 0.2	η < 0.1	**CUMPLE η = 11.4**
N1731/N1686	$\lambda_w \leq \lambda_{w,máx}$ Cumple	x: 2.662 m η = 6.8	x: 0.119 m η = 4.9	x: 2.663 m η = 3.4	x: 0.119 m η = 0.8	x: 0.119 m η = 0.3	η < 0.1	η < 0.1	η < 0.1	x: 2.663 m η = 10.2	η < 0.1	η = 0.2	x: 0.119 m η = 0.3	η < 0.1	**CUMPLE η = 10.2**
N1732/N1687	$\lambda_w \leq \lambda_{w,máx}$ Cumple	x: 2.662 m η = 19.7	x: 0.119 m η = 17.1	x: 2.663 m η = 4.6	x: 2.663 m η = 0.9	x: 0.119 m η = 0.4	η < 0.1	η < 0.1	η < 0.1	x: 2.663 m η = 24.8	η < 0.1	η = 0.2	x: 0.119 m η = 0.4	η < 0.1	**CUMPLE η = 24.8**
N1733/N1688	$\lambda_w \leq \lambda_{w,máx}$ Cumple	x: 2.662 m η = 26.6	x: 0.119 m η = 21.3	x: 2.663 m η = 6.9	x: 0.119 m η = 1.1	x: 0.119 m η = 0.7	η < 0.1	η < 0.1	η < 0.1	x: 2.663 m η = 34.1	η < 0.1	η = 0.5	x: 0.119 m η = 0.7	η < 0.1	**CUMPLE η = 34.1**
N1734/N1689	$\lambda_w \leq \lambda_{w,máx}$ Cumple	x: 2.662 m η = 36.8	x: 0.119 m η = 28.9	x: 2.663 m η = 8.0	x: 0.119 m η = 0.7	x: 0.119 m η = 0.9	η < 0.1	η < 0.1	η < 0.1	x: 2.663 m η = 45.2	η < 0.1	η = 0.4	x: 0.119 m η = 0.9	η < 0.1	**CUMPLE η = 45.2**
N1735/N1690	$\lambda_w \leq \lambda_{w,máx}$ Cumple	x: 2.662 m η = 38.8	x: 0.119 m η = 30.8	x: 2.663 m η = 8.7	x: 2.663 m η = 1.1	x: 0.119 m η = 1.0	η < 0.1	η < 0.1	η < 0.1	x: 2.663 m η = 48.1	η < 0.1	η = 0.5	x: 0.119 m η = 1.0	η < 0.1	**CUMPLE η = 48.1**
N1736/N1691	$\lambda_w \leq \lambda_{w,máx}$ Cumple	x: 2.662 m η = 47.1	x: 0.119 m η = 36.9	x: 0.119 m η = 6.4	x: 0.119 m η = 1.2	x: 0.119 m η = 0.9	x: 0.543 m η < 0.1	η < 0.1	η < 0.1	x: 0.119 m η = 53.9	η < 0.1	η = 0.8	x: 0.119 m η = 0.9	x: 0.543 m η < 0.1	**CUMPLE η = 53.9**
N1737/N1692	$\lambda_w \leq \lambda_{w,máx}$ Cumple	x: 2.549 m η = 27.7	x: 0.119 m η = 22.4	x: 0.119 m η = 13.7	x: 0.119 m η = 0.9	x: 0.119 m η = 1.5	η = 0.1	η < 0.1	η < 0.1	x: 0.119 m η = 41.7	η < 0.1	η = 0.5	x: 0.119 m η = 1.5	η = 0.1	**CUMPLE η = 41.7**
N1738/N1739	$\lambda_w \leq \lambda_{w,máx}$ Cumple	x: 1.68 m η = 16.3	x: 0.098 m η = 25.3	x: 0.098 m η = 28.5	x: 1.681 m η = 2.6	x: 1.681 m η = 20.1	η = 0.2	η < 0.1	η < 0.1	x: 0.098 m η = 53.8	η < 0.1	η = 0.2	x: 1.681 m η = 20.1	η = 0.2	**CUMPLE η = 53.8**
N1739/N1740	$\lambda_w \leq \lambda_{w,máx}$ Cumple	x: 1.68 m η = 27.6	x: 0.098 m η = 46.6	x: 0.098 m η = 14.4	x: 1.681 m η = 6.3	x: 0.098 m η = 15.7	η = 0.3	η < 0.1	η < 0.1	x: 0.098 m η = 57.7	η < 0.1	η = 0.1	x: 0.098 m η = 15.7	η = 0.3	**CUMPLE η = 57.7**
N1740/N1741	$\lambda_w \leq \lambda_{w,máx}$ Cumple	x: 1.7 m η = 36.8	x: 0.098 m η = 62.5	x: 1.1 m η = 7.5	x: 0.098 m η = 6.2	x: 0.098 m η = 11.7	η = 0.3	η < 0.1	η < 0.1	x: 1.1 m η = 65.1	η < 0.1	η = 0.2	x: 0.098 m η = 11.6	η = 0.3	**CUMPLE η = 65.1**
N1741/N1742	$\lambda_w \leq \lambda_{w,máx}$ Cumple	x: 1.7 m η = 43.7	x: 0.078 m η = 74.0	x: 1.093 m η = 9.1	x: 1.701 m η = 3.4	x: 0.078 m η = 12.7	η = 0.3	η < 0.1	η < 0.1	x: 1.093 m η = 77.3	η < 0.1	η = 0.1	x: 0.078 m η = 12.7	η = 0.3	**CUMPLE η = 77.3**
N1742/N1743	$\lambda_w \leq \lambda_{w,máx}$ Cumple	x: 1.7 m η = 47.9	x: 0.078 m η = 80.9	x: 0.89 m η = 10.3	x: 0.078 m η = 3.7	x: 0.078 m η = 10.5	η = 0.2	η < 0.1	η < 0.1	x: 0.89 m η = 84.7	η < 0.1	η = 0.3	x: 0.078 m η = 10.5	η = 0.2	**CUMPLE η = 84.7**
N1743/N3438	$\lambda_w \leq \lambda_{w,máx}$ Cumple	x: 0.89 m η = 50.1	x: 0.078 m η = 77.2	x: 0.89 m η = 11.1	x: 0.078 m η = 1.2	x: 0.078 m η = 11.1	η = 0.2	η < 0.1	η < 0.1	x: 0.89 m η = 87.3	η < 0.1	η = 0.2	x: 0.078 m η = 11.1	η = 0.2	**CUMPLE η = 87.3**
N3438/N1744	$\lambda_w \leq \lambda_{w,máx}$ Cumple	x: 0.811 m η = 50.1	x: 0 m η = 77.1	x: 0.203 m η = 11.1	x: 0.812 m η = 2.8	x: 0.812 m η = 8.6	η = 0.2	η < 0.1	η < 0.1	x: 0.203 m η = 87.3	η < 0.1	η = 0.2	x: 0.812 m η = 8.6	η = 0.2	**CUMPLE η = 87.3**
N1744/N1745	$\lambda_w \leq \lambda_{w,máx}$ Cumple	x: 1.7 m η = 49.6	x: 0.078 m η = 85.1	x: 0.89 m η = 11.1	x: 0.078 m η = 2.6	x: 1.701 m η = 10.6	η = 0.1	η < 0.1	η < 0.1	x: 0.89 m η = 89.5	η < 0.1	η = 0.2	x: 1.701 m η = 10.6	η = 0.1	**CUMPLE η = 89.5**
N1745/N1746	$\lambda_w \leq \lambda_{w,máx}$ Cumple	x: 1.717 m η = 46.7	x: 0.078 m η = 80.3	x: 0.898 m η = 11.8	x: 1.718 m η = 3.2	x: 0.078 m η = 10.7	η = 0.1	η < 0.1	η < 0.1	x: 0.898 m η = 85.7	η < 0.1	η = 0.2	x: 0.078 m η = 10.7	η = 0.1	**CUMPLE η = 85.7**
N1746/N1747	$\lambda_w \leq \lambda_{w,máx}$ Cumple	x: 1.694 m η = 46.6	x: 0.061 m η = 81.1	x: 0.674 m η = 12.6	x: 0.061 m η = 3.2	x: 1.695 m η = 11.4	η = 0.2	η < 0.1	η < 0.1	x: 0.674 m η = 87.2	η < 0.1	η = 0.1	x: 1.695 m η = 11.4	η = 0.2	**CUMPLE η = 87.2**
N1747/N1748	$\lambda_w \leq \lambda_{w,máx}$ Cumple	x: 1.694 m η = 41.8	x: 0.084 m η = 72.8	x: 0.688 m η = 11.7	x: 1.695 m η = 4.4	x: 1.695 m η = 12.0	η = 0.2	η < 0.1	η < 0.1	x: 0.688 m η = 78.8	η < 0.1	η = 0.1	x: 1.695 m η = 12.0	η = 0.2	**CUMPLE η = 78.8**
N1748/N3453	$\lambda_w \leq \lambda_{w,máx}$ Cumple	x: 0.89 m η = 34.3	x: 0.084 m η = 55.5	x: 0.487 m η = 8.7	x: 0.084 m η = 4.7	x: 0.084 m η = 5.1	η = 0.4	η < 0.1	η < 0.1	x: 0.487 m η = 63.8	η < 0.1	η = 0.2	x: 0.084 m η = 5.1	η = 0.4	**CUMPLE η = 63.8**

Documento visado electrónicamente con número: VA07290/22
Código de validación telemática TRLTDCFZ60T66IJ1. Comprobación: https://cogitivalencia.e-gestion.es/Validacion.aspx?CVT=TRLTDCFZ60T66IJ1

Listados

VISADO
COGITI
VALENCIA
VA07290/22
TRLTDCFZ60T66IJ1

Barras	COMPROBACIONES (CÓDIGO ESTRUCTURAL)														Estado
	λ_w	N_t	N_c	M_Y	M_Z	V_Z	V_Y	M_YV_Z	M_ZV_Y	NM_YM_Z	$NM_YM_ZV_YV_Z$	M_t	M_tV_Z	M_tV_Y	
N3453/N1749	$\lambda_w \le \lambda_{w,máx}$ Cumple	x: 0.805 m η = 34.3	x: 0 m η = 55.4	x: 0.806 m η = 9.4	x: 0 m η = 1.8	x: 0.806 m η = 14.5	η = 0.4	η < 0.1	η < 0.1	x: 0.806 m η = 64.4	η < 0.1	η = 0.2	x: 0.806 m η = 14.5	η = 0.4	**CUMPLE η = 64.4**
N1749/N1750	$\lambda_w \le \lambda_{w,máx}$ Cumple	x: 1.694 m η = 24.7	x: 0.084 m η = 44.6	x: 0.688 m η = 5.7	x: 1.695 m η = 6.8	x: 1.695 m η = 11.5	η = 0.3	η < 0.1	η < 0.1	x: 1.695 m η = 47.3	η < 0.1	η = 0.4	x: 1.695 m η = 11.5	η = 0.3	**CUMPLE η = 47.3**
N1750/N1751	$\lambda_w \le \lambda_{w,máx}$ Cumple	x: 1.694 m η = 12.2	x: 0.084 m η = 22.6	x: 1.695 m η = 16.8	x: 0.084 m η = 6.4	x: 1.695 m η = 16.2	η = 0.4	η < 0.1	η < 0.1	x: 1.695 m η = 39.5	η < 0.1	η = 0.1	x: 1.695 m η = 16.2	η = 0.4	**CUMPLE η = 39.5**
N1751/N1752	$\lambda_w \le \lambda_{w,máx}$ Cumple	x: 1.673 m η = 1.3	x: 0.084 m η = 6.5	x: 1.674 m η = 14.8	x: 1.674 m η = 9.3	x: 1.674 m η = 13.7	η = 0.4	η < 0.1	η < 0.1	x: 1.674 m η = 21.3	η < 0.1	η = 0.2	x: 1.674 m η = 13.7	η = 0.4	**CUMPLE η = 21.3**
N1752/N1753	$\lambda_w \le \lambda_{w,máx}$ Cumple	x: 1.673 m η = 28.9	x: 0.105 m η = 22.8	x: 1.674 m η = 37.5	x: 0.105 m η = 10.6	x: 1.674 m η = 22.3	η = 0.5	η < 0.1	η < 0.1	x: 1.674 m η = 66.5	η < 0.1	η = 0.1	x: 1.674 m η = 22.3	η = 0.5	**CUMPLE η = 66.5**
N1753/N1754	$\lambda_w \le \lambda_{w,máx}$ Cumple	x: 1.637 m η = 51.1	x: 0.105 m η = 39.9	x: 0.105 m η = 38.6	x: 0.105 m η = 3.5	x: 0.105 m η = 30.9	η = 0.3	η < 0.1	η < 0.1	x: 0.105 m η = 90.1	η < 0.1	η = 0.2	x: 0.105 m η = 30.5	η = 0.3	**CUMPLE η = 90.1**
N1755/N1756	$\lambda_w \le \lambda_{w,máx}$ Cumple	x: 1.68 m η = 53.5	x: 0.141 m η = 37.7	x: 0.141 m η = 49.4	x: 0.141 m η = 5.5	x: 0.141 m η = 25.4	η = 0.3	η < 0.1	η < 0.1	x: 0.141 m η = 103.1	η < 0.1	η = 0.1	x: 0.141 m η = 24.6	η = 0.3	**NO CUMPLE η = 103.1**
N1756/N1757	$\lambda_w \le \lambda_{w,máx}$ Cumple	x: 1.68 m η = 30.0	x: 0.098 m η = 23.8	x: 0.098 m η = 10.5	x: 1.681 m η = 2.3	x: 0.098 m η = 12.3	η = 0.1	η < 0.1	η < 0.1	x: 0.098 m η = 39.9	η < 0.1	η = 0.1	x: 0.098 m η = 12.3	η = 0.1	**CUMPLE η = 39.9**
N1757/N1758	$\lambda_w \le \lambda_{w,máx}$ Cumple	x: 1.7 m η = 9.6	x: 0.098 m η = 9.8	x: 0.098 m η = 13.4	x: 0.098 m η = 1.7	x: 0.098 m η = 12.8	η = 0.1	η < 0.1	η < 0.1	x: 0.098 m η = 23.1	η < 0.1	η = 0.1	x: 0.098 m η = 8.7	η = 0.1	**CUMPLE η = 23.1**
N1758/N1759	$\lambda_w \le \lambda_{w,máx}$ Cumple	x: 1.7 m η = 5.7	x: 0.078 m η = 9.5	x: 0.078 m η = 12.9	x: 1.701 m η = 2.9	x: 0.078 m η = 13.9	η = 0.1	η < 0.1	η < 0.1	x: 0.078 m η = 20.3	η < 0.1	η = 0.1	x: 0.078 m η = 13.9	η = 0.1	**CUMPLE η = 20.3**
N1759/N1760	$\lambda_w \le \lambda_{w,máx}$ Cumple	x: 1.7 m η = 13.9	x: 0.078 m η = 20.3	x: 0.078 m η = 5.3	x: 0.078 m η = 3.2	x: 0.078 m η = 10.8	η = 0.1	η < 0.1	η < 0.1	x: 0.078 m η = 25.7	η < 0.1	η = 0.2	x: 0.078 m η = 10.8	η = 0.1	**CUMPLE η = 25.7**
N1760/N3456	$\lambda_w \le \lambda_{w,máx}$ Cumple	x: 0.89 m η = 19.5	x: 0.078 m η = 29.2	x: 0.078 m η = 7.0	x: 0.078 m η = 0.8	x: 0.078 m η = 12.4	η = 0.2	η < 0.1	η < 0.1	x: 0.078 m η = 36.0	η < 0.1	η = 0.1	x: 0.078 m η = 8.9	η = 0.2	**CUMPLE η = 36.0**
N3456/N1761	$\lambda_w \le \lambda_{w,máx}$ Cumple	x: 0.811 m η = 19.5	x: 0 m η = 29.2	x: 0.203 m η = 6.4	x: 0.812 m η = 2.0	x: 0.812 m η = 7.3	η = 0.2	η < 0.1	η < 0.1	x: 0.203 m η = 35.3	η < 0.1	η = 0.1	x: 0.812 m η = 5.7	η = 0.2	**CUMPLE η = 35.3**
N1761/N1762	$\lambda_w \le \lambda_{w,máx}$ Cumple	x: 1.7 m η = 22.8	x: 0.078 m η = 37.8	x: 0.89 m η = 7.8	x: 0.078 m η = 1.9	x: 0.078 m η = 10.3	η = 0.1	η < 0.1	η < 0.1	x: 0.89 m η = 42.4	η < 0.1	η = 0.1	x: 0.078 m η = 10.3	η = 0.1	**CUMPLE η = 42.4**
N1762/N1763	$\lambda_w \le \lambda_{w,máx}$ Cumple	x: 1.717 m η = 23.5	x: 0.078 m η = 39.4	x: 0.898 m η = 8.5	x: 1.718 m η = 2.4	x: 0.078 m η = 10.8	η = 0.1	η < 0.1	η < 0.1	x: 0.898 m η = 44.6	η < 0.1	η = 0.1	x: 0.078 m η = 7.9	η = 0.1	**CUMPLE η = 44.6**
N1763/N1764	$\lambda_w \le \lambda_{w,máx}$ Cumple	x: 1.694 m η = 23.6	x: 0.061 m η = 39.5	x: 0.878 m η = 8.7	x: 0.061 m η = 2.4	x: 1.695 m η = 10.7	x: 1.491 m η = 0.1	η < 0.1	η < 0.1	x: 0.878 m η = 45.0	η < 0.1	x: 1.491 m η < 0.1	x: 1.695 m η = 1.0	x: 1.491 m η = 0.1	**CUMPLE η = 45.0**
N1764/N1765	$\lambda_w \le \lambda_{w,máx}$ Cumple	x: 1.694 m η = 22.1	x: 0.084 m η = 37.4	x: 0.89 m η = 8.2	x: 1.695 m η = 1.2	x: 1.695 m η = 10.6	x: 0.084 m η = 0.1	η < 0.1	η < 0.1	x: 0.89 m η = 42.5	η < 0.1	η = 0.1	x: 1.695 m η = 10.6	x: 0.084 m η = 0.1	**CUMPLE η = 42.5**
N1765/N3471	$\lambda_w \le \lambda_{w,máx}$ Cumple	x: 0.89 m η = 18.1	x: 0.084 m η = 28.3	x: 0.688 m η = 6.4	x: 0.084 m η = 1.2	x: 0.084 m η = 6.6	x: 0.89 m η = 0.1	η < 0.1	η < 0.1	x: 0.688 m η = 34.5	η < 0.1	η = 0.1	x: 0.084 m η = 6.6	x: 0.89 m η = 0.1	**CUMPLE η = 34.5**
N3471/N1766	$\lambda_w \le \lambda_{w,máx}$ Cumple	x: 0.805 m η = 18.1	x: 0 m η = 28.3	x: 0.806 m η = 8.0	x: 0.806 m η = 0.9	x: 0.806 m η = 12.9	x: 0.201 m η = 0.1	η < 0.1	η < 0.1	x: 0.806 m η = 36.1	η < 0.1	η = 0.1	x: 0.806 m η = 12.9	x: 0.201 m η = 0.1	**CUMPLE η = 36.1**
N1766/N1767	$\lambda_w \le \lambda_{w,máx}$ Cumple	x: 1.694 m η = 11.8	x: 0.084 m η = 19.2	x: 1.695 m η = 5.9	x: 1.695 m η = 2.4	x: 1.695 m η = 11.0	η = 0.1	η < 0.1	η < 0.1	x: 1.695 m η = 25.1	η < 0.1	η = 0.2	x: 1.695 m η = 11.0	η = 0.1	**CUMPLE η = 25.1**
N1767/N1768	$\lambda_w \le \lambda_{w,máx}$ Cumple	x: 1.694 m η = 2.6	x: 0.084 m η = 5.5	x: 1.695 m η = 14.7	x: 0.084 m η = 2.2	x: 1.695 m η = 14.6	η = 0.1	η < 0.1	η < 0.1	x: 1.695 m η = 20.2	η < 0.1	η = 0.1	x: 1.695 m η = 14.6	η = 0.1	**CUMPLE η = 20.2**
N1768/N1769	$\lambda_w \le \lambda_{w,máx}$ Cumple	x: 1.673 m η = 11.2	x: 0.084 m η = 8.8	x: 1.674 m η = 13.5	x: 1.674 m η = 3.0	x: 1.674 m η = 12.9	η = 0.1	η < 0.1	η < 0.1	x: 1.674 m η = 25.3	η < 0.1	η < 0.1	x: 1.674 m η = 1.2	η = 0.1	**CUMPLE η = 25.3**
N1769/N1770	$\lambda_w \le \lambda_{w,máx}$ Cumple	x: 1.673 m η = 33.4	x: 0.105 m η = 23.4	x: 1.674 m η = 34.4	x: 0.105 m η = 3.9	x: 1.674 m η = 20.6	η = 0.2	η < 0.1	η < 0.1	x: 1.674 m η = 68.0	η < 0.1	η = 0.1	x: 1.674 m η = 20.6	η = 0.2	**CUMPLE η = 68.0**
N1770/N1771	$\lambda_w \le \lambda_{w,máx}$ Cumple	x: 1.637 m η = 50.7	x: 0.105 m η = 38.1	x: 0.105 m η = 37.6	x: 0.105 m η = 1.1	x: 0.105 m η = 30.8	η = 0.1	η < 0.1	η < 0.1	x: 0.105 m η = 88.5	η < 0.1	η = 0.1	x: 0.105 m η = 30.7	η = 0.1	**CUMPLE η = 88.5**
N1772/N1773	$\lambda_w \le \lambda_{w,máx}$ Cumple	x: 1.68 m η = 50.8	x: 0.141 m η = 38.8	x: 0.141 m η = 48.2	x: 0.141 m η = 2.3	x: 0.141 m η = 25.1	η = 0.1	η < 0.1	η < 0.1	x: 0.141 m η = 99.0	η < 0.1	η = 0.1	x: 0.141 m η = 18.8	η = 0.1	**CUMPLE η = 99.0**
N1773/N1774	$\lambda_w \le \lambda_{w,máx}$ Cumple	x: 1.68 m η = 22.7	x: 0.098 m η = 18.5	x: 0.098 m η = 12.1	x: 1.681 m η = 3.5	x: 0.098 m η = 13.4	η = 0.2	η < 0.1	η < 0.1	x: 0.098 m η = 35.0	η < 0.1	η = 0.1	x: 0.098 m η = 13.4	η = 0.2	**CUMPLE η = 35.0**
N1774/N1775	$\lambda_w \le \lambda_{w,máx}$ Cumple	x: 1.7 m η = 2.3	x: 0.098 m η = 6.6	x: 0.098 m η = 13.9	x: 0.098 m η = 2.6	x: 0.098 m η = 13.4	η = 0.2	η < 0.1	η < 0.1	x: 0.098 m η = 18.6	η < 0.1	η < 0.1	x: 0.098 m η = 13.4	η = 0.2	**CUMPLE η = 18.6**
N1775/N1776	$\lambda_w \le \lambda_{w,máx}$ Cumple	x: 1.7 m η = 15.6	x: 0.078 m η = 25.1	x: 0.078 m η = 14.0	x: 1.701 m η = 3.3	x: 0.078 m η = 15.0	η = 0.1	η < 0.1	η < 0.1	x: 0.078 m η = 38.7	η < 0.1	η = 0.1	x: 0.078 m η = 15.0	η = 0.1	**CUMPLE η = 38.7**
N1776/N1777	$\lambda_w \le \lambda_{w,máx}$ Cumple	x: 1.7 m η = 26.7	x: 0.078 m η = 45.6	x: 1.093 m η = 6.0	x: 0.078 m η = 3.7	x: 0.078 m η = 11.1	η = 0.2	η < 0.1	η < 0.1	x: 0.89 m η = 48.1	η < 0.1	η = 0.2	x: 0.078 m η = 11.1	η = 0.2	**CUMPLE η = 48.1**
N1777/N3474	$\lambda_w \le \lambda_{w,máx}$ Cumple	x: 0.89 m η = 35.3	x: 0.078 m η = 54.7	x: 0.078 m η = 7.5	x: 0.078 m η = 1.1	x: 0.078 m η = 13.5	η = 0.2	η < 0.1	η < 0.1	x: 0.078 m η = 61.7	η < 0.1	η = 0.1	x: 0.078 m η = 13.5	η = 0.2	**CUMPLE η = 61.7**
N3474/N1778	$\lambda_w \le \lambda_{w,máx}$ Cumple	x: 0.811 m η = 35.3	x: 0 m η = 54.7	x: 0.203 m η = 8.2	x: 0.812 m η = 2.1	x: 0.812 m η = 6.2	η = 0.2	η < 0.1	η < 0.1	x: 0.406 m η = 62.3	η < 0.1	η = 0.1	x: 0.812 m η = 6.2	η = 0.2	**CUMPLE η = 62.3**
N1778/N1779	$\lambda_w \le \lambda_{w,máx}$ Cumple	x: 1.7 m η = 41.3	x: 0.078 m η = 70.1	x: 1.093 m η = 10.7	x: 0.078 m η = 2.0	x: 0.078 m η = 11.4	η = 0.1	η < 0.1	η < 0.1	x: 1.093 m η = 75.1	η < 0.1	η = 0.1	x: 0.078 m η = 11.4	η = 0.1	**CUMPLE η = 75.1**
N1779/N1780	$\lambda_w \le \lambda_{w,máx}$ Cumple	x: 1.717 m η = 45.1	x: 0.078 m η = 76.5	x: 0.898 m η = 11.4	x: 1.718 m η = 2.9	x: 0.078 m η = 10.9	η = 0.1	η < 0.1	η < 0.1	x: 0.898 m η = 81.7	η < 0.1	η = 0.1	x: 0.078 m η = 8.0	η = 0.1	**CUMPLE η = 81.7**
N1780/N1781	$\lambda_w \le \lambda_{w,máx}$ Cumple	x: 1.694 m η = 45.3	x: 0.061 m η = 76.4	x: 0.878 m η = 11.2	x: 0.061 m η = 3.0	x: 1.695 m η = 10.3	η = 0.1	η < 0.1	η < 0.1	x: 0.878 m η = 81.5	η < 0.1	η = 0.1	x: 1.695 m η = 10.3	η = 0.1	**CUMPLE η = 81.5**
N1781/N1782	$\lambda_w \le \lambda_{w,máx}$ Cumple	x: 1.694 m η = 46.9	x: 0.084 m η = 79.0	x: 0.89 m η = 11.1	x: 1.695 m η = 1.4	x: 0.084 m η = 10.0	η = 0.1	η < 0.1	η < 0.1	x: 0.89 m η = 83.8	η < 0.1	η = 0.1	x: 0.084 m η = 10.0	η = 0.1	**CUMPLE η = 83.8**
N1782/N3489	$\lambda_w \le \lambda_{w,máx}$ Cumple	x: 0.89 m η = 46.0	x: 0.084 m η = 70.5	x: 0.688 m η = 10.5	x: 0.084 m η = 1.4	x: 0.084 m η = 7.8	η = 0.2	η < 0.1	η < 0.1	x: 0.688 m η = 80.0	η < 0.1	η = 0.1	x: 0.084 m η = 7.8	η = 0.2	**CUMPLE η = 80.0**
N3489/N1783	$\lambda_w \le \lambda_{w,máx}$ Cumple	x: 0.805 m η = 46.0	x: 0 m η = 70.5	x: 0 m η = 10.2	x: 0.806 m η = 1.3	x: 0.806 m η = 11.8	η = 0.2	η < 0.1	η < 0.1	x: 0 m η = 79.8	η < 0.1	η = 0.1	x: 0.806 m η = 11.8	η = 0.2	**CUMPLE η = 79.8**
N1783/N1784	$\lambda_w \le \lambda_{w,máx}$ Cumple	x: 1.694 m η = 43.0	x: 0.084 m η = 72.1	x: 0.89 m η = 9.4	x: 1.695 m η = 3.5	x: 1.695 m η = 10.8	η = 0.1	η < 0.1	η < 0.1	x: 0.89 m η = 76.0	η < 0.1	η = 0.2	x: 1.695 m η = 10.8	η = 0.1	**CUMPLE η = 76.0**
N1784/N1785	$\lambda_w \le \lambda_{w,máx}$ Cumple	x: 1.694 m η = 38.0	x: 0.084 m η = 63.8	x: 1.695 m η = 8.2	x: 0.084 m η = 3.2	x: 1.695 m η = 13.7	η = 0.2	η < 0.1	η < 0.1	x: 0.487 m η = 67.1	η < 0.1	η = 0.1	x: 1.695 m η = 13.7	η = 0.2	**CUMPLE η = 67.1**
N1785/N1786	$\lambda_w \le \lambda_{w,máx}$ Cumple	x: 1.673 m η = 30.3	x: 0.084 m η = 50.7	x: 1.674 m η = 6.7	x: 1.674 m η = 3.7	x: 1.674 m η = 12.2	η = 0.2	η < 0.1	η < 0.1	x: 1.674 m η = 53.9	η < 0.1	η = 0.1	x: 1.674 m η = 12.1	η = 0.1	**CUMPLE η = 53.9**
N1786/N1787	$\lambda_w \le \lambda_{w,máx}$ Cumple	x: 1.673 m η = 20.1	x: 0.105 m η = 30.1	x: 1.674 m η = 15.5	x: 0.105 m η = 4.7	x: 1.674 m η = 16.1	η = 0.3	η < 0.1	η < 0.1	x: 1.674 m η = 44.3	η < 0.1	η = 0.1	x: 1.674 m η = 16.1	η = 0.3	**CUMPLE η = 44.3**
N1787/N1788	$\lambda_w \le \lambda_{w,máx}$ Cumple	x: 1.617 m η = 7.2	x: 0.105 m η = 10.0	x: 1.618 m η = 8.6	x: 0.105 m η = 2.0	x: 1.618 m η = 11.6	η = 0.2	η < 0.1	η < 0.1	x: 1.618 m η = 18.9	η < 0.1	η = 0.2	x: 1.618 m η = 11.6	η = 0.2	**CUMPLE η = 18.9**
N1789/N1739	$\lambda_w \le \lambda_{w,máx}$ Cumple	x: 1.889 m η = 20.4	x: 0.116 m η = 34.7	x: 1.89 m η = 1.0	x: 0.116 m η = 13.2	η = 0.1	η = 2.4	η < 0.1	η < 0.1	x: 0.116 m η = 47.4	η < 0.1	η = 1.1	η = 0.1	η = 2.4	**CUMPLE η = 47.4**

Documento visado electrónicamente con número VA07290/22
Código de validación telemática TRLTDCFZ60T66IJ1. Comprobación: https://cogitivalencia.e-gestion.es/Validacion.aspx?CVT=TRLTDCFZ60T66IJ1

VISADO
COGITI
Estado
VALENCIA
VA07290/22
TRLTDCFZ60T66IJ1

Barras	COMPROBACIONES (CÓDIGO ESTRUCTURAL)														
	λ_w	N_t	N_c	M_Y	M_Z	V_Z	V_Y	M_YV_Z	M_ZV_Y	NM_YM_Z	$NM_YM_ZV_YV_Z$	M_t	M_tV_Z	M_tV_Y	
N1790/N1740	$\lambda_w \leq \lambda_{w,máx}$ Cumple	x: 1.889 m η = 15.5	x: 0.116 m η = 23.3	x: 0.116 m η = 1.9	x: 0.116 m η = 16.9	η = 0.2	η = 3.2	η < 0.1	η < 0.1	x: 0.116 m η = 40.7	η < 0.1	η = 1.3	η = 0.2	η = 3.2	**CUMPLE η = 40.7**
N1791/N1741	$\lambda_w \leq \lambda_{w,máx}$ Cumple	x: 1.893 m η = 15.1	x: 0.116 m η = 22.4	x: 0.116 m η = 0.8	x: 0.116 m η = 14.7	η < 0.1	η = 2.9	η < 0.1	η < 0.1	x: 0.116 m η = 36.9	η < 0.1	η = 1.2	η < 0.1	η = 2.9	**CUMPLE η = 36.9**
N1792/N1742	$\lambda_w \leq \lambda_{w,máx}$ Cumple	x: 1.893 m η = 14.4	x: 0.116 m η = 25.5	x: 0.116 m η = 0.5	x: 0.116 m η = 12.5	η < 0.1	η = 1.9	η < 0.1	η < 0.1	x: 0.116 m η = 38.2	η < 0.1	η = 0.7	η < 0.1	η = 1.9	**CUMPLE η = 38.2**
N1793/N1743	$\lambda_w \leq \lambda_{w,máx}$ Cumple	x: 1.893 m η = 9.9	x: 0.116 m η = 14.0	x: 0.116 m η = 1.0	x: 0.116 m η = 8.6	η < 0.1	η = 1.3	η < 0.1	η < 0.1	x: 0.116 m η = 23.0	η < 0.1	η = 1.5	η < 0.1	η = 1.3	**CUMPLE η = 23.0**
N1794/N1744	$\lambda_w \leq \lambda_{w,máx}$ Cumple	x: 1.893 m η = 7.5	x: 0.116 m η = 9.0	x: 0.116 m η = 0.6	x: 0.116 m η = 4.4	η = 0.1	η = 0.6	η < 0.1	η < 0.1	x: 0.116 m η = 13.6	η < 0.1	η = 0.4	η = 0.1	η = 0.6	**CUMPLE η = 13.6**
N1795/N1745	$\lambda_w \leq \lambda_{w,máx}$ Cumple	x: 1.893 m η = 3.2	x: 0.116 m η = 0.9	x: 0.116 m η = 0.9	x: 1.894 m η = 2.1	η < 0.1	η = 0.3	η < 0.1	η < 0.1	x: 1.894 m η = 5.8	η < 0.1	η = 1.1	η < 0.1	η = 0.3	**CUMPLE η = 5.8**
N1796/N1746	$\lambda_w \leq \lambda_{w,máx}$ Cumple	x: 1.893 m η = 7.3	x: 0.116 m η = 10.3	x: 1.894 m η = 0.2	x: 0.116 m η = 12.0	η < 0.1	η = 1.9	η < 0.1	η < 0.1	x: 0.116 m η = 22.4	η < 0.1	η = 0.9	η < 0.1	η = 1.9	**CUMPLE η = 22.4**
N1797/N1747	$\lambda_w \leq \lambda_{w,máx}$ Cumple	x: 1.893 m η = 23.6	x: 0.116 m η = 41.2	x: 0.116 m η = 0.7	x: 0.116 m η = 24.5	η < 0.1	η = 3.9	η < 0.1	η < 0.1	x: 0.116 m η = 66.1	η < 0.1	η = 1.1	η < 0.1	η = 4.0	**CUMPLE η = 66.1**
N1798/N1748	$\lambda_w \leq \lambda_{w,máx}$ Cumple	x: 1.893 m η = 30.8	x: 0.116 m η = 53.9	x: 1.894 m η = 0.6	x: 1.894 m η = 32.8	η < 0.1	η = 5.3	η < 0.1	η < 0.1	x: 1.894 m η = 87.2	η < 0.1	η = 0.6	η < 0.1	η = 5.4	**CUMPLE η = 87.2**
N1799/N1749	$\lambda_w \leq \lambda_{w,máx}$ Cumple	x: 1.893 m η = 26.1	x: 0.116 m η = 46.5	x: 0.116 m η = 1.0	x: 1.894 m η = 31.4	η < 0.1	η = 4.9	η < 0.1	η < 0.1	x: 0.116 m η = 78.2	η < 0.1	η = 2.0	η < 0.1	η = 5.0	**CUMPLE η = 78.2**
N1800/N1750	$\lambda_w \leq \lambda_{w,máx}$ Cumple	x: 1.893 m η = 30.7	x: 0.116 m η = 55.1	x: 1.893 m η = 0.4	x: 0.116 m η = 32.9	η < 0.1	η = 5.2	η < 0.1	η < 0.1	x: 0.116 m η = 88.4	η < 0.1	η = 1.4	η < 0.1	η = 5.2	**CUMPLE η = 88.4**
N1801/N1751	$\lambda_w \leq \lambda_{w,máx}$ Cumple	x: 1.893 m η = 27.4	x: 0.117 m η = 45.9	x: 0.117 m η = 0.4	x: 1.894 m η = 33.6	η < 0.1	η = 6.7	η < 0.1	η < 0.1	x: 1.894 m η = 78.2	η < 0.1	η = 0.6	η < 0.1	η = 6.7	**CUMPLE η = 78.2**
N1802/N1752	$\lambda_w \leq \lambda_{w,máx}$ Cumple	x: 1.882 m η = 25.8	x: 0.117 m η = 43.8	x: 0.117 m η = 2.6	x: 0.117 m η = 38.4	η = 0.2	η = 7.2	η < 0.1	η < 0.1	x: 0.117 m η = 80.6	η < 0.1	η = 0.7	η = 0.2	η = 7.2	**CUMPLE η = 80.6**
N1803/N1753	$\lambda_w \leq \lambda_{w,máx}$ Cumple	x: 1.882 m η = 29.6	x: 0.175 m η = 50.0	x: 0.175 m η = 3.8	x: 0.175 m η = 10.1	η = 0.4	η = 1.7	η < 0.1	η < 0.1	x: 0.175 m η = 59.7	η < 0.1	η = 1.1	η = 0.4	η = 1.7	**CUMPLE η = 59.7**
N1804/N1756	$\lambda_w \leq \lambda_{w,máx}$ Cumple	x: 1.889 m η = 20.6	x: 0.116 m η = 36.7	x: 0.116 m η = 4.7	x: 1.89 m η = 20.8	η = 0.5	η = 3.8	η < 0.1	η < 0.1	x: 1.89 m η = 56.7	η < 0.1	η = 0.5	η = 0.5	η = 3.8	**CUMPLE η = 56.7**
N1805/N1757	$\lambda_w \leq \lambda_{w,máx}$ Cumple	x: 1.889 m η = 21.0	x: 0.116 m η = 36.1	x: 0.116 m η = 3.4	x: 0.116 m η = 19.8	η = 0.3	η = 3.8	η < 0.1	η < 0.1	x: 0.116 m η = 55.2	η < 0.1	η = 0.4	η = 0.3	η = 3.8	**CUMPLE η = 55.2**
N1806/N1758	$\lambda_w \leq \lambda_{w,máx}$ Cumple	x: 1.893 m η = 20.6	x: 0.116 m η = 35.3	x: 0.116 m η = 0.8	x: 1.894 m η = 20.9	η < 0.1	η = 4.2	η < 0.1	η < 0.1	x: 1.894 m η = 55.5	η < 0.1	η = 0.9	η < 0.1	η = 4.2	**CUMPLE η = 55.5**
N1807/N1759	$\lambda_w \leq \lambda_{w,máx}$ Cumple	x: 1.893 m η = 21.7	x: 0.116 m η = 39.9	x: 0.116 m η = 0.4	x: 0.116 m η = 19.1	η < 0.1	η = 3.0	η < 0.1	η < 0.1	x: 0.116 m η = 59.2	η < 0.1	η = 0.9	η < 0.1	η = 3.0	**CUMPLE η = 59.2**
N1808/N1760	$\lambda_w \leq \lambda_{w,máx}$ Cumple	x: 1.893 m η = 16.9	x: 0.116 m η = 31.1	x: 0.116 m η = 0.5	x: 0.116 m η = 16.5	η < 0.1	η = 2.6	η < 0.1	η < 0.1	x: 0.116 m η = 47.7	η < 0.1	η = 0.7	η < 0.1	η = 2.6	**CUMPLE η = 47.7**
N1809/N1761	$\lambda_w \leq \lambda_{w,máx}$ Cumple	x: 1.893 m η = 17.2	x: 0.116 m η = 31.3	x: 1.894 m η = 0.3	x: 0.116 m η = 14.8	η < 0.1	η = 2.4	η < 0.1	η < 0.1	x: 0.116 m η = 46.2	η < 0.1	η = 0.2	η < 0.1	η = 2.4	**CUMPLE η = 46.2**
N1810/N1762	$\lambda_w \leq \lambda_{w,máx}$ Cumple	x: 1.893 m η = 9.8	x: 0.116 m η = 15.5	x: 0.116 m η = 0.4	x: 0.116 m η = 8.5	η < 0.1	η = 1.3	η < 0.1	η < 0.1	x: 0.116 m η = 24.2	η < 0.1	η = 0.5	η < 0.1	η = 1.3	**CUMPLE η = 24.2**
N1811/N1763	$\lambda_w \leq \lambda_{w,máx}$ Cumple	x: 1.893 m η = 7.7	x: 0.116 m η = 10.8	x: 1.893 m η = 0.2	x: 1.894 m η = 1.4	η < 0.1	η = 0.2	η < 0.1	η < 0.1	x: 1.894 m η = 12.0	η < 0.1	η = 0.1	η < 0.1	η = 0.2	**CUMPLE η = 12.0**
N1812/N1764	$\lambda_w \leq \lambda_{w,máx}$ Cumple	x: 1.893 m η = 13.6	x: 0.116 m η = 21.3	x: 0.116 m η = 0.4	x: 0.116 m η = 11.6	η < 0.1	η = 1.9	η < 0.1	η < 0.1	x: 0.116 m η = 32.9	η < 0.1	η = 0.6	η < 0.1	η = 1.9	**CUMPLE η = 32.9**
N1813/N1765	$\lambda_w \leq \lambda_{w,máx}$ Cumple	x: 1.893 m η = 20.7	x: 0.116 m η = 33.9	x: 1.894 m η = 0.2	x: 0.116 m η = 19.5	η < 0.1	η = 3.2	η < 0.1	η < 0.1	x: 0.116 m η = 53.5	η < 0.1	η = 0.2	η < 0.1	η = 3.2	**CUMPLE η = 53.5**
N1814/N1766	$\lambda_w \leq \lambda_{w,máx}$ Cumple	x: 1.893 m η = 19.3	x: 0.116 m η = 32.8	x: 0.116 m η = 0.3	x: 0.116 m η = 21.2	η < 0.1	η = 3.3	η < 0.1	η < 0.1	x: 0.116 m η = 54.1	η < 0.1	η = 0.8	η < 0.1	η = 3.3	**CUMPLE η = 54.1**
N1815/N1767	$\lambda_w \leq \lambda_{w,máx}$ Cumple	x: 1.893 m η = 24.0	x: 0.116 m η = 41.6	x: 1.893 m η = 0.2	x: 0.116 m η = 24.4	η < 0.1	η = 3.8	η < 0.1	η < 0.1	x: 0.116 m η = 66.0	η < 0.1	η = 0.7	η < 0.1	η = 3.8	**CUMPLE η = 66.0**
N1816/N1768	$\lambda_w \leq \lambda_{w,máx}$ Cumple	x: 1.893 m η = 22.2	x: 0.117 m η = 36.3	x: 0.117 m η = 0.3	x: 1.894 m η = 25.8	η < 0.1	η = 5.2	η < 0.1	η < 0.1	x: 1.894 m η = 61.2	η < 0.1	η = 0.6	η < 0.1	η = 5.2	**CUMPLE η = 61.2**
N1817/N1769	$\lambda_w \leq \lambda_{w,máx}$ Cumple	x: 1.882 m η = 21.5	x: 0.117 m η = 35.7	x: 0.117 m η = 1.6	x: 0.117 m η = 32.0	η = 0.1	η = 6.0	η < 0.1	η < 0.1	x: 0.117 m η = 66.6	η < 0.1	η = 0.3	η = 0.1	η = 6.0	**CUMPLE η = 66.6**
N1818/N1770	$\lambda_w \leq \lambda_{w,máx}$ Cumple	x: 1.882 m η = 25.4	x: 0.175 m η = 42.2	x: 0.175 m η = 1.8	x: 0.175 m η = 14.0	η = 0.2	η = 2.5	η < 0.1	η < 0.1	x: 0.175 m η = 55.7	η < 0.1	η = 0.5	η = 0.2	η = 2.5	**CUMPLE η = 55.7**
N1819/N1773	$\lambda_w \leq \lambda_{w,máx}$ Cumple	x: 1.889 m η = 25.3	x: 0.116 m η = 43.3	x: 0.116 m η = 3.2	x: 1.89 m η = 24.6	η = 0.3	η = 4.6	η < 0.1	η < 0.1	x: 1.89 m η = 66.9	η < 0.1	η = 0.7	η = 0.3	η = 4.6	**CUMPLE η = 66.9**
N1820/N1774	$\lambda_w \leq \lambda_{w,máx}$ Cumple	x: 1.889 m η = 25.2	x: 0.116 m η = 42.4	x: 0.116 m η = 3.2	x: 0.116 m η = 23.5	η = 0.3	η = 4.5	η < 0.1	η < 0.1	x: 0.116 m η = 65.5	η < 0.1	η = 0.4	η = 0.3	η = 4.5	**CUMPLE η = 65.5**
N1821/N1775	$\lambda_w \leq \lambda_{w,máx}$ Cumple	x: 1.893 m η = 25.8	x: 0.116 m η = 43.1	x: 0.116 m η = 0.5	x: 1.894 m η = 25.9	η < 0.1	η = 5.2	η < 0.1	η < 0.1	x: 1.894 m η = 68.1	η < 0.1	η = 0.6	η < 0.1	η = 5.2	**CUMPLE η = 68.1**
N1822/N1776	$\lambda_w \leq \lambda_{w,máx}$ Cumple	x: 1.893 m η = 28.4	x: 0.116 m η = 50.8	x: 1.893 m η = 0.5	x: 0.116 m η = 24.8	η < 0.1	η = 3.9	η < 0.1	η < 0.1	x: 0.116 m η = 75.9	η < 0.1	η = 1.0	η < 0.1	η = 3.9	**CUMPLE η = 75.9**
N1823/N1777	$\lambda_w \leq \lambda_{w,máx}$ Cumple	x: 1.893 m η = 23.7	x: 0.116 m η = 42.2	x: 0.116 m η = 0.6	x: 0.116 m η = 23.3	η < 0.1	η = 3.6	η < 0.1	η < 0.1	x: 0.116 m η = 65.8	η < 0.1	η = 1.0	η < 0.1	η = 3.7	**CUMPLE η = 65.8**
N1824/N1778	$\lambda_w \leq \lambda_{w,máx}$ Cumple	x: 1.893 m η = 27.3	x: 0.116 m η = 47.4	x: 1.894 m η = 0.4	x: 0.116 m η = 23.7	η < 0.1	η = 3.8	η < 0.1	η < 0.1	x: 0.116 m η = 71.5	η < 0.1	η = 0.3	η < 0.1	η = 3.8	**CUMPLE η = 71.5**
N1825/N1779	$\lambda_w \leq \lambda_{w,máx}$ Cumple	x: 1.893 m η = 20.0	x: 0.116 m η = 34.6	x: 1.893 m η = 0.5	x: 0.116 m η = 17.2	η < 0.1	η = 2.7	η < 0.1	η < 0.1	x: 0.116 m η = 52.2	η < 0.1	η = 0.6	η < 0.1	η = 2.7	**CUMPLE η = 52.2**
N1826/N1780	$\lambda_w \leq \lambda_{w,máx}$ Cumple	x: 1.893 m η = 7.7	x: 0.116 m η = 10.8	x: 1.894 m η = 0.3	x: 0.116 m η = 7.8	η < 0.1	η = 1.2	η < 0.1	η < 0.1	x: 0.116 m η = 18.8	η < 0.1	η = 0.3	η < 0.1	η = 1.2	**CUMPLE η = 18.8**
N1827/N1781	$\lambda_w \leq \lambda_{w,máx}$ Cumple	x: 1.893 m η = 4.4	x: 0.116 m η = 5.1	x: 0.116 m η = 0.5	x: 1.894 m η = 2.5	η < 0.1	η = 0.4	η < 0.1	η < 0.1	x: 1.894 m η = 7.7	η < 0.1	η = 0.9	η < 0.1	η = 0.4	**CUMPLE η = 7.7**
N1828/N1782	$\lambda_w \leq \lambda_{w,máx}$ Cumple	x: 1.893 m η = 11.4	x: 0.116 m η = 15.6	x: 1.894 m η = 0.3	x: 0.116 m η = 9.9	η = 0.1	η = 1.6	η < 0.1	η < 0.1	x: 0.116 m η = 25.6	η < 0.1	η = 0.2	η = 0.1	η = 1.6	**CUMPLE η = 25.6**
N1829/N1783	$\lambda_w \leq \lambda_{w,máx}$ Cumple	x: 1.893 m η = 12.9	x: 0.116 m η = 22.0	x: 0.116 m η = 0.6	x: 1.894 m η = 13.9	η < 0.1	η = 2.2	η < 0.1	η < 0.1	x: 0.116 m η = 36.0	η < 0.1	η = 1.3	η < 0.1	η = 2.2	**CUMPLE η = 36.0**
N1830/N1784	$\lambda_w \leq \lambda_{w,máx}$ Cumple	x: 1.893 m η = 17.5	x: 0.116 m η = 30.6	x: 0.116 m η = 0.3	x: 0.116 m η = 18.1	η < 0.1	η = 2.8	η < 0.1	η < 0.1	x: 0.116 m η = 48.8	η < 0.1	η = 0.7	η < 0.1	η = 2.9	**CUMPLE η = 48.8**
N1831/N1785	$\lambda_w \leq \lambda_{w,máx}$ Cumple	x: 1.893 m η = 17.4	x: 0.117 m η = 25.7	x: 0.117 m η = 0.3	x: 1.894 m η = 20.9	η < 0.1	η = 4.2	η < 0.1	η < 0.1	x: 1.894 m η = 46.1	η < 0.1	η = 0.4	η < 0.1	η = 4.2	**CUMPLE η = 46.1**
N1832/N1786	$\lambda_w \leq \lambda_{w,máx}$ Cumple	x: 1.882 m η = 17.3	x: 0.117 m η = 29.0	x: 0.117 m η = 2.0	x: 1.883 m η = 20.2	η = 0.2	η = 4.0	η < 0.1	η < 0.1	x: 0.117 m η = 49.2	η < 0.1	η = 0.4	η = 0.2	η = 4.0	**CUMPLE η = 49.2**

Documento visado electrónicamente con número: VA07290/22
Código de validación telemática TRLTDCFZ60T66IJ1. Comprobación: https://cogitivalencia.e-gestion.es/Validacion.aspx?CVT=TRLTDCFZ60T66IJ1

Listados

Barras	COMPROBACIONES (CÓDIGO ESTRUCTURAL)														Estado
	λ_w	N_t	N_c	M_Y	M_Z	V_Z	V_Y	M_YV_Z	M_ZV_Y	NM_YM_Z	$NM_YM_ZV_YV_Z$	M_t	M_tV_Z	M_tV_Y	
N1833/N1787	$\lambda_w \leq \lambda_{w,máx}$ Cumple	x: 1.882 m η = 21.6	x: 0.117 m η = 36.6	x: 0.117 m η = 1.0	x: 0.117 m η = 29.6	η < 0.1	η = 5.3	η < 0.1	η < 0.1	x: 0.117 m η = 65.3	η < 0.1	η = 1.1	η < 0.1	η = 5.3	**CUMPLE η = 65.3**
N1789/N1738	$\lambda_w \leq \lambda_{w,máx}$ Cumple	x: 2.445 m η = 34.9	x: 0.149 m η = 25.8	x: 2.446 m η = 30.5	x: 0.149 m η = 1.4	x: 0.149 m η = 3.7	η < 0.1	η < 0.1	η < 0.1	x: 2.446 m η = 65.6	η < 0.1	η = 0.4	x: 0.149 m η = 3.7	η < 0.1	**CUMPLE η = 65.6**
N1790/N1739	$\lambda_w \leq \lambda_{w,máx}$ Cumple	x: 2.445 m η = 35.0	x: 0.149 m η = 22.7	x: 0.149 m η = 5.0	x: 2.446 m η = 2.0	x: 0.149 m η = 0.9	η = 0.2	η < 0.1	η < 0.1	x: 2.446 m η = 40.7	η < 0.1	η = 0.9	x: 0.149 m η = 0.9	η = 0.2	**CUMPLE η = 40.7**
N1791/N1740	$\lambda_w \leq \lambda_{w,máx}$ Cumple	x: 2.445 m η = 30.1	x: 0.149 m η = 19.8	x: 2.446 m η = 8.1	x: 2.446 m η = 0.6	x: 0.149 m η = 1.1	η < 0.1	η < 0.1	η < 0.1	x: 2.446 m η = 38.4	η < 0.1	η = 1.1	x: 0.149 m η = 1.1	η < 0.1	**CUMPLE η = 38.4**
N1792/N1741	$\lambda_w \leq \lambda_{w,máx}$ Cumple	x: 2.445 m η = 34.1	x: 0.149 m η = 26.8	x: 2.446 m η = 6.9	x: 2.446 m η = 0.6	x: 0.149 m η = 0.8	η = 0.1	η < 0.1	η < 0.1	x: 2.446 m η = 41.1	η < 0.1	η = 0.3	x: 0.149 m η = 0.8	η = 0.1	**CUMPLE η = 41.1**
N1793/N1742	$\lambda_w \leq \lambda_{w,máx}$ Cumple	x: 2.445 m η = 23.4	x: 0.149 m η = 19.1	x: 2.446 m η = 7.0	x: 0.149 m η = 1.5	x: 0.149 m η = 0.7	η = 0.1	η < 0.1	η < 0.1	x: 2.446 m η = 31.0	η < 0.1	η = 0.2	x: 0.149 m η = 0.7	η = 0.1	**CUMPLE η = 31.0**
N1794/N1743	$\lambda_w \leq \lambda_{w,máx}$ Cumple	x: 2.445 m η = 14.4	x: 0.149 m η = 10.7	x: 2.446 m η = 5.2	x: 2.446 m η = 1.6	x: 0.149 m η = 0.5	η = 0.1	η < 0.1	η < 0.1	x: 2.446 m η = 20.4	η < 0.1	η = 0.4	x: 0.149 m η = 0.5	η = 0.1	**CUMPLE η = 20.4**
N1795/N1744	$\lambda_w \leq \lambda_{w,máx}$ Cumple	x: 2.445 m η = 1.6	x: 0.149 m η = 4.2	x: 1.297 m η = 3.1	x: 0.149 m η = 1.4	x: 2.445 m η = 0.2	η = 0.1	η < 0.1	η < 0.1	x: 0.532 m η = 6.8	η < 0.1	η = 0.6	x: 2.445 m η = 0.2	η = 0.1	**CUMPLE η = 6.8**
N1796/N1745	$\lambda_w \leq \lambda_{w,máx}$ Cumple	x: 2.445 m η = 15.9	x: 0.149 m η = 28.2	x: 0.149 m η = 7.5	x: 0.149 m η = 1.2	x: 2.445 m η = 0.7	η = 0.1	η < 0.1	η < 0.1	x: 0.149 m η = 36.0	η < 0.1	η = 0.5	x: 2.445 m η = 0.7	η = 0.1	**CUMPLE η = 36.0**
N1796/N1747	$\lambda_w \leq \lambda_{w,máx}$ Cumple	x: 2.622 m η = 40.6	x: 0.16 m η = 32.3	x: 2.623 m η = 10.1	x: 0.16 m η = 1.8	x: 0.16 m η = 1.0	η = 0.1	η < 0.1	η < 0.1	x: 2.623 m η = 51.0	η < 0.1	η = 0.3	x: 0.16 m η = 1.0	η = 0.1	**CUMPLE η = 51.0**
N1797/N1748	$\lambda_w \leq \lambda_{w,máx}$ Cumple	x: 2.622 m η = 60.8	x: 0.16 m η = 49.3	x: 2.623 m η = 15.6	x: 0.16 m η = 1.0	x: 0.16 m η = 1.7	η = 0.1	η < 0.1	η < 0.1	x: 2.623 m η = 76.6	η < 0.1	η = 0.7	x: 0.16 m η = 1.7	η = 0.1	**CUMPLE η = 76.6**
N1798/N1749	$\lambda_w \leq \lambda_{w,máx}$ Cumple	x: 2.622 m η = 77.6	x: 0.16 m η = 62.5	x: 2.623 m η = 14.7	x: 2.623 m η = 2.0	x: 0.16 m η = 1.8	η = 0.1	η < 0.1	η < 0.1	x: 2.623 m η = 93.5	η < 0.1	η = 0.5	x: 0.16 m η = 1.8	η = 0.1	**CUMPLE η = 93.5**
N1799/N1750	$\lambda_w \leq \lambda_{w,máx}$ Cumple	x: 2.622 m η = 70.7	x: 0.16 m η = 57.7	x: 2.623 m η = 14.7	x: 0.16 m η = 1.5	x: 0.16 m η = 1.8	η = 0.1	η < 0.1	η < 0.1	x: 2.623 m η = 86.2	η < 0.1	η = 0.8	x: 0.16 m η = 1.8	η = 0.1	**CUMPLE η = 86.2**
N1800/N1751	$\lambda_w \leq \lambda_{w,máx}$ Cumple	x: 2.622 m η = 78.7	x: 0.16 m η = 63.6	x: 0.16 m η = 13.0	x: 0.16 m η = 1.0	x: 0.16 m η = 1.6	η < 0.1	η < 0.1	η < 0.1	x: 0.16 m η = 92.6	η < 0.1	η = 0.6	x: 0.16 m η = 1.6	η < 0.1	**CUMPLE η = 92.6**
N1801/N1752	$\lambda_w \leq \lambda_{w,máx}$ Cumple	x: 2.622 m η = 60.9	x: 0.16 m η = 46.0	x: 0.16 m η = 13.1	x: 0.16 m η = 1.7	x: 0.16 m η = 1.9	η < 0.1	η < 0.1	η < 0.1	x: 0.16 m η = 74.8	η < 0.1	η = 2.2	x: 0.16 m η = 1.9	η < 0.1	**CUMPLE η = 74.8**
N1802/N1753	$\lambda_w \leq \lambda_{w,máx}$ Cumple	x: 2.622 m η = 53.8	x: 0.16 m η = 40.3	x: 0.16 m η = 14.1	x: 2.623 m η = 2.0	x: 0.16 m η = 1.2	η = 0.1	η < 0.1	η < 0.1	x: 0.16 m η = 68.0	η < 0.1	η = 2.0	x: 0.16 m η = 1.2	η = 0.1	**CUMPLE η = 68.0**
N1803/N1754	$\lambda_w \leq \lambda_{w,máx}$ Cumple	x: 2.549 m η = 49.6	x: 0.16 m η = 82.7	x: 2.55 m η = 13.1	x: 2.55 m η = 2.3	x: 0.16 m η = 1.7	η = 0.2	η < 0.1	η < 0.1	x: 2.55 m η = 95.1	η < 0.1	η = 0.8	x: 0.16 m η = 1.7	η = 0.2	**CUMPLE η = 95.1**
N1804/N1755	$\lambda_w \leq \lambda_{w,máx}$ Cumple	x: 2.377 m η = 41.2	x: 0.149 m η = 32.0	x: 2.378 m η = 16.1	x: 0.149 m η = 1.0	x: 2.377 m η = 1.6	η = 0.1	η < 0.1	η < 0.1	x: 2.378 m η = 57.6	η < 0.1	η = 2.4	x: 2.377 m η = 1.6	η = 0.1	**CUMPLE η = 57.6**
N1805/N1756	$\lambda_w \leq \lambda_{w,máx}$ Cumple	x: 2.445 m η = 48.3	x: 0.149 m η = 34.3	x: 0.149 m η = 14.1	x: 2.446 m η = 0.9	x: 0.149 m η = 2.2	η = 0.1	η < 0.1	η < 0.1	x: 0.149 m η = 62.2	η < 0.1	η = 1.3	x: 0.149 m η = 2.2	η = 0.1	**CUMPLE η = 62.2**
N1806/N1757	$\lambda_w \leq \lambda_{w,máx}$ Cumple	x: 2.445 m η = 42.3	x: 0.149 m η = 30.7	x: 0.149 m η = 9.9	x: 0.149 m η = 1.3	x: 0.149 m η = 1.5	η = 0.1	η < 0.1	η < 0.1	x: 0.149 m η = 52.5	η < 0.1	η = 0.7	x: 0.149 m η = 1.5	η = 0.1	**CUMPLE η = 52.5**
N1807/N1758	$\lambda_w \leq \lambda_{w,máx}$ Cumple	x: 2.445 m η = 53.6	x: 0.149 m η = 40.9	x: 0.149 m η = 9.2	x: 0.149 m η = 0.6	x: 0.149 m η = 1.2	η < 0.1	η < 0.1	η < 0.1	x: 0.149 m η = 63.4	η < 0.1	η = 0.5	x: 0.149 m η = 1.2	η < 0.1	**CUMPLE η = 63.4**
N1808/N1759	$\lambda_w \leq \lambda_{w,máx}$ Cumple	x: 2.445 m η = 43.6	x: 0.149 m η = 33.4	x: 2.446 m η = 9.2	x: 0.149 m η = 0.7	x: 0.149 m η = 1.3	η < 0.1	η < 0.1	η < 0.1	x: 2.446 m η = 53.4	η < 0.1	η = 0.5	x: 0.149 m η = 1.3	η < 0.1	**CUMPLE η = 53.4**
N1809/N1760	$\lambda_w \leq \lambda_{w,máx}$ Cumple	x: 2.445 m η = 42.2	x: 0.149 m η = 31.2	x: 2.446 m η = 8.2	x: 2.446 m η = 0.7	x: 0.149 m η = 1.1	η < 0.1	η < 0.1	η < 0.1	x: 2.446 m η = 51.0	η < 0.1	η = 0.3	x: 0.149 m η = 1.1	η < 0.1	**CUMPLE η = 51.0**
N1810/N1761	$\lambda_w \leq \lambda_{w,máx}$ Cumple	x: 2.445 m η = 25.4	x: 0.149 m η = 15.3	x: 2.446 m η = 7.3	x: 0.149 m η = 0.8	x: 0.149 m η = 0.9	η < 0.1	η < 0.1	η < 0.1	x: 2.446 m η = 32.8	η < 0.1	η = 0.4	x: 0.149 m η = 0.9	η < 0.1	**CUMPLE η = 32.8**
N1811/N1762	$\lambda_w \leq \lambda_{w,máx}$ Cumple	x: 2.445 m η = 5.8	x: 0.149 m η = 2.7	x: 2.446 m η = 3.2	x: 0.149 m η = 0.7	x: 0.149 m η = 0.3	η < 0.1	η < 0.1	η < 0.1	x: 2.446 m η = 9.4	η < 0.1	η = 0.4	x: 0.149 m η = 0.3	η < 0.1	**CUMPLE η = 9.4**
N1811/N1764	$\lambda_w \leq \lambda_{w,máx}$ Cumple	x: 2.622 m η = 11.0	x: 0.16 m η = 8.9	x: 2.623 m η = 4.2	x: 2.623 m η = 0.7	x: 0.16 m η = 0.4	η < 0.1	η < 0.1	η < 0.1	x: 2.623 m η = 15.6	η < 0.1	η = 0.4	x: 0.16 m η = 0.4	η < 0.1	**CUMPLE η = 15.6**
N1812/N1765	$\lambda_w \leq \lambda_{w,máx}$ Cumple	x: 2.622 m η = 31.4	x: 0.16 m η = 27.8	x: 2.623 m η = 8.5	x: 0.16 m η = 0.7	x: 0.16 m η = 1.0	η < 0.1	η < 0.1	η < 0.1	x: 2.623 m η = 39.9	η < 0.1	η = 0.2	x: 0.16 m η = 1.0	η < 0.1	**CUMPLE η = 39.9**
N1813/N1766	$\lambda_w \leq \lambda_{w,máx}$ Cumple	x: 2.622 m η = 49.0	x: 0.16 m η = 41.6	x: 2.623 m η = 9.3	x: 2.623 m η = 0.7	x: 0.16 m η = 1.2	η < 0.1	η < 0.1	η < 0.1	x: 2.623 m η = 58.9	η < 0.1	η = 0.1	x: 0.16 m η = 1.2	η < 0.1	**CUMPLE η = 58.9**
N1814/N1767	$\lambda_w \leq \lambda_{w,máx}$ Cumple	x: 2.622 m η = 49.8	x: 0.16 m η = 42.4	x: 2.623 m η = 10.2	x: 0.16 m η = 0.9	x: 0.16 m η = 1.3	η < 0.1	η < 0.1	η < 0.1	x: 2.623 m η = 60.5	η < 0.1	η = 0.5	x: 0.16 m η = 1.3	η < 0.1	**CUMPLE η = 60.5**
N1815/N1768	$\lambda_w \leq \lambda_{w,máx}$ Cumple	x: 2.622 m η = 59.4	x: 0.16 m η = 49.5	x: 0.16 m η = 10.3	x: 2.623 m η = 0.7	x: 0.16 m η = 1.3	η < 0.1	η < 0.1	η < 0.1	x: 0.16 m η = 70.2	η < 0.1	η = 0.4	x: 0.16 m η = 1.3	η < 0.1	**CUMPLE η = 70.2**
N1816/N1769	$\lambda_w \leq \lambda_{w,máx}$ Cumple	x: 2.622 m η = 48.3	x: 0.16 m η = 37.4	x: 0.16 m η = 10.7	x: 0.16 m η = 1.2	x: 0.16 m η = 1.5	η < 0.1	η < 0.1	η < 0.1	x: 0.16 m η = 59.5	η < 0.1	η = 0.9	x: 0.16 m η = 1.5	η < 0.1	**CUMPLE η = 59.5**
N1817/N1770	$\lambda_w \leq \lambda_{w,máx}$ Cumple	x: 2.622 m η = 42.6	x: 0.16 m η = 32.6	x: 0.16 m η = 12.0	x: 2.623 m η = 0.8	x: 0.16 m η = 1.0	η < 0.1	η < 0.1	η < 0.1	x: 0.16 m η = 54.5	η < 0.1	η = 0.9	x: 0.16 m η = 1.0	η < 0.1	**CUMPLE η = 54.5**
N1818/N1771	$\lambda_w \leq \lambda_{w,máx}$ Cumple	x: 2.549 m η = 48.0	x: 0.16 m η = 82.5	x: 2.55 m η = 12.2	x: 2.55 m η = 0.9	x: 0.16 m η = 1.5	η = 0.1	η < 0.1	η < 0.1	x: 2.55 m η = 93.9	η < 0.1	η = 0.3	x: 0.16 m η = 1.5	η = 0.1	**CUMPLE η = 93.9**
N1819/N1772	$\lambda_w \leq \lambda_{w,máx}$ Cumple	x: 2.377 m η = 45.3	x: 0.149 m η = 34.4	x: 2.378 m η = 12.5	x: 2.378 m η = 0.8	x: 2.377 m η = 1.0	η = 0.1	η < 0.1	η < 0.1	x: 2.378 m η = 57.8	η < 0.1	η = 1.5	x: 2.377 m η = 1.0	η = 0.1	**CUMPLE η = 57.8**
N1820/N1773	$\lambda_w \leq \lambda_{w,máx}$ Cumple	x: 2.445 m η = 57.4	x: 0.149 m η = 42.1	x: 0.149 m η = 14.9	x: 2.446 m η = 1.3	x: 0.149 m η = 2.3	η = 0.1	η < 0.1	η < 0.1	x: 0.149 m η = 72.3	η < 0.1	η = 1.2	x: 0.149 m η = 2.3	η = 0.1	**CUMPLE η = 72.3**
N1821/N1774	$\lambda_w \leq \lambda_{w,máx}$ Cumple	x: 2.445 m η = 51.5	x: 0.149 m η = 38.3	x: 0.149 m η = 11.7	x: 0.149 m η = 1.1	x: 0.149 m η = 1.8	η < 0.1	η < 0.1	η < 0.1	x: 0.149 m η = 63.6	η < 0.1	η = 0.8	x: 0.149 m η = 1.8	η < 0.1	**CUMPLE η = 63.6**
N1822/N1775	$\lambda_w \leq \lambda_{w,máx}$ Cumple	x: 2.445 m η = 68.0	x: 0.149 m η = 53.7	x: 0.149 m η = 11.2	x: 0.149 m η = 0.9	x: 0.149 m η = 1.5	η < 0.1	η < 0.1	η < 0.1	x: 0.149 m η = 79.9	η < 0.1	η = 0.5	x: 0.149 m η = 1.5	η < 0.1	**CUMPLE η = 79.9**
N1823/N1776	$\lambda_w \leq \lambda_{w,máx}$ Cumple	x: 2.445 m η = 59.1	x: 0.149 m η = 47.2	x: 2.446 m η = 12.6	x: 0.149 m η = 1.0	x: 0.149 m η = 1.7	x: 0.149 m η < 0.1	η < 0.1	η < 0.1	x: 2.446 m η = 72.5	η < 0.1	η = 0.5	x: 0.149 m η = 1.7	x: 0.149 m η < 0.1	**CUMPLE η = 72.5**
N1824/N1777	$\lambda_w \leq \lambda_{w,máx}$ Cumple	x: 2.445 m η = 63.7	x: 0.149 m η = 50.1	x: 2.446 m η = 12.3	x: 2.446 m η = 1.0	x: 0.149 m η = 1.6	η = 0.1	η < 0.1	η < 0.1	x: 2.446 m η = 76.9	η < 0.1	η = 0.3	x: 0.149 m η = 1.6	η = 0.1	**CUMPLE η = 76.9**
N1825/N1778	$\lambda_w \leq \lambda_{w,máx}$ Cumple	x: 2.445 m η = 47.3	x: 0.149 m η = 37.5	x: 2.446 m η = 12.6	x: 0.149 m η = 0.9	x: 0.149 m η = 1.5	η = 0.1	η < 0.1	η < 0.1	x: 2.446 m η = 60.1	η < 0.1	η = 0.4	x: 0.149 m η = 1.5	η = 0.1	**CUMPLE η = 60.1**
N1826/N1779	$\lambda_w \leq \lambda_{w,máx}$ Cumple	x: 2.445 m η = 28.6	x: 0.149 m η = 22.2	x: 2.446 m η = 7.8	x: 2.446 m η = 0.8	x: 0.149 m η = 0.8	η = 0.1	η < 0.1	η < 0.1	x: 2.446 m η = 36.8	η < 0.1	η = 0.4	x: 0.149 m η = 0.8	η = 0.1	**CUMPLE η = 36.8**
N1826/N1781	$\lambda_w \leq \lambda_{w,máx}$ Cumple	x: 2.622 m η = 9.1	x: 0.16 m η = 13.6	x: 0.16 m η = 5.0	x: 2.623 m η = 1.0	x: 2.622 m η = 0.3	η < 0.1	η < 0.1	η < 0.1	x: 0.16 m η = 18.7	η < 0.1	η = 0.4	x: 2.622 m η = 0.3	η < 0.1	**CUMPLE η = 18.7**
N1827/N1782	$\lambda_w \leq \lambda_{w,máx}$ Cumple	x: 2.622 m η = 8.8	x: 0.16 m η = 6.7	x: 2.623 m η = 5.1	x: 0.16 m η = 1.2	x: 0.16 m η = 0.4	η = 0.1	η < 0.1	η < 0.1	x: 2.623 m η = 14.1	η < 0.1	η = 0.3	x: 0.16 m η = 0.4	η = 0.1	**CUMPLE η = 14.1**

VISADO
COGITI
Estado
VALENCIA
VA07290/22
TRLTDCFZ60T66IJ1

Barras	COMPROBACIONES (CÓDIGO ESTRUCTURAL)														
	λ_w	N_t	N_c	M_Y	M_Z	V_Z	V_Y	M_YV_Z	M_ZV_Y	NM_YM_Z	$NM_YM_ZV_YV_Z$	M_t	M_tV_Z	M_tV_Y	
N1828/N1783	$\lambda_w \leq \lambda_{w,máx}$ Cumple	x: 2.622 m η = 26.5	x: 0.16 m η = 22.1	x: 2.623 m η = 7.1	x: 2.623 m η = 1.2	x: 0.16 m η = 0.7	η = 0.1	η < 0.1	η < 0.1	x: 2.623 m η = 34.2	η < 0.1	η = 0.2	x: 0.16 m η = 0.7	η = 0.1	**CUMPLE η = 34.2**
N1829/N1784	$\lambda_w \leq \lambda_{w,máx}$ Cumple	x: 2.622 m η = 33.3	x: 0.16 m η = 27.9	x: 2.623 m η = 8.7	x: 0.16 m η = 1.1	x: 0.16 m η = 0.9	η < 0.1	η < 0.1	η < 0.1	x: 2.623 m η = 42.6	η < 0.1	η = 0.5	x: 0.16 m η = 0.9	η < 0.1	**CUMPLE η = 42.6**
N1830/N1785	$\lambda_w \leq \lambda_{w,máx}$ Cumple	x: 2.622 m η = 44.0	x: 0.16 m η = 36.0	x: 2.623 m η = 7.8	x: 0.16 m η = 0.8	x: 0.16 m η = 0.9	η = 0.1	η < 0.1	η < 0.1	x: 2.623 m η = 52.1	η < 0.1	η = 0.4	x: 0.16 m η = 0.9	η = 0.1	**CUMPLE η = 52.1**
N1831/N1786	$\lambda_w \leq \lambda_{w,máx}$ Cumple	x: 2.622 m η = 36.8	x: 0.16 m η = 28.1	x: 2.623 m η = 9.2	x: 0.16 m η = 0.9	x: 0.16 m η = 1.3	η < 0.1	η < 0.1	η < 0.1	x: 2.623 m η = 46.2	η < 0.1	η = 0.8	x: 0.16 m η = 1.3	η < 0.1	**CUMPLE η = 46.2**
N1832/N1787	$\lambda_w \leq \lambda_{w,máx}$ Cumple	x: 2.622 m η = 45.0	x: 0.16 m η = 33.8	x: 2.623 m η = 6.1	x: 2.623 m η = 1.9	x: 0.16 m η = 1.0	η = 0.1	η < 0.1	η < 0.1	x: 2.623 m η = 51.3	η < 0.1	η = 0.9	x: 0.16 m η = 1.0	η = 0.1	**CUMPLE η = 51.3**
N1833/N1788	$\lambda_w \leq \lambda_{w,máx}$ Cumple	x: 2.518 m η = 28.9	x: 0.16 m η = 22.5	x: 0.16 m η = 18.3	x: 2.519 m η = 1.6	x: 0.16 m η = 2.4	η = 0.1	η < 0.1	η < 0.1	x: 0.16 m η = 46.7	η < 0.1	η = 0.4	x: 0.16 m η = 2.4	η = 0.1	**CUMPLE η = 46.7**
N1834/N1835	$\lambda_w \leq \lambda_{w,máx}$ Cumple	x: 1.68 m η = 14.2	x: 0.098 m η = 19.5	x: 0.098 m η = 22.8	x: 1.681 m η = 3.6	x: 1.681 m η = 16.2	η = 0.3	η < 0.1	η < 0.1	x: 0.098 m η = 42.4	η < 0.1	η = 0.4	x: 1.681 m η = 16.2	η = 0.3	**CUMPLE η = 42.4**
N1835/N1836	$\lambda_w \leq \lambda_{w,máx}$ Cumple	x: 1.68 m η = 23.5	x: 0.098 m η = 35.0	x: 0.098 m η = 11.1	x: 1.681 m η = 8.1	x: 0.098 m η = 12.2	η = 0.4	η < 0.1	η < 0.1	x: 0.098 m η = 43.9	η < 0.1	η = 0.2	x: 0.098 m η = 12.2	η = 0.4	**CUMPLE η = 43.9**
N1836/N1837	$\lambda_w \leq \lambda_{w,máx}$ Cumple	x: 1.7 m η = 32.3	x: 0.098 m η = 46.9	x: 1.1 m η = 5.4	x: 0.098 m η = 7.6	x: 0.098 m η = 8.0	η = 0.3	η < 0.1	η < 0.1	x: 1.1 m η = 48.8	η < 0.1	η = 0.2	x: 0.098 m η = 8.0	η = 0.3	**CUMPLE η = 48.8**
N1837/N1838	$\lambda_w \leq \lambda_{w,máx}$ Cumple	x: 1.7 m η = 38.1	x: 0.078 m η = 55.3	x: 1.093 m η = 6.6	x: 0.078 m η = 3.6	x: 0.078 m η = 8.8	η = 0.3	η < 0.1	η < 0.1	x: 1.093 m η = 57.5	η < 0.1	η = 0.2	x: 0.078 m η = 8.8	η = 0.3	**CUMPLE η = 57.5**
N1838/N1839	$\lambda_w \leq \lambda_{w,máx}$ Cumple	x: 1.7 m η = 41.9	x: 0.078 m η = 60.7	x: 0.89 m η = 7.5	x: 0.078 m η = 3.5	x: 0.078 m η = 7.1	x: 0.687 m η = 0.2	η < 0.1	η < 0.1	x: 0.89 m η = 63.4	η < 0.1	x: 0.687 m η = 0.2	x: 0.078 m η = 7.1	x: 0.687 m η = 0.2	**CUMPLE η = 63.4**
N1839/N3439	$\lambda_w \leq \lambda_{w,máx}$ Cumple	x: 0.89 m η = 43.5	x: 0.078 m η = 57.8	x: 0.89 m η = 8.0	x: 0.89 m η = 2.7	x: 0.078 m η = 7.6	x: 0.687 m η = 0.2	η < 0.1	η < 0.1	x: 0.89 m η = 65.3	η < 0.1	x: 0.687 m η = 0.1	x: 0.078 m η = 7.6	x: 0.687 m η = 0.2	**CUMPLE η = 65.3**
N3439/N1840	$\lambda_w \leq \lambda_{w,máx}$ Cumple	x: 0.811 m η = 43.5	x: 0 m η = 57.8	x: 0.203 m η = 8.0	x: 0.812 m η = 4.8	x: 0.812 m η = 5.8	x: 0 m η = 0.2	η < 0.1	η < 0.1	x: 0.203 m η = 65.4	η < 0.1	x: 0 m η = 0.1	x: 0.812 m η = 5.8	x: 0 m η = 0.2	**CUMPLE η = 65.4**
N1840/N1841	$\lambda_w \leq \lambda_{w,máx}$ Cumple	x: 1.7 m η = 43.3	x: 0.078 m η = 63.0	x: 0.89 m η = 7.9	x: 0.078 m η = 4.6	x: 1.701 m η = 7.2	η = 0.2	η < 0.1	η < 0.1	x: 0.89 m η = 66.0	η < 0.1	η = 0.1	x: 1.701 m η = 7.2	η = 0.2	**CUMPLE η = 66.0**
N1841/N1842	$\lambda_w \leq \lambda_{w,máx}$ Cumple	x: 1.717 m η = 40.8	x: 0.078 m η = 59.7	x: 0.898 m η = 8.6	x: 1.718 m η = 2.1	x: 0.078 m η = 7.4	x: 0.078 m η = 0.2	η < 0.1	η < 0.1	x: 0.898 m η = 63.5	η < 0.1	x: 0.078 m η = 0.1	x: 0.078 m η = 6.5	x: 0.078 m η = 0.2	**CUMPLE η = 63.5**
N1842/N1843	$\lambda_w \leq \lambda_{w,máx}$ Cumple	x: 1.694 m η = 40.8	x: 0.061 m η = 59.7	x: 0.674 m η = 9.3	x: 0.061 m η = 2.1	x: 1.695 m η = 7.9	x: 0.265 m η = 0.1	η < 0.1	η < 0.1	x: 0.674 m η = 64.2	η < 0.1	η = 0.1	x: 1.695 m η = 6.9	x: 0.265 m η = 0.1	**CUMPLE η = 64.2**
N1843/N1844	$\lambda_w \leq \lambda_{w,máx}$ Cumple	x: 1.694 m η = 36.5	x: 0.084 m η = 53.5	x: 0.688 m η = 8.4	x: 1.695 m η = 1.6	x: 1.695 m η = 8.2	η = 0.1	η < 0.1	η < 0.1	x: 0.688 m η = 57.7	η < 0.1	η = 0.2	x: 1.695 m η = 7.2	η = 0.1	**CUMPLE η = 57.7**
N1844/N3452	$\lambda_w \leq \lambda_{w,máx}$ Cumple	x: 0.89 m η = 29.9	x: 0.084 m η = 40.6	x: 0.487 m η = 6.3	x: 0.89 m η = 2.2	x: 0.89 m η = 3.4	η = 0.1	η < 0.1	η < 0.1	x: 0.487 m η = 46.8	η < 0.1	η = 0.1	x: 0.89 m η = 3.4	η = 0.1	**CUMPLE η = 46.8**
N3452/N1845	$\lambda_w \leq \lambda_{w,máx}$ Cumple	x: 0.805 m η = 29.9	x: 0 m η = 40.6	x: 0.806 m η = 6.6	x: 0.806 m η = 2.7	x: 0.806 m η = 10.0	η = 0.1	η < 0.1	η < 0.1	x: 0.806 m η = 47.1	η < 0.1	η = 0.1	x: 0.806 m η = 10.0	η = 0.1	**CUMPLE η = 47.1**
N1845/N1846	$\lambda_w \leq \lambda_{w,máx}$ Cumple	x: 1.694 m η = 21.6	x: 0.084 m η = 30.0	x: 0.688 m η = 4.1	x: 1.695 m η = 3.8	x: 1.695 m η = 7.8	η = 0.1	η < 0.1	η < 0.1	x: 0.688 m η = 34.3	η < 0.1	η = 0.2	x: 1.695 m η = 7.8	η = 0.1	**CUMPLE η = 34.3**
N1846/N1847	$\lambda_w \leq \lambda_{w,máx}$ Cumple	x: 1.694 m η = 10.7	x: 0.084 m η = 16.1	x: 1.695 m η = 11.9	x: 0.084 m η = 4.6	x: 1.695 m η = 11.3	η = 0.5	η < 0.1	η < 0.1	x: 1.695 m η = 28.4	η < 0.1	η = 0.3	x: 1.695 m η = 11.3	η = 0.5	**CUMPLE η = 28.4**
N1847/N1848	$\lambda_w \leq \lambda_{w,máx}$ Cumple	x: 1.673 m η = 0.9	x: 0.084 m η = 2.7	x: 1.674 m η = 10.6	x: 1.674 m η = 10.9	x: 1.674 m η = 9.5	η = 0.4	η < 0.1	η < 0.1	x: 1.674 m η = 17.8	η < 0.1	η = 0.3	x: 1.674 m η = 9.5	η = 0.4	**CUMPLE η = 17.8**
N1848/N1849	$\lambda_w \leq \lambda_{w,máx}$ Cumple	x: 1.673 m η = 21.0	x: 0.105 m η = 18.5	x: 1.674 m η = 27.6	x: 0.105 m η = 12.8	x: 1.674 m η = 16.9	η = 0.7	η < 0.1	η < 0.1	x: 1.674 m η = 48.7	η < 0.1	η = 0.1	x: 1.674 m η = 15.1	η = 0.7	**CUMPLE η = 48.7**
N1849/N1850	$\lambda_w \leq \lambda_{w,máx}$ Cumple	x: 1.637 m η = 37.0	x: 0.105 m η = 30.8	x: 0.105 m η = 28.4	x: 0.105 m η = 4.3	x: 0.105 m η = 23.2	η = 0.4	η < 0.1	η < 0.1	x: 0.105 m η = 66.0	η < 0.1	η = 0.4	x: 0.105 m η = 22.8	η = 0.4	**CUMPLE η = 66.0**
N1851/N1852	$\lambda_w \leq \lambda_{w,máx}$ Cumple	x: 1.68 m η = 38.4	x: 0.141 m η = 26.3	x: 0.141 m η = 36.7	x: 0.141 m η = 5.7	x: 0.141 m η = 19.4	η = 0.3	η < 0.1	η < 0.1	x: 0.141 m η = 74.6	η < 0.1	η = 0.1	x: 0.141 m η = 18.6	η = 0.3	**CUMPLE η = 74.6**
N1852/N1853	$\lambda_w \leq \lambda_{w,máx}$ Cumple	x: 1.68 m η = 21.7	x: 0.098 m η = 14.3	x: 0.098 m η = 7.7	x: 1.681 m η = 2.5	x: 0.098 m η = 9.7	η = 0.2	η < 0.1	η < 0.1	x: 0.098 m η = 29.6	η < 0.1	η = 0.1	x: 0.098 m η = 9.7	η = 0.2	**CUMPLE η = 29.6**
N1853/N1854	$\lambda_w \leq \lambda_{w,máx}$ Cumple	x: 1.7 m η = 7.2	x: 0.098 m η = 3.0	x: 0.098 m η = 9.5	x: 0.098 m η = 2.2	x: 0.098 m η = 8.8	η = 0.1	η < 0.1	η < 0.1	x: 0.098 m η = 17.7	η < 0.1	η = 0.1	x: 0.098 m η = 8.8	η = 0.1	**CUMPLE η = 17.7**
N1854/N1855	$\lambda_w \leq \lambda_{w,máx}$ Cumple	x: 1.7 m η = 6.1	x: 0.078 m η = 5.0	x: 0.078 m η = 8.9	x: 1.701 m η = 2.6	x: 0.078 m η = 9.5	η = 0.1	η < 0.1	η < 0.1	x: 0.078 m η = 13.8	η < 0.1	x: 0.078 m η = 0.1	x: 0.078 m η = 9.5	η = 0.1	**CUMPLE η = 13.8**
N1855/N1856	$\lambda_w \leq \lambda_{w,máx}$ Cumple	x: 1.7 m η = 12.8	x: 0.078 m η = 14.1	x: 0.078 m η = 3.5	x: 0.078 m η = 3.1	x: 0.078 m η = 7.3	x: 0.89 m η = 0.3	η < 0.1	η < 0.1	x: 0.078 m η = 17.5	η < 0.1	x: 0.89 m η = 0.3	x: 0.078 m η = 7.3	x: 0.89 m η = 0.3	**CUMPLE η = 17.5**
N1856/N3457	$\lambda_w \leq \lambda_{w,máx}$ Cumple	x: 0.89 m η = 17.1	x: 0.078 m η = 20.2	x: 0.078 m η = 4.8	x: 0.89 m η = 3.4	x: 0.078 m η = 8.5	η = 0.3	η < 0.1	η < 0.1	x: 0.078 m η = 25.0	η < 0.1	η = 0.1	x: 0.078 m η = 7.2	η = 0.3	**CUMPLE η = 25.0**
N3457/N1857	$\lambda_w \leq \lambda_{w,máx}$ Cumple	x: 0.811 m η = 17.2	x: 0 m η = 20.2	x: 0.203 m η = 4.4	x: 0.812 m η = 5.9	x: 0.812 m η = 4.9	η = 0.3	η < 0.1	η < 0.1	x: 0.203 m η = 24.7	η < 0.1	η = 0.1	x: 0.812 m η = 4.6	η = 0.3	**CUMPLE η = 24.7**
N1857/N1858	$\lambda_w \leq \lambda_{w,máx}$ Cumple	x: 1.7 m η = 19.7	x: 0.078 m η = 24.0	x: 0.89 m η = 5.3	x: 0.078 m η = 5.7	x: 0.078 m η = 7.0	x: 1.093 m η = 0.2	η < 0.1	η < 0.1	x: 0.89 m η = 29.4	η < 0.1	x: 1.093 m η = 0.3	x: 0.078 m η = 6.1	x: 1.093 m η = 0.2	**CUMPLE η = 29.4**
N1858/N1859	$\lambda_w \leq \lambda_{w,máx}$ Cumple	x: 1.717 m η = 20.0	x: 0.078 m η = 25.0	x: 0.898 m η = 5.9	x: 1.718 m η = 2.5	x: 0.078 m η = 7.4	x: 0.488 m η = 0.2	η < 0.1	η < 0.1	x: 0.898 m η = 30.8	η < 0.1	x: 0.488 m η = 0.2	x: 0.078 m η = 5.4	x: 0.488 m η = 0.2	**CUMPLE η = 30.8**
N1859/N1860	$\lambda_w \leq \lambda_{w,máx}$ Cumple	x: 1.694 m η = 20.1	x: 0.061 m η = 25.1	x: 0.878 m η = 6.1	x: 0.061 m η = 2.3	x: 1.695 m η = 7.3	x: 1.491 m η = 0.1	η < 0.1	η < 0.1	x: 0.878 m η = 31.1	η < 0.1	x: 1.491 m η = 0.1	x: 1.695 m η = 1.0	x: 1.491 m η = 0.1	**CUMPLE η = 31.1**
N1860/N1861	$\lambda_w \leq \lambda_{w,máx}$ Cumple	x: 1.694 m η = 18.6	x: 0.084 m η = 23.5	x: 0.89 m η = 5.6	x: 0.084 m η = 1.0	x: 1.695 m η = 7.2	x: 1.293 m η = 0.1	η < 0.1	η < 0.1	x: 0.89 m η = 29.1	η < 0.1	η = 0.1	x: 1.695 m η = 6.5	x: 1.293 m η = 0.1	**CUMPLE η = 29.1**
N1861/N3470	$\lambda_w \leq \lambda_{w,máx}$ Cumple	x: 0.89 m η = 14.9	x: 0.084 m η = 19.2	x: 0.688 m η = 4.4	x: 0.89 m η = 1.2	x: 0.084 m η = 4.4	x: 0.285 m η = 0.1	η < 0.1	η < 0.1	x: 0.688 m η = 23.6	η < 0.1	x: 0.285 m η = 0.1	x: 0.084 m η = 4.4	x: 0.285 m η = 0.1	**CUMPLE η = 23.6**
N3470/N1862	$\lambda_w \leq \lambda_{w,máx}$ Cumple	x: 0.805 m η = 14.9	x: 0 m η = 19.1	x: 0.806 m η = 5.6	x: 0.806 m η = 1.4	x: 0.806 m η = 8.9	η = 0.1	η < 0.1	η < 0.1	x: 0.806 m η = 24.9	η < 0.1	η = 0.1	x: 0.806 m η = 8.9	η = 0.1	**CUMPLE η = 24.9**
N1862/N1863	$\lambda_w \leq \lambda_{w,máx}$ Cumple	x: 1.694 m η = 9.4	x: 0.084 m η = 12.5	x: 1.695 m η = 4.0	x: 1.695 m η = 1.9	x: 1.695 m η = 7.4	η < 0.1	η < 0.1	η < 0.1	x: 1.695 m η = 16.6	η < 0.1	η = 0.1	x: 1.695 m η = 7.4	η < 0.1	**CUMPLE η = 16.6**
N1863/N1864	$\lambda_w \leq \lambda_{w,máx}$ Cumple	x: 1.694 m η = 1.5	x: 0.084 m η = 2.8	x: 1.695 m η = 10.3	x: 0.084 m η = 2.1	x: 1.695 m η = 10.1	η = 0.1	η < 0.1	η < 0.1	x: 1.695 m η = 13.2	η < 0.1	η = 0.1	x: 1.695 m η = 8.6	η = 0.1	**CUMPLE η = 13.2**
N1864/N1865	$\lambda_w \leq \lambda_{w,máx}$ Cumple	x: 1.673 m η = 9.1	x: 0.084 m η = 7.9	x: 1.674 m η = 9.6	x: 1.674 m η = 3.7	x: 1.674 m η = 8.8	η = 0.2	η < 0.1	η < 0.1	x: 1.674 m η = 19.5	η < 0.1	η = 0.1	x: 1.674 m η = 6.4	η = 0.2	**CUMPLE η = 19.5**
N1865/N1866	$\lambda_w \leq \lambda_{w,máx}$ Cumple	x: 1.673 m η = 24.8	x: 0.105 m η = 20.6	x: 1.674 m η = 25.2	x: 0.105 m η = 4.7	x: 1.674 m η = 15.6	η = 0.3	η < 0.1	η < 0.1	x: 1.674 m η = 50.0	η < 0.1	η = 0.1	x: 1.674 m η = 15.6	η = 0.3	**CUMPLE η = 50.0**
N1866/N1867	$\lambda_w \leq \lambda_{w,máx}$ Cumple	x: 1.637 m η = 37.1	x: 0.105 m η = 29.9	x: 0.105 m η = 27.5	x: 0.105 m η = 1.4	x: 0.105 m η = 23.1	η = 0.1	η < 0.1	η < 0.1	x: 0.105 m η = 65.1	η < 0.1	η = 0.2	x: 0.105 m η = 23.0	η = 0.1	**CUMPLE η = 65.1**
N1868/N1869	$\lambda_w \leq \lambda_{w,máx}$ Cumple	x: 1.68 m η = 35.4	x: 0.141 m η = 28.3	x: 0.141 m η = 35.7	x: 0.141 m η = 2.3	x: 0.141 m η = 19.2	η = 0.1	η < 0.1	η < 0.1	x: 0.141 m η = 71.3	η < 0.1	η = 0.1	x: 0.141 m η = 17.2	η = 0.1	**CUMPLE η = 71.3**

Documento visado electrónicamente con número: VA07290/22
Código de validación telemática TRLTDCFZ60T66IJ1. Comprobación: https://cogitivalencia.e-gestion.es/Validacion.aspx?CVT=TRLTDCFZ60T66IJ1

VISADO
COGITI
Estado
VALENCIA
VA07293/22
TRLTDCFZ60T66IJ1

Barras	COMPROBACIONES (CÓDIGO ESTRUCTURAL)														
	λ_w	N_t	N_c	M_Y	M_Z	V_Z	V_Y	M_YV_Z	M_ZV_Y	NM_YM_Z	$NM_YM_ZV_YV_Z$	M_t	M_tV_Z	M_tV_Y	
N1869/N1870	$\lambda_w \leq \lambda_{w,máx}$ Cumple	x: 1.68 m η = 15.3	x: 0.098 m η = 13.0	x: 0.098 m η = 8.8	x: 1.681 m η = 3.8	x: 0.098 m η = 10.3	η = 0.2	η < 0.1	η < 0.1	x: 0.098 m η = 24.4	η < 0.1	η = 0.1	x: 0.098 m η = 10.3	η = 0.2	**CUMPLE η = 24.4**
N1870/N1871	$\lambda_w \leq \lambda_{w,máx}$ Cumple	x: 1.7 m η = 3.5	x: 0.098 m η = 5.0	x: 0.098 m η = 9.9	x: 0.098 m η = 2.7	x: 0.098 m η = 9.3	η = 0.1	η < 0.1	η < 0.1	x: 0.098 m η = 14.5	η < 0.1	η < 0.1	x: 0.098 m η = 9.3	x: [illegible] η = 0.1	**CUMPLE η = 14.5**
N1871/N1872	$\lambda_w \leq \lambda_{w,máx}$ Cumple	x: 1.7 m η = 14.6	x: 0.078 m η = 19.4	x: 0.078 m η = 9.7	x: 1.701 m η = 2.7	x: 0.078 m η = 10.4	η = 0.1	η < 0.1	η < 0.1	x: 0.078 m η = 28.8	η < 0.1	x: 0.484 m η = 0.1	x: 0.078 m η = 10.4	η = 0.1	**CUMPLE η = 28.8**
N1872/N1873	$\lambda_w \leq \lambda_{w,máx}$ Cumple	x: 1.7 m η = 24.1	x: 0.078 m η = 34.5	x: 1.093 m η = 4.4	x: 0.078 m η = 3.2	x: 0.078 m η = 7.5	x: 1.498 m η = 0.2	η < 0.1	η < 0.1	x: 1.093 m η = 36.1	η < 0.1	x: 1.498 m η = 0.3	x: 0.078 m η = 7.5	x: 1.498 m η = 0.2	**CUMPLE η = 36.1**
N1873/N3475	$\lambda_w \leq \lambda_{w,máx}$ Cumple	x: 0.89 m η = 31.2	x: 0.078 m η = 40.7	x: 0.89 m η = 5.1	x: 0.89 m η = 2.2	x: 0.078 m η = 9.3	x: 0.281 m η = 0.2	η < 0.1	η < 0.1	x: 0.89 m η = 45.8	η < 0.1	x: 0.281 m η = 0.2	x: 0.078 m η = 9.3	x: 0.281 m η = 0.2	**CUMPLE η = 45.8**
N3475/N1874	$\lambda_w \leq \lambda_{w,máx}$ Cumple	x: 0.811 m η = 31.2	x: 0 m η = 40.7	x: 0.406 m η = 5.9	x: 0.812 m η = 4.2	x: 0.812 m η = 4.1	x: 0 m η = 0.2	η < 0.1	η < 0.1	x: 0.406 m η = 46.4	η < 0.1	x: 0 m η = 0.2	x: 0.812 m η = 4.1	x: 0 m η = 0.2	**CUMPLE η = 46.4**
N1874/N1875	$\lambda_w \leq \lambda_{w,máx}$ Cumple	x: 1.7 m η = 36.5	x: 0.078 m η = 51.9	x: 1.093 m η = 7.6	x: 1.701 m η = 8.3	x: 0.078 m η = 7.8	x: 1.296 m η = 0.3	η < 0.1	η < 0.1	x: 1.093 m η = 55.4	η < 0.1	x: 1.296 m η = 0.2	x: 0.078 m η = 6.8	x: 1.296 m η = 0.3	**CUMPLE η = 55.4**
N1875/N1876	$\lambda_w \leq \lambda_{w,máx}$ Cumple	x: 1.717 m η = 39.6	x: 0.078 m η = 56.4	x: 0.898 m η = 8.3	x: 1.718 m η = 9.7	x: 0.078 m η = 7.6	x: 0.898 m η = 1.0	η < 0.1	η < 0.1	x: 0.898 m η = 60.2	η < 0.1	x: 0.898 m η = 0.4	x: 0.078 m η = 6.6	x: 0.898 m η = 1.0	**CUMPLE η = 60.2**
N1876/N1877	$\lambda_w \leq \lambda_{w,máx}$ Cumple	x: 1.694 m η = 39.8	x: 0.061 m η = 56.7	x: 0.878 m η = 8.2	x: 0.061 m η = 9.6	x: 1.695 m η = 7.1	x: 1.695 m η = 0.4	η < 0.1	η < 0.1	x: 0.878 m η = 60.3	η < 0.1	η = 0.1	x: 1.695 m η = 6.3	x: 1.695 m η = 0.4	**CUMPLE η = 60.3**
N1877/N1878	$\lambda_w \leq \lambda_{w,máx}$ Cumple	x: 1.694 m η = 41.2	x: 0.084 m η = 58.4	x: 0.89 m η = 7.9	x: 1.695 m η = 4.4	x: 0.084 m η = 6.8	x: 1.091 m η = 0.4	η < 0.1	η < 0.1	x: 0.89 m η = 61.8	η < 0.1	x: 1.091 m η = 0.3	x: 0.084 m η = 5.9	x: 1.091 m η = 0.4	**CUMPLE η = 61.8**
N1878/N3488	$\lambda_w \leq \lambda_{w,máx}$ Cumple	x: 0.89 m η = 40.5	x: 0.084 m η = 52.3	x: 0.688 m η = 7.5	x: 0.89 m η = 8.4	x: 0.084 m η = 5.2	x: 0.487 m η = 0.4	η < 0.1	η < 0.1	x: 0.688 m η = 59.7	η < 0.1	x: 0.487 m η = 0.1	x: 0.084 m η = 5.2	x: 0.487 m η = 0.4	**CUMPLE η = 59.7**
N3488/N1879	$\lambda_w \leq \lambda_{w,máx}$ Cumple	x: 0.805 m η = 40.5	x: 0 m η = 52.3	x: 0 m η = 7.3	x: 0 m η = 8.4	x: 0.806 m η = 8.1	η = 0.5	η < 0.1	η < 0.1	x: 0 m η = 59.5	η < 0.1	η = 0.1	x: 0.806 m η = 8.1	η = 0.5	**CUMPLE η = 59.5**
N1879/N1880	$\lambda_w \leq \lambda_{w,máx}$ Cumple	x: 1.694 m η = 38.0	x: 0.084 m η = 53.5	x: 0.89 m η = 6.7	x: 0.084 m η = 4.3	x: 1.695 m η = 7.3	x: 1.091 m η = 0.4	η < 0.1	η < 0.1	x: 0.89 m η = 56.3	η < 0.1	x: 1.091 m η = 0.4	x: 1.695 m η = 7.3	x: 1.091 m η = 0.4	**CUMPLE η = 56.3**
N1880/N1881	$\lambda_w \leq \lambda_{w,máx}$ Cumple	x: 1.694 m η = 33.2	x: 0.084 m η = 46.7	x: 0.487 m η = 6.0	x: 0.084 m η = 3.1	x: 1.695 m η = 9.6	η = 0.2	η < 0.1	η < 0.1	x: 0.487 m η = 49.0	η < 0.1	x: 0.285 m η = 0.2	x: 1.695 m η = 9.6	η = 0.2	**CUMPLE η = 49.0**
N1881/N1882	$\lambda_w \leq \lambda_{w,máx}$ Cumple	x: 1.673 m η = 26.6	x: 0.084 m η = 37.1	x: 1.674 m η = 4.7	x: 1.674 m η = 4.7	x: 1.674 m η = 8.4	η = 0.2	η < 0.1	η < 0.1	x: 1.674 m η = 39.6	η < 0.1	η = 0.1	x: 1.674 m η = 8.4	η = 0.2	**CUMPLE η = 39.6**
N1882/N1883	$\lambda_w \leq \lambda_{w,máx}$ Cumple	x: 1.673 m η = 17.3	x: 0.105 m η = 21.9	x: 1.674 m η = 12.0	x: 0.105 m η = 5.8	x: 1.674 m η = 12.5	η = 0.3	η < 0.1	η < 0.1	x: 1.674 m η = 32.8	η < 0.1	η = 0.1	x: 1.674 m η = 12.5	η = 0.3	**CUMPLE η = 32.8**
N1883/N1884	$\lambda_w \leq \lambda_{w,máx}$ Cumple	x: 1.617 m η = 6.5	x: 0.105 m η = 7.4	x: 1.618 m η = 6.9	x: 0.105 m η = 2.5	x: 1.618 m η = 9.8	η = 0.3	η < 0.1	η < 0.1	x: 1.618 m η = 14.4	η < 0.1	η = 0.3	x: 1.618 m η = 9.8	η = 0.3	**CUMPLE η = 14.4**
N1885/N1835	$\lambda_w \leq \lambda_{w,máx}$ Cumple	x: 1.889 m η = 17.9	x: 0.116 m η = 23.1	x: 1.89 m η = 1.5	x: 0.116 m η = 9.5	η = 0.1	η = 1.7	η < 0.1	η < 0.1	x: 0.116 m η = 32.4	η < 0.1	η = 1.6	η = 0.1	η = 1.7	**CUMPLE η = 32.4**
N1886/N1836	$\lambda_w \leq \lambda_{w,máx}$ Cumple	x: 1.889 m η = 12.7	x: 0.116 m η = 16.7	x: 0.116 m η = 2.8	x: 0.116 m η = 12.2	η = 0.3	η = 2.3	η < 0.1	η < 0.1	x: 0.116 m η = 29.8	η < 0.1	η = 1.1	η = 0.3	η = 2.3	**CUMPLE η = 29.8**
N1887/N1837	$\lambda_w \leq \lambda_{w,máx}$ Cumple	x: 1.893 m η = 12.3	x: 0.116 m η = 16.1	x: 0.116 m η = 0.9	x: 0.116 m η = 10.7	η < 0.1	η = 2.1	η < 0.1	η < 0.1	x: 0.116 m η = 26.8	η < 0.1	η = 1.6	η < 0.1	η = 2.1	**CUMPLE η = 26.8**
N1888/N1838	$\lambda_w \leq \lambda_{w,máx}$ Cumple	x: 1.893 m η = 11.7	x: 0.116 m η = 15.1	x: 0.116 m η = 0.8	x: 0.116 m η = 9.0	η < 0.1	η = 1.4	η < 0.1	η < 0.1	x: 0.116 m η = 24.5	η < 0.1	η = 0.8	η < 0.1	η = 1.4	**CUMPLE η = 24.5**
N1889/N1839	$\lambda_w \leq \lambda_{w,máx}$ Cumple	x: 1.893 m η = 7.6	x: 0.116 m η = 9.7	x: 0.116 m η = 0.9	x: 0.116 m η = 6.1	η < 0.1	η = 0.9	η < 0.1	η < 0.1	x: 0.116 m η = 16.0	η < 0.1	x: 1.227 m η = 1.2	η < 0.1	η = 0.9	**CUMPLE η = 16.0**
N1890/N1840	$\lambda_w \leq \lambda_{w,máx}$ Cumple	x: 1.893 m η = 5.0	x: 0.116 m η = 6.1	x: 0.116 m η = 0.3	x: 0.116 m η = 3.1	η < 0.1	η = 0.4	η < 0.1	η < 0.1	x: 0.116 m η = 9.2	η < 0.1	η = 0.3	η < 0.1	η = 0.4	**CUMPLE η = 9.2**
N1891/N1841	$\lambda_w \leq \lambda_{w,máx}$ Cumple	x: 1.893 m η = 2.0	x: 0.116 m η = 1.6	x: 0.116 m η = 0.8	x: 1.894 m η = 1.3	η < 0.1	η = 0.2	η < 0.1	η < 0.1	x: 1.894 m η = 3.6	η < 0.1	x: 1.005 m η = 1.1	η < 0.1	η = 0.2	**CUMPLE η = 3.6**
N1892/N1842	$\lambda_w \leq \lambda_{w,máx}$ Cumple	x: 1.893 m η = 6.2	x: 0.116 m η = 7.6	x: 1.894 m η = 0.5	x: 0.116 m η = 8.8	η = 0.1	η = 1.4	η < 0.1	η < 0.1	x: 0.116 m η = 16.5	η < 0.1	η = 0.7	η = 0.1	η = 1.4	**CUMPLE η = 16.5**
N1893/N1843	$\lambda_w \leq \lambda_{w,máx}$ Cumple	x: 1.893 m η = 20.6	x: 0.116 m η = 29.9	x: 0.116 m η = 0.5	x: 0.116 m η = 18.1	η < 0.1	η = 2.9	η < 0.1	η < 0.1	x: 0.116 m η = 48.3	η < 0.1	η = 1.1	η < 0.1	η = 2.9	**CUMPLE η = 48.3**
N1894/N1844	$\lambda_w \leq \lambda_{w,máx}$ Cumple	x: 1.893 m η = 26.7	x: 0.116 m η = 38.8	x: 0.116 m η = 0.2	x: 1.894 m η = 23.8	η < 0.1	η = 3.9	η < 0.1	η < 0.1	x: 1.894 m η = 62.8	η < 0.1	η = 0.5	η < 0.1	η = 3.9	**CUMPLE η = 62.8**
N1895/N1845	$\lambda_w \leq \lambda_{w,máx}$ Cumple	x: 1.893 m η = 22.3	x: 0.116 m η = 33.3	x: 1.893 m η = 0.5	x: 1.894 m η = 22.6	η < 0.1	η = 3.6	η < 0.1	η < 0.1	x: 0.116 m η = 56.1	η < 0.1	η = 0.9	η < 0.1	η = 3.6	**CUMPLE η = 56.1**
N1896/N1846	$\lambda_w \leq \lambda_{w,máx}$ Cumple	x: 1.893 m η = 26.2	x: 0.116 m η = 39.6	x: 0.116 m η = 0.9	x: 0.116 m η = 23.7	η < 0.1	η = 3.7	η < 0.1	η < 0.1	x: 0.116 m η = 63.5	η < 0.1	η = 1.2	η < 0.1	η = 3.7	**CUMPLE η = 63.5**
N1897/N1847	$\lambda_w \leq \lambda_{w,máx}$ Cumple	x: 1.893 m η = 23.3	x: 0.117 m η = 33.0	x: 0.117 m η = 0.8	x: 1.894 m η = 24.3	η = 0.1	η = 4.8	η < 0.1	η < 0.1	x: 1.894 m η = 56.5	η < 0.1	η = 1.4	η = 0.1	η = 4.8	**CUMPLE η = 56.5**
N1898/N1848	$\lambda_w \leq \lambda_{w,máx}$ Cumple	x: 1.882 m η = 21.8	x: 0.117 m η = 31.4	x: 0.117 m η = 4.7	x: 0.117 m η = 27.5	η = 0.5	η = 5.1	η < 0.1	η < 0.1	x: 0.117 m η = 58.5	η < 0.1	η = 0.3	η = 0.5	η = 5.1	**CUMPLE η = 58.5**
N1899/N1849	$\lambda_w \leq \lambda_{w,máx}$ Cumple	x: 1.882 m η = 26.1	x: 0.175 m η = 36.7	x: 0.175 m η = 5.1	x: 0.175 m η = 7.2	η = 0.4	η = 1.2	η < 0.1	η < 0.1	x: 0.175 m η = 43.8	η < 0.1	η = 2.1	η = 0.4	η = 1.2	**CUMPLE η = 43.8**
N1900/N1852	$\lambda_w \leq \lambda_{w,máx}$ Cumple	x: 1.889 m η = 17.3	x: 0.116 m η = 23.5	x: 0.116 m η = 4.6	x: 1.89 m η = 14.8	η = 0.5	η = 2.7	η < 0.1	η < 0.1	x: 1.89 m η = 37.9	η < 0.1	η = 0.6	η = 0.5	η = 2.7	**CUMPLE η = 37.9**
N1901/N1853	$\lambda_w \leq \lambda_{w,máx}$ Cumple	x: 1.889 m η = 17.0	x: 0.116 m η = 22.6	x: 0.116 m η = 3.9	x: 0.116 m η = 13.9	η = 0.4	η = 2.6	η < 0.1	η < 0.1	x: 0.116 m η = 36.3	η < 0.1	η = 0.6	η = 0.4	η = 2.6	**CUMPLE η = 36.3**
N1902/N1854	$\lambda_w \leq \lambda_{w,máx}$ Cumple	x: 1.893 m η = 16.6	x: 0.116 m η = 22.2	x: 0.116 m η = 0.7	x: 1.894 m η = 14.7	η < 0.1	η = 2.9	η < 0.1	η < 0.1	x: 1.894 m η = 36.6	η < 0.1	η = 0.8	η < 0.1	η = 2.9	**CUMPLE η = 36.6**
N1903/N1855	$\lambda_w \leq \lambda_{w,máx}$ Cumple	x: 1.893 m η = 17.4	x: 0.116 m η = 27.9	x: 0.116 m η = 0.5	x: 0.116 m η = 13.3	η < 0.1	η = 2.1	η < 0.1	η < 0.1	x: 0.116 m η = 41.5	η < 0.1	η = 1.0	η < 0.1	η = 2.1	**CUMPLE η = 41.5**
N1904/N1856	$\lambda_w \leq \lambda_{w,máx}$ Cumple	x: 1.893 m η = 13.5	x: 0.116 m η = 21.6	x: 0.116 m η = 1.1	x: 0.116 m η = 11.4	η < 0.1	η = 1.8	η < 0.1	η < 0.1	x: 0.116 m η = 33.2	η < 0.1	η = 1.5	η < 0.1	η = 1.8	**CUMPLE η = 33.2**
N1905/N1857	$\lambda_w \leq \lambda_{w,máx}$ Cumple	x: 1.893 m η = 13.6	x: 0.116 m η = 21.7	x: 0.116 m η = 0.2	x: 0.116 m η = 10.3	η < 0.1	η = 1.6	η < 0.1	η < 0.1	x: 0.116 m η = 32.0	η < 0.1	η = 0.2	η < 0.1	η = 1.7	**CUMPLE η = 32.0**
N1906/N1858	$\lambda_w \leq \lambda_{w,máx}$ Cumple	x: 1.893 m η = 7.5	x: 0.116 m η = 10.8	x: 0.116 m η = 1.2	x: 0.116 m η = 6.0	η < 0.1	η = 0.9	η < 0.1	η < 0.1	x: 0.116 m η = 17.0	η < 0.1	η = 1.7	η < 0.1	η = 0.9	**CUMPLE η = 17.0**
N1907/N1859	$\lambda_w \leq \lambda_{w,máx}$ Cumple	x: 1.893 m η = 6.3	x: 0.116 m η = 7.8	x: 0.116 m η = 0.4	x: 0.116 m η = 1.7	η < 0.1	η = 0.3	η < 0.1	η < 0.1	x: 0.116 m η = 8.9	η < 0.1	x: 1.894 m η = 1.2	η < 0.1	η = 0.3	**CUMPLE η = 8.9**
N1908/N1860	$\lambda_w \leq \lambda_{w,máx}$ Cumple	x: 1.893 m η = 11.9	x: 0.116 m η = 13.1	x: 1.893 m η = 0.3	x: 0.116 m η = 8.6	x: 1.005 m η < 0.1	η = 1.4	η < 0.1	η < 0.1	x: 0.116 m η = 21.8	η < 0.1	η = 0.4	x: 1.005 m η < 0.1	η = 1.4	**CUMPLE η = 21.8**
N1909/N1861	$\lambda_w \leq \lambda_{w,máx}$ Cumple	x: 1.893 m η = 17.9	x: 0.116 m η = 24.2	x: 1.893 m η = 0.1	x: 0.116 m η = 14.0	η < 0.1	η = 2.3	η < 0.1	η < 0.1	x: 0.116 m η = 38.3	η < 0.1	η = 0.3	η < 0.1	η = 2.3	**CUMPLE η = 38.3**
N1910/N1862	$\lambda_w \leq \lambda_{w,máx}$ Cumple	x: 1.893 m η = 16.4	x: 0.116 m η = 23.3	x: 1.893 m η = 0.3	x: 0.116 m η = 15.0	η < 0.1	η = 2.4	η < 0.1	η < 0.1	x: 0.116 m η = 38.4	η < 0.1	η = 0.6	η < 0.1	η = 2.4	**CUMPLE η = 38.4**

Código de validación telemática: TRLTDCFZ60T66IJ1. Comprobación: https://cogitivalencia.e-gestion.es/Validacion.aspx?cVT= TRLTDCFZ60T66IJ1

Listados

VISADO
COGITI
Estado
VALENCIA
VA07290/22
TRLTDCFZ60T66IJ1

Barras	COMPROBACIONES (CÓDIGO ESTRUCTURAL)															
	λ_w	N_t	N_c	M_Y	M_Z	V_Z	V_Y	M_YV_Z	M_ZV_Y	NM_YM_Z	$NM_YM_ZV_YV_Z$	M_t	M_tV_Z	M_tV_Y	
N1911/N1863	$\lambda_w \leq \lambda_{w,máx}$ Cumple	x: 1.893 m η = 20.2	x: 0.116 m η = 29.5	x: 0.116 m η = 0.3	x: 0.116 m η = 17.3	η < 0.1	η = 2.7	η < 0.1	η < 0.1	x: 0.116 m η = 46.9	η < 0.1	η = 0.4	η < 0.1	η = 2.7	**CUMPLE η = 46.9**
N1912/N1864	$\lambda_w \leq \lambda_{w,máx}$ Cumple	x: 1.893 m η = 18.6	x: 0.117 m η = 23.1	x: 0.117 m η = 0.2	x: 1.894 m η = 18.3	η < 0.1	η = 3.7	η < 0.1	η < 0.1	x: 1.894 m η = 41.0	η < 0.1	η = 0.2	η < 0.1	η = 3.7	**CUMPLE η = 41.0**
N1913/N1865	$\lambda_w \leq \lambda_{w,máx}$ Cumple	x: 1.882 m η = 18.0	x: 0.117 m η = 22.6	x: 0.117 m η = 2.3	x: 0.117 m η = 22.7	η = 0.2	η = 4.2	η < 0.1	η < 0.1	x: 0.117 m η = 45.0	η < 0.1	η = 0.4	η = 0.2	η = 4.2	**CUMPLE η = 45.0**
N1914/N1866	$\lambda_w \leq \lambda_{w,máx}$ Cumple	x: 1.882 m η = 22.1	x: 0.175 m η = 30.7	x: 0.175 m η = 2.4	x: 0.175 m η = 10.2	η = 0.2	η = 1.8	η < 0.1	η < 0.1	x: 0.175 m η = 40.8	η < 0.1	η = 0.8	η = 0.2	η = 1.8	**CUMPLE η = 40.8**
N1915/N1869	$\lambda_w \leq \lambda_{w,máx}$ Cumple	x: 1.889 m η = 21.8	x: 0.116 m η = 31.5	x: 0.116 m η = 3.3	x: 1.89 m η = 17.8	η = 0.2	η = 3.3	η < 0.1	η < 0.1	x: 1.89 m η = 48.8	η < 0.1	η = 1.0	η = 0.3	η = 3.3	**CUMPLE η = 48.8**
N1916/N1870	$\lambda_w \leq \lambda_{w,máx}$ Cumple	x: 1.889 m η = 21.0	x: 0.116 m η = 30.4	x: 0.116 m η = 3.8	x: 0.116 m η = 16.9	η = 0.4	η = 3.2	η < 0.1	η < 0.1	x: 0.116 m η = 47.4	η < 0.1	η = 0.6	η = 0.4	η = 3.2	**CUMPLE η = 47.4**
N1917/N1871	$\lambda_w \leq \lambda_{w,máx}$ Cumple	x: 1.893 m η = 21.5	x: 0.116 m η = 30.8	x: 0.116 m η = 0.3	x: 1.894 m η = 18.7	η < 0.1	η = 3.7	η < 0.1	η < 0.1	x: 1.894 m η = 49.0	η < 0.1	η = 0.3	η < 0.1	η = 3.8	**CUMPLE η = 49.0**
N1918/N1872	$\lambda_w \leq \lambda_{w,máx}$ Cumple	x: 1.893 m η = 23.7	x: 0.116 m η = 36.2	x: 0.116 m η = 0.5	x: 0.116 m η = 17.8	η < 0.1	η = 2.8	η < 0.1	η < 0.1	x: 0.116 m η = 54.3	η < 0.1	η = 0.9	η < 0.1	η = 2.8	**CUMPLE η = 54.3**
N1919/N1873	$\lambda_w \leq \lambda_{w,máx}$ Cumple	x: 1.893 m η = 19.8	x: 0.116 m η = 29.9	x: 0.116 m η = 1.1	x: 0.116 m η = 16.7	η < 0.1	η = 2.6	η < 0.1	η < 0.1	x: 0.116 m η = 46.9	η < 0.1	x: 1.893 m η = 1.6	η < 0.1	η = 2.6	**CUMPLE η = 46.9**
N1920/N1874	$\lambda_w \leq \lambda_{w,máx}$ Cumple	x: 1.893 m η = 22.9	x: 0.116 m η = 33.7	x: 1.893 m η = 0.8	x: 0.116 m η = 17.1	η < 0.1	η = 2.8	η < 0.1	η < 0.1	x: 0.116 m η = 51.0	η < 0.1	η = 0.7	η < 0.1	η = 2.8	**CUMPLE η = 51.0**
N1921/N1875	$\lambda_w \leq \lambda_{w,máx}$ Cumple	x: 1.893 m η = 16.8	x: 0.116 m η = 24.8	x: 0.116 m η = 0.9	x: 0.116 m η = 12.6	η < 0.1	η = 2.0	η < 0.1	η < 0.1	x: 0.116 m η = 37.7	η < 0.1	x: 1.893 m η = 1.9	η < 0.1	η = 2.0	**CUMPLE η = 37.7**
N1922/N1876	$\lambda_w \leq \lambda_{w,máx}$ Cumple	x: 1.893 m η = 6.5	x: 0.116 m η = 7.9	x: 0.116 m η = 1.3	x: 0.116 m η = 5.6	η = 0.1	η = 0.8	η < 0.1	η < 0.1	x: 0.116 m η = 13.6	η < 0.1	η = 1.4	η = 0.1	η = 0.8	**CUMPLE η = 13.6**
N1923/N1877	$\lambda_w \leq \lambda_{w,máx}$ Cumple	x: 1.893 m η = 3.9	x: 0.116 m η = 4.2	x: 1.894 m η = 1.1	x: 1.894 m η = 2.5	η < 0.1	η = 0.4	η < 0.1	η < 0.1	x: 1.894 m η = 6.8	η < 0.1	η = 1.6	η < 0.1	η = 0.4	**CUMPLE η = 6.8**
N1924/N1878	$\lambda_w \leq \lambda_{w,máx}$ Cumple	x: 1.893 m η = 9.8	x: 0.116 m η = 11.5	x: 0.116 m η = 0.6	x: 0.116 m η = 7.6	η < 0.1	η = 1.2	η < 0.1	η < 0.1	x: 0.116 m η = 19.1	η < 0.1	η = 1.2	η < 0.1	η = 1.2	**CUMPLE η = 19.1**
N1925/N1879	$\lambda_w \leq \lambda_{w,máx}$ Cumple	x: 1.893 m η = 10.8	x: 0.116 m η = 13.3	x: 0.116 m η = 1.0	x: 1.894 m η = 10.3	η < 0.1	η = 1.6	η < 0.1	η < 0.1	x: 0.116 m η = 23.7	η < 0.1	η = 1.6	η < 0.1	η = 1.6	**CUMPLE η = 23.7**
N1926/N1880	$\lambda_w \leq \lambda_{w,máx}$ Cumple	x: 1.893 m η = 14.8	x: 0.116 m η = 22.3	x: 0.116 m η = 0.6	x: 0.116 m η = 13.3	η < 0.1	η = 2.1	η < 0.1	η < 0.1	x: 0.116 m η = 35.8	η < 0.1	η = 1.3	η < 0.1	η = 2.1	**CUMPLE η = 35.8**
N1927/N1881	$\lambda_w \leq \lambda_{w,máx}$ Cumple	x: 1.893 m η = 14.7	x: 0.117 m η = 18.7	x: 0.117 m η = 0.3	x: 1.894 m η = 15.5	η < 0.1	η = 3.1	η < 0.1	η < 0.1	x: 1.894 m η = 33.9	η < 0.1	η = 0.4	η < 0.1	η = 3.1	**CUMPLE η = 33.9**
N1928/N1882	$\lambda_w \leq \lambda_{w,máx}$ Cumple	x: 1.882 m η = 14.6	x: 0.117 m η = 18.8	x: 0.117 m η = 2.8	x: 1.883 m η = 14.7	η = 0.3	η = 2.9	η < 0.1	η < 0.1	x: 0.117 m η = 33.9	η < 0.1	η = 0.5	η = 0.3	η = 2.9	**CUMPLE η = 33.9**
N1929/N1883	$\lambda_w \leq \lambda_{w,máx}$ Cumple	x: 1.882 m η = 19.1	x: 0.117 m η = 24.5	x: 0.117 m η = 1.3	x: 0.117 m η = 22.3	η < 0.1	η = 4.0	η < 0.1	η < 0.1	x: 0.117 m η = 46.5	η < 0.1	η = 1.6	η < 0.1	η = 4.0	**CUMPLE η = 46.5**
N1885/N1834	$\lambda_w \leq \lambda_{w,máx}$ Cumple	x: 2.445 m η = 25.9	x: 0.149 m η = 19.6	x: 2.446 m η = 23.8	x: 0.149 m η = 2.1	x: 0.149 m η = 2.9	η < 0.1	η < 0.1	η < 0.1	x: 2.446 m η = 50.1	η < 0.1	η = 0.6	x: 0.149 m η = 2.9	η < 0.1	**CUMPLE η = 50.1**
N1886/N1835	$\lambda_w \leq \lambda_{w,máx}$ Cumple	x: 2.445 m η = 25.3	x: 0.149 m η = 18.6	x: 0.149 m η = 3.6	x: 2.446 m η = 2.9	x: 0.149 m η = 0.6	η = 0.2	η < 0.1	η < 0.1	x: 2.446 m η = 29.7	η < 0.1	η = 1.4	x: 0.149 m η = 0.6	η = 0.3	**CUMPLE η = 29.7**
N1887/N1836	$\lambda_w \leq \lambda_{w,máx}$ Cumple	x: 2.445 m η = 21.7	x: 0.149 m η = 16.2	x: 2.446 m η = 5.8	x: 2.446 m η = 0.8	x: 0.149 m η = 0.8	η = 0.1	η < 0.1	η < 0.1	x: 2.446 m η = 27.6	η < 0.1	η = 1.4	x: 0.149 m η = 0.8	η = 0.1	**CUMPLE η = 27.6**
N1888/N1837	$\lambda_w \leq \lambda_{w,máx}$ Cumple	x: 2.445 m η = 25.0	x: 0.149 m η = 22.0	x: 2.446 m η = 4.9	x: 0.149 m η = 0.8	x: 0.149 m η = 0.6	η < 0.1	η < 0.1	η < 0.1	x: 2.446 m η = 30.1	η < 0.1	η = 0.3	x: 0.149 m η = 0.6	η < 0.1	**CUMPLE η = 30.1**
N1889/N1838	$\lambda_w \leq \lambda_{w,máx}$ Cumple	x: 2.445 m η = 16.4	x: 0.149 m η = 12.2	x: 2.446 m η = 5.0	x: 0.149 m η = 1.3	x: 0.149 m η = 0.6	η = 0.1	η < 0.1	η < 0.1	x: 2.446 m η = 22.1	η < 0.1	η = 0.3	x: 0.149 m η = 0.6	η = 0.1	**CUMPLE η = 22.1**
N1890/N1839	$\lambda_w \leq \lambda_{w,máx}$ Cumple	x: 2.445 m η = 10.1	x: 0.149 m η = 7.0	x: 2.446 m η = 3.6	x: 2.446 m η = 1.5	x: 0.149 m η = 0.4	η = 0.1	η < 0.1	η < 0.1	x: 2.446 m η = 14.4	η < 0.1	x: 1.297 m η = 0.7	x: 0.149 m η = 0.4	η = 0.1	**CUMPLE η = 14.4**
N1891/N1840	$\lambda_w \leq \lambda_{w,máx}$ Cumple	x: 2.445 m η = 2.5	x: 0.149 m η = 2.3	x: 1.297 m η = 2.3	x: 0.149 m η = 1.2	x: 2.445 m η = 0.1	x: 1.297 m η = 0.1	η < 0.1	η < 0.1	x: 0.149 m η = 5.1	η < 0.1	x: 1.489 m η = 0.6	x: 2.445 m η = 0.1	x: 1.297 m η = 0.1	**CUMPLE η = 5.1**
N1892/N1841	$\lambda_w \leq \lambda_{w,máx}$ Cumple	x: 2.445 m η = 14.3	x: 0.149 m η = 20.0	x: 0.149 m η = 5.6	x: 0.149 m η = 1.3	x: 2.445 m η = 0.5	η = 0.1	η < 0.1	η < 0.1	x: 0.149 m η = 25.6	η < 0.1	x: 0.723 m η = 0.2	x: 2.445 m η = 0.5	η = 0.1	**CUMPLE η = 25.6**
N1892/N1843	$\lambda_w \leq \lambda_{w,máx}$ Cumple	x: 2.622 m η = 30.2	x: 0.16 m η = 29.1	x: 2.623 m η = 7.3	x: 0.16 m η = 1.2	x: 0.16 m η = 0.7	x: 0.776 m η = 0.1	η < 0.1	η < 0.1	x: 2.623 m η = 37.8	η < 0.1	x: 2.007 m η = 0.3	x: 0.16 m η = 0.7	x: 0.776 m η = 0.1	**CUMPLE η = 37.8**
N1893/N1844	$\lambda_w \leq \lambda_{w,máx}$ Cumple	x: 2.622 m η = 44.5	x: 0.16 m η = 43.1	x: 2.623 m η = 11.2	x: 0.16 m η = 1.2	x: 0.16 m η = 1.3	η = 0.1	η < 0.1	η < 0.1	x: 2.623 m η = 55.8	η < 0.1	η = 0.3	x: 0.16 m η = 1.3	η = 0.1	**CUMPLE η = 55.8**
N1894/N1845	$\lambda_w \leq \lambda_{w,máx}$ Cumple	x: 2.622 m η = 56.2	x: 0.16 m η = 54.2	x: 2.623 m η = 10.5	x: 2.623 m η = 1.4	x: 0.16 m η = 1.3	η = 0.1	η < 0.1	η < 0.1	x: 2.623 m η = 67.5	η < 0.1	η = 0.5	x: 0.16 m η = 1.3	η = 0.1	**CUMPLE η = 67.5**
N1895/N1846	$\lambda_w \leq \lambda_{w,máx}$ Cumple	x: 2.622 m η = 50.8	x: 0.16 m η = 49.4	x: 2.623 m η = 10.5	x: 2.623 m η = 2.1	x: 0.16 m η = 1.3	η < 0.1	η < 0.1	η < 0.1	x: 2.623 m η = 62.0	η < 0.1	η = 1.1	x: 0.16 m η = 1.3	η < 0.1	**CUMPLE η = 62.0**
N1896/N1847	$\lambda_w \leq \lambda_{w,máx}$ Cumple	x: 2.622 m η = 57.1	x: 0.16 m η = 54.5	x: 0.16 m η = 9.5	x: 0.16 m η = 1.9	x: 0.16 m η = 1.2	η = 0.1	η < 0.1	η < 0.1	x: 0.16 m η = 67.3	η < 0.1	η = 0.5	x: 0.16 m η = 1.2	η = 0.1	**CUMPLE η = 67.3**
N1897/N1848	$\lambda_w \leq \lambda_{w,máx}$ Cumple	x: 2.622 m η = 43.9	x: 0.16 m η = 39.0	x: 0.16 m η = 9.5	x: 2.623 m η = 1.6	x: 0.16 m η = 1.4	η = 0.1	η < 0.1	η < 0.1	x: 0.16 m η = 54.0	η < 0.1	η = 2.5	x: 0.16 m η = 1.4	η = 0.1	**CUMPLE η = 54.0**
N1898/N1849	$\lambda_w \leq \lambda_{w,máx}$ Cumple	x: 2.622 m η = 38.9	x: 0.16 m η = 34.3	x: 0.16 m η = 10.2	x: 2.623 m η = 3.2	x: 0.16 m η = 0.9	η = 0.2	η < 0.1	η < 0.1	x: 0.16 m η = 48.9	η < 0.1	η = 2.6	x: 0.16 m η = 0.9	η = 0.2	**CUMPLE η = 48.9**
N1899/N1850	$\lambda_w \leq \lambda_{w,máx}$ Cumple	x: 2.549 m η = 42.9	x: 0.16 m η = 60.5	x: 2.55 m η = 9.6	x: 2.55 m η = 4.0	x: 0.16 m η = 1.3	η = 0.3	η < 0.1	η < 0.1	x: 2.55 m η = 69.7	η < 0.1	η = 1.1	x: 0.16 m η = 1.3	η = 0.3	**CUMPLE η = 69.7**
N1900/N1851	$\lambda_w \leq \lambda_{w,máx}$ Cumple	x: 2.377 m η = 29.9	x: 0.149 m η = 27.5	x: 2.378 m η = 12.3	x: 0.149 m η = 0.9	x: 0.149 m η = 1.4	η = 0.1	η < 0.1	η < 0.1	x: 2.378 m η = 42.6	η < 0.1	η = 2.3	x: 0.149 m η = 1.4	η = 0.1	**CUMPLE η = 42.6**
N1901/N1852	$\lambda_w \leq \lambda_{w,máx}$ Cumple	x: 2.445 m η = 34.2	x: 0.149 m η = 27.6	x: 0.149 m η = 10.2	x: 2.446 m η = 1.2	x: 0.149 m η = 1.6	η = 0.1	η < 0.1	η < 0.1	x: 0.149 m η = 44.0	η < 0.1	η = 1.3	x: 0.149 m η = 1.6	η = 0.1	**CUMPLE η = 44.0**
N1902/N1853	$\lambda_w \leq \lambda_{w,máx}$ Cumple	x: 2.445 m η = 29.8	x: 0.149 m η = 21.9	x: 0.149 m η = 7.0	x: 0.149 m η = 1.1	x: 0.149 m η = 1.1	η = 0.1	η < 0.1	η < 0.1	x: 0.149 m η = 37.1	η < 0.1	η = 0.6	x: 0.149 m η = 1.1	η = 0.1	**CUMPLE η = 37.1**
N1903/N1854	$\lambda_w \leq \lambda_{w,máx}$ Cumple	x: 2.445 m η = 37.9	x: 0.149 m η = 32.9	x: 0.149 m η = 6.6	x: 0.149 m η = 0.7	x: 0.149 m η = 0.9	x: 2.254 m η = 0.1	η < 0.1	η < 0.1	x: 0.149 m η = 45.1	η < 0.1	η = 0.5	x: 0.149 m η = 0.9	x: 2.254 m η = 0.1	**CUMPLE η = 45.1**
N1904/N1855	$\lambda_w \leq \lambda_{w,máx}$ Cumple	x: 2.445 m η = 30.4	x: 0.149 m η = 26.6	x: 2.446 m η = 6.4	x: 0.149 m η = 1.8	x: 0.149 m η = 0.9	η = 0.1	η < 0.1	η < 0.1	x: 2.446 m η = 37.4	η < 0.1	η = 0.5	x: 0.149 m η = 0.9	η = 0.1	**CUMPLE η = 37.4**
N1905/N1856	$\lambda_w \leq \lambda_{w,máx}$ Cumple	x: 2.445 m η = 29.5	x: 0.149 m η = 24.7	x: 2.446 m η = 5.6	x: 2.446 m η = 2.1	x: 0.149 m η = 0.8	x: 1.489 m η = 0.1	η < 0.1	η < 0.1	x: 2.446 m η = 35.6	η < 0.1	x: 1.489 m η = 0.8	x: 0.149 m η = 0.8	x: 1.489 m η = 0.1	**CUMPLE η = 35.6**
N1906/N1857	$\lambda_w \leq \lambda_{w,máx}$ Cumple	x: 2.445 m η = 17.9	x: 0.149 m η = 11.7	x: 2.446 m η = 5.0	x: 0.149 m η = 1.5	x: 0.149 m η = 0.7	x: 1.872 m η = 0.1	η < 0.1	η < 0.1	x: 2.446 m η = 23.0	η < 0.1	x: 1.872 m η = 0.5	x: 0.149 m η = 0.7	x: 1.872 m η = 0.1	**CUMPLE η = 23.0**
N1907/N1858	$\lambda_w \leq \lambda_{w,máx}$ Cumple	x: 2.445 m η = 4.3	x: 0.149 m η = 0.8	x: 2.445 m η = 2.1	x: 0.149 m η = 2.2	x: 0.149 m η = 0.2	η = 0.1	η < 0.1	η < 0.1	x: 2.446 m η = 6.6	η < 0.1	η = 0.3	x: 0.149 m η = 0.2	η = 0.1	**CUMPLE η = 6.6**

Documento visado electrónicamente con número: VA07290/22
Código de validación telemática TRLTDCFZ60T66IJ1. Comprobación: https://cogitivalencia.e-gestion.es/Validacion.aspx?CVT=TRLTDCFZ60T66IJ1

VISADO
COGITI
VALENCIA
VA07290/22
TRLTDCFZ60T66IJ1

Listados

Barras	COMPROBACIONES (CÓDIGO ESTRUCTURAL)														Estado
	λ_w	N_t	N_c	M_Y	M_Z	V_Z	V_Y	M_YV_Z	M_ZV_Y	NM_YM_Z	$NM_YM_ZV_YV_Z$	M_t	M_tV_Z	M_tV_Y	
N1907/N1860	$\lambda_w \leq \lambda_{w,máx}$ Cumple	x: 2.622 m η = 8.9	x: 0.16 m η = 8.8	x: 2.623 m η = 3.2	x: 0.16 m η = 1.6	x: 0.16 m η = 0.3	x: 2.418 m η = 0.1	η < 0.1	η < 0.1	x: 2.623 m η = 12.1	η < 0.1	x: 2.418 m η = 0.2	x: 0.16 m η = 0.3	x: 2.418 m η = 0.1	**CUMPLE η = 12.1**
N1908/N1861	$\lambda_w \leq \lambda_{w,máx}$ Cumple	x: 2.622 m η = 23.1	x: 0.16 m η = 24.5	x: 2.623 m η = 6.1	x: 0.16 m η = 0.5	x: 0.16 m η = 0.7	x: 1.597 m η < 0.1	η < 0.1	η < 0.1	x: 2.623 m η = 30.3	η < 0.1	η = 0.2	x: 0.16 m η = 0.7	x: 1.597 m η < 0.1	**CUMPLE η = 30.3**
N1909/N1862	$\lambda_w \leq \lambda_{w,máx}$ Cumple	x: 2.622 m η = 35.3	x: 0.16 m η = 36.0	x: 2.623 m η = 6.5	x: 2.623 m η = 0.8	x: 0.16 m η = 0.9	η < 0.1	η < 0.1	η < 0.1	x: 2.623 m η = 42.2	η < 0.1	η = 0.3	x: 0.16 m η = 0.9	η < 0.1	**CUMPLE η = 42.2**
N1910/N1863	$\lambda_w \leq \lambda_{w,máx}$ Cumple	x: 2.622 m η = 35.4	x: 0.16 m η = 35.9	x: 2.623 m η = 7.2	x: 2.622 m η = 0.9	x: 0.16 m η = 1.0	x: 0.981 m η < 0.1	η < 0.1	η < 0.1	x: 2.623 m η = 43.0	η < 0.1	η = 0.5	x: 0.16 m η = 1.0	x: 0.981 m η < 0.1	**CUMPLE η = 43.0**
N1911/N1864	$\lambda_w \leq \lambda_{w,máx}$ Cumple	x: 2.622 m η = 42.6	x: 0.16 m η = 41.8	x: 0.16 m η = 7.4	x: 0.16 m η = 0.9	x: 0.16 m η = 0.9	η < 0.1	η < 0.1	η < 0.1	x: 0.16 m η = 50.4	η < 0.1	η = 0.4	x: 0.16 m η = 0.9	η < 0.1	**CUMPLE η = 50.4**
N1912/N1865	$\lambda_w \leq \lambda_{w,máx}$ Cumple	x: 2.622 m η = 34.5	x: 0.16 m η = 31.3	x: 0.16 m η = 7.7	x: 0.16 m η = 0.8	x: 0.16 m η = 1.1	η < 0.1	η < 0.1	η < 0.1	x: 0.16 m η = 42.5	η < 0.1	η = 1.0	x: 0.16 m η = 1.1	η < 0.1	**CUMPLE η = 42.5**
N1913/N1866	$\lambda_w \leq \lambda_{w,máx}$ Cumple	x: 2.622 m η = 30.3	x: 0.16 m η = 27.2	x: 0.16 m η = 8.6	x: 2.623 m η = 1.2	x: 0.16 m η = 0.7	η = 0.1	η < 0.1	η < 0.1	x: 0.16 m η = 38.9	η < 0.1	η = 1.1	x: 0.16 m η = 0.7	η = 0.1	**CUMPLE η = 38.9**
N1914/N1867	$\lambda_w \leq \lambda_{w,máx}$ Cumple	x: 2.549 m η = 41.3	x: 0.16 m η = 60.1	x: 2.55 m η = 8.9	x: 2.55 m η = 1.5	x: 0.16 m η = 1.2	η = 0.1	η < 0.1	η < 0.1	x: 2.55 m η = 68.4	η < 0.1	η = 0.5	x: 0.16 m η = 1.2	η = 0.1	**CUMPLE η = 68.4**
N1915/N1868	$\lambda_w \leq \lambda_{w,máx}$ Cumple	x: 2.377 m η = 33.1	x: 0.149 m η = 29.8	x: 2.378 m η = 9.5	x: 0.149 m η = 0.7	x: 0.149 m η = 0.8	η < 0.1	η < 0.1	η < 0.1	x: 2.378 m η = 42.8	η < 0.1	η = 1.5	x: 0.149 m η = 0.8	η < 0.1	**CUMPLE η = 42.8**
N1916/N1869	$\lambda_w \leq \lambda_{w,máx}$ Cumple	x: 2.445 m η = 41.2	x: 0.149 m η = 35.1	x: 0.149 m η = 10.8	x: 2.446 m η = 1.7	x: 0.149 m η = 1.7	η = 0.2	η < 0.1	η < 0.1	x: 0.149 m η = 52.0	η < 0.1	η = 1.3	x: 0.149 m η = 1.7	η = 0.2	**CUMPLE η = 52.0**
N1917/N1870	$\lambda_w \leq \lambda_{w,máx}$ Cumple	x: 2.445 m η = 36.9	x: 0.149 m η = 31.9	x: 0.149 m η = 8.3	x: 0.149 m η = 0.8	x: 0.149 m η = 1.3	η < 0.1	η < 0.1	η < 0.1	x: 0.149 m η = 45.6	η < 0.1	η = 0.8	x: 0.149 m η = 1.3	η < 0.1	**CUMPLE η = 45.6**
N1918/N1871	$\lambda_w \leq \lambda_{w,máx}$ Cumple	x: 2.445 m η = 49.1	x: 0.149 m η = 45.1	x: 0.149 m η = 8.1	x: 0.149 m η = 0.8	x: 0.149 m η = 1.1	x: 1.297 m η = 0.1	η < 0.1	η < 0.1	x: 0.149 m η = 57.7	η < 0.1	η = 0.4	x: 0.149 m η = 1.1	x: 1.297 m η = 0.1	**CUMPLE η = 57.7**
N1919/N1872	$\lambda_w \leq \lambda_{w,máx}$ Cumple	x: 2.445 m η = 42.1	x: 0.149 m η = 39.4	x: 2.446 m η = 9.0	x: 0.149 m η = 1.8	x: 0.149 m η = 1.2	η = 0.1	η < 0.1	η < 0.1	x: 2.446 m η = 51.7	η < 0.1	η = 0.5	x: 0.149 m η = 1.2	η = 0.1	**CUMPLE η = 51.7**
N1920/N1873	$\lambda_w \leq \lambda_{w,máx}$ Cumple	x: 2.445 m η = 45.7	x: 0.149 m η = 42.2	x: 2.446 m η = 8.7	x: 2.446 m η = 2.1	x: 0.149 m η = 1.2	η = 0.1	η < 0.1	η < 0.1	x: 2.446 m η = 55.1	η < 0.1	x: 1.489 m η = 0.8	x: 0.149 m η = 1.2	η = 0.1	**CUMPLE η = 55.1**
N1921/N1874	$\lambda_w \leq \lambda_{w,máx}$ Cumple	x: 2.445 m η = 34.3	x: 0.149 m η = 31.7	x: 2.446 m η = 9.0	x: 2.446 m η = 1.7	x: 0.149 m η = 1.1	x: 0.532 m η = 0.1	η < 0.1	η < 0.1	x: 2.446 m η = 43.4	η < 0.1	x: 0.532 m η = 0.9	x: 0.149 m η = 1.1	x: 0.532 m η = 0.1	**CUMPLE η = 43.4**
N1922/N1875	$\lambda_w \leq \lambda_{w,máx}$ Cumple	x: 2.445 m η = 21.0	x: 0.149 m η = 16.0	x: 2.446 m η = 5.5	x: 0.149 m η = 3.6	x: 0.149 m η = 0.6	x: 1.489 m η = 0.2	η < 0.1	η < 0.1	x: 2.446 m η = 26.9	η < 0.1	x: 1.106 m η = 0.3	x: 0.149 m η = 0.6	x: 1.489 m η = 0.2	**CUMPLE η = 26.9**
N1922/N1877	$\lambda_w \leq \lambda_{w,máx}$ Cumple	x: 2.622 m η = 7.5	x: 0.16 m η = 9.0	x: 0.16 m η = 3.6	x: 2.623 m η = 2.7	x: 2.622 m η = 0.3	x: 0.981 m η = 0.2	η < 0.1	η < 0.1	x: 0.16 m η = 12.7	η < 0.1	x: 0.981 m η = 1.2	x: 2.622 m η = 0.3	x: 0.981 m η = 0.2	**CUMPLE η = 12.7**
N1923/N1878	$\lambda_w \leq \lambda_{w,máx}$ Cumple	x: 2.622 m η = 7.6	x: 0.16 m η = 6.1	x: 2.623 m η = 3.8	x: 0.16 m η = 1.8	x: 0.16 m η = 0.4	x: 1.391 m η = 0.1	η < 0.1	η < 0.1	x: 2.623 m η = 11.7	η < 0.1	η = 0.4	x: 0.16 m η = 0.4	x: 1.391 m η = 0.1	**CUMPLE η = 11.7**
N1924/N1879	$\lambda_w \leq \lambda_{w,máx}$ Cumple	x: 2.622 m η = 20.0	x: 0.16 m η = 19.2	x: 2.623 m η = 5.1	x: 2.623 m η = 2.6	x: 0.16 m η = 0.5	x: 0.57 m η = 0.2	η < 0.1	η < 0.1	x: 2.623 m η = 25.7	η < 0.1	x: 0.57 m η = 1.1	x: 0.16 m η = 0.5	x: 0.57 m η = 0.2	**CUMPLE η = 25.7**
N1925/N1880	$\lambda_w \leq \lambda_{w,máx}$ Cumple	x: 2.622 m η = 24.3	x: 0.16 m η = 23.5	x: 2.623 m η = 6.3	x: 0.16 m η = 2.1	x: 0.16 m η = 0.7	η = 0.1	η < 0.1	η < 0.1	x: 2.623 m η = 31.1	η < 0.1	η = 0.5	x: 0.16 m η = 0.7	η = 0.1	**CUMPLE η = 31.1**
N1926/N1881	$\lambda_w \leq \lambda_{w,máx}$ Cumple	x: 2.622 m η = 32.7	x: 0.16 m η = 30.8	x: 2.623 m η = 5.6	x: 0.16 m η = 1.0	x: 0.16 m η = 0.7	x: 2.212 m η = 0.1	η < 0.1	η < 0.1	x: 2.623 m η = 38.5	η < 0.1	η = 0.4	x: 0.16 m η = 0.7	x: 2.212 m η = 0.1	**CUMPLE η = 38.5**
N1927/N1882	$\lambda_w \leq \lambda_{w,máx}$ Cumple	x: 2.622 m η = 27.0	x: 0.16 m η = 20.6	x: 2.623 m η = 6.6	x: 2.623 m η = 0.7	x: 0.16 m η = 1.0	η < 0.1	η < 0.1	η < 0.1	x: 2.623 m η = 33.8	η < 0.1	η = 1.0	x: 0.16 m η = 1.0	η < 0.1	**CUMPLE η = 33.8**
N1928/N1883	$\lambda_w \leq \lambda_{w,máx}$ Cumple	x: 2.622 m η = 33.1	x: 0.16 m η = 28.6	x: 2.623 m η = 4.3	x: 2.623 m η = 2.5	x: 0.16 m η = 0.7	η = 0.2	η < 0.1	η < 0.1	x: 2.623 m η = 37.7	η < 0.1	η = 1.2	x: 0.16 m η = 0.7	η = 0.2	**CUMPLE η = 37.7**
N1929/N1884	$\lambda_w \leq \lambda_{w,máx}$ Cumple	x: 2.518 m η = 21.2	x: 0.16 m η = 16.8	x: 0.16 m η = 14.4	x: 2.519 m η = 2.2	x: 0.16 m η = 1.9	η = 0.1	η < 0.1	η < 0.1	x: 0.16 m η = 35.3	η < 0.1	η = 0.5	x: 0.16 m η = 1.9	η = 0.1	**CUMPLE η = 35.3**
N1930/N1931	$\lambda_w \leq \lambda_{w,máx}$ Cumple	η = 0.2	η = 7.5	x: 0.06 m η = 3.0	x: 0.06 m η = 4.0	η = 0.2	x: 0.06 m η = 0.6	η < 0.1	η < 0.1	x: 0.06 m η = 11.8	η < 0.1	η = 0.9	η = 0.2	x: 0.06 m η = 0.6	**CUMPLE η = 11.8**
N1931/N1932	$\lambda_w \leq \lambda_{w,máx}$ Cumple	η = 0.4	η = 7.5	x: 0.06 m η = 1.7	x: 1.409 m η = 1.0	η = 0.2	x: 0.06 m η = 0.2	η < 0.1	η < 0.1	x: 0.06 m η = 9.2	η < 0.1	η = 0.5	η = 0.2	x: 0.06 m η = 0.2	**CUMPLE η = 9.2**
N1932/N1933	$\lambda_w \leq \lambda_{w,máx}$ Cumple	η = 0.3	η = 8.1	x: 2.303 m η = 5.7	x: 2.303 m η = 5.4	η = 0.3	x: 2.303 m η = 0.8	η < 0.1	η < 0.1	x: 2.303 m η = 16.7	η < 0.1	η = 0.7	η = 0.3	x: 2.303 m η = 0.8	**CUMPLE η = 16.7**
N1642/N1934	$\lambda_w \leq \lambda_{w,máx}$ Cumple	N_{Ed} = 0.00 N.P.(1)	η = 30.9	x: 0.06 m η = 3.9	x: 0.06 m η = 5.6	η = 0.3	x: 0.06 m η = 0.8	η < 0.1	η < 0.1	x: 0.06 m η = 38.2	η < 0.1	η = 4.7	η = 0.3	x: 0.06 m η = 0.8	**CUMPLE η = 38.2**
N1934/N1935	$\lambda_w \leq \lambda_{w,máx}$ Cumple	N_{Ed} = 0.00 N.P.(1)	η = 31.1	x: 2.373 m η = 1.6	x: 1.409 m η = 1.6	η = 0.1	x: 2.373 m η = 0.2	η < 0.1	η < 0.1	x: 2.373 m η = 33.6	η < 0.1	η = 0.5	η = 0.1	x: 2.373 m η = 0.2	**CUMPLE η = 33.6**
N1935/N1738	$\lambda_w \leq \lambda_{w,máx}$ Cumple	η = 0.1	η = 30.3	x: 2.358 m η = 3.4	x: 2.358 m η = 6.9	η = 0.2	x: 2.358 m η = 0.9	η < 0.1	η < 0.1	x: 2.358 m η = 36.2	η < 0.1	η = 3.6	η = 0.2	x: 2.358 m η = 0.9	**CUMPLE η = 36.2**
N1933/N1936	$\lambda_w \leq \lambda_{w,máx}$ Cumple	η = 0.6	η = 9.8	x: 0.13 m η = 3.8	x: 0.13 m η = 6.4	η = 0.2	x: 0.13 m η = 0.9	η < 0.1	η < 0.1	x: 0.13 m η = 14.2	η < 0.1	η = 0.7	η = 0.2	x: 0.13 m η = 0.9	**CUMPLE η = 14.2**
N1936/N1937	$\lambda_w \leq \lambda_{w,máx}$ Cumple	η = 0.8	η = 9.4	x: 0.06 m η = 2.0	x: 0.638 m η = 1.2	η = 0.2	x: 2.373 m η = 0.3	η < 0.1	η < 0.1	x: 0.638 m η = 10.4	η < 0.1	η = 1.3	η = 0.2	x: 2.373 m η = 0.3	**CUMPLE η = 10.4**
N1937/N1938	$\lambda_w \leq \lambda_{w,máx}$ Cumple	η = 1.1	η = 9.9	x: 2.303 m η = 5.9	x: 2.303 m η = 5.0	η = 0.4	x: 2.303 m η = 0.7	η < 0.1	η < 0.1	x: 2.303 m η = 15.0	η < 0.1	η = 1.3	η = 0.4	x: 2.303 m η = 0.7	**CUMPLE η = 15.0**
N1738/N1939	$\lambda_w \leq \lambda_{w,máx}$ Cumple	x: 1.224 m η = 0.2	η = 30.2	x: 0.075 m η = 2.1	x: 0.075 m η = 9.0	η = 0.1	x: 0.075 m η = 1.2	η < 0.1	η < 0.1	x: 0.075 m η = 34.7	η < 0.1	η = 4.4	η = 0.1	x: 0.075 m η = 1.2	**CUMPLE η = 34.7**
N1939/N1940	$\lambda_w \leq \lambda_{w,máx}$ Cumple	x: 1.602 m η = 0.1	η = 31.0	x: 0.06 m η = 1.3	x: 0.446 m η = 1.9	η = 0.1	x: 2.373 m η = 0.3	η < 0.1	η < 0.1	x: 0.253 m η = 32.8	η < 0.1	η = 1.4	η = 0.1	x: 2.373 m η = 0.3	**CUMPLE η = 32.8**
N1940/N1834	$\lambda_w \leq \lambda_{w,máx}$ Cumple	η = 0.2	η = 30.8	x: 2.358 m η = 3.0	x: 2.358 m η = 6.0	η = 0.3	x: 2.358 m η = 0.8	η < 0.1	η < 0.1	x: 2.358 m η = 36.6	η < 0.1	η = 2.0	η = 0.3	x: 2.358 m η = 0.8	**CUMPLE η = 36.6**
N1659/N1942	$\lambda_w \leq \lambda_{w,máx}$ Cumple	x: 1.244 m η = 2.2	η = 88.5	x: 2.338 m η = 2.9	x: 0.15 m η = 5.9	η = 0.3	x: 0.15 m η = 0.9	η < 0.1	η < 0.1	x: 2.338 m η = 95.0	η < 0.1	η = 1.0	η = 0.3	x: 0.15 m η = 0.9	**CUMPLE η = 95.0**
N1942/N1941	$\lambda_w \leq \lambda_{w,máx}$ Cumple	η = 5.3	η = 45.6	x: 0.095 m η = 1.1	x: 2.338 m η = 10.2	η = 0.1	x: 2.338 m η = 1.4	η < 0.1	η < 0.1	x: 0.095 m η = 53.3	η < 0.1	η = 0.9	η = 0.1	x: 2.338 m η = 1.4	**CUMPLE η = 53.3**
N1941/N1755	$\lambda_w \leq \lambda_{w,máx}$ Cumple	η = 5.9	η = 54.2	x: 2.278 m η = 3.8	x: 0.095 m η = 4.8	η = 0.5	x: 0.095 m η = 0.7	η < 0.1	η < 0.1	x: 2.278 m η = 58.6	η < 0.1	η = 1.7	η = 0.5	x: 0.095 m η = 0.7	**CUMPLE η = 58.6**
N1755/N1943	$\lambda_w \leq \lambda_{w,máx}$ Cumple	x: 1.247 m η = 2.0	η = 74.0	x: 0.155 m η = 5.2	x: 2.338 m η = 5.5	η = 0.5	x: 0.155 m η = 0.9	η < 0.1	η < 0.1	x: 0.155 m η = 83.8	η < 0.1	η = 1.5	η = 0.6	x: 0.155 m η = 0.9	**CUMPLE η = 83.8**
N1943/N1944	$\lambda_w \leq \lambda_{w,máx}$ Cumple	η = 7.4	η = 34.9	x: 0.095 m η = 1.4	x: 2.338 m η = 10.6	η = 0.2	x: 2.338 m η = 1.5	η < 0.1	η < 0.1	x: 2.338 m η = 42.2	η < 0.1	η = 0.6	η = 0.2	x: 2.338 m η = 1.5	**CUMPLE η = 42.2**
N1944/N1851	$\lambda_w \leq \lambda_{w,máx}$ Cumple	η = 6.8	η = 50.9	x: 2.278 m η = 4.3	x: 0.095 m η = 4.8	η = 0.4	x: 0.095 m η = 0.7	η < 0.1	η < 0.1	x: 0.095 m η = 53.6	η < 0.1	η = 1.4	η = 0.4	x: 0.095 m η = 0.7	**CUMPLE η = 53.6**
N1658/N1946	$\lambda_w \leq \lambda_{w,máx}$ Cumple	x: 1.424 m η = 0.8	η = 38.3	x: 0.095 m η = 3.4	x: 2.373 m η = 4.7	η = 0.3	x: 0.095 m η = 0.7	η < 0.1	η < 0.1	x: 0.095 m η = 45.3	η < 0.1	η = 1.5	η = 0.3	x: 0.095 m η = 0.7	**CUMPLE η = 45.3**

Documento visado electrónicamente con número VA07290/22
Código de validación telemática TRLTDCFZ60T66IJ1. Comprobación: https://cogitivalencia.e-gestion.es/Validacion.aspx?CVT=TRLTDCFZ60T66IJ1

VISADO
COGITI
Estado
VALENCIA
VA07290/22
TRLTDCFZ60T66IJ1

Barras	COMPROBACIONES (CÓDIGO ESTRUCTURAL)														
	λ_w	N_t	N_c	M_Y	M_Z	V_Z	V_Y	M_YV_Z	M_ZV_Y	NM_YM_Z	$NM_YM_ZV_YV_Z$	M_t	M_tV_Z	M_tV_Y	
N1946/N1945	$\lambda_w \leq \lambda_{w,máx}$ Cumple	η = 0.6	η = 37.7	x: 0.06 m η = 1.9	x: 2.373 m η = 9.1	η = 0.2	x: 2.373 m η = 1.2	η < 0.1	η < 0.1	x: 2.373 m η = 43.8	η < 0.1	η = 0.7	η = 0.2	x: 2.373 m η = 1.3	**CUMPLE η = 43.8**
N1945/N1754	$\lambda_w \leq \lambda_{w,máx}$ Cumple	η = 3.5	η = 25.6	x: 2.338 m η = 4.5	x: 2.338 m η = 4.9	η = 0.3	x: 2.338 m η = 0.6	η < 0.1	η < 0.1	x: 0.06 m η = 28.9	η < 0.1	η = 0.9	η = 0.3	x: 2.338 m η = 0.7	**CUMPLE η = 28.9**
N1754/N1947	$\lambda_w \leq \lambda_{w,máx}$ Cumple	η = 0.2	η = 48.5	x: 0.095 m η = 4.6	x: 0.095 m η = 6.1	η = 0.3	x: 0.095 m η = 0.9	η < 0.1	η < 0.1	x: 2.373 m η = 54.1	η < 0.1	η = 1.0	η = 0.3	x: 0.095 m η = 0.9	**CUMPLE η = 54.1**
N1947/N1948	$\lambda_w \leq \lambda_{w,máx}$ Cumple	η = 0.3	η = 47.7	x: 2.373 m η = 1.6	x: 0.06 m η = 8.7	η = 0.1	x: 2.373 m η = 1.2	η < 0.1	η < 0.1	x: 0.06 m η = 55.3	η < 0.1	η = 0.6	η = 0.1	x: 2.373 m η = 1.2	**CUMPLE η = 55.3**
N1948/N1850	$\lambda_w \leq \lambda_{w,máx}$ Cumple	η = 0.8	η = 19.1	x: 2.338 m η = 2.6	x: 2.338 m η = 5.0	η = 0.2	x: 2.338 m η = 0.6	η < 0.1	η < 0.1	x: 2.338 m η = 23.8	η < 0.1	η = 0.5	η = 0.2	x: 2.338 m η = 0.6	**CUMPLE η = 23.8**
N1944/N1948	$\lambda_w \leq \lambda_{w,máx}$ Cumple	x: 1.939 m η = 0.1	x: 0.078 m η = 7.3	x: 1.94 m η = 5.9	x: 0.078 m η = 3.1	η = 0.9	η = 0.2	η < 0.1	η < 0.1	x: 0.078 m η = 13.7	η < 0.1	η = 0.3	η = 0.9	η = 0.2	**CUMPLE η = 13.7**
N1943/N1947	$\lambda_w \leq \lambda_{w,máx}$ Cumple	x: 1.939 m η = 0.4	x: 0.45 m η = 2.3	x: 0.078 m η = 4.9	x: 0.078 m η = 3.5	η = 0.8	η = 0.2	η < 0.1	η < 0.1	x: 0.078 m η = 7.5	η < 0.1	η = 1.0	η = 0.8	η = 0.2	**CUMPLE η = 7.5**
N1941/N1945	$\lambda_w \leq \lambda_{w,máx}$ Cumple	x: 1.939 m η = 0.1	x: 0.078 m η = 7.2	x: 1.94 m η = 5.3	x: 0.078 m η = 3.8	η = 0.8	η = 0.2	η < 0.1	η < 0.1	x: 0.078 m η = 13.2	η < 0.1	η = 1.1	η = 0.8	η = 0.2	**CUMPLE η = 13.2**
N1942/N1946	$\lambda_w \leq \lambda_{w,máx}$ Cumple	x: 1.939 m η = 0.4	x: 1.195 m η = 2.2	x: 0.078 m η = 4.7	x: 0.078 m η = 3.7	η = 0.7	η = 0.2	η < 0.1	η < 0.1	x: 0.078 m η = 7.5	η < 0.1	η = 1.0	η = 0.7	η = 0.2	**CUMPLE η = 7.5**
N1931/N1934	$\lambda_w \leq \lambda_{w,máx}$ Cumple	x: 1.939 m η = 0.1	x: 0.06 m η = 0.1	x: 1.94 m η = 3.7	x: 1.94 m η = 3.6	η = 0.5	η = 0.2	η < 0.1	η < 0.1	x: 1.94 m η = 6.9	η < 0.1	η = 0.8	η = 0.5	η = 0.2	**CUMPLE η = 6.9**
N1932/N1935	$\lambda_w \leq \lambda_{w,máx}$ Cumple	x: 1.939 m η = 0.1	x: 0.06 m η = 0.1	x: 1.94 m η = 3.7	x: 1.94 m η = 2.9	η = 0.5	η = 0.2	η < 0.1	η < 0.1	x: 1.94 m η = 6.3	η < 0.1	η = 0.9	η = 0.5	η = 0.2	**CUMPLE η = 6.3**
N1937/N1940	$\lambda_w \leq \lambda_{w,máx}$ Cumple	x: 1.939 m η = 0.1	x: 0.06 m η = 0.2	x: 1.94 m η = 3.3	x: 1.94 m η = 2.6	η = 0.5	η = 0.2	η < 0.1	η < 0.1	x: 1.94 m η = 5.9	η < 0.1	η = 1.8	η = 0.5	η = 0.2	**CUMPLE η = 5.9**
N1936/N1939	$\lambda_w \leq \lambda_{w,máx}$ Cumple	x: 1.939 m η = 0.1	x: 0.06 m η = 0.1	x: 1.94 m η = 5.0	x: 1.94 m η = 2.4	η = 0.7	η = 0.1	η < 0.1	η < 0.1	x: 1.94 m η = 5.9	η < 0.1	η = 0.7	η = 0.7	η = 0.1	**CUMPLE η = 5.9**
N1949/N1942	$\lambda_w \leq \lambda_{w,máx}$ Cumple	x: 3.054 m η = 19.8	x: 2.442 m η = 5.4	x: 0.195 m η = 11.6	x: 0.195 m η = 7.8	x: 3.055 m η = 1.0	η = 0.3	η < 0.1	η < 0.1	x: 0.195 m η = 39.0	η < 0.1	η = 4.0	x: 3.055 m η = 1.0	η = 0.3	**CUMPLE η = 39.0**
N1950/N1941	$\lambda_w \leq \lambda_{w,máx}$ Cumple	x: 3.054 m η = 12.5	x: 0.201 m η = 25.3	x: 0.201 m η = 9.4	x: 3.055 m η = 4.6	x: 0.201 m η = 0.8	η = 0.2	η < 0.1	η < 0.1	x: 0.201 m η = 35.9	η < 0.1	η = 3.4	x: 0.201 m η = 0.8	η = 0.2	**CUMPLE η = 35.9**
N1950/N1943	$\lambda_w \leq \lambda_{w,máx}$ Cumple	x: 3.054 m η = 21.4	x: 2.443 m η = 4.1	x: 0.201 m η = 9.7	x: 3.055 m η = 4.1	x: 3.055 m η = 0.9	η = 0.2	η < 0.1	η < 0.1	x: 0.201 m η = 32.2	η < 0.1	η = 3.4	x: 3.055 m η = 0.9	η = 0.2	**CUMPLE η = 32.2**
N1951/N1944	$\lambda_w \leq \lambda_{w,máx}$ Cumple	x: 3.054 m η = 11.6	x: 0.201 m η = 23.4	x: 0.201 m η = 9.0	x: 0.201 m η = 5.1	x: 0.201 m η = 0.7	η = 0.2	η < 0.1	η < 0.1	x: 0.201 m η = 34.5	η < 0.1	η = 2.9	x: 0.201 m η = 0.7	η = 0.2	**CUMPLE η = 34.5**
N1952/N1953	$\lambda_w \leq \lambda_{w,máx}$ Cumple	x: 3.054 m η = 11.4	x: 0.195 m η = 3.6	x: 0.195 m η = 7.4	x: 3.055 m η = 4.5	x: 3.055 m η = 0.8	η = 0.3	η < 0.1	η < 0.1	x: 0.195 m η = 20.2	η < 0.1	η = 2.8	x: 3.055 m η = 0.8	η = 0.3	**CUMPLE η = 20.2**
N1676/N1953	$\lambda_w \leq \lambda_{w,máx}$ Cumple	x: 2.337 m η = 1.6	η = 65.6	x: 2.338 m η = 3.3	x: 0.15 m η = 3.5	η = 0.4	x: 0.15 m η = 0.6	η < 0.1	η < 0.1	x: 2.338 m η = 71.1	η < 0.1	η = 1.0	η = 0.4	x: 0.15 m η = 0.6	**CUMPLE η = 71.1**
N1953/N1954	$\lambda_w \leq \lambda_{w,máx}$ Cumple	η = 4.6	η = 34.2	x: 0.095 m η = 1.3	x: 2.338 m η = 5.3	η = 0.2	x: 2.338 m η = 0.8	η < 0.1	η < 0.1	x: 2.338 m η = 38.2	η < 0.1	η = 0.2	η = 0.2	x: 2.338 m η = 0.8	**CUMPLE η = 38.2**
N1954/N1772	$\lambda_w \leq \lambda_{w,máx}$ Cumple	η = 3.0	η = 57.8	x: 2.278 m η = 4.9	x: 0.095 m η = 3.3	η = 0.6	x: 0.095 m η = 0.5	η < 0.1	η < 0.1	x: 2.278 m η = 63.0	η < 0.1	η = 1.7	η = 0.6	x: 0.095 m η = 0.5	**CUMPLE η = 63.0**
N1953/N1955	$\lambda_w \leq \lambda_{w,máx}$ Cumple	x: 1.939 m η = 0.2	x: 0.078 m η = 1.9	x: 0.078 m η = 2.1	x: 0.078 m η = 3.6	η = 0.3	η = 0.2	η < 0.1	η < 0.1	x: 0.078 m η = 4.9	η < 0.1	η = 0.6	η = 0.3	η = 0.2	**CUMPLE η = 4.9**
N1675/N1955	$\lambda_w \leq \lambda_{w,máx}$ Cumple	η = 0.7	η = 32.0	x: 0.095 m η = 2.9	x: 0.095 m η = 3.1	η = 0.3	x: 0.095 m η = 0.5	η < 0.1	η < 0.1	x: 0.095 m η = 37.2	η < 0.1	η = 1.2	η = 0.3	x: 0.095 m η = 0.5	**CUMPLE η = 37.2**
N1955/N1956	$\lambda_w \leq \lambda_{w,máx}$ Cumple	η = 0.7	η = 31.8	x: 2.373 m η = 1.4	x: 2.373 m η = 4.8	η = 0.1	x: 2.373 m η = 0.7	η < 0.1	η < 0.1	x: 2.373 m η = 34.8	η < 0.1	η = 0.1	η = 0.1	x: 2.373 m η = 0.7	**CUMPLE η = 34.8**
N1956/N1771	$\lambda_w \leq \lambda_{w,máx}$ Cumple	η = 1.1	η = 29.8	x: 2.338 m η = 2.8	x: 2.338 m η = 5.1	η = 0.2	x: 2.338 m η = 0.7	η < 0.1	η < 0.1	x: 0.06 m η = 33.5	η < 0.1	η = 0.8	η = 0.2	x: 2.338 m η = 0.7	**CUMPLE η = 33.5**
N1954/N1956	$\lambda_w \leq \lambda_{w,máx}$ Cumple	x: 1.939 m η = 0.2	x: 0.078 m η = 3.6	x: 1.94 m η = 2.4	x: 0.078 m η = 3.8	η = 0.3	η = 0.2	η < 0.1	η < 0.1	x: 0.078 m η = 7.2	η < 0.1	η = 0.5	η = 0.3	η = 0.2	**CUMPLE η = 7.2**
N1957/N1954	$\lambda_w \leq \lambda_{w,máx}$ Cumple	x: 3.054 m η = 14.4	x: 0.201 m η = 15.2	x: 0.201 m η = 5.3	x: 3.055 m η = 4.9	x: 3.055 m η = 0.5	η = 0.2	η < 0.1	η < 0.1	x: 3.055 m η = 21.0	η < 0.1	η = 2.3	x: 0.201 m η = 0.5	η = 0.2	**CUMPLE η = 21.0**
N1957/N1958	$\lambda_w \leq \lambda_{w,máx}$ Cumple	x: 3.054 m η = 15.6	x: 0.201 m η = 2.9	x: 0.201 m η = 6.1	x: 3.055 m η = 4.9	x: 3.055 m η = 0.6	η = 0.2	η < 0.1	η < 0.1	x: 3.055 m η = 21.6	η < 0.1	η = 2.5	x: 3.055 m η = 0.7	η = 0.2	**CUMPLE η = 21.6**
N1772/N1958	$\lambda_w \leq \lambda_{w,máx}$ Cumple	η = 2.1	η = 63.4	x: 0.155 m η = 4.7	x: 0.155 m η = 3.0	η = 0.6	x: 0.155 m η = 0.5	η < 0.1	η < 0.1	x: 2.338 m η = 68.3	η < 0.1	η = 1.7	η = 0.6	x: 0.155 m η = 0.5	**CUMPLE η = 68.3**
N1958/N1959	$\lambda_w \leq \lambda_{w,máx}$ Cumple	η = 8.2	η = 27.9	x: 0.095 m η = 0.6	x: 2.338 m η = 5.8	η = 0.1	x: 2.338 m η = 0.8	η < 0.1	η < 0.1	x: 2.338 m η = 31.1	η < 0.1	η = 0.2	η = 0.1	x: 2.338 m η = 0.8	**CUMPLE η = 31.1**
N1959/N1868	$\lambda_w \leq \lambda_{w,máx}$ Cumple	η = 2.9	η = 51.8	x: 0.095 m η = 2.8	x: 0.095 m η = 3.2	η = 0.3	x: 0.095 m η = 0.5	η < 0.1	η < 0.1	x: 2.278 m η = 55.0	η < 0.1	η = 1.2	η = 0.3	x: 0.095 m η = 0.5	**CUMPLE η = 55.0**
N1958/N1960	$\lambda_w \leq \lambda_{w,máx}$ Cumple	x: 1.939 m η = 0.2	x: 0.078 m η = 1.6	x: 0.078 m η = 2.8	x: 0.078 m η = 3.7	η = 0.4	η = 0.2	η < 0.1	η < 0.1	x: 0.078 m η = 5.4	η < 0.1	η = 0.6	η = 0.4	η = 0.2	**CUMPLE η = 5.4**
N1959/N1961	$\lambda_w \leq \lambda_{w,máx}$ Cumple	x: 1.939 m η = 0.1	x: 0.078 m η = 3.9	x: 1.94 m η = 3.4	x: 0.078 m η = 2.7	η = 0.4	η = 0.2	η < 0.1	η < 0.1	x: 0.078 m η = 7.2	η < 0.1	η = 0.4	η = 0.5	η = 0.2	**CUMPLE η = 7.2**
N1962/N1959	$\lambda_w \leq \lambda_{w,máx}$ Cumple	x: 3.054 m η = 13.6	x: 0.201 m η = 13.5	x: 0.201 m η = 5.3	x: 3.055 m η = 3.2	x: 3.055 m η = 0.5	η = 0.1	η < 0.1	η < 0.1	x: 0.201 m η = 19.3	η < 0.1	η = 2.0	x: 3.055 m η = 0.5	η = 0.1	**CUMPLE η = 19.3**
N1771/N1960	$\lambda_w \leq \lambda_{w,máx}$ Cumple	η = 0.8	η = 28.4	x: 0.095 m η = 2.1	x: 0.095 m η = 5.6	η = 0.2	x: 0.095 m η = 0.7	η < 0.1	η < 0.1	x: 0.095 m η = 32.9	η < 0.1	η = 0.9	η = 0.2	x: 0.095 m η = 0.7	**CUMPLE η = 32.9**
N1960/N1961	$\lambda_w \leq \lambda_{w,máx}$ Cumple	η = 0.6	η = 28.1	x: 0.06 m η = 1.1	x: 2.373 m η = 4.8	η < 0.1	x: 2.373 m η = 0.7	η < 0.1	η < 0.1	x: 0.06 m η = 31.9	η < 0.1	η = 0.2	η < 0.1	x: 2.373 m η = 0.7	**CUMPLE η = 31.9**
N1961/N1867	$\lambda_w \leq \lambda_{w,máx}$ Cumple	η = 0.7	η = 23.7	x: 2.338 m η = 2.1	x: 2.338 m η = 5.2	η = 0.2	x: 2.338 m η = 0.7	η < 0.1	η < 0.1	x: 2.338 m η = 28.1	η < 0.1	η = 0.5	η = 0.2	x: 2.338 m η = 0.7	**CUMPLE η = 28.1**
N1943/N1754	$\lambda_w \leq \lambda_{w,máx}$ Cumple	x: 3.051 m η = 16.6	x: 0.095 m η = 2.4	x: 3.052 m η = 5.1	x: 0.095 m η = 3.4	x: 3.052 m η = 0.7	η = 0.2	η < 0.1	η < 0.1	x: 3.052 m η = 23.1	η < 0.1	η = 1.4	x: 3.052 m η = 0.7	η = 0.2	**CUMPLE η = 23.1**
N1941/N1754	$\lambda_w \leq \lambda_{w,máx}$ Cumple	x: 3.051 m η = 14.4	x: 0.095 m η = 6.0	x: 3.052 m η = 4.1	x: 0.095 m η = 2.9	x: 3.052 m η = 0.5	η = 0.2	η < 0.1	η < 0.1	x: 3.052 m η = 19.9	η < 0.1	η = 1.3	x: 3.052 m η = 0.5	η = 0.2	**CUMPLE η = 19.9**
N1942/N1658	$\lambda_w \leq \lambda_{w,máx}$ Cumple	x: 3.054 m η = 13.3	x: 1.363 m η = 1.5	x: 0.095 m η = 4.3	x: 0.095 m η = 2.2	x: 3.055 m η = 0.6	η = 0.1	η < 0.1	η < 0.1	x: 0.095 m η = 17.9	η < 0.1	η = 1.6	x: 3.055 m η = 0.6	η = 0.1	**CUMPLE η = 17.9**
N1944/N1850	$\lambda_w \leq \lambda_{w,máx}$ Cumple	x: 3.051 m η = 16.5	x: 0.095 m η = 5.1	x: 3.052 m η = 4.0	x: 0.095 m η = 2.0	x: 3.052 m η = 0.5	η = 0.1	η < 0.1	η < 0.1	x: 3.052 m η = 20.9	η < 0.1	η = 1.1	x: 3.052 m η = 0.5	η = 0.1	**CUMPLE η = 20.9**
N1958/N1771	$\lambda_w \leq \lambda_{w,máx}$ Cumple	x: 3.051 m η = 16.4	x: 0.095 m η = 2.7	x: 3.052 m η = 4.6	x: 0.095 m η = 2.7	x: 3.052 m η = 0.6	η = 0.1	η < 0.1	η < 0.1	x: 0.095 m η = 21.2	η < 0.1	η = 1.2	x: 3.052 m η = 0.6	η = 0.1	**CUMPLE η = 21.2**
N1954/N1771	$\lambda_w \leq \lambda_{w,máx}$ Cumple	x: 3.051 m η = 14.5	x: 0.095 m η = 5.2	x: 3.052 m η = 4.3	x: 0.095 m η = 2.7	x: 3.052 m η = 0.6	η = 0.1	η < 0.1	η < 0.1	x: 0.095 m η = 20.1	η < 0.1	η = 1.2	x: 3.052 m η = 0.6	η = 0.1	**CUMPLE η = 20.1**

Documento visado electrónicamente con número: VA07290/22
Código de validación telemática TRLTDCFZ60T66IJ1. Comprobación: https://cogitivalencia.e-gestion.es/Validacion.aspx?CVT=TRLTDCFZ60T66IJ1

Barras	COMPROBACIONES (CÓDIGO ESTRUCTURAL)														Estado
	λ_w	N_t	N_c	M_Y	M_Z	V_Z	V_Y	M_YV_Z	M_ZV_Y	NM_YM_Z	$NM_YM_ZV_YV_Z$	M_t	M_tV_Z	M_tV_Y	
N1953/N1675	$\lambda_w \le \lambda_{w,máx}$ Cumple	x: 3.054 m η = 11.3	x: 0.095 m η = 1.3	x: 3.055 m η = 2.8	x: 0.095 m η = 1.9	x: 3.055 m η = 0.4	η = 0.1	η < 0.1	η < 0.1	x: 0.095 m η = 14.2	η < 0.1	η = 1.7	x: 3.055 m η = 0.4	η = 0.1	**CUMPLE η = 14.2**
N1959/N1867	$\lambda_w \le \lambda_{w,máx}$ Cumple	x: 3.051 m η = 16.4	x: 0.095 m η = 4.2	x: 3.052 m η = 4.2	x: 0.095 m η = 1.9	x: 3.052 m η = 0.5	η = 0.1	η < 0.1	η < 0.1	x: 0.095 m η = 21.1	η < 0.1	η = 1.1	x: 3.052 m η = 0.5	η = 0.1	**CUMPLE η = 21.1**
N1788/N1964	$\lambda_w \le \lambda_{w,máx}$ Cumple	η = 0.2	η = 20.3	x: 0.095 m η = 4.8	x: 0.095 m η = 5.4	η = 0.5	x: 0.095 m η = 0.7	η < 0.1	η < 0.1	x: 0.095 m η = 26.4	η < 0.1	η = 2.5	η = 0.5	x: 0.095 m η = 0.7	**CUMPLE η = 26.4**
N1964/N1963	$\lambda_w \le \lambda_{w,máx}$ Cumple	η < 0.1	η = 20.2	x: 2.373 m η = 2.1	x: 0.06 m η = 4.3	η < 0.1	x: 2.373 m η = 0.7	η < 0.1	η < 0.1	x: 0.06 m η = 23.2	η < 0.1	η = 1.2	η < 0.1	x: 2.373 m η = 0.7	**CUMPLE η = 23.2**
N1963/N1884	$\lambda_w \le \lambda_{w,máx}$ Cumple	η = 0.9	η = 13.7	x: 2.338 m η = 3.3	x: 2.338 m η = 4.2	η = 0.3	x: 2.338 m η = 0.6	η < 0.1	η < 0.1	x: 2.338 m η = 16.6	η < 0.1	η = 1.1	η = 0.3	x: 2.338 m η = 0.6	**CUMPLE η = 16.6**
N1965/N1884	$\lambda_w \le \lambda_{w,máx}$ Cumple	x: 3.051 m η = 14.5	x: 0.095 m η = 1.5	x: 3.052 m η = 3.4	x: 0.095 m η = 2.3	x: 3.052 m η = 0.5	η = 0.1	η < 0.1	η < 0.1	x: 3.052 m η = 18.2	η < 0.1	η = 2.5	x: 3.052 m η = 0.5	η = 0.1	**CUMPLE η = 18.2**
N1968/N1967	$\lambda_w \le \lambda_{w,máx}$ Cumple	x: 1.04 m η = 1.4	η = 52.8	x: 0.175 m η = 6.4	x: 2.338 m η = 2.1	η = 0.7	x: 0.175 m η = 0.4	η < 0.1	η < 0.1	x: 0.175 m η = 55.3	η < 0.1	η = 0.7	η = 0.7	x: 0.175 m η = 0.4	**CUMPLE η = 55.3**
N1967/N1965	$\lambda_w \le \lambda_{w,máx}$ Cumple	η = 8.4	η = 9.6	x: 0.095 m η = 2.1	x: 2.338 m η = 5.2	η = 0.3	x: 2.338 m η = 0.8	η < 0.1	η < 0.1	x: 2.338 m η = 14.0	η < 0.1	η = 1.3	η = 0.3	x: 2.338 m η = 0.8	**CUMPLE η = 14.0**
N1965/N1966	$\lambda_w \le \lambda_{w,máx}$ Cumple	η = 3.5	η = 36.7	x: 0.095 m η = 3.8	x: 0.095 m η = 1.5	η = 0.4	x: 0.095 m η = 0.3	η < 0.1	η < 0.1	x: 2.258 m η = 39.5	η < 0.1	η = 1.0	η = 0.4	x: 0.095 m η = 0.3	**CUMPLE η = 39.5**
N1969/N1965	$\lambda_w \le \lambda_{w,máx}$ Cumple	x: 3.054 m η = 10.4	x: 0.227 m η = 6.4	x: 0.227 m η = 2.9	x: 3.055 m η = 7.6	x: 3.055 m η = 0.4	η = 0.1	η < 0.1	η < 0.1	x: 3.055 m η = 17.0	η < 0.1	η = 7.0	x: 3.055 m η = 0.4	η = 0.2	**CUMPLE η = 17.0**
N1967/N1964	$\lambda_w \le \lambda_{w,máx}$ Cumple	x: 1.939 m η = 0.2	x: 0.078 m η = 1.7	x: 0.078 m η = 2.2	x: 0.078 m η = 6.8	η = 0.3	η = 0.4	η < 0.1	η < 0.1	x: 0.078 m η = 7.3	η < 0.1	η = 1.8	η = 0.3	η = 0.4	**CUMPLE η = 7.3**
N1967/N1788	$\lambda_w \le \lambda_{w,máx}$ Cumple	x: 3.051 m η = 15.8	x: 0.095 m η = 1.7	x: 3.052 m η = 4.4	x: 0.095 m η = 5.5	x: 3.052 m η = 0.6	η = 0.2	η < 0.1	η < 0.1	x: 0.095 m η = 21.1	η < 0.1	η = 2.7	x: 3.052 m η = 0.6	η = 0.2	**CUMPLE η = 21.1**
N1965/N1963	$\lambda_w \le \lambda_{w,máx}$ Cumple	x: 1.939 m η < 0.1	x: 0.078 m η = 3.5	x: 1.94 m η = 3.4	x: 0.078 m η = 6.6	η = 0.4	η = 0.4	η < 0.1	η < 0.1	x: 0.078 m η = 9.7	η < 0.1	η = 0.4	η = 0.4	η = 0.4	**CUMPLE η = 9.7**
N1692/N1971	$\lambda_w \le \lambda_{w,máx}$ Cumple	N_{Ed} = 0.00 N.P.(1)	η = 24.7	x: 0.095 m η = 3.4	x: 2.373 m η = 1.5	η = 0.4	x: 0.095 m η = 0.3	η < 0.1	η < 0.1	x: 0.095 m η = 27.0	η < 0.1	η = 2.1	η = 0.4	x: 0.095 m η = 0.3	**CUMPLE η = 27.0**
N1971/N1970	$\lambda_w \le \lambda_{w,máx}$ Cumple	N_{Ed} = 0.00 N.P.(1)	η = 24.4	x: 0.06 m η = 2.2	x: 2.373 m η = 3.5	η = 0.1	x: 2.373 m η = 0.5	η < 0.1	η < 0.1	x: 0.06 m η = 26.0	η < 0.1	η = 0.3	η = 0.1	x: 2.373 m η = 0.5	**CUMPLE η = 26.0**
N1970/N1788	$\lambda_w \le \lambda_{w,máx}$ Cumple	η = 0.8	η = 18.9	x: 2.338 m η = 4.6	x: 2.338 m η = 4.1	η = 0.5	x: 2.338 m η = 0.6	η < 0.1	η < 0.1	x: 2.338 m η = 22.2	η < 0.1	η = 2.2	η = 0.5	x: 2.338 m η = 0.6	**CUMPLE η = 22.2**
N1972/N1788	$\lambda_w \le \lambda_{w,máx}$ Cumple	x: 3.051 m η = 13.0	x: 0.095 m η = 2.2	x: 3.052 m η = 3.4	x: 0.095 m η = 4.4	x: 3.052 m η = 0.5	η = 0.1	η < 0.1	η < 0.1	x: 0.095 m η = 16.8	η < 0.1	η = 2.9	x: 3.052 m η = 0.5	η = 0.1	**CUMPLE η = 16.8**
N1974/N1973	$\lambda_w \le \lambda_{w,máx}$ Cumple	η = 1.4	η = 29.7	x: 2.338 m η = 4.2	x: 0.15 m η = 3.0	η = 0.5	x: 0.15 m η = 0.5	η < 0.1	η < 0.1	x: 2.338 m η = 33.8	η < 0.1	η = 1.1	η = 0.5	x: 0.15 m η = 0.5	**CUMPLE η = 33.8**
N1973/N1972	$\lambda_w \le \lambda_{w,máx}$ Cumple	η = 6.2	η = 13.8	x: 2.338 m η = 0.8	x: 2.338 m η = 4.2	η = 0.1	x: 2.338 m η = 0.6	η < 0.1	η < 0.1	x: 2.338 m η = 16.7	η < 0.1	η = 0.6	η = 0.1	x: 2.338 m η = 0.6	**CUMPLE η = 16.7**
N1972/N1968	$\lambda_w \le \lambda_{w,máx}$ Cumple	η = 3.0	η = 41.6	x: 0.095 m η = 4.2	x: 0.095 m η = 1.4	η = 0.6	x: 0.095 m η = 0.3	η < 0.1	η < 0.1	x: 2.258 m η = 43.7	η < 0.1	η = 0.7	η = 0.6	x: 0.095 m η = 0.3	**CUMPLE η = 43.7**
N1975/N1967	$\lambda_w \le \lambda_{w,máx}$ Cumple	x: 3.054 m η = 16.4	x: 0.227 m η = 3.5	x: 0.227 m η = 4.3	x: 0.227 m η = 9.6	x: 3.055 m η = 0.5	η = 0.1	η < 0.1	η < 0.1	x: 0.227 m η = 25.9	η < 0.1	η = 7.3	x: 3.055 m η = 0.6	η = 0.1	**CUMPLE η = 25.9**
N1975/N1972	$\lambda_w \le \lambda_{w,máx}$ Cumple	x: 3.054 m η = 10.2	x: 0.227 m η = 6.6	x: 0.227 m η = 2.9	x: 0.227 m η = 8.3	x: 3.055 m η = 0.4	η < 0.1	η < 0.1	η < 0.1	x: 3.055 m η = 16.9	η < 0.1	η = 7.8	x: 3.055 m η = 0.4	η < 0.1	**CUMPLE η = 16.9**
N1972/N1970	$\lambda_w \le \lambda_{w,máx}$ Cumple	x: 1.939 m η < 0.1	x: 0.078 m η = 2.8	x: 1.94 m η = 2.5	x: 0.078 m η = 7.1	η = 0.3	η = 0.4	η < 0.1	η < 0.1	x: 0.078 m η = 8.7	η < 0.1	η = 1.2	η = 0.3	η = 0.4	**CUMPLE η = 8.7**
N1973/N1971	$\lambda_w \le \lambda_{w,máx}$ Cumple	x: 1.939 m η = 0.1	x: 0.078 m η = 1.6	x: 0.078 m η = 2.4	x: 0.078 m η = 7.4	η = 0.3	η = 0.4	η < 0.1	η < 0.1	x: 0.078 m η = 8.1	η < 0.1	η = 0.6	η = 0.3	η = 0.4	**CUMPLE η = 8.1**
N1976/N1973	$\lambda_w \le \lambda_{w,máx}$ Cumple	x: 3.054 m η = 9.7	x: 0.195 m η = 3.0	x: 0.195 m η = 5.0	x: 3.055 m η = 8.7	x: 3.055 m η = 0.6	η = 0.1	η < 0.1	η < 0.1	x: 3.055 m η = 18.9	η < 0.1	η = 7.6	x: 3.055 m η = 0.6	η = 0.1	**CUMPLE η = 18.9**
N1973/N1692	$\lambda_w \le \lambda_{w,máx}$ Cumple	x: 3.054 m η = 9.4	x: 0.095 m η = 0.6	x: 0.095 m η = 2.2	x: 3.055 m η = 3.7	x: 3.055 m η = 0.3	η < 0.1	η < 0.1	η < 0.1	x: 0.095 m η = 12.6	η < 0.1	η = 3.0	x: 3.055 m η = 0.3	η < 0.1	**CUMPLE η = 12.6**
N1740/N1836	x: 0.522 m $\lambda_w \le \lambda_{w,máx}$ Cumple	η = 8.6	η = 19.6	M_{Ed} = 0.00 N.P.(2)	x: 3.65 m η = 5.9	V_{Ed} = 0.00 N.P.(3)	x: 0.075 m η = 0.5	N.P.(4)	x: 0.522 m η < 0.1	x: 3.65 m η = 24.4	x: 0.522 m η < 0.1	M_{Ed} = 0.00 N.P.(5)	N.P.(6)	N.P.(6)	**CUMPLE η = 24.4**
N1646/N1977	x: 0.061 m $\lambda_w \le \lambda_{w,máx}$ Cumple	η = 2.1	η = 30.1	x: 2.372 m η = 0.2	x: 2.373 m η = 15.5	η < 0.1	x: 0.06 m η = 1.1	x: 0.253 m η < 0.1	x: 0.061 m η < 0.1	x: 2.373 m η = 31.8	x: 0.061 m η < 0.1	M_{Ed} = 0.00 N.P.(5)	N.P.(6)	N.P.(6)	**CUMPLE η = 31.8**
N1977/N1978	$\lambda_w \le \lambda_{w,máx}$ Cumple	η = 1.0	η = 30.3	x: 0.06 m η < 0.1	x: 0.06 m η = 3.9	η < 0.1	x: 2.373 m η = 0.5	x: 0.06 m η < 0.1	η < 0.1	x: 2.373 m η = 31.9	η < 0.1	η = 0.2	η < 0.1	x: 2.373 m η = 0.5	**CUMPLE η = 31.9**
N1978/N1742	x: 0.06 m $\lambda_w \le \lambda_{w,máx}$ Cumple	η = 1.0	η = 27.8	x: 0.06 m η = 0.2	x: 0.06 m η = 13.9	η < 0.1	x: 2.373 m η = 1.0	x: 0.06 m η < 0.1	x: 0.06 m η < 0.1	x: 0.06 m η = 34.5	x: 0.06 m η < 0.1	M_{Ed} = 0.00 N.P.(5)	N.P.(6)	N.P.(6)	**CUMPLE η = 34.5**
N1696/N1979	x: 0.061 m $\lambda_w \le \lambda_{w,máx}$ Cumple	η = 0.1	η = 14.7	x: 2.372 m η = 0.2	x: 2.373 m η = 16.1	η < 0.1	x: 0.06 m η = 1.2	x: 0.253 m η < 0.1	x: 0.061 m η < 0.1	x: 2.373 m η = 24.0	x: 0.061 m η < 0.1	M_{Ed} = 0.00 N.P.(5)	N.P.(6)	N.P.(6)	**CUMPLE η = 24.0**
N1979/N1980	$\lambda_w \le \lambda_{w,máx}$ Cumple	η = 0.5	η = 15.2	x: 0.06 m η < 0.1	x: 0.06 m η = 4.1	η < 0.1	x: 2.373 m η = 0.5	x: 0.06 m η < 0.1	η < 0.1	x: 2.373 m η = 16.4	η < 0.1	η = 0.2	η < 0.1	x: 2.373 m η = 0.5	**CUMPLE η = 16.4**
N1980/N1792	x: 0.06 m $\lambda_w \le \lambda_{w,máx}$ Cumple	η = 1.0	η = 16.4	x: 0.06 m η = 0.2	x: 0.06 m η = 12.7	η < 0.1	x: 2.373 m η = 1.0	x: 0.06 m η < 0.1	x: 0.06 m η < 0.1	x: 0.06 m η = 23.1	x: 0.06 m η < 0.1	M_{Ed} = 0.00 N.P.(5)	N.P.(6)	N.P.(6)	**CUMPLE η = 23.1**
N1980/N1978	$\lambda_w \le \lambda_{w,máx}$ Cumple	x: 1.939 m η = 0.1	x: 0.06 m η = 0.3	x: 1.94 m η = 10.0	x: 0.06 m η = 0.1	η = 1.5	η < 0.1	η < 0.1	x: 0.06 m η < 0.1	x: 1.94 m η = 10.2	η < 0.1	η = 0.2	η = 1.5	η < 0.1	**CUMPLE η = 10.2**
N1979/N1977	$\lambda_w \le \lambda_{w,máx}$ Cumple	x: 1.939 m η = 0.1	x: 0.06 m η = 0.3	x: 0.06 m η = 11.6	x: 0.06 m η = 0.1	η = 1.8	η < 0.1	η < 0.1	x: 0.06 m η < 0.1	x: 0.06 m η = 11.9	η < 0.1	η = 0.2	η = 1.8	η < 0.1	**CUMPLE η = 11.9**
N1700/N1982	x: 0.051 m $\lambda_w \le \lambda_{w,máx}$ Cumple	η = 0.2	η = 14.9	x: 2.372 m η = 0.1	x: 2.373 m η = 19.2	η < 0.1	x: 0.05 m η = 1.4	x: 0.244 m η < 0.1	x: 0.051 m η < 0.1	x: 2.373 m η = 24.5	x: 0.051 m η < 0.1	M_{Ed} = 0.00 N.P.(5)	N.P.(6)	N.P.(6)	**CUMPLE η = 24.5**
N1982/N1981	$\lambda_w \le \lambda_{w,máx}$ Cumple	η = 0.5	η = 17.2	x: 0.06 m η < 0.1	x: 0.06 m η = 5.1	η < 0.1	x: 2.373 m η = 0.6	x: 0.06 m η < 0.1	η < 0.1	x: 2.373 m η = 19.4	η < 0.1	η < 0.1	η < 0.1	x: 2.373 m η = 0.6	**CUMPLE η = 19.4**
N1981/N1796	x: 0.06 m $\lambda_w \le \lambda_{w,máx}$ Cumple	η = 1.4	η = 19.0	x: 0.06 m η = 0.1	x: 0.06 m η = 16.5	η < 0.1	x: 2.373 m η = 1.2	x: 0.06 m η < 0.1	x: 0.06 m η < 0.1	x: 0.06 m η = 28.7	x: 0.06 m η < 0.1	M_{Ed} = 0.00 N.P.(5)	N.P.(6)	N.P.(6)	**CUMPLE η = 28.7**
N1650/N1984	x: 0.051 m $\lambda_w \le \lambda_{w,máx}$ Cumple	η = 1.0	η = 65.3	x: 2.372 m η = 0.1	x: 2.373 m η = 19.0	η < 0.1	x: 0.05 m η = 1.3	x: 0.244 m η < 0.1	x: 0.051 m η < 0.1	x: 2.373 m η = 68.4	x: 0.051 m η < 0.1	M_{Ed} = 0.00 N.P.(5)	N.P.(6)	N.P.(6)	**CUMPLE η = 68.4**
N1984/N1983	$\lambda_w \le \lambda_{w,máx}$ Cumple	N_{Ed} = 0.00 N.P.(1)	η = 65.3	x: 0.06 m η < 0.1	x: 0.06 m η = 5.0	η < 0.1	x: 2.373 m η = 0.6	x: 0.06 m η < 0.1	η < 0.1	x: 2.373 m η = 68.5	η < 0.1	η < 0.1	η < 0.1	x: 2.373 m η = 0.6	**CUMPLE η = 68.5**

VISADO
COGITI
VALENCIA
VA07290/22
TRLTDCFZ60T66IJ1
Documento visado electrónicamente con número VA07290/22
Código de validación telemática TRLTDCFZ60T66IJ1. Comprobación: https://cogitivalencia.e-gestion.es/Validacion.aspx?CVT=TRLTDCFZ60T66IJ1

VISADO
COGITI
Estado
VALENCIA
VA07290/22
TRLTDCFZ60T66IJ1

Barras	COMPROBACIONES (CÓDIGO ESTRUCTURAL)															
	λ_w	N_t	N_c	M_Y	M_Z	V_Z	V_Y	M_YV_Z	M_ZV_Y	NM_YM_Z	$NM_YM_ZV_YV_Z$	M_t	M_tV_Z	M_tV_Y	Estado
N1983/N1746	x: 0.06 m $\lambda_w \leq \lambda_{w,máx}$ Cumple	N_{Ed} = 0.00 N.P.(1)	η = 60.4	x: 0.06 m η = 0.1	x: 0.06 m η = 17.6	η < 0.1	x: 2.373 m η = 1.3	x: 0.06 m η < 0.1	x: 0.06 m η < 0.1	x: 0.06 m η = 72.4	x: 0.06 m η < 0.1	M_{Ed} = 0.00 N.P.(5)	N.P.(6)	N.P.(6)	**CUMPLE** **η = 72.4**
N1981/N1983	$\lambda_w \leq \lambda_{w,máx}$ Cumple	x: 1.939 m η < 0.1	x: 0.06 m η = 0.4	x: 1.94 m η = 12.4	x: 0.06 m η < 0.1	η = 1.9	η < 0.1	η < 0.1	x: 0.06 m η < 0.1	x: 1.94 m η = 12.6	η < 0.1	η = 0.1	η = 1.9	η < 0.1	**CUMPLE** **η = 12.6**
N1982/N1984	$\lambda_w \leq \lambda_{w,máx}$ Cumple	x: 1.939 m η < 0.1	x: 0.06 m η = 0.4	x: 0.06 m η = 13.5	x: 0.06 m η < 0.1	η = 2.1	η < 0.1	η < 0.1	x: 0.06 m η < 0.1	x: 0.06 m η = 13.9	η < 0.1	η = 0.1	η = 2.0	η < 0.1	**CUMPLE** **η = 13.9**
N1704/N1986	x: 0.061 m $\lambda_w \leq \lambda_{w,máx}$ Cumple	η = 0.1	η = 13.9	x: 2.373 m η = 0.3	x: 2.373 m η = 11.7	η < 0.1	x: 0.06 m η = 0.9	x: 0.253 m η < 0.1	x: 0.061 m η < 0.1	x: 2.373 m η = 19.4	x: 0.061 m η < 0.1	M_{Ed} = 0.00 N.P.(5)	N.P.(6)	N.P.(6)	**CUMPLE** **η = 19.4**
N1986/N1985	$\lambda_w \leq \lambda_{w,máx}$ Cumple	η = 0.3	η = 15.3	x: 0.06 m η = 0.1	x: 2.373 m η = 2.8	η < 0.1	x: 0.06 m η = 0.4	x: 0.06 m η < 0.1	η < 0.1	x: 2.373 m η = 16.8	η < 0.1	η = 0.3	η < 0.1	x: 0.06 m η = 0.4	**CUMPLE** **η = 16.8**
N1985/N1800	x: 0.06 m $\lambda_w \leq \lambda_{w,máx}$ Cumple	η = 0.4	η = 16.7	x: 0.06 m η = 0.3	x: 0.06 m η = 12.4	η < 0.1	x: 2.373 m η = 0.9	x: 0.06 m η < 0.1	x: 0.06 m η < 0.1	x: 0.06 m η = 24.8	x: 0.06 m η < 0.1	M_{Ed} = 0.00 N.P.(5)	N.P.(6)	N.P.(6)	**CUMPLE** **η = 24.8**
N1654/N1988	x: 0.061 m $\lambda_w \leq \lambda_{w,máx}$ Cumple	η = 0.4	η = 51.3	x: 2.373 m η = 0.3	x: 2.373 m η = 10.3	η < 0.1	x: 0.06 m η = 0.8	x: 0.253 m η < 0.1	x: 0.061 m η < 0.1	x: 2.373 m η = 53.5	x: 0.061 m η < 0.1	M_{Ed} = 0.00 N.P.(5)	N.P.(6)	N.P.(6)	**CUMPLE** **η = 53.5**
N1988/N1987	$\lambda_w \leq \lambda_{w,máx}$ Cumple	x: 1.217 m η = 0.1	η = 51.7	x: 0.06 m η = 0.1	x: 2.373 m η = 3.6	η < 0.1	x: 0.06 m η = 0.4	x: 0.06 m η < 0.1	η < 0.1	x: 2.373 m η = 54.3	η < 0.1	η = 0.3	η < 0.1	x: 0.06 m η = 0.4	**CUMPLE** **η = 54.3**
N1987/N1750	x: 0.06 m $\lambda_w \leq \lambda_{w,máx}$ Cumple	η = 0.2	η = 48.0	x: 0.06 m η = 0.3	x: 0.06 m η = 14.1	η < 0.1	x: 2.373 m η = 1.0	x: 0.06 m η < 0.1	x: 0.06 m η < 0.1	x: 0.06 m η = 58.1	x: 0.06 m η < 0.1	M_{Ed} = 0.00 N.P.(5)	N.P.(6)	N.P.(6)	**CUMPLE** **η = 58.1**
N1985/N1987	$\lambda_w \leq \lambda_{w,máx}$ Cumple	x: 1.939 m η < 0.1	x: 0.06 m η = 0.2	x: 1.94 m η = 10.1	x: 0.06 m η = 0.2	η = 1.5	η < 0.1	η < 0.1	x: 0.06 m η < 0.1	x: 1.94 m η = 10.4	η < 0.1	η = 0.3	η = 1.5	η < 0.1	**CUMPLE** **η = 10.4**
N1986/N1988	$\lambda_w \leq \lambda_{w,máx}$ Cumple	x: 1.939 m η < 0.1	x: 0.06 m η = 0.2	x: 0.06 m η = 8.7	x: 0.06 m η = 0.2	η = 1.3	η < 0.1	η < 0.1	x: 0.06 m η < 0.1	x: 0.06 m η = 8.9	η < 0.1	η = 0.3	η = 1.3	η < 0.1	**CUMPLE** **η = 8.9**
N1989/N1990	$\lambda_w \leq \lambda_{w,máx}$ Cumple	x: 1.939 m η < 0.1	x: 0.06 m η = 0.4	x: 0.06 m η = 11.2	x: 0.06 m η = 0.3	η = 1.8	η < 0.1	η < 0.1	x: 0.06 m η < 0.1	x: 0.06 m η = 11.6	η < 0.1	η = 0.4	η = 1.8	η < 0.1	**CUMPLE** **η = 11.6**
N1991/N1992	$\lambda_w \leq \lambda_{w,máx}$ Cumple	x: 1.939 m η < 0.1	x: 0.06 m η = 0.4	x: 1.94 m η = 13.3	x: 0.06 m η = 0.3	η = 2.1	η < 0.1	η < 0.1	x: 0.06 m η < 0.1	x: 1.94 m η = 13.7	η < 0.1	η = 0.4	η = 2.1	η < 0.1	**CUMPLE** **η = 13.7**
N1796/N1994	x: 0.061 m $\lambda_w \leq \lambda_{w,máx}$ Cumple	η = 1.0	η = 17.0	x: 2.372 m η = 0.1	x: 2.373 m η = 19.0	η < 0.1	x: 0.06 m η = 1.3	x: 0.253 m η < 0.1	x: 0.061 m η < 0.1	x: 2.373 m η = 28.5	x: 0.061 m η < 0.1	M_{Ed} = 0.00 N.P.(5)	N.P.(6)	N.P.(6)	**CUMPLE** **η = 28.5**
N1994/N1993	$\lambda_w \leq \lambda_{w,máx}$ Cumple	η = 0.3	η = 14.8	x: 0.06 m η < 0.1	x: 0.06 m η = 5.0	η < 0.1	x: 2.373 m η = 0.6	x: 0.06 m η < 0.1	η < 0.1	x: 0.06 m η = 17.4	η < 0.1	η = 0.1	η < 0.1	x: 2.373 m η = 0.6	**CUMPLE** **η = 17.4**
N1993/N1892	x: 0.06 m $\lambda_w \leq \lambda_{w,máx}$ Cumple	η = 0.2	η = 11.1	x: 0.06 m η = 0.1	x: 0.06 m η = 17.1	η < 0.1	x: 2.373 m η = 1.2	x: 0.06 m η < 0.1	x: 0.06 m η < 0.1	x: 0.06 m η = 17.7	x: 0.06 m η < 0.1	M_{Ed} = 0.00 N.P.(5)	N.P.(6)	N.P.(6)	**CUMPLE** **η = 17.7**
N1746/N1996	x: 0.061 m $\lambda_w \leq \lambda_{w,máx}$ Cumple	η = 2.3	η = 8.7	x: 2.372 m η = 0.1	x: 2.373 m η = 19.2	η < 0.1	x: 0.06 m η = 1.4	x: 0.253 m η < 0.1	x: 0.061 m η < 0.1	x: 2.373 m η = 20.4	x: 0.061 m η < 0.1	M_{Ed} = 0.00 N.P.(5)	N.P.(6)	N.P.(6)	**CUMPLE** **η = 20.4**
N1996/N1995	$\lambda_w \leq \lambda_{w,máx}$ Cumple	η = 1.6	η = 10.0	x: 0.06 m η < 0.1	x: 0.06 m η = 5.2	η < 0.1	x: 2.373 m η = 0.6	x: 0.06 m η < 0.1	η < 0.1	x: 0.638 m η = 11.3	η < 0.1	η = 0.1	η < 0.1	x: 2.373 m η = 0.6	**CUMPLE** **η = 11.3**
N1995/N1842	x: 0.06 m $\lambda_w \leq \lambda_{w,máx}$ Cumple	η = 1.8	η = 9.4	x: 0.06 m η = 0.1	x: 0.06 m η = 17.7	η < 0.1	x: 2.373 m η = 1.3	x: 0.06 m η < 0.1	x: 0.06 m η < 0.1	x: 0.06 m η = 18.6	x: 0.06 m η < 0.1	M_{Ed} = 0.00 N.P.(5)	N.P.(6)	N.P.(6)	**CUMPLE** **η = 18.6**
N1993/N1995	$\lambda_w \leq \lambda_{w,máx}$ Cumple	x: 1.939 m η < 0.1	x: 0.06 m η = 0.4	x: 1.94 m η = 12.5	x: 0.06 m η < 0.1	η = 2.0	η < 0.1	η < 0.1	x: 0.06 m η < 0.1	x: 1.94 m η = 12.8	η < 0.1	η = 0.1	η = 2.0	η < 0.1	**CUMPLE** **η = 12.8**
N1994/N1996	$\lambda_w \leq \lambda_{w,máx}$ Cumple	x: 1.939 m η < 0.1	x: 0.06 m η = 0.4	x: 1.94 m η = 13.5	x: 0.06 m η < 0.1	η = 2.1	η < 0.1	η < 0.1	x: 0.06 m η < 0.1	x: 1.94 m η = 13.8	η < 0.1	η = 0.1	η = 2.1	η < 0.1	**CUMPLE** **η = 13.8**
N1800/N1998	x: 0.061 m $\lambda_w \leq \lambda_{w,máx}$ Cumple	η = 0.3	η = 12.5	x: 2.373 m η = 0.4	x: 2.373 m η = 13.8	η < 0.1	x: 0.06 m η = 1.0	x: 0.253 m η < 0.1	x: 0.061 m η < 0.1	x: 2.373 m η = 20.6	x: 0.061 m η < 0.1	M_{Ed} = 0.00 N.P.(5)	N.P.(6)	N.P.(6)	**CUMPLE** **η = 20.6**
N1998/N1997	$\lambda_w \leq \lambda_{w,máx}$ Cumple	η = 0.3	η = 10.9	x: 0.06 m η = 0.1	x: 2.373 m η = 3.3	η < 0.1	x: 2.373 m η = 0.4	x: 0.06 m η < 0.1	η < 0.1	x: 0.06 m η = 12.4	η < 0.1	η = 0.3	η < 0.1	x: 2.373 m η = 0.4	**CUMPLE** **η = 12.4**
N1997/N1896	x: 0.06 m $\lambda_w \leq \lambda_{w,máx}$ Cumple	η = 0.3	η = 11.2	x: 0.06 m η = 0.4	x: 0.06 m η = 13.8	η < 0.1	x: 2.373 m η = 1.0	x: 0.06 m η < 0.1	x: 0.06 m η < 0.1	x: 0.06 m η = 15.7	x: 0.06 m η < 0.1	M_{Ed} = 0.00 N.P.(5)	N.P.(6)	N.P.(6)	**CUMPLE** **η = 15.7**
N1750/N2000	x: 0.061 m $\lambda_w \leq \lambda_{w,máx}$ Cumple	η = 0.8	η = 11.5	x: 2.373 m η = 0.4	x: 2.373 m η = 14.5	η < 0.1	x: 0.06 m η = 1.1	x: 0.253 m η < 0.1	x: 0.061 m η < 0.1	x: 2.373 m η = 16.4	x: 0.061 m η < 0.1	M_{Ed} = 0.00 N.P.(5)	N.P.(6)	N.P.(6)	**CUMPLE** **η = 16.4**
N2000/N1999	$\lambda_w \leq \lambda_{w,máx}$ Cumple	η = 0.4	η = 12.7	x: 0.06 m η = 0.1	x: 0.06 m η = 3.6	η < 0.1	x: 2.373 m η = 0.4	x: 0.06 m η < 0.1	η < 0.1	x: 1.217 m η = 13.9	η < 0.1	η = 0.3	η < 0.1	x: 2.373 m η = 0.4	**CUMPLE** **η = 13.9**
N1999/N1846	x: 0.06 m $\lambda_w \leq \lambda_{w,máx}$ Cumple	η = 0.5	η = 11.5	x: 0.06 m η = 0.4	x: 0.06 m η = 13.8	η < 0.1	x: 2.373 m η = 1.0	x: 0.06 m η < 0.1	x: 0.06 m η < 0.1	x: 0.06 m η = 16.6	x: 0.06 m η < 0.1	M_{Ed} = 0.00 N.P.(5)	N.P.(6)	N.P.(6)	**CUMPLE** **η = 16.6**
N1997/N1999	$\lambda_w \leq \lambda_{w,máx}$ Cumple	x: 1.939 m η = 0.1	x: 0.06 m η = 0.2	x: 0.06 m η = 10.0	x: 0.06 m η = 0.2	η = 1.6	η < 0.1	η < 0.1	x: 0.06 m η < 0.1	x: 0.06 m η = 10.4	η < 0.1	η = 0.4	η = 1.6	η < 0.1	**CUMPLE** **η = 10.4**
N1998/N2000	$\lambda_w \leq \lambda_{w,máx}$ Cumple	x: 1.939 m η = 0.1	x: 0.06 m η = 0.2	x: 1.94 m η = 10.5	x: 0.06 m η = 0.2	η = 1.6	η < 0.1	η < 0.1	x: 0.06 m η < 0.1	x: 1.94 m η = 10.7	η < 0.1	η = 0.4	η = 1.6	η < 0.1	**CUMPLE** **η = 10.7**
N1752/N1848	x: 0.522 m $\lambda_w \leq \lambda_{w,máx}$ Cumple	η = 2.1	η = 84.8	M_{Ed} = 0.00 N.P.(2)	x: 3.65 m η = 5.9	V_{Ed} = 0.00 N.P.(3)	x: 0.075 m η = 0.5	N.P.(4)	x: 0.522 m η < 0.1	x: 3.65 m η = 93.0	x: 0.522 m η < 0.1	M_{Ed} = 0.00 N.P.(5)	N.P.(6)	N.P.(6)	**CUMPLE** **η = 93.0**
N1663/N2001	x: 0.061 m $\lambda_w \leq \lambda_{w,máx}$ Cumple	η = 0.3	η = 30.7	x: 2.372 m η < 0.1	x: 2.373 m η = 12.6	η < 0.1	x: 0.06 m η = 1.0	x: 0.253 m η < 0.1	x: 0.061 m η < 0.1	x: 2.373 m η = 38.7	x: 0.061 m η < 0.1	M_{Ed} = 0.00 N.P.(5)	N.P.(6)	N.P.(6)	**CUMPLE** **η = 38.7**
N2001/N2002	$\lambda_w \leq \lambda_{w,máx}$ Cumple	N_{Ed} = 0.00 N.P.(1)	η = 33.9	x: 0.06 m η < 0.1	x: 0.06 m η = 3.0	η < 0.1	x: 2.373 m η = 0.4	x: 0.06 m η < 0.1	η < 0.1	x: 0.06 m η = 35.9	η < 0.1	η < 0.1	η < 0.1	x: 2.373 m η = 0.4	**CUMPLE** **η = 35.9**
N2002/N1759	x: 0.06 m $\lambda_w \leq \lambda_{w,máx}$ Cumple	x: 2.372 m η = 0.1	η = 33.4	x: 0.06 m η < 0.1	x: 0.06 m η = 9.0	η < 0.1	x: 2.373 m η = 0.7	x: 0.06 m η < 0.1	x: 0.06 m η < 0.1	x: 0.06 m η = 35.8	x: 0.06 m η < 0.1	M_{Ed} = 0.00 N.P.(5)	N.P.(6)	N.P.(6)	**CUMPLE** **η = 35.8**
N1711/N2003	x: 0.061 m $\lambda_w \leq \lambda_{w,máx}$ Cumple	η = 0.1	η = 13.9	x: 2.372 m η < 0.1	x: 2.373 m η = 12.8	η < 0.1	x: 0.06 m η = 1.0	x: 0.253 m η < 0.1	x: 0.061 m η < 0.1	x: 2.373 m η = 21.9	x: 0.061 m η < 0.1	M_{Ed} = 0.00 N.P.(5)	N.P.(6)	N.P.(6)	**CUMPLE** **η = 21.9**
N2003/N2004	$\lambda_w \leq \lambda_{w,máx}$ Cumple	η = 0.4	η = 12.5	x: 0.06 m η < 0.1	x: 0.06 m η = 3.0	η < 0.1	x: 2.373 m η = 0.4	x: 0.06 m η < 0.1	η < 0.1	x: 0.06 m η = 14.1	η < 0.1	x: 1.217 m η < 0.1	η < 0.1	x: 2.373 m η = 0.4	**CUMPLE** **η = 14.1**
N2004/N1807	x: 0.06 m $\lambda_w \leq \lambda_{w,máx}$ Cumple	η = 0.2	η = 11.7	x: 0.06 m η < 0.1	x: 0.06 m η = 7.9	η < 0.1	x: 2.373 m η = 0.7	x: 0.06 m η < 0.1	x: 0.06 m η < 0.1	x: 0.06 m η = 14.0	x: 0.06 m η < 0.1	M_{Ed} = 0.00 N.P.(5)	N.P.(6)	N.P.(6)	**CUMPLE** **η = 14.0**

Documento visado electrónicamente con número: VA07290/22
Código de validación telemática TRLTDCFZ60T66IJ1. Comprobación: https://cogitivalencia.e-gestion.es/Validacion.aspx?CVT=TRLTDCFZ60T66IJ1

VISADO
COGITI
TRLTDCFZ60T66IJ1
VALENCIA
VA07290/22

Barras	COMPROBACIONES (CÓDIGO ESTRUCTURAL)														Estado
	λ_w	N_t	N_c	M_Y	M_Z	V_Z	V_Y	M_YV_Z	M_ZV_Y	NM_YM_Z	$NM_YM_ZV_YV_Z$	M_t	M_tV_Z	M_tV_Y	
N2004/N2002	$\lambda_w \leq \lambda_{w,máx}$ Cumple	x: 1.939 m η = 0.1	x: 0.06 m η = 0.2	x: 1.94 m η = 6.9	x: 0.06 m η < 0.1	η = 1.0	η < 0.1	η < 0.1	x: 0.06 m η < 0.1	x: 1.94 m η = 7.0	η < 0.1	η < 0.1	η = 1.0	η < 0.1	**CUMPLE η = 7.0**
N2003/N2001	$\lambda_w \leq \lambda_{w,máx}$ Cumple	x: 1.939 m η = 0.1	x: 0.06 m η = 0.2	x: 0.06 m η = 9.5	x: 0.06 m η < 0.1	η = 1.5	η < 0.1	η < 0.1	x: 0.06 m η < 0.1	x: 0.06 m η = 9.7	η < 0.1	η < 0.1	η = 1.5	η < 0.1	**CUMPLE η = 9.7**
N1715/N2006	x: 0.051 m $\lambda_w \leq \lambda_{w,máx}$ Cumple	η = 0.1	η = 14.4	x: 2.372 m η = 0.1	x: 2.373 m η = 15.2	η < 0.1	x: 0.05 m η = 1.1	x: 0.244 m η < 0.1	x: 0.051 m η < 0.1	x: 2.373 m η = 24.0	x: 0.051 m η < 0.1	M_{Ed} = 0.00 N.P.(5)	N.P.(6)	N.P.(6)	**CUMPLE η = 24.0**
N2006/N2005	$\lambda_w \leq \lambda_{w,máx}$ Cumple	η = 0.4	η = 12.8	x: 0.06 m η < 0.1	x: 0.06 m η = 3.8	η < 0.1	x: 2.373 m η = 0.5	x: 0.06 m η < 0.1	η < 0.1	x: 0.06 m η = 14.8	η < 0.1	η = 0.1	η < 0.1	x: 2.373 m η = 0.5	**CUMPLE η = 14.8**
N2005/N1811	x: 0.06 m $\lambda_w \leq \lambda_{w,máx}$ Cumple	η = 0.6	η = 13.2	x: 0.06 m η = 0.1	x: 0.06 m η = 10.5	η < 0.1	x: 2.373 m η = 0.8	x: 0.06 m η < 0.1	x: 0.06 m η < 0.1	x: 0.06 m η = 16.7	x: 0.06 m η < 0.1	M_{Ed} = 0.00 N.P.(5)	N.P.(6)	N.P.(6)	**CUMPLE η = 16.7**
N1667/N2008	x: 0.051 m $\lambda_w \leq \lambda_{w,máx}$ Cumple	η = 0.5	η = 21.6	x: 2.372 m η = 0.1	x: 2.373 m η = 15.2	η < 0.1	x: 0.05 m η = 1.1	x: 0.244 m η < 0.1	x: 0.051 m η < 0.1	x: 2.373 m η = 28.0	x: 0.051 m η < 0.1	M_{Ed} = 0.00 N.P.(5)	N.P.(6)	N.P.(6)	**CUMPLE η = 28.0**
N2008/N2007	$\lambda_w \leq \lambda_{w,máx}$ Cumple	N_{Ed} = 0.00 N.P.(1)	η = 22.9	x: 0.06 m η < 0.1	x: 0.06 m η = 3.8	η < 0.1	x: 2.373 m η = 0.5	x: 0.06 m η < 0.1	η < 0.1	x: 0.06 m η = 25.3	η < 0.1	η = 0.1	η < 0.1	x: 2.373 m η = 0.5	**CUMPLE η = 25.3**
N2007/N1763	x: 0.06 m $\lambda_w \leq \lambda_{w,máx}$ Cumple	N_{Ed} = 0.00 N.P.(1)	η = 22.6	x: 0.06 m η = 0.1	x: 0.06 m η = 11.4	η < 0.1	x: 2.373 m η = 0.9	x: 0.06 m η < 0.1	x: 0.06 m η < 0.1	x: 0.06 m η = 26.5	x: 0.06 m η < 0.1	M_{Ed} = 0.00 N.P.(5)	N.P.(6)	N.P.(6)	**CUMPLE η = 26.5**
N2005/N2007	$\lambda_w \leq \lambda_{w,máx}$ Cumple	x: 1.939 m η = 0.1	x: 0.06 m η = 0.3	x: 1.94 m η = 8.5	x: 0.06 m η < 0.1	η = 1.3	η < 0.1	η < 0.1	x: 0.06 m η < 0.1	x: 1.94 m η = 8.5	η < 0.1	η = 0.1	η = 1.3	η < 0.1	**CUMPLE η = 8.5**
N2006/N2008	$\lambda_w \leq \lambda_{w,máx}$ Cumple	x: 1.939 m η = 0.1	x: 0.06 m η = 0.3	x: 0.06 m η = 11.0	x: 0.06 m η < 0.1	η = 1.7	η < 0.1	η < 0.1	x: 0.06 m η < 0.1	x: 0.06 m η = 11.3	η < 0.1	η = 0.1	η = 1.7	η < 0.1	**CUMPLE η = 11.3**
N1719/N2010	x: 0.061 m $\lambda_w \leq \lambda_{w,máx}$ Cumple	η = 0.1	η = 13.9	x: 2.372 m η = 0.1	x: 2.373 m η = 10.8	η < 0.1	x: 0.06 m η = 0.8	x: 0.253 m η < 0.1	x: 0.061 m η < 0.1	x: 2.373 m η = 20.6	x: 0.061 m η < 0.1	M_{Ed} = 0.00 N.P.(5)	N.P.(6)	N.P.(6)	**CUMPLE η = 20.6**
N2010/N2009	$\lambda_w \leq \lambda_{w,máx}$ Cumple	η = 0.3	η = 12.8	x: 0.06 m η < 0.1	x: 0.253 m η = 2.3	η < 0.1	x: 2.373 m η = 0.3	x: 0.06 m η < 0.1	η < 0.1	x: 0.06 m η = 14.0	η < 0.1	η < 0.1	η < 0.1	x: 2.373 m η = 0.3	**CUMPLE η = 14.0**
N2009/N1815	x: 0.06 m $\lambda_w \leq \lambda_{w,máx}$ Cumple	η = 0.1	η = 12.8	x: 0.06 m η = 0.1	x: 0.06 m η = 7.9	η < 0.1	x: 2.373 m η = 0.7	x: 0.06 m η < 0.1	x: 0.06 m η < 0.1	x: 0.06 m η = 15.9	x: 0.06 m η < 0.1	M_{Ed} = 0.00 N.P.(5)	N.P.(6)	N.P.(6)	**CUMPLE η = 15.9**
N1671/N2012	x: 0.061 m $\lambda_w \leq \lambda_{w,máx}$ Cumple	η = 0.1	η = 18.4	x: 2.372 m η = 0.1	x: 2.373 m η = 10.1	η < 0.1	x: 0.06 m η = 0.8	x: 0.253 m η < 0.1	x: 0.061 m η < 0.1	x: 2.373 m η = 22.9	x: 0.061 m η < 0.1	M_{Ed} = 0.00 N.P.(5)	N.P.(6)	N.P.(6)	**CUMPLE η = 22.9**
N2012/N2011	$\lambda_w \leq \lambda_{w,máx}$ Cumple	N_{Ed} = 0.00 N.P.(1)	η = 19.0	x: 0.06 m η < 0.1	x: 1.602 m η = 2.4	η < 0.1	x: 2.373 m η = 0.3	x: 0.06 m η < 0.1	η < 0.1	x: 1.602 m η = 20.5	η < 0.1	η < 0.1	η < 0.1	x: 2.373 m η = 0.3	**CUMPLE η = 20.5**
N2011/N1767	x: 0.06 m $\lambda_w \leq \lambda_{w,máx}$ Cumple	η = 0.1	η = 17.7	x: 0.06 m η = 0.1	x: 0.06 m η = 9.5	η < 0.1	x: 2.373 m η = 0.8	x: 0.06 m η < 0.1	x: 0.06 m η < 0.1	x: 0.06 m η = 23.3	x: 0.06 m η < 0.1	M_{Ed} = 0.00 N.P.(5)	N.P.(6)	N.P.(6)	**CUMPLE η = 23.3**
N2009/N2011	$\lambda_w \leq \lambda_{w,máx}$ Cumple	x: 1.939 m η = 0.1	x: 0.06 m η = 0.1	x: 1.94 m η = 7.2	x: 0.06 m η < 0.1	η = 1.1	η < 0.1	η < 0.1	x: 0.06 m η < 0.1	x: 1.94 m η = 7.3	η < 0.1	η = 0.1	η = 1.1	η < 0.1	**CUMPLE η = 7.3**
N2010/N2012	$\lambda_w \leq \lambda_{w,máx}$ Cumple	x: 1.939 m η = 0.1	x: 0.06 m η = 0.1	x: 0.06 m η = 8.2	x: 0.06 m η < 0.1	η = 1.3	η < 0.1	η < 0.1	x: 0.06 m η < 0.1	x: 0.06 m η = 8.3	η < 0.1	η = 0.1	η = 1.3	η < 0.1	**CUMPLE η = 8.3**
N1757/N1853	x: 0.522 m $\lambda_w \leq \lambda_{w,máx}$ Cumple	η = 1.7	η = 16.7	M_{Ed} = 0.00 N.P.(2)	x: 3.65 m η = 5.9	V_{Ed} = 0.00 N.P.(3)	x: 0.075 m η = 0.5	N.P.(4)	x: 0.522 m η < 0.1	x: 3.65 m η = 23.1	x: 0.522 m η < 0.1	M_{Ed} = 0.00 N.P.(5)	N.P.(6)	N.P.(6)	**CUMPLE η = 23.1**
N1759/N2013	x: 0.061 m $\lambda_w \leq \lambda_{w,máx}$ Cumple	η = 0.8	η = 7.0	x: 2.372 m η = 0.2	x: 2.373 m η = 11.0	η < 0.1	x: 0.06 m η = 0.8	x: 0.253 m η < 0.1	x: 0.061 m η < 0.1	x: 2.373 m η = 11.3	x: 0.061 m η < 0.1	M_{Ed} = 0.00 N.P.(5)	N.P.(6)	N.P.(6)	**CUMPLE η = 11.3**
N2013/N2014	$\lambda_w \leq \lambda_{w,máx}$ Cumple	η = 0.5	η = 7.8	x: 0.06 m η < 0.1	x: 2.373 m η = 2.6	η < 0.1	x: 0.06 m η = 0.3	x: 0.06 m η < 0.1	η < 0.1	x: 2.372 m η = 9.4	η < 0.1	η = 0.2	η < 0.1	x: 0.06 m η = 0.3	**CUMPLE η = 9.4**
N2014/N1855	x: 0.06 m $\lambda_w \leq \lambda_{w,máx}$ Cumple	η = 0.8	η = 5.7	x: 0.06 m η = 0.2	x: 0.06 m η = 11.5	η < 0.1	x: 2.373 m η = 0.9	x: 0.06 m η < 0.1	x: 0.06 m η < 0.1	x: 0.06 m η = 12.6	x: 0.06 m η < 0.1	M_{Ed} = 0.00 N.P.(5)	N.P.(6)	N.P.(6)	**CUMPLE η = 12.6**
N1807/N2015	x: 0.061 m $\lambda_w \leq \lambda_{w,máx}$ Cumple	η = 0.2	η = 8.9	x: 2.372 m η = 0.2	x: 2.373 m η = 10.5	η < 0.1	x: 0.06 m η = 0.8	x: 0.253 m η < 0.1	x: 0.061 m η < 0.1	x: 2.373 m η = 15.3	x: 0.061 m η < 0.1	M_{Ed} = 0.00 N.P.(5)	N.P.(6)	N.P.(6)	**CUMPLE η = 15.3**
N2015/N2016	$\lambda_w \leq \lambda_{w,máx}$ Cumple	η = 0.4	η = 8.0	x: 0.06 m η < 0.1	x: 2.372 m η = 2.5	η < 0.1	x: 0.06 m η = 0.3	x: 0.06 m η < 0.1	η < 0.1	x: 1.024 m η = 8.7	η < 0.1	η = 0.2	η < 0.1	x: 0.06 m η = 0.3	**CUMPLE η = 8.7**
N2016/N1903	x: 0.06 m $\lambda_w \leq \lambda_{w,máx}$ Cumple	η = 0.2	η = 8.8	x: 0.06 m η = 0.2	x: 0.06 m η = 11.2	η < 0.1	x: 2.373 m η = 0.9	x: 0.06 m η < 0.1	x: 0.06 m η < 0.1	x: 0.06 m η = 13.6	x: 0.06 m η < 0.1	M_{Ed} = 0.00 N.P.(5)	N.P.(6)	N.P.(6)	**CUMPLE η = 13.6**
N2016/N2014	$\lambda_w \leq \lambda_{w,máx}$ Cumple	x: 1.939 m η = 0.1	x: 0.06 m η = 0.2	x: 1.94 m η = 8.5	x: 0.06 m η = 0.1	η = 1.4	η < 0.1	η < 0.1	x: 0.06 m η < 0.1	x: 1.94 m η = 8.7	η < 0.1	η = 0.2	η = 1.4	η < 0.1	**CUMPLE η = 8.7**
N2015/N2013	$\lambda_w \leq \lambda_{w,máx}$ Cumple	x: 1.939 m η = 0.1	x: 0.06 m η = 0.2	x: 1.94 m η = 8.3	x: 0.06 m η = 0.1	η = 1.3	η < 0.1	η < 0.1	x: 0.06 m η < 0.1	x: 1.94 m η = 8.4	η < 0.1	η = 0.2	η = 1.3	η < 0.1	**CUMPLE η = 8.4**
N1811/N2018	x: 0.061 m $\lambda_w \leq \lambda_{w,máx}$ Cumple	η = 0.4	η = 11.1	x: 2.372 m η < 0.1	x: 2.373 m η = 13.4	η < 0.1	x: 0.06 m η = 1.0	N.P.(4)	x: 0.061 m η < 0.1	x: 2.373 m η = 19.4	x: 0.061 m η < 0.1	M_{Ed} = 0.00 N.P.(5)	N.P.(6)	N.P.(6)	**CUMPLE η = 19.4**
N2018/N2017	$\lambda_w \leq \lambda_{w,máx}$ Cumple	η = 0.3	η = 9.5	x: 0.06 m η < 0.1	x: 0.06 m η = 3.2	η < 0.1	x: 2.373 m η = 0.4	N.P.(4)	η < 0.1	x: 0.06 m η = 11.1	η < 0.1	η < 0.1	η < 0.1	x: 2.373 m η = 0.4	**CUMPLE η = 11.1**
N2017/N1907	x: 0.06 m $\lambda_w \leq \lambda_{w,máx}$ Cumple	η = 0.3	η = 9.4	x: 0.06 m η < 0.1	x: 0.06 m η = 13.2	η < 0.1	x: 2.373 m η = 1.0	N.P.(4)	x: 0.06 m η < 0.1	x: 0.06 m η = 13.7	x: 0.06 m η < 0.1	M_{Ed} = 0.00 N.P.(5)	N.P.(6)	N.P.(6)	**CUMPLE η = 13.7**
N1763/N2020	x: 0.061 m $\lambda_w \leq \lambda_{w,máx}$ Cumple	η = 3.6	η = 13.3	x: 2.372 m η < 0.1	x: 2.373 m η = 13.6	η < 0.1	x: 0.06 m η = 1.0	N.P.(4)	x: 0.061 m η < 0.1	x: 2.373 m η = 16.3	x: 0.061 m η < 0.1	M_{Ed} = 0.00 N.P.(5)	N.P.(6)	N.P.(6)	**CUMPLE η = 16.3**
N2020/N2019	$\lambda_w \leq \lambda_{w,máx}$ Cumple	η = 3.2	η = 14.0	x: 0.06 m η < 0.1	x: 2.373 m η = 3.4	η < 0.1	x: 0.06 m η = 0.4	N.P.(4)	η < 0.1	x: 1.602 m η = 14.9	η < 0.1	η < 0.1	η < 0.1	x: 2.373 m η = 0.4	**CUMPLE η = 14.9**
N2019/N1859	x: 0.06 m $\lambda_w \leq \lambda_{w,máx}$ Cumple	η = 3.3	η = 12.9	x: 0.06 m η < 0.1	x: 0.06 m η = 13.9	η < 0.1	x: 2.373 m η = 1.0	N.P.(4)	x: 0.06 m η < 0.1	x: 0.06 m η = 16.8	x: 0.06 m η < 0.1	M_{Ed} = 0.00 N.P.(5)	N.P.(6)	N.P.(6)	**CUMPLE η = 16.8**
N2017/N2019	$\lambda_w \leq \lambda_{w,máx}$ Cumple	x: 1.939 m η = 0.1	x: 0.06 m η = 0.2	x: 1.94 m η = 10.1	x: 0.06 m η < 0.1	η = 1.6	η < 0.1	η < 0.1	x: 0.06 m η < 0.1	x: 1.94 m η = 10.2	η < 0.1	η < 0.1	η = 1.6	η < 0.1	**CUMPLE η = 10.2**
N2018/N2020	$\lambda_w \leq \lambda_{w,máx}$ Cumple	x: 1.939 m η = 0.1	x: 0.06 m η = 0.2	x: 1.94 m η = 10.0	x: 0.06 m η < 0.1	η = 1.6	η < 0.1	η < 0.1	x: 0.06 m η < 0.1	x: 1.94 m η = 10.1	η < 0.1	η < 0.1	η = 1.6	η < 0.1	**CUMPLE η = 10.1**
N1815/N2022	x: 0.061 m $\lambda_w \leq \lambda_{w,máx}$ Cumple	η = 0.2	η = 10.2	x: 2.372 m η = 0.2	x: 2.373 m η = 11.9	η < 0.1	x: 0.06 m η = 0.9	x: 0.253 m η < 0.1	x: 0.061 m η < 0.1	x: 2.373 m η = 17.5	x: 0.061 m η < 0.1	M_{Ed} = 0.00 N.P.(5)	N.P.(6)	N.P.(6)	**CUMPLE η = 17.5**

Documento visado electrónicamente con número: VA07290/22
Código de validación telemática TRLTDCFZ60T66IJ1. Comprobación: https://cogitivalencia.e-gestion.es/Validacion.aspx?CVT=TRLTDCFZ60T66IJ1

Listados

VISADO
COGITI
VALENCIA
VA07290/22
TRLTDCFZ60T66IJ1

Barras	COMPROBACIONES (CÓDIGO ESTRUCTURAL)															
	λ_w	N_t	N_c	M_Y	M_Z	V_Z	V_Y	M_YV_Z	M_ZV_Y	NM_YM_Z	$NM_YM_ZV_YV_Z$	M_t	M_tV_Z	M_tV_Y	Estado
N2022/N2021	$\lambda_w \leq \lambda_{w,máx}$ Cumple	$\eta = 0.4$	$\eta = 9.3$	x: 0.06 m $\eta < 0.1$	x: 0.06 m $\eta = 2.6$	$\eta < 0.1$	x: 2.373 m $\eta = 0.4$	x: 0.06 m $\eta < 0.1$	$\eta < 0.1$	x: 0.06 m $\eta = 10.0$	$\eta < 0.1$	$\eta = 0.2$	$\eta < 0.1$	x: 2.373 m $\eta = 0.4$	**CUMPLE $\eta = 10.0$**
N2021/N1911	x: 0.06 m $\lambda_w \leq \lambda_{w,máx}$ Cumple	$\eta = 0.3$	$\eta = 9.8$	x: 0.06 m $\eta = 0.2$	x: 0.06 m $\eta = 10.9$	$\eta < 0.1$	x: 2.373 m $\eta = 0.8$	x: 0.06 m $\eta < 0.1$	x: 0.06 m $\eta < 0.1$	x: 0.06 m $\eta = 14.0$	x: 0.06 m $\eta < 0.1$	$M_{Ed} = 0.00$ N.P.(5)	N.P.(6)	N.P.(6)	**CUMPLE $\eta = 14.0$**
N1767/N2024	x: 0.061 m $\lambda_w \leq \lambda_{w,máx}$ Cumple	$\eta = 2.2$	$\eta = 9.1$	x: 2.372 m $\eta = 0.2$	x: 2.373 m $\eta = 12.5$	$\eta < 0.1$	x: 0.06 m $\eta = 0.9$	x: 0.253 m $\eta < 0.1$	x: 0.061 m $\eta < 0.1$	x: 2.373 m $\eta = 13.0$	x: 0.061 m $\eta < 0.1$	$M_{Ed} = 0.00$ N.P.(5)	N.P.(6)	N.P.(6)	**CUMPLE $\eta = 13.0$**
N2024/N2023	$\lambda_w \leq \lambda_{w,máx}$ Cumple	x: 0.831 m $\eta = 1.9$	x: 0.831 m $\eta = 9.9$	x: 0.06 m $\eta < 0.1$	x: 0.06 m $\eta = 2.9$	$\eta < 0.1$	x: 2.373 m $\eta = 0.4$	x: 0.06 m $\eta < 0.1$	$\eta < 0.1$	x: 1.409 m $\eta = 10.7$	$\eta < 0.1$	$\eta = 0.2$	$\eta < 0.1$	x: 2.373 m $\eta = 0.4$	**CUMPLE $\eta = 10.7$**
N2023/N1863	x: 0.06 m $\lambda_w \leq \lambda_{w,máx}$ Cumple	$\eta = 2.0$	$\eta = 8.9$	x: 0.06 m $\eta = 0.2$	x: 0.06 m $\eta = 11.2$	$\eta < 0.1$	x: 2.373 m $\eta = 0.9$	x: 0.06 m $\eta < 0.1$	x: 0.06 m $\eta < 0.1$	x: 0.06 m $\eta = 12.5$	x: 0.06 m $\eta < 0.1$	$M_{Ed} = 0.00$ N.P.(5)	N.P.(6)	N.P.(6)	**CUMPLE $\eta = 12.5$**
N2021/N2023	$\lambda_w \leq \lambda_{w,máx}$ Cumple	x: 1.939 m $\eta = 0.1$	x: 0.06 m $\eta = 0.2$	x: 1.94 m $\eta = 8.4$	x: 0.06 m $\eta = 0.1$	$\eta = 1.3$	$\eta < 0.1$	$\eta < 0.1$	x: 0.06 m $\eta < 0.1$	x: 1.94 m $\eta = 8.5$	$\eta < 0.1$	$\eta = 0.2$	$\eta = 1.3$	$\eta < 0.1$	**CUMPLE $\eta = 8.5$**
N2022/N2024	$\lambda_w \leq \lambda_{w,máx}$ Cumple	x: 1.939 m $\eta = 0.1$	x: 0.06 m $\eta = 0.2$	x: 1.94 m $\eta = 9.3$	x: 0.06 m $\eta = 0.1$	$\eta = 1.5$	$\eta < 0.1$	$\eta < 0.1$	x: 0.06 m $\eta < 0.1$	x: 1.94 m $\eta = 9.4$	$\eta < 0.1$	$\eta = 0.2$	$\eta = 1.5$	$\eta < 0.1$	**CUMPLE $\eta = 9.4$**
N1769/N1865	x: 0.522 m $\lambda_w \leq \lambda_{w,máx}$ Cumple	$\eta = 1.5$	$\eta = 28.7$	$M_{Ed} = 0.00$ N.P.(2)	x: 3.65 m $\eta = 5.9$	$V_{Ed} = 0.00$ N.P.(3)	x: 0.075 m $\eta = 0.5$	N.P.(4)	x: 0.522 m $\eta < 0.1$	x: 3.65 m $\eta = 35.3$	x: 0.522 m $\eta < 0.1$	$M_{Ed} = 0.00$ N.P.(5)	N.P.(6)	N.P.(6)	**CUMPLE $\eta = 35.3$**
N1680/N2025	x: 0.061 m $\lambda_w \leq \lambda_{w,máx}$ Cumple	$\eta = 0.4$	$\eta = 30.0$	x: 2.372 m $\eta = 0.1$	x: 2.373 m $\eta = 12.4$	$\eta < 0.1$	x: 0.06 m $\eta = 0.9$	x: 0.253 m $\eta < 0.1$	x: 0.061 m $\eta < 0.1$	x: 2.373 m $\eta = 37.9$	x: 0.061 m $\eta < 0.1$	$M_{Ed} = 0.00$ N.P.(5)	N.P.(6)	N.P.(6)	**CUMPLE $\eta = 37.9$**
N2025/N2026	$\lambda_w \leq \lambda_{w,máx}$ Cumple	$N_{Ed} = 0.00$ N.P.(1)	$\eta = 33.1$	x: 0.06 m $\eta < 0.1$	x: 0.06 m $\eta = 2.9$	$\eta < 0.1$	x: 2.373 m $\eta = 0.4$	x: 0.06 m $\eta < 0.1$	$\eta < 0.1$	x: 0.06 m $\eta = 35.1$	$\eta < 0.1$	$\eta = 0.1$	$\eta < 0.1$	x: 2.373 m $\eta = 0.4$	**CUMPLE $\eta = 35.1$**
N2026/N1776	x: 0.06 m $\lambda_w \leq \lambda_{w,máx}$ Cumple	$\eta = 0.1$	$\eta = 32.6$	x: 0.06 m $\eta = 0.1$	x: 0.06 m $\eta = 11.2$	$\eta < 0.1$	x: 2.373 m $\eta = 0.9$	x: 0.06 m $\eta < 0.1$	x: 0.06 m $\eta < 0.1$	x: 0.06 m $\eta = 35.4$	x: 0.06 m $\eta < 0.1$	$M_{Ed} = 0.00$ N.P.(5)	N.P.(6)	N.P.(6)	**CUMPLE $\eta = 35.4$**
N1726/N2027	x: 0.061 m $\lambda_w \leq \lambda_{w,máx}$ Cumple	$\eta = 0.1$	$\eta = 14.1$	x: 2.372 m $\eta = 0.1$	x: 2.373 m $\eta = 13.2$	$\eta < 0.1$	x: 0.06 m $\eta = 1.0$	x: 0.253 m $\eta < 0.1$	x: 0.061 m $\eta < 0.1$	x: 2.373 m $\eta = 22.4$	x: 0.061 m $\eta < 0.1$	$M_{Ed} = 0.00$ N.P.(5)	N.P.(6)	N.P.(6)	**CUMPLE $\eta = 22.4$**
N2027/N2028	$\lambda_w \leq \lambda_{w,máx}$ Cumple	$\eta = 0.3$	$\eta = 13.2$	x: 0.06 m $\eta < 0.1$	x: 0.06 m $\eta = 3.2$	$\eta < 0.1$	x: 2.373 m $\eta = 0.4$	x: 0.06 m $\eta < 0.1$	$\eta < 0.1$	x: 0.06 m $\eta = 14.3$	$\eta < 0.1$	$\eta = 0.1$	$\eta < 0.1$	x: 2.373 m $\eta = 0.4$	**CUMPLE $\eta = 14.3$**
N2028/N1822	x: 0.06 m $\lambda_w \leq \lambda_{w,máx}$ Cumple	$\eta = 0.5$	$\eta = 14.1$	x: 0.06 m $\eta = 0.1$	x: 0.06 m $\eta = 9.5$	$\eta < 0.1$	x: 2.373 m $\eta = 0.8$	x: 0.06 m $\eta < 0.1$	x: 0.06 m $\eta < 0.1$	x: 0.06 m $\eta = 18.6$	x: 0.06 m $\eta < 0.1$	$M_{Ed} = 0.00$ N.P.(5)	N.P.(6)	N.P.(6)	**CUMPLE $\eta = 18.6$**
N2028/N2026	$\lambda_w \leq \lambda_{w,máx}$ Cumple	x: 1.939 m $\eta = 0.1$	x: 0.06 m $\eta = 0.2$	x: 1.94 m $\eta = 8.3$	x: 0.06 m $\eta < 0.1$	$\eta = 1.3$	$\eta < 0.1$	$\eta < 0.1$	x: 0.06 m $\eta < 0.1$	x: 1.94 m $\eta = 8.3$	$\eta < 0.1$	$\eta = 0.1$	$\eta = 1.3$	$\eta < 0.1$	**CUMPLE $\eta = 8.3$**
N2027/N2025	$\lambda_w \leq \lambda_{w,máx}$ Cumple	x: 1.939 m $\eta = 0.1$	x: 0.06 m $\eta = 0.2$	x: 0.06 m $\eta = 9.7$	x: 0.06 m $\eta < 0.1$	$\eta = 1.5$	$\eta < 0.1$	$\eta < 0.1$	x: 0.06 m $\eta < 0.1$	x: 0.06 m $\eta = 10.0$	$\eta < 0.1$	$\eta = 0.1$	$\eta = 1.5$	$\eta < 0.1$	**CUMPLE $\eta = 10.0$**
N1730/N2030	x: 0.051 m $\lambda_w \leq \lambda_{w,máx}$ Cumple	$\eta = 0.2$	$\eta = 14.7$	x: 2.372 m $\eta < 0.1$	x: 2.373 m $\eta = 18.0$	$\eta < 0.1$	x: 0.05 m $\eta = 1.3$	x: 0.244 m $\eta < 0.1$	x: 0.051 m $\eta < 0.1$	x: 2.373 m $\eta = 25.5$	x: 0.051 m $\eta < 0.1$	$M_{Ed} = 0.00$ N.P.(5)	N.P.(6)	N.P.(6)	**CUMPLE $\eta = 25.5$**
N2030/N2029	$\lambda_w \leq \lambda_{w,máx}$ Cumple	$\eta = 0.5$	$\eta = 14.6$	x: 0.06 m $\eta < 0.1$	x: 0.06 m $\eta = 4.7$	$\eta < 0.1$	x: 2.373 m $\eta = 0.6$	N.P.(4)	$\eta < 0.1$	x: 2.373 m $\eta = 15.7$	$\eta < 0.1$	$\eta < 0.1$	$\eta < 0.1$	x: 2.373 m $\eta = 0.6$	**CUMPLE $\eta = 15.7$**
N2029/N1826	x: 0.06 m $\lambda_w \leq \lambda_{w,máx}$ Cumple	$\eta = 1.3$	$\eta = 15.8$	x: 0.06 m $\eta < 0.1$	x: 0.06 m $\eta = 13.9$	$\eta < 0.1$	x: 2.373 m $\eta = 1.0$	x: 0.06 m $\eta < 0.1$	x: 0.06 m $\eta < 0.1$	x: 0.06 m $\eta = 22.1$	x: 0.06 m $\eta < 0.1$	$M_{Ed} = 0.00$ N.P.(5)	N.P.(6)	N.P.(6)	**CUMPLE $\eta = 22.1$**
N1684/N2032	x: 0.051 m $\lambda_w \leq \lambda_{w,máx}$ Cumple	$\eta = 1.0$	$\eta = 24.3$	x: 2.372 m $\eta < 0.1$	x: 2.373 m $\eta = 17.8$	$\eta < 0.1$	x: 0.05 m $\eta = 1.3$	x: 0.244 m $\eta < 0.1$	x: 0.051 m $\eta < 0.1$	x: 2.373 m $\eta = 27.4$	x: 0.051 m $\eta < 0.1$	$M_{Ed} = 0.00$ N.P.(5)	N.P.(6)	N.P.(6)	**CUMPLE $\eta = 27.4$**
N2032/N2031	$\lambda_w \leq \lambda_{w,máx}$ Cumple	$N_{Ed} = 0.00$ N.P.(1)	$\eta = 24.6$	x: 0.06 m $\eta < 0.1$	x: 0.06 m $\eta = 4.7$	$\eta < 0.1$	x: 2.373 m $\eta = 0.6$	N.P.(4)	$\eta < 0.1$	x: 2.372 m $\eta = 26.3$	$\eta < 0.1$	$\eta < 0.1$	$\eta < 0.1$	x: 2.373 m $\eta = 0.6$	**CUMPLE $\eta = 26.3$**
N2031/N1780	x: 0.06 m $\lambda_w \leq \lambda_{w,máx}$ Cumple	$\eta < 0.1$	$\eta = 22.2$	x: 0.06 m $\eta < 0.1$	x: 0.06 m $\eta = 15.0$	$\eta < 0.1$	x: 2.373 m $\eta = 1.1$	x: 0.06 m $\eta < 0.1$	x: 0.06 m $\eta < 0.1$	x: 0.06 m $\eta = 29.2$	x: 0.06 m $\eta < 0.1$	$M_{Ed} = 0.00$ N.P.(5)	N.P.(6)	N.P.(6)	**CUMPLE $\eta = 29.2$**
N2029/N2031	$\lambda_w \leq \lambda_{w,máx}$ Cumple	x: 1.939 m $\eta = 0.1$	x: 0.06 m $\eta = 0.4$	x: 1.94 m $\eta = 10.7$	x: 0.06 m $\eta < 0.1$	$\eta = 1.7$	$\eta < 0.1$	$\eta < 0.1$	x: 0.06 m $\eta < 0.1$	x: 1.94 m $\eta = 10.9$	$\eta < 0.1$	$\eta < 0.1$	$\eta = 1.7$	$\eta < 0.1$	**CUMPLE $\eta = 10.9$**
N2030/N2032	$\lambda_w \leq \lambda_{w,máx}$ Cumple	x: 1.939 m $\eta = 0.1$	x: 0.06 m $\eta = 0.4$	x: 0.06 m $\eta = 12.8$	x: 0.06 m $\eta < 0.1$	$\eta = 2.0$	$\eta < 0.1$	$\eta < 0.1$	x: 0.06 m $\eta < 0.1$	x: 0.06 m $\eta = 13.1$	$\eta < 0.1$	$\eta < 0.1$	$\eta = 2.0$	$\eta < 0.1$	**CUMPLE $\eta = 13.1$**
N1734/N2034	x: 0.061 m $\lambda_w \leq \lambda_{w,máx}$ Cumple	$\eta = 0.1$	$\eta = 14.3$	x: 2.372 m $\eta = 0.1$	x: 2.373 m $\eta = 14.6$	$\eta < 0.1$	x: 0.06 m $\eta = 1.1$	x: 0.253 m $\eta < 0.1$	x: 0.061 m $\eta < 0.1$	x: 2.373 m $\eta = 23.3$	x: 0.061 m $\eta < 0.1$	$M_{Ed} = 0.00$ N.P.(5)	N.P.(6)	N.P.(6)	**CUMPLE $\eta = 23.3$**
N2034/N2033	$\lambda_w \leq \lambda_{w,máx}$ Cumple	$\eta = 0.4$	$\eta = 13.4$	x: 0.06 m $\eta < 0.1$	x: 0.06 m $\eta = 3.6$	$\eta < 0.1$	x: 2.373 m $\eta = 0.4$	x: 0.06 m $\eta < 0.1$	$\eta < 0.1$	x: 0.06 m $\eta = 14.6$	$\eta < 0.1$	$\eta = 0.1$	$\eta < 0.1$	x: 2.373 m $\eta = 0.4$	**CUMPLE $\eta = 14.6$**
N2033/N1830	x: 0.06 m $\lambda_w \leq \lambda_{w,máx}$ Cumple	$\eta = 0.8$	$\eta = 14.6$	x: 0.06 m $\eta = 0.1$	x: 0.06 m $\eta = 11.0$	$\eta < 0.1$	x: 2.373 m $\eta = 0.9$	x: 0.06 m $\eta < 0.1$	x: 0.06 m $\eta < 0.1$	x: 0.06 m $\eta = 19.7$	x: 0.06 m $\eta < 0.1$	$M_{Ed} = 0.00$ N.P.(5)	N.P.(6)	N.P.(6)	**CUMPLE $\eta = 19.7$**
N1688/N2036	x: 0.061 m $\lambda_w \leq \lambda_{w,máx}$ Cumple	$\eta = 1.2$	$\eta = 23.3$	x: 2.372 m $\eta = 0.1$	x: 2.373 m $\eta = 14.0$	$\eta < 0.1$	x: 0.06 m $\eta = 1.0$	x: 0.253 m $\eta < 0.1$	x: 0.061 m $\eta < 0.1$	x: 2.373 m $\eta = 25.3$	x: 0.061 m $\eta < 0.1$	$M_{Ed} = 0.00$ N.P.(5)	N.P.(6)	N.P.(6)	**CUMPLE $\eta = 25.3$**
N2036/N2035	$\lambda_w \leq \lambda_{w,máx}$ Cumple	$\eta = 0.4$	$\eta = 23.4$	x: 0.06 m $\eta < 0.1$	x: 0.06 m $\eta = 3.4$	$\eta < 0.1$	x: 2.373 m $\eta = 0.4$	x: 0.06 m $\eta < 0.1$	$\eta < 0.1$	x: 2.373 m $\eta = 25.1$	$\eta < 0.1$	$\eta = 0.1$	$\eta < 0.1$	x: 2.373 m $\eta = 0.4$	**CUMPLE $\eta = 25.1$**
N2035/N1784	x: 0.06 m $\lambda_w \leq \lambda_{w,máx}$ Cumple	$\eta = 0.4$	$\eta = 21.4$	x: 0.06 m $\eta = 0.1$	x: 0.06 m $\eta = 12.3$	$\eta < 0.1$	x: 2.373 m $\eta = 0.9$	x: 0.06 m $\eta < 0.1$	x: 0.06 m $\eta < 0.1$	x: 0.06 m $\eta = 27.4$	x: 0.06 m $\eta < 0.1$	$M_{Ed} = 0.00$ N.P.(5)	N.P.(6)	N.P.(6)	**CUMPLE $\eta = 27.4$**
N2033/N2035	$\lambda_w \leq \lambda_{w,máx}$ Cumple	x: 1.939 m $\eta = 0.1$	x: 0.06 m $\eta = 0.3$	x: 1.94 m $\eta = 9.0$	x: 0.06 m $\eta = 0.1$	$\eta = 1.4$	$\eta < 0.1$	$\eta < 0.1$	x: 0.06 m $\eta < 0.1$	x: 1.94 m $\eta = 9.1$	$\eta < 0.1$	$\eta = 0.1$	$\eta = 1.4$	$\eta < 0.1$	**CUMPLE $\eta = 9.1$**
N2034/N2036	$\lambda_w \leq \lambda_{w,máx}$ Cumple	x: 1.939 m $\eta = 0.1$	x: 0.06 m $\eta = 0.3$	x: 0.06 m $\eta = 10.6$	x: 0.06 m $\eta = 0.1$	$\eta = 1.7$	$\eta < 0.1$	$\eta < 0.1$	x: 0.06 m $\eta < 0.1$	x: 0.06 m $\eta = 10.8$	$\eta < 0.1$	$\eta = 0.1$	$\eta = 1.7$	$\eta < 0.1$	**CUMPLE $\eta = 10.8$**
N1774/N1870	x: 0.522 m $\lambda_w \leq \lambda_{w,máx}$ Cumple	$\eta = 1.8$	$\eta = 23.9$	$M_{Ed} = 0.00$ N.P.(2)	x: 3.65 m $\eta = 5.9$	$V_{Ed} = 0.00$ N.P.(3)	x: 0.075 m $\eta = 0.5$	N.P.(4)	x: 0.522 m $\eta < 0.1$	x: 3.65 m $\eta = 30.4$	x: 0.522 m $\eta < 0.1$	$M_{Ed} = 0.00$ N.P.(5)	N.P.(6)	N.P.(6)	**CUMPLE $\eta = 30.4$**
N1776/N2037	x: 0.061 m $\lambda_w \leq \lambda_{w,máx}$ Cumple	$\eta = 1.0$	$\eta = 9.8$	x: 2.373 m $\eta = 0.4$	x: 2.373 m $\eta = 12.7$	$\eta < 0.1$	x: 0.06 m $\eta = 1.0$	x: 0.253 m $\eta < 0.1$	x: 0.061 m $\eta < 0.1$	x: 2.373 m $\eta = 15.2$	x: 0.061 m $\eta < 0.1$	$M_{Ed} = 0.00$ N.P.(5)	N.P.(6)	N.P.(6)	**CUMPLE $\eta = 15.2$**
N2037/N2038	$\lambda_w \leq \lambda_{w,máx}$ Cumple	$\eta = 0.8$	$\eta = 10.8$	x: 0.06 m $\eta = 0.1$	x: 2.373 m $\eta = 3.3$	$\eta < 0.1$	x: 0.06 m $\eta = 0.4$	x: 0.06 m $\eta < 0.1$	$\eta < 0.1$	x: 0.446 m $\eta = 12.3$	$\eta < 0.1$	$\eta = 0.3$	$\eta < 0.1$	x: 0.06 m $\eta = 0.4$	**CUMPLE $\eta = 12.3$**

Documento visado electrónicamente con número: VA07290/22
Código de validación telemática TRLTDCFZ60T66IJ1. Comprobación: https://cogitivalencia.e-gestion.es/Validacion.aspx?CVT=TRLTDCFZ60T66IJ1

VISADO
COGITI
Estado
VALENCIA
VA07290/22
TRLTDCFZ60T66IJ1
Documento visado electrónicamente con número: VA07290/22
Código de validación telemática TRLTDCFZ60T66IJ1. Comprobación: https://cogitivalencia.e-gestion.es/Validacion.aspx?CVT=TRLTDCFZ60T66IJ1

Barras	COMPROBACIONES (CÓDIGO ESTRUCTURAL)														Estado
	λ_w	N_t	N_c	M_Y	M_Z	V_Z	V_Y	M_YV_Z	M_ZV_Y	NM_YM_Z	$NM_YM_ZV_YV_Z$	M_t	M_tV_Z	M_tV_Y	
N2038/N1872	x: 0.06 m $\lambda_w \leq \lambda_{w,máx}$ Cumple	x: 0.06 m η = 1.0	η = 9.9	x: 0.06 m η = 0.4	x: 0.06 m η = 13.5	η < 0.1	x: 2.373 m η = 1.0	x: 0.06 m η < 0.1	x: 0.06 m η < 0.1	x: 0.06 m η = 15.0	x: 0.06 m η < 0.1	M_{Ed} = 0.00 N.P.(5)	N.P.(6)	N.P.(6)	**CUMPLE η = 15.0**
N1822/N2039	x: 0.061 m $\lambda_w \leq \lambda_{w,máx}$ Cumple	η = 0.3	η = 11.5	x: 2.373 m η = 0.4	x: 2.373 m η = 12.0	η < 0.1	x: 0.06 m η = 0.9	x: 0.253 m η < 0.1	x: 0.061 m η < 0.1	x: 2.373 m η = 18.9	x: 0.061 m η < 0.1	M_{Ed} = 0.00 N.P.(5)	N.P.(6)	N.P.(6)	**CUMPLE η = 18.9**
N2039/N2040	$\lambda_w \leq \lambda_{w,máx}$ Cumple	x: 1.409 m η = 0.3	η = 10.2	x: 0.06 m η = 0.1	x: 2.373 m η = 3.2	η < 0.1	x: 0.06 m η = 0.4	x: 0.06 m η < 0.1	η < 0.1	x: 0.06 m η = 11.3	η < 0.1	η = 0.3	η < 0.1	x: 0.06 m η = 0.4	**CUMPLE η = 11.3**
N2040/N1918	x: 0.06 m $\lambda_w \leq \lambda_{w,máx}$ Cumple	η = 0.2	η = 9.7	x: 0.06 m η = 0.4	x: 0.06 m η = 13.5	η < 0.1	x: 2.373 m η = 1.0	x: 0.06 m η < 0.1	x: 0.06 m η < 0.1	x: 0.06 m η = 14.4	x: 0.06 m η < 0.1	M_{Ed} = 0.00 N.P.(5)	N.P.(6)	N.P.(6)	**CUMPLE η = 14.4**
N2040/N2038	$\lambda_w \leq \lambda_{w,máx}$ Cumple	x: 1.939 m η = 0.1	x: 0.06 m η = 0.2	x: 0.06 m η = 9.9	x: 0.06 m η = 0.2	η = 1.6	η < 0.1	η < 0.1	x: 0.06 m η < 0.1	x: 0.06 m η = 10.2	η < 0.1	η = 0.4	η = 1.6	η < 0.1	**CUMPLE η = 10.2**
N2039/N2037	$\lambda_w \leq \lambda_{w,máx}$ Cumple	x: 1.939 m η = 0.1	x: 0.06 m η = 0.2	x: 1.94 m η = 9.3	x: 0.06 m η = 0.2	η = 1.5	η < 0.1	η < 0.1	x: 0.06 m η < 0.1	x: 1.94 m η = 9.5	η < 0.1	η = 0.4	η = 1.5	η < 0.1	**CUMPLE η = 9.5**
N1826/N2042	x: 0.061 m $\lambda_w \leq \lambda_{w,máx}$ Cumple	η = 0.9	η = 13.2	x: 2.372 m η < 0.1	x: 2.373 m η = 16.0	η < 0.1	x: 0.06 m η = 1.2	x: 0.446 m η < 0.1	x: 0.061 m η < 0.1	x: 2.373 m η = 23.1	x: 0.061 m η < 0.1	M_{Ed} = 0.00 N.P.(5)	N.P.(6)	N.P.(6)	**CUMPLE η = 23.1**
N2042/N2041	$\lambda_w \leq \lambda_{w,máx}$ Cumple	η = 0.3	η = 11.5	x: 0.06 m η < 0.1	x: 2.373 m η = 4.3	η < 0.1	x: 0.06 m η = 0.6	x: 0.06 m η < 0.1	η < 0.1	x: 0.06 m η = 13.3	η < 0.1	η < 0.1	η < 0.1	x: 0.06 m η = 0.6	**CUMPLE η = 13.3**
N2041/N1922	x: 0.06 m $\lambda_w \leq \lambda_{w,máx}$ Cumple	η = 0.2	η = 9.7	x: 0.06 m η < 0.1	x: 0.06 m η = 16.8	η < 0.1	x: 2.373 m η = 1.2	x: 0.06 m η < 0.1	x: 0.06 m η < 0.1	x: 0.06 m η = 17.3	x: 0.06 m η < 0.1	M_{Ed} = 0.00 N.P.(5)	N.P.(6)	N.P.(6)	**CUMPLE η = 17.3**
N1780/N2044	x: 0.061 m $\lambda_w \leq \lambda_{w,máx}$ Cumple	x: 0.061 m η = 3.1	η = 10.3	x: 2.372 m η < 0.1	x: 2.373 m η = 16.2	η < 0.1	x: 0.06 m η = 1.2	x: 0.446 m η < 0.1	x: 0.061 m η < 0.1	x: 2.373 m η = 16.7	x: 0.061 m η < 0.1	M_{Ed} = 0.00 N.P.(5)	N.P.(6)	N.P.(6)	**CUMPLE η = 16.7**
N2044/N2043	$\lambda_w \leq \lambda_{w,máx}$ Cumple	x: 1.602 m η = 2.8	η = 11.1	x: 0.06 m η < 0.1	x: 2.373 m η = 4.6	η < 0.1	x: 0.06 m η = 0.6	x: 0.06 m η < 0.1	η < 0.1	x: 1.024 m η = 12.3	η < 0.1	η < 0.1	η < 0.1	x: 0.06 m η = 0.6	**CUMPLE η = 12.3**
N2043/N1876	x: 0.06 m $\lambda_w \leq \lambda_{w,máx}$ Cumple	η = 2.9	η = 10.4	x: 0.06 m η < 0.1	x: 0.06 m η = 17.4	η < 0.1	x: 2.373 m η = 1.3	x: 0.06 m η < 0.1	x: 0.06 m η < 0.1	x: 0.06 m η = 18.2	x: 0.06 m η < 0.1	M_{Ed} = 0.00 N.P.(5)	N.P.(6)	N.P.(6)	**CUMPLE η = 18.2**
N2041/N2043	$\lambda_w \leq \lambda_{w,máx}$ Cumple	x: 1.939 m η = 0.1	x: 0.06 m η = 0.3	x: 1.94 m η = 12.3	x: 0.06 m η < 0.1	η = 1.9	η < 0.1	η < 0.1	x: 0.06 m η < 0.1	x: 1.94 m η = 12.6	η < 0.1	η < 0.1	η = 1.9	η < 0.1	**CUMPLE η = 12.6**
N2042/N2044	$\lambda_w \leq \lambda_{w,máx}$ Cumple	x: 1.939 m η = 0.1	x: 0.06 m η = 0.3	x: 1.94 m η = 11.6	x: 0.06 m η < 0.1	η = 1.8	η < 0.1	η < 0.1	x: 0.06 m η < 0.1	x: 1.94 m η = 11.9	η < 0.1	η < 0.1	η = 1.8	η < 0.1	**CUMPLE η = 11.9**
N1830/N2046	x: 0.061 m $\lambda_w \leq \lambda_{w,máx}$ Cumple	η = 0.7	η = 11.9	x: 2.373 m η = 0.4	x: 2.373 m η = 14.5	η < 0.1	x: 0.06 m η = 1.1	x: 0.253 m η < 0.1	x: 0.061 m η < 0.1	x: 2.373 m η = 21.1	x: 0.061 m η < 0.1	M_{Ed} = 0.00 N.P.(5)	N.P.(6)	N.P.(6)	**CUMPLE η = 21.1**
N2046/N2045	$\lambda_w \leq \lambda_{w,máx}$ Cumple	η = 0.3	η = 10.2	x: 0.06 m η = 0.1	x: 2.373 m η = 3.7	η < 0.1	x: 0.06 m η = 0.5	x: 0.06 m η < 0.1	η < 0.1	x: 0.06 m η = 12.0	η < 0.1	η = 0.3	η < 0.1	x: 0.06 m η = 0.5	**CUMPLE η = 12.0**
N2045/N1926	x: 0.06 m $\lambda_w \leq \lambda_{w,máx}$ Cumple	η = 0.2	η = 9.2	x: 0.06 m η = 0.4	x: 0.06 m η = 14.9	η < 0.1	x: 2.373 m η = 1.1	x: 0.06 m η < 0.1	x: 0.06 m η < 0.1	x: 0.06 m η = 15.6	x: 0.06 m η < 0.1	M_{Ed} = 0.00 N.P.(5)	N.P.(6)	N.P.(6)	**CUMPLE η = 15.6**
N1784/N2048	x: 0.061 m $\lambda_w \leq \lambda_{w,máx}$ Cumple	η = 2.5	η = 9.0	x: 2.373 m η = 0.4	x: 2.373 m η = 15.0	η < 0.1	x: 0.06 m η = 1.1	x: 0.253 m η < 0.1	x: 0.061 m η < 0.1	x: 2.373 m η = 15.5	x: 0.061 m η < 0.1	M_{Ed} = 0.00 N.P.(5)	N.P.(6)	N.P.(6)	**CUMPLE η = 15.5**
N2048/N2047	$\lambda_w \leq \lambda_{w,máx}$ Cumple	η = 2.2	η = 10.1	x: 0.06 m η = 0.1	x: 2.373 m η = 3.9	η < 0.1	x: 0.06 m η = 0.5	x: 0.06 m η < 0.1	η < 0.1	x: 0.831 m η = 10.9	η < 0.1	η = 0.3	η < 0.1	x: 0.06 m η = 0.5	**CUMPLE η = 10.9**
N2047/N1880	x: 0.06 m $\lambda_w \leq \lambda_{w,máx}$ Cumple	η = 2.3	η = 9.4	x: 0.06 m η = 0.4	x: 0.06 m η = 15.3	η < 0.1	x: 2.373 m η = 1.1	x: 0.06 m η < 0.1	x: 0.06 m η < 0.1	x: 0.06 m η = 16.1	x: 0.06 m η < 0.1	M_{Ed} = 0.00 N.P.(5)	N.P.(6)	N.P.(6)	**CUMPLE η = 16.1**
N2045/N2047	$\lambda_w \leq \lambda_{w,máx}$ Cumple	x: 1.939 m η < 0.1	x: 0.06 m η = 0.3	x: 1.94 m η = 10.9	x: 0.06 m η = 0.2	η = 1.7	η < 0.1	η < 0.1	x: 0.06 m η < 0.1	x: 1.94 m η = 11.3	η < 0.1	η = 0.4	η = 1.7	η < 0.1	**CUMPLE η = 11.3**
N2046/N2048	$\lambda_w \leq \lambda_{w,máx}$ Cumple	x: 1.939 m η < 0.1	x: 0.06 m η = 0.3	x: 1.94 m η = 10.8	x: 0.06 m η = 0.2	η = 1.7	η < 0.1	η < 0.1	x: 0.06 m η < 0.1	x: 1.94 m η = 11.1	η < 0.1	η = 0.4	η = 1.7	η < 0.1	**CUMPLE η = 11.1**
N1786/N1882	x: 0.522 m $\lambda_w \leq \lambda_{w,máx}$ Cumple	η = 2.6	η = 35.3	M_{Ed} = 0.00 N.P.(2)	x: 3.65 m η = 5.9	V_{Ed} = 0.00 N.P.(3)	x: 0.075 m η = 0.5	N.P.(4)	x: 0.522 m η < 0.1	x: 3.65 m η = 42.1	x: 0.522 m η < 0.1	M_{Ed} = 0.00 N.P.(5)	N.P.(6)	N.P.(6)	**CUMPLE η = 42.1**
N1742/N1992	x: 0.061 m $\lambda_w \leq \lambda_{w,máx}$ Cumple	η = 2.4	η = 6.5	x: 2.373 m η = 0.4	x: 2.373 m η = 18.9	η < 0.1	x: 0.06 m η = 1.3	x: 0.253 m η < 0.1	x: 0.061 m η < 0.1	x: 2.373 m η = 21.5	x: 0.061 m η < 0.1	M_{Ed} = 0.00 N.P.(5)	N.P.(6)	N.P.(6)	**CUMPLE η = 21.5**
N1992/N1990	$\lambda_w \leq \lambda_{w,máx}$ Cumple	x: 1.024 m η = 1.5	x: 1.024 m η = 7.3	x: 0.06 m η = 0.1	x: 0.06 m η = 5.1	η < 0.1	x: 2.373 m η = 0.6	x: 0.06 m η < 0.1	η < 0.1	x: 1.024 m η = 8.1	η < 0.1	η = 0.4	η < 0.1	x: 2.373 m η = 0.6	**CUMPLE η = 8.1**
N1990/N1838	x: 0.06 m $\lambda_w \leq \lambda_{w,máx}$ Cumple	η = 1.7	η = 6.4	x: 0.06 m η = 0.4	x: 0.06 m η = 15.2	η < 0.1	x: 2.373 m η = 1.1	x: 0.06 m η < 0.1	x: 0.06 m η < 0.1	x: 0.06 m η = 16.6	x: 0.06 m η < 0.1	M_{Ed} = 0.00 N.P.(5)	N.P.(6)	N.P.(6)	**CUMPLE η = 16.6**
N1792/N1991	x: 0.061 m $\lambda_w \leq \lambda_{w,máx}$ Cumple	η = 0.8	η = 15.5	x: 2.373 m η = 0.4	x: 2.373 m η = 17.7	η < 0.1	x: 0.06 m η = 1.3	x: 0.253 m η < 0.1	x: 0.061 m η < 0.1	x: 2.373 m η = 26.8	x: 0.061 m η < 0.1	M_{Ed} = 0.00 N.P.(5)	N.P.(6)	N.P.(6)	**CUMPLE η = 26.8**
N1991/N1989	$\lambda_w \leq \lambda_{w,máx}$ Cumple	x: 1.024 m η = 0.4	η = 13.4	x: 0.06 m η = 0.1	x: 0.06 m η = 4.5	η < 0.1	x: 2.373 m η = 0.6	x: 0.06 m η < 0.1	η < 0.1	x: 0.06 m η = 15.8	η < 0.1	η = 0.4	η < 0.1	x: 2.373 m η = 0.6	**CUMPLE η = 15.8**
N1989/N1888	x: 0.06 m $\lambda_w \leq \lambda_{w,máx}$ Cumple	η = 0.2	η = 9.8	x: 0.06 m η = 0.4	x: 0.06 m η = 15.6	η < 0.1	x: 2.373 m η = 1.1	x: 0.06 m η < 0.1	x: 0.06 m η < 0.1	x: 0.06 m η = 16.1	x: 0.06 m η < 0.1	M_{Ed} = 0.00 N.P.(5)	N.P.(6)	N.P.(6)	**CUMPLE η = 16.1**
N2049/N2050	$\lambda_w \leq \lambda_{w,máx}$ Cumple	x: 1.7 m η = 20.4	x: 0.078 m η = 25.1	x: 0.281 m η = 29.6	x: 1.701 m η = 3.3	x: 1.701 m η = 22.0	η = 0.2	η < 0.1	η < 0.1	x: 0.281 m η = 52.6	η < 0.1	η = 0.3	x: 1.701 m η = 22.0	η = 0.2	**CUMPLE η = 52.6**
N2050/N2051	$\lambda_w \leq \lambda_{w,máx}$ Cumple	x: 1.7 m η = 33.3	x: 0.078 m η = 41.0	x: 0.078 m η = 20.2	x: 1.701 m η = 6.8	x: 0.078 m η = 16.5	η = 0.2	η < 0.1	η < 0.1	x: 0.078 m η = 56.4	η < 0.1	η = 0.2	x: 0.078 m η = 16.5	η = 0.2	**CUMPLE η = 56.4**
N2051/N2052	$\lambda_w \leq \lambda_{w,máx}$ Cumple	x: 1.7 m η = 44.5	x: 0.078 m η = 54.1	x: 0.078 m η = 6.7	x: 0.078 m η = 6.0	x: 0.078 m η = 9.0	η = 0.2	η < 0.1	η < 0.1	x: 1.093 m η = 55.6	η < 0.1	η = 0.2	x: 0.078 m η = 9.0	η = 0.2	**CUMPLE η = 55.6**
N2052/N2053	$\lambda_w \leq \lambda_{w,máx}$ Cumple	x: 1.7 m η = 52.2	x: 0.078 m η = 63.8	x: 1.093 m η = 7.0	x: 0.078 m η = 2.7	x: 0.078 m η = 8.9	η = 0.2	η < 0.1	η < 0.1	x: 1.093 m η = 65.1	η < 0.1	η = 0.2	x: 0.078 m η = 8.8	η = 0.2	**CUMPLE η = 65.1**
N2053/N2054	$\lambda_w \leq \lambda_{w,máx}$ Cumple	x: 1.713 m η = 57.5	x: 0.078 m η = 70.1	x: 0.896 m η = 7.4	x: 0.078 m η = 2.8	x: 0.078 m η = 8.4	x: 0.487 m η = 0.1	η < 0.1	η < 0.1	x: 0.896 m η = 71.0	η < 0.1	x: 0.487 m η = 0.2	x: 0.078 m η = 8.4	x: 0.487 m η = 0.1	**CUMPLE η = 71.0**
N2054/N3440	$\lambda_w \leq \lambda_{w,máx}$ Cumple	x: 0.89 m η = 59.9	x: 0.065 m η = 66.5	x: 0.89 m η = 8.0	x: 0.065 m η = 1.5	x: 0.065 m η = 8.4	x: 0.271 m η = 0.1	η < 0.1	η < 0.1	x: 0.89 m η = 71.2	η < 0.1	x: 0.271 m η = 0.2	x: 0.065 m η = 1.4	x: 0.271 m η = 0.1	**CUMPLE η = 71.2**
N3440/N2055	$\lambda_w \leq \lambda_{w,máx}$ Cumple	x: 0.824 m η = 59.9	x: 0 m η = 66.5	x: 0 m η = 8.0	x: 0.825 m η = 2.8	x: 0.825 m η = 7.4	η = 0.1	η < 0.1	η < 0.1	x: 0 m η = 71.2	η < 0.1	η = 0.2	x: 0.825 m η = 1.1	η = 0.1	**CUMPLE η = 71.2**
N2055/N2056	$\lambda_w \leq \lambda_{w,máx}$ Cumple	x: 1.713 m η = 59.5	x: 0.065 m η = 73.0	x: 0.89 m η = 7.7	x: 1.714 m η = 5.7	x: 1.714 m η = 8.2	η = 0.1	η < 0.1	η < 0.1	x: 0.89 m η = 74.0	η < 0.1	η = 0.1	x: 1.714 m η = 8.2	η = 0.1	**CUMPLE η = 74.0**

VISADO
COGITI
Estado
VALENCIA
VA07290/22
TRLTDCFZ60T66IJ1

Barras	COMPROBACIONES (CÓDIGO ESTRUCTURAL)														
	λ_w	N_t	N_c	M_Y	M_Z	V_Z	V_Y	M_YV_Z	M_ZV_Y	NM_YM_Z	$NM_YM_ZV_YV_Z$	M_t	M_tV_Z	M_tV_Y	
N2056/N2057	$\lambda_w \leq \lambda_{w,máx}$ Cumple	x: 1.727 m η = 56.0	x: 0.065 m η = 69.3	x: 0.897 m η = 8.1	x: 1.728 m η = 7.5	x: 0.065 m η = 8.3	x: 0.689 m η = 0.5	η < 0.1	η < 0.1	x: 0.897 m η = 71.1	η < 0.1	x: 0.689 m η = 0.3	x: 0.065 m η = 5.8	x: 0.68 η = 0.5	CUMPLE η = 71.1
N2057/N2058	$\lambda_w \leq \lambda_{w,máx}$ Cumple	x: 1.708 m η = 56.2	x: 0.051 m η = 69.3	x: 0.88 m η = 8.4	x: 0.051 m η = 7.7	x: 1.709 m η = 8.6	x: 0.258 m η = 0.3	η < 0.1	η < 0.1	x: 0.88 m η = 71.5	η < 0.1	η = 0.2	x: 1.709 m η = 6.4	x: 0.25 η = 0.3	CUMPLE η = 71.5
N2058/N2059	$\lambda_w \leq \lambda_{w,máx}$ Cumple	x: 1.708 m η = 50.5	x: 0.07 m η = 62.4	x: 0.685 m η = 7.7	x: 1.709 m η = 5.8	x: 1.709 m η = 8.9	x: 0.685 m η = 0.3	η < 0.1	η < 0.1	x: 0.685 m η = 64.4	η < 0.1	x: 0.685 m η = 0.4	x: 1.709 m η = 6.6	x: 0.685 m η = 0.3	CUMPLE η = 64.4
N2059/N3451	$\lambda_w \leq \lambda_{w,máx}$ Cumple	x: 0.89 m η = 41.7	x: 0.07 m η = 45.3	x: 0.685 m η = 6.3	x: 0.07 m η = 6.0	x: 0.07 m η = 6.0	η = 0.2	η < 0.1	η < 0.1	x: 0.685 m η = 51.6	η < 0.1	η = 0.1	x: 0.07 m η = 6.1	η = 0.2	CUMPLE η = 51.6
N3451/N2060	$\lambda_w \leq \lambda_{w,máx}$ Cumple	x: 0.819 m η = 41.7	x: 0 m η = 45.2	x: 0.82 m η = 9.0	x: 0 m η = 3.4	x: 0.82 m η = 9.7	η = 0.2	η < 0.1	η < 0.1	x: 0.82 m η = 53.3	η < 0.1	η = 0.1	x: 0.82 m η = 9.7	η = 0.2	CUMPLE η = 53.3
N2060/N2061	$\lambda_w \leq \lambda_{w,máx}$ Cumple	x: 1.694 m η = 30.3	x: 0.07 m η = 38.7	x: 1.695 m η = 9.3	x: 1.695 m η = 3.3	x: 1.695 m η = 9.5	x: 1.492 m η = 0.2	η < 0.1	η < 0.1	x: 1.695 m η = 43.3	η < 0.1	x: 1.492 m η = 0.3	x: 1.695 m η = 9.5	x: 1.492 m η = 0.2	CUMPLE η = 43.3
N2061/N2062	$\lambda_w \leq \lambda_{w,máx}$ Cumple	x: 1.694 m η = 15.8	x: 0.084 m η = 18.8	x: 1.695 m η = 12.2	x: 0.084 m η = 4.4	x: 1.695 m η = 10.4	η = 0.3	η < 0.1	η < 0.1	x: 1.695 m η = 30.8	η < 0.1	η = 0.2	x: 1.695 m η = 7.7	η = 0.3	CUMPLE η = 30.8
N2062/N2063	$\lambda_w \leq \lambda_{w,máx}$ Cumple	x: 1.694 m η = 0.3	x: 0.084 m η = 3.1	x: 1.695 m η = 12.6	x: 1.695 m η = 8.4	x: 1.695 m η = 10.0	η = 0.3	η < 0.1	η < 0.1	x: 1.695 m η = 17.0	η < 0.1	η = 0.3	x: 1.695 m η = 9.9	η = 0.3	CUMPLE η = 17.0
N2063/N2064	$\lambda_w \leq \lambda_{w,máx}$ Cumple	x: 1.694 m η = 20.7	x: 0.084 m η = 26.6	x: 1.695 m η = 35.1	x: 0.084 m η = 10.3	x: 1.695 m η = 19.3	η = 0.4	η < 0.1	η < 0.1	x: 1.695 m η = 59.7	η < 0.1	η = 0.1	x: 1.695 m η = 18.8	η = 0.4	CUMPLE η = 59.7
N2064/N2065	$\lambda_w \leq \lambda_{w,máx}$ Cumple	x: 1.637 m η = 40.9	x: 0.084 m η = 49.0	x: 0.084 m η = 33.4	x: 0.084 m η = 4.8	x: 0.084 m η = 22.5	η = 0.3	η < 0.1	η < 0.1	x: 0.084 m η = 79.0	η < 0.1	η = 0.4	x: 0.084 m η = 22.5	η = 0.3	CUMPLE η = 79.0
N2066/N2067	$\lambda_w \leq \lambda_{w,máx}$ Cumple	x: 1.7 m η = 46.0	x: 0.141 m η = 83.1	x: 0.141 m η = 25.3	x: 0.141 m η = 2.6	x: 0.141 m η = 9.7	η = 0.1	η < 0.1	η < 0.1	x: 1.701 m η = 88.5	η < 0.1	η = 0.5	x: 0.141 m η = 8.0	η = 0.1	CUMPLE η = 88.5
N2067/N2068	$\lambda_w \leq \lambda_{w,máx}$ Cumple	x: 1.7 m η = 27.4	x: 0.078 m η = 53.9	x: 0.078 m η = 14.4	x: 0.078 m η = 1.8	x: 1.701 m η = 4.9	η = 0.1	η < 0.1	η < 0.1	x: 0.078 m η = 61.0	η < 0.1	η = 0.1	x: 1.701 m η = 4.9	η = 0.1	CUMPLE η = 61.0
N2068/N2069	$\lambda_w \leq \lambda_{w,máx}$ Cumple	x: 1.7 m η = 12.7	x: 0.078 m η = 29.1	x: 0.078 m η = 2.9	x: 0.078 m η = 1.9	x: 0.078 m η = 1.3	η = 0.1	η < 0.1	η < 0.1	x: 0.078 m η = 31.1	η < 0.1	η = 0.1	x: 0.078 m η = 1.0	η = 0.1	CUMPLE η = 31.1
N2069/N2070	$\lambda_w \leq \lambda_{w,máx}$ Cumple	x: 1.7 m η = 0.3	x: 0.078 m η = 10.9	x: 1.701 m η = 4.6	x: 1.701 m η = 3.1	x: 0.078 m η = 2.2	η = 0.1	η < 0.1	η < 0.1	x: 1.701 m η = 13.2	η < 0.1	η = 0.1	x: 1.701 m η = 1.4	η = 0.1	CUMPLE η = 13.2
N2070/N2071	$\lambda_w \leq \lambda_{w,máx}$ Cumple	x: 1.7 m η = 7.9	x: 0.078 m η = 18.7	x: 1.701 m η = 4.1	x: 0.078 m η = 3.3	x: 0.078 m η = 1.2	η = 0.1	η < 0.1	η < 0.1	x: 1.701 m η = 21.5	η < 0.1	x: 0.281 m η = 0.4	x: 1.701 m η = 1.1	η = 0.1	CUMPLE η = 21.5
N2071/N2072	$\lambda_w \leq \lambda_{w,máx}$ Cumple	x: 1.713 m η = 16.1	x: 0.078 m η = 30.5	x: 1.714 m η = 4.0	x: 1.714 m η = 2.3	x: 0.078 m η = 1.1	η = 0.1	η < 0.1	η < 0.1	x: 1.714 m η = 35.0	η < 0.1	x: 0.487 m η = 0.4	x: 1.714 m η = 0.9	η = 0.1	CUMPLE η = 35.0
N2072/N2073	$\lambda_w \leq \lambda_{w,máx}$ Cumple	x: 1.713 m η = 21.8	x: 0.065 m η = 38.4	x: 1.714 m η = 3.9	x: 0.065 m η = 2.4	x: 0.065 m η = 0.5	η = 0.1	η < 0.1	η < 0.1	x: 0.065 m η = 42.1	η < 0.1	x: 1.713 m η = 0.2	x: 0.065 m η = 0.2	η = 0.1	CUMPLE η = 42.1
N2073/N2074	$\lambda_w \leq \lambda_{w,máx}$ Cumple	x: 1.708 m η = 25.1	x: 0.065 m η = 42.6	x: 1.709 m η = 4.9	x: 1.709 m η = 1.9	x: 0.065 m η = 0.8	η = 0.1	η < 0.1	η < 0.1	x: 1.709 m η = 46.7	η < 0.1	x: 0.682 m η = 0.5	x: 1.709 m η = 0.5	η = 0.1	CUMPLE η = 46.7
N2074/N2075	$\lambda_w \leq \lambda_{w,máx}$ Cumple	x: 1.708 m η = 24.4	x: 0.07 m η = 40.1	x: 0.07 m η = 5.2	x: 0.07 m η = 1.8	x: 1.709 m η = 0.8	η = 0.1	η < 0.1	η < 0.1	x: 0.07 m η = 44.3	η < 0.1	x: 1.095 m η = 0.5	x: 0.07 m η = 0.5	η = 0.1	CUMPLE η = 44.3
N2075/N2076	$\lambda_w \leq \lambda_{w,máx}$ Cumple	x: 1.708 m η = 20.3	x: 0.07 m η = 33.3	x: 0.07 m η = 4.4	x: 1.709 m η = 1.8	x: 0.07 m η = 0.7	η = 0.1	η < 0.1	η < 0.1	x: 1.709 m η = 36.3	η < 0.1	x: 0.685 m η = 0.2	x: 1.709 m η = 0.2	x: 0.685 m η = 0.1	CUMPLE η = 36.3
N2076/N2077	$\lambda_w \leq \lambda_{w,máx}$ Cumple	x: 1.694 m η = 13.9	x: 0.07 m η = 23.0	x: 0.07 m η = 4.5	x: 1.695 m η = 1.8	x: 1.695 m η = 1.4	x: 0.273 m η = 0.1	η < 0.1	η < 0.1	x: 0.07 m η = 27.2	η < 0.1	x: 0.273 m η = 0.4	x: 0.07 m η = 1.3	x: 0.273 m η = 0.1	CUMPLE η = 27.2
N2077/N2078	$\lambda_w \leq \lambda_{w,máx}$ Cumple	x: 1.694 m η = 4.9	x: 0.084 m η = 5.5	x: 0.084 m η = 4.5	x: 1.695 m η = 2.1	x: 0.084 m η = 1.4	x: 0.285 m η = 0.1	η < 0.1	η < 0.1	x: 0.084 m η = 10.5	η < 0.1	x: 0.285 m η = 0.4	x: 0.084 m η = 1.4	x: 0.285 m η = 0.1	CUMPLE η = 10.5
N2078/N2079	$\lambda_w \leq \lambda_{w,máx}$ Cumple	x: 1.694 m η = 7.6	x: 0.084 m η = 12.8	x: 1.695 m η = 5.8	x: 0.084 m η = 1.5	x: 1.695 m η = 2.9	η = 0.1	η < 0.1	η < 0.1	x: 1.695 m η = 16.5	η < 0.1	η = 0.1	x: 1.695 m η = 0.8	x: 0.487 m η < 0.1	CUMPLE η = 16.5
N2079/N2080	$\lambda_w \leq \lambda_{w,máx}$ Cumple	x: 1.694 m η = 21.8	x: 0.084 m η = 34.9	x: 0.084 m η = 1.7	x: 1.695 m η = 1.9	x: 0.084 m η = 0.4	η = 0.1	η < 0.1	η < 0.1	x: 0.084 m η = 36.2	η < 0.1	η < 0.1	x: 1.695 m η = 0.2	x: 0.285 m η < 0.1	CUMPLE η = 36.2
N2080/N2081	$\lambda_w \leq \lambda_{w,máx}$ Cumple	x: 1.661 m η = 36.2	x: 0.084 m η = 57.7	x: 1.662 m η = 33.1	x: 1.662 m η = 1.8	x: 1.662 m η = 10.6	η = 0.1	η < 0.1	η < 0.1	x: 1.662 m η = 76.6	η < 0.1	η = 0.1	x: 1.662 m η = 8.8	η = 0.1	CUMPLE η = 76.6
N2081/N2082	$\lambda_w \leq \lambda_{w,máx}$ Cumple	x: 1.637 m η = 43.7	x: 0.117 m η = 69.7	x: 0.117 m η = 17.3	x: 1.638 m η = 3.0	x: 1.638 m η = 6.0	η = 0.1	η < 0.1	η < 0.1	x: 0.117 m η = 79.1	η < 0.1	η < 0.1	x: 0.117 m η = 1.2	x: 0.117 m η = 0.1	CUMPLE η = 79.1
N2083/N2084	$\lambda_w \leq \lambda_{w,máx}$ Cumple	x: 1.7 m η = 39.8	x: 0.141 m η = 40.2	x: 0.141 m η = 50.2	x: 1.701 m η = 1.4	x: 0.141 m η = 22.7	η = 0.1	η < 0.1	η < 0.1	x: 0.141 m η = 86.8	η < 0.1	η = 0.2	x: 0.141 m η = 22.7	η = 0.1	CUMPLE η = 86.8
N2084/N2085	$\lambda_w \leq \lambda_{w,máx}$ Cumple	x: 1.7 m η = 21.1	x: 0.078 m η = 17.4	x: 0.078 m η = 12.3	x: 1.701 m η = 2.1	x: 0.078 m η = 14.1	η = 0.1	η < 0.1	η < 0.1	x: 0.078 m η = 31.8	η < 0.1	η = 0.1	x: 0.078 m η = 14.1	η = 0.1	CUMPLE η = 31.8
N2085/N2086	$\lambda_w \leq \lambda_{w,máx}$ Cumple	x: 1.7 m η = 5.9	x: 0.078 m η = 2.3	x: 0.078 m η = 13.0	x: 1.701 m η = 1.8	x: 0.078 m η = 9.9	x: 1.296 m η = 0.1	η < 0.1	η < 0.1	x: 0.078 m η = 18.6	η < 0.1	η = 0.1	x: 0.078 m η = 1.6	x: 1.296 m η = 0.1	CUMPLE η = 18.6
N2086/N2087	$\lambda_w \leq \lambda_{w,máx}$ Cumple	x: 1.7 m η = 10.4	x: 0.078 m η = 7.9	x: 0.078 m η = 9.1	x: 1.701 m η = 4.3	x: 0.078 m η = 9.2	η = 0.1	η < 0.1	η < 0.1	x: 0.078 m η = 19.8	η < 0.1	x: 1.701 m η = 0.2	x: 0.078 m η = 1.6	η = 0.1	CUMPLE η = 19.8
N2087/N2088	$\lambda_w \leq \lambda_{w,máx}$ Cumple	x: 1.713 m η = 19.6	x: 0.078 m η = 17.7	x: 0.078 m η = 7.6	x: 0.078 m η = 5.6	x: 0.078 m η = 8.8	x: 1.51 m η = 0.3	η < 0.1	η < 0.1	x: 0.078 m η = 27.6	η < 0.1	x: 1.101 m η = 0.5	x: 0.078 m η = 8.8	x: 1.51 m η = 0.3	CUMPLE η = 27.6
N2088/N3458	$\lambda_w \leq \lambda_{w,máx}$ Cumple	x: 0.89 m η = 25.8	x: 0.065 m η = 24.6	x: 0.065 m η = 7.0	x: 0.89 m η = 5.1	x: 0.065 m η = 8.8	x: 0.271 m η = 0.4	η < 0.1	η < 0.1	x: 0.065 m η = 33.4	η < 0.1	x: 0.271 m η = 0.2	x: 0.065 m η = 1.5	x: 0.271 m η = 0.4	CUMPLE η = 33.4
N3458/N2089	$\lambda_w \leq \lambda_{w,máx}$ Cumple	x: 0.824 m η = 25.8	x: 0 m η = 24.6	x: 0 m η = 5.6	x: 0.825 m η = 9.7	x: 0.825 m η = 7.0	x: 0 m η = 0.4	η < 0.1	η < 0.1	x: 0 m η = 32.1	η < 0.1	x: 0 m η = 0.2	x: 0.825 m η = 1.0	x: 0 m η = 0.4	CUMPLE η = 32.1
N2089/N2090	$\lambda_w \leq \lambda_{w,máx}$ Cumple	x: 1.713 m η = 29.3	x: 0.065 m η = 33.1	x: 0.89 m η = 6.1	x: 0.065 m η = 9.2	x: 0.065 m η = 8.1	x: 1.508 m η = 0.4	η < 0.1	η < 0.1	x: 0.89 m η = 35.8	η < 0.1	x: 1.508 m η = 0.5	x: 0.065 m η = 6.1	x: 1.508 m η = 0.4	CUMPLE η = 35.8
N2090/N2091	$\lambda_w \leq \lambda_{w,máx}$ Cumple	x: 1.727 m η = 29.8	x: 0.065 m η = 34.4	x: 0.897 m η = 6.5	x: 1.728 m η = 10.0	x: 0.065 m η = 8.3	x: 0.066 m η = 0.4	η < 0.1	η < 0.1	x: 0.897 m η = 37.3	η < 0.1	x: 0.897 m η = 0.3	x: 0.065 m η = 1.3	x: 0.066 m η = 0.4	CUMPLE η = 37.3
N2091/N2092	$\lambda_w \leq \lambda_{w,máx}$ Cumple	x: 1.708 m η = 30.1	x: 0.051 m η = 34.5	x: 0.88 m η = 6.6	x: 0.051 m η = 9.8	x: 1.709 m η = 8.3	x: 1.295 m η = 0.4	η < 0.1	η < 0.1	x: 0.88 m η = 37.5	η < 0.1	x: 1.295 m η = 0.2	x: 1.709 m η = 1.3	x: 1.295 m η = 0.4	CUMPLE η = 37.5
N2092/N2093	$\lambda_w \leq \lambda_{w,máx}$ Cumple	x: 1.708 m η = 28.2	x: 0.07 m η = 32.5	x: 0.89 m η = 6.2	x: 1.709 m η = 10.1	x: 1.709 m η = 8.3	η = 0.4	η < 0.1	η < 0.1	x: 0.89 m η = 35.3	η < 0.1	η = 0.5	x: 1.709 m η = 1.3	η = 0.4	CUMPLE η = 35.3
N2093/N3469	$\lambda_w \leq \lambda_{w,máx}$ Cumple	x: 0.89 m η = 23.2	x: 0.07 m η = 23.5	x: 0.685 m η = 5.3	x: 0.07 m η = 10.3	x: 0.07 m η = 6.6	x: 0.48 m η = 0.4	η < 0.1	η < 0.1	x: 0.685 m η = 29.1	η < 0.1	x: 0.48 m η = 0.2	x: 0.07 m η = 1.0	x: 0.48 m η = 0.4	CUMPLE η = 29.1
N3469/N2094	$\lambda_w \leq \lambda_{w,máx}$ Cumple	x: 0.819 m η = 23.2	x: 0 m η = 23.5	x: 0.82 m η = 8.1	x: 0 m η = 5.6	x: 0.82 m η = 9.1	x: 0.819 m η = 0.4	η < 0.1	η < 0.1	x: 0.82 m η = 32.0	η < 0.1	x: 0.819 m η = 0.2	x: 0.82 m η = 1.5	x: 0.819 m η = 0.4	CUMPLE η = 32.0
N2094/N2095	$\lambda_w \leq \lambda_{w,máx}$ Cumple	x: 1.694 m η = 15.6	x: 0.07 m η = 16.1	x: 1.695 m η = 8.7	x: 1.695 m η = 5.3	x: 1.695 m η = 9.0	x: 0.273 m η = 0.3	η < 0.1	η < 0.1	x: 1.695 m η = 24.6	η < 0.1	x: 0.273 m η = 0.5	x: 1.695 m η = 9.0	x: 0.273 m η = 0.3	CUMPLE η = 24.6
N2095/N2096	$\lambda_w \leq \lambda_{w,máx}$ Cumple	x: 1.694 m η = 4.9	x: 0.084 m η = 5.6	x: 1.695 m η = 11.1	x: 0.084 m η = 3.9	x: 1.695 m η = 9.7	x: 0.285 m η = 0.1	η < 0.1	η < 0.1	x: 1.695 m η = 16.1	η < 0.1	x: 0.285 m η = 0.2	x: 1.695 m η = 1.7	x: 0.285 m η = 0.1	CUMPLE η = 16.1
N2096/N2097	$\lambda_w \leq \lambda_{w,máx}$ Cumple	x: 1.694 m η = 7.7	x: 0.084 m η = 8.1	x: 1.695 m η = 11.6	x: 1.695 m η = 2.9	x: 1.695 m η = 9.5	η = 0.1	η < 0.1	η < 0.1	x: 1.695 m η = 20.0	η < 0.1	η < 0.1	x: 1.695 m η = 1.5	η = 0.1	CUMPLE η = 20.0
N2097/N2098	$\lambda_w \leq \lambda_{w,máx}$ Cumple	x: 1.694 m η = 24.0	x: 0.084 m η = 28.9	x: 1.695 m η = 32.3	x: 0.084 m η = 3.7	x: 1.695 m η = 18.5	η = 0.1	η < 0.1	η < 0.1	x: 1.695 m η = 58.8	η < 0.1	x: 0.285 m η = 0.1	x: 1.695 m η = 2.5	η < 0.1	CUMPLE η = 58.8

Documento visado electrónicamente con número: VA07290/22
Código de validación telemática TRLTDCFZ60T66IJ1. Comprobación: https://cogitivalencia.e-gestion.es/Validacion.aspx?CVT=TRLTDCFZ60T66IJ1

VISADO
COGITI
TRLTDCFZ60T66IJ1
VALENCIA
VA07290/22
Documento visado electrónicamente con número VA07290/22
Código de validación telemática TRLTDCFZ60T66IJ1. Comprobación: https://cogitivalencia.e-gestion.es/Validacion.aspx?CVT=TRLTDCFZ60T66IJ1

Barras	COMPROBACIONES (CÓDIGO ESTRUCTURAL)														Estado
	λ_w	N_t	N_c	M_Y	M_Z	V_Z	V_Y	M_YV_Z	M_ZV_Y	NM_YM_Z	$NM_YM_ZV_YV_Z$	M_t	M_tV_Z	M_tV_Y	
N2098/N2099	$\lambda_w \le \lambda_{w,máx}$ Cumple	x: 1.637 m η = 40.2	x: 0.084 m η = 46.9	x: 0.084 m η = 32.0	x: 0.084 m η = 1.7	x: 0.084 m η = 22.3	η = 0.1	η < 0.1	η < 0.1	x: 0.084 m η = 75.2	η < 0.1	η = 0.1	x: 0.084 m η = 21.2	η = 0.1	**CUMPLE η = 75.2**
N2082/N2100	$\lambda_w \le \lambda_{w,máx}$ Cumple	x: 1.7 m η = 38.0	x: 0.141 m η = 44.3	x: 0.141 m η = 47.0	x: 1.701 m η = 1.4	x: 0.141 m η = 21.8	η = 0.1	η < 0.1	η < 0.1	x: 0.141 m η = 88.4	η < 0.1	η = 0.1	x: 0.141 m η = 21.8	η = 0.1	**CUMPLE η = 88.4**
N2100/N2101	$\lambda_w \le \lambda_{w,máx}$ Cumple	x: 1.7 m η = 15.6	x: 0.078 m η = 16.9	x: 0.078 m η = 13.3	x: 1.701 m η = 3.0	x: 0.078 m η = 14.5	η = 0.1	η < 0.1	η < 0.1	x: 0.078 m η = 30.3	η < 0.1	η = 0.1	x: 0.078 m η = 14.5	η = 0.1	**CUMPLE η = 30.3**
N2101/N2102	$\lambda_w \le \lambda_{w,máx}$ Cumple	x: 1.7 m η = 4.5	x: 0.078 m η = 5.8	x: 0.078 m η = 13.9	x: 1.701 m η = 2.1	x: 0.078 m η = 10.2	x: 0.687 m η = 0.1	η < 0.1	η < 0.1	x: 0.078 m η = 19.0	η < 0.1	η = 0.1	x: 0.078 m η = 1.7	x: 0.687 m η = 0.1	**CUMPLE η = 19.0**
N2102/N2103	$\lambda_w \le \lambda_{w,máx}$ Cumple	x: 1.7 m η = 19.9	x: 0.078 m η = 25.0	x: 0.078 m η = 10.1	x: 1.701 m η = 5.1	x: 0.078 m η = 9.8	η = 0.1	η < 0.1	η < 0.1	x: 0.078 m η = 32.3	η < 0.1	x: 1.7 m η = 0.2	x: 0.078 m η = 1.7	η = 0.1	**CUMPLE η = 32.3**
N2103/N2104	$\lambda_w \le \lambda_{w,máx}$ Cumple	x: 1.713 m η = 32.9	x: 0.078 m η = 40.2	x: 0.078 m η = 8.1	x: 0.078 m η = 6.8	x: 0.078 m η = 9.2	x: 1.305 m η = 0.4	η < 0.1	η < 0.1	x: 0.078 m η = 43.4	η < 0.1	x: 1.305 m η = 0.6	x: 0.078 m η = 9.2	x: 1.305 m η = 0.4	**CUMPLE η = 43.4**
N2104/N3476	$\lambda_w \le \lambda_{w,máx}$ Cumple	x: 0.89 m η = 42.9	x: 0.065 m η = 45.1	x: 0.065 m η = 7.6	x: 0.89 m η = 5.9	x: 0.065 m η = 9.3	x: 0.065 m η = 0.4	η < 0.1	η < 0.1	x: 0.065 m η = 51.9	η < 0.1	x: 0.065 m η = 0.3	x: 0.065 m η = 1.6	x: 0.065 m η = 0.4	**CUMPLE η = 51.9**
N3476/N2105	$\lambda_w \le \lambda_{w,máx}$ Cumple	x: 0.824 m η = 42.9	x: 0 m η = 45.1	x: 0.206 m η = 6.4	x: 0.825 m η = 11.2	x: 0.825 m η = 6.6	x: 0 m η = 0.4	η < 0.1	η < 0.1	x: 0.206 m η = 51.3	η < 0.1	η = 0.3	x: 0.825 m η = 0.9	x: 0 m η = 0.4	**CUMPLE η = 51.3**
N2105/N2106	$\lambda_w \le \lambda_{w,máx}$ Cumple	x: 1.713 m η = 50.2	x: 0.065 m η = 60.5	x: 0.89 m η = 7.5	x: 0.065 m η = 10.8	x: 0.065 m η = 8.6	η = 0.4	η < 0.1	η < 0.1	x: 0.89 m η = 62.3	η < 0.1	η = 0.5	x: 0.065 m η = 8.6	η = 0.4	**CUMPLE η = 62.3**
N2106/N2107	$\lambda_w \le \lambda_{w,máx}$ Cumple	x: 1.727 m η = 54.4	x: 0.065 m η = 65.7	x: 0.897 m η = 8.0	x: 1.728 m η = 8.9	x: 0.065 m η = 8.4	η = 0.4	η < 0.1	η < 0.1	x: 0.897 m η = 67.6	η < 0.1	η = 0.4	x: 0.065 m η = 1.4	η = 0.4	**CUMPLE η = 67.6**
N2107/N2108	$\lambda_w \le \lambda_{w,máx}$ Cumple	x: 1.708 m η = 54.7	x: 0.051 m η = 65.9	x: 0.88 m η = 7.9	x: 0.051 m η = 8.2	x: 1.709 m η = 8.1	x: 1.502 m η = 0.3	η < 0.1	η < 0.1	x: 0.88 m η = 67.7	η < 0.1	η = 0.1	x: 1.709 m η = 8.1	x: 1.502 m η = 0.3	**CUMPLE η = 67.7**
N2108/N2109	$\lambda_w \le \lambda_{w,máx}$ Cumple	x: 1.708 m η = 56.7	x: 0.07 m η = 67.9	x: 0.89 m η = 7.8	x: 1.709 m η = 3.7	x: 0.07 m η = 7.9	x: 0.89 m η = 0.3	η < 0.1	η < 0.1	x: 0.89 m η = 69.3	η < 0.1	x: 0.275 m η = 0.4	x: 0.07 m η = 5.9	x: 0.89 m η = 0.3	**CUMPLE η = 69.3**
N2109/N3487	$\lambda_w \le \lambda_{w,máx}$ Cumple	x: 0.89 m η = 56.0	x: 0.07 m η = 60.7	x: 0.89 m η = 7.6	x: 0.89 m η = 6.3	x: 0.07 m η = 7.1	η = 0.2	η < 0.1	η < 0.1	x: 0.89 m η = 65.3	η < 0.1	η = 0.2	x: 0.07 m η = 7.1	η = 0.2	**CUMPLE η = 65.3**
N3487/N2110	$\lambda_w \le \lambda_{w,máx}$ Cumple	x: 0.819 m η = 56.0	x: 0 m η = 60.6	x: 0 m η = 7.6	x: 0.82 m η = 9.3	x: 0.82 m η = 8.7	η = 0.2	η < 0.1	η < 0.1	x: 0 m η = 65.3	η < 0.1	η = 0.2	x: 0.82 m η = 8.7	η = 0.2	**CUMPLE η = 65.3**
N2110/N2111	$\lambda_w \le \lambda_{w,máx}$ Cumple	x: 1.694 m η = 52.5	x: 0.07 m η = 62.4	x: 0.883 m η = 7.0	x: 0.07 m η = 10.8	x: 1.695 m η = 8.7	x: 0.883 m η = 0.8	η < 0.1	η < 0.1	x: 0.883 m η = 63.7	η < 0.1	x: 0.883 m η = 0.5	x: 1.695 m η = 8.7	x: 0.883 m η = 0.8	**CUMPLE η = 63.7**
N2111/N2112	$\lambda_w \le \lambda_{w,máx}$ Cumple	x: 1.694 m η = 46.1	x: 0.084 m η = 54.7	x: 1.695 m η = 7.1	x: 0.084 m η = 6.2	x: 1.695 m η = 9.2	η = 0.2	η < 0.1	η < 0.1	x: 0.688 m η = 56.3	η < 0.1	x: 0.487 m η = 0.3	x: 1.695 m η = 1.6	η = 0.2	**CUMPLE η = 56.3**
N2112/N2113	$\lambda_w \le \lambda_{w,máx}$ Cumple	x: 1.694 m η = 37.3	x: 0.084 m η = 43.7	x: 1.695 m η = 9.0	x: 1.695 m η = 3.7	x: 1.695 m η = 9.5	x: 0.89 m η = 0.1	η < 0.1	η < 0.1	x: 1.695 m η = 48.1	η < 0.1	η = 0.1	x: 1.695 m η = 6.8	x: 0.89 m η = 0.1	**CUMPLE η = 48.1**
N2113/N2114	$\lambda_w \le \lambda_{w,máx}$ Cumple	x: 1.694 m η = 25.2	x: 0.084 m η = 29.7	x: 1.695 m η = 16.4	x: 0.084 m η = 4.8	x: 1.695 m η = 15.6	η = 0.2	η < 0.1	η < 0.1	x: 1.695 m η = 41.3	η < 0.1	η = 0.1	x: 1.695 m η = 15.6	η = 0.2	**CUMPLE η = 41.3**
N2114/N2115	$\lambda_w \le \lambda_{w,máx}$ Cumple	x: 1.637 m η = 10.8	x: 0.084 m η = 10.5	x: 1.638 m η = 14.9	x: 0.084 m η = 2.3	x: 1.638 m η = 14.6	η = 0.2	η < 0.1	η < 0.1	x: 1.638 m η = 26.8	η < 0.1	η = 0.2	x: 1.638 m η = 14.7	η = 0.2	**CUMPLE η = 26.8**
N2116/N2050	$\lambda_w \le \lambda_{w,máx}$ Cumple	x: 1.911 m η = 37.4	x: 0.088 m η = 44.5	x: 0.088 m η = 1.9	x: 0.088 m η = 6.8	η = 0.1	η = 0.9	η < 0.1	η < 0.1	x: 0.088 m η = 51.5	η < 0.1	η = 1.5	η = 0.1	η = 0.9	**CUMPLE η = 51.5**
N2117/N2051	$\lambda_w \le \lambda_{w,máx}$ Cumple	x: 1.911 m η = 25.1	x: 0.088 m η = 31.1	x: 0.088 m η = 0.6	x: 0.088 m η = 14.3	η < 0.1	η = 2.2	η < 0.1	η < 0.1	x: 0.088 m η = 45.5	η < 0.1	η = 0.6	η < 0.1	η = 2.2	**CUMPLE η = 45.5**
N2118/N2052	$\lambda_w \le \lambda_{w,máx}$ Cumple	x: 1.911 m η = 24.2	x: 0.088 m η = 30.1	x: 0.088 m η = 1.1	x: 0.088 m η = 11.2	η < 0.1	η = 1.8	η < 0.1	η < 0.1	x: 0.088 m η = 41.4	η < 0.1	η = 1.5	η < 0.1	η = 1.8	**CUMPLE η = 41.4**
N2119/N2053	$\lambda_w \le \lambda_{w,máx}$ Cumple	x: 1.911 m η = 18.0	x: 0.088 m η = 22.2	x: 0.088 m η = 1.2	x: 0.088 m η = 9.5	η = 0.1	η = 1.5	η < 0.1	η < 0.1	x: 0.088 m η = 32.2	η < 0.1	η = 0.8	η = 0.1	η = 1.5	**CUMPLE η = 32.2**
N2120/N2054	$\lambda_w \le \lambda_{w,máx}$ Cumple	x: 1.922 m η = 11.9	x: 0.088 m η = 12.1	x: 0.088 m η = 1.1	x: 0.088 m η = 6.2	η < 0.1	η = 0.9	η < 0.1	η < 0.1	x: 0.088 m η = 18.6	η < 0.1	η = 1.4	η < 0.1	η = 0.9	**CUMPLE η = 18.6**
N2121/N2055	$\lambda_w \le \lambda_{w,máx}$ Cumple	x: 1.922 m η = 6.4	x: 0.086 m η = 6.4	x: 1.922 m η = 0.7	x: 0.086 m η = 2.5	η < 0.1	η = 0.3	η < 0.1	η < 0.1	x: 0.086 m η = 8.9	η < 0.1	η = 0.6	η < 0.1	η = 0.3	**CUMPLE η = 8.9**
N2122/N2056	$\lambda_w \le \lambda_{w,máx}$ Cumple	x: 1.922 m η = 2.3	x: 0.086 m η = 2.1	x: 1.923 m η = 0.7	x: 1.923 m η = 1.0	η < 0.1	η = 0.1	η < 0.1	η < 0.1	x: 1.923 m η = 3.5	η < 0.1	x: 0.086 m η = 1.3	η < 0.1	η = 0.1	**CUMPLE η = 3.5**
N2123/N2057	$\lambda_w \le \lambda_{w,máx}$ Cumple	x: 1.922 m η = 7.5	x: 0.086 m η = 7.6	x: 0.086 m η = 1.2	x: 0.086 m η = 6.0	η = 0.1	η = 0.8	η < 0.1	η < 0.1	x: 0.086 m η = 14.2	η < 0.1	η = 1.1	η = 0.1	η = 0.8	**CUMPLE η = 14.2**
N2124/N2058	$\lambda_w \le \lambda_{w,máx}$ Cumple	x: 1.921 m η = 25.5	x: 0.086 m η = 31.8	x: 0.086 m η = 1.2	x: 0.086 m η = 12.7	η < 0.1	η = 1.6	η < 0.1	η < 0.1	x: 0.086 m η = 45.0	η < 0.1	η = 1.8	η < 0.1	η = 1.7	**CUMPLE η = 45.0**
N2125/N2059	$\lambda_w \le \lambda_{w,máx}$ Cumple	x: 1.921 m η = 33.7	x: 0.086 m η = 41.8	x: 0.086 m η = 0.2	x: 0.086 m η = 16.9	η < 0.1	η = 2.2	η < 0.1	η < 0.1	x: 0.086 m η = 59.6	η < 0.1	η = 0.4	η < 0.1	η = 2.2	**CUMPLE η = 59.6**
N2126/N2060	$\lambda_w \le \lambda_{w,máx}$ Cumple	x: 1.921 m η = 34.1	x: 0.094 m η = 39.9	x: 0.094 m η = 1.2	x: 0.094 m η = 20.9	η < 0.1	η = 3.4	η < 0.1	η < 0.1	x: 0.094 m η = 61.3	η < 0.1	η = 1.9	η < 0.1	η = 3.4	**CUMPLE η = 61.3**
N2127/N2061	$\lambda_w \le \lambda_{w,máx}$ Cumple	x: 1.905 m η = 40.3	x: 0.094 m η = 47.7	x: 0.094 m η = 1.2	x: 0.094 m η = 24.3	η = 0.1	η = 3.9	η < 0.1	η < 0.1	x: 0.094 m η = 72.8	η < 0.1	η = 1.3	η = 0.1	η = 3.9	**CUMPLE η = 72.8**
N2128/N2062	$\lambda_w \le \lambda_{w,máx}$ Cumple	x: 1.905 m η = 46.3	x: 0.094 m η = 55.4	x: 0.094 m η = 1.3	x: 1.906 m η = 24.8	η = 0.1	η = 4.0	η < 0.1	η < 0.1	x: 0.094 m η = 80.6	η < 0.1	η = 1.6	η = 0.1	η = 4.0	**CUMPLE η = 80.6**
N2129/N2063	$\lambda_w \le \lambda_{w,máx}$ Cumple	x: 1.905 m η = 43.0	x: 0.094 m η = 51.7	x: 0.094 m η = 0.8	x: 0.094 m η = 30.6	η < 0.1	η = 4.7	η < 0.1	η < 0.1	x: 0.094 m η = 82.8	η < 0.1	η = 0.3	η < 0.1	η = 4.8	**CUMPLE η = 82.8**
N2130/N2064	$\lambda_w \le \lambda_{w,máx}$ Cumple	x: 1.905 m η = 54.2	x: 0.131 m η = 63.5	x: 0.131 m η = 2.2	x: 0.131 m η = 1.4	η = 0.1	η = 0.1	η < 0.1	η < 0.1	x: 0.131 m η = 65.3	η < 0.1	η = 2.2	η = 0.1	η = 0.1	**CUMPLE η = 65.3**
N2067/N2084	$\lambda_w \le \lambda_{w,máx}$ Cumple	x: 1.911 m η = 38.6	x: 0.088 m η = 47.2	x: 0.088 m η = 1.6	x: 1.912 m η = 19.2	η = 0.1	η = 2.8	η < 0.1	η < 0.1	x: 1.912 m η = 66.5	η < 0.1	η = 0.6	η = 0.1	η = 2.8	**CUMPLE η = 66.5**
N2068/N2085	$\lambda_w \le \lambda_{w,máx}$ Cumple	x: 1.911 m η = 33.9	x: 0.088 m η = 42.1	x: 0.088 m η = 0.6	x: 0.088 m η = 16.1	η < 0.1	η = 2.5	η < 0.1	η < 0.1	x: 0.088 m η = 58.4	η < 0.1	η = 0.4	η < 0.1	η = 2.5	**CUMPLE η = 58.4**
N2069/N2086	$\lambda_w \le \lambda_{w,máx}$ Cumple	x: 1.911 m η = 33.4	x: 0.088 m η = 41.8	x: 1.911 m η = 0.5	x: 0.088 m η = 15.6	η < 0.1	η = 2.5	η < 0.1	η < 0.1	x: 0.088 m η = 57.7	η < 0.1	η = 0.6	η < 0.1	η = 2.5	**CUMPLE η = 57.7**
N2070/N2087	$\lambda_w \le \lambda_{w,máx}$ Cumple	x: 1.911 m η = 27.4	x: 0.088 m η = 34.2	x: 0.088 m η = 1.0	x: 0.088 m η = 13.9	η < 0.1	η = 2.2	η < 0.1	η < 0.1	x: 0.088 m η = 48.6	η < 0.1	η = 1.7	η < 0.1	η = 2.2	**CUMPLE η = 48.6**
N2071/N2088	$\lambda_w \le \lambda_{w,máx}$ Cumple	x: 1.922 m η = 21.1	x: 0.088 m η = 26.2	x: 0.088 m η = 2.4	x: 0.088 m η = 11.0	η = 0.1	η = 1.7	η < 0.1	η < 0.1	x: 0.088 m η = 37.5	η < 0.1	x: 1.922 m η = 2.7	η = 0.1	η = 1.7	**CUMPLE η = 37.5**
N2072/N2089	$\lambda_w \le \lambda_{w,máx}$ Cumple	x: 1.922 m η = 17.7	x: 0.086 m η = 23.8	x: 0.086 m η = 0.4	x: 0.086 m η = 7.6	x: 1.739 m η < 0.1	η = 1.0	η < 0.1	η < 0.1	x: 0.086 m η = 31.6	η < 0.1	x: 1.739 m η = 0.4	x: 1.739 m η < 0.1	η = 1.0	**CUMPLE η = 31.6**
N2073/N2090	$\lambda_w \le \lambda_{w,máx}$ Cumple	x: 1.922 m η = 9.5	x: 0.086 m η = 10.9	x: 0.086 m η = 2.2	x: 0.086 m η = 4.5	η < 0.1	η = 0.6	η < 0.1	η < 0.1	x: 0.086 m η = 15.6	η < 0.1	η = 2.6	η < 0.1	η = 0.6	**CUMPLE η = 15.6**
N2074/N2091	$\lambda_w \le \lambda_{w,máx}$ Cumple	x: 1.922 m η = 7.7	x: 0.086 m η = 7.8	x: 0.086 m η = 1.1	x: 1.923 m η = 1.3	x: 1.739 m η = 0.1	η = 0.2	η < 0.1	η < 0.1	x: 1.923 m η = 9.6	η < 0.1	η = 0.3	x: 1.739 m η = 0.1	η = 0.2	**CUMPLE η = 9.6**
N2075/N2092	$\lambda_w \le \lambda_{w,máx}$ Cumple	x: 1.921 m η = 14.6	x: 0.086 m η = 16.5	x: 0.086 m η = 1.9	x: 0.086 m η = 6.6	x: 1.555 m η < 0.1	η = 0.8	η < 0.1	η < 0.1	x: 0.086 m η = 22.8	η < 0.1	x: 1.921 m η = 2.9	x: 1.555 m η < 0.1	η = 0.9	**CUMPLE η = 22.8**

Listados

VISADO
COGITI
Estado
VALENCIA
VA07290/22
TRLTDCFZ60T66IJ1

Barras	COMPROBACIONES (CÓDIGO ESTRUCTURAL)															
	λ_w	N_t	N_c	M_Y	M_Z	V_Z	V_Y	M_YV_Z	M_ZV_Y	NM_YM_Z	$NM_YM_ZV_YV_Z$	M_t	M_tV_Z	M_tV_Y	
N2076/N2093	$\lambda_w \leq \lambda_{w,máx}$ Cumple	x: 1.921 m η = 22.7	x: 0.086 m η = 26.4	x: 0.086 m η = 0.2	x: 0.086 m η = 10.7	η < 0.1	η = 1.4	η < 0.1	η < 0.1	x: 0.086 m η = 36.8	η < 0.1	η = 0.3	η < 0.1	η = 1.4	**CUMPLE η = 36.8**
N2077/N2094	$\lambda_w \leq \lambda_{w,máx}$ Cumple	x: 1.921 m η = 25.2	x: 0.094 m η = 28.1	x: 0.094 m η = 2.1	x: 0.094 m η = 14.7	η = 0.1	η = 2.4	η < 0.1	η < 0.1	x: 0.094 m η = 42.5	η < 0.1	η = 3.1	η = 0.1	η = 2.4	**CUMPLE η = 42.5**
N2078/N2095	$\lambda_w \leq \lambda_{w,máx}$ Cumple	x: 1.905 m η = 31.4	x: 0.094 m η = 36.0	x: 0.094 m η = 0.9	x: 0.094 m η = 18.1	η < 0.1	η = 2.9	η < 0.1	η < 0.1	x: 0.094 m η = 54.3	η < 0.1	η = 1.9	η < 0.1	η = 2.9	**CUMPLE η = 54.3**
N2079/N2096	$\lambda_w \leq \lambda_{w,máx}$ Cumple	x: 1.905 m η = 37.5	x: 0.094 m η = 43.7	x: 0.094 m η = 0.4	x: 1.906 m η = 19.1	η < 0.1	η = 3.1	η < 0.1	η < 0.1	x: 0.094 m η = 62.9	η < 0.1	η = 0.4	η < 0.1	η = 3.1	**CUMPLE η = 62.9**
N2080/N2097	$\lambda_w \leq \lambda_{w,máx}$ Cumple	x: 1.905 m η = 35.8	x: 0.094 m η = 42.2	x: 0.094 m η = 0.4	x: 0.094 m η = 25.4	η < 0.1	η = 3.9	η < 0.1	η < 0.1	x: 0.094 m η = 67.8	η < 0.1	x: 0.094 m η = 0.4	η < 0.1	η = 3.9	**CUMPLE η = 67.8**
N2081/N2098	$\lambda_w \leq \lambda_{w,máx}$ Cumple	x: 1.905 m η = 46.8	x: 0.131 m η = 53.8	x: 0.131 m η = 0.8	x: 0.131 m η = 4.6	η < 0.1	η = 0.6	η < 0.1	η < 0.1	x: 0.131 m η = 58.7	η < 0.1	η = 0.9	η < 0.1	η = 0.6	**CUMPLE η = 58.7**
N2131/N2100	$\lambda_w \leq \lambda_{w,máx}$ Cumple	x: 1.911 m η = 46.6	x: 0.088 m η = 55.4	x: 0.088 m η = 1.6	x: 1.912 m η = 22.2	η = 0.1	η = 3.3	η < 0.1	η < 0.1	x: 1.912 m η = 78.1	η < 0.1	η = 0.9	η = 0.1	η = 3.3	**CUMPLE η = 78.1**
N2132/N2101	$\lambda_w \leq \lambda_{w,máx}$ Cumple	x: 1.911 m η = 41.4	x: 0.088 m η = 50.1	x: 0.088 m η = 0.7	x: 0.088 m η = 19.4	η < 0.1	η = 3.0	η < 0.1	η < 0.1	x: 0.088 m η = 69.9	η < 0.1	η = 0.5	η < 0.1	η = 3.0	**CUMPLE η = 69.9**
N2133/N2102	$\lambda_w \leq \lambda_{w,máx}$ Cumple	x: 1.911 m η = 42.6	x: 0.088 m η = 51.7	x: 1.911 m η = 0.4	x: 0.088 m η = 19.5	η < 0.1	η = 3.1	η < 0.1	η < 0.1	x: 0.088 m η = 71.5	η < 0.1	η = 0.2	η < 0.1	η = 3.1	**CUMPLE η = 71.5**
N2134/N2103	$\lambda_w \leq \lambda_{w,máx}$ Cumple	x: 1.911 m η = 36.7	x: 0.088 m η = 44.0	x: 0.088 m η = 1.1	x: 0.088 m η = 18.3	η = 0.1	η = 2.9	η < 0.1	η < 0.1	x: 0.088 m η = 63.0	η < 0.1	x: 0.088 m η = 2.0	η = 0.1	η = 2.9	**CUMPLE η = 63.0**
N2135/N2104	$\lambda_w \leq \lambda_{w,máx}$ Cumple	x: 1.922 m η = 30.5	x: 0.088 m η = 36.1	x: 0.088 m η = 2.9	x: 0.088 m η = 15.7	η = 0.1	η = 2.5	η < 0.1	η < 0.1	x: 0.088 m η = 52.3	η < 0.1	x: 1.922 m η = 3.4	η = 0.1	η = 2.5	**CUMPLE η = 52.3**
N2136/N2105	$\lambda_w \leq \lambda_{w,máx}$ Cumple	x: 1.922 m η = 29.1	x: 0.086 m η = 36.7	x: 0.086 m η = 0.6	x: 0.086 m η = 12.4	η < 0.1	η = 1.6	η < 0.1	η < 0.1	x: 0.086 m η = 49.7	η < 0.1	x: 0.821 m η = 0.3	η < 0.1	η = 1.6	**CUMPLE η = 49.7**
N2137/N2106	$\lambda_w \leq \lambda_{w,máx}$ Cumple	x: 1.922 m η = 20.9	x: 0.086 m η = 26.7	x: 0.086 m η = 2.4	x: 0.086 m η = 9.1	η < 0.1	η = 1.1	η < 0.1	η < 0.1	x: 0.086 m η = 36.2	η < 0.1	x: 1.922 m η = 3.0	η < 0.1	η = 1.1	**CUMPLE η = 36.2**
N2138/N2107	$\lambda_w \leq \lambda_{w,máx}$ Cumple	x: 1.922 m η = 7.7	x: 0.086 m η = 7.7	x: 0.086 m η = 1.2	x: 0.086 m η = 3.9	η = 0.1	η = 0.5	η < 0.1	η < 0.1	x: 0.086 m η = 12.3	η < 0.1	η = 1.0	η = 0.1	η = 0.5	**CUMPLE η = 12.3**
N2139/N2108	$\lambda_w \leq \lambda_{w,máx}$ Cumple	x: 1.921 m η = 3.9	x: 0.086 m η = 3.6	x: 1.921 m η = 1.2	x: 1.922 m η = 1.8	η < 0.1	η = 0.2	η < 0.1	η < 0.1	x: 1.922 m η = 5.6	η < 0.1	x: 1.921 m η = 1.8	η < 0.1	η = 0.2	**CUMPLE η = 5.6**
N2140/N2109	$\lambda_w \leq \lambda_{w,máx}$ Cumple	x: 1.921 m η = 11.9	x: 0.086 m η = 11.3	x: 0.086 m η = 1.1	x: 0.086 m η = 5.4	x: 1.921 m η < 0.1	η = 0.7	η < 0.1	η < 0.1	x: 0.086 m η = 17.1	η < 0.1	x: 1.921 m η = 1.5	x: 1.921 m η < 0.1	η = 0.7	**CUMPLE η = 17.1**
N2141/N2110	$\lambda_w \leq \lambda_{w,máx}$ Cumple	x: 1.921 m η = 16.3	x: 0.094 m η = 16.1	x: 0.094 m η = 2.2	x: 0.094 m η = 9.7	η = 0.1	η = 1.6	η < 0.1	η < 0.1	x: 0.094 m η = 26.1	η < 0.1	x: 1.739 m η = 2.1	η = 0.1	η = 1.6	**CUMPLE η = 26.1**
N2142/N2111	$\lambda_w \leq \lambda_{w,máx}$ Cumple	x: 1.905 m η = 22.4	x: 0.094 m η = 26.8	x: 0.094 m η = 1.2	x: 0.094 m η = 13.7	η = 0.1	η = 2.2	η < 0.1	η < 0.1	x: 0.094 m η = 40.9	η < 0.1	x: 0.094 m η = 2.6	η = 0.1	η = 2.2	**CUMPLE η = 40.9**
N2143/N2112	$\lambda_w \leq \lambda_{w,máx}$ Cumple	x: 1.905 m η = 28.4	x: 0.094 m η = 34.6	x: 0.094 m η = 0.6	x: 0.094 m η = 16.1	η < 0.1	η = 2.6	η < 0.1	η < 0.1	x: 0.094 m η = 50.9	η < 0.1	η = 0.7	η < 0.1	η = 2.6	**CUMPLE η = 50.9**
N2144/N2113	$\lambda_w \leq \lambda_{w,máx}$ Cumple	x: 1.905 m η = 28.8	x: 0.094 m η = 35.0	x: 0.094 m η = 0.5	x: 0.094 m η = 17.0	η < 0.1	η = 2.7	η < 0.1	η < 0.1	x: 0.094 m η = 52.3	η < 0.1	x: 0.094 m η = 0.5	η < 0.1	η = 2.7	**CUMPLE η = 52.3**
N2145/N2114	$\lambda_w \leq \lambda_{w,máx}$ Cumple	x: 1.905 m η = 38.4	x: 0.094 m η = 45.5	x: 0.094 m η = 1.0	x: 0.094 m η = 21.7	η < 0.1	η = 3.2	η < 0.1	η < 0.1	x: 0.094 m η = 67.8	η < 0.1	η = 1.5	η < 0.1	η = 3.3	**CUMPLE η = 67.8**
N2116/N2049	$\lambda_w \leq \lambda_{w,máx}$ Cumple	x: 2.482 m η = 28.0	x: 0.111 m η = 33.7	x: 2.483 m η = 30.4	x: 0.111 m η = 2.1	x: 0.111 m η = 2.9	η = 0.1	η < 0.1	η < 0.1	x: 2.483 m η = 64.7	η < 0.1	η = 1.0	x: 0.111 m η = 2.9	η = 0.1	**CUMPLE η = 64.7**
N2117/N2050	$\lambda_w \leq \lambda_{w,máx}$ Cumple	x: 2.482 m η = 33.1	x: 0.111 m η = 36.6	x: 0.111 m η = 3.9	x: 2.483 m η = 2.3	x: 0.111 m η = 0.5	η < 0.1	η < 0.1	η < 0.1	x: 0.111 m η = 40.6	η < 0.1	η = 1.3	x: 0.111 m η = 0.5	η < 0.1	**CUMPLE η = 40.6**
N2118/N2051	$\lambda_w \leq \lambda_{w,máx}$ Cumple	x: 2.482 m η = 27.6	x: 0.111 m η = 30.6	x: 2.483 m η = 6.9	x: 2.483 m η = 0.9	x: 0.111 m η = 0.8	η = 0.1	η < 0.1	η < 0.1	x: 2.483 m η = 37.5	η < 0.1	η = 0.9	x: 0.111 m η = 0.8	η = 0.1	**CUMPLE η = 37.5**
N2119/N2052	$\lambda_w \leq \lambda_{w,máx}$ Cumple	x: 2.482 m η = 24.7	x: 0.111 m η = 26.3	x: 2.483 m η = 6.2	x: 0.111 m η = 0.8	x: 0.111 m η = 0.7	η < 0.1	η < 0.1	η < 0.1	x: 2.483 m η = 32.7	η < 0.1	η = 0.3	x: 0.111 m η = 0.7	η < 0.1	**CUMPLE η = 32.7**
N2120/N2053	$\lambda_w \leq \lambda_{w,máx}$ Cumple	x: 2.482 m η = 15.9	x: 0.111 m η = 15.0	x: 2.483 m η = 5.0	x: 0.111 m η = 1.3	x: 0.111 m η = 0.5	η = 0.1	η < 0.1	η < 0.1	x: 2.483 m η = 21.7	η < 0.1	η = 0.3	x: 0.111 m η = 0.5	η = 0.1	**CUMPLE η = 21.7**
N2121/N2054	$\lambda_w \leq \lambda_{w,máx}$ Cumple	x: 2.482 m η = 8.9	x: 0.111 m η = 7.5	x: 2.483 m η = 3.4	x: 2.483 m η = 1.3	x: 0.111 m η = 0.3	η < 0.1	η < 0.1	η < 0.1	x: 2.483 m η = 12.4	η < 0.1	η = 0.6	x: 0.111 m η = 0.3	η < 0.1	**CUMPLE η = 12.4**
N2122/N2055	$\lambda_w \leq \lambda_{w,máx}$ Cumple	x: 2.482 m η = 2.8	x: 0.111 m η = 2.3	x: 0.111 m η = 2.1	x: 2.483 m η = 1.3	x: 0.111 m η = 0.1	x: 0.506 m η = 0.1	η < 0.1	η < 0.1	x: 0.111 m η = 5.4	η < 0.1	x: 0.506 m η = 0.8	x: 0.111 m η = 0.1	x: 0.506 m η = 0.1	**CUMPLE η = 5.4**
N2123/N2056	$\lambda_w \leq \lambda_{w,máx}$ Cumple	x: 2.482 m η = 14.5	x: 0.111 m η = 16.7	x: 0.111 m η = 4.5	x: 0.111 m η = 2.3	x: 2.482 m η = 0.3	η = 0.1	η < 0.1	η < 0.1	x: 0.111 m η = 20.8	η < 0.1	η = 0.3	x: 2.482 m η = 0.3	η = 0.1	**CUMPLE η = 20.8**
N2123/N2058	$\lambda_w \leq \lambda_{w,máx}$ Cumple	x: 2.662 m η = 24.2	x: 0.119 m η = 31.3	x: 2.663 m η = 5.6	x: 2.663 m η = 2.1	x: 0.119 m η = 0.5	η = 0.1	η < 0.1	η < 0.1	x: 2.663 m η = 37.4	η < 0.1	x: 0.967 m η = 1.0	x: 0.119 m η = 0.5	η = 0.1	**CUMPLE η = 37.4**
N2124/N2059	$\lambda_w \leq \lambda_{w,máx}$ Cumple	x: 2.662 m η = 35.7	x: 0.119 m η = 47.1	x: 2.663 m η = 8.4	x: 0.119 m η = 1.7	x: 0.119 m η = 0.8	η = 0.1	η < 0.1	η < 0.1	x: 2.663 m η = 56.4	η < 0.1	η = 0.4	x: 0.119 m η = 0.8	η = 0.1	**CUMPLE η = 56.4**
N2125/N2060	$\lambda_w \leq \lambda_{w,máx}$ Cumple	x: 2.662 m η = 46.2	x: 0.119 m η = 60.8	x: 2.663 m η = 8.3	x: 2.663 m η = 1.9	x: 0.119 m η = 0.8	x: 0.119 m η = 0.1	η < 0.1	η < 0.1	x: 2.663 m η = 70.4	η < 0.1	x: 0.119 m η = 0.7	x: 0.119 m η = 0.8	x: 0.119 m η = 0.1	**CUMPLE η = 70.4**
N2126/N2061	$\lambda_w \leq \lambda_{w,máx}$ Cumple	x: 2.662 m η = 47.7	x: 0.119 m η = 57.9	x: 2.663 m η = 9.9	x: 0.119 m η = 2.1	x: 0.119 m η = 1.2	η = 0.1	η < 0.1	η < 0.1	x: 2.663 m η = 68.8	η < 0.1	η = 1.0	x: 0.119 m η = 1.2	η = 0.1	**CUMPLE η = 68.8**
N2127/N2062	$\lambda_w \leq \lambda_{w,máx}$ Cumple	x: 2.662 m η = 56.3	x: 0.119 m η = 66.4	x: 2.663 m η = 10.4	x: 0.119 m η = 2.0	x: 0.119 m η = 1.3	η = 0.1	η < 0.1	η < 0.1	x: 2.663 m η = 77.7	η < 0.1	η = 0.7	x: 0.119 m η = 1.3	η = 0.1	**CUMPLE η = 77.7**
N2128/N2063	$\lambda_w \leq \lambda_{w,máx}$ Cumple	x: 2.662 m η = 55.1	x: 0.119 m η = 65.7	x: 0.119 m η = 11.0	x: 2.663 m η = 2.0	x: 0.119 m η = 1.4	η = 0.1	η < 0.1	η < 0.1	x: 0.119 m η = 76.8	η < 0.1	η = 1.5	x: 0.119 m η = 1.4	η = 0.1	**CUMPLE η = 76.8**
N2129/N2064	$\lambda_w \leq \lambda_{w,máx}$ Cumple	x: 2.662 m η = 55.9	x: 0.119 m η = 66.3	x: 0.119 m η = 10.2	x: 2.663 m η = 3.2	x: 0.119 m η = 0.8	η < 0.1	η < 0.1	η < 0.1	x: 0.119 m η = 76.1	η < 0.1	η = 2.0	x: 0.119 m η = 0.8	η < 0.1	**CUMPLE η = 76.1**
N2130/N2065	$\lambda_w \leq \lambda_{w,máx}$ Cumple	x: 2.549 m η = 53.1	x: 0.119 m η = 64.2	x: 2.55 m η = 12.9	x: 2.55 m η = 3.0	x: 2.549 m η = 1.4	η = 0.1	η < 0.1	η < 0.1	x: 2.55 m η = 76.7	η < 0.1	η = 0.9	x: 2.549 m η = 1.4	η = 0.1	**CUMPLE η = 76.7**
N2067/N2083	$\lambda_w \leq \lambda_{w,máx}$ Cumple	x: 2.377 m η = 30.6	x: 0.111 m η = 37.3	x: 2.378 m η = 17.1	x: 2.378 m η = 2.6	x: 0.111 m η = 1.5	η = 0.2	η < 0.1	η < 0.1	x: 2.378 m η = 54.8	η < 0.1	η = 1.1	x: 0.111 m η = 1.5	η = 0.2	**CUMPLE η = 54.8**
N2068/N2084	$\lambda_w \leq \lambda_{w,máx}$ Cumple	x: 2.482 m η = 45.4	x: 0.111 m η = 50.1	x: 2.483 m η = 11.7	x: 0.111 m η = 1.1	x: 0.111 m η = 1.5	η < 0.1	η < 0.1	η < 0.1	x: 2.483 m η = 62.1	η < 0.1	η = 0.7	x: 0.111 m η = 1.5	η < 0.1	**CUMPLE η = 62.1**
N2069/N2085	$\lambda_w \leq \lambda_{w,máx}$ Cumple	x: 2.482 m η = 38.1	x: 0.111 m η = 42.3	x: 0.111 m η = 7.9	x: 2.483 m η = 0.8	x: 0.111 m η = 1.0	η < 0.1	η < 0.1	η < 0.1	x: 0.111 m η = 48.9	η < 0.1	η = 0.4	x: 0.111 m η = 1.0	η < 0.1	**CUMPLE η = 48.9**
N2070/N2086	$\lambda_w \leq \lambda_{w,máx}$ Cumple	x: 2.482 m η = 37.9	x: 0.111 m η = 40.9	x: 0.111 m η = 7.6	x: 0.111 m η = 0.9	x: 0.111 m η = 1.1	x: 1.692 m η = 0.1	η < 0.1	η < 0.1	x: 2.483 m η = 48.4	η < 0.1	η = 0.4	x: 0.111 m η = 1.1	x: 1.692 m η = 0.1	**CUMPLE η = 48.4**
N2071/N2087	$\lambda_w \leq \lambda_{w,máx}$ Cumple	x: 2.482 m η = 29.1	x: 0.111 m η = 32.3	x: 2.483 m η = 6.1	x: 0.111 m η = 3.1	x: 0.111 m η = 0.9	x: 2.285 m η = 0.1	η < 0.1	η < 0.1	x: 2.483 m η = 38.6	η < 0.1	η = 0.5	x: 0.111 m η = 0.9	x: 2.285 m η = 0.1	**CUMPLE η = 38.6**
N2072/N2088	$\lambda_w \leq \lambda_{w,máx}$ Cumple	x: 2.482 m η = 24.8	x: 0.111 m η = 28.3	x: 2.483 m η = 4.7	x: 2.483 m η = 3.1	x: 0.111 m η = 0.5	x: 0.111 m η = 0.1	η < 0.1	η < 0.1	x: 2.483 m η = 33.3	η < 0.1	η = 1.1	x: 0.111 m η = 0.5	x: 0.111 m η = 0.1	**CUMPLE η = 33.3**

Documento visado electrónicamente con número: VA07290/22
Código de validación telemática TRLTDCFZ60T66IJ1. Comprobación: https://cogitivalencia.e-gestion.es/Validacion.aspx?CVT=TRLTDCFZ60T66IJ1

Listados

Barras	COMPROBACIONES (CÓDIGO ESTRUCTURAL)														Estado
	λ_w	N_t	N_c	M_Y	M_Z	V_Z	V_Y	M_YV_Z	M_ZV_Y	NM_YM_Z	$NM_YM_ZV_YV_Z$	M_t	M_tV_Z	M_tV_Y	
N2073/N2089	$\lambda_w \leq \lambda_{w,máx}$ Cumple	x: 2.482 m η = 14.7	x: 0.111 m η = 15.6	x: 2.483 m η = 3.8	x: 0.111 m η = 2.3	x: 0.111 m η = 0.4	x: 2.285 m η = 0.1	η < 0.1	η < 0.1	x: 2.483 m η = 19.5	η < 0.1	x: 1.495 m η = 0.5	x: 0.111 m η = 0.4	x: 2.285 m η = 0.1	**CUMPLE η = 19.5**
N2074/N2090	$\lambda_w \leq \lambda_{w,máx}$ Cumple	x: 2.482 m η = 3.8	x: 0.111 m η = 0.9	x: 2.483 m η = 1.8	x: 2.483 m η = 2.9	x: 0.111 m η = 0.2	x: 0.111 m η = 0.1	η < 0.1	η < 0.1	x: 2.088 m η = 5.6	η < 0.1	x: 0.111 m η = 1.2	x: 0.111 m η = 0.2	x: 0.111 m η = 0.1	**CUMPLE η = 5.6**
N2074/N2092	$\lambda_w \leq \lambda_{w,máx}$ Cumple	x: 2.662 m η = 7.2	x: 0.119 m η = 8.3	x: 2.663 m η = 3.0	x: 2.663 m η = 3.0	x: 2.662 m η = 0.3	x: 2.662 m η = 0.1	η < 0.1	η < 0.1	x: 2.663 m η = 11.5	η < 0.1	x: 1.391 m η = 1.1	x: 2.662 m η = 0.3	x: 2.662 m η = 0.1	**CUMPLE η = 11.5**
N2075/N2093	$\lambda_w \leq \lambda_{w,máx}$ Cumple	x: 2.662 m η = 18.7	x: 0.119 m η = 26.8	x: 2.663 m η = 5.2	x: 0.119 m η = 2.4	x: 2.662 m η = 0.5	x: 1.815 m η = 0.1	η < 0.1	η < 0.1	x: 2.663 m η = 32.2	η < 0.1	x: 1.815 m η = 0.7	x: 2.662 m η = 0.5	x: 1.815 m η = 0.1	**CUMPLE η = 32.2**
N2076/N2094	$\lambda_w \leq \lambda_{w,máx}$ Cumple	x: 2.662 m η = 29.4	x: 0.119 m η = 40.6	x: 2.663 m η = 5.8	x: 2.663 m η = 3.4	x: 0.119 m η = 0.6	η = 0.1	η < 0.1	η < 0.1	x: 2.663 m η = 47.0	η < 0.1	η = 1.2	x: 0.119 m η = 0.6	η = 0.1	**CUMPLE η = 47.0**
N2077/N2095	$\lambda_w \leq \lambda_{w,máx}$ Cumple	x: 2.662 m η = 33.7	x: 0.119 m η = 42.5	x: 2.663 m η = 7.3	x: 0.119 m η = 3.4	x: 0.119 m η = 0.9	x: 1.603 m η = 0.1	η < 0.1	η < 0.1	x: 2.663 m η = 50.2	η < 0.1	η = 0.5	x: 0.119 m η = 0.9	x: 1.603 m η = 0.1	**CUMPLE η = 50.2**
N2078/N2096	$\lambda_w \leq \lambda_{w,máx}$ Cumple	x: 2.662 m η = 42.5	x: 0.119 m η = 51.5	x: 0.119 m η = 8.2	x: 0.119 m η = 1.2	x: 0.119 m η = 1.1	x: 1.603 m η = 0.1	η < 0.1	η < 0.1	x: 2.663 m η = 60.0	η < 0.1	η = 0.4	x: 0.119 m η = 1.1	x: 1.603 m η = 0.1	**CUMPLE η = 60.0**
N2079/N2097	$\lambda_w \leq \lambda_{w,máx}$ Cumple	x: 2.662 m η = 43.7	x: 0.119 m η = 53.3	x: 0.119 m η = 9.0	x: 2.663 m η = 0.9	x: 0.119 m η = 1.1	η < 0.1	η < 0.1	η < 0.1	x: 0.119 m η = 62.0	η < 0.1	η = 0.6	x: 0.119 m η = 1.1	η < 0.1	**CUMPLE η = 62.0**
N2080/N2098	$\lambda_w \leq \lambda_{w,máx}$ Cumple	x: 2.662 m η = 45.0	x: 0.119 m η = 54.3	x: 0.119 m η = 8.5	x: 2.662 m η = 1.2	x: 0.119 m η = 0.6	η < 0.1	η < 0.1	η < 0.1	x: 0.119 m η = 62.7	η < 0.1	η = 0.8	x: 0.119 m η = 0.6	η < 0.1	**CUMPLE η = 62.7**
N2081/N2099	$\lambda_w \leq \lambda_{w,máx}$ Cumple	x: 2.549 m η = 49.9	x: 0.119 m η = 62.6	x: 2.55 m η = 12.1	x: 2.55 m η = 1.3	x: 2.549 m η = 1.2	η < 0.1	η < 0.1	η < 0.1	x: 2.55 m η = 74.1	η < 0.1	η = 0.4	x: 2.549 m η = 1.2	η < 0.1	**CUMPLE η = 74.1**
N2131/N2082	$\lambda_w \leq \lambda_{w,máx}$ Cumple	x: 2.377 m η = 34.8	x: 0.111 m η = 42.4	x: 2.378 m η = 12.2	x: 0.111 m η = 1.7	x: 0.111 m η = 0.9	η = 0.1	η < 0.1	η < 0.1	x: 2.378 m η = 54.4	η < 0.1	η = 0.9	x: 0.111 m η = 0.9	η = 0.1	**CUMPLE η = 54.4**
N2132/N2100	$\lambda_w \leq \lambda_{w,máx}$ Cumple	x: 2.482 m η = 54.2	x: 0.111 m η = 61.8	x: 0.111 m η = 12.5	x: 0.111 m η = 1.3	x: 0.111 m η = 1.6	x: 1.692 m η < 0.1	η < 0.1	η < 0.1	x: 2.483 m η = 74.7	η < 0.1	η = 0.7	x: 0.111 m η = 1.6	x: 1.692 m η < 0.1	**CUMPLE η = 74.7**
N2133/N2101	$\lambda_w \leq \lambda_{w,máx}$ Cumple	x: 2.482 m η = 47.0	x: 0.111 m η = 54.0	x: 0.111 m η = 9.5	x: 2.483 m η = 0.8	x: 0.111 m η = 1.2	η < 0.1	η < 0.1	η < 0.1	x: 0.111 m η = 62.7	η < 0.1	η = 0.4	x: 0.111 m η = 1.2	η < 0.1	**CUMPLE η = 62.7**
N2134/N2102	$\lambda_w \leq \lambda_{w,máx}$ Cumple	x: 2.482 m η = 48.6	x: 0.111 m η = 55.1	x: 2.483 m η = 9.7	x: 0.111 m η = 1.0	x: 0.111 m η = 1.3	x: 1.297 m η = 0.1	η < 0.1	η < 0.1	x: 2.483 m η = 65.0	η < 0.1	η = 0.5	x: 0.111 m η = 1.3	x: 1.297 m η = 0.1	**CUMPLE η = 65.0**
N2135/N2103	$\lambda_w \leq \lambda_{w,máx}$ Cumple	x: 2.482 m η = 40.1	x: 0.111 m η = 46.8	x: 2.483 m η = 8.6	x: 0.111 m η = 3.8	x: 0.111 m η = 1.1	x: 1.692 m η = 0.1	η < 0.1	η < 0.1	x: 2.483 m η = 55.8	η < 0.1	η = 0.5	x: 0.111 m η = 1.1	x: 1.692 m η = 0.1	**CUMPLE η = 55.8**
N2136/N2104	$\lambda_w \leq \lambda_{w,máx}$ Cumple	x: 2.482 m η = 38.0	x: 0.111 m η = 47.2	x: 2.483 m η = 7.2	x: 2.483 m η = 3.8	x: 0.111 m η = 0.8	η = 0.1	η < 0.1	η < 0.1	x: 2.483 m η = 55.0	η < 0.1	η = 1.4	x: 0.111 m η = 0.8	η = 0.1	**CUMPLE η = 55.0**
N2137/N2105	$\lambda_w \leq \lambda_{w,máx}$ Cumple	x: 2.482 m η = 27.9	x: 0.111 m η = 34.6	x: 2.483 m η = 6.9	x: 0.111 m η = 2.5	x: 0.111 m η = 0.7	x: 1.692 m η = 0.2	η < 0.1	η < 0.1	x: 2.483 m η = 41.9	η < 0.1	x: 1.692 m η = 0.8	x: 0.111 m η = 0.7	x: 1.692 m η = 0.2	**CUMPLE η = 41.9**
N2138/N2106	$\lambda_w \leq \lambda_{w,máx}$ Cumple	x: 2.482 m η = 17.2	x: 0.111 m η = 20.5	x: 2.483 m η = 4.4	x: 0.111 m η = 3.1	x: 0.111 m η = 0.4	η < 0.1	η < 0.1	η < 0.1	x: 2.483 m η = 25.2	η < 0.1	x: 1.495 m η = 1.1	x: 0.111 m η = 0.4	η < 0.1	**CUMPLE η = 25.2**
N2138/N2108	$\lambda_w \leq \lambda_{w,máx}$ Cumple	x: 2.662 m η = 8.3	x: 0.119 m η = 7.6	x: 0.119 m η = 3.2	x: 2.663 m η = 2.5	x: 2.662 m η = 0.2	x: 0.755 m η = 0.2	η < 0.1	η < 0.1	x: 0.119 m η = 11.6	η < 0.1	x: 0.755 m η = 1.2	x: 2.662 m η = 0.2	x: 0.755 m η = 0.2	**CUMPLE η = 11.6**
N2139/N2109	$\lambda_w \leq \lambda_{w,máx}$ Cumple	x: 2.662 m η = 5.5	x: 0.119 m η = 5.0	x: 2.663 m η = 3.3	x: 0.119 m η = 2.0	x: 0.119 m η = 0.2	η < 0.1	η < 0.1	η < 0.1	x: 2.662 m η = 8.5	η < 0.1	η = 0.4	x: 0.119 m η = 0.2	η < 0.1	**CUMPLE η = 8.5**
N2140/N2110	$\lambda_w \leq \lambda_{w,máx}$ Cumple	x: 2.662 m η = 16.4	x: 0.119 m η = 20.8	x: 2.663 m η = 4.5	x: 2.663 m η = 2.9	x: 0.119 m η = 0.4	x: 0.331 m η = 0.2	η < 0.1	η < 0.1	x: 2.663 m η = 25.6	η < 0.1	x: 0.331 m η = 1.3	x: 0.119 m η = 0.4	x: 0.331 m η = 0.2	**CUMPLE η = 25.6**
N2141/N2111	$\lambda_w \leq \lambda_{w,máx}$ Cumple	x: 2.662 m η = 22.7	x: 0.119 m η = 27.3	x: 2.663 m η = 6.2	x: 0.119 m η = 3.7	x: 0.119 m η = 0.6	η = 0.1	η < 0.1	η < 0.1	x: 2.663 m η = 33.8	η < 0.1	η = 0.6	x: 0.119 m η = 0.6	η = 0.1	**CUMPLE η = 33.8**
N2142/N2112	$\lambda_w \leq \lambda_{w,máx}$ Cumple	x: 2.662 m η = 32.0	x: 0.119 m η = 36.5	x: 2.663 m η = 7.3	x: 0.119 m η = 1.3	x: 0.119 m η = 0.8	x: 0.967 m η = 0.1	η < 0.1	η < 0.1	x: 2.663 m η = 43.9	η < 0.1	x: 0.967 m η = 0.5	x: 0.119 m η = 0.8	x: 0.967 m η = 0.1	**CUMPLE η = 43.9**
N2143/N2113	$\lambda_w \leq \lambda_{w,máx}$ Cumple	x: 2.662 m η = 33.8	x: 0.119 m η = 39.5	x: 2.663 m η = 7.2	x: 2.663 m η = 1.0	x: 0.119 m η = 0.9	η = 0.1	η < 0.1	η < 0.1	x: 2.663 m η = 46.9	η < 0.1	η = 0.6	x: 0.119 m η = 0.9	η = 0.1	**CUMPLE η = 46.9**
N2144/N2114	$\lambda_w \leq \lambda_{w,máx}$ Cumple	x: 2.662 m η = 41.9	x: 0.119 m η = 48.5	x: 2.663 m η = 6.6	x: 2.663 m η = 2.0	x: 0.119 m η = 0.8	η < 0.1	η < 0.1	η < 0.1	x: 2.663 m η = 55.3	η < 0.1	η = 0.8	x: 0.119 m η = 0.8	η < 0.1	**CUMPLE η = 55.3**
N2145/N2115	$\lambda_w \leq \lambda_{w,máx}$ Cumple	x: 2.549 m η = 26.3	x: 0.119 m η = 33.2	x: 0.119 m η = 12.5	x: 2.55 m η = 1.8	x: 0.119 m η = 1.4	η < 0.1	η < 0.1	η < 0.1	x: 0.119 m η = 44.6	η < 0.1	η = 0.5	x: 0.119 m η = 1.4	η < 0.1	**CUMPLE η = 44.6**
N1938/N2146	$\lambda_w \leq \lambda_{w,máx}$ Cumple	η = 1.7	η = 11.0	x: 0.13 m η = 2.5	x: 0.13 m η = 6.6	η = 0.2	x: 0.13 m η = 0.9	η < 0.1	η < 0.1	x: 0.13 m η = 16.3	η < 0.1	η = 1.3	η = 0.2	x: 0.13 m η = 0.9	**CUMPLE η = 16.3**
N2146/N2147	$\lambda_w \leq \lambda_{w,máx}$ Cumple	η = 1.8	η = 9.8	x: 0.06 m η = 1.1	x: 2.373 m η = 1.4	η = 0.1	x: 2.373 m η = 0.3	η < 0.1	η < 0.1	x: 1.217 m η = 11.1	η < 0.1	η = 0.8	η = 0.1	x: 2.373 m η = 0.3	**CUMPLE η = 11.1**
N2147/N2148	$\lambda_w \leq \lambda_{w,máx}$ Cumple	η = 1.9	η = 9.6	x: 2.373 m η = 4.0	x: 2.373 m η = 4.3	η = 0.3	x: 2.373 m η = 0.6	η < 0.1	η < 0.1	x: 2.373 m η = 14.2	η < 0.1	η = 1.3	η = 0.3	x: 2.373 m η = 0.6	**CUMPLE η = 14.2**
N1834/N2149	$\lambda_w \leq \lambda_{w,máx}$ Cumple	η = 0.9	η = 15.4	x: 0.075 m η = 3.2	x: 0.075 m η = 9.3	η = 0.2	x: 0.075 m η = 1.2	η < 0.1	η < 0.1	x: 0.075 m η = 21.9	η < 0.1	η = 2.3	η = 0.2	x: 0.075 m η = 1.2	**CUMPLE η = 21.9**
N2149/N2150	$\lambda_w \leq \lambda_{w,máx}$ Cumple	η = 0.5	η = 16.5	x: 2.373 m η = 1.6	x: 0.253 m η = 1.9	η = 0.1	x: 2.373 m η = 0.3	η < 0.1	η < 0.1	x: 2.373 m η = 18.4	η < 0.1	η = 1.2	η = 0.1	x: 2.373 m η = 0.3	**CUMPLE η = 18.4**
N2150/N2049	$\lambda_w \leq \lambda_{w,máx}$ Cumple	η = 0.5	η = 16.7	x: 0.06 m η = 1.6	x: 2.373 m η = 5.1	η = 0.2	x: 2.373 m η = 0.6	η < 0.1	η < 0.1	x: 2.373 m η = 19.1	η < 0.1	η = 5.6	η = 0.2	x: 2.373 m η = 0.7	**CUMPLE η = 19.1**
N1851/N2151	$\lambda_w \leq \lambda_{w,máx}$ Cumple	η = 1.4	η = 63.7	x: 0.155 m η = 4.0	x: 2.338 m η = 5.5	η = 0.4	x: 0.155 m η = 0.9	η < 0.1	η < 0.1	x: 0.155 m η = 72.2	η < 0.1	η = 1.4	η = 0.4	x: 0.155 m η = 0.9	**CUMPLE η = 72.2**
N2151/N2152	$\lambda_w \leq \lambda_{w,máx}$ Cumple	η = 8.1	η = 19.6	x: 0.095 m η = 1.6	x: 2.338 m η = 9.7	η = 0.2	x: 2.338 m η = 1.4	η < 0.1	η < 0.1	x: 2.338 m η = 25.1	η < 0.1	η = 0.6	η = 0.2	x: 2.338 m η = 1.4	**CUMPLE η = 25.1**
N2152/N2083	$\lambda_w \leq \lambda_{w,máx}$ Cumple	η = 6.7	η = 47.5	x: 2.283 m η = 3.0	x: 0.095 m η = 4.9	η = 0.3	x: 0.095 m η = 0.7	η < 0.1	η < 0.1	x: 0.095 m η = 50.4	η < 0.1	η = 0.9	η = 0.3	x: 0.095 m η = 0.7	**CUMPLE η = 50.4**
N1850/N2153	$\lambda_w \leq \lambda_{w,máx}$ Cumple	x: 0.665 m η = 0.2	η = 48.2	x: 0.095 m η = 2.2	x: 0.095 m η = 5.7	η = 0.2	x: 0.095 m η = 0.8	η < 0.1	η < 0.1	x: 2.373 m η = 53.0	η < 0.1	η = 0.3	η = 0.2	x: 0.095 m η = 0.8	**CUMPLE η = 53.0**
N2153/N2154	$\lambda_w \leq \lambda_{w,máx}$ Cumple	η = 0.2	η = 47.5	x: 0.06 m η = 1.3	x: 0.06 m η = 8.4	η = 0.1	x: 2.373 m η = 1.2	η < 0.1	η < 0.1	x: 0.06 m η = 54.4	η < 0.1	η = 0.7	η = 0.1	x: 2.373 m η = 1.2	**CUMPLE η = 54.4**
N2154/N2065	$\lambda_w \leq \lambda_{w,máx}$ Cumple	η = 1.1	η = 19.4	x: 2.338 m η = 2.3	x: 2.338 m η = 4.9	η = 0.2	x: 2.338 m η = 0.6	η < 0.1	η < 0.1	x: 2.338 m η = 23.8	η < 0.1	η = 1.1	η = 0.2	x: 2.338 m η = 0.6	**CUMPLE η = 23.8**
N2152/N2154	$\lambda_w \leq \lambda_{w,máx}$ Cumple	x: 1.939 m η < 0.1	x: 0.078 m η = 7.0	x: 1.94 m η = 6.3	x: 0.078 m η = 3.2	η = 0.9	η = 0.2	η < 0.1	η < 0.1	x: 0.078 m η = 13.9	η < 0.1	η = 0.9	η = 1.0	η = 0.2	**CUMPLE η = 13.9**
N2151/N2153	$\lambda_w \leq \lambda_{w,máx}$ Cumple	x: 1.939 m η = 0.4	x: 0.637 m η = 2.2	x: 0.078 m η = 4.5	x: 0.078 m η = 3.0	η = 0.7	η = 0.2	η < 0.1	η < 0.1	x: 0.078 m η = 6.9	η < 0.1	η = 0.2	η = 0.7	η = 0.2	**CUMPLE η = 6.9**
N2147/N2150	$\lambda_w \leq \lambda_{w,máx}$ Cumple	x: 1.939 m η < 0.1	x: 0.06 m η = 0.2	x: 0.06 m η = 2.5	x: 1.94 m η = 3.5	η = 0.4	η = 0.3	η < 0.1	η < 0.1	x: 1.94 m η = 5.3	η < 0.1	η = 0.5	η = 0.4	η = 0.3	**CUMPLE η = 5.3**
N2146/N2149	$\lambda_w \leq \lambda_{w,máx}$ Cumple	x: 1.939 m η < 0.1	x: 0.06 m η = 0.1	x: 1.94 m η = 5.1	x: 1.94 m η = 2.3	η = 0.7	η = 0.1	η < 0.1	η < 0.1	x: 1.94 m η = 6.5	η < 0.1	η = 1.4	η = 0.7	η = 0.2	**CUMPLE η = 6.5**
N1951/N2151	$\lambda_w \leq \lambda_{w,máx}$ Cumple	x: 3.054 m η = 20.1	x: 2.647 m η = 4.2	x: 0.201 m η = 9.3	x: 3.055 m η = 3.4	x: 3.055 m η = 0.8	η = 0.2	η < 0.1	η < 0.1	x: 0.201 m η = 31.5	η < 0.1	η = 3.4	x: 3.055 m η = 0.9	η = 0.2	**CUMPLE η = 31.5**

VISADO COGITI VALENCIA VA07290/22 TRLTDCFZ60T66IJ1
Documento visado electrónicamente con número VA07290/22
Código de validación telemática TRLTDCFZ60T66IJ1. Comprobación: https://cogitivalencia.e-gestion.es/Validacion.aspx?CVT=TRLTDCFZ60T66IJ1

VISADO
COGITI
Estado
VALENCIA
VA07290/22
TRLTDCFZ60T66IJ1

Barras	COMPROBACIONES (CÓDIGO ESTRUCTURAL)															
	λ_w	N_t	N_c	M_Y	M_Z	V_Z	V_Y	M_YV_Z	M_ZV_Y	NM_YM_Z	$NM_YM_ZV_YV_Z$	M_t	M_tV_Z	M_tV_Y	
N2066/N2152	$\lambda_w \leq \lambda_{w,máx}$ Cumple	x: 3.054 m η = 11.8	x: 0.195 m η = 19.2	x: 0.195 m η = 10.5	x: 0.195 m η = 7.4	x: 0.195 m η = 0.8	η = 0.3	η < 0.1	η < 0.1	x: 0.195 m η = 32.9	η < 0.1	η = 3.9	x: 0.195 m η = 0.9	η = 0.3	**CUMPLE η = 32.9**
N1962/N2155	$\lambda_w \leq \lambda_{w,máx}$ Cumple	x: 3.054 m η = 14.8	x: 2.239 m η = 2.8	x: 0.201 m η = 5.8	x: 3.055 m η = 3.6	x: 3.055 m η = 0.6	η = 0.2	η < 0.1	η < 0.1	x: 0.201 m η = 20.2	η < 0.1	η = 2.2	x: 3.055 m η = 0.6	η = 0.2	**CUMPLE η = 20.2**
N1868/N2155	$\lambda_w \leq \lambda_{w,máx}$ Cumple	η = 1.2	η = 56.4	x: 2.338 m η = 3.0	x: 0.155 m η = 3.0	η = 0.4	x: 0.155 m η = 0.5	η < 0.1	η < 0.1	x: 2.338 m η = 60.7	η < 0.1	η = 1.3	η = 0.4	x: 0.155 m η = 0.5	**CUMPLE η = 60.7**
N2155/N2156	$\lambda_w \leq \lambda_{w,máx}$ Cumple	η = 8.1	η = 17.2	x: 0.095 m η = 1.1	x: 2.338 m η = 5.0	η = 0.1	x: 2.338 m η = 0.7	η < 0.1	η < 0.1	x: 2.338 m η = 20.9	η < 0.1	η = 0.2	η = 0.1	x: 2.338 m η = 0.7	**CUMPLE η = 20.9**
N2156/N2082	$\lambda_w \leq \lambda_{w,máx}$ Cumple	η = 3.1	η = 49.0	x: 2.283 m η = 4.1	x: 0.095 m η = 3.2	η = 0.5	x: 0.095 m η = 0.5	η < 0.1	η < 0.1	x: 2.283 m η = 53.0	η < 0.1	η = 1.1	η = 0.5	x: 0.095 m η = 0.5	**CUMPLE η = 53.0**
N2155/N2157	$\lambda_w \leq \lambda_{w,máx}$ Cumple	x: 1.939 m η = 0.2	x: 0.078 m η = 1.4	x: 0.078 m η = 2.4	x: 0.078 m η = 2.9	η = 0.4	η = 0.2	η < 0.1	η < 0.1	x: 0.078 m η = 4.8	η < 0.1	η = 0.2	η = 0.4	η = 0.2	**CUMPLE η = 4.8**
N2156/N2158	$\lambda_w \leq \lambda_{w,máx}$ Cumple	x: 1.939 m η = 0.1	x: 0.078 m η = 3.5	x: 1.94 m η = 3.3	x: 0.078 m η = 3.2	η = 0.4	η = 0.2	η < 0.1	η < 0.1	x: 0.078 m η = 7.4	η < 0.1	η = 0.7	η = 0.4	η = 0.2	**CUMPLE η = 7.4**
N2159/N2156	$\lambda_w \leq \lambda_{w,máx}$ Cumple	x: 3.054 m η = 13.5	x: 0.195 m η = 10.9	x: 0.195 m η = 6.2	x: 3.055 m η = 4.2	x: 0.195 m η = 0.6	η = 0.2	η < 0.1	η < 0.1	x: 3.055 m η = 19.8	η < 0.1	η = 2.4	x: 0.195 m η = 0.6	η = 0.2	**CUMPLE η = 19.8**
N1867/N2157	$\lambda_w \leq \lambda_{w,máx}$ Cumple	η = 0.4	η = 26.2	x: 0.095 m η = 2.1	x: 0.095 m η = 5.2	η = 0.2	x: 0.095 m η = 0.7	η < 0.1	η < 0.1	x: 0.095 m η = 30.5	η < 0.1	η = 0.4	η = 0.2	x: 0.095 m η = 0.7	**CUMPLE η = 30.5**
N2157/N2158	$\lambda_w \leq \lambda_{w,máx}$ Cumple	η = 0.1	η = 25.9	x: 2.373 m η = 0.9	x: 2.373 m η = 4.2	η < 0.1	x: 2.373 m η = 0.7	η < 0.1	η < 0.1	x: 0.06 m η = 29.2	η < 0.1	η = 0.5	η < 0.1	x: 2.373 m η = 0.7	**CUMPLE η = 29.2**
N2158/N2099	$\lambda_w \leq \lambda_{w,máx}$ Cumple	η = 0.3	η = 19.9	x: 2.338 m η = 1.9	x: 2.338 m η = 4.8	η = 0.2	x: 2.338 m η = 0.6	η < 0.1	η < 0.1	x: 2.338 m η = 24.2	η < 0.1	η = 1.2	η = 0.2	x: 2.338 m η = 0.7	**CUMPLE η = 24.2**
N2151/N1850	$\lambda_w \leq \lambda_{w,máx}$ Cumple	x: 3.051 m η = 16.3	x: 0.095 m η = 2.0	x: 3.052 m η = 4.7	x: 0.095 m η = 1.9	x: 3.052 m η = 0.6	η = 0.1	η < 0.1	η < 0.1	x: 0.095 m η = 21.9	η < 0.1	η = 0.9	x: 3.052 m η = 0.6	η = 0.1	**CUMPLE η = 21.9**
N2152/N2065	$\lambda_w \leq \lambda_{w,máx}$ Cumple	x: 3.054 m η = 16.0	x: 0.095 m η = 2.0	x: 3.055 m η = 3.9	x: 0.095 m η = 3.0	x: 3.055 m η = 0.5	η = 0.1	η < 0.1	η < 0.1	x: 3.055 m η = 21.2	η < 0.1	η = 1.4	x: 3.055 m η = 0.5	η = 0.1	**CUMPLE η = 21.2**
N2155/N1867	$\lambda_w \leq \lambda_{w,máx}$ Cumple	x: 3.051 m η = 16.1	x: 0.095 m η = 2.6	x: 3.052 m η = 4.3	x: 0.095 m η = 1.7	x: 3.052 m η = 0.6	η = 0.1	η < 0.1	η < 0.1	x: 3.052 m η = 20.5	η < 0.1	η = 1.0	x: 3.052 m η = 0.6	η = 0.1	**CUMPLE η = 20.5**
N2156/N2099	$\lambda_w \leq \lambda_{w,máx}$ Cumple	x: 3.054 m η = 15.7	x: 0.095 m η = 1.8	x: 3.055 m η = 4.0	x: 0.095 m η = 2.3	x: 3.055 m η = 0.5	η < 0.1	η < 0.1	η < 0.1	x: 3.055 m η = 20.7	η < 0.1	η = 1.3	x: 3.055 m η = 0.5	η < 0.1	**CUMPLE η = 20.7**
N1884/N2161	$\lambda_w \leq \lambda_{w,máx}$ Cumple	x: 0.854 m η = 0.6	η = 17.4	x: 0.095 m η = 3.2	x: 0.095 m η = 5.3	η = 0.4	x: 0.095 m η = 0.7	η < 0.1	η < 0.1	x: 0.095 m η = 22.3	η < 0.1	η = 1.2	η = 0.4	x: 0.095 m η = 0.7	**CUMPLE η = 22.3**
N2161/N2160	$\lambda_w \leq \lambda_{w,máx}$ Cumple	η < 0.1	η = 17.2	x: 0.06 m η = 2.0	x: 0.06 m η = 3.4	η = 0.1	x: 2.373 m η = 0.5	η < 0.1	η < 0.1	x: 0.06 m η = 21.3	η < 0.1	η = 0.9	η = 0.1	x: 2.373 m η = 0.5	**CUMPLE η = 21.3**
N2160/N2115	$\lambda_w \leq \lambda_{w,máx}$ Cumple	η < 0.1	η = 10.6	x: 2.338 m η = 4.4	x: 2.338 m η = 4.5	η = 0.4	x: 2.338 m η = 0.6	η < 0.1	η < 0.1	x: 2.338 m η = 13.9	η < 0.1	η = 2.4	η = 0.4	x: 2.338 m η = 0.6	**CUMPLE η = 13.9**
N2162/N2115	$\lambda_w \leq \lambda_{w,máx}$ Cumple	x: 3.054 m η = 15.5	x: 0.095 m η = 1.4	x: 3.055 m η = 3.6	x: 0.095 m η = 3.5	x: 3.055 m η = 0.5	η = 0.1	η < 0.1	η < 0.1	x: 3.055 m η = 19.6	η < 0.1	η = 2.9	x: 3.055 m η = 0.5	η = 0.1	**CUMPLE η = 19.6**
N1966/N2164	$\lambda_w \leq \lambda_{w,máx}$ Cumple	η = 0.9	η = 45.3	x: 0.175 m η = 4.7	x: 0.175 m η = 2.1	η = 0.6	x: 0.175 m η = 0.4	η < 0.1	η < 0.1	x: 0.175 m η = 48.6	η < 0.1	η = 1.0	η = 0.6	x: 0.175 m η = 0.4	**CUMPLE η = 48.6**
N2164/N2162	$\lambda_w \leq \lambda_{w,máx}$ Cumple	η = 10.4	x: 1.591 m η = 11.4	x: 0.095 m η = 1.0	x: 2.338 m η = 3.8	η = 0.1	x: 2.338 m η = 0.6	η < 0.1	η < 0.1	x: 2.338 m η = 13.0	η < 0.1	η = 0.8	η = 0.1	x: 2.338 m η = 0.6	**CUMPLE η = 13.0**
N2162/N2163	$\lambda_w \leq \lambda_{w,máx}$ Cumple	η = 3.2	η = 35.7	x: 0.095 m η = 3.9	x: 0.095 m η = 1.4	η = 0.5	x: 0.095 m η = 0.3	η < 0.1	η < 0.1	x: 2.283 m η = 36.3	η < 0.1	η = 0.9	η = 0.5	x: 0.095 m η = 0.3	**CUMPLE η = 36.3**
N2165/N2162	$\lambda_w \leq \lambda_{w,máx}$ Cumple	x: 3.054 m η = 11.5	x: 0.195 m η = 4.5	x: 0.195 m η = 3.3	x: 3.055 m η = 7.5	x: 0.195 m η = 0.4	η = 0.1	η < 0.1	η < 0.1	x: 3.055 m η = 18.1	η < 0.1	η = 6.7	x: 0.195 m η = 0.4	η = 0.1	**CUMPLE η = 18.1**
N2164/N2161	$\lambda_w \leq \lambda_{w,máx}$ Cumple	x: 1.939 m η = 0.2	x: 0.078 m η = 1.4	x: 1.94 m η = 1.5	x: 0.078 m η = 6.3	η = 0.2	η = 0.4	η < 0.1	η < 0.1	x: 0.078 m η = 6.8	η < 0.1	η = 0.5	η = 0.2	η = 0.4	**CUMPLE η = 6.8**
N2164/N1884	$\lambda_w \leq \lambda_{w,máx}$ Cumple	x: 3.051 m η = 16.7	x: 0.095 m η = 1.3	x: 3.052 m η = 4.2	x: 0.095 m η = 3.4	x: 3.052 m η = 0.5	η = 0.1	η < 0.1	η < 0.1	x: 0.095 m η = 21.6	η < 0.1	η = 2.2	x: 3.052 m η = 0.5	η = 0.1	**CUMPLE η = 21.6**
N2162/N2160	$\lambda_w \leq \lambda_{w,máx}$ Cumple	N_{Ed} = 0.00 N.P.[1]	x: 0.078 m η = 2.6	x: 1.94 m η = 3.1	x: 0.078 m η = 6.4	η = 0.4	η = 0.4	η < 0.1	η < 0.1	x: 0.078 m η = 9.2	η < 0.1	η = 1.3	η = 0.4	η = 0.4	**CUMPLE η = 9.2**
N1969/N2164	$\lambda_w \leq \lambda_{w,máx}$ Cumple	x: 3.054 m η = 16.2	x: 3.054 m η = 3.5	x: 0.227 m η = 4.2	x: 3.055 m η = 7.6	x: 3.055 m η = 0.5	η = 0.1	η < 0.1	η < 0.1	x: 0.227 m η = 24.8	η < 0.1	η = 6.4	x: 3.055 m η = 0.5	η = 0.1	**CUMPLE η = 24.8**
N1836/N2051	x: 0.523 m $\lambda_w \leq \lambda_{w,máx}$ Cumple	η = 5.2	η = 18.8	M_{Ed} = 0.00 N.P.[2]	x: 3.658 m η = 6.0	V_{Ed} = 0.00 N.P.[3]	x: 0.075 m η = 0.5	N.P.[4]	x: 0.523 m η < 0.1	x: 3.658 m η = 25.2	x: 0.523 m η < 0.1	M_{Ed} = 0.00 N.P.[5]	N.P.[6]	N.P.[6]	**CUMPLE η = 25.2**
N2166/N2167	$\lambda_w \leq \lambda_{w,máx}$ Cumple	x: 1.939 m η = 0.1	x: 0.06 m η = 0.5	x: 1.94 m η = 15.0	x: 0.06 m η = 0.2	η = 2.4	η < 0.1	η < 0.1	x: 0.06 m η < 0.1	x: 1.94 m η = 15.5	η < 0.1	η = 0.4	η = 2.4	η < 0.1	**CUMPLE η = 15.5**
N2168/N2169	$\lambda_w \leq \lambda_{w,máx}$ Cumple	x: 1.939 m η = 0.1	x: 0.06 m η = 0.5	x: 1.94 m η = 16.4	x: 0.06 m η = 0.2	η = 2.6	η < 0.1	η < 0.1	x: 0.06 m η < 0.1	x: 1.94 m η = 17.0	η < 0.1	η = 0.4	η = 2.6	η < 0.1	**CUMPLE η = 17.0**
N1892/N2171	x: 0.061 m $\lambda_w \leq \lambda_{w,máx}$ Cumple	η = 0.4	η = 12.4	x: 2.372 m η = 0.1	x: 2.373 m η = 26.4	η < 0.1	x: 0.06 m η = 1.8	x: 0.253 m η < 0.1	x: 0.061 m η < 0.1	x: 2.373 m η = 30.7	x: 0.061 m η < 0.1	M_{Ed} = 0.00 N.P.[5]	N.P.[6]	N.P.[6]	**CUMPLE η = 30.7**
N2171/N2170	$\lambda_w \leq \lambda_{w,máx}$ Cumple	η = 0.4	η = 11.9	x: 2.372 m η < 0.1	x: 0.06 m η = 7.6	η < 0.1	x: 2.373 m η = 1.0	x: 0.06 m η < 0.1	η < 0.1	x: 2.373 m η = 13.9	η < 0.1	η = 0.1	η < 0.1	x: 2.373 m η = 1.0	**CUMPLE η = 13.9**
N2170/N2123	x: 0.06 m $\lambda_w \leq \lambda_{w,máx}$ Cumple	η = 1.5	η = 13.6	x: 0.06 m η = 0.1	x: 0.06 m η = 25.3	η < 0.1	x: 2.383 m η = 1.7	x: 0.06 m η < 0.1	x: 0.06 m η < 0.1	x: 0.06 m η = 28.7	x: 0.06 m η < 0.1	M_{Ed} = 0.00 N.P.[5]	N.P.[6]	N.P.[6]	**CUMPLE η = 28.7**
N1842/N2173	x: 0.061 m $\lambda_w \leq \lambda_{w,máx}$ Cumple	η = 1.7	η = 9.2	x: 2.372 m η = 0.1	x: 2.373 m η = 26.6	η < 0.1	x: 0.06 m η = 1.8	x: 0.253 m η < 0.1	x: 0.061 m η < 0.1	x: 2.373 m η = 28.0	x: 0.061 m η < 0.1	M_{Ed} = 0.00 N.P.[5]	N.P.[6]	N.P.[6]	**CUMPLE η = 28.0**
N2173/N2172	$\lambda_w \leq \lambda_{w,máx}$ Cumple	x: 1.024 m η = 0.6	η = 8.2	x: 2.372 m η < 0.1	x: 0.06 m η = 7.7	η < 0.1	x: 2.373 m η = 1.0	x: 0.06 m η < 0.1	η < 0.1	x: 2.373 m η = 12.3	η < 0.1	η = 0.1	η < 0.1	x: 2.373 m η = 1.0	**CUMPLE η = 12.3**
N2172/N2057	x: 0.06 m $\lambda_w \leq \lambda_{w,máx}$ Cumple	η = 1.2	η = 8.3	x: 0.06 m η = 0.1	x: 0.06 m η = 26.1	η < 0.1	x: 2.383 m η = 1.8	x: 0.06 m η < 0.1	x: 0.06 m η < 0.1	x: 0.06 m η = 26.7	x: 0.06 m η < 0.1	M_{Ed} = 0.00 N.P.[5]	N.P.[6]	N.P.[6]	**CUMPLE η = 26.7**
N2170/N2172	$\lambda_w \leq \lambda_{w,máx}$ Cumple	x: 1.939 m η = 0.1	x: 0.06 m η = 0.6	x: 1.94 m η = 17.8	x: 0.06 m η < 0.1	η = 2.8	η < 0.1	η < 0.1	x: 0.06 m η < 0.1	x: 1.94 m η = 18.4	η < 0.1	η = 0.1	η = 2.8	η < 0.1	**CUMPLE η = 18.4**
N2171/N2173	$\lambda_w \leq \lambda_{w,máx}$ Cumple	x: 1.939 m η = 0.1	x: 0.06 m η = 0.6	x: 1.94 m η = 18.2	x: 0.06 m η < 0.1	η = 2.9	η < 0.1	η < 0.1	x: 0.06 m η < 0.1	x: 0.06 m η = 18.7	η < 0.1	η = 0.1	η = 2.9	η < 0.1	**CUMPLE η = 18.7**
N1896/N2175	x: 0.061 m $\lambda_w \leq \lambda_{w,máx}$ Cumple	η = 0.5	η = 8.7	x: 2.373 m η = 0.4	x: 2.373 m η = 18.6	η < 0.1	x: 0.06 m η = 1.3	x: 0.253 m η < 0.1	x: 0.061 m η < 0.1	x: 2.373 m η = 21.5	x: 0.061 m η < 0.1	M_{Ed} = 0.00 N.P.[5]	N.P.[6]	N.P.[6]	**CUMPLE η = 21.5**
N2175/N2174	$\lambda_w \leq \lambda_{w,máx}$ Cumple	η = 0.3	η = 6.7	x: 0.06 m η = 0.1	x: 0.06 m η = 5.0	η < 0.1	x: 2.373 m η = 0.6	x: 0.06 m η < 0.1	η < 0.1	x: 0.06 m η = 9.2	η < 0.1	η = 0.3	η < 0.1	x: 2.373 m η = 0.6	**CUMPLE η = 9.2**

Documento visado electrónicamente con número: VA07290/22
Código de validación telemática TRLTDCFZ60T66IJ1. Comprobación: https://cogitivalencia.e-gestion.es/Validacion.aspx?CVT=TRLTDCFZ60T66IJ1

VISADO
COGITI
VALENCIA
VA07290/22
TRLTDCFZ60T66IJ1

Listados

Barras	COMPROBACIONES (CÓDIGO ESTRUCTURAL)														Estado
	λ_w	N_t	N_c	M_Y	M_Z	V_Z	V_Y	M_YV_Z	M_ZV_Y	NM_YM_Z	$NM_YM_ZV_YV_Z$	M_t	M_tV_Z	M_tV_Y	
N2174/N2127	x: 0.06 m $\lambda_w \leq \lambda_{w,máx}$ Cumple	$\eta = 0.8$	$\eta = 8.0$	x: 0.06 m $\eta = 0.4$	x: 0.06 m $\eta = 17.1$	$\eta < 0.1$	x: 2.373 m $\eta = 1.2$	x: 0.06 m $\eta < 0.1$	x: 0.06 m $\eta < 0.1$	x: 0.06 m $\eta = 18.7$	x: 0.06 m $\eta < 0.1$	$M_{Ed} = 0.00$ N.P.(5)	N.P.(6)	N.P.(6)	**CUMPLE $\eta = 18.7$**
N1846/N2177	x: 0.061 m $\lambda_w \leq \lambda_{w,máx}$ Cumple	$\eta = 0.6$	$\eta = 9.4$	x: 2.373 m $\eta = 0.4$	x: 2.373 m $\eta = 18.0$	$\eta < 0.1$	x: 0.06 m $\eta = 1.3$	x: 0.253 m $\eta < 0.1$	x: 0.061 m $\eta < 0.1$	x: 2.373 m $\eta = 20.6$	x: 0.061 m $\eta < 0.1$	$M_{Ed} = 0.00$ N.P.(5)	N.P.(6)	N.P.(6)	**CUMPLE $\eta = 20.6$**
N2177/N2176	$\lambda_w \leq \lambda_{w,máx}$ Cumple	$\eta = 0.7$	$\eta = 14.0$	x: 0.06 m $\eta = 0.1$	x: 2.373 m $\eta = 5.3$	$\eta < 0.1$	x: 2.373 m $\eta = 0.6$	x: 0.06 m $\eta < 0.1$	$\eta < 0.1$	x: 0.06 m $\eta = 16.6$	$\eta < 0.1$	$\eta = 0.3$	$\eta < 0.1$	x: 2.373 m $\eta = 0.6$	**CUMPLE $\eta = 16.6$**
N2176/N2061	x: 0.06 m $\lambda_w \leq \lambda_{w,máx}$ Cumple	$\eta = 2.1$	$\eta = 13.8$	x: 0.06 m $\eta = 0.4$	x: 0.06 m $\eta = 19.1$	$\eta < 0.1$	x: 2.373 m $\eta = 1.4$	x: 0.06 m $\eta < 0.1$	x: 0.06 m $\eta < 0.1$	x: 0.06 m $\eta = 20.5$	x: 0.06 m $\eta < 0.1$	$M_{Ed} = 0.00$ N.P.(5)	N.P.(6)	N.P.(6)	**CUMPLE $\eta = 20.5$**
N2174/N2176	$\lambda_w \leq \lambda_{w,máx}$ Cumple	x: 1.939 m $\eta = 0.1$	x: 0.06 m $\eta = 0.4$	x: 1.94 m $\eta = 13.3$	x: 0.06 m $\eta = 0.2$	$\eta = 2.0$	$\eta < 0.1$	$\eta < 0.1$	x: 0.06 m $\eta < 0.1$	x: 1.94 m $\eta = 13.7$	$\eta < 0.1$	$\eta = 0.4$	$\eta = 2.0$	$\eta < 0.1$	**CUMPLE $\eta = 13.7$**
N2175/N2177	$\lambda_w \leq \lambda_{w,máx}$ Cumple	x: 1.939 m $\eta = 0.1$	x: 0.06 m $\eta = 0.4$	x: 0.06 m $\eta = 13.1$	x: 0.06 m $\eta = 0.2$	$\eta = 2.1$	$\eta < 0.1$	$\eta < 0.1$	x: 0.06 m $\eta < 0.1$	x: 0.06 m $\eta = 13.6$	$\eta < 0.1$	$\eta = 0.4$	$\eta = 2.1$	$\eta < 0.1$	**CUMPLE $\eta = 13.6$**
N1848/N2063	x: 0.523 m $\lambda_w \leq \lambda_{w,máx}$ Cumple	$\eta = 2.2$	$\eta = 63.3$	$M_{Ed} = 0.00$ N.P.(2)	x: 3.658 m $\eta = 6.0$	$V_{Ed} = 0.00$ N.P.(3)	x: 0.075 m $\eta = 0.5$	N.P.(4)	x: 0.523 m $\eta < 0.1$	x: 3.658 m $\eta = 71.0$	x: 0.523 m $\eta < 0.1$	$M_{Ed} = 0.00$ N.P.(5)	N.P.(6)	N.P.(6)	**CUMPLE $\eta = 71.0$**
N1853/N2085	x: 0.523 m $\lambda_w \leq \lambda_{w,máx}$ Cumple	$\eta = 1.0$	$\eta = 13.3$	$M_{Ed} = 0.00$ N.P.(2)	x: 3.658 m $\eta = 6.0$	$V_{Ed} = 0.00$ N.P.(3)	x: 0.075 m $\eta = 0.5$	N.P.(4)	x: 0.523 m $\eta < 0.1$	x: 3.658 m $\eta = 19.6$	x: 0.523 m $\eta < 0.1$	$M_{Ed} = 0.00$ N.P.(5)	N.P.(6)	N.P.(6)	**CUMPLE $\eta = 19.6$**
N1855/N2178	x: 0.061 m $\lambda_w \leq \lambda_{w,máx}$ Cumple	$\eta = 0.3$	$\eta = 6.0$	x: 2.373 m $\eta = 0.2$	x: 2.373 m $\eta = 14.7$	$\eta < 0.1$	x: 0.06 m $\eta = 1.1$	x: 0.253 m $\eta < 0.1$	x: 0.061 m $\eta < 0.1$	x: 2.373 m $\eta = 15.4$	x: 0.061 m $\eta < 0.1$	$M_{Ed} = 0.00$ N.P.(5)	N.P.(6)	N.P.(6)	**CUMPLE $\eta = 15.4$**
N2178/N2179	$\lambda_w \leq \lambda_{w,máx}$ Cumple	$N_{Ed} = 0.00$ N.P.(1)	$\eta = 8.9$	x: 0.06 m $\eta = 0.1$	x: 2.373 m $\eta = 4.3$	$\eta < 0.1$	x: 0.06 m $\eta = 0.5$	x: 0.06 m $\eta < 0.1$	$\eta < 0.1$	x: 0.06 m $\eta = 10.7$	$\eta < 0.1$	$\eta = 0.2$	$\eta < 0.1$	x: 0.06 m $\eta = 0.5$	**CUMPLE $\eta = 10.7$**
N2179/N2087	x: 0.06 m $\lambda_w \leq \lambda_{w,máx}$ Cumple	$\eta = 0.9$	$\eta = 8.2$	x: 0.06 m $\eta = 0.2$	x: 0.06 m $\eta = 16.2$	$\eta < 0.1$	x: 2.373 m $\eta = 1.2$	x: 0.06 m $\eta < 0.1$	x: 0.06 m $\eta < 0.1$	x: 0.06 m $\eta = 16.7$	x: 0.06 m $\eta < 0.1$	$M_{Ed} = 0.00$ N.P.(5)	N.P.(6)	N.P.(6)	**CUMPLE $\eta = 16.7$**
N1903/N2180	x: 0.061 m $\lambda_w \leq \lambda_{w,máx}$ Cumple	$\eta = 0.4$	$\eta = 7.3$	x: 2.373 m $\eta = 0.2$	x: 2.373 m $\eta = 15.1$	$\eta < 0.1$	x: 0.06 m $\eta = 1.1$	x: 0.253 m $\eta < 0.1$	x: 0.061 m $\eta < 0.1$	x: 2.373 m $\eta = 17.6$	x: 0.061 m $\eta < 0.1$	$M_{Ed} = 0.00$ N.P.(5)	N.P.(6)	N.P.(6)	**CUMPLE $\eta = 17.6$**
N2180/N2181	$\lambda_w \leq \lambda_{w,máx}$ Cumple	$\eta = 0.3$	$\eta = 5.7$	x: 0.06 m $\eta = 0.1$	x: 0.06 m $\eta = 3.8$	$\eta < 0.1$	x: 0.06 m $\eta = 0.5$	x: 0.06 m $\eta < 0.1$	$\eta < 0.1$	x: 0.06 m $\eta = 7.3$	$\eta < 0.1$	$\eta = 0.2$	$\eta < 0.1$	x: 0.06 m $\eta = 0.5$	**CUMPLE $\eta = 7.3$**
N2181/N2070	x: 0.06 m $\lambda_w \leq \lambda_{w,máx}$ Cumple	$\eta = 0.4$	$\eta = 6.8$	x: 0.06 m $\eta = 0.2$	x: 0.06 m $\eta = 14.6$	$\eta < 0.1$	x: 2.373 m $\eta = 1.1$	x: 0.06 m $\eta < 0.1$	x: 0.06 m $\eta < 0.1$	x: 0.06 m $\eta = 15.6$	x: 0.06 m $\eta < 0.1$	$M_{Ed} = 0.00$ N.P.(5)	N.P.(6)	N.P.(6)	**CUMPLE $\eta = 15.6$**
N2181/N2179	$\lambda_w \leq \lambda_{w,máx}$ Cumple	x: 1.939 m $\eta < 0.1$	x: 0.06 m $\eta = 0.3$	x: 1.94 m $\eta = 11.5$	x: 0.06 m $\eta = 0.1$	$\eta = 1.8$	$\eta < 0.1$	$\eta < 0.1$	x: 0.06 m $\eta < 0.1$	x: 1.94 m $\eta = 11.8$	$\eta < 0.1$	$\eta = 0.2$	$\eta = 1.8$	$\eta < 0.1$	**CUMPLE $\eta = 11.8$**
N2180/N2178	$\lambda_w \leq \lambda_{w,máx}$ Cumple	x: 1.939 m $\eta < 0.1$	x: 0.06 m $\eta = 0.3$	x: 0.06 m $\eta = 10.9$	x: 0.06 m $\eta = 0.1$	$\eta = 1.7$	$\eta < 0.1$	$\eta < 0.1$	x: 0.06 m $\eta < 0.1$	x: 0.06 m $\eta = 11.2$	$\eta < 0.1$	$\eta = 0.2$	$\eta = 1.7$	$\eta < 0.1$	**CUMPLE $\eta = 11.2$**
N1907/N2183	x: 0.061 m $\lambda_w \leq \lambda_{w,máx}$ Cumple	$\eta = 0.4$	$\eta = 9.3$	x: 2.372 m $\eta < 0.1$	x: 2.373 m $\eta = 18.9$	$\eta < 0.1$	x: 0.06 m $\eta = 1.3$	N.P.(4)	x: 0.061 m $\eta < 0.1$	x: 2.373 m $\eta = 22.1$	x: 0.061 m $\eta < 0.1$	$M_{Ed} = 0.00$ N.P.(5)	N.P.(6)	N.P.(6)	**CUMPLE $\eta = 22.1$**
N2183/N2182	$\lambda_w \leq \lambda_{w,máx}$ Cumple	x: 1.024 m $\eta = 0.5$	$\eta = 8.0$	x: 0.06 m $\eta < 0.1$	x: 0.06 m $\eta = 5.0$	$\eta < 0.1$	x: 0.06 m $\eta = 0.6$	N.P.(4)	$\eta < 0.1$	x: 0.06 m $\eta = 9.6$	$\eta < 0.1$	$\eta < 0.1$	$\eta < 0.1$	x: 2.373 m $\eta = 0.3$	**CUMPLE $\eta = 9.6$**
N2182/N2074	x: 0.06 m $\lambda_w \leq \lambda_{w,máx}$ Cumple	$\eta = 0.7$	$\eta = 9.5$	x: 0.06 m $\eta < 0.1$	x: 0.06 m $\eta = 18.5$	$\eta < 0.1$	x: 2.383 m $\eta = 1.3$	N.P.(4)	x: 0.06 m $\eta < 0.1$	x: 0.06 m $\eta = 20.1$	x: 0.06 m $\eta < 0.1$	$M_{Ed} = 0.00$ N.P.(5)	N.P.(6)	N.P.(6)	**CUMPLE $\eta = 20.1$**
N1859/N2185	x: 0.061 m $\lambda_w \leq \lambda_{w,máx}$ Cumple	$\eta = 3.0$	$\eta = 11.5$	x: 2.372 m $\eta < 0.1$	x: 2.373 m $\eta = 18.7$	$\eta < 0.1$	x: 0.06 m $\eta = 1.3$	N.P.(4)	x: 0.061 m $\eta < 0.1$	x: 2.373 m $\eta = 19.5$	x: 0.061 m $\eta < 0.1$	$M_{Ed} = 0.00$ N.P.(5)	N.P.(6)	N.P.(6)	**CUMPLE $\eta = 19.5$**
N2185/N2184	$\lambda_w \leq \lambda_{w,máx}$ Cumple	$\eta = 2.4$	$\eta = 13.5$	x: 0.06 m $\eta < 0.1$	x: 2.373 m $\eta = 5.4$	$\eta < 0.1$	x: 0.06 m $\eta = 0.6$	N.P.(4)	$\eta < 0.1$	x: 0.06 m $\eta = 14.6$	$\eta < 0.1$	$\eta < 0.1$	$\eta < 0.1$	x: 2.373 m $\eta = 0.3$	**CUMPLE $\eta = 14.6$**
N2184/N2091	x: 0.06 m $\lambda_w \leq \lambda_{w,máx}$ Cumple	$\eta = 2.5$	$\eta = 13.0$	x: 0.06 m $\eta < 0.1$	x: 0.06 m $\eta = 19.6$	$\eta < 0.1$	x: 2.383 m $\eta = 1.4$	N.P.(4)	x: 0.06 m $\eta < 0.1$	x: 0.06 m $\eta = 19.9$	x: 0.06 m $\eta < 0.1$	$M_{Ed} = 0.00$ N.P.(5)	N.P.(6)	N.P.(6)	**CUMPLE $\eta = 19.9$**
N2182/N2184	$\lambda_w \leq \lambda_{w,máx}$ Cumple	x: 1.939 m $\eta < 0.1$	x: 0.06 m $\eta = 0.4$	x: 1.94 m $\eta = 13.7$	x: 0.06 m $\eta < 0.1$	$\eta = 2.1$	$\eta < 0.1$	$\eta < 0.1$	N.P.(4)	x: 1.94 m $\eta = 14.0$	$\eta < 0.1$	$\eta < 0.1$	x: 0.812 m $\eta = 0.4$	$\eta < 0.1$	**CUMPLE $\eta = 14.0$**
N2183/N2185	$\lambda_w \leq \lambda_{w,máx}$ Cumple	x: 1.939 m $\eta < 0.1$	x: 0.06 m $\eta = 0.4$	x: 0.06 m $\eta = 13.3$	x: 0.06 m $\eta < 0.1$	$\eta = 2.1$	$\eta < 0.1$	$\eta < 0.1$	N.P.(4)	x: 0.06 m $\eta = 13.7$	$\eta < 0.1$	$\eta < 0.1$	$\eta = 1.1$	$\eta < 0.1$	**CUMPLE $\eta = 13.7$**
N1911/N2187	x: 0.061 m $\lambda_w \leq \lambda_{w,máx}$ Cumple	$\eta = 0.4$	$\eta = 8.3$	x: 2.372 m $\eta = 0.2$	x: 2.373 m $\eta = 15.3$	$\eta < 0.1$	x: 0.06 m $\eta = 1.1$	x: 0.253 m $\eta < 0.1$	x: 0.061 m $\eta < 0.1$	x: 2.373 m $\eta = 18.0$	x: 0.061 m $\eta < 0.1$	$M_{Ed} = 0.00$ N.P.(5)	N.P.(6)	N.P.(6)	**CUMPLE $\eta = 18.0$**
N2187/N2186	$\lambda_w \leq \lambda_{w,máx}$ Cumple	x: 0.638 m $\eta = 0.6$	$\eta = 6.7$	x: 0.06 m $\eta < 0.1$	x: 0.06 m $\eta = 3.9$	$\eta < 0.1$	x: 2.373 m $\eta = 0.5$	x: 0.06 m $\eta < 0.1$	$\eta < 0.1$	x: 0.06 m $\eta = 8.4$	$\eta < 0.1$	$\eta = 0.2$	$\eta < 0.1$	x: 2.373 m $\eta = 0.5$	**CUMPLE $\eta = 8.4$**
N2186/N2078	x: 0.06 m $\lambda_w \leq \lambda_{w,máx}$ Cumple	$\eta = 0.6$	$\eta = 7.5$	x: 0.06 m $\eta = 0.2$	x: 0.06 m $\eta = 13.3$	$\eta < 0.1$	x: 2.373 m $\eta = 1.0$	x: 0.06 m $\eta < 0.1$	x: 0.06 m $\eta < 0.1$	x: 0.06 m $\eta = 14.3$	x: 0.06 m $\eta < 0.1$	$M_{Ed} = 0.00$ N.P.(5)	N.P.(6)	N.P.(6)	**CUMPLE $\eta = 14.3$**
N1863/N2189	x: 0.061 m $\lambda_w \leq \lambda_{w,máx}$ Cumple	x: 2.372 m $\eta = 2.3$	x: 2.372 m $\eta = 9.9$	x: 2.372 m $\eta = 0.2$	x: 2.373 m $\eta = 14.8$	$\eta < 0.1$	x: 0.06 m $\eta = 1.1$	x: 0.253 m $\eta < 0.1$	x: 0.061 m $\eta < 0.1$	x: 2.373 m $\eta = 15.8$	x: 0.061 m $\eta < 0.1$	$M_{Ed} = 0.00$ N.P.(5)	N.P.(6)	N.P.(6)	**CUMPLE $\eta = 15.8$**
N2189/N2188	$\lambda_w \leq \lambda_{w,máx}$ Cumple	x: 0.638 m $\eta = 1.9$	x: 0.638 m $\eta = 11.7$	x: 0.06 m $\eta < 0.1$	x: 2.373 m $\eta = 3.9$	$\eta < 0.1$	x: 2.373 m $\eta = 0.5$	x: 0.06 m $\eta < 0.1$	$\eta < 0.1$	x: 0.638 m $\eta = 12.7$	$\eta < 0.1$	$\eta = 0.2$	$\eta < 0.1$	x: 2.373 m $\eta = 0.5$	**CUMPLE $\eta = 12.7$**
N2188/N2095	x: 0.06 m $\lambda_w \leq \lambda_{w,máx}$ Cumple	x: 0.06 m $\eta = 2.0$	x: 0.06 m $\eta = 10.9$	x: 0.06 m $\eta = 0.2$	x: 0.06 m $\eta = 15.2$	$\eta < 0.1$	x: 2.373 m $\eta = 1.1$	x: 0.06 m $\eta < 0.1$	x: 0.06 m $\eta < 0.1$	x: 0.06 m $\eta = 15.8$	x: 0.06 m $\eta < 0.1$	$M_{Ed} = 0.00$ N.P.(5)	N.P.(6)	N.P.(6)	**CUMPLE $\eta = 15.8$**
N2186/N2188	$\lambda_w \leq \lambda_{w,máx}$ Cumple	x: 1.939 m $\eta = 0.1$	x: 0.06 m $\eta = 0.3$	x: 1.94 m $\eta = 10.8$	x: 0.06 m $\eta = 0.1$	$\eta = 1.7$	$\eta < 0.1$	$\eta < 0.1$	x: 0.06 m $\eta < 0.1$	x: 1.94 m $\eta = 11.1$	$\eta < 0.1$	$\eta = 0.2$	$\eta = 1.7$	$\eta < 0.1$	**CUMPLE $\eta = 11.1$**
N2187/N2189	$\lambda_w \leq \lambda_{w,máx}$ Cumple	x: 1.939 m $\eta = 0.1$	x: 0.06 m $\eta = 0.3$	x: 0.06 m $\eta = 11.0$	x: 0.06 m $\eta = 0.1$	$\eta = 1.7$	$\eta < 0.1$	$\eta < 0.1$	x: 0.06 m $\eta < 0.1$	x: 0.06 m $\eta = 11.4$	$\eta < 0.1$	$\eta = 0.2$	$\eta = 1.7$	$\eta < 0.1$	**CUMPLE $\eta = 11.4$**
N1865/N2097	x: 0.523 m $\lambda_w \leq \lambda_{w,máx}$ Cumple	$\eta = 1.3$	$\eta = 26.1$	$M_{Ed} = 0.00$ N.P.(2)	x: 3.658 m $\eta = 6.0$	$V_{Ed} = 0.00$ N.P.(3)	x: 0.075 m $\eta = 0.5$	N.P.(4)	x: 0.523 m $\eta < 0.1$	x: 3.658 m $\eta = 32.7$	x: 0.523 m $\eta < 0.1$	$M_{Ed} = 0.00$ N.P.(5)	N.P.(6)	N.P.(6)	**CUMPLE $\eta = 32.7$**
N1870/N2101	x: 0.523 m $\lambda_w \leq \lambda_{w,máx}$ Cumple	$\eta = 1.2$	$\eta = 19.2$	$M_{Ed} = 0.00$ N.P.(2)	x: 3.658 m $\eta = 6.0$	$V_{Ed} = 0.00$ N.P.(3)	x: 0.075 m $\eta = 0.5$	N.P.(4)	x: 0.523 m $\eta < 0.1$	x: 3.658 m $\eta = 25.6$	x: 0.523 m $\eta < 0.1$	$M_{Ed} = 0.00$ N.P.(5)	N.P.(6)	N.P.(6)	**CUMPLE $\eta = 25.6$**
N1872/N2190	x: 0.061 m $\lambda_w \leq \lambda_{w,máx}$ Cumple	x: 0.253 m $\eta = 0.6$	$\eta = 9.8$	x: 2.373 m $\eta = 0.4$	x: 2.373 m $\eta = 18.4$	$\eta < 0.1$	x: 0.06 m $\eta = 1.3$	x: 0.253 m $\eta < 0.1$	x: 0.061 m $\eta < 0.1$	x: 2.373 m $\eta = 19.9$	x: 0.061 m $\eta < 0.1$	$M_{Ed} = 0.00$ N.P.(5)	N.P.(6)	N.P.(6)	**CUMPLE $\eta = 19.9$**

Documento visado electrónicamente con número: VA07290/22
Código de validación telemática TRLTDCFZ60T66IJ1. Comprobación: https://cogitivalencia.e-gestion.es/Validacion.aspx?CVT=TRLTDCFZ60T66IJ1

VISADO
COGITI
Estado
VALENCIA
VA07290/22
TRLTDCFZ60T66IJ1

Barras	COMPROBACIONES (CÓDIGO ESTRUCTURAL)															
	λ_w	N_t	N_c	M_Y	M_Z	V_Z	V_Y	M_YV_Z	M_ZV_Y	NM_YM_Z	$NM_YM_ZV_YV_Z$	M_t	M_tV_Z	M_tV_Y	
N2190/N2191	$\lambda_w \leq \lambda_{w,máx}$ Cumple	x: 1.409 m η = 0.1	η = 12.4	x: 0.06 m η = 0.1	x: 2.373 m η = 5.5	η < 0.1	x: 0.06 m η = 0.6	x: 0.06 m η < 0.1	η < 0.1	x: 0.06 m η = 15.1	η < 0.1	η = 0.3	η < 0.1	x: 0.0 η = 0.6	**CUMPLE η = 15.1**
N2191/N2103	x: 0.06 m $\lambda_w \leq \lambda_{w,máx}$ Cumple	η = 1.4	η = 12.3	x: 0.06 m η = 0.4	x: 0.06 m η = 19.7	η < 0.1	x: 2.373 m η = 1.4	x: 0.06 m η < 0.1	x: 0.06 m η < 0.1	x: 0.06 m η = 20.6	x: 0.06 m η < 0.1	M_{Ed} = 0.00 N.P.(5)	N.P.(6)	N.P.(6)	**CUMPLE η = 20.6**
N1918/N2192	x: 0.061 m $\lambda_w \leq \lambda_{w,máx}$ Cumple	η = 0.4	η = 9.0	x: 2.373 m η = 0.4	x: 2.373 m η = 18.8	η < 0.1	x: 0.06 m η = 1.3	x: 0.253 m η < 0.1	x: 0.061 m η < 0.1	x: 2.373 m η = 21.8	x: 0.061 m η < 0.1	M_{Ed} = 0.00 N.P.(5)	N.P.(6)	N.P.(6)	**CUMPLE η = 21.8**
N2192/N2193	$\lambda_w \leq \lambda_{w,máx}$ Cumple	η = 0.3	η = 9.0	x: 0.06 m η = 0.1	x: 0.06 m η = 5.0	η < 0.1	x: 0.06 m η = 0.6	x: 0.06 m η < 0.1	η < 0.1	x: 2.373 m η = 10.5	η < 0.1	η = 0.3	η < 0.1	x: 0.06 m η = 0.6	**CUMPLE η = 10.5**
N2193/N2134	x: 0.06 m $\lambda_w \leq \lambda_{w,máx}$ Cumple	η = 0.7	η = 10.5	x: 0.06 m η = 0.4	x: 0.06 m η = 18.0	η < 0.1	x: 2.373 m η = 1.3	x: 0.06 m η < 0.1	x: 0.06 m η < 0.1	x: 0.06 m η = 19.9	x: 0.06 m η < 0.1	M_{Ed} = 0.00 N.P.(5)	N.P.(6)	N.P.(6)	**CUMPLE η = 19.9**
N2193/N2191	$\lambda_w \leq \lambda_{w,máx}$ Cumple	x: 1.939 m η = 0.1	x: 0.06 m η = 0.4	x: 1.94 m η = 13.7	x: 0.06 m η = 0.2	η = 2.1	η < 0.1	η < 0.1	x: 0.06 m η < 0.1	x: 1.94 m η = 14.1	η < 0.1	η = 0.4	η = 2.1	η < 0.1	**CUMPLE η = 14.1**
N2192/N2190	$\lambda_w \leq \lambda_{w,máx}$ Cumple	x: 1.939 m η = 0.1	x: 0.06 m η = 0.4	x: 0.06 m η = 13.2	x: 0.06 m η = 0.2	η = 2.1	η < 0.1	η < 0.1	x: 0.06 m η < 0.1	x: 0.06 m η = 13.7	η < 0.1	η = 0.4	η = 2.1	η < 0.1	**CUMPLE η = 13.7**
N1922/N2195	x: 0.061 m $\lambda_w \leq \lambda_{w,máx}$ Cumple	η = 0.4	η = 10.5	x: 2.372 m η = 0.1	x: 2.373 m η = 24.7	η < 0.1	x: 0.06 m η = 1.7	x: 0.253 m η < 0.1	x: 0.061 m η < 0.1	x: 2.373 m η = 28.3	x: 0.061 m η < 0.1	M_{Ed} = 0.00 N.P.(5)	N.P.(6)	N.P.(6)	**CUMPLE η = 28.3**
N2195/N2194	$\lambda_w \leq \lambda_{w,máx}$ Cumple	η = 0.4	η = 10.2	x: 2.372 m η < 0.1	x: 2.373 m η = 7.1	η < 0.1	x: 0.06 m η = 0.9	x: 0.06 m η < 0.1	η < 0.1	x: 2.373 m η = 12.4	η < 0.1	η < 0.1	η < 0.1	x: 0.06 m η = 0.9	**CUMPLE η = 12.4**
N2194/N2138	x: 0.06 m $\lambda_w \leq \lambda_{w,máx}$ Cumple	η = 1.4	η = 12.0	x: 0.06 m η = 0.1	x: 0.06 m η = 25.1	η < 0.1	x: 2.383 m η = 1.7	x: 0.06 m η < 0.1	x: 0.06 m η < 0.1	x: 0.06 m η = 28.3	x: 0.06 m η < 0.1	M_{Ed} = 0.00 N.P.(5)	N.P.(6)	N.P.(6)	**CUMPLE η = 28.3**
N1876/N2197	x: 0.061 m $\lambda_w \leq \lambda_{w,máx}$ Cumple	η = 1.7	η = 10.1	x: 2.372 m η = 0.1	x: 2.373 m η = 24.7	η < 0.1	x: 0.06 m η = 1.7	x: 0.253 m η < 0.1	x: 0.061 m η < 0.1	x: 2.373 m η = 25.9	x: 0.061 m η < 0.1	M_{Ed} = 0.00 N.P.(5)	N.P.(6)	N.P.(6)	**CUMPLE η = 25.9**
N2197/N2196	$\lambda_w \leq \lambda_{w,máx}$ Cumple	η = 0.4	η = 9.3	x: 2.372 m η < 0.1	x: 2.373 m η = 7.5	η < 0.1	x: 0.06 m η = 0.9	x: 0.06 m η < 0.1	η < 0.1	x: 2.373 m η = 13.3	η < 0.1	η < 0.1	η < 0.1	x: 0.06 m η = 0.9	**CUMPLE η = 13.3**
N2196/N2107	x: 0.06 m $\lambda_w \leq \lambda_{w,máx}$ Cumple	η = 1.0	η = 9.2	x: 0.06 m η = 0.1	x: 0.06 m η = 26.0	η < 0.1	x: 2.383 m η = 1.8	x: 0.06 m η < 0.1	x: 0.06 m η < 0.1	x: 0.06 m η = 26.3	x: 0.06 m η < 0.1	M_{Ed} = 0.00 N.P.(5)	N.P.(6)	N.P.(6)	**CUMPLE η = 26.3**
N2194/N2196	$\lambda_w \leq \lambda_{w,máx}$ Cumple	x: 1.939 m η = 0.1	x: 0.06 m η = 0.6	x: 1.94 m η = 17.8	x: 0.06 m η < 0.1	η = 2.8	η < 0.1	η < 0.1	x: 0.06 m η < 0.1	x: 1.94 m η = 18.3	η < 0.1	η < 0.1	η = 2.8	η < 0.1	**CUMPLE η = 18.3**
N2195/N2197	$\lambda_w \leq \lambda_{w,máx}$ Cumple	x: 1.939 m η = 0.1	x: 0.06 m η = 0.6	x: 0.06 m η = 17.0	x: 0.06 m η < 0.1	η = 2.7	η < 0.1	η < 0.1	x: 0.06 m η < 0.1	x: 0.06 m η = 17.6	η < 0.1	η < 0.1	η = 2.7	η < 0.1	**CUMPLE η = 17.6**
N1926/N2199	x: 0.061 m $\lambda_w \leq \lambda_{w,máx}$ Cumple	η = 0.3	η = 8.5	x: 2.373 m η = 0.4	x: 2.373 m η = 20.8	η < 0.1	x: 0.06 m η = 1.5	x: 0.253 m η < 0.1	x: 0.061 m η < 0.1	x: 2.373 m η = 23.9	x: 0.061 m η < 0.1	M_{Ed} = 0.00 N.P.(5)	N.P.(6)	N.P.(6)	**CUMPLE η = 23.9**
N2199/N2198	$\lambda_w \leq \lambda_{w,máx}$ Cumple	η = 0.4	η = 7.9	x: 0.06 m η = 0.1	x: 0.06 m η = 5.7	η < 0.1	x: 0.06 m η = 0.7	x: 0.06 m η < 0.1	η < 0.1	x: 2.373 m η = 9.6	η < 0.1	η = 0.3	η < 0.1	x: 0.06 m η = 0.7	**CUMPLE η = 9.6**
N2198/N2142	x: 0.06 m $\lambda_w \leq \lambda_{w,máx}$ Cumple	η = 1.0	η = 9.5	x: 0.06 m η = 0.4	x: 0.06 m η = 20.2	η < 0.1	x: 2.373 m η = 1.4	x: 0.06 m η < 0.1	x: 0.06 m η < 0.1	x: 0.06 m η = 22.6	x: 0.06 m η < 0.1	M_{Ed} = 0.00 N.P.(5)	N.P.(6)	N.P.(6)	**CUMPLE η = 22.6**
N1880/N2201	x: 0.061 m $\lambda_w \leq \lambda_{w,máx}$ Cumple	η = 1.7	η = 6.3	x: 2.373 m η = 0.4	x: 2.373 m η = 20.7	η < 0.1	x: 0.06 m η = 1.5	x: 0.253 m η < 0.1	x: 0.061 m η < 0.1	x: 2.373 m η = 21.1	x: 0.061 m η < 0.1	M_{Ed} = 0.00 N.P.(5)	N.P.(6)	N.P.(6)	**CUMPLE η = 21.1**
N2201/N2200	$\lambda_w \leq \lambda_{w,máx}$ Cumple	x: 0.06 m η = 1.2	x: 0.06 m η = 9.0	x: 0.06 m η = 0.1	x: 2.373 m η = 6.0	η < 0.1	x: 0.06 m η = 0.7	x: 0.06 m η < 0.1	η < 0.1	x: 0.06 m η = 10.4	η < 0.1	η = 0.3	η < 0.1	x: 0.06 m η = 0.7	**CUMPLE η = 10.4**
N2200/N2111	x: 0.06 m $\lambda_w \leq \lambda_{w,máx}$ Cumple	η = 1.4	η = 8.6	x: 0.06 m η = 0.4	x: 0.06 m η = 21.4	η < 0.1	x: 2.373 m η = 1.5	x: 0.06 m η < 0.1	x: 0.06 m η < 0.1	x: 0.06 m η = 22.9	x: 0.06 m η < 0.1	M_{Ed} = 0.00 N.P.(5)	N.P.(6)	N.P.(6)	**CUMPLE η = 22.9**
N2198/N2200	$\lambda_w \leq \lambda_{w,máx}$ Cumple	x: 1.939 m η = 0.1	x: 0.06 m η = 0.5	x: 1.94 m η = 14.8	x: 0.06 m η = 0.2	η = 2.3	η < 0.1	η < 0.1	x: 0.06 m η < 0.1	x: 1.94 m η = 15.3	η < 0.1	η = 0.4	η = 2.3	η < 0.1	**CUMPLE η = 15.3**
N2199/N2201	$\lambda_w \leq \lambda_{w,máx}$ Cumple	x: 1.939 m η = 0.1	x: 0.06 m η = 0.5	x: 0.06 m η = 14.5	x: 0.06 m η = 0.2	η = 2.3	η < 0.1	η < 0.1	x: 0.06 m η < 0.1	x: 0.06 m η = 15.0	η < 0.1	η = 0.4	η = 2.3	η < 0.1	**CUMPLE η = 15.0**
N1882/N2113	x: 0.523 m $\lambda_w \leq \lambda_{w,máx}$ Cumple	η = 2.1	η = 30.5	M_{Ed} = 0.00 N.P.(2)	x: 3.658 m η = 6.0	V_{Ed} = 0.00 N.P.(3)	x: 0.075 m η = 0.5	N.P.(4)	x: 0.523 m η < 0.1	x: 3.658 m η = 37.2	x: 0.523 m η < 0.1	M_{Ed} = 0.00 N.P.(5)	N.P.(6)	N.P.(6)	**CUMPLE η = 37.2**
N1838/N2169	x: 0.061 m $\lambda_w \leq \lambda_{w,máx}$ Cumple	η = 1.4	η = 0.9	x: 2.373 m η = 0.4	x: 2.373 m η = 23.8	η < 0.1	x: 0.06 m η = 1.7	x: 0.253 m η < 0.1	x: 0.061 m η < 0.1	x: 2.373 m η = 25.4	x: 0.061 m η < 0.1	M_{Ed} = 0.00 N.P.(5)	N.P.(6)	N.P.(6)	**CUMPLE η = 25.4**
N2169/N2167	$\lambda_w \leq \lambda_{w,máx}$ Cumple	η = 0.5	x: 0.831 m η = 6.3	x: 0.06 m η = 0.1	x: 0.06 m η = 6.7	η < 0.1	x: 2.373 m η = 0.8	x: 0.06 m η < 0.1	η < 0.1	x: 0.06 m η = 7.5	η < 0.1	η = 0.3	η < 0.1	x: 2.373 m η = 0.8	**CUMPLE η = 7.5**
N2167/N2053	x: 0.06 m $\lambda_w \leq \lambda_{w,máx}$ Cumple	η = 1.7	η = 5.8	x: 0.06 m η = 0.4	x: 0.06 m η = 21.7	η < 0.1	x: 2.373 m η = 1.5	x: 0.06 m η < 0.1	x: 0.06 m η < 0.1	x: 0.06 m η = 23.6	x: 0.06 m η < 0.1	M_{Ed} = 0.00 N.P.(5)	N.P.(6)	N.P.(6)	**CUMPLE η = 23.6**
N1888/N2168	x: 0.061 m $\lambda_w \leq \lambda_{w,máx}$ Cumple	η = 0.2	η = 11.3	x: 2.373 m η = 0.4	x: 2.373 m η = 23.3	η < 0.1	x: 0.06 m η = 1.6	x: 0.253 m η < 0.1	x: 0.061 m η < 0.1	x: 2.373 m η = 27.5	x: 0.061 m η < 0.1	M_{Ed} = 0.00 N.P.(5)	N.P.(6)	N.P.(6)	**CUMPLE η = 27.5**
N2168/N2166	$\lambda_w \leq \lambda_{w,máx}$ Cumple	x: 1.024 m η = 0.4	η = 10.5	x: 0.06 m η = 0.1	x: 0.06 m η = 6.5	η < 0.1	x: 2.373 m η = 0.8	x: 0.06 m η < 0.1	η < 0.1	x: 0.06 m η = 12.2	η < 0.1	η = 0.3	η < 0.1	x: 2.373 m η = 0.8	**CUMPLE η = 12.2**
N2166/N2119	x: 0.06 m $\lambda_w \leq \lambda_{w,máx}$ Cumple	η = 1.1	η = 11.9	x: 0.06 m η = 0.4	x: 0.06 m η = 21.1	η < 0.1	x: 2.373 m η = 1.5	x: 0.06 m η < 0.1	x: 0.06 m η < 0.1	x: 0.06 m η = 23.9	x: 0.06 m η < 0.1	M_{Ed} = 0.00 N.P.(5)	N.P.(6)	N.P.(6)	**CUMPLE η = 23.9**
N2202/N2203	$\lambda_w \leq \lambda_{w,máx}$ Cumple	x: 1.7 m η = 21.3	x: 0.078 m η = 25.3	x: 0.281 m η = 29.8	x: 1.701 m η = 3.2	x: 1.701 m η = 22.1	η = 0.2	η < 0.1	η < 0.1	x: 0.281 m η = 53.0	η < 0.1	η = 0.3	x: 1.701 m η = 22.1	η = 0.2	**CUMPLE η = 53.0**
N2203/N2204	$\lambda_w \leq \lambda_{w,máx}$ Cumple	x: 1.7 m η = 34.4	x: 0.078 m η = 41.3	x: 0.078 m η = 20.4	x: 1.701 m η = 7.2	x: 0.078 m η = 16.6	η = 0.3	η < 0.1	η < 0.1	x: 0.078 m η = 56.9	η < 0.1	η = 0.2	x: 0.078 m η = 16.6	η = 0.3	**CUMPLE η = 56.9**
N2204/N2205	$\lambda_w \leq \lambda_{w,máx}$ Cumple	x: 1.7 m η = 45.8	x: 0.078 m η = 54.7	x: 0.078 m η = 6.7	x: 0.078 m η = 6.2	x: 0.078 m η = 9.0	η = 0.2	η < 0.1	η < 0.1	x: 0.078 m η = 56.4	η < 0.1	η = 0.2	x: 0.078 m η = 9.0	η = 0.2	**CUMPLE η = 56.4**
N2205/N2206	$\lambda_w \leq \lambda_{w,máx}$ Cumple	x: 1.7 m η = 53.7	x: 0.078 m η = 64.5	x: 1.093 m η = 7.2	x: 1.701 m η = 3.9	x: 0.078 m η = 8.9	η = 0.2	η < 0.1	η < 0.1	x: 1.093 m η = 65.9	η < 0.1	η = 0.2	x: 0.078 m η = 8.9	η = 0.2	**CUMPLE η = 65.9**
N2206/N2207	$\lambda_w \leq \lambda_{w,máx}$ Cumple	x: 1.713 m η = 59.1	x: 0.078 m η = 70.9	x: 0.896 m η = 7.5	x: 0.078 m η = 4.6	x: 0.078 m η = 8.4	x: 0.078 m η = 0.2	η < 0.1	η < 0.1	x: 0.896 m η = 71.8	η < 0.1	x: 0.078 m η = 0.3	x: 0.078 m η = 8.4	x: 0.078 m η = 0.2	**CUMPLE η = 71.8**
N2207/N3441	$\lambda_w \leq \lambda_{w,máx}$ Cumple	x: 0.89 m η = 61.4	x: 0.065 m η = 67.3	x: 0.89 m η = 8.1	x: 0.89 m η = 3.7	x: 0.065 m η = 8.4	η = 0.3	η < 0.1	η < 0.1	x: 0.89 m η = 72.0	η < 0.1	η = 0.1	x: 0.065 m η = 8.4	η = 0.3	**CUMPLE η = 72.0**
N3441/N2208	$\lambda_w \leq \lambda_{w,máx}$ Cumple	x: 0.824 m η = 61.4	x: 0 m η = 67.2	x: 0 m η = 8.1	x: 0.825 m η = 6.9	x: 0.825 m η = 7.4	η = 0.3	η < 0.1	η < 0.1	x: 0 m η = 72.0	η < 0.1	η = 0.1	x: 0.825 m η = 7.4	η = 0.3	**CUMPLE η = 72.0**

Documento visado electrónicamente con número: VA07290/22
Código de validación telemática TRLTDCFZ60T66IJ1. Comprobación: https://cogitivalencia.e-gestion.es/Validacion.aspx?CVT=TRLTDCFZ60T66IJ1

VISADO
COGITI
VALENCIA
VA07290/22
TRLTDCFZ60T66IJ1

Barras	COMPROBACIONES (CÓDIGO ESTRUCTURAL)													Estado
	λ_w	N_t	N_c	M_Y	M_Z	V_Z	V_Y	M_YV_Z	M_ZV_Y	NM_YM_Z	$NM_YM_ZV_YV_Z$	M_t	M_tV_Z	M_tV_Y	
N2208/N2209	$\lambda_w \leq \lambda_{w,máx}$ Cumple	x: 1.713 m η = 61.1	x: 0.065 m η = 73.9	x: 0.89 m η = 7.8	x: 0.065 m η = 6.5	x: 1.714 m η = 8.2	x: 1.302 m η = 0.3	η < 0.1	η < 0.1	x: 0.89 m η = 74.8	η < 0.1	x: 1.302 m η = 0.3	x: 1.714 m η = 8.2	x: 1.302 m η = 0.3	**CUMPLE η = 74.8**
N2209/N2210	$\lambda_w \leq \lambda_{w,máx}$ Cumple	x: 1.727 m η = 57.6	x: 0.065 m η = 70.2	x: 0.897 m η = 8.2	x: 1.728 m η = 7.4	x: 0.065 m η = 8.3	η = 0.3	η < 0.1	η < 0.1	x: 0.897 m η = 72.0	η < 0.1	η = 0.2	x: 0.065 m η = 5.8	η = 0.3	**CUMPLE η = 72.0**
N2210/N2211	$\lambda_w \leq \lambda_{w,máx}$ Cumple	x: 1.708 m η = 57.8	x: 0.051 m η = 70.3	x: 0.88 m η = 8.6	x: 0.051 m η = 7.6	x: 1.709 m η = 8.6	x: 1.295 m η = 0.5	η < 0.1	η < 0.1	x: 0.88 m η = 72.4	η < 0.1	x: 1.295 m η = 0.3	x: 1.709 m η = 6.5	x: 1.295 m η = 0.5	**CUMPLE η = 72.4**
N2211/N2212	$\lambda_w \leq \lambda_{w,máx}$ Cumple	x: 1.708 m η = 51.9	x: 0.07 m η = 63.3	x: 0.685 m η = 7.8	x: 0.07 m η = 5.0	x: 1.709 m η = 8.9	η = 0.1	η < 0.1	η < 0.1	x: 0.685 m η = 65.3	η < 0.1	η = 0.2	x: 1.709 m η = 6.7	η = 0.1	**CUMPLE η = 65.3**
N2212/N3450	$\lambda_w \leq \lambda_{w,máx}$ Cumple	x: 0.89 m η = 42.9	x: 0.07 m η = 45.9	x: 0.685 m η = 6.3	x: 0.07 m η = 2.5	x: 0.07 m η = 6.0	η = 0.1	η < 0.1	η < 0.1	x: 0.685 m η = 52.3	η < 0.1	η = 0.2	x: 0.07 m η = 6.0	η = 0.1	**CUMPLE η = 52.3**
N3450/N2213	$\lambda_w \leq \lambda_{w,máx}$ Cumple	x: 0.819 m η = 42.9	x: 0 m η = 45.9	x: 0.82 m η = 9.1	x: 0.82 m η = 2.4	x: 0.82 m η = 9.7	η = 0.1	η < 0.1	η < 0.1	x: 0.82 m η = 54.0	η < 0.1	η = 0.2	x: 0.82 m η = 9.7	η = 0.1	**CUMPLE η = 54.0**
N2213/N2214	$\lambda_w \leq \lambda_{w,máx}$ Cumple	x: 1.694 m η = 31.2	x: 0.07 m η = 39.3	x: 1.695 m η = 9.3	x: 1.695 m η = 3.3	x: 1.695 m η = 9.5	x: 1.694 m η = 0.1	η < 0.1	η < 0.1	x: 1.695 m η = 43.9	η < 0.1	x: 1.694 m η = 0.2	x: 1.695 m η = 9.5	x: 1.694 m η = 0.1	**CUMPLE η = 43.9**
N2214/N2215	$\lambda_w \leq \lambda_{w,máx}$ Cumple	x: 1.694 m η = 16.4	x: 0.084 m η = 19.3	x: 1.695 m η = 12.4	x: 0.084 m η = 4.7	x: 1.695 m η = 10.4	η = 0.3	η < 0.1	η < 0.1	x: 1.695 m η = 31.4	η < 0.1	η = 0.2	x: 1.695 m η = 7.8	η = 0.3	**CUMPLE η = 31.4**
N2215/N2216	$\lambda_w \leq \lambda_{w,máx}$ Cumple	x: 1.694 m η = 0.3	x: 0.084 m η = 3.0	x: 1.695 m η = 12.7	x: 1.695 m η = 9.2	x: 1.695 m η = 10.0	η = 0.3	η < 0.1	η < 0.1	x: 1.695 m η = 18.0	η < 0.1	η = 0.3	x: 1.695 m η = 10.0	η = 0.3	**CUMPLE η = 18.0**
N2216/N2217	$\lambda_w \leq \lambda_{w,máx}$ Cumple	x: 1.694 m η = 20.7	x: 0.084 m η = 27.0	x: 1.695 m η = 35.5	x: 0.084 m η = 11.2	x: 1.695 m η = 19.5	η = 0.4	η < 0.1	η < 0.1	x: 1.695 m η = 60.6	η < 0.1	η = 0.2	x: 1.695 m η = 18.9	η = 0.4	**CUMPLE η = 60.6**
N2217/N2218	$\lambda_w \leq \lambda_{w,máx}$ Cumple	x: 1.637 m η = 41.1	x: 0.084 m η = 49.8	x: 0.084 m η = 33.8	x: 0.084 m η = 4.9	x: 0.084 m η = 22.7	η = 0.4	η < 0.1	η < 0.1	x: 0.084 m η = 80.1	η < 0.1	η = 0.5	x: 0.084 m η = 22.7	η = 0.4	**CUMPLE η = 80.1**
N2219/N2220	$\lambda_w \leq \lambda_{w,máx}$ Cumple	x: 1.7 m η = 46.6	x: 0.141 m η = 84.4	x: 0.141 m η = 26.0	x: 0.141 m η = 2.9	x: 0.141 m η = 9.9	η = 0.2	η < 0.1	η < 0.1	x: 1.701 m η = 89.8	η < 0.1	η = 0.5	x: 0.141 m η = 8.2	η = 0.2	**CUMPLE η = 89.8**
N2220/N2221	$\lambda_w \leq \lambda_{w,máx}$ Cumple	x: 1.7 m η = 27.9	x: 0.078 m η = 54.9	x: 0.078 m η = 14.7	x: 0.078 m η = 1.8	x: 1.701 m η = 5.0	η = 0.1	η < 0.1	η < 0.1	x: 0.078 m η = 62.3	η < 0.1	η = 0.1	x: 1.701 m η = 5.0	η = 0.1	**CUMPLE η = 62.3**
N2221/N2222	$\lambda_w \leq \lambda_{w,máx}$ Cumple	x: 1.7 m η = 13.0	x: 0.078 m η = 29.9	x: 0.078 m η = 3.0	x: 0.078 m η = 1.7	x: 0.078 m η = 1.3	η = 0.1	η < 0.1	η < 0.1	x: 0.078 m η = 32.3	η < 0.1	η = 0.1	x: 0.078 m η = 1.0	η = 0.1	**CUMPLE η = 32.3**
N2222/N2223	$\lambda_w \leq \lambda_{w,máx}$ Cumple	x: 1.7 m η = 0.5	x: 0.078 m η = 11.3	x: 1.701 m η = 4.7	x: 1.701 m η = 3.0	x: 0.078 m η = 2.3	η = 0.1	η < 0.1	η < 0.1	x: 1.701 m η = 13.7	η < 0.1	η = 0.1	x: 1.701 m η = 1.4	η = 0.1	**CUMPLE η = 13.7**
N2223/N2224	$\lambda_w \leq \lambda_{w,máx}$ Cumple	x: 1.7 m η = 7.6	x: 0.078 m η = 18.6	x: 1.701 m η = 4.2	x: 0.078 m η = 3.2	x: 0.078 m η = 1.2	η = 0.1	η < 0.1	η < 0.1	x: 1.701 m η = 21.5	η < 0.1	x: 0.281 m η = 0.4	x: 1.701 m η = 1.1	η = 0.1	**CUMPLE η = 21.5**
N2224/N2225	$\lambda_w \leq \lambda_{w,máx}$ Cumple	x: 1.713 m η = 15.9	x: 0.078 m η = 30.5	x: 1.714 m η = 4.0	x: 1.714 m η = 2.3	x: 0.078 m η = 1.1	η = 0.1	η < 0.1	η < 0.1	x: 1.714 m η = 35.1	η < 0.1	x: 0.896 m η = 0.4	x: 1.714 m η = 0.9	η = 0.1	**CUMPLE η = 35.1**
N2225/N2226	$\lambda_w \leq \lambda_{w,máx}$ Cumple	x: 1.713 m η = 21.7	x: 0.065 m η = 38.4	x: 1.714 m η = 3.9	x: 0.065 m η = 2.4	x: 0.065 m η = 0.5	η = 0.1	η < 0.1	η < 0.1	x: 0.065 m η = 42.3	η < 0.1	x: 1.714 m η = 0.2	x: 0.065 m η = 0.2	η = 0.1	**CUMPLE η = 42.3**
N2226/N2227	$\lambda_w \leq \lambda_{w,máx}$ Cumple	x: 1.708 m η = 25.1	x: 0.065 m η = 42.7	x: 1.709 m η = 5.0	x: 1.709 m η = 1.9	x: 0.065 m η = 0.8	η = 0.1	η < 0.1	η < 0.1	x: 1.709 m η = 47.0	η < 0.1	η = 0.5	x: 1.709 m η = 0.6	η = 0.1	**CUMPLE η = 47.0**
N2227/N2228	$\lambda_w \leq \lambda_{w,máx}$ Cumple	x: 1.708 m η = 24.5	x: 0.07 m η = 40.0	x: 0.07 m η = 5.4	x: 0.07 m η = 1.8	x: 1.709 m η = 0.8	η = 0.1	η < 0.1	η < 0.1	x: 0.07 m η = 44.5	η < 0.1	η = 0.4	x: 0.07 m η = 0.5	η = 0.1	**CUMPLE η = 44.5**
N2228/N2229	$\lambda_w \leq \lambda_{w,máx}$ Cumple	x: 1.708 m η = 20.4	x: 0.07 m η = 33.1	x: 0.07 m η = 4.4	x: 1.709 m η = 1.9	x: 0.07 m η = 0.7	η = 0.1	η < 0.1	η < 0.1	x: 1.709 m η = 36.2	η < 0.1	η < 0.1	x: 1.709 m η = 0.2	x: 1.708 m η < 0.1	**CUMPLE η = 36.2**
N2229/N2230	$\lambda_w \leq \lambda_{w,máx}$ Cumple	x: 1.694 m η = 14.0	x: 0.07 m η = 22.6	x: 0.07 m η = 4.5	x: 0.07 m η = 1.9	x: 1.695 m η = 1.4	η = 0.1	η < 0.1	η < 0.1	x: 0.07 m η = 26.9	η < 0.1	x: 0.273 m η = 0.3	x: 0.07 m η = 1.3	η = 0.1	**CUMPLE η = 26.9**
N2230/N2231	$\lambda_w \leq \lambda_{w,máx}$ Cumple	x: 1.694 m η = 5.0	x: 0.084 m η = 5.1	x: 0.084 m η = 4.5	x: 1.695 m η = 2.0	x: 0.084 m η = 1.4	x: 0.084 m η = 0.1	η < 0.1	η < 0.1	x: 0.084 m η = 10.2	η < 0.1	x: 0.084 m η = 0.2	x: 0.084 m η = 1.4	x: 0.084 m η = 0.1	**CUMPLE η = 10.2**
N2231/N2232	$\lambda_w \leq \lambda_{w,máx}$ Cumple	x: 1.694 m η = 8.1	x: 0.084 m η = 12.6	x: 1.695 m η = 5.9	x: 0.084 m η = 1.4	x: 1.695 m η = 2.9	η = 0.1	η < 0.1	η < 0.1	x: 0.084 m η = 16.3	η < 0.1	η = 0.1	x: 0.084 m η = 2.0	η < 0.1	**CUMPLE η = 16.3**
N2232/N2233	$\lambda_w \leq \lambda_{w,máx}$ Cumple	x: 1.694 m η = 22.5	x: 0.084 m η = 34.9	x: 0.084 m η = 1.7	x: 1.695 m η = 1.5	x: 0.084 m η = 0.4	η < 0.1	η < 0.1	η < 0.1	x: 0.084 m η = 36.2	η < 0.1	η < 0.1	x: 1.695 m η = 0.2	x: 0.487 m η < 0.1	**CUMPLE η = 36.2**
N2233/N2234	$\lambda_w \leq \lambda_{w,máx}$ Cumple	x: 1.661 m η = 37.1	x: 0.084 m η = 57.8	x: 1.662 m η = 33.3	x: 1.662 m η = 2.1	x: 1.662 m η = 10.6	η = 0.1	η < 0.1	η < 0.1	x: 1.662 m η = 77.0	η < 0.1	η = 0.1	x: 1.662 m η = 8.9	η = 0.1	**CUMPLE η = 77.0**
N2234/N2235	$\lambda_w \leq \lambda_{w,máx}$ Cumple	x: 1.637 m η = 43.9	x: 0.117 m η = 70.5	x: 0.117 m η = 17.6	x: 1.638 m η = 3.4	x: 1.638 m η = 6.1	η = 0.1	η < 0.1	η < 0.1	x: 0.117 m η = 80.2	η < 0.1	η < 0.1	x: 0.117 m η = 1.3	η = 0.1	**CUMPLE η = 80.2**
N2236/N2237	$\lambda_w \leq \lambda_{w,máx}$ Cumple	x: 1.7 m η = 40.6	x: 0.141 m η = 40.3	x: 0.141 m η = 50.9	x: 1.701 m η = 1.4	x: 0.141 m η = 22.9	η = 0.1	η < 0.1	η < 0.1	x: 0.141 m η = 87.4	η < 0.1	η = 0.1	x: 0.141 m η = 22.9	η = 0.1	**CUMPLE η = 87.4**
N2237/N2238	$\lambda_w \leq \lambda_{w,máx}$ Cumple	x: 1.7 m η = 21.7	x: 0.078 m η = 17.3	x: 0.078 m η = 12.4	x: 1.701 m η = 2.0	x: 0.078 m η = 14.1	η = 0.1	η < 0.1	η < 0.1	x: 0.078 m η = 32.6	η < 0.1	η = 0.1	x: 0.078 m η = 14.1	η = 0.1	**CUMPLE η = 32.6**
N2238/N2239	$\lambda_w \leq \lambda_{w,máx}$ Cumple	x: 1.7 m η = 6.3	x: 0.078 m η = 2.2	x: 0.078 m η = 13.1	x: 1.701 m η = 1.9	x: 0.078 m η = 9.9	η = 0.1	η < 0.1	η < 0.1	x: 0.078 m η = 19.1	η < 0.1	η = 0.1	x: 0.078 m η = 1.6	η = 0.1	**CUMPLE η = 19.1**
N2239/N2240	$\lambda_w \leq \lambda_{w,máx}$ Cumple	x: 1.7 m η = 10.7	x: 0.078 m η = 7.8	x: 0.078 m η = 9.2	x: 1.701 m η = 4.7	x: 0.078 m η = 9.2	η = 0.1	η < 0.1	η < 0.1	x: 0.078 m η = 20.2	η < 0.1	η = 0.2	x: 0.078 m η = 1.7	η = 0.1	**CUMPLE η = 20.2**
N2240/N2241	$\lambda_w \leq \lambda_{w,máx}$ Cumple	x: 1.713 m η = 20.0	x: 0.078 m η = 17.7	x: 0.078 m η = 7.6	x: 0.078 m η = 6.0	x: 0.078 m η = 8.8	x: 1.51 m η = 0.3	η < 0.1	η < 0.1	x: 0.078 m η = 27.9	η < 0.1	x: 1.51 m η = 0.5	x: 0.078 m η = 8.8	x: 1.51 m η = 0.3	**CUMPLE η = 27.9**
N2241/N3459	$\lambda_w \leq \lambda_{w,máx}$ Cumple	x: 0.89 m η = 26.3	x: 0.065 m η = 24.7	x: 0.065 m η = 7.0	x: 0.89 m η = 5.5	x: 0.065 m η = 8.8	x: 0.271 m η = 0.4	η < 0.1	η < 0.1	x: 0.065 m η = 33.9	η < 0.1	x: 0.271 m η = 0.2	x: 0.065 m η = 1.5	x: 0.271 m η = 0.4	**CUMPLE η = 33.9**
N3459/N2242	$\lambda_w \leq \lambda_{w,máx}$ Cumple	x: 0.824 m η = 26.3	x: 0 m η = 24.7	x: 0 m η = 5.6	x: 0.825 m η = 10.1	x: 0.825 m η = 7.0	x: 0 m η = 0.4	η < 0.1	η < 0.1	x: 0 m η = 32.6	η < 0.1	x: 0 m η = 0.2	x: 0.825 m η = 1.0	x: 0 m η = 0.4	**CUMPLE η = 32.6**
N2242/N2243	$\lambda_w \leq \lambda_{w,máx}$ Cumple	x: 1.713 m η = 29.9	x: 0.065 m η = 33.2	x: 0.89 m η = 6.1	x: 0.065 m η = 9.9	x: 0.065 m η = 8.1	x: 1.302 m η = 0.5	η < 0.1	η < 0.1	x: 0.89 m η = 36.4	η < 0.1	x: 1.302 m η = 0.5	x: 0.065 m η = 6.0	x: 1.302 m η = 0.5	**CUMPLE η = 36.4**
N2243/N2244	$\lambda_w \leq \lambda_{w,máx}$ Cumple	x: 1.727 m η = 30.4	x: 0.065 m η = 34.7	x: 0.897 m η = 6.5	x: 1.728 m η = 12.2	x: 0.065 m η = 8.3	η = 0.5	η < 0.1	η < 0.1	x: 0.897 m η = 37.6	η < 0.1	x: 1.105 m η = 0.3	x: 0.065 m η = 1.4	η = 0.5	**CUMPLE η = 37.6**
N2244/N2245	$\lambda_w \leq \lambda_{w,máx}$ Cumple	x: 1.708 m η = 30.6	x: 0.051 m η = 34.8	x: 0.88 m η = 6.7	x: 0.051 m η = 11.9	x: 1.709 m η = 8.3	x: 0.88 m η = 0.8	η < 0.1	η < 0.1	x: 0.88 m η = 37.8	η < 0.1	x: 0.88 m η = 0.4	x: 1.709 m η = 1.4	x: 0.88 m η = 0.8	**CUMPLE η = 37.8**
N2245/N2246	$\lambda_w \leq \lambda_{w,máx}$ Cumple	x: 1.708 m η = 28.6	x: 0.07 m η = 32.8	x: 0.89 m η = 6.3	x: 0.07 m η = 7.6	x: 1.709 m η = 8.3	η = 0.2	η < 0.1	η < 0.1	x: 0.89 m η = 35.6	η < 0.1	η = 0.2	x: 1.709 m η = 1.3	η = 0.2	**CUMPLE η = 35.6**
N2246/N3468	$\lambda_w \leq \lambda_{w,máx}$ Cumple	x: 0.89 m η = 23.5	x: 0.07 m η = 23.8	x: 0.685 m η = 5.3	x: 0.07 m η = 3.8	x: 0.07 m η = 6.6	η = 0.2	η < 0.1	η < 0.1	x: 0.685 m η = 29.4	η < 0.1	η = 0.2	x: 0.07 m η = 1.0	η = 0.2	**CUMPLE η = 29.4**
N3468/N2247	$\lambda_w \leq \lambda_{w,máx}$ Cumple	x: 0.819 m η = 23.5	x: 0 m η = 23.8	x: 0.82 m η = 8.2	x: 0 m η = 1.9	x: 0.82 m η = 9.1	x: 0.615 m η = 0.2	η < 0.1	η < 0.1	x: 0.82 m η = 32.4	η < 0.1	x: 0.615 m η = 0.2	x: 0.82 m η = 1.5	x: 0.615 m η = 0.2	**CUMPLE η = 32.4**
N2247/N2248	$\lambda_w \leq \lambda_{w,máx}$ Cumple	x: 1.694 m η = 15.8	x: 0.07 m η = 16.3	x: 1.695 m η = 8.7	x: 1.695 m η = 2.2	x: 1.695 m η = 9.0	x: 0.476 m η = 0.1	η < 0.1	η < 0.1	x: 1.695 m η = 24.9	η < 0.1	x: 0.476 m η = 0.3	x: 1.695 m η = 9.0	x: 0.476 m η = 0.1	**CUMPLE η = 24.9**
N2248/N2249	$\lambda_w \leq \lambda_{w,máx}$ Cumple	x: 1.694 m η = 4.9	x: 0.084 m η = 5.9	x: 1.695 m η = 11.2	x: 0.084 m η = 1.9	x: 1.695 m η = 9.8	η = 0.1	η < 0.1	η < 0.1	x: 1.695 m η = 16.4	η < 0.1	x: 1.694 m η = 0.1	x: 1.695 m η = 7.3	η = 0.1	**CUMPLE η = 16.4**
N2249/N2250	$\lambda_w \leq \lambda_{w,máx}$ Cumple	x: 1.694 m η = 7.6	x: 0.084 m η = 8.4	x: 1.695 m η = 11.7	x: 1.695 m η = 3.3	x: 1.695 m η = 9.5	η = 0.1	η < 0.1	η < 0.1	x: 1.695 m η = 20.5	η < 0.1	η = 0.1	x: 1.695 m η = 6.8	η = 0.1	**CUMPLE η = 20.5**

Documento visado electrónicamente con número VA07290/22. Código de validación telemática TRLTDCFZ60T66IJ1. Comprobación: https://cogitivalencia.e-gestion.es/Validacion.aspx?CVT=TRLTDCFZ60T66IJ1

VISADO
COGITI
Estado
VALENCIA
VA07290/22
TRLTDCFZ60T66IJ1

Barras	COMPROBACIONES (CÓDIGO ESTRUCTURAL)														
	λ_w	N_t	N_c	M_Y	M_Z	V_Z	V_Y	M_YV_Z	M_ZV_Y	NM_YM_Z	$NM_YM_ZV_YV_Z$	M_t	M_tV_Z	M_tV_Y	
N2250/N2251	$\lambda_w \leq \lambda_{w,máx}$ Cumple	x: 1.694 m η = 24.0	x: 0.084 m η = 29.3	x: 1.695 m η = 32.7	x: 0.084 m η = 4.2	x: 1.695 m η = 18.6	η = 0.2	η < 0.1	η < 0.1	x: 1.695 m η = 59.6	η < 0.1	η = 0.1	x: 1.695 m η = 18.1	η = 0.2	**CUMPLE η = 59.6**
N2251/N2252	$\lambda_w \leq \lambda_{w,máx}$ Cumple	x: 1.637 m η = 40.3	x: 0.084 m η = 47.6	x: 0.084 m η = 32.4	x: 0.084 m η = 1.9	x: 0.084 m η = 22.5	η = 0.1	η < 0.1	η < 0.1	x: 0.084 m η = 76.4	η < 0.1	η = 0.2	x: 0.084 m η = 21.3	η = 0.1	**CUMPLE η = 76.4**
N2235/N2253	$\lambda_w \leq \lambda_{w,máx}$ Cumple	x: 1.7 m η = 38.5	x: 0.141 m η = 44.3	x: 0.141 m η = 47.5	x: 1.701 m η = 1.4	x: 0.141 m η = 21.9	η = 0.1	η < 0.1	η < 0.1	x: 0.141 m η = 88.9	η < 0.1	η = 0.1	x: 0.141 m η = 21.9	η < 0.1	**CUMPLE η = 88.9**
N2253/N2254	$\lambda_w \leq \lambda_{w,máx}$ Cumple	x: 1.7 m η = 15.9	x: 0.078 m η = 16.5	x: 0.078 m η = 13.3	x: 1.701 m η = 2.9	x: 0.078 m η = 14.5	η = 0.1	η < 0.1	η < 0.1	x: 0.078 m η = 30.0	η < 0.1	η = 0.1	x: 0.078 m η = 14.5	η = 0.1	**CUMPLE η = 30.0**
N2254/N2255	$\lambda_w \leq \lambda_{w,máx}$ Cumple	x: 1.7 m η = 5.1	x: 0.078 m η = 5.8	x: 0.078 m η = 14.0	x: 1.701 m η = 2.1	x: 0.078 m η = 10.3	x: 0.687 m η = 0.1	η < 0.1	η < 0.1	x: 0.078 m η = 19.3	η < 0.1	x: 0.078 m η = 0.1	x: 0.078 m η = 1.7	x: 0.687 m η = 0.1	**CUMPLE η = 19.3**
N2255/N2256	$\lambda_w \leq \lambda_{w,máx}$ Cumple	x: 1.7 m η = 20.7	x: 0.078 m η = 25.2	x: 0.078 m η = 10.2	x: 1.701 m η = 5.2	x: 0.078 m η = 9.8	η = 0.1	η < 0.1	η < 0.1	x: 0.078 m η = 32.6	η < 0.1	x: 1.296 m η = 0.2	x: 0.078 m η = 1.8	η = 0.1	**CUMPLE η = 32.6**
N2256/N2257	$\lambda_w \leq \lambda_{w,máx}$ Cumple	x: 1.713 m η = 33.9	x: 0.078 m η = 40.5	x: 0.078 m η = 8.1	x: 0.078 m η = 6.8	x: 0.078 m η = 9.2	x: 1.305 m η = 0.4	η < 0.1	η < 0.1	x: 0.078 m η = 43.7	η < 0.1	x: 1.305 m η = 0.6	x: 0.078 m η = 9.2	x: 1.305 m η = 0.4	**CUMPLE η = 43.7**
N2257/N3477	$\lambda_w \leq \lambda_{w,máx}$ Cumple	x: 0.89 m η = 44.1	x: 0.065 m η = 45.5	x: 0.065 m η = 7.6	x: 0.89 m η = 6.0	x: 0.065 m η = 9.3	x: 0.065 m η = 0.4	η < 0.1	η < 0.1	x: 0.065 m η = 52.4	η < 0.1	x: 0.065 m η = 0.3	x: 0.065 m η = 9.3	x: 0.065 m η = 0.4	**CUMPLE η = 52.4**
N3477/N2258	$\lambda_w \leq \lambda_{w,máx}$ Cumple	x: 0.824 m η = 44.1	x: 0 m η = 45.5	x: 0.206 m η = 6.4	x: 0.825 m η = 11.4	x: 0.825 m η = 6.5	x: 0 m η = 0.4	η < 0.1	η < 0.1	x: 0.206 m η = 51.7	η < 0.1	η = 0.3	x: 0.825 m η = 6.5	x: 0 m η = 0.4	**CUMPLE η = 51.7**
N2258/N2259	$\lambda_w \leq \lambda_{w,máx}$ Cumple	x: 1.713 m η = 51.6	x: 0.065 m η = 61.1	x: 0.89 m η = 7.6	x: 0.065 m η = 11.0	x: 0.065 m η = 8.6	η = 0.4	η < 0.1	η < 0.1	x: 0.89 m η = 62.9	η < 0.1	η = 0.5	x: 0.065 m η = 8.6	η = 0.4	**CUMPLE η = 62.9**
N2259/N2260	$\lambda_w \leq \lambda_{w,máx}$ Cumple	x: 1.727 m η = 56.0	x: 0.065 m η = 66.5	x: 0.897 m η = 8.1	x: 1.728 m η = 8.7	x: 0.065 m η = 8.4	x: 0.481 m η = 0.4	η < 0.1	η < 0.1	x: 0.897 m η = 68.4	η < 0.1	x: 0.481 m η = 0.4	x: 0.065 m η = 1.4	x: 0.481 m η = 0.4	**CUMPLE η = 68.4**
N2260/N2261	$\lambda_w \leq \lambda_{w,máx}$ Cumple	x: 1.708 m η = 56.3	x: 0.051 m η = 66.7	x: 0.88 m η = 8.0	x: 0.051 m η = 8.3	x: 1.709 m η = 8.2	x: 1.708 m η = 0.3	η < 0.1	η < 0.1	x: 0.88 m η = 68.4	η < 0.1	η < 0.1	x: 1.709 m η = 1.3	x: 1.708 m η = 0.3	**CUMPLE η = 68.4**
N2261/N2262	$\lambda_w \leq \lambda_{w,máx}$ Cumple	x: 1.708 m η = 58.3	x: 0.07 m η = 68.6	x: 0.89 m η = 7.9	x: 1.709 m η = 3.7	x: 0.07 m η = 7.9	x: 0.89 m η = 0.3	η < 0.1	η < 0.1	x: 0.89 m η = 70.1	η < 0.1	x: 0.275 m η = 0.4	x: 0.07 m η = 7.9	x: 0.89 m η = 0.3	**CUMPLE η = 70.1**
N2262/N3486	$\lambda_w \leq \lambda_{w,máx}$ Cumple	x: 0.89 m η = 57.4	x: 0.07 m η = 61.4	x: 0.89 m η = 7.7	x: 0.89 m η = 6.4	x: 0.07 m η = 7.1	η = 0.2	η < 0.1	η < 0.1	x: 0.89 m η = 66.2	η < 0.1	x: 0.07 m η = 0.2	x: 0.07 m η = 7.1	η = 0.2	**CUMPLE η = 66.2**
N3486/N2263	$\lambda_w \leq \lambda_{w,máx}$ Cumple	x: 0.819 m η = 57.5	x: 0 m η = 61.4	x: 0 m η = 7.7	x: 0.82 m η = 9.3	x: 0.82 m η = 8.7	η = 0.2	η < 0.1	η < 0.1	x: 0 m η = 66.2	η < 0.1	x: 0 m η = 0.2	x: 0.82 m η = 8.7	η = 0.2	**CUMPLE η = 66.2**
N2263/N2264	$\lambda_w \leq \lambda_{w,máx}$ Cumple	x: 1.694 m η = 53.9	x: 0.07 m η = 63.2	x: 0.883 m η = 7.1	x: 0.07 m η = 10.8	x: 1.695 m η = 8.7	x: 0.883 m η = 0.8	η < 0.1	η < 0.1	x: 0.883 m η = 64.5	η < 0.1	x: 0.883 m η = 0.5	x: 1.695 m η = 8.7	x: 0.883 m η = 0.8	**CUMPLE η = 64.5**
N2264/N2265	$\lambda_w \leq \lambda_{w,máx}$ Cumple	x: 1.694 m η = 47.4	x: 0.084 m η = 55.5	x: 1.695 m η = 7.2	x: 0.084 m η = 6.1	x: 1.695 m η = 9.3	η = 0.2	η < 0.1	η < 0.1	x: 0.688 m η = 57.2	η < 0.1	η = 0.3	x: 1.695 m η = 6.6	η = 0.2	**CUMPLE η = 57.2**
N2265/N2266	$\lambda_w \leq \lambda_{w,máx}$ Cumple	x: 1.694 m η = 38.4	x: 0.084 m η = 44.4	x: 1.695 m η = 9.1	x: 1.695 m η = 4.1	x: 1.695 m η = 9.5	x: 0.89 m η = 0.1	η < 0.1	η < 0.1	x: 1.695 m η = 49.4	η < 0.1	η = 0.1	x: 1.695 m η = 6.8	x: 0.89 m η = 0.1	**CUMPLE η = 49.4**
N2266/N2267	$\lambda_w \leq \lambda_{w,máx}$ Cumple	x: 1.694 m η = 25.8	x: 0.084 m η = 29.9	x: 1.695 m η = 16.6	x: 0.084 m η = 5.2	x: 1.695 m η = 15.6	η = 0.2	η < 0.1	η < 0.1	x: 1.695 m η = 41.6	η < 0.1	η = 0.1	x: 1.695 m η = 15.6	η = 0.2	**CUMPLE η = 41.6**
N2267/N2268	$\lambda_w \leq \lambda_{w,máx}$ Cumple	x: 1.637 m η = 11.1	x: 0.084 m η = 10.6	x: 1.638 m η = 14.8	x: 0.084 m η = 2.4	x: 1.638 m η = 14.7	η = 0.2	η < 0.1	η < 0.1	x: 1.638 m η = 27.2	η < 0.1	η = 0.3	x: 1.638 m η = 14.7	η = 0.2	**CUMPLE η = 27.2**
N2269/N2203	$\lambda_w \leq \lambda_{w,máx}$ Cumple	x: 1.911 m η = 37.9	x: 0.088 m η = 44.8	x: 0.088 m η = 2.1	x: 0.088 m η = 6.8	η = 0.1	η = 0.9	η < 0.1	η < 0.1	x: 0.088 m η = 52.0	η < 0.1	η = 1.6	η = 0.1	η = 0.9	**CUMPLE η = 52.0**
N2270/N2204	$\lambda_w \leq \lambda_{w,máx}$ Cumple	x: 1.911 m η = 25.5	x: 0.088 m η = 31.4	x: 0.088 m η = 0.7	x: 0.088 m η = 14.4	η < 0.1	η = 2.2	η < 0.1	η < 0.1	x: 0.088 m η = 46.0	η < 0.1	η = 0.6	η < 0.1	η = 2.2	**CUMPLE η = 46.0**
N2271/N2205	$\lambda_w \leq \lambda_{w,máx}$ Cumple	x: 1.911 m η = 24.7	x: 0.088 m η = 30.5	x: 0.088 m η = 1.2	x: 0.088 m η = 11.3	η < 0.1	η = 1.8	η < 0.1	η < 0.1	x: 0.088 m η = 42.0	η < 0.1	η = 1.5	η < 0.1	η = 1.8	**CUMPLE η = 42.0**
N2272/N2206	$\lambda_w \leq \lambda_{w,máx}$ Cumple	x: 1.911 m η = 18.3	x: 0.088 m η = 22.5	x: 0.088 m η = 1.1	x: 0.088 m η = 9.6	η = 0.1	η = 1.5	η < 0.1	η < 0.1	x: 0.088 m η = 32.6	η < 0.1	x: 0.088 m η = 0.9	η = 0.1	η = 1.5	**CUMPLE η = 32.6**
N2273/N2207	$\lambda_w \leq \lambda_{w,máx}$ Cumple	x: 1.922 m η = 11.9	x: 0.088 m η = 12.2	x: 0.088 m η = 1.6	x: 0.088 m η = 6.2	η = 0.1	η = 0.9	η < 0.1	η < 0.1	x: 0.088 m η = 18.8	η < 0.1	η = 1.8	η = 0.1	η = 0.9	**CUMPLE η = 18.8**
N2274/N2208	$\lambda_w \leq \lambda_{w,máx}$ Cumple	x: 1.922 m η = 6.5	x: 0.086 m η = 6.5	x: 0.086 m η = 0.3	x: 0.086 m η = 2.6	x: 1.188 m η < 0.1	η = 0.3	η < 0.1	η < 0.1	x: 0.086 m η = 9.1	η < 0.1	η = 0.3	x: 1.188 m η < 0.1	η = 0.3	**CUMPLE η = 9.1**
N2275/N2209	$\lambda_w \leq \lambda_{w,máx}$ Cumple	x: 1.922 m η = 2.2	x: 0.086 m η = 2.1	x: 0.086 m η = 1.4	x: 1.923 m η = 0.9	η < 0.1	η = 0.1	η < 0.1	η < 0.1	x: 1.923 m η = 3.4	η < 0.1	η = 1.6	η < 0.1	η = 0.1	**CUMPLE η = 3.4**
N2276/N2210	$\lambda_w \leq \lambda_{w,máx}$ Cumple	x: 1.922 m η = 7.8	x: 0.086 m η = 7.7	x: 0.086 m η = 1.0	x: 0.086 m η = 6.1	η = 0.1	η = 0.8	η < 0.1	η < 0.1	x: 0.086 m η = 14.3	η < 0.1	η = 1.2	η = 0.1	η = 0.8	**CUMPLE η = 14.3**
N2277/N2211	$\lambda_w \leq \lambda_{w,máx}$ Cumple	x: 1.921 m η = 26.1	x: 0.086 m η = 32.1	x: 1.921 m η = 0.6	x: 0.086 m η = 13.1	η < 0.1	η = 1.7	η < 0.1	η < 0.1	x: 0.086 m η = 45.5	η < 0.1	η = 1.5	η < 0.1	η = 1.7	**CUMPLE η = 45.5**
N2278/N2212	$\lambda_w \leq \lambda_{w,máx}$ Cumple	x: 1.921 m η = 34.4	x: 0.086 m η = 42.1	x: 1.921 m η = 0.4	x: 0.086 m η = 17.3	η < 0.1	η = 2.3	η < 0.1	η < 0.1	x: 0.086 m η = 60.1	η < 0.1	x: 0.086 m η = 0.6	η < 0.1	η = 2.3	**CUMPLE η = 60.1**
N2279/N2213	$\lambda_w \leq \lambda_{w,máx}$ Cumple	x: 1.921 m η = 34.7	x: 0.094 m η = 40.1	x: 0.094 m η = 0.9	x: 0.094 m η = 21.2	η < 0.1	η = 3.4	η < 0.1	η < 0.1	x: 0.094 m η = 61.7	η < 0.1	η = 1.5	η < 0.1	η = 3.5	**CUMPLE η = 61.7**
N2280/N2214	$\lambda_w \leq \lambda_{w,máx}$ Cumple	x: 1.905 m η = 41.0	x: 0.094 m η = 48.1	x: 0.094 m η = 1.2	x: 0.094 m η = 24.5	η < 0.1	η = 3.9	η < 0.1	η < 0.1	x: 0.094 m η = 73.3	η < 0.1	η = 1.4	η < 0.1	η = 3.9	**CUMPLE η = 73.3**
N2281/N2215	$\lambda_w \leq \lambda_{w,máx}$ Cumple	x: 1.905 m η = 47.2	x: 0.094 m η = 55.9	x: 0.094 m η = 1.5	x: 1.906 m η = 25.0	η = 0.1	η = 4.1	η < 0.1	η < 0.1	x: 0.094 m η = 81.3	η < 0.1	η = 1.8	η = 0.1	η = 4.1	**CUMPLE η = 81.3**
N2282/N2216	$\lambda_w \leq \lambda_{w,máx}$ Cumple	x: 1.905 m η = 43.7	x: 0.094 m η = 52.1	x: 0.094 m η = 0.9	x: 0.094 m η = 30.8	η < 0.1	η = 4.8	η < 0.1	η < 0.1	x: 0.094 m η = 83.5	η < 0.1	η = 0.4	η < 0.1	η = 4.8	**CUMPLE η = 83.5**
N2283/N2217	$\lambda_w \leq \lambda_{w,máx}$ Cumple	x: 1.905 m η = 55.0	x: 0.131 m η = 63.9	x: 0.131 m η = 2.8	x: 0.131 m η = 1.5	η = 0.1	η = 0.1	η < 0.1	η < 0.1	x: 0.131 m η = 65.9	η < 0.1	η = 2.7	η = 0.1	η = 0.1	**CUMPLE η = 65.9**
N2220/N2237	$\lambda_w \leq \lambda_{w,máx}$ Cumple	x: 1.911 m η = 38.8	x: 0.088 m η = 47.6	x: 0.088 m η = 1.6	x: 1.912 m η = 19.4	η = 0.1	η = 2.8	η < 0.1	η < 0.1	x: 1.912 m η = 67.2	η < 0.1	η = 0.6	η = 0.1	η = 2.8	**CUMPLE η = 67.2**
N2221/N2238	$\lambda_w \leq \lambda_{w,máx}$ Cumple	x: 1.911 m η = 34.3	x: 0.088 m η = 42.5	x: 0.088 m η = 0.6	x: 0.088 m η = 16.3	η < 0.1	η = 2.5	η < 0.1	η < 0.1	x: 0.088 m η = 59.0	η < 0.1	η = 0.5	η < 0.1	η = 2.5	**CUMPLE η = 59.0**
N2222/N2239	$\lambda_w \leq \lambda_{w,máx}$ Cumple	x: 1.911 m η = 33.8	x: 0.088 m η = 42.3	x: 1.911 m η = 0.4	x: 0.088 m η = 15.7	η < 0.1	η = 2.5	η < 0.1	η < 0.1	x: 0.088 m η = 58.4	η < 0.1	η = 0.5	η < 0.1	η = 2.6	**CUMPLE η = 58.4**
N2223/N2240	$\lambda_w \leq \lambda_{w,máx}$ Cumple	x: 1.911 m η = 27.7	x: 0.088 m η = 34.6	x: 1.911 m η = 1.0	x: 0.088 m η = 14.1	η < 0.1	η = 2.2	η < 0.1	η < 0.1	x: 0.088 m η = 49.1	η < 0.1	η = 1.8	η < 0.1	η = 2.2	**CUMPLE η = 49.1**
N2224/N2241	$\lambda_w \leq \lambda_{w,máx}$ Cumple	x: 1.922 m η = 21.3	x: 0.088 m η = 26.5	x: 0.088 m η = 2.5	x: 0.088 m η = 11.1	η = 0.1	η = 1.8	η < 0.1	η < 0.1	x: 0.088 m η = 37.9	η < 0.1	x: 1.922 m η = 2.9	η = 0.1	η = 1.8	**CUMPLE η = 37.9**
N2225/N2242	$\lambda_w \leq \lambda_{w,máx}$ Cumple	x: 1.922 m η = 17.9	x: 0.086 m η = 24.1	x: 0.086 m η = 0.4	x: 0.086 m η = 7.7	x: 1.372 m η < 0.1	η = 1.0	η < 0.1	η < 0.1	x: 0.086 m η = 32.1	η < 0.1	x: 1.372 m η = 0.6	x: 1.372 m η < 0.1	η = 1.0	**CUMPLE η = 32.1**
N2226/N2243	$\lambda_w \leq \lambda_{w,máx}$ Cumple	x: 1.922 m η = 9.6	x: 0.086 m η = 11.2	x: 0.086 m η = 2.4	x: 0.086 m η = 4.6	η < 0.1	η = 0.6	η < 0.1	η < 0.1	x: 0.086 m η = 16.1	η < 0.1	η = 2.8	η < 0.1	η = 0.6	**CUMPLE η = 16.1**
N2227/N2244	$\lambda_w \leq \lambda_{w,máx}$ Cumple	x: 1.922 m η = 8.0	x: 0.086 m η = 7.9	x: 0.086 m η = 1.5	x: 1.923 m η = 1.4	x: 1.739 m η = 0.1	η = 0.2	η < 0.1	η < 0.1	x: 1.923 m η = 9.5	η < 0.1	η = 0.7	x: 1.739 m η = 0.1	η = 0.2	**CUMPLE η = 9.5**

Documento visado electrónicamente con número: VA07290/22
Código de validación telemática TRLTDCFZ60T66IJ1. Comprobación: https://cogitivalencia.e-gestion.es/Validacion.aspx?CVT=TRLTDCFZ60T66IJ1

Listados

VISADO
COGITI
VALENCIA
VA07290/22
TRLTDCFZ60T66IJ1
Documento visado electrónicamente con número VA07290/22
Código de validación telemática TRLTDCFZ60T66IJ1. Comprobación: https://cogitivalencia.e-gestion.es/Validacion.aspx?CVT=TRLTDCFZ60T66IJ1

Barras	COMPROBACIONES (CÓDIGO ESTRUCTURAL)														Estado
	λ_w	N_t	N_c	M_Y	M_Z	V_Z	V_Y	M_YV_Z	M_ZV_Y	NM_YM_Z	$NM_YM_ZV_YV_Z$	M_t	M_tV_Z	M_tV_Y	
N2228/N2245	$\lambda_w \leq \lambda_{w,máx}$ Cumple	x: 1.921 m η = 15.0	x: 0.086 m η = 16.5	x: 1.921 m η = 0.9	x: 0.086 m η = 6.8	η < 0.1	η = 0.9	η < 0.1	η < 0.1	x: 0.086 m η = 22.8	η < 0.1	x: 1.921 m η = 2.1	η < 0.1	η = 0.9	**CUMPLE η = 22.8**
N2229/N2246	$\lambda_w \leq \lambda_{w,máx}$ Cumple	x: 1.921 m η = 23.1	x: 0.086 m η = 26.4	x: 1.921 m η = 0.6	x: 0.086 m η = 10.9	η < 0.1	η = 1.4	η < 0.1	η < 0.1	x: 0.086 m η = 36.8	η < 0.1	η = 0.7	η < 0.1	η = 1.4	**CUMPLE η = 36.8**
N2230/N2247	$\lambda_w \leq \lambda_{w,máx}$ Cumple	x: 1.921 m η = 25.5	x: 0.094 m η = 28.1	x: 0.094 m η = 1.2	x: 0.094 m η = 14.9	η < 0.1	η = 2.4	η < 0.1	η < 0.1	x: 0.094 m η = 42.6	η < 0.1	η = 1.9	η < 0.1	η = 2.4	**CUMPLE η = 42.6**
N2231/N2248	$\lambda_w \leq \lambda_{w,máx}$ Cumple	x: 1.905 m η = 31.8	x: 0.094 m η = 36.1	x: 0.094 m η = 0.6	x: 0.094 m η = 18.4	η < 0.1	η = 2.9	η < 0.1	η < 0.1	x: 0.094 m η = 54.5	η < 0.1	x: 1.905 m η = 1.2	η < 0.1	η = 2.9	**CUMPLE η = 54.5**
N2232/N2249	$\lambda_w \leq \lambda_{w,máx}$ Cumple	x: 1.905 m η = 38.0	x: 0.094 m η = 44.0	x: 0.094 m η = 0.4	x: 1.906 m η = 19.3	η < 0.1	η = 3.1	η < 0.1	η < 0.1	x: 0.094 m η = 63.3	η < 0.1	η = 0.4	η < 0.1	η = 3.1	**CUMPLE η = 63.3**
N2233/N2250	$\lambda_w \leq \lambda_{w,máx}$ Cumple	x: 1.905 m η = 36.3	x: 0.094 m η = 42.4	x: 0.094 m η = 0.4	x: 0.094 m η = 25.5	η < 0.1	η = 3.9	η < 0.1	η < 0.1	x: 0.094 m η = 68.1	η < 0.1	η = 0.3	η < 0.1	η = 3.9	**CUMPLE η = 68.1**
N2234/N2251	$\lambda_w \leq \lambda_{w,máx}$ Cumple	x: 1.905 m η = 47.3	x: 0.131 m η = 54.0	x: 0.131 m η = 1.1	x: 0.131 m η = 4.7	η < 0.1	η = 0.6	η < 0.1	η < 0.1	x: 0.131 m η = 59.0	η < 0.1	η = 1.1	η < 0.1	η = 0.6	**CUMPLE η = 59.0**
N2284/N2253	$\lambda_w \leq \lambda_{w,máx}$ Cumple	x: 1.911 m η = 47.2	x: 0.088 m η = 55.9	x: 0.088 m η = 1.7	x: 1.912 m η = 22.4	η = 0.1	η = 3.3	η < 0.1	η < 0.1	x: 1.912 m η = 78.9	η < 0.1	η = 1.0	η = 0.1	η = 3.3	**CUMPLE η = 78.9**
N2285/N2254	$\lambda_w \leq \lambda_{w,máx}$ Cumple	x: 1.911 m η = 42.0	x: 0.088 m η = 50.6	x: 0.088 m η = 0.7	x: 0.088 m η = 19.6	η < 0.1	η = 3.0	η < 0.1	η < 0.1	x: 0.088 m η = 70.7	η < 0.1	η = 0.5	η < 0.1	η = 3.0	**CUMPLE η = 70.7**
N2286/N2255	$\lambda_w \leq \lambda_{w,máx}$ Cumple	x: 1.911 m η = 43.4	x: 0.088 m η = 52.2	x: 1.911 m η = 0.4	x: 0.088 m η = 19.7	η < 0.1	η = 3.2	η < 0.1	η < 0.1	x: 0.088 m η = 72.3	η < 0.1	η = 0.2	η < 0.1	η = 3.2	**CUMPLE η = 72.3**
N2287/N2256	$\lambda_w \leq \lambda_{w,máx}$ Cumple	x: 1.911 m η = 37.3	x: 0.088 m η = 44.5	x: 0.088 m η = 1.1	x: 0.088 m η = 18.5	η < 0.1	η = 2.9	η < 0.1	η < 0.1	x: 0.088 m η = 63.6	η < 0.1	x: 0.088 m η = 2.1	η < 0.1	η = 2.9	**CUMPLE η = 63.6**
N2288/N2257	$\lambda_w \leq \lambda_{w,máx}$ Cumple	x: 1.922 m η = 31.0	x: 0.088 m η = 36.5	x: 0.088 m η = 3.0	x: 0.088 m η = 15.8	η = 0.1	η = 2.5	η < 0.1	η < 0.1	x: 0.088 m η = 52.9	η < 0.1	x: 1.922 m η = 3.4	η = 0.1	η = 2.5	**CUMPLE η = 52.9**
N2289/N2258	$\lambda_w \leq \lambda_{w,máx}$ Cumple	x: 1.922 m η = 29.6	x: 0.086 m η = 37.2	x: 0.086 m η = 0.6	x: 0.086 m η = 12.6	η < 0.1	η = 1.6	η < 0.1	η < 0.1	x: 0.086 m η = 50.4	η < 0.1	x: 1.005 m η = 0.3	η < 0.1	η = 1.6	**CUMPLE η = 50.4**
N2290/N2259	$\lambda_w \leq \lambda_{w,máx}$ Cumple	x: 1.922 m η = 21.4	x: 0.086 m η = 27.1	x: 0.086 m η = 2.5	x: 0.086 m η = 9.2	η < 0.1	η = 1.2	η < 0.1	η < 0.1	x: 0.086 m η = 36.9	η < 0.1	x: 1.922 m η = 3.0	η < 0.1	η = 1.2	**CUMPLE η = 36.9**
N2291/N2260	$\lambda_w \leq \lambda_{w,máx}$ Cumple	x: 1.922 m η = 8.0	x: 0.086 m η = 7.9	x: 0.086 m η = 1.1	x: 0.086 m η = 4.0	η = 0.1	η = 0.5	η < 0.1	η < 0.1	x: 0.086 m η = 12.3	η < 0.1	η = 1.0	η = 0.1	η = 0.5	**CUMPLE η = 12.3**
N2292/N2261	$\lambda_w \leq \lambda_{w,máx}$ Cumple	x: 1.921 m η = 4.1	x: 0.086 m η = 3.6	x: 1.921 m η = 1.2	x: 1.922 m η = 1.8	η < 0.1	η = 0.2	η < 0.1	η < 0.1	x: 1.922 m η = 6.0	η < 0.1	x: 1.921 m η = 1.9	η < 0.1	η = 0.2	**CUMPLE η = 6.0**
N2293/N2262	$\lambda_w \leq \lambda_{w,máx}$ Cumple	x: 1.921 m η = 12.1	x: 0.086 m η = 11.3	x: 0.086 m η = 1.1	x: 0.086 m η = 5.4	x: 1.921 m η < 0.1	η = 0.7	η < 0.1	η < 0.1	x: 0.086 m η = 17.5	η < 0.1	x: 1.921 m η = 1.5	x: 1.921 m η < 0.1	η = 0.7	**CUMPLE η = 17.5**
N2294/N2263	$\lambda_w \leq \lambda_{w,máx}$ Cumple	x: 1.921 m η = 16.5	x: 0.094 m η = 16.1	x: 0.094 m η = 2.2	x: 0.094 m η = 9.7	η = 0.1	η = 1.6	η < 0.1	η < 0.1	x: 0.094 m η = 26.4	η < 0.1	x: 1.921 m η = 2.1	η = 0.1	η = 1.6	**CUMPLE η = 26.4**
N2295/N2264	$\lambda_w \leq \lambda_{w,máx}$ Cumple	x: 1.905 m η = 22.8	x: 0.094 m η = 26.9	x: 0.094 m η = 1.1	x: 0.094 m η = 13.8	η < 0.1	η = 2.2	η < 0.1	η < 0.1	x: 0.094 m η = 41.0	η < 0.1	x: 0.094 m η = 2.6	η < 0.1	η = 2.2	**CUMPLE η = 41.0**
N2296/N2265	$\lambda_w \leq \lambda_{w,máx}$ Cumple	x: 1.905 m η = 29.1	x: 0.094 m η = 34.8	x: 0.094 m η = 0.7	x: 0.094 m η = 16.3	η < 0.1	η = 2.6	η < 0.1	η < 0.1	x: 0.094 m η = 51.3	η < 0.1	η = 0.8	η < 0.1	η = 2.6	**CUMPLE η = 51.3**
N2297/N2266	$\lambda_w \leq \lambda_{w,máx}$ Cumple	x: 1.905 m η = 29.3	x: 0.094 m η = 35.2	x: 0.094 m η = 0.5	x: 0.094 m η = 17.1	η < 0.1	η = 2.7	η < 0.1	η < 0.1	x: 0.094 m η = 52.7	η < 0.1	η = 0.5	η < 0.1	η = 2.7	**CUMPLE η = 52.7**
N2298/N2267	$\lambda_w \leq \lambda_{w,máx}$ Cumple	x: 1.905 m η = 38.9	x: 0.094 m η = 45.7	x: 0.094 m η = 1.2	x: 0.094 m η = 21.8	η < 0.1	η = 3.3	η < 0.1	η < 0.1	x: 0.094 m η = 68.1	η < 0.1	η = 1.8	η < 0.1	η = 3.3	**CUMPLE η = 68.1**
N2269/N2202	$\lambda_w \leq \lambda_{w,máx}$ Cumple	x: 2.482 m η = 28.2	x: 0.111 m η = 34.1	x: 2.483 m η = 30.7	x: 0.111 m η = 2.2	x: 0.111 m η = 2.9	η = 0.1	η < 0.1	η < 0.1	x: 2.483 m η = 65.4	η < 0.1	η = 0.9	x: 0.111 m η = 2.9	η = 0.1	**CUMPLE η = 65.4**
N2270/N2203	$\lambda_w \leq \lambda_{w,máx}$ Cumple	x: 2.482 m η = 33.5	x: 0.111 m η = 37.2	x: 0.111 m η = 3.9	x: 2.483 m η = 2.4	x: 0.111 m η = 0.5	η < 0.1	η < 0.1	η < 0.1	x: 0.111 m η = 41.2	η < 0.1	η = 1.3	x: 0.111 m η = 0.5	η < 0.1	**CUMPLE η = 41.2**
N2271/N2204	$\lambda_w \leq \lambda_{w,máx}$ Cumple	x: 2.482 m η = 28.0	x: 0.111 m η = 31.3	x: 2.483 m η = 7.0	x: 2.483 m η = 1.0	x: 0.111 m η = 0.9	η = 0.1	η < 0.1	η < 0.1	x: 2.483 m η = 38.3	η < 0.1	η = 1.0	x: 0.111 m η = 0.9	η = 0.1	**CUMPLE η = 38.3**
N2272/N2205	$\lambda_w \leq \lambda_{w,máx}$ Cumple	x: 2.482 m η = 25.1	x: 0.111 m η = 27.1	x: 2.483 m η = 6.3	x: 0.111 m η = 1.0	x: 0.111 m η = 0.7	η < 0.1	η < 0.1	η < 0.1	x: 2.483 m η = 33.6	η < 0.1	x: 0.902 m η = 0.4	x: 0.111 m η = 0.7	η < 0.1	**CUMPLE η = 33.6**
N2273/N2206	$\lambda_w \leq \lambda_{w,máx}$ Cumple	x: 2.482 m η = 16.1	x: 0.111 m η = 15.1	x: 2.483 m η = 5.1	x: 0.111 m η = 1.9	x: 0.111 m η = 0.5	x: 2.482 m η = 0.1	η < 0.1	η < 0.1	x: 2.483 m η = 21.9	η < 0.1	η = 0.4	x: 0.111 m η = 0.5	x: 2.482 m η = 0.1	**CUMPLE η = 21.9**
N2274/N2207	$\lambda_w \leq \lambda_{w,máx}$ Cumple	x: 2.482 m η = 9.1	x: 0.111 m η = 7.6	x: 2.483 m η = 3.4	x: 2.483 m η = 2.1	x: 0.111 m η = 0.3	x: 0.111 m η = 0.1	η < 0.1	η < 0.1	x: 2.483 m η = 12.6	η < 0.1	x: 0.111 m η = 0.9	x: 0.111 m η = 0.3	x: 0.111 m η = 0.1	**CUMPLE η = 12.6**
N2275/N2208	$\lambda_w \leq \lambda_{w,máx}$ Cumple	x: 2.482 m η = 2.8	x: 0.111 m η = 2.2	x: 0.111 m η = 2.1	x: 0.111 m η = 1.5	x: 0.111 m η = 0.1	x: 2.285 m η = 0.1	η < 0.1	η < 0.1	x: 0.111 m η = 5.5	η < 0.1	x: 2.285 m η = 0.6	x: 0.111 m η = 0.1	x: 2.285 m η = 0.1	**CUMPLE η = 5.5**
N2276/N2209	$\lambda_w \leq \lambda_{w,máx}$ Cumple	x: 2.482 m η = 14.5	x: 0.111 m η = 16.6	x: 0.111 m η = 4.6	x: 2.483 m η = 2.0	x: 2.482 m η = 0.3	η = 0.1	η < 0.1	η < 0.1	x: 0.111 m η = 20.7	η < 0.1	η = 0.9	x: 2.482 m η = 0.3	η = 0.1	**CUMPLE η = 20.7**
N2276/N2211	$\lambda_w \leq \lambda_{w,máx}$ Cumple	x: 2.662 m η = 24.5	x: 0.119 m η = 32.5	x: 2.663 m η = 5.7	x: 0.119 m η = 2.2	x: 0.119 m η = 0.5	x: 0.543 m η = 0.1	η < 0.1	η < 0.1	x: 2.663 m η = 38.8	η < 0.1	η = 0.4	x: 0.119 m η = 0.5	x: 0.543 m η = 0.1	**CUMPLE η = 38.8**
N2277/N2212	$\lambda_w \leq \lambda_{w,máx}$ Cumple	x: 2.662 m η = 36.1	x: 0.119 m η = 48.4	x: 2.663 m η = 8.6	x: 2.663 m η = 1.0	x: 0.119 m η = 0.8	x: 1.603 m η = 0.1	η < 0.1	η < 0.1	x: 2.663 m η = 57.9	η < 0.1	x: 1.603 m η = 0.5	x: 0.119 m η = 0.8	x: 1.603 m η = 0.1	**CUMPLE η = 57.9**
N2278/N2213	$\lambda_w \leq \lambda_{w,máx}$ Cumple	x: 2.662 m η = 46.6	x: 0.119 m η = 62.0	x: 2.663 m η = 8.5	x: 2.663 m η = 1.4	x: 0.119 m η = 0.8	η = 0.1	η < 0.1	η < 0.1	x: 2.663 m η = 71.9	η < 0.1	η = 0.5	x: 0.119 m η = 0.8	η = 0.1	**CUMPLE η = 71.9**
N2279/N2214	$\lambda_w \leq \lambda_{w,máx}$ Cumple	x: 2.662 m η = 48.0	x: 0.119 m η = 58.9	x: 2.663 m η = 10.0	x: 2.663 m η = 2.2	x: 0.119 m η = 1.2	η = 0.1	η < 0.1	η < 0.1	x: 2.663 m η = 70.0	η < 0.1	η = 1.1	x: 0.119 m η = 1.2	η = 0.1	**CUMPLE η = 70.0**
N2280/N2215	$\lambda_w \leq \lambda_{w,máx}$ Cumple	x: 2.662 m η = 56.8	x: 0.119 m η = 68.0	x: 2.663 m η = 10.7	x: 0.119 m η = 2.2	x: 0.119 m η = 1.3	η < 0.1	η < 0.1	η < 0.1	x: 2.663 m η = 79.5	η < 0.1	η = 0.7	x: 0.119 m η = 1.4	η < 0.1	**CUMPLE η = 79.5**
N2281/N2216	$\lambda_w \leq \lambda_{w,máx}$ Cumple	x: 2.662 m η = 55.6	x: 0.119 m η = 67.1	x: 0.119 m η = 11.1	x: 2.663 m η = 2.1	x: 0.119 m η = 1.4	η = 0.1	η < 0.1	η < 0.1	x: 0.119 m η = 78.4	η < 0.1	η = 1.6	x: 0.119 m η = 1.4	η = 0.1	**CUMPLE η = 78.4**
N2282/N2217	$\lambda_w \leq \lambda_{w,máx}$ Cumple	x: 2.662 m η = 56.3	x: 0.119 m η = 67.4	x: 0.119 m η = 10.3	x: 2.663 m η = 3.6	x: 0.119 m η = 0.8	η < 0.1	η < 0.1	η < 0.1	x: 0.119 m η = 77.4	η < 0.1	η = 2.1	x: 0.119 m η = 0.8	η < 0.1	**CUMPLE η = 77.4**
N2283/N2218	$\lambda_w \leq \lambda_{w,máx}$ Cumple	x: 2.549 m η = 54.2	x: 0.119 m η = 64.6	x: 2.55 m η = 13.1	x: 2.55 m η = 2.9	x: 2.549 m η = 1.4	η = 0.1	η < 0.1	η < 0.1	x: 2.55 m η = 77.2	η < 0.1	η = 1.0	x: 2.549 m η = 1.4	η = 0.1	**CUMPLE η = 77.2**
N2220/N2236	$\lambda_w \leq \lambda_{w,máx}$ Cumple	x: 2.377 m η = 30.8	x: 0.111 m η = 37.6	x: 2.378 m η = 17.4	x: 2.378 m η = 2.5	x: 0.111 m η = 1.6	η = 0.2	η < 0.1	η < 0.1	x: 2.378 m η = 55.5	η < 0.1	η = 1.1	x: 0.111 m η = 1.6	η = 0.2	**CUMPLE η = 55.5**
N2221/N2237	$\lambda_w \leq \lambda_{w,máx}$ Cumple	x: 2.482 m η = 45.8	x: 0.111 m η = 50.5	x: 2.483 m η = 11.9	x: 0.111 m η = 1.1	x: 0.111 m η = 1.5	η < 0.1	η < 0.1	η < 0.1	x: 2.483 m η = 62.6	η < 0.1	η = 0.6	x: 2.482 m η = 1.5	η < 0.1	**CUMPLE η = 62.6**
N2222/N2238	$\lambda_w \leq \lambda_{w,máx}$ Cumple	x: 2.482 m η = 38.6	x: 0.111 m η = 42.8	x: 0.111 m η = 8.0	x: 2.483 m η = 0.7	x: 0.111 m η = 1.0	η < 0.1	η < 0.1	η < 0.1	x: 0.111 m η = 49.5	η < 0.1	η = 0.3	x: 0.111 m η = 1.0	η < 0.1	**CUMPLE η = 49.5**
N2223/N2239	$\lambda_w \leq \lambda_{w,máx}$ Cumple	x: 2.482 m η = 38.4	x: 0.111 m η = 41.5	x: 0.111 m η = 7.7	x: 0.111 m η = 0.9	x: 0.111 m η = 1.1	x: 2.285 m η = 0.1	η < 0.1	η < 0.1	x: 2.483 m η = 49.2	η < 0.1	η = 0.5	x: 0.111 m η = 1.1	x: 2.285 m η = 0.1	**CUMPLE η = 49.2**
N2224/N2240	$\lambda_w \leq \lambda_{w,máx}$ Cumple	x: 2.482 m η = 29.5	x: 0.111 m η = 32.5	x: 2.483 m η = 6.2	x: 0.111 m η = 3.3	x: 0.111 m η = 0.9	x: 2.482 m η = 0.1	η < 0.1	η < 0.1	x: 2.483 m η = 38.9	η < 0.1	η = 0.6	x: 0.111 m η = 0.9	x: 2.482 m η = 0.1	**CUMPLE η = 38.9**

VISADO
COGITI
Estado
VALENCIA
VA07290/22
TRLTDCFZ60T66IJ1

Barras	COMPROBACIONES (CÓDIGO ESTRUCTURAL)															
	λ_w	N_t	N_c	M_Y	M_Z	V_Z	V_Y	M_YV_Z	M_ZV_Y	NM_YM_Z	$NM_YM_ZV_YV_Z$	M_t	M_tV_Z	M_tV_Y	
N2225/N2241	$\lambda_w \leq \lambda_{w,máx}$ Cumple	x: 2.482 m η = 25.2	x: 0.111 m η = 28.5	x: 2.483 m η = 4.7	x: 2.483 m η = 3.3	x: 0.111 m η = 0.5	x: 0.111 m η = 0.1	η < 0.1	η < 0.1	x: 2.483 m η = 33.6	η < 0.1	η = 1.2	x: 0.111 m η = 0.5	x: 0.11 η = 0.1	**CUMPLE η = 33.6**
N2226/N2242	$\lambda_w \leq \lambda_{w,máx}$ Cumple	x: 2.482 m η = 15.1	x: 0.111 m η = 15.9	x: 2.483 m η = 3.8	x: 0.111 m η = 2.5	x: 0.111 m η = 0.4	x: 1.495 m η = 0.1	η < 0.1	η < 0.1	x: 2.483 m η = 19.8	η < 0.1	x: 1.495 m η = 0.5	x: 0.111 m η = 0.4	x: 1.49 η = 0.1	**CUMPLE η = 19.8**
N2227/N2243	$\lambda_w \leq \lambda_{w,máx}$ Cumple	x: 2.482 m η = 4.2	x: 0.111 m η = 1.1	x: 2.483 m η = 1.9	x: 2.483 m η = 3.4	x: 0.111 m η = 0.2	x: 0.111 m η = 0.1	η < 0.1	η < 0.1	x: 2.285 m η = 6.0	η < 0.1	x: 0.111 m η = 1.5	x: 0.111 m η = 0.2	x: 0.111 m η = 0.1	**CUMPLE η = 6.0**
N2227/N2245	$\lambda_w \leq \lambda_{w,máx}$ Cumple	x: 2.662 m η = 7.2	x: 0.119 m η = 8.8	x: 2.663 m η = 3.1	x: 0.119 m η = 2.5	x: 2.662 m η = 0.3	η = 0.1	η < 0.1	η < 0.1	x: 2.663 m η = 12.0	η < 0.1	x: 2.451 m η = 0.4	x: 2.662 m η = 0.3	η = 0.1	**CUMPLE η = 12.0**
N2228/N2246	$\lambda_w \leq \lambda_{w,máx}$ Cumple	x: 2.662 m η = 18.7	x: 0.119 m η = 27.5	x: 2.663 m η = 5.3	x: 2.663 m η = 1.5	x: 2.662 m η = 0.5	x: 0.755 m η = 0.1	η < 0.1	η < 0.1	x: 2.663 m η = 33.1	η < 0.1	x: 0.755 m η = 0.8	x: 2.662 m η = 0.5	x: 0.755 m η = 0.1	**CUMPLE η = 33.1**
N2229/N2247	$\lambda_w \leq \lambda_{w,máx}$ Cumple	x: 2.662 m η = 29.4	x: 0.119 m η = 41.3	x: 2.663 m η = 5.9	x: 2.663 m η = 1.9	x: 2.662 m η = 0.6	η < 0.1	η < 0.1	η < 0.1	x: 2.663 m η = 47.7	η < 0.1	η = 0.7	x: 2.662 m η = 0.6	η < 0.1	**CUMPLE η = 47.7**
N2230/N2248	$\lambda_w \leq \lambda_{w,máx}$ Cumple	x: 2.662 m η = 33.7	x: 0.119 m η = 43.1	x: 2.663 m η = 7.4	x: 0.119 m η = 2.0	x: 0.119 m η = 0.9	x: 2.662 m η = 0.1	η < 0.1	η < 0.1	x: 2.663 m η = 50.8	η < 0.1	η = 0.5	x: 0.119 m η = 0.9	x: 2.662 m η = 0.1	**CUMPLE η = 50.8**
N2231/N2249	$\lambda_w \leq \lambda_{w,máx}$ Cumple	x: 2.662 m η = 42.8	x: 0.119 m η = 52.5	x: 2.663 m η = 8.2	x: 0.119 m η = 0.9	x: 0.119 m η = 1.1	x: 2.239 m η = 0.1	η < 0.1	η < 0.1	x: 2.663 m η = 61.1	η < 0.1	η = 0.4	x: 0.119 m η = 1.1	x: 2.239 m η = 0.1	**CUMPLE η = 61.1**
N2232/N2250	$\lambda_w \leq \lambda_{w,máx}$ Cumple	x: 2.662 m η = 43.9	x: 0.119 m η = 54.1	x: 0.119 m η = 9.0	x: 2.663 m η = 0.9	x: 0.119 m η = 1.1	η = 0.1	η < 0.1	η < 0.1	x: 0.119 m η = 63.0	η < 0.1	η = 0.6	x: 0.119 m η = 1.1	η = 0.1	**CUMPLE η = 63.0**
N2233/N2251	$\lambda_w \leq \lambda_{w,máx}$ Cumple	x: 2.662 m η = 45.2	x: 0.119 m η = 55.0	x: 0.119 m η = 8.5	x: 2.662 m η = 1.5	x: 0.119 m η = 0.6	η < 0.1	η < 0.1	η < 0.1	x: 0.119 m η = 63.6	η < 0.1	η = 0.8	x: 0.119 m η = 0.6	η < 0.1	**CUMPLE η = 63.6**
N2234/N2252	$\lambda_w \leq \lambda_{w,máx}$ Cumple	x: 2.549 m η = 50.9	x: 0.119 m η = 62.8	x: 2.55 m η = 12.2	x: 2.55 m η = 1.3	x: 2.549 m η = 1.3	η < 0.1	η < 0.1	η < 0.1	x: 2.55 m η = 74.3	η < 0.1	η = 0.4	x: 2.549 m η = 1.3	η < 0.1	**CUMPLE η = 74.3**
N2284/N2235	$\lambda_w \leq \lambda_{w,máx}$ Cumple	x: 2.377 m η = 35.0	x: 0.111 m η = 42.9	x: 2.378 m η = 12.5	x: 0.111 m η = 1.8	x: 0.111 m η = 1.0	η = 0.1	η < 0.1	η < 0.1	x: 2.378 m η = 55.2	η < 0.1	η = 0.9	x: 0.111 m η = 1.0	η = 0.1	**CUMPLE η = 55.2**
N2285/N2253	$\lambda_w \leq \lambda_{w,máx}$ Cumple	x: 2.482 m η = 54.7	x: 0.111 m η = 62.8	x: 0.111 m η = 12.5	x: 2.482 m η = 1.3	x: 0.111 m η = 1.6	η < 0.1	η < 0.1	η < 0.1	x: 2.483 m η = 75.8	η < 0.1	η = 0.7	x: 0.111 m η = 1.6	η < 0.1	**CUMPLE η = 75.8**
N2286/N2254	$\lambda_w \leq \lambda_{w,máx}$ Cumple	x: 2.482 m η = 47.5	x: 0.111 m η = 55.0	x: 0.111 m η = 9.6	x: 2.483 m η = 0.8	x: 0.111 m η = 1.2	η < 0.1	η < 0.1	η < 0.1	x: 0.111 m η = 63.9	η < 0.1	η = 0.4	x: 0.111 m η = 1.2	η < 0.1	**CUMPLE η = 63.9**
N2287/N2255	$\lambda_w \leq \lambda_{w,máx}$ Cumple	x: 2.482 m η = 49.2	x: 0.111 m η = 56.3	x: 2.483 m η = 9.8	x: 0.111 m η = 1.1	x: 0.111 m η = 1.3	x: 1.297 m η = 0.1	η < 0.1	η < 0.1	x: 2.483 m η = 66.4	η < 0.1	η = 0.5	x: 0.111 m η = 1.3	x: 1.297 m η = 0.1	**CUMPLE η = 66.4**
N2288/N2256	$\lambda_w \leq \lambda_{w,máx}$ Cumple	x: 2.482 m η = 40.5	x: 0.111 m η = 47.5	x: 2.483 m η = 8.8	x: 0.111 m η = 3.8	x: 0.111 m η = 1.1	η = 0.1	η < 0.1	η < 0.1	x: 2.483 m η = 56.7	η < 0.1	η = 0.5	x: 0.111 m η = 1.1	η = 0.1	**CUMPLE η = 56.7**
N2289/N2257	$\lambda_w \leq \lambda_{w,máx}$ Cumple	x: 2.482 m η = 38.4	x: 0.111 m η = 48.0	x: 2.483 m η = 7.3	x: 2.483 m η = 3.9	x: 0.111 m η = 0.8	η = 0.1	η < 0.1	η < 0.1	x: 2.483 m η = 56.0	η < 0.1	η = 1.4	x: 0.111 m η = 0.8	η = 0.1	**CUMPLE η = 56.0**
N2290/N2258	$\lambda_w \leq \lambda_{w,máx}$ Cumple	x: 2.482 m η = 28.4	x: 0.111 m η = 35.4	x: 2.483 m η = 7.0	x: 0.111 m η = 2.5	x: 0.111 m η = 0.7	x: 1.692 m η = 0.2	η < 0.1	η < 0.1	x: 2.483 m η = 43.0	η < 0.1	x: 1.692 m η = 0.8	x: 0.111 m η = 0.7	x: 1.692 m η = 0.2	**CUMPLE η = 43.0**
N2291/N2259	$\lambda_w \leq \lambda_{w,máx}$ Cumple	x: 2.482 m η = 17.7	x: 0.111 m η = 21.3	x: 2.483 m η = 4.5	x: 0.111 m η = 3.1	x: 0.111 m η = 0.4	η < 0.1	η < 0.1	η < 0.1	x: 2.483 m η = 26.1	η < 0.1	η = 1.0	x: 0.111 m η = 0.4	η < 0.1	**CUMPLE η = 26.1**
N2291/N2261	$\lambda_w \leq \lambda_{w,máx}$ Cumple	x: 2.662 m η = 8.1	x: 0.119 m η = 7.7	x: 0.119 m η = 3.3	x: 2.663 m η = 2.5	x: 2.662 m η = 0.2	x: 0.755 m η = 0.2	η < 0.1	η < 0.1	x: 0.119 m η = 11.4	η < 0.1	x: 0.755 m η = 1.2	x: 2.662 m η = 0.2	x: 0.755 m η = 0.2	**CUMPLE η = 11.4**
N2292/N2262	$\lambda_w \leq \lambda_{w,máx}$ Cumple	x: 2.662 m η = 5.5	x: 0.119 m η = 5.3	x: 2.663 m η = 3.4	x: 0.119 m η = 2.0	x: 0.119 m η = 0.2	η < 0.1	η < 0.1	η < 0.1	x: 2.663 m η = 8.9	η < 0.1	η = 0.4	x: 0.119 m η = 0.2	η < 0.1	**CUMPLE η = 8.9**
N2293/N2263	$\lambda_w \leq \lambda_{w,máx}$ Cumple	x: 2.662 m η = 16.3	x: 0.119 m η = 21.1	x: 2.663 m η = 4.6	x: 2.663 m η = 2.9	x: 0.119 m η = 0.4	x: 0.331 m η = 0.2	η < 0.1	η < 0.1	x: 2.663 m η = 26.1	η < 0.1	x: 0.331 m η = 1.3	x: 0.119 m η = 0.4	x: 0.331 m η = 0.2	**CUMPLE η = 26.1**
N2294/N2264	$\lambda_w \leq \lambda_{w,máx}$ Cumple	x: 2.662 m η = 22.7	x: 0.119 m η = 27.6	x: 2.663 m η = 6.3	x: 0.119 m η = 3.7	x: 0.119 m η = 0.6	η = 0.1	η < 0.1	η < 0.1	x: 2.663 m η = 34.2	η < 0.1	η = 0.7	x: 0.119 m η = 0.6	η = 0.1	**CUMPLE η = 34.2**
N2295/N2265	$\lambda_w \leq \lambda_{w,máx}$ Cumple	x: 2.662 m η = 32.2	x: 0.119 m η = 37.5	x: 2.663 m η = 7.4	x: 0.119 m η = 1.3	x: 0.119 m η = 0.8	x: 0.755 m η = 0.1	η < 0.1	η < 0.1	x: 2.663 m η = 45.1	η < 0.1	x: 0.755 m η = 0.5	x: 0.119 m η = 0.8	x: 0.755 m η = 0.1	**CUMPLE η = 45.1**
N2296/N2266	$\lambda_w \leq \lambda_{w,máx}$ Cumple	x: 2.662 m η = 34.1	x: 0.119 m η = 40.4	x: 2.663 m η = 7.3	x: 2.663 m η = 1.0	x: 0.119 m η = 0.9	η = 0.1	η < 0.1	η < 0.1	x: 2.663 m η = 48.0	η < 0.1	η = 0.6	x: 0.119 m η = 0.9	η = 0.1	**CUMPLE η = 48.0**
N2297/N2267	$\lambda_w \leq \lambda_{w,máx}$ Cumple	x: 2.662 m η = 42.1	x: 0.119 m η = 49.4	x: 2.663 m η = 6.7	x: 2.663 m η = 2.2	x: 0.119 m η = 0.8	η < 0.1	η < 0.1	η < 0.1	x: 2.663 m η = 56.4	η < 0.1	η = 0.9	x: 0.119 m η = 0.8	η < 0.1	**CUMPLE η = 56.4**
N2298/N2268	$\lambda_w \leq \lambda_{w,máx}$ Cumple	x: 2.549 m η = 26.5	x: 0.119 m η = 33.6	x: 0.119 m η = 12.5	x: 2.55 m η = 1.8	x: 0.119 m η = 1.4	η < 0.1	η < 0.1	η < 0.1	x: 0.119 m η = 45.4	η < 0.1	η = 0.5	x: 0.119 m η = 1.4	η < 0.1	**CUMPLE η = 45.4**
N2148/N2299	$\lambda_w \leq \lambda_{w,máx}$ Cumple	η = 2.1	η = 9.5	x: 2.373 m η = 1.9	x: 0.06 m η = 6.3	η = 0.2	x: 0.06 m η = 0.9	η < 0.1	η < 0.1	x: 0.06 m η = 14.1	η < 0.1	η = 0.6	η = 0.2	x: 0.06 m η = 0.9	**CUMPLE η = 14.1**
N2299/N2300	$\lambda_w \leq \lambda_{w,máx}$ Cumple	η = 2.2	η = 8.6	x: 0.06 m η = 1.4	x: 2.373 m η = 1.5	η = 0.1	x: 2.373 m η = 0.3	η < 0.1	η < 0.1	x: 0.446 m η = 10.3	η < 0.1	η = 0.2	η = 0.1	x: 2.373 m η = 0.3	**CUMPLE η = 10.3**
N2300/N2301	$\lambda_w \leq \lambda_{w,máx}$ Cumple	η = 2.5	η = 8.8	x: 2.373 m η = 4.8	x: 2.373 m η = 5.0	η = 0.4	x: 2.373 m η = 0.7	η < 0.1	η < 0.1	x: 2.373 m η = 15.0	η < 0.1	η = 0.6	η = 0.4	x: 2.373 m η = 0.7	**CUMPLE η = 15.0**
N2049/N2302	$\lambda_w \leq \lambda_{w,máx}$ Cumple	η = 4.8	η = 18.2	x: 0.06 m η = 2.9	x: 0.06 m η = 8.8	η = 0.3	x: 0.06 m η = 1.2	η < 0.1	η < 0.1	x: 0.06 m η = 24.5	η < 0.1	η = 4.5	η = 0.3	x: 0.06 m η = 1.2	**CUMPLE η = 24.5**
N2302/N2303	$\lambda_w \leq \lambda_{w,máx}$ Cumple	η = 4.4	η = 19.1	x: 2.373 m η = 1.2	x: 0.253 m η = 2.0	η < 0.1	x: 2.373 m η = 0.3	η < 0.1	η < 0.1	x: 1.217 m η = 20.8	η < 0.1	η = 0.2	η < 0.1	x: 2.373 m η = 0.3	**CUMPLE η = 20.8**
N2303/N2202	$\lambda_w \leq \lambda_{w,máx}$ Cumple	η = 4.5	η = 19.0	x: 2.373 m η = 2.3	x: 2.373 m η = 5.2	η = 0.3	x: 2.373 m η = 0.7	η < 0.1	η < 0.1	x: 2.373 m η = 23.0	η < 0.1	η = 4.6	η = 0.3	x: 2.373 m η = 0.7	**CUMPLE η = 23.0**
N2083/N2304	$\lambda_w \leq \lambda_{w,máx}$ Cumple	η = 1.7	η = 60.8	x: 0.15 m η = 3.3	x: 0.15 m η = 6.0	η = 0.4	x: 0.15 m η = 0.9	η < 0.1	η < 0.1	x: 0.15 m η = 67.6	η < 0.1	η = 1.1	η = 0.4	x: 0.15 m η = 0.9	**CUMPLE η = 67.6**
N2304/N2305	$\lambda_w \leq \lambda_{w,máx}$ Cumple	η = 8.2	η = 20.2	x: 2.338 m η = 0.7	x: 2.338 m η = 8.6	η = 0.1	x: 2.338 m η = 1.2	η < 0.1	η < 0.1	x: 2.338 m η = 24.8	η < 0.1	η = 0.1	η = 0.1	x: 2.338 m η = 1.2	**CUMPLE η = 24.8**
N2305/N2236	$\lambda_w \leq \lambda_{w,máx}$ Cumple	η = 7.4	η = 49.1	x: 0.095 m η = 2.6	x: 0.095 m η = 4.8	η = 0.3	x: 0.095 m η = 0.7	η < 0.1	η < 0.1	x: 0.095 m η = 52.2	η < 0.1	η = 1.0	η = 0.3	x: 0.095 m η = 0.7	**CUMPLE η = 52.2**
N2065/N2306	$\lambda_w \leq \lambda_{w,máx}$ Cumple	η = 0.3	η = 36.6	x: 0.095 m η = 2.5	x: 0.095 m η = 5.0	η = 0.2	x: 0.095 m η = 0.7	η < 0.1	η < 0.1	x: 0.095 m η = 41.1	η < 0.1	η = 0.9	η = 0.2	x: 0.095 m η = 0.7	**CUMPLE η = 41.1**
N2306/N2307	$\lambda_w \leq \lambda_{w,máx}$ Cumple	η = 0.4	η = 35.9	x: 2.373 m η = 1.2	x: 0.06 m η = 7.4	η < 0.1	x: 2.373 m η = 1.0	η < 0.1	η < 0.1	x: 0.06 m η = 41.1	η < 0.1	η = 0.1	η < 0.1	x: 2.373 m η = 1.0	**CUMPLE η = 41.1**
N2307/N2218	$\lambda_w \leq \lambda_{w,máx}$ Cumple	η = 1.6	η = 19.4	x: 2.338 m η = 2.0	x: 2.338 m η = 4.9	η = 0.2	x: 2.338 m η = 0.6	η < 0.1	η < 0.1	x: 2.338 m η = 23.9	η < 0.1	η = 1.0	η = 0.2	x: 2.338 m η = 0.6	**CUMPLE η = 23.9**
N2305/N2307	$\lambda_w \leq \lambda_{w,máx}$ Cumple	x: 1.939 m η < 0.1	x: 0.078 m η = 6.2	x: 1.94 m η = 5.5	x: 0.078 m η = 3.5	η = 0.8	η = 0.2	η < 0.1	η < 0.1	x: 0.078 m η = 12.5	η < 0.1	η = 0.5	η = 0.8	η = 0.2	**CUMPLE η = 12.5**
N2304/N2306	$\lambda_w \leq \lambda_{w,máx}$ Cumple	x: 1.939 m η = 0.3	x: 0.45 m η = 2.0	x: 0.078 m η = 4.6	x: 0.078 m η = 3.5	η = 0.7	η = 0.2	η < 0.1	η < 0.1	x: 0.078 m η = 7.2	η < 0.1	η = 0.4	η = 0.7	η = 0.2	**CUMPLE η = 7.2**
N2300/N2303	$\lambda_w \leq \lambda_{w,máx}$ Cumple	x: 1.939 m η < 0.1	x: 0.06 m η = 0.1	x: 0.06 m η = 2.9	x: 1.94 m η = 3.7	η = 0.4	η = 0.3	η < 0.1	η < 0.1	x: 1.94 m η = 6.3	η < 0.1	η = 1.1	η = 0.5	η = 0.3	**CUMPLE η = 6.3**
N2299/N2302	$\lambda_w \leq \lambda_{w,máx}$ Cumple	x: 1.939 m η < 0.1	x: 0.06 m η = 0.1	x: 1.94 m η = 5.3	x: 1.94 m η = 3.5	η = 0.7	η = 0.2	η < 0.1	η < 0.1	x: 1.94 m η = 7.3	η < 0.1	η = 0.9	η = 0.7	η = 0.2	**CUMPLE η = 7.3**

Documento visado electrónicamente con número: VA07290/22
Código de validación telemática TRLTDCFZ60T66IJ1. Comprobación: https://cogitivalencia.e-gestion.es/Validacion.aspx?CVT=TRLTDCFZ60T66IJ1

VISADO
COGITI
Estado
VALENCIA
VA07298/22
TRLTDCFZ60T66IJ1

Barras	COMPROBACIONES (CÓDIGO ESTRUCTURAL)															
	λ_w	N_t	N_c	M_Y	M_Z	V_Z	V_Y	M_YV_Z	M_ZV_Y	NM_YM_Z	$NM_YM_ZV_YV_Z$	M_t	M_tV_Z	M_tV_Y	
N2066/N2304	$\lambda_w \leq \lambda_{w,máx}$ Cumple	x: 3.054 m η = 18.1	x: 2.646 m η = 3.5	x: 0.195 m η = 10.8	x: 0.195 m η = 5.7	x: 3.055 m η = 1.0	η = 0.2	η < 0.1	η < 0.1	x: 0.195 m η = 32.9	η < 0.1	η = 4.6	x: 3.055 m η = 1.0	η = 0.2	**CUMPLE η = 32.9**
N2219/N2305	$\lambda_w \leq \lambda_{w,máx}$ Cumple	x: 3.054 m η = 12.1	x: 0.195 m η = 18.4	x: 0.195 m η = 10.6	x: 0.195 m η = 6.9	x: 0.195 m η = 0.9	η = 0.3	η < 0.1	η < 0.1	x: 0.195 m η = 31.9	η < 0.1	η = 4.3	x: 0.195 m η = 0.9	η = 0.3	**CUMPLE η = 31.9**
N2159/N2308	$\lambda_w \leq \lambda_{w,máx}$ Cumple	x: 3.054 m η = 14.0	x: 0.195 m η = 2.5	x: 0.195 m η = 6.3	x: 3.055 m η = 4.4	x: 3.055 m η = 0.7	η = 0.2	η < 0.1	η < 0.1	x: 3.055 m η = 20.2	η < 0.1	η = 2.8	x: 3.055 m η = 0.7	η = 0.2	**CUMPLE η = 20.2**
N2082/N2308	$\lambda_w \leq \lambda_{w,máx}$ Cumple	η = 1.8	η = 53.6	x: 2.338 m η = 3.2	x: 0.15 m η = 3.3	η = 0.4	x: 0.15 m η = 0.5	η < 0.1	η < 0.1	x: 0.15 m η = 56.7	η < 0.1	η = 1.1	η = 0.4	x: 0.15 m η = 0.5	**CUMPLE η = 56.7**
N2308/N2309	$\lambda_w \leq \lambda_{w,máx}$ Cumple	η = 8.1	η = 15.8	x: 2.338 m η = 0.5	x: 2.338 m η = 4.4	η = 0.1	x: 2.338 m η = 0.7	η < 0.1	η < 0.1	x: 2.338 m η = 18.9	η < 0.1	η = 0.1	η = 0.1	x: 2.338 m η = 0.7	**CUMPLE η = 18.9**
N2309/N2235	$\lambda_w \leq \lambda_{w,máx}$ Cumple	η = 3.7	η = 50.2	x: 2.283 m η = 3.6	x: 0.095 m η = 3.1	η = 0.5	x: 0.095 m η = 0.5	η < 0.1	η < 0.1	x: 2.283 m η = 54.1	η < 0.1	η = 1.2	η = 0.5	x: 0.095 m η = 0.5	**CUMPLE η = 54.1**
N2308/N2310	$\lambda_w \leq \lambda_{w,máx}$ Cumple	x: 1.939 m η = 0.2	x: 0.078 m η = 1.3	x: 1.94 m η = 2.5	x: 0.078 m η = 3.4	η = 0.4	η = 0.2	η < 0.1	η < 0.1	x: 0.078 m η = 5.3	η < 0.1	η = 0.4	η = 0.4	η = 0.2	**CUMPLE η = 5.3**
N2309/N2311	$\lambda_w \leq \lambda_{w,máx}$ Cumple	x: 1.939 m η = 0.1	x: 0.078 m η = 3.2	x: 1.94 m η = 2.8	x: 0.078 m η = 3.5	η = 0.4	η = 0.2	η < 0.1	η < 0.1	x: 0.078 m η = 7.0	η < 0.1	η = 0.4	η = 0.4	η = 0.2	**CUMPLE η = 7.0**
N2312/N2309	$\lambda_w \leq \lambda_{w,máx}$ Cumple	x: 3.054 m η = 13.9	x: 0.195 m η = 10.4	x: 0.195 m η = 6.1	x: 3.055 m η = 4.5	x: 0.195 m η = 0.6	η = 0.2	η < 0.1	η < 0.1	x: 3.055 m η = 20.3	η < 0.1	η = 2.6	x: 0.195 m η = 0.6	η = 0.2	**CUMPLE η = 20.3**
N2099/N2310	$\lambda_w \leq \lambda_{w,máx}$ Cumple	η = 0.1	η = 21.2	x: 0.095 m η = 2.2	x: 0.095 m η = 4.9	η = 0.2	x: 0.095 m η = 0.7	η < 0.1	η < 0.1	x: 0.095 m η = 25.5	η < 0.1	η = 1.0	η = 0.2	x: 0.095 m η = 0.7	**CUMPLE η = 25.5**
N2310/N2311	$\lambda_w \leq \lambda_{w,máx}$ Cumple	η = 0.1	η = 21.0	x: 2.373 m η = 1.1	x: 2.373 m η = 3.9	η < 0.1	x: 2.373 m η = 0.6	η < 0.1	η < 0.1	x: 0.06 m η = 23.8	η < 0.1	η < 0.1	η < 0.1	x: 2.373 m η = 0.6	**CUMPLE η = 23.8**
N2311/N2252	$\lambda_w \leq \lambda_{w,máx}$ Cumple	η = 0.5	η = 20.5	x: 2.338 m η = 1.7	x: 2.338 m η = 4.9	η = 0.2	x: 2.338 m η = 0.7	η < 0.1	η < 0.1	x: 2.338 m η = 24.9	η < 0.1	η = 1.0	η = 0.2	x: 2.338 m η = 0.7	**CUMPLE η = 24.9**
N2304/N2065	$\lambda_w \leq \lambda_{w,máx}$ Cumple	x: 3.054 m η = 15.6	x: 0.095 m η = 1.4	x: 0.095 m η = 4.2	x: 0.095 m η = 2.1	x: 3.055 m η = 0.6	η = 0.1	η < 0.1	η < 0.1	x: 0.095 m η = 20.9	η < 0.1	η = 1.3	x: 3.055 m η = 0.6	η = 0.1	**CUMPLE η = 20.9**
N2305/N2218	$\lambda_w \leq \lambda_{w,máx}$ Cumple	x: 3.054 m η = 15.6	x: 0.095 m η = 2.7	x: 3.055 m η = 3.9	x: 0.095 m η = 2.6	x: 3.055 m η = 0.5	η = 0.1	η < 0.1	η < 0.1	x: 3.055 m η = 20.9	η < 0.1	η = 1.4	x: 3.055 m η = 0.5	η = 0.1	**CUMPLE η = 20.9**
N2308/N2099	$\lambda_w \leq \lambda_{w,máx}$ Cumple	x: 3.054 m η = 15.8	x: 0.095 m η = 1.8	x: 3.055 m η = 4.0	x: 0.095 m η = 1.7	x: 3.055 m η = 0.5	η < 0.1	η < 0.1	η < 0.1	x: 3.055 m η = 20.5	η < 0.1	η = 1.5	x: 3.055 m η = 0.5	η < 0.1	**CUMPLE η = 20.5**
N2309/N2252	$\lambda_w \leq \lambda_{w,máx}$ Cumple	x: 3.054 m η = 15.6	x: 0.095 m η = 2.0	x: 3.055 m η = 4.0	x: 0.095 m η = 2.0	x: 3.055 m η = 0.5	η < 0.1	η < 0.1	η < 0.1	x: 3.055 m η = 20.5	η < 0.1	η = 1.3	x: 3.055 m η = 0.5	η < 0.1	**CUMPLE η = 20.5**
N2115/N2314	$\lambda_w \leq \lambda_{w,máx}$ Cumple	N_{Ed} = 0.00 N.P.(1)	η = 10.0	x: 0.095 m η = 3.9	x: 0.095 m η = 4.5	η = 0.4	x: 0.095 m η = 0.6	η < 0.1	η < 0.1	x: 0.095 m η = 14.4	η < 0.1	η = 1.9	η = 0.4	x: 0.095 m η = 0.6	**CUMPLE η = 14.4**
N2314/N2313	$\lambda_w \leq \lambda_{w,máx}$ Cumple	N_{Ed} = 0.00 N.P.(1)	η = 10.0	x: 0.06 m η = 1.8	x: 0.06 m η = 2.4	η < 0.1	x: 2.373 m η = 0.4	η < 0.1	η < 0.1	x: 0.06 m η = 11.5	η < 0.1	η = 0.1	η < 0.1	x: 2.373 m η = 0.4	**CUMPLE η = 11.5**
N2313/N2268	$\lambda_w \leq \lambda_{w,máx}$ Cumple	η = 0.6	η = 8.1	x: 2.338 m η = 4.0	x: 2.338 m η = 4.5	η = 0.4	x: 2.338 m η = 0.6	η < 0.1	η < 0.1	x: 2.338 m η = 11.4	η < 0.1	η = 2.0	η = 0.4	x: 2.338 m η = 0.6	**CUMPLE η = 11.4**
N2315/N2268	$\lambda_w \leq \lambda_{w,máx}$ Cumple	x: 3.054 m η = 15.3	x: 0.095 m η = 1.6	x: 3.055 m η = 3.5	x: 0.095 m η = 3.1	x: 3.055 m η = 0.5	η < 0.1	η < 0.1	η < 0.1	x: 3.055 m η = 19.6	η < 0.1	η = 2.8	x: 3.055 m η = 0.5	η < 0.1	**CUMPLE η = 19.6**
N2163/N2317	$\lambda_w \leq \lambda_{w,máx}$ Cumple	η = 0.7	η = 39.6	x: 0.15 m η = 4.9	x: 0.15 m η = 2.4	η = 0.6	x: 0.15 m η = 0.4	η < 0.1	η < 0.1	x: 0.15 m η = 41.5	η < 0.1	η = 1.1	η = 0.6	x: 0.15 m η = 0.4	**CUMPLE η = 41.5**
N2317/N2315	$\lambda_w \leq \lambda_{w,máx}$ Cumple	η = 10.5	x: 1.404 m η = 8.6	x: 0.095 m η = 0.8	x: 2.338 m η = 2.9	η = 0.1	x: 2.338 m η = 0.5	η < 0.1	η < 0.1	x: 2.338 m η = 12.3	η < 0.1	η = 0.1	η = 0.1	x: 2.338 m η = 0.5	**CUMPLE η = 12.3**
N2315/N2316	$\lambda_w \leq \lambda_{w,máx}$ Cumple	η = 2.9	η = 34.9	x: 0.095 m η = 3.9	x: 0.095 m η = 1.3	η = 0.5	x: 0.095 m η = 0.3	η < 0.1	η < 0.1	x: 2.283 m η = 35.8	η < 0.1	η = 1.0	η = 0.5	x: 0.095 m η = 0.3	**CUMPLE η = 35.8**
N2318/N2315	$\lambda_w \leq \lambda_{w,máx}$ Cumple	x: 3.054 m η = 11.9	x: 0.195 m η = 4.5	x: 0.195 m η = 3.4	x: 3.055 m η = 7.7	x: 0.195 m η = 0.4	η = 0.1	η < 0.1	η < 0.1	x: 3.055 m η = 18.6	η < 0.1	η = 6.8	x: 0.195 m η = 0.4	η = 0.1	**CUMPLE η = 18.6**
N2317/N2314	$\lambda_w \leq \lambda_{w,máx}$ Cumple	x: 1.939 m η = 0.1	x: 0.078 m η = 1.0	x: 1.94 m η = 1.6	x: 0.078 m η = 6.8	η = 0.2	η = 0.4	η < 0.1	η < 0.1	x: 0.078 m η = 7.1	η < 0.1	η = 0.8	η = 0.2	η = 0.4	**CUMPLE η = 7.1**
N2317/N2115	$\lambda_w \leq \lambda_{w,máx}$ Cumple	x: 3.054 m η = 15.8	x: 0.095 m η = 1.5	x: 3.055 m η = 3.6	x: 0.095 m η = 3.6	x: 3.055 m η = 0.5	η = 0.1	η < 0.1	η < 0.1	x: 0.095 m η = 20.0	η < 0.1	η = 2.7	x: 3.055 m η = 0.5	η = 0.1	**CUMPLE η = 20.0**
N2315/N2313	$\lambda_w \leq \lambda_{w,máx}$ Cumple	N_{Ed} = 0.00 N.P.(1)	x: 0.078 m η = 1.9	x: 1.94 m η = 2.5	x: 0.078 m η = 6.6	η = 0.3	η = 0.4	η < 0.1	η < 0.1	x: 0.078 m η = 8.5	η < 0.1	η = 0.7	η = 0.3	η = 0.4	**CUMPLE η = 8.5**
N2165/N2317	$\lambda_w \leq \lambda_{w,máx}$ Cumple	x: 3.054 m η = 14.5	x: 2.442 m η = 2.5	x: 0.195 m η = 4.3	x: 3.055 m η = 8.2	x: 3.055 m η = 0.5	η = 0.1	η < 0.1	η < 0.1	x: 3.055 m η = 23.6	η < 0.1	η = 6.6	x: 3.055 m η = 0.6	η = 0.1	**CUMPLE η = 23.6**
N2051/N2204	x: 0.509 m $\lambda_w \leq \lambda_{w,máx}$ Cumple	η = 2.7	η = 10.9	M_{Ed} = 0.00 N.P.(2)	x: 3.65 m η = 6.0	V_{Ed} = 0.00 N.P.(3)	x: 0.06 m η = 0.5	N.P.(4)	x: 0.509 m η < 0.1	x: 3.65 m η = 16.7	x: 0.509 m η < 0.1	M_{Ed} = 0.00 N.P.(5)	N.P.(6)	N.P.(6)	**CUMPLE η = 16.7**
N2319/N2320	$\lambda_w \leq \lambda_{w,máx}$ Cumple	x: 1.939 m η < 0.1	x: 0.06 m η = 0.3	x: 1.94 m η = 8.8	x: 0.06 m η < 0.1	η = 1.4	η < 0.1	η < 0.1	x: 0.06 m η < 0.1	x: 1.94 m η = 8.9	η < 0.1	η < 0.1	η = 1.4	η < 0.1	**CUMPLE η = 8.9**
N2321/N2322	$\lambda_w \leq \lambda_{w,máx}$ Cumple	x: 1.939 m η < 0.1	x: 0.06 m η = 0.3	x: 1.94 m η = 11.4	x: 0.06 m η < 0.1	η = 1.8	η < 0.1	η < 0.1	x: 0.06 m η < 0.1	x: 1.94 m η = 11.6	η < 0.1	η < 0.1	η = 1.2	η < 0.1	**CUMPLE η = 11.6**
N2123/N2324	x: 0.051 m $\lambda_w \leq \lambda_{w,máx}$ Cumple	η = 1.3	η = 12.9	x: 2.372 m η < 0.1	x: 2.373 m η = 17.3	η < 0.1	x: 0.05 m η = 1.2	x: 0.244 m η < 0.1	x: 0.051 m η < 0.1	x: 2.373 m η = 17.6	x: 0.051 m η < 0.1	M_{Ed} = 0.00 N.P.(5)	N.P.(6)	N.P.(6)	**CUMPLE η = 17.6**
N2324/N2323	$\lambda_w \leq \lambda_{w,máx}$ Cumple	η = 1.7	η = 13.0	x: 0.06 m η < 0.1	x: 0.06 m η = 4.5	η < 0.1	x: 2.373 m η = 0.6	N.P.(4)	η < 0.1	x: 2.181 m η = 13.6	η < 0.1	η < 0.1	η < 0.1	x: 2.373 m η = 0.2	**CUMPLE η = 13.6**
N2323/N2276	x: 0.06 m $\lambda_w \leq \lambda_{w,máx}$ Cumple	η = 2.1	η = 13.9	x: 0.06 m η < 0.1	x: 0.06 m η = 12.7	η < 0.1	x: 2.383 m η = 1.0	x: 0.06 m η < 0.1	x: 0.06 m η < 0.1	x: 0.06 m η = 20.1	x: 0.06 m η < 0.1	M_{Ed} = 0.00 N.P.(5)	N.P.(6)	N.P.(6)	**CUMPLE η = 20.1**
N2057/N2326	x: 0.051 m $\lambda_w \leq \lambda_{w,máx}$ Cumple	η = 1.2	η = 8.5	x: 2.372 m η < 0.1	x: 2.373 m η = 17.3	η < 0.1	x: 0.05 m η = 1.2	x: 0.244 m η < 0.1	x: 0.051 m η < 0.1	x: 2.373 m η = 19.7	x: 0.051 m η < 0.1	M_{Ed} = 0.00 N.P.(5)	N.P.(6)	N.P.(6)	**CUMPLE η = 19.7**
N2326/N2325	$\lambda_w \leq \lambda_{w,máx}$ Cumple	η = 1.2	η = 12.6	x: 0.06 m η < 0.1	x: 0.06 m η = 4.6	η < 0.1	x: 2.373 m η = 0.6	N.P.(4)	η < 0.1	x: 0.06 m η = 15.1	η < 0.1	η < 0.1	η < 0.1	x: 2.373 m η = 0.2	**CUMPLE η = 15.1**
N2325/N2210	x: 0.06 m $\lambda_w \leq \lambda_{w,máx}$ Cumple	η = 2.0	η = 12.3	x: 0.06 m η < 0.1	x: 0.06 m η = 13.5	η < 0.1	x: 2.383 m η = 1.0	x: 0.06 m η < 0.1	x: 0.06 m η < 0.1	x: 0.06 m η = 14.7	x: 0.06 m η < 0.1	M_{Ed} = 0.00 N.P.(5)	N.P.(6)	N.P.(6)	**CUMPLE η = 14.7**
N2323/N2325	$\lambda_w \leq \lambda_{w,máx}$ Cumple	x: 1.939 m η = 0.1	x: 0.06 m η = 0.3	x: 1.94 m η = 9.9	x: 0.06 m η < 0.1	η = 1.5	η < 0.1	η < 0.1	x: 0.06 m η < 0.1	x: 1.94 m η = 10.0	η < 0.1	η < 0.1	η = 1.1	η < 0.1	**CUMPLE η = 10.0**
N2324/N2326	$\lambda_w \leq \lambda_{w,máx}$ Cumple	x: 1.939 m η = 0.1	x: 0.06 m η = 0.3	x: 1.94 m η = 12.2	x: 0.06 m η < 0.1	η = 1.9	η < 0.1	η < 0.1	x: 0.06 m η < 0.1	x: 0.06 m η = 12.6	η < 0.1	η < 0.1	η = 1.1	η < 0.1	**CUMPLE η = 12.6**
N2127/N2328	x: 0.061 m $\lambda_w \leq \lambda_{w,máx}$ Cumple	η = 0.7	η = 6.9	x: 2.372 m η < 0.1	x: 2.373 m η = 12.9	η < 0.1	x: 0.06 m η = 1.0	x: 0.253 m η < 0.1	x: 0.061 m η < 0.1	x: 2.373 m η = 13.2	x: 0.061 m η < 0.1	M_{Ed} = 0.00 N.P.(5)	N.P.(6)	N.P.(6)	**CUMPLE η = 13.2**
N2328/N2327	$\lambda_w \leq \lambda_{w,máx}$ Cumple	η = 1.0	η = 6.7	x: 0.06 m η < 0.1	x: 0.06 m η = 3.1	η < 0.1	x: 2.373 m η = 0.4	N.P.(4)	η < 0.1	x: 1.795 m η = 7.1	η < 0.1	η < 0.1	η < 0.1	x: 2.373 m η = 0.4	**CUMPLE η = 7.1**

Código de validación telemática: TRLTDCFZ60T66IJ1. Comprobación: https://coginvalencia.e-gestion.es/validacion.aspx?CVT= TRLTDCFZ60T66IJ1 VA07298/22

VISADO
COGITI
Estado
VALENCIA
VA07290/22
TRLTDCFZ60T66IJ1

Barras	COMPROBACIONES (CÓDIGO ESTRUCTURAL)															
	λ_w	N_t	N_c	M_Y	M_Z	V_Z	V_Y	M_YV_Z	M_ZV_Y	NM_YM_Z	$NM_YM_ZV_YV_Z$	M_t	M_tV_Z	M_tV_Y	Estado
N2327/N2280	x: 0.06 m $\lambda_w \leq \lambda_{w,máx}$ Cumple	η = 1.0	η = 7.5	x: 0.06 m η < 0.1	x: 0.06 m η = 9.2	η < 0.1	x: 2.373 m η = 0.7	x: 0.06 m η < 0.1	x: 0.06 m η < 0.1	x: 0.06 m η = 11.6	x: 0.06 m η < 0.1	M_{Ed} = 0.00 N.P.(5)	N.P.(6)	N.P.(6)	**CUMPLE** **η = 11.6**
N2061/N2330	x: 0.061 m $\lambda_w \leq \lambda_{w,máx}$ Cumple	η = 2.1	η = 13.1	x: 2.372 m η < 0.1	x: 2.373 m η = 12.0	η < 0.1	x: 0.06 m η = 0.9	x: 0.253 m η < 0.1	x: 0.061 m η < 0.1	x: 2.373 m η = 19.8	x: 0.061 m η < 0.1	M_{Ed} = 0.00 N.P.(5)	N.P.(6)	N.P.(6)	**CUMPLE** **η = 19.8**
N2330/N2329	$\lambda_w \leq \lambda_{w,máx}$ Cumple	η = 2.0	η = 15.6	x: 0.06 m η < 0.1	x: 0.06 m η = 2.8	η < 0.1	x: 2.373 m η = 0.4	N.P.(4)	η < 0.1	x: 0.253 m η = 17.1	η < 0.1	η < 0.1	η < 0.1	x: 2.373 m η = 0.4	**CUMPLE** **η = 17.1**
N2329/N2214	x: 0.06 m $\lambda_w \leq \lambda_{w,máx}$ Cumple	η = 2.5	η = 14.8	x: 0.06 m η < 0.1	x: 0.06 m η = 11.2	η < 0.1	x: 2.373 m η = 0.9	x: 0.06 m η < 0.1	x: 0.06 m η < 0.1	x: 0.06 m η = 17.8	x: 0.06 m η < 0.1	M_{Ed} = 0.00 N.P.(5)	N.P.(6)	N.P.(6)	**CUMPLE** **η = 17.8**
N2327/N2329	$\lambda_w \leq \lambda_{w,máx}$ Cumple	x: 1.939 m η = 0.1	x: 0.06 m η = 0.2	x: 1.94 m η = 8.4	x: 0.06 m η < 0.1	η = 1.2	η < 0.1	η < 0.1	x: 0.06 m η < 0.1	x: 1.94 m η = 8.4	η < 0.1	η < 0.1	η = 1.2	η < 0.1	**CUMPLE** **η = 8.4**
N2328/N2330	$\lambda_w \leq \lambda_{w,máx}$ Cumple	x: 1.939 m η = 0.1	x: 0.06 m η = 0.2	x: 0.06 m η = 9.4	x: 0.06 m η < 0.1	η = 1.5	η < 0.1	η < 0.1	x: 0.06 m η < 0.1	x: 0.06 m η = 9.6	η < 0.1	η < 0.1	η = 1.5	η < 0.1	**CUMPLE** **η = 9.6**
N2063/N2216	x: 0.509 m $\lambda_w \leq \lambda_{w,máx}$ Cumple	η = 2.6	η = 41.8	M_{Ed} = 0.00 N.P.(2)	x: 3.65 m η = 6.0	V_{Ed} = 0.00 N.P.(3)	x: 0.06 m η = 0.5	N.P.(4)	x: 0.509 m η < 0.1	x: 3.65 m η = 48.9	x: 0.509 m η < 0.1	M_{Ed} = 0.00 N.P.(5)	N.P.(6)	N.P.(6)	**CUMPLE** **η = 48.9**
N2085/N2238	x: 0.509 m $\lambda_w \leq \lambda_{w,máx}$ Cumple	η = 0.4	η = 13.6	M_{Ed} = 0.00 N.P.(2)	x: 3.65 m η = 6.0	V_{Ed} = 0.00 N.P.(3)	x: 0.06 m η = 0.5	N.P.(4)	x: 0.509 m η < 0.1	x: 3.65 m η = 19.9	x: 0.509 m η < 0.1	M_{Ed} = 0.00 N.P.(5)	N.P.(6)	N.P.(6)	**CUMPLE** **η = 19.9**
N2087/N2331	x: 0.061 m $\lambda_w \leq \lambda_{w,máx}$ Cumple	η = 0.9	η = 8.3	x: 2.372 m η < 0.1	x: 2.373 m η = 10.2	η < 0.1	x: 0.06 m η = 0.8	x: 0.253 m η < 0.1	x: 0.061 m η < 0.1	x: 2.373 m η = 14.0	x: 0.061 m η < 0.1	M_{Ed} = 0.00 N.P.(5)	N.P.(6)	N.P.(6)	**CUMPLE** **η = 14.0**
N2331/N2332	$\lambda_w \leq \lambda_{w,máx}$ Cumple	η = 0.8	η = 10.1	x: 0.06 m η < 0.1	x: 1.795 m η = 2.3	η < 0.1	x: 2.373 m η = 0.3	x: 0.06 m η < 0.1	η < 0.1	x: 0.831 m η = 11.4	η < 0.1	η < 0.1	η < 0.1	x: 2.373 m η = 0.2	**CUMPLE** **η = 11.4**
N2332/N2240	x: 0.06 m $\lambda_w \leq \lambda_{w,máx}$ Cumple	η = 1.1	η = 9.1	x: 0.06 m η < 0.1	x: 0.06 m η = 10.1	η < 0.1	x: 2.373 m η = 0.8	x: 0.06 m η < 0.1	x: 0.06 m η < 0.1	x: 0.06 m η = 13.1	x: 0.06 m η < 0.1	M_{Ed} = 0.00 N.P.(5)	N.P.(6)	N.P.(6)	**CUMPLE** **η = 13.1**
N2070/N2333	x: 0.061 m $\lambda_w \leq \lambda_{w,máx}$ Cumple	η = 0.4	η = 5.7	x: 2.372 m η < 0.1	x: 2.373 m η = 10.9	η < 0.1	x: 0.06 m η = 0.8	x: 0.253 m η < 0.1	x: 0.061 m η < 0.1	x: 2.373 m η = 11.5	x: 0.061 m η < 0.1	M_{Ed} = 0.00 N.P.(5)	N.P.(6)	N.P.(6)	**CUMPLE** **η = 11.5**
N2333/N2334	$\lambda_w \leq \lambda_{w,máx}$ Cumple	η = 0.7	η = 1.2	x: 0.06 m η < 0.1	x: 0.253 m η = 2.4	η < 0.1	x: 2.373 m η = 0.3	x: 0.06 m η < 0.1	η < 0.1	x: 0.446 m η = 2.9	η < 0.1	η < 0.1	η < 0.1	x: 2.373 m η = 0.2	**CUMPLE** **η = 2.9**
N2334/N2223	x: 0.06 m $\lambda_w \leq \lambda_{w,máx}$ Cumple	η = 0.5	η = 6.1	x: 0.06 m η < 0.1	x: 0.06 m η = 8.5	η < 0.1	x: 2.373 m η = 0.7	x: 0.06 m η < 0.1	x: 0.06 m η < 0.1	x: 0.06 m η = 10.0	x: 0.06 m η < 0.1	M_{Ed} = 0.00 N.P.(5)	N.P.(6)	N.P.(6)	**CUMPLE** **η = 10.0**
N2334/N2332	$\lambda_w \leq \lambda_{w,máx}$ Cumple	x: 1.939 m η = 0.1	x: 0.06 m η = 0.1	x: 1.94 m η = 7.7	x: 0.06 m η < 0.1	η = 1.2	η < 0.1	η < 0.1	x: 0.06 m η < 0.1	x: 1.94 m η = 7.7	η < 0.1	η < 0.1	x: 0.624 m η = 0.7	η < 0.1	**CUMPLE** **η = 7.7**
N2333/N2331	$\lambda_w \leq \lambda_{w,máx}$ Cumple	x: 1.939 m η = 0.1	x: 0.06 m η = 0.1	x: 0.06 m η = 8.2	x: 0.06 m η < 0.1	η = 1.3	η < 0.1	η < 0.1	x: 0.06 m η < 0.1	x: 0.06 m η = 8.3	η < 0.1	x: 1 m η < 0.1	x: 0.624 m η = 0.8	η < 0.1	**CUMPLE** **η = 8.3**
N2074/N2336	x: 0.051 m $\lambda_w \leq \lambda_{w,máx}$ Cumple	η = 0.7	η = 8.8	x: 2.372 m η < 0.1	x: 2.373 m η = 12.8	η < 0.1	x: 0.05 m η = 1.0	N.P.(4)	x: 0.051 m η < 0.1	x: 2.373 m η = 13.5	x: 0.051 m η < 0.1	M_{Ed} = 0.00 N.P.(5)	N.P.(6)	N.P.(6)	**CUMPLE** **η = 13.5**
N2336/N2335	$\lambda_w \leq \lambda_{w,máx}$ Cumple	η = 1.0	η = 8.3	x: 0.06 m η < 0.1	x: 0.06 m η = 3.0	η < 0.1	x: 2.373 m η = 0.4	N.P.(4)	η < 0.1	x: 1.602 m η = 8.8	η < 0.1	η < 0.1	η < 0.1	x: 2.373 m η = 0.2	**CUMPLE** **η = 8.8**
N2335/N2227	x: 0.06 m $\lambda_w \leq \lambda_{w,máx}$ Cumple	η = 1.0	η = 9.2	x: 0.06 m η < 0.1	x: 0.06 m η = 9.9	η < 0.1	x: 2.383 m η = 0.8	N.P.(4)	x: 0.06 m η < 0.1	x: 0.06 m η = 13.1	x: 0.06 m η < 0.1	M_{Ed} = 0.00 N.P.(5)	N.P.(6)	N.P.(6)	**CUMPLE** **η = 13.1**
N2091/N2338	x: 0.051 m $\lambda_w \leq \lambda_{w,máx}$ Cumple	η = 1.8	η = 9.7	x: 2.372 m η < 0.1	x: 2.373 m η = 12.6	η < 0.1	x: 0.05 m η = 0.9	N.P.(4)	x: 0.051 m η < 0.1	x: 2.373 m η = 14.5	x: 0.051 m η < 0.1	M_{Ed} = 0.00 N.P.(5)	N.P.(6)	N.P.(6)	**CUMPLE** **η = 14.5**
N2338/N2337	$\lambda_w \leq \lambda_{w,máx}$ Cumple	x: 0.253 m η = 1.6	x: 0.253 m η = 11.3	x: 0.06 m η < 0.1	x: 0.06 m η = 2.9	η < 0.1	x: 2.373 m η = 0.4	N.P.(4)	η < 0.1	x: 0.446 m η = 12.1	η < 0.1	η < 0.1	η < 0.1	x: 2.373 m η = 0.2	**CUMPLE** **η = 12.1**
N2337/N2244	x: 0.06 m $\lambda_w \leq \lambda_{w,máx}$ Cumple	η = 1.7	η = 10.3	x: 0.06 m η < 0.1	x: 0.06 m η = 11.0	η < 0.1	x: 2.383 m η = 0.8	N.P.(4)	x: 0.06 m η < 0.1	x: 0.06 m η = 13.1	x: 0.06 m η < 0.1	M_{Ed} = 0.00 N.P.(5)	N.P.(6)	N.P.(6)	**CUMPLE** **η = 13.1**
N2335/N2337	$\lambda_w \leq \lambda_{w,máx}$ Cumple	x: 1.939 m η = 0.1	x: 0.06 m η = 0.2	x: 1.94 m η = 8.3	x: 0.06 m η < 0.1	η = 1.3	η < 0.1	η < 0.1	x: 0.06 m η < 0.1	x: 1.94 m η = 8.3	η < 0.1	η < 0.1	η = 0.7	η < 0.1	**CUMPLE** **η = 8.3**
N2336/N2338	$\lambda_w \leq \lambda_{w,máx}$ Cumple	x: 1.939 m η = 0.1	x: 0.06 m η = 0.2	x: 0.06 m η = 9.4	x: 0.06 m η < 0.1	η = 1.5	η < 0.1	η < 0.1	x: 0.06 m η < 0.1	x: 0.06 m η = 9.6	η < 0.1	η < 0.1	η = 0.8	η < 0.1	**CUMPLE** **η = 9.6**
N2078/N2340	x: 0.061 m $\lambda_w \leq \lambda_{w,máx}$ Cumple	η = 0.7	η = 6.9	x: 2.372 m η < 0.1	x: 2.373 m η = 11.1	η < 0.1	x: 0.06 m η = 0.9	x: 0.253 m η < 0.1	x: 0.061 m η < 0.1	x: 2.373 m η = 11.9	x: 0.061 m η < 0.1	M_{Ed} = 0.00 N.P.(5)	N.P.(6)	N.P.(6)	**CUMPLE** **η = 11.9**
N2340/N2339	$\lambda_w \leq \lambda_{w,máx}$ Cumple	x: 1.795 m η = 0.9	η = 6.0	x: 0.06 m η < 0.1	x: 0.253 m η = 2.5	η < 0.1	x: 2.373 m η = 0.3	N.P.(4)	η < 0.1	x: 0.831 m η = 6.4	η < 0.1	x: 1.795 m η < 0.1	η < 0.1	x: 2.373 m η = 0.1	**CUMPLE** **η = 6.4**
N2339/N2231	x: 0.06 m $\lambda_w \leq \lambda_{w,máx}$ Cumple	η = 0.7	η = 6.5	x: 0.06 m η < 0.1	x: 0.06 m η = 7.6	η < 0.1	x: 2.373 m η = 0.6	x: 0.06 m η < 0.1	x: 0.06 m η < 0.1	x: 0.06 m η = 9.7	x: 0.06 m η < 0.1	M_{Ed} = 0.00 N.P.(5)	N.P.(6)	N.P.(6)	**CUMPLE** **η = 9.7**
N2095/N2342	x: 0.061 m $\lambda_w \leq \lambda_{w,máx}$ Cumple	x: 2.372 m η = 1.6	x: 2.372 m η = 9.3	x: 2.372 m η < 0.1	x: 2.373 m η = 10.4	η < 0.1	x: 0.06 m η = 0.8	x: 0.253 m η < 0.1	x: 0.061 m η < 0.1	x: 2.373 m η = 14.4	x: 0.061 m η < 0.1	M_{Ed} = 0.00 N.P.(5)	N.P.(6)	N.P.(6)	**CUMPLE** **η = 14.4**
N2342/N2341	$\lambda_w \leq \lambda_{w,máx}$ Cumple	x: 1.602 m η = 1.4	x: 1.602 m η = 10.7	x: 0.06 m η < 0.1	x: 1.409 m η = 2.3	η < 0.1	x: 2.373 m η = 0.3	N.P.(4)	η < 0.1	x: 0.253 m η = 11.8	η < 0.1	x: 1.602 m η < 0.1	η < 0.1	x: 2.373 m η = 0.2	**CUMPLE** **η = 11.8**
N2341/N2248	x: 0.06 m $\lambda_w \leq \lambda_{w,máx}$ Cumple	x: 0.06 m η = 1.6	x: 0.06 m η = 9.8	x: 0.06 m η < 0.1	x: 0.06 m η = 9.3	η < 0.1	x: 2.373 m η = 0.7	x: 0.06 m η < 0.1	x: 0.06 m η < 0.1	x: 0.06 m η = 13.2	x: 0.06 m η < 0.1	M_{Ed} = 0.00 N.P.(5)	N.P.(6)	N.P.(6)	**CUMPLE** **η = 13.2**
N2339/N2341	$\lambda_w \leq \lambda_{w,máx}$ Cumple	x: 1.939 m η = 0.1	x: 0.06 m η = 0.1	x: 1.94 m η = 7.2	x: 0.06 m η < 0.1	η = 1.1	η < 0.1	η < 0.1	x: 0.06 m η < 0.1	x: 1.94 m η = 7.2	η < 0.1	η < 0.1	x: 1.188 m η = 0.7	η < 0.1	**CUMPLE** **η = 7.2**
N2340/N2342	$\lambda_w \leq \lambda_{w,máx}$ Cumple	x: 1.939 m η = 0.1	x: 0.06 m η = 0.1	x: 0.06 m η = 8.3	x: 0.06 m η < 0.1	η = 1.3	η < 0.1	η < 0.1	x: 0.06 m η < 0.1	x: 0.06 m η = 8.5	η < 0.1	η < 0.1	η = 0.8	η < 0.1	**CUMPLE** **η = 8.5**
N2097/N2250	x: 0.509 m $\lambda_w \leq \lambda_{w,máx}$ Cumple	η = 2.5	η = 23.8	M_{Ed} = 0.00 N.P.(2)	x: 3.65 m η = 6.0	V_{Ed} = 0.00 N.P.(3)	x: 0.06 m η = 0.5	N.P.(4)	x: 0.509 m η < 0.1	x: 3.65 m η = 30.4	x: 0.509 m η < 0.1	M_{Ed} = 0.00 N.P.(5)	N.P.(6)	N.P.(6)	**CUMPLE** **η = 30.4**
N2101/N2254	x: 0.509 m $\lambda_w \leq \lambda_{w,máx}$ Cumple	η = 0.2	η = 13.5	M_{Ed} = 0.00 N.P.(2)	x: 3.65 m η = 6.0	V_{Ed} = 0.00 N.P.(3)	x: 0.06 m η = 0.5	N.P.(4)	x: 0.509 m η < 0.1	x: 3.65 m η = 19.8	x: 0.509 m η < 0.1	M_{Ed} = 0.00 N.P.(5)	N.P.(6)	N.P.(6)	**CUMPLE** **η = 19.8**
N2103/N2343	x: 0.061 m $\lambda_w \leq \lambda_{w,máx}$ Cumple	η = 1.4	η = 12.2	x: 2.372 m η < 0.1	x: 2.373 m η = 12.6	η < 0.1	x: 0.06 m η = 0.9	x: 0.253 m η < 0.1	x: 0.061 m η < 0.1	x: 2.373 m η = 19.3	x: 0.061 m η < 0.1	M_{Ed} = 0.00 N.P.(5)	N.P.(6)	N.P.(6)	**CUMPLE** **η = 19.3**

Documento visado electrónicamente con número: VA07290/22
Código de validación telemática TRLTDCFZ60T66IJ1. Comprobación: https://cogitivalencia.e-gestion.es/Validacion.aspx?CVT=TRLTDCFZ60T66IJ1

VISADO
COGITI
Estado
VALENCIA
VA07239/22
TRLTDCFZ60T66IJ1

Barras	COMPROBACIONES (CÓDIGO ESTRUCTURAL)														
	λ_w	N_t	N_c	M_Y	M_Z	V_Z	V_Y	M_YV_Z	M_ZV_Y	NM_YM_Z	$NM_YM_ZV_YV_Z$	M_t	M_tV_Z	M_tV_Y	
N2343/N2344	$\lambda_w \leq \lambda_{w,máx}$ Cumple	η = 1.3	η = 15.0	x: 0.06 m η < 0.1	x: 0.06 m η = 3.0	η < 0.1	x: 2.373 m η = 0.4	x: 0.06 m η < 0.1	η < 0.1	x: 0.06 m η = 16.6	η < 0.1	η < 0.1	η < 0.1	x: 0.06 m η = 0.3	**CUMPLE η = 16.6**
N2344/N2256	x: 0.06 m $\lambda_w \leq \lambda_{w,máx}$ Cumple	η = 1.8	η = 14.2	x: 0.06 m η < 0.1	x: 0.06 m η = 11.5	η < 0.1	x: 2.373 m η = 0.9	x: 0.06 m η < 0.1	x: 0.06 m η < 0.1	x: 0.06 m η = 16.9	x: 0.06 m η < 0.1	M_{Ed} = 0.00 N.P.(5)	N.P.(6)	N.P.(6)	**CUMPLE η = 16.9**
N2134/N2345	x: 0.061 m $\lambda_w \leq \lambda_{w,máx}$ Cumple	η = 0.7	η = 9.7	x: 2.372 m η < 0.1	x: 2.373 m η = 13.1	η < 0.1	x: 0.06 m η = 1.0	x: 0.253 m η < 0.1	x: 0.061 m η < 0.1	x: 2.373 m η = 13.6	x: 0.061 m η < 0.1	M_{Ed} = 0.00 N.P.(5)	N.P.(6)	N.P.(6)	**CUMPLE η = 13.6**
N2345/N2346	$\lambda_w \leq \lambda_{w,máx}$ Cumple	η = 1.0	η = 9.8	x: 0.06 m η < 0.1	x: 0.06 m η = 3.2	η < 0.1	x: 2.373 m η = 0.4	x: 0.06 m η < 0.1	η < 0.1	x: 2.181 m η = 10.3	η < 0.1	η < 0.1	η < 0.1	x: 0.06 m η = 0.3	**CUMPLE η = 10.3**
N2346/N2287	x: 0.06 m $\lambda_w \leq \lambda_{w,máx}$ Cumple	η = 1.0	η = 10.7	x: 0.06 m η < 0.1	x: 0.06 m η = 9.9	η < 0.1	x: 2.373 m η = 0.8	x: 0.06 m η < 0.1	x: 0.06 m η < 0.1	x: 0.06 m η = 15.0	x: 0.06 m η < 0.1	M_{Ed} = 0.00 N.P.(5)	N.P.(6)	N.P.(6)	**CUMPLE η = 15.0**
N2346/N2344	$\lambda_w \leq \lambda_{w,máx}$ Cumple	x: 1.939 m η = 0.1	x: 0.06 m η = 0.2	x: 1.94 m η = 8.6	x: 0.06 m η < 0.1	η = 1.3	η < 0.1	η < 0.1	x: 0.06 m η < 0.1	x: 1.94 m η = 8.6	η < 0.1	η < 0.1	η = 1.3	η < 0.1	**CUMPLE η = 8.6**
N2345/N2343	$\lambda_w \leq \lambda_{w,máx}$ Cumple	x: 1.939 m η = 0.1	x: 0.06 m η = 0.2	x: 0.06 m η = 9.6	x: 0.06 m η < 0.1	η = 1.5	η < 0.1	η < 0.1	x: 0.06 m η < 0.1	x: 0.06 m η = 9.8	η < 0.1	η < 0.1	η = 1.0	η < 0.1	**CUMPLE η = 9.8**
N2138/N2348	x: 0.051 m $\lambda_w \leq \lambda_{w,máx}$ Cumple	η = 1.2	η = 11.2	x: 2.372 m η < 0.1	x: 2.373 m η = 16.0	η < 0.1	x: 0.05 m η = 1.2	x: 0.244 m η < 0.1	x: 0.051 m η < 0.1	x: 2.373 m η = 16.5	x: 0.051 m η < 0.1	M_{Ed} = 0.00 N.P.(5)	N.P.(6)	N.P.(6)	**CUMPLE η = 16.5**
N2348/N2347	$\lambda_w \leq \lambda_{w,máx}$ Cumple	η = 1.6	η = 11.7	x: 0.06 m η < 0.1	x: 0.06 m η = 4.1	η < 0.1	x: 2.373 m η = 0.5	N.P.(4)	η < 0.1	x: 2.373 m η = 12.7	η < 0.1	η < 0.1	η < 0.1	x: 2.373 m η = 0.2	**CUMPLE η = 12.7**
N2347/N2291	x: 0.06 m $\lambda_w \leq \lambda_{w,máx}$ Cumple	η = 1.9	η = 12.8	x: 0.06 m η < 0.1	x: 0.06 m η = 12.7	η < 0.1	x: 2.383 m η = 1.0	x: 0.06 m η < 0.1	x: 0.06 m η < 0.1	x: 0.06 m η = 19.5	x: 0.06 m η < 0.1	M_{Ed} = 0.00 N.P.(5)	N.P.(6)	N.P.(6)	**CUMPLE η = 19.5**
N2107/N2350	x: 0.051 m $\lambda_w \leq \lambda_{w,máx}$ Cumple	η = 1.1	η = 9.3	x: 2.372 m η < 0.1	x: 2.373 m η = 16.0	η < 0.1	x: 0.05 m η = 1.2	x: 0.244 m η < 0.1	x: 0.051 m η < 0.1	x: 2.373 m η = 18.6	x: 0.051 m η < 0.1	M_{Ed} = 0.00 N.P.(5)	N.P.(6)	N.P.(6)	**CUMPLE η = 18.6**
N2350/N2349	$\lambda_w \leq \lambda_{w,máx}$ Cumple	η = 1.1	η = 12.9	x: 0.06 m η < 0.1	x: 0.06 m η = 4.2	η < 0.1	x: 2.373 m η = 0.5	N.P.(4)	η < 0.1	x: 0.06 m η = 15.0	η < 0.1	η < 0.1	η < 0.1	x: 2.373 m η = 0.2	**CUMPLE η = 15.0**
N2349/N2260	x: 0.06 m $\lambda_w \leq \lambda_{w,máx}$ Cumple	η = 1.9	η = 12.4	x: 0.06 m η < 0.1	x: 0.06 m η = 13.7	η < 0.1	x: 2.383 m η = 1.0	x: 0.06 m η < 0.1	x: 0.06 m η < 0.1	x: 0.06 m η = 14.6	x: 0.06 m η < 0.1	M_{Ed} = 0.00 N.P.(5)	N.P.(6)	N.P.(6)	**CUMPLE η = 14.6**
N2347/N2349	$\lambda_w \leq \lambda_{w,máx}$ Cumple	x: 1.939 m η = 0.1	x: 0.06 m η = 0.3	x: 1.94 m η = 10.0	x: 0.06 m η < 0.1	η = 1.5	η < 0.1	η < 0.1	x: 0.06 m η < 0.1	x: 1.94 m η = 10.1	η < 0.1	η < 0.1	η = 0.6	η < 0.1	**CUMPLE η = 10.1**
N2348/N2350	$\lambda_w \leq \lambda_{w,máx}$ Cumple	x: 1.939 m η = 0.1	x: 0.06 m η = 0.3	x: 0.06 m η = 11.4	x: 0.06 m η < 0.1	η = 1.8	η < 0.1	η < 0.1	x: 0.06 m η < 0.1	x: 0.06 m η = 11.7	η < 0.1	η < 0.1	η = 0.9	η < 0.1	**CUMPLE η = 11.7**
N2142/N2352	x: 0.061 m $\lambda_w \leq \lambda_{w,máx}$ Cumple	η = 0.9	η = 8.7	x: 2.372 m η < 0.1	x: 2.373 m η = 14.0	η < 0.1	x: 0.06 m η = 1.0	x: 0.253 m η < 0.1	x: 0.061 m η < 0.1	x: 2.373 m η = 14.3	x: 0.061 m η < 0.1	M_{Ed} = 0.00 N.P.(5)	N.P.(6)	N.P.(6)	**CUMPLE η = 14.3**
N2352/N2351	$\lambda_w \leq \lambda_{w,máx}$ Cumple	η = 1.3	η = 8.7	x: 0.06 m η < 0.1	x: 0.06 m η = 3.5	η < 0.1	x: 2.373 m η = 0.4	x: 0.06 m η < 0.1	η < 0.1	x: 1.988 m η = 9.2	η < 0.1	η < 0.1	η < 0.1	x: 2.373 m η = 0.4	**CUMPLE η = 9.2**
N2351/N2295	x: 0.06 m $\lambda_w \leq \lambda_{w,máx}$ Cumple	η = 1.5	η = 9.5	x: 0.06 m η < 0.1	x: 0.06 m η = 10.5	η < 0.1	x: 2.373 m η = 0.8	x: 0.06 m η < 0.1	x: 0.06 m η < 0.1	x: 0.06 m η = 14.5	x: 0.06 m η < 0.1	M_{Ed} = 0.00 N.P.(5)	N.P.(6)	N.P.(6)	**CUMPLE η = 14.5**
N2111/N2354	x: 0.061 m $\lambda_w \leq \lambda_{w,máx}$ Cumple	η = 1.4	η = 6.3	x: 2.372 m η < 0.1	x: 2.373 m η = 13.6	η < 0.1	x: 0.06 m η = 1.0	x: 0.253 m η < 0.1	x: 0.061 m η < 0.1	x: 2.373 m η = 15.7	x: 0.061 m η < 0.1	M_{Ed} = 0.00 N.P.(5)	N.P.(6)	N.P.(6)	**CUMPLE η = 15.7**
N2354/N2353	$\lambda_w \leq \lambda_{w,máx}$ Cumple	η = 1.3	η = 10.1	x: 0.06 m η < 0.1	x: 0.06 m η = 3.3	η < 0.1	x: 2.373 m η = 0.4	x: 0.06 m η < 0.1	η < 0.1	x: 0.06 m η = 12.2	η < 0.1	η < 0.1	η < 0.1	x: 2.373 m η = 0.4	**CUMPLE η = 12.2**
N2353/N2264	x: 0.06 m $\lambda_w \leq \lambda_{w,máx}$ Cumple	η = 1.9	η = 9.7	x: 0.06 m η < 0.1	x: 0.06 m η = 11.9	η < 0.1	x: 2.373 m η = 0.9	x: 0.06 m η < 0.1	x: 0.06 m η < 0.1	x: 0.06 m η = 13.5	x: 0.06 m η < 0.1	M_{Ed} = 0.00 N.P.(5)	N.P.(6)	N.P.(6)	**CUMPLE η = 13.5**
N2351/N2353	$\lambda_w \leq \lambda_{w,máx}$ Cumple	x: 1.939 m η = 0.1	x: 0.06 m η = 0.2	x: 1.94 m η = 8.9	x: 0.06 m η < 0.1	η = 1.4	η < 0.1	η < 0.1	x: 0.06 m η < 0.1	x: 1.94 m η = 9.0	η < 0.1	η < 0.1	η = 1.4	η < 0.1	**CUMPLE η = 9.0**
N2352/N2354	$\lambda_w \leq \lambda_{w,máx}$ Cumple	x: 1.939 m η = 0.1	x: 0.06 m η = 0.2	x: 0.06 m η = 10.1	x: 0.06 m η < 0.1	η = 1.6	η < 0.1	η < 0.1	x: 0.06 m η < 0.1	x: 0.06 m η = 10.4	η < 0.1	η < 0.1	η = 1.6	η < 0.1	**CUMPLE η = 10.4**
N2113/N2266	x: 0.509 m $\lambda_w \leq \lambda_{w,máx}$ Cumple	η = 2.0	η = 18.7	M_{Ed} = 0.00 N.P.(2)	x: 3.65 m η = 6.0	V_{Ed} = 0.00 N.P.(3)	x: 0.06 m η = 0.5	N.P.(4)	x: 0.509 m η < 0.1	x: 3.65 m η = 25.2	x: 0.509 m η < 0.1	M_{Ed} = 0.00 N.P.(5)	N.P.(6)	N.P.(6)	**CUMPLE η = 25.2**
N2053/N2322	x: 0.061 m $\lambda_w \leq \lambda_{w,máx}$ Cumple	η = 1.6	η = 1.2	x: 2.181 m η < 0.1	x: 2.373 m η = 16.0	η < 0.1	x: 0.06 m η = 1.2	x: 0.446 m η < 0.1	x: 0.061 m η < 0.1	x: 2.373 m η = 17.1	x: 0.061 m η < 0.1	M_{Ed} = 0.00 N.P.(5)	N.P.(6)	N.P.(6)	**CUMPLE η = 17.1**
N2322/N2320	$\lambda_w \leq \lambda_{w,máx}$ Cumple	η = 1.6	η = 9.5	x: 0.06 m η < 0.1	x: 0.06 m η = 4.1	η < 0.1	x: 2.373 m η = 0.5	x: 0.06 m η < 0.1	η < 0.1	x: 0.06 m η = 11.9	η < 0.1	η < 0.1	η < 0.1	x: 0.06 m η = 0.3	**CUMPLE η = 11.9**
N2320/N2206	x: 0.06 m $\lambda_w \leq \lambda_{w,máx}$ Cumple	η = 2.2	η = 9.3	x: 0.253 m η < 0.1	x: 0.06 m η = 11.8	η < 0.1	x: 2.373 m η = 0.9	x: 0.06 m η < 0.1	x: 0.06 m η < 0.1	x: 0.06 m η = 13.8	x: 0.06 m η < 0.1	M_{Ed} = 0.00 N.P.(5)	N.P.(6)	N.P.(6)	**CUMPLE η = 13.8**
N2119/N2321	x: 0.061 m $\lambda_w \leq \lambda_{w,máx}$ Cumple	η = 1.0	η = 11.5	x: 2.181 m η < 0.1	x: 2.373 m η = 15.8	η < 0.1	x: 0.06 m η = 1.2	x: 0.446 m η < 0.1	x: 0.061 m η < 0.1	x: 2.373 m η = 16.4	x: 0.061 m η < 0.1	M_{Ed} = 0.00 N.P.(5)	N.P.(6)	N.P.(6)	**CUMPLE η = 16.4**
N2321/N2319	$\lambda_w \leq \lambda_{w,máx}$ Cumple	η = 1.4	η = 10.8	x: 0.06 m η < 0.1	x: 0.06 m η = 4.1	η < 0.1	x: 2.373 m η = 0.5	x: 0.06 m η < 0.1	η < 0.1	x: 1.217 m η = 11.3	η < 0.1	η < 0.1	η < 0.1	x: 0.06 m η = 0.3	**CUMPLE η = 11.3**
N2319/N2272	x: 0.06 m $\lambda_w \leq \lambda_{w,máx}$ Cumple	η = 1.6	η = 11.6	x: 0.253 m η < 0.1	x: 0.06 m η = 11.0	η < 0.1	x: 2.373 m η = 0.9	x: 0.06 m η < 0.1	x: 0.06 m η < 0.1	x: 0.06 m η = 15.8	x: 0.06 m η < 0.1	M_{Ed} = 0.00 N.P.(5)	N.P.(6)	N.P.(6)	**CUMPLE η = 15.8**
N2355/N2356	$\lambda_w \leq \lambda_{w,máx}$ Cumple	x: 1.7 m η = 21.3	x: 0.078 m η = 25.4	x: 0.281 m η = 29.6	x: 1.701 m η = 3.1	x: 1.701 m η = 22.1	η = 0.2	η < 0.1	η < 0.1	x: 0.281 m η = 53.0	η < 0.1	η = 0.3	x: 1.701 m η = 22.1	η = 0.2	**CUMPLE η = 53.0**
N2356/N2357	$\lambda_w \leq \lambda_{w,máx}$ Cumple	x: 1.7 m η = 34.5	x: 0.078 m η = 41.4	x: 0.078 m η = 20.4	x: 1.701 m η = 6.9	x: 0.078 m η = 16.6	η = 0.3	η < 0.1	η < 0.1	x: 0.078 m η = 57.0	η < 0.1	η = 0.2	x: 0.078 m η = 16.6	η = 0.3	**CUMPLE η = 57.0**
N2357/N2358	$\lambda_w \leq \lambda_{w,máx}$ Cumple	x: 1.7 m η = 46.0	x: 0.078 m η = 54.8	x: 0.078 m η = 6.7	x: 0.078 m η = 5.9	x: 0.078 m η = 9.0	η = 0.2	η < 0.1	η < 0.1	x: 1.093 m η = 56.2	η < 0.1	η = 0.2	x: 0.078 m η = 9.0	η = 0.2	**CUMPLE η = 56.2**
N2358/N2359	$\lambda_w \leq \lambda_{w,máx}$ Cumple	x: 1.7 m η = 53.9	x: 0.078 m η = 64.6	x: 1.093 m η = 7.2	x: 1.701 m η = 3.7	x: 0.078 m η = 8.9	η = 0.2	η < 0.1	η < 0.1	x: 1.093 m η = 66.0	η < 0.1	η = 0.2	x: 0.078 m η = 8.9	η = 0.2	**CUMPLE η = 66.0**
N2359/N2360	$\lambda_w \leq \lambda_{w,máx}$ Cumple	x: 1.713 m η = 59.2	x: 0.078 m η = 71.1	x: 0.896 m η = 7.5	x: 0.078 m η = 4.2	x: 0.078 m η = 8.4	x: 1.51 m η = 0.2	η < 0.1	η < 0.1	x: 0.896 m η = 71.9	η < 0.1	x: 1.51 m η = 0.3	x: 0.078 m η = 8.4	x: 1.51 m η = 0.2	**CUMPLE η = 71.9**
N2360/N3442	$\lambda_w \leq \lambda_{w,máx}$ Cumple	x: 0.89 m η = 61.7	x: 0.065 m η = 67.4	x: 0.89 m η = 8.1	x: 0.89 m η = 3.0	x: 0.065 m η = 8.4	x: 0.271 m η = 0.2	η < 0.1	η < 0.1	x: 0.89 m η = 72.2	η < 0.1	x: 0.271 m η = 0.2	x: 0.065 m η = 8.4	x: 0.271 m η = 0.2	**CUMPLE η = 72.2**
N3442/N2361	$\lambda_w \leq \lambda_{w,máx}$ Cumple	x: 0.824 m η = 61.7	x: 0 m η = 67.4	x: 0 m η = 8.1	x: 0.825 m η = 5.8	x: 0.825 m η = 7.4	η = 0.2	η < 0.1	η < 0.1	x: 0 m η = 72.2	η < 0.1	η = 0.2	x: 0.825 m η = 7.4	η = 0.2	**CUMPLE η = 72.2**

Código de validación telemática TRLTDCFZ60T66IJ1. Comprobación: https://cogitivalencia.e-gestion.es/Validacion.aspx?CVT=TRLTDCFZ60T66IJ1

VISADO
COGITI
Estado
VALENCIA
VA07290/22
TRLTDCFZ60T66IJ1

Barras	COMPROBACIONES (CÓDIGO ESTRUCTURAL)														
	λ_w	N_t	N_c	M_Y	M_Z	V_Z	V_Y	M_YV_Z	M_ZV_Y	NM_YM_Z	$NM_YM_ZV_YV_Z$	M_t	M_tV_Z	M_tV_Y	
N2361/N2362	$\lambda_w \leq \lambda_{w,máx}$ Cumple	x: 1.713 m η = 61.3	x: 0.065 m η = 74.1	x: 0.89 m η = 7.8	x: 0.065 m η = 5.4	x: 1.714 m η = 8.2	η = 0.2	η < 0.1	η < 0.1	x: 0.89 m η = 75.0	η < 0.1	η = 0.2	x: 1.714 m η = 8.2	η = 0.2	**CUMPLE η = 75.0**
N2362/N2363	$\lambda_w \leq \lambda_{w,máx}$ Cumple	x: 1.727 m η = 57.9	x: 0.065 m η = 70.4	x: 0.897 m η = 8.3	x: 1.728 m η = 2.8	x: 0.065 m η = 8.3	x: 0.689 m η = 0.2	η < 0.1	η < 0.1	x: 0.897 m η = 72.3	η < 0.1	x: 0.689 m η = 0.2	x: 0.065 m η = 5.8	x: 0.689 m η = 0.2	**CUMPLE η = 72.3**
N2363/N2364	$\lambda_w \leq \lambda_{w,máx}$ Cumple	x: 1.708 m η = 58.0	x: 0.051 m η = 70.5	x: 0.88 m η = 8.6	x: 0.051 m η = 2.6	x: 1.709 m η = 8.7	x: 1.502 m η = 0.1	η < 0.1	η < 0.1	x: 0.88 m η = 72.7	η < 0.1	η = 0.1	x: 1.709 m η = 6.5	x: 1.502 m η = 0.1	**CUMPLE η = 72.7**
N2364/N2365	$\lambda_w \leq \lambda_{w,máx}$ Cumple	x: 1.708 m η = 52.1	x: 0.07 m η = 63.6	x: 0.685 m η = 7.8	x: 1.709 m η = 1.4	x: 1.709 m η = 8.9	x: 1.708 m η < 0.1	η < 0.1	η < 0.1	x: 0.685 m η = 65.5	η < 0.1	η = 0.1	x: 1.709 m η = 6.7	x: 1.708 m η < 0.1	**CUMPLE η = 65.5**
N2365/N3449	$\lambda_w \leq \lambda_{w,máx}$ Cumple	x: 0.89 m η = 43.1	x: 0.07 m η = 46.2	x: 0.685 m η = 6.4	x: 0.89 m η = 1.9	x: 0.07 m η = 6.0	x: 0.48 m η < 0.1	η < 0.1	η < 0.1	x: 0.685 m η = 52.6	η < 0.1	η = 0.1	x: 0.07 m η = 6.0	x: 0.48 m η < 0.1	**CUMPLE η = 52.6**
N3449/N2366	$\lambda_w \leq \lambda_{w,máx}$ Cumple	x: 0.819 m η = 43.1	x: 0 m η = 46.1	x: 0.82 m η = 9.1	x: 0.82 m η = 2.5	x: 0.82 m η = 9.7	η < 0.1	η < 0.1	η < 0.1	x: 0.82 m η = 54.2	η < 0.1	η = 0.1	x: 0.82 m η = 9.7	η < 0.1	**CUMPLE η = 54.2**
N2366/N2367	$\lambda_w \leq \lambda_{w,máx}$ Cumple	x: 1.694 m η = 31.4	x: 0.07 m η = 39.6	x: 1.695 m η = 9.3	x: 1.695 m η = 3.3	x: 1.695 m η = 9.5	η < 0.1	η < 0.1	η < 0.1	x: 1.695 m η = 44.1	η < 0.1	η = 0.2	x: 1.695 m η = 9.5	η < 0.1	**CUMPLE η = 44.1**
N2367/N2368	$\lambda_w \leq \lambda_{w,máx}$ Cumple	x: 1.694 m η = 16.6	x: 0.084 m η = 19.5	x: 1.695 m η = 12.4	x: 0.084 m η = 4.7	x: 1.695 m η = 10.4	η = 0.3	η < 0.1	η < 0.1	x: 1.695 m η = 31.7	η < 0.1	η = 0.3	x: 1.695 m η = 10.4	η = 0.3	**CUMPLE η = 31.7**
N2368/N2369	$\lambda_w \leq \lambda_{w,máx}$ Cumple	x: 1.694 m η = 2.1	x: 0.084 m η = 3.2	x: 1.695 m η = 12.8	x: 1.695 m η = 9.4	x: 1.695 m η = 10.0	η = 0.3	η < 0.1	η < 0.1	x: 1.695 m η = 18.4	η < 0.1	η = 0.3	x: 1.695 m η = 10.0	η = 0.3	**CUMPLE η = 18.4**
N2369/N2370	$\lambda_w \leq \lambda_{w,máx}$ Cumple	x: 1.694 m η = 20.5	x: 0.084 m η = 26.7	x: 1.695 m η = 35.6	x: 0.084 m η = 11.5	x: 1.695 m η = 19.5	η = 0.4	η < 0.1	η < 0.1	x: 1.695 m η = 60.3	η < 0.1	η = 0.2	x: 1.695 m η = 19.5	η = 0.4	**CUMPLE η = 60.3**
N2370/N2371	$\lambda_w \leq \lambda_{w,máx}$ Cumple	x: 1.637 m η = 40.9	x: 0.084 m η = 49.5	x: 0.084 m η = 33.8	x: 0.084 m η = 5.1	x: 0.084 m η = 22.7	η = 0.4	η < 0.1	η < 0.1	x: 0.084 m η = 79.7	η < 0.1	η = 0.5	x: 0.084 m η = 22.7	η = 0.4	**CUMPLE η = 79.7**
N2372/N2373	$\lambda_w \leq \lambda_{w,máx}$ Cumple	x: 1.7 m η = 46.9	x: 0.141 m η = 85.0	x: 0.141 m η = 25.5	x: 0.141 m η = 3.1	x: 0.141 m η = 9.8	η = 0.2	η < 0.1	η < 0.1	x: 1.701 m η = 90.5	η < 0.1	η = 0.5	x: 0.141 m η = 8.2	η = 0.2	**CUMPLE η = 90.5**
N2373/N2374	$\lambda_w \leq \lambda_{w,máx}$ Cumple	x: 1.7 m η = 28.2	x: 0.078 m η = 55.5	x: 0.078 m η = 14.6	x: 0.078 m η = 1.7	x: 1.701 m η = 5.0	η = 0.1	η < 0.1	η < 0.1	x: 0.078 m η = 63.1	η < 0.1	η = 0.1	x: 0.078 m η = 3.9	η = 0.1	**CUMPLE η = 63.1**
N2374/N2375	$\lambda_w \leq \lambda_{w,máx}$ Cumple	x: 1.7 m η = 13.2	x: 0.078 m η = 30.4	x: 0.078 m η = 3.0	x: 0.078 m η = 1.7	x: 0.078 m η = 1.3	η = 0.1	η < 0.1	η < 0.1	x: 0.078 m η = 33.2	η < 0.1	η = 0.1	x: 0.078 m η = 1.0	η = 0.1	**CUMPLE η = 33.2**
N2375/N2376	$\lambda_w \leq \lambda_{w,máx}$ Cumple	x: 1.7 m η = 0.7	x: 0.078 m η = 11.5	x: 1.701 m η = 4.7	x: 1.701 m η = 2.9	x: 0.078 m η = 2.3	η = 0.1	η < 0.1	η < 0.1	x: 1.701 m η = 14.1	η < 0.1	η = 0.1	x: 0.078 m η = 1.9	η = 0.1	**CUMPLE η = 14.1**
N2376/N2377	$\lambda_w \leq \lambda_{w,máx}$ Cumple	x: 1.7 m η = 7.4	x: 0.078 m η = 18.3	x: 1.701 m η = 4.2	x: 0.078 m η = 3.2	x: 0.078 m η = 1.2	η = 0.1	η < 0.1	η < 0.1	x: 1.701 m η = 21.2	η < 0.1	η = 0.1	x: 1.701 m η = 1.1	η = 0.1	**CUMPLE η = 21.2**
N2377/N2378	$\lambda_w \leq \lambda_{w,máx}$ Cumple	x: 1.713 m η = 15.8	x: 0.078 m η = 30.2	x: 1.714 m η = 4.0	x: 1.714 m η = 2.5	x: 0.078 m η = 1.2	η = 0.1	η < 0.1	η < 0.1	x: 1.714 m η = 35.0	η < 0.1	η = 0.1	x: 1.714 m η = 0.9	η = 0.1	**CUMPLE η = 35.0**
N2378/N2379	$\lambda_w \leq \lambda_{w,máx}$ Cumple	x: 1.713 m η = 21.6	x: 0.065 m η = 38.2	x: 1.714 m η = 3.9	x: 0.065 m η = 2.5	x: 0.065 m η = 0.5	η = 0.1	η < 0.1	η < 0.1	x: 0.065 m η = 42.2	η < 0.1	η < 0.1	x: 0.065 m η = 0.3	η = 0.1	**CUMPLE η = 42.2**
N2379/N2380	$\lambda_w \leq \lambda_{w,máx}$ Cumple	x: 1.708 m η = 25.0	x: 0.065 m η = 42.5	x: 1.709 m η = 5.1	x: 1.709 m η = 1.9	x: 0.065 m η = 0.8	η = 0.1	η < 0.1	η < 0.1	x: 1.709 m η = 46.9	η < 0.1	x: 0.476 m η = 0.2	x: 1.709 m η = 0.6	η = 0.1	**CUMPLE η = 46.9**
N2380/N2381	$\lambda_w \leq \lambda_{w,máx}$ Cumple	x: 1.708 m η = 24.5	x: 0.07 m η = 39.9	x: 0.07 m η = 5.4	x: 0.07 m η = 1.9	x: 1.709 m η = 0.8	η = 0.1	η < 0.1	η < 0.1	x: 0.07 m η = 44.4	η < 0.1	η = 0.7	x: 0.07 m η = 0.5	η = 0.1	**CUMPLE η = 44.4**
N2381/N2382	$\lambda_w \leq \lambda_{w,máx}$ Cumple	x: 1.708 m η = 20.4	x: 0.07 m η = 33.0	x: 0.07 m η = 4.4	x: 1.709 m η = 2.0	x: 0.07 m η = 0.7	η = 0.1	η < 0.1	η < 0.1	x: 1.709 m η = 36.1	η < 0.1	η = 0.2	x: 1.709 m η = 0.3	η = 0.1	**CUMPLE η = 36.1**
N2382/N2383	$\lambda_w \leq \lambda_{w,máx}$ Cumple	x: 1.694 m η = 14.1	x: 0.07 m η = 22.6	x: 0.07 m η = 4.5	x: 0.07 m η = 2.0	x: 1.695 m η = 1.4	x: 0.273 m η = 0.1	η < 0.1	η < 0.1	x: 0.07 m η = 26.9	η < 0.1	x: 0.273 m η = 0.5	x: 0.07 m η = 1.3	x: 0.273 m η = 0.1	**CUMPLE η = 26.9**
N2383/N2384	$\lambda_w \leq \lambda_{w,máx}$ Cumple	x: 1.694 m η = 5.1	x: 0.084 m η = 5.1	x: 0.084 m η = 4.5	x: 1.695 m η = 2.1	x: 0.084 m η = 1.4	x: 0.285 m η = 0.1	η < 0.1	η < 0.1	x: 0.084 m η = 10.2	η < 0.1	x: 0.285 m η = 0.5	x: 0.084 m η = 1.4	x: 0.285 m η = 0.1	**CUMPLE η = 10.2**
N2384/N2385	$\lambda_w \leq \lambda_{w,máx}$ Cumple	x: 1.694 m η = 8.0	x: 0.084 m η = 12.3	x: 1.695 m η = 5.8	x: 0.084 m η = 1.4	x: 1.695 m η = 2.9	η = 0.1	η < 0.1	η < 0.1	x: 0.084 m η = 16.1	η < 0.1	x: 1.494 m η = 0.1	x: 1.695 m η = 2.4	η < 0.1	**CUMPLE η = 16.1**
N2385/N2386	$\lambda_w \leq \lambda_{w,máx}$ Cumple	x: 1.694 m η = 22.4	x: 0.084 m η = 34.5	x: 0.084 m η = 1.7	x: 1.695 m η = 1.3	x: 0.084 m η = 0.4	η < 0.1	η < 0.1	η < 0.1	x: 0.084 m η = 35.7	η < 0.1	η < 0.1	x: 1.695 m η = 0.2	η < 0.1	**CUMPLE η = 35.7**
N2386/N2387	$\lambda_w \leq \lambda_{w,máx}$ Cumple	x: 1.661 m η = 37.0	x: 0.084 m η = 57.3	x: 1.662 m η = 33.3	x: 1.662 m η = 2.4	x: 1.662 m η = 10.6	η = 0.1	η < 0.1	η < 0.1	x: 1.662 m η = 76.9	η < 0.1	η = 0.2	x: 0.084 m η = 10.3	η = 0.1	**CUMPLE η = 76.9**
N2387/N2388	$\lambda_w \leq \lambda_{w,máx}$ Cumple	x: 1.637 m η = 43.8	x: 0.117 m η = 70.3	x: 0.117 m η = 17.4	x: 1.638 m η = 3.8	x: 1.638 m η = 6.0	η = 0.1	η < 0.1	η < 0.1	x: 0.117 m η = 80.2	η < 0.1	η < 0.1	x: 0.117 m η = 1.7	x: 0.117 m η = 0.1	**CUMPLE η = 80.2**
N2389/N2390	$\lambda_w \leq \lambda_{w,máx}$ Cumple	x: 1.7 m η = 41.2	x: 0.141 m η = 40.5	x: 0.141 m η = 50.8	x: 1.701 m η = 1.3	x: 0.141 m η = 22.8	η = 0.1	η < 0.1	η < 0.1	x: 0.141 m η = 87.2	η < 0.1	η = 0.1	x: 0.141 m η = 16.5	η = 0.1	**CUMPLE η = 87.2**
N2390/N2391	$\lambda_w \leq \lambda_{w,máx}$ Cumple	x: 1.7 m η = 22.2	x: 0.078 m η = 17.4	x: 0.078 m η = 12.5	x: 1.701 m η = 2.2	x: 0.078 m η = 14.1	η = 0.1	η < 0.1	η < 0.1	x: 0.078 m η = 33.2	η < 0.1	η = 0.1	x: 0.078 m η = 14.1	η = 0.1	**CUMPLE η = 33.2**
N2391/N2392	$\lambda_w \leq \lambda_{w,máx}$ Cumple	x: 1.7 m η = 6.7	x: 0.078 m η = 2.5	x: 0.078 m η = 13.1	x: 0.078 m η = 1.9	x: 0.078 m η = 9.9	η = 0.1	η < 0.1	η < 0.1	x: 0.078 m η = 19.6	η < 0.1	η = 0.1	x: 0.078 m η = 1.6	η = 0.1	**CUMPLE η = 19.6**
N2392/N2393	$\lambda_w \leq \lambda_{w,máx}$ Cumple	x: 1.7 m η = 10.6	x: 0.078 m η = 7.5	x: 0.078 m η = 9.2	x: 1.701 m η = 1.6	x: 0.078 m η = 9.2	η = 0.1	η < 0.1	η < 0.1	x: 0.078 m η = 19.9	η < 0.1	x: 0.078 m η < 0.1	x: 0.078 m η = 1.7	η = 0.1	**CUMPLE η = 19.9**
N2393/N2394	$\lambda_w \leq \lambda_{w,máx}$ Cumple	x: 1.713 m η = 19.9	x: 0.078 m η = 17.5	x: 0.078 m η = 7.6	x: 0.078 m η = 1.6	x: 0.078 m η = 8.8	η < 0.1	η < 0.1	η < 0.1	x: 0.078 m η = 27.5	η < 0.1	η = 0.1	x: 0.078 m η = 8.8	η < 0.1	**CUMPLE η = 27.5**
N2394/N3460	$\lambda_w \leq \lambda_{w,máx}$ Cumple	x: 0.89 m η = 26.2	x: 0.065 m η = 24.5	x: 0.065 m η = 7.0	x: 0.065 m η = 1.0	x: 0.065 m η = 8.8	η = 0.1	η < 0.1	η < 0.1	x: 0.065 m η = 33.8	η < 0.1	η = 0.1	x: 0.065 m η = 1.5	η = 0.1	**CUMPLE η = 33.8**
N3460/N2395	$\lambda_w \leq \lambda_{w,máx}$ Cumple	x: 0.824 m η = 26.3	x: 0 m η = 24.5	x: 0 m η = 5.6	x: 0 m η = 0.8	x: 0.825 m η = 7.0	x: 0.412 m η = 0.1	η < 0.1	η < 0.1	x: 0 m η = 32.4	η < 0.1	x: 0.412 m η = 0.1	x: 0.825 m η = 1.1	x: 0.412 m η = 0.1	**CUMPLE η = 32.4**
N2395/N2396	$\lambda_w \leq \lambda_{w,máx}$ Cumple	x: 1.713 m η = 29.8	x: 0.065 m η = 33.1	x: 0.89 m η = 6.1	x: 1.714 m η = 1.9	x: 0.065 m η = 8.1	x: 0.065 m η = 0.1	η < 0.1	η < 0.1	x: 0.89 m η = 36.3	η < 0.1	η = 0.1	x: 0.065 m η = 6.0	x: 0.065 m η = 0.1	**CUMPLE η = 36.3**
N2396/N2397	$\lambda_w \leq \lambda_{w,máx}$ Cumple	x: 1.727 m η = 30.4	x: 0.065 m η = 34.6	x: 0.897 m η = 6.5	x: 1.728 m η = 4.2	x: 0.065 m η = 8.3	η = 0.1	η < 0.1	η < 0.1	x: 0.897 m η = 37.5	η < 0.1	η = 0.2	x: 0.065 m η = 1.4	η = 0.1	**CUMPLE η = 37.5**
N2397/N2398	$\lambda_w \leq \lambda_{w,máx}$ Cumple	x: 1.708 m η = 30.6	x: 0.051 m η = 34.7	x: 0.88 m η = 6.7	x: 0.051 m η = 4.7	x: 1.709 m η = 8.3	η = 0.3	η < 0.1	η < 0.1	x: 0.88 m η = 37.8	η < 0.1	η = 0.4	x: 1.709 m η = 1.4	η = 0.3	**CUMPLE η = 37.8**
N2398/N2399	$\lambda_w \leq \lambda_{w,máx}$ Cumple	x: 1.708 m η = 28.6	x: 0.07 m η = 32.8	x: 0.89 m η = 6.2	x: 1.709 m η = 9.7	x: 1.709 m η = 8.3	η = 0.3	η < 0.1	η < 0.1	x: 0.89 m η = 35.6	η < 0.1	η = 0.5	x: 1.709 m η = 1.3	η = 0.3	**CUMPLE η = 35.6**
N2399/N3467	$\lambda_w \leq \lambda_{w,máx}$ Cumple	x: 0.89 m η = 23.6	x: 0.07 m η = 23.8	x: 0.685 m η = 5.3	x: 0.07 m η = 10.2	x: 0.07 m η = 6.6	η = 0.4	η < 0.1	η < 0.1	x: 0.685 m η = 29.5	η < 0.1	η = 0.2	x: 0.07 m η = 1.1	η = 0.4	**CUMPLE η = 29.5**
N3467/N2400	$\lambda_w \leq \lambda_{w,máx}$ Cumple	x: 0.819 m η = 23.6	x: 0 m η = 23.8	x: 0.82 m η = 8.2	x: 0 m η = 5.4	x: 0.82 m η = 9.1	η = 0.4	η < 0.1	η < 0.1	x: 0.82 m η = 32.5	η < 0.1	η = 0.2	x: 0.82 m η = 1.5	η = 0.4	**CUMPLE η = 32.5**
N2400/N2401	$\lambda_w \leq \lambda_{w,máx}$ Cumple	x: 1.694 m η = 15.8	x: 0.07 m η = 16.4	x: 1.695 m η = 8.7	x: 1.695 m η = 5.6	x: 1.695 m η = 9.0	x: 0.68 m η = 0.4	η < 0.1	η < 0.1	x: 1.695 m η = 25.0	η < 0.1	x: 0.68 m η = 0.6	x: 1.695 m η = 9.0	x: 0.68 m η = 0.4	**CUMPLE η = 25.0**
N2401/N2402	$\lambda_w \leq \lambda_{w,máx}$ Cumple	x: 1.694 m η = 5.0	x: 0.084 m η = 6.0	x: 1.695 m η = 11.2	x: 0.084 m η = 4.1	x: 1.695 m η = 9.8	η = 0.1	η < 0.1	η < 0.1	x: 1.695 m η = 16.6	η < 0.1	x: 1.694 m η = 0.2	x: 1.695 m η = 7.3	η = 0.1	**CUMPLE η = 16.6**
N2402/N2403	$\lambda_w \leq \lambda_{w,máx}$ Cumple	x: 1.694 m η = 7.4	x: 0.084 m η = 8.3	x: 1.695 m η = 11.7	x: 1.695 m η = 3.5	x: 1.695 m η = 9.5	η = 0.1	η < 0.1	η < 0.1	x: 1.695 m η = 20.6	η < 0.1	η = 0.1	x: 1.695 m η = 6.8	η = 0.1	**CUMPLE η = 20.6**

Documento visado electrónicamente con número: VA07290/22
Código de validación telemática TRLTDCFZ60T66IJ1. Comprobación: https://cogitivalencia.e-gestion.es/Validacion.aspx?CVT=TRLTDCFZ60T66IJ1

VISADO
COGITI
VALENCIA
VA07290/22
TRLTDCFZ60T66IJ1

Barras	COMPROBACIONES (CÓDIGO ESTRUCTURAL)														Estado
	λ_w	N_t	N_c	M_Y	M_Z	V_Z	V_Y	M_YV_Z	M_ZV_Y	NM_YM_Z	$NM_YM_ZV_YV_Z$	M_t	M_tV_Z	M_tV_Y	
N2403/N2404	$\lambda_w \le \lambda_{w,máx}$ Cumple	x: 1.694 m η = 23.9	x: 0.084 m η = 29.0	x: 1.695 m η = 32.7	x: 0.084 m η = 4.5	x: 1.695 m η = 18.6	η = 0.2	η < 0.1	η < 0.1	x: 1.695 m η = 59.3	η < 0.1	η = 0.1	x: 1.695 m η = 18.1	η = 0.2	**CUMPLE η = 59.3**
N2404/N2405	$\lambda_w \le \lambda_{w,máx}$ Cumple	x: 1.637 m η = 40.1	x: 0.084 m η = 47.4	x: 0.084 m η = 32.4	x: 0.084 m η = 2.1	x: 0.084 m η = 22.5	η = 0.1	η < 0.1	η < 0.1	x: 0.084 m η = 76.3	η < 0.1	η = 0.2	x: 0.084 m η = 21.2	η = 0.1	**CUMPLE η = 76.3**
N2388/N2406	$\lambda_w \le \lambda_{w,máx}$ Cumple	x: 1.7 m η = 38.8	x: 0.141 m η = 44.2	x: 0.141 m η = 47.4	x: 1.701 m η = 1.3	x: 0.141 m η = 21.9	η = 0.1	η < 0.1	η < 0.1	x: 0.141 m η = 88.6	η < 0.1	η = 0.1	x: 0.141 m η = 21.9	η < 0.1	**CUMPLE η = 88.6**
N2406/N2407	$\lambda_w \le \lambda_{w,máx}$ Cumple	x: 1.7 m η = 16.1	x: 0.078 m η = 16.4	x: 0.078 m η = 13.5	x: 1.701 m η = 2.6	x: 0.078 m η = 14.5	η = 0.1	η < 0.1	η < 0.1	x: 0.078 m η = 30.0	η < 0.1	η = 0.1	x: 0.078 m η = 14.5	η = 0.1	**CUMPLE η = 30.0**
N2407/N2408	$\lambda_w \le \lambda_{w,máx}$ Cumple	x: 1.7 m η = 5.0	x: 0.078 m η = 5.6	x: 0.078 m η = 14.0	x: 1.701 m η = 2.2	x: 0.078 m η = 10.3	x: 0.89 m η = 0.1	η < 0.1	η < 0.1	x: 0.078 m η = 18.7	η < 0.1	η = 0.1	x: 0.078 m η = 1.7	x: 0.89 m η = 0.1	**CUMPLE η = 18.7**
N2408/N2409	$\lambda_w \le \lambda_{w,máx}$ Cumple	x: 1.7 m η = 20.7	x: 0.078 m η = 25.0	x: 0.078 m η = 10.3	x: 1.701 m η = 5.2	x: 0.078 m η = 9.8	η = 0.1	η < 0.1	η < 0.1	x: 0.078 m η = 32.4	η < 0.1	x: 1.498 m η = 0.2	x: 0.078 m η = 1.8	η = 0.1	**CUMPLE η = 32.4**
N2409/N2410	$\lambda_w \le \lambda_{w,máx}$ Cumple	x: 1.713 m η = 33.9	x: 0.078 m η = 40.4	x: 0.078 m η = 8.1	x: 0.078 m η = 6.8	x: 0.078 m η = 9.2	x: 1.305 m η = 0.4	η < 0.1	η < 0.1	x: 0.078 m η = 43.6	η < 0.1	x: 1.305 m η = 0.6	x: 0.078 m η = 9.2	x: 1.305 m η = 0.4	**CUMPLE η = 43.6**
N2410/N3478	$\lambda_w \le \lambda_{w,máx}$ Cumple	x: 0.89 m η = 44.2	x: 0.065 m η = 45.5	x: 0.065 m η = 7.6	x: 0.89 m η = 6.0	x: 0.065 m η = 9.3	x: 0.065 m η = 0.4	η < 0.1	η < 0.1	x: 0.065 m η = 52.4	η < 0.1	x: 0.065 m η = 0.3	x: 0.065 m η = 9.3	x: 0.065 m η = 0.4	**CUMPLE η = 52.4**
N3478/N2411	$\lambda_w \le \lambda_{w,máx}$ Cumple	x: 0.824 m η = 44.2	x: 0 m η = 45.4	x: 0.206 m η = 6.4	x: 0.825 m η = 11.4	x: 0.825 m η = 6.5	x: 0 m η = 0.4	η < 0.1	η < 0.1	x: 0.206 m η = 51.7	η < 0.1	η = 0.3	x: 0.825 m η = 6.5	x: 0 m η = 0.4	**CUMPLE η = 51.7**
N2411/N2412	$\lambda_w \le \lambda_{w,máx}$ Cumple	x: 1.713 m η = 51.7	x: 0.065 m η = 61.1	x: 0.89 m η = 7.6	x: 0.065 m η = 11.0	x: 0.065 m η = 8.6	η = 0.4	η < 0.1	η < 0.1	x: 0.89 m η = 62.9	η < 0.1	η = 0.5	x: 0.065 m η = 8.6	η = 0.4	**CUMPLE η = 62.9**
N2412/N2413	$\lambda_w \le \lambda_{w,máx}$ Cumple	x: 1.727 m η = 56.1	x: 0.065 m η = 66.5	x: 0.897 m η = 8.2	x: 1.728 m η = 8.5	x: 0.065 m η = 8.4	x: 0.481 m η = 0.4	η < 0.1	η < 0.1	x: 0.897 m η = 68.4	η < 0.1	x: 0.481 m η = 0.4	x: 0.065 m η = 1.4	x: 0.481 m η = 0.4	**CUMPLE η = 68.4**
N2413/N2414	$\lambda_w \le \lambda_{w,máx}$ Cumple	x: 1.708 m η = 56.4	x: 0.051 m η = 66.7	x: 0.88 m η = 8.0	x: 0.051 m η = 8.3	x: 1.709 m η = 8.2	x: 1.708 m η = 0.3	η < 0.1	η < 0.1	x: 0.88 m η = 68.5	η < 0.1	η < 0.1	x: 1.709 m η = 1.3	x: 1.708 m η = 0.3	**CUMPLE η = 68.5**
N2414/N2415	$\lambda_w \le \lambda_{w,máx}$ Cumple	x: 1.708 m η = 58.4	x: 0.07 m η = 68.8	x: 0.89 m η = 7.9	x: 1.709 m η = 3.7	x: 0.07 m η = 7.9	x: 0.89 m η = 0.3	η < 0.1	η < 0.1	x: 0.89 m η = 70.2	η < 0.1	x: 0.275 m η = 0.4	x: 0.07 m η = 7.9	x: 0.89 m η = 0.3	**CUMPLE η = 70.2**
N2415/N3485	$\lambda_w \le \lambda_{w,máx}$ Cumple	x: 0.89 m η = 57.7	x: 0.07 m η = 61.5	x: 0.89 m η = 7.7	x: 0.89 m η = 6.4	x: 0.07 m η = 7.1	η = 0.2	η < 0.1	η < 0.1	x: 0.89 m η = 66.4	η < 0.1	x: 0.07 m η = 0.2	x: 0.07 m η = 7.1	η = 0.2	**CUMPLE η = 66.4**
N3485/N2416	$\lambda_w \le \lambda_{w,máx}$ Cumple	x: 0.819 m η = 57.7	x: 0 m η = 61.5	x: 0 m η = 7.7	x: 0.82 m η = 9.3	x: 0.82 m η = 8.7	η = 0.2	η < 0.1	η < 0.1	x: 0 m η = 66.4	η < 0.1	x: 0 m η = 0.2	x: 0.82 m η = 8.7	η = 0.2	**CUMPLE η = 66.4**
N2416/N2417	$\lambda_w \le \lambda_{w,máx}$ Cumple	x: 1.694 m η = 54.2	x: 0.07 m η = 63.4	x: 0.883 m η = 7.1	x: 0.07 m η = 10.8	x: 1.695 m η = 8.7	x: 0.883 m η = 0.8	η < 0.1	η < 0.1	x: 0.883 m η = 64.7	η < 0.1	x: 0.883 m η = 0.5	x: 1.695 m η = 8.7	x: 0.883 m η = 0.8	**CUMPLE η = 64.7**
N2417/N2418	$\lambda_w \le \lambda_{w,máx}$ Cumple	x: 1.694 m η = 47.7	x: 0.084 m η = 55.8	x: 1.695 m η = 7.2	x: 0.084 m η = 6.1	x: 1.695 m η = 9.3	η = 0.2	η < 0.1	η < 0.1	x: 0.688 m η = 57.4	η < 0.1	η = 0.3	x: 1.695 m η = 6.6	η = 0.2	**CUMPLE η = 57.4**
N2418/N2419	$\lambda_w \le \lambda_{w,máx}$ Cumple	x: 1.694 m η = 38.7	x: 0.084 m η = 44.7	x: 1.695 m η = 9.1	x: 1.695 m η = 4.2	x: 1.695 m η = 9.5	x: 0.89 m η = 0.1	η < 0.1	η < 0.1	x: 1.695 m η = 49.7	η < 0.1	η = 0.1	x: 1.695 m η = 6.8	η = 0.1	**CUMPLE η = 49.7**
N2419/N2420	$\lambda_w \le \lambda_{w,máx}$ Cumple	x: 1.694 m η = 25.9	x: 0.084 m η = 30.1	x: 1.695 m η = 16.6	x: 0.084 m η = 5.4	x: 1.695 m η = 15.6	η = 0.2	η < 0.1	η < 0.1	x: 1.695 m η = 41.7	η < 0.1	η = 0.1	x: 1.695 m η = 15.6	η = 0.2	**CUMPLE η = 41.7**
N2420/N2421	$\lambda_w \le \lambda_{w,máx}$ Cumple	x: 1.637 m η = 11.2	x: 0.084 m η = 10.9	x: 1.638 m η = 14.9	x: 0.084 m η = 2.5	x: 1.638 m η = 14.7	η = 0.2	η < 0.1	η < 0.1	x: 1.638 m η = 27.4	η < 0.1	η = 0.3	x: 1.638 m η = 14.7	η = 0.2	**CUMPLE η = 27.4**
N2422/N2356	$\lambda_w \le \lambda_{w,máx}$ Cumple	x: 1.911 m η = 37.9	x: 0.088 m η = 44.9	x: 0.088 m η = 2.0	x: 0.088 m η = 6.9	η = 0.1	η = 0.9	η < 0.1	η < 0.1	x: 0.088 m η = 52.1	η < 0.1	η = 1.6	η = 0.1	η = 1.0	**CUMPLE η = 52.1**
N2423/N2357	$\lambda_w \le \lambda_{w,máx}$ Cumple	x: 1.911 m η = 25.6	x: 0.088 m η = 31.5	x: 0.088 m η = 0.7	x: 0.088 m η = 14.5	η < 0.1	η = 2.2	η < 0.1	η < 0.1	x: 0.088 m η = 46.2	η < 0.1	η = 0.7	η < 0.1	η = 2.2	**CUMPLE η = 46.2**
N2424/N2358	$\lambda_w \le \lambda_{w,máx}$ Cumple	x: 1.911 m η = 24.8	x: 0.088 m η = 30.6	x: 0.088 m η = 1.1	x: 0.088 m η = 11.4	η < 0.1	η = 1.8	η < 0.1	η < 0.1	x: 0.088 m η = 42.2	η < 0.1	η = 1.4	η < 0.1	η = 1.8	**CUMPLE η = 42.2**
N2425/N2359	$\lambda_w \le \lambda_{w,máx}$ Cumple	x: 1.911 m η = 18.4	x: 0.088 m η = 22.6	x: 0.088 m η = 1.3	x: 0.088 m η = 9.6	η = 0.1	η = 1.5	η < 0.1	η < 0.1	x: 0.088 m η = 32.8	η < 0.1	η = 1.0	η = 0.1	η = 1.5	**CUMPLE η = 32.8**
N2426/N2360	$\lambda_w \le \lambda_{w,máx}$ Cumple	x: 1.922 m η = 12.0	x: 0.088 m η = 12.3	x: 0.088 m η = 1.5	x: 0.088 m η = 6.2	η < 0.1	η = 0.9	η < 0.1	η < 0.1	x: 0.088 m η = 18.9	η < 0.1	x: 1.373 m η = 1.8	η < 0.1	η = 1.0	**CUMPLE η = 18.9**
N2427/N2361	$\lambda_w \le \lambda_{w,máx}$ Cumple	x: 1.922 m η = 6.5	x: 0.086 m η = 6.6	x: 0.086 m η = 0.4	x: 0.086 m η = 2.6	η < 0.1	η = 0.3	η < 0.1	η < 0.1	x: 0.086 m η = 9.3	η < 0.1	η = 0.3	η < 0.1	η = 0.3	**CUMPLE η = 9.3**
N2428/N2362	$\lambda_w \le \lambda_{w,máx}$ Cumple	x: 1.922 m η = 2.1	x: 0.086 m η = 2.1	x: 0.086 m η = 1.1	x: 1.923 m η = 0.9	η < 0.1	η = 0.1	η < 0.1	η < 0.1	x: 1.923 m η = 3.3	η < 0.1	x: 1.739 m η = 1.4	η < 0.1	η = 0.1	**CUMPLE η = 3.3**
N2429/N2363	$\lambda_w \le \lambda_{w,máx}$ Cumple	x: 1.922 m η = 7.8	x: 0.086 m η = 7.7	x: 1.923 m η = 0.8	x: 0.086 m η = 6.1	η = 0.1	η = 0.8	η < 0.1	η < 0.1	x: 0.086 m η = 14.4	η < 0.1	η = 0.8	η = 0.1	η = 0.8	**CUMPLE η = 14.4**
N2430/N2364	$\lambda_w \le \lambda_{w,máx}$ Cumple	x: 1.921 m η = 26.2	x: 0.086 m η = 32.1	x: 0.086 m η = 0.5	x: 0.086 m η = 13.1	η < 0.1	η = 1.7	η < 0.1	η < 0.1	x: 0.086 m η = 45.5	η < 0.1	η = 0.8	η < 0.1	η = 1.7	**CUMPLE η = 45.5**
N2431/N2365	$\lambda_w \le \lambda_{w,máx}$ Cumple	x: 1.921 m η = 34.4	x: 0.086 m η = 42.1	x: 0.086 m η = 0.2	x: 0.086 m η = 17.4	η < 0.1	η = 2.3	η < 0.1	η < 0.1	x: 0.086 m η = 60.0	η < 0.1	η = 0.5	η < 0.1	η = 2.3	**CUMPLE η = 60.0**
N2432/N2366	$\lambda_w \le \lambda_{w,máx}$ Cumple	x: 1.921 m η = 34.8	x: 0.094 m η = 40.1	x: 0.094 m η = 0.5	x: 0.094 m η = 21.3	η < 0.1	η = 3.4	η < 0.1	η < 0.1	x: 0.094 m η = 61.7	η < 0.1	η = 1.0	η < 0.1	η = 3.5	**CUMPLE η = 61.7**
N2433/N2367	$\lambda_w \le \lambda_{w,máx}$ Cumple	x: 1.905 m η = 41.1	x: 0.094 m η = 48.1	x: 0.094 m η = 1.3	x: 0.094 m η = 24.5	η < 0.1	η = 3.9	η < 0.1	η < 0.1	x: 0.094 m η = 73.3	η < 0.1	η = 1.4	η < 0.1	η = 3.9	**CUMPLE η = 73.3**
N2434/N2368	$\lambda_w \le \lambda_{w,máx}$ Cumple	x: 1.905 m η = 47.3	x: 0.094 m η = 55.9	x: 0.094 m η = 1.4	x: 1.906 m η = 25.1	η = 0.1	η = 4.1	η < 0.1	η < 0.1	x: 0.094 m η = 81.4	η < 0.1	η = 1.8	η = 0.1	η = 4.1	**CUMPLE η = 81.4**
N2435/N2369	$\lambda_w \le \lambda_{w,máx}$ Cumple	x: 1.905 m η = 43.8	x: 0.094 m η = 52.1	x: 0.094 m η = 1.0	x: 0.094 m η = 30.8	η < 0.1	η = 4.8	η < 0.1	η < 0.1	x: 0.094 m η = 83.5	η < 0.1	η = 0.6	η < 0.1	η = 4.8	**CUMPLE η = 83.5**
N2436/N2370	$\lambda_w \le \lambda_{w,máx}$ Cumple	x: 1.905 m η = 55.0	x: 0.131 m η = 63.9	x: 0.131 m η = 3.1	x: 0.131 m η = 1.5	η = 0.1	η = 0.2	η < 0.1	η < 0.1	x: 0.131 m η = 66.0	η < 0.1	η = 2.9	η = 0.1	x: 1.019 m η = 0.2	**CUMPLE η = 66.0**
N2373/N2390	$\lambda_w \le \lambda_{w,máx}$ Cumple	x: 1.911 m η = 38.9	x: 0.088 m η = 47.8	x: 0.088 m η = 1.5	x: 1.912 m η = 19.4	η = 0.1	η = 2.8	η < 0.1	η < 0.1	x: 1.912 m η = 67.5	η < 0.1	η = 0.6	η = 0.1	η = 2.8	**CUMPLE η = 67.5**
N2374/N2391	$\lambda_w \le \lambda_{w,máx}$ Cumple	x: 1.911 m η = 34.3	x: 0.088 m η = 42.6	x: 0.088 m η = 0.6	x: 0.088 m η = 16.3	η < 0.1	η = 2.5	η < 0.1	η < 0.1	x: 0.088 m η = 59.2	η < 0.1	η = 0.5	η < 0.1	η = 2.5	**CUMPLE η = 59.2**
N2375/N2392	$\lambda_w \le \lambda_{w,máx}$ Cumple	x: 1.911 m η = 33.9	x: 0.088 m η = 42.5	x: 0.088 m η = 0.4	x: 0.088 m η = 15.8	η < 0.1	η = 2.6	η < 0.1	η < 0.1	x: 0.088 m η = 58.6	η < 0.1	η = 0.5	η < 0.1	η = 2.6	**CUMPLE η = 58.6**
N2376/N2393	$\lambda_w \le \lambda_{w,máx}$ Cumple	x: 1.911 m η = 27.8	x: 0.088 m η = 34.8	x: 0.088 m η = 0.5	x: 0.088 m η = 14.2	η < 0.1	η = 2.2	η < 0.1	η < 0.1	x: 0.088 m η = 49.4	η < 0.1	η = 0.4	η < 0.1	η = 2.2	**CUMPLE η = 49.4**
N2377/N2394	$\lambda_w \le \lambda_{w,máx}$ Cumple	x: 1.922 m η = 21.4	x: 0.088 m η = 26.7	x: 0.088 m η = 0.6	x: 0.088 m η = 11.2	η < 0.1	η = 1.8	η < 0.1	η < 0.1	x: 0.088 m η = 38.2	η < 0.1	η = 0.8	η < 0.1	η = 1.8	**CUMPLE η = 38.2**
N2378/N2395	$\lambda_w \le \lambda_{w,máx}$ Cumple	x: 1.922 m η = 18.0	x: 0.086 m η = 24.4	x: 1.922 m η = 0.3	x: 0.086 m η = 7.8	η < 0.1	η = 1.0	η < 0.1	η < 0.1	x: 0.086 m η = 32.4	η < 0.1	η = 0.4	η < 0.1	η = 1.0	**CUMPLE η = 32.4**
N2379/N2396	$\lambda_w \le \lambda_{w,máx}$ Cumple	x: 1.922 m η = 9.8	x: 0.086 m η = 11.4	x: 1.922 m η = 0.4	x: 0.086 m η = 4.7	x: 0.637 m η < 0.1	η = 0.6	η < 0.1	η < 0.1	x: 0.086 m η = 16.3	η < 0.1	η = 0.5	x: 0.637 m η < 0.1	η = 0.6	**CUMPLE η = 16.3**
N2380/N2397	$\lambda_w \le \lambda_{w,máx}$ Cumple	x: 1.922 m η = 8.0	x: 0.086 m η = 7.9	x: 1.923 m η = 0.4	x: 1.923 m η = 1.3	η = 0.1	η = 0.2	η < 0.1	η < 0.1	x: 1.923 m η = 9.5	η < 0.1	x: 1.372 m η = 2.0	η = 0.1	η = 0.2	**CUMPLE η = 9.5**

Documento visado electrónicamente con número VA07290/22. Código de validación telemática TRLTDCFZ60T66IJ1. Comprobación: https://cogitivalencia.e-gestion.es/Validacion.aspx?CVT=TRLTDCFZ60T66IJ1

VISADO
COGITI
Estado
VALENCIA
VA07290/22
TRLTDCFZ60T66IJ1

Barras	COMPROBACIONES (CÓDIGO ESTRUCTURAL)														
	λ_w	N_t	N_c	M_Y	M_Z	V_Z	V_Y	M_YV_Z	M_ZV_Y	NM_YM_Z	$NM_YM_ZV_YV_Z$	M_t	M_tV_Z	M_tV_Y	
N2381/N2398	$\lambda_w \leq \lambda_{w,máx}$ Cumple	x: 1.921 m η = 14.9	x: 0.086 m η = 16.4	x: 0.086 m η = 1.9	x: 0.086 m η = 6.8	η = 0.1	η = 0.9	η < 0.1	η < 0.1	x: 0.086 m η = 22.6	η < 0.1	η = 3.0	η = 0.1	η = 0.9	**CUMPLE η = 22.6**
N2382/N2399	$\lambda_w \leq \lambda_{w,máx}$ Cumple	x: 1.921 m η = 23.0	x: 0.086 m η = 26.2	x: 0.086 m η = 0.4	x: 0.086 m η = 10.9	η < 0.1	η = 1.4	η < 0.1	η < 0.1	x: 0.086 m η = 36.6	η < 0.1	η = 0.2	η < 0.1	η = 1.4	**CUMPLE η = 36.6**
N2383/N2400	$\lambda_w \leq \lambda_{w,máx}$ Cumple	x: 1.921 m η = 25.4	x: 0.094 m η = 28.0	x: 0.094 m η = 2.3	x: 0.094 m η = 14.9	η = 0.1	η = 2.4	η < 0.1	η < 0.1	x: 0.094 m η = 42.4	η < 0.1	η = 3.5	η = 0.1	η = 2.4	**CUMPLE η = 42.4**
N2384/N2401	$\lambda_w \leq \lambda_{w,máx}$ Cumple	x: 1.905 m η = 31.8	x: 0.094 m η = 36.0	x: 0.094 m η = 1.1	x: 0.094 m η = 18.4	η < 0.1	η = 2.9	η < 0.1	η < 0.1	x: 0.094 m η = 54.3	η < 0.1	x: 1.905 m η = 2.2	η < 0.1	η = 2.9	**CUMPLE η = 54.3**
N2385/N2402	$\lambda_w \leq \lambda_{w,máx}$ Cumple	x: 1.905 m η = 38.0	x: 0.094 m η = 43.8	x: 0.094 m η = 0.5	x: 1.906 m η = 19.2	η < 0.1	η = 3.1	η < 0.1	η < 0.1	x: 0.094 m η = 63.2	η < 0.1	η = 0.5	η < 0.1	η = 3.1	**CUMPLE η = 63.2**
N2386/N2403	$\lambda_w \leq \lambda_{w,máx}$ Cumple	x: 1.905 m η = 36.3	x: 0.094 m η = 42.3	x: 0.094 m η = 0.5	x: 0.094 m η = 25.5	η < 0.1	η = 3.9	η < 0.1	η < 0.1	x: 0.094 m η = 68.0	η < 0.1	x: 1.905 m η = 0.4	η < 0.1	η = 3.9	**CUMPLE η = 68.0**
N2387/N2404	$\lambda_w \leq \lambda_{w,máx}$ Cumple	x: 1.905 m η = 47.2	x: 0.131 m η = 53.9	x: 0.131 m η = 1.3	x: 0.131 m η = 4.8	η < 0.1	η = 0.6	η < 0.1	η < 0.1	x: 0.131 m η = 59.1	η < 0.1	η = 1.3	η < 0.1	η = 0.6	**CUMPLE η = 59.1**
N2437/N2406	$\lambda_w \leq \lambda_{w,máx}$ Cumple	x: 1.911 m η = 47.3	x: 0.088 m η = 56.1	x: 0.088 m η = 1.6	x: 1.912 m η = 22.5	η = 0.1	η = 3.3	η < 0.1	η < 0.1	x: 1.912 m η = 79.2	η < 0.1	η = 1.0	η = 0.1	η = 3.4	**CUMPLE η = 79.2**
N2438/N2407	$\lambda_w \leq \lambda_{w,máx}$ Cumple	x: 1.911 m η = 42.1	x: 0.088 m η = 50.7	x: 0.088 m η = 0.7	x: 0.088 m η = 19.6	η < 0.1	η = 3.0	η < 0.1	η < 0.1	x: 0.088 m η = 70.9	η < 0.1	η = 0.6	η < 0.1	η = 3.1	**CUMPLE η = 70.9**
N2439/N2408	$\lambda_w \leq \lambda_{w,máx}$ Cumple	x: 1.911 m η = 43.5	x: 0.088 m η = 52.4	x: 1.911 m η = 0.3	x: 0.088 m η = 19.8	η < 0.1	η = 3.2	η < 0.1	η < 0.1	x: 0.088 m η = 72.6	η < 0.1	η = 0.2	η < 0.1	η = 3.2	**CUMPLE η = 72.6**
N2440/N2409	$\lambda_w \leq \lambda_{w,máx}$ Cumple	x: 1.911 m η = 37.4	x: 0.088 m η = 44.7	x: 0.088 m η = 1.2	x: 0.088 m η = 18.6	η < 0.1	η = 2.9	η < 0.1	η < 0.1	x: 0.088 m η = 63.9	η < 0.1	x: 0.088 m η = 2.1	η < 0.1	η = 2.9	**CUMPLE η = 63.9**
N2441/N2410	$\lambda_w \leq \lambda_{w,máx}$ Cumple	x: 1.922 m η = 31.1	x: 0.088 m η = 36.6	x: 0.088 m η = 3.0	x: 0.088 m η = 15.9	η = 0.1	η = 2.5	η < 0.1	η < 0.1	x: 0.088 m η = 53.1	η < 0.1	x: 1.922 m η = 3.4	η = 0.1	η = 2.5	**CUMPLE η = 53.1**
N2442/N2411	$\lambda_w \leq \lambda_{w,máx}$ Cumple	x: 1.922 m η = 29.8	x: 0.086 m η = 37.3	x: 0.086 m η = 0.6	x: 0.086 m η = 12.7	η < 0.1	η = 1.6	η < 0.1	η < 0.1	x: 0.086 m η = 50.6	η < 0.1	x: 0.637 m η = 0.3	η < 0.1	η = 1.6	**CUMPLE η = 50.6**
N2443/N2412	$\lambda_w \leq \lambda_{w,máx}$ Cumple	x: 1.922 m η = 21.5	x: 0.086 m η = 27.3	x: 0.086 m η = 2.5	x: 0.086 m η = 9.3	η < 0.1	η = 1.2	η < 0.1	η < 0.1	x: 0.086 m η = 37.1	η < 0.1	x: 1.922 m η = 3.0	η < 0.1	η = 1.2	**CUMPLE η = 37.1**
N2444/N2413	$\lambda_w \leq \lambda_{w,máx}$ Cumple	x: 1.922 m η = 8.0	x: 0.086 m η = 7.9	x: 0.086 m η = 1.1	x: 0.086 m η = 4.1	η = 0.1	η = 0.5	η < 0.1	η < 0.1	x: 0.086 m η = 12.4	η < 0.1	x: 1.005 m η = 1.0	η = 0.1	η = 0.5	**CUMPLE η = 12.4**
N2445/N2414	$\lambda_w \leq \lambda_{w,máx}$ Cumple	x: 1.921 m η = 4.0	x: 0.086 m η = 3.5	x: 1.921 m η = 1.2	x: 1.922 m η = 1.8	η < 0.1	η = 0.2	η < 0.1	η < 0.1	x: 1.922 m η = 6.0	η < 0.1	x: 1.921 m η = 1.9	η < 0.1	η = 0.2	**CUMPLE η = 6.0**
N2446/N2415	$\lambda_w \leq \lambda_{w,máx}$ Cumple	x: 1.921 m η = 12.0	x: 0.086 m η = 11.2	x: 0.086 m η = 1.1	x: 0.086 m η = 5.4	x: 1.921 m η < 0.1	η = 0.7	η < 0.1	η < 0.1	x: 0.086 m η = 17.4	η < 0.1	x: 1.921 m η = 1.5	x: 1.921 m η < 0.1	η = 0.7	**CUMPLE η = 17.4**
N2447/N2416	$\lambda_w \leq \lambda_{w,máx}$ Cumple	x: 1.921 m η = 16.4	x: 0.094 m η = 16.0	x: 0.094 m η = 2.2	x: 0.094 m η = 9.7	η = 0.1	η = 1.6	η < 0.1	η < 0.1	x: 0.094 m η = 26.4	η < 0.1	x: 1.921 m η = 2.1	η = 0.1	η = 1.6	**CUMPLE η = 26.4**
N2448/N2417	$\lambda_w \leq \lambda_{w,máx}$ Cumple	x: 1.905 m η = 22.8	x: 0.094 m η = 26.8	x: 0.094 m η = 1.2	x: 0.094 m η = 13.7	η < 0.1	η = 2.2	η < 0.1	η < 0.1	x: 0.094 m η = 41.0	η < 0.1	x: 0.094 m η = 2.6	η < 0.1	η = 2.2	**CUMPLE η = 41.0**
N2449/N2418	$\lambda_w \leq \lambda_{w,máx}$ Cumple	x: 1.905 m η = 29.0	x: 0.094 m η = 34.8	x: 0.094 m η = 0.7	x: 0.094 m η = 16.2	η < 0.1	η = 2.6	η < 0.1	η < 0.1	x: 0.094 m η = 51.3	η < 0.1	η = 0.8	η < 0.1	η = 2.6	**CUMPLE η = 51.3**
N2450/N2419	$\lambda_w \leq \lambda_{w,máx}$ Cumple	x: 1.905 m η = 29.3	x: 0.094 m η = 35.2	x: 0.094 m η = 0.6	x: 0.094 m η = 17.1	η < 0.1	η = 2.7	η < 0.1	η < 0.1	x: 0.094 m η = 52.7	η < 0.1	η = 0.6	η < 0.1	η = 2.7	**CUMPLE η = 52.7**
N2451/N2420	$\lambda_w \leq \lambda_{w,máx}$ Cumple	x: 1.905 m η = 38.9	x: 0.094 m η = 45.6	x: 0.094 m η = 1.3	x: 0.094 m η = 21.8	η < 0.1	η = 3.3	η < 0.1	η < 0.1	x: 0.094 m η = 68.0	η < 0.1	η = 1.9	η < 0.1	η = 3.3	**CUMPLE η = 68.0**
N2422/N2355	$\lambda_w \leq \lambda_{w,máx}$ Cumple	x: 2.482 m η = 28.3	x: 0.111 m η = 34.2	x: 2.483 m η = 30.6	x: 0.111 m η = 2.1	x: 0.111 m η = 2.9	η = 0.1	η < 0.1	η < 0.1	x: 2.483 m η = 65.5	η < 0.1	η = 0.9	x: 0.111 m η = 2.9	η = 0.1	**CUMPLE η = 65.5**
N2423/N2356	$\lambda_w \leq \lambda_{w,máx}$ Cumple	x: 2.482 m η = 33.6	x: 0.111 m η = 37.3	x: 0.111 m η = 4.0	x: 2.483 m η = 2.4	x: 0.111 m η = 0.5	η < 0.1	η < 0.1	η < 0.1	x: 0.111 m η = 41.3	η < 0.1	η = 1.3	x: 0.111 m η = 0.5	η < 0.1	**CUMPLE η = 41.3**
N2424/N2357	$\lambda_w \leq \lambda_{w,máx}$ Cumple	x: 2.482 m η = 28.1	x: 0.111 m η = 31.4	x: 2.483 m η = 7.0	x: 2.483 m η = 1.0	x: 0.111 m η = 0.9	η = 0.1	η < 0.1	η < 0.1	x: 2.483 m η = 38.5	η < 0.1	η = 1.0	x: 0.111 m η = 0.9	η = 0.1	**CUMPLE η = 38.5**
N2425/N2358	$\lambda_w \leq \lambda_{w,máx}$ Cumple	x: 2.482 m η = 25.2	x: 0.111 m η = 27.3	x: 2.483 m η = 6.3	x: 0.111 m η = 1.1	x: 0.111 m η = 0.7	η < 0.1	η < 0.1	η < 0.1	x: 2.483 m η = 33.7	η < 0.1	η = 0.4	x: 0.111 m η = 0.7	η < 0.1	**CUMPLE η = 33.7**
N2426/N2359	$\lambda_w \leq \lambda_{w,máx}$ Cumple	x: 2.482 m η = 16.2	x: 0.111 m η = 15.1	x: 2.483 m η = 5.1	x: 0.111 m η = 1.8	x: 0.111 m η = 0.5	x: 2.482 m η = 0.1	η < 0.1	η < 0.1	x: 2.483 m η = 22.1	η < 0.1	η = 0.4	x: 0.111 m η = 0.5	x: 2.482 m η = 0.1	**CUMPLE η = 22.1**
N2427/N2360	$\lambda_w \leq \lambda_{w,máx}$ Cumple	x: 2.482 m η = 9.2	x: 0.111 m η = 7.6	x: 2.483 m η = 3.4	x: 2.483 m η = 1.9	x: 0.111 m η = 0.3	η = 0.1	η < 0.1	η < 0.1	x: 2.483 m η = 12.8	η < 0.1	η = 0.8	x: 0.111 m η = 0.3	η = 0.1	**CUMPLE η = 12.8**
N2428/N2361	$\lambda_w \leq \lambda_{w,máx}$ Cumple	x: 2.482 m η = 2.7	x: 0.111 m η = 2.0	x: 0.111 m η = 2.1	x: 0.111 m η = 1.1	x: 0.111 m η = 0.1	x: 1.297 m η = 0.1	η < 0.1	η < 0.1	x: 0.111 m η = 5.5	η < 0.1	x: 1.297 m η = 0.6	x: 0.111 m η = 0.1	x: 1.297 m η = 0.1	**CUMPLE η = 5.5**
N2429/N2362	$\lambda_w \leq \lambda_{w,máx}$ Cumple	x: 2.482 m η = 14.5	x: 0.111 m η = 16.5	x: 0.111 m η = 4.7	x: 0.111 m η = 1.8	x: 0.111 m η = 0.3	η < 0.1	η < 0.1	η < 0.1	x: 0.111 m η = 20.6	η < 0.1	η = 0.4	x: 0.111 m η = 0.3	η < 0.1	**CUMPLE η = 20.6**
N2429/N2364	$\lambda_w \leq \lambda_{w,máx}$ Cumple	x: 2.662 m η = 24.5	x: 0.119 m η = 32.6	x: 2.663 m η = 5.7	x: 0.119 m η = 1.0	x: 0.119 m η = 0.5	x: 2.027 m η = 0.1	η < 0.1	η < 0.1	x: 2.663 m η = 38.9	η < 0.1	x: 2.027 m η = 0.4	x: 0.119 m η = 0.5	x: 2.027 m η = 0.1	**CUMPLE η = 38.9**
N2430/N2365	$\lambda_w \leq \lambda_{w,máx}$ Cumple	x: 2.662 m η = 36.1	x: 0.119 m η = 48.5	x: 2.663 m η = 8.6	x: 0.119 m η = 0.9	x: 0.119 m η = 0.8	η < 0.1	η < 0.1	η < 0.1	x: 2.663 m η = 58.0	η < 0.1	η = 0.3	x: 0.119 m η = 0.8	η < 0.1	**CUMPLE η = 58.0**
N2431/N2366	$\lambda_w \leq \lambda_{w,máx}$ Cumple	x: 2.662 m η = 46.6	x: 0.119 m η = 62.1	x: 2.663 m η = 8.5	x: 2.663 m η = 1.1	x: 0.119 m η = 0.8	η = 0.1	η < 0.1	η < 0.1	x: 2.663 m η = 72.0	η < 0.1	η = 0.5	x: 0.119 m η = 0.8	η = 0.1	**CUMPLE η = 72.0**
N2432/N2367	$\lambda_w \leq \lambda_{w,máx}$ Cumple	x: 2.662 m η = 48.0	x: 0.119 m η = 59.0	x: 2.663 m η = 10.1	x: 2.663 m η = 2.2	x: 0.119 m η = 1.2	η = 0.1	η < 0.1	η < 0.1	x: 2.663 m η = 70.0	η < 0.1	η = 1.1	x: 0.119 m η = 1.2	η = 0.1	**CUMPLE η = 70.0**
N2433/N2368	$\lambda_w \leq \lambda_{w,máx}$ Cumple	x: 2.662 m η = 56.8	x: 0.119 m η = 68.1	x: 2.663 m η = 10.7	x: 0.119 m η = 2.3	x: 0.119 m η = 1.3	η < 0.1	η < 0.1	η < 0.1	x: 2.663 m η = 79.6	η < 0.1	η = 0.7	x: 0.119 m η = 1.4	η < 0.1	**CUMPLE η = 79.6**
N2434/N2369	$\lambda_w \leq \lambda_{w,máx}$ Cumple	x: 2.662 m η = 55.6	x: 0.119 m η = 67.2	x: 0.119 m η = 11.1	x: 2.663 m η = 2.2	x: 0.119 m η = 1.4	η = 0.2	η < 0.1	η < 0.1	x: 0.119 m η = 78.4	η < 0.1	η = 1.6	x: 0.119 m η = 1.4	η = 0.2	**CUMPLE η = 78.4**
N2435/N2370	$\lambda_w \leq \lambda_{w,máx}$ Cumple	x: 2.662 m η = 56.3	x: 0.119 m η = 67.5	x: 0.119 m η = 10.3	x: 2.663 m η = 3.9	x: 0.119 m η = 0.8	η < 0.1	η < 0.1	η < 0.1	x: 0.119 m η = 77.6	η < 0.1	η = 2.1	x: 0.119 m η = 0.8	η < 0.1	**CUMPLE η = 77.6**
N2436/N2371	$\lambda_w \leq \lambda_{w,máx}$ Cumple	x: 2.549 m η = 54.1	x: 0.119 m η = 64.3	x: 2.55 m η = 13.1	x: 2.55 m η = 3.1	x: 2.549 m η = 1.4	η = 0.1	η < 0.1	η < 0.1	x: 2.55 m η = 77.0	η < 0.1	η = 1.2	x: 2.549 m η = 1.4	η = 0.1	**CUMPLE η = 77.0**
N2373/N2389	$\lambda_w \leq \lambda_{w,máx}$ Cumple	x: 2.377 m η = 30.9	x: 0.111 m η = 37.7	x: 2.378 m η = 17.3	x: 2.378 m η = 2.5	x: 0.111 m η = 1.6	η = 0.2	η < 0.1	η < 0.1	x: 2.378 m η = 55.4	η < 0.1	η = 1.2	x: 0.111 m η = 1.6	η = 0.2	**CUMPLE η = 55.4**
N2374/N2390	$\lambda_w \leq \lambda_{w,máx}$ Cumple	x: 2.482 m η = 46.0	x: 0.111 m η = 50.7	x: 2.483 m η = 11.8	x: 0.111 m η = 1.0	x: 0.111 m η = 1.5	η < 0.1	η < 0.1	η < 0.1	x: 2.483 m η = 62.6	η < 0.1	η = 0.6	x: 2.482 m η = 1.5	η < 0.1	**CUMPLE η = 62.6**
N2375/N2391	$\lambda_w \leq \lambda_{w,máx}$ Cumple	x: 2.482 m η = 38.7	x: 0.111 m η = 42.9	x: 0.111 m η = 8.1	x: 2.483 m η = 0.7	x: 0.111 m η = 1.0	x: 0.111 m η < 0.1	η < 0.1	η < 0.1	x: 0.111 m η = 49.7	η < 0.1	η = 0.3	x: 0.111 m η = 1.0	x: 0.111 m η < 0.1	**CUMPLE η = 49.7**
N2376/N2392	$\lambda_w \leq \lambda_{w,máx}$ Cumple	x: 2.482 m η = 38.6	x: 0.111 m η = 41.7	x: 0.111 m η = 7.7	x: 0.111 m η = 0.6	x: 0.111 m η = 1.1	η < 0.1	η < 0.1	η < 0.1	x: 2.483 m η = 49.4	η < 0.1	η = 0.5	x: 0.111 m η = 1.1	η < 0.1	**CUMPLE η = 49.4**
N2377/N2393	$\lambda_w \leq \lambda_{w,máx}$ Cumple	x: 2.482 m η = 29.6	x: 0.111 m η = 32.6	x: 2.483 m η = 6.2	x: 0.111 m η = 0.9	x: 0.111 m η = 0.9	η < 0.1	η < 0.1	η < 0.1	x: 2.483 m η = 39.2	η < 0.1	η = 0.6	x: 0.111 m η = 0.9	η < 0.1	**CUMPLE η = 39.2**

Documento visado electrónicamente con número: VA07290/22
Código de validación telemática TRLTDCFZ60T66IJ1. Comprobación: https://cogitivalencia.e-gestion.es/Validacion.aspx?CVT=TRLTDCFZ60T66IJ1

VISADO
COGITI
VALENCIA
VA07290/22
TRLTDCFZ60T66IJ1
Documento visado electrónicamente con número VA07290/22
Código de validación telemática TRLTDCFZ60T66IJ1. Comprobación: https://cogitivalencia.e-gestion.es/Validacion.aspx?CVT=TRLTDCFZ60T66IJ1

Barras	COMPROBACIONES (CÓDIGO ESTRUCTURAL)														Estado
	λ_w	N_t	N_c	M_Y	M_Z	V_Z	V_Y	M_YV_Z	M_ZV_Y	NM_YM_Z	$NM_YM_ZV_YV_Z$	M_t	M_tV_Z	M_tV_Y	
N2378/N2394	$\lambda_w \leq \lambda_{w,máx}$ Cumple	x: 2.482 m η = 25.4	x: 0.111 m η = 28.7	x: 2.483 m η = 4.7	x: 2.483 m η = 0.6	x: 0.111 m η = 0.6	η < 0.1	η < 0.1	η < 0.1	x: 2.483 m η = 33.8	η < 0.1	η = 0.3	x: 0.111 m η = 0.6	η < 0.1	**CUMPLE η = 33.8**
N2379/N2395	$\lambda_w \leq \lambda_{w,máx}$ Cumple	x: 2.482 m η = 15.3	x: 0.111 m η = 16.0	x: 2.483 m η = 3.8	x: 0.111 m η = 0.6	x: 0.111 m η = 0.4	x: 0.309 m η < 0.1	η < 0.1	η < 0.1	x: 2.483 m η = 20.0	η < 0.1	η = 0.3	x: 0.111 m η = 0.4	x: 0.309 m η < 0.1	**CUMPLE η = 20.0**
N2380/N2396	$\lambda_w \leq \lambda_{w,máx}$ Cumple	x: 2.482 m η = 4.4	x: 0.111 m η = 1.2	x: 2.483 m η = 1.9	x: 0.111 m η = 2.4	x: 0.111 m η = 0.2	x: 1.89 m η = 0.2	η < 0.1	η < 0.1	x: 2.285 m η = 6.3	η < 0.1	x: 1.89 m η = 0.4	x: 0.111 m η = 0.2	x: 1.89 m η = 0.2	**CUMPLE η = 6.3**
N2380/N2398	$\lambda_w \leq \lambda_{w,máx}$ Cumple	x: 2.662 m η = 7.0	x: 0.119 m η = 8.7	x: 2.663 m η = 3.1	x: 0.119 m η = 3.5	x: 2.662 m η = 0.3	η = 0.1	η < 0.1	η < 0.1	x: 2.663 m η = 11.9	η < 0.1	η = 0.4	x: 2.662 m η = 0.3	η = 0.1	**CUMPLE η = 11.9**
N2381/N2399	$\lambda_w \leq \lambda_{w,máx}$ Cumple	x: 2.662 m η = 18.6	x: 0.119 m η = 27.4	x: 2.663 m η = 5.3	x: 0.119 m η = 2.3	x: 2.662 m η = 0.5	x: 1.603 m η = 0.2	η < 0.1	η < 0.1	x: 2.663 m η = 32.9	η < 0.1	x: 1.603 m η = 0.8	x: 2.662 m η = 0.5	x: 1.603 m η = 0.2	**CUMPLE η = 32.9**
N2382/N2400	$\lambda_w \leq \lambda_{w,máx}$ Cumple	x: 2.662 m η = 29.3	x: 0.119 m η = 41.2	x: 2.663 m η = 5.9	x: 2.663 m η = 3.7	x: 2.662 m η = 0.6	η = 0.1	η < 0.1	η < 0.1	x: 2.663 m η = 47.6	η < 0.1	η = 1.2	x: 2.662 m η = 0.6	η = 0.1	**CUMPLE η = 47.6**
N2383/N2401	$\lambda_w \leq \lambda_{w,máx}$ Cumple	x: 2.662 m η = 33.5	x: 0.119 m η = 43.0	x: 2.663 m η = 7.4	x: 0.119 m η = 3.7	x: 0.119 m η = 0.9	η = 0.1	η < 0.1	η < 0.1	x: 2.663 m η = 50.7	η < 0.1	η = 0.5	x: 0.119 m η = 0.9	η = 0.1	**CUMPLE η = 50.7**
N2384/N2402	$\lambda_w \leq \lambda_{w,máx}$ Cumple	x: 2.662 m η = 42.7	x: 0.119 m η = 52.4	x: 2.663 m η = 8.2	x: 0.119 m η = 1.5	x: 0.119 m η = 1.1	η = 0.1	η < 0.1	η < 0.1	x: 2.663 m η = 60.9	η < 0.1	η = 0.4	x: 0.119 m η = 1.1	η = 0.1	**CUMPLE η = 60.9**
N2385/N2403	$\lambda_w \leq \lambda_{w,máx}$ Cumple	x: 2.662 m η = 43.8	x: 0.119 m η = 54.1	x: 0.119 m η = 9.0	x: 2.663 m η = 1.0	x: 0.119 m η = 1.1	η = 0.1	η < 0.1	η < 0.1	x: 0.119 m η = 62.9	η < 0.1	η = 0.6	x: 0.119 m η = 1.1	η = 0.1	**CUMPLE η = 62.9**
N2386/N2404	$\lambda_w \leq \lambda_{w,máx}$ Cumple	x: 2.662 m η = 45.1	x: 0.119 m η = 54.9	x: 0.119 m η = 8.5	x: 2.663 m η = 1.7	x: 0.119 m η = 0.6	η < 0.1	η < 0.1	η < 0.1	x: 0.119 m η = 63.6	η < 0.1	η = 0.9	x: 0.119 m η = 0.6	η < 0.1	**CUMPLE η = 63.6**
N2387/N2405	$\lambda_w \leq \lambda_{w,máx}$ Cumple	x: 2.549 m η = 50.8	x: 0.119 m η = 62.5	x: 2.55 m η = 12.2	x: 2.549 m η = 1.3	x: 2.549 m η = 1.3	η < 0.1	η < 0.1	η < 0.1	x: 2.55 m η = 73.8	η < 0.1	η = 0.5	x: 2.549 m η = 1.3	η < 0.1	**CUMPLE η = 73.8**
N2437/N2388	$\lambda_w \leq \lambda_{w,máx}$ Cumple	x: 2.377 m η = 35.0	x: 0.111 m η = 43.0	x: 2.378 m η = 12.3	x: 0.111 m η = 1.8	x: 0.111 m η = 0.9	η = 0.1	η < 0.1	η < 0.1	x: 2.378 m η = 55.2	η < 0.1	η = 0.9	x: 0.111 m η = 0.9	η = 0.1	**CUMPLE η = 55.2**
N2438/N2406	$\lambda_w \leq \lambda_{w,máx}$ Cumple	x: 2.482 m η = 54.9	x: 0.111 m η = 63.0	x: 0.111 m η = 12.5	x: 2.482 m η = 1.3	x: 0.111 m η = 1.6	η < 0.1	η < 0.1	η < 0.1	x: 2.483 m η = 75.9	η < 0.1	η = 0.6	x: 0.111 m η = 1.6	η < 0.1	**CUMPLE η = 75.9**
N2439/N2407	$\lambda_w \leq \lambda_{w,máx}$ Cumple	x: 2.482 m η = 47.7	x: 0.111 m η = 55.2	x: 0.111 m η = 9.6	x: 2.483 m η = 0.8	x: 0.111 m η = 1.2	η < 0.1	η < 0.1	η < 0.1	x: 0.111 m η = 64.2	η < 0.1	η = 0.4	x: 0.111 m η = 1.2	η < 0.1	**CUMPLE η = 64.2**
N2440/N2408	$\lambda_w \leq \lambda_{w,máx}$ Cumple	x: 2.482 m η = 49.4	x: 0.111 m η = 56.5	x: 2.483 m η = 9.9	x: 0.111 m η = 1.1	x: 0.111 m η = 1.3	x: 1.297 m η = 0.1	η < 0.1	η < 0.1	x: 2.483 m η = 66.8	η < 0.1	η = 0.5	x: 0.111 m η = 1.3	x: 1.297 m η = 0.1	**CUMPLE η = 66.8**
N2441/N2409	$\lambda_w \leq \lambda_{w,máx}$ Cumple	x: 2.482 m η = 40.6	x: 0.111 m η = 47.6	x: 2.483 m η = 8.8	x: 0.111 m η = 3.9	x: 0.111 m η = 1.1	η = 0.1	η < 0.1	η < 0.1	x: 2.483 m η = 57.0	η < 0.1	η = 0.5	x: 0.111 m η = 1.1	η = 0.1	**CUMPLE η = 57.0**
N2442/N2410	$\lambda_w \leq \lambda_{w,máx}$ Cumple	x: 2.482 m η = 38.6	x: 0.111 m η = 48.2	x: 2.483 m η = 7.3	x: 2.483 m η = 3.9	x: 0.111 m η = 0.8	η = 0.1	η < 0.1	η < 0.1	x: 2.483 m η = 56.3	η < 0.1	η = 1.4	x: 0.111 m η = 0.8	η = 0.1	**CUMPLE η = 56.3**
N2443/N2411	$\lambda_w \leq \lambda_{w,máx}$ Cumple	x: 2.482 m η = 28.6	x: 0.111 m η = 35.6	x: 2.483 m η = 7.1	x: 0.111 m η = 2.5	x: 0.111 m η = 0.7	x: 1.692 m η = 0.2	η < 0.1	η < 0.1	x: 2.483 m η = 43.2	η < 0.1	x: 1.692 m η = 0.8	x: 0.111 m η = 0.7	x: 1.692 m η = 0.2	**CUMPLE η = 43.2**
N2444/N2412	$\lambda_w \leq \lambda_{w,máx}$ Cumple	x: 2.482 m η = 17.9	x: 0.111 m η = 21.5	x: 2.483 m η = 4.6	x: 0.111 m η = 3.1	x: 0.111 m η = 0.4	η < 0.1	η < 0.1	η < 0.1	x: 2.483 m η = 26.3	η < 0.1	η = 1.1	x: 0.111 m η = 0.4	η < 0.1	**CUMPLE η = 26.3**
N2444/N2414	$\lambda_w \leq \lambda_{w,máx}$ Cumple	x: 2.662 m η = 8.2	x: 0.119 m η = 7.8	x: 0.119 m η = 3.3	x: 2.663 m η = 2.5	x: 2.662 m η = 0.2	x: 0.755 m η = 0.2	η < 0.1	η < 0.1	x: 0.119 m η = 11.6	η < 0.1	x: 0.755 m η = 1.2	x: 2.662 m η = 0.2	x: 0.755 m η = 0.2	**CUMPLE η = 11.6**
N2445/N2415	$\lambda_w \leq \lambda_{w,máx}$ Cumple	x: 2.662 m η = 5.4	x: 0.119 m η = 5.3	x: 2.663 m η = 3.4	x: 0.119 m η = 2.0	x: 0.119 m η = 0.2	η < 0.1	η < 0.1	η < 0.1	x: 2.663 m η = 8.8	η < 0.1	η = 0.4	x: 0.119 m η = 0.2	η < 0.1	**CUMPLE η = 8.8**
N2446/N2416	$\lambda_w \leq \lambda_{w,máx}$ Cumple	x: 2.662 m η = 16.2	x: 0.119 m η = 21.0	x: 2.663 m η = 4.6	x: 2.663 m η = 2.9	x: 0.119 m η = 0.4	x: 0.331 m η = 0.2	η < 0.1	η < 0.1	x: 2.663 m η = 26.0	η < 0.1	x: 0.331 m η = 1.3	x: 0.119 m η = 0.4	x: 0.331 m η = 0.2	**CUMPLE η = 26.0**
N2447/N2417	$\lambda_w \leq \lambda_{w,máx}$ Cumple	x: 2.662 m η = 22.6	x: 0.119 m η = 27.5	x: 2.663 m η = 6.3	x: 0.119 m η = 3.7	x: 0.119 m η = 0.6	η = 0.1	η < 0.1	η < 0.1	x: 2.663 m η = 34.1	η < 0.1	η = 0.7	x: 0.119 m η = 0.6	η = 0.1	**CUMPLE η = 34.1**
N2448/N2418	$\lambda_w \leq \lambda_{w,máx}$ Cumple	x: 2.662 m η = 32.2	x: 0.119 m η = 37.5	x: 2.663 m η = 7.4	x: 0.119 m η = 1.3	x: 0.119 m η = 0.8	x: 0.967 m η = 0.1	η < 0.1	η < 0.1	x: 2.663 m η = 45.1	η < 0.1	x: 0.967 m η = 0.5	x: 0.119 m η = 0.8	x: 0.967 m η = 0.1	**CUMPLE η = 45.1**
N2449/N2419	$\lambda_w \leq \lambda_{w,máx}$ Cumple	x: 2.662 m η = 34.0	x: 0.119 m η = 40.4	x: 2.663 m η = 7.3	x: 2.663 m η = 1.1	x: 0.119 m η = 0.9	η = 0.1	η < 0.1	η < 0.1	x: 2.663 m η = 48.1	η < 0.1	η = 0.6	x: 0.119 m η = 0.9	η = 0.1	**CUMPLE η = 48.1**
N2450/N2420	$\lambda_w \leq \lambda_{w,máx}$ Cumple	x: 2.662 m η = 42.1	x: 0.119 m η = 49.4	x: 2.663 m η = 6.7	x: 2.663 m η = 2.4	x: 0.119 m η = 0.8	η < 0.1	η < 0.1	η < 0.1	x: 2.663 m η = 56.6	η < 0.1	η = 0.9	x: 0.119 m η = 0.8	η < 0.1	**CUMPLE η = 56.6**
N2451/N2421	$\lambda_w \leq \lambda_{w,máx}$ Cumple	x: 2.549 m η = 26.5	x: 0.119 m η = 33.6	x: 0.119 m η = 12.4	x: 2.55 m η = 2.0	x: 0.119 m η = 1.4	η < 0.1	η < 0.1	η < 0.1	x: 0.119 m η = 45.4	η < 0.1	η = 0.6	x: 0.119 m η = 1.4	η < 0.1	**CUMPLE η = 45.4**
N2301/N2452	$\lambda_w \leq \lambda_{w,máx}$ Cumple	η = 2.7	η = 8.8	x: 0.06 m η = 2.2	x: 0.06 m η = 6.0	η = 0.2	x: 0.06 m η = 0.8	η < 0.1	η < 0.1	x: 0.06 m η = 13.9	η < 0.1	η = 0.5	η = 0.2	x: 0.06 m η = 0.8	**CUMPLE η = 13.9**
N2452/N2453	$\lambda_w \leq \lambda_{w,máx}$ Cumple	η = 2.7	η = 7.6	x: 0.06 m η = 1.4	x: 2.373 m η = 1.4	η = 0.1	x: 2.373 m η = 0.3	η < 0.1	η < 0.1	x: 0.253 m η = 9.4	η < 0.1	η = 0.3	η = 0.1	x: 2.373 m η = 0.3	**CUMPLE η = 9.4**
N2453/N2454	$\lambda_w \leq \lambda_{w,máx}$ Cumple	η = 2.9	η = 7.5	x: 2.373 m η = 4.8	x: 2.373 m η = 4.8	η = 0.4	x: 2.373 m η = 0.6	η < 0.1	η < 0.1	x: 2.373 m η = 13.4	η < 0.1	η = 0.6	η = 0.4	x: 2.373 m η = 0.6	**CUMPLE η = 13.4**
N2202/N2455	$\lambda_w \leq \lambda_{w,máx}$ Cumple	η = 6.3	η = 18.5	x: 0.06 m η = 3.1	x: 0.06 m η = 8.6	η = 0.3	x: 0.06 m η = 1.1	η < 0.1	η < 0.1	x: 0.06 m η = 25.6	η < 0.1	η = 4.6	η = 0.3	x: 0.06 m η = 1.2	**CUMPLE η = 25.6**
N2455/N2456	$\lambda_w \leq \lambda_{w,máx}$ Cumple	η = 5.9	η = 19.7	x: 2.373 m η = 1.3	x: 0.253 m η = 1.8	η < 0.1	x: 2.373 m η = 0.3	η < 0.1	η < 0.1	x: 1.024 m η = 21.3	η < 0.1	η = 0.3	η < 0.1	x: 2.373 m η = 0.3	**CUMPLE η = 21.3**
N2456/N2355	$\lambda_w \leq \lambda_{w,máx}$ Cumple	η = 6.1	η = 19.8	x: 2.373 m η = 2.1	x: 2.373 m η = 5.5	η = 0.3	x: 2.373 m η = 0.7	η < 0.1	η < 0.1	x: 2.373 m η = 23.2	η < 0.1	η = 4.6	η = 0.3	x: 2.373 m η = 0.7	**CUMPLE η = 23.2**
N2236/N2457	$\lambda_w \leq \lambda_{w,máx}$ Cumple	η = 2.0	η = 59.8	x: 0.15 m η = 3.5	x: 0.15 m η = 5.9	η = 0.4	x: 0.15 m η = 0.9	η < 0.1	η < 0.1	x: 0.15 m η = 66.8	η < 0.1	η = 1.1	η = 0.4	x: 0.15 m η = 0.9	**CUMPLE η = 66.8**
N2457/N2458	$\lambda_w \leq \lambda_{w,máx}$ Cumple	η = 8.5	η = 16.4	x: 2.338 m η = 0.8	x: 2.338 m η = 8.4	x: 0.656 m η = 0.1	x: 2.338 m η = 1.2	η < 0.1	η < 0.1	x: 2.338 m η = 21.0	η < 0.1	η = 0.1	x: 0.656 m η = 0.1	x: 2.338 m η = 1.2	**CUMPLE η = 21.0**
N2458/N2389	$\lambda_w \leq \lambda_{w,máx}$ Cumple	η = 8.3	η = 50.7	x: 0.095 m η = 2.6	x: 0.095 m η = 4.8	η = 0.3	x: 0.095 m η = 0.7	η < 0.1	η < 0.1	x: 0.095 m η = 54.0	η < 0.1	η = 1.0	η = 0.3	x: 0.095 m η = 0.7	**CUMPLE η = 54.0**
N2218/N2459	$\lambda_w \leq \lambda_{w,máx}$ Cumple	η = 0.7	η = 32.7	x: 0.095 m η = 2.4	x: 0.095 m η = 5.0	η = 0.2	x: 0.095 m η = 0.7	η < 0.1	η < 0.1	x: 0.095 m η = 37.2	η < 0.1	η = 0.9	η = 0.2	x: 0.095 m η = 0.7	**CUMPLE η = 37.2**
N2459/N2460	$\lambda_w \leq \lambda_{w,máx}$ Cumple	η = 0.7	η = 32.1	x: 2.372 m η = 1.2	x: 0.06 m η = 7.3	η = 0.1	x: 2.373 m η = 1.0	η < 0.1	η < 0.1	x: 0.06 m η = 37.2	η < 0.1	η = 0.1	η = 0.1	x: 2.373 m η = 1.0	**CUMPLE η = 37.2**
N2460/N2371	$\lambda_w \leq \lambda_{w,máx}$ Cumple	η = 2.9	η = 20.3	x: 2.338 m η = 2.0	x: 2.338 m η = 4.9	η = 0.2	x: 2.338 m η = 0.6	η < 0.1	η < 0.1	x: 2.338 m η = 24.9	η < 0.1	η = 1.0	η = 0.2	x: 2.338 m η = 0.6	**CUMPLE η = 24.9**
N2458/N2460	$\lambda_w \leq \lambda_{w,máx}$ Cumple	x: 1.939 m η < 0.1	x: 0.078 m η = 6.1	x: 1.94 m η = 5.4	x: 0.078 m η = 3.5	η = 0.8	η = 0.2	η < 0.1	η < 0.1	x: 0.078 m η = 12.3	η < 0.1	η = 0.4	η = 0.8	η = 0.2	**CUMPLE η = 12.3**
N2457/N2459	$\lambda_w \leq \lambda_{w,máx}$ Cumple	x: 1.939 m η = 0.3	x: 0.078 m η = 1.9	x: 0.078 m η = 4.5	x: 0.078 m η = 3.5	η = 0.7	η = 0.2	η < 0.1	η < 0.1	x: 0.078 m η = 7.1	η < 0.1	η = 0.5	η = 0.7	η = 0.2	**CUMPLE η = 7.1**
N2453/N2456	$\lambda_w \leq \lambda_{w,máx}$ Cumple	x: 1.939 m η < 0.1	x: 0.06 m η = 0.2	x: 1.94 m η = 2.6	x: 1.94 m η = 3.7	η = 0.4	η = 0.3	η < 0.1	η < 0.1	x: 1.94 m η = 6.1	η < 0.1	η = 1.1	η = 0.4	η = 0.3	**CUMPLE η = 6.1**
N2452/N2455	$\lambda_w \leq \lambda_{w,máx}$ Cumple	x: 1.939 m η < 0.1	x: 0.06 m η = 0.2	x: 1.94 m η = 5.1	x: 1.94 m η = 3.5	η = 0.7	η = 0.3	η < 0.1	η < 0.1	x: 1.94 m η = 7.3	η < 0.1	η = 0.9	η = 0.7	η = 0.3	**CUMPLE η = 7.3**

VISADO
COGITI
Estado
VALENCIA
VA07290/22
TRLTDCFZ60T66IJ1

Barras	COMPROBACIONES (CÓDIGO ESTRUCTURAL)															
	λ_w	N_t	N_c	M_Y	M_Z	V_Z	V_Y	M_YV_Z	M_ZV_Y	NM_YM_Z	$NM_YM_ZV_YV_Z$	M_t	M_tV_Z	M_tV_Y	
N2219/N2457	$\lambda_w \leq \lambda_{w,máx}$ Cumple	x: 3.054 m η = 18.2	x: 0.195 m η = 3.5	x: 0.195 m η = 10.7	x: 0.195 m η = 6.0	x: 3.055 m η = 0.9	η = 0.2	η < 0.1	η < 0.1	x: 0.195 m η = 33.4	η < 0.1	η = 4.6	x: 3.055 m η = 1.0	η = 0.2	**CUMPLE η = 33.4**
N2372/N2458	$\lambda_w \leq \lambda_{w,máx}$ Cumple	x: 3.054 m η = 12.3	x: 0.195 m η = 18.1	x: 0.195 m η = 10.7	x: 0.195 m η = 6.5	x: 0.195 m η = 0.9	η = 0.2	η < 0.1	η < 0.1	x: 0.195 m η = 31.6	η < 0.1	η = 4.3	x: 0.195 m η = 0.9	η = 0.3	**CUMPLE η = 31.6**
N2312/N2461	$\lambda_w \leq \lambda_{w,máx}$ Cumple	x: 3.054 m η = 13.9	x: 0.195 m η = 2.6	x: 0.195 m η = 6.1	x: 3.055 m η = 4.4	x: 3.055 m η = 0.7	η = 0.2	η < 0.1	η < 0.1	x: 3.055 m η = 20.1	η < 0.1	η = 2.8	x: 3.055 m η = 0.7	η = 0.2	**CUMPLE η = 20.1**
N2235/N2461	$\lambda_w \leq \lambda_{w,máx}$ Cumple	η = 2.1	η = 51.7	x: 2.338 m η = 3.3	x: 0.15 m η = 3.3	η = 0.4	x: 0.15 m η = 0.5	η < 0.1	η < 0.1	x: 0.15 m η = 54.9	η < 0.1	η = 1.1	η = 0.4	x: 0.15 m η = 0.5	**CUMPLE η = 54.9**
N2461/N2462	$\lambda_w \leq \lambda_{w,máx}$ Cumple	η = 8.2	η = 12.1	x: 2.338 m η = 0.6	x: 2.338 m η = 4.5	η = 0.1	x: 2.338 m η = 0.7	η < 0.1	η < 0.1	x: 2.338 m η = 15.1	η < 0.1	η = 0.1	η = 0.1	x: 2.338 m η = 0.7	**CUMPLE η = 15.1**
N2462/N2388	$\lambda_w \leq \lambda_{w,máx}$ Cumple	η = 4.3	η = 51.5	x: 2.283 m η = 3.7	x: 0.095 m η = 3.1	η = 0.5	x: 0.095 m η = 0.5	η < 0.1	η < 0.1	x: 2.283 m η = 55.5	η < 0.1	η = 1.1	η = 0.5	x: 0.095 m η = 0.5	**CUMPLE η = 55.5**
N2461/N2463	$\lambda_w \leq \lambda_{w,máx}$ Cumple	x: 1.939 m η = 0.2	x: 0.078 m η = 1.3	x: 1.94 m η = 2.5	x: 0.078 m η = 3.5	η = 0.4	η = 0.2	η < 0.1	η < 0.1	x: 0.078 m η = 5.4	η < 0.1	η = 0.4	η = 0.4	η = 0.2	**CUMPLE η = 5.4**
N2462/N2464	$\lambda_w \leq \lambda_{w,máx}$ Cumple	x: 1.939 m η = 0.1	x: 0.078 m η = 3.1	x: 1.94 m η = 2.9	x: 0.078 m η = 3.4	η = 0.4	η = 0.2	η < 0.1	η < 0.1	x: 0.078 m η = 7.0	η < 0.1	η = 0.4	η = 0.4	η = 0.2	**CUMPLE η = 7.0**
N2465/N2462	$\lambda_w \leq \lambda_{w,máx}$ Cumple	x: 3.054 m η = 14.0	x: 0.195 m η = 6.9	x: 0.195 m η = 6.0	x: 3.055 m η = 4.5	x: 0.195 m η = 0.5	η = 0.2	η < 0.1	η < 0.1	x: 3.055 m η = 20.6	η < 0.1	η = 2.6	x: 0.195 m η = 0.6	η = 0.2	**CUMPLE η = 20.6**
N2252/N2463	$\lambda_w \leq \lambda_{w,máx}$ Cumple	η = 0.7	η = 20.6	x: 0.095 m η = 2.2	x: 0.095 m η = 4.9	η = 0.2	x: 0.095 m η = 0.7	η < 0.1	η < 0.1	x: 0.095 m η = 25.0	η < 0.1	η = 1.0	η = 0.2	x: 0.095 m η = 0.7	**CUMPLE η = 25.0**
N2463/N2464	$\lambda_w \leq \lambda_{w,máx}$ Cumple	η = 0.7	η = 21.5	x: 2.372 m η = 1.0	x: 2.373 m η = 3.9	η < 0.1	x: 2.373 m η = 0.6	η < 0.1	η < 0.1	x: 2.181 m η = 23.5	η < 0.1	η < 0.1	η < 0.1	x: 2.373 m η = 0.6	**CUMPLE η = 23.5**
N2464/N2405	$\lambda_w \leq \lambda_{w,máx}$ Cumple	η = 1.2	η = 21.5	x: 2.338 m η = 1.7	x: 2.338 m η = 4.9	η = 0.2	x: 2.338 m η = 0.7	η < 0.1	η < 0.1	x: 2.338 m η = 26.0	η < 0.1	η = 1.0	η = 0.2	x: 2.338 m η = 0.7	**CUMPLE η = 26.0**
N2457/N2218	$\lambda_w \leq \lambda_{w,máx}$ Cumple	x: 3.054 m η = 15.7	x: 0.095 m η = 1.1	x: 3.055 m η = 4.2	x: 0.095 m η = 2.2	x: 3.055 m η = 0.6	η = 0.1	η < 0.1	η < 0.1	x: 0.095 m η = 21.1	η < 0.1	η = 1.3	x: 3.055 m η = 0.6	η = 0.1	**CUMPLE η = 21.1**
N2458/N2371	$\lambda_w \leq \lambda_{w,máx}$ Cumple	x: 3.054 m η = 15.6	x: 0.095 m η = 2.5	x: 3.055 m η = 4.0	x: 0.095 m η = 2.5	x: 3.055 m η = 0.5	η = 0.1	η < 0.1	η < 0.1	x: 3.055 m η = 20.9	η < 0.1	η = 1.4	x: 3.055 m η = 0.5	η = 0.1	**CUMPLE η = 20.9**
N2461/N2252	$\lambda_w \leq \lambda_{w,máx}$ Cumple	x: 3.054 m η = 15.7	x: 0.095 m η = 1.5	x: 3.055 m η = 4.0	x: 0.095 m η = 1.8	x: 3.055 m η = 0.5	η < 0.1	η < 0.1	η < 0.1	x: 3.055 m η = 20.4	η < 0.1	η = 1.5	x: 3.055 m η = 0.5	η < 0.1	**CUMPLE η = 20.4**
N2462/N2405	$\lambda_w \leq \lambda_{w,máx}$ Cumple	x: 3.054 m η = 15.7	x: 0.095 m η = 1.9	x: 3.055 m η = 4.0	x: 0.095 m η = 2.0	x: 3.055 m η = 0.5	η < 0.1	η < 0.1	η < 0.1	x: 3.055 m η = 20.6	η < 0.1	η = 1.3	x: 3.055 m η = 0.5	η < 0.1	**CUMPLE η = 20.6**
N2268/N2467	$\lambda_w \leq \lambda_{w,máx}$ Cumple	x: 2.372 m η < 0.1	η = 8.9	x: 0.095 m η = 3.8	x: 0.095 m η = 4.6	η = 0.4	x: 0.095 m η = 0.6	η < 0.1	η < 0.1	x: 0.095 m η = 12.6	η < 0.1	η = 1.9	η = 0.4	x: 0.095 m η = 0.6	**CUMPLE η = 12.6**
N2467/N2466	$\lambda_w \leq \lambda_{w,máx}$ Cumple	η < 0.1	η = 9.2	x: 0.06 m η = 1.8	x: 0.06 m η = 2.4	η < 0.1	x: 2.373 m η = 0.4	η < 0.1	η < 0.1	x: 1.217 m η = 10.6	η < 0.1	η = 0.2	η < 0.1	x: 2.373 m η = 0.4	**CUMPLE η = 10.6**
N2466/N2421	$\lambda_w \leq \lambda_{w,máx}$ Cumple	η = 1.2	x: 2.338 m η = 8.8	x: 2.338 m η = 3.9	x: 2.338 m η = 4.5	η = 0.4	x: 2.338 m η = 0.6	η < 0.1	η < 0.1	x: 2.338 m η = 12.6	η < 0.1	η = 2.0	η = 0.4	x: 2.338 m η = 0.6	**CUMPLE η = 12.6**
N2468/N2421	$\lambda_w \leq \lambda_{w,máx}$ Cumple	x: 3.054 m η = 15.5	x: 0.095 m η = 1.7	x: 3.055 m η = 3.5	x: 0.095 m η = 3.0	x: 3.055 m η = 0.5	η < 0.1	η < 0.1	η < 0.1	x: 3.055 m η = 19.8	η < 0.1	η = 2.8	x: 3.055 m η = 0.5	η < 0.1	**CUMPLE η = 19.8**
N2316/N2470	$\lambda_w \leq \lambda_{w,máx}$ Cumple	η = 0.6	η = 38.6	x: 0.15 m η = 5.0	x: 0.15 m η = 2.4	η = 0.6	x: 0.15 m η = 0.4	η < 0.1	η < 0.1	x: 0.15 m η = 40.8	η < 0.1	η = 1.1	η = 0.6	x: 0.15 m η = 0.4	**CUMPLE η = 40.8**
N2470/N2468	$\lambda_w \leq \lambda_{w,máx}$ Cumple	η = 11.0	η = 9.8	x: 0.095 m η = 0.9	x: 2.338 m η = 2.9	η = 0.1	x: 2.338 m η = 0.5	η < 0.1	η < 0.1	x: 2.338 m η = 12.8	η < 0.1	η = 0.2	η = 0.1	x: 2.338 m η = 0.5	**CUMPLE η = 12.8**
N2468/N2469	$\lambda_w \leq \lambda_{w,máx}$ Cumple	η = 2.9	η = 33.8	x: 0.095 m η = 3.8	x: 0.095 m η = 1.4	η = 0.4	x: 0.095 m η = 0.3	η < 0.1	η < 0.1	x: 2.283 m η = 34.9	η < 0.1	η = 0.9	η = 0.4	x: 0.095 m η = 0.3	**CUMPLE η = 34.9**
N2471/N2468	$\lambda_w \leq \lambda_{w,máx}$ Cumple	x: 3.054 m η = 12.1	x: 0.195 m η = 4.5	x: 0.195 m η = 3.4	x: 3.055 m η = 7.6	x: 0.195 m η = 0.4	η = 0.1	η < 0.1	η < 0.1	x: 3.055 m η = 18.8	η < 0.1	η = 6.7	x: 0.195 m η = 0.4	η = 0.1	**CUMPLE η = 18.8**
N2470/N2467	$\lambda_w \leq \lambda_{w,máx}$ Cumple	x: 1.939 m η = 0.1	x: 0.078 m η = 1.0	x: 1.94 m η = 1.6	x: 0.078 m η = 6.7	η = 0.2	η = 0.4	η < 0.1	η < 0.1	x: 0.078 m η = 7.0	η < 0.1	η = 0.8	η = 0.2	η = 0.4	**CUMPLE η = 7.0**
N2470/N2268	$\lambda_w \leq \lambda_{w,máx}$ Cumple	x: 3.054 m η = 16.0	x: 0.095 m η = 1.5	x: 3.055 m η = 3.6	x: 0.095 m η = 3.6	x: 3.055 m η = 0.5	η = 0.1	η < 0.1	η < 0.1	x: 0.095 m η = 20.4	η < 0.1	η = 2.7	x: 3.055 m η = 0.5	η = 0.1	**CUMPLE η = 20.4**
N2468/N2466	$\lambda_w \leq \lambda_{w,máx}$ Cumple	N_{Ed} = 0.00 N.P.(1)	x: 0.078 m η = 1.9	x: 1.94 m η = 2.5	x: 0.078 m η = 6.5	η = 0.3	η = 0.4	η < 0.1	η < 0.1	x: 0.078 m η = 8.3	η < 0.1	η = 0.7	η = 0.3	η = 0.4	**CUMPLE η = 8.3**
N2318/N2470	$\lambda_w \leq \lambda_{w,máx}$ Cumple	x: 3.054 m η = 14.6	x: 2.442 m η = 2.7	x: 0.195 m η = 4.3	x: 3.055 m η = 8.1	x: 3.055 m η = 0.5	η = 0.1	η < 0.1	η < 0.1	x: 3.055 m η = 23.8	η < 0.1	η = 6.5	x: 3.055 m η = 0.6	η = 0.1	**CUMPLE η = 23.8**
N2204/N2357	x: 0.509 m $\lambda_w \leq \lambda_{w,máx}$ Cumple	η = 1.0	η = 12.3	M_{Ed} = 0.00 N.P.(2)	x: 3.65 m η = 6.0	V_{Ed} = 0.00 N.P.(3)	x: 0.06 m η = 0.5	N.P.(4)	x: 0.509 m η < 0.1	x: 3.65 m η = 17.0	x: 0.509 m η < 0.1	M_{Ed} = 0.00 N.P.(5)	N.P.(6)	N.P.(6)	**CUMPLE η = 17.0**
N2472/N2473	$\lambda_w \leq \lambda_{w,máx}$ Cumple	x: 1.939 m η < 0.1	x: 0.06 m η = 0.3	x: 1.94 m η = 9.0	x: 0.06 m η < 0.1	η = 1.4	η < 0.1	η < 0.1	x: 0.06 m η < 0.1	x: 1.94 m η = 9.1	η < 0.1	η < 0.1	η = 0.6	η < 0.1	**CUMPLE η = 9.1**
N2474/N2475	$\lambda_w \leq \lambda_{w,máx}$ Cumple	x: 1.939 m η < 0.1	x: 0.06 m η = 0.3	x: 1.94 m η = 11.5	x: 0.06 m η < 0.1	η = 1.8	η < 0.1	η < 0.1	x: 0.06 m η < 0.1	x: 0.06 m η = 11.7	η < 0.1	η < 0.1	η = 1.0	η < 0.1	**CUMPLE η = 11.7**
N2276/N2477	x: 0.051 m $\lambda_w \leq \lambda_{w,máx}$ Cumple	η = 1.8	η = 13.2	x: 2.372 m η < 0.1	x: 2.373 m η = 17.5	η < 0.1	x: 0.05 m η = 1.3	N.P.(4)	x: 0.051 m η < 0.1	x: 2.373 m η = 18.5	x: 0.051 m η < 0.1	M_{Ed} = 0.00 N.P.(5)	N.P.(6)	N.P.(6)	**CUMPLE η = 18.5**
N2477/N2476	$\lambda_w \leq \lambda_{w,máx}$ Cumple	η = 2.4	η = 14.5	x: 0.06 m η < 0.1	x: 0.06 m η = 4.7	η < 0.1	x: 2.373 m η = 0.6	N.P.(4)	η < 0.1	x: 2.373 m η = 16.1	η < 0.1	η < 0.1	η < 0.1	x: 2.373 m η = 0.3	**CUMPLE η = 16.1**
N2476/N2429	x: 0.06 m $\lambda_w \leq \lambda_{w,máx}$ Cumple	η = 3.0	η = 16.0	x: 0.06 m η < 0.1	x: 0.06 m η = 12.9	η < 0.1	x: 2.383 m η = 1.0	N.P.(4)	x: 0.06 m η < 0.1	x: 0.06 m η = 22.5	x: 0.06 m η < 0.1	M_{Ed} = 0.00 N.P.(5)	N.P.(6)	N.P.(6)	**CUMPLE η = 22.5**
N2210/N2479	x: 0.051 m $\lambda_w \leq \lambda_{w,máx}$ Cumple	η = 2.1	η = 12.5	x: 2.372 m η < 0.1	x: 2.373 m η = 17.7	η < 0.1	x: 0.05 m η = 1.3	N.P.(4)	x: 0.051 m η < 0.1	x: 2.373 m η = 23.5	x: 0.051 m η < 0.1	M_{Ed} = 0.00 N.P.(5)	N.P.(6)	N.P.(6)	**CUMPLE η = 23.5**
N2479/N2478	$\lambda_w \leq \lambda_{w,máx}$ Cumple	η = 2.1	η = 18.0	x: 0.06 m η < 0.1	x: 0.06 m η = 4.8	η < 0.1	x: 2.373 m η = 0.6	N.P.(4)	η < 0.1	x: 0.06 m η = 21.0	η < 0.1	η < 0.1	η < 0.1	x: 2.373 m η = 0.3	**CUMPLE η = 21.0**
N2478/N2363	x: 0.06 m $\lambda_w \leq \lambda_{w,máx}$ Cumple	η = 2.9	η = 18.1	x: 0.06 m η < 0.1	x: 0.06 m η = 13.7	η < 0.1	x: 2.383 m η = 1.0	N.P.(4)	x: 0.06 m η < 0.1	x: 0.06 m η = 19.4	x: 0.06 m η < 0.1	M_{Ed} = 0.00 N.P.(5)	N.P.(6)	N.P.(6)	**CUMPLE η = 19.4**
N2476/N2478	$\lambda_w \leq \lambda_{w,máx}$ Cumple	x: 1.939 m η = 0.1	x: 0.06 m η = 0.3	x: 1.94 m η = 10.0	x: 0.06 m η < 0.1	η = 1.6	η < 0.1	η < 0.1	x: 0.06 m η < 0.1	x: 1.94 m η = 10.2	η < 0.1	η < 0.1	η = 0.7	η < 0.1	**CUMPLE η = 10.2**
N2477/N2479	$\lambda_w \leq \lambda_{w,máx}$ Cumple	x: 1.939 m η = 0.1	x: 0.06 m η = 0.3	x: 1.94 m η = 12.4	x: 0.06 m η < 0.1	η = 2.0	η < 0.1	η < 0.1	x: 0.06 m η < 0.1	x: 0.06 m η = 12.7	η < 0.1	η < 0.1	η = 1.0	η < 0.1	**CUMPLE η = 12.7**
N2280/N2481	x: 0.061 m $\lambda_w \leq \lambda_{w,máx}$ Cumple	η = 0.9	η = 6.4	x: 2.372 m η = 0.1	x: 2.373 m η = 13.3	η < 0.1	x: 0.06 m η = 1.0	x: 0.061 m η < 0.1	x: 0.061 m η < 0.1	x: 2.373 m η = 14.0	x: 0.061 m η < 0.1	M_{Ed} = 0.00 N.P.(5)	N.P.(6)	N.P.(6)	**CUMPLE η = 14.0**
N2481/N2480	$\lambda_w \leq \lambda_{w,máx}$ Cumple	η = 1.3	η = 6.9	x: 0.06 m η < 0.1	x: 0.06 m η = 3.3	η < 0.1	x: 2.373 m η = 0.4	x: 0.06 m η < 0.1	η < 0.1	x: 2.373 m η = 7.7	η < 0.1	η = 0.1	η < 0.1	x: 2.373 m η = 0.4	**CUMPLE η = 7.7**

Documento visado electrónicamente con número: VA07290/22
Código de validación telemática TRLTDCFZ60T66IJ1. Comprobación: https://cogitivalencia.e-gestion.es/Validacion.aspx?CVT=TRLTDCFZ60T66IJ1

VISADO
COGITI
VALENCIA
VA07290/22
TRLTDCFZ60T66IJ1
Documento visado electrónicamente con número: VA07290/22
Código de validación telemática TRLTDCFZ60T66IJ1. Comprobación: https://cogitivalencia.e-gestion.es/Validacion.aspx?CVT=TRLTDCFZ60T66IJ1

Barras	COMPROBACIONES (CÓDIGO ESTRUCTURAL)														Estado
	λ_w	N_t	N_c	M_Y	M_Z	V_Z	V_Y	M_YV_Z	M_ZV_Y	NM_YM_Z	$NM_YM_ZV_YV_Z$	M_t	M_tV_Z	M_tV_Y	
N2480/N2433	x: 0.06 m $\lambda_w \le \lambda_{w,máx}$ Cumple	η = 1.5	η = 8.1	x: 0.06 m η = 0.1	x: 0.06 m η = 9.7	η < 0.1	x: 2.373 m η = 0.8	x: 0.06 m η < 0.1	x: 0.06 m η < 0.1	x: 0.06 m η = 13.0	x: 0.06 m η < 0.1	M_{Ed} = 0.00 N.P.(5)	N.P.(6)	N.P.(6)	**CUMPLE η = 13.0**
N2214/N2483	x: 0.061 m $\lambda_w \le \lambda_{w,máx}$ Cumple	η = 2.5	η = 13.9	x: 2.372 m η = 0.1	x: 2.373 m η = 12.6	η < 0.1	x: 0.06 m η = 0.9	x: 0.061 m η < 0.1	x: 0.061 m η < 0.1	x: 2.373 m η = 21.4	x: 0.061 m η < 0.1	M_{Ed} = 0.00 N.P.(5)	N.P.(6)	N.P.(6)	**CUMPLE η = 21.4**
N2483/N2482	$\lambda_w \le \lambda_{w,máx}$ Cumple	η = 2.4	η = 17.0	x: 0.06 m η < 0.1	x: 0.06 m η = 3.0	η < 0.1	x: 2.373 m η = 0.4	x: 0.06 m η < 0.1	η < 0.1	x: 0.06 m η = 18.9	η < 0.1	η = 0.1	η < 0.1	x: 2.373 m η = 0.4	**CUMPLE η = 18.9**
N2482/N2367	x: 0.06 m $\lambda_w \le \lambda_{w,máx}$ Cumple	η = 2.9	η = 16.5	x: 0.06 m η = 0.1	x: 0.06 m η = 11.4	η < 0.1	x: 2.373 m η = 0.9	x: 0.06 m η < 0.1	x: 0.06 m η < 0.1	x: 0.06 m η = 18.6	x: 0.06 m η < 0.1	M_{Ed} = 0.00 N.P.(5)	N.P.(6)	N.P.(6)	**CUMPLE η = 18.6**
N2480/N2482	$\lambda_w \le \lambda_{w,máx}$ Cumple	x: 1.939 m η = 0.1	x: 0.06 m η = 0.2	x: 1.94 m η = 8.6	x: 0.06 m η < 0.1	η = 1.3	η < 0.1	η < 0.1	x: 0.06 m η < 0.1	x: 1.94 m η = 8.6	η < 0.1	η = 0.1	η = 1.0	η < 0.1	**CUMPLE η = 8.6**
N2481/N2483	$\lambda_w \le \lambda_{w,máx}$ Cumple	x: 1.939 m η = 0.1	x: 0.06 m η = 0.2	x: 0.06 m η = 9.7	x: 0.06 m η < 0.1	η = 1.5	η < 0.1	η < 0.1	x: 0.06 m η < 0.1	x: 0.06 m η = 9.9	η < 0.1	η = 0.1	η = 1.5	η < 0.1	**CUMPLE η = 9.9**
N2216/N2369	x: 0.509 m $\lambda_w \le \lambda_{w,máx}$ Cumple	η = 4.1	η = 27.0	M_{Ed} = 0.00 N.P.(2)	x: 3.65 m η = 6.0	V_{Ed} = 0.00 N.P.(3)	x: 0.06 m η = 0.5	N.P.(4)	x: 0.509 m η < 0.1	x: 3.65 m η = 33.7	x: 0.509 m η < 0.1	M_{Ed} = 0.00 N.P.(5)	N.P.(6)	N.P.(6)	**CUMPLE η = 33.7**
N2238/N2391	x: 0.509 m $\lambda_w \le \lambda_{w,máx}$ Cumple	η = 0.9	η = 18.4	M_{Ed} = 0.00 N.P.(2)	x: 3.65 m η = 6.0	V_{Ed} = 0.00 N.P.(3)	x: 0.06 m η = 0.5	N.P.(4)	x: 0.509 m η < 0.1	x: 3.65 m η = 24.9	x: 0.509 m η < 0.1	M_{Ed} = 0.00 N.P.(5)	N.P.(6)	N.P.(6)	**CUMPLE η = 24.9**
N2240/N2484	x: 0.061 m $\lambda_w \le \lambda_{w,máx}$ Cumple	η = 1.1	η = 9.1	x: 2.372 m η < 0.1	x: 2.373 m η = 10.5	η < 0.1	x: 0.06 m η = 0.8	x: 0.253 m η < 0.1	x: 0.061 m η < 0.1	x: 2.373 m η = 15.5	x: 0.061 m η < 0.1	M_{Ed} = 0.00 N.P.(5)	N.P.(6)	N.P.(6)	**CUMPLE η = 15.5**
N2484/N2485	$\lambda_w \le \lambda_{w,máx}$ Cumple	η = 1.0	η = 11.5	x: 0.06 m η < 0.1	x: 1.795 m η = 2.3	η < 0.1	x: 2.373 m η = 0.3	N.P.(4)	η < 0.1	x: 0.253 m η = 12.9	η < 0.1	η < 0.1	η < 0.1	x: 2.373 m η = 0.2	**CUMPLE η = 12.9**
N2485/N2393	x: 0.06 m $\lambda_w \le \lambda_{w,máx}$ Cumple	η = 1.4	η = 10.7	x: 0.06 m η < 0.1	x: 0.06 m η = 10.2	η < 0.1	x: 2.373 m η = 0.8	x: 0.06 m η < 0.1	x: 0.06 m η < 0.1	x: 0.06 m η = 13.9	x: 0.06 m η < 0.1	M_{Ed} = 0.00 N.P.(5)	N.P.(6)	N.P.(6)	**CUMPLE η = 13.9**
N2223/N2486	x: 0.061 m $\lambda_w \le \lambda_{w,máx}$ Cumple	η = 0.4	η = 1.2	x: 2.372 m η < 0.1	x: 2.373 m η = 11.2	η < 0.1	x: 0.06 m η = 0.9	x: 0.253 m η < 0.1	x: 0.061 m η < 0.1	x: 2.373 m η = 11.3	x: 0.061 m η < 0.1	M_{Ed} = 0.00 N.P.(5)	N.P.(6)	N.P.(6)	**CUMPLE η = 11.3**
N2486/N2487	$\lambda_w \le \lambda_{w,máx}$ Cumple	η = 0.8	η = 1.1	x: 0.06 m η < 0.1	x: 0.06 m η = 2.6	η < 0.1	x: 2.373 m η = 0.3	N.P.(4)	η < 0.1	x: 0.253 m η = 3.2	η < 0.1	η < 0.1	η < 0.1	x: 2.373 m η = 0.2	**CUMPLE η = 3.2**
N2487/N2376	x: 0.06 m $\lambda_w \le \lambda_{w,máx}$ Cumple	η = 0.8	η = 1.3	x: 0.06 m η < 0.1	x: 0.06 m η = 8.6	η < 0.1	x: 2.373 m η = 0.7	x: 0.06 m η < 0.1	x: 0.06 m η < 0.1	x: 0.06 m η = 9.8	x: 0.06 m η < 0.1	M_{Ed} = 0.00 N.P.(5)	N.P.(6)	N.P.(6)	**CUMPLE η = 9.8**
N2487/N2485	$\lambda_w \le \lambda_{w,máx}$ Cumple	x: 1.939 m η = 0.1	x: 0.06 m η = 0.2	x: 1.94 m η = 7.8	x: 0.06 m η < 0.1	η = 1.2	η < 0.1	η < 0.1	x: 0.06 m η < 0.1	x: 1.94 m η = 7.8	η < 0.1	η < 0.1	x: 1.188 m η = 0.7	η < 0.1	**CUMPLE η = 7.8**
N2486/N2484	$\lambda_w \le \lambda_{w,máx}$ Cumple	x: 1.939 m η = 0.1	x: 0.06 m η = 0.2	x: 0.06 m η = 8.4	x: 0.06 m η < 0.1	η = 1.3	η < 0.1	η < 0.1	x: 0.06 m η < 0.1	x: 0.06 m η = 8.5	η < 0.1	η < 0.1	η = 0.9	η < 0.1	**CUMPLE η = 8.5**
N2227/N2489	x: 0.051 m $\lambda_w \le \lambda_{w,máx}$ Cumple	η = 0.9	η = 8.5	x: 2.372 m η < 0.1	x: 2.373 m η = 13.0	η < 0.1	x: 0.05 m η = 1.0	x: 0.244 m η < 0.1	x: 0.051 m η < 0.1	x: 2.373 m η = 13.1	x: 0.051 m η < 0.1	M_{Ed} = 0.00 N.P.(5)	N.P.(6)	N.P.(6)	**CUMPLE η = 13.1**
N2489/N2488	$\lambda_w \le \lambda_{w,máx}$ Cumple	η = 1.3	η = 8.0	x: 0.06 m η < 0.1	x: 0.06 m η = 3.1	η < 0.1	x: 2.373 m η = 0.4	N.P.(4)	η < 0.1	x: 1.602 m η = 8.6	η < 0.1	x: 1.217 m η < 0.1	η < 0.1	x: 2.373 m η = 0.2	**CUMPLE η = 8.6**
N2488/N2380	x: 0.06 m $\lambda_w \le \lambda_{w,máx}$ Cumple	η = 1.5	η = 9.0	x: 0.06 m η < 0.1	x: 0.06 m η = 10.0	η < 0.1	x: 2.383 m η = 0.8	x: 0.06 m η < 0.1	x: 0.06 m η < 0.1	x: 0.06 m η = 14.0	x: 0.06 m η < 0.1	M_{Ed} = 0.00 N.P.(5)	N.P.(6)	N.P.(6)	**CUMPLE η = 14.0**
N2244/N2491	x: 0.051 m $\lambda_w \le \lambda_{w,máx}$ Cumple	η = 1.0	η = 9.5	x: 2.372 m η < 0.1	x: 2.373 m η = 12.8	η < 0.1	x: 0.05 m η = 1.0	x: 0.244 m η < 0.1	x: 0.051 m η < 0.1	x: 2.373 m η = 17.1	x: 0.051 m η < 0.1	M_{Ed} = 0.00 N.P.(5)	N.P.(6)	N.P.(6)	**CUMPLE η = 17.1**
N2491/N2490	$\lambda_w \le \lambda_{w,máx}$ Cumple	η = 0.9	η = 12.6	x: 0.06 m η < 0.1	x: 0.06 m η = 3.1	η < 0.1	x: 2.373 m η = 0.4	N.P.(4)	η < 0.1	x: 0.06 m η = 14.5	η < 0.1	η < 0.1	η < 0.1	x: 2.373 m η = 0.2	**CUMPLE η = 14.5**
N2490/N2397	x: 0.06 m $\lambda_w \le \lambda_{w,máx}$ Cumple	η = 1.4	η = 12.1	x: 0.06 m η < 0.1	x: 0.06 m η = 11.1	η < 0.1	x: 2.383 m η = 0.9	x: 0.06 m η < 0.1	x: 0.06 m η < 0.1	x: 0.06 m η = 14.3	x: 0.06 m η < 0.1	M_{Ed} = 0.00 N.P.(5)	N.P.(6)	N.P.(6)	**CUMPLE η = 14.3**
N2488/N2490	$\lambda_w \le \lambda_{w,máx}$ Cumple	x: 1.939 m η = 0.1	x: 0.06 m η = 0.2	x: 1.94 m η = 8.4	x: 0.06 m η < 0.1	η = 1.3	η < 0.1	η < 0.1	x: 0.06 m η < 0.1	x: 1.94 m η = 8.4	η < 0.1	η < 0.1	η = 0.7	η < 0.1	**CUMPLE η = 8.4**
N2489/N2491	$\lambda_w \le \lambda_{w,máx}$ Cumple	x: 1.939 m η = 0.1	x: 0.06 m η = 0.2	x: 0.06 m η = 9.5	x: 0.06 m η < 0.1	η = 1.5	η < 0.1	η < 0.1	x: 0.06 m η < 0.1	x: 0.06 m η = 9.7	η < 0.1	x: 1 m η < 0.1	x: 1 m η = 0.9	η < 0.1	**CUMPLE η = 9.7**
N2231/N2493	x: 0.061 m $\lambda_w \le \lambda_{w,máx}$ Cumple	η = 0.8	η = 6.0	x: 2.372 m η < 0.1	x: 2.373 m η = 11.5	η < 0.1	x: 0.06 m η = 0.9	x: 0.253 m η < 0.1	x: 0.061 m η < 0.1	x: 2.373 m η = 11.8	x: 0.061 m η < 0.1	M_{Ed} = 0.00 N.P.(5)	N.P.(6)	N.P.(6)	**CUMPLE η = 11.8**
N2493/N2492	$\lambda_w \le \lambda_{w,máx}$ Cumple	η = 1.0	η = 1.2	x: 0.06 m η < 0.1	x: 0.06 m η = 2.7	η < 0.1	x: 2.373 m η = 0.3	N.P.(4)	η < 0.1	x: 0.446 m η = 3.2	η < 0.1	η < 0.1	η < 0.1	x: 2.373 m η = 0.2	**CUMPLE η = 3.2**
N2492/N2384	x: 0.06 m $\lambda_w \le \lambda_{w,máx}$ Cumple	η = 0.8	η = 5.7	x: 0.06 m η < 0.1	x: 0.06 m η = 7.9	η < 0.1	x: 2.373 m η = 0.7	x: 0.06 m η < 0.1	x: 0.06 m η < 0.1	x: 0.06 m η = 8.9	x: 0.06 m η < 0.1	M_{Ed} = 0.00 N.P.(5)	N.P.(6)	N.P.(6)	**CUMPLE η = 8.9**
N2248/N2495	x: 0.061 m $\lambda_w \le \lambda_{w,máx}$ Cumple	η = 1.5	η = 9.3	x: 2.372 m η < 0.1	x: 2.373 m η = 10.8	η < 0.1	x: 0.06 m η = 0.8	x: 0.253 m η < 0.1	x: 0.061 m η < 0.1	x: 2.373 m η = 16.0	x: 0.061 m η < 0.1	M_{Ed} = 0.00 N.P.(5)	N.P.(6)	N.P.(6)	**CUMPLE η = 16.0**
N2495/N2494	$\lambda_w \le \lambda_{w,máx}$ Cumple	x: 1.409 m η = 1.2	η = 11.9	x: 0.06 m η < 0.1	x: 0.253 m η = 2.4	η < 0.1	x: 2.373 m η = 0.3	N.P.(4)	η < 0.1	x: 0.253 m η = 13.4	η < 0.1	x: 1.409 m η < 0.1	η < 0.1	x: 2.373 m η = 0.2	**CUMPLE η = 13.4**
N2494/N2401	x: 0.06 m $\lambda_w \le \lambda_{w,máx}$ Cumple	η = 1.5	η = 11.2	x: 0.06 m η < 0.1	x: 0.06 m η = 9.6	η < 0.1	x: 2.373 m η = 0.8	x: 0.06 m η < 0.1	x: 0.06 m η < 0.1	x: 0.06 m η = 13.9	x: 0.06 m η < 0.1	M_{Ed} = 0.00 N.P.(5)	N.P.(6)	N.P.(6)	**CUMPLE η = 13.9**
N2492/N2494	$\lambda_w \le \lambda_{w,máx}$ Cumple	x: 1.939 m η = 0.1	x: 0.06 m η = 0.2	x: 1.94 m η = 7.4	x: 0.06 m η < 0.1	η = 1.1	x: 1 m η < 0.1	η < 0.1	x: 0.06 m η < 0.1	x: 1.94 m η = 7.4	η < 0.1	x: 1 m η < 0.1	x: 1 m η = 0.7	x: 1 m η < 0.1	**CUMPLE η = 7.4**
N2493/N2495	$\lambda_w \le \lambda_{w,máx}$ Cumple	x: 1.939 m η = 0.1	x: 0.06 m η = 0.2	x: 0.06 m η = 8.5	x: 0.06 m η < 0.1	η = 1.3	η < 0.1	η < 0.1	x: 0.06 m η < 0.1	x: 0.06 m η = 8.7	η < 0.1	η < 0.1	η = 0.8	η < 0.1	**CUMPLE η = 8.7**
N2250/N2403	x: 0.509 m $\lambda_w \le \lambda_{w,máx}$ Cumple	η = 4.0	η = 20.8	M_{Ed} = 0.00 N.P.(2)	x: 3.65 m η = 6.0	V_{Ed} = 0.00 N.P.(3)	x: 0.06 m η = 0.5	N.P.(4)	x: 0.509 m η < 0.1	x: 3.65 m η = 27.3	x: 0.509 m η < 0.1	M_{Ed} = 0.00 N.P.(5)	N.P.(6)	N.P.(6)	**CUMPLE η = 27.3**
N2254/N2407	x: 0.509 m $\lambda_w \le \lambda_{w,máx}$ Cumple	η = 0.4	η = 17.3	M_{Ed} = 0.00 N.P.(2)	x: 3.65 m η = 6.0	V_{Ed} = 0.00 N.P.(3)	x: 0.06 m η = 0.5	N.P.(4)	x: 0.509 m η < 0.1	x: 3.65 m η = 23.7	x: 0.509 m η < 0.1	M_{Ed} = 0.00 N.P.(5)	N.P.(6)	N.P.(6)	**CUMPLE η = 23.7**
N2256/N2496	x: 0.061 m $\lambda_w \le \lambda_{w,máx}$ Cumple	η = 1.8	η = 14.2	x: 2.372 m η < 0.1	x: 2.373 m η = 13.0	η < 0.1	x: 0.06 m η = 1.0	x: 0.253 m η < 0.1	x: 0.061 m η < 0.1	x: 2.373 m η = 21.6	x: 0.061 m η < 0.1	M_{Ed} = 0.00 N.P.(5)	N.P.(6)	N.P.(6)	**CUMPLE η = 21.6**

VISADO
COGITI
Estado
VALENCIA
VA07290/22
TRLTDCFZ60T66IJ1

Barras	COMPROBACIONES (CÓDIGO ESTRUCTURAL)															
	λ_w	N_t	N_c	M_Y	M_Z	V_Z	V_Y	M_YV_Z	M_ZV_Y	NM_YM_Z	$NM_YM_ZV_YV_Z$	M_t	M_tV_Z	M_tV_Y	
N2496/N2497	$\lambda_w \leq \lambda_{w,máx}$ Cumple	η = 1.8	η = 17.2	x: 0.06 m η < 0.1	x: 0.06 m η = 3.2	η < 0.1	x: 2.373 m η = 0.4	x: 0.06 m η < 0.1	η < 0.1	x: 0.06 m η = 18.9	η < 0.1	η < 0.1	η < 0.1	x: 2.373 m η = 0.2	**CUMPLE η = 18.9**
N2497/N2409	x: 0.06 m $\lambda_w \leq \lambda_{w,máx}$ Cumple	η = 2.3	η = 16.5	x: 0.06 m η < 0.1	x: 0.06 m η = 11.4	η < 0.1	x: 2.373 m η = 0.9	x: 0.06 m η < 0.1	x: 0.06 m η < 0.1	x: 0.06 m η = 18.8	x: 0.06 m η < 0.1	M_{Ed} = 0.00 N.P.(5)	N.P.(6)	N.P.(6)	**CUMPLE η = 18.8**
N2287/N2498	x: 0.061 m $\lambda_w \leq \lambda_{w,máx}$ Cumple	η = 0.8	η = 10.0	x: 2.372 m η < 0.1	x: 2.373 m η = 13.4	η < 0.1	x: 0.06 m η = 1.0	x: 0.253 m η < 0.1	x: 0.061 m η < 0.1	x: 2.373 m η = 14.0	x: 0.061 m η < 0.1	M_{Ed} = 0.00 N.P.(5)	N.P.(6)	N.P.(6)	**CUMPLE η = 14.0**
N2498/N2499	$\lambda_w \leq \lambda_{w,máx}$ Cumple	η = 1.3	η = 10.1	x: 0.06 m η < 0.1	x: 0.06 m η = 3.3	η < 0.1	x: 2.373 m η = 0.4	x: 0.06 m η < 0.1	η < 0.1	x: 2.181 m η = 10.6	η < 0.1	η < 0.1	η < 0.1	x: 2.373 m η = 0.2	**CUMPLE η = 10.6**
N2499/N2440	x: 0.06 m $\lambda_w \leq \lambda_{w,máx}$ Cumple	η = 1.5	η = 11.0	x: 0.06 m η < 0.1	x: 0.06 m η = 10.0	η < 0.1	x: 2.373 m η = 0.8	x: 0.06 m η < 0.1	x: 0.06 m η < 0.1	x: 0.06 m η = 15.1	x: 0.06 m η < 0.1	M_{Ed} = 0.00 N.P.(5)	N.P.(6)	N.P.(6)	**CUMPLE η = 15.1**
N2499/N2497	$\lambda_w \leq \lambda_{w,máx}$ Cumple	x: 1.939 m η = 0.1	x: 0.06 m η = 0.2	x: 1.94 m η = 8.5	x: 0.06 m η < 0.1	η = 1.3	η < 0.1	η < 0.1	x: 0.06 m η < 0.1	x: 1.94 m η = 8.6	η < 0.1	η < 0.1	x: 0.812 m η = 0.7	η < 0.1	**CUMPLE η = 8.6**
N2498/N2496	$\lambda_w \leq \lambda_{w,máx}$ Cumple	x: 1.939 m η = 0.1	x: 0.06 m η = 0.2	x: 0.06 m η = 9.7	x: 0.06 m η < 0.1	η = 1.5	η < 0.1	η < 0.1	x: 0.06 m η < 0.1	x: 0.06 m η = 9.9	η < 0.1	η < 0.1	η = 0.9	η < 0.1	**CUMPLE η = 9.9**
N2291/N2501	x: 0.051 m $\lambda_w \leq \lambda_{w,máx}$ Cumple	η = 1.7	η = 11.9	x: 2.372 m η < 0.1	x: 2.373 m η = 16.2	η < 0.1	x: 0.05 m η = 1.2	x: 0.244 m η < 0.1	x: 0.051 m η < 0.1	x: 2.373 m η = 17.8	x: 0.051 m η < 0.1	M_{Ed} = 0.00 N.P.(5)	N.P.(6)	N.P.(6)	**CUMPLE η = 17.8**
N2501/N2500	$\lambda_w \leq \lambda_{w,máx}$ Cumple	η = 2.2	η = 13.8	x: 0.06 m η < 0.1	x: 0.06 m η = 4.2	η < 0.1	x: 2.373 m η = 0.5	N.P.(4)	η < 0.1	x: 2.373 m η = 15.3	η < 0.1	η < 0.1	η < 0.1	x: 2.373 m η = 0.2	**CUMPLE η = 15.3**
N2500/N2444	x: 0.06 m $\lambda_w \leq \lambda_{w,máx}$ Cumple	η = 2.8	η = 15.3	x: 0.06 m η < 0.1	x: 0.06 m η = 12.7	η < 0.1	x: 2.383 m η = 1.0	x: 0.06 m η < 0.1	x: 0.06 m η < 0.1	x: 0.06 m η = 21.8	x: 0.06 m η < 0.1	M_{Ed} = 0.00 N.P.(5)	N.P.(6)	N.P.(6)	**CUMPLE η = 21.8**
N2260/N2503	x: 0.051 m $\lambda_w \leq \lambda_{w,máx}$ Cumple	η = 1.9	η = 12.6	x: 2.372 m η < 0.1	x: 2.373 m η = 16.3	η < 0.1	x: 0.05 m η = 1.2	x: 0.244 m η < 0.1	x: 0.051 m η < 0.1	x: 2.373 m η = 22.6	x: 0.051 m η < 0.1	M_{Ed} = 0.00 N.P.(5)	N.P.(6)	N.P.(6)	**CUMPLE η = 22.6**
N2503/N2502	$\lambda_w \leq \lambda_{w,máx}$ Cumple	η = 1.9	η = 17.4	x: 0.06 m η < 0.1	x: 0.06 m η = 4.3	η < 0.1	x: 2.373 m η = 0.5	N.P.(4)	η < 0.1	x: 0.06 m η = 20.1	η < 0.1	η < 0.1	η < 0.1	x: 2.373 m η = 0.2	**CUMPLE η = 20.1**
N2502/N2413	x: 0.06 m $\lambda_w \leq \lambda_{w,máx}$ Cumple	η = 2.7	η = 17.3	x: 0.06 m η < 0.1	x: 0.06 m η = 13.6	η < 0.1	x: 2.383 m η = 1.0	x: 0.06 m η < 0.1	x: 0.06 m η < 0.1	x: 0.06 m η = 17.9	x: 0.06 m η < 0.1	M_{Ed} = 0.00 N.P.(5)	N.P.(6)	N.P.(6)	**CUMPLE η = 17.9**
N2500/N2502	$\lambda_w \leq \lambda_{w,máx}$ Cumple	x: 1.939 m η = 0.1	x: 0.06 m η = 0.3	x: 1.94 m η = 10.0	x: 0.06 m η < 0.1	η = 1.5	η < 0.1	η < 0.1	x: 0.06 m η < 0.1	x: 1.94 m η = 10.1	η < 0.1	η < 0.1	η = 0.6	η < 0.1	**CUMPLE η = 10.1**
N2501/N2503	$\lambda_w \leq \lambda_{w,máx}$ Cumple	x: 1.939 m η = 0.1	x: 0.06 m η = 0.3	x: 0.06 m η = 11.5	x: 0.06 m η < 0.1	η = 1.8	η < 0.1	η < 0.1	x: 0.06 m η < 0.1	x: 0.06 m η = 11.8	η < 0.1	η < 0.1	η = 0.9	η < 0.1	**CUMPLE η = 11.8**
N2295/N2505	x: 0.061 m $\lambda_w \leq \lambda_{w,máx}$ Cumple	η = 1.3	η = 8.8	x: 2.372 m η < 0.1	x: 2.373 m η = 14.3	η < 0.1	x: 0.06 m η = 1.1	x: 0.253 m η < 0.1	x: 0.061 m η < 0.1	x: 2.373 m η = 15.3	x: 0.061 m η < 0.1	M_{Ed} = 0.00 N.P.(5)	N.P.(6)	N.P.(6)	**CUMPLE η = 15.3**
N2505/N2504	$\lambda_w \leq \lambda_{w,máx}$ Cumple	η = 1.8	η = 9.5	x: 0.06 m η < 0.1	x: 0.06 m η = 3.6	η < 0.1	x: 2.373 m η = 0.4	x: 0.06 m η < 0.1	η < 0.1	x: 2.373 m η = 10.6	η < 0.1	x: 1.409 m η < 0.1	η < 0.1	x: 2.373 m η = 0.2	**CUMPLE η = 10.6**
N2504/N2448	x: 0.06 m $\lambda_w \leq \lambda_{w,máx}$ Cumple	η = 2.2	η = 10.8	x: 0.06 m η < 0.1	x: 0.06 m η = 10.7	η < 0.1	x: 2.373 m η = 0.8	x: 0.06 m η < 0.1	x: 0.06 m η < 0.1	x: 0.06 m η = 16.4	x: 0.06 m η < 0.1	M_{Ed} = 0.00 N.P.(5)	N.P.(6)	N.P.(6)	**CUMPLE η = 16.4**
N2264/N2507	x: 0.061 m $\lambda_w \leq \lambda_{w,máx}$ Cumple	η = 1.9	η = 9.3	x: 2.372 m η < 0.1	x: 2.373 m η = 13.9	η < 0.1	x: 0.06 m η = 1.0	x: 0.253 m η < 0.1	x: 0.061 m η < 0.1	x: 2.373 m η = 17.8	x: 0.061 m η < 0.1	M_{Ed} = 0.00 N.P.(5)	N.P.(6)	N.P.(6)	**CUMPLE η = 17.8**
N2507/N2506	$\lambda_w \leq \lambda_{w,máx}$ Cumple	η = 1.8	η = 13.3	x: 0.06 m η < 0.1	x: 0.06 m η = 3.5	η < 0.1	x: 2.373 m η = 0.4	x: 0.06 m η < 0.1	η < 0.1	x: 0.06 m η = 15.4	η < 0.1	η < 0.1	η < 0.1	x: 2.373 m η = 0.2	**CUMPLE η = 15.4**
N2506/N2417	x: 0.06 m $\lambda_w \leq \lambda_{w,máx}$ Cumple	η = 2.4	η = 12.9	x: 0.06 m η < 0.1	x: 0.06 m η = 12.1	η < 0.1	x: 2.373 m η = 0.9	x: 0.06 m η < 0.1	x: 0.06 m η < 0.1	x: 0.06 m η = 14.1	x: 0.06 m η < 0.1	M_{Ed} = 0.00 N.P.(5)	N.P.(6)	N.P.(6)	**CUMPLE η = 14.1**
N2504/N2506	$\lambda_w \leq \lambda_{w,máx}$ Cumple	x: 1.939 m η = 0.1	x: 0.06 m η = 0.2	x: 1.94 m η = 9.0	x: 0.06 m η < 0.1	η = 1.4	η < 0.1	η < 0.1	x: 0.06 m η < 0.1	x: 1.94 m η = 9.1	η < 0.1	η < 0.1	η = 0.7	η < 0.1	**CUMPLE η = 9.1**
N2505/N2507	$\lambda_w \leq \lambda_{w,máx}$ Cumple	x: 1.939 m η = 0.1	x: 0.06 m η = 0.2	x: 0.06 m η = 10.3	x: 1.94 m η < 0.1	η = 1.6	η < 0.1	η < 0.1	x: 0.06 m η < 0.1	x: 0.06 m η = 10.6	η < 0.1	x: 1.188 m η < 0.1	x: 1 m η = 0.9	η < 0.1	**CUMPLE η = 10.6**
N2266/N2419	x: 0.509 m $\lambda_w \leq \lambda_{w,máx}$ Cumple	η = 2.4	η = 14.1	M_{Ed} = 0.00 N.P.(2)	x: 3.65 m η = 6.0	V_{Ed} = 0.00 N.P.(3)	x: 0.06 m η = 0.5	N.P.(4)	x: 0.509 m η < 0.1	x: 3.65 m η = 20.5	x: 0.509 m η < 0.1	M_{Ed} = 0.00 N.P.(5)	N.P.(6)	N.P.(6)	**CUMPLE η = 20.5**
N2206/N2475	x: 0.061 m $\lambda_w \leq \lambda_{w,máx}$ Cumple	η = 2.1	η = 9.5	x: 2.372 m η < 0.1	x: 2.373 m η = 16.2	η < 0.1	x: 0.06 m η = 1.2	x: 0.253 m η < 0.1	x: 0.061 m η < 0.1	x: 2.373 m η = 19.3	x: 0.061 m η < 0.1	M_{Ed} = 0.00 N.P.(5)	N.P.(6)	N.P.(6)	**CUMPLE η = 19.3**
N2475/N2473	$\lambda_w \leq \lambda_{w,máx}$ Cumple	η = 2.0	η = 14.5	x: 0.06 m η < 0.1	x: 0.06 m η = 4.3	η < 0.1	x: 2.373 m η = 0.5	x: 0.06 m η < 0.1	η < 0.1	x: 0.06 m η = 17.0	η < 0.1	η < 0.1	η < 0.1	x: 2.373 m η = 0.2	**CUMPLE η = 17.0**
N2473/N2359	x: 0.06 m $\lambda_w \leq \lambda_{w,máx}$ Cumple	η = 2.7	η = 14.4	x: 0.06 m η < 0.1	x: 0.06 m η = 12.1	η < 0.1	x: 2.373 m η = 0.9	x: 0.06 m η < 0.1	x: 0.06 m η < 0.1	x: 0.06 m η = 15.4	x: 0.06 m η < 0.1	M_{Ed} = 0.00 N.P.(5)	N.P.(6)	N.P.(6)	**CUMPLE η = 15.4**
N2272/N2474	x: 0.061 m $\lambda_w \leq \lambda_{w,máx}$ Cumple	η = 1.4	η = 11.2	x: 2.372 m η < 0.1	x: 2.373 m η = 16.1	η < 0.1	x: 0.06 m η = 1.2	x: 0.253 m η < 0.1	x: 0.061 m η < 0.1	x: 2.373 m η = 16.5	x: 0.061 m η < 0.1	M_{Ed} = 0.00 N.P.(5)	N.P.(6)	N.P.(6)	**CUMPLE η = 16.5**
N2474/N2472	$\lambda_w \leq \lambda_{w,máx}$ Cumple	η = 1.9	η = 10.9	x: 0.06 m η < 0.1	x: 0.06 m η = 4.2	η < 0.1	x: 2.373 m η = 0.5	x: 0.06 m η < 0.1	η < 0.1	x: 2.373 m η = 12.0	η < 0.1	η < 0.1	η < 0.1	x: 2.373 m η = 0.2	**CUMPLE η = 12.0**
N2472/N2425	x: 0.06 m $\lambda_w \leq \lambda_{w,máx}$ Cumple	η = 2.4	η = 12.2	x: 0.06 m η < 0.1	x: 0.06 m η = 11.3	η < 0.1	x: 2.373 m η = 0.9	x: 0.06 m η < 0.1	x: 0.06 m η < 0.1	x: 0.06 m η = 17.7	x: 0.06 m η < 0.1	M_{Ed} = 0.00 N.P.(5)	N.P.(6)	N.P.(6)	**CUMPLE η = 17.7**
N2508/N2509	$\lambda_w \leq \lambda_{w,máx}$ Cumple	x: 1.7 m η = 21.3	x: 0.078 m η = 25.6	x: 0.281 m η = 29.3	x: 1.701 m η = 2.9	x: 1.701 m η = 22.1	η = 0.2	η < 0.1	η < 0.1	x: 0.281 m η = 53.1	η < 0.1	η = 0.3	x: 1.701 m η = 22.1	η = 0.2	**CUMPLE η = 53.1**
N2509/N2510	$\lambda_w \leq \lambda_{w,máx}$ Cumple	x: 1.7 m η = 34.5	x: 0.078 m η = 41.7	x: 0.078 m η = 20.3	x: 1.701 m η = 6.1	x: 0.078 m η = 16.6	η = 0.2	η < 0.1	η < 0.1	x: 0.078 m η = 57.3	η < 0.1	η = 0.1	x: 0.078 m η = 16.3	η = 0.2	**CUMPLE η = 57.3**
N2510/N2511	$\lambda_w \leq \lambda_{w,máx}$ Cumple	x: 1.7 m η = 45.9	x: 0.078 m η = 54.7	x: 0.078 m η = 6.8	x: 0.078 m η = 5.2	x: 0.078 m η = 9.0	η = 0.1	η < 0.1	η < 0.1	x: 1.093 m η = 56.2	η < 0.1	η = 0.2	x: 0.078 m η = 9.0	η = 0.1	**CUMPLE η = 56.2**
N2511/N2512	$\lambda_w \leq \lambda_{w,máx}$ Cumple	x: 1.7 m η = 53.9	x: 0.078 m η = 64.6	x: 1.093 m η = 7.2	x: 1.701 m η = 3.8	x: 0.078 m η = 8.9	x: 0.281 m η = 0.2	η < 0.1	η < 0.1	x: 1.093 m η = 66.0	η < 0.1	η = 0.2	x: 0.078 m η = 8.9	x: 0.281 m η = 0.2	**CUMPLE η = 66.0**
N2512/N2513	$\lambda_w \leq \lambda_{w,máx}$ Cumple	x: 1.713 m η = 59.3	x: 0.078 m η = 71.1	x: 0.896 m η = 7.5	x: 0.078 m η = 4.2	x: 0.078 m η = 8.4	η = 0.2	η < 0.1	η < 0.1	x: 0.896 m η = 71.9	η < 0.1	η = 0.3	x: 0.078 m η = 8.4	η = 0.2	**CUMPLE η = 71.9**
N2513/N3443	$\lambda_w \leq \lambda_{w,máx}$ Cumple	x: 0.89 m η = 61.8	x: 0.065 m η = 67.5	x: 0.89 m η = 8.1	x: 0.89 m η = 2.9	x: 0.065 m η = 8.4	η = 0.2	η < 0.1	η < 0.1	x: 0.89 m η = 72.2	η < 0.1	η = 0.1	x: 0.065 m η = 8.4	η = 0.2	**CUMPLE η = 72.2**
N3443/N2514	$\lambda_w \leq \lambda_{w,máx}$ Cumple	x: 0.824 m η = 61.8	x: 0 m η = 67.5	x: 0 m η = 8.1	x: 0.825 m η = 5.8	x: 0.825 m η = 7.4	x: 0.412 m η = 0.2	η < 0.1	η < 0.1	x: 0 m η = 72.2	η < 0.1	η = 0.1	x: 0.825 m η = 7.4	x: 0.412 m η = 0.2	**CUMPLE η = 72.2**

Documento visado electrónicamente con número: VA07290/22
Código de validación telemática TRLTDCFZ60T66IJ1. Comprobación: https://cogitivalencia.e-gestion.es/Validacion.aspx?CVT=TRLTDCFZ60T66IJ1

VISADO
COGITI
VALENCIA
VA07290/22
TRLTDCFZ60T66IJ1

Listados

Barras	COMPROBACIONES (CÓDIGO ESTRUCTURAL)														Estado
	λ_w	N_t	N_c	M_Y	M_Z	V_Z	V_Y	M_YV_Z	M_ZV_Y	NM_YM_Z	$NM_YM_ZV_YV_Z$	M_t	M_tV_Z	M_tV_Y	
N2514/N2515	$\lambda_w \leq \lambda_{w,máx}$ Cumple	x: 1.713 m η = 61.5	x: 0.065 m η = 74.2	x: 0.89 m η = 7.8	x: 0.065 m η = 5.4	x: 1.714 m η = 8.2	x: 0.684 m η = 0.2	η < 0.1	η < 0.1	x: 0.89 m η = 75.1	η < 0.1	x: 0.684 m η = 0.2	x: 1.714 m η = 8.2	x: 0.684 m η = 0.2	**CUMPLE η = 75.1**
N2515/N2516	$\lambda_w \leq \lambda_{w,máx}$ Cumple	x: 1.727 m η = 58.1	x: 0.065 m η = 70.6	x: 0.897 m η = 8.3	x: 1.728 m η = 2.8	x: 0.065 m η = 8.3	x: 0.689 m η = 0.2	η < 0.1	η < 0.1	x: 0.897 m η = 72.4	η < 0.1	x: 0.689 m η = 0.2	x: 0.065 m η = 8.3	x: 0.689 m η = 0.2	**CUMPLE η = 72.4**
N2516/N2517	$\lambda_w \leq \lambda_{w,máx}$ Cumple	x: 1.708 m η = 58.2	x: 0.051 m η = 70.6	x: 0.88 m η = 8.6	x: 0.051 m η = 2.6	x: 1.709 m η = 8.6	x: 1.708 m η = 0.1	η < 0.1	η < 0.1	x: 0.88 m η = 72.8	η < 0.1	η = 0.1	x: 1.709 m η = 6.5	x: 1.708 m η = 0.1	**CUMPLE η = 72.8**
N2517/N2518	$\lambda_w \leq \lambda_{w,máx}$ Cumple	x: 1.708 m η = 52.4	x: 0.07 m η = 63.7	x: 0.685 m η = 7.8	x: 1.709 m η = 1.4	x: 1.709 m η = 8.9	x: 1.708 m η < 0.1	η < 0.1	η < 0.1	x: 0.685 m η = 65.7	η < 0.1	η = 0.1	x: 1.709 m η = 6.7	x: 1.708 m η < 0.1	**CUMPLE η = 65.7**
N2518/N3448	$\lambda_w \leq \lambda_{w,máx}$ Cumple	x: 0.89 m η = 43.4	x: 0.07 m η = 46.3	x: 0.685 m η = 6.4	x: 0.89 m η = 1.9	x: 0.07 m η = 6.0	x: 0.48 m η < 0.1	η < 0.1	η < 0.1	x: 0.685 m η = 52.8	η < 0.1	η = 0.1	x: 0.07 m η = 6.0	x: 0.48 m η < 0.1	**CUMPLE η = 52.8**
N3448/N2519	$\lambda_w \leq \lambda_{w,máx}$ Cumple	x: 0.819 m η = 43.4	x: 0 m η = 46.3	x: 0.82 m η = 9.0	x: 0.82 m η = 2.4	x: 0.82 m η = 9.7	η < 0.1	η < 0.1	η < 0.1	x: 0.82 m η = 54.4	η < 0.1	η = 0.1	x: 0.82 m η = 9.7	η < 0.1	**CUMPLE η = 54.4**
N2519/N2520	$\lambda_w \leq \lambda_{w,máx}$ Cumple	x: 1.694 m η = 31.8	x: 0.07 m η = 39.9	x: 1.695 m η = 9.3	x: 1.695 m η = 3.2	x: 1.695 m η = 9.5	η < 0.1	η < 0.1	η < 0.1	x: 1.695 m η = 44.3	η < 0.1	η = 0.2	x: 1.695 m η = 9.5	η < 0.1	**CUMPLE η = 44.3**
N2520/N2521	$\lambda_w \leq \lambda_{w,máx}$ Cumple	x: 1.694 m η = 17.0	x: 0.084 m η = 19.8	x: 1.695 m η = 12.4	x: 0.084 m η = 4.4	x: 1.695 m η = 10.4	η = 0.3	η < 0.1	η < 0.1	x: 1.695 m η = 31.9	η < 0.1	η = 0.2	x: 1.695 m η = 7.8	η = 0.3	**CUMPLE η = 31.9**
N2521/N2522	$\lambda_w \leq \lambda_{w,máx}$ Cumple	x: 1.694 m η < 0.1	x: 0.084 m η = 3.2	x: 1.695 m η = 12.7	x: 1.695 m η = 8.9	x: 1.695 m η = 10.0	η = 0.3	η < 0.1	η < 0.1	x: 1.695 m η = 18.5	η < 0.1	η = 0.2	x: 1.695 m η = 7.4	η = 0.3	**CUMPLE η = 18.5**
N2522/N2523	$\lambda_w \leq \lambda_{w,máx}$ Cumple	x: 1.694 m η = 20.2	x: 0.084 m η = 26.1	x: 1.695 m η = 35.4	x: 0.084 m η = 11.2	x: 1.695 m η = 19.4	η = 0.4	η < 0.1	η < 0.1	x: 1.695 m η = 59.6	η < 0.1	η = 0.2	x: 1.695 m η = 19.4	η = 0.4	**CUMPLE η = 59.6**
N2523/N2524	$\lambda_w \leq \lambda_{w,máx}$ Cumple	x: 1.637 m η = 40.7	x: 0.084 m η = 48.9	x: 0.084 m η = 33.7	x: 0.084 m η = 5.3	x: 0.084 m η = 22.7	η = 0.4	η < 0.1	η < 0.1	x: 0.084 m η = 78.8	η < 0.1	η = 0.5	x: 0.084 m η = 22.7	η = 0.4	**CUMPLE η = 78.8**
N2525/N2526	$\lambda_w \leq \lambda_{w,máx}$ Cumple	x: 1.7 m η = 47.9	x: 0.141 m η = 86.0	x: 0.141 m η = 23.3	x: 0.141 m η = 3.1	x: 0.141 m η = 9.1	η = 0.2	η < 0.1	η < 0.1	x: 1.701 m η = 91.3	η < 0.1	η = 0.5	x: 0.141 m η = 7.9	η = 0.2	**CUMPLE η = 91.3**
N2526/N2527	$\lambda_w \leq \lambda_{w,máx}$ Cumple	x: 1.7 m η = 29.1	x: 0.078 m η = 56.4	x: 0.078 m η = 14.4	x: 0.078 m η = 1.7	x: 1.701 m η = 4.9	η = 0.1	η < 0.1	η < 0.1	x: 0.078 m η = 64.1	η < 0.1	η = 0.1	x: 0.078 m η = 3.8	η = 0.1	**CUMPLE η = 64.1**
N2527/N2528	$\lambda_w \leq \lambda_{w,máx}$ Cumple	x: 1.7 m η = 14.0	x: 0.078 m η = 31.2	x: 0.078 m η = 3.1	x: 0.078 m η = 1.9	x: 0.078 m η = 1.4	η = 0.1	η < 0.1	η < 0.1	x: 0.078 m η = 34.4	η < 0.1	η = 0.1	x: 0.078 m η = 1.0	η = 0.1	**CUMPLE η = 34.4**
N2528/N2529	$\lambda_w \leq \lambda_{w,máx}$ Cumple	x: 1.7 m η = 1.4	x: 0.078 m η = 11.9	x: 1.701 m η = 4.7	x: 1.701 m η = 2.9	x: 0.078 m η = 2.3	η = 0.1	η < 0.1	η < 0.1	x: 1.701 m η = 14.6	η < 0.1	η = 0.1	x: 0.078 m η = 1.9	η = 0.1	**CUMPLE η = 14.6**
N2529/N2530	$\lambda_w \leq \lambda_{w,máx}$ Cumple	x: 1.7 m η = 7.1	x: 0.078 m η = 17.4	x: 1.701 m η = 4.1	x: 0.078 m η = 3.3	x: 0.078 m η = 1.2	η = 0.1	η < 0.1	η < 0.1	x: 1.701 m η = 20.3	η < 0.1	η = 0.1	x: 0.078 m η = 1.2	η = 0.1	**CUMPLE η = 20.3**
N2530/N2531	$\lambda_w \leq \lambda_{w,máx}$ Cumple	x: 1.713 m η = 15.5	x: 0.078 m η = 29.5	x: 1.714 m η = 4.0	x: 1.714 m η = 2.6	x: 0.078 m η = 1.2	η = 0.1	η < 0.1	η < 0.1	x: 1.714 m η = 34.4	η < 0.1	η = 0.1	x: 0.078 m η = 1.2	η = 0.1	**CUMPLE η = 34.4**
N2531/N2532	$\lambda_w \leq \lambda_{w,máx}$ Cumple	x: 1.713 m η = 21.4	x: 0.065 m η = 37.6	x: 1.714 m η = 3.9	x: 0.065 m η = 2.6	x: 0.065 m η = 0.6	η = 0.1	η < 0.1	η < 0.1	x: 0.065 m η = 41.8	η < 0.1	η < 0.1	x: 0.065 m η = 0.3	η < 0.1	**CUMPLE η = 41.8**
N2532/N2533	$\lambda_w \leq \lambda_{w,máx}$ Cumple	x: 1.708 m η = 24.9	x: 0.065 m η = 42.2	x: 1.709 m η = 5.1	x: 1.709 m η = 2.0	x: 0.065 m η = 0.8	η = 0.1	η < 0.1	η < 0.1	x: 1.709 m η = 46.6	η < 0.1	x: 0.476 m η = 0.2	x: 1.709 m η = 0.6	η = 0.1	**CUMPLE η = 46.6**
N2533/N2534	$\lambda_w \leq \lambda_{w,máx}$ Cumple	x: 1.708 m η = 24.5	x: 0.07 m η = 39.9	x: 0.07 m η = 5.4	x: 0.07 m η = 1.9	x: 1.709 m η = 0.8	η = 0.1	η < 0.1	η < 0.1	x: 0.07 m η = 44.4	η < 0.1	η = 0.6	x: 0.07 m η = 0.5	η = 0.1	**CUMPLE η = 44.4**
N2534/N2535	$\lambda_w \leq \lambda_{w,máx}$ Cumple	x: 1.708 m η = 20.5	x: 0.07 m η = 33.2	x: 0.07 m η = 4.4	x: 1.709 m η = 2.1	x: 0.07 m η = 0.7	x: 1.708 m η = 0.1	η < 0.1	η < 0.1	x: 1.709 m η = 36.4	η < 0.1	x: 1.708 m η = 0.2	x: 1.709 m η = 0.2	x: 1.708 m η = 0.1	**CUMPLE η = 36.4**
N2535/N2536	$\lambda_w \leq \lambda_{w,máx}$ Cumple	x: 1.694 m η = 14.2	x: 0.07 m η = 22.9	x: 0.07 m η = 4.5	x: 0.07 m η = 2.1	x: 1.695 m η = 1.4	x: 0.273 m η = 0.1	η < 0.1	η < 0.1	x: 0.07 m η = 27.3	η < 0.1	x: 0.273 m η = 0.4	x: 0.07 m η = 1.3	x: 0.273 m η = 0.1	**CUMPLE η = 27.3**
N2536/N2537	$\lambda_w \leq \lambda_{w,máx}$ Cumple	x: 1.694 m η = 5.4	x: 0.084 m η = 5.5	x: 0.084 m η = 4.5	x: 1.695 m η = 2.1	x: 0.084 m η = 1.3	x: 0.285 m η = 0.1	η < 0.1	η < 0.1	x: 0.084 m η = 10.5	η < 0.1	x: 0.285 m η = 0.5	x: 0.084 m η = 1.0	x: 0.285 m η = 0.1	**CUMPLE η = 10.5**
N2537/N2538	$\lambda_w \leq \lambda_{w,máx}$ Cumple	x: 1.694 m η = 7.6	x: 0.084 m η = 11.9	x: 1.695 m η = 5.8	x: 0.084 m η = 1.5	x: 1.695 m η = 2.9	η = 0.1	η < 0.1	η < 0.1	x: 0.084 m η = 15.8	η < 0.1	x: 1.694 m η = 0.1	x: 1.695 m η = 2.3	x: 1.694 m η = 0.1	**CUMPLE η = 15.8**
N2538/N2539	$\lambda_w \leq \lambda_{w,máx}$ Cumple	x: 1.694 m η = 21.8	x: 0.084 m η = 34.0	x: 0.084 m η = 1.7	x: 1.695 m η = 1.2	x: 0.084 m η = 0.4	η = 0.1	η < 0.1	η < 0.1	x: 0.084 m η = 35.1	η < 0.1	η < 0.1	x: 1.695 m η = 0.2	η = 0.1	**CUMPLE η = 35.1**
N2539/N2540	$\lambda_w \leq \lambda_{w,máx}$ Cumple	x: 1.661 m η = 36.3	x: 0.084 m η = 56.7	x: 1.662 m η = 33.3	x: 1.662 m η = 2.8	x: 1.662 m η = 10.6	η = 0.1	η < 0.1	η < 0.1	x: 1.662 m η = 76.8	η < 0.1	η = 0.2	x: 1.662 m η = 10.6	η = 0.1	**CUMPLE η = 76.8**
N2540/N2541	$\lambda_w \leq \lambda_{w,máx}$ Cumple	x: 1.637 m η = 43.7	x: 0.117 m η = 69.9	x: 0.117 m η = 16.6	x: 1.638 m η = 4.3	x: 1.638 m η = 5.7	η = 0.1	η < 0.1	η < 0.1	x: 0.117 m η = 79.7	η < 0.1	η < 0.1	x: 0.117 m η = 1.6	x: 0.117 m η = 0.1	**CUMPLE η = 79.7**
N2542/N2543	$\lambda_w \leq \lambda_{w,máx}$ Cumple	x: 1.7 m η = 41.8	x: 0.141 m η = 41.9	x: 0.141 m η = 50.4	x: 0.141 m η = 1.2	x: 0.141 m η = 22.7	η = 0.1	η < 0.1	η < 0.1	x: 0.141 m η = 87.7	η < 0.1	η = 0.1	x: 0.141 m η = 16.4	η = 0.1	**CUMPLE η = 87.7**
N2543/N2544	$\lambda_w \leq \lambda_{w,máx}$ Cumple	x: 1.7 m η = 22.7	x: 0.078 m η = 18.5	x: 0.078 m η = 12.7	x: 1.701 m η = 2.1	x: 0.078 m η = 14.1	η = 0.1	η < 0.1	η < 0.1	x: 0.078 m η = 34.0	η < 0.1	η < 0.1	x: 0.078 m η = 1.6	η = 0.1	**CUMPLE η = 34.0**
N2544/N2545	$\lambda_w \leq \lambda_{w,máx}$ Cumple	x: 1.7 m η = 7.2	x: 0.078 m η = 3.3	x: 0.078 m η = 13.1	x: 0.078 m η = 1.8	x: 0.078 m η = 9.9	η = 0.1	η < 0.1	η < 0.1	x: 0.078 m η = 20.3	η < 0.1	η = 0.1	x: 0.078 m η = 7.2	η = 0.1	**CUMPLE η = 20.3**
N2545/N2546	$\lambda_w \leq \lambda_{w,máx}$ Cumple	x: 1.7 m η = 9.9	x: 0.078 m η = 7.1	x: 0.078 m η = 9.3	x: 1.701 m η = 1.8	x: 0.078 m η = 9.3	η = 0.1	η < 0.1	η < 0.1	x: 0.078 m η = 19.0	η < 0.1	η = 0.1	x: 0.078 m η = 9.3	η = 0.1	**CUMPLE η = 19.0**
N2546/N2547	$\lambda_w \leq \lambda_{w,máx}$ Cumple	x: 1.713 m η = 19.4	x: 0.078 m η = 17.1	x: 0.078 m η = 7.7	x: 0.078 m η = 1.5	x: 0.078 m η = 8.8	η < 0.1	η < 0.1	η < 0.1	x: 0.078 m η = 27.0	η < 0.1	η = 0.1	x: 0.078 m η = 8.8	η < 0.1	**CUMPLE η = 27.0**
N2547/N3461	$\lambda_w \leq \lambda_{w,máx}$ Cumple	x: 0.89 m η = 25.8	x: 0.065 m η = 24.3	x: 0.065 m η = 7.1	x: 0.065 m η = 0.9	x: 0.065 m η = 8.8	η = 0.1	η < 0.1	η < 0.1	x: 0.065 m η = 33.3	η < 0.1	η = 0.1	x: 0.065 m η = 1.5	η = 0.1	**CUMPLE η = 33.3**
N3461/N2548	$\lambda_w \leq \lambda_{w,máx}$ Cumple	x: 0.824 m η = 25.8	x: 0 m η = 24.2	x: 0 m η = 5.5	x: 0 m η = 0.8	x: 0.825 m η = 7.0	η = 0.1	η < 0.1	η < 0.1	x: 0 m η = 31.9	η < 0.1	η = 0.1	x: 0.825 m η = 1.1	η = 0.1	**CUMPLE η = 31.9**
N2548/N2549	$\lambda_w \leq \lambda_{w,máx}$ Cumple	x: 1.713 m η = 29.6	x: 0.065 m η = 32.9	x: 0.89 m η = 6.1	x: 1.714 m η = 1.8	x: 0.065 m η = 8.1	η = 0.1	η < 0.1	η < 0.1	x: 0.89 m η = 36.0	η < 0.1	η = 0.1	x: 0.065 m η = 6.1	η = 0.1	**CUMPLE η = 36.0**
N2549/N2550	$\lambda_w \leq \lambda_{w,máx}$ Cumple	x: 1.727 m η = 30.2	x: 0.065 m η = 34.5	x: 0.897 m η = 6.5	x: 1.728 m η = 4.0	x: 0.065 m η = 8.3	η = 0.1	η < 0.1	η < 0.1	x: 0.897 m η = 37.5	η < 0.1	η = 0.2	x: 0.065 m η = 1.4	η = 0.1	**CUMPLE η = 37.5**
N2550/N2551	$\lambda_w \leq \lambda_{w,máx}$ Cumple	x: 1.708 m η = 30.5	x: 0.051 m η = 34.6	x: 0.88 m η = 6.7	x: 0.051 m η = 4.5	x: 1.709 m η = 8.3	x: 0.673 m η = 0.3	η < 0.1	η < 0.1	x: 0.88 m η = 37.7	η < 0.1	x: 0.673 m η = 0.4	x: 1.709 m η = 1.3	x: 0.673 m η = 0.3	**CUMPLE η = 37.7**
N2551/N2552	$\lambda_w \leq \lambda_{w,máx}$ Cumple	x: 1.708 m η = 28.6	x: 0.07 m η = 32.8	x: 0.89 m η = 6.2	x: 1.709 m η = 9.3	x: 1.709 m η = 8.3	η = 0.3	η < 0.1	η < 0.1	x: 0.89 m η = 35.6	η < 0.1	η = 0.5	x: 1.709 m η = 1.3	η = 0.3	**CUMPLE η = 35.6**
N2552/N3466	$\lambda_w \leq \lambda_{w,máx}$ Cumple	x: 0.89 m η = 23.7	x: 0.07 m η = 23.9	x: 0.685 m η = 5.3	x: 0.07 m η = 9.8	x: 0.07 m η = 6.6	η = 0.4	η < 0.1	η < 0.1	x: 0.685 m η = 29.7	η < 0.1	η = 0.2	x: 0.07 m η = 1.0	η = 0.4	**CUMPLE η = 29.7**
N3466/N2553	$\lambda_w \leq \lambda_{w,máx}$ Cumple	x: 0.819 m η = 23.7	x: 0 m η = 23.9	x: 0.82 m η = 8.1	x: 0 m η = 5.2	x: 0.82 m η = 9.1	η = 0.4	η < 0.1	η < 0.1	x: 0.82 m η = 32.6	η < 0.1	η = 0.2	x: 0.82 m η = 1.5	η = 0.4	**CUMPLE η = 32.6**
N2553/N2554	$\lambda_w \leq \lambda_{w,máx}$ Cumple	x: 1.694 m η = 16.1	x: 0.07 m η = 16.6	x: 1.695 m η = 8.6	x: 1.695 m η = 5.4	x: 1.695 m η = 9.0	x: 0.68 m η = 0.4	η < 0.1	η < 0.1	x: 1.695 m η = 25.3	η < 0.1	x: 0.68 m η = 0.6	x: 1.695 m η = 9.0	x: 0.68 m η = 0.4	**CUMPLE η = 25.3**
N2554/N2555	$\lambda_w \leq \lambda_{w,máx}$ Cumple	x: 1.694 m η = 5.4	x: 0.084 m η = 6.2	x: 1.695 m η = 11.1	x: 0.084 m η = 4.1	x: 1.695 m η = 9.8	η = 0.1	η < 0.1	η < 0.1	x: 1.695 m η = 17.0	η < 0.1	x: 1.494 m η = 0.2	x: 1.695 m η = 1.7	η = 0.1	**CUMPLE η = 17.0**
N2555/N2556	$\lambda_w \leq \lambda_{w,máx}$ Cumple	x: 1.694 m η = 7.1	x: 0.084 m η = 7.8	x: 1.695 m η = 11.6	x: 1.695 m η = 3.5	x: 1.695 m η = 9.5	η = 0.1	η < 0.1	η < 0.1	x: 1.695 m η = 20.3	η < 0.1	η = 0.1	x: 1.695 m η = 6.8	η = 0.1	**CUMPLE η = 20.3**

Documento visado electrónicamente con número VA07290/22
Código de validación telemática TRLTDCFZ60T66IJ1. Comprobación: https://cogitivalencia.e-gestion.es/Validacion.aspx?CVT=TRLTDCFZ60T66IJ1

VISADO
COGITI
Estado
VALENCIA
VA07290/22
TRLTDCFZ60T66IJ1

Barras	COMPROBACIONES (CÓDIGO ESTRUCTURAL)														
	λ_w	N_t	N_c	M_Y	M_Z	V_Z	V_Y	M_YV_Z	M_ZV_Y	NM_YM_Z	$NM_YM_ZV_YV_Z$	M_t	M_tV_Z	M_tV_Y	
N2556/N2557	$\lambda_w \leq \lambda_{w,máx}$ Cumple	x: 1.694 m η = 23.6	x: 0.084 m η = 28.8	x: 1.695 m η = 32.4	x: 0.084 m η = 4.6	x: 1.695 m η = 18.5	η = 0.2	η < 0.1	η < 0.1	x: 1.695 m η = 58.9	η < 0.1	η = 0.1	x: 1.695 m η = 18.5	η = 0.2	**CUMPLE η = 75.8**
N2557/N2558	$\lambda_w \leq \lambda_{w,máx}$ Cumple	x: 1.637 m η = 39.7	x: 0.084 m η = 46.9	x: 0.084 m η = 32.1	x: 0.084 m η = 2.3	x: 0.084 m η = 22.4	η = 0.1	η < 0.1	η < 0.1	x: 0.084 m η = 75.8	η < 0.1	η = 0.2	x: 0.084 m η = 22.4	η = 0.2	**CUMPLE η = 75.8**
N2541/N2559	$\lambda_w \leq \lambda_{w,máx}$ Cumple	x: 1.7 m η = 39.2	x: 0.141 m η = 45.0	x: 0.141 m η = 46.9	x: 1.701 m η = 1.2	x: 0.141 m η = 21.7	η = 0.1	η < 0.1	η < 0.1	x: 0.141 m η = 88.8	η < 0.1	η = 0.1	x: 0.141 m η = 21.7	η < 0.1	**CUMPLE η = 88.8**
N2559/N2560	$\lambda_w \leq \lambda_{w,máx}$ Cumple	x: 1.7 m η = 16.5	x: 0.078 m η = 17.0	x: 0.078 m η = 13.7	x: 1.701 m η = 2.1	x: 0.078 m η = 14.6	η = 0.1	η < 0.1	η < 0.1	x: 0.078 m η = 30.9	η < 0.1	η = 0.1	x: 0.078 m η = 14.6	η = 0.1	**CUMPLE η = 30.9**
N2560/N2561	$\lambda_w \leq \lambda_{w,máx}$ Cumple	x: 1.7 m η = 4.4	x: 0.078 m η = 5.4	x: 0.078 m η = 14.0	x: 0.078 m η = 1.6	x: 0.078 m η = 10.3	η = 0.1	η < 0.1	η < 0.1	x: 0.078 m η = 18.8	η < 0.1	η < 0.1	x: 0.078 m η = 1.7	η = 0.1	**CUMPLE η = 18.8**
N2561/N2562	$\lambda_w \leq \lambda_{w,máx}$ Cumple	x: 1.7 m η = 20.2	x: 0.078 m η = 24.7	x: 0.078 m η = 10.3	x: 1.701 m η = 2.9	x: 0.078 m η = 9.8	η = 0.1	η < 0.1	η < 0.1	x: 0.078 m η = 32.1	η < 0.1	η = 0.1	x: 0.078 m η = 9.8	η = 0.1	**CUMPLE η = 32.1**
N2562/N2563	$\lambda_w \leq \lambda_{w,máx}$ Cumple	x: 1.713 m η = 33.6	x: 0.078 m η = 40.1	x: 0.078 m η = 8.2	x: 0.078 m η = 3.8	x: 0.078 m η = 9.2	x: 1.51 m η = 0.2	η < 0.1	η < 0.1	x: 0.078 m η = 43.5	η < 0.1	x: 1.51 m η = 0.3	x: 0.078 m η = 9.2	x: 1.51 m η = 0.2	**CUMPLE η = 43.5**
N2563/N3479	$\lambda_w \leq \lambda_{w,máx}$ Cumple	x: 0.89 m η = 43.9	x: 0.065 m η = 45.3	x: 0.065 m η = 7.7	x: 0.89 m η = 2.0	x: 0.065 m η = 9.3	x: 0.477 m η = 0.2	η < 0.1	η < 0.1	x: 0.065 m η = 52.2	η < 0.1	x: 0.477 m η = 0.3	x: 0.065 m η = 9.3	x: 0.477 m η = 0.2	**CUMPLE η = 52.2**
N3479/N2564	$\lambda_w \leq \lambda_{w,máx}$ Cumple	x: 0.824 m η = 43.9	x: 0 m η = 45.3	x: 0.206 m η = 6.4	x: 0.825 m η = 4.5	x: 0.825 m η = 6.5	x: 0 m η = 0.2	η < 0.1	η < 0.1	x: 0.206 m η = 51.5	η < 0.1	x: 0 m η = 0.3	x: 0.825 m η = 6.5	x: 0 m η = 0.2	**CUMPLE η = 51.5**
N2564/N2565	$\lambda_w \leq \lambda_{w,máx}$ Cumple	x: 1.713 m η = 51.5	x: 0.065 m η = 61.0	x: 0.89 m η = 7.6	x: 1.714 m η = 9.5	x: 0.065 m η = 8.6	η = 0.2	η < 0.1	η < 0.1	x: 0.89 m η = 62.8	η < 0.1	η = 0.2	x: 0.065 m η = 8.6	η = 0.2	**CUMPLE η = 62.8**
N2565/N2566	$\lambda_w \leq \lambda_{w,máx}$ Cumple	x: 1.727 m η = 56.0	x: 0.065 m η = 66.5	x: 0.897 m η = 8.2	x: 1.728 m η = 11.4	x: 0.065 m η = 8.4	η = 0.9	η < 0.1	η < 0.1	x: 0.897 m η = 68.4	η < 0.1	η = 0.5	x: 0.065 m η = 1.4	η = 0.9	**CUMPLE η = 68.4**
N2566/N2567	$\lambda_w \leq \lambda_{w,máx}$ Cumple	x: 1.708 m η = 56.3	x: 0.051 m η = 66.7	x: 0.88 m η = 8.0	x: 0.051 m η = 10.4	x: 1.709 m η = 8.2	η = 0.3	η < 0.1	η < 0.1	x: 0.88 m η = 68.5	η < 0.1	η = 0.1	x: 1.709 m η = 1.3	η = 0.3	**CUMPLE η = 68.5**
N2567/N2568	$\lambda_w \leq \lambda_{w,máx}$ Cumple	x: 1.708 m η = 58.4	x: 0.07 m η = 68.8	x: 0.89 m η = 7.9	x: 1.709 m η = 3.7	x: 0.07 m η = 7.9	x: 1.095 m η = 0.3	η < 0.1	η < 0.1	x: 0.89 m η = 70.2	η < 0.1	x: 0.275 m η = 0.4	x: 0.07 m η = 5.9	x: 1.095 m η = 0.3	**CUMPLE η = 70.2**
N2568/N3484	$\lambda_w \leq \lambda_{w,máx}$ Cumple	x: 0.89 m η = 57.7	x: 0.07 m η = 61.6	x: 0.89 m η = 7.7	x: 0.89 m η = 6.5	x: 0.07 m η = 7.1	x: 0.07 m η = 0.3	η < 0.1	η < 0.1	x: 0.89 m η = 66.5	η < 0.1	x: 0.07 m η = 0.3	x: 0.07 m η = 7.1	x: 0.07 m η = 0.3	**CUMPLE η = 66.5**
N3484/N2569	$\lambda_w \leq \lambda_{w,máx}$ Cumple	x: 0.819 m η = 57.7	x: 0 m η = 61.6	x: 0 m η = 7.7	x: 0.82 m η = 9.8	x: 0.82 m η = 8.7	x: 0 m η = 0.3	η < 0.1	η < 0.1	x: 0 m η = 66.5	η < 0.1	x: 0 m η = 0.3	x: 0.82 m η = 8.7	x: 0 m η = 0.3	**CUMPLE η = 66.5**
N2569/N2570	$\lambda_w \leq \lambda_{w,máx}$ Cumple	x: 1.694 m η = 54.3	x: 0.07 m η = 63.5	x: 0.883 m η = 7.1	x: 0.07 m η = 11.1	x: 1.695 m η = 8.7	x: 0.883 m η = 0.8	η < 0.1	η < 0.1	x: 0.883 m η = 64.8	η < 0.1	x: 0.883 m η = 0.5	x: 1.695 m η = 8.7	x: 0.883 m η = 0.8	**CUMPLE η = 64.8**
N2570/N2571	$\lambda_w \leq \lambda_{w,máx}$ Cumple	x: 1.694 m η = 47.9	x: 0.084 m η = 56.0	x: 1.695 m η = 7.1	x: 0.084 m η = 6.2	x: 1.695 m η = 9.3	x: 1.694 m η = 0.2	η < 0.1	η < 0.1	x: 0.688 m η = 57.7	η < 0.1	η = 0.3	x: 1.695 m η = 1.6	x: 1.694 m η = 0.2	**CUMPLE η = 57.7**
N2571/N2572	$\lambda_w \leq \lambda_{w,máx}$ Cumple	x: 1.694 m η = 39.0	x: 0.084 m η = 45.0	x: 1.695 m η = 9.0	x: 1.695 m η = 3.9	x: 1.695 m η = 9.5	x: 0.89 m η = 0.1	η < 0.1	η < 0.1	x: 1.695 m η = 49.9	η < 0.1	η = 0.1	x: 1.695 m η = 6.8	x: 0.89 m η = 0.1	**CUMPLE η = 49.9**
N2572/N2573	$\lambda_w \leq \lambda_{w,máx}$ Cumple	x: 1.694 m η = 26.2	x: 0.084 m η = 30.5	x: 1.695 m η = 16.4	x: 0.084 m η = 5.3	x: 1.695 m η = 15.6	η = 0.2	η < 0.1	η < 0.1	x: 1.695 m η = 42.1	η < 0.1	η = 0.2	x: 1.695 m η = 15.6	η = 0.2	**CUMPLE η = 42.1**
N2573/N2574	$\lambda_w \leq \lambda_{w,máx}$ Cumple	x: 1.637 m η = 11.6	x: 0.084 m η = 11.6	x: 1.638 m η = 15.2	x: 0.084 m η = 2.6	x: 1.638 m η = 14.8	η = 0.2	η < 0.1	η < 0.1	x: 1.638 m η = 27.8	η < 0.1	η = 0.3	x: 1.638 m η = 14.8	η = 0.2	**CUMPLE η = 27.8**
N2575/N2509	$\lambda_w \leq \lambda_{w,máx}$ Cumple	x: 1.911 m η = 38.0	x: 0.088 m η = 45.0	x: 0.088 m η = 1.7	x: 0.088 m η = 6.9	η < 0.1	η = 0.9	η < 0.1	η < 0.1	x: 0.088 m η = 52.2	η < 0.1	η = 1.4	η < 0.1	η = 1.0	**CUMPLE η = 52.2**
N2576/N2510	$\lambda_w \leq \lambda_{w,máx}$ Cumple	x: 1.911 m η = 25.7	x: 0.088 m η = 31.6	x: 0.088 m η = 0.6	x: 0.088 m η = 14.5	η < 0.1	η = 2.2	η < 0.1	η < 0.1	x: 0.088 m η = 46.4	η < 0.1	η = 0.8	η < 0.1	η = 2.2	**CUMPLE η = 46.4**
N2577/N2511	$\lambda_w \leq \lambda_{w,máx}$ Cumple	x: 1.911 m η = 24.9	x: 0.088 m η = 30.7	x: 0.088 m η = 0.9	x: 0.088 m η = 11.4	η < 0.1	η = 1.8	η < 0.1	η < 0.1	x: 0.088 m η = 42.4	η < 0.1	η = 1.2	η < 0.1	η = 1.8	**CUMPLE η = 42.4**
N2578/N2512	$\lambda_w \leq \lambda_{w,máx}$ Cumple	x: 1.911 m η = 18.5	x: 0.088 m η = 22.7	x: 0.088 m η = 1.4	x: 0.088 m η = 9.7	η = 0.1	η = 1.5	η < 0.1	η < 0.1	x: 0.088 m η = 33.0	η < 0.1	η = 1.0	η = 0.1	η = 1.5	**CUMPLE η = 33.0**
N2579/N2513	$\lambda_w \leq \lambda_{w,máx}$ Cumple	x: 1.922 m η = 12.1	x: 0.088 m η = 12.4	x: 0.088 m η = 1.5	x: 0.088 m η = 6.3	η < 0.1	η = 1.0	η < 0.1	η < 0.1	x: 0.088 m η = 19.1	η < 0.1	η = 1.8	η < 0.1	η = 1.0	**CUMPLE η = 19.1**
N2580/N2514	$\lambda_w \leq \lambda_{w,máx}$ Cumple	x: 1.922 m η = 6.7	x: 0.086 m η = 6.7	x: 0.086 m η = 0.4	x: 0.086 m η = 2.6	η < 0.1	η = 0.3	η < 0.1	η < 0.1	x: 0.086 m η = 9.4	η < 0.1	η = 0.3	η < 0.1	η = 0.3	**CUMPLE η = 9.4**
N2581/N2515	$\lambda_w \leq \lambda_{w,máx}$ Cumple	x: 1.922 m η = 1.9	x: 0.086 m η = 1.9	x: 0.086 m η = 1.1	x: 1.923 m η = 0.8	η < 0.1	η = 0.1	η < 0.1	η < 0.1	x: 1.923 m η = 3.1	η < 0.1	x: 1.005 m η = 1.4	η < 0.1	η = 0.1	**CUMPLE η = 3.1**
N2582/N2516	$\lambda_w \leq \lambda_{w,máx}$ Cumple	x: 1.922 m η = 7.8	x: 0.086 m η = 7.8	x: 1.923 m η = 0.9	x: 0.086 m η = 6.1	η = 0.1	η = 0.8	η < 0.1	η < 0.1	x: 0.086 m η = 14.4	η < 0.1	η = 0.8	η = 0.1	η = 0.8	**CUMPLE η = 14.4**
N2583/N2517	$\lambda_w \leq \lambda_{w,máx}$ Cumple	x: 1.921 m η = 26.0	x: 0.086 m η = 32.0	x: 0.086 m η = 0.4	x: 0.086 m η = 13.0	η < 0.1	η = 1.7	η < 0.1	η < 0.1	x: 0.086 m η = 45.4	η < 0.1	η = 0.8	η < 0.1	η = 1.7	**CUMPLE η = 45.4**
N2584/N2518	$\lambda_w \leq \lambda_{w,máx}$ Cumple	x: 1.921 m η = 34.3	x: 0.086 m η = 42.0	x: 0.086 m η = 0.2	x: 0.086 m η = 17.3	η < 0.1	η = 2.3	η < 0.1	η < 0.1	x: 0.086 m η = 59.9	η < 0.1	η = 0.5	η < 0.1	η = 2.3	**CUMPLE η = 59.9**
N2585/N2519	$\lambda_w \leq \lambda_{w,máx}$ Cumple	x: 1.921 m η = 34.7	x: 0.094 m η = 40.0	x: 0.094 m η = 0.5	x: 0.094 m η = 21.2	η < 0.1	η = 3.4	η < 0.1	η < 0.1	x: 0.094 m η = 61.6	η < 0.1	η = 1.1	η < 0.1	η = 3.5	**CUMPLE η = 61.6**
N2586/N2520	$\lambda_w \leq \lambda_{w,máx}$ Cumple	x: 1.905 m η = 41.0	x: 0.094 m η = 48.0	x: 0.094 m η = 1.2	x: 0.094 m η = 24.5	η < 0.1	η = 3.9	η < 0.1	η < 0.1	x: 0.094 m η = 73.3	η < 0.1	η = 1.3	η = 0.1	η = 3.9	**CUMPLE η = 73.3**
N2587/N2521	$\lambda_w \leq \lambda_{w,máx}$ Cumple	x: 1.905 m η = 47.2	x: 0.094 m η = 55.9	x: 0.094 m η = 1.3	x: 1.906 m η = 25.0	η = 0.1	η = 4.1	η < 0.1	η < 0.1	x: 0.094 m η = 81.3	η < 0.1	η = 1.6	η = 0.1	η = 4.1	**CUMPLE η = 81.3**
N2588/N2522	$\lambda_w \leq \lambda_{w,máx}$ Cumple	x: 1.905 m η = 43.7	x: 0.094 m η = 52.1	x: 0.094 m η = 1.0	x: 0.094 m η = 30.8	η < 0.1	η = 4.8	η < 0.1	η < 0.1	x: 0.094 m η = 83.5	η < 0.1	η = 0.8	η < 0.1	η = 4.8	**CUMPLE η = 83.5**
N2589/N2523	$\lambda_w \leq \lambda_{w,máx}$ Cumple	x: 1.905 m η = 54.9	x: 0.131 m η = 63.8	x: 0.131 m η = 3.1	x: 0.131 m η = 1.6	η = 0.1	η = 0.1	η < 0.1	η < 0.1	x: 0.131 m η = 66.1	η < 0.1	η = 3.0	η = 0.1	η = 0.1	**CUMPLE η = 66.1**
N2526/N2543	$\lambda_w \leq \lambda_{w,máx}$ Cumple	x: 1.911 m η = 39.3	x: 0.088 m η = 48.1	x: 0.088 m η = 1.5	x: 1.912 m η = 19.5	η = 0.1	η = 2.8	η < 0.1	η < 0.1	x: 1.912 m η = 67.9	η < 0.1	η = 0.6	η = 0.1	η = 2.8	**CUMPLE η = 67.9**
N2527/N2544	$\lambda_w \leq \lambda_{w,máx}$ Cumple	x: 1.911 m η = 34.6	x: 0.088 m η = 42.8	x: 0.088 m η = 0.6	x: 0.088 m η = 16.4	η < 0.1	η = 2.5	η < 0.1	η < 0.1	x: 0.088 m η = 59.5	η < 0.1	η = 0.6	η < 0.1	η = 2.5	**CUMPLE η = 59.5**
N2528/N2545	$\lambda_w \leq \lambda_{w,máx}$ Cumple	x: 1.911 m η = 34.2	x: 0.088 m η = 42.8	x: 0.088 m η = 0.4	x: 0.088 m η = 15.9	η < 0.1	η = 2.6	η < 0.1	η < 0.1	x: 0.088 m η = 59.0	η < 0.1	η = 0.6	η < 0.1	η = 2.6	**CUMPLE η = 59.0**
N2529/N2546	$\lambda_w \leq \lambda_{w,máx}$ Cumple	x: 1.911 m η = 28.1	x: 0.088 m η = 35.0	x: 0.088 m η = 0.5	x: 0.088 m η = 14.3	η < 0.1	η = 2.2	η < 0.1	η < 0.1	x: 0.088 m η = 49.8	η < 0.1	η = 0.5	η < 0.1	η = 2.3	**CUMPLE η = 49.8**
N2530/N2547	$\lambda_w \leq \lambda_{w,máx}$ Cumple	x: 1.922 m η = 21.7	x: 0.088 m η = 26.9	x: 0.088 m η = 0.5	x: 0.088 m η = 11.3	η < 0.1	η = 1.8	η < 0.1	η < 0.1	x: 0.088 m η = 38.5	η < 0.1	x: 1.922 m η = 0.7	η < 0.1	η = 1.8	**CUMPLE η = 38.5**
N2531/N2548	$\lambda_w \leq \lambda_{w,máx}$ Cumple	x: 1.922 m η = 18.4	x: 0.086 m η = 24.7	x: 1.922 m η = 0.3	x: 0.086 m η = 7.9	η < 0.1	η = 1.0	η < 0.1	η < 0.1	x: 0.086 m η = 32.8	η < 0.1	η = 0.4	η < 0.1	η = 1.0	**CUMPLE η = 32.8**
N2532/N2549	$\lambda_w \leq \lambda_{w,máx}$ Cumple	x: 1.922 m η = 10.1	x: 0.086 m η = 11.6	x: 1.922 m η = 0.4	x: 0.086 m η = 4.8	x: 0.637 m η < 0.1	η = 0.6	η < 0.1	η < 0.1	x: 0.086 m η = 16.7	η < 0.1	η = 0.5	x: 0.637 m η < 0.1	η = 0.6	**CUMPLE η = 16.7**
N2533/N2550	$\lambda_w \leq \lambda_{w,máx}$ Cumple	x: 1.922 m η = 8.0	x: 0.086 m η = 7.9	x: 1.923 m η = 0.5	x: 1.923 m η = 1.2	η = 0.1	η = 0.2	η < 0.1	η < 0.1	x: 1.923 m η = 9.5	η < 0.1	x: 1.372 m η = 1.9	η = 0.1	η = 0.2	**CUMPLE η = 9.5**

Documento visado electrónicamente con número: VA07290/22
Código de validación telemática TRLTDCFZ60T66IJ1. Comprobación: https://cogitivalencia.e-gestion.es/Validacion.aspx?CVT=TRLTDCFZ60T66IJ1

VISADO
COGITI
VALENCIA
VA07290/22
TRLTDCFZ60T66IJ1
Documento visado electrónicamente con número VA07290/22
Código de validación telemática TRLTDCFZ60T66IJ1. Comprobación: https://cogitivalencia.e-gestion.es/Validacion.aspx?CVT=TRLTDCFZ60T66IJ1

Barras	COMPROBACIONES (CÓDIGO ESTRUCTURAL)														Estado
	λ_w	N_t	N_c	M_Y	M_Z	V_Z	V_Y	M_YV_Z	M_ZV_Y	NM_YM_Z	$NM_YM_ZV_YV_Z$	M_t	M_tV_Z	M_tV_Y	
N2534/N2551	$\lambda_w \le \lambda_{w,máx}$ Cumple	x: 1.921 m η = 14.6	x: 0.086 m η = 16.1	x: 0.086 m η = 1.8	x: 0.086 m η = 6.6	η = 0.1	η = 0.9	η < 0.1	η < 0.1	x: 0.086 m η = 22.2	η < 0.1	η = 2.9	η = 0.1	η = 0.9	**CUMPLE η = 22.2**
N2535/N2552	$\lambda_w \le \lambda_{w,máx}$ Cumple	x: 1.921 m η = 22.7	x: 0.086 m η = 25.9	x: 0.086 m η = 0.4	x: 0.086 m η = 10.7	η < 0.1	η = 1.4	η < 0.1	η < 0.1	x: 0.086 m η = 36.2	η < 0.1	η = 0.2	η < 0.1	η = 1.4	**CUMPLE η = 36.2**
N2536/N2553	$\lambda_w \le \lambda_{w,máx}$ Cumple	x: 1.921 m η = 25.1	x: 0.094 m η = 27.8	x: 0.094 m η = 2.2	x: 0.094 m η = 14.7	η = 0.1	η = 2.4	η < 0.1	η < 0.1	x: 0.094 m η = 42.0	η < 0.1	η = 3.4	η = 0.1	η = 2.4	**CUMPLE η = 42.0**
N2537/N2554	$\lambda_w \le \lambda_{w,máx}$ Cumple	x: 1.905 m η = 31.5	x: 0.094 m η = 35.8	x: 0.094 m η = 1.1	x: 0.094 m η = 18.2	η < 0.1	η = 2.9	η < 0.1	η < 0.1	x: 0.094 m η = 54.0	η < 0.1	η = 2.1	η < 0.1	η = 2.9	**CUMPLE η = 54.0**
N2538/N2555	$\lambda_w \le \lambda_{w,máx}$ Cumple	x: 1.905 m η = 37.7	x: 0.094 m η = 43.6	x: 0.094 m η = 0.5	x: 1.906 m η = 19.1	η < 0.1	η = 3.1	η < 0.1	η < 0.1	x: 0.094 m η = 62.9	η < 0.1	η = 0.5	η < 0.1	η = 3.1	**CUMPLE η = 62.9**
N2539/N2556	$\lambda_w \le \lambda_{w,máx}$ Cumple	x: 1.905 m η = 36.0	x: 0.094 m η = 42.1	x: 0.094 m η = 0.5	x: 0.094 m η = 25.4	η < 0.1	η = 3.9	η < 0.1	η < 0.1	x: 0.094 m η = 67.8	η < 0.1	η = 0.5	η < 0.1	η = 3.9	**CUMPLE η = 67.8**
N2540/N2557	$\lambda_w \le \lambda_{w,máx}$ Cumple	x: 1.905 m η = 47.0	x: 0.131 m η = 53.7	x: 0.131 m η = 1.3	x: 0.131 m η = 4.8	η < 0.1	η = 0.6	η < 0.1	η < 0.1	x: 0.131 m η = 59.0	η < 0.1	η = 1.4	η < 0.1	η = 0.6	**CUMPLE η = 59.0**
N2590/N2559	$\lambda_w \le \lambda_{w,máx}$ Cumple	x: 1.911 m η = 47.5	x: 0.088 m η = 56.3	x: 0.088 m η = 1.6	x: 1.912 m η = 22.6	η = 0.1	η = 3.4	η < 0.1	η < 0.1	x: 1.912 m η = 79.5	η < 0.1	η = 1.1	η = 0.1	η = 3.4	**CUMPLE η = 79.5**
N2591/N2560	$\lambda_w \le \lambda_{w,máx}$ Cumple	x: 1.911 m η = 42.3	x: 0.088 m η = 50.8	x: 0.088 m η = 0.7	x: 0.088 m η = 19.7	η < 0.1	η = 3.0	η < 0.1	η < 0.1	x: 0.088 m η = 71.1	η < 0.1	η = 0.8	η < 0.1	η = 3.1	**CUMPLE η = 71.1**
N2592/N2561	$\lambda_w \le \lambda_{w,máx}$ Cumple	x: 1.911 m η = 43.8	x: 0.088 m η = 52.6	x: 0.088 m η = 0.4	x: 0.088 m η = 19.9	η < 0.1	η = 3.2	η < 0.1	η < 0.1	x: 0.088 m η = 72.9	η < 0.1	η = 0.4	η < 0.1	η = 3.2	**CUMPLE η = 72.9**
N2593/N2562	$\lambda_w \le \lambda_{w,máx}$ Cumple	x: 1.911 m η = 37.6	x: 0.088 m η = 44.8	x: 0.088 m η = 0.9	x: 0.088 m η = 18.6	η = 0.1	η = 2.9	η < 0.1	η < 0.1	x: 0.088 m η = 64.2	η < 0.1	η = 1.3	η = 0.1	η = 3.0	**CUMPLE η = 64.2**
N2594/N2563	$\lambda_w \le \lambda_{w,máx}$ Cumple	x: 1.922 m η = 31.3	x: 0.088 m η = 36.8	x: 0.088 m η = 1.9	x: 0.088 m η = 16.0	η = 0.1	η = 2.5	η < 0.1	η < 0.1	x: 0.088 m η = 53.4	η < 0.1	x: 1.74 m η = 2.3	η = 0.1	η = 2.6	**CUMPLE η = 53.4**
N2595/N2564	$\lambda_w \le \lambda_{w,máx}$ Cumple	x: 1.922 m η = 30.0	x: 0.086 m η = 37.6	x: 1.922 m η = 1.0	x: 0.086 m η = 12.7	η < 0.1	η = 1.7	η < 0.1	η < 0.1	x: 0.086 m η = 50.9	η < 0.1	η = 1.0	η < 0.1	η = 1.7	**CUMPLE η = 50.9**
N2596/N2565	$\lambda_w \le \lambda_{w,máx}$ Cumple	x: 1.922 m η = 21.8	x: 0.086 m η = 27.5	x: 1.922 m η = 1.1	x: 0.086 m η = 9.4	η < 0.1	η = 1.2	η < 0.1	η < 0.1	x: 0.086 m η = 37.5	η < 0.1	η = 2.5	η < 0.1	η = 1.2	**CUMPLE η = 37.5**
N2597/N2566	$\lambda_w \le \lambda_{w,máx}$ Cumple	x: 1.922 m η = 8.0	x: 0.086 m η = 7.9	x: 0.086 m η = 1.7	x: 0.086 m η = 4.1	η = 0.1	η = 0.5	η < 0.1	η < 0.1	x: 0.086 m η = 12.6	η < 0.1	η = 1.8	η = 0.1	η = 0.5	**CUMPLE η = 12.6**
N2598/N2567	$\lambda_w \le \lambda_{w,máx}$ Cumple	x: 1.921 m η = 3.8	x: 0.086 m η = 3.3	x: 1.922 m η = 1.4	x: 1.922 m η = 1.7	η < 0.1	η = 0.2	η < 0.1	η < 0.1	x: 1.922 m η = 5.6	η < 0.1	x: 1.921 m η = 1.8	η < 0.1	η = 0.2	**CUMPLE η = 5.6**
N2599/N2568	$\lambda_w \le \lambda_{w,máx}$ Cumple	x: 1.921 m η = 11.8	x: 0.086 m η = 11.1	x: 0.086 m η = 1.2	x: 0.086 m η = 5.3	x: 1.738 m η < 0.1	η = 0.7	η < 0.1	η < 0.1	x: 0.086 m η = 17.0	η < 0.1	η = 1.7	x: 1.738 m η < 0.1	η = 0.7	**CUMPLE η = 17.0**
N2600/N2569	$\lambda_w \le \lambda_{w,máx}$ Cumple	x: 1.921 m η = 16.2	x: 0.094 m η = 15.9	x: 0.094 m η = 2.2	x: 0.094 m η = 9.6	η = 0.1	η = 1.6	η < 0.1	η < 0.1	x: 0.094 m η = 26.0	η < 0.1	η = 2.0	η = 0.1	η = 1.6	**CUMPLE η = 26.0**
N2601/N2570	$\lambda_w \le \lambda_{w,máx}$ Cumple	x: 1.905 m η = 22.6	x: 0.094 m η = 26.7	x: 0.094 m η = 1.2	x: 0.094 m η = 13.6	η = 0.1	η = 2.2	η < 0.1	η < 0.1	x: 0.094 m η = 40.8	η < 0.1	x: 0.094 m η = 2.6	η = 0.1	η = 2.2	**CUMPLE η = 40.8**
N2602/N2571	$\lambda_w \le \lambda_{w,máx}$ Cumple	x: 1.905 m η = 28.8	x: 0.094 m η = 34.6	x: 0.094 m η = 0.6	x: 0.094 m η = 16.2	η < 0.1	η = 2.6	η < 0.1	η < 0.1	x: 0.094 m η = 51.0	η < 0.1	η = 0.7	η < 0.1	η = 2.6	**CUMPLE η = 51.0**
N2603/N2572	$\lambda_w \le \lambda_{w,máx}$ Cumple	x: 1.905 m η = 29.2	x: 0.094 m η = 35.1	x: 0.094 m η = 0.6	x: 0.094 m η = 17.1	η < 0.1	η = 2.7	η < 0.1	η < 0.1	x: 0.094 m η = 52.6	η < 0.1	η = 0.8	η < 0.1	η = 2.7	**CUMPLE η = 52.6**
N2604/N2573	$\lambda_w \le \lambda_{w,máx}$ Cumple	x: 1.905 m η = 38.7	x: 0.094 m η = 45.5	x: 0.094 m η = 1.3	x: 0.094 m η = 21.6	η < 0.1	η = 3.2	η < 0.1	η < 0.1	x: 0.094 m η = 67.8	η < 0.1	η = 2.0	η < 0.1	η = 3.3	**CUMPLE η = 67.8**
N2575/N2508	$\lambda_w \le \lambda_{w,máx}$ Cumple	x: 2.482 m η = 28.4	x: 0.111 m η = 34.3	x: 2.483 m η = 30.2	x: 2.483 m η = 1.8	x: 0.111 m η = 2.9	η = 0.1	η < 0.1	η < 0.1	x: 2.483 m η = 65.3	η < 0.1	η = 0.7	x: 0.111 m η = 2.9	η = 0.1	**CUMPLE η = 65.3**
N2576/N2509	$\lambda_w \le \lambda_{w,máx}$ Cumple	x: 2.482 m η = 33.7	x: 0.111 m η = 37.5	x: 0.111 m η = 4.0	x: 2.483 m η = 2.2	x: 0.111 m η = 0.5	η < 0.1	η < 0.1	η < 0.1	x: 0.111 m η = 41.4	η < 0.1	η = 1.2	x: 0.111 m η = 0.5	η < 0.1	**CUMPLE η = 41.4**
N2577/N2510	$\lambda_w \le \lambda_{w,máx}$ Cumple	x: 2.482 m η = 28.2	x: 0.111 m η = 31.6	x: 2.483 m η = 7.0	x: 2.483 m η = 1.0	x: 0.111 m η = 0.9	η = 0.1	η < 0.1	η < 0.1	x: 2.483 m η = 38.6	η < 0.1	η = 0.9	x: 0.111 m η = 0.9	η = 0.1	**CUMPLE η = 38.6**
N2578/N2511	$\lambda_w \le \lambda_{w,máx}$ Cumple	x: 2.482 m η = 25.3	x: 0.111 m η = 27.4	x: 2.483 m η = 6.4	x: 0.111 m η = 1.2	x: 0.111 m η = 0.7	x: 1.099 m η < 0.1	η < 0.1	η < 0.1	x: 2.483 m η = 33.9	η < 0.1	η = 0.4	x: 0.111 m η = 0.7	x: 1.099 m η < 0.1	**CUMPLE η = 33.9**
N2579/N2512	$\lambda_w \le \lambda_{w,máx}$ Cumple	x: 2.482 m η = 16.3	x: 0.111 m η = 15.3	x: 2.483 m η = 5.1	x: 0.111 m η = 1.8	x: 0.111 m η = 0.5	η = 0.1	η < 0.1	η < 0.1	x: 2.483 m η = 22.4	η < 0.1	η = 0.5	x: 0.111 m η = 0.5	η = 0.1	**CUMPLE η = 22.4**
N2580/N2513	$\lambda_w \le \lambda_{w,máx}$ Cumple	x: 2.482 m η = 9.3	x: 0.111 m η = 7.8	x: 2.483 m η = 3.4	x: 2.483 m η = 1.9	x: 0.111 m η = 0.3	η = 0.1	η < 0.1	η < 0.1	x: 2.483 m η = 13.0	η < 0.1	x: 1.495 m η = 0.8	x: 0.111 m η = 0.3	η = 0.1	**CUMPLE η = 13.0**
N2581/N2514	$\lambda_w \le \lambda_{w,máx}$ Cumple	x: 2.482 m η = 2.5	x: 0.111 m η = 1.8	x: 0.111 m η = 2.1	x: 0.111 m η = 1.2	x: 0.111 m η = 0.1	x: 1.297 m η = 0.1	η < 0.1	η < 0.1	x: 0.111 m η = 5.4	η < 0.1	x: 1.297 m η = 0.6	x: 0.111 m η = 0.1	x: 1.297 m η = 0.1	**CUMPLE η = 5.4**
N2582/N2515	$\lambda_w \le \lambda_{w,máx}$ Cumple	x: 2.482 m η = 14.3	x: 0.111 m η = 16.3	x: 0.111 m η = 4.6	x: 0.111 m η = 1.8	x: 2.482 m η = 0.3	η < 0.1	η < 0.1	η < 0.1	x: 0.111 m η = 20.5	η < 0.1	x: 1.495 m η = 0.4	x: 2.482 m η = 0.3	η < 0.1	**CUMPLE η = 20.5**
N2582/N2517	$\lambda_w \le \lambda_{w,máx}$ Cumple	x: 2.662 m η = 24.4	x: 0.119 m η = 32.4	x: 2.663 m η = 5.7	x: 0.119 m η = 1.0	x: 0.119 m η = 0.5	x: 2.662 m η = 0.1	η < 0.1	η < 0.1	x: 2.663 m η = 38.6	η < 0.1	x: 2.662 m η = 0.4	x: 0.119 m η = 0.5	x: 2.662 m η = 0.1	**CUMPLE η = 38.6**
N2583/N2518	$\lambda_w \le \lambda_{w,máx}$ Cumple	x: 2.662 m η = 35.9	x: 0.119 m η = 48.3	x: 2.663 m η = 8.6	x: 0.119 m η = 0.8	x: 0.119 m η = 0.8	η < 0.1	η < 0.1	η < 0.1	x: 2.663 m η = 57.7	η < 0.1	η = 0.3	x: 0.119 m η = 0.8	η < 0.1	**CUMPLE η = 57.7**
N2584/N2519	$\lambda_w \le \lambda_{w,máx}$ Cumple	x: 2.662 m η = 46.5	x: 0.119 m η = 61.9	x: 2.663 m η = 8.5	x: 2.663 m η = 1.0	x: 0.119 m η = 0.8	η = 0.1	η < 0.1	η < 0.1	x: 2.663 m η = 71.7	η < 0.1	η = 0.5	x: 0.119 m η = 0.8	η = 0.1	**CUMPLE η = 71.7**
N2585/N2520	$\lambda_w \le \lambda_{w,máx}$ Cumple	x: 2.662 m η = 47.9	x: 0.119 m η = 58.8	x: 2.663 m η = 10.0	x: 2.663 m η = 2.1	x: 0.119 m η = 1.2	η = 0.1	η < 0.1	η < 0.1	x: 2.663 m η = 69.8	η < 0.1	η = 1.0	x: 0.119 m η = 1.2	η = 0.1	**CUMPLE η = 69.8**
N2586/N2521	$\lambda_w \le \lambda_{w,máx}$ Cumple	x: 2.662 m η = 56.8	x: 0.119 m η = 68.0	x: 2.663 m η = 10.7	x: 0.119 m η = 2.1	x: 0.119 m η = 1.3	η < 0.1	η < 0.1	η < 0.1	x: 2.663 m η = 79.4	η < 0.1	η = 0.7	x: 0.119 m η = 1.4	η < 0.1	**CUMPLE η = 79.4**
N2587/N2522	$\lambda_w \le \lambda_{w,máx}$ Cumple	x: 2.662 m η = 55.6	x: 0.119 m η = 67.1	x: 0.119 m η = 11.1	x: 2.663 m η = 2.2	x: 0.119 m η = 1.4	η = 0.1	η < 0.1	η < 0.1	x: 0.119 m η = 78.2	η < 0.1	η = 1.5	x: 0.119 m η = 1.4	η = 0.2	**CUMPLE η = 78.2**
N2588/N2523	$\lambda_w \le \lambda_{w,máx}$ Cumple	x: 2.662 m η = 56.3	x: 0.119 m η = 67.4	x: 0.119 m η = 10.3	x: 2.663 m η = 4.0	x: 0.119 m η = 0.8	η < 0.1	η < 0.1	η < 0.1	x: 0.119 m η = 77.6	η < 0.1	η = 2.1	x: 0.119 m η = 0.8	η < 0.1	**CUMPLE η = 77.6**
N2589/N2524	$\lambda_w \le \lambda_{w,máx}$ Cumple	x: 2.549 m η = 53.5	x: 0.119 m η = 63.9	x: 2.55 m η = 13.0	x: 2.55 m η = 3.3	x: 2.549 m η = 1.4	η < 0.1	η < 0.1	η < 0.1	x: 2.55 m η = 76.7	η < 0.1	η = 1.3	x: 2.549 m η = 1.4	η < 0.1	**CUMPLE η = 76.7**
N2526/N2542	$\lambda_w \le \lambda_{w,máx}$ Cumple	x: 2.377 m η = 30.9	x: 0.111 m η = 37.7	x: 2.378 m η = 16.9	x: 2.378 m η = 2.5	x: 0.111 m η = 1.5	η = 0.2	η < 0.1	η < 0.1	x: 2.378 m η = 55.0	η < 0.1	η = 1.1	x: 0.111 m η = 1.5	η = 0.2	**CUMPLE η = 55.0**
N2527/N2543	$\lambda_w \le \lambda_{w,máx}$ Cumple	x: 2.482 m η = 46.2	x: 0.111 m η = 51.1	x: 2.483 m η = 11.8	x: 0.111 m η = 1.0	x: 0.111 m η = 1.5	η < 0.1	η < 0.1	η < 0.1	x: 2.483 m η = 62.8	η < 0.1	η = 0.6	x: 0.111 m η = 1.5	η < 0.1	**CUMPLE η = 62.8**
N2528/N2544	$\lambda_w \le \lambda_{w,máx}$ Cumple	x: 2.482 m η = 38.9	x: 0.111 m η = 43.3	x: 0.111 m η = 8.1	x: 2.482 m η = 0.7	x: 0.111 m η = 1.0	η < 0.1	η < 0.1	η < 0.1	x: 0.111 m η = 50.3	η < 0.1	η = 0.3	x: 0.111 m η = 1.0	η < 0.1	**CUMPLE η = 50.3**
N2529/N2545	$\lambda_w \le \lambda_{w,máx}$ Cumple	x: 2.482 m η = 38.9	x: 0.111 m η = 42.2	x: 0.111 m η = 7.8	x: 0.111 m η = 0.7	x: 0.111 m η = 1.1	η < 0.1	η < 0.1	η < 0.1	x: 2.483 m η = 50.1	η < 0.1	η = 0.5	x: 0.111 m η = 1.1	η < 0.1	**CUMPLE η = 50.1**
N2530/N2546	$\lambda_w \le \lambda_{w,máx}$ Cumple	x: 2.482 m η = 29.9	x: 0.111 m η = 33.1	x: 2.483 m η = 6.3	x: 0.111 m η = 1.0	x: 0.111 m η = 0.9	η < 0.1	η < 0.1	η < 0.1	x: 2.483 m η = 39.8	η < 0.1	η = 0.6	x: 0.111 m η = 0.9	η < 0.1	**CUMPLE η = 39.8**

VISADO
COGITI
Estado
VALENCIA
VA07290/22
TRLTDCFZ60T66IJ1

Listados

Barras	COMPROBACIONES (CÓDIGO ESTRUCTURAL)															
	λ_w	N_t	N_c	M_Y	M_Z	V_Z	V_Y	M_YV_Z	M_ZV_Y	NM_YM_Z	$NM_YM_ZV_YV_Z$	M_t	M_tV_Z	M_tV_Y	
N2531/N2547	$\lambda_w \leq \lambda_{w,máx}$ Cumple	x: 2.482 m η = 25.7	x: 0.111 m η = 29.3	x: 2.483 m η = 4.8	x: 2.483 m η = 0.6	x: 0.111 m η = 0.6	η < 0.1	η < 0.1	η < 0.1	x: 2.483 m η = 34.5	η < 0.1	η = 0.3	x: 0.111 m η = 0.6	η < 0.1	**CUMPLE η = 34.5**
N2532/N2548	$\lambda_w \leq \lambda_{w,máx}$ Cumple	x: 2.482 m η = 15.6	x: 0.111 m η = 16.7	x: 2.483 m η = 3.9	x: 0.111 m η = 0.7	x: 0.111 m η = 0.4	x: 0.309 m η < 0.1	η < 0.1	η < 0.1	x: 2.483 m η = 20.8	η < 0.1	η = 0.3	x: 0.111 m η = 0.4	x: 0.309 m η < 0.1	**CUMPLE η = 20.8**
N2533/N2549	$\lambda_w \leq \lambda_{w,máx}$ Cumple	x: 2.482 m η = 4.7	x: 0.111 m η = 1.7	x: 2.483 m η = 1.9	x: 0.111 m η = 2.3	x: 0.111 m η = 0.2	x: 1.89 m η = 0.1	η < 0.1	η < 0.1	x: 2.285 m η = 6.7	η < 0.1	x: 1.89 m η = 0.4	x: 0.111 m η = 0.2	x: 1.89 m η = 0.2	**CUMPLE η = 6.7**
N2533/N2551	$\lambda_w \leq \lambda_{w,máx}$ Cumple	x: 2.662 m η = 6.7	x: 0.119 m η = 8.2	x: 2.663 m η = 3.0	x: 0.119 m η = 3.4	x: 2.662 m η = 0.3	η = 0.1	η < 0.1	η < 0.1	x: 2.663 m η = 11.3	η < 0.1	η = 0.4	x: 2.662 m η = 0.3	η = 0.1	**CUMPLE η = 11.3**
N2534/N2552	$\lambda_w \leq \lambda_{w,máx}$ Cumple	x: 2.662 m η = 18.2	x: 0.119 m η = 26.7	x: 2.663 m η = 5.2	x: 0.119 m η = 2.3	x: 2.662 m η = 0.5	x: 2.027 m η = 0.2	η < 0.1	η < 0.1	x: 2.663 m η = 32.1	η < 0.1	x: 2.027 m η = 0.8	x: 2.662 m η = 0.5	x: 2.027 m η = 0.2	**CUMPLE η = 32.1**
N2535/N2553	$\lambda_w \leq \lambda_{w,máx}$ Cumple	x: 2.662 m η = 29.0	x: 0.119 m η = 40.5	x: 2.663 m η = 5.8	x: 2.663 m η = 3.5	x: 2.662 m η = 0.6	η = 0.1	η < 0.1	η < 0.1	x: 2.663 m η = 46.8	η < 0.1	x: 0.119 m η = 1.2	x: 2.662 m η = 0.6	η = 0.1	**CUMPLE η = 46.8**
N2536/N2554	$\lambda_w \leq \lambda_{w,máx}$ Cumple	x: 2.662 m η = 33.3	x: 0.119 m η = 42.5	x: 2.663 m η = 7.3	x: 0.119 m η = 3.6	x: 0.119 m η = 0.9	η = 0.1	η < 0.1	η < 0.1	x: 2.663 m η = 50.1	η < 0.1	η = 0.5	x: 0.119 m η = 0.9	η = 0.1	**CUMPLE η = 50.1**
N2537/N2555	$\lambda_w \leq \lambda_{w,máx}$ Cumple	x: 2.662 m η = 42.4	x: 0.119 m η = 51.9	x: 2.663 m η = 8.2	x: 0.119 m η = 1.4	x: 0.119 m η = 1.0	η = 0.1	η < 0.1	η < 0.1	x: 2.663 m η = 60.4	η < 0.1	η = 0.4	x: 0.119 m η = 1.0	η = 0.1	**CUMPLE η = 60.4**
N2538/N2556	$\lambda_w \leq \lambda_{w,máx}$ Cumple	x: 2.662 m η = 43.6	x: 0.119 m η = 53.7	x: 0.119 m η = 8.9	x: 2.663 m η = 1.0	x: 0.119 m η = 1.1	η = 0.1	η < 0.1	η < 0.1	x: 2.663 m η = 62.4	η < 0.1	η = 0.6	x: 0.119 m η = 1.1	η = 0.1	**CUMPLE η = 62.4**
N2539/N2557	$\lambda_w \leq \lambda_{w,máx}$ Cumple	x: 2.662 m η = 44.9	x: 0.119 m η = 54.6	x: 0.119 m η = 8.5	x: 2.663 m η = 1.8	x: 0.119 m η = 0.6	η < 0.1	η < 0.1	η < 0.1	x: 0.119 m η = 63.3	η < 0.1	η = 0.9	x: 0.119 m η = 0.6	η < 0.1	**CUMPLE η = 63.3**
N2540/N2558	$\lambda_w \leq \lambda_{w,máx}$ Cumple	x: 2.549 m η = 50.0	x: 0.119 m η = 61.9	x: 2.55 m η = 12.1	x: 2.55 m η = 1.6	x: 2.549 m η = 1.2	η < 0.1	η < 0.1	η < 0.1	x: 2.55 m η = 73.3	η < 0.1	η = 0.6	x: 2.549 m η = 1.2	η < 0.1	**CUMPLE η = 73.3**
N2590/N2541	$\lambda_w \leq \lambda_{w,máx}$ Cumple	x: 2.377 m η = 35.0	x: 0.111 m η = 43.0	x: 2.378 m η = 11.8	x: 0.111 m η = 1.7	x: 0.111 m η = 0.9	η = 0.1	η < 0.1	η < 0.1	x: 2.378 m η = 54.7	η < 0.1	η = 0.9	x: 0.111 m η = 0.9	η = 0.1	**CUMPLE η = 54.7**
N2591/N2559	$\lambda_w \leq \lambda_{w,máx}$ Cumple	x: 2.482 m η = 55.1	x: 0.111 m η = 63.3	x: 0.111 m η = 12.5	x: 0.111 m η = 1.3	x: 0.111 m η = 1.6	η < 0.1	η < 0.1	η < 0.1	x: 0.111 m η = 76.1	η < 0.1	η = 0.6	x: 0.111 m η = 1.6	η < 0.1	**CUMPLE η = 76.1**
N2592/N2560	$\lambda_w \leq \lambda_{w,máx}$ Cumple	x: 2.482 m η = 47.8	x: 0.111 m η = 55.4	x: 0.111 m η = 9.7	x: 2.483 m η = 0.9	x: 0.111 m η = 1.2	η < 0.1	η < 0.1	η < 0.1	x: 0.111 m η = 64.7	η < 0.1	η = 0.4	x: 0.111 m η = 1.2	η < 0.1	**CUMPLE η = 64.7**
N2593/N2561	$\lambda_w \leq \lambda_{w,máx}$ Cumple	x: 2.482 m η = 49.6	x: 0.111 m η = 56.8	x: 2.483 m η = 9.9	x: 0.111 m η = 0.9	x: 0.111 m η = 1.3	x: 1.297 m η = 0.1	η < 0.1	η < 0.1	x: 2.483 m η = 67.3	η < 0.1	η = 0.5	x: 0.111 m η = 1.3	x: 1.297 m η = 0.1	**CUMPLE η = 67.3**
N2594/N2562	$\lambda_w \leq \lambda_{w,máx}$ Cumple	x: 2.482 m η = 40.8	x: 0.111 m η = 47.9	x: 2.483 m η = 8.9	x: 0.111 m η = 2.4	x: 0.111 m η = 1.1	η = 0.1	η < 0.1	η < 0.1	x: 2.483 m η = 57.5	η < 0.1	η = 0.5	x: 0.111 m η = 1.1	η = 0.1	**CUMPLE η = 57.5**
N2595/N2563	$\lambda_w \leq \lambda_{w,máx}$ Cumple	x: 2.482 m η = 38.8	x: 0.111 m η = 48.6	x: 2.483 m η = 7.3	x: 2.483 m η = 2.4	x: 0.111 m η = 0.8	η < 0.1	η < 0.1	η < 0.1	x: 2.483 m η = 56.8	η < 0.1	η = 0.8	x: 0.111 m η = 0.8	η < 0.1	**CUMPLE η = 56.8**
N2596/N2564	$\lambda_w \leq \lambda_{w,máx}$ Cumple	x: 2.482 m η = 28.8	x: 0.111 m η = 36.1	x: 2.483 m η = 7.1	x: 2.483 m η = 1.9	x: 0.111 m η = 0.7	x: 0.506 m η = 0.1	η < 0.1	η < 0.1	x: 2.483 m η = 43.7	η < 0.1	x: 0.506 m η = 1.1	x: 0.111 m η = 0.7	x: 0.506 m η = 0.1	**CUMPLE η = 43.7**
N2597/N2565	$\lambda_w \leq \lambda_{w,máx}$ Cumple	x: 2.482 m η = 18.1	x: 0.111 m η = 21.9	x: 2.483 m η = 4.6	x: 0.111 m η = 4.5	x: 0.111 m η = 0.4	η = 0.2	η < 0.1	η < 0.1	x: 2.483 m η = 26.8	η < 0.1	x: 1.297 m η = 0.3	x: 0.111 m η = 0.4	η = 0.2	**CUMPLE η = 26.8**
N2597/N2567	$\lambda_w \leq \lambda_{w,máx}$ Cumple	x: 2.662 m η = 8.6	x: 0.119 m η = 8.1	x: 0.119 m η = 3.4	x: 2.663 m η = 2.9	x: 2.662 m η = 0.2	x: 1.179 m η = 0.2	η < 0.1	η < 0.1	x: 0.119 m η = 12.0	η < 0.1	x: 1.179 m η = 1.5	x: 2.662 m η = 0.2	x: 1.179 m η = 0.2	**CUMPLE η = 12.0**
N2598/N2568	$\lambda_w \leq \lambda_{w,máx}$ Cumple	x: 2.662 m η = 5.2	x: 0.119 m η = 4.9	x: 2.663 m η = 3.3	x: 0.119 m η = 2.1	x: 0.119 m η = 0.2	η < 0.1	η < 0.1	η < 0.1	x: 2.663 m η = 8.4	η < 0.1	η = 0.6	x: 0.119 m η = 0.2	η < 0.1	**CUMPLE η = 8.4**
N2599/N2569	$\lambda_w \leq \lambda_{w,máx}$ Cumple	x: 2.662 m η = 16.0	x: 0.119 m η = 20.6	x: 2.663 m η = 4.5	x: 2.663 m η = 2.9	x: 0.119 m η = 0.4	x: 0.331 m η = 0.2	η < 0.1	η < 0.1	x: 2.663 m η = 25.5	η < 0.1	x: 0.331 m η = 1.4	x: 0.119 m η = 0.4	x: 0.331 m η = 0.2	**CUMPLE η = 25.5**
N2600/N2570	$\lambda_w \leq \lambda_{w,máx}$ Cumple	x: 2.662 m η = 22.4	x: 0.119 m η = 27.1	x: 2.663 m η = 6.3	x: 0.119 m η = 3.7	x: 0.119 m η = 0.6	η = 0.1	η < 0.1	η < 0.1	x: 2.663 m η = 33.7	η < 0.1	η = 0.7	x: 0.119 m η = 0.6	η = 0.1	**CUMPLE η = 33.7**
N2601/N2571	$\lambda_w \leq \lambda_{w,máx}$ Cumple	x: 2.662 m η = 32.0	x: 0.119 m η = 37.1	x: 2.663 m η = 7.4	x: 0.119 m η = 1.3	x: 0.119 m η = 0.8	x: 1.391 m η = 0.1	η < 0.1	η < 0.1	x: 2.663 m η = 44.7	η < 0.1	x: 1.391 m η = 0.5	x: 0.119 m η = 0.8	x: 1.391 m η = 0.1	**CUMPLE η = 44.7**
N2602/N2572	$\lambda_w \leq \lambda_{w,máx}$ Cumple	x: 2.662 m η = 33.9	x: 0.119 m η = 40.1	x: 2.663 m η = 7.3	x: 2.663 m η = 1.2	x: 0.119 m η = 0.9	η = 0.1	η < 0.1	η < 0.1	x: 2.663 m η = 47.8	η < 0.1	η = 0.6	x: 0.119 m η = 0.9	η = 0.1	**CUMPLE η = 47.8**
N2603/N2573	$\lambda_w \leq \lambda_{w,máx}$ Cumple	x: 2.662 m η = 41.9	x: 0.119 m η = 49.1	x: 2.663 m η = 6.7	x: 2.663 m η = 2.5	x: 0.119 m η = 0.8	η < 0.1	η < 0.1	η < 0.1	x: 2.663 m η = 56.5	η < 0.1	η = 0.9	x: 0.119 m η = 0.8	η < 0.1	**CUMPLE η = 56.5**
N2604/N2574	$\lambda_w \leq \lambda_{w,máx}$ Cumple	x: 2.549 m η = 26.5	x: 0.119 m η = 33.5	x: 0.119 m η = 12.2	x: 2.55 m η = 2.1	x: 0.119 m η = 1.4	η < 0.1	η < 0.1	η < 0.1	x: 0.119 m η = 45.2	η < 0.1	η = 0.6	x: 0.119 m η = 1.4	η < 0.1	**CUMPLE η = 45.2**
N2454/N2605	$\lambda_w \leq \lambda_{w,máx}$ Cumple	η = 3.1	η = 7.2	x: 0.06 m η = 2.3	x: 0.06 m η = 6.5	η = 0.3	x: 0.06 m η = 0.9	η < 0.1	η < 0.1	x: 0.06 m η = 12.8	η < 0.1	η = 0.5	η = 0.3	x: 0.06 m η = 0.9	**CUMPLE η = 12.8**
N2605/N2606	$\lambda_w \leq \lambda_{w,máx}$ Cumple	η = 2.9	η = 6.4	x: 0.06 m η = 1.4	x: 0.446 m η = 1.3	η = 0.1	x: 2.373 m η = 0.3	η < 0.1	η < 0.1	x: 0.06 m η = 8.3	η < 0.1	η = 0.2	η = 0.1	x: 2.373 m η = 0.3	**CUMPLE η = 8.3**
N2606/N2607	$\lambda_w \leq \lambda_{w,máx}$ Cumple	η = 3.0	η = 1.2	x: 2.373 m η = 4.6	x: 2.373 m η = 4.8	η = 0.4	x: 2.373 m η = 0.7	η < 0.1	η < 0.1	x: 2.373 m η = 10.3	η < 0.1	η = 0.6	η = 0.4	x: 2.373 m η = 0.7	**CUMPLE η = 10.3**
N2355/N2608	$\lambda_w \leq \lambda_{w,máx}$ Cumple	η = 7.9	η = 18.7	x: 0.06 m η = 3.1	x: 0.06 m η = 8.5	η = 0.3	x: 0.06 m η = 1.1	η < 0.1	η < 0.1	x: 0.06 m η = 26.3	η < 0.1	η = 4.5	η = 0.3	x: 0.06 m η = 1.2	**CUMPLE η = 26.3**
N2608/N2609	$\lambda_w \leq \lambda_{w,máx}$ Cumple	η = 7.6	η = 20.8	x: 2.373 m η = 1.4	x: 0.446 m η = 1.8	η < 0.1	x: 2.373 m η = 0.3	η < 0.1	η < 0.1	x: 2.373 m η = 22.7	η < 0.1	η = 0.2	η < 0.1	x: 2.373 m η = 0.3	**CUMPLE η = 22.7**
N2609/N2508	$\lambda_w \leq \lambda_{w,máx}$ Cumple	η = 8.0	η = 20.6	x: 0.06 m η = 2.1	x: 2.373 m η = 6.6	η = 0.3	x: 2.373 m η = 0.9	η < 0.1	η < 0.1	x: 2.373 m η = 23.5	η < 0.1	η = 4.6	η = 0.3	x: 2.373 m η = 0.9	**CUMPLE η = 23.5**
N2389/N2610	$\lambda_w \leq \lambda_{w,máx}$ Cumple	η = 1.9	η = 58.6	x: 0.15 m η = 3.9	x: 0.15 m η = 5.9	η = 0.4	x: 0.15 m η = 0.9	η < 0.1	η < 0.1	x: 0.15 m η = 65.7	η < 0.1	η = 1.1	η = 0.4	x: 0.15 m η = 0.9	**CUMPLE η = 65.7**
N2610/N2611	$\lambda_w \leq \lambda_{w,máx}$ Cumple	η = 8.8	η = 13.9	x: 2.338 m η = 0.6	x: 2.338 m η = 8.3	η = 0.1	x: 2.338 m η = 1.2	η < 0.1	η < 0.1	x: 2.338 m η = 18.8	η < 0.1	x: 1.591 m η = 0.2	η = 0.1	x: 2.338 m η = 1.2	**CUMPLE η = 18.8**
N2611/N2542	$\lambda_w \leq \lambda_{w,máx}$ Cumple	η = 9.1	η = 53.5	x: 0.095 m η = 2.8	x: 0.095 m η = 4.9	η = 0.3	x: 0.095 m η = 0.7	η < 0.1	η < 0.1	x: 0.095 m η = 57.0	η < 0.1	η = 1.0	η = 0.3	x: 0.095 m η = 0.7	**CUMPLE η = 57.0**
N2371/N2612	$\lambda_w \leq \lambda_{w,máx}$ Cumple	η = 1.3	η = 31.2	x: 0.095 m η = 2.2	x: 0.095 m η = 4.9	η = 0.2	x: 0.095 m η = 0.7	η < 0.1	η < 0.1	x: 0.095 m η = 35.3	η < 0.1	η = 0.9	η = 0.2	x: 0.095 m η = 0.7	**CUMPLE η = 35.3**
N2612/N2613	$\lambda_w \leq \lambda_{w,máx}$ Cumple	η = 1.3	η = 30.5	x: 2.372 m η = 1.1	x: 0.06 m η = 7.2	x: 2.181 m η < 0.1	x: 2.373 m η = 1.0	η < 0.1	η < 0.1	x: 0.06 m η = 35.7	η < 0.1	η = 0.2	x: 2.181 m η < 0.1	x: 2.373 m η = 1.0	**CUMPLE η = 35.7**
N2613/N2524	$\lambda_w \leq \lambda_{w,máx}$ Cumple	η = 4.2	η = 22.0	x: 2.338 m η = 2.0	x: 2.338 m η = 4.9	η = 0.2	x: 2.338 m η = 0.6	η < 0.1	η < 0.1	x: 2.338 m η = 26.8	η < 0.1	η = 1.0	η = 0.2	x: 2.338 m η = 0.7	**CUMPLE η = 26.8**
N2611/N2613	$\lambda_w \leq \lambda_{w,máx}$ Cumple	x: 1.939 m η < 0.1	x: 0.078 m η = 6.0	x: 1.94 m η = 5.2	x: 0.078 m η = 3.5	η = 0.8	η = 0.2	η < 0.1	η < 0.1	x: 0.078 m η = 12.1	η < 0.1	η = 0.4	η = 0.8	η = 0.2	**CUMPLE η = 12.1**
N2610/N2612	$\lambda_w \leq \lambda_{w,máx}$ Cumple	x: 1.939 m η = 0.3	x: 0.45 m η = 2.0	x: 0.078 m η = 4.4	x: 0.078 m η = 3.5	η = 0.7	η = 0.2	η < 0.1	η < 0.1	x: 0.078 m η = 7.3	η < 0.1	η = 0.5	η = 0.7	η = 0.2	**CUMPLE η = 7.3**
N2606/N2609	$\lambda_w \leq \lambda_{w,máx}$ Cumple	x: 1.939 m η < 0.1	x: 0.06 m η = 0.2	x: 1.94 m η = 3.6	x: 1.94 m η = 3.6	η = 0.5	η = 0.3	η < 0.1	η < 0.1	x: 1.94 m η = 5.9	η < 0.1	η = 1.1	η = 0.5	η = 0.3	**CUMPLE η = 5.9**
N2605/N2608	$\lambda_w \leq \lambda_{w,máx}$ Cumple	x: 1.939 m η < 0.1	x: 0.06 m η = 0.2	x: 1.94 m η = 5.0	x: 1.94 m η = 3.5	η = 0.7	η = 0.3	η < 0.1	η < 0.1	x: 1.94 m η = 7.4	η < 0.1	η = 0.9	η = 0.7	η = 0.3	**CUMPLE η = 7.4**

Documento visado electrónicamente con número: VA07290/22
Código de validación telemática TRLTDCFZ60T66IJ1. Comprobación: https://cogitivalencia.e-gestion.es/Validacion.aspx?CVT=TRLTDCFZ60T66IJ1

VISADO
COGITI
Estado
VALENCIA
VA07298/22
TRLTDCFZ60T66IJ1

Barras	COMPROBACIONES (CÓDIGO ESTRUCTURAL)															
	λ_w	N_t	N_c	M_Y	M_Z	V_Z	V_Y	M_YV_Z	M_ZV_Y	NM_YM_Z	$NM_YM_ZV_YV_Z$	M_t	M_tV_Z	M_tV_Y	
N2372/N2610	$\lambda_w \leq \lambda_{w,máx}$ Cumple	x: 3.054 m η = 18.2	x: 2.646 m η = 3.6	x: 0.195 m η = 10.7	x: 0.195 m η = 6.2	x: 3.055 m η = 0.9	η = 0.2	η < 0.1	η < 0.1	x: 0.195 m η = 33.9	η < 0.1	η = 4.5	x: 3.055 m η = 1.0	η = 0.2	**CUMPLE η = 33.9**
N2525/N2611	$\lambda_w \leq \lambda_{w,máx}$ Cumple	x: 3.054 m η = 12.3	x: 0.195 m η = 17.7	x: 0.195 m η = 10.9	x: 0.195 m η = 5.8	x: 0.195 m η = 0.9	η = 0.2	η < 0.1	η < 0.1	x: 0.195 m η = 31.2	η < 0.1	η = 4.2	x: 0.195 m η = 0.9	η = 0.2	**CUMPLE η = 31.2**
N2465/N2614	$\lambda_w \leq \lambda_{w,máx}$ Cumple	x: 3.054 m η = 13.7	x: 0.195 m η = 2.7	x: 0.195 m η = 5.9	x: 3.055 m η = 4.5	x: 3.055 m η = 0.6	η = 0.2	η < 0.1	η < 0.1	x: 3.055 m η = 19.8	η < 0.1	η = 2.7	x: 3.055 m η = 0.6	η = 0.3	**CUMPLE η = 19.8**
N2388/N2614	$\lambda_w \leq \lambda_{w,máx}$ Cumple	η = 1.8	η = 50.8	x: 2.338 m η = 3.3	x: 0.15 m η = 3.3	η = 0.4	x: 0.15 m η = 0.5	η < 0.1	η < 0.1	x: 0.15 m η = 54.1	η < 0.1	η = 1.1	η = 0.4	x: 0.15 m η = 0.5	**CUMPLE η = 54.1**
N2614/N2615	$\lambda_w \leq \lambda_{w,máx}$ Cumple	η = 8.2	η = 9.2	x: 2.338 m η = 0.3	x: 2.338 m η = 4.6	η < 0.1	x: 2.338 m η = 0.7	η < 0.1	η < 0.1	x: 2.338 m η = 12.1	η < 0.1	η = 0.1	η < 0.1	x: 2.338 m η = 0.7	**CUMPLE η = 12.1**
N2615/N2541	$\lambda_w \leq \lambda_{w,máx}$ Cumple	η = 5.2	η = 54.4	x: 2.283 m η = 3.7	x: 0.095 m η = 3.1	η = 0.5	x: 0.095 m η = 0.5	η < 0.1	η < 0.1	x: 2.283 m η = 58.5	η < 0.1	η = 1.1	η = 0.5	x: 0.095 m η = 0.5	**CUMPLE η = 58.5**
N2614/N2616	$\lambda_w \leq \lambda_{w,máx}$ Cumple	x: 1.939 m η = 0.2	x: 0.078 m η = 1.4	x: 0.078 m η = 2.6	x: 0.078 m η = 3.5	η = 0.4	η = 0.2	η < 0.1	η < 0.1	x: 0.078 m η = 5.5	η < 0.1	η = 0.4	η = 0.4	η = 0.2	**CUMPLE η = 5.5**
N2615/N2617	$\lambda_w \leq \lambda_{w,máx}$ Cumple	x: 1.939 m η = 0.1	x: 0.078 m η = 3.3	x: 1.94 m η = 3.0	x: 0.078 m η = 3.4	η = 0.4	η = 0.2	η < 0.1	η < 0.1	x: 0.078 m η = 7.2	η < 0.1	η = 0.4	η = 0.4	η = 0.2	**CUMPLE η = 7.2**
N2618/N2615	$\lambda_w \leq \lambda_{w,máx}$ Cumple	x: 3.054 m η = 14.1	x: 0.195 m η = 6.8	x: 0.195 m η = 6.0	x: 3.055 m η = 4.6	x: 3.055 m η = 0.6	η = 0.2	η < 0.1	η < 0.1	x: 3.055 m η = 20.8	η < 0.1	η = 2.5	x: 3.055 m η = 0.6	η = 0.2	**CUMPLE η = 20.8**
N2405/N2616	$\lambda_w \leq \lambda_{w,máx}$ Cumple	η = 0.7	η = 20.2	x: 0.095 m η = 2.0	x: 0.095 m η = 4.8	η = 0.2	x: 0.095 m η = 0.6	η < 0.1	η < 0.1	x: 0.095 m η = 24.5	η < 0.1	η = 1.1	η = 0.2	x: 0.095 m η = 0.7	**CUMPLE η = 24.5**
N2616/N2617	$\lambda_w \leq \lambda_{w,máx}$ Cumple	η = 0.5	η = 22.8	x: 2.372 m η = 1.0	x: 2.373 m η = 3.9	η < 0.1	x: 2.373 m η = 0.6	η < 0.1	η < 0.1	x: 2.372 m η = 24.8	η < 0.1	η = 0.1	η < 0.1	x: 2.373 m η = 0.6	**CUMPLE η = 24.8**
N2617/N2558	$\lambda_w \leq \lambda_{w,máx}$ Cumple	η = 1.8	η = 22.7	x: 2.338 m η = 1.8	x: 2.338 m η = 5.0	η = 0.2	x: 2.338 m η = 0.7	η < 0.1	η < 0.1	x: 2.338 m η = 27.3	η < 0.1	η = 1.1	η = 0.2	x: 2.338 m η = 0.7	**CUMPLE η = 27.3**
N2610/N2371	$\lambda_w \leq \lambda_{w,máx}$ Cumple	x: 3.054 m η = 15.5	x: 0.095 m η = 0.5	x: 3.055 m η = 4.1	x: 0.095 m η = 2.3	x: 3.055 m η = 0.6	η = 0.1	η < 0.1	η < 0.1	x: 0.095 m η = 20.8	η < 0.1	η = 1.3	x: 3.055 m η = 0.6	η = 0.1	**CUMPLE η = 20.8**
N2611/N2524	$\lambda_w \leq \lambda_{w,máx}$ Cumple	x: 3.054 m η = 15.6	x: 0.095 m η = 2.3	x: 3.055 m η = 4.0	x: 0.095 m η = 2.3	x: 3.055 m η = 0.5	η = 0.1	η < 0.1	η < 0.1	x: 3.055 m η = 20.8	η < 0.1	η = 1.4	x: 3.055 m η = 0.5	η = 0.1	**CUMPLE η = 20.8**
N2614/N2405	$\lambda_w \leq \lambda_{w,máx}$ Cumple	x: 3.054 m η = 15.4	x: 0.095 m η = 1.0	x: 3.055 m η = 3.9	x: 0.095 m η = 1.9	x: 3.055 m η = 0.5	η < 0.1	η < 0.1	η < 0.1	x: 3.055 m η = 20.2	η < 0.1	η = 1.5	x: 3.055 m η = 0.5	η < 0.1	**CUMPLE η = 20.2**
N2615/N2558	$\lambda_w \leq \lambda_{w,máx}$ Cumple	x: 3.054 m η = 15.7	x: 0.095 m η = 1.9	x: 3.055 m η = 4.1	x: 0.095 m η = 1.8	x: 3.055 m η = 0.5	η < 0.1	η < 0.1	η < 0.1	x: 3.055 m η = 20.7	η < 0.1	η = 1.4	x: 3.055 m η = 0.5	η < 0.1	**CUMPLE η = 20.7**
N2421/N2620	$\lambda_w \leq \lambda_{w,máx}$ Cumple	η = 0.7	η = 8.0	x: 0.095 m η = 3.7	x: 0.095 m η = 4.6	η = 0.4	x: 0.095 m η = 0.6	η < 0.1	η < 0.1	x: 0.095 m η = 11.7	η < 0.1	η = 1.9	η = 0.4	x: 0.095 m η = 0.6	**CUMPLE η = 11.7**
N2620/N2619	$\lambda_w \leq \lambda_{w,máx}$ Cumple	x: 0.253 m η = 0.6	x: 2.372 m η = 10.9	x: 0.06 m η = 1.8	x: 0.06 m η = 2.5	η < 0.1	x: 2.373 m η = 0.4	η < 0.1	η < 0.1	x: 0.06 m η = 11.4	η < 0.1	η = 0.2	η < 0.1	x: 2.373 m η = 0.4	**CUMPLE η = 11.4**
N2619/N2574	$\lambda_w \leq \lambda_{w,máx}$ Cumple	η = 1.5	x: 1.579 m η = 11.0	x: 2.338 m η = 3.8	x: 2.338 m η = 4.5	η = 0.4	x: 2.338 m η = 0.6	η < 0.1	η < 0.1	x: 2.338 m η = 12.9	η < 0.1	η = 1.9	η = 0.4	x: 2.338 m η = 0.6	**CUMPLE η = 12.9**
N2621/N2574	$\lambda_w \leq \lambda_{w,máx}$ Cumple	x: 3.054 m η = 15.6	x: 0.095 m η = 1.6	x: 3.055 m η = 3.5	x: 0.095 m η = 2.9	x: 3.055 m η = 0.5	η < 0.1	η < 0.1	η < 0.1	x: 3.055 m η = 19.8	η < 0.1	η = 2.8	x: 3.055 m η = 0.5	η < 0.1	**CUMPLE η = 19.8**
N2469/N2623	$\lambda_w \leq \lambda_{w,máx}$ Cumple	η = 0.5	η = 37.2	x: 0.15 m η = 5.2	x: 0.15 m η = 2.4	η = 0.6	x: 0.15 m η = 0.4	η < 0.1	η < 0.1	x: 0.15 m η = 39.4	η < 0.1	η = 1.1	η = 0.6	x: 0.15 m η = 0.4	**CUMPLE η = 39.4**
N2623/N2621	$\lambda_w \leq \lambda_{w,máx}$ Cumple	η = 11.6	x: 2.337 m η = 11.9	x: 0.095 m η = 1.0	x: 2.338 m η = 3.0	η = 0.1	x: 2.338 m η = 0.5	η < 0.1	η < 0.1	x: 2.338 m η = 13.4	η < 0.1	η = 0.2	η = 0.1	x: 2.338 m η = 0.5	**CUMPLE η = 13.4**
N2621/N2622	$\lambda_w \leq \lambda_{w,máx}$ Cumple	η = 2.8	η = 32.3	x: 0.095 m η = 3.7	x: 0.095 m η = 1.4	η = 0.4	x: 0.095 m η = 0.3	η < 0.1	η < 0.1	x: 2.283 m η = 33.6	η < 0.1	η = 0.9	η = 0.4	x: 0.095 m η = 0.3	**CUMPLE η = 33.6**
N2624/N2621	$\lambda_w \leq \lambda_{w,máx}$ Cumple	x: 3.054 m η = 12.4	x: 0.195 m η = 4.6	x: 0.195 m η = 3.4	x: 3.055 m η = 7.4	x: 3.055 m η = 0.4	η = 0.1	η < 0.1	η < 0.1	x: 3.055 m η = 18.9	η < 0.1	η = 6.6	x: 0.195 m η = 0.4	η = 0.1	**CUMPLE η = 18.9**
N2623/N2620	$\lambda_w \leq \lambda_{w,máx}$ Cumple	x: 1.939 m η = 0.1	x: 0.078 m η = 1.0	x: 1.94 m η = 1.7	x: 0.078 m η = 6.6	η = 0.2	η = 0.4	η < 0.1	η < 0.1	x: 0.078 m η = 7.0	η < 0.1	η = 0.8	η = 0.2	η = 0.4	**CUMPLE η = 7.0**
N2623/N2421	$\lambda_w \leq \lambda_{w,máx}$ Cumple	x: 3.054 m η = 16.3	x: 0.095 m η = 1.5	x: 3.055 m η = 3.6	x: 0.095 m η = 3.6	x: 3.055 m η = 0.5	η = 0.1	η < 0.1	η < 0.1	x: 0.095 m η = 20.5	η < 0.1	η = 2.6	x: 3.055 m η = 0.5	η = 0.1	**CUMPLE η = 20.5**
N2621/N2619	$\lambda_w \leq \lambda_{w,máx}$ Cumple	x: 1.939 m η < 0.1	x: 0.078 m η = 2.0	x: 1.94 m η = 2.5	x: 0.078 m η = 6.4	η = 0.3	η = 0.4	η < 0.1	η < 0.1	x: 0.078 m η = 8.2	η < 0.1	η = 0.7	η = 0.3	η = 0.4	**CUMPLE η = 8.2**
N2471/N2623	$\lambda_w \leq \lambda_{w,máx}$ Cumple	x: 3.054 m η = 14.7	x: 0.195 m η = 2.8	x: 0.195 m η = 4.2	x: 3.055 m η = 8.1	x: 3.055 m η = 0.5	η = 0.1	η < 0.1	η < 0.1	x: 3.055 m η = 23.9	η < 0.1	η = 6.4	x: 3.055 m η = 0.6	η = 0.1	**CUMPLE η = 23.9**
N2357/N2510	x: 0.509 m $\lambda_w \leq \lambda_{w,máx}$ Cumple	η = 1.2	η = 13.2	M_{Ed} = 0.00 N.P.[2]	x: 3.65 m η = 6.0	V_{Ed} = 0.00 N.P.[3]	x: 0.06 m η = 0.5	N.P.[4]	x: 0.509 m η < 0.1	x: 3.65 m η = 19.5	x: 0.509 m η < 0.1	M_{Ed} = 0.00 N.P.[5]	N.P.[6]	N.P.[6]	**CUMPLE η = 19.5**
N2625/N2626	$\lambda_w \leq \lambda_{w,máx}$ Cumple	x: 1.939 m η < 0.1	x: 0.06 m η = 0.3	x: 1.94 m η = 9.9	x: 0.06 m η < 0.1	η = 1.5	η < 0.1	η < 0.1	x: 0.06 m η < 0.1	x: 1.94 m η = 10.0	η < 0.1	η < 0.1	η = 0.6	η < 0.1	**CUMPLE η = 10.0**
N2627/N2628	$\lambda_w \leq \lambda_{w,máx}$ Cumple	x: 1.939 m η < 0.1	x: 0.06 m η = 0.3	x: 1.94 m η = 12.3	x: 0.06 m η < 0.1	η = 1.9	η < 0.1	η < 0.1	x: 0.06 m η < 0.1	x: 0.06 m η = 12.6	η < 0.1	η < 0.1	η = 1.0	η < 0.1	**CUMPLE η = 12.6**
N2429/N2630	x: 0.051 m $\lambda_w \leq \lambda_{w,máx}$ Cumple	η = 2.8	η = 14.9	x: 2.372 m η < 0.1	x: 2.373 m η = 19.1	η < 0.1	x: 0.05 m η = 1.4	x: 0.244 m η < 0.1	x: 0.051 m η < 0.1	x: 2.373 m η = 21.0	x: 0.051 m η < 0.1	M_{Ed} = 0.00 N.P.[5]	N.P.[6]	N.P.[6]	**CUMPLE η = 21.0**
N2630/N2629	$\lambda_w \leq \lambda_{w,máx}$ Cumple	η = 3.3	η = 17.8	x: 0.06 m η < 0.1	x: 0.06 m η = 5.3	η < 0.1	x: 2.373 m η = 0.6	N.P.[4]	η < 0.1	x: 2.373 m η = 19.7	η < 0.1	η < 0.1	η < 0.1	x: 2.373 m η = 0.3	**CUMPLE η = 19.7**
N2629/N2582	x: 0.06 m $\lambda_w \leq \lambda_{w,máx}$ Cumple	η = 4.2	η = 19.5	x: 0.06 m η < 0.1	x: 0.06 m η = 14.5	η < 0.1	x: 2.383 m η = 1.1	x: 0.06 m η < 0.1	x: 0.06 m η < 0.1	x: 0.06 m η = 27.1	x: 0.06 m η < 0.1	M_{Ed} = 0.00 N.P.[5]	N.P.[6]	N.P.[6]	**CUMPLE η = 27.1**
N2363/N2632	x: 0.051 m $\lambda_w \leq \lambda_{w,máx}$ Cumple	η = 2.9	η = 18.3	x: 2.372 m η < 0.1	x: 2.373 m η = 19.4	η < 0.1	x: 0.05 m η = 1.4	x: 0.244 m η < 0.1	x: 0.051 m η < 0.1	x: 2.373 m η = 30.6	x: 0.051 m η < 0.1	M_{Ed} = 0.00 N.P.[5]	N.P.[6]	N.P.[6]	**CUMPLE η = 30.6**
N2632/N2631	$\lambda_w \leq \lambda_{w,máx}$ Cumple	η = 3.0	η = 24.6	x: 0.06 m η < 0.1	x: 0.06 m η = 5.4	η < 0.1	x: 2.373 m η = 0.6	N.P.[4]	η < 0.1	x: 0.06 m η = 28.1	η < 0.1	η < 0.1	η < 0.1	x: 2.373 m η = 0.3	**CUMPLE η = 28.1**
N2631/N2516	x: 0.06 m $\lambda_w \leq \lambda_{w,máx}$ Cumple	η = 4.0	η = 24.9	x: 0.06 m η < 0.1	x: 0.06 m η = 15.2	η < 0.1	x: 2.383 m η = 1.1	x: 0.06 m η < 0.1	x: 0.06 m η < 0.1	x: 0.06 m η = 27.3	x: 0.06 m η < 0.1	M_{Ed} = 0.00 N.P.[5]	N.P.[6]	N.P.[6]	**CUMPLE η = 27.3**
N2629/N2631	$\lambda_w \leq \lambda_{w,máx}$ Cumple	x: 1.939 m η = 0.1	x: 0.06 m η = 0.4	x: 1.94 m η = 11.0	x: 0.06 m η < 0.1	η = 1.7	η < 0.1	η < 0.1	x: 0.06 m η < 0.1	x: 1.94 m η = 11.2	η < 0.1	η < 0.1	η = 0.6	η < 0.1	**CUMPLE η = 11.2**
N2630/N2632	$\lambda_w \leq \lambda_{w,máx}$ Cumple	x: 1.939 m η = 0.1	x: 0.06 m η = 0.4	x: 1.94 m η = 13.4	x: 0.06 m η < 0.1	η = 2.1	η < 0.1	η < 0.1	x: 0.06 m η < 0.1	x: 1.94 m η = 13.7	η < 0.1	η < 0.1	η = 2.1	η < 0.1	**CUMPLE η = 13.7**
N2433/N2634	x: 0.061 m $\lambda_w \leq \lambda_{w,máx}$ Cumple	η = 1.4	η = 7.5	x: 2.372 m η = 0.1	x: 2.373 m η = 14.6	η < 0.1	x: 0.06 m η = 1.1	x: 0.061 m η < 0.1	x: 0.061 m η < 0.1	x: 2.373 m η = 15.8	x: 0.061 m η < 0.1	M_{Ed} = 0.00 N.P.[5]	N.P.[6]	N.P.[6]	**CUMPLE η = 15.8**
N2634/N2633	$\lambda_w \leq \lambda_{w,máx}$ Cumple	η = 1.8	η = 8.9	x: 0.06 m η < 0.1	x: 0.06 m η = 3.8	η < 0.1	x: 2.373 m η = 0.4	x: 0.06 m η < 0.1	η < 0.1	x: 2.373 m η = 9.9	η < 0.1	η = 0.1	η < 0.1	x: 2.373 m η = 0.4	**CUMPLE η = 9.9**

Código de validación telemática: TRLTDCFZ60T66IJ1. Comprobación: https://cogitivalencia.e-gestion.es/Validacion.aspx?CVT= TRLTDCFZ60T66IJ1

VISADO
COGITI
Estado
VALENCIA
VA07290/22
TRLTDCFZ60T66IJ1

Barras	COMPROBACIONES (CÓDIGO ESTRUCTURAL)														
	λ_w	N_t	N_c	M_Y	M_Z	V_Z	V_Y	M_YV_Z	M_ZV_Y	NM_YM_Z	$NM_YM_ZV_YV_Z$	M_t	M_tV_Z	M_tV_Y	Estado
N2633/N2586	x: 0.06 m $\lambda_w \leq \lambda_{w,máx}$ Cumple	η = 2.2	η = 10.1	x: 0.06 m η = 0.1	x: 0.06 m η = 10.8	η < 0.1	x: 2.373 m η = 0.8	x: 0.06 m η < 0.1	x: 0.06 m η < 0.1	x: 0.06 m η = 15.5	x: 0.06 m η < 0.1	M_{Ed} = 0.00 N.P.(5)	N.P.(6)	N.P.(6)	**CUMPLE** **η = 15.5**
N2367/N2636	x: 0.061 m $\lambda_w \leq \lambda_{w,máx}$ Cumple	η = 2.9	η = 15.3	x: 2.372 m η = 0.1	x: 2.373 m η = 14.0	η < 0.1	x: 0.06 m η = 1.0	x: 0.061 m η < 0.1	x: 0.061 m η < 0.1	x: 2.373 m η = 24.1	x: 0.061 m η < 0.1	M_{Ed} = 0.00 N.P.(5)	N.P.(6)	N.P.(6)	**CUMPLE** **η = 24.1**
N2636/N2635	$\lambda_w \leq \lambda_{w,máx}$ Cumple	η = 2.9	η = 19.4	x: 0.06 m η < 0.1	x: 0.06 m η = 3.5	η < 0.1	x: 2.373 m η = 0.4	x: 0.06 m η < 0.1	η < 0.1	x: 0.06 m η = 21.7	η < 0.1	η = 0.1	η < 0.1	x: 2.373 m η = 0.4	**CUMPLE** **η = 21.7**
N2635/N2520	x: 0.06 m $\lambda_w \leq \lambda_{w,máx}$ Cumple	η = 3.5	η = 19.1	x: 0.06 m η = 0.1	x: 0.06 m η = 12.5	η < 0.1	x: 2.373 m η = 0.9	x: 0.06 m η < 0.1	x: 0.06 m η < 0.1	x: 0.831 m η = 19.8	x: 0.06 m η < 0.1	M_{Ed} = 0.00 N.P.(5)	N.P.(6)	N.P.(6)	**CUMPLE** **η = 19.8**
N2633/N2635	$\lambda_w \leq \lambda_{w,máx}$ Cumple	x: 1.939 m η = 0.1	x: 0.06 m η = 0.3	x: 1.94 m η = 9.2	x: 0.06 m η < 0.1	η = 1.4	η < 0.1	η < 0.1	x: 0.06 m η < 0.1	x: 1.94 m η = 9.3	η < 0.1	η = 0.1	η = 1.1	η < 0.1	**CUMPLE** **η = 9.3**
N2634/N2636	$\lambda_w \leq \lambda_{w,máx}$ Cumple	x: 1.939 m η = 0.1	x: 0.06 m η = 0.3	x: 0.06 m η = 10.4	x: 0.06 m η < 0.1	η = 1.6	η < 0.1	η < 0.1	x: 0.06 m η < 0.1	x: 0.06 m η = 10.7	η < 0.1	η = 0.1	η = 1.6	η < 0.1	**CUMPLE** **η = 10.7**
N2369/N2522	x: 0.509 m $\lambda_w \leq \lambda_{w,máx}$ Cumple	η = 4.9	η = 14.4	M_{Ed} = 0.00 N.P.(2)	x: 3.65 m η = 6.0	V_{Ed} = 0.00 N.P.(3)	x: 0.06 m η = 0.5	N.P.(4)	x: 0.509 m η < 0.1	x: 3.65 m η = 20.7	x: 0.509 m η < 0.1	M_{Ed} = 0.00 N.P.(5)	N.P.(6)	N.P.(6)	**CUMPLE** **η = 20.7**
N2391/N2544	x: 0.509 m $\lambda_w \leq \lambda_{w,máx}$ Cumple	η = 1.9	η = 22.2	M_{Ed} = 0.00 N.P.(2)	x: 3.65 m η = 6.0	V_{Ed} = 0.00 N.P.(3)	x: 0.06 m η = 0.5	N.P.(4)	x: 0.509 m η < 0.1	x: 3.65 m η = 28.8	x: 0.509 m η < 0.1	M_{Ed} = 0.00 N.P.(5)	N.P.(6)	N.P.(6)	**CUMPLE** **η = 28.8**
N2393/N2637	x: 0.061 m $\lambda_w \leq \lambda_{w,máx}$ Cumple	η = 1.4	η = 10.7	x: 2.372 m η < 0.1	x: 2.373 m η = 11.2	η < 0.1	x: 0.06 m η = 0.9	x: 0.253 m η < 0.1	x: 0.061 m η < 0.1	x: 2.373 m η = 17.6	x: 0.061 m η < 0.1	M_{Ed} = 0.00 N.P.(5)	N.P.(6)	N.P.(6)	**CUMPLE** **η = 17.6**
N2637/N2638	$\lambda_w \leq \lambda_{w,máx}$ Cumple	η = 1.3	η = 13.5	x: 0.06 m η < 0.1	x: 0.06 m η = 2.6	η < 0.1	x: 2.373 m η = 0.3	x: 0.06 m η < 0.1	η < 0.1	x: 0.06 m η = 15.1	η < 0.1	η < 0.1	η < 0.1	x: 2.373 m η = 0.3	**CUMPLE** **η = 15.1**
N2638/N2546	x: 0.06 m $\lambda_w \leq \lambda_{w,máx}$ Cumple	η = 1.7	η = 12.8	x: 0.06 m η < 0.1	x: 0.06 m η = 10.5	η < 0.1	x: 2.373 m η = 0.8	x: 0.06 m η < 0.1	x: 0.06 m η < 0.1	x: 0.06 m η = 15.1	x: 0.06 m η < 0.1	M_{Ed} = 0.00 N.P.(5)	N.P.(6)	N.P.(6)	**CUMPLE** **η = 15.1**
N2376/N2639	x: 0.061 m $\lambda_w \leq \lambda_{w,máx}$ Cumple	η = 0.7	η = 1.1	x: 2.372 m η < 0.1	x: 2.373 m η = 11.8	η < 0.1	x: 0.06 m η = 0.9	x: 0.253 m η < 0.1	x: 0.061 m η < 0.1	x: 2.373 m η = 12.2	x: 0.061 m η < 0.1	M_{Ed} = 0.00 N.P.(5)	N.P.(6)	N.P.(6)	**CUMPLE** **η = 12.2**
N2639/N2640	$\lambda_w \leq \lambda_{w,máx}$ Cumple	η = 1.0	η = 1.2	x: 0.06 m η < 0.1	x: 0.06 m η = 2.8	η < 0.1	x: 2.373 m η = 0.3	x: 0.06 m η < 0.1	η < 0.1	x: 0.06 m η = 3.7	η < 0.1	η < 0.1	η < 0.1	x: 2.373 m η = 0.3	**CUMPLE** **η = 3.7**
N2640/N2529	x: 0.06 m $\lambda_w \leq \lambda_{w,máx}$ Cumple	η = 1.2	η = 6.2	x: 0.06 m η < 0.1	x: 0.06 m η = 8.9	η < 0.1	x: 2.373 m η = 0.7	x: 0.06 m η < 0.1	x: 0.06 m η < 0.1	x: 0.06 m η = 10.9	x: 0.06 m η < 0.1	M_{Ed} = 0.00 N.P.(5)	N.P.(6)	N.P.(6)	**CUMPLE** **η = 10.9**
N2640/N2638	$\lambda_w \leq \lambda_{w,máx}$ Cumple	x: 1.939 m η = 0.1	x: 0.06 m η = 0.2	x: 1.94 m η = 7.9	x: 0.06 m η < 0.1	η = 1.2	η < 0.1	η < 0.1	x: 0.06 m η < 0.1	x: 1.94 m η = 8.0	η < 0.1	η < 0.1	η = 1.2	η < 0.1	**CUMPLE** **η = 8.0**
N2639/N2637	$\lambda_w \leq \lambda_{w,máx}$ Cumple	x: 1.939 m η = 0.1	x: 0.06 m η = 0.2	x: 0.06 m η = 8.7	x: 0.06 m η < 0.1	η = 1.4	η < 0.1	η < 0.1	x: 0.06 m η < 0.1	x: 0.06 m η = 8.9	η < 0.1	η < 0.1	η = 1.4	η < 0.1	**CUMPLE** **η = 8.9**
N2380/N2642	x: 0.051 m $\lambda_w \leq \lambda_{w,máx}$ Cumple	η = 1.3	η = 8.3	x: 2.372 m η < 0.1	x: 2.373 m η = 13.8	η < 0.1	x: 0.05 m η = 1.0	x: 0.244 m η < 0.1	x: 0.051 m η < 0.1	x: 2.373 m η = 14.5	x: 0.051 m η < 0.1	M_{Ed} = 0.00 N.P.(5)	N.P.(6)	N.P.(6)	**CUMPLE** **η = 14.5**
N2642/N2641	$\lambda_w \leq \lambda_{w,máx}$ Cumple	η = 1.8	η = 9.1	x: 0.06 m η < 0.1	x: 0.06 m η = 3.4	η < 0.1	x: 2.373 m η = 0.4	x: 0.06 m η < 0.1	η < 0.1	x: 2.373 m η = 10.2	η < 0.1	x: 1.409 m η < 0.1	η < 0.1	x: 2.373 m η = 0.2	**CUMPLE** **η = 10.2**
N2641/N2533	x: 0.06 m $\lambda_w \leq \lambda_{w,máx}$ Cumple	η = 2.1	η = 10.3	x: 0.06 m η < 0.1	x: 0.06 m η = 10.6	η < 0.1	x: 2.383 m η = 0.8	x: 0.06 m η < 0.1	x: 0.06 m η < 0.1	x: 0.06 m η = 15.9	x: 0.06 m η < 0.1	M_{Ed} = 0.00 N.P.(5)	N.P.(6)	N.P.(6)	**CUMPLE** **η = 15.9**
N2397/N2644	x: 0.051 m $\lambda_w \leq \lambda_{w,máx}$ Cumple	η = 1.4	η = 12.2	x: 2.372 m η < 0.1	x: 2.373 m η = 13.7	η < 0.1	x: 0.05 m η = 1.0	x: 0.244 m η < 0.1	x: 0.051 m η < 0.1	x: 2.373 m η = 20.7	x: 0.051 m η < 0.1	M_{Ed} = 0.00 N.P.(5)	N.P.(6)	N.P.(6)	**CUMPLE** **η = 20.7**
N2644/N2643	$\lambda_w \leq \lambda_{w,máx}$ Cumple	η = 1.4	η = 16.0	x: 0.06 m η < 0.1	x: 0.06 m η = 3.4	η < 0.1	x: 2.373 m η = 0.4	x: 0.06 m η < 0.1	η < 0.1	x: 0.06 m η = 18.1	η < 0.1	x: 1.409 m η < 0.1	η < 0.1	x: 2.373 m η = 0.2	**CUMPLE** **η = 18.1**
N2643/N2550	x: 0.06 m $\lambda_w \leq \lambda_{w,máx}$ Cumple	η = 1.9	η = 15.5	x: 0.06 m η < 0.1	x: 0.06 m η = 11.7	η < 0.1	x: 2.383 m η = 0.9	x: 0.06 m η < 0.1	x: 0.06 m η < 0.1	x: 0.254 m η = 16.8	x: 0.06 m η < 0.1	M_{Ed} = 0.00 N.P.(5)	N.P.(6)	N.P.(6)	**CUMPLE** **η = 16.8**
N2641/N2643	$\lambda_w \leq \lambda_{w,máx}$ Cumple	x: 1.939 m η = 0.1	x: 0.06 m η = 0.2	x: 1.94 m η = 8.7	x: 0.06 m η < 0.1	η = 1.3	η < 0.1	η < 0.1	x: 0.06 m η < 0.1	x: 1.94 m η = 8.8	η < 0.1	η < 0.1	η = 0.7	η < 0.1	**CUMPLE** **η = 8.8**
N2642/N2644	$\lambda_w \leq \lambda_{w,máx}$ Cumple	x: 1.939 m η = 0.1	x: 0.06 m η = 0.2	x: 0.06 m η = 10.0	x: 0.06 m η < 0.1	η = 1.6	η < 0.1	η < 0.1	x: 0.06 m η < 0.1	x: 0.06 m η = 10.3	η < 0.1	η < 0.1	x: 1 m η = 1.0	η < 0.1	**CUMPLE** **η = 10.3**
N2384/N2646	x: 0.061 m $\lambda_w \leq \lambda_{w,máx}$ Cumple	η = 0.9	η = 1.2	x: 2.372 m η < 0.1	x: 2.373 m η = 12.2	η < 0.1	x: 0.06 m η = 0.9	x: 0.253 m η < 0.1	x: 0.061 m η < 0.1	x: 2.373 m η = 12.5	x: 0.061 m η < 0.1	M_{Ed} = 0.00 N.P.(5)	N.P.(6)	N.P.(6)	**CUMPLE** **η = 12.5**
N2646/N2645	$\lambda_w \leq \lambda_{w,máx}$ Cumple	η = 1.1	η = 1.1	x: 0.06 m η < 0.1	x: 0.06 m η = 2.9	η < 0.1	x: 2.373 m η = 0.3	x: 0.06 m η < 0.1	η < 0.1	x: 0.253 m η = 3.7	η < 0.1	x: 1.217 m η < 0.1	η < 0.1	x: 2.373 m η = 0.2	**CUMPLE** **η = 3.7**
N2645/N2537	x: 0.06 m $\lambda_w \leq \lambda_{w,máx}$ Cumple	η = 1.2	η = 5.7	x: 0.06 m η < 0.1	x: 0.06 m η = 8.5	η < 0.1	x: 2.373 m η = 0.7	x: 0.06 m η < 0.1	x: 0.06 m η < 0.1	x: 0.06 m η = 9.6	x: 0.06 m η < 0.1	M_{Ed} = 0.00 N.P.(5)	N.P.(6)	N.P.(6)	**CUMPLE** **η = 9.6**
N2401/N2648	x: 0.061 m $\lambda_w \leq \lambda_{w,máx}$ Cumple	η = 1.4	η = 10.8	x: 2.372 m η < 0.1	x: 2.373 m η = 11.6	η < 0.1	x: 0.06 m η = 0.9	x: 0.253 m η < 0.1	x: 0.061 m η < 0.1	x: 2.373 m η = 18.0	x: 0.061 m η < 0.1	M_{Ed} = 0.00 N.P.(5)	N.P.(6)	N.P.(6)	**CUMPLE** **η = 18.0**
N2648/N2647	$\lambda_w \leq \lambda_{w,máx}$ Cumple	η = 1.3	η = 13.8	x: 0.06 m η < 0.1	x: 0.06 m η = 2.7	η < 0.1	x: 2.373 m η = 0.3	x: 0.06 m η < 0.1	η < 0.1	x: 0.06 m η = 15.5	η < 0.1	η < 0.1	η < 0.1	x: 2.373 m η = 0.2	**CUMPLE** **η = 15.5**
N2647/N2554	x: 0.06 m $\lambda_w \leq \lambda_{w,máx}$ Cumple	η = 1.7	η = 13.2	x: 0.06 m η < 0.1	x: 0.06 m η = 10.1	η < 0.1	x: 2.373 m η = 0.8	x: 0.06 m η < 0.1	x: 0.06 m η < 0.1	x: 0.06 m η = 15.2	x: 0.06 m η < 0.1	M_{Ed} = 0.00 N.P.(5)	N.P.(6)	N.P.(6)	**CUMPLE** **η = 15.2**
N2645/N2647	$\lambda_w \leq \lambda_{w,máx}$ Cumple	x: 1.939 m η = 0.1	x: 0.06 m η = 0.2	x: 1.94 m η = 7.7	x: 0.06 m η < 0.1	η = 1.1	η < 0.1	η < 0.1	x: 0.06 m η < 0.1	x: 1.94 m η = 7.7	η < 0.1	η < 0.1	x: 0.812 m η = 0.7	η < 0.1	**CUMPLE** **η = 7.7**
N2646/N2648	$\lambda_w \leq \lambda_{w,máx}$ Cumple	x: 1.939 m η = 0.1	x: 0.06 m η = 0.2	x: 0.06 m η = 9.0	x: 0.06 m η < 0.1	η = 1.4	η < 0.1	η < 0.1	x: 0.06 m η < 0.1	x: 0.06 m η = 9.2	η < 0.1	η < 0.1	x: 1 m η = 0.9	η < 0.1	**CUMPLE** **η = 9.2**
N2403/N2556	x: 0.509 m $\lambda_w \leq \lambda_{w,máx}$ Cumple	η = 4.2	η = 18.9	M_{Ed} = 0.00 N.P.(2)	x: 3.65 m η = 6.0	V_{Ed} = 0.00 N.P.(3)	x: 0.06 m η = 0.5	N.P.(4)	x: 0.509 m η < 0.1	x: 3.65 m η = 25.3	x: 0.509 m η < 0.1	M_{Ed} = 0.00 N.P.(5)	N.P.(6)	N.P.(6)	**CUMPLE** **η = 25.3**
N2407/N2560	x: 0.509 m $\lambda_w \leq \lambda_{w,máx}$ Cumple	η = 1.5	η = 18.4	M_{Ed} = 0.00 N.P.(2)	x: 3.65 m η = 6.0	V_{Ed} = 0.00 N.P.(3)	x: 0.06 m η = 0.5	N.P.(4)	x: 0.509 m η < 0.1	x: 3.65 m η = 24.9	x: 0.509 m η < 0.1	M_{Ed} = 0.00 N.P.(5)	N.P.(6)	N.P.(6)	**CUMPLE** **η = 24.9**
N2409/N2649	x: 0.061 m $\lambda_w \leq \lambda_{w,máx}$ Cumple	η = 2.3	η = 16.5	x: 2.372 m η < 0.1	x: 2.373 m η = 14.2	η < 0.1	x: 0.06 m η = 1.0	x: 0.253 m η < 0.1	x: 0.061 m η < 0.1	x: 2.373 m η = 25.2	x: 0.061 m η < 0.1	M_{Ed} = 0.00 N.P.(5)	N.P.(6)	N.P.(6)	**CUMPLE** **η = 25.2**

Documento visado electrónicamente con número: VA07290/22
Código de validación telemática TRLTDCFZ60T66IJ1. Comprobación: https://cogitivalencia.e-gestion.es/Validacion.aspx?CVT=TRLTDCFZ60T66IJ1

VISADO COGITI
Estado VALENCIA
VA07290/22
TRLTDCFZ60T66IJ1

Barras	COMPROBACIONES (CÓDIGO ESTRUCTURAL)														
	λ_w	N_t	N_c	M_Y	M_Z	V_Z	V_Y	M_YV_Z	M_ZV_Y	NM_YM_Z	$NM_YM_ZV_YV_Z$	M_t	M_tV_Z	M_tV_Y	Estado
N2649/N2650	λw ≤ λw,máx Cumple	η = 2.3	η = 20.4	x: 0.06 m η < 0.1	x: 0.06 m η = 3.6	η < 0.1	x: 2.373 m η = 0.4	x: 0.06 m η < 0.1	η < 0.1	x: 0.06 m η = 22.7	η < 0.1	η < 0.1	η < 0.1	x: 0.06 m η = 0.3	**CUMPLE η = 22.7**
N2650/N2562	x: 0.06 m λw ≤ λw,máx Cumple	η = 2.9	η = 20.1	x: 0.06 m η < 0.1	x: 0.06 m η = 12.0	η < 0.1	x: 2.373 m η = 0.9	x: 0.06 m η < 0.1	x: 0.06 m η < 0.1	x: 0.06 m η = 21.1	x: 0.06 m η < 0.1	M_{Ed} = 0.00 N.P.(5)	N.P.(6)	N.P.(6)	**CUMPLE η = 21.1**
N2440/N2651	x: 0.061 m λw ≤ λw,máx Cumple	η = 1.4	η = 10.3	x: 2.372 m η < 0.1	x: 2.373 m η = 14.4	η < 0.1	x: 0.06 m η = 1.1	x: 0.253 m η < 0.1	x: 0.061 m η < 0.1	x: 2.373 m η = 15.6	x: 0.061 m η < 0.1	M_{Ed} = 0.00 N.P.(5)	N.P.(6)	N.P.(6)	**CUMPLE η = 15.6**
N2651/N2652	λw ≤ λw,máx Cumple	η = 1.8	η = 10.6	x: 0.06 m η < 0.1	x: 0.06 m η = 3.7	η < 0.1	x: 2.373 m η = 0.4	x: 0.06 m η < 0.1	η < 0.1	x: 2.372 m η = 11.2	η < 0.1	η < 0.1	η < 0.1	x: 0.06 m η = 0.3	**CUMPLE η = 11.2**
N2652/N2593	x: 0.06 m λw ≤ λw,máx Cumple	η = 2.2	η = 11.6	x: 0.06 m η < 0.1	x: 0.06 m η = 10.7	η < 0.1	x: 2.373 m η = 0.8	x: 0.06 m η < 0.1	x: 0.06 m η < 0.1	x: 0.06 m η = 16.2	x: 0.06 m η < 0.1	M_{Ed} = 0.00 N.P.(5)	N.P.(6)	N.P.(6)	**CUMPLE η = 16.2**
N2652/N2650	λw ≤ λw,máx Cumple	x: 1.939 m η = 0.1	x: 0.06 m η = 0.2	x: 1.94 m η = 8.9	x: 0.06 m η < 0.1	η = 1.4	η < 0.1	η < 0.1	x: 0.06 m η < 0.1	x: 1.94 m η = 9.0	η < 0.1	η < 0.1	η = 1.4	η < 0.1	**CUMPLE η = 9.0**
N2651/N2649	λw ≤ λw,máx Cumple	x: 1.939 m η = 0.1	x: 0.06 m η = 0.2	x: 0.06 m η = 10.3	x: 0.06 m η < 0.1	η = 1.6	η < 0.1	η < 0.1	x: 0.06 m η < 0.1	x: 0.06 m η = 10.5	η < 0.1	η < 0.1	η = 1.6	η < 0.1	**CUMPLE η = 10.5**
N2444/N2654	x: 0.051 m λw ≤ λw,máx Cumple	η = 2.6	η = 14.2	x: 2.372 m η < 0.1	x: 2.373 m η = 17.6	η < 0.1	x: 0.05 m η = 1.3	x: 0.244 m η < 0.1	x: 0.051 m η < 0.1	x: 2.373 m η = 20.1	x: 0.051 m η < 0.1	M_{Ed} = 0.00 N.P.(5)	N.P.(6)	N.P.(6)	**CUMPLE η = 20.1**
N2654/N2653	λw ≤ λw,máx Cumple	η = 3.1	η = 16.9	x: 0.06 m η < 0.1	x: 0.06 m η = 4.7	η < 0.1	x: 2.373 m η = 0.6	N.P.(4)	η < 0.1	x: 2.373 m η = 18.7	η < 0.1	x: 1.217 m η < 0.1	η < 0.1	x: 2.373 m η = 0.2	**CUMPLE η = 18.7**
N2653/N2597	x: 0.06 m λw ≤ λw,máx Cumple	η = 3.9	η = 18.5	x: 0.06 m η < 0.1	x: 0.06 m η = 13.9	η < 0.1	x: 2.383 m η = 1.0	x: 0.06 m η < 0.1	x: 0.06 m η < 0.1	x: 0.06 m η = 25.7	x: 0.06 m η < 0.1	M_{Ed} = 0.00 N.P.(5)	N.P.(6)	N.P.(6)	**CUMPLE η = 25.7**
N2413/N2656	x: 0.051 m λw ≤ λw,máx Cumple	η = 2.7	η = 17.5	x: 2.372 m η < 0.1	x: 2.373 m η = 17.8	η < 0.1	x: 0.05 m η = 1.3	x: 0.244 m η < 0.1	x: 0.051 m η < 0.1	x: 2.373 m η = 28.7	x: 0.051 m η < 0.1	M_{Ed} = 0.00 N.P.(5)	N.P.(6)	N.P.(6)	**CUMPLE η = 28.7**
N2656/N2655	λw ≤ λw,máx Cumple	η = 2.8	η = 23.1	x: 0.06 m η < 0.1	x: 0.06 m η = 4.8	η < 0.1	x: 2.373 m η = 0.6	N.P.(4)	η < 0.1	x: 0.06 m η = 26.2	η < 0.1	η < 0.1	η < 0.1	x: 2.373 m η = 0.2	**CUMPLE η = 26.2**
N2655/N2566	x: 0.06 m λw ≤ λw,máx Cumple	η = 3.7	η = 23.2	x: 0.06 m η < 0.1	x: 0.06 m η = 14.6	η < 0.1	x: 2.383 m η = 1.1	x: 0.06 m η < 0.1	x: 0.06 m η < 0.1	x: 0.06 m η = 24.6	x: 0.06 m η < 0.1	M_{Ed} = 0.00 N.P.(5)	N.P.(6)	N.P.(6)	**CUMPLE η = 24.6**
N2653/N2655	λw ≤ λw,máx Cumple	x: 1.939 m η = 0.1	x: 0.06 m η = 0.3	x: 1.94 m η = 10.7	x: 0.06 m η < 0.1	η = 1.7	η < 0.1	η < 0.1	x: 0.06 m η < 0.1	x: 1.94 m η = 10.8	η < 0.1	η < 0.1	x: 1.188 m η = 0.5	η < 0.1	**CUMPLE η = 10.8**
N2654/N2656	λw ≤ λw,máx Cumple	x: 1.939 m η = 0.1	x: 0.06 m η = 0.3	x: 1.94 m η = 12.4	x: 0.06 m η < 0.1	η = 2.0	η < 0.1	η < 0.1	x: 0.06 m η < 0.1	x: 1.94 m η = 12.7	η < 0.1	η < 0.1	η = 1.0	η < 0.1	**CUMPLE η = 12.7**
N2448/N2658	x: 0.061 m λw ≤ λw,máx Cumple	η = 2.0	η = 10.2	x: 2.372 m η < 0.1	x: 2.373 m η = 15.5	η < 0.1	x: 0.06 m η = 1.1	x: 0.253 m η < 0.1	x: 0.061 m η < 0.1	x: 2.373 m η = 17.1	x: 0.061 m η < 0.1	M_{Ed} = 0.00 N.P.(5)	N.P.(6)	N.P.(6)	**CUMPLE η = 17.1**
N2658/N2657	λw ≤ λw,máx Cumple	η = 2.5	η = 12.0	x: 0.06 m η < 0.1	x: 0.06 m η = 4.0	η < 0.1	x: 2.373 m η = 0.5	x: 0.06 m η < 0.1	η < 0.1	x: 2.373 m η = 13.3	η < 0.1	η < 0.1	η < 0.1	x: 2.373 m η = 0.2	**CUMPLE η = 13.3**
N2657/N2601	x: 0.06 m λw ≤ λw,máx Cumple	η = 3.0	η = 13.4	x: 0.06 m η < 0.1	x: 0.06 m η = 11.7	η < 0.1	x: 2.373 m η = 0.9	x: 0.06 m η < 0.1	x: 0.06 m η < 0.1	x: 0.06 m η = 19.3	x: 0.06 m η < 0.1	M_{Ed} = 0.00 N.P.(5)	N.P.(6)	N.P.(6)	**CUMPLE η = 19.3**
N2417/N2660	x: 0.061 m λw ≤ λw,máx Cumple	η = 2.4	η = 12.4	x: 2.372 m η < 0.1	x: 2.373 m η = 15.1	η < 0.1	x: 0.06 m η = 1.1	x: 0.253 m η < 0.1	x: 0.061 m η < 0.1	x: 2.373 m η = 21.8	x: 0.061 m η < 0.1	M_{Ed} = 0.00 N.P.(5)	N.P.(6)	N.P.(6)	**CUMPLE η = 21.8**
N2660/N2659	λw ≤ λw,máx Cumple	η = 2.4	η = 16.9	x: 0.06 m η < 0.1	x: 0.06 m η = 3.9	η < 0.1	x: 2.373 m η = 0.5	x: 0.06 m η < 0.1	η < 0.1	x: 0.06 m η = 19.4	η < 0.1	η < 0.1	η < 0.1	x: 2.373 m η = 0.2	**CUMPLE η = 19.4**
N2659/N2570	x: 0.06 m λw ≤ λw,máx Cumple	η = 3.1	η = 16.7	x: 0.06 m η < 0.1	x: 0.06 m η = 13.1	η < 0.1	x: 2.373 m η = 1.0	x: 0.06 m η < 0.1	x: 0.06 m η < 0.1	x: 1.217 m η = 17.1	x: 0.06 m η < 0.1	M_{Ed} = 0.00 N.P.(5)	N.P.(6)	N.P.(6)	**CUMPLE η = 17.1**
N2657/N2659	λw ≤ λw,máx Cumple	x: 1.939 m η = 0.1	x: 0.06 m η = 0.3	x: 1.94 m η = 9.7	x: 0.06 m η < 0.1	η = 1.5	η < 0.1	η < 0.1	x: 0.06 m η < 0.1	x: 1.94 m η = 9.8	η < 0.1	η < 0.1	η = 0.6	η < 0.1	**CUMPLE η = 9.8**
N2658/N2660	λw ≤ λw,máx Cumple	x: 1.939 m η = 0.1	x: 0.06 m η = 0.3	x: 0.06 m η = 11.0	x: 0.06 m η < 0.1	η = 1.7	η < 0.1	η < 0.1	x: 0.06 m η < 0.1	x: 0.06 m η = 11.3	η < 0.1	η < 0.1	x: 1 m η = 1.0	η < 0.1	**CUMPLE η = 11.3**
N2419/N2572	x: 0.509 m λw ≤ λw,máx Cumple	η = 2.4	η = 12.7	M_{Ed} = 0.00 N.P.(2)	x: 3.65 m η = 6.0	V_{Ed} = 0.00 N.P.(3)	x: 0.06 m η = 0.5	N.P.(4)	x: 0.509 m η < 0.1	x: 3.65 m η = 19.0	x: 0.509 m η < 0.1	M_{Ed} = 0.00 N.P.(5)	N.P.(6)	N.P.(6)	**CUMPLE η = 19.0**
N2359/N2628	x: 0.061 m λw ≤ λw,máx Cumple	η = 2.6	η = 14.6	x: 2.372 m η < 0.1	x: 2.373 m η = 17.5	η < 0.1	x: 0.06 m η = 1.3	x: 0.253 m η < 0.1	x: 0.061 m η < 0.1	x: 2.373 m η = 25.4	x: 0.061 m η < 0.1	M_{Ed} = 0.00 N.P.(5)	N.P.(6)	N.P.(6)	**CUMPLE η = 25.4**
N2628/N2626	λw ≤ λw,máx Cumple	η = 2.6	η = 20.2	x: 0.06 m η < 0.1	x: 0.06 m η = 4.7	η < 0.1	x: 2.373 m η = 0.6	x: 0.06 m η < 0.1	η < 0.1	x: 0.06 m η = 23.0	η < 0.1	η < 0.1	η < 0.1	x: 2.373 m η = 0.2	**CUMPLE η = 23.0**
N2626/N2512	x: 0.06 m λw ≤ λw,máx Cumple	η = 3.4	η = 20.2	x: 0.06 m η < 0.1	x: 0.06 m η = 13.5	η < 0.1	x: 2.373 m η = 1.0	x: 0.06 m η < 0.1	x: 0.06 m η < 0.1	x: 0.06 m η = 22.0	x: 0.06 m η < 0.1	M_{Ed} = 0.00 N.P.(5)	N.P.(6)	N.P.(6)	**CUMPLE η = 22.0**
N2425/N2627	x: 0.061 m λw ≤ λw,máx Cumple	η = 2.2	η = 11.4	x: 2.372 m η < 0.1	x: 2.373 m η = 17.5	η < 0.1	x: 0.06 m η = 1.3	x: 0.253 m η < 0.1	x: 0.061 m η < 0.1	x: 2.373 m η = 18.7	x: 0.061 m η < 0.1	M_{Ed} = 0.00 N.P.(5)	N.P.(6)	N.P.(6)	**CUMPLE η = 18.7**
N2627/N2625	λw ≤ λw,máx Cumple	η = 2.7	η = 13.4	x: 0.06 m η < 0.1	x: 0.06 m η = 4.7	η < 0.1	x: 2.373 m η = 0.6	x: 0.06 m η < 0.1	η < 0.1	x: 2.373 m η = 14.9	η < 0.1	η < 0.1	η < 0.1	x: 2.373 m η = 0.2	**CUMPLE η = 14.9**
N2625/N2578	x: 0.06 m λw ≤ λw,máx Cumple	η = 3.3	η = 14.9	x: 0.06 m η < 0.1	x: 0.06 m η = 12.5	η < 0.1	x: 2.373 m η = 0.9	x: 0.06 m η < 0.1	x: 0.06 m η < 0.1	x: 0.06 m η = 21.0	x: 0.06 m η < 0.1	M_{Ed} = 0.00 N.P.(5)	N.P.(6)	N.P.(6)	**CUMPLE η = 21.0**
N2661/N2662	λw ≤ λw,máx Cumple	x: 1.7 m η = 20.7	x: 0.078 m η = 25.8	x: 0.281 m η = 28.6	x: 1.701 m η = 2.3	x: 1.701 m η = 21.9	η = 0.1	η < 0.1	η < 0.1	x: 0.281 m η = 52.8	η < 0.1	η = 0.3	x: 1.701 m η = 21.9	η = 0.1	**CUMPLE η = 52.8**
N2662/N2663	λw ≤ λw,máx Cumple	x: 1.7 m η = 33.9	x: 0.078 m η = 41.8	x: 0.078 m η = 20.0	x: 1.701 m η = 4.7	x: 0.078 m η = 16.6	η = 0.2	η < 0.1	η < 0.1	x: 0.078 m η = 57.4	η < 0.1	η = 0.1	x: 0.078 m η = 16.2	η = 0.2	**CUMPLE η = 57.4**
N2663/N2664	λw ≤ λw,máx Cumple	x: 1.7 m η = 45.3	x: 0.078 m η = 54.3	x: 0.078 m η = 6.8	x: 0.078 m η = 4.1	x: 0.078 m η = 9.0	x: 0.281 m η = 0.2	η < 0.1	η < 0.1	x: 1.093 m η = 55.7	η < 0.1	η = 0.2	x: 0.078 m η = 9.0	x: 0.281 m η = 0.2	**CUMPLE η = 55.7**
N2664/N2665	λw ≤ λw,máx Cumple	x: 1.7 m η = 53.3	x: 0.078 m η = 64.1	x: 1.093 m η = 7.2	x: 1.701 m η = 4.2	x: 0.078 m η = 8.9	η = 0.2	η < 0.1	η < 0.1	x: 1.093 m η = 65.6	η < 0.1	η = 0.2	x: 0.078 m η = 8.9	η = 0.2	**CUMPLE η = 65.6**
N2665/N2666	λw ≤ λw,máx Cumple	x: 1.713 m η = 58.8	x: 0.078 m η = 70.5	x: 0.896 m η = 7.5	x: 0.078 m η = 4.4	x: 0.078 m η = 8.4	x: 1.305 m η = 0.2	η < 0.1	η < 0.1	x: 0.896 m η = 71.4	η < 0.1	x: 1.305 m η = 0.3	x: 0.078 m η = 8.4	x: 1.305 m η = 0.2	**CUMPLE η = 71.4**
N2666/N3444	λw ≤ λw,máx Cumple	x: 0.89 m η = 61.3	x: 0.065 m η = 67.0	x: 0.89 m η = 8.1	x: 0.89 m η = 3.3	x: 0.065 m η = 8.4	η = 0.2	η < 0.1	η < 0.1	x: 0.89 m η = 71.7	η < 0.1	η = 0.1	x: 0.065 m η = 8.4	η = 0.2	**CUMPLE η = 71.7**
N3444/N2667	λw ≤ λw,máx Cumple	x: 0.824 m η = 61.3	x: 0 m η = 66.9	x: 0 m η = 8.1	x: 0.825 m η = 6.4	x: 0.825 m η = 7.4	η = 0.2	η < 0.1	η < 0.1	x: 0 m η = 71.7	η < 0.1	η = 0.1	x: 0.825 m η = 7.4	η = 0.2	**CUMPLE η = 71.7**

Documento visado electrónicamente con número: VA07290/22
Código de validación telemática TRLTDCFZ60T66IJ1. Comprobación: https://cogitivalencia.e-gestion.es/Validacion.aspx?CVT=TRLTDCFZ60T66IJ1

VISADO
COGITI
Estado
VALENCIA
VA07290/22
TRLTDCFZ60T66IJ1

Barras	COMPROBACIONES (CÓDIGO ESTRUCTURAL)														
	λ_w	N_t	N_c	M_Y	M_Z	V_Z	V_Y	M_YV_Z	M_ZV_Y	NM_YM_Z	$NM_YM_ZV_YV_Z$	M_t	M_tV_Z	M_tV_Y	
N2667/N2668	$\lambda_w \leq \lambda_{w,máx}$ Cumple	x: 1.713 m η = 61.1	x: 0.065 m η = 73.6	x: 0.89 m η = 7.8	x: 0.065 m η = 6.0	x: 1.714 m η = 8.2	x: 1.508 m η = 0.2	η < 0.1	η < 0.1	x: 0.89 m η = 74.6	η < 0.1	x: 1.508 m η = 0.3	x: 1.714 m η = 8.2	x: 1.50… η = 0.2	CUMPLE η = 74.6
N2668/N2669	$\lambda_w \leq \lambda_{w,máx}$ Cumple	x: 1.727 m η = 57.8	x: 0.065 m η = 70.0	x: 0.897 m η = 8.2	x: 1.728 m η = 5.4	x: 0.065 m η = 8.3	η = 0.2	η < 0.1	η < 0.1	x: 0.897 m η = 71.8	η < 0.1	η = 0.2	x: 0.065 m η = 8.3	η = 0.2	CUMPLE η = 71.8
N2669/N2670	$\lambda_w \leq \lambda_{w,máx}$ Cumple	x: 1.708 m η = 57.9	x: 0.051 m η = 70.0	x: 0.88 m η = 8.6	x: 0.051 m η = 5.6	x: 1.709 m η = 8.6	η = 0.2	η < 0.1	η < 0.1	x: 0.88 m η = 72.2	η < 0.1	η = 0.2	x: 1.709 m η = 6.4	η = 0.2	CUMPLE η = 72.2
N2670/N2671	$\lambda_w \leq \lambda_{w,máx}$ Cumple	x: 1.708 m η = 52.2	x: 0.07 m η = 63.2	x: 0.685 m η = 7.8	x: 1.709 m η = 5.2	x: 1.709 m η = 8.9	x: 0.685 m η = 0.2	η < 0.1	η < 0.1	x: 0.685 m η = 65.2	η < 0.1	x: 0.685 m η = 0.3	x: 1.709 m η = 6.7	x: 0.685 m η = 0.2	CUMPLE η = 65.2
N2671/N3447	$\lambda_w \leq \lambda_{w,máx}$ Cumple	x: 0.89 m η = 43.5	x: 0.07 m η = 46.0	x: 0.685 m η = 6.4	x: 0.07 m η = 5.9	x: 0.07 m η = 6.0	η = 0.2	η < 0.1	η < 0.1	x: 0.685 m η = 52.4	η < 0.1	η = 0.1	x: 0.07 m η = 6.0	η = 0.2	CUMPLE η = 52.4
N3447/N2672	$\lambda_w \leq \lambda_{w,máx}$ Cumple	x: 0.819 m η = 43.5	x: 0 m η = 46.0	x: 0.82 m η = 8.9	x: 0 m η = 3.3	x: 0.82 m η = 9.7	η = 0.2	η < 0.1	η < 0.1	x: 0.82 m η = 54.0	η < 0.1	η = 0.1	x: 0.82 m η = 9.7	η = 0.2	CUMPLE η = 54.0
N2672/N2673	$\lambda_w \leq \lambda_{w,máx}$ Cumple	x: 1.694 m η = 32.0	x: 0.07 m η = 39.6	x: 1.695 m η = 9.2	x: 1.695 m η = 2.8	x: 1.695 m η = 9.5	x: 1.492 m η = 0.2	η < 0.1	η < 0.1	x: 1.695 m η = 43.9	η < 0.1	x: 1.492 m η = 0.3	x: 1.695 m η = 9.5	x: 1.492 m η = 0.2	CUMPLE η = 43.9
N2673/N2674	$\lambda_w \leq \lambda_{w,máx}$ Cumple	x: 1.694 m η = 17.5	x: 0.084 m η = 19.6	x: 1.695 m η = 12.2	x: 0.084 m η = 3.7	x: 1.695 m η = 10.4	η = 0.2	η < 0.1	η < 0.1	x: 1.695 m η = 31.5	η < 0.1	η = 0.2	x: 1.695 m η = 7.7	η = 0.2	CUMPLE η = 31.5
N2674/N2675	$\lambda_w \leq \lambda_{w,máx}$ Cumple	x: 1.694 m η = 0.7	x: 0.084 m η = 3.2	x: 1.695 m η = 12.6	x: 1.695 m η = 7.6	x: 1.695 m η = 10.0	η = 0.2	η < 0.1	η < 0.1	x: 1.695 m η = 18.0	η < 0.1	η = 0.2	x: 1.695 m η = 7.4	η = 0.2	CUMPLE η = 18.0
N2675/N2676	$\lambda_w \leq \lambda_{w,máx}$ Cumple	x: 1.694 m η = 19.7	x: 0.084 m η = 25.7	x: 1.695 m η = 34.9	x: 0.084 m η = 9.9	x: 1.695 m η = 19.3	η = 0.3	η < 0.1	η < 0.1	x: 1.695 m η = 58.6	η < 0.1	η = 0.2	x: 1.695 m η = 19.3	η = 0.3	CUMPLE η = 58.6
N2676/N2677	$\lambda_w \leq \lambda_{w,máx}$ Cumple	x: 1.637 m η = 39.9	x: 0.084 m η = 48.1	x: 0.084 m η = 33.2	x: 0.084 m η = 5.5	x: 0.084 m η = 22.5	η = 0.3	η < 0.1	η < 0.1	x: 0.084 m η = 78.0	η < 0.1	η = 0.4	x: 0.084 m η = 22.5	η = 0.3	CUMPLE η = 78.0
N2678/N2679	$\lambda_w \leq \lambda_{w,máx}$ Cumple	x: 1.7 m η = 49.7	x: 0.141 m η = 87.4	x: 0.141 m η = 18.7	x: 0.141 m η = 3.2	x: 0.141 m η = 7.6	η = 0.2	η < 0.1	η < 0.1	x: 1.701 m η = 92.4	η < 0.1	η = 0.6	x: 0.141 m η = 7.1	η = 0.2	CUMPLE η = 92.4
N2679/N2680	$\lambda_w \leq \lambda_{w,máx}$ Cumple	x: 1.7 m η = 30.8	x: 0.078 m η = 57.8	x: 0.078 m η = 13.9	x: 1.701 m η = 2.0	x: 1.701 m η = 4.7	η = 0.1	η < 0.1	η < 0.1	x: 0.078 m η = 65.4	η < 0.1	η = 0.1	x: 0.078 m η = 3.7	η = 0.1	CUMPLE η = 65.4
N2680/N2681	$\lambda_w \leq \lambda_{w,máx}$ Cumple	x: 1.7 m η = 15.5	x: 0.078 m η = 32.4	x: 0.078 m η = 3.2	x: 0.078 m η = 2.1	x: 0.078 m η = 1.4	η = 0.1	η < 0.1	η < 0.1	x: 0.078 m η = 36.1	η < 0.1	η = 0.1	x: 0.078 m η = 1.1	η = 0.1	CUMPLE η = 36.1
N2681/N2682	$\lambda_w \leq \lambda_{w,máx}$ Cumple	x: 1.7 m η = 2.6	x: 0.078 m η = 12.7	x: 1.701 m η = 4.7	x: 1.701 m η = 3.1	x: 0.078 m η = 2.3	η = 0.1	η < 0.1	η < 0.1	x: 1.701 m η = 15.5	η < 0.1	η = 0.1	x: 1.701 m η = 2.0	η = 0.1	CUMPLE η = 15.5
N2682/N2683	$\lambda_w \leq \lambda_{w,máx}$ Cumple	x: 1.7 m η = 6.6	x: 0.078 m η = 16.1	x: 1.701 m η = 4.1	x: 0.078 m η = 3.5	x: 0.078 m η = 1.2	η = 0.2	η < 0.1	η < 0.1	x: 1.701 m η = 18.9	η < 0.1	η = 0.1	x: 0.078 m η = 1.2	η = 0.2	CUMPLE η = 18.9
N2683/N2684	$\lambda_w \leq \lambda_{w,máx}$ Cumple	x: 1.713 m η = 15.1	x: 0.078 m η = 28.6	x: 1.714 m η = 4.0	x: 1.714 m η = 2.7	x: 0.078 m η = 1.2	η = 0.2	η < 0.1	η < 0.1	x: 1.714 m η = 33.6	η < 0.1	η = 0.1	x: 0.078 m η = 1.2	η = 0.2	CUMPLE η = 33.6
N2684/N2685	$\lambda_w \leq \lambda_{w,máx}$ Cumple	x: 1.713 m η = 21.1	x: 0.065 m η = 37.2	x: 1.714 m η = 3.9	x: 0.065 m η = 2.8	x: 0.065 m η = 0.6	η = 0.1	η < 0.1	η < 0.1	x: 0.065 m η = 41.4	η < 0.1	η < 0.1	x: 0.065 m η = 0.2	η < 0.1	CUMPLE η = 41.4
N2685/N2686	$\lambda_w \leq \lambda_{w,máx}$ Cumple	x: 1.708 m η = 24.8	x: 0.065 m η = 42.2	x: 1.709 m η = 5.1	x: 1.709 m η = 2.1	x: 0.065 m η = 0.8	η = 0.1	η < 0.1	η < 0.1	x: 1.709 m η = 46.6	η < 0.1	η = 0.1	x: 0.065 m η = 0.8	η = 0.1	CUMPLE η = 46.6
N2686/N2687	$\lambda_w \leq \lambda_{w,máx}$ Cumple	x: 1.708 m η = 24.6	x: 0.07 m η = 40.8	x: 0.07 m η = 5.2	x: 0.07 m η = 1.9	x: 1.709 m η = 0.8	η = 0.1	η < 0.1	η < 0.1	x: 0.07 m η = 45.2	η < 0.1	η < 0.1	x: 1.709 m η = 0.3	η < 0.1	CUMPLE η = 45.2
N2687/N2688	$\lambda_w \leq \lambda_{w,máx}$ Cumple	x: 1.708 m η = 20.8	x: 0.07 m η = 34.5	x: 0.07 m η = 4.4	x: 1.709 m η = 2.1	x: 0.07 m η = 0.7	η = 0.1	η < 0.1	η < 0.1	x: 1.709 m η = 37.8	η < 0.1	x: 0.275 m η < 0.1	x: 1.709 m η = 0.2	η < 0.1	CUMPLE η = 37.8
N2688/N2689	$\lambda_w \leq \lambda_{w,máx}$ Cumple	x: 1.694 m η = 14.7	x: 0.07 m η = 24.7	x: 0.07 m η = 4.4	x: 0.07 m η = 2.1	x: 1.695 m η = 1.3	η = 0.1	η < 0.1	η < 0.1	x: 0.07 m η = 29.1	η < 0.1	η = 0.1	x: 1.695 m η = 1.3	η = 0.1	CUMPLE η = 29.1
N2689/N2690	$\lambda_w \leq \lambda_{w,máx}$ Cumple	x: 1.694 m η = 5.9	x: 0.084 m η = 10.8	x: 0.084 m η = 4.5	x: 1.695 m η = 2.1	x: 1.695 m η = 1.3	η = 0.1	η < 0.1	η < 0.1	x: 0.084 m η = 13.9	η < 0.1	η = 0.1	x: 0.084 m η = 1.0	η = 0.1	CUMPLE η = 13.9
N2690/N2691	$\lambda_w \leq \lambda_{w,máx}$ Cumple	x: 1.694 m η = 6.5	x: 0.084 m η = 11.9	x: 1.695 m η = 5.7	x: 0.084 m η = 1.7	x: 1.695 m η = 2.9	η = 0.1	η < 0.1	η < 0.1	x: 0.084 m η = 15.9	η < 0.1	η = 0.1	x: 1.695 m η = 0.8	η < 0.1	CUMPLE η = 15.9
N2691/N2692	$\lambda_w \leq \lambda_{w,máx}$ Cumple	x: 1.694 m η = 20.5	x: 0.084 m η = 33.9	x: 0.084 m η = 1.8	x: 1.695 m η = 1.6	x: 1.695 m η = 0.4	η = 0.1	η < 0.1	η < 0.1	x: 1.695 m η = 35.4	η < 0.1	x: 0.084 m η < 0.1	x: 1.695 m η = 0.2	x: 0.084 m η < 0.1	CUMPLE η = 35.4
N2692/N2693	$\lambda_w \leq \lambda_{w,máx}$ Cumple	x: 1.661 m η = 34.8	x: 0.084 m η = 56.5	x: 1.662 m η = 33.3	x: 1.662 m η = 3.4	x: 1.662 m η = 10.6	η = 0.2	η < 0.1	η < 0.1	x: 1.662 m η = 77.4	η < 0.1	η = 0.2	x: 1.662 m η = 10.6	η = 0.2	CUMPLE η = 77.4
N2693/N2694	$\lambda_w \leq \lambda_{w,máx}$ Cumple	x: 1.637 m η = 43.3	x: 0.117 m η = 69.7	x: 0.117 m η = 15.1	x: 1.638 m η = 5.0	x: 1.638 m η = 4.9	η = 0.2	η < 0.1	η < 0.1	x: 0.117 m η = 79.2	η < 0.1	η < 0.1	x: 0.117 m η = 1.3	x: 0.117 m η = 0.1	CUMPLE η = 79.2
N2695/N2696	$\lambda_w \leq \lambda_{w,máx}$ Cumple	x: 1.7 m η = 41.9	x: 0.141 m η = 44.7	x: 0.141 m η = 49.3	x: 0.141 m η = 1.2	x: 0.141 m η = 22.4	η = 0.1	η < 0.1	η < 0.1	x: 0.141 m η = 90.2	η < 0.1	η = 0.1	x: 0.141 m η = 21.0	η = 0.1	CUMPLE η = 90.2
N2696/N2697	$\lambda_w \leq \lambda_{w,máx}$ Cumple	x: 1.7 m η = 22.7	x: 0.078 m η = 23.8	x: 0.078 m η = 13.1	x: 1.701 m η = 2.1	x: 0.078 m η = 14.2	η = 0.1	η < 0.1	η < 0.1	x: 0.078 m η = 34.3	η < 0.1	η < 0.1	x: 0.078 m η = 1.6	η = 0.1	CUMPLE η = 34.3
N2697/N2698	$\lambda_w \leq \lambda_{w,máx}$ Cumple	x: 1.7 m η = 7.5	x: 0.078 m η = 4.7	x: 0.078 m η = 13.2	x: 0.078 m η = 1.5	x: 0.078 m η = 9.9	η = 0.1	η < 0.1	η < 0.1	x: 0.078 m η = 20.4	η < 0.1	η = 0.1	x: 0.078 m η = 9.9	η = 0.1	CUMPLE η = 20.4
N2698/N2699	$\lambda_w \leq \lambda_{w,máx}$ Cumple	x: 1.7 m η = 8.0	x: 0.078 m η = 6.5	x: 0.078 m η = 9.5	x: 1.701 m η = 1.8	x: 0.078 m η = 9.3	η = 0.1	η < 0.1	η < 0.1	x: 0.078 m η = 17.5	η < 0.1	η = 0.1	x: 0.078 m η = 9.3	η = 0.1	CUMPLE η = 17.5
N2699/N2700	$\lambda_w \leq \lambda_{w,máx}$ Cumple	x: 1.713 m η = 17.8	x: 0.078 m η = 16.7	x: 0.078 m η = 7.8	x: 0.078 m η = 1.2	x: 0.078 m η = 8.8	η < 0.1	η < 0.1	η < 0.1	x: 0.078 m η = 25.8	η < 0.1	η = 0.1	x: 0.078 m η = 8.8	η < 0.1	CUMPLE η = 25.8
N2700/N3462	$\lambda_w \leq \lambda_{w,máx}$ Cumple	x: 0.89 m η = 24.6	x: 0.065 m η = 24.0	x: 0.065 m η = 7.2	x: 0.065 m η = 0.8	x: 0.065 m η = 8.8	η < 0.1	η < 0.1	η < 0.1	x: 0.065 m η = 32.1	η < 0.1	η < 0.1	x: 0.065 m η = 1.5	η < 0.1	CUMPLE η = 32.1
N3462/N2701	$\lambda_w \leq \lambda_{w,máx}$ Cumple	x: 0.824 m η = 24.6	x: 0 m η = 24.0	x: 0 m η = 5.4	x: 0 m η = 0.7	x: 0.825 m η = 7.0	η < 0.1	η < 0.1	η < 0.1	x: 0 m η = 30.5	η < 0.1	η < 0.1	x: 0.825 m η = 1.0	η < 0.1	CUMPLE η = 30.5
N2701/N2702	$\lambda_w \leq \lambda_{w,máx}$ Cumple	x: 1.713 m η = 28.6	x: 0.065 m η = 32.8	x: 0.89 m η = 6.1	x: 0.065 m η = 0.5	x: 0.065 m η = 8.1	η < 0.1	η < 0.1	η < 0.1	x: 0.89 m η = 35.5	η < 0.1	η = 0.1	x: 0.065 m η = 6.1	η < 0.1	CUMPLE η = 35.5
N2702/N2703	$\lambda_w \leq \lambda_{w,máx}$ Cumple	x: 1.727 m η = 29.7	x: 0.065 m η = 34.6	x: 0.897 m η = 6.5	x: 1.727 m η = 0.3	x: 0.065 m η = 8.3	η < 0.1	η < 0.1	η < 0.1	x: 0.897 m η = 37.5	η < 0.1	η < 0.1	x: 0.065 m η = 1.4	η < 0.1	CUMPLE η = 37.5
N2703/N2704	$\lambda_w \leq \lambda_{w,máx}$ Cumple	x: 1.708 m η = 29.9	x: 0.051 m η = 34.7	x: 0.88 m η = 6.6	x: 1.708 m η = 0.4	x: 1.709 m η = 8.3	η < 0.1	η < 0.1	η < 0.1	x: 0.88 m η = 37.7	η < 0.1	x: 0.051 m η < 0.1	x: 1.709 m η = 1.3	η < 0.1	CUMPLE η = 37.7
N2704/N2705	$\lambda_w \leq \lambda_{w,máx}$ Cumple	x: 1.708 m η = 28.4	x: 0.07 m η = 33.0	x: 0.89 m η = 6.2	x: 1.709 m η = 0.8	x: 1.709 m η = 8.3	η < 0.1	η < 0.1	η < 0.1	x: 0.89 m η = 35.8	η < 0.1	x: 0.07 m η < 0.1	x: 1.709 m η = 1.3	η < 0.1	CUMPLE η = 35.8
N2705/N3465	$\lambda_w \leq \lambda_{w,máx}$ Cumple	x: 0.89 m η = 23.8	x: 0.07 m η = 24.3	x: 0.685 m η = 5.4	x: 0.89 m η = 1.0	x: 0.07 m η = 6.7	η < 0.1	η < 0.1	η < 0.1	x: 0.685 m η = 29.9	η < 0.1	η = 0.1	x: 0.07 m η = 6.7	η < 0.1	CUMPLE η = 29.9
N3465/N2706	$\lambda_w \leq \lambda_{w,máx}$ Cumple	x: 0.819 m η = 23.8	x: 0 m η = 24.2	x: 0.82 m η = 8.0	x: 0.82 m η = 1.3	x: 0.82 m η = 9.1	η < 0.1	η < 0.1	η < 0.1	x: 0.82 m η = 32.6	η < 0.1	η = 0.1	x: 0.82 m η = 9.1	η < 0.1	CUMPLE η = 32.6
N2706/N2707	$\lambda_w \leq \lambda_{w,máx}$ Cumple	x: 1.694 m η = 16.5	x: 0.07 m η = 17.1	x: 1.695 m η = 8.5	x: 1.695 m η = 1.5	x: 1.695 m η = 9.0	η < 0.1	η < 0.1	η < 0.1	x: 1.695 m η = 25.7	η < 0.1	η = 0.1	x: 1.695 m η = 9.0	η < 0.1	CUMPLE η = 25.7
N2707/N2708	$\lambda_w \leq \lambda_{w,máx}$ Cumple	x: 1.694 m η = 6.2	x: 0.084 m η = 6.9	x: 1.695 m η = 10.9	x: 0.084 m η = 1.8	x: 1.695 m η = 9.7	η = 0.1	η < 0.1	η < 0.1	x: 1.695 m η = 17.6	η < 0.1	x: 1.694 m η < 0.1	x: 1.695 m η = 1.7	x: 1.694 m η = 0.1	CUMPLE η = 17.6
N2708/N2709	$\lambda_w \leq \lambda_{w,máx}$ Cumple	x: 1.694 m η = 6.2	x: 0.084 m η = 6.6	x: 1.695 m η = 11.5	x: 1.695 m η = 3.1	x: 1.695 m η = 9.5	η = 0.1	η < 0.1	η < 0.1	x: 1.695 m η = 18.9	η < 0.1	x: 0.285 m η = 0.1	x: 1.695 m η = 1.5	x: 0.285 m η = 0.1	CUMPLE η = 18.9

Documento visado electrónicamente con número: VA07290/22
Código de validación telemática TRLTDCFZ60T66IJ1. Comprobación: https://cogitivalencia.e-gestion.es/Validacion.aspx?CVT=TRLTDCFZ60T66IJ1

VISADO
COGITI
VALENCIA
VA07290/22
TRLTDCFZ60T66IJ1

Barras	COMPROBACIONES (CÓDIGO ESTRUCTURAL)														Estado
	λ_w	N_t	N_c	M_Y	M_Z	V_Z	V_Y	M_YV_Z	M_ZV_Y	NM_YM_Z	$NM_YM_ZV_YV_Z$	M_t	M_tV_Z	M_tV_Y	
N2709/N2710	$\lambda_w \leq \lambda_{w,máx}$ Cumple	x: 1.694 m η = 22.5	x: 0.084 m η = 28.4	x: 1.695 m η = 31.9	x: 0.084 m η = 4.3	x: 1.695 m η = 18.4	η = 0.2	η < 0.1	η < 0.1	x: 1.695 m η = 58.1	η < 0.1	η = 0.1	x: 1.695 m η = 18.4	η = 0.2	**CUMPLE η = 58.1**
N2710/N2711	$\lambda_w \leq \lambda_{w,máx}$ Cumple	x: 1.637 m η = 38.5	x: 0.084 m η = 46.2	x: 0.084 m η = 31.5	x: 0.084 m η = 2.6	x: 0.084 m η = 22.1	η = 0.1	η < 0.1	η < 0.1	x: 0.084 m η = 74.9	η < 0.1	η = 0.2	x: 0.084 m η = 22.1	η = 0.1	**CUMPLE η = 74.9**
N2694/N2712	$\lambda_w \leq \lambda_{w,máx}$ Cumple	x: 1.7 m η = 39.7	x: 0.141 m η = 47.8	x: 0.141 m η = 45.6	x: 1.701 m η = 1.0	x: 0.141 m η = 21.4	η = 0.1	η < 0.1	η < 0.1	x: 0.141 m η = 90.2	η < 0.1	η = 0.1	x: 0.141 m η = 21.4	η < 0.1	**CUMPLE η = 90.2**
N2712/N2713	$\lambda_w \leq \lambda_{w,máx}$ Cumple	x: 1.7 m η = 17.0	x: 0.078 m η = 19.4	x: 0.078 m η = 14.0	x: 1.701 m η = 1.9	x: 0.078 m η = 14.6	η = 0.1	η < 0.1	η < 0.1	x: 0.078 m η = 33.8	η < 0.1	η = 0.1	x: 0.078 m η = 14.6	η = 0.1	**CUMPLE η = 33.8**
N2713/N2714	$\lambda_w \leq \lambda_{w,máx}$ Cumple	x: 1.7 m η = 3.0	x: 0.078 m η = 5.5	x: 0.078 m η = 14.0	x: 1.701 m η = 2.1	x: 0.078 m η = 10.3	x: 0.89 m η = 0.1	η < 0.1	η < 0.1	x: 0.078 m η = 18.0	η < 0.1	η = 0.1	x: 0.078 m η = 10.3	x: 0.89 m η = 0.1	**CUMPLE η = 18.0**
N2714/N2715	$\lambda_w \leq \lambda_{w,máx}$ Cumple	x: 1.7 m η = 18.8	x: 0.078 m η = 24.1	x: 0.078 m η = 10.4	x: 1.701 m η = 5.4	x: 0.078 m η = 9.8	η = 0.1	η < 0.1	η < 0.1	x: 0.078 m η = 31.6	η < 0.1	x: 1.7 m η = 0.2	x: 0.078 m η = 9.8	η = 0.1	**CUMPLE η = 31.6**
N2715/N2716	$\lambda_w \leq \lambda_{w,máx}$ Cumple	x: 1.713 m η = 32.3	x: 0.078 m η = 39.6	x: 0.078 m η = 8.3	x: 0.078 m η = 6.7	x: 0.078 m η = 9.2	x: 1.305 m η = 0.4	η < 0.1	η < 0.1	x: 0.078 m η = 43.2	η < 0.1	x: 1.305 m η = 0.5	x: 0.078 m η = 9.2	x: 1.305 m η = 0.4	**CUMPLE η = 43.2**
N2716/N3480	$\lambda_w \leq \lambda_{w,máx}$ Cumple	x: 0.89 m η = 42.8	x: 0.065 m η = 44.9	x: 0.065 m η = 7.8	x: 0.89 m η = 5.8	x: 0.065 m η = 9.3	x: 0.065 m η = 0.4	η < 0.1	η < 0.1	x: 0.065 m η = 51.9	η < 0.1	x: 0.065 m η = 0.3	x: 0.065 m η = 9.3	x: 0.065 m η = 0.4	**CUMPLE η = 51.9**
N3480/N2717	$\lambda_w \leq \lambda_{w,máx}$ Cumple	x: 0.824 m η = 42.8	x: 0 m η = 44.9	x: 0.206 m η = 6.3	x: 0.825 m η = 11.3	x: 0.825 m η = 6.5	x: 0.824 m η = 0.4	η < 0.1	η < 0.1	x: 0.206 m η = 51.1	η < 0.1	x: 0.824 m η = 0.3	x: 0.825 m η = 6.5	x: 0.824 m η = 0.4	**CUMPLE η = 51.1**
N2717/N2718	$\lambda_w \leq \lambda_{w,máx}$ Cumple	x: 1.713 m η = 50.5	x: 0.065 m η = 60.7	x: 0.89 m η = 7.5	x: 0.065 m η = 10.7	x: 0.065 m η = 8.7	x: 1.096 m η = 0.4	η < 0.1	η < 0.1	x: 0.89 m η = 62.4	η < 0.1	x: 1.096 m η = 0.5	x: 0.065 m η = 8.7	x: 1.096 m η = 0.4	**CUMPLE η = 62.4**
N2718/N2719	$\lambda_w \leq \lambda_{w,máx}$ Cumple	x: 1.727 m η = 55.2	x: 0.065 m η = 66.2	x: 0.897 m η = 8.1	x: 1.728 m η = 8.5	x: 0.065 m η = 8.4	x: 0.481 m η = 0.4	η < 0.1	η < 0.1	x: 0.897 m η = 68.2	η < 0.1	x: 0.481 m η = 0.3	x: 0.065 m η = 1.4	x: 0.481 m η = 0.4	**CUMPLE η = 68.2**
N2719/N2720	$\lambda_w \leq \lambda_{w,máx}$ Cumple	x: 1.708 m η = 55.5	x: 0.051 m η = 66.4	x: 0.88 m η = 8.0	x: 0.051 m η = 8.3	x: 1.709 m η = 8.1	η = 0.3	η < 0.1	η < 0.1	x: 0.88 m η = 68.2	η < 0.1	η = 0.1	x: 1.709 m η = 1.3	η = 0.3	**CUMPLE η = 68.2**
N2720/N2721	$\lambda_w \leq \lambda_{w,máx}$ Cumple	x: 1.708 m η = 57.7	x: 0.07 m η = 68.6	x: 0.89 m η = 7.8	x: 1.709 m η = 3.6	x: 0.07 m η = 7.9	x: 0.89 m η = 0.2	η < 0.1	η < 0.1	x: 0.89 m η = 70.0	η < 0.1	x: 0.275 m η = 0.4	x: 0.07 m η = 5.9	x: 0.89 m η = 0.2	**CUMPLE η = 70.0**
N2721/N3483	$\lambda_w \leq \lambda_{w,máx}$ Cumple	x: 0.89 m η = 56.9	x: 0.07 m η = 61.2	x: 0.89 m η = 7.7	x: 0.89 m η = 6.2	x: 0.07 m η = 7.1	η = 0.2	η < 0.1	η < 0.1	x: 0.89 m η = 65.8	η < 0.1	η = 0.2	x: 0.07 m η = 7.1	η = 0.2	**CUMPLE η = 65.8**
N3483/N2722	$\lambda_w \leq \lambda_{w,máx}$ Cumple	x: 0.819 m η = 56.9	x: 0 m η = 61.2	x: 0 m η = 7.7	x: 0.82 m η = 9.0	x: 0.82 m η = 8.6	η = 0.2	η < 0.1	η < 0.1	x: 0 m η = 65.8	η < 0.1	η = 0.2	x: 0.82 m η = 8.6	η = 0.2	**CUMPLE η = 65.8**
N2722/N2723	$\lambda_w \leq \lambda_{w,máx}$ Cumple	x: 1.694 m η = 53.6	x: 0.07 m η = 63.1	x: 0.883 m η = 7.1	x: 0.07 m η = 10.4	x: 1.695 m η = 8.7	x: 0.883 m η = 0.7	η < 0.1	η < 0.1	x: 0.883 m η = 64.3	η < 0.1	x: 0.883 m η = 0.5	x: 1.695 m η = 8.7	x: 0.883 m η = 0.8	**CUMPLE η = 64.3**
N2723/N2724	$\lambda_w \leq \lambda_{w,máx}$ Cumple	x: 1.694 m η = 47.4	x: 0.084 m η = 55.7	x: 1.695 m η = 7.0	x: 0.084 m η = 6.3	x: 1.695 m η = 9.2	x: 1.694 m η = 0.2	η < 0.1	η < 0.1	x: 0.688 m η = 57.5	η < 0.1	x: 1.694 m η = 0.3	x: 1.695 m η = 1.6	x: 1.694 m η = 0.2	**CUMPLE η = 57.5**
N2724/N2725	$\lambda_w \leq \lambda_{w,máx}$ Cumple	x: 1.694 m η = 38.8	x: 0.084 m η = 44.9	x: 1.695 m η = 9.0	x: 1.695 m η = 3.2	x: 1.695 m η = 9.5	x: 0.487 m η = 0.1	η < 0.1	η < 0.1	x: 1.695 m η = 49.1	η < 0.1	x: 0.688 m η = 0.1	x: 1.695 m η = 1.5	x: 0.487 m η = 0.1	**CUMPLE η = 49.1**
N2725/N2726	$\lambda_w \leq \lambda_{w,máx}$ Cumple	x: 1.694 m η = 26.2	x: 0.084 m η = 31.0	x: 1.695 m η = 16.0	x: 0.084 m η = 4.7	x: 1.695 m η = 15.5	η = 0.2	η < 0.1	η < 0.1	x: 1.695 m η = 42.3	η < 0.1	η = 0.2	x: 1.695 m η = 15.5	η = 0.2	**CUMPLE η = 42.3**
N2726/N2727	$\lambda_w \leq \lambda_{w,máx}$ Cumple	x: 1.637 m η = 11.9	x: 0.084 m η = 12.4	x: 1.638 m η = 15.9	x: 0.084 m η = 2.8	x: 1.638 m η = 14.9	η = 0.2	η < 0.1	η < 0.1	x: 1.638 m η = 28.4	η < 0.1	η = 0.3	x: 1.638 m η = 15.0	η = 0.2	**CUMPLE η = 28.4**
N2728/N2662	$\lambda_w \leq \lambda_{w,máx}$ Cumple	x: 1.911 m η = 37.8	x: 0.088 m η = 44.7	x: 0.088 m η = 1.0	x: 0.088 m η = 6.9	η < 0.1	η = 1.0	η < 0.1	η < 0.1	x: 0.088 m η = 52.0	η < 0.1	η = 1.2	η < 0.1	η = 1.0	**CUMPLE η = 52.0**
N2729/N2663	$\lambda_w \leq \lambda_{w,máx}$ Cumple	x: 1.911 m η = 25.7	x: 0.088 m η = 31.4	x: 0.088 m η = 0.6	x: 0.088 m η = 14.4	η < 0.1	η = 2.2	η < 0.1	η < 0.1	x: 0.088 m η = 46.1	η < 0.1	η = 1.0	η < 0.1	η = 2.2	**CUMPLE η = 46.1**
N2730/N2664	$\lambda_w \leq \lambda_{w,máx}$ Cumple	x: 1.911 m η = 24.9	x: 0.088 m η = 30.4	x: 0.088 m η = 0.9	x: 0.088 m η = 11.3	η < 0.1	η = 1.8	η < 0.1	η < 0.1	x: 0.088 m η = 42.1	η < 0.1	η = 1.1	η < 0.1	η = 1.8	**CUMPLE η = 42.1**
N2731/N2665	$\lambda_w \leq \lambda_{w,máx}$ Cumple	x: 1.911 m η = 18.6	x: 0.088 m η = 22.5	x: 0.088 m η = 1.5	x: 0.088 m η = 9.6	η = 0.1	η = 1.5	η < 0.1	η < 0.1	x: 0.088 m η = 32.8	η < 0.1	η = 1.1	η = 0.1	η = 1.5	**CUMPLE η = 32.8**
N2732/N2666	$\lambda_w \leq \lambda_{w,máx}$ Cumple	x: 1.922 m η = 12.2	x: 0.088 m η = 12.3	x: 0.088 m η = 1.5	x: 0.088 m η = 6.3	η < 0.1	η = 0.9	η < 0.1	η < 0.1	x: 0.088 m η = 19.0	η < 0.1	η = 1.8	η < 0.1	η = 1.0	**CUMPLE η = 19.0**
N2733/N2667	$\lambda_w \leq \lambda_{w,máx}$ Cumple	x: 1.922 m η = 6.9	x: 0.086 m η = 6.7	x: 0.086 m η = 0.4	x: 0.086 m η = 2.6	x: 1.922 m η < 0.1	η = 0.3	η < 0.1	η < 0.1	x: 0.086 m η = 9.3	η < 0.1	η = 0.3	x: 1.922 m η < 0.1	η = 0.3	**CUMPLE η = 9.3**
N2734/N2668	$\lambda_w \leq \lambda_{w,máx}$ Cumple	x: 1.922 m η = 1.6	x: 0.086 m η = 1.6	x: 0.086 m η = 1.3	x: 1.923 m η = 0.8	η < 0.1	η = 0.1	η < 0.1	η < 0.1	x: 1.923 m η = 2.7	η < 0.1	η = 1.6	η < 0.1	η = 0.1	**CUMPLE η = 2.7**
N2735/N2669	$\lambda_w \leq \lambda_{w,máx}$ Cumple	x: 1.922 m η = 7.7	x: 0.086 m η = 7.6	x: 1.923 m η = 1.0	x: 0.086 m η = 5.9	η = 0.1	η = 0.8	η < 0.1	η < 0.1	x: 0.086 m η = 14.0	η < 0.1	η = 1.1	η = 0.1	η = 0.8	**CUMPLE η = 14.0**
N2736/N2670	$\lambda_w \leq \lambda_{w,máx}$ Cumple	x: 1.921 m η = 25.4	x: 0.086 m η = 31.5	x: 0.086 m η = 1.2	x: 0.086 m η = 12.6	η < 0.1	η = 1.6	η < 0.1	η < 0.1	x: 0.086 m η = 44.7	η < 0.1	η = 1.8	η < 0.1	η = 1.6	**CUMPLE η = 44.7**
N2737/N2671	$\lambda_w \leq \lambda_{w,máx}$ Cumple	x: 1.921 m η = 33.7	x: 0.086 m η = 41.5	x: 0.086 m η = 0.2	x: 0.086 m η = 16.9	η < 0.1	η = 2.2	η < 0.1	η < 0.1	x: 0.086 m η = 59.2	η < 0.1	η = 0.5	η < 0.1	η = 2.2	**CUMPLE η = 59.2**
N2738/N2672	$\lambda_w \leq \lambda_{w,máx}$ Cumple	x: 1.921 m η = 34.1	x: 0.094 m η = 39.7	x: 0.094 m η = 1.2	x: 0.094 m η = 20.8	η < 0.1	η = 3.4	η < 0.1	η < 0.1	x: 0.094 m η = 61.0	η < 0.1	η = 1.9	η < 0.1	η = 3.4	**CUMPLE η = 61.0**
N2739/N2673	$\lambda_w \leq \lambda_{w,máx}$ Cumple	x: 1.905 m η = 40.4	x: 0.094 m η = 47.6	x: 0.094 m η = 1.0	x: 0.094 m η = 24.3	η < 0.1	η = 3.9	η < 0.1	η < 0.1	x: 0.094 m η = 72.6	η < 0.1	η = 1.3	η < 0.1	η = 3.9	**CUMPLE η = 72.6**
N2740/N2674	$\lambda_w \leq \lambda_{w,máx}$ Cumple	x: 1.905 m η = 46.6	x: 0.094 m η = 55.3	x: 0.094 m η = 1.0	x: 1.906 m η = 24.8	η = 0.1	η = 4.0	η < 0.1	η < 0.1	x: 0.094 m η = 80.5	η < 0.1	η = 1.2	η = 0.1	η = 4.0	**CUMPLE η = 80.5**
N2741/N2675	$\lambda_w \leq \lambda_{w,máx}$ Cumple	x: 1.905 m η = 43.2	x: 0.094 m η = 51.7	x: 0.094 m η = 1.0	x: 0.094 m η = 30.6	η < 0.1	η = 4.7	η < 0.1	η < 0.1	x: 0.094 m η = 82.9	η < 0.1	η = 0.9	η < 0.1	η = 4.8	**CUMPLE η = 82.9**
N2742/N2676	$\lambda_w \leq \lambda_{w,máx}$ Cumple	x: 1.905 m η = 54.3	x: 0.131 m η = 63.3	x: 0.131 m η = 2.5	x: 0.131 m η = 1.7	η = 0.1	η = 0.1	η < 0.1	η < 0.1	x: 0.131 m η = 65.9	η < 0.1	η = 2.8	η = 0.1	η = 0.1	**CUMPLE η = 65.9**
N2679/N2696	$\lambda_w \leq \lambda_{w,máx}$ Cumple	x: 1.911 m η = 40.0	x: 0.088 m η = 48.4	x: 0.088 m η = 1.5	x: 1.912 m η = 19.6	η = 0.1	η = 2.9	η < 0.1	η < 0.1	x: 1.912 m η = 68.5	η < 0.1	η = 0.6	η = 0.1	η = 2.9	**CUMPLE η = 68.5**
N2680/N2697	$\lambda_w \leq \lambda_{w,máx}$ Cumple	x: 1.911 m η = 35.0	x: 0.088 m η = 43.0	x: 0.088 m η = 0.6	x: 0.088 m η = 16.5	η < 0.1	η = 2.5	η < 0.1	η < 0.1	x: 0.088 m η = 59.8	η < 0.1	η = 0.7	η < 0.1	η = 2.6	**CUMPLE η = 59.8**
N2681/N2698	$\lambda_w \leq \lambda_{w,máx}$ Cumple	x: 1.911 m η = 34.8	x: 0.088 m η = 43.0	x: 0.088 m η = 0.5	x: 0.088 m η = 16.1	η < 0.1	η = 2.6	η < 0.1	η < 0.1	x: 0.088 m η = 59.4	η < 0.1	η = 0.7	η < 0.1	η = 2.6	**CUMPLE η = 59.4**
N2682/N2699	$\lambda_w \leq \lambda_{w,máx}$ Cumple	x: 1.911 m η = 28.7	x: 0.088 m η = 35.3	x: 0.088 m η = 0.7	x: 0.088 m η = 14.4	η < 0.1	η = 2.3	η < 0.1	η < 0.1	x: 0.088 m η = 50.2	η < 0.1	η = 0.6	η < 0.1	η = 2.3	**CUMPLE η = 50.2**
N2683/N2700	$\lambda_w \leq \lambda_{w,máx}$ Cumple	x: 1.922 m η = 22.3	x: 0.088 m η = 27.1	x: 0.088 m η = 0.5	x: 0.088 m η = 11.4	η < 0.1	η = 1.8	η < 0.1	η < 0.1	x: 0.088 m η = 38.9	η < 0.1	η = 0.7	η < 0.1	η = 1.8	**CUMPLE η = 38.9**
N2684/N2701	$\lambda_w \leq \lambda_{w,máx}$ Cumple	x: 1.922 m η = 19.1	x: 0.086 m η = 25.0	x: 1.922 m η = 0.1	x: 0.086 m η = 8.1	η < 0.1	η = 1.0	η < 0.1	η < 0.1	x: 0.086 m η = 33.3	η < 0.1	η = 0.2	η < 0.1	η = 1.0	**CUMPLE η = 33.3**
N2685/N2702	$\lambda_w \leq \lambda_{w,máx}$ Cumple	x: 1.922 m η = 10.9	x: 0.086 m η = 11.8	x: 0.086 m η = 0.4	x: 0.086 m η = 5.0	η < 0.1	η = 0.6	η < 0.1	η < 0.1	x: 0.086 m η = 17.1	η < 0.1	η = 0.5	η < 0.1	η = 0.6	**CUMPLE η = 17.1**
N2686/N2703	$\lambda_w \leq \lambda_{w,máx}$ Cumple	x: 1.922 m η = 8.0	x: 0.086 m η = 7.9	x: 1.923 m η = 0.6	x: 1.923 m η = 0.9	η = 0.1	η = 0.1	η < 0.1	η < 0.1	x: 1.923 m η = 9.1	η < 0.1	η = 0.2	η = 0.1	η = 0.1	**CUMPLE η = 9.1**

Documento visado electrónicamente con número VA07290/22
Código de validación telemática TRLTDCFZ60T66IJ1. Comprobación: https://cogitivalencia.e-gestion.es/Validacion.aspx?CVT=TRLTDCFZ60T66IJ1

Listados

VISADO
COGITI
Estado
VALENCIA
VA07290/22
TRLTDCFZ60T66IJ1

Barras	COMPROBACIONES (CÓDIGO ESTRUCTURAL)															
	λ_w	N_t	N_c	M_Y	M_Z	V_Z	V_Y	M_YV_Z	M_ZV_Y	NM_YM_Z	$NM_YM_ZV_YV_Z$	M_t	M_tV_Z	M_tV_Y	
N2687/N2704	$\lambda_w \leq \lambda_{w,máx}$ Cumple	x: 1.921 m η = 13.6	x: 0.086 m η = 15.5	x: 1.921 m η = 0.2	x: 0.086 m η = 6.1	η < 0.1	η = 0.8	η < 0.1	η < 0.1	x: 0.086 m η = 21.4	η < 0.1	η = 0.3	η < 0.1	η = 0.8	CUMPLE η = 21.4
N2688/N2705	$\lambda_w \leq \lambda_{w,máx}$ Cumple	x: 1.921 m η = 21.7	x: 0.086 m η = 25.4	x: 0.086 m η = 0.1	x: 0.086 m η = 10.2	η < 0.1	η = 1.3	η < 0.1	η < 0.1	x: 0.086 m η = 35.4	η < 0.1	η = 0.2	η < 0.1	η = 1.3	CUMPLE η = 35.4
N2689/N2706	$\lambda_w \leq \lambda_{w,máx}$ Cumple	x: 1.921 m η = 24.3	x: 0.094 m η = 27.4	x: 0.094 m η = 0.3	x: 0.094 m η = 14.3	η < 0.1	η = 2.3	η < 0.1	η < 0.1	x: 0.094 m η = 41.5	η < 0.1	η = 0.6	η < 0.1	η = 2.3	CUMPLE η = 41.5
N2690/N2707	$\lambda_w \leq \lambda_{w,máx}$ Cumple	x: 1.905 m η = 30.7	x: 0.094 m η = 35.4	x: 0.094 m η = 0.4	x: 0.094 m η = 17.9	η < 0.1	η = 2.9	η < 0.1	η < 0.1	x: 0.094 m η = 53.6	η < 0.1	η = 0.3	η < 0.1	η = 2.9	CUMPLE η = 53.6
N2691/N2708	$\lambda_w \leq \lambda_{w,máx}$ Cumple	x: 1.905 m η = 36.9	x: 0.094 m η = 43.2	x: 0.094 m η = 0.4	x: 1.906 m η = 19.0	η < 0.1	η = 3.1	η < 0.1	η < 0.1	x: 0.094 m η = 62.4	η < 0.1	x: 1.905 m η = 0.4	η < 0.1	η = 3.1	CUMPLE η = 62.4
N2692/N2709	$\lambda_w \leq \lambda_{w,máx}$ Cumple	x: 1.905 m η = 35.4	x: 0.094 m η = 41.8	x: 0.094 m η = 0.5	x: 0.094 m η = 25.3	η < 0.1	η = 3.9	η < 0.1	η < 0.1	x: 0.094 m η = 67.5	η < 0.1	η = 0.7	η < 0.1	η = 3.9	CUMPLE η = 67.5
N2693/N2710	$\lambda_w \leq \lambda_{w,máx}$ Cumple	x: 1.905 m η = 46.2	x: 0.131 m η = 53.3	x: 0.131 m η = 1.2	x: 0.131 m η = 4.8	η < 0.1	η = 0.6	η < 0.1	η < 0.1	x: 0.131 m η = 58.7	η < 0.1	η = 1.4	η < 0.1	η = 0.6	CUMPLE η = 58.7
N2743/N2712	$\lambda_w \leq \lambda_{w,máx}$ Cumple	x: 1.911 m η = 47.8	x: 0.088 m η = 56.4	x: 0.088 m η = 1.5	x: 1.912 m η = 22.6	η = 0.1	η = 3.4	η < 0.1	η < 0.1	x: 1.912 m η = 79.6	η < 0.1	η = 1.1	η = 0.1	η = 3.4	CUMPLE η = 79.6
N2744/N2713	$\lambda_w \leq \lambda_{w,máx}$ Cumple	x: 1.911 m η = 42.3	x: 0.088 m η = 50.8	x: 0.088 m η = 0.8	x: 0.088 m η = 19.6	η < 0.1	η = 3.0	η < 0.1	η < 0.1	x: 0.088 m η = 71.0	η < 0.1	η = 0.9	η < 0.1	η = 3.1	CUMPLE η = 71.0
N2745/N2714	$\lambda_w \leq \lambda_{w,máx}$ Cumple	x: 1.911 m η = 43.8	x: 0.088 m η = 52.6	x: 0.088 m η = 0.6	x: 0.088 m η = 19.8	η < 0.1	η = 3.2	η < 0.1	η < 0.1	x: 0.088 m η = 73.0	η < 0.1	η = 0.7	η < 0.1	η = 3.2	CUMPLE η = 73.0
N2746/N2715	$\lambda_w \leq \lambda_{w,máx}$ Cumple	x: 1.911 m η = 37.8	x: 0.088 m η = 44.9	x: 0.088 m η = 1.1	x: 0.088 m η = 18.6	η = 0.1	η = 2.9	η < 0.1	η < 0.1	x: 0.088 m η = 64.4	η < 0.1	x: 0.088 m η = 2.0	η = 0.1	η = 3.0	CUMPLE η = 64.4
N2747/N2716	$\lambda_w \leq \lambda_{w,máx}$ Cumple	x: 1.922 m η = 31.5	x: 0.088 m η = 36.9	x: 0.088 m η = 2.9	x: 0.088 m η = 16.0	η = 0.1	η = 2.5	η < 0.1	η < 0.1	x: 0.088 m η = 53.6	η < 0.1	x: 1.922 m η = 3.3	η = 0.1	η = 2.6	CUMPLE η = 53.6
N2748/N2717	$\lambda_w \leq \lambda_{w,máx}$ Cumple	x: 1.922 m η = 30.3	x: 0.086 m η = 37.7	x: 0.086 m η = 0.6	x: 0.086 m η = 12.8	η < 0.1	η = 1.7	η < 0.1	η < 0.1	x: 0.086 m η = 51.1	η < 0.1	η = 0.4	η < 0.1	η = 1.7	CUMPLE η = 51.1
N2749/N2718	$\lambda_w \leq \lambda_{w,máx}$ Cumple	x: 1.922 m η = 22.1	x: 0.086 m η = 27.7	x: 0.086 m η = 2.4	x: 0.086 m η = 9.4	η < 0.1	η = 1.2	η < 0.1	η < 0.1	x: 0.086 m η = 37.6	η < 0.1	x: 1.922 m η = 2.9	η < 0.1	η = 1.2	CUMPLE η = 37.6
N2750/N2719	$\lambda_w \leq \lambda_{w,máx}$ Cumple	x: 1.922 m η = 7.9	x: 0.086 m η = 7.9	x: 0.086 m η = 1.1	x: 0.086 m η = 4.3	η = 0.1	η = 0.5	η < 0.1	η < 0.1	x: 0.086 m η = 12.6	η < 0.1	x: 1.739 m η = 1.0	η = 0.1	η = 0.5	CUMPLE η = 12.6
N2751/N2720	$\lambda_w \leq \lambda_{w,máx}$ Cumple	x: 1.921 m η = 3.2	x: 0.086 m η = 3.0	x: 1.921 m η = 1.2	x: 1.922 m η = 1.6	η < 0.1	η = 0.2	η < 0.1	η < 0.1	x: 1.922 m η = 4.6	η < 0.1	x: 1.921 m η = 1.8	η < 0.1	η = 0.2	CUMPLE η = 4.6
N2752/N2721	$\lambda_w \leq \lambda_{w,máx}$ Cumple	x: 1.921 m η = 11.2	x: 0.086 m η = 10.7	x: 0.086 m η = 1.1	x: 0.086 m η = 5.1	x: 1.921 m η < 0.1	η = 0.7	η < 0.1	η < 0.1	x: 0.086 m η = 16.0	η < 0.1	x: 1.921 m η = 1.5	x: 1.921 m η < 0.1	η = 0.7	CUMPLE η = 16.0
N2753/N2722	$\lambda_w \leq \lambda_{w,máx}$ Cumple	x: 1.921 m η = 15.7	x: 0.094 m η = 15.5	x: 0.094 m η = 2.2	x: 0.094 m η = 9.4	η = 0.1	η = 1.5	η < 0.1	η < 0.1	x: 0.094 m η = 25.3	η < 0.1	η = 2.1	η = 0.1	η = 1.5	CUMPLE η = 25.3
N2754/N2723	$\lambda_w \leq \lambda_{w,máx}$ Cumple	x: 1.905 m η = 22.0	x: 0.094 m η = 26.3	x: 0.094 m η = 1.1	x: 0.094 m η = 13.4	η = 0.1	η = 2.2	η < 0.1	η < 0.1	x: 0.094 m η = 40.2	η < 0.1	x: 1.905 m η = 2.6	η = 0.1	η = 2.2	CUMPLE η = 40.2
N2755/N2724	$\lambda_w \leq \lambda_{w,máx}$ Cumple	x: 1.905 m η = 28.2	x: 0.094 m η = 34.1	x: 0.094 m η = 0.4	x: 0.094 m η = 16.0	η < 0.1	η = 2.6	η < 0.1	η < 0.1	x: 0.094 m η = 50.3	η < 0.1	η = 0.3	η < 0.1	η = 2.6	CUMPLE η = 50.3
N2756/N2725	$\lambda_w \leq \lambda_{w,máx}$ Cumple	x: 1.905 m η = 28.7	x: 0.094 m η = 34.7	x: 0.094 m η = 0.7	x: 0.094 m η = 16.9	η < 0.1	η = 2.7	η < 0.1	η < 0.1	x: 0.094 m η = 52.0	η < 0.1	η = 1.0	η < 0.1	η = 2.7	CUMPLE η = 52.0
N2757/N2726	$\lambda_w \leq \lambda_{w,máx}$ Cumple	x: 1.905 m η = 38.0	x: 0.094 m η = 45.0	x: 0.094 m η = 1.3	x: 0.094 m η = 21.3	η < 0.1	η = 3.2	η < 0.1	η < 0.1	x: 0.094 m η = 67.1	η < 0.1	η = 1.9	η < 0.1	η = 3.2	CUMPLE η = 67.1
N2728/N2661	$\lambda_w \leq \lambda_{w,máx}$ Cumple	x: 2.482 m η = 28.2	x: 0.111 m η = 34.3	x: 2.483 m η = 29.7	x: 2.483 m η = 2.0	x: 0.111 m η = 2.8	η = 0.1	η < 0.1	η < 0.1	x: 2.483 m η = 64.3	η < 0.1	η = 0.6	x: 0.111 m η = 2.8	η = 0.1	CUMPLE η = 64.3
N2729/N2662	$\lambda_w \leq \lambda_{w,máx}$ Cumple	x: 2.482 m η = 33.5	x: 0.111 m η = 37.5	x: 0.111 m η = 4.0	x: 2.483 m η = 1.7	x: 0.111 m η = 0.5	η < 0.1	η < 0.1	η < 0.1	x: 0.111 m η = 41.5	η < 0.1	η = 0.9	x: 0.111 m η = 0.5	η < 0.1	CUMPLE η = 41.5
N2730/N2663	$\lambda_w \leq \lambda_{w,máx}$ Cumple	x: 2.482 m η = 28.0	x: 0.111 m η = 31.6	x: 2.483 m η = 6.9	x: 2.483 m η = 0.8	x: 0.111 m η = 0.8	η = 0.1	η < 0.1	η < 0.1	x: 2.483 m η = 38.6	η < 0.1	η = 0.7	x: 0.111 m η = 0.8	η = 0.1	CUMPLE η = 38.6
N2731/N2664	$\lambda_w \leq \lambda_{w,máx}$ Cumple	x: 2.482 m η = 25.0	x: 0.111 m η = 27.4	x: 2.483 m η = 6.4	x: 0.111 m η = 1.3	x: 0.111 m η = 0.7	η < 0.1	η < 0.1	η < 0.1	x: 2.483 m η = 34.1	η < 0.1	η = 0.5	x: 0.111 m η = 0.7	η < 0.1	CUMPLE η = 34.1
N2732/N2665	$\lambda_w \leq \lambda_{w,máx}$ Cumple	x: 2.482 m η = 16.2	x: 0.111 m η = 15.5	x: 2.483 m η = 5.2	x: 0.111 m η = 1.8	x: 0.111 m η = 0.5	x: 2.482 m η = 0.1	η < 0.1	η < 0.1	x: 2.483 m η = 22.4	η < 0.1	η = 0.4	x: 0.111 m η = 0.5	x: 2.482 m η = 0.1	CUMPLE η = 22.4
N2733/N2666	$\lambda_w \leq \lambda_{w,máx}$ Cumple	x: 2.482 m η = 9.2	x: 0.111 m η = 8.1	x: 2.483 m η = 3.5	x: 2.483 m η = 2.0	x: 0.111 m η = 0.3	x: 0.111 m η = 0.1	η < 0.1	η < 0.1	x: 2.483 m η = 13.0	η < 0.1	x: 0.111 m η = 0.8	x: 0.111 m η = 0.3	x: 0.111 m η = 0.1	CUMPLE η = 13.0
N2734/N2667	$\lambda_w \leq \lambda_{w,máx}$ Cumple	x: 2.482 m η = 2.1	x: 0.111 m η = 1.4	x: 1.495 m η = 2.0	x: 0.111 m η = 1.3	x: 0.111 m η = 0.1	x: 2.088 m η = 0.1	η < 0.1	η < 0.1	x: 0.111 m η = 4.9	η < 0.1	x: 2.088 m η = 0.6	x: 0.111 m η = 0.1	x: 2.088 m η = 0.1	CUMPLE η = 4.9
N2735/N2668	$\lambda_w \leq \lambda_{w,máx}$ Cumple	x: 2.482 m η = 13.8	x: 0.111 m η = 16.1	x: 0.111 m η = 4.5	x: 0.111 m η = 1.7	x: 2.482 m η = 0.3	η = 0.1	η < 0.1	η < 0.1	x: 0.111 m η = 20.2	η < 0.1	η = 0.6	x: 2.482 m η = 0.3	η = 0.1	CUMPLE η = 20.2
N2735/N2670	$\lambda_w \leq \lambda_{w,máx}$ Cumple	x: 2.662 m η = 23.9	x: 0.119 m η = 31.3	x: 2.663 m η = 5.6	x: 0.119 m η = 1.8	x: 0.119 m η = 0.4	η = 0.1	η < 0.1	η < 0.1	x: 2.663 m η = 37.3	η < 0.1	x: 0.543 m η = 0.7	x: 0.119 m η = 0.4	η = 0.1	CUMPLE η = 37.3
N2736/N2671	$\lambda_w \leq \lambda_{w,máx}$ Cumple	x: 2.662 m η = 35.4	x: 0.119 m η = 47.1	x: 2.663 m η = 8.4	x: 0.119 m η = 1.6	x: 0.119 m η = 0.8	η = 0.1	η < 0.1	η < 0.1	x: 2.663 m η = 56.3	η < 0.1	η = 0.4	x: 0.119 m η = 0.8	η = 0.1	CUMPLE η = 56.3
N2737/N2672	$\lambda_w \leq \lambda_{w,máx}$ Cumple	x: 2.662 m η = 45.9	x: 0.119 m η = 60.7	x: 2.663 m η = 8.4	x: 2.663 m η = 2.0	x: 0.119 m η = 0.8	x: 0.119 m η = 0.1	η < 0.1	η < 0.1	x: 2.663 m η = 70.5	η < 0.1	x: 0.119 m η = 0.7	x: 0.119 m η = 0.8	x: 0.119 m η = 0.1	CUMPLE η = 70.5
N2738/N2673	$\lambda_w \leq \lambda_{w,máx}$ Cumple	x: 2.662 m η = 47.4	x: 0.119 m η = 57.9	x: 2.663 m η = 9.9	x: 0.119 m η = 2.2	x: 0.119 m η = 1.2	η = 0.1	η < 0.1	η < 0.1	x: 2.663 m η = 68.8	η < 0.1	η = 0.9	x: 0.119 m η = 1.2	η = 0.1	CUMPLE η = 68.8
N2739/N2674	$\lambda_w \leq \lambda_{w,máx}$ Cumple	x: 2.662 m η = 56.2	x: 0.119 m η = 66.9	x: 2.663 m η = 10.6	x: 0.119 m η = 1.8	x: 0.119 m η = 1.3	η = 0.1	η < 0.1	η < 0.1	x: 2.663 m η = 78.2	η < 0.1	η = 0.6	x: 0.119 m η = 1.3	η = 0.1	CUMPLE η = 78.2
N2740/N2675	$\lambda_w \leq \lambda_{w,máx}$ Cumple	x: 2.662 m η = 55.0	x: 0.119 m η = 66.2	x: 0.119 m η = 10.9	x: 2.663 m η = 2.2	x: 0.119 m η = 1.4	η = 0.1	η < 0.1	η < 0.1	x: 2.663 m η = 77.1	η < 0.1	η = 1.4	x: 0.119 m η = 1.4	η = 0.1	CUMPLE η = 77.1
N2741/N2676	$\lambda_w \leq \lambda_{w,máx}$ Cumple	x: 2.662 m η = 55.8	x: 0.119 m η = 66.6	x: 0.119 m η = 10.3	x: 2.663 m η = 3.9	x: 0.119 m η = 0.8	η < 0.1	η < 0.1	η < 0.1	x: 0.119 m η = 76.9	η < 0.1	η = 2.0	x: 0.119 m η = 0.8	η < 0.1	CUMPLE η = 76.9
N2742/N2677	$\lambda_w \leq \lambda_{w,máx}$ Cumple	x: 2.549 m η = 52.0	x: 0.119 m η = 62.7	x: 2.55 m η = 12.9	x: 2.55 m η = 3.5	x: 2.549 m η = 1.4	η = 0.1	η < 0.1	η < 0.1	x: 2.55 m η = 75.5	η < 0.1	η = 1.5	x: 2.549 m η = 1.4	η = 0.1	CUMPLE η = 75.5
N2679/N2695	$\lambda_w \leq \lambda_{w,máx}$ Cumple	x: 2.377 m η = 31.0	x: 0.111 m η = 38.0	x: 2.378 m η = 15.8	x: 2.378 m η = 2.6	x: 0.111 m η = 1.4	η = 0.2	η < 0.1	η < 0.1	x: 2.378 m η = 54.0	η < 0.1	η = 1.1	x: 0.111 m η = 1.4	η = 0.3	CUMPLE η = 54.0
N2680/N2696	$\lambda_w \leq \lambda_{w,máx}$ Cumple	x: 2.482 m η = 46.5	x: 0.111 m η = 52.0	x: 0.111 m η = 11.6	x: 0.111 m η = 1.0	x: 0.111 m η = 1.5	η < 0.1	η < 0.1	η < 0.1	x: 2.483 m η = 63.5	η < 0.1	η = 0.6	x: 0.111 m η = 1.5	η < 0.1	CUMPLE η = 63.5
N2681/N2697	$\lambda_w \leq \lambda_{w,máx}$ Cumple	x: 2.482 m η = 39.2	x: 0.111 m η = 44.1	x: 0.111 m η = 8.2	x: 2.482 m η = 0.8	x: 0.111 m η = 1.0	η < 0.1	η < 0.1	η < 0.1	x: 0.111 m η = 51.4	η < 0.1	η = 0.3	x: 0.111 m η = 1.0	η < 0.1	CUMPLE η = 51.4
N2682/N2698	$\lambda_w \leq \lambda_{w,máx}$ Cumple	x: 2.482 m η = 39.1	x: 0.111 m η = 43.1	x: 0.111 m η = 7.8	x: 0.111 m η = 0.9	x: 0.111 m η = 1.1	η < 0.1	η < 0.1	η < 0.1	x: 2.483 m η = 51.2	η < 0.1	η = 0.6	x: 0.111 m η = 1.1	η < 0.1	CUMPLE η = 51.2
N2683/N2699	$\lambda_w \leq \lambda_{w,máx}$ Cumple	x: 2.482 m η = 30.2	x: 0.111 m η = 34.0	x: 2.483 m η = 6.4	x: 0.111 m η = 1.1	x: 0.111 m η = 0.9	η < 0.1	η < 0.1	η < 0.1	x: 2.483 m η = 41.0	η < 0.1	η = 0.6	x: 0.111 m η = 0.9	η < 0.1	CUMPLE η = 41.0

Documento visado electrónicamente con número: VA07290/22
Código de validación telemática TRLTDCFZ60T66IJ1. Comprobación: https://cogitivalencia.e-gestion.es/Validacion.aspx?CVT=TRLTDCFZ60T66IJ1

Listados

Barras	COMPROBACIONES (CÓDIGO ESTRUCTURAL)														Estado
	λ_w	N_t	N_c	M_Y	M_Z	V_Z	V_Y	M_YV_Z	M_ZV_Y	NM_YM_Z	$NM_YM_ZV_YV_Z$	M_t	M_tV_Z	M_tV_Y	
N2684/N2700	$\lambda_w \le \lambda_{w,máx}$ Cumple	x: 2.482 m η = 26.0	x: 0.111 m η = 30.6	x: 2.483 m η = 4.9	x: 2.483 m η = 0.7	x: 0.111 m η = 0.6	η < 0.1	η < 0.1	η < 0.1	x: 2.483 m η = 36.0	η < 0.1	η = 0.2	x: 0.111 m η = 0.6	η < 0.1	CUMPLE η = 36.0
N2685/N2701	$\lambda_w \le \lambda_{w,máx}$ Cumple	x: 2.482 m η = 15.9	x: 0.111 m η = 17.9	x: 2.483 m η = 4.1	x: 0.111 m η = 0.7	x: 0.111 m η = 0.5	η < 0.1	η < 0.1	η < 0.1	x: 2.483 m η = 22.2	η < 0.1	η = 0.3	x: 0.111 m η = 0.5	η < 0.1	CUMPLE η = 22.2
N2686/N2702	$\lambda_w \le \lambda_{w,máx}$ Cumple	x: 2.482 m η = 5.0	x: 0.111 m η = 2.7	x: 2.483 m η = 2.1	x: 2.483 m η = 0.5	x: 0.111 m η = 0.2	η < 0.1	η < 0.1	η < 0.1	x: 2.285 m η = 7.0	η < 0.1	x: 2.482 m η = 0.1	x: 0.111 m η = 0.2	η < 0.1	CUMPLE η = 7.0
N2686/N2704	$\lambda_w \le \lambda_{w,máx}$ Cumple	x: 2.662 m η = 6.1	x: 0.119 m η = 6.8	x: 2.663 m η = 2.8	x: 0.119 m η = 0.5	x: 2.662 m η = 0.2	η < 0.1	η < 0.1	η < 0.1	x: 2.663 m η = 9.8	η < 0.1	η = 0.2	x: 2.662 m η = 0.2	η < 0.1	CUMPLE η = 9.8
N2687/N2705	$\lambda_w \le \lambda_{w,máx}$ Cumple	x: 2.662 m η = 17.6	x: 0.119 m η = 24.9	x: 2.663 m η = 4.9	x: 0.119 m η = 0.3	x: 0.119 m η = 0.5	η < 0.1	η < 0.1	η < 0.1	x: 2.663 m η = 30.0	η < 0.1	η = 0.2	x: 0.119 m η = 0.5	η < 0.1	CUMPLE η = 30.0
N2688/N2706	$\lambda_w \le \lambda_{w,máx}$ Cumple	x: 2.662 m η = 28.4	x: 0.119 m η = 38.7	x: 2.663 m η = 5.6	x: 2.663 m η = 0.5	x: 0.119 m η = 0.6	η < 0.1	η < 0.1	η < 0.1	x: 2.663 m η = 44.8	η < 0.1	η = 0.3	x: 0.119 m η = 0.6	η < 0.1	CUMPLE η = 44.8
N2689/N2707	$\lambda_w \le \lambda_{w,máx}$ Cumple	x: 2.662 m η = 32.8	x: 0.119 m η = 41.1	x: 2.663 m η = 7.2	x: 0.119 m η = 0.7	x: 0.119 m η = 0.9	η < 0.1	η < 0.1	η < 0.1	x: 2.663 m η = 48.5	η < 0.1	η = 0.4	x: 0.119 m η = 0.9	η < 0.1	CUMPLE η = 48.5
N2690/N2708	$\lambda_w \le \lambda_{w,máx}$ Cumple	x: 2.662 m η = 42.0	x: 0.119 m η = 50.6	x: 0.119 m η = 8.1	x: 0.119 m η = 0.6	x: 0.119 m η = 1.0	η < 0.1	η < 0.1	η < 0.1	x: 2.663 m η = 59.0	η < 0.1	η = 0.3	x: 0.119 m η = 1.0	η < 0.1	CUMPLE η = 59.0
N2691/N2709	$\lambda_w \le \lambda_{w,máx}$ Cumple	x: 2.662 m η = 43.2	x: 0.119 m η = 52.5	x: 0.119 m η = 8.8	x: 2.663 m η = 1.1	x: 0.119 m η = 1.1	η = 0.1	η < 0.1	η < 0.1	x: 2.663 m η = 61.2	η < 0.1	η = 0.6	x: 0.119 m η = 1.1	η = 0.1	CUMPLE η = 61.2
N2692/N2710	$\lambda_w \le \lambda_{w,máx}$ Cumple	x: 2.662 m η = 44.6	x: 0.119 m η = 53.6	x: 0.119 m η = 8.5	x: 2.663 m η = 1.9	x: 0.119 m η = 0.6	η < 0.1	η < 0.1	η < 0.1	x: 0.119 m η = 62.3	η < 0.1	η = 0.9	x: 0.119 m η = 0.6	η < 0.1	CUMPLE η = 62.3
N2693/N2711	$\lambda_w \le \lambda_{w,máx}$ Cumple	x: 2.549 m η = 48.2	x: 0.119 m η = 60.8	x: 2.55 m η = 11.9	x: 2.55 m η = 1.9	x: 2.549 m η = 1.2	η < 0.1	η < 0.1	η < 0.1	x: 2.55 m η = 72.4	η < 0.1	η = 0.8	x: 2.549 m η = 1.2	η < 0.1	CUMPLE η = 72.4
N2743/N2694	$\lambda_w \le \lambda_{w,máx}$ Cumple	x: 2.377 m η = 34.9	x: 0.111 m η = 42.8	x: 2.378 m η = 10.7	x: 0.111 m η = 1.7	x: 0.111 m η = 0.8	η = 0.1	η < 0.1	η < 0.1	x: 2.378 m η = 53.4	η < 0.1	η = 0.9	x: 0.111 m η = 0.8	η = 0.1	CUMPLE η = 53.4
N2744/N2712	$\lambda_w \le \lambda_{w,máx}$ Cumple	x: 2.482 m η = 55.1	x: 0.111 m η = 63.4	x: 0.111 m η = 12.4	x: 0.111 m η = 1.3	x: 0.111 m η = 1.6	η < 0.1	η < 0.1	η < 0.1	x: 0.111 m η = 76.1	η < 0.1	η = 0.6	x: 0.111 m η = 1.6	η < 0.1	CUMPLE η = 76.1
N2745/N2713	$\lambda_w \le \lambda_{w,máx}$ Cumple	x: 2.482 m η = 47.8	x: 0.111 m η = 55.5	x: 0.111 m η = 9.7	x: 2.483 m η = 1.0	x: 0.111 m η = 1.2	η < 0.1	η < 0.1	η < 0.1	x: 0.111 m η = 65.0	η < 0.1	η = 0.4	x: 0.111 m η = 1.2	η < 0.1	CUMPLE η = 65.0
N2746/N2714	$\lambda_w \le \lambda_{w,máx}$ Cumple	x: 2.482 m η = 49.6	x: 0.111 m η = 56.9	x: 2.483 m η = 9.9	x: 0.111 m η = 1.2	x: 0.111 m η = 1.3	x: 1.099 m η = 0.1	η < 0.1	η < 0.1	x: 2.483 m η = 67.5	η < 0.1	η = 0.6	x: 0.111 m η = 1.3	x: 1.099 m η = 0.1	CUMPLE η = 67.5
N2747/N2715	$\lambda_w \le \lambda_{w,máx}$ Cumple	x: 2.482 m η = 41.0	x: 0.111 m η = 48.3	x: 2.483 m η = 8.9	x: 0.111 m η = 3.8	x: 0.111 m η = 1.1	η = 0.1	η < 0.1	η < 0.1	x: 2.483 m η = 58.0	η < 0.1	η = 0.6	x: 0.111 m η = 1.1	η = 0.1	CUMPLE η = 58.0
N2748/N2716	$\lambda_w \le \lambda_{w,máx}$ Cumple	x: 2.482 m η = 39.0	x: 0.111 m η = 49.1	x: 2.483 m η = 7.4	x: 2.483 m η = 3.8	x: 0.111 m η = 0.8	η = 0.1	η < 0.1	η < 0.1	x: 2.483 m η = 57.4	η < 0.1	η = 1.4	x: 0.111 m η = 0.8	η = 0.1	CUMPLE η = 57.4
N2749/N2717	$\lambda_w \le \lambda_{w,máx}$ Cumple	x: 2.482 m η = 29.0	x: 0.111 m η = 36.5	x: 2.483 m η = 7.2	x: 0.111 m η = 2.5	x: 0.111 m η = 0.7	x: 1.692 m η = 0.2	η < 0.1	η < 0.1	x: 2.483 m η = 44.1	η < 0.1	x: 1.692 m η = 0.8	x: 0.111 m η = 0.7	x: 1.692 m η = 0.2	CUMPLE η = 44.1
N2750/N2718	$\lambda_w \le \lambda_{w,máx}$ Cumple	x: 2.482 m η = 18.3	x: 0.111 m η = 22.4	x: 2.483 m η = 4.7	x: 0.111 m η = 3.1	x: 0.111 m η = 0.4	η < 0.1	η < 0.1	η < 0.1	x: 2.483 m η = 27.4	η < 0.1	x: 1.495 m η = 1.0	x: 0.111 m η = 0.4	η < 0.1	CUMPLE η = 27.4
N2750/N2720	$\lambda_w \le \lambda_{w,máx}$ Cumple	x: 2.662 m η = 9.4	x: 0.119 m η = 8.6	x: 0.119 m η = 3.4	x: 2.663 m η = 2.5	x: 2.662 m η = 0.2	x: 0.755 m η = 0.1	η < 0.1	η < 0.1	x: 0.119 m η = 12.8	η < 0.1	x: 0.755 m η = 1.2	x: 2.662 m η = 0.2	x: 0.755 m η = 0.2	CUMPLE η = 12.8
N2751/N2721	$\lambda_w \le \lambda_{w,máx}$ Cumple	x: 2.662 m η = 4.6	x: 0.119 m η = 4.0	x: 2.663 m η = 3.1	x: 0.119 m η = 2.0	x: 0.119 m η = 0.2	η < 0.1	η < 0.1	η < 0.1	x: 2.451 m η = 7.5	η < 0.1	η = 0.4	x: 0.119 m η = 0.2	η < 0.1	CUMPLE η = 7.5
N2752/N2722	$\lambda_w \le \lambda_{w,máx}$ Cumple	x: 2.662 m η = 15.4	x: 0.119 m η = 19.4	x: 2.663 m η = 4.4	x: 2.663 m η = 2.9	x: 0.119 m η = 0.4	x: 0.331 m η = 0.2	η < 0.1	η < 0.1	x: 2.663 m η = 24.2	η < 0.1	x: 0.331 m η = 1.3	x: 0.119 m η = 0.4	x: 0.331 m η = 0.2	CUMPLE η = 24.2
N2753/N2723	$\lambda_w \le \lambda_{w,máx}$ Cumple	x: 2.662 m η = 22.0	x: 0.119 m η = 26.3	x: 2.663 m η = 6.1	x: 0.119 m η = 3.7	x: 0.119 m η = 0.6	η = 0.1	η < 0.1	η < 0.1	x: 2.663 m η = 32.7	η < 0.1	x: 1.603 m η = 0.6	x: 0.119 m η = 0.6	η = 0.1	CUMPLE η = 32.7
N2754/N2724	$\lambda_w \le \lambda_{w,máx}$ Cumple	x: 2.662 m η = 31.4	x: 0.119 m η = 36.0	x: 2.663 m η = 7.3	x: 0.119 m η = 1.3	x: 0.119 m η = 0.8	x: 1.179 m η = 0.1	η < 0.1	η < 0.1	x: 2.663 m η = 43.5	η < 0.1	x: 1.179 m η = 0.6	x: 0.119 m η = 0.8	x: 1.179 m η = 0.1	CUMPLE η = 43.5
N2755/N2725	$\lambda_w \le \lambda_{w,máx}$ Cumple	x: 2.662 m η = 33.4	x: 0.119 m η = 39.1	x: 2.663 m η = 7.2	x: 2.663 m η = 1.3	x: 0.119 m η = 0.9	η = 0.1	η < 0.1	η < 0.1	x: 2.663 m η = 46.8	η < 0.1	η = 0.6	x: 0.119 m η = 0.9	η = 0.1	CUMPLE η = 46.8
N2756/N2726	$\lambda_w \le \lambda_{w,máx}$ Cumple	x: 2.662 m η = 41.4	x: 0.119 m η = 48.1	x: 2.663 m η = 6.8	x: 2.663 m η = 2.5	x: 0.119 m η = 0.8	η < 0.1	η < 0.1	η < 0.1	x: 2.663 m η = 55.7	η < 0.1	η = 0.9	x: 0.119 m η = 0.8	η < 0.1	CUMPLE η = 55.7
N2757/N2727	$\lambda_w \le \lambda_{w,máx}$ Cumple	x: 2.549 m η = 26.3	x: 0.119 m η = 33.2	x: 0.119 m η = 11.8	x: 2.55 m η = 2.4	x: 0.119 m η = 1.3	η < 0.1	η < 0.1	η < 0.1	x: 0.119 m η = 44.4	η < 0.1	η = 0.8	x: 0.119 m η = 1.3	η < 0.1	CUMPLE η = 44.4
N2607/N2758	$\lambda_w \le \lambda_{w,máx}$ Cumple	η = 3.1	η = 1.1	x: 0.06 m η = 2.5	x: 0.06 m η = 7.3	η = 0.3	x: 0.06 m η = 1.0	η < 0.1	η < 0.1	x: 0.06 m η = 9.7	η < 0.1	η = 0.5	η = 0.3	x: 0.06 m η = 1.0	CUMPLE η = 9.7
N2758/N2759	$\lambda_w \le \lambda_{w,máx}$ Cumple	η = 2.7	η = 0.9	x: 0.06 m η = 1.3	x: 0.253 m η = 1.5	η = 0.1	x: 2.373 m η = 0.3	η < 0.1	η < 0.1	x: 0.06 m η = 4.9	η < 0.1	η = 0.1	η = 0.1	x: 2.373 m η = 0.3	CUMPLE η = 4.9
N2759/N2760	$\lambda_w \le \lambda_{w,máx}$ Cumple	η = 2.8	η = 0.7	x: 2.373 m η = 4.2	x: 2.373 m η = 5.8	η = 0.3	x: 2.373 m η = 0.8	η < 0.1	η < 0.1	x: 2.373 m η = 10.9	η < 0.1	η = 0.7	η = 0.3	x: 2.373 m η = 0.8	CUMPLE η = 10.9
N2508/N2761	$\lambda_w \le \lambda_{w,máx}$ Cumple	η = 10.0	η = 20.4	x: 0.06 m η = 3.0	x: 0.06 m η = 8.4	η = 0.3	x: 0.06 m η = 1.1	η < 0.1	η < 0.1	x: 0.06 m η = 28.5	η < 0.1	η = 4.5	η = 0.3	x: 0.06 m η = 1.2	CUMPLE η = 28.5
N2761/N2762	$\lambda_w \le \lambda_{w,máx}$ Cumple	η = 9.7	η = 23.1	x: 2.373 m η = 1.5	x: 0.06 m η = 1.8	η < 0.1	x: 2.373 m η = 0.3	η < 0.1	η < 0.1	x: 2.373 m η = 25.2	η < 0.1	η = 0.2	η < 0.1	x: 2.373 m η = 0.3	CUMPLE η = 25.2
N2762/N2661	$\lambda_w \le \lambda_{w,máx}$ Cumple	η = 10.3	η = 23.0	x: 0.06 m η = 2.2	x: 2.373 m η = 8.5	η = 0.3	x: 2.373 m η = 1.1	η < 0.1	η < 0.1	x: 0.06 m η = 25.8	η < 0.1	η = 4.5	η = 0.3	x: 2.373 m η = 1.1	CUMPLE η = 25.8
N2542/N2763	$\lambda_w \le \lambda_{w,máx}$ Cumple	η = 0.9	η = 57.9	x: 0.15 m η = 4.6	x: 0.15 m η = 6.0	η = 0.5	x: 0.15 m η = 0.9	η < 0.1	η < 0.1	x: 0.15 m η = 65.4	η < 0.1	η = 1.1	η = 0.5	x: 0.15 m η = 0.9	CUMPLE η = 65.4
N2763/N2764	$\lambda_w \le \lambda_{w,máx}$ Cumple	η = 9.0	η = 14.1	x: 2.338 m η = 0.8	x: 2.338 m η = 8.1	η = 0.1	x: 2.338 m η = 1.1	η < 0.1	η < 0.1	x: 2.338 m η = 19.4	η < 0.1	η = 0.1	η = 0.1	x: 2.338 m η = 1.1	CUMPLE η = 19.4
N2764/N2695	$\lambda_w \le \lambda_{w,máx}$ Cumple	η = 10.1	η = 57.6	x: 0.095 m η = 3.0	x: 0.095 m η = 4.9	η = 0.4	x: 0.095 m η = 0.8	η < 0.1	η < 0.1	x: 0.095 m η = 61.6	η < 0.1	η = 1.1	η = 0.4	x: 0.095 m η = 0.8	CUMPLE η = 61.6
N2524/N2765	$\lambda_w \le \lambda_{w,máx}$ Cumple	η = 0.7	η = 34.4	x: 0.095 m η = 1.8	x: 0.095 m η = 4.8	η = 0.2	x: 0.095 m η = 0.7	η < 0.1	η < 0.1	x: 2.373 m η = 38.2	η < 0.1	η = 0.9	η = 0.2	x: 0.095 m η = 0.7	CUMPLE η = 38.2
N2765/N2766	$\lambda_w \le \lambda_{w,máx}$ Cumple	η = 0.6	η = 33.7	x: 0.06 m η = 1.3	x: 0.06 m η = 7.1	η < 0.1	x: 2.373 m η = 1.0	η < 0.1	η < 0.1	x: 0.06 m η = 39.2	η < 0.1	η = 0.1	η < 0.1	x: 2.373 m η = 1.0	CUMPLE η = 39.2
N2766/N2677	$\lambda_w \le \lambda_{w,máx}$ Cumple	η = 5.5	η = 26.5	x: 2.338 m η = 2.3	x: 2.338 m η = 5.1	η = 0.2	x: 2.338 m η = 0.7	η < 0.1	η < 0.1	x: 2.338 m η = 31.8	η < 0.1	η = 1.0	η = 0.2	x: 2.338 m η = 0.7	CUMPLE η = 31.8
N2764/N2766	$\lambda_w \le \lambda_{w,máx}$ Cumple	x: 1.939 m η = 0.1	x: 0.078 m η = 5.9	x: 1.94 m η = 5.4	x: 0.078 m η = 3.4	η = 0.8	η = 0.2	η < 0.1	η < 0.1	x: 0.078 m η = 11.9	η < 0.1	η = 0.4	η = 0.8	η = 0.2	CUMPLE η = 11.9
N2763/N2765	$\lambda_w \le \lambda_{w,máx}$ Cumple	x: 1.939 m η = 0.3	x: 0.637 m η = 2.1	x: 0.078 m η = 4.5	x: 0.078 m η = 3.5	η = 0.7	η = 0.2	η < 0.1	η < 0.1	x: 0.078 m η = 7.7	η < 0.1	η = 0.5	η = 0.7	η = 0.2	CUMPLE η = 7.7
N2759/N2762	$\lambda_w \le \lambda_{w,máx}$ Cumple	x: 1.939 m η < 0.1	x: 0.06 m η = 0.2	x: 1.94 m η = 5.1	x: 1.94 m η = 3.6	η = 0.7	η = 0.3	η < 0.1	η < 0.1	x: 1.94 m η = 6.9	η < 0.1	η = 1.0	η = 0.7	η = 0.3	CUMPLE η = 6.9
N2758/N2761	$\lambda_w \le \lambda_{w,máx}$ Cumple	x: 1.939 m η < 0.1	x: 0.06 m η = 0.2	x: 1.94 m η = 5.1	x: 1.94 m η = 3.4	η = 0.8	η = 0.3	η < 0.1	η < 0.1	x: 1.94 m η = 7.4	η < 0.1	η = 0.9	η = 0.8	η = 0.3	CUMPLE η = 7.4

VISADO
COGITI
VALENCIA
VA07290/22
TRLTDCFZ60T66IJ1
Documento visado electrónicamente con número: VA07290/22
Código de validación telemática TRLTDCFZ60T66IJ1. Comprobación: https://cogitivalencia.e-gestion.es/Validacion.aspx?CVT=TRLTDCFZ60T66IJ1

VISADO
COGITI
Estado
VALENCIA
VA07290/22
TRLTDCFZ60T66IJ1

Barras	COMPROBACIONES (CÓDIGO ESTRUCTURAL)															
	λ_w	N_t	N_c	M_Y	M_Z	V_Z	V_Y	M_YV_Z	M_ZV_Y	NM_YM_Z	$NM_YM_ZV_YV_Z$	M_t	M_tV_Z	M_tV_Y	
N2525/N2763	$\lambda_w \leq \lambda_{w,máx}$ Cumple	x: 3.054 m η = 18.3	x: 2.646 m η = 3.8	x: 0.195 m η = 10.7	x: 0.195 m η = 6.2	x: 3.055 m η = 0.9	η = 0.2	η < 0.1	η < 0.1	x: 0.195 m η = 34.4	η < 0.1	η = 4.1	x: 3.055 m η = 1.0	η = 0.2	**CUMPLE η = 34.4**
N2678/N2764	$\lambda_w \leq \lambda_{w,máx}$ Cumple	x: 3.054 m η = 12.4	x: 0.195 m η = 17.5	x: 0.195 m η = 11.2	x: 0.195 m η = 4.3	x: 0.195 m η = 0.9	η = 0.2	η < 0.1	η < 0.1	x: 0.195 m η = 30.8	η < 0.1	η = 4.0	x: 0.195 m η = 0.9	η = 0.2	**CUMPLE η = 30.8**
N2618/N2767	$\lambda_w \leq \lambda_{w,máx}$ Cumple	x: 3.054 m η = 13.4	x: 0.195 m η = 2.8	x: 0.195 m η = 5.7	x: 3.055 m η = 4.6	x: 3.055 m η = 0.6	η = 0.3	η < 0.1	η < 0.1	x: 3.055 m η = 19.5	η < 0.1	η = 2.4	x: 3.055 m η = 0.6	η = 0.3	**CUMPLE η = 19.5**
N2541/N2767	$\lambda_w \leq \lambda_{w,máx}$ Cumple	η = 0.7	η = 50.9	x: 0.15 m η = 3.8	x: 0.15 m η = 3.4	η = 0.5	x: 0.15 m η = 0.5	η < 0.1	η < 0.1	x: 0.15 m η = 54.5	η < 0.1	η = 1.2	η = 0.5	x: 0.15 m η = 0.6	**CUMPLE η = 54.5**
N2767/N2768	$\lambda_w \leq \lambda_{w,máx}$ Cumple	η = 7.9	η = 8.5	x: 0.095 m η = 0.5	x: 2.338 m η = 5.0	η < 0.1	x: 2.338 m η = 0.7	η < 0.1	η < 0.1	x: 2.338 m η = 11.4	η < 0.1	x: 1.778 m η = 0.1	η < 0.1	x: 2.338 m η = 0.7	**CUMPLE η = 11.4**
N2768/N2694	$\lambda_w \leq \lambda_{w,máx}$ Cumple	η = 6.1	η = 63.0	x: 2.283 m η = 3.5	x: 0.095 m η = 3.1	η = 0.5	x: 0.095 m η = 0.5	η < 0.1	η < 0.1	x: 2.283 m η = 67.3	η < 0.1	η = 1.1	η = 0.5	x: 0.095 m η = 0.5	**CUMPLE η = 67.3**
N2767/N2769	$\lambda_w \leq \lambda_{w,máx}$ Cumple	x: 1.939 m η = 0.2	x: 0.078 m η = 1.4	x: 0.078 m η = 2.8	x: 0.078 m η = 3.5	η = 0.4	η = 0.2	η < 0.1	η < 0.1	x: 0.078 m η = 5.8	η < 0.1	η = 0.4	η = 0.4	η = 0.2	**CUMPLE η = 5.8**
N2768/N2770	$\lambda_w \leq \lambda_{w,máx}$ Cumple	x: 1.939 m η = 0.1	x: 0.078 m η = 3.5	x: 1.94 m η = 3.3	x: 0.078 m η = 3.3	η = 0.4	η = 0.2	η < 0.1	η < 0.1	x: 0.078 m η = 7.5	η < 0.1	η = 0.5	η = 0.4	η = 0.2	**CUMPLE η = 7.5**
N2771/N2768	$\lambda_w \leq \lambda_{w,máx}$ Cumple	x: 3.054 m η = 14.4	x: 0.195 m η = 6.6	x: 0.195 m η = 6.3	x: 3.055 m η = 4.5	x: 3.055 m η = 0.6	η = 0.3	η < 0.1	η < 0.1	x: 3.055 m η = 21.4	η < 0.1	η = 2.2	x: 3.055 m η = 0.6	η = 0.3	**CUMPLE η = 21.4**
N2558/N2769	$\lambda_w \leq \lambda_{w,máx}$ Cumple	N_{Ed} = 0.00 N.P.(1)	η = 20.1	x: 0.095 m η = 1.8	x: 0.095 m η = 4.6	η = 0.2	x: 0.095 m η = 0.6	η < 0.1	η < 0.1	x: 0.095 m η = 24.1	η < 0.1	η = 1.1	η = 0.2	x: 0.095 m η = 0.6	**CUMPLE η = 24.1**
N2769/N2770	$\lambda_w \leq \lambda_{w,máx}$ Cumple	N_{Ed} = 0.00 N.P.(1)	η = 22.8	x: 0.06 m η = 1.1	x: 2.373 m η = 4.1	η < 0.1	x: 2.373 m η = 0.6	η < 0.1	η < 0.1	x: 2.181 m η = 24.7	η < 0.1	x: 1.602 m η = 0.1	η < 0.1	x: 2.373 m η = 0.6	**CUMPLE η = 24.7**
N2770/N2711	$\lambda_w \leq \lambda_{w,máx}$ Cumple	η = 2.3	η = 22.7	x: 2.338 m η = 1.9	x: 2.338 m η = 5.3	η = 0.2	x: 2.338 m η = 0.7	η < 0.1	η < 0.1	x: 2.338 m η = 27.5	η < 0.1	η = 1.2	η = 0.2	x: 2.338 m η = 0.7	**CUMPLE η = 27.5**
N2763/N2524	$\lambda_w \leq \lambda_{w,máx}$ Cumple	x: 3.054 m η = 15.4	x: 1.998 m η = 0.4	x: 0.095 m η = 4.1	x: 0.095 m η = 2.5	x: 3.055 m η = 0.6	η = 0.1	η < 0.1	η < 0.1	x: 3.055 m η = 20.3	η < 0.1	η = 1.2	x: 3.055 m η = 0.6	η = 0.1	**CUMPLE η = 20.3**
N2764/N2677	$\lambda_w \leq \lambda_{w,máx}$ Cumple	x: 3.054 m η = 15.5	x: 0.095 m η = 2.2	x: 3.055 m η = 4.1	x: 0.095 m η = 2.0	x: 3.055 m η = 0.5	η = 0.1	η < 0.1	η < 0.1	x: 3.055 m η = 20.5	η < 0.1	η = 1.5	x: 3.055 m η = 0.5	η = 0.1	**CUMPLE η = 20.5**
N2767/N2558	$\lambda_w \leq \lambda_{w,máx}$ Cumple	x: 3.054 m η = 14.7	x: 0.095 m η = 0.4	x: 3.055 m η = 3.9	x: 0.095 m η = 2.0	x: 3.055 m η = 0.5	η < 0.1	η < 0.1	η < 0.1	x: 3.055 m η = 19.6	η < 0.1	η = 1.4	x: 3.055 m η = 0.5	η < 0.1	**CUMPLE η = 19.6**
N2768/N2711	$\lambda_w \leq \lambda_{w,máx}$ Cumple	x: 3.054 m η = 16.3	x: 0.095 m η = 2.3	x: 3.055 m η = 4.4	x: 3.054 m η = 1.8	x: 3.055 m η = 0.6	η < 0.1	η < 0.1	η < 0.1	x: 3.055 m η = 21.7	η < 0.1	η = 1.5	x: 3.055 m η = 0.6	η < 0.1	**CUMPLE η = 21.7**
N2574/N2773	$\lambda_w \leq \lambda_{w,máx}$ Cumple	η = 0.2	η = 10.4	x: 0.095 m η = 3.5	x: 0.095 m η = 4.5	η = 0.4	x: 0.095 m η = 0.6	η < 0.1	η < 0.1	x: 0.095 m η = 12.5	η < 0.1	η = 1.8	η = 0.4	x: 0.095 m η = 0.6	**CUMPLE η = 12.5**
N2773/N2772	$\lambda_w \leq \lambda_{w,máx}$ Cumple	η = 0.2	x: 1.024 m η = 13.5	x: 0.06 m η = 1.9	x: 0.06 m η = 2.7	η < 0.1	x: 2.373 m η = 0.4	η < 0.1	η < 0.1	x: 0.06 m η = 14.4	η < 0.1	η = 0.2	η < 0.1	x: 2.373 m η = 0.5	**CUMPLE η = 14.4**
N2772/N2727	$\lambda_w \leq \lambda_{w,máx}$ Cumple	η = 1.9	η = 13.7	x: 2.338 m η = 3.7	x: 2.338 m η = 4.7	η = 0.4	x: 2.338 m η = 0.6	η < 0.1	η < 0.1	x: 2.338 m η = 14.1	η < 0.1	η = 1.9	η = 0.4	x: 2.338 m η = 0.6	**CUMPLE η = 14.1**
N2774/N2727	$\lambda_w \leq \lambda_{w,máx}$ Cumple	x: 3.054 m η = 16.4	x: 0.095 m η = 1.7	x: 3.055 m η = 3.6	x: 0.095 m η = 2.7	x: 3.055 m η = 0.5	η < 0.1	η < 0.1	η < 0.1	x: 3.055 m η = 20.2	η < 0.1	η = 2.7	x: 3.055 m η = 0.5	η < 0.1	**CUMPLE η = 20.2**
N2622/N2776	$\lambda_w \leq \lambda_{w,máx}$ Cumple	η = 0.5	η = 35.8	x: 0.15 m η = 5.4	x: 0.15 m η = 2.4	η = 0.6	x: 0.15 m η = 0.4	η < 0.1	η < 0.1	x: 0.15 m η = 38.6	η < 0.1	η = 1.1	η = 0.6	x: 0.15 m η = 0.4	**CUMPLE η = 38.6**
N2776/N2774	$\lambda_w \leq \lambda_{w,máx}$ Cumple	η = 12.3	x: 0.843 m η = 12.1	x: 0.095 m η = 1.2	x: 2.338 m η = 3.3	η = 0.1	x: 2.338 m η = 0.5	η < 0.1	η < 0.1	x: 2.338 m η = 14.0	η < 0.1	η = 0.1	η = 0.1	x: 2.338 m η = 0.5	**CUMPLE η = 14.0**
N2774/N2775	$\lambda_w \leq \lambda_{w,máx}$ Cumple	η = 2.5	η = 33.5	x: 0.095 m η = 3.5	x: 0.095 m η = 1.4	η = 0.4	x: 0.095 m η = 0.3	η < 0.1	η < 0.1	x: 2.283 m η = 35.2	η < 0.1	η = 0.9	η = 0.4	x: 0.095 m η = 0.3	**CUMPLE η = 35.2**
N2777/N2774	$\lambda_w \leq \lambda_{w,máx}$ Cumple	x: 3.054 m η = 13.0	x: 0.195 m η = 4.8	x: 0.195 m η = 3.4	x: 3.055 m η = 7.0	x: 3.055 m η = 0.4	η = 0.1	η < 0.1	η < 0.1	x: 3.055 m η = 19.2	η < 0.1	η = 6.3	x: 0.195 m η = 0.4	η = 0.1	**CUMPLE η = 19.2**
N2776/N2773	$\lambda_w \leq \lambda_{w,máx}$ Cumple	x: 1.939 m η = 0.1	x: 0.078 m η = 1.2	x: 1.94 m η = 1.7	x: 0.078 m η = 6.5	η = 0.2	η = 0.4	η < 0.1	η < 0.1	x: 0.078 m η = 7.0	η < 0.1	η = 0.8	η = 0.3	η = 0.4	**CUMPLE η = 7.0**
N2776/N2574	$\lambda_w \leq \lambda_{w,máx}$ Cumple	x: 3.054 m η = 16.4	x: 0.095 m η = 1.7	x: 3.055 m η = 3.6	x: 0.095 m η = 3.6	x: 3.055 m η = 0.5	η = 0.1	η < 0.1	η < 0.1	x: 3.055 m η = 20.4	η < 0.1	η = 2.5	x: 3.055 m η = 0.5	η = 0.1	**CUMPLE η = 20.4**
N2774/N2772	$\lambda_w \leq \lambda_{w,máx}$ Cumple	x: 1.939 m η = 0.1	x: 0.078 m η = 2.2	x: 1.94 m η = 2.7	x: 0.078 m η = 6.1	η = 0.3	η = 0.3	η < 0.1	η < 0.1	x: 0.078 m η = 8.1	η < 0.1	η = 0.6	η = 0.3	η = 0.3	**CUMPLE η = 8.1**
N2624/N2776	$\lambda_w \leq \lambda_{w,máx}$ Cumple	x: 3.054 m η = 14.9	x: 0.195 m η = 2.9	x: 0.195 m η = 4.2	x: 3.055 m η = 8.0	x: 3.055 m η = 0.5	η = 0.1	η < 0.1	η < 0.1	x: 3.055 m η = 24.0	η < 0.1	η = 6.2	x: 3.055 m η = 0.6	η = 0.1	**CUMPLE η = 24.0**
N2510/N2663	x: 0.509 m $\lambda_w \leq \lambda_{w,máx}$ Cumple	η = 0.5	η = 26.9	M_{Ed} = 0.00 N.P.(2)	x: 3.65 m η = 6.0	V_{Ed} = 0.00 N.P.(3)	x: 0.06 m η = 0.5	N.P.(4)	x: 0.509 m η < 0.1	x: 3.65 m η = 33.5	x: 0.509 m η < 0.1	M_{Ed} = 0.00 N.P.(5)	N.P.(6)	N.P.(6)	**CUMPLE η = 33.5**
N2778/N2779	$\lambda_w \leq \lambda_{w,máx}$ Cumple	x: 1.939 m η = 0.1	x: 0.06 m η = 0.4	x: 1.94 m η = 10.8	x: 0.06 m η < 0.1	η = 1.7	η < 0.1	η < 0.1	x: 0.06 m η < 0.1	x: 1.94 m η = 11.0	η < 0.1	η < 0.1	η = 1.7	η < 0.1	**CUMPLE η = 11.0**
N2780/N2781	$\lambda_w \leq \lambda_{w,máx}$ Cumple	x: 1.939 m η = 0.1	x: 0.06 m η = 0.4	x: 0.06 m η = 13.4	x: 0.06 m η < 0.1	η = 2.1	η < 0.1	η < 0.1	x: 0.06 m η < 0.1	x: 0.06 m η = 13.8	η < 0.1	η < 0.1	η = 2.1	η < 0.1	**CUMPLE η = 13.8**
N2582/N2783	x: 0.051 m $\lambda_w \leq \lambda_{w,máx}$ Cumple	η = 3.9	η = 18.4	x: 2.372 m η < 0.1	x: 2.373 m η = 21.4	η < 0.1	x: 0.05 m η = 1.5	N.P.(4)	x: 0.051 m η < 0.1	x: 2.373 m η = 24.5	x: 0.051 m η < 0.1	M_{Ed} = 0.00 N.P.(5)	N.P.(6)	N.P.(6)	**CUMPLE η = 24.5**
N2783/N2782	$\lambda_w \leq \lambda_{w,máx}$ Cumple	η = 4.5	η = 22.1	x: 0.06 m η < 0.1	x: 0.06 m η = 6.1	η < 0.1	x: 2.373 m η = 0.7	N.P.(4)	η < 0.1	x: 2.373 m η = 24.4	η < 0.1	η < 0.1	η < 0.1	x: 2.373 m η = 0.7	**CUMPLE η = 24.4**
N2782/N2735	x: 0.06 m $\lambda_w \leq \lambda_{w,máx}$ Cumple	η = 5.6	η = 24.1	x: 0.06 m η < 0.1	x: 0.06 m η = 16.2	η < 0.1	x: 2.383 m η = 1.2	N.P.(4)	x: 0.06 m η < 0.1	x: 0.06 m η = 33.0	x: 0.06 m η < 0.1	M_{Ed} = 0.00 N.P.(5)	N.P.(6)	N.P.(6)	**CUMPLE η = 33.0**
N2516/N2785	x: 0.051 m $\lambda_w \leq \lambda_{w,máx}$ Cumple	η = 4.0	η = 25.1	x: 2.372 m η < 0.1	x: 2.373 m η = 21.6	η < 0.1	x: 0.05 m η = 1.5	N.P.(4)	x: 0.051 m η < 0.1	x: 2.373 m η = 39.1	x: 0.051 m η < 0.1	M_{Ed} = 0.00 N.P.(5)	N.P.(6)	N.P.(6)	**CUMPLE η = 39.1**
N2785/N2784	$\lambda_w \leq \lambda_{w,máx}$ Cumple	η = 4.2	η = 32.4	x: 0.06 m η < 0.1	x: 0.06 m η = 6.2	η < 0.1	x: 2.373 m η = 0.7	N.P.(4)	η < 0.1	x: 0.06 m η = 36.5	η < 0.1	η < 0.1	η < 0.1	x: 2.373 m η = 0.7	**CUMPLE η = 36.5**
N2784/N2669	x: 0.06 m $\lambda_w \leq \lambda_{w,máx}$ Cumple	η = 5.4	η = 33.0	x: 0.06 m η < 0.1	x: 0.06 m η = 16.9	η < 0.1	x: 2.383 m η = 1.2	N.P.(4)	x: 0.06 m η < 0.1	x: 0.06 m η = 37.0	x: 0.06 m η < 0.1	M_{Ed} = 0.00 N.P.(5)	N.P.(6)	N.P.(6)	**CUMPLE η = 37.0**
N2782/N2784	$\lambda_w \leq \lambda_{w,máx}$ Cumple	x: 1.939 m η = 0.1	x: 0.06 m η = 0.5	x: 1.94 m η = 12.1	x: 0.06 m η < 0.1	η = 1.9	η < 0.1	η < 0.1	x: 0.06 m η < 0.1	x: 1.94 m η = 12.4	η < 0.1	η < 0.1	η = 1.9	η < 0.1	**CUMPLE η = 12.4**
N2783/N2785	$\lambda_w \leq \lambda_{w,máx}$ Cumple	x: 1.939 m η = 0.1	x: 0.06 m η = 0.5	x: 1.94 m η = 14.8	x: 0.06 m η < 0.1	η = 2.3	η < 0.1	η < 0.1	x: 0.06 m η < 0.1	x: 1.94 m η = 15.2	η < 0.1	η < 0.1	η = 2.3	η < 0.1	**CUMPLE η = 15.2**
N2586/N2787	x: 0.061 m $\lambda_w \leq \lambda_{w,máx}$ Cumple	η = 2.1	η = 9.5	x: 2.372 m η < 0.1	x: 2.373 m η = 16.3	η < 0.1	x: 0.06 m η = 1.2	x: 0.253 m η < 0.1	x: 0.061 m η < 0.1	x: 2.373 m η = 18.3	x: 0.061 m η < 0.1	M_{Ed} = 0.00 N.P.(5)	N.P.(6)	N.P.(6)	**CUMPLE η = 18.3**
N2787/N2786	$\lambda_w \leq \lambda_{w,máx}$ Cumple	η = 2.6	η = 11.5	x: 0.06 m η < 0.1	x: 0.06 m η = 4.4	η < 0.1	x: 2.373 m η = 0.5	N.P.(4)	η < 0.1	x: 2.373 m η = 12.9	η < 0.1	η < 0.1	η < 0.1	x: 2.373 m η = 0.5	**CUMPLE η = 12.9**

Documento visado electrónicamente con número: VA07290/22
Código de validación telemática TRLTDCFZ60T66IJ1. Comprobación: https://cogitivalencia.e-gestion.es/Validacion.aspx?CVT=TRLTDCFZ60T66IJ1

VISADO
COGITI
TRLTDCFZ60T66IJ1
VALENCIA
VA07290/22

Listados

Barras	COMPROBACIONES (CÓDIGO ESTRUCTURAL)														Estado
	λ_w	N_t	N_c	M_Y	M_Z	V_Z	V_Y	M_YV_Z	M_ZV_Y	NM_YM_Z	$NM_YM_ZV_YV_Z$	M_t	M_tV_Z	M_tV_Y	
N2786/N2739	x: 0.06 m $\lambda_w \leq \lambda_{w,máx}$ Cumple	η = 3.2	η = 13.0	x: 0.06 m η < 0.1	x: 0.06 m η = 12.1	η < 0.1	x: 2.373 m η = 0.9	x: 0.06 m η < 0.1	x: 0.06 m η < 0.1	x: 0.06 m η = 18.9	x: 0.06 m η < 0.1	M_{Ed} = 0.00 N.P.(5)	N.P.(6)	N.P.(6)	**CUMPLE** **η = 18.9**
N2520/N2789	x: 0.061 m $\lambda_w \leq \lambda_{w,máx}$ Cumple	η = 3.5	η = 18.8	x: 2.372 m η < 0.1	x: 2.373 m η = 15.6	η < 0.1	x: 0.06 m η = 1.1	x: 0.253 m η < 0.1	x: 0.061 m η < 0.1	x: 2.373 m η = 28.2	x: 0.061 m η < 0.1	M_{Ed} = 0.00 N.P.(5)	N.P.(6)	N.P.(6)	**CUMPLE** **η = 28.2**
N2789/N2788	$\lambda_w \leq \lambda_{w,máx}$ Cumple	η = 3.5	η = 23.3	x: 0.06 m η < 0.1	x: 0.06 m η = 4.1	η < 0.1	x: 2.373 m η = 0.5	N.P.(4)	η < 0.1	x: 0.06 m η = 25.8	η < 0.1	η < 0.1	η < 0.1	x: 2.373 m η = 0.5	**CUMPLE** **η = 25.8**
N2788/N2673	x: 0.06 m $\lambda_w \leq \lambda_{w,máx}$ Cumple	η = 4.3	η = 23.1	x: 0.06 m η < 0.1	x: 0.06 m η = 13.7	η < 0.1	x: 2.373 m η = 1.0	x: 0.06 m η < 0.1	x: 0.06 m η < 0.1	x: 0.06 m η = 23.4	x: 0.06 m η < 0.1	M_{Ed} = 0.00 N.P.(5)	N.P.(6)	N.P.(6)	**CUMPLE** **η = 23.4**
N2786/N2788	$\lambda_w \leq \lambda_{w,máx}$ Cumple	x: 1.939 m η = 0.1	x: 0.06 m η = 0.3	x: 1.94 m η = 10.1	x: 0.06 m η < 0.1	η = 1.5	η < 0.1	η < 0.1	x: 0.06 m η < 0.1	x: 1.94 m η = 10.2	η < 0.1	η < 0.1	η = 1.5	η < 0.1	**CUMPLE** **η = 10.2**
N2787/N2789	$\lambda_w \leq \lambda_{w,máx}$ Cumple	x: 1.939 m η = 0.1	x: 0.06 m η = 0.3	x: 0.06 m η = 11.5	x: 0.06 m η < 0.1	η = 1.8	η < 0.1	η < 0.1	x: 0.06 m η < 0.1	x: 0.06 m η = 11.8	η < 0.1	η < 0.1	η = 1.8	η < 0.1	**CUMPLE** **η = 11.8**
N2522/N2675	x: 0.509 m $\lambda_w \leq \lambda_{w,máx}$ Cumple	η = 7.6	η = 14.3	M_{Ed} = 0.00 N.P.(2)	x: 3.65 m η = 6.0	V_{Ed} = 0.00 N.P.(3)	x: 0.06 m η = 0.5	N.P.(4)	x: 0.509 m η < 0.1	x: 3.65 m η = 19.0	x: 0.509 m η < 0.1	M_{Ed} = 0.00 N.P.(5)	N.P.(6)	N.P.(6)	**CUMPLE** **η = 19.0**
N2544/N2697	x: 0.509 m $\lambda_w \leq \lambda_{w,máx}$ Cumple	η = 1.9	η = 22.8	M_{Ed} = 0.00 N.P.(2)	x: 3.65 m η = 6.0	V_{Ed} = 0.00 N.P.(3)	x: 0.06 m η = 0.5	N.P.(4)	x: 0.509 m η < 0.1	x: 3.65 m η = 29.3	x: 0.509 m η < 0.1	M_{Ed} = 0.00 N.P.(5)	N.P.(6)	N.P.(6)	**CUMPLE** **η = 29.3**
N2546/N2790	x: 0.061 m $\lambda_w \leq \lambda_{w,máx}$ Cumple	η = 1.8	η = 12.9	x: 2.372 m η < 0.1	x: 2.373 m η = 12.2	η < 0.1	x: 0.06 m η = 0.9	x: 1.024 m η < 0.1	x: 0.061 m η < 0.1	x: 2.373 m η = 20.5	x: 0.061 m η < 0.1	M_{Ed} = 0.00 N.P.(5)	N.P.(6)	N.P.(6)	**CUMPLE** **η = 20.5**
N2790/N2791	$\lambda_w \leq \lambda_{w,máx}$ Cumple	η = 1.7	η = 16.1	x: 0.06 m η < 0.1	x: 0.06 m η = 2.9	η < 0.1	x: 2.373 m η = 0.4	N.P.(4)	η < 0.1	x: 0.06 m η = 18.0	η < 0.1	η < 0.1	η < 0.1	x: 2.373 m η = 0.4	**CUMPLE** **η = 18.0**
N2791/N2699	x: 0.06 m $\lambda_w \leq \lambda_{w,máx}$ Cumple	η = 2.2	η = 15.6	x: 0.06 m η < 0.1	x: 0.06 m η = 10.8	η < 0.1	x: 2.373 m η = 0.8	x: 0.06 m η < 0.1	x: 0.06 m η < 0.1	x: 0.06 m η = 17.3	x: 0.06 m η < 0.1	M_{Ed} = 0.00 N.P.(5)	N.P.(6)	N.P.(6)	**CUMPLE** **η = 17.3**
N2529/N2792	x: 0.061 m $\lambda_w \leq \lambda_{w,máx}$ Cumple	η = 1.0	η = 5.7	x: 2.372 m η < 0.1	x: 2.373 m η = 12.6	η < 0.1	x: 0.06 m η = 1.0	x: 1.024 m η < 0.1	x: 0.061 m η < 0.1	x: 2.373 m η = 13.7	x: 0.061 m η < 0.1	M_{Ed} = 0.00 N.P.(5)	N.P.(6)	N.P.(6)	**CUMPLE** **η = 13.7**
N2792/N2793	$\lambda_w \leq \lambda_{w,máx}$ Cumple	η = 1.4	η = 6.4	x: 0.06 m η < 0.1	x: 0.06 m η = 3.1	η < 0.1	x: 2.373 m η = 0.4	N.P.(4)	η < 0.1	x: 2.373 m η = 7.2	η < 0.1	η < 0.1	η < 0.1	x: 2.373 m η = 0.4	**CUMPLE** **η = 7.2**
N2793/N2682	x: 0.06 m $\lambda_w \leq \lambda_{w,máx}$ Cumple	η = 1.7	η = 7.5	x: 0.06 m η < 0.1	x: 0.06 m η = 9.4	η < 0.1	x: 2.373 m η = 0.7	x: 0.06 m η < 0.1	x: 0.06 m η < 0.1	x: 0.06 m η = 12.2	x: 0.06 m η < 0.1	M_{Ed} = 0.00 N.P.(5)	N.P.(6)	N.P.(6)	**CUMPLE** **η = 12.2**
N2793/N2791	$\lambda_w \leq \lambda_{w,máx}$ Cumple	x: 1.939 m η = 0.1	x: 0.06 m η = 0.2	x: 1.94 m η = 8.2	x: 0.06 m η < 0.1	η = 1.2	η < 0.1	η < 0.1	x: 0.06 m η < 0.1	x: 1.94 m η = 8.2	η < 0.1	η < 0.1	η = 1.2	η < 0.1	**CUMPLE** **η = 8.2**
N2792/N2790	$\lambda_w \leq \lambda_{w,máx}$ Cumple	x: 1.939 m η = 0.1	x: 0.06 m η = 0.2	x: 0.06 m η = 9.2	x: 0.06 m η < 0.1	η = 1.4	η < 0.1	η < 0.1	x: 0.06 m η < 0.1	x: 0.06 m η = 9.4	η < 0.1	η < 0.1	η = 1.4	η < 0.1	**CUMPLE** **η = 9.4**
N2533/N2795	x: 0.051 m $\lambda_w \leq \lambda_{w,máx}$ Cumple	η = 1.9	η = 9.7	x: 2.372 m η < 0.1	x: 2.373 m η = 15.1	η < 0.1	x: 0.05 m η = 1.1	x: 0.244 m η < 0.1	x: 0.051 m η < 0.1	x: 2.373 m η = 16.5	x: 0.051 m η < 0.1	M_{Ed} = 0.00 N.P.(5)	N.P.(6)	N.P.(6)	**CUMPLE** **η = 16.5**
N2795/N2794	$\lambda_w \leq \lambda_{w,máx}$ Cumple	η = 2.4	η = 11.3	x: 0.06 m η < 0.1	x: 0.06 m η = 3.9	η < 0.1	x: 2.373 m η = 0.5	N.P.(4)	η < 0.1	x: 2.373 m η = 12.6	η < 0.1	η < 0.1	η < 0.1	x: 2.373 m η = 0.5	**CUMPLE** **η = 12.6**
N2794/N2686	x: 0.06 m $\lambda_w \leq \lambda_{w,máx}$ Cumple	η = 2.8	η = 12.6	x: 0.06 m η < 0.1	x: 0.06 m η = 11.4	η < 0.1	x: 2.383 m η = 0.9	x: 0.06 m η < 0.1	x: 0.06 m η < 0.1	x: 0.06 m η = 18.4	x: 0.06 m η < 0.1	M_{Ed} = 0.00 N.P.(5)	N.P.(6)	N.P.(6)	**CUMPLE** **η = 18.4**
N2550/N2797	x: 0.051 m $\lambda_w \leq \lambda_{w,máx}$ Cumple	η = 1.9	η = 15.7	x: 2.372 m η < 0.1	x: 2.373 m η = 15.0	η < 0.1	x: 0.05 m η = 1.1	x: 0.244 m η < 0.1	x: 0.051 m η < 0.1	x: 2.373 m η = 25.1	x: 0.051 m η < 0.1	M_{Ed} = 0.00 N.P.(5)	N.P.(6)	N.P.(6)	**CUMPLE** **η = 25.1**
N2797/N2796	$\lambda_w \leq \lambda_{w,máx}$ Cumple	η = 1.9	η = 20.0	x: 0.06 m η < 0.1	x: 0.06 m η = 3.9	η < 0.1	x: 2.373 m η = 0.5	N.P.(4)	η < 0.1	x: 0.06 m η = 22.5	η < 0.1	η < 0.1	η < 0.1	x: 2.373 m η = 0.5	**CUMPLE** **η = 22.5**
N2796/N2703	x: 0.06 m $\lambda_w \leq \lambda_{w,máx}$ Cumple	η = 2.6	η = 19.7	x: 0.06 m η < 0.1	x: 0.06 m η = 12.5	η < 0.1	x: 2.383 m η = 0.9	x: 0.06 m η < 0.1	x: 0.06 m η < 0.1	x: 1.028 m η = 20.4	x: 0.06 m η < 0.1	M_{Ed} = 0.00 N.P.(5)	N.P.(6)	N.P.(6)	**CUMPLE** **η = 20.4**
N2794/N2796	$\lambda_w \leq \lambda_{w,máx}$ Cumple	x: 1.939 m η = 0.1	x: 0.06 m η = 0.3	x: 1.94 m η = 9.3	x: 0.06 m η < 0.1	η = 1.4	η < 0.1	η < 0.1	x: 0.06 m η < 0.1	x: 1.94 m η = 9.3	η < 0.1	η < 0.1	η = 1.4	η < 0.1	**CUMPLE** **η = 9.3**
N2795/N2797	$\lambda_w \leq \lambda_{w,máx}$ Cumple	x: 1.939 m η = 0.1	x: 0.06 m η = 0.3	x: 0.06 m η = 10.8	x: 0.06 m η < 0.1	η = 1.7	η < 0.1	η < 0.1	x: 0.06 m η < 0.1	x: 0.06 m η = 11.1	η < 0.1	η < 0.1	η = 1.7	η < 0.1	**CUMPLE** **η = 11.1**
N2537/N2799	x: 0.061 m $\lambda_w \leq \lambda_{w,máx}$ Cumple	η = 1.1	η = 1.3	x: 2.372 m η < 0.1	x: 2.373 m η = 13.3	η < 0.1	x: 0.06 m η = 1.0	x: 0.253 m η < 0.1	x: 0.061 m η < 0.1	x: 2.373 m η = 14.2	x: 0.061 m η < 0.1	M_{Ed} = 0.00 N.P.(5)	N.P.(6)	N.P.(6)	**CUMPLE** **η = 14.2**
N2799/N2798	$\lambda_w \leq \lambda_{w,máx}$ Cumple	η = 1.5	η = 6.1	x: 0.06 m η < 0.1	x: 0.06 m η = 3.3	η < 0.1	x: 2.373 m η = 0.4	N.P.(4)	η < 0.1	x: 2.373 m η = 6.9	η < 0.1	η < 0.1	η < 0.1	x: 2.373 m η = 0.2	**CUMPLE** **η = 6.9**
N2798/N2690	x: 0.06 m $\lambda_w \leq \lambda_{w,máx}$ Cumple	η = 1.7	η = 7.2	x: 0.06 m η < 0.1	x: 0.06 m η = 9.2	η < 0.1	x: 2.373 m η = 0.7	x: 0.06 m η < 0.1	x: 0.06 m η < 0.1	x: 0.06 m η = 11.9	x: 0.06 m η < 0.1	M_{Ed} = 0.00 N.P.(5)	N.P.(6)	N.P.(6)	**CUMPLE** **η = 11.9**
N2554/N2801	x: 0.061 m $\lambda_w \leq \lambda_{w,máx}$ Cumple	η = 1.7	η = 12.7	x: 2.372 m η < 0.1	x: 2.373 m η = 12.7	η < 0.1	x: 0.06 m η = 1.0	x: 0.253 m η < 0.1	x: 0.061 m η < 0.1	x: 2.373 m η = 20.7	x: 0.061 m η < 0.1	M_{Ed} = 0.00 N.P.(5)	N.P.(6)	N.P.(6)	**CUMPLE** **η = 20.7**
N2801/N2800	$\lambda_w \leq \lambda_{w,máx}$ Cumple	η = 1.6	η = 16.2	x: 0.06 m η < 0.1	x: 0.06 m η = 3.1	η < 0.1	x: 2.373 m η = 0.4	N.P.(4)	η < 0.1	x: 0.06 m η = 18.2	η < 0.1	η < 0.1	η < 0.1	x: 2.373 m η = 0.2	**CUMPLE** **η = 18.2**
N2800/N2707	x: 0.06 m $\lambda_w \leq \lambda_{w,máx}$ Cumple	η = 2.1	η = 15.7	x: 0.06 m η < 0.1	x: 0.06 m η = 10.8	η < 0.1	x: 2.373 m η = 0.8	x: 0.06 m η < 0.1	x: 0.06 m η < 0.1	x: 0.253 m η = 17.1	x: 0.06 m η < 0.1	M_{Ed} = 0.00 N.P.(5)	N.P.(6)	N.P.(6)	**CUMPLE** **η = 17.1**
N2798/N2800	$\lambda_w \leq \lambda_{w,máx}$ Cumple	x: 1.939 m η = 0.1	x: 0.06 m η = 0.2	x: 1.94 m η = 8.2	x: 0.06 m η < 0.1	η = 1.2	η < 0.1	η < 0.1	x: 0.06 m η < 0.1	x: 1.94 m η = 8.2	η < 0.1	η < 0.1	x: 1.188 m η = 0.7	η < 0.1	**CUMPLE** **η = 8.2**
N2799/N2801	$\lambda_w \leq \lambda_{w,máx}$ Cumple	x: 1.939 m η = 0.1	x: 0.06 m η = 0.2	x: 0.06 m η = 9.6	x: 0.06 m η < 0.1	η = 1.5	η < 0.1	η < 0.1	x: 0.06 m η < 0.1	x: 0.06 m η = 9.9	η < 0.1	x: 1 m η < 0.1	x: 0.812 m η = 1.0	η < 0.1	**CUMPLE** **η = 9.9**
N2556/N2709	x: 0.509 m $\lambda_w \leq \lambda_{w,máx}$ Cumple	η = 4.1	η = 18.6	M_{Ed} = 0.00 N.P.(2)	x: 3.65 m η = 6.0	V_{Ed} = 0.00 N.P.(3)	x: 0.06 m η = 0.5	N.P.(4)	x: 0.509 m η < 0.1	x: 3.65 m η = 25.0	x: 0.509 m η < 0.1	M_{Ed} = 0.00 N.P.(5)	N.P.(6)	N.P.(6)	**CUMPLE** **η = 25.0**
N2560/N2713	x: 0.509 m $\lambda_w \leq \lambda_{w,máx}$ Cumple	η = 1.7	η = 17.6	M_{Ed} = 0.00 N.P.(2)	x: 3.65 m η = 6.0	V_{Ed} = 0.00 N.P.(3)	x: 0.06 m η = 0.5	N.P.(4)	x: 0.509 m η < 0.1	x: 3.65 m η = 24.0	x: 0.509 m η < 0.1	M_{Ed} = 0.00 N.P.(5)	N.P.(6)	N.P.(6)	**CUMPLE** **η = 24.0**
N2562/N2802	x: 0.061 m $\lambda_w \leq \lambda_{w,máx}$ Cumple	η = 3.0	η = 20.1	x: 2.372 m η < 0.1	x: 2.373 m η = 15.7	η < 0.1	x: 0.06 m η = 1.1	x: 0.253 m η < 0.1	x: 0.061 m η < 0.1	x: 2.373 m η = 30.1	x: 0.061 m η < 0.1	M_{Ed} = 0.00 N.P.(5)	N.P.(6)	N.P.(6)	**CUMPLE** **η = 30.1**

Documento visado electrónicamente con número: VA07290/22
Código de validación telemática TRLTDCFZ60T66IJ1. Comprobación: https://cogitivalencia.e-gestion.es/Validacion.aspx?CVT=TRLTDCFZ60T66IJ1

VISADO
COGITI
Estado
VALENCIA
VA07290/22
TRLTDCFZ60T66IJ1

Barras	COMPROBACIONES (CÓDIGO ESTRUCTURAL)															
	λ_w	N_t	N_c	M_Y	M_Z	V_Z	V_Y	M_YV_Z	M_ZV_Y	NM_YM_Z	$NM_YM_ZV_YV_Z$	M_t	M_tV_Z	M_tV_Y	
N2802/N2803	$\lambda_w \leq \lambda_{w,máx}$ Cumple	η = 3.0	η = 24.9	x: 0.06 m η < 0.1	x: 0.06 m η = 4.1	η < 0.1	x: 2.373 m η = 0.5	x: 0.06 m η < 0.1	η < 0.1	x: 0.06 m η = 27.6	η < 0.1	η < 0.1	η < 0.1	x: 2.373 m η = 0.5	**CUMPLE η = 27.6**
N2803/N2715	x: 0.06 m $\lambda_w \leq \lambda_{w,máx}$ Cumple	η = 3.7	η = 24.8	x: 0.06 m η < 0.1	x: 0.06 m η = 12.5	η < 0.1	x: 2.373 m η = 0.9	x: 0.06 m η < 0.1	x: 0.06 m η < 0.1	x: 0.06 m η = 25.4	x: 0.06 m η < 0.1	M_{Ed} = 0.00 N.P.[5]	N.P.[6]	N.P.[6]	**CUMPLE η = 25.4**
N2593/N2804	x: 0.061 m $\lambda_w \leq \lambda_{w,máx}$ Cumple	η = 2.0	η = 11.0	x: 2.372 m η < 0.1	x: 2.373 m η = 15.7	η < 0.1	x: 0.06 m η = 1.1	x: 0.253 m η < 0.1	x: 0.061 m η < 0.1	x: 2.373 m η = 17.4	x: 0.061 m η < 0.1	M_{Ed} = 0.00 N.P.[5]	N.P.[6]	N.P.[6]	**CUMPLE η = 17.4**
N2804/N2805	$\lambda_w \leq \lambda_{w,máx}$ Cumple	η = 2.5	η = 12.0	x: 0.06 m η < 0.1	x: 0.06 m η = 4.1	η < 0.1	x: 2.373 m η = 0.5	x: 0.06 m η < 0.1	η < 0.1	x: 2.373 m η = 13.0	η < 0.1	η < 0.1	η < 0.1	x: 2.373 m η = 0.5	**CUMPLE η = 13.0**
N2805/N2746	x: 0.06 m $\lambda_w \leq \lambda_{w,máx}$ Cumple	η = 3.0	η = 13.2	x: 0.06 m η < 0.1	x: 0.06 m η = 11.4	η < 0.1	x: 2.373 m η = 0.9	x: 0.06 m η < 0.1	x: 0.06 m η < 0.1	x: 0.06 m η = 18.3	x: 0.06 m η < 0.1	M_{Ed} = 0.00 N.P.[5]	N.P.[6]	N.P.[6]	**CUMPLE η = 18.3**
N2805/N2803	$\lambda_w \leq \lambda_{w,máx}$ Cumple	x: 1.939 m η = 0.1	x: 0.06 m η = 0.3	x: 1.94 m η = 9.3	x: 0.06 m η < 0.1	η = 1.4	η < 0.1	η < 0.1	x: 0.06 m η < 0.1	x: 1.94 m η = 9.4	η < 0.1	η < 0.1	η = 1.4	η < 0.1	**CUMPLE η = 9.4**
N2804/N2802	$\lambda_w \leq \lambda_{w,máx}$ Cumple	x: 1.939 m η = 0.1	x: 0.06 m η = 0.3	x: 0.06 m η = 11.1	x: 0.06 m η < 0.1	η = 1.8	η < 0.1	η < 0.1	x: 0.06 m η < 0.1	x: 0.06 m η = 11.4	η < 0.1	η < 0.1	η = 1.8	η < 0.1	**CUMPLE η = 11.4**
N2597/N2807	x: 0.051 m $\lambda_w \leq \lambda_{w,máx}$ Cumple	η = 3.6	η = 17.5	x: 2.372 m η < 0.1	x: 2.373 m η = 19.2	η < 0.1	x: 0.05 m η = 1.4	x: 0.244 m η < 0.1	x: 0.051 m η < 0.1	x: 2.373 m η = 22.7	x: 0.051 m η < 0.1	M_{Ed} = 0.00 N.P.[5]	N.P.[6]	N.P.[6]	**CUMPLE η = 22.7**
N2807/N2806	$\lambda_w \leq \lambda_{w,máx}$ Cumple	η = 4.2	η = 20.6	x: 2.372 m η < 0.1	x: 0.06 m η = 5.4	η < 0.1	x: 2.373 m η = 0.7	N.P.[4]	η < 0.1	x: 2.373 m η = 22.6	η < 0.1	x: 1.988 m η < 0.1	η < 0.1	x: 2.373 m η = 0.3	**CUMPLE η = 22.6**
N2806/N2750	x: 0.06 m $\lambda_w \leq \lambda_{w,máx}$ Cumple	η = 5.2	η = 22.4	x: 0.06 m η < 0.1	x: 0.06 m η = 15.2	η < 0.1	x: 2.383 m η = 1.1	x: 0.06 m η < 0.1	x: 0.06 m η < 0.1	x: 0.06 m η = 30.4	x: 0.06 m η < 0.1	M_{Ed} = 0.00 N.P.[5]	N.P.[6]	N.P.[6]	**CUMPLE η = 30.4**
N2566/N2809	x: 0.051 m $\lambda_w \leq \lambda_{w,máx}$ Cumple	η = 3.7	η = 23.4	x: 2.372 m η < 0.1	x: 2.373 m η = 19.8	η < 0.1	x: 0.05 m η = 1.4	x: 0.244 m η < 0.1	x: 0.051 m η < 0.1	x: 2.373 m η = 36.1	x: 0.051 m η < 0.1	M_{Ed} = 0.00 N.P.[5]	N.P.[6]	N.P.[6]	**CUMPLE η = 36.1**
N2809/N2808	$\lambda_w \leq \lambda_{w,máx}$ Cumple	η = 3.8	η = 29.9	x: 2.372 m η < 0.1	x: 0.06 m η = 5.6	η < 0.1	x: 2.373 m η = 0.7	N.P.[4]	η < 0.1	x: 0.06 m η = 33.6	η < 0.1	x: 1.795 m η < 0.1	η < 0.1	x: 2.373 m η = 0.3	**CUMPLE η = 33.6**
N2808/N2719	x: 0.06 m $\lambda_w \leq \lambda_{w,máx}$ Cumple	η = 4.9	η = 30.2	x: 0.06 m η < 0.1	x: 0.06 m η = 15.5	η < 0.1	x: 2.383 m η = 1.1	x: 0.06 m η < 0.1	x: 0.06 m η < 0.1	x: 0.06 m η = 33.0	x: 0.06 m η < 0.1	M_{Ed} = 0.00 N.P.[5]	N.P.[6]	N.P.[6]	**CUMPLE η = 33.0**
N2806/N2808	$\lambda_w \leq \lambda_{w,máx}$ Cumple	x: 1.939 m η = 0.1	x: 0.06 m η = 0.4	x: 1.94 m η = 11.3	x: 0.06 m η < 0.1	η = 1.8	η < 0.1	η < 0.1	x: 0.06 m η < 0.1	x: 1.94 m η = 11.4	η < 0.1	η < 0.1	η = 0.5	η < 0.1	**CUMPLE η = 11.4**
N2807/N2809	$\lambda_w \leq \lambda_{w,máx}$ Cumple	x: 1.939 m η = 0.1	x: 0.06 m η = 0.4	x: 1.94 m η = 13.7	x: 0.06 m η < 0.1	η = 2.2	η < 0.1	η < 0.1	x: 0.06 m η < 0.1	x: 1.94 m η = 14.0	η < 0.1	x: 0.248 m η < 0.1	η = 1.0	η < 0.1	**CUMPLE η = 14.0**
N2601/N2811	x: 0.061 m $\lambda_w \leq \lambda_{w,máx}$ Cumple	η = 2.8	η = 12.8	x: 2.372 m η < 0.1	x: 2.373 m η = 16.9	η < 0.1	x: 0.06 m η = 1.2	x: 0.253 m η < 0.1	x: 0.061 m η < 0.1	x: 2.373 m η = 19.3	x: 0.061 m η < 0.1	M_{Ed} = 0.00 N.P.[5]	N.P.[6]	N.P.[6]	**CUMPLE η = 19.3**
N2811/N2810	$\lambda_w \leq \lambda_{w,máx}$ Cumple	η = 3.3	η = 15.1	x: 0.06 m η < 0.1	x: 0.06 m η = 4.6	η < 0.1	x: 2.373 m η = 0.5	x: 0.06 m η < 0.1	η < 0.1	x: 2.373 m η = 16.6	η < 0.1	η < 0.1	η < 0.1	x: 2.373 m η = 0.5	**CUMPLE η = 16.6**
N2810/N2754	x: 0.06 m $\lambda_w \leq \lambda_{w,máx}$ Cumple	η = 4.0	η = 16.6	x: 0.06 m η < 0.1	x: 0.06 m η = 12.8	η < 0.1	x: 2.373 m η = 1.0	x: 0.06 m η < 0.1	x: 0.06 m η < 0.1	x: 0.06 m η = 23.2	x: 0.06 m η < 0.1	M_{Ed} = 0.00 N.P.[5]	N.P.[6]	N.P.[6]	**CUMPLE η = 23.2**
N2570/N2813	x: 0.061 m $\lambda_w \leq \lambda_{w,máx}$ Cumple	η = 3.1	η = 16.2	x: 2.372 m η < 0.1	x: 2.373 m η = 16.7	η < 0.1	x: 0.06 m η = 1.2	x: 0.253 m η < 0.1	x: 0.061 m η < 0.1	x: 2.373 m η = 26.7	x: 0.061 m η < 0.1	M_{Ed} = 0.00 N.P.[5]	N.P.[6]	N.P.[6]	**CUMPLE η = 26.7**
N2813/N2812	$\lambda_w \leq \lambda_{w,máx}$ Cumple	η = 3.1	η = 21.4	x: 0.06 m η < 0.1	x: 0.06 m η = 4.5	η < 0.1	x: 2.373 m η = 0.5	x: 0.06 m η < 0.1	η < 0.1	x: 0.06 m η = 24.3	η < 0.1	η < 0.1	η < 0.1	x: 2.373 m η = 0.5	**CUMPLE η = 24.3**
N2812/N2723	x: 0.06 m $\lambda_w \leq \lambda_{w,máx}$ Cumple	η = 4.0	η = 21.4	x: 0.06 m η < 0.1	x: 0.06 m η = 14.0	η < 0.1	x: 2.373 m η = 1.0	x: 0.06 m η < 0.1	x: 0.06 m η < 0.1	x: 0.06 m η = 22.4	x: 0.06 m η < 0.1	M_{Ed} = 0.00 N.P.[5]	N.P.[6]	N.P.[6]	**CUMPLE η = 22.4**
N2810/N2812	$\lambda_w \leq \lambda_{w,máx}$ Cumple	x: 1.939 m η = 0.1	x: 0.06 m η = 0.3	x: 1.94 m η = 10.3	x: 0.06 m η < 0.1	η = 1.6	η < 0.1	η < 0.1	x: 0.06 m η < 0.1	x: 1.94 m η = 10.4	η < 0.1	η < 0.1	η = 1.6	η < 0.1	**CUMPLE η = 10.4**
N2811/N2813	$\lambda_w \leq \lambda_{w,máx}$ Cumple	x: 1.939 m η = 0.1	x: 0.06 m η = 0.3	x: 0.06 m η = 11.9	x: 0.06 m η < 0.1	η = 1.9	η < 0.1	η < 0.1	x: 0.06 m η < 0.1	x: 0.06 m η = 12.2	η < 0.1	η < 0.1	η = 1.9	η < 0.1	**CUMPLE η = 12.2**
N2572/N2725	x: 0.509 m $\lambda_w \leq \lambda_{w,máx}$ Cumple	η = 3.3	η = 14.9	M_{Ed} = 0.00 N.P.[2]	x: 3.65 m η = 6.0	V_{Ed} = 0.00 N.P.[3]	x: 0.06 m η = 0.5	N.P.[4]	x: 0.509 m η < 0.1	x: 3.65 m η = 21.3	x: 0.509 m η < 0.1	M_{Ed} = 0.00 N.P.[5]	N.P.[6]	N.P.[6]	**CUMPLE η = 21.3**
N2512/N2781	x: 0.061 m $\lambda_w \leq \lambda_{w,máx}$ Cumple	η = 3.4	η = 20.7	x: 2.372 m η < 0.1	x: 2.373 m η = 19.3	η < 0.1	x: 0.06 m η = 1.4	x: 0.253 m η < 0.1	x: 0.061 m η < 0.1	x: 2.373 m η = 33.0	x: 0.061 m η < 0.1	M_{Ed} = 0.00 N.P.[5]	N.P.[6]	N.P.[6]	**CUMPLE η = 33.0**
N2781/N2779	$\lambda_w \leq \lambda_{w,máx}$ Cumple	η = 3.4	η = 27.0	x: 0.06 m η < 0.1	x: 0.06 m η = 5.4	η < 0.1	x: 2.373 m η = 0.7	N.P.[4]	η < 0.1	x: 0.06 m η = 30.5	η < 0.1	η < 0.1	η < 0.1	x: 2.373 m η = 0.7	**CUMPLE η = 30.5**
N2779/N2665	x: 0.06 m $\lambda_w \leq \lambda_{w,máx}$ Cumple	η = 4.4	η = 27.3	x: 0.06 m η < 0.1	x: 0.06 m η = 14.9	η < 0.1	x: 2.373 m η = 1.1	x: 0.06 m η < 0.1	x: 0.06 m η < 0.1	x: 0.06 m η = 30.3	x: 0.06 m η < 0.1	M_{Ed} = 0.00 N.P.[5]	N.P.[6]	N.P.[6]	**CUMPLE η = 30.3**
N2578/N2780	x: 0.061 m $\lambda_w \leq \lambda_{w,máx}$ Cumple	η = 3.1	η = 14.1	x: 2.372 m η < 0.1	x: 2.373 m η = 19.4	η < 0.1	x: 0.06 m η = 1.4	x: 0.253 m η < 0.1	x: 0.061 m η < 0.1	x: 2.373 m η = 21.8	x: 0.061 m η < 0.1	M_{Ed} = 0.00 N.P.[5]	N.P.[6]	N.P.[6]	**CUMPLE η = 21.8**
N2780/N2778	$\lambda_w \leq \lambda_{w,máx}$ Cumple	η = 3.6	η = 16.8	x: 0.06 m η < 0.1	x: 0.06 m η = 5.4	η < 0.1	x: 2.373 m η = 0.7	N.P.[4]	η < 0.1	x: 2.373 m η = 18.6	η < 0.1	η < 0.1	η < 0.1	x: 2.373 m η = 0.6	**CUMPLE η = 18.6**
N2778/N2731	x: 0.06 m $\lambda_w \leq \lambda_{w,máx}$ Cumple	η = 4.4	η = 18.5	x: 0.06 m η < 0.1	x: 0.06 m η = 13.8	η < 0.1	x: 2.373 m η = 1.0	x: 0.06 m η < 0.1	x: 0.06 m η < 0.1	x: 0.06 m η = 25.7	x: 0.06 m η < 0.1	M_{Ed} = 0.00 N.P.[5]	N.P.[6]	N.P.[6]	**CUMPLE η = 25.7**
N2814/N2815	$\lambda_w \leq \lambda_{w,máx}$ Cumple	x: 1.7 m η = 18.8	x: 0.078 m η = 26.9	x: 0.484 m η = 24.7	x: 0.078 m η = 3.1	x: 1.701 m η = 21.0	η = 0.1	η < 0.1	η < 0.1	x: 0.484 m η = 49.8	η < 0.1	η = 0.2	x: 1.701 m η = 21.0	η = 0.1	**CUMPLE η = 49.8**
N2815/N2816	$\lambda_w \leq \lambda_{w,máx}$ Cumple	x: 1.7 m η = 30.6	x: 0.078 m η = 38.6	x: 0.078 m η = 18.7	x: 1.701 m η = 3.3	x: 0.078 m η = 16.2	η = 0.1	η < 0.1	η < 0.1	x: 0.078 m η = 55.1	η < 0.1	η = 0.2	x: 0.078 m η = 16.2	η = 0.1	**CUMPLE η = 55.1**
N2816/N2817	$\lambda_w \leq \lambda_{w,máx}$ Cumple	x: 1.7 m η = 40.2	x: 0.078 m η = 50.2	x: 0.078 m η = 7.0	x: 0.078 m η = 3.2	x: 0.078 m η = 9.0	η = 0.1	η < 0.1	η < 0.1	x: 1.093 m η = 51.6	η < 0.1	η = 0.1	x: 0.078 m η = 9.0	η = 0.1	**CUMPLE η = 51.6**
N2817/N2818	$\lambda_w \leq \lambda_{w,máx}$ Cumple	x: 1.7 m η = 47.0	x: 0.078 m η = 58.0	x: 0.89 m η = 6.6	x: 0.078 m η = 1.6	x: 0.078 m η = 8.7	η = 0.1	η < 0.1	η < 0.1	x: 1.093 m η = 59.3	η < 0.1	η = 0.2	x: 0.078 m η = 8.7	η = 0.1	**CUMPLE η = 59.3**
N2818/N2819	$\lambda_w \leq \lambda_{w,máx}$ Cumple	x: 1.713 m η = 50.9	x: 0.078 m η = 63.0	x: 0.896 m η = 7.0	x: 0.078 m η = 1.6	x: 0.078 m η = 8.4	η = 0.1	η < 0.1	η < 0.1	x: 0.896 m η = 64.2	η < 0.1	η = 0.3	x: 0.078 m η = 8.5	η = 0.1	**CUMPLE η = 64.2**
N2819/N3445	$\lambda_w \leq \lambda_{w,máx}$ Cumple	x: 0.89 m η = 52.9	x: 0.065 m η = 59.1	x: 0.89 m η = 7.5	x: 0.89 m η = 1.0	x: 0.065 m η = 8.3	η = 0.1	η < 0.1	η < 0.1	x: 0.89 m η = 63.6	η < 0.1	η = 0.2	x: 0.065 m η = 8.3	η = 0.1	**CUMPLE η = 63.6**
N3445/N2820	$\lambda_w \leq \lambda_{w,máx}$ Cumple	x: 0.824 m η = 52.9	x: 0 m η = 59.1	x: 0 m η = 7.5	x: 0.825 m η = 2.4	x: 0.825 m η = 7.6	η = 0.1	η < 0.1	η < 0.1	x: 0 m η = 63.6	η < 0.1	η = 0.2	x: 0.825 m η = 7.6	η = 0.1	**CUMPLE η = 63.6**

Documento visado electrónicamente con número: VA07290/22
Código de validación telemática TRLTDCFZ60T66IJ1. Comprobación: https://cogitivalencia.e-gestion.es/Validacion.aspx?CVT=TRLTDCFZ60T66IJ1

Listados

Barras	COMPROBACIONES (CÓDIGO ESTRUCTURAL)														Estado
	λ_w	N_t	N_c	M_Y	M_Z	V_Z	V_Y	M_YV_Z	M_ZV_Y	NM_YM_Z	$NM_YM_ZV_YV_Z$	M_t	M_tV_Z	M_tV_Y	
N2820/N2821	$\lambda_w \leq \lambda_{w,máx}$ Cumple	x: 1.713 m η = 52.1	x: 0.065 m η = 66.0	x: 0.89 m η = 7.3	x: 0.065 m η = 2.4	x: 1.714 m η = 8.1	η = 0.1	η < 0.1	η < 0.1	x: 0.89 m η = 67.3	η < 0.1	η = 0.2	x: 1.714 m η = 8.1	η = 0.1	**CUMPLE η = 67.3**
N2821/N2822	$\lambda_w \leq \lambda_{w,máx}$ Cumple	x: 1.727 m η = 49.0	x: 0.065 m η = 61.8	x: 0.897 m η = 7.5	x: 1.728 m η = 3.3	x: 0.065 m η = 8.1	η = 0.1	η < 0.1	η < 0.1	x: 0.897 m η = 63.8	η < 0.1	η < 0.1	x: 0.065 m η = 1.3	η < 0.1	**CUMPLE η = 63.8**
N2822/N2823	$\lambda_w \leq \lambda_{w,máx}$ Cumple	x: 1.708 m η = 48.9	x: 0.051 m η = 62.8	x: 0.88 m η = 7.9	x: 0.051 m η = 3.3	x: 1.709 m η = 8.4	η = 0.2	η < 0.1	η < 0.1	x: 0.88 m η = 65.2	η < 0.1	η = 0.1	x: 1.709 m η = 6.4	η = 0.2	**CUMPLE η = 65.2**
N2823/N2824	$\lambda_w \leq \lambda_{w,máx}$ Cumple	x: 1.708 m η = 44.1	x: 0.07 m η = 56.3	x: 0.89 m η = 7.3	x: 1.709 m η = 4.0	x: 1.709 m η = 8.8	η = 0.2	η < 0.1	η < 0.1	x: 0.89 m η = 58.2	η < 0.1	η = 0.2	x: 1.709 m η = 8.8	η = 0.2	**CUMPLE η = 58.2**
N2824/N3446	$\lambda_w \leq \lambda_{w,máx}$ Cumple	x: 0.89 m η = 36.5	x: 0.07 m η = 41.2	x: 0.685 m η = 5.9	x: 0.07 m η = 4.3	x: 0.07 m η = 6.5	η = 0.2	η < 0.1	η < 0.1	x: 0.685 m η = 46.9	η < 0.1	η = 0.2	x: 0.07 m η = 6.5	η = 0.2	**CUMPLE η = 46.9**
N3446/N2825	$\lambda_w \leq \lambda_{w,máx}$ Cumple	x: 0.819 m η = 36.5	x: 0 m η = 41.2	x: 0.82 m η = 8.4	x: 0.82 m η = 1.8	x: 0.82 m η = 9.4	η = 0.2	η < 0.1	η < 0.1	x: 0.82 m η = 49.3	η < 0.1	η = 0.2	x: 0.82 m η = 9.4	η = 0.2	**CUMPLE η = 49.3**
N2825/N2826	$\lambda_w \leq \lambda_{w,máx}$ Cumple	x: 1.694 m η = 26.6	x: 0.07 m η = 34.9	x: 1.695 m η = 8.9	x: 1.695 m η = 5.6	x: 1.695 m η = 9.3	η = 0.2	η < 0.1	η < 0.1	x: 1.695 m η = 40.4	η < 0.1	η = 0.3	x: 1.695 m η = 9.4	η = 0.2	**CUMPLE η = 40.4**
N2826/N2827	$\lambda_w \leq \lambda_{w,máx}$ Cumple	x: 1.694 m η = 14.2	x: 0.084 m η = 18.6	x: 1.695 m η = 11.4	x: 0.084 m η = 4.8	x: 1.695 m η = 10.0	η = 0.2	η < 0.1	η < 0.1	x: 1.695 m η = 30.0	η < 0.1	η = 0.1	x: 1.695 m η = 10.0	η = 0.2	**CUMPLE η = 30.0**
N2827/N2828	$\lambda_w \leq \lambda_{w,máx}$ Cumple	x: 1.694 m η = 0.7	x: 0.084 m η = 4.0	x: 1.695 m η = 12.1	x: 1.695 m η = 6.2	x: 1.695 m η = 9.8	η = 0.2	η < 0.1	η < 0.1	x: 1.695 m η = 15.2	η < 0.1	η = 0.2	x: 1.695 m η = 7.4	η = 0.2	**CUMPLE η = 15.2**
N2828/N2829	$\lambda_w \leq \lambda_{w,máx}$ Cumple	x: 1.694 m η = 17.2	x: 0.084 m η = 23.6	x: 1.695 m η = 31.8	x: 0.084 m η = 8.5	x: 1.695 m η = 18.6	η = 0.3	η < 0.1	η < 0.1	x: 1.695 m η = 53.1	η < 0.1	η = 0.2	x: 1.695 m η = 18.6	η = 0.3	**CUMPLE η = 53.1**
N2829/N2830	$\lambda_w \leq \lambda_{w,máx}$ Cumple	x: 1.637 m η = 35.7	x: 0.084 m η = 43.1	x: 0.084 m η = 30.1	x: 0.084 m η = 4.5	x: 0.084 m η = 21.4	η = 0.3	η < 0.1	η < 0.1	x: 0.084 m η = 70.3	η < 0.1	η = 0.3	x: 0.084 m η = 21.4	η = 0.3	**CUMPLE η = 70.3**
N2831/N2832	$\lambda_w \leq \lambda_{w,máx}$ Cumple	x: 1.7 m η = 49.5	x: 0.141 m η = 85.4	x: 0.141 m η = 15.3	x: 0.141 m η = 5.1	x: 0.141 m η = 5.2	η = 0.2	η < 0.1	η < 0.1	x: 0.141 m η = 95.0	η < 0.1	η = 0.6	x: 0.141 m η = 5.2	η = 0.2	**CUMPLE η = 95.0**
N2832/N2833	$\lambda_w \leq \lambda_{w,máx}$ Cumple	x: 1.7 m η = 31.2	x: 0.078 m η = 57.8	x: 0.078 m η = 12.3	x: 1.701 m η = 3.2	x: 1.701 m η = 4.2	η = 0.2	η < 0.1	η < 0.1	x: 0.078 m η = 64.8	η < 0.1	η = 0.1	x: 0.078 m η = 3.4	η = 0.2	**CUMPLE η = 64.8**
N2833/N2834	$\lambda_w \leq \lambda_{w,máx}$ Cumple	x: 1.7 m η = 16.4	x: 0.078 m η = 34.1	x: 0.078 m η = 2.9	x: 0.078 m η = 3.0	x: 0.078 m η = 1.4	η = 0.1	η < 0.1	η < 0.1	x: 0.078 m η = 38.4	η < 0.1	η = 0.1	x: 1.701 m η = 1.2	η = 0.1	**CUMPLE η = 38.4**
N2834/N2835	$\lambda_w \leq \lambda_{w,máx}$ Cumple	x: 1.7 m η = 3.9	x: 0.078 m η = 18.1	x: 1.701 m η = 4.4	x: 1.701 m η = 3.2	x: 0.078 m η = 2.2	η = 0.1	η < 0.1	η < 0.1	x: 1.701 m η = 21.2	η < 0.1	η = 0.1	x: 1.701 m η = 2.0	η = 0.1	**CUMPLE η = 21.2**
N2835/N2836	$\lambda_w \leq \lambda_{w,máx}$ Cumple	x: 1.7 m η = 6.1	x: 0.078 m η = 19.0	x: 1.701 m η = 4.0	x: 0.078 m η = 3.5	x: 0.078 m η = 1.2	η = 0.1	η < 0.1	η < 0.1	x: 1.701 m η = 20.7	η < 0.1	η = 0.1	x: 0.078 m η = 1.2	η = 0.1	**CUMPLE η = 20.7**
N2836/N2837	$\lambda_w \leq \lambda_{w,máx}$ Cumple	x: 1.713 m η = 14.4	x: 0.078 m η = 31.1	x: 1.714 m η = 3.8	x: 1.714 m η = 2.7	x: 0.078 m η = 1.1	η = 0.1	η < 0.1	η < 0.1	x: 1.714 m η = 35.8	η < 0.1	η = 0.1	x: 0.078 m η = 1.1	η = 0.1	**CUMPLE η = 35.8**
N2837/N2838	$\lambda_w \leq \lambda_{w,máx}$ Cumple	x: 1.713 m η = 20.2	x: 0.065 m η = 40.3	x: 1.714 m η = 4.0	x: 0.065 m η = 2.8	x: 1.714 m η = 0.6	η = 0.1	η < 0.1	η < 0.1	x: 0.065 m η = 44.2	η < 0.1	x: 1.508 m η < 0.1	x: 0.065 m η = 0.2	η < 0.1	**CUMPLE η = 44.2**
N2838/N2839	$\lambda_w \leq \lambda_{w,máx}$ Cumple	x: 1.708 m η = 23.8	x: 0.065 m η = 46.5	x: 1.709 m η = 5.0	x: 1.709 m η = 2.1	x: 0.065 m η = 0.8	η = 0.1	η < 0.1	η < 0.1	x: 1.709 m η = 50.1	η < 0.1	x: 0.065 m η = 0.1	x: 0.065 m η = 0.3	η < 0.1	**CUMPLE η = 50.1**
N2839/N2840	$\lambda_w \leq \lambda_{w,máx}$ Cumple	x: 1.708 m η = 24.2	x: 0.07 m η = 48.3	x: 0.07 m η = 5.3	x: 0.07 m η = 2.3	x: 1.709 m η = 1.0	η = 0.1	η < 0.1	η < 0.1	x: 0.07 m η = 52.0	η < 0.1	η = 0.2	x: 1.709 m η = 1.0	η = 0.1	**CUMPLE η = 52.0**
N2840/N2841	$\lambda_w \leq \lambda_{w,máx}$ Cumple	x: 1.708 m η = 20.9	x: 0.07 m η = 44.1	x: 0.07 m η = 4.1	x: 1.709 m η = 2.1	x: 1.709 m η = 0.7	η = 0.1	η < 0.1	η < 0.1	x: 1.709 m η = 47.4	η < 0.1	x: 0.07 m η < 0.1	x: 1.709 m η = 0.2	η < 0.1	**CUMPLE η = 47.4**
N2841/N2842	$\lambda_w \leq \lambda_{w,máx}$ Cumple	x: 1.694 m η = 16.2	x: 0.07 m η = 36.7	x: 0.07 m η = 4.1	x: 0.07 m η = 2.2	x: 1.695 m η = 1.3	η = 0.1	η < 0.1	η < 0.1	x: 0.07 m η = 40.9	η < 0.1	η = 0.2	x: 1.695 m η = 1.3	η = 0.1	**CUMPLE η = 40.9**
N2842/N2843	$\lambda_w \leq \lambda_{w,máx}$ Cumple	x: 1.694 m η = 10.2	x: 0.084 m η = 30.3	x: 0.084 m η = 4.3	x: 1.695 m η = 2.3	x: 1.695 m η = 1.4	η = 0.1	η < 0.1	η < 0.1	x: 0.084 m η = 32.4	η < 0.1	η = 0.2	x: 1.695 m η = 1.4	η = 0.1	**CUMPLE η = 32.4**
N2843/N2844	$\lambda_w \leq \lambda_{w,máx}$ Cumple	x: 1.694 m η = 7.2	x: 0.084 m η = 29.8	x: 1.695 m η = 5.7	x: 0.084 m η = 2.0	x: 1.695 m η = 2.8	η = 0.1	η < 0.1	η < 0.1	x: 0.084 m η = 33.2	η < 0.1	η < 0.1	x: 1.695 m η = 0.8	η < 0.1	**CUMPLE η = 33.2**
N2844/N2845	$\lambda_w \leq \lambda_{w,máx}$ Cumple	x: 1.694 m η = 17.0	x: 0.084 m η = 46.8	x: 0.084 m η = 1.9	x: 1.695 m η = 2.4	x: 1.695 m η = 0.4	η = 0.1	η < 0.1	η < 0.1	x: 1.695 m η = 49.4	η < 0.1	x: 0.084 m η < 0.1	x: 1.695 m η = 0.2	x: 0.084 m η = 0.1	**CUMPLE η = 49.4**
N2845/N2846	$\lambda_w \leq \lambda_{w,máx}$ Cumple	x: 1.661 m η = 29.2	x: 0.084 m η = 64.3	x: 1.662 m η = 33.0	x: 1.662 m η = 3.7	x: 1.662 m η = 10.5	η = 0.3	η < 0.1	η < 0.1	x: 1.662 m η = 85.9	η < 0.1	η = 0.2	x: 1.662 m η = 10.5	η = 0.3	**CUMPLE η = 85.9**
N2846/N2847	$\lambda_w \leq \lambda_{w,máx}$ Cumple	x: 1.637 m η = 39.9	x: 0.117 m η = 74.5	x: 0.117 m η = 12.0	x: 1.638 m η = 5.3	x: 0.117 m η = 3.3	η = 0.2	η < 0.1	η < 0.1	x: 0.117 m η = 81.7	η < 0.1	η < 0.1	x: 0.117 m η = 1.1	x: 0.878 m η = 0.1	**CUMPLE η = 81.7**
N2848/N2849	$\lambda_w \leq \lambda_{w,máx}$ Cumple	x: 1.7 m η = 41.0	x: 0.141 m η = 48.7	x: 0.141 m η = 45.0	x: 0.141 m η = 2.1	x: 0.141 m η = 21.3	η < 0.1	η < 0.1	η < 0.1	x: 0.141 m η = 90.3	η < 0.1	η = 0.2	x: 0.141 m η = 20.3	η < 0.1	**CUMPLE η = 90.3**
N2849/N2850	$\lambda_w \leq \lambda_{w,máx}$ Cumple	x: 1.7 m η = 25.1	x: 0.078 m η = 27.8	x: 0.078 m η = 13.6	x: 1.701 m η = 2.2	x: 0.078 m η = 14.3	η = 0.1	η < 0.1	η < 0.1	x: 0.078 m η = 38.3	η < 0.1	η = 0.1	x: 0.078 m η = 14.3	η = 0.1	**CUMPLE η = 38.3**
N2850/N2851	$\lambda_w \leq \lambda_{w,máx}$ Cumple	x: 1.7 m η = 11.0	x: 0.078 m η = 12.9	x: 0.078 m η = 13.1	x: 0.078 m η = 1.6	x: 0.078 m η = 9.9	η = 0.1	η < 0.1	η < 0.1	x: 0.078 m η = 23.4	η < 0.1	η = 0.1	x: 0.078 m η = 9.9	η = 0.1	**CUMPLE η = 23.4**
N2851/N2852	$\lambda_w \leq \lambda_{w,máx}$ Cumple	x: 1.7 m η = 14.5	x: 0.078 m η = 17.2	x: 0.078 m η = 9.5	x: 1.701 m η = 2.9	x: 0.078 m η = 9.3	η = 0.1	η < 0.1	η < 0.1	x: 0.078 m η = 24.9	η < 0.1	η = 0.1	x: 0.078 m η = 9.3	η = 0.1	**CUMPLE η = 24.9**
N2852/N2853	$\lambda_w \leq \lambda_{w,máx}$ Cumple	x: 1.713 m η = 19.3	x: 0.078 m η = 27.5	x: 0.078 m η = 8.0	x: 0.078 m η = 2.5	x: 0.078 m η = 8.8	η = 0.1	η < 0.1	η < 0.1	x: 0.078 m η = 31.9	η < 0.1	η = 0.1	x: 0.078 m η = 8.8	η = 0.1	**CUMPLE η = 31.9**
N2853/N3463	$\lambda_w \leq \lambda_{w,máx}$ Cumple	x: 0.89 m η = 24.9	x: 0.065 m η = 30.4	x: 0.065 m η = 7.3	x: 0.89 m η = 1.1	x: 0.065 m η = 8.8	η = 0.1	η < 0.1	η < 0.1	x: 0.065 m η = 36.8	η < 0.1	η < 0.1	x: 0.065 m η = 1.5	η = 0.1	**CUMPLE η = 36.8**
N3463/N2854	$\lambda_w \leq \lambda_{w,máx}$ Cumple	x: 0.824 m η = 24.9	x: 0 m η = 30.3	x: 0 m η = 5.2	x: 0.825 m η = 2.3	x: 0.825 m η = 7.0	η = 0.1	η < 0.1	η < 0.1	x: 0.206 m η = 35.2	η < 0.1	η < 0.1	x: 0.825 m η = 1.0	η = 0.1	**CUMPLE η = 35.2**
N2854/N2855	$\lambda_w \leq \lambda_{w,máx}$ Cumple	x: 1.713 m η = 26.9	x: 0.065 m η = 38.7	x: 0.89 m η = 6.0	x: 0.065 m η = 2.0	x: 0.065 m η = 8.3	η = 0.1	η < 0.1	η < 0.1	x: 0.89 m η = 40.6	η < 0.1	η = 0.1	x: 0.065 m η = 8.3	x: 0.89 m η = 0.1	**CUMPLE η = 40.6**
N2855/N2856	$\lambda_w \leq \lambda_{w,máx}$ Cumple	x: 1.727 m η = 28.2	x: 0.065 m η = 39.7	x: 0.897 m η = 6.3	x: 1.728 m η = 2.3	x: 0.065 m η = 8.2	η = 0.1	η < 0.1	η < 0.1	x: 0.897 m η = 42.4	η < 0.1	x: 0.065 m η < 0.1	x: 0.065 m η = 1.4	x: 0.065 m η = 0.1	**CUMPLE η = 42.4**
N2856/N2857	$\lambda_w \leq \lambda_{w,máx}$ Cumple	x: 1.708 m η = 26.9	x: 0.051 m η = 39.1	x: 0.88 m η = 6.3	x: 0.051 m η = 2.4	x: 1.709 m η = 8.2	η = 0.1	η < 0.1	η < 0.1	x: 0.88 m η = 41.8	η < 0.1	x: 1.502 m η < 0.1	x: 1.709 m η = 1.4	x: 1.502 m η = 0.1	**CUMPLE η = 41.8**
N2857/N2858	$\lambda_w \leq \lambda_{w,máx}$ Cumple	x: 1.708 m η = 26.2	x: 0.07 m η = 37.5	x: 0.89 m η = 6.1	x: 1.709 m η = 2.0	x: 1.709 m η = 8.2	η = 0.1	η < 0.1	η < 0.1	x: 0.89 m η = 39.9	η < 0.1	η = 0.1	x: 1.709 m η = 8.2	x: 0.48 m η = 0.1	**CUMPLE η = 39.9**
N2858/N3464	$\lambda_w \leq \lambda_{w,máx}$ Cumple	x: 0.89 m η = 21.9	x: 0.07 m η = 26.8	x: 0.89 m η = 5.4	x: 0.07 m η = 2.1	x: 0.07 m η = 7.0	η = 0.1	η < 0.1	η < 0.1	x: 0.685 m η = 31.9	η < 0.1	η = 0.1	x: 0.07 m η = 7.0	η = 0.1	**CUMPLE η = 31.9**
N3464/N2859	$\lambda_w \leq \lambda_{w,máx}$ Cumple	x: 0.819 m η = 21.9	x: 0 m η = 26.8	x: 0.82 m η = 7.5	x: 0.82 m η = 1.0	x: 0.82 m η = 8.8	η = 0.1	η < 0.1	η < 0.1	x: 0.82 m η = 34.1	η < 0.1	η = 0.1	x: 0.82 m η = 8.8	η = 0.1	**CUMPLE η = 34.1**
N2859/N2860	$\lambda_w \leq \lambda_{w,máx}$ Cumple	x: 1.694 m η = 15.7	x: 0.07 m η = 19.7	x: 1.695 m η = 8.2	x: 1.695 m η = 2.8	x: 1.695 m η = 8.9	η = 0.1	η < 0.1	η < 0.1	x: 1.695 m η = 28.2	η < 0.1	η = 0.2	x: 1.695 m η = 8.9	η = 0.1	**CUMPLE η = 28.2**
N2860/N2861	$\lambda_w \leq \lambda_{w,máx}$ Cumple	x: 1.694 m η = 5.1	x: 0.084 m η = 9.4	x: 1.695 m η = 10.3	x: 0.084 m η = 2.5	x: 1.695 m η = 9.5	η = 0.1	η < 0.1	η < 0.1	x: 1.695 m η = 19.7	η < 0.1	x: 0.285 m η < 0.1	x: 1.695 m η = 1.7	η = 0.1	**CUMPLE η = 19.7**
N2861/N2862	$\lambda_w \leq \lambda_{w,máx}$ Cumple	x: 1.694 m η = 4.7	x: 0.084 m η = 7.6	x: 1.695 m η = 11.0	x: 1.695 m η = 2.6	x: 1.695 m η = 9.4	η = 0.1	η < 0.1	η < 0.1	x: 1.695 m η = 18.9	η < 0.1	x: 0.688 m η = 0.1	x: 1.695 m η = 1.5	x: 0.688 m η = 0.1	**CUMPLE η = 18.9**

VISADO
COGITI
TRLTDCFZ60T66IJ1
VALENCIA
VA07290/22
Documento visado electrónicamente con número VA07290/22
Código de validación telemática TRLTDCFZ60T66IJ1. Comprobación: https://cogitivalencia.e-gestion.es/Validacion.aspx?CVT=TRLTDCFZ60T66IJ1

VISADO
COGITI
Estado
VALENCIA
VA07290/22
TRLTDCFZ60T66IJ1

Barras	COMPROBACIONES (CÓDIGO ESTRUCTURAL)														
	λ_w	N_t	N_c	M_Y	M_Z	V_Z	V_Y	M_YV_Z	M_ZV_Y	NM_YM_Z	$NM_YM_ZV_YV_Z$	M_t	M_tV_Z	M_tV_Y	
N2862/N2863	$\lambda_w \leq \lambda_{w,máx}$ Cumple	x: 1.694 m η = 19.8	x: 0.084 m η = 25.0	x: 1.695 m η = 29.5	x: 0.084 m η = 3.8	x: 1.695 m η = 17.8	η = 0.1	η < 0.1	η < 0.1	x: 1.695 m η = 52.5	η < 0.1	η = 0.1	x: 1.695 m η = 17.8	η = 0.1	**CUMPLE η = 52.5**
N2863/N2864	$\lambda_w \leq \lambda_{w,máx}$ Cumple	x: 1.637 m η = 35.0	x: 0.084 m η = 41.3	x: 0.084 m η = 28.8	x: 0.084 m η = 2.5	x: 0.084 m η = 20.9	η = 0.1	η < 0.1	η < 0.1	x: 0.084 m η = 67.7	η < 0.1	η = 0.2	x: 0.084 m η = 20.9	η = 0.1	**CUMPLE η = 67.7**
N2847/N2865	$\lambda_w \leq \lambda_{w,máx}$ Cumple	x: 1.7 m η = 36.8	x: 0.141 m η = 53.7	x: 0.141 m η = 41.6	x: 1.701 m η = 1.1	x: 0.141 m η = 20.3	η = 0.1	η < 0.1	η < 0.1	x: 0.141 m η = 91.6	η < 0.1	η = 0.2	x: 0.141 m η = 20.3	η = 0.1	**CUMPLE η = 91.6**
N2865/N2866	$\lambda_w \leq \lambda_{w,máx}$ Cumple	x: 1.7 m η = 17.1	x: 0.078 m η = 30.3	x: 0.078 m η = 14.1	x: 1.701 m η = 1.8	x: 0.078 m η = 14.7	η = 0.1	η < 0.1	η < 0.1	x: 0.078 m η = 41.9	η < 0.1	η = 0.1	x: 0.078 m η = 14.7	η = 0.1	**CUMPLE η = 41.9**
N2866/N2867	$\lambda_w \leq \lambda_{w,máx}$ Cumple	x: 1.7 m η = 3.6	x: 0.078 m η = 18.0	x: 0.078 m η = 13.6	x: 0.078 m η = 1.7	x: 0.078 m η = 10.1	η = 0.1	η < 0.1	η < 0.1	x: 0.078 m η = 27.2	η < 0.1	η = 0.1	x: 0.078 m η = 10.1	η = 0.1	**CUMPLE η = 27.2**
N2867/N2868	$\lambda_w \leq \lambda_{w,máx}$ Cumple	x: 1.7 m η = 15.7	x: 0.078 m η = 33.4	x: 0.078 m η = 10.2	x: 1.701 m η = 2.4	x: 0.078 m η = 9.6	η = 0.1	η < 0.1	η < 0.1	x: 0.078 m η = 37.3	η < 0.1	η = 0.2	x: 0.078 m η = 9.6	η = 0.1	**CUMPLE η = 37.3**
N2868/N2869	$\lambda_w \leq \lambda_{w,máx}$ Cumple	x: 1.713 m η = 26.9	x: 0.078 m η = 40.7	x: 0.078 m η = 8.4	x: 0.078 m η = 2.2	x: 0.078 m η = 9.1	η = 0.1	η < 0.1	η < 0.1	x: 0.078 m η = 44.2	η < 0.1	η = 0.2	x: 0.078 m η = 9.1	η = 0.1	**CUMPLE η = 44.2**
N2869/N3481	$\lambda_w \leq \lambda_{w,máx}$ Cumple	x: 0.89 m η = 36.5	x: 0.065 m η = 45.1	x: 0.065 m η = 7.7	x: 0.065 m η = 1.0	x: 0.065 m η = 9.1	η = 0.1	η < 0.1	η < 0.1	x: 0.065 m η = 51.8	η < 0.1	η = 0.2	x: 0.065 m η = 9.1	η = 0.1	**CUMPLE η = 51.8**
N3481/N2870	$\lambda_w \leq \lambda_{w,máx}$ Cumple	x: 0.824 m η = 36.5	x: 0 m η = 45.0	x: 0.206 m η = 5.8	x: 0.825 m η = 1.7	x: 0.825 m η = 6.7	η = 0.1	η < 0.1	η < 0.1	x: 0.206 m η = 50.7	η < 0.1	η = 0.2	x: 0.825 m η = 6.7	η = 0.1	**CUMPLE η = 50.7**
N2870/N2871	$\lambda_w \leq \lambda_{w,máx}$ Cumple	x: 1.713 m η = 41.8	x: 0.065 m η = 58.7	x: 0.89 m η = 7.0	x: 0.065 m η = 1.7	x: 0.065 m η = 8.7	η = 0.1	η < 0.1	η < 0.1	x: 0.89 m η = 60.3	η < 0.1	η = 0.1	x: 0.065 m η = 8.7	η = 0.1	**CUMPLE η = 60.3**
N2871/N2872	$\lambda_w \leq \lambda_{w,máx}$ Cumple	x: 1.727 m η = 46.2	x: 0.065 m η = 63.9	x: 0.897 m η = 7.4	x: 1.728 m η = 3.0	x: 0.065 m η = 8.2	η = 0.1	η < 0.1	η < 0.1	x: 0.897 m η = 65.8	η < 0.1	η < 0.1	x: 0.065 m η = 1.3	η = 0.1	**CUMPLE η = 65.8**
N2872/N2873	$\lambda_w \leq \lambda_{w,máx}$ Cumple	x: 1.708 m η = 45.4	x: 0.051 m η = 61.7	x: 0.88 m η = 7.2	x: 0.051 m η = 3.1	x: 0.051 m η = 8.0	η = 0.1	η < 0.1	η < 0.1	x: 0.88 m η = 63.4	η < 0.1	x: 0.051 m η < 0.1	x: 1.709 m η = 1.3	η = 0.1	**CUMPLE η = 63.4**
N2873/N2874	$\lambda_w \leq \lambda_{w,máx}$ Cumple	x: 1.708 m η = 48.0	x: 0.07 m η = 64.6	x: 0.89 m η = 7.2	x: 1.709 m η = 3.6	x: 1.709 m η = 7.9	η = 0.1	η < 0.1	η < 0.1	x: 0.89 m η = 66.4	η < 0.1	η = 0.2	x: 1.709 m η = 7.9	η = 0.1	**CUMPLE η = 66.4**
N2874/N3482	$\lambda_w \leq \lambda_{w,máx}$ Cumple	x: 0.89 m η = 47.3	x: 0.07 m η = 54.7	x: 0.89 m η = 7.1	x: 0.07 m η = 3.9	x: 0.07 m η = 7.4	η = 0.2	η < 0.1	η < 0.1	x: 0.685 m η = 59.3	η < 0.1	η = 0.2	x: 0.07 m η = 7.4	η = 0.2	**CUMPLE η = 59.3**
N3482/N2875	$\lambda_w \leq \lambda_{w,máx}$ Cumple	x: 0.819 m η = 47.3	x: 0 m η = 54.6	x: 0 m η = 7.1	x: 0 m η = 1.5	x: 0.82 m η = 8.4	η = 0.2	η < 0.1	η < 0.1	x: 0 m η = 59.2	η < 0.1	η = 0.2	x: 0.82 m η = 8.4	η = 0.2	**CUMPLE η = 59.2**
N2875/N2876	$\lambda_w \leq \lambda_{w,máx}$ Cumple	x: 1.694 m η = 44.7	x: 0.07 m η = 56.8	x: 0.883 m η = 6.6	x: 1.695 m η = 4.2	x: 1.695 m η = 8.6	η = 0.2	η < 0.1	η < 0.1	x: 0.883 m η = 58.4	η < 0.1	η = 0.3	x: 1.695 m η = 8.6	η = 0.2	**CUMPLE η = 58.4**
N2876/N2877	$\lambda_w \leq \lambda_{w,máx}$ Cumple	x: 1.694 m η = 39.2	x: 0.084 m η = 49.6	x: 1.695 m η = 6.6	x: 0.084 m η = 3.4	x: 1.695 m η = 8.9	η = 0.1	η < 0.1	η < 0.1	x: 0.688 m η = 51.7	η < 0.1	η = 0.1	x: 1.695 m η = 8.9	η = 0.1	**CUMPLE η = 51.7**
N2877/N2878	$\lambda_w \leq \lambda_{w,máx}$ Cumple	x: 1.694 m η = 31.8	x: 0.084 m η = 40.4	x: 1.695 m η = 8.7	x: 1.695 m η = 2.7	x: 1.695 m η = 9.3	η = 0.1	η < 0.1	η < 0.1	x: 1.695 m η = 44.5	η < 0.1	η < 0.1	x: 1.695 m η = 1.5	η < 0.1	**CUMPLE η = 44.5**
N2878/N2879	$\lambda_w \leq \lambda_{w,máx}$ Cumple	x: 1.694 m η = 21.7	x: 0.084 m η = 28.3	x: 1.695 m η = 14.8	x: 0.084 m η = 4.2	x: 1.695 m η = 15.1	η = 0.2	η < 0.1	η < 0.1	x: 1.695 m η = 39.0	η < 0.1	η = 0.2	x: 1.695 m η = 15.1	η = 0.2	**CUMPLE η = 39.0**
N2879/N2880	$\lambda_w \leq \lambda_{w,máx}$ Cumple	x: 1.637 m η = 9.0	x: 0.084 m η = 11.4	x: 1.638 m η = 16.8	x: 0.084 m η = 2.8	x: 1.638 m η = 15.1	η = 0.2	η < 0.1	η < 0.1	x: 1.638 m η = 28.3	η < 0.1	η = 0.2	x: 1.638 m η = 15.1	η = 0.2	**CUMPLE η = 28.3**
N2881/N2815	$\lambda_w \leq \lambda_{w,máx}$ Cumple	x: 1.911 m η = 34.9	x: 0.088 m η = 40.1	x: 0.088 m η = 1.3	x: 0.088 m η = 6.1	η < 0.1	η = 0.9	η < 0.1	η < 0.1	x: 0.088 m η = 46.9	η < 0.1	η = 1.4	η < 0.1	η = 0.9	**CUMPLE η = 46.9**
N2882/N2816	$\lambda_w \leq \lambda_{w,máx}$ Cumple	x: 1.911 m η = 24.0	x: 0.088 m η = 28.1	x: 1.912 m η = 0.9	x: 0.088 m η = 12.6	η < 0.1	η = 1.9	η < 0.1	η < 0.1	x: 0.088 m η = 41.1	η < 0.1	η = 1.4	η < 0.1	η = 2.0	**CUMPLE η = 41.1**
N2883/N2817	$\lambda_w \leq \lambda_{w,máx}$ Cumple	x: 1.911 m η = 23.0	x: 0.088 m η = 26.8	x: 0.088 m η = 0.7	x: 0.088 m η = 9.7	η < 0.1	η = 1.5	η < 0.1	η < 0.1	x: 0.088 m η = 36.7	η < 0.1	η = 1.0	η < 0.1	η = 1.5	**CUMPLE η = 36.7**
N2884/N2818	$\lambda_w \leq \lambda_{w,máx}$ Cumple	x: 1.911 m η = 17.5	x: 0.088 m η = 16.8	x: 1.912 m η = 1.5	x: 0.088 m η = 8.2	η = 0.1	η = 1.3	η < 0.1	η < 0.1	x: 1.912 m η = 26.1	η < 0.1	η = 1.2	η = 0.1	η = 1.3	**CUMPLE η = 26.1**
N2885/N2819	$\lambda_w \leq \lambda_{w,máx}$ Cumple	x: 1.922 m η = 12.0	x: 0.088 m η = 11.0	x: 0.088 m η = 1.5	x: 0.088 m η = 5.4	η < 0.1	η = 0.8	η < 0.1	η < 0.1	x: 0.088 m η = 18.2	η < 0.1	η = 1.8	η < 0.1	η = 0.8	**CUMPLE η = 18.2**
N2886/N2820	$\lambda_w \leq \lambda_{w,máx}$ Cumple	x: 1.922 m η = 7.6	x: 0.086 m η = 6.1	x: 1.923 m η = 1.1	x: 0.086 m η = 2.4	η = 0.1	η = 0.3	η < 0.1	η < 0.1	x: 0.086 m η = 11.0	η < 0.1	η = 0.3	η = 0.1	η = 0.3	**CUMPLE η = 11.0**
N2887/N2821	$\lambda_w \leq \lambda_{w,máx}$ Cumple	x: 1.922 m η = 3.5	x: 0.086 m η = 2.8	x: 1.922 m η = 0.9	x: 1.923 m η = 1.3	η < 0.1	η = 0.2	η < 0.1	η < 0.1	x: 1.923 m η = 5.1	η < 0.1	η = 1.2	η < 0.1	η = 0.2	**CUMPLE η = 5.1**
N2888/N2822	$\lambda_w \leq \lambda_{w,máx}$ Cumple	x: 1.922 m η = 6.7	x: 0.086 m η = 6.4	x: 1.923 m η = 1.4	x: 0.086 m η = 5.8	η = 0.2	η = 0.7	η < 0.1	η < 0.1	x: 0.086 m η = 12.9	η < 0.1	η = 0.5	η = 0.2	η = 0.7	**CUMPLE η = 12.9**
N2889/N2823	$\lambda_w \leq \lambda_{w,máx}$ Cumple	x: 1.921 m η = 22.6	x: 0.086 m η = 30.1	x: 0.086 m η = 0.9	x: 0.086 m η = 12.1	η < 0.1	η = 1.6	η < 0.1	η < 0.1	x: 0.086 m η = 42.8	η < 0.1	η = 1.3	η < 0.1	η = 1.6	**CUMPLE η = 42.8**
N2890/N2824	$\lambda_w \leq \lambda_{w,máx}$ Cumple	x: 1.921 m η = 29.9	x: 0.086 m η = 39.4	x: 1.922 m η = 1.1	x: 0.086 m η = 16.1	η = 0.1	η = 2.1	η < 0.1	η < 0.1	x: 0.086 m η = 56.6	η < 0.1	η = 0.5	η = 0.1	η = 2.1	**CUMPLE η = 56.6**
N2891/N2825	$\lambda_w \leq \lambda_{w,máx}$ Cumple	x: 1.921 m η = 30.4	x: 0.094 m η = 37.4	x: 0.094 m η = 1.6	x: 0.094 m η = 19.8	η = 0.1	η = 3.2	η < 0.1	η < 0.1	x: 0.094 m η = 58.0	η < 0.1	η = 2.7	η = 0.1	η = 3.3	**CUMPLE η = 58.0**
N2892/N2826	$\lambda_w \leq \lambda_{w,máx}$ Cumple	x: 1.905 m η = 36.2	x: 0.094 m η = 44.6	x: 1.906 m η = 1.0	x: 0.094 m η = 23.2	η = 0.1	η = 3.7	η < 0.1	η < 0.1	x: 0.094 m η = 68.2	η < 0.1	η = 1.5	η = 0.1	η = 3.7	**CUMPLE η = 68.2**
N2893/N2827	$\lambda_w \leq \lambda_{w,máx}$ Cumple	x: 1.905 m η = 41.8	x: 0.094 m η = 51.7	x: 0.094 m η = 0.6	x: 1.906 m η = 23.6	η < 0.1	η = 3.8	η < 0.1	η < 0.1	x: 0.094 m η = 75.7	η < 0.1	η = 0.7	η = 0.1	η = 3.9	**CUMPLE η = 75.7**
N2894/N2828	$\lambda_w \leq \lambda_{w,máx}$ Cumple	x: 1.905 m η = 39.4	x: 0.094 m η = 48.8	x: 0.094 m η = 1.0	x: 0.094 m η = 29.4	η < 0.1	η = 4.5	η < 0.1	η < 0.1	x: 0.094 m η = 78.9	η < 0.1	η = 1.2	η < 0.1	η = 4.6	**CUMPLE η = 78.9**
N2895/N2829	$\lambda_w \leq \lambda_{w,máx}$ Cumple	x: 1.905 m η = 49.8	x: 0.131 m η = 59.6	x: 0.131 m η = 2.0	x: 1.906 m η = 2.6	η = 0.1	η = 0.3	η < 0.1	η < 0.1	x: 1.906 m η = 62.2	η < 0.1	η = 2.2	η = 0.1	η = 0.3	**CUMPLE η = 62.2**
N2832/N2849	$\lambda_w \leq \lambda_{w,máx}$ Cumple	x: 1.911 m η = 40.1	x: 0.088 m η = 46.7	x: 0.088 m η = 1.5	x: 1.912 m η = 19.1	η = 0.1	η = 2.9	η < 0.1	η < 0.1	x: 1.912 m η = 66.0	η < 0.1	η = 0.7	η = 0.1	η = 2.9	**CUMPLE η = 66.0**
N2833/N2850	$\lambda_w \leq \lambda_{w,máx}$ Cumple	x: 1.911 m η = 35.0	x: 0.088 m η = 41.2	x: 1.911 m η = 0.7	x: 0.088 m η = 15.9	η < 0.1	η = 2.5	η < 0.1	η < 0.1	x: 0.088 m η = 57.3	η < 0.1	η = 0.8	η < 0.1	η = 2.5	**CUMPLE η = 57.3**
N2834/N2851	$\lambda_w \leq \lambda_{w,máx}$ Cumple	x: 1.911 m η = 35.1	x: 0.088 m η = 41.0	x: 0.088 m η = 0.6	x: 0.088 m η = 15.5	η < 0.1	η = 2.5	η < 0.1	η < 0.1	x: 0.088 m η = 56.7	η < 0.1	η = 0.9	η < 0.1	η = 2.5	**CUMPLE η = 56.7**
N2835/N2852	$\lambda_w \leq \lambda_{w,máx}$ Cumple	x: 1.911 m η = 29.4	x: 0.088 m η = 33.8	x: 1.912 m η = 0.8	x: 0.088 m η = 13.9	η = 0.1	η = 2.2	η < 0.1	η < 0.1	x: 0.088 m η = 47.9	η < 0.1	η = 1.0	η = 0.1	η = 2.2	**CUMPLE η = 47.9**
N2836/N2853	$\lambda_w \leq \lambda_{w,máx}$ Cumple	x: 1.922 m η = 23.4	x: 0.088 m η = 26.3	x: 0.088 m η = 0.7	x: 0.088 m η = 11.0	η < 0.1	η = 1.7	η < 0.1	η < 0.1	x: 0.088 m η = 37.8	η < 0.1	η = 0.9	η < 0.1	η = 1.8	**CUMPLE η = 37.8**
N2837/N2854	$\lambda_w \leq \lambda_{w,máx}$ Cumple	x: 1.922 m η = 20.9	x: 0.086 m η = 24.4	x: 0.086 m η = 0.8	x: 0.086 m η = 7.8	η = 0.1	η = 1.0	η < 0.1	η < 0.1	x: 0.086 m η = 32.8	η < 0.1	η = 0.1	η = 0.1	η = 1.0	**CUMPLE η = 32.8**
N2838/N2855	$\lambda_w \leq \lambda_{w,máx}$ Cumple	x: 1.922 m η = 13.5	x: 0.086 m η = 11.7	x: 0.086 m η = 0.5	x: 0.086 m η = 4.7	η < 0.1	η = 0.6	η < 0.1	η < 0.1	x: 0.086 m η = 18.1	η < 0.1	η = 0.5	η < 0.1	η = 0.6	**CUMPLE η = 18.1**
N2839/N2856	$\lambda_w \leq \lambda_{w,máx}$ Cumple	x: 1.922 m η = 7.4	x: 0.086 m η = 7.1	x: 1.923 m η = 0.8	x: 0.086 m η = 1.4	η = 0.1	η = 0.2	η < 0.1	η < 0.1	x: 1.923 m η = 8.8	η < 0.1	η = 0.2	η = 0.1	η = 0.2	**CUMPLE η = 8.8**

Documento visado electrónicamente con número: VA07290/22
Código de validación telemática TRLTDCFZ60T66IJ1. Comprobación: https://cogitivalencia.e-gestion.es/Validacion.aspx?CVT=TRLTDCFZ60T66IJ1

VISADO
COGITI
VALENCIA
VA07290/22
TRLTDCFZ60T66IJ1

Barras	COMPROBACIONES (CÓDIGO ESTRUCTURAL)													Estado
	λ_w	N_t	N_c	M_Y	M_Z	V_Z	V_Y	M_YV_Z	M_ZV_Y	NM_YM_Z	$NM_YM_ZV_YV_Z$	M_t	M_tV_Z	M_tV_Y	
N2840/N2857	$\lambda_w \leq \lambda_{w,máx}$ Cumple	x: 1.921 m η = 11.2	x: 0.086 m η = 15.5	x: 0.086 m η = 0.5	x: 0.086 m η = 6.5	η < 0.1	η = 0.8	η < 0.1	η < 0.1	x: 0.086 m η = 22.4	η < 0.1	η = 0.7	η < 0.1	η = 0.9	**CUMPLE η = 22.4**
N2841/N2858	$\lambda_w \leq \lambda_{w,máx}$ Cumple	x: 1.921 m η = 18.8	x: 0.086 m η = 25.3	x: 1.922 m η = 0.8	x: 0.086 m η = 10.3	η = 0.1	η = 1.4	η < 0.1	η < 0.1	x: 0.086 m η = 36.1	η < 0.1	η = 0.3	η = 0.1	η = 1.4	**CUMPLE η = 36.1**
N2842/N2859	$\lambda_w \leq \lambda_{w,máx}$ Cumple	x: 1.921 m η = 21.6	x: 0.094 m η = 27.0	x: 0.094 m η = 0.8	x: 0.094 m η = 14.4	η < 0.1	η = 2.3	η < 0.1	η < 0.1	x: 0.094 m η = 42.0	η < 0.1	η = 1.3	η < 0.1	η = 2.3	**CUMPLE η = 42.0**
N2843/N2860	$\lambda_w \leq \lambda_{w,máx}$ Cumple	x: 1.905 m η = 27.6	x: 0.094 m η = 34.6	x: 1.906 m η = 0.6	x: 0.094 m η = 18.1	η = 0.1	η = 2.9	η < 0.1	η < 0.1	x: 0.094 m η = 52.9	η < 0.1	η = 0.8	η = 0.1	η = 2.9	**CUMPLE η = 52.9**
N2844/N2861	$\lambda_w \leq \lambda_{w,máx}$ Cumple	x: 1.905 m η = 33.6	x: 0.094 m η = 42.0	x: 0.094 m η = 0.3	x: 1.906 m η = 19.1	η < 0.1	η = 3.1	η < 0.1	η < 0.1	x: 0.094 m η = 61.3	η < 0.1	η = 0.4	η < 0.1	η = 3.1	**CUMPLE η = 61.3**
N2845/N2862	$\lambda_w \leq \lambda_{w,máx}$ Cumple	x: 1.905 m η = 32.7	x: 0.094 m η = 40.9	x: 0.094 m η = 0.6	x: 0.094 m η = 25.3	η < 0.1	η = 3.9	η < 0.1	η < 0.1	x: 0.094 m η = 66.7	η < 0.1	η = 0.8	η < 0.1	η = 3.9	**CUMPLE η = 66.7**
N2846/N2863	$\lambda_w \leq \lambda_{w,máx}$ Cumple	x: 1.905 m η = 43.2	x: 0.131 m η = 52.0	x: 0.131 m η = 1.1	x: 0.131 m η = 4.1	η < 0.1	η = 0.5	η < 0.1	η < 0.1	x: 0.131 m η = 56.1	η < 0.1	η = 1.4	η < 0.1	η = 0.5	**CUMPLE η = 56.1**
N2896/N2865	$\lambda_w \leq \lambda_{w,máx}$ Cumple	x: 1.911 m η = 44.8	x: 0.088 m η = 52.8	x: 0.088 m η = 1.6	x: 1.912 m η = 21.6	η = 0.1	η = 3.3	η < 0.1	η < 0.1	x: 1.912 m η = 75.1	η < 0.1	η = 1.3	η = 0.1	η = 3.3	**CUMPLE η = 75.1**
N2897/N2866	$\lambda_w \leq \lambda_{w,máx}$ Cumple	x: 1.911 m η = 39.0	x: 0.088 m η = 46.9	x: 1.911 m η = 0.8	x: 0.088 m η = 18.7	η < 0.1	η = 2.9	η < 0.1	η < 0.1	x: 0.088 m η = 65.9	η < 0.1	η = 1.2	η < 0.1	η = 2.9	**CUMPLE η = 65.9**
N2898/N2867	$\lambda_w \leq \lambda_{w,máx}$ Cumple	x: 1.911 m η = 40.2	x: 0.088 m η = 48.2	x: 0.088 m η = 0.7	x: 0.088 m η = 18.7	η < 0.1	η = 3.0	η < 0.1	η < 0.1	x: 0.088 m η = 67.2	η < 0.1	η = 0.8	η < 0.1	η = 3.0	**CUMPLE η = 67.2**
N2899/N2868	$\lambda_w \leq \lambda_{w,máx}$ Cumple	x: 1.911 m η = 34.6	x: 0.088 m η = 41.2	x: 1.912 m η = 1.3	x: 0.088 m η = 17.6	η = 0.1	η = 2.8	η < 0.1	η < 0.1	x: 0.088 m η = 59.0	η < 0.1	η = 1.3	η = 0.1	η = 2.8	**CUMPLE η = 59.0**
N2900/N2869	$\lambda_w \leq \lambda_{w,máx}$ Cumple	x: 1.922 m η = 28.8	x: 0.088 m η = 34.0	x: 0.088 m η = 1.1	x: 0.088 m η = 15.1	η < 0.1	η = 2.4	η < 0.1	η < 0.1	x: 0.088 m η = 49.6	η < 0.1	η = 1.5	η < 0.1	η = 2.4	**CUMPLE η = 49.6**
N2901/N2870	$\lambda_w \leq \lambda_{w,máx}$ Cumple	x: 1.922 m η = 27.7	x: 0.086 m η = 34.8	x: 1.923 m η = 1.0	x: 0.086 m η = 12.0	η = 0.1	η = 1.6	η < 0.1	η < 0.1	x: 0.086 m η = 47.5	η < 0.1	η = 0.3	η = 0.1	η = 1.6	**CUMPLE η = 47.5**
N2902/N2871	$\lambda_w \leq \lambda_{w,máx}$ Cumple	x: 1.922 m η = 20.4	x: 0.086 m η = 25.6	x: 1.923 m η = 0.7	x: 0.086 m η = 8.7	η < 0.1	η = 1.1	η < 0.1	η < 0.1	x: 0.086 m η = 34.6	η < 0.1	η = 0.7	η < 0.1	η = 1.1	**CUMPLE η = 34.6**
N2903/N2872	$\lambda_w \leq \lambda_{w,máx}$ Cumple	x: 1.922 m η = 7.1	x: 0.086 m η = 6.7	x: 1.923 m η = 1.3	x: 0.086 m η = 4.1	η = 0.1	η = 0.5	η < 0.1	η < 0.1	x: 0.086 m η = 11.9	η < 0.1	η = 0.5	η = 0.1	η = 0.5	**CUMPLE η = 11.9**
N2904/N2873	$\lambda_w \leq \lambda_{w,máx}$ Cumple	x: 1.921 m η = 2.1	x: 0.086 m η = 1.3	x: 0.086 m η = 0.9	x: 1.922 m η = 1.0	η < 0.1	η = 0.1	η < 0.1	η < 0.1	x: 1.922 m η = 2.9	η < 0.1	η = 1.3	η < 0.1	η = 0.1	**CUMPLE η = 2.9**
N2905/N2874	$\lambda_w \leq \lambda_{w,máx}$ Cumple	x: 1.921 m η = 9.1	x: 0.086 m η = 8.5	x: 1.922 m η = 1.1	x: 0.086 m η = 3.9	η = 0.1	η = 0.5	η < 0.1	η < 0.1	x: 1.922 m η = 13.5	η < 0.1	η = 0.4	η = 0.1	η = 0.5	**CUMPLE η = 13.5**
N2906/N2875	$\lambda_w \leq \lambda_{w,máx}$ Cumple	x: 1.921 m η = 13.4	x: 0.094 m η = 13.1	x: 0.094 m η = 1.3	x: 0.094 m η = 7.9	η = 0.1	η = 1.3	η < 0.1	η < 0.1	x: 0.094 m η = 21.9	η < 0.1	η = 2.2	η = 0.1	η = 1.3	**CUMPLE η = 21.9**
N2907/N2876	$\lambda_w \leq \lambda_{w,máx}$ Cumple	x: 1.905 m η = 18.9	x: 0.094 m η = 22.5	x: 1.906 m η = 1.2	x: 0.094 m η = 11.3	η = 0.1	η = 1.8	η < 0.1	η < 0.1	x: 1.906 m η = 34.2	η < 0.1	η = 1.3	η = 0.1	η = 1.8	**CUMPLE η = 34.2**
N2908/N2877	$\lambda_w \leq \lambda_{w,máx}$ Cumple	x: 1.905 m η = 24.5	x: 0.094 m η = 29.4	x: 0.094 m η = 0.3	x: 0.094 m η = 13.6	η < 0.1	η = 2.2	η < 0.1	η < 0.1	x: 0.094 m η = 43.1	η < 0.1	η = 0.3	η < 0.1	η = 2.2	**CUMPLE η = 43.1**
N2909/N2878	$\lambda_w \leq \lambda_{w,máx}$ Cumple	x: 1.905 m η = 25.5	x: 0.094 m η = 30.6	x: 1.906 m η = 0.8	x: 0.094 m η = 14.7	η < 0.1	η = 2.3	η < 0.1	η < 0.1	x: 0.094 m η = 45.6	η < 0.1	η = 1.1	η < 0.1	η = 2.4	**CUMPLE η = 45.6**
N2910/N2879	$\lambda_w \leq \lambda_{w,máx}$ Cumple	x: 1.905 m η = 34.3	x: 0.094 m η = 40.3	x: 0.094 m η = 1.3	x: 0.094 m η = 18.7	η < 0.1	η = 2.8	η < 0.1	η < 0.1	x: 0.094 m η = 59.9	η < 0.1	η = 1.9	η < 0.1	η = 2.9	**CUMPLE η = 59.9**
N2881/N2814	$\lambda_w \leq \lambda_{w,máx}$ Cumple	x: 2.482 m η = 25.7	x: 0.111 m η = 32.2	x: 2.483 m η = 25.9	x: 0.111 m η = 1.4	x: 0.111 m η = 2.5	η = 0.1	η < 0.1	η < 0.1	x: 2.483 m η = 56.8	η < 0.1	η = 0.8	x: 0.111 m η = 2.5	η = 0.1	**CUMPLE η = 56.8**
N2882/N2815	$\lambda_w \leq \lambda_{w,máx}$ Cumple	x: 2.482 m η = 29.6	x: 0.111 m η = 34.4	x: 0.111 m η = 3.7	x: 2.482 m η = 1.2	x: 0.111 m η = 0.5	η < 0.1	η < 0.1	η < 0.1	x: 0.111 m η = 38.4	η < 0.1	η = 0.5	x: 0.111 m η = 0.5	η < 0.1	**CUMPLE η = 38.4**
N2883/N2816	$\lambda_w \leq \lambda_{w,máx}$ Cumple	x: 2.482 m η = 24.6	x: 0.111 m η = 29.2	x: 2.483 m η = 6.0	x: 0.111 m η = 0.6	x: 0.111 m η = 0.7	x: 0.506 m η < 0.1	η < 0.1	η < 0.1	x: 2.483 m η = 35.5	η < 0.1	η = 0.7	x: 0.111 m η = 0.7	x: 0.506 m η < 0.1	**CUMPLE η = 35.5**
N2884/N2817	$\lambda_w \leq \lambda_{w,máx}$ Cumple	x: 2.482 m η = 21.1	x: 0.111 m η = 24.7	x: 2.483 m η = 5.9	x: 0.111 m η = 1.5	x: 0.111 m η = 0.7	η = 0.1	η < 0.1	η < 0.1	x: 2.483 m η = 30.9	η < 0.1	η = 0.5	x: 0.111 m η = 0.7	η = 0.1	**CUMPLE η = 30.9**
N2885/N2818	$\lambda_w \leq \lambda_{w,máx}$ Cumple	x: 2.482 m η = 14.4	x: 0.111 m η = 15.2	x: 2.483 m η = 4.8	x: 0.111 m η = 2.1	x: 0.111 m η = 0.5	η = 0.1	η < 0.1	η < 0.1	x: 2.483 m η = 20.5	η < 0.1	η = 0.5	x: 0.111 m η = 0.5	η = 0.1	**CUMPLE η = 20.5**
N2886/N2819	$\lambda_w \leq \lambda_{w,máx}$ Cumple	x: 2.482 m η = 7.7	x: 0.111 m η = 7.8	x: 2.483 m η = 3.4	x: 2.483 m η = 1.5	x: 2.482 m η = 0.3	η < 0.1	η < 0.1	η < 0.1	x: 2.483 m η = 11.6	η < 0.1	η = 0.4	x: 2.482 m η = 0.3	η < 0.1	**CUMPLE η = 11.6**
N2887/N2820	$\lambda_w \leq \lambda_{w,máx}$ Cumple	x: 2.482 m η = 3.8	x: 0.111 m η = 3.9	x: 2.483 m η = 2.1	x: 0.111 m η = 1.4	x: 2.482 m η = 0.2	η = 0.1	η < 0.1	η < 0.1	x: 0.309 m η = 5.9	η < 0.1	η = 0.6	x: 2.482 m η = 0.2	η = 0.1	**CUMPLE η = 5.9**
N2888/N2821	$\lambda_w \leq \lambda_{w,máx}$ Cumple	x: 2.482 m η = 12.7	x: 0.111 m η = 18.2	x: 0.111 m η = 3.8	x: 2.483 m η = 1.4	x: 2.482 m η = 0.3	η = 0.1	η < 0.1	η < 0.1	x: 0.111 m η = 22.4	η < 0.1	η = 0.5	x: 2.482 m η = 0.3	η = 0.1	**CUMPLE η = 22.4**
N2888/N2823	$\lambda_w \leq \lambda_{w,máx}$ Cumple	x: 2.662 m η = 22.4	x: 0.119 m η = 26.2	x: 2.663 m η = 5.0	x: 2.663 m η = 1.3	x: 0.119 m η = 0.4	η = 0.1	η < 0.1	η < 0.1	x: 2.663 m η = 31.9	η < 0.1	η = 0.2	x: 0.119 m η = 0.4	η = 0.1	**CUMPLE η = 31.9**
N2889/N2824	$\lambda_w \leq \lambda_{w,máx}$ Cumple	x: 2.662 m η = 33.7	x: 0.119 m η = 41.5	x: 2.663 m η = 7.4	x: 0.119 m η = 1.2	x: 0.119 m η = 0.7	η = 0.1	η < 0.1	η < 0.1	x: 2.663 m η = 49.6	η < 0.1	η = 0.4	x: 0.119 m η = 0.7	η = 0.1	**CUMPLE η = 49.6**
N2890/N2825	$\lambda_w \leq \lambda_{w,máx}$ Cumple	x: 2.662 m η = 42.7	x: 0.119 m η = 52.5	x: 2.663 m η = 7.4	x: 2.663 m η = 2.0	x: 0.119 m η = 0.8	η = 0.1	η < 0.1	η < 0.1	x: 2.663 m η = 61.5	η < 0.1	η = 0.3	x: 0.119 m η = 0.8	η = 0.1	**CUMPLE η = 61.5**
N2891/N2826	$\lambda_w \leq \lambda_{w,máx}$ Cumple	x: 2.662 m η = 44.6	x: 0.119 m η = 51.4	x: 2.663 m η = 8.9	x: 0.119 m η = 2.1	x: 0.119 m η = 1.1	η = 0.1	η < 0.1	η < 0.1	x: 2.663 m η = 61.1	η < 0.1	η = 0.8	x: 0.119 m η = 1.1	η = 0.1	**CUMPLE η = 61.1**
N2892/N2827	$\lambda_w \leq \lambda_{w,máx}$ Cumple	x: 2.662 m η = 52.0	x: 0.119 m η = 58.9	x: 0.119 m η = 9.8	x: 0.119 m η = 1.3	x: 0.119 m η = 1.3	η = 0.1	η < 0.1	η < 0.1	x: 2.663 m η = 69.0	η < 0.1	η = 0.6	x: 0.119 m η = 1.3	η = 0.1	**CUMPLE η = 69.0**
N2893/N2828	$\lambda_w \leq \lambda_{w,máx}$ Cumple	x: 2.662 m η = 51.5	x: 0.119 m η = 59.4	x: 0.119 m η = 10.3	x: 2.663 m η = 2.1	x: 0.119 m η = 1.3	η = 0.1	η < 0.1	η < 0.1	x: 2.663 m η = 69.3	η < 0.1	η = 1.3	x: 0.119 m η = 1.3	η = 0.1	**CUMPLE η = 69.3**
N2894/N2829	$\lambda_w \leq \lambda_{w,máx}$ Cumple	x: 2.662 m η = 52.5	x: 0.119 m η = 60.2	x: 0.119 m η = 10.1	x: 2.663 m η = 3.2	x: 0.119 m η = 0.8	η < 0.1	η < 0.1	η < 0.1	x: 0.119 m η = 70.1	η < 0.1	η = 1.8	x: 0.119 m η = 0.8	η < 0.1	**CUMPLE η = 70.1**
N2895/N2830	$\lambda_w \leq \lambda_{w,máx}$ Cumple	x: 2.549 m η = 44.3	x: 0.119 m η = 54.7	x: 2.55 m η = 11.9	x: 0.119 m η = 2.5	x: 2.549 m η = 1.3	η = 0.1	η < 0.1	η < 0.1	x: 2.55 m η = 65.9	η < 0.1	η = 1.2	x: 2.549 m η = 1.3	η = 0.1	**CUMPLE η = 65.9**
N2832/N2848	$\lambda_w \leq \lambda_{w,máx}$ Cumple	x: 2.377 m η = 29.6	x: 0.111 m η = 37.3	x: 2.378 m η = 12.4	x: 2.378 m η = 2.8	x: 0.111 m η = 1.0	η = 0.3	η < 0.1	η < 0.1	x: 2.378 m η = 49.7	η < 0.1	η = 1.5	x: 0.111 m η = 1.0	η = 0.3	**CUMPLE η = 49.7**
N2833/N2849	$\lambda_w \leq \lambda_{w,máx}$ Cumple	x: 2.482 m η = 44.5	x: 0.111 m η = 51.8	x: 2.483 m η = 10.8	x: 0.111 m η = 1.1	x: 2.482 m η = 1.4	η < 0.1	η < 0.1	η < 0.1	x: 2.483 m η = 63.0	η < 0.1	η = 0.7	x: 2.482 m η = 1.4	η < 0.1	**CUMPLE η = 63.0**
N2834/N2850	$\lambda_w \leq \lambda_{w,máx}$ Cumple	x: 2.482 m η = 37.4	x: 0.111 m η = 44.4	x: 0.111 m η = 7.7	x: 0.111 m η = 0.8	x: 0.111 m η = 1.0	η < 0.1	η < 0.1	η < 0.1	x: 0.111 m η = 52.1	η < 0.1	η = 0.4	x: 0.111 m η = 1.0	η < 0.1	**CUMPLE η = 52.1**
N2835/N2851	$\lambda_w \leq \lambda_{w,máx}$ Cumple	x: 2.482 m η = 37.0	x: 0.111 m η = 43.5	x: 2.483 m η = 7.8	x: 0.111 m η = 1.1	x: 0.111 m η = 1.0	η < 0.1	η < 0.1	η < 0.1	x: 2.483 m η = 51.9	η < 0.1	η = 0.7	x: 0.111 m η = 1.0	η < 0.1	**CUMPLE η = 51.9**
N2836/N2852	$\lambda_w \leq \lambda_{w,máx}$ Cumple	x: 2.482 m η = 29.2	x: 0.111 m η = 35.7	x: 2.483 m η = 6.7	x: 0.111 m η = 1.0	x: 0.111 m η = 0.9	η < 0.1	η < 0.1	η < 0.1	x: 2.483 m η = 42.9	η < 0.1	η = 0.6	x: 0.111 m η = 0.9	η < 0.1	**CUMPLE η = 42.9**

Documento visado electrónicamente con número VA07290/22
Código de validación telemática TRLTDCFZ60T66IJ1. Comprobación: https://cogitivalencia.e-gestion.es/Validacion.aspx?CVT=TRLTDCFZ60T66IJ1

VISADO
COGITI
Estado
VALENCIA
VA07290/22
TRLTDCFZ60T66IJ1

Barras	COMPROBACIONES (CÓDIGO ESTRUCTURAL)														
	λ_w	N_t	N_c	M_Y	M_Z	V_Z	V_Y	M_YV_Z	M_ZV_Y	NM_YM_Z	$NM_YM_ZV_YV_Z$	M_t	M_tV_Z	M_tV_Y	
N2837/N2853	$\lambda_w \leq \lambda_{w,máx}$ Cumple	x: 2.482 m η = 25.0	x: 0.111 m η = 32.8	x: 2.483 m η = 5.3	x: 2.483 m η = 0.8	x: 2.482 m η = 0.6	η < 0.1	η < 0.1	η < 0.1	x: 2.483 m η = 38.4	η < 0.1	η = 0.4	x: 2.482 m η = 0.6	η < 0.1	**CUMPLE η = 38.4**
N2838/N2854	$\lambda_w \leq \lambda_{w,máx}$ Cumple	x: 2.482 m η = 15.6	x: 0.111 m η = 22.0	x: 2.483 m η = 4.6	x: 2.483 m η = 0.8	x: 2.482 m η = 0.5	η < 0.1	η < 0.1	η < 0.1	x: 2.483 m η = 27.2	η < 0.1	η = 0.4	x: 2.482 m η = 0.5	η < 0.1	**CUMPLE η = 27.2**
N2839/N2855	$\lambda_w \leq \lambda_{w,máx}$ Cumple	x: 2.482 m η = 6.3	x: 0.111 m η = 6.4	x: 2.483 m η = 2.8	x: 0.111 m η = 0.7	x: 2.482 m η = 0.3	η < 0.1	η < 0.1	η < 0.1	x: 2.483 m η = 9.5	η < 0.1	η = 0.3	x: 2.482 m η = 0.3	η < 0.1	**CUMPLE η = 9.5**
N2839/N2857	$\lambda_w \leq \lambda_{w,máx}$ Cumple	x: 2.662 m η = 6.7	x: 0.119 m η = 4.7	x: 2.663 m η = 2.3	x: 2.663 m η = 0.8	x: 0.119 m η = 0.2	η < 0.1	η < 0.1	η < 0.1	x: 2.662 m η = 8.6	η < 0.1	x: 0.967 m η = 0.3	x: 0.119 m η = 0.2	η < 0.1	**CUMPLE η = 8.6**
N2840/N2858	$\lambda_w \leq \lambda_{w,máx}$ Cumple	x: 2.662 m η = 17.7	x: 0.119 m η = 20.4	x: 2.663 m η = 4.2	x: 0.119 m η = 0.7	x: 0.119 m η = 0.5	η < 0.1	η < 0.1	η < 0.1	x: 2.663 m η = 24.6	η < 0.1	η = 0.1	x: 0.119 m η = 0.5	η < 0.1	**CUMPLE η = 24.6**
N2841/N2859	$\lambda_w \leq \lambda_{w,máx}$ Cumple	x: 2.662 m η = 27.9	x: 0.119 m η = 32.8	x: 2.663 m η = 5.0	x: 2.663 m η = 1.0	x: 0.119 m η = 0.6	η < 0.1	η < 0.1	η < 0.1	x: 2.663 m η = 38.7	η < 0.1	η = 0.1	x: 0.119 m η = 0.6	η < 0.1	**CUMPLE η = 38.7**
N2842/N2860	$\lambda_w \leq \lambda_{w,máx}$ Cumple	x: 2.662 m η = 32.3	x: 0.119 m η = 36.4	x: 2.663 m η = 6.4	x: 0.119 m η = 1.2	x: 0.119 m η = 0.9	η < 0.1	η < 0.1	η < 0.1	x: 2.663 m η = 43.2	η < 0.1	η = 0.4	x: 0.119 m η = 0.9	η < 0.1	**CUMPLE η = 43.2**
N2843/N2861	$\lambda_w \leq \lambda_{w,máx}$ Cumple	x: 2.662 m η = 40.5	x: 0.119 m η = 44.9	x: 0.119 m η = 8.0	x: 0.119 m η = 0.7	x: 0.119 m η = 1.0	η < 0.1	η < 0.1	η < 0.1	x: 2.663 m η = 52.6	η < 0.1	η = 0.3	x: 0.119 m η = 1.0	η < 0.1	**CUMPLE η = 52.6**
N2844/N2862	$\lambda_w \leq \lambda_{w,máx}$ Cumple	x: 2.662 m η = 42.0	x: 0.119 m η = 47.7	x: 0.119 m η = 8.6	x: 2.663 m η = 1.0	x: 0.119 m η = 1.1	η = 0.1	η < 0.1	η < 0.1	x: 2.663 m η = 55.5	η < 0.1	η = 0.5	x: 0.119 m η = 1.1	η = 0.1	**CUMPLE η = 55.5**
N2845/N2863	$\lambda_w \leq \lambda_{w,máx}$ Cumple	x: 2.662 m η = 43.6	x: 0.119 m η = 49.4	x: 0.119 m η = 8.6	x: 2.663 m η = 1.9	x: 0.119 m η = 0.6	η < 0.1	η < 0.1	η < 0.1	x: 0.119 m η = 57.5	η < 0.1	η = 0.9	x: 0.119 m η = 0.6	η < 0.1	**CUMPLE η = 57.5**
N2846/N2864	$\lambda_w \leq \lambda_{w,máx}$ Cumple	x: 2.549 m η = 41.0	x: 0.119 m η = 54.7	x: 2.55 m η = 11.2	x: 2.549 m η = 1.6	x: 2.549 m η = 1.1	η < 0.1	η < 0.1	η < 0.1	x: 2.55 m η = 65.1	η < 0.1	η = 0.9	x: 2.549 m η = 1.1	η < 0.1	**CUMPLE η = 65.1**
N2896/N2847	$\lambda_w \leq \lambda_{w,máx}$ Cumple	x: 2.377 m η = 32.4	x: 0.111 m η = 39.6	x: 2.378 m η = 8.6	x: 2.378 m η = 2.3	x: 2.377 m η = 0.5	η = 0.1	η < 0.1	η < 0.1	x: 2.378 m η = 48.2	η < 0.1	η = 1.0	x: 2.377 m η = 0.5	η = 0.1	**CUMPLE η = 48.2**
N2897/N2865	$\lambda_w \leq \lambda_{w,máx}$ Cumple	x: 2.482 m η = 50.8	x: 0.111 m η = 58.2	x: 0.111 m η = 11.4	x: 0.111 m η = 1.5	x: 0.111 m η = 1.5	η < 0.1	η < 0.1	η < 0.1	x: 0.111 m η = 70.0	η < 0.1	η = 0.6	x: 0.111 m η = 1.5	η < 0.1	**CUMPLE η = 70.0**
N2898/N2866	$\lambda_w \leq \lambda_{w,máx}$ Cumple	x: 2.482 m η = 43.8	x: 0.111 m η = 50.9	x: 0.111 m η = 9.0	x: 2.482 m η = 1.0	x: 0.111 m η = 1.1	η < 0.1	η < 0.1	η < 0.1	x: 0.111 m η = 59.9	η < 0.1	η = 0.4	x: 0.111 m η = 1.1	η < 0.1	**CUMPLE η = 59.9**
N2899/N2867	$\lambda_w \leq \lambda_{w,máx}$ Cumple	x: 2.482 m η = 44.8	x: 0.111 m η = 51.4	x: 2.483 m η = 9.0	x: 0.111 m η = 1.5	x: 0.111 m η = 1.2	η < 0.1	η < 0.1	η < 0.1	x: 2.483 m η = 61.1	η < 0.1	η = 0.6	x: 0.111 m η = 1.2	η < 0.1	**CUMPLE η = 61.1**
N2900/N2868	$\lambda_w \leq \lambda_{w,máx}$ Cumple	x: 2.482 m η = 37.7	x: 0.111 m η = 44.0	x: 2.483 m η = 8.0	x: 0.111 m η = 1.6	x: 0.111 m η = 1.1	η < 0.1	η < 0.1	η < 0.1	x: 2.483 m η = 52.9	η < 0.1	η = 0.6	x: 0.111 m η = 1.1	η < 0.1	**CUMPLE η = 52.9**
N2901/N2869	$\lambda_w \leq \lambda_{w,máx}$ Cumple	x: 2.482 m η = 35.2	x: 0.111 m η = 43.7	x: 2.483 m η = 6.7	x: 2.483 m η = 1.1	x: 0.111 m η = 0.7	η < 0.1	η < 0.1	η < 0.1	x: 2.483 m η = 51.4	η < 0.1	η = 0.3	x: 0.111 m η = 0.7	η < 0.1	**CUMPLE η = 51.4**
N2902/N2870	$\lambda_w \leq \lambda_{w,máx}$ Cumple	x: 2.482 m η = 26.6	x: 0.111 m η = 33.5	x: 2.483 m η = 6.4	x: 0.111 m η = 0.9	x: 0.111 m η = 0.7	η < 0.1	η < 0.1	η < 0.1	x: 2.483 m η = 40.5	η < 0.1	η = 0.4	x: 0.111 m η = 0.7	η < 0.1	**CUMPLE η = 40.5**
N2903/N2871	$\lambda_w \leq \lambda_{w,máx}$ Cumple	x: 2.482 m η = 16.3	x: 0.111 m η = 19.9	x: 2.483 m η = 4.3	x: 2.483 m η = 1.0	x: 0.111 m η = 0.4	η = 0.1	η < 0.1	η < 0.1	x: 2.483 m η = 24.8	η < 0.1	η = 0.4	x: 0.111 m η = 0.4	η = 0.1	**CUMPLE η = 24.8**
N2903/N2873	$\lambda_w \leq \lambda_{w,máx}$ Cumple	x: 2.662 m η = 9.4	x: 0.119 m η = 9.4	x: 0.119 m η = 3.0	x: 2.663 m η = 1.3	x: 2.662 m η = 0.2	η < 0.1	η < 0.1	η < 0.1	x: 0.119 m η = 12.6	η < 0.1	η = 0.3	x: 2.662 m η = 0.2	η < 0.1	**CUMPLE η = 12.6**
N2904/N2874	$\lambda_w \leq \lambda_{w,máx}$ Cumple	x: 2.662 m η = 2.1	x: 0.119 m η = 2.3	x: 2.663 m η = 2.5	x: 0.119 m η = 1.3	x: 0.119 m η = 0.2	η = 0.1	η < 0.1	η < 0.1	x: 2.663 m η = 5.0	η < 0.1	η = 0.3	x: 0.119 m η = 0.2	η = 0.1	**CUMPLE η = 5.0**
N2905/N2875	$\lambda_w \leq \lambda_{w,máx}$ Cumple	x: 2.662 m η = 11.5	x: 0.119 m η = 14.3	x: 2.663 m η = 3.7	x: 2.663 m η = 1.7	x: 0.119 m η = 0.3	η = 0.1	η < 0.1	η < 0.1	x: 2.663 m η = 18.9	η < 0.1	η = 0.4	x: 0.119 m η = 0.3	η = 0.1	**CUMPLE η = 18.9**
N2906/N2876	$\lambda_w \leq \lambda_{w,máx}$ Cumple	x: 2.662 m η = 18.5	x: 0.119 m η = 22.1	x: 2.663 m η = 5.2	x: 0.119 m η = 2.2	x: 0.119 m η = 0.5	η = 0.1	η < 0.1	η < 0.1	x: 2.663 m η = 27.8	η < 0.1	η = 0.5	x: 0.119 m η = 0.5	η = 0.1	**CUMPLE η = 27.8**
N2907/N2877	$\lambda_w \leq \lambda_{w,máx}$ Cumple	x: 2.662 m η = 25.9	x: 0.119 m η = 29.9	x: 2.663 m η = 6.3	x: 0.119 m η = 1.2	x: 0.119 m η = 0.7	η = 0.1	η < 0.1	η < 0.1	x: 2.663 m η = 36.4	η < 0.1	η = 0.5	x: 0.119 m η = 0.7	η = 0.1	**CUMPLE η = 36.4**
N2908/N2878	$\lambda_w \leq \lambda_{w,máx}$ Cumple	x: 2.662 m η = 28.8	x: 0.119 m η = 33.9	x: 2.663 m η = 6.1	x: 2.663 m η = 1.3	x: 0.119 m η = 0.8	η = 0.1	η < 0.1	η < 0.1	x: 2.663 m η = 40.6	η < 0.1	η = 0.6	x: 0.119 m η = 0.8	η = 0.1	**CUMPLE η = 40.6**
N2909/N2879	$\lambda_w \leq \lambda_{w,máx}$ Cumple	x: 2.662 m η = 36.2	x: 0.119 m η = 42.1	x: 2.663 m η = 6.5	x: 2.663 m η = 2.5	x: 0.119 m η = 0.8	η < 0.1	η < 0.1	η < 0.1	x: 2.663 m η = 49.2	η < 0.1	η = 0.9	x: 0.119 m η = 0.8	η < 0.1	**CUMPLE η = 49.2**
N2910/N2880	$\lambda_w \leq \lambda_{w,máx}$ Cumple	x: 2.549 m η = 24.1	x: 0.119 m η = 30.8	x: 0.119 m η = 10.1	x: 2.55 m η = 2.3	x: 0.119 m η = 1.1	η = 0.1	η < 0.1	η < 0.1	x: 0.119 m η = 39.5	η < 0.1	η = 1.0	x: 0.119 m η = 1.1	η = 0.1	**CUMPLE η = 39.5**
N2760/N2911	$\lambda_w \leq \lambda_{w,máx}$ Cumple	η = 2.5	η = 0.6	x: 0.06 m η = 3.2	x: 0.06 m η = 7.8	η = 0.3	x: 0.06 m η = 1.1	η < 0.1	η < 0.1	x: 0.06 m η = 9.9	η < 0.1	η = 0.7	η = 0.3	x: 0.06 m η = 1.1	**CUMPLE η = 9.9**
N2911/N2912	$\lambda_w \leq \lambda_{w,máx}$ Cumple	η = 1.9	η = 0.5	x: 2.373 m η = 1.6	x: 0.06 m η = 2.5	η = 0.1	x: 0.06 m η = 0.4	η < 0.1	η < 0.1	x: 0.06 m η = 4.6	η < 0.1	η = 0.4	η = 0.1	x: 0.06 m η = 0.4	**CUMPLE η = 4.6**
N2912/N2913	$\lambda_w \leq \lambda_{w,máx}$ Cumple	η = 1.8	x: 2.181 m η = 0.3	x: 2.373 m η = 3.7	x: 2.373 m η = 7.5	η = 0.3	x: 2.373 m η = 1.1	η < 0.1	η < 0.1	x: 2.373 m η = 11.1	η < 0.1	η = 0.6	η = 0.3	x: 2.373 m η = 1.1	**CUMPLE η = 11.1**
N2661/N2914	$\lambda_w \leq \lambda_{w,máx}$ Cumple	η = 12.7	η = 21.0	x: 0.06 m η = 2.3	x: 0.06 m η = 8.0	η = 0.2	x: 0.06 m η = 1.1	η < 0.1	η < 0.1	x: 0.06 m η = 27.9	η < 0.1	η = 4.7	η = 0.2	x: 0.06 m η = 1.1	**CUMPLE η = 27.9**
N2914/N2915	$\lambda_w \leq \lambda_{w,máx}$ Cumple	η = 12.6	η = 23.2	x: 2.373 m η = 1.4	x: 2.373 m η = 2.7	η = 0.1	x: 0.06 m η = 0.4	η < 0.1	η < 0.1	x: 0.253 m η = 25.1	η < 0.1	η = 0.6	η = 0.1	x: 0.06 m η = 0.4	**CUMPLE η = 25.1**
N2915/N2814	$\lambda_w \leq \lambda_{w,máx}$ Cumple	η = 13.4	η = 23.0	x: 2.373 m η = 4.0	x: 2.373 m η = 11.8	η = 0.3	x: 2.373 m η = 1.5	η < 0.1	η < 0.1	x: 2.373 m η = 25.9	η < 0.1	η = 3.7	η = 0.3	x: 2.373 m η = 1.5	**CUMPLE η = 25.9**
N2695/N2916	$\lambda_w \leq \lambda_{w,máx}$ Cumple	η = 0.3	η = 59.2	x: 0.15 m η = 5.9	x: 0.15 m η = 6.0	η = 0.6	x: 0.15 m η = 0.9	η < 0.1	η < 0.1	x: 0.15 m η = 67.2	η < 0.1	η = 1.1	η = 0.6	x: 0.15 m η = 0.9	**CUMPLE η = 67.2**
N2916/N2917	$\lambda_w \leq \lambda_{w,máx}$ Cumple	η = 4.7	η = 15.0	x: 2.338 m η = 2.1	x: 2.338 m η = 8.8	η = 0.2	x: 2.338 m η = 1.2	η < 0.1	η < 0.1	x: 2.338 m η = 17.9	η < 0.1	η = 0.8	η = 0.2	x: 2.338 m η = 1.2	**CUMPLE η = 17.9**
N2917/N2848	$\lambda_w \leq \lambda_{w,máx}$ Cumple	η = 11.4	η = 61.7	x: 0.095 m η = 3.7	x: 0.095 m η = 5.0	η = 0.4	x: 0.095 m η = 0.8	η < 0.1	η < 0.1	x: 0.095 m η = 65.9	η < 0.1	η = 1.2	η = 0.4	x: 0.095 m η = 0.8	**CUMPLE η = 65.9**
N2677/N2918	$\lambda_w \leq \lambda_{w,máx}$ Cumple	η = 0.8	η = 45.2	x: 2.373 m η = 1.9	x: 0.095 m η = 4.6	η = 0.2	x: 0.095 m η = 0.7	η < 0.1	η < 0.1	x: 2.373 m η = 49.4	η < 0.1	η = 1.3	η = 0.2	x: 0.095 m η = 0.7	**CUMPLE η = 49.4**
N2918/N2919	$\lambda_w \leq \lambda_{w,máx}$ Cumple	η = 0.7	η = 44.5	x: 0.06 m η = 1.5	x: 0.06 m η = 7.5	η = 0.1	x: 2.373 m η = 1.1	η < 0.1	η < 0.1	x: 0.06 m η = 50.4	η < 0.1	η = 0.6	η = 0.1	x: 2.373 m η = 1.1	**CUMPLE η = 50.4**
N2919/N2830	$\lambda_w \leq \lambda_{w,máx}$ Cumple	η = 5.2	η = 23.3	x: 2.338 m η = 4.2	x: 2.338 m η = 4.7	η = 0.3	x: 2.338 m η = 0.6	η < 0.1	η < 0.1	x: 2.338 m η = 28.2	η < 0.1	η = 0.9	η = 0.3	x: 2.338 m η = 0.6	**CUMPLE η = 28.2**
N2917/N2919	$\lambda_w \leq \lambda_{w,máx}$ Cumple	x: 1.939 m η < 0.1	x: 0.078 m η = 6.2	x: 1.94 m η = 5.2	x: 0.078 m η = 3.3	η = 0.8	η = 0.2	η < 0.1	η < 0.1	x: 0.078 m η = 11.9	η < 0.1	η = 0.4	η = 0.8	η = 0.2	**CUMPLE η = 11.9**
N2916/N2918	$\lambda_w \leq \lambda_{w,máx}$ Cumple	x: 1.939 m η = 0.3	x: 0.078 m η = 2.0	x: 0.078 m η = 4.6	x: 0.078 m η = 3.5	η = 0.7	η = 0.2	η < 0.1	η < 0.1	x: 0.078 m η = 7.6	η < 0.1	η = 0.9	η = 0.7	η = 0.2	**CUMPLE η = 7.6**
N2912/N2915	$\lambda_w \leq \lambda_{w,máx}$ Cumple	x: 1.939 m η < 0.1	x: 0.06 m η = 0.2	x: 1.94 m η = 7.0	x: 1.94 m η = 3.1	η = 1.0	η = 0.2	η < 0.1	η < 0.1	x: 1.94 m η = 8.3	η < 0.1	η = 1.3	η = 1.0	η = 0.2	**CUMPLE η = 8.3**
N2911/N2914	$\lambda_w \leq \lambda_{w,máx}$ Cumple	x: 1.939 m η < 0.1	x: 0.06 m η = 0.3	x: 0.06 m η = 5.3	x: 1.94 m η = 3.3	η = 0.8	η = 0.2	η < 0.1	η < 0.1	x: 1.94 m η = 7.1	η < 0.1	η = 0.8	η = 0.8	η = 0.3	**CUMPLE η = 7.1**

Documento visado electrónicamente con número: VA07290/22
Código de validación telemática TRLTDCFZ60T66IJ1. Comprobación: https://cogitivalencia.e-gestion.es/Validacion.aspx?CVT=TRLTDCFZ60T66IJ1

VISADO COGITI
VALENCIA
VA07290/22
TRLTDCFZ60T66IJ1
Documento visado electrónicamente con número VA07290/22 Código de validación telemática TRLTDCFZ60T66IJ1. Comprobación: https://cogitivalencia.e-gestion.es/Validacion.aspx?CVT=TRLTDCFZ60T66IJ1

Barras	COMPROBACIONES (CÓDIGO ESTRUCTURAL)														Estado
	λ_w	N_t	N_c	M_Y	M_Z	V_Z	V_Y	M_YV_Z	M_ZV_Y	NM_YM_Z	$NM_YM_ZV_YV_Z$	M_t	M_tV_Z	M_tV_Y	
N2678/N2916	$\lambda_w \leq \lambda_{w,máx}$ Cumple	x: 3.054 m η = 18.7	x: 2.646 m η = 4.0	x: 0.195 m η = 10.9	x: 0.195 m η = 6.5	x: 3.055 m η = 1.0	η = 0.2	η < 0.1	η < 0.1	x: 0.195 m η = 35.2	η < 0.1	η = 3.3	x: 3.055 m η = 1.0	η = 0.2	**CUMPLE η = 35.2**
N2831/N2917	$\lambda_w \leq \lambda_{w,máx}$ Cumple	x: 3.054 m η = 11.1	x: 0.195 m η = 18.9	x: 0.195 m η = 11.4	x: 3.055 m η = 4.3	x: 0.195 m η = 0.9	η = 0.3	η < 0.1	η < 0.1	x: 0.195 m η = 31.0	η < 0.1	η = 3.5	x: 0.195 m η = 0.9	η = 0.3	**CUMPLE η = 31.0**
N2771/N2920	$\lambda_w \leq \lambda_{w,máx}$ Cumple	x: 3.054 m η = 13.2	x: 0.195 m η = 2.9	x: 0.195 m η = 5.4	x: 3.055 m η = 5.3	x: 3.055 m η = 0.6	η = 0.3	η < 0.1	η < 0.1	x: 3.055 m η = 19.4	η < 0.1	η = 1.7	x: 3.055 m η = 0.6	η = 0.3	**CUMPLE η = 19.4**
N2694/N2920	$\lambda_w \leq \lambda_{w,máx}$ Cumple	x: 1.463 m η = 0.4	η = 53.3	x: 0.15 m η = 5.5	x: 0.15 m η = 3.4	η = 0.6	x: 0.15 m η = 0.6	η < 0.1	η < 0.1	x: 0.151 m η = 58.3	η < 0.1	η = 1.3	η = 0.6	x: 0.15 m η = 0.6	**CUMPLE η = 58.3**
N2920/N2921	$\lambda_w \leq \lambda_{w,máx}$ Cumple	η = 3.7	η = 12.0	x: 2.338 m η = 1.4	x: 2.338 m η = 5.3	η = 0.2	x: 2.338 m η = 0.7	η < 0.1	η < 0.1	x: 0.095 m η = 14.2	η < 0.1	η = 0.5	η = 0.2	x: 2.338 m η = 0.7	**CUMPLE η = 14.2**
N2921/N2847	$\lambda_w \leq \lambda_{w,máx}$ Cumple	η = 6.2	η = 83.8	x: 0.095 m η = 3.6	x: 0.095 m η = 3.0	η = 0.4	x: 0.095 m η = 0.5	η < 0.1	η < 0.1	x: 0.095 m η = 87.9	η < 0.1	η = 1.0	η = 0.4	x: 0.095 m η = 0.5	**CUMPLE η = 87.9**
N2920/N2922	$\lambda_w \leq \lambda_{w,máx}$ Cumple	x: 1.939 m η = 0.2	x: 0.078 m η = 1.5	x: 0.078 m η = 2.9	x: 0.078 m η = 3.7	η = 0.4	η = 0.2	η < 0.1	η < 0.1	x: 0.078 m η = 5.8	η < 0.1	η = 0.5	η = 0.4	η = 0.2	**CUMPLE η = 5.8**
N2921/N2923	$\lambda_w \leq \lambda_{w,máx}$ Cumple	x: 1.939 m η = 0.1	x: 0.078 m η = 3.5	x: 1.94 m η = 3.7	x: 0.078 m η = 3.0	η = 0.5	η = 0.2	η < 0.1	η < 0.1	x: 1.94 m η = 7.7	η < 0.1	η = 0.7	η = 0.5	η = 0.2	**CUMPLE η = 7.7**
N2924/N2921	$\lambda_w \leq \lambda_{w,máx}$ Cumple	x: 3.054 m η = 13.2	x: 0.195 m η = 10.3	x: 0.195 m η = 6.5	x: 3.055 m η = 4.0	x: 3.055 m η = 0.7	η = 0.3	η < 0.1	η < 0.1	x: 0.195 m η = 21.2	η < 0.1	η = 1.9	x: 3.055 m η = 0.7	η = 0.3	**CUMPLE η = 21.2**
N2711/N2922	$\lambda_w \leq \lambda_{w,máx}$ Cumple	N_{Ed} = 0.00 N.P.(1)	η = 25.1	x: 2.373 m η = 1.7	x: 0.095 m η = 4.1	η = 0.2	x: 0.095 m η = 0.6	η < 0.1	η < 0.1	x: 2.373 m η = 28.1	η < 0.1	η = 1.1	η = 0.2	x: 0.095 m η = 0.6	**CUMPLE η = 28.1**
N2922/N2923	$\lambda_w \leq \lambda_{w,máx}$ Cumple	N_{Ed} = 0.00 N.P.(1)	η = 24.7	x: 0.06 m η = 1.5	x: 0.06 m η = 4.3	η = 0.1	x: 2.373 m η = 0.6	η < 0.1	η < 0.1	x: 0.06 m η = 28.5	η < 0.1	η = 0.3	η = 0.1	x: 2.373 m η = 0.6	**CUMPLE η = 28.5**
N2923/N2864	$\lambda_w \leq \lambda_{w,máx}$ Cumple	η = 2.3	η = 14.7	x: 2.338 m η = 3.5	x: 2.338 m η = 5.7	η = 0.3	x: 2.338 m η = 0.7	η < 0.1	η < 0.1	x: 2.338 m η = 19.8	η < 0.1	η = 1.3	η = 0.3	x: 2.338 m η = 0.7	**CUMPLE η = 19.8**
N2916/N2677	$\lambda_w \leq \lambda_{w,máx}$ Cumple	x: 3.054 m η = 14.4	x: 0.095 m η = 0.5	x: 0.095 m η = 4.1	x: 0.095 m η = 2.8	x: 3.055 m η = 0.6	η = 0.1	η < 0.1	η < 0.1	x: 3.055 m η = 19.5	η < 0.1	η = 1.2	x: 3.055 m η = 0.6	η = 0.1	**CUMPLE η = 19.5**
N2917/N2830	$\lambda_w \leq \lambda_{w,máx}$ Cumple	x: 3.054 m η = 14.7	x: 0.095 m η = 3.3	x: 3.055 m η = 4.0	x: 0.095 m η = 1.2	x: 3.055 m η = 0.5	η = 0.1	η < 0.1	η < 0.1	x: 3.055 m η = 19.1	η < 0.1	η = 1.9	x: 3.055 m η = 0.5	η = 0.1	**CUMPLE η = 19.1**
N2920/N2711	$\lambda_w \leq \lambda_{w,máx}$ Cumple	x: 3.054 m η = 12.3	x: 0.095 m η = 0.3	x: 3.055 m η = 3.7	x: 3.055 m η = 2.2	x: 3.055 m η = 0.5	η < 0.1	η < 0.1	η < 0.1	x: 3.055 m η = 17.3	η < 0.1	η = 1.2	x: 3.055 m η = 0.5	η < 0.1	**CUMPLE η = 17.3**
N2921/N2864	$\lambda_w \leq \lambda_{w,máx}$ Cumple	x: 3.054 m η = 17.7	x: 0.095 m η = 3.3	x: 3.055 m η = 4.6	x: 0.095 m η = 1.3	x: 3.055 m η = 0.6	η < 0.1	η < 0.1	η < 0.1	x: 3.055 m η = 23.1	η < 0.1	η = 1.8	x: 3.055 m η = 0.6	η < 0.1	**CUMPLE η = 23.1**
N2727/N2926	$\lambda_w \leq \lambda_{w,máx}$ Cumple	η = 3.0	η = 19.5	x: 2.373 m η = 2.6	x: 0.095 m η = 4.0	η = 0.3	x: 0.095 m η = 0.6	η < 0.1	η < 0.1	x: 2.373 m η = 21.2	η < 0.1	η = 1.8	η = 0.3	x: 0.095 m η = 0.6	**CUMPLE η = 21.2**
N2926/N2925	$\lambda_w \leq \lambda_{w,máx}$ Cumple	η = 3.0	η = 19.2	x: 0.06 m η = 2.1	x: 0.06 m η = 4.0	η = 0.1	x: 2.373 m η = 0.6	η < 0.1	η < 0.1	x: 0.06 m η = 21.3	η < 0.1	η = 0.6	η = 0.1	x: 2.373 m η = 0.6	**CUMPLE η = 21.3**
N2925/N2880	$\lambda_w \leq \lambda_{w,máx}$ Cumple	η = 5.6	η = 15.6	x: 2.338 m η = 4.0	x: 2.338 m η = 4.7	η = 0.4	x: 2.338 m η = 0.6	η < 0.1	η < 0.1	x: 0.44 m η = 16.0	η < 0.1	η = 1.4	η = 0.4	x: 2.338 m η = 0.6	**CUMPLE η = 16.0**
N2927/N2880	$\lambda_w \leq \lambda_{w,máx}$ Cumple	x: 3.054 m η = 18.0	x: 0.095 m η = 2.4	x: 3.055 m η = 3.6	x: 0.095 m η = 2.2	x: 3.055 m η = 0.5	η < 0.1	η < 0.1	η < 0.1	x: 3.055 m η = 22.3	η < 0.1	η = 2.5	x: 3.055 m η = 0.5	η < 0.1	**CUMPLE η = 22.3**
N2775/N2929	$\lambda_w \leq \lambda_{w,máx}$ Cumple	x: 2.338 m η = 0.4	η = 38.3	x: 0.15 m η = 6.3	x: 0.15 m η = 2.3	η = 0.7	x: 0.15 m η = 0.4	η < 0.1	η < 0.1	x: 0.15 m η = 43.5	η < 0.1	η = 1.0	η = 0.7	x: 0.15 m η = 0.4	**CUMPLE η = 43.5**
N2929/N2927	$\lambda_w \leq \lambda_{w,máx}$ Cumple	η = 8.7	x: 0.843 m η = 10.5	x: 2.338 m η = 1.9	x: 2.338 m η = 5.0	η = 0.2	x: 2.338 m η = 0.7	η < 0.1	η < 0.1	x: 2.338 m η = 13.5	η < 0.1	η = 0.5	η = 0.2	x: 2.338 m η = 0.7	**CUMPLE η = 13.5**
N2927/N2928	$\lambda_w \leq \lambda_{w,máx}$ Cumple	η = 3.0	η = 48.1	x: 0.095 m η = 3.2	x: 0.095 m η = 1.5	η = 0.3	x: 0.095 m η = 0.3	η < 0.1	η < 0.1	x: 2.283 m η = 50.6	η < 0.1	η = 0.8	η = 0.3	x: 0.095 m η = 0.3	**CUMPLE η = 50.6**
N2930/N2927	$\lambda_w \leq \lambda_{w,máx}$ Cumple	x: 3.054 m η = 11.2	x: 0.195 m η = 5.0	x: 3.055 m η = 3.9	x: 3.055 m η = 5.8	x: 3.055 m η = 0.5	η = 0.1	η < 0.1	η < 0.1	x: 3.055 m η = 17.4	η < 0.1	η = 5.5	x: 3.055 m η = 0.5	η = 0.1	**CUMPLE η = 17.4**
N2929/N2926	$\lambda_w \leq \lambda_{w,máx}$ Cumple	x: 1.939 m η = 0.2	x: 0.078 m η = 1.3	x: 0.078 m η = 2.7	x: 0.078 m η = 6.2	η = 0.3	η = 0.4	η < 0.1	η < 0.1	x: 0.078 m η = 8.1	η < 0.1	η = 0.9	η = 0.3	η = 0.4	**CUMPLE η = 8.1**
N2929/N2727	$\lambda_w \leq \lambda_{w,máx}$ Cumple	x: 3.054 m η = 13.6	x: 0.095 m η = 1.5	x: 3.055 m η = 3.5	x: 0.095 m η = 3.8	x: 3.055 m η = 0.5	η = 0.1	η < 0.1	η < 0.1	x: 0.095 m η = 17.8	η < 0.1	η = 2.1	x: 3.055 m η = 0.5	η = 0.1	**CUMPLE η = 17.8**
N2927/N2925	$\lambda_w \leq \lambda_{w,máx}$ Cumple	N_{Ed} = 0.00 N.P.(1)	x: 0.078 m η = 3.2	x: 1.94 m η = 3.9	x: 0.078 m η = 5.2	η = 0.5	η = 0.3	η < 0.1	η < 0.1	x: 0.078 m η = 8.7	η < 0.1	η = 0.5	η = 0.5	η = 0.3	**CUMPLE η = 8.7**
N2777/N2929	$\lambda_w \leq \lambda_{w,máx}$ Cumple	x: 3.054 m η = 15.5	x: 0.195 m η = 3.0	x: 0.195 m η = 4.2	x: 3.055 m η = 7.8	x: 3.055 m η = 0.5	η = 0.1	η < 0.1	η < 0.1	x: 0.195 m η = 24.3	η < 0.1	η = 5.6	x: 3.055 m η = 0.5	η = 0.1	**CUMPLE η = 24.3**
N2663/N2816	x: 0.509 m $\lambda_w \leq \lambda_{w,máx}$ Cumple	N_{Ed} = 0.00 N.P.(1)	η = 53.0	M_{Ed} = 0.00 N.P.(2)	x: 3.65 m η = 6.0	V_{Ed} = 0.00 N.P.(3)	x: 0.06 m η = 0.5	N.P.(4)	x: 0.509 m η < 0.1	x: 3.65 m η = 60.4	x: 0.509 m η < 0.1	M_{Ed} = 0.00 N.P.(5)	N.P.(6)	N.P.(6)	**CUMPLE η = 60.4**
N2931/N2932	$\lambda_w \leq \lambda_{w,máx}$ Cumple	x: 1.939 m η < 0.1	x: 0.06 m η = 0.4	x: 1.94 m η = 9.4	x: 0.06 m η = 0.1	η = 1.4	η < 0.1	η < 0.1	x: 0.06 m η < 0.1	x: 1.94 m η = 9.5	η < 0.1	η = 0.2	η = 1.4	η < 0.1	**CUMPLE η = 9.5**
N2933/N2934	$\lambda_w \leq \lambda_{w,máx}$ Cumple	x: 1.939 m η < 0.1	x: 0.06 m η = 0.4	x: 0.06 m η = 13.5	x: 0.06 m η = 0.1	η = 2.1	η < 0.1	η < 0.1	x: 0.06 m η < 0.1	x: 0.06 m η = 14.0	η < 0.1	η = 0.2	η = 2.1	η < 0.1	**CUMPLE η = 14.0**
N2735/N2936	x: 0.051 m $\lambda_w \leq \lambda_{w,máx}$ Cumple	η = 5.3	η = 23.0	x: 2.372 m η = 0.1	x: 2.373 m η = 21.1	η < 0.1	x: 0.05 m η = 1.5	x: 0.244 m η < 0.1	x: 0.051 m η < 0.1	x: 2.373 m η = 25.8	x: 0.051 m η < 0.1	M_{Ed} = 0.00 N.P.(5)	N.P.(6)	N.P.(6)	**CUMPLE η = 25.8**
N2936/N2935	$\lambda_w \leq \lambda_{w,máx}$ Cumple	η = 5.8	η = 25.1	x: 0.06 m η < 0.1	x: 0.06 m η = 6.1	η < 0.1	x: 2.373 m η = 0.7	x: 0.06 m η < 0.1	η < 0.1	x: 2.373 m η = 26.7	η < 0.1	η < 0.1	η < 0.1	x: 2.373 m η = 0.7	**CUMPLE η = 26.7**
N2935/N2888	x: 0.06 m $\lambda_w \leq \lambda_{w,máx}$ Cumple	η = 6.5	η = 26.6	x: 0.06 m η = 0.1	x: 0.06 m η = 12.5	η < 0.1	x: 2.383 m η = 0.9	x: 0.06 m η < 0.1	x: 0.06 m η < 0.1	x: 0.06 m η = 33.4	x: 0.06 m η < 0.1	M_{Ed} = 0.00 N.P.(5)	N.P.(6)	N.P.(6)	**CUMPLE η = 33.4**
N2669/N2938	x: 0.051 m $\lambda_w \leq \lambda_{w,máx}$ Cumple	η = 5.4	η = 33.2	x: 2.372 m η = 0.1	x: 2.373 m η = 21.0	η < 0.1	x: 0.05 m η = 1.5	x: 0.244 m η < 0.1	x: 0.051 m η < 0.1	x: 2.373 m η = 47.1	x: 0.051 m η < 0.1	M_{Ed} = 0.00 N.P.(5)	N.P.(6)	N.P.(6)	**CUMPLE η = 47.1**
N2938/N2937	$\lambda_w \leq \lambda_{w,máx}$ Cumple	η = 5.4	η = 40.2	x: 0.06 m η < 0.1	x: 0.06 m η = 6.1	η < 0.1	x: 2.373 m η = 0.7	x: 0.06 m η < 0.1	η < 0.1	x: 0.06 m η = 44.3	η < 0.1	η < 0.1	η < 0.1	x: 2.373 m η = 0.7	**CUMPLE η = 44.3**
N2937/N2822	x: 0.06 m $\lambda_w \leq \lambda_{w,máx}$ Cumple	η = 6.2	η = 40.7	x: 0.06 m η = 0.1	x: 0.06 m η = 13.5	η < 0.1	x: 2.383 m η = 1.0	x: 0.06 m η < 0.1	x: 0.06 m η < 0.1	x: 0.06 m η = 44.4	x: 0.06 m η < 0.1	M_{Ed} = 0.00 N.P.(5)	N.P.(6)	N.P.(6)	**CUMPLE η = 44.4**
N2935/N2937	$\lambda_w \leq \lambda_{w,máx}$ Cumple	x: 1.939 m η < 0.1	x: 0.06 m η = 0.5	x: 1.94 m η = 10.0	x: 0.06 m η < 0.1	η = 1.6	η < 0.1	η < 0.1	x: 0.06 m η < 0.1	x: 1.94 m η = 10.2	η < 0.1	η = 0.1	η = 1.6	η < 0.1	**CUMPLE η = 10.2**
N2936/N2938	$\lambda_w \leq \lambda_{w,máx}$ Cumple	x: 1.939 m η < 0.1	x: 0.06 m η = 0.5	x: 0.06 m η = 14.4	x: 0.06 m η < 0.1	η = 2.3	η < 0.1	η < 0.1	x: 0.06 m η < 0.1	x: 0.06 m η = 14.9	η < 0.1	η = 0.1	η = 2.3	η < 0.1	**CUMPLE η = 14.9**
N2739/N2940	x: 0.061 m $\lambda_w \leq \lambda_{w,máx}$ Cumple	η = 3.2	η = 12.3	x: 2.373 m η = 0.2	x: 2.373 m η = 16.5	η < 0.1	x: 0.06 m η = 1.2	x: 0.253 m η < 0.1	x: 0.061 m η < 0.1	x: 2.373 m η = 19.7	x: 0.061 m η < 0.1	M_{Ed} = 0.00 N.P.(5)	N.P.(6)	N.P.(6)	**CUMPLE η = 19.7**
N2940/N2939	$\lambda_w \leq \lambda_{w,máx}$ Cumple	η = 3.7	η = 13.7	x: 0.06 m η = 0.1	x: 0.06 m η = 4.5	η < 0.1	x: 2.373 m η = 0.5	x: 0.06 m η < 0.1	η < 0.1	x: 2.373 m η = 14.8	η < 0.1	η = 0.2	η < 0.1	x: 2.373 m η = 0.5	**CUMPLE η = 14.8**

VISADO
COGITI
Estado
VALENCIA
VA07290/22
TRLTDCFZ60T66IJ1

Barras	COMPROBACIONES (CÓDIGO ESTRUCTURAL)														
	λ_w	N_t	N_c	M_Y	M_Z	V_Z	V_Y	M_YV_Z	M_ZV_Y	NM_YM_Z	$NM_YM_ZV_YV_Z$	M_t	M_tV_Z	M_tV_Y	
N2939/N2892	x: 0.06 m $\lambda_w \leq \lambda_{w,máx}$ Cumple	η = 4.3	η = 15.0	x: 0.06 m η = 0.2	x: 0.06 m η = 10.4	η < 0.1	x: 2.373 m η = 0.8	x: 0.06 m η < 0.1	x: 0.06 m η < 0.1	x: 0.06 m η = 20.2	x: 0.06 m η < 0.1	M_{Ed} = 0.00 N.P.(5)	N.P.(6)	N.P.(6)	**CUMPLE** **η = 20.2**
N2673/N2942	x: 0.061 m $\lambda_w \leq \lambda_{w,máx}$ Cumple	η = 4.3	η = 23.1	x: 2.373 m η = 0.2	x: 2.373 m η = 15.5	η < 0.1	x: 0.06 m η = 1.1	x: 0.253 m η < 0.1	x: 0.061 m η < 0.1	x: 2.373 m η = 31.6	x: 0.061 m η < 0.1	M_{Ed} = 0.00 N.P.(5)	N.P.(6)	N.P.(6)	**CUMPLE** **η = 31.6**
N2942/N2941	$\lambda_w \leq \lambda_{w,máx}$ Cumple	η = 4.3	η = 26.5	x: 0.06 m η = 0.1	x: 0.06 m η = 4.0	η < 0.1	x: 2.373 m η = 0.5	x: 0.06 m η < 0.1	η < 0.1	x: 0.06 m η = 29.0	η < 0.1	η = 0.2	η < 0.1	x: 2.373 m η = 0.5	**CUMPLE** **η = 29.0**
N2941/N2826	x: 0.06 m $\lambda_w \leq \lambda_{w,máx}$ Cumple	η = 4.9	η = 26.3	x: 0.06 m η = 0.2	x: 0.06 m η = 12.3	η < 0.1	x: 2.373 m η = 0.9	x: 0.06 m η < 0.1	x: 0.06 m η < 0.1	x: 0.06 m η = 27.6	x: 0.06 m η < 0.1	M_{Ed} = 0.00 N.P.(5)	N.P.(6)	N.P.(6)	**CUMPLE** **η = 27.6**
N2939/N2941	$\lambda_w \leq \lambda_{w,máx}$ Cumple	x: 1.939 m η < 0.1	x: 0.06 m η = 0.3	x: 1.94 m η = 9.2	x: 0.06 m η = 0.1	η = 1.4	η < 0.1	η < 0.1	x: 0.06 m η < 0.1	x: 1.94 m η = 9.3	η < 0.1	η = 0.2	η = 1.4	η < 0.1	**CUMPLE** **η = 9.3**
N2940/N2942	$\lambda_w \leq \lambda_{w,máx}$ Cumple	x: 1.939 m η < 0.1	x: 0.06 m η = 0.3	x: 0.06 m η = 11.6	x: 0.06 m η = 0.1	η = 1.8	η < 0.1	η < 0.1	x: 0.06 m η < 0.1	x: 0.06 m η = 11.9	η < 0.1	η = 0.2	η = 1.8	η < 0.1	**CUMPLE** **η = 11.9**
N2675/N2828	x: 0.509 m $\lambda_w \leq \lambda_{w,máx}$ Cumple	η = 11.8	η = 28.2	M_{Ed} = 0.00 N.P.(2)	x: 3.65 m η = 6.0	V_{Ed} = 0.00 N.P.(3)	x: 0.06 m η = 0.5	N.P.(4)	x: 0.509 m η < 0.1	x: 3.65 m η = 33.1	x: 0.509 m η < 0.1	M_{Ed} = 0.00 N.P.(5)	N.P.(6)	N.P.(6)	**CUMPLE** **η = 33.1**
N2697/N2850	x: 0.509 m $\lambda_w \leq \lambda_{w,máx}$ Cumple	η = 1.3	η = 22.3	M_{Ed} = 0.00 N.P.(2)	x: 3.65 m η = 6.0	V_{Ed} = 0.00 N.P.(3)	x: 0.06 m η = 0.5	N.P.(4)	x: 0.509 m η < 0.1	x: 3.65 m η = 28.8	x: 0.509 m η < 0.1	M_{Ed} = 0.00 N.P.(5)	N.P.(6)	N.P.(6)	**CUMPLE** **η = 28.8**
N2699/N2943	x: 0.061 m $\lambda_w \leq \lambda_{w,máx}$ Cumple	η = 2.2	η = 15.7	x: 2.372 m η = 0.1	x: 2.373 m η = 14.1	η < 0.1	x: 0.06 m η = 1.0	x: 0.253 m η < 0.1	x: 0.061 m η < 0.1	x: 2.373 m η = 24.4	x: 0.061 m η < 0.1	M_{Ed} = 0.00 N.P.(5)	N.P.(6)	N.P.(6)	**CUMPLE** **η = 24.4**
N2943/N2944	$\lambda_w \leq \lambda_{w,máx}$ Cumple	η = 2.2	η = 19.7	x: 0.06 m η < 0.1	x: 0.06 m η = 3.5	η < 0.1	x: 2.373 m η = 0.4	x: 0.06 m η < 0.1	η < 0.1	x: 0.06 m η = 21.9	η < 0.1	η < 0.1	η < 0.1	x: 2.373 m η = 0.4	**CUMPLE** **η = 21.9**
N2944/N2852	x: 0.06 m $\lambda_w \leq \lambda_{w,máx}$ Cumple	η = 2.8	η = 19.3	x: 0.06 m η = 0.1	x: 0.06 m η = 11.0	η < 0.1	x: 2.373 m η = 0.8	x: 0.06 m η < 0.1	x: 0.06 m η < 0.1	x: 0.831 m η = 20.1	x: 0.06 m η < 0.1	M_{Ed} = 0.00 N.P.(5)	N.P.(6)	N.P.(6)	**CUMPLE** **η = 20.1**
N2682/N2945	x: 0.061 m $\lambda_w \leq \lambda_{w,máx}$ Cumple	η = 1.7	η = 7.0	x: 2.372 m η = 0.1	x: 2.373 m η = 14.1	η < 0.1	x: 0.06 m η = 1.0	x: 0.253 m η < 0.1	x: 0.061 m η < 0.1	x: 2.373 m η = 15.4	x: 0.061 m η < 0.1	M_{Ed} = 0.00 N.P.(5)	N.P.(6)	N.P.(6)	**CUMPLE** **η = 15.4**
N2945/N2946	$\lambda_w \leq \lambda_{w,máx}$ Cumple	η = 2.1	η = 7.7	x: 0.06 m η < 0.1	x: 0.06 m η = 3.6	η < 0.1	x: 2.373 m η = 0.4	x: 0.06 m η < 0.1	η < 0.1	x: 2.373 m η = 8.5	η < 0.1	η < 0.1	η < 0.1	x: 2.373 m η = 0.4	**CUMPLE** **η = 8.5**
N2946/N2835	x: 0.06 m $\lambda_w \leq \lambda_{w,máx}$ Cumple	η = 2.5	η = 8.8	x: 0.06 m η = 0.1	x: 0.06 m η = 10.2	η < 0.1	x: 2.373 m η = 0.8	x: 0.06 m η < 0.1	x: 0.06 m η < 0.1	x: 0.06 m η = 13.1	x: 0.06 m η < 0.1	M_{Ed} = 0.00 N.P.(5)	N.P.(6)	N.P.(6)	**CUMPLE** **η = 13.1**
N2946/N2944	$\lambda_w \leq \lambda_{w,máx}$ Cumple	x: 1.939 m η = 0.1	x: 0.06 m η = 0.2	x: 1.94 m η = 8.3	x: 0.06 m η < 0.1	η = 1.3	η < 0.1	η < 0.1	x: 0.06 m η < 0.1	x: 1.94 m η = 8.4	η < 0.1	η = 0.1	η = 1.3	η < 0.1	**CUMPLE** **η = 8.4**
N2945/N2943	$\lambda_w \leq \lambda_{w,máx}$ Cumple	x: 1.939 m η = 0.1	x: 0.06 m η = 0.2	x: 1.94 m η = 10.1	x: 0.06 m η < 0.1	η = 1.6	η < 0.1	η < 0.1	x: 0.06 m η < 0.1	x: 0.06 m η = 10.4	η < 0.1	η = 0.1	η = 1.6	η < 0.1	**CUMPLE** **η = 10.4**
N2686/N2948	x: 0.051 m $\lambda_w \leq \lambda_{w,máx}$ Cumple	η = 2.6	η = 11.9	x: 2.372 m η < 0.1	x: 2.373 m η = 16.4	η < 0.1	x: 0.05 m η = 1.2	x: 0.244 m η < 0.1	x: 0.051 m η < 0.1	x: 2.373 m η = 18.8	x: 0.051 m η < 0.1	M_{Ed} = 0.00 N.P.(5)	N.P.(6)	N.P.(6)	**CUMPLE** **η = 18.8**
N2948/N2947	$\lambda_w \leq \lambda_{w,máx}$ Cumple	η = 3.1	η = 13.6	x: 0.06 m η < 0.1	x: 0.06 m η = 4.4	η < 0.1	x: 2.373 m η = 0.5	x: 0.06 m η < 0.1	η < 0.1	x: 2.373 m η = 14.9	η < 0.1	η < 0.1	η < 0.1	x: 2.373 m η = 0.5	**CUMPLE** **η = 14.9**
N2947/N2839	x: 0.06 m $\lambda_w \leq \lambda_{w,máx}$ Cumple	η = 3.7	η = 15.0	x: 0.06 m η < 0.1	x: 0.06 m η = 12.0	η < 0.1	x: 2.383 m η = 0.9	x: 0.06 m η < 0.1	x: 0.06 m η < 0.1	x: 0.06 m η = 20.7	x: 0.06 m η < 0.1	M_{Ed} = 0.00 N.P.(5)	N.P.(6)	N.P.(6)	**CUMPLE** **η = 20.7**
N2703/N2950	x: 0.051 m $\lambda_w \leq \lambda_{w,máx}$ Cumple	η = 2.6	η = 19.9	x: 2.372 m η < 0.1	x: 2.373 m η = 16.9	η < 0.1	x: 0.05 m η = 1.2	x: 0.244 m η < 0.1	x: 0.051 m η < 0.1	x: 2.373 m η = 30.6	x: 0.051 m η < 0.1	M_{Ed} = 0.00 N.P.(5)	N.P.(6)	N.P.(6)	**CUMPLE** **η = 30.6**
N2950/N2949	$\lambda_w \leq \lambda_{w,máx}$ Cumple	η = 2.6	η = 25.1	x: 0.06 m η < 0.1	x: 0.06 m η = 4.6	η < 0.1	x: 2.373 m η = 0.5	x: 0.06 m η < 0.1	η < 0.1	x: 0.06 m η = 28.1	η < 0.1	η < 0.1	η < 0.1	x: 2.373 m η = 0.5	**CUMPLE** **η = 28.1**
N2949/N2856	x: 0.06 m $\lambda_w \leq \lambda_{w,máx}$ Cumple	η = 3.3	η = 25.1	x: 0.06 m η < 0.1	x: 0.06 m η = 12.4	η < 0.1	x: 2.383 m η = 0.9	x: 0.06 m η < 0.1	x: 0.06 m η < 0.1	x: 0.06 m η = 25.9	x: 0.06 m η < 0.1	M_{Ed} = 0.00 N.P.(5)	N.P.(6)	N.P.(6)	**CUMPLE** **η = 25.9**
N2947/N2949	$\lambda_w \leq \lambda_{w,máx}$ Cumple	x: 1.939 m η < 0.1	x: 0.06 m η = 0.3	x: 1.94 m η = 9.3	x: 0.06 m η < 0.1	η = 1.4	η < 0.1	η < 0.1	x: 0.06 m η < 0.1	x: 1.94 m η = 9.3	η < 0.1	η < 0.1	η = 1.4	η < 0.1	**CUMPLE** **η = 9.3**
N2948/N2950	$\lambda_w \leq \lambda_{w,máx}$ Cumple	x: 1.939 m η < 0.1	x: 0.06 m η = 0.3	x: 1.94 m η = 11.9	x: 0.06 m η < 0.1	η = 1.9	η < 0.1	η < 0.1	x: 0.06 m η < 0.1	x: 1.94 m η = 12.1	η < 0.1	η < 0.1	η = 1.9	η < 0.1	**CUMPLE** **η = 12.1**
N2690/N2952	x: 0.061 m $\lambda_w \leq \lambda_{w,máx}$ Cumple	η = 1.6	η = 7.0	x: 2.372 m η < 0.1	x: 2.373 m η = 14.8	η < 0.1	x: 0.06 m η = 1.1	x: 0.253 m η < 0.1	x: 0.061 m η < 0.1	x: 2.373 m η = 16.5	x: 0.061 m η < 0.1	M_{Ed} = 0.00 N.P.(5)	N.P.(6)	N.P.(6)	**CUMPLE** **η = 16.5**
N2952/N2951	$\lambda_w \leq \lambda_{w,máx}$ Cumple	η = 2.1	η = 8.1	x: 0.06 m η < 0.1	x: 0.06 m η = 3.9	η < 0.1	x: 2.373 m η = 0.5	N.P.(4)	η < 0.1	x: 2.373 m η = 9.2	η < 0.1	η < 0.1	η < 0.1	x: 2.373 m η = 0.4	**CUMPLE** **η = 9.2**
N2951/N2843	x: 0.06 m $\lambda_w \leq \lambda_{w,máx}$ Cumple	η = 2.6	η = 9.4	x: 0.06 m η < 0.1	x: 0.06 m η = 10.1	η < 0.1	x: 2.373 m η = 0.8	x: 0.06 m η < 0.1	x: 0.06 m η < 0.1	x: 0.06 m η = 14.3	x: 0.06 m η < 0.1	M_{Ed} = 0.00 N.P.(5)	N.P.(6)	N.P.(6)	**CUMPLE** **η = 14.3**
N2707/N2954	x: 0.061 m $\lambda_w \leq \lambda_{w,máx}$ Cumple	η = 2.0	η = 15.4	x: 2.372 m η < 0.1	x: 2.373 m η = 14.1	η < 0.1	x: 0.06 m η = 1.0	x: 0.253 m η < 0.1	x: 0.061 m η < 0.1	x: 2.373 m η = 24.1	x: 0.061 m η < 0.1	M_{Ed} = 0.00 N.P.(5)	N.P.(6)	N.P.(6)	**CUMPLE** **η = 24.1**
N2954/N2953	$\lambda_w \leq \lambda_{w,máx}$ Cumple	η = 2.0	η = 19.4	x: 0.06 m η < 0.1	x: 0.06 m η = 3.5	η < 0.1	x: 2.373 m η = 0.5	N.P.(4)	η < 0.1	x: 0.06 m η = 21.6	η < 0.1	η < 0.1	η < 0.1	x: 2.373 m η = 0.4	**CUMPLE** **η = 21.6**
N2953/N2860	x: 0.06 m $\lambda_w \leq \lambda_{w,máx}$ Cumple	η = 2.5	η = 19.0	x: 0.06 m η < 0.1	x: 0.06 m η = 11.7	η < 0.1	x: 2.373 m η = 0.9	x: 0.06 m η < 0.1	x: 0.06 m η < 0.1	x: 0.638 m η = 19.8	x: 0.06 m η < 0.1	M_{Ed} = 0.00 N.P.(5)	N.P.(6)	N.P.(6)	**CUMPLE** **η = 19.8**
N2951/N2953	$\lambda_w \leq \lambda_{w,máx}$ Cumple	x: 1.939 m η = 0.1	x: 0.06 m η = 0.3	x: 1.94 m η = 8.7	x: 0.06 m η < 0.1	η = 1.3	η < 0.1	η < 0.1	x: 0.06 m η < 0.1	x: 1.94 m η = 8.8	η < 0.1	η < 0.1	η = 1.3	η < 0.1	**CUMPLE** **η = 8.8**
N2952/N2954	$\lambda_w \leq \lambda_{w,máx}$ Cumple	x: 1.939 m η = 0.1	x: 0.06 m η = 0.3	x: 0.06 m η = 10.6	x: 0.06 m η < 0.1	η = 1.7	η < 0.1	η < 0.1	x: 0.06 m η < 0.1	x: 0.06 m η = 10.8	η < 0.1	η < 0.1	η = 1.6	η < 0.1	**CUMPLE** **η = 10.8**
N2709/N2862	x: 0.509 m $\lambda_w \leq \lambda_{w,máx}$ Cumple	η = 3.0	η = 20.7	M_{Ed} = 0.00 N.P.(2)	x: 3.65 m η = 6.0	V_{Ed} = 0.00 N.P.(3)	x: 0.06 m η = 0.5	N.P.(4)	x: 0.509 m η < 0.1	x: 3.65 m η = 27.1	x: 0.509 m η < 0.1	M_{Ed} = 0.00 N.P.(5)	N.P.(6)	N.P.(6)	**CUMPLE** **η = 27.1**
N2713/N2866	x: 0.509 m $\lambda_w \leq \lambda_{w,máx}$ Cumple	η = 1.2	η = 21.9	M_{Ed} = 0.00 N.P.(2)	x: 3.65 m η = 6.0	V_{Ed} = 0.00 N.P.(3)	x: 0.06 m η = 0.5	N.P.(4)	x: 0.509 m η < 0.1	x: 3.65 m η = 28.4	x: 0.509 m η < 0.1	M_{Ed} = 0.00 N.P.(5)	N.P.(6)	N.P.(6)	**CUMPLE** **η = 28.4**
N2715/N2955	x: 0.061 m $\lambda_w \leq \lambda_{w,máx}$ Cumple	η = 3.7	η = 24.9	x: 2.372 m η = 0.2	x: 2.373 m η = 16.5	η < 0.1	x: 0.06 m η = 1.2	x: 0.253 m η < 0.1	x: 0.061 m η < 0.1	x: 2.373 m η = 35.7	x: 0.061 m η < 0.1	M_{Ed} = 0.00 N.P.(5)	N.P.(6)	N.P.(6)	**CUMPLE** **η = 35.7**

Documento visado electrónicamente con número: VA07290/22
Código de validación telemática TRLTDCFZ60T66IJ1. Comprobación: https://cogitivalencia.e-gestion.es/Validacion.aspx?CVT=TRLTDCFZ60T66IJ1

VISADO
COGITI
Estado
VALENCIA
VA07283/22
TRLTDCFZ60T66IJ1

Barras	COMPROBACIONES (CÓDIGO ESTRUCTURAL)														
	λ_w	N_t	N_c	M_Y	M_Z	V_Z	V_Y	M_YV_Z	M_ZV_Y	NM_YM_Z	$NM_YM_ZV_YV_Z$	M_t	M_tV_Z	M_tV_Y	
N2955/N2956	$\lambda_w \leq \lambda_{w,máx}$ Cumple	η = 3.7	η = 30.1	x: 0.06 m η = 0.1	x: 0.06 m η = 4.5	η < 0.1	x: 2.373 m η = 0.5	x: 0.06 m η < 0.1	η < 0.1	x: 0.06 m η = 33.0	η < 0.1	η = 0.2	η < 0.1	x: 2.373 m η = 0.5	**CUMPLE η = 33.0**
N2956/N2868	x: 0.06 m $\lambda_w \leq \lambda_{w,máx}$ Cumple	η = 4.2	η = 30.1	x: 0.06 m η = 0.2	x: 0.06 m η = 10.7	η < 0.1	x: 2.373 m η = 0.8	x: 0.06 m η < 0.1	x: 0.06 m η < 0.1	x: 0.06 m η = 31.3	x: 0.06 m η < 0.1	M_{Ed} = 0.00 N.P.(5)	N.P.(6)	N.P.(6)	**CUMPLE η = 31.3**
N2746/N2957	x: 0.061 m $\lambda_w \leq \lambda_{w,máx}$ Cumple	η = 2.8	η = 12.8	x: 2.372 m η = 0.2	x: 2.373 m η = 16.5	η < 0.1	x: 0.06 m η = 1.2	x: 0.253 m η < 0.1	x: 0.061 m η < 0.1	x: 2.373 m η = 19.1	x: 0.061 m η < 0.1	M_{Ed} = 0.00 N.P.(5)	N.P.(6)	N.P.(6)	**CUMPLE η = 19.1**
N2957/N2958	$\lambda_w \leq \lambda_{w,máx}$ Cumple	η = 3.3	η = 12.7	x: 0.06 m η = 0.1	x: 0.06 m η = 4.4	η < 0.1	x: 2.373 m η = 0.5	x: 0.06 m η < 0.1	η < 0.1	x: 2.373 m η = 13.2	η < 0.1	η = 0.2	η < 0.1	x: 2.373 m η = 0.5	**CUMPLE η = 13.2**
N2958/N2899	x: 0.06 m $\lambda_w \leq \lambda_{w,máx}$ Cumple	η = 3.8	η = 13.6	x: 0.06 m η = 0.2	x: 0.06 m η = 9.7	η < 0.1	x: 2.373 m η = 0.8	x: 0.06 m η < 0.1	x: 0.06 m η < 0.1	x: 0.06 m η = 18.2	x: 0.06 m η < 0.1	M_{Ed} = 0.00 N.P.(5)	N.P.(6)	N.P.(6)	**CUMPLE η = 18.2**
N2958/N2956	$\lambda_w \leq \lambda_{w,máx}$ Cumple	x: 1.939 m η = 0.1	x: 0.06 m η = 0.3	x: 1.94 m η = 8.2	x: 0.06 m η = 0.1	η = 1.3	η < 0.1	η < 0.1	x: 0.06 m η < 0.1	x: 1.94 m η = 8.3	η < 0.1	η = 0.2	η = 1.3	η < 0.1	**CUMPLE η = 8.3**
N2957/N2955	$\lambda_w \leq \lambda_{w,máx}$ Cumple	x: 1.939 m η = 0.1	x: 0.06 m η = 0.3	x: 1.94 m η = 11.6	x: 0.06 m η = 0.1	η = 1.9	η < 0.1	η < 0.1	x: 0.06 m η < 0.1	x: 0.06 m η = 12.0	η < 0.1	η = 0.2	η = 1.9	η < 0.1	**CUMPLE η = 12.0**
N2750/N2960	x: 0.051 m $\lambda_w \leq \lambda_{w,máx}$ Cumple	η = 4.9	η = 21.4	x: 2.372 m η = 0.1	x: 2.373 m η = 19.3	η < 0.1	x: 0.05 m η = 1.4	x: 0.437 m η < 0.1	x: 0.051 m η < 0.1	x: 2.373 m η = 23.4	x: 0.051 m η < 0.1	M_{Ed} = 0.00 N.P.(5)	N.P.(6)	N.P.(6)	**CUMPLE η = 23.4**
N2960/N2959	$\lambda_w \leq \lambda_{w,máx}$ Cumple	η = 5.4	η = 22.2	x: 0.06 m η < 0.1	x: 0.06 m η = 5.4	η < 0.1	x: 2.373 m η = 0.7	x: 0.06 m η < 0.1	η < 0.1	x: 2.373 m η = 23.6	η < 0.1	η < 0.1	η < 0.1	x: 2.373 m η = 0.7	**CUMPLE η = 23.6**
N2959/N2903	x: 0.06 m $\lambda_w \leq \lambda_{w,máx}$ Cumple	η = 6.0	η = 23.5	x: 0.06 m η = 0.1	x: 0.06 m η = 11.9	η < 0.1	x: 2.383 m η = 0.9	x: 0.06 m η < 0.1	x: 0.06 m η < 0.1	x: 0.06 m η = 29.9	x: 0.06 m η < 0.1	M_{Ed} = 0.00 N.P.(5)	N.P.(6)	N.P.(6)	**CUMPLE η = 29.9**
N2719/N2962	x: 0.051 m $\lambda_w \leq \lambda_{w,máx}$ Cumple	η = 5.0	η = 30.5	x: 2.372 m η = 0.1	x: 2.373 m η = 20.0	η < 0.1	x: 0.05 m η = 1.4	x: 0.437 m η < 0.1	x: 0.051 m η < 0.1	x: 2.373 m η = 43.6	x: 0.051 m η < 0.1	M_{Ed} = 0.00 N.P.(5)	N.P.(6)	N.P.(6)	**CUMPLE η = 43.6**
N2962/N2961	$\lambda_w \leq \lambda_{w,máx}$ Cumple	η = 4.9	η = 37.0	x: 0.06 m η < 0.1	x: 0.06 m η = 5.7	η < 0.1	x: 2.373 m η = 0.7	x: 0.06 m η < 0.1	η < 0.1	x: 0.06 m η = 40.9	η < 0.1	η < 0.1	η < 0.1	x: 2.373 m η = 0.7	**CUMPLE η = 40.9**
N2961/N2872	x: 0.06 m $\lambda_w \leq \lambda_{w,máx}$ Cumple	η = 5.7	η = 37.4	x: 0.06 m η = 0.1	x: 0.06 m η = 12.1	η < 0.1	x: 2.383 m η = 0.9	x: 0.06 m η < 0.1	x: 0.06 m η < 0.1	x: 0.06 m η = 40.4	x: 0.06 m η < 0.1	M_{Ed} = 0.00 N.P.(5)	N.P.(6)	N.P.(6)	**CUMPLE η = 40.4**
N2959/N2961	$\lambda_w \leq \lambda_{w,máx}$ Cumple	x: 1.939 m η < 0.1	x: 0.06 m η = 0.4	x: 1.94 m η = 9.2	x: 0.06 m η < 0.1	η = 1.5	η < 0.1	η < 0.1	x: 0.06 m η < 0.1	x: 1.94 m η = 9.3	η < 0.1	η = 0.1	η = 1.5	η < 0.1	**CUMPLE η = 9.3**
N2960/N2962	$\lambda_w \leq \lambda_{w,máx}$ Cumple	x: 1.939 m η < 0.1	x: 0.06 m η = 0.4	x: 1.94 m η = 13.7	x: 0.06 m η < 0.1	η = 2.2	η < 0.1	η < 0.1	x: 0.06 m η < 0.1	x: 1.94 m η = 14.1	η < 0.1	η = 0.1	η = 2.2	η < 0.1	**CUMPLE η = 14.1**
N2754/N2964	x: 0.061 m $\lambda_w \leq \lambda_{w,máx}$ Cumple	η = 3.8	η = 16.0	x: 2.372 m η = 0.2	x: 2.373 m η = 16.3	η < 0.1	x: 0.06 m η = 1.2	x: 0.253 m η < 0.1	x: 0.061 m η < 0.1	x: 2.373 m η = 19.8	x: 0.061 m η < 0.1	M_{Ed} = 0.00 N.P.(5)	N.P.(6)	N.P.(6)	**CUMPLE η = 19.8**
N2964/N2963	$\lambda_w \leq \lambda_{w,máx}$ Cumple	η = 4.2	η = 16.8	x: 0.06 m η = 0.1	x: 0.06 m η = 4.4	η < 0.1	x: 2.373 m η = 0.5	x: 0.06 m η < 0.1	η < 0.1	x: 2.373 m η = 17.7	η < 0.1	η = 0.2	η < 0.1	x: 2.373 m η = 0.5	**CUMPLE η = 17.7**
N2963/N2907	x: 0.06 m $\lambda_w \leq \lambda_{w,máx}$ Cumple	η = 4.7	η = 17.9	x: 0.06 m η = 0.2	x: 0.06 m η = 10.6	η < 0.1	x: 2.373 m η = 0.8	x: 0.06 m η < 0.1	x: 0.06 m η < 0.1	x: 0.06 m η = 23.1	x: 0.06 m η < 0.1	M_{Ed} = 0.00 N.P.(5)	N.P.(6)	N.P.(6)	**CUMPLE η = 23.1**
N2723/N2966	x: 0.061 m $\lambda_w \leq \lambda_{w,máx}$ Cumple	η = 3.9	η = 21.1	x: 2.372 m η = 0.2	x: 2.373 m η = 16.7	η < 0.1	x: 0.06 m η = 1.2	x: 0.253 m η < 0.1	x: 0.061 m η < 0.1	x: 2.373 m η = 31.8	x: 0.061 m η < 0.1	M_{Ed} = 0.00 N.P.(5)	N.P.(6)	N.P.(6)	**CUMPLE η = 31.8**
N2966/N2965	$\lambda_w \leq \lambda_{w,máx}$ Cumple	η = 3.9	η = 26.3	x: 0.06 m η = 0.1	x: 0.06 m η = 4.5	η < 0.1	x: 2.373 m η = 0.5	x: 0.06 m η < 0.1	η < 0.1	x: 0.06 m η = 29.2	η < 0.1	η = 0.2	η < 0.1	x: 2.373 m η = 0.5	**CUMPLE η = 29.2**
N2965/N2876	x: 0.06 m $\lambda_w \leq \lambda_{w,máx}$ Cumple	η = 4.5	η = 26.3	x: 0.06 m η = 0.2	x: 0.06 m η = 11.1	η < 0.1	x: 2.373 m η = 0.9	x: 0.06 m η < 0.1	x: 0.06 m η < 0.1	x: 0.06 m η = 27.3	x: 0.06 m η < 0.1	M_{Ed} = 0.00 N.P.(5)	N.P.(6)	N.P.(6)	**CUMPLE η = 27.3**
N2963/N2965	$\lambda_w \leq \lambda_{w,máx}$ Cumple	x: 1.939 m η = 0.1	x: 0.06 m η = 0.3	x: 1.94 m η = 8.5	x: 0.06 m η = 0.1	η = 1.3	η < 0.1	η < 0.1	x: 0.06 m η < 0.1	x: 1.94 m η = 8.6	η < 0.1	η = 0.2	η = 1.3	η < 0.1	**CUMPLE η = 8.6**
N2964/N2966	$\lambda_w \leq \lambda_{w,máx}$ Cumple	x: 1.939 m η = 0.1	x: 0.06 m η = 0.3	x: 1.94 m η = 11.7	x: 0.06 m η = 0.1	η = 1.9	η < 0.1	η < 0.1	x: 0.06 m η < 0.1	x: 1.94 m η = 12.0	η < 0.1	η = 0.2	η = 1.9	η < 0.1	**CUMPLE η = 12.0**
N2725/N2878	x: 0.509 m $\lambda_w \leq \lambda_{w,máx}$ Cumple	η = 2.9	η = 22.2	M_{Ed} = 0.00 N.P.(2)	x: 3.65 m η = 6.0	V_{Ed} = 0.00 N.P.(3)	x: 0.06 m η = 0.5	N.P.(4)	x: 0.509 m η < 0.1	x: 3.65 m η = 27.1	x: 0.509 m η < 0.1	M_{Ed} = 0.00 N.P.(5)	N.P.(6)	N.P.(6)	**CUMPLE η = 27.1**
N2665/N2934	x: 0.061 m $\lambda_w \leq \lambda_{w,máx}$ Cumple	η = 4.4	η = 28.0	x: 2.372 m η = 0.2	x: 2.373 m η = 19.3	η < 0.1	x: 0.06 m η = 1.4	x: 0.253 m η < 0.1	x: 0.061 m η < 0.1	x: 2.373 m η = 40.7	x: 0.061 m η < 0.1	M_{Ed} = 0.00 N.P.(5)	N.P.(6)	N.P.(6)	**CUMPLE η = 40.7**
N2934/N2932	$\lambda_w \leq \lambda_{w,máx}$ Cumple	η = 4.4	η = 34.3	x: 0.06 m η < 0.1	x: 0.06 m η = 5.5	η < 0.1	x: 2.373 m η = 0.7	x: 0.06 m η < 0.1	η < 0.1	x: 0.06 m η = 38.0	η < 0.1	η = 0.2	η < 0.1	x: 2.373 m η = 0.7	**CUMPLE η = 38.0**
N2932/N2818	x: 0.06 m $\lambda_w \leq \lambda_{w,máx}$ Cumple	η = 5.1	η = 34.6	x: 0.06 m η = 0.2	x: 0.06 m η = 12.5	η < 0.1	x: 2.373 m η = 0.9	x: 0.06 m η < 0.1	x: 0.06 m η < 0.1	x: 0.06 m η = 38.0	x: 0.06 m η < 0.1	M_{Ed} = 0.00 N.P.(5)	N.P.(6)	N.P.(6)	**CUMPLE η = 38.0**
N2731/N2933	x: 0.061 m $\lambda_w \leq \lambda_{w,máx}$ Cumple	η = 4.2	η = 17.7	x: 2.372 m η = 0.2	x: 2.373 m η = 19.6	η < 0.1	x: 0.06 m η = 1.4	x: 0.253 m η < 0.1	x: 0.061 m η < 0.1	x: 2.373 m η = 23.5	x: 0.061 m η < 0.1	M_{Ed} = 0.00 N.P.(5)	N.P.(6)	N.P.(6)	**CUMPLE η = 23.5**
N2933/N2931	$\lambda_w \leq \lambda_{w,máx}$ Cumple	η = 4.7	η = 19.3	x: 0.06 m η < 0.1	x: 0.06 m η = 5.6	η < 0.1	x: 2.373 m η = 0.7	x: 0.06 m η < 0.1	η < 0.1	x: 2.373 m η = 20.6	η < 0.1	η = 0.2	η < 0.1	x: 2.373 m η = 0.7	**CUMPLE η = 20.6**
N2931/N2884	x: 0.06 m $\lambda_w \leq \lambda_{w,máx}$ Cumple	η = 5.3	η = 20.7	x: 0.06 m η = 0.2	x: 0.06 m η = 11.3	η < 0.1	x: 2.373 m η = 0.9	x: 0.06 m η < 0.1	x: 0.06 m η < 0.1	x: 0.06 m η = 26.6	x: 0.06 m η < 0.1	M_{Ed} = 0.00 N.P.(5)	N.P.(6)	N.P.(6)	**CUMPLE η = 26.6**
N3001/N2968	$\lambda_w \leq \lambda_{w,máx}$ Cumple	x: 1.938 m η = 0.1	x: 0.06 m η = 0.1	x: 0.06 m η = 14.7	x: 0.06 m η = 0.9	η = 2.3	η = 0.1	η < 0.1	η < 0.1	x: 0.06 m η = 15.2	η < 0.1	η = 1.1	η = 2.4	η = 0.1	**CUMPLE η = 15.2**
N3002/N2969	$\lambda_w \leq \lambda_{w,máx}$ Cumple	x: 1.938 m η < 0.1	x: 0.06 m η = 0.1	x: 1.939 m η = 23.0	x: 0.06 m η = 0.6	η = 3.7	η = 0.1	η < 0.1	η < 0.1	x: 1.939 m η = 23.5	η < 0.1	η = 0.7	η = 3.7	η = 0.1	**CUMPLE η = 23.5**
N3003/N2970	$\lambda_w \leq \lambda_{w,máx}$ Cumple	x: 1.938 m η = 0.2	x: 0.06 m η = 0.2	x: 0.06 m η = 22.5	x: 0.06 m η = 0.3	η = 3.6	η < 0.1	η < 0.1	η < 0.1	x: 0.06 m η = 22.8	η < 0.1	η = 0.4	η = 3.6	η < 0.1	**CUMPLE η = 22.8**
N3004/N2971	$\lambda_w \leq \lambda_{w,máx}$ Cumple	x: 1.938 m η < 0.1	x: 0.06 m η = 0.1	x: 1.939 m η = 27.6	x: 0.06 m η = 0.2	η = 4.4	η < 0.1	η < 0.1	η < 0.1	x: 0.06 m η = 27.7	η < 0.1	η = 0.5	η = 4.4	η < 0.1	**CUMPLE η = 27.7**
N3005/N2972	$\lambda_w \leq \lambda_{w,máx}$ Cumple	x: 1.938 m η = 0.2	x: 0.06 m η = 0.2	x: 0.06 m η = 20.0	x: 0.06 m η = 0.4	η = 3.2	η = 0.1	η < 0.1	η < 0.1	x: 0.06 m η = 20.4	η < 0.1	η = 0.7	η = 3.2	η = 0.1	**CUMPLE η = 20.4**
N3006/N2973	$\lambda_w \leq \lambda_{w,máx}$ Cumple	x: 1.938 m η < 0.1	x: 0.06 m η = 0.1	x: 1.939 m η = 17.6	x: 0.06 m η = 0.6	η = 2.8	η = 0.1	η < 0.1	η < 0.1	x: 0.06 m η = 17.9	η < 0.1	η = 0.9	η = 2.8	η = 0.1	**CUMPLE η = 17.9**
N3007/N2974	$\lambda_w \leq \lambda_{w,máx}$ Cumple	x: 1.938 m η = 0.1	x: 0.06 m η = 0.1	x: 1.939 m η = 9.2	x: 0.06 m η = 0.6	η = 1.5	η = 0.1	η < 0.1	η < 0.1	x: 0.06 m η = 9.6	η < 0.1	η = 0.9	η = 1.5	η = 0.1	**CUMPLE η = 9.6**

Código de validación telemática TRLTDCFZ60T66IJ1. Comprobación: https://cogitivalencia.e-gestion.es/Validacion.aspx?CVT=TRLTDCFZ60T66IJ1

VISADO
COGITI
Estado
VALENCIA
VA07290/22
TRLTDCFZ60T66IJ1

Barras	COMPROBACIONES (CÓDIGO ESTRUCTURAL)															
	λ_w	N_t	N_c	M_Y	M_Z	V_Z	V_Y	M_YV_Z	M_ZV_Y	NM_YM_Z	$NM_YM_ZV_YV_Z$	M_t	M_tV_Z	M_tV_Y	
N2976/N2985	$\lambda_w \leq \lambda_{w,máx}$ Cumple	x: 1.938 m η = 0.1	x: 0.06 m η = 0.1	x: 1.939 m η = 8.9	x: 1.939 m η = 0.3	η = 1.4	η < 0.1	η < 0.1	η < 0.1	x: 0.06 m η = 9.0	η < 0.1	η = 0.4	η = 1.4	η < 0.1	**CUMPLE η = 12.7**
N2977/N2986	$\lambda_w \leq \lambda_{w,máx}$ Cumple	x: 1.938 m η < 0.1	x: 0.06 m η = 0.1	x: 1.939 m η = 12.5	x: 1.939 m η = 0.3	η = 2.0	η < 0.1	η < 0.1	η < 0.1	x: 0.06 m η = 12.7	η < 0.1	η = 0.4	η = 2.0	η < 0.1	**CUMPLE η = 14.3**
N2978/N2987	$\lambda_w \leq \lambda_{w,máx}$ Cumple	x: 1.938 m η = 0.1	x: 0.06 m η = 0.1	x: 0.06 m η = 14.1	x: 0.06 m η = 0.1	η = 2.3	η < 0.1	η < 0.1	η < 0.1	x: 1.939 m η = 14.3	η < 0.1	η = 0.2	η = 2.3	η < 0.1	**CUMPLE η = 17.6**
N2979/N2988	$\lambda_w \leq \lambda_{w,máx}$ Cumple	x: 1.938 m η < 0.1	x: 0.06 m η = 0.1	x: 1.939 m η = 17.6	x: 0.06 m η = 0.1	η = 2.8	η < 0.1	η < 0.1	η < 0.1	x: 0.06 m η = 17.6	η < 0.1	η = 0.4	η = 2.8	η < 0.1	**CUMPLE η = 13.0**
N2980/N2989	$\lambda_w \leq \lambda_{w,máx}$ Cumple	x: 1.938 m η = 0.1	x: 0.06 m η = 0.2	x: 0.06 m η = 12.8	x: 0.06 m η = 0.2	η = 2.0	η < 0.1	η < 0.1	η < 0.1	x: 0.06 m η = 13.0	η < 0.1	η = 0.4	η = 2.1	η < 0.1	**CUMPLE η = 12.8**
N2981/N2990	$\lambda_w \leq \lambda_{w,máx}$ Cumple	x: 1.938 m η < 0.1	x: 0.06 m η = 0.1	x: 1.939 m η = 12.6	x: 0.06 m η = 0.3	η = 2.0	η < 0.1	η < 0.1	η < 0.1	x: 1.939 m η = 12.8	η < 0.1	η = 0.5	η = 2.0	η < 0.1	**CUMPLE η = 7.1**
N2982/N2991	$\lambda_w \leq \lambda_{w,máx}$ Cumple	x: 1.938 m η = 0.1	x: 0.06 m η = 0.1	x: 1.939 m η = 6.9	x: 0.06 m η = 0.3	η = 1.1	η < 0.1	η < 0.1	η < 0.1	x: 0.06 m η = 7.1	η < 0.1	η = 0.4	η = 1.1	η < 0.1	**CUMPLE η = 10.9**
N3008/N2993	$\lambda_w \leq \lambda_{w,máx}$ Cumple	x: 1.938 m η = 0.1	x: 0.06 m η = 0.1	x: 1.939 m η = 10.6	x: 0.06 m η = 0.5	η = 1.7	η = 0.1	η < 0.1	η < 0.1	x: 1.939 m η = 10.9	η < 0.1	η = 0.6	η = 1.7	η = 0.1	**CUMPLE η = 17.6**
N3009/N2994	$\lambda_w \leq \lambda_{w,máx}$ Cumple	x: 1.938 m η < 0.1	x: 0.06 m η = 0.1	x: 1.939 m η = 17.3	x: 0.06 m η = 0.5	η = 2.8	η = 0.1	η < 0.1	η < 0.1	x: 0.06 m η = 17.6	η < 0.1	η = 0.6	η = 2.8	η = 0.1	**CUMPLE η = 20.6**
N3010/N2995	$\lambda_w \leq \lambda_{w,máx}$ Cumple	x: 1.938 m η = 0.1	x: 0.06 m η = 0.2	x: 0.06 m η = 20.3	x: 0.06 m η = 0.3	η = 3.2	η < 0.1	η < 0.1	η < 0.1	x: 0.06 m η = 20.6	η < 0.1	η = 0.4	η = 3.2	η < 0.1	**CUMPLE η = 26.1**
N3011/N2996	$\lambda_w \leq \lambda_{w,máx}$ Cumple	x: 1.938 m η < 0.1	x: 0.06 m η = 0.1	x: 1.939 m η = 26.1	x: 0.06 m η = 0.1	η = 4.2	η < 0.1	η < 0.1	η < 0.1	x: 0.06 m η = 26.1	η < 0.1	η = 0.4	η = 4.2	η < 0.1	**CUMPLE η = 21.0**
N3012/N2997	$\lambda_w \leq \lambda_{w,máx}$ Cumple	x: 1.938 m η = 0.2	x: 0.06 m η = 0.2	x: 0.06 m η = 20.7	x: 0.06 m η = 0.3	η = 3.3	η < 0.1	η < 0.1	η < 0.1	x: 0.06 m η = 21.0	η < 0.1	η = 0.6	η = 3.3	η < 0.1	**CUMPLE η = 21.6**
N3013/N2998	$\lambda_w \leq \lambda_{w,máx}$ Cumple	x: 1.938 m η < 0.1	x: 0.06 m η = 0.1	x: 1.939 m η = 21.3	x: 0.06 m η = 0.6	η = 3.4	η = 0.1	η < 0.1	η < 0.1	x: 0.06 m η = 21.6	η < 0.1	η = 0.9	η = 3.4	η = 0.1	**CUMPLE η = 13.7**
N3014/N2999	$\lambda_w \leq \lambda_{w,máx}$ Cumple	x: 1.938 m η = 0.1	x: 0.06 m η = 0.1	x: 0.06 m η = 13.3	x: 0.06 m η = 0.8	η = 2.1	η = 0.1	η < 0.1	η < 0.1	x: 0.06 m η = 13.7	η < 0.1	η = 1.1	η = 2.1	η = 0.1	**CUMPLE η = 9.8**
N2913/N3015	$\lambda_w \leq \lambda_{w,máx}$ Cumple	η = 1.5	x: 1.602 m η = 0.2	x: 0.06 m η = 6.7	x: 0.06 m η = 6.2	η = 0.2	x: 0.06 m η = 0.9	η < 0.1	η < 0.1	x: 0.06 m η = 9.8	η < 0.1	η = 3.3	η = 0.2	x: 0.06 m η = 0.9	**CUMPLE η = 7.0**
N3015/N3016	$\lambda_w \leq \lambda_{w,máx}$ Cumple	η = 1.2	x: 1.409 m η = 0.1	x: 0.06 m η = 4.6	x: 0.06 m η = 2.7	η = 0.3	x: 0.06 m η = 0.4	η < 0.1	η < 0.1	x: 0.06 m η = 7.0	η < 0.1	η = 2.9	η = 0.3	x: 0.06 m η = 0.5	**CUMPLE η = 9.1**
N3016/N3017	$\lambda_w \leq \lambda_{w,máx}$ Cumple	η = 1.0	N_{Ed} = 0.00 N.P.(7)	x: 2.373 m η = 2.3	x: 2.373 m η = 8.0	η = 0.3	x: 2.373 m η = 1.1	η < 0.1	η < 0.1	x: 2.373 m η = 9.1	η < 0.1	η = 3.2	η = 0.3	x: 2.373 m η = 1.2	**CUMPLE η = 20.8**
N2814/N3018	$\lambda_w \leq \lambda_{w,máx}$ Cumple	η = 1.3	x: 1.217 m η = 16.3	x: 0.06 m η = 5.2	x: 0.06 m η = 6.1	η = 0.2	x: 0.06 m η = 0.9	η < 0.1	η < 0.1	x: 0.06 m η = 20.8	η < 0.1	η = 6.2	η = 0.2	x: 0.06 m η = 0.9	**CUMPLE η = 19.9**
N3018/N3019	$\lambda_w \leq \lambda_{w,máx}$ Cumple	η = 0.9	η = 17.7	x: 0.06 m η = 3.3	x: 2.181 m η = 1.5	η = 0.3	x: 0.06 m η = 0.3	η < 0.1	η < 0.1	x: 0.06 m η = 19.9	η < 0.1	η = 3.4	η = 0.3	x: 0.06 m η = 0.3	**CUMPLE η = 20.6**
N3019/N2967	$\lambda_w \leq \lambda_{w,máx}$ Cumple	η = 1.0	η = 17.5	x: 2.373 m η = 4.5	x: 2.373 m η = 7.9	η = 0.3	x: 2.373 m η = 1.1	η < 0.1	η < 0.1	x: 2.373 m η = 20.6	η < 0.1	η = 3.4	η = 0.3	x: 2.373 m η = 1.1	**CUMPLE η = 97.9**
N2848/N3020	$\lambda_w \leq \lambda_{w,máx}$ Cumple	η = 0.2	η = 92.1	x: 0.15 m η = 4.4	x: 0.15 m η = 6.1	η = 0.4	x: 0.15 m η = 0.9	η < 0.1	η < 0.1	x: 0.15 m η = 97.9	η < 0.1	η = 0.7	η = 0.4	x: 0.15 m η = 0.9	**CUMPLE η = 22.2**
N3020/N3021	$\lambda_w \leq \lambda_{w,máx}$ Cumple	η = 4.7	x: 1.591 m η = 19.0	x: 0.095 m η = 2.9	x: 0.095 m η = 3.7	η = 0.2	x: 0.095 m η = 0.5	η < 0.1	η < 0.1	x: 0.095 m η = 22.2	η < 0.1	η = 1.3	η = 0.2	x: 0.095 m η = 0.5	**CUMPLE η = 12.4**
N3021/N2984	$\lambda_w \leq \lambda_{w,máx}$ Cumple	η = 1.6	x: 1.614 m η = 11.8	x: 2.373 m η = 3.4	x: 1.234 m η = 0.7	η = 0.3	x: 0.095 m η = 0.2	η < 0.1	η < 0.1	x: 1.614 m η = 12.4	η < 0.1	η = 1.3	η = 0.3	x: 0.095 m η = 0.2	**CUMPLE η = 42.1**
N2830/N3022	$\lambda_w \leq \lambda_{w,máx}$ Cumple	η = 2.6	η = 34.3	x: 0.095 m η = 4.3	x: 0.095 m η = 5.4	η = 0.2	x: 0.095 m η = 0.7	η < 0.1	η < 0.1	x: 0.095 m η = 42.1	η < 0.1	η = 1.8	η = 0.3	x: 0.095 m η = 0.7	**CUMPLE η = 37.8**
N3022/N3023	$\lambda_w \leq \lambda_{w,máx}$ Cumple	η = 1.1	η = 34.4	x: 0.06 m η = 1.5	x: 0.06 m η = 3.0	η = 0.1	x: 2.373 m η = 0.5	η < 0.1	η < 0.1	x: 0.06 m η = 37.8	η < 0.1	η = 1.7	η = 0.1	x: 2.373 m η = 0.5	**CUMPLE η = 30.8**
N3023/N2975	$\lambda_w \leq \lambda_{w,máx}$ Cumple	η = 1.0	η = 28.8	x: 2.338 m η = 1.2	x: 2.148 m η = 1.0	η = 0.1	x: 0.06 m η = 0.3	η < 0.1	η < 0.1	x: 2.338 m η = 30.8	η < 0.1	η = 1.3	η = 0.1	x: 0.06 m η = 0.3	**CUMPLE η = 4.4**
N3021/N3023	$\lambda_w \leq \lambda_{w,máx}$ Cumple	N_{Ed} = 0.00 N.P.(1)	x: 0.078 m η = 2.2	x: 0.078 m η = 2.0	x: 0.078 m η = 0.7	η = 0.3	η < 0.1	η < 0.1	η < 0.1	x: 0.078 m η = 4.4	η < 0.1	η = 1.3	η = 0.3	η < 0.1	**CUMPLE η = 4.6**
N3020/N3022	$\lambda_w \leq \lambda_{w,máx}$ Cumple	x: 1.939 m η = 0.2	x: 0.078 m η = 1.9	x: 1.94 m η = 2.7	x: 0.078 m η = 2.5	η = 0.3	η = 0.2	η < 0.1	η < 0.1	x: 1.94 m η = 4.6	η < 0.1	η = 1.5	η = 0.3	η = 0.2	**CUMPLE η = 6.2**
N3016/N3019	$\lambda_w \leq \lambda_{w,máx}$ Cumple	x: 1.939 m η < 0.1	x: 0.06 m η = 0.3	x: 1.94 m η = 5.9	x: 0.06 m η = 0.6	η = 0.9	η = 0.1	η < 0.1	η < 0.1	x: 1.94 m η = 6.2	η < 0.1	η = 3.1	η = 0.9	η = 0.1	**CUMPLE η = 5.5**
N3015/N3018	$\lambda_w \leq \lambda_{w,máx}$ Cumple	x: 1.939 m η < 0.1	x: 0.06 m η = 0.2	x: 0.06 m η = 4.3	x: 1.94 m η = 2.3	η = 0.7	η = 0.2	η < 0.1	η < 0.1	x: 1.94 m η = 5.5	η < 0.1	η = 2.1	η = 0.7	η = 0.2	**CUMPLE η = 32.1**
N2831/N3020	$\lambda_w \leq \lambda_{w,máx}$ Cumple	x: 3.054 m η = 15.3	x: 0.195 m η = 3.5	x: 0.195 m η = 11.1	x: 0.195 m η = 5.8	x: 3.055 m η = 1.0	η = 0.3	η < 0.1	η < 0.1	x: 0.195 m η = 32.1	η < 0.1	η = 2.2	x: 3.055 m η = 1.0	η = 0.3	**CUMPLE η = 17.6**
N2924/N3024	$\lambda_w \leq \lambda_{w,máx}$ Cumple	x: 3.054 m η = 10.0	x: 0.195 m η = 2.6	x: 0.195 m η = 5.1	x: 3.055 m η = 4.7	x: 3.055 m η = 0.6	η = 0.3	η < 0.1	η < 0.1	x: 0.195 m η = 17.6	η < 0.1	η = 1.4	x: 3.055 m η = 0.6	η = 0.3	**CUMPLE η = 65.8**
N2847/N3024	$\lambda_w \leq \lambda_{w,máx}$ Cumple	η = 0.2	η = 60.4	x: 0.15 m η = 4.3	x: 0.15 m η = 3.6	η = 0.5	x: 0.15 m η = 0.6	η < 0.1	η < 0.1	x: 0.15 m η = 65.8	η < 0.1	η = 1.2	η = 0.5	x: 0.15 m η = 0.6	**CUMPLE η = 21.4**
N3024/N3025	$\lambda_w \leq \lambda_{w,máx}$ Cumple	η = 3.7	η = 19.8	x: 0.095 m η = 1.1	x: 0.095 m η = 2.7	η = 0.1	x: 0.095 m η = 0.4	η < 0.1	η < 0.1	x: 0.095 m η = 21.4	η < 0.1	η = 0.8	η = 0.1	x: 0.095 m η = 0.4	**CUMPLE η = 22.9**
N3025/N2983	$\lambda_w \leq \lambda_{w,máx}$ Cumple	η = 1.5	η = 22.3	x: 2.373 m η = 1.2	x: 1.424 m η = 0.5	η = 0.1	x: 0.095 m η = 0.2	η < 0.1	η < 0.1	x: 1.234 m η = 22.9	η < 0.1	η = 0.3	η = 0.1	x: 0.095 m η = 0.2	**CUMPLE η = 4.6**
N3024/N3026	$\lambda_w \leq \lambda_{w,máx}$ Cumple	x: 1.939 m η = 0.1	x: 0.078 m η = 1.3	x: 1.94 m η = 1.4	x: 0.078 m η = 3.0	η = 0.2	η = 0.2	η < 0.1	η < 0.1	x: 0.078 m η = 4.6	η < 0.1	η = 0.8	η = 0.2	η = 0.2	**CUMPLE η = 2.8**
N3025/N3027	$\lambda_w \leq \lambda_{w,máx}$ Cumple	N_{Ed} = 0.00 N.P.(1)	x: 0.078 m η = 1.6	x: 0.078 m η = 1.5	x: 1.939 m η = 0.4	η = 0.2	η < 0.1	η < 0.1	η < 0.1	x: 1.94 m η = 2.8	η < 0.1	η = 0.5	η = 0.2	η < 0.1	**CUMPLE η = 21.9**
N2864/N3026	$\lambda_w \leq \lambda_{w,máx}$ Cumple	η = 2.8	η = 18.7	x: 0.095 m η = 2.6	x: 0.095 m η = 3.9	η = 0.2	x: 0.095 m η = 0.5	η < 0.1	η < 0.1	x: 0.095 m η = 21.9	η < 0.1	η = 1.4	η = 0.2	x: 0.095 m η = 0.5	**CUMPLE η = 19.8**
N3026/N3027	$\lambda_w \leq \lambda_{w,máx}$ Cumple	η = 1.4	η = 18.5	x: 0.06 m η = 1.3	x: 0.06 m η = 2.3	η = 0.1	x: 2.373 m η = 0.4	η < 0.1	η < 0.1	x: 2.373 m η = 19.8	η < 0.1	η = 1.0	η = 0.1	x: 2.373 m η = 0.4	**CUMPLE η = 12.2**
N3027/N2992	$\lambda_w \leq \lambda_{w,máx}$ Cumple	η = 1.3	η = 11.6	x: 2.338 m η = 1.6	x: 0.06 m η = 1.0	η = 0.1	x: 0.06 m η = 0.3	η < 0.1	η < 0.1	x: 1.959 m η = 12.2	η < 0.1	η = 0.6	η = 0.1	x: 0.06 m η = 0.3	**CUMPLE η = 23.2**
N3020/N2830	$\lambda_w \leq \lambda_{w,máx}$ Cumple	x: 3.054 m η = 18.4	x: 0.306 m η = 2.2	x: 3.055 m η = 4.1	x: 0.095 m η = 3.2	x: 3.055 m η = 0.5	η = 0.1	η < 0.1	η < 0.1	x: 0.095 m η = 23.2	η < 0.1	η = 1.9	x: 3.055 m η = 0.5	η = 0.1	**CUMPLE η = 7.1**
N3021/N2975	$\lambda_w \leq \lambda_{w,máx}$ Cumple	x: 3.054 m η = 4.9	x: 0.095 m η = 3.3	x: 0.095 m η = 1.2	x: 0.095 m η = 1.5	x: 0.095 m η = 0.3	x: 1.152 m η < 0.1	η < 0.1	η < 0.1	x: 0.095 m η = 7.1	η < 0.1	η = 0.3	x: 0.095 m η = 0.3	x: 1.152 m η < 0.1	**CUMPLE η = 16.2**
N3024/N2864	$\lambda_w \leq \lambda_{w,máx}$ Cumple	x: 3.054 m η = 11.8	x: 2.421 m η = 1.3	x: 3.055 m η = 3.4	x: 3.055 m η = 2.0	x: 3.055 m η = 0.5	η = 0.1	η < 0.1	η < 0.1	x: 3.055 m η = 16.2	η < 0.1	η = 1.5	x: 3.055 m η = 0.5	η = 0.1	

Documento visado electrónicamente con número: VA07290/22
Código de validación telemática TRLTDCFZ60T66IJ1. Comprobación: https://cogitivalencia.e-gestion.es/Validacion.aspx?CVT=TRLTDCFZ60T66IJ1

VISADO
COGITI
VALENCIA
VA07290/22
TRLTDCFZ60T66IJ1

Barras	COMPROBACIONES (CÓDIGO ESTRUCTURAL)													Estado
	λ_w	N_t	N_c	M_Y	M_Z	V_Z	V_Y	M_YV_Z	M_ZV_Y	NM_YM_Z	$NM_YM_ZV_YV_Z$	M_t	M_tV_Z	M_tV_Y	
N3025/N2992	$\lambda_w \leq \lambda_{w,máx}$ Cumple	x: 3.054 m η = 3.5	x: 0.095 m η = 2.1	x: 0.095 m η = 1.0	x: 3.055 m η = 0.9	x: 0.095 m η = 0.2	η = 0.1	η < 0.1	η < 0.1	x: 0.095 m η = 4.6	η < 0.1	η = 0.4	x: 0.095 m η = 0.2	η = 0.1	**CUMPLE** **η = 4.6**
N2880/N3029	$\lambda_w \leq \lambda_{w,máx}$ Cumple	η = 0.2	η = 21.0	x: 0.095 m η = 5.5	x: 0.095 m η = 3.8	η = 0.3	x: 0.095 m η = 0.5	η < 0.1	η < 0.1	x: 0.095 m η = 25.6	η < 0.1	η = 2.7	η = 0.4	x: 0.095 m η = 0.5	**CUMPLE** **η = 25.6**
N3029/N3028	$\lambda_w \leq \lambda_{w,máx}$ Cumple	N_{Ed} = 0.00 N.P.(1)	η = 21.0	x: 0.06 m η = 3.0	x: 0.06 m η = 2.6	η = 0.2	x: 2.373 m η = 0.5	η < 0.1	η < 0.1	x: 2.373 m η = 22.7	η < 0.1	η = 2.6	η = 0.2	x: 2.373 m η = 0.5	**CUMPLE** **η = 22.7**
N3028/N3000	$\lambda_w \leq \lambda_{w,máx}$ Cumple	N_{Ed} = 0.00 N.P.(1)	η = 19.9	x: 2.338 m η = 3.7	x: 0.06 m η = 1.4	η = 0.2	x: 0.06 m η = 0.3	η < 0.1	η < 0.1	x: 2.338 m η = 21.6	η < 0.1	η = 2.2	η = 0.2	x: 0.06 m η = 0.3	**CUMPLE** **η = 21.6**
N3030/N3000	$\lambda_w \leq \lambda_{w,máx}$ Cumple	x: 3.054 m η = 3.6	x: 0.095 m η = 1.5	x: 0.095 m η = 1.2	x: 3.055 m η = 3.6	x: 0.095 m η = 0.3	η = 0.1	η < 0.1	η < 0.1	x: 3.055 m η = 7.3	η < 0.1	η = 0.7	x: 0.095 m η = 0.3	η = 0.1	**CUMPLE** **η = 7.3**
N2928/N3032	$\lambda_w \leq \lambda_{w,máx}$ Cumple	η = 0.6	η = 49.0	x: 0.15 m η = 7.9	x: 0.15 m η = 2.1	η = 0.6	x: 0.15 m η = 0.4	η < 0.1	η < 0.1	x: 0.15 m η = 55.9	η < 0.1	η = 0.7	η = 0.6	x: 0.15 m η = 0.4	**CUMPLE** **η = 55.9**
N3032/N3030	$\lambda_w \leq \lambda_{w,máx}$ Cumple	η = 2.8	x: 1.404 m η = 8.6	x: 0.095 m η = 4.3	x: 2.338 m η = 2.0	η = 0.3	x: 2.338 m η = 0.3	η < 0.1	η < 0.1	x: 0.095 m η = 9.8	η < 0.1	η = 2.7	η = 0.3	x: 2.338 m η = 0.3	**CUMPLE** **η = 9.8**
N3030/N3031	$\lambda_w \leq \lambda_{w,máx}$ Cumple	η = 0.8	N_{Ed} = 0.00 N.P.(7)	x: 0.095 m η = 1.7	x: 1.044 m η = 0.4	η = 0.2	x: 2.373 m η = 0.2	η < 0.1	η < 0.1	x: 2.373 m η = 2.4	η < 0.1	η = 2.1	η = 0.2	x: 2.373 m η = 0.2	**CUMPLE** **η = 2.4**
N3032/N3029	$\lambda_w \leq \lambda_{w,máx}$ Cumple	x: 1.939 m η = 0.1	x: 0.078 m η = 1.1	x: 0.078 m η = 1.8	x: 0.078 m η = 4.4	η = 0.2	η = 0.3	η < 0.1	η < 0.1	x: 0.078 m η = 5.6	η < 0.1	η = 2.4	η = 0.2	η = 0.3	**CUMPLE** **η = 5.6**
N3032/N2880	$\lambda_w \leq \lambda_{w,máx}$ Cumple	x: 3.054 m η = 11.6	x: 0.095 m η = 0.8	x: 3.055 m η = 3.3	x: 0.095 m η = 4.8	x: 3.055 m η = 0.5	η = 0.1	η < 0.1	η < 0.1	x: 0.095 m η = 17.2	η < 0.1	η = 1.9	x: 3.055 m η = 0.5	η = 0.1	**CUMPLE** **η = 17.2**
N3030/N3028	$\lambda_w \leq \lambda_{w,máx}$ Cumple	N_{Ed} = 0.00 N.P.(1)	x: 0.078 m η = 1.6	x: 1.94 m η = 1.1	x: 0.078 m η = 1.2	η = 0.2	η = 0.1	η < 0.1	η < 0.1	x: 1.94 m η = 2.8	η < 0.1	η = 2.1	η = 0.2	η = 0.1	**CUMPLE** **η = 2.8**
N2930/N3032	$\lambda_w \leq \lambda_{w,máx}$ Cumple	x: 3.054 m η = 11.5	x: 0.195 m η = 2.6	x: 0.195 m η = 3.7	x: 0.195 m η = 7.6	x: 3.055 m η = 0.5	η = 0.1	η < 0.1	η < 0.1	x: 0.195 m η = 20.8	η < 0.1	η = 3.9	x: 3.055 m η = 0.5	η = 0.1	**CUMPLE** **η = 20.8**
N3033/N3034	$\lambda_w \leq \lambda_{w,máx}$ Cumple	N_{Ed} = 0.00 N.P.(1)	x: 0.06 m η = 1.0	x: 0.06 m η = 14.9	x: 0.06 m η = 0.3	η = 2.4	η < 0.1	η < 0.1	η < 0.1	x: 0.06 m η = 16.1	η < 0.1	η = 0.8	η = 2.4	η < 0.1	**CUMPLE** **η = 16.1**
N3035/N3036	$\lambda_w \leq \lambda_{w,máx}$ Cumple	N_{Ed} = 0.00 N.P.(1)	x: 0.06 m η = 1.0	x: 1.94 m η = 27.0	x: 1.94 m η = 0.8	η = 4.3	η = 0.1	η < 0.1	η < 0.1	x: 1.94 m η = 28.4	η < 0.1	η = 1.7	η = 4.3	η = 0.1	**CUMPLE** **η = 28.4**
N2888/N3038	x: 0.051 m $\lambda_w \leq \lambda_{w,máx}$ Cumple	η = 6.2	η = 25.3	x: 2.373 m η = 0.5	x: 2.373 m η = 47.7	η < 0.1	x: 0.05 m η = 3.1	x: 0.244 m η < 0.1	x: 0.051 m η < 0.1	x: 2.373 m η = 59.1	x: 0.051 m η < 0.1	M_{Ed} = 0.00 N.P.(5)	N.P.(6)	N.P.(6)	**CUMPLE** **η = 59.1**
N3038/N3037	$\lambda_w \leq \lambda_{w,máx}$ Cumple	η = 3.0	η = 18.9	x: 2.372 m η = 0.5	x: 0.06 m η = 13.3	η < 0.1	x: 2.372 m η = 1.5	η < 0.1	η < 0.1	x: 0.06 m η = 27.6	η < 0.1	η = 0.2	η < 0.1	x: 2.372 m η = 1.5	**CUMPLE** **η = 27.6**
N3037/N3004	$\lambda_w \leq \lambda_{w,máx}$ Cumple	η = 2.4	η = 0.9	x: 0.06 m η = 0.4	x: 0.06 m η = 27.1	η < 0.1	x: 2.373 m η = 3.5	η < 0.1	η < 0.1	x: 0.06 m η = 28.4	η < 0.1	η = 0.3	η < 0.1	x: 2.373 m η = 3.5	**CUMPLE** **η = 28.4**
N2822/N3040	x: 0.051 m $\lambda_w \leq \lambda_{w,máx}$ Cumple	η = 4.7	η = 70.7	x: 2.373 m η = 0.3	x: 2.373 m η = 48.9	η < 0.1	x: 0.05 m η = 3.2	x: 0.244 m η < 0.1	x: 0.051 m η < 0.1	x: 2.373 m η = 90.6	x: 0.051 m η < 0.1	M_{Ed} = 0.00 N.P.(5)	N.P.(6)	N.P.(6)	**CUMPLE** **η = 90.6**
N3040/N3039	$\lambda_w \leq \lambda_{w,máx}$ Cumple	η = 0.4	η = 67.1	x: 2.373 m η = 0.5	x: 0.06 m η = 14.0	η < 0.1	x: 2.372 m η = 1.5	η < 0.1	η < 0.1	x: 0.06 m η = 73.7	η < 0.1	η = 0.2	η < 0.1	x: 2.372 m η = 1.5	**CUMPLE** **η = 73.7**
N3039/N2971	$\lambda_w \leq \lambda_{w,máx}$ Cumple	N_{Ed} = 0.00 N.P.(1)	η = 54.2	x: 2.373 m η = 1.1	x: 0.06 m η = 27.1	η < 0.1	x: 2.373 m η = 3.4	η < 0.1	η < 0.1	x: 0.06 m η = 70.8	η < 0.1	η = 0.3	η < 0.1	x: 2.373 m η = 3.5	**CUMPLE** **η = 70.8**
N3037/N3039	$\lambda_w \leq \lambda_{w,máx}$ Cumple	N_{Ed} = 0.00 N.P.(1)	x: 0.06 m η = 1.3	x: 0.06 m η = 17.7	x: 1.939 m η = 0.1	η = 2.8	η < 0.1	η < 0.1	η < 0.1	x: 0.06 m η = 19.0	η < 0.1	η = 0.1	η = 2.8	η < 0.1	**CUMPLE** **η = 19.0**
N3038/N3040	$\lambda_w \leq \lambda_{w,máx}$ Cumple	N_{Ed} = 0.00 N.P.(1)	x: 0.06 m η = 1.2	x: 1.94 m η = 33.4	x: 0.06 m η = 0.1	η = 5.3	η < 0.1	η < 0.1	η < 0.1	x: 1.94 m η = 34.7	η < 0.1	η = 0.3	η = 5.3	η < 0.1	**CUMPLE** **η = 34.7**
N2892/N3042	x: 0.061 m $\lambda_w \leq \lambda_{w,máx}$ Cumple	η = 4.3	η = 14.1	x: 2.373 m η = 1.9	x: 2.373 m η = 28.1	η = 0.1	x: 0.06 m η = 1.9	x: 0.253 m η < 0.1	x: 0.061 m η < 0.1	x: 2.373 m η = 34.5	x: 0.061 m η < 0.1	M_{Ed} = 0.00 N.P.(5)	N.P.(6)	N.P.(6)	**CUMPLE** **η = 34.5**
N3042/N3041	$\lambda_w \leq \lambda_{w,máx}$ Cumple	η = 2.5	η = 10.2	x: 2.372 m η = 0.8	x: 0.06 m η = 7.4	η < 0.1	x: 2.373 m η = 0.9	η < 0.1	η < 0.1	x: 0.06 m η = 15.5	η < 0.1	η = 1.0	η < 0.1	x: 2.373 m η = 0.9	**CUMPLE** **η = 15.5**
N3041/N3006	$\lambda_w \leq \lambda_{w,máx}$ Cumple	η = 2.1	η = 0.4	x: 2.373 m η = 0.6	x: 0.06 m η = 16.7	η < 0.1	x: 2.373 m η = 2.2	η < 0.1	η < 0.1	x: 0.06 m η = 17.5	η < 0.1	η = 0.8	η < 0.1	x: 2.373 m η = 2.2	**CUMPLE** **η = 17.5**
N2826/N3044	x: 0.061 m $\lambda_w \leq \lambda_{w,máx}$ Cumple	η = 2.8	η = 41.9	x: 2.373 m η = 1.7	x: 2.373 m η = 30.1	η = 0.1	x: 0.06 m η = 2.1	x: 0.253 m η < 0.1	x: 0.061 m η < 0.1	x: 2.373 m η = 53.7	x: 0.061 m η < 0.1	M_{Ed} = 0.00 N.P.(5)	N.P.(6)	N.P.(6)	**CUMPLE** **η = 53.7**
N3044/N3043	$\lambda_w \leq \lambda_{w,máx}$ Cumple	η = 0.6	η = 40.2	x: 0.06 m η = 0.5	x: 0.06 m η = 8.7	η < 0.1	x: 2.373 m η = 1.0	η < 0.1	η < 0.1	x: 0.06 m η = 43.9	η < 0.1	η = 1.0	η < 0.1	x: 2.373 m η = 1.0	**CUMPLE** **η = 43.9**
N3043/N2973	$\lambda_w \leq \lambda_{w,máx}$ Cumple	η = 0.4	η = 32.6	x: 2.372 m η = 0.7	x: 0.06 m η = 16.8	η < 0.1	x: 2.373 m η = 2.2	η < 0.1	η < 0.1	x: 0.06 m η = 42.8	η < 0.1	η = 0.8	η < 0.1	x: 2.373 m η = 2.2	**CUMPLE** **η = 42.8**
N3041/N3043	$\lambda_w \leq \lambda_{w,máx}$ Cumple	x: 1.939 m η < 0.1	x: 0.06 m η = 0.7	x: 0.06 m η = 11.5	x: 0.06 m η = 0.2	η = 1.8	η < 0.1	η < 0.1	η < 0.1	x: 0.06 m η = 12.3	η < 0.1	η = 0.7	η = 1.8	η < 0.1	**CUMPLE** **η = 12.3**
N3042/N3044	$\lambda_w \leq \lambda_{w,máx}$ Cumple	x: 1.939 m η < 0.1	x: 0.06 m η = 0.7	x: 1.94 m η = 20.8	x: 1.94 m η = 0.8	η = 3.3	η = 0.1	η < 0.1	η < 0.1	x: 1.94 m η = 21.8	η < 0.1	η = 1.6	η = 3.3	η = 0.1	**CUMPLE** **η = 21.8**
N2852/N3045	x: 0.061 m $\lambda_w \leq \lambda_{w,máx}$ Cumple	N_{Ed} = 0.00 N.P.(1)	η = 27.9	x: 2.373 m η = 1.0	x: 2.373 m η = 21.9	η = 0.1	x: 0.06 m η = 1.5	x: 0.253 m η < 0.1	x: 0.061 m η < 0.1	x: 2.373 m η = 42.5	x: 0.061 m η < 0.1	M_{Ed} = 0.00 N.P.(5)	N.P.(6)	N.P.(6)	**CUMPLE** **η = 42.5**
N3045/N3046	$\lambda_w \leq \lambda_{w,máx}$ Cumple	N_{Ed} = 0.00 N.P.(1)	η = 34.5	x: 2.372 m η = 0.5	x: 0.06 m η = 6.1	η < 0.1	x: 2.373 m η = 0.7	η < 0.1	η < 0.1	x: 0.06 m η = 38.9	η < 0.1	η = 0.5	η < 0.1	x: 2.373 m η = 0.7	**CUMPLE** **η = 38.9**
N3046/N2986	$\lambda_w \leq \lambda_{w,máx}$ Cumple	N_{Ed} = 0.00 N.P.(1)	η = 34.7	x: 2.373 m η = 0.9	x: 0.06 m η = 11.7	η < 0.1	x: 2.373 m η = 1.6	η < 0.1	η < 0.1	x: 0.06 m η = 38.8	η < 0.1	η = 0.3	η < 0.1	x: 2.373 m η = 1.6	**CUMPLE** **η = 38.8**
N2835/N3047	x: 0.061 m $\lambda_w \leq \lambda_{w,máx}$ Cumple	η = 2.5	η = 8.4	x: 2.373 m η = 0.9	x: 2.373 m η = 20.3	η = 0.1	x: 0.06 m η = 1.4	x: 0.253 m η < 0.1	x: 0.061 m η < 0.1	x: 2.373 m η = 22.1	x: 0.061 m η < 0.1	M_{Ed} = 0.00 N.P.(5)	N.P.(6)	N.P.(6)	**CUMPLE** **η = 22.1**
N3047/N3048	$\lambda_w \leq \lambda_{w,máx}$ Cumple	η = 2.0	η = 5.8	x: 2.372 m η = 0.3	x: 0.06 m η = 5.1	η < 0.1	x: 2.373 m η = 0.6	η < 0.1	η < 0.1	x: 0.06 m η = 8.8	η < 0.1	η = 0.5	η < 0.1	x: 2.373 m η = 0.6	**CUMPLE** **η = 8.8**
N3048/N2977	$\lambda_w \leq \lambda_{w,máx}$ Cumple	η = 1.7	η = 0.2	x: 0.06 m η = 0.4	x: 0.06 m η = 11.6	η < 0.1	x: 2.373 m η = 1.6	η < 0.1	η < 0.1	x: 0.06 m η = 12.2	η < 0.1	η = 0.3	η < 0.1	x: 2.373 m η = 1.6	**CUMPLE** **η = 12.2**
N3048/N3046	$\lambda_w \leq \lambda_{w,máx}$ Cumple	x: 1.939 m η < 0.1	x: 0.06 m η = 0.5	x: 0.06 m η = 8.4	x: 0.06 m η = 0.2	η = 1.3	η < 0.1	η < 0.1	η < 0.1	x: 0.06 m η = 8.9	η < 0.1	η = 0.4	η = 1.3	η < 0.1	**CUMPLE** **η = 8.9**
N3047/N3045	$\lambda_w \leq \lambda_{w,máx}$ Cumple	x: 1.939 m η < 0.1	x: 0.06 m η = 0.5	x: 1.94 m η = 15.2	x: 1.94 m η = 0.4	η = 2.4	η = 0.1	η < 0.1	η < 0.1	x: 1.94 m η = 15.7	η < 0.1	η = 0.8	η = 2.4	η = 0.1	**CUMPLE** **η = 15.7**
N2839/N3050	x: 0.051 m $\lambda_w \leq \lambda_{w,máx}$ Cumple	η = 3.5	η = 14.2	x: 2.372 m η = 0.2	x: 2.373 m η = 28.8	η < 0.1	x: 0.05 m η = 2.0	x: 0.244 m η < 0.1	x: 0.051 m η < 0.1	x: 2.373 m η = 33.9	x: 0.051 m η < 0.1	M_{Ed} = 0.00 N.P.(5)	N.P.(6)	N.P.(6)	**CUMPLE** **η = 33.9**
N3050/N3049	$\lambda_w \leq \lambda_{w,máx}$ Cumple	η = 2.3	η = 10.3	x: 2.372 m η = 0.4	x: 0.06 m η = 7.7	η < 0.1	x: 2.373 m η = 0.9	η < 0.1	η < 0.1	x: 0.06 m η = 15.2	η < 0.1	η < 0.1	η < 0.1	x: 2.373 m η = 0.9	**CUMPLE** **η = 15.2**

Documento visado electrónicamente con número: VA07290/22
Código de validación telemática TRLTDCFZ60T66IJ1. Comprobación: https://cogitivalencia.e-gestion.es/Validacion.aspx?CVT=TRLTDCFZ60T66IJ1

VISADO
COGITI
Estado
VALENCIA
VA07290/22
TRLTDCFZ60T66IJ1

Barras	COMPROBACIONES (CÓDIGO ESTRUCTURAL)														
	λ_w	N_t	N_c	M_Y	M_Z	V_Z	V_Y	M_YV_Z	M_ZV_Y	NM_YM_Z	$NM_YM_ZV_YV_Z$	M_t	M_tV_Z	M_tV_Y	
N3049/N2979	$\lambda_w \leq \lambda_{w,máx}$ Cumple	$\eta = 1.9$	$\eta = 0.4$	x: 0.06 m $\eta = 0.3$	x: 0.06 m $\eta = 16.8$	$\eta < 0.1$	x: 2.373 m $\eta = 2.2$	$\eta < 0.1$	$\eta < 0.1$	x: 0.06 m $\eta = 17.7$	$\eta < 0.1$	$\eta = 0.1$	$\eta < 0.1$	x: 2.373 m $\eta = 2.2$	**CUMPLE** **η = 17.7**
N2856/N3052	x: 0.051 m $\lambda_w \leq \lambda_{w,máx}$ Cumple	$N_{Ed} = 0.00$ N.P.(1)	$\eta = 31.6$	x: 2.372 m $\eta = 0.2$	x: 2.373 m $\eta = 30.0$	$\eta < 0.1$	x: 0.05 m $\eta = 2.0$	x: 0.244 m $\eta < 0.1$	x: 0.051 m $\eta < 0.1$	x: 2.373 m $\eta = 43.6$	x: 0.051 m $\eta < 0.1$	$M_{Ed} = 0.00$ N.P.(5)	N.P.(6)	N.P.(6)	**CUMPLE** **η = 43.6**
N3052/N3051	$\lambda_w \leq \lambda_{w,máx}$ Cumple	$N_{Ed} = 0.00$ N.P.(1)	$\eta = 30.6$	x: 2.372 m $\eta = 0.4$	x: 0.06 m $\eta = 8.5$	$\eta < 0.1$	x: 2.373 m $\eta = 1.0$	$\eta < 0.1$	$\eta < 0.1$	x: 0.06 m $\eta = 36.1$	$\eta < 0.1$	$\eta < 0.1$	$\eta < 0.1$	x: 2.373 m $\eta = 1.0$	**CUMPLE** **η = 36.1**
N3051/N2988	$\lambda_w \leq \lambda_{w,máx}$ Cumple	$N_{Ed} = 0.00$ N.P.(1)	$\eta = 31.2$	x: 2.373 m $\eta = 0.9$	x: 0.06 m $\eta = 16.8$	$\eta < 0.1$	x: 2.373 m $\eta = 2.2$	$\eta < 0.1$	$\eta < 0.1$	x: 0.06 m $\eta = 38.1$	$\eta < 0.1$	$\eta = 0.1$	$\eta < 0.1$	x: 2.373 m $\eta = 2.2$	**CUMPLE** **η = 38.1**
N3049/N3051	$\lambda_w \leq \lambda_{w,máx}$ Cumple	$N_{Ed} = 0.00$ N.P.(1)	x: 0.06 m $\eta = 0.7$	x: 0.06 m $\eta = 11.5$	x: 1.939 m $\eta = 0.1$	$\eta = 1.8$	$\eta < 0.1$	$\eta < 0.1$	$\eta < 0.1$	x: 0.06 m $\eta = 12.2$	$\eta < 0.1$	$\eta < 0.1$	$\eta = 1.8$	$\eta < 0.1$	**CUMPLE** **η = 12.2**
N3050/N3052	$\lambda_w \leq \lambda_{w,máx}$ Cumple	x: 1.939 m $\eta < 0.1$	x: 0.06 m $\eta = 0.7$	x: 1.94 m $\eta = 20.8$	x: 1.939 m $\eta < 0.1$	$\eta = 3.3$	$\eta < 0.1$	$\eta < 0.1$	$\eta < 0.1$	x: 1.94 m $\eta = 21.4$	$\eta < 0.1$	$\eta = 0.1$	$\eta = 3.3$	$\eta < 0.1$	**CUMPLE** **η = 21.4**
N2843/N3054	x: 0.061 m $\lambda_w \leq \lambda_{w,máx}$ Cumple	$\eta = 2.6$	$\eta = 9.0$	x: 2.373 m $\eta = 1.1$	x: 2.373 m $\eta = 20.8$	$\eta = 0.1$	x: 0.06 m $\eta = 1.5$	x: 0.253 m $\eta < 0.1$	x: 0.061 m $\eta < 0.1$	x: 2.373 m $\eta = 23.7$	x: 0.061 m $\eta < 0.1$	$M_{Ed} = 0.00$ N.P.(5)	N.P.(6)	N.P.(6)	**CUMPLE** **η = 23.7**
N3054/N3053	$\lambda_w \leq \lambda_{w,máx}$ Cumple	$\eta = 2.0$	$\eta = 6.3$	x: 2.372 m $\eta = 0.4$	x: 0.06 m $\eta = 5.2$	$\eta < 0.1$	x: 2.373 m $\eta = 0.6$	$\eta < 0.1$	$\eta < 0.1$	x: 0.06 m $\eta = 9.7$	$\eta < 0.1$	$\eta = 0.6$	$\eta < 0.1$	x: 2.373 m $\eta = 0.6$	**CUMPLE** **η = 9.7**
N3053/N2981	$\lambda_w \leq \lambda_{w,máx}$ Cumple	$\eta = 1.7$	$\eta = 0.2$	x: 2.373 m $\eta = 0.4$	x: 0.06 m $\eta = 11.5$	$\eta < 0.1$	x: 2.373 m $\eta = 1.6$	$\eta < 0.1$	$\eta < 0.1$	x: 0.06 m $\eta = 12.1$	$\eta < 0.1$	$\eta = 0.4$	$\eta < 0.1$	x: 2.373 m $\eta = 1.6$	**CUMPLE** **η = 12.1**
N2860/N3056	x: 0.061 m $\lambda_w \leq \lambda_{w,máx}$ Cumple	$\eta = 1.0$	x: 0.061 m $\eta = 32.5$	x: 2.373 m $\eta = 0.9$	x: 2.373 m $\eta = 22.4$	$\eta = 0.1$	x: 0.06 m $\eta = 1.6$	x: 0.253 m $\eta < 0.1$	x: 0.061 m $\eta < 0.1$	x: 2.373 m $\eta = 35.4$	x: 0.061 m $\eta < 0.1$	$M_{Ed} = 0.00$ N.P.(5)	N.P.(6)	N.P.(6)	**CUMPLE** **η = 35.4**
N3056/N3055	$\lambda_w \leq \lambda_{w,máx}$ Cumple	x: 1.602 m $\eta = 0.4$	x: 1.602 m $\eta = 33.2$	x: 0.06 m $\eta = 0.2$	x: 0.06 m $\eta = 6.2$	$\eta < 0.1$	x: 2.373 m $\eta = 0.7$	$\eta < 0.1$	$\eta < 0.1$	x: 1.602 m $\eta = 34.0$	$\eta < 0.1$	$\eta = 0.6$	$\eta < 0.1$	x: 2.373 m $\eta = 0.7$	**CUMPLE** **η = 34.0**
N3055/N2990	$\lambda_w \leq \lambda_{w,máx}$ Cumple	$N_{Ed} = 0.00$ N.P.(1)	$\eta = 24.6$	x: 2.372 m $\eta = 0.4$	x: 0.06 m $\eta = 11.6$	$\eta < 0.1$	x: 2.373 m $\eta = 1.6$	$\eta < 0.1$	$\eta < 0.1$	x: 0.06 m $\eta = 29.1$	$\eta < 0.1$	$\eta = 0.4$	$\eta < 0.1$	x: 2.373 m $\eta = 1.6$	**CUMPLE** **η = 29.1**
N3053/N3055	$\lambda_w \leq \lambda_{w,máx}$ Cumple	x: 1.939 m $\eta < 0.1$	x: 0.06 m $\eta = 0.5$	x: 0.06 m $\eta = 8.4$	x: 1.94 m $\eta = 0.1$	$\eta = 1.3$	$\eta < 0.1$	$\eta < 0.1$	$\eta < 0.1$	x: 0.06 m $\eta = 8.9$	$\eta < 0.1$	$\eta = 0.4$	$\eta = 1.3$	$\eta < 0.1$	**CUMPLE** **η = 8.9**
N3054/N3056	$\lambda_w \leq \lambda_{w,máx}$ Cumple	x: 1.939 m $\eta = 0.1$	x: 0.06 m $\eta = 0.5$	x: 1.94 m $\eta = 15.6$	x: 1.94 m $\eta = 0.4$	$\eta = 2.4$	$\eta = 0.1$	$\eta < 0.1$	$\eta < 0.1$	x: 1.94 m $\eta = 16.1$	$\eta < 0.1$	$\eta = 0.9$	$\eta = 2.4$	$\eta = 0.1$	**CUMPLE** **η = 16.1**
N2868/N3057	x: 0.061 m $\lambda_w \leq \lambda_{w,máx}$ Cumple	$\eta = 0.7$	$\eta = 38.8$	x: 2.373 m $\eta = 1.7$	x: 2.373 m $\eta = 28.4$	$\eta = 0.1$	x: 0.06 m $\eta = 1.9$	x: 0.253 m $\eta < 0.1$	x: 0.061 m $\eta < 0.1$	x: 2.373 m $\eta = 49.9$	x: 0.061 m $\eta < 0.1$	$M_{Ed} = 0.00$ N.P.(5)	N.P.(6)	N.P.(6)	**CUMPLE** **η = 49.9**
N3057/N3058	$\lambda_w \leq \lambda_{w,máx}$ Cumple	$N_{Ed} = 0.00$ N.P.(1)	$\eta = 37.5$	x: 0.06 m $\eta = 0.5$	x: 0.06 m $\eta = 8.1$	$\eta < 0.1$	x: 2.373 m $\eta = 0.9$	$\eta < 0.1$	$\eta < 0.1$	x: 2.373 m $\eta = 40.3$	$\eta < 0.1$	$\eta = 1.0$	$\eta < 0.1$	x: 2.373 m $\eta = 0.9$	**CUMPLE** **η = 40.3**
N3058/N2994	$\lambda_w \leq \lambda_{w,máx}$ Cumple	$N_{Ed} = 0.00$ N.P.(1)	$\eta = 30.8$	x: 2.373 m $\eta = 0.7$	x: 0.06 m $\eta = 16.6$	$\eta < 0.1$	x: 2.373 m $\eta = 2.2$	$\eta < 0.1$	$\eta < 0.1$	x: 2.373 m $\eta = 39.4$	$\eta < 0.1$	$\eta = 0.7$	$\eta < 0.1$	x: 2.373 m $\eta = 2.2$	**CUMPLE** **η = 39.4**
N2899/N3059	x: 0.061 m $\lambda_w \leq \lambda_{w,máx}$ Cumple	$\eta = 3.7$	$\eta = 13.0$	x: 2.373 m $\eta = 1.7$	x: 2.373 m $\eta = 26.3$	$\eta = 0.1$	x: 0.06 m $\eta = 1.8$	x: 0.253 m $\eta < 0.1$	x: 0.061 m $\eta < 0.1$	x: 2.373 m $\eta = 31.9$	x: 0.061 m $\eta < 0.1$	$M_{Ed} = 0.00$ N.P.(5)	N.P.(6)	N.P.(6)	**CUMPLE** **η = 31.9**
N3059/N3060	$\lambda_w \leq \lambda_{w,máx}$ Cumple	$\eta = 2.3$	$\eta = 9.4$	x: 0.06 m $\eta = 0.5$	x: 0.06 m $\eta = 6.9$	$\eta < 0.1$	x: 2.373 m $\eta = 0.8$	$\eta < 0.1$	$\eta < 0.1$	x: 0.06 m $\eta = 14.1$	$\eta < 0.1$	$\eta = 1.0$	$\eta < 0.1$	x: 2.373 m $\eta = 0.8$	**CUMPLE** **η = 14.1**
N3060/N3009	$\lambda_w \leq \lambda_{w,máx}$ Cumple	$\eta = 1.9$	$\eta = 0.4$	x: 2.373 m $\eta = 0.4$	x: 0.06 m $\eta = 16.4$	$\eta < 0.1$	x: 2.373 m $\eta = 2.2$	$\eta < 0.1$	$\eta < 0.1$	x: 0.06 m $\eta = 17.4$	$\eta < 0.1$	$\eta = 0.6$	$\eta < 0.1$	x: 2.373 m $\eta = 2.2$	**CUMPLE** **η = 17.4**
N3060/N3058	$\lambda_w \leq \lambda_{w,máx}$ Cumple	$N_{Ed} = 0.00$ N.P.(1)	x: 0.06 m $\eta = 0.7$	x: 0.06 m $\eta = 11.4$	x: 0.06 m $\eta = 0.3$	$\eta = 1.8$	$\eta < 0.1$	$\eta < 0.1$	$\eta < 0.1$	x: 0.06 m $\eta = 12.2$	$\eta < 0.1$	$\eta = 0.7$	$\eta = 1.8$	$\eta < 0.1$	**CUMPLE** **η = 12.2**
N3059/N3057	$\lambda_w \leq \lambda_{w,máx}$ Cumple	$N_{Ed} = 0.00$ N.P.(1)	x: 0.06 m $\eta = 0.7$	x: 1.94 m $\eta = 19.6$	x: 1.94 m $\eta = 0.7$	$\eta = 3.1$	$\eta = 0.1$	$\eta < 0.1$	$\eta < 0.1$	x: 1.94 m $\eta = 20.5$	$\eta < 0.1$	$\eta = 1.6$	$\eta = 3.1$	$\eta = 0.1$	**CUMPLE** **η = 20.5**
N2903/N3062	x: 0.051 m $\lambda_w \leq \lambda_{w,máx}$ Cumple	$\eta = 5.7$	$\eta = 22.3$	x: 2.373 m $\eta = 0.3$	x: 2.373 m $\eta = 43.1$	$\eta < 0.1$	x: 0.05 m $\eta = 2.8$	x: 0.244 m $\eta < 0.1$	x: 0.051 m $\eta < 0.1$	x: 2.373 m $\eta = 52.5$	x: 0.051 m $\eta < 0.1$	$M_{Ed} = 0.00$ N.P.(5)	N.P.(6)	N.P.(6)	**CUMPLE** **η = 52.5**
N3062/N3061	$\lambda_w \leq \lambda_{w,máx}$ Cumple	$\eta = 2.8$	$\eta = 16.6$	x: 2.372 m $\eta = 0.4$	x: 0.06 m $\eta = 12.1$	$\eta < 0.1$	x: 0.06 m $\eta = 1.4$	$\eta < 0.1$	$\eta < 0.1$	x: 0.06 m $\eta = 24.3$	$\eta < 0.1$	$\eta = 0.1$	$\eta < 0.1$	x: 0.06 m $\eta = 1.4$	**CUMPLE** **η = 24.3**
N3061/N3011	$\lambda_w \leq \lambda_{w,máx}$ Cumple	$\eta = 2.2$	$\eta = 0.8$	x: 0.06 m $\eta = 0.5$	x: 0.06 m $\eta = 25.6$	$\eta < 0.1$	x: 2.373 m $\eta = 3.3$	$\eta < 0.1$	$\eta < 0.1$	x: 0.06 m $\eta = 27.2$	$\eta < 0.1$	$\eta = 0.1$	$\eta < 0.1$	x: 2.373 m $\eta = 3.3$	**CUMPLE** **η = 27.2**
N2872/N3064	x: 0.051 m $\lambda_w \leq \lambda_{w,máx}$ Cumple	$\eta = 3.1$	$\eta = 70.9$	x: 2.373 m $\eta = 0.4$	x: 2.373 m $\eta = 43.6$	$\eta < 0.1$	x: 0.05 m $\eta = 2.8$	x: 0.244 m $\eta < 0.1$	x: 0.051 m $\eta < 0.1$	x: 2.373 m $\eta = 88.4$	x: 0.051 m $\eta < 0.1$	$M_{Ed} = 0.00$ N.P.(5)	N.P.(6)	N.P.(6)	**CUMPLE** **η = 88.4**
N3064/N3063	$\lambda_w \leq \lambda_{w,máx}$ Cumple	$N_{Ed} = 0.00$ N.P.(1)	$\eta = 67.7$	x: 2.373 m $\eta = 0.6$	x: 0.06 m $\eta = 12.5$	$\eta < 0.1$	x: 2.372 m $\eta = 1.4$	$\eta < 0.1$	$\eta < 0.1$	x: 0.06 m $\eta = 73.3$	$\eta < 0.1$	$\eta = 0.1$	$\eta < 0.1$	x: 2.372 m $\eta = 1.4$	**CUMPLE** **η = 73.3**
N3063/N2996	$\lambda_w \leq \lambda_{w,máx}$ Cumple	$N_{Ed} = 0.00$ N.P.(1)	$\eta = 56.1$	x: 2.373 m $\eta = 1.2$	x: 0.06 m $\eta = 25.5$	$\eta < 0.1$	x: 2.373 m $\eta = 3.2$	$\eta < 0.1$	$\eta < 0.1$	x: 0.06 m $\eta = 71.3$	$\eta < 0.1$	$\eta = 0.1$	$\eta < 0.1$	x: 2.373 m $\eta = 3.3$	**CUMPLE** **η = 71.3**
N3061/N3063	$\lambda_w \leq \lambda_{w,máx}$ Cumple	$N_{Ed} = 0.00$ N.P.(1)	x: 0.06 m $\eta = 1.2$	x: 1.94 m $\eta = 16.8$	x: 1.94 m $\eta = 0.1$	$\eta = 2.7$	$\eta < 0.1$	$\eta < 0.1$	$\eta < 0.1$	x: 0.06 m $\eta = 18.0$	$\eta < 0.1$	$\eta = 0.1$	$\eta = 2.7$	$\eta < 0.1$	**CUMPLE** **η = 18.0**
N3062/N3064	$\lambda_w \leq \lambda_{w,máx}$ Cumple	$N_{Ed} = 0.00$ N.P.(1)	x: 0.06 m $\eta = 1.2$	x: 1.94 m $\eta = 29.8$	x: 0.06 m $\eta = 0.1$	$\eta = 4.7$	$\eta < 0.1$	$\eta < 0.1$	$\eta < 0.1$	x: 1.94 m $\eta = 30.9$	$\eta < 0.1$	$\eta = 0.2$	$\eta = 4.8$	$\eta < 0.1$	**CUMPLE** **η = 30.9**
N2907/N3066	x: 0.061 m $\lambda_w \leq \lambda_{w,máx}$ Cumple	$\eta = 4.6$	$\eta = 17.2$	x: 2.373 m $\eta = 2.0$	x: 2.373 m $\eta = 33.5$	$\eta = 0.1$	x: 0.06 m $\eta = 2.2$	x: 0.253 m $\eta < 0.1$	x: 0.061 m $\eta < 0.1$	x: 2.373 m $\eta = 41.5$	x: 0.061 m $\eta < 0.1$	$M_{Ed} = 0.00$ N.P.(5)	N.P.(6)	N.P.(6)	**CUMPLE** **η = 41.5**
N3066/N3065	$\lambda_w \leq \lambda_{w,máx}$ Cumple	$\eta = 2.6$	$\eta = 12.6$	x: 2.372 m $\eta = 0.8$	x: 0.06 m $\eta = 9.2$	$\eta < 0.1$	x: 0.06 m $\eta = 1.1$	$\eta < 0.1$	$\eta < 0.1$	x: 0.06 m $\eta = 18.9$	$\eta < 0.1$	$\eta = 1.0$	$\eta < 0.1$	x: 0.06 m $\eta = 1.1$	**CUMPLE** **η = 18.9**
N3065/N3013	$\lambda_w \leq \lambda_{w,máx}$ Cumple	$\eta = 2.1$	$\eta = 0.6$	x: 2.373 m $\eta = 0.6$	x: 0.06 m $\eta = 20.6$	$\eta < 0.1$	x: 2.373 m $\eta = 2.7$	$\eta < 0.1$	$\eta < 0.1$	x: 0.06 m $\eta = 21.6$	$\eta < 0.1$	$\eta = 0.8$	$\eta < 0.1$	x: 2.373 m $\eta = 2.7$	**CUMPLE** **η = 21.6**
N2876/N3068	x: 0.061 m $\lambda_w \leq \lambda_{w,máx}$ Cumple	$\eta = 2.8$	$\eta = 42.9$	x: 2.373 m $\eta = 1.6$	x: 2.373 m $\eta = 35.1$	$\eta = 0.1$	x: 0.06 m $\eta = 2.3$	x: 0.253 m $\eta < 0.1$	x: 0.061 m $\eta < 0.1$	x: 2.373 m $\eta = 51.3$	x: 0.061 m $\eta < 0.1$	$M_{Ed} = 0.00$ N.P.(5)	N.P.(6)	N.P.(6)	**CUMPLE** **η = 51.3**
N3068/N3067	$\lambda_w \leq \lambda_{w,máx}$ Cumple	$N_{Ed} = 0.00$ N.P.(1)	$\eta = 41.5$	x: 0.06 m $\eta = 0.4$	x: 0.06 m $\eta = 10.1$	$\eta < 0.1$	x: 2.372 m $\eta = 1.1$	$\eta < 0.1$	$\eta < 0.1$	x: 2.373 m $\eta = 44.2$	$\eta < 0.1$	$\eta = 1.0$	$\eta < 0.1$	x: 2.372 m $\eta = 1.1$	**CUMPLE** **η = 44.2**
N3067/N2998	$\lambda_w \leq \lambda_{w,máx}$ Cumple	$N_{Ed} = 0.00$ N.P.(1)	$\eta = 35.5$	x: 2.372 m $\eta = 0.7$	x: 0.06 m $\eta = 20.6$	$\eta < 0.1$	x: 2.373 m $\eta = 2.7$	$\eta < 0.1$	$\eta < 0.1$	x: 0.06 m $\eta = 44.1$	$\eta < 0.1$	$\eta = 0.8$	$\eta < 0.1$	x: 2.373 m $\eta = 2.7$	**CUMPLE** **η = 44.1**
N3065/N3067	$\lambda_w \leq \lambda_{w,máx}$ Cumple	$N_{Ed} = 0.00$ N.P.(1)	x: 0.06 m $\eta = 0.9$	x: 0.06 m $\eta = 13.8$	x: 0.06 m $\eta = 0.2$	$\eta = 2.2$	$\eta < 0.1$	$\eta < 0.1$	$\eta < 0.1$	x: 0.06 m $\eta = 14.9$	$\eta < 0.1$	$\eta = 0.7$	$\eta = 2.2$	$\eta < 0.1$	**CUMPLE** **η = 14.9**
N3066/N3068	$\lambda_w \leq \lambda_{w,máx}$ Cumple	$N_{Ed} = 0.00$ N.P.(1)	x: 0.06 m $\eta = 0.9$	x: 1.94 m $\eta = 24.0$	x: 1.94 m $\eta = 0.8$	$\eta = 3.8$	$\eta = 0.1$	$\eta < 0.1$	$\eta < 0.1$	x: 1.94 m $\eta = 25.2$	$\eta < 0.1$	$\eta = 1.6$	$\eta = 3.8$	$\eta = 0.1$	**CUMPLE** **η = 25.2**
N2818/N3036	x: 0.061 m $\lambda_w \leq \lambda_{w,máx}$ Cumple	$\eta = 1.9$	$\eta = 30.8$	x: 2.373 m $\eta = 1.9$	x: 2.373 m $\eta = 39.5$	$\eta = 0.1$	x: 0.06 m $\eta = 2.6$	x: 0.253 m $\eta < 0.1$	x: 0.061 m $\eta < 0.1$	x: 2.373 m $\eta = 46.1$	x: 0.061 m $\eta < 0.1$	$M_{Ed} = 0.00$ N.P.(5)	N.P.(6)	N.P.(6)	**CUMPLE** **η = 46.1**

Documento visado electrónicamente con número: VA07290/22
Código de validación telemática TRLTDCFZ60T66IJ1. Comprobación: https://cogitivalencia.e-gestion.es/Validacion.aspx?CVT=TRLTDCFZ60T66IJ1

VISADO
COGITI
Estado
VALENCIA
VA07293/22
TRLTDCFZ60T66IJ1

Listados

Barras	COMPROBACIONES (CÓDIGO ESTRUCTURAL)														
	λ_w	N_t	N_c	M_Y	M_Z	V_Z	V_Y	M_YV_Z	M_ZV_Y	NM_YM_Z	$NM_YM_ZV_YV_Z$	M_t	M_tV_Z	M_tV_Y	
N3036/N3034	$\lambda_w \leq \lambda_{w,máx}$ Cumple	N_{Ed} = 0.00 N.P.(1)	η = 28.3	x: 0.06 m η = 0.6	x: 0.06 m η = 11.4	η < 0.1	x: 2.372 m η = 1.2	η < 0.1	η < 0.1	x: 0.06 m η = 33.1	η < 0.1	η = 1.1	η < 0.1	x: 2.372 m η = 1.2	**CUMPLE η = 28.3**
N3034/N2969	$\lambda_w \leq \lambda_{w,máx}$ Cumple	N_{Ed} = 0.00 N.P.(1)	η = 26.9	x: 2.373 m η = 0.7	x: 0.06 m η = 22.4	η < 0.1	x: 2.373 m η = 2.9	η < 0.1	η < 0.1	x: 0.06 m η = 33.1	η < 0.1	η = 0.8	η < 0.1	x: 2.373 m η = 2.9	**CUMPLE η = 33.1**
N2884/N3035	x: 0.061 m $\lambda_w \leq \lambda_{w,máx}$ Cumple	η = 5.1	η = 19.8	x: 2.373 m η = 2.0	x: 2.373 m η = 37.9	η = 0.1	x: 0.06 m η = 2.5	x: 0.253 m η < 0.1	x: 0.061 m η < 0.1	x: 2.373 m η = 47.4	x: 0.061 m η < 0.1	M_{Ed} = 0.00 N.P.(5)	N.P.(6)	N.P.(6)	**CUMPLE η = 47.4**
N3035/N3033	$\lambda_w \leq \lambda_{w,máx}$ Cumple	η = 2.7	η = 14.6	x: 0.06 m η = 0.6	x: 0.06 m η = 10.4	η < 0.1	x: 2.372 m η = 1.2	η < 0.1	η < 0.1	x: 0.06 m η = 21.6	η < 0.1	η = 1.1	η < 0.1	x: 2.372 m η = 1.2	**CUMPLE η = 21.6**
N3033/N3002	$\lambda_w \leq \lambda_{w,máx}$ Cumple	η = 2.2	η = 0.7	x: 2.373 m η = 0.5	x: 0.06 m η = 22.4	η < 0.1	x: 2.373 m η = 2.9	η < 0.1	η < 0.1	x: 0.06 m η = 23.5	η < 0.1	η = 0.8	η < 0.1	x: 2.373 m η = 2.9	**CUMPLE η = 23.5**
N3069/N3070	$\lambda_w \leq \lambda_{w,máx}$ Cumple	x: 1 m η = 12.1	x: 0 m η = 35.5	x: 1 m η = 21.7	x: 1 m η = 21.3	η = 14.2	η = 2.6	η < 0.1	η < 0.1	x: 1 m η = 54.9	η < 0.1	η = 0.2	η = 14.2	η = 2.6	**CUMPLE η = 54.9**
N3071/N1658	$\lambda_w \leq \lambda_{w,máx}$ Cumple	x: 1.405 m η = 13.3	x: 0 m η = 10.3	x: 0 m η = 26.1	x: 0 m η = 5.4	η = 13.7	η = 0.4	η < 0.1	η < 0.1	x: 0 m η = 41.7	η < 0.1	η = 0.4	η = 13.7	η = 0.4	**CUMPLE η = 41.7**
N3070/N1949	$\lambda_w \leq \lambda_{w,máx}$ Cumple	x: 1.868 m η = 8.7	x: 0 m η = 19.7	x: 1.869 m η = 56.2	x: 1.869 m η = 29.2	η = 7.2	η = 2.6	η < 0.1	η < 0.1	x: 1.869 m η = 94.0	η < 0.1	η < 0.1	η = 7.2	η = 2.6	**CUMPLE η = 94.0**
N1949/N1659	$\lambda_w \leq \lambda_{w,máx}$ Cumple	x: 1.911 m η = 3.4	x: 0.131 m η = 3.9	x: 0.131 m η = 41.8	x: 0.131 m η = 27.1	η = 8.0	η = 3.8	η < 0.1	η < 0.1	x: 0.131 m η = 63.0	η < 0.1	η = 1.0	η = 8.0	η = 3.8	**CUMPLE η = 63.0**
N1659/N3071	$\lambda_w \leq \lambda_{w,máx}$ Cumple	x: 0.5 m η = 9.5	x: 0.088 m η = 7.4	x: 0.088 m η = 31.2	x: 0.088 m η = 3.3	η = 6.9	η = 0.4	η < 0.1	η < 0.1	x: 0.088 m η = 41.9	η < 0.1	η < 0.1	η = 6.9	η = 0.4	**CUMPLE η = 41.9**
N3072/N3073	$\lambda_w \leq \lambda_{w,máx}$ Cumple	x: 1 m η = 24.0	x: 0 m η = 67.9	x: 1 m η = 26.3	x: 1 m η = 30.3	η = 17.1	η = 3.6	η < 0.1	η < 0.1	x: 1 m η = 86.7	η < 0.1	η = 0.2	η = 17.2	η = 3.6	**CUMPLE η = 86.7**
N3074/N1754	$\lambda_w \leq \lambda_{w,máx}$ Cumple	x: 1.382 m η = 25.2	x: 0 m η = 19.1	x: 0 m η = 34.2	x: 0 m η = 1.1	η = 21.8	η < 0.1	η < 0.1	η < 0.1	x: 0 m η = 59.5	η < 0.1	η = 0.1	η = 21.8	η < 0.1	**CUMPLE η = 59.5**
N3073/N1950	$\lambda_w \leq \lambda_{w,máx}$ Cumple	x: 1.824 m η = 15.1	x: 0 m η = 31.6	x: 1.825 m η = 60.1	x: 1.825 m η = 31.9	η = 6.6	η = 3.6	η < 0.1	η < 0.1	x: 1.825 m η = 100.9	η < 0.1	η < 0.1	η = 6.6	η = 3.6	**NO CUMPLE η = 100.9**
N1950/N1755	$\lambda_w \leq \lambda_{w,máx}$ Cumple	x: 1.883 m η = 5.8	x: 0.175 m η = 5.4	x: 0.175 m η = 30.4	x: 0.175 m η = 24.8	η = 5.0	η = 4.6	η < 0.1	η < 0.1	x: 0.175 m η = 48.4	η < 0.1	η = 2.1	η = 5.0	η = 4.7	**CUMPLE η = 48.4**
N1755/N3074	$\lambda_w \leq \lambda_{w,máx}$ Cumple	x: 0.5 m η = 15.8	x: 0.116 m η = 12.0	x: 0.116 m η = 37.9	x: 0.116 m η = 0.5	η = 8.3	η < 0.1	η < 0.1	η < 0.1	x: 0.116 m η = 53.7	η < 0.1	η < 0.1	η = 8.3	η < 0.1	**CUMPLE η = 53.7**
N3075/N3076	$\lambda_w \leq \lambda_{w,máx}$ Cumple	x: 1 m η = 20.9	x: 0 m η = 50.4	x: 1 m η = 26.8	x: 1 m η = 29.5	η = 17.5	η = 3.5	η < 0.1	η < 0.1	x: 1 m η = 78.3	η < 0.1	η = 0.2	η = 17.5	η = 3.5	**CUMPLE η = 78.3**
N3077/N1850	$\lambda_w \leq \lambda_{w,máx}$ Cumple	x: 1.382 m η = 18.2	x: 0 m η = 16.7	x: 0 m η = 24.6	x: 0 m η = 2.0	η = 15.6	η = 0.2	η < 0.1	η < 0.1	x: 0 m η = 43.1	η < 0.1	η = 0.3	η = 15.6	η = 0.2	**CUMPLE η = 43.1**
N3076/N1951	$\lambda_w \leq \lambda_{w,máx}$ Cumple	x: 1.824 m η = 13.2	x: 0 m η = 23.4	x: 1.825 m η = 61.2	x: 1.825 m η = 31.1	η = 6.7	η = 3.5	η < 0.1	η < 0.1	x: 1.825 m η = 93.8	η < 0.1	η < 0.1	η = 6.7	η = 3.5	**CUMPLE η = 93.8**
N1951/N1851	$\lambda_w \leq \lambda_{w,máx}$ Cumple	x: 1.883 m η = 4.1	x: 0.175 m η = 4.7	x: 0.175 m η = 31.1	x: 0.175 m η = 24.4	η = 5.5	η = 4.6	η < 0.1	η < 0.1	x: 0.175 m η = 45.8	η < 0.1	η = 2.1	η = 5.5	η = 4.6	**CUMPLE η = 45.8**
N1851/N3077	$\lambda_w \leq \lambda_{w,máx}$ Cumple	x: 0.5 m η = 11.4	x: 0.116 m η = 10.5	x: 0.116 m η = 27.2	x: 0.116 m η = 1.0	η = 6.0	η = 0.2	η < 0.1	η < 0.1	x: 0.116 m η = 38.8	η < 0.1	η < 0.1	η = 6.0	η = 0.2	**CUMPLE η = 38.8**
N3078/N3079	$\lambda_w \leq \lambda_{w,máx}$ Cumple	x: 1 m η = 18.5	x: 0 m η = 34.7	x: 1 m η = 21.6	x: 1 m η = 21.9	η = 14.1	η = 2.6	η < 0.1	η < 0.1	x: 1 m η = 59.8	η < 0.1	η = 0.1	η = 14.1	η = 2.6	**CUMPLE η = 59.8**
N3080/N2065	$\lambda_w \leq \lambda_{w,máx}$ Cumple	x: 1.405 m η = 11.2	x: 0 m η = 13.4	x: 0 m η = 23.5	x: 0 m η = 4.1	η = 12.1	η = 0.3	η < 0.1	η < 0.1	x: 0 m η = 34.7	η < 0.1	η = 0.2	η = 12.1	η = 0.3	**CUMPLE η = 34.7**
N3079/N2066	$\lambda_w \leq \lambda_{w,máx}$ Cumple	x: 1.868 m η = 13.3	x: 0 m η = 19.2	x: 1.869 m η = 55.9	x: 1.869 m η = 30.1	η = 7.1	η = 2.6	η < 0.1	η < 0.1	x: 1.869 m η = 85.4	η < 0.1	η < 0.1	η = 7.1	η = 2.6	**CUMPLE η = 85.4**
N2066/N2083	$\lambda_w \leq \lambda_{w,máx}$ Cumple	x: 1.911 m η = 2.0	x: 0.131 m η = 3.6	x: 0.131 m η = 41.0	x: 0.131 m η = 27.5	η = 6.6	η = 4.1	η < 0.1	η < 0.1	x: 0.131 m η = 54.5	η < 0.1	η = 0.9	η = 6.6	η = 4.2	**CUMPLE η = 54.5**
N2083/N3080	$\lambda_w \leq \lambda_{w,máx}$ Cumple	x: 0.5 m η = 8.0	x: 0.088 m η = 9.6	x: 0.088 m η = 28.0	x: 0.088 m η = 2.5	η = 6.1	η = 0.3	η < 0.1	η < 0.1	x: 0.088 m η = 35.6	η < 0.1	η < 0.1	η = 6.1	η = 0.3	**CUMPLE η = 35.6**
N3081/N3082	$\lambda_w \leq \lambda_{w,máx}$ Cumple	x: 1 m η = 18.7	x: 0 m η = 34.9	x: 1 m η = 22.1	x: 1 m η = 21.7	η = 14.5	η = 2.6	η < 0.1	η < 0.1	x: 1 m η = 59.5	η < 0.1	η = 0.1	η = 14.5	η = 2.6	**CUMPLE η = 59.5**
N3083/N2218	$\lambda_w \leq \lambda_{w,máx}$ Cumple	x: 1.405 m η = 11.3	x: 0 m η = 13.7	x: 0 m η = 23.9	x: 0 m η = 3.9	η = 12.2	η = 0.3	η < 0.1	η < 0.1	x: 0 m η = 35.1	η < 0.1	η = 0.2	η = 12.2	η = 0.3	**CUMPLE η = 35.1**
N3082/N2219	$\lambda_w \leq \lambda_{w,máx}$ Cumple	x: 1.868 m η = 13.4	x: 0 m η = 19.3	x: 1.869 m η = 57.3	x: 1.869 m η = 29.9	η = 7.3	η = 2.6	η < 0.1	η < 0.1	x: 1.869 m η = 86.4	η < 0.1	η < 0.1	η = 7.3	η = 2.6	**CUMPLE η = 86.4**
N2219/N2236	$\lambda_w \leq \lambda_{w,máx}$ Cumple	x: 1.911 m η = 2.1	x: 0.131 m η = 3.7	x: 0.131 m η = 42.0	x: 0.131 m η = 27.3	η = 6.7	η = 4.1	η < 0.1	η < 0.1	x: 0.131 m η = 55.2	η < 0.1	η = 1.0	η = 6.7	η = 4.1	**CUMPLE η = 55.2**
N2236/N3083	$\lambda_w \leq \lambda_{w,máx}$ Cumple	x: 0.5 m η = 8.1	x: 0.088 m η = 9.8	x: 0.088 m η = 28.4	x: 0.088 m η = 2.3	η = 6.2	η = 0.3	η < 0.1	η < 0.1	x: 0.088 m η = 36.1	η < 0.1	η < 0.1	η = 6.2	η = 0.3	**CUMPLE η = 36.1**
N3084/N3085	$\lambda_w \leq \lambda_{w,máx}$ Cumple	x: 1 m η = 18.7	x: 0 m η = 34.9	x: 1 m η = 20.1	x: 1 m η = 22.0	η = 13.2	η = 2.6	η < 0.1	η < 0.1	x: 1 m η = 57.7	η < 0.1	η = 0.2	η = 13.2	η = 2.6	**CUMPLE η = 57.7**
N3086/N2524	$\lambda_w \leq \lambda_{w,máx}$ Cumple	x: 1.405 m η = 11.3	x: 0 m η = 13.6	x: 0 m η = 24.3	x: 0 m η = 3.7	η = 12.4	η = 0.3	η < 0.1	η < 0.1	x: 0 m η = 35.2	η < 0.1	η = 0.2	η = 12.4	η = 0.3	**CUMPLE η = 35.2**
N3085/N2525	$\lambda_w \leq \lambda_{w,máx}$ Cumple	x: 1.868 m η = 13.4	x: 0 m η = 19.4	x: 1.869 m η = 52.1	x: 1.869 m η = 30.2	η = 6.7	η = 2.6	η < 0.1	η < 0.1	x: 1.869 m η = 85.1	η < 0.1	η < 0.1	η = 6.7	η = 2.6	**CUMPLE η = 85.1**
N2525/N2542	$\lambda_w \leq \lambda_{w,máx}$ Cumple	x: 1.911 m η = 2.0	x: 0.131 m η = 3.7	x: 0.131 m η = 38.2	x: 0.131 m η = 27.5	η = 6.1	η = 4.1	η < 0.1	η < 0.1	x: 0.131 m η = 54.3	η < 0.1	η = 1.0	η = 6.1	η = 4.1	**CUMPLE η = 54.3**
N2542/N3086	$\lambda_w \leq \lambda_{w,máx}$ Cumple	x: 0.5 m η = 8.1	x: 0.088 m η = 9.7	x: 0.088 m η = 28.8	x: 0.088 m η = 2.2	η = 6.3	η = 0.3	η < 0.1	η < 0.1	x: 0.088 m η = 36.4	η < 0.1	η < 0.1	η = 6.3	η = 0.3	**CUMPLE η = 36.4**
N3087/N3088	$\lambda_w \leq \lambda_{w,máx}$ Cumple	x: 1 m η = 18.8	x: 0 m η = 34.9	x: 1 m η = 16.5	x: 1 m η = 22.4	η = 10.8	η = 2.7	η < 0.1	η < 0.1	x: 1 m η = 55.9	η < 0.1	η = 0.2	η = 10.8	η = 2.7	**CUMPLE η = 55.9**
N3089/N2677	$\lambda_w \leq \lambda_{w,máx}$ Cumple	x: 1.405 m η = 11.1	x: 0 m η = 13.1	x: 0 m η = 24.4	x: 0 m η = 3.8	η = 12.5	η = 0.3	η < 0.1	η < 0.1	x: 0 m η = 35.4	η < 0.1	η = 0.2	η = 12.5	η = 0.3	**CUMPLE η = 35.4**
N3088/N2678	$\lambda_w \leq \lambda_{w,máx}$ Cumple	x: 1.868 m η = 13.5	x: 0 m η = 19.4	x: 1.869 m η = 42.8	x: 1.869 m η = 30.8	η = 5.5	η = 2.7	η < 0.1	η < 0.1	x: 1.869 m η = 80.6	η < 0.1	η < 0.1	η = 5.5	η = 2.7	**CUMPLE η = 80.6**
N2678/N2695	$\lambda_w \leq \lambda_{w,máx}$ Cumple	x: 1.911 m η = 1.8	x: 0.131 m η = 3.3	x: 0.131 m η = 31.4	x: 0.131 m η = 28.0	η = 5.6	η = 4.1	η < 0.1	η < 0.1	x: 0.131 m η = 50.7	η < 0.1	η = 1.0	η = 5.6	η = 4.2	**CUMPLE η = 50.7**
N2695/N3089	$\lambda_w \leq \lambda_{w,máx}$ Cumple	x: 0.5 m η = 7.9	x: 0.088 m η = 9.4	x: 0.088 m η = 29.0	x: 0.088 m η = 2.3	η = 6.3	η = 0.3	η < 0.1	η < 0.1	x: 0.088 m η = 36.5	η < 0.1	η < 0.1	η = 6.3	η = 0.3	**CUMPLE η = 36.5**
N3090/N3091	$\lambda_w \leq \lambda_{w,máx}$ Cumple	x: 1 m η = 17.9	x: 0 m η = 33.7	x: 1 m η = 11.6	x: 1 m η = 22.4	η = 7.6	η = 2.7	η < 0.1	η < 0.1	x: 1 m η = 55.3	η < 0.1	η = 0.3	η = 7.6	η = 2.7	**CUMPLE η = 55.3**
N3092/N2830	$\lambda_w \leq \lambda_{w,máx}$ Cumple	x: 1.405 m η = 9.6	x: 0 m η = 11.3	x: 0 m η = 22.5	x: 0 m η = 2.7	η = 11.4	η = 0.2	η < 0.1	η < 0.1	x: 0 m η = 33.6	η < 0.1	η = 0.1	η = 11.4	η = 0.2	**CUMPLE η = 33.6**
N3091/N2831	$\lambda_w \leq \lambda_{w,máx}$ Cumple	x: 1.868 m η = 12.8	x: 0 m η = 18.7	x: 1.869 m η = 30.1	x: 1.869 m η = 30.7	η = 3.8	η = 2.7	η < 0.1	η < 0.1	x: 1.869 m η = 64.1	η < 0.1	η < 0.1	η = 3.8	η = 2.7	**CUMPLE η = 64.1**

Código de validación telemática: TRLTDCFZ60T66IJ1. Comprobación: https://cogitivalencia.e-gestion.es/Validacion.aspx?CVT=TRLTDCFZ60T66IJ1

VISADO
COGITI
Estado
VALENCIA
VA07290/22
TRLTDCFZ60T66IJ1

Barras	COMPROBACIONES (CÓDIGO ESTRUCTURAL)														
	λ_w	N_t	N_c	M_Y	M_Z	V_Z	V_Y	M_YV_Z	M_ZV_Y	NM_YM_Z	$NM_YM_ZV_YV_Z$	M_t	M_tV_Z	M_tV_Y	
N2831/N2848	$\lambda_w \leq \lambda_{w,máx}$ Cumple	x: 1.911 m η = 1.0	x: 0.131 m η = 2.6	x: 0.131 m η = 21.8	x: 0.131 m η = 27.8	η = 5.9	η = 4.0	η < 0.1	η < 0.1	x: 0.131 m η = 39.3	η < 0.1	η = 1.1	η = 6.0	η = 4.0	**CUMPLE η = 39.3**
N2848/N3092	$\lambda_w \leq \lambda_{w,máx}$ Cumple	x: 0.5 m η = 6.8	x: 0.088 m η = 8.1	x: 0.088 m η = 26.6	x: 0.088 m η = 1.6	η = 5.7	η = 0.2	η < 0.1	η < 0.1	x: 0.088 m η = 34.3	η < 0.1	η < 0.1	η = 5.7	η = 0.2	**CUMPLE η = 34.3**
N3093/N3094	$\lambda_w \leq \lambda_{w,máx}$ Cumple	x: 1 m η = 12.2	x: 0 m η = 35.2	x: 1 m η = 9.3	x: 1 m η = 12.7	η = 6.1	η = 1.5	η < 0.1	η < 0.1	x: 1 m η = 39.4	η < 0.1	η = 0.1	η = 6.1	η = 1.5	**CUMPLE η = 39.4**
N3095/N1675	$\lambda_w \leq \lambda_{w,máx}$ Cumple	x: 1.405 m η = 12.8	x: 0 m η = 9.6	x: 0 m η = 27.3	x: 0 m η = 5.6	η = 14.3	η = 0.4	η < 0.1	η < 0.1	x: 0 m η = 42.0	η < 0.1	η = 0.2	η = 14.3	η = 0.4	**CUMPLE η = 42.0**
N3094/N1952	$\lambda_w \leq \lambda_{w,máx}$ Cumple	x: 1.868 m η = 8.8	x: 0 m η = 19.5	x: 1.869 m η = 24.2	x: 1.869 m η = 17.4	η = 3.1	η = 1.5	η < 0.1	η < 0.1	x: 1.869 m η = 44.1	η < 0.1	η < 0.1	η = 3.1	η = 1.5	**CUMPLE η = 44.1**
N1952/N1676	$\lambda_w \leq \lambda_{w,máx}$ Cumple	x: 1.911 m η = 2.2	x: 0.131 m η = 2.9	x: 1.912 m η = 22.8	x: 0.131 m η = 15.9	η = 3.9	η = 2.4	η < 0.1	η < 0.1	x: 0.131 m η = 28.4	η < 0.1	η = 0.6	η = 3.9	η = 2.4	**CUMPLE η = 28.4**
N1676/N3095	$\lambda_w \leq \lambda_{w,máx}$ Cumple	x: 0.5 m η = 9.1	x: 0.088 m η = 6.9	x: 0.088 m η = 32.6	x: 0.088 m η = 3.4	η = 7.2	η = 0.4	η < 0.1	η < 0.1	x: 0.088 m η = 42.3	η < 0.1	η < 0.1	η = 7.2	η = 0.4	**CUMPLE η = 42.3**
N3096/N3097	$\lambda_w \leq \lambda_{w,máx}$ Cumple	x: 1 m η = 24.1	x: 0 m η = 67.0	x: 1 m η = 9.3	x: 1 m η = 17.6	η = 6.1	η = 2.1	η < 0.1	η < 0.1	x: 1 m η = 70.4	η < 0.1	η = 0.1	η = 6.1	η = 2.1	**CUMPLE η = 70.4**
N3098/N1771	$\lambda_w \leq \lambda_{w,máx}$ Cumple	x: 1.382 m η = 24.9	x: 0 m η = 18.4	x: 0 m η = 35.7	x: 1.383 m η = 0.6	η = 22.5	η = 0.1	η < 0.1	η < 0.1	x: 0 m η = 60.7	η < 0.1	η = 0.1	η = 15.1	η = 0.1	**CUMPLE η = 60.7**
N3097/N1957	$\lambda_w \leq \lambda_{w,máx}$ Cumple	x: 1.824 m η = 15.2	x: 0 m η = 31.2	x: 1.825 m η = 21.3	x: 1.825 m η = 18.5	η = 2.3	η = 2.1	η < 0.1	η < 0.1	x: 1.825 m η = 46.0	η < 0.1	η < 0.1	η = 2.3	η = 2.1	**CUMPLE η = 46.0**
N1957/N1772	$\lambda_w \leq \lambda_{w,máx}$ Cumple	x: 1.883 m η = 4.5	x: 0.175 m η = 4.2	x: 1.884 m η = 16.8	x: 0.175 m η = 14.4	η = 2.4	η = 2.6	η < 0.1	η < 0.1	x: 1.884 m η = 21.3	η < 0.1	η = 1.6	η = 2.4	η = 2.7	**CUMPLE η = 21.3**
N1772/N3098	$\lambda_w \leq \lambda_{w,máx}$ Cumple	x: 0.5 m η = 15.6	x: 0.116 m η = 11.5	x: 0.116 m η = 39.5	x: 0.116 m η = 0.2	η = 8.6	η = 0.1	η < 0.1	η < 0.1	x: 0.116 m η = 55.1	η < 0.1	η < 0.1	η = 5.8	η = 0.1	**CUMPLE η = 55.1**
N3099/N3100	$\lambda_w \leq \lambda_{w,máx}$ Cumple	x: 1 m η = 21.1	x: 0 m η = 49.7	x: 1 m η = 10.9	x: 1 m η = 17.2	η = 7.2	η = 2.1	η < 0.1	η < 0.1	x: 1 m η = 60.5	η < 0.1	η = 0.1	η = 7.2	η = 2.1	**CUMPLE η = 60.5**
N3101/N1867	$\lambda_w \leq \lambda_{w,máx}$ Cumple	x: 1.382 m η = 18.0	x: 0 m η = 16.0	x: 0 m η = 25.8	x: 0 m η = 0.7	η = 16.2	η < 0.1	η < 0.1	η < 0.1	x: 0 m η = 44.1	η < 0.1	η = 0.1	η = 16.2	η < 0.1	**CUMPLE η = 44.1**
N3100/N1962	$\lambda_w \leq \lambda_{w,máx}$ Cumple	x: 1.824 m η = 13.3	x: 0 m η = 23.1	x: 1.825 m η = 25.0	x: 1.825 m η = 18.1	η = 2.7	η = 2.1	η < 0.1	η < 0.1	x: 1.825 m η = 43.9	η < 0.1	η < 0.1	η = 2.7	η = 2.1	**CUMPLE η = 43.9**
N1962/N1868	$\lambda_w \leq \lambda_{w,máx}$ Cumple	x: 1.883 m η = 3.1	x: 0.175 m η = 3.6	x: 0.175 m η = 13.4	x: 0.175 m η = 14.2	η = 2.0	η = 2.6	η < 0.1	η < 0.1	x: 0.175 m η = 21.4	η < 0.1	η = 1.7	η = 2.0	η = 2.7	**CUMPLE η = 21.4**
N1868/N3101	$\lambda_w \leq \lambda_{w,máx}$ Cumple	x: 0.5 m η = 11.3	x: 0.116 m η = 10.0	x: 0.116 m η = 28.5	x: 0.116 m η = 0.3	η = 6.2	η < 0.1	η < 0.1	η < 0.1	x: 0.116 m η = 39.9	η < 0.1	η < 0.1	η = 6.2	η < 0.1	**CUMPLE η = 39.9**
N3102/N3103	$\lambda_w \leq \lambda_{w,máx}$ Cumple	x: 1 m η = 18.7	x: 0 m η = 34.4	x: 1 m η = 7.8	x: 1 m η = 12.5	η = 5.1	η = 1.5	η < 0.1	η < 0.1	x: 1 m η = 46.1	η < 0.1	η = 0.1	η = 5.1	η = 1.5	**CUMPLE η = 46.1**
N3104/N2099	$\lambda_w \leq \lambda_{w,máx}$ Cumple	x: 1.405 m η = 10.8	x: 0 m η = 12.5	x: 0 m η = 24.9	x: 0 m η = 2.0	η = 12.7	η = 0.2	η < 0.1	η < 0.1	x: 0 m η = 36.7	η < 0.1	η = 0.1	η = 12.4	η = 0.2	**CUMPLE η = 36.7**
N3103/N2159	$\lambda_w \leq \lambda_{w,máx}$ Cumple	x: 1.868 m η = 13.4	x: 0 m η = 19.1	x: 1.869 m η = 20.3	x: 1.869 m η = 17.2	η = 2.6	η = 1.5	η < 0.1	η < 0.1	x: 1.869 m η = 39.3	η < 0.1	η < 0.1	η = 2.6	η = 1.5	**CUMPLE η = 39.3**
N2159/N2082	$\lambda_w \leq \lambda_{w,máx}$ Cumple	x: 1.911 m η = 1.0	x: 0.131 m η = 2.4	x: 1.912 m η = 20.2	x: 0.131 m η = 15.7	η = 4.3	η = 2.3	η < 0.1	η < 0.1	x: 0.131 m η = 22.7	η < 0.1	η = 0.8	η = 4.4	η = 2.3	**CUMPLE η = 22.7**
N2082/N3104	$\lambda_w \leq \lambda_{w,máx}$ Cumple	x: 0.5 m η = 7.7	x: 0.088 m η = 9.0	x: 0.088 m η = 29.5	x: 0.088 m η = 1.2	η = 6.4	η = 0.2	η < 0.1	η < 0.1	x: 0.088 m η = 37.7	η < 0.1	η < 0.1	η = 6.2	η = 0.2	**CUMPLE η = 37.7**
N3105/N3106	$\lambda_w \leq \lambda_{w,máx}$ Cumple	x: 1 m η = 18.9	x: 0 m η = 34.5	x: 1 m η = 7.9	x: 1 m η = 12.3	η = 5.2	η = 1.5	η < 0.1	η < 0.1	x: 1 m η = 45.6	η < 0.1	η = 0.1	η = 5.2	η = 1.5	**CUMPLE η = 45.6**
N3107/N2252	$\lambda_w \leq \lambda_{w,máx}$ Cumple	x: 1.405 m η = 10.9	x: 0 m η = 12.8	x: 0 m η = 25.2	x: 0 m η = 1.9	η = 12.9	η = 0.1	η < 0.1	η < 0.1	x: 0 m η = 37.5	η < 0.1	η = 0.1	η = 12.9	η = 0.1	**CUMPLE η = 37.5**
N3106/N2312	$\lambda_w \leq \lambda_{w,máx}$ Cumple	x: 1.868 m η = 13.6	x: 0 m η = 19.1	x: 1.869 m η = 20.6	x: 1.869 m η = 16.9	η = 2.6	η = 1.5	η < 0.1	η < 0.1	x: 1.869 m η = 40.0	η < 0.1	η < 0.1	η = 2.6	η = 1.5	**CUMPLE η = 40.0**
N2312/N2235	$\lambda_w \leq \lambda_{w,máx}$ Cumple	x: 1.911 m η = 1.0	x: 0.131 m η = 2.5	x: 1.912 m η = 20.6	x: 0.131 m η = 15.5	η = 4.4	η = 2.3	η < 0.1	η < 0.1	x: 0.131 m η = 23.2	η < 0.1	η = 0.8	η = 4.5	η = 2.3	**CUMPLE η = 23.2**
N2235/N3107	$\lambda_w \leq \lambda_{w,máx}$ Cumple	x: 0.5 m η = 7.8	x: 0.088 m η = 9.2	x: 0.088 m η = 29.9	x: 0.088 m η = 1.1	η = 6.5	η = 0.1	η < 0.1	η < 0.1	x: 0.088 m η = 38.5	η < 0.1	η < 0.1	η = 6.5	η = 0.1	**CUMPLE η = 38.5**
N3108/N3109	$\lambda_w \leq \lambda_{w,máx}$ Cumple	x: 1 m η = 18.9	x: 0 m η = 34.5	x: 1 m η = 7.4	x: 1 m η = 12.1	η = 4.9	η = 1.5	η < 0.1	η < 0.1	x: 1 m η = 45.8	η < 0.1	η = 0.1	η = 4.9	η = 1.5	**CUMPLE η = 45.8**
N3110/N2405	$\lambda_w \leq \lambda_{w,máx}$ Cumple	x: 1.405 m η = 10.8	x: 0 m η = 12.7	x: 0 m η = 25.3	x: 0 m η = 2.0	η = 12.9	η = 0.1	η < 0.1	η < 0.1	x: 0 m η = 37.7	η < 0.1	η = 0.1	η = 12.9	η = 0.1	**CUMPLE η = 37.7**
N3109/N2465	$\lambda_w \leq \lambda_{w,máx}$ Cumple	x: 1.868 m η = 13.6	x: 0 m η = 19.1	x: 1.869 m η = 19.4	x: 1.869 m η = 16.7	η = 2.5	η = 1.5	η < 0.1	η < 0.1	x: 1.869 m η = 40.0	η < 0.1	η < 0.1	η = 2.5	η = 1.5	**CUMPLE η = 40.0**
N2465/N2388	$\lambda_w \leq \lambda_{w,máx}$ Cumple	x: 1.911 m η = 1.0	x: 0.131 m η = 2.4	x: 1.912 m η = 20.8	x: 0.131 m η = 15.3	η = 4.5	η = 2.3	η < 0.1	η < 0.1	x: 0.131 m η = 23.3	η < 0.1	η = 0.8	η = 4.5	η = 2.3	**CUMPLE η = 23.3**
N2388/N3110	$\lambda_w \leq \lambda_{w,máx}$ Cumple	x: 0.5 m η = 7.7	x: 0.088 m η = 9.1	x: 0.088 m η = 30.0	x: 0.088 m η = 1.2	η = 6.5	η = 0.1	η < 0.1	η < 0.1	x: 0.088 m η = 38.7	η < 0.1	η < 0.1	η = 6.5	η = 0.1	**CUMPLE η = 38.7**
N3111/N3112	$\lambda_w \leq \lambda_{w,máx}$ Cumple	x: 1 m η = 18.8	x: 0 m η = 34.4	x: 1 m η = 6.2	x: 1 m η = 12.0	η = 4.1	η = 1.4	η < 0.1	η < 0.1	x: 1 m η = 46.5	η < 0.1	η = 0.2	η = 4.1	η = 1.4	**CUMPLE η = 46.5**
N3113/N2558	$\lambda_w \leq \lambda_{w,máx}$ Cumple	x: 1.405 m η = 10.8	x: 0 m η = 12.6	x: 0 m η = 25.4	x: 0 m η = 2.1	η = 12.9	η = 0.2	η < 0.1	η < 0.1	x: 0 m η = 37.9	η < 0.1	η < 0.1	η = 12.7	η = 0.2	**CUMPLE η = 37.9**
N3112/N2618	$\lambda_w \leq \lambda_{w,máx}$ Cumple	x: 1.868 m η = 13.5	x: 0 m η = 19.1	x: 1.869 m η = 16.2	x: 1.869 m η = 16.5	η = 2.1	η = 1.4	η < 0.1	η < 0.1	x: 1.869 m η = 38.7	η < 0.1	η < 0.1	η = 2.1	η = 1.4	**CUMPLE η = 38.7**
N2618/N2541	$\lambda_w \leq \lambda_{w,máx}$ Cumple	x: 1.911 m η = 0.9	x: 0.131 m η = 2.4	x: 1.912 m η = 21.0	x: 0.131 m η = 15.2	η = 4.9	η = 2.3	η < 0.1	η < 0.1	x: 0.131 m η = 22.3	η < 0.1	η = 0.8	η = 4.9	η = 2.3	**CUMPLE η = 22.3**
N2541/N3113	$\lambda_w \leq \lambda_{w,máx}$ Cumple	x: 0.5 m η = 7.7	x: 0.088 m η = 9.0	x: 0.088 m η = 30.2	x: 0.088 m η = 1.3	η = 6.5	η = 0.2	η < 0.1	η < 0.1	x: 0.088 m η = 38.9	η < 0.1	η < 0.1	η = 6.4	η = 0.2	**CUMPLE η = 38.9**
N3114/N3115	$\lambda_w \leq \lambda_{w,máx}$ Cumple	x: 1 m η = 18.9	x: 0 m η = 34.4	x: 1 m η = 4.7	x: 1 m η = 11.9	x: 0 m η = 3.1	η = 1.4	η < 0.1	η < 0.1	x: 1 m η = 47.9	η < 0.1	η = 0.2	x: 0 m η = 3.1	η = 1.4	**CUMPLE η = 47.9**
N3116/N2711	$\lambda_w \leq \lambda_{w,máx}$ Cumple	x: 1.405 m η = 10.5	x: 0 m η = 12.0	x: 0 m η = 25.6	x: 0 m η = 2.3	η = 13.0	η = 0.2	η < 0.1	η < 0.1	x: 0 m η = 37.8	η < 0.1	η = 0.1	η = 13.0	η = 0.2	**CUMPLE η = 37.8**
N3115/N2771	$\lambda_w \leq \lambda_{w,máx}$ Cumple	x: 1.868 m η = 13.6	x: 0 m η = 19.1	x: 1.869 m η = 12.3	x: 1.869 m η = 16.3	η = 1.6	η = 1.4	η < 0.1	η < 0.1	x: 1.869 m η = 41.1	η < 0.1	η < 0.1	η = 1.6	η = 1.4	**CUMPLE η = 41.1**
N2771/N2694	$\lambda_w \leq \lambda_{w,máx}$ Cumple	x: 1.911 m η = 0.8	x: 0.131 m η = 2.1	x: 1.912 m η = 21.4	x: 0.131 m η = 15.0	η = 5.6	η = 2.2	η < 0.1	η < 0.1	x: 1.912 m η = 22.6	η < 0.1	η = 0.8	η = 5.6	η = 2.3	**CUMPLE η = 22.6**
N2694/N3116	$\lambda_w \leq \lambda_{w,máx}$ Cumple	x: 0.5 m η = 7.5	x: 0.088 m η = 8.6	x: 0.088 m η = 30.3	x: 0.088 m η = 1.4	η = 6.6	η = 0.2	η < 0.1	η < 0.1	x: 0.088 m η = 38.8	η < 0.1	η < 0.1	η = 6.6	η = 0.2	**CUMPLE η = 38.8**
N3117/N3118	$\lambda_w \leq \lambda_{w,máx}$ Cumple	x: 1 m η = 17.6	x: 0 m η = 33.1	x: 1 m η = 7.1	x: 1 m η = 12.0	η = 4.6	η = 1.4	η < 0.1	η < 0.1	x: 1 m η = 48.5	η < 0.1	η = 0.2	η = 4.6	η = 1.4	**CUMPLE η = 48.5**

Documento visado electrónicamente con número: VA07290/22
Código de validación telemática TRLTDCFZ60T66IJ1. Comprobación: https://cogitivalencia.e-gestion.es/Validacion.aspx?CVT=TRLTDCFZ60T66IJ1

VISADO COGITI VALENCIA VA07290/22 TRLTDCFZ60T66IJ1

Barras	COMPROBACIONES (CÓDIGO ESTRUCTURAL)														Estado
	λ_w	N_t	N_c	M_Y	M_Z	V_Z	V_Y	M_YV_Z	M_ZV_Y	NM_YM_Z	$NM_YM_ZV_YV_Z$	M_t	M_tV_Z	M_tV_Y	
N3119/N2864	$\lambda_w \le \lambda_{w,\text{máx}}$ Cumple	x: 1.405 m η = 9.1	x: 0 m η = 9.9	x: 0 m η = 23.9	x: 0 m η = 1.8	η = 11.9	η = 0.1	η < 0.1	η < 0.1	x: 0 m η = 34.2	η < 0.1	η = 0.1	η = 11.9	η = 0.1	**CUMPLE η = 34.2**
N3118/N2924	$\lambda_w \le \lambda_{w,\text{máx}}$ Cumple	x: 1.868 m η = 12.7	x: 0 m η = 18.4	x: 1.869 m η = 18.4	x: 1.869 m η = 16.5	η = 2.3	η = 1.4	η < 0.1	η < 0.1	x: 1.869 m η = 45.9	η < 0.1	η < 0.1	η = 2.3	η = 1.4	**CUMPLE η = 45.9**
N2924/N2847	$\lambda_w \le \lambda_{w,\text{máx}}$ Cumple	x: 1.911 m η = 0.3	x: 0.131 m η = 2.2	x: 1.912 m η = 20.0	x: 0.131 m η = 15.1	η = 6.1	η = 2.2	η < 0.1	η < 0.1	x: 0.131 m η = 24.1	η < 0.1	η = 0.8	η = 6.1	η = 2.2	**CUMPLE η = 24.1**
N2847/N3119	$\lambda_w \le \lambda_{w,\text{máx}}$ Cumple	x: 0.5 m η = 6.5	x: 0.088 m η = 7.1	x: 0.088 m η = 28.1	x: 0.088 m η = 1.1	η = 6.0	η = 0.1	η < 0.1	η < 0.1	x: 0.088 m η = 35.5	η < 0.1	η < 0.1	η = 6.0	η = 0.1	**CUMPLE η = 35.5**
N3120/N3121	$\lambda_w \le \lambda_{w,\text{máx}}$ Cumple	x: 1 m η = 4.7	x: 0 m η = 14.5	x: 1 m η = 13.8	x: 1 m η = 8.2	η = 9.1	η = 1.0	η < 0.1	η < 0.1	x: 1 m η = 30.4	η < 0.1	η = 0.2	η = 9.1	η = 1.0	**CUMPLE η = 30.4**
N3122/N1692	$\lambda_w \le \lambda_{w,\text{máx}}$ Cumple	x: 1.405 m η = 4.5	x: 0 m η = 7.6	x: 0 m η = 42.5	x: 0 m η = 5.9	η = 18.3	η = 0.5	η < 0.1	η < 0.1	x: 0 m η = 51.5	η < 0.1	η = 0.3	η = 18.3	η = 0.5	**CUMPLE η = 51.5**
N3121/N1976	$\lambda_w \le \lambda_{w,\text{máx}}$ Cumple	x: 1.859 m η = 3.4	x: 0 m η = 11.1	x: 1.86 m η = 35.7	x: 1.86 m η = 11.1	η = 4.6	η = 1.0	η < 0.1	η < 0.1	x: 1.86 m η = 51.2	η < 0.1	η < 0.1	η = 4.6	η = 1.0	**CUMPLE η = 51.2**
N1976/N1974	$\lambda_w \le \lambda_{w,\text{máx}}$ Cumple	x: 1.859 m η = 3.5	x: 0.14 m η = 11.6	x: 1.86 m η = 60.3	x: 0.14 m η = 10.3	η = 4.6	η = 1.8	η < 0.1	η < 0.1	x: 1.86 m η = 74.9	η < 0.1	η = 0.1	η = 4.6	η = 1.8	**CUMPLE η = 74.9**
N1974/N3122	$\lambda_w \le \lambda_{w,\text{máx}}$ Cumple	x: 0.5 m η = 3.2	x: 0.14 m η = 5.5	x: 0.14 m η = 47.2	x: 0.14 m η = 3.5	η = 9.2	η = 0.5	η < 0.1	η < 0.1	x: 0.14 m η = 53.4	η < 0.1	η < 0.1	η = 9.2	η = 0.5	**CUMPLE η = 53.4**
N3123/N3124	$\lambda_w \le \lambda_{w,\text{máx}}$ Cumple	x: 1 m η = 7.5	x: 0 m η = 20.9	x: 1 m η = 19.6	x: 1 m η = 10.1	η = 14.2	η = 1.3	η < 0.1	η < 0.1	x: 1 m η = 42.3	η < 0.1	η = 0.3	η = 14.2	η = 1.3	**CUMPLE η = 42.3**
N3125/N1788	$\lambda_w \le \lambda_{w,\text{máx}}$ Cumple	x: 1.382 m η = 5.9	x: 0 m η = 10.2	x: 0 m η = 46.9	x: 0 m η = 0.8	η = 22.6	η = 0.1	η < 0.1	η < 0.1	x: 0 m η = 56.7	η < 0.1	η = 0.3	η = 22.6	η = 0.1	**CUMPLE η = 56.7**
N3124/N1975	$\lambda_w \le \lambda_{w,\text{máx}}$ Cumple	x: 1.859 m η = 4.0	x: 0 m η = 12.1	x: 1.86 m η = 38.8	x: 1.86 m η = 7.7	η = 4.1	η = 1.3	η < 0.1	η < 0.1	x: 1.86 m η = 53.9	η < 0.1	η < 0.1	η = 4.1	η = 1.3	**CUMPLE η = 53.9**
N1975/N1968	$\lambda_w \le \lambda_{w,\text{máx}}$ Cumple	x: 1.859 m η = 4.0	x: 0.14 m η = 12.8	x: 1.86 m η = 65.3	x: 0.14 m η = 7.4	η = 4.1	η = 1.8	η < 0.1	η < 0.1	x: 1.86 m η = 81.2	η < 0.1	η = 0.1	η = 4.1	η = 1.8	**CUMPLE η = 81.2**
N1968/N3125	$\lambda_w \le \lambda_{w,\text{máx}}$ Cumple	x: 0.5 m η = 3.1	x: 0.14 m η = 5.5	x: 0.14 m η = 40.1	x: 0.14 m η = 0.3	η = 6.5	η = 0.1	η < 0.1	η < 0.1	x: 0.14 m η = 44.8	η < 0.1	η < 0.1	η = 6.5	η = 0.1	**CUMPLE η = 44.8**
N3126/N3127	$\lambda_w \le \lambda_{w,\text{máx}}$ Cumple	x: 1 m η = 6.7	x: 0 m η = 16.2	x: 1 m η = 15.8	x: 1 m η = 9.8	η = 11.5	η = 1.2	η < 0.1	η < 0.1	x: 1 m η = 33.4	η < 0.1	η = 0.3	η = 11.5	η = 1.2	**CUMPLE η = 33.4**
N3128/N1884	$\lambda_w \le \lambda_{w,\text{máx}}$ Cumple	x: 1.382 m η = 5.2	x: 0 m η = 8.0	x: 0 m η = 38.1	x: 0 m η = 0.6	η = 18.5	η = 0.1	η < 0.1	η < 0.1	x: 0 m η = 45.7	η < 0.1	η = 0.5	η = 18.5	η = 0.1	**CUMPLE η = 45.7**
N3127/N1969	$\lambda_w \le \lambda_{w,\text{máx}}$ Cumple	x: 1.859 m η = 3.6	x: 0 m η = 9.3	x: 1.86 m η = 31.3	x: 1.86 m η = 7.5	η = 3.3	η = 1.2	η < 0.1	η < 0.1	x: 1.86 m η = 43.1	η < 0.1	η < 0.1	η = 3.3	η = 1.2	**CUMPLE η = 43.1**
N1969/N1966	$\lambda_w \le \lambda_{w,\text{máx}}$ Cumple	x: 1.859 m η = 3.6	x: 0.14 m η = 10.1	x: 1.86 m η = 52.7	x: 0.14 m η = 7.2	η = 3.3	η = 1.7	η < 0.1	η < 0.1	x: 1.86 m η = 64.8	η < 0.1	η = 0.1	η = 3.3	η = 1.7	**CUMPLE η = 64.8**
N1966/N3128	$\lambda_w \le \lambda_{w,\text{máx}}$ Cumple	x: 0.5 m η = 2.8	x: 0.14 m η = 4.2	x: 0.14 m η = 32.6	x: 0.14 m η = 0.2	η = 5.3	η = 0.1	η < 0.1	η < 0.1	x: 0.14 m η = 36.4	η < 0.1	η < 0.1	η = 5.3	η = 0.1	**CUMPLE η = 36.4**
N3129/N3130	$\lambda_w \le \lambda_{w,\text{máx}}$ Cumple	x: 1 m η = 7.4	x: 0 m η = 14.6	x: 1 m η = 12.6	x: 1 m η = 6.7	η = 8.3	η = 0.8	η < 0.1	η < 0.1	x: 1 m η = 29.2	η < 0.1	η = 0.1	η = 8.3	η = 0.8	**CUMPLE η = 29.2**
N3131/N2115	$\lambda_w \le \lambda_{w,\text{máx}}$ Cumple	x: 1.405 m η = 6.8	x: 0 m η = 8.4	x: 0 m η = 38.4	x: 0 m η = 1.4	η = 16.3	η = 0.1	η < 0.1	η < 0.1	x: 0 m η = 46.7	η < 0.1	η = 0.3	η = 16.3	η = 0.1	**CUMPLE η = 46.7**
N3130/N2165	$\lambda_w \le \lambda_{w,\text{máx}}$ Cumple	x: 1.859 m η = 5.3	x: 0 m η = 11.2	x: 1.86 m η = 32.6	x: 1.86 m η = 9.1	η = 4.2	η = 0.8	η < 0.1	η < 0.1	x: 1.86 m η = 46.8	η < 0.1	η < 0.1	η = 4.2	η = 0.8	**CUMPLE η = 46.8**
N2165/N2163	$\lambda_w \le \lambda_{w,\text{máx}}$ Cumple	x: 1.859 m η = 5.2	x: 0.14 m η = 12.7	x: 1.86 m η = 54.6	x: 0.14 m η = 8.4	η = 4.2	η = 1.3	η < 0.1	η < 0.1	x: 1.86 m η = 69.4	η < 0.1	η = 0.1	η = 4.2	η = 1.3	**CUMPLE η = 69.4**
N2163/N3131	$\lambda_w \le \lambda_{w,\text{máx}}$ Cumple	x: 0.5 m η = 4.9	x: 0.14 m η = 6.1	x: 0.14 m η = 42.5	x: 0.14 m η = 0.9	η = 8.2	η = 0.1	η < 0.1	η < 0.1	x: 0.14 m η = 48.5	η < 0.1	η < 0.1	η = 8.2	η = 0.1	**CUMPLE η = 48.5**
N3132/N3133	$\lambda_w \le \lambda_{w,\text{máx}}$ Cumple	x: 1 m η = 7.5	x: 0 m η = 14.6	x: 1 m η = 12.5	x: 1 m η = 6.7	η = 8.2	η = 0.8	η < 0.1	η < 0.1	x: 1 m η = 29.2	η < 0.1	η = 0.1	η = 8.2	η = 0.8	**CUMPLE η = 29.2**
N3134/N2268	$\lambda_w \le \lambda_{w,\text{máx}}$ Cumple	x: 1.405 m η = 6.9	x: 0 m η = 8.5	x: 0 m η = 38.1	x: 0 m η = 1.3	η = 16.2	η = 0.1	η < 0.1	η < 0.1	x: 0 m η = 46.4	η < 0.1	η = 0.3	η = 16.2	η = 0.1	**CUMPLE η = 46.4**
N3133/N2318	$\lambda_w \le \lambda_{w,\text{máx}}$ Cumple	x: 1.859 m η = 5.4	x: 0 m η = 11.2	x: 1.86 m η = 32.4	x: 1.86 m η = 9.1	η = 4.2	η = 0.8	η < 0.1	η < 0.1	x: 1.86 m η = 46.5	η < 0.1	η < 0.1	η = 4.2	η = 0.8	**CUMPLE η = 46.5**
N2318/N2316	$\lambda_w \le \lambda_{w,\text{máx}}$ Cumple	x: 1.859 m η = 5.3	x: 0.14 m η = 12.7	x: 1.86 m η = 54.2	x: 0.14 m η = 8.4	η = 4.1	η = 1.3	η < 0.1	η < 0.1	x: 1.86 m η = 69.1	η < 0.1	η = 0.2	η = 4.1	η = 1.3	**CUMPLE η = 69.1**
N2316/N3134	$\lambda_w \le \lambda_{w,\text{máx}}$ Cumple	x: 0.5 m η = 4.9	x: 0.14 m η = 6.1	x: 0.14 m η = 42.2	x: 0.14 m η = 0.8	η = 8.2	η = 0.1	η < 0.1	η < 0.1	x: 0.14 m η = 48.2	η < 0.1	η < 0.1	η = 8.2	η = 0.1	**CUMPLE η = 48.2**
N3135/N3136	$\lambda_w \le \lambda_{w,\text{máx}}$ Cumple	x: 1 m η = 7.4	x: 0 m η = 14.6	x: 1 m η = 12.4	x: 1 m η = 6.7	η = 8.1	η = 0.8	η < 0.1	η < 0.1	x: 1 m η = 28.9	η < 0.1	η = 0.1	η = 8.1	η = 0.8	**CUMPLE η = 28.9**
N3137/N2421	$\lambda_w \le \lambda_{w,\text{máx}}$ Cumple	x: 1.405 m η = 6.9	x: 0 m η = 8.5	x: 0 m η = 37.6	x: 0 m η = 1.3	η = 16.0	η = 0.1	η < 0.1	η < 0.1	x: 0 m η = 46.0	η < 0.1	η = 0.3	η = 16.0	η = 0.1	**CUMPLE η = 46.0**
N3136/N2471	$\lambda_w \le \lambda_{w,\text{máx}}$ Cumple	x: 1.859 m η = 5.4	x: 0 m η = 11.2	x: 1.86 m η = 32.0	x: 1.86 m η = 9.2	η = 4.1	η = 0.8	η < 0.1	η < 0.1	x: 1.86 m η = 46.0	η < 0.1	η < 0.1	η = 4.1	η = 0.8	**CUMPLE η = 46.0**
N2471/N2469	$\lambda_w \le \lambda_{w,\text{máx}}$ Cumple	x: 1.859 m η = 5.3	x: 0.14 m η = 12.7	x: 1.86 m η = 53.5	x: 0.14 m η = 8.5	η = 4.1	η = 1.3	η < 0.1	η < 0.1	x: 1.86 m η = 68.4	η < 0.1	η = 0.2	η = 4.1	η = 1.3	**CUMPLE η = 68.4**
N2469/N3137	$\lambda_w \le \lambda_{w,\text{máx}}$ Cumple	x: 0.5 m η = 4.9	x: 0.14 m η = 6.1	x: 0.14 m η = 41.7	x: 0.14 m η = 0.8	η = 8.1	η = 0.1	η < 0.1	η < 0.1	x: 0.14 m η = 47.7	η < 0.1	η < 0.1	η = 8.1	η = 0.1	**CUMPLE η = 47.7**
N3138/N3139	$\lambda_w \le \lambda_{w,\text{máx}}$ Cumple	x: 1 m η = 7.4	x: 0 m η = 14.5	x: 1 m η = 12.1	x: 1 m η = 6.7	η = 8.0	η = 0.8	η < 0.1	η < 0.1	x: 1 m η = 28.4	η < 0.1	η = 0.1	η = 8.0	η = 0.8	**CUMPLE η = 28.4**
N3140/N2574	$\lambda_w \le \lambda_{w,\text{máx}}$ Cumple	x: 1.405 m η = 6.9	x: 0 m η = 8.5	x: 0 m η = 36.8	x: 0 m η = 1.4	η = 15.6	η = 0.1	η < 0.1	η < 0.1	x: 0 m η = 45.2	η < 0.1	η = 0.3	η = 15.6	η = 0.1	**CUMPLE η = 45.2**
N3139/N2624	$\lambda_w \le \lambda_{w,\text{máx}}$ Cumple	x: 1.859 m η = 5.3	x: 0 m η = 11.1	x: 1.86 m η = 31.4	x: 1.86 m η = 9.2	η = 4.0	η = 0.8	η < 0.1	η < 0.1	x: 1.86 m η = 45.2	η < 0.1	η < 0.1	η = 4.0	η = 0.8	**CUMPLE η = 45.2**
N2624/N2622	$\lambda_w \le \lambda_{w,\text{máx}}$ Cumple	x: 1.859 m η = 5.3	x: 0.14 m η = 12.7	x: 1.86 m η = 52.4	x: 0.14 m η = 8.5	η = 4.0	η = 1.3	η < 0.1	η < 0.1	x: 1.86 m η = 67.2	η < 0.1	η = 0.2	η = 4.0	η = 1.3	**CUMPLE η = 67.2**
N2622/N3140	$\lambda_w \le \lambda_{w,\text{máx}}$ Cumple	x: 0.5 m η = 4.9	x: 0.14 m η = 6.1	x: 0.14 m η = 40.8	x: 0.14 m η = 0.8	η = 7.9	η = 0.1	η < 0.1	η < 0.1	x: 0.14 m η = 46.8	η < 0.1	η < 0.1	η = 7.9	η = 0.1	**CUMPLE η = 46.8**
N3141/N3142	$\lambda_w \le \lambda_{w,\text{máx}}$ Cumple	x: 1 m η = 7.5	x: 0 m η = 14.3	x: 1 m η = 11.6	x: 1 m η = 6.7	η = 7.6	η = 0.8	η < 0.1	η < 0.1	x: 1 m η = 27.3	η < 0.1	η = 0.2	η = 7.6	η = 0.8	**CUMPLE η = 27.3**
N3143/N2727	$\lambda_w \le \lambda_{w,\text{máx}}$ Cumple	x: 1.405 m η = 6.8	x: 0 m η = 8.3	x: 0 m η = 35.3	x: 0 m η = 1.6	η = 14.8	η = 0.1	η < 0.1	η < 0.1	x: 0 m η = 43.6	η < 0.1	η = 0.3	η = 14.9	η = 0.1	**CUMPLE η = 43.6**
N3142/N2777	$\lambda_w \le \lambda_{w,\text{máx}}$ Cumple	x: 1.859 m η = 5.4	x: 0 m η = 11.0	x: 1.86 m η = 30.0	x: 1.86 m η = 9.1	η = 3.8	η = 0.8	η < 0.1	η < 0.1	x: 1.86 m η = 43.5	η < 0.1	η < 0.1	η = 3.8	η = 0.8	**CUMPLE η = 43.5**
N2777/N2775	$\lambda_w \le \lambda_{w,\text{máx}}$ Cumple	x: 1.859 m η = 5.2	x: 0.14 m η = 12.5	x: 1.86 m η = 50.2	x: 0.14 m η = 8.4	η = 3.8	η = 1.3	η < 0.1	η < 0.1	x: 1.86 m η = 64.7	η < 0.1	η = 0.3	η = 3.8	η = 1.3	**CUMPLE η = 64.7**

Documento visado electrónicamente con número VA07290/22 Código de validación telemática TRLTDCFZ60T66IJ1. Comprobación: https://cogitivalencia.e-gestion.es/Validacion.aspx?CVT=TRLTDCFZ60T66IJ1

VISADO
COGITI
Estado
VALENCIA
VA07290/22
TRLTDCFZ60T66IJ1

Barras	COMPROBACIONES (CÓDIGO ESTRUCTURAL)														
	λ_w	N_t	N_c	M_Y	M_Z	V_Z	V_Y	M_YV_Z	M_ZV_Y	NM_YM_Z	$NM_YM_ZV_YV_Z$	M_t	M_tV_Z	M_tV_Y	
N2775/N3143	$\lambda_w \leq \lambda_{w,máx}$ Cumple	x: 0.5 m η = 4.8	x: 0.14 m η = 6.0	x: 0.14 m η = 39.0	x: 0.14 m η = 1.0	η = 7.5	η = 0.1	η < 0.1	η < 0.1	x: 0.14 m η = 45.0	η < 0.1	η < 0.1	η = 7.5	η = 0.1	**CUMPLE η = 7.5**
N3144/N3145	$\lambda_w \leq \lambda_{w,máx}$ Cumple	x: 1 m η = 6.8	x: 0 m η = 13.6	x: 1 m η = 9.6	x: 1 m η = 5.8	η = 6.3	η = 0.7	η < 0.1	η < 0.1	x: 1 m η = 24.5	η < 0.1	η = 0.3	η = 6.3	η = 0.7	**CUMPLE η = 24.5**
N3146/N2880	$\lambda_w \leq \lambda_{w,máx}$ Cumple	x: 1.405 m η = 6.3	x: 0 m η = 7.7	x: 0 m η = 29.2	x: 0 m η = 1.3	η = 12.2	η = 0.1	η < 0.1	η < 0.1	x: 0 m η = 36.9	η < 0.1	η = 0.2	η = 12.3	η = 0.1	**CUMPLE η = 36.9**
N3145/N2930	$\lambda_w \leq \lambda_{w,máx}$ Cumple	x: 1.859 m η = 4.9	x: 0 m η = 10.4	x: 1.86 m η = 24.8	x: 1.86 m η = 8.0	η = 3.2	η = 0.7	η < 0.1	η < 0.1	x: 1.86 m η = 36.7	η < 0.1	η < 0.1	η = 3.2	η = 0.7	**CUMPLE η = 36.7**
N2930/N2928	$\lambda_w \leq \lambda_{w,máx}$ Cumple	x: 1.859 m η = 4.8	x: 0.14 m η = 11.5	x: 1.86 m η = 41.5	x: 0.14 m η = 7.4	η = 3.2	η = 1.1	η < 0.1	η < 0.1	x: 1.86 m η = 54.6	η < 0.1	η = 0.4	η = 3.2	η = 1.1	**CUMPLE η = 54.6**
N2928/N3146	$\lambda_w \leq \lambda_{w,máx}$ Cumple	x: 0.5 m η = 4.5	x: 0.14 m η = 5.6	x: 0.14 m η = 32.1	x: 0.14 m η = 0.8	η = 6.2	η = 0.1	η < 0.1	η < 0.1	x: 0.14 m η = 37.7	η < 0.1	η < 0.1	η = 6.2	η = 0.1	**CUMPLE η = 37.7**
N3147/N3148	$\lambda_w \leq \lambda_{w,máx}$ Cumple	x: 1 m η = 18.7	x: 0 m η = 34.9	x: 1 m η = 21.7	x: 1 m η = 21.8	η = 14.2	η = 2.6	η < 0.1	η < 0.1	x: 1 m η = 58.8	η < 0.1	η = 0.1	η = 14.2	η = 2.6	**CUMPLE η = 58.8**
N3149/N2371	$\lambda_w \leq \lambda_{w,máx}$ Cumple	x: 1.405 m η = 11.3	x: 0 m η = 13.7	x: 0 m η = 24.0	x: 0 m η = 3.8	η = 12.3	η = 0.3	η < 0.1	η < 0.1	x: 0 m η = 35.2	η < 0.1	η = 0.2	η = 12.3	η = 0.3	**CUMPLE η = 35.2**
N3148/N2372	$\lambda_w \leq \lambda_{w,máx}$ Cumple	x: 1.868 m η = 13.4	x: 0 m η = 19.3	x: 1.869 m η = 56.3	x: 1.869 m η = 29.9	η = 7.2	η = 2.6	η < 0.1	η < 0.1	x: 1.869 m η = 86.5	η < 0.1	η < 0.1	η = 7.2	η = 2.6	**CUMPLE η = 86.5**
N2372/N2389	$\lambda_w \leq \lambda_{w,máx}$ Cumple	x: 1.911 m η = 2.0	x: 0.131 m η = 3.7	x: 0.131 m η = 41.3	x: 0.131 m η = 27.3	η = 6.6	η = 4.1	η < 0.1	η < 0.1	x: 0.131 m η = 55.3	η < 0.1	η = 1.0	η = 6.6	η = 4.1	**CUMPLE η = 55.3**
N2389/N3149	$\lambda_w \leq \lambda_{w,máx}$ Cumple	x: 0.5 m η = 8.1	x: 0.088 m η = 9.8	x: 0.088 m η = 28.6	x: 0.088 m η = 2.3	η = 6.2	η = 0.3	η < 0.1	η < 0.1	x: 0.088 m η = 36.2	η < 0.1	η < 0.1	η = 6.2	η = 0.3	**CUMPLE η = 36.2**
N1952/N1722	$\lambda_w \leq \lambda_{w,máx}$ Cumple	x: 2.47 m η = 39.5	x: 0.204 m η = 75.7	x: 0.204 m η = 12.6	x: 0.204 m η = 4.0	x: 2.471 m η = 1.8	η = 0.2	η < 0.1	η < 0.1	x: 2.471 m η = 82.7	η < 0.1	η = 0.4	x: 2.471 m η = 1.8	η = 0.2	**CUMPLE η = 82.7**
N1957/N1818	$\lambda_w \leq \lambda_{w,máx}$ Cumple	x: 2.432 m η = 34.7	x: 0.204 m η = 56.0	x: 2.433 m η = 20.4	x: 0.204 m η = 3.0	x: 2.433 m η = 1.9	η = 0.3	η < 0.1	η < 0.1	x: 2.433 m η = 74.7	η < 0.1	η = 4.6	x: 2.433 m η = 1.9	η = 0.3	**CUMPLE η = 74.7**
N1962/N1914	$\lambda_w \leq \lambda_{w,máx}$ Cumple	x: 2.432 m η = 29.9	x: 0.204 m η = 40.7	x: 2.433 m η = 14.3	x: 0.204 m η = 2.4	x: 2.433 m η = 1.4	η = 0.2	η < 0.1	η < 0.1	x: 2.433 m η = 53.9	η < 0.1	η = 4.8	x: 2.433 m η = 1.4	η = 0.2	**CUMPLE η = 53.9**
N2159/N2081	$\lambda_w \leq \lambda_{w,máx}$ Cumple	x: 2.47 m η = 52.0	x: 0.204 m η = 68.5	x: 0.204 m η = 13.3	x: 0.204 m η = 2.0	x: 2.471 m η = 1.7	η = 0.1	η < 0.1	η < 0.1	x: 0.204 m η = 74.5	η < 0.1	η = 0.5	x: 2.471 m η = 1.5	η = 0.1	**CUMPLE η = 74.5**
N2312/N2234	$\lambda_w \leq \lambda_{w,máx}$ Cumple	x: 2.47 m η = 52.9	x: 0.204 m η = 68.8	x: 0.204 m η = 13.6	x: 0.204 m η = 1.9	x: 2.471 m η = 1.8	η = 0.1	η < 0.1	η < 0.1	x: 2.471 m η = 74.9	η < 0.1	η = 0.5	x: 2.471 m η = 1.6	η = 0.1	**CUMPLE η = 74.9**
N2465/N2387	$\lambda_w \leq \lambda_{w,máx}$ Cumple	x: 2.47 m η = 52.8	x: 0.204 m η = 68.5	x: 0.204 m η = 13.1	x: 0.204 m η = 2.1	x: 2.471 m η = 1.8	η = 0.1	η < 0.1	η < 0.1	x: 2.471 m η = 74.8	η < 0.1	η = 0.5	x: 2.471 m η = 1.7	η = 0.1	**CUMPLE η = 74.8**
N2618/N2540	$\lambda_w \leq \lambda_{w,máx}$ Cumple	x: 2.47 m η = 52.2	x: 0.204 m η = 68.0	x: 2.471 m η = 11.6	x: 0.204 m η = 2.4	x: 2.471 m η = 1.7	η = 0.1	η < 0.1	η < 0.1	x: 2.471 m η = 74.5	η < 0.1	η = 0.6	x: 2.471 m η = 1.7	η = 0.1	**CUMPLE η = 74.5**
N2771/N2693	$\lambda_w \leq \lambda_{w,máx}$ Cumple	x: 2.47 m η = 50.9	x: 0.204 m η = 67.2	x: 2.471 m η = 12.0	x: 0.204 m η = 3.0	x: 2.471 m η = 1.8	η = 0.1	η < 0.1	η < 0.1	x: 2.471 m η = 73.8	η < 0.1	η = 0.6	x: 2.471 m η = 1.8	η = 0.1	**CUMPLE η = 73.8**
N2924/N2846	$\lambda_w \leq \lambda_{w,máx}$ Cumple	x: 2.47 m η = 45.1	x: 0.204 m η = 62.9	x: 2.471 m η = 13.0	x: 0.204 m η = 4.3	x: 2.471 m η = 2.7	η = 0.1	η < 0.1	η < 0.1	x: 2.471 m η = 70.3	η < 0.1	η = 0.6	x: 2.471 m η = 2.7	η = 0.1	**CUMPLE η = 70.3**
N1949/N1707	$\lambda_w \leq \lambda_{w,máx}$ Cumple	x: 2.47 m η = 43.7	x: 0.204 m η = 82.9	x: 0.204 m η = 25.9	x: 0.204 m η = 5.3	x: 2.471 m η = 4.6	η = 0.2	η < 0.1	η < 0.1	x: 0.204 m η = 96.6	η < 0.1	η = 0.8	x: 2.471 m η = 4.6	η = 0.2	**CUMPLE η = 96.6**
N1950/N1803	$\lambda_w \leq \lambda_{w,máx}$ Cumple	x: 2.432 m η = 37.6	x: 0.204 m η = 60.0	x: 0.204 m η = 26.0	x: 0.204 m η = 5.3	x: 2.433 m η = 3.2	η = 0.5	η < 0.1	η < 0.1	x: 0.204 m η = 80.8	η < 0.1	η = 7.7	x: 2.433 m η = 3.3	η = 0.5	**CUMPLE η = 80.8**
N1951/N1899	$\lambda_w \leq \lambda_{w,máx}$ Cumple	x: 2.432 m η = 32.6	x: 0.204 m η = 43.9	x: 0.204 m η = 25.7	x: 0.204 m η = 4.4	x: 2.433 m η = 3.2	η = 0.3	η < 0.1	η < 0.1	x: 0.204 m η = 61.7	η < 0.1	η = 8.1	x: 2.433 m η = 3.3	η = 0.4	**CUMPLE η = 61.7**
N2066/N2130	$\lambda_w \leq \lambda_{w,máx}$ Cumple	x: 2.47 m η = 57.4	x: 0.204 m η = 74.7	x: 0.204 m η = 28.9	x: 0.204 m η = 3.4	x: 2.471 m η = 4.7	η = 0.1	η < 0.1	η < 0.1	x: 0.204 m η = 86.5	η < 0.1	η = 0.9	x: 2.471 m η = 4.7	η = 0.1	**CUMPLE η = 86.5**
N2219/N2283	$\lambda_w \leq \lambda_{w,máx}$ Cumple	x: 2.47 m η = 58.5	x: 0.204 m η = 75.2	x: 0.204 m η = 29.6	x: 0.204 m η = 3.5	x: 2.471 m η = 4.8	η = 0.1	η < 0.1	η < 0.1	x: 0.204 m η = 88.5	η < 0.1	η = 0.9	x: 2.471 m η = 4.8	η = 0.1	**CUMPLE η = 88.5**
N2372/N2436	$\lambda_w \leq \lambda_{w,máx}$ Cumple	x: 2.47 m η = 58.4	x: 0.204 m η = 75.0	x: 0.204 m η = 29.2	x: 0.204 m η = 3.8	x: 2.471 m η = 4.7	η = 0.1	η < 0.1	η < 0.1	x: 0.204 m η = 88.3	η < 0.1	η = 0.9	x: 2.471 m η = 4.7	η = 0.1	**CUMPLE η = 88.3**
N2525/N2589	$\lambda_w \leq \lambda_{w,máx}$ Cumple	x: 2.47 m η = 58.0	x: 0.204 m η = 74.7	x: 0.204 m η = 27.5	x: 0.204 m η = 4.3	x: 2.471 m η = 4.3	η = 0.1	η < 0.1	η < 0.1	x: 0.204 m η = 86.7	η < 0.1	η = 1.0	x: 2.471 m η = 4.3	η = 0.1	**CUMPLE η = 86.7**
N2678/N2742	$\lambda_w \leq \lambda_{w,máx}$ Cumple	x: 2.47 m η = 56.9	x: 0.204 m η = 73.7	x: 0.204 m η = 23.8	x: 0.204 m η = 5.0	x: 2.471 m η = 3.6	η = 0.2	η < 0.1	η < 0.1	x: 0.204 m η = 84.6	η < 0.1	η = 1.0	x: 2.471 m η = 3.6	η = 0.2	**CUMPLE η = 84.6**
N2831/N2895	$\lambda_w \leq \lambda_{w,máx}$ Cumple	x: 2.47 m η = 49.6	x: 0.204 m η = 66.0	x: 0.204 m η = 15.8	x: 0.204 m η = 5.7	x: 2.471 m η = 3.1	η = 0.2	η < 0.1	η < 0.1	x: 0.204 m η = 73.7	η < 0.1	η = 0.9	x: 2.471 m η = 3.2	η = 0.2	**CUMPLE η = 73.7**
N1724/N1725	$\lambda_w \leq \lambda_{w,máx}$ Cumple	x: 1.7 m η = 10.1	x: 0.061 m η = 24.9	x: 0.061 m η = 3.8	x: 0.061 m η = 3.2	x: 0.061 m η = 1.9	η = 0.1	η < 0.1	η < 0.1	x: 0.061 m η = 27.3	η < 0.1	η = 0.1	x: 0.061 m η = 1.8	η = 0.1	**CUMPLE η = 27.3**
N1725/N1726	$\lambda_w \leq \lambda_{w,máx}$ Cumple	x: 1.7 m η = 4.1	x: 0.078 m η = 3.8	x: 1.701 m η = 7.0	x: 1.701 m η = 3.1	x: 0.078 m η = 3.1	η = 0.1	η < 0.1	η < 0.1	x: 1.701 m η = 11.3	η < 0.1	η = 0.1	x: 0.078 m η = 3.1	η = 0.1	**CUMPLE η = 11.3**
N1726/N1727	$\lambda_w \leq \lambda_{w,máx}$ Cumple	x: 1.7 m η = 19.1	x: 0.078 m η = 20.1	x: 1.701 m η = 6.2	x: 0.078 m η = 3.5	x: 0.078 m η = 1.7	η = 0.2	η < 0.1	η < 0.1	x: 1.701 m η = 26.0	η < 0.1	η = 0.2	x: 0.078 m η = 1.7	η = 0.2	**CUMPLE η = 26.0**
N1727/N1728	$\lambda_w \leq \lambda_{w,máx}$ Cumple	x: 1.713 m η = 31.7	x: 0.078 m η = 32.6	x: 1.714 m η = 6.6	x: 1.714 m η = 3.0	x: 0.078 m η = 1.7	η = 0.2	η < 0.1	η < 0.1	x: 1.714 m η = 40.1	η < 0.1	η = 0.2	x: 0.078 m η = 1.7	η = 0.2	**CUMPLE η = 40.1**
N1732/N1733	$\lambda_w \leq \lambda_{w,máx}$ Cumple	x: 1.694 m η = 49.2	x: 0.07 m η = 50.1	x: 0.07 m η = 7.0	x: 0.07 m η = 3.0	x: 1.695 m η = 1.0	η = 0.2	η < 0.1	η < 0.1	x: 0.07 m η = 58.2	η < 0.1	η = 0.2	x: 1.695 m η = 1.0	η = 0.2	**CUMPLE η = 58.2**
N1733/N1734	$\lambda_w \leq \lambda_{w,máx}$ Cumple	x: 1.694 m η = 42.4	x: 0.084 m η = 43.4	x: 0.084 m η = 7.1	x: 1.695 m η = 3.3	x: 1.695 m η = 1.1	η = 0.2	η < 0.1	η < 0.1	x: 0.084 m η = 50.3	η < 0.1	η = 0.1	x: 1.695 m η = 1.1	η = 0.2	**CUMPLE η = 50.3**
N1734/N1735	$\lambda_w \leq \lambda_{w,máx}$ Cumple	x: 1.694 m η = 32.8	x: 0.084 m η = 34.0	x: 0.084 m η = 8.0	x: 0.084 m η = 2.9	x: 1.695 m η = 2.3	η = 0.1	η < 0.1	η < 0.1	x: 0.084 m η = 41.3	η < 0.1	η = 0.1	x: 1.695 m η = 1.5	η = 0.1	**CUMPLE η = 41.3**
N1735/N1736	$\lambda_w \leq \lambda_{w,máx}$ Cumple	x: 1.717 m η = 20.4	x: 0.084 m η = 21.7	x: 0.084 m η = 5.8	x: 1.718 m η = 2.3	x: 1.718 m η = 1.8	η = 0.1	η < 0.1	η < 0.1	x: 0.084 m η = 26.3	η < 0.1	η = 0.1	x: 1.718 m η = 1.8	η = 0.1	**CUMPLE η = 26.3**
N1828/N1829	$\lambda_w \leq \lambda_{w,máx}$ Cumple	x: 1.694 m η = 53.0	x: 0.084 m η = 47.0	x: 0.084 m η = 9.9	x: 0.084 m η = 3.4	x: 1.695 m η = 1.6	η = 0.2	η < 0.1	η < 0.1	x: 0.084 m η = 65.7	η < 0.1	η = 0.3	x: 1.695 m η = 1.6	η = 0.2	**CUMPLE η = 65.7**
N1829/N1830	$\lambda_w \leq \lambda_{w,máx}$ Cumple	x: 1.694 m η = 45.6	x: 0.084 m η = 40.5	x: 0.084 m η = 9.0	x: 1.695 m η = 3.6	x: 1.695 m η = 1.3	η = 0.2	η < 0.1	η < 0.1	x: 0.084 m η = 55.7	η < 0.1	η = 0.2	x: 1.695 m η = 1.3	η = 0.2	**CUMPLE η = 55.7**
N1830/N1831	$\lambda_w \leq \lambda_{w,máx}$ Cumple	x: 1.673 m η = 35.7	x: 0.084 m η = 32.2	x: 0.084 m η = 9.6	x: 0.084 m η = 3.3	x: 1.674 m η = 3.7	η = 0.2	η < 0.1	η < 0.1	x: 0.084 m η = 46.0	η < 0.1	η = 0.1	x: 1.674 m η = 3.7	η = 0.2	**CUMPLE η = 46.0**
N1831/N1832	$\lambda_w \leq \lambda_{w,máx}$ Cumple	x: 1.702 m η = 21.9	x: 0.105 m η = 20.3	x: 0.105 m η = 7.1	x: 1.703 m η = 3.6	x: 1.703 m η = 2.6	η = 0.2	η < 0.1	η < 0.1	x: 0.105 m η = 29.3	η < 0.1	η = 0.1	x: 1.703 m η = 2.6	η = 0.2	**CUMPLE η = 29.3**
N1820/N1821	$\lambda_w \leq \lambda_{w,máx}$ Cumple	x: 1.68 m η = 11.9	x: 0.076 m η = 25.7	x: 0.076 m η = 4.7	x: 0.076 m η = 3.4	x: 0.076 m η = 2.5	η = 0.2	η < 0.1	η < 0.1	x: 0.076 m η = 28.4	η < 0.1	η = 0.2	x: 0.076 m η = 2.5	η = 0.2	**CUMPLE η = 28.4**
N1821/N1822	$\lambda_w \leq \lambda_{w,máx}$ Cumple	x: 1.7 m η = 1.5	x: 0.098 m η = 2.3	x: 0.098 m η = 8.5	x: 1.701 m η = 3.7	x: 0.098 m η = 5.1	η = 0.2	η < 0.1	η < 0.1	x: 0.098 m η = 10.6	η < 0.1	η = 0.1	x: 0.098 m η = 5.1	η = 0.2	**CUMPLE η = 10.6**

Documento visado electrónicamente con número: VA07290/22
Código de validación telemática TRLTDCFZ60T66IJ1. Comprobación: https://cogitivalencia.e-gestion.es/Validacion.aspx?CVT=TRLTDCFZ60T66IJ1

Listados

Barras	COMPROBACIONES (CÓDIGO ESTRUCTURAL)														Estado
	λ_w	N_t	N_c	M_Y	M_Z	V_Z	V_Y	M_YV_Z	M_ZV_Y	NM_YM_Z	$NM_YM_ZV_YV_Z$	M_t	M_tV_Z	M_tV_Y	
N1822/N1823	$\lambda_w \le \lambda_{w,máx}$ Cumple	x: 1.7 m η = 17.9	x: 0.078 m η = 16.8	x: 1.701 m η = 6.3	x: 0.078 m η = 3.9	x: 0.078 m η = 1.8	η = 0.2	η < 0.1	η < 0.1	x: 1.701 m η = 25.1	η < 0.1	η = 0.2	x: 0.078 m η = 1.8	η = 0.2	**CUMPLE η = 25.1**
N1823/N1824	$\lambda_w \le \lambda_{w,máx}$ Cumple	x: 1.7 m η = 32.4	x: 0.078 m η = 29.4	x: 1.701 m η = 8.7	x: 1.701 m η = 3.2	x: 0.078 m η = 2.9	η = 0.2	η < 0.1	η < 0.1	x: 1.701 m η = 43.7	η < 0.1	η = 0.2	x: 0.078 m η = 2.9	η = 0.2	**CUMPLE η = 43.7**
N1916/N1917	$\lambda_w \le \lambda_{w,máx}$ Cumple	x: 1.68 m η = 9.9	x: 0.076 m η = 18.0	x: 0.076 m η = 3.2	x: 0.076 m η = 2.0	x: 0.076 m η = 1.8	η = 0.2	η < 0.1	η < 0.1	x: 0.076 m η = 19.9	η < 0.1	η = 0.2	x: 0.076 m η = 1.8	η = 0.2	**CUMPLE η = 19.9**
N1917/N1918	$\lambda_w \le \lambda_{w,máx}$ Cumple	x: 1.7 m η = 2.0	x: 0.098 m η = 2.5	x: 0.098 m η = 6.1	x: 1.701 m η = 3.3	x: 0.098 m η = 3.8	η = 0.2	η < 0.1	η < 0.1	x: 1.701 m η = 8.5	η < 0.1	η = 0.1	x: 0.098 m η = 3.8	η = 0.2	**CUMPLE η = 8.5**
N1918/N1919	$\lambda_w \le \lambda_{w,máx}$ Cumple	x: 1.7 m η = 13.5	x: 0.078 m η = 14.6	x: 1.701 m η = 4.6	x: 0.078 m η = 3.6	x: 0.078 m η = 1.3	η = 0.2	η < 0.1	η < 0.1	x: 1.701 m η = 18.8	η < 0.1	x: 1.7 m η = 0.2	x: 0.078 m η = 1.3	η = 0.2	**CUMPLE η = 18.8**
N1919/N1920	$\lambda_w \le \lambda_{w,máx}$ Cumple	x: 1.7 m η = 23.6	x: 0.078 m η = 24.7	x: 1.701 m η = 6.3	x: 1.701 m η = 3.3	x: 0.078 m η = 2.1	η = 0.2	η < 0.1	η < 0.1	x: 1.701 m η = 33.0	η < 0.1	η = 0.3	x: 0.078 m η = 2.1	η = 0.2	**CUMPLE η = 33.0**
N1924/N1925	$\lambda_w \le \lambda_{w,máx}$ Cumple	x: 1.694 m η = 38.2	x: 0.084 m η = 39.5	x: 0.084 m η = 7.2	x: 0.084 m η = 3.8	x: 1.695 m η = 1.2	η = 0.2	η < 0.1	η < 0.1	x: 0.084 m η = 48.7	η < 0.1	x: 0.285 m η = 0.2	x: 1.695 m η = 1.2	η = 0.2	**CUMPLE η = 48.7**
N1925/N1926	$\lambda_w \le \lambda_{w,máx}$ Cumple	x: 1.694 m η = 32.9	x: 0.084 m η = 34.2	x: 0.084 m η = 6.5	x: 1.695 m η = 3.3	x: 1.695 m η = 0.9	η = 0.2	η < 0.1	η < 0.1	x: 0.084 m η = 40.5	η < 0.1	x: 0.084 m η = 0.3	x: 1.695 m η = 0.9	η = 0.2	**CUMPLE η = 40.5**
N1926/N1927	$\lambda_w \le \lambda_{w,máx}$ Cumple	x: 1.673 m η = 25.7	x: 0.084 m η = 27.1	x: 0.084 m η = 7.1	x: 0.084 m η = 3.0	x: 1.674 m η = 2.8	η = 0.2	η < 0.1	η < 0.1	x: 0.084 m η = 33.9	η < 0.1	η = 0.1	x: 1.674 m η = 2.8	η = 0.2	**CUMPLE η = 33.9**
N1927/N1928	$\lambda_w \le \lambda_{w,máx}$ Cumple	x: 1.702 m η = 15.6	x: 0.105 m η = 17.2	x: 0.105 m η = 5.1	x: 1.703 m η = 2.9	x: 1.703 m η = 2.0	η = 0.2	η < 0.1	η < 0.1	x: 0.105 m η = 21.2	η < 0.1	η = 0.1	x: 1.703 m η = 2.0	η = 0.1	**CUMPLE η = 21.2**
N2132/N2133	$\lambda_w \le \lambda_{w,máx}$ Cumple	x: 1.7 m η = 12.6	x: 0.061 m η = 22.1	x: 0.061 m η = 3.2	x: 0.061 m η = 1.4	x: 0.061 m η = 1.6	η = 0.1	η < 0.1	η < 0.1	x: 0.061 m η = 24.3	η < 0.1	η = 0.1	x: 0.061 m η = 1.2	η < 0.1	**CUMPLE η = 24.3**
N2133/N2134	$\lambda_w \le \lambda_{w,máx}$ Cumple	x: 1.7 m η = 3.3	x: 0.078 m η = 4.3	x: 1.701 m η = 6.2	x: 1.701 m η = 2.4	x: 0.078 m η = 2.7	η = 0.1	η < 0.1	η < 0.1	x: 1.701 m η = 11.0	η < 0.1	x: 0.687 m η = 0.1	x: 0.078 m η = 0.8	η < 0.1	**CUMPLE η = 11.0**
N2134/N2135	$\lambda_w \le \lambda_{w,máx}$ Cumple	x: 1.7 m η = 16.6	x: 0.078 m η = 26.3	x: 1.701 m η = 5.6	x: 0.078 m η = 2.8	x: 0.078 m η = 1.5	η = 0.1	η < 0.1	η < 0.1	x: 1.701 m η = 30.1	η < 0.1	x: 1.093 m η = 0.4	x: 0.078 m η = 1.5	η = 0.1	**CUMPLE η = 30.1**
N2135/N2136	$\lambda_w \le \lambda_{w,máx}$ Cumple	x: 1.713 m η = 27.7	x: 0.078 m η = 43.2	x: 1.714 m η = 5.7	x: 1.714 m η = 2.9	x: 0.078 m η = 1.5	η = 0.1	η < 0.1	η < 0.1	x: 1.714 m η = 49.4	η < 0.1	η = 0.5	x: 0.078 m η = 1.5	η = 0.1	**CUMPLE η = 49.4**
N2140/N2141	$\lambda_w \le \lambda_{w,máx}$ Cumple	x: 1.694 m η = 44.2	x: 0.07 m η = 68.3	x: 0.07 m η = 6.0	x: 0.07 m η = 3.2	x: 1.695 m η = 0.9	η = 0.1	η < 0.1	η < 0.1	x: 0.07 m η = 75.2	η < 0.1	η = 0.2	x: 1.695 m η = 0.9	η = 0.1	**CUMPLE η = 75.2**
N2141/N2142	$\lambda_w \le \lambda_{w,máx}$ Cumple	x: 1.694 m η = 38.5	x: 0.084 m η = 59.5	x: 0.084 m η = 6.3	x: 1.695 m η = 2.5	x: 1.695 m η = 1.0	η = 0.1	η < 0.1	η < 0.1	x: 0.084 m η = 64.1	η < 0.1	x: 0.89 m η = 0.5	x: 0.084 m η = 1.0	η = 0.1	**CUMPLE η = 64.1**
N2142/N2143	$\lambda_w \le \lambda_{w,máx}$ Cumple	x: 1.694 m η = 30.3	x: 0.084 m η = 47.6	x: 0.084 m η = 7.1	x: 0.084 m η = 2.0	x: 1.695 m η = 2.0	η = 0.1	η < 0.1	η < 0.1	x: 0.084 m η = 52.8	η < 0.1	x: 0.487 m η = 0.1	x: 0.084 m η = 1.7	η < 0.1	**CUMPLE η = 52.8**
N2143/N2144	$\lambda_w \le \lambda_{w,máx}$ Cumple	x: 1.717 m η = 19.5	x: 0.084 m η = 31.6	x: 0.084 m η = 5.2	x: 1.718 m η = 1.1	x: 1.718 m η = 1.5	η = 0.1	η < 0.1	η < 0.1	x: 0.084 m η = 35.3	η < 0.1	η = 0.1	x: 1.718 m η = 0.4	η < 0.1	**CUMPLE η = 35.3**
N2285/N2286	$\lambda_w \le \lambda_{w,máx}$ Cumple	x: 1.7 m η = 12.9	x: 0.061 m η = 22.8	x: 0.061 m η = 3.3	x: 0.061 m η = 1.2	x: 0.061 m η = 1.6	η = 0.1	η < 0.1	η < 0.1	x: 0.061 m η = 25.4	η < 0.1	η = 0.1	x: 0.061 m η = 1.2	η < 0.1	**CUMPLE η = 25.4**
N2286/N2287	$\lambda_w \le \lambda_{w,máx}$ Cumple	x: 1.7 m η = 3.1	x: 0.078 m η = 4.3	x: 1.701 m η = 6.3	x: 1.701 m η = 2.3	x: 0.078 m η = 2.8	η = 0.1	η < 0.1	η < 0.1	x: 1.701 m η = 11.2	η < 0.1	x: 0.687 m η = 0.1	x: 0.078 m η = 0.8	η < 0.1	**CUMPLE η = 11.2**
N2287/N2288	$\lambda_w \le \lambda_{w,máx}$ Cumple	x: 1.7 m η = 16.6	x: 0.078 m η = 26.8	x: 1.701 m η = 5.7	x: 0.078 m η = 2.7	x: 0.078 m η = 1.6	η = 0.1	η < 0.1	η < 0.1	x: 1.701 m η = 30.7	η < 0.1	x: 1.093 m η = 0.4	x: 0.078 m η = 1.6	η = 0.1	**CUMPLE η = 30.7**
N2288/N2289	$\lambda_w \le \lambda_{w,máx}$ Cumple	x: 1.713 m η = 27.8	x: 0.078 m η = 44.0	x: 1.714 m η = 5.8	x: 1.714 m η = 3.2	x: 0.078 m η = 1.6	η = 0.1	η < 0.1	η < 0.1	x: 1.714 m η = 50.4	η < 0.1	η = 0.5	x: 0.078 m η = 1.6	η = 0.1	**CUMPLE η = 50.4**
N2293/N2294	$\lambda_w \le \lambda_{w,máx}$ Cumple	x: 1.694 m η = 44.6	x: 0.07 m η = 69.4	x: 0.07 m η = 6.1	x: 0.07 m η = 3.4	x: 1.695 m η = 0.9	η = 0.1	η < 0.1	η < 0.1	x: 0.07 m η = 76.6	η < 0.1	η = 0.2	x: 1.695 m η = 0.9	η = 0.1	**CUMPLE η = 76.6**
N2294/N2295	$\lambda_w \le \lambda_{w,máx}$ Cumple	x: 1.694 m η = 38.9	x: 0.084 m η = 60.5	x: 0.084 m η = 6.4	x: 1.695 m η = 2.5	x: 1.695 m η = 1.0	η = 0.1	η < 0.1	η < 0.1	x: 0.084 m η = 65.2	η < 0.1	x: 0.688 m η = 0.5	x: 0.084 m η = 1.0	η = 0.1	**CUMPLE η = 65.2**
N2295/N2296	$\lambda_w \le \lambda_{w,máx}$ Cumple	x: 1.694 m η = 30.6	x: 0.084 m η = 48.2	x: 0.084 m η = 7.2	x: 0.084 m η = 2.0	x: 1.695 m η = 2.0	η = 0.1	η < 0.1	η < 0.1	x: 0.084 m η = 53.7	η < 0.1	η = 0.1	x: 0.084 m η = 1.8	η < 0.1	**CUMPLE η = 53.7**
N2296/N2297	$\lambda_w \le \lambda_{w,máx}$ Cumple	x: 1.717 m η = 19.7	x: 0.084 m η = 31.9	x: 0.084 m η = 5.3	x: 1.718 m η = 1.2	x: 1.718 m η = 1.5	η = 0.1	η < 0.1	η < 0.1	x: 0.084 m η = 35.6	η < 0.1	η = 0.1	x: 1.718 m η = 0.4	η < 0.1	**CUMPLE η = 35.6**
N2438/N2439	$\lambda_w \le \lambda_{w,máx}$ Cumple	x: 1.7 m η = 13.1	x: 0.061 m η = 23.3	x: 0.061 m η = 3.4	x: 0.061 m η = 1.3	x: 0.061 m η = 1.6	η = 0.1	η < 0.1	η < 0.1	x: 0.061 m η = 26.0	η < 0.1	η = 0.1	x: 0.061 m η = 1.3	η < 0.1	**CUMPLE η = 26.0**
N2439/N2440	$\lambda_w \le \lambda_{w,máx}$ Cumple	x: 1.7 m η = 2.9	x: 0.078 m η = 4.2	x: 1.701 m η = 6.3	x: 1.701 m η = 2.2	x: 0.078 m η = 2.8	η = 0.1	η < 0.1	η < 0.1	x: 1.701 m η = 11.1	η < 0.1	x: 0.89 m η = 0.1	x: 0.078 m η = 0.8	η < 0.1	**CUMPLE η = 11.1**
N2440/N2441	$\lambda_w \le \lambda_{w,máx}$ Cumple	x: 1.7 m η = 16.4	x: 0.078 m η = 26.6	x: 1.701 m η = 5.7	x: 0.078 m η = 2.7	x: 0.078 m η = 1.6	η = 0.2	η < 0.1	η < 0.1	x: 1.701 m η = 30.5	η < 0.1	x: 1.093 m η = 0.4	x: 0.078 m η = 1.6	η = 0.2	**CUMPLE η = 30.5**
N2441/N2442	$\lambda_w \le \lambda_{w,máx}$ Cumple	x: 1.713 m η = 27.7	x: 0.078 m η = 43.9	x: 1.714 m η = 5.8	x: 1.714 m η = 3.5	x: 0.078 m η = 1.6	η = 0.2	η < 0.1	η < 0.1	x: 1.714 m η = 50.4	η < 0.1	η = 0.5	x: 0.078 m η = 1.6	η = 0.2	**CUMPLE η = 50.4**
N2446/N2447	$\lambda_w \le \lambda_{w,máx}$ Cumple	x: 1.694 m η = 44.7	x: 0.07 m η = 69.5	x: 0.07 m η = 6.1	x: 0.07 m η = 3.5	x: 1.695 m η = 0.9	η = 0.1	η < 0.1	η < 0.1	x: 0.07 m η = 76.8	η < 0.1	η = 0.2	x: 1.695 m η = 0.9	η = 0.1	**CUMPLE η = 76.8**
N2447/N2448	$\lambda_w \le \lambda_{w,máx}$ Cumple	x: 1.694 m η = 39.0	x: 0.084 m η = 60.6	x: 0.084 m η = 6.4	x: 1.695 m η = 2.6	x: 1.695 m η = 1.0	η = 0.1	η < 0.1	η < 0.1	x: 0.084 m η = 65.4	η < 0.1	x: 0.688 m η = 0.5	x: 1.695 m η = 1.0	η = 0.1	**CUMPLE η = 65.4**
N2448/N2449	$\lambda_w \le \lambda_{w,máx}$ Cumple	x: 1.694 m η = 30.7	x: 0.084 m η = 48.4	x: 0.084 m η = 7.2	x: 0.084 m η = 2.0	x: 1.695 m η = 2.0	η = 0.1	η < 0.1	η < 0.1	x: 0.084 m η = 54.0	η < 0.1	η = 0.1	x: 0.084 m η = 1.8	η < 0.1	**CUMPLE η = 54.0**
N2449/N2450	$\lambda_w \le \lambda_{w,máx}$ Cumple	x: 1.717 m η = 19.8	x: 0.084 m η = 32.1	x: 0.084 m η = 5.3	x: 1.718 m η = 1.2	x: 1.718 m η = 1.5	η = 0.1	η < 0.1	η < 0.1	x: 0.084 m η = 35.8	η < 0.1	η = 0.1	x: 1.718 m η = 0.5	η < 0.1	**CUMPLE η = 35.8**
N2591/N2592	$\lambda_w \le \lambda_{w,máx}$ Cumple	x: 1.7 m η = 13.8	x: 0.061 m η = 23.9	x: 0.061 m η = 3.4	x: 0.061 m η = 1.7	x: 0.061 m η = 1.7	η = 0.1	η < 0.1	η < 0.1	x: 0.061 m η = 26.9	η < 0.1	η = 0.1	x: 1.701 m η = 1.5	η < 0.1	**CUMPLE η = 26.9**
N2592/N2593	$\lambda_w \le \lambda_{w,máx}$ Cumple	x: 1.7 m η = 2.5	x: 0.078 m η = 3.6	x: 1.701 m η = 6.3	x: 1.701 m η = 2.2	x: 0.078 m η = 2.8	η = 0.1	η < 0.1	η < 0.1	x: 1.701 m η = 10.8	η < 0.1	η = 0.1	x: 1.701 m η = 2.5	η < 0.1	**CUMPLE η = 10.8**
N2593/N2594	$\lambda_w \le \lambda_{w,máx}$ Cumple	x: 1.7 m η = 16.1	x: 0.078 m η = 25.9	x: 1.701 m η = 5.7	x: 0.078 m η = 2.8	x: 0.078 m η = 1.6	η = 0.2	η < 0.1	η < 0.1	x: 1.701 m η = 29.8	η < 0.1	η = 0.3	x: 0.078 m η = 1.6	η = 0.2	**CUMPLE η = 29.8**
N2594/N2595	$\lambda_w \le \lambda_{w,máx}$ Cumple	x: 1.713 m η = 27.4	x: 0.078 m η = 43.3	x: 1.714 m η = 5.8	x: 1.714 m η = 3.8	x: 0.078 m η = 1.6	η = 0.2	η < 0.1	η < 0.1	x: 1.714 m η = 49.9	η < 0.1	η = 0.3	x: 0.078 m η = 1.6	η = 0.2	**CUMPLE η = 49.9**
N2599/N2600	$\lambda_w \le \lambda_{w,máx}$ Cumple	x: 1.694 m η = 44.8	x: 0.07 m η = 69.6	x: 0.07 m η = 6.1	x: 0.07 m η = 3.7	x: 1.695 m η = 0.9	η = 0.1	η < 0.1	η < 0.1	x: 0.07 m η = 77.0	η < 0.1	η = 0.2	x: 1.695 m η = 0.9	η = 0.1	**CUMPLE η = 77.0**
N2600/N2601	$\lambda_w \le \lambda_{w,máx}$ Cumple	x: 1.694 m η = 39.1	x: 0.084 m η = 60.9	x: 0.084 m η = 6.4	x: 1.695 m η = 2.7	x: 1.695 m η = 1.0	η = 0.1	η < 0.1	η < 0.1	x: 0.084 m η = 65.6	η < 0.1	x: 0.89 m η = 0.5	x: 1.695 m η = 1.0	η = 0.1	**CUMPLE η = 65.6**
N2601/N2602	$\lambda_w \le \lambda_{w,máx}$ Cumple	x: 1.694 m η = 30.9	x: 0.084 m η = 48.7	x: 0.084 m η = 7.2	x: 0.084 m η = 2.1	x: 1.695 m η = 2.0	η = 0.1	η < 0.1	η < 0.1	x: 0.084 m η = 54.3	η < 0.1	η = 0.1	x: 0.084 m η = 1.7	η < 0.1	**CUMPLE η = 54.3**
N2602/N2603	$\lambda_w \le \lambda_{w,máx}$ Cumple	x: 1.717 m η = 20.0	x: 0.084 m η = 32.6	x: 0.084 m η = 5.3	x: 1.718 m η = 1.3	x: 1.718 m η = 1.5	η = 0.1	η < 0.1	η < 0.1	x: 0.084 m η = 36.2	η < 0.1	η = 0.1	x: 1.718 m η = 0.5	η < 0.1	**CUMPLE η = 36.2**
N2744/N2745	$\lambda_w \le \lambda_{w,máx}$ Cumple	x: 1.7 m η = 14.9	x: 0.061 m η = 24.9	x: 0.061 m η = 3.5	x: 0.061 m η = 2.1	x: 0.061 m η = 1.7	η = 0.1	η < 0.1	η < 0.1	x: 0.061 m η = 28.1	η < 0.1	η = 0.1	x: 0.061 m η = 1.7	η = 0.1	**CUMPLE η = 28.1**

VISADO
COGITI
TRLTDCFZ60T66IJ1
VALENCIA
VA07290/22
Documento visado electrónicamente con número VA07290/22
Código de validación telemática TRLTDCFZ60T66IJ1. Comprobación: https://cogitivalencia.e-gestion.es/Validacion.aspx?CVT=TRLTDCFZ60T66IJ1

Listados

VISADO
COGITI
Estado
VALENCIA
VA07290/22
TRLTDCFZ60T66IJ1

Barras	COMPROBACIONES (CÓDIGO ESTRUCTURAL)														
	λ_w	N_t	N_c	M_Y	M_Z	V_Z	V_Y	M_YV_Z	M_ZV_Y	NM_YM_Z	$NM_YM_ZV_YV_Z$	M_t	M_tV_Z	M_tV_Y	
N2745/N2746	$\lambda_w \leq \lambda_{w,máx}$ Cumple	x: 1.7 m η = 1.8	x: 0.078 m η = 2.5	x: 1.701 m η = 6.3	x: 1.701 m η = 2.3	x: 0.078 m η = 2.8	η = 0.1	η < 0.1	η < 0.1	x: 1.701 m η = 9.9	η < 0.1	η = 0.1	x: 0.078 m η = 2.8	η = 0.1	**CUMPLE η = 9.9**
N2746/N2747	$\lambda_w \leq \lambda_{w,máx}$ Cumple	x: 1.7 m η = 15.3	x: 0.078 m η = 24.1	x: 1.701 m η = 5.6	x: 0.078 m η = 2.9	x: 0.078 m η = 1.6	η = 0.2	η < 0.1	η < 0.1	x: 1.701 m η = 28.0	η < 0.1	η = 0.4	x: 0.078 m η = 1.6	η = 0.2	**CUMPLE η = 28.0**
N2747/N2748	$\lambda_w \leq \lambda_{w,máx}$ Cumple	x: 1.713 m η = 26.7	x: 0.078 m η = 41.7	x: 1.714 m η = 5.7	x: 1.714 m η = 3.9	x: 0.078 m η = 1.6	η = 0.2	η < 0.1	η < 0.1	x: 1.714 m η = 48.3	η < 0.1	η = 0.5	x: 0.078 m η = 1.6	η = 0.2	**CUMPLE η = 48.3**
N2752/N2753	$\lambda_w \leq \lambda_{w,máx}$ Cumple	x: 1.694 m η = 44.6	x: 0.07 m η = 69.4	x: 0.07 m η = 6.0	x: 0.07 m η = 3.7	x: 1.695 m η = 0.8	η = 0.1	η < 0.1	η < 0.1	x: 0.07 m η = 76.8	η < 0.1	η = 0.2	x: 1.695 m η = 0.8	η = 0.1	**CUMPLE η = 76.8**
N2753/N2754	$\lambda_w \leq \lambda_{w,máx}$ Cumple	x: 1.694 m η = 39.0	x: 0.084 m η = 61.0	x: 0.084 m η = 6.3	x: 1.695 m η = 2.8	x: 1.695 m η = 1.0	η = 0.1	η < 0.1	η < 0.1	x: 0.084 m η = 65.7	η < 0.1	x: 0.89 m η = 0.5	x: 1.695 m η = 1.0	η = 0.1	**CUMPLE η = 65.7**
N2754/N2755	$\lambda_w \leq \lambda_{w,máx}$ Cumple	x: 1.694 m η = 31.0	x: 0.084 m η = 49.2	x: 0.084 m η = 7.2	x: 0.084 m η = 2.2	x: 1.695 m η = 2.0	η = 0.1	η < 0.1	η < 0.1	x: 0.084 m η = 54.7	η < 0.1	x: 0.487 m η = 0.1	x: 1.695 m η = 0.6	x: 0.084 m η < 0.1	**CUMPLE η = 54.7**
N2755/N2756	$\lambda_w \leq \lambda_{w,máx}$ Cumple	x: 1.717 m η = 20.3	x: 0.084 m η = 33.5	x: 0.084 m η = 5.2	x: 1.718 m η = 1.6	x: 1.718 m η = 1.5	η = 0.1	η < 0.1	η < 0.1	x: 0.084 m η = 36.9	η < 0.1	η = 0.1	x: 0.084 m η = 1.3	η < 0.1	**CUMPLE η = 36.9**
N2897/N2898	$\lambda_w \leq \lambda_{w,máx}$ Cumple	x: 1.7 m η = 14.7	x: 0.061 m η = 27.3	x: 0.061 m η = 3.4	x: 0.061 m η = 2.9	x: 0.061 m η = 1.6	η = 0.1	η < 0.1	η < 0.1	x: 0.061 m η = 31.4	η < 0.1	η = 0.1	x: 0.061 m η = 1.6	η = 0.1	**CUMPLE η = 31.4**
N2898/N2899	$\lambda_w \leq \lambda_{w,máx}$ Cumple	x: 1.7 m η = 0.3	x: 0.078 m η = 3.9	x: 1.701 m η = 5.8	x: 1.701 m η = 2.4	x: 0.078 m η = 2.5	η = 0.1	η < 0.1	η < 0.1	x: 1.701 m η = 10.0	η < 0.1	η = 0.2	x: 0.078 m η = 2.5	η = 0.1	**CUMPLE η = 10.0**
N2899/N2900	$\lambda_w \leq \lambda_{w,máx}$ Cumple	x: 1.7 m η = 12.5	x: 0.078 m η = 22.4	x: 1.701 m η = 5.2	x: 0.078 m η = 3.1	x: 0.078 m η = 1.5	η = 0.2	η < 0.1	η < 0.1	x: 1.701 m η = 26.2	η < 0.1	η = 0.2	x: 0.078 m η = 1.5	η = 0.2	**CUMPLE η = 26.2**
N2900/N2901	$\lambda_w \leq \lambda_{w,máx}$ Cumple	x: 1.713 m η = 23.2	x: 0.078 m η = 38.7	x: 1.714 m η = 5.2	x: 1.714 m η = 3.8	x: 0.078 m η = 1.4	η = 0.2	η < 0.1	η < 0.1	x: 1.714 m η = 44.4	η < 0.1	η = 0.2	x: 0.078 m η = 1.4	η = 0.2	**CUMPLE η = 44.4**
N2905/N2906	$\lambda_w \leq \lambda_{w,máx}$ Cumple	x: 1.694 m η = 40.5	x: 0.07 m η = 64.8	x: 0.07 m η = 5.1	x: 0.07 m η = 3.7	x: 1.695 m η = 0.6	η = 0.2	η < 0.1	η < 0.1	x: 0.07 m η = 71.4	η < 0.1	η = 0.3	x: 1.695 m η = 0.6	η = 0.2	**CUMPLE η = 71.4**
N2906/N2907	$\lambda_w \leq \lambda_{w,máx}$ Cumple	x: 1.694 m η = 35.6	x: 0.084 m η = 57.4	x: 0.084 m η = 5.7	x: 1.695 m η = 2.8	x: 1.695 m η = 1.0	η = 0.2	η < 0.1	η < 0.1	x: 0.084 m η = 61.9	η < 0.1	η = 0.3	x: 1.695 m η = 1.0	η = 0.2	**CUMPLE η = 61.9**
N2907/N2908	$\lambda_w \leq \lambda_{w,máx}$ Cumple	x: 1.694 m η = 28.7	x: 0.084 m η = 47.4	x: 0.084 m η = 6.0	x: 0.084 m η = 2.2	x: 1.695 m η = 1.6	η = 0.1	η < 0.1	η < 0.1	x: 0.084 m η = 51.7	η < 0.1	η = 0.1	x: 0.084 m η = 1.4	η < 0.1	**CUMPLE η = 51.7**
N2908/N2909	$\lambda_w \leq \lambda_{w,máx}$ Cumple	x: 1.717 m η = 19.4	x: 0.084 m η = 33.4	x: 0.084 m η = 4.7	x: 1.718 m η = 2.2	x: 1.718 m η = 1.3	η = 0.1	η < 0.1	η < 0.1	x: 0.084 m η = 36.4	η < 0.1	η = 0.1	x: 1.718 m η = 1.3	η = 0.1	**CUMPLE η = 36.4**
N1694/N1695	$\lambda_w \leq \lambda_{w,máx}$ Cumple	x: 1.7 m η = 33.1	x: 0.061 m η = 31.4	x: 1.701 m η = 5.7	x: 0.061 m η = 2.6	x: 0.061 m η = 0.9	η = 0.1	η < 0.1	η < 0.1	x: 1.701 m η = 39.2	η < 0.1	η = 0.1	x: 0.061 m η = 0.6	η < 0.1	**CUMPLE η = 39.2**
N1695/N1696	$\lambda_w \leq \lambda_{w,máx}$ Cumple	x: 1.7 m η = 44.4	x: 0.078 m η = 42.1	x: 1.701 m η = 7.9	x: 1.701 m η = 2.4	x: 0.078 m η = 1.9	η = 0.1	η < 0.1	η < 0.1	x: 1.701 m η = 52.8	η < 0.1	η = 0.1	x: 0.078 m η = 1.4	η < 0.1	**CUMPLE η = 52.8**
N1696/N1697	$\lambda_w \leq \lambda_{w,máx}$ Cumple	x: 1.7 m η = 52.7	x: 0.078 m η = 49.7	x: 1.701 m η = 7.1	x: 0.078 m η = 2.7	x: 0.078 m η = 0.8	η = 0.1	η < 0.1	η < 0.1	x: 1.701 m η = 60.4	η < 0.1	η = 0.2	x: 0.078 m η = 0.8	η = 0.1	**CUMPLE η = 60.4**
N1697/N1698	$\lambda_w \leq \lambda_{w,máx}$ Cumple	x: 1.713 m η = 58.3	x: 0.078 m η = 54.7	x: 1.714 m η = 7.0	x: 1.714 m η = 2.7	x: 0.078 m η = 0.7	η = 0.1	η < 0.1	η < 0.1	x: 1.714 m η = 67.3	η < 0.1	η = 0.3	x: 0.078 m η = 0.7	η = 0.1	**CUMPLE η = 67.3**
N1702/N1703	$\lambda_w \leq \lambda_{w,máx}$ Cumple	x: 1.694 m η = 33.1	x: 0.07 m η = 25.3	x: 0.07 m η = 7.5	x: 0.07 m η = 2.5	x: 1.695 m η = 2.2	η = 0.1	η < 0.1	η < 0.1	x: 0.07 m η = 42.5	η < 0.1	η = 0.2	x: 1.695 m η = 2.2	η = 0.1	**CUMPLE η = 42.5**
N1703/N1704	$\lambda_w \leq \lambda_{w,máx}$ Cumple	x: 1.694 m η = 21.6	x: 0.084 m η = 10.3	x: 0.084 m η = 7.0	x: 1.695 m η = 4.0	x: 1.695 m η = 2.1	η = 0.1	η < 0.1	η < 0.1	x: 0.084 m η = 28.2	η < 0.1	η = 0.2	x: 1.695 m η = 2.1	η = 0.1	**CUMPLE η = 28.2**
N1704/N1705	$\lambda_w \leq \lambda_{w,máx}$ Cumple	x: 1.694 m η = 17.4	x: 0.89 m η = 3.8	x: 0.084 m η = 8.3	x: 0.084 m η = 3.7	x: 1.695 m η = 4.0	η = 0.2	η < 0.1	η < 0.1	x: 0.084 m η = 25.7	η < 0.1	η = 0.1	x: 1.695 m η = 4.0	η = 0.2	**CUMPLE η = 25.7**
N1705/N1706	$\lambda_w \leq \lambda_{w,máx}$ Cumple	x: 1.717 m η = 30.4	x: 0.084 m η = 35.6	x: 0.084 m η = 3.0	x: 1.718 m η = 7.2	x: 1.718 m η = 0.9	η = 0.2	η < 0.1	η < 0.1	x: 1.718 m η = 37.8	η < 0.1	η = 0.1	x: 1.718 m η = 0.8	η = 0.2	**CUMPLE η = 37.8**
N1790/N1791	$\lambda_w \leq \lambda_{w,máx}$ Cumple	x: 1.68 m η = 36.0	x: 0.076 m η = 30.2	x: 1.681 m η = 7.4	x: 0.076 m η = 4.8	x: 0.076 m η = 1.2	η = 0.2	η < 0.1	η < 0.1	x: 1.681 m η = 44.2	η < 0.1	η = 0.2	x: 0.076 m η = 1.2	η = 0.2	**CUMPLE η = 44.2**
N1791/N1792	$\lambda_w \leq \lambda_{w,máx}$ Cumple	x: 1.7 m η = 48.2	x: 0.098 m η = 40.6	x: 1.701 m η = 9.7	x: 0.098 m η = 2.9	x: 0.098 m η = 2.8	η = 0.2	η < 0.1	η < 0.1	x: 1.701 m η = 58.7	η < 0.1	η = 0.2	x: 0.098 m η = 2.8	η = 0.2	**CUMPLE η = 58.7**
N1792/N1793	$\lambda_w \leq \lambda_{w,máx}$ Cumple	x: 1.7 m η = 56.6	x: 0.078 m η = 47.7	x: 1.701 m η = 9.5	x: 0.078 m η = 2.6	x: 0.078 m η = 1.0	η = 0.2	η < 0.1	η < 0.1	x: 1.701 m η = 67.2	η < 0.1	η = 0.2	x: 0.078 m η = 1.0	η = 0.2	**CUMPLE η = 67.2**
N1793/N1794	$\lambda_w \leq \lambda_{w,máx}$ Cumple	x: 1.7 m η = 62.3	x: 0.078 m η = 52.7	x: 1.701 m η = 9.9	x: 1.701 m η = 3.6	x: 0.078 m η = 1.0	η = 0.2	η < 0.1	η < 0.1	x: 1.701 m η = 75.2	η < 0.1	η = 0.3	x: 0.078 m η = 1.0	η = 0.2	**CUMPLE η = 75.2**
N1798/N1799	$\lambda_w \leq \lambda_{w,máx}$ Cumple	x: 1.694 m η = 32.6	x: 0.084 m η = 29.5	x: 0.084 m η = 10.0	x: 0.084 m η = 2.9	x: 1.695 m η = 3.7	η = 0.2	η < 0.1	η < 0.1	x: 0.084 m η = 45.1	η < 0.1	η = 0.3	x: 1.695 m η = 3.7	η = 0.2	**CUMPLE η = 45.1**
N1799/N1800	$\lambda_w \leq \lambda_{w,máx}$ Cumple	x: 1.694 m η = 16.3	x: 0.084 m η = 17.1	x: 0.084 m η = 6.7	x: 1.695 m η = 5.0	x: 1.695 m η = 2.1	η = 0.2	η < 0.1	η < 0.1	x: 0.084 m η = 23.9	η < 0.1	η = 0.3	x: 1.695 m η = 2.1	η = 0.2	**CUMPLE η = 23.9**
N1800/N1801	$\lambda_w \leq \lambda_{w,máx}$ Cumple	x: 1.673 m η = 2.5	x: 0.084 m η = 5.8	x: 1.674 m η = 12.1	x: 0.084 m η = 4.6	x: 1.674 m η = 6.8	η = 0.5	η < 0.1	η < 0.1	x: 1.674 m η = 16.8	η < 0.1	η = 0.1	x: 1.674 m η = 6.8	η = 0.5	**CUMPLE η = 16.8**
N1801/N1802	$\lambda_w \leq \lambda_{w,máx}$ Cumple	x: 1.702 m η = 17.7	x: 0.105 m η = 33.8	x: 0.305 m η = 2.2	x: 1.703 m η = 11.1	x: 0.105 m η = 0.4	η = 0.5	η < 0.1	η < 0.1	x: 1.703 m η = 38.6	η < 0.1	η = 0.1	x: 0.105 m η = 0.4	η = 0.5	**CUMPLE η = 38.6**
N1886/N1887	$\lambda_w \leq \lambda_{w,máx}$ Cumple	x: 1.68 m η = 26.4	x: 0.076 m η = 25.7	x: 1.681 m η = 5.4	x: 0.076 m η = 5.2	x: 0.076 m η = 0.9	η = 0.2	η < 0.1	η < 0.1	x: 1.481 m η = 32.7	η < 0.1	η = 0.1	x: 0.076 m η = 0.9	η = 0.2	**CUMPLE η = 32.7**
N1887/N1888	$\lambda_w \leq \lambda_{w,máx}$ Cumple	x: 1.7 m η = 35.3	x: 0.098 m η = 34.3	x: 1.701 m η = 7.3	x: 0.098 m η = 2.9	x: 0.098 m η = 2.2	η = 0.2	η < 0.1	η < 0.1	x: 1.701 m η = 43.9	η < 0.1	η = 0.2	x: 0.098 m η = 2.2	η = 0.2	**CUMPLE η = 43.9**
N1888/N1889	$\lambda_w \leq \lambda_{w,máx}$ Cumple	x: 1.7 m η = 41.4	x: 0.078 m η = 40.1	x: 1.701 m η = 6.9	x: 0.078 m η = 2.1	x: 0.078 m η = 0.7	η = 0.2	η < 0.1	η < 0.1	x: 1.701 m η = 49.2	η < 0.1	η = 0.2	x: 0.078 m η = 0.7	η = 0.2	**CUMPLE η = 49.2**
N1889/N1890	$\lambda_w \leq \lambda_{w,máx}$ Cumple	x: 1.7 m η = 45.4	x: 0.078 m η = 44.0	x: 1.701 m η = 7.3	x: 1.701 m η = 4.0	x: 0.078 m η = 0.7	η = 0.2	η < 0.1	η < 0.1	x: 1.701 m η = 56.0	η < 0.1	x: 0.281 m η = 0.2	x: 0.078 m η = 0.7	η = 0.2	**CUMPLE η = 56.0**
N1894/N1895	$\lambda_w \leq \lambda_{w,máx}$ Cumple	x: 1.694 m η = 23.6	x: 0.084 m η = 21.1	x: 0.084 m η = 7.2	x: 0.084 m η = 3.4	x: 1.695 m η = 2.8	η = 0.3	η < 0.1	η < 0.1	x: 0.084 m η = 33.7	η < 0.1	η = 0.2	x: 1.695 m η = 2.8	η = 0.3	**CUMPLE η = 33.7**
N1895/N1896	$\lambda_w \leq \lambda_{w,máx}$ Cumple	x: 1.694 m η = 11.9	x: 0.084 m η = 7.0	x: 0.084 m η = 4.8	x: 1.695 m η = 4.9	x: 1.695 m η = 1.5	η = 0.2	η < 0.1	η < 0.1	x: 0.084 m η = 17.5	η < 0.1	η = 0.3	x: 1.695 m η = 1.5	η = 0.2	**CUMPLE η = 17.5**
N1896/N1897	$\lambda_w \leq \lambda_{w,máx}$ Cumple	x: 1.673 m η = 4.0	x: 0.084 m η = 2.1	x: 1.674 m η = 8.9	x: 0.084 m η = 4.0	x: 1.674 m η = 5.0	η = 0.4	η < 0.1	η < 0.1	x: 1.674 m η = 11.6	η < 0.1	η = 0.2	x: 1.674 m η = 5.0	η = 0.4	**CUMPLE η = 11.6**
N1897/N1898	$\lambda_w \leq \lambda_{w,máx}$ Cumple	x: 1.702 m η = 16.8	x: 0.105 m η = 24.3	x: 0.704 m η = 1.6	x: 1.703 m η = 9.4	x: 0.105 m η = 0.4	η = 0.4	η < 0.1	η < 0.1	x: 1.703 m η = 26.6	η < 0.1	η = 0.1	x: 0.105 m η = 0.4	η = 0.4	**CUMPLE η = 26.6**
N2117/N2118	$\lambda_w \leq \lambda_{w,máx}$ Cumple	x: 1.7 m η = 30.3	x: 0.061 m η = 45.2	x: 1.701 m η = 5.0	x: 0.061 m η = 2.8	x: 0.061 m η = 0.7	η = 0.1	η < 0.1	η < 0.1	x: 1.701 m η = 49.2	η < 0.1	x: 0.266 m η < 0.1	x: 0.061 m η = 0.3	η < 0.1	**CUMPLE η = 49.2**
N2118/N2119	$\lambda_w \leq \lambda_{w,máx}$ Cumple	x: 1.7 m η = 40.0	x: 0.078 m η = 59.1	x: 1.701 m η = 6.9	x: 1.701 m η = 2.1	x: 0.078 m η = 1.6	η = 0.1	η < 0.1	η < 0.1	x: 1.701 m η = 64.6	η < 0.1	η = 0.3	x: 0.078 m η = 1.6	η = 0.1	**CUMPLE η = 64.6**
N2119/N2120	$\lambda_w \leq \lambda_{w,máx}$ Cumple	x: 1.7 m η = 47.0	x: 0.078 m η = 68.9	x: 1.701 m η = 6.2	x: 0.078 m η = 1.7	x: 0.078 m η = 0.7	η = 0.1	η < 0.1	η < 0.1	x: 1.701 m η = 73.4	η < 0.1	x: 0.078 m η = 0.1	x: 1.701 m η = 0.7	η = 0.1	**CUMPLE η = 73.4**
N2120/N2121	$\lambda_w \leq \lambda_{w,máx}$ Cumple	x: 1.713 m η = 51.6	x: 0.078 m η = 75.5	x: 1.714 m η = 6.0	x: 1.714 m η = 3.7	x: 0.078 m η = 0.6	η = 0.1	η < 0.1	η < 0.1	x: 1.714 m η = 82.5	η < 0.1	x: 0.283 m η = 0.2	x: 0.078 m η = 0.6	η = 0.1	**CUMPLE η = 82.5**

Documento visado electrónicamente con número: VA07290/22
Código de validación telemática TRLTDCFZ60T66IJ1. Comprobación: https://cogitivalencia.e-gestion.es/Validacion.aspx?CVT=TRLTDCFZ60T66IJ1

VISADO
COGITI
TRLTDCFZ60T66IJ1
VALENCIA
VA07290/22

Barras	COMPROBACIONES (CÓDIGO ESTRUCTURAL)														Estado
	λ_w	N_t	N_c	M_Y	M_Z	V_Z	V_Y	M_YV_Z	M_ZV_Y	NM_YM_Z	$NM_YM_ZV_YV_Z$	M_t	M_tV_Z	M_tV_Y	
N2125/N2126	$\lambda_w \leq \lambda_{w,máx}$ Cumple	x: 1.694 m η = 27.6	x: 0.07 m η = 37.4	x: 0.07 m η = 6.6	x: 0.07 m η = 2.9	x: 1.695 m η = 1.9	η = 0.2	η < 0.1	η < 0.1	x: 0.07 m η = 43.8	η < 0.1	x: 0.07 m η = 0.2	x: 1.695 m η = 1.9	η = 0.2	**CUMPLE η = 43.8**
N2126/N2127	$\lambda_w \leq \lambda_{w,máx}$ Cumple	x: 1.694 m η = 15.0	x: 0.084 m η = 17.8	x: 0.084 m η = 6.2	x: 1.695 m η = 3.5	x: 1.695 m η = 1.8	η = 0.1	η < 0.1	η < 0.1	x: 0.084 m η = 21.9	η < 0.1	x: 0.084 m η = 0.2	x: 1.695 m η = 1.8	η = 0.1	**CUMPLE η = 21.9**
N2127/N2128	$\lambda_w \leq \lambda_{w,máx}$ Cumple	x: 1.694 m η = 4.4	x: 0.084 m η = 1.4	x: 0.084 m η = 7.5	x: 0.084 m η = 2.3	x: 1.695 m η = 3.6	η = 0.1	η < 0.1	η < 0.1	x: 0.084 m η = 11.7	η < 0.1	η = 0.2	x: 1.695 m η = 3.6	η = 0.1	**CUMPLE η = 11.7**
N2128/N2129	$\lambda_w \leq \lambda_{w,máx}$ Cumple	x: 1.717 m η = 21.5	x: 0.084 m η = 29.5	x: 0.084 m η = 2.6	x: 1.718 m η = 4.2	x: 1.718 m η = 0.7	η = 0.1	η < 0.1	η < 0.1	x: 0.084 m η = 31.5	η < 0.1	η < 0.1	x: 1.718 m η = 0.3	η < 0.1	**CUMPLE η = 31.5**
N2270/N2271	$\lambda_w \leq \lambda_{w,máx}$ Cumple	x: 1.7 m η = 30.6	x: 0.061 m η = 45.9	x: 1.701 m η = 5.0	x: 0.061 m η = 3.3	x: 0.061 m η = 0.7	η = 0.1	η < 0.1	η < 0.1	x: 1.701 m η = 49.8	η < 0.1	x: 0.471 m η < 0.1	x: 0.061 m η = 0.3	η = 0.1	**CUMPLE η = 49.8**
N2271/N2272	$\lambda_w \leq \lambda_{w,máx}$ Cumple	x: 1.7 m η = 40.4	x: 0.078 m η = 60.1	x: 1.701 m η = 7.0	x: 1.701 m η = 2.0	x: 0.078 m η = 1.6	η = 0.1	η < 0.1	η < 0.1	x: 1.701 m η = 65.9	η < 0.1	η = 0.3	x: 0.078 m η = 1.6	η = 0.1	**CUMPLE η = 65.9**
N2272/N2273	$\lambda_w \leq \lambda_{w,máx}$ Cumple	x: 1.7 m η = 47.6	x: 0.078 m η = 70.2	x: 1.701 m η = 6.3	x: 0.078 m η = 2.0	x: 0.078 m η = 0.7	η = 0.1	η < 0.1	η < 0.1	x: 1.701 m η = 74.8	η < 0.1	η = 0.2	x: 0.078 m η = 0.7	η = 0.1	**CUMPLE η = 74.8**
N2273/N2274	$\lambda_w \leq \lambda_{w,máx}$ Cumple	x: 1.713 m η = 52.1	x: 0.078 m η = 76.9	x: 1.714 m η = 6.0	x: 1.714 m η = 4.1	x: 0.078 m η = 0.6	η = 0.1	η < 0.1	η < 0.1	x: 1.714 m η = 84.1	η < 0.1	η = 0.3	x: 0.078 m η = 0.6	η = 0.1	**CUMPLE η = 84.1**
N2278/N2279	$\lambda_w \leq \lambda_{w,máx}$ Cumple	x: 1.694 m η = 28.1	x: 0.07 m η = 37.9	x: 0.07 m η = 6.6	x: 0.07 m η = 3.2	x: 1.695 m η = 2.0	η = 0.2	η < 0.1	η < 0.1	x: 0.07 m η = 44.5	η < 0.1	η = 0.2	x: 1.695 m η = 2.0	η = 0.2	**CUMPLE η = 44.5**
N2279/N2280	$\lambda_w \leq \lambda_{w,máx}$ Cumple	x: 1.694 m η = 15.4	x: 0.084 m η = 18.0	x: 0.084 m η = 6.3	x: 1.695 m η = 3.6	x: 1.695 m η = 1.8	η = 0.1	η < 0.1	η < 0.1	x: 0.084 m η = 22.4	η < 0.1	η = 0.2	x: 1.695 m η = 1.8	η = 0.1	**CUMPLE η = 22.4**
N2280/N2281	$\lambda_w \leq \lambda_{w,máx}$ Cumple	x: 1.694 m η = 4.7	x: 0.084 m η = 1.3	x: 0.084 m η = 7.6	x: 0.084 m η = 2.2	x: 1.695 m η = 3.6	η = 0.1	η < 0.1	η < 0.1	x: 0.084 m η = 12.4	η < 0.1	η = 0.3	x: 1.695 m η = 3.6	η = 0.1	**CUMPLE η = 12.4**
N2281/N2282	$\lambda_w \leq \lambda_{w,máx}$ Cumple	x: 1.717 m η = 22.2	x: 0.084 m η = 29.6	x: 0.084 m η = 2.6	x: 1.718 m η = 3.8	x: 0.084 m η = 0.7	η = 0.1	η < 0.1	η < 0.1	x: 0.084 m η = 31.5	η < 0.1	η = 0.1	x: 0.084 m η = 0.6	η = 0.1	**CUMPLE η = 31.5**
N2423/N2424	$\lambda_w \leq \lambda_{w,máx}$ Cumple	x: 1.7 m η = 30.7	x: 0.061 m η = 46.0	x: 1.701 m η = 5.0	x: 0.061 m η = 3.5	x: 0.061 m η = 0.7	η = 0.1	η < 0.1	η < 0.1	x: 1.701 m η = 49.8	η < 0.1	η < 0.1	x: 0.061 m η = 0.3	η = 0.1	**CUMPLE η = 49.8**
N2424/N2425	$\lambda_w \leq \lambda_{w,máx}$ Cumple	x: 1.7 m η = 40.5	x: 0.078 m η = 60.3	x: 1.701 m η = 7.1	x: 1.701 m η = 2.1	x: 0.078 m η = 1.7	η = 0.1	η < 0.1	η < 0.1	x: 1.701 m η = 66.1	η < 0.1	η = 0.2	x: 0.078 m η = 1.7	η = 0.1	**CUMPLE η = 66.1**
N2425/N2426	$\lambda_w \leq \lambda_{w,máx}$ Cumple	x: 1.7 m η = 47.7	x: 0.078 m η = 70.4	x: 1.701 m η = 6.3	x: 0.078 m η = 2.2	x: 0.078 m η = 0.7	η = 0.2	η < 0.1	η < 0.1	x: 1.701 m η = 75.0	η < 0.1	η = 0.2	x: 0.078 m η = 0.7	η = 0.2	**CUMPLE η = 75.0**
N2426/N2427	$\lambda_w \leq \lambda_{w,máx}$ Cumple	x: 1.713 m η = 52.3	x: 0.078 m η = 77.1	x: 1.714 m η = 6.1	x: 1.714 m η = 4.5	x: 0.078 m η = 0.6	η = 0.2	η < 0.1	η < 0.1	x: 1.714 m η = 84.6	η < 0.1	η = 0.2	x: 0.078 m η = 0.6	η = 0.2	**CUMPLE η = 84.6**
N2431/N2432	$\lambda_w \leq \lambda_{w,máx}$ Cumple	x: 1.694 m η = 28.4	x: 0.07 m η = 38.2	x: 0.07 m η = 6.7	x: 0.07 m η = 3.5	x: 1.695 m η = 2.0	η = 0.2	η < 0.1	η < 0.1	x: 0.07 m η = 44.9	η < 0.1	η = 0.2	x: 1.695 m η = 2.0	η = 0.2	**CUMPLE η = 44.9**
N2432/N2433	$\lambda_w \leq \lambda_{w,máx}$ Cumple	x: 1.694 m η = 15.7	x: 0.084 m η = 18.3	x: 0.084 m η = 6.3	x: 1.695 m η = 3.6	x: 1.695 m η = 1.8	η = 0.1	η < 0.1	η < 0.1	x: 0.084 m η = 22.8	η < 0.1	η = 0.2	x: 1.695 m η = 1.8	η = 0.2	**CUMPLE η = 22.8**
N2433/N2434	$\lambda_w \leq \lambda_{w,máx}$ Cumple	x: 1.694 m η = 4.6	x: 0.084 m η = 3.0	x: 0.084 m η = 7.6	x: 0.084 m η = 2.3	x: 1.695 m η = 3.6	η = 0.1	η < 0.1	η < 0.1	x: 0.084 m η = 12.4	η < 0.1	η = 0.3	x: 1.695 m η = 3.6	η = 0.1	**CUMPLE η = 12.4**
N2434/N2435	$\lambda_w \leq \lambda_{w,máx}$ Cumple	x: 1.717 m η = 22.2	x: 0.084 m η = 29.2	x: 0.084 m η = 2.6	x: 1.718 m η = 3.8	x: 0.084 m η = 0.7	η = 0.1	η < 0.1	η < 0.1	x: 0.084 m η = 31.2	η < 0.1	η = 0.1	x: 0.084 m η = 0.6	η = 0.1	**CUMPLE η = 31.2**
N2576/N2577	$\lambda_w \leq \lambda_{w,máx}$ Cumple	x: 1.7 m η = 30.8	x: 0.061 m η = 46.2	x: 1.701 m η = 5.0	x: 0.061 m η = 3.5	x: 0.061 m η = 0.7	η = 0.1	η < 0.1	η < 0.1	x: 1.701 m η = 49.7	η < 0.1	η = 0.1	x: 0.061 m η = 0.5	η = 0.1	**CUMPLE η = 49.7**
N2577/N2578	$\lambda_w \leq \lambda_{w,máx}$ Cumple	x: 1.7 m η = 40.6	x: 0.078 m η = 60.5	x: 1.701 m η = 7.1	x: 1.701 m η = 2.1	x: 0.078 m η = 1.7	η = 0.1	η < 0.1	η < 0.1	x: 1.701 m η = 66.3	η < 0.1	η = 0.2	x: 0.078 m η = 1.7	η = 0.1	**CUMPLE η = 66.3**
N2578/N2579	$\lambda_w \leq \lambda_{w,máx}$ Cumple	x: 1.7 m η = 47.8	x: 0.078 m η = 70.7	x: 1.701 m η = 6.3	x: 0.078 m η = 2.3	x: 0.078 m η = 0.7	η = 0.2	η < 0.1	η < 0.1	x: 0.078 m η = 75.4	η < 0.1	η = 0.2	x: 0.078 m η = 0.7	η = 0.2	**CUMPLE η = 75.4**
N2579/N2580	$\lambda_w \leq \lambda_{w,máx}$ Cumple	x: 1.713 m η = 52.5	x: 0.078 m η = 77.5	x: 1.714 m η = 6.1	x: 1.714 m η = 4.6	x: 0.078 m η = 0.6	η = 0.2	η < 0.1	η < 0.1	x: 1.714 m η = 85.1	η < 0.1	x: 1.51 m η = 0.2	x: 0.078 m η = 0.6	η = 0.2	**CUMPLE η = 85.1**
N2584/N2585	$\lambda_w \leq \lambda_{w,máx}$ Cumple	x: 1.694 m η = 28.7	x: 0.07 m η = 39.0	x: 0.07 m η = 6.7	x: 0.07 m η = 3.6	x: 1.695 m η = 2.0	η = 0.2	η < 0.1	η < 0.1	x: 0.07 m η = 45.8	η < 0.1	η = 0.2	x: 1.695 m η = 2.0	η = 0.2	**CUMPLE η = 45.8**
N2585/N2586	$\lambda_w \leq \lambda_{w,máx}$ Cumple	x: 1.694 m η = 16.0	x: 0.084 m η = 19.1	x: 0.084 m η = 6.3	x: 1.695 m η = 3.7	x: 1.695 m η = 1.8	η = 0.2	η < 0.1	η < 0.1	x: 0.084 m η = 23.3	η < 0.1	η = 0.2	x: 1.695 m η = 1.8	η = 0.2	**CUMPLE η = 23.3**
N2586/N2587	$\lambda_w \leq \lambda_{w,máx}$ Cumple	x: 1.694 m η = 4.1	x: 0.084 m η = 0.7	x: 0.084 m η = 7.7	x: 0.084 m η = 2.4	x: 1.695 m η = 3.6	η = 0.1	η < 0.1	η < 0.1	x: 0.084 m η = 12.0	η < 0.1	η = 0.3	x: 1.695 m η = 3.6	η = 0.1	**CUMPLE η = 12.0**
N2587/N2588	$\lambda_w \leq \lambda_{w,máx}$ Cumple	x: 1.717 m η = 21.6	x: 0.084 m η = 28.7	x: 0.084 m η = 2.6	x: 1.718 m η = 4.0	x: 0.084 m η = 0.7	η = 0.1	η < 0.1	η < 0.1	x: 0.084 m η = 30.5	η < 0.1	η = 0.1	x: 0.084 m η = 0.7	η = 0.1	**CUMPLE η = 30.5**
N2729/N2730	$\lambda_w \leq \lambda_{w,máx}$ Cumple	x: 1.7 m η = 30.6	x: 0.061 m η = 46.2	x: 1.701 m η = 5.0	x: 0.061 m η = 3.2	x: 0.061 m η = 0.7	η = 0.1	η < 0.1	η < 0.1	x: 1.701 m η = 49.6	η < 0.1	η = 0.1	x: 1.701 m η = 0.6	η = 0.1	**CUMPLE η = 49.6**
N2730/N2731	$\lambda_w \leq \lambda_{w,máx}$ Cumple	x: 1.7 m η = 40.4	x: 0.078 m η = 60.5	x: 1.701 m η = 7.0	x: 1.701 m η = 1.9	x: 0.078 m η = 1.6	η = 0.1	η < 0.1	η < 0.1	x: 1.701 m η = 66.1	η < 0.1	η = 0.2	x: 0.078 m η = 1.6	η = 0.1	**CUMPLE η = 66.1**
N2731/N2732	$\lambda_w \leq \lambda_{w,máx}$ Cumple	x: 1.7 m η = 47.5	x: 0.078 m η = 70.7	x: 1.701 m η = 6.2	x: 0.078 m η = 2.4	x: 0.078 m η = 0.7	η = 0.2	η < 0.1	η < 0.1	x: 0.078 m η = 75.4	η < 0.1	η = 0.2	x: 0.078 m η = 0.7	η = 0.2	**CUMPLE η = 75.4**
N2732/N2733	$\lambda_w \leq \lambda_{w,máx}$ Cumple	x: 1.713 m η = 52.1	x: 0.078 m η = 77.5	x: 1.714 m η = 6.0	x: 1.714 m η = 4.5	x: 0.078 m η = 0.6	η = 0.2	η < 0.1	η < 0.1	x: 1.714 m η = 85.2	η < 0.1	η = 0.3	x: 0.078 m η = 0.6	η = 0.2	**CUMPLE η = 85.2**
N2737/N2738	$\lambda_w \leq \lambda_{w,máx}$ Cumple	x: 1.694 m η = 28.5	x: 0.07 m η = 40.0	x: 0.07 m η = 6.6	x: 0.07 m η = 3.6	x: 1.695 m η = 1.9	η = 0.2	η < 0.1	η < 0.1	x: 0.07 m η = 46.8	η < 0.1	x: 0.476 m η = 0.2	x: 1.695 m η = 1.9	η = 0.2	**CUMPLE η = 46.8**
N2738/N2739	$\lambda_w \leq \lambda_{w,máx}$ Cumple	x: 1.694 m η = 15.9	x: 0.084 m η = 20.4	x: 0.084 m η = 6.3	x: 1.695 m η = 3.9	x: 1.695 m η = 1.8	η = 0.2	η < 0.1	η < 0.1	x: 0.084 m η = 24.6	η < 0.1	x: 0.084 m η = 0.3	x: 1.695 m η = 1.8	η = 0.2	**CUMPLE η = 24.6**
N2739/N2740	$\lambda_w \leq \lambda_{w,máx}$ Cumple	x: 1.694 m η = 3.7	x: 0.084 m η = 0.1	x: 0.084 m η = 7.6	x: 0.084 m η = 2.7	x: 1.695 m η = 3.6	η = 0.2	η < 0.1	η < 0.1	x: 0.084 m η = 10.8	η < 0.1	η = 0.2	x: 1.695 m η = 2.9	η = 0.2	**CUMPLE η = 10.8**
N2740/N2741	$\lambda_w \leq \lambda_{w,máx}$ Cumple	x: 1.717 m η = 19.8	x: 0.084 m η = 27.6	x: 0.084 m η = 2.6	x: 1.718 m η = 4.5	x: 1.718 m η = 0.7	η = 0.1	η < 0.1	η < 0.1	x: 0.084 m η = 29.2	η < 0.1	η = 0.1	x: 1.718 m η = 0.7	η = 0.1	**CUMPLE η = 29.2**
N2882/N2883	$\lambda_w \leq \lambda_{w,máx}$ Cumple	x: 1.7 m η = 27.5	x: 0.061 m η = 42.8	x: 1.701 m η = 4.6	x: 0.061 m η = 3.9	x: 0.061 m η = 0.7	η = 0.1	η < 0.1	η < 0.1	x: 1.701 m η = 45.8	η < 0.1	η = 0.1	x: 0.061 m η = 0.7	η = 0.1	**CUMPLE η = 45.8**
N2883/N2884	$\lambda_w \leq \lambda_{w,máx}$ Cumple	x: 1.7 m η = 36.0	x: 0.078 m η = 56.0	x: 1.701 m η = 5.9	x: 0.078 m η = 1.9	x: 0.078 m η = 1.4	η = 0.1	η < 0.1	η < 0.1	x: 1.701 m η = 60.9	η < 0.1	η = 0.1	x: 0.078 m η = 1.4	η = 0.1	**CUMPLE η = 60.9**
N2884/N2885	$\lambda_w \leq \lambda_{w,máx}$ Cumple	x: 1.7 m η = 42.0	x: 0.078 m η = 65.2	x: 1.701 m η = 5.6	x: 0.078 m η = 2.5	x: 0.078 m η = 0.7	η = 0.2	η < 0.1	η < 0.1	x: 1.701 m η = 69.7	η < 0.1	η = 0.2	x: 0.078 m η = 0.7	η = 0.2	**CUMPLE η = 69.7**
N2885/N2886	$\lambda_w \leq \lambda_{w,máx}$ Cumple	x: 1.713 m η = 46.1	x: 0.078 m η = 71.8	x: 1.714 m η = 5.1	x: 1.714 m η = 4.2	x: 0.078 m η = 0.5	η = 0.2	η < 0.1	η < 0.1	x: 1.714 m η = 79.3	η < 0.1	η = 0.3	x: 0.078 m η = 0.5	η = 0.2	**CUMPLE η = 79.3**
N2890/N2891	$\lambda_w \leq \lambda_{w,máx}$ Cumple	x: 1.694 m η = 27.4	x: 0.07 m η = 42.8	x: 0.07 m η = 5.8	x: 0.07 m η = 3.6	x: 1.695 m η = 1.8	η = 0.2	η < 0.1	η < 0.1	x: 0.07 m η = 49.1	η < 0.1	η = 0.4	x: 1.695 m η = 1.8	η = 0.2	**CUMPLE η = 49.1**
N2891/N2892	$\lambda_w \leq \lambda_{w,máx}$ Cumple	x: 1.694 m η = 18.8	x: 0.084 m η = 26.1	x: 0.084 m η = 5.7	x: 1.695 m η = 3.8	x: 1.695 m η = 1.8	η = 0.2	η < 0.1	η < 0.1	x: 0.084 m η = 30.4	η < 0.1	η = 0.2	x: 1.695 m η = 1.8	η = 0.2	**CUMPLE η = 30.4**
N2892/N2893	$\lambda_w \leq \lambda_{w,máx}$ Cumple	x: 1.694 m η = 9.9	x: 0.084 m η = 14.5	x: 0.084 m η = 6.8	x: 0.084 m η = 3.2	x: 1.695 m η = 3.3	η = 0.2	η < 0.1	η < 0.1	x: 0.084 m η = 18.5	η < 0.1	η = 0.1	x: 0.084 m η = 2.9	η = 0.2	**CUMPLE η = 18.5**

Documento visado electrónicamente con número VA07290/22
Código de validación telemática TRLTDCFZ60T66IJ1. Comprobación: https://cogitivalencia.e-gestion.es/Validacion.aspx?CVT=TRLTDCFZ60T66IJ1

VISADO
COGITI
Estado
VALENCIA
VA07290/22
TRLTDCFZ60T66IJ1

Barras	COMPROBACIONES (CÓDIGO ESTRUCTURAL)														
	λ_w	N_t	N_c	M_Y	M_Z	V_Z	V_Y	M_YV_Z	M_ZV_Y	NM_YM_Z	$NM_YM_ZV_YV_Z$	M_t	M_tV_Z	M_tV_Y	
N2893/N2894	$\lambda_w \leq \lambda_{w,máx}$ Cumple	x: 1.717 m η = 21.9	x: 0.084 m η = 35.0	x: 0.084 m η = 2.5	x: 1.718 m η = 5.1	x: 1.718 m η = 0.6	η = 0.2	η < 0.1	η < 0.1	x: 0.084 m η = 36.5	η < 0.1	η = 0.1	x: 1.718 m η = 0.6	η = 0.2	**CUMPLE η = 36.5**
N1930/N1693	$\lambda_w \leq \lambda_{w,máx}$ Cumple	x: 1.7 m η = 0.8	x: 0.061 m η = 0.5	x: 0.061 m η = 8.6	x: 0.061 m η = 1.6	x: 0.061 m η = 3.0	η = 0.1	η < 0.1	η < 0.1	x: 0.061 m η = 9.4	η < 0.1	η = 0.2	x: 0.061 m η = 3.0	η = 0.1	**CUMPLE η = 9.4**
N1693/N1694	$\lambda_w \leq \lambda_{w,máx}$ Cumple	x: 1.7 m η = 19.7	x: 0.078 m η = 18.8	x: 1.701 m η = 8.3	x: 1.701 m η = 2.5	x: 0.078 m η = 4.0	η = 0.1	η < 0.1	η < 0.1	x: 1.701 m η = 29.4	η < 0.1	η = 0.1	x: 0.078 m η = 2.9	η = 0.1	**CUMPLE η = 29.4**
N1933/N1789	$\lambda_w \leq \lambda_{w,máx}$ Cumple	x: 1.68 m η = 0.8	x: 0.076 m η = 0.5	x: 0.076 m η = 11.8	x: 1.681 m η = 0.9	x: 0.076 m η = 2.8	η = 0.2	η < 0.1	η < 0.1	x: 0.076 m η = 13.1	η < 0.1	η = 0.9	x: 0.076 m η = 2.8	η = 0.2	**CUMPLE η = 13.1**
N1789/N1790	$\lambda_w \leq \lambda_{w,máx}$ Cumple	x: 1.68 m η = 14.0	x: 0.098 m η = 9.0	x: 1.681 m η = 9.6	x: 1.681 m η = 2.0	x: 0.098 m η = 2.6	η = 0.2	η < 0.1	η < 0.1	x: 1.681 m η = 24.6	η < 0.1	η = 1.0	x: 0.098 m η = 2.6	η = 0.2	**CUMPLE η = 24.6**
N1938/N1885	$\lambda_w \leq \lambda_{w,máx}$ Cumple	x: 1.68 m η = 0.6	x: 0.076 m η = 0.5	x: 0.076 m η = 9.9	x: 0.076 m η = 1.1	x: 0.076 m η = 2.3	η = 0.1	η < 0.1	η < 0.1	x: 0.076 m η = 10.7	η < 0.1	η = 1.4	x: 0.076 m η = 2.3	η = 0.1	**CUMPLE η = 10.7**
N1885/N1886	$\lambda_w \leq \lambda_{w,máx}$ Cumple	x: 1.68 m η = 10.4	x: 0.098 m η = 7.9	x: 1.681 m η = 7.0	x: 1.681 m η = 2.1	x: 0.098 m η = 1.9	η = 0.1	η < 0.1	η < 0.1	x: 1.681 m η = 18.6	η < 0.1	η = 1.6	x: 0.098 m η = 1.9	η = 0.1	**CUMPLE η = 18.6**
N2148/N2116	$\lambda_w \leq \lambda_{w,máx}$ Cumple	x: 1.7 m η = 0.8	x: 0.061 m η = 0.8	x: 0.061 m η = 7.1	x: 0.061 m η = 3.1	x: 0.061 m η = 2.6	η = 0.1	η < 0.1	η < 0.1	x: 0.061 m η = 8.2	η < 0.1	η = 0.1	x: 0.061 m η = 2.6	η = 0.1	**CUMPLE η = 8.2**
N2116/N2117	$\lambda_w \leq \lambda_{w,máx}$ Cumple	x: 1.7 m η = 18.7	x: 0.078 m η = 28.5	x: 1.701 m η = 7.7	x: 0.078 m η = 2.9	x: 0.078 m η = 3.7	η = 0.1	η < 0.1	η < 0.1	x: 0.078 m η = 34.2	η < 0.1	η = 0.3	x: 0.078 m η = 3.7	η = 0.1	**CUMPLE η = 34.2**
N2301/N2269	$\lambda_w \leq \lambda_{w,máx}$ Cumple	x: 1.7 m η = 0.9	x: 0.061 m η = 0.9	x: 0.061 m η = 7.0	x: 0.061 m η = 3.2	x: 0.061 m η = 2.5	η = 0.1	η < 0.1	η < 0.1	x: 0.061 m η = 7.8	η < 0.1	η = 0.1	x: 0.061 m η = 2.5	η = 0.1	**CUMPLE η = 7.8**
N2269/N2270	$\lambda_w \leq \lambda_{w,máx}$ Cumple	x: 1.7 m η = 18.9	x: 0.078 m η = 28.9	x: 1.701 m η = 7.8	x: 1.701 m η = 3.0	x: 0.078 m η = 3.8	η = 0.1	η < 0.1	η < 0.1	x: 0.078 m η = 34.5	η < 0.1	η = 0.4	x: 0.078 m η = 3.8	η = 0.1	**CUMPLE η = 34.5**
N2454/N2422	$\lambda_w \leq \lambda_{w,máx}$ Cumple	x: 1.7 m η = 0.9	x: 0.061 m η = 0.9	x: 0.061 m η = 7.0	x: 0.061 m η = 3.1	x: 0.061 m η = 2.5	η = 0.1	η < 0.1	η < 0.1	x: 0.061 m η = 7.8	η < 0.1	η = 0.1	x: 0.061 m η = 2.5	η = 0.1	**CUMPLE η = 7.8**
N2422/N2423	$\lambda_w \leq \lambda_{w,máx}$ Cumple	x: 1.7 m η = 18.9	x: 0.078 m η = 29.0	x: 1.701 m η = 7.8	x: 1.701 m η = 3.2	x: 0.078 m η = 3.8	η = 0.1	η < 0.1	η < 0.1	x: 1.701 m η = 34.6	η < 0.1	η = 0.3	x: 0.078 m η = 3.8	η = 0.1	**CUMPLE η = 34.6**
N2607/N2575	$\lambda_w \leq \lambda_{w,máx}$ Cumple	x: 1.7 m η = 0.9	x: 0.061 m η = 0.9	x: 0.061 m η = 6.9	x: 0.061 m η = 2.8	x: 0.061 m η = 2.5	η = 0.1	η < 0.1	η < 0.1	x: 0.061 m η = 7.7	η < 0.1	η = 0.2	x: 0.061 m η = 2.5	η = 0.1	**CUMPLE η = 7.7**
N2575/N2576	$\lambda_w \leq \lambda_{w,máx}$ Cumple	x: 1.7 m η = 18.9	x: 0.078 m η = 29.1	x: 1.701 m η = 7.8	x: 1.701 m η = 3.3	x: 0.078 m η = 3.8	η = 0.1	η < 0.1	η < 0.1	x: 1.701 m η = 34.7	η < 0.1	η = 0.3	x: 0.078 m η = 3.8	η = 0.1	**CUMPLE η = 34.7**
N2760/N2728	$\lambda_w \leq \lambda_{w,máx}$ Cumple	x: 1.7 m η = 0.9	x: 0.061 m η = 0.9	x: 0.061 m η = 6.8	x: 0.061 m η = 2.4	x: 0.061 m η = 2.5	η = 0.1	η < 0.1	η < 0.1	x: 0.061 m η = 7.7	η < 0.1	η = 0.3	x: 0.061 m η = 2.5	η = 0.1	**CUMPLE η = 7.7**
N2728/N2729	$\lambda_w \leq \lambda_{w,máx}$ Cumple	x: 1.7 m η = 18.8	x: 0.078 m η = 29.0	x: 1.701 m η = 7.8	x: 1.701 m η = 3.3	x: 0.078 m η = 3.8	η = 0.1	η < 0.1	η < 0.1	x: 1.701 m η = 34.5	η < 0.1	η = 0.2	x: 0.078 m η = 3.8	η = 0.1	**CUMPLE η = 34.5**
N2913/N2881	$\lambda_w \leq \lambda_{w,máx}$ Cumple	x: 1.7 m η = 0.8	x: 0.061 m η = 0.8	x: 0.061 m η = 6.9	x: 0.061 m η = 4.6	x: 0.061 m η = 2.2	η = 0.2	η < 0.1	η < 0.1	x: 0.061 m η = 10.5	η < 0.1	η = 0.2	x: 0.061 m η = 2.2	η = 0.2	**CUMPLE η = 10.5**
N2881/N2882	$\lambda_w \leq \lambda_{w,máx}$ Cumple	x: 1.7 m η = 17.1	x: 0.078 m η = 27.1	x: 1.701 m η = 7.0	x: 1.701 m η = 4.5	x: 0.078 m η = 3.5	η = 0.2	η < 0.1	η < 0.1	x: 1.701 m η = 31.9	η < 0.1	η = 0.2	x: 0.078 m η = 3.5	η = 0.2	**CUMPLE η = 31.9**
N1698/N1699	$\lambda_w \leq \lambda_{w,máx}$ Cumple	x: 1.713 m η = 61.1	x: 0.051 m η = 56.8	x: 0.675 m η = 6.4	x: 0.051 m η = 2.6	x: 0.051 m η = 0.3	η = 0.1	η < 0.1	η < 0.1	x: 0.051 m η = 69.5	η < 0.1	η < 0.1	x: 1.714 m η = 0.2	η = 0.1	**CUMPLE η = 69.5**
N1699/N1700	$\lambda_w \leq \lambda_{w,máx}$ Cumple	x: 1.708 m η = 61.0	x: 0.065 m η = 56.1	x: 1.709 m η = 8.0	x: 1.709 m η = 3.0	x: 0.065 m η = 0.6	η = 0.1	η < 0.1	η < 0.1	x: 1.709 m η = 70.3	η < 0.1	η = 0.3	x: 0.065 m η = 0.6	η = 0.1	**CUMPLE η = 70.3**
N1700/N1701	$\lambda_w \leq \lambda_{w,máx}$ Cumple	x: 1.708 m η = 52.6	x: 0.07 m η = 46.2	x: 0.07 m η = 10.2	x: 0.07 m η = 2.5	x: 1.709 m η = 1.7	η = 0.1	η < 0.1	η < 0.1	x: 0.07 m η = 63.8	η < 0.1	η = 0.1	x: 0.07 m η = 1.2	η = 0.1	**CUMPLE η = 63.8**
N1701/N1702	$\lambda_w \leq \lambda_{w,máx}$ Cumple	x: 1.727 m η = 44.2	x: 0.07 m η = 37.0	x: 0.07 m η = 7.3	x: 1.728 m η = 2.9	x: 1.728 m η = 1.1	η = 0.1	η < 0.1	η < 0.1	x: 0.07 m η = 51.5	η < 0.1	η < 0.1	x: 1.728 m η = 0.3	η < 0.1	**CUMPLE η = 51.5**
N1794/N1795	$\lambda_w \leq \lambda_{w,máx}$ Cumple	x: 1.7 m η = 64.7	x: 0.061 m η = 54.8	x: 1.496 m η = 9.8	x: 0.061 m η = 3.5	x: 1.701 m η = 0.4	η = 0.2	η < 0.1	η < 0.1	x: 0.061 m η = 77.1	η < 0.1	η = 0.1	x: 1.701 m η = 0.3	η = 0.2	**CUMPLE η = 77.1**
N1795/N1796	$\lambda_w \leq \lambda_{w,máx}$ Cumple	x: 1.694 m η = 64.3	x: 0.078 m η = 54.5	x: 1.695 m η = 11.9	x: 1.695 m η = 3.0	x: 0.078 m η = 0.7	η = 0.2	η < 0.1	η < 0.1	x: 1.695 m η = 78.0	η < 0.1	η = 0.3	x: 0.078 m η = 0.7	η = 0.2	**CUMPLE η = 78.0**
N1796/N1797	$\lambda_w \leq \lambda_{w,máx}$ Cumple	x: 1.694 m η = 54.3	x: 0.084 m η = 46.0	x: 0.084 m η = 14.7	x: 0.084 m η = 2.6	x: 1.695 m η = 2.6	η = 0.2	η < 0.1	η < 0.1	x: 0.084 m η = 70.6	η < 0.1	η = 0.2	x: 1.695 m η = 2.6	η = 0.2	**CUMPLE η = 70.6**
N1797/N1798	$\lambda_w \leq \lambda_{w,máx}$ Cumple	x: 1.717 m η = 44.8	x: 0.084 m η = 38.7	x: 0.084 m η = 11.4	x: 1.718 m η = 3.1	x: 1.718 m η = 2.3	η = 0.2	η < 0.1	η < 0.1	x: 0.084 m η = 56.5	η < 0.1	η < 0.1	x: 1.718 m η = 2.3	η = 0.1	**CUMPLE η = 56.5**
N1890/N1891	$\lambda_w \leq \lambda_{w,máx}$ Cumple	x: 1.7 m η = 47.1	x: 0.061 m η = 45.6	x: 1.291 m η = 7.1	x: 0.061 m η = 4.1	x: 1.701 m η = 0.2	η = 0.2	η < 0.1	η < 0.1	x: 0.061 m η = 57.4	η < 0.1	η = 0.1	x: 1.701 m η = 0.2	η = 0.2	**CUMPLE η = 57.4**
N1891/N1892	$\lambda_w \leq \lambda_{w,máx}$ Cumple	x: 1.694 m η = 46.8	x: 0.078 m η = 45.1	x: 1.695 m η = 9.0	x: 1.695 m η = 2.6	x: 0.078 m η = 0.7	η = 0.2	η < 0.1	η < 0.1	x: 1.695 m η = 58.2	η < 0.1	x: 0.078 m η = 0.2	x: 0.078 m η = 0.7	η = 0.2	**CUMPLE η = 58.2**
N1892/N1893	$\lambda_w \leq \lambda_{w,máx}$ Cumple	x: 1.694 m η = 39.5	x: 0.084 m η = 37.3	x: 0.084 m η = 11.1	x: 0.084 m η = 2.7	x: 1.695 m η = 2.1	η = 0.2	η < 0.1	η < 0.1	x: 0.084 m η = 52.7	η < 0.1	η = 0.3	x: 1.695 m η = 2.1	η = 0.2	**CUMPLE η = 52.7**
N1893/N1894	$\lambda_w \leq \lambda_{w,máx}$ Cumple	x: 1.717 m η = 32.4	x: 0.084 m η = 30.1	x: 0.084 m η = 8.2	x: 1.718 m η = 3.4	x: 1.718 m η = 1.7	η = 0.2	η < 0.1	η < 0.1	x: 0.084 m η = 41.0	η < 0.1	η = 0.1	x: 1.718 m η = 1.7	η = 0.2	**CUMPLE η = 41.0**
N2121/N2122	$\lambda_w \leq \lambda_{w,máx}$ Cumple	x: 1.713 m η = 53.6	x: 0.051 m η = 78.2	x: 0.675 m η = 5.6	x: 0.051 m η = 3.8	x: 1.714 m η = 0.3	η = 0.1	η < 0.1	η < 0.1	x: 0.051 m η = 85.2	η < 0.1	x: 1.713 m η = 0.1	x: 1.714 m η = 0.2	η = 0.1	**CUMPLE η = 85.2**
N2122/N2123	$\lambda_w \leq \lambda_{w,máx}$ Cumple	x: 1.708 m η = 53.3	x: 0.065 m η = 77.3	x: 1.709 m η = 7.0	x: 1.709 m η = 2.4	x: 0.065 m η = 0.5	η = 0.1	η < 0.1	η < 0.1	x: 1.709 m η = 83.8	η < 0.1	x: 1.298 m η = 0.3	x: 0.065 m η = 0.4	η = 0.1	**CUMPLE η = 83.8**
N2123/N2124	$\lambda_w \leq \lambda_{w,máx}$ Cumple	x: 1.708 m η = 45.3	x: 0.07 m η = 64.6	x: 0.07 m η = 8.8	x: 0.07 m η = 2.3	x: 1.709 m η = 1.4	η = 0.1	η < 0.1	η < 0.1	x: 0.07 m η = 71.9	η < 0.1	η = 0.3	x: 0.07 m η = 1.3	η = 0.1	**CUMPLE η = 71.9**
N2124/N2125	$\lambda_w \leq \lambda_{w,máx}$ Cumple	x: 1.727 m η = 37.6	x: 0.07 m η = 52.7	x: 0.07 m η = 6.4	x: 1.728 m η = 3.0	x: 1.728 m η = 1.0	η = 0.1	η < 0.1	η < 0.1	x: 1.728 m η = 57.3	η < 0.1	η = 0.2	x: 1.728 m η = 0.9	η = 0.1	**CUMPLE η = 57.3**
N2274/N2275	$\lambda_w \leq \lambda_{w,máx}$ Cumple	x: 1.713 m η = 54.2	x: 0.051 m η = 79.6	x: 0.675 m η = 5.7	x: 0.051 m η = 4.3	x: 1.714 m η = 0.3	η = 0.2	η < 0.1	η < 0.1	x: 0.051 m η = 86.9	η < 0.1	x: 1.713 m η = 0.1	x: 1.714 m η = 0.2	η = 0.1	**CUMPLE η = 86.9**
N2275/N2276	$\lambda_w \leq \lambda_{w,máx}$ Cumple	x: 1.708 m η = 54.0	x: 0.065 m η = 78.7	x: 1.709 m η = 7.1	x: 1.709 m η = 2.7	x: 0.065 m η = 0.5	η = 0.2	η < 0.1	η < 0.1	x: 1.709 m η = 85.6	η < 0.1	η = 0.3	x: 0.065 m η = 0.5	η = 0.2	**CUMPLE η = 85.6**
N2276/N2277	$\lambda_w \leq \lambda_{w,máx}$ Cumple	x: 1.708 m η = 45.9	x: 0.07 m η = 65.7	x: 0.07 m η = 9.0	x: 0.07 m η = 2.6	x: 1.709 m η = 1.5	η = 0.1	η < 0.1	η < 0.1	x: 0.07 m η = 73.4	η < 0.1	η = 0.3	x: 0.07 m η = 1.3	η = 0.1	**CUMPLE η = 73.4**
N2277/N2278	$\lambda_w \leq \lambda_{w,máx}$ Cumple	x: 1.727 m η = 38.2	x: 0.07 m η = 53.5	x: 0.07 m η = 6.5	x: 1.728 m η = 3.3	x: 1.728 m η = 1.0	η = 0.1	η < 0.1	η < 0.1	x: 1.728 m η = 58.3	η < 0.1	η = 0.1	x: 1.728 m η = 0.9	η = 0.1	**CUMPLE η = 58.3**
N2427/N2428	$\lambda_w \leq \lambda_{w,máx}$ Cumple	x: 1.713 m η = 54.4	x: 0.051 m η = 79.9	x: 0.675 m η = 5.7	x: 0.051 m η = 4.6	x: 1.714 m η = 0.2	η = 0.2	η < 0.1	η < 0.1	x: 0.051 m η = 87.3	η < 0.1	η = 0.1	x: 1.714 m η = 0.2	η = 0.1	**CUMPLE η = 87.3**
N2428/N2429	$\lambda_w \leq \lambda_{w,máx}$ Cumple	x: 1.708 m η = 54.2	x: 0.065 m η = 79.0	x: 1.709 m η = 7.1	x: 1.709 m η = 2.9	x: 0.065 m η = 0.5	η = 0.2	η < 0.1	η < 0.1	x: 1.709 m η = 86.0	η < 0.1	η = 0.3	x: 0.065 m η = 0.5	η = 0.2	**CUMPLE η = 86.0**
N2429/N2430	$\lambda_w \leq \lambda_{w,máx}$ Cumple	x: 1.708 m η = 46.2	x: 0.07 m η = 66.0	x: 0.07 m η = 9.0	x: 0.07 m η = 2.8	x: 1.709 m η = 1.5	η = 0.1	η < 0.1	η < 0.1	x: 0.07 m η = 73.8	η < 0.1	η = 0.2	x: 0.07 m η = 1.3	η = 0.1	**CUMPLE η = 73.8**
N2430/N2431	$\lambda_w \leq \lambda_{w,máx}$ Cumple	x: 1.727 m η = 38.4	x: 0.07 m η = 53.8	x: 0.07 m η = 6.5	x: 1.728 m η = 3.5	x: 1.728 m η = 1.0	η = 0.1	η < 0.1	η < 0.1	x: 1.728 m η = 58.7	η < 0.1	η = 0.1	x: 1.728 m η = 0.9	η = 0.1	**CUMPLE η = 58.7**

Documento visado electrónicamente con número: VA07290/22
Código de validación telemática TRLTDCFZ60T66IJ1. Comprobación: https://cogitivalencia.e-gestion.es/Validacion.aspx?CVT=TRLTDCFZ60T66IJ1

Listados

VISADO
COGITI
VALENCIA
VA07290/22
TRLTDCFZ60T66IJ1

Barras	COMPROBACIONES (CÓDIGO ESTRUCTURAL)														Estado
	λ_w	N_t	N_c	M_Y	M_Z	V_Z	V_Y	M_YV_Z	M_ZV_Y	NM_YM_Z	$NM_YM_ZV_YV_Z$	M_t	M_tV_Z	M_tV_Y	
N2580/N2581	$\lambda_w \leq \lambda_{w,máx}$ Cumple	x: 1.713 m η = 54.6	x: 0.051 m η = 80.3	x: 0.675 m η = 5.7	x: 0.051 m η = 4.8	x: 1.714 m η = 0.2	η = 0.2	η < 0.1	η < 0.1	x: 0.051 m η = 87.9	η < 0.1	x: 0.883 m η = 0.1	x: 1.714 m η = 0.2	η = 0.1	**CUMPLE η = 87.9**
N2581/N2582	$\lambda_w \leq \lambda_{w,máx}$ Cumple	x: 1.708 m η = 54.4	x: 0.065 m η = 79.5	x: 1.709 m η = 7.1	x: 1.709 m η = 3.0	x: 0.065 m η = 0.5	η = 0.2	η < 0.1	η < 0.1	x: 1.709 m η = 86.6	η < 0.1	x: 0.065 m η = 0.3	x: 0.065 m η = 0.5	η = 0.2	**CUMPLE η = 86.6**
N2582/N2583	$\lambda_w \leq \lambda_{w,máx}$ Cumple	x: 1.708 m η = 46.5	x: 0.07 m η = 66.6	x: 0.07 m η = 9.0	x: 0.07 m η = 2.9	x: 1.709 m η = 1.5	η = 0.1	η < 0.1	η < 0.1	x: 0.07 m η = 74.5	η < 0.1	η = 0.2	x: 0.07 m η = 1.3	η = 0.1	**CUMPLE η = 74.5**
N2583/N2584	$\lambda_w \leq \lambda_{w,máx}$ Cumple	x: 1.727 m η = 38.7	x: 0.07 m η = 54.5	x: 0.07 m η = 6.5	x: 1.728 m η = 3.6	x: 1.728 m η = 1.0	η = 0.2	η < 0.1	η < 0.1	x: 1.728 m η = 59.5	η < 0.1	η = 0.1	x: 1.728 m η = 0.9	η = 0.1	**CUMPLE η = 59.5**
N2733/N2734	$\lambda_w \leq \lambda_{w,máx}$ Cumple	x: 1.713 m η = 54.2	x: 0.051 m η = 80.5	x: 0.675 m η = 5.7	x: 0.051 m η = 4.7	x: 1.714 m η = 0.2	η = 0.2	η < 0.1	η < 0.1	x: 0.051 m η = 88.1	η < 0.1	x: 1.299 m η = 0.1	x: 1.714 m η = 0.2	η = 0.1	**CUMPLE η = 88.1**
N2734/N2735	$\lambda_w \leq \lambda_{w,máx}$ Cumple	x: 1.708 m η = 54.0	x: 0.065 m η = 79.8	x: 1.709 m η = 7.0	x: 1.709 m η = 2.9	x: 0.065 m η = 0.5	η = 0.2	η < 0.1	η < 0.1	x: 1.709 m η = 86.7	η < 0.1	x: 0.271 m η = 0.3	x: 0.065 m η = 0.5	η = 0.2	**CUMPLE η = 86.7**
N2735/N2736	$\lambda_w \leq \lambda_{w,máx}$ Cumple	x: 1.708 m η = 46.1	x: 0.07 m η = 67.2	x: 0.07 m η = 8.9	x: 0.07 m η = 2.8	x: 1.709 m η = 1.4	η = 0.1	η < 0.1	η < 0.1	x: 0.07 m η = 74.8	η < 0.1	η = 0.3	x: 0.07 m η = 1.3	η = 0.1	**CUMPLE η = 74.8**
N2736/N2737	$\lambda_w \leq \lambda_{w,máx}$ Cumple	x: 1.727 m η = 38.5	x: 0.07 m η = 55.3	x: 0.07 m η = 6.5	x: 1.728 m η = 3.6	x: 1.728 m η = 1.0	η = 0.1	η < 0.1	η < 0.1	x: 1.728 m η = 60.3	η < 0.1	η = 0.1	x: 1.728 m η = 0.9	η = 0.1	**CUMPLE η = 60.3**
N2886/N2887	$\lambda_w \leq \lambda_{w,máx}$ Cumple	x: 1.713 m η = 47.8	x: 0.051 m η = 74.6	x: 1.714 m η = 5.0	x: 0.051 m η = 4.3	x: 1.714 m η = 0.3	η = 0.2	η < 0.1	η < 0.1	x: 0.051 m η = 81.9	η < 0.1	η = 0.1	x: 1.714 m η = 0.3	η = 0.2	**CUMPLE η = 81.9**
N2887/N2888	$\lambda_w \leq \lambda_{w,máx}$ Cumple	x: 1.708 m η = 47.5	x: 0.065 m η = 74.8	x: 1.708 m η = 5.9	x: 1.709 m η = 2.8	x: 0.065 m η = 0.4	η = 0.2	η < 0.1	η < 0.1	x: 1.709 m η = 80.5	η < 0.1	η = 0.2	x: 0.065 m η = 0.4	η = 0.2	**CUMPLE η = 80.5**
N2888/N2889	$\lambda_w \leq \lambda_{w,máx}$ Cumple	x: 1.708 m η = 40.3	x: 0.07 m η = 65.1	x: 0.07 m η = 7.7	x: 0.07 m η = 2.5	x: 1.709 m η = 1.3	η = 0.1	η < 0.1	η < 0.1	x: 0.07 m η = 71.5	η < 0.1	η = 0.2	x: 1.709 m η = 1.3	η = 0.1	**CUMPLE η = 71.5**
N2889/N2890	$\lambda_w \leq \lambda_{w,máx}$ Cumple	x: 1.727 m η = 33.9	x: 0.07 m η = 55.3	x: 0.07 m η = 5.9	x: 1.728 m η = 3.5	x: 1.728 m η = 1.0	η = 0.1	η < 0.1	η < 0.1	x: 1.728 m η = 60.0	η < 0.1	η < 0.1	x: 1.728 m η = 0.3	η < 0.1	**CUMPLE η = 60.0**
N2894/N2895	$\lambda_w \leq \lambda_{w,máx}$ Cumple	x: 1.661 m η = 34.3	x: 0.084 m η = 61.7	x: 1.662 m η = 35.0	x: 1.662 m η = 5.9	x: 1.662 m η = 11.4	η = 0.3	η < 0.1	η < 0.1	x: 1.662 m η = 85.0	η < 0.1	η = 0.3	x: 1.662 m η = 11.4	η = 0.3	**CUMPLE η = 85.0**
N2895/N2848	$\lambda_w \leq \lambda_{w,máx}$ Cumple	x: 1.637 m η = 45.0	x: 0.117 m η = 73.8	x: 0.117 m η = 17.3	x: 1.638 m η = 7.9	x: 1.638 m η = 6.1	η = 0.2	η < 0.1	η < 0.1	x: 0.117 m η = 84.9	η < 0.1	η < 0.1	x: 0.117 m η = 1.5	η = 0.1	**CUMPLE η = 84.9**
N2741/N2742	$\lambda_w \leq \lambda_{w,máx}$ Cumple	x: 1.661 m η = 37.6	x: 0.084 m η = 56.0	x: 1.662 m η = 36.2	x: 1.662 m η = 6.6	x: 1.662 m η = 11.8	η = 0.3	η < 0.1	η < 0.1	x: 1.662 m η = 78.6	η < 0.1	η = 0.4	x: 1.662 m η = 11.8	η = 0.3	**CUMPLE η = 78.6**
N2742/N2695	$\lambda_w \leq \lambda_{w,máx}$ Cumple	x: 1.637 m η = 47.1	x: 0.117 m η = 74.0	x: 0.117 m η = 22.2	x: 1.638 m η = 8.4	x: 1.638 m η = 8.5	η = 0.2	η < 0.1	η < 0.1	x: 0.117 m η = 88.0	η < 0.1	η < 0.1	x: 0.117 m η = 1.9	η = 0.1	**CUMPLE η = 88.0**
N2588/N2589	$\lambda_w \leq \lambda_{w,máx}$ Cumple	x: 1.661 m η = 39.6	x: 0.084 m η = 57.3	x: 1.662 m η = 36.3	x: 1.662 m η = 6.1	x: 1.662 m η = 11.8	η = 0.2	η < 0.1	η < 0.1	x: 1.662 m η = 79.4	η < 0.1	η = 0.5	x: 1.662 m η = 11.8	η = 0.2	**CUMPLE η = 79.4**
N2589/N2542	$\lambda_w \leq \lambda_{w,máx}$ Cumple	x: 1.637 m η = 47.4	x: 0.117 m η = 73.7	x: 0.117 m η = 23.9	x: 1.638 m η = 7.4	x: 1.638 m η = 9.3	η = 0.2	η < 0.1	η < 0.1	x: 0.117 m η = 87.9	η < 0.1	η < 0.1	x: 0.117 m η = 2.3	η = 0.1	**CUMPLE η = 87.9**
N2435/N2436	$\lambda_w \leq \lambda_{w,máx}$ Cumple	x: 1.661 m η = 40.2	x: 0.084 m η = 57.9	x: 1.662 m η = 36.3	x: 1.662 m η = 5.6	x: 1.662 m η = 11.8	η = 0.2	η < 0.1	η < 0.1	x: 1.662 m η = 79.5	η < 0.1	η = 0.4	x: 1.662 m η = 11.8	η = 0.2	**CUMPLE η = 79.5**
N2436/N2389	$\lambda_w \leq \lambda_{w,máx}$ Cumple	x: 1.637 m η = 47.4	x: 0.117 m η = 73.7	x: 0.117 m η = 24.6	x: 1.638 m η = 6.8	x: 1.638 m η = 9.7	η = 0.2	η < 0.1	η < 0.1	x: 0.117 m η = 87.8	η < 0.1	η < 0.1	x: 0.117 m η = 2.3	η = 0.1	**CUMPLE η = 87.8**
N2282/N2283	$\lambda_w \leq \lambda_{w,máx}$ Cumple	x: 1.661 m η = 40.3	x: 0.084 m η = 58.2	x: 1.662 m η = 36.2	x: 1.662 m η = 5.2	x: 1.662 m η = 11.8	η = 0.2	η < 0.1	η < 0.1	x: 1.662 m η = 79.5	η < 0.1	η = 0.4	x: 1.662 m η = 11.8	η = 0.2	**CUMPLE η = 79.5**
N2283/N2236	$\lambda_w \leq \lambda_{w,máx}$ Cumple	x: 1.637 m η = 47.4	x: 0.117 m η = 73.8	x: 0.117 m η = 24.7	x: 1.638 m η = 6.2	x: 1.638 m η = 9.8	η = 0.2	η < 0.1	η < 0.1	x: 0.117 m η = 88.0	η < 0.1	η < 0.1	x: 0.117 m η = 1.9	η = 0.1	**CUMPLE η = 88.0**
N2129/N2130	$\lambda_w \leq \lambda_{w,máx}$ Cumple	x: 1.661 m η = 39.2	x: 0.084 m η = 58.0	x: 1.662 m η = 35.9	x: 1.662 m η = 4.7	x: 1.662 m η = 11.7	η = 0.1	η < 0.1	η < 0.1	x: 1.662 m η = 78.9	η < 0.1	η = 0.3	x: 1.662 m η = 9.7	η = 0.1	**CUMPLE η = 78.9**
N2130/N2083	$\lambda_w \leq \lambda_{w,máx}$ Cumple	x: 1.637 m η = 47.0	x: 0.117 m η = 72.8	x: 0.117 m η = 24.2	x: 1.638 m η = 6.0	x: 1.638 m η = 9.5	η = 0.2	η < 0.1	η < 0.1	x: 0.117 m η = 86.9	η < 0.1	η < 0.1	x: 0.117 m η = 1.7	η = 0.1	**CUMPLE η = 86.9**
N1898/N1899	$\lambda_w \leq \lambda_{w,máx}$ Cumple	x: 1.622 m η = 18.3	x: 0.105 m η = 21.7	x: 1.623 m η = 39.7	x: 1.623 m η = 6.2	x: 1.623 m η = 8.6	η = 0.5	η < 0.1	η < 0.1	x: 1.623 m η = 61.2	η < 0.1	η = 2.7	x: 1.623 m η = 8.7	η = 0.5	**CUMPLE η = 61.2**
N1899/N1851	$\lambda_w \leq \lambda_{w,máx}$ Cumple	x: 1.637 m η = 29.2	x: 0.156 m η = 22.5	x: 0.156 m η = 25.9	x: 1.638 m η = 5.4	x: 1.637 m η = 6.7	η = 0.6	η < 0.1	η < 0.1	x: 0.156 m η = 55.9	η < 0.1	η = 0.7	x: 1.637 m η = 6.7	η = 0.6	**CUMPLE η = 55.9**
N1802/N1803	$\lambda_w \leq \lambda_{w,máx}$ Cumple	x: 1.622 m η = 20.2	x: 0.105 m η = 34.1	x: 1.623 m η = 55.2	x: 1.623 m η = 5.4	x: 1.623 m η = 11.9	η = 0.3	η < 0.1	η < 0.1	x: 1.623 m η = 85.4	η < 0.1	η = 1.5	x: 1.623 m η = 11.9	η = 0.3	**CUMPLE η = 85.4**
N1803/N1755	$\lambda_w \leq \lambda_{w,máx}$ Cumple	x: 1.637 m η = 40.3	x: 0.156 m η = 32.6	x: 0.156 m η = 34.6	x: 1.638 m η = 5.1	x: 0.156 m η = 8.6	η = 0.6	η < 0.1	η < 0.1	x: 0.156 m η = 75.5	η < 0.1	η = 1.1	x: 0.156 m η = 8.7	η = 0.6	**CUMPLE η = 75.5**
N1706/N1707	$\lambda_w \leq \lambda_{w,máx}$ Cumple	x: 1.661 m η = 43.7	x: 0.084 m η = 67.4	x: 1.662 m η = 39.7	x: 0.084 m η = 6.1	x: 1.662 m η = 12.7	η = 0.2	η < 0.1	η < 0.1	x: 1.662 m η = 90.5	η < 0.1	η = 0.1	x: 1.662 m η = 12.7	η = 0.2	**CUMPLE η = 90.5**
N1707/N1659	$\lambda_w \leq \lambda_{w,máx}$ Cumple	x: 1.637 m η = 53.1	x: 0.117 m η = 49.3	x: 0.117 m η = 23.9	x: 1.638 m η = 4.1	x: 0.117 m η = 9.0	η = 0.1	η < 0.1	η < 0.1	x: 0.117 m η = 75.3	η < 0.1	η < 0.1	x: 0.117 m η = 1.7	η = 0.1	**CUMPLE η = 75.3**
N1905/N1906	$\lambda_w \leq \lambda_{w,máx}$ Cumple	x: 1.7 m η = 16.8	x: 0.061 m η = 20.4	x: 1.701 m η = 4.6	x: 0.061 m η = 3.1	x: 0.061 m η = 0.9	η = 0.2	η < 0.1	η < 0.1	x: 0.061 m η = 24.1	η < 0.1	x: 1.7 m η = 0.1	x: 0.061 m η = 0.6	η = 0.2	**CUMPLE η = 24.1**
N1906/N1907	$\lambda_w \leq \lambda_{w,máx}$ Cumple	x: 1.694 m η = 19.8	x: 0.078 m η = 22.9	x: 1.695 m η = 6.2	x: 1.695 m η = 2.6	x: 0.078 m η = 1.0	η = 0.2	η < 0.1	η < 0.1	x: 1.695 m η = 27.3	η < 0.1	η = 0.4	x: 0.078 m η = 1.0	η = 0.2	**CUMPLE η = 27.3**
N1907/N1908	$\lambda_w \leq \lambda_{w,máx}$ Cumple	x: 1.694 m η = 19.1	x: 0.084 m η = 21.2	x: 0.084 m η = 6.4	x: 0.084 m η = 2.5	x: 1.695 m η = 1.0	η = 0.1	η < 0.1	η < 0.1	x: 0.084 m η = 26.8	η < 0.1	x: 0.487 m η = 0.1	x: 0.084 m η = 0.8	η = 0.1	**CUMPLE η = 26.8**
N1908/N1909	$\lambda_w \leq \lambda_{w,máx}$ Cumple	x: 1.717 m η = 15.4	x: 0.084 m η = 17.1	x: 0.084 m η = 5.1	x: 1.718 m η = 2.1	x: 1.718 m η = 1.1	η = 0.1	η < 0.1	η < 0.1	x: 0.084 m η = 20.8	η < 0.1	η < 0.1	x: 1.718 m η = 0.8	η = 0.1	**CUMPLE η = 20.8**
N1809/N1810	$\lambda_w \leq \lambda_{w,máx}$ Cumple	x: 1.7 m η = 24.5	x: 0.061 m η = 25.7	x: 1.701 m η = 6.7	x: 0.061 m η = 3.4	x: 0.061 m η = 1.2	η = 0.2	η < 0.1	η < 0.1	x: 1.701 m η = 31.5	η < 0.1	η < 0.1	x: 1.701 m η = 0.8	η = 0.2	**CUMPLE η = 31.5**
N1810/N1811	$\lambda_w \leq \lambda_{w,máx}$ Cumple	x: 1.694 m η = 28.8	x: 0.078 m η = 29.0	x: 1.695 m η = 8.5	x: 1.695 m η = 2.9	x: 0.078 m η = 1.2	η = 0.2	η < 0.1	η < 0.1	x: 1.695 m η = 38.4	η < 0.1	η = 0.1	x: 0.078 m η = 1.2	η = 0.2	**CUMPLE η = 38.4**
N1811/N1812	$\lambda_w \leq \lambda_{w,máx}$ Cumple	x: 1.694 m η = 28.1	x: 0.084 m η = 27.8	x: 0.084 m η = 8.8	x: 0.084 m η = 2.9	x: 1.695 m η = 1.3	η = 0.2	η < 0.1	η < 0.1	x: 0.084 m η = 37.9	η < 0.1	η = 0.1	x: 1.695 m η = 1.3	η = 0.2	**CUMPLE η = 37.9**
N1812/N1813	$\lambda_w \leq \lambda_{w,máx}$ Cumple	x: 1.717 m η = 23.1	x: 0.084 m η = 23.6	x: 0.084 m η = 7.4	x: 1.718 m η = 2.4	x: 1.718 m η = 1.4	η = 0.2	η < 0.1	η < 0.1	x: 0.084 m η = 30.8	η < 0.1	x: 0.084 m η < 0.1	x: 1.718 m η = 0.3	x: 0.084 m η = 0.1	**CUMPLE η = 30.8**
N1713/N1714	$\lambda_w \leq \lambda_{w,máx}$ Cumple	x: 1.713 m η = 24.0	x: 0.051 m η = 27.0	x: 1.714 m η = 4.0	x: 0.051 m η = 3.2	x: 0.051 m η = 0.6	η = 0.1	η < 0.1	η < 0.1	x: 0.051 m η = 29.9	η < 0.1	η < 0.1	x: 0.051 m η = 0.2	η < 0.1	**CUMPLE η = 29.9**
N1714/N1715	$\lambda_w \leq \lambda_{w,máx}$ Cumple	x: 1.708 m η = 27.6	x: 0.065 m η = 29.5	x: 1.709 m η = 5.6	x: 1.709 m η = 2.8	x: 0.065 m η = 0.8	η = 0.1	η < 0.1	η < 0.1	x: 1.709 m η = 33.9	η < 0.1	η = 0.1	x: 1.709 m η = 0.5	η = 0.1	**CUMPLE η = 33.9**
N1715/N1716	$\lambda_w \leq \lambda_{w,máx}$ Cumple	x: 1.708 m η = 26.5	x: 0.07 m η = 26.1	x: 0.07 m η = 5.9	x: 0.07 m η = 2.8	x: 1.709 m η = 0.9	η = 0.1	η < 0.1	η < 0.1	x: 0.07 m η = 33.1	η < 0.1	η = 0.1	x: 0.07 m η = 0.8	η = 0.1	**CUMPLE η = 33.1**
N1716/N1717	$\lambda_w \leq \lambda_{w,máx}$ Cumple	x: 1.727 m η = 21.8	x: 0.07 m η = 20.3	x: 0.07 m η = 4.5	x: 1.728 m η = 2.4	x: 1.728 m η = 0.7	η = 0.1	η < 0.1	η < 0.1	x: 0.07 m η = 26.5	η < 0.1	η < 0.1	x: 1.728 m η = 0.2	x: 0.277 m η < 0.1	**CUMPLE η = 26.5**
N1709/N1710	$\lambda_w \leq \lambda_{w,máx}$ Cumple	x: 1.7 m η = 9.0	x: 0.061 m η = 31.5	x: 0.061 m η = 3.5	x: 0.061 m η = 3.1	x: 0.061 m η = 1.5	η = 0.2	η < 0.1	η < 0.1	x: 0.061 m η = 34.5	η < 0.1	η = 0.1	x: 0.061 m η = 1.1	η = 0.2	**CUMPLE η = 34.5**

Documento visado electrónicamente con número: VA07290/22
Código de validación telemática TRLTDCFZ60T66IJ1. Comprobación: https://cogitivalencia.e-gestion.es/Validacion.aspx?CVT=TRLTDCFZ60T66IJ1

VISADO
COGITI
Estado
VALENCIA
VA07290/22
TRLTDCFZ60T66IJ1

Barras	COMPROBACIONES (CÓDIGO ESTRUCTURAL)														
	λ_w	N_t	N_c	M_Y	M_Z	V_Z	V_Y	M_YV_Z	M_ZV_Y	NM_YM_Z	$NM_YM_ZV_YV_Z$	M_t	M_tV_Z	M_tV_Y	
N1710/N1711	$\lambda_w \leq \lambda_{w,máx}$ Cumple	x: 1.7 m η = 0.3	x: 0.078 m η = 9.5	x: 1.701 m η = 5.1	x: 1.701 m η = 3.9	x: 0.078 m η = 2.5	η = 0.2	η < 0.1	η < 0.1	x: 0.078 m η = 12.2	η < 0.1	η = 0.1	x: 0.078 m η = 1.8	η = 0.2	**CUMPLE η = 12.2**
N1711/N1712	$\lambda_w \leq \lambda_{w,máx}$ Cumple	x: 1.7 m η = 8.6	x: 0.078 m η = 13.8	x: 1.701 m η = 4.3	x: 0.078 m η = 4.0	x: 0.078 m η = 1.3	η = 0.2	η < 0.1	η < 0.1	x: 0.078 m η = 17.2	η < 0.1	η = 0.1	x: 0.078 m η = 1.0	η = 0.1	**CUMPLE η = 17.2**
N1712/N1713	$\lambda_w \leq \lambda_{w,máx}$ Cumple	x: 1.713 m η = 17.7	x: 0.078 m η = 21.8	x: 1.714 m η = 4.4	x: 1.714 m η = 3.0	x: 0.078 m η = 1.3	η = 0.2	η < 0.1	η < 0.1	x: 1.714 m η = 25.3	η < 0.1	η = 0.1	x: 1.714 m η = 0.7	η = 0.2	**CUMPLE η = 25.3**
N1805/N1806	$\lambda_w \leq \lambda_{w,máx}$ Cumple	x: 1.68 m η = 13.6	x: 0.076 m η = 34.2	x: 0.076 m η = 4.4	x: 0.076 m η = 3.1	x: 0.076 m η = 2.1	η = 0.2	η < 0.1	η < 0.1	x: 0.076 m η = 36.8	η < 0.1	η = 0.3	x: 0.076 m η = 1.3	η = 0.2	**CUMPLE η = 36.8**
N1806/N1807	$\lambda_w \leq \lambda_{w,máx}$ Cumple	x: 1.7 m η = 2.6	x: 0.098 m η = 9.3	x: 0.098 m η = 7.8	x: 1.701 m η = 4.5	x: 0.098 m η = 4.2	η = 0.2	η < 0.1	η < 0.1	x: 0.098 m η = 17.4	η < 0.1	η = 0.2	x: 0.098 m η = 4.2	η = 0.2	**CUMPLE η = 17.4**
N1807/N1808	$\lambda_w \leq \lambda_{w,máx}$ Cumple	x: 1.7 m η = 6.7	x: 0.078 m η = 8.7	x: 1.701 m η = 4.4	x: 0.078 m η = 4.5	x: 0.078 m η = 1.5	η = 0.2	η < 0.1	η < 0.1	x: 0.078 m η = 13.4	η < 0.1	η = 0.1	x: 0.078 m η = 1.5	η = 0.2	**CUMPLE η = 13.4**
N1808/N1809	$\lambda_w \leq \lambda_{w,máx}$ Cumple	x: 1.7 m η = 17.4	x: 0.078 m η = 20.0	x: 1.701 m η = 6.0	x: 1.701 m η = 3.3	x: 0.078 m η = 2.1	η = 0.2	η < 0.1	η < 0.1	x: 1.701 m η = 25.2	η < 0.1	η = 0.1	x: 0.078 m η = 2.1	η = 0.2	**CUMPLE η = 25.2**
N1901/N1902	$\lambda_w \leq \lambda_{w,máx}$ Cumple	x: 1.68 m η = 10.9	x: 0.076 m η = 24.7	x: 0.076 m η = 3.2	x: 0.076 m η = 1.9	x: 0.076 m η = 1.5	η = 0.2	η < 0.1	η < 0.1	x: 0.076 m η = 26.7	η < 0.1	η = 0.3	x: 0.076 m η = 1.5	η = 0.2	**CUMPLE η = 26.7**
N1902/N1903	$\lambda_w \leq \lambda_{w,máx}$ Cumple	x: 1.7 m η = 2.0	x: 0.098 m η = 7.4	x: 0.098 m η = 5.6	x: 1.701 m η = 4.0	x: 0.098 m η = 3.1	η = 0.2	η < 0.1	η < 0.1	x: 0.098 m η = 12.9	η < 0.1	η = 0.1	x: 0.098 m η = 3.1	η = 0.2	**CUMPLE η = 12.9**
N1903/N1904	$\lambda_w \leq \lambda_{w,máx}$ Cumple	x: 1.7 m η = 4.5	x: 0.078 m η = 6.9	x: 1.701 m η = 3.0	x: 0.078 m η = 4.2	x: 0.078 m η = 1.1	η = 0.2	η < 0.1	η < 0.1	x: 0.078 m η = 10.4	η < 0.1	x: 1.7 m η = 0.2	x: 0.078 m η = 1.1	η = 0.2	**CUMPLE η = 10.4**
N1904/N1905	$\lambda_w \leq \lambda_{w,máx}$ Cumple	x: 1.7 m η = 11.9	x: 0.078 m η = 15.9	x: 1.701 m η = 4.2	x: 1.701 m η = 3.0	x: 0.078 m η = 1.5	η = 0.2	η < 0.1	η < 0.1	x: 1.701 m η = 20.2	η < 0.1	η = 0.3	x: 0.078 m η = 1.5	η = 0.2	**CUMPLE η = 20.2**
N1909/N1910	$\lambda_w \leq \lambda_{w,máx}$ Cumple	x: 1.694 m η = 9.9	x: 0.084 m η = 8.5	x: 0.084 m η = 4.6	x: 0.084 m η = 2.0	x: 1.695 m η = 1.9	η = 0.2	η < 0.1	η < 0.1	x: 0.084 m η = 16.4	η < 0.1	η = 0.1	x: 1.695 m η = 1.9	η = 0.2	**CUMPLE η = 16.4**
N1910/N1911	$\lambda_w \leq \lambda_{w,máx}$ Cumple	x: 1.694 m η = 1.7	x: 0.084 m η = 2.8	x: 0.084 m η = 3.1	x: 1.695 m η = 3.0	x: 1.695 m η = 1.2	η = 0.2	η < 0.1	η < 0.1	x: 0.084 m η = 5.4	η < 0.1	η = 0.1	x: 1.695 m η = 1.2	η = 0.2	**CUMPLE η = 5.4**
N1911/N1912	$\lambda_w \leq \lambda_{w,máx}$ Cumple	x: 1.673 m η = 7.6	x: 0.084 m η = 9.7	x: 1.674 m η = 7.6	x: 0.084 m η = 2.6	x: 1.674 m η = 3.9	η = 0.2	η < 0.1	η < 0.1	x: 1.674 m η = 18.1	η < 0.1	η < 0.1	x: 0.084 m η = 3.0	η = 0.2	**CUMPLE η = 18.1**
N1912/N1913	$\lambda_w \leq \lambda_{w,máx}$ Cumple	x: 1.702 m η = 18.1	x: 0.105 m η = 29.7	x: 1.703 m η = 1.2	x: 1.703 m η = 4.0	x: 0.105 m η = 0.4	η = 0.2	η < 0.1	η < 0.1	x: 1.703 m η = 31.4	η < 0.1	η = 0.1	x: 0.105 m η = 0.5	η = 0.2	**CUMPLE η = 31.4**
N1813/N1814	$\lambda_w \leq \lambda_{w,máx}$ Cumple	x: 1.694 m η = 15.4	x: 0.084 m η = 17.3	x: 0.084 m η = 6.7	x: 0.084 m η = 2.3	x: 1.695 m η = 2.6	η = 0.2	η < 0.1	η < 0.1	x: 0.084 m η = 23.7	η < 0.1	η = 0.1	x: 1.695 m η = 2.6	η = 0.2	**CUMPLE η = 23.7**
N1814/N1815	$\lambda_w \leq \lambda_{w,máx}$ Cumple	x: 1.694 m η = 3.9	x: 0.084 m η = 6.2	x: 0.084 m η = 4.6	x: 1.695 m η = 3.4	x: 1.695 m η = 1.6	η = 0.2	η < 0.1	η < 0.1	x: 1.695 m η = 9.4	η < 0.1	η = 0.1	x: 1.695 m η = 1.6	η = 0.2	**CUMPLE η = 9.4**
N1815/N1816	$\lambda_w \leq \lambda_{w,máx}$ Cumple	x: 1.673 m η = 7.5	x: 0.084 m η = 16.1	x: 1.674 m η = 10.4	x: 0.084 m η = 3.2	x: 1.674 m η = 5.4	η = 0.3	η < 0.1	η < 0.1	x: 1.674 m η = 23.7	η < 0.1	η = 0.1	x: 1.674 m η = 5.4	η = 0.3	**CUMPLE η = 23.7**
N1816/N1817	$\lambda_w \leq \lambda_{w,máx}$ Cumple	x: 1.702 m η = 20.0	x: 0.105 m η = 40.2	x: 1.703 m η = 1.7	x: 1.703 m η = 5.3	x: 0.105 m η = 0.4	η = 0.3	η < 0.1	η < 0.1	x: 1.703 m η = 42.7	η < 0.1	η = 0.1	x: 0.105 m η = 0.4	η = 0.3	**CUMPLE η = 42.7**
N1717/N1718	$\lambda_w \leq \lambda_{w,máx}$ Cumple	x: 1.694 m η = 14.7	x: 0.07 m η = 12.3	x: 0.07 m η = 4.9	x: 0.07 m η = 2.4	x: 1.695 m η = 1.6	η = 0.1	η < 0.1	η < 0.1	x: 0.07 m η = 20.6	η < 0.1	η = 0.1	x: 0.07 m η = 1.1	η = 0.1	**CUMPLE η = 20.6**
N1718/N1719	$\lambda_w \leq \lambda_{w,máx}$ Cumple	x: 1.694 m η = 7.1	x: 0.084 m η = 1.6	x: 0.084 m η = 4.8	x: 1.695 m η = 3.1	x: 1.695 m η = 1.5	η = 0.1	η < 0.1	η < 0.1	x: 0.084 m η = 10.8	η < 0.1	η = 0.1	x: 0.084 m η = 1.1	η = 0.1	**CUMPLE η = 10.8**
N1719/N1720	$\lambda_w \leq \lambda_{w,máx}$ Cumple	x: 1.694 m η = 12.1	x: 0.084 m η = 13.4	x: 1.695 m η = 6.5	x: 0.084 m η = 2.8	x: 1.695 m η = 3.2	η = 0.2	η < 0.1	η < 0.1	x: 0.084 m η = 18.7	η < 0.1	η = 0.1	x: 1.695 m η = 2.0	η = 0.2	**CUMPLE η = 18.7**
N1720/N1721	$\lambda_w \leq \lambda_{w,máx}$ Cumple	x: 1.717 m η = 22.8	x: 0.084 m η = 38.5	x: 0.084 m η = 1.7	x: 1.718 m η = 4.2	x: 1.718 m η = 0.5	η = 0.2	η < 0.1	η < 0.1	x: 0.493 m η = 39.9	η < 0.1	η = 0.1	x: 1.718 m η = 0.3	η = 0.2	**CUMPLE η = 39.9**
N1949/N1708	$\lambda_w \leq \lambda_{w,máx}$ Cumple	x: 1.7 m η = 31.8	x: 0.141 m η = 89.4	x: 0.141 m η = 27.4	x: 0.141 m η = 3.0	x: 0.141 m η = 9.5	η = 0.2	η < 0.1	η < 0.1	x: 0.141 m η = 96.3	η < 0.1	η = 0.5	x: 0.141 m η = 9.5	η = 0.2	**CUMPLE η = 96.3**
N1708/N1709	$\lambda_w \leq \lambda_{w,máx}$ Cumple	x: 1.7 m η = 19.5	x: 0.078 m η = 58.7	x: 0.078 m η = 15.5	x: 1.701 m η = 2.4	x: 0.078 m η = 5.2	η = 0.1	η < 0.1	η < 0.1	x: 0.078 m η = 67.7	η < 0.1	η = 0.1	x: 0.078 m η = 4.9	η = 0.1	**CUMPLE η = 67.7**
N1950/N1804	$\lambda_w \leq \lambda_{w,máx}$ Cumple	x: 1.68 m η = 26.7	x: 0.141 m η = 50.3	x: 0.141 m η = 23.6	x: 0.141 m η = 3.4	x: 0.141 m η = 6.1	η = 0.1	η < 0.1	η < 0.1	x: 1.681 m η = 57.1	η < 0.1	η = 4.7	x: 0.141 m η = 6.1	η = 0.1	**CUMPLE η = 57.1**
N1804/N1805	$\lambda_w \leq \lambda_{w,máx}$ Cumple	x: 1.68 m η = 16.9	x: 0.098 m η = 33.7	x: 0.098 m η = 17.9	x: 0.098 m η = 3.1	x: 0.098 m η = 4.0	η = 0.3	η < 0.1	η < 0.1	x: 0.098 m η = 46.6	η < 0.1	η = 1.9	x: 0.098 m η = 4.0	η = 0.3	**CUMPLE η = 46.6**
N1951/N1900	$\lambda_w \leq \lambda_{w,máx}$ Cumple	x: 1.68 m η = 21.9	x: 0.141 m η = 36.1	x: 0.141 m η = 24.4	x: 0.141 m η = 4.1	x: 0.141 m η = 6.0	η = 0.2	η < 0.1	η < 0.1	x: 0.141 m η = 45.5	η < 0.1	η = 4.8	x: 0.141 m η = 6.0	η = 0.2	**CUMPLE η = 45.5**
N1900/N1901	$\lambda_w \leq \lambda_{w,máx}$ Cumple	x: 1.68 m η = 13.6	x: 0.098 m η = 21.4	x: 0.098 m η = 13.2	x: 0.098 m η = 3.2	x: 0.098 m η = 3.0	η = 0.4	η < 0.1	η < 0.1	x: 0.098 m η = 33.2	η < 0.1	η = 2.1	x: 0.098 m η = 3.0	η = 0.4	**CUMPLE η = 33.2**
N1913/N1914	$\lambda_w \leq \lambda_{w,máx}$ Cumple	x: 1.622 m η = 17.5	x: 0.105 m η = 22.3	x: 1.623 m η = 36.9	x: 1.623 m η = 3.1	x: 1.623 m η = 7.8	η = 0.3	η < 0.1	η < 0.1	x: 1.623 m η = 58.9	η < 0.1	η = 1.2	x: 1.623 m η = 7.8	η = 0.3	**CUMPLE η = 58.9**
N1914/N1868	$\lambda_w \leq \lambda_{w,máx}$ Cumple	x: 1.637 m η = 27.4	x: 0.156 m η = 22.1	x: 0.156 m η = 21.6	x: 1.638 m η = 3.0	x: 0.156 m η = 5.2	η = 0.3	η < 0.1	η < 0.1	x: 0.156 m η = 48.7	η < 0.1	η = 0.7	x: 0.156 m η = 5.2	η = 0.3	**CUMPLE η = 48.7**
N1817/N1818	$\lambda_w \leq \lambda_{w,máx}$ Cumple	x: 1.622 m η = 20.0	x: 0.105 m η = 34.5	x: 1.623 m η = 51.5	x: 1.623 m η = 2.8	x: 1.623 m η = 10.9	η = 0.3	η < 0.1	η < 0.1	x: 1.623 m η = 81.6	η < 0.1	η = 0.8	x: 1.623 m η = 10.9	η = 0.3	**CUMPLE η = 81.6**
N1818/N1772	$\lambda_w \leq \lambda_{w,máx}$ Cumple	x: 1.637 m η = 38.1	x: 0.156 m η = 29.9	x: 0.156 m η = 28.8	x: 1.638 m η = 2.7	x: 0.156 m η = 6.8	η = 0.4	η < 0.1	η < 0.1	x: 0.156 m η = 66.3	η < 0.1	η = 0.9	x: 0.156 m η = 6.8	η = 0.4	**CUMPLE η = 66.3**
N1721/N1722	$\lambda_w \leq \lambda_{w,máx}$ Cumple	x: 1.661 m η = 33.3	x: 0.084 m η = 63.9	x: 1.662 m η = 36.8	x: 0.084 m η = 3.7	x: 1.662 m η = 11.6	η = 0.2	η < 0.1	η < 0.1	x: 1.662 m η = 85.1	η < 0.1	η = 0.1	x: 1.662 m η = 11.4	η = 0.2	**CUMPLE η = 85.1**
N1722/N1676	$\lambda_w \leq \lambda_{w,máx}$ Cumple	x: 1.637 m η = 47.7	x: 0.117 m η = 48.3	x: 0.117 m η = 18.2	x: 0.117 m η = 2.1	x: 0.117 m η = 6.3	η = 0.1	η < 0.1	η < 0.1	x: 0.117 m η = 67.1	η < 0.1	η < 0.1	x: 0.117 m η = 1.3	x: 0.878 m η < 0.1	**CUMPLE η = 67.1**
N1952/N1723	$\lambda_w \leq \lambda_{w,máx}$ Cumple	x: 1.7 m η = 38.5	x: 0.141 m η = 93.3	x: 0.141 m η = 10.7	x: 0.141 m η = 3.1	x: 0.141 m η = 4.5	η = 0.2	η < 0.1	η < 0.1	x: 1.701 m η = 98.6	η < 0.1	η = 0.3	x: 0.141 m η = 4.5	η = 0.1	**CUMPLE η = 98.6**
N1723/N1724	$\lambda_w \leq \lambda_{w,máx}$ Cumple	x: 1.7 m η = 23.7	x: 0.078 m η = 57.6	x: 0.078 m η = 14.6	x: 1.701 m η = 2.6	x: 0.078 m η = 5.2	η = 0.1	η < 0.1	η < 0.1	x: 0.078 m η = 66.1	η < 0.1	η = 0.1	x: 0.078 m η = 5.2	η = 0.1	**CUMPLE η = 66.1**
N1957/N1819	$\lambda_w \leq \lambda_{w,máx}$ Cumple	x: 1.68 m η = 28.6	x: 0.141 m η = 50.4	x: 1.681 m η = 9.4	x: 0.141 m η = 2.4	x: 0.141 m η = 2.2	η = 0.2	η < 0.1	η < 0.1	x: 1.681 m η = 56.0	η < 0.1	η = 3.5	x: 0.141 m η = 2.2	η = 0.2	**CUMPLE η = 56.0**
N1819/N1820	$\lambda_w \leq \lambda_{w,máx}$ Cumple	x: 1.68 m η = 17.6	x: 0.098 m η = 31.6	x: 0.098 m η = 15.9	x: 0.098 m η = 2.3	x: 0.098 m η = 3.8	η = 0.2	η < 0.1	η < 0.1	x: 0.098 m η = 44.4	η < 0.1	η = 1.8	x: 0.098 m η = 3.9	η = 0.2	**CUMPLE η = 44.4**
N1962/N1915	$\lambda_w \leq \lambda_{w,máx}$ Cumple	x: 1.68 m η = 24.2	x: 0.141 m η = 36.2	x: 0.141 m η = 7.6	x: 0.141 m η = 3.1	x: 0.141 m η = 2.4	η = 0.2	η < 0.1	η < 0.1	x: 1.681 m η = 40.5	η < 0.1	η = 3.7	x: 0.141 m η = 2.5	η = 0.2	**CUMPLE η = 40.5**
N1915/N1916	$\lambda_w \leq \lambda_{w,máx}$ Cumple	x: 1.68 m η = 14.6	x: 0.098 m η = 19.9	x: 0.098 m η = 11.7	x: 0.098 m η = 2.4	x: 0.098 m η = 2.9	η = 0.3	η < 0.1	η < 0.1	x: 0.098 m η = 31.7	η < 0.1	η = 2.1	x: 0.098 m η = 2.9	η = 0.3	**CUMPLE η = 31.7**
N2159/N2131	$\lambda_w \leq \lambda_{w,máx}$ Cumple	x: 1.7 m η = 52.3	x: 0.141 m η = 85.3	x: 0.141 m η = 9.0	x: 0.141 m η = 3.0	x: 0.141 m η = 3.7	η = 0.2	η < 0.1	η < 0.1	x: 1.701 m η = 89.7	η < 0.1	η = 0.4	x: 0.141 m η = 3.7	η = 0.2	**CUMPLE η = 89.7**
N2131/N2132	$\lambda_w \leq \lambda_{w,máx}$ Cumple	x: 1.7 m η = 30.8	x: 0.078 m η = 51.6	x: 0.078 m η = 12.9	x: 0.078 m η = 1.9	x: 0.078 m η = 4.7	η = 0.1	η < 0.1	η < 0.1	x: 0.078 m η = 59.5	η < 0.1	η = 0.2	x: 1.701 m η = 4.6	η = 0.1	**CUMPLE η = 59.5**

Documento visado electrónicamente con número: VA07290/22
Código de validación telemática TRLTDCFZ60T66IJ1. Comprobación: https://cogitivalencia.e-gestion.es/Validacion.aspx?CVT=TRLTDCFZ60T66IJ1

Listados

Barras	COMPROBACIONES (CÓDIGO ESTRUCTURAL)														Estado
	λ_w	N_t	N_c	M_Y	M_Z	V_Z	V_Y	M_YV_Z	M_ZV_Y	NM_YM_Z	$NM_YM_ZV_YV_Z$	M_t	M_tV_Z	M_tV_Y	
N2312/N2284	$\lambda_w \leq \lambda_{w,máx}$ Cumple	x: 1.7 m η = 53.2	x: 0.141 m η = 86.6	x: 0.141 m η = 9.2	x: 0.141 m η = 3.3	x: 0.141 m η = 3.8	η = 0.2	η < 0.1	η < 0.1	x: 0.141 m η = 91.9	η < 0.1	η = 0.4	x: 0.141 m η = 3.8	η = 0.2	**CUMPLE η = 91.9**
N2284/N2285	$\lambda_w \leq \lambda_{w,máx}$ Cumple	x: 1.7 m η = 31.4	x: 0.078 m η = 52.7	x: 0.078 m η = 13.0	x: 0.078 m η = 1.9	x: 1.701 m η = 4.7	η = 0.1	η < 0.1	η < 0.1	x: 0.078 m η = 60.6	η < 0.1	η = 0.2	x: 1.701 m η = 4.7	η = 0.1	**CUMPLE η = 60.6**
N2465/N2437	$\lambda_w \leq \lambda_{w,máx}$ Cumple	x: 1.7 m η = 53.5	x: 0.141 m η = 87.1	x: 0.141 m η = 9.3	x: 0.141 m η = 3.4	x: 0.141 m η = 3.6	η = 0.2	η < 0.1	η < 0.1	x: 0.141 m η = 93.3	η < 0.1	η = 0.4	x: 0.141 m η = 3.2	η = 0.2	**CUMPLE η = 93.3**
N2437/N2438	$\lambda_w \leq \lambda_{w,máx}$ Cumple	x: 1.7 m η = 31.7	x: 0.078 m η = 53.2	x: 0.078 m η = 13.0	x: 0.078 m η = 1.9	x: 1.701 m η = 4.7	η = 0.1	η < 0.1	η < 0.1	x: 0.078 m η = 61.2	η < 0.1	η = 0.2	x: 1.701 m η = 4.7	η = 0.1	**CUMPLE η = 61.2**
N2618/N2590	$\lambda_w \leq \lambda_{w,máx}$ Cumple	x: 1.7 m η = 54.3	x: 0.141 m η = 87.9	x: 0.141 m η = 9.1	x: 0.141 m η = 3.6	x: 0.141 m η = 3.0	η = 0.2	η < 0.1	η < 0.1	x: 0.141 m η = 95.1	η < 0.1	η = 0.3	x: 0.141 m η = 3.0	η = 0.2	**CUMPLE η = 95.1**
N2590/N2591	$\lambda_w \leq \lambda_{w,máx}$ Cumple	x: 1.7 m η = 32.4	x: 0.078 m η = 53.9	x: 0.078 m η = 12.7	x: 1.701 m η = 2.1	x: 0.078 m η = 4.6	η = 0.1	η < 0.1	η < 0.1	x: 0.078 m η = 61.9	η < 0.1	η = 0.2	x: 0.078 m η = 4.6	η = 0.1	**CUMPLE η = 61.9**
N2771/N2743	$\lambda_w \leq \lambda_{w,máx}$ Cumple	x: 1.7 m η = 55.3	x: 0.141 m η = 88.8	x: 0.141 m η = 11.5	x: 0.141 m η = 3.6	x: 0.141 m η = 2.4	η = 0.2	η < 0.1	η < 0.1	x: 0.141 m η = 97.5	η < 0.1	η = 0.3	x: 0.141 m η = 2.4	η = 0.2	**CUMPLE η = 97.5**
N2743/N2744	$\lambda_w \leq \lambda_{w,máx}$ Cumple	x: 1.7 m η = 33.5	x: 0.078 m η = 55.0	x: 0.078 m η = 12.3	x: 1.701 m η = 2.4	x: 0.078 m η = 4.5	η = 0.2	η < 0.1	η < 0.1	x: 0.078 m η = 62.8	η < 0.1	η = 0.2	x: 0.078 m η = 4.5	η = 0.2	**CUMPLE η = 62.8**
N2924/N2896	$\lambda_w \leq \lambda_{w,máx}$ Cumple	x: 1.7 m η = 51.8	x: 0.141 m η = 83.1	x: 0.141 m η = 15.1	x: 0.141 m η = 4.6	x: 0.141 m η = 3.3	η = 0.2	η < 0.1	η < 0.1	x: 0.141 m η = 94.8	η < 0.1	η = 0.3	x: 0.141 m η = 3.3	η = 0.2	**CUMPLE η = 94.8**
N2896/N2897	$\lambda_w \leq \lambda_{w,máx}$ Cumple	x: 1.7 m η = 31.7	x: 0.078 m η = 54.8	x: 0.078 m η = 10.8	x: 1.701 m η = 3.5	x: 0.078 m η = 4.0	η = 0.2	η < 0.1	η < 0.1	x: 0.078 m η = 61.9	η < 0.1	η = 0.3	x: 0.078 m η = 4.0	η = 0.2	**CUMPLE η = 61.9**
N2901/N2902	$\lambda_w \leq \lambda_{w,máx}$ Cumple	x: 1.713 m η = 31.4	x: 0.051 m η = 51.0	x: 1.714 m η = 5.3	x: 0.051 m η = 3.8	x: 0.051 m η = 0.9	η = 0.1	η < 0.1	η < 0.1	x: 0.051 m η = 55.2	η < 0.1	x: 0.051 m η < 0.1	x: 0.051 m η = 0.3	x: 0.051 m η = 0.1	**CUMPLE η = 55.2**
N2902/N2903	$\lambda_w \leq \lambda_{w,máx}$ Cumple	x: 1.708 m η = 37.6	x: 0.065 m η = 60.4	x: 1.709 m η = 6.6	x: 1.709 m η = 2.5	x: 0.065 m η = 1.0	η = 0.1	η < 0.1	η < 0.1	x: 1.709 m η = 65.7	η < 0.1	η = 0.1	x: 0.065 m η = 0.9	η = 0.1	**CUMPLE η = 65.7**
N2903/N2904	$\lambda_w \leq \lambda_{w,máx}$ Cumple	x: 1.708 m η = 43.3	x: 0.07 m η = 69.0	x: 0.685 m η = 5.4	x: 0.07 m η = 2.8	x: 1.709 m η = 0.5	η = 0.1	η < 0.1	η < 0.1	x: 0.07 m η = 73.8	η < 0.1	η = 0.2	x: 1.709 m η = 0.5	η = 0.1	**CUMPLE η = 73.8**
N2904/N2905	$\lambda_w \leq \lambda_{w,máx}$ Cumple	x: 1.727 m η = 42.9	x: 0.07 m η = 68.3	x: 0.07 m η = 5.1	x: 1.728 m η = 3.7	x: 0.07 m η = 0.4	η = 0.2	η < 0.1	η < 0.1	x: 1.728 m η = 74.7	η < 0.1	η = 0.1	x: 0.07 m η = 0.4	η = 0.1	**CUMPLE η = 74.7**
N2748/N2749	$\lambda_w \leq \lambda_{w,máx}$ Cumple	x: 1.713 m η = 35.5	x: 0.051 m η = 55.1	x: 1.714 m η = 5.8	x: 0.051 m η = 3.9	x: 0.051 m η = 0.9	η = 0.2	η < 0.1	η < 0.1	x: 0.051 m η = 60.3	η < 0.1	x: 1.713 m η = 0.2	x: 0.051 m η = 0.3	η = 0.1	**CUMPLE η = 60.3**
N2749/N2750	$\lambda_w \leq \lambda_{w,máx}$ Cumple	x: 1.708 m η = 42.3	x: 0.065 m η = 65.3	x: 1.709 m η = 7.6	x: 1.709 m η = 2.9	x: 0.065 m η = 1.1	η = 0.2	η < 0.1	η < 0.1	x: 1.709 m η = 71.9	η < 0.1	x: 1.093 m η = 0.6	x: 0.065 m η = 1.1	η = 0.2	**CUMPLE η = 71.9**
N2750/N2751	$\lambda_w \leq \lambda_{w,máx}$ Cumple	x: 1.708 m η = 48.3	x: 0.07 m η = 74.7	x: 0.07 m η = 6.3	x: 0.07 m η = 2.8	x: 1.709 m η = 0.4	η = 0.1	η < 0.1	η < 0.1	x: 0.07 m η = 80.7	η < 0.1	x: 1.095 m η = 0.2	x: 1.709 m η = 0.3	η = 0.1	**CUMPLE η = 80.7**
N2751/N2752	$\lambda_w \leq \lambda_{w,máx}$ Cumple	x: 1.727 m η = 47.6	x: 0.07 m η = 73.8	x: 0.07 m η = 5.7	x: 1.728 m η = 3.8	x: 0.07 m η = 0.3	η = 0.2	η < 0.1	η < 0.1	x: 1.728 m η = 81.0	η < 0.1	x: 1.106 m η = 0.3	x: 1.728 m η = 0.1	η = 0.1	**CUMPLE η = 81.0**
N2595/N2596	$\lambda_w \leq \lambda_{w,máx}$ Cumple	x: 1.713 m η = 36.2	x: 0.051 m η = 56.5	x: 1.714 m η = 5.9	x: 0.051 m η = 3.8	x: 0.051 m η = 0.9	η = 0.2	η < 0.1	η < 0.1	x: 0.051 m η = 61.8	η < 0.1	η = 0.1	x: 0.051 m η = 0.3	η = 0.1	**CUMPLE η = 61.8**
N2596/N2597	$\lambda_w \leq \lambda_{w,máx}$ Cumple	x: 1.708 m η = 42.8	x: 0.065 m η = 66.5	x: 1.709 m η = 7.6	x: 1.709 m η = 2.9	x: 0.065 m η = 1.2	η = 0.2	η < 0.1	η < 0.1	x: 1.709 m η = 73.3	η < 0.1	η = 0.6	x: 0.065 m η = 1.2	η = 0.2	**CUMPLE η = 73.3**
N2597/N2598	$\lambda_w \leq \lambda_{w,máx}$ Cumple	x: 1.708 m η = 48.7	x: 0.07 m η = 75.5	x: 0.07 m η = 6.4	x: 0.07 m η = 2.8	x: 1.709 m η = 0.4	η = 0.1	η < 0.1	η < 0.1	x: 0.07 m η = 81.7	η < 0.1	η = 0.1	x: 0.07 m η = 0.3	η = 0.1	**CUMPLE η = 81.7**
N2598/N2599	$\lambda_w \leq \lambda_{w,máx}$ Cumple	x: 1.727 m η = 47.9	x: 0.07 m η = 74.3	x: 0.07 m η = 5.7	x: 1.728 m η = 3.8	x: 0.07 m η = 0.3	η = 0.2	η < 0.1	η < 0.1	x: 1.728 m η = 81.5	η < 0.1	η = 0.3	x: 1.728 m η = 0.2	η = 0.1	**CUMPLE η = 81.5**
N2442/N2443	$\lambda_w \leq \lambda_{w,máx}$ Cumple	x: 1.713 m η = 36.4	x: 0.051 m η = 56.9	x: 1.714 m η = 5.9	x: 0.051 m η = 3.6	x: 0.051 m η = 0.9	η = 0.1	η < 0.1	η < 0.1	x: 0.051 m η = 62.2	η < 0.1	η = 0.2	x: 0.051 m η = 0.3	η = 0.1	**CUMPLE η = 62.2**
N2443/N2444	$\lambda_w \leq \lambda_{w,máx}$ Cumple	x: 1.708 m η = 43.0	x: 0.065 m η = 66.9	x: 1.709 m η = 7.6	x: 1.709 m η = 2.8	x: 0.065 m η = 1.2	η = 0.1	η < 0.1	η < 0.1	x: 1.709 m η = 73.8	η < 0.1	η = 0.6	x: 1.709 m η = 1.0	η = 0.1	**CUMPLE η = 73.8**
N2444/N2445	$\lambda_w \leq \lambda_{w,máx}$ Cumple	x: 1.708 m η = 48.8	x: 0.07 m η = 75.6	x: 0.07 m η = 6.4	x: 0.07 m η = 2.7	x: 1.709 m η = 0.4	η = 0.1	η < 0.1	η < 0.1	x: 0.07 m η = 81.9	η < 0.1	x: 0.48 m η = 0.2	x: 0.07 m η = 0.3	η = 0.1	**CUMPLE η = 81.9**
N2445/N2446	$\lambda_w \leq \lambda_{w,máx}$ Cumple	x: 1.727 m η = 47.9	x: 0.07 m η = 74.3	x: 0.07 m η = 5.8	x: 1.728 m η = 3.6	x: 0.07 m η = 0.3	η = 0.1	η < 0.1	η < 0.1	x: 1.728 m η = 81.4	η < 0.1	x: 1.106 m η = 0.3	x: 1.728 m η = 0.2	η = 0.1	**CUMPLE η = 81.4**
N2289/N2290	$\lambda_w \leq \lambda_{w,máx}$ Cumple	x: 1.713 m η = 36.4	x: 0.051 m η = 57.0	x: 1.714 m η = 5.9	x: 0.051 m η = 3.3	x: 0.051 m η = 0.9	η = 0.1	η < 0.1	η < 0.1	x: 0.051 m η = 62.1	η < 0.1	η = 0.2	x: 0.051 m η = 0.3	η = 0.1	**CUMPLE η = 62.1**
N2290/N2291	$\lambda_w \leq \lambda_{w,máx}$ Cumple	x: 1.708 m η = 43.0	x: 0.065 m η = 66.9	x: 1.709 m η = 7.6	x: 1.709 m η = 2.6	x: 0.065 m η = 1.1	η = 0.1	η < 0.1	η < 0.1	x: 1.709 m η = 73.7	η < 0.1	η = 0.6	x: 1.709 m η = 0.9	η = 0.1	**CUMPLE η = 73.7**
N2291/N2292	$\lambda_w \leq \lambda_{w,máx}$ Cumple	x: 1.708 m η = 48.7	x: 0.07 m η = 75.5	x: 0.07 m η = 6.4	x: 0.07 m η = 2.5	x: 1.709 m η = 0.4	η = 0.1	η < 0.1	η < 0.1	x: 0.07 m η = 81.7	η < 0.1	x: 0.685 m η = 0.2	x: 0.07 m η = 0.3	η = 0.1	**CUMPLE η = 81.7**
N2292/N2293	$\lambda_w \leq \lambda_{w,máx}$ Cumple	x: 1.727 m η = 47.8	x: 0.07 m η = 74.2	x: 0.07 m η = 5.8	x: 1.728 m η = 3.5	x: 0.07 m η = 0.4	η = 0.1	η < 0.1	η < 0.1	x: 1.728 m η = 81.1	η < 0.1	x: 1.106 m η = 0.3	x: 1.728 m η = 0.1	η = 0.1	**CUMPLE η = 81.1**
N2136/N2137	$\lambda_w \leq \lambda_{w,máx}$ Cumple	x: 1.713 m η = 36.3	x: 0.051 m η = 56.1	x: 1.714 m η = 5.8	x: 0.051 m η = 2.9	x: 0.051 m η = 0.8	η = 0.1	η < 0.1	η < 0.1	x: 0.051 m η = 60.9	η < 0.1	η = 0.2	x: 0.051 m η = 0.3	η = 0.1	**CUMPLE η = 60.9**
N2137/N2138	$\lambda_w \leq \lambda_{w,máx}$ Cumple	x: 1.708 m η = 42.8	x: 0.065 m η = 65.8	x: 1.709 m η = 7.5	x: 1.709 m η = 2.4	x: 0.065 m η = 1.1	η = 0.1	η < 0.1	η < 0.1	x: 1.709 m η = 72.2	η < 0.1	η = 0.6	x: 1.709 m η = 0.9	η = 0.1	**CUMPLE η = 72.2**
N2138/N2139	$\lambda_w \leq \lambda_{w,máx}$ Cumple	x: 1.708 m η = 48.4	x: 0.07 m η = 74.3	x: 0.07 m η = 6.3	x: 0.07 m η = 2.4	x: 1.709 m η = 0.4	η = 0.1	η < 0.1	η < 0.1	x: 0.07 m η = 80.2	η < 0.1	x: 0.685 m η = 0.2	x: 1.709 m η = 0.3	η = 0.1	**CUMPLE η = 80.2**
N2139/N2140	$\lambda_w \leq \lambda_{w,máx}$ Cumple	x: 1.727 m η = 47.5	x: 0.07 m η = 73.1	x: 0.07 m η = 5.7	x: 1.728 m η = 3.3	x: 0.07 m η = 0.4	η = 0.1	η < 0.1	η < 0.1	x: 1.728 m η = 79.7	η < 0.1	x: 1.314 m η = 0.3	x: 1.728 m η = 0.1	η = 0.1	**CUMPLE η = 79.7**
N1920/N1921	$\lambda_w \leq \lambda_{w,máx}$ Cumple	x: 1.7 m η = 31.3	x: 0.061 m η = 32.4	x: 1.701 m η = 7.2	x: 0.061 m η = 3.3	x: 0.061 m η = 1.4	η = 0.2	η < 0.1	η < 0.1	x: 1.701 m η = 39.0	η < 0.1	η = 0.1	x: 1.701 m η = 1.1	η = 0.2	**CUMPLE η = 39.0**
N1921/N1922	$\lambda_w \leq \lambda_{w,máx}$ Cumple	x: 1.694 m η = 37.1	x: 0.078 m η = 38.2	x: 1.695 m η = 9.4	x: 1.695 m η = 3.1	x: 0.078 m η = 1.6	η = 0.2	η < 0.1	η < 0.1	x: 1.695 m η = 48.6	η < 0.1	η = 0.5	x: 0.078 m η = 1.6	η = 0.2	**CUMPLE η = 48.6**
N1922/N1923	$\lambda_w \leq \lambda_{w,máx}$ Cumple	x: 1.694 m η = 42.0	x: 0.084 m η = 43.2	x: 0.084 m η = 8.1	x: 0.084 m η = 3.1	x: 1.695 m η = 0.5	η = 0.2	η < 0.1	η < 0.1	x: 0.084 m η = 52.2	η < 0.1	x: 0.487 m η = 0.1	x: 1.695 m η = 0.5	η = 0.2	**CUMPLE η = 52.2**
N1923/N1924	$\lambda_w \leq \lambda_{w,máx}$ Cumple	x: 1.717 m η = 41.1	x: 0.084 m η = 42.4	x: 0.084 m η = 7.3	x: 1.718 m η = 3.8	x: 1.718 m η = 0.6	η = 0.2	η < 0.1	η < 0.1	x: 1.718 m η = 50.6	η < 0.1	x: 0.901 m η = 0.3	x: 0.084 m η = 0.5	η = 0.2	**CUMPLE η = 50.6**
N1824/N1825	$\lambda_w \leq \lambda_{w,máx}$ Cumple	x: 1.7 m η = 43.2	x: 0.061 m η = 38.6	x: 1.701 m η = 10.0	x: 0.061 m η = 3.3	x: 0.061 m η = 1.8	η = 0.2	η < 0.1	η < 0.1	x: 1.701 m η = 53.7	η < 0.1	η = 0.1	x: 1.701 m η = 1.3	η = 0.2	**CUMPLE η = 53.7**
N1825/N1826	$\lambda_w \leq \lambda_{w,máx}$ Cumple	x: 1.694 m η = 51.2	x: 0.078 m η = 45.5	x: 1.695 m η = 12.4	x: 1.695 m η = 3.3	x: 0.078 m η = 1.9	η = 0.2	η < 0.1	η < 0.1	x: 1.695 m η = 65.2	η < 0.1	η = 0.1	x: 0.078 m η = 1.9	η = 0.2	**CUMPLE η = 65.2**
N1826/N1827	$\lambda_w \leq \lambda_{w,máx}$ Cumple	x: 1.694 m η = 58.1	x: 0.084 m η = 51.4	x: 0.084 m η = 10.7	x: 0.084 m η = 3.4	x: 1.695 m η = 0.4	η = 0.2	η < 0.1	η < 0.1	x: 0.084 m η = 70.3	η < 0.1	η = 0.2	x: 1.695 m η = 0.4	η = 0.2	**CUMPLE η = 70.3**
N1827/N1828	$\lambda_w \leq \lambda_{w,máx}$ Cumple	x: 1.717 m η = 56.9	x: 0.084 m η = 50.4	x: 0.084 m η = 10.1	x: 1.718 m η = 3.4	x: 1.718 m η = 0.7	η = 0.2	η < 0.1	η < 0.1	x: 1.718 m η = 68.3	η < 0.1	η < 0.1	x: 0.084 m η = 0.6	η = 0.2	**CUMPLE η = 68.3**
N1728/N1729	$\lambda_w \leq \lambda_{w,máx}$ Cumple	x: 1.713 m η = 41.4	x: 0.051 m η = 42.1	x: 1.714 m η = 6.5	x: 0.051 m η = 3.2	x: 0.051 m η = 0.9	η = 0.1	η < 0.1	η < 0.1	x: 1.714 m η = 47.9	η < 0.1	x: 0.883 m η < 0.1	x: 0.051 m η = 0.3	x: 0.883 m η = 0.1	**CUMPLE η = 47.9**

VISADO
COGITI
TRLTDCFZ60T66IJ1
VALENCIA
VA07290/22
Documento visado electrónicamente con número VA07290/22
Código de validación telemática TRLTDCFZ60T66IJ1. Comprobación: https://cogitivalencia.e-gestion.es/Validacion.aspx?CVT=TRLTDCFZ60T66IJ1

VISADO
COGITI
Estado
VALENCIA
VA07290/22
TRLTDCFZ60T66IJ1

Barras	COMPROBACIONES (CÓDIGO ESTRUCTURAL)															
	λ_w	N_t	N_c	M_y	M_z	V_z	V_y	M_yV_z	M_zV_y	NM_yM_z	$NM_yM_zV_yV_z$	M_t	M_tV_z	M_tV_y	
N1729/N1730	$\lambda_w \leq \lambda_{w,máx}$ Cumple	x: 1.708 m η = 48.2	x: 0.065 m η = 48.9	x: 1.709 m η = 8.6	x: 1.709 m η = 3.1	x: 0.065 m η = 1.3	η = 0.1	η < 0.1	η < 0.1	x: 1.709 m η = 57.9	η < 0.1	η = 0.1	x: 1.709 m η = 0.8	η = 0.1	**CUMPLE η = 57.9**
N1730/N1731	$\lambda_w \leq \lambda_{w,máx}$ Cumple	x: 1.708 m η = 54.2	x: 0.07 m η = 55.0	x: 0.07 m η = 7.3	x: 0.07 m η = 3.1	x: 1.709 m η = 0.5	η = 0.1	η < 0.1	η < 0.1	x: 0.07 m η = 62.7	η < 0.1	η = 0.2	x: 1.709 m η = 0.5	η = 0.1	**CUMPLE η = 62.7**
N1731/N1732	$\lambda_w \leq \lambda_{w,máx}$ Cumple	x: 1.727 m η = 53.1	x: 0.07 m η = 54.0	x: 0.277 m η = 6.3	x: 1.728 m η = 3.1	x: 1.728 m η = 0.3	η = 0.1	η < 0.1	η < 0.1	x: 1.728 m η = 61.0	η < 0.1	x: 0.07 m η < 0.1	x: 0.07 m η = 0.2	η < 0.1	**CUMPLE η = 61.0**
N1736/N1737	$\lambda_w \leq \lambda_{w,máx}$ Cumple	x: 1.694 m η = 5.3	x: 0.084 m η = 4.9	x: 0.084 m η = 6.9	x: 0.084 m η = 2.0	x: 1.695 m η = 2.2	η = 0.1	η < 0.1	η < 0.1	x: 0.084 m η = 12.8	η < 0.1	η = 0.1	x: 1.695 m η = 2.2	η = 0.1	**CUMPLE η = 12.8**
N1737/N1974	$\lambda_w \leq \lambda_{w,máx}$ Cumple	x: 1.637 m η = 8.6	x: 0.084 m η = 21.3	x: 1.638 m η = 51.7	x: 1.638 m η = 2.5	x: 1.638 m η = 15.7	η = 0.1	η < 0.1	η < 0.1	x: 1.638 m η = 68.0	η < 0.1	η = 0.2	x: 1.638 m η = 15.7	η = 0.1	**CUMPLE η = 68.0**
N1832/N1833	$\lambda_w \leq \lambda_{w,máx}$ Cumple	x: 1.673 m η = 3.3	x: 0.105 m η = 3.6	x: 0.105 m η = 7.9	x: 1.674 m η = 1.4	x: 1.674 m η = 0.8	η = 0.1	η < 0.1	η < 0.1	x: 0.105 m η = 11.2	η < 0.1	η = 1.1	x: 1.674 m η = 0.9	η = 0.1	**CUMPLE η = 11.2**
N1833/N1968	$\lambda_w \leq \lambda_{w,máx}$ Cumple	x: 1.617 m η = 5.5	x: 0.105 m η = 8.7	x: 1.618 m η = 71.8	x: 0.105 m η = 0.9	x: 1.618 m η = 15.2	η = 0.1	η < 0.1	η < 0.1	x: 1.618 m η = 80.4	η < 0.1	η = 1.4	x: 1.618 m η = 15.3	η = 0.1	**CUMPLE η = 80.4**
N1928/N1929	$\lambda_w \leq \lambda_{w,máx}$ Cumple	x: 1.673 m η = 2.2	x: 0.105 m η = 3.4	x: 0.105 m η = 5.7	x: 1.674 m η = 1.5	x: 0.105 m η = 0.6	η = 0.1	η < 0.1	η < 0.1	x: 0.105 m η = 7.9	η < 0.1	η = 1.6	x: 0.105 m η = 0.6	η = 0.1	**CUMPLE η = 7.9**
N1929/N1966	$\lambda_w \leq \lambda_{w,máx}$ Cumple	x: 1.617 m η = 5.0	x: 0.105 m η = 7.1	x: 1.618 m η = 57.2	x: 1.618 m η = 1.1	x: 1.618 m η = 12.1	η = 0.1	η < 0.1	η < 0.1	x: 1.618 m η = 64.4	η < 0.1	η = 2.0	x: 1.618 m η = 12.2	η = 0.1	**CUMPLE η = 64.4**
N2144/N2145	$\lambda_w \leq \lambda_{w,máx}$ Cumple	x: 1.694 m η = 6.4	x: 0.084 m η = 12.0	x: 0.084 m η = 6.5	x: 1.695 m η = 2.5	x: 1.695 m η = 2.0	η = 0.1	η < 0.1	η < 0.1	x: 0.084 m η = 15.9	η < 0.1	η = 0.2	x: 1.695 m η = 2.0	η = 0.1	**CUMPLE η = 15.9**
N2145/N2163	$\lambda_w \leq \lambda_{w,máx}$ Cumple	x: 1.637 m η = 10.7	x: 0.084 m η = 19.2	x: 1.638 m η = 47.5	x: 1.638 m η = 3.0	x: 1.638 m η = 14.5	η = 0.1	η < 0.1	η < 0.1	x: 1.638 m η = 61.7	η < 0.1	η = 0.1	x: 0.084 m η = 13.0	η = 0.1	**CUMPLE η = 61.7**
N2297/N2298	$\lambda_w \leq \lambda_{w,máx}$ Cumple	x: 1.694 m η = 6.5	x: 0.084 m η = 11.9	x: 0.084 m η = 6.5	x: 1.695 m η = 2.5	x: 1.695 m η = 2.0	η = 0.1	η < 0.1	η < 0.1	x: 0.084 m η = 16.1	η < 0.1	η = 0.2	x: 1.695 m η = 2.0	η = 0.1	**CUMPLE η = 16.1**
N2298/N2316	$\lambda_w \leq \lambda_{w,máx}$ Cumple	x: 1.637 m η = 10.9	x: 0.084 m η = 19.1	x: 1.638 m η = 47.3	x: 1.638 m η = 3.3	x: 1.638 m η = 14.5	η = 0.1	η < 0.1	η < 0.1	x: 1.638 m η = 61.6	η < 0.1	η = 0.1	x: 0.084 m η = 13.3	η = 0.1	**CUMPLE η = 61.6**
N2450/N2451	$\lambda_w \leq \lambda_{w,máx}$ Cumple	x: 1.694 m η = 6.7	x: 0.084 m η = 12.1	x: 0.084 m η = 6.6	x: 1.695 m η = 2.7	x: 1.695 m η = 2.1	η = 0.2	η < 0.1	η < 0.1	x: 0.084 m η = 16.4	η < 0.1	η = 0.2	x: 1.695 m η = 2.1	η = 0.2	**CUMPLE η = 16.4**
N2451/N2469	$\lambda_w \leq \lambda_{w,máx}$ Cumple	x: 1.637 m η = 10.8	x: 0.084 m η = 18.8	x: 1.638 m η = 46.8	x: 1.638 m η = 3.7	x: 1.638 m η = 14.3	η = 0.1	η < 0.1	η < 0.1	x: 1.638 m η = 61.2	η < 0.1	η = 0.1	x: 0.084 m η = 13.2	η = 0.1	**CUMPLE η = 61.2**
N2603/N2604	$\lambda_w \leq \lambda_{w,máx}$ Cumple	x: 1.694 m η = 7.1	x: 0.084 m η = 12.7	x: 0.084 m η = 6.6	x: 1.695 m η = 3.0	x: 1.695 m η = 2.1	η = 0.2	η < 0.1	η < 0.1	x: 0.084 m η = 17.3	η < 0.1	η = 0.3	x: 1.695 m η = 2.1	η = 0.2	**CUMPLE η = 17.3**
N2604/N2622	$\lambda_w \leq \lambda_{w,máx}$ Cumple	x: 1.637 m η = 10.4	x: 0.084 m η = 18.4	x: 1.638 m η = 46.0	x: 1.638 m η = 4.2	x: 1.638 m η = 14.1	η = 0.2	η < 0.1	η < 0.1	x: 1.638 m η = 60.4	η < 0.1	η = 0.1	x: 1.638 m η = 14.1	η = 0.2	**CUMPLE η = 60.4**
N2756/N2757	$\lambda_w \leq \lambda_{w,máx}$ Cumple	x: 1.694 m η = 7.8	x: 0.084 m η = 14.0	x: 0.084 m η = 6.6	x: 1.695 m η = 3.3	x: 1.695 m η = 2.1	η = 0.2	η < 0.1	η < 0.1	x: 0.084 m η = 18.9	η < 0.1	η = 0.3	x: 1.695 m η = 2.1	η = 0.2	**CUMPLE η = 18.9**
N2757/N2775	$\lambda_w \leq \lambda_{w,máx}$ Cumple	x: 1.637 m η = 9.4	x: 0.084 m η = 17.6	x: 1.638 m η = 44.4	x: 1.638 m η = 4.9	x: 1.638 m η = 13.6	η = 0.2	η < 0.1	η < 0.1	x: 1.638 m η = 59.1	η < 0.1	η = 0.1	x: 1.638 m η = 13.6	η = 0.2	**CUMPLE η = 59.1**
N2909/N2910	$\lambda_w \leq \lambda_{w,máx}$ Cumple	x: 1.694 m η = 8.5	x: 0.084 m η = 16.1	x: 0.084 m η = 6.2	x: 1.695 m η = 3.7	x: 0.084 m η = 2.1	η = 0.3	η < 0.1	η < 0.1	x: 0.084 m η = 20.0	η < 0.1	η = 0.3	x: 0.084 m η = 2.1	η = 0.3	**CUMPLE η = 20.0**
N2910/N2928	$\lambda_w \leq \lambda_{w,máx}$ Cumple	x: 1.637 m η = 6.7	x: 0.084 m η = 14.4	x: 1.638 m η = 37.5	x: 1.638 m η = 6.1	x: 1.638 m η = 11.5	η = 0.3	η < 0.1	η < 0.1	x: 1.638 m η = 51.6	η < 0.1	η = 0.1	x: 0.084 m η = 9.3	η = 0.2	**CUMPLE η = 51.6**
N1790/N1886	x: 0.57 m $\lambda_w \leq \lambda_{w,máx}$ Cumple	η = 1.1	η = 1.0	M_{Ed} = 0.00 N.P.(2)	x: 3.65 m η = 5.8	V_{Ed} = 0.00 N.P.(3)	x: 0.13 m η = 0.5	N.P.(4)	x: 0.57 m η < 0.1	x: 3.65 m η = 6.9	x: 0.57 m η < 0.1	M_{Ed} = 0.00 N.P.(5)	N.P.(6)	N.P.(6)	**CUMPLE η = 6.9**
N1886/N2117	x: 0.574 m $\lambda_w \leq \lambda_{w,máx}$ Cumple	η = 1.6	η = 6.2	M_{Ed} = 0.00 N.P.(2)	x: 3.685 m η = 5.9	V_{Ed} = 0.00 N.P.(3)	x: 0.13 m η = 0.5	N.P.(4)	x: 0.574 m η < 0.1	x: 3.685 m η = 9.7	x: 0.574 m η < 0.1	M_{Ed} = 0.00 N.P.(5)	N.P.(6)	N.P.(6)	**CUMPLE η = 9.7**
N2117/N2270	x: 0.509 m $\lambda_w \leq \lambda_{w,máx}$ Cumple	η = 1.7	η = 6.9	M_{Ed} = 0.00 N.P.(2)	x: 3.65 m η = 6.0	V_{Ed} = 0.00 N.P.(3)	x: 0.06 m η = 0.5	N.P.(4)	x: 0.509 m η < 0.1	x: 3.65 m η = 12.2	x: 0.509 m η < 0.1	M_{Ed} = 0.00 N.P.(5)	N.P.(6)	N.P.(6)	**CUMPLE η = 12.2**
N2270/N2423	x: 0.509 m $\lambda_w \leq \lambda_{w,máx}$ Cumple	η = 1.9	η = 7.7	M_{Ed} = 0.00 N.P.(2)	x: 3.65 m η = 6.0	V_{Ed} = 0.00 N.P.(3)	x: 0.06 m η = 0.5	N.P.(4)	x: 0.509 m η < 0.1	x: 3.65 m η = 12.9	x: 0.509 m η < 0.1	M_{Ed} = 0.00 N.P.(5)	N.P.(6)	N.P.(6)	**CUMPLE η = 12.9**
N2423/N2576	x: 0.509 m $\lambda_w \leq \lambda_{w,máx}$ Cumple	η = 2.1	η = 8.6	M_{Ed} = 0.00 N.P.(2)	x: 3.65 m η = 6.0	V_{Ed} = 0.00 N.P.(3)	x: 0.06 m η = 0.5	N.P.(4)	x: 0.509 m η < 0.1	x: 3.65 m η = 13.7	x: 0.509 m η < 0.1	M_{Ed} = 0.00 N.P.(5)	N.P.(6)	N.P.(6)	**CUMPLE η = 13.7**
N2576/N2729	x: 0.509 m $\lambda_w \leq \lambda_{w,máx}$ Cumple	η = 2.3	η = 9.4	M_{Ed} = 0.00 N.P.(2)	x: 3.65 m η = 6.0	V_{Ed} = 0.00 N.P.(3)	x: 0.06 m η = 0.5	N.P.(4)	x: 0.509 m η < 0.1	x: 3.65 m η = 14.4	x: 0.509 m η < 0.1	M_{Ed} = 0.00 N.P.(5)	N.P.(6)	N.P.(6)	**CUMPLE η = 14.4**
N2729/N2882	x: 0.509 m $\lambda_w \leq \lambda_{w,máx}$ Cumple	η = 2.6	η = 10.0	M_{Ed} = 0.00 N.P.(2)	x: 3.65 m η = 6.0	V_{Ed} = 0.00 N.P.(3)	x: 0.06 m η = 0.5	N.P.(4)	x: 0.509 m η < 0.1	x: 3.65 m η = 14.9	x: 0.509 m η < 0.1	M_{Ed} = 0.00 N.P.(5)	N.P.(6)	N.P.(6)	**CUMPLE η = 14.9**
N1798/N1894	x: 0.509 m $\lambda_w \leq \lambda_{w,máx}$ Cumple	η = 2.1	η = 8.3	M_{Ed} = 0.00 N.P.(2)	x: 3.65 m η = 6.0	V_{Ed} = 0.00 N.P.(3)	x: 0.06 m η = 0.5	N.P.(4)	x: 0.509 m η < 0.1	x: 3.65 m η = 13.7	x: 0.509 m η < 0.1	M_{Ed} = 0.00 N.P.(5)	N.P.(6)	N.P.(6)	**CUMPLE η = 13.7**
N1894/N2125	x: 0.509 m $\lambda_w \leq \lambda_{w,máx}$ Cumple	η = 2.6	η = 10.7	M_{Ed} = 0.00 N.P.(2)	x: 3.655 m η = 6.0	V_{Ed} = 0.00 N.P.(3)	x: 0.06 m η = 0.5	N.P.(4)	x: 0.509 m η < 0.1	x: 3.655 m η = 15.9	x: 0.509 m η < 0.1	M_{Ed} = 0.00 N.P.(5)	N.P.(6)	N.P.(6)	**CUMPLE η = 15.9**
N2125/N2278	x: 0.5 m $\lambda_w \leq \lambda_{w,máx}$ Cumple	η = 2.8	η = 11.7	M_{Ed} = 0.00 N.P.(2)	x: 3.65 m η = 6.0	V_{Ed} = 0.00 N.P.(3)	x: 0.05 m η = 0.5	N.P.(4)	x: 0.5 m η < 0.1	x: 3.65 m η = 16.8	x: 0.5 m η < 0.1	M_{Ed} = 0.00 N.P.(5)	N.P.(6)	N.P.(6)	**CUMPLE η = 16.8**
N2278/N2431	x: 0.5 m $\lambda_w \leq \lambda_{w,máx}$ Cumple	η = 3.1	η = 12.7	M_{Ed} = 0.00 N.P.(2)	x: 3.65 m η = 6.0	V_{Ed} = 0.00 N.P.(3)	x: 0.05 m η = 0.5	N.P.(4)	x: 0.5 m η < 0.1	x: 3.65 m η = 17.7	x: 0.5 m η < 0.1	M_{Ed} = 0.00 N.P.(5)	N.P.(6)	N.P.(6)	**CUMPLE η = 17.7**
N2431/N2584	x: 0.5 m $\lambda_w \leq \lambda_{w,máx}$ Cumple	η = 3.3	η = 13.8	M_{Ed} = 0.00 N.P.(2)	x: 3.65 m η = 6.0	V_{Ed} = 0.00 N.P.(3)	x: 0.05 m η = 0.5	N.P.(4)	x: 0.5 m η < 0.1	x: 3.65 m η = 18.7	x: 0.5 m η < 0.1	M_{Ed} = 0.00 N.P.(5)	N.P.(6)	N.P.(6)	**CUMPLE η = 18.7**
N2584/N2737	x: 0.5 m $\lambda_w \leq \lambda_{w,máx}$ Cumple	η = 3.6	η = 14.8	M_{Ed} = 0.00 N.P.(2)	x: 3.65 m η = 6.0	V_{Ed} = 0.00 N.P.(3)	x: 0.05 m η = 0.5	N.P.(4)	x: 0.5 m η < 0.1	x: 3.65 m η = 19.6	x: 0.5 m η < 0.1	M_{Ed} = 0.00 N.P.(5)	N.P.(6)	N.P.(6)	**CUMPLE η = 19.6**
N2737/N2890	x: 0.5 m $\lambda_w \leq \lambda_{w,máx}$ Cumple	η = 3.9	η = 15.9	M_{Ed} = 0.00 N.P.(2)	x: 3.65 m η = 6.0	V_{Ed} = 0.00 N.P.(3)	x: 0.05 m η = 0.5	N.P.(4)	x: 0.5 m η < 0.1	x: 3.65 m η = 20.6	x: 0.5 m η < 0.1	M_{Ed} = 0.00 N.P.(5)	N.P.(6)	N.P.(6)	**CUMPLE η = 20.6**
N1802/N1898	x: 0.57 m $\lambda_w \leq \lambda_{w,máx}$ Cumple	η = 0.3	η = 1.2	M_{Ed} = 0.00 N.P.(2)	x: 3.65 m η = 5.8	V_{Ed} = 0.00 N.P.(3)	x: 0.13 m η = 0.5	N.P.(4)	x: 0.57 m η < 0.1	x: 3.65 m η = 7.2	x: 0.57 m η < 0.1	M_{Ed} = 0.00 N.P.(5)	N.P.(6)	N.P.(6)	**CUMPLE η = 7.2**
N1898/N2129	x: 0.574 m $\lambda_w \leq \lambda_{w,máx}$ Cumple	η = 0.4	η = 0.9	M_{Ed} = 0.00 N.P.(2)	x: 3.685 m η = 5.9	V_{Ed} = 0.00 N.P.(3)	x: 0.13 m η = 0.5	N.P.(4)	x: 0.574 m η < 0.1	x: 3.685 m η = 6.9	x: 0.574 m η < 0.1	M_{Ed} = 0.00 N.P.(5)	N.P.(6)	N.P.(6)	**CUMPLE η = 6.9**

Documento visado electrónicamente con número: VA07290/22
Código de validación telemática TRLTDCFZ60T66IJ1. Comprobación: https://cogitivalencia.e-gestion.es/Validacion.aspx?CVT=TRLTDCFZ60T66IJ1

Listados

VISADO
COGITI
VALENCIA
VA07290/22
TRLTDCFZ60T66IJ1
Documento visado electrónicamente con número: VA07290/22
Código de validación telemática TRLTDCFZ60T66IJ1. Comprobación: https://cogitivalencia.e-gestion.es/Validacion.aspx?CVT=TRLTDCFZ60T66IJ1

Barras	COMPROBACIONES (CÓDIGO ESTRUCTURAL)														Estado
	λ_w	N_t	N_c	M_Y	M_Z	V_Z	V_Y	M_YV_Z	M_ZV_Y	NM_YM_Z	$NM_YM_ZV_YV_Z$	M_t	M_tV_Z	M_tV_Y	
N2129/N2282	x: 0.509 m $\lambda_w \leq \lambda_{w,máx}$ Cumple	η = 0.4	η = 0.9	M_{Ed} = 0.00 N.P.(2)	x: 3.65 m η = 6.0	V_{Ed} = 0.00 N.P.(3)	x: 0.06 m η = 0.5	N.P.(4)	x: 0.509 m η < 0.1	x: 3.65 m η = 7.0	x: 0.509 m η < 0.1	M_{Ed} = 0.00 N.P.(5)	N.P.(6)	N.P.(6)	**CUMPLE η = 7.0**
N2282/N2435	x: 0.509 m $\lambda_w \leq \lambda_{w,máx}$ Cumple	η = 0.5	η = 0.9	M_{Ed} = 0.00 N.P.(2)	x: 3.65 m η = 6.0	V_{Ed} = 0.00 N.P.(3)	x: 0.06 m η = 0.5	N.P.(4)	x: 0.509 m η < 0.1	x: 3.65 m η = 6.9	x: 0.509 m η < 0.1	M_{Ed} = 0.00 N.P.(5)	N.P.(6)	N.P.(6)	**CUMPLE η = 6.9**
N2435/N2588	x: 0.509 m $\lambda_w \leq \lambda_{w,máx}$ Cumple	η = 0.6	η = 0.8	M_{Ed} = 0.00 N.P.(2)	x: 3.65 m η = 6.0	V_{Ed} = 0.00 N.P.(3)	x: 0.06 m η = 0.5	N.P.(4)	x: 0.509 m η < 0.1	x: 3.65 m η = 6.9	x: 0.509 m η < 0.1	M_{Ed} = 0.00 N.P.(5)	N.P.(6)	N.P.(6)	**CUMPLE η = 6.9**
N2588/N2741	x: 0.509 m $\lambda_w \leq \lambda_{w,máx}$ Cumple	η = 0.8	η = 0.9	M_{Ed} = 0.00 N.P.(2)	x: 3.65 m η = 6.0	V_{Ed} = 0.00 N.P.(3)	x: 0.06 m η = 0.5	N.P.(4)	x: 0.509 m η < 0.1	x: 3.65 m η = 6.9	x: 0.509 m η < 0.1	M_{Ed} = 0.00 N.P.(5)	N.P.(6)	N.P.(6)	**CUMPLE η = 6.9**
N2741/N2894	x: 0.509 m $\lambda_w \leq \lambda_{w,máx}$ Cumple	η = 1.0	η = 0.9	M_{Ed} = 0.00 N.P.(2)	x: 3.65 m η = 6.0	V_{Ed} = 0.00 N.P.(3)	x: 0.06 m η = 0.5	N.P.(4)	x: 0.509 m η < 0.1	x: 3.65 m η = 7.0	x: 0.509 m η < 0.1	M_{Ed} = 0.00 N.P.(5)	N.P.(6)	N.P.(6)	**CUMPLE η = 7.0**
N1694/N3150	x: 0.061 m $\lambda_w \leq \lambda_{w,máx}$ Cumple	η = 0.2	η < 0.1	x: 2.373 m η = 0.4	x: 2.373 m η = 13.0	η < 0.1	x: 0.06 m η = 1.0	x: 0.253 m η < 0.1	x: 0.061 m η < 0.1	x: 2.373 m η = 13.3	x: 0.061 m η < 0.1	M_{Ed} = 0.00 N.P.(5)	N.P.(6)	N.P.(6)	**CUMPLE η = 13.3**
N3150/N3151	$\lambda_w \leq \lambda_{w,máx}$ Cumple	η = 0.5	η = 0.4	x: 0.06 m η = 0.1	x: 0.06 m η = 3.2	η < 0.1	x: 0.06 m η = 0.4	η < 0.1	η < 0.1	x: 0.06 m η = 3.7	η < 0.1	η = 0.3	η < 0.1	x: 0.06 m η = 0.4	**CUMPLE η = 3.7**
N3151/N1790	x: 0.06 m $\lambda_w \leq \lambda_{w,máx}$ Cumple	η = 0.8	η = 0.7	x: 0.06 m η = 0.3	x: 0.06 m η = 12.2	η < 0.1	x: 2.303 m η = 0.9	x: 0.06 m η < 0.1	x: 0.06 m η < 0.1	x: 0.06 m η = 13.1	x: 0.06 m η < 0.1	M_{Ed} = 0.00 N.P.(5)	N.P.(6)	N.P.(6)	**CUMPLE η = 13.1**
N3151/N3152	$\lambda_w \leq \lambda_{w,máx}$ Cumple	x: 1.939 m η < 0.1	x: 0.06 m η = 0.2	x: 1.94 m η = 9.6	x: 0.06 m η = 0.2	η = 1.5	η < 0.1	η < 0.1	x: 0.06 m η < 0.1	x: 1.94 m η = 9.8	η < 0.1	η = 0.3	η = 1.5	η < 0.1	**CUMPLE η = 9.8**
N3150/N3153	$\lambda_w \leq \lambda_{w,máx}$ Cumple	x: 1.939 m η < 0.1	x: 0.06 m η = 0.2	x: 0.06 m η = 9.5	x: 0.06 m η = 0.2	η = 1.5	η < 0.1	η < 0.1	x: 0.06 m η < 0.1	x: 0.06 m η = 9.8	η < 0.1	η = 0.3	η = 1.5	η < 0.1	**CUMPLE η = 9.8**
N1644/N3153	x: 0.061 m $\lambda_w \leq \lambda_{w,máx}$ Cumple	η = 0.4	η = 18.0	x: 2.373 m η = 0.4	x: 2.373 m η = 12.2	η < 0.1	x: 0.06 m η = 0.9	x: 0.253 m η < 0.1	x: 0.061 m η < 0.1	x: 2.373 m η = 23.6	x: 0.061 m η < 0.1	M_{Ed} = 0.00 N.P.(5)	N.P.(6)	N.P.(6)	**CUMPLE η = 23.6**
N3153/N3152	$\lambda_w \leq \lambda_{w,máx}$ Cumple	η = 0.1	x: 1.602 m η = 19.9	x: 2.372 m η = 0.1	x: 2.373 m η = 3.1	η < 0.1	x: 2.373 m η = 0.4	x: 0.06 m η < 0.1	η < 0.1	x: 0.06 m η = 21.1	η < 0.1	η = 0.3	η < 0.1	x: 2.373 m η = 0.4	**CUMPLE η = 21.1**
N3152/N1740	x: 0.06 m $\lambda_w \leq \lambda_{w,máx}$ Cumple	η = 0.9	η = 18.8	x: 0.06 m η = 0.4	x: 0.06 m η = 13.1	η < 0.1	x: 2.358 m η = 1.0	x: 0.06 m η < 0.1	x: 0.06 m η < 0.1	x: 0.06 m η = 21.3	x: 0.06 m η < 0.1	M_{Ed} = 0.00 N.P.(5)	N.P.(6)	N.P.(6)	**CUMPLE η = 21.3**
N1698/N3154	x: 0.051 m $\lambda_w \leq \lambda_{w,máx}$ Cumple	η = 0.2	η = 0.3	x: 2.372 m η = 0.1	x: 2.373 m η = 22.0	η < 0.1	x: 0.05 m η = 1.5	x: 0.244 m η < 0.1	x: 0.051 m η < 0.1	x: 2.373 m η = 22.3	x: 0.051 m η < 0.1	M_{Ed} = 0.00 N.P.(5)	N.P.(6)	N.P.(6)	**CUMPLE η = 22.3**
N3154/N3155	$\lambda_w \leq \lambda_{w,máx}$ Cumple	η = 0.9	η = 6.9	x: 0.06 m η < 0.1	x: 0.06 m η = 6.1	η < 0.1	x: 2.373 m η = 0.8	x: 0.06 m η < 0.1	η < 0.1	x: 2.373 m η = 10.3	η < 0.1	η = 0.1	η < 0.1	x: 2.373 m η = 0.8	**CUMPLE η = 10.3**
N3155/N1794	x: 0.06 m $\lambda_w \leq \lambda_{w,máx}$ Cumple	η = 2.1	η = 9.4	x: 0.06 m η = 0.1	x: 0.06 m η = 21.0	η < 0.1	x: 2.373 m η = 1.5	x: 0.06 m η < 0.1	x: 0.06 m η < 0.1	x: 0.06 m η = 24.2	x: 0.06 m η < 0.1	M_{Ed} = 0.00 N.P.(5)	N.P.(6)	N.P.(6)	**CUMPLE η = 24.2**
N3155/N3156	$\lambda_w \leq \lambda_{w,máx}$ Cumple	x: 1.939 m η < 0.1	x: 0.06 m η = 0.5	x: 1.94 m η = 15.2	x: 0.06 m η < 0.1	η = 2.4	η < 0.1	η < 0.1	x: 0.06 m η < 0.1	x: 1.94 m η = 15.6	η < 0.1	η = 0.1	η = 2.4	η < 0.1	**CUMPLE η = 15.6**
N3154/N3157	$\lambda_w \leq \lambda_{w,máx}$ Cumple	x: 1.939 m η < 0.1	x: 0.06 m η = 0.5	x: 0.06 m η = 15.3	x: 0.06 m η < 0.1	η = 2.4	η < 0.1	η < 0.1	x: 0.06 m η < 0.1	x: 0.06 m η = 15.8	η < 0.1	η = 0.1	η = 2.4	η < 0.1	**CUMPLE η = 15.8**
N1648/N3157	x: 0.051 m $\lambda_w \leq \lambda_{w,máx}$ Cumple	η = 3.4	η = 39.4	x: 2.372 m η = 0.1	x: 2.373 m η = 21.8	η < 0.1	x: 0.05 m η = 1.5	x: 0.244 m η < 0.1	x: 0.051 m η < 0.1	x: 2.373 m η = 45.3	x: 0.051 m η < 0.1	M_{Ed} = 0.00 N.P.(5)	N.P.(6)	N.P.(6)	**CUMPLE η = 45.3**
N3157/N3156	$\lambda_w \leq \lambda_{w,máx}$ Cumple	η = 1.7	η = 38.4	x: 0.06 m η < 0.1	x: 2.373 m η = 6.3	η < 0.1	x: 2.373 m η = 0.8	x: 0.06 m η < 0.1	η < 0.1	x: 2.373 m η = 42.1	η < 0.1	η = 0.1	η < 0.1	x: 2.373 m η = 0.8	**CUMPLE η = 42.1**
N3156/N1744	x: 0.06 m $\lambda_w \leq \lambda_{w,máx}$ Cumple	η = 1.5	η = 31.9	x: 0.06 m η = 0.1	x: 0.06 m η = 22.1	η < 0.1	x: 2.373 m η = 1.5	x: 0.06 m η < 0.1	x: 0.06 m η < 0.1	x: 0.06 m η = 45.0	x: 0.06 m η < 0.1	M_{Ed} = 0.00 N.P.(5)	N.P.(6)	N.P.(6)	**CUMPLE η = 45.0**
N1702/N3158	x: 0.051 m $\lambda_w \leq \lambda_{w,máx}$ Cumple	η = 0.2	η = 0.2	x: 2.373 m η = 1.7	x: 2.373 m η = 19.2	η = 0.1	x: 0.05 m η = 1.4	x: 0.051 m η < 0.1	x: 0.051 m η < 0.1	x: 2.373 m η = 19.4	x: 0.051 m η < 0.1	M_{Ed} = 0.00 N.P.(5)	N.P.(6)	N.P.(6)	**CUMPLE η = 19.4**
N3158/N3159	$\lambda_w \leq \lambda_{w,máx}$ Cumple	η = 0.8	η = 1.0	x: 0.06 m η = 1.5	x: 0.06 m η = 5.2	η = 0.1	x: 2.373 m η = 0.6	η < 0.1	η < 0.1	x: 0.06 m η = 6.0	η < 0.1	η = 0.2	η = 0.1	x: 2.373 m η = 0.6	**CUMPLE η = 6.0**
N3159/N1798	x: 0.06 m $\lambda_w \leq \lambda_{w,máx}$ Cumple	η = 1.7	η = 6.3	x: 0.06 m η = 1.0	x: 0.06 m η = 15.7	η = 0.1	x: 2.373 m η = 1.1	x: 0.06 m η < 0.1	x: 0.06 m η < 0.1	x: 0.06 m η = 17.7	x: 0.06 m η < 0.1	M_{Ed} = 0.00 N.P.(5)	N.P.(6)	N.P.(6)	**CUMPLE η = 17.7**
N3159/N3160	$\lambda_w \leq \lambda_{w,máx}$ Cumple	x: 1.939 m η < 0.1	x: 0.06 m η = 0.4	x: 1.94 m η = 12.3	x: 0.06 m η = 0.1	η = 1.9	η < 0.1	η < 0.1	x: 0.06 m η < 0.1	x: 1.94 m η = 12.5	η < 0.1	η = 0.4	η = 1.9	η < 0.1	**CUMPLE η = 12.5**
N3158/N3161	$\lambda_w \leq \lambda_{w,máx}$ Cumple	x: 1.939 m η = 0.1	x: 0.06 m η = 0.4	x: 0.06 m η = 13.5	x: 0.06 m η = 0.1	η = 2.1	η < 0.1	η < 0.1	x: 0.06 m η < 0.1	x: 0.06 m η = 13.9	η < 0.1	η = 0.3	η = 2.1	η < 0.1	**CUMPLE η = 13.9**
N1652/N3161	x: 0.051 m $\lambda_w \leq \lambda_{w,máx}$ Cumple	η = 2.3	η = 37.6	x: 2.372 m η = 0.2	x: 2.373 m η = 18.1	η < 0.1	x: 0.05 m η = 1.3	x: 0.051 m η < 0.1	x: 0.051 m η < 0.1	x: 2.373 m η = 40.3	x: 0.051 m η < 0.1	M_{Ed} = 0.00 N.P.(5)	N.P.(6)	N.P.(6)	**CUMPLE η = 40.3**
N3161/N3160	$\lambda_w \leq \lambda_{w,máx}$ Cumple	η = 0.9	η = 37.9	x: 0.06 m η = 0.3	x: 2.373 m η = 4.7	η < 0.1	x: 2.373 m η = 0.6	η < 0.1	η < 0.1	x: 2.373 m η = 40.2	η < 0.1	η = 0.2	η < 0.1	x: 2.373 m η = 0.6	**CUMPLE η = 40.2**
N3160/N1748	x: 0.06 m $\lambda_w \leq \lambda_{w,máx}$ Cumple	η = 0.8	η = 34.9	x: 0.06 m η = 0.2	x: 0.06 m η = 17.4	η < 0.1	x: 2.373 m η = 1.3	x: 0.06 m η < 0.1	x: 0.06 m η < 0.1	x: 0.06 m η = 43.6	x: 0.06 m η < 0.1	M_{Ed} = 0.00 N.P.(5)	N.P.(6)	N.P.(6)	**CUMPLE η = 43.6**
N3162/N3163	$\lambda_w \leq \lambda_{w,máx}$ Cumple	x: 1.939 m η = 0.1	x: 0.06 m η = 0.1	x: 0.06 m η = 6.4	x: 0.06 m η = 0.3	η = 1.0	η < 0.1	η < 0.1	x: 0.06 m η < 0.1	x: 0.06 m η = 6.4	η < 0.1	η = 0.4	η = 1.0	η < 0.1	**CUMPLE η = 6.4**
N3164/N3165	$\lambda_w \leq \lambda_{w,máx}$ Cumple	x: 1.939 m η < 0.1	x: 0.06 m η = 0.1	x: 1.94 m η = 8.0	x: 0.06 m η = 0.3	η = 1.2	η < 0.1	η < 0.1	x: 0.06 m η < 0.1	x: 1.94 m η = 8.2	η < 0.1	η = 0.4	η = 1.2	η < 0.1	**CUMPLE η = 8.2**
N1656/N3163	x: 0.061 m $\lambda_w \leq \lambda_{w,máx}$ Cumple	η = 0.1	η = 80.3	x: 2.373 m η = 0.5	x: 2.373 m η = 8.0	η < 0.1	x: 0.06 m η = 0.7	x: 0.253 m η < 0.1	x: 0.061 m η < 0.1	x: 2.373 m η = 83.6	x: 0.061 m η < 0.1	M_{Ed} = 0.00 N.P.(5)	N.P.(6)	N.P.(6)	**CUMPLE η = 83.6**
N3163/N3165	$\lambda_w \leq \lambda_{w,máx}$ Cumple	N_{Ed} = 0.00 N.P.(1)	η = 80.7	x: 2.372 m η = 0.1	x: 1.988 m η = 2.6	η < 0.1	x: 0.06 m η = 0.3	η < 0.1	η < 0.1	x: 2.181 m η = 82.1	η < 0.1	η = 0.4	η < 0.1	x: 0.06 m η = 0.3	**CUMPLE η = 82.1**
N3165/N1752	x: 0.06 m $\lambda_w \leq \lambda_{w,máx}$ Cumple	η < 0.1	η = 78.8	x: 0.06 m η = 0.4	x: 0.06 m η = 10.7	η < 0.1	x: 2.358 m η = 0.8	x: 0.06 m η < 0.1	x: 0.06 m η < 0.1	x: 0.06 m η = 85.3	x: 0.06 m η < 0.1	M_{Ed} = 0.00 N.P.(5)	N.P.(6)	N.P.(6)	**CUMPLE η = 85.3**
N1706/N3162	x: 0.061 m $\lambda_w \leq \lambda_{w,máx}$ Cumple	η = 0.1	η = 0.4	x: 2.373 m η = 0.5	x: 2.373 m η = 8.1	η < 0.1	x: 0.06 m η = 0.7	x: 0.253 m η < 0.1	x: 0.061 m η < 0.1	x: 2.373 m η = 8.2	x: 0.061 m η < 0.1	M_{Ed} = 0.00 N.P.(5)	N.P.(6)	N.P.(6)	**CUMPLE η = 8.2**

VISADO
COGITI
Estado
VALENCIA
VA07290/22
TRLTDCFZ60T66IJ1

Barras	COMPROBACIONES (CÓDIGO ESTRUCTURAL)															
	λ_w	N_t	N_c	M_Y	M_Z	V_Z	V_Y	M_YV_Z	M_ZV_Y	NM_YM_Z	$NM_YM_ZV_YV_Z$	M_t	M_tV_Z	M_tV_Y	
N3162/N3164	$\lambda_w \leq \lambda_{w,máx}$ Cumple	$\eta = 0.3$	$\eta = 0.4$	x: 0.06 m $\eta = 0.1$	x: 1.988 m $\eta = 2.4$	$\eta < 0.1$	x: 0.06 m $\eta = 0.3$	$\eta < 0.1$	$\eta < 0.1$	x: 2.181 m $\eta = 2.7$	$\eta < 0.1$	$\eta = 0.4$	$\eta < 0.1$	x: 0.0 $\eta = 0.3$	CUMPLE $\eta = 0.7$
N3164/N1802	x: 0.06 m $\lambda_w \leq \lambda_{w,máx}$ Cumple	$\eta = 0.2$	$\eta = 0.7$	x: 0.06 m $\eta = 0.4$	x: 0.06 m $\eta = 10.0$	$\eta < 0.1$	x: 2.303 m $\eta = 0.8$	x: 0.06 m $\eta < 0.1$	x: 0.06 m $\eta < 0.1$	x: 0.06 m $\eta = 11.1$	x: 0.06 m $\eta < 0.1$	$M_{Ed} = 0.00$ N.P.(5)	N.P.(6)	N.P.(6)	**CUMPLE $\eta = 11.1$**
N3166/N3167	$\lambda_w \leq \lambda_{w,máx}$ Cumple	x: 1.939 m $\eta = 0.1$	x: 0.06 m $\eta = 0.6$	x: 1.94 m $\eta = 16.4$	x: 1.94 m $\eta = 1.2$	$\eta = 2.6$	$\eta = 0.2$	$\eta < 0.1$	$\eta < 0.1$	x: 1.94 m $\eta = 17.4$	$\eta < 0.1$	$\eta = 2.5$	$\eta = 2.6$	$\eta = 0.2$	**CUMPLE $\eta = 17.4$**
N2882/N3166	x: 0.061 m $\lambda_w \leq \lambda_{w,máx}$ Cumple	$\eta = 2.7$	$\eta = 10.2$	x: 2.373 m $\eta = 2.9$	x: 2.373 m $\eta = 22.3$	$\eta = 0.2$	x: 0.06 m $\eta = 1.6$	x: 0.253 m $\eta < 0.1$	x: 0.061 m $\eta < 0.1$	x: 2.373 m $\eta = 27.1$	x: 0.061 m $\eta < 0.1$	$M_{Ed} = 0.00$ N.P.(5)	N.P.(6)	N.P.(6)	**CUMPLE $\eta = 27.1$**
N3166/N3168	$\lambda_w \leq \lambda_{w,máx}$ Cumple	$\eta = 1.1$	$\eta = 7.2$	x: 0.06 m $\eta = 1.0$	x: 0.06 m $\eta = 5.8$	$\eta < 0.1$	x: 2.373 m $\eta = 0.7$	$\eta < 0.1$	$\eta < 0.1$	x: 0.06 m $\eta = 11.5$	$\eta < 0.1$	$\eta = 1.6$	$\eta < 0.1$	x: 2.373 m $\eta = 0.7$	**CUMPLE $\eta = 11.5$**
N3168/N3001	$\lambda_w \leq \lambda_{w,máx}$ Cumple	$\eta = 0.7$	$\eta = 0.3$	x: 2.373 m $\eta = 0.8$	x: 0.06 m $\eta = 14.0$	$\eta = 0.1$	x: 2.373 m $\eta = 1.9$	$\eta < 0.1$	$\eta < 0.1$	x: 2.373 m $\eta = 14.8$	$\eta < 0.1$	$\eta = 1.1$	$\eta = 0.1$	x: 2.373 m $\eta = 1.9$	**CUMPLE $\eta = 14.8$**
N2816/N3167	x: 0.061 m $\lambda_w \leq \lambda_{w,máx}$ Cumple	$N_{Ed} = 0.00$ N.P.(1)	$\eta = 69.7$	x: 2.373 m $\eta = 2.8$	x: 2.373 m $\eta = 23.7$	$\eta = 0.2$	x: 0.06 m $\eta = 1.6$	x: 0.253 m $\eta < 0.1$	x: 0.061 m $\eta < 0.1$	x: 2.373 m $\eta = 79.2$	x: 0.061 m $\eta < 0.1$	$M_{Ed} = 0.00$ N.P.(5)	N.P.(6)	N.P.(6)	**CUMPLE $\eta = 79.2$**
N3167/N3169	$\lambda_w \leq \lambda_{w,máx}$ Cumple	$N_{Ed} = 0.00$ N.P.(1)	$\eta = 72.9$	x: 0.06 m $\eta = 0.9$	x: 0.06 m $\eta = 6.6$	$\eta < 0.1$	x: 2.373 m $\eta = 0.8$	$\eta < 0.1$	$\eta < 0.1$	x: 0.06 m $\eta = 75.8$	$\eta < 0.1$	$\eta = 1.6$	$\eta < 0.1$	x: 2.373 m $\eta = 0.8$	**CUMPLE $\eta = 75.8$**
N3169/N2968	$\lambda_w \leq \lambda_{w,máx}$ Cumple	$N_{Ed} = 0.00$ N.P.(1)	$\eta = 72.9$	x: 2.373 m $\eta = 1.2$	x: 0.06 m $\eta = 14.0$	$\eta = 0.1$	x: 2.373 m $\eta = 1.9$	$\eta < 0.1$	$\eta < 0.1$	x: 2.373 m $\eta = 75.1$	$\eta < 0.1$	$\eta = 1.2$	$\eta = 0.1$	x: 2.373 m $\eta = 1.9$	**CUMPLE $\eta = 75.1$**
N3168/N3169	$\lambda_w \leq \lambda_{w,máx}$ Cumple	x: 1.939 m $\eta < 0.1$	x: 0.06 m $\eta = 0.6$	x: 0.06 m $\eta = 9.8$	x: 0.06 m $\eta = 0.5$	$\eta = 1.6$	$\eta = 0.1$	$\eta < 0.1$	$\eta < 0.1$	x: 0.06 m $\eta = 10.6$	$\eta < 0.1$	$\eta = 1.1$	$\eta = 1.6$	$\eta = 0.1$	**CUMPLE $\eta = 10.6$**
N3170/N3171	$\lambda_w \leq \lambda_{w,máx}$ Cumple	x: 1.939 m $\eta < 0.1$	x: 0.06 m $\eta = 1.0$	x: 1.94 m $\eta = 28.9$	x: 1.94 m $\eta = 0.4$	$\eta = 4.6$	$\eta = 0.1$	$\eta < 0.1$	x: 0.06 m $\eta < 0.1$	x: 1.94 m $\eta = 30.1$	$\eta < 0.1$	$\eta = 0.7$	$\eta = 4.6$	$\eta = 0.1$	**CUMPLE $\eta = 30.1$**
N2886/N3170	x: 0.051 m $\lambda_w \leq \lambda_{w,máx}$ Cumple	$\eta = 4.9$	$\eta = 21.4$	x: 2.373 m $\eta = 0.9$	x: 2.373 m $\eta = 41.1$	$\eta = 0.1$	x: 0.05 m $\eta = 2.7$	x: 0.244 m $\eta < 0.1$	x: 0.051 m $\eta < 0.1$	x: 2.373 m $\eta = 50.6$	x: 0.051 m $\eta < 0.1$	$M_{Ed} = 0.00$ N.P.(5)	N.P.(6)	N.P.(6)	**CUMPLE $\eta = 50.6$**
N3170/N3172	$\lambda_w \leq \lambda_{w,máx}$ Cumple	$\eta = 1.7$	$\eta = 15.9$	x: 2.372 m $\eta = 0.3$	x: 0.06 m $\eta = 11.4$	$\eta < 0.1$	x: 2.372 m $\eta = 1.3$	$\eta < 0.1$	$\eta < 0.1$	x: 0.06 m $\eta = 23.2$	$\eta < 0.1$	$\eta = 0.5$	$\eta < 0.1$	x: 2.372 m $\eta = 1.3$	**CUMPLE $\eta = 23.2$**
N3172/N3003	$\lambda_w \leq \lambda_{w,máx}$ Cumple	$\eta = 1.0$	$\eta = 0.7$	x: 2.372 m $\eta = 0.2$	x: 0.06 m $\eta = 22.1$	$\eta < 0.1$	x: 2.373 m $\eta = 2.9$	$\eta < 0.1$	$\eta < 0.1$	x: 0.06 m $\eta = 23.2$	$\eta < 0.1$	$\eta = 0.3$	$\eta < 0.1$	x: 2.373 m $\eta = 2.9$	**CUMPLE $\eta = 23.2$**
N2820/N3171	x: 0.051 m $\lambda_w \leq \lambda_{w,máx}$ Cumple	$\eta = 0.6$	$\eta = 21.4$	x: 2.373 m $\eta = 0.9$	x: 2.373 m $\eta = 42.4$	$\eta = 0.1$	x: 0.05 m $\eta = 2.8$	x: 0.244 m $\eta < 0.1$	x: 0.051 m $\eta < 0.1$	x: 2.373 m $\eta = 45.4$	x: 0.051 m $\eta < 0.1$	$M_{Ed} = 0.00$ N.P.(5)	N.P.(6)	N.P.(6)	**CUMPLE $\eta = 45.4$**
N3171/N3173	$\lambda_w \leq \lambda_{w,máx}$ Cumple	$N_{Ed} = 0.00$ N.P.(1)	$\eta = 25.1$	x: 2.372 m $\eta = 0.3$	x: 0.06 m $\eta = 12.2$	$\eta < 0.1$	x: 2.372 m $\eta = 1.3$	$\eta < 0.1$	$\eta < 0.1$	x: 0.06 m $\eta = 30.6$	$\eta < 0.1$	$\eta = 0.5$	$\eta < 0.1$	x: 2.372 m $\eta = 1.3$	**CUMPLE $\eta = 30.6$**
N3173/N2970	$\lambda_w \leq \lambda_{w,máx}$ Cumple	$\eta = 2.6$	$\eta = 26.1$	x: 2.373 m $\eta = 0.5$	x: 0.06 m $\eta = 22.2$	$\eta < 0.1$	x: 2.373 m $\eta = 2.9$	$\eta < 0.1$	$\eta < 0.1$	x: 0.06 m $\eta = 35.7$	$\eta < 0.1$	$\eta = 0.4$	$\eta < 0.1$	x: 2.373 m $\eta = 2.9$	**CUMPLE $\eta = 35.7$**
N3172/N3173	$\lambda_w \leq \lambda_{w,máx}$ Cumple	$N_{Ed} = 0.00$ N.P.(1)	x: 0.06 m $\eta = 1.1$	x: 1.94 m $\eta = 14.8$	x: 0.06 m $\eta = 0.2$	$\eta = 2.4$	$\eta < 0.1$	$\eta < 0.1$	$\eta < 0.1$	x: 0.06 m $\eta = 15.9$	$\eta < 0.1$	$\eta = 0.3$	$\eta = 2.4$	$\eta < 0.1$	**CUMPLE $\eta = 15.9$**
N3174/N3175	$\lambda_w \leq \lambda_{w,máx}$ Cumple	$N_{Ed} = 0.00$ N.P.(1)	x: 0.06 m $\eta = 0.9$	x: 1.94 m $\eta = 24.0$	x: 1.94 m $\eta = 0.5$	$\eta = 3.8$	$\eta = 0.1$	$\eta < 0.1$	$\eta < 0.1$	x: 1.94 m $\eta = 24.9$	$\eta < 0.1$	$\eta = 1.1$	$\eta = 3.8$	$\eta = 0.1$	**CUMPLE $\eta = 24.9$**
N2890/N3174	x: 0.051 m $\lambda_w \leq \lambda_{w,máx}$ Cumple	$\eta = 4.2$	$\eta = 16.9$	x: 2.373 m $\eta = 1.3$	x: 2.373 m $\eta = 32.9$	$\eta = 0.1$	x: 0.05 m $\eta = 2.2$	x: 0.244 m $\eta < 0.1$	x: 0.051 m $\eta < 0.1$	x: 2.373 m $\eta = 40.5$	x: 0.051 m $\eta < 0.1$	$M_{Ed} = 0.00$ N.P.(5)	N.P.(6)	N.P.(6)	**CUMPLE $\eta = 40.5$**
N3174/N3176	$\lambda_w \leq \lambda_{w,máx}$ Cumple	$\eta = 1.5$	$\eta = 12.3$	x: 2.372 m $\eta = 0.6$	x: 0.06 m $\eta = 8.9$	$\eta < 0.1$	x: 2.373 m $\eta = 1.0$	$\eta < 0.1$	$\eta < 0.1$	x: 0.06 m $\eta = 18.4$	$\eta < 0.1$	$\eta = 0.7$	$\eta < 0.1$	x: 2.373 m $\eta = 1.0$	**CUMPLE $\eta = 18.4$**
N3176/N3005	$\lambda_w \leq \lambda_{w,máx}$ Cumple	$\eta = 0.9$	$\eta = 0.5$	x: 2.373 m $\eta = 0.5$	x: 0.06 m $\eta = 19.4$	$\eta < 0.1$	x: 2.373 m $\eta = 2.5$	$\eta < 0.1$	$\eta < 0.1$	x: 0.06 m $\eta = 20.4$	$\eta < 0.1$	$\eta = 0.6$	$\eta < 0.1$	x: 2.373 m $\eta = 2.6$	**CUMPLE $\eta = 20.4$**
N2824/N3175	x: 0.051 m $\lambda_w \leq \lambda_{w,máx}$ Cumple	$\eta = 0.6$	$\eta = 30.5$	x: 2.373 m $\eta = 1.1$	x: 2.373 m $\eta = 34.9$	$\eta = 0.1$	x: 0.05 m $\eta = 2.3$	x: 0.244 m $\eta < 0.1$	x: 0.051 m $\eta < 0.1$	x: 2.373 m $\eta = 41.0$	x: 0.051 m $\eta < 0.1$	$M_{Ed} = 0.00$ N.P.(5)	N.P.(6)	N.P.(6)	**CUMPLE $\eta = 41.0$**
N3175/N3177	$\lambda_w \leq \lambda_{w,máx}$ Cumple	$N_{Ed} = 0.00$ N.P.(1)	$\eta = 31.7$	x: 0.06 m $\eta = 0.3$	x: 0.06 m $\eta = 10.1$	$\eta < 0.1$	x: 2.373 m $\eta = 1.1$	$\eta < 0.1$	$\eta < 0.1$	x: 0.06 m $\eta = 37.9$	$\eta < 0.1$	$\eta = 0.7$	$\eta < 0.1$	x: 2.373 m $\eta = 1.1$	**CUMPLE $\eta = 37.9$**
N3177/N2972	$\lambda_w \leq \lambda_{w,máx}$ Cumple	$\eta = 2.0$	$\eta = 33.0$	x: 2.372 m $\eta = 0.7$	x: 0.06 m $\eta = 19.6$	$\eta < 0.1$	x: 2.373 m $\eta = 2.6$	$\eta < 0.1$	$\eta < 0.1$	x: 0.06 m $\eta = 41.1$	$\eta < 0.1$	$\eta = 0.6$	$\eta < 0.1$	x: 2.373 m $\eta = 2.6$	**CUMPLE $\eta = 41.1$**
N3176/N3177	$\lambda_w \leq \lambda_{w,máx}$ Cumple	$N_{Ed} = 0.00$ N.P.(1)	x: 0.06 m $\eta = 0.9$	x: 0.06 m $\eta = 13.2$	x: 0.06 m $\eta = 0.1$	$\eta = 2.1$	$\eta < 0.1$	$\eta < 0.1$	$\eta < 0.1$	x: 0.06 m $\eta = 14.1$	$\eta < 0.1$	$\eta = 0.5$	$\eta = 2.1$	$\eta < 0.1$	**CUMPLE $\eta = 14.1$**
N3178/N3179	$\lambda_w \leq \lambda_{w,máx}$ Cumple	x: 1.939 m $\eta < 0.1$	x: 0.06 m $\eta = 0.3$	x: 1.94 m $\eta = 10.1$	x: 1.94 m $\eta = 0.8$	$\eta = 1.5$	$\eta = 0.1$	$\eta < 0.1$	$\eta < 0.1$	x: 1.94 m $\eta = 10.7$	$\eta < 0.1$	$\eta = 1.6$	$\eta = 1.6$	$\eta = 0.1$	**CUMPLE $\eta = 10.7$**
N2894/N3178	x: 0.061 m $\lambda_w \leq \lambda_{w,máx}$ Cumple	$\eta = 1.3$	$\eta = 1.0$	x: 2.373 m $\eta = 1.9$	x: 2.373 m $\eta = 12.3$	$\eta = 0.1$	x: 0.06 m $\eta = 0.9$	x: 0.253 m $\eta < 0.1$	x: 0.061 m $\eta < 0.1$	x: 2.373 m $\eta = 14.3$	x: 0.061 m $\eta < 0.1$	$M_{Ed} = 0.00$ N.P.(5)	N.P.(6)	N.P.(6)	**CUMPLE $\eta = 14.3$**
N3178/N3180	$\lambda_w \leq \lambda_{w,máx}$ Cumple	$\eta = 0.7$	$\eta = 0.6$	x: 2.372 m $\eta = 0.8$	x: 0.06 m $\eta = 2.7$	$\eta < 0.1$	x: 2.373 m $\eta = 0.4$	$\eta < 0.1$	$\eta < 0.1$	x: 0.06 m $\eta = 3.5$	$\eta < 0.1$	$\eta = 1.0$	$\eta < 0.1$	x: 2.373 m $\eta = 0.4$	**CUMPLE $\eta = 3.5$**
N3180/N3007	$\lambda_w \leq \lambda_{w,máx}$ Cumple	$\eta = 0.4$	$\eta = 0.1$	x: 2.373 m $\eta = 0.6$	x: 2.373 m $\eta = 8.2$	$\eta < 0.1$	x: 2.373 m $\eta = 1.2$	$\eta < 0.1$	$\eta < 0.1$	x: 2.373 m $\eta = 9.1$	$\eta < 0.1$	$\eta = 0.8$	$\eta < 0.1$	x: 2.373 m $\eta = 1.2$	**CUMPLE $\eta = 9.1$**
N2828/N3179	x: 0.061 m $\lambda_w \leq \lambda_{w,máx}$ Cumple	$\eta = 1.2$	x: 0.253 m $\eta = 29.2$	x: 2.373 m $\eta = 1.8$	x: 2.373 m $\eta = 14.5$	$\eta = 0.1$	x: 0.06 m $\eta = 1.1$	x: 0.253 m $\eta < 0.1$	x: 0.061 m $\eta < 0.1$	x: 2.373 m $\eta = 30.9$	x: 0.061 m $\eta < 0.1$	$M_{Ed} = 0.00$ N.P.(5)	N.P.(6)	N.P.(6)	**CUMPLE $\eta = 30.9$**
N3179/N3181	$\lambda_w \leq \lambda_{w,máx}$ Cumple	$\eta = 0.3$	x: 2.373 m $\eta = 29.2$	x: 0.06 m $\eta = 0.6$	x: 0.06 m $\eta = 4.0$	$\eta < 0.1$	x: 2.373 m $\eta = 0.5$	$\eta < 0.1$	$\eta < 0.1$	x: 2.372 m $\eta = 30.0$	$\eta < 0.1$	$\eta = 1.0$	$\eta < 0.1$	x: 2.373 m $\eta = 0.5$	**CUMPLE $\eta = 30.0$**
N3181/N2974	$\lambda_w \leq \lambda_{w,máx}$ Cumple	$\eta = 0.3$	x: 0.831 m $\eta = 27.9$	x: 2.373 m $\eta = 0.8$	x: 0.06 m $\eta = 8.3$	$\eta < 0.1$	x: 2.373 m $\eta = 1.2$	$\eta < 0.1$	$\eta < 0.1$	x: 2.373 m $\eta = 30.8$	$\eta < 0.1$	$\eta = 0.8$	$\eta < 0.1$	x: 2.373 m $\eta = 1.2$	**CUMPLE $\eta = 30.8$**
N3180/N3181	$\lambda_w \leq \lambda_{w,máx}$ Cumple	x: 1.939 m $\eta < 0.1$	x: 0.06 m $\eta = 0.3$	x: 0.06 m $\eta = 6.4$	x: 0.06 m $\eta = 0.3$	$\eta = 1.0$	$\eta < 0.1$	$\eta < 0.1$	$\eta < 0.1$	x: 0.06 m $\eta = 6.8$	$\eta < 0.1$	$\eta = 0.7$	$\eta = 1.0$	$\eta < 0.1$	**CUMPLE $\eta = 6.8$**
N2733/N2886	x: 0.5 m $\lambda_w \leq \lambda_{w,máx}$ Cumple	$\eta = 4.6$	$\eta = 20.3$	$M_{Ed} = 0.00$ N.P.(2)	x: 3.65 m $\eta = 6.0$	$V_{Ed} = 0.00$ N.P.(3)	x: 0.05 m $\eta = 0.5$	N.P.(4)	x: 0.5 m $\eta < 0.1$	x: 3.65 m $\eta = 24.9$	x: 0.5 m $\eta < 0.1$	$M_{Ed} = 0.00$ N.P.(5)	N.P.(6)	N.P.(6)	**CUMPLE $\eta = 24.9$**
N2580/N2733	x: 0.5 m $\lambda_w \leq \lambda_{w,máx}$ Cumple	$\eta = 4.2$	$\eta = 18.9$	$M_{Ed} = 0.00$ N.P.(2)	x: 3.65 m $\eta = 6.0$	$V_{Ed} = 0.00$ N.P.(3)	x: 0.05 m $\eta = 0.5$	N.P.(4)	x: 0.5 m $\eta < 0.1$	x: 3.65 m $\eta = 23.7$	x: 0.5 m $\eta < 0.1$	$M_{Ed} = 0.00$ N.P.(5)	N.P.(6)	N.P.(6)	**CUMPLE $\eta = 23.7$**
N2427/N2580	x: 0.5 m $\lambda_w \leq \lambda_{w,máx}$ Cumple	$\eta = 3.9$	$\eta = 17.7$	$M_{Ed} = 0.00$ N.P.(2)	x: 3.65 m $\eta = 6.0$	$V_{Ed} = 0.00$ N.P.(3)	x: 0.05 m $\eta = 0.5$	N.P.(4)	x: 0.5 m $\eta < 0.1$	x: 3.65 m $\eta = 22.5$	x: 0.5 m $\eta < 0.1$	$M_{Ed} = 0.00$ N.P.(5)	N.P.(6)	N.P.(6)	**CUMPLE $\eta = 22.5$**
N2274/N2427	x: 0.5 m $\lambda_w \leq \lambda_{w,máx}$ Cumple	$\eta = 3.6$	$\eta = 16.5$	$M_{Ed} = 0.00$ N.P.(2)	x: 3.65 m $\eta = 6.0$	$V_{Ed} = 0.00$ N.P.(3)	x: 0.05 m $\eta = 0.5$	N.P.(4)	x: 0.5 m $\eta < 0.1$	x: 3.65 m $\eta = 21.4$	x: 0.5 m $\eta < 0.1$	$M_{Ed} = 0.00$ N.P.(5)	N.P.(6)	N.P.(6)	**CUMPLE $\eta = 21.4$**

Documento visado electrónicamente con número: VA07290/22
Código de validación telemática TRLTDCFZ60T66IJ1. Comprobación: https://cogitivalencia.e-gestion.es/Validacion.aspx?CVT=TRLTDCFZ60T66IJ1

VISADO COGITI VALENCIA VA07290/22 TRLTDCFZ60T66IJ1
Documento visado electrónicamente con número: VA07290/22 Código de validación telemática TRLTDCFZ60T66IJ1. Comprobación: https://cogitivalencia.e-gestion.es/Validacion.aspx?CVT=TRLTDCFZ60T66IJ1

Barras	COMPROBACIONES (CÓDIGO ESTRUCTURAL)														Estado
	λ_w	N_t	N_c	M_Y	M_Z	V_Z	V_Y	M_YV_Z	M_ZV_Y	NM_YM_Z	$NM_YM_ZV_YV_Z$	M_t	M_tV_Z	M_tV_Y	
N2121/N2274	x: 0.5 m $\lambda_w \leq \lambda_{w,máx}$ Cumple	η = 3.4	η = 15.4	M_{Ed} = 0.00 N.P.(2)	x: 3.65 m η = 6.0	V_{Ed} = 0.00 N.P.(3)	x: 0.05 m η = 0.5	N.P.(4)	x: 0.5 m η < 0.1	x: 3.65 m η = 20.4	x: 0.5 m η < 0.1	M_{Ed} = 0.00 N.P.(5)	N.P.(6)	N.P.(6)	**CUMPLE η = 20.4**
N1890/N2121	x: 0.509 m $\lambda_w \leq \lambda_{w,máx}$ Cumple	η = 3.1	η = 14.4	M_{Ed} = 0.00 N.P.(2)	x: 3.655 m η = 6.0	V_{Ed} = 0.00 N.P.(3)	x: 0.06 m η = 0.5	N.P.(4)	x: 0.509 m η < 0.1	x: 3.655 m η = 19.5	x: 0.509 m η < 0.1	M_{Ed} = 0.00 N.P.(5)	N.P.(6)	N.P.(6)	**CUMPLE η = 19.5**
N1794/N1890	x: 0.509 m $\lambda_w \leq \lambda_{w,máx}$ Cumple	η = 2.6	η = 11.9	M_{Ed} = 0.00 N.P.(2)	x: 3.65 m η = 6.0	V_{Ed} = 0.00 N.P.(3)	x: 0.06 m η = 0.5	N.P.(4)	x: 0.509 m η < 0.1	x: 3.65 m η = 17.3	x: 0.509 m η < 0.1	M_{Ed} = 0.00 N.P.(5)	N.P.(6)	N.P.(6)	**CUMPLE η = 17.3**
N3182/N3183	$\lambda_w \leq \lambda_{w,máx}$ Cumple	x: 1.939 m η = 0.1	x: 0.06 m η = 0.2	x: 1.94 m η = 10.4	x: 0.06 m η = 0.4	η = 1.6	η = 0.1	η < 0.1	η < 0.1	x: 1.94 m η = 10.8	η < 0.1	η = 0.8	η = 1.6	η = 0.1	**CUMPLE η = 10.8**
N3184/N3185	$\lambda_w \leq \lambda_{w,máx}$ Cumple	x: 1.939 m η < 0.1	x: 0.06 m η = 0.3	x: 0.06 m η = 6.0	x: 1.94 m η = 0.2	η = 1.0	η < 0.1	η < 0.1	η < 0.1	x: 0.06 m η = 6.3	η < 0.1	η = 0.3	η = 1.0	η < 0.1	**CUMPLE η = 6.3**
N2833/N3182	x: 0.061 m $\lambda_w \leq \lambda_{w,máx}$ Cumple	η = 1.1	η = 1.0	x: 2.373 m η = 0.8	x: 2.373 m η = 12.8	η = 0.1	x: 0.06 m η = 1.0	x: 0.253 m η < 0.1	x: 0.061 m η < 0.1	x: 2.373 m η = 14.2	x: 0.061 m η < 0.1	M_{Ed} = 0.00 N.P.(5)	N.P.(6)	N.P.(6)	**CUMPLE η = 14.2**
N3182/N3184	$\lambda_w \leq \lambda_{w,máx}$ Cumple	η = 0.7	η = 0.6	x: 2.372 m η = 0.4	x: 0.06 m η = 2.8	η < 0.1	x: 2.373 m η = 0.4	η < 0.1	η < 0.1	x: 0.06 m η = 3.2	η < 0.1	η = 0.5	η < 0.1	x: 2.373 m η = 0.4	**CUMPLE η = 3.2**
N3184/N2976	$\lambda_w \leq \lambda_{w,máx}$ Cumple	η = 0.4	η = 0.1	x: 0.06 m η = 0.5	x: 2.373 m η = 7.8	η < 0.1	x: 2.373 m η = 1.1	η < 0.1	η < 0.1	x: 2.373 m η = 8.4	η < 0.1	η = 0.3	η < 0.1	x: 2.373 m η = 1.1	**CUMPLE η = 8.4**
N2850/N3183	x: 0.061 m $\lambda_w \leq \lambda_{w,máx}$ Cumple	N_{Ed} = 0.00 N.P.(1)	η = 50.7	x: 2.373 m η = 1.1	x: 2.373 m η = 14.9	η = 0.1	x: 0.06 m η = 1.1	x: 0.253 m η < 0.1	x: 0.061 m η < 0.1	x: 2.373 m η = 60.0	x: 0.061 m η < 0.1	M_{Ed} = 0.00 N.P.(5)	N.P.(6)	N.P.(6)	**CUMPLE η = 60.0**
N3183/N3185	$\lambda_w \leq \lambda_{w,máx}$ Cumple	N_{Ed} = 0.00 N.P.(1)	η = 53.4	x: 2.373 m η = 0.8	x: 0.06 m η = 4.0	η < 0.1	x: 2.373 m η = 0.5	η < 0.1	η < 0.1	x: 0.06 m η = 56.2	η < 0.1	η = 0.5	η < 0.1	x: 2.373 m η = 0.5	**CUMPLE η = 56.2**
N3185/N2985	$\lambda_w \leq \lambda_{w,máx}$ Cumple	N_{Ed} = 0.00 N.P.(1)	η = 53.3	x: 2.373 m η = 1.4	x: 0.06 m η = 7.8	η = 0.1	x: 2.373 m η = 1.1	η < 0.1	η < 0.1	x: 2.373 m η = 56.3	η < 0.1	η = 0.3	η = 0.1	x: 2.373 m η = 1.1	**CUMPLE η = 56.3**
N3186/N3187	$\lambda_w \leq \lambda_{w,máx}$ Cumple	x: 1.939 m η < 0.1	x: 0.06 m η = 0.1	x: 1.94 m η = 7.2	x: 0.06 m η = 0.1	η = 1.1	η < 0.1	η < 0.1	x: 0.06 m η < 0.1	x: 1.94 m η = 7.3	η < 0.1	η = 0.2	η = 1.1	η < 0.1	**CUMPLE η = 7.3**
N3188/N3189	$\lambda_w \leq \lambda_{w,máx}$ Cumple	x: 1.939 m η < 0.1	x: 0.06 m η = 0.1	x: 0.06 m η = 6.1	x: 0.06 m η = 0.1	η = 0.9	η < 0.1	η < 0.1	x: 0.06 m η < 0.1	x: 0.06 m η = 6.2	η < 0.1	η = 0.2	η = 0.9	η < 0.1	**CUMPLE η = 6.2**
N1661/N3189	x: 0.061 m $\lambda_w \leq \lambda_{w,máx}$ Cumple	η = 0.2	η = 44.5	x: 2.372 m η = 0.2	x: 2.373 m η = 7.2	η < 0.1	x: 0.06 m η = 0.6	x: 0.253 m η < 0.1	x: 0.061 m η < 0.1	x: 2.373 m η = 49.0	x: 0.061 m η < 0.1	M_{Ed} = 0.00 N.P.(5)	N.P.(6)	N.P.(6)	**CUMPLE η = 49.0**
N3189/N3187	$\lambda_w \leq \lambda_{w,máx}$ Cumple	η = 0.1	η = 45.5	x: 2.372 m η < 0.1	x: 1.602 m η = 2.2	η < 0.1	x: 0.06 m η = 0.2	x: 0.06 m η < 0.1	η < 0.1	x: 1.217 m η = 46.6	η < 0.1	η = 0.1	η < 0.1	x: 0.06 m η = 0.2	**CUMPLE η = 46.6**
N3187/N1757	x: 0.06 m $\lambda_w \leq \lambda_{w,máx}$ Cumple	η = 0.3	η = 44.2	x: 0.06 m η = 0.2	x: 0.06 m η = 9.4	η < 0.1	x: 2.358 m η = 0.8	x: 0.06 m η < 0.1	x: 0.06 m η < 0.1	x: 0.06 m η = 49.2	x: 0.06 m η < 0.1	M_{Ed} = 0.00 N.P.(5)	N.P.(6)	N.P.(6)	**CUMPLE η = 49.2**
N1709/N3188	x: 0.061 m $\lambda_w \leq \lambda_{w,máx}$ Cumple	η < 0.1	η = 0.2	x: 2.372 m η = 0.2	x: 2.373 m η = 7.6	η < 0.1	x: 0.06 m η = 0.6	x: 0.253 m η < 0.1	x: 0.061 m η < 0.1	x: 2.373 m η = 7.7	x: 0.061 m η < 0.1	M_{Ed} = 0.00 N.P.(5)	N.P.(6)	N.P.(6)	**CUMPLE η = 7.7**
N3188/N3186	$\lambda_w \leq \lambda_{w,máx}$ Cumple	η = 0.3	η = 0.2	x: 0.06 m η < 0.1	x: 1.217 m η = 2.1	η < 0.1	x: 0.06 m η = 0.2	η < 0.1	η < 0.1	x: 1.217 m η = 2.3	η < 0.1	η = 0.1	η < 0.1	x: 0.06 m η = 0.2	**CUMPLE η = 2.3**
N3186/N1805	x: 0.06 m $\lambda_w \leq \lambda_{w,máx}$ Cumple	η = 0.1	η = 0.4	x: 0.06 m η = 0.2	x: 0.06 m η = 8.3	η < 0.1	x: 2.303 m η = 0.7	x: 0.06 m η < 0.1	x: 0.06 m η < 0.1	x: 0.06 m η = 8.7	x: 0.06 m η < 0.1	M_{Ed} = 0.00 N.P.(5)	N.P.(6)	N.P.(6)	**CUMPLE η = 8.7**
N3190/N3191	$\lambda_w \leq \lambda_{w,máx}$ Cumple	x: 1.939 m η < 0.1	x: 0.06 m η = 0.6	x: 1.94 m η = 19.4	x: 1.94 m η = 0.2	η = 3.0	η < 0.1	η < 0.1	η < 0.1	x: 1.94 m η = 20.0	η < 0.1	η = 0.5	η = 3.1	η < 0.1	**CUMPLE η = 20.0**
N3192/N3193	$\lambda_w \leq \lambda_{w,máx}$ Cumple	x: 1.939 m η < 0.1	x: 0.06 m η = 0.6	x: 0.06 m η = 9.5	x: 0.06 m η = 0.1	η = 1.5	η < 0.1	η < 0.1	η < 0.1	x: 0.06 m η = 10.1	η < 0.1	η = 0.2	η = 1.5	η < 0.1	**CUMPLE η = 10.1**
N2837/N3190	x: 0.051 m $\lambda_w \leq \lambda_{w,máx}$ Cumple	η = 2.6	η = 12.5	x: 2.373 m η = 0.5	x: 2.373 m η = 26.5	η < 0.1	x: 0.05 m η = 1.8	x: 0.244 m η < 0.1	x: 0.051 m η < 0.1	x: 2.373 m η = 30.9	x: 0.051 m η < 0.1	M_{Ed} = 0.00 N.P.(5)	N.P.(6)	N.P.(6)	**CUMPLE η = 30.9**
N3190/N3192	$\lambda_w \leq \lambda_{w,máx}$ Cumple	η = 1.1	η = 9.0	x: 2.372 m η = 0.2	x: 0.06 m η = 6.9	η < 0.1	x: 2.373 m η = 0.8	η < 0.1	η < 0.1	x: 0.06 m η = 13.2	η < 0.1	η = 0.3	η < 0.1	x: 2.373 m η = 0.8	**CUMPLE η = 13.2**
N3192/N2978	$\lambda_w \leq \lambda_{w,máx}$ Cumple	η = 0.6	η = 0.4	x: 0.06 m η = 0.3	x: 0.06 m η = 13.3	η < 0.1	x: 2.373 m η = 1.8	η < 0.1	η < 0.1	x: 0.06 m η = 14.1	η < 0.1	η = 0.2	η < 0.1	x: 2.373 m η = 1.8	**CUMPLE η = 14.1**
N2854/N3191	x: 0.051 m $\lambda_w \leq \lambda_{w,máx}$ Cumple	N_{Ed} = 0.00 N.P.(1)	η = 16.8	x: 2.373 m η = 0.7	x: 2.373 m η = 28.0	η < 0.1	x: 0.05 m η = 1.9	x: 0.244 m η < 0.1	x: 0.051 m η < 0.1	x: 2.373 m η = 34.8	x: 0.051 m η < 0.1	M_{Ed} = 0.00 N.P.(5)	N.P.(6)	N.P.(6)	**CUMPLE η = 34.8**
N3191/N3193	$\lambda_w \leq \lambda_{w,máx}$ Cumple	N_{Ed} = 0.00 N.P.(1)	η = 26.3	x: 2.372 m η = 0.3	x: 0.06 m η = 7.8	η < 0.1	x: 2.373 m η = 0.9	η < 0.1	η < 0.1	x: 0.06 m η = 31.6	η < 0.1	η = 0.3	η < 0.1	x: 2.373 m η = 0.9	**CUMPLE η = 31.6**
N3193/N2987	$\lambda_w \leq \lambda_{w,máx}$ Cumple	η = 0.6	η = 27.2	x: 2.373 m η = 0.6	x: 0.06 m η = 13.4	η < 0.1	x: 2.373 m η = 1.8	η < 0.1	η < 0.1	x: 0.06 m η = 33.5	η < 0.1	η = 0.2	η < 0.1	x: 2.373 m η = 1.8	**CUMPLE η = 33.5**
N3194/N3195	$\lambda_w \leq \lambda_{w,máx}$ Cumple	x: 1.939 m η = 0.1	x: 0.06 m η = 0.3	x: 1.94 m η = 9.5	x: 0.06 m η < 0.1	η = 1.4	η < 0.1	η < 0.1	x: 0.06 m η < 0.1	x: 1.94 m η = 9.6	η < 0.1	η = 0.1	η = 1.4	η < 0.1	**CUMPLE η = 9.6**
N3196/N3197	$\lambda_w \leq \lambda_{w,máx}$ Cumple	x: 1.939 m η = 0.1	x: 0.06 m η = 0.3	x: 0.06 m η = 12.2	x: 0.06 m η < 0.1	η = 1.9	η < 0.1	η < 0.1	x: 0.06 m η < 0.1	x: 0.06 m η = 12.5	η < 0.1	η = 0.1	η = 1.9	η < 0.1	**CUMPLE η = 12.5**
N1665/N3197	x: 0.051 m $\lambda_w \leq \lambda_{w,máx}$ Cumple	η = 1.2	η = 14.6	x: 2.372 m η = 0.1	x: 2.373 m η = 16.7	η < 0.1	x: 0.05 m η = 1.2	x: 0.244 m η < 0.1	x: 0.051 m η < 0.1	x: 2.373 m η = 20.4	x: 0.051 m η < 0.1	M_{Ed} = 0.00 N.P.(5)	N.P.(6)	N.P.(6)	**CUMPLE η = 20.4**
N3197/N3195	$\lambda_w \leq \lambda_{w,máx}$ Cumple	η = 0.4	η = 16.3	x: 0.06 m η < 0.1	x: 0.06 m η = 4.3	η < 0.1	x: 2.373 m η = 0.6	x: 0.06 m η < 0.1	η < 0.1	x: 0.638 m η = 17.7	η < 0.1	η < 0.1	η < 0.1	x: 2.373 m η = 0.6	**CUMPLE η = 17.7**
N3195/N1761	x: 0.06 m $\lambda_w \leq \lambda_{w,máx}$ Cumple	η = 0.5	η = 15.3	x: 0.06 m η = 0.1	x: 0.06 m η = 13.0	η < 0.1	x: 2.373 m η = 1.0	x: 0.06 m η < 0.1	x: 0.06 m η < 0.1	x: 0.06 m η = 19.5	x: 0.06 m η < 0.1	M_{Ed} = 0.00 N.P.(5)	N.P.(6)	N.P.(6)	**CUMPLE η = 19.5**
N1713/N3196	x: 0.051 m $\lambda_w \leq \lambda_{w,máx}$ Cumple	η = 0.1	η = 0.3	x: 2.372 m η = 0.1	x: 2.373 m η = 17.1	η < 0.1	x: 0.05 m η = 1.2	x: 0.244 m η < 0.1	x: 0.051 m η < 0.1	x: 2.373 m η = 17.2	x: 0.051 m η < 0.1	M_{Ed} = 0.00 N.P.(5)	N.P.(6)	N.P.(6)	**CUMPLE η = 17.2**
N3196/N3194	$\lambda_w \leq \lambda_{w,máx}$ Cumple	η = 0.6	η = 0.5	x: 0.06 m η < 0.1	x: 0.06 m η = 4.5	η < 0.1	x: 2.373 m η = 0.6	x: 0.06 m η < 0.1	η < 0.1	x: 0.06 m η = 4.9	η < 0.1	η < 0.1	η < 0.1	x: 2.373 m η = 0.6	**CUMPLE η = 4.9**
N3194/N1809	x: 0.06 m $\lambda_w \leq \lambda_{w,máx}$ Cumple	η = 1.2	η = 0.8	x: 0.06 m η = 0.1	x: 0.06 m η = 11.6	η < 0.1	x: 2.373 m η = 0.9	x: 0.06 m η < 0.1	x: 0.06 m η < 0.1	x: 0.06 m η = 12.5	x: 0.06 m η < 0.1	M_{Ed} = 0.00 N.P.(5)	N.P.(6)	N.P.(6)	**CUMPLE η = 12.5**
N3198/N3199	$\lambda_w \leq \lambda_{w,máx}$ Cumple	x: 1.939 m η = 0.1	x: 0.06 m η = 0.5	x: 1.94 m η = 16.9	x: 1.94 m η = 0.3	η = 2.7	η < 0.1	η < 0.1	η < 0.1	x: 1.94 m η = 17.4	η < 0.1	η = 0.5	η = 2.7	η < 0.1	**CUMPLE η = 17.4**
N3200/N3201	$\lambda_w \leq \lambda_{w,máx}$ Cumple	x: 1.939 m η < 0.1	x: 0.06 m η = 0.5	x: 0.06 m η = 8.7	x: 0.06 m η = 0.1	η = 1.4	η < 0.1	η < 0.1	η < 0.1	x: 0.06 m η = 9.2	η < 0.1	η = 0.2	η = 1.4	η < 0.1	**CUMPLE η = 9.2**

VISADO
COGITI
Estado
VALENCIA
VA07290/22
TRLTDCFZ60T66IJ1

Barras	COMPROBACIONES (CÓDIGO ESTRUCTURAL)														
	λ_w	N_t	N_c	M_Y	M_Z	V_Z	V_Y	M_YV_Z	M_ZV_Y	NM_YM_Z	$NM_YM_ZV_YV_Z$	M_t	M_tV_Z	M_tV_Y	
N2841/N3198	x: 0.051 m $\lambda_w \leq \lambda_{w,máx}$ Cumple	η = 2.3	η = 10.3	x: 2.373 m η = 0.7	x: 2.373 m η = 22.9	η < 0.1	x: 0.05 m η = 1.6	x: 0.244 m η < 0.1	x: 0.051 m η < 0.1	x: 2.373 m η = 26.5	x: 0.051 m η < 0.1	M_{Ed} = 0.00 N.P.[5]	N.P.[6]	N.P.[6]	**CUMPLE** **η = 26.5**
N3198/N3200	$\lambda_w \leq \lambda_{w,máx}$ Cumple	η = 1.0	η = 7.3	x: 2.372 m η = 0.4	x: 0.06 m η = 5.8	η < 0.1	x: 2.373 m η = 0.7	η < 0.1	η < 0.1	x: 0.06 m η = 11.1	η < 0.1	η = 0.3	η < 0.1	x: 2.373 m η = 0.7	**CUMPLE** **η = 11.1**
N3200/N2980	$\lambda_w \leq \lambda_{w,máx}$ Cumple	η = 0.6	η = 0.3	x: 2.372 m η = 0.3	x: 0.06 m η = 12.1	η < 0.1	x: 2.373 m η = 1.7	η < 0.1	η < 0.1	x: 0.06 m η = 12.7	η < 0.1	η = 0.3	η < 0.1	x: 2.373 m η = 1.7	**CUMPLE** **η = 12.7**
N2858/N3199	x: 0.051 m $\lambda_w \leq \lambda_{w,máx}$ Cumple	N_{Ed} = 0.00 N.P.[1]	η = 11.7	x: 2.373 m η = 0.5	x: 2.373 m η = 24.3	η < 0.1	x: 0.05 m η = 1.7	x: 0.244 m η < 0.1	x: 0.051 m η < 0.1	x: 2.373 m η = 27.2	x: 0.051 m η < 0.1	M_{Ed} = 0.00 N.P.[5]	N.P.[6]	N.P.[6]	**CUMPLE** **η = 27.2**
N3199/N3201	$\lambda_w \leq \lambda_{w,máx}$ Cumple	N_{Ed} = 0.00 N.P.[1]	η = 19.0	x: 2.372 m η = 0.2	x: 0.06 m η = 6.7	η < 0.1	x: 2.373 m η = 0.8	η < 0.1	η < 0.1	x: 0.06 m η = 23.0	η < 0.1	η = 0.3	η < 0.1	x: 2.373 m η = 0.8	**CUMPLE** **η = 23.0**
N3201/N2989	$\lambda_w \leq \lambda_{w,máx}$ Cumple	η = 0.2	η = 19.6	x: 2.372 m η = 0.5	x: 0.06 m η = 12.2	η < 0.1	x: 2.373 m η = 1.7	η < 0.1	η < 0.1	x: 0.06 m η = 24.2	η < 0.1	η = 0.3	η < 0.1	x: 2.373 m η = 1.7	**CUMPLE** **η = 24.2**
N3202/N3203	$\lambda_w \leq \lambda_{w,máx}$ Cumple	x: 1.939 m η < 0.1	x: 0.06 m η = 0.3	x: 1.94 m η = 9.5	x: 0.06 m η < 0.1	η = 1.4	η < 0.1	η < 0.1	x: 0.06 m η < 0.1	x: 1.94 m η = 9.6	η < 0.1	η = 0.1	η = 1.4	η < 0.1	**CUMPLE** **η = 9.6**
N3204/N3205	$\lambda_w \leq \lambda_{w,máx}$ Cumple	x: 1.939 m η = 0.1	x: 0.06 m η = 0.3	x: 0.06 m η = 10.6	x: 0.06 m η < 0.1	η = 1.7	η < 0.1	η < 0.1	x: 0.06 m η < 0.1	x: 0.06 m η = 10.9	η < 0.1	η = 0.1	η = 1.7	η < 0.1	**CUMPLE** **η = 10.9**
N1669/N3205	x: 0.051 m $\lambda_w \leq \lambda_{w,máx}$ Cumple	η = 1.1	η = 14.0	x: 2.372 m η = 0.1	x: 2.373 m η = 14.3	η < 0.1	x: 0.05 m η = 1.1	x: 0.244 m η < 0.1	x: 0.051 m η < 0.1	x: 2.373 m η = 16.6	x: 0.051 m η < 0.1	M_{Ed} = 0.00 N.P.[5]	N.P.[6]	N.P.[6]	**CUMPLE** **η = 16.6**
N3205/N3203	$\lambda_w \leq \lambda_{w,máx}$ Cumple	η = 0.4	η = 14.3	x: 0.06 m η < 0.1	x: 0.06 m η = 3.5	η < 0.1	x: 2.373 m η = 0.5	x: 0.06 m η < 0.1	η < 0.1	x: 2.372 m η = 16.2	η < 0.1	η = 0.1	η < 0.1	x: 2.373 m η = 0.5	**CUMPLE** **η = 16.2**
N3203/N1765	x: 0.06 m $\lambda_w \leq \lambda_{w,máx}$ Cumple	η = 0.4	η = 11.6	x: 0.06 m η = 0.1	x: 0.06 m η = 13.0	η < 0.1	x: 2.373 m η = 1.0	x: 0.06 m η < 0.1	x: 0.06 m η < 0.1	x: 0.06 m η = 19.0	x: 0.06 m η < 0.1	M_{Ed} = 0.00 N.P.[5]	N.P.[6]	N.P.[6]	**CUMPLE** **η = 19.0**
N1717/N3204	x: 0.051 m $\lambda_w \leq \lambda_{w,máx}$ Cumple	η = 0.1	η = 0.2	x: 2.372 m η = 0.1	x: 2.373 m η = 14.7	η < 0.1	x: 0.05 m η = 1.1	x: 0.244 m η < 0.1	x: 0.051 m η < 0.1	x: 2.373 m η = 14.8	x: 0.051 m η < 0.1	M_{Ed} = 0.00 N.P.[5]	N.P.[6]	N.P.[6]	**CUMPLE** **η = 14.8**
N3204/N3202	$\lambda_w \leq \lambda_{w,máx}$ Cumple	η = 0.5	η = 0.5	x: 0.06 m η < 0.1	x: 0.06 m η = 3.6	η < 0.1	x: 2.373 m η = 0.5	x: 0.06 m η < 0.1	η < 0.1	x: 0.06 m η = 4.0	η < 0.1	η = 0.1	η < 0.1	x: 2.373 m η = 0.5	**CUMPLE** **η = 4.0**
N3202/N1813	x: 0.06 m $\lambda_w \leq \lambda_{w,máx}$ Cumple	η = 0.9	η = 0.8	x: 0.06 m η = 0.1	x: 0.06 m η = 11.5	η < 0.1	x: 2.373 m η = 0.9	x: 0.06 m η < 0.1	x: 0.06 m η < 0.1	x: 0.06 m η = 12.4	x: 0.06 m η < 0.1	M_{Ed} = 0.00 N.P.[5]	N.P.[6]	N.P.[6]	**CUMPLE** **η = 12.4**
N3206/N3207	$\lambda_w \leq \lambda_{w,máx}$ Cumple	x: 1.939 m η < 0.1	x: 0.06 m η = 0.2	x: 1.94 m η = 10.1	x: 1.94 m η = 0.4	η = 1.6	η = 0.1	η < 0.1	η < 0.1	x: 1.94 m η = 10.4	η < 0.1	η = 0.9	η = 1.6	η = 0.1	**CUMPLE** **η = 10.4**
N3208/N3209	$\lambda_w \leq \lambda_{w,máx}$ Cumple	x: 1.939 m η < 0.1	x: 0.06 m η = 0.3	x: 0.06 m η = 4.9	x: 0.06 m η = 0.1	η = 0.8	η < 0.1	η < 0.1	η < 0.1	x: 0.06 m η = 5.1	η < 0.1	η = 0.4	η = 0.8	η < 0.1	**CUMPLE** **η = 5.1**
N2845/N3206	x: 0.061 m $\lambda_w \leq \lambda_{w,máx}$ Cumple	η = 0.6	η = 1.0	x: 2.373 m η = 1.0	x: 2.373 m η = 12.5	η = 0.1	x: 0.06 m η = 0.9	x: 0.253 m η < 0.1	x: 0.061 m η < 0.1	x: 2.373 m η = 13.7	x: 0.061 m η < 0.1	M_{Ed} = 0.00 N.P.[5]	N.P.[6]	N.P.[6]	**CUMPLE** **η = 13.7**
N3206/N3208	$\lambda_w \leq \lambda_{w,máx}$ Cumple	η = 0.5	η = 0.6	x: 2.372 m η = 0.4	x: 0.06 m η = 2.8	η < 0.1	x: 2.373 m η = 0.4	η < 0.1	η < 0.1	x: 0.06 m η = 3.2	η < 0.1	η = 0.6	η < 0.1	x: 2.373 m η = 0.4	**CUMPLE** **η = 3.2**
N3208/N2982	$\lambda_w \leq \lambda_{w,máx}$ Cumple	η = 0.3	η = 0.1	x: 2.373 m η = 0.3	x: 2.373 m η = 6.1	η < 0.1	x: 2.373 m η = 0.9	η < 0.1	η < 0.1	x: 2.373 m η = 6.6	η < 0.1	η = 0.4	η < 0.1	x: 2.373 m η = 0.9	**CUMPLE** **η = 6.6**
N2862/N3207	x: 0.061 m $\lambda_w \leq \lambda_{w,máx}$ Cumple	η = 0.4	η = 27.0	x: 2.373 m η = 0.9	x: 2.373 m η = 14.4	η = 0.1	x: 0.06 m η = 1.1	x: 0.061 m η < 0.1	x: 0.061 m η < 0.1	x: 2.373 m η = 29.7	x: 0.061 m η < 0.1	M_{Ed} = 0.00 N.P.[5]	N.P.[6]	N.P.[6]	**CUMPLE** **η = 29.7**
N3207/N3209	$\lambda_w \leq \lambda_{w,máx}$ Cumple	N_{Ed} = 0.00 N.P.[1]	x: 0.06 m η = 28.0	x: 2.372 m η = 0.3	x: 0.06 m η = 3.9	η < 0.1	x: 2.373 m η = 0.5	η < 0.1	η < 0.1	x: 0.638 m η = 28.7	η < 0.1	η = 0.6	η < 0.1	x: 2.373 m η = 0.5	**CUMPLE** **η = 28.7**
N3209/N2991	$\lambda_w \leq \lambda_{w,máx}$ Cumple	N_{Ed} = 0.00 N.P.[1]	x: 2.181 m η = 27.1	x: 2.373 m η = 0.5	x: 2.373 m η = 6.1	η < 0.1	x: 2.373 m η = 0.9	η < 0.1	η < 0.1	x: 2.373 m η = 29.7	η < 0.1	η = 0.4	η < 0.1	x: 2.373 m η = 0.9	**CUMPLE** **η = 29.7**
N3210/N3211	$\lambda_w \leq \lambda_{w,máx}$ Cumple	x: 1.939 m η < 0.1	x: 0.06 m η = 0.1	x: 1.94 m η = 7.4	x: 0.06 m η < 0.1	η = 1.2	η < 0.1	η < 0.1	x: 0.06 m η < 0.1	x: 1.94 m η = 7.4	η < 0.1	η = 0.1	η = 1.2	η < 0.1	**CUMPLE** **η = 7.4**
N3212/N3213	$\lambda_w \leq \lambda_{w,máx}$ Cumple	x: 1.939 m η = 0.1	x: 0.06 m η = 0.1	x: 1.94 m η = 7.0	x: 0.06 m η < 0.1	η = 1.1	η < 0.1	η < 0.1	x: 0.06 m η < 0.1	x: 1.94 m η = 7.0	η < 0.1	η = 0.1	η = 1.1	η < 0.1	**CUMPLE** **η = 7.0**
N1673/N3213	x: 0.061 m $\lambda_w \leq \lambda_{w,máx}$ Cumple	N_{Ed} = 0.00 N.P.[1]	η = 26.9	x: 2.372 m η = 0.1	x: 2.373 m η = 9.1	η < 0.1	x: 0.06 m η = 0.7	x: 0.253 m η < 0.1	x: 0.061 m η < 0.1	x: 2.373 m η = 31.0	x: 0.061 m η < 0.1	M_{Ed} = 0.00 N.P.[5]	N.P.[6]	N.P.[6]	**CUMPLE** **η = 31.0**
N3213/N3211	$\lambda_w \leq \lambda_{w,máx}$ Cumple	N_{Ed} = 0.00 N.P.[1]	η = 27.8	x: 0.06 m η < 0.1	x: 1.409 m η = 2.2	η < 0.1	x: 0.06 m η = 0.2	x: 0.06 m η < 0.1	η < 0.1	x: 1.409 m η = 28.9	η < 0.1	η < 0.1	η < 0.1	x: 0.06 m η = 0.2	**CUMPLE** **η = 28.9**
N3211/N1769	x: 0.06 m $\lambda_w \leq \lambda_{w,máx}$ Cumple	N_{Ed} = 0.00 N.P.[1]	η = 26.5	x: 0.06 m η = 0.1	x: 0.06 m η = 9.7	η < 0.1	x: 2.358 m η = 0.8	x: 0.06 m η < 0.1	x: 0.06 m η < 0.1	x: 0.06 m η = 31.4	x: 0.06 m η < 0.1	M_{Ed} = 0.00 N.P.[5]	N.P.[6]	N.P.[6]	**CUMPLE** **η = 31.4**
N1721/N3212	x: 0.061 m $\lambda_w \leq \lambda_{w,máx}$ Cumple	η = 0.1	η = 0.3	x: 2.372 m η = 0.1	x: 2.373 m η = 8.3	η < 0.1	x: 0.06 m η = 0.7	x: 0.253 m η < 0.1	x: 0.061 m η < 0.1	x: 2.373 m η = 8.4	x: 0.061 m η < 0.1	M_{Ed} = 0.00 N.P.[5]	N.P.[6]	N.P.[6]	**CUMPLE** **η = 8.4**
N3212/N3210	$\lambda_w \leq \lambda_{w,máx}$ Cumple	η = 0.4	η = 0.3	x: 0.06 m η < 0.1	x: 1.602 m η = 2.2	η < 0.1	x: 0.06 m η = 0.3	η < 0.1	η < 0.1	x: 1.602 m η = 2.3	η < 0.1	η < 0.1	η < 0.1	x: 0.06 m η = 0.3	**CUMPLE** **η = 2.3**
N3210/N1817	x: 0.06 m $\lambda_w \leq \lambda_{w,máx}$ Cumple	η = 0.2	η = 0.5	x: 0.06 m η = 0.1	x: 0.06 m η = 9.4	η < 0.1	x: 2.303 m η = 0.8	x: 0.06 m η < 0.1	x: 0.06 m η < 0.1	x: 0.06 m η = 9.8	x: 0.06 m η < 0.1	M_{Ed} = 0.00 N.P.[5]	N.P.[6]	N.P.[6]	**CUMPLE** **η = 9.8**
N3214/N3215	$\lambda_w \leq \lambda_{w,máx}$ Cumple	x: 1.939 m η = 0.1	x: 0.06 m η = 0.4	x: 1.94 m η = 13.1	x: 1.94 m η = 0.8	η = 2.0	η = 0.1	η < 0.1	η < 0.1	x: 1.94 m η = 13.7	η < 0.1	η = 1.7	η = 2.0	η = 0.1	**CUMPLE** **η = 13.7**
N3216/N3217	$\lambda_w \leq \lambda_{w,máx}$ Cumple	x: 1.939 m η < 0.1	x: 0.06 m η = 0.4	x: 0.06 m η = 7.2	x: 0.06 m η = 0.3	η = 1.1	η < 0.1	η < 0.1	η < 0.1	x: 0.06 m η = 7.7	η < 0.1	η = 0.7	η = 1.2	η < 0.1	**CUMPLE** **η = 7.7**
N2897/N3214	x: 0.061 m $\lambda_w \leq \lambda_{w,máx}$ Cumple	η = 1.6	η = 6.9	x: 2.373 m η = 1.8	x: 2.373 m η = 16.6	η = 0.1	x: 0.06 m η = 1.2	x: 0.253 m η < 0.1	x: 0.061 m η < 0.1	x: 2.373 m η = 19.5	x: 0.061 m η < 0.1	M_{Ed} = 0.00 N.P.[5]	N.P.[6]	N.P.[6]	**CUMPLE** **η = 19.5**
N3214/N3216	$\lambda_w \leq \lambda_{w,máx}$ Cumple	η = 0.8	η = 1.1	x: 0.06 m η = 0.5	x: 0.06 m η = 3.9	η < 0.1	x: 2.373 m η = 0.5	η < 0.1	η < 0.1	x: 0.06 m η = 5.1	η < 0.1	η = 1.0	η < 0.1	x: 2.373 m η = 0.5	**CUMPLE** **η = 5.1**
N3216/N3008	$\lambda_w \leq \lambda_{w,máx}$ Cumple	η = 0.5	η = 0.2	x: 2.373 m η = 0.4	x: 0.06 m η = 9.6	η < 0.1	x: 2.373 m η = 1.4	η < 0.1	η < 0.1	x: 2.373 m η = 10.3	η < 0.1	η = 0.7	η < 0.1	x: 2.373 m η = 1.4	**CUMPLE** **η = 10.3**
N2866/N3215	x: 0.061 m $\lambda_w \leq \lambda_{w,máx}$ Cumple	η = 0.2	η = 44.1	x: 2.373 m η = 1.9	x: 2.373 m η = 18.8	η = 0.1	x: 0.06 m η = 1.3	x: 0.253 m η < 0.1	x: 0.061 m η < 0.1	x: 2.373 m η = 47.1	x: 0.061 m η < 0.1	M_{Ed} = 0.00 N.P.[5]	N.P.[6]	N.P.[6]	**CUMPLE** **η = 47.1**
N3215/N3217	$\lambda_w \leq \lambda_{w,máx}$ Cumple	N_{Ed} = 0.00 N.P.[1]	η = 44.4	x: 2.372 m η = 0.6	x: 0.06 m η = 5.2	η < 0.1	x: 2.373 m η = 0.6	η < 0.1	η < 0.1	x: 1.795 m η = 45.9	η < 0.1	η = 1.1	η < 0.1	x: 2.373 m η = 0.6	**CUMPLE** **η = 45.9**

Documento visado electrónicamente con número: VA07290/22
Código de validación telemática TRLTDCFZ60T66IJ1. Comprobación: https://cogitivalencia.e-gestion.es/Validacion.aspx?CVT=TRLTDCFZ60T66IJ1

VISADO
COGITI
Estado
VALENCIA
VA07298/22
TRLTDCFZ60T66IJ1

Barras	COMPROBACIONES (CÓDIGO ESTRUCTURAL)														
	λ_w	N_t	N_c	M_Y	M_Z	V_Z	V_Y	M_YV_Z	M_ZV_Y	NM_YM_Z	$NM_YM_ZV_YV_Z$	M_t	M_tV_Z	M_tV_Y	
N3217/N2993	$\lambda_w \leq \lambda_{w,máx}$ Cumple	N_{Ed} = 0.00 N.P.(1)	η = 41.9	x: 2.373 m η = 0.9	x: 0.06 m η = 9.8	η < 0.1	x: 2.373 m η = 1.4	η < 0.1	η < 0.1	x: 2.373 m η = 47.2	η < 0.1	η = 0.7	η < 0.1	x: 2.373 m η = 1.4	**CUMPLE η = 47.2**
N3218/N3219	$\lambda_w \leq \lambda_{w,máx}$ Cumple	x: 1.939 m η < 0.1	x: 0.06 m η = 0.1	x: 1.94 m η = 7.4	x: 0.06 m η < 0.1	η = 1.1	η < 0.1	η < 0.1	x: 0.06 m η < 0.1	x: 1.94 m η = 7.4	η < 0.1	η < 0.1	η = 1.1	η < 0.1	**CUMPLE η = 7.4**
N3220/N3221	$\lambda_w \leq \lambda_{w,máx}$ Cumple	x: 1.939 m η = 0.1	x: 0.06 m η = 0.1	x: 0.06 m η = 7.1	x: 0.06 m η < 0.1	η = 1.1	η < 0.1	η < 0.1	x: 0.06 m η < 0.1	x: 0.06 m η = 7.1	η < 0.1	η < 0.1	η = 1.1	η < 0.1	**CUMPLE η = 7.1**
N1678/N3221	x: 0.061 m $\lambda_w \leq \lambda_{w,máx}$ Cumple	N_{Ed} = 0.00 N.P.(1)	η = 45.1	x: 2.372 m η < 0.1	x: 2.373 m η = 8.2	η < 0.1	x: 0.06 m η = 0.7	x: 0.253 m η < 0.1	x: 0.061 m η < 0.1	x: 2.373 m η = 50.6	x: 0.061 m η < 0.1	M_{Ed} = 0.00 N.P.(5)	N.P.(6)	N.P.(6)	**CUMPLE η = 50.6**
N3221/N3219	$\lambda_w \leq \lambda_{w,máx}$ Cumple	N_{Ed} = 0.00 N.P.(1)	η = 46.7	x: 0.06 m η < 0.1	x: 1.409 m η = 2.2	η < 0.1	x: 0.06 m η = 0.2	η < 0.1	η < 0.1	x: 0.831 m η = 47.9	η < 0.1	η < 0.1	η < 0.1	x: 0.06 m η = 0.2	**CUMPLE η = 47.9**
N3219/N1774	x: 0.06 m $\lambda_w \leq \lambda_{w,máx}$ Cumple	N_{Ed} = 0.00 N.P.(1)	η = 45.7	x: 0.06 m η < 0.1	x: 0.06 m η = 9.6	η < 0.1	x: 2.358 m η = 0.8	x: 0.06 m η < 0.1	x: 0.06 m η < 0.1	x: 0.06 m η = 49.7	x: 0.06 m η < 0.1	M_{Ed} = 0.00 N.P.(5)	N.P.(6)	N.P.(6)	**CUMPLE η = 49.7**
N1724/N3220	x: 0.061 m $\lambda_w \leq \lambda_{w,máx}$ Cumple	η < 0.1	η = 0.2	x: 2.372 m η < 0.1	x: 2.373 m η = 9.2	η < 0.1	x: 0.06 m η = 0.7	x: 0.253 m η < 0.1	x: 0.061 m η < 0.1	x: 2.373 m η = 9.2	x: 0.061 m η < 0.1	M_{Ed} = 0.00 N.P.(5)	N.P.(6)	N.P.(6)	**CUMPLE η = 9.2**
N3220/N3218	$\lambda_w \leq \lambda_{w,máx}$ Cumple	η = 0.3	η = 0.2	x: 0.06 m η < 0.1	x: 0.831 m η = 2.2	η < 0.1	x: 0.06 m η = 0.2	η < 0.1	η < 0.1	x: 0.831 m η = 2.5	η < 0.1	η < 0.1	η < 0.1	x: 0.06 m η = 0.2	**CUMPLE η = 2.5**
N3218/N1820	x: 0.06 m $\lambda_w \leq \lambda_{w,máx}$ Cumple	η = 0.2	η = 0.4	x: 0.06 m η < 0.1	x: 0.06 m η = 8.6	η < 0.1	x: 2.303 m η = 0.7	x: 0.06 m η < 0.1	x: 0.06 m η < 0.1	x: 0.06 m η = 8.9	x: 0.06 m η < 0.1	M_{Ed} = 0.00 N.P.(5)	N.P.(6)	N.P.(6)	**CUMPLE η = 8.9**
N3222/N3223	$\lambda_w \leq \lambda_{w,máx}$ Cumple	N_{Ed} = 0.00 N.P.(1)	x: 0.06 m η = 0.9	x: 1.94 m η = 23.2	x: 1.94 m η = 0.5	η = 3.7	η = 0.1	η < 0.1	η < 0.1	x: 1.94 m η = 24.1	η < 0.1	η = 1.0	η = 3.7	η = 0.1	**CUMPLE η = 24.1**
N3224/N3225	$\lambda_w \leq \lambda_{w,máx}$ Cumple	N_{Ed} = 0.00 N.P.(1)	x: 0.06 m η = 0.9	x: 1.94 m η = 13.3	x: 0.06 m η = 0.2	η = 2.1	η < 0.1	η < 0.1	η < 0.1	x: 0.06 m η = 14.3	η < 0.1	η = 0.4	η = 2.1	η < 0.1	**CUMPLE η = 14.3**
N2901/N3222	x: 0.051 m $\lambda_w \leq \lambda_{w,máx}$ Cumple	η = 4.2	η = 16.3	x: 2.373 m η = 1.1	x: 2.373 m η = 32.6	η = 0.1	x: 0.05 m η = 2.2	x: 0.244 m η < 0.1	x: 0.051 m η < 0.1	x: 2.373 m η = 39.5	x: 0.051 m η < 0.1	M_{Ed} = 0.00 N.P.(5)	N.P.(6)	N.P.(6)	**CUMPLE η = 39.5**
N3222/N3224	$\lambda_w \leq \lambda_{w,máx}$ Cumple	η = 1.5	η = 11.9	x: 0.06 m η = 0.3	x: 0.06 m η = 8.9	η < 0.1	x: 0.06 m η = 1.0	η < 0.1	η < 0.1	x: 0.06 m η = 17.7	η < 0.1	η = 0.6	η < 0.1	x: 0.06 m η = 1.0	**CUMPLE η = 17.7**
N3224/N3010	$\lambda_w \leq \lambda_{w,máx}$ Cumple	η = 0.9	η = 0.5	x: 2.373 m η = 0.2	x: 0.06 m η = 19.7	η < 0.1	x: 2.373 m η = 2.6	η < 0.1	η < 0.1	x: 0.06 m η = 20.8	η < 0.1	η = 0.4	η < 0.1	x: 2.373 m η = 2.6	**CUMPLE η = 20.8**
N2870/N3223	x: 0.051 m $\lambda_w \leq \lambda_{w,máx}$ Cumple	η = 0.1	η = 28.4	x: 2.373 m η = 1.2	x: 2.373 m η = 33.4	η = 0.1	x: 0.05 m η = 2.3	x: 0.244 m η < 0.1	x: 0.051 m η < 0.1	x: 2.373 m η = 40.5	x: 0.051 m η < 0.1	M_{Ed} = 0.00 N.P.(5)	N.P.(6)	N.P.(6)	**CUMPLE η = 40.5**
N3223/N3225	$\lambda_w \leq \lambda_{w,máx}$ Cumple	N_{Ed} = 0.00 N.P.(1)	η = 26.2	x: 0.06 m η = 0.4	x: 0.06 m η = 9.5	η < 0.1	x: 2.373 m η = 1.1	η < 0.1	η < 0.1	x: 0.06 m η = 30.1	η < 0.1	η = 0.6	η < 0.1	x: 2.373 m η = 1.1	**CUMPLE η = 30.1**
N3225/N2995	$\lambda_w \leq \lambda_{w,máx}$ Cumple	η = 1.0	η = 22.3	x: 2.373 m η = 0.6	x: 0.06 m η = 19.7	η < 0.1	x: 2.373 m η = 2.6	η < 0.1	η < 0.1	x: 0.06 m η = 30.0	η < 0.1	η = 0.4	η < 0.1	x: 2.373 m η = 2.6	**CUMPLE η = 30.0**
N3226/N3227	$\lambda_w \leq \lambda_{w,máx}$ Cumple	x: 1.939 m η = 0.1	x: 0.06 m η = 0.4	x: 1.94 m η = 11.6	x: 0.06 m η < 0.1	η = 1.8	η < 0.1	η < 0.1	x: 0.06 m η < 0.1	x: 1.94 m η = 11.8	η < 0.1	η = 0.1	η = 1.8	η < 0.1	**CUMPLE η = 11.8**
N3228/N3229	$\lambda_w \leq \lambda_{w,máx}$ Cumple	x: 1.939 m η = 0.1	x: 0.06 m η = 0.4	x: 0.06 m η = 13.5	x: 0.06 m η < 0.1	η = 2.1	η < 0.1	η < 0.1	x: 0.06 m η < 0.1	x: 0.06 m η = 13.9	η < 0.1	η = 0.1	η = 2.1	η < 0.1	**CUMPLE η = 13.9**
N1682/N3229	x: 0.051 m $\lambda_w \leq \lambda_{w,máx}$ Cumple	η = 2.3	η = 16.8	x: 2.372 m η = 0.1	x: 2.373 m η = 18.9	η < 0.1	x: 0.05 m η = 1.3	x: 0.244 m η < 0.1	x: 0.051 m η < 0.1	x: 2.373 m η = 21.4	x: 0.051 m η < 0.1	M_{Ed} = 0.00 N.P.(5)	N.P.(6)	N.P.(6)	**CUMPLE η = 21.4**
N3229/N3227	$\lambda_w \leq \lambda_{w,máx}$ Cumple	η = 1.0	η = 17.2	x: 0.06 m η < 0.1	x: 0.06 m η = 5.1	η < 0.1	x: 2.373 m η = 0.6	x: 0.06 m η < 0.1	η < 0.1	x: 2.372 m η = 19.0	η < 0.1	η < 0.1	η < 0.1	x: 2.373 m η = 0.6	**CUMPLE η = 19.0**
N3227/N1778	x: 0.06 m $\lambda_w \leq \lambda_{w,máx}$ Cumple	η = 0.9	η = 15.3	x: 0.06 m η = 0.1	x: 0.06 m η = 16.4	η < 0.1	x: 2.373 m η = 1.2	x: 0.06 m η < 0.1	x: 0.06 m η < 0.1	x: 0.06 m η = 21.9	x: 0.06 m η < 0.1	M_{Ed} = 0.00 N.P.(5)	N.P.(6)	N.P.(6)	**CUMPLE η = 21.9**
N1728/N3228	x: 0.051 m $\lambda_w \leq \lambda_{w,máx}$ Cumple	η = 0.2	η = 0.3	x: 2.372 m η = 0.1	x: 2.373 m η = 19.3	η < 0.1	x: 0.05 m η = 1.4	x: 0.244 m η < 0.1	x: 0.051 m η < 0.1	x: 2.373 m η = 19.3	x: 0.051 m η < 0.1	M_{Ed} = 0.00 N.P.(5)	N.P.(6)	N.P.(6)	**CUMPLE η = 19.3**
N3228/N3226	$\lambda_w \leq \lambda_{w,máx}$ Cumple	η = 0.7	η = 0.9	x: 0.06 m η < 0.1	x: 0.06 m η = 5.2	η < 0.1	x: 2.373 m η = 0.6	x: 0.06 m η < 0.1	η < 0.1	x: 0.06 m η = 5.8	η < 0.1	η < 0.1	η < 0.1	x: 2.373 m η = 0.6	**CUMPLE η = 5.8**
N3226/N1824	x: 0.06 m $\lambda_w \leq \lambda_{w,máx}$ Cumple	η = 1.6	η = 5.7	x: 0.06 m η = 0.1	x: 0.06 m η = 15.0	η < 0.1	x: 2.373 m η = 1.1	x: 0.06 m η < 0.1	x: 0.06 m η < 0.1	x: 0.06 m η = 16.5	x: 0.06 m η < 0.1	M_{Ed} = 0.00 N.P.(5)	N.P.(6)	N.P.(6)	**CUMPLE η = 16.5**
N3230/N3231	$\lambda_w \leq \lambda_{w,máx}$ Cumple	x: 1.939 m η < 0.1	x: 0.06 m η = 0.9	x: 1.94 m η = 25.5	x: 1.94 m η = 0.4	η = 4.0	η = 0.1	η < 0.1	η < 0.1	x: 1.94 m η = 26.5	η < 0.1	η = 0.8	η = 4.1	η = 0.1	**CUMPLE η = 26.5**
N3232/N3233	$\lambda_w \leq \lambda_{w,máx}$ Cumple	N_{Ed} = 0.00 N.P.(1)	x: 0.06 m η = 0.9	x: 1.94 m η = 13.6	x: 0.06 m η = 0.1	η = 2.2	η < 0.1	η < 0.1	η < 0.1	x: 0.06 m η = 14.5	η < 0.1	η = 0.4	η = 2.2	η < 0.1	**CUMPLE η = 14.5**
N2905/N3230	x: 0.051 m $\lambda_w \leq \lambda_{w,máx}$ Cumple	η = 4.4	η = 18.4	x: 2.373 m η = 1.0	x: 2.373 m η = 35.8	η = 0.1	x: 0.05 m η = 2.4	x: 0.244 m η < 0.1	x: 0.051 m η < 0.1	x: 2.373 m η = 43.8	x: 0.051 m η < 0.1	M_{Ed} = 0.00 N.P.(5)	N.P.(6)	N.P.(6)	**CUMPLE η = 43.8**
N3230/N3232	$\lambda_w \leq \lambda_{w,máx}$ Cumple	η = 1.6	η = 13.5	x: 2.372 m η = 0.5	x: 0.06 m η = 9.9	η < 0.1	x: 2.373 m η = 1.1	η < 0.1	η < 0.1	x: 0.06 m η = 20.0	η < 0.1	η = 0.5	η < 0.1	x: 2.373 m η = 1.1	**CUMPLE η = 20.0**
N3232/N3012	$\lambda_w \leq \lambda_{w,máx}$ Cumple	η = 0.9	η = 0.6	x: 2.372 m η = 0.4	x: 0.06 m η = 20.2	η < 0.1	x: 2.373 m η = 2.6	η < 0.1	η < 0.1	x: 0.06 m η = 21.3	η < 0.1	η = 0.4	η < 0.1	x: 2.373 m η = 2.6	**CUMPLE η = 21.3**
N2874/N3231	x: 0.051 m $\lambda_w \leq \lambda_{w,máx}$ Cumple	N_{Ed} = 0.00 N.P.(1)	η = 31.7	x: 2.373 m η = 0.7	x: 2.373 m η = 37.2	η < 0.1	x: 0.05 m η = 2.5	x: 0.244 m η < 0.1	x: 0.051 m η < 0.1	x: 2.373 m η = 40.1	x: 0.051 m η < 0.1	M_{Ed} = 0.00 N.P.(5)	N.P.(6)	N.P.(6)	**CUMPLE η = 40.1**
N3231/N3233	$\lambda_w \leq \lambda_{w,máx}$ Cumple	N_{Ed} = 0.00 N.P.(1)	η = 30.1	x: 2.373 m η = 0.2	x: 0.06 m η = 10.7	η < 0.1	x: 2.373 m η = 1.2	η < 0.1	η < 0.1	x: 2.373 m η = 32.9	η < 0.1	η = 0.5	η < 0.1	x: 2.373 m η = 1.2	**CUMPLE η = 32.9**
N3233/N2997	$\lambda_w \leq \lambda_{w,máx}$ Cumple	η = 1.2	η = 27.2	x: 2.372 m η = 0.7	x: 0.06 m η = 20.3	η < 0.1	x: 2.373 m η = 2.7	η < 0.1	η < 0.1	x: 2.373 m η = 32.4	η < 0.1	η = 0.5	η < 0.1	x: 2.373 m η = 2.7	**CUMPLE η = 32.4**
N3234/N3235	$\lambda_w \leq \lambda_{w,máx}$ Cumple	x: 1.939 m η < 0.1	x: 0.06 m η = 0.4	x: 1.94 m η = 12.9	x: 0.06 m η < 0.1	η = 2.0	η < 0.1	η < 0.1	x: 0.06 m η < 0.1	x: 1.94 m η = 13.2	η < 0.1	η < 0.1	η = 2.0	η < 0.1	**CUMPLE η = 13.2**
N3236/N3237	$\lambda_w \leq \lambda_{w,máx}$ Cumple	x: 1.939 m η = 0.1	x: 0.06 m η = 0.4	x: 0.06 m η = 14.2	x: 0.06 m η < 0.1	η = 2.3	η < 0.1	η < 0.1	x: 0.06 m η < 0.1	x: 0.06 m η = 14.7	η < 0.1	η < 0.1	η = 2.3	η < 0.1	**CUMPLE η = 14.7**
N1686/N3237	x: 0.051 m $\lambda_w \leq \lambda_{w,máx}$ Cumple	η = 3.1	η = 20.4	x: 2.372 m η < 0.1	x: 2.373 m η = 20.0	η < 0.1	x: 0.05 m η = 1.4	x: 0.244 m η < 0.1	x: 0.051 m η < 0.1	x: 2.373 m η = 23.6	x: 0.051 m η < 0.1	M_{Ed} = 0.00 N.P.(5)	N.P.(6)	N.P.(6)	**CUMPLE η = 23.6**
N3237/N3235	$\lambda_w \leq \lambda_{w,máx}$ Cumple	η = 1.5	η = 20.1	x: 0.06 m η < 0.1	x: 0.06 m η = 5.3	η < 0.1	x: 2.373 m η = 0.7	x: 0.06 m η < 0.1	η < 0.1	x: 2.373 m η = 22.5	η < 0.1	η < 0.1	η < 0.1	x: 2.373 m η = 0.7	**CUMPLE η = 22.5**

Documento validado electrónicamente mediante VA07298/22
Código de validación telemática: TRLTDCFZ60T66IJ1. Comprobación: https://cogitivalencia.e-gestion.es/Validacion.aspx?CVT=TRLTDCFZ60T66IJ1

VISADO
COGITI
Estado
VALENCIA
VA07290/22
TRLTDCFZ60T66IJ1

Barras	COMPROBACIONES (CÓDIGO ESTRUCTURAL)														
	λ_w	N_t	N_c	M_Y	M_Z	V_Z	V_Y	M_YV_Z	M_ZV_Y	NM_YM_Z	$NM_YM_ZV_YV_Z$	M_t	M_tV_Z	M_tV_Y	Estado
N3235/N1782	x: 0.06 m $\lambda_w \leq \lambda_{w,máx}$ Cumple	η = 1.4	η = 16.0	x: 0.06 m η < 0.1	x: 0.06 m η = 18.4	η < 0.1	x: 2.373 m η = 1.3	x: 0.06 m η < 0.1	x: 0.06 m η < 0.1	x: 0.06 m η = 25.1	x: 0.06 m η < 0.1	M_{Ed} = 0.00 N.P.(5)	N.P.(6)	N.P.(6)	**CUMPLE** **η = 25.1**
N1732/N3236	x: 0.051 m $\lambda_w \leq \lambda_{w,máx}$ Cumple	η = 0.2	η = 0.3	x: 2.372 m η < 0.1	x: 2.373 m η = 20.3	η < 0.1	x: 0.05 m η = 1.4	x: 0.244 m η < 0.1	x: 0.051 m η < 0.1	x: 2.373 m η = 20.6	x: 0.051 m η < 0.1	M_{Ed} = 0.00 N.P.(5)	N.P.(6)	N.P.(6)	**CUMPLE** **η = 20.6**
N3236/N3234	$\lambda_w \leq \lambda_{w,máx}$ Cumple	η = 0.8	η = 1.2	x: 0.06 m η < 0.1	x: 0.06 m η = 5.5	η < 0.1	x: 2.373 m η = 0.7	x: 0.06 m η < 0.1	η < 0.1	x: 0.06 m η = 6.3	η < 0.1	η < 0.1	η < 0.1	x: 2.373 m η = 0.7	**CUMPLE** **η = 6.3**
N3234/N1828	x: 0.06 m $\lambda_w \leq \lambda_{w,máx}$ Cumple	η = 1.9	η = 7.2	x: 0.06 m η < 0.1	x: 0.06 m η = 17.3	η < 0.1	x: 2.373 m η = 1.2	x: 0.06 m η < 0.1	x: 0.06 m η < 0.1	x: 0.06 m η = 19.6	x: 0.06 m η < 0.1	M_{Ed} = 0.00 N.P.(5)	N.P.(6)	N.P.(6)	**CUMPLE** **η = 19.6**
N3238/N3239	$\lambda_w \leq \lambda_{w,máx}$ Cumple	x: 1.939 m η < 0.1	x: 0.06 m η = 0.5	x: 1.94 m η = 14.9	x: 1.94 m η = 1.1	η = 2.3	η = 0.2	η < 0.1	η < 0.1	x: 1.94 m η = 15.8	η < 0.1	η = 2.2	η = 2.4	η = 0.2	**CUMPLE** **η = 15.8**
N3240/N3241	$\lambda_w \leq \lambda_{w,máx}$ Cumple	x: 1.939 m η < 0.1	x: 0.06 m η = 0.5	x: 0.06 m η = 8.9	x: 0.06 m η = 0.4	η = 1.4	η = 0.1	η < 0.1	η < 0.1	x: 0.06 m η = 9.6	η < 0.1	η = 1.0	η = 1.4	η = 0.1	**CUMPLE** **η = 9.6**
N2909/N3238	x: 0.061 m $\lambda_w \leq \lambda_{w,máx}$ Cumple	η = 2.4	η = 8.8	x: 2.373 m η = 2.6	x: 2.373 m η = 19.7	η = 0.2	x: 0.06 m η = 1.4	x: 0.253 m η < 0.1	x: 0.061 m η < 0.1	x: 2.373 m η = 23.7	x: 0.061 m η < 0.1	M_{Ed} = 0.00 N.P.(5)	N.P.(6)	N.P.(6)	**CUMPLE** **η = 23.7**
N3238/N3240	$\lambda_w \leq \lambda_{w,máx}$ Cumple	η = 1.0	η = 6.1	x: 2.372 m η = 1.0	x: 0.06 m η = 4.9	η < 0.1	x: 2.373 m η = 0.6	η < 0.1	η < 0.1	x: 0.06 m η = 9.8	η < 0.1	η = 1.4	η < 0.1	x: 2.373 m η = 0.6	**CUMPLE** **η = 9.8**
N3240/N3014	$\lambda_w \leq \lambda_{w,máx}$ Cumple	η = 0.6	η = 0.2	x: 2.373 m η = 0.8	x: 0.06 m η = 12.4	η < 0.1	x: 2.373 m η = 1.7	η < 0.1	η < 0.1	x: 2.373 m η = 13.3	η < 0.1	η = 1.0	η < 0.1	x: 2.373 m η = 1.7	**CUMPLE** **η = 13.3**
N2878/N3239	x: 0.061 m $\lambda_w \leq \lambda_{w,máx}$ Cumple	η = 2.6	η = 58.3	x: 2.373 m η = 2.3	x: 2.373 m η = 21.5	η = 0.2	x: 0.06 m η = 1.5	x: 0.253 m η < 0.1	x: 0.061 m η < 0.1	x: 2.373 m η = 71.0	x: 0.061 m η < 0.1	M_{Ed} = 0.00 N.P.(5)	N.P.(6)	N.P.(6)	**CUMPLE** **η = 71.0**
N3239/N3241	$\lambda_w \leq \lambda_{w,máx}$ Cumple	x: 1.602 m η = 2.6	η = 63.3	x: 0.06 m η = 0.7	x: 0.06 m η = 6.0	η < 0.1	x: 2.373 m η = 0.7	η < 0.1	η < 0.1	x: 0.06 m η = 67.2	η < 0.1	η = 1.4	η < 0.1	x: 2.373 m η = 0.7	**CUMPLE** **η = 67.2**
N3241/N2999	$\lambda_w \leq \lambda_{w,máx}$ Cumple	N_{Ed} = 0.00 N.P.(1)	η = 63.5	x: 2.373 m η = 1.1	x: 0.06 m η = 12.5	η < 0.1	x: 2.373 m η = 1.7	η < 0.1	η < 0.1	x: 2.373 m η = 66.5	η < 0.1	η = 1.1	η < 0.1	x: 2.373 m η = 1.7	**CUMPLE** **η = 66.5**
N3242/N3243	$\lambda_w \leq \lambda_{w,máx}$ Cumple	x: 1.939 m η < 0.1	x: 0.06 m η = 0.2	x: 1.94 m η = 8.4	x: 0.06 m η = 0.1	η = 1.3	η < 0.1	η < 0.1	x: 0.06 m η < 0.1	x: 1.94 m η = 8.4	η < 0.1	η = 0.1	η = 1.3	η < 0.1	**CUMPLE** **η = 8.4**
N3244/N3245	$\lambda_w \leq \lambda_{w,máx}$ Cumple	x: 1.939 m η = 0.1	x: 0.06 m η = 0.2	x: 0.06 m η = 8.7	x: 0.06 m η = 0.1	η = 1.4	η < 0.1	η < 0.1	x: 0.06 m η < 0.1	x: 0.06 m η = 8.9	η < 0.1	η = 0.1	η = 1.4	η < 0.1	**CUMPLE** **η = 8.9**
N1690/N3245	x: 0.061 m $\lambda_w \leq \lambda_{w,máx}$ Cumple	N_{Ed} = 0.00 N.P.(1)	η = 31.4	x: 2.372 m η = 0.1	x: 2.373 m η = 11.1	η < 0.1	x: 0.06 m η = 0.9	x: 0.253 m η < 0.1	x: 0.061 m η < 0.1	x: 2.373 m η = 38.7	x: 0.061 m η < 0.1	M_{Ed} = 0.00 N.P.(5)	N.P.(6)	N.P.(6)	**CUMPLE** **η = 38.7**
N3245/N3243	$\lambda_w \leq \lambda_{w,máx}$ Cumple	N_{Ed} = 0.00 N.P.(1)	η = 34.4	x: 2.372 m η < 0.1	x: 2.181 m η = 2.5	η < 0.1	x: 2.373 m η = 0.3	x: 0.06 m η < 0.1	η < 0.1	x: 0.06 m η = 36.0	η < 0.1	η = 0.1	η < 0.1	x: 2.373 m η = 0.3	**CUMPLE** **η = 36.0**
N3243/N1786	x: 0.06 m $\lambda_w \leq \lambda_{w,máx}$ Cumple	N_{Ed} = 0.00 N.P.(1)	η = 33.7	x: 0.06 m η = 0.1	x: 0.06 m η = 11.1	η < 0.1	x: 2.358 m η = 0.9	x: 0.06 m η < 0.1	x: 0.06 m η < 0.1	x: 0.06 m η = 35.7	x: 0.06 m η < 0.1	M_{Ed} = 0.00 N.P.(5)	N.P.(6)	N.P.(6)	**CUMPLE** **η = 35.7**
N1736/N3244	x: 0.061 m $\lambda_w \leq \lambda_{w,máx}$ Cumple	η = 0.1	η = 0.2	x: 2.372 m η = 0.1	x: 2.373 m η = 11.8	η < 0.1	x: 0.06 m η = 0.9	x: 0.253 m η < 0.1	x: 0.061 m η < 0.1	x: 2.373 m η = 12.0	x: 0.061 m η < 0.1	M_{Ed} = 0.00 N.P.(5)	N.P.(6)	N.P.(6)	**CUMPLE** **η = 12.0**
N3244/N3242	$\lambda_w \leq \lambda_{w,máx}$ Cumple	η = 0.5	η = 0.3	x: 0.06 m η < 0.1	x: 0.06 m η = 2.8	η < 0.1	x: 2.373 m η = 0.3	η < 0.1	η < 0.1	x: 0.06 m η = 3.3	η < 0.1	η = 0.1	η < 0.1	x: 2.373 m η = 0.3	**CUMPLE** **η = 3.3**
N3242/N1832	x: 0.06 m $\lambda_w \leq \lambda_{w,máx}$ Cumple	η = 0.6	η = 0.6	x: 0.06 m η = 0.1	x: 0.06 m η = 10.1	η < 0.1	x: 2.303 m η = 0.8	x: 0.06 m η < 0.1	x: 0.06 m η < 0.1	x: 0.06 m η = 10.8	x: 0.06 m η < 0.1	M_{Ed} = 0.00 N.P.(5)	N.P.(6)	N.P.(6)	**CUMPLE** **η = 10.8**
N1805/N1901	x: 0.57 m $\lambda_w \leq \lambda_{w,máx}$ Cumple	η = 0.3	η = 0.6	M_{Ed} = 0.00 N.P.(2)	x: 3.65 m η = 5.8	V_{Ed} = 0.00 N.P.(3)	x: 0.13 m η = 0.5	N.P.(4)	x: 0.57 m η < 0.1	x: 3.65 m η = 6.5	x: 0.57 m η < 0.1	M_{Ed} = 0.00 N.P.(5)	N.P.(6)	N.P.(6)	**CUMPLE** **η = 6.5**
N1901/N2068	x: 0.574 m $\lambda_w \leq \lambda_{w,máx}$ Cumple	η = 1.0	η = 0.9	M_{Ed} = 0.00 N.P.(2)	x: 3.685 m η = 5.9	V_{Ed} = 0.00 N.P.(3)	x: 0.13 m η = 0.5	N.P.(4)	x: 0.574 m η < 0.1	x: 3.685 m η = 6.9	x: 0.574 m η < 0.1	M_{Ed} = 0.00 N.P.(5)	N.P.(6)	N.P.(6)	**CUMPLE** **η = 6.9**
N2068/N2221	x: 0.509 m $\lambda_w \leq \lambda_{w,máx}$ Cumple	η = 1.0	η = 1.0	M_{Ed} = 0.00 N.P.(2)	x: 3.65 m η = 6.0	V_{Ed} = 0.00 N.P.(3)	x: 0.06 m η = 0.5	N.P.(4)	x: 0.509 m η < 0.1	x: 3.65 m η = 7.1	x: 0.509 m η < 0.1	M_{Ed} = 0.00 N.P.(5)	N.P.(6)	N.P.(6)	**CUMPLE** **η = 7.1**
N2221/N2374	x: 0.509 m $\lambda_w \leq \lambda_{w,máx}$ Cumple	η = 1.0	η = 1.0	M_{Ed} = 0.00 N.P.(2)	x: 3.65 m η = 6.0	V_{Ed} = 0.00 N.P.(3)	x: 0.06 m η = 0.5	N.P.(4)	x: 0.509 m η < 0.1	x: 3.65 m η = 7.2	x: 0.509 m η < 0.1	M_{Ed} = 0.00 N.P.(5)	N.P.(6)	N.P.(6)	**CUMPLE** **η = 7.2**
N2374/N2527	x: 0.509 m $\lambda_w \leq \lambda_{w,máx}$ Cumple	η = 1.1	η = 1.1	M_{Ed} = 0.00 N.P.(2)	x: 3.65 m η = 6.0	V_{Ed} = 0.00 N.P.(3)	x: 0.06 m η = 0.5	N.P.(4)	x: 0.509 m η < 0.1	x: 3.65 m η = 7.2	x: 0.509 m η < 0.1	M_{Ed} = 0.00 N.P.(5)	N.P.(6)	N.P.(6)	**CUMPLE** **η = 7.2**
N2527/N2680	x: 0.509 m $\lambda_w \leq \lambda_{w,máx}$ Cumple	η = 1.1	η = 1.1	M_{Ed} = 0.00 N.P.(2)	x: 3.65 m η = 6.0	V_{Ed} = 0.00 N.P.(3)	x: 0.06 m η = 0.5	N.P.(4)	x: 0.509 m η < 0.1	x: 3.65 m η = 7.2	x: 0.509 m η < 0.1	M_{Ed} = 0.00 N.P.(5)	N.P.(6)	N.P.(6)	**CUMPLE** **η = 7.2**
N2680/N2833	x: 0.509 m $\lambda_w \leq \lambda_{w,máx}$ Cumple	η = 1.1	η = 1.1	M_{Ed} = 0.00 N.P.(2)	x: 3.65 m η = 6.0	V_{Ed} = 0.00 N.P.(3)	x: 0.06 m η = 0.5	N.P.(4)	x: 0.509 m η < 0.1	x: 3.65 m η = 7.1	x: 0.509 m η < 0.1	M_{Ed} = 0.00 N.P.(5)	N.P.(6)	N.P.(6)	**CUMPLE** **η = 7.1**
N2684/N2837	x: 0.5 m $\lambda_w \leq \lambda_{w,máx}$ Cumple	η = 2.4	η = 11.6	M_{Ed} = 0.00 N.P.(2)	x: 3.65 m η = 6.0	V_{Ed} = 0.00 N.P.(3)	x: 0.05 m η = 0.5	N.P.(4)	x: 0.5 m η < 0.1	x: 3.65 m η = 16.7	x: 0.5 m η < 0.1	M_{Ed} = 0.00 N.P.(5)	N.P.(6)	N.P.(6)	**CUMPLE** **η = 16.7**
N2531/N2684	x: 0.5 m $\lambda_w \leq \lambda_{w,máx}$ Cumple	η = 2.2	η = 10.4	M_{Ed} = 0.00 N.P.(2)	x: 3.65 m η = 6.0	V_{Ed} = 0.00 N.P.(3)	x: 0.05 m η = 0.5	N.P.(4)	x: 0.5 m η < 0.1	x: 3.65 m η = 15.7	x: 0.5 m η < 0.1	M_{Ed} = 0.00 N.P.(5)	N.P.(6)	N.P.(6)	**CUMPLE** **η = 15.7**
N2535/N2688	x: 0.5 m $\lambda_w \leq \lambda_{w,máx}$ Cumple	η = 1.9	η = 8.9	M_{Ed} = 0.00 N.P.(2)	x: 3.65 m η = 6.0	V_{Ed} = 0.00 N.P.(3)	x: 0.05 m η = 0.5	N.P.(4)	x: 0.5 m η < 0.1	x: 3.65 m η = 14.1	x: 0.5 m η < 0.1	M_{Ed} = 0.00 N.P.(5)	N.P.(6)	N.P.(6)	**CUMPLE** **η = 14.1**
N2688/N2841	x: 0.5 m $\lambda_w \leq \lambda_{w,máx}$ Cumple	η = 2.1	η = 9.6	M_{Ed} = 0.00 N.P.(2)	x: 3.65 m η = 6.0	V_{Ed} = 0.00 N.P.(3)	x: 0.05 m η = 0.5	N.P.(4)	x: 0.5 m η < 0.1	x: 3.65 m η = 14.7	x: 0.5 m η < 0.1	M_{Ed} = 0.00 N.P.(5)	N.P.(6)	N.P.(6)	**CUMPLE** **η = 14.7**
N2539/N2692	x: 0.509 m $\lambda_w \leq \lambda_{w,máx}$ Cumple	η = 0.6	η = 1.2	M_{Ed} = 0.00 N.P.(2)	x: 3.65 m η = 6.0	V_{Ed} = 0.00 N.P.(3)	x: 0.06 m η = 0.5	N.P.(4)	x: 0.509 m η < 0.1	x: 3.65 m η = 7.4	x: 0.509 m η < 0.1	M_{Ed} = 0.00 N.P.(5)	N.P.(6)	N.P.(6)	**CUMPLE** **η = 7.4**
N2692/N2845	x: 0.509 m $\lambda_w \leq \lambda_{w,máx}$ Cumple	η = 0.5	η = 1.1	M_{Ed} = 0.00 N.P.(2)	x: 3.65 m η = 6.0	V_{Ed} = 0.00 N.P.(3)	x: 0.06 m η = 0.5	N.P.(4)	x: 0.509 m η < 0.1	x: 3.65 m η = 7.1	x: 0.509 m η < 0.1	M_{Ed} = 0.00 N.P.(5)	N.P.(6)	N.P.(6)	**CUMPLE** **η = 7.1**
N2378/N2531	x: 0.5 m $\lambda_w \leq \lambda_{w,máx}$ Cumple	η = 2.0	η = 9.4	M_{Ed} = 0.00 N.P.(2)	x: 3.65 m η = 6.0	V_{Ed} = 0.00 N.P.(3)	x: 0.05 m η = 0.5	N.P.(4)	x: 0.5 m η < 0.1	x: 3.65 m η = 14.7	x: 0.5 m η < 0.1	M_{Ed} = 0.00 N.P.(5)	N.P.(6)	N.P.(6)	**CUMPLE** **η = 14.7**

Documento visado electrónicamente con número: VA07290/22
Código de validación telemática TRLTDCFZ60T66IJ1. Comprobación: https://cogitivalencia.e-gestion.es/Validacion.aspx?CVT=TRLTDCFZ60T66IJ1

VISADO
COGITI
Estado
VALENCIA
VA07291322
TRLTDCFZ60T66IJ1

Barras	COMPROBACIONES (CÓDIGO ESTRUCTURAL)														
	λ_w	N_t	N_c	M_Y	M_Z	V_Z	V_Y	M_YV_Z	M_ZV_Y	NM_YM_Z	$NM_YM_ZV_YV_Z$	M_t	M_tV_Z	M_tV_Y	Estado
N2225/N2378	x: 0.5 m $\lambda_w \leq \lambda_{w,máx}$ Cumple	η = 1.8	η = 8.4	M_{Ed} = 0.00 N.P.(2)	x: 3.65 m η = 6.0	V_{Ed} = 0.00 N.P.(3)	x: 0.05 m η = 0.5	N.P.(4)	x: 0.5 m η < 0.1	x: 3.65 m η = 13.8	x: 0.5 m η < 0.1	M_{Ed} = 0.00 N.P.(5)	N.P.(6)	N.P.(6)	**CUMPLE** **η = 13.8**
N2382/N2535	x: 0.5 m $\lambda_w \leq \lambda_{w,máx}$ Cumple	η = 1.8	η = 8.2	M_{Ed} = 0.00 N.P.(2)	x: 3.65 m η = 6.0	V_{Ed} = 0.00 N.P.(3)	x: 0.05 m η = 0.5	N.P.(4)	x: 0.5 m η < 0.1	x: 3.65 m η = 13.5	x: 0.5 m η < 0.1	M_{Ed} = 0.00 N.P.(5)	N.P.(6)	N.P.(6)	**CUMPLE** **η = 13.5**
N2229/N2382	x: 0.5 m $\lambda_w \leq \lambda_{w,máx}$ Cumple	η = 1.6	η = 7.5	M_{Ed} = 0.00 N.P.(2)	x: 3.65 m η = 6.0	V_{Ed} = 0.00 N.P.(3)	x: 0.05 m η = 0.5	N.P.(4)	x: 0.5 m η < 0.1	x: 3.65 m η = 12.9	x: 0.5 m η < 0.1	M_{Ed} = 0.00 N.P.(5)	N.P.(6)	N.P.(6)	**CUMPLE** **η = 12.9**
N2386/N2539	x: 0.509 m $\lambda_w \leq \lambda_{w,máx}$ Cumple	η = 0.6	η = 5.7	M_{Ed} = 0.00 N.P.(2)	x: 3.65 m η = 6.0	V_{Ed} = 0.00 N.P.(3)	x: 0.06 m η = 0.5	N.P.(4)	x: 0.509 m η < 0.1	x: 3.65 m η = 9.3	x: 0.509 m η < 0.1	M_{Ed} = 0.00 N.P.(5)	N.P.(6)	N.P.(6)	**CUMPLE** **η = 9.3**
N2233/N2386	x: 0.509 m $\lambda_w \leq \lambda_{w,máx}$ Cumple	η = 0.7	η = 5.9	M_{Ed} = 0.00 N.P.(2)	x: 3.65 m η = 6.0	V_{Ed} = 0.00 N.P.(3)	x: 0.06 m η = 0.5	N.P.(4)	x: 0.509 m η < 0.1	x: 3.65 m η = 11.6	x: 0.509 m η < 0.1	M_{Ed} = 0.00 N.P.(5)	N.P.(6)	N.P.(6)	**CUMPLE** **η = 11.6**
N2072/N2225	x: 0.5 m $\lambda_w \leq \lambda_{w,máx}$ Cumple	η = 1.7	η = 7.4	M_{Ed} = 0.00 N.P.(2)	x: 3.65 m η = 6.0	V_{Ed} = 0.00 N.P.(3)	x: 0.05 m η = 0.5	N.P.(4)	x: 0.5 m η < 0.1	x: 3.65 m η = 12.9	x: 0.5 m η < 0.1	M_{Ed} = 0.00 N.P.(5)	N.P.(6)	N.P.(6)	**CUMPLE** **η = 12.9**
N1905/N2072	x: 0.509 m $\lambda_w \leq \lambda_{w,máx}$ Cumple	η = 1.5	η = 6.7	M_{Ed} = 0.00 N.P.(2)	x: 3.655 m η = 6.0	V_{Ed} = 0.00 N.P.(3)	x: 0.06 m η = 0.5	N.P.(4)	x: 0.509 m η < 0.1	x: 3.655 m η = 12.2	x: 0.509 m η < 0.1	M_{Ed} = 0.00 N.P.(5)	N.P.(6)	N.P.(6)	**CUMPLE** **η = 12.2**
N2076/N2229	x: 0.5 m $\lambda_w \leq \lambda_{w,máx}$ Cumple	η = 1.5	η = 6.8	M_{Ed} = 0.00 N.P.(2)	x: 3.65 m η = 6.0	V_{Ed} = 0.00 N.P.(3)	x: 0.05 m η = 0.5	N.P.(4)	x: 0.5 m η < 0.1	x: 3.65 m η = 12.3	x: 0.5 m η < 0.1	M_{Ed} = 0.00 N.P.(5)	N.P.(6)	N.P.(6)	**CUMPLE** **η = 12.3**
N1909/N2076	x: 0.509 m $\lambda_w \leq \lambda_{w,máx}$ Cumple	η = 1.4	η = 6.1	M_{Ed} = 0.00 N.P.(2)	x: 3.655 m η = 6.0	V_{Ed} = 0.00 N.P.(3)	x: 0.06 m η = 0.5	N.P.(4)	x: 0.509 m η < 0.1	x: 3.655 m η = 9.8	x: 0.509 m η < 0.1	M_{Ed} = 0.00 N.P.(5)	N.P.(6)	N.P.(6)	**CUMPLE** **η = 9.8**
N2080/N2233	x: 0.509 m $\lambda_w \leq \lambda_{w,máx}$ Cumple	η = 0.6	η = 6.0	M_{Ed} = 0.00 N.P.(2)	x: 3.65 m η = 6.0	V_{Ed} = 0.00 N.P.(3)	x: 0.06 m η = 0.5	N.P.(4)	x: 0.509 m η < 0.1	x: 3.65 m η = 11.7	x: 0.509 m η < 0.1	M_{Ed} = 0.00 N.P.(5)	N.P.(6)	N.P.(6)	**CUMPLE** **η = 11.7**
N1913/N2080	x: 0.574 m $\lambda_w \leq \lambda_{w,máx}$ Cumple	η = 0.6	η = 5.7	M_{Ed} = 0.00 N.P.(2)	x: 3.685 m η = 5.9	V_{Ed} = 0.00 N.P.(3)	x: 0.13 m η = 0.5	N.P.(4)	x: 0.574 m η < 0.1	x: 3.685 m η = 9.3	x: 0.574 m η < 0.1	M_{Ed} = 0.00 N.P.(5)	N.P.(6)	N.P.(6)	**CUMPLE** **η = 9.3**
N1809/N1905	x: 0.509 m $\lambda_w \leq \lambda_{w,máx}$ Cumple	η = 1.2	η = 1.2	M_{Ed} = 0.00 N.P.(2)	x: 3.65 m η = 6.0	V_{Ed} = 0.00 N.P.(3)	x: 0.06 m η = 0.5	N.P.(4)	x: 0.509 m η < 0.1	x: 3.65 m η = 7.3	x: 0.509 m η < 0.1	M_{Ed} = 0.00 N.P.(5)	N.P.(6)	N.P.(6)	**CUMPLE** **η = 7.3**
N1813/N1909	x: 0.509 m $\lambda_w \leq \lambda_{w,máx}$ Cumple	η = 1.1	η = 1.1	M_{Ed} = 0.00 N.P.(2)	x: 3.65 m η = 6.0	V_{Ed} = 0.00 N.P.(3)	x: 0.06 m η = 0.5	N.P.(4)	x: 0.509 m η < 0.1	x: 3.65 m η = 7.2	x: 0.509 m η < 0.1	M_{Ed} = 0.00 N.P.(5)	N.P.(6)	N.P.(6)	**CUMPLE** **η = 7.2**
N1817/N1913	x: 0.57 m $\lambda_w \leq \lambda_{w,máx}$ Cumple	η = 0.4	η = 1.1	M_{Ed} = 0.00 N.P.(2)	x: 3.65 m η = 5.8	V_{Ed} = 0.00 N.P.(3)	x: 0.13 m η = 0.5	N.P.(4)	x: 0.57 m η < 0.1	x: 3.65 m η = 7.1	x: 0.57 m η < 0.1	M_{Ed} = 0.00 N.P.(5)	N.P.(6)	N.P.(6)	**CUMPLE** **η = 7.1**
N1820/N1916	x: 0.57 m $\lambda_w \leq \lambda_{w,máx}$ Cumple	η = 0.4	η = 0.8	M_{Ed} = 0.00 N.P.(2)	x: 3.65 m η = 5.8	V_{Ed} = 0.00 N.P.(3)	x: 0.13 m η = 0.5	N.P.(4)	x: 0.57 m η < 0.1	x: 3.65 m η = 6.7	x: 0.57 m η < 0.1	M_{Ed} = 0.00 N.P.(5)	N.P.(6)	N.P.(6)	**CUMPLE** **η = 6.7**
N1916/N2132	x: 0.574 m $\lambda_w \leq \lambda_{w,máx}$ Cumple	η = 1.0	η = 1.3	M_{Ed} = 0.00 N.P.(2)	x: 3.685 m η = 5.9	V_{Ed} = 0.00 N.P.(3)	x: 0.13 m η = 0.5	N.P.(4)	x: 0.574 m η < 0.1	x: 3.685 m η = 7.3	x: 0.574 m η < 0.1	M_{Ed} = 0.00 N.P.(5)	N.P.(6)	N.P.(6)	**CUMPLE** **η = 7.3**
N2132/N2285	x: 0.509 m $\lambda_w \leq \lambda_{w,máx}$ Cumple	η = 1.0	η = 6.0	M_{Ed} = 0.00 N.P.(2)	x: 3.65 m η = 6.0	V_{Ed} = 0.00 N.P.(3)	x: 0.06 m η = 0.5	N.P.(4)	x: 0.509 m η < 0.1	x: 3.65 m η = 9.6	x: 0.509 m η < 0.1	M_{Ed} = 0.00 N.P.(5)	N.P.(6)	N.P.(6)	**CUMPLE** **η = 9.6**
N2285/N2438	x: 0.509 m $\lambda_w \leq \lambda_{w,máx}$ Cumple	η = 1.1	η = 6.4	M_{Ed} = 0.00 N.P.(2)	x: 3.65 m η = 6.0	V_{Ed} = 0.00 N.P.(3)	x: 0.06 m η = 0.5	N.P.(4)	x: 0.509 m η < 0.1	x: 3.65 m η = 11.9	x: 0.509 m η < 0.1	M_{Ed} = 0.00 N.P.(5)	N.P.(6)	N.P.(6)	**CUMPLE** **η = 11.9**
N2438/N2591	x: 0.509 m $\lambda_w \leq \lambda_{w,máx}$ Cumple	η = 1.2	η = 6.7	M_{Ed} = 0.00 N.P.(2)	x: 3.65 m η = 6.0	V_{Ed} = 0.00 N.P.(3)	x: 0.06 m η = 0.5	N.P.(4)	x: 0.509 m η < 0.1	x: 3.65 m η = 12.2	x: 0.509 m η < 0.1	M_{Ed} = 0.00 N.P.(5)	N.P.(6)	N.P.(6)	**CUMPLE** **η = 12.2**
N2591/N2744	x: 0.509 m $\lambda_w \leq \lambda_{w,máx}$ Cumple	η = 1.3	η = 7.0	M_{Ed} = 0.00 N.P.(2)	x: 3.65 m η = 6.0	V_{Ed} = 0.00 N.P.(3)	x: 0.06 m η = 0.5	N.P.(4)	x: 0.509 m η < 0.1	x: 3.65 m η = 12.3	x: 0.509 m η < 0.1	M_{Ed} = 0.00 N.P.(5)	N.P.(6)	N.P.(6)	**CUMPLE** **η = 12.3**
N2744/N2897	x: 0.509 m $\lambda_w \leq \lambda_{w,máx}$ Cumple	η = 1.5	η = 7.1	M_{Ed} = 0.00 N.P.(2)	x: 3.65 m η = 6.0	V_{Ed} = 0.00 N.P.(3)	x: 0.06 m η = 0.5	N.P.(4)	x: 0.509 m η < 0.1	x: 3.65 m η = 12.3	x: 0.509 m η < 0.1	M_{Ed} = 0.00 N.P.(5)	N.P.(6)	N.P.(6)	**CUMPLE** **η = 12.3**
N2748/N2901	x: 0.5 m $\lambda_w \leq \lambda_{w,máx}$ Cumple	η = 4.0	η = 15.3	M_{Ed} = 0.00 N.P.(2)	x: 3.65 m η = 6.0	V_{Ed} = 0.00 N.P.(3)	x: 0.05 m η = 0.5	N.P.(4)	x: 0.5 m η < 0.1	x: 3.65 m η = 20.1	x: 0.5 m η < 0.1	M_{Ed} = 0.00 N.P.(5)	N.P.(6)	N.P.(6)	**CUMPLE** **η = 20.1**
N2595/N2748	x: 0.5 m $\lambda_w \leq \lambda_{w,máx}$ Cumple	η = 3.6	η = 14.2	M_{Ed} = 0.00 N.P.(2)	x: 3.65 m η = 6.0	V_{Ed} = 0.00 N.P.(3)	x: 0.05 m η = 0.5	N.P.(4)	x: 0.5 m η < 0.1	x: 3.65 m η = 19.0	x: 0.5 m η < 0.1	M_{Ed} = 0.00 N.P.(5)	N.P.(6)	N.P.(6)	**CUMPLE** **η = 19.0**
N2599/N2752	x: 0.5 m $\lambda_w \leq \lambda_{w,máx}$ Cumple	η = 3.8	η = 16.3	M_{Ed} = 0.00 N.P.(2)	x: 3.65 m η = 6.0	V_{Ed} = 0.00 N.P.(3)	x: 0.05 m η = 0.5	N.P.(4)	x: 0.5 m η < 0.1	x: 3.65 m η = 21.1	x: 0.5 m η < 0.1	M_{Ed} = 0.00 N.P.(5)	N.P.(6)	N.P.(6)	**CUMPLE** **η = 21.1**
N2752/N2905	x: 0.5 m $\lambda_w \leq \lambda_{w,máx}$ Cumple	η = 4.1	η = 17.4	M_{Ed} = 0.00 N.P.(2)	x: 3.65 m η = 6.0	V_{Ed} = 0.00 N.P.(3)	x: 0.05 m η = 0.5	N.P.(4)	x: 0.5 m η < 0.1	x: 3.65 m η = 22.1	x: 0.5 m η < 0.1	M_{Ed} = 0.00 N.P.(5)	N.P.(6)	N.P.(6)	**CUMPLE** **η = 22.1**
N2603/N2756	x: 0.509 m $\lambda_w \leq \lambda_{w,máx}$ Cumple	η = 1.9	η = 7.6	M_{Ed} = 0.00 N.P.(2)	x: 3.65 m η = 6.0	V_{Ed} = 0.00 N.P.(3)	x: 0.06 m η = 0.5	N.P.(4)	x: 0.509 m η < 0.1	x: 3.65 m η = 12.6	x: 0.509 m η < 0.1	M_{Ed} = 0.00 N.P.(5)	N.P.(6)	N.P.(6)	**CUMPLE** **η = 12.6**
N2756/N2909	x: 0.509 m $\lambda_w \leq \lambda_{w,máx}$ Cumple	η = 2.2	η = 8.5	M_{Ed} = 0.00 N.P.(2)	x: 3.65 m η = 6.0	V_{Ed} = 0.00 N.P.(3)	x: 0.06 m η = 0.5	N.P.(4)	x: 0.509 m η < 0.1	x: 3.65 m η = 13.5	x: 0.509 m η < 0.1	M_{Ed} = 0.00 N.P.(5)	N.P.(6)	N.P.(6)	**CUMPLE** **η = 13.5**
N2442/N2595	x: 0.5 m $\lambda_w \leq \lambda_{w,máx}$ Cumple	η = 3.3	η = 13.0	M_{Ed} = 0.00 N.P.(2)	x: 3.65 m η = 6.0	V_{Ed} = 0.00 N.P.(3)	x: 0.05 m η = 0.5	N.P.(4)	x: 0.5 m η < 0.1	x: 3.65 m η = 18.0	x: 0.5 m η < 0.1	M_{Ed} = 0.00 N.P.(5)	N.P.(6)	N.P.(6)	**CUMPLE** **η = 18.0**
N2289/N2442	x: 0.5 m $\lambda_w \leq \lambda_{w,máx}$ Cumple	η = 3.0	η = 11.9	M_{Ed} = 0.00 N.P.(2)	x: 3.65 m η = 6.0	V_{Ed} = 0.00 N.P.(3)	x: 0.05 m η = 0.5	N.P.(4)	x: 0.5 m η < 0.1	x: 3.65 m η = 17.0	x: 0.5 m η < 0.1	M_{Ed} = 0.00 N.P.(5)	N.P.(6)	N.P.(6)	**CUMPLE** **η = 17.0**
N2446/N2599	x: 0.5 m $\lambda_w \leq \lambda_{w,máx}$ Cumple	η = 3.5	η = 15.2	M_{Ed} = 0.00 N.P.(2)	x: 3.65 m η = 6.0	V_{Ed} = 0.00 N.P.(3)	x: 0.05 m η = 0.5	N.P.(4)	x: 0.5 m η < 0.1	x: 3.65 m η = 20.0	x: 0.5 m η < 0.1	M_{Ed} = 0.00 N.P.(5)	N.P.(6)	N.P.(6)	**CUMPLE** **η = 20.0**
N2293/N2446	x: 0.5 m $\lambda_w \leq \lambda_{w,máx}$ Cumple	η = 3.3	η = 14.1	M_{Ed} = 0.00 N.P.(2)	x: 3.65 m η = 6.0	V_{Ed} = 0.00 N.P.(3)	x: 0.05 m η = 0.5	N.P.(4)	x: 0.5 m η < 0.1	x: 3.65 m η = 19.1	x: 0.5 m η < 0.1	M_{Ed} = 0.00 N.P.(5)	N.P.(6)	N.P.(6)	**CUMPLE** **η = 19.1**

Documento visado electrónicamente con número: VA07291322 y código de validación telemática: TRLTDCFZ60T66IJ1. Comprobación: https://cogitivalencia.e-gestion.es/Validacion.aspx?CVT=TRLTDCFZ60T66IJ1

VISADO
COGITI
Estado
VALENCIA
VA07290/22
TRLTDCFZ60T66IJ1

Barras	COMPROBACIONES (CÓDIGO ESTRUCTURAL)															
	λ_w	N_t	N_c	M_Y	M_Z	V_Z	V_Y	M_YV_Z	M_ZV_Y	NM_YM_Z	$NM_YM_ZV_YV_Z$	M_t	M_tV_Z	M_tV_Y	
N2450/N2603	x: 0.509 m $\lambda_w \leq \lambda_{w,máx}$ Cumple	η = 1.7	η = 6.8	M_{Ed} = 0.00 N.P.(2)	x: 3.65 m η = 6.0	V_{Ed} = 0.00 N.P.(3)	x: 0.06 m η = 0.5	N.P.(4)	x: 0.509 m η < 0.1	x: 3.65 m η = 12.0	x: 0.509 m η < 0.1	M_{Ed} = 0.00 N.P.(5)	N.P.(6)	N.P.(6)	**CUMPLE** **η = 12.0**
N2297/N2450	x: 0.509 m $\lambda_w \leq \lambda_{w,máx}$ Cumple	η = 1.6	η = 6.2	M_{Ed} = 0.00 N.P.(2)	x: 3.65 m η = 6.0	V_{Ed} = 0.00 N.P.(3)	x: 0.06 m η = 0.5	N.P.(4)	x: 0.509 m η < 0.1	x: 3.65 m η = 9.8	x: 0.509 m η < 0.1	M_{Ed} = 0.00 N.P.(5)	N.P.(6)	N.P.(6)	**CUMPLE** **η = 9.8**
N2136/N2289	x: 0.5 m $\lambda_w \leq \lambda_{w,máx}$ Cumple	η = 2.8	η = 10.9	M_{Ed} = 0.00 N.P.(2)	x: 3.65 m η = 6.0	V_{Ed} = 0.00 N.P.(3)	x: 0.05 m η = 0.5	N.P.(4)	x: 0.5 m η < 0.1	x: 3.65 m η = 16.1	x: 0.5 m η < 0.1	M_{Ed} = 0.00 N.P.(5)	N.P.(6)	N.P.(6)	**CUMPLE** **η = 16.1**
N1920/N2136	x: 0.509 m $\lambda_w \leq \lambda_{w,máx}$ Cumple	η = 2.5	η = 10.0	M_{Ed} = 0.00 N.P.(2)	x: 3.655 m η = 6.0	V_{Ed} = 0.00 N.P.(3)	x: 0.06 m η = 0.5	N.P.(4)	x: 0.509 m η < 0.1	x: 3.655 m η = 15.2	x: 0.509 m η < 0.1	M_{Ed} = 0.00 N.P.(5)	N.P.(6)	N.P.(6)	**CUMPLE** **η = 15.2**
N2140/N2293	x: 0.5 m $\lambda_w \leq \lambda_{w,máx}$ Cumple	η = 3.0	η = 13.0	M_{Ed} = 0.00 N.P.(2)	x: 3.65 m η = 6.0	V_{Ed} = 0.00 N.P.(3)	x: 0.05 m η = 0.5	N.P.(4)	x: 0.5 m η < 0.1	x: 3.65 m η = 18.1	x: 0.5 m η < 0.1	M_{Ed} = 0.00 N.P.(5)	N.P.(6)	N.P.(6)	**CUMPLE** **η = 18.1**
N1924/N2140	x: 0.509 m $\lambda_w \leq \lambda_{w,máx}$ Cumple	η = 2.8	η = 12.0	M_{Ed} = 0.00 N.P.(2)	x: 3.655 m η = 6.0	V_{Ed} = 0.00 N.P.(3)	x: 0.06 m η = 0.5	N.P.(4)	x: 0.509 m η < 0.1	x: 3.655 m η = 17.2	x: 0.509 m η < 0.1	M_{Ed} = 0.00 N.P.(5)	N.P.(6)	N.P.(6)	**CUMPLE** **η = 17.2**
N2144/N2297	x: 0.509 m $\lambda_w \leq \lambda_{w,máx}$ Cumple	η = 1.4	η = 5.7	M_{Ed} = 0.00 N.P.(2)	x: 3.65 m η = 6.0	V_{Ed} = 0.00 N.P.(3)	x: 0.06 m η = 0.5	N.P.(4)	x: 0.509 m η < 0.1	x: 3.65 m η = 9.3	x: 0.509 m η < 0.1	M_{Ed} = 0.00 N.P.(5)	N.P.(6)	N.P.(6)	**CUMPLE** **η = 9.3**
N1928/N2144	x: 0.574 m $\lambda_w \leq \lambda_{w,máx}$ Cumple	η = 1.3	η = 1.3	M_{Ed} = 0.00 N.P.(2)	x: 3.685 m η = 5.9	V_{Ed} = 0.00 N.P.(3)	x: 0.13 m η = 0.5	N.P.(4)	x: 0.574 m η < 0.1	x: 3.685 m η = 7.3	x: 0.574 m η < 0.1	M_{Ed} = 0.00 N.P.(5)	N.P.(6)	N.P.(6)	**CUMPLE** **η = 7.3**
N1824/N1920	x: 0.509 m $\lambda_w \leq \lambda_{w,máx}$ Cumple	η = 2.0	η = 7.7	M_{Ed} = 0.00 N.P.(2)	x: 3.65 m η = 6.0	V_{Ed} = 0.00 N.P.(3)	x: 0.06 m η = 0.5	N.P.(4)	x: 0.509 m η < 0.1	x: 3.65 m η = 13.1	x: 0.509 m η < 0.1	M_{Ed} = 0.00 N.P.(5)	N.P.(6)	N.P.(6)	**CUMPLE** **η = 13.1**
N1828/N1924	x: 0.509 m $\lambda_w \leq \lambda_{w,máx}$ Cumple	η = 2.3	η = 9.6	M_{Ed} = 0.00 N.P.(2)	x: 3.65 m η = 6.0	V_{Ed} = 0.00 N.P.(3)	x: 0.06 m η = 0.5	N.P.(4)	x: 0.509 m η < 0.1	x: 3.65 m η = 14.9	x: 0.509 m η < 0.1	M_{Ed} = 0.00 N.P.(5)	N.P.(6)	N.P.(6)	**CUMPLE** **η = 14.9**
N1832/N1928	x: 0.57 m $\lambda_w \leq \lambda_{w,máx}$ Cumple	η = 0.9	η = 0.9	M_{Ed} = 0.00 N.P.(2)	x: 3.65 m η = 5.8	V_{Ed} = 0.00 N.P.(3)	x: 0.13 m η = 0.5	N.P.(4)	x: 0.57 m η < 0.1	x: 3.65 m η = 6.8	x: 0.57 m η < 0.1	M_{Ed} = 0.00 N.P.(5)	N.P.(6)	N.P.(6)	**CUMPLE** **η = 6.8**
N1930/N1642	$\lambda_w \leq \lambda_{w,máx}$ Cumple	x: 1.911 m η = 4.8	x: 0.086 m η = 2.8	x: 1.912 m η = 45.9	x: 1.912 m η = 4.3	η = 5.7	η = 0.6	η < 0.1	η < 0.1	x: 1.912 m η = 50.3	η < 0.1	η = 0.9	η = 5.8	η = 0.6	**CUMPLE** **η = 50.3**
N1933/N1738	$\lambda_w \leq \lambda_{w,máx}$ Cumple	x: 1.889 m η = 7.8	x: 0.116 m η = 4.1	x: 1.89 m η = 41.8	x: 0.116 m η = 2.5	η = 6.4	η = 0.4	η < 0.1	η < 0.1	x: 1.89 m η = 48.3	η < 0.1	η = 1.0	η = 6.4	η = 0.4	**CUMPLE** **η = 48.3**
N1938/N1834	$\lambda_w \leq \lambda_{w,máx}$ Cumple	x: 1.889 m η = 7.6	x: 0.116 m η = 4.1	x: 1.89 m η = 32.2	x: 0.116 m η = 3.8	η = 4.9	η = 0.7	η < 0.1	η < 0.1	x: 1.89 m η = 38.1	η < 0.1	η = 1.6	η = 4.9	η = 0.7	**CUMPLE** **η = 38.1**
N2454/N2355	$\lambda_w \leq \lambda_{w,máx}$ Cumple	x: 1.911 m η = 6.9	x: 0.086 m η = 6.3	x: 1.912 m η = 44.9	x: 0.086 m η = 4.0	η = 5.8	η = 0.6	η < 0.1	η < 0.1	x: 1.912 m η = 50.6	η < 0.1	η = 0.9	η = 5.9	η = 0.6	**CUMPLE** **η = 50.6**
N2607/N2508	$\lambda_w \leq \lambda_{w,máx}$ Cumple	x: 1.911 m η = 7.6	x: 0.086 m η = 6.7	x: 1.912 m η = 44.8	x: 0.086 m η = 4.5	η = 5.8	η = 0.7	η < 0.1	η < 0.1	x: 1.912 m η = 51.8	η < 0.1	η = 0.8	η = 5.9	η = 0.7	**CUMPLE** **η = 51.8**
N2760/N2661	$\lambda_w \leq \lambda_{w,máx}$ Cumple	x: 1.911 m η = 8.9	x: 0.086 m η = 7.5	x: 1.912 m η = 44.3	x: 0.086 m η = 6.0	η = 5.9	η = 0.9	η < 0.1	η < 0.1	x: 1.912 m η = 56.6	η < 0.1	η = 0.4	η = 5.9	η = 0.9	**CUMPLE** **η = 56.6**
N2301/N2202	$\lambda_w \leq \lambda_{w,máx}$ Cumple	x: 1.911 m η = 6.7	x: 0.086 m η = 6.1	x: 1.912 m η = 44.9	x: 1.912 m η = 4.4	η = 5.8	η = 0.7	η < 0.1	η < 0.1	x: 1.912 m η = 51.8	η < 0.1	η = 1.0	η = 5.8	η = 0.7	**CUMPLE** **η = 51.8**
N2913/N2814	$\lambda_w \leq \lambda_{w,máx}$ Cumple	x: 1.911 m η = 11.6	x: 0.086 m η = 9.3	x: 1.912 m η = 40.6	x: 0.086 m η = 7.8	η = 5.6	η = 1.2	η < 0.1	η < 0.1	x: 1.912 m η = 57.4	η < 0.1	η = 0.8	η = 5.6	η = 1.2	**CUMPLE** **η = 57.4**
N3017/N2967	$\lambda_w \leq \lambda_{w,máx}$ Cumple	x: 1.938 m η = 0.2	x: 0.06 m η = 0.2	x: 1.939 m η = 2.5	x: 0.06 m η = 8.7	η = 0.4	η = 1.3	η < 0.1	η < 0.1	x: 0.06 m η = 9.7	η < 0.1	η = 3.5	η = 0.4	η = 1.3	**CUMPLE** **η = 9.7**
N1641/N1930	x: 0.07 m $\lambda_w \leq \lambda_{w,máx}$ Cumple	x: 0.138 m η = 0.1	x: 0 m η = 0.1	x: 0.139 m η = 3.9	M_{Ed} = 0.00 N.P.(2)	x: 0.139 m η = 11.0	V_{Ed} = 0.00 N.P.(3)	x: 0.07 m η < 0.1	N.P.(4)	x: 0.139 m η = 4.1	x: 0.07 m η < 0.1	M_{Ed} = 0.00 N.P.(5)	N.P.(6)	N.P.(6)	**CUMPLE** **η = 11.0**
N3247/N1933	x: 0.062 m $\lambda_w \leq \lambda_{w,máx}$ Cumple	x: 0.123 m η = 0.2	x: 0 m η = 0.1	x: 0.124 m η = 4.5	M_{Ed} = 0.00 N.P.(2)	x: 0.123 m η = 9.6	V_{Ed} = 0.00 N.P.(3)	x: 0.062 m η < 0.1	N.P.(4)	x: 0.124 m η = 4.7	x: 0.062 m η < 0.1	M_{Ed} = 0.00 N.P.(5)	N.P.(6)	N.P.(6)	**CUMPLE** **η = 9.6**
/N1938	x: 0.062 m $\lambda_w \leq \lambda_{w,máx}$ Cumple	x: 0.123 m η = 0.2	x: 0 m η = 0.1	x: 0.124 m η = 4.5	M_{Ed} = 0.00 N.P.(2)	x: 0.123 m η = 9.5	V_{Ed} = 0.00 N.P.(3)	x: 0.062 m η < 0.1	N.P.(4)	x: 0.124 m η = 4.7	x: 0.062 m η < 0.1	M_{Ed} = 0.00 N.P.(5)	N.P.(6)	N.P.(6)	**CUMPLE** **η = 9.5**
/N2301	x: 0.07 m $\lambda_w \leq \lambda_{w,máx}$ Cumple	x: 0.138 m η = 0.2	x: 0 m η = 0.2	x: 0.139 m η = 6.4	M_{Ed} = 0.00 N.P.(2)	x: 0 m η = 17.9	V_{Ed} = 0.00 N.P.(3)	x: 0.07 m η < 0.1	N.P.(4)	x: 0.139 m η = 6.6	x: 0.07 m η < 0.1	M_{Ed} = 0.00 N.P.(5)	N.P.(6)	N.P.(6)	**CUMPLE** **η = 17.9**
/N2454	x: 0.07 m $\lambda_w \leq \lambda_{w,máx}$ Cumple	x: 0.138 m η = 0.2	x: 0 m η = 0.2	x: 0.139 m η = 6.6	M_{Ed} = 0.00 N.P.(2)	x: 0 m η = 18.3	V_{Ed} = 0.00 N.P.(3)	x: 0.07 m η < 0.1	N.P.(4)	x: 0.139 m η = 6.8	x: 0.07 m η < 0.1	M_{Ed} = 0.00 N.P.(5)	N.P.(6)	N.P.(6)	**CUMPLE** **η = 18.3**
/N2607	x: 0.07 m $\lambda_w \leq \lambda_{w,máx}$ Cumple	x: 0.138 m η = 0.2	x: 0 m η = 0.3	x: 0.139 m η = 6.9	M_{Ed} = 0.00 N.P.(2)	x: 0 m η = 19.3	V_{Ed} = 0.00 N.P.(3)	x: 0.07 m η < 0.1	N.P.(4)	x: 0.139 m η = 7.2	x: 0.07 m η < 0.1	M_{Ed} = 0.00 N.P.(5)	N.P.(6)	N.P.(6)	**CUMPLE** **η = 19.3**
/N2760	x: 0.07 m $\lambda_w \leq \lambda_{w,máx}$ Cumple	x: 0.138 m η = 0.3	x: 0 m η = 0.3	x: 0.139 m η = 8.1	M_{Ed} = 0.00 N.P.(2)	x: 0.139 m η = 22.7	V_{Ed} = 0.00 N.P.(3)	x: 0.07 m η < 0.1	N.P.(4)	x: 0.139 m η = 8.4	x: 0.07 m η < 0.1	M_{Ed} = 0.00 N.P.(5)	N.P.(6)	N.P.(6)	**CUMPLE** **η = 22.7**
/N2913	x: 0.07 m $\lambda_w \leq \lambda_{w,máx}$ Cumple	x: 0.138 m η = 0.4	x: 0 m η = 0.3	x: 0.139 m η = 10.4	M_{Ed} = 0.00 N.P.(2)	x: 0.139 m η = 29.1	V_{Ed} = 0.00 N.P.(3)	x: 0.07 m η < 0.1	N.P.(4)	x: 0.139 m η = 10.8	x: 0.07 m η < 0.1	M_{Ed} = 0.00 N.P.(5)	N.P.(6)	N.P.(6)	**CUMPLE** **η = 29.1**
N3260/N2814	x: 0.07 m $\lambda_w \leq \lambda_{w,máx}$ Cumple	x: 0.138 m η = 1.2	x: 0 m η = 1.3	x: 0.139 m η = 41.9	M_{Ed} = 0.00 N.P.(2)	x: 0 m η = 96.6	V_{Ed} = 0.00 N.P.(3)	x: 0.139 m η = 56.5	N.P.(4)	x: 0.139 m η = 43.1	x: 0.139 m η = 58.1	M_{Ed} = 0.00 N.P.(5)	N.P.(6)	N.P.(6)	**CUMPLE** **η = 96.6**
/N2148	x: 0.07 m $\lambda_w \leq \lambda_{w,máx}$ Cumple	x: 0.138 m η = 0.2	x: 0 m η = 0.2	x: 0.139 m η = 6.3	M_{Ed} = 0.00 N.P.(2)	x: 0 m η = 17.7	V_{Ed} = 0.00 N.P.(3)	x: 0.07 m η < 0.1	N.P.(4)	x: 0.139 m η = 6.6	x: 0.07 m η < 0.1	M_{Ed} = 0.00 N.P.(5)	N.P.(6)	N.P.(6)	**CUMPLE** **η = 17.7**
N2148/N2049	$\lambda_w \leq \lambda_{w,máx}$ Cumple	x: 1.911 m η = 6.7	x: 0.086 m η = 6.1	x: 1.912 m η = 44.5	x: 1.912 m η = 4.5	η = 5.7	η = 0.7	η < 0.1	η < 0.1	x: 1.912 m η = 51.6	η < 0.1	η = 1.2	η = 5.8	η = 0.7	**CUMPLE** **η = 51.6**
N3263/N1976	x: 0.08 m $\lambda_w \leq \lambda_{w,máx}$ Cumple	N_{Ed} = 0.00 N.P.(1)	N_{Ed} = 0.00 N.P.(7)	x: 0.159 m η < 0.1	M_{Ed} = 0.00 N.P.(2)	x: 0.16 m η < 0.1	V_{Ed} = 0.00 N.P.(3)	x: 0.08 m η < 0.1	N.P.(4)	N.P.(8)	N.P.(9)	M_{Ed} = 0.00 N.P.(5)	N.P.(6)	N.P.(6)	**CUMPLE** **η < 0.1**
N3264/N1974	x: 0.08 m $\lambda_w \leq \lambda_{w,máx}$ Cumple	N_{Ed} = 0.00 N.P.(1)	N_{Ed} = 0.00 N.P.(7)	x: 0.159 m η < 0.1	M_{Ed} = 0.00 N.P.(2)	x: 0.16 m η < 0.1	V_{Ed} = 0.00 N.P.(3)	x: 0.08 m η < 0.1	N.P.(4)	N.P.(8)	N.P.(9)	M_{Ed} = 0.00 N.P.(5)	N.P.(6)	N.P.(6)	**CUMPLE** **η < 0.1**

Documento visado electrónicamente con número: VA07290/22
Código de validación telemática TRLTDCFZ60T66IJ1. Comprobación: https://cogitivalencia.e-gestion.es/Validacion.aspx?CVT=TRLTDCFZ60T66IJ1

VISADO
COGITI
VALENCIA
VA07290/22
TRLTDCFZ60T66IJ1

Barras	COMPROBACIONES (CÓDIGO ESTRUCTURAL)														Estado
	λ_w	N_t	N_c	M_Y	M_Z	V_Z	V_Y	M_YV_Z	M_ZV_Y	NM_YM_Z	$NM_YM_ZV_YV_Z$	M_t	M_tV_Z	M_tV_Y	
N3265/N1968	x: 0.07 m $\lambda_w \leq \lambda_{w,máx}$ Cumple	N_{Ed} = 0.00 N.P.(1)	N_{Ed} = 0.00 N.P.(7)	x: 0.139 m $\eta < 0.1$	M_{Ed} = 0.00 N.P.(2)	x: 0.14 m $\eta < 0.1$	V_{Ed} = 0.00 N.P.(3)	x: 0.07 m $\eta < 0.1$	N.P.(4)	N.P.(8)	N.P.(9)	M_{Ed} = 0.00 N.P.(5)	N.P.(6)	N.P.(6)	**CUMPLE** **$\eta < 0.1$**
N3266/N1975	x: 0.07 m $\lambda_w \leq \lambda_{w,máx}$ Cumple	N_{Ed} = 0.00 N.P.(1)	N_{Ed} = 0.00 N.P.(7)	x: 0.139 m $\eta < 0.1$	M_{Ed} = 0.00 N.P.(2)	x: 0.14 m $\eta < 0.1$	V_{Ed} = 0.00 N.P.(3)	x: 0.07 m $\eta < 0.1$	N.P.(4)	N.P.(8)	N.P.(9)	M_{Ed} = 0.00 N.P.(5)	N.P.(6)	N.P.(6)	**CUMPLE** **$\eta < 0.1$**
N3267/N1966	x: 0.07 m $\lambda_w \leq \lambda_{w,máx}$ Cumple	N_{Ed} = 0.00 N.P.(1)	N_{Ed} = 0.00 N.P.(7)	x: 0.139 m $\eta < 0.1$	M_{Ed} = 0.00 N.P.(2)	x: 0.14 m $\eta < 0.1$	V_{Ed} = 0.00 N.P.(3)	x: 0.07 m $\eta < 0.1$	N.P.(4)	N.P.(8)	N.P.(9)	M_{Ed} = 0.00 N.P.(5)	N.P.(6)	N.P.(6)	**CUMPLE** **$\eta < 0.1$**
N3268/N1969	x: 0.07 m $\lambda_w \leq \lambda_{w,máx}$ Cumple	N_{Ed} = 0.00 N.P.(1)	N_{Ed} = 0.00 N.P.(7)	x: 0.139 m $\eta < 0.1$	M_{Ed} = 0.00 N.P.(2)	x: 0.14 m $\eta < 0.1$	V_{Ed} = 0.00 N.P.(3)	x: 0.07 m $\eta < 0.1$	N.P.(4)	N.P.(8)	N.P.(9)	M_{Ed} = 0.00 N.P.(5)	N.P.(6)	N.P.(6)	**CUMPLE** **$\eta < 0.1$**
N3269/N2163	x: 0.08 m $\lambda_w \leq \lambda_{w,máx}$ Cumple	N_{Ed} = 0.00 N.P.(1)	N_{Ed} = 0.00 N.P.(7)	x: 0.159 m $\eta < 0.1$	M_{Ed} = 0.00 N.P.(2)	x: 0.16 m $\eta < 0.1$	V_{Ed} = 0.00 N.P.(3)	x: 0.08 m $\eta < 0.1$	N.P.(4)	N.P.(8)	N.P.(9)	M_{Ed} = 0.00 N.P.(5)	N.P.(6)	N.P.(6)	**CUMPLE** **$\eta < 0.1$**
N3270/N2165	x: 0.08 m $\lambda_w \leq \lambda_{w,máx}$ Cumple	N_{Ed} = 0.00 N.P.(1)	N_{Ed} = 0.00 N.P.(7)	x: 0.159 m $\eta < 0.1$	M_{Ed} = 0.00 N.P.(2)	x: 0.16 m $\eta < 0.1$	V_{Ed} = 0.00 N.P.(3)	x: 0.08 m $\eta < 0.1$	N.P.(4)	N.P.(8)	N.P.(9)	M_{Ed} = 0.00 N.P.(5)	N.P.(6)	N.P.(6)	**CUMPLE** **$\eta < 0.1$**
N3271/N2316	x: 0.08 m $\lambda_w \leq \lambda_{w,máx}$ Cumple	N_{Ed} = 0.00 N.P.(1)	N_{Ed} = 0.00 N.P.(7)	x: 0.159 m $\eta < 0.1$	M_{Ed} = 0.00 N.P.(2)	x: 0.16 m $\eta < 0.1$	V_{Ed} = 0.00 N.P.(3)	x: 0.08 m $\eta < 0.1$	N.P.(4)	N.P.(8)	N.P.(9)	M_{Ed} = 0.00 N.P.(5)	N.P.(6)	N.P.(6)	**CUMPLE** **$\eta < 0.1$**
N3272/N2318	x: 0.08 m $\lambda_w \leq \lambda_{w,máx}$ Cumple	N_{Ed} = 0.00 N.P.(1)	N_{Ed} = 0.00 N.P.(7)	x: 0.159 m $\eta < 0.1$	M_{Ed} = 0.00 N.P.(2)	x: 0.16 m $\eta < 0.1$	V_{Ed} = 0.00 N.P.(3)	x: 0.08 m $\eta < 0.1$	N.P.(4)	N.P.(8)	N.P.(9)	M_{Ed} = 0.00 N.P.(5)	N.P.(6)	N.P.(6)	**CUMPLE** **$\eta < 0.1$**
N3273/N2469	x: 0.08 m $\lambda_w \leq \lambda_{w,máx}$ Cumple	N_{Ed} = 0.00 N.P.(1)	N_{Ed} = 0.00 N.P.(7)	x: 0.159 m $\eta < 0.1$	M_{Ed} = 0.00 N.P.(2)	x: 0.16 m $\eta < 0.1$	V_{Ed} = 0.00 N.P.(3)	x: 0.08 m $\eta < 0.1$	N.P.(4)	N.P.(8)	N.P.(9)	M_{Ed} = 0.00 N.P.(5)	N.P.(6)	N.P.(6)	**CUMPLE** **$\eta < 0.1$**
N3274/N2471	x: 0.08 m $\lambda_w \leq \lambda_{w,máx}$ Cumple	N_{Ed} = 0.00 N.P.(1)	N_{Ed} = 0.00 N.P.(7)	x: 0.159 m $\eta < 0.1$	M_{Ed} = 0.00 N.P.(2)	x: 0.16 m $\eta < 0.1$	V_{Ed} = 0.00 N.P.(3)	x: 0.08 m $\eta < 0.1$	N.P.(4)	N.P.(8)	N.P.(9)	M_{Ed} = 0.00 N.P.(5)	N.P.(6)	N.P.(6)	**CUMPLE** **$\eta < 0.1$**
N3275/N2622	x: 0.08 m $\lambda_w \leq \lambda_{w,máx}$ Cumple	N_{Ed} = 0.00 N.P.(1)	N_{Ed} = 0.00 N.P.(7)	x: 0.159 m $\eta < 0.1$	M_{Ed} = 0.00 N.P.(2)	x: 0.16 m $\eta < 0.1$	V_{Ed} = 0.00 N.P.(3)	x: 0.08 m $\eta < 0.1$	N.P.(4)	N.P.(8)	N.P.(9)	M_{Ed} = 0.00 N.P.(5)	N.P.(6)	N.P.(6)	**CUMPLE** **$\eta < 0.1$**
N3276/N2624	x: 0.08 m $\lambda_w \leq \lambda_{w,máx}$ Cumple	N_{Ed} = 0.00 N.P.(1)	N_{Ed} = 0.00 N.P.(7)	x: 0.159 m $\eta < 0.1$	M_{Ed} = 0.00 N.P.(2)	x: 0.16 m $\eta < 0.1$	V_{Ed} = 0.00 N.P.(3)	x: 0.08 m $\eta < 0.1$	N.P.(4)	N.P.(8)	N.P.(9)	M_{Ed} = 0.00 N.P.(5)	N.P.(6)	N.P.(6)	**CUMPLE** **$\eta < 0.1$**
N3277/N2775	x: 0.08 m $\lambda_w \leq \lambda_{w,máx}$ Cumple	N_{Ed} = 0.00 N.P.(1)	N_{Ed} = 0.00 N.P.(7)	x: 0.159 m $\eta < 0.1$	M_{Ed} = 0.00 N.P.(2)	x: 0.16 m $\eta < 0.1$	V_{Ed} = 0.00 N.P.(3)	x: 0.08 m $\eta < 0.1$	N.P.(4)	N.P.(8)	N.P.(9)	M_{Ed} = 0.00 N.P.(5)	N.P.(6)	N.P.(6)	**CUMPLE** **$\eta < 0.1$**
N3278/N2777	x: 0.08 m $\lambda_w \leq \lambda_{w,máx}$ Cumple	N_{Ed} = 0.00 N.P.(1)	N_{Ed} = 0.00 N.P.(7)	x: 0.159 m $\eta < 0.1$	M_{Ed} = 0.00 N.P.(2)	x: 0.16 m $\eta < 0.1$	V_{Ed} = 0.00 N.P.(3)	x: 0.08 m $\eta < 0.1$	N.P.(4)	N.P.(8)	N.P.(9)	M_{Ed} = 0.00 N.P.(5)	N.P.(6)	N.P.(6)	**CUMPLE** **$\eta < 0.1$**
N3279/N2928	x: 0.08 m $\lambda_w \leq \lambda_{w,máx}$ Cumple	N_{Ed} = 0.00 N.P.(1)	N_{Ed} = 0.00 N.P.(7)	x: 0.159 m $\eta < 0.1$	M_{Ed} = 0.00 N.P.(2)	x: 0.16 m $\eta < 0.1$	V_{Ed} = 0.00 N.P.(3)	x: 0.08 m $\eta < 0.1$	N.P.(4)	N.P.(8)	N.P.(9)	M_{Ed} = 0.00 N.P.(5)	N.P.(6)	N.P.(6)	**CUMPLE** **$\eta < 0.1$**
N3280/N2930	x: 0.08 m $\lambda_w \leq \lambda_{w,máx}$ Cumple	N_{Ed} = 0.00 N.P.(1)	N_{Ed} = 0.00 N.P.(7)	x: 0.159 m $\eta < 0.1$	M_{Ed} = 0.00 N.P.(2)	x: 0.16 m $\eta < 0.1$	V_{Ed} = 0.00 N.P.(3)	x: 0.08 m $\eta < 0.1$	N.P.(4)	N.P.(8)	N.P.(9)	M_{Ed} = 0.00 N.P.(5)	N.P.(6)	N.P.(6)	**CUMPLE** **$\eta < 0.1$**
N1361/N1370	$\lambda_w \leq \lambda_{w,máx}$ Cumple	x: 1.921 m $\eta = 0.7$	x: 0.061 m $\eta = 0.6$	x: 1.922 m $\eta = 2.8$	x: 1.922 m $\eta = 1.5$	$\eta = 0.4$	$\eta = 0.2$	$\eta < 0.1$	$\eta < 0.1$	x: 1.922 m $\eta = 4.1$	$\eta < 0.1$	$\eta = 1.1$	$\eta = 0.4$	$\eta = 0.2$	**CUMPLE** **$\eta = 4.1$**
N1378/N1386	$\lambda_w \leq \lambda_{w,máx}$ Cumple	x: 1.921 m $\eta = 0.2$	x: 0.061 m $\eta = 0.7$	x: 1.922 m $\eta = 3.6$	x: 0.061 m $\eta = 0.8$	$\eta = 0.5$	$\eta = 0.1$	$\eta < 0.1$	$\eta < 0.1$	x: 1.922 m $\eta = 4.6$	$\eta < 0.1$	$\eta = 0.5$	$\eta = 0.5$	$\eta = 0.1$	**CUMPLE** **$\eta = 4.6$**
N1394/N1402	$\lambda_w \leq \lambda_{w,máx}$ Cumple	x: 1.921 m $\eta = 0.1$	x: 0.06 m $\eta = 0.9$	x: 1.922 m $\eta = 3.2$	x: 1.922 m $\eta = 2.9$	$\eta = 0.5$	$\eta = 0.3$	$\eta < 0.1$	$\eta < 0.1$	x: 1.922 m $\eta = 5.6$	$\eta < 0.1$	$\eta = 2.3$	$\eta = 0.5$	$\eta = 0.3$	**CUMPLE** **$\eta = 5.6$**
N2984/N2975	$\lambda_w \leq \lambda_{w,máx}$ Cumple	x: 1.921 m $\eta = 0.5$	x: 0.061 m $\eta = 0.8$	x: 1.922 m $\eta = 3.3$	x: 1.922 m $\eta = 1.5$	$\eta = 0.5$	$\eta = 0.1$	$\eta < 0.1$	$\eta < 0.1$	x: 1.922 m $\eta = 5.0$	$\eta < 0.1$	$\eta = 1.7$	$\eta = 0.5$	$\eta = 0.1$	**CUMPLE** **$\eta = 5.0$**
N2983/N2992	$\lambda_w \leq \lambda_{w,máx}$ Cumple	x: 1.921 m $\eta = 0.3$	x: 0.061 m $\eta = 0.5$	x: 1.922 m $\eta = 2.8$	x: 0.061 m $\eta = 0.7$	$\eta = 0.4$	$\eta < 0.1$	$\eta < 0.1$	$\eta < 0.1$	x: 1.922 m $\eta = 3.6$	$\eta < 0.1$	$\eta = 0.6$	$\eta = 0.4$	$\eta < 0.1$	**CUMPLE** **$\eta = 3.6$**
N3031/N3000	$\lambda_w \leq \lambda_{w,máx}$ Cumple	x: 1.921 m $\eta = 0.1$	x: 0.06 m $\eta = 0.7$	x: 1.922 m $\eta = 2.7$	x: 1.922 m $\eta = 2.8$	$\eta = 0.4$	$\eta = 0.3$	$\eta < 0.1$	$\eta < 0.1$	x: 1.922 m $\eta = 4.8$	$\eta < 0.1$	$\eta = 2.4$	$\eta = 0.4$	$\eta = 0.3$	**CUMPLE** **$\eta = 4.8$**
N2999/N3000	$\lambda_w \leq \lambda_{w,máx}$ Cumple	x: 3.497 m $\eta = 0.1$	x: 0.061 m $\eta = 2.4$	x: 0.061 m $\eta = 1.5$	x: 3.498 m $\eta = 10.5$	x: 0.061 m $\eta = 0.3$	$\eta = 0.8$	$\eta < 0.1$	$\eta < 0.1$	x: 3.498 m $\eta = 13.3$	$\eta < 0.1$	$\eta = 2.2$	x: 0.061 m $\eta = 0.3$	$\eta = 0.8$	**CUMPLE** **$\eta = 13.3$**
N2998/N2999	$\lambda_w \leq \lambda_{w,máx}$ Cumple	x: 3.497 m $\eta = 0.2$	x: 0.061 m $\eta = 3.3$	x: 3.498 m $\eta = 1.0$	x: 0.061 m $\eta = 10.7$	x: 3.498 m $\eta = 0.2$	$\eta = 0.9$	$\eta < 0.1$	$\eta < 0.1$	x: 0.061 m $\eta = 14.7$	$\eta < 0.1$	$\eta = 1.3$	x: 3.498 m $\eta = 0.2$	$\eta = 0.9$	**CUMPLE** **$\eta = 14.7$**
N2997/N2998	$\lambda_w \leq \lambda_{w,máx}$ Cumple	x: 3.497 m $\eta = 0.6$	x: 0.061 m $\eta = 0.3$	x: 3.498 m $\eta = 1.0$	x: 3.498 m $\eta = 4.1$	x: 3.498 m $\eta = 0.2$	$\eta = 0.3$	$\eta < 0.1$	$\eta < 0.1$	x: 3.498 m $\eta = 5.1$	$\eta < 0.1$	$\eta = 1.4$	x: 3.498 m $\eta = 0.2$	$\eta = 0.3$	**CUMPLE** **$\eta = 5.1$**
N2996/N2997	$\lambda_w \leq \lambda_{w,máx}$ Cumple	x: 3.497 m $\eta = 0.9$	x: 0.061 m $\eta = 2.5$	x: 3.498 m $\eta = 1.0$	x: 3.498 m $\eta = 9.5$	x: 0.061 m $\eta = 0.3$	$\eta = 0.8$	$\eta < 0.1$	$\eta < 0.1$	x: 3.498 m $\eta = 12.6$	$\eta < 0.1$	$\eta = 0.4$	x: 0.061 m $\eta = 0.3$	$\eta = 0.8$	**CUMPLE** **$\eta = 12.6$**
N2995/N2996	$\lambda_w \leq \lambda_{w,máx}$ Cumple	x: 3.497 m $\eta = 0.8$	x: 0.061 m $\eta = 2.9$	x: 0.061 m $\eta = 1.0$	x: 0.061 m $\eta = 7.6$	x: 0.061 m $\eta = 0.2$	$\eta = 0.6$	$\eta < 0.1$	$\eta < 0.1$	x: 0.061 m $\eta = 11.1$	$\eta < 0.1$	$\eta = 0.2$	x: 0.061 m $\eta = 0.2$	$\eta = 0.6$	**CUMPLE** **$\eta = 11.1$**
N2994/N2995	$\lambda_w \leq \lambda_{w,máx}$ Cumple	x: 3.497 m $\eta = 0.4$	x: 0.061 m $\eta = 0.3$	x: 3.498 m $\eta = 1.0$	x: 3.498 m $\eta = 4.5$	x: 3.498 m $\eta = 0.2$	$\eta = 0.4$	$\eta < 0.1$	$\eta < 0.1$	x: 3.498 m $\eta = 5.6$	$\eta < 0.1$	$\eta = 1.3$	x: 3.498 m $\eta = 0.2$	$\eta = 0.4$	**CUMPLE** **$\eta = 5.6$**
N2993/N2994	$\lambda_w \leq \lambda_{w,máx}$ Cumple	x: 3.497 m $\eta = 0.5$	x: 0.061 m $\eta = 2.8$	x: 0.061 m $\eta = 1.0$	x: 3.498 m $\eta = 7.9$	x: 0.061 m $\eta = 0.2$	$\eta = 0.7$	$\eta < 0.1$	$\eta < 0.1$	x: 3.498 m $\eta = 11.3$	$\eta < 0.1$	$\eta = 1.3$	x: 0.061 m $\eta = 0.2$	$\eta = 0.7$	**CUMPLE** **$\eta = 11.3$**
N2983/N2993	$\lambda_w \leq \lambda_{w,máx}$ Cumple	x: 3.497 m $\eta = 0.3$	x: 0.061 m $\eta = 1.5$	x: 3.498 m $\eta = 1.0$	x: 0.061 m $\eta = 4.6$	x: 3.498 m $\eta = 0.3$	$\eta = 0.4$	$\eta < 0.1$	$\eta < 0.1$	x: 0.061 m $\eta = 6.3$	$\eta < 0.1$	$\eta = 2.0$	x: 3.498 m $\eta = 0.3$	$\eta = 0.4$	**CUMPLE** **$\eta = 6.3$**
N2991/N2992	$\lambda_w \leq \lambda_{w,máx}$ Cumple	x: 3.497 m $\eta = 0.3$	x: 0.061 m $\eta = 0.8$	x: 0.061 m $\eta = 1.1$	x: 3.498 m $\eta = 2.9$	x: 0.061 m $\eta = 0.3$	$\eta = 0.2$	$\eta < 0.1$	$\eta < 0.1$	x: 3.498 m $\eta = 3.4$	$\eta < 0.1$	$\eta = 1.1$	x: 0.061 m $\eta = 0.3$	$\eta = 0.2$	**CUMPLE** **$\eta = 3.4$**
N2990/N2991	$\lambda_w \leq \lambda_{w,máx}$ Cumple	x: 3.497 m $\eta = 0.5$	x: 0.061 m $\eta = 1.6$	x: 3.498 m $\eta = 1.0$	x: 3.498 m $\eta = 5.8$	x: 3.498 m $\eta = 0.2$	$\eta = 0.5$	$\eta < 0.1$	$\eta < 0.1$	x: 3.498 m $\eta = 7.9$	$\eta < 0.1$	$\eta = 0.8$	x: 3.498 m $\eta = 0.2$	$\eta = 0.5$	**CUMPLE** **$\eta = 7.9$**
N2989/N2990	$\lambda_w \leq \lambda_{w,máx}$ Cumple	x: 3.497 m $\eta = 0.4$	x: 0.705 m $\eta = 0.2$	x: 0.061 m $\eta = 1.0$	x: 0.061 m $\eta = 1.9$	x: 0.061 m $\eta = 0.2$	$\eta = 0.2$	$\eta < 0.1$	$\eta < 0.1$	x: 0.061 m $\eta = 3.2$	$\eta < 0.1$	$\eta = 0.9$	x: 3.498 m $\eta = 0.2$	$\eta = 0.2$	**CUMPLE** **$\eta = 3.2$**
N2988/N2989	$\lambda_w \leq \lambda_{w,máx}$ Cumple	x: 3.497 m $\eta = 0.5$	x: 0.061 m $\eta = 1.3$	x: 3.498 m $\eta = 1.0$	x: 0.061 m $\eta = 4.4$	x: 3.498 m $\eta = 0.2$	$\eta = 0.4$	$\eta < 0.1$	$\eta < 0.1$	x: 3.498 m $\eta = 5.8$	$\eta < 0.1$	$\eta = 0.1$	x: 3.498 m $\eta = 0.2$	$\eta = 0.4$	**CUMPLE** **$\eta = 5.8$**
N2987/N2988	$\lambda_w \leq \lambda_{w,máx}$ Cumple	x: 3.497 m $\eta = 0.3$	x: 0.061 m $\eta = 1.5$	x: 0.061 m $\eta = 0.9$	x: 0.061 m $\eta = 7.4$	x: 3.498 m $\eta = 0.2$	$\eta = 0.6$	$\eta < 0.1$	$\eta < 0.1$	x: 0.061 m $\eta = 9.1$	$\eta < 0.1$	x: 1.779 m $\eta = 0.2$	x: 3.498 m $\eta = 0.2$	$\eta = 0.6$	**CUMPLE** **$\eta = 9.1$**
N2986/N2987	$\lambda_w \leq \lambda_{w,máx}$ Cumple	x: 3.497 m $\eta = 0.4$	x: 0.061 m $\eta = 0.2$	x: 3.498 m $\eta = 0.9$	x: 0.061 m $\eta = 3.9$	x: 3.498 m $\eta = 0.2$	$\eta = 0.3$	$\eta < 0.1$	$\eta < 0.1$	x: 0.061 m $\eta = 5.0$	$\eta < 0.1$	$\eta = 0.7$	x: 3.498 m $\eta = 0.2$	$\eta = 0.3$	**CUMPLE** **$\eta = 5.0$**
N2985/N2986	$\lambda_w \leq \lambda_{w,máx}$ Cumple	x: 3.497 m $\eta = 0.2$	x: 0.061 m $\eta = 3.5$	x: 0.061 m $\eta = 1.0$	x: 3.498 m $\eta = 10.4$	x: 0.061 m $\eta = 0.2$	$\eta = 0.9$	$\eta < 0.1$	$\eta < 0.1$	x: 3.498 m $\eta = 14.6$	$\eta < 0.1$	$\eta = 1.0$	x: 0.061 m $\eta = 0.2$	$\eta = 0.9$	**CUMPLE** **$\eta = 14.6$**

Documento visado electrónicamente con número: VA07290/22
Código de validación telemática TRLTDCFZ60T66IJ1. Comprobación: https://cogitivalencia.e-gestion.es/Validacion.aspx?CVT=TRLTDCFZ60T66IJ1

VISADO
COGITI
Estado
VALENCIA
VA07290/22
TRLTDCFZ60T66IJ1

Barras	COMPROBACIONES (CÓDIGO ESTRUCTURAL)														
	λ_w	N_t	N_c	M_Y	M_Z	V_Z	V_Y	M_YV_Z	M_ZV_Y	NM_YM_Z	$NM_YM_ZV_YV_Z$	M_t	M_tV_Z	M_tV_Y	
N2984/N2985	$\lambda_w \leq \lambda_{w,máx}$ Cumple	x: 3.497 m η < 0.1	x: 0.061 m η = 2.3	x: 3.498 m η = 1.1	x: 0.061 m η = 8.8	x: 3.498 m η = 0.3	η = 0.7	η < 0.1	η < 0.1	x: 0.061 m η = 11.4	η < 0.1	η = 1.3	x: 3.498 m η = 0.3	η = 0.7	**CUMPLE η = 15.6**
N2967/N2968	$\lambda_w \leq \lambda_{w,máx}$ Cumple	N_{Ed} = 0.00 N.P.[1]	x: 0.061 m η = 3.0	x: 3.498 m η = 1.3	x: 0.061 m η = 12.0	x: 3.498 m η = 0.3	η = 1.0	η < 0.1	η < 0.1	x: 0.061 m η = 15.6	η < 0.1	η = 2.0	x: 3.498 m η = 0.3	η = 1.0	**CUMPLE η = 15.6**
N2968/N2969	$\lambda_w \leq \lambda_{w,máx}$ Cumple	x: 3.497 m η = 0.2	x: 0.061 m η = 2.0	x: 0.061 m η = 1.0	x: 0.061 m η = 7.1	x: 0.061 m η = 0.2	η = 0.6	η < 0.1	η < 0.1	x: 0.061 m η = 9.7	η < 0.1	η = 1.4	x: 0.061 m η = 0.2	η = 0.6	**CUMPLE η = 9.7**
N2969/N2970	$\lambda_w \leq \lambda_{w,máx}$ Cumple	x: 3.497 m η = 0.6	x: 0.061 m η = 0.5	x: 3.498 m η = 1.0	x: 0.061 m η = 4.5	x: 3.498 m η = 0.2	η = 0.4	η < 0.1	η < 0.1	x: 0.061 m η = 5.6	η < 0.1	η = 1.3	x: 3.498 m η = 0.2	η = 0.4	**CUMPLE η = 5.6**
N2970/N2971	$\lambda_w \leq \lambda_{w,máx}$ Cumple	x: 3.497 m η = 0.7	x: 0.061 m η = 3.3	x: 0.061 m η = 1.0	x: 0.061 m η = 6.6	x: 3.498 m η = 0.2	η = 0.5	η < 0.1	η < 0.1	x: 0.061 m η = 10.5	η < 0.1	η = 0.4	x: 3.498 m η = 0.2	η = 0.5	**CUMPLE η = 10.5**
N2971/N2972	$\lambda_w \leq \lambda_{w,máx}$ Cumple	x: 3.497 m η = 0.6	x: 0.061 m η = 3.5	x: 3.498 m η = 1.1	x: 3.498 m η = 9.8	x: 0.061 m η = 0.3	η = 0.8	η < 0.1	η < 0.1	x: 0.061 m η = 14.3	η < 0.1	η = 0.5	x: 0.061 m η = 0.3	η = 0.8	**CUMPLE η = 14.3**
N2972/N2973	$\lambda_w \leq \lambda_{w,máx}$ Cumple	x: 3.497 m η = 0.6	x: 0.061 m η = 0.2	x: 3.498 m η = 1.0	x: 3.498 m η = 4.9	x: 3.498 m η = 0.2	η = 0.4	η < 0.1	η < 0.1	x: 3.498 m η = 5.9	η < 0.1	η = 1.7	x: 3.498 m η = 0.2	η = 0.4	**CUMPLE η = 5.9**
N2973/N2974	$\lambda_w \leq \lambda_{w,máx}$ Cumple	x: 3.497 m η = 0.3	x: 0.061 m η = 4.0	x: 3.498 m η = 1.0	x: 0.061 m η = 11.8	x: 3.498 m η = 0.2	η = 1.0	η < 0.1	η < 0.1	x: 0.061 m η = 16.3	η < 0.1	η = 1.3	x: 3.498 m η = 0.2	η = 1.0	**CUMPLE η = 16.3**
N2974/N2975	$\lambda_w \leq \lambda_{w,máx}$ Cumple	x: 3.497 m η = 0.2	x: 0.061 m η = 1.2	x: 0.061 m η = 1.4	x: 0.061 m η = 5.8	x: 0.061 m η = 0.3	η = 0.5	η < 0.1	η < 0.1	x: 0.061 m η = 7.5	η < 0.1	η = 1.6	x: 0.061 m η = 0.3	η = 0.5	**CUMPLE η = 7.5**
N1378/N1395	$\lambda_w \leq \lambda_{w,máx}$ Cumple	x: 3.497 m η = 0.1	x: 0.061 m η = 1.6	x: 3.498 m η = 1.0	x: 0.061 m η = 4.3	x: 3.498 m η = 0.3	η = 0.4	η < 0.1	η < 0.1	x: 3.498 m η = 6.3	η < 0.1	η = 2.0	x: 3.498 m η = 0.3	η = 0.4	**CUMPLE η = 6.3**
N1395/N1396	$\lambda_w \leq \lambda_{w,máx}$ Cumple	x: 3.497 m η = 0.3	x: 0.061 m η = 2.1	x: 0.061 m η = 1.0	x: 3.498 m η = 8.0	x: 0.061 m η = 0.2	η = 0.6	η < 0.1	η < 0.1	x: 3.498 m η = 10.5	η < 0.1	η = 1.4	x: 0.061 m η = 0.2	η = 0.7	**CUMPLE η = 10.5**
N1396/N1397	$\lambda_w \leq \lambda_{w,máx}$ Cumple	x: 3.497 m η = 0.4	x: 0.061 m η = 0.3	x: 3.498 m η = 1.0	x: 3.498 m η = 5.0	x: 3.498 m η = 0.2	η = 0.4	η < 0.1	η < 0.1	x: 3.498 m η = 6.1	η < 0.1	η = 1.3	x: 3.498 m η = 0.2	η = 0.4	**CUMPLE η = 6.1**
N1397/N1398	$\lambda_w \leq \lambda_{w,máx}$ Cumple	x: 3.497 m η = 0.4	x: 0.061 m η = 3.3	x: 0.061 m η = 1.0	x: 0.061 m η = 8.6	x: 0.061 m η = 0.2	η = 0.7	η < 0.1	η < 0.1	x: 0.061 m η = 12.6	η < 0.1	η = 0.2	x: 0.061 m η = 0.2	η = 0.7	**CUMPLE η = 12.6**
N1398/N1399	$\lambda_w \leq \lambda_{w,máx}$ Cumple	x: 3.497 m η = 0.6	x: 0.061 m η = 3.2	x: 3.498 m η = 1.0	x: 3.498 m η = 11.8	x: 0.061 m η = 0.3	η = 1.0	η < 0.1	η < 0.1	x: 3.498 m η = 15.6	η < 0.1	η = 0.4	x: 0.061 m η = 0.3	η = 1.0	**CUMPLE η = 15.6**
N1399/N1400	$\lambda_w \leq \lambda_{w,máx}$ Cumple	x: 3.497 m η = 0.6	x: 0.061 m η = 0.3	x: 3.498 m η = 1.0	x: 3.498 m η = 5.1	x: 3.498 m η = 0.2	η = 0.4	η < 0.1	η < 0.1	x: 3.498 m η = 6.2	η < 0.1	η = 1.5	x: 3.498 m η = 0.2	η = 0.4	**CUMPLE η = 6.2**
N1400/N1401	$\lambda_w \leq \lambda_{w,máx}$ Cumple	x: 3.497 m η = 0.2	x: 0.061 m η = 4.1	x: 3.498 m η = 1.0	x: 0.061 m η = 13.0	x: 3.498 m η = 0.2	η = 1.1	η < 0.1	η < 0.1	x: 0.061 m η = 18.0	η < 0.1	η = 1.3	x: 3.498 m η = 0.2	η = 1.1	**CUMPLE η = 18.0**
N1401/N1402	$\lambda_w \leq \lambda_{w,máx}$ Cumple	x: 1.135 m η = 0.1	x: 0.061 m η = 2.7	x: 0.061 m η = 1.5	x: 3.498 m η = 12.5	x: 0.061 m η = 0.3	η = 1.0	η < 0.1	η < 0.1	x: 3.498 m η = 15.6	η < 0.1	η = 2.1	x: 0.061 m η = 0.3	η = 1.0	**CUMPLE η = 15.6**
N1361/N1379	$\lambda_w \leq \lambda_{w,máx}$ Cumple	x: 3.497 m η = 0.1	x: 0.061 m η = 1.1	x: 3.498 m η = 1.1	x: 0.061 m η = 4.3	x: 3.498 m η = 0.3	η = 0.3	η < 0.1	η < 0.1	x: 0.061 m η = 5.6	η < 0.1	η = 1.4	x: 3.498 m η = 0.3	η = 0.3	**CUMPLE η = 5.6**
N1379/N1380	$\lambda_w \leq \lambda_{w,máx}$ Cumple	x: 3.497 m η = 0.4	x: 0.061 m η = 2.9	x: 0.061 m η = 1.0	x: 3.498 m η = 8.7	x: 0.061 m η = 0.2	η = 0.7	η < 0.1	η < 0.1	x: 3.498 m η = 12.2	η < 0.1	η = 0.9	x: 0.061 m η = 0.2	η = 0.7	**CUMPLE η = 12.2**
N1380/N1381	$\lambda_w \leq \lambda_{w,máx}$ Cumple	x: 3.497 m η = 0.4	x: 0.061 m η = 0.2	x: 3.498 m η = 0.9	x: 0.061 m η = 2.8	x: 3.498 m η = 0.2	η = 0.2	η < 0.1	η < 0.1	x: 0.061 m η = 3.8	η < 0.1	η = 0.7	x: 3.498 m η = 0.2	η = 0.2	**CUMPLE η = 3.8**
N1381/N1382	$\lambda_w \leq \lambda_{w,máx}$ Cumple	x: 3.497 m η = 0.4	x: 0.061 m η = 1.4	x: 0.061 m η = 0.9	x: 0.061 m η = 5.2	x: 3.498 m η = 0.2	η = 0.4	η < 0.1	η < 0.1	x: 0.061 m η = 6.5	η < 0.1	η = 0.2	x: 3.498 m η = 0.2	η = 0.4	**CUMPLE η = 6.5**
N1382/N1383	$\lambda_w \leq \lambda_{w,máx}$ Cumple	x: 3.497 m η = 0.5	x: 0.061 m η = 1.7	x: 3.498 m η = 1.0	x: 3.498 m η = 4.6	x: 3.498 m η = 0.2	η = 0.4	η < 0.1	η < 0.1	x: 0.061 m η = 6.7	η < 0.1	η = 0.1	x: 3.498 m η = 0.2	η = 0.4	**CUMPLE η = 6.7**
N1383/N1384	$\lambda_w \leq \lambda_{w,máx}$ Cumple	x: 3.497 m η = 0.4	x: 0.061 m η = 0.2	x: 0.061 m η = 1.0	x: 0.061 m η = 1.9	x: 3.498 m η = 0.2	η = 0.2	η < 0.1	η < 0.1	x: 0.061 m η = 2.8	η < 0.1	η = 0.9	x: 3.498 m η = 0.2	η = 0.2	**CUMPLE η = 2.8**
N1384/N1385	$\lambda_w \leq \lambda_{w,máx}$ Cumple	x: 3.497 m η = 0.5	x: 0.061 m η = 2.3	x: 3.498 m η = 1.0	x: 0.061 m η = 7.7	x: 3.498 m η = 0.2	η = 0.7	η < 0.1	η < 0.1	x: 3.498 m η = 10.8	η < 0.1	η = 0.8	x: 3.498 m η = 0.2	η = 0.7	**CUMPLE η = 10.8**
N1385/N1386	$\lambda_w \leq \lambda_{w,máx}$ Cumple	x: 3.497 m η = 0.1	x: 0.061 m η = 1.2	x: 0.061 m η = 1.2	x: 3.498 m η = 5.1	x: 0.061 m η = 0.3	η = 0.4	η < 0.1	η < 0.1	x: 3.498 m η = 6.4	η < 0.1	η = 1.1	x: 0.061 m η = 0.3	η = 0.4	**CUMPLE η = 6.4**
N1362/N1363	$\lambda_w \leq \lambda_{w,máx}$ Cumple	N_{Ed} = 0.00 N.P.[1]	x: 0.061 m η = 2.1	x: 3.498 m η = 1.3	x: 0.061 m η = 12.8	x: 3.498 m η = 0.3	η = 1.0	η < 0.1	η < 0.1	x: 0.061 m η = 15.4	η < 0.1	η = 2.0	x: 3.498 m η = 0.3	η = 1.0	**CUMPLE η = 15.4**
N1363/N1364	$\lambda_w \leq \lambda_{w,máx}$ Cumple	N_{Ed} = 0.00 N.P.[1]	x: 0.061 m η = 4.8	x: 3.498 m η = 1.0	x: 0.061 m η = 15.9	x: 0.061 m η = 0.2	η = 1.3	η < 0.1	η < 0.1	x: 0.061 m η = 21.9	η < 0.1	η = 1.4	x: 0.061 m η = 0.2	η = 1.4	**CUMPLE η = 21.9**
N1364/N1365	$\lambda_w \leq \lambda_{w,máx}$ Cumple	x: 3.497 m η = 0.7	x: 0.061 m η = 0.4	x: 0.061 m η = 1.0	x: 0.061 m η = 7.2	x: 0.061 m η = 0.2	η = 0.6	η < 0.1	η < 0.1	x: 0.061 m η = 8.6	η < 0.1	η = 1.3	x: 0.061 m η = 0.2	η = 0.6	**CUMPLE η = 8.6**
N1365/N1366	$\lambda_w \leq \lambda_{w,máx}$ Cumple	x: 3.497 m η = 0.4	x: 0.061 m η = 3.1	x: 3.498 m η = 1.0	x: 0.061 m η = 13.9	x: 3.498 m η = 0.2	η = 1.1	η < 0.1	η < 0.1	x: 0.061 m η = 17.4	η < 0.1	η = 0.5	x: 3.498 m η = 0.3	η = 1.1	**CUMPLE η = 17.4**
N1366/N1367	$\lambda_w \leq \lambda_{w,máx}$ Cumple	N_{Ed} = 0.00 N.P.[1]	x: 0.061 m η = 3.0	x: 3.498 m η = 1.1	x: 0.061 m η = 10.0	x: 3.498 m η = 0.3	η = 0.8	η < 0.1	η < 0.1	x: 3.498 m η = 13.8	η < 0.1	η = 0.5	x: 3.498 m η = 0.3	η = 0.9	**CUMPLE η = 13.8**
N1367/N1368	$\lambda_w \leq \lambda_{w,máx}$ Cumple	x: 3.497 m η = 0.4	x: 0.061 m η = 0.3	x: 0.061 m η = 1.0	x: 0.061 m η = 4.9	x: 0.061 m η = 0.2	η = 0.4	η < 0.1	η < 0.1	x: 0.061 m η = 6.3	η < 0.1	η = 1.6	x: 0.061 m η = 0.2	η = 0.4	**CUMPLE η = 6.3**
N1368/N1369	$\lambda_w \leq \lambda_{w,máx}$ Cumple	x: 3.497 m η = 0.2	x: 0.061 m η = 1.5	x: 3.498 m η = 1.0	x: 0.061 m η = 8.8	x: 3.498 m η = 0.2	η = 0.7	η < 0.1	η < 0.1	x: 0.061 m η = 11.0	η < 0.1	η = 1.3	x: 3.498 m η = 0.2	η = 0.7	**CUMPLE η = 11.0**
N1369/N1370	$\lambda_w \leq \lambda_{w,máx}$ Cumple	x: 3.497 m η = 0.2	x: 0.061 m η = 1.2	x: 0.061 m η = 1.3	x: 0.061 m η = 4.3	x: 0.061 m η = 0.3	η = 0.4	η < 0.1	η < 0.1	x: 0.061 m η = 6.1	η < 0.1	η = 1.6	x: 0.061 m η = 0.3	η = 0.4	**CUMPLE η = 6.1**
N3000/N3281	x: 0.06 m $\lambda_w \leq \lambda_{w,máx}$ Cumple	N_{Ed} = 0.00 N.P.[1]	N_{Ed} = 0.00 N.P.[7]	x: 0.06 m η = 1.2	x: 0.06 m η = 2.3	x: 0.1 m η = 4.3	η = 8.5	x: 0.06 m η < 0.1	x: 0.06 m η < 0.1	x: 0.06 m η = 2.9	x: 0.06 m η < 0.1	M_{Ed} = 0.00 N.P.[5]	N.P.[6]	N.P.[6]	**CUMPLE η = 8.5**
N3031/N3282	x: 0.06 m $\lambda_w \leq \lambda_{w,máx}$ Cumple	N_{Ed} = 0.00 N.P.[1]	N_{Ed} = 0.00 N.P.[7]	x: 0.06 m η = 0.7	x: 0.06 m η = 0.1	x: 0.1 m η = 2.7	η = 0.5	x: 0.06 m η < 0.1	x: 0.06 m η < 0.1	x: 0.06 m η = 0.8	x: 0.06 m η < 0.1	M_{Ed} = 0.00 N.P.[5]	N.P.[6]	N.P.[6]	**CUMPLE η = 2.7**
N2999/N3283	x: 0.06 m $\lambda_w \leq \lambda_{w,máx}$ Cumple	N_{Ed} = 0.00 N.P.[1]	N_{Ed} = 0.00 N.P.[7]	x: 0.06 m η = 0.7	x: 0.06 m η = 6.9	x: 0.1 m η = 2.7	η = 25.2	x: 0.06 m η < 0.1	x: 0.06 m η < 0.1	x: 0.06 m η = 7.2	x: 0.06 m η < 0.1	M_{Ed} = 0.00 N.P.[5]	N.P.[6]	N.P.[6]	**CUMPLE η = 25.2**
N3014/N3284	x: 0.06 m $\lambda_w \leq \lambda_{w,máx}$ Cumple	N_{Ed} = 0.00 N.P.[1]	N_{Ed} = 0.00 N.P.[7]	x: 0.06 m η = 0.5	x: 0.06 m η < 0.1	x: 0.1 m η = 1.9	η = 0.1	x: 0.06 m η < 0.1	x: 0.06 m η < 0.1	x: 0.06 m η = 0.5	x: 0.06 m η < 0.1	M_{Ed} = 0.00 N.P.[5]	N.P.[6]	N.P.[6]	**CUMPLE η = 1.9**
N2998/N3285	x: 0.06 m $\lambda_w \leq \lambda_{w,máx}$ Cumple	N_{Ed} = 0.00 N.P.[1]	N_{Ed} = 0.00 N.P.[7]	x: 0.06 m η = 0.9	x: 0.06 m η = 5.6	x: 0.1 m η = 3.3	η = 20.4	x: 0.06 m η < 0.1	x: 0.06 m η < 0.1	x: 0.06 m η = 5.6	x: 0.06 m η < 0.1	M_{Ed} = 0.00 N.P.[5]	N.P.[6]	N.P.[6]	**CUMPLE η = 20.4**
N3013/N3286	x: 0.06 m $\lambda_w \leq \lambda_{w,máx}$ Cumple	N_{Ed} = 0.00 N.P.[1]	N_{Ed} = 0.00 N.P.[7]	x: 0.06 m η = 0.8	x: 0.06 m η < 0.1	x: 0.1 m η = 3.1	η = 0.1	x: 0.06 m η < 0.1	x: 0.06 m η < 0.1	x: 0.06 m η = 0.8	x: 0.06 m η < 0.1	M_{Ed} = 0.00 N.P.[5]	N.P.[6]	N.P.[6]	**CUMPLE η = 3.1**
N2997/N3287	x: 0.06 m $\lambda_w \leq \lambda_{w,máx}$ Cumple	N_{Ed} = 0.00 N.P.[1]	N_{Ed} = 0.00 N.P.[7]	x: 0.06 m η = 1.0	x: 0.06 m η = 5.2	x: 0.1 m η = 3.6	η = 18.8	x: 0.06 m η < 0.1	x: 0.06 m η < 0.1	x: 0.06 m η = 5.3	x: 0.06 m η < 0.1	M_{Ed} = 0.00 N.P.[5]	N.P.[6]	N.P.[6]	**CUMPLE η = 18.8**

Documento visado electrónicamente con número: VA07290/22
Código de validación telemática TRLTDCFZ60T66IJ1. Comprobación: https://cogitivalencia.e-gestion.es/Validacion.aspx?CVT=TRLTDCFZ60T66IJ1

VISADO
COGITI
Estado
VALENCIA
VA07299/22
TRLTDCFZ60T66IJ1

Barras	COMPROBACIONES (CÓDIGO ESTRUCTURAL)														
	λ_w	N_t	N_c	M_Y	M_Z	V_Z	V_Y	M_YV_Z	M_ZV_Y	NM_YM_Z	$NM_YM_ZV_YV_Z$	M_t	M_tV_Z	M_tV_Y	
N3012/N3288	x: 0.06 m $\lambda_w \leq \lambda_{w,máx}$ Cumple	N_{Ed} = 0.00 N.P.(1)	N_{Ed} = 0.00 N.P.(7)	x: 0.06 m η = 0.7	x: 0.06 m η < 0.1	x: 0.1 m η = 2.5	η = 0.1	x: 0.06 m η < 0.1	x: 0.06 m η < 0.1	x: 0.06 m η = 0.7	x: 0.06 m η < 0.1	M_{Ed} = 0.00 N.P.(5)	N.P.(6)	N.P.(6)	**CUMPLE** **η = 2.5**
N2996/N3289	x: 0.06 m $\lambda_w \leq \lambda_{w,máx}$ Cumple	N_{Ed} = 0.00 N.P.(1)	N_{Ed} = 0.00 N.P.(7)	x: 0.06 m η = 0.9	x: 0.06 m η = 5.9	x: 0.1 m η = 3.5	η = 21.5	x: 0.06 m η < 0.1	x: 0.06 m η < 0.1	x: 0.06 m η = 6.1	x: 0.06 m η < 0.1	M_{Ed} = 0.00 N.P.(5)	N.P.(6)	N.P.(6)	**CUMPLE** **η = 21.5**
N3011/N3290	x: 0.06 m $\lambda_w \leq \lambda_{w,máx}$ Cumple	N_{Ed} = 0.00 N.P.(1)	N_{Ed} = 0.00 N.P.(7)	x: 0.06 m η = 1.0	x: 0.06 m η < 0.1	x: 0.1 m η = 3.7	η < 0.1	x: 0.06 m η < 0.1	x: 0.06 m η < 0.1	x: 0.06 m η = 0.4	x: 0.06 m η < 0.1	M_{Ed} = 0.00 N.P.(5)	N.P.(6)	N.P.(6)	**CUMPLE** **η = 3.7**
N2995/N3291	x: 0.06 m $\lambda_w \leq \lambda_{w,máx}$ Cumple	N_{Ed} = 0.00 N.P.(1)	N_{Ed} = 0.00 N.P.(7)	x: 0.06 m η = 0.8	x: 0.06 m η = 4.8	x: 0.1 m η = 3.1	η = 17.5	x: 0.06 m η < 0.1	x: 0.06 m η < 0.1	x: 0.06 m η = 5.1	x: 0.06 m η < 0.1	M_{Ed} = 0.00 N.P.(5)	N.P.(6)	N.P.(6)	**CUMPLE** **η = 17.5**
N3010/N3292	x: 0.06 m $\lambda_w \leq \lambda_{w,máx}$ Cumple	N_{Ed} = 0.00 N.P.(1)	N_{Ed} = 0.00 N.P.(7)	x: 0.06 m η = 0.7	x: 0.06 m η < 0.1	x: 0.1 m η = 2.6	η = 0.1	x: 0.06 m η < 0.1	x: 0.06 m η < 0.1	x: 0.06 m η = 0.7	x: 0.06 m η < 0.1	M_{Ed} = 0.00 N.P.(5)	N.P.(6)	N.P.(6)	**CUMPLE** **η = 2.6**
N2994/N3293	x: 0.06 m $\lambda_w \leq \lambda_{w,máx}$ Cumple	N_{Ed} = 0.00 N.P.(1)	N_{Ed} = 0.00 N.P.(7)	x: 0.06 m η = 0.7	x: 0.06 m η = 4.7	x: 0.1 m η = 2.6	η = 17.0	x: 0.06 m η < 0.1	x: 0.06 m η < 0.1	x: 0.06 m η = 4.9	x: 0.06 m η < 0.1	M_{Ed} = 0.00 N.P.(5)	N.P.(6)	N.P.(6)	**CUMPLE** **η = 17.0**
N3009/N3294	x: 0.06 m $\lambda_w \leq \lambda_{w,máx}$ Cumple	N_{Ed} = 0.00 N.P.(1)	N_{Ed} = 0.00 N.P.(7)	x: 0.06 m η = 0.7	x: 0.06 m η < 0.1	x: 0.1 m η = 2.6	η = 0.1	x: 0.06 m η < 0.1	x: 0.06 m η < 0.1	x: 0.06 m η = 0.7	x: 0.06 m η < 0.1	M_{Ed} = 0.00 N.P.(5)	N.P.(6)	N.P.(6)	**CUMPLE** **η = 2.6**
N2993/N3295	x: 0.06 m $\lambda_w \leq \lambda_{w,máx}$ Cumple	N_{Ed} = 0.00 N.P.(1)	N_{Ed} = 0.00 N.P.(7)	x: 0.06 m η = 0.6	x: 0.06 m η = 4.5	x: 0.1 m η = 2.3	η = 16.4	x: 0.06 m η < 0.1	x: 0.06 m η < 0.1	x: 0.06 m η = 4.8	x: 0.06 m η < 0.1	M_{Ed} = 0.00 N.P.(5)	N.P.(6)	N.P.(6)	**CUMPLE** **η = 16.4**
N3008/N3296	x: 0.06 m $\lambda_w \leq \lambda_{w,máx}$ Cumple	N_{Ed} = 0.00 N.P.(1)	N_{Ed} = 0.00 N.P.(7)	x: 0.06 m η = 0.5	x: 0.06 m η < 0.1	x: 0.1 m η = 1.7	η = 0.1	x: 0.06 m η < 0.1	x: 0.06 m η < 0.1	x: 0.06 m η = 0.5	x: 0.06 m η < 0.1	M_{Ed} = 0.00 N.P.(5)	N.P.(6)	N.P.(6)	**CUMPLE** **η = 1.7**
N2992/N3297	x: 0.06 m $\lambda_w \leq \lambda_{w,máx}$ Cumple	N_{Ed} = 0.00 N.P.(1)	N_{Ed} = 0.00 N.P.(7)	x: 0.06 m η = 1.4	x: 0.06 m η = 0.5	x: 0.1 m η = 5.3	η = 2.0	x: 0.06 m η < 0.1	x: 0.06 m η < 0.1	x: 0.06 m η = 1.7	x: 0.06 m η < 0.1	M_{Ed} = 0.00 N.P.(5)	N.P.(6)	N.P.(6)	**CUMPLE** **η = 5.3**
N2983/N3298	x: 0.06 m $\lambda_w \leq \lambda_{w,máx}$ Cumple	N_{Ed} = 0.00 N.P.(1)	N_{Ed} = 0.00 N.P.(7)	x: 0.06 m η = 0.6	x: 0.06 m η = 1.4	x: 0.1 m η = 2.3	η = 5.1	x: 0.06 m η < 0.1	x: 0.06 m η < 0.1	x: 0.06 m η = 1.6	x: 0.06 m η < 0.1	M_{Ed} = 0.00 N.P.(5)	N.P.(6)	N.P.(6)	**CUMPLE** **η = 5.1**
N2991/N3299	x: 0.06 m $\lambda_w \leq \lambda_{w,máx}$ Cumple	N_{Ed} = 0.00 N.P.(1)	N_{Ed} = 0.00 N.P.(7)	x: 0.06 m η = 0.5	x: 0.06 m η = 2.3	x: 0.1 m η = 1.9	η = 8.3	x: 0.06 m η < 0.1	x: 0.06 m η < 0.1	x: 0.06 m η = 2.4	x: 0.06 m η < 0.1	M_{Ed} = 0.00 N.P.(5)	N.P.(6)	N.P.(6)	**CUMPLE** **η = 8.3**
N2982/N3300	x: 0.06 m $\lambda_w \leq \lambda_{w,máx}$ Cumple	N_{Ed} = 0.00 N.P.(1)	N_{Ed} = 0.00 N.P.(7)	x: 0.06 m η = 0.3	x: 0.06 m η < 0.1	x: 0.1 m η = 1.2	η = 0.1	x: 0.06 m η < 0.1	x: 0.06 m η < 0.1	x: 0.06 m η = 0.3	x: 0.06 m η < 0.1	M_{Ed} = 0.00 N.P.(5)	N.P.(6)	N.P.(6)	**CUMPLE** **η = 1.2**
N2981/N3301	x: 0.06 m $\lambda_w \leq \lambda_{w,máx}$ Cumple	N_{Ed} = 0.00 N.P.(1)	N_{Ed} = 0.00 N.P.(7)	x: 0.06 m η = 0.5	x: 0.06 m η < 0.1	x: 0.1 m η = 2.1	η = 0.1	x: 0.06 m η < 0.1	x: 0.06 m η < 0.1	x: 0.06 m η = 0.6	x: 0.06 m η < 0.1	M_{Ed} = 0.00 N.P.(5)	N.P.(6)	N.P.(6)	**CUMPLE** **η = 2.1**
N2990/N3302	x: 0.06 m $\lambda_w \leq \lambda_{w,máx}$ Cumple	N_{Ed} = 0.00 N.P.(1)	N_{Ed} = 0.00 N.P.(7)	x: 0.06 m η = 0.5	x: 0.06 m η = 2.5	x: 0.1 m η = 1.7	η = 9.0	x: 0.06 m η < 0.1	x: 0.06 m η < 0.1	x: 0.06 m η = 2.6	x: 0.06 m η < 0.1	M_{Ed} = 0.00 N.P.(5)	N.P.(6)	N.P.(6)	**CUMPLE** **η = 9.0**
N2980/N3303	x: 0.06 m $\lambda_w \leq \lambda_{w,máx}$ Cumple	N_{Ed} = 0.00 N.P.(1)	N_{Ed} = 0.00 N.P.(7)	x: 0.06 m η = 0.5	x: 0.06 m η < 0.1	x: 0.1 m η = 1.7	η < 0.1	x: 0.06 m η < 0.1	x: 0.06 m η < 0.1	x: 0.06 m η = 0.5	x: 0.06 m η < 0.1	M_{Ed} = 0.00 N.P.(5)	N.P.(6)	N.P.(6)	**CUMPLE** **η = 1.7**
N2989/N3304	x: 0.06 m $\lambda_w \leq \lambda_{w,máx}$ Cumple	N_{Ed} = 0.00 N.P.(1)	N_{Ed} = 0.00 N.P.(7)	x: 0.06 m η = 0.6	x: 0.06 m η = 2.1	x: 0.1 m η = 2.2	η = 7.8	x: 0.06 m η < 0.1	x: 0.06 m η < 0.1	x: 0.06 m η = 2.2	x: 0.06 m η < 0.1	M_{Ed} = 0.00 N.P.(5)	N.P.(6)	N.P.(6)	**CUMPLE** **η = 7.8**
N2979/N3305	x: 0.06 m $\lambda_w \leq \lambda_{w,máx}$ Cumple	N_{Ed} = 0.00 N.P.(1)	N_{Ed} = 0.00 N.P.(7)	x: 0.06 m η = 0.7	x: 0.06 m η < 0.1	x: 0.1 m η = 2.6	η < 0.1	x: 0.06 m η < 0.1	x: 0.06 m η < 0.1	x: 0.06 m η = 0.4	x: 0.06 m η < 0.1	M_{Ed} = 0.00 N.P.(5)	N.P.(6)	N.P.(6)	**CUMPLE** **η = 2.6**
N2988/N3306	x: 0.06 m $\lambda_w \leq \lambda_{w,máx}$ Cumple	N_{Ed} = 0.00 N.P.(1)	N_{Ed} = 0.00 N.P.(7)	x: 0.06 m η = 0.6	x: 0.06 m η = 3.5	x: 0.1 m η = 2.3	η = 12.8	x: 0.06 m η < 0.1	x: 0.06 m η < 0.1	x: 0.06 m η = 3.6	x: 0.06 m η < 0.1	M_{Ed} = 0.00 N.P.(5)	N.P.(6)	N.P.(6)	**CUMPLE** **η = 12.8**
N2978/N3307	x: 0.06 m $\lambda_w \leq \lambda_{w,máx}$ Cumple	N_{Ed} = 0.00 N.P.(1)	N_{Ed} = 0.00 N.P.(7)	x: 0.06 m η = 0.5	x: 0.06 m η < 0.1	x: 0.1 m η = 2.0	η < 0.1	x: 0.06 m η < 0.1	x: 0.06 m η < 0.1	x: 0.06 m η = 0.3	x: 0.06 m η < 0.1	M_{Ed} = 0.00 N.P.(5)	N.P.(6)	N.P.(6)	**CUMPLE** **η = 2.0**
N2987/N3308	x: 0.06 m $\lambda_w \leq \lambda_{w,máx}$ Cumple	N_{Ed} = 0.00 N.P.(1)	N_{Ed} = 0.00 N.P.(7)	x: 0.06 m η = 0.6	x: 0.06 m η = 4.3	x: 0.1 m η = 2.1	η = 15.7	x: 0.06 m η < 0.1	x: 0.06 m η < 0.1	x: 0.06 m η = 4.4	x: 0.06 m η < 0.1	M_{Ed} = 0.00 N.P.(5)	N.P.(6)	N.P.(6)	**CUMPLE** **η = 15.7**
N2977/N3309	x: 0.06 m $\lambda_w \leq \lambda_{w,máx}$ Cumple	N_{Ed} = 0.00 N.P.(1)	N_{Ed} = 0.00 N.P.(7)	x: 0.06 m η = 0.5	x: 0.06 m η < 0.1	x: 0.1 m η = 2.0	η = 0.1	x: 0.06 m η < 0.1	x: 0.06 m η < 0.1	x: 0.06 m η = 0.5	x: 0.06 m η < 0.1	M_{Ed} = 0.00 N.P.(5)	N.P.(6)	N.P.(6)	**CUMPLE** **η = 2.0**
N2986/N3310	x: 0.06 m $\lambda_w \leq \lambda_{w,máx}$ Cumple	N_{Ed} = 0.00 N.P.(1)	N_{Ed} = 0.00 N.P.(7)	x: 0.06 m η = 0.6	x: 0.06 m η = 5.5	x: 0.1 m η = 2.1	η = 20.1	x: 0.06 m η < 0.1	x: 0.06 m η < 0.1	x: 0.06 m η = 5.7	x: 0.06 m η < 0.1	M_{Ed} = 0.00 N.P.(5)	N.P.(6)	N.P.(6)	**CUMPLE** **η = 20.1**
N2976/N3311	x: 0.06 m $\lambda_w \leq \lambda_{w,máx}$ Cumple	N_{Ed} = 0.00 N.P.(1)	N_{Ed} = 0.00 N.P.(7)	x: 0.06 m η = 0.4	x: 0.06 m η < 0.1	x: 0.1 m η = 1.7	η = 0.1	x: 0.06 m η < 0.1	x: 0.06 m η < 0.1	x: 0.06 m η = 0.4	x: 0.06 m η < 0.1	M_{Ed} = 0.00 N.P.(5)	N.P.(6)	N.P.(6)	**CUMPLE** **η = 1.7**
N2985/N3312	x: 0.06 m $\lambda_w \leq \lambda_{w,máx}$ Cumple	N_{Ed} = 0.00 N.P.(1)	N_{Ed} = 0.00 N.P.(7)	x: 0.06 m η = 0.7	x: 0.06 m η = 6.8	x: 0.1 m η = 2.8	η = 24.9	x: 0.06 m η < 0.1	x: 0.06 m η < 0.1	x: 0.06 m η = 7.2	x: 0.06 m η < 0.1	M_{Ed} = 0.00 N.P.(5)	N.P.(6)	N.P.(6)	**CUMPLE** **η = 24.9**
N2984/N3313	x: 0.06 m $\lambda_w \leq \lambda_{w,máx}$ Cumple	N_{Ed} = 0.00 N.P.(1)	N_{Ed} = 0.00 N.P.(7)	x: 0.06 m η = 0.9	x: 0.06 m η = 2.2	x: 0.1 m η = 3.5	η = 8.0	x: 0.06 m η < 0.1	x: 0.06 m η < 0.1	x: 0.06 m η = 2.5	x: 0.06 m η < 0.1	M_{Ed} = 0.00 N.P.(5)	N.P.(6)	N.P.(6)	**CUMPLE** **η = 8.0**
N2975/N3314	x: 0.06 m $\lambda_w \leq \lambda_{w,máx}$ Cumple	N_{Ed} = 0.00 N.P.(1)	N_{Ed} = 0.00 N.P.(7)	x: 0.06 m η = 1.8	x: 0.06 m η = 2.2	x: 0.1 m η = 6.8	η = 8.1	x: 0.06 m η < 0.1	x: 0.06 m η < 0.1	x: 0.06 m η = 2.7	x: 0.06 m η < 0.1	M_{Ed} = 0.00 N.P.(5)	N.P.(6)	N.P.(6)	**CUMPLE** **η = 8.1**
N3007/N3315	x: 0.06 m $\lambda_w \leq \lambda_{w,máx}$ Cumple	N_{Ed} = 0.00 N.P.(1)	N_{Ed} = 0.00 N.P.(7)	x: 0.06 m η = 0.4	x: 0.06 m η < 0.1	x: 0.1 m η = 1.6	η = 0.1	x: 0.06 m η < 0.1	x: 0.06 m η < 0.1	x: 0.06 m η = 0.4	x: 0.06 m η < 0.1	M_{Ed} = 0.00 N.P.(5)	N.P.(6)	N.P.(6)	**CUMPLE** **η = 1.6**
N2974/N3316	x: 0.06 m $\lambda_w \leq \lambda_{w,máx}$ Cumple	N_{Ed} = 0.00 N.P.(1)	N_{Ed} = 0.00 N.P.(7)	x: 0.06 m η = 0.6	x: 0.06 m η = 4.3	x: 0.1 m η = 2.2	η = 15.6	x: 0.06 m η < 0.1	x: 0.06 m η < 0.1	x: 0.06 m η = 4.4	x: 0.06 m η < 0.1	M_{Ed} = 0.00 N.P.(5)	N.P.(6)	N.P.(6)	**CUMPLE** **η = 15.6**
N3006/N3317	x: 0.06 m $\lambda_w \leq \lambda_{w,máx}$ Cumple	N_{Ed} = 0.00 N.P.(1)	N_{Ed} = 0.00 N.P.(7)	x: 0.06 m η = 0.7	x: 0.06 m η < 0.1	x: 0.1 m η = 2.7	η = 0.1	x: 0.06 m η < 0.1	x: 0.06 m η < 0.1	x: 0.06 m η = 0.7	x: 0.06 m η < 0.1	M_{Ed} = 0.00 N.P.(5)	N.P.(6)	N.P.(6)	**CUMPLE** **η = 2.7**
N2973/N3318	x: 0.06 m $\lambda_w \leq \lambda_{w,máx}$ Cumple	N_{Ed} = 0.00 N.P.(1)	N_{Ed} = 0.00 N.P.(7)	x: 0.06 m η = 0.8	x: 0.06 m η = 6.6	x: 0.1 m η = 3.0	η = 24.1	x: 0.06 m η < 0.1	x: 0.06 m η < 0.1	x: 0.06 m η = 6.9	x: 0.06 m η < 0.1	M_{Ed} = 0.00 N.P.(5)	N.P.(6)	N.P.(6)	**CUMPLE** **η = 24.1**

Documento visado electrónicamente con número: VA07299/22
Código de validación telemática: TRLTDCFZ60T66IJ1. Comprobación: https://cogitivalencia.e-gestion.es/Validacion.aspx?CVT=TRLTDCFZ60T66IJ1

VISADO
COGITI
Estado
VALENCIA
VA07290/22
TRLTDCFZ60T66IJ1

Barras	COMPROBACIONES (CÓDIGO ESTRUCTURAL)														
	λ_w	N_t	N_c	M_y	M_z	V_z	V_y	M_yV_z	M_zV_y	NM_yM_z	$NM_yM_zV_yV_z$	M_t	M_tV_z	M_tV_y	
N3005/N3319	x: 0.06 m $\lambda_w \leq \lambda_{w,máx}$ Cumple	N_{Ed} = 0.00 N.P.(1)	N_{Ed} = 0.00 N.P.(7)	x: 0.06 m η = 0.7	x: 0.06 m η < 0.1	x: 0.1 m η = 2.6	η = 0.1	x: 0.06 m η < 0.1	x: 0.06 m η < 0.1	x: 0.06 m η = 0.7	x: 0.06 m η < 0.1	M_{Ed} = 0.00 N.P.(5)	N.P.(6)	N.P.(6)	**CUMPLE** **η = 2.6**
N2972/N3320	x: 0.06 m $\lambda_w \leq \lambda_{w,máx}$ Cumple	N_{Ed} = 0.00 N.P.(1)	N_{Ed} = 0.00 N.P.(7)	x: 0.06 m η = 1.0	x: 0.06 m η = 5.7	x: 0.1 m η = 3.8	η = 20.6	x: 0.06 m η < 0.1	x: 0.06 m η < 0.1	x: 0.06 m η = 6.1	x: 0.06 m η < 0.1	M_{Ed} = 0.00 N.P.(5)	N.P.(6)	N.P.(6)	**CUMPLE** **η = 20.6**
N3004/N3321	x: 0.06 m $\lambda_w \leq \lambda_{w,máx}$ Cumple	N_{Ed} = 0.00 N.P.(1)	N_{Ed} = 0.00 N.P.(7)	x: 0.06 m η = 1.0	x: 0.06 m η < 0.1	x: 0.1 m η = 3.9	η < 0.1	x: 0.06 m η < 0.1	x: 0.06 m η < 0.1	x: 0.06 m η = 0.6	x: 0.06 m η < 0.1	M_{Ed} = 0.00 N.P.(5)	N.P.(6)	N.P.(6)	**CUMPLE** **η = 3.9**
N2971/N3322	x: 0.06 m $\lambda_w \leq \lambda_{w,máx}$ Cumple	N_{Ed} = 0.00 N.P.(1)	N_{Ed} = 0.00 N.P.(7)	x: 0.06 m η = 1.2	x: 0.06 m η = 5.7	x: 0.1 m η = 4.4	η = 20.8	x: 0.06 m η < 0.1	x: 0.06 m η < 0.1	x: 0.06 m η = 5.9	x: 0.06 m η < 0.1	M_{Ed} = 0.00 N.P.(5)	N.P.(6)	N.P.(6)	**CUMPLE** **η = 20.8**
N3003/N3323	x: 0.06 m $\lambda_w \leq \lambda_{w,máx}$ Cumple	N_{Ed} = 0.00 N.P.(1)	N_{Ed} = 0.00 N.P.(7)	x: 0.06 m η = 0.7	x: 0.06 m η < 0.1	x: 0.1 m η = 2.7	η < 0.1	x: 0.06 m η < 0.1	x: 0.06 m η < 0.1	x: 0.06 m η = 0.7	x: 0.06 m η < 0.1	M_{Ed} = 0.00 N.P.(5)	N.P.(6)	N.P.(6)	**CUMPLE** **η = 2.7**
N2970/N3324	x: 0.06 m $\lambda_w \leq \lambda_{w,máx}$ Cumple	N_{Ed} = 0.00 N.P.(1)	N_{Ed} = 0.00 N.P.(7)	x: 0.06 m η = 1.1	x: 0.06 m η = 4.2	x: 0.1 m η = 4.1	η = 15.3	x: 0.06 m η < 0.1	x: 0.06 m η < 0.1	x: 0.06 m η = 4.6	x: 0.06 m η < 0.1	M_{Ed} = 0.00 N.P.(5)	N.P.(6)	N.P.(6)	**CUMPLE** **η = 15.3**
N3002/N3325	x: 0.06 m $\lambda_w \leq \lambda_{w,máx}$ Cumple	N_{Ed} = 0.00 N.P.(1)	N_{Ed} = 0.00 N.P.(7)	x: 0.06 m η = 0.9	x: 0.06 m η < 0.1	x: 0.1 m η = 3.3	η = 0.1	x: 0.06 m η < 0.1	x: 0.06 m η < 0.1	x: 0.06 m η = 0.9	x: 0.06 m η < 0.1	M_{Ed} = 0.00 N.P.(5)	N.P.(6)	N.P.(6)	**CUMPLE** **η = 3.3**
N2969/N3326	x: 0.06 m $\lambda_w \leq \lambda_{w,máx}$ Cumple	N_{Ed} = 0.00 N.P.(1)	N_{Ed} = 0.00 N.P.(7)	x: 0.06 m η = 1.0	x: 0.06 m η = 4.2	x: 0.1 m η = 3.6	η = 15.1	x: 0.06 m η < 0.1	x: 0.06 m η < 0.1	x: 0.06 m η = 4.3	x: 0.06 m η < 0.1	M_{Ed} = 0.00 N.P.(5)	N.P.(6)	N.P.(6)	**CUMPLE** **η = 15.1**
N3001/N3327	x: 0.06 m $\lambda_w \leq \lambda_{w,máx}$ Cumple	N_{Ed} = 0.00 N.P.(1)	N_{Ed} = 0.00 N.P.(7)	x: 0.06 m η = 0.6	x: 0.06 m η < 0.1	x: 0.1 m η = 2.1	η = 0.1	x: 0.06 m η < 0.1	x: 0.06 m η < 0.1	x: 0.06 m η = 0.6	x: 0.06 m η < 0.1	M_{Ed} = 0.00 N.P.(5)	N.P.(6)	N.P.(6)	**CUMPLE** **η = 2.1**
N2968/N3328	x: 0.06 m $\lambda_w \leq \lambda_{w,máx}$ Cumple	N_{Ed} = 0.00 N.P.(1)	N_{Ed} = 0.00 N.P.(7)	x: 0.06 m η = 1.0	x: 0.06 m η = 6.4	x: 0.1 m η = 3.6	η = 23.1	x: 0.06 m η < 0.1	x: 0.06 m η < 0.1	x: 0.06 m η = 6.7	x: 0.06 m η < 0.1	M_{Ed} = 0.00 N.P.(5)	N.P.(6)	N.P.(6)	**CUMPLE** **η = 23.1**
N3017/N3329	x: 0.06 m $\lambda_w \leq \lambda_{w,máx}$ Cumple	N_{Ed} = 0.00 N.P.(1)	N_{Ed} = 0.00 N.P.(7)	x: 0.06 m η = 0.4	x: 0.06 m η = 0.2	x: 0.1 m η = 1.6	η = 0.6	x: 0.06 m η < 0.1	x: 0.06 m η < 0.1	x: 0.06 m η = 0.5	x: 0.06 m η < 0.1	M_{Ed} = 0.00 N.P.(5)	N.P.(6)	N.P.(6)	**CUMPLE** **η = 1.6**
N2967/N3330	x: 0.06 m $\lambda_w \leq \lambda_{w,máx}$ Cumple	N_{Ed} = 0.00 N.P.(1)	N_{Ed} = 0.00 N.P.(7)	x: 0.06 m η = 0.6	x: 0.06 m η = 2.9	x: 0.1 m η = 2.4	η = 10.7	x: 0.06 m η < 0.1	x: 0.06 m η < 0.1	x: 0.06 m η = 3.2	x: 0.06 m η < 0.1	M_{Ed} = 0.00 N.P.(5)	N.P.(6)	N.P.(6)	**CUMPLE** **η = 10.7**
N1394/N3331	x: 0.06 m $\lambda_w \leq \lambda_{w,máx}$ Cumple	N_{Ed} = 0.00 N.P.(1)	N_{Ed} = 0.00 N.P.(7)	x: 0.06 m η = 0.9	x: 0.06 m η = 0.1	x: 0.1 m η = 3.4	η = 0.5	x: 0.06 m η < 0.1	x: 0.06 m η < 0.1	x: 0.06 m η = 1.0	x: 0.06 m η < 0.1	M_{Ed} = 0.00 N.P.(5)	N.P.(6)	N.P.(6)	**CUMPLE** **η = 3.4**
N1402/N3332	x: 0.06 m $\lambda_w \leq \lambda_{w,máx}$ Cumple	N_{Ed} = 0.00 N.P.(1)	N_{Ed} = 0.00 N.P.(7)	x: 0.06 m η = 1.6	x: 0.06 m η = 2.6	x: 0.1 m η = 5.9	η = 9.6	x: 0.06 m η < 0.1	x: 0.06 m η < 0.1	x: 0.06 m η = 3.5	x: 0.06 m η < 0.1	M_{Ed} = 0.00 N.P.(5)	N.P.(6)	N.P.(6)	**CUMPLE** **η = 9.6**
N1393/N3333	x: 0.06 m $\lambda_w \leq \lambda_{w,máx}$ Cumple	N_{Ed} = 0.00 N.P.(1)	N_{Ed} = 0.00 N.P.(7)	x: 0.06 m η = 0.5	x: 0.06 m η < 0.1	x: 0.1 m η = 1.9	η = 0.1	x: 0.06 m η < 0.1	x: 0.06 m η < 0.1	x: 0.06 m η = 0.5	x: 0.06 m η < 0.1	M_{Ed} = 0.00 N.P.(5)	N.P.(6)	N.P.(6)	**CUMPLE** **η = 1.9**
N1401/N3334	x: 0.06 m $\lambda_w \leq \lambda_{w,máx}$ Cumple	N_{Ed} = 0.00 N.P.(1)	N_{Ed} = 0.00 N.P.(7)	x: 0.06 m η = 0.7	x: 0.06 m η = 8.7	x: 0.1 m η = 2.7	η = 31.7	x: 0.06 m η < 0.1	x: 0.06 m η < 0.1	x: 0.06 m η = 9.0	x: 0.06 m η < 0.1	M_{Ed} = 0.00 N.P.(5)	N.P.(6)	N.P.(6)	**CUMPLE** **η = 31.7**
N1392/N3335	x: 0.06 m $\lambda_w \leq \lambda_{w,máx}$ Cumple	N_{Ed} = 0.00 N.P.(1)	N_{Ed} = 0.00 N.P.(7)	x: 0.06 m η = 0.8	x: 0.06 m η < 0.1	x: 0.1 m η = 3.1	η = 0.1	x: 0.06 m η < 0.1	x: 0.06 m η < 0.1	x: 0.06 m η = 0.8	x: 0.06 m η < 0.1	M_{Ed} = 0.00 N.P.(5)	N.P.(6)	N.P.(6)	**CUMPLE** **η = 3.1**
N1400/N3336	x: 0.06 m $\lambda_w \leq \lambda_{w,máx}$ Cumple	N_{Ed} = 0.00 N.P.(1)	N_{Ed} = 0.00 N.P.(7)	x: 0.06 m η = 0.9	x: 0.06 m η = 6.9	x: 0.1 m η = 3.3	η = 25.1	x: 0.06 m η < 0.1	x: 0.06 m η < 0.1	x: 0.06 m η = 7.0	x: 0.06 m η < 0.1	M_{Ed} = 0.00 N.P.(5)	N.P.(6)	N.P.(6)	**CUMPLE** **η = 25.1**
N1391/N3337	x: 0.06 m $\lambda_w \leq \lambda_{w,máx}$ Cumple	N_{Ed} = 0.00 N.P.(1)	N_{Ed} = 0.00 N.P.(7)	x: 0.06 m η = 0.7	x: 0.06 m η < 0.1	x: 0.1 m η = 2.5	η = 0.1	x: 0.06 m η < 0.1	x: 0.06 m η < 0.1	x: 0.06 m η = 0.7	x: 0.06 m η < 0.1	M_{Ed} = 0.00 N.P.(5)	N.P.(6)	N.P.(6)	**CUMPLE** **η = 2.5**
N1399/N3338	x: 0.06 m $\lambda_w \leq \lambda_{w,máx}$ Cumple	N_{Ed} = 0.00 N.P.(1)	N_{Ed} = 0.00 N.P.(7)	x: 0.06 m η = 1.0	x: 0.06 m η = 6.5	x: 0.1 m η = 3.6	η = 23.6	x: 0.06 m η < 0.1	x: 0.06 m η < 0.1	x: 0.06 m η = 6.5	x: 0.06 m η < 0.1	M_{Ed} = 0.00 N.P.(5)	N.P.(6)	N.P.(6)	**CUMPLE** **η = 23.6**
N1390/N3339	x: 0.06 m $\lambda_w \leq \lambda_{w,máx}$ Cumple	N_{Ed} = 0.00 N.P.(1)	N_{Ed} = 0.00 N.P.(7)	x: 0.06 m η = 1.0	x: 0.06 m η < 0.1	x: 0.1 m η = 3.7	η < 0.1	x: 0.06 m η < 0.1	x: 0.06 m η < 0.1	x: 0.06 m η = 0.4	x: 0.06 m η < 0.1	M_{Ed} = 0.00 N.P.(5)	N.P.(6)	N.P.(6)	**CUMPLE** **η = 3.7**
N1398/N3340	x: 0.06 m $\lambda_w \leq \lambda_{w,máx}$ Cumple	N_{Ed} = 0.00 N.P.(1)	N_{Ed} = 0.00 N.P.(7)	x: 0.06 m η = 0.9	x: 0.06 m η = 7.0	x: 0.1 m η = 3.5	η = 25.3	x: 0.06 m η < 0.1	x: 0.06 m η < 0.1	x: 0.06 m η = 7.1	x: 0.06 m η < 0.1	M_{Ed} = 0.00 N.P.(5)	N.P.(6)	N.P.(6)	**CUMPLE** **η = 25.3**
N1389/N3341	x: 0.06 m $\lambda_w \leq \lambda_{w,máx}$ Cumple	N_{Ed} = 0.00 N.P.(1)	N_{Ed} = 0.00 N.P.(7)	x: 0.06 m η = 0.7	x: 0.06 m η < 0.1	x: 0.1 m η = 2.6	η = 0.1	x: 0.06 m η < 0.1	x: 0.06 m η < 0.1	x: 0.06 m η = 0.7	x: 0.06 m η < 0.1	M_{Ed} = 0.00 N.P.(5)	N.P.(6)	N.P.(6)	**CUMPLE** **η = 2.6**
N1397/N3342	x: 0.06 m $\lambda_w \leq \lambda_{w,máx}$ Cumple	N_{Ed} = 0.00 N.P.(1)	N_{Ed} = 0.00 N.P.(7)	x: 0.06 m η = 0.8	x: 0.06 m η = 5.4	x: 0.1 m η = 3.0	η = 19.6	x: 0.06 m η < 0.1	x: 0.06 m η < 0.1	x: 0.06 m η = 5.6	x: 0.06 m η < 0.1	M_{Ed} = 0.00 N.P.(5)	N.P.(6)	N.P.(6)	**CUMPLE** **η = 19.6**
N1388/N3343	x: 0.06 m $\lambda_w \leq \lambda_{w,máx}$ Cumple	N_{Ed} = 0.00 N.P.(1)	N_{Ed} = 0.00 N.P.(7)	x: 0.06 m η = 0.7	x: 0.06 m η < 0.1	x: 0.1 m η = 2.6	η = 0.1	x: 0.06 m η < 0.1	x: 0.06 m η < 0.1	x: 0.06 m η = 0.7	x: 0.06 m η < 0.1	M_{Ed} = 0.00 N.P.(5)	N.P.(6)	N.P.(6)	**CUMPLE** **η = 2.6**
N1396/N3344	x: 0.06 m $\lambda_w \leq \lambda_{w,máx}$ Cumple	N_{Ed} = 0.00 N.P.(1)	N_{Ed} = 0.00 N.P.(7)	x: 0.06 m η = 0.6	x: 0.06 m η = 5.2	x: 0.1 m η = 2.3	η = 19.0	x: 0.06 m η < 0.1	x: 0.06 m η < 0.1	x: 0.06 m η = 5.4	x: 0.06 m η < 0.1	M_{Ed} = 0.00 N.P.(5)	N.P.(6)	N.P.(6)	**CUMPLE** **η = 19.0**
N1387/N3345	x: 0.06 m $\lambda_w \leq \lambda_{w,máx}$ Cumple	N_{Ed} = 0.00 N.P.(1)	N_{Ed} = 0.00 N.P.(7)	x: 0.06 m η = 0.5	x: 0.06 m η < 0.1	x: 0.1 m η = 1.7	η = 0.1	x: 0.06 m η < 0.1	x: 0.06 m η < 0.1	x: 0.06 m η = 0.5	x: 0.06 m η < 0.1	M_{Ed} = 0.00 N.P.(5)	N.P.(6)	N.P.(6)	**CUMPLE** **η = 1.7**
N1395/N3346	x: 0.06 m $\lambda_w \leq \lambda_{w,máx}$ Cumple	N_{Ed} = 0.00 N.P.(1)	N_{Ed} = 0.00 N.P.(7)	x: 0.06 m η = 0.5	x: 0.06 m η = 4.6	x: 0.1 m η = 1.9	η = 16.7	x: 0.06 m η < 0.1	x: 0.06 m η < 0.1	x: 0.06 m η = 4.7	x: 0.06 m η < 0.1	M_{Ed} = 0.00 N.P.(5)	N.P.(6)	N.P.(6)	**CUMPLE** **η = 16.7**
N1378/N3347	x: 0.06 m $\lambda_w \leq \lambda_{w,máx}$ Cumple	N_{Ed} = 0.00 N.P.(1)	N_{Ed} = 0.00 N.P.(7)	x: 0.06 m η = 0.7	x: 0.06 m η = 1.6	x: 0.1 m η = 2.7	η = 5.9	x: 0.06 m η < 0.1	x: 0.06 m η < 0.1	x: 0.06 m η = 1.7	x: 0.06 m η < 0.1	M_{Ed} = 0.00 N.P.(5)	N.P.(6)	N.P.(6)	**CUMPLE** **η = 5.9**
N1386/N3348	x: 0.06 m $\lambda_w \leq \lambda_{w,máx}$ Cumple	N_{Ed} = 0.00 N.P.(1)	N_{Ed} = 0.00 N.P.(7)	x: 0.06 m η = 1.9	x: 0.06 m η = 1.1	x: 0.1 m η = 7.0	η = 4.2	x: 0.06 m η < 0.1	x: 0.06 m η < 0.1	x: 0.06 m η = 2.3	x: 0.06 m η < 0.1	M_{Ed} = 0.00 N.P.(5)	N.P.(6)	N.P.(6)	**CUMPLE** **η = 7.0**
N1377/N3349	x: 0.06 m $\lambda_w \leq \lambda_{w,máx}$ Cumple	N_{Ed} = 0.00 N.P.(1)	N_{Ed} = 0.00 N.P.(7)	x: 0.06 m η = 0.3	x: 0.06 m η < 0.1	x: 0.1 m η = 1.2	η = 0.1	x: 0.06 m η < 0.1	x: 0.06 m η < 0.1	x: 0.06 m η = 0.3	x: 0.06 m η < 0.1	M_{Ed} = 0.00 N.P.(5)	N.P.(6)	N.P.(6)	**CUMPLE** **η = 1.2**

Documento visado electrónicamente con número: VA07290/22
Código de validación telemática TRLTDCFZ60T66IJ1. Comprobación: https://cogitivalencia.e-gestion.es/Validacion.aspx?CVT=TRLTDCFZ60T66IJ1

VISADO
COGITI
Estado
VALENCIA
VA07291/22
TRLTDCFZ60T66IJ1

Barras	COMPROBACIONES (CÓDIGO ESTRUCTURAL)														
	λ_w	N_t	N_c	M_Y	M_Z	V_Z	V_Y	M_YV_Z	M_ZV_Y	NM_YM_Z	$NM_YM_ZV_YV_Z$	M_t	M_tV_Z	M_tV_Y	
N1385/N3350	x: 0.06 m $\lambda_w \leq \lambda_{w,máx}$ Cumple	N_{Ed} = 0.00 N.P.(1)	N_{Ed} = 0.00 N.P.(7)	x: 0.06 m η = 0.5	x: 0.06 m η = 4.2	x: 0.1 m η = 1.9	η = 15.4	x: 0.06 m η < 0.1	x: 0.06 m η < 0.1	x: 0.06 m η = 4.3	x: 0.06 m η < 0.1	M_{Ed} = 0.00 N.P.(5)	N.P.(6)	N.P.(6)	**CUMPLE** **η = 15.4**
N1376/N3351	x: 0.06 m $\lambda_w \leq \lambda_{w,máx}$ Cumple	N_{Ed} = 0.00 N.P.(1)	N_{Ed} = 0.00 N.P.(7)	x: 0.06 m η = 0.6	x: 0.06 m η < 0.1	x: 0.1 m η = 2.1	η = 0.1	x: 0.06 m η < 0.1	x: 0.06 m η < 0.1	x: 0.06 m η = 0.6	x: 0.06 m η < 0.1	M_{Ed} = 0.00 N.P.(5)	N.P.(6)	N.P.(6)	**CUMPLE** **η = 2.1**
N1384/N3352	x: 0.06 m $\lambda_w \leq \lambda_{w,máx}$ Cumple	N_{Ed} = 0.00 N.P.(1)	N_{Ed} = 0.00 N.P.(7)	x: 0.06 m η = 0.5	x: 0.06 m η = 3.7	x: 0.1 m η = 1.7	η = 13.3	x: 0.06 m η < 0.1	x: 0.06 m η < 0.1	x: 0.06 m η = 3.7	x: 0.06 m η < 0.1	M_{Ed} = 0.00 N.P.(5)	N.P.(6)	N.P.(6)	**CUMPLE** **η = 13.3**
N1375/N3353	x: 0.06 m $\lambda_w \leq \lambda_{w,máx}$ Cumple	N_{Ed} = 0.00 N.P.(1)	N_{Ed} = 0.00 N.P.(7)	x: 0.06 m η = 0.5	x: 0.06 m η < 0.1	x: 0.1 m η = 1.7	η < 0.1	x: 0.06 m η < 0.1	x: 0.06 m η < 0.1	x: 0.06 m η = 0.5	x: 0.06 m η < 0.1	M_{Ed} = 0.00 N.P.(5)	N.P.(6)	N.P.(6)	**CUMPLE** **η = 1.7**
N1383/N3354	x: 0.06 m $\lambda_w \leq \lambda_{w,máx}$ Cumple	N_{Ed} = 0.00 N.P.(1)	N_{Ed} = 0.00 N.P.(7)	x: 0.06 m η = 0.6	x: 0.06 m η = 2.5	x: 0.1 m η = 2.2	η = 9.2	x: 0.06 m η < 0.1	x: 0.06 m η < 0.1	x: 0.06 m η = 2.7	x: 0.06 m η < 0.1	M_{Ed} = 0.00 N.P.(5)	N.P.(6)	N.P.(6)	**CUMPLE** **η = 9.2**
N1374/N3355	x: 0.06 m $\lambda_w \leq \lambda_{w,máx}$ Cumple	N_{Ed} = 0.00 N.P.(1)	N_{Ed} = 0.00 N.P.(7)	x: 0.06 m η = 0.7	x: 0.06 m η < 0.1	x: 0.1 m η = 2.6	η < 0.1	x: 0.06 m η < 0.1	x: 0.06 m η < 0.1	x: 0.06 m η = 0.3	x: 0.06 m η < 0.1	M_{Ed} = 0.00 N.P.(5)	N.P.(6)	N.P.(6)	**CUMPLE** **η = 2.6**
N1382/N3356	x: 0.06 m $\lambda_w \leq \lambda_{w,máx}$ Cumple	N_{Ed} = 0.00 N.P.(1)	N_{Ed} = 0.00 N.P.(7)	x: 0.06 m η = 0.6	x: 0.06 m η = 2.7	x: 0.1 m η = 2.3	η = 10.0	x: 0.06 m η < 0.1	x: 0.06 m η < 0.1	x: 0.06 m η = 2.8	x: 0.06 m η < 0.1	M_{Ed} = 0.00 N.P.(5)	N.P.(6)	N.P.(6)	**CUMPLE** **η = 10.0**
N1373/N3357	x: 0.06 m $\lambda_w \leq \lambda_{w,máx}$ Cumple	N_{Ed} = 0.00 N.P.(1)	N_{Ed} = 0.00 N.P.(7)	x: 0.06 m η = 0.5	x: 0.06 m η < 0.1	x: 0.1 m η = 2.0	η < 0.1	x: 0.06 m η < 0.1	x: 0.06 m η < 0.1	x: 0.06 m η = 0.3	x: 0.06 m η < 0.1	M_{Ed} = 0.00 N.P.(5)	N.P.(6)	N.P.(6)	**CUMPLE** **η = 2.0**
N1381/N3358	x: 0.06 m $\lambda_w \leq \lambda_{w,máx}$ Cumple	N_{Ed} = 0.00 N.P.(1)	N_{Ed} = 0.00 N.P.(7)	x: 0.06 m η = 0.6	x: 0.06 m η = 3.1	x: 0.1 m η = 2.1	η = 11.2	x: 0.06 m η < 0.1	x: 0.06 m η < 0.1	x: 0.06 m η = 3.1	x: 0.06 m η < 0.1	M_{Ed} = 0.00 N.P.(5)	N.P.(6)	N.P.(6)	**CUMPLE** **η = 11.2**
N1372/N3359	x: 0.06 m $\lambda_w \leq \lambda_{w,máx}$ Cumple	N_{Ed} = 0.00 N.P.(1)	N_{Ed} = 0.00 N.P.(7)	x: 0.06 m η = 0.5	x: 0.06 m η < 0.1	x: 0.1 m η = 2.0	η = 0.1	x: 0.06 m η < 0.1	x: 0.06 m η < 0.1	x: 0.06 m η = 0.5	x: 0.06 m η < 0.1	M_{Ed} = 0.00 N.P.(5)	N.P.(6)	N.P.(6)	**CUMPLE** **η = 2.0**
N1380/N3360	x: 0.06 m $\lambda_w \leq \lambda_{w,máx}$ Cumple	N_{Ed} = 0.00 N.P.(1)	N_{Ed} = 0.00 N.P.(7)	x: 0.06 m η = 0.5	x: 0.06 m η = 4.4	x: 0.1 m η = 1.9	η = 16.1	x: 0.06 m η < 0.1	x: 0.06 m η < 0.1	x: 0.06 m η = 4.6	x: 0.06 m η < 0.1	M_{Ed} = 0.00 N.P.(5)	N.P.(6)	N.P.(6)	**CUMPLE** **η = 16.1**
N1371/N3361	x: 0.06 m $\lambda_w \leq \lambda_{w,máx}$ Cumple	N_{Ed} = 0.00 N.P.(1)	N_{Ed} = 0.00 N.P.(7)	x: 0.06 m η = 0.4	x: 0.06 m η < 0.1	x: 0.1 m η = 1.4	η = 0.1	x: 0.06 m η < 0.1	x: 0.06 m η < 0.1	x: 0.06 m η = 0.4	x: 0.06 m η < 0.1	M_{Ed} = 0.00 N.P.(5)	N.P.(6)	N.P.(6)	**CUMPLE** **η = 1.4**
N1379/N3362	x: 0.06 m $\lambda_w \leq \lambda_{w,máx}$ Cumple	N_{Ed} = 0.00 N.P.(1)	N_{Ed} = 0.00 N.P.(7)	x: 0.06 m η = 0.6	x: 0.06 m η = 4.3	x: 0.1 m η = 2.2	η = 15.8	x: 0.06 m η < 0.1	x: 0.06 m η < 0.1	x: 0.06 m η = 4.6	x: 0.06 m η < 0.1	M_{Ed} = 0.00 N.P.(5)	N.P.(6)	N.P.(6)	**CUMPLE** **η = 15.8**
N1361/N3363	x: 0.06 m $\lambda_w \leq \lambda_{w,máx}$ Cumple	N_{Ed} = 0.00 N.P.(1)	N_{Ed} = 0.00 N.P.(7)	x: 0.06 m η = 0.6	x: 0.06 m η = 1.1	x: 0.1 m η = 2.4	η = 4.2	x: 0.06 m η < 0.1	x: 0.06 m η < 0.1	x: 0.06 m η = 1.4	x: 0.06 m η < 0.1	M_{Ed} = 0.00 N.P.(5)	N.P.(6)	N.P.(6)	**CUMPLE** **η = 4.2**
N1370/N3364	x: 0.06 m $\lambda_w \leq \lambda_{w,máx}$ Cumple	N_{Ed} = 0.00 N.P.(1)	N_{Ed} = 0.00 N.P.(7)	x: 0.06 m η = 1.3	x: 0.06 m η = 1.9	x: 0.1 m η = 5.0	η = 6.9	x: 0.06 m η < 0.1	x: 0.06 m η < 0.1	x: 0.06 m η = 2.4	x: 0.06 m η < 0.1	M_{Ed} = 0.00 N.P.(5)	N.P.(6)	N.P.(6)	**CUMPLE** **η = 6.9**
N1360/N3365	x: 0.06 m $\lambda_w \leq \lambda_{w,máx}$ Cumple	N_{Ed} = 0.00 N.P.(1)	N_{Ed} = 0.00 N.P.(7)	x: 0.06 m η = 0.4	x: 0.06 m η < 0.1	x: 0.1 m η = 1.6	η = 0.1	x: 0.06 m η < 0.1	x: 0.06 m η < 0.1	x: 0.06 m η = 0.4	x: 0.06 m η < 0.1	M_{Ed} = 0.00 N.P.(5)	N.P.(6)	N.P.(6)	**CUMPLE** **η = 1.6**
N1369/N3366	x: 0.06 m $\lambda_w \leq \lambda_{w,máx}$ Cumple	N_{Ed} = 0.00 N.P.(1)	N_{Ed} = 0.00 N.P.(7)	x: 0.06 m η = 0.7	x: 0.06 m η = 4.1	x: 0.1 m η = 2.5	η = 14.9	x: 0.06 m η < 0.1	x: 0.06 m η < 0.1	x: 0.06 m η = 4.5	x: 0.06 m η < 0.1	M_{Ed} = 0.00 N.P.(5)	N.P.(6)	N.P.(6)	**CUMPLE** **η = 14.9**
N1359/N3367	x: 0.06 m $\lambda_w \leq \lambda_{w,máx}$ Cumple	N_{Ed} = 0.00 N.P.(1)	N_{Ed} = 0.00 N.P.(7)	x: 0.06 m η = 0.7	x: 0.06 m η < 0.1	x: 0.1 m η = 2.8	η = 0.1	x: 0.06 m η < 0.1	x: 0.06 m η < 0.1	x: 0.06 m η = 0.7	x: 0.06 m η < 0.1	M_{Ed} = 0.00 N.P.(5)	N.P.(6)	N.P.(6)	**CUMPLE** **η = 2.8**
N1368/N3368	x: 0.06 m $\lambda_w \leq \lambda_{w,máx}$ Cumple	N_{Ed} = 0.00 N.P.(1)	N_{Ed} = 0.00 N.P.(7)	x: 0.06 m η = 0.9	x: 0.06 m η = 5.1	x: 0.1 m η = 3.2	η = 18.5	x: 0.06 m η < 0.1	x: 0.06 m η < 0.1	x: 0.06 m η = 5.4	x: 0.06 m η < 0.1	M_{Ed} = 0.00 N.P.(5)	N.P.(6)	N.P.(6)	**CUMPLE** **η = 18.5**
N1358/N3369	x: 0.06 m $\lambda_w \leq \lambda_{w,máx}$ Cumple	N_{Ed} = 0.00 N.P.(1)	N_{Ed} = 0.00 N.P.(7)	x: 0.06 m η = 0.7	x: 0.06 m η < 0.1	x: 0.1 m η = 2.6	η = 0.1	x: 0.06 m η < 0.1	x: 0.06 m η < 0.1	x: 0.06 m η = 0.7	x: 0.06 m η < 0.1	M_{Ed} = 0.00 N.P.(5)	N.P.(6)	N.P.(6)	**CUMPLE** **η = 2.6**
N1367/N3370	x: 0.06 m $\lambda_w \leq \lambda_{w,máx}$ Cumple	N_{Ed} = 0.00 N.P.(1)	N_{Ed} = 0.00 N.P.(7)	x: 0.06 m η = 1.1	x: 0.06 m η = 5.7	x: 0.1 m η = 4.1	η = 20.7	x: 0.06 m η < 0.1	x: 0.06 m η < 0.1	x: 0.06 m η = 6.0	x: 0.06 m η < 0.1	M_{Ed} = 0.00 N.P.(5)	N.P.(6)	N.P.(6)	**CUMPLE** **η = 20.7**
N1357/N3371	x: 0.06 m $\lambda_w \leq \lambda_{w,máx}$ Cumple	N_{Ed} = 0.00 N.P.(1)	N_{Ed} = 0.00 N.P.(7)	x: 0.06 m η = 1.0	x: 0.06 m η < 0.1	x: 0.1 m η = 3.9	η < 0.1	x: 0.06 m η < 0.1	x: 0.06 m η < 0.1	x: 0.06 m η = 0.6	x: 0.06 m η < 0.1	M_{Ed} = 0.00 N.P.(5)	N.P.(6)	N.P.(6)	**CUMPLE** **η = 3.9**
N1366/N3372	x: 0.06 m $\lambda_w \leq \lambda_{w,máx}$ Cumple	N_{Ed} = 0.00 N.P.(1)	N_{Ed} = 0.00 N.P.(7)	x: 0.06 m η = 1.3	x: 0.06 m η = 8.3	x: 0.1 m η = 4.7	η = 30.1	x: 0.06 m η < 0.1	x: 0.06 m η < 0.1	x: 0.06 m η = 8.7	x: 0.06 m η < 0.1	M_{Ed} = 0.00 N.P.(5)	N.P.(6)	N.P.(6)	**CUMPLE** **η = 30.1**
N1356/N3373	x: 0.06 m $\lambda_w \leq \lambda_{w,máx}$ Cumple	N_{Ed} = 0.00 N.P.(1)	N_{Ed} = 0.00 N.P.(7)	x: 0.06 m η = 0.7	x: 0.06 m η < 0.1	x: 0.1 m η = 2.8	η < 0.1	x: 0.06 m η < 0.1	x: 0.06 m η < 0.1	x: 0.06 m η = 0.7	x: 0.06 m η < 0.1	M_{Ed} = 0.00 N.P.(5)	N.P.(6)	N.P.(6)	**CUMPLE** **η = 2.8**
N1365/N3374	x: 0.06 m $\lambda_w \leq \lambda_{w,máx}$ Cumple	N_{Ed} = 0.00 N.P.(1)	N_{Ed} = 0.00 N.P.(7)	x: 0.06 m η = 1.2	x: 0.06 m η = 8.0	x: 0.1 m η = 4.4	η = 29.2	x: 0.06 m η < 0.1	x: 0.06 m η < 0.1	x: 0.06 m η = 8.3	x: 0.06 m η < 0.1	M_{Ed} = 0.00 N.P.(5)	N.P.(6)	N.P.(6)	**CUMPLE** **η = 29.2**
N1355/N3375	x: 0.06 m $\lambda_w \leq \lambda_{w,máx}$ Cumple	N_{Ed} = 0.00 N.P.(1)	N_{Ed} = 0.00 N.P.(7)	x: 0.06 m η = 0.9	x: 0.06 m η < 0.1	x: 0.1 m η = 3.2	η = 0.1	x: 0.06 m η < 0.1	x: 0.06 m η < 0.1	x: 0.06 m η = 0.9	x: 0.06 m η < 0.1	M_{Ed} = 0.00 N.P.(5)	N.P.(6)	N.P.(6)	**CUMPLE** **η = 3.2**
N1364/N3376	x: 0.06 m $\lambda_w \leq \lambda_{w,máx}$ Cumple	N_{Ed} = 0.00 N.P.(1)	N_{Ed} = 0.00 N.P.(7)	x: 0.06 m η = 1.1	x: 0.06 m η = 9.0	x: 0.1 m η = 4.1	η = 32.9	x: 0.06 m η < 0.1	x: 0.06 m η < 0.1	x: 0.06 m η = 9.4	x: 0.06 m η < 0.1	M_{Ed} = 0.00 N.P.(5)	N.P.(6)	N.P.(6)	**CUMPLE** **η = 32.9**
N1354/N3377	x: 0.06 m $\lambda_w \leq \lambda_{w,máx}$ Cumple	N_{Ed} = 0.00 N.P.(1)	N_{Ed} = 0.00 N.P.(7)	x: 0.06 m η = 0.6	x: 0.06 m η < 0.1	x: 0.1 m η = 2.2	η = 0.1	x: 0.06 m η < 0.1	x: 0.06 m η < 0.1	x: 0.06 m η = 0.6	x: 0.06 m η < 0.1	M_{Ed} = 0.00 N.P.(5)	N.P.(6)	N.P.(6)	**CUMPLE** **η = 2.2**
N1363/N3378	x: 0.06 m $\lambda_w \leq \lambda_{w,máx}$ Cumple	N_{Ed} = 0.00 N.P.(1)	N_{Ed} = 0.00 N.P.(7)	x: 0.06 m η = 1.1	x: 0.06 m η = 10.2	x: 0.1 m η = 4.2	η = 37.1	x: 0.06 m η < 0.1	x: 0.06 m η < 0.1	x: 0.06 m η = 10.6	x: 0.06 m η < 0.1	M_{Ed} = 0.00 N.P.(5)	N.P.(6)	N.P.(6)	**CUMPLE** **η = 37.1**
N1353/N3379	x: 0.06 m $\lambda_w \leq \lambda_{w,máx}$ Cumple	N_{Ed} = 0.00 N.P.(1)	N_{Ed} = 0.00 N.P.(7)	x: 0.06 m η = 0.5	x: 0.06 m η = 0.2	x: 0.1 m η = 1.8	η = 0.6	x: 0.06 m η < 0.1	x: 0.06 m η < 0.1	x: 0.06 m η = 0.6	x: 0.06 m η < 0.1	M_{Ed} = 0.00 N.P.(5)	N.P.(6)	N.P.(6)	**CUMPLE** **η = 1.8**
N1362/N3380	x: 0.06 m $\lambda_w \leq \lambda_{w,máx}$ Cumple	N_{Ed} = 0.00 N.P.(1)	N_{Ed} = 0.00 N.P.(7)	x: 0.06 m η = 0.5	x: 0.06 m η = 2.1	x: 0.1 m η = 2.1	η = 7.8	x: 0.06 m η < 0.1	x: 0.06 m η < 0.1	x: 0.06 m η = 2.4	x: 0.06 m η < 0.1	M_{Ed} = 0.00 N.P.(5)	N.P.(6)	N.P.(6)	**CUMPLE** **η = 7.8**

Documento visado electrónicamente con número: VA07291/22 y código de validación telemática: TRLTDCFZ60T66IJ1. Comprobación: https://cogitivalencia.e-gestion.es/Validacion.aspx?CVT=TRLTDCFZ60T66IJ1

VISADO
COGITI
Estado
VALENCIA
VA07290/22
TRLTDCFZ60T66IJ1

Barras	COMPROBACIONES (CÓDIGO ESTRUCTURAL)														
	λ_w	N_t	N_c	M_Y	M_Z	V_Z	V_Y	M_YV_Z	M_ZV_Y	NM_YM_Z	$NM_YM_ZV_YV_Z$	M_t	M_tV_Z	M_tV_Y	
N3383/N19	$\lambda_w \leq \lambda_{w,máx}$ Cumple	x: 1.191 m η = 11.3	x: 0 m η = 6.7	x: 1.192 m η = 3.5	x: 1.192 m η = 0.9	x: 1.191 m η = 0.2	η = 0.1	η < 0.1	η < 0.1	x: 1.192 m η = 15.2	η < 0.1	η = 0.3	x: 1.191 m η = 0.2	η = 0.1	**CUMPLE η = 13.4**
N35/N3383	$\lambda_w \leq \lambda_{w,máx}$ Cumple	x: 1.291 m η = 11.2	x: 0.111 m η = 6.7	x: 1.291 m η = 2.2	x: 1.291 m η = 0.4	x: 0.111 m η = 0.3	η = 0.1	η < 0.1	η < 0.1	x: 1.291 m η = 13.4	η < 0.1	η = 0.3	x: 0.111 m η = 0.3	η = 0.1	**CUMPLE η = 41.0**
N14/N15	$\lambda_w \leq \lambda_{w,máx}$ Cumple	x: 1.7 m η = 14.2	x: 0.078 m η = 26.8	x: 0.078 m η = 16.8	x: 0.078 m η = 4.2	x: 1.701 m η = 12.3	η = 0.2	η < 0.1	η < 0.1	x: 0.484 m η = 41.0	η < 0.1	η = 0.2	x: 1.701 m η = 12.3	η = 0.2	**CUMPLE η = 55.2**
N15/N16	$\lambda_w \leq \lambda_{w,máx}$ Cumple	x: 1.7 m η = 24.0	x: 0.078 m η = 44.8	x: 0.078 m η = 14.2	x: 1.701 m η = 4.2	x: 0.078 m η = 10.9	η = 0.2	η < 0.1	η < 0.1	x: 0.078 m η = 55.2	η < 0.1	η = 0.1	x: 0.078 m η = 9.0	η = 0.2	**CUMPLE η = 62.3**
N16/N17	$\lambda_w \leq \lambda_{w,máx}$ Cumple	x: 1.7 m η = 32.8	x: 0.078 m η = 60.9	x: 1.093 m η = 6.9	x: 0.078 m η = 3.1	x: 0.078 m η = 9.1	η = 0.1	η < 0.1	η < 0.1	x: 1.093 m η = 62.3	η < 0.1	x: 1.7 m η < 0.1	x: 0.078 m η = 0.8	x: 1.7 m η < 0.1	**CUMPLE η = 73.4**
N17/N18	$\lambda_w \leq \lambda_{w,máx}$ Cumple	x: 1.7 m η = 38.9	x: 0.078 m η = 72.0	x: 1.093 m η = 7.9	x: 1.701 m η = 2.9	x: 0.078 m η = 9.1	η = 0.1	η < 0.1	η < 0.1	x: 1.093 m η = 73.4	η < 0.1	η < 0.1	x: 0.078 m η = 0.9	x: 1.093 m η < 0.1	**CUMPLE η = 80.2**
N18/N19	$\lambda_w \leq \lambda_{w,máx}$ Cumple	x: 1.713 m η = 44.0	x: 0.078 m η = 79.1	x: 0.896 m η = 8.1	x: 0.078 m η = 3.2	x: 0.078 m η = 8.4	η = 0.1	η < 0.1	η < 0.1	x: 0.896 m η = 80.2	η < 0.1	η = 0.2	x: 0.078 m η = 6.2	η = 0.1	**CUMPLE η = 80.4**
N19/N3381	$\lambda_w \leq \lambda_{w,máx}$ Cumple	x: 0.89 m η = 45.9	x: 0.065 m η = 75.4	x: 0.89 m η = 8.8	x: 0.065 m η = 1.1	x: 0.065 m η = 8.5	η = 0.1	η < 0.1	η < 0.1	x: 0.89 m η = 80.4	η < 0.1	x: 0.89 m η < 0.1	x: 0.065 m η = 0.8	x: 0.477 m η < 0.1	**CUMPLE η = 80.4**
N3381/N20	$\lambda_w \leq \lambda_{w,máx}$ Cumple	x: 0.824 m η = 45.9	x: 0 m η = 75.4	x: 0 m η = 8.8	x: 0.825 m η = 1.9	x: 0.825 m η = 7.2	η = 0.1	η < 0.1	η < 0.1	x: 0 m η = 80.4	η < 0.1	x: 0.206 m η < 0.1	x: 0.825 m η = 0.6	η < 0.1	**CUMPLE η = 80.4**
N20/N21	$\lambda_w \leq \lambda_{w,máx}$ Cumple	x: 1.713 m η = 46.5	x: 0.065 m η = 83.6	x: 0.89 m η = 8.5	x: 0.065 m η = 1.8	x: 1.714 m η = 8.2	η = 0.1	η < 0.1	η < 0.1	x: 0.89 m η = 84.6	η < 0.1	η = 0.1	x: 1.714 m η = 6.0	η = 0.1	**CUMPLE η = 84.6**
N21/N22	$\lambda_w \leq \lambda_{w,máx}$ Cumple	x: 1.727 m η = 43.9	x: 0.065 m η = 79.5	x: 0.897 m η = 9.1	x: 1.728 m η = 2.5	x: 0.065 m η = 8.4	η = 0.1	η < 0.1	η < 0.1	x: 0.897 m η = 81.6	η < 0.1	η = 0.1	x: 0.065 m η = 6.2	η = 0.1	**CUMPLE η = 81.6**
N22/N23	$\lambda_w \leq \lambda_{w,máx}$ Cumple	x: 1.708 m η = 44.0	x: 0.051 m η = 79.2	x: 0.88 m η = 9.5	x: 0.051 m η = 2.5	x: 1.709 m η = 8.7	η = 0.1	η < 0.1	η < 0.1	x: 0.88 m η = 81.8	η < 0.1	x: 1.295 m η < 0.1	x: 1.709 m η = 0.8	x: 1.295 m η < 0.1	**CUMPLE η = 81.8**
N23/N24	$\lambda_w \leq \lambda_{w,máx}$ Cumple	x: 1.708 m η = 39.5	x: 0.07 m η = 71.6	x: 0.685 m η = 8.5	x: 1.709 m η = 1.3	x: 1.709 m η = 8.9	η = 0.1	η < 0.1	η < 0.1	x: 0.685 m η = 73.8	η < 0.1	η = 0.1	x: 1.709 m η = 6.5	η < 0.1	**CUMPLE η = 73.8**
N24/N3400	$\lambda_w \leq \lambda_{w,máx}$ Cumple	x: 0.89 m η = 32.0	x: 0.07 m η = 53.4	x: 0.685 m η = 7.0	x: 0.07 m η = 1.4	x: 0.07 m η = 5.7	η = 0.1	η < 0.1	η < 0.1	x: 0.685 m η = 57.8	η < 0.1	η = 0.1	x: 0.07 m η = 4.4	η = 0.1	**CUMPLE η = 57.8**
N3400/N25	$\lambda_w \leq \lambda_{w,máx}$ Cumple	x: 0.819 m η = 32.0	x: 0 m η = 53.4	x: 0.82 m η = 9.1	x: 0.82 m η = 0.9	x: 0.82 m η = 9.9	η = 0.1	η < 0.1	η < 0.1	x: 0.82 m η = 59.8	η < 0.1	η = 0.1	x: 0.82 m η = 7.1	η = 0.1	**CUMPLE η = 59.8**
N25/N26	$\lambda_w \leq \lambda_{w,máx}$ Cumple	x: 1.694 m η = 23.4	x: 0.07 m η = 43.5	x: 1.695 m η = 9.1	x: 1.695 m η = 2.3	x: 1.695 m η = 9.6	η = 0.1	η < 0.1	η < 0.1	x: 1.695 m η = 48.9	η < 0.1	η = 0.2	x: 1.695 m η = 9.6	η = 0.1	**CUMPLE η = 48.9**
N26/N27	$\lambda_w \leq \lambda_{w,máx}$ Cumple	x: 1.694 m η = 11.6	x: 0.084 m η = 24.0	x: 1.695 m η = 13.2	x: 0.084 m η = 1.7	x: 1.695 m η = 10.8	η < 0.1	η < 0.1	η < 0.1	x: 1.695 m η = 34.9	η < 0.1	η = 0.1	x: 1.695 m η = 10.8	η < 0.1	**CUMPLE η = 34.9**
N27/N28	$\lambda_w \leq \lambda_{w,máx}$ Cumple	x: 1.694 m η = 0.5	x: 0.084 m η = 2.9	x: 1.695 m η = 12.3	x: 1.695 m η = 1.3	x: 1.695 m η = 9.9	η < 0.1	η < 0.1	η < 0.1	x: 1.695 m η = 14.0	η < 0.1	η = 0.1	x: 1.695 m η = 6.3	η < 0.1	**CUMPLE η = 14.0**
N28/N29	$\lambda_w \leq \lambda_{w,máx}$ Cumple	x: 1.694 m η = 23.8	x: 0.084 m η = 18.0	x: 1.695 m η = 34.3	x: 0.084 m η = 2.2	x: 1.695 m η = 15.3	η = 0.1	η < 0.1	η < 0.1	x: 1.695 m η = 58.2	η < 0.1	x: 0.084 m η < 0.1	x: 1.695 m η = 1.7	η < 0.1	**CUMPLE η = 58.2**
N29/N9	$\lambda_w \leq \lambda_{w,máx}$ Cumple	x: 1.637 m η = 46.5	x: 0.084 m η = 37.7	x: 0.084 m η = 32.7	x: 1.638 m η = 1.5	x: 0.084 m η = 18.9	η = 0.1	η < 0.1	η < 0.1	x: 0.084 m η = 79.5	η < 0.1	η < 0.1	x: 0.084 m η = 2.3	η < 0.1	**CUMPLE η = 79.5**
N122/N123	$\lambda_w \leq \lambda_{w,máx}$ Cumple	x: 1.68 m η = 16.0	x: 0.098 m η = 25.3	x: 0.098 m η = 17.1	x: 0.098 m η = 4.2	x: 1.681 m η = 12.1	η = 0.3	η < 0.1	η < 0.1	x: 0.692 m η = 36.3	η < 0.1	η = 0.3	x: 1.681 m η = 12.1	η = 0.3	**CUMPLE η = 36.3**
N123/N124	$\lambda_w \leq \lambda_{w,máx}$ Cumple	x: 1.68 m η = 27.2	x: 0.098 m η = 46.7	x: 0.098 m η = 11.0	x: 1.681 m η = 5.9	x: 0.098 m η = 14.5	η = 0.4	η < 0.1	η < 0.1	x: 0.098 m η = 54.2	η < 0.1	η = 0.2	x: 0.098 m η = 14.5	η = 0.4	**CUMPLE η = 54.2**
N124/N125	$\lambda_w \leq \lambda_{w,máx}$ Cumple	x: 1.7 m η = 36.5	x: 0.098 m η = 62.3	x: 1.1 m η = 7.3	x: 0.098 m η = 4.9	x: 0.098 m η = 11.9	η = 0.3	η < 0.1	η < 0.1	x: 1.1 m η = 64.6	η < 0.1	η = 0.1	x: 0.098 m η = 11.9	η = 0.3	**CUMPLE η = 64.6**
N125/N126	$\lambda_w \leq \lambda_{w,máx}$ Cumple	x: 1.7 m η = 43.4	x: 0.078 m η = 73.8	x: 1.093 m η = 9.1	x: 1.701 m η = 4.4	x: 0.078 m η = 12.6	η = 0.3	η < 0.1	η < 0.1	x: 1.093 m η = 77.0	η < 0.1	η = 0.1	x: 0.078 m η = 12.6	η = 0.2	**CUMPLE η = 77.0**
N126/N127	$\lambda_w \leq \lambda_{w,máx}$ Cumple	x: 1.7 m η = 47.6	x: 0.078 m η = 81.0	x: 0.89 m η = 10.5	x: 0.078 m η = 4.6	x: 0.078 m η = 10.7	η = 0.2	η < 0.1	η < 0.1	x: 0.89 m η = 85.0	η < 0.1	η = 0.2	x: 0.078 m η = 10.7	η = 0.2	**CUMPLE η = 85.0**
N127/N3384	$\lambda_w \leq \lambda_{w,máx}$ Cumple	x: 0.89 m η = 49.7	x: 0.078 m η = 77.3	x: 0.89 m η = 11.1	x: 0.078 m η = 1.5	x: 0.078 m η = 10.9	η = 0.2	η < 0.1	η < 0.1	x: 0.89 m η = 87.4	η < 0.1	η = 0.1	x: 0.078 m η = 10.9	η = 0.2	**CUMPLE η = 87.4**
N3384/N128	$\lambda_w \leq \lambda_{w,máx}$ Cumple	x: 0.811 m η = 49.8	x: 0 m η = 77.3	x: 0 m η = 11.1	x: 0.812 m η = 2.1	x: 0.812 m η = 8.8	η = 0.2	η < 0.1	η < 0.1	x: 0 m η = 87.4	η < 0.1	η = 0.1	x: 0.812 m η = 8.8	η = 0.2	**CUMPLE η = 87.4**
N128/N129	$\lambda_w \leq \lambda_{w,máx}$ Cumple	x: 1.7 m η = 49.5	x: 0.078 m η = 84.6	x: 0.89 m η = 10.9	x: 0.078 m η = 2.1	x: 1.701 m η = 10.5	η = 0.2	η < 0.1	η < 0.1	x: 0.89 m η = 88.8	η < 0.1	η = 0.2	x: 1.701 m η = 10.5	η = 0.2	**CUMPLE η = 88.8**
N129/N130	$\lambda_w \leq \lambda_{w,máx}$ Cumple	x: 1.717 m η = 46.5	x: 0.078 m η = 79.9	x: 0.898 m η = 11.8	x: 1.718 m η = 3.1	x: 0.078 m η = 10.7	η = 0.2	η < 0.1	η < 0.1	x: 0.898 m η = 85.3	η < 0.1	η = 0.1	x: 0.078 m η = 10.7	η = 0.2	**CUMPLE η = 85.3**
N130/N131	$\lambda_w \leq \lambda_{w,máx}$ Cumple	x: 1.694 m η = 46.7	x: 0.061 m η = 80.4	x: 0.674 m η = 12.7	x: 0.061 m η = 3.0	x: 1.695 m η = 11.3	η = 0.1	η < 0.1	η < 0.1	x: 0.674 m η = 86.6	η < 0.1	η = 0.1	x: 1.695 m η = 8.3	η = 0.1	**CUMPLE η = 86.6**
N131/N132	$\lambda_w \leq \lambda_{w,máx}$ Cumple	x: 1.694 m η = 41.7	x: 0.084 m η = 72.2	x: 0.688 m η = 11.1	x: 1.695 m η = 1.4	x: 1.695 m η = 12.6	η = 0.1	η < 0.1	η < 0.1	x: 0.688 m η = 77.4	η < 0.1	x: 1.091 m η = 0.1	x: 1.695 m η = 12.6	η = 0.1	**CUMPLE η = 77.4**
N132/N3399	$\lambda_w \leq \lambda_{w,máx}$ Cumple	x: 0.89 m η = 34.6	x: 0.084 m η = 55.1	x: 0.688 m η = 7.7	x: 0.084 m η = 1.4	x: 0.084 m η = 6.4	η = 0.1	η < 0.1	η < 0.1	x: 0.688 m η = 62.2	η < 0.1	η = 0.1	x: 0.084 m η = 6.4	η = 0.1	**CUMPLE η = 62.2**
N3399/N133	$\lambda_w \leq \lambda_{w,máx}$ Cumple	x: 0.805 m η = 34.7	x: 0 m η = 55.1	x: 0.806 m η = 7.2	x: 0.806 m η = 1.1	x: 0.806 m η = 13.1	η = 0.1	η < 0.1	η < 0.1	x: 0.806 m η = 61.8	η < 0.1	η = 0.1	x: 0.806 m η = 13.1	η = 0.1	**CUMPLE η = 61.8**
N133/N134	$\lambda_w \leq \lambda_{w,máx}$ Cumple	x: 1.694 m η = 24.6	x: 0.084 m η = 43.7	x: 0.688 m η = 7.0	x: 1.695 m η = 3.0	x: 1.695 m η = 12.1	η = 0.1	η < 0.1	η < 0.1	x: 0.688 m η = 47.2	η < 0.1	η = 0.2	x: 1.695 m η = 12.2	η = 0.1	**CUMPLE η = 47.2**
N134/N135	$\lambda_w \leq \lambda_{w,máx}$ Cumple	x: 1.694 m η = 12.3	x: 0.084 m η = 21.6	x: 1.695 m η = 16.7	x: 0.084 m η = 2.5	x: 1.695 m η = 16.1	η = 0.1	η < 0.1	η < 0.1	x: 1.695 m η = 38.2	η < 0.1	η = 0.1	x: 1.695 m η = 16.1	η = 0.1	**CUMPLE η = 38.2**
N135/N136	$\lambda_w \leq \lambda_{w,máx}$ Cumple	x: 1.673 m η = 1.3	x: 0.084 m η = 3.3	x: 1.674 m η = 14.9	x: 1.674 m η = 2.4	x: 1.674 m η = 13.8	η = 0.1	η < 0.1	η < 0.1	x: 1.674 m η = 17.3	η < 0.1	η = 0.1	x: 1.674 m η = 8.5	η = 0.1	**CUMPLE η = 17.3**
N136/N137	$\lambda_w \leq \lambda_{w,máx}$ Cumple	x: 1.673 m η = 29.1	x: 0.105 m η = 21.2	x: 1.674 m η = 37.5	x: 0.105 m η = 3.3	x: 1.674 m η = 22.3	η = 0.2	η < 0.1	η < 0.1	x: 1.674 m η = 66.8	η < 0.1	η < 0.1	x: 1.674 m η = 22.2	η = 0.2	**CUMPLE η = 66.8**
N137/N138	$\lambda_w \leq \lambda_{w,máx}$ Cumple	x: 1.637 m η = 51.3	x: 0.105 m η = 39.1	x: 0.105 m η = 38.6	x: 0.105 m η = 1.1	x: 0.105 m η = 30.8	η = 0.1	η < 0.1	η < 0.1	x: 0.105 m η = 90.5	η < 0.1	η = 0.1	x: 0.105 m η = 22.0	η = 0.1	**CUMPLE η = 90.5**
N226/N227	$\lambda_w \leq \lambda_{w,máx}$ Cumple	x: 1.68 m η = 14.2	x: 0.098 m η = 19.4	x: 0.098 m η = 16.8	x: 0.098 m η = 5.3	x: 1.681 m η = 12.6	η = 0.4	η < 0.1	η < 0.1	x: 0.296 m η = 29.9	η < 0.1	η = 0.3	x: 1.681 m η = 12.6	η = 0.4	**CUMPLE η = 29.9**
N227/N228	$\lambda_w \leq \lambda_{w,máx}$ Cumple	x: 1.68 m η = 23.5	x: 0.098 m η = 35.0	x: 0.098 m η = 8.7	x: 1.681 m η = 7.0	x: 0.098 m η = 11.2	η = 0.5	η < 0.1	η < 0.1	x: 0.098 m η = 40.8	η < 0.1	η = 0.3	x: 0.098 m η = 11.2	η = 0.5	**CUMPLE η = 40.8**
N228/N229	$\lambda_w \leq \lambda_{w,máx}$ Cumple	x: 1.7 m η = 32.3	x: 0.098 m η = 46.8	x: 1.1 m η = 5.2	x: 0.098 m η = 5.9	x: 0.098 m η = 8.2	η = 0.3	η < 0.1	η < 0.1	x: 1.1 m η = 48.2	η < 0.1	η = 0.1	x: 0.098 m η = 7.1	η = 0.3	**CUMPLE η = 48.2**
N229/N230	$\lambda_w \leq \lambda_{w,máx}$ Cumple	x: 1.7 m η = 38.0	x: 0.078 m η = 55.2	x: 1.093 m η = 6.6	x: 1.701 m η = 3.3	x: 0.078 m η = 8.7	η = 0.3	η < 0.1	η < 0.1	x: 1.093 m η = 57.4	η < 0.1	x: 0.687 m η = 0.1	x: 0.078 m η = 8.7	η = 0.3	**CUMPLE η = 57.4**
N230/N231	$\lambda_w \leq \lambda_{w,máx}$ Cumple	x: 1.7 m η = 41.8	x: 0.078 m η = 60.6	x: 0.89 m η = 7.6	x: 1.701 m η = 3.8	x: 0.078 m η = 7.2	x: 0.078 m η = 0.3	η < 0.1	η < 0.1	x: 0.89 m η = 63.5	η < 0.1	x: 0.078 m η = 0.2	x: 0.078 m η = 7.2	x: 0.078 m η = 0.3	**CUMPLE η = 63.5**

Documento visado electrónicamente con número: VA07290/22
Código de validación telemática TRLTDCFZ60T66IJ1. Comprobación: https://cogitivalencia.e-gestion.es/Validacion.aspx?CVT=TRLTDCFZ60T66IJ1

VISADO
COGITI
Estado
VALENCIA
VA07283/22
TRLTDCFZ60T66IJ1

Barras	COMPROBACIONES (CÓDIGO ESTRUCTURAL)														
	λ_w	N_t	N_c	M_Y	M_Z	V_Z	V_Y	M_YV_Z	M_ZV_Y	NM_YM_Z	$NM_YM_ZV_YV_Z$	M_t	M_tV_Z	M_tV_Y	
N231/N3385	$\lambda_w \leq \lambda_{w,máx}$ Cumple	x: 0.89 m η = 43.5	x: 0.078 m η = 57.7	x: 0.89 m η = 7.9	x: 0.078 m η = 3.6	x: 0.078 m η = 7.4	x: 0.281 m η = 0.1	η < 0.1	η < 0.1	x: 0.89 m η = 65.3	η < 0.1	η = 0.1	x: 0.078 m η = 7.4	x: 0.281 m η = 0.1	**CUMPLE η = 65.3**
N3385/N232	$\lambda_w \leq \lambda_{w,máx}$ Cumple	x: 0.811 m η = 43.5	x: 0 m η = 57.7	x: 0 m η = 7.9	x: 0 m η = 2.5	x: 0.812 m η = 5.9	η = 0.1	η < 0.1	η < 0.1	x: 0 m η = 65.3	η < 0.1	η = 0.1	x: 0.812 m η = 5.9	η = 0.1	**CUMPLE η = 65.3**
N232/N233	$\lambda_w \leq \lambda_{w,máx}$ Cumple	x: 1.7 m η = 43.2	x: 0.078 m η = 62.9	x: 0.89 m η = 7.8	x: 0.078 m η = 1.5	x: 1.701 m η = 7.2	x: 1.093 m η = 0.1	η < 0.1	η < 0.1	x: 0.89 m η = 65.8	η < 0.1	η = 0.2	x: 1.701 m η = 6.3	x: 1.093 m η = 0.1	**CUMPLE η = 65.8**
N233/N234	$\lambda_w \leq \lambda_{w,máx}$ Cumple	x: 1.717 m η = 40.7	x: 0.078 m η = 59.5	x: 0.898 m η = 8.6	x: 1.718 m η = 3.0	x: 0.078 m η = 7.4	η = 0.1	η < 0.1	η < 0.1	x: 0.898 m η = 63.3	η < 0.1	η = 0.1	x: 0.078 m η = 6.5	η = 0.1	**CUMPLE η = 63.3**
N234/N235	$\lambda_w \leq \lambda_{w,máx}$ Cumple	x: 1.694 m η = 40.7	x: 0.061 m η = 59.5	x: 0.674 m η = 9.3	x: 0.061 m η = 3.0	x: 1.695 m η = 7.9	η = 0.2	η < 0.1	η < 0.1	x: 0.674 m η = 64.0	η < 0.1	η = 0.1	x: 1.695 m η = 6.9	η = 0.2	**CUMPLE η = 64.0**
N235/N236	$\lambda_w \leq \lambda_{w,máx}$ Cumple	x: 1.694 m η = 36.3	x: 0.084 m η = 53.3	x: 0.688 m η = 7.9	x: 1.695 m η = 4.3	x: 1.695 m η = 8.7	η = 0.2	η < 0.1	η < 0.1	x: 0.688 m η = 57.0	η < 0.1	η = 0.1	x: 1.695 m η = 7.5	η = 0.2	**CUMPLE η = 57.0**
N236/N3398	$\lambda_w \leq \lambda_{w,máx}$ Cumple	x: 0.89 m η = 29.9	x: 0.084 m η = 40.6	x: 0.688 m η = 5.4	x: 0.084 m η = 4.5	x: 0.084 m η = 4.2	η = 0.2	η < 0.1	η < 0.1	x: 0.688 m η = 45.9	η < 0.1	η = 0.1	x: 0.084 m η = 4.2	η = 0.2	**CUMPLE η = 45.9**
N3398/N237	$\lambda_w \leq \lambda_{w,máx}$ Cumple	x: 0.805 m η = 29.9	x: 0 m η = 40.6	x: 0.806 m η = 5.0	x: 0 m η = 2.8	x: 0.806 m η = 9.0	η = 0.2	η < 0.1	η < 0.1	x: 0.806 m η = 45.5	η < 0.1	η = 0.1	x: 0.806 m η = 9.1	η = 0.2	**CUMPLE η = 45.5**
N237/N238	$\lambda_w \leq \lambda_{w,máx}$ Cumple	x: 1.694 m η = 21.3	x: 0.084 m η = 29.6	x: 0.688 m η = 4.9	x: 1.695 m η = 2.3	x: 1.695 m η = 8.3	x: 0.487 m η = 0.2	η < 0.1	η < 0.1	x: 0.688 m η = 34.5	η < 0.1	η = 0.2	x: 1.695 m η = 8.3	x: 0.487 m η = 0.2	**CUMPLE η = 34.5**
N238/N239	$\lambda_w \leq \lambda_{w,máx}$ Cumple	x: 1.694 m η = 10.6	x: 0.084 m η = 15.9	x: 1.695 m η = 11.9	x: 0.084 m η = 2.2	x: 1.695 m η = 11.2	η = 0.1	η < 0.1	η < 0.1	x: 1.695 m η = 27.8	η < 0.1	η = 0.1	x: 1.695 m η = 11.2	η = 0.1	**CUMPLE η = 27.8**
N239/N240	$\lambda_w \leq \lambda_{w,máx}$ Cumple	x: 1.673 m η = 1.1	x: 0.084 m η = 2.7	x: 1.674 m η = 10.7	x: 1.674 m η = 2.8	x: 1.674 m η = 9.5	η = 0.1	η < 0.1	η < 0.1	x: 1.674 m η = 13.2	η < 0.1	η < 0.1	x: 1.674 m η = 1.3	x: 1.277 m η = 0.1	**CUMPLE η = 13.2**
N240/N241	$\lambda_w \leq \lambda_{w,máx}$ Cumple	x: 1.673 m η = 21.3	x: 0.105 m η = 18.3	x: 1.674 m η = 27.6	x: 0.105 m η = 3.8	x: 1.674 m η = 16.9	η = 0.2	η < 0.1	η < 0.1	x: 1.674 m η = 48.8	η < 0.1	η = 0.1	x: 1.674 m η = 16.8	η = 0.2	**CUMPLE η = 48.8**
N241/N242	$\lambda_w \leq \lambda_{w,máx}$ Cumple	x: 1.637 m η = 37.3	x: 0.105 m η = 30.5	x: 0.105 m η = 28.4	x: 0.105 m η = 1.0	x: 0.105 m η = 23.2	η = 0.1	η < 0.1	η < 0.1	x: 0.105 m η = 66.4	η < 0.1	η = 0.1	x: 0.105 m η = 23.2	η = 0.1	**CUMPLE η = 66.4**
N434/N435	$\lambda_w \leq \lambda_{w,máx}$ Cumple	x: 1.7 m η = 20.2	x: 0.078 m η = 25.2	x: 0.484 m η = 22.7	x: 0.078 m η = 5.2	x: 1.701 m η = 19.5	η = 0.3	η < 0.1	η < 0.1	x: 0.484 m η = 45.1	η < 0.1	η = 0.3	x: 1.701 m η = 19.5	η = 0.3	**CUMPLE η = 45.1**
N435/N436	$\lambda_w \leq \lambda_{w,máx}$ Cumple	x: 1.7 m η = 33.2	x: 0.078 m η = 41.2	x: 0.078 m η = 18.8	x: 1.701 m η = 6.1	x: 0.078 m η = 15.9	η = 0.3	η < 0.1	η < 0.1	x: 0.078 m η = 53.2	η < 0.1	η = 0.2	x: 0.078 m η = 15.9	η = 0.3	**CUMPLE η = 53.2**
N436/N437	$\lambda_w \leq \lambda_{w,máx}$ Cumple	x: 1.7 m η = 44.5	x: 0.078 m η = 54.0	x: 0.078 m η = 7.1	x: 0.078 m η = 4.9	x: 0.078 m η = 9.1	η = 0.2	η < 0.1	η < 0.1	x: 0.078 m η = 55.4	η < 0.1	η = 0.1	x: 0.078 m η = 9.1	η = 0.2	**CUMPLE η = 55.4**
N437/N438	$\lambda_w \leq \lambda_{w,máx}$ Cumple	x: 1.7 m η = 52.1	x: 0.078 m η = 63.7	x: 1.093 m η = 7.1	x: 1.701 m η = 2.8	x: 0.078 m η = 8.8	η = 0.2	η < 0.1	η < 0.1	x: 1.093 m η = 64.9	η < 0.1	x: 0.281 m η = 0.1	x: 0.078 m η = 6.6	η = 0.2	**CUMPLE η = 64.9**
N438/N439	$\lambda_w \leq \lambda_{w,máx}$ Cumple	x: 1.713 m η = 57.4	x: 0.078 m η = 70.0	x: 0.896 m η = 7.4	x: 1.714 m η = 3.4	x: 0.078 m η = 8.4	x: 0.078 m η = 0.3	η < 0.1	η < 0.1	x: 0.896 m η = 71.1	η < 0.1	x: 0.078 m η = 0.3	x: 0.078 m η = 8.4	x: 0.078 m η = 0.3	**CUMPLE η = 71.1**
N439/N3386	$\lambda_w \leq \lambda_{w,máx}$ Cumple	x: 0.89 m η = 59.8	x: 0.065 m η = 66.4	x: 0.89 m η = 8.0	x: 0.066 m η = 2.6	x: 0.065 m η = 8.4	η < 0.1	η < 0.1	η < 0.1	x: 0.89 m η = 71.1	η < 0.1	x: 0.065 m η < 0.1	x: 0.065 m η = 1.4	η < 0.1	**CUMPLE η = 71.1**
N3386/N440	$\lambda_w \leq \lambda_{w,máx}$ Cumple	x: 0.824 m η = 59.8	x: 0 m η = 66.4	x: 0 m η = 8.0	x: 0 m η = 2.4	x: 0.825 m η = 7.4	η < 0.1	η < 0.1	η < 0.1	x: 0 m η = 71.1	η < 0.1	η < 0.1	x: 0.825 m η = 1.1	η < 0.1	**CUMPLE η = 71.1**
N440/N441	$\lambda_w \leq \lambda_{w,máx}$ Cumple	x: 1.713 m η = 59.4	x: 0.065 m η = 72.8	x: 0.89 m η = 7.7	x: 0.065 m η = 2.2	x: 1.714 m η = 8.2	η < 0.1	η < 0.1	η < 0.1	x: 0.89 m η = 73.8	η < 0.1	η = 0.2	x: 1.714 m η = 8.2	η < 0.1	**CUMPLE η = 73.8**
N441/N442	$\lambda_w \leq \lambda_{w,máx}$ Cumple	x: 1.727 m η = 55.9	x: 0.065 m η = 69.1	x: 0.897 m η = 8.1	x: 1.728 m η = 7.3	x: 0.065 m η = 8.3	η = 0.4	η < 0.1	η < 0.1	x: 0.897 m η = 70.9	η < 0.1	η = 0.2	x: 0.065 m η = 8.3	η = 0.4	**CUMPLE η = 70.9**
N442/N443	$\lambda_w \leq \lambda_{w,máx}$ Cumple	x: 1.708 m η = 56.1	x: 0.051 m η = 69.2	x: 0.88 m η = 8.4	x: 0.051 m η = 7.2	x: 1.709 m η = 8.6	η = 0.3	η < 0.1	η < 0.1	x: 0.88 m η = 71.4	η < 0.1	η = 0.1	x: 1.709 m η = 1.4	η = 0.3	**CUMPLE η = 71.4**
N443/N444	$\lambda_w \leq \lambda_{w,máx}$ Cumple	x: 1.708 m η = 50.4	x: 0.07 m η = 62.3	x: 0.685 m η = 7.7	x: 1.709 m η = 7.1	x: 1.709 m η = 8.9	x: 0.071 m η = 0.3	η < 0.1	η < 0.1	x: 0.685 m η = 64.3	η < 0.1	x: 0.071 m η = 0.3	x: 1.709 m η = 1.4	x: 0.071 m η = 0.3	**CUMPLE η = 64.3**
N444/N3397	$\lambda_w \leq \lambda_{w,máx}$ Cumple	x: 0.89 m η = 41.7	x: 0.07 m η = 45.1	x: 0.685 m η = 6.3	x: 0.07 m η = 7.5	x: 0.07 m η = 6.1	η = 0.3	η < 0.1	η < 0.1	x: 0.685 m η = 51.4	η < 0.1	η = 0.1	x: 0.07 m η = 6.1	η = 0.3	**CUMPLE η = 51.4**
N3397/N445	$\lambda_w \leq \lambda_{w,máx}$ Cumple	x: 0.819 m η = 41.7	x: 0 m η = 45.1	x: 0.82 m η = 9.0	x: 0 m η = 4.2	x: 0.82 m η = 9.7	η = 0.3	η < 0.1	η < 0.1	x: 0.82 m η = 53.1	η < 0.1	η = 0.1	x: 0.82 m η = 9.7	η = 0.3	**CUMPLE η = 53.1**
N445/N446	$\lambda_w \leq \lambda_{w,máx}$ Cumple	x: 1.694 m η = 30.2	x: 0.07 m η = 38.5	x: 0.695 m η = 9.3	x: 1.695 m η = 4.1	x: 1.695 m η = 9.5	x: 0.476 m η = 0.2	η < 0.1	η < 0.1	x: 1.695 m η = 43.0	η < 0.1	x: 0.476 m η = 0.3	x: 1.695 m η = 9.5	x: 0.476 m η = 0.2	**CUMPLE η = 43.0**
N446/N447	$\lambda_w \leq \lambda_{w,máx}$ Cumple	x: 1.694 m η = 15.7	x: 0.084 m η = 18.7	x: 1.695 m η = 12.2	x: 0.084 m η = 3.5	x: 1.695 m η = 10.4	η = 0.1	η < 0.1	η < 0.1	x: 1.695 m η = 30.5	η < 0.1	η = 0.1	x: 1.695 m η = 1.8	η = 0.1	**CUMPLE η = 30.5**
N447/N448	$\lambda_w \leq \lambda_{w,máx}$ Cumple	x: 1.694 m η = 0.3	x: 0.084 m η = 2.9	x: 1.695 m η = 12.6	x: 1.695 m η = 2.1	x: 1.695 m η = 10.0	x: 1.293 m η = 0.1	η < 0.1	η < 0.1	x: 1.695 m η = 15.7	η < 0.1	x: 1.293 m η = 0.1	x: 1.695 m η = 1.6	x: 1.293 m η = 0.1	**CUMPLE η = 15.7**
N448/N449	$\lambda_w \leq \lambda_{w,máx}$ Cumple	x: 1.694 m η = 20.7	x: 0.084 m η = 26.1	x: 1.695 m η = 35.0	x: 0.084 m η = 2.9	x: 1.695 m η = 19.3	η = 0.1	η < 0.1	η < 0.1	x: 1.695 m η = 58.9	η < 0.1	η < 0.1	x: 1.695 m η = 2.8	η < 0.1	**CUMPLE η = 58.9**
N449/N450	$\lambda_w \leq \lambda_{w,máx}$ Cumple	x: 1.637 m η = 41.0	x: 0.084 m η = 48.5	x: 0.084 m η = 33.3	x: 0.084 m η = 1.3	x: 0.084 m η = 22.5	η = 0.1	η < 0.1	η < 0.1	x: 0.084 m η = 78.3	η < 0.1	η = 0.1	x: 0.084 m η = 21.3	η = 0.1	**CUMPLE η = 78.3**
N590/N591	$\lambda_w \leq \lambda_{w,máx}$ Cumple	x: 1.7 m η = 21.2	x: 0.078 m η = 25.3	x: 0.484 m η = 22.9	x: 0.078 m η = 4.9	x: 1.701 m η = 19.6	η = 0.3	η < 0.1	η < 0.1	x: 0.484 m η = 45.6	η < 0.1	η = 0.3	x: 1.701 m η = 19.6	η = 0.3	**CUMPLE η = 45.6**
N591/N592	$\lambda_w \leq \lambda_{w,máx}$ Cumple	x: 1.7 m η = 34.5	x: 0.078 m η = 41.5	x: 0.078 m η = 18.9	x: 1.701 m η = 6.0	x: 0.078 m η = 15.9	η = 0.3	η < 0.1	η < 0.1	x: 0.078 m η = 53.8	η < 0.1	η = 0.2	x: 0.078 m η = 15.9	η = 0.3	**CUMPLE η = 53.8**
N592/N593	$\lambda_w \leq \lambda_{w,máx}$ Cumple	x: 1.7 m η = 45.7	x: 0.078 m η = 54.6	x: 0.078 m η = 7.1	x: 0.078 m η = 4.9	x: 0.078 m η = 9.1	η = 0.2	η < 0.1	η < 0.1	x: 0.078 m η = 55.9	η < 0.1	η = 0.1	x: 0.078 m η = 6.8	η = 0.2	**CUMPLE η = 55.9**
N593/N594	$\lambda_w \leq \lambda_{w,máx}$ Cumple	x: 1.7 m η = 53.6	x: 0.078 m η = 64.5	x: 1.093 m η = 7.2	x: 1.701 m η = 2.7	x: 0.078 m η = 8.9	η = 0.2	η < 0.1	η < 0.1	x: 1.093 m η = 65.7	η < 0.1	η = 0.1	x: 0.078 m η = 6.6	η = 0.2	**CUMPLE η = 65.7**
N594/N595	$\lambda_w \leq \lambda_{w,máx}$ Cumple	x: 1.713 m η = 59.0	x: 0.078 m η = 70.8	x: 0.896 m η = 7.5	x: 1.714 m η = 3.4	x: 0.078 m η = 8.4	x: 0.896 m η = 0.2	η < 0.1	η < 0.1	x: 0.896 m η = 71.9	η < 0.1	x: 0.896 m η = 0.2	x: 0.078 m η = 8.4	x: 0.896 m η = 0.2	**CUMPLE η = 71.9**
N595/N3387	$\lambda_w \leq \lambda_{w,máx}$ Cumple	x: 0.89 m η = 61.4	x: 0.065 m η = 67.2	x: 0.89 m η = 8.1	x: 0.065 m η = 2.6	x: 0.065 m η = 8.4	η < 0.1	η < 0.1	η < 0.1	x: 0.89 m η = 71.9	η < 0.1	η < 0.1	x: 0.065 m η = 1.4	η < 0.1	**CUMPLE η = 71.9**
N3387/N596	$\lambda_w \leq \lambda_{w,máx}$ Cumple	x: 0.824 m η = 61.4	x: 0 m η = 67.2	x: 0 m η = 8.1	x: 0 m η = 2.4	x: 0.825 m η = 7.4	η < 0.1	η < 0.1	η < 0.1	x: 0 m η = 71.9	η < 0.1	η < 0.1	x: 0.825 m η = 1.1	η < 0.1	**CUMPLE η = 71.9**
N596/N597	$\lambda_w \leq \lambda_{w,máx}$ Cumple	x: 1.713 m η = 61.0	x: 0.065 m η = 73.8	x: 0.89 m η = 7.8	x: 0.065 m η = 2.2	x: 1.714 m η = 8.2	η < 0.1	η < 0.1	η < 0.1	x: 0.89 m η = 74.7	η < 0.1	η = 0.2	x: 1.714 m η = 8.2	η < 0.1	**CUMPLE η = 74.7**
N597/N598	$\lambda_w \leq \lambda_{w,máx}$ Cumple	x: 1.727 m η = 57.6	x: 0.065 m η = 70.1	x: 0.897 m η = 8.2	x: 1.728 m η = 7.2	x: 0.065 m η = 8.3	η = 0.4	η < 0.1	η < 0.1	x: 0.897 m η = 71.9	η < 0.1	η = 0.2	x: 0.065 m η = 1.4	η = 0.4	**CUMPLE η = 71.9**
N598/N599	$\lambda_w \leq \lambda_{w,máx}$ Cumple	x: 1.708 m η = 57.7	x: 0.051 m η = 70.1	x: 0.88 m η = 8.6	x: 0.051 m η = 7.3	x: 1.709 m η = 8.6	η = 0.3	η < 0.1	η < 0.1	x: 0.88 m η = 72.3	η < 0.1	η = 0.1	x: 1.709 m η = 1.4	η = 0.3	**CUMPLE η = 72.3**
N599/N600	$\lambda_w \leq \lambda_{w,máx}$ Cumple	x: 1.708 m η = 51.8	x: 0.07 m η = 63.2	x: 0.685 m η = 7.8	x: 1.709 m η = 7.2	x: 1.709 m η = 8.9	x: 0.071 m η = 0.3	η < 0.1	η < 0.1	x: 0.685 m η = 65.1	η < 0.1	x: 0.071 m η = 0.3	x: 1.709 m η = 1.4	x: 0.071 m η = 0.3	**CUMPLE η = 65.1**
N600/N3396	$\lambda_w \leq \lambda_{w,máx}$ Cumple	x: 0.89 m η = 42.8	x: 0.07 m η = 45.8	x: 0.685 m η = 6.3	x: 0.07 m η = 7.5	x: 0.07 m η = 6.0	η = 0.3	η < 0.1	η < 0.1	x: 0.685 m η = 52.1	η < 0.1	η = 0.1	x: 0.07 m η = 6.0	η = 0.3	**CUMPLE η = 52.1**

Código de validación telemática: TRLTDCFZ60T66IJ1. Comprobación: https://coginvalencia.e-gestion.es/Validacion.aspx?CVT= TRLTDCFZ60T66IJ1 VA07283/22

VISADO
COGITI
Estado
VALENCIA
VA07290/22
TRLTDCFZ60T66IJ1

Barras	COMPROBACIONES (CÓDIGO ESTRUCTURAL)														
	λ_w	N_t	N_c	M_Y	M_Z	V_Z	V_Y	M_YV_Z	M_ZV_Y	NM_YM_Z	$NM_YM_ZV_YV_Z$	M_t	M_tV_Z	M_tV_Y	
N3396/N601	$\lambda_w \leq \lambda_{w,máx}$ Cumple	x: 0.819 m η = 42.9	x: 0 m η = 45.8	x: 0.82 m η = 9.0	x: 0 m η = 4.2	x: 0.82 m η = 9.7	η = 0.3	η < 0.1	η < 0.1	x: 0.82 m η = 53.8	η < 0.1	η = 0.1	x: 0.82 m η = 9.7	η = 0.3	CUMPLE η = 53.8
N601/N602	$\lambda_w \leq \lambda_{w,máx}$ Cumple	x: 1.694 m η = 31.2	x: 0.07 m η = 39.2	x: 1.695 m η = 9.3	x: 1.695 m η = 4.2	x: 1.695 m η = 9.5	x: 0.68 m η = 0.2	η < 0.1	η < 0.1	x: 1.695 m η = 43.5	η < 0.1	x: 0.68 m η = 0.3	x: 1.695 m η = 9.5	x: 0.6 η = 0.2	CUMPLE η = 43.5
N602/N603	$\lambda_w \leq \lambda_{w,máx}$ Cumple	x: 1.694 m η = 16.4	x: 0.084 m η = 19.1	x: 1.695 m η = 12.4	x: 0.084 m η = 3.5	x: 1.695 m η = 10.4	η = 0.1	η < 0.1	η < 0.1	x: 1.695 m η = 31.0	η < 0.1	η = 0.1	x: 1.695 m η = 1.9	η = 0.1	CUMPLE η = 31.0
N603/N604	$\lambda_w \leq \lambda_{w,máx}$ Cumple	x: 1.694 m η = 0.1	x: 0.084 m η = 2.9	x: 1.695 m η = 12.7	x: 1.695 m η = 2.3	x: 1.695 m η = 10.0	x: 1.091 m η = 0.1	η < 0.1	η < 0.1	x: 1.695 m η = 15.8	η < 0.1	x: 1.091 m η = 0.1	x: 1.695 m η = 1.7	x: 1.091 m η = 0.1	CUMPLE η = 15.8
N604/N605	$\lambda_w \leq \lambda_{w,máx}$ Cumple	x: 1.694 m η = 20.7	x: 0.084 m η = 26.4	x: 1.695 m η = 35.5	x: 0.084 m η = 3.2	x: 1.695 m η = 19.5	η = 0.1	η < 0.1	η < 0.1	x: 1.695 m η = 59.7	η < 0.1	η = 0.1	x: 1.695 m η = 18.8	η = 0.1	CUMPLE η = 59.7
N605/N606	$\lambda_w \leq \lambda_{w,máx}$ Cumple	x: 1.637 m η = 41.2	x: 0.084 m η = 49.2	x: 0.084 m η = 33.8	x: 0.084 m η = 1.4	x: 0.084 m η = 22.7	η = 0.1	η < 0.1	η < 0.1	x: 0.084 m η = 79.6	η < 0.1	η = 0.1	x: 0.084 m η = 22.7	η = 0.1	CUMPLE η = 79.6
N746/N747	$\lambda_w \leq \lambda_{w,máx}$ Cumple	x: 1.7 m η = 21.4	x: 0.078 m η = 25.2	x: 0.484 m η = 23.0	x: 0.078 m η = 4.4	x: 1.701 m η = 19.6	η = 0.2	η < 0.1	η < 0.1	x: 0.484 m η = 44.6	η < 0.1	η = 0.3	x: 1.701 m η = 19.6	η = 0.2	CUMPLE η = 44.6
N747/N748	$\lambda_w \leq \lambda_{w,máx}$ Cumple	x: 1.7 m η = 34.6	x: 0.078 m η = 41.4	x: 0.078 m η = 18.9	x: 1.701 m η = 5.6	x: 0.078 m η = 15.9	η = 0.3	η < 0.1	η < 0.1	x: 0.078 m η = 53.6	η < 0.1	η = 0.2	x: 0.078 m η = 16.0	η = 0.3	CUMPLE η = 53.6
N748/N749	$\lambda_w \leq \lambda_{w,máx}$ Cumple	x: 1.7 m η = 45.8	x: 0.078 m η = 54.7	x: 0.078 m η = 7.1	x: 0.078 m η = 4.4	x: 0.078 m η = 9.1	η = 0.2	η < 0.1	η < 0.1	x: 0.078 m η = 55.9	η < 0.1	η = 0.1	x: 0.078 m η = 6.8	η = 0.2	CUMPLE η = 55.9
N749/N750	$\lambda_w \leq \lambda_{w,máx}$ Cumple	x: 1.7 m η = 53.8	x: 0.078 m η = 64.6	x: 1.093 m η = 7.2	x: 1.701 m η = 2.9	x: 0.078 m η = 8.9	η = 0.2	η < 0.1	η < 0.1	x: 1.093 m η = 65.9	η < 0.1	η = 0.2	x: 0.078 m η = 6.6	η = 0.2	CUMPLE η = 65.9
N750/N751	$\lambda_w \leq \lambda_{w,máx}$ Cumple	x: 1.713 m η = 59.2	x: 0.078 m η = 71.0	x: 0.896 m η = 7.5	x: 1.714 m η = 3.4	x: 0.078 m η = 8.4	x: 0.078 m η = 0.3	η < 0.1	η < 0.1	x: 0.896 m η = 72.0	η < 0.1	x: 0.078 m η = 0.3	x: 0.078 m η = 8.4	x: 0.078 m η = 0.3	CUMPLE η = 72.0
N751/N3388	$\lambda_w \leq \lambda_{w,máx}$ Cumple	x: 0.89 m η = 61.6	x: 0.065 m η = 67.3	x: 0.89 m η = 8.1	x: 0.065 m η = 2.6	x: 0.065 m η = 8.4	η < 0.1	η < 0.1	η < 0.1	x: 0.89 m η = 72.1	η < 0.1	η = 0.1	x: 0.065 m η = 8.4	η < 0.1	CUMPLE η = 72.1
N3388/N752	$\lambda_w \leq \lambda_{w,máx}$ Cumple	x: 0.824 m η = 61.6	x: 0 m η = 67.3	x: 0 m η = 8.1	x: 0 m η = 2.5	x: 0.825 m η = 7.4	η < 0.1	η < 0.1	η < 0.1	x: 0 m η = 72.1	η < 0.1	η = 0.1	x: 0.825 m η = 7.4	η < 0.1	CUMPLE η = 72.1
N752/N753	$\lambda_w \leq \lambda_{w,máx}$ Cumple	x: 1.713 m η = 61.3	x: 0.065 m η = 73.9	x: 0.89 m η = 7.8	x: 0.065 m η = 2.2	x: 1.714 m η = 8.2	η < 0.1	η < 0.1	η < 0.1	x: 0.89 m η = 74.9	η < 0.1	η = 0.2	x: 1.714 m η = 8.2	η < 0.1	CUMPLE η = 74.9
N753/N754	$\lambda_w \leq \lambda_{w,máx}$ Cumple	x: 1.727 m η = 57.8	x: 0.065 m η = 70.3	x: 0.897 m η = 8.3	x: 1.728 m η = 7.2	x: 0.065 m η = 8.3	η = 0.4	η < 0.1	η < 0.1	x: 0.897 m η = 72.1	η < 0.1	η = 0.2	x: 0.065 m η = 8.3	η = 0.4	CUMPLE η = 72.1
N754/N755	$\lambda_w \leq \lambda_{w,máx}$ Cumple	x: 1.708 m η = 58.0	x: 0.051 m η = 70.3	x: 0.88 m η = 8.6	x: 0.051 m η = 7.2	x: 1.709 m η = 8.6	η = 0.3	η < 0.1	η < 0.1	x: 0.88 m η = 72.6	η < 0.1	η = 0.1	x: 1.709 m η = 1.4	η = 0.3	CUMPLE η = 72.6
N755/N756	$\lambda_w \leq \lambda_{w,máx}$ Cumple	x: 1.708 m η = 52.1	x: 0.07 m η = 63.4	x: 0.685 m η = 7.8	x: 1.709 m η = 7.2	x: 1.709 m η = 8.9	η = 0.3	η < 0.1	η < 0.1	x: 0.685 m η = 65.4	η < 0.1	η = 0.3	x: 1.709 m η = 1.4	η = 0.3	CUMPLE η = 65.4
N756/N3395	$\lambda_w \leq \lambda_{w,máx}$ Cumple	x: 0.89 m η = 43.1	x: 0.07 m η = 46.0	x: 0.685 m η = 6.3	x: 0.07 m η = 7.5	x: 0.07 m η = 6.0	η = 0.3	η < 0.1	η < 0.1	x: 0.685 m η = 52.3	η < 0.1	η = 0.1	x: 0.07 m η = 6.0	η = 0.3	CUMPLE η = 52.3
N3395/N757	$\lambda_w \leq \lambda_{w,máx}$ Cumple	x: 0.819 m η = 43.1	x: 0 m η = 46.0	x: 0.82 m η = 9.0	x: 0 m η = 4.2	x: 0.82 m η = 9.7	η = 0.3	η < 0.1	η < 0.1	x: 0.82 m η = 54.0	η < 0.1	η = 0.1	x: 0.82 m η = 9.7	η = 0.3	CUMPLE η = 54.0
N757/N758	$\lambda_w \leq \lambda_{w,máx}$ Cumple	x: 1.694 m η = 31.4	x: 0.07 m η = 39.4	x: 1.695 m η = 9.3	x: 1.695 m η = 4.2	x: 1.695 m η = 9.5	x: 0.68 m η = 0.2	η < 0.1	η < 0.1	x: 1.695 m η = 43.7	η < 0.1	x: 0.68 m η = 0.3	x: 1.695 m η = 9.5	x: 0.68 m η = 0.2	CUMPLE η = 43.7
N758/N759	$\lambda_w \leq \lambda_{w,máx}$ Cumple	x: 1.694 m η = 16.6	x: 0.084 m η = 19.4	x: 1.695 m η = 12.4	x: 0.084 m η = 3.6	x: 1.695 m η = 10.4	η = 0.1	η < 0.1	η < 0.1	x: 1.695 m η = 31.3	η < 0.1	η = 0.1	x: 1.695 m η = 1.9	η = 0.1	CUMPLE η = 31.3
N759/N760	$\lambda_w \leq \lambda_{w,máx}$ Cumple	x: 1.694 m η = 0.4	x: 0.084 m η = 2.7	x: 1.695 m η = 12.7	x: 1.695 m η = 2.4	x: 1.695 m η = 10.0	x: 1.494 m η = 0.1	η < 0.1	η < 0.1	x: 1.695 m η = 15.8	η < 0.1	x: 1.494 m η = 0.1	x: 1.695 m η = 1.6	x: 1.494 m η = 0.1	CUMPLE η = 15.8
N760/N761	$\lambda_w \leq \lambda_{w,máx}$ Cumple	x: 1.694 m η = 20.6	x: 0.084 m η = 26.2	x: 1.695 m η = 35.5	x: 0.084 m η = 3.4	x: 1.695 m η = 19.5	η = 0.1	η < 0.1	η < 0.1	x: 1.695 m η = 59.5	η < 0.1	η = 0.1	x: 1.695 m η = 19.5	η = 0.1	CUMPLE η = 59.5
N761/N762	$\lambda_w \leq \lambda_{w,máx}$ Cumple	x: 1.637 m η = 41.0	x: 0.084 m η = 49.0	x: 0.084 m η = 33.7	x: 0.084 m η = 1.6	x: 0.084 m η = 22.7	η = 0.1	η < 0.1	η < 0.1	x: 0.084 m η = 79.5	η < 0.1	η = 0.2	x: 0.084 m η = 22.7	η = 0.1	CUMPLE η = 79.5
N902/N903	$\lambda_w \leq \lambda_{w,máx}$ Cumple	x: 1.7 m η = 21.2	x: 0.078 m η = 25.3	x: 0.484 m η = 23.0	x: 0.078 m η = 4.8	x: 1.701 m η = 19.6	η = 0.2	η < 0.1	η < 0.1	x: 0.484 m η = 45.0	η < 0.1	η = 0.2	x: 1.701 m η = 19.6	η = 0.2	CUMPLE η = 45.0
N903/N904	$\lambda_w \leq \lambda_{w,máx}$ Cumple	x: 1.7 m η = 34.5	x: 0.078 m η = 41.5	x: 0.078 m η = 19.0	x: 1.701 m η = 5.4	x: 0.078 m η = 16.0	η = 0.2	η < 0.1	η < 0.1	x: 0.078 m η = 53.4	η < 0.1	η = 0.2	x: 0.078 m η = 16.0	η = 0.2	CUMPLE η = 53.4
N904/N905	$\lambda_w \leq \lambda_{w,máx}$ Cumple	x: 1.7 m η = 45.8	x: 0.078 m η = 54.7	x: 0.078 m η = 7.1	x: 0.078 m η = 4.7	x: 0.078 m η = 9.1	η = 0.2	η < 0.1	η < 0.1	x: 0.078 m η = 55.9	η < 0.1	η = 0.1	x: 0.078 m η = 6.8	η = 0.2	CUMPLE η = 55.9
N905/N906	$\lambda_w \leq \lambda_{w,máx}$ Cumple	x: 1.7 m η = 53.8	x: 0.078 m η = 64.6	x: 1.093 m η = 7.2	x: 1.701 m η = 3.3	x: 0.078 m η = 8.9	η = 0.2	η < 0.1	η < 0.1	x: 1.093 m η = 65.9	η < 0.1	η = 0.2	x: 0.078 m η = 8.9	η = 0.2	CUMPLE η = 65.9
N906/N907	$\lambda_w \leq \lambda_{w,máx}$ Cumple	x: 1.713 m η = 59.2	x: 0.078 m η = 71.0	x: 0.896 m η = 7.5	x: 1.714 m η = 3.4	x: 0.078 m η = 8.4	x: 0.896 m η = 0.3	η < 0.1	η < 0.1	x: 0.896 m η = 72.0	η < 0.1	x: 0.896 m η = 0.3	x: 0.078 m η = 8.4	x: 0.896 m η = 0.3	CUMPLE η = 72.0
N907/N3389	$\lambda_w \leq \lambda_{w,máx}$ Cumple	x: 0.89 m η = 61.7	x: 0.065 m η = 67.4	x: 0.89 m η = 8.1	x: 0.065 m η = 2.6	x: 0.065 m η = 8.4	η < 0.1	η < 0.1	η < 0.1	x: 0.89 m η = 72.1	η < 0.1	η = 0.1	x: 0.065 m η = 8.4	η < 0.1	CUMPLE η = 72.1
N3389/N908	$\lambda_w \leq \lambda_{w,máx}$ Cumple	x: 0.824 m η = 61.7	x: 0 m η = 67.4	x: 0 m η = 8.1	x: 0 m η = 2.4	x: 0.825 m η = 7.4	η < 0.1	η < 0.1	η < 0.1	x: 0 m η = 72.1	η < 0.1	η = 0.1	x: 0.825 m η = 7.4	η < 0.1	CUMPLE η = 72.1
N908/N909	$\lambda_w \leq \lambda_{w,máx}$ Cumple	x: 1.713 m η = 61.4	x: 0.065 m η = 74.0	x: 0.89 m η = 7.8	x: 0.065 m η = 2.2	x: 1.714 m η = 8.2	η < 0.1	η < 0.1	η < 0.1	x: 0.89 m η = 75.0	η < 0.1	η = 0.2	x: 1.714 m η = 8.2	η < 0.1	CUMPLE η = 75.0
N909/N910	$\lambda_w \leq \lambda_{w,máx}$ Cumple	x: 1.727 m η = 58.0	x: 0.065 m η = 70.4	x: 0.897 m η = 8.3	x: 1.728 m η = 7.1	x: 0.065 m η = 8.3	η = 0.4	η < 0.1	η < 0.1	x: 0.897 m η = 72.3	η < 0.1	η = 0.2	x: 0.065 m η = 8.3	η = 0.4	CUMPLE η = 72.3
N910/N911	$\lambda_w \leq \lambda_{w,máx}$ Cumple	x: 1.708 m η = 58.2	x: 0.051 m η = 70.5	x: 0.88 m η = 8.6	x: 0.051 m η = 7.4	x: 1.709 m η = 8.6	η = 0.3	η < 0.1	η < 0.1	x: 0.88 m η = 72.7	η < 0.1	η = 0.1	x: 1.709 m η = 1.4	η = 0.3	CUMPLE η = 72.7
N911/N912	$\lambda_w \leq \lambda_{w,máx}$ Cumple	x: 1.708 m η = 52.3	x: 0.07 m η = 63.5	x: 0.685 m η = 7.8	x: 1.709 m η = 7.1	x: 1.709 m η = 8.9	η = 0.3	η < 0.1	η < 0.1	x: 0.685 m η = 65.5	η < 0.1	η = 0.3	x: 1.709 m η = 1.4	η = 0.3	CUMPLE η = 65.5
N912/N3394	$\lambda_w \leq \lambda_{w,máx}$ Cumple	x: 0.89 m η = 43.4	x: 0.07 m η = 46.2	x: 0.685 m η = 6.4	x: 0.07 m η = 7.5	x: 0.07 m η = 6.0	η = 0.3	η < 0.1	η < 0.1	x: 0.685 m η = 52.5	η < 0.1	η = 0.1	x: 0.07 m η = 6.0	η = 0.3	CUMPLE η = 52.5
N3394/N913	$\lambda_w \leq \lambda_{w,máx}$ Cumple	x: 0.819 m η = 43.4	x: 0 m η = 46.1	x: 0.82 m η = 9.0	x: 0 m η = 4.2	x: 0.82 m η = 9.7	η = 0.3	η < 0.1	η < 0.1	x: 0.82 m η = 54.1	η < 0.1	η = 0.1	x: 0.82 m η = 9.7	η = 0.3	CUMPLE η = 54.1
N913/N914	$\lambda_w \leq \lambda_{w,máx}$ Cumple	x: 1.694 m η = 31.8	x: 0.07 m η = 39.6	x: 1.695 m η = 9.2	x: 1.695 m η = 4.1	x: 1.695 m η = 9.5	x: 0.68 m η = 0.2	η < 0.1	η < 0.1	x: 1.695 m η = 43.9	η < 0.1	x: 0.68 m η = 0.3	x: 1.695 m η = 9.5	x: 0.68 m η = 0.2	CUMPLE η = 43.9
N914/N915	$\lambda_w \leq \lambda_{w,máx}$ Cumple	x: 1.694 m η = 17.1	x: 0.084 m η = 19.6	x: 1.695 m η = 12.3	x: 0.084 m η = 3.6	x: 1.695 m η = 10.4	η = 0.1	η < 0.1	η < 0.1	x: 1.695 m η = 31.4	η < 0.1	η = 0.1	x: 1.695 m η = 1.9	η = 0.1	CUMPLE η = 31.4
N915/N916	$\lambda_w \leq \lambda_{w,máx}$ Cumple	x: 1.694 m η = 0.1	x: 0.084 m η = 2.6	x: 1.695 m η = 12.7	x: 1.695 m η = 2.5	x: 1.695 m η = 10.0	x: 1.293 m η = 0.1	η < 0.1	η < 0.1	x: 1.695 m η = 15.4	η < 0.1	x: 1.494 m η = 0.1	x: 1.695 m η = 1.7	x: 1.293 m η = 0.1	CUMPLE η = 15.4
N916/N917	$\lambda_w \leq \lambda_{w,máx}$ Cumple	x: 1.694 m η = 20.2	x: 0.084 m η = 26.0	x: 1.695 m η = 35.3	x: 0.084 m η = 3.4	x: 1.695 m η = 19.4	η = 0.1	η < 0.1	η < 0.1	x: 1.695 m η = 59.2	η < 0.1	η = 0.1	x: 1.695 m η = 19.4	η = 0.1	CUMPLE η = 59.2
N917/N918	$\lambda_w \leq \lambda_{w,máx}$ Cumple	x: 1.637 m η = 40.6	x: 0.084 m η = 48.8	x: 0.084 m η = 33.5	x: 0.084 m η = 1.7	x: 0.084 m η = 22.6	η = 0.1	η < 0.1	η < 0.1	x: 0.084 m η = 79.3	η < 0.1	η = 0.2	x: 0.084 m η = 22.6	η = 0.1	CUMPLE η = 79.3
N1058/N1059	$\lambda_w \leq \lambda_{w,máx}$ Cumple	x: 1.7 m η = 20.0	x: 0.078 m η = 25.4	x: 0.484 m η = 23.0	x: 0.078 m η = 8.6	x: 1.701 m η = 19.6	η = 0.3	η < 0.1	η < 0.1	x: 0.484 m η = 47.1	η < 0.1	η = 0.3	x: 1.701 m η = 19.6	η = 0.3	CUMPLE η = 47.1

Documento visado electrónicamente con número: VA07290/22
Código de validación telemática TRLTDCFZ60T66IJ1. Comprobación: https://cogitivalencia.e-gestion.es/Validacion.aspx?CVT=TRLTDCFZ60T66IJ1

VISADO
COGITI
VALENCIA
VA07290/22
TRLTDCFZ60T66IJ1
Documento visado electrónicamente con número VA07290/22
Código de validación telemática TRLTDCFZ60T66IJ1. Comprobación: https://cogitivalencia.e-gestion.es/Validacion.aspx?CVT=TRLTDCFZ60T66IJ1

Barras	COMPROBACIONES (CÓDIGO ESTRUCTURAL)														Estado
	λ_w	N_t	N_c	M_Y	M_Z	V_Z	V_Y	M_YV_Z	M_ZV_Y	NM_YM_Z	$NM_YM_ZV_YV_Z$	M_t	M_tV_Z	M_tV_Y	
N1059/N1060	$\lambda_w \le \lambda_{w,máx}$ Cumple	x: 1.7 m η = 33.4	x: 0.078 m η = 41.5	x: 0.078 m η = 19.0	x: 1.701 m η = 6.9	x: 0.078 m η = 16.0	η = 0.4	η < 0.1	η < 0.1	x: 0.078 m η = 53.3	η < 0.1	η = 0.2	x: 0.078 m η = 16.0	η = 0.2	**CUMPLE η = 53.3**
N1060/N1061	$\lambda_w \le \lambda_{w,máx}$ Cumple	x: 1.7 m η = 45.1	x: 0.078 m η = 54.3	x: 0.078 m η = 7.1	x: 0.078 m η = 5.9	x: 0.078 m η = 9.1	η = 0.2	η < 0.1	η < 0.1	x: 0.078 m η = 55.7	η < 0.1	η = 0.2	x: 0.078 m η = 9.1	η = 0.2	**CUMPLE η = 55.7**
N1061/N1062	$\lambda_w \le \lambda_{w,máx}$ Cumple	x: 1.7 m η = 53.1	x: 0.078 m η = 64.1	x: 1.093 m η = 7.2	x: 1.701 m η = 3.9	x: 0.078 m η = 8.9	η = 0.2	η < 0.1	η < 0.1	x: 1.093 m η = 65.5	η < 0.1	η = 0.2	x: 0.078 m η = 8.9	η = 0.2	**CUMPLE η = 65.5**
N1062/N1063	$\lambda_w \le \lambda_{w,máx}$ Cumple	x: 1.713 m η = 58.6	x: 0.078 m η = 70.5	x: 0.896 m η = 7.5	x: 1.714 m η = 3.4	x: 0.078 m η = 8.4	η = 0.3	η < 0.1	η < 0.1	x: 0.896 m η = 71.4	η < 0.1	x: 0.896 m η = 0.3	x: 0.078 m η = 8.5	η = 0.3	**CUMPLE η = 71.4**
N1063/N3390	$\lambda_w \le \lambda_{w,máx}$ Cumple	x: 0.89 m η = 61.2	x: 0.065 m η = 66.9	x: 0.89 m η = 8.1	x: 0.065 m η = 2.6	x: 0.065 m η = 8.4	η < 0.1	η < 0.1	η < 0.1	x: 0.89 m η = 71.6	η < 0.1	η = 0.1	x: 0.065 m η = 8.4	η < 0.1	**CUMPLE η = 71.6**
N3390/N1064	$\lambda_w \le \lambda_{w,máx}$ Cumple	x: 0.824 m η = 61.2	x: 0 m η = 66.9	x: 0 m η = 8.1	x: 0 m η = 2.4	x: 0.825 m η = 7.4	η < 0.1	η < 0.1	η < 0.1	x: 0 m η = 71.6	η < 0.1	η = 0.1	x: 0.825 m η = 7.4	η < 0.1	**CUMPLE η = 71.6**
N1064/N1065	$\lambda_w \le \lambda_{w,máx}$ Cumple	x: 1.713 m η = 61.1	x: 0.065 m η = 73.4	x: 0.89 m η = 7.8	x: 0.065 m η = 2.2	x: 1.714 m η = 8.2	η < 0.1	η < 0.1	η < 0.1	x: 0.89 m η = 74.4	η < 0.1	x: 0.271 m η = 0.2	x: 1.714 m η = 8.2	η < 0.1	**CUMPLE η = 74.4**
N1065/N1066	$\lambda_w \le \lambda_{w,máx}$ Cumple	x: 1.727 m η = 57.8	x: 0.065 m η = 69.8	x: 0.897 m η = 8.2	x: 1.728 m η = 7.2	x: 0.065 m η = 8.3	x: 1.105 m η = 0.4	η < 0.1	η < 0.1	x: 0.897 m η = 71.6	η < 0.1	x: 1.105 m η = 0.2	x: 0.065 m η = 8.3	x: 1.105 m η = 0.4	**CUMPLE η = 71.6**
N1066/N1067	$\lambda_w \le \lambda_{w,máx}$ Cumple	x: 1.708 m η = 57.9	x: 0.051 m η = 69.8	x: 0.88 m η = 8.6	x: 0.051 m η = 7.1	x: 1.709 m η = 8.6	x: 0.88 m η = 0.3	η < 0.1	η < 0.1	x: 0.88 m η = 72.0	η < 0.1	x: 0.88 m η = 0.1	x: 1.709 m η = 1.4	x: 0.88 m η = 0.3	**CUMPLE η = 72.0**
N1067/N1068	$\lambda_w \le \lambda_{w,máx}$ Cumple	x: 1.708 m η = 52.3	x: 0.07 m η = 63.0	x: 0.685 m η = 7.8	x: 1.709 m η = 7.1	x: 1.709 m η = 8.9	x: 0.07 m η = 0.3	η < 0.1	η < 0.1	x: 0.685 m η = 65.0	η < 0.1	x: 0.07 m η = 0.3	x: 1.709 m η = 1.4	x: 0.07 m η = 0.3	**CUMPLE η = 65.0**
N1068/N3393	$\lambda_w \le \lambda_{w,máx}$ Cumple	x: 0.89 m η = 43.5	x: 0.07 m η = 45.8	x: 0.685 m η = 6.4	x: 0.07 m η = 7.3	x: 0.07 m η = 6.1	η = 0.3	η < 0.1	η < 0.1	x: 0.685 m η = 52.1	η < 0.1	η = 0.1	x: 0.07 m η = 6.1	η = 0.3	**CUMPLE η = 52.1**
N3393/N1069	$\lambda_w \le \lambda_{w,máx}$ Cumple	x: 0.819 m η = 43.6	x: 0 m η = 45.7	x: 0.82 m η = 8.8	x: 0 m η = 4.1	x: 0.82 m η = 9.7	x: 0.205 m η = 0.3	η < 0.1	η < 0.1	x: 0.82 m η = 53.7	η < 0.1	η = 0.1	x: 0.82 m η = 9.7	x: 0.205 m η = 0.3	**CUMPLE η = 53.7**
N1069/N1070	$\lambda_w \le \lambda_{w,máx}$ Cumple	x: 1.694 m η = 32.1	x: 0.07 m η = 39.2	x: 1.695 m η = 9.1	x: 1.695 m η = 4.1	x: 1.695 m η = 9.5	x: 1.289 m η = 0.2	η < 0.1	η < 0.1	x: 1.695 m η = 43.5	η < 0.1	x: 1.289 m η = 0.3	x: 1.695 m η = 9.5	x: 1.289 m η = 0.2	**CUMPLE η = 43.5**
N1070/N1071	$\lambda_w \le \lambda_{w,máx}$ Cumple	x: 1.694 m η = 17.6	x: 0.084 m η = 19.3	x: 1.695 m η = 12.1	x: 0.084 m η = 3.8	x: 1.695 m η = 10.4	x: 0.084 m η = 0.1	η < 0.1	η < 0.1	x: 1.695 m η = 31.0	η < 0.1	x: 1.091 m η = 0.1	x: 1.695 m η = 1.9	x: 0.084 m η = 0.1	**CUMPLE η = 31.0**
N1071/N1072	$\lambda_w \le \lambda_{w,máx}$ Cumple	x: 1.694 m η = 0.9	x: 0.084 m η = 2.1	x: 1.695 m η = 12.6	x: 1.695 m η = 2.4	x: 1.695 m η = 10.0	η = 0.1	η < 0.1	η < 0.1	x: 1.695 m η = 15.2	η < 0.1	x: 1.293 m η = 0.1	x: 1.695 m η = 1.6	η = 0.1	**CUMPLE η = 15.2**
N1072/N1073	$\lambda_w \le \lambda_{w,máx}$ Cumple	x: 1.694 m η = 19.4	x: 0.084 m η = 26.0	x: 1.695 m η = 34.7	x: 0.084 m η = 3.4	x: 1.695 m η = 19.3	η = 0.1	η < 0.1	η < 0.1	x: 1.695 m η = 58.8	η < 0.1	η = 0.2	x: 1.695 m η = 19.3	η = 0.1	**CUMPLE η = 58.8**
N1073/N1074	$\lambda_w \le \lambda_{w,máx}$ Cumple	x: 1.637 m η = 39.6	x: 0.084 m η = 48.4	x: 0.084 m η = 33.0	x: 0.084 m η = 2.3	x: 0.084 m η = 22.5	η = 0.1	η < 0.1	η < 0.1	x: 0.084 m η = 78.9	η < 0.1	η = 0.2	x: 0.084 m η = 22.5	η = 0.1	**CUMPLE η = 78.9**
N1214/N1215	$\lambda_w \le \lambda_{w,máx}$ Cumple	x: 1.7 m η = 18.7	x: 0.078 m η = 24.1	x: 0.484 m η = 22.3	x: 0.078 m η = 15.4	x: 1.701 m η = 19.4	η = 0.5	η < 0.1	η < 0.1	x: 0.484 m η = 49.3	η < 0.1	η = 0.2	x: 1.701 m η = 19.4	η = 0.5	**CUMPLE η = 49.3**
N1215/N1216	$\lambda_w \le \lambda_{w,máx}$ Cumple	x: 1.7 m η = 30.6	x: 0.078 m η = 38.4	x: 0.078 m η = 18.6	x: 1.701 m η = 8.7	x: 0.078 m η = 15.8	η = 0.5	η < 0.1	η < 0.1	x: 0.078 m η = 51.6	η < 0.1	η = 0.2	x: 0.078 m η = 15.8	η = 0.5	**CUMPLE η = 51.6**
N1216/N1217	$\lambda_w \le \lambda_{w,máx}$ Cumple	x: 1.7 m η = 40.5	x: 0.078 m η = 49.7	x: 0.078 m η = 7.2	x: 0.078 m η = 7.5	x: 0.078 m η = 9.0	η = 0.3	η < 0.1	η < 0.1	x: 0.078 m η = 51.4	η < 0.1	η = 0.1	x: 0.078 m η = 9.0	η = 0.3	**CUMPLE η = 51.4**
N1217/N1218	$\lambda_w \le \lambda_{w,máx}$ Cumple	x: 1.7 m η = 47.4	x: 0.078 m η = 57.3	x: 1.093 m η = 6.8	x: 1.701 m η = 5.8	x: 0.078 m η = 8.8	η = 0.3	η < 0.1	η < 0.1	x: 1.093 m η = 58.7	η < 0.1	η = 0.2	x: 0.078 m η = 8.8	η = 0.3	**CUMPLE η = 58.7**
N1218/N1219	$\lambda_w \le \lambda_{w,máx}$ Cumple	x: 1.713 m η = 51.1	x: 0.078 m η = 62.5	x: 0.896 m η = 7.0	x: 0.078 m η = 4.9	x: 0.078 m η = 8.5	η = 0.2	η < 0.1	η < 0.1	x: 0.896 m η = 63.9	η < 0.1	η = 0.2	x: 0.078 m η = 8.5	η = 0.2	**CUMPLE η = 63.9**
N1219/N3391	$\lambda_w \le \lambda_{w,máx}$ Cumple	x: 0.89 m η = 53.3	x: 0.065 m η = 58.4	x: 0.89 m η = 7.5	x: 0.89 m η = 1.8	x: 0.065 m η = 8.3	η = 0.2	η < 0.1	η < 0.1	x: 0.89 m η = 63.0	η < 0.1	η = 0.1	x: 0.065 m η = 8.3	η = 0.2	**CUMPLE η = 63.0**
N3391/N1220	$\lambda_w \le \lambda_{w,máx}$ Cumple	x: 0.824 m η = 53.3	x: 0 m η = 58.3	x: 0 m η = 7.5	x: 0.825 m η = 4.5	x: 0.825 m η = 7.5	η = 0.2	η < 0.1	η < 0.1	x: 0 m η = 63.0	η < 0.1	η = 0.1	x: 0.825 m η = 7.5	η = 0.2	**CUMPLE η = 63.0**
N1220/N1221	$\lambda_w \le \lambda_{w,máx}$ Cumple	x: 1.713 m η = 51.8	x: 0.065 m η = 66.1	x: 0.89 m η = 7.5	x: 0.065 m η = 4.2	x: 1.714 m η = 8.0	η = 0.2	η < 0.1	η < 0.1	x: 0.89 m η = 67.5	η < 0.1	η = 0.2	x: 1.714 m η = 8.1	η = 0.2	**CUMPLE η = 67.5**
N1221/N1222	$\lambda_w \le \lambda_{w,máx}$ Cumple	x: 1.727 m η = 48.9	x: 0.065 m η = 61.7	x: 0.897 m η = 7.6	x: 1.728 m η = 3.2	x: 0.065 m η = 8.1	η = 0.2	η < 0.1	η < 0.1	x: 0.897 m η = 63.6	η < 0.1	η = 0.1	x: 0.065 m η = 8.0	η = 0.2	**CUMPLE η = 63.6**
N1222/N1223	$\lambda_w \le \lambda_{w,máx}$ Cumple	x: 1.708 m η = 48.2	x: 0.051 m η = 63.5	x: 0.88 m η = 7.9	x: 0.051 m η = 3.0	x: 1.709 m η = 8.4	η = 0.1	η < 0.1	η < 0.1	x: 0.88 m η = 65.9	η < 0.1	η = 0.1	x: 1.709 m η = 8.2	η = 0.1	**CUMPLE η = 65.9**
N1223/N1224	$\lambda_w \le \lambda_{w,máx}$ Cumple	x: 1.708 m η = 43.6	x: 0.07 m η = 56.8	x: 0.89 m η = 7.3	x: 1.709 m η = 2.4	x: 1.709 m η = 8.8	η = 0.1	η < 0.1	η < 0.1	x: 0.685 m η = 58.7	η < 0.1	η = 0.2	x: 1.709 m η = 8.8	η = 0.1	**CUMPLE η = 58.7**
N1224/N3392	$\lambda_w \le \lambda_{w,máx}$ Cumple	x: 0.89 m η = 35.9	x: 0.07 m η = 41.7	x: 0.685 m η = 6.0	x: 0.07 m η = 2.6	x: 0.07 m η = 6.6	η = 0.2	η < 0.1	η < 0.1	x: 0.685 m η = 47.2	η < 0.1	η = 0.2	x: 0.07 m η = 6.6	η = 0.2	**CUMPLE η = 47.2**
N3392/N1225	$\lambda_w \le \lambda_{w,máx}$ Cumple	x: 0.819 m η = 35.9	x: 0 m η = 41.7	x: 0.82 m η = 8.2	x: 0.82 m η = 1.3	x: 0.82 m η = 9.3	η = 0.2	η < 0.1	η < 0.1	x: 0.82 m η = 49.9	η < 0.1	η = 0.2	x: 0.82 m η = 9.3	η = 0.2	**CUMPLE η = 49.9**
N1225/N1226	$\lambda_w \le \lambda_{w,máx}$ Cumple	x: 1.694 m η = 26.1	x: 0.07 m η = 35.3	x: 1.695 m η = 8.8	x: 1.695 m η = 3.2	x: 1.695 m η = 9.3	η = 0.1	η < 0.1	η < 0.1	x: 1.695 m η = 40.5	η < 0.1	η = 0.4	x: 1.695 m η = 9.3	η = 0.1	**CUMPLE η = 40.5**
N1226/N1227	$\lambda_w \le \lambda_{w,máx}$ Cumple	x: 1.694 m η = 13.2	x: 0.084 m η = 19.6	x: 1.695 m η = 11.4	x: 0.084 m η = 2.7	x: 1.695 m η = 10.0	η = 0.1	η < 0.1	η < 0.1	x: 1.695 m η = 31.1	η < 0.1	η = 0.1	x: 1.695 m η = 10.0	η = 0.1	**CUMPLE η = 31.1**
N1227/N1228	$\lambda_w \le \lambda_{w,máx}$ Cumple	x: 1.694 m η = 0.4	x: 0.084 m η = 6.9	x: 1.695 m η = 11.9	x: 1.695 m η = 2.3	x: 1.695 m η = 9.8	η = 0.1	η < 0.1	η < 0.1	x: 1.695 m η = 17.4	η < 0.1	η < 0.1	x: 1.695 m η = 1.6	x: 0.688 m η < 0.1	**CUMPLE η = 17.4**
N1228/N1229	$\lambda_w \le \lambda_{w,máx}$ Cumple	x: 1.694 m η = 17.4	x: 0.084 m η = 25.4	x: 1.695 m η = 31.6	x: 0.084 m η = 3.1	x: 1.695 m η = 18.5	η = 0.1	η < 0.1	η < 0.1	x: 1.695 m η = 54.5	η < 0.1	η = 0.2	x: 1.695 m η = 18.5	η = 0.1	**CUMPLE η = 54.5**
N1229/N1230	$\lambda_w \le \lambda_{w,máx}$ Cumple	x: 1.637 m η = 35.7	x: 0.084 m η = 44.4	x: 0.084 m η = 29.8	x: 0.084 m η = 2.1	x: 0.084 m η = 21.4	η = 0.1	η < 0.1	η < 0.1	x: 0.084 m η = 71.8	η < 0.1	η = 0.2	x: 0.084 m η = 21.5	η = 0.1	**CUMPLE η = 71.8**
N1213/N1248	$\lambda_w \le \lambda_{w,máx}$ Cumple	x: 1.7 m η = 37.5	x: 0.141 m η = 56.2	x: 0.141 m η = 45.1	x: 1.701 m η = 1.8	x: 0.141 m η = 21.2	η = 0.1	η < 0.1	η < 0.1	x: 0.141 m η = 97.5	η < 0.1	η = 0.1	x: 0.141 m η = 21.2	η = 0.1	**CUMPLE η = 97.5**
N1248/N1249	$\lambda_w \le \lambda_{w,máx}$ Cumple	x: 1.7 m η = 18.9	x: 0.078 m η = 34.8	x: 0.078 m η = 12.8	x: 1.701 m η = 3.5	x: 0.078 m η = 14.2	η = 0.1	η < 0.1	η < 0.1	x: 0.078 m η = 44.3	η < 0.1	η = 0.1	x: 0.078 m η = 14.2	η = 0.1	**CUMPLE η = 44.3**
N1249/N1250	$\lambda_w \le \lambda_{w,máx}$ Cumple	x: 1.7 m η = 3.9	x: 0.078 m η = 23.5	x: 0.078 m η = 13.4	x: 0.078 m η = 2.9	x: 0.078 m η = 9.9	η = 0.1	η < 0.1	η < 0.1	x: 0.078 m η = 29.1	η < 0.1	η = 0.1	x: 0.078 m η = 9.9	η = 0.1	**CUMPLE η = 29.1**
N1250/N1251	$\lambda_w \le \lambda_{w,máx}$ Cumple	x: 1.7 m η = 8.0	x: 0.078 m η = 25.9	x: 0.078 m η = 9.7	x: 1.701 m η = 3.3	x: 0.078 m η = 9.3	η = 0.1	η < 0.1	η < 0.1	x: 0.078 m η = 28.9	η < 0.1	η = 0.1	x: 0.078 m η = 9.3	η = 0.1	**CUMPLE η = 28.9**
N1251/N1252	$\lambda_w \le \lambda_{w,máx}$ Cumple	x: 1.713 m η = 16.7	x: 0.078 m η = 31.7	x: 0.078 m η = 8.1	x: 0.078 m η = 2.7	x: 0.078 m η = 8.8	η = 0.1	η < 0.1	η < 0.1	x: 0.078 m η = 33.8	η < 0.1	η = 0.1	x: 0.078 m η = 8.8	η = 0.1	**CUMPLE η = 33.8**
N1252/N3410	$\lambda_w \le \lambda_{w,máx}$ Cumple	x: 0.89 m η = 23.6	x: 0.065 m η = 32.1	x: 0.065 m η = 7.5	x: 0.065 m η = 0.8	x: 0.065 m η = 8.8	η = 0.1	η < 0.1	η < 0.1	x: 0.065 m η = 38.5	η < 0.1	x: 0.477 m η < 0.1	x: 0.065 m η = 1.5	x: 0.477 m η = 0.1	**CUMPLE η = 38.5**
N3410/N1253	$\lambda_w \le \lambda_{w,máx}$ Cumple	x: 0.824 m η = 23.6	x: 0 m η = 32.1	x: 0 m η = 5.2	x: 0.825 m η = 2.0	x: 0.825 m η = 7.0	η = 0.1	η < 0.1	η < 0.1	x: 0.206 m η = 36.9	η < 0.1	η < 0.1	x: 0.825 m η = 1.0	η = 0.1	**CUMPLE η = 36.9**
N1253/N1254	$\lambda_w \le \lambda_{w,máx}$ Cumple	x: 1.713 m η = 25.8	x: 0.065 m η = 40.5	x: 0.89 m η = 6.0	x: 0.065 m η = 1.8	x: 0.065 m η = 8.4	η = 0.1	η < 0.1	η < 0.1	x: 0.89 m η = 42.2	η < 0.1	η = 0.1	x: 0.065 m η = 8.4	η = 0.1	**CUMPLE η = 42.2**

VISADO
COGITI
Estado
VALENCIA
VA07290/22
TRLTDCFZ60T66IJ1

Barras	COMPROBACIONES (CÓDIGO ESTRUCTURAL)														
	λ_w	N_t	N_c	M_Y	M_Z	V_Z	V_Y	M_YV_Z	M_ZV_Y	NM_YM_Z	$NM_YM_ZV_YV_Z$	M_t	M_tV_Z	M_tV_Y	
N1254/N1255	$\lambda_w \leq \lambda_{w,máx}$ Cumple	x: 1.727 m η = 27.3	x: 0.065 m η = 41.4	x: 0.897 m η = 6.2	x: 1.728 m η = 2.6	x: 0.065 m η = 8.2	η = 0.1	η < 0.1	η < 0.1	x: 0.897 m η = 44.0	η < 0.1	η < 0.1	x: 0.065 m η = 1.3	η = 0.1	**CUMPLE η = 44.0**
N1255/N1256	$\lambda_w \leq \lambda_{w,máx}$ Cumple	x: 1.708 m η = 26.1	x: 0.051 m η = 40.6	x: 0.88 m η = 6.3	x: 0.051 m η = 2.6	x: 1.709 m η = 8.1	η = 0.1	η < 0.1	η < 0.1	x: 0.88 m η = 43.2	η < 0.1	η < 0.1	x: 1.709 m η = 1.3	η = 0.1	**CUMPLE η = 43.2**
N1256/N1257	$\lambda_w \leq \lambda_{w,máx}$ Cumple	x: 1.708 m η = 25.5	x: 0.07 m η = 38.9	x: 0.89 m η = 6.1	x: 1.709 m η = 2.4	x: 1.709 m η = 8.2	η = 0.1	η < 0.1	η < 0.1	x: 0.89 m η = 41.3	η < 0.1	η = 0.1	x: 1.709 m η = 8.2	η = 0.1	**CUMPLE η = 41.3**
N1257/N3411	$\lambda_w \leq \lambda_{w,máx}$ Cumple	x: 0.89 m η = 21.4	x: 0.07 m η = 27.7	x: 0.89 m η = 5.4	x: 0.07 m η = 2.6	x: 0.07 m η = 7.1	η = 0.1	η < 0.1	η < 0.1	x: 0.685 m η = 32.8	η < 0.1	η = 0.1	x: 0.07 m η = 7.1	η = 0.1	**CUMPLE η = 32.8**
N3411/N1258	$\lambda_w \leq \lambda_{w,máx}$ Cumple	x: 0.819 m η = 21.4	x: 0 m η = 27.7	x: 0.82 m η = 7.3	x: 0.82 m η = 1.1	x: 0.82 m η = 8.8	η = 0.1	η < 0.1	η < 0.1	x: 0.82 m η = 35.0	η < 0.1	η = 0.1	x: 0.82 m η = 8.8	η = 0.1	**CUMPLE η = 35.0**
N1258/N1259	$\lambda_w \leq \lambda_{w,máx}$ Cumple	x: 1.694 m η = 15.4	x: 0.07 m η = 23.6	x: 1.695 m η = 8.1	x: 1.695 m η = 3.2	x: 1.695 m η = 8.9	η = 0.1	η < 0.1	η < 0.1	x: 1.695 m η = 30.0	η < 0.1	η = 0.2	x: 1.695 m η = 8.9	η = 0.1	**CUMPLE η = 30.0**
N1259/N1260	$\lambda_w \leq \lambda_{w,máx}$ Cumple	x: 1.694 m η = 4.8	x: 0.084 m η = 10.4	x: 1.695 m η = 10.3	x: 0.084 m η = 2.8	x: 1.695 m η = 9.4	η = 0.1	η < 0.1	η < 0.1	x: 1.695 m η = 20.3	η < 0.1	η < 0.1	x: 1.695 m η = 1.6	x: 0.285 m η = 0.1	**CUMPLE η = 20.3**
N1260/N1261	$\lambda_w \leq \lambda_{w,máx}$ Cumple	x: 1.694 m η = 4.6	x: 0.084 m η = 7.8	x: 1.695 m η = 11.2	x: 1.695 m η = 2.2	x: 1.695 m η = 9.4	η = 0.1	η < 0.1	η < 0.1	x: 1.695 m η = 19.3	η < 0.1	x: 0.285 m η < 0.1	x: 1.695 m η = 1.5	x: 0.285 m η < 0.1	**CUMPLE η = 19.3**
N1261/N1262	$\lambda_w \leq \lambda_{w,máx}$ Cumple	x: 1.694 m η = 19.4	x: 0.084 m η = 24.7	x: 1.695 m η = 27.4	x: 0.084 m η = 3.3	x: 1.695 m η = 17.7	η = 0.1	η < 0.1	η < 0.1	x: 1.695 m η = 49.7	η < 0.1	η = 0.1	x: 1.695 m η = 17.7	η = 0.1	**CUMPLE η = 49.7**
N1262/N1263	x: 0.084 m $\lambda_w \leq \lambda_{w,máx}$ Cumple	x: 1.637 m η = 35.0	x: 0.084 m η = 40.9	x: 0.084 m η = 26.2	x: 0.084 m η = 2.1	x: 0.084 m η = 18.5	η = 0.1	x: 0.084 m η < 0.1	x: 0.084 m η < 0.1	x: 0.084 m η = 64.4	x: 0.084 m η < 0.1	M_{Ed} = 0.00 N.P.[5]	N.P.[6]	N.P.[6]	**CUMPLE η = 64.4**
N1057/N1092	$\lambda_w \leq \lambda_{w,máx}$ Cumple	x: 1.7 m η = 41.5	x: 0.141 m η = 45.8	x: 0.141 m η = 49.1	x: 1.701 m η = 1.8	x: 0.141 m η = 22.3	η = 0.1	η < 0.1	η < 0.1	x: 0.141 m η = 92.0	η < 0.1	η = 0.1	x: 0.141 m η = 22.3	η = 0.1	**CUMPLE η = 92.0**
N1092/N1093	$\lambda_w \leq \lambda_{w,máx}$ Cumple	x: 1.7 m η = 22.3	x: 0.078 m η = 24.9	x: 0.078 m η = 12.7	x: 1.701 m η = 3.9	x: 0.078 m η = 14.1	η = 0.1	η < 0.1	η < 0.1	x: 0.078 m η = 34.2	η < 0.1	η = 0.1	x: 0.078 m η = 14.1	η = 0.1	**CUMPLE η = 34.2**
N1093/N1094	$\lambda_w \leq \lambda_{w,máx}$ Cumple	x: 1.7 m η = 6.9	x: 0.078 m η = 5.5	x: 0.078 m η = 13.3	x: 0.078 m η = 3.2	x: 0.078 m η = 9.9	η = 0.1	η < 0.1	η < 0.1	x: 0.078 m η = 20.1	η < 0.1	η = 0.1	x: 0.078 m η = 9.9	x: 1.7 m η = 0.1	**CUMPLE η = 20.1**
N1094/N1095	$\lambda_w \leq \lambda_{w,máx}$ Cumple	x: 1.7 m η = 7.2	x: 0.078 m η = 6.6	x: 0.078 m η = 9.5	x: 1.701 m η = 5.4	x: 0.078 m η = 9.3	x: 1.296 m η = 0.1	η < 0.1	η < 0.1	x: 0.078 m η = 17.1	η < 0.1	η = 0.2	x: 0.078 m η = 9.3	x: 1.296 m η = 0.1	**CUMPLE η = 17.1**
N1095/N1096	$\lambda_w \leq \lambda_{w,máx}$ Cumple	x: 1.713 m η = 17.1	x: 0.078 m η = 16.8	x: 0.078 m η = 7.8	x: 0.078 m η = 6.8	x: 0.078 m η = 8.8	x: 1.305 m η = 0.4	η < 0.1	η < 0.1	x: 0.078 m η = 25.4	η < 0.1	x: 1.305 m η = 0.5	x: 0.078 m η = 8.8	x: 1.305 m η = 0.4	**CUMPLE η = 25.4**
N1096/N3409	$\lambda_w \leq \lambda_{w,máx}$ Cumple	x: 0.89 m η = 24.0	x: 0.065 m η = 24.1	x: 0.065 m η = 7.3	x: 0.89 m η = 6.4	x: 0.065 m η = 8.8	η = 0.5	η < 0.1	η < 0.1	x: 0.065 m η = 31.5	η < 0.1	η = 0.2	x: 0.065 m η = 1.5	η = 0.5	**CUMPLE η = 31.5**
N3409/N1097	$\lambda_w \leq \lambda_{w,máx}$ Cumple	x: 0.824 m η = 24.0	x: 0 m η = 24.0	x: 0 m η = 5.4	x: 0.825 m η = 11.9	x: 0.825 m η = 7.0	x: 0.412 m η = 0.5	η < 0.1	η < 0.1	x: 0 m η = 29.6	η < 0.1	x: 0.412 m η = 0.2	x: 0.825 m η = 1.0	x: 0.412 m η = 0.5	**CUMPLE η = 29.6**
N1097/N1098	$\lambda_w \leq \lambda_{w,máx}$ Cumple	x: 1.713 m η = 28.2	x: 0.065 m η = 32.9	x: 0.89 m η = 6.1	x: 0.065 m η = 11.6	x: 0.065 m η = 8.1	x: 1.302 m η = 0.5	η < 0.1	η < 0.1	x: 0.89 m η = 35.4	η < 0.1	x: 1.302 m η = 0.6	x: 0.065 m η = 6.1	x: 1.302 m η = 0.5	**CUMPLE η = 35.4**
N1098/N1099	$\lambda_w \leq \lambda_{w,máx}$ Cumple	x: 1.727 m η = 29.3	x: 0.065 m η = 34.6	x: 0.897 m η = 6.5	x: 1.728 m η = 12.3	x: 0.065 m η = 8.3	η = 0.5	η < 0.1	η < 0.1	x: 0.897 m η = 37.6	η < 0.1	η = 0.3	x: 0.065 m η = 1.4	η = 0.5	**CUMPLE η = 37.6**
N1099/N1100	$\lambda_w \leq \lambda_{w,máx}$ Cumple	x: 1.708 m η = 29.5	x: 0.051 m η = 34.8	x: 0.88 m η = 6.6	x: 0.051 m η = 12.3	x: 1.709 m η = 8.3	x: 1.502 m η = 0.5	η < 0.1	η < 0.1	x: 0.88 m η = 37.8	η < 0.1	x: 1.708 m η = 0.3	x: 1.709 m η = 1.3	x: 1.502 m η = 0.5	**CUMPLE η = 37.8**
N1100/N1101	$\lambda_w \leq \lambda_{w,máx}$ Cumple	x: 1.708 m η = 28.1	x: 0.07 m η = 33.1	x: 0.89 m η = 6.3	x: 1.709 m η = 12.0	x: 1.709 m η = 8.3	η = 0.5	η < 0.1	η < 0.1	x: 0.89 m η = 35.8	η < 0.1	η = 0.7	x: 1.709 m η = 1.3	η = 0.5	**CUMPLE η = 35.8**
N1101/N3412	$\lambda_w \leq \lambda_{w,máx}$ Cumple	x: 0.89 m η = 23.6	x: 0.07 m η = 24.3	x: 0.685 m η = 5.4	x: 0.07 m η = 12.4	x: 0.07 m η = 6.7	η = 0.5	η < 0.1	η < 0.1	x: 0.685 m η = 29.7	η < 0.1	η = 0.2	x: 0.07 m η = 6.7	η = 0.5	**CUMPLE η = 29.7**
N3412/N1102	$\lambda_w \leq \lambda_{w,máx}$ Cumple	x: 0.819 m η = 23.6	x: 0 m η = 24.3	x: 0.82 m η = 7.9	x: 0 m η = 6.7	x: 0.82 m η = 9.0	η = 0.5	η < 0.1	η < 0.1	x: 0.82 m η = 32.3	η < 0.1	η = 0.2	x: 0.82 m η = 9.0	η = 0.5	**CUMPLE η = 32.3**
N1102/N1103	$\lambda_w \leq \lambda_{w,máx}$ Cumple	x: 1.694 m η = 16.5	x: 0.07 m η = 17.1	x: 1.695 m η = 8.4	x: 1.695 m η = 6.9	x: 1.695 m η = 9.0	η = 0.4	η < 0.1	η < 0.1	x: 1.695 m η = 25.5	η < 0.1	η = 0.6	x: 1.695 m η = 9.0	η = 0.4	**CUMPLE η = 25.5**
N1103/N1104	$\lambda_w \leq \lambda_{w,máx}$ Cumple	x: 1.694 m η = 6.4	x: 0.084 m η = 7.0	x: 1.695 m η = 10.9	x: 0.084 m η = 5.4	x: 1.695 m η = 9.7	η = 0.1	η < 0.1	η < 0.1	x: 1.695 m η = 17.7	η < 0.1	x: 0.084 m η = 0.2	x: 1.695 m η = 1.7	η = 0.1	**CUMPLE η = 17.7**
N1104/N1105	$\lambda_w \leq \lambda_{w,máx}$ Cumple	x: 1.694 m η = 6.1	x: 0.084 m η = 6.4	x: 1.695 m η = 11.5	x: 1.695 m η = 2.6	x: 1.695 m η = 9.5	x: 1.494 m η = 0.1	η < 0.1	η < 0.1	x: 1.695 m η = 18.8	η < 0.1	x: 1.494 m η = 0.1	x: 1.695 m η = 1.5	x: 1.494 m η = 0.1	**CUMPLE η = 18.8**
N1105/N1106	$\lambda_w \leq \lambda_{w,máx}$ Cumple	x: 1.694 m η = 22.4	x: 0.084 m η = 28.1	x: 1.695 m η = 31.7	x: 0.084 m η = 3.7	x: 1.695 m η = 18.4	η = 0.1	η < 0.1	η < 0.1	x: 1.695 m η = 57.7	η < 0.1	η = 0.1	x: 1.695 m η = 18.4	η = 0.1	**CUMPLE η = 57.7**
N1106/N1107	$\lambda_w \leq \lambda_{w,máx}$ Cumple	x: 1.637 m η = 38.4	x: 0.084 m η = 45.9	x: 0.084 m η = 31.3	x: 0.084 m η = 2.2	x: 0.084 m η = 22.0	η = 0.1	η < 0.1	η < 0.1	x: 0.084 m η = 74.5	η < 0.1	η = 0.2	x: 0.084 m η = 22.0	η = 0.1	**CUMPLE η = 74.5**
N901/N936	$\lambda_w \leq \lambda_{w,máx}$ Cumple	x: 1.7 m η = 41.7	x: 0.141 m η = 42.1	x: 0.141 m η = 50.2	x: 0.141 m η = 1.5	x: 0.141 m η = 22.7	η = 0.1	η < 0.1	η < 0.1	x: 0.141 m η = 88.5	η < 0.1	x: 0.726 m η < 0.1	x: 0.141 m η = 3.4	η < 0.1	**CUMPLE η = 88.5**
N936/N937	$\lambda_w \leq \lambda_{w,máx}$ Cumple	x: 1.7 m η = 22.6	x: 0.078 m η = 18.7	x: 0.078 m η = 12.5	x: 1.701 m η = 4.0	x: 0.078 m η = 14.1	η = 0.2	η < 0.1	η < 0.1	x: 0.078 m η = 33.8	η < 0.1	η = 0.1	x: 0.078 m η = 14.1	η = 0.1	**CUMPLE η = 33.8**
N937/N938	$\lambda_w \leq \lambda_{w,máx}$ Cumple	x: 1.7 m η = 7.0	x: 0.078 m η = 3.4	x: 0.078 m η = 13.2	x: 0.078 m η = 3.2	x: 0.078 m η = 9.9	η = 0.1	η < 0.1	η < 0.1	x: 0.078 m η = 19.8	η < 0.1	x: 0.281 m η = 0.1	x: 0.078 m η = 1.6	x: 0.281 m η = 0.1	**CUMPLE η = 19.8**
N938/N939	$\lambda_w \leq \lambda_{w,máx}$ Cumple	x: 1.7 m η = 9.6	x: 0.078 m η = 7.0	x: 0.078 m η = 9.3	x: 1.701 m η = 5.4	x: 0.078 m η = 9.3	η = 0.1	η < 0.1	η < 0.1	x: 0.078 m η = 19.0	η < 0.1	x: 1.296 m η = 0.2	x: 0.078 m η = 9.3	η = 0.1	**CUMPLE η = 19.0**
N939/N940	$\lambda_w \leq \lambda_{w,máx}$ Cumple	x: 1.713 m η = 19.1	x: 0.078 m η = 17.1	x: 0.078 m η = 7.7	x: 0.078 m η = 7.0	x: 0.078 m η = 8.8	x: 1.305 m η = 0.4	η < 0.1	η < 0.1	x: 0.078 m η = 26.9	η < 0.1	x: 1.305 m η = 0.6	x: 0.078 m η = 8.8	x: 1.305 m η = 0.4	**CUMPLE η = 26.9**
N940/N3408	$\lambda_w \leq \lambda_{w,máx}$ Cumple	x: 0.89 m η = 25.6	x: 0.065 m η = 24.3	x: 0.065 m η = 7.1	x: 0.89 m η = 7.0	x: 0.065 m η = 8.8	x: 0.065 m η = 0.5	η < 0.1	η < 0.1	x: 0.065 m η = 33.0	η < 0.1	η = 0.2	x: 0.065 m η = 1.5	x: 0.065 m η = 0.5	**CUMPLE η = 33.0**
N3408/N941	$\lambda_w \leq \lambda_{w,máx}$ Cumple	x: 0.824 m η = 25.6	x: 0 m η = 24.2	x: 0 m η = 5.5	x: 0.825 m η = 13.0	x: 0.825 m η = 7.0	x: 0.412 m η = 0.5	η < 0.1	η < 0.1	x: 0 m η = 31.6	η < 0.1	x: 0.412 m η = 0.2	x: 0.825 m η = 1.0	x: 0.412 m η = 0.5	**CUMPLE η = 31.6**
N941/N942	$\lambda_w \leq \lambda_{w,máx}$ Cumple	x: 1.713 m η = 29.4	x: 0.065 m η = 33.0	x: 0.89 m η = 6.1	x: 0.065 m η = 12.8	x: 0.065 m η = 8.1	x: 1.302 m η = 0.6	η < 0.1	η < 0.1	x: 0.89 m η = 35.8	η < 0.1	x: 1.302 m η = 0.7	x: 0.065 m η = 6.1	x: 1.302 m η = 0.6	**CUMPLE η = 35.8**
N942/N943	$\lambda_w \leq \lambda_{w,máx}$ Cumple	x: 1.727 m η = 30.2	x: 0.065 m η = 34.6	x: 0.897 m η = 6.5	x: 1.728 m η = 16.3	x: 0.065 m η = 8.3	η = 0.6	η < 0.1	η < 0.1	x: 0.897 m η = 37.5	η < 0.1	η = 0.2	x: 0.065 m η = 1.4	η = 0.6	**CUMPLE η = 37.5**
N943/N944	$\lambda_w \leq \lambda_{w,máx}$ Cumple	x: 1.708 m η = 30.4	x: 0.051 m η = 34.7	x: 0.88 m η = 6.7	x: 0.051 m η = 16.4	x: 1.709 m η = 8.3	x: 0.88 m η = 1.1	η < 0.1	η < 0.1	x: 0.88 m η = 37.7	η < 0.1	x: 1.087 m η = 0.5	x: 1.709 m η = 1.4	x: 0.88 m η = 1.1	**CUMPLE η = 37.7**
N944/N945	$\lambda_w \leq \lambda_{w,máx}$ Cumple	x: 1.708 m η = 28.6	x: 0.07 m η = 32.9	x: 0.89 m η = 6.3	x: 0.07 m η = 10.7	x: 1.709 m η = 8.3	η = 0.3	η < 0.1	η < 0.1	x: 0.89 m η = 35.7	η < 0.1	η = 0.3	x: 1.709 m η = 1.3	η = 0.3	**CUMPLE η = 35.7**
N945/N3413	$\lambda_w \leq \lambda_{w,máx}$ Cumple	x: 0.89 m η = 23.8	x: 0.07 m η = 24.0	x: 0.685 m η = 5.3	x: 0.07 m η = 5.1	x: 0.07 m η = 6.6	η = 0.2	η < 0.1	η < 0.1	x: 0.685 m η = 29.8	η < 0.1	η = 0.3	x: 0.07 m η = 1.1	η = 0.2	**CUMPLE η = 29.8**
N3413/N946	$\lambda_w \leq \lambda_{w,máx}$ Cumple	x: 0.819 m η = 23.8	x: 0 m η = 24.0	x: 0.82 m η = 8.1	x: 0 m η = 2.3	x: 0.82 m η = 9.1	η = 0.2	η < 0.1	η < 0.1	x: 0.82 m η = 32.6	η < 0.1	η = 0.3	x: 0.82 m η = 1.6	η = 0.2	**CUMPLE η = 32.6**
N946/N947	$\lambda_w \leq \lambda_{w,máx}$ Cumple	x: 1.694 m η = 16.2	x: 0.07 m η = 16.7	x: 1.695 m η = 8.6	x: 1.695 m η = 3.9	x: 1.695 m η = 9.0	x: 0.476 m η = 0.2	η < 0.1	η < 0.1	x: 1.695 m η = 25.4	η < 0.1	x: 0.476 m η = 0.4	x: 1.695 m η = 9.0	x: 0.476 m η = 0.2	**CUMPLE η = 25.4**
N947/N948	$\lambda_w \leq \lambda_{w,máx}$ Cumple	x: 1.694 m η = 5.6	x: 0.084 m η = 6.4	x: 1.695 m η = 11.1	x: 0.084 m η = 2.8	x: 1.695 m η = 9.8	η = 0.1	η < 0.1	η < 0.1	x: 1.695 m η = 17.3	η < 0.1	η = 0.2	x: 1.695 m η = 1.8	η = 0.1	**CUMPLE η = 17.3**

Documento visado electrónicamente con número: VA07290/22
Código de validación telemática TRLTDCFZ60T66IJ1. Comprobación: https://cogitivalencia.e-gestion.es/Validacion.aspx?CVT=TRLTDCFZ60T66IJ1

Listados

Barras	COMPROBACIONES (CÓDIGO ESTRUCTURAL)														Estado
	λ_w	N_t	N_c	M_Y	M_Z	V_Z	V_Y	M_YV_Z	M_ZV_Y	NM_YM_Z	$NM_YM_ZV_YV_Z$	M_t	M_tV_Z	M_tV_Y	
N948/N949	$\lambda_w \leq \lambda_{w,máx}$ Cumple	x: 1.694 m η = 7.1	x: 0.084 m η = 7.7	x: 1.695 m η = 11.6	x: 1.695 m η = 2.9	x: 1.695 m η = 9.5	η = 0.1	η < 0.1	η < 0.1	x: 1.695 m η = 20.2	η < 0.1	η < 0.1	x: 1.695 m η = 1.6	η < 0.1	**CUMPLE η = 20.2**
N949/N950	$\lambda_w \leq \lambda_{w,máx}$ Cumple	x: 1.694 m η = 23.5	x: 0.084 m η = 28.6	x: 1.695 m η = 32.3	x: 0.084 m η = 3.9	x: 1.695 m η = 18.5	η = 0.1	η < 0.1	η < 0.1	x: 1.695 m η = 58.6	η < 0.1	η = 0.1	x: 1.695 m η = 18.5	η = 0.1	**CUMPLE η = 58.6**
N950/N951	$\lambda_w \leq \lambda_{w,máx}$ Cumple	x: 1.637 m η = 39.6	x: 0.084 m η = 46.7	x: 0.084 m η = 32.0	x: 0.084 m η = 1.9	x: 0.084 m η = 22.3	η = 0.1	η < 0.1	η < 0.1	x: 0.084 m η = 75.5	η < 0.1	η = 0.2	x: 0.084 m η = 22.3	η = 0.1	**CUMPLE η = 75.5**
N745/N780	$\lambda_w \leq \lambda_{w,máx}$ Cumple	x: 1.7 m η = 41.1	x: 0.141 m η = 40.5	x: 0.141 m η = 50.8	x: 1.701 m η = 1.6	x: 0.141 m η = 22.8	η = 0.1	η < 0.1	η < 0.1	x: 0.141 m η = 87.2	η < 0.1	η = 0.1	x: 0.141 m η = 21.4	η = 0.1	**CUMPLE η = 87.2**
N780/N781	$\lambda_w \leq \lambda_{w,máx}$ Cumple	x: 1.7 m η = 22.1	x: 0.078 m η = 17.4	x: 0.078 m η = 12.4	x: 1.701 m η = 3.7	x: 0.078 m η = 14.1	η = 0.1	η < 0.1	η < 0.1	x: 0.078 m η = 33.1	η < 0.1	η = 0.1	x: 0.078 m η = 14.1	η = 0.1	**CUMPLE η = 33.1**
N781/N782	$\lambda_w \leq \lambda_{w,máx}$ Cumple	x: 1.7 m η = 6.6	x: 0.078 m η = 2.5	x: 0.078 m η = 13.1	x: 0.078 m η = 3.0	x: 0.078 m η = 9.9	η = 0.1	η < 0.1	η < 0.1	x: 0.078 m η = 19.2	η < 0.1	x: 0.281 m η = 0.1	x: 0.078 m η = 1.6	x: 0.281 m η = 0.1	**CUMPLE η = 19.2**
N782/N783	$\lambda_w \leq \lambda_{w,máx}$ Cumple	x: 1.7 m η = 10.6	x: 0.078 m η = 7.6	x: 0.078 m η = 9.2	x: 1.701 m η = 5.2	x: 0.078 m η = 9.2	x: 1.701 m η = 0.1	η < 0.1	η < 0.1	x: 0.078 m η = 19.6	η < 0.1	η = 0.2	x: 0.078 m η = 6.9	x: 1.701 m η = 0.1	**CUMPLE η = 19.6**
N783/N784	$\lambda_w \leq \lambda_{w,máx}$ Cumple	x: 1.713 m η = 19.9	x: 0.078 m η = 17.5	x: 0.078 m η = 7.6	x: 0.078 m η = 6.8	x: 0.078 m η = 8.8	x: 1.305 m η = 0.4	η < 0.1	η < 0.1	x: 0.078 m η = 27.4	η < 0.1	x: 1.305 m η = 0.6	x: 0.078 m η = 8.8	x: 1.305 m η = 0.4	**CUMPLE η = 27.4**
N784/N3407	$\lambda_w \leq \lambda_{w,máx}$ Cumple	x: 0.89 m η = 26.3	x: 0.065 m η = 24.6	x: 0.065 m η = 7.0	x: 0.89 m η = 6.5	x: 0.065 m η = 8.8	x: 0.065 m η = 0.5	η < 0.1	η < 0.1	x: 0.065 m η = 33.7	η < 0.1	η = 0.2	x: 0.065 m η = 1.5	x: 0.065 m η = 0.5	**CUMPLE η = 33.7**
N3407/N785	$\lambda_w \leq \lambda_{w,máx}$ Cumple	x: 0.824 m η = 26.3	x: 0 m η = 24.6	x: 0 m η = 5.6	x: 0.825 m η = 12.2	x: 0.825 m η = 7.0	η = 0.5	η < 0.1	η < 0.1	x: 0 m η = 32.4	η < 0.1	η = 0.2	x: 0.825 m η = 1.0	η = 0.5	**CUMPLE η = 32.4**
N785/N786	$\lambda_w \leq \lambda_{w,máx}$ Cumple	x: 1.713 m η = 29.9	x: 0.065 m η = 33.2	x: 0.89 m η = 6.1	x: 0.065 m η = 11.9	x: 0.065 m η = 8.1	η = 0.5	η < 0.1	η < 0.1	x: 0.89 m η = 36.3	η < 0.1	η = 0.6	x: 0.065 m η = 6.1	η = 0.5	**CUMPLE η = 36.3**
N786/N787	$\lambda_w \leq \lambda_{w,máx}$ Cumple	x: 1.727 m η = 30.5	x: 0.065 m η = 34.7	x: 0.897 m η = 6.5	x: 1.728 m η = 12.5	x: 0.065 m η = 8.3	x: 0.897 m η = 0.5	η < 0.1	η < 0.1	x: 0.897 m η = 37.6	η < 0.1	x: 0.897 m η = 0.3	x: 0.065 m η = 1.4	x: 0.897 m η = 0.5	**CUMPLE η = 37.6**
N787/N788	$\lambda_w \leq \lambda_{w,máx}$ Cumple	x: 1.708 m η = 30.7	x: 0.051 m η = 34.8	x: 0.88 m η = 6.7	x: 0.051 m η = 12.6	x: 1.709 m η = 8.3	x: 0.051 m η = 0.5	η < 0.1	η < 0.1	x: 0.88 m η = 37.9	η < 0.1	x: 1.708 m η = 0.3	x: 1.709 m η = 1.3	x: 0.051 m η = 0.5	**CUMPLE η = 37.9**
N788/N789	$\lambda_w \leq \lambda_{w,máx}$ Cumple	x: 1.708 m η = 28.7	x: 0.07 m η = 32.9	x: 0.89 m η = 6.3	x: 1.709 m η = 12.2	x: 1.709 m η = 8.3	η = 0.5	η < 0.1	η < 0.1	x: 0.89 m η = 35.7	η < 0.1	η = 0.7	x: 1.709 m η = 1.3	η = 0.5	**CUMPLE η = 35.7**
N789/N3414	$\lambda_w \leq \lambda_{w,máx}$ Cumple	x: 0.89 m η = 23.7	x: 0.07 m η = 23.9	x: 0.685 m η = 5.3	x: 0.07 m η = 12.6	x: 0.07 m η = 6.6	η = 0.5	η < 0.1	η < 0.1	x: 0.685 m η = 29.7	η < 0.1	η = 0.2	x: 0.07 m η = 1.0	η = 0.5	**CUMPLE η = 29.7**
N3414/N790	$\lambda_w \leq \lambda_{w,máx}$ Cumple	x: 0.819 m η = 23.7	x: 0 m η = 23.9	x: 0.82 m η = 8.2	x: 0 m η = 6.8	x: 0.82 m η = 9.1	η = 0.5	η < 0.1	η < 0.1	x: 0.82 m η = 32.6	η < 0.1	η = 0.2	x: 0.82 m η = 1.5	η = 0.5	**CUMPLE η = 32.6**
N790/N791	$\lambda_w \leq \lambda_{w,máx}$ Cumple	x: 1.694 m η = 16.0	x: 0.07 m η = 16.5	x: 1.695 m η = 8.6	x: 1.695 m η = 6.8	x: 1.695 m η = 9.0	x: 0.476 m η = 0.4	η < 0.1	η < 0.1	x: 1.695 m η = 25.2	η < 0.1	x: 0.476 m η = 0.6	x: 1.695 m η = 9.0	x: 0.476 m η = 0.4	**CUMPLE η = 25.2**
N791/N792	$\lambda_w \leq \lambda_{w,máx}$ Cumple	x: 1.694 m η = 5.2	x: 0.084 m η = 6.1	x: 1.695 m η = 11.2	x: 0.084 m η = 5.1	x: 1.695 m η = 9.8	x: 0.487 m η = 0.1	η < 0.1	η < 0.1	x: 1.695 m η = 16.9	η < 0.1	η = 0.3	x: 1.695 m η = 1.7	x: 0.487 m η = 0.1	**CUMPLE η = 16.9**
N792/N793	$\lambda_w \leq \lambda_{w,máx}$ Cumple	x: 1.694 m η = 7.3	x: 0.084 m η = 8.2	x: 1.695 m η = 11.7	x: 1.695 m η = 2.9	x: 1.695 m η = 9.5	η = 0.1	η < 0.1	η < 0.1	x: 1.695 m η = 20.6	η < 0.1	η < 0.1	x: 1.695 m η = 1.5	η = 0.1	**CUMPLE η = 20.6**
N793/N794	$\lambda_w \leq \lambda_{w,máx}$ Cumple	x: 1.694 m η = 23.8	x: 0.084 m η = 28.8	x: 1.695 m η = 32.6	x: 0.084 m η = 3.8	x: 1.695 m η = 18.6	η = 0.1	η < 0.1	η < 0.1	x: 1.695 m η = 59.0	η < 0.1	η = 0.1	x: 1.695 m η = 18.1	η = 0.1	**CUMPLE η = 59.0**
N794/N795	$\lambda_w \leq \lambda_{w,máx}$ Cumple	x: 1.637 m η = 40.0	x: 0.084 m η = 47.2	x: 0.084 m η = 32.3	x: 0.084 m η = 1.8	x: 0.084 m η = 22.4	η = 0.1	η < 0.1	η < 0.1	x: 0.084 m η = 76.1	η < 0.1	η = 0.2	x: 0.084 m η = 22.4	η = 0.1	**CUMPLE η = 76.1**
N589/N624	$\lambda_w \leq \lambda_{w,máx}$ Cumple	x: 1.7 m η = 40.7	x: 0.141 m η = 40.2	x: 0.141 m η = 50.9	x: 1.701 m η = 1.6	x: 0.141 m η = 22.9	η = 0.1	η < 0.1	η < 0.1	x: 0.141 m η = 86.8	η < 0.1	η = 0.1	x: 0.141 m η = 21.4	η = 0.1	**CUMPLE η = 86.8**
N624/N625	$\lambda_w \leq \lambda_{w,máx}$ Cumple	x: 1.7 m η = 21.7	x: 0.078 m η = 17.2	x: 0.078 m η = 12.4	x: 1.701 m η = 3.4	x: 0.078 m η = 14.1	η = 0.1	η < 0.1	η < 0.1	x: 0.078 m η = 32.6	η < 0.1	η = 0.1	x: 0.078 m η = 14.1	η = 0.1	**CUMPLE η = 32.6**
N625/N626	$\lambda_w \leq \lambda_{w,máx}$ Cumple	x: 1.7 m η = 6.4	x: 0.078 m η = 2.1	x: 0.078 m η = 13.1	x: 0.078 m η = 2.6	x: 0.078 m η = 9.9	x: 0.281 m η = 0.1	η < 0.1	η < 0.1	x: 0.078 m η = 18.8	η < 0.1	x: 0.281 m η = 0.1	x: 0.078 m η = 1.7	x: 0.281 m η = 0.1	**CUMPLE η = 18.8**
N626/N627	$\lambda_w \leq \lambda_{w,máx}$ Cumple	x: 1.7 m η = 10.9	x: 0.078 m η = 7.9	x: 0.078 m η = 9.2	x: 1.701 m η = 5.1	x: 0.078 m η = 9.2	η = 0.1	η < 0.1	η < 0.1	x: 0.078 m η = 20.0	η < 0.1	η = 0.2	x: 0.078 m η = 6.9	η = 0.1	**CUMPLE η = 20.0**
N627/N628	$\lambda_w \leq \lambda_{w,máx}$ Cumple	x: 1.713 m η = 20.2	x: 0.078 m η = 17.8	x: 0.078 m η = 7.6	x: 0.078 m η = 6.8	x: 0.078 m η = 8.8	η = 0.4	η < 0.1	η < 0.1	x: 0.078 m η = 27.9	η < 0.1	η = 0.6	x: 0.078 m η = 8.8	η = 0.4	**CUMPLE η = 27.9**
N628/N3406	$\lambda_w \leq \lambda_{w,máx}$ Cumple	x: 0.89 m η = 26.5	x: 0.065 m η = 24.8	x: 0.065 m η = 7.0	x: 0.89 m η = 6.9	x: 0.065 m η = 8.8	η = 0.5	η < 0.1	η < 0.1	x: 0.065 m η = 33.9	η < 0.1	η = 0.2	x: 0.065 m η = 1.5	η = 0.5	**CUMPLE η = 33.9**
N3406/N629	$\lambda_w \leq \lambda_{w,máx}$ Cumple	x: 0.824 m η = 26.5	x: 0 m η = 24.8	x: 0 m η = 5.6	x: 0.825 m η = 12.6	x: 0.825 m η = 7.0	η = 0.5	η < 0.1	η < 0.1	x: 0 m η = 32.7	η < 0.1	η = 0.2	x: 0.825 m η = 1.1	η = 0.5	**CUMPLE η = 32.7**
N629/N630	$\lambda_w \leq \lambda_{w,máx}$ Cumple	x: 1.713 m η = 30.0	x: 0.065 m η = 33.4	x: 0.89 m η = 6.1	x: 0.065 m η = 12.4	x: 0.065 m η = 8.1	η = 0.6	η < 0.1	η < 0.1	x: 0.89 m η = 36.5	η < 0.1	x: 0.89 m η = 0.6	x: 0.065 m η = 6.0	η = 0.6	**CUMPLE η = 36.5**
N630/N631	$\lambda_w \leq \lambda_{w,máx}$ Cumple	x: 1.727 m η = 30.5	x: 0.065 m η = 34.8	x: 0.897 m η = 6.6	x: 1.728 m η = 16.2	x: 0.065 m η = 8.3	x: 0.066 m η = 0.6	η < 0.1	η < 0.1	x: 0.897 m η = 37.7	η < 0.1	x: 0.066 m η = 0.2	x: 0.065 m η = 1.4	x: 0.066 m η = 0.6	**CUMPLE η = 37.7**
N631/N632	$\lambda_w \leq \lambda_{w,máx}$ Cumple	x: 1.708 m η = 30.8	x: 0.051 m η = 34.9	x: 0.88 m η = 6.7	x: 0.051 m η = 16.5	x: 1.709 m η = 8.3	x: 0.88 m η = 1.0	η < 0.1	η < 0.1	x: 0.88 m η = 37.9	η < 0.1	η = 0.5	x: 1.709 m η = 1.3	x: 0.88 m η = 1.0	**CUMPLE η = 37.9**
N632/N633	$\lambda_w \leq \lambda_{w,máx}$ Cumple	x: 1.708 m η = 28.7	x: 0.07 m η = 32.9	x: 0.89 m η = 6.3	x: 0.07 m η = 6.8	x: 1.709 m η = 8.3	η < 0.1	η < 0.1	η < 0.1	x: 0.89 m η = 35.7	η < 0.1	η = 0.6	x: 1.709 m η = 1.3	η < 0.1	**CUMPLE η = 35.7**
N633/N3415	$\lambda_w \leq \lambda_{w,máx}$ Cumple	x: 0.89 m η = 23.7	x: 0.07 m η = 23.9	x: 0.685 m η = 5.3	x: 0.89 m η = 7.3	x: 0.07 m η = 6.6	η < 0.1	η < 0.1	η < 0.1	x: 0.685 m η = 29.6	η < 0.1	η = 0.1	x: 0.07 m η = 1.0	η < 0.1	**CUMPLE η = 29.6**
N3415/N634	$\lambda_w \leq \lambda_{w,máx}$ Cumple	x: 0.819 m η = 23.7	x: 0 m η = 23.9	x: 0.82 m η = 8.2	x: 0.82 m η = 7.5	x: 0.82 m η = 9.1	η < 0.1	η < 0.1	η < 0.1	x: 0.82 m η = 32.5	η < 0.1	η = 0.1	x: 0.82 m η = 1.5	η < 0.1	**CUMPLE η = 32.5**
N634/N635	$\lambda_w \leq \lambda_{w,máx}$ Cumple	x: 1.694 m η = 15.9	x: 0.07 m η = 16.4	x: 1.695 m η = 8.7	x: 1.695 m η = 11.2	x: 1.695 m η = 9.0	x: 0.883 m η = 0.9	η < 0.1	η < 0.1	x: 1.695 m η = 25.0	η < 0.1	x: 0.883 m η = 0.8	x: 1.695 m η = 9.0	x: 0.883 m η = 0.9	**CUMPLE η = 25.0**
N635/N636	$\lambda_w \leq \lambda_{w,máx}$ Cumple	x: 1.694 m η = 5.1	x: 0.084 m η = 6.0	x: 1.695 m η = 11.2	x: 0.084 m η = 8.7	x: 1.695 m η = 9.8	η = 0.2	η < 0.1	η < 0.1	x: 1.695 m η = 16.7	η < 0.1	η = 0.4	x: 1.695 m η = 1.8	η = 0.2	**CUMPLE η = 16.7**
N636/N637	$\lambda_w \leq \lambda_{w,máx}$ Cumple	x: 1.694 m η = 7.5	x: 0.084 m η = 8.3	x: 1.695 m η = 11.7	x: 0.084 m η = 3.5	x: 1.695 m η = 9.5	x: 1.494 m η = 0.2	η < 0.1	η < 0.1	x: 1.695 m η = 20.6	η < 0.1	x: 1.494 m η = 0.1	x: 1.695 m η = 1.6	x: 1.494 m η = 0.2	**CUMPLE η = 20.6**
N637/N638	$\lambda_w \leq \lambda_{w,máx}$ Cumple	x: 1.694 m η = 24.0	x: 0.084 m η = 29.2	x: 1.695 m η = 32.7	x: 0.084 m η = 3.6	x: 1.695 m η = 18.6	η = 0.1	η < 0.1	η < 0.1	x: 1.695 m η = 59.4	η < 0.1	η = 0.1	x: 1.695 m η = 2.8	x: 1.694 m η < 0.1	**CUMPLE η = 59.4**
N638/N639	$\lambda_w \leq \lambda_{w,máx}$ Cumple	x: 1.637 m η = 40.2	x: 0.084 m η = 47.4	x: 0.084 m η = 32.3	x: 0.084 m η = 1.6	x: 0.084 m η = 22.4	η = 0.1	η < 0.1	η < 0.1	x: 0.084 m η = 76.3	η < 0.1	η = 0.2	x: 0.084 m η = 21.2	η = 0.1	**CUMPLE η = 76.3**
N433/N468	$\lambda_w \leq \lambda_{w,máx}$ Cumple	x: 1.7 m η = 39.9	x: 0.141 m η = 40.0	x: 0.141 m η = 50.3	x: 1.701 m η = 1.6	x: 0.141 m η = 22.7	η = 0.1	η < 0.1	η < 0.1	x: 0.141 m η = 86.0	η < 0.1	x: 1.7 m η < 0.1	x: 0.141 m η = 3.5	η < 0.1	**CUMPLE η = 86.0**
N468/N469	$\lambda_w \leq \lambda_{w,máx}$ Cumple	x: 1.7 m η = 21.1	x: 0.078 m η = 17.2	x: 0.078 m η = 12.4	x: 1.701 m η = 3.4	x: 0.078 m η = 14.1	η = 0.1	η < 0.1	η < 0.1	x: 0.078 m η = 31.8	η < 0.1	η = 0.1	x: 0.078 m η = 14.1	η = 0.1	**CUMPLE η = 31.8**
N469/N470	$\lambda_w \leq \lambda_{w,máx}$ Cumple	x: 1.7 m η = 6.1	x: 0.078 m η = 2.1	x: 0.078 m η = 13.0	x: 0.078 m η = 2.5	x: 0.078 m η = 9.9	x: 0.281 m η = 0.1	η < 0.1	η < 0.1	x: 0.078 m η = 18.3	η < 0.1	x: 0.281 m η = 0.1	x: 0.078 m η = 1.6	x: 0.281 m η = 0.1	**CUMPLE η = 18.3**
N470/N471	$\lambda_w \leq \lambda_{w,máx}$ Cumple	x: 1.7 m η = 10.7	x: 0.078 m η = 8.1	x: 0.078 m η = 9.1	x: 1.701 m η = 5.2	x: 0.078 m η = 9.2	η = 0.1	η < 0.1	η < 0.1	x: 0.078 m η = 19.8	η < 0.1	η = 0.2	x: 0.078 m η = 1.7	η = 0.1	**CUMPLE η = 19.8**

VISADO COGITI
VALENCIA
VA07290/22
TRLTDCFZ60T66IJ1
Documento visado electrónicamente con número VA07290/22
Código de validación telemática TRLTDCFZ60T66IJ1. Comprobación: https://cogitivalencia.e-gestion.es/Validacion.aspx?CVT=TRLTDCFZ60T66IJ1

VISADO
COGITI
Estado
VALENCIA
VA07290/22
TRLTDCFZ60T66IJ1

Barras	COMPROBACIONES (CÓDIGO ESTRUCTURAL)														
	λ_w	N_t	N_c	M_Y	M_Z	V_Z	V_Y	M_YV_Z	M_ZV_Y	NM_YM_Z	$NM_YM_ZV_YV_Z$	M_t	M_tV_Z	M_tV_Y	
N471/N472	$\lambda_w \leq \lambda_{w,máx}$ Cumple	x: 1.713 m η = 19.9	x: 0.078 m η = 17.9	x: 0.078 m η = 7.6	x: 0.078 m η = 6.8	x: 0.078 m η = 8.8	x: 1.101 m η = 0.4	η < 0.1	η < 0.1	x: 0.078 m η = 27.8	η < 0.1	x: 1.101 m η = 0.6	x: 0.078 m η = 8.8	x: 1.10 η = 0.4	**CUMPLE η = 32.3**
N472/N3405	$\lambda_w \leq \lambda_{w,máx}$ Cumple	x: 0.89 m η = 26.1	x: 0.065 m η = 24.8	x: 0.065 m η = 7.0	x: 0.89 m η = 6.4	x: 0.065 m η = 8.8	η = 0.5	η < 0.1	η < 0.1	x: 0.065 m η = 33.6	η < 0.1	η = 0.2	x: 0.065 m η = 1.5	η = 0.5	**CUMPLE η = 33.6**
N3405/N473	$\lambda_w \leq \lambda_{w,máx}$ Cumple	x: 0.824 m η = 26.1	x: 0 m η = 24.7	x: 0 m η = 5.6	x: 0.825 m η = 12.0	x: 0.825 m η = 7.0	η = 0.5	η < 0.1	η < 0.1	x: 0 m η = 32.3	η < 0.1	η = 0.2	x: 0.825 m η = 1.1	η = 0.5	**CUMPLE η = 32.3**
N473/N474	$\lambda_w \leq \lambda_{w,máx}$ Cumple	x: 1.713 m η = 29.6	x: 0.065 m η = 33.2	x: 0.89 m η = 6.1	x: 0.065 m η = 11.8	x: 0.065 m η = 8.1	η = 0.5	η < 0.1	η < 0.1	x: 0.89 m η = 36.1	η < 0.1	η = 0.6	x: 0.065 m η = 1.3	η = 0.5	**CUMPLE η = 36.1**
N474/N475	$\lambda_w \leq \lambda_{w,máx}$ Cumple	x: 1.727 m η = 30.0	x: 0.065 m η = 34.5	x: 0.897 m η = 6.5	x: 1.728 m η = 12.4	x: 0.065 m η = 8.3	η = 0.5	η < 0.1	η < 0.1	x: 0.897 m η = 37.4	η < 0.1	x: 0.065 m η = 0.3	x: 0.065 m η = 1.4	η = 0.5	**CUMPLE η = 37.4**
N475/N476	$\lambda_w \leq \lambda_{w,máx}$ Cumple	x: 1.708 m η = 30.3	x: 0.051 m η = 34.6	x: 0.88 m η = 6.6	x: 0.051 m η = 12.5	x: 1.709 m η = 8.3	η = 0.5	η < 0.1	η < 0.1	x: 0.88 m η = 37.6	η < 0.1	x: 1.708 m η = 0.3	x: 1.709 m η = 1.3	η = 0.5	**CUMPLE η = 37.6**
N476/N477	$\lambda_w \leq \lambda_{w,máx}$ Cumple	x: 1.708 m η = 28.3	x: 0.07 m η = 32.6	x: 0.89 m η = 6.3	x: 1.709 m η = 12.0	x: 1.709 m η = 8.3	η = 0.5	η < 0.1	η < 0.1	x: 0.89 m η = 35.5	η < 0.1	η = 0.7	x: 1.709 m η = 1.3	η = 0.5	**CUMPLE η = 35.5**
N477/N3416	$\lambda_w \leq \lambda_{w,máx}$ Cumple	x: 0.89 m η = 23.4	x: 0.07 m η = 23.6	x: 0.685 m η = 5.3	x: 0.07 m η = 12.4	x: 0.07 m η = 6.6	η = 0.5	η < 0.1	η < 0.1	x: 0.685 m η = 29.2	η < 0.1	η = 0.2	x: 0.07 m η = 1.0	η = 0.5	**CUMPLE η = 29.2**
N3416/N478	$\lambda_w \leq \lambda_{w,máx}$ Cumple	x: 0.819 m η = 23.4	x: 0 m η = 23.6	x: 0.82 m η = 8.1	x: 0 m η = 6.7	x: 0.82 m η = 9.1	η = 0.5	η < 0.1	η < 0.1	x: 0.82 m η = 32.1	η < 0.1	η = 0.2	x: 0.82 m η = 1.5	η = 0.5	**CUMPLE η = 32.1**
N478/N479	$\lambda_w \leq \lambda_{w,máx}$ Cumple	x: 1.694 m η = 15.7	x: 0.07 m η = 16.2	x: 1.695 m η = 8.7	x: 1.695 m η = 6.6	x: 1.695 m η = 9.0	x: 0.68 m η = 0.4	η < 0.1	η < 0.1	x: 1.695 m η = 24.7	η < 0.1	x: 0.68 m η = 0.6	x: 1.695 m η = 9.0	x: 0.68 m η = 0.4	**CUMPLE η = 24.7**
N479/N480	$\lambda_w \leq \lambda_{w,máx}$ Cumple	x: 1.694 m η = 5.0	x: 0.084 m η = 5.8	x: 1.695 m η = 11.1	x: 0.084 m η = 5.0	x: 1.695 m η = 9.7	η = 0.1	η < 0.1	η < 0.1	x: 1.695 m η = 16.4	η < 0.1	η = 0.2	x: 1.695 m η = 1.7	η = 0.1	**CUMPLE η = 16.4**
N480/N481	$\lambda_w \leq \lambda_{w,máx}$ Cumple	x: 1.694 m η = 7.6	x: 0.084 m η = 8.0	x: 1.695 m η = 11.6	x: 1.695 m η = 2.4	x: 1.695 m η = 9.5	x: 1.694 m η = 0.1	η < 0.1	η < 0.1	x: 1.695 m η = 20.1	η < 0.1	x: 1.694 m η < 0.1	x: 1.695 m η = 1.6	x: 1.694 m η = 0.1	**CUMPLE η = 20.1**
N481/N482	$\lambda_w \leq \lambda_{w,máx}$ Cumple	x: 1.694 m η = 23.9	x: 0.084 m η = 28.7	x: 1.695 m η = 32.3	x: 0.084 m η = 3.2	x: 1.695 m η = 18.5	η = 0.1	η < 0.1	η < 0.1	x: 1.695 m η = 58.6	η < 0.1	η < 0.1	x: 1.695 m η = 2.8	η < 0.1	**CUMPLE η = 58.6**
N482/N483	$\lambda_w \leq \lambda_{w,máx}$ Cumple	x: 1.637 m η = 40.1	x: 0.084 m η = 46.8	x: 0.084 m η = 31.9	x: 0.084 m η = 1.5	x: 0.084 m η = 22.3	η = 0.1	η < 0.1	η < 0.1	x: 0.084 m η = 75.0	η < 0.1	η = 0.1	x: 0.084 m η = 21.1	η = 0.1	**CUMPLE η = 75.0**
N225/N260	$\lambda_w \leq \lambda_{w,máx}$ Cumple	x: 1.68 m η = 38.8	x: 0.141 m η = 26.2	x: 0.141 m η = 36.4	x: 1.681 m η = 1.9	x: 0.141 m η = 19.4	η = 0.1	η < 0.1	η < 0.1	x: 0.141 m η = 74.7	η < 0.1	η = 0.1	x: 0.141 m η = 18.5	η = 0.1	**CUMPLE η = 74.7**
N260/N261	$\lambda_w \leq \lambda_{w,máx}$ Cumple	x: 1.68 m η = 22.1	x: 0.098 m η = 14.2	x: 0.098 m η = 7.7	x: 1.681 m η = 4.0	x: 0.098 m η = 9.7	η = 0.2	η < 0.1	η < 0.1	x: 0.098 m η = 29.8	η < 0.1	η = 0.1	x: 0.098 m η = 9.7	η = 0.2	**CUMPLE η = 29.8**
N261/N262	$\lambda_w \leq \lambda_{w,máx}$ Cumple	x: 1.7 m η = 7.5	x: 0.098 m η = 2.9	x: 0.098 m η = 9.6	x: 0.098 m η = 3.1	x: 0.098 m η = 8.9	η = 0.1	η < 0.1	η < 0.1	x: 0.098 m η = 17.7	η < 0.1	η < 0.1	x: 0.098 m η = 1.2	η = 0.1	**CUMPLE η = 17.7**
N262/N263	$\lambda_w \leq \lambda_{w,máx}$ Cumple	x: 1.7 m η = 6.5	x: 0.078 m η = 5.1	x: 0.078 m η = 8.9	x: 1.701 m η = 3.9	x: 0.078 m η = 9.5	η = 0.1	η < 0.1	η < 0.1	x: 0.078 m η = 13.8	η < 0.1	η = 0.1	x: 0.078 m η = 9.5	η = 0.1	**CUMPLE η = 13.8**
N263/N264	$\lambda_w \leq \lambda_{w,máx}$ Cumple	x: 1.7 m η = 13.0	x: 0.078 m η = 14.0	x: 1.093 m η = 3.7	x: 0.078 m η = 4.7	x: 0.078 m η = 7.5	η = 0.4	η < 0.1	η < 0.1	x: 1.093 m η = 17.7	η < 0.1	η = 0.4	x: 0.078 m η = 7.5	η = 0.4	**CUMPLE η = 17.7**
N264/N3404	$\lambda_w \leq \lambda_{w,máx}$ Cumple	x: 0.89 m η = 17.5	x: 0.078 m η = 20.3	x: 0.078 m η = 4.1	x: 0.89 m η = 5.2	x: 0.078 m η = 8.0	η = 0.4	η < 0.1	η < 0.1	x: 0.89 m η = 24.4	η < 0.1	η = 0.2	x: 0.078 m η = 6.9	η = 0.4	**CUMPLE η = 24.4**
N3404/N265	$\lambda_w \leq \lambda_{w,máx}$ Cumple	x: 0.811 m η = 17.5	x: 0 m η = 20.3	x: 0.203 m η = 4.2	x: 0.812 m η = 8.9	x: 0.812 m η = 5.3	η = 0.4	η < 0.1	η < 0.1	x: 0.203 m η = 24.6	η < 0.1	η = 0.2	x: 0.812 m η = 4.9	η = 0.4	**CUMPLE η = 24.6**
N265/N266	$\lambda_w \leq \lambda_{w,máx}$ Cumple	x: 1.7 m η = 19.9	x: 0.078 m η = 24.0	x: 0.89 m η = 5.0	x: 0.078 m η = 8.7	x: 0.078 m η = 7.2	η = 0.5	η < 0.1	η < 0.1	x: 0.89 m η = 29.1	η < 0.1	η = 0.4	x: 0.078 m η = 6.2	η = 0.5	**CUMPLE η = 29.1**
N266/N267	$\lambda_w \leq \lambda_{w,máx}$ Cumple	x: 1.717 m η = 20.2	x: 0.078 m η = 25.0	x: 0.898 m η = 6.0	x: 1.718 m η = 7.8	x: 0.078 m η = 7.3	x: 0.693 m η = 0.5	η < 0.1	η < 0.1	x: 0.898 m η = 30.8	η < 0.1	x: 1.308 m η = 0.2	x: 0.078 m η = 1.0	x: 0.693 m η = 0.5	**CUMPLE η = 30.8**
N267/N268	$\lambda_w \leq \lambda_{w,máx}$ Cumple	x: 1.694 m η = 20.3	x: 0.061 m η = 25.1	x: 0.878 m η = 6.1	x: 0.061 m η = 7.8	x: 1.695 m η = 7.3	x: 1.082 m η = 0.4	η < 0.1	η < 0.1	x: 0.878 m η = 31.1	η < 0.1	η = 0.1	x: 1.695 m η = 5.4	x: 1.082 m η = 0.4	**CUMPLE η = 31.1**
N268/N269	$\lambda_w \leq \lambda_{w,máx}$ Cumple	x: 1.694 m η = 18.7	x: 0.084 m η = 23.4	x: 0.688 m η = 5.2	x: 1.695 m η = 4.5	x: 1.695 m η = 7.5	η = 0.4	η < 0.1	η < 0.1	x: 0.688 m η = 28.7	η < 0.1	η = 0.4	x: 1.695 m η = 6.7	η = 0.4	**CUMPLE η = 28.7**
N269/N3417	$\lambda_w \leq \lambda_{w,máx}$ Cumple	x: 0.89 m η = 15.1	x: 0.084 m η = 19.2	x: 0.688 m η = 4.1	x: 0.89 m η = 7.7	x: 0.084 m η = 5.0	x: 0.084 m η = 0.4	η < 0.1	η < 0.1	x: 0.688 m η = 23.5	η < 0.1	x: 0.084 m η = 0.2	x: 0.084 m η = 5.0	x: 0.084 m η = 0.4	**CUMPLE η = 23.5**
N3417/N270	$\lambda_w \leq \lambda_{w,máx}$ Cumple	x: 0.805 m η = 15.1	x: 0 m η = 19.2	x: 0.806 m η = 4.6	x: 0.806 m η = 10.7	x: 0.806 m η = 8.2	η = 0.3	η < 0.1	η < 0.1	x: 0.806 m η = 24.0	η < 0.1	η = 0.2	x: 0.806 m η = 8.2	η = 0.3	**CUMPLE η = 24.0**
N270/N271	$\lambda_w \leq \lambda_{w,máx}$ Cumple	x: 1.694 m η = 9.4	x: 0.084 m η = 12.4	x: 1.695 m η = 4.1	x: 0.084 m η = 11.7	x: 1.695 m η = 7.8	η = 1.1	η < 0.1	η < 0.1	x: 1.695 m η = 16.5	η < 0.1	η = 0.5	x: 1.695 m η = 7.8	η = 1.1	**CUMPLE η = 16.5**
N271/N272	$\lambda_w \leq \lambda_{w,máx}$ Cumple	x: 1.694 m η = 1.5	x: 0.084 m η = 2.8	x: 1.695 m η = 10.3	x: 0.084 m η = 7.3	x: 1.695 m η = 10.0	η = 0.2	η < 0.1	η < 0.1	x: 1.695 m η = 13.2	η < 0.1	η = 0.3	x: 1.695 m η = 8.6	η = 0.2	**CUMPLE η = 13.2**
N272/N273	$\lambda_w \leq \lambda_{w,máx}$ Cumple	x: 1.673 m η = 9.2	x: 0.084 m η = 8.0	x: 1.674 m η = 9.6	x: 1.674 m η = 3.3	x: 1.674 m η = 8.9	η = 0.2	η < 0.1	η < 0.1	x: 1.674 m η = 19.8	η < 0.1	x: 1.673 m η = 0.1	x: 1.674 m η = 8.9	η = 0.2	**CUMPLE η = 19.8**
N273/N274	$\lambda_w \leq \lambda_{w,máx}$ Cumple	x: 1.673 m η = 24.9	x: 0.105 m η = 20.6	x: 1.674 m η = 25.0	x: 0.105 m η = 4.2	x: 1.674 m η = 15.5	η = 0.2	η < 0.1	η < 0.1	x: 1.674 m η = 50.0	η < 0.1	η = 0.1	x: 1.674 m η = 15.5	η = 0.2	**CUMPLE η = 50.0**
N274/N275	$\lambda_w \leq \lambda_{w,máx}$ Cumple	x: 1.637 m η = 37.1	x: 0.105 m η = 30.0	x: 0.105 m η = 27.4	x: 0.105 m η = 1.2	x: 0.105 m η = 23.0	η = 0.1	η < 0.1	η < 0.1	x: 0.105 m η = 65.1	η < 0.1	η = 0.1	x: 0.105 m η = 22.8	η = 0.1	**CUMPLE η = 65.1**
N121/N156	$\lambda_w \leq \lambda_{w,máx}$ Cumple	x: 1.68 m η = 54.3	x: 0.141 m η = 35.1	x: 0.141 m η = 49.0	x: 0.141 m η = 1.8	x: 0.141 m η = 25.3	η = 0.1	η < 0.1	η < 0.1	x: 0.141 m η = 102.6	η < 0.1	η = 0.1	x: 0.141 m η = 24.5	η = 0.1	**NO CUMPLE η = 102.6**
N156/N157	$\lambda_w \leq \lambda_{w,máx}$ Cumple	x: 1.68 m η = 30.6	x: 0.098 m η = 17.3	x: 0.098 m η = 10.4	x: 1.681 m η = 3.4	x: 0.098 m η = 12.3	η = 0.2	η < 0.1	η < 0.1	x: 0.098 m η = 41.1	η < 0.1	η = 0.1	x: 0.098 m η = 10.2	η = 0.2	**CUMPLE η = 41.1**
N157/N158	$\lambda_w \leq \lambda_{w,máx}$ Cumple	x: 1.7 m η = 10.2	x: 0.098 m η = 4.1	x: 0.098 m η = 13.5	x: 0.098 m η = 2.6	x: 0.098 m η = 12.9	η = 0.1	η < 0.1	η < 0.1	x: 0.098 m η = 24.1	η < 0.1	η < 0.1	x: 0.098 m η = 12.9	η = 0.1	**CUMPLE η = 24.1**
N158/N159	$\lambda_w \leq \lambda_{w,máx}$ Cumple	x: 1.7 m η = 7.0	x: 0.078 m η = 7.1	x: 0.078 m η = 12.9	x: 1.701 m η = 2.7	x: 0.078 m η = 13.8	η = 0.1	η < 0.1	η < 0.1	x: 0.078 m η = 19.8	η < 0.1	η = 0.1	x: 0.078 m η = 13.8	η = 0.1	**CUMPLE η = 19.8**
N159/N160	$\lambda_w \leq \lambda_{w,máx}$ Cumple	x: 1.7 m η = 15.0	x: 0.078 m η = 19.6	x: 0.078 m η = 5.5	x: 0.078 m η = 3.0	x: 0.078 m η = 11.2	η = 0.1	η < 0.1	η < 0.1	x: 0.078 m η = 25.0	η < 0.1	η = 0.2	x: 0.078 m η = 11.2	η = 0.1	**CUMPLE η = 25.0**
N160/N3403	$\lambda_w \leq \lambda_{w,máx}$ Cumple	x: 0.89 m η = 20.4	x: 0.078 m η = 28.7	x: 0.078 m η = 6.0	x: 0.078 m η = 1.0	x: 0.078 m η = 11.8	η = 0.1	η < 0.1	η < 0.1	x: 0.078 m η = 34.4	η < 0.1	η = 0.1	x: 0.078 m η = 8.5	η = 0.1	**CUMPLE η = 34.4**
N3403/N161	$\lambda_w \leq \lambda_{w,máx}$ Cumple	x: 0.811 m η = 20.4	x: 0 m η = 28.7	x: 0.203 m η = 6.1	x: 0.812 m η = 1.5	x: 0.812 m η = 7.9	η = 0.1	η < 0.1	η < 0.1	x: 0.203 m η = 34.5	η < 0.1	η = 0.1	x: 0.812 m η = 6.1	η = 0.1	**CUMPLE η = 34.5**
N161/N162	$\lambda_w \leq \lambda_{w,máx}$ Cumple	x: 1.7 m η = 23.4	x: 0.078 m η = 37.1	x: 0.89 m η = 7.4	x: 0.078 m η = 1.4	x: 0.078 m η = 10.6	η = 0.1	η < 0.1	η < 0.1	x: 0.89 m η = 41.5	η < 0.1	η = 0.1	x: 0.078 m η = 7.8	x: 1.7 m η = 0.1	**CUMPLE η = 41.5**
N162/N163	$\lambda_w \leq \lambda_{w,máx}$ Cumple	x: 1.717 m η = 23.9	x: 0.078 m η = 38.8	x: 0.898 m η = 8.5	x: 1.718 m η = 2.5	x: 0.078 m η = 10.7	η = 0.1	η < 0.1	η < 0.1	x: 0.898 m η = 44.3	η < 0.1	η = 0.1	x: 0.078 m η = 7.9	η = 0.1	**CUMPLE η = 44.3**
N163/N164	$\lambda_w \leq \lambda_{w,máx}$ Cumple	x: 1.694 m η = 24.0	x: 0.061 m η = 39.0	x: 0.878 m η = 8.7	x: 0.061 m η = 2.5	x: 1.695 m η = 10.6	η = 0.1	η < 0.1	η < 0.1	x: 0.878 m η = 44.7	η < 0.1	η < 0.1	x: 1.695 m η = 1.0	x: 1.694 m η = 0.1	**CUMPLE η = 44.7**
N164/N165	$\lambda_w \leq \lambda_{w,máx}$ Cumple	x: 1.694 m η = 22.4	x: 0.084 m η = 36.8	x: 0.89 m η = 7.6	x: 1.695 m η = 1.4	x: 1.695 m η = 11.0	η = 0.1	η < 0.1	η < 0.1	x: 0.89 m η = 41.4	η < 0.1	η = 0.1	x: 1.695 m η = 10.9	x: 0.285 m η = 0.1	**CUMPLE η = 41.4**

Documento visado electrónicamente con número: VA07290/22
Código de validación telemática TRLTDCFZ60T66IJ1. Comprobación: https://cogitivalencia.e-gestion.es/Validacion.aspx?CVT=TRLTDCFZ60T66IJ1

VISADO COGITI
TRLTDCFZ60T66IJ1
VALENCIA
VA07290/22

Barras	COMPROBACIONES (CÓDIGO ESTRUCTURAL)														Estado
	λ_w	N_t	N_c	M_Y	M_Z	V_Z	V_Y	M_YV_Z	M_ZV_Y	NM_YM_Z	$NM_YM_ZV_YV_Z$	M_t	M_tV_Z	M_tV_Y	
N165/N3418	$\lambda_w \leq \lambda_{w,máx}$ Cumple	x: 0.89 m η = 18.4	x: 0.084 m η = 28.1	x: 0.688 m η = 6.1	x: 0.084 m η = 1.5	x: 0.084 m η = 7.5	η = 0.1	η < 0.1	η < 0.1	x: 0.688 m η = 33.9	η < 0.1	η = 0.1	x: 0.084 m η = 7.5	η = 0.1	**CUMPLE η = 33.9**
N3418/N166	$\lambda_w \leq \lambda_{w,máx}$ Cumple	x: 0.805 m η = 18.4	x: 0 m η = 28.1	x: 0.806 m η = 6.6	x: 0.806 m η = 0.9	x: 0.806 m η = 12.1	η = 0.1	η < 0.1	η < 0.1	x: 0.806 m η = 34.5	η < 0.1	η = 0.1	x: 0.806 m η = 12.1	η = 0.1	**CUMPLE η = 34.5**
N166/N167	$\lambda_w \leq \lambda_{w,máx}$ Cumple	x: 1.694 m η = 12.2	x: 0.084 m η = 18.7	x: 1.695 m η = 6.0	x: 1.695 m η = 3.0	x: 1.695 m η = 11.4	η = 0.1	η < 0.1	η < 0.1	x: 1.695 m η = 24.6	η < 0.1	η = 0.1	x: 1.695 m η = 11.4	η = 0.1	**CUMPLE η = 24.6**
N167/N168	$\lambda_w \leq \lambda_{w,máx}$ Cumple	x: 1.694 m η = 2.7	x: 0.084 m η = 5.4	x: 1.695 m η = 14.5	x: 0.084 m η = 2.8	x: 1.695 m η = 14.5	η = 0.1	η < 0.1	η < 0.1	x: 1.695 m η = 19.9	η < 0.1	η = 0.1	x: 1.695 m η = 14.5	η = 0.1	**CUMPLE η = 19.9**
N168/N169	$\lambda_w \leq \lambda_{w,máx}$ Cumple	x: 1.673 m η = 11.2	x: 0.084 m η = 8.6	x: 1.674 m η = 13.5	x: 1.674 m η = 2.8	x: 1.674 m η = 12.9	η = 0.1	η < 0.1	η < 0.1	x: 1.674 m η = 25.6	η < 0.1	η = 0.1	x: 1.674 m η = 1.2	η = 0.1	**CUMPLE η = 25.6**
N169/N170	$\lambda_w \leq \lambda_{w,máx}$ Cumple	x: 1.673 m η = 33.6	x: 0.105 m η = 23.5	x: 1.674 m η = 34.1	x: 0.105 m η = 3.6	x: 1.674 m η = 20.5	η = 0.2	η < 0.1	η < 0.1	x: 1.674 m η = 67.8	η < 0.1	η < 0.1	x: 1.674 m η = 20.5	η = 0.2	**CUMPLE η = 67.8**
N170/N171	$\lambda_w \leq \lambda_{w,máx}$ Cumple	x: 1.637 m η = 50.8	x: 0.105 m η = 38.1	x: 0.105 m η = 37.3	x: 0.105 m η = 1.2	x: 0.105 m η = 30.6	η = 0.1	η < 0.1	η < 0.1	x: 0.105 m η = 88.4	η < 0.1	η = 0.1	x: 0.105 m η = 30.5	η = 0.1	**CUMPLE η = 88.4**
N8/N45	$\lambda_w \leq \lambda_{w,máx}$ Cumple	x: 1.7 m η = 44.9	x: 0.141 m η = 29.0	x: 0.141 m η = 47.4	x: 0.141 m η = 1.1	x: 0.141 m η = 17.6	η = 0.1	η < 0.1	η < 0.1	x: 0.141 m η = 90.9	η < 0.1	η = 0.1	x: 0.141 m η = 17.0	η = 0.1	**CUMPLE η = 90.9**
N45/N46	$\lambda_w \leq \lambda_{w,máx}$ Cumple	x: 1.7 m η = 24.5	x: 0.078 m η = 13.2	x: 0.078 m η = 9.1	x: 1.701 m η = 2.8	x: 0.078 m η = 8.8	η = 0.1	η < 0.1	η < 0.1	x: 0.078 m η = 33.7	η < 0.1	η = 0.1	x: 0.078 m η = 8.8	η = 0.1	**CUMPLE η = 33.7**
N46/N47	$\lambda_w \leq \lambda_{w,máx}$ Cumple	x: 1.7 m η = 7.2	x: 0.078 m η = 4.5	x: 0.078 m η = 12.9	x: 0.078 m η = 1.6	x: 0.078 m η = 9.8	η = 0.1	η < 0.1	η < 0.1	x: 0.078 m η = 20.3	η < 0.1	η = 0.1	x: 0.078 m η = 6.1	η = 0.1	**CUMPLE η = 20.3**
N47/N48	$\lambda_w \leq \lambda_{w,máx}$ Cumple	x: 1.7 m η = 8.3	x: 0.078 m η = 8.7	x: 0.078 m η = 10.3	x: 1.701 m η = 1.9	x: 0.078 m η = 9.5	η = 0.1	η < 0.1	η < 0.1	x: 0.078 m η = 18.9	η < 0.1	η = 0.1	x: 0.078 m η = 5.8	η = 0.1	**CUMPLE η = 18.9**
N48/N49	$\lambda_w \leq \lambda_{w,máx}$ Cumple	x: 1.713 m η = 15.8	x: 0.078 m η = 19.7	x: 0.078 m η = 7.8	x: 0.078 m η = 2.3	x: 0.078 m η = 8.8	η = 0.1	η < 0.1	η < 0.1	x: 0.078 m η = 27.7	η < 0.1	η = 0.1	x: 0.078 m η = 6.4	η < 0.1	**CUMPLE η = 27.7**
N49/N3401	$\lambda_w \leq \lambda_{w,máx}$ Cumple	x: 0.89 m η = 20.2	x: 0.065 m η = 27.4	x: 0.065 m η = 7.4	x: 0.065 m η = 0.7	x: 0.065 m η = 8.9	η = 0.1	η < 0.1	η < 0.1	x: 0.065 m η = 34.7	η < 0.1	x: 0.684 m η < 0.1	x: 0.065 m η = 0.9	x: 0.684 m η < 0.1	**CUMPLE η = 34.7**
N3401/N50	$\lambda_w \leq \lambda_{w,máx}$ Cumple	x: 0.824 m η = 20.2	x: 0 m η = 27.4	x: 0.206 m η = 5.6	x: 0.825 m η = 1.4	x: 0.825 m η = 6.8	η = 0.1	η < 0.1	η < 0.1	x: 0.206 m η = 32.9	η < 0.1	x: 0 m η < 0.1	x: 0.825 m η = 0.6	x: 0 m η < 0.1	**CUMPLE η = 32.9**
N50/N51	$\lambda_w \leq \lambda_{w,máx}$ Cumple	x: 1.713 m η = 23.3	x: 0.065 m η = 37.4	x: 0.89 m η = 6.3	x: 0.065 m η = 1.3	x: 0.065 m η = 8.0	η = 0.1	η < 0.1	η < 0.1	x: 0.89 m η = 40.2	η < 0.1	x: 0.065 m η < 0.1	x: 0.065 m η = 0.7	x: 0.065 m η < 0.1	**CUMPLE η = 40.2**
N51/N52	$\lambda_w \leq \lambda_{w,máx}$ Cumple	x: 1.727 m η = 23.5	x: 0.065 m η = 38.7	x: 0.897 m η = 6.8	x: 1.728 m η = 2.1	x: 0.065 m η = 8.3	η = 0.1	η < 0.1	η < 0.1	x: 0.897 m η = 42.0	η < 0.1	x: 0.065 m η < 0.1	x: 0.065 m η = 0.8	x: 0.065 m η < 0.1	**CUMPLE η = 42.0**
N52/N53	$\lambda_w \leq \lambda_{w,máx}$ Cumple	x: 1.708 m η = 23.8	x: 0.051 m η = 38.9	x: 0.88 m η = 7.0	x: 0.051 m η = 2.1	x: 1.709 m η = 8.3	η = 0.1	η < 0.1	η < 0.1	x: 0.88 m η = 42.4	η < 0.1	x: 1.708 m η < 0.1	x: 1.709 m η = 0.8	x: 1.708 m η < 0.1	**CUMPLE η = 42.4**
N53/N54	$\lambda_w \leq \lambda_{w,máx}$ Cumple	x: 1.708 m η = 22.0	x: 0.07 m η = 36.6	x: 0.89 m η = 6.5	x: 1.709 m η = 1.3	x: 1.709 m η = 8.2	η = 0.1	η < 0.1	η < 0.1	x: 0.89 m η = 39.7	η < 0.1	x: 1.3 m η < 0.1	x: 1.709 m η = 0.7	x: 1.3 m η < 0.1	**CUMPLE η = 39.7**
N54/N3402	$\lambda_w \leq \lambda_{w,máx}$ Cumple	x: 0.89 m η = 17.6	x: 0.07 m η = 26.0	x: 0.685 m η = 5.6	x: 0.07 m η = 1.4	x: 0.07 m η = 6.4	η = 0.1	η < 0.1	η < 0.1	x: 0.685 m η = 31.5	η < 0.1	x: 0.89 m η < 0.1	x: 0.07 m η = 0.6	x: 0.89 m η = 0.1	**CUMPLE η = 31.5**
N3402/N55	$\lambda_w \leq \lambda_{w,máx}$ Cumple	x: 0.819 m η = 17.6	x: 0 m η = 26.0	x: 0.82 m η = 8.2	x: 0.82 m η = 0.7	x: 0.82 m η = 9.2	η = 0.1	η < 0.1	η < 0.1	x: 0.82 m η = 34.2	η < 0.1	x: 0 m η < 0.1	x: 0.82 m η = 0.9	x: 0 m η = 0.1	**CUMPLE η = 34.2**
N55/N56	$\lambda_w \leq \lambda_{w,máx}$ Cumple	x: 1.694 m η = 11.6	x: 0.07 m η = 17.5	x: 1.695 m η = 8.5	x: 1.695 m η = 2.2	x: 1.695 m η = 9.0	η = 0.1	η < 0.1	η < 0.1	x: 1.695 m η = 26.3	η < 0.1	η = 0.1	x: 1.695 m η = 6.6	η = 0.1	**CUMPLE η = 26.3**
N56/N57	$\lambda_w \leq \lambda_{w,máx}$ Cumple	x: 1.694 m η = 3.1	x: 0.084 m η = 5.7	x: 1.695 m η = 11.8	x: 0.084 m η = 2.1	x: 1.695 m η = 10.0	η = 0.1	η < 0.1	η < 0.1	x: 1.695 m η = 17.5	η < 0.1	η = 0.1	x: 1.695 m η = 6.2	η = 0.1	**CUMPLE η = 17.5**
N57/N58	$\lambda_w \leq \lambda_{w,máx}$ Cumple	x: 1.694 m η = 9.4	x: 0.084 m η = 7.7	x: 1.695 m η = 11.1	x: 1.695 m η = 1.5	x: 1.695 m η = 9.4	η = 0.1	η < 0.1	η < 0.1	x: 1.695 m η = 20.8	η < 0.1	η = 0.1	x: 1.695 m η = 5.9	η = 0.1	**CUMPLE η = 20.8**
N58/N59	$\lambda_w \leq \lambda_{w,máx}$ Cumple	x: 1.694 m η = 27.8	x: 0.084 m η = 19.6	x: 1.695 m η = 31.1	x: 0.084 m η = 2.4	x: 1.695 m η = 14.3	η = 0.1	η < 0.1	η < 0.1	x: 1.695 m η = 59.0	η < 0.1	η < 0.1	x: 1.695 m η = 1.6	η < 0.1	**CUMPLE η = 59.0**
N59/N11	$\lambda_w \leq \lambda_{w,máx}$ Cumple	x: 1.637 m η = 45.7	x: 0.084 m η = 36.2	x: 0.084 m η = 31.3	x: 1.638 m η = 1.5	x: 0.084 m η = 18.7	η = 0.1	η < 0.1	η < 0.1	x: 0.084 m η = 77.1	η < 0.1	x: 0.667 m η < 0.1	x: 0.084 m η = 2.3	η < 0.1	**CUMPLE η = 77.1**
N10/N75	$\lambda_w \leq \lambda_{w,máx}$ Cumple	x: 1.7 m η = 42.0	x: 0.141 m η = 32.6	x: 0.141 m η = 45.3	x: 0.141 m η = 1.3	x: 0.141 m η = 17.1	η = 0.1	η < 0.1	η < 0.1	x: 0.141 m η = 87.7	η < 0.1	η = 0.1	x: 0.141 m η = 17.1	η = 0.1	**CUMPLE η = 87.7**
N75/N76	$\lambda_w \leq \lambda_{w,máx}$ Cumple	x: 1.7 m η = 17.5	x: 0.078 m η = 12.5	x: 0.078 m η = 10.6	x: 1.701 m η = 2.7	x: 0.078 m η = 9.4	η = 0.1	η < 0.1	η < 0.1	x: 0.078 m η = 28.3	η < 0.1	η = 0.1	x: 0.078 m η = 9.4	η = 0.1	**CUMPLE η = 28.3**
N76/N77	$\lambda_w \leq \lambda_{w,máx}$ Cumple	x: 1.7 m η = 3.8	x: 0.078 m η = 7.1	x: 0.078 m η = 13.6	x: 0.078 m η = 1.6	x: 0.078 m η = 10.2	η = 0.1	η < 0.1	η < 0.1	x: 0.078 m η = 19.6	η < 0.1	η = 0.1	x: 0.078 m η = 6.4	η = 0.1	**CUMPLE η = 19.6**
N77/N78	$\lambda_w \leq \lambda_{w,máx}$ Cumple	x: 1.7 m η = 15.2	x: 0.078 m η = 27.6	x: 0.078 m η = 10.9	x: 1.701 m η = 1.9	x: 0.078 m η = 10.1	η = 0.1	η < 0.1	η < 0.1	x: 0.078 m η = 35.8	η < 0.1	η = 0.1	x: 0.078 m η = 10.1	η = 0.1	**CUMPLE η = 35.8**
N78/N79	$\lambda_w \leq \lambda_{w,máx}$ Cumple	x: 1.713 m η = 25.8	x: 0.078 m η = 44.8	x: 0.078 m η = 7.9	x: 0.078 m η = 2.5	x: 0.078 m η = 9.2	η = 0.1	η < 0.1	η < 0.1	x: 0.078 m η = 48.7	η < 0.1	η = 0.2	x: 0.078 m η = 9.2	η = 0.1	**CUMPLE η = 48.7**
N79/N3419	$\lambda_w \leq \lambda_{w,máx}$ Cumple	x: 0.89 m η = 33.1	x: 0.065 m η = 52.7	x: 0.065 m η = 7.7	x: 0.065 m η = 0.9	x: 0.065 m η = 9.4	η = 0.1	η < 0.1	η < 0.1	x: 0.065 m η = 57.8	η < 0.1	η = 0.1	x: 0.065 m η = 6.8	η = 0.1	**CUMPLE η = 57.8**
N3419/N80	$\lambda_w \leq \lambda_{w,máx}$ Cumple	x: 0.824 m η = 33.1	x: 0 m η = 52.7	x: 0.206 m η = 6.9	x: 0.825 m η = 1.5	x: 0.825 m η = 6.3	η = 0.1	η < 0.1	η < 0.1	x: 0.206 m η = 57.0	η < 0.1	η = 0.1	x: 0.825 m η = 4.8	η = 0.1	**CUMPLE η = 57.0**
N80/N81	$\lambda_w \leq \lambda_{w,máx}$ Cumple	x: 1.713 m η = 39.4	x: 0.065 m η = 68.7	x: 0.89 m η = 8.1	x: 0.065 m η = 1.3	x: 0.065 m η = 8.6	η = 0.1	η < 0.1	η < 0.1	x: 0.89 m η = 70.7	η < 0.1	η = 0.1	x: 0.065 m η = 6.3	η < 0.1	**CUMPLE η = 70.7**
N81/N82	$\lambda_w \leq \lambda_{w,máx}$ Cumple	x: 1.727 m η = 42.9	x: 0.065 m η = 74.7	x: 0.897 m η = 8.8	x: 1.728 m η = 2.4	x: 0.065 m η = 8.5	η = 0.1	η < 0.1	η < 0.1	x: 0.897 m η = 77.0	η < 0.1	x: 0.065 m η < 0.1	x: 0.065 m η = 0.8	x: 0.065 m η < 0.1	**CUMPLE η = 77.0**
N82/N83	$\lambda_w \leq \lambda_{w,máx}$ Cumple	x: 1.708 m η = 43.1	x: 0.051 m η = 75.1	x: 0.88 m η = 8.7	x: 0.051 m η = 2.5	x: 1.709 m η = 8.2	η = 0.1	η < 0.1	η < 0.1	x: 0.88 m η = 77.2	η < 0.1	η < 0.1	x: 1.709 m η = 0.7	η < 0.1	**CUMPLE η = 77.2**
N83/N84	$\lambda_w \leq \lambda_{w,máx}$ Cumple	x: 1.708 m η = 44.6	x: 0.07 m η = 77.4	x: 0.89 m η = 8.4	x: 1.709 m η = 1.6	x: 0.07 m η = 7.9	η = 0.1	η < 0.1	η < 0.1	x: 0.89 m η = 78.9	η < 0.1	η = 0.1	x: 1.709 m η = 5.8	η < 0.1	**CUMPLE η = 78.9**
N84/N3436	$\lambda_w \leq \lambda_{w,máx}$ Cumple	x: 0.89 m η = 42.8	x: 0.07 m η = 67.8	x: 0.89 m η = 8.1	x: 0.07 m η = 1.8	x: 0.07 m η = 6.8	η = 0.1	η < 0.1	η < 0.1	x: 0.89 m η = 72.5	η < 0.1	η = 0.1	x: 0.07 m η = 5.1	η = 0.1	**CUMPLE η = 72.5**
N3436/N85	$\lambda_w \leq \lambda_{w,máx}$ Cumple	x: 0.819 m η = 42.8	x: 0 m η = 67.8	x: 0 m η = 8.1	x: 0.82 m η = 1.0	x: 0.82 m η = 8.8	η = 0.1	η < 0.1	η < 0.1	x: 0 m η = 72.5	η < 0.1	η = 0.1	x: 0.82 m η = 6.4	η = 0.1	**CUMPLE η = 72.5**
N85/N86	$\lambda_w \leq \lambda_{w,máx}$ Cumple	x: 1.694 m η = 39.9	x: 0.07 m η = 69.2	x: 0.883 m η = 7.4	x: 1.695 m η = 2.8	x: 1.695 m η = 8.7	η = 0.1	η < 0.1	η < 0.1	x: 0.883 m η = 70.5	η < 0.1	η = 0.2	x: 1.695 m η = 8.7	η = 0.1	**CUMPLE η = 70.5**
N86/N87	$\lambda_w \leq \lambda_{w,máx}$ Cumple	x: 1.694 m η = 33.9	x: 0.084 m η = 60.2	x: 1.695 m η = 8.0	x: 0.084 m η = 2.5	x: 1.695 m η = 9.7	η = 0.1	η < 0.1	η < 0.1	x: 1.695 m η = 62.3	η < 0.1	η = 0.1	x: 1.695 m η = 5.9	η = 0.1	**CUMPLE η = 62.3**
N87/N88	$\lambda_w \leq \lambda_{w,máx}$ Cumple	x: 1.694 m η = 26.9	x: 0.084 m η = 47.4	x: 1.695 m η = 8.3	x: 1.695 m η = 2.1	x: 1.695 m η = 9.4	η = 0.1	η < 0.1	η < 0.1	x: 1.695 m η = 51.5	η < 0.1	x: 0.89 m η < 0.1	x: 1.695 m η = 0.9	x: 0.89 m η < 0.1	**CUMPLE η = 51.5**
N88/N89	$\lambda_w \leq \lambda_{w,máx}$ Cumple	x: 1.694 m η = 17.2	x: 0.084 m η = 29.5	x: 1.695 m η = 15.6	x: 0.084 m η = 3.3	x: 1.695 m η = 11.2	η = 0.1	η < 0.1	η < 0.1	x: 1.695 m η = 41.6	η < 0.1	η = 0.1	x: 1.695 m η = 9.2	η = 0.1	**CUMPLE η = 41.6**
N89/N13	$\lambda_w \leq \lambda_{w,máx}$ Cumple	x: 1.637 m η = 6.1	x: 0.084 m η = 8.0	x: 1.638 m η = 6.8	x: 0.084 m η = 1.7	x: 1.638 m η = 7.9	η = 0.1	η < 0.1	η < 0.1	x: 1.638 m η = 15.4	η < 0.1	η = 0.1	x: 1.638 m η = 7.1	η = 0.1	**CUMPLE η = 15.4**

Documento visado electrónicamente con número VA07290/22 Código de validación telemática TRLTDCFZ60T66IJ1. Comprobación: https://cogitivalencia.e-gestion.es/Validacion.aspx?CVT=TRLTDCFZ60T66IJ1

VISADO
COGITI
Estado
VALENCIA
VA07290/22
TRLTDCFZ60T66IJ1

Barras	COMPROBACIONES (CÓDIGO ESTRUCTURAL)														
	λ_w	N_t	N_c	M_Y	M_Z	V_Z	V_Y	M_YV_Z	M_ZV_Y	NM_YM_Z	$NM_YM_ZV_YV_Z$	M_t	M_tV_Z	M_tV_Y	
N155/N194	$\lambda_w \leq \lambda_{w,máx}$ Cumple	x: 1.68 m η = 50.6	x: 0.141 m η = 37.7	x: 0.141 m η = 47.8	x: 0.141 m η = 2.2	x: 0.141 m η = 24.9	η = 0.1	η < 0.1	η < 0.1	x: 0.141 m η = 98.3	η < 0.1	η = 0.1	x: 0.141 m η = 18.7	η = 0.1	**CUMPLE η = 98.3**
N194/N195	$\lambda_w \leq \lambda_{w,máx}$ Cumple	x: 1.68 m η = 22.8	x: 0.098 m η = 16.3	x: 0.098 m η = 11.9	x: 1.681 m η = 3.4	x: 0.098 m η = 13.3	η = 0.2	η < 0.1	η < 0.1	x: 0.098 m η = 34.9	η < 0.1	η = 0.1	x: 0.098 m η = 13.3	η = 0.2	**CUMPLE η = 34.9**
N195/N196	$\lambda_w \leq \lambda_{w,máx}$ Cumple	x: 1.7 m η = 2.4	x: 0.098 m η = 4.8	x: 0.098 m η = 13.9	x: 0.098 m η = 2.5	x: 0.098 m η = 13.4	η = 0.1	η < 0.1	η < 0.1	x: 0.098 m η = 17.9	η < 0.1	η = 0.1	x: 0.098 m η = 13.4	η = 0.1	**CUMPLE η = 17.9**
N196/N197	$\lambda_w \leq \lambda_{w,máx}$ Cumple	x: 1.7 m η = 15.5	x: 0.078 m η = 24.2	x: 0.078 m η = 13.8	x: 1.701 m η = 2.8	x: 0.078 m η = 14.9	η = 0.1	η < 0.1	η < 0.1	x: 0.078 m η = 37.6	η < 0.1	η = 0.1	x: 0.078 m η = 14.9	η = 0.1	**CUMPLE η = 37.6**
N197/N198	$\lambda_w \leq \lambda_{w,máx}$ Cumple	x: 1.7 m η = 26.3	x: 0.078 m η = 44.3	x: 1.093 m η = 6.9	x: 0.078 m η = 3.2	x: 0.078 m η = 11.6	η = 0.1	η < 0.1	η < 0.1	x: 1.093 m η = 47.7	η < 0.1	η = 0.2	x: 0.078 m η = 11.6	η = 0.1	**CUMPLE η = 47.7**
N198/N3420	$\lambda_w \leq \lambda_{w,máx}$ Cumple	x: 0.89 m η = 35.0	x: 0.078 m η = 53.7	x: 0.89 m η = 7.1	x: 0.078 m η = 1.1	x: 0.078 m η = 12.5	η = 0.1	η < 0.1	η < 0.1	x: 0.89 m η = 60.3	η < 0.1	η = 0.1	x: 0.078 m η = 12.5	η = 0.1	**CUMPLE η = 60.3**
N3420/N199	$\lambda_w \leq \lambda_{w,máx}$ Cumple	x: 0.811 m η = 35.0	x: 0 m η = 53.6	x: 0.203 m η = 7.7	x: 0.812 m η = 1.5	x: 0.812 m η = 7.3	η = 0.1	η < 0.1	η < 0.1	x: 0.203 m η = 60.8	η < 0.1	η = 0.1	x: 0.812 m η = 7.3	η = 0.1	**CUMPLE η = 60.8**
N199/N200	$\lambda_w \leq \lambda_{w,máx}$ Cumple	x: 1.7 m η = 40.7	x: 0.078 m η = 68.6	x: 1.093 m η = 10.1	x: 0.078 m η = 1.5	x: 0.078 m η = 11.8	η = 0.1	η < 0.1	η < 0.1	x: 1.093 m η = 73.1	η < 0.1	η = 0.1	x: 0.078 m η = 11.8	η = 0.1	**CUMPLE η = 73.1**
N200/N201	$\lambda_w \leq \lambda_{w,máx}$ Cumple	x: 1.717 m η = 44.3	x: 0.078 m η = 74.7	x: 0.898 m η = 11.3	x: 1.718 m η = 3.0	x: 0.078 m η = 10.9	η = 0.1	η < 0.1	η < 0.1	x: 0.898 m η = 80.0	η < 0.1	η = 0.1	x: 0.078 m η = 8.0	η = 0.1	**CUMPLE η = 80.0**
N201/N202	$\lambda_w \leq \lambda_{w,máx}$ Cumple	x: 1.694 m η = 44.5	x: 0.061 m η = 74.8	x: 0.878 m η = 11.1	x: 0.061 m η = 3.0	x: 1.695 m η = 10.3	η = 0.1	η < 0.1	η < 0.1	x: 0.878 m η = 79.9	η < 0.1	η = 0.1	x: 1.695 m η = 10.3	η = 0.1	**CUMPLE η = 79.9**
N202/N203	$\lambda_w \leq \lambda_{w,máx}$ Cumple	x: 1.694 m η = 46.0	x: 0.084 m η = 77.1	x: 0.89 m η = 10.7	x: 1.695 m η = 1.9	x: 1.695 m η = 9.9	η = 0.1	η < 0.1	η < 0.1	x: 0.89 m η = 81.6	η < 0.1	η = 0.1	x: 1.695 m η = 9.9	η = 0.1	**CUMPLE η = 81.6**
N203/N3435	$\lambda_w \leq \lambda_{w,máx}$ Cumple	x: 0.89 m η = 45.2	x: 0.084 m η = 69.0	x: 0.688 m η = 10.1	x: 0.084 m η = 2.0	x: 0.084 m η = 8.2	η = 0.2	η < 0.1	η < 0.1	x: 0.688 m η = 78.1	η < 0.1	η = 0.1	x: 0.084 m η = 8.2	η = 0.2	**CUMPLE η = 78.1**
N3435/N204	$\lambda_w \leq \lambda_{w,máx}$ Cumple	x: 0.805 m η = 45.2	x: 0 m η = 69.0	x: 0 m η = 10.0	x: 0.806 m η = 1.4	x: 0.806 m η = 11.4	η = 0.2	η < 0.1	η < 0.1	x: 0 m η = 78.1	η < 0.1	η = 0.1	x: 0.806 m η = 11.4	η = 0.2	**CUMPLE η = 78.1**
N204/N205	$\lambda_w \leq \lambda_{w,máx}$ Cumple	x: 1.694 m η = 42.0	x: 0.084 m η = 70.0	x: 0.89 m η = 9.5	x: 1.695 m η = 4.1	x: 1.695 m η = 11.0	η = 0.2	η < 0.1	η < 0.1	x: 0.89 m η = 74.2	η < 0.1	η = 0.2	x: 1.695 m η = 11.0	η = 0.2	**CUMPLE η = 74.2**
N205/N206	$\lambda_w \leq \lambda_{w,máx}$ Cumple	x: 1.694 m η = 36.9	x: 0.084 m η = 61.5	x: 1.695 m η = 8.5	x: 0.084 m η = 3.8	x: 1.695 m η = 13.7	η = 0.2	η < 0.1	η < 0.1	x: 0.487 m η = 64.7	η < 0.1	η = 0.1	x: 1.695 m η = 13.7	η = 0.2	**CUMPLE η = 64.7**
N206/N207	$\lambda_w \leq \lambda_{w,máx}$ Cumple	x: 1.673 m η = 29.0	x: 0.084 m η = 48.2	x: 1.674 m η = 6.7	x: 1.674 m η = 3.9	x: 1.674 m η = 12.1	η = 0.2	η < 0.1	η < 0.1	x: 1.674 m η = 51.6	η < 0.1	η = 0.1	x: 1.674 m η = 12.1	η = 0.2	**CUMPLE η = 51.6**
N207/N208	$\lambda_w \leq \lambda_{w,máx}$ Cumple	x: 1.673 m η = 18.6	x: 0.105 m η = 27.5	x: 1.674 m η = 16.7	x: 0.105 m η = 4.9	x: 1.674 m η = 16.5	η = 0.3	η < 0.1	η < 0.1	x: 1.674 m η = 42.9	η < 0.1	η = 0.1	x: 1.674 m η = 16.5	η = 0.3	**CUMPLE η = 42.9**
N208/N178	$\lambda_w \leq \lambda_{w,máx}$ Cumple	x: 1.617 m η = 5.6	x: 0.105 m η = 7.1	x: 1.618 m η = 6.0	x: 0.105 m η = 2.2	x: 1.618 m η = 10.4	η = 0.2	η < 0.1	η < 0.1	x: 1.618 m η = 13.4	η < 0.1	η = 0.2	x: 1.618 m η = 10.4	η = 0.2	**CUMPLE η = 13.4**
N259/N298	$\lambda_w \leq \lambda_{w,máx}$ Cumple	x: 1.68 m η = 35.4	x: 0.141 m η = 28.3	x: 0.141 m η = 35.4	x: 0.141 m η = 2.1	x: 0.141 m η = 19.1	η = 0.1	η < 0.1	η < 0.1	x: 0.141 m η = 70.9	η < 0.1	η = 0.1	x: 0.141 m η = 17.1	η = 0.1	**CUMPLE η = 70.9**
N298/N299	$\lambda_w \leq \lambda_{w,máx}$ Cumple	x: 1.68 m η = 15.5	x: 0.098 m η = 13.1	x: 0.098 m η = 8.7	x: 1.681 m η = 3.9	x: 0.098 m η = 10.3	η = 0.3	η < 0.1	η < 0.1	x: 0.098 m η = 24.4	η < 0.1	η = 0.1	x: 0.098 m η = 10.3	η = 0.3	**CUMPLE η = 24.4**
N299/N300	$\lambda_w \leq \lambda_{w,máx}$ Cumple	x: 1.7 m η = 3.3	x: 0.098 m η = 4.8	x: 0.098 m η = 9.9	x: 0.098 m η = 2.9	x: 0.098 m η = 9.3	η = 0.1	η < 0.1	η < 0.1	x: 0.098 m η = 14.2	η < 0.1	η < 0.1	x: 0.098 m η = 9.3	η = 0.1	**CUMPLE η = 14.2**
N300/N301	$\lambda_w \leq \lambda_{w,máx}$ Cumple	x: 1.7 m η = 14.3	x: 0.078 m η = 18.9	x: 0.078 m η = 9.6	x: 1.701 m η = 5.1	x: 0.078 m η = 10.3	η = 0.2	η < 0.1	η < 0.1	x: 0.078 m η = 28.3	η < 0.1	η = 0.2	x: 0.078 m η = 10.3	η = 0.2	**CUMPLE η = 28.3**
N301/N302	$\lambda_w \leq \lambda_{w,máx}$ Cumple	x: 1.7 m η = 23.6	x: 0.078 m η = 30.8	x: 1.093 m η = 4.9	x: 1.701 m η = 8.9	x: 0.078 m η = 7.9	x: 0.89 m η = 0.8	η < 0.1	η < 0.1	x: 1.093 m η = 35.7	η < 0.1	x: 0.89 m η = 0.4	x: 0.078 m η = 7.9	x: 0.89 m η = 0.8	**CUMPLE η = 35.7**
N302/N3421	$\lambda_w \leq \lambda_{w,máx}$ Cumple	x: 0.89 m η = 30.7	x: 0.078 m η = 40.0	x: 0.89 m η = 5.1	x: 0.078 m η = 8.2	x: 0.078 m η = 8.5	η = 0.3	η < 0.1	η < 0.1	x: 0.89 m η = 45.1	η < 0.1	η = 0.1	x: 0.078 m η = 8.6	η = 0.3	**CUMPLE η = 45.1**
N3421/N303	$\lambda_w \leq \lambda_{w,máx}$ Cumple	x: 0.811 m η = 30.7	x: 0 m η = 40.0	x: 0.203 m η = 5.5	x: 0 m η = 5.9	x: 0.812 m η = 4.8	η = 0.3	η < 0.1	η < 0.1	x: 0.203 m η = 45.4	η < 0.1	η = 0.1	x: 0.812 m η = 4.8	η = 0.3	**CUMPLE η = 45.4**
N303/N304	$\lambda_w \leq \lambda_{w,máx}$ Cumple	x: 1.7 m η = 35.8	x: 0.078 m η = 50.9	x: 1.093 m η = 7.2	x: 0.078 m η = 3.5	x: 0.078 m η = 8.0	x: 1.093 m η = 0.3	η < 0.1	η < 0.1	x: 1.093 m η = 54.0	η < 0.1	x: 1.093 m η = 0.3	x: 0.078 m η = 7.0	x: 1.093 m η = 0.3	**CUMPLE η = 54.0**
N304/N305	$\lambda_w \leq \lambda_{w,máx}$ Cumple	x: 1.717 m η = 38.8	x: 0.078 m η = 55.2	x: 0.898 m η = 8.2	x: 1.718 m η = 5.9	x: 0.078 m η = 7.5	η = 0.3	η < 0.1	η < 0.1	x: 0.898 m η = 59.0	η < 0.1	η = 0.1	x: 0.078 m η = 6.6	η = 0.3	**CUMPLE η = 59.0**
N305/N306	$\lambda_w \leq \lambda_{w,máx}$ Cumple	x: 1.694 m η = 39.0	x: 0.061 m η = 55.4	x: 0.878 m η = 8.1	x: 0.061 m η = 5.7	x: 1.695 m η = 7.1	x: 1.695 m η = 0.3	η < 0.1	η < 0.1	x: 0.878 m η = 59.1	η < 0.1	x: 1.491 m η = 0.1	x: 1.695 m η = 6.3	x: 1.695 m η = 0.3	**CUMPLE η = 59.1**
N306/N307	$\lambda_w \leq \lambda_{w,máx}$ Cumple	x: 1.694 m η = 40.3	x: 0.084 m η = 57.1	x: 0.89 m η = 7.6	x: 1.695 m η = 5.9	x: 1.695 m η = 6.8	x: 0.084 m η = 0.3	η < 0.1	η < 0.1	x: 0.89 m η = 60.3	η < 0.1	x: 0.084 m η = 0.3	x: 1.695 m η = 6.0	x: 0.084 m η = 0.3	**CUMPLE η = 60.3**
N307/N3434	$\lambda_w \leq \lambda_{w,máx}$ Cumple	x: 0.89 m η = 39.5	x: 0.084 m η = 51.1	x: 0.688 m η = 7.2	x: 0.084 m η = 6.3	x: 0.084 m η = 5.5	x: 0.084 m η = 0.3	η < 0.1	η < 0.1	x: 0.688 m η = 58.2	η < 0.1	η = 0.1	x: 0.084 m η = 5.5	x: 0.084 m η = 0.3	**CUMPLE η = 58.2**
N3434/N308	$\lambda_w \leq \lambda_{w,máx}$ Cumple	x: 0.805 m η = 39.6	x: 0 m η = 51.1	x: 0 m η = 7.1	x: 0 m η = 3.9	x: 0.806 m η = 7.8	η = 0.3	η < 0.1	η < 0.1	x: 0 m η = 58.1	η < 0.1	η = 0.1	x: 0.806 m η = 7.8	η = 0.3	**CUMPLE η = 58.1**
N308/N309	$\lambda_w \leq \lambda_{w,máx}$ Cumple	x: 1.694 m η = 36.8	x: 0.084 m η = 51.9	x: 0.89 m η = 6.8	x: 1.695 m η = 2.7	x: 1.695 m η = 7.5	x: 0.89 m η = 0.2	η < 0.1	η < 0.1	x: 0.89 m η = 54.9	η < 0.1	x: 0.89 m η = 0.3	x: 1.695 m η = 7.5	x: 0.89 m η = 0.2	**CUMPLE η = 54.9**
N309/N310	$\lambda_w \leq \lambda_{w,máx}$ Cumple	x: 1.694 m η = 32.0	x: 0.084 m η = 44.9	x: 1.695 m η = 6.1	x: 0.084 m η = 2.8	x: 1.695 m η = 9.6	η = 0.2	η < 0.1	η < 0.1	x: 0.487 m η = 47.2	η < 0.1	x: 0.084 m η = 0.1	x: 1.695 m η = 9.6	η = 0.2	**CUMPLE η = 47.2**
N310/N311	$\lambda_w \leq \lambda_{w,máx}$ Cumple	x: 1.673 m η = 25.3	x: 0.084 m η = 35.1	x: 1.674 m η = 4.8	x: 1.674 m η = 4.8	x: 1.674 m η = 8.4	η = 0.2	η < 0.1	η < 0.1	x: 1.674 m η = 37.8	η < 0.1	η = 0.1	x: 1.674 m η = 8.3	η = 0.2	**CUMPLE η = 37.8**
N311/N312	$\lambda_w \leq \lambda_{w,máx}$ Cumple	x: 1.673 m η = 15.8	x: 0.105 m η = 20.0	x: 1.674 m η = 12.9	x: 0.105 m η = 5.9	x: 1.674 m η = 12.8	η = 0.4	η < 0.1	η < 0.1	x: 1.674 m η = 31.8	η < 0.1	η = 0.1	x: 1.674 m η = 12.8	η = 0.4	**CUMPLE η = 31.8**
N312/N282	$\lambda_w \leq \lambda_{w,máx}$ Cumple	x: 1.617 m η = 5.1	x: 0.105 m η = 5.1	x: 1.618 m η = 5.7	x: 0.105 m η = 2.5	x: 1.618 m η = 9.1	η = 0.3	η < 0.1	η < 0.1	x: 1.618 m η = 11.6	η < 0.1	η = 0.3	x: 1.618 m η = 9.1	η = 0.3	**CUMPLE η = 11.6**
N467/N501	$\lambda_w \leq \lambda_{w,máx}$ Cumple	x: 1.7 m η = 37.8	x: 0.141 m η = 44.1	x: 0.141 m η = 47.1	x: 1.701 m η = 1.5	x: 0.141 m η = 21.8	η = 0.1	η < 0.1	η < 0.1	x: 0.141 m η = 88.3	η < 0.1	η = 0.1	x: 0.141 m η = 21.8	η < 0.1	**CUMPLE η = 88.3**
N501/N502	$\lambda_w \leq \lambda_{w,máx}$ Cumple	x: 1.7 m η = 15.6	x: 0.078 m η = 16.9	x: 0.078 m η = 13.2	x: 1.701 m η = 3.2	x: 0.078 m η = 14.4	η = 0.1	η < 0.1	η < 0.1	x: 0.078 m η = 30.1	η < 0.1	η = 0.1	x: 0.078 m η = 14.4	η = 0.1	**CUMPLE η = 30.1**
N502/N503	$\lambda_w \leq \lambda_{w,máx}$ Cumple	x: 1.7 m η = 4.4	x: 0.078 m η = 5.7	x: 0.078 m η = 13.8	x: 1.701 m η = 2.6	x: 0.078 m η = 10.2	x: 0.078 m η = 0.1	η < 0.1	η < 0.1	x: 0.078 m η = 18.8	η < 0.1	x: 0.484 m η = 0.1	x: 0.078 m η = 1.7	x: 0.078 m η = 0.1	**CUMPLE η = 18.8**
N503/N504	$\lambda_w \leq \lambda_{w,máx}$ Cumple	x: 1.7 m η = 19.5	x: 0.078 m η = 24.6	x: 0.078 m η = 10.1	x: 1.701 m η = 6.2	x: 0.078 m η = 9.7	η = 0.2	η < 0.1	η < 0.1	x: 0.078 m η = 31.9	η < 0.1	η = 0.2	x: 0.078 m η = 1.8	η = 0.2	**CUMPLE η = 31.9**
N504/N505	$\lambda_w \leq \lambda_{w,máx}$ Cumple	x: 1.713 m η = 32.4	x: 0.078 m η = 39.6	x: 0.078 m η = 8.1	x: 1.714 m η = 10.6	x: 0.078 m η = 9.2	x: 0.896 m η = 0.8	η < 0.1	η < 0.1	x: 0.078 m η = 42.9	η < 0.1	x: 0.896 m η = 0.5	x: 0.078 m η = 9.2	x: 0.896 m η = 0.8	**CUMPLE η = 42.9**
N505/N3422	$\lambda_w \leq \lambda_{w,máx}$ Cumple	x: 0.89 m η = 42.3	x: 0.065 m η = 44.4	x: 0.065 m η = 7.6	x: 0.065 m η = 8.9	x: 0.065 m η = 9.2	η = 0.2	η < 0.1	η < 0.1	x: 0.065 m η = 51.2	η < 0.1	η = 0.1	x: 0.065 m η = 1.6	η = 0.2	**CUMPLE η = 51.2**
N3422/N506	$\lambda_w \leq \lambda_{w,máx}$ Cumple	x: 0.824 m η = 42.3	x: 0 m η = 44.4	x: 0.206 m η = 6.3	x: 0 m η = 6.3	x: 0.825 m η = 6.6	η = 0.2	η < 0.1	η < 0.1	x: 0.206 m η = 50.6	η < 0.1	η = 0.1	x: 0.825 m η = 1.0	η = 0.2	**CUMPLE η = 50.6**

Documento visado electrónicamente con número: VA07290/22
Código de validación telemática TRLTDCFZ60T66IJ1. Comprobación: https://cogitivalencia.e-gestion.es/Validacion.aspx?CVT=TRLTDCFZ60T66IJ1

Barras	COMPROBACIONES (CÓDIGO ESTRUCTURAL)														Estado
	λ_w	N_t	N_c	M_Y	M_Z	V_Z	V_Y	M_YV_Z	M_ZV_Y	NM_YM_Z	$NM_YM_ZV_YV_Z$	M_t	M_tV_Z	M_tV_Y	
N506/N507	$\lambda_w \leq \lambda_{w,máx}$ Cumple	x: 1.713 m η = 49.4	x: 0.065 m η = 59.6	x: 0.89 m η = 7.5	x: 0.065 m η = 4.0	x: 0.065 m η = 8.6	x: 1.302 m η = 0.2	η < 0.1	η < 0.1	x: 0.89 m η = 61.4	η < 0.1	x: 1.302 m η = 0.4	x: 0.065 m η = 6.4	x: 1.302 m η = 0.2	**CUMPLE η = 61.4**
N507/N508	$\lambda_w \leq \lambda_{w,máx}$ Cumple	x: 1.727 m η = 53.5	x: 0.065 m η = 64.6	x: 0.897 m η = 8.0	x: 1.728 m η = 5.6	x: 0.065 m η = 8.4	η = 0.2	η < 0.1	η < 0.1	x: 0.897 m η = 66.5	η < 0.1	η = 0.2	x: 0.065 m η = 1.4	η = 0.2	**CUMPLE η = 66.5**
N508/N509	$\lambda_w \leq \lambda_{w,máx}$ Cumple	x: 1.708 m η = 53.8	x: 0.051 m η = 64.8	x: 0.88 m η = 7.9	x: 0.051 m η = 5.4	x: 1.709 m η = 8.1	η = 0.2	η < 0.1	η < 0.1	x: 0.88 m η = 66.6	η < 0.1	η = 0.1	x: 1.709 m η = 8.1	η = 0.2	**CUMPLE η = 66.6**
N509/N510	$\lambda_w \leq \lambda_{w,máx}$ Cumple	x: 1.708 m η = 55.7	x: 0.07 m η = 66.5	x: 0.89 m η = 7.8	x: 1.709 m η = 2.9	x: 1.709 m η = 7.9	x: 0.685 m η = 0.2	η < 0.1	η < 0.1	x: 0.89 m η = 68.1	η < 0.1	x: 0.685 m η = 0.3	x: 1.709 m η = 5.9	x: 0.685 m η = 0.2	**CUMPLE η = 68.1**
N510/N3433	$\lambda_w \leq \lambda_{w,máx}$ Cumple	x: 0.89 m η = 54.8	x: 0.07 m η = 59.3	x: 0.89 m η = 7.5	x: 0.89 m η = 4.9	x: 0.07 m η = 7.1	x: 0.685 m η = 0.2	η < 0.1	η < 0.1	x: 0.89 m η = 63.9	η < 0.1	x: 0.685 m η = 0.2	x: 0.07 m η = 7.1	x: 0.685 m η = 0.2	**CUMPLE η = 63.9**
N3433/N511	$\lambda_w \leq \lambda_{w,máx}$ Cumple	x: 0.819 m η = 54.8	x: 0 m η = 59.3	x: 0 m η = 7.5	x: 0.82 m η = 7.0	x: 0.82 m η = 8.7	η = 0.2	η < 0.1	η < 0.1	x: 0 m η = 63.9	η < 0.1	η = 0.2	x: 0.82 m η = 8.7	η = 0.2	**CUMPLE η = 63.9**
N511/N512	$\lambda_w \leq \lambda_{w,máx}$ Cumple	x: 1.694 m η = 51.2	x: 0.07 m η = 60.7	x: 0.883 m η = 6.9	x: 0.07 m η = 8.5	x: 1.695 m η = 8.7	x: 0.68 m η = 0.6	η < 0.1	η < 0.1	x: 0.883 m η = 62.1	η < 0.1	x: 0.68 m η = 0.4	x: 1.695 m η = 8.7	x: 0.68 m η = 0.6	**CUMPLE η = 62.1**
N512/N513	$\lambda_w \leq \lambda_{w,máx}$ Cumple	x: 1.694 m η = 44.6	x: 0.084 m η = 52.9	x: 1.695 m η = 7.3	x: 0.084 m η = 4.2	x: 1.695 m η = 9.3	η = 0.1	η < 0.1	η < 0.1	x: 1.695 m η = 54.7	η < 0.1	η = 0.2	x: 1.695 m η = 1.6	η = 0.1	**CUMPLE η = 54.7**
N513/N514	$\lambda_w \leq \lambda_{w,máx}$ Cumple	x: 1.694 m η = 35.7	x: 0.084 m η = 41.7	x: 1.695 m η = 9.0	x: 1.695 m η = 3.7	x: 1.695 m η = 9.5	η = 0.1	η < 0.1	η < 0.1	x: 1.695 m η = 46.5	η < 0.1	η = 0.1	x: 1.695 m η = 6.8	η = 0.1	**CUMPLE η = 46.5**
N514/N515	$\lambda_w \leq \lambda_{w,máx}$ Cumple	x: 1.694 m η = 23.5	x: 0.084 m η = 27.5	x: 1.695 m η = 17.1	x: 0.084 m η = 4.7	x: 1.695 m η = 15.7	η = 0.2	η < 0.1	η < 0.1	x: 1.695 m η = 40.0	η < 0.1	η = 0.1	x: 1.695 m η = 15.7	η = 0.2	**CUMPLE η = 40.0**
N515/N516	$\lambda_w \leq \lambda_{w,máx}$ Cumple	x: 1.637 m η = 8.8	x: 0.084 m η = 8.7	x: 1.638 m η = 13.0	x: 0.084 m η = 2.3	x: 1.638 m η = 14.2	η = 0.2	η < 0.1	η < 0.1	x: 1.638 m η = 23.0	η < 0.1	η = 0.2	x: 1.638 m η = 14.2	η = 0.2	**CUMPLE η = 23.0**
N623/N657	$\lambda_w \leq \lambda_{w,máx}$ Cumple	x: 1.7 m η = 38.4	x: 0.141 m η = 44.1	x: 0.141 m η = 47.6	x: 1.701 m η = 1.5	x: 0.141 m η = 21.9	η = 0.1	η < 0.1	η < 0.1	x: 0.141 m η = 88.8	η < 0.1	η = 0.1	x: 0.141 m η = 22.0	η < 0.1	**CUMPLE η = 88.8**
N657/N658	$\lambda_w \leq \lambda_{w,máx}$ Cumple	x: 1.7 m η = 16.0	x: 0.078 m η = 16.6	x: 0.078 m η = 13.2	x: 1.701 m η = 3.2	x: 0.078 m η = 14.5	η = 0.1	η < 0.1	η < 0.1	x: 0.078 m η = 29.9	η < 0.1	η = 0.1	x: 0.078 m η = 14.5	η = 0.1	**CUMPLE η = 29.9**
N658/N659	$\lambda_w \leq \lambda_{w,máx}$ Cumple	x: 1.7 m η = 4.9	x: 0.078 m η = 5.7	x: 0.078 m η = 13.9	x: 1.701 m η = 2.5	x: 0.078 m η = 10.3	η = 0.1	η < 0.1	η < 0.1	x: 0.078 m η = 19.0	η < 0.1	η = 0.1	x: 0.078 m η = 1.7	η = 0.1	**CUMPLE η = 19.0**
N659/N660	$\lambda_w \leq \lambda_{w,máx}$ Cumple	x: 1.7 m η = 20.4	x: 0.078 m η = 24.8	x: 0.078 m η = 10.2	x: 1.701 m η = 6.0	x: 0.078 m η = 9.8	η = 0.2	η < 0.1	η < 0.1	x: 0.078 m η = 32.2	η < 0.1	η = 0.2	x: 0.078 m η = 1.8	η = 0.2	**CUMPLE η = 32.2**
N660/N661	$\lambda_w \leq \lambda_{w,máx}$ Cumple	x: 1.713 m η = 33.4	x: 0.078 m η = 39.9	x: 0.078 m η = 8.1	x: 1.714 m η = 10.9	x: 0.078 m η = 9.2	x: 1.305 m η = 0.8	η < 0.1	η < 0.1	x: 0.078 m η = 43.1	η < 0.1	η = 0.5	x: 0.078 m η = 9.2	x: 1.305 m η = 0.8	**CUMPLE η = 43.1**
N661/N3423	$\lambda_w \leq \lambda_{w,máx}$ Cumple	x: 0.89 m η = 43.5	x: 0.065 m η = 44.9	x: 0.065 m η = 7.6	x: 0.065 m η = 9.3	x: 0.065 m η = 9.3	η = 0.2	η < 0.1	η < 0.1	x: 0.065 m η = 51.7	η < 0.1	η = 0.1	x: 0.065 m η = 9.3	η = 0.2	**CUMPLE η = 51.7**
N3423/N662	$\lambda_w \leq \lambda_{w,máx}$ Cumple	x: 0.824 m η = 43.5	x: 0 m η = 44.8	x: 0.206 m η = 6.4	x: 0 m η = 6.4	x: 0.825 m η = 6.6	η = 0.2	η < 0.1	η < 0.1	x: 0.206 m η = 51.0	η < 0.1	η = 0.1	x: 0.825 m η = 6.6	η = 0.2	**CUMPLE η = 51.0**
N662/N663	$\lambda_w \leq \lambda_{w,máx}$ Cumple	x: 1.713 m η = 50.8	x: 0.065 m η = 60.2	x: 0.89 m η = 7.6	x: 0.065 m η = 3.8	x: 0.065 m η = 8.6	x: 1.302 m η = 0.2	η < 0.1	η < 0.1	x: 0.89 m η = 62.0	η < 0.1	x: 1.302 m η = 0.4	x: 0.065 m η = 8.6	x: 1.302 m η = 0.2	**CUMPLE η = 62.0**
N663/N664	$\lambda_w \leq \lambda_{w,máx}$ Cumple	x: 1.727 m η = 55.0	x: 0.065 m η = 65.3	x: 0.897 m η = 8.1	x: 1.728 m η = 7.4	x: 0.065 m η = 8.4	η = 0.3	η < 0.1	η < 0.1	x: 0.897 m η = 67.3	η < 0.1	η = 0.1	x: 0.065 m η = 1.4	η = 0.3	**CUMPLE η = 67.3**
N664/N665	$\lambda_w \leq \lambda_{w,máx}$ Cumple	x: 1.708 m η = 55.3	x: 0.051 m η = 65.5	x: 0.88 m η = 8.0	x: 0.051 m η = 7.3	x: 1.709 m η = 8.2	x: 1.708 m η = 0.3	η < 0.1	η < 0.1	x: 0.88 m η = 67.3	η < 0.1	x: 1.708 m η = 0.2	x: 1.709 m η = 1.3	x: 1.708 m η = 0.3	**CUMPLE η = 67.3**
N665/N666	$\lambda_w \leq \lambda_{w,máx}$ Cumple	x: 1.708 m η = 57.2	x: 0.07 m η = 67.4	x: 0.89 m η = 7.8	x: 1.709 m η = 7.9	x: 1.709 m η = 7.9	x: 0.275 m η = 0.3	η < 0.1	η < 0.1	x: 0.89 m η = 68.8	η < 0.1	x: 0.275 m η = 0.4	x: 1.709 m η = 7.9	x: 0.275 m η = 0.3	**CUMPLE η = 68.8**
N666/N3432	$\lambda_w \leq \lambda_{w,máx}$ Cumple	x: 0.89 m η = 56.2	x: 0.07 m η = 60.1	x: 0.89 m η = 7.6	x: 0.07 m η = 8.2	x: 0.07 m η = 7.1	η = 0.3	η < 0.1	η < 0.1	x: 0.89 m η = 64.8	η < 0.1	η = 0.1	x: 0.07 m η = 7.1	η = 0.3	**CUMPLE η = 64.8**
N3432/N667	$\lambda_w \leq \lambda_{w,máx}$ Cumple	x: 0.819 m η = 56.2	x: 0 m η = 60.0	x: 0 m η = 7.6	x: 0 m η = 4.6	x: 0.82 m η = 8.7	η = 0.3	η < 0.1	η < 0.1	x: 0 m η = 64.8	η < 0.1	η = 0.1	x: 0.82 m η = 8.7	η = 0.3	**CUMPLE η = 64.8**
N667/N668	$\lambda_w \leq \lambda_{w,máx}$ Cumple	x: 1.694 m η = 52.6	x: 0.07 m η = 61.6	x: 0.883 m η = 7.0	x: 1.695 m η = 3.9	x: 1.695 m η = 8.7	x: 0.883 m η = 0.3	η < 0.1	η < 0.1	x: 0.883 m η = 62.9	η < 0.1	x: 0.883 m η = 0.4	x: 1.695 m η = 8.7	x: 0.883 m η = 0.3	**CUMPLE η = 62.9**
N668/N669	$\lambda_w \leq \lambda_{w,máx}$ Cumple	x: 1.694 m η = 45.9	x: 0.084 m η = 53.7	x: 1.695 m η = 7.3	x: 0.084 m η = 2.6	x: 1.695 m η = 9.3	η = 0.1	η < 0.1	η < 0.1	x: 1.695 m η = 55.5	η < 0.1	x: 1.091 m η = 0.2	x: 1.695 m η = 1.6	η = 0.1	**CUMPLE η = 55.5**
N669/N670	$\lambda_w \leq \lambda_{w,máx}$ Cumple	x: 1.694 m η = 36.8	x: 0.084 m η = 42.4	x: 1.695 m η = 9.1	x: 1.695 m η = 4.0	x: 1.695 m η = 9.5	η = 0.1	η < 0.1	η < 0.1	x: 1.695 m η = 47.8	η < 0.1	η = 0.1	x: 1.695 m η = 6.8	η = 0.1	**CUMPLE η = 47.8**
N670/N671	$\lambda_w \leq \lambda_{w,máx}$ Cumple	x: 1.694 m η = 24.0	x: 0.084 m η = 27.7	x: 1.695 m η = 17.3	x: 0.084 m η = 5.1	x: 1.695 m η = 15.7	η = 0.2	η < 0.1	η < 0.1	x: 1.695 m η = 40.3	η < 0.1	η = 0.1	x: 1.695 m η = 15.8	η = 0.2	**CUMPLE η = 40.3**
N671/N672	$\lambda_w \leq \lambda_{w,máx}$ Cumple	x: 1.637 m η = 9.1	x: 0.084 m η = 8.7	x: 1.638 m η = 12.9	x: 0.084 m η = 2.3	x: 1.638 m η = 14.2	η = 0.2	η < 0.1	η < 0.1	x: 1.638 m η = 23.4	η < 0.1	η = 0.3	x: 1.638 m η = 14.2	η = 0.2	**CUMPLE η = 23.4**
N779/N813	$\lambda_w \leq \lambda_{w,máx}$ Cumple	x: 1.7 m η = 38.7	x: 0.141 m η = 44.3	x: 0.141 m η = 47.4	x: 1.701 m η = 1.5	x: 0.141 m η = 21.9	η = 0.1	η < 0.1	η < 0.1	x: 0.141 m η = 88.6	η < 0.1	η = 0.1	x: 0.141 m η = 21.9	η = 0.1	**CUMPLE η = 88.6**
N813/N814	$\lambda_w \leq \lambda_{w,máx}$ Cumple	x: 1.7 m η = 16.2	x: 0.078 m η = 16.6	x: 0.078 m η = 13.3	x: 1.701 m η = 3.0	x: 0.078 m η = 14.5	η = 0.1	η < 0.1	η < 0.1	x: 0.078 m η = 30.1	η < 0.1	η = 0.1	x: 0.078 m η = 14.5	η = 0.1	**CUMPLE η = 30.1**
N814/N815	$\lambda_w \leq \lambda_{w,máx}$ Cumple	x: 1.7 m η = 4.7	x: 0.078 m η = 5.6	x: 0.078 m η = 14.0	x: 1.701 m η = 2.5	x: 0.078 m η = 10.3	η = 0.1	η < 0.1	η < 0.1	x: 0.078 m η = 18.5	η < 0.1	η = 0.1	x: 0.078 m η = 1.7	η = 0.1	**CUMPLE η = 18.5**
N815/N816	$\lambda_w \leq \lambda_{w,máx}$ Cumple	x: 1.7 m η = 20.3	x: 0.078 m η = 24.6	x: 0.078 m η = 10.2	x: 1.701 m η = 6.0	x: 0.078 m η = 9.8	x: 1.296 m η = 0.2	η < 0.1	η < 0.1	x: 0.078 m η = 32.1	η < 0.1	x: 1.296 m η = 0.2	x: 0.078 m η = 7.3	x: 1.296 m η = 0.2	**CUMPLE η = 32.1**
N816/N817	$\lambda_w \leq \lambda_{w,máx}$ Cumple	x: 1.713 m η = 33.4	x: 0.078 m η = 39.8	x: 0.078 m η = 8.1	x: 1.714 m η = 11.3	x: 0.078 m η = 9.2	x: 0.692 m η = 0.8	η < 0.1	η < 0.1	x: 0.078 m η = 43.1	η < 0.1	x: 0.692 m η = 0.5	x: 0.078 m η = 9.2	x: 0.692 m η = 0.8	**CUMPLE η = 43.1**
N817/N3424	$\lambda_w \leq \lambda_{w,máx}$ Cumple	x: 0.89 m η = 43.5	x: 0.065 m η = 44.8	x: 0.065 m η = 7.6	x: 0.065 m η = 9.9	x: 0.065 m η = 9.3	η = 0.3	η < 0.1	η < 0.1	x: 0.065 m η = 51.7	η < 0.1	η = 0.2	x: 0.065 m η = 9.3	η = 0.3	**CUMPLE η = 51.7**
N3424/N818	$\lambda_w \leq \lambda_{w,máx}$ Cumple	x: 0.824 m η = 43.5	x: 0 m η = 44.8	x: 0.206 m η = 6.4	x: 0 m η = 6.5	x: 0.825 m η = 6.6	η = 0.3	η < 0.1	η < 0.1	x: 0.206 m η = 51.0	η < 0.1	η = 0.2	x: 0.825 m η = 6.6	η = 0.3	**CUMPLE η = 51.0**
N818/N819	$\lambda_w \leq \lambda_{w,máx}$ Cumple	x: 1.713 m η = 50.8	x: 0.065 m η = 60.2	x: 0.89 m η = 7.6	x: 0.065 m η = 3.7	x: 0.065 m η = 8.6	x: 1.096 m η = 0.3	η < 0.1	η < 0.1	x: 0.89 m η = 62.0	η < 0.1	x: 1.096 m η = 0.4	x: 0.065 m η = 8.6	x: 1.096 m η = 0.3	**CUMPLE η = 62.0**
N819/N820	$\lambda_w \leq \lambda_{w,máx}$ Cumple	x: 1.727 m η = 55.1	x: 0.065 m η = 65.4	x: 0.897 m η = 8.1	x: 1.728 m η = 9.3	x: 0.065 m η = 8.4	x: 0.065 m η = 0.3	η < 0.1	η < 0.1	x: 0.897 m η = 67.3	η < 0.1	η = 0.1	x: 0.065 m η = 1.4	x: 0.065 m η = 0.3	**CUMPLE η = 67.3**
N820/N821	$\lambda_w \leq \lambda_{w,máx}$ Cumple	x: 1.708 m η = 55.4	x: 0.051 m η = 65.6	x: 0.88 m η = 8.0	x: 0.051 m η = 9.4	x: 1.709 m η = 8.2	x: 1.087 m η = 0.7	η < 0.1	η < 0.1	x: 0.88 m η = 67.4	η < 0.1	x: 1.087 m η = 0.4	x: 1.709 m η = 1.4	x: 1.087 m η = 0.7	**CUMPLE η = 67.4**
N821/N822	$\lambda_w \leq \lambda_{w,máx}$ Cumple	x: 1.708 m η = 57.3	x: 0.07 m η = 67.5	x: 0.89 m η = 7.8	x: 0.07 m η = 7.1	x: 1.709 m η = 7.9	x: 1.504 m η = 0.2	η < 0.1	η < 0.1	x: 0.89 m η = 69.0	η < 0.1	x: 1.504 m η = 0.2	x: 1.709 m η = 5.9	x: 1.504 m η = 0.2	**CUMPLE η = 69.0**
N822/N3431	$\lambda_w \leq \lambda_{w,máx}$ Cumple	x: 0.89 m η = 56.4	x: 0.07 m η = 60.2	x: 0.89 m η = 7.6	x: 0.07 m η = 3.6	x: 0.07 m η = 7.1	η = 0.1	η < 0.1	η < 0.1	x: 0.89 m η = 65.1	η < 0.1	η = 0.2	x: 0.07 m η = 7.1	η = 0.1	**CUMPLE η = 65.1**
N3431/N823	$\lambda_w \leq \lambda_{w,máx}$ Cumple	x: 0.819 m η = 56.4	x: 0 m η = 60.2	x: 0 m η = 7.6	x: 0 m η = 1.9	x: 0.82 m η = 8.7	x: 0.819 m η = 0.1	η < 0.1	η < 0.1	x: 0 m η = 65.1	η < 0.1	x: 0.819 m η = 0.2	x: 0.82 m η = 8.7	x: 0.819 m η = 0.1	**CUMPLE η = 65.1**
N823/N824	$\lambda_w \leq \lambda_{w,máx}$ Cumple	x: 1.694 m η = 52.8	x: 0.07 m η = 61.8	x: 0.883 m η = 7.0	x: 1.695 m η = 2.1	x: 1.695 m η = 8.7	x: 0.68 m η = 0.1	η < 0.1	η < 0.1	x: 0.883 m η = 63.1	η < 0.1	x: 0.68 m η = 0.3	x: 1.695 m η = 8.7	x: 0.68 m η = 0.1	**CUMPLE η = 63.1**

VISADO
COGITI
VALENCIA
VA07290/22
TRLTDCFZ60T66IJ1
Documento visado electrónicamente con número VA07290/22. Código de validación telemática TRLTDCFZ60T66IJ1. Comprobación: https://cogitivalencia.e-gestion.es/Validacion.aspx?CVT=TRLTDCFZ60T66IJ1

VISADO
COGITI
Estado
VALENCIA
VA07290/22
TRLTDCFZ60T66IJ1

Barras	COMPROBACIONES (CÓDIGO ESTRUCTURAL)														
	λ_w	N_t	N_c	M_Y	M_Z	V_Z	V_Y	M_YV_Z	M_ZV_Y	NM_YM_Z	$NM_YM_ZV_YV_Z$	M_t	M_tV_Z	M_tV_Y	
N824/N825	$\lambda_w \leq \lambda_{w,máx}$ Cumple	x: 1.694 m η = 46.2	x: 0.084 m η = 53.9	x: 1.695 m η = 7.3	x: 0.084 m η = 2.3	x: 1.695 m η = 9.3	η = 0.1	η < 0.1	η < 0.1	x: 1.695 m η = 55.8	η < 0.1	x: 0.89 m η = 0.1	x: 1.695 m η = 6.6	η = 0.1	**CUMPLE η = 55.8**
N825/N826	$\lambda_w \leq \lambda_{w,máx}$ Cumple	x: 1.694 m η = 37.1	x: 0.084 m η = 42.7	x: 1.695 m η = 9.1	x: 1.695 m η = 4.0	x: 1.695 m η = 9.5	η = 0.1	η < 0.1	η < 0.1	x: 1.695 m η = 48.2	η < 0.1	η = 0.1	x: 1.695 m η = 6.8	η = 0.1	**CUMPLE η = 48.2**
N826/N827	$\lambda_w \leq \lambda_{w,máx}$ Cumple	x: 1.694 m η = 24.2	x: 0.084 m η = 28.0	x: 1.695 m η = 17.3	x: 0.084 m η = 5.2	x: 1.695 m η = 15.7	η = 0.2	η < 0.1	η < 0.1	x: 1.695 m η = 40.5	η < 0.1	η = 0.1	x: 1.695 m η = 15.8	η = 0.2	**CUMPLE η = 40.5**
N827/N828	$\lambda_w \leq \lambda_{w,máx}$ Cumple	x: 1.637 m η = 9.4	x: 0.084 m η = 8.9	x: 1.638 m η = 13.1	x: 0.084 m η = 2.4	x: 1.638 m η = 14.2	η = 0.2	η < 0.1	η < 0.1	x: 1.638 m η = 23.7	η < 0.1	η = 0.3	x: 1.638 m η = 14.2	η = 0.2	**CUMPLE η = 23.7**
N935/N969	$\lambda_w \leq \lambda_{w,máx}$ Cumple	x: 1.7 m η = 39.2	x: 0.141 m η = 45.5	x: 0.141 m η = 46.8	x: 1.701 m η = 1.3	x: 0.141 m η = 21.7	η = 0.1	η < 0.1	η < 0.1	x: 0.141 m η = 89.0	η < 0.1	η = 0.1	x: 0.141 m η = 21.7	η < 0.1	**CUMPLE η = 89.0**
N969/N970	$\lambda_w \leq \lambda_{w,máx}$ Cumple	x: 1.7 m η = 16.6	x: 0.078 m η = 17.5	x: 0.078 m η = 13.6	x: 1.701 m η = 2.6	x: 0.078 m η = 14.5	η = 0.1	η < 0.1	η < 0.1	x: 0.078 m η = 31.3	η < 0.1	η = 0.1	x: 0.078 m η = 14.5	η = 0.1	**CUMPLE η = 31.3**
N970/N971	$\lambda_w \leq \lambda_{w,máx}$ Cumple	x: 1.7 m η = 4.1	x: 0.078 m η = 5.7	x: 0.078 m η = 14.0	x: 1.701 m η = 2.6	x: 0.078 m η = 10.3	η = 0.1	η < 0.1	η < 0.1	x: 0.078 m η = 18.6	η < 0.1	η = 0.1	x: 0.078 m η = 1.7	η = 0.1	**CUMPLE η = 18.6**
N971/N972	$\lambda_w \leq \lambda_{w,máx}$ Cumple	x: 1.7 m η = 19.7	x: 0.078 m η = 24.4	x: 0.078 m η = 10.3	x: 1.701 m η = 6.4	x: 0.078 m η = 9.8	x: 1.7 m η = 0.2	η < 0.1	η < 0.1	x: 0.078 m η = 31.8	η < 0.1	η = 0.2	x: 0.078 m η = 9.8	x: 1.7 m η = 0.2	**CUMPLE η = 31.8**
N972/N973	$\lambda_w \leq \lambda_{w,máx}$ Cumple	x: 1.713 m η = 32.9	x: 0.078 m η = 39.6	x: 0.078 m η = 8.2	x: 1.714 m η = 10.8	x: 0.078 m η = 9.2	x: 0.692 m η = 0.8	η < 0.1	η < 0.1	x: 0.078 m η = 43.0	η < 0.1	x: 0.896 m η = 0.5	x: 0.078 m η = 9.2	x: 0.692 m η = 0.8	**CUMPLE η = 43.0**
N973/N3425	$\lambda_w \leq \lambda_{w,máx}$ Cumple	x: 0.89 m η = 43.1	x: 0.065 m η = 44.7	x: 0.065 m η = 7.7	x: 0.065 m η = 9.2	x: 0.065 m η = 9.3	η = 0.2	η < 0.1	η < 0.1	x: 0.065 m η = 51.6	η < 0.1	η = 0.1	x: 0.065 m η = 9.3	η = 0.2	**CUMPLE η = 51.6**
N3425/N974	$\lambda_w \leq \lambda_{w,máx}$ Cumple	x: 0.824 m η = 43.2	x: 0 m η = 44.7	x: 0.206 m η = 6.4	x: 0 m η = 6.3	x: 0.825 m η = 6.5	η = 0.2	η < 0.1	η < 0.1	x: 0.206 m η = 50.9	η < 0.1	η = 0.1	x: 0.825 m η = 6.5	η = 0.2	**CUMPLE η = 50.9**
N974/N975	$\lambda_w \leq \lambda_{w,máx}$ Cumple	x: 1.713 m η = 50.6	x: 0.065 m η = 60.1	x: 0.89 m η = 7.5	x: 0.065 m η = 3.8	x: 0.065 m η = 8.6	x: 1.302 m η = 0.2	η < 0.1	η < 0.1	x: 0.89 m η = 61.9	η < 0.1	x: 1.302 m η = 0.4	x: 0.065 m η = 8.6	x: 1.302 m η = 0.2	**CUMPLE η = 61.9**
N975/N976	$\lambda_w \leq \lambda_{w,máx}$ Cumple	x: 1.727 m η = 55.0	x: 0.065 m η = 65.4	x: 0.897 m η = 8.1	x: 1.728 m η = 7.2	x: 0.065 m η = 8.4	η = 0.2	η < 0.1	η < 0.1	x: 0.897 m η = 67.3	η < 0.1	η = 0.1	x: 0.065 m η = 1.4	η = 0.2	**CUMPLE η = 67.3**
N976/N977	$\lambda_w \leq \lambda_{w,máx}$ Cumple	x: 1.708 m η = 55.3	x: 0.051 m η = 65.6	x: 0.88 m η = 8.0	x: 0.051 m η = 7.2	x: 1.709 m η = 8.2	x: 1.708 m η = 0.3	η < 0.1	η < 0.1	x: 0.88 m η = 67.4	η < 0.1	x: 1.708 m η = 0.2	x: 1.709 m η = 1.3	x: 1.708 m η = 0.3	**CUMPLE η = 67.4**
N977/N978	$\lambda_w \leq \lambda_{w,máx}$ Cumple	x: 1.708 m η = 57.3	x: 0.07 m η = 67.5	x: 0.89 m η = 7.8	x: 1.709 m η = 7.6	x: 0.07 m η = 7.9	x: 1.095 m η = 0.3	η < 0.1	η < 0.1	x: 0.89 m η = 69.0	η < 0.1	x: 1.095 m η = 0.4	x: 0.07 m η = 5.9	x: 1.095 m η = 0.3	**CUMPLE η = 69.0**
N978/N3430	$\lambda_w \leq \lambda_{w,máx}$ Cumple	x: 0.89 m η = 56.5	x: 0.07 m η = 60.3	x: 0.89 m η = 7.6	x: 0.07 m η = 8.2	x: 0.07 m η = 7.1	η = 0.3	η < 0.1	η < 0.1	x: 0.89 m η = 65.2	η < 0.1	η = 0.1	x: 0.07 m η = 7.1	η = 0.3	**CUMPLE η = 65.2**
N3430/N979	$\lambda_w \leq \lambda_{w,máx}$ Cumple	x: 0.819 m η = 56.5	x: 0 m η = 60.2	x: 0 m η = 7.6	x: 0 m η = 4.6	x: 0.82 m η = 8.7	η = 0.3	η < 0.1	η < 0.1	x: 0 m η = 65.2	η < 0.1	η = 0.1	x: 0.82 m η = 8.7	η = 0.3	**CUMPLE η = 65.2**
N979/N980	$\lambda_w \leq \lambda_{w,máx}$ Cumple	x: 1.694 m η = 53.0	x: 0.07 m η = 61.9	x: 0.883 m η = 7.0	x: 1.695 m η = 3.8	x: 1.695 m η = 8.7	η = 0.3	η < 0.1	η < 0.1	x: 0.883 m η = 63.2	η < 0.1	η = 0.4	x: 1.695 m η = 8.7	η = 0.3	**CUMPLE η = 63.2**
N980/N981	$\lambda_w \leq \lambda_{w,máx}$ Cumple	x: 1.694 m η = 46.5	x: 0.084 m η = 54.2	x: 1.695 m η = 7.3	x: 0.084 m η = 2.4	x: 1.695 m η = 9.3	η = 0.1	η < 0.1	η < 0.1	x: 0.688 m η = 56.0	η < 0.1	x: 0.487 m η = 0.2	x: 1.695 m η = 1.6	x: 0.487 m η < 0.1	**CUMPLE η = 56.0**
N981/N982	$\lambda_w \leq \lambda_{w,máx}$ Cumple	x: 1.694 m η = 37.5	x: 0.084 m η = 43.0	x: 1.695 m η = 9.0	x: 1.695 m η = 3.8	x: 1.695 m η = 9.5	η = 0.1	η < 0.1	η < 0.1	x: 1.695 m η = 48.5	η < 0.1	η = 0.1	x: 1.695 m η = 6.8	η = 0.1	**CUMPLE η = 48.5**
N982/N983	$\lambda_w \leq \lambda_{w,máx}$ Cumple	x: 1.694 m η = 24.5	x: 0.084 m η = 28.4	x: 1.695 m η = 17.1	x: 0.084 m η = 5.1	x: 1.695 m η = 15.7	η = 0.2	η < 0.1	η < 0.1	x: 1.695 m η = 40.8	η < 0.1	η = 0.2	x: 1.695 m η = 15.7	η = 0.2	**CUMPLE η = 40.8**
N983/N984	$\lambda_w \leq \lambda_{w,máx}$ Cumple	x: 1.637 m η = 9.8	x: 0.084 m η = 9.3	x: 1.638 m η = 13.5	x: 0.084 m η = 2.5	x: 1.638 m η = 14.2	η = 0.2	η < 0.1	η < 0.1	x: 1.638 m η = 24.3	η < 0.1	η = 0.3	x: 1.638 m η = 14.2	η = 0.2	**CUMPLE η = 24.3**
N1091/N1125	$\lambda_w \leq \lambda_{w,máx}$ Cumple	x: 1.7 m η = 39.8	x: 0.141 m η = 48.8	x: 0.141 m η = 45.5	x: 1.701 m η = 1.2	x: 0.141 m η = 21.4	η = 0.1	η < 0.1	η < 0.1	x: 0.141 m η = 90.7	η < 0.1	η = 0.1	x: 0.141 m η = 21.4	η = 0.1	**CUMPLE η = 90.7**
N1125/N1126	$\lambda_w \leq \lambda_{w,máx}$ Cumple	x: 1.7 m η = 17.2	x: 0.078 m η = 23.4	x: 0.078 m η = 14.1	x: 1.701 m η = 2.5	x: 0.078 m η = 14.5	η = 0.1	η < 0.1	η < 0.1	x: 0.078 m η = 35.7	η < 0.1	η = 0.1	x: 0.078 m η = 14.6	η = 0.1	**CUMPLE η = 35.7**
N1126/N1127	$\lambda_w \leq \lambda_{w,máx}$ Cumple	x: 1.7 m η = 2.5	x: 0.078 m η = 6.2	x: 0.078 m η = 14.0	x: 1.701 m η = 2.6	x: 0.078 m η = 10.2	x: 1.498 m η = 0.1	η < 0.1	η < 0.1	x: 0.078 m η = 17.7	η < 0.1	η = 0.1	x: 0.078 m η = 10.3	x: 1.498 m η = 0.1	**CUMPLE η = 17.7**
N1127/N1128	$\lambda_w \leq \lambda_{w,máx}$ Cumple	x: 1.7 m η = 18.2	x: 0.078 m η = 23.9	x: 0.078 m η = 10.5	x: 1.701 m η = 6.4	x: 0.078 m η = 9.8	x: 1.093 m η = 0.2	η < 0.1	η < 0.1	x: 0.078 m η = 31.4	η < 0.1	η = 0.2	x: 0.078 m η = 9.8	x: 1.093 m η = 0.2	**CUMPLE η = 31.4**
N1128/N1129	$\lambda_w \leq \lambda_{w,máx}$ Cumple	x: 1.713 m η = 31.6	x: 0.078 m η = 39.2	x: 0.078 m η = 8.3	x: 1.714 m η = 11.0	x: 0.078 m η = 9.2	x: 1.101 m η = 0.8	η < 0.1	η < 0.1	x: 0.078 m η = 42.8	η < 0.1	x: 1.101 m η = 0.5	x: 0.078 m η = 9.2	x: 1.101 m η = 0.8	**CUMPLE η = 42.8**
N1129/N3426	$\lambda_w \leq \lambda_{w,máx}$ Cumple	x: 0.89 m η = 41.9	x: 0.065 m η = 44.4	x: 0.065 m η = 7.8	x: 0.065 m η = 9.6	x: 0.065 m η = 9.3	η = 0.3	η < 0.1	η < 0.1	x: 0.065 m η = 51.4	η < 0.1	η = 0.2	x: 0.065 m η = 9.3	η = 0.3	**CUMPLE η = 51.4**
N3426/N1130	$\lambda_w \leq \lambda_{w,máx}$ Cumple	x: 0.824 m η = 42.0	x: 0 m η = 44.4	x: 0.206 m η = 6.3	x: 0 m η = 6.4	x: 0.825 m η = 6.5	x: 0.619 m η = 0.3	η < 0.1	η < 0.1	x: 0.206 m η = 50.6	η < 0.1	x: 0.619 m η = 0.2	x: 0.825 m η = 6.5	x: 0.619 m η = 0.3	**CUMPLE η = 50.6**
N1130/N1131	$\lambda_w \leq \lambda_{w,máx}$ Cumple	x: 1.713 m η = 49.5	x: 0.065 m η = 59.9	x: 0.89 m η = 7.5	x: 0.065 m η = 3.7	x: 0.065 m η = 8.7	x: 0.89 m η = 0.3	η < 0.1	η < 0.1	x: 0.89 m η = 61.7	η < 0.1	x: 0.89 m η = 0.4	x: 0.065 m η = 8.7	x: 0.89 m η = 0.3	**CUMPLE η = 61.7**
N1131/N1132	$\lambda_w \leq \lambda_{w,máx}$ Cumple	x: 1.727 m η = 54.1	x: 0.065 m η = 65.3	x: 0.897 m η = 8.0	x: 1.728 m η = 9.0	x: 0.065 m η = 8.4	x: 0.689 m η = 0.3	η < 0.1	η < 0.1	x: 0.897 m η = 67.2	η < 0.1	η = 0.1	x: 0.065 m η = 1.4	x: 0.689 m η = 0.3	**CUMPLE η = 67.2**
N1132/N1133	$\lambda_w \leq \lambda_{w,máx}$ Cumple	x: 1.708 m η = 54.4	x: 0.051 m η = 65.5	x: 0.88 m η = 7.9	x: 0.051 m η = 9.4	x: 1.709 m η = 8.1	x: 1.087 m η = 0.6	η < 0.1	η < 0.1	x: 0.88 m η = 67.3	η < 0.1	x: 1.087 m η = 0.4	x: 1.709 m η = 1.3	x: 1.087 m η = 0.6	**CUMPLE η = 67.3**
N1133/N1134	$\lambda_w \leq \lambda_{w,máx}$ Cumple	x: 1.708 m η = 56.6	x: 0.07 m η = 67.5	x: 0.89 m η = 7.8	x: 0.07 m η = 5.2	x: 0.07 m η = 7.9	x: 0.89 m η = 0.1	η < 0.1	η < 0.1	x: 0.89 m η = 68.8	η < 0.1	x: 0.89 m η = 0.3	x: 0.07 m η = 5.9	x: 0.89 m η = 0.1	**CUMPLE η = 68.8**
N1134/N3429	$\lambda_w \leq \lambda_{w,máx}$ Cumple	x: 0.89 m η = 55.6	x: 0.07 m η = 60.0	x: 0.89 m η = 7.6	x: 0.07 m η = 4.2	x: 0.07 m η = 7.1	x: 0.275 m η < 0.1	η < 0.1	η < 0.1	x: 0.89 m η = 64.5	η < 0.1	η = 0.1	x: 0.07 m η = 7.1	x: 0.275 m η < 0.1	**CUMPLE η = 64.5**
N3429/N1135	$\lambda_w \leq \lambda_{w,máx}$ Cumple	x: 0.819 m η = 55.6	x: 0 m η = 60.0	x: 0 m η = 7.6	x: 0 m η = 3.6	x: 0.82 m η = 8.6	η < 0.1	η < 0.1	η < 0.1	x: 0 m η = 64.5	η < 0.1	η = 0.1	x: 0.82 m η = 8.6	η < 0.1	**CUMPLE η = 64.5**
N1135/N1136	$\lambda_w \leq \lambda_{w,máx}$ Cumple	x: 1.694 m η = 52.2	x: 0.07 m η = 61.6	x: 0.883 m η = 7.0	x: 1.695 m η = 4.6	x: 1.695 m η = 8.7	x: 1.086 m η = 0.4	η < 0.1	η < 0.1	x: 0.883 m η = 62.8	η < 0.1	x: 0.07 m η = 0.4	x: 1.695 m η = 8.7	x: 1.086 m η = 0.4	**CUMPLE η = 62.8**
N1136/N1137	$\lambda_w \leq \lambda_{w,máx}$ Cumple	x: 1.694 m η = 45.9	x: 0.084 m η = 54.0	x: 1.695 m η = 7.1	x: 0.084 m η = 3.4	x: 1.695 m η = 9.3	η = 0.1	η < 0.1	η < 0.1	x: 0.688 m η = 55.8	η < 0.1	x: 0.285 m η = 0.2	x: 1.695 m η = 1.6	x: 0.285 m η = 0.1	**CUMPLE η = 55.8**
N1137/N1138	$\lambda_w \leq \lambda_{w,máx}$ Cumple	x: 1.694 m η = 37.2	x: 0.084 m η = 43.1	x: 1.695 m η = 9.0	x: 1.695 m η = 3.1	x: 1.695 m η = 9.5	η = 0.1	η < 0.1	η < 0.1	x: 1.695 m η = 47.7	η < 0.1	η < 0.1	x: 1.695 m η = 1.5	η = 0.1	**CUMPLE η = 47.7**
N1138/N1139	$\lambda_w \leq \lambda_{w,máx}$ Cumple	x: 1.694 m η = 24.6	x: 0.084 m η = 29.0	x: 1.695 m η = 16.6	x: 0.084 m η = 4.6	x: 1.695 m η = 15.7	η = 0.2	η < 0.1	η < 0.1	x: 1.695 m η = 41.1	η < 0.1	η = 0.2	x: 1.695 m η = 15.7	η = 0.2	**CUMPLE η = 41.1**
N1139/N1140	$\lambda_w \leq \lambda_{w,máx}$ Cumple	x: 1.637 m η = 10.3	x: 0.084 m η = 10.2	x: 1.638 m η = 14.3	x: 0.084 m η = 2.7	x: 1.638 m η = 14.3	η = 0.2	η < 0.1	η < 0.1	x: 1.638 m η = 24.8	η < 0.1	η = 0.3	x: 1.638 m η = 14.4	η = 0.2	**CUMPLE η = 24.8**
N1247/N1281	$\lambda_w \leq \lambda_{w,máx}$ Cumple	x: 1.7 m η = 37.2	x: 0.141 m η = 56.5	x: 0.141 m η = 40.8	x: 1.701 m η = 1.1	x: 0.141 m η = 20.1	η = 0.1	η < 0.1	η < 0.1	x: 0.141 m η = 93.3	η < 0.1	η = 0.2	x: 0.141 m η = 20.1	η = 0.1	**CUMPLE η = 93.3**
N1281/N1282	$\lambda_w \leq \lambda_{w,máx}$ Cumple	x: 1.7 m η = 16.3	x: 0.078 m η = 33.7	x: 0.078 m η = 14.3	x: 1.701 m η = 2.2	x: 0.078 m η = 14.6	η = 0.1	η < 0.1	η < 0.1	x: 0.078 m η = 44.6	η < 0.1	η = 0.1	x: 0.078 m η = 14.6	η = 0.1	**CUMPLE η = 44.6**
N1282/N1283	$\lambda_w \leq \lambda_{w,máx}$ Cumple	x: 1.7 m η = 0.6	x: 0.078 m η = 24.1	x: 0.078 m η = 13.6	x: 0.078 m η = 2.0	x: 0.078 m η = 10.0	η = 0.1	η < 0.1	η < 0.1	x: 0.078 m η = 29.6	η < 0.1	η = 0.1	x: 0.078 m η = 10.1	η = 0.1	**CUMPLE η = 29.6**

Documento visado electrónicamente con número: VA07290/22
Código de validación telemática TRLTDCFZ60T66IJ1. Comprobación: https://cogitivalencia.e-gestion.es/Validacion.aspx?CVT=TRLTDCFZ60T66IJ1

Listados

VISADO
COGITI
VALENCIA
VA07290/22
TRLTDCFZ60T66IJ1
Documento visado electrónicamente con número VA07290/22
Código de validación telemática TRLTDCFZ60T66IJ1. Comprobación: https://cogitivalencia.e-gestion.es/Validacion.aspx?CVT=TRLTDCFZ60T66IJ1

Barras	COMPROBACIONES (CÓDIGO ESTRUCTURAL)														Estado
	λ_w	N_t	N_c	M_Y	M_Z	V_Z	V_Y	M_YV_Z	M_ZV_Y	NM_YM_Z	$NM_YM_ZV_YV_Z$	M_t	M_tV_Z	M_tV_Y	
N1283/N1284	$\lambda_w \leq \lambda_{w,máx}$ Cumple	x: 1.7 m η = 14.9	x: 0.078 m η = 35.9	x: 0.078 m η = 10.2	x: 1.701 m η = 2.1	x: 0.078 m η = 9.6	η = 0.1	η < 0.1	η < 0.1	x: 0.078 m η = 39.3	η < 0.1	η = 0.2	x: 0.078 m η = 9.6	η = 0.1	**CUMPLE** **η = 39.3**
N1284/N1285	$\lambda_w \leq \lambda_{w,máx}$ Cumple	x: 1.713 m η = 26.1	x: 0.078 m η = 41.3	x: 0.078 m η = 8.4	x: 0.078 m η = 1.9	x: 0.078 m η = 9.1	η = 0.1	η < 0.1	η < 0.1	x: 0.078 m η = 44.7	η < 0.1	η = 0.2	x: 0.078 m η = 9.1	η = 0.1	**CUMPLE** **η = 44.7**
N1285/N3427	$\lambda_w \leq \lambda_{w,máx}$ Cumple	x: 0.89 m η = 35.5	x: 0.065 m η = 45.4	x: 0.065 m η = 7.8	x: 0.065 m η = 1.0	x: 0.065 m η = 9.1	η = 0.1	η < 0.1	η < 0.1	x: 0.065 m η = 52.2	η < 0.1	η = 0.1	x: 0.065 m η = 9.1	η = 0.1	**CUMPLE** **η = 52.2**
N3427/N1286	$\lambda_w \leq \lambda_{w,máx}$ Cumple	x: 0.824 m η = 35.5	x: 0 m η = 45.4	x: 0.206 m η = 5.8	x: 0.825 m η = 1.3	x: 0.825 m η = 6.7	η = 0.1	η < 0.1	η < 0.1	x: 0.206 m η = 51.1	η < 0.1	η = 0.1	x: 0.825 m η = 6.7	η = 0.1	**CUMPLE** **η = 51.1**
N1286/N1287	$\lambda_w \leq \lambda_{w,máx}$ Cumple	x: 1.713 m η = 40.9	x: 0.065 m η = 58.9	x: 0.89 m η = 7.0	x: 0.065 m η = 1.3	x: 0.065 m η = 8.7	η = 0.1	η < 0.1	η < 0.1	x: 0.89 m η = 60.5	η < 0.1	η = 0.1	x: 0.065 m η = 8.7	η = 0.1	**CUMPLE** **η = 60.5**
N1287/N1288	$\lambda_w \leq \lambda_{w,máx}$ Cumple	x: 1.727 m η = 45.2	x: 0.065 m η = 63.9	x: 0.897 m η = 7.3	x: 1.728 m η = 3.1	x: 0.065 m η = 8.2	η = 0.1	η < 0.1	η < 0.1	x: 0.897 m η = 65.9	η < 0.1	x: 0.065 m η < 0.1	x: 0.065 m η = 1.3	x: 0.065 m η = 0.1	**CUMPLE** **η = 65.9**
N1288/N1289	$\lambda_w \leq \lambda_{w,máx}$ Cumple	x: 1.708 m η = 44.4	x: 0.051 m η = 61.5	x: 0.88 m η = 7.2	x: 0.051 m η = 3.2	x: 0.051 m η = 8.0	η = 0.2	η < 0.1	η < 0.1	x: 0.88 m η = 63.2	η < 0.1	η = 0.1	x: 0.051 m η = 8.0	η = 0.2	**CUMPLE** **η = 63.2**
N1289/N1290	$\lambda_w \leq \lambda_{w,máx}$ Cumple	x: 1.708 m η = 46.9	x: 0.07 m η = 64.2	x: 0.89 m η = 7.2	x: 1.709 m η = 4.2	x: 1.709 m η = 7.9	η = 0.2	η < 0.1	η < 0.1	x: 0.89 m η = 66.0	η < 0.1	η = 0.2	x: 1.709 m η = 7.9	η = 0.2	**CUMPLE** **η = 66.0**
N1290/N3428	$\lambda_w \leq \lambda_{w,máx}$ Cumple	x: 0.89 m η = 46.1	x: 0.07 m η = 53.9	x: 0.89 m η = 7.0	x: 0.07 m η = 4.4	x: 0.07 m η = 7.4	η = 0.2	η < 0.1	η < 0.1	x: 0.685 m η = 58.5	η < 0.1	η = 0.2	x: 0.07 m η = 7.4	η = 0.2	**CUMPLE** **η = 58.5**
N3428/N1291	$\lambda_w \leq \lambda_{w,máx}$ Cumple	x: 0.819 m η = 46.2	x: 0 m η = 53.9	x: 0 m η = 7.0	x: 0 m η = 1.7	x: 0.82 m η = 8.4	η = 0.2	η < 0.1	η < 0.1	x: 0 m η = 58.4	η < 0.1	η = 0.2	x: 0.82 m η = 8.4	η = 0.2	**CUMPLE** **η = 58.4**
N1291/N1292	$\lambda_w \leq \lambda_{w,máx}$ Cumple	x: 1.694 m η = 43.5	x: 0.07 m η = 55.8	x: 0.883 m η = 6.5	x: 1.695 m η = 4.7	x: 1.695 m η = 8.6	η = 0.2	η < 0.1	η < 0.1	x: 0.883 m η = 57.5	η < 0.1	η = 0.3	x: 1.695 m η = 8.6	η = 0.2	**CUMPLE** **η = 57.5**
N1292/N1293	$\lambda_w \leq \lambda_{w,máx}$ Cumple	x: 1.694 m η = 38.0	x: 0.084 m η = 48.3	x: 1.695 m η = 6.7	x: 0.084 m η = 3.9	x: 1.695 m η = 8.9	η = 0.1	η < 0.1	η < 0.1	x: 0.688 m η = 50.5	η < 0.1	η = 0.1	x: 1.695 m η = 8.9	η = 0.1	**CUMPLE** **η = 50.5**
N1293/N1294	$\lambda_w \leq \lambda_{w,máx}$ Cumple	x: 1.694 m η = 30.4	x: 0.084 m η = 38.9	x: 1.695 m η = 8.7	x: 1.695 m η = 2.6	x: 1.695 m η = 9.3	η = 0.1	η < 0.1	η < 0.1	x: 1.695 m η = 43.2	η < 0.1	x: 0.487 m η = 0.1	x: 1.695 m η = 1.5	x: 0.487 m η = 0.1	**CUMPLE** **η = 43.2**
N1294/N1295	$\lambda_w \leq \lambda_{w,máx}$ Cumple	x: 1.694 m η = 20.3	x: 0.084 m η = 26.7	x: 1.695 m η = 15.4	x: 0.084 m η = 4.2	x: 1.695 m η = 15.3	η = 0.2	η < 0.1	η < 0.1	x: 1.695 m η = 38.0	η < 0.1	η = 0.2	x: 1.695 m η = 15.3	η = 0.2	**CUMPLE** **η = 38.0**
N1295/N1296	$\lambda_w \leq \lambda_{w,máx}$ Cumple	x: 1.637 m η = 7.5	x: 0.084 m η = 9.4	x: 1.638 m η = 15.6	x: 0.084 m η = 3.1	x: 1.638 m η = 14.5	η = 0.2	η < 0.1	η < 0.1	x: 1.638 m η = 25.1	η < 0.1	η = 0.2	x: 1.638 m η = 14.5	η = 0.2	**CUMPLE** **η = 25.1**
N3507/N25	$\lambda_w \leq \lambda_{w,máx}$ Cumple	x: 1.277 m η = 52.6	x: 0 m η = 35.0	x: 1.278 m η = 8.9	x: 1.278 m η = 1.0	x: 0 m η = 0.8	η < 0.1	η < 0.1	η < 0.1	x: 1.278 m η = 62.5	η < 0.1	η = 0.1	x: 0 m η = 0.8	η < 0.1	**CUMPLE** **η = 62.5**
N39/N3507	$\lambda_w \leq \lambda_{w,máx}$ Cumple	x: 1.384 m η = 52.6	x: 0.119 m η = 35.0	x: 0.119 m η = 7.3	x: 1.384 m η = 0.5	x: 0.119 m η = 0.9	η < 0.1	η < 0.1	η < 0.1	x: 0.119 m η = 59.9	η < 0.1	η = 0.1	x: 0.119 m η = 0.9	η < 0.1	**CUMPLE** **η = 59.9**
N3505/N127	$\lambda_w \leq \lambda_{w,máx}$ Cumple	x: 1.154 m η = 12.0	x: 0 m η = 7.3	x: 1.155 m η = 5.0	x: 1.155 m η = 1.1	x: 0 m η = 0.3	η = 0.1	η < 0.1	η < 0.1	x: 1.155 m η = 17.5	η < 0.1	η = 0.3	x: 0 m η = 0.3	η = 0.1	**CUMPLE** **η = 17.5**
N111/N3505	$\lambda_w \leq \lambda_{w,máx}$ Cumple	x: 1.291 m η = 12.0	x: 0.149 m η = 7.3	x: 1.291 m η = 2.8	x: 1.291 m η = 0.5	x: 0.149 m η = 0.4	η = 0.1	η < 0.1	η < 0.1	x: 1.291 m η = 14.9	η < 0.1	η = 0.3	x: 0.149 m η = 0.4	η = 0.1	**CUMPLE** **η = 14.9**
N3506/N133	$\lambda_w \leq \lambda_{w,máx}$ Cumple	x: 1.237 m η = 65.2	x: 0 m η = 43.6	x: 1.238 m η = 13.9	x: 1.238 m η = 1.1	x: 0 m η = 1.6	η = 0.1	η < 0.1	η < 0.1	x: 1.238 m η = 80.2	η < 0.1	η = 0.2	x: 0 m η = 1.6	η = 0.1	**CUMPLE** **η = 80.2**
N115/N3506	$\lambda_w \leq \lambda_{w,máx}$ Cumple	x: 1.384 m η = 65.2	x: 0.16 m η = 43.6	x: 0.16 m η = 11.6	x: 1.384 m η = 0.6	x: 0.16 m η = 1.7	x: 1.18 m η = 0.1	η < 0.1	η < 0.1	x: 0.16 m η = 76.8	η < 0.1	x: 1.18 m η = 0.2	x: 0.16 m η = 1.7	x: 1.18 m η = 0.1	**CUMPLE** **η = 76.8**
N3503/N231	$\lambda_w \leq \lambda_{w,máx}$ Cumple	x: 1.154 m η = 8.4	x: 0 m η = 5.8	x: 1.155 m η = 3.4	x: 1.155 m η = 1.0	x: 1.154 m η = 0.3	η = 0.1	η < 0.1	η < 0.1	x: 1.155 m η = 12.3	η < 0.1	η = 0.5	x: 1.154 m η = 0.3	η = 0.1	**CUMPLE** **η = 12.3**
N215/N3503	$\lambda_w \leq \lambda_{w,máx}$ Cumple	x: 1.291 m η = 8.4	x: 0.149 m η = 5.8	x: 1.291 m η = 2.1	x: 0.149 m η = 0.4	x: 0.149 m η = 0.3	x: 0.72 m η = 0.1	η < 0.1	η < 0.1	x: 1.291 m η = 10.6	η < 0.1	η = 0.5	x: 0.149 m η = 0.3	x: 0.72 m η = 0.1	**CUMPLE** **η = 10.6**
N3504/N237	$\lambda_w \leq \lambda_{w,máx}$ Cumple	x: 1.237 m η = 47.5	x: 0 m η = 37.4	x: 1.238 m η = 10.0	x: 1.238 m η = 1.1	x: 0 m η = 1.1	η = 0.1	η < 0.1	η < 0.1	x: 1.238 m η = 58.2	η < 0.1	x: 0.826 m η = 0.7	x: 0 m η = 1.1	η = 0.1	**CUMPLE** **η = 58.2**
N219/N3504	$\lambda_w \leq \lambda_{w,máx}$ Cumple	x: 1.384 m η = 47.5	x: 0.16 m η = 37.5	x: 0.16 m η = 8.5	x: 1.384 m η = 0.8	x: 0.16 m η = 1.2	η = 0.1	η < 0.1	η < 0.1	x: 0.16 m η = 56.0	η < 0.1	η = 0.7	x: 0.16 m η = 1.2	η = 0.1	**CUMPLE** **η = 56.0**
N3501/N439	$\lambda_w \leq \lambda_{w,máx}$ Cumple	x: 1.191 m η = 8.9	x: 0 m η = 7.5	x: 1.192 m η = 3.3	x: 1.192 m η = 1.5	x: 1.191 m η = 0.3	η = 0.1	η < 0.1	η < 0.1	x: 1.192 m η = 12.2	η < 0.1	η = 0.7	x: 1.191 m η = 0.3	η = 0.1	**CUMPLE** **η = 12.2**
N423/N3501	$\lambda_w \leq \lambda_{w,máx}$ Cumple	x: 1.291 m η = 8.9	x: 0.111 m η = 7.5	x: 1.291 m η = 1.9	x: 1.291 m η = 0.9	x: 0.111 m η = 0.3	x: 0.898 m η = 0.1	η < 0.1	η < 0.1	x: 1.291 m η = 10.9	η < 0.1	x: 0.898 m η = 0.7	x: 0.111 m η = 0.3	x: 0.898 m η = 0.1	**CUMPLE** **η = 10.9**
N3502/N445	$\lambda_w \leq \lambda_{w,máx}$ Cumple	x: 1.277 m η = 46.2	x: 0 m η = 48.8	x: 1.278 m η = 8.3	x: 1.278 m η = 2.1	x: 1.277 m η = 0.8	x: 0.852 m η = 0.1	η < 0.1	η < 0.1	x: 1.278 m η = 56.8	η < 0.1	x: 0.852 m η = 1.0	x: 1.277 m η = 0.8	x: 0.852 m η = 0.1	**CUMPLE** **η = 56.8**
N427/N3502	$\lambda_w \leq \lambda_{w,máx}$ Cumple	x: 1.384 m η = 46.2	x: 0.119 m η = 48.8	x: 0.119 m η = 6.5	x: 1.384 m η = 1.5	x: 0.119 m η = 0.8	η = 0.1	η < 0.1	η < 0.1	x: 0.119 m η = 54.6	η < 0.1	η = 1.0	x: 0.119 m η = 0.8	η = 0.1	**CUMPLE** **η = 54.6**
N3499/N595	$\lambda_w \leq \lambda_{w,máx}$ Cumple	x: 1.191 m η = 9.0	x: 0 m η = 7.6	x: 1.192 m η = 3.4	x: 1.192 m η = 1.6	x: 1.191 m η = 0.3	η = 0.1	η < 0.1	η < 0.1	x: 1.192 m η = 12.5	η < 0.1	η = 0.7	x: 1.191 m η = 0.3	η = 0.1	**CUMPLE** **η = 12.5**
N579/N3499	$\lambda_w \leq \lambda_{w,máx}$ Cumple	x: 1.291 m η = 9.0	x: 0.111 m η = 7.6	x: 1.291 m η = 1.9	x: 1.291 m η = 0.9	x: 0.111 m η = 0.3	η = 0.1	η < 0.1	η < 0.1	x: 1.291 m η = 11.0	η < 0.1	η = 0.7	x: 0.111 m η = 0.3	η = 0.1	**CUMPLE** **η = 11.0**
N3500/N601	$\lambda_w \leq \lambda_{w,máx}$ Cumple	x: 1.277 m η = 46.6	x: 0 m η = 49.8	x: 1.278 m η = 8.4	x: 1.278 m η = 2.3	x: 1.277 m η = 0.8	x: 1.277 m η = 0.1	η < 0.1	η < 0.1	x: 1.278 m η = 57.9	η < 0.1	x: 1.277 m η = 1.0	x: 1.277 m η = 0.8	x: 1.277 m η = 0.1	**CUMPLE** **η = 57.9**
N583/N3500	$\lambda_w \leq \lambda_{w,máx}$ Cumple	x: 1.384 m η = 46.5	x: 0.119 m η = 49.8	x: 0.119 m η = 6.6	x: 1.384 m η = 1.5	x: 0.119 m η = 0.8	η = 0.1	η < 0.1	η < 0.1	x: 0.119 m η = 55.7	η < 0.1	η = 1.0	x: 0.119 m η = 0.8	η = 0.1	**CUMPLE** **η = 55.7**
N3498/N757	$\lambda_w \leq \lambda_{w,máx}$ Cumple	x: 1.277 m η = 46.6	x: 0 m η = 49.8	x: 1.278 m η = 8.5	x: 1.278 m η = 2.2	x: 1.277 m η = 0.8	η = 0.1	η < 0.1	η < 0.1	x: 1.278 m η = 57.9	η < 0.1	η = 1.0	x: 1.277 m η = 0.8	η = 0.1	**CUMPLE** **η = 57.9**
N739/N3498	$\lambda_w \leq \lambda_{w,máx}$ Cumple	x: 1.384 m η = 46.5	x: 0.119 m η = 49.8	x: 0.119 m η = 6.5	x: 1.384 m η = 1.5	x: 0.119 m η = 0.8	η = 0.1	η < 0.1	η < 0.1	x: 0.119 m η = 55.7	η < 0.1	η = 1.0	x: 0.119 m η = 0.8	η = 0.1	**CUMPLE** **η = 55.7**
N3497/N751	$\lambda_w \leq \lambda_{w,máx}$ Cumple	x: 1.191 m η = 9.1	x: 0 m η = 7.7	x: 1.192 m η = 3.4	x: 1.192 m η = 1.6	x: 1.191 m η = 0.3	η = 0.1	η < 0.1	η < 0.1	x: 1.192 m η = 12.6	η < 0.1	η = 0.7	x: 1.191 m η = 0.3	η = 0.1	**CUMPLE** **η = 12.6**
N735/N3497	$\lambda_w \leq \lambda_{w,máx}$ Cumple	x: 1.291 m η = 9.1	x: 0.111 m η = 7.7	x: 1.291 m η = 2.0	x: 1.291 m η = 0.9	x: 0.111 m η = 0.3	η = 0.1	η < 0.1	η < 0.1	x: 1.291 m η = 11.2	η < 0.1	η = 0.7	x: 0.111 m η = 0.3	η = 0.1	**CUMPLE** **η = 11.2**
N3495/N907	$\lambda_w \leq \lambda_{w,máx}$ Cumple	x: 1.191 m η = 9.2	x: 0 m η = 7.9	x: 1.192 m η = 3.4	x: 1.192 m η = 1.6	x: 1.191 m η = 0.3	η = 0.1	η < 0.1	η < 0.1	x: 1.192 m η = 12.8	η < 0.1	η = 0.7	x: 1.191 m η = 0.3	η = 0.1	**CUMPLE** **η = 12.8**
N891/N3495	$\lambda_w \leq \lambda_{w,máx}$ Cumple	x: 1.291 m η = 9.2	x: 0.111 m η = 7.9	x: 1.291 m η = 2.0	x: 1.291 m η = 0.9	x: 0.111 m η = 0.3	x: 0.898 m η = 0.1	η < 0.1	η < 0.1	x: 1.291 m η = 11.3	η < 0.1	x: 0.898 m η = 0.7	x: 0.111 m η = 0.3	x: 0.898 m η = 0.1	**CUMPLE** **η = 11.3**
N3496/N913	$\lambda_w \leq \lambda_{w,máx}$ Cumple	x: 1.277 m η = 46.4	x: 0 m η = 49.5	x: 1.278 m η = 8.4	x: 1.278 m η = 2.2	x: 1.277 m η = 0.8	x: 0.852 m η = 0.1	η < 0.1	η < 0.1	x: 1.278 m η = 57.6	η < 0.1	x: 0.852 m η = 1.0	x: 1.277 m η = 0.8	x: 0.852 m η = 0.1	**CUMPLE** **η = 57.6**
N895/N3496	$\lambda_w \leq \lambda_{w,máx}$ Cumple	x: 1.384 m η = 46.4	x: 0.119 m η = 49.5	x: 0.119 m η = 6.5	x: 1.384 m η = 1.5	x: 0.119 m η = 0.8	η = 0.1	η < 0.1	η < 0.1	x: 0.119 m η = 55.3	η < 0.1	η = 1.0	x: 0.119 m η = 0.8	η = 0.1	**CUMPLE** **η = 55.3**
N3493/N1063	$\lambda_w \leq \lambda_{w,máx}$ Cumple	x: 1.191 m η = 9.1	x: 0 m η = 8.2	x: 1.192 m η = 3.5	x: 1.192 m η = 1.6	x: 1.191 m η = 0.3	η = 0.1	η < 0.1	η < 0.1	x: 1.192 m η = 12.8	η < 0.1	x: 1.191 m η = 0.6	x: 1.191 m η = 0.3	η = 0.1	**CUMPLE** **η = 12.8**
N1047/N3493	$\lambda_w \leq \lambda_{w,máx}$ Cumple	x: 1.291 m η = 9.1	x: 0.111 m η = 8.3	x: 1.291 m η = 1.9	x: 1.291 m η = 0.9	x: 0.111 m η = 0.3	η = 0.1	η < 0.1	η < 0.1	x: 1.291 m η = 11.3	η < 0.1	η = 0.6	x: 0.111 m η = 0.3	η = 0.1	**CUMPLE** **η = 11.3**

VISADO
COGITI
Estado
VALENCIA
VA07290/22
TRLTDCFZ60T66IJ1

Barras	COMPROBACIONES (CÓDIGO ESTRUCTURAL)															
	λ_w	N_t	N_c	M_Y	M_Z	V_Z	V_Y	M_YV_Z	M_ZV_Y	NM_YM_Z	$NM_YM_ZV_YV_Z$	M_t	M_tV_Z	M_tV_Y	
N3494/N1069	$\lambda_w \leq \lambda_{w,máx}$ Cumple	x: 1.277 m η = 45.9	x: 0 m η = 48.4	x: 1.278 m η = 8.3	x: 1.278 m η = 2.2	x: 1.277 m η = 0.8	x: 0.426 m η = 0.1	η < 0.1	η < 0.1	x: 1.278 m η = 56.5	η < 0.1	x: 0.426 m η = 1.0	x: 1.277 m η = 0.8	x: 0.42… η = 0.1	**CUMPLE η = 54.0**
N1051/N3494	$\lambda_w \leq \lambda_{w,máx}$ Cumple	x: 1.384 m η = 45.8	x: 0.119 m η = 48.4	x: 0.119 m η = 6.4	x: 1.384 m η = 1.5	x: 0.119 m η = 0.8	x: 1.173 m η = 0.1	η < 0.1	η < 0.1	x: 0.119 m η = 54.0	η < 0.1	x: 1.173 m η = 0.9	x: 0.119 m η = 0.8	x: 1.17… η = 0.1	**CUMPLE η = 54.0**
N3491/N1219	$\lambda_w \leq \lambda_{w,máx}$ Cumple	x: 1.191 m η = 7.6	x: 0 m η = 9.5	x: 1.192 m η = 3.7	x: 1.192 m η = 1.8	x: 1.191 m η = 0.3	η < 0.1	η < 0.1	η < 0.1	x: 1.192 m η = 13.4	η < 0.1	η = 0.6	x: 1.191 m η = 0.3	η < 0.1	**CUMPLE η = 13.4**
N1203/N3491	$\lambda_w \leq \lambda_{w,máx}$ Cumple	x: 1.291 m η = 7.6	x: 0.111 m η = 9.6	x: 1.291 m η = 1.7	x: 1.291 m η = 1.4	x: 0.111 m η = 0.3	η < 0.1	η < 0.1	η < 0.1	x: 1.291 m η = 11.0	η < 0.1	η = 0.6	x: 0.111 m η = 0.3	η < 0.1	**CUMPLE η = 11.0**
N3492/N1225	$\lambda_w \leq \lambda_{w,máx}$ Cumple	x: 1.277 m η = 43.6	x: 0 m η = 38.7	x: 1.278 m η = 7.3	x: 1.278 m η = 1.6	x: 1.277 m η = 0.7	η < 0.1	η < 0.1	η < 0.1	x: 1.278 m η = 51.9	η < 0.1	η = 0.2	x: 1.277 m η = 0.7	η < 0.1	**CUMPLE η = 51.9**
N1207/N3492	$\lambda_w \leq \lambda_{w,máx}$ Cumple	x: 1.384 m η = 43.5	x: 0.119 m η = 38.7	x: 0.119 m η = 6.4	x: 1.384 m η = 1.1	x: 0.119 m η = 0.8	η < 0.1	η < 0.1	η < 0.1	x: 0.119 m η = 50.2	η < 0.1	η = 0.2	x: 0.119 m η = 0.8	η < 0.1	**CUMPLE η = 50.2**
N3525/N1258	$\lambda_w \leq \lambda_{w,máx}$ Cumple	x: 1.277 m η = 28.3	x: 0 m η = 24.1	x: 1.278 m η = 4.9	x: 1.278 m η = 1.1	x: 1.277 m η = 0.5	η < 0.1	η < 0.1	η < 0.1	x: 1.278 m η = 34.0	η < 0.1	η = 0.2	x: 1.277 m η = 0.5	η < 0.1	**CUMPLE η = 34.0**
N1241/N3525	$\lambda_w \leq \lambda_{w,máx}$ Cumple	x: 1.384 m η = 28.2	x: 0.119 m η = 24.1	x: 0.119 m η = 4.3	x: 1.384 m η = 0.8	x: 0.119 m η = 0.6	η < 0.1	η < 0.1	η < 0.1	x: 0.119 m η = 32.9	η < 0.1	η = 0.2	x: 0.119 m η = 0.6	η < 0.1	**CUMPLE η = 32.9**
N3524/N1252	$\lambda_w \leq \lambda_{w,máx}$ Cumple	x: 1.191 m η = 25.4	x: 0 m η = 26.9	x: 1.192 m η = 5.5	x: 1.192 m η = 0.8	x: 1.191 m η = 0.6	η < 0.1	η < 0.1	η < 0.1	x: 1.192 m η = 32.3	η < 0.1	η = 0.3	x: 1.191 m η = 0.6	η < 0.1	**CUMPLE η = 32.3**
N1237/N3524	$\lambda_w \leq \lambda_{w,máx}$ Cumple	x: 1.291 m η = 25.3	x: 0.111 m η = 26.9	x: 0.111 m η = 4.0	x: 1.291 m η = 0.5	x: 0.111 m η = 0.6	η < 0.1	η < 0.1	η < 0.1	x: 0.111 m η = 30.8	η < 0.1	η = 0.3	x: 0.111 m η = 0.6	η < 0.1	**CUMPLE η = 30.8**
N3522/N1096	$\lambda_w \leq \lambda_{w,máx}$ Cumple	x: 1.191 m η = 26.1	x: 0 m η = 24.2	x: 1.192 m η = 5.0	x: 1.192 m η = 3.9	x: 1.191 m η = 0.5	η = 0.1	η < 0.1	η < 0.1	x: 1.192 m η = 31.1	η < 0.1	η = 1.4	x: 1.191 m η = 0.5	η = 0.1	**CUMPLE η = 31.1**
N1081/N3522	$\lambda_w \leq \lambda_{w,máx}$ Cumple	x: 1.291 m η = 26.0	x: 0.111 m η = 24.2	x: 0.111 m η = 4.0	x: 1.291 m η = 2.7	x: 0.111 m η = 0.6	η = 0.1	η < 0.1	η < 0.1	x: 0.111 m η = 30.1	η < 0.1	η = 1.4	x: 0.111 m η = 0.6	η = 0.1	**CUMPLE η = 30.1**
N3523/N1102	$\lambda_w \leq \lambda_{w,máx}$ Cumple	x: 1.277 m η = 28.4	x: 0 m η = 28.7	x: 1.278 m η = 5.5	x: 1.278 m η = 4.0	x: 1.277 m η = 0.5	η = 0.1	η < 0.1	η < 0.1	x: 1.278 m η = 34.1	η < 0.1	η = 1.4	x: 1.277 m η = 0.5	η = 0.1	**CUMPLE η = 34.1**
N1085/N3523	$\lambda_w \leq \lambda_{w,máx}$ Cumple	x: 1.384 m η = 28.4	x: 0.119 m η = 28.7	x: 0.119 m η = 4.2	x: 1.384 m η = 2.6	x: 0.119 m η = 0.6	η = 0.1	η < 0.1	η < 0.1	x: 0.119 m η = 32.6	η < 0.1	η = 1.4	x: 0.119 m η = 0.6	η = 0.1	**CUMPLE η = 32.6**
N3520/N940	$\lambda_w \leq \lambda_{w,máx}$ Cumple	x: 1.191 m η = 25.7	x: 0 m η = 22.9	x: 1.192 m η = 4.8	x: 1.192 m η = 4.1	x: 1.191 m η = 0.5	η = 0.1	η < 0.1	η < 0.1	x: 1.192 m η = 30.6	η < 0.1	η = 1.5	x: 1.191 m η = 0.5	η = 0.1	**CUMPLE η = 30.6**
N925/N3520	$\lambda_w \leq \lambda_{w,máx}$ Cumple	x: 1.291 m η = 25.7	x: 0.111 m η = 23.0	x: 0.111 m η = 4.0	x: 1.291 m η = 2.8	x: 0.111 m η = 0.6	η = 0.1	η < 0.1	η < 0.1	x: 0.111 m η = 29.7	η < 0.1	x: 0.111 m η = 1.5	x: 0.111 m η = 0.6	η = 0.1	**CUMPLE η = 29.7**
N3521/N946	$\lambda_w \leq \lambda_{w,máx}$ Cumple	x: 1.277 m η = 28.9	x: 0 m η = 30.2	x: 1.278 m η = 5.8	x: 1.278 m η = 2.5	x: 1.277 m η = 0.6	η < 0.1	η < 0.1	η < 0.1	x: 1.278 m η = 35.8	η < 0.1	η = 0.8	x: 1.277 m η = 0.6	η < 0.1	**CUMPLE η = 35.8**
N929/N3521	$\lambda_w \leq \lambda_{w,máx}$ Cumple	x: 1.384 m η = 28.8	x: 0.119 m η = 30.2	x: 0.119 m η = 4.3	x: 1.384 m η = 2.1	x: 0.119 m η = 0.6	η < 0.1	η < 0.1	η < 0.1	x: 0.119 m η = 34.1	η < 0.1	η = 0.8	x: 0.119 m η = 0.6	η < 0.1	**CUMPLE η = 34.1**
N3518/N784	$\lambda_w \leq \lambda_{w,máx}$ Cumple	x: 1.191 m η = 25.4	x: 0 m η = 22.4	x: 1.192 m η = 4.7	x: 1.192 m η = 4.0	x: 1.191 m η = 0.5	η = 0.1	η < 0.1	η < 0.1	x: 1.192 m η = 30.2	η < 0.1	η = 1.5	x: 1.191 m η = 0.5	η = 0.1	**CUMPLE η = 30.2**
N769/N3518	$\lambda_w \leq \lambda_{w,máx}$ Cumple	x: 1.291 m η = 25.4	x: 0.111 m η = 22.4	x: 0.111 m η = 3.9	x: 1.291 m η = 2.7	x: 0.111 m η = 0.6	η = 0.1	η < 0.1	η < 0.1	x: 0.111 m η = 29.4	η < 0.1	η = 1.5	x: 0.111 m η = 0.6	η = 0.1	**CUMPLE η = 29.4**
N3519/N790	$\lambda_w \leq \lambda_{w,máx}$ Cumple	x: 1.277 m η = 29.2	x: 0 m η = 30.9	x: 1.278 m η = 5.8	x: 1.278 m η = 4.1	x: 1.277 m η = 0.6	η = 0.1	η < 0.1	η < 0.1	x: 1.278 m η = 36.6	η < 0.1	η = 1.4	x: 1.277 m η = 0.6	η = 0.1	**CUMPLE η = 36.6**
N773/N3519	$\lambda_w \leq \lambda_{w,máx}$ Cumple	x: 1.384 m η = 29.2	x: 0.119 m η = 30.9	x: 0.119 m η = 4.3	x: 1.384 m η = 2.7	x: 0.119 m η = 0.6	η = 0.1	η < 0.1	η < 0.1	x: 0.119 m η = 34.9	η < 0.1	η = 1.4	x: 0.119 m η = 0.6	η = 0.1	**CUMPLE η = 34.9**
N3516/N628	$\lambda_w \leq \lambda_{w,máx}$ Cumple	x: 1.191 m η = 25.2	x: 0 m η = 22.2	x: 1.192 m η = 4.7	x: 1.192 m η = 3.9	x: 1.191 m η = 0.5	η = 0.1	η < 0.1	η < 0.1	x: 1.192 m η = 30.0	η < 0.1	η = 1.5	x: 1.191 m η = 0.5	η = 0.1	**CUMPLE η = 30.0**
N613/N3516	$\lambda_w \leq \lambda_{w,máx}$ Cumple	x: 1.291 m η = 25.2	x: 0.111 m η = 22.2	x: 0.111 m η = 3.9	x: 1.291 m η = 2.6	x: 0.111 m η = 0.5	η = 0.1	η < 0.1	η < 0.1	x: 0.111 m η = 29.1	η < 0.1	x: 0.504 m η = 1.5	x: 0.111 m η = 0.6	η = 0.1	**CUMPLE η = 29.1**
N3515/N634	$\lambda_w \leq \lambda_{w,máx}$ Cumple	x: 1.277 m η = 29.5	x: 0 m η = 31.1	x: 1.278 m η = 5.9	x: 1.278 m η = 4.8	x: 1.277 m η = 0.6	η = 0.2	η < 0.1	η < 0.1	x: 1.278 m η = 36.8	η < 0.1	η = 1.7	x: 1.277 m η = 0.6	η = 0.2	**CUMPLE η = 36.8**
N617/N3515	$\lambda_w \leq \lambda_{w,máx}$ Cumple	x: 1.384 m η = 29.4	x: 0.119 m η = 31.1	x: 0.119 m η = 4.4	x: 1.384 m η = 2.7	x: 0.119 m η = 0.6	η = 0.2	η < 0.1	η < 0.1	x: 0.119 m η = 35.1	η < 0.1	η = 1.7	x: 0.119 m η = 0.6	η = 0.2	**CUMPLE η = 35.1**
N3514/N478	$\lambda_w \leq \lambda_{w,máx}$ Cumple	x: 1.277 m η = 29.5	x: 0 m η = 30.6	x: 1.278 m η = 5.8	x: 1.278 m η = 4.0	x: 1.277 m η = 0.6	η = 0.1	η < 0.1	η < 0.1	x: 1.278 m η = 36.3	η < 0.1	η = 1.4	x: 1.277 m η = 0.6	η = 0.1	**CUMPLE η = 36.3**
N461/N3514	$\lambda_w \leq \lambda_{w,máx}$ Cumple	x: 1.384 m η = 29.4	x: 0.119 m η = 30.7	x: 0.119 m η = 4.4	x: 1.384 m η = 2.6	x: 0.119 m η = 0.6	η = 0.1	η < 0.1	η < 0.1	x: 0.119 m η = 34.7	η < 0.1	η = 1.4	x: 0.119 m η = 0.6	η = 0.1	**CUMPLE η = 34.7**
N3517/N472	$\lambda_w \leq \lambda_{w,máx}$ Cumple	x: 1.191 m η = 24.9	x: 0 m η = 22.0	x: 1.192 m η = 4.7	x: 1.192 m η = 3.9	x: 1.191 m η = 0.5	η = 0.1	η < 0.1	η < 0.1	x: 1.192 m η = 29.5	η < 0.1	η = 1.5	x: 1.191 m η = 0.5	η = 0.1	**CUMPLE η = 29.5**
N457/N3517	$\lambda_w \leq \lambda_{w,máx}$ Cumple	x: 1.291 m η = 24.8	x: 0.111 m η = 22.0	x: 0.111 m η = 3.8	x: 1.291 m η = 2.7	x: 0.111 m η = 0.5	η = 0.1	η < 0.1	η < 0.1	x: 0.111 m η = 28.7	η < 0.1	η = 1.5	x: 0.111 m η = 0.5	η = 0.1	**CUMPLE η = 28.7**
N3512/N264	$\lambda_w \leq \lambda_{w,máx}$ Cumple	x: 1.154 m η = 24.9	x: 0 m η = 17.3	x: 1.155 m η = 5.3	x: 1.155 m η = 2.7	x: 0 m η = 0.7	η = 0.1	η < 0.1	η < 0.1	x: 1.155 m η = 30.7	η < 0.1	η = 1.1	x: 0 m η = 0.7	η = 0.1	**CUMPLE η = 30.7**
N249/N3512	$\lambda_w \leq \lambda_{w,máx}$ Cumple	x: 1.291 m η = 24.9	x: 0.149 m η = 17.3	x: 0.149 m η = 4.7	x: 1.291 m η = 1.8	x: 0.149 m η = 0.8	η = 0.1	η < 0.1	η < 0.1	x: 0.149 m η = 29.6	η < 0.1	η = 1.1	x: 0.149 m η = 0.8	η = 0.1	**CUMPLE η = 29.6**
N3513/N270	$\lambda_w \leq \lambda_{w,máx}$ Cumple	x: 1.237 m η = 29.8	x: 0 m η = 25.0	x: 1.238 m η = 6.2	x: 1.238 m η = 3.2	x: 0 m η = 0.7	η = 0.2	η < 0.1	η < 0.1	x: 1.238 m η = 36.4	η < 0.1	η = 1.4	x: 0 m η = 0.7	η = 0.2	**CUMPLE η = 36.4**
N253/N3513	$\lambda_w \leq \lambda_{w,máx}$ Cumple	x: 1.384 m η = 29.7	x: 0.16 m η = 25.0	x: 0.16 m η = 5.5	x: 1.384 m η = 1.2	x: 0.16 m η = 0.8	η = 0.2	η < 0.1	η < 0.1	x: 0.16 m η = 35.3	η < 0.1	x: 0.772 m η = 1.4	x: 0.16 m η = 0.8	η = 0.2	**CUMPLE η = 35.3**
N3511/N160	$\lambda_w \leq \lambda_{w,máx}$ Cumple	x: 1.154 m η = 35.7	x: 0 m η = 21.8	x: 1.155 m η = 7.8	x: 1.155 m η = 0.7	x: 0 m η = 0.9	η < 0.1	η < 0.1	η < 0.1	x: 1.155 m η = 44.0	η < 0.1	η = 0.1	x: 0 m η = 0.9	η < 0.1	**CUMPLE η = 44.0**
N145/N3511	$\lambda_w \leq \lambda_{w,máx}$ Cumple	x: 1.291 m η = 35.6	x: 0.149 m η = 21.8	x: 0.149 m η = 6.6	x: 1.291 m η = 0.3	x: 0.149 m η = 1.1	η < 0.1	η < 0.1	η < 0.1	x: 0.149 m η = 42.3	η < 0.1	η = 0.1	x: 0.149 m η = 1.1	η < 0.1	**CUMPLE η = 42.3**
N3510/N166	$\lambda_w \leq \lambda_{w,máx}$ Cumple	x: 1.237 m η = 41.4	x: 0 m η = 29.1	x: 1.238 m η = 8.9	x: 1.238 m η = 0.7	x: 0 m η = 1.0	η < 0.1	η < 0.1	η < 0.1	x: 1.238 m η = 50.8	η < 0.1	η = 0.1	x: 0 m η = 1.0	η < 0.1	**CUMPLE η = 50.8**
N149/N3510	$\lambda_w \leq \lambda_{w,máx}$ Cumple	x: 1.384 m η = 41.4	x: 0.16 m η = 29.2	x: 0.16 m η = 7.6	x: 1.384 m η = 0.4	x: 0.16 m η = 1.1	η < 0.1	η < 0.1	η < 0.1	x: 0.16 m η = 48.9	η < 0.1	η = 0.1	x: 0.16 m η = 1.1	η < 0.1	**CUMPLE η = 48.9**
N3508/N49	$\lambda_w \leq \lambda_{w,máx}$ Cumple	x: 1.191 m η = 27.8	x: 0 m η = 15.8	x: 1.192 m η = 4.9	x: 1.192 m η = 0.5	x: 0 m η = 0.5	η < 0.1	η < 0.1	η < 0.1	x: 1.192 m η = 33.1	η < 0.1	η = 0.2	x: 1.191 m η = 0.4	η < 0.1	**CUMPLE η = 33.1**
N65/N3508	$\lambda_w \leq \lambda_{w,máx}$ Cumple	x: 1.291 m η = 27.8	x: 0.111 m η = 15.8	x: 0.111 m η = 4.2	x: 1.291 m η = 0.3	x: 0.111 m η = 0.6	η < 0.1	η < 0.1	η < 0.1	x: 0.111 m η = 32.1	η < 0.1	η = 0.2	x: 0.111 m η = 0.4	η < 0.1	**CUMPLE η = 32.1**
N3509/N55	$\lambda_w \leq \lambda_{w,máx}$ Cumple	x: 1.277 m η = 33.7	x: 0 m η = 23.9	x: 1.278 m η = 5.6	x: 1.278 m η = 0.5	x: 0 m η = 0.5	η < 0.1	η < 0.1	η < 0.1	x: 1.278 m η = 39.9	η < 0.1	η = 0.2	x: 0 m η = 0.5	x: 0 m η < 0.1	**CUMPLE η = 39.9**
N69/N3509	$\lambda_w \leq \lambda_{w,máx}$ Cumple	x: 1.384 m η = 33.7	x: 0.119 m η = 23.9	x: 0.119 m η = 5.0	x: 1.384 m η = 0.3	x: 0.119 m η = 0.6	η < 0.1	η < 0.1	η < 0.1	x: 0.119 m η = 38.7	η < 0.1	η = 0.2	x: 0.119 m η = 0.6	x: 1.384 m η < 0.1	**CUMPLE η = 38.7**
N3527/N85	$\lambda_w \leq \lambda_{w,máx}$ Cumple	x: 1.277 m η = 20.4	x: 0 m η = 13.2	x: 1.278 m η = 4.7	x: 1.278 m η = 0.8	x: 0 m η = 0.3	η < 0.1	η < 0.1	η < 0.1	x: 1.278 m η = 25.6	η < 0.1	η = 0.2	x: 0 m η = 0.3	η < 0.1	**CUMPLE η = 25.6**

Documento visado electrónicamente con número: VA07290/22
Código de validación telemática TRLTDCFZ60T66IJ1. Comprobación: https://cogitivalencia.e-gestion.es/Validacion.aspx?CVT=TRLTDCFZ60T66IJ1

VISADO
COGITI
Estado
VALENCIA
VA07290/22
TRLTDCFZ60T66IJ1
Documento visado electrónicamente con número VA07290/22. Código de validación telemática TRLTDCFZ60T66IJ1. Comprobación: https://cogitivalencia.e-gestion.es/Validacion.aspx?CVT=TRLTDCFZ60T66IJ1

Barras	COMPROBACIONES (CÓDIGO ESTRUCTURAL)														Estado
	λ_w	N_t	N_c	M_Y	M_Z	V_Z	V_Y	M_YV_Z	M_ZV_Y	NM_YM_Z	$NM_YM_ZV_YV_Z$	M_t	M_tV_Z	M_tV_Y	
N99/N3527	$\lambda_w \leq \lambda_{w,máx}$ Cumple	x: 1.384 m η = 20.3	x: 0.119 m η = 13.2	x: 1.384 m η = 2.0	x: 1.384 m η = 0.4	x: 0.119 m η = 0.4	η < 0.1	η < 0.1	η < 0.1	x: 1.384 m η = 22.5	η < 0.1	η = 0.2	x: 0.119 m η = 0.4	η < 0.1	CUMPLE η = 22.5
N3526/N79	$\lambda_w \leq \lambda_{w,máx}$ Cumple	x: 1.191 m η = 42.3	x: 0 m η = 27.5	x: 1.192 m η = 7.5	x: 1.192 m η = 0.8	x: 0 m η = 0.7	η < 0.1	η < 0.1	η < 0.1	x: 1.192 m η = 50.6	η < 0.1	η = 0.2	x: 0 m η = 0.7	η < 0.1	CUMPLE η = 50.6
N95/N3526	$\lambda_w \leq \lambda_{w,máx}$ Cumple	x: 1.291 m η = 42.3	x: 0.111 m η = 27.5	x: 0.111 m η = 6.0	x: 1.291 m η = 0.4	x: 0.111 m η = 0.8	η < 0.1	η < 0.1	η < 0.1	x: 0.111 m η = 48.3	η < 0.1	η = 0.2	x: 0.111 m η = 0.8	η < 0.1	CUMPLE η = 48.3
N3529/N198	$\lambda_w \leq \lambda_{w,máx}$ Cumple	x: 1.154 m η = 52.7	x: 0 m η = 34.9	x: 1.155 m η = 11.6	x: 1.155 m η = 0.9	x: 0 m η = 1.4	η = 0.1	η < 0.1	η < 0.1	x: 1.155 m η = 65.2	η < 0.1	η = 0.1	x: 0 m η = 1.4	η = 0.1	CUMPLE η = 65.2
N184/N3529	$\lambda_w \leq \lambda_{w,máx}$ Cumple	x: 1.291 m η = 52.6	x: 0.149 m η = 34.9	x: 0.149 m η = 9.4	x: 1.291 m η = 0.5	x: 0.149 m η = 1.5	η = 0.1	η < 0.1	η < 0.1	x: 0.149 m η = 62.0	η < 0.1	η = 0.1	x: 0.149 m η = 1.5	η = 0.1	CUMPLE η = 62.0
N3528/N204	$\lambda_w \leq \lambda_{w,máx}$ Cumple	x: 1.237 m η = 23.4	x: 0 m η = 15.7	x: 1.238 m η = 6.9	x: 1.238 m η = 1.0	x: 0 m η = 0.6	η = 0.1	η < 0.1	η < 0.1	x: 1.238 m η = 30.9	η < 0.1	η = 0.2	x: 0 m η = 0.6	η = 0.1	CUMPLE η = 30.9
N188/N3528	$\lambda_w \leq \lambda_{w,máx}$ Cumple	x: 1.384 m η = 23.3	x: 0.16 m η = 15.8	x: 1.384 m η = 2.6	x: 1.384 m η = 0.5	x: 0.16 m η = 0.7	η = 0.1	η < 0.1	η < 0.1	x: 1.384 m η = 26.1	η < 0.1	η = 0.2	x: 0.16 m η = 0.7	η = 0.1	CUMPLE η = 26.1
N3530/N302	$\lambda_w \leq \lambda_{w,máx}$ Cumple	x: 1.154 m η = 37.7	x: 0 m η = 29.2	x: 1.155 m η = 8.2	x: 1.155 m η = 2.4	x: 0 m η = 1.0	x: 0.192 m η = 0.2	η < 0.1	η < 0.1	x: 1.155 m η = 46.5	η < 0.1	x: 0.192 m η = 1.2	x: 0 m η = 1.0	x: 0.192 m η = 0.2	CUMPLE η = 46.5
N288/N3530	$\lambda_w \leq \lambda_{w,máx}$ Cumple	x: 1.291 m η = 37.6	x: 0.149 m η = 29.2	x: 0.149 m η = 6.7	x: 1.291 m η = 1.0	x: 0.149 m η = 1.1	η = 0.2	η < 0.1	η < 0.1	x: 0.149 m η = 44.4	η < 0.1	η = 1.2	x: 0.149 m η = 1.1	η = 0.2	CUMPLE η = 44.4
N3531/N308	$\lambda_w \leq \lambda_{w,máx}$ Cumple	x: 1.237 m η = 17.6	x: 0 m η = 13.8	x: 1.238 m η = 5.0	x: 1.238 m η = 1.9	x: 1.237 m η = 0.4	η = 0.1	η < 0.1	η < 0.1	x: 1.238 m η = 23.1	η < 0.1	η = 0.8	x: 1.237 m η = 0.4	η = 0.1	CUMPLE η = 23.1
N292/N3531	$\lambda_w \leq \lambda_{w,máx}$ Cumple	x: 1.384 m η = 17.5	x: 0.16 m η = 13.8	x: 0.16 m η = 2.1	x: 1.384 m η = 1.2	x: 0.16 m η = 0.5	η = 0.1	η < 0.1	η < 0.1	x: 0.16 m η = 19.8	η < 0.1	x: 0.16 m η = 0.8	x: 0.16 m η = 0.5	η = 0.1	CUMPLE η = 19.8
N3532/N505	$\lambda_w \leq \lambda_{w,máx}$ Cumple	x: 1.191 m η = 37.4	x: 0 m η = 36.2	x: 1.192 m η = 7.1	x: 1.192 m η = 3.1	x: 1.191 m η = 0.7	η = 0.2	η < 0.1	η < 0.1	x: 1.192 m η = 44.4	η < 0.1	η = 1.4	x: 1.191 m η = 0.7	η = 0.2	CUMPLE η = 44.4
N490/N3532	$\lambda_w \leq \lambda_{w,máx}$ Cumple	x: 1.291 m η = 37.3	x: 0.111 m η = 36.2	x: 0.111 m η = 5.4	x: 1.291 m η = 1.4	x: 0.111 m η = 0.7	η = 0.2	η < 0.1	η < 0.1	x: 0.111 m η = 42.8	η < 0.1	η = 1.4	x: 0.111 m η = 0.7	η = 0.2	CUMPLE η = 42.8
N3533/N511	$\lambda_w \leq \lambda_{w,máx}$ Cumple	x: 1.277 m η = 17.0	x: 0 m η = 16.2	x: 1.278 m η = 4.6	x: 1.278 m η = 2.3	x: 1.277 m η = 0.4	η = 0.1	η < 0.1	η < 0.1	x: 1.278 m η = 21.4	η < 0.1	x: 0 m η = 1.1	x: 1.277 m η = 0.4	η = 0.1	CUMPLE η = 21.4
N494/N3533	$\lambda_w \leq \lambda_{w,máx}$ Cumple	x: 1.384 m η = 17.0	x: 0.119 m η = 16.2	x: 1.384 m η = 1.8	x: 1.384 m η = 0.9	x: 0.119 m η = 0.4	x: 0.541 m η = 0.1	η < 0.1	η < 0.1	x: 1.384 m η = 18.9	η < 0.1	x: 0.541 m η = 1.1	x: 0.119 m η = 0.4	x: 0.541 m η = 0.1	CUMPLE η = 18.9
N3534/N661	$\lambda_w \leq \lambda_{w,máx}$ Cumple	x: 1.191 m η = 37.9	x: 0 m η = 36.8	x: 1.192 m η = 7.2	x: 1.192 m η = 3.0	x: 1.191 m η = 0.7	η = 0.2	η < 0.1	η < 0.1	x: 1.192 m η = 45.1	η < 0.1	η = 1.4	x: 1.191 m η = 0.7	η = 0.2	CUMPLE η = 45.1
N646/N3534	$\lambda_w \leq \lambda_{w,máx}$ Cumple	x: 1.291 m η = 37.8	x: 0.111 m η = 36.8	x: 0.111 m η = 5.4	x: 1.291 m η = 1.3	x: 0.111 m η = 0.8	x: 0.308 m η = 0.2	η < 0.1	η < 0.1	x: 0.111 m η = 43.4	η < 0.1	x: 0.308 m η = 1.4	x: 0.111 m η = 0.8	x: 0.308 m η = 0.2	CUMPLE η = 43.4
N3535/N667	$\lambda_w \leq \lambda_{w,máx}$ Cumple	x: 1.277 m η = 17.0	x: 0 m η = 16.5	x: 1.278 m η = 4.6	x: 1.278 m η = 2.7	x: 1.277 m η = 0.4	η = 0.1	η < 0.1	η < 0.1	x: 1.278 m η = 21.4	η < 0.1	η = 1.0	x: 1.277 m η = 0.4	η = 0.1	CUMPLE η = 21.4
N650/N3535	$\lambda_w \leq \lambda_{w,máx}$ Cumple	x: 1.384 m η = 16.9	x: 0.119 m η = 16.5	x: 1.384 m η = 1.8	x: 1.384 m η = 1.8	x: 0.119 m η = 0.4	η = 0.1	η < 0.1	η < 0.1	x: 1.384 m η = 18.9	η < 0.1	x: 0.119 m η = 1.0	x: 0.119 m η = 0.4	η = 0.1	CUMPLE η = 18.9
N3537/N823	$\lambda_w \leq \lambda_{w,máx}$ Cumple	x: 1.277 m η = 16.9	x: 0 m η = 16.4	x: 1.278 m η = 4.6	x: 1.278 m η = 1.9	x: 1.277 m η = 0.4	η < 0.1	η < 0.1	η < 0.1	x: 1.278 m η = 21.3	η < 0.1	η = 0.7	x: 1.277 m η = 0.4	η < 0.1	CUMPLE η = 21.3
N806/N3537	$\lambda_w \leq \lambda_{w,máx}$ Cumple	x: 1.384 m η = 16.8	x: 0.119 m η = 16.4	x: 1.384 m η = 1.9	x: 1.384 m η = 1.4	x: 0.119 m η = 0.4	η < 0.1	η < 0.1	η < 0.1	x: 1.384 m η = 18.8	η < 0.1	η = 0.7	x: 0.119 m η = 0.4	η < 0.1	CUMPLE η = 18.8
N3536/N817	$\lambda_w \leq \lambda_{w,máx}$ Cumple	x: 1.191 m η = 38.1	x: 0 m η = 37.0	x: 1.192 m η = 7.2	x: 1.192 m η = 2.9	x: 1.191 m η = 0.7	η = 0.2	η < 0.1	η < 0.1	x: 1.192 m η = 45.4	η < 0.1	η = 1.4	x: 1.191 m η = 0.7	η = 0.2	CUMPLE η = 45.4
N802/N3536	$\lambda_w \leq \lambda_{w,máx}$ Cumple	x: 1.291 m η = 38.0	x: 0.111 m η = 37.1	x: 0.111 m η = 5.5	x: 1.291 m η = 1.1	x: 0.111 m η = 0.8	x: 0.504 m η = 0.2	η < 0.1	η < 0.1	x: 0.111 m η = 43.6	η < 0.1	x: 0.504 m η = 1.4	x: 0.111 m η = 0.8	x: 0.504 m η = 0.2	CUMPLE η = 43.6
N3538/N973	$\lambda_w \leq \lambda_{w,máx}$ Cumple	x: 1.191 m η = 38.3	x: 0 m η = 37.5	x: 1.192 m η = 7.3	x: 1.192 m η = 3.0	x: 1.191 m η = 0.7	η = 0.2	η < 0.1	η < 0.1	x: 1.192 m η = 45.7	η < 0.1	η = 1.4	x: 1.191 m η = 0.7	η = 0.2	CUMPLE η = 45.7
N958/N3538	$\lambda_w \leq \lambda_{w,máx}$ Cumple	x: 1.291 m η = 38.3	x: 0.111 m η = 37.5	x: 0.111 m η = 5.5	x: 1.291 m η = 1.3	x: 0.111 m η = 0.8	x: 0.308 m η = 0.2	η < 0.1	η < 0.1	x: 0.111 m η = 43.9	η < 0.1	x: 0.308 m η = 1.4	x: 0.111 m η = 0.8	x: 0.308 m η = 0.2	CUMPLE η = 43.9
N3539/N979	$\lambda_w \leq \lambda_{w,máx}$ Cumple	x: 1.277 m η = 16.7	x: 0 m η = 16.0	x: 1.278 m η = 4.6	x: 1.278 m η = 2.7	x: 1.277 m η = 0.4	η = 0.1	η < 0.1	η < 0.1	x: 1.278 m η = 21.2	η < 0.1	η = 1.0	x: 1.277 m η = 0.4	η = 0.1	CUMPLE η = 21.2
N962/N3539	$\lambda_w \leq \lambda_{w,máx}$ Cumple	x: 1.384 m η = 16.6	x: 0.119 m η = 16.0	x: 1.384 m η = 1.9	x: 1.384 m η = 1.7	x: 0.119 m η = 0.4	η = 0.1	η < 0.1	η < 0.1	x: 1.384 m η = 18.6	η < 0.1	x: 1.384 m η = 1.0	x: 0.119 m η = 0.4	η = 0.1	CUMPLE η = 18.6
N3540/N1129	$\lambda_w \leq \lambda_{w,máx}$ Cumple	x: 1.191 m η = 38.6	x: 0 m η = 38.0	x: 1.192 m η = 7.3	x: 1.192 m η = 2.9	x: 1.191 m η = 0.7	x: 0.199 m η = 0.2	η < 0.1	η < 0.1	x: 1.192 m η = 46.1	η < 0.1	x: 0.199 m η = 1.4	x: 1.191 m η = 0.7	x: 0.199 m η = 0.2	CUMPLE η = 46.1
N1114/N3540	$\lambda_w \leq \lambda_{w,máx}$ Cumple	x: 1.291 m η = 38.5	x: 0.111 m η = 38.0	x: 0.111 m η = 5.6	x: 1.291 m η = 1.1	x: 0.111 m η = 0.8	x: 0.111 m η = 0.2	η < 0.1	η < 0.1	x: 0.111 m η = 44.2	η < 0.1	x: 0.111 m η = 1.4	x: 0.111 m η = 0.8	x: 0.111 m η = 0.2	CUMPLE η = 44.2
N3541/N1135	$\lambda_w \leq \lambda_{w,máx}$ Cumple	x: 1.277 m η = 16.1	x: 0 m η = 15.0	x: 1.278 m η = 4.4	x: 1.278 m η = 2.6	x: 1.277 m η = 0.4	x: 0.426 m η = 0.1	η < 0.1	η < 0.1	x: 1.278 m η = 20.6	η < 0.1	x: 0.213 m η = 1.0	x: 1.277 m η = 0.4	x: 0.426 m η = 0.1	CUMPLE η = 20.6
N1118/N3541	$\lambda_w \leq \lambda_{w,máx}$ Cumple	x: 1.384 m η = 16.1	x: 0.119 m η = 15.0	x: 1.384 m η = 1.9	x: 1.384 m η = 1.6	x: 0.119 m η = 0.4	η = 0.1	η < 0.1	η < 0.1	x: 1.384 m η = 18.1	η < 0.1	η = 1.0	x: 0.119 m η = 0.4	η = 0.1	CUMPLE η = 18.1
N3542/N1285	$\lambda_w \leq \lambda_{w,máx}$ Cumple	x: 1.191 m η = 34.9	x: 0 m η = 33.8	x: 1.192 m η = 6.7	x: 1.192 m η = 1.0	x: 1.191 m η = 0.7	η < 0.1	η < 0.1	η < 0.1	x: 1.192 m η = 42.1	η < 0.1	η = 0.3	x: 1.191 m η = 0.7	η < 0.1	CUMPLE η = 42.1
N1270/N3542	$\lambda_w \leq \lambda_{w,máx}$ Cumple	x: 1.291 m η = 34.9	x: 0.111 m η = 33.8	x: 0.111 m η = 5.2	x: 1.291 m η = 0.7	x: 0.111 m η = 0.7	η < 0.1	η < 0.1	η < 0.1	x: 0.111 m η = 40.5	η < 0.1	η = 0.3	x: 0.111 m η = 0.7	η < 0.1	CUMPLE η = 40.5
N3543/N1291	$\lambda_w \leq \lambda_{w,máx}$ Cumple	x: 1.277 m η = 12.0	x: 0 m η = 11.2	x: 1.278 m η = 3.8	x: 1.278 m η = 1.9	x: 1.277 m η = 0.3	η = 0.1	η < 0.1	η < 0.1	x: 1.278 m η = 17.0	η < 0.1	η = 0.4	x: 1.277 m η = 0.3	η = 0.1	CUMPLE η = 17.0
N1274/N3543	$\lambda_w \leq \lambda_{w,máx}$ Cumple	x: 1.384 m η = 12.0	x: 0.119 m η = 11.2	x: 1.384 m η = 1.7	x: 1.384 m η = 1.3	x: 0.119 m η = 0.3	η = 0.1	η < 0.1	η < 0.1	x: 1.384 m η = 14.9	η < 0.1	η = 0.4	x: 0.119 m η = 0.3	η = 0.1	CUMPLE η = 14.9
N3591/N184	$\lambda_w \leq \lambda_{w,máx}$ Cumple	x: 0.811 m η = 31.9	x: 0 m η = 28.6	x: 0.812 m η = 7.1	x: 0.812 m η = 2.8	x: 0 m η = 1.6	η = 0.2	η < 0.1	η < 0.1	x: 0.812 m η = 41.5	η < 0.1	η = 0.2	x: 0 m η = 1.6	η = 0.2	CUMPLE η = 41.5
N184/N185	$\lambda_w \leq \lambda_{w,máx}$ Cumple	x: 1.7 m η = 42.8	x: 0.078 m η = 38.0	x: 1.701 m η = 10.0	x: 0.078 m η = 2.8	x: 0.078 m η = 2.3	η = 0.2	η < 0.1	η < 0.1	x: 1.701 m η = 53.3	η < 0.1	η = 0.1	x: 1.701 m η = 1.6	η = 0.2	CUMPLE η = 53.3
N185/N186	$\lambda_w \leq \lambda_{w,máx}$ Cumple	x: 1.694 m η = 50.5	x: 0.078 m η = 44.7	x: 1.695 m η = 12.2	x: 1.695 m η = 3.3	x: 0.078 m η = 1.8	η = 0.2	η < 0.1	η < 0.1	x: 1.695 m η = 64.3	η < 0.1	η = 0.1	x: 0.078 m η = 1.8	η = 0.2	CUMPLE η = 64.3
N186/N187	$\lambda_w \leq \lambda_{w,máx}$ Cumple	x: 1.694 m η = 57.1	x: 0.084 m η = 50.4	x: 0.084 m η = 10.6	x: 0.084 m η = 3.2	x: 1.695 m η = 0.4	η = 0.2	η < 0.1	η < 0.1	x: 0.084 m η = 69.2	η < 0.1	η = 0.2	x: 1.695 m η = 0.4	η = 0.2	CUMPLE η = 69.2
N187/N188	$\lambda_w \leq \lambda_{w,máx}$ Cumple	x: 1.694 m η = 55.9	x: 0.084 m η = 49.3	x: 0.084 m η = 10.1	x: 1.695 m η = 3.4	x: 1.695 m η = 1.0	η = 0.2	η < 0.1	η < 0.1	x: 0.89 m η = 66.6	η < 0.1	η < 0.1	x: 0.084 m η = 0.8	η = 0.2	CUMPLE η = 66.6
N188/N3592	$\lambda_w \leq \lambda_{w,máx}$ Cumple	x: 0.89 m η = 51.7	x: 0.084 m η = 45.7	x: 0.084 m η = 9.1	x: 0.084 m η = 3.4	x: 0.89 m η = 0.9	η = 0.2	η < 0.1	η < 0.1	x: 0.084 m η = 63.6	η < 0.1	η = 0.2	x: 0.89 m η = 0.9	η = 0.2	CUMPLE η = 63.6
N180/N181	$\lambda_w \leq \lambda_{w,máx}$ Cumple	x: 1.68 m η = 12.2	x: 0.076 m η = 25.7	x: 0.076 m η = 4.5	x: 0.076 m η = 3.6	x: 0.076 m η = 2.5	η = 0.2	η < 0.1	η < 0.1	x: 0.076 m η = 28.3	η < 0.1	η = 0.2	x: 0.076 m η = 2.5	η = 0.2	CUMPLE η = 28.3
N181/N182	$\lambda_w \leq \lambda_{w,máx}$ Cumple	x: 1.7 m η = 2.0	x: 0.098 m η = 2.2	x: 0.098 m η = 8.5	x: 1.701 m η = 3.4	x: 0.098 m η = 5.1	η = 0.2	η < 0.1	η < 0.1	x: 0.098 m η = 10.7	η < 0.1	η = 0.1	x: 0.098 m η = 5.1	η = 0.2	CUMPLE η = 10.7

VISADO
COGITI
Estado
VALENCIA
VA07290/22
TRLTDCFZ60T66IJ1

Barras	COMPROBACIONES (CÓDIGO ESTRUCTURAL)														
	λ_w	N_t	N_c	M_Y	M_Z	V_Z	V_Y	M_YV_Z	M_ZV_Y	NM_YM_Z	$NM_YM_ZV_YV_Z$	M_t	M_tV_Z	M_tV_Y	
N182/N183	$\lambda_w \leq \lambda_{w,máx}$ Cumple	x: 1.7 m η = 17.7	x: 0.078 m η = 16.4	x: 1.701 m η = 7.6	x: 0.078 m η = 3.5	x: 0.078 m η = 2.3	η = 0.2	η < 0.1	η < 0.1	x: 1.701 m η = 26.2	η < 0.1	η = 0.2	x: 0.078 m η = 2.3	η = 0.2	**CUMPLE η = 26.2**
N183/N3591	$\lambda_w \leq \lambda_{w,máx}$ Cumple	x: 0.89 m η = 31.9	x: 0.078 m η = 28.6	x: 0.89 m η = 4.7	x: 0.89 m η = 1.8	x: 0.078 m η = 1.8	η = 0.2	η < 0.1	η < 0.1	x: 0.89 m η = 38.1	η < 0.1	η = 0.2	x: 0.078 m η = 1.8	η = 0.2	**CUMPLE η = 38.1**
N3592/N189	$\lambda_w \leq \lambda_{w,máx}$ Cumple	x: 0.805 m η = 51.7	x: 0 m η = 45.7	x: 0 m η = 7.9	x: 0 m η = 2.1	x: 0.806 m η = 1.1	η = 0.2	η < 0.1	η < 0.1	x: 0 m η = 61.4	η < 0.1	η = 0.2	x: 0.806 m η = 1.1	η = 0.2	**CUMPLE η = 61.4**
N189/N190	$\lambda_w \leq \lambda_{w,máx}$ Cumple	x: 1.694 m η = 44.2	x: 0.084 m η = 39.3	x: 0.084 m η = 9.5	x: 1.695 m η = 4.0	x: 1.695 m η = 1.5	η = 0.2	η < 0.1	η < 0.1	x: 0.084 m η = 54.8	η < 0.1	η = 0.2	x: 1.695 m η = 1.5	η = 0.2	**CUMPLE η = 54.8**
N190/N191	$\lambda_w \leq \lambda_{w,máx}$ Cumple	x: 1.673 m η = 34.2	x: 0.084 m η = 30.8	x: 0.084 m η = 9.4	x: 0.084 m η = 3.7	x: 1.674 m η = 3.7	η = 0.2	η < 0.1	η < 0.1	x: 0.084 m η = 44.3	η < 0.1	η = 0.1	x: 1.674 m η = 3.7	η = 0.2	**CUMPLE η = 44.3**
N191/N192	$\lambda_w \leq \lambda_{w,máx}$ Cumple	x: 1.702 m η = 20.2	x: 0.105 m η = 18.9	x: 0.105 m η = 6.9	x: 1.703 m η = 3.7	x: 1.703 m η = 2.8	η = 0.2	η < 0.1	η < 0.1	x: 0.105 m η = 27.5	η < 0.1	η = 0.1	x: 1.703 m η = 2.8	η = 0.2	**CUMPLE η = 27.5**
N91/N92	$\lambda_w \leq \lambda_{w,máx}$ Cumple	x: 1.7 m η = 9.6	x: 0.061 m η = 24.0	x: 0.061 m η = 3.8	x: 0.061 m η = 3.4	x: 0.061 m η = 1.8	η = 0.1	η < 0.1	η < 0.1	x: 0.061 m η = 26.5	η < 0.1	η = 0.1	x: 0.061 m η = 1.2	η = 0.1	**CUMPLE η = 26.5**
N92/N93	$\lambda_w \leq \lambda_{w,máx}$ Cumple	x: 1.7 m η = 4.3	x: 0.078 m η = 4.4	x: 1.701 m η = 6.9	x: 1.701 m η = 2.9	x: 0.078 m η = 3.0	η = 0.1	η < 0.1	η < 0.1	x: 1.701 m η = 11.6	η < 0.1	η = 0.1	x: 0.078 m η = 3.0	η = 0.1	**CUMPLE η = 11.6**
N93/N94	$\lambda_w \leq \lambda_{w,máx}$ Cumple	x: 1.7 m η = 19.1	x: 0.078 m η = 20.3	x: 1.701 m η = 6.2	x: 0.078 m η = 3.2	x: 0.078 m η = 1.7	η = 0.1	η < 0.1	η < 0.1	x: 1.701 m η = 26.0	η < 0.1	η = 0.2	x: 0.078 m η = 1.7	η = 0.1	**CUMPLE η = 26.0**
N94/N3594	$\lambda_w \leq \lambda_{w,máx}$ Cumple	x: 0.89 m η = 31.5	x: 0.078 m η = 32.7	x: 0.89 m η = 3.5	x: 0.89 m η = 1.2	x: 0.078 m η = 1.7	η = 0.1	η < 0.1	η < 0.1	x: 0.89 m η = 36.1	η < 0.1	η = 0.2	x: 0.078 m η = 1.7	η = 0.1	**CUMPLE η = 36.1**
N3594/N95	$\lambda_w \leq \lambda_{w,máx}$ Cumple	x: 0.824 m η = 31.5	x: 0 m η = 32.7	x: 0.825 m η = 6.5	x: 0.825 m η = 2.7	x: 0 m η = 1.6	η = 0.1	η < 0.1	η < 0.1	x: 0.825 m η = 40.0	η < 0.1	η = 0.2	x: 0 m η = 1.6	η = 0.1	**CUMPLE η = 40.0**
N95/N96	$\lambda_w \leq \lambda_{w,máx}$ Cumple	x: 1.713 m η = 41.0	x: 0.065 m η = 42.0	x: 1.714 m η = 6.4	x: 0.065 m η = 2.7	x: 0.065 m η = 0.9	η = 0.1	η < 0.1	η < 0.1	x: 1.714 m η = 47.5	η < 0.1	x: 0.065 m η < 0.1	x: 0.065 m η = 0.3	x: 0.065 m η = 0.1	**CUMPLE η = 47.5**
N96/N97	$\lambda_w \leq \lambda_{w,máx}$ Cumple	x: 1.708 m η = 47.9	x: 0.065 m η = 49.0	x: 1.709 m η = 8.5	x: 1.709 m η = 3.1	x: 0.065 m η = 1.2	η = 0.1	η < 0.1	η < 0.1	x: 1.709 m η = 57.6	η < 0.1	η = 0.1	x: 1.709 m η = 0.8	η = 0.1	**CUMPLE η = 57.6**
N97/N98	$\lambda_w \leq \lambda_{w,máx}$ Cumple	x: 1.708 m η = 53.7	x: 0.07 m η = 55.0	x: 0.07 m η = 7.2	x: 0.07 m η = 3.0	x: 1.709 m η = 0.5	η = 0.1	η < 0.1	η < 0.1	x: 0.07 m η = 62.1	η < 0.1	η = 0.1	x: 0.07 m η = 0.4	η = 0.1	**CUMPLE η = 62.1**
N98/N99	$\lambda_w \leq \lambda_{w,máx}$ Cumple	x: 1.708 m η = 52.4	x: 0.07 m η = 53.8	x: 0.275 m η = 6.3	x: 1.709 m η = 3.1	x: 1.709 m η = 0.3	η = 0.1	η < 0.1	η < 0.1	x: 1.709 m η = 60.3	η < 0.1	x: 1.708 m η < 0.1	x: 0.07 m η = 0.2	x: 0.07 m η = 0.1	**CUMPLE η = 60.3**
N99/N3593	$\lambda_w \leq \lambda_{w,máx}$ Cumple	x: 0.89 m η = 48.3	x: 0.07 m η = 49.8	x: 0.07 m η = 7.0	x: 0.07 m η = 3.0	x: 0.89 m η = 0.9	η = 0.2	η < 0.1	η < 0.1	x: 0.07 m η = 57.4	η < 0.1	η = 0.2	x: 0.89 m η = 0.9	η = 0.2	**CUMPLE η = 57.4**
N3593/N100	$\lambda_w \leq \lambda_{w,máx}$ Cumple	x: 0.805 m η = 48.3	x: 0 m η = 49.8	x: 0 m η = 5.4	x: 0 m η = 1.4	x: 0.806 m η = 1.1	η = 0.2	η < 0.1	η < 0.1	x: 0 m η = 55.0	η < 0.1	η = 0.2	x: 0.806 m η = 1.1	η = 0.2	**CUMPLE η = 55.0**
N100/N101	$\lambda_w \leq \lambda_{w,máx}$ Cumple	x: 1.694 m η = 41.4	x: 0.084 m η = 43.0	x: 0.084 m η = 7.0	x: 1.695 m η = 3.5	x: 1.695 m η = 1.2	η = 0.2	η < 0.1	η < 0.1	x: 0.084 m η = 49.2	η < 0.1	η = 0.1	x: 1.695 m η = 1.2	η = 0.2	**CUMPLE η = 49.2**
N101/N102	$\lambda_w \leq \lambda_{w,máx}$ Cumple	x: 1.694 m η = 31.7	x: 0.084 m η = 33.5	x: 0.084 m η = 8.0	x: 0.084 m η = 3.1	x: 1.695 m η = 2.3	η = 0.1	η < 0.1	η < 0.1	x: 0.084 m η = 40.2	η < 0.1	η = 0.1	x: 1.695 m η = 1.6	η = 0.1	**CUMPLE η = 40.2**
N102/N103	$\lambda_w \leq \lambda_{w,máx}$ Cumple	x: 1.717 m η = 19.2	x: 0.084 m η = 21.1	x: 0.084 m η = 5.8	x: 1.718 m η = 2.1	x: 1.718 m η = 1.9	η = 0.1	η < 0.1	η < 0.1	x: 0.084 m η = 25.1	η < 0.1	η = 0.1	x: 1.718 m η = 1.9	η = 0.1	**CUMPLE η = 25.1**
N284/N285	$\lambda_w \leq \lambda_{w,máx}$ Cumple	x: 1.68 m η = 9.8	x: 0.076 m η = 17.8	x: 0.076 m η = 3.1	x: 0.076 m η = 2.3	x: 0.076 m η = 1.8	η = 0.2	η < 0.1	η < 0.1	x: 0.076 m η = 19.7	η < 0.1	η = 0.2	x: 0.076 m η = 1.8	η = 0.2	**CUMPLE η = 19.7**
N285/N286	$\lambda_w \leq \lambda_{w,máx}$ Cumple	x: 1.7 m η = 1.9	x: 0.098 m η = 2.5	x: 0.098 m η = 6.1	x: 1.701 m η = 3.0	x: 0.098 m η = 3.7	η = 0.2	η < 0.1	η < 0.1	x: 0.098 m η = 8.5	η < 0.1	η = 0.1	x: 0.098 m η = 3.7	η = 0.2	**CUMPLE η = 8.5**
N286/N287	$\lambda_w \leq \lambda_{w,máx}$ Cumple	x: 1.7 m η = 13.4	x: 0.078 m η = 14.4	x: 1.701 m η = 5.5	x: 0.078 m η = 3.2	x: 0.078 m η = 1.7	η = 0.2	η < 0.1	η < 0.1	x: 1.701 m η = 19.6	η < 0.1	η = 0.4	x: 0.078 m η = 1.7	η = 0.2	**CUMPLE η = 19.6**
N287/N3590	$\lambda_w \leq \lambda_{w,máx}$ Cumple	x: 0.89 m η = 23.2	x: 0.078 m η = 24.3	x: 0.89 m η = 3.5	x: 0.89 m η = 2.2	x: 0.078 m η = 1.3	η = 0.2	η < 0.1	η < 0.1	x: 0.89 m η = 28.5	η < 0.1	η = 0.2	x: 0.078 m η = 1.3	η = 0.2	**CUMPLE η = 28.5**
N3590/N288	$\lambda_w \leq \lambda_{w,máx}$ Cumple	x: 0.811 m η = 23.2	x: 0 m η = 24.3	x: 0.812 m η = 5.1	x: 0.812 m η = 3.2	x: 0 m η = 1.2	η = 0.2	η < 0.1	η < 0.1	x: 0.812 m η = 31.6	η < 0.1	η = 0.2	x: 0 m η = 1.2	η = 0.2	**CUMPLE η = 31.6**
N288/N289	$\lambda_w \leq \lambda_{w,máx}$ Cumple	x: 1.7 m η = 31.1	x: 0.078 m η = 32.2	x: 1.701 m η = 7.2	x: 0.078 m η = 3.2	x: 0.078 m η = 1.7	η = 0.2	η < 0.1	η < 0.1	x: 1.701 m η = 38.7	η < 0.1	x: 1.7 m η = 0.3	x: 1.701 m η = 1.3	η = 0.2	**CUMPLE η = 38.7**
N289/N290	$\lambda_w \leq \lambda_{w,máx}$ Cumple	x: 1.694 m η = 36.6	x: 0.078 m η = 37.8	x: 1.695 m η = 9.2	x: 1.695 m η = 3.0	x: 0.078 m η = 1.5	η = 0.2	η < 0.1	η < 0.1	x: 1.695 m η = 47.9	η < 0.1	η = 0.3	x: 0.078 m η = 1.5	η = 0.2	**CUMPLE η = 47.9**
N290/N291	$\lambda_w \leq \lambda_{w,máx}$ Cumple	x: 1.694 m η = 41.3	x: 0.084 m η = 42.5	x: 0.084 m η = 8.1	x: 0.084 m η = 3.0	x: 1.695 m η = 0.5	η = 0.2	η < 0.1	η < 0.1	x: 0.084 m η = 51.4	η < 0.1	x: 1.091 m η = 0.3	x: 1.695 m η = 0.5	η = 0.2	**CUMPLE η = 51.4**
N291/N292	$\lambda_w \leq \lambda_{w,máx}$ Cumple	x: 1.694 m η = 40.3	x: 0.084 m η = 41.6	x: 0.084 m η = 7.2	x: 1.695 m η = 3.9	x: 1.695 m η = 0.8	η = 0.2	η < 0.1	η < 0.1	x: 1.695 m η = 49.2	η < 0.1	x: 0.487 m η = 0.1	x: 0.084 m η = 0.6	η = 0.2	**CUMPLE η = 49.2**
N292/N3589	$\lambda_w \leq \lambda_{w,máx}$ Cumple	x: 0.89 m η = 37.2	x: 0.084 m η = 38.5	x: 0.084 m η = 6.6	x: 0.084 m η = 3.8	x: 0.89 m η = 0.7	η = 0.2	η < 0.1	η < 0.1	x: 0.084 m η = 47.1	η < 0.1	η = 0.2	x: 0.89 m η = 0.7	η = 0.2	**CUMPLE η = 47.1**
N3589/N293	$\lambda_w \leq \lambda_{w,máx}$ Cumple	x: 0.805 m η = 37.2	x: 0 m η = 38.5	x: 0 m η = 5.7	x: 0 m η = 2.4	x: 0.806 m η = 0.9	η = 0.2	η < 0.1	η < 0.1	x: 0 m η = 45.0	η < 0.1	η = 0.2	x: 0.806 m η = 0.9	η = 0.2	**CUMPLE η = 45.0**
N293/N294	$\lambda_w \leq \lambda_{w,máx}$ Cumple	x: 1.694 m η = 31.8	x: 0.084 m η = 33.1	x: 0.084 m η = 6.8	x: 1.695 m η = 3.7	x: 1.695 m η = 1.1	η = 0.2	η < 0.1	η < 0.1	x: 0.084 m η = 39.8	η < 0.1	x: 0.084 m η = 0.2	x: 1.695 m η = 1.1	η = 0.2	**CUMPLE η = 39.8**
N294/N295	$\lambda_w \leq \lambda_{w,máx}$ Cumple	x: 1.673 m η = 24.5	x: 0.084 m η = 25.9	x: 0.084 m η = 7.0	x: 0.084 m η = 3.4	x: 1.674 m η = 2.9	η = 0.2	η < 0.1	η < 0.1	x: 0.084 m η = 32.6	η < 0.1	η = 0.1	x: 1.674 m η = 2.9	η = 0.2	**CUMPLE η = 32.6**
N295/N296	$\lambda_w \leq \lambda_{w,máx}$ Cumple	x: 1.702 m η = 14.3	x: 0.105 m η = 15.9	x: 0.105 m η = 4.9	x: 1.703 m η = 2.9	x: 1.703 m η = 2.1	η = 0.2	η < 0.1	η < 0.1	x: 0.105 m η = 19.7	η < 0.1	η = 0.1	x: 1.703 m η = 2.1	η = 0.1	**CUMPLE η = 19.7**
N486/N487	$\lambda_w \leq \lambda_{w,máx}$ Cumple	x: 1.7 m η = 12.2	x: 0.061 m η = 21.4	x: 0.061 m η = 3.2	x: 0.061 m η = 1.5	x: 0.061 m η = 1.6	η = 0.1	η < 0.1	η < 0.1	x: 0.061 m η = 23.6	η < 0.1	x: 1.7 m η = 0.1	x: 0.061 m η = 1.2	η < 0.1	**CUMPLE η = 23.6**
N487/N488	$\lambda_w \leq \lambda_{w,máx}$ Cumple	x: 1.7 m η = 3.5	x: 0.078 m η = 4.5	x: 1.701 m η = 6.2	x: 1.701 m η = 2.1	x: 0.078 m η = 2.7	η = 0.1	η < 0.1	η < 0.1	x: 1.701 m η = 11.2	η < 0.1	η < 0.1	x: 0.078 m η = 0.8	x: 1.498 m η < 0.1	**CUMPLE η = 11.2**
N488/N489	$\lambda_w \leq \lambda_{w,máx}$ Cumple	x: 1.7 m η = 16.7	x: 0.078 m η = 26.5	x: 1.701 m η = 5.5	x: 0.078 m η = 2.4	x: 0.078 m η = 1.5	η = 0.1	η < 0.1	η < 0.1	x: 1.701 m η = 30.3	η < 0.1	x: 1.498 m η = 0.5	x: 0.078 m η = 1.5	η = 0.1	**CUMPLE η = 30.3**
N489/N3587	$\lambda_w \leq \lambda_{w,máx}$ Cumple	x: 0.89 m η = 27.7	x: 0.078 m η = 43.2	x: 0.89 m η = 3.1	x: 0.078 m η = 2.0	x: 0.078 m η = 1.5	η = 0.1	η < 0.1	η < 0.1	x: 0.89 m η = 46.6	η < 0.1	η = 0.2	x: 0.078 m η = 1.5	η = 0.1	**CUMPLE η = 46.6**
N3587/N490	$\lambda_w \leq \lambda_{w,máx}$ Cumple	x: 0.824 m η = 27.7	x: 0 m η = 43.2	x: 0.825 m η = 5.7	x: 0.825 m η = 3.0	x: 0.825 m η = 1.4	η = 0.1	η < 0.1	η < 0.1	x: 0.825 m η = 49.2	η < 0.1	η = 0.2	x: 0.825 m η = 1.4	η = 0.1	**CUMPLE η = 49.2**
N490/N491	$\lambda_w \leq \lambda_{w,máx}$ Cumple	x: 1.713 m η = 36.2	x: 0.065 m η = 56.0	x: 1.714 m η = 5.8	x: 0.065 m η = 3.0	x: 0.065 m η = 0.8	η = 0.1	η < 0.1	η < 0.1	x: 0.065 m η = 60.6	η < 0.1	x: 0.065 m η = 0.3	x: 0.065 m η = 0.3	x: 0.065 m η = 0.1	**CUMPLE η = 60.6**
N491/N492	$\lambda_w \leq \lambda_{w,máx}$ Cumple	x: 1.708 m η = 42.5	x: 0.065 m η = 65.5	x: 1.709 m η = 7.4	x: 1.709 m η = 2.3	x: 0.065 m η = 1.1	η = 0.1	η < 0.1	η < 0.1	x: 1.709 m η = 71.8	η < 0.1	x: 1.093 m η = 0.3	x: 1.709 m η = 0.9	η = 0.1	**CUMPLE η = 71.8**
N492/N493	$\lambda_w \leq \lambda_{w,máx}$ Cumple	x: 1.708 m η = 47.9	x: 0.07 m η = 73.6	x: 0.07 m η = 6.3	x: 0.07 m η = 2.3	x: 1.709 m η = 0.4	η = 0.1	η < 0.1	η < 0.1	x: 0.07 m η = 79.4	η < 0.1	x: 1.504 m η = 0.2	x: 1.709 m η = 0.3	η = 0.1	**CUMPLE η = 79.4**
N493/N494	$\lambda_w \leq \lambda_{w,máx}$ Cumple	x: 1.708 m η = 46.8	x: 0.07 m η = 72.2	x: 0.07 m η = 5.6	x: 1.709 m η = 3.3	x: 0.07 m η = 0.4	η = 0.1	η < 0.1	η < 0.1	x: 1.709 m η = 78.8	η < 0.1	x: 1.095 m η = 0.2	x: 1.709 m η = 0.2	x: 1.095 m η < 0.1	**CUMPLE η = 78.8**

Documento visado electrónicamente con número: VA07290/22
Código de validación telemática TRLTDCFZ60T66IJ1. Comprobación: https://cogitivalencia.e-gestion.es/Validacion.aspx?CVT=TRLTDCFZ60T66IJ1

VISADO
COGITI
TRLTDCFZ60T66IJ1
VALENCIA
VA07290/22

Barras	COMPROBACIONES (CÓDIGO ESTRUCTURAL)														Estado
	λ_w	N_t	N_c	M_Y	M_Z	V_Z	V_Y	M_YV_Z	M_ZV_Y	NM_YM_Z	$NM_YM_ZV_YV_Z$	M_t	M_tV_Z	M_tV_Y	
N494/N3588	$\lambda_w \leq \lambda_{w,máx}$ Cumple	x: 0.89 m η = 43.5	x: 0.07 m η = 67.2	x: 0.07 m η = 6.0	x: 0.07 m η = 3.2	x: 0.07 m η = 0.7	η = 0.1	η < 0.1	η < 0.1	x: 0.07 m η = 74.1	η < 0.1	η = 0.2	x: 0.07 m η = 0.7	η = 0.1	**CUMPLE η = 74.1**
N3588/N495	$\lambda_w \leq \lambda_{w,máx}$ Cumple	x: 0.805 m η = 43.5	x: 0 m η = 67.2	x: 0 m η = 4.8	x: 0 m η = 2.0	x: 0.806 m η = 0.9	η = 0.1	η < 0.1	η < 0.1	x: 0 m η = 71.9	η < 0.1	η = 0.2	x: 0.806 m η = 0.9	η = 0.1	**CUMPLE η = 71.9**
N495/N496	$\lambda_w \leq \lambda_{w,máx}$ Cumple	x: 1.694 m η = 37.6	x: 0.084 m η = 58.2	x: 0.084 m η = 6.2	x: 1.695 m η = 2.7	x: 1.695 m η = 1.0	η = 0.1	η < 0.1	η < 0.1	x: 0.084 m η = 62.7	η < 0.1	x: 0.688 m η = 0.4	x: 0.084 m η = 1.0	η = 0.1	**CUMPLE η = 62.7**
N496/N497	$\lambda_w \leq \lambda_{w,máx}$ Cumple	x: 1.694 m η = 29.2	x: 0.084 m η = 46.1	x: 0.084 m η = 7.0	x: 0.084 m η = 2.2	x: 1.695 m η = 2.0	η = 0.1	η < 0.1	η < 0.1	x: 0.084 m η = 51.4	η < 0.1	x: 0.285 m η = 0.1	x: 0.084 m η = 1.7	η < 0.1	**CUMPLE η = 51.4**
N497/N498	$\lambda_w \leq \lambda_{w,máx}$ Cumple	x: 1.717 m η = 18.3	x: 0.084 m η = 30.0	x: 0.084 m η = 5.1	x: 1.718 m η = 1.0	x: 1.718 m η = 1.6	η = 0.1	η < 0.1	η < 0.1	x: 0.084 m η = 33.6	η < 0.1	η < 0.1	x: 1.718 m η = 0.5	η < 0.1	**CUMPLE η = 33.6**
N642/N643	$\lambda_w \leq \lambda_{w,máx}$ Cumple	x: 1.7 m η = 12.5	x: 0.061 m η = 22.1	x: 0.061 m η = 3.2	x: 0.061 m η = 1.3	x: 0.061 m η = 1.6	η = 0.1	η < 0.1	η < 0.1	x: 0.061 m η = 24.6	η < 0.1	η = 0.1	x: 0.061 m η = 1.2	x: 1.7 m η < 0.1	**CUMPLE η = 24.6**
N643/N644	$\lambda_w \leq \lambda_{w,máx}$ Cumple	x: 1.7 m η = 3.3	x: 0.078 m η = 4.5	x: 1.701 m η = 6.3	x: 1.701 m η = 2.0	x: 0.078 m η = 2.8	η = 0.1	η < 0.1	η < 0.1	x: 1.701 m η = 11.4	η < 0.1	x: 1.7 m η < 0.1	x: 0.078 m η = 0.8	x: 1.7 m η < 0.1	**CUMPLE η = 11.4**
N644/N645	$\lambda_w \leq \lambda_{w,máx}$ Cumple	x: 1.7 m η = 16.7	x: 0.078 m η = 27.0	x: 1.701 m η = 5.6	x: 0.078 m η = 2.4	x: 0.078 m η = 1.5	η = 0.1	η < 0.1	η < 0.1	x: 1.701 m η = 30.8	η < 0.1	x: 1.093 m η = 0.5	x: 0.078 m η = 1.5	η = 0.1	**CUMPLE η = 30.8**
N645/N3586	$\lambda_w \leq \lambda_{w,máx}$ Cumple	x: 0.89 m η = 27.8	x: 0.078 m η = 43.9	x: 0.89 m η = 3.1	x: 0.89 m η = 2.1	x: 0.078 m η = 1.5	η = 0.1	η < 0.1	η < 0.1	x: 0.89 m η = 47.4	η < 0.1	η = 0.2	x: 0.078 m η = 1.5	η = 0.1	**CUMPLE η = 47.4**
N3586/N646	$\lambda_w \leq \lambda_{w,máx}$ Cumple	x: 0.824 m η = 27.8	x: 0 m η = 43.9	x: 0.825 m η = 5.7	x: 0.825 m η = 3.3	x: 0.825 m η = 1.4	η = 0.1	η < 0.1	η < 0.1	x: 0.825 m η = 50.2	η < 0.1	η = 0.2	x: 0.825 m η = 1.4	η = 0.1	**CUMPLE η = 50.2**
N646/N647	$\lambda_w \leq \lambda_{w,máx}$ Cumple	x: 1.713 m η = 36.3	x: 0.065 m η = 56.8	x: 1.714 m η = 5.8	x: 0.065 m η = 3.4	x: 0.065 m η = 0.8	η = 0.1	η < 0.1	η < 0.1	x: 0.065 m η = 61.8	η < 0.1	η = 0.3	x: 0.065 m η = 0.3	η = 0.1	**CUMPLE η = 61.8**
N647/N648	$\lambda_w \leq \lambda_{w,máx}$ Cumple	x: 1.708 m η = 42.8	x: 0.065 m η = 66.6	x: 1.709 m η = 7.5	x: 1.709 m η = 2.6	x: 0.065 m η = 1.1	η = 0.1	η < 0.1	η < 0.1	x: 1.709 m η = 73.2	η < 0.1	x: 0.682 m η = 0.3	x: 1.709 m η = 0.9	η = 0.1	**CUMPLE η = 73.2**
N648/N649	$\lambda_w \leq \lambda_{w,máx}$ Cumple	x: 1.708 m η = 48.2	x: 0.07 m η = 74.8	x: 0.07 m η = 6.4	x: 0.07 m η = 2.5	x: 1.709 m η = 0.5	η = 0.1	η < 0.1	η < 0.1	x: 0.07 m η = 81.0	η < 0.1	x: 1.504 m η = 0.4	x: 0.07 m η = 0.3	η = 0.1	**CUMPLE η = 81.0**
N649/N650	$\lambda_w \leq \lambda_{w,máx}$ Cumple	x: 1.708 m η = 47.2	x: 0.07 m η = 73.3	x: 0.07 m η = 5.7	x: 1.709 m η = 3.5	x: 0.07 m η = 0.4	η = 0.1	η < 0.1	η < 0.1	x: 1.709 m η = 80.2	η < 0.1	η = 0.2	x: 1.709 m η = 0.2	η = 0.1	**CUMPLE η = 80.2**
N650/N3585	$\lambda_w \leq \lambda_{w,máx}$ Cumple	x: 0.89 m η = 43.9	x: 0.07 m η = 68.3	x: 0.07 m η = 6.0	x: 0.07 m η = 3.4	x: 0.07 m η = 0.8	η = 0.1	η < 0.1	η < 0.1	x: 0.07 m η = 75.4	η < 0.1	x: 0.685 m η = 0.3	x: 0.07 m η = 0.8	η = 0.1	**CUMPLE η = 75.4**
N3585/N651	$\lambda_w \leq \lambda_{w,máx}$ Cumple	x: 0.805 m η = 43.9	x: 0 m η = 68.3	x: 0 m η = 4.8	x: 0 m η = 2.2	x: 0.806 m η = 0.9	η = 0.1	η < 0.1	η < 0.1	x: 0 m η = 73.2	η < 0.1	η = 0.3	x: 0.806 m η = 0.9	η = 0.1	**CUMPLE η = 73.2**
N651/N652	$\lambda_w \leq \lambda_{w,máx}$ Cumple	x: 1.694 m η = 38.0	x: 0.084 m η = 59.2	x: 0.084 m η = 6.3	x: 1.695 m η = 2.8	x: 1.695 m η = 1.0	η = 0.1	η < 0.1	η < 0.1	x: 0.084 m η = 63.9	η < 0.1	x: 0.688 m η = 0.3	x: 0.084 m η = 1.0	η = 0.1	**CUMPLE η = 63.9**
N652/N653	$\lambda_w \leq \lambda_{w,máx}$ Cumple	x: 1.694 m η = 29.6	x: 0.084 m η = 46.8	x: 0.084 m η = 7.2	x: 0.084 m η = 2.2	x: 1.695 m η = 2.0	η = 0.1	η < 0.1	η < 0.1	x: 0.084 m η = 52.3	η < 0.1	η = 0.1	x: 0.084 m η = 1.8	x: 1.293 m η < 0.1	**CUMPLE η = 52.3**
N653/N654	$\lambda_w \leq \lambda_{w,máx}$ Cumple	x: 1.717 m η = 18.5	x: 0.084 m η = 30.3	x: 0.084 m η = 5.2	x: 1.718 m η = 1.1	x: 1.718 m η = 1.6	η = 0.1	η < 0.1	η < 0.1	x: 0.084 m η = 34.0	η < 0.1	η < 0.1	x: 1.718 m η = 0.5	η < 0.1	**CUMPLE η = 34.0**
N798/N799	$\lambda_w \leq \lambda_{w,máx}$ Cumple	x: 1.7 m η = 12.9	x: 0.061 m η = 22.6	x: 0.061 m η = 3.3	x: 0.061 m η = 1.3	x: 0.061 m η = 1.6	η = 0.1	η < 0.1	η < 0.1	x: 0.061 m η = 25.4	η < 0.1	η = 0.1	x: 0.061 m η = 1.2	η < 0.1	**CUMPLE η = 25.4**
N799/N800	$\lambda_w \leq \lambda_{w,máx}$ Cumple	x: 1.7 m η = 3.2	x: 0.078 m η = 4.3	x: 1.701 m η = 6.3	x: 1.701 m η = 2.2	x: 0.078 m η = 2.8	η = 0.1	η < 0.1	η < 0.1	x: 1.701 m η = 11.4	η < 0.1	x: 1.7 m η < 0.1	x: 0.078 m η = 0.8	η < 0.1	**CUMPLE η = 11.4**
N800/N801	$\lambda_w \leq \lambda_{w,máx}$ Cumple	x: 1.7 m η = 16.6	x: 0.078 m η = 26.8	x: 1.701 m η = 5.6	x: 0.078 m η = 2.6	x: 0.078 m η = 1.5	η = 0.2	η < 0.1	η < 0.1	x: 1.701 m η = 30.7	η < 0.1	x: 1.498 m η = 0.5	x: 0.078 m η = 1.5	η = 0.2	**CUMPLE η = 30.7**
N801/N3583	$\lambda_w \leq \lambda_{w,máx}$ Cumple	x: 0.89 m η = 27.7	x: 0.078 m η = 43.8	x: 0.89 m η = 3.1	x: 0.89 m η = 2.2	x: 0.078 m η = 1.5	η = 0.2	η < 0.1	η < 0.1	x: 0.89 m η = 47.3	η < 0.1	η = 0.2	x: 0.078 m η = 1.6	η = 0.2	**CUMPLE η = 47.3**
N3583/N802	$\lambda_w \leq \lambda_{w,máx}$ Cumple	x: 0.824 m η = 27.7	x: 0 m η = 43.8	x: 0.825 m η = 5.7	x: 0.825 m η = 3.7	x: 0.825 m η = 1.4	η = 0.2	η < 0.1	η < 0.1	x: 0.825 m η = 50.2	η < 0.1	η = 0.2	x: 0.825 m η = 1.4	η = 0.2	**CUMPLE η = 50.2**
N802/N803	$\lambda_w \leq \lambda_{w,máx}$ Cumple	x: 1.713 m η = 36.2	x: 0.065 m η = 56.7	x: 1.714 m η = 5.8	x: 0.065 m η = 3.7	x: 0.065 m η = 0.8	η = 0.2	η < 0.1	η < 0.1	x: 0.065 m η = 61.9	η < 0.1	η = 0.3	x: 0.065 m η = 0.3	η < 0.1	**CUMPLE η = 61.9**
N803/N804	$\lambda_w \leq \lambda_{w,máx}$ Cumple	x: 1.708 m η = 42.7	x: 0.065 m η = 66.5	x: 1.709 m η = 7.5	x: 1.709 m η = 2.8	x: 0.065 m η = 1.1	η = 0.1	η < 0.1	η < 0.1	x: 1.709 m η = 73.2	η < 0.1	x: 0.065 m η = 0.2	x: 1.709 m η = 0.9	η = 0.1	**CUMPLE η = 73.2**
N804/N805	$\lambda_w \leq \lambda_{w,máx}$ Cumple	x: 1.708 m η = 48.3	x: 0.07 m η = 74.9	x: 0.07 m η = 6.4	x: 0.07 m η = 2.8	x: 1.709 m η = 0.5	η = 0.1	η < 0.1	η < 0.1	x: 0.07 m η = 81.1	η < 0.1	η = 0.4	x: 0.07 m η = 0.3	η = 0.1	**CUMPLE η = 81.1**
N805/N806	$\lambda_w \leq \lambda_{w,máx}$ Cumple	x: 1.708 m η = 47.3	x: 0.07 m η = 73.5	x: 0.07 m η = 5.7	x: 1.709 m η = 3.6	x: 0.07 m η = 0.4	η = 0.1	η < 0.1	η < 0.1	x: 1.709 m η = 80.5	η < 0.1	η < 0.1	x: 1.709 m η = 0.2	η = 0.1	**CUMPLE η = 80.5**
N806/N3584	$\lambda_w \leq \lambda_{w,máx}$ Cumple	x: 0.89 m η = 44.0	x: 0.07 m η = 68.4	x: 0.07 m η = 6.1	x: 0.07 m η = 3.5	x: 0.07 m η = 0.7	η = 0.1	η < 0.1	η < 0.1	x: 0.07 m η = 75.7	η < 0.1	x: 0.275 m η = 0.3	x: 0.07 m η = 0.7	η = 0.1	**CUMPLE η = 75.7**
N3584/N807	$\lambda_w \leq \lambda_{w,máx}$ Cumple	x: 0.805 m η = 44.0	x: 0 m η = 68.4	x: 0 m η = 4.8	x: 0 m η = 2.3	x: 0.806 m η = 0.9	η = 0.1	η < 0.1	η < 0.1	x: 0 m η = 73.5	η < 0.1	η = 0.3	x: 0.806 m η = 0.9	η = 0.1	**CUMPLE η = 73.5**
N807/N808	$\lambda_w \leq \lambda_{w,máx}$ Cumple	x: 1.694 m η = 38.1	x: 0.084 m η = 59.4	x: 0.084 m η = 6.3	x: 1.695 m η = 2.8	x: 1.695 m η = 1.0	η = 0.1	η < 0.1	η < 0.1	x: 0.084 m η = 64.1	η < 0.1	η = 0.2	x: 0.084 m η = 1.0	η = 0.1	**CUMPLE η = 64.1**
N808/N809	$\lambda_w \leq \lambda_{w,máx}$ Cumple	x: 1.694 m η = 29.7	x: 0.084 m η = 47.0	x: 0.084 m η = 7.2	x: 0.084 m η = 2.3	x: 1.695 m η = 2.0	η = 0.1	η < 0.1	η < 0.1	x: 0.084 m η = 52.6	η < 0.1	η = 0.1	x: 0.084 m η = 1.8	x: 0.89 m η < 0.1	**CUMPLE η = 52.6**
N809/N810	$\lambda_w \leq \lambda_{w,máx}$ Cumple	x: 1.717 m η = 18.7	x: 0.084 m η = 30.6	x: 0.084 m η = 5.2	x: 1.718 m η = 1.2	x: 1.718 m η = 1.6	η = 0.1	η < 0.1	η < 0.1	x: 0.084 m η = 34.3	η < 0.1	η < 0.1	x: 1.718 m η = 0.5	x: 0.084 m η < 0.1	**CUMPLE η = 34.3**
N954/N955	$\lambda_w \leq \lambda_{w,máx}$ Cumple	x: 1.7 m η = 13.6	x: 0.061 m η = 23.3	x: 0.061 m η = 3.4	x: 0.061 m η = 1.8	x: 0.061 m η = 1.6	η = 0.1	η < 0.1	η < 0.1	x: 0.061 m η = 26.3	η < 0.1	η = 0.1	x: 1.701 m η = 1.5	η = 0.1	**CUMPLE η = 26.3**
N955/N956	$\lambda_w \leq \lambda_{w,máx}$ Cumple	x: 1.7 m η = 3.0	x: 0.078 m η = 3.7	x: 1.701 m η = 6.3	x: 1.701 m η = 2.4	x: 0.078 m η = 2.8	η = 0.1	η < 0.1	η < 0.1	x: 1.701 m η = 11.2	η < 0.1	η = 0.1	x: 1.701 m η = 2.5	η = 0.1	**CUMPLE η = 11.2**
N956/N957	$\lambda_w \leq \lambda_{w,máx}$ Cumple	x: 1.7 m η = 16.3	x: 0.078 m η = 26.0	x: 1.701 m η = 5.6	x: 0.078 m η = 2.9	x: 0.078 m η = 1.5	η = 0.2	η < 0.1	η < 0.1	x: 1.701 m η = 29.9	η < 0.1	x: 1.296 m η = 0.5	x: 0.078 m η = 1.5	η = 0.2	**CUMPLE η = 29.9**
N957/N3582	$\lambda_w \leq \lambda_{w,máx}$ Cumple	x: 0.89 m η = 27.5	x: 0.078 m η = 43.2	x: 0.89 m η = 3.1	x: 0.89 m η = 2.3	x: 0.078 m η = 1.6	η = 0.2	η < 0.1	η < 0.1	x: 0.89 m η = 46.6	η < 0.1	η = 0.2	x: 0.078 m η = 1.6	η = 0.2	**CUMPLE η = 46.6**
N3582/N958	$\lambda_w \leq \lambda_{w,máx}$ Cumple	x: 0.824 m η = 27.5	x: 0 m η = 43.2	x: 0.825 m η = 5.7	x: 0.825 m η = 3.9	x: 0.825 m η = 1.4	η = 0.2	η < 0.1	η < 0.1	x: 0.825 m η = 49.7	η < 0.1	η = 0.2	x: 0.825 m η = 1.4	η = 0.2	**CUMPLE η = 49.7**
N958/N959	$\lambda_w \leq \lambda_{w,máx}$ Cumple	x: 1.713 m η = 36.1	x: 0.065 m η = 56.2	x: 1.714 m η = 5.8	x: 0.065 m η = 3.9	x: 0.065 m η = 0.8	η = 0.2	η < 0.1	η < 0.1	x: 0.065 m η = 61.5	η < 0.1	η = 0.3	x: 0.065 m η = 0.3	η = 0.1	**CUMPLE η = 61.5**
N959/N960	$\lambda_w \leq \lambda_{w,máx}$ Cumple	x: 1.708 m η = 42.6	x: 0.065 m η = 66.1	x: 1.709 m η = 7.5	x: 1.709 m η = 3.0	x: 0.065 m η = 1.1	η = 0.2	η < 0.1	η < 0.1	x: 1.709 m η = 72.8	η < 0.1	x: 1.708 m η = 0.3	x: 0.065 m η = 1.1	η = 0.2	**CUMPLE η = 72.8**
N960/N961	$\lambda_w \leq \lambda_{w,máx}$ Cumple	x: 1.708 m η = 48.2	x: 0.07 m η = 74.8	x: 0.07 m η = 6.4	x: 0.07 m η = 2.9	x: 1.709 m η = 0.5	η = 0.1	η < 0.1	η < 0.1	x: 0.07 m η = 80.9	η < 0.1	x: 1.3 m η = 0.4	x: 0.07 m η = 0.3	η = 0.1	**CUMPLE η = 80.9**
N961/N962	$\lambda_w \leq \lambda_{w,máx}$ Cumple	x: 1.708 m η = 47.3	x: 0.07 m η = 73.5	x: 0.07 m η = 5.7	x: 1.709 m η = 3.7	x: 0.07 m η = 0.3	η = 0.2	η < 0.1	η < 0.1	x: 1.709 m η = 80.6	η < 0.1	η = 0.2	x: 1.709 m η = 0.1	η = 0.1	**CUMPLE η = 80.6**
N962/N3581	$\lambda_w \leq \lambda_{w,máx}$ Cumple	x: 0.89 m η = 44.0	x: 0.07 m η = 68.6	x: 0.07 m η = 6.0	x: 0.07 m η = 3.7	x: 0.07 m η = 0.7	η = 0.1	η < 0.1	η < 0.1	x: 0.07 m η = 76.0	η < 0.1	x: 0.071 m η = 0.3	x: 0.07 m η = 0.7	η = 0.1	**CUMPLE η = 76.0**

Documento visado electrónicamente con número VA07290/22. Código de validación telemática TRLTDCFZ60T66IJ1. Comprobación: https://cogitivalencia.e-gestion.es/Validacion.aspx?CVT=TRLTDCFZ60T66IJ1

VISADO
COGITI
Estado
VALENCIA
VA07290/22
TRLTDCFZ60T66IJ1

Listados

Barras	COMPROBACIONES (CÓDIGO ESTRUCTURAL)															
	λ_w	N_t	N_c	M_Y	M_Z	V_Z	V_Y	M_YV_Z	M_ZV_Y	NM_YM_Z	$NM_YM_ZV_YV_Z$	M_t	M_tV_Z	M_tV_Y	
N3581/N963	$\lambda_w \leq \lambda_{w,máx}$ Cumple	x: 0.805 m η = 44.1	x: 0 m η = 68.6	x: 0 m η = 4.8	x: 0 m η = 2.3	x: 0.806 m η = 0.9	η = 0.1	η < 0.1	η < 0.1	x: 0 m η = 73.7	η < 0.1	η = 0.3	x: 0.806 m η = 0.9	η = 0.1	**CUMPLE η = 73.7**
N963/N964	$\lambda_w \leq \lambda_{w,máx}$ Cumple	x: 1.694 m η = 38.3	x: 0.084 m η = 59.8	x: 0.084 m η = 6.3	x: 1.695 m η = 2.9	x: 1.695 m η = 1.0	η = 0.1	η < 0.1	η < 0.1	x: 0.084 m η = 64.5	η < 0.1	x: 0.285 m η = 0.3	x: 1.695 m η = 1.0	η = 0.1	**CUMPLE η = 64.5**
N964/N965	$\lambda_w \leq \lambda_{w,máx}$ Cumple	x: 1.694 m η = 29.9	x: 0.084 m η = 47.5	x: 0.084 m η = 7.2	x: 0.084 m η = 2.4	x: 1.695 m η = 2.0	η = 0.1	η < 0.1	η < 0.1	x: 0.084 m η = 53.1	η < 0.1	η = 0.1	x: 0.084 m η = 1.8	x: 1.293 m η < 0.1	**CUMPLE η = 53.1**
N965/N966	$\lambda_w \leq \lambda_{w,máx}$ Cumple	x: 1.717 m η = 19.0	x: 0.084 m η = 31.2	x: 0.084 m η = 5.2	x: 1.718 m η = 1.3	x: 1.718 m η = 1.6	η = 0.1	η < 0.1	η < 0.1	x: 0.084 m η = 34.9	η < 0.1	x: 0.084 m η < 0.1	x: 1.718 m η = 0.5	x: 0.084 m η < 0.1	**CUMPLE η = 34.9**
N1110/N1111	$\lambda_w \leq \lambda_{w,máx}$ Cumple	x: 1.7 m η = 14.8	x: 0.061 m η = 24.5	x: 0.061 m η = 3.5	x: 0.061 m η = 2.2	x: 0.061 m η = 1.7	η = 0.1	η < 0.1	η < 0.1	x: 0.061 m η = 27.6	η < 0.1	η = 0.1	x: 0.061 m η = 1.7	η = 0.1	**CUMPLE η = 27.6**
N1111/N1112	$\lambda_w \leq \lambda_{w,máx}$ Cumple	x: 1.7 m η = 2.2	x: 0.078 m η = 2.5	x: 1.701 m η = 6.2	x: 1.701 m η = 2.5	x: 0.078 m η = 2.8	η = 0.1	η < 0.1	η < 0.1	x: 1.701 m η = 10.3	η < 0.1	η = 0.1	x: 0.078 m η = 2.8	η = 0.1	**CUMPLE η = 10.3**
N1112/N1113	$\lambda_w \leq \lambda_{w,máx}$ Cumple	x: 1.7 m η = 15.5	x: 0.078 m η = 24.2	x: 1.701 m η = 5.5	x: 0.078 m η = 3.0	x: 0.078 m η = 1.6	η = 0.2	η < 0.1	η < 0.1	x: 1.701 m η = 28.0	η < 0.1	x: 1.7 m η = 0.5	x: 0.078 m η = 1.6	η = 0.2	**CUMPLE η = 28.0**
N1113/N3579	$\lambda_w \leq \lambda_{w,máx}$ Cumple	x: 0.89 m η = 26.8	x: 0.078 m η = 41.5	x: 0.89 m η = 3.0	x: 0.89 m η = 2.2	x: 0.078 m η = 1.6	η = 0.2	η < 0.1	η < 0.1	x: 0.89 m η = 44.9	η < 0.1	η = 0.2	x: 0.078 m η = 1.6	η = 0.2	**CUMPLE η = 44.9**
N3579/N1114	$\lambda_w \leq \lambda_{w,máx}$ Cumple	x: 0.824 m η = 26.8	x: 0 m η = 41.5	x: 0.825 m η = 5.7	x: 0.825 m η = 4.0	x: 0.825 m η = 1.4	η = 0.2	η < 0.1	η < 0.1	x: 0.825 m η = 48.1	η < 0.1	η = 0.2	x: 0.825 m η = 1.4	η = 0.2	**CUMPLE η = 48.1**
N1114/N1115	$\lambda_w \leq \lambda_{w,máx}$ Cumple	x: 1.713 m η = 35.4	x: 0.065 m η = 54.8	x: 1.714 m η = 5.8	x: 0.065 m η = 4.0	x: 0.065 m η = 0.9	η = 0.2	η < 0.1	η < 0.1	x: 0.065 m η = 60.0	η < 0.1	x: 1.508 m η = 0.3	x: 0.065 m η = 0.3	η < 0.1	**CUMPLE η = 60.0**
N1115/N1116	$\lambda_w \leq \lambda_{w,máx}$ Cumple	x: 1.708 m η = 42.0	x: 0.065 m η = 64.9	x: 1.709 m η = 7.5	x: 1.709 m η = 2.9	x: 0.065 m η = 1.1	η = 0.2	η < 0.1	η < 0.1	x: 1.709 m η = 71.3	η < 0.1	x: 1.093 m η = 0.2	x: 0.065 m η = 1.1	η = 0.2	**CUMPLE η = 71.3**
N1116/N1117	$\lambda_w \leq \lambda_{w,máx}$ Cumple	x: 1.708 m η = 47.9	x: 0.07 m η = 74.2	x: 0.07 m η = 6.3	x: 0.07 m η = 2.8	x: 1.709 m η = 0.4	η = 0.1	η < 0.1	η < 0.1	x: 0.07 m η = 80.0	η < 0.1	x: 0.89 m η = 0.5	x: 1.709 m η = 0.3	η = 0.1	**CUMPLE η = 80.0**
N1117/N1118	$\lambda_w \leq \lambda_{w,máx}$ Cumple	x: 1.708 m η = 47.1	x: 0.07 m η = 73.2	x: 0.07 m η = 5.6	x: 1.709 m η = 3.7	x: 0.07 m η = 0.3	η = 0.2	η < 0.1	η < 0.1	x: 1.709 m η = 80.3	η < 0.1	x: 0.48 m η = 0.1	x: 1.709 m η = 0.1	x: 0.48 m η = 0.1	**CUMPLE η = 80.3**
N1118/N3580	$\lambda_w \leq \lambda_{w,máx}$ Cumple	x: 0.89 m η = 43.9	x: 0.07 m η = 68.7	x: 0.07 m η = 6.0	x: 0.07 m η = 3.7	x: 0.07 m η = 0.7	η = 0.1	η < 0.1	η < 0.1	x: 0.07 m η = 76.0	η < 0.1	x: 0.07 m η = 0.3	x: 0.07 m η = 0.7	η = 0.1	**CUMPLE η = 76.0**
N3580/N1119	$\lambda_w \leq \lambda_{w,máx}$ Cumple	x: 0.805 m η = 43.9	x: 0 m η = 68.7	x: 0 m η = 4.8	x: 0 m η = 2.2	x: 0.806 m η = 0.9	η = 0.1	η < 0.1	η < 0.1	x: 0 m η = 73.7	η < 0.1	η = 0.3	x: 0.806 m η = 0.9	η = 0.1	**CUMPLE η = 73.7**
N1119/N1120	$\lambda_w \leq \lambda_{w,máx}$ Cumple	x: 1.694 m η = 38.3	x: 0.084 m η = 60.2	x: 0.084 m η = 6.3	x: 1.695 m η = 3.1	x: 1.695 m η = 1.0	η = 0.1	η < 0.1	η < 0.1	x: 0.084 m η = 64.8	η < 0.1	x: 0.285 m η = 0.4	x: 1.695 m η = 1.0	η = 0.1	**CUMPLE η = 64.8**
N1120/N1121	$\lambda_w \leq \lambda_{w,máx}$ Cumple	x: 1.694 m η = 30.1	x: 0.084 m η = 48.3	x: 0.084 m η = 7.1	x: 0.084 m η = 2.5	x: 1.695 m η = 2.0	η = 0.1	η < 0.1	η < 0.1	x: 0.084 m η = 53.8	η < 0.1	x: 1.293 m η = 0.1	x: 1.695 m η = 0.6	x: 0.084 m η < 0.1	**CUMPLE η = 53.8**
N1121/N1122	$\lambda_w \leq \lambda_{w,máx}$ Cumple	x: 1.717 m η = 19.4	x: 0.084 m η = 32.5	x: 0.084 m η = 5.2	x: 1.718 m η = 1.6	x: 1.718 m η = 1.6	η = 0.1	η < 0.1	η < 0.1	x: 0.084 m η = 35.9	η < 0.1	η = 0.1	x: 0.084 m η = 1.4	η = 0.1	**CUMPLE η = 35.9**
N1266/N1267	$\lambda_w \leq \lambda_{w,máx}$ Cumple	x: 1.7 m η = 14.3	x: 0.061 m η = 27.0	x: 0.061 m η = 3.4	x: 0.061 m η = 3.0	x: 0.061 m η = 1.6	η = 0.1	η < 0.1	η < 0.1	x: 0.061 m η = 31.1	η < 0.1	η = 0.1	x: 0.061 m η = 1.6	η = 0.1	**CUMPLE η = 31.1**
N1267/N1268	$\lambda_w \leq \lambda_{w,máx}$ Cumple	x: 0.89 m η = 0.4	x: 0.078 m η = 4.6	x: 1.701 m η = 5.8	x: 1.701 m η = 2.5	x: 0.078 m η = 2.5	η = 0.1	η < 0.1	η < 0.1	x: 1.701 m η = 10.3	η < 0.1	η = 0.2	x: 0.078 m η = 2.5	η = 0.1	**CUMPLE η = 10.3**
N1268/N1269	$\lambda_w \leq \lambda_{w,máx}$ Cumple	x: 1.7 m η = 12.7	x: 0.078 m η = 23.1	x: 1.701 m η = 5.2	x: 0.078 m η = 3.2	x: 0.078 m η = 1.5	η = 0.2	η < 0.1	η < 0.1	x: 1.701 m η = 26.8	η < 0.1	η = 0.2	x: 0.078 m η = 1.5	η = 0.2	**CUMPLE η = 26.8**
N1269/N3577	$\lambda_w \leq \lambda_{w,máx}$ Cumple	x: 0.89 m η = 23.3	x: 0.078 m η = 39.4	x: 0.89 m η = 2.8	x: 0.89 m η = 1.9	x: 0.078 m η = 1.4	η = 0.2	η < 0.1	η < 0.1	x: 0.89 m η = 42.1	η < 0.1	η = 0.2	x: 0.078 m η = 1.4	η = 0.2	**CUMPLE η = 42.1**
N3577/N1270	$\lambda_w \leq \lambda_{w,máx}$ Cumple	x: 0.824 m η = 23.3	x: 0 m η = 39.4	x: 0.825 m η = 5.2	x: 0.825 m η = 3.9	x: 0 m η = 1.2	η = 0.2	η < 0.1	η < 0.1	x: 0.825 m η = 44.8	η < 0.1	η = 0.2	x: 0 m η = 1.2	η = 0.2	**CUMPLE η = 44.8**
N1270/N1271	$\lambda_w \leq \lambda_{w,máx}$ Cumple	x: 1.713 m η = 31.4	x: 0.065 m η = 51.6	x: 1.714 m η = 5.3	x: 0.065 m η = 3.9	x: 0.065 m η = 0.9	η = 0.1	η < 0.1	η < 0.1	x: 0.065 m η = 55.6	η < 0.1	η < 0.1	x: 0.065 m η = 0.3	η = 0.1	**CUMPLE η = 55.6**
N1271/N1272	$\lambda_w \leq \lambda_{w,máx}$ Cumple	x: 1.708 m η = 37.5	x: 0.065 m η = 60.9	x: 1.709 m η = 6.6	x: 1.709 m η = 2.4	x: 0.065 m η = 1.0	η = 0.1	η < 0.1	η < 0.1	x: 1.709 m η = 66.0	η < 0.1	η = 0.1	x: 0.065 m η = 0.9	η = 0.1	**CUMPLE η = 66.0**
N1272/N1273	$\lambda_w \leq \lambda_{w,máx}$ Cumple	x: 1.708 m η = 43.1	x: 0.07 m η = 69.3	x: 0.48 m η = 5.4	x: 0.07 m η = 2.9	x: 1.709 m η = 0.5	η = 0.1	η < 0.1	η < 0.1	x: 0.07 m η = 73.9	η < 0.1	η = 0.2	x: 1.709 m η = 0.5	η = 0.1	**CUMPLE η = 73.9**
N1273/N1274	$\lambda_w \leq \lambda_{w,máx}$ Cumple	x: 1.708 m η = 42.6	x: 0.07 m η = 68.5	x: 0.07 m η = 5.1	x: 1.709 m η = 3.6	x: 0.07 m η = 0.4	η = 0.2	η < 0.1	η < 0.1	x: 1.709 m η = 74.9	η < 0.1	η = 0.1	x: 0.07 m η = 0.4	η = 0.1	**CUMPLE η = 74.9**
N1274/N3578	$\lambda_w \leq \lambda_{w,máx}$ Cumple	x: 0.89 m η = 40.1	x: 0.07 m η = 64.9	x: 0.07 m η = 5.1	x: 0.07 m η = 3.7	x: 0.89 m η = 0.5	η = 0.2	η < 0.1	η < 0.1	x: 0.07 m η = 71.4	η < 0.1	η = 0.3	x: 0.89 m η = 0.5	η = 0.2	**CUMPLE η = 71.4**
N3578/N1275	$\lambda_w \leq \lambda_{w,máx}$ Cumple	x: 0.805 m η = 40.1	x: 0 m η = 64.9	x: 0 m η = 4.3	x: 0 m η = 2.0	x: 0.806 m η = 0.7	η = 0.2	η < 0.1	η < 0.1	x: 0 m η = 69.4	η < 0.1	η = 0.3	x: 0.806 m η = 0.7	η = 0.2	**CUMPLE η = 69.4**
N1275/N1276	$\lambda_w \leq \lambda_{w,máx}$ Cumple	x: 1.694 m η = 35.1	x: 0.084 m η = 57.3	x: 0.084 m η = 5.7	x: 1.695 m η = 2.9	x: 1.695 m η = 1.0	η = 0.2	η < 0.1	η < 0.1	x: 0.084 m η = 61.8	η < 0.1	η = 0.2	x: 1.695 m η = 1.0	η = 0.2	**CUMPLE η = 61.8**
N1276/N1277	$\lambda_w \leq \lambda_{w,máx}$ Cumple	x: 1.694 m η = 28.1	x: 0.084 m η = 47.2	x: 0.084 m η = 6.0	x: 0.084 m η = 2.4	x: 1.695 m η = 1.6	η = 0.1	η < 0.1	η < 0.1	x: 0.084 m η = 51.5	η < 0.1	η = 0.1	x: 0.084 m η = 1.4	η < 0.1	**CUMPLE η = 51.5**
N1277/N1278	$\lambda_w \leq \lambda_{w,máx}$ Cumple	x: 1.717 m η = 18.7	x: 0.084 m η = 33.0	x: 0.084 m η = 4.7	x: 1.718 m η = 2.3	x: 1.718 m η = 1.4	η = 0.1	η < 0.1	η < 0.1	x: 0.084 m η = 36.2	η < 0.1	η = 0.1	x: 1.718 m η = 1.4	η = 0.1	**CUMPLE η = 36.2**
N61/N62	$\lambda_w \leq \lambda_{w,máx}$ Cumple	x: 1.7 m η = 8.8	x: 0.061 m η = 31.1	x: 0.061 m η = 3.4	x: 0.061 m η = 3.7	x: 0.061 m η = 1.5	η = 0.2	η < 0.1	η < 0.1	x: 0.061 m η = 34.2	η < 0.1	η = 0.1	x: 0.061 m η = 1.0	η = 0.2	**CUMPLE η = 34.2**
N62/N63	$\lambda_w \leq \lambda_{w,máx}$ Cumple	x: 1.7 m η = 0.9	x: 0.078 m η = 10.0	x: 1.701 m η = 5.1	x: 1.701 m η = 3.1	x: 0.078 m η = 2.5	η = 0.2	η < 0.1	η < 0.1	x: 0.078 m η = 12.7	η < 0.1	η = 0.1	x: 0.078 m η = 1.7	η = 0.2	**CUMPLE η = 12.7**
N63/N64	$\lambda_w \leq \lambda_{w,máx}$ Cumple	x: 1.7 m η = 9.0	x: 0.078 m η = 15.9	x: 1.701 m η = 4.3	x: 0.078 m η = 3.3	x: 0.078 m η = 1.3	η = 0.1	η < 0.1	η < 0.1	x: 0.078 m η = 19.4	η < 0.1	η = 0.1	x: 0.078 m η = 1.3	η = 0.1	**CUMPLE η = 19.4**
N64/N3560	$\lambda_w \leq \lambda_{w,máx}$ Cumple	x: 0.89 m η = 18.2	x: 0.078 m η = 23.8	x: 0.89 m η = 2.4	x: 0.078 m η = 1.0	x: 0.078 m η = 1.3	η = 0.1	η < 0.1	η < 0.1	x: 0.89 m η = 25.5	η < 0.1	η = 0.1	x: 0.89 m η = 0.6	η = 0.1	**CUMPLE η = 25.5**
N3560/N65	$\lambda_w \leq \lambda_{w,máx}$ Cumple	x: 0.824 m η = 18.2	x: 0 m η = 23.8	x: 0.825 m η = 4.4	x: 0.825 m η = 2.4	x: 0 m η = 1.1	η = 0.1	η < 0.1	η < 0.1	x: 0.825 m η = 27.7	η < 0.1	η = 0.1	x: 0.825 m η = 0.7	η = 0.1	**CUMPLE η = 27.7**
N65/N66	$\lambda_w \leq \lambda_{w,máx}$ Cumple	x: 1.713 m η = 24.6	x: 0.065 m η = 29.1	x: 1.714 m η = 4.1	x: 0.065 m η = 2.5	x: 0.065 m η = 0.6	η = 0.1	η < 0.1	η < 0.1	x: 0.065 m η = 32.6	η < 0.1	x: 0.065 m η < 0.1	x: 0.065 m η = 0.2	x: 0.065 m η < 0.1	**CUMPLE η = 32.6**
N66/N67	$\lambda_w \leq \lambda_{w,máx}$ Cumple	x: 1.708 m η = 28.2	x: 0.065 m η = 32.0	x: 1.709 m η = 5.5	x: 1.709 m η = 2.7	x: 0.065 m η = 0.8	η = 0.1	η < 0.1	η < 0.1	x: 1.709 m η = 36.4	η < 0.1	η = 0.1	x: 1.709 m η = 0.5	η = 0.1	**CUMPLE η = 36.4**
N67/N68	$\lambda_w \leq \lambda_{w,máx}$ Cumple	x: 1.708 m η = 27.1	x: 0.07 m η = 29.9	x: 0.07 m η = 5.8	x: 0.07 m η = 2.7	x: 1.709 m η = 0.9	η = 0.1	η < 0.1	η < 0.1	x: 0.07 m η = 34.5	η < 0.1	η = 0.1	x: 0.07 m η = 0.5	η = 0.1	**CUMPLE η = 34.5**
N68/N69	$\lambda_w \leq \lambda_{w,máx}$ Cumple	x: 1.708 m η = 22.5	x: 0.07 m η = 25.0	x: 0.07 m η = 4.5	x: 1.709 m η = 2.5	x: 1.709 m η = 0.7	η = 0.1	η < 0.1	η < 0.1	x: 1.709 m η = 28.4	η < 0.1	η < 0.1	x: 1.709 m η = 0.2	η < 0.1	**CUMPLE η = 28.4**
N69/N3561	$\lambda_w \leq \lambda_{w,máx}$ Cumple	x: 0.89 m η = 15.2	x: 0.07 m η = 17.9	x: 0.07 m η = 4.9	x: 0.07 m η = 2.4	x: 0.89 m η = 1.4	η = 0.1	η < 0.1	η < 0.1	x: 0.07 m η = 21.9	η < 0.1	η = 0.1	x: 0.07 m η = 1.0	η = 0.1	**CUMPLE η = 21.9**
N3561/N70	$\lambda_w \leq \lambda_{w,máx}$ Cumple	x: 0.805 m η = 15.2	x: 0 m η = 17.9	x: 0 m η = 2.2	x: 0.806 m η = 0.9	x: 0.806 m η = 1.6	η = 0.1	η < 0.1	η < 0.1	x: 0 m η = 19.4	η < 0.1	η = 0.1	x: 0 m η = 0.9	η = 0.1	**CUMPLE η = 19.4**

Documento visado electrónicamente con número: VA07290/22
Código de validación telemática TRLTDCFZ60T66IJ1. Comprobación: https://cogitivalencia.e-gestion.es/Validacion.aspx?CVT=TRLTDCFZ60T66IJ1

VISADO
COGITI
Estado
VALENCIA
VA07299/22
TRLTDCFZ60T66IJ1

Barras	COMPROBACIONES (CÓDIGO ESTRUCTURAL)														
	λ_w	N_t	N_c	M_Y	M_Z	V_Z	V_Y	M_YV_Z	M_ZV_Y	NM_YM_Z	$NM_YM_ZV_YV_Z$	M_t	M_tV_Z	M_tV_Y	
N70/N71	$\lambda_w \leq \lambda_{w,máx}$ Cumple	x: 1.694 m η = 5.0	x: 0.084 m η = 5.1	x: 0.084 m η = 4.8	x: 1.695 m η = 3.3	x: 1.695 m η = 1.5	η = 0.1	η < 0.1	η < 0.1	x: 0.084 m η = 10.2	η < 0.1	η = 0.1	x: 1.695 m η = 1.1	η = 0.1	**CUMPLE η = 10.2**
N71/N72	$\lambda_w \leq \lambda_{w,máx}$ Cumple	x: 1.694 m η = 6.6	x: 0.084 m η = 13.6	x: 1.695 m η = 6.5	x: 0.084 m η = 3.0	x: 1.695 m η = 3.2	η = 0.2	η < 0.1	η < 0.1	x: 1.695 m η = 18.0	η < 0.1	η = 0.1	x: 1.695 m η = 2.2	η = 0.2	**CUMPLE η = 18.0**
N72/N73	$\lambda_w \leq \lambda_{w,máx}$ Cumple	x: 1.717 m η = 17.2	x: 0.084 m η = 38.3	x: 0.084 m η = 1.8	x: 1.718 m η = 3.7	x: 1.718 m η = 0.5	η = 0.2	η < 0.1	η < 0.1	x: 1.105 m η = 40.1	η < 0.1	η = 0.1	x: 1.718 m η = 0.4	η = 0.2	**CUMPLE η = 40.1**
N141/N142	$\lambda_w \leq \lambda_{w,máx}$ Cumple	x: 1.68 m η = 13.7	x: 0.076 m η = 34.2	x: 0.076 m η = 4.4	x: 0.076 m η = 4.0	x: 0.076 m η = 2.0	η = 0.2	η < 0.1	η < 0.1	x: 0.076 m η = 36.9	η < 0.1	η = 0.2	x: 0.076 m η = 2.0	η = 0.2	**CUMPLE η = 36.9**
N142/N143	$\lambda_w \leq \lambda_{w,máx}$ Cumple	x: 1.7 m η = 3.3	x: 0.098 m η = 9.1	x: 0.098 m η = 7.9	x: 1.701 m η = 3.6	x: 0.098 m η = 4.2	η = 0.2	η < 0.1	η < 0.1	x: 0.098 m η = 17.5	η < 0.1	η = 0.1	x: 0.098 m η = 4.2	η = 0.2	**CUMPLE η = 17.5**
N143/N144	$\lambda_w \leq \lambda_{w,máx}$ Cumple	x: 1.7 m η = 6.6	x: 0.078 m η = 8.1	x: 1.701 m η = 5.3	x: 0.078 m η = 3.8	x: 0.078 m η = 1.8	η = 0.2	η < 0.1	η < 0.1	x: 1.701 m η = 12.6	η < 0.1	η = 0.1	x: 0.078 m η = 1.8	η = 0.2	**CUMPLE η = 12.6**
N144/N3563	$\lambda_w \leq \lambda_{w,máx}$ Cumple	x: 0.89 m η = 17.2	x: 0.078 m η = 19.1	x: 0.89 m η = 3.2	x: 0.078 m η = 1.5	x: 0.078 m η = 1.4	η = 0.2	η < 0.1	η < 0.1	x: 0.89 m η = 21.7	η < 0.1	η = 0.1	x: 0.078 m η = 1.4	η = 0.2	**CUMPLE η = 21.7**
N3563/N145	$\lambda_w \leq \lambda_{w,máx}$ Cumple	x: 0.811 m η = 17.2	x: 0 m η = 19.1	x: 0.812 m η = 5.0	x: 0.812 m η = 2.4	x: 0 m η = 1.2	η = 0.2	η < 0.1	η < 0.1	x: 0.812 m η = 24.0	η < 0.1	η = 0.1	x: 0 m η = 1.2	η = 0.2	**CUMPLE η = 24.0**
N145/N146	$\lambda_w \leq \lambda_{w,máx}$ Cumple	x: 1.7 m η = 24.5	x: 0.078 m η = 24.9	x: 1.701 m η = 6.7	x: 0.078 m η = 2.4	x: 0.078 m η = 1.5	η = 0.2	η < 0.1	η < 0.1	x: 1.701 m η = 31.6	η < 0.1	η < 0.1	x: 1.701 m η = 1.0	η = 0.2	**CUMPLE η = 31.6**
N146/N147	$\lambda_w \leq \lambda_{w,máx}$ Cumple	x: 1.694 m η = 28.7	x: 0.078 m η = 28.0	x: 1.695 m η = 8.5	x: 1.695 m η = 2.8	x: 0.078 m η = 1.2	η = 0.2	η < 0.1	η < 0.1	x: 1.695 m η = 38.2	η < 0.1	η = 0.1	x: 0.078 m η = 1.2	η = 0.2	**CUMPLE η = 38.2**
N147/N148	$\lambda_w \leq \lambda_{w,máx}$ Cumple	x: 1.694 m η = 27.9	x: 0.084 m η = 26.4	x: 0.084 m η = 8.8	x: 0.084 m η = 2.7	x: 1.695 m η = 1.2	η = 0.2	η < 0.1	η < 0.1	x: 0.084 m η = 37.7	η < 0.1	x: 0.084 m η = 0.1	x: 1.695 m η = 1.2	η = 0.2	**CUMPLE η = 37.7**
N148/N149	$\lambda_w \leq \lambda_{w,máx}$ Cumple	x: 1.694 m η = 23.1	x: 0.084 m η = 21.8	x: 0.084 m η = 7.5	x: 1.695 m η = 2.5	x: 1.695 m η = 1.9	η = 0.2	η < 0.1	η < 0.1	x: 0.084 m η = 30.8	η < 0.1	η < 0.1	x: 1.695 m η = 0.3	η = 0.1	**CUMPLE η = 30.8**
N149/N3562	$\lambda_w \leq \lambda_{w,máx}$ Cumple	x: 0.89 m η = 15.0	x: 0.084 m η = 14.4	x: 0.084 m η = 5.4	x: 0.084 m η = 2.4	x: 0.89 m η = 1.5	η = 0.2	η < 0.1	η < 0.1	x: 0.084 m η = 22.1	η < 0.1	η = 0.1	x: 0.89 m η = 1.5	η = 0.2	**CUMPLE η = 22.1**
N3562/N150	$\lambda_w \leq \lambda_{w,máx}$ Cumple	x: 0.805 m η = 15.0	x: 0 m η = 14.4	x: 0 m η = 3.2	x: 0.806 m η = 1.5	x: 0.806 m η = 1.6	η = 0.2	η < 0.1	η < 0.1	x: 0 m η = 19.3	η < 0.1	η = 0.1	x: 0.806 m η = 1.6	η = 0.2	**CUMPLE η = 19.3**
N150/N151	$\lambda_w \leq \lambda_{w,máx}$ Cumple	x: 1.694 m η = 3.7	x: 0.084 m η = 3.7	x: 0.084 m η = 5.8	x: 1.695 m η = 3.7	x: 1.695 m η = 2.0	η = 0.2	η < 0.1	η < 0.1	x: 0.084 m η = 10.2	η < 0.1	η = 0.2	x: 1.695 m η = 2.0	η = 0.2	**CUMPLE η = 10.2**
N151/N152	$\lambda_w \leq \lambda_{w,máx}$ Cumple	x: 1.673 m η = 8.1	x: 0.084 m η = 15.4	x: 1.674 m η = 10.4	x: 0.084 m η = 3.5	x: 1.674 m η = 5.3	η = 0.3	η < 0.1	η < 0.1	x: 1.674 m η = 23.1	η < 0.1	η = 0.1	x: 1.674 m η = 5.3	η = 0.3	**CUMPLE η = 23.1**
N152/N153	$\lambda_w \leq \lambda_{w,máx}$ Cumple	x: 1.702 m η = 20.5	x: 0.105 m η = 39.4	x: 1.703 m η = 1.9	x: 1.703 m η = 4.9	x: 0.105 m η = 0.5	η = 0.3	η < 0.1	η < 0.1	x: 1.703 m η = 42.0	η < 0.1	η = 0.1	x: 0.105 m η = 0.5	η = 0.3	**CUMPLE η = 42.0**
N245/N246	$\lambda_w \leq \lambda_{w,máx}$ Cumple	x: 1.68 m η = 10.8	x: 0.076 m η = 24.9	x: 0.076 m η = 3.1	x: 0.076 m η = 3.0	x: 0.076 m η = 1.4	η = 0.2	η < 0.1	η < 0.1	x: 0.076 m η = 26.7	η < 0.1	η = 0.2	x: 0.076 m η = 1.4	η = 0.2	**CUMPLE η = 26.7**
N246/N247	$\lambda_w \leq \lambda_{w,máx}$ Cumple	x: 1.7 m η = 1.9	x: 0.098 m η = 7.6	x: 0.098 m η = 5.7	x: 1.701 m η = 3.2	x: 0.098 m η = 3.0	η = 0.2	η < 0.1	η < 0.1	x: 0.098 m η = 13.1	η < 0.1	η < 0.1	x: 0.098 m η = 3.0	η = 0.2	**CUMPLE η = 13.1**
N247/N248	$\lambda_w \leq \lambda_{w,máx}$ Cumple	x: 1.7 m η = 4.6	x: 0.078 m η = 7.1	x: 1.701 m η = 3.7	x: 0.078 m η = 3.5	x: 0.078 m η = 1.3	η = 0.2	η < 0.1	η < 0.1	x: 1.701 m η = 10.9	η < 0.1	x: 1.296 m η = 0.3	x: 0.078 m η = 1.3	η = 0.2	**CUMPLE η = 10.9**
N248/N3564	$\lambda_w \leq \lambda_{w,máx}$ Cumple	x: 0.89 m η = 11.9	x: 0.078 m η = 16.1	x: 0.89 m η = 2.3	x: 0.078 m η = 1.7	x: 0.078 m η = 1.0	η = 0.2	η < 0.1	η < 0.1	x: 0.89 m η = 18.6	η < 0.1	η = 0.3	x: 0.078 m η = 1.0	η = 0.2	**CUMPLE η = 18.6**
N3564/N249	$\lambda_w \leq \lambda_{w,máx}$ Cumple	x: 0.811 m η = 11.9	x: 0 m η = 16.1	x: 0.812 m η = 3.4	x: 0.812 m η = 2.3	x: 0 m η = 0.8	η = 0.2	η < 0.1	η < 0.1	x: 0.812 m η = 19.8	η < 0.1	x: 0.609 m η = 0.3	x: 0 m η = 0.8	η = 0.2	**CUMPLE η = 19.8**
N249/N250	$\lambda_w \leq \lambda_{w,máx}$ Cumple	x: 1.7 m η = 17.0	x: 0.078 m η = 20.6	x: 1.701 m η = 4.6	x: 0.078 m η = 2.3	x: 0.078 m η = 1.1	η = 0.1	η < 0.1	η < 0.1	x: 0.078 m η = 23.8	η < 0.1	η = 0.2	x: 0.078 m η = 0.8	η = 0.1	**CUMPLE η = 23.8**
N250/N251	$\lambda_w \leq \lambda_{w,máx}$ Cumple	x: 1.694 m η = 19.8	x: 0.078 m η = 23.0	x: 1.695 m η = 6.1	x: 1.695 m η = 2.4	x: 0.078 m η = 1.0	η = 0.1	η < 0.1	η < 0.1	x: 1.695 m η = 27.4	η < 0.1	x: 1.291 m η = 0.4	x: 0.078 m η = 1.0	η = 0.1	**CUMPLE η = 27.4**
N251/N252	$\lambda_w \leq \lambda_{w,máx}$ Cumple	x: 1.694 m η = 19.1	x: 0.084 m η = 21.2	x: 0.084 m η = 6.4	x: 0.084 m η = 2.4	x: 1.695 m η = 1.0	η = 0.1	η < 0.1	η < 0.1	x: 0.084 m η = 26.9	η < 0.1	η = 0.3	x: 0.084 m η = 0.8	η = 0.1	**CUMPLE η = 26.9**
N252/N253	$\lambda_w \leq \lambda_{w,máx}$ Cumple	x: 1.694 m η = 15.5	x: 0.084 m η = 17.1	x: 0.084 m η = 5.2	x: 1.695 m η = 2.1	x: 1.695 m η = 1.4	η = 0.1	η < 0.1	η < 0.1	x: 0.084 m η = 21.0	η < 0.1	x: 0.688 m η = 0.4	x: 0.084 m η = 1.0	η = 0.1	**CUMPLE η = 21.0**
N253/N3565	$\lambda_w \leq \lambda_{w,máx}$ Cumple	x: 0.89 m η = 9.8	x: 0.084 m η = 8.3	x: 0.084 m η = 3.7	x: 0.084 m η = 2.1	x: 0.89 m η = 1.1	η = 0.2	η < 0.1	η < 0.1	x: 0.084 m η = 15.4	η < 0.1	η = 0.2	x: 0.89 m η = 1.1	η = 0.2	**CUMPLE η = 15.4**
N3565/N254	$\lambda_w \leq \lambda_{w,máx}$ Cumple	x: 0.805 m η = 9.8	x: 0 m η = 8.3	x: 0 m η = 2.1	x: 0.806 m η = 1.7	x: 0.806 m η = 1.2	η = 0.2	η < 0.1	η < 0.1	x: 0 m η = 13.1	η < 0.1	η = 0.2	x: 0.806 m η = 1.2	η = 0.2	**CUMPLE η = 13.1**
N254/N255	$\lambda_w \leq \lambda_{w,máx}$ Cumple	x: 1.694 m η = 1.7	x: 0.084 m η = 2.4	x: 0.084 m η = 4.0	x: 1.695 m η = 3.3	x: 1.695 m η = 1.5	η = 0.2	η < 0.1	η < 0.1	x: 0.084 m η = 6.3	η < 0.1	η = 0.5	x: 1.695 m η = 1.5	η = 0.2	**CUMPLE η = 6.3**
N255/N256	$\lambda_w \leq \lambda_{w,máx}$ Cumple	x: 1.673 m η = 7.7	x: 0.084 m η = 9.6	x: 1.674 m η = 7.6	x: 0.084 m η = 2.9	x: 1.674 m η = 3.9	η = 0.2	η < 0.1	η < 0.1	x: 1.674 m η = 17.9	η < 0.1	x: 0.084 m η = 0.1	x: 1.674 m η = 3.9	η = 0.2	**CUMPLE η = 17.9**
N256/N257	$\lambda_w \leq \lambda_{w,máx}$ Cumple	x: 1.702 m η = 18.1	x: 0.105 m η = 29.5	x: 1.703 m η = 1.3	x: 1.703 m η = 3.8	x: 0.105 m η = 0.5	η = 0.2	η < 0.1	η < 0.1	x: 1.703 m η = 31.2	η < 0.1	η = 0.1	x: 0.105 m η = 0.5	η = 0.2	**CUMPLE η = 31.2**
N453/N454	$\lambda_w \leq \lambda_{w,máx}$ Cumple	x: 1.7 m η = 12.4	x: 0.061 m η = 28.9	x: 0.061 m η = 2.9	x: 0.061 m η = 1.7	x: 0.061 m η = 1.3	η = 0.1	η < 0.1	η < 0.1	x: 0.061 m η = 30.9	η < 0.1	η = 0.1	x: 0.061 m η = 0.5	η < 0.1	**CUMPLE η = 30.9**
N454/N455	$\lambda_w \leq \lambda_{w,máx}$ Cumple	x: 1.7 m η = 1.4	x: 0.078 m η = 11.0	x: 1.701 m η = 4.6	x: 1.701 m η = 2.1	x: 0.078 m η = 2.2	η = 0.1	η < 0.1	η < 0.1	x: 1.701 m η = 13.6	η < 0.1	η < 0.1	x: 0.078 m η = 0.7	x: 1.498 m η < 0.1	**CUMPLE η = 13.6**
N455/N456	$\lambda_w \leq \lambda_{w,máx}$ Cumple	x: 1.7 m η = 8.2	x: 0.078 m η = 19.4	x: 1.701 m η = 4.1	x: 0.078 m η = 2.6	x: 0.078 m η = 1.2	x: 1.498 m η = 0.1	η < 0.1	η < 0.1	x: 1.701 m η = 22.2	η < 0.1	x: 1.498 m η = 0.4	x: 1.701 m η = 1.1	x: 1.498 m η = 0.1	**CUMPLE η = 22.2**
N456/N3566	$\lambda_w \leq \lambda_{w,máx}$ Cumple	x: 0.89 m η = 16.4	x: 0.078 m η = 31.2	x: 0.89 m η = 2.3	x: 0.078 m η = 1.7	x: 0.078 m η = 1.1	η = 0.1	η < 0.1	η < 0.1	x: 0.89 m η = 33.7	η < 0.1	η = 0.5	x: 0.89 m η = 0.8	η = 0.1	**CUMPLE η = 33.7**
N451/N452	$\lambda_w \leq \lambda_{w,máx}$ Cumple	x: 1.7 m η = 45.7	x: 0.141 m η = 82.9	x: 0.141 m η = 25.9	x: 0.141 m η = 2.8	x: 0.141 m η = 9.9	η = 0.1	η < 0.1	η < 0.1	x: 1.701 m η = 88.5	η < 0.1	η = 0.3	x: 0.141 m η = 9.9	η = 0.1	**CUMPLE η = 88.5**
N452/N453	$\lambda_w \leq \lambda_{w,máx}$ Cumple	x: 1.7 m η = 27.1	x: 0.078 m η = 53.6	x: 0.078 m η = 14.5	x: 0.078 m η = 2.0	x: 1.701 m η = 5.0	η = 0.1	η < 0.1	η < 0.1	x: 0.078 m η = 60.9	η < 0.1	η = 0.2	x: 1.701 m η = 5.0	η = 0.1	**CUMPLE η = 60.9**
N3566/N457	$\lambda_w \leq \lambda_{w,máx}$ Cumple	x: 0.824 m η = 16.4	x: 0 m η = 31.2	x: 0.825 m η = 4.0	x: 0.825 m η = 2.0	x: 0 m η = 1.0	η = 0.1	η < 0.1	η < 0.1	x: 0.825 m η = 35.4	η < 0.1	η = 0.5	x: 0.825 m η = 0.9	η = 0.1	**CUMPLE η = 35.4**
N457/N458	$\lambda_w \leq \lambda_{w,máx}$ Cumple	x: 1.713 m η = 22.1	x: 0.065 m η = 38.9	x: 1.714 m η = 3.9	x: 0.065 m η = 2.0	x: 0.065 m η = 0.5	η = 0.1	η < 0.1	η < 0.1	x: 0.065 m η = 42.5	η < 0.1	η = 0.2	x: 0.065 m η = 0.3	η = 0.1	**CUMPLE η = 42.5**
N458/N459	$\lambda_w \leq \lambda_{w,máx}$ Cumple	x: 1.708 m η = 25.4	x: 0.065 m η = 43.2	x: 1.709 m η = 4.9	x: 1.709 m η = 1.7	x: 0.065 m η = 0.8	η = 0.1	η < 0.1	η < 0.1	x: 1.709 m η = 47.2	η < 0.1	η = 0.5	x: 1.709 m η = 0.5	η = 0.1	**CUMPLE η = 47.2**
N459/N460	$\lambda_w \leq \lambda_{w,máx}$ Cumple	x: 1.708 m η = 24.6	x: 0.07 m η = 40.5	x: 0.07 m η = 5.2	x: 0.07 m η = 1.7	x: 1.709 m η = 0.8	η = 0.1	η < 0.1	η < 0.1	x: 0.07 m η = 44.8	η < 0.1	η = 0.6	x: 0.07 m η = 0.7	η = 0.1	**CUMPLE η = 44.8**
N460/N461	$\lambda_w \leq \lambda_{w,máx}$ Cumple	x: 1.708 m η = 20.6	x: 0.07 m η = 33.7	x: 0.07 m η = 4.4	x: 1.709 m η = 1.8	x: 0.07 m η = 0.7	η = 0.1	η < 0.1	η < 0.1	x: 1.709 m η = 36.8	η < 0.1	x: 0.07 m η = 0.3	x: 1.709 m η = 0.3	η = 0.1	**CUMPLE η = 36.8**
N461/N3595	$\lambda_w \leq \lambda_{w,máx}$ Cumple	x: 0.89 m η = 14.2	x: 0.07 m η = 23.4	x: 0.07 m η = 4.5	x: 0.07 m η = 1.8	x: 0.07 m η = 1.3	η = 0.1	η < 0.1	η < 0.1	x: 0.07 m η = 27.6	η < 0.1	x: 0.07 m η = 0.5	x: 0.07 m η = 1.3	η = 0.1	**CUMPLE η = 27.6**

Código de validación telemática: TRLTDCFZ60T66IJ1. Comprobación: https://cogitivalencia.e-gestion.es/Validacion.aspx?cV= TRLTDCFZ60T66IJ1

VISADO
COGITI
Estado
VALENCIA
VA07290/22
TRLTDCFZ60T66IJ1

Barras	COMPROBACIONES (CÓDIGO ESTRUCTURAL)														
	λ_w	N_t	N_c	M_Y	M_Z	V_Z	V_Y	M_YV_Z	M_ZV_Y	NM_YM_Z	$NM_YM_ZV_YV_Z$	M_t	M_tV_Z	M_tV_Y	
N3595/N462	$\lambda_w \leq \lambda_{w,máx}$ Cumple	x: 0.805 m η = 14.2	x: 0 m η = 23.4	x: 0 m η = 2.0	x: 0.806 m η = 1.9	x: 0.806 m η = 1.4	η = 0.1	η < 0.1	η < 0.1	x: 0 m η = 25.6	η < 0.1	η = 0.5	x: 0 m η = 1.2	η = 0.1	**CUMPLE η = 25.6**
N462/N463	$\lambda_w \leq \lambda_{w,máx}$ Cumple	x: 1.694 m η = 5.2	x: 0.084 m η = 5.7	x: 0.084 m η = 4.5	x: 1.695 m η = 2.3	x: 0.084 m η = 1.4	x: 0.688 m η = 0.1	η < 0.1	η < 0.1	x: 0.084 m η = 10.7	η < 0.1	x: 0.688 m η = 0.5	x: 0.084 m η = 1.4	x: 0.688 m η = 0.1	**CUMPLE η = 10.7**
N463/N464	$\lambda_w \leq \lambda_{w,máx}$ Cumple	x: 1.694 m η = 7.3	x: 0.084 m η = 12.3	x: 1.695 m η = 5.8	x: 0.084 m η = 1.8	x: 1.695 m η = 2.9	η = 0.1	η < 0.1	η < 0.1	x: 1.695 m η = 16.0	η < 0.1	η = 0.1	x: 1.695 m η = 0.8	x: 0.285 m η < 0.1	**CUMPLE η = 16.0**
N464/N465	$\lambda_w \leq \lambda_{w,máx}$ Cumple	x: 1.717 m η = 21.5	x: 0.084 m η = 34.4	x: 0.084 m η = 1.7	x: 1.718 m η = 1.8	x: 0.084 m η = 0.4	η = 0.1	η < 0.1	η < 0.1	x: 0.084 m η = 35.7	η < 0.1	η < 0.1	x: 1.718 m η = 0.2	η < 0.1	**CUMPLE η = 35.7**
N465/N466	$\lambda_w \leq \lambda_{w,máx}$ Cumple	x: 1.661 m η = 36.0	x: 0.084 m η = 57.2	x: 1.662 m η = 32.9	x: 1.662 m η = 1.5	x: 1.662 m η = 10.5	η < 0.1	η < 0.1	η < 0.1	x: 1.662 m η = 75.8	η < 0.1	η = 0.1	x: 1.662 m η = 8.7	η < 0.1	**CUMPLE η = 75.8**
N466/N467	$\lambda_w \leq \lambda_{w,máx}$ Cumple	x: 1.637 m η = 43.9	x: 0.117 m η = 70.0	x: 0.117 m η = 17.5	x: 1.638 m η = 2.8	x: 1.638 m η = 6.2	η = 0.1	η < 0.1	η < 0.1	x: 0.117 m η = 79.6	η < 0.1	η < 0.1	x: 0.117 m η = 2.0	η = 0.1	**CUMPLE η = 79.6**
N607/N608	$\lambda_w \leq \lambda_{w,máx}$ Cumple	x: 1.7 m η = 46.4	x: 0.141 m η = 84.1	x: 0.141 m η = 26.4	x: 0.141 m η = 3.1	x: 0.141 m η = 10.1	η = 0.2	η < 0.1	η < 0.1	x: 1.701 m η = 89.7	η < 0.1	η = 0.3	x: 0.141 m η = 10.1	η = 0.2	**CUMPLE η = 89.7**
N608/N609	$\lambda_w \leq \lambda_{w,máx}$ Cumple	x: 1.7 m η = 27.6	x: 0.078 m η = 54.6	x: 0.078 m η = 14.7	x: 0.078 m η = 2.0	x: 1.701 m η = 5.0	η = 0.1	η < 0.1	η < 0.1	x: 0.078 m η = 62.1	η < 0.1	η = 0.2	x: 0.078 m η = 4.0	η = 0.1	**CUMPLE η = 62.1**
N609/N610	$\lambda_w \leq \lambda_{w,máx}$ Cumple	x: 1.7 m η = 12.7	x: 0.061 m η = 29.6	x: 0.061 m η = 3.0	x: 0.061 m η = 1.6	x: 0.061 m η = 1.3	η = 0.1	η < 0.1	η < 0.1	x: 0.061 m η = 32.1	η < 0.1	η = 0.1	x: 0.061 m η = 0.5	η < 0.1	**CUMPLE η = 32.1**
N610/N611	$\lambda_w \leq \lambda_{w,máx}$ Cumple	x: 1.7 m η = 1.4	x: 0.078 m η = 11.2	x: 1.701 m η = 4.7	x: 1.701 m η = 2.0	x: 0.078 m η = 2.3	η = 0.1	η < 0.1	η < 0.1	x: 1.701 m η = 14.1	η < 0.1	η < 0.1	x: 0.078 m η = 0.7	η < 0.1	**CUMPLE η = 14.1**
N611/N612	$\lambda_w \leq \lambda_{w,máx}$ Cumple	x: 1.7 m η = 8.0	x: 0.078 m η = 19.2	x: 1.701 m η = 4.2	x: 0.078 m η = 2.5	x: 0.078 m η = 1.2	η = 0.1	η < 0.1	η < 0.1	x: 1.701 m η = 22.1	η < 0.1	x: 1.093 m η = 0.4	x: 1.701 m η = 1.1	η = 0.1	**CUMPLE η = 22.1**
N612/N3567	$\lambda_w \leq \lambda_{w,máx}$ Cumple	x: 0.89 m η = 16.3	x: 0.078 m η = 31.1	x: 0.89 m η = 2.3	x: 0.078 m η = 1.7	x: 0.078 m η = 1.1	η = 0.1	η < 0.1	η < 0.1	x: 0.89 m η = 33.7	η < 0.1	η = 0.5	x: 0.89 m η = 0.8	η = 0.1	**CUMPLE η = 33.7**
N3567/N613	$\lambda_w \leq \lambda_{w,máx}$ Cumple	x: 0.824 m η = 16.3	x: 0 m η = 31.1	x: 0.825 m η = 4.1	x: 0.825 m η = 2.1	x: 0 m η = 1.0	η = 0.1	η < 0.1	η < 0.1	x: 0.825 m η = 35.5	η < 0.1	η = 0.5	x: 0.825 m η = 0.9	η = 0.1	**CUMPLE η = 35.5**
N613/N614	$\lambda_w \leq \lambda_{w,máx}$ Cumple	x: 1.713 m η = 22.0	x: 0.065 m η = 39.0	x: 1.714 m η = 3.9	x: 0.065 m η = 2.2	x: 0.065 m η = 0.5	η = 0.1	η < 0.1	η < 0.1	x: 0.065 m η = 42.7	η < 0.1	η = 0.3	x: 0.065 m η = 0.3	η = 0.1	**CUMPLE η = 42.7**
N614/N615	$\lambda_w \leq \lambda_{w,máx}$ Cumple	x: 1.708 m η = 25.4	x: 0.065 m η = 43.3	x: 1.709 m η = 5.1	x: 1.709 m η = 1.7	x: 0.065 m η = 0.8	η = 0.1	η < 0.1	η < 0.1	x: 1.709 m η = 47.5	η < 0.1	η = 0.4	x: 1.709 m η = 0.6	η = 0.1	**CUMPLE η = 47.5**
N615/N616	$\lambda_w \leq \lambda_{w,máx}$ Cumple	x: 1.708 m η = 24.8	x: 0.07 m η = 40.6	x: 0.07 m η = 5.4	x: 0.07 m η = 1.6	x: 1.709 m η = 0.8	η = 0.1	η < 0.1	η < 0.1	x: 0.07 m η = 45.0	η < 0.1	x: 1.3 m η = 0.8	x: 0.07 m η = 0.5	η = 0.1	**CUMPLE η = 45.0**
N616/N617	$\lambda_w \leq \lambda_{w,máx}$ Cumple	x: 1.708 m η = 20.7	x: 0.07 m η = 33.6	x: 0.07 m η = 4.4	x: 1.709 m η = 1.9	x: 0.07 m η = 0.7	η = 0.1	η < 0.1	η < 0.1	x: 1.709 m η = 36.8	η < 0.1	η = 0.3	x: 1.709 m η = 0.3	η = 0.1	**CUMPLE η = 36.8**
N617/N3568	$\lambda_w \leq \lambda_{w,máx}$ Cumple	x: 0.89 m η = 14.3	x: 0.07 m η = 23.1	x: 0.07 m η = 4.5	x: 0.07 m η = 1.9	x: 0.07 m η = 1.3	η = 0.1	η < 0.1	η < 0.1	x: 0.07 m η = 27.4	η < 0.1	η = 0.5	x: 0.07 m η = 1.3	η = 0.1	**CUMPLE η = 27.4**
N3568/N618	$\lambda_w \leq \lambda_{w,máx}$ Cumple	x: 0.805 m η = 14.3	x: 0 m η = 23.1	x: 0 m η = 2.0	x: 0.806 m η = 2.4	x: 0.806 m η = 1.4	η = 0.1	η < 0.1	η < 0.1	x: 0 m η = 25.4	η < 0.1	η = 0.5	x: 0 m η = 1.2	η = 0.1	**CUMPLE η = 25.4**
N618/N619	$\lambda_w \leq \lambda_{w,máx}$ Cumple	x: 1.694 m η = 5.3	x: 0.084 m η = 5.5	x: 0.084 m η = 4.5	x: 1.695 m η = 2.2	x: 0.084 m η = 1.4	η = 0.1	η < 0.1	η < 0.1	x: 0.084 m η = 10.5	η < 0.1	x: 0.688 m η = 0.7	x: 0.084 m η = 1.4	η = 0.1	**CUMPLE η = 10.5**
N619/N620	$\lambda_w \leq \lambda_{w,máx}$ Cumple	x: 1.694 m η = 7.8	x: 0.084 m η = 12.2	x: 1.695 m η = 5.8	x: 0.084 m η = 1.7	x: 1.695 m η = 2.9	η = 0.1	η < 0.1	η < 0.1	x: 0.084 m η = 15.9	η < 0.1	η = 0.1	x: 1.695 m η = 0.9	η < 0.1	**CUMPLE η = 15.9**
N620/N621	$\lambda_w \leq \lambda_{w,máx}$ Cumple	x: 1.717 m η = 22.2	x: 0.084 m η = 34.5	x: 0.084 m η = 1.7	x: 1.718 m η = 1.4	x: 0.084 m η = 0.4	η < 0.1	η < 0.1	η < 0.1	x: 0.084 m η = 35.7	η < 0.1	η = 0.1	x: 1.718 m η = 0.2	η < 0.1	**CUMPLE η = 35.7**
N621/N622	$\lambda_w \leq \lambda_{w,máx}$ Cumple	x: 1.661 m η = 36.8	x: 0.084 m η = 57.3	x: 1.662 m η = 33.2	x: 1.662 m η = 1.8	x: 1.662 m η = 10.6	η = 0.1	η < 0.1	η < 0.1	x: 1.662 m η = 76.4	η < 0.1	η = 0.1	x: 1.662 m η = 8.8	η = 0.1	**CUMPLE η = 76.4**
N622/N623	$\lambda_w \leq \lambda_{w,máx}$ Cumple	x: 1.637 m η = 44.1	x: 0.117 m η = 70.8	x: 0.117 m η = 17.8	x: 1.638 m η = 3.2	x: 1.638 m η = 6.3	η = 0.1	η < 0.1	η < 0.1	x: 0.117 m η = 80.8	η < 0.1	η < 0.1	x: 0.117 m η = 2.0	η = 0.1	**CUMPLE η = 80.8**
N763/N764	$\lambda_w \leq \lambda_{w,máx}$ Cumple	x: 1.7 m η = 46.7	x: 0.141 m η = 84.7	x: 0.141 m η = 25.4	x: 0.141 m η = 3.4	x: 0.141 m η = 9.8	η = 0.2	η < 0.1	η < 0.1	x: 1.701 m η = 90.3	η < 0.1	η = 0.3	x: 0.141 m η = 9.8	η = 0.2	**CUMPLE η = 90.3**
N764/N765	$\lambda_w \leq \lambda_{w,máx}$ Cumple	x: 1.7 m η = 28.0	x: 0.078 m η = 55.2	x: 0.078 m η = 14.6	x: 0.078 m η = 2.1	x: 1.701 m η = 5.0	η = 0.1	η < 0.1	η < 0.1	x: 0.078 m η = 62.8	η < 0.1	η = 0.2	x: 0.078 m η = 3.9	η = 0.1	**CUMPLE η = 62.8**
N765/N766	$\lambda_w \leq \lambda_{w,máx}$ Cumple	x: 1.7 m η = 13.0	x: 0.061 m η = 30.1	x: 0.061 m η = 3.0	x: 0.061 m η = 1.6	x: 0.061 m η = 1.3	η = 0.1	η < 0.1	η < 0.1	x: 0.061 m η = 32.9	η < 0.1	η = 0.1	x: 0.061 m η = 0.5	η < 0.1	**CUMPLE η = 32.9**
N766/N767	$\lambda_w \leq \lambda_{w,máx}$ Cumple	x: 1.7 m η = 0.7	x: 0.078 m η = 11.3	x: 1.701 m η = 4.7	x: 1.701 m η = 1.9	x: 0.078 m η = 2.3	η = 0.1	η < 0.1	η < 0.1	x: 1.701 m η = 14.3	η < 0.1	η < 0.1	x: 0.078 m η = 0.7	η < 0.1	**CUMPLE η = 14.3**
N767/N768	$\lambda_w \leq \lambda_{w,máx}$ Cumple	x: 1.7 m η = 7.7	x: 0.078 m η = 18.7	x: 1.701 m η = 4.2	x: 0.078 m η = 2.6	x: 0.078 m η = 1.2	η = 0.1	η < 0.1	η < 0.1	x: 1.701 m η = 21.6	η < 0.1	x: 1.296 m η = 0.4	x: 0.078 m η = 1.2	η = 0.1	**CUMPLE η = 21.6**
N768/N3569	$\lambda_w \leq \lambda_{w,máx}$ Cumple	x: 0.89 m η = 16.0	x: 0.078 m η = 30.7	x: 0.89 m η = 2.2	x: 0.078 m η = 1.7	x: 0.078 m η = 1.2	η = 0.1	η < 0.1	η < 0.1	x: 0.89 m η = 33.3	η < 0.1	η = 0.5	x: 0.89 m η = 0.8	η = 0.1	**CUMPLE η = 33.3**
N3569/N769	$\lambda_w \leq \lambda_{w,máx}$ Cumple	x: 0.824 m η = 16.0	x: 0 m η = 30.7	x: 0.825 m η = 4.1	x: 0.825 m η = 2.3	x: 0 m η = 1.0	η = 0.1	η < 0.1	η < 0.1	x: 0.825 m η = 35.2	η < 0.1	x: 0.824 m η = 0.5	x: 0.825 m η = 0.9	η = 0.1	**CUMPLE η = 35.2**
N769/N770	$\lambda_w \leq \lambda_{w,máx}$ Cumple	x: 1.713 m η = 21.9	x: 0.065 m η = 38.7	x: 1.714 m η = 3.9	x: 0.065 m η = 2.3	x: 0.065 m η = 0.5	η = 0.1	η < 0.1	η < 0.1	x: 0.065 m η = 42.5	η < 0.1	η = 0.2	x: 0.065 m η = 0.2	η = 0.1	**CUMPLE η = 42.5**
N770/N771	$\lambda_w \leq \lambda_{w,máx}$ Cumple	x: 1.708 m η = 25.3	x: 0.065 m η = 43.1	x: 1.709 m η = 5.1	x: 1.709 m η = 1.7	x: 0.065 m η = 0.8	η = 0.1	η < 0.1	η < 0.1	x: 1.709 m η = 47.4	η < 0.1	x: 1.093 m η = 0.5	x: 1.709 m η = 0.6	η = 0.1	**CUMPLE η = 47.4**
N771/N772	$\lambda_w \leq \lambda_{w,máx}$ Cumple	x: 1.708 m η = 24.8	x: 0.07 m η = 40.5	x: 0.07 m η = 5.4	x: 0.07 m η = 1.6	x: 1.709 m η = 0.8	η = 0.1	η < 0.1	η < 0.1	x: 0.07 m η = 45.0	η < 0.1	η = 0.6	x: 0.07 m η = 0.5	η = 0.1	**CUMPLE η = 45.0**
N772/N773	$\lambda_w \leq \lambda_{w,máx}$ Cumple	x: 1.708 m η = 20.7	x: 0.07 m η = 33.6	x: 0.07 m η = 4.4	x: 1.709 m η = 2.0	x: 0.07 m η = 0.7	η = 0.1	η < 0.1	η < 0.1	x: 1.709 m η = 36.8	η < 0.1	η = 0.3	x: 1.709 m η = 0.2	η = 0.1	**CUMPLE η = 36.8**
N773/N3570	$\lambda_w \leq \lambda_{w,máx}$ Cumple	x: 0.89 m η = 14.4	x: 0.07 m η = 23.2	x: 0.07 m η = 4.5	x: 0.07 m η = 2.0	x: 0.07 m η = 1.3	x: 0.685 m η = 0.1	η < 0.1	η < 0.1	x: 0.07 m η = 27.6	η < 0.1	x: 0.685 m η = 0.5	x: 0.07 m η = 1.3	x: 0.685 m η = 0.1	**CUMPLE η = 27.6**
N3570/N774	$\lambda_w \leq \lambda_{w,máx}$ Cumple	x: 0.805 m η = 14.4	x: 0 m η = 23.2	x: 0 m η = 2.0	x: 0.806 m η = 1.9	x: 0.806 m η = 1.4	η = 0.1	η < 0.1	η < 0.1	x: 0 m η = 25.5	η < 0.1	η = 0.5	x: 0 m η = 1.2	η = 0.1	**CUMPLE η = 25.5**
N774/N775	$\lambda_w \leq \lambda_{w,máx}$ Cumple	x: 1.694 m η = 5.4	x: 0.084 m η = 5.6	x: 0.084 m η = 4.5	x: 1.695 m η = 2.1	x: 0.084 m η = 1.4	η = 0.1	η < 0.1	η < 0.1	x: 0.084 m η = 10.6	η < 0.1	η = 0.5	x: 0.084 m η = 1.0	η = 0.1	**CUMPLE η = 10.6**
N775/N776	$\lambda_w \leq \lambda_{w,máx}$ Cumple	x: 1.694 m η = 7.7	x: 0.084 m η = 12.0	x: 1.695 m η = 5.8	x: 0.084 m η = 1.7	x: 1.695 m η = 2.9	η = 0.1	η < 0.1	η < 0.1	x: 0.084 m η = 15.7	η < 0.1	x: 0.285 m η = 0.1	x: 1.695 m η = 0.8	η < 0.1	**CUMPLE η = 15.7**
N776/N777	$\lambda_w \leq \lambda_{w,máx}$ Cumple	x: 1.717 m η = 22.0	x: 0.084 m η = 34.2	x: 0.084 m η = 1.7	x: 1.718 m η = 1.2	x: 0.084 m η = 0.4	η = 0.1	η < 0.1	η < 0.1	x: 0.084 m η = 35.3	η < 0.1	η < 0.1	x: 1.718 m η = 0.2	η < 0.1	**CUMPLE η = 35.3**
N777/N778	$\lambda_w \leq \lambda_{w,máx}$ Cumple	x: 1.661 m η = 36.6	x: 0.084 m η = 57.0	x: 1.662 m η = 33.2	x: 1.662 m η = 2.0	x: 1.662 m η = 10.6	η = 0.1	η < 0.1	η < 0.1	x: 1.662 m η = 76.4	η < 0.1	η = 0.1	x: 0.084 m η = 10.2	η = 0.1	**CUMPLE η = 76.4**
N778/N779	$\lambda_w \leq \lambda_{w,máx}$ Cumple	x: 1.637 m η = 44.0	x: 0.117 m η = 70.6	x: 0.117 m η = 17.5	x: 1.638 m η = 3.5	x: 1.638 m η = 6.1	η = 0.1	η < 0.1	η < 0.1	x: 0.117 m η = 80.7	η < 0.1	η < 0.1	x: 0.117 m η = 1.9	η = 0.1	**CUMPLE η = 80.7**
N919/N920	$\lambda_w \leq \lambda_{w,máx}$ Cumple	x: 1.7 m η = 47.8	x: 0.141 m η = 85.6	x: 0.141 m η = 22.7	x: 0.141 m η = 3.7	x: 0.141 m η = 9.0	η = 0.2	η < 0.1	η < 0.1	x: 1.701 m η = 91.2	η < 0.1	η = 0.3	x: 0.141 m η = 9.0	η = 0.2	**CUMPLE η = 91.2**

Documento visado electrónicamente con número: VA07290/22
Código de validación telemática TRLTDCFZ60T66IJ1. Comprobación: https://cogitivalencia.e-gestion.es/Validacion.aspx?CVT=TRLTDCFZ60T66IJ1

VISADO COGITI VALENCIA VA07290/22 TRLTDCFZ60T66IJ1
Documento visado electrónicamente con número VA07290/22 Código de validación telemática TRLTDCFZ60T66IJ1. Comprobación: https://cogitivalencia.e-gestion.es/Validacion.aspx?CVT=TRLTDCFZ60T66IJ1

Barras	COMPROBACIONES (CÓDIGO ESTRUCTURAL)														Estado
	λ_w	N_t	N_c	M_Y	M_Z	V_Z	V_Y	M_YV_Z	M_ZV_Y	NM_YM_Z	$NM_YM_ZV_YV_Z$	M_t	M_tV_Z	M_tV_Y	
N920/N921	$\lambda_w \leq \lambda_{w,máx}$ Cumple	x: 1.7 m η = 29.0	x: 0.078 m η = 56.0	x: 0.078 m η = 14.4	x: 0.078 m η = 2.0	x: 1.701 m η = 4.9	η = 0.1	η < 0.1	η < 0.1	x: 0.078 m η = 63.8	η < 0.1	η = 0.2	x: 0.078 m η = 3.9	η = 0.1	**CUMPLE** **η = 63.8**
N921/N922	$\lambda_w \leq \lambda_{w,máx}$ Cumple	x: 1.7 m η = 13.9	x: 0.061 m η = 30.8	x: 0.061 m η = 3.1	x: 0.061 m η = 1.7	x: 0.061 m η = 1.3	η = 0.1	η < 0.1	η < 0.1	x: 0.061 m η = 34.0	η < 0.1	η = 0.1	x: 0.061 m η = 1.0	η < 0.1	**CUMPLE** **η = 34.0**
N922/N923	$\lambda_w \leq \lambda_{w,máx}$ Cumple	x: 1.7 m η = 1.2	x: 0.078 m η = 11.5	x: 1.701 m η = 4.7	x: 1.701 m η = 2.0	x: 0.078 m η = 2.3	η = 0.1	η < 0.1	η < 0.1	x: 1.701 m η = 14.6	η < 0.1	η = 0.1	x: 1.701 m η = 1.5	η = 0.1	**CUMPLE** **η = 14.6**
N923/N924	$\lambda_w \leq \lambda_{w,máx}$ Cumple	x: 1.7 m η = 7.3	x: 0.078 m η = 17.7	x: 1.701 m η = 4.1	x: 0.078 m η = 2.7	x: 0.078 m η = 1.2	x: 1.296 m η = 0.1	η < 0.1	η < 0.1	x: 1.701 m η = 20.6	η < 0.1	x: 1.296 m η = 0.5	x: 0.078 m η = 1.2	x: 1.296 m η = 0.1	**CUMPLE** **η = 20.6**
N924/N3572	$\lambda_w \leq \lambda_{w,máx}$ Cumple	x: 0.89 m η = 15.7	x: 0.078 m η = 29.9	x: 0.89 m η = 2.2	x: 0.078 m η = 1.7	x: 0.078 m η = 1.2	η = 0.1	η < 0.1	η < 0.1	x: 0.89 m η = 32.4	η < 0.1	η = 0.5	x: 0.078 m η = 1.2	η = 0.1	**CUMPLE** **η = 32.4**
N3572/N925	$\lambda_w \leq \lambda_{w,máx}$ Cumple	x: 0.824 m η = 15.7	x: 0 m η = 29.9	x: 0.825 m η = 4.0	x: 0.825 m η = 2.4	x: 0 m η = 1.0	η = 0.1	η < 0.1	η < 0.1	x: 0.825 m η = 34.5	η < 0.1	x: 0.412 m η = 0.5	x: 0 m η = 1.0	η = 0.1	**CUMPLE** **η = 34.5**
N925/N926	$\lambda_w \leq \lambda_{w,máx}$ Cumple	x: 1.713 m η = 21.6	x: 0.065 m η = 38.1	x: 1.714 m η = 3.9	x: 0.065 m η = 2.5	x: 0.065 m η = 0.6	η = 0.1	η < 0.1	η < 0.1	x: 0.065 m η = 42.0	η < 0.1	η = 0.3	x: 0.065 m η = 0.3	x: 0.684 m η = 0.1	**CUMPLE** **η = 42.0**
N926/N927	$\lambda_w \leq \lambda_{w,máx}$ Cumple	x: 1.708 m η = 25.2	x: 0.065 m η = 42.7	x: 1.709 m η = 5.1	x: 1.709 m η = 1.8	x: 0.065 m η = 0.8	η = 0.1	η < 0.1	η < 0.1	x: 1.709 m η = 47.1	η < 0.1	η = 0.5	x: 1.709 m η = 0.6	η = 0.1	**CUMPLE** **η = 47.1**
N927/N928	$\lambda_w \leq \lambda_{w,máx}$ Cumple	x: 1.708 m η = 24.8	x: 0.07 m η = 40.6	x: 0.07 m η = 5.3	x: 0.07 m η = 1.7	x: 1.709 m η = 0.8	η = 0.1	η < 0.1	η < 0.1	x: 0.07 m η = 45.0	η < 0.1	x: 0.07 m η = 0.6	x: 0.07 m η = 0.5	η = 0.1	**CUMPLE** **η = 45.0**
N928/N929	$\lambda_w \leq \lambda_{w,máx}$ Cumple	x: 1.708 m η = 20.9	x: 0.07 m η = 34.0	x: 0.07 m η = 4.4	x: 1.709 m η = 2.1	x: 0.07 m η = 0.7	η = 0.1	η < 0.1	η < 0.1	x: 1.709 m η = 37.2	η < 0.1	η < 0.1	x: 1.709 m η = 0.3	η = 0.1	**CUMPLE** **η = 37.2**
N929/N3571	$\lambda_w \leq \lambda_{w,máx}$ Cumple	x: 0.89 m η = 14.6	x: 0.07 m η = 23.8	x: 0.07 m η = 4.5	x: 0.07 m η = 2.1	x: 0.07 m η = 1.3	η = 0.1	η < 0.1	η < 0.1	x: 0.07 m η = 28.2	η < 0.1	x: 0.275 m η = 0.4	x: 0.07 m η = 1.3	η = 0.1	**CUMPLE** **η = 28.2**
N3571/N930	$\lambda_w \leq \lambda_{w,máx}$ Cumple	x: 0.805 m η = 14.6	x: 0 m η = 23.8	x: 0 m η = 2.1	x: 0 m η = 1.5	x: 0.806 m η = 1.4	η = 0.1	η < 0.1	η < 0.1	x: 0 m η = 26.1	η < 0.1	η = 0.4	x: 0.806 m η = 1.4	η = 0.1	**CUMPLE** **η = 26.1**
N930/N931	$\lambda_w \leq \lambda_{w,máx}$ Cumple	x: 1.694 m η = 5.7	x: 0.084 m η = 6.1	x: 0.084 m η = 4.5	x: 1.695 m η = 2.1	x: 0.084 m η = 1.3	η = 0.1	η < 0.1	η < 0.1	x: 0.084 m η = 11.1	η < 0.1	x: 0.688 m η = 0.3	x: 1.695 m η = 0.4	η = 0.1	**CUMPLE** **η = 11.1**
N931/N932	$\lambda_w \leq \lambda_{w,máx}$ Cumple	x: 1.694 m η = 7.1	x: 0.084 m η = 11.6	x: 1.695 m η = 5.8	x: 0.084 m η = 1.8	x: 1.695 m η = 2.9	η = 0.1	η < 0.1	η < 0.1	x: 0.084 m η = 15.5	η < 0.1	x: 0.89 m η = 0.1	x: 1.695 m η = 0.9	η < 0.1	**CUMPLE** **η = 15.5**
N932/N933	$\lambda_w \leq \lambda_{w,máx}$ Cumple	x: 1.717 m η = 21.4	x: 0.084 m η = 33.7	x: 0.084 m η = 1.8	x: 1.718 m η = 1.1	x: 0.084 m η = 0.4	η = 0.1	η < 0.1	η < 0.1	x: 0.084 m η = 34.8	η < 0.1	η < 0.1	x: 1.718 m η = 0.2	η < 0.1	**CUMPLE** **η = 34.8**
N933/N934	$\lambda_w \leq \lambda_{w,máx}$ Cumple	x: 1.661 m η = 35.8	x: 0.084 m η = 56.4	x: 1.662 m η = 33.1	x: 1.662 m η = 2.3	x: 1.662 m η = 10.6	η = 0.1	η < 0.1	η < 0.1	x: 1.662 m η = 76.4	η < 0.1	η = 0.2	x: 1.662 m η = 10.6	η = 0.1	**CUMPLE** **η = 76.4**
N934/N935	$\lambda_w \leq \lambda_{w,máx}$ Cumple	x: 1.637 m η = 43.9	x: 0.117 m η = 70.2	x: 0.117 m η = 16.7	x: 1.638 m η = 4.0	x: 1.638 m η = 5.7	η = 0.1	η < 0.1	η < 0.1	x: 0.117 m η = 80.1	η < 0.1	η < 0.1	x: 0.117 m η = 1.6	x: 1.258 m η = 0.1	**CUMPLE** **η = 80.1**
N1075/N1076	$\lambda_w \leq \lambda_{w,máx}$ Cumple	x: 1.7 m η = 49.8	x: 0.141 m η = 86.9	x: 0.141 m η = 17.1	x: 0.141 m η = 4.0	x: 0.141 m η = 7.3	η = 0.2	η < 0.1	η < 0.1	x: 1.701 m η = 92.2	η < 0.1	η = 0.3	x: 0.141 m η = 7.3	η = 0.2	**CUMPLE** **η = 92.2**
N1076/N1077	$\lambda_w \leq \lambda_{w,máx}$ Cumple	x: 1.7 m η = 30.8	x: 0.078 m η = 57.3	x: 0.078 m η = 13.9	x: 1.701 m η = 2.2	x: 1.701 m η = 4.7	η = 0.2	η < 0.1	η < 0.1	x: 0.078 m η = 65.1	η < 0.1	η = 0.2	x: 0.078 m η = 3.8	η = 0.2	**CUMPLE** **η = 65.1**
N1077/N1078	$\lambda_w \leq \lambda_{w,máx}$ Cumple	x: 1.7 m η = 15.5	x: 0.061 m η = 32.0	x: 0.061 m η = 3.2	x: 0.061 m η = 2.1	x: 0.061 m η = 1.4	η = 0.1	η < 0.1	η < 0.1	x: 0.061 m η = 35.7	η < 0.1	η = 0.1	x: 0.061 m η = 1.0	η < 0.1	**CUMPLE** **η = 35.7**
N1078/N1079	$\lambda_w \leq \lambda_{w,máx}$ Cumple	x: 1.7 m η = 2.5	x: 0.078 m η = 12.1	x: 1.701 m η = 4.7	x: 1.701 m η = 2.2	x: 0.078 m η = 2.3	η = 0.1	η < 0.1	η < 0.1	x: 1.701 m η = 15.4	η < 0.1	η = 0.1	x: 0.078 m η = 2.3	η = 0.1	**CUMPLE** **η = 15.4**
N1079/N1080	$\lambda_w \leq \lambda_{w,máx}$ Cumple	x: 1.7 m η = 6.7	x: 0.078 m η = 16.1	x: 1.701 m η = 4.1	x: 0.078 m η = 2.9	x: 0.078 m η = 1.2	η = 0.1	η < 0.1	η < 0.1	x: 1.701 m η = 19.0	η < 0.1	η = 0.4	x: 0.078 m η = 1.2	η = 0.1	**CUMPLE** **η = 19.0**
N1080/N3573	$\lambda_w \leq \lambda_{w,máx}$ Cumple	x: 0.89 m η = 15.3	x: 0.078 m η = 28.9	x: 0.89 m η = 2.0	x: 0.078 m η = 1.6	x: 0.078 m η = 1.2	η = 0.1	η < 0.1	η < 0.1	x: 0.89 m η = 31.4	η < 0.1	η = 0.5	x: 0.078 m η = 1.2	η = 0.1	**CUMPLE** **η = 31.4**
N3573/N1081	$\lambda_w \leq \lambda_{w,máx}$ Cumple	x: 0.824 m η = 15.3	x: 0 m η = 28.9	x: 0.825 m η = 4.0	x: 0.825 m η = 2.5	x: 0 m η = 1.0	η = 0.1	η < 0.1	η < 0.1	x: 0.825 m η = 33.6	η < 0.1	x: 0.412 m η = 0.5	x: 0 m η = 1.0	η = 0.1	**CUMPLE** **η = 33.6**
N1081/N1082	$\lambda_w \leq \lambda_{w,máx}$ Cumple	x: 1.713 m η = 21.4	x: 0.065 m η = 37.6	x: 1.714 m η = 3.9	x: 0.065 m η = 2.5	x: 0.065 m η = 0.6	η = 0.1	η < 0.1	η < 0.1	x: 0.065 m η = 41.5	η < 0.1	η = 0.2	x: 0.065 m η = 0.2	η = 0.1	**CUMPLE** **η = 41.5**
N1082/N1083	$\lambda_w \leq \lambda_{w,máx}$ Cumple	x: 1.708 m η = 25.1	x: 0.065 m η = 42.8	x: 1.709 m η = 5.1	x: 1.709 m η = 1.9	x: 0.065 m η = 0.8	η = 0.1	η < 0.1	η < 0.1	x: 1.709 m η = 47.1	η < 0.1	η = 0.5	x: 1.709 m η = 0.6	η = 0.1	**CUMPLE** **η = 47.1**
N1083/N1084	$\lambda_w \leq \lambda_{w,máx}$ Cumple	x: 1.708 m η = 25.0	x: 0.07 m η = 41.8	x: 0.07 m η = 5.2	x: 0.07 m η = 1.7	x: 1.709 m η = 0.8	η = 0.1	η < 0.1	η < 0.1	x: 0.07 m η = 46.1	η < 0.1	x: 1.708 m η = 0.6	x: 0.07 m η = 0.5	η = 0.1	**CUMPLE** **η = 46.1**
N1084/N1085	$\lambda_w \leq \lambda_{w,máx}$ Cumple	x: 1.708 m η = 21.2	x: 0.07 m η = 35.7	x: 0.07 m η = 4.4	x: 1.709 m η = 2.1	x: 0.07 m η = 0.6	η = 0.1	η < 0.1	η < 0.1	x: 1.709 m η = 39.0	η < 0.1	η = 0.3	x: 1.709 m η = 0.2	η = 0.1	**CUMPLE** **η = 39.0**
N1085/N3574	$\lambda_w \leq \lambda_{w,máx}$ Cumple	x: 0.89 m η = 15.1	x: 0.07 m η = 26.1	x: 0.07 m η = 4.4	x: 0.07 m η = 2.1	x: 0.07 m η = 1.2	η = 0.1	η < 0.1	η < 0.1	x: 0.07 m η = 30.5	η < 0.1	η = 0.5	x: 0.07 m η = 1.2	η = 0.1	**CUMPLE** **η = 30.5**
N3574/N1086	$\lambda_w \leq \lambda_{w,máx}$ Cumple	x: 0.805 m η = 15.1	x: 0 m η = 26.1	x: 0 m η = 2.1	x: 0.806 m η = 1.8	x: 0.806 m η = 1.3	η = 0.1	η < 0.1	η < 0.1	x: 0 m η = 28.5	η < 0.1	η = 0.5	x: 0.806 m η = 1.3	η = 0.1	**CUMPLE** **η = 28.5**
N1086/N1087	$\lambda_w \leq \lambda_{w,máx}$ Cumple	x: 1.694 m η = 6.4	x: 0.084 m η = 12.4	x: 0.084 m η = 4.5	x: 1.695 m η = 2.3	x: 1.695 m η = 1.3	η = 0.1	η < 0.1	η < 0.1	x: 0.084 m η = 15.5	η < 0.1	η = 0.5	x: 1.695 m η = 0.4	η = 0.1	**CUMPLE** **η = 15.5**
N1087/N1088	$\lambda_w \leq \lambda_{w,máx}$ Cumple	x: 1.694 m η = 5.9	x: 0.084 m η = 12.7	x: 1.695 m η = 5.7	x: 0.084 m η = 2.0	x: 1.695 m η = 2.9	η = 0.1	η < 0.1	η < 0.1	x: 0.084 m η = 15.9	η < 0.1	x: 0.487 m η = 0.1	x: 1.695 m η = 0.8	x: 0.285 m η < 0.1	**CUMPLE** **η = 15.9**
N1088/N1089	$\lambda_w \leq \lambda_{w,máx}$ Cumple	x: 1.717 m η = 19.8	x: 0.084 m η = 34.0	x: 0.084 m η = 1.8	x: 1.718 m η = 1.5	x: 1.718 m η = 0.4	η = 0.1	η < 0.1	η < 0.1	x: 1.718 m η = 35.5	η < 0.1	η = 0.1	x: 1.718 m η = 0.2	η < 0.1	**CUMPLE** **η = 35.5**
N1089/N1090	$\lambda_w \leq \lambda_{w,máx}$ Cumple	x: 1.661 m η = 34.1	x: 0.084 m η = 56.6	x: 1.662 m η = 33.2	x: 1.662 m η = 2.9	x: 1.662 m η = 10.6	η = 0.2	η < 0.1	η < 0.1	x: 1.662 m η = 77.4	η < 0.1	η = 0.2	x: 1.662 m η = 10.6	η = 0.2	**CUMPLE** **η = 77.4**
N1090/N1091	$\lambda_w \leq \lambda_{w,máx}$ Cumple	x: 1.637 m η = 43.6	x: 0.117 m η = 70.3	x: 0.117 m η = 15.0	x: 1.638 m η = 4.6	x: 1.638 m η = 4.9	η = 0.2	η < 0.1	η < 0.1	x: 0.117 m η = 79.7	η < 0.1	η < 0.1	x: 0.117 m η = 1.2	x: 1.258 m η = 0.1	**CUMPLE** **η = 79.7**
N3576/N1237	$\lambda_w \leq \lambda_{w,máx}$ Cumple	x: 0.824 m η = 14.8	x: 0 m η = 33.1	x: 0.825 m η = 3.8	x: 0.825 m η = 2.5	x: 0.825 m η = 1.0	η = 0.1	η < 0.1	η < 0.1	x: 0.825 m η = 37.4	η < 0.1	η = 0.1	x: 0.825 m η = 1.0	η = 0.1	**CUMPLE** **η = 37.4**
N1237/N1238	$\lambda_w \leq \lambda_{w,máx}$ Cumple	x: 1.713 m η = 20.7	x: 0.065 m η = 42.8	x: 1.714 m η = 4.0	x: 0.065 m η = 2.5	x: 1.714 m η = 0.7	η = 0.1	η < 0.1	η < 0.1	x: 0.065 m η = 46.3	η < 0.1	η < 0.1	x: 0.065 m η = 0.2	η = 0.1	**CUMPLE** **η = 46.3**
N1238/N1239	$\lambda_w \leq \lambda_{w,máx}$ Cumple	x: 1.708 m η = 24.4	x: 0.065 m η = 49.4	x: 1.709 m η = 5.2	x: 1.709 m η = 1.8	x: 0.065 m η = 0.8	η = 0.1	η < 0.1	η < 0.1	x: 1.709 m η = 52.8	η < 0.1	x: 1.708 m η = 0.1	x: 0.065 m η = 0.3	η < 0.1	**CUMPLE** **η = 52.8**
N1239/N1240	$\lambda_w \leq \lambda_{w,máx}$ Cumple	x: 1.708 m η = 24.9	x: 0.07 m η = 52.2	x: 0.07 m η = 5.4	x: 0.07 m η = 2.1	x: 1.709 m η = 1.1	η = 0.1	η < 0.1	η < 0.1	x: 0.07 m η = 55.6	η < 0.1	η = 0.2	x: 1.709 m η = 1.1	η = 0.1	**CUMPLE** **η = 55.6**
N1240/N1241	$\lambda_w \leq \lambda_{w,máx}$ Cumple	x: 1.708 m η = 21.7	x: 0.07 m η = 48.4	x: 0.07 m η = 4.1	x: 1.709 m η = 2.1	x: 1.709 m η = 0.7	η = 0.1	η < 0.1	η < 0.1	x: 1.709 m η = 51.8	η < 0.1	η < 0.1	x: 1.709 m η = 0.2	η < 0.1	**CUMPLE** **η = 51.8**
N1241/N3575	$\lambda_w \leq \lambda_{w,máx}$ Cumple	x: 0.89 m η = 16.3	x: 0.07 m η = 41.4	x: 0.07 m η = 4.1	x: 0.07 m η = 2.2	x: 0.89 m η = 1.2	η = 0.1	η < 0.1	η < 0.1	x: 0.07 m η = 45.7	η < 0.1	η = 0.2	x: 0.89 m η = 1.2	η = 0.1	**CUMPLE** **η = 45.7**
N1233/N1234	$\lambda_w \leq \lambda_{w,máx}$ Cumple	x: 1.7 m η = 16.3	x: 0.061 m η = 34.2	x: 0.061 m η = 2.9	x: 0.061 m η = 3.1	x: 0.061 m η = 1.4	η = 0.1	η < 0.1	η < 0.1	x: 0.061 m η = 38.5	η < 0.1	η = 0.1	x: 1.701 m η = 1.2	η = 0.1	**CUMPLE** **η = 38.5**
N1234/N1235	$\lambda_w \leq \lambda_{w,máx}$ Cumple	x: 1.7 m η = 3.6	x: 0.078 m η = 19.0	x: 1.701 m η = 4.5	x: 1.701 m η = 2.4	x: 0.078 m η = 2.2	η = 0.1	η < 0.1	η < 0.1	x: 1.701 m η = 22.3	η < 0.1	η = 0.2	x: 0.078 m η = 2.1	η = 0.1	**CUMPLE** **η = 22.3**

VISADO
COGITI
Estado
VALENCIA
VA07290/22
TRLTDCFZ60T66IJ1

Barras	COMPROBACIONES (CÓDIGO ESTRUCTURAL)														
	λ_w	N_t	N_c	M_Y	M_Z	V_Z	V_Y	M_YV_Z	M_ZV_Y	NM_YM_Z	$NM_YM_ZV_YV_Z$	M_t	M_tV_Z	M_tV_Y	
N1235/N1236	$\lambda_w \leq \lambda_{w,máx}$ Cumple	x: 1.7 m η = 6.4	x: 0.078 m η = 20.8	x: 1.701 m η = 4.0	x: 0.078 m η = 2.9	x: 0.078 m η = 1.2	η = 0.1	η < 0.1	η < 0.1	x: 1.701 m η = 22.4	η < 0.1	η = 0.1	x: 0.078 m η = 1.2	η = 0.1	**CUMPLE η = 35.3**
N1236/N3576	$\lambda_w \leq \lambda_{w,máx}$ Cumple	x: 0.89 m η = 14.8	x: 0.078 m η = 33.1	x: 0.89 m η = 2.1	x: 0.89 m η = 1.3	x: 0.078 m η = 1.1	η = 0.1	η < 0.1	η < 0.1	x: 0.89 m η = 35.3	η < 0.1	η = 0.1	x: 0.078 m η = 1.1	η = 0.1	**CUMPLE η = 35.3**
N1231/N1232	$\lambda_w \leq \lambda_{w,máx}$ Cumple	x: 1.7 m η = 49.6	x: 0.141 m η = 85.2	x: 0.141 m η = 11.5	x: 0.141 m η = 5.3	x: 0.141 m η = 4.4	η = 0.2	η < 0.1	η < 0.1	x: 0.141 m η = 94.4	η < 0.1	η = 0.3	x: 0.141 m η = 4.4	η = 0.2	**CUMPLE η = 94.4**
N1232/N1233	$\lambda_w \leq \lambda_{w,máx}$ Cumple	x: 1.7 m η = 31.3	x: 0.078 m η = 57.7	x: 0.078 m η = 12.4	x: 1.701 m η = 3.3	x: 1.701 m η = 4.2	η = 0.2	η < 0.1	η < 0.1	x: 0.078 m η = 64.8	η < 0.1	η = 0.2	x: 1.701 m η = 4.2	η = 0.2	**CUMPLE η = 64.8**
N3575/N1242	$\lambda_w \leq \lambda_{w,máx}$ Cumple	x: 0.805 m η = 16.3	x: 0 m η = 41.4	x: 0 m η = 2.2	x: 0 m η = 1.2	x: 0.806 m η = 1.3	η = 0.1	η < 0.1	η < 0.1	x: 0 m η = 43.9	η < 0.1	η = 0.2	x: 0.806 m η = 1.4	η = 0.1	**CUMPLE η = 43.9**
N1242/N1243	$\lambda_w \leq \lambda_{w,máx}$ Cumple	x: 1.694 m η = 8.4	x: 0.084 m η = 36.7	x: 0.084 m η = 4.3	x: 1.695 m η = 2.4	x: 1.695 m η = 1.4	η = 0.1	η < 0.1	η < 0.1	x: 0.084 m η = 38.7	η < 0.1	η = 0.2	x: 1.695 m η = 1.4	η = 0.1	**CUMPLE η = 38.7**
N1243/N1244	$\lambda_w \leq \lambda_{w,máx}$ Cumple	x: 1.694 m η = 1.8	x: 0.084 m η = 36.0	x: 1.695 m η = 5.7	x: 0.084 m η = 2.2	x: 1.695 m η = 2.8	η = 0.1	η < 0.1	η < 0.1	x: 1.695 m η = 39.4	η < 0.1	x: 0.89 m η < 0.1	x: 1.695 m η = 0.7	x: 0.285 m η < 0.1	**CUMPLE η = 39.4**
N1244/N1245	$\lambda_w \leq \lambda_{w,máx}$ Cumple	x: 1.717 m η = 14.4	x: 0.084 m η = 51.6	x: 0.084 m η = 2.0	x: 1.718 m η = 2.6	x: 1.718 m η = 0.4	η = 0.1	η < 0.1	η < 0.1	x: 1.718 m η = 54.5	η < 0.1	x: 0.084 m η < 0.1	x: 1.718 m η = 0.2	η < 0.1	**CUMPLE η = 54.5**
N1245/N1246	$\lambda_w \leq \lambda_{w,máx}$ Cumple	x: 1.661 m η = 27.6	x: 0.084 m η = 69.6	x: 1.662 m η = 32.8	x: 1.662 m η = 3.4	x: 1.662 m η = 10.5	η = 0.3	η < 0.1	η < 0.1	x: 1.662 m η = 88.2	η < 0.1	η = 0.2	x: 1.662 m η = 10.5	η = 0.3	**CUMPLE η = 88.2**
N1246/N1247	$\lambda_w \leq \lambda_{w,máx}$ Cumple	x: 1.637 m η = 41.1	x: 0.117 m η = 78.8	x: 0.117 m η = 13.0	x: 1.638 m η = 6.3	x: 0.117 m η = 3.7	η = 0.2	η < 0.1	η < 0.1	x: 0.117 m η = 85.8	η < 0.1	η < 0.1	x: 0.117 m η = 0.8	η = 0.1	**CUMPLE η = 85.8**
N1199/N1200	$\lambda_w \leq \lambda_{w,máx}$ Cumple	x: 1.7 m η = 27.6	x: 0.061 m η = 43.8	x: 1.701 m η = 4.7	x: 0.061 m η = 4.0	x: 0.061 m η = 0.7	η = 0.1	η < 0.1	η < 0.1	x: 0.061 m η = 47.9	η < 0.1	η = 0.1	x: 0.061 m η = 0.7	η = 0.1	**CUMPLE η = 47.9**
N1200/N1201	$\lambda_w \leq \lambda_{w,máx}$ Cumple	x: 1.7 m η = 36.3	x: 0.078 m η = 57.7	x: 1.701 m η = 6.0	x: 1.701 m η = 3.2	x: 0.078 m η = 1.4	η = 0.2	η < 0.1	η < 0.1	x: 1.701 m η = 63.4	η < 0.1	η = 0.2	x: 0.078 m η = 1.4	η = 0.2	**CUMPLE η = 63.4**
N1201/N1202	$\lambda_w \leq \lambda_{w,máx}$ Cumple	x: 1.7 m η = 42.3	x: 0.078 m η = 67.5	x: 1.701 m η = 5.8	x: 0.078 m η = 4.4	x: 1.701 m η = 0.7	η = 0.2	η < 0.1	η < 0.1	x: 0.078 m η = 73.1	η < 0.1	η = 0.3	x: 1.701 m η = 0.7	η = 0.2	**CUMPLE η = 73.1**
N1202/N3546	$\lambda_w \leq \lambda_{w,máx}$ Cumple	x: 0.89 m η = 46.5	x: 0.078 m η = 74.8	x: 0.89 m η = 4.7	x: 0.89 m η = 2.4	x: 0.078 m η = 0.5	η = 0.2	η < 0.1	η < 0.1	x: 0.89 m η = 80.1	η < 0.1	η = 0.3	x: 0.078 m η = 0.5	η = 0.2	**CUMPLE η = 80.1**
N3546/N1203	$\lambda_w \leq \lambda_{w,máx}$ Cumple	x: 0.824 m η = 46.5	x: 0 m η = 74.8	x: 0.825 m η = 5.2	x: 0.825 m η = 4.7	x: 0.825 m η = 0.4	η = 0.2	η < 0.1	η < 0.1	x: 0.825 m η = 83.0	η < 0.1	η = 0.3	x: 0.825 m η = 0.4	η = 0.2	**CUMPLE η = 83.0**
N1203/N1204	$\lambda_w \leq \lambda_{w,máx}$ Cumple	x: 1.713 m η = 48.3	x: 0.065 m η = 78.2	x: 1.714 m η = 5.2	x: 0.065 m η = 4.8	x: 1.714 m η = 0.3	η = 0.2	η < 0.1	η < 0.1	x: 0.065 m η = 86.4	η < 0.1	η = 0.1	x: 1.714 m η = 0.3	η = 0.2	**CUMPLE η = 86.4**
N1204/N1205	$\lambda_w \leq \lambda_{w,máx}$ Cumple	x: 1.708 m η = 48.1	x: 0.065 m η = 79.1	x: 1.708 m η = 5.9	x: 1.709 m η = 2.8	x: 0.065 m η = 0.4	η = 0.2	η < 0.1	η < 0.1	x: 1.709 m η = 84.9	η < 0.1	η = 0.2	x: 0.065 m η = 0.4	η = 0.2	**CUMPLE η = 84.9**
N1205/N1206	$\lambda_w \leq \lambda_{w,máx}$ Cumple	x: 1.708 m η = 41.2	x: 0.07 m η = 70.8	x: 0.07 m η = 7.8	x: 0.07 m η = 3.1	x: 1.709 m η = 1.3	η = 0.1	η < 0.1	η < 0.1	x: 0.07 m η = 77.6	η < 0.1	η = 0.2	x: 1.709 m η = 1.3	η = 0.1	**CUMPLE η = 77.6**
N1206/N1207	$\lambda_w \leq \lambda_{w,máx}$ Cumple	x: 1.708 m η = 34.4	x: 0.07 m η = 61.8	x: 0.07 m η = 5.9	x: 1.709 m η = 3.5	x: 1.709 m η = 1.1	η = 0.1	η < 0.1	η < 0.1	x: 1.709 m η = 66.6	η < 0.1	x: 0.89 m η < 0.1	x: 1.709 m η = 0.3	x: 1.708 m η = 0.1	**CUMPLE η = 66.6**
N1207/N3547	$\lambda_w \leq \lambda_{w,máx}$ Cumple	x: 0.89 m η = 25.7	x: 0.07 m η = 49.9	x: 0.07 m η = 5.8	x: 0.07 m η = 3.7	x: 0.89 m η = 1.7	η = 0.2	η < 0.1	η < 0.1	x: 0.07 m η = 56.4	η < 0.1	η = 0.4	x: 0.89 m η = 1.7	η = 0.2	**CUMPLE η = 56.4**
N3547/N1208	$\lambda_w \leq \lambda_{w,máx}$ Cumple	x: 0.805 m η = 25.7	x: 0 m η = 49.9	x: 0 m η = 2.7	x: 0 m η = 1.9	x: 0.806 m η = 1.8	η = 0.2	η < 0.1	η < 0.1	x: 0 m η = 53.4	η < 0.1	η = 0.4	x: 0.806 m η = 1.8	η = 0.2	**CUMPLE η = 53.4**
N1208/N1209	$\lambda_w \leq \lambda_{w,máx}$ Cumple	x: 1.694 m η = 14.4	x: 0.084 m η = 34.0	x: 0.084 m η = 5.7	x: 1.695 m η = 2.9	x: 1.695 m η = 1.8	η = 0.2	η < 0.1	η < 0.1	x: 0.084 m η = 38.7	η < 0.1	η = 0.3	x: 1.695 m η = 1.8	η = 0.2	**CUMPLE η = 38.7**
N1209/N1210	$\lambda_w \leq \lambda_{w,máx}$ Cumple	x: 1.694 m η = 1.8	x: 0.084 m η = 26.4	x: 0.084 m η = 6.8	x: 0.084 m η = 2.4	x: 1.695 m η = 3.4	η = 0.1	η < 0.1	η < 0.1	x: 0.084 m η = 28.1	η < 0.1	η = 0.1	x: 1.695 m η = 2.9	η < 0.1	**CUMPLE η = 28.1**
N1210/N1211	$\lambda_w \leq \lambda_{w,máx}$ Cumple	x: 1.717 m η = 14.8	x: 0.084 m η = 43.4	x: 0.084 m η = 2.5	x: 1.718 m η = 2.3	x: 1.718 m η = 0.6	η = 0.1	η < 0.1	η < 0.1	x: 1.718 m η = 46.0	η < 0.1	η = 0.1	x: 1.718 m η = 0.7	η = 0.1	**CUMPLE η = 46.0**
N1043/N1044	$\lambda_w \leq \lambda_{w,máx}$ Cumple	x: 1.7 m η = 30.6	x: 0.061 m η = 46.4	x: 1.701 m η = 5.0	x: 0.061 m η = 2.9	x: 0.061 m η = 0.7	η = 0.1	η < 0.1	η < 0.1	x: 0.061 m η = 49.9	η < 0.1	η = 0.1	x: 1.701 m η = 0.6	η = 0.1	**CUMPLE η = 49.9**
N1044/N1045	$\lambda_w \leq \lambda_{w,máx}$ Cumple	x: 1.7 m η = 40.3	x: 0.078 m η = 60.8	x: 1.701 m η = 7.0	x: 1.701 m η = 2.8	x: 0.078 m η = 1.6	η = 0.1	η < 0.1	η < 0.1	x: 1.701 m η = 66.8	η < 0.1	η = 0.2	x: 1.701 m η = 1.4	η = 0.1	**CUMPLE η = 66.8**
N1045/N1046	$\lambda_w \leq \lambda_{w,máx}$ Cumple	x: 1.7 m η = 47.4	x: 0.078 m η = 71.1	x: 1.701 m η = 6.2	x: 0.078 m η = 4.1	x: 0.078 m η = 0.7	η = 0.2	η < 0.1	η < 0.1	x: 0.078 m η = 76.8	η < 0.1	η = 0.2	x: 0.078 m η = 0.7	η = 0.2	**CUMPLE η = 76.8**
N1046/N3544	$\lambda_w \leq \lambda_{w,máx}$ Cumple	x: 0.89 m η = 52.0	x: 0.078 m η = 78.0	x: 0.89 m η = 5.4	x: 0.89 m η = 2.6	x: 0.078 m η = 0.6	η = 0.2	η < 0.1	η < 0.1	x: 0.89 m η = 83.8	η < 0.1	η = 0.2	x: 0.078 m η = 0.6	η = 0.2	**CUMPLE η = 83.8**
N3544/N1047	$\lambda_w \leq \lambda_{w,máx}$ Cumple	x: 0.824 m η = 52.0	x: 0 m η = 78.0	x: 0.825 m η = 6.1	x: 0.825 m η = 4.8	x: 0.825 m η = 0.5	η = 0.2	η < 0.1	η < 0.1	x: 0.825 m η = 86.8	η < 0.1	η = 0.2	x: 0.825 m η = 0.5	η = 0.2	**CUMPLE η = 86.8**
N1047/N1048	$\lambda_w \leq \lambda_{w,máx}$ Cumple	x: 1.713 m η = 54.1	x: 0.065 m η = 81.0	x: 0.684 m η = 5.7	x: 0.065 m η = 4.9	x: 1.714 m η = 0.3	η = 0.2	η < 0.1	η < 0.1	x: 0.065 m η = 89.8	η < 0.1	η = 0.1	x: 0.065 m η = 0.2	η = 0.2	**CUMPLE η = 89.8**
N1048/N1049	$\lambda_w \leq \lambda_{w,máx}$ Cumple	x: 1.708 m η = 53.8	x: 0.065 m η = 80.4	x: 1.709 m η = 7.0	x: 1.709 m η = 3.0	x: 0.065 m η = 0.5	η = 0.2	η < 0.1	η < 0.1	x: 1.709 m η = 87.7	η < 0.1	x: 0.887 m η = 0.3	x: 0.065 m η = 0.5	η = 0.2	**CUMPLE η = 87.7**
N1049/N1050	$\lambda_w \leq \lambda_{w,máx}$ Cumple	x: 1.708 m η = 45.9	x: 0.07 m η = 67.9	x: 0.07 m η = 8.9	x: 0.07 m η = 2.8	x: 1.709 m η = 1.4	η = 0.1	η < 0.1	η < 0.1	x: 0.07 m η = 75.7	η < 0.1	x: 0.685 m η = 0.2	x: 0.07 m η = 1.3	η = 0.1	**CUMPLE η = 75.7**
N1050/N1051	$\lambda_w \leq \lambda_{w,máx}$ Cumple	x: 1.708 m η = 38.2	x: 0.07 m η = 56.1	x: 0.07 m η = 6.5	x: 1.709 m η = 3.6	x: 1.709 m η = 1.0	η = 0.1	η < 0.1	η < 0.1	x: 1.709 m η = 61.0	η < 0.1	η = 0.1	x: 1.709 m η = 0.3	η = 0.1	**CUMPLE η = 61.0**
N1051/N3545	$\lambda_w \leq \lambda_{w,máx}$ Cumple	x: 0.89 m η = 28.2	x: 0.07 m η = 40.8	x: 0.07 m η = 6.6	x: 0.07 m η = 3.6	x: 0.07 m η = 1.8	η = 0.2	η < 0.1	η < 0.1	x: 0.07 m η = 47.5	η < 0.1	η = 0.2	x: 0.07 m η = 1.8	η = 0.2	**CUMPLE η = 47.5**
N3545/N1052	$\lambda_w \leq \lambda_{w,máx}$ Cumple	x: 0.805 m η = 28.2	x: 0 m η = 40.8	x: 0 m η = 3.1	x: 0 m η = 2.1	x: 0.806 m η = 1.9	η = 0.2	η < 0.1	η < 0.1	x: 0 m η = 44.3	η < 0.1	x: 0.403 m η = 0.2	x: 0.806 m η = 1.9	η = 0.2	**CUMPLE η = 44.3**
N1052/N1053	$\lambda_w \leq \lambda_{w,máx}$ Cumple	x: 1.694 m η = 15.6	x: 0.084 m η = 21.2	x: 0.084 m η = 6.3	x: 1.695 m η = 2.7	x: 1.695 m η = 1.8	η = 0.2	η < 0.1	η < 0.1	x: 0.084 m η = 25.7	η < 0.1	x: 1.694 m η = 0.2	x: 1.695 m η = 1.8	η = 0.2	**CUMPLE η = 25.7**
N1053/N1054	$\lambda_w \leq \lambda_{w,máx}$ Cumple	x: 1.694 m η = 1.4	x: 0.084 m η = 0.4	x: 0.084 m η = 7.6	x: 0.084 m η = 2.4	x: 1.695 m η = 3.6	η = 0.1	η < 0.1	η < 0.1	x: 0.084 m η = 10.1	η < 0.1	η < 0.1	x: 1.695 m η = 0.9	η < 0.1	**CUMPLE η = 10.1**
N1054/N1055	$\lambda_w \leq \lambda_{w,máx}$ Cumple	x: 1.717 m η = 18.6	x: 0.084 m η = 27.2	x: 0.084 m η = 2.7	x: 1.718 m η = 1.8	x: 1.718 m η = 0.7	η = 0.1	η < 0.1	η < 0.1	x: 1.718 m η = 29.0	η < 0.1	η = 0.1	x: 0.084 m η = 0.7	η = 0.1	**CUMPLE η = 29.0**
N887/N888	$\lambda_w \leq \lambda_{w,máx}$ Cumple	x: 1.7 m η = 30.8	x: 0.061 m η = 46.3	x: 1.701 m η = 5.0	x: 0.061 m η = 2.4	x: 0.061 m η = 0.7	η = 0.1	η < 0.1	η < 0.1	x: 0.061 m η = 49.5	η < 0.1	x: 0.061 m η < 0.1	x: 0.061 m η = 0.3	x: 0.061 m η < 0.1	**CUMPLE η = 49.5**
N888/N889	$\lambda_w \leq \lambda_{w,máx}$ Cumple	x: 1.7 m η = 40.6	x: 0.078 m η = 60.6	x: 1.701 m η = 7.1	x: 1.701 m η = 2.6	x: 0.078 m η = 1.6	η = 0.1	η < 0.1	η < 0.1	x: 1.701 m η = 66.4	η < 0.1	η = 0.1	x: 0.078 m η = 1.3	η = 0.1	**CUMPLE η = 66.4**
N889/N890	$\lambda_w \leq \lambda_{w,máx}$ Cumple	x: 1.7 m η = 47.8	x: 0.078 m η = 70.8	x: 1.701 m η = 6.3	x: 0.078 m η = 3.7	x: 0.078 m η = 0.7	η = 0.2	η < 0.1	η < 0.1	x: 0.078 m η = 75.9	η < 0.1	x: 1.093 m η = 0.2	x: 0.078 m η = 0.7	η = 0.2	**CUMPLE η = 75.9**
N890/N3548	$\lambda_w \leq \lambda_{w,máx}$ Cumple	x: 0.89 m η = 52.4	x: 0.078 m η = 77.6	x: 0.89 m η = 5.4	x: 0.89 m η = 2.6	x: 0.078 m η = 0.6	η = 0.2	η < 0.1	η < 0.1	x: 0.89 m η = 83.0	η < 0.1	η = 0.2	x: 0.078 m η = 0.6	η = 0.2	**CUMPLE η = 83.0**
N3548/N891	$\lambda_w \leq \lambda_{w,máx}$ Cumple	x: 0.824 m η = 52.4	x: 0 m η = 77.6	x: 0.825 m η = 6.1	x: 0.825 m η = 4.6	x: 0.825 m η = 0.5	η = 0.2	η < 0.1	η < 0.1	x: 0.825 m η = 85.8	η < 0.1	η = 0.2	x: 0.825 m η = 0.5	η = 0.2	**CUMPLE η = 85.8**

Documento visado electrónicamente con número: VA07290/22
Código de validación telemática TRLTDCFZ60T66IJ1. Comprobación: https://cogitivalencia.e-gestion.es/Validacion.aspx?CVT=TRLTDCFZ60T66IJ1

Listados

VISADO
COGITI
VALENCIA
VA07290/22
TRLTDCFZ60T66IJ1
Documento visado electrónicamente con número VA07290/22
Código de validación telemática TRLTDCFZ60T66IJ1. Comprobación: https://cogitivalencia.e-gestion.es/Validacion.aspx?CVT=TRLTDCFZ60T66IJ1

Barras	COMPROBACIONES (CÓDIGO ESTRUCTURAL)													Estado
	λ_w	N_t	N_c	M_Y	M_Z	V_Z	V_Y	M_YV_Z	M_ZV_Y	NM_YM_Z	$NM_YM_ZV_YV_Z$	M_t	M_tV_Z	M_tV_Y	
N891/N892	λw ≤ λw,máx Cumple	x: 1.713 m η = 54.5	x: 0.065 m η = 80.5	x: 0.684 m η = 5.7	x: 0.065 m η = 4.7	x: 1.714 m η = 0.3	η = 0.2	η < 0.1	η < 0.1	x: 0.065 m η = 88.6	η < 0.1	η = 0.1	x: 0.065 m η = 0.2	η = 0.2	**CUMPLE η = 88.6**
N892/N893	λw ≤ λw,máx Cumple	x: 1.708 m η = 54.3	x: 0.065 m η = 79.7	x: 1.709 m η = 7.1	x: 1.709 m η = 3.1	x: 0.065 m η = 0.5	η = 0.2	η < 0.1	η < 0.1	x: 1.709 m η = 86.9	η < 0.1	η = 0.3	x: 0.065 m η = 0.5	η = 0.2	**CUMPLE η = 86.9**
N893/N894	λw ≤ λw,máx Cumple	x: 1.708 m η = 46.3	x: 0.07 m η = 66.9	x: 0.07 m η = 9.0	x: 0.07 m η = 2.9	x: 1.709 m η = 1.5	η = 0.1	η < 0.1	η < 0.1	x: 0.07 m η = 74.8	η < 0.1	η = 0.2	x: 0.07 m η = 1.3	η = 0.1	**CUMPLE η = 74.8**
N894/N895	λw ≤ λw,máx Cumple	x: 1.708 m η = 38.5	x: 0.07 m η = 54.8	x: 0.07 m η = 6.5	x: 1.709 m η = 3.6	x: 1.709 m η = 1.0	η = 0.2	η < 0.1	η < 0.1	x: 1.709 m η = 59.7	η < 0.1	η = 0.1	x: 1.709 m η = 0.3	η = 0.1	**CUMPLE η = 59.7**
N895/N3596	λw ≤ λw,máx Cumple	x: 0.89 m η = 28.5	x: 0.07 m η = 39.3	x: 0.07 m η = 6.7	x: 0.07 m η = 3.6	x: 0.07 m η = 1.8	η = 0.2	η < 0.1	η < 0.1	x: 0.07 m η = 46.0	η < 0.1	η = 0.2	x: 0.07 m η = 1.8	η = 0.2	**CUMPLE η = 46.0**
N3596/N896	λw ≤ λw,máx Cumple	x: 0.805 m η = 28.5	x: 0 m η = 39.3	x: 0 m η = 3.1	x: 0 m η = 2.2	x: 0.806 m η = 2.0	η = 0.2	η < 0.1	η < 0.1	x: 0 m η = 42.7	η < 0.1	η = 0.2	x: 0.806 m η = 2.0	η = 0.2	**CUMPLE η = 42.7**
N896/N897	λw ≤ λw,máx Cumple	x: 1.694 m η = 15.8	x: 0.084 m η = 19.5	x: 0.084 m η = 6.3	x: 1.695 m η = 2.6	x: 1.695 m η = 1.8	η = 0.2	η < 0.1	η < 0.1	x: 0.084 m η = 23.7	η < 0.1	η = 0.2	x: 1.695 m η = 1.8	η = 0.2	**CUMPLE η = 23.7**
N897/N898	λw ≤ λw,máx Cumple	x: 1.694 m η = 3.5	x: 0.084 m η = 0.6	x: 0.084 m η = 7.6	x: 0.084 m η = 2.2	x: 1.695 m η = 3.6	η = 0.1	η < 0.1	η < 0.1	x: 0.084 m η = 11.3	η < 0.1	η < 0.1	x: 1.695 m η = 0.9	η < 0.1	**CUMPLE η = 11.3**
N898/N899	λw ≤ λw,máx Cumple	x: 1.717 m η = 20.9	x: 0.084 m η = 28.4	x: 0.084 m η = 2.6	x: 1.718 m η = 1.4	x: 0.084 m η = 0.7	η = 0.1	η < 0.1	η < 0.1	x: 0.084 m η = 30.5	η < 0.1	x: 1.31 m η < 0.1	x: 1.718 m η = 0.3	x: 0.084 m η < 0.1	**CUMPLE η = 30.5**
N731/N732	λw ≤ λw,máx Cumple	x: 1.7 m η = 30.7	x: 0.061 m η = 46.1	x: 1.701 m η = 5.0	x: 0.061 m η = 2.2	x: 0.061 m η = 0.7	η = 0.1	η < 0.1	η < 0.1	x: 0.061 m η = 49.1	η < 0.1	η < 0.1	x: 0.061 m η = 0.3	η < 0.1	**CUMPLE η = 49.1**
N732/N733	λw ≤ λw,máx Cumple	x: 1.7 m η = 40.5	x: 0.078 m η = 60.3	x: 1.701 m η = 7.1	x: 1.701 m η = 2.5	x: 0.078 m η = 1.6	η = 0.1	η < 0.1	η < 0.1	x: 1.701 m η = 66.1	η < 0.1	η = 0.1	x: 0.078 m η = 1.3	η = 0.1	**CUMPLE η = 66.1**
N733/N734	λw ≤ λw,máx Cumple	x: 1.7 m η = 47.7	x: 0.078 m η = 70.5	x: 1.701 m η = 6.3	x: 0.078 m η = 3.5	x: 0.078 m η = 0.7	η = 0.2	η < 0.1	η < 0.1	x: 0.078 m η = 75.2	η < 0.1	x: 1.093 m η = 0.2	x: 0.078 m η = 0.7	η = 0.2	**CUMPLE η = 75.2**
N734/N3550	λw ≤ λw,máx Cumple	x: 0.89 m η = 52.2	x: 0.078 m η = 77.2	x: 0.89 m η = 5.4	x: 0.89 m η = 2.5	x: 0.078 m η = 0.6	η = 0.2	η < 0.1	η < 0.1	x: 0.89 m η = 82.6	η < 0.1	η = 0.2	x: 0.078 m η = 0.6	η = 0.2	**CUMPLE η = 82.6**
N3550/N735	λw ≤ λw,máx Cumple	x: 0.824 m η = 52.2	x: 0 m η = 77.2	x: 0.825 m η = 6.1	x: 0.825 m η = 4.4	x: 0.825 m η = 0.4	η = 0.2	η < 0.1	η < 0.1	x: 0.825 m η = 85.0	η < 0.1	η = 0.2	x: 0.825 m η = 0.4	η = 0.2	**CUMPLE η = 85.0**
N735/N736	λw ≤ λw,máx Cumple	x: 1.713 m η = 54.4	x: 0.065 m η = 80.0	x: 0.684 m η = 5.7	x: 0.065 m η = 4.5	x: 1.714 m η = 0.3	η = 0.2	η < 0.1	η < 0.1	x: 0.065 m η = 87.7	η < 0.1	η = 0.1	x: 0.065 m η = 0.2	η = 0.2	**CUMPLE η = 87.7**
N736/N737	λw ≤ λw,máx Cumple	x: 1.708 m η = 54.1	x: 0.065 m η = 79.2	x: 1.709 m η = 7.1	x: 1.709 m η = 3.0	x: 0.065 m η = 0.5	η = 0.2	η < 0.1	η < 0.1	x: 1.709 m η = 86.3	η < 0.1	η = 0.2	x: 0.065 m η = 0.5	η = 0.2	**CUMPLE η = 86.3**
N737/N738	λw ≤ λw,máx Cumple	x: 1.708 m η = 46.1	x: 0.07 m η = 66.2	x: 0.07 m η = 9.0	x: 0.07 m η = 2.8	x: 1.709 m η = 1.5	η = 0.1	η < 0.1	η < 0.1	x: 0.07 m η = 74.0	η < 0.1	x: 1.3 m η = 0.2	x: 0.07 m η = 1.3	η = 0.1	**CUMPLE η = 74.0**
N738/N739	λw ≤ λw,máx Cumple	x: 1.708 m η = 38.3	x: 0.07 m η = 54.0	x: 0.07 m η = 6.5	x: 1.709 m η = 3.5	x: 1.709 m η = 1.0	η = 0.1	η < 0.1	η < 0.1	x: 1.709 m η = 58.8	η < 0.1	η = 0.1	x: 1.709 m η = 0.3	η = 0.1	**CUMPLE η = 58.8**
N739/N3549	λw ≤ λw,máx Cumple	x: 0.89 m η = 28.3	x: 0.07 m η = 38.4	x: 0.07 m η = 6.7	x: 0.07 m η = 3.5	x: 0.07 m η = 1.8	η = 0.1	η < 0.1	η < 0.1	x: 0.07 m η = 45.1	η < 0.1	η = 0.2	x: 0.07 m η = 1.8	η = 0.1	**CUMPLE η = 45.1**
N3549/N740	λw ≤ λw,máx Cumple	x: 0.805 m η = 28.3	x: 0 m η = 38.4	x: 0 m η = 3.1	x: 0 m η = 2.2	x: 0.806 m η = 2.0	η = 0.1	η < 0.1	η < 0.1	x: 0 m η = 41.7	η < 0.1	η = 0.2	x: 0.806 m η = 2.0	η = 0.1	**CUMPLE η = 41.7**
N740/N741	λw ≤ λw,máx Cumple	x: 1.694 m η = 15.5	x: 0.084 m η = 18.5	x: 0.084 m η = 6.3	x: 1.695 m η = 2.5	x: 1.695 m η = 1.8	η = 0.1	η < 0.1	η < 0.1	x: 0.084 m η = 22.7	η < 0.1	η = 0.2	x: 1.695 m η = 1.8	η = 0.1	**CUMPLE η = 22.7**
N741/N742	λw ≤ λw,máx Cumple	x: 1.694 m η = 4.3	x: 0.084 m η = 1.0	x: 0.084 m η = 7.6	x: 0.084 m η = 2.1	x: 1.695 m η = 3.6	η = 0.1	η < 0.1	η < 0.1	x: 0.084 m η = 12.0	η < 0.1	η < 0.1	x: 1.695 m η = 1.0	η < 0.1	**CUMPLE η = 12.0**
N742/N743	λw ≤ λw,máx Cumple	x: 1.717 m η = 21.8	x: 0.084 m η = 29.2	x: 0.084 m η = 2.6	x: 1.718 m η = 1.0	x: 0.084 m η = 0.7	η = 0.1	η < 0.1	η < 0.1	x: 0.084 m η = 31.3	η < 0.1	η < 0.1	x: 1.718 m η = 0.3	η < 0.1	**CUMPLE η = 31.3**
N575/N576	λw ≤ λw,máx Cumple	x: 1.7 m η = 30.6	x: 0.061 m η = 46.0	x: 1.701 m η = 5.0	x: 0.061 m η = 2.1	x: 0.061 m η = 0.7	η = 0.1	η < 0.1	η < 0.1	x: 1.701 m η = 49.2	η < 0.1	η < 0.1	x: 0.061 m η = 0.3	η < 0.1	**CUMPLE η = 49.2**
N576/N577	λw ≤ λw,máx Cumple	x: 1.7 m η = 40.4	x: 0.078 m η = 60.1	x: 1.701 m η = 7.0	x: 1.701 m η = 2.4	x: 0.078 m η = 1.6	η = 0.1	η < 0.1	η < 0.1	x: 1.701 m η = 65.9	η < 0.1	η = 0.1	x: 1.701 m η = 1.4	η = 0.1	**CUMPLE η = 65.9**
N577/N578	λw ≤ λw,máx Cumple	x: 1.7 m η = 47.5	x: 0.078 m η = 70.2	x: 1.701 m η = 6.3	x: 0.078 m η = 3.2	x: 0.078 m η = 0.7	η = 0.2	η < 0.1	η < 0.1	x: 1.701 m η = 74.9	η < 0.1	x: 1.093 m η = 0.2	x: 0.078 m η = 0.7	η = 0.2	**CUMPLE η = 74.9**
N578/N3551	λw ≤ λw,máx Cumple	x: 0.89 m η = 52.1	x: 0.078 m η = 76.9	x: 0.89 m η = 5.4	x: 0.89 m η = 2.5	x: 0.078 m η = 0.6	η = 0.2	η < 0.1	η < 0.1	x: 0.89 m η = 82.2	η < 0.1	η = 0.2	x: 0.078 m η = 0.6	η = 0.2	**CUMPLE η = 82.2**
N3551/N579	λw ≤ λw,máx Cumple	x: 0.824 m η = 52.1	x: 0 m η = 76.9	x: 0.825 m η = 6.1	x: 0.825 m η = 4.1	x: 0.825 m η = 0.4	η = 0.2	η < 0.1	η < 0.1	x: 0.825 m η = 84.3	η < 0.1	η = 0.2	x: 0.825 m η = 0.4	η = 0.2	**CUMPLE η = 84.3**
N579/N580	λw ≤ λw,máx Cumple	x: 1.713 m η = 54.2	x: 0.065 m η = 79.6	x: 0.684 m η = 5.7	x: 0.065 m η = 4.3	x: 1.714 m η = 0.3	η = 0.2	η < 0.1	η < 0.1	x: 0.065 m η = 87.2	η < 0.1	η = 0.1	x: 0.065 m η = 0.2	η = 0.1	**CUMPLE η = 87.2**
N580/N581	λw ≤ λw,máx Cumple	x: 1.708 m η = 53.9	x: 0.065 m η = 78.8	x: 1.709 m η = 7.1	x: 1.709 m η = 2.7	x: 0.065 m η = 0.5	η = 0.2	η < 0.1	η < 0.1	x: 1.709 m η = 85.8	η < 0.1	η = 0.2	x: 0.065 m η = 0.5	η = 0.2	**CUMPLE η = 85.8**
N581/N582	λw ≤ λw,máx Cumple	x: 1.708 m η = 45.8	x: 0.07 m η = 65.8	x: 0.07 m η = 9.0	x: 0.07 m η = 2.6	x: 1.709 m η = 1.5	η = 0.1	η < 0.1	η < 0.1	x: 0.07 m η = 73.5	η < 0.1	η = 0.2	x: 0.07 m η = 1.3	η = 0.1	**CUMPLE η = 73.5**
N582/N583	λw ≤ λw,máx Cumple	x: 1.708 m η = 38.1	x: 0.07 m η = 53.6	x: 0.07 m η = 6.5	x: 1.709 m η = 3.2	x: 1.709 m η = 1.0	η = 0.1	η < 0.1	η < 0.1	x: 1.709 m η = 58.3	η < 0.1	η = 0.1	x: 1.709 m η = 0.3	η = 0.1	**CUMPLE η = 58.3**
N583/N3552	λw ≤ λw,máx Cumple	x: 0.89 m η = 28.0	x: 0.07 m η = 38.0	x: 0.07 m η = 6.6	x: 0.07 m η = 3.2	x: 0.07 m η = 1.8	η = 0.1	η < 0.1	η < 0.1	x: 0.07 m η = 44.6	η < 0.1	η = 0.2	x: 0.07 m η = 1.8	η = 0.1	**CUMPLE η = 44.6**
N3552/N584	λw ≤ λw,máx Cumple	x: 0.805 m η = 28.0	x: 0 m η = 38.0	x: 0 m η = 3.1	x: 0 m η = 2.1	x: 0.806 m η = 2.0	η = 0.1	η < 0.1	η < 0.1	x: 0 m η = 41.3	η < 0.1	η = 0.2	x: 0.806 m η = 2.0	η = 0.1	**CUMPLE η = 41.3**
N584/N585	λw ≤ λw,máx Cumple	x: 1.694 m η = 15.3	x: 0.084 m η = 18.1	x: 0.084 m η = 6.3	x: 1.695 m η = 2.5	x: 1.695 m η = 1.8	η = 0.1	η < 0.1	η < 0.1	x: 0.084 m η = 22.3	η < 0.1	x: 0.084 m η = 0.2	x: 1.695 m η = 1.8	η = 0.1	**CUMPLE η = 22.3**
N585/N586	λw ≤ λw,máx Cumple	x: 1.694 m η = 4.5	x: 0.084 m η = 1.3	x: 0.084 m η = 7.6	x: 0.084 m η = 2.1	x: 1.695 m η = 3.6	η = 0.1	η < 0.1	η < 0.1	x: 0.084 m η = 12.1	η < 0.1	η < 0.1	x: 1.695 m η = 0.9	η < 0.1	**CUMPLE η = 12.1**
N586/N587	λw ≤ λw,máx Cumple	x: 1.717 m η = 22.0	x: 0.084 m η = 29.6	x: 0.084 m η = 2.6	x: 1.718 m η = 1.0	x: 0.084 m η = 0.7	η = 0.1	η < 0.1	η < 0.1	x: 0.084 m η = 31.8	η < 0.1	η < 0.1	x: 1.718 m η = 0.3	η < 0.1	**CUMPLE η = 31.8**
N419/N420	λw ≤ λw,máx Cumple	x: 1.7 m η = 30.4	x: 0.061 m η = 45.2	x: 1.701 m η = 5.0	x: 0.061 m η = 2.1	x: 0.061 m η = 0.7	η = 0.1	η < 0.1	η < 0.1	x: 1.701 m η = 48.5	η < 0.1	x: 0.266 m η < 0.1	x: 0.061 m η = 0.3	η < 0.1	**CUMPLE η = 48.5**
N420/N421	λw ≤ λw,máx Cumple	x: 1.7 m η = 40.0	x: 0.078 m η = 59.1	x: 1.701 m η = 6.9	x: 1.701 m η = 2.4	x: 0.078 m η = 1.6	η = 0.1	η < 0.1	η < 0.1	x: 1.701 m η = 64.6	η < 0.1	η = 0.1	x: 1.701 m η = 1.3	η = 0.1	**CUMPLE η = 64.6**
N421/N422	λw ≤ λw,máx Cumple	x: 1.7 m η = 47.0	x: 0.078 m η = 68.9	x: 1.701 m η = 6.2	x: 0.078 m η = 3.0	x: 0.078 m η = 0.7	η = 0.2	η < 0.1	η < 0.1	x: 1.701 m η = 73.4	η < 0.1	x: 1.296 m η = 0.2	x: 0.078 m η = 0.7	η = 0.2	**CUMPLE η = 73.4**
N422/N3554	λw ≤ λw,máx Cumple	x: 0.89 m η = 51.5	x: 0.078 m η = 75.5	x: 0.89 m η = 5.3	x: 0.89 m η = 2.4	x: 0.078 m η = 0.6	η = 0.2	η < 0.1	η < 0.1	x: 0.89 m η = 80.6	η < 0.1	η = 0.2	x: 0.078 m η = 0.6	η = 0.2	**CUMPLE η = 80.6**
N3554/N423	λw ≤ λw,máx Cumple	x: 0.824 m η = 51.5	x: 0 m η = 75.5	x: 0.825 m η = 6.0	x: 0.825 m η = 3.8	x: 0.825 m η = 0.4	η = 0.2	η < 0.1	η < 0.1	x: 0.825 m η = 82.6	η < 0.1	x: 0.619 m η = 0.2	x: 0.825 m η = 0.4	η = 0.2	**CUMPLE η = 82.6**
N423/N424	λw ≤ λw,máx Cumple	x: 1.713 m η = 53.6	x: 0.065 m η = 78.2	x: 0.684 m η = 5.6	x: 0.065 m η = 3.9	x: 1.714 m η = 0.3	η = 0.2	η < 0.1	η < 0.1	x: 0.065 m η = 85.3	η < 0.1	x: 1.096 m η = 0.1	x: 0.065 m η = 0.2	η = 0.1	**CUMPLE η = 85.3**

VISADO
COGITI
Estado
VALENCIA
VA07290/22
TRLTDCFZ60T66IJ1

Barras	COMPROBACIONES (CÓDIGO ESTRUCTURAL)														
	λ_w	N_t	N_c	M_Y	M_Z	V_Z	V_Y	M_YV_Z	M_ZV_Y	NM_YM_Z	$NM_YM_ZV_YV_Z$	M_t	M_tV_Z	M_tV_Y	
N424/N425	$\lambda_w \leq \lambda_{w,máx}$ Cumple	x: 1.708 m η = 53.3	x: 0.065 m η = 77.3	x: 1.709 m η = 6.9	x: 1.709 m η = 2.6	x: 0.065 m η = 0.5	η = 0.1	η < 0.1	η < 0.1	x: 1.709 m η = 83.9	η < 0.1	η = 0.3	x: 0.065 m η = 0.5	η = 0.1	**CUMPLE η = 83.9**
N425/N426	$\lambda_w \leq \lambda_{w,máx}$ Cumple	x: 1.708 m η = 45.2	x: 0.07 m η = 64.6	x: 0.07 m η = 8.8	x: 0.07 m η = 2.4	x: 1.709 m η = 1.4	η = 0.1	η < 0.1	η < 0.1	x: 0.07 m η = 71.9	η < 0.1	η = 0.2	x: 0.07 m η = 1.3	η = 0.1	**CUMPLE η = 71.9**
N426/N427	$\lambda_w \leq \lambda_{w,máx}$ Cumple	x: 1.708 m η = 37.5	x: 0.07 m η = 52.7	x: 0.07 m η = 6.4	x: 1.709 m η = 2.9	x: 1.709 m η = 1.0	η = 0.1	η < 0.1	η < 0.1	x: 1.709 m η = 57.3	η < 0.1	η = 0.1	x: 1.709 m η = 0.3	η = 0.1	**CUMPLE η = 57.3**
N427/N3553	$\lambda_w \leq \lambda_{w,máx}$ Cumple	x: 0.89 m η = 27.6	x: 0.07 m η = 37.4	x: 0.07 m η = 6.6	x: 0.07 m η = 2.9	x: 0.07 m η = 1.8	η = 0.1	η < 0.1	η < 0.1	x: 0.07 m η = 43.7	η < 0.1	η = 0.2	x: 0.07 m η = 1.8	η = 0.1	**CUMPLE η = 43.7**
N3553/N428	$\lambda_w \leq \lambda_{w,máx}$ Cumple	x: 0.805 m η = 27.6	x: 0 m η = 37.4	x: 0 m η = 3.0	x: 0 m η = 1.9	x: 0.806 m η = 2.0	η = 0.1	η < 0.1	η < 0.1	x: 0 m η = 40.6	η < 0.1	η = 0.2	x: 0.806 m η = 2.0	η = 0.1	**CUMPLE η = 40.6**
N428/N429	$\lambda_w \leq \lambda_{w,máx}$ Cumple	x: 1.694 m η = 14.9	x: 0.084 m η = 17.9	x: 0.084 m η = 6.2	x: 1.695 m η = 2.6	x: 1.695 m η = 1.8	η = 0.1	η < 0.1	η < 0.1	x: 0.084 m η = 21.9	η < 0.1	x: 0.084 m η = 0.2	x: 1.695 m η = 1.8	η = 0.1	**CUMPLE η = 21.9**
N429/N430	$\lambda_w \leq \lambda_{w,máx}$ Cumple	x: 1.694 m η = 4.4	x: 0.084 m η = 1.5	x: 0.084 m η = 7.5	x: 0.084 m η = 2.2	x: 1.695 m η = 3.6	η = 0.1	η < 0.1	η < 0.1	x: 0.084 m η = 11.6	η < 0.1	η < 0.1	x: 1.695 m η = 0.9	η < 0.1	**CUMPLE η = 11.6**
N430/N431	$\lambda_w \leq \lambda_{w,máx}$ Cumple	x: 1.717 m η = 21.5	x: 0.084 m η = 29.6	x: 0.084 m η = 2.6	x: 1.718 m η = 1.4	x: 1.718 m η = 0.7	η = 0.1	η < 0.1	η < 0.1	x: 0.084 m η = 31.8	η < 0.1	η < 0.1	x: 1.718 m η = 0.3	η < 0.1	**CUMPLE η = 31.8**
N211/N212	$\lambda_w \leq \lambda_{w,máx}$ Cumple	x: 1.68 m η = 26.5	x: 0.076 m η = 25.7	x: 1.681 m η = 5.4	x: 0.076 m η = 4.0	x: 0.076 m η = 0.8	η = 0.2	η < 0.1	η < 0.1	x: 1.68 m η = 32.2	η < 0.1	η = 0.1	x: 0.076 m η = 0.8	η = 0.1	**CUMPLE η = 32.2**
N212/N213	$\lambda_w \leq \lambda_{w,máx}$ Cumple	x: 1.7 m η = 35.3	x: 0.098 m η = 34.2	x: 1.701 m η = 7.2	x: 1.701 m η = 3.5	x: 0.098 m η = 2.2	η = 0.2	η < 0.1	η < 0.1	x: 1.701 m η = 43.8	η < 0.1	η = 0.1	x: 0.098 m η = 2.2	η = 0.2	**CUMPLE η = 43.8**
N213/N214	$\lambda_w \leq \lambda_{w,máx}$ Cumple	x: 1.7 m η = 41.4	x: 0.078 m η = 40.0	x: 1.701 m η = 7.1	x: 0.078 m η = 4.0	x: 0.078 m η = 0.8	η = 0.2	η < 0.1	η < 0.1	x: 1.701 m η = 49.4	η < 0.1	η = 0.2	x: 0.078 m η = 0.8	η = 0.2	**CUMPLE η = 49.4**
N214/N3555	$\lambda_w \leq \lambda_{w,máx}$ Cumple	x: 0.89 m η = 45.4	x: 0.078 m η = 43.9	x: 0.89 m η = 6.5	x: 0.89 m η = 2.9	x: 0.078 m η = 0.6	η = 0.2	η < 0.1	η < 0.1	x: 0.89 m η = 53.9	η < 0.1	η = 0.2	x: 0.078 m η = 0.6	η = 0.2	**CUMPLE η = 53.9**
N3555/N215	$\lambda_w \leq \lambda_{w,máx}$ Cumple	x: 0.811 m η = 45.4	x: 0 m η = 43.9	x: 0.812 m η = 7.0	x: 0.812 m η = 4.5	x: 0 m η = 0.4	η = 0.2	η < 0.1	η < 0.1	x: 0.812 m η = 55.8	η < 0.1	η = 0.2	x: 0 m η = 0.4	η = 0.2	**CUMPLE η = 55.8**
N215/N216	$\lambda_w \leq \lambda_{w,máx}$ Cumple	x: 1.7 m η = 47.1	x: 0.078 m η = 45.4	x: 1.498 m η = 7.1	x: 0.078 m η = 4.6	x: 0.078 m η = 0.3	η = 0.2	η < 0.1	η < 0.1	x: 0.078 m η = 57.1	η < 0.1	x: 1.7 m η = 0.1	x: 1.701 m η = 0.3	η = 0.2	**CUMPLE η = 57.1**
N216/N217	$\lambda_w \leq \lambda_{w,máx}$ Cumple	x: 1.694 m η = 46.8	x: 0.078 m η = 44.9	x: 1.695 m η = 9.0	x: 1.695 m η = 3.2	x: 0.078 m η = 0.7	η = 0.2	η < 0.1	η < 0.1	x: 1.695 m η = 58.0	η < 0.1	η = 0.2	x: 0.078 m η = 0.7	η = 0.2	**CUMPLE η = 58.0**
N217/N218	$\lambda_w \leq \lambda_{w,máx}$ Cumple	x: 1.694 m η = 39.4	x: 0.084 m η = 37.1	x: 0.084 m η = 11.1	x: 0.084 m η = 3.1	x: 1.695 m η = 2.0	η = 0.2	η < 0.1	η < 0.1	x: 0.084 m η = 52.6	η < 0.1	η = 0.1	x: 1.695 m η = 2.0	η = 0.2	**CUMPLE η = 52.6**
N218/N219	$\lambda_w \leq \lambda_{w,máx}$ Cumple	x: 1.694 m η = 32.5	x: 0.084 m η = 30.0	x: 0.084 m η = 8.2	x: 1.695 m η = 3.3	x: 1.695 m η = 2.2	η = 0.2	η < 0.1	η < 0.1	x: 0.084 m η = 41.1	η < 0.1	η = 0.1	x: 1.695 m η = 2.2	η = 0.2	**CUMPLE η = 41.1**
N219/N3556	$\lambda_w \leq \lambda_{w,máx}$ Cumple	x: 0.89 m η = 23.3	x: 0.084 m η = 20.6	x: 0.084 m η = 5.6	x: 0.084 m η = 3.3	x: 0.89 m η = 1.5	η = 0.2	η < 0.1	η < 0.1	x: 0.084 m η = 31.9	η < 0.1	η = 0.2	x: 0.89 m η = 1.5	η = 0.2	**CUMPLE η = 31.9**
N3556/N220	$\lambda_w \leq \lambda_{w,máx}$ Cumple	x: 0.805 m η = 23.3	x: 0 m η = 20.6	x: 0 m η = 3.4	x: 0 m η = 2.2	x: 0.806 m η = 1.7	η = 0.2	η < 0.1	η < 0.1	x: 0 m η = 28.4	η < 0.1	η = 0.2	x: 0.806 m η = 1.7	η = 0.2	**CUMPLE η = 28.4**
N220/N221	$\lambda_w \leq \lambda_{w,máx}$ Cumple	x: 1.694 m η = 11.7	x: 0.084 m η = 6.8	x: 0.084 m η = 6.1	x: 1.695 m η = 3.5	x: 1.695 m η = 2.0	η = 0.2	η < 0.1	η < 0.1	x: 0.084 m η = 18.6	η < 0.1	η = 0.2	x: 1.695 m η = 2.0	η = 0.2	**CUMPLE η = 18.6**
N221/N222	$\lambda_w \leq \lambda_{w,máx}$ Cumple	x: 1.673 m η = 4.3	x: 0.084 m η = 2.3	x: 1.674 m η = 9.0	x: 0.084 m η = 3.1	x: 1.674 m η = 5.0	η = 0.2	η < 0.1	η < 0.1	x: 1.674 m η = 12.4	η < 0.1	η = 0.1	x: 1.674 m η = 5.0	η = 0.2	**CUMPLE η = 12.4**
N222/N223	$\lambda_w \leq \lambda_{w,máx}$ Cumple	x: 1.702 m η = 17.2	x: 0.105 m η = 24.7	x: 1.104 m η = 1.6	x: 1.703 m η = 3.2	x: 0.105 m η = 0.4	η = 0.2	η < 0.1	η < 0.1	x: 1.702 m η = 26.8	η < 0.1	η = 0.1	x: 0.105 m η = 0.4	η = 0.2	**CUMPLE η = 26.8**
N107/N108	$\lambda_w \leq \lambda_{w,máx}$ Cumple	x: 1.68 m η = 36.0	x: 0.076 m η = 29.9	x: 1.681 m η = 7.4	x: 0.076 m η = 4.3	x: 0.076 m η = 1.1	η = 0.2	η < 0.1	η < 0.1	x: 1.681 m η = 43.9	η < 0.1	η = 0.1	x: 0.076 m η = 1.1	η = 0.2	**CUMPLE η = 43.9**
N108/N109	$\lambda_w \leq \lambda_{w,máx}$ Cumple	x: 1.7 m η = 48.2	x: 0.098 m η = 40.2	x: 1.701 m η = 9.7	x: 1.701 m η = 3.7	x: 0.098 m η = 2.8	η = 0.2	η < 0.1	η < 0.1	x: 1.701 m η = 58.7	η < 0.1	η = 0.1	x: 0.098 m η = 2.8	η = 0.1	**CUMPLE η = 58.7**
N109/N110	$\lambda_w \leq \lambda_{w,máx}$ Cumple	x: 1.7 m η = 56.6	x: 0.078 m η = 47.2	x: 1.701 m η = 9.8	x: 0.078 m η = 4.1	x: 0.078 m η = 1.1	η = 0.2	η < 0.1	η < 0.1	x: 1.701 m η = 67.3	η < 0.1	η = 0.2	x: 0.078 m η = 1.1	η = 0.2	**CUMPLE η = 67.3**
N110/N3558	$\lambda_w \leq \lambda_{w,máx}$ Cumple	x: 0.89 m η = 62.3	x: 0.078 m η = 52.0	x: 0.89 m η = 8.9	x: 0.89 m η = 2.5	x: 0.078 m η = 0.7	η = 0.2	η < 0.1	η < 0.1	x: 0.89 m η = 72.9	η < 0.1	η = 0.2	x: 0.078 m η = 0.7	η = 0.2	**CUMPLE η = 72.9**
N3558/N111	$\lambda_w \leq \lambda_{w,máx}$ Cumple	x: 0.811 m η = 62.3	x: 0 m η = 52.0	x: 0.812 m η = 9.6	x: 0.812 m η = 4.0	x: 0 m η = 0.6	η = 0.2	η < 0.1	η < 0.1	x: 0.812 m η = 74.8	η < 0.1	η = 0.2	x: 0 m η = 0.6	η = 0.2	**CUMPLE η = 74.8**
N111/N112	$\lambda_w \leq \lambda_{w,máx}$ Cumple	x: 1.7 m η = 64.8	x: 0.078 m η = 53.9	x: 1.701 m η = 9.8	x: 0.078 m η = 4.0	x: 0.078 m η = 0.4	η = 0.2	η < 0.1	η < 0.1	x: 0.078 m η = 76.7	η < 0.1	η = 0.1	x: 1.701 m η = 0.4	η = 0.2	**CUMPLE η = 76.7**
N112/N113	$\lambda_w \leq \lambda_{w,máx}$ Cumple	x: 1.694 m η = 64.3	x: 0.078 m η = 53.5	x: 1.695 m η = 11.9	x: 1.695 m η = 3.4	x: 0.078 m η = 0.6	η = 0.2	η < 0.1	η < 0.1	x: 1.695 m η = 77.9	η < 0.1	η = 0.2	x: 0.078 m η = 0.6	η = 0.2	**CUMPLE η = 77.9**
N113/N114	$\lambda_w \leq \lambda_{w,máx}$ Cumple	x: 1.694 m η = 54.2	x: 0.084 m η = 44.5	x: 0.084 m η = 14.6	x: 0.084 m η = 3.3	x: 1.695 m η = 2.5	η = 0.2	η < 0.1	η < 0.1	x: 0.084 m η = 70.6	η < 0.1	η = 0.2	x: 1.695 m η = 2.5	η = 0.2	**CUMPLE η = 70.6**
N114/N115	$\lambda_w \leq \lambda_{w,máx}$ Cumple	x: 1.694 m η = 44.8	x: 0.084 m η = 36.3	x: 0.084 m η = 11.5	x: 1.695 m η = 3.1	x: 1.695 m η = 3.0	η = 0.2	η < 0.1	η < 0.1	x: 0.084 m η = 56.6	η < 0.1	η < 0.1	x: 1.695 m η = 3.0	η = 0.1	**CUMPLE η = 56.6**
N115/N3557	$\lambda_w \leq \lambda_{w,máx}$ Cumple	x: 0.89 m η = 32.1	x: 0.084 m η = 25.3	x: 0.084 m η = 7.8	x: 0.084 m η = 3.1	x: 0.89 m η = 2.1	η = 0.2	η < 0.1	η < 0.1	x: 0.084 m η = 42.5	η < 0.1	η = 0.2	x: 0.89 m η = 2.1	η = 0.2	**CUMPLE η = 42.5**
N3557/N116	$\lambda_w \leq \lambda_{w,máx}$ Cumple	x: 0.805 m η = 32.1	x: 0 m η = 25.3	x: 0 m η = 4.7	x: 0 m η = 2.0	x: 0.806 m η = 2.3	η = 0.2	η < 0.1	η < 0.1	x: 0 m η = 38.3	η < 0.1	η = 0.2	x: 0.806 m η = 2.3	η = 0.2	**CUMPLE η = 38.3**
N116/N117	$\lambda_w \leq \lambda_{w,máx}$ Cumple	x: 1.694 m η = 16.1	x: 0.084 m η = 8.7	x: 0.084 m η = 8.6	x: 1.695 m η = 3.8	x: 1.695 m η = 2.7	η = 0.2	η < 0.1	η < 0.1	x: 0.084 m η = 25.4	η < 0.1	η = 0.2	x: 1.695 m η = 2.7	η = 0.2	**CUMPLE η = 25.4**
N117/N118	$\lambda_w \leq \lambda_{w,máx}$ Cumple	x: 1.673 m η = 4.6	x: 0.084 m η = 2.6	x: 1.674 m η = 12.2	x: 0.084 m η = 3.5	x: 1.674 m η = 6.7	η = 0.2	η < 0.1	η < 0.1	x: 1.674 m η = 15.7	η < 0.1	η = 0.2	x: 1.674 m η = 6.7	η = 0.2	**CUMPLE η = 15.7**
N118/N119	$\lambda_w \leq \lambda_{w,máx}$ Cumple	x: 1.702 m η = 19.2	x: 0.105 m η = 33.5	x: 0.904 m η = 2.2	x: 1.703 m η = 4.4	x: 0.105 m η = 0.4	η = 0.2	η < 0.1	η < 0.1	x: 1.703 m η = 36.4	η < 0.1	η = 0.1	x: 0.105 m η = 0.4	η = 0.2	**CUMPLE η = 36.4**
N31/N32	$\lambda_w \leq \lambda_{w,máx}$ Cumple	x: 1.7 m η = 32.7	x: 0.061 m η = 31.8	x: 1.701 m η = 5.6	x: 0.061 m η = 3.0	x: 0.061 m η = 0.9	η = 0.1	η < 0.1	η < 0.1	x: 1.701 m η = 38.5	η < 0.1	η = 0.1	x: 0.061 m η = 0.6	η = 0.1	**CUMPLE η = 38.5**
N32/N33	$\lambda_w \leq \lambda_{w,máx}$ Cumple	x: 1.7 m η = 43.8	x: 0.078 m η = 42.6	x: 1.701 m η = 7.8	x: 1.701 m η = 3.1	x: 0.078 m η = 1.8	η = 0.1	η < 0.1	η < 0.1	x: 1.701 m η = 52.1	η < 0.1	x: 1.093 m η < 0.1	x: 0.078 m η = 0.4	x: 0.687 m η < 0.1	**CUMPLE η = 52.1**
N33/N34	$\lambda_w \leq \lambda_{w,máx}$ Cumple	x: 1.7 m η = 52.0	x: 0.078 m η = 50.4	x: 1.701 m η = 7.0	x: 0.078 m η = 3.6	x: 0.078 m η = 0.8	η = 0.2	η < 0.1	η < 0.1	x: 1.701 m η = 59.7	η < 0.1	η = 0.1	x: 0.078 m η = 0.8	η = 0.2	**CUMPLE η = 59.7**
N34/N3382	$\lambda_w \leq \lambda_{w,máx}$ Cumple	x: 0.89 m η = 57.4	x: 0.078 m η = 55.5	x: 0.89 m η = 6.0	x: 0.89 m η = 1.7	x: 0.078 m η = 0.7	η = 0.2	η < 0.1	η < 0.1	x: 0.89 m η = 64.5	η < 0.1	η = 0.2	x: 0.078 m η = 0.7	η = 0.2	**CUMPLE η = 64.5**
N3382/N35	$\lambda_w \leq \lambda_{w,máx}$ Cumple	x: 0.824 m η = 57.4	x: 0 m η = 55.5	x: 0.825 m η = 6.9	x: 0.825 m η = 3.5	x: 0 m η = 0.5	η = 0.2	η < 0.1	η < 0.1	x: 0.825 m η = 66.2	η < 0.1	η = 0.2	x: 0 m η = 0.5	η = 0.2	**CUMPLE η = 66.2**
N35/N36	$\lambda_w \leq \lambda_{w,máx}$ Cumple	x: 1.713 m η = 60.0	x: 0.065 m η = 57.8	x: 0.477 m η = 6.4	x: 0.065 m η = 3.6	x: 1.714 m η = 0.3	η = 0.2	η < 0.1	η < 0.1	x: 0.065 m η = 68.3	η < 0.1	x: 0.477 m η < 0.1	x: 1.714 m η = 0.2	x: 0.477 m η < 0.1	**CUMPLE η = 68.3**
N36/N37	$\lambda_w \leq \lambda_{w,máx}$ Cumple	x: 1.708 m η = 59.8	x: 0.065 m η = 57.3	x: 1.709 m η = 8.0	x: 1.709 m η = 3.1	x: 0.065 m η = 0.6	η = 0.2	η < 0.1	η < 0.1	x: 1.709 m η = 69.0	η < 0.1	η = 0.2	x: 1.709 m η = 0.4	η = 0.2	**CUMPLE η = 69.0**

Documento visado electrónicamente con número: VA07290/22
Código de validación telemática TRLTDCFZ60T66IJ1. Comprobación: https://cogitivalencia.e-gestion.es/Validacion.aspx?CVT=TRLTDCFZ60T66IJ1

VISADO
COGITI
VALENCIA
VA07290/22
TRLTDCFZ60T66IJ1

Barras	COMPROBACIONES (CÓDIGO ESTRUCTURAL)														Estado
	λ_w	N_t	N_c	M_Y	M_Z	V_Z	V_Y	M_YV_Z	M_ZV_Y	NM_YM_Z	$NM_YM_ZV_YV_Z$	M_t	M_tV_Z	M_tV_Y	
N37/N38	$\lambda_w \leq \lambda_{w,máx}$ Cumple	x: 1.708 m η = 50.9	x: 0.07 m η = 47.8	x: 0.07 m η = 10.1	x: 0.07 m η = 3.1	x: 1.709 m η = 1.6	η = 0.1	η < 0.1	η < 0.1	x: 0.07 m η = 62.2	η < 0.1	η = 0.1	x: 0.07 m η = 1.1	η = 0.1	**CUMPLE η = 62.2**
N38/N39	$\lambda_w \leq \lambda_{w,máx}$ Cumple	x: 1.708 m η = 42.4	x: 0.07 m η = 38.8	x: 0.07 m η = 7.2	x: 1.709 m η = 2.8	x: 1.709 m η = 1.1	η = 0.1	η < 0.1	η < 0.1	x: 0.07 m η = 49.8	η < 0.1	x: 0.89 m η < 0.1	x: 1.709 m η = 0.3	η = 0.1	**CUMPLE η = 49.8**
N39/N3559	$\lambda_w \leq \lambda_{w,máx}$ Cumple	x: 0.89 m η = 31.1	x: 0.07 m η = 28.5	x: 0.07 m η = 7.5	x: 0.07 m η = 2.8	x: 0.89 m η = 2.1	η = 0.2	η < 0.1	η < 0.1	x: 0.07 m η = 40.5	η < 0.1	η = 0.2	x: 0.89 m η = 2.1	η = 0.2	**CUMPLE η = 40.5**
N3559/N40	$\lambda_w \leq \lambda_{w,máx}$ Cumple	x: 0.805 m η = 31.1	x: 0 m η = 28.5	x: 0 m η = 3.4	x: 0 m η = 1.3	x: 0.806 m η = 2.2	η = 0.2	η < 0.1	η < 0.1	x: 0 m η = 35.5	η < 0.1	η = 0.2	x: 0.806 m η = 2.2	η = 0.2	**CUMPLE η = 35.5**
N40/N41	$\lambda_w \leq \lambda_{w,máx}$ Cumple	x: 1.694 m η = 16.8	x: 0.084 m η = 15.4	x: 0.084 m η = 7.0	x: 1.695 m η = 3.5	x: 1.695 m η = 2.0	η = 0.2	η < 0.1	η < 0.1	x: 0.084 m η = 24.5	η < 0.1	η = 0.2	x: 1.695 m η = 2.0	η = 0.2	**CUMPLE η = 24.5**
N41/N42	$\lambda_w \leq \lambda_{w,máx}$ Cumple	x: 1.694 m η = 4.7	x: 0.084 m η = 3.8	x: 0.084 m η = 8.3	x: 0.084 m η = 3.1	x: 1.695 m η = 4.0	η = 0.1	η < 0.1	η < 0.1	x: 0.084 m η = 10.6	η < 0.1	η = 0.2	x: 1.695 m η = 4.0	η = 0.1	**CUMPLE η = 10.6**
N42/N43	$\lambda_w \leq \lambda_{w,máx}$ Cumple	x: 1.717 m η = 17.8	x: 0.084 m η = 34.0	x: 0.084 m η = 3.0	x: 1.718 m η = 3.4	x: 1.718 m η = 0.9	η = 0.1	η < 0.1	η < 0.1	x: 0.084 m η = 36.2	η < 0.1	η = 0.1	x: 1.718 m η = 0.6	η = 0.1	**CUMPLE η = 36.2**

Barras	COMPROBACIONES (CÓDIGO ESTRUCTURAL)													Estado
	N_t	N_c	M_Y	M_Z	V_Z	V_Y	M_YV_Z	M_ZV_Y	NM_YM_Z	$NM_YM_ZV_YV_Z$	M_t	M_tV_Z	M_tV_Y	
N328/N325	η = 0.4	N_{Ed} = 0.00 N.P.(7)	M_{Ed} = 0.00 N.P.(2)	M_{Ed} = 0.00 N.P.(2)	V_{Ed} = 0.00 N.P.(3)	V_{Ed} = 0.00 N.P.(3)	N.P.(4)	N.P.(4)	N.P.(8)	N.P.(9)	M_{Ed} = 0.00 N.P.(5)	N.P.(6)	N.P.(6)	**CUMPLE η = 0.4**
N327/N326	η = 0.4	N_{Ed} = 0.00 N.P.(7)	M_{Ed} = 0.00 N.P.(2)	M_{Ed} = 0.00 N.P.(2)	V_{Ed} = 0.00 N.P.(3)	V_{Ed} = 0.00 N.P.(3)	N.P.(4)	N.P.(4)	N.P.(8)	N.P.(9)	M_{Ed} = 0.00 N.P.(5)	N.P.(6)	N.P.(6)	**CUMPLE η = 0.4**
N324/N321	N_{Ed} = 0.00 N.P.(1)	N_{Ed} = 0.00 N.P.(7)	M_{Ed} = 0.00 N.P.(2)	M_{Ed} = 0.00 N.P.(2)	V_{Ed} = 0.00 N.P.(3)	V_{Ed} = 0.00 N.P.(3)	N.P.(4)	N.P.(4)	N.P.(8)	N.P.(9)	M_{Ed} = 0.00 N.P.(5)	N.P.(6)	N.P.(6)	**NO PROCEDE**
N323/N322	η = 0.6	N_{Ed} = 0.00 N.P.(7)	M_{Ed} = 0.00 N.P.(2)	M_{Ed} = 0.00 N.P.(2)	V_{Ed} = 0.00 N.P.(3)	V_{Ed} = 0.00 N.P.(3)	N.P.(4)	N.P.(4)	N.P.(8)	N.P.(9)	M_{Ed} = 0.00 N.P.(5)	N.P.(6)	N.P.(6)	**CUMPLE η = 0.6**
N319/N316	η = 24.3	N_{Ed} = 0.00 N.P.(7)	M_{Ed} = 0.00 N.P.(2)	M_{Ed} = 0.00 N.P.(2)	V_{Ed} = 0.00 N.P.(3)	V_{Ed} = 0.00 N.P.(3)	N.P.(4)	N.P.(4)	N.P.(8)	N.P.(9)	M_{Ed} = 0.00 N.P.(5)	N.P.(6)	N.P.(6)	**CUMPLE η = 24.3**
N318/N313	η = 15.1	N_{Ed} = 0.00 N.P.(7)	M_{Ed} = 0.00 N.P.(2)	M_{Ed} = 0.00 N.P.(2)	V_{Ed} = 0.00 N.P.(3)	V_{Ed} = 0.00 N.P.(3)	N.P.(4)	N.P.(4)	N.P.(8)	N.P.(9)	M_{Ed} = 0.00 N.P.(5)	N.P.(6)	N.P.(6)	**CUMPLE η = 15.1**
N317/N314	η = 27.1	N_{Ed} = 0.00 N.P.(7)	M_{Ed} = 0.00 N.P.(2)	M_{Ed} = 0.00 N.P.(2)	V_{Ed} = 0.00 N.P.(3)	V_{Ed} = 0.00 N.P.(3)	N.P.(4)	N.P.(4)	N.P.(8)	N.P.(9)	M_{Ed} = 0.00 N.P.(5)	N.P.(6)	N.P.(6)	**CUMPLE η = 27.1**
N320/N315	η = 13.2	N_{Ed} = 0.00 N.P.(7)	M_{Ed} = 0.00 N.P.(2)	M_{Ed} = 0.00 N.P.(2)	V_{Ed} = 0.00 N.P.(3)	V_{Ed} = 0.00 N.P.(3)	N.P.(4)	N.P.(4)	N.P.(8)	N.P.(9)	M_{Ed} = 0.00 N.P.(5)	N.P.(6)	N.P.(6)	**CUMPLE η = 13.2**
N333/N336	η = 27.2	N_{Ed} = 0.00 N.P.(7)	M_{Ed} = 0.00 N.P.(2)	M_{Ed} = 0.00 N.P.(2)	V_{Ed} = 0.00 N.P.(3)	V_{Ed} = 0.00 N.P.(3)	N.P.(4)	N.P.(4)	N.P.(8)	N.P.(9)	M_{Ed} = 0.00 N.P.(5)	N.P.(6)	N.P.(6)	**CUMPLE η = 27.2**
N330/N331	η = 11.1	N_{Ed} = 0.00 N.P.(7)	M_{Ed} = 0.00 N.P.(2)	M_{Ed} = 0.00 N.P.(2)	V_{Ed} = 0.00 N.P.(3)	V_{Ed} = 0.00 N.P.(3)	N.P.(4)	N.P.(4)	N.P.(8)	N.P.(9)	M_{Ed} = 0.00 N.P.(5)	N.P.(6)	N.P.(6)	**CUMPLE η = 11.1**
N329/N332	η = 27.4	N_{Ed} = 0.00 N.P.(7)	M_{Ed} = 0.00 N.P.(2)	M_{Ed} = 0.00 N.P.(2)	V_{Ed} = 0.00 N.P.(3)	V_{Ed} = 0.00 N.P.(3)	N.P.(4)	N.P.(4)	N.P.(8)	N.P.(9)	M_{Ed} = 0.00 N.P.(5)	N.P.(6)	N.P.(6)	**CUMPLE η = 27.4**
N334/N335	η = 9.9	N_{Ed} = 0.00 N.P.(7)	M_{Ed} = 0.00 N.P.(2)	M_{Ed} = 0.00 N.P.(2)	V_{Ed} = 0.00 N.P.(3)	V_{Ed} = 0.00 N.P.(3)	N.P.(4)	N.P.(4)	N.P.(8)	N.P.(9)	M_{Ed} = 0.00 N.P.(5)	N.P.(6)	N.P.(6)	**CUMPLE η = 9.9**
N339/N337	η = 31.0	N_{Ed} = 0.00 N.P.(7)	M_{Ed} = 0.00 N.P.(2)	M_{Ed} = 0.00 N.P.(2)	V_{Ed} = 0.00 N.P.(3)	V_{Ed} = 0.00 N.P.(3)	N.P.(4)	N.P.(4)	N.P.(8)	N.P.(9)	M_{Ed} = 0.00 N.P.(5)	N.P.(6)	N.P.(6)	**CUMPLE η = 31.0**
N338/N340	η = 9.0	N_{Ed} = 0.00 N.P.(7)	M_{Ed} = 0.00 N.P.(2)	M_{Ed} = 0.00 N.P.(2)	V_{Ed} = 0.00 N.P.(3)	V_{Ed} = 0.00 N.P.(3)	N.P.(4)	N.P.(4)	N.P.(8)	N.P.(9)	M_{Ed} = 0.00 N.P.(5)	N.P.(6)	N.P.(6)	**CUMPLE η = 9.0**
N342/N343	η = 8.0	N_{Ed} = 0.00 N.P.(7)	M_{Ed} = 0.00 N.P.(2)	M_{Ed} = 0.00 N.P.(2)	V_{Ed} = 0.00 N.P.(3)	V_{Ed} = 0.00 N.P.(3)	N.P.(4)	N.P.(4)	N.P.(8)	N.P.(9)	M_{Ed} = 0.00 N.P.(5)	N.P.(6)	N.P.(6)	**CUMPLE η = 8.0**
N344/N341	η = 26.6	N_{Ed} = 0.00 N.P.(7)	M_{Ed} = 0.00 N.P.(2)	M_{Ed} = 0.00 N.P.(2)	V_{Ed} = 0.00 N.P.(3)	V_{Ed} = 0.00 N.P.(3)	N.P.(4)	N.P.(4)	N.P.(8)	N.P.(9)	M_{Ed} = 0.00 N.P.(5)	N.P.(6)	N.P.(6)	**CUMPLE η = 26.6**
N348/N345	η = 5.8	N_{Ed} = 0.00 N.P.(7)	M_{Ed} = 0.00 N.P.(2)	M_{Ed} = 0.00 N.P.(2)	V_{Ed} = 0.00 N.P.(3)	V_{Ed} = 0.00 N.P.(3)	N.P.(4)	N.P.(4)	N.P.(8)	N.P.(9)	M_{Ed} = 0.00 N.P.(5)	N.P.(6)	N.P.(6)	**CUMPLE η = 5.8**
N347/N346	η = 4.4	N_{Ed} = 0.00 N.P.(7)	M_{Ed} = 0.00 N.P.(2)	M_{Ed} = 0.00 N.P.(2)	V_{Ed} = 0.00 N.P.(3)	V_{Ed} = 0.00 N.P.(3)	N.P.(4)	N.P.(4)	N.P.(8)	N.P.(9)	M_{Ed} = 0.00 N.P.(5)	N.P.(6)	N.P.(6)	**CUMPLE η = 4.4**
N352/N350	η = 6.0	N_{Ed} = 0.00 N.P.(7)	M_{Ed} = 0.00 N.P.(2)	M_{Ed} = 0.00 N.P.(2)	V_{Ed} = 0.00 N.P.(3)	V_{Ed} = 0.00 N.P.(3)	N.P.(4)	N.P.(4)	N.P.(8)	N.P.(9)	M_{Ed} = 0.00 N.P.(5)	N.P.(6)	N.P.(6)	**CUMPLE η = 6.0**
N349/N351	η = 7.7	N_{Ed} = 0.00 N.P.(7)	M_{Ed} = 0.00 N.P.(2)	M_{Ed} = 0.00 N.P.(2)	V_{Ed} = 0.00 N.P.(3)	V_{Ed} = 0.00 N.P.(3)	N.P.(4)	N.P.(4)	N.P.(8)	N.P.(9)	M_{Ed} = 0.00 N.P.(5)	N.P.(6)	N.P.(6)	**CUMPLE η = 7.7**
N356/N354	η = 1.8	N_{Ed} = 0.00 N.P.(7)	M_{Ed} = 0.00 N.P.(2)	M_{Ed} = 0.00 N.P.(2)	V_{Ed} = 0.00 N.P.(3)	V_{Ed} = 0.00 N.P.(3)	N.P.(4)	N.P.(4)	N.P.(8)	N.P.(9)	M_{Ed} = 0.00 N.P.(5)	N.P.(6)	N.P.(6)	**CUMPLE η = 1.8**
N353/N355	η = 3.2	N_{Ed} = 0.00 N.P.(7)	M_{Ed} = 0.00 N.P.(2)	M_{Ed} = 0.00 N.P.(2)	V_{Ed} = 0.00 N.P.(3)	V_{Ed} = 0.00 N.P.(3)	N.P.(4)	N.P.(4)	N.P.(8)	N.P.(9)	M_{Ed} = 0.00 N.P.(5)	N.P.(6)	N.P.(6)	**CUMPLE η = 3.2**
N360/N357	η = 5.1	N_{Ed} = 0.00 N.P.(7)	M_{Ed} = 0.00 N.P.(2)	M_{Ed} = 0.00 N.P.(2)	V_{Ed} = 0.00 N.P.(3)	V_{Ed} = 0.00 N.P.(3)	N.P.(4)	N.P.(4)	N.P.(8)	N.P.(9)	M_{Ed} = 0.00 N.P.(5)	N.P.(6)	N.P.(6)	**CUMPLE η = 5.1**
N359/N358	η = 5.7	N_{Ed} = 0.00 N.P.(7)	M_{Ed} = 0.00 N.P.(2)	M_{Ed} = 0.00 N.P.(2)	V_{Ed} = 0.00 N.P.(3)	V_{Ed} = 0.00 N.P.(3)	N.P.(4)	N.P.(4)	N.P.(8)	N.P.(9)	M_{Ed} = 0.00 N.P.(5)	N.P.(6)	N.P.(6)	**CUMPLE η = 5.7**
N362/N363	η = 7.5	N_{Ed} = 0.00 N.P.(7)	M_{Ed} = 0.00 N.P.(2)	M_{Ed} = 0.00 N.P.(2)	V_{Ed} = 0.00 N.P.(3)	V_{Ed} = 0.00 N.P.(3)	N.P.(4)	N.P.(4)	N.P.(8)	N.P.(9)	M_{Ed} = 0.00 N.P.(5)	N.P.(6)	N.P.(6)	**CUMPLE η = 7.5**
N361/N364	η = 6.7	N_{Ed} = 0.00 N.P.(7)	M_{Ed} = 0.00 N.P.(2)	M_{Ed} = 0.00 N.P.(2)	V_{Ed} = 0.00 N.P.(3)	V_{Ed} = 0.00 N.P.(3)	N.P.(4)	N.P.(4)	N.P.(8)	N.P.(9)	M_{Ed} = 0.00 N.P.(5)	N.P.(6)	N.P.(6)	**CUMPLE η = 6.7**
N366/N367	η = 4.7	N_{Ed} = 0.00 N.P.(7)	M_{Ed} = 0.00 N.P.(2)	M_{Ed} = 0.00 N.P.(2)	V_{Ed} = 0.00 N.P.(3)	V_{Ed} = 0.00 N.P.(3)	N.P.(4)	N.P.(4)	N.P.(8)	N.P.(9)	M_{Ed} = 0.00 N.P.(5)	N.P.(6)	N.P.(6)	**CUMPLE η = 4.7**
N365/N368	η = 4.7	N_{Ed} = 0.00 N.P.(7)	M_{Ed} = 0.00 N.P.(2)	M_{Ed} = 0.00 N.P.(2)	V_{Ed} = 0.00 N.P.(3)	V_{Ed} = 0.00 N.P.(3)	N.P.(4)	N.P.(4)	N.P.(8)	N.P.(9)	M_{Ed} = 0.00 N.P.(5)	N.P.(6)	N.P.(6)	**CUMPLE η = 4.7**
N372/N369	η = 2.2	N_{Ed} = 0.00 N.P.(7)	M_{Ed} = 0.00 N.P.(2)	M_{Ed} = 0.00 N.P.(2)	V_{Ed} = 0.00 N.P.(3)	V_{Ed} = 0.00 N.P.(3)	N.P.(4)	N.P.(4)	N.P.(8)	N.P.(9)	M_{Ed} = 0.00 N.P.(5)	N.P.(6)	N.P.(6)	**CUMPLE η = 2.2**

Documento visado electrónicamente con número: VA07290/22
Código de validación telemática TRLTDCFZ60T66IJ1. Comprobación: https://cogitivalencia.e-gestion.es/Validacion.aspx?CVT=TRLTDCFZ60T66IJ1

VISADO
COGITI
VALENCIA
VA07290/22
TRLTDCFZ60T66IJ1

Barras	COMPROBACIONES (CÓDIGO ESTRUCTURAL)													Estado
	N_t	N_c	M_Y	M_Z	V_Z	V_Y	M_YV_Z	M_ZV_Y	NM_YM_Z	$NM_YM_ZV_YV_Z$	M_t	M_tV_Z	M_tV_Y	
N371/N370	η = 1.2	N_{Ed} = 0.00 N.P.(7)	M_{Ed} = 0.00 N.P.(2)	M_{Ed} = 0.00 N.P.(2)	V_{Ed} = 0.00 N.P.(3)	V_{Ed} = 0.00 N.P.(3)	N.P.(4)	N.P.(4)	N.P.(8)	N.P.(9)	M_{Ed} = 0.00 N.P.(5)	N.P.(6)	N.P.(6)	**CUMPLE η = 1.2**
N374/N375	η = 2.9	N_{Ed} = 0.00 N.P.(7)	M_{Ed} = 0.00 N.P.(2)	M_{Ed} = 0.00 N.P.(2)	V_{Ed} = 0.00 N.P.(3)	V_{Ed} = 0.00 N.P.(3)	N.P.(4)	N.P.(4)	N.P.(8)	N.P.(9)	M_{Ed} = 0.00 N.P.(5)	N.P.(6)	N.P.(6)	**CUMPLE η = 2.9**
N373/N376	η = 4.2	N_{Ed} = 0.00 N.P.(7)	M_{Ed} = 0.00 N.P.(2)	M_{Ed} = 0.00 N.P.(2)	V_{Ed} = 0.00 N.P.(3)	V_{Ed} = 0.00 N.P.(3)	N.P.(4)	N.P.(4)	N.P.(8)	N.P.(9)	M_{Ed} = 0.00 N.P.(5)	N.P.(6)	N.P.(6)	**CUMPLE η = 4.2**
N378/N379	η = 0.9	N_{Ed} = 0.00 N.P.(7)	M_{Ed} = 0.00 N.P.(2)	M_{Ed} = 0.00 N.P.(2)	V_{Ed} = 0.00 N.P.(3)	V_{Ed} = 0.00 N.P.(3)	N.P.(4)	N.P.(4)	N.P.(8)	N.P.(9)	M_{Ed} = 0.00 N.P.(5)	N.P.(6)	N.P.(6)	**CUMPLE η = 0.9**
N377/N380	η = 2.0	N_{Ed} = 0.00 N.P.(7)	M_{Ed} = 0.00 N.P.(2)	M_{Ed} = 0.00 N.P.(2)	V_{Ed} = 0.00 N.P.(3)	V_{Ed} = 0.00 N.P.(3)	N.P.(4)	N.P.(4)	N.P.(8)	N.P.(9)	M_{Ed} = 0.00 N.P.(5)	N.P.(6)	N.P.(6)	**CUMPLE η = 2.0**
N384/N381	η = 3.2	N_{Ed} = 0.00 N.P.(7)	M_{Ed} = 0.00 N.P.(2)	M_{Ed} = 0.00 N.P.(2)	V_{Ed} = 0.00 N.P.(3)	V_{Ed} = 0.00 N.P.(3)	N.P.(4)	N.P.(4)	N.P.(8)	N.P.(9)	M_{Ed} = 0.00 N.P.(5)	N.P.(6)	N.P.(6)	**CUMPLE η = 3.2**
N383/N382	η = 2.7	N_{Ed} = 0.00 N.P.(7)	M_{Ed} = 0.00 N.P.(2)	M_{Ed} = 0.00 N.P.(2)	V_{Ed} = 0.00 N.P.(3)	V_{Ed} = 0.00 N.P.(3)	N.P.(4)	N.P.(4)	N.P.(8)	N.P.(9)	M_{Ed} = 0.00 N.P.(5)	N.P.(6)	N.P.(6)	**CUMPLE η = 2.7**
N386/N387	η = 4.2	N_{Ed} = 0.00 N.P.(7)	M_{Ed} = 0.00 N.P.(2)	M_{Ed} = 0.00 N.P.(2)	V_{Ed} = 0.00 N.P.(3)	V_{Ed} = 0.00 N.P.(3)	N.P.(4)	N.P.(4)	N.P.(8)	N.P.(9)	M_{Ed} = 0.00 N.P.(5)	N.P.(6)	N.P.(6)	**CUMPLE η = 4.2**
N385/N388	η = 5.0	N_{Ed} = 0.00 N.P.(7)	M_{Ed} = 0.00 N.P.(2)	M_{Ed} = 0.00 N.P.(2)	V_{Ed} = 0.00 N.P.(3)	V_{Ed} = 0.00 N.P.(3)	N.P.(4)	N.P.(4)	N.P.(8)	N.P.(9)	M_{Ed} = 0.00 N.P.(5)	N.P.(6)	N.P.(6)	**CUMPLE η = 5.0**
N390/N391	η = 2.6	N_{Ed} = 0.00 N.P.(7)	M_{Ed} = 0.00 N.P.(2)	M_{Ed} = 0.00 N.P.(2)	V_{Ed} = 0.00 N.P.(3)	V_{Ed} = 0.00 N.P.(3)	N.P.(4)	N.P.(4)	N.P.(8)	N.P.(9)	M_{Ed} = 0.00 N.P.(5)	N.P.(6)	N.P.(6)	**CUMPLE η = 2.6**
N389/N392	η = 3.4	N_{Ed} = 0.00 N.P.(7)	M_{Ed} = 0.00 N.P.(2)	M_{Ed} = 0.00 N.P.(2)	V_{Ed} = 0.00 N.P.(3)	V_{Ed} = 0.00 N.P.(3)	N.P.(4)	N.P.(4)	N.P.(8)	N.P.(9)	M_{Ed} = 0.00 N.P.(5)	N.P.(6)	N.P.(6)	**CUMPLE η = 3.4**
N396/N393	η = 3.2	N_{Ed} = 0.00 N.P.(7)	M_{Ed} = 0.00 N.P.(2)	M_{Ed} = 0.00 N.P.(2)	V_{Ed} = 0.00 N.P.(3)	V_{Ed} = 0.00 N.P.(3)	N.P.(4)	N.P.(4)	N.P.(8)	N.P.(9)	M_{Ed} = 0.00 N.P.(5)	N.P.(6)	N.P.(6)	**CUMPLE η = 3.2**
N395/N394	η = 2.4	N_{Ed} = 0.00 N.P.(7)	M_{Ed} = 0.00 N.P.(2)	M_{Ed} = 0.00 N.P.(2)	V_{Ed} = 0.00 N.P.(3)	V_{Ed} = 0.00 N.P.(3)	N.P.(4)	N.P.(4)	N.P.(8)	N.P.(9)	M_{Ed} = 0.00 N.P.(5)	N.P.(6)	N.P.(6)	**CUMPLE η = 2.4**
N398/N399	η = 5.2	N_{Ed} = 0.00 N.P.(7)	M_{Ed} = 0.00 N.P.(2)	M_{Ed} = 0.00 N.P.(2)	V_{Ed} = 0.00 N.P.(3)	V_{Ed} = 0.00 N.P.(3)	N.P.(4)	N.P.(4)	N.P.(8)	N.P.(9)	M_{Ed} = 0.00 N.P.(5)	N.P.(6)	N.P.(6)	**CUMPLE η = 5.2**
N397/N400	η = 7.0	N_{Ed} = 0.00 N.P.(7)	M_{Ed} = 0.00 N.P.(2)	M_{Ed} = 0.00 N.P.(2)	V_{Ed} = 0.00 N.P.(3)	V_{Ed} = 0.00 N.P.(3)	N.P.(4)	N.P.(4)	N.P.(8)	N.P.(9)	M_{Ed} = 0.00 N.P.(5)	N.P.(6)	N.P.(6)	**CUMPLE η = 7.0**
N402/N403	η = 3.2	N_{Ed} = 0.00 N.P.(7)	M_{Ed} = 0.00 N.P.(2)	M_{Ed} = 0.00 N.P.(2)	V_{Ed} = 0.00 N.P.(3)	V_{Ed} = 0.00 N.P.(3)	N.P.(4)	N.P.(4)	N.P.(8)	N.P.(9)	M_{Ed} = 0.00 N.P.(5)	N.P.(6)	N.P.(6)	**CUMPLE η = 3.2**
N401/N404	η = 4.6	N_{Ed} = 0.00 N.P.(7)	M_{Ed} = 0.00 N.P.(2)	M_{Ed} = 0.00 N.P.(2)	V_{Ed} = 0.00 N.P.(3)	V_{Ed} = 0.00 N.P.(3)	N.P.(4)	N.P.(4)	N.P.(8)	N.P.(9)	M_{Ed} = 0.00 N.P.(5)	N.P.(6)	N.P.(6)	**CUMPLE η = 4.6**
N408/N405	η = 3.8	N_{Ed} = 0.00 N.P.(7)	M_{Ed} = 0.00 N.P.(2)	M_{Ed} = 0.00 N.P.(2)	V_{Ed} = 0.00 N.P.(3)	V_{Ed} = 0.00 N.P.(3)	N.P.(4)	N.P.(4)	N.P.(8)	N.P.(9)	M_{Ed} = 0.00 N.P.(5)	N.P.(6)	N.P.(6)	**CUMPLE η = 3.8**
N407/N406	η = 4.4	N_{Ed} = 0.00 N.P.(7)	M_{Ed} = 0.00 N.P.(2)	M_{Ed} = 0.00 N.P.(2)	V_{Ed} = 0.00 N.P.(3)	V_{Ed} = 0.00 N.P.(3)	N.P.(4)	N.P.(4)	N.P.(8)	N.P.(9)	M_{Ed} = 0.00 N.P.(5)	N.P.(6)	N.P.(6)	**CUMPLE η = 4.4**
N410/N411	η = 6.9	N_{Ed} = 0.00 N.P.(7)	M_{Ed} = 0.00 N.P.(2)	M_{Ed} = 0.00 N.P.(2)	V_{Ed} = 0.00 N.P.(3)	V_{Ed} = 0.00 N.P.(3)	N.P.(4)	N.P.(4)	N.P.(8)	N.P.(9)	M_{Ed} = 0.00 N.P.(5)	N.P.(6)	N.P.(6)	**CUMPLE η = 6.9**
N409/N412	η = 6.4	N_{Ed} = 0.00 N.P.(7)	M_{Ed} = 0.00 N.P.(2)	M_{Ed} = 0.00 N.P.(2)	V_{Ed} = 0.00 N.P.(3)	V_{Ed} = 0.00 N.P.(3)	N.P.(4)	N.P.(4)	N.P.(8)	N.P.(9)	M_{Ed} = 0.00 N.P.(5)	N.P.(6)	N.P.(6)	**CUMPLE η = 6.4**
N414/N415	η = 5.5	N_{Ed} = 0.00 N.P.(7)	M_{Ed} = 0.00 N.P.(2)	M_{Ed} = 0.00 N.P.(2)	V_{Ed} = 0.00 N.P.(3)	V_{Ed} = 0.00 N.P.(3)	N.P.(4)	N.P.(4)	N.P.(8)	N.P.(9)	M_{Ed} = 0.00 N.P.(5)	N.P.(6)	N.P.(6)	**CUMPLE η = 5.5**
N413/N416	η = 5.3	N_{Ed} = 0.00 N.P.(7)	M_{Ed} = 0.00 N.P.(2)	M_{Ed} = 0.00 N.P.(2)	V_{Ed} = 0.00 N.P.(3)	V_{Ed} = 0.00 N.P.(3)	N.P.(4)	N.P.(4)	N.P.(8)	N.P.(9)	M_{Ed} = 0.00 N.P.(5)	N.P.(6)	N.P.(6)	**CUMPLE η = 5.3**
N14/N124	η = 14.3	N_{Ed} = 0.00 N.P.(7)	M_{Ed} = 0.00 N.P.(2)	M_{Ed} = 0.00 N.P.(2)	V_{Ed} = 0.00 N.P.(3)	V_{Ed} = 0.00 N.P.(3)	N.P.(4)	N.P.(4)	N.P.(8)	N.P.(9)	M_{Ed} = 0.00 N.P.(5)	N.P.(6)	N.P.(6)	**CUMPLE η = 14.3**
N122/N16	η = 8.4	N_{Ed} = 0.00 N.P.(7)	M_{Ed} = 0.00 N.P.(2)	M_{Ed} = 0.00 N.P.(2)	V_{Ed} = 0.00 N.P.(3)	V_{Ed} = 0.00 N.P.(3)	N.P.(4)	N.P.(4)	N.P.(8)	N.P.(9)	M_{Ed} = 0.00 N.P.(5)	N.P.(6)	N.P.(6)	**CUMPLE η = 8.4**
N16/N126	η = 45.6	N_{Ed} = 0.00 N.P.(7)	M_{Ed} = 0.00 N.P.(2)	M_{Ed} = 0.00 N.P.(2)	V_{Ed} = 0.00 N.P.(3)	V_{Ed} = 0.00 N.P.(3)	N.P.(4)	N.P.(4)	N.P.(8)	N.P.(9)	M_{Ed} = 0.00 N.P.(5)	N.P.(6)	N.P.(6)	**CUMPLE η = 45.6**
N124/N18	η = 22.2	N_{Ed} = 0.00 N.P.(7)	M_{Ed} = 0.00 N.P.(2)	M_{Ed} = 0.00 N.P.(2)	V_{Ed} = 0.00 N.P.(3)	V_{Ed} = 0.00 N.P.(3)	N.P.(4)	N.P.(4)	N.P.(8)	N.P.(9)	M_{Ed} = 0.00 N.P.(5)	N.P.(6)	N.P.(6)	**CUMPLE η = 22.2**
N18/N128	η = 12.8	η = 6.0	M_{Ed} = 0.00 N.P.(2)	M_{Ed} = 0.00 N.P.(2)	V_{Ed} = 0.00 N.P.(3)	V_{Ed} = 0.00 N.P.(3)	N.P.(4)	N.P.(4)	N.P.(8)	N.P.(9)	M_{Ed} = 0.00 N.P.(5)	N.P.(6)	N.P.(6)	**CUMPLE η = 12.8**
N128/N22	η = 9.6	N_{Ed} = 0.00 N.P.(7)	M_{Ed} = 0.00 N.P.(2)	M_{Ed} = 0.00 N.P.(2)	V_{Ed} = 0.00 N.P.(3)	V_{Ed} = 0.00 N.P.(3)	N.P.(4)	N.P.(4)	N.P.(8)	N.P.(9)	M_{Ed} = 0.00 N.P.(5)	N.P.(6)	N.P.(6)	**CUMPLE η = 9.6**
N22/N132	η = 8.9	N_{Ed} = 0.00 N.P.(7)	M_{Ed} = 0.00 N.P.(2)	M_{Ed} = 0.00 N.P.(2)	V_{Ed} = 0.00 N.P.(3)	V_{Ed} = 0.00 N.P.(3)	N.P.(4)	N.P.(4)	N.P.(8)	N.P.(9)	M_{Ed} = 0.00 N.P.(5)	N.P.(6)	N.P.(6)	**CUMPLE η = 8.9**
N132/N26	η = 8.3	η = 2.6	M_{Ed} = 0.00 N.P.(2)	M_{Ed} = 0.00 N.P.(2)	V_{Ed} = 0.00 N.P.(3)	V_{Ed} = 0.00 N.P.(3)	N.P.(4)	N.P.(4)	N.P.(8)	N.P.(9)	M_{Ed} = 0.00 N.P.(5)	N.P.(6)	N.P.(6)	**CUMPLE η = 8.3**
N26/N136	η = 15.6	N_{Ed} = 0.00 N.P.(7)	M_{Ed} = 0.00 N.P.(2)	M_{Ed} = 0.00 N.P.(2)	V_{Ed} = 0.00 N.P.(3)	V_{Ed} = 0.00 N.P.(3)	N.P.(4)	N.P.(4)	N.P.(8)	N.P.(9)	M_{Ed} = 0.00 N.P.(5)	N.P.(6)	N.P.(6)	**CUMPLE η = 15.6**
N136/N9	η = 10.8	N_{Ed} = 0.00 N.P.(7)	M_{Ed} = 0.00 N.P.(2)	M_{Ed} = 0.00 N.P.(2)	V_{Ed} = 0.00 N.P.(3)	V_{Ed} = 0.00 N.P.(3)	N.P.(4)	N.P.(4)	N.P.(8)	N.P.(9)	M_{Ed} = 0.00 N.P.(5)	N.P.(6)	N.P.(6)	**CUMPLE η = 10.8**
N28/N138	η = 8.6	N_{Ed} = 0.00 N.P.(7)	M_{Ed} = 0.00 N.P.(2)	M_{Ed} = 0.00 N.P.(2)	V_{Ed} = 0.00 N.P.(3)	V_{Ed} = 0.00 N.P.(3)	N.P.(4)	N.P.(4)	N.P.(8)	N.P.(9)	M_{Ed} = 0.00 N.P.(5)	N.P.(6)	N.P.(6)	**CUMPLE η = 8.6**
N134/N28	η = 30.9	N_{Ed} = 0.00 N.P.(7)	M_{Ed} = 0.00 N.P.(2)	M_{Ed} = 0.00 N.P.(2)	V_{Ed} = 0.00 N.P.(3)	V_{Ed} = 0.00 N.P.(3)	N.P.(4)	N.P.(4)	N.P.(8)	N.P.(9)	M_{Ed} = 0.00 N.P.(5)	N.P.(6)	N.P.(6)	**CUMPLE η = 30.9**
N24/N134	η = 15.1	η = 14.7	M_{Ed} = 0.00 N.P.(2)	M_{Ed} = 0.00 N.P.(2)	V_{Ed} = 0.00 N.P.(3)	V_{Ed} = 0.00 N.P.(3)	N.P.(4)	N.P.(4)	N.P.(8)	N.P.(9)	M_{Ed} = 0.00 N.P.(5)	N.P.(6)	N.P.(6)	**CUMPLE η = 15.1**
N130/N24	η = 9.2	N_{Ed} = 0.00 N.P.(7)	M_{Ed} = 0.00 N.P.(2)	M_{Ed} = 0.00 N.P.(2)	V_{Ed} = 0.00 N.P.(3)	V_{Ed} = 0.00 N.P.(3)	N.P.(4)	N.P.(4)	N.P.(8)	N.P.(9)	M_{Ed} = 0.00 N.P.(5)	N.P.(6)	N.P.(6)	**CUMPLE η = 9.2**

Documento visado electrónicamente con número: VA07290/22
Código de validación telemática TRLTDCFZ60T66IJ1. Comprobación: https://cogitivalencia.e-gestion.es/Validacion.aspx?CVT=TRLTDCFZ60T66IJ1

VISADO
COGITI
VALENCIA
VA07290/22
TRLTDCFZ60T66IJ1

Barras	COMPROBACIONES (CÓDIGO ESTRUCTURAL)													Estado
	N_t	N_c	M_Y	M_Z	V_Z	V_Y	M_YV_Z	M_ZV_Y	NM_YM_Z	$NM_YM_ZV_YV_Z$	M_t	M_tV_Z	M_tV_Y	
N20/N130	η = 17.0	N_{Ed} = 0.00 N.P.(7)	M_{Ed} = 0.00 N.P.(2)	M_{Ed} = 0.00 N.P.(2)	V_{Ed} = 0.00 N.P.(3)	V_{Ed} = 0.00 N.P.(3)	N.P.(4)	N.P.(4)	N.P.(8)	N.P.(9)	M_{Ed} = 0.00 N.P.(5)	N.P.(6)	N.P.(6)	**CUMPLE η = 17.0**
N126/N20	η = 18.5	η = 21.0	M_{Ed} = 0.00 N.P.(2)	M_{Ed} = 0.00 N.P.(2)	V_{Ed} = 0.00 N.P.(3)	V_{Ed} = 0.00 N.P.(3)	N.P.(4)	N.P.(4)	N.P.(8)	N.P.(9)	M_{Ed} = 0.00 N.P.(5)	N.P.(6)	N.P.(6)	**CUMPLE η = 21.0**
N122/N228	η = 15.2	N_{Ed} = 0.00 N.P.(7)	M_{Ed} = 0.00 N.P.(2)	M_{Ed} = 0.00 N.P.(2)	V_{Ed} = 0.00 N.P.(3)	V_{Ed} = 0.00 N.P.(3)	N.P.(4)	N.P.(4)	N.P.(8)	N.P.(9)	M_{Ed} = 0.00 N.P.(5)	N.P.(6)	N.P.(6)	**CUMPLE η = 15.2**
N226/N124	η = 10.2	N_{Ed} = 0.00 N.P.(7)	M_{Ed} = 0.00 N.P.(2)	M_{Ed} = 0.00 N.P.(2)	V_{Ed} = 0.00 N.P.(3)	V_{Ed} = 0.00 N.P.(3)	N.P.(4)	N.P.(4)	N.P.(8)	N.P.(9)	M_{Ed} = 0.00 N.P.(5)	N.P.(6)	N.P.(6)	**CUMPLE η = 10.2**
N8/N157	η = 7.6	N_{Ed} = 0.00 N.P.(7)	M_{Ed} = 0.00 N.P.(2)	M_{Ed} = 0.00 N.P.(2)	V_{Ed} = 0.00 N.P.(3)	V_{Ed} = 0.00 N.P.(3)	N.P.(4)	N.P.(4)	N.P.(8)	N.P.(9)	M_{Ed} = 0.00 N.P.(5)	N.P.(6)	N.P.(6)	**CUMPLE η = 7.6**
N157/N48	η = 16.0	N_{Ed} = 0.00 N.P.(7)	M_{Ed} = 0.00 N.P.(2)	M_{Ed} = 0.00 N.P.(2)	V_{Ed} = 0.00 N.P.(3)	V_{Ed} = 0.00 N.P.(3)	N.P.(4)	N.P.(4)	N.P.(8)	N.P.(9)	M_{Ed} = 0.00 N.P.(5)	N.P.(6)	N.P.(6)	**CUMPLE η = 16.0**
N48/N161	η = 7.9	η = 3.0	M_{Ed} = 0.00 N.P.(2)	M_{Ed} = 0.00 N.P.(2)	V_{Ed} = 0.00 N.P.(3)	V_{Ed} = 0.00 N.P.(3)	N.P.(4)	N.P.(4)	N.P.(8)	N.P.(9)	M_{Ed} = 0.00 N.P.(5)	N.P.(6)	N.P.(6)	**CUMPLE η = 7.9**
N161/N52	η = 7.8	N_{Ed} = 0.00 N.P.(7)	M_{Ed} = 0.00 N.P.(2)	M_{Ed} = 0.00 N.P.(2)	V_{Ed} = 0.00 N.P.(3)	V_{Ed} = 0.00 N.P.(3)	N.P.(4)	N.P.(4)	N.P.(8)	N.P.(9)	M_{Ed} = 0.00 N.P.(5)	N.P.(6)	N.P.(6)	**CUMPLE η = 7.8**
N52/N165	η = 7.6	N_{Ed} = 0.00 N.P.(7)	M_{Ed} = 0.00 N.P.(2)	M_{Ed} = 0.00 N.P.(2)	V_{Ed} = 0.00 N.P.(3)	V_{Ed} = 0.00 N.P.(3)	N.P.(4)	N.P.(4)	N.P.(8)	N.P.(9)	M_{Ed} = 0.00 N.P.(5)	N.P.(6)	N.P.(6)	**CUMPLE η = 7.6**
N165/N56	η = 9.6	η = 5.4	M_{Ed} = 0.00 N.P.(2)	M_{Ed} = 0.00 N.P.(2)	V_{Ed} = 0.00 N.P.(3)	V_{Ed} = 0.00 N.P.(3)	N.P.(4)	N.P.(4)	N.P.(8)	N.P.(9)	M_{Ed} = 0.00 N.P.(5)	N.P.(6)	N.P.(6)	**CUMPLE η = 9.6**
N56/N169	η = 16.2	N_{Ed} = 0.00 N.P.(7)	M_{Ed} = 0.00 N.P.(2)	M_{Ed} = 0.00 N.P.(2)	V_{Ed} = 0.00 N.P.(3)	V_{Ed} = 0.00 N.P.(3)	N.P.(4)	N.P.(4)	N.P.(8)	N.P.(9)	M_{Ed} = 0.00 N.P.(5)	N.P.(6)	N.P.(6)	**CUMPLE η = 16.2**
N169/N11	η = 12.3	N_{Ed} = 0.00 N.P.(7)	M_{Ed} = 0.00 N.P.(2)	M_{Ed} = 0.00 N.P.(2)	V_{Ed} = 0.00 N.P.(3)	V_{Ed} = 0.00 N.P.(3)	N.P.(4)	N.P.(4)	N.P.(8)	N.P.(9)	M_{Ed} = 0.00 N.P.(5)	N.P.(6)	N.P.(6)	**CUMPLE η = 12.3**
N58/N171	η = 9.6	N_{Ed} = 0.00 N.P.(7)	M_{Ed} = 0.00 N.P.(2)	M_{Ed} = 0.00 N.P.(2)	V_{Ed} = 0.00 N.P.(3)	V_{Ed} = 0.00 N.P.(3)	N.P.(4)	N.P.(4)	N.P.(8)	N.P.(9)	M_{Ed} = 0.00 N.P.(5)	N.P.(6)	N.P.(6)	**CUMPLE η = 9.6**
N167/N58	η = 30.3	N_{Ed} = 0.00 N.P.(7)	M_{Ed} = 0.00 N.P.(2)	M_{Ed} = 0.00 N.P.(2)	V_{Ed} = 0.00 N.P.(3)	V_{Ed} = 0.00 N.P.(3)	N.P.(4)	N.P.(4)	N.P.(8)	N.P.(9)	M_{Ed} = 0.00 N.P.(5)	N.P.(6)	N.P.(6)	**CUMPLE η = 30.3**
N54/N167	η = 11.0	η = 11.1	M_{Ed} = 0.00 N.P.(2)	M_{Ed} = 0.00 N.P.(2)	V_{Ed} = 0.00 N.P.(3)	V_{Ed} = 0.00 N.P.(3)	N.P.(4)	N.P.(4)	N.P.(8)	N.P.(9)	M_{Ed} = 0.00 N.P.(5)	N.P.(6)	N.P.(6)	**CUMPLE η = 11.1**
N163/N54	η = 11.1	N_{Ed} = 0.00 N.P.(7)	M_{Ed} = 0.00 N.P.(2)	M_{Ed} = 0.00 N.P.(2)	V_{Ed} = 0.00 N.P.(3)	V_{Ed} = 0.00 N.P.(3)	N.P.(4)	N.P.(4)	N.P.(8)	N.P.(9)	M_{Ed} = 0.00 N.P.(5)	N.P.(6)	N.P.(6)	**CUMPLE η = 11.1**
N50/N163	η = 10.9	N_{Ed} = 0.00 N.P.(7)	M_{Ed} = 0.00 N.P.(2)	M_{Ed} = 0.00 N.P.(2)	V_{Ed} = 0.00 N.P.(3)	V_{Ed} = 0.00 N.P.(3)	N.P.(4)	N.P.(4)	N.P.(8)	N.P.(9)	M_{Ed} = 0.00 N.P.(5)	N.P.(6)	N.P.(6)	**CUMPLE η = 10.9**
N159/N50	η = 13.4	η = 11.4	M_{Ed} = 0.00 N.P.(2)	M_{Ed} = 0.00 N.P.(2)	V_{Ed} = 0.00 N.P.(3)	V_{Ed} = 0.00 N.P.(3)	N.P.(4)	N.P.(4)	N.P.(8)	N.P.(9)	M_{Ed} = 0.00 N.P.(5)	N.P.(6)	N.P.(6)	**CUMPLE η = 13.4**
N46/N159	η = 31.2	N_{Ed} = 0.00 N.P.(7)	M_{Ed} = 0.00 N.P.(2)	M_{Ed} = 0.00 N.P.(2)	V_{Ed} = 0.00 N.P.(3)	V_{Ed} = 0.00 N.P.(3)	N.P.(4)	N.P.(4)	N.P.(8)	N.P.(9)	M_{Ed} = 0.00 N.P.(5)	N.P.(6)	N.P.(6)	**CUMPLE η = 31.2**
N121/N46	η = 10.5	N_{Ed} = 0.00 N.P.(7)	M_{Ed} = 0.00 N.P.(2)	M_{Ed} = 0.00 N.P.(2)	V_{Ed} = 0.00 N.P.(3)	V_{Ed} = 0.00 N.P.(3)	N.P.(4)	N.P.(4)	N.P.(8)	N.P.(9)	M_{Ed} = 0.00 N.P.(5)	N.P.(6)	N.P.(6)	**CUMPLE η = 10.5**
N10/N195	η = 12.1	N_{Ed} = 0.00 N.P.(7)	M_{Ed} = 0.00 N.P.(2)	M_{Ed} = 0.00 N.P.(2)	V_{Ed} = 0.00 N.P.(3)	V_{Ed} = 0.00 N.P.(3)	N.P.(4)	N.P.(4)	N.P.(8)	N.P.(9)	M_{Ed} = 0.00 N.P.(5)	N.P.(6)	N.P.(6)	**CUMPLE η = 12.1**
N195/N78	η = 18.6	N_{Ed} = 0.00 N.P.(7)	M_{Ed} = 0.00 N.P.(2)	M_{Ed} = 0.00 N.P.(2)	V_{Ed} = 0.00 N.P.(3)	V_{Ed} = 0.00 N.P.(3)	N.P.(4)	N.P.(4)	N.P.(8)	N.P.(9)	M_{Ed} = 0.00 N.P.(5)	N.P.(6)	N.P.(6)	**CUMPLE η = 18.6**
N78/N199	η = 9.3	η = 2.3	M_{Ed} = 0.00 N.P.(2)	M_{Ed} = 0.00 N.P.(2)	V_{Ed} = 0.00 N.P.(3)	V_{Ed} = 0.00 N.P.(3)	N.P.(4)	N.P.(4)	N.P.(8)	N.P.(9)	M_{Ed} = 0.00 N.P.(5)	N.P.(6)	N.P.(6)	**CUMPLE η = 9.3**
N199/N82	η = 8.2	N_{Ed} = 0.00 N.P.(7)	M_{Ed} = 0.00 N.P.(2)	M_{Ed} = 0.00 N.P.(2)	V_{Ed} = 0.00 N.P.(3)	V_{Ed} = 0.00 N.P.(3)	N.P.(4)	N.P.(4)	N.P.(8)	N.P.(9)	M_{Ed} = 0.00 N.P.(5)	N.P.(6)	N.P.(6)	**CUMPLE η = 8.2**
N82/N203	η = 9.6	N_{Ed} = 0.00 N.P.(7)	M_{Ed} = 0.00 N.P.(2)	M_{Ed} = 0.00 N.P.(2)	V_{Ed} = 0.00 N.P.(3)	V_{Ed} = 0.00 N.P.(3)	N.P.(4)	N.P.(4)	N.P.(8)	N.P.(9)	M_{Ed} = 0.00 N.P.(5)	N.P.(6)	N.P.(6)	**CUMPLE η = 9.6**
N203/N86	η = 10.5	η = 4.0	M_{Ed} = 0.00 N.P.(2)	M_{Ed} = 0.00 N.P.(2)	V_{Ed} = 0.00 N.P.(3)	V_{Ed} = 0.00 N.P.(3)	N.P.(4)	N.P.(4)	N.P.(8)	N.P.(9)	M_{Ed} = 0.00 N.P.(5)	N.P.(6)	N.P.(6)	**CUMPLE η = 10.5**
N86/N207	η = 17.6	N_{Ed} = 0.00 N.P.(7)	M_{Ed} = 0.00 N.P.(2)	M_{Ed} = 0.00 N.P.(2)	V_{Ed} = 0.00 N.P.(3)	V_{Ed} = 0.00 N.P.(3)	N.P.(4)	N.P.(4)	N.P.(8)	N.P.(9)	M_{Ed} = 0.00 N.P.(5)	N.P.(6)	N.P.(6)	**CUMPLE η = 17.6**
N207/N13	η = 12.1	N_{Ed} = 0.00 N.P.(7)	M_{Ed} = 0.00 N.P.(2)	M_{Ed} = 0.00 N.P.(2)	V_{Ed} = 0.00 N.P.(3)	V_{Ed} = 0.00 N.P.(3)	N.P.(4)	N.P.(4)	N.P.(8)	N.P.(9)	M_{Ed} = 0.00 N.P.(5)	N.P.(6)	N.P.(6)	**CUMPLE η = 12.1**
N88/N178	η = 6.7	N_{Ed} = 0.00 N.P.(7)	M_{Ed} = 0.00 N.P.(2)	M_{Ed} = 0.00 N.P.(2)	V_{Ed} = 0.00 N.P.(3)	V_{Ed} = 0.00 N.P.(3)	N.P.(4)	N.P.(4)	N.P.(8)	N.P.(9)	M_{Ed} = 0.00 N.P.(5)	N.P.(6)	N.P.(6)	**CUMPLE η = 6.7**
N205/N88	η = 41.9	N_{Ed} = 0.00 N.P.(7)	M_{Ed} = 0.00 N.P.(2)	M_{Ed} = 0.00 N.P.(2)	V_{Ed} = 0.00 N.P.(3)	V_{Ed} = 0.00 N.P.(3)	N.P.(4)	N.P.(4)	N.P.(8)	N.P.(9)	M_{Ed} = 0.00 N.P.(5)	N.P.(6)	N.P.(6)	**CUMPLE η = 41.9**
N84/N205	η = 17.2	η = 19.0	M_{Ed} = 0.00 N.P.(2)	M_{Ed} = 0.00 N.P.(2)	V_{Ed} = 0.00 N.P.(3)	V_{Ed} = 0.00 N.P.(3)	N.P.(4)	N.P.(4)	N.P.(8)	N.P.(9)	M_{Ed} = 0.00 N.P.(5)	N.P.(6)	N.P.(6)	**CUMPLE η = 19.0**
N201/N84	η = 15.8	N_{Ed} = 0.00 N.P.(7)	M_{Ed} = 0.00 N.P.(2)	M_{Ed} = 0.00 N.P.(2)	V_{Ed} = 0.00 N.P.(3)	V_{Ed} = 0.00 N.P.(3)	N.P.(4)	N.P.(4)	N.P.(8)	N.P.(9)	M_{Ed} = 0.00 N.P.(5)	N.P.(6)	N.P.(6)	**CUMPLE η = 15.8**
N80/N201	η = 10.6	N_{Ed} = 0.00 N.P.(7)	M_{Ed} = 0.00 N.P.(2)	M_{Ed} = 0.00 N.P.(2)	V_{Ed} = 0.00 N.P.(3)	V_{Ed} = 0.00 N.P.(3)	N.P.(4)	N.P.(4)	N.P.(8)	N.P.(9)	M_{Ed} = 0.00 N.P.(5)	N.P.(6)	N.P.(6)	**CUMPLE η = 10.6**
N197/N80	η = 14.5	η = 13.7	M_{Ed} = 0.00 N.P.(2)	M_{Ed} = 0.00 N.P.(2)	V_{Ed} = 0.00 N.P.(3)	V_{Ed} = 0.00 N.P.(3)	N.P.(4)	N.P.(4)	N.P.(8)	N.P.(9)	M_{Ed} = 0.00 N.P.(5)	N.P.(6)	N.P.(6)	**CUMPLE η = 14.5**
N76/N197	η = 33.5	N_{Ed} = 0.00 N.P.(7)	M_{Ed} = 0.00 N.P.(2)	M_{Ed} = 0.00 N.P.(2)	V_{Ed} = 0.00 N.P.(3)	V_{Ed} = 0.00 N.P.(3)	N.P.(4)	N.P.(4)	N.P.(8)	N.P.(9)	M_{Ed} = 0.00 N.P.(5)	N.P.(6)	N.P.(6)	**CUMPLE η = 33.5**
N155/N76	η = 12.4	N_{Ed} = 0.00 N.P.(7)	M_{Ed} = 0.00 N.P.(2)	M_{Ed} = 0.00 N.P.(2)	V_{Ed} = 0.00 N.P.(3)	V_{Ed} = 0.00 N.P.(3)	N.P.(4)	N.P.(4)	N.P.(8)	N.P.(9)	M_{Ed} = 0.00 N.P.(5)	N.P.(6)	N.P.(6)	**CUMPLE η = 12.4**
N207/N282	η = 6.9	N_{Ed} = 0.00 N.P.(7)	M_{Ed} = 0.00 N.P.(2)	M_{Ed} = 0.00 N.P.(2)	V_{Ed} = 0.00 N.P.(3)	V_{Ed} = 0.00 N.P.(3)	N.P.(4)	N.P.(4)	N.P.(8)	N.P.(9)	M_{Ed} = 0.00 N.P.(5)	N.P.(6)	N.P.(6)	**CUMPLE η = 6.9**

Documento visado electrónicamente con número: VA07290/22
Código de validación telemática TRLTDCFZ60T66IJ1. Comprobación: https://cogitivalencia.e-gestion.es/Validacion.aspx?CVT=TRLTDCFZ60T66IJ1

VISADO
COGITI
VALENCIA
VA07290/22
TRLTDCFZ60T66IJ1

Barras	COMPROBACIONES (CÓDIGO ESTRUCTURAL)													Estado
	N_t	N_c	M_Y	M_Z	V_Z	V_Y	M_YV_Z	M_ZV_Y	NM_YM_Z	$NM_YM_ZV_YV_Z$	M_t	M_tV_Z	M_tV_Y	
N311/N178	η = 13.8	N_{Ed} = 0.00 N.P.(7)	M_{Ed} = 0.00 N.P.(2)	M_{Ed} = 0.00 N.P.(2)	V_{Ed} = 0.00 N.P.(3)	V_{Ed} = 0.00 N.P.(3)	N.P.(4)	N.P.(4)	N.P.(8)	N.P.(9)	M_{Ed} = 0.00 N.P.(5)	N.P.(6)	N.P.(6)	**CUMPLE η = 13.8**
N136/N242	η = 6.2	N_{Ed} = 0.00 N.P.(7)	M_{Ed} = 0.00 N.P.(2)	M_{Ed} = 0.00 N.P.(2)	V_{Ed} = 0.00 N.P.(3)	V_{Ed} = 0.00 N.P.(3)	N.P.(4)	N.P.(4)	N.P.(8)	N.P.(9)	M_{Ed} = 0.00 N.P.(5)	N.P.(6)	N.P.(6)	**CUMPLE η = 6.2**
N240/N138	η = 7.8	N_{Ed} = 0.00 N.P.(7)	M_{Ed} = 0.00 N.P.(2)	M_{Ed} = 0.00 N.P.(2)	V_{Ed} = 0.00 N.P.(3)	V_{Ed} = 0.00 N.P.(3)	N.P.(4)	N.P.(4)	N.P.(8)	N.P.(9)	M_{Ed} = 0.00 N.P.(5)	N.P.(6)	N.P.(6)	**CUMPLE η = 7.8**
N121/N261	η = 10.2	N_{Ed} = 0.00 N.P.(7)	M_{Ed} = 0.00 N.P.(2)	M_{Ed} = 0.00 N.P.(2)	V_{Ed} = 0.00 N.P.(3)	V_{Ed} = 0.00 N.P.(3)	N.P.(4)	N.P.(4)	N.P.(8)	N.P.(9)	M_{Ed} = 0.00 N.P.(5)	N.P.(6)	N.P.(6)	**CUMPLE η = 10.2**
N225/N157	η = 11.9	N_{Ed} = 0.00 N.P.(7)	M_{Ed} = 0.00 N.P.(2)	M_{Ed} = 0.00 N.P.(2)	V_{Ed} = 0.00 N.P.(3)	V_{Ed} = 0.00 N.P.(3)	N.P.(4)	N.P.(4)	N.P.(8)	N.P.(9)	M_{Ed} = 0.00 N.P.(5)	N.P.(6)	N.P.(6)	**CUMPLE η = 11.9**
N169/N275	η = 6.7	N_{Ed} = 0.00 N.P.(7)	M_{Ed} = 0.00 N.P.(2)	M_{Ed} = 0.00 N.P.(2)	V_{Ed} = 0.00 N.P.(3)	V_{Ed} = 0.00 N.P.(3)	N.P.(4)	N.P.(4)	N.P.(8)	N.P.(9)	M_{Ed} = 0.00 N.P.(5)	N.P.(6)	N.P.(6)	**CUMPLE η = 6.7**
N273/N171	η = 10.1	N_{Ed} = 0.00 N.P.(7)	M_{Ed} = 0.00 N.P.(2)	M_{Ed} = 0.00 N.P.(2)	V_{Ed} = 0.00 N.P.(3)	V_{Ed} = 0.00 N.P.(3)	N.P.(4)	N.P.(4)	N.P.(8)	N.P.(9)	M_{Ed} = 0.00 N.P.(5)	N.P.(6)	N.P.(6)	**CUMPLE η = 10.1**
N155/N299	η = 6.4	N_{Ed} = 0.00 N.P.(7)	M_{Ed} = 0.00 N.P.(2)	M_{Ed} = 0.00 N.P.(2)	V_{Ed} = 0.00 N.P.(3)	V_{Ed} = 0.00 N.P.(3)	N.P.(4)	N.P.(4)	N.P.(8)	N.P.(9)	M_{Ed} = 0.00 N.P.(5)	N.P.(6)	N.P.(6)	**CUMPLE η = 6.4**
N259/N195	η = 8.8	N_{Ed} = 0.00 N.P.(7)	M_{Ed} = 0.00 N.P.(2)	M_{Ed} = 0.00 N.P.(2)	V_{Ed} = 0.00 N.P.(3)	V_{Ed} = 0.00 N.P.(3)	N.P.(4)	N.P.(4)	N.P.(8)	N.P.(9)	M_{Ed} = 0.00 N.P.(5)	N.P.(6)	N.P.(6)	**CUMPLE η = 8.8**
N518/N519	η = 1.0	N_{Ed} = 0.00 N.P.(7)	M_{Ed} = 0.00 N.P.(2)	M_{Ed} = 0.00 N.P.(2)	V_{Ed} = 0.00 N.P.(3)	V_{Ed} = 0.00 N.P.(3)	N.P.(4)	N.P.(4)	N.P.(8)	N.P.(9)	M_{Ed} = 0.00 N.P.(5)	N.P.(6)	N.P.(6)	**CUMPLE η = 1.0**
N517/N520	η = 0.9	N_{Ed} = 0.00 N.P.(7)	M_{Ed} = 0.00 N.P.(2)	M_{Ed} = 0.00 N.P.(2)	V_{Ed} = 0.00 N.P.(3)	V_{Ed} = 0.00 N.P.(3)	N.P.(4)	N.P.(4)	N.P.(8)	N.P.(9)	M_{Ed} = 0.00 N.P.(5)	N.P.(6)	N.P.(6)	**CUMPLE η = 0.9**
N521/N524	η = 21.5	N_{Ed} = 0.00 N.P.(7)	M_{Ed} = 0.00 N.P.(2)	M_{Ed} = 0.00 N.P.(2)	V_{Ed} = 0.00 N.P.(3)	V_{Ed} = 0.00 N.P.(3)	N.P.(4)	N.P.(4)	N.P.(8)	N.P.(9)	M_{Ed} = 0.00 N.P.(5)	N.P.(6)	N.P.(6)	**CUMPLE η = 21.5**
N522/N523	η = 9.3	N_{Ed} = 0.00 N.P.(7)	M_{Ed} = 0.00 N.P.(2)	M_{Ed} = 0.00 N.P.(2)	V_{Ed} = 0.00 N.P.(3)	V_{Ed} = 0.00 N.P.(3)	N.P.(4)	N.P.(4)	N.P.(8)	N.P.(9)	M_{Ed} = 0.00 N.P.(5)	N.P.(6)	N.P.(6)	**CUMPLE η = 9.3**
N525/N528	η = 22.9	N_{Ed} = 0.00 N.P.(7)	M_{Ed} = 0.00 N.P.(2)	M_{Ed} = 0.00 N.P.(2)	V_{Ed} = 0.00 N.P.(3)	V_{Ed} = 0.00 N.P.(3)	N.P.(4)	N.P.(4)	N.P.(8)	N.P.(9)	M_{Ed} = 0.00 N.P.(5)	N.P.(6)	N.P.(6)	**CUMPLE η = 22.9**
N526/N527	η = 8.8	N_{Ed} = 0.00 N.P.(7)	M_{Ed} = 0.00 N.P.(2)	M_{Ed} = 0.00 N.P.(2)	V_{Ed} = 0.00 N.P.(3)	V_{Ed} = 0.00 N.P.(3)	N.P.(4)	N.P.(4)	N.P.(8)	N.P.(9)	M_{Ed} = 0.00 N.P.(5)	N.P.(6)	N.P.(6)	**CUMPLE η = 8.8**
N532/N529	η = 22.0	N_{Ed} = 0.00 N.P.(7)	M_{Ed} = 0.00 N.P.(2)	M_{Ed} = 0.00 N.P.(2)	V_{Ed} = 0.00 N.P.(3)	V_{Ed} = 0.00 N.P.(3)	N.P.(4)	N.P.(4)	N.P.(8)	N.P.(9)	M_{Ed} = 0.00 N.P.(5)	N.P.(6)	N.P.(6)	**CUMPLE η = 22.0**
N531/N530	η = 7.1	N_{Ed} = 0.00 N.P.(7)	M_{Ed} = 0.00 N.P.(2)	M_{Ed} = 0.00 N.P.(2)	V_{Ed} = 0.00 N.P.(3)	V_{Ed} = 0.00 N.P.(3)	N.P.(4)	N.P.(4)	N.P.(8)	N.P.(9)	M_{Ed} = 0.00 N.P.(5)	N.P.(6)	N.P.(6)	**CUMPLE η = 7.1**
N534/N537	η = 10.2	N_{Ed} = 0.00 N.P.(7)	M_{Ed} = 0.00 N.P.(2)	M_{Ed} = 0.00 N.P.(2)	V_{Ed} = 0.00 N.P.(3)	V_{Ed} = 0.00 N.P.(3)	N.P.(4)	N.P.(4)	N.P.(8)	N.P.(9)	M_{Ed} = 0.00 N.P.(5)	N.P.(6)	N.P.(6)	**CUMPLE η = 10.2**
N536/N535	η = 11.3	N_{Ed} = 0.00 N.P.(7)	M_{Ed} = 0.00 N.P.(2)	M_{Ed} = 0.00 N.P.(2)	V_{Ed} = 0.00 N.P.(3)	V_{Ed} = 0.00 N.P.(3)	N.P.(4)	N.P.(4)	N.P.(8)	N.P.(9)	M_{Ed} = 0.00 N.P.(5)	N.P.(6)	N.P.(6)	**CUMPLE η = 11.3**
N539/N540	η = 14.4	N_{Ed} = 0.00 N.P.(7)	M_{Ed} = 0.00 N.P.(2)	M_{Ed} = 0.00 N.P.(2)	V_{Ed} = 0.00 N.P.(3)	V_{Ed} = 0.00 N.P.(3)	N.P.(4)	N.P.(4)	N.P.(8)	N.P.(9)	M_{Ed} = 0.00 N.P.(5)	N.P.(6)	N.P.(6)	**CUMPLE η = 14.4**
N538/N541	η = 12.9	N_{Ed} = 0.00 N.P.(7)	M_{Ed} = 0.00 N.P.(2)	M_{Ed} = 0.00 N.P.(2)	V_{Ed} = 0.00 N.P.(3)	V_{Ed} = 0.00 N.P.(3)	N.P.(4)	N.P.(4)	N.P.(8)	N.P.(9)	M_{Ed} = 0.00 N.P.(5)	N.P.(6)	N.P.(6)	**CUMPLE η = 12.9**
N543/N544	η = 8.1	N_{Ed} = 0.00 N.P.(7)	M_{Ed} = 0.00 N.P.(2)	M_{Ed} = 0.00 N.P.(2)	V_{Ed} = 0.00 N.P.(3)	V_{Ed} = 0.00 N.P.(3)	N.P.(4)	N.P.(4)	N.P.(8)	N.P.(9)	M_{Ed} = 0.00 N.P.(5)	N.P.(6)	N.P.(6)	**CUMPLE η = 8.1**
N542/N545	η = 7.9	N_{Ed} = 0.00 N.P.(7)	M_{Ed} = 0.00 N.P.(2)	M_{Ed} = 0.00 N.P.(2)	V_{Ed} = 0.00 N.P.(3)	V_{Ed} = 0.00 N.P.(3)	N.P.(4)	N.P.(4)	N.P.(8)	N.P.(9)	M_{Ed} = 0.00 N.P.(5)	N.P.(6)	N.P.(6)	**CUMPLE η = 7.9**
N549/N546	η = 5.8	N_{Ed} = 0.00 N.P.(7)	M_{Ed} = 0.00 N.P.(2)	M_{Ed} = 0.00 N.P.(2)	V_{Ed} = 0.00 N.P.(3)	V_{Ed} = 0.00 N.P.(3)	N.P.(4)	N.P.(4)	N.P.(8)	N.P.(9)	M_{Ed} = 0.00 N.P.(5)	N.P.(6)	N.P.(6)	**CUMPLE η = 5.8**
N548/N547	η = 6.0	N_{Ed} = 0.00 N.P.(7)	M_{Ed} = 0.00 N.P.(2)	M_{Ed} = 0.00 N.P.(2)	V_{Ed} = 0.00 N.P.(3)	V_{Ed} = 0.00 N.P.(3)	N.P.(4)	N.P.(4)	N.P.(8)	N.P.(9)	M_{Ed} = 0.00 N.P.(5)	N.P.(6)	N.P.(6)	**CUMPLE η = 6.0**
N551/N552	η = 9.0	N_{Ed} = 0.00 N.P.(7)	M_{Ed} = 0.00 N.P.(2)	M_{Ed} = 0.00 N.P.(2)	V_{Ed} = 0.00 N.P.(3)	V_{Ed} = 0.00 N.P.(3)	N.P.(4)	N.P.(4)	N.P.(8)	N.P.(9)	M_{Ed} = 0.00 N.P.(5)	N.P.(6)	N.P.(6)	**CUMPLE η = 9.0**
N550/N553	η = 8.6	N_{Ed} = 0.00 N.P.(7)	M_{Ed} = 0.00 N.P.(2)	M_{Ed} = 0.00 N.P.(2)	V_{Ed} = 0.00 N.P.(3)	V_{Ed} = 0.00 N.P.(3)	N.P.(4)	N.P.(4)	N.P.(8)	N.P.(9)	M_{Ed} = 0.00 N.P.(5)	N.P.(6)	N.P.(6)	**CUMPLE η = 8.6**
N555/N556	η = 5.4	N_{Ed} = 0.00 N.P.(7)	M_{Ed} = 0.00 N.P.(2)	M_{Ed} = 0.00 N.P.(2)	V_{Ed} = 0.00 N.P.(3)	V_{Ed} = 0.00 N.P.(3)	N.P.(4)	N.P.(4)	N.P.(8)	N.P.(9)	M_{Ed} = 0.00 N.P.(5)	N.P.(6)	N.P.(6)	**CUMPLE η = 5.4**
N554/N557	η = 5.5	N_{Ed} = 0.00 N.P.(7)	M_{Ed} = 0.00 N.P.(2)	M_{Ed} = 0.00 N.P.(2)	V_{Ed} = 0.00 N.P.(3)	V_{Ed} = 0.00 N.P.(3)	N.P.(4)	N.P.(4)	N.P.(8)	N.P.(9)	M_{Ed} = 0.00 N.P.(5)	N.P.(6)	N.P.(6)	**CUMPLE η = 5.5**
N561/N558	η = 8.0	N_{Ed} = 0.00 N.P.(7)	M_{Ed} = 0.00 N.P.(2)	M_{Ed} = 0.00 N.P.(2)	V_{Ed} = 0.00 N.P.(3)	V_{Ed} = 0.00 N.P.(3)	N.P.(4)	N.P.(4)	N.P.(8)	N.P.(9)	M_{Ed} = 0.00 N.P.(5)	N.P.(6)	N.P.(6)	**CUMPLE η = 8.0**
N560/N559	η = 8.5	N_{Ed} = 0.00 N.P.(7)	M_{Ed} = 0.00 N.P.(2)	M_{Ed} = 0.00 N.P.(2)	V_{Ed} = 0.00 N.P.(3)	V_{Ed} = 0.00 N.P.(3)	N.P.(4)	N.P.(4)	N.P.(8)	N.P.(9)	M_{Ed} = 0.00 N.P.(5)	N.P.(6)	N.P.(6)	**CUMPLE η = 8.5**
N563/N564	η = 13.7	N_{Ed} = 0.00 N.P.(7)	M_{Ed} = 0.00 N.P.(2)	M_{Ed} = 0.00 N.P.(2)	V_{Ed} = 0.00 N.P.(3)	V_{Ed} = 0.00 N.P.(3)	N.P.(4)	N.P.(4)	N.P.(8)	N.P.(9)	M_{Ed} = 0.00 N.P.(5)	N.P.(6)	N.P.(6)	**CUMPLE η = 13.7**
N562/N565	η = 12.4	N_{Ed} = 0.00 N.P.(7)	M_{Ed} = 0.00 N.P.(2)	M_{Ed} = 0.00 N.P.(2)	V_{Ed} = 0.00 N.P.(3)	V_{Ed} = 0.00 N.P.(3)	N.P.(4)	N.P.(4)	N.P.(8)	N.P.(9)	M_{Ed} = 0.00 N.P.(5)	N.P.(6)	N.P.(6)	**CUMPLE η = 12.4**
N567/N568	η = 10.2	N_{Ed} = 0.00 N.P.(7)	M_{Ed} = 0.00 N.P.(2)	M_{Ed} = 0.00 N.P.(2)	V_{Ed} = 0.00 N.P.(3)	V_{Ed} = 0.00 N.P.(3)	N.P.(4)	N.P.(4)	N.P.(8)	N.P.(9)	M_{Ed} = 0.00 N.P.(5)	N.P.(6)	N.P.(6)	**CUMPLE η = 10.2**
N566/N569	η = 9.3	N_{Ed} = 0.00 N.P.(7)	M_{Ed} = 0.00 N.P.(2)	M_{Ed} = 0.00 N.P.(2)	V_{Ed} = 0.00 N.P.(3)	V_{Ed} = 0.00 N.P.(3)	N.P.(4)	N.P.(4)	N.P.(8)	N.P.(9)	M_{Ed} = 0.00 N.P.(5)	N.P.(6)	N.P.(6)	**CUMPLE η = 9.3**
N226/N436	η = 19.6	N_{Ed} = 0.00 N.P.(7)	M_{Ed} = 0.00 N.P.(2)	M_{Ed} = 0.00 N.P.(2)	V_{Ed} = 0.00 N.P.(3)	V_{Ed} = 0.00 N.P.(3)	N.P.(4)	N.P.(4)	N.P.(8)	N.P.(9)	M_{Ed} = 0.00 N.P.(5)	N.P.(6)	N.P.(6)	**CUMPLE η = 19.6**
N434/N228	η = 19.5	N_{Ed} = 0.00 N.P.(7)	M_{Ed} = 0.00 N.P.(2)	M_{Ed} = 0.00 N.P.(2)	V_{Ed} = 0.00 N.P.(3)	V_{Ed} = 0.00 N.P.(3)	N.P.(4)	N.P.(4)	N.P.(8)	N.P.(9)	M_{Ed} = 0.00 N.P.(5)	N.P.(6)	N.P.(6)	**CUMPLE η = 19.5**

Documento visado electrónicamente con número: VA07290/22
Código de validación telemática TRLTDCFZ60T66IJ1. Comprobación: https://cogitivalencia.e-gestion.es/Validacion.aspx?CVT=TRLTDCFZ60T66IJ1

VISADO
COGITI
VALENCIA
VA07290/22
TRLTDCFZ60T66IJ1

Barras	COMPROBACIONES (CÓDIGO ESTRUCTURAL)													Estado
	N_t	N_c	M_Y	M_Z	V_Z	V_Y	M_YV_Z	M_ZV_Y	NM_YM_Z	$NM_YM_ZV_YV_Z$	M_t	M_tV_Z	M_tV_Y	
N311/N516	η = 7.5	N_{Ed} = 0.00 N.P.(7)	M_{Ed} = 0.00 N.P.(2)	M_{Ed} = 0.00 N.P.(2)	V_{Ed} = 0.00 N.P.(3)	V_{Ed} = 0.00 N.P.(3)	N.P.(4)	N.P.(4)	N.P.(8)	N.P.(9)	M_{Ed} = 0.00 N.P.(5)	N.P.(6)	N.P.(6)	**CUMPLE η = 7.5**
N514/N282	η = 12.9	N_{Ed} = 0.00 N.P.(7)	M_{Ed} = 0.00 N.P.(2)	M_{Ed} = 0.00 N.P.(2)	V_{Ed} = 0.00 N.P.(3)	V_{Ed} = 0.00 N.P.(3)	N.P.(4)	N.P.(4)	N.P.(8)	N.P.(9)	M_{Ed} = 0.00 N.P.(5)	N.P.(6)	N.P.(6)	**CUMPLE η = 12.9**
N240/N450	η = 4.2	N_{Ed} = 0.00 N.P.(7)	M_{Ed} = 0.00 N.P.(2)	M_{Ed} = 0.00 N.P.(2)	V_{Ed} = 0.00 N.P.(3)	V_{Ed} = 0.00 N.P.(3)	N.P.(4)	N.P.(4)	N.P.(8)	N.P.(9)	M_{Ed} = 0.00 N.P.(5)	N.P.(6)	N.P.(6)	**CUMPLE η = 4.2**
N448/N242	η = 6.5	N_{Ed} = 0.00 N.P.(7)	M_{Ed} = 0.00 N.P.(2)	M_{Ed} = 0.00 N.P.(2)	V_{Ed} = 0.00 N.P.(3)	V_{Ed} = 0.00 N.P.(3)	N.P.(4)	N.P.(4)	N.P.(8)	N.P.(9)	M_{Ed} = 0.00 N.P.(5)	N.P.(6)	N.P.(6)	**CUMPLE η = 6.5**
N225/N469	η = 12.6	N_{Ed} = 0.00 N.P.(7)	M_{Ed} = 0.00 N.P.(2)	M_{Ed} = 0.00 N.P.(2)	V_{Ed} = 0.00 N.P.(3)	V_{Ed} = 0.00 N.P.(3)	N.P.(4)	N.P.(4)	N.P.(8)	N.P.(9)	M_{Ed} = 0.00 N.P.(5)	N.P.(6)	N.P.(6)	**CUMPLE η = 12.6**
N433/N261	η = 13.9	N_{Ed} = 0.00 N.P.(7)	M_{Ed} = 0.00 N.P.(2)	M_{Ed} = 0.00 N.P.(2)	V_{Ed} = 0.00 N.P.(3)	V_{Ed} = 0.00 N.P.(3)	N.P.(4)	N.P.(4)	N.P.(8)	N.P.(9)	M_{Ed} = 0.00 N.P.(5)	N.P.(6)	N.P.(6)	**CUMPLE η = 13.9**
N273/N483	η = 6.8	N_{Ed} = 0.00 N.P.(7)	M_{Ed} = 0.00 N.P.(2)	M_{Ed} = 0.00 N.P.(2)	V_{Ed} = 0.00 N.P.(3)	V_{Ed} = 0.00 N.P.(3)	N.P.(4)	N.P.(4)	N.P.(8)	N.P.(9)	M_{Ed} = 0.00 N.P.(5)	N.P.(6)	N.P.(6)	**CUMPLE η = 6.8**
N481/N275	η = 10.1	N_{Ed} = 0.00 N.P.(7)	M_{Ed} = 0.00 N.P.(2)	M_{Ed} = 0.00 N.P.(2)	V_{Ed} = 0.00 N.P.(3)	V_{Ed} = 0.00 N.P.(3)	N.P.(4)	N.P.(4)	N.P.(8)	N.P.(9)	M_{Ed} = 0.00 N.P.(5)	N.P.(6)	N.P.(6)	**CUMPLE η = 10.1**
N259/N502	η = 12.9	N_{Ed} = 0.00 N.P.(7)	M_{Ed} = 0.00 N.P.(2)	M_{Ed} = 0.00 N.P.(2)	V_{Ed} = 0.00 N.P.(3)	V_{Ed} = 0.00 N.P.(3)	N.P.(4)	N.P.(4)	N.P.(8)	N.P.(9)	M_{Ed} = 0.00 N.P.(5)	N.P.(6)	N.P.(6)	**CUMPLE η = 12.9**
N467/N299	η = 14.2	N_{Ed} = 0.00 N.P.(7)	M_{Ed} = 0.00 N.P.(2)	M_{Ed} = 0.00 N.P.(2)	V_{Ed} = 0.00 N.P.(3)	V_{Ed} = 0.00 N.P.(3)	N.P.(4)	N.P.(4)	N.P.(8)	N.P.(9)	M_{Ed} = 0.00 N.P.(5)	N.P.(6)	N.P.(6)	**CUMPLE η = 14.2**
N674/N675	η = 0.1	N_{Ed} = 0.00 N.P.(7)	M_{Ed} = 0.00 N.P.(2)	M_{Ed} = 0.00 N.P.(2)	V_{Ed} = 0.00 N.P.(3)	V_{Ed} = 0.00 N.P.(3)	N.P.(4)	N.P.(4)	N.P.(8)	N.P.(9)	M_{Ed} = 0.00 N.P.(5)	N.P.(6)	N.P.(6)	**CUMPLE η = 0.1**
N673/N676	η = 0.1	N_{Ed} = 0.00 N.P.(7)	M_{Ed} = 0.00 N.P.(2)	M_{Ed} = 0.00 N.P.(2)	V_{Ed} = 0.00 N.P.(3)	V_{Ed} = 0.00 N.P.(3)	N.P.(4)	N.P.(4)	N.P.(8)	N.P.(9)	M_{Ed} = 0.00 N.P.(5)	N.P.(6)	N.P.(6)	**CUMPLE η = 0.1**
N677/N680	η = 19.3	N_{Ed} = 0.00 N.P.(7)	M_{Ed} = 0.00 N.P.(2)	M_{Ed} = 0.00 N.P.(2)	V_{Ed} = 0.00 N.P.(3)	V_{Ed} = 0.00 N.P.(3)	N.P.(4)	N.P.(4)	N.P.(8)	N.P.(9)	M_{Ed} = 0.00 N.P.(5)	N.P.(6)	N.P.(6)	**CUMPLE η = 19.3**
N678/N679	η = 7.1	N_{Ed} = 0.00 N.P.(7)	M_{Ed} = 0.00 N.P.(2)	M_{Ed} = 0.00 N.P.(2)	V_{Ed} = 0.00 N.P.(3)	V_{Ed} = 0.00 N.P.(3)	N.P.(4)	N.P.(4)	N.P.(8)	N.P.(9)	M_{Ed} = 0.00 N.P.(5)	N.P.(6)	N.P.(6)	**CUMPLE η = 7.1**
N681/N684	η = 20.0	N_{Ed} = 0.00 N.P.(7)	M_{Ed} = 0.00 N.P.(2)	M_{Ed} = 0.00 N.P.(2)	V_{Ed} = 0.00 N.P.(3)	V_{Ed} = 0.00 N.P.(3)	N.P.(4)	N.P.(4)	N.P.(8)	N.P.(9)	M_{Ed} = 0.00 N.P.(5)	N.P.(6)	N.P.(6)	**CUMPLE η = 20.0**
N682/N683	η = 7.8	N_{Ed} = 0.00 N.P.(7)	M_{Ed} = 0.00 N.P.(2)	M_{Ed} = 0.00 N.P.(2)	V_{Ed} = 0.00 N.P.(3)	V_{Ed} = 0.00 N.P.(3)	N.P.(4)	N.P.(4)	N.P.(8)	N.P.(9)	M_{Ed} = 0.00 N.P.(5)	N.P.(6)	N.P.(6)	**CUMPLE η = 7.8**
N688/N685	η = 16.0	N_{Ed} = 0.00 N.P.(7)	M_{Ed} = 0.00 N.P.(2)	M_{Ed} = 0.00 N.P.(2)	V_{Ed} = 0.00 N.P.(3)	V_{Ed} = 0.00 N.P.(3)	N.P.(4)	N.P.(4)	N.P.(8)	N.P.(9)	M_{Ed} = 0.00 N.P.(5)	N.P.(6)	N.P.(6)	**CUMPLE η = 16.0**
N687/N686	η = 5.0	N_{Ed} = 0.00 N.P.(7)	M_{Ed} = 0.00 N.P.(2)	M_{Ed} = 0.00 N.P.(2)	V_{Ed} = 0.00 N.P.(3)	V_{Ed} = 0.00 N.P.(3)	N.P.(4)	N.P.(4)	N.P.(8)	N.P.(9)	M_{Ed} = 0.00 N.P.(5)	N.P.(6)	N.P.(6)	**CUMPLE η = 5.0**
N690/N693	η = 5.0	N_{Ed} = 0.00 N.P.(7)	M_{Ed} = 0.00 N.P.(2)	M_{Ed} = 0.00 N.P.(2)	V_{Ed} = 0.00 N.P.(3)	V_{Ed} = 0.00 N.P.(3)	N.P.(4)	N.P.(4)	N.P.(8)	N.P.(9)	M_{Ed} = 0.00 N.P.(5)	N.P.(6)	N.P.(6)	**CUMPLE η = 5.0**
N692/N691	η = 3.5	N_{Ed} = 0.00 N.P.(7)	M_{Ed} = 0.00 N.P.(2)	M_{Ed} = 0.00 N.P.(2)	V_{Ed} = 0.00 N.P.(3)	V_{Ed} = 0.00 N.P.(3)	N.P.(4)	N.P.(4)	N.P.(8)	N.P.(9)	M_{Ed} = 0.00 N.P.(5)	N.P.(6)	N.P.(6)	**CUMPLE η = 3.5**
N695/N696	η = 4.6	N_{Ed} = 0.00 N.P.(7)	M_{Ed} = 0.00 N.P.(2)	M_{Ed} = 0.00 N.P.(2)	V_{Ed} = 0.00 N.P.(3)	V_{Ed} = 0.00 N.P.(3)	N.P.(4)	N.P.(4)	N.P.(8)	N.P.(9)	M_{Ed} = 0.00 N.P.(5)	N.P.(6)	N.P.(6)	**CUMPLE η = 4.6**
N694/N697	η = 6.3	N_{Ed} = 0.00 N.P.(7)	M_{Ed} = 0.00 N.P.(2)	M_{Ed} = 0.00 N.P.(2)	V_{Ed} = 0.00 N.P.(3)	V_{Ed} = 0.00 N.P.(3)	N.P.(4)	N.P.(4)	N.P.(8)	N.P.(9)	M_{Ed} = 0.00 N.P.(5)	N.P.(6)	N.P.(6)	**CUMPLE η = 6.3**
N699/N700	η = 2.1	N_{Ed} = 0.00 N.P.(7)	M_{Ed} = 0.00 N.P.(2)	M_{Ed} = 0.00 N.P.(2)	V_{Ed} = 0.00 N.P.(3)	V_{Ed} = 0.00 N.P.(3)	N.P.(4)	N.P.(4)	N.P.(8)	N.P.(9)	M_{Ed} = 0.00 N.P.(5)	N.P.(6)	N.P.(6)	**CUMPLE η = 2.1**
N698/N701	η = 3.7	N_{Ed} = 0.00 N.P.(7)	M_{Ed} = 0.00 N.P.(2)	M_{Ed} = 0.00 N.P.(2)	V_{Ed} = 0.00 N.P.(3)	V_{Ed} = 0.00 N.P.(3)	N.P.(4)	N.P.(4)	N.P.(8)	N.P.(9)	M_{Ed} = 0.00 N.P.(5)	N.P.(6)	N.P.(6)	**CUMPLE η = 3.7**
N705/N702	η = 2.7	N_{Ed} = 0.00 N.P.(7)	M_{Ed} = 0.00 N.P.(2)	M_{Ed} = 0.00 N.P.(2)	V_{Ed} = 0.00 N.P.(3)	V_{Ed} = 0.00 N.P.(3)	N.P.(4)	N.P.(4)	N.P.(8)	N.P.(9)	M_{Ed} = 0.00 N.P.(5)	N.P.(6)	N.P.(6)	**CUMPLE η = 2.7**
N704/N703	η = 1.3	N_{Ed} = 0.00 N.P.(7)	M_{Ed} = 0.00 N.P.(2)	M_{Ed} = 0.00 N.P.(2)	V_{Ed} = 0.00 N.P.(3)	V_{Ed} = 0.00 N.P.(3)	N.P.(4)	N.P.(4)	N.P.(8)	N.P.(9)	M_{Ed} = 0.00 N.P.(5)	N.P.(6)	N.P.(6)	**CUMPLE η = 1.3**
N707/N708	η = 2.3	N_{Ed} = 0.00 N.P.(7)	M_{Ed} = 0.00 N.P.(2)	M_{Ed} = 0.00 N.P.(2)	V_{Ed} = 0.00 N.P.(3)	V_{Ed} = 0.00 N.P.(3)	N.P.(4)	N.P.(4)	N.P.(8)	N.P.(9)	M_{Ed} = 0.00 N.P.(5)	N.P.(6)	N.P.(6)	**CUMPLE η = 2.3**
N706/N709	η = 4.0	N_{Ed} = 0.00 N.P.(7)	M_{Ed} = 0.00 N.P.(2)	M_{Ed} = 0.00 N.P.(2)	V_{Ed} = 0.00 N.P.(3)	V_{Ed} = 0.00 N.P.(3)	N.P.(4)	N.P.(4)	N.P.(8)	N.P.(9)	M_{Ed} = 0.00 N.P.(5)	N.P.(6)	N.P.(6)	**CUMPLE η = 4.0**
N711/N712	η = 0.9	N_{Ed} = 0.00 N.P.(7)	M_{Ed} = 0.00 N.P.(2)	M_{Ed} = 0.00 N.P.(2)	V_{Ed} = 0.00 N.P.(3)	V_{Ed} = 0.00 N.P.(3)	N.P.(4)	N.P.(4)	N.P.(8)	N.P.(9)	M_{Ed} = 0.00 N.P.(5)	N.P.(6)	N.P.(6)	**CUMPLE η = 0.9**
N710/N713	η = 2.4	N_{Ed} = 0.00 N.P.(7)	M_{Ed} = 0.00 N.P.(2)	M_{Ed} = 0.00 N.P.(2)	V_{Ed} = 0.00 N.P.(3)	V_{Ed} = 0.00 N.P.(3)	N.P.(4)	N.P.(4)	N.P.(8)	N.P.(9)	M_{Ed} = 0.00 N.P.(5)	N.P.(6)	N.P.(6)	**CUMPLE η = 2.4**
N717/N714	η = 3.9	N_{Ed} = 0.00 N.P.(7)	M_{Ed} = 0.00 N.P.(2)	M_{Ed} = 0.00 N.P.(2)	V_{Ed} = 0.00 N.P.(3)	V_{Ed} = 0.00 N.P.(3)	N.P.(4)	N.P.(4)	N.P.(8)	N.P.(9)	M_{Ed} = 0.00 N.P.(5)	N.P.(6)	N.P.(6)	**CUMPLE η = 3.9**
N716/N715	η = 2.4	N_{Ed} = 0.00 N.P.(7)	M_{Ed} = 0.00 N.P.(2)	M_{Ed} = 0.00 N.P.(2)	V_{Ed} = 0.00 N.P.(3)	V_{Ed} = 0.00 N.P.(3)	N.P.(4)	N.P.(4)	N.P.(8)	N.P.(9)	M_{Ed} = 0.00 N.P.(5)	N.P.(6)	N.P.(6)	**CUMPLE η = 2.4**
N719/N720	η = 4.3	N_{Ed} = 0.00 N.P.(7)	M_{Ed} = 0.00 N.P.(2)	M_{Ed} = 0.00 N.P.(2)	V_{Ed} = 0.00 N.P.(3)	V_{Ed} = 0.00 N.P.(3)	N.P.(4)	N.P.(4)	N.P.(8)	N.P.(9)	M_{Ed} = 0.00 N.P.(5)	N.P.(6)	N.P.(6)	**CUMPLE η = 4.3**
N718/N721	η = 6.1	N_{Ed} = 0.00 N.P.(7)	M_{Ed} = 0.00 N.P.(2)	M_{Ed} = 0.00 N.P.(2)	V_{Ed} = 0.00 N.P.(3)	V_{Ed} = 0.00 N.P.(3)	N.P.(4)	N.P.(4)	N.P.(8)	N.P.(9)	M_{Ed} = 0.00 N.P.(5)	N.P.(6)	N.P.(6)	**CUMPLE η = 6.1**
N723/N724	η = 3.0	N_{Ed} = 0.00 N.P.(7)	M_{Ed} = 0.00 N.P.(2)	M_{Ed} = 0.00 N.P.(2)	V_{Ed} = 0.00 N.P.(3)	V_{Ed} = 0.00 N.P.(3)	N.P.(4)	N.P.(4)	N.P.(8)	N.P.(9)	M_{Ed} = 0.00 N.P.(5)	N.P.(6)	N.P.(6)	**CUMPLE η = 3.0**
N722/N725	η = 4.5	N_{Ed} = 0.00 N.P.(7)	M_{Ed} = 0.00 N.P.(2)	M_{Ed} = 0.00 N.P.(2)	V_{Ed} = 0.00 N.P.(3)	V_{Ed} = 0.00 N.P.(3)	N.P.(4)	N.P.(4)	N.P.(8)	N.P.(9)	M_{Ed} = 0.00 N.P.(5)	N.P.(6)	N.P.(6)	**CUMPLE η = 4.5**
N434/N592	η = 12.0	N_{Ed} = 0.00 N.P.(7)	M_{Ed} = 0.00 N.P.(2)	M_{Ed} = 0.00 N.P.(2)	V_{Ed} = 0.00 N.P.(3)	V_{Ed} = 0.00 N.P.(3)	N.P.(4)	N.P.(4)	N.P.(8)	N.P.(9)	M_{Ed} = 0.00 N.P.(5)	N.P.(6)	N.P.(6)	**CUMPLE η = 12.0**

Documento visado electrónicamente con número: VA07290/22
Código de validación telemática TRLTDCFZ60T66IJ1. Comprobación: https://cogitivalencia.e-gestion.es/Validacion.aspx?CVT=TRLTDCFZ60T66IJ1

VISADO
COGITI
VALENCIA
VA07290/22
TRLTDCFZ60T66IJ1

Barras	COMPROBACIONES (CÓDIGO ESTRUCTURAL)													Estado
	N_t	N_c	M_Y	M_Z	V_Z	V_Y	M_YV_Z	M_ZV_Y	NM_YM_Z	$NM_YM_ZV_YV_Z$	M_t	M_tV_Z	M_tV_Y	
N590/N436	η = 8.7	N_{Ed} = 0.00 N.P.(7)	M_{Ed} = 0.00 N.P.(2)	M_{Ed} = 0.00 N.P.(2)	V_{Ed} = 0.00 N.P.(3)	V_{Ed} = 0.00 N.P.(3)	N.P.(4)	N.P.(4)	N.P.(8)	N.P.(9)	M_{Ed} = 0.00 N.P.(5)	N.P.(6)	N.P.(6)	**CUMPLE η = 8.7**
N514/N672	η = 5.3	N_{Ed} = 0.00 N.P.(7)	M_{Ed} = 0.00 N.P.(2)	M_{Ed} = 0.00 N.P.(2)	V_{Ed} = 0.00 N.P.(3)	V_{Ed} = 0.00 N.P.(3)	N.P.(4)	N.P.(4)	N.P.(8)	N.P.(9)	M_{Ed} = 0.00 N.P.(5)	N.P.(6)	N.P.(6)	**CUMPLE η = 5.3**
N670/N516	η = 7.7	N_{Ed} = 0.00 N.P.(7)	M_{Ed} = 0.00 N.P.(2)	M_{Ed} = 0.00 N.P.(2)	V_{Ed} = 0.00 N.P.(3)	V_{Ed} = 0.00 N.P.(3)	N.P.(4)	N.P.(4)	N.P.(8)	N.P.(9)	M_{Ed} = 0.00 N.P.(5)	N.P.(6)	N.P.(6)	**CUMPLE η = 7.7**
N448/N606	η = 5.1	N_{Ed} = 0.00 N.P.(7)	M_{Ed} = 0.00 N.P.(2)	M_{Ed} = 0.00 N.P.(2)	V_{Ed} = 0.00 N.P.(3)	V_{Ed} = 0.00 N.P.(3)	N.P.(4)	N.P.(4)	N.P.(8)	N.P.(9)	M_{Ed} = 0.00 N.P.(5)	N.P.(6)	N.P.(6)	**CUMPLE η = 5.1**
N604/N450	η = 6.4	N_{Ed} = 0.00 N.P.(7)	M_{Ed} = 0.00 N.P.(2)	M_{Ed} = 0.00 N.P.(2)	V_{Ed} = 0.00 N.P.(3)	V_{Ed} = 0.00 N.P.(3)	N.P.(4)	N.P.(4)	N.P.(8)	N.P.(9)	M_{Ed} = 0.00 N.P.(5)	N.P.(6)	N.P.(6)	**CUMPLE η = 6.4**
N433/N625	η = 8.3	N_{Ed} = 0.00 N.P.(7)	M_{Ed} = 0.00 N.P.(2)	M_{Ed} = 0.00 N.P.(2)	V_{Ed} = 0.00 N.P.(3)	V_{Ed} = 0.00 N.P.(3)	N.P.(4)	N.P.(4)	N.P.(8)	N.P.(9)	M_{Ed} = 0.00 N.P.(5)	N.P.(6)	N.P.(6)	**CUMPLE η = 8.3**
N589/N469	η = 6.6	N_{Ed} = 0.00 N.P.(7)	M_{Ed} = 0.00 N.P.(2)	M_{Ed} = 0.00 N.P.(2)	V_{Ed} = 0.00 N.P.(3)	V_{Ed} = 0.00 N.P.(3)	N.P.(4)	N.P.(4)	N.P.(8)	N.P.(9)	M_{Ed} = 0.00 N.P.(5)	N.P.(6)	N.P.(6)	**CUMPLE η = 6.6**
N481/N639	η = 6.7	N_{Ed} = 0.00 N.P.(7)	M_{Ed} = 0.00 N.P.(2)	M_{Ed} = 0.00 N.P.(2)	V_{Ed} = 0.00 N.P.(3)	V_{Ed} = 0.00 N.P.(3)	N.P.(4)	N.P.(4)	N.P.(8)	N.P.(9)	M_{Ed} = 0.00 N.P.(5)	N.P.(6)	N.P.(6)	**CUMPLE η = 6.7**
N637/N483	η = 9.0	N_{Ed} = 0.00 N.P.(7)	M_{Ed} = 0.00 N.P.(2)	M_{Ed} = 0.00 N.P.(2)	V_{Ed} = 0.00 N.P.(3)	V_{Ed} = 0.00 N.P.(3)	N.P.(4)	N.P.(4)	N.P.(8)	N.P.(9)	M_{Ed} = 0.00 N.P.(5)	N.P.(6)	N.P.(6)	**CUMPLE η = 9.0**
N467/N658	η = 8.1	N_{Ed} = 0.00 N.P.(7)	M_{Ed} = 0.00 N.P.(2)	M_{Ed} = 0.00 N.P.(2)	V_{Ed} = 0.00 N.P.(3)	V_{Ed} = 0.00 N.P.(3)	N.P.(4)	N.P.(4)	N.P.(8)	N.P.(9)	M_{Ed} = 0.00 N.P.(5)	N.P.(6)	N.P.(6)	**CUMPLE η = 8.1**
N623/N502	η = 6.4	N_{Ed} = 0.00 N.P.(7)	M_{Ed} = 0.00 N.P.(2)	M_{Ed} = 0.00 N.P.(2)	V_{Ed} = 0.00 N.P.(3)	V_{Ed} = 0.00 N.P.(3)	N.P.(4)	N.P.(4)	N.P.(8)	N.P.(9)	M_{Ed} = 0.00 N.P.(5)	N.P.(6)	N.P.(6)	**CUMPLE η = 6.4**
N830/N831	η = 0.2	N_{Ed} = 0.00 N.P.(7)	M_{Ed} = 0.00 N.P.(2)	M_{Ed} = 0.00 N.P.(2)	V_{Ed} = 0.00 N.P.(3)	V_{Ed} = 0.00 N.P.(3)	N.P.(4)	N.P.(4)	N.P.(8)	N.P.(9)	M_{Ed} = 0.00 N.P.(5)	N.P.(6)	N.P.(6)	**CUMPLE η = 0.2**
N829/N832	η = 0.1	N_{Ed} = 0.00 N.P.(7)	M_{Ed} = 0.00 N.P.(2)	M_{Ed} = 0.00 N.P.(2)	V_{Ed} = 0.00 N.P.(3)	V_{Ed} = 0.00 N.P.(3)	N.P.(4)	N.P.(4)	N.P.(8)	N.P.(9)	M_{Ed} = 0.00 N.P.(5)	N.P.(6)	N.P.(6)	**CUMPLE η = 0.1**
N833/N836	η = 18.9	N_{Ed} = 0.00 N.P.(7)	M_{Ed} = 0.00 N.P.(2)	M_{Ed} = 0.00 N.P.(2)	V_{Ed} = 0.00 N.P.(3)	V_{Ed} = 0.00 N.P.(3)	N.P.(4)	N.P.(4)	N.P.(8)	N.P.(9)	M_{Ed} = 0.00 N.P.(5)	N.P.(6)	N.P.(6)	**CUMPLE η = 18.9**
N834/N835	η = 9.6	N_{Ed} = 0.00 N.P.(7)	M_{Ed} = 0.00 N.P.(2)	M_{Ed} = 0.00 N.P.(2)	V_{Ed} = 0.00 N.P.(3)	V_{Ed} = 0.00 N.P.(3)	N.P.(4)	N.P.(4)	N.P.(8)	N.P.(9)	M_{Ed} = 0.00 N.P.(5)	N.P.(6)	N.P.(6)	**CUMPLE η = 9.6**
N837/N840	η = 19.6	N_{Ed} = 0.00 N.P.(7)	M_{Ed} = 0.00 N.P.(2)	M_{Ed} = 0.00 N.P.(2)	V_{Ed} = 0.00 N.P.(3)	V_{Ed} = 0.00 N.P.(3)	N.P.(4)	N.P.(4)	N.P.(8)	N.P.(9)	M_{Ed} = 0.00 N.P.(5)	N.P.(6)	N.P.(6)	**CUMPLE η = 19.6**
N838/N839	η = 7.8	N_{Ed} = 0.00 N.P.(7)	M_{Ed} = 0.00 N.P.(2)	M_{Ed} = 0.00 N.P.(2)	V_{Ed} = 0.00 N.P.(3)	V_{Ed} = 0.00 N.P.(3)	N.P.(4)	N.P.(4)	N.P.(8)	N.P.(9)	M_{Ed} = 0.00 N.P.(5)	N.P.(6)	N.P.(6)	**CUMPLE η = 7.8**
N844/N841	η = 15.4	N_{Ed} = 0.00 N.P.(7)	M_{Ed} = 0.00 N.P.(2)	M_{Ed} = 0.00 N.P.(2)	V_{Ed} = 0.00 N.P.(3)	V_{Ed} = 0.00 N.P.(3)	N.P.(4)	N.P.(4)	N.P.(8)	N.P.(9)	M_{Ed} = 0.00 N.P.(5)	N.P.(6)	N.P.(6)	**CUMPLE η = 15.4**
N843/N842	η = 5.2	N_{Ed} = 0.00 N.P.(7)	M_{Ed} = 0.00 N.P.(2)	M_{Ed} = 0.00 N.P.(2)	V_{Ed} = 0.00 N.P.(3)	V_{Ed} = 0.00 N.P.(3)	N.P.(4)	N.P.(4)	N.P.(8)	N.P.(9)	M_{Ed} = 0.00 N.P.(5)	N.P.(6)	N.P.(6)	**CUMPLE η = 5.2**
N846/N849	η = 5.2	N_{Ed} = 0.00 N.P.(7)	M_{Ed} = 0.00 N.P.(2)	M_{Ed} = 0.00 N.P.(2)	V_{Ed} = 0.00 N.P.(3)	V_{Ed} = 0.00 N.P.(3)	N.P.(4)	N.P.(4)	N.P.(8)	N.P.(9)	M_{Ed} = 0.00 N.P.(5)	N.P.(6)	N.P.(6)	**CUMPLE η = 5.2**
N848/N847	η = 3.7	N_{Ed} = 0.00 N.P.(7)	M_{Ed} = 0.00 N.P.(2)	M_{Ed} = 0.00 N.P.(2)	V_{Ed} = 0.00 N.P.(3)	V_{Ed} = 0.00 N.P.(3)	N.P.(4)	N.P.(4)	N.P.(8)	N.P.(9)	M_{Ed} = 0.00 N.P.(5)	N.P.(6)	N.P.(6)	**CUMPLE η = 3.7**
N851/N852	η = 4.7	N_{Ed} = 0.00 N.P.(7)	M_{Ed} = 0.00 N.P.(2)	M_{Ed} = 0.00 N.P.(2)	V_{Ed} = 0.00 N.P.(3)	V_{Ed} = 0.00 N.P.(3)	N.P.(4)	N.P.(4)	N.P.(8)	N.P.(9)	M_{Ed} = 0.00 N.P.(5)	N.P.(6)	N.P.(6)	**CUMPLE η = 4.7**
N850/N853	η = 6.5	N_{Ed} = 0.00 N.P.(7)	M_{Ed} = 0.00 N.P.(2)	M_{Ed} = 0.00 N.P.(2)	V_{Ed} = 0.00 N.P.(3)	V_{Ed} = 0.00 N.P.(3)	N.P.(4)	N.P.(4)	N.P.(8)	N.P.(9)	M_{Ed} = 0.00 N.P.(5)	N.P.(6)	N.P.(6)	**CUMPLE η = 6.5**
N855/N856	η = 2.3	N_{Ed} = 0.00 N.P.(7)	M_{Ed} = 0.00 N.P.(2)	M_{Ed} = 0.00 N.P.(2)	V_{Ed} = 0.00 N.P.(3)	V_{Ed} = 0.00 N.P.(3)	N.P.(4)	N.P.(4)	N.P.(8)	N.P.(9)	M_{Ed} = 0.00 N.P.(5)	N.P.(6)	N.P.(6)	**CUMPLE η = 2.3**
N854/N857	η = 4.0	N_{Ed} = 0.00 N.P.(7)	M_{Ed} = 0.00 N.P.(2)	M_{Ed} = 0.00 N.P.(2)	V_{Ed} = 0.00 N.P.(3)	V_{Ed} = 0.00 N.P.(3)	N.P.(4)	N.P.(4)	N.P.(8)	N.P.(9)	M_{Ed} = 0.00 N.P.(5)	N.P.(6)	N.P.(6)	**CUMPLE η = 4.0**
N861/N858	η = 2.9	N_{Ed} = 0.00 N.P.(7)	M_{Ed} = 0.00 N.P.(2)	M_{Ed} = 0.00 N.P.(2)	V_{Ed} = 0.00 N.P.(3)	V_{Ed} = 0.00 N.P.(3)	N.P.(4)	N.P.(4)	N.P.(8)	N.P.(9)	M_{Ed} = 0.00 N.P.(5)	N.P.(6)	N.P.(6)	**CUMPLE η = 2.9**
N860/N859	η = 1.4	N_{Ed} = 0.00 N.P.(7)	M_{Ed} = 0.00 N.P.(2)	M_{Ed} = 0.00 N.P.(2)	V_{Ed} = 0.00 N.P.(3)	V_{Ed} = 0.00 N.P.(3)	N.P.(4)	N.P.(4)	N.P.(8)	N.P.(9)	M_{Ed} = 0.00 N.P.(5)	N.P.(6)	N.P.(6)	**CUMPLE η = 1.4**
N863/N864	η = 2.4	N_{Ed} = 0.00 N.P.(7)	M_{Ed} = 0.00 N.P.(2)	M_{Ed} = 0.00 N.P.(2)	V_{Ed} = 0.00 N.P.(3)	V_{Ed} = 0.00 N.P.(3)	N.P.(4)	N.P.(4)	N.P.(8)	N.P.(9)	M_{Ed} = 0.00 N.P.(5)	N.P.(6)	N.P.(6)	**CUMPLE η = 2.4**
N862/N865	η = 4.1	N_{Ed} = 0.00 N.P.(7)	M_{Ed} = 0.00 N.P.(2)	M_{Ed} = 0.00 N.P.(2)	V_{Ed} = 0.00 N.P.(3)	V_{Ed} = 0.00 N.P.(3)	N.P.(4)	N.P.(4)	N.P.(8)	N.P.(9)	M_{Ed} = 0.00 N.P.(5)	N.P.(6)	N.P.(6)	**CUMPLE η = 4.1**
N867/N868	η = 1.2	N_{Ed} = 0.00 N.P.(7)	M_{Ed} = 0.00 N.P.(2)	M_{Ed} = 0.00 N.P.(2)	V_{Ed} = 0.00 N.P.(3)	V_{Ed} = 0.00 N.P.(3)	N.P.(4)	N.P.(4)	N.P.(8)	N.P.(9)	M_{Ed} = 0.00 N.P.(5)	N.P.(6)	N.P.(6)	**CUMPLE η = 1.2**
N866/N869	η = 2.6	N_{Ed} = 0.00 N.P.(7)	M_{Ed} = 0.00 N.P.(2)	M_{Ed} = 0.00 N.P.(2)	V_{Ed} = 0.00 N.P.(3)	V_{Ed} = 0.00 N.P.(3)	N.P.(4)	N.P.(4)	N.P.(8)	N.P.(9)	M_{Ed} = 0.00 N.P.(5)	N.P.(6)	N.P.(6)	**CUMPLE η = 2.6**
N873/N870	η = 4.2	N_{Ed} = 0.00 N.P.(7)	M_{Ed} = 0.00 N.P.(2)	M_{Ed} = 0.00 N.P.(2)	V_{Ed} = 0.00 N.P.(3)	V_{Ed} = 0.00 N.P.(3)	N.P.(4)	N.P.(4)	N.P.(8)	N.P.(9)	M_{Ed} = 0.00 N.P.(5)	N.P.(6)	N.P.(6)	**CUMPLE η = 4.2**
N872/N871	η = 2.5	N_{Ed} = 0.00 N.P.(7)	M_{Ed} = 0.00 N.P.(2)	M_{Ed} = 0.00 N.P.(2)	V_{Ed} = 0.00 N.P.(3)	V_{Ed} = 0.00 N.P.(3)	N.P.(4)	N.P.(4)	N.P.(8)	N.P.(9)	M_{Ed} = 0.00 N.P.(5)	N.P.(6)	N.P.(6)	**CUMPLE η = 2.5**
N875/N876	η = 4.3	N_{Ed} = 0.00 N.P.(7)	M_{Ed} = 0.00 N.P.(2)	M_{Ed} = 0.00 N.P.(2)	V_{Ed} = 0.00 N.P.(3)	V_{Ed} = 0.00 N.P.(3)	N.P.(4)	N.P.(4)	N.P.(8)	N.P.(9)	M_{Ed} = 0.00 N.P.(5)	N.P.(6)	N.P.(6)	**CUMPLE η = 4.3**
N874/N877	η = 6.2	N_{Ed} = 0.00 N.P.(7)	M_{Ed} = 0.00 N.P.(2)	M_{Ed} = 0.00 N.P.(2)	V_{Ed} = 0.00 N.P.(3)	V_{Ed} = 0.00 N.P.(3)	N.P.(4)	N.P.(4)	N.P.(8)	N.P.(9)	M_{Ed} = 0.00 N.P.(5)	N.P.(6)	N.P.(6)	**CUMPLE η = 6.2**
N879/N880	η = 3.2	N_{Ed} = 0.00 N.P.(7)	M_{Ed} = 0.00 N.P.(2)	M_{Ed} = 0.00 N.P.(2)	V_{Ed} = 0.00 N.P.(3)	V_{Ed} = 0.00 N.P.(3)	N.P.(4)	N.P.(4)	N.P.(8)	N.P.(9)	M_{Ed} = 0.00 N.P.(5)	N.P.(6)	N.P.(6)	**CUMPLE η = 3.2**
N878/N881	η = 4.7	N_{Ed} = 0.00 N.P.(7)	M_{Ed} = 0.00 N.P.(2)	M_{Ed} = 0.00 N.P.(2)	V_{Ed} = 0.00 N.P.(3)	V_{Ed} = 0.00 N.P.(3)	N.P.(4)	N.P.(4)	N.P.(8)	N.P.(9)	M_{Ed} = 0.00 N.P.(5)	N.P.(6)	N.P.(6)	**CUMPLE η = 4.7**

Documento visado electrónicamente con número: VA07290/22
Código de validación telemática TRLTDCFZ60T66IJ1. Comprobación: https://cogitivalencia.e-gestion.es/Validacion.aspx?CVT=TRLTDCFZ60T66IJ1

VISADO
COGITI
TRLTDCFZ60T66IJ1
VALENCIA
VA07290/22

Barras	COMPROBACIONES (CÓDIGO ESTRUCTURAL)													Estado
	N_t	N_c	M_Y	M_Z	V_Z	V_Y	M_YV_Z	M_ZV_Y	NM_YM_Z	$NM_YM_ZV_YV_Z$	M_t	M_tV_Z	M_tV_Y	
N590/N748	η = 9.6	N_{Ed} = 0.00 N.P.(7)	M_{Ed} = 0.00 N.P.(2)	M_{Ed} = 0.00 N.P.(2)	V_{Ed} = 0.00 N.P.(3)	V_{Ed} = 0.00 N.P.(3)	N.P.(4)	N.P.(4)	N.P.(8)	N.P.(9)	M_{Ed} = 0.00 N.P.(5)	N.P.(6)	N.P.(6)	**CUMPLE η = 9.6**
N746/N592	η = 7.5	N_{Ed} = 0.00 N.P.(7)	M_{Ed} = 0.00 N.P.(2)	M_{Ed} = 0.00 N.P.(2)	V_{Ed} = 0.00 N.P.(3)	V_{Ed} = 0.00 N.P.(3)	N.P.(4)	N.P.(4)	N.P.(8)	N.P.(9)	M_{Ed} = 0.00 N.P.(5)	N.P.(6)	N.P.(6)	**CUMPLE η = 7.5**
N670/N828	η = 5.7	N_{Ed} = 0.00 N.P.(7)	M_{Ed} = 0.00 N.P.(2)	M_{Ed} = 0.00 N.P.(2)	V_{Ed} = 0.00 N.P.(3)	V_{Ed} = 0.00 N.P.(3)	N.P.(4)	N.P.(4)	N.P.(8)	N.P.(9)	M_{Ed} = 0.00 N.P.(5)	N.P.(6)	N.P.(6)	**CUMPLE η = 5.7**
N826/N672	η = 6.4	N_{Ed} = 0.00 N.P.(7)	M_{Ed} = 0.00 N.P.(2)	M_{Ed} = 0.00 N.P.(2)	V_{Ed} = 0.00 N.P.(3)	V_{Ed} = 0.00 N.P.(3)	N.P.(4)	N.P.(4)	N.P.(8)	N.P.(9)	M_{Ed} = 0.00 N.P.(5)	N.P.(6)	N.P.(6)	**CUMPLE η = 6.4**
N604/N762	η = 4.6	N_{Ed} = 0.00 N.P.(7)	M_{Ed} = 0.00 N.P.(2)	M_{Ed} = 0.00 N.P.(2)	V_{Ed} = 0.00 N.P.(3)	V_{Ed} = 0.00 N.P.(3)	N.P.(4)	N.P.(4)	N.P.(8)	N.P.(9)	M_{Ed} = 0.00 N.P.(5)	N.P.(6)	N.P.(6)	**CUMPLE η = 4.6**
N760/N606	η = 4.8	N_{Ed} = 0.00 N.P.(7)	M_{Ed} = 0.00 N.P.(2)	M_{Ed} = 0.00 N.P.(2)	V_{Ed} = 0.00 N.P.(3)	V_{Ed} = 0.00 N.P.(3)	N.P.(4)	N.P.(4)	N.P.(8)	N.P.(9)	M_{Ed} = 0.00 N.P.(5)	N.P.(6)	N.P.(6)	**CUMPLE η = 4.8**
N589/N781	η = 7.0	N_{Ed} = 0.00 N.P.(7)	M_{Ed} = 0.00 N.P.(2)	M_{Ed} = 0.00 N.P.(2)	V_{Ed} = 0.00 N.P.(3)	V_{Ed} = 0.00 N.P.(3)	N.P.(4)	N.P.(4)	N.P.(8)	N.P.(9)	M_{Ed} = 0.00 N.P.(5)	N.P.(6)	N.P.(6)	**CUMPLE η = 7.0**
N745/N625	η = 5.6	N_{Ed} = 0.00 N.P.(7)	M_{Ed} = 0.00 N.P.(2)	M_{Ed} = 0.00 N.P.(2)	V_{Ed} = 0.00 N.P.(3)	V_{Ed} = 0.00 N.P.(3)	N.P.(4)	N.P.(4)	N.P.(8)	N.P.(9)	M_{Ed} = 0.00 N.P.(5)	N.P.(6)	N.P.(6)	**CUMPLE η = 5.6**
N637/N795	η = 6.1	N_{Ed} = 0.00 N.P.(7)	M_{Ed} = 0.00 N.P.(2)	M_{Ed} = 0.00 N.P.(2)	V_{Ed} = 0.00 N.P.(3)	V_{Ed} = 0.00 N.P.(3)	N.P.(4)	N.P.(4)	N.P.(8)	N.P.(9)	M_{Ed} = 0.00 N.P.(5)	N.P.(6)	N.P.(6)	**CUMPLE η = 6.1**
N793/N639	η = 7.1	N_{Ed} = 0.00 N.P.(7)	M_{Ed} = 0.00 N.P.(2)	M_{Ed} = 0.00 N.P.(2)	V_{Ed} = 0.00 N.P.(3)	V_{Ed} = 0.00 N.P.(3)	N.P.(4)	N.P.(4)	N.P.(8)	N.P.(9)	M_{Ed} = 0.00 N.P.(5)	N.P.(6)	N.P.(6)	**CUMPLE η = 7.1**
N623/N814	η = 6.7	N_{Ed} = 0.00 N.P.(7)	M_{Ed} = 0.00 N.P.(2)	M_{Ed} = 0.00 N.P.(2)	V_{Ed} = 0.00 N.P.(3)	V_{Ed} = 0.00 N.P.(3)	N.P.(4)	N.P.(4)	N.P.(8)	N.P.(9)	M_{Ed} = 0.00 N.P.(5)	N.P.(6)	N.P.(6)	**CUMPLE η = 6.7**
N779/N658	η = 3.8	N_{Ed} = 0.00 N.P.(7)	M_{Ed} = 0.00 N.P.(2)	M_{Ed} = 0.00 N.P.(2)	V_{Ed} = 0.00 N.P.(3)	V_{Ed} = 0.00 N.P.(3)	N.P.(4)	N.P.(4)	N.P.(8)	N.P.(9)	M_{Ed} = 0.00 N.P.(5)	N.P.(6)	N.P.(6)	**CUMPLE η = 3.8**
N986/N987	η = 0.2	N_{Ed} = 0.00 N.P.(7)	M_{Ed} = 0.00 N.P.(2)	M_{Ed} = 0.00 N.P.(2)	V_{Ed} = 0.00 N.P.(3)	V_{Ed} = 0.00 N.P.(3)	N.P.(4)	N.P.(4)	N.P.(8)	N.P.(9)	M_{Ed} = 0.00 N.P.(5)	N.P.(6)	N.P.(6)	**CUMPLE η = 0.2**
N985/N988	η = 0.3	N_{Ed} = 0.00 N.P.(7)	M_{Ed} = 0.00 N.P.(2)	M_{Ed} = 0.00 N.P.(2)	V_{Ed} = 0.00 N.P.(3)	V_{Ed} = 0.00 N.P.(3)	N.P.(4)	N.P.(4)	N.P.(8)	N.P.(9)	M_{Ed} = 0.00 N.P.(5)	N.P.(6)	N.P.(6)	**CUMPLE η = 0.3**
N989/N992	η = 17.8	N_{Ed} = 0.00 N.P.(7)	M_{Ed} = 0.00 N.P.(2)	M_{Ed} = 0.00 N.P.(2)	V_{Ed} = 0.00 N.P.(3)	V_{Ed} = 0.00 N.P.(3)	N.P.(4)	N.P.(4)	N.P.(8)	N.P.(9)	M_{Ed} = 0.00 N.P.(5)	N.P.(6)	N.P.(6)	**CUMPLE η = 17.8**
N990/N991	η = 10.4	N_{Ed} = 0.00 N.P.(7)	M_{Ed} = 0.00 N.P.(2)	M_{Ed} = 0.00 N.P.(2)	V_{Ed} = 0.00 N.P.(3)	V_{Ed} = 0.00 N.P.(3)	N.P.(4)	N.P.(4)	N.P.(8)	N.P.(9)	M_{Ed} = 0.00 N.P.(5)	N.P.(6)	N.P.(6)	**CUMPLE η = 10.4**
N993/N996	η = 20.3	N_{Ed} = 0.00 N.P.(7)	M_{Ed} = 0.00 N.P.(2)	M_{Ed} = 0.00 N.P.(2)	V_{Ed} = 0.00 N.P.(3)	V_{Ed} = 0.00 N.P.(3)	N.P.(4)	N.P.(4)	N.P.(8)	N.P.(9)	M_{Ed} = 0.00 N.P.(5)	N.P.(6)	N.P.(6)	**CUMPLE η = 20.3**
N994/N995	η = 8.3	N_{Ed} = 0.00 N.P.(7)	M_{Ed} = 0.00 N.P.(2)	M_{Ed} = 0.00 N.P.(2)	V_{Ed} = 0.00 N.P.(3)	V_{Ed} = 0.00 N.P.(3)	N.P.(4)	N.P.(4)	N.P.(8)	N.P.(9)	M_{Ed} = 0.00 N.P.(5)	N.P.(6)	N.P.(6)	**CUMPLE η = 8.3**
N1000/N997	η = 15.6	N_{Ed} = 0.00 N.P.(7)	M_{Ed} = 0.00 N.P.(2)	M_{Ed} = 0.00 N.P.(2)	V_{Ed} = 0.00 N.P.(3)	V_{Ed} = 0.00 N.P.(3)	N.P.(4)	N.P.(4)	N.P.(8)	N.P.(9)	M_{Ed} = 0.00 N.P.(5)	N.P.(6)	N.P.(6)	**CUMPLE η = 15.6**
N999/N998	η = 5.5	N_{Ed} = 0.00 N.P.(7)	M_{Ed} = 0.00 N.P.(2)	M_{Ed} = 0.00 N.P.(2)	V_{Ed} = 0.00 N.P.(3)	V_{Ed} = 0.00 N.P.(3)	N.P.(4)	N.P.(4)	N.P.(8)	N.P.(9)	M_{Ed} = 0.00 N.P.(5)	N.P.(6)	N.P.(6)	**CUMPLE η = 5.5**
N1002/N1005	η = 6.0	N_{Ed} = 0.00 N.P.(7)	M_{Ed} = 0.00 N.P.(2)	M_{Ed} = 0.00 N.P.(2)	V_{Ed} = 0.00 N.P.(3)	V_{Ed} = 0.00 N.P.(3)	N.P.(4)	N.P.(4)	N.P.(8)	N.P.(9)	M_{Ed} = 0.00 N.P.(5)	N.P.(6)	N.P.(6)	**CUMPLE η = 6.0**
N1004/N1003	η = 4.6	N_{Ed} = 0.00 N.P.(7)	M_{Ed} = 0.00 N.P.(2)	M_{Ed} = 0.00 N.P.(2)	V_{Ed} = 0.00 N.P.(3)	V_{Ed} = 0.00 N.P.(3)	N.P.(4)	N.P.(4)	N.P.(8)	N.P.(9)	M_{Ed} = 0.00 N.P.(5)	N.P.(6)	N.P.(6)	**CUMPLE η = 4.6**
N1007/N1008	η = 5.9	N_{Ed} = 0.00 N.P.(7)	M_{Ed} = 0.00 N.P.(2)	M_{Ed} = 0.00 N.P.(2)	V_{Ed} = 0.00 N.P.(3)	V_{Ed} = 0.00 N.P.(3)	N.P.(4)	N.P.(4)	N.P.(8)	N.P.(9)	M_{Ed} = 0.00 N.P.(5)	N.P.(6)	N.P.(6)	**CUMPLE η = 5.9**
N1006/N1009	η = 7.6	N_{Ed} = 0.00 N.P.(7)	M_{Ed} = 0.00 N.P.(2)	M_{Ed} = 0.00 N.P.(2)	V_{Ed} = 0.00 N.P.(3)	V_{Ed} = 0.00 N.P.(3)	N.P.(4)	N.P.(4)	N.P.(8)	N.P.(9)	M_{Ed} = 0.00 N.P.(5)	N.P.(6)	N.P.(6)	**CUMPLE η = 7.6**
N1011/N1012	η = 3.2	N_{Ed} = 0.00 N.P.(7)	M_{Ed} = 0.00 N.P.(2)	M_{Ed} = 0.00 N.P.(2)	V_{Ed} = 0.00 N.P.(3)	V_{Ed} = 0.00 N.P.(3)	N.P.(4)	N.P.(4)	N.P.(8)	N.P.(9)	M_{Ed} = 0.00 N.P.(5)	N.P.(6)	N.P.(6)	**CUMPLE η = 3.2**
N1010/N1013	η = 5.0	N_{Ed} = 0.00 N.P.(7)	M_{Ed} = 0.00 N.P.(2)	M_{Ed} = 0.00 N.P.(2)	V_{Ed} = 0.00 N.P.(3)	V_{Ed} = 0.00 N.P.(3)	N.P.(4)	N.P.(4)	N.P.(8)	N.P.(9)	M_{Ed} = 0.00 N.P.(5)	N.P.(6)	N.P.(6)	**CUMPLE η = 5.0**
N1017/N1014	η = 3.3	N_{Ed} = 0.00 N.P.(7)	M_{Ed} = 0.00 N.P.(2)	M_{Ed} = 0.00 N.P.(2)	V_{Ed} = 0.00 N.P.(3)	V_{Ed} = 0.00 N.P.(3)	N.P.(4)	N.P.(4)	N.P.(8)	N.P.(9)	M_{Ed} = 0.00 N.P.(5)	N.P.(6)	N.P.(6)	**CUMPLE η = 3.3**
N1016/N1015	η = 1.6	N_{Ed} = 0.00 N.P.(7)	M_{Ed} = 0.00 N.P.(2)	M_{Ed} = 0.00 N.P.(2)	V_{Ed} = 0.00 N.P.(3)	V_{Ed} = 0.00 N.P.(3)	N.P.(4)	N.P.(4)	N.P.(8)	N.P.(9)	M_{Ed} = 0.00 N.P.(5)	N.P.(6)	N.P.(6)	**CUMPLE η = 1.6**
N1019/N1020	η = 2.9	N_{Ed} = 0.00 N.P.(7)	M_{Ed} = 0.00 N.P.(2)	M_{Ed} = 0.00 N.P.(2)	V_{Ed} = 0.00 N.P.(3)	V_{Ed} = 0.00 N.P.(3)	N.P.(4)	N.P.(4)	N.P.(8)	N.P.(9)	M_{Ed} = 0.00 N.P.(5)	N.P.(6)	N.P.(6)	**CUMPLE η = 2.9**
N1018/N1021	η = 4.7	N_{Ed} = 0.00 N.P.(7)	M_{Ed} = 0.00 N.P.(2)	M_{Ed} = 0.00 N.P.(2)	V_{Ed} = 0.00 N.P.(3)	V_{Ed} = 0.00 N.P.(3)	N.P.(4)	N.P.(4)	N.P.(8)	N.P.(9)	M_{Ed} = 0.00 N.P.(5)	N.P.(6)	N.P.(6)	**CUMPLE η = 4.7**
N1023/N1024	η = 1.6	N_{Ed} = 0.00 N.P.(7)	M_{Ed} = 0.00 N.P.(2)	M_{Ed} = 0.00 N.P.(2)	V_{Ed} = 0.00 N.P.(3)	V_{Ed} = 0.00 N.P.(3)	N.P.(4)	N.P.(4)	N.P.(8)	N.P.(9)	M_{Ed} = 0.00 N.P.(5)	N.P.(6)	N.P.(6)	**CUMPLE η = 1.6**
N1022/N1025	η = 3.1	N_{Ed} = 0.00 N.P.(7)	M_{Ed} = 0.00 N.P.(2)	M_{Ed} = 0.00 N.P.(2)	V_{Ed} = 0.00 N.P.(3)	V_{Ed} = 0.00 N.P.(3)	N.P.(4)	N.P.(4)	N.P.(8)	N.P.(9)	M_{Ed} = 0.00 N.P.(5)	N.P.(6)	N.P.(6)	**CUMPLE η = 3.1**
N1029/N1026	η = 5.1	N_{Ed} = 0.00 N.P.(7)	M_{Ed} = 0.00 N.P.(2)	M_{Ed} = 0.00 N.P.(2)	V_{Ed} = 0.00 N.P.(3)	V_{Ed} = 0.00 N.P.(3)	N.P.(4)	N.P.(4)	N.P.(8)	N.P.(9)	M_{Ed} = 0.00 N.P.(5)	N.P.(6)	N.P.(6)	**CUMPLE η = 5.1**
N1028/N1027	η = 3.1	N_{Ed} = 0.00 N.P.(7)	M_{Ed} = 0.00 N.P.(2)	M_{Ed} = 0.00 N.P.(2)	V_{Ed} = 0.00 N.P.(3)	V_{Ed} = 0.00 N.P.(3)	N.P.(4)	N.P.(4)	N.P.(8)	N.P.(9)	M_{Ed} = 0.00 N.P.(5)	N.P.(6)	N.P.(6)	**CUMPLE η = 3.1**
N1031/N1032	η = 5.2	N_{Ed} = 0.00 N.P.(7)	M_{Ed} = 0.00 N.P.(2)	M_{Ed} = 0.00 N.P.(2)	V_{Ed} = 0.00 N.P.(3)	V_{Ed} = 0.00 N.P.(3)	N.P.(4)	N.P.(4)	N.P.(8)	N.P.(9)	M_{Ed} = 0.00 N.P.(5)	N.P.(6)	N.P.(6)	**CUMPLE η = 5.2**
N1030/N1033	η = 7.2	N_{Ed} = 0.00 N.P.(7)	M_{Ed} = 0.00 N.P.(2)	M_{Ed} = 0.00 N.P.(2)	V_{Ed} = 0.00 N.P.(3)	V_{Ed} = 0.00 N.P.(3)	N.P.(4)	N.P.(4)	N.P.(8)	N.P.(9)	M_{Ed} = 0.00 N.P.(5)	N.P.(6)	N.P.(6)	**CUMPLE η = 7.2**
N1035/N1036	η = 4.0	N_{Ed} = 0.00 N.P.(7)	M_{Ed} = 0.00 N.P.(2)	M_{Ed} = 0.00 N.P.(2)	V_{Ed} = 0.00 N.P.(3)	V_{Ed} = 0.00 N.P.(3)	N.P.(4)	N.P.(4)	N.P.(8)	N.P.(9)	M_{Ed} = 0.00 N.P.(5)	N.P.(6)	N.P.(6)	**CUMPLE η = 4.0**

Documento visado electrónicamente con número: VA07290/22
Código de validación telemática TRLTDCFZ60T66IJ1. Comprobación: https://cogitivalencia.e-gestion.es/Validacion.aspx?CVT=TRLTDCFZ60T66IJ1

VISADO
COGITI
VALENCIA
VA07290/22
TRLTDCFZ60T66IJ1

Barras	COMPROBACIONES (CÓDIGO ESTRUCTURAL)													Estado
	N_t	N_c	M_Y	M_Z	V_Z	V_Y	M_YV_Z	M_ZV_Y	NM_YM_Z	$NM_YM_ZV_YV_Z$	M_t	M_tV_Z	M_tV_Y	
N1034/N1037	η = 5.5	N_{Ed} = 0.00 N.P.(7)	M_{Ed} = 0.00 N.P.(2)	M_{Ed} = 0.00 N.P.(2)	V_{Ed} = 0.00 N.P.(3)	V_{Ed} = 0.00 N.P.(3)	N.P.(4)	N.P.(4)	N.P.(8)	N.P.(9)	M_{Ed} = 0.00 N.P.(5)	N.P.(6)	N.P.(6)	**CUMPLE η = 5.5**
N746/N904	η = 8.0	N_{Ed} = 0.00 N.P.(7)	M_{Ed} = 0.00 N.P.(2)	M_{Ed} = 0.00 N.P.(2)	V_{Ed} = 0.00 N.P.(3)	V_{Ed} = 0.00 N.P.(3)	N.P.(4)	N.P.(4)	N.P.(8)	N.P.(9)	M_{Ed} = 0.00 N.P.(5)	N.P.(6)	N.P.(6)	**CUMPLE η = 8.0**
N902/N748	η = 6.5	N_{Ed} = 0.00 N.P.(7)	M_{Ed} = 0.00 N.P.(2)	M_{Ed} = 0.00 N.P.(2)	V_{Ed} = 0.00 N.P.(3)	V_{Ed} = 0.00 N.P.(3)	N.P.(4)	N.P.(4)	N.P.(8)	N.P.(9)	M_{Ed} = 0.00 N.P.(5)	N.P.(6)	N.P.(6)	**CUMPLE η = 6.5**
N826/N984	η = 7.3	N_{Ed} = 0.00 N.P.(7)	M_{Ed} = 0.00 N.P.(2)	M_{Ed} = 0.00 N.P.(2)	V_{Ed} = 0.00 N.P.(3)	V_{Ed} = 0.00 N.P.(3)	N.P.(4)	N.P.(4)	N.P.(8)	N.P.(9)	M_{Ed} = 0.00 N.P.(5)	N.P.(6)	N.P.(6)	**CUMPLE η = 7.3**
N982/N828	η = 6.9	N_{Ed} = 0.00 N.P.(7)	M_{Ed} = 0.00 N.P.(2)	M_{Ed} = 0.00 N.P.(2)	V_{Ed} = 0.00 N.P.(3)	V_{Ed} = 0.00 N.P.(3)	N.P.(4)	N.P.(4)	N.P.(8)	N.P.(9)	M_{Ed} = 0.00 N.P.(5)	N.P.(6)	N.P.(6)	**CUMPLE η = 6.9**
N760/N918	η = 3.6	N_{Ed} = 0.00 N.P.(7)	M_{Ed} = 0.00 N.P.(2)	M_{Ed} = 0.00 N.P.(2)	V_{Ed} = 0.00 N.P.(3)	V_{Ed} = 0.00 N.P.(3)	N.P.(4)	N.P.(4)	N.P.(8)	N.P.(9)	M_{Ed} = 0.00 N.P.(5)	N.P.(6)	N.P.(6)	**CUMPLE η = 3.6**
N916/N762	η = 5.8	N_{Ed} = 0.00 N.P.(7)	M_{Ed} = 0.00 N.P.(2)	M_{Ed} = 0.00 N.P.(2)	V_{Ed} = 0.00 N.P.(3)	V_{Ed} = 0.00 N.P.(3)	N.P.(4)	N.P.(4)	N.P.(8)	N.P.(9)	M_{Ed} = 0.00 N.P.(5)	N.P.(6)	N.P.(6)	**CUMPLE η = 5.8**
N745/N937	η = 6.2	N_{Ed} = 0.00 N.P.(7)	M_{Ed} = 0.00 N.P.(2)	M_{Ed} = 0.00 N.P.(2)	V_{Ed} = 0.00 N.P.(3)	V_{Ed} = 0.00 N.P.(3)	N.P.(4)	N.P.(4)	N.P.(8)	N.P.(9)	M_{Ed} = 0.00 N.P.(5)	N.P.(6)	N.P.(6)	**CUMPLE η = 6.2**
N901/N781	η = 5.3	N_{Ed} = 0.00 N.P.(7)	M_{Ed} = 0.00 N.P.(2)	M_{Ed} = 0.00 N.P.(2)	V_{Ed} = 0.00 N.P.(3)	V_{Ed} = 0.00 N.P.(3)	N.P.(4)	N.P.(4)	N.P.(8)	N.P.(9)	M_{Ed} = 0.00 N.P.(5)	N.P.(6)	N.P.(6)	**CUMPLE η = 5.3**
N793/N951	η = 5.4	N_{Ed} = 0.00 N.P.(7)	M_{Ed} = 0.00 N.P.(2)	M_{Ed} = 0.00 N.P.(2)	V_{Ed} = 0.00 N.P.(3)	V_{Ed} = 0.00 N.P.(3)	N.P.(4)	N.P.(4)	N.P.(8)	N.P.(9)	M_{Ed} = 0.00 N.P.(5)	N.P.(6)	N.P.(6)	**CUMPLE η = 5.4**
N949/N795	η = 5.7	N_{Ed} = 0.00 N.P.(7)	M_{Ed} = 0.00 N.P.(2)	M_{Ed} = 0.00 N.P.(2)	V_{Ed} = 0.00 N.P.(3)	V_{Ed} = 0.00 N.P.(3)	N.P.(4)	N.P.(4)	N.P.(8)	N.P.(9)	M_{Ed} = 0.00 N.P.(5)	N.P.(6)	N.P.(6)	**CUMPLE η = 5.7**
N779/N970	η = 6.2	N_{Ed} = 0.00 N.P.(7)	M_{Ed} = 0.00 N.P.(2)	M_{Ed} = 0.00 N.P.(2)	V_{Ed} = 0.00 N.P.(3)	V_{Ed} = 0.00 N.P.(3)	N.P.(4)	N.P.(4)	N.P.(8)	N.P.(9)	M_{Ed} = 0.00 N.P.(5)	N.P.(6)	N.P.(6)	**CUMPLE η = 6.2**
N935/N814	η = 3.5	N_{Ed} = 0.00 N.P.(7)	M_{Ed} = 0.00 N.P.(2)	M_{Ed} = 0.00 N.P.(2)	V_{Ed} = 0.00 N.P.(3)	V_{Ed} = 0.00 N.P.(3)	N.P.(4)	N.P.(4)	N.P.(8)	N.P.(9)	M_{Ed} = 0.00 N.P.(5)	N.P.(6)	N.P.(6)	**CUMPLE η = 3.5**
N1142/N1143	η = 0.4	N_{Ed} = 0.00 N.P.(7)	M_{Ed} = 0.00 N.P.(2)	M_{Ed} = 0.00 N.P.(2)	V_{Ed} = 0.00 N.P.(3)	V_{Ed} = 0.00 N.P.(3)	N.P.(4)	N.P.(4)	N.P.(8)	N.P.(9)	M_{Ed} = 0.00 N.P.(5)	N.P.(6)	N.P.(6)	**CUMPLE η = 0.4**
N1141/N1144	η = 0.8	N_{Ed} = 0.00 N.P.(7)	M_{Ed} = 0.00 N.P.(2)	M_{Ed} = 0.00 N.P.(2)	V_{Ed} = 0.00 N.P.(3)	V_{Ed} = 0.00 N.P.(3)	N.P.(4)	N.P.(4)	N.P.(8)	N.P.(9)	M_{Ed} = 0.00 N.P.(5)	N.P.(6)	N.P.(6)	**CUMPLE η = 0.8**
N1145/N1148	η = 18.9	N_{Ed} = 0.00 N.P.(7)	M_{Ed} = 0.00 N.P.(2)	M_{Ed} = 0.00 N.P.(2)	V_{Ed} = 0.00 N.P.(3)	V_{Ed} = 0.00 N.P.(3)	N.P.(4)	N.P.(4)	N.P.(8)	N.P.(9)	M_{Ed} = 0.00 N.P.(5)	N.P.(6)	N.P.(6)	**CUMPLE η = 18.9**
N1146/N1147	η = 12.2	N_{Ed} = 0.00 N.P.(7)	M_{Ed} = 0.00 N.P.(2)	M_{Ed} = 0.00 N.P.(2)	V_{Ed} = 0.00 N.P.(3)	V_{Ed} = 0.00 N.P.(3)	N.P.(4)	N.P.(4)	N.P.(8)	N.P.(9)	M_{Ed} = 0.00 N.P.(5)	N.P.(6)	N.P.(6)	**CUMPLE η = 12.2**
N1149/N1152	η = 22.1	N_{Ed} = 0.00 N.P.(7)	M_{Ed} = 0.00 N.P.(2)	M_{Ed} = 0.00 N.P.(2)	V_{Ed} = 0.00 N.P.(3)	V_{Ed} = 0.00 N.P.(3)	N.P.(4)	N.P.(4)	N.P.(8)	N.P.(9)	M_{Ed} = 0.00 N.P.(5)	N.P.(6)	N.P.(6)	**CUMPLE η = 22.1**
N1150/N1151	η = 10.1	N_{Ed} = 0.00 N.P.(7)	M_{Ed} = 0.00 N.P.(2)	M_{Ed} = 0.00 N.P.(2)	V_{Ed} = 0.00 N.P.(3)	V_{Ed} = 0.00 N.P.(3)	N.P.(4)	N.P.(4)	N.P.(8)	N.P.(9)	M_{Ed} = 0.00 N.P.(5)	N.P.(6)	N.P.(6)	**CUMPLE η = 10.1**
N1156/N1153	η = 17.4	N_{Ed} = 0.00 N.P.(7)	M_{Ed} = 0.00 N.P.(2)	M_{Ed} = 0.00 N.P.(2)	V_{Ed} = 0.00 N.P.(3)	V_{Ed} = 0.00 N.P.(3)	N.P.(4)	N.P.(4)	N.P.(8)	N.P.(9)	M_{Ed} = 0.00 N.P.(5)	N.P.(6)	N.P.(6)	**CUMPLE η = 17.4**
N1155/N1154	η = 6.0	N_{Ed} = 0.00 N.P.(7)	M_{Ed} = 0.00 N.P.(2)	M_{Ed} = 0.00 N.P.(2)	V_{Ed} = 0.00 N.P.(3)	V_{Ed} = 0.00 N.P.(3)	N.P.(4)	N.P.(4)	N.P.(8)	N.P.(9)	M_{Ed} = 0.00 N.P.(5)	N.P.(6)	N.P.(6)	**CUMPLE η = 6.0**
N1158/N1161	η = 7.2	N_{Ed} = 0.00 N.P.(7)	M_{Ed} = 0.00 N.P.(2)	M_{Ed} = 0.00 N.P.(2)	V_{Ed} = 0.00 N.P.(3)	V_{Ed} = 0.00 N.P.(3)	N.P.(4)	N.P.(4)	N.P.(8)	N.P.(9)	M_{Ed} = 0.00 N.P.(5)	N.P.(6)	N.P.(6)	**CUMPLE η = 7.2**
N1160/N1159	η = 5.8	N_{Ed} = 0.00 N.P.(7)	M_{Ed} = 0.00 N.P.(2)	M_{Ed} = 0.00 N.P.(2)	V_{Ed} = 0.00 N.P.(3)	V_{Ed} = 0.00 N.P.(3)	N.P.(4)	N.P.(4)	N.P.(8)	N.P.(9)	M_{Ed} = 0.00 N.P.(5)	N.P.(6)	N.P.(6)	**CUMPLE η = 5.8**
N1163/N1164	η = 7.4	N_{Ed} = 0.00 N.P.(7)	M_{Ed} = 0.00 N.P.(2)	M_{Ed} = 0.00 N.P.(2)	V_{Ed} = 0.00 N.P.(3)	V_{Ed} = 0.00 N.P.(3)	N.P.(4)	N.P.(4)	N.P.(8)	N.P.(9)	M_{Ed} = 0.00 N.P.(5)	N.P.(6)	N.P.(6)	**CUMPLE η = 7.4**
N1162/N1165	η = 9.0	N_{Ed} = 0.00 N.P.(7)	M_{Ed} = 0.00 N.P.(2)	M_{Ed} = 0.00 N.P.(2)	V_{Ed} = 0.00 N.P.(3)	V_{Ed} = 0.00 N.P.(3)	N.P.(4)	N.P.(4)	N.P.(8)	N.P.(9)	M_{Ed} = 0.00 N.P.(5)	N.P.(6)	N.P.(6)	**CUMPLE η = 9.0**
N1167/N1168	η = 4.3	N_{Ed} = 0.00 N.P.(7)	M_{Ed} = 0.00 N.P.(2)	M_{Ed} = 0.00 N.P.(2)	V_{Ed} = 0.00 N.P.(3)	V_{Ed} = 0.00 N.P.(3)	N.P.(4)	N.P.(4)	N.P.(8)	N.P.(9)	M_{Ed} = 0.00 N.P.(5)	N.P.(6)	N.P.(6)	**CUMPLE η = 4.3**
N1166/N1169	η = 6.0	N_{Ed} = 0.00 N.P.(7)	M_{Ed} = 0.00 N.P.(2)	M_{Ed} = 0.00 N.P.(2)	V_{Ed} = 0.00 N.P.(3)	V_{Ed} = 0.00 N.P.(3)	N.P.(4)	N.P.(4)	N.P.(8)	N.P.(9)	M_{Ed} = 0.00 N.P.(5)	N.P.(6)	N.P.(6)	**CUMPLE η = 6.0**
N1173/N1170	η = 4.2	N_{Ed} = 0.00 N.P.(7)	M_{Ed} = 0.00 N.P.(2)	M_{Ed} = 0.00 N.P.(2)	V_{Ed} = 0.00 N.P.(3)	V_{Ed} = 0.00 N.P.(3)	N.P.(4)	N.P.(4)	N.P.(8)	N.P.(9)	M_{Ed} = 0.00 N.P.(5)	N.P.(6)	N.P.(6)	**CUMPLE η = 4.2**
N1172/N1171	η = 2.0	N_{Ed} = 0.00 N.P.(7)	M_{Ed} = 0.00 N.P.(2)	M_{Ed} = 0.00 N.P.(2)	V_{Ed} = 0.00 N.P.(3)	V_{Ed} = 0.00 N.P.(3)	N.P.(4)	N.P.(4)	N.P.(8)	N.P.(9)	M_{Ed} = 0.00 N.P.(5)	N.P.(6)	N.P.(6)	**CUMPLE η = 2.0**
N1175/N1176	η = 3.5	N_{Ed} = 0.00 N.P.(7)	M_{Ed} = 0.00 N.P.(2)	M_{Ed} = 0.00 N.P.(2)	V_{Ed} = 0.00 N.P.(3)	V_{Ed} = 0.00 N.P.(3)	N.P.(4)	N.P.(4)	N.P.(8)	N.P.(9)	M_{Ed} = 0.00 N.P.(5)	N.P.(6)	N.P.(6)	**CUMPLE η = 3.5**
N1174/N1177	η = 5.8	N_{Ed} = 0.00 N.P.(7)	M_{Ed} = 0.00 N.P.(2)	M_{Ed} = 0.00 N.P.(2)	V_{Ed} = 0.00 N.P.(3)	V_{Ed} = 0.00 N.P.(3)	N.P.(4)	N.P.(4)	N.P.(8)	N.P.(9)	M_{Ed} = 0.00 N.P.(5)	N.P.(6)	N.P.(6)	**CUMPLE η = 5.8**
N1179/N1180	η = 2.2	N_{Ed} = 0.00 N.P.(7)	M_{Ed} = 0.00 N.P.(2)	M_{Ed} = 0.00 N.P.(2)	V_{Ed} = 0.00 N.P.(3)	V_{Ed} = 0.00 N.P.(3)	N.P.(4)	N.P.(4)	N.P.(8)	N.P.(9)	M_{Ed} = 0.00 N.P.(5)	N.P.(6)	N.P.(6)	**CUMPLE η = 2.2**
N1178/N1181	η = 3.9	N_{Ed} = 0.00 N.P.(7)	M_{Ed} = 0.00 N.P.(2)	M_{Ed} = 0.00 N.P.(2)	V_{Ed} = 0.00 N.P.(3)	V_{Ed} = 0.00 N.P.(3)	N.P.(4)	N.P.(4)	N.P.(8)	N.P.(9)	M_{Ed} = 0.00 N.P.(5)	N.P.(6)	N.P.(6)	**CUMPLE η = 3.9**
N1185/N1182	η = 6.3	N_{Ed} = 0.00 N.P.(7)	M_{Ed} = 0.00 N.P.(2)	M_{Ed} = 0.00 N.P.(2)	V_{Ed} = 0.00 N.P.(3)	V_{Ed} = 0.00 N.P.(3)	N.P.(4)	N.P.(4)	N.P.(8)	N.P.(9)	M_{Ed} = 0.00 N.P.(5)	N.P.(6)	N.P.(6)	**CUMPLE η = 6.3**
N1184/N1183	η = 3.7	N_{Ed} = 0.00 N.P.(7)	M_{Ed} = 0.00 N.P.(2)	M_{Ed} = 0.00 N.P.(2)	V_{Ed} = 0.00 N.P.(3)	V_{Ed} = 0.00 N.P.(3)	N.P.(4)	N.P.(4)	N.P.(8)	N.P.(9)	M_{Ed} = 0.00 N.P.(5)	N.P.(6)	N.P.(6)	**CUMPLE η = 3.7**
N1187/N1188	η = 6.2	N_{Ed} = 0.00 N.P.(7)	M_{Ed} = 0.00 N.P.(2)	M_{Ed} = 0.00 N.P.(2)	V_{Ed} = 0.00 N.P.(3)	V_{Ed} = 0.00 N.P.(3)	N.P.(4)	N.P.(4)	N.P.(8)	N.P.(9)	M_{Ed} = 0.00 N.P.(5)	N.P.(6)	N.P.(6)	**CUMPLE η = 6.2**
N1186/N1189	η = 8.8	N_{Ed} = 0.00 N.P.(7)	M_{Ed} = 0.00 N.P.(2)	M_{Ed} = 0.00 N.P.(2)	V_{Ed} = 0.00 N.P.(3)	V_{Ed} = 0.00 N.P.(3)	N.P.(4)	N.P.(4)	N.P.(8)	N.P.(9)	M_{Ed} = 0.00 N.P.(5)	N.P.(6)	N.P.(6)	**CUMPLE η = 8.8**

Documento visado electrónicamente con número: VA07290/22
Código de validación telemática TRLTDCFZ60T66IJ1. Comprobación: https://cogitivalencia.e-gestion.es/Validacion.aspx?CVT=TRLTDCFZ60T66IJ1

VISADO
COGITI
VALENCIA
VA07290/22
TRLTDCFZ60T66IJ1

Barras	COMPROBACIONES (CÓDIGO ESTRUCTURAL)													Estado
	N_t	N_c	M_Y	M_Z	V_Z	V_Y	M_YV_Z	M_ZV_Y	NM_YM_Z	$NM_YM_ZV_YV_Z$	M_t	M_tV_Z	M_tV_Y	
N1191/N1192	η = 4.7	N_{Ed} = 0.00 N.P.(7)	M_{Ed} = 0.00 N.P.(2)	M_{Ed} = 0.00 N.P.(2)	V_{Ed} = 0.00 N.P.(3)	V_{Ed} = 0.00 N.P.(3)	N.P.(4)	N.P.(4)	N.P.(8)	N.P.(9)	M_{Ed} = 0.00 N.P.(5)	N.P.(6)	N.P.(6)	**CUMPLE** η = 4.7
N1190/N1193	η = 6.5	N_{Ed} = 0.00 N.P.(7)	M_{Ed} = 0.00 N.P.(2)	M_{Ed} = 0.00 N.P.(2)	V_{Ed} = 0.00 N.P.(3)	V_{Ed} = 0.00 N.P.(3)	N.P.(4)	N.P.(4)	N.P.(8)	N.P.(9)	M_{Ed} = 0.00 N.P.(5)	N.P.(6)	N.P.(6)	**CUMPLE** η = 6.5
N902/N1060	η = 15.2	N_{Ed} = 0.00 N.P.(7)	M_{Ed} = 0.00 N.P.(2)	M_{Ed} = 0.00 N.P.(2)	V_{Ed} = 0.00 N.P.(3)	V_{Ed} = 0.00 N.P.(3)	N.P.(4)	N.P.(4)	N.P.(8)	N.P.(9)	M_{Ed} = 0.00 N.P.(5)	N.P.(6)	N.P.(6)	**CUMPLE** η = 15.2
N1058/N904	η = 5.6	N_{Ed} = 0.00 N.P.(7)	M_{Ed} = 0.00 N.P.(2)	M_{Ed} = 0.00 N.P.(2)	V_{Ed} = 0.00 N.P.(3)	V_{Ed} = 0.00 N.P.(3)	N.P.(4)	N.P.(4)	N.P.(8)	N.P.(9)	M_{Ed} = 0.00 N.P.(5)	N.P.(6)	N.P.(6)	**CUMPLE** η = 5.6
N982/N1140	η = 11.7	N_{Ed} = 0.00 N.P.(7)	M_{Ed} = 0.00 N.P.(2)	M_{Ed} = 0.00 N.P.(2)	V_{Ed} = 0.00 N.P.(3)	V_{Ed} = 0.00 N.P.(3)	N.P.(4)	N.P.(4)	N.P.(8)	N.P.(9)	M_{Ed} = 0.00 N.P.(5)	N.P.(6)	N.P.(6)	**CUMPLE** η = 11.7
N1138/N984	η = 10.9	N_{Ed} = 0.00 N.P.(7)	M_{Ed} = 0.00 N.P.(2)	M_{Ed} = 0.00 N.P.(2)	V_{Ed} = 0.00 N.P.(3)	V_{Ed} = 0.00 N.P.(3)	N.P.(4)	N.P.(4)	N.P.(8)	N.P.(9)	M_{Ed} = 0.00 N.P.(5)	N.P.(6)	N.P.(6)	**CUMPLE** η = 10.9
N916/N1074	η = 11.8	N_{Ed} = 0.00 N.P.(7)	M_{Ed} = 0.00 N.P.(2)	M_{Ed} = 0.00 N.P.(2)	V_{Ed} = 0.00 N.P.(3)	V_{Ed} = 0.00 N.P.(3)	N.P.(4)	N.P.(4)	N.P.(8)	N.P.(9)	M_{Ed} = 0.00 N.P.(5)	N.P.(6)	N.P.(6)	**CUMPLE** η = 11.8
N1072/N918	η = 9.2	N_{Ed} = 0.00 N.P.(7)	M_{Ed} = 0.00 N.P.(2)	M_{Ed} = 0.00 N.P.(2)	V_{Ed} = 0.00 N.P.(3)	V_{Ed} = 0.00 N.P.(3)	N.P.(4)	N.P.(4)	N.P.(8)	N.P.(9)	M_{Ed} = 0.00 N.P.(5)	N.P.(6)	N.P.(6)	**CUMPLE** η = 9.2
N901/N1093	η = 12.7	N_{Ed} = 0.00 N.P.(7)	M_{Ed} = 0.00 N.P.(2)	M_{Ed} = 0.00 N.P.(2)	V_{Ed} = 0.00 N.P.(3)	V_{Ed} = 0.00 N.P.(3)	N.P.(4)	N.P.(4)	N.P.(8)	N.P.(9)	M_{Ed} = 0.00 N.P.(5)	N.P.(6)	N.P.(6)	**CUMPLE** η = 12.7
N1057/N937	η = 5.7	N_{Ed} = 0.00 N.P.(7)	M_{Ed} = 0.00 N.P.(2)	M_{Ed} = 0.00 N.P.(2)	V_{Ed} = 0.00 N.P.(3)	V_{Ed} = 0.00 N.P.(3)	N.P.(4)	N.P.(4)	N.P.(8)	N.P.(9)	M_{Ed} = 0.00 N.P.(5)	N.P.(6)	N.P.(6)	**CUMPLE** η = 5.7
N949/N1107	η = 10.6	N_{Ed} = 0.00 N.P.(7)	M_{Ed} = 0.00 N.P.(2)	M_{Ed} = 0.00 N.P.(2)	V_{Ed} = 0.00 N.P.(3)	V_{Ed} = 0.00 N.P.(3)	N.P.(4)	N.P.(4)	N.P.(8)	N.P.(9)	M_{Ed} = 0.00 N.P.(5)	N.P.(6)	N.P.(6)	**CUMPLE** η = 10.6
N1105/N951	η = 9.9	N_{Ed} = 0.00 N.P.(7)	M_{Ed} = 0.00 N.P.(2)	M_{Ed} = 0.00 N.P.(2)	V_{Ed} = 0.00 N.P.(3)	V_{Ed} = 0.00 N.P.(3)	N.P.(4)	N.P.(4)	N.P.(8)	N.P.(9)	M_{Ed} = 0.00 N.P.(5)	N.P.(6)	N.P.(6)	**CUMPLE** η = 9.9
N935/N1126	η = 11.0	N_{Ed} = 0.00 N.P.(7)	M_{Ed} = 0.00 N.P.(2)	M_{Ed} = 0.00 N.P.(2)	V_{Ed} = 0.00 N.P.(3)	V_{Ed} = 0.00 N.P.(3)	N.P.(4)	N.P.(4)	N.P.(8)	N.P.(9)	M_{Ed} = 0.00 N.P.(5)	N.P.(6)	N.P.(6)	**CUMPLE** η = 11.0
N1091/N970	η = 4.7	N_{Ed} = 0.00 N.P.(7)	M_{Ed} = 0.00 N.P.(2)	M_{Ed} = 0.00 N.P.(2)	V_{Ed} = 0.00 N.P.(3)	V_{Ed} = 0.00 N.P.(3)	N.P.(4)	N.P.(4)	N.P.(8)	N.P.(9)	M_{Ed} = 0.00 N.P.(5)	N.P.(6)	N.P.(6)	**CUMPLE** η = 4.7
N1298/N1299	η = 0.6	N_{Ed} = 0.00 N.P.(7)	M_{Ed} = 0.00 N.P.(2)	M_{Ed} = 0.00 N.P.(2)	V_{Ed} = 0.00 N.P.(3)	V_{Ed} = 0.00 N.P.(3)	N.P.(4)	N.P.(4)	N.P.(8)	N.P.(9)	M_{Ed} = 0.00 N.P.(5)	N.P.(6)	N.P.(6)	**CUMPLE** η = 0.6
N1297/N1300	η = 1.7	N_{Ed} = 0.00 N.P.(7)	M_{Ed} = 0.00 N.P.(2)	M_{Ed} = 0.00 N.P.(2)	V_{Ed} = 0.00 N.P.(3)	V_{Ed} = 0.00 N.P.(3)	N.P.(4)	N.P.(4)	N.P.(8)	N.P.(9)	M_{Ed} = 0.00 N.P.(5)	N.P.(6)	N.P.(6)	**CUMPLE** η = 1.7
N1301/N1304	η = 18.6	N_{Ed} = 0.00 N.P.(7)	M_{Ed} = 0.00 N.P.(2)	M_{Ed} = 0.00 N.P.(2)	V_{Ed} = 0.00 N.P.(3)	V_{Ed} = 0.00 N.P.(3)	N.P.(4)	N.P.(4)	N.P.(8)	N.P.(9)	M_{Ed} = 0.00 N.P.(5)	N.P.(6)	N.P.(6)	**CUMPLE** η = 18.6
N1302/N1303	η = 11.1	N_{Ed} = 0.00 N.P.(7)	M_{Ed} = 0.00 N.P.(2)	M_{Ed} = 0.00 N.P.(2)	V_{Ed} = 0.00 N.P.(3)	V_{Ed} = 0.00 N.P.(3)	N.P.(4)	N.P.(4)	N.P.(8)	N.P.(9)	M_{Ed} = 0.00 N.P.(5)	N.P.(6)	N.P.(6)	**CUMPLE** η = 11.1
N1305/N1308	η = 25.0	N_{Ed} = 0.00 N.P.(7)	M_{Ed} = 0.00 N.P.(2)	M_{Ed} = 0.00 N.P.(2)	V_{Ed} = 0.00 N.P.(3)	V_{Ed} = 0.00 N.P.(3)	N.P.(4)	N.P.(4)	N.P.(8)	N.P.(9)	M_{Ed} = 0.00 N.P.(5)	N.P.(6)	N.P.(6)	**CUMPLE** η = 25.0
N1306/N1307	η = 8.7	N_{Ed} = 0.00 N.P.(7)	M_{Ed} = 0.00 N.P.(2)	M_{Ed} = 0.00 N.P.(2)	V_{Ed} = 0.00 N.P.(3)	V_{Ed} = 0.00 N.P.(3)	N.P.(4)	N.P.(4)	N.P.(8)	N.P.(9)	M_{Ed} = 0.00 N.P.(5)	N.P.(6)	N.P.(6)	**CUMPLE** η = 8.7
N1312/N1309	η = 25.7	N_{Ed} = 0.00 N.P.(7)	M_{Ed} = 0.00 N.P.(2)	M_{Ed} = 0.00 N.P.(2)	V_{Ed} = 0.00 N.P.(3)	V_{Ed} = 0.00 N.P.(3)	N.P.(4)	N.P.(4)	N.P.(8)	N.P.(9)	M_{Ed} = 0.00 N.P.(5)	N.P.(6)	N.P.(6)	**CUMPLE** η = 25.7
N1311/N1310	η = 7.1	N_{Ed} = 0.00 N.P.(7)	M_{Ed} = 0.00 N.P.(2)	M_{Ed} = 0.00 N.P.(2)	V_{Ed} = 0.00 N.P.(3)	V_{Ed} = 0.00 N.P.(3)	N.P.(4)	N.P.(4)	N.P.(8)	N.P.(9)	M_{Ed} = 0.00 N.P.(5)	N.P.(6)	N.P.(6)	**CUMPLE** η = 7.1
N1314/N1317	η = 6.3	N_{Ed} = 0.00 N.P.(7)	M_{Ed} = 0.00 N.P.(2)	M_{Ed} = 0.00 N.P.(2)	V_{Ed} = 0.00 N.P.(3)	V_{Ed} = 0.00 N.P.(3)	N.P.(4)	N.P.(4)	N.P.(8)	N.P.(9)	M_{Ed} = 0.00 N.P.(5)	N.P.(6)	N.P.(6)	**CUMPLE** η = 6.3
N1316/N1315	η = 4.5	N_{Ed} = 0.00 N.P.(7)	M_{Ed} = 0.00 N.P.(2)	M_{Ed} = 0.00 N.P.(2)	V_{Ed} = 0.00 N.P.(3)	V_{Ed} = 0.00 N.P.(3)	N.P.(4)	N.P.(4)	N.P.(8)	N.P.(9)	M_{Ed} = 0.00 N.P.(5)	N.P.(6)	N.P.(6)	**CUMPLE** η = 4.5
N1319/N1320	η = 5.3	N_{Ed} = 0.00 N.P.(7)	M_{Ed} = 0.00 N.P.(2)	M_{Ed} = 0.00 N.P.(2)	V_{Ed} = 0.00 N.P.(3)	V_{Ed} = 0.00 N.P.(3)	N.P.(4)	N.P.(4)	N.P.(8)	N.P.(9)	M_{Ed} = 0.00 N.P.(5)	N.P.(6)	N.P.(6)	**CUMPLE** η = 5.3
N1318/N1321	η = 7.8	N_{Ed} = 0.00 N.P.(7)	M_{Ed} = 0.00 N.P.(2)	M_{Ed} = 0.00 N.P.(2)	V_{Ed} = 0.00 N.P.(3)	V_{Ed} = 0.00 N.P.(3)	N.P.(4)	N.P.(4)	N.P.(8)	N.P.(9)	M_{Ed} = 0.00 N.P.(5)	N.P.(6)	N.P.(6)	**CUMPLE** η = 7.8
N1323/N1324	η = 3.6	N_{Ed} = 0.00 N.P.(7)	M_{Ed} = 0.00 N.P.(2)	M_{Ed} = 0.00 N.P.(2)	V_{Ed} = 0.00 N.P.(3)	V_{Ed} = 0.00 N.P.(3)	N.P.(4)	N.P.(4)	N.P.(8)	N.P.(9)	M_{Ed} = 0.00 N.P.(5)	N.P.(6)	N.P.(6)	**CUMPLE** η = 3.6
N1322/N1325	η = 5.4	N_{Ed} = 0.00 N.P.(7)	M_{Ed} = 0.00 N.P.(2)	M_{Ed} = 0.00 N.P.(2)	V_{Ed} = 0.00 N.P.(3)	V_{Ed} = 0.00 N.P.(3)	N.P.(4)	N.P.(4)	N.P.(8)	N.P.(9)	M_{Ed} = 0.00 N.P.(5)	N.P.(6)	N.P.(6)	**CUMPLE** η = 5.4
N1329/N1326	η = 6.3	N_{Ed} = 0.00 N.P.(7)	M_{Ed} = 0.00 N.P.(2)	M_{Ed} = 0.00 N.P.(2)	V_{Ed} = 0.00 N.P.(3)	V_{Ed} = 0.00 N.P.(3)	N.P.(4)	N.P.(4)	N.P.(8)	N.P.(9)	M_{Ed} = 0.00 N.P.(5)	N.P.(6)	N.P.(6)	**CUMPLE** η = 6.3
N1328/N1327	η = 2.5	N_{Ed} = 0.00 N.P.(7)	M_{Ed} = 0.00 N.P.(2)	M_{Ed} = 0.00 N.P.(2)	V_{Ed} = 0.00 N.P.(3)	V_{Ed} = 0.00 N.P.(3)	N.P.(4)	N.P.(4)	N.P.(8)	N.P.(9)	M_{Ed} = 0.00 N.P.(5)	N.P.(6)	N.P.(6)	**CUMPLE** η = 2.5
N1331/N1332	η = 3.8	N_{Ed} = 0.00 N.P.(7)	M_{Ed} = 0.00 N.P.(2)	M_{Ed} = 0.00 N.P.(2)	V_{Ed} = 0.00 N.P.(3)	V_{Ed} = 0.00 N.P.(3)	N.P.(4)	N.P.(4)	N.P.(8)	N.P.(9)	M_{Ed} = 0.00 N.P.(5)	N.P.(6)	N.P.(6)	**CUMPLE** η = 3.8
N1330/N1333	η = 7.7	N_{Ed} = 0.00 N.P.(7)	M_{Ed} = 0.00 N.P.(2)	M_{Ed} = 0.00 N.P.(2)	V_{Ed} = 0.00 N.P.(3)	V_{Ed} = 0.00 N.P.(3)	N.P.(4)	N.P.(4)	N.P.(8)	N.P.(9)	M_{Ed} = 0.00 N.P.(5)	N.P.(6)	N.P.(6)	**CUMPLE** η = 7.7
N1335/N1336	η = 3.0	N_{Ed} = 0.00 N.P.(7)	M_{Ed} = 0.00 N.P.(2)	M_{Ed} = 0.00 N.P.(2)	V_{Ed} = 0.00 N.P.(3)	V_{Ed} = 0.00 N.P.(3)	N.P.(4)	N.P.(4)	N.P.(8)	N.P.(9)	M_{Ed} = 0.00 N.P.(5)	N.P.(6)	N.P.(6)	**CUMPLE** η = 3.0
N1334/N1337	η = 5.0	N_{Ed} = 0.00 N.P.(7)	M_{Ed} = 0.00 N.P.(2)	M_{Ed} = 0.00 N.P.(2)	V_{Ed} = 0.00 N.P.(3)	V_{Ed} = 0.00 N.P.(3)	N.P.(4)	N.P.(4)	N.P.(8)	N.P.(9)	M_{Ed} = 0.00 N.P.(5)	N.P.(6)	N.P.(6)	**CUMPLE** η = 5.0
N1341/N1338	η = 7.2	N_{Ed} = 0.00 N.P.(7)	M_{Ed} = 0.00 N.P.(2)	M_{Ed} = 0.00 N.P.(2)	V_{Ed} = 0.00 N.P.(3)	V_{Ed} = 0.00 N.P.(3)	N.P.(4)	N.P.(4)	N.P.(8)	N.P.(9)	M_{Ed} = 0.00 N.P.(5)	N.P.(6)	N.P.(6)	**CUMPLE** η = 7.2
N1340/N1339	η = 2.4	N_{Ed} = 0.00 N.P.(7)	M_{Ed} = 0.00 N.P.(2)	M_{Ed} = 0.00 N.P.(2)	V_{Ed} = 0.00 N.P.(3)	V_{Ed} = 0.00 N.P.(3)	N.P.(4)	N.P.(4)	N.P.(8)	N.P.(9)	M_{Ed} = 0.00 N.P.(5)	N.P.(6)	N.P.(6)	**CUMPLE** η = 2.4
N1343/N1344	η = 3.8	N_{Ed} = 0.00 N.P.(7)	M_{Ed} = 0.00 N.P.(2)	M_{Ed} = 0.00 N.P.(2)	V_{Ed} = 0.00 N.P.(3)	V_{Ed} = 0.00 N.P.(3)	N.P.(4)	N.P.(4)	N.P.(8)	N.P.(9)	M_{Ed} = 0.00 N.P.(5)	N.P.(6)	N.P.(6)	**CUMPLE** η = 3.8

Documento visado electrónicamente con número: VA07290/22
Código de validación telemática TRLTDCFZ60T66IJ1. Comprobación: https://cogitivalencia.e-gestion.es/Validacion.aspx?CVT=TRLTDCFZ60T66IJ1

VISADO
COGITI
VALENCIA
VA07290/22
TRLTDCFZ60T66IJ1

Barras	COMPROBACIONES (CÓDIGO ESTRUCTURAL)													Estado
	N_t	N_c	M_Y	M_Z	V_Z	V_Y	M_YV_Z	M_ZV_Y	NM_YM_Z	$NM_YM_ZV_YV_Z$	M_t	M_tV_Z	M_tV_Y	
N1342/N1345	η = 9.3	N_{Ed} = 0.00 N.P.(7)	M_{Ed} = 0.00 N.P.(2)	M_{Ed} = 0.00 N.P.(2)	V_{Ed} = 0.00 N.P.(3)	V_{Ed} = 0.00 N.P.(3)	N.P.(4)	N.P.(4)	N.P.(8)	N.P.(9)	M_{Ed} = 0.00 N.P.(5)	N.P.(6)	N.P.(6)	**CUMPLE η = 9.3**
N1347/N1348	η = 3.0	N_{Ed} = 0.00 N.P.(7)	M_{Ed} = 0.00 N.P.(2)	M_{Ed} = 0.00 N.P.(2)	V_{Ed} = 0.00 N.P.(3)	V_{Ed} = 0.00 N.P.(3)	N.P.(4)	N.P.(4)	N.P.(8)	N.P.(9)	M_{Ed} = 0.00 N.P.(5)	N.P.(6)	N.P.(6)	**CUMPLE η = 3.0**
N1346/N1349	η = 6.6	N_{Ed} = 0.00 N.P.(7)	M_{Ed} = 0.00 N.P.(2)	M_{Ed} = 0.00 N.P.(2)	V_{Ed} = 0.00 N.P.(3)	V_{Ed} = 0.00 N.P.(3)	N.P.(4)	N.P.(4)	N.P.(8)	N.P.(9)	M_{Ed} = 0.00 N.P.(5)	N.P.(6)	N.P.(6)	**CUMPLE η = 6.6**
N1058/N1216	η = 42.4	N_{Ed} = 0.00 N.P.(7)	M_{Ed} = 0.00 N.P.(2)	M_{Ed} = 0.00 N.P.(2)	V_{Ed} = 0.00 N.P.(3)	V_{Ed} = 0.00 N.P.(3)	N.P.(4)	N.P.(4)	N.P.(8)	N.P.(9)	M_{Ed} = 0.00 N.P.(5)	N.P.(6)	N.P.(6)	**CUMPLE η = 42.4**
N1214/N1060	η = 14.4	N_{Ed} = 0.00 N.P.(7)	M_{Ed} = 0.00 N.P.(2)	M_{Ed} = 0.00 N.P.(2)	V_{Ed} = 0.00 N.P.(3)	V_{Ed} = 0.00 N.P.(3)	N.P.(4)	N.P.(4)	N.P.(8)	N.P.(9)	M_{Ed} = 0.00 N.P.(5)	N.P.(6)	N.P.(6)	**CUMPLE η = 14.4**
N1138/N1296	η = 19.5	N_{Ed} = 0.00 N.P.(7)	M_{Ed} = 0.00 N.P.(2)	M_{Ed} = 0.00 N.P.(2)	V_{Ed} = 0.00 N.P.(3)	V_{Ed} = 0.00 N.P.(3)	N.P.(4)	N.P.(4)	N.P.(8)	N.P.(9)	M_{Ed} = 0.00 N.P.(5)	N.P.(6)	N.P.(6)	**CUMPLE η = 19.5**
N1294/N1140	η = 25.7	N_{Ed} = 0.00 N.P.(7)	M_{Ed} = 0.00 N.P.(2)	M_{Ed} = 0.00 N.P.(2)	V_{Ed} = 0.00 N.P.(3)	V_{Ed} = 0.00 N.P.(3)	N.P.(4)	N.P.(4)	N.P.(8)	N.P.(9)	M_{Ed} = 0.00 N.P.(5)	N.P.(6)	N.P.(6)	**CUMPLE η = 25.7**
N1072/N1230	η = 34.8	N_{Ed} = 0.00 N.P.(7)	M_{Ed} = 0.00 N.P.(2)	M_{Ed} = 0.00 N.P.(2)	V_{Ed} = 0.00 N.P.(3)	V_{Ed} = 0.00 N.P.(3)	N.P.(4)	N.P.(4)	N.P.(8)	N.P.(9)	M_{Ed} = 0.00 N.P.(5)	N.P.(6)	N.P.(6)	**CUMPLE η = 34.8**
N1228/N1074	η = 14.5	N_{Ed} = 0.00 N.P.(7)	M_{Ed} = 0.00 N.P.(2)	M_{Ed} = 0.00 N.P.(2)	V_{Ed} = 0.00 N.P.(3)	V_{Ed} = 0.00 N.P.(3)	N.P.(4)	N.P.(4)	N.P.(8)	N.P.(9)	M_{Ed} = 0.00 N.P.(5)	N.P.(6)	N.P.(6)	**CUMPLE η = 14.5**
N1057/N1249	η = 32.9	N_{Ed} = 0.00 N.P.(7)	M_{Ed} = 0.00 N.P.(2)	M_{Ed} = 0.00 N.P.(2)	V_{Ed} = 0.00 N.P.(3)	V_{Ed} = 0.00 N.P.(3)	N.P.(4)	N.P.(4)	N.P.(8)	N.P.(9)	M_{Ed} = 0.00 N.P.(5)	N.P.(6)	N.P.(6)	**CUMPLE η = 32.9**
N1213/N1093	η = 12.4	N_{Ed} = 0.00 N.P.(7)	M_{Ed} = 0.00 N.P.(2)	M_{Ed} = 0.00 N.P.(2)	V_{Ed} = 0.00 N.P.(3)	V_{Ed} = 0.00 N.P.(3)	N.P.(4)	N.P.(4)	N.P.(8)	N.P.(9)	M_{Ed} = 0.00 N.P.(5)	N.P.(6)	N.P.(6)	**CUMPLE η = 12.4**
N1105/N1263	η = 27.0	N_{Ed} = 0.00 N.P.(7)	M_{Ed} = 0.00 N.P.(2)	M_{Ed} = 0.00 N.P.(2)	V_{Ed} = 0.00 N.P.(3)	V_{Ed} = 0.00 N.P.(3)	N.P.(4)	N.P.(4)	N.P.(8)	N.P.(9)	M_{Ed} = 0.00 N.P.(5)	N.P.(6)	N.P.(6)	**CUMPLE η = 27.0**
N1261/N1107	η = 22.4	N_{Ed} = 0.00 N.P.(7)	M_{Ed} = 0.00 N.P.(2)	M_{Ed} = 0.00 N.P.(2)	V_{Ed} = 0.00 N.P.(3)	V_{Ed} = 0.00 N.P.(3)	N.P.(4)	N.P.(4)	N.P.(8)	N.P.(9)	M_{Ed} = 0.00 N.P.(5)	N.P.(6)	N.P.(6)	**CUMPLE η = 22.4**
N1091/N1282	η = 23.6	N_{Ed} = 0.00 N.P.(7)	M_{Ed} = 0.00 N.P.(2)	M_{Ed} = 0.00 N.P.(2)	V_{Ed} = 0.00 N.P.(3)	V_{Ed} = 0.00 N.P.(3)	N.P.(4)	N.P.(4)	N.P.(8)	N.P.(9)	M_{Ed} = 0.00 N.P.(5)	N.P.(6)	N.P.(6)	**CUMPLE η = 23.6**
N1247/N1126	η = 15.0	N_{Ed} = 0.00 N.P.(7)	M_{Ed} = 0.00 N.P.(2)	M_{Ed} = 0.00 N.P.(2)	V_{Ed} = 0.00 N.P.(3)	V_{Ed} = 0.00 N.P.(3)	N.P.(4)	N.P.(4)	N.P.(8)	N.P.(9)	M_{Ed} = 0.00 N.P.(5)	N.P.(6)	N.P.(6)	**CUMPLE η = 15.0**
N1404/N1405	η = 0.7	N_{Ed} = 0.00 N.P.(7)	M_{Ed} = 0.00 N.P.(2)	M_{Ed} = 0.00 N.P.(2)	V_{Ed} = 0.00 N.P.(3)	V_{Ed} = 0.00 N.P.(3)	N.P.(4)	N.P.(4)	N.P.(8)	N.P.(9)	M_{Ed} = 0.00 N.P.(5)	N.P.(6)	N.P.(6)	**CUMPLE η = 0.7**
N1403/N1406	η = 2.7	N_{Ed} = 0.00 N.P.(7)	M_{Ed} = 0.00 N.P.(2)	M_{Ed} = 0.00 N.P.(2)	V_{Ed} = 0.00 N.P.(3)	V_{Ed} = 0.00 N.P.(3)	N.P.(4)	N.P.(4)	N.P.(8)	N.P.(9)	M_{Ed} = 0.00 N.P.(5)	N.P.(6)	N.P.(6)	**CUMPLE η = 2.7**
N1407/N1410	η = 9.8	N_{Ed} = 0.00 N.P.(7)	M_{Ed} = 0.00 N.P.(2)	M_{Ed} = 0.00 N.P.(2)	V_{Ed} = 0.00 N.P.(3)	V_{Ed} = 0.00 N.P.(3)	N.P.(4)	N.P.(4)	N.P.(8)	N.P.(9)	M_{Ed} = 0.00 N.P.(5)	N.P.(6)	N.P.(6)	**CUMPLE η = 9.8**
N1408/N1409	η = 16.4	N_{Ed} = 0.00 N.P.(7)	M_{Ed} = 0.00 N.P.(2)	M_{Ed} = 0.00 N.P.(2)	V_{Ed} = 0.00 N.P.(3)	V_{Ed} = 0.00 N.P.(3)	N.P.(4)	N.P.(4)	N.P.(8)	N.P.(9)	M_{Ed} = 0.00 N.P.(5)	N.P.(6)	N.P.(6)	**CUMPLE η = 16.4**
N1411/N1414	η = 14.3	N_{Ed} = 0.00 N.P.(7)	M_{Ed} = 0.00 N.P.(2)	M_{Ed} = 0.00 N.P.(2)	V_{Ed} = 0.00 N.P.(3)	V_{Ed} = 0.00 N.P.(3)	N.P.(4)	N.P.(4)	N.P.(8)	N.P.(9)	M_{Ed} = 0.00 N.P.(5)	N.P.(6)	N.P.(6)	**CUMPLE η = 14.3**
N1412/N1413	η = 7.1	N_{Ed} = 0.00 N.P.(7)	M_{Ed} = 0.00 N.P.(2)	M_{Ed} = 0.00 N.P.(2)	V_{Ed} = 0.00 N.P.(3)	V_{Ed} = 0.00 N.P.(3)	N.P.(4)	N.P.(4)	N.P.(8)	N.P.(9)	M_{Ed} = 0.00 N.P.(5)	N.P.(6)	N.P.(6)	**CUMPLE η = 7.1**
N1418/N1415	η = 14.6	N_{Ed} = 0.00 N.P.(7)	M_{Ed} = 0.00 N.P.(2)	M_{Ed} = 0.00 N.P.(2)	V_{Ed} = 0.00 N.P.(3)	V_{Ed} = 0.00 N.P.(3)	N.P.(4)	N.P.(4)	N.P.(8)	N.P.(9)	M_{Ed} = 0.00 N.P.(5)	N.P.(6)	N.P.(6)	**CUMPLE η = 14.6**
N1417/N1416	η = 5.1	N_{Ed} = 0.00 N.P.(7)	M_{Ed} = 0.00 N.P.(2)	M_{Ed} = 0.00 N.P.(2)	V_{Ed} = 0.00 N.P.(3)	V_{Ed} = 0.00 N.P.(3)	N.P.(4)	N.P.(4)	N.P.(8)	N.P.(9)	M_{Ed} = 0.00 N.P.(5)	N.P.(6)	N.P.(6)	**CUMPLE η = 5.1**
N1419/N1422	η = 21.9	N_{Ed} = 0.00 N.P.(7)	M_{Ed} = 0.00 N.P.(2)	M_{Ed} = 0.00 N.P.(2)	V_{Ed} = 0.00 N.P.(3)	V_{Ed} = 0.00 N.P.(3)	N.P.(4)	N.P.(4)	N.P.(8)	N.P.(9)	M_{Ed} = 0.00 N.P.(5)	N.P.(6)	N.P.(6)	**CUMPLE η = 21.9**
N1421/N1420	η = 22.0	N_{Ed} = 0.00 N.P.(7)	M_{Ed} = 0.00 N.P.(2)	M_{Ed} = 0.00 N.P.(2)	V_{Ed} = 0.00 N.P.(3)	V_{Ed} = 0.00 N.P.(3)	N.P.(4)	N.P.(4)	N.P.(8)	N.P.(9)	M_{Ed} = 0.00 N.P.(5)	N.P.(6)	N.P.(6)	**CUMPLE η = 22.0**
N1424/N1425	η = 27.7	N_{Ed} = 0.00 N.P.(7)	M_{Ed} = 0.00 N.P.(2)	M_{Ed} = 0.00 N.P.(2)	V_{Ed} = 0.00 N.P.(3)	V_{Ed} = 0.00 N.P.(3)	N.P.(4)	N.P.(4)	N.P.(8)	N.P.(9)	M_{Ed} = 0.00 N.P.(5)	N.P.(6)	N.P.(6)	**CUMPLE η = 27.7**
N1423/N1426	η = 28.4	N_{Ed} = 0.00 N.P.(7)	M_{Ed} = 0.00 N.P.(2)	M_{Ed} = 0.00 N.P.(2)	V_{Ed} = 0.00 N.P.(3)	V_{Ed} = 0.00 N.P.(3)	N.P.(4)	N.P.(4)	N.P.(8)	N.P.(9)	M_{Ed} = 0.00 N.P.(5)	N.P.(6)	N.P.(6)	**CUMPLE η = 28.4**
N1428/N1429	η = 15.5	N_{Ed} = 0.00 N.P.(7)	M_{Ed} = 0.00 N.P.(2)	M_{Ed} = 0.00 N.P.(2)	V_{Ed} = 0.00 N.P.(3)	V_{Ed} = 0.00 N.P.(3)	N.P.(4)	N.P.(4)	N.P.(8)	N.P.(9)	M_{Ed} = 0.00 N.P.(5)	N.P.(6)	N.P.(6)	**CUMPLE η = 15.5**
N1427/N1430	η = 17.0	N_{Ed} = 0.00 N.P.(7)	M_{Ed} = 0.00 N.P.(2)	M_{Ed} = 0.00 N.P.(2)	V_{Ed} = 0.00 N.P.(3)	V_{Ed} = 0.00 N.P.(3)	N.P.(4)	N.P.(4)	N.P.(8)	N.P.(9)	M_{Ed} = 0.00 N.P.(5)	N.P.(6)	N.P.(6)	**CUMPLE η = 17.0**
N1434/N1431	η = 9.1	N_{Ed} = 0.00 N.P.(7)	M_{Ed} = 0.00 N.P.(2)	M_{Ed} = 0.00 N.P.(2)	V_{Ed} = 0.00 N.P.(3)	V_{Ed} = 0.00 N.P.(3)	N.P.(4)	N.P.(4)	N.P.(8)	N.P.(9)	M_{Ed} = 0.00 N.P.(5)	N.P.(6)	N.P.(6)	**CUMPLE η = 9.1**
N1433/N1432	η = 9.0	N_{Ed} = 0.00 N.P.(7)	M_{Ed} = 0.00 N.P.(2)	M_{Ed} = 0.00 N.P.(2)	V_{Ed} = 0.00 N.P.(3)	V_{Ed} = 0.00 N.P.(3)	N.P.(4)	N.P.(4)	N.P.(8)	N.P.(9)	M_{Ed} = 0.00 N.P.(5)	N.P.(6)	N.P.(6)	**CUMPLE η = 9.0**
N1436/N1437	η = 15.2	N_{Ed} = 0.00 N.P.(7)	M_{Ed} = 0.00 N.P.(2)	M_{Ed} = 0.00 N.P.(2)	V_{Ed} = 0.00 N.P.(3)	V_{Ed} = 0.00 N.P.(3)	N.P.(4)	N.P.(4)	N.P.(8)	N.P.(9)	M_{Ed} = 0.00 N.P.(5)	N.P.(6)	N.P.(6)	**CUMPLE η = 15.2**
N1435/N1438	η = 15.4	N_{Ed} = 0.00 N.P.(7)	M_{Ed} = 0.00 N.P.(2)	M_{Ed} = 0.00 N.P.(2)	V_{Ed} = 0.00 N.P.(3)	V_{Ed} = 0.00 N.P.(3)	N.P.(4)	N.P.(4)	N.P.(8)	N.P.(9)	M_{Ed} = 0.00 N.P.(5)	N.P.(6)	N.P.(6)	**CUMPLE η = 15.4**
N1440/N1441	η = 9.1	N_{Ed} = 0.00 N.P.(7)	M_{Ed} = 0.00 N.P.(2)	M_{Ed} = 0.00 N.P.(2)	V_{Ed} = 0.00 N.P.(3)	V_{Ed} = 0.00 N.P.(3)	N.P.(4)	N.P.(4)	N.P.(8)	N.P.(9)	M_{Ed} = 0.00 N.P.(5)	N.P.(6)	N.P.(6)	**CUMPLE η = 9.1**
N1439/N1442	η = 10.4	N_{Ed} = 0.00 N.P.(7)	M_{Ed} = 0.00 N.P.(2)	M_{Ed} = 0.00 N.P.(2)	V_{Ed} = 0.00 N.P.(3)	V_{Ed} = 0.00 N.P.(3)	N.P.(4)	N.P.(4)	N.P.(8)	N.P.(9)	M_{Ed} = 0.00 N.P.(5)	N.P.(6)	N.P.(6)	**CUMPLE η = 10.4**
N1446/N1443	η = 14.3	N_{Ed} = 0.00 N.P.(7)	M_{Ed} = 0.00 N.P.(2)	M_{Ed} = 0.00 N.P.(2)	V_{Ed} = 0.00 N.P.(3)	V_{Ed} = 0.00 N.P.(3)	N.P.(4)	N.P.(4)	N.P.(8)	N.P.(9)	M_{Ed} = 0.00 N.P.(5)	N.P.(6)	N.P.(6)	**CUMPLE η = 14.3**
N1445/N1444	η = 14.8	N_{Ed} = 0.00 N.P.(7)	M_{Ed} = 0.00 N.P.(2)	M_{Ed} = 0.00 N.P.(2)	V_{Ed} = 0.00 N.P.(3)	V_{Ed} = 0.00 N.P.(3)	N.P.(4)	N.P.(4)	N.P.(8)	N.P.(9)	M_{Ed} = 0.00 N.P.(5)	N.P.(6)	N.P.(6)	**CUMPLE η = 14.8**

Documento visado electrónicamente con número: VA07290/22
Código de validación telemática TRLTDCFZ60T66IJ1. Comprobación: https://cogitivalencia.e-gestion.es/Validacion.aspx?CVT=TRLTDCFZ60T66IJ1

VISADO
COGITI
VALENCIA
VA07290/22
TRLTDCFZ60T66IJ1

Barras	COMPROBACIONES (CÓDIGO ESTRUCTURAL)													Estado
	N_t	N_c	M_Y	M_Z	V_Z	V_Y	M_YV_Z	M_ZV_Y	NM_YM_Z	$NM_YM_ZV_YV_Z$	M_t	M_tV_Z	M_tV_Y	
N1448/N1449	η = 25.6	N_{Ed} = 0.00 N.P.(7)	M_{Ed} = 0.00 N.P.(2)	M_{Ed} = 0.00 N.P.(2)	V_{Ed} = 0.00 N.P.(3)	V_{Ed} = 0.00 N.P.(3)	N.P.(4)	N.P.(4)	N.P.(8)	N.P.(9)	M_{Ed} = 0.00 N.P.(5)	N.P.(6)	N.P.(6)	**CUMPLE η = 25.6**
N1447/N1450	η = 24.3	N_{Ed} = 0.00 N.P.(7)	M_{Ed} = 0.00 N.P.(2)	M_{Ed} = 0.00 N.P.(2)	V_{Ed} = 0.00 N.P.(3)	V_{Ed} = 0.00 N.P.(3)	N.P.(4)	N.P.(4)	N.P.(8)	N.P.(9)	M_{Ed} = 0.00 N.P.(5)	N.P.(6)	N.P.(6)	**CUMPLE η = 24.3**
N1452/N1453	η = 19.6	N_{Ed} = 0.00 N.P.(7)	M_{Ed} = 0.00 N.P.(2)	M_{Ed} = 0.00 N.P.(2)	V_{Ed} = 0.00 N.P.(3)	V_{Ed} = 0.00 N.P.(3)	N.P.(4)	N.P.(4)	N.P.(8)	N.P.(9)	M_{Ed} = 0.00 N.P.(5)	N.P.(6)	N.P.(6)	**CUMPLE η = 19.6**
N1451/N1454	η = 18.8	N_{Ed} = 0.00 N.P.(7)	M_{Ed} = 0.00 N.P.(2)	M_{Ed} = 0.00 N.P.(2)	V_{Ed} = 0.00 N.P.(3)	V_{Ed} = 0.00 N.P.(3)	N.P.(4)	N.P.(4)	N.P.(8)	N.P.(9)	M_{Ed} = 0.00 N.P.(5)	N.P.(6)	N.P.(6)	**CUMPLE η = 18.8**
N1214/N1363	η = 71.2	N_{Ed} = 0.00 N.P.(7)	M_{Ed} = 0.00 N.P.(2)	M_{Ed} = 0.00 N.P.(2)	V_{Ed} = 0.00 N.P.(3)	V_{Ed} = 0.00 N.P.(3)	N.P.(4)	N.P.(4)	N.P.(8)	N.P.(9)	M_{Ed} = 0.00 N.P.(5)	N.P.(6)	N.P.(6)	**CUMPLE η = 71.2**
N1362/N1216	η = 18.9	N_{Ed} = 0.00 N.P.(7)	M_{Ed} = 0.00 N.P.(2)	M_{Ed} = 0.00 N.P.(2)	V_{Ed} = 0.00 N.P.(3)	V_{Ed} = 0.00 N.P.(3)	N.P.(4)	N.P.(4)	N.P.(8)	N.P.(9)	M_{Ed} = 0.00 N.P.(5)	N.P.(6)	N.P.(6)	**CUMPLE η = 18.9**
N1294/N1402	η = 20.5	N_{Ed} = 0.00 N.P.(7)	M_{Ed} = 0.00 N.P.(2)	M_{Ed} = 0.00 N.P.(2)	V_{Ed} = 0.00 N.P.(3)	V_{Ed} = 0.00 N.P.(3)	N.P.(4)	N.P.(4)	N.P.(8)	N.P.(9)	M_{Ed} = 0.00 N.P.(5)	N.P.(6)	N.P.(6)	**CUMPLE η = 20.5**
N1401/N1296	η = 73.0	N_{Ed} = 0.00 N.P.(7)	M_{Ed} = 0.00 N.P.(2)	M_{Ed} = 0.00 N.P.(2)	V_{Ed} = 0.00 N.P.(3)	V_{Ed} = 0.00 N.P.(3)	N.P.(4)	N.P.(4)	N.P.(8)	N.P.(9)	M_{Ed} = 0.00 N.P.(5)	N.P.(6)	N.P.(6)	**CUMPLE η = 73.0**
N1228/N1370	η = 26.7	N_{Ed} = 0.00 N.P.(7)	M_{Ed} = 0.00 N.P.(2)	M_{Ed} = 0.00 N.P.(2)	V_{Ed} = 0.00 N.P.(3)	V_{Ed} = 0.00 N.P.(3)	N.P.(4)	N.P.(4)	N.P.(8)	N.P.(9)	M_{Ed} = 0.00 N.P.(5)	N.P.(6)	N.P.(6)	**CUMPLE η = 26.7**
N1369/N1230	η = 18.3	N_{Ed} = 0.00 N.P.(7)	M_{Ed} = 0.00 N.P.(2)	M_{Ed} = 0.00 N.P.(2)	V_{Ed} = 0.00 N.P.(3)	V_{Ed} = 0.00 N.P.(3)	N.P.(4)	N.P.(4)	N.P.(8)	N.P.(9)	M_{Ed} = 0.00 N.P.(5)	N.P.(6)	N.P.(6)	**CUMPLE η = 18.3**
N1213/N1379	η = 26.9	N_{Ed} = 0.00 N.P.(7)	M_{Ed} = 0.00 N.P.(2)	M_{Ed} = 0.00 N.P.(2)	V_{Ed} = 0.00 N.P.(3)	V_{Ed} = 0.00 N.P.(3)	N.P.(4)	N.P.(4)	N.P.(8)	N.P.(9)	M_{Ed} = 0.00 N.P.(5)	N.P.(6)	N.P.(6)	**CUMPLE η = 26.9**
N1361/N1249	η = 8.3	N_{Ed} = 0.00 N.P.(7)	M_{Ed} = 0.00 N.P.(2)	M_{Ed} = 0.00 N.P.(2)	V_{Ed} = 0.00 N.P.(3)	V_{Ed} = 0.00 N.P.(3)	N.P.(4)	N.P.(4)	N.P.(8)	N.P.(9)	M_{Ed} = 0.00 N.P.(5)	N.P.(6)	N.P.(6)	**CUMPLE η = 8.3**
N1261/N1386	η = 6.0	N_{Ed} = 0.00 N.P.(7)	M_{Ed} = 0.00 N.P.(2)	M_{Ed} = 0.00 N.P.(2)	V_{Ed} = 0.00 N.P.(3)	V_{Ed} = 0.00 N.P.(3)	N.P.(4)	N.P.(4)	N.P.(8)	N.P.(9)	M_{Ed} = 0.00 N.P.(5)	N.P.(6)	N.P.(6)	**CUMPLE η = 6.0**
N1385/N1263	η = 32.4	N_{Ed} = 0.00 N.P.(7)	M_{Ed} = 0.00 N.P.(2)	M_{Ed} = 0.00 N.P.(2)	V_{Ed} = 0.00 N.P.(3)	V_{Ed} = 0.00 N.P.(3)	N.P.(4)	N.P.(4)	N.P.(8)	N.P.(9)	M_{Ed} = 0.00 N.P.(5)	N.P.(6)	N.P.(6)	**CUMPLE η = 32.4**
N1247/N1395	η = 13.6	N_{Ed} = 0.00 N.P.(7)	M_{Ed} = 0.00 N.P.(2)	M_{Ed} = 0.00 N.P.(2)	V_{Ed} = 0.00 N.P.(3)	V_{Ed} = 0.00 N.P.(3)	N.P.(4)	N.P.(4)	N.P.(8)	N.P.(9)	M_{Ed} = 0.00 N.P.(5)	N.P.(6)	N.P.(6)	**CUMPLE η = 13.6**
N1378/N1282	η = 28.7	N_{Ed} = 0.00 N.P.(7)	M_{Ed} = 0.00 N.P.(2)	M_{Ed} = 0.00 N.P.(2)	V_{Ed} = 0.00 N.P.(3)	V_{Ed} = 0.00 N.P.(3)	N.P.(4)	N.P.(4)	N.P.(8)	N.P.(9)	M_{Ed} = 0.00 N.P.(5)	N.P.(6)	N.P.(6)	**CUMPLE η = 28.7**
N1364/N1220	η = 7.3	η = 39.1	M_{Ed} = 0.00 N.P.(2)	M_{Ed} = 0.00 N.P.(2)	V_{Ed} = 0.00 N.P.(3)	V_{Ed} = 0.00 N.P.(3)	N.P.(4)	N.P.(4)	N.P.(8)	N.P.(9)	M_{Ed} = 0.00 N.P.(5)	N.P.(6)	N.P.(6)	**CUMPLE η = 39.1**
N1218/N1365	η = 49.0	η = 17.4	M_{Ed} = 0.00 N.P.(2)	M_{Ed} = 0.00 N.P.(2)	V_{Ed} = 0.00 N.P.(3)	V_{Ed} = 0.00 N.P.(3)	N.P.(4)	N.P.(4)	N.P.(8)	N.P.(9)	M_{Ed} = 0.00 N.P.(5)	N.P.(6)	N.P.(6)	**CUMPLE η = 49.0**
N1220/N1366	η = 74.2	N_{Ed} = 0.00 N.P.(7)	M_{Ed} = 0.00 N.P.(2)	M_{Ed} = 0.00 N.P.(2)	V_{Ed} = 0.00 N.P.(3)	V_{Ed} = 0.00 N.P.(3)	N.P.(4)	N.P.(4)	N.P.(8)	N.P.(9)	M_{Ed} = 0.00 N.P.(5)	N.P.(6)	N.P.(6)	**CUMPLE η = 74.2**
N1365/N1222	η = 8.6	N_{Ed} = 0.00 N.P.(7)	M_{Ed} = 0.00 N.P.(2)	M_{Ed} = 0.00 N.P.(2)	V_{Ed} = 0.00 N.P.(3)	V_{Ed} = 0.00 N.P.(3)	N.P.(4)	N.P.(4)	N.P.(8)	N.P.(9)	M_{Ed} = 0.00 N.P.(5)	N.P.(6)	N.P.(6)	**CUMPLE η = 8.6**
N1366/N1224	η = 7.5	N_{Ed} = 0.00 N.P.(7)	M_{Ed} = 0.00 N.P.(2)	M_{Ed} = 0.00 N.P.(2)	V_{Ed} = 0.00 N.P.(3)	V_{Ed} = 0.00 N.P.(3)	N.P.(4)	N.P.(4)	N.P.(8)	N.P.(9)	M_{Ed} = 0.00 N.P.(5)	N.P.(6)	N.P.(6)	**CUMPLE η = 7.5**
N1222/N1367	η = 58.6	N_{Ed} = 0.00 N.P.(7)	M_{Ed} = 0.00 N.P.(2)	M_{Ed} = 0.00 N.P.(2)	V_{Ed} = 0.00 N.P.(3)	V_{Ed} = 0.00 N.P.(3)	N.P.(4)	N.P.(4)	N.P.(8)	N.P.(9)	M_{Ed} = 0.00 N.P.(5)	N.P.(6)	N.P.(6)	**CUMPLE η = 58.6**
N1367/N1226	η = 3.4	η = 29.1	M_{Ed} = 0.00 N.P.(2)	M_{Ed} = 0.00 N.P.(2)	V_{Ed} = 0.00 N.P.(3)	V_{Ed} = 0.00 N.P.(3)	N.P.(4)	N.P.(4)	N.P.(8)	N.P.(9)	M_{Ed} = 0.00 N.P.(5)	N.P.(6)	N.P.(6)	**CUMPLE η = 29.1**
N1224/N1368	η = 31.0	η = 1.8	M_{Ed} = 0.00 N.P.(2)	M_{Ed} = 0.00 N.P.(2)	V_{Ed} = 0.00 N.P.(3)	V_{Ed} = 0.00 N.P.(3)	N.P.(4)	N.P.(4)	N.P.(8)	N.P.(9)	M_{Ed} = 0.00 N.P.(5)	N.P.(6)	N.P.(6)	**CUMPLE η = 31.0**
N1368/N1228	η = 18.1	N_{Ed} = 0.00 N.P.(7)	M_{Ed} = 0.00 N.P.(2)	M_{Ed} = 0.00 N.P.(2)	V_{Ed} = 0.00 N.P.(3)	V_{Ed} = 0.00 N.P.(3)	N.P.(4)	N.P.(4)	N.P.(8)	N.P.(9)	M_{Ed} = 0.00 N.P.(5)	N.P.(6)	N.P.(6)	**CUMPLE η = 18.1**
N1226/N1369	η = 44.4	N_{Ed} = 0.00 N.P.(7)	M_{Ed} = 0.00 N.P.(2)	M_{Ed} = 0.00 N.P.(2)	V_{Ed} = 0.00 N.P.(3)	V_{Ed} = 0.00 N.P.(3)	N.P.(4)	N.P.(4)	N.P.(8)	N.P.(9)	M_{Ed} = 0.00 N.P.(5)	N.P.(6)	N.P.(6)	**CUMPLE η = 44.4**
N1249/N1380	η = 51.6	N_{Ed} = 0.00 N.P.(7)	M_{Ed} = 0.00 N.P.(2)	M_{Ed} = 0.00 N.P.(2)	V_{Ed} = 0.00 N.P.(3)	V_{Ed} = 0.00 N.P.(3)	N.P.(4)	N.P.(4)	N.P.(8)	N.P.(9)	M_{Ed} = 0.00 N.P.(5)	N.P.(6)	N.P.(6)	**CUMPLE η = 51.6**
N1379/N1251	η = 17.8	N_{Ed} = 0.00 N.P.(7)	M_{Ed} = 0.00 N.P.(2)	M_{Ed} = 0.00 N.P.(2)	V_{Ed} = 0.00 N.P.(3)	V_{Ed} = 0.00 N.P.(3)	N.P.(4)	N.P.(4)	N.P.(8)	N.P.(9)	M_{Ed} = 0.00 N.P.(5)	N.P.(6)	N.P.(6)	**CUMPLE η = 17.8**
N1380/N1253	η = 10.1	η = 16.6	M_{Ed} = 0.00 N.P.(2)	M_{Ed} = 0.00 N.P.(2)	V_{Ed} = 0.00 N.P.(3)	V_{Ed} = 0.00 N.P.(3)	N.P.(4)	N.P.(4)	N.P.(8)	N.P.(9)	M_{Ed} = 0.00 N.P.(5)	N.P.(6)	N.P.(6)	**CUMPLE η = 16.6**
N1251/N1381	η = 21.5	η = 14.6	M_{Ed} = 0.00 N.P.(2)	M_{Ed} = 0.00 N.P.(2)	V_{Ed} = 0.00 N.P.(3)	V_{Ed} = 0.00 N.P.(3)	N.P.(4)	N.P.(4)	N.P.(8)	N.P.(9)	M_{Ed} = 0.00 N.P.(5)	N.P.(6)	N.P.(6)	**CUMPLE η = 21.5**
N1381/N1255	η = 13.7	N_{Ed} = 0.00 N.P.(7)	M_{Ed} = 0.00 N.P.(2)	M_{Ed} = 0.00 N.P.(2)	V_{Ed} = 0.00 N.P.(3)	V_{Ed} = 0.00 N.P.(3)	N.P.(4)	N.P.(4)	N.P.(8)	N.P.(9)	M_{Ed} = 0.00 N.P.(5)	N.P.(6)	N.P.(6)	**CUMPLE η = 13.7**
N1253/N1382	η = 25.9	N_{Ed} = 0.00 N.P.(7)	M_{Ed} = 0.00 N.P.(2)	M_{Ed} = 0.00 N.P.(2)	V_{Ed} = 0.00 N.P.(3)	V_{Ed} = 0.00 N.P.(3)	N.P.(4)	N.P.(4)	N.P.(8)	N.P.(9)	M_{Ed} = 0.00 N.P.(5)	N.P.(6)	N.P.(6)	**CUMPLE η = 25.9**
N1382/N1257	η = 25.0	N_{Ed} = 0.00 N.P.(7)	M_{Ed} = 0.00 N.P.(2)	M_{Ed} = 0.00 N.P.(2)	V_{Ed} = 0.00 N.P.(3)	V_{Ed} = 0.00 N.P.(3)	N.P.(4)	N.P.(4)	N.P.(8)	N.P.(9)	M_{Ed} = 0.00 N.P.(5)	N.P.(6)	N.P.(6)	**CUMPLE η = 25.0**
N1255/N1383	η = 22.5	N_{Ed} = 0.00 N.P.(7)	M_{Ed} = 0.00 N.P.(2)	M_{Ed} = 0.00 N.P.(2)	V_{Ed} = 0.00 N.P.(3)	V_{Ed} = 0.00 N.P.(3)	N.P.(4)	N.P.(4)	N.P.(8)	N.P.(9)	M_{Ed} = 0.00 N.P.(5)	N.P.(6)	N.P.(6)	**CUMPLE η = 22.5**
N1257/N1384	η = 9.5	η = 11.7	M_{Ed} = 0.00 N.P.(2)	M_{Ed} = 0.00 N.P.(2)	V_{Ed} = 0.00 N.P.(3)	V_{Ed} = 0.00 N.P.(3)	N.P.(4)	N.P.(4)	N.P.(8)	N.P.(9)	M_{Ed} = 0.00 N.P.(5)	N.P.(6)	N.P.(6)	**CUMPLE η = 11.7**
N1383/N1259	η = 12.3	η = 6.9	M_{Ed} = 0.00 N.P.(2)	M_{Ed} = 0.00 N.P.(2)	V_{Ed} = 0.00 N.P.(3)	V_{Ed} = 0.00 N.P.(3)	N.P.(4)	N.P.(4)	N.P.(8)	N.P.(9)	M_{Ed} = 0.00 N.P.(5)	N.P.(6)	N.P.(6)	**CUMPLE η = 12.3**
N1384/N1261	η = 43.3	N_{Ed} = 0.00 N.P.(7)	M_{Ed} = 0.00 N.P.(2)	M_{Ed} = 0.00 N.P.(2)	V_{Ed} = 0.00 N.P.(3)	V_{Ed} = 0.00 N.P.(3)	N.P.(4)	N.P.(4)	N.P.(8)	N.P.(9)	M_{Ed} = 0.00 N.P.(5)	N.P.(6)	N.P.(6)	**CUMPLE η = 43.3**

Documento visado electrónicamente con número: VA07290/22
Código de validación telemática TRLTDCFZ60T66IJ1. Comprobación: https://cogitivalencia.e-gestion.es/Validacion.aspx?CVT=TRLTDCFZ60T66IJ1

Listados

VISADO
COGITI
VALENCIA
VA07290/22
TRLTDCFZ60T66IJ1

Barras	COMPROBACIONES (CÓDIGO ESTRUCTURAL)													Estado
	N_t	N_c	M_Y	M_Z	V_Z	V_Y	M_YV_Z	M_ZV_Y	NM_YM_Z	$NM_YM_ZV_YV_Z$	M_t	M_tV_Z	M_tV_Y	
N1259/N1385	η = 18.8	N_{Ed} = 0.00 N.P.(7)	M_{Ed} = 0.00 N.P.(2)	M_{Ed} = 0.00 N.P.(2)	V_{Ed} = 0.00 N.P.(3)	V_{Ed} = 0.00 N.P.(3)	N.P.(4)	N.P.(4)	N.P.(8)	N.P.(9)	M_{Ed} = 0.00 N.P.(5)	N.P.(6)	N.P.(6)	**CUMPLE η = 18.8**
N1395/N1284	η = 45.1	N_{Ed} = 0.00 N.P.(7)	M_{Ed} = 0.00 N.P.(2)	M_{Ed} = 0.00 N.P.(2)	V_{Ed} = 0.00 N.P.(3)	V_{Ed} = 0.00 N.P.(3)	N.P.(4)	N.P.(4)	N.P.(8)	N.P.(9)	M_{Ed} = 0.00 N.P.(5)	N.P.(6)	N.P.(6)	**CUMPLE η = 45.1**
N1282/N1396	η = 35.0	N_{Ed} = 0.00 N.P.(7)	M_{Ed} = 0.00 N.P.(2)	M_{Ed} = 0.00 N.P.(2)	V_{Ed} = 0.00 N.P.(3)	V_{Ed} = 0.00 N.P.(3)	N.P.(4)	N.P.(4)	N.P.(8)	N.P.(9)	M_{Ed} = 0.00 N.P.(5)	N.P.(6)	N.P.(6)	**CUMPLE η = 35.0**
N1396/N1286	η = 31.1	η = 14.2	M_{Ed} = 0.00 N.P.(2)	M_{Ed} = 0.00 N.P.(2)	V_{Ed} = 0.00 N.P.(3)	V_{Ed} = 0.00 N.P.(3)	N.P.(4)	N.P.(4)	N.P.(8)	N.P.(9)	M_{Ed} = 0.00 N.P.(5)	N.P.(6)	N.P.(6)	**CUMPLE η = 31.1**
N1284/N1397	η = 18.5	η = 32.1	M_{Ed} = 0.00 N.P.(2)	M_{Ed} = 0.00 N.P.(2)	V_{Ed} = 0.00 N.P.(3)	V_{Ed} = 0.00 N.P.(3)	N.P.(4)	N.P.(4)	N.P.(8)	N.P.(9)	M_{Ed} = 0.00 N.P.(5)	N.P.(6)	N.P.(6)	**CUMPLE η = 32.1**
N1397/N1288	η = 48.4	N_{Ed} = 0.00 N.P.(7)	M_{Ed} = 0.00 N.P.(2)	M_{Ed} = 0.00 N.P.(2)	V_{Ed} = 0.00 N.P.(3)	V_{Ed} = 0.00 N.P.(3)	N.P.(4)	N.P.(4)	N.P.(8)	N.P.(9)	M_{Ed} = 0.00 N.P.(5)	N.P.(6)	N.P.(6)	**CUMPLE η = 48.4**
N1286/N1398	η = 17.3	N_{Ed} = 0.00 N.P.(7)	M_{Ed} = 0.00 N.P.(2)	M_{Ed} = 0.00 N.P.(2)	V_{Ed} = 0.00 N.P.(3)	V_{Ed} = 0.00 N.P.(3)	N.P.(4)	N.P.(4)	N.P.(8)	N.P.(9)	M_{Ed} = 0.00 N.P.(5)	N.P.(6)	N.P.(6)	**CUMPLE η = 17.3**
N1288/N1399	η = 16.8	N_{Ed} = 0.00 N.P.(7)	M_{Ed} = 0.00 N.P.(2)	M_{Ed} = 0.00 N.P.(2)	V_{Ed} = 0.00 N.P.(3)	V_{Ed} = 0.00 N.P.(3)	N.P.(4)	N.P.(4)	N.P.(8)	N.P.(9)	M_{Ed} = 0.00 N.P.(5)	N.P.(6)	N.P.(6)	**CUMPLE η = 16.8**
N1398/N1290	η = 65.5	N_{Ed} = 0.00 N.P.(7)	M_{Ed} = 0.00 N.P.(2)	M_{Ed} = 0.00 N.P.(2)	V_{Ed} = 0.00 N.P.(3)	V_{Ed} = 0.00 N.P.(3)	N.P.(4)	N.P.(4)	N.P.(8)	N.P.(9)	M_{Ed} = 0.00 N.P.(5)	N.P.(6)	N.P.(6)	**CUMPLE η = 65.5**
N1399/N1292	η = 35.6	η = 7.9	M_{Ed} = 0.00 N.P.(2)	M_{Ed} = 0.00 N.P.(2)	V_{Ed} = 0.00 N.P.(3)	V_{Ed} = 0.00 N.P.(3)	N.P.(4)	N.P.(4)	N.P.(8)	N.P.(9)	M_{Ed} = 0.00 N.P.(5)	N.P.(6)	N.P.(6)	**CUMPLE η = 35.6**
N1290/N1400	η = 5.3	η = 30.6	M_{Ed} = 0.00 N.P.(2)	M_{Ed} = 0.00 N.P.(2)	V_{Ed} = 0.00 N.P.(3)	V_{Ed} = 0.00 N.P.(3)	N.P.(4)	N.P.(4)	N.P.(8)	N.P.(9)	M_{Ed} = 0.00 N.P.(5)	N.P.(6)	N.P.(6)	**CUMPLE η = 30.6**
N1400/N1294	η = 72.8	N_{Ed} = 0.00 N.P.(7)	M_{Ed} = 0.00 N.P.(2)	M_{Ed} = 0.00 N.P.(2)	V_{Ed} = 0.00 N.P.(3)	V_{Ed} = 0.00 N.P.(3)	N.P.(4)	N.P.(4)	N.P.(8)	N.P.(9)	M_{Ed} = 0.00 N.P.(5)	N.P.(6)	N.P.(6)	**CUMPLE η = 72.8**
N1292/N1401	η = 24.5	N_{Ed} = 0.00 N.P.(7)	M_{Ed} = 0.00 N.P.(2)	M_{Ed} = 0.00 N.P.(2)	V_{Ed} = 0.00 N.P.(3)	V_{Ed} = 0.00 N.P.(3)	N.P.(4)	N.P.(4)	N.P.(8)	N.P.(9)	M_{Ed} = 0.00 N.P.(5)	N.P.(6)	N.P.(6)	**CUMPLE η = 24.5**
N1216/N1364	η = 92.4	N_{Ed} = 0.00 N.P.(7)	M_{Ed} = 0.00 N.P.(2)	M_{Ed} = 0.00 N.P.(2)	V_{Ed} = 0.00 N.P.(3)	V_{Ed} = 0.00 N.P.(3)	N.P.(4)	N.P.(4)	N.P.(8)	N.P.(9)	M_{Ed} = 0.00 N.P.(5)	N.P.(6)	N.P.(6)	**CUMPLE η = 92.4**
N1363/N1218	η = 20.4	N_{Ed} = 0.00 N.P.(7)	M_{Ed} = 0.00 N.P.(2)	M_{Ed} = 0.00 N.P.(2)	V_{Ed} = 0.00 N.P.(3)	V_{Ed} = 0.00 N.P.(3)	N.P.(4)	N.P.(4)	N.P.(8)	N.P.(9)	M_{Ed} = 0.00 N.P.(5)	N.P.(6)	N.P.(6)	**CUMPLE η = 20.4**
N1509/N1511	η = 4.0	N_{Ed} = 0.00 N.P.(7)	M_{Ed} = 0.00 N.P.(2)	M_{Ed} = 0.00 N.P.(2)	V_{Ed} = 0.00 N.P.(3)	V_{Ed} = 0.00 N.P.(3)	N.P.(4)	N.P.(4)	N.P.(8)	N.P.(9)	M_{Ed} = 0.00 N.P.(5)	N.P.(6)	N.P.(6)	**CUMPLE η = 4.0**
N1510/N1512	η = 4.5	N_{Ed} = 0.00 N.P.(7)	M_{Ed} = 0.00 N.P.(2)	M_{Ed} = 0.00 N.P.(2)	V_{Ed} = 0.00 N.P.(3)	V_{Ed} = 0.00 N.P.(3)	N.P.(4)	N.P.(4)	N.P.(8)	N.P.(9)	M_{Ed} = 0.00 N.P.(5)	N.P.(6)	N.P.(6)	**CUMPLE η = 4.5**
N1513/N1515	η = 9.3	N_{Ed} = 0.00 N.P.(7)	M_{Ed} = 0.00 N.P.(2)	M_{Ed} = 0.00 N.P.(2)	V_{Ed} = 0.00 N.P.(3)	V_{Ed} = 0.00 N.P.(3)	N.P.(4)	N.P.(4)	N.P.(8)	N.P.(9)	M_{Ed} = 0.00 N.P.(5)	N.P.(6)	N.P.(6)	**CUMPLE η = 9.3**
N1514/N1516	η = 9.7	N_{Ed} = 0.00 N.P.(7)	M_{Ed} = 0.00 N.P.(2)	M_{Ed} = 0.00 N.P.(2)	V_{Ed} = 0.00 N.P.(3)	V_{Ed} = 0.00 N.P.(3)	N.P.(4)	N.P.(4)	N.P.(8)	N.P.(9)	M_{Ed} = 0.00 N.P.(5)	N.P.(6)	N.P.(6)	**CUMPLE η = 9.7**
N1517/N1519	η = 6.7	N_{Ed} = 0.00 N.P.(7)	M_{Ed} = 0.00 N.P.(2)	M_{Ed} = 0.00 N.P.(2)	V_{Ed} = 0.00 N.P.(3)	V_{Ed} = 0.00 N.P.(3)	N.P.(4)	N.P.(4)	N.P.(8)	N.P.(9)	M_{Ed} = 0.00 N.P.(5)	N.P.(6)	N.P.(6)	**CUMPLE η = 6.7**
N1518/N1520	η = 7.6	N_{Ed} = 0.00 N.P.(7)	M_{Ed} = 0.00 N.P.(2)	M_{Ed} = 0.00 N.P.(2)	V_{Ed} = 0.00 N.P.(3)	V_{Ed} = 0.00 N.P.(3)	N.P.(4)	N.P.(4)	N.P.(8)	N.P.(9)	M_{Ed} = 0.00 N.P.(5)	N.P.(6)	N.P.(6)	**CUMPLE η = 7.6**
N1523/N1522	η = 0.5	N_{Ed} = 0.00 N.P.(7)	M_{Ed} = 0.00 N.P.(2)	M_{Ed} = 0.00 N.P.(2)	V_{Ed} = 0.00 N.P.(3)	V_{Ed} = 0.00 N.P.(3)	N.P.(4)	N.P.(4)	N.P.(8)	N.P.(9)	M_{Ed} = 0.00 N.P.(5)	N.P.(6)	N.P.(6)	**CUMPLE η = 0.5**
N1521/N1524	η = 1.0	N_{Ed} = 0.00 N.P.(7)	M_{Ed} = 0.00 N.P.(2)	M_{Ed} = 0.00 N.P.(2)	V_{Ed} = 0.00 N.P.(3)	V_{Ed} = 0.00 N.P.(3)	N.P.(4)	N.P.(4)	N.P.(8)	N.P.(9)	M_{Ed} = 0.00 N.P.(5)	N.P.(6)	N.P.(6)	**CUMPLE η = 1.0**
N1527/N1526	η = 13.8	N_{Ed} = 0.00 N.P.(7)	M_{Ed} = 0.00 N.P.(2)	M_{Ed} = 0.00 N.P.(2)	V_{Ed} = 0.00 N.P.(3)	V_{Ed} = 0.00 N.P.(3)	N.P.(4)	N.P.(4)	N.P.(8)	N.P.(9)	M_{Ed} = 0.00 N.P.(5)	N.P.(6)	N.P.(6)	**CUMPLE η = 13.8**
N1525/N1528	η = 12.8	N_{Ed} = 0.00 N.P.(7)	M_{Ed} = 0.00 N.P.(2)	M_{Ed} = 0.00 N.P.(2)	V_{Ed} = 0.00 N.P.(3)	V_{Ed} = 0.00 N.P.(3)	N.P.(4)	N.P.(4)	N.P.(8)	N.P.(9)	M_{Ed} = 0.00 N.P.(5)	N.P.(6)	N.P.(6)	**CUMPLE η = 12.8**
N1531/N1530	η = 25.1	N_{Ed} = 0.00 N.P.(7)	M_{Ed} = 0.00 N.P.(2)	M_{Ed} = 0.00 N.P.(2)	V_{Ed} = 0.00 N.P.(3)	V_{Ed} = 0.00 N.P.(3)	N.P.(4)	N.P.(4)	N.P.(8)	N.P.(9)	M_{Ed} = 0.00 N.P.(5)	N.P.(6)	N.P.(6)	**CUMPLE η = 25.1**
N1529/N1532	η = 22.2	N_{Ed} = 0.00 N.P.(7)	M_{Ed} = 0.00 N.P.(2)	M_{Ed} = 0.00 N.P.(2)	V_{Ed} = 0.00 N.P.(3)	V_{Ed} = 0.00 N.P.(3)	N.P.(4)	N.P.(4)	N.P.(8)	N.P.(9)	M_{Ed} = 0.00 N.P.(5)	N.P.(6)	N.P.(6)	**CUMPLE η = 22.2**
N1535/N1534	η = 18.1	N_{Ed} = 0.00 N.P.(7)	M_{Ed} = 0.00 N.P.(2)	M_{Ed} = 0.00 N.P.(2)	V_{Ed} = 0.00 N.P.(3)	V_{Ed} = 0.00 N.P.(3)	N.P.(4)	N.P.(4)	N.P.(8)	N.P.(9)	M_{Ed} = 0.00 N.P.(5)	N.P.(6)	N.P.(6)	**CUMPLE η = 18.1**
N1533/N1536	η = 18.5	N_{Ed} = 0.00 N.P.(7)	M_{Ed} = 0.00 N.P.(2)	M_{Ed} = 0.00 N.P.(2)	V_{Ed} = 0.00 N.P.(3)	V_{Ed} = 0.00 N.P.(3)	N.P.(4)	N.P.(4)	N.P.(8)	N.P.(9)	M_{Ed} = 0.00 N.P.(5)	N.P.(6)	N.P.(6)	**CUMPLE η = 18.5**
N1539/N1538	η = 5.3	N_{Ed} = 0.00 N.P.(7)	M_{Ed} = 0.00 N.P.(2)	M_{Ed} = 0.00 N.P.(2)	V_{Ed} = 0.00 N.P.(3)	V_{Ed} = 0.00 N.P.(3)	N.P.(4)	N.P.(4)	N.P.(8)	N.P.(9)	M_{Ed} = 0.00 N.P.(5)	N.P.(6)	N.P.(6)	**CUMPLE η = 5.3**
N1537/N1540	η = 5.1	N_{Ed} = 0.00 N.P.(7)	M_{Ed} = 0.00 N.P.(2)	M_{Ed} = 0.00 N.P.(2)	V_{Ed} = 0.00 N.P.(3)	V_{Ed} = 0.00 N.P.(3)	N.P.(4)	N.P.(4)	N.P.(8)	N.P.(9)	M_{Ed} = 0.00 N.P.(5)	N.P.(6)	N.P.(6)	**CUMPLE η = 5.1**
N1541/N1544	η = 4.0	N_{Ed} = 0.00 N.P.(7)	M_{Ed} = 0.00 N.P.(2)	M_{Ed} = 0.00 N.P.(2)	V_{Ed} = 0.00 N.P.(3)	V_{Ed} = 0.00 N.P.(3)	N.P.(4)	N.P.(4)	N.P.(8)	N.P.(9)	M_{Ed} = 0.00 N.P.(5)	N.P.(6)	N.P.(6)	**CUMPLE η = 4.0**
N1543/N1542	η = 5.9	N_{Ed} = 0.00 N.P.(7)	M_{Ed} = 0.00 N.P.(2)	M_{Ed} = 0.00 N.P.(2)	V_{Ed} = 0.00 N.P.(3)	V_{Ed} = 0.00 N.P.(3)	N.P.(4)	N.P.(4)	N.P.(8)	N.P.(9)	M_{Ed} = 0.00 N.P.(5)	N.P.(6)	N.P.(6)	**CUMPLE η = 5.9**
N1547/N1546	η = 0.9	N_{Ed} = 0.00 N.P.(7)	M_{Ed} = 0.00 N.P.(2)	M_{Ed} = 0.00 N.P.(2)	V_{Ed} = 0.00 N.P.(3)	V_{Ed} = 0.00 N.P.(3)	N.P.(4)	N.P.(4)	N.P.(8)	N.P.(9)	M_{Ed} = 0.00 N.P.(5)	N.P.(6)	N.P.(6)	**CUMPLE η = 0.9**
N1545/N1548	η = 0.5	N_{Ed} = 0.00 N.P.(7)	M_{Ed} = 0.00 N.P.(2)	M_{Ed} = 0.00 N.P.(2)	V_{Ed} = 0.00 N.P.(3)	V_{Ed} = 0.00 N.P.(3)	N.P.(4)	N.P.(4)	N.P.(8)	N.P.(9)	M_{Ed} = 0.00 N.P.(5)	N.P.(6)	N.P.(6)	**CUMPLE η = 0.5**
N1549/N1552	η = 11.2	N_{Ed} = 0.00 N.P.(7)	M_{Ed} = 0.00 N.P.(2)	M_{Ed} = 0.00 N.P.(2)	V_{Ed} = 0.00 N.P.(3)	V_{Ed} = 0.00 N.P.(3)	N.P.(4)	N.P.(4)	N.P.(8)	N.P.(9)	M_{Ed} = 0.00 N.P.(5)	N.P.(6)	N.P.(6)	**CUMPLE η = 11.2**
N1551/N1550	η = 12.8	N_{Ed} = 0.00 N.P.(7)	M_{Ed} = 0.00 N.P.(2)	M_{Ed} = 0.00 N.P.(2)	V_{Ed} = 0.00 N.P.(3)	V_{Ed} = 0.00 N.P.(3)	N.P.(4)	N.P.(4)	N.P.(8)	N.P.(9)	M_{Ed} = 0.00 N.P.(5)	N.P.(6)	N.P.(6)	**CUMPLE η = 12.8**

Documento visado electrónicamente con número: VA07290/22
Código de validación telemática TRLTDCFZ60T66IJ1. Comprobación: https://cogitivalencia.e-gestion.es/Validacion.aspx?CVT=TRLTDCFZ60T66IJ1

VISADO
COGITI
VALENCIA
VA07290/22
TRLTDCFZ60T66IJ1

Barras	COMPROBACIONES (CÓDIGO ESTRUCTURAL)													Estado
	N_t	N_c	M_Y	M_Z	V_Z	V_Y	M_YV_Z	M_ZV_Y	NM_YM_Z	$NM_YM_ZV_YV_Z$	M_t	M_tV_Z	M_tV_Y	
N1555/N1554	η = 4.3	N_{Ed} = 0.00 N.P.(7)	M_{Ed} = 0.00 N.P.(2)	M_{Ed} = 0.00 N.P.(2)	V_{Ed} = 0.00 N.P.(3)	V_{Ed} = 0.00 N.P.(3)	N.P.(4)	N.P.(4)	N.P.(8)	N.P.(9)	M_{Ed} = 0.00 N.P.(5)	N.P.(6)	N.P.(6)	**CUMPLE η = 4.3**
N1553/N1556	η = 5.0	N_{Ed} = 0.00 N.P.(7)	M_{Ed} = 0.00 N.P.(2)	M_{Ed} = 0.00 N.P.(2)	V_{Ed} = 0.00 N.P.(3)	V_{Ed} = 0.00 N.P.(3)	N.P.(4)	N.P.(4)	N.P.(8)	N.P.(9)	M_{Ed} = 0.00 N.P.(5)	N.P.(6)	N.P.(6)	**CUMPLE η = 5.0**
N1557/N1560	η = 9.8	N_{Ed} = 0.00 N.P.(7)	M_{Ed} = 0.00 N.P.(2)	M_{Ed} = 0.00 N.P.(2)	V_{Ed} = 0.00 N.P.(3)	V_{Ed} = 0.00 N.P.(3)	N.P.(4)	N.P.(4)	N.P.(8)	N.P.(9)	M_{Ed} = 0.00 N.P.(5)	N.P.(6)	N.P.(6)	**CUMPLE η = 9.8**
N1559/N1558	η = 11.8	N_{Ed} = 0.00 N.P.(7)	M_{Ed} = 0.00 N.P.(2)	M_{Ed} = 0.00 N.P.(2)	V_{Ed} = 0.00 N.P.(3)	V_{Ed} = 0.00 N.P.(3)	N.P.(4)	N.P.(4)	N.P.(8)	N.P.(9)	M_{Ed} = 0.00 N.P.(5)	N.P.(6)	N.P.(6)	**CUMPLE η = 11.8**
N1563/N1562	η = 3.6	N_{Ed} = 0.00 N.P.(7)	M_{Ed} = 0.00 N.P.(2)	M_{Ed} = 0.00 N.P.(2)	V_{Ed} = 0.00 N.P.(3)	V_{Ed} = 0.00 N.P.(3)	N.P.(4)	N.P.(4)	N.P.(8)	N.P.(9)	M_{Ed} = 0.00 N.P.(5)	N.P.(6)	N.P.(6)	**CUMPLE η = 3.6**
N1561/N1564	η = 4.7	N_{Ed} = 0.00 N.P.(7)	M_{Ed} = 0.00 N.P.(2)	M_{Ed} = 0.00 N.P.(2)	V_{Ed} = 0.00 N.P.(3)	V_{Ed} = 0.00 N.P.(3)	N.P.(4)	N.P.(4)	N.P.(8)	N.P.(9)	M_{Ed} = 0.00 N.P.(5)	N.P.(6)	N.P.(6)	**CUMPLE η = 4.7**
N1565/N1568	η = 2.2	N_{Ed} = 0.00 N.P.(7)	M_{Ed} = 0.00 N.P.(2)	M_{Ed} = 0.00 N.P.(2)	V_{Ed} = 0.00 N.P.(3)	V_{Ed} = 0.00 N.P.(3)	N.P.(4)	N.P.(4)	N.P.(8)	N.P.(9)	M_{Ed} = 0.00 N.P.(5)	N.P.(6)	N.P.(6)	**CUMPLE η = 2.2**
N1567/N1566	η = 4.9	N_{Ed} = 0.00 N.P.(7)	M_{Ed} = 0.00 N.P.(2)	M_{Ed} = 0.00 N.P.(2)	V_{Ed} = 0.00 N.P.(3)	V_{Ed} = 0.00 N.P.(3)	N.P.(4)	N.P.(4)	N.P.(8)	N.P.(9)	M_{Ed} = 0.00 N.P.(5)	N.P.(6)	N.P.(6)	**CUMPLE η = 4.9**
N1571/N1570	η = 1.5	N_{Ed} = 0.00 N.P.(7)	M_{Ed} = 0.00 N.P.(2)	M_{Ed} = 0.00 N.P.(2)	V_{Ed} = 0.00 N.P.(3)	V_{Ed} = 0.00 N.P.(3)	N.P.(4)	N.P.(4)	N.P.(8)	N.P.(9)	M_{Ed} = 0.00 N.P.(5)	N.P.(6)	N.P.(6)	**CUMPLE η = 1.5**
N1569/N1572	η = 1.1	N_{Ed} = 0.00 N.P.(7)	M_{Ed} = 0.00 N.P.(2)	M_{Ed} = 0.00 N.P.(2)	V_{Ed} = 0.00 N.P.(3)	V_{Ed} = 0.00 N.P.(3)	N.P.(4)	N.P.(4)	N.P.(8)	N.P.(9)	M_{Ed} = 0.00 N.P.(5)	N.P.(6)	N.P.(6)	**CUMPLE η = 1.1**
N1573/N1576	η = 6.8	N_{Ed} = 0.00 N.P.(7)	M_{Ed} = 0.00 N.P.(2)	M_{Ed} = 0.00 N.P.(2)	V_{Ed} = 0.00 N.P.(3)	V_{Ed} = 0.00 N.P.(3)	N.P.(4)	N.P.(4)	N.P.(8)	N.P.(9)	M_{Ed} = 0.00 N.P.(5)	N.P.(6)	N.P.(6)	**CUMPLE η = 6.8**
N1575/N1574	η = 7.9	N_{Ed} = 0.00 N.P.(7)	M_{Ed} = 0.00 N.P.(2)	M_{Ed} = 0.00 N.P.(2)	V_{Ed} = 0.00 N.P.(3)	V_{Ed} = 0.00 N.P.(3)	N.P.(4)	N.P.(4)	N.P.(8)	N.P.(9)	M_{Ed} = 0.00 N.P.(5)	N.P.(6)	N.P.(6)	**CUMPLE η = 7.9**
N1579/N1578	η = 1.8	N_{Ed} = 0.00 N.P.(7)	M_{Ed} = 0.00 N.P.(2)	M_{Ed} = 0.00 N.P.(2)	V_{Ed} = 0.00 N.P.(3)	V_{Ed} = 0.00 N.P.(3)	N.P.(4)	N.P.(4)	N.P.(8)	N.P.(9)	M_{Ed} = 0.00 N.P.(5)	N.P.(6)	N.P.(6)	**CUMPLE η = 1.8**
N1577/N1580	η = 0.8	N_{Ed} = 0.00 N.P.(7)	M_{Ed} = 0.00 N.P.(2)	M_{Ed} = 0.00 N.P.(2)	V_{Ed} = 0.00 N.P.(3)	V_{Ed} = 0.00 N.P.(3)	N.P.(4)	N.P.(4)	N.P.(8)	N.P.(9)	M_{Ed} = 0.00 N.P.(5)	N.P.(6)	N.P.(6)	**CUMPLE η = 0.8**
N1581/N1584	η = 18.9	N_{Ed} = 0.00 N.P.(7)	M_{Ed} = 0.00 N.P.(2)	M_{Ed} = 0.00 N.P.(2)	V_{Ed} = 0.00 N.P.(3)	V_{Ed} = 0.00 N.P.(3)	N.P.(4)	N.P.(4)	N.P.(8)	N.P.(9)	M_{Ed} = 0.00 N.P.(5)	N.P.(6)	N.P.(6)	**CUMPLE η = 18.9**
N1583/N1582	η = 17.9	N_{Ed} = 0.00 N.P.(7)	M_{Ed} = 0.00 N.P.(2)	M_{Ed} = 0.00 N.P.(2)	V_{Ed} = 0.00 N.P.(3)	V_{Ed} = 0.00 N.P.(3)	N.P.(4)	N.P.(4)	N.P.(8)	N.P.(9)	M_{Ed} = 0.00 N.P.(5)	N.P.(6)	N.P.(6)	**CUMPLE η = 17.9**
N1587/N1586	η = 6.4	N_{Ed} = 0.00 N.P.(7)	M_{Ed} = 0.00 N.P.(2)	M_{Ed} = 0.00 N.P.(2)	V_{Ed} = 0.00 N.P.(3)	V_{Ed} = 0.00 N.P.(3)	N.P.(4)	N.P.(4)	N.P.(8)	N.P.(9)	M_{Ed} = 0.00 N.P.(5)	N.P.(6)	N.P.(6)	**CUMPLE η = 6.4**
N1585/N1588	η = 7.3	N_{Ed} = 0.00 N.P.(7)	M_{Ed} = 0.00 N.P.(2)	M_{Ed} = 0.00 N.P.(2)	V_{Ed} = 0.00 N.P.(3)	V_{Ed} = 0.00 N.P.(3)	N.P.(4)	N.P.(4)	N.P.(8)	N.P.(9)	M_{Ed} = 0.00 N.P.(5)	N.P.(6)	N.P.(6)	**CUMPLE η = 7.3**
N1589/N1592	η = 19.3	N_{Ed} = 0.00 N.P.(7)	M_{Ed} = 0.00 N.P.(2)	M_{Ed} = 0.00 N.P.(2)	V_{Ed} = 0.00 N.P.(3)	V_{Ed} = 0.00 N.P.(3)	N.P.(4)	N.P.(4)	N.P.(8)	N.P.(9)	M_{Ed} = 0.00 N.P.(5)	N.P.(6)	N.P.(6)	**CUMPLE η = 19.3**
N1591/N1590	η = 20.3	N_{Ed} = 0.00 N.P.(7)	M_{Ed} = 0.00 N.P.(2)	M_{Ed} = 0.00 N.P.(2)	V_{Ed} = 0.00 N.P.(3)	V_{Ed} = 0.00 N.P.(3)	N.P.(4)	N.P.(4)	N.P.(8)	N.P.(9)	M_{Ed} = 0.00 N.P.(5)	N.P.(6)	N.P.(6)	**CUMPLE η = 20.3**
N1595/N1594	η = 7.6	N_{Ed} = 0.00 N.P.(7)	M_{Ed} = 0.00 N.P.(2)	M_{Ed} = 0.00 N.P.(2)	V_{Ed} = 0.00 N.P.(3)	V_{Ed} = 0.00 N.P.(3)	N.P.(4)	N.P.(4)	N.P.(8)	N.P.(9)	M_{Ed} = 0.00 N.P.(5)	N.P.(6)	N.P.(6)	**CUMPLE η = 7.6**
N1593/N1596	η = 8.6	N_{Ed} = 0.00 N.P.(7)	M_{Ed} = 0.00 N.P.(2)	M_{Ed} = 0.00 N.P.(2)	V_{Ed} = 0.00 N.P.(3)	V_{Ed} = 0.00 N.P.(3)	N.P.(4)	N.P.(4)	N.P.(8)	N.P.(9)	M_{Ed} = 0.00 N.P.(5)	N.P.(6)	N.P.(6)	**CUMPLE η = 8.6**
N1597/N1600	η = 10.1	N_{Ed} = 0.00 N.P.(7)	M_{Ed} = 0.00 N.P.(2)	M_{Ed} = 0.00 N.P.(2)	V_{Ed} = 0.00 N.P.(3)	V_{Ed} = 0.00 N.P.(3)	N.P.(4)	N.P.(4)	N.P.(8)	N.P.(9)	M_{Ed} = 0.00 N.P.(5)	N.P.(6)	N.P.(6)	**CUMPLE η = 10.1**
N1599/N1598	η = 9.8	N_{Ed} = 0.00 N.P.(7)	M_{Ed} = 0.00 N.P.(2)	M_{Ed} = 0.00 N.P.(2)	V_{Ed} = 0.00 N.P.(3)	V_{Ed} = 0.00 N.P.(3)	N.P.(4)	N.P.(4)	N.P.(8)	N.P.(9)	M_{Ed} = 0.00 N.P.(5)	N.P.(6)	N.P.(6)	**CUMPLE η = 9.8**
N1603/N1602	η = 2.6	N_{Ed} = 0.00 N.P.(7)	M_{Ed} = 0.00 N.P.(2)	M_{Ed} = 0.00 N.P.(2)	V_{Ed} = 0.00 N.P.(3)	V_{Ed} = 0.00 N.P.(3)	N.P.(4)	N.P.(4)	N.P.(8)	N.P.(9)	M_{Ed} = 0.00 N.P.(5)	N.P.(6)	N.P.(6)	**CUMPLE η = 2.6**
N1601/N1604	η = 2.7	N_{Ed} = 0.00 N.P.(7)	M_{Ed} = 0.00 N.P.(2)	M_{Ed} = 0.00 N.P.(2)	V_{Ed} = 0.00 N.P.(3)	V_{Ed} = 0.00 N.P.(3)	N.P.(4)	N.P.(4)	N.P.(8)	N.P.(9)	M_{Ed} = 0.00 N.P.(5)	N.P.(6)	N.P.(6)	**CUMPLE η = 2.7**
N1937/N1939	η = 2.0	N_{Ed} = 0.00 N.P.(7)	M_{Ed} = 0.00 N.P.(2)	M_{Ed} = 0.00 N.P.(2)	V_{Ed} = 0.00 N.P.(3)	V_{Ed} = 0.00 N.P.(3)	N.P.(4)	N.P.(4)	N.P.(8)	N.P.(9)	M_{Ed} = 0.00 N.P.(5)	N.P.(6)	N.P.(6)	**CUMPLE η = 2.0**
N1936/N1940	η = 0.7	N_{Ed} = 0.00 N.P.(7)	M_{Ed} = 0.00 N.P.(2)	M_{Ed} = 0.00 N.P.(2)	V_{Ed} = 0.00 N.P.(3)	V_{Ed} = 0.00 N.P.(3)	N.P.(4)	N.P.(4)	N.P.(8)	N.P.(9)	M_{Ed} = 0.00 N.P.(5)	N.P.(6)	N.P.(6)	**CUMPLE η = 0.7**
N1932/N1934	η = 0.5	N_{Ed} = 0.00 N.P.(7)	M_{Ed} = 0.00 N.P.(2)	M_{Ed} = 0.00 N.P.(2)	V_{Ed} = 0.00 N.P.(3)	V_{Ed} = 0.00 N.P.(3)	N.P.(4)	N.P.(4)	N.P.(8)	N.P.(9)	M_{Ed} = 0.00 N.P.(5)	N.P.(6)	N.P.(6)	**CUMPLE η = 0.5**
N1931/N1935	η = 0.5	N_{Ed} = 0.00 N.P.(7)	M_{Ed} = 0.00 N.P.(2)	M_{Ed} = 0.00 N.P.(2)	V_{Ed} = 0.00 N.P.(3)	V_{Ed} = 0.00 N.P.(3)	N.P.(4)	N.P.(4)	N.P.(8)	N.P.(9)	M_{Ed} = 0.00 N.P.(5)	N.P.(6)	N.P.(6)	**CUMPLE η = 0.5**
N1943/N1948	η = 49.9	N_{Ed} = 0.00 N.P.(7)	M_{Ed} = 0.00 N.P.(2)	M_{Ed} = 0.00 N.P.(2)	V_{Ed} = 0.00 N.P.(3)	V_{Ed} = 0.00 N.P.(3)	N.P.(4)	N.P.(4)	N.P.(8)	N.P.(9)	M_{Ed} = 0.00 N.P.(5)	N.P.(6)	N.P.(6)	**CUMPLE η = 49.9**
N1941/N1946	η = 14.2	N_{Ed} = 0.00 N.P.(7)	M_{Ed} = 0.00 N.P.(2)	M_{Ed} = 0.00 N.P.(2)	V_{Ed} = 0.00 N.P.(3)	V_{Ed} = 0.00 N.P.(3)	N.P.(4)	N.P.(4)	N.P.(8)	N.P.(9)	M_{Ed} = 0.00 N.P.(5)	N.P.(6)	N.P.(6)	**CUMPLE η = 14.2**
N1942/N1945	η = 48.4	N_{Ed} = 0.00 N.P.(7)	M_{Ed} = 0.00 N.P.(2)	M_{Ed} = 0.00 N.P.(2)	V_{Ed} = 0.00 N.P.(3)	V_{Ed} = 0.00 N.P.(3)	N.P.(4)	N.P.(4)	N.P.(8)	N.P.(9)	M_{Ed} = 0.00 N.P.(5)	N.P.(6)	N.P.(6)	**CUMPLE η = 48.4**
N1944/N1947	η = 14.0	N_{Ed} = 0.00 N.P.(7)	M_{Ed} = 0.00 N.P.(2)	M_{Ed} = 0.00 N.P.(2)	V_{Ed} = 0.00 N.P.(3)	V_{Ed} = 0.00 N.P.(3)	N.P.(4)	N.P.(4)	N.P.(8)	N.P.(9)	M_{Ed} = 0.00 N.P.(5)	N.P.(6)	N.P.(6)	**CUMPLE η = 14.0**
N1958/N1961	η = 25.9	N_{Ed} = 0.00 N.P.(7)	M_{Ed} = 0.00 N.P.(2)	M_{Ed} = 0.00 N.P.(2)	V_{Ed} = 0.00 N.P.(3)	V_{Ed} = 0.00 N.P.(3)	N.P.(4)	N.P.(4)	N.P.(8)	N.P.(9)	M_{Ed} = 0.00 N.P.(5)	N.P.(6)	N.P.(6)	**CUMPLE η = 25.9**
N1954/N1955	η = 12.3	N_{Ed} = 0.00 N.P.(7)	M_{Ed} = 0.00 N.P.(2)	M_{Ed} = 0.00 N.P.(2)	V_{Ed} = 0.00 N.P.(3)	V_{Ed} = 0.00 N.P.(3)	N.P.(4)	N.P.(4)	N.P.(8)	N.P.(9)	M_{Ed} = 0.00 N.P.(5)	N.P.(6)	N.P.(6)	**CUMPLE η = 12.3**
N1953/N1956	η = 23.2	N_{Ed} = 0.00 N.P.(7)	M_{Ed} = 0.00 N.P.(2)	M_{Ed} = 0.00 N.P.(2)	V_{Ed} = 0.00 N.P.(3)	V_{Ed} = 0.00 N.P.(3)	N.P.(4)	N.P.(4)	N.P.(8)	N.P.(9)	M_{Ed} = 0.00 N.P.(5)	N.P.(6)	N.P.(6)	**CUMPLE η = 23.2**

Documento visado electrónicamente con número: VA07290/22
Código de validación telemática TRLTDCFZ60T66IJ1. Comprobación: https://cogitivalencia.e-gestion.es/Validacion.aspx?CVT=TRLTDCFZ60T66IJ1

VISADO
COGITI
VALENCIA
VA07290/22
TRLTDCFZ60T66IJ1

Barras	COMPROBACIONES (CÓDIGO ESTRUCTURAL)													Estado
	N_t	N_c	M_Y	M_Z	V_Z	V_Y	M_YV_Z	M_ZV_Y	NM_YM_Z	$NM_YM_ZV_YV_Z$	M_t	M_tV_Z	M_tV_Y	
N1959/N1960	η = 10.0	N_{Ed} = 0.00 N.P.(7)	M_{Ed} = 0.00 N.P.(2)	M_{Ed} = 0.00 N.P.(2)	V_{Ed} = 0.00 N.P.(3)	V_{Ed} = 0.00 N.P.(3)	N.P.(4)	N.P.(4)	N.P.(8)	N.P.(9)	M_{Ed} = 0.00 N.P.(5)	N.P.(6)	N.P.(6)	**CUMPLE η = 10.0**
N1967/N1963	η = 23.1	N_{Ed} = 0.00 N.P.(7)	M_{Ed} = 0.00 N.P.(2)	M_{Ed} = 0.00 N.P.(2)	V_{Ed} = 0.00 N.P.(3)	V_{Ed} = 0.00 N.P.(3)	N.P.(4)	N.P.(4)	N.P.(8)	N.P.(9)	M_{Ed} = 0.00 N.P.(5)	N.P.(6)	N.P.(6)	**CUMPLE η = 23.1**
N1965/N1964	η = 10.7	N_{Ed} = 0.00 N.P.(7)	M_{Ed} = 0.00 N.P.(2)	M_{Ed} = 0.00 N.P.(2)	V_{Ed} = 0.00 N.P.(3)	V_{Ed} = 0.00 N.P.(3)	N.P.(4)	N.P.(4)	N.P.(8)	N.P.(9)	M_{Ed} = 0.00 N.P.(5)	N.P.(6)	N.P.(6)	**CUMPLE η = 10.7**
N1972/N1971	η = 9.6	N_{Ed} = 0.00 N.P.(7)	M_{Ed} = 0.00 N.P.(2)	M_{Ed} = 0.00 N.P.(2)	V_{Ed} = 0.00 N.P.(3)	V_{Ed} = 0.00 N.P.(3)	N.P.(4)	N.P.(4)	N.P.(8)	N.P.(9)	M_{Ed} = 0.00 N.P.(5)	N.P.(6)	N.P.(6)	**CUMPLE η = 9.6**
N1973/N1970	η = 18.6	N_{Ed} = 0.00 N.P.(7)	M_{Ed} = 0.00 N.P.(2)	M_{Ed} = 0.00 N.P.(2)	V_{Ed} = 0.00 N.P.(3)	V_{Ed} = 0.00 N.P.(3)	N.P.(4)	N.P.(4)	N.P.(8)	N.P.(9)	M_{Ed} = 0.00 N.P.(5)	N.P.(6)	N.P.(6)	**CUMPLE η = 18.6**
N1980/N1977	η = 5.9	N_{Ed} = 0.00 N.P.(7)	M_{Ed} = 0.00 N.P.(2)	M_{Ed} = 0.00 N.P.(2)	V_{Ed} = 0.00 N.P.(3)	V_{Ed} = 0.00 N.P.(3)	N.P.(4)	N.P.(4)	N.P.(8)	N.P.(9)	M_{Ed} = 0.00 N.P.(5)	N.P.(6)	N.P.(6)	**CUMPLE η = 5.9**
N1979/N1978	η = 4.4	N_{Ed} = 0.00 N.P.(7)	M_{Ed} = 0.00 N.P.(2)	M_{Ed} = 0.00 N.P.(2)	V_{Ed} = 0.00 N.P.(3)	V_{Ed} = 0.00 N.P.(3)	N.P.(4)	N.P.(4)	N.P.(8)	N.P.(9)	M_{Ed} = 0.00 N.P.(5)	N.P.(6)	N.P.(6)	**CUMPLE η = 4.4**
N1982/N1983	η = 7.1	N_{Ed} = 0.00 N.P.(7)	M_{Ed} = 0.00 N.P.(2)	M_{Ed} = 0.00 N.P.(2)	V_{Ed} = 0.00 N.P.(3)	V_{Ed} = 0.00 N.P.(3)	N.P.(4)	N.P.(4)	N.P.(8)	N.P.(9)	M_{Ed} = 0.00 N.P.(5)	N.P.(6)	N.P.(6)	**CUMPLE η = 7.1**
N1981/N1984	η = 8.2	N_{Ed} = 0.00 N.P.(7)	M_{Ed} = 0.00 N.P.(2)	M_{Ed} = 0.00 N.P.(2)	V_{Ed} = 0.00 N.P.(3)	V_{Ed} = 0.00 N.P.(3)	N.P.(4)	N.P.(4)	N.P.(8)	N.P.(9)	M_{Ed} = 0.00 N.P.(5)	N.P.(6)	N.P.(6)	**CUMPLE η = 8.2**
N1986/N1987	η = 4.1	N_{Ed} = 0.00 N.P.(7)	M_{Ed} = 0.00 N.P.(2)	M_{Ed} = 0.00 N.P.(2)	V_{Ed} = 0.00 N.P.(3)	V_{Ed} = 0.00 N.P.(3)	N.P.(4)	N.P.(4)	N.P.(8)	N.P.(9)	M_{Ed} = 0.00 N.P.(5)	N.P.(6)	N.P.(6)	**CUMPLE η = 4.1**
N1985/N1988	η = 2.5	N_{Ed} = 0.00 N.P.(7)	M_{Ed} = 0.00 N.P.(2)	M_{Ed} = 0.00 N.P.(2)	V_{Ed} = 0.00 N.P.(3)	V_{Ed} = 0.00 N.P.(3)	N.P.(4)	N.P.(4)	N.P.(8)	N.P.(9)	M_{Ed} = 0.00 N.P.(5)	N.P.(6)	N.P.(6)	**CUMPLE η = 2.5**
N1989/N1992	η = 7.7	N_{Ed} = 0.00 N.P.(7)	M_{Ed} = 0.00 N.P.(2)	M_{Ed} = 0.00 N.P.(2)	V_{Ed} = 0.00 N.P.(3)	V_{Ed} = 0.00 N.P.(3)	N.P.(4)	N.P.(4)	N.P.(8)	N.P.(9)	M_{Ed} = 0.00 N.P.(5)	N.P.(6)	N.P.(6)	**CUMPLE η = 7.7**
N1991/N1990	η = 5.9	N_{Ed} = 0.00 N.P.(7)	M_{Ed} = 0.00 N.P.(2)	M_{Ed} = 0.00 N.P.(2)	V_{Ed} = 0.00 N.P.(3)	V_{Ed} = 0.00 N.P.(3)	N.P.(4)	N.P.(4)	N.P.(8)	N.P.(9)	M_{Ed} = 0.00 N.P.(5)	N.P.(6)	N.P.(6)	**CUMPLE η = 5.9**
N1994/N1995	η = 7.4	N_{Ed} = 0.00 N.P.(7)	M_{Ed} = 0.00 N.P.(2)	M_{Ed} = 0.00 N.P.(2)	V_{Ed} = 0.00 N.P.(3)	V_{Ed} = 0.00 N.P.(3)	N.P.(4)	N.P.(4)	N.P.(8)	N.P.(9)	M_{Ed} = 0.00 N.P.(5)	N.P.(6)	N.P.(6)	**CUMPLE η = 7.4**
N1993/N1996	η = 8.2	N_{Ed} = 0.00 N.P.(7)	M_{Ed} = 0.00 N.P.(2)	M_{Ed} = 0.00 N.P.(2)	V_{Ed} = 0.00 N.P.(3)	V_{Ed} = 0.00 N.P.(3)	N.P.(4)	N.P.(4)	N.P.(8)	N.P.(9)	M_{Ed} = 0.00 N.P.(5)	N.P.(6)	N.P.(6)	**CUMPLE η = 8.2**
N1998/N1999	η = 4.7	N_{Ed} = 0.00 N.P.(7)	M_{Ed} = 0.00 N.P.(2)	M_{Ed} = 0.00 N.P.(2)	V_{Ed} = 0.00 N.P.(3)	V_{Ed} = 0.00 N.P.(3)	N.P.(4)	N.P.(4)	N.P.(8)	N.P.(9)	M_{Ed} = 0.00 N.P.(5)	N.P.(6)	N.P.(6)	**CUMPLE η = 4.7**
N1997/N2000	η = 4.7	N_{Ed} = 0.00 N.P.(7)	M_{Ed} = 0.00 N.P.(2)	M_{Ed} = 0.00 N.P.(2)	V_{Ed} = 0.00 N.P.(3)	V_{Ed} = 0.00 N.P.(3)	N.P.(4)	N.P.(4)	N.P.(8)	N.P.(9)	M_{Ed} = 0.00 N.P.(5)	N.P.(6)	N.P.(6)	**CUMPLE η = 4.7**
N2004/N2001	η = 3.6	N_{Ed} = 0.00 N.P.(7)	M_{Ed} = 0.00 N.P.(2)	M_{Ed} = 0.00 N.P.(2)	V_{Ed} = 0.00 N.P.(3)	V_{Ed} = 0.00 N.P.(3)	N.P.(4)	N.P.(4)	N.P.(8)	N.P.(9)	M_{Ed} = 0.00 N.P.(5)	N.P.(6)	N.P.(6)	**CUMPLE η = 3.6**
N2003/N2002	η = 0.6	N_{Ed} = 0.00 N.P.(7)	M_{Ed} = 0.00 N.P.(2)	M_{Ed} = 0.00 N.P.(2)	V_{Ed} = 0.00 N.P.(3)	V_{Ed} = 0.00 N.P.(3)	N.P.(4)	N.P.(4)	N.P.(8)	N.P.(9)	M_{Ed} = 0.00 N.P.(5)	N.P.(6)	N.P.(6)	**CUMPLE η = 0.6**
N2006/N2007	η = 2.6	N_{Ed} = 0.00 N.P.(7)	M_{Ed} = 0.00 N.P.(2)	M_{Ed} = 0.00 N.P.(2)	V_{Ed} = 0.00 N.P.(3)	V_{Ed} = 0.00 N.P.(3)	N.P.(4)	N.P.(4)	N.P.(8)	N.P.(9)	M_{Ed} = 0.00 N.P.(5)	N.P.(6)	N.P.(6)	**CUMPLE η = 2.6**
N2005/N2008	η = 5.4	N_{Ed} = 0.00 N.P.(7)	M_{Ed} = 0.00 N.P.(2)	M_{Ed} = 0.00 N.P.(2)	V_{Ed} = 0.00 N.P.(3)	V_{Ed} = 0.00 N.P.(3)	N.P.(4)	N.P.(4)	N.P.(8)	N.P.(9)	M_{Ed} = 0.00 N.P.(5)	N.P.(6)	N.P.(6)	**CUMPLE η = 5.4**
N2010/N2011	η = 0.9	N_{Ed} = 0.00 N.P.(7)	M_{Ed} = 0.00 N.P.(2)	M_{Ed} = 0.00 N.P.(2)	V_{Ed} = 0.00 N.P.(3)	V_{Ed} = 0.00 N.P.(3)	N.P.(4)	N.P.(4)	N.P.(8)	N.P.(9)	M_{Ed} = 0.00 N.P.(5)	N.P.(6)	N.P.(6)	**CUMPLE η = 0.9**
N2009/N2012	η = 2.2	N_{Ed} = 0.00 N.P.(7)	M_{Ed} = 0.00 N.P.(2)	M_{Ed} = 0.00 N.P.(2)	V_{Ed} = 0.00 N.P.(3)	V_{Ed} = 0.00 N.P.(3)	N.P.(4)	N.P.(4)	N.P.(8)	N.P.(9)	M_{Ed} = 0.00 N.P.(5)	N.P.(6)	N.P.(6)	**CUMPLE η = 2.2**
N2016/N2013	η = 2.3	N_{Ed} = 0.00 N.P.(7)	M_{Ed} = 0.00 N.P.(2)	M_{Ed} = 0.00 N.P.(2)	V_{Ed} = 0.00 N.P.(3)	V_{Ed} = 0.00 N.P.(3)	N.P.(4)	N.P.(4)	N.P.(8)	N.P.(9)	M_{Ed} = 0.00 N.P.(5)	N.P.(6)	N.P.(6)	**CUMPLE η = 2.3**
N2015/N2014	η = 2.9	N_{Ed} = 0.00 N.P.(7)	M_{Ed} = 0.00 N.P.(2)	M_{Ed} = 0.00 N.P.(2)	V_{Ed} = 0.00 N.P.(3)	V_{Ed} = 0.00 N.P.(3)	N.P.(4)	N.P.(4)	N.P.(8)	N.P.(9)	M_{Ed} = 0.00 N.P.(5)	N.P.(6)	N.P.(6)	**CUMPLE η = 2.9**
N2018/N2019	η = 4.5	N_{Ed} = 0.00 N.P.(7)	M_{Ed} = 0.00 N.P.(2)	M_{Ed} = 0.00 N.P.(2)	V_{Ed} = 0.00 N.P.(3)	V_{Ed} = 0.00 N.P.(3)	N.P.(4)	N.P.(4)	N.P.(8)	N.P.(9)	M_{Ed} = 0.00 N.P.(5)	N.P.(6)	N.P.(6)	**CUMPLE η = 4.5**
N2017/N2020	η = 4.3	N_{Ed} = 0.00 N.P.(7)	M_{Ed} = 0.00 N.P.(2)	M_{Ed} = 0.00 N.P.(2)	V_{Ed} = 0.00 N.P.(3)	V_{Ed} = 0.00 N.P.(3)	N.P.(4)	N.P.(4)	N.P.(8)	N.P.(9)	M_{Ed} = 0.00 N.P.(5)	N.P.(6)	N.P.(6)	**CUMPLE η = 4.3**
N2022/N2023	η = 2.7	N_{Ed} = 0.00 N.P.(7)	M_{Ed} = 0.00 N.P.(2)	M_{Ed} = 0.00 N.P.(2)	V_{Ed} = 0.00 N.P.(3)	V_{Ed} = 0.00 N.P.(3)	N.P.(4)	N.P.(4)	N.P.(8)	N.P.(9)	M_{Ed} = 0.00 N.P.(5)	N.P.(6)	N.P.(6)	**CUMPLE η = 2.7**
N2021/N2024	η = 3.4	N_{Ed} = 0.00 N.P.(7)	M_{Ed} = 0.00 N.P.(2)	M_{Ed} = 0.00 N.P.(2)	V_{Ed} = 0.00 N.P.(3)	V_{Ed} = 0.00 N.P.(3)	N.P.(4)	N.P.(4)	N.P.(8)	N.P.(9)	M_{Ed} = 0.00 N.P.(5)	N.P.(6)	N.P.(6)	**CUMPLE η = 3.4**
N2028/N2025	η = 3.8	N_{Ed} = 0.00 N.P.(7)	M_{Ed} = 0.00 N.P.(2)	M_{Ed} = 0.00 N.P.(2)	V_{Ed} = 0.00 N.P.(3)	V_{Ed} = 0.00 N.P.(3)	N.P.(4)	N.P.(4)	N.P.(8)	N.P.(9)	M_{Ed} = 0.00 N.P.(5)	N.P.(6)	N.P.(6)	**CUMPLE η = 3.8**
N2027/N2026	η = 2.2	N_{Ed} = 0.00 N.P.(7)	M_{Ed} = 0.00 N.P.(2)	M_{Ed} = 0.00 N.P.(2)	V_{Ed} = 0.00 N.P.(3)	V_{Ed} = 0.00 N.P.(3)	N.P.(4)	N.P.(4)	N.P.(8)	N.P.(9)	M_{Ed} = 0.00 N.P.(5)	N.P.(6)	N.P.(6)	**CUMPLE η = 2.2**
N2030/N2031	η = 5.2	N_{Ed} = 0.00 N.P.(7)	M_{Ed} = 0.00 N.P.(2)	M_{Ed} = 0.00 N.P.(2)	V_{Ed} = 0.00 N.P.(3)	V_{Ed} = 0.00 N.P.(3)	N.P.(4)	N.P.(4)	N.P.(8)	N.P.(9)	M_{Ed} = 0.00 N.P.(5)	N.P.(6)	N.P.(6)	**CUMPLE η = 5.2**
N2029/N2032	η = 7.3	N_{Ed} = 0.00 N.P.(7)	M_{Ed} = 0.00 N.P.(2)	M_{Ed} = 0.00 N.P.(2)	V_{Ed} = 0.00 N.P.(3)	V_{Ed} = 0.00 N.P.(3)	N.P.(4)	N.P.(4)	N.P.(8)	N.P.(9)	M_{Ed} = 0.00 N.P.(5)	N.P.(6)	N.P.(6)	**CUMPLE η = 7.3**
N2034/N2035	η = 3.2	N_{Ed} = 0.00 N.P.(7)	M_{Ed} = 0.00 N.P.(2)	M_{Ed} = 0.00 N.P.(2)	V_{Ed} = 0.00 N.P.(3)	V_{Ed} = 0.00 N.P.(3)	N.P.(4)	N.P.(4)	N.P.(8)	N.P.(9)	M_{Ed} = 0.00 N.P.(5)	N.P.(6)	N.P.(6)	**CUMPLE η = 3.2**
N2033/N2036	η = 4.8	N_{Ed} = 0.00 N.P.(7)	M_{Ed} = 0.00 N.P.(2)	M_{Ed} = 0.00 N.P.(2)	V_{Ed} = 0.00 N.P.(3)	V_{Ed} = 0.00 N.P.(3)	N.P.(4)	N.P.(4)	N.P.(8)	N.P.(9)	M_{Ed} = 0.00 N.P.(5)	N.P.(6)	N.P.(6)	**CUMPLE η = 4.8**
N2040/N2037	η = 3.5	N_{Ed} = 0.00 N.P.(7)	M_{Ed} = 0.00 N.P.(2)	M_{Ed} = 0.00 N.P.(2)	V_{Ed} = 0.00 N.P.(3)	V_{Ed} = 0.00 N.P.(3)	N.P.(4)	N.P.(4)	N.P.(8)	N.P.(9)	M_{Ed} = 0.00 N.P.(5)	N.P.(6)	N.P.(6)	**CUMPLE η = 3.5**
N2039/N2038	η = 4.5	N_{Ed} = 0.00 N.P.(7)	M_{Ed} = 0.00 N.P.(2)	M_{Ed} = 0.00 N.P.(2)	V_{Ed} = 0.00 N.P.(3)	V_{Ed} = 0.00 N.P.(3)	N.P.(4)	N.P.(4)	N.P.(8)	N.P.(9)	M_{Ed} = 0.00 N.P.(5)	N.P.(6)	N.P.(6)	**CUMPLE η = 4.5**

Documento visado electrónicamente con número: VA07290/22
Código de validación telemática TRLTDCFZ60T66IJ1. Comprobación: https://cogitivalencia.e-gestion.es/Validacion.aspx?CVT=TRLTDCFZ60T66IJ1

VISADO
COGITI
TRLTDCFZ60T66IJ1
Estado
VALENCIA
VA07290/22

Barras	COMPROBACIONES (CÓDIGO ESTRUCTURAL)													Estado
	N_t	N_c	M_Y	M_Z	V_Z	V_Y	M_YV_Z	M_ZV_Y	NM_YM_Z	$NM_YM_ZV_YV_Z$	M_t	M_tV_Z	M_tV_Y	
N2042/N2043	η = 7.2	N_{Ed} = 0.00 N.P.(7)	M_{Ed} = 0.00 N.P.(2)	M_{Ed} = 0.00 N.P.(2)	V_{Ed} = 0.00 N.P.(3)	V_{Ed} = 0.00 N.P.(3)	N.P.(4)	N.P.(4)	N.P.(8)	N.P.(9)	M_{Ed} = 0.00 N.P.(5)	N.P.(6)	N.P.(6)	**CUMPLE** η = 7.2
N2041/N2044	η = 6.1	N_{Ed} = 0.00 N.P.(7)	M_{Ed} = 0.00 N.P.(2)	M_{Ed} = 0.00 N.P.(2)	V_{Ed} = 0.00 N.P.(3)	V_{Ed} = 0.00 N.P.(3)	N.P.(4)	N.P.(4)	N.P.(8)	N.P.(9)	M_{Ed} = 0.00 N.P.(5)	N.P.(6)	N.P.(6)	**CUMPLE** η = 6.1
N2046/N2047	η = 5.6	N_{Ed} = 0.00 N.P.(7)	M_{Ed} = 0.00 N.P.(2)	M_{Ed} = 0.00 N.P.(2)	V_{Ed} = 0.00 N.P.(3)	V_{Ed} = 0.00 N.P.(3)	N.P.(4)	N.P.(4)	N.P.(8)	N.P.(9)	M_{Ed} = 0.00 N.P.(5)	N.P.(6)	N.P.(6)	**CUMPLE** η = 5.6
N2045/N2048	η = 5.2	N_{Ed} = 0.00 N.P.(7)	M_{Ed} = 0.00 N.P.(2)	M_{Ed} = 0.00 N.P.(2)	V_{Ed} = 0.00 N.P.(3)	V_{Ed} = 0.00 N.P.(3)	N.P.(4)	N.P.(4)	N.P.(8)	N.P.(9)	M_{Ed} = 0.00 N.P.(5)	N.P.(6)	N.P.(6)	**CUMPLE** η = 5.2
N1642/N1740	η = 22.6	N_{Ed} = 0.00 N.P.(7)	M_{Ed} = 0.00 N.P.(2)	M_{Ed} = 0.00 N.P.(2)	V_{Ed} = 0.00 N.P.(3)	V_{Ed} = 0.00 N.P.(3)	N.P.(4)	N.P.(4)	N.P.(8)	N.P.(9)	M_{Ed} = 0.00 N.P.(5)	N.P.(6)	N.P.(6)	**CUMPLE** η = 22.6
N1738/N1644	η = 6.8	N_{Ed} = 0.00 N.P.(7)	M_{Ed} = 0.00 N.P.(2)	M_{Ed} = 0.00 N.P.(2)	V_{Ed} = 0.00 N.P.(3)	V_{Ed} = 0.00 N.P.(3)	N.P.(4)	N.P.(4)	N.P.(8)	N.P.(9)	M_{Ed} = 0.00 N.P.(5)	N.P.(6)	N.P.(6)	**CUMPLE** η = 6.8
N1644/N1742	η = 15.6	N_{Ed} = 0.00 N.P.(7)	M_{Ed} = 0.00 N.P.(2)	M_{Ed} = 0.00 N.P.(2)	V_{Ed} = 0.00 N.P.(3)	V_{Ed} = 0.00 N.P.(3)	N.P.(4)	N.P.(4)	N.P.(8)	N.P.(9)	M_{Ed} = 0.00 N.P.(5)	N.P.(6)	N.P.(6)	**CUMPLE** η = 15.6
N1740/N1646	η = 38.4	N_{Ed} = 0.00 N.P.(7)	M_{Ed} = 0.00 N.P.(2)	M_{Ed} = 0.00 N.P.(2)	V_{Ed} = 0.00 N.P.(3)	V_{Ed} = 0.00 N.P.(3)	N.P.(4)	N.P.(4)	N.P.(8)	N.P.(9)	M_{Ed} = 0.00 N.P.(5)	N.P.(6)	N.P.(6)	**CUMPLE** η = 38.4
N1646/N1744	η = 7.3	η = 20.9	M_{Ed} = 0.00 N.P.(2)	M_{Ed} = 0.00 N.P.(2)	V_{Ed} = 0.00 N.P.(3)	V_{Ed} = 0.00 N.P.(3)	N.P.(4)	N.P.(4)	N.P.(8)	N.P.(9)	M_{Ed} = 0.00 N.P.(5)	N.P.(6)	N.P.(6)	**CUMPLE** η = 20.9
N1744/N1650	η = 50.4	N_{Ed} = 0.00 N.P.(7)	M_{Ed} = 0.00 N.P.(2)	M_{Ed} = 0.00 N.P.(2)	V_{Ed} = 0.00 N.P.(3)	V_{Ed} = 0.00 N.P.(3)	N.P.(4)	N.P.(4)	N.P.(8)	N.P.(9)	M_{Ed} = 0.00 N.P.(5)	N.P.(6)	N.P.(6)	**CUMPLE** η = 50.4
N1650/N1748	η = 18.4	N_{Ed} = 0.00 N.P.(7)	M_{Ed} = 0.00 N.P.(2)	M_{Ed} = 0.00 N.P.(2)	V_{Ed} = 0.00 N.P.(3)	V_{Ed} = 0.00 N.P.(3)	N.P.(4)	N.P.(4)	N.P.(8)	N.P.(9)	M_{Ed} = 0.00 N.P.(5)	N.P.(6)	N.P.(6)	**CUMPLE** η = 18.4
N1748/N1654	η = 37.5	η = 10.0	M_{Ed} = 0.00 N.P.(2)	M_{Ed} = 0.00 N.P.(2)	V_{Ed} = 0.00 N.P.(3)	V_{Ed} = 0.00 N.P.(3)	N.P.(4)	N.P.(4)	N.P.(8)	N.P.(9)	M_{Ed} = 0.00 N.P.(5)	N.P.(6)	N.P.(6)	**CUMPLE** η = 37.5
N1654/N1752	η = 14.7	N_{Ed} = 0.00 N.P.(7)	M_{Ed} = 0.00 N.P.(2)	M_{Ed} = 0.00 N.P.(2)	V_{Ed} = 0.00 N.P.(3)	V_{Ed} = 0.00 N.P.(3)	N.P.(4)	N.P.(4)	N.P.(8)	N.P.(9)	M_{Ed} = 0.00 N.P.(5)	N.P.(6)	N.P.(6)	**CUMPLE** η = 14.7
N1752/N1658	η = 5.2	N_{Ed} = 0.00 N.P.(7)	M_{Ed} = 0.00 N.P.(2)	M_{Ed} = 0.00 N.P.(2)	V_{Ed} = 0.00 N.P.(3)	V_{Ed} = 0.00 N.P.(3)	N.P.(4)	N.P.(4)	N.P.(8)	N.P.(9)	M_{Ed} = 0.00 N.P.(5)	N.P.(6)	N.P.(6)	**CUMPLE** η = 5.2
N1656/N1754	η = 15.3	N_{Ed} = 0.00 N.P.(7)	M_{Ed} = 0.00 N.P.(2)	M_{Ed} = 0.00 N.P.(2)	V_{Ed} = 0.00 N.P.(3)	V_{Ed} = 0.00 N.P.(3)	N.P.(4)	N.P.(4)	N.P.(8)	N.P.(9)	M_{Ed} = 0.00 N.P.(5)	N.P.(6)	N.P.(6)	**CUMPLE** η = 15.3
N1750/N1656	η = 70.9	N_{Ed} = 0.00 N.P.(7)	M_{Ed} = 0.00 N.P.(2)	M_{Ed} = 0.00 N.P.(2)	V_{Ed} = 0.00 N.P.(3)	V_{Ed} = 0.00 N.P.(3)	N.P.(4)	N.P.(4)	N.P.(8)	N.P.(9)	M_{Ed} = 0.00 N.P.(5)	N.P.(6)	N.P.(6)	**CUMPLE** η = 70.9
N1652/N1750	η = 8.2	η = 37.2	M_{Ed} = 0.00 N.P.(2)	M_{Ed} = 0.00 N.P.(2)	V_{Ed} = 0.00 N.P.(3)	V_{Ed} = 0.00 N.P.(3)	N.P.(4)	N.P.(4)	N.P.(8)	N.P.(9)	M_{Ed} = 0.00 N.P.(5)	N.P.(6)	N.P.(6)	**CUMPLE** η = 37.2
N1746/N1652	η = 62.4	N_{Ed} = 0.00 N.P.(7)	M_{Ed} = 0.00 N.P.(2)	M_{Ed} = 0.00 N.P.(2)	V_{Ed} = 0.00 N.P.(3)	V_{Ed} = 0.00 N.P.(3)	N.P.(4)	N.P.(4)	N.P.(8)	N.P.(9)	M_{Ed} = 0.00 N.P.(5)	N.P.(6)	N.P.(6)	**CUMPLE** η = 62.4
N1648/N1746	η = 15.7	N_{Ed} = 0.00 N.P.(7)	M_{Ed} = 0.00 N.P.(2)	M_{Ed} = 0.00 N.P.(2)	V_{Ed} = 0.00 N.P.(3)	V_{Ed} = 0.00 N.P.(3)	N.P.(4)	N.P.(4)	N.P.(8)	N.P.(9)	M_{Ed} = 0.00 N.P.(5)	N.P.(6)	N.P.(6)	**CUMPLE** η = 15.7
N1742/N1648	η = 39.7	η = 17.0	M_{Ed} = 0.00 N.P.(2)	M_{Ed} = 0.00 N.P.(2)	V_{Ed} = 0.00 N.P.(3)	V_{Ed} = 0.00 N.P.(3)	N.P.(4)	N.P.(4)	N.P.(8)	N.P.(9)	M_{Ed} = 0.00 N.P.(5)	N.P.(6)	N.P.(6)	**CUMPLE** η = 39.7
N1738/N1836	η = 7.2	N_{Ed} = 0.00 N.P.(7)	M_{Ed} = 0.00 N.P.(2)	M_{Ed} = 0.00 N.P.(2)	V_{Ed} = 0.00 N.P.(3)	V_{Ed} = 0.00 N.P.(3)	N.P.(4)	N.P.(4)	N.P.(8)	N.P.(9)	M_{Ed} = 0.00 N.P.(5)	N.P.(6)	N.P.(6)	**CUMPLE** η = 7.2
N1834/N1740	η = 21.4	N_{Ed} = 0.00 N.P.(7)	M_{Ed} = 0.00 N.P.(2)	M_{Ed} = 0.00 N.P.(2)	V_{Ed} = 0.00 N.P.(3)	V_{Ed} = 0.00 N.P.(3)	N.P.(4)	N.P.(4)	N.P.(8)	N.P.(9)	M_{Ed} = 0.00 N.P.(5)	N.P.(6)	N.P.(6)	**CUMPLE** η = 21.4
N1659/N1757	η = 31.0	N_{Ed} = 0.00 N.P.(7)	M_{Ed} = 0.00 N.P.(2)	M_{Ed} = 0.00 N.P.(2)	V_{Ed} = 0.00 N.P.(3)	V_{Ed} = 0.00 N.P.(3)	N.P.(4)	N.P.(4)	N.P.(8)	N.P.(9)	M_{Ed} = 0.00 N.P.(5)	N.P.(6)	N.P.(6)	**CUMPLE** η = 31.0
N1757/N1663	η = 11.9	N_{Ed} = 0.00 N.P.(7)	M_{Ed} = 0.00 N.P.(2)	M_{Ed} = 0.00 N.P.(2)	V_{Ed} = 0.00 N.P.(3)	V_{Ed} = 0.00 N.P.(3)	N.P.(4)	N.P.(4)	N.P.(8)	N.P.(9)	M_{Ed} = 0.00 N.P.(5)	N.P.(6)	N.P.(6)	**CUMPLE** η = 11.9
N1663/N1761	η = 16.1	η = 5.4	M_{Ed} = 0.00 N.P.(2)	M_{Ed} = 0.00 N.P.(2)	V_{Ed} = 0.00 N.P.(3)	V_{Ed} = 0.00 N.P.(3)	N.P.(4)	N.P.(4)	N.P.(8)	N.P.(9)	M_{Ed} = 0.00 N.P.(5)	N.P.(6)	N.P.(6)	**CUMPLE** η = 16.1
N1761/N1667	η = 8.3	N_{Ed} = 0.00 N.P.(7)	M_{Ed} = 0.00 N.P.(2)	M_{Ed} = 0.00 N.P.(2)	V_{Ed} = 0.00 N.P.(3)	V_{Ed} = 0.00 N.P.(3)	N.P.(4)	N.P.(4)	N.P.(8)	N.P.(9)	M_{Ed} = 0.00 N.P.(5)	N.P.(6)	N.P.(6)	**CUMPLE** η = 8.3
N1667/N1765	η = 9.0	N_{Ed} = 0.00 N.P.(7)	M_{Ed} = 0.00 N.P.(2)	M_{Ed} = 0.00 N.P.(2)	V_{Ed} = 0.00 N.P.(3)	V_{Ed} = 0.00 N.P.(3)	N.P.(4)	N.P.(4)	N.P.(8)	N.P.(9)	M_{Ed} = 0.00 N.P.(5)	N.P.(6)	N.P.(6)	**CUMPLE** η = 9.0
N1765/N1671	η = 4.8	η = 4.6	M_{Ed} = 0.00 N.P.(2)	M_{Ed} = 0.00 N.P.(2)	V_{Ed} = 0.00 N.P.(3)	V_{Ed} = 0.00 N.P.(3)	N.P.(4)	N.P.(4)	N.P.(8)	N.P.(9)	M_{Ed} = 0.00 N.P.(5)	N.P.(6)	N.P.(6)	**CUMPLE** η = 4.8
N1671/N1769	η = 16.5	N_{Ed} = 0.00 N.P.(7)	M_{Ed} = 0.00 N.P.(2)	M_{Ed} = 0.00 N.P.(2)	V_{Ed} = 0.00 N.P.(3)	V_{Ed} = 0.00 N.P.(3)	N.P.(4)	N.P.(4)	N.P.(8)	N.P.(9)	M_{Ed} = 0.00 N.P.(5)	N.P.(6)	N.P.(6)	**CUMPLE** η = 16.5
N1769/N1675	η = 9.0	N_{Ed} = 0.00 N.P.(7)	M_{Ed} = 0.00 N.P.(2)	M_{Ed} = 0.00 N.P.(2)	V_{Ed} = 0.00 N.P.(3)	V_{Ed} = 0.00 N.P.(3)	N.P.(4)	N.P.(4)	N.P.(8)	N.P.(9)	M_{Ed} = 0.00 N.P.(5)	N.P.(6)	N.P.(6)	**CUMPLE** η = 9.0
N1673/N1771	η = 16.6	N_{Ed} = 0.00 N.P.(7)	M_{Ed} = 0.00 N.P.(2)	M_{Ed} = 0.00 N.P.(2)	V_{Ed} = 0.00 N.P.(3)	V_{Ed} = 0.00 N.P.(3)	N.P.(4)	N.P.(4)	N.P.(8)	N.P.(9)	M_{Ed} = 0.00 N.P.(5)	N.P.(6)	N.P.(6)	**CUMPLE** η = 16.6
N1767/N1673	η = 20.1	N_{Ed} = 0.00 N.P.(7)	M_{Ed} = 0.00 N.P.(2)	M_{Ed} = 0.00 N.P.(2)	V_{Ed} = 0.00 N.P.(3)	V_{Ed} = 0.00 N.P.(3)	N.P.(4)	N.P.(4)	N.P.(8)	N.P.(9)	M_{Ed} = 0.00 N.P.(5)	N.P.(6)	N.P.(6)	**CUMPLE** η = 20.1
N1669/N1767	η = 14.2	η = 6.4	M_{Ed} = 0.00 N.P.(2)	M_{Ed} = 0.00 N.P.(2)	V_{Ed} = 0.00 N.P.(3)	V_{Ed} = 0.00 N.P.(3)	N.P.(4)	N.P.(4)	N.P.(8)	N.P.(9)	M_{Ed} = 0.00 N.P.(5)	N.P.(6)	N.P.(6)	**CUMPLE** η = 14.2
N1763/N1669	η = 7.5	N_{Ed} = 0.00 N.P.(7)	M_{Ed} = 0.00 N.P.(2)	M_{Ed} = 0.00 N.P.(2)	V_{Ed} = 0.00 N.P.(3)	V_{Ed} = 0.00 N.P.(3)	N.P.(4)	N.P.(4)	N.P.(8)	N.P.(9)	M_{Ed} = 0.00 N.P.(5)	N.P.(6)	N.P.(6)	**CUMPLE** η = 7.5
N1665/N1763	η = 21.4	N_{Ed} = 0.00 N.P.(7)	M_{Ed} = 0.00 N.P.(2)	M_{Ed} = 0.00 N.P.(2)	V_{Ed} = 0.00 N.P.(3)	V_{Ed} = 0.00 N.P.(3)	N.P.(4)	N.P.(4)	N.P.(8)	N.P.(9)	M_{Ed} = 0.00 N.P.(5)	N.P.(6)	N.P.(6)	**CUMPLE** η = 21.4
N1759/N1665	η = 10.1	η = 16.9	M_{Ed} = 0.00 N.P.(2)	M_{Ed} = 0.00 N.P.(2)	V_{Ed} = 0.00 N.P.(3)	V_{Ed} = 0.00 N.P.(3)	N.P.(4)	N.P.(4)	N.P.(8)	N.P.(9)	M_{Ed} = 0.00 N.P.(5)	N.P.(6)	N.P.(6)	**CUMPLE** η = 16.9
N1661/N1759	η = 43.8	N_{Ed} = 0.00 N.P.(7)	M_{Ed} = 0.00 N.P.(2)	M_{Ed} = 0.00 N.P.(2)	V_{Ed} = 0.00 N.P.(3)	V_{Ed} = 0.00 N.P.(3)	N.P.(4)	N.P.(4)	N.P.(8)	N.P.(9)	M_{Ed} = 0.00 N.P.(5)	N.P.(6)	N.P.(6)	**CUMPLE** η = 43.8

Documento visado electrónicamente con número: VA07290/22
Código de validación telemática TRLTDCFZ60T66IJ1. Comprobación: https://cogitivalencia.e-gestion.es/Validacion.aspx?CVT=TRLTDCFZ60T66IJ1

Listados

VISADO
COGITI
VALENCIA
VA07290/22
TRLTDCFZ60T66IJ1

Barras	COMPROBACIONES (CÓDIGO ESTRUCTURAL)													Estado
	N_t	N_c	M_Y	M_Z	V_Z	V_Y	M_YV_Z	M_ZV_Y	NM_YM_Z	$NM_YM_ZV_YV_Z$	M_t	M_tV_Z	M_tV_Y	
N1755/N1661	η = 9.9	N_{Ed} = 0.00 N.P.(7)	M_{Ed} = 0.00 N.P.(2)	M_{Ed} = 0.00 N.P.(2)	V_{Ed} = 0.00 N.P.(3)	V_{Ed} = 0.00 N.P.(3)	N.P.(4)	N.P.(4)	N.P.(8)	N.P.(9)	M_{Ed} = 0.00 N.P.(5)	N.P.(6)	N.P.(6)	**CUMPLE η = 9.9**
N1676/N1774	η = 24.5	N_{Ed} = 0.00 N.P.(7)	M_{Ed} = 0.00 N.P.(2)	M_{Ed} = 0.00 N.P.(2)	V_{Ed} = 0.00 N.P.(3)	V_{Ed} = 0.00 N.P.(3)	N.P.(4)	N.P.(4)	N.P.(8)	N.P.(9)	M_{Ed} = 0.00 N.P.(5)	N.P.(6)	N.P.(6)	**CUMPLE η = 24.5**
N1774/N1680	η = 13.4	N_{Ed} = 0.00 N.P.(7)	M_{Ed} = 0.00 N.P.(2)	M_{Ed} = 0.00 N.P.(2)	V_{Ed} = 0.00 N.P.(3)	V_{Ed} = 0.00 N.P.(3)	N.P.(4)	N.P.(4)	N.P.(8)	N.P.(9)	M_{Ed} = 0.00 N.P.(5)	N.P.(6)	N.P.(6)	**CUMPLE η = 13.4**
N1680/N1778	η = 15.6	η = 5.0	M_{Ed} = 0.00 N.P.(2)	M_{Ed} = 0.00 N.P.(2)	V_{Ed} = 0.00 N.P.(3)	V_{Ed} = 0.00 N.P.(3)	N.P.(4)	N.P.(4)	N.P.(8)	N.P.(9)	M_{Ed} = 0.00 N.P.(5)	N.P.(6)	N.P.(6)	**CUMPLE η = 15.6**
N1778/N1684	η = 7.8	N_{Ed} = 0.00 N.P.(7)	M_{Ed} = 0.00 N.P.(2)	M_{Ed} = 0.00 N.P.(2)	V_{Ed} = 0.00 N.P.(3)	V_{Ed} = 0.00 N.P.(3)	N.P.(4)	N.P.(4)	N.P.(8)	N.P.(9)	M_{Ed} = 0.00 N.P.(5)	N.P.(6)	N.P.(6)	**CUMPLE η = 7.8**
N1684/N1782	η = 15.2	N_{Ed} = 0.00 N.P.(7)	M_{Ed} = 0.00 N.P.(2)	M_{Ed} = 0.00 N.P.(2)	V_{Ed} = 0.00 N.P.(3)	V_{Ed} = 0.00 N.P.(3)	N.P.(4)	N.P.(4)	N.P.(8)	N.P.(9)	M_{Ed} = 0.00 N.P.(5)	N.P.(6)	N.P.(6)	**CUMPLE η = 15.2**
N1782/N1688	η = 4.5	η = 4.6	M_{Ed} = 0.00 N.P.(2)	M_{Ed} = 0.00 N.P.(2)	V_{Ed} = 0.00 N.P.(3)	V_{Ed} = 0.00 N.P.(3)	N.P.(4)	N.P.(4)	N.P.(8)	N.P.(9)	M_{Ed} = 0.00 N.P.(5)	N.P.(6)	N.P.(6)	**CUMPLE η = 4.6**
N1688/N1786	η = 23.0	N_{Ed} = 0.00 N.P.(7)	M_{Ed} = 0.00 N.P.(2)	M_{Ed} = 0.00 N.P.(2)	V_{Ed} = 0.00 N.P.(3)	V_{Ed} = 0.00 N.P.(3)	N.P.(4)	N.P.(4)	N.P.(8)	N.P.(9)	M_{Ed} = 0.00 N.P.(5)	N.P.(6)	N.P.(6)	**CUMPLE η = 23.0**
N1786/N1692	η = 7.7	N_{Ed} = 0.00 N.P.(7)	M_{Ed} = 0.00 N.P.(2)	M_{Ed} = 0.00 N.P.(2)	V_{Ed} = 0.00 N.P.(3)	V_{Ed} = 0.00 N.P.(3)	N.P.(4)	N.P.(4)	N.P.(8)	N.P.(9)	M_{Ed} = 0.00 N.P.(5)	N.P.(6)	N.P.(6)	**CUMPLE η = 7.7**
N1690/N1788	η = 10.9	N_{Ed} = 0.00 N.P.(7)	M_{Ed} = 0.00 N.P.(2)	M_{Ed} = 0.00 N.P.(2)	V_{Ed} = 0.00 N.P.(3)	V_{Ed} = 0.00 N.P.(3)	N.P.(4)	N.P.(4)	N.P.(8)	N.P.(9)	M_{Ed} = 0.00 N.P.(5)	N.P.(6)	N.P.(6)	**CUMPLE η = 10.9**
N1784/N1690	η = 32.1	N_{Ed} = 0.00 N.P.(7)	M_{Ed} = 0.00 N.P.(2)	M_{Ed} = 0.00 N.P.(2)	V_{Ed} = 0.00 N.P.(3)	V_{Ed} = 0.00 N.P.(3)	N.P.(4)	N.P.(4)	N.P.(8)	N.P.(9)	M_{Ed} = 0.00 N.P.(5)	N.P.(6)	N.P.(6)	**CUMPLE η = 32.1**
N1686/N1784	η = 20.7	η = 15.5	M_{Ed} = 0.00 N.P.(2)	M_{Ed} = 0.00 N.P.(2)	V_{Ed} = 0.00 N.P.(3)	V_{Ed} = 0.00 N.P.(3)	N.P.(4)	N.P.(4)	N.P.(8)	N.P.(9)	M_{Ed} = 0.00 N.P.(5)	N.P.(6)	N.P.(6)	**CUMPLE η = 20.7**
N1780/N1686	η = 8.0	N_{Ed} = 0.00 N.P.(7)	M_{Ed} = 0.00 N.P.(2)	M_{Ed} = 0.00 N.P.(2)	V_{Ed} = 0.00 N.P.(3)	V_{Ed} = 0.00 N.P.(3)	N.P.(4)	N.P.(4)	N.P.(8)	N.P.(9)	M_{Ed} = 0.00 N.P.(5)	N.P.(6)	N.P.(6)	**CUMPLE η = 8.0**
N1682/N1780	η = 23.5	N_{Ed} = 0.00 N.P.(7)	M_{Ed} = 0.00 N.P.(2)	M_{Ed} = 0.00 N.P.(2)	V_{Ed} = 0.00 N.P.(3)	V_{Ed} = 0.00 N.P.(3)	N.P.(4)	N.P.(4)	N.P.(8)	N.P.(9)	M_{Ed} = 0.00 N.P.(5)	N.P.(6)	N.P.(6)	**CUMPLE η = 23.5**
N1776/N1682	η = 12.0	η = 19.1	M_{Ed} = 0.00 N.P.(2)	M_{Ed} = 0.00 N.P.(2)	V_{Ed} = 0.00 N.P.(3)	V_{Ed} = 0.00 N.P.(3)	N.P.(4)	N.P.(4)	N.P.(8)	N.P.(9)	M_{Ed} = 0.00 N.P.(5)	N.P.(6)	N.P.(6)	**CUMPLE η = 19.1**
N1678/N1776	η = 44.3	N_{Ed} = 0.00 N.P.(7)	M_{Ed} = 0.00 N.P.(2)	M_{Ed} = 0.00 N.P.(2)	V_{Ed} = 0.00 N.P.(3)	V_{Ed} = 0.00 N.P.(3)	N.P.(4)	N.P.(4)	N.P.(8)	N.P.(9)	M_{Ed} = 0.00 N.P.(5)	N.P.(6)	N.P.(6)	**CUMPLE η = 44.3**
N1772/N1678	η = 6.0	N_{Ed} = 0.00 N.P.(7)	M_{Ed} = 0.00 N.P.(2)	M_{Ed} = 0.00 N.P.(2)	V_{Ed} = 0.00 N.P.(3)	V_{Ed} = 0.00 N.P.(3)	N.P.(4)	N.P.(4)	N.P.(8)	N.P.(9)	M_{Ed} = 0.00 N.P.(5)	N.P.(6)	N.P.(6)	**CUMPLE η = 6.0**
N1786/N1884	η = 8.1	N_{Ed} = 0.00 N.P.(7)	M_{Ed} = 0.00 N.P.(2)	M_{Ed} = 0.00 N.P.(2)	V_{Ed} = 0.00 N.P.(3)	V_{Ed} = 0.00 N.P.(3)	N.P.(4)	N.P.(4)	N.P.(8)	N.P.(9)	M_{Ed} = 0.00 N.P.(5)	N.P.(6)	N.P.(6)	**CUMPLE η = 8.1**
N1882/N1788	η = 9.3	N_{Ed} = 0.00 N.P.(7)	M_{Ed} = 0.00 N.P.(2)	M_{Ed} = 0.00 N.P.(2)	V_{Ed} = 0.00 N.P.(3)	V_{Ed} = 0.00 N.P.(3)	N.P.(4)	N.P.(4)	N.P.(8)	N.P.(9)	M_{Ed} = 0.00 N.P.(5)	N.P.(6)	N.P.(6)	**CUMPLE η = 9.3**
N1752/N1850	η = 11.3	N_{Ed} = 0.00 N.P.(7)	M_{Ed} = 0.00 N.P.(2)	M_{Ed} = 0.00 N.P.(2)	V_{Ed} = 0.00 N.P.(3)	V_{Ed} = 0.00 N.P.(3)	N.P.(4)	N.P.(4)	N.P.(8)	N.P.(9)	M_{Ed} = 0.00 N.P.(5)	N.P.(6)	N.P.(6)	**CUMPLE η = 11.3**
N1848/N1754	η = 38.4	N_{Ed} = 0.00 N.P.(7)	M_{Ed} = 0.00 N.P.(2)	M_{Ed} = 0.00 N.P.(2)	V_{Ed} = 0.00 N.P.(3)	V_{Ed} = 0.00 N.P.(3)	N.P.(4)	N.P.(4)	N.P.(8)	N.P.(9)	M_{Ed} = 0.00 N.P.(5)	N.P.(6)	N.P.(6)	**CUMPLE η = 38.4**
N1755/N1853	η = 7.5	N_{Ed} = 0.00 N.P.(7)	M_{Ed} = 0.00 N.P.(2)	M_{Ed} = 0.00 N.P.(2)	V_{Ed} = 0.00 N.P.(3)	V_{Ed} = 0.00 N.P.(3)	N.P.(4)	N.P.(4)	N.P.(8)	N.P.(9)	M_{Ed} = 0.00 N.P.(5)	N.P.(6)	N.P.(6)	**CUMPLE η = 7.5**
N1851/N1757	η = 12.9	N_{Ed} = 0.00 N.P.(7)	M_{Ed} = 0.00 N.P.(2)	M_{Ed} = 0.00 N.P.(2)	V_{Ed} = 0.00 N.P.(3)	V_{Ed} = 0.00 N.P.(3)	N.P.(4)	N.P.(4)	N.P.(8)	N.P.(9)	M_{Ed} = 0.00 N.P.(5)	N.P.(6)	N.P.(6)	**CUMPLE η = 12.9**
N1769/N1867	η = 7.9	N_{Ed} = 0.00 N.P.(7)	M_{Ed} = 0.00 N.P.(2)	M_{Ed} = 0.00 N.P.(2)	V_{Ed} = 0.00 N.P.(3)	V_{Ed} = 0.00 N.P.(3)	N.P.(4)	N.P.(4)	N.P.(8)	N.P.(9)	M_{Ed} = 0.00 N.P.(5)	N.P.(6)	N.P.(6)	**CUMPLE η = 7.9**
N1865/N1771	η = 8.4	N_{Ed} = 0.00 N.P.(7)	M_{Ed} = 0.00 N.P.(2)	M_{Ed} = 0.00 N.P.(2)	V_{Ed} = 0.00 N.P.(3)	V_{Ed} = 0.00 N.P.(3)	N.P.(4)	N.P.(4)	N.P.(8)	N.P.(9)	M_{Ed} = 0.00 N.P.(5)	N.P.(6)	N.P.(6)	**CUMPLE η = 8.4**
N1772/N1870	η = 9.3	N_{Ed} = 0.00 N.P.(7)	M_{Ed} = 0.00 N.P.(2)	M_{Ed} = 0.00 N.P.(2)	V_{Ed} = 0.00 N.P.(3)	V_{Ed} = 0.00 N.P.(3)	N.P.(4)	N.P.(4)	N.P.(8)	N.P.(9)	M_{Ed} = 0.00 N.P.(5)	N.P.(6)	N.P.(6)	**CUMPLE η = 9.3**
N1868/N1774	η = 7.9	N_{Ed} = 0.00 N.P.(7)	M_{Ed} = 0.00 N.P.(2)	M_{Ed} = 0.00 N.P.(2)	V_{Ed} = 0.00 N.P.(3)	V_{Ed} = 0.00 N.P.(3)	N.P.(4)	N.P.(4)	N.P.(8)	N.P.(9)	M_{Ed} = 0.00 N.P.(5)	N.P.(6)	N.P.(6)	**CUMPLE η = 7.9**
N2147/N2149	η = 2.1	N_{Ed} = 0.00 N.P.(7)	M_{Ed} = 0.00 N.P.(2)	M_{Ed} = 0.00 N.P.(2)	V_{Ed} = 0.00 N.P.(3)	V_{Ed} = 0.00 N.P.(3)	N.P.(4)	N.P.(4)	N.P.(8)	N.P.(9)	M_{Ed} = 0.00 N.P.(5)	N.P.(6)	N.P.(6)	**CUMPLE η = 2.1**
N2146/N2150	η = 0.3	N_{Ed} = 0.00 N.P.(7)	M_{Ed} = 0.00 N.P.(2)	M_{Ed} = 0.00 N.P.(2)	V_{Ed} = 0.00 N.P.(3)	V_{Ed} = 0.00 N.P.(3)	N.P.(4)	N.P.(4)	N.P.(8)	N.P.(9)	M_{Ed} = 0.00 N.P.(5)	N.P.(6)	N.P.(6)	**CUMPLE η = 0.3**
N2151/N2154	η = 48.2	N_{Ed} = 0.00 N.P.(7)	M_{Ed} = 0.00 N.P.(2)	M_{Ed} = 0.00 N.P.(2)	V_{Ed} = 0.00 N.P.(3)	V_{Ed} = 0.00 N.P.(3)	N.P.(4)	N.P.(4)	N.P.(8)	N.P.(9)	M_{Ed} = 0.00 N.P.(5)	N.P.(6)	N.P.(6)	**CUMPLE η = 48.2**
N2152/N2153	η = 13.4	N_{Ed} = 0.00 N.P.(7)	M_{Ed} = 0.00 N.P.(2)	M_{Ed} = 0.00 N.P.(2)	V_{Ed} = 0.00 N.P.(3)	V_{Ed} = 0.00 N.P.(3)	N.P.(4)	N.P.(4)	N.P.(8)	N.P.(9)	M_{Ed} = 0.00 N.P.(5)	N.P.(6)	N.P.(6)	**CUMPLE η = 13.4**
N2155/N2158	η = 23.1	N_{Ed} = 0.00 N.P.(7)	M_{Ed} = 0.00 N.P.(2)	M_{Ed} = 0.00 N.P.(2)	V_{Ed} = 0.00 N.P.(3)	V_{Ed} = 0.00 N.P.(3)	N.P.(4)	N.P.(4)	N.P.(8)	N.P.(9)	M_{Ed} = 0.00 N.P.(5)	N.P.(6)	N.P.(6)	**CUMPLE η = 23.1**
N2156/N2157	η = 9.0	N_{Ed} = 0.00 N.P.(7)	M_{Ed} = 0.00 N.P.(2)	M_{Ed} = 0.00 N.P.(2)	V_{Ed} = 0.00 N.P.(3)	V_{Ed} = 0.00 N.P.(3)	N.P.(4)	N.P.(4)	N.P.(8)	N.P.(9)	M_{Ed} = 0.00 N.P.(5)	N.P.(6)	N.P.(6)	**CUMPLE η = 9.0**
N2164/N2160	η = 17.2	N_{Ed} = 0.00 N.P.(7)	M_{Ed} = 0.00 N.P.(2)	M_{Ed} = 0.00 N.P.(2)	V_{Ed} = 0.00 N.P.(3)	V_{Ed} = 0.00 N.P.(3)	N.P.(4)	N.P.(4)	N.P.(8)	N.P.(9)	M_{Ed} = 0.00 N.P.(5)	N.P.(6)	N.P.(6)	**CUMPLE η = 17.2**
N2162/N2161	η = 8.3	N_{Ed} = 0.00 N.P.(7)	M_{Ed} = 0.00 N.P.(2)	M_{Ed} = 0.00 N.P.(2)	V_{Ed} = 0.00 N.P.(3)	V_{Ed} = 0.00 N.P.(3)	N.P.(4)	N.P.(4)	N.P.(8)	N.P.(9)	M_{Ed} = 0.00 N.P.(5)	N.P.(6)	N.P.(6)	**CUMPLE η = 8.3**
N2166/N2169	η = 11.4	N_{Ed} = 0.00 N.P.(7)	M_{Ed} = 0.00 N.P.(2)	M_{Ed} = 0.00 N.P.(2)	V_{Ed} = 0.00 N.P.(3)	V_{Ed} = 0.00 N.P.(3)	N.P.(4)	N.P.(4)	N.P.(8)	N.P.(9)	M_{Ed} = 0.00 N.P.(5)	N.P.(6)	N.P.(6)	**CUMPLE η = 11.4**
N2168/N2167	η = 10.8	N_{Ed} = 0.00 N.P.(7)	M_{Ed} = 0.00 N.P.(2)	M_{Ed} = 0.00 N.P.(2)	V_{Ed} = 0.00 N.P.(3)	V_{Ed} = 0.00 N.P.(3)	N.P.(4)	N.P.(4)	N.P.(8)	N.P.(9)	M_{Ed} = 0.00 N.P.(5)	N.P.(6)	N.P.(6)	**CUMPLE η = 10.8**

Documento visado electrónicamente con número: VA07290/22
Código de validación telemática TRLTDCFZ60T66IJ1. Comprobación: https://cogitivalencia.e-gestion.es/Validacion.aspx?CVT=TRLTDCFZ60T66IJ1

VISADO
COGITI
VALENCIA
VA07290/22
TRLTDCFZ60T66IJ1

Barras	COMPROBACIONES (CÓDIGO ESTRUCTURAL)													Estado
	N_t	N_c	M_Y	M_Z	V_Z	V_Y	M_YV_Z	M_ZV_Y	NM_YM_Z	$NM_YM_ZV_YV_Z$	M_t	M_tV_Z	M_tV_Y	
N2171/N2172	η = 13.9	N_{Ed} = 0.00 N.P.(7)	M_{Ed} = 0.00 N.P.(2)	M_{Ed} = 0.00 N.P.(2)	V_{Ed} = 0.00 N.P.(3)	V_{Ed} = 0.00 N.P.(3)	N.P.(4)	N.P.(4)	N.P.(8)	N.P.(9)	M_{Ed} = 0.00 N.P.(5)	N.P.(6)	N.P.(6)	**CUMPLE η = 13.9**
N2170/N2173	η = 13.4	N_{Ed} = 0.00 N.P.(7)	M_{Ed} = 0.00 N.P.(2)	M_{Ed} = 0.00 N.P.(2)	V_{Ed} = 0.00 N.P.(3)	V_{Ed} = 0.00 N.P.(3)	N.P.(4)	N.P.(4)	N.P.(8)	N.P.(9)	M_{Ed} = 0.00 N.P.(5)	N.P.(6)	N.P.(6)	**CUMPLE η = 13.4**
N2175/N2176	η = 8.3	N_{Ed} = 0.00 N.P.(7)	M_{Ed} = 0.00 N.P.(2)	M_{Ed} = 0.00 N.P.(2)	V_{Ed} = 0.00 N.P.(3)	V_{Ed} = 0.00 N.P.(3)	N.P.(4)	N.P.(4)	N.P.(8)	N.P.(9)	M_{Ed} = 0.00 N.P.(5)	N.P.(6)	N.P.(6)	**CUMPLE η = 8.3**
N2174/N2177	η = 7.7	N_{Ed} = 0.00 N.P.(7)	M_{Ed} = 0.00 N.P.(2)	M_{Ed} = 0.00 N.P.(2)	V_{Ed} = 0.00 N.P.(3)	V_{Ed} = 0.00 N.P.(3)	N.P.(4)	N.P.(4)	N.P.(8)	N.P.(9)	M_{Ed} = 0.00 N.P.(5)	N.P.(6)	N.P.(6)	**CUMPLE η = 7.7**
N2181/N2178	η = 5.3	N_{Ed} = 0.00 N.P.(7)	M_{Ed} = 0.00 N.P.(2)	M_{Ed} = 0.00 N.P.(2)	V_{Ed} = 0.00 N.P.(3)	V_{Ed} = 0.00 N.P.(3)	N.P.(4)	N.P.(4)	N.P.(8)	N.P.(9)	M_{Ed} = 0.00 N.P.(5)	N.P.(6)	N.P.(6)	**CUMPLE η = 5.3**
N2180/N2179	η = 6.1	N_{Ed} = 0.00 N.P.(7)	M_{Ed} = 0.00 N.P.(2)	M_{Ed} = 0.00 N.P.(2)	V_{Ed} = 0.00 N.P.(3)	V_{Ed} = 0.00 N.P.(3)	N.P.(4)	N.P.(4)	N.P.(8)	N.P.(9)	M_{Ed} = 0.00 N.P.(5)	N.P.(6)	N.P.(6)	**CUMPLE η = 6.1**
N2183/N2184	η = 8.9	N_{Ed} = 0.00 N.P.(7)	M_{Ed} = 0.00 N.P.(2)	M_{Ed} = 0.00 N.P.(2)	V_{Ed} = 0.00 N.P.(3)	V_{Ed} = 0.00 N.P.(3)	N.P.(4)	N.P.(4)	N.P.(8)	N.P.(9)	M_{Ed} = 0.00 N.P.(5)	N.P.(6)	N.P.(6)	**CUMPLE η = 8.9**
N2182/N2185	η = 8.0	N_{Ed} = 0.00 N.P.(7)	M_{Ed} = 0.00 N.P.(2)	M_{Ed} = 0.00 N.P.(2)	V_{Ed} = 0.00 N.P.(3)	V_{Ed} = 0.00 N.P.(3)	N.P.(4)	N.P.(4)	N.P.(8)	N.P.(9)	M_{Ed} = 0.00 N.P.(5)	N.P.(6)	N.P.(6)	**CUMPLE η = 8.0**
N2187/N2188	η = 5.3	N_{Ed} = 0.00 N.P.(7)	M_{Ed} = 0.00 N.P.(2)	M_{Ed} = 0.00 N.P.(2)	V_{Ed} = 0.00 N.P.(3)	V_{Ed} = 0.00 N.P.(3)	N.P.(4)	N.P.(4)	N.P.(8)	N.P.(9)	M_{Ed} = 0.00 N.P.(5)	N.P.(6)	N.P.(6)	**CUMPLE η = 5.3**
N2186/N2189	η = 5.4	N_{Ed} = 0.00 N.P.(7)	M_{Ed} = 0.00 N.P.(2)	M_{Ed} = 0.00 N.P.(2)	V_{Ed} = 0.00 N.P.(3)	V_{Ed} = 0.00 N.P.(3)	N.P.(4)	N.P.(4)	N.P.(8)	N.P.(9)	M_{Ed} = 0.00 N.P.(5)	N.P.(6)	N.P.(6)	**CUMPLE η = 5.4**
N2193/N2190	η = 7.8	N_{Ed} = 0.00 N.P.(7)	M_{Ed} = 0.00 N.P.(2)	M_{Ed} = 0.00 N.P.(2)	V_{Ed} = 0.00 N.P.(3)	V_{Ed} = 0.00 N.P.(3)	N.P.(4)	N.P.(4)	N.P.(8)	N.P.(9)	M_{Ed} = 0.00 N.P.(5)	N.P.(6)	N.P.(6)	**CUMPLE η = 7.8**
N2192/N2191	η = 8.6	N_{Ed} = 0.00 N.P.(7)	M_{Ed} = 0.00 N.P.(2)	M_{Ed} = 0.00 N.P.(2)	V_{Ed} = 0.00 N.P.(3)	V_{Ed} = 0.00 N.P.(3)	N.P.(4)	N.P.(4)	N.P.(8)	N.P.(9)	M_{Ed} = 0.00 N.P.(5)	N.P.(6)	N.P.(6)	**CUMPLE η = 8.6**
N2195/N2196	η = 13.7	N_{Ed} = 0.00 N.P.(7)	M_{Ed} = 0.00 N.P.(2)	M_{Ed} = 0.00 N.P.(2)	V_{Ed} = 0.00 N.P.(3)	V_{Ed} = 0.00 N.P.(3)	N.P.(4)	N.P.(4)	N.P.(8)	N.P.(9)	M_{Ed} = 0.00 N.P.(5)	N.P.(6)	N.P.(6)	**CUMPLE η = 13.7**
N2194/N2197	η = 12.1	N_{Ed} = 0.00 N.P.(7)	M_{Ed} = 0.00 N.P.(2)	M_{Ed} = 0.00 N.P.(2)	V_{Ed} = 0.00 N.P.(3)	V_{Ed} = 0.00 N.P.(3)	N.P.(4)	N.P.(4)	N.P.(8)	N.P.(9)	M_{Ed} = 0.00 N.P.(5)	N.P.(6)	N.P.(6)	**CUMPLE η = 12.1**
N2199/N2200	η = 10.2	N_{Ed} = 0.00 N.P.(7)	M_{Ed} = 0.00 N.P.(2)	M_{Ed} = 0.00 N.P.(2)	V_{Ed} = 0.00 N.P.(3)	V_{Ed} = 0.00 N.P.(3)	N.P.(4)	N.P.(4)	N.P.(8)	N.P.(9)	M_{Ed} = 0.00 N.P.(5)	N.P.(6)	N.P.(6)	**CUMPLE η = 10.2**
N2198/N2201	η = 9.3	N_{Ed} = 0.00 N.P.(7)	M_{Ed} = 0.00 N.P.(2)	M_{Ed} = 0.00 N.P.(2)	V_{Ed} = 0.00 N.P.(3)	V_{Ed} = 0.00 N.P.(3)	N.P.(4)	N.P.(4)	N.P.(8)	N.P.(9)	M_{Ed} = 0.00 N.P.(5)	N.P.(6)	N.P.(6)	**CUMPLE η = 9.3**
N1834/N2051	η = 6.7	N_{Ed} = 0.00 N.P.(7)	M_{Ed} = 0.00 N.P.(2)	M_{Ed} = 0.00 N.P.(2)	V_{Ed} = 0.00 N.P.(3)	V_{Ed} = 0.00 N.P.(3)	N.P.(4)	N.P.(4)	N.P.(8)	N.P.(9)	M_{Ed} = 0.00 N.P.(5)	N.P.(6)	N.P.(6)	**CUMPLE η = 6.7**
N2049/N1836	η = 21.1	N_{Ed} = 0.00 N.P.(7)	M_{Ed} = 0.00 N.P.(2)	M_{Ed} = 0.00 N.P.(2)	V_{Ed} = 0.00 N.P.(3)	V_{Ed} = 0.00 N.P.(3)	N.P.(4)	N.P.(4)	N.P.(8)	N.P.(9)	M_{Ed} = 0.00 N.P.(5)	N.P.(6)	N.P.(6)	**CUMPLE η = 21.1**
N1882/N2115	η = 7.6	N_{Ed} = 0.00 N.P.(7)	M_{Ed} = 0.00 N.P.(2)	M_{Ed} = 0.00 N.P.(2)	V_{Ed} = 0.00 N.P.(3)	V_{Ed} = 0.00 N.P.(3)	N.P.(4)	N.P.(4)	N.P.(8)	N.P.(9)	M_{Ed} = 0.00 N.P.(5)	N.P.(6)	N.P.(6)	**CUMPLE η = 7.6**
N2113/N1884	η = 12.9	N_{Ed} = 0.00 N.P.(7)	M_{Ed} = 0.00 N.P.(2)	M_{Ed} = 0.00 N.P.(2)	V_{Ed} = 0.00 N.P.(3)	V_{Ed} = 0.00 N.P.(3)	N.P.(4)	N.P.(4)	N.P.(8)	N.P.(9)	M_{Ed} = 0.00 N.P.(5)	N.P.(6)	N.P.(6)	**CUMPLE η = 12.9**
N1848/N2065	η = 7.5	N_{Ed} = 0.00 N.P.(7)	M_{Ed} = 0.00 N.P.(2)	M_{Ed} = 0.00 N.P.(2)	V_{Ed} = 0.00 N.P.(3)	V_{Ed} = 0.00 N.P.(3)	N.P.(4)	N.P.(4)	N.P.(8)	N.P.(9)	M_{Ed} = 0.00 N.P.(5)	N.P.(6)	N.P.(6)	**CUMPLE η = 7.5**
N2063/N1850	η = 26.3	N_{Ed} = 0.00 N.P.(7)	M_{Ed} = 0.00 N.P.(2)	M_{Ed} = 0.00 N.P.(2)	V_{Ed} = 0.00 N.P.(3)	V_{Ed} = 0.00 N.P.(3)	N.P.(4)	N.P.(4)	N.P.(8)	N.P.(9)	M_{Ed} = 0.00 N.P.(5)	N.P.(6)	N.P.(6)	**CUMPLE η = 26.3**
N1851/N2085	η = 10.7	N_{Ed} = 0.00 N.P.(7)	M_{Ed} = 0.00 N.P.(2)	M_{Ed} = 0.00 N.P.(2)	V_{Ed} = 0.00 N.P.(3)	V_{Ed} = 0.00 N.P.(3)	N.P.(4)	N.P.(4)	N.P.(8)	N.P.(9)	M_{Ed} = 0.00 N.P.(5)	N.P.(6)	N.P.(6)	**CUMPLE η = 10.7**
N2083/N1853	η = 14.4	N_{Ed} = 0.00 N.P.(7)	M_{Ed} = 0.00 N.P.(2)	M_{Ed} = 0.00 N.P.(2)	V_{Ed} = 0.00 N.P.(3)	V_{Ed} = 0.00 N.P.(3)	N.P.(4)	N.P.(4)	N.P.(8)	N.P.(9)	M_{Ed} = 0.00 N.P.(5)	N.P.(6)	N.P.(6)	**CUMPLE η = 14.4**
N1865/N2099	η = 6.5	N_{Ed} = 0.00 N.P.(7)	M_{Ed} = 0.00 N.P.(2)	M_{Ed} = 0.00 N.P.(2)	V_{Ed} = 0.00 N.P.(3)	V_{Ed} = 0.00 N.P.(3)	N.P.(4)	N.P.(4)	N.P.(8)	N.P.(9)	M_{Ed} = 0.00 N.P.(5)	N.P.(6)	N.P.(6)	**CUMPLE η = 6.5**
N2097/N1867	η = 10.9	N_{Ed} = 0.00 N.P.(7)	M_{Ed} = 0.00 N.P.(2)	M_{Ed} = 0.00 N.P.(2)	V_{Ed} = 0.00 N.P.(3)	V_{Ed} = 0.00 N.P.(3)	N.P.(4)	N.P.(4)	N.P.(8)	N.P.(9)	M_{Ed} = 0.00 N.P.(5)	N.P.(6)	N.P.(6)	**CUMPLE η = 10.9**
N1868/N2101	η = 12.4	N_{Ed} = 0.00 N.P.(7)	M_{Ed} = 0.00 N.P.(2)	M_{Ed} = 0.00 N.P.(2)	V_{Ed} = 0.00 N.P.(3)	V_{Ed} = 0.00 N.P.(3)	N.P.(4)	N.P.(4)	N.P.(8)	N.P.(9)	M_{Ed} = 0.00 N.P.(5)	N.P.(6)	N.P.(6)	**CUMPLE η = 12.4**
N2082/N1870	η = 14.1	N_{Ed} = 0.00 N.P.(7)	M_{Ed} = 0.00 N.P.(2)	M_{Ed} = 0.00 N.P.(2)	V_{Ed} = 0.00 N.P.(3)	V_{Ed} = 0.00 N.P.(3)	N.P.(4)	N.P.(4)	N.P.(8)	N.P.(9)	M_{Ed} = 0.00 N.P.(5)	N.P.(6)	N.P.(6)	**CUMPLE η = 14.1**
N2300/N2302	η = 2.1	N_{Ed} = 0.00 N.P.(7)	M_{Ed} = 0.00 N.P.(2)	M_{Ed} = 0.00 N.P.(2)	V_{Ed} = 0.00 N.P.(3)	V_{Ed} = 0.00 N.P.(3)	N.P.(4)	N.P.(4)	N.P.(8)	N.P.(9)	M_{Ed} = 0.00 N.P.(5)	N.P.(6)	N.P.(6)	**CUMPLE η = 2.1**
N2299/N2303	η = 0.4	N_{Ed} = 0.00 N.P.(7)	M_{Ed} = 0.00 N.P.(2)	M_{Ed} = 0.00 N.P.(2)	V_{Ed} = 0.00 N.P.(3)	V_{Ed} = 0.00 N.P.(3)	N.P.(4)	N.P.(4)	N.P.(8)	N.P.(9)	M_{Ed} = 0.00 N.P.(5)	N.P.(6)	N.P.(6)	**CUMPLE η = 0.4**
N2304/N2307	η = 42.5	N_{Ed} = 0.00 N.P.(7)	M_{Ed} = 0.00 N.P.(2)	M_{Ed} = 0.00 N.P.(2)	V_{Ed} = 0.00 N.P.(3)	V_{Ed} = 0.00 N.P.(3)	N.P.(4)	N.P.(4)	N.P.(8)	N.P.(9)	M_{Ed} = 0.00 N.P.(5)	N.P.(6)	N.P.(6)	**CUMPLE η = 42.5**
N2305/N2306	η = 12.2	N_{Ed} = 0.00 N.P.(7)	M_{Ed} = 0.00 N.P.(2)	M_{Ed} = 0.00 N.P.(2)	V_{Ed} = 0.00 N.P.(3)	V_{Ed} = 0.00 N.P.(3)	N.P.(4)	N.P.(4)	N.P.(8)	N.P.(9)	M_{Ed} = 0.00 N.P.(5)	N.P.(6)	N.P.(6)	**CUMPLE η = 12.2**
N2308/N2311	η = 20.7	N_{Ed} = 0.00 N.P.(7)	M_{Ed} = 0.00 N.P.(2)	M_{Ed} = 0.00 N.P.(2)	V_{Ed} = 0.00 N.P.(3)	V_{Ed} = 0.00 N.P.(3)	N.P.(4)	N.P.(4)	N.P.(8)	N.P.(9)	M_{Ed} = 0.00 N.P.(5)	N.P.(6)	N.P.(6)	**CUMPLE η = 20.7**
N2309/N2310	η = 8.1	N_{Ed} = 0.00 N.P.(7)	M_{Ed} = 0.00 N.P.(2)	M_{Ed} = 0.00 N.P.(2)	V_{Ed} = 0.00 N.P.(3)	V_{Ed} = 0.00 N.P.(3)	N.P.(4)	N.P.(4)	N.P.(8)	N.P.(9)	M_{Ed} = 0.00 N.P.(5)	N.P.(6)	N.P.(6)	**CUMPLE η = 8.1**
N2317/N2313	η = 12.7	N_{Ed} = 0.00 N.P.(7)	M_{Ed} = 0.00 N.P.(2)	M_{Ed} = 0.00 N.P.(2)	V_{Ed} = 0.00 N.P.(3)	V_{Ed} = 0.00 N.P.(3)	N.P.(4)	N.P.(4)	N.P.(8)	N.P.(9)	M_{Ed} = 0.00 N.P.(5)	N.P.(6)	N.P.(6)	**CUMPLE η = 12.7**
N2315/N2314	η = 5.8	N_{Ed} = 0.00 N.P.(7)	M_{Ed} = 0.00 N.P.(2)	M_{Ed} = 0.00 N.P.(2)	V_{Ed} = 0.00 N.P.(3)	V_{Ed} = 0.00 N.P.(3)	N.P.(4)	N.P.(4)	N.P.(8)	N.P.(9)	M_{Ed} = 0.00 N.P.(5)	N.P.(6)	N.P.(6)	**CUMPLE η = 5.8**
N2319/N2322	η = 5.9	N_{Ed} = 0.00 N.P.(7)	M_{Ed} = 0.00 N.P.(2)	M_{Ed} = 0.00 N.P.(2)	V_{Ed} = 0.00 N.P.(3)	V_{Ed} = 0.00 N.P.(3)	N.P.(4)	N.P.(4)	N.P.(8)	N.P.(9)	M_{Ed} = 0.00 N.P.(5)	N.P.(6)	N.P.(6)	**CUMPLE η = 5.9**

Documento visado electrónicamente con número: VA07290/22
Código de validación telemática TRLTDCFZ60T66IJ1. Comprobación: https://cogitivalencia.e-gestion.es/Validacion.aspx?CVT=TRLTDCFZ60T66IJ1

Listados

VISADO
COGITI
VALENCIA
VA07290/22
TRLTDCFZ60T66IJ1

Barras	COMPROBACIONES (CÓDIGO ESTRUCTURAL)													Estado
	N_t	N_c	M_Y	M_Z	V_Z	V_Y	M_YV_Z	M_ZV_Y	NM_YM_Z	$NM_YM_ZV_YV_Z$	M_t	M_tV_Z	M_tV_Y	
N2321/N2320	η = 3.1	N_{Ed} = 0.00 N.P.(7)	M_{Ed} = 0.00 N.P.(2)	M_{Ed} = 0.00 N.P.(2)	V_{Ed} = 0.00 N.P.(3)	V_{Ed} = 0.00 N.P.(3)	N.P.(4)	N.P.(4)	N.P.(8)	N.P.(9)	M_{Ed} = 0.00 N.P.(5)	N.P.(6)	N.P.(6)	**CUMPLE η = 3.1**
N2324/N2325	η = 4.4	N_{Ed} = 0.00 N.P.(7)	M_{Ed} = 0.00 N.P.(2)	M_{Ed} = 0.00 N.P.(2)	V_{Ed} = 0.00 N.P.(3)	V_{Ed} = 0.00 N.P.(3)	N.P.(4)	N.P.(4)	N.P.(8)	N.P.(9)	M_{Ed} = 0.00 N.P.(5)	N.P.(6)	N.P.(6)	**CUMPLE η = 4.4**
N2323/N2326	η = 6.8	N_{Ed} = 0.00 N.P.(7)	M_{Ed} = 0.00 N.P.(2)	M_{Ed} = 0.00 N.P.(2)	V_{Ed} = 0.00 N.P.(3)	V_{Ed} = 0.00 N.P.(3)	N.P.(4)	N.P.(4)	N.P.(8)	N.P.(9)	M_{Ed} = 0.00 N.P.(5)	N.P.(6)	N.P.(6)	**CUMPLE η = 6.8**
N2328/N2329	η = 2.2	N_{Ed} = 0.00 N.P.(7)	M_{Ed} = 0.00 N.P.(2)	M_{Ed} = 0.00 N.P.(2)	V_{Ed} = 0.00 N.P.(3)	V_{Ed} = 0.00 N.P.(3)	N.P.(4)	N.P.(4)	N.P.(8)	N.P.(9)	M_{Ed} = 0.00 N.P.(5)	N.P.(6)	N.P.(6)	**CUMPLE η = 2.2**
N2327/N2330	η = 3.5	N_{Ed} = 0.00 N.P.(7)	M_{Ed} = 0.00 N.P.(2)	M_{Ed} = 0.00 N.P.(2)	V_{Ed} = 0.00 N.P.(3)	V_{Ed} = 0.00 N.P.(3)	N.P.(4)	N.P.(4)	N.P.(8)	N.P.(9)	M_{Ed} = 0.00 N.P.(5)	N.P.(6)	N.P.(6)	**CUMPLE η = 3.5**
N2334/N2331	η = 2.2	N_{Ed} = 0.00 N.P.(7)	M_{Ed} = 0.00 N.P.(2)	M_{Ed} = 0.00 N.P.(2)	V_{Ed} = 0.00 N.P.(3)	V_{Ed} = 0.00 N.P.(3)	N.P.(4)	N.P.(4)	N.P.(8)	N.P.(9)	M_{Ed} = 0.00 N.P.(5)	N.P.(6)	N.P.(6)	**CUMPLE η = 2.2**
N2333/N2332	η = 1.5	N_{Ed} = 0.00 N.P.(7)	M_{Ed} = 0.00 N.P.(2)	M_{Ed} = 0.00 N.P.(2)	V_{Ed} = 0.00 N.P.(3)	V_{Ed} = 0.00 N.P.(3)	N.P.(4)	N.P.(4)	N.P.(8)	N.P.(9)	M_{Ed} = 0.00 N.P.(5)	N.P.(6)	N.P.(6)	**CUMPLE η = 1.5**
N2336/N2337	η = 2.4	N_{Ed} = 0.00 N.P.(7)	M_{Ed} = 0.00 N.P.(2)	M_{Ed} = 0.00 N.P.(2)	V_{Ed} = 0.00 N.P.(3)	V_{Ed} = 0.00 N.P.(3)	N.P.(4)	N.P.(4)	N.P.(8)	N.P.(9)	M_{Ed} = 0.00 N.P.(5)	N.P.(6)	N.P.(6)	**CUMPLE η = 2.4**
N2335/N2338	η = 3.7	N_{Ed} = 0.00 N.P.(7)	M_{Ed} = 0.00 N.P.(2)	M_{Ed} = 0.00 N.P.(2)	V_{Ed} = 0.00 N.P.(3)	V_{Ed} = 0.00 N.P.(3)	N.P.(4)	N.P.(4)	N.P.(8)	N.P.(9)	M_{Ed} = 0.00 N.P.(5)	N.P.(6)	N.P.(6)	**CUMPLE η = 3.7**
N2340/N2341	η = 0.9	N_{Ed} = 0.00 N.P.(7)	M_{Ed} = 0.00 N.P.(2)	M_{Ed} = 0.00 N.P.(2)	V_{Ed} = 0.00 N.P.(3)	V_{Ed} = 0.00 N.P.(3)	N.P.(4)	N.P.(4)	N.P.(8)	N.P.(9)	M_{Ed} = 0.00 N.P.(5)	N.P.(6)	N.P.(6)	**CUMPLE η = 0.9**
N2339/N2342	η = 2.4	N_{Ed} = 0.00 N.P.(7)	M_{Ed} = 0.00 N.P.(2)	M_{Ed} = 0.00 N.P.(2)	V_{Ed} = 0.00 N.P.(3)	V_{Ed} = 0.00 N.P.(3)	N.P.(4)	N.P.(4)	N.P.(8)	N.P.(9)	M_{Ed} = 0.00 N.P.(5)	N.P.(6)	N.P.(6)	**CUMPLE η = 2.4**
N2346/N2343	η = 3.7	N_{Ed} = 0.00 N.P.(7)	M_{Ed} = 0.00 N.P.(2)	M_{Ed} = 0.00 N.P.(2)	V_{Ed} = 0.00 N.P.(3)	V_{Ed} = 0.00 N.P.(3)	N.P.(4)	N.P.(4)	N.P.(8)	N.P.(9)	M_{Ed} = 0.00 N.P.(5)	N.P.(6)	N.P.(6)	**CUMPLE η = 3.7**
N2345/N2344	η = 2.5	N_{Ed} = 0.00 N.P.(7)	M_{Ed} = 0.00 N.P.(2)	M_{Ed} = 0.00 N.P.(2)	V_{Ed} = 0.00 N.P.(3)	V_{Ed} = 0.00 N.P.(3)	N.P.(4)	N.P.(4)	N.P.(8)	N.P.(9)	M_{Ed} = 0.00 N.P.(5)	N.P.(6)	N.P.(6)	**CUMPLE η = 2.5**
N2348/N2349	η = 4.5	N_{Ed} = 0.00 N.P.(7)	M_{Ed} = 0.00 N.P.(2)	M_{Ed} = 0.00 N.P.(2)	V_{Ed} = 0.00 N.P.(3)	V_{Ed} = 0.00 N.P.(3)	N.P.(4)	N.P.(4)	N.P.(8)	N.P.(9)	M_{Ed} = 0.00 N.P.(5)	N.P.(6)	N.P.(6)	**CUMPLE η = 4.5**
N2347/N2350	η = 6.0	N_{Ed} = 0.00 N.P.(7)	M_{Ed} = 0.00 N.P.(2)	M_{Ed} = 0.00 N.P.(2)	V_{Ed} = 0.00 N.P.(3)	V_{Ed} = 0.00 N.P.(3)	N.P.(4)	N.P.(4)	N.P.(8)	N.P.(9)	M_{Ed} = 0.00 N.P.(5)	N.P.(6)	N.P.(6)	**CUMPLE η = 6.0**
N2352/N2353	η = 3.0	N_{Ed} = 0.00 N.P.(7)	M_{Ed} = 0.00 N.P.(2)	M_{Ed} = 0.00 N.P.(2)	V_{Ed} = 0.00 N.P.(3)	V_{Ed} = 0.00 N.P.(3)	N.P.(4)	N.P.(4)	N.P.(8)	N.P.(9)	M_{Ed} = 0.00 N.P.(5)	N.P.(6)	N.P.(6)	**CUMPLE η = 3.0**
N2351/N2354	η = 4.5	N_{Ed} = 0.00 N.P.(7)	M_{Ed} = 0.00 N.P.(2)	M_{Ed} = 0.00 N.P.(2)	V_{Ed} = 0.00 N.P.(3)	V_{Ed} = 0.00 N.P.(3)	N.P.(4)	N.P.(4)	N.P.(8)	N.P.(9)	M_{Ed} = 0.00 N.P.(5)	N.P.(6)	N.P.(6)	**CUMPLE η = 4.5**
N2049/N2204	η = 4.0	N_{Ed} = 0.00 N.P.(7)	M_{Ed} = 0.00 N.P.(2)	M_{Ed} = 0.00 N.P.(2)	V_{Ed} = 0.00 N.P.(3)	V_{Ed} = 0.00 N.P.(3)	N.P.(4)	N.P.(4)	N.P.(8)	N.P.(9)	M_{Ed} = 0.00 N.P.(5)	N.P.(6)	N.P.(6)	**CUMPLE η = 4.0**
N2202/N2051	η = 12.8	N_{Ed} = 0.00 N.P.(7)	M_{Ed} = 0.00 N.P.(2)	M_{Ed} = 0.00 N.P.(2)	V_{Ed} = 0.00 N.P.(3)	V_{Ed} = 0.00 N.P.(3)	N.P.(4)	N.P.(4)	N.P.(8)	N.P.(9)	M_{Ed} = 0.00 N.P.(5)	N.P.(6)	N.P.(6)	**CUMPLE η = 12.8**
N2113/N2268	η = 5.4	N_{Ed} = 0.00 N.P.(7)	M_{Ed} = 0.00 N.P.(2)	M_{Ed} = 0.00 N.P.(2)	V_{Ed} = 0.00 N.P.(3)	V_{Ed} = 0.00 N.P.(3)	N.P.(4)	N.P.(4)	N.P.(8)	N.P.(9)	M_{Ed} = 0.00 N.P.(5)	N.P.(6)	N.P.(6)	**CUMPLE η = 5.4**
N2266/N2115	η = 7.7	N_{Ed} = 0.00 N.P.(7)	M_{Ed} = 0.00 N.P.(2)	M_{Ed} = 0.00 N.P.(2)	V_{Ed} = 0.00 N.P.(3)	V_{Ed} = 0.00 N.P.(3)	N.P.(4)	N.P.(4)	N.P.(8)	N.P.(9)	M_{Ed} = 0.00 N.P.(5)	N.P.(6)	N.P.(6)	**CUMPLE η = 7.7**
N2063/N2218	η = 8.3	N_{Ed} = 0.00 N.P.(7)	M_{Ed} = 0.00 N.P.(2)	M_{Ed} = 0.00 N.P.(2)	V_{Ed} = 0.00 N.P.(3)	V_{Ed} = 0.00 N.P.(3)	N.P.(4)	N.P.(4)	N.P.(8)	N.P.(9)	M_{Ed} = 0.00 N.P.(5)	N.P.(6)	N.P.(6)	**CUMPLE η = 8.3**
N2216/N2065	η = 23.5	N_{Ed} = 0.00 N.P.(7)	M_{Ed} = 0.00 N.P.(2)	M_{Ed} = 0.00 N.P.(2)	V_{Ed} = 0.00 N.P.(3)	V_{Ed} = 0.00 N.P.(3)	N.P.(4)	N.P.(4)	N.P.(8)	N.P.(9)	M_{Ed} = 0.00 N.P.(5)	N.P.(6)	N.P.(6)	**CUMPLE η = 23.5**
N2083/N2238	η = 6.4	N_{Ed} = 0.00 N.P.(7)	M_{Ed} = 0.00 N.P.(2)	M_{Ed} = 0.00 N.P.(2)	V_{Ed} = 0.00 N.P.(3)	V_{Ed} = 0.00 N.P.(3)	N.P.(4)	N.P.(4)	N.P.(8)	N.P.(9)	M_{Ed} = 0.00 N.P.(5)	N.P.(6)	N.P.(6)	**CUMPLE η = 6.4**
N2236/N2085	η = 7.4	N_{Ed} = 0.00 N.P.(7)	M_{Ed} = 0.00 N.P.(2)	M_{Ed} = 0.00 N.P.(2)	V_{Ed} = 0.00 N.P.(3)	V_{Ed} = 0.00 N.P.(3)	N.P.(4)	N.P.(4)	N.P.(8)	N.P.(9)	M_{Ed} = 0.00 N.P.(5)	N.P.(6)	N.P.(6)	**CUMPLE η = 7.4**
N2097/N2252	η = 6.4	N_{Ed} = 0.00 N.P.(7)	M_{Ed} = 0.00 N.P.(2)	M_{Ed} = 0.00 N.P.(2)	V_{Ed} = 0.00 N.P.(3)	V_{Ed} = 0.00 N.P.(3)	N.P.(4)	N.P.(4)	N.P.(8)	N.P.(9)	M_{Ed} = 0.00 N.P.(5)	N.P.(6)	N.P.(6)	**CUMPLE η = 6.4**
N2250/N2099	η = 10.3	N_{Ed} = 0.00 N.P.(7)	M_{Ed} = 0.00 N.P.(2)	M_{Ed} = 0.00 N.P.(2)	V_{Ed} = 0.00 N.P.(3)	V_{Ed} = 0.00 N.P.(3)	N.P.(4)	N.P.(4)	N.P.(8)	N.P.(9)	M_{Ed} = 0.00 N.P.(5)	N.P.(6)	N.P.(6)	**CUMPLE η = 10.3**
N2082/N2254	η = 7.3	N_{Ed} = 0.00 N.P.(7)	M_{Ed} = 0.00 N.P.(2)	M_{Ed} = 0.00 N.P.(2)	V_{Ed} = 0.00 N.P.(3)	V_{Ed} = 0.00 N.P.(3)	N.P.(4)	N.P.(4)	N.P.(8)	N.P.(9)	M_{Ed} = 0.00 N.P.(5)	N.P.(6)	N.P.(6)	**CUMPLE η = 7.3**
N2235/N2101	η = 6.6	N_{Ed} = 0.00 N.P.(7)	M_{Ed} = 0.00 N.P.(2)	M_{Ed} = 0.00 N.P.(2)	V_{Ed} = 0.00 N.P.(3)	V_{Ed} = 0.00 N.P.(3)	N.P.(4)	N.P.(4)	N.P.(8)	N.P.(9)	M_{Ed} = 0.00 N.P.(5)	N.P.(6)	N.P.(6)	**CUMPLE η = 6.6**
N2453/N2455	η = 1.8	N_{Ed} = 0.00 N.P.(7)	M_{Ed} = 0.00 N.P.(2)	M_{Ed} = 0.00 N.P.(2)	V_{Ed} = 0.00 N.P.(3)	V_{Ed} = 0.00 N.P.(3)	N.P.(4)	N.P.(4)	N.P.(8)	N.P.(9)	M_{Ed} = 0.00 N.P.(5)	N.P.(6)	N.P.(6)	**CUMPLE η = 1.8**
N2452/N2456	η = 1.0	N_{Ed} = 0.00 N.P.(7)	M_{Ed} = 0.00 N.P.(2)	M_{Ed} = 0.00 N.P.(2)	V_{Ed} = 0.00 N.P.(3)	V_{Ed} = 0.00 N.P.(3)	N.P.(4)	N.P.(4)	N.P.(8)	N.P.(9)	M_{Ed} = 0.00 N.P.(5)	N.P.(6)	N.P.(6)	**CUMPLE η = 1.0**
N2457/N2460	η = 41.9	N_{Ed} = 0.00 N.P.(7)	M_{Ed} = 0.00 N.P.(2)	M_{Ed} = 0.00 N.P.(2)	V_{Ed} = 0.00 N.P.(3)	V_{Ed} = 0.00 N.P.(3)	N.P.(4)	N.P.(4)	N.P.(8)	N.P.(9)	M_{Ed} = 0.00 N.P.(5)	N.P.(6)	N.P.(6)	**CUMPLE η = 41.9**
N2458/N2459	η = 12.3	N_{Ed} = 0.00 N.P.(7)	M_{Ed} = 0.00 N.P.(2)	M_{Ed} = 0.00 N.P.(2)	V_{Ed} = 0.00 N.P.(3)	V_{Ed} = 0.00 N.P.(3)	N.P.(4)	N.P.(4)	N.P.(8)	N.P.(9)	M_{Ed} = 0.00 N.P.(5)	N.P.(6)	N.P.(6)	**CUMPLE η = 12.3**
N2461/N2464	η = 20.5	N_{Ed} = 0.00 N.P.(7)	M_{Ed} = 0.00 N.P.(2)	M_{Ed} = 0.00 N.P.(2)	V_{Ed} = 0.00 N.P.(3)	V_{Ed} = 0.00 N.P.(3)	N.P.(4)	N.P.(4)	N.P.(8)	N.P.(9)	M_{Ed} = 0.00 N.P.(5)	N.P.(6)	N.P.(6)	**CUMPLE η = 20.5**
N2462/N2463	η = 8.2	N_{Ed} = 0.00 N.P.(7)	M_{Ed} = 0.00 N.P.(2)	M_{Ed} = 0.00 N.P.(2)	V_{Ed} = 0.00 N.P.(3)	V_{Ed} = 0.00 N.P.(3)	N.P.(4)	N.P.(4)	N.P.(8)	N.P.(9)	M_{Ed} = 0.00 N.P.(5)	N.P.(6)	N.P.(6)	**CUMPLE η = 8.2**
N2470/N2466	η = 12.4	N_{Ed} = 0.00 N.P.(7)	M_{Ed} = 0.00 N.P.(2)	M_{Ed} = 0.00 N.P.(2)	V_{Ed} = 0.00 N.P.(3)	V_{Ed} = 0.00 N.P.(3)	N.P.(4)	N.P.(4)	N.P.(8)	N.P.(9)	M_{Ed} = 0.00 N.P.(5)	N.P.(6)	N.P.(6)	**CUMPLE η = 12.4**
N2468/N2467	η = 6.0	N_{Ed} = 0.00 N.P.(7)	M_{Ed} = 0.00 N.P.(2)	M_{Ed} = 0.00 N.P.(2)	V_{Ed} = 0.00 N.P.(3)	V_{Ed} = 0.00 N.P.(3)	N.P.(4)	N.P.(4)	N.P.(8)	N.P.(9)	M_{Ed} = 0.00 N.P.(5)	N.P.(6)	N.P.(6)	**CUMPLE η = 6.0**

Documento visado electrónicamente con número: VA07290/22
Código de validación telemática TRLTDCFZ60T66IJ1. Comprobación: https://cogitivalencia.e-gestion.es/Validacion.aspx?CVT=TRLTDCFZ60T66IJ1

VISADO
COGITI
VALENCIA
VA07290/22
TRLTDCFZ60T66IJ1

Barras	COMPROBACIONES (CÓDIGO ESTRUCTURAL)													Estado
	N_t	N_c	M_Y	M_Z	V_Z	V_Y	M_YV_Z	M_ZV_Y	NM_YM_Z	$NM_YM_ZV_YV_Z$	M_t	M_tV_Z	M_tV_Y	
N2472/N2475	η = 6.0	N_{Ed} = 0.00 N.P.(7)	M_{Ed} = 0.00 N.P.(2)	M_{Ed} = 0.00 N.P.(2)	V_{Ed} = 0.00 N.P.(3)	V_{Ed} = 0.00 N.P.(3)	N.P.(4)	N.P.(4)	N.P.(8)	N.P.(9)	M_{Ed} = 0.00 N.P.(5)	N.P.(6)	N.P.(6)	**CUMPLE η = 6.0**
N2474/N2473	η = 3.4	N_{Ed} = 0.00 N.P.(7)	M_{Ed} = 0.00 N.P.(2)	M_{Ed} = 0.00 N.P.(2)	V_{Ed} = 0.00 N.P.(3)	V_{Ed} = 0.00 N.P.(3)	N.P.(4)	N.P.(4)	N.P.(8)	N.P.(9)	M_{Ed} = 0.00 N.P.(5)	N.P.(6)	N.P.(6)	**CUMPLE η = 3.4**
N2477/N2478	η = 4.5	N_{Ed} = 0.00 N.P.(7)	M_{Ed} = 0.00 N.P.(2)	M_{Ed} = 0.00 N.P.(2)	V_{Ed} = 0.00 N.P.(3)	V_{Ed} = 0.00 N.P.(3)	N.P.(4)	N.P.(4)	N.P.(8)	N.P.(9)	M_{Ed} = 0.00 N.P.(5)	N.P.(6)	N.P.(6)	**CUMPLE η = 4.5**
N2476/N2479	η = 7.0	N_{Ed} = 0.00 N.P.(7)	M_{Ed} = 0.00 N.P.(2)	M_{Ed} = 0.00 N.P.(2)	V_{Ed} = 0.00 N.P.(3)	V_{Ed} = 0.00 N.P.(3)	N.P.(4)	N.P.(4)	N.P.(8)	N.P.(9)	M_{Ed} = 0.00 N.P.(5)	N.P.(6)	N.P.(6)	**CUMPLE η = 7.0**
N2481/N2482	η = 2.5	N_{Ed} = 0.00 N.P.(7)	M_{Ed} = 0.00 N.P.(2)	M_{Ed} = 0.00 N.P.(2)	V_{Ed} = 0.00 N.P.(3)	V_{Ed} = 0.00 N.P.(3)	N.P.(4)	N.P.(4)	N.P.(8)	N.P.(9)	M_{Ed} = 0.00 N.P.(5)	N.P.(6)	N.P.(6)	**CUMPLE η = 2.5**
N2480/N2483	η = 3.8	N_{Ed} = 0.00 N.P.(7)	M_{Ed} = 0.00 N.P.(2)	M_{Ed} = 0.00 N.P.(2)	V_{Ed} = 0.00 N.P.(3)	V_{Ed} = 0.00 N.P.(3)	N.P.(4)	N.P.(4)	N.P.(8)	N.P.(9)	M_{Ed} = 0.00 N.P.(5)	N.P.(6)	N.P.(6)	**CUMPLE η = 3.8**
N2487/N2484	η = 2.4	N_{Ed} = 0.00 N.P.(7)	M_{Ed} = 0.00 N.P.(2)	M_{Ed} = 0.00 N.P.(2)	V_{Ed} = 0.00 N.P.(3)	V_{Ed} = 0.00 N.P.(3)	N.P.(4)	N.P.(4)	N.P.(8)	N.P.(9)	M_{Ed} = 0.00 N.P.(5)	N.P.(6)	N.P.(6)	**CUMPLE η = 2.4**
N2486/N2485	η = 1.6	N_{Ed} = 0.00 N.P.(7)	M_{Ed} = 0.00 N.P.(2)	M_{Ed} = 0.00 N.P.(2)	V_{Ed} = 0.00 N.P.(3)	V_{Ed} = 0.00 N.P.(3)	N.P.(4)	N.P.(4)	N.P.(8)	N.P.(9)	M_{Ed} = 0.00 N.P.(5)	N.P.(6)	N.P.(6)	**CUMPLE η = 1.6**
N2489/N2490	η = 2.5	N_{Ed} = 0.00 N.P.(7)	M_{Ed} = 0.00 N.P.(2)	M_{Ed} = 0.00 N.P.(2)	V_{Ed} = 0.00 N.P.(3)	V_{Ed} = 0.00 N.P.(3)	N.P.(4)	N.P.(4)	N.P.(8)	N.P.(9)	M_{Ed} = 0.00 N.P.(5)	N.P.(6)	N.P.(6)	**CUMPLE η = 2.5**
N2488/N2491	η = 3.9	N_{Ed} = 0.00 N.P.(7)	M_{Ed} = 0.00 N.P.(2)	M_{Ed} = 0.00 N.P.(2)	V_{Ed} = 0.00 N.P.(3)	V_{Ed} = 0.00 N.P.(3)	N.P.(4)	N.P.(4)	N.P.(8)	N.P.(9)	M_{Ed} = 0.00 N.P.(5)	N.P.(6)	N.P.(6)	**CUMPLE η = 3.9**
N2493/N2494	η = 1.2	N_{Ed} = 0.00 N.P.(7)	M_{Ed} = 0.00 N.P.(2)	M_{Ed} = 0.00 N.P.(2)	V_{Ed} = 0.00 N.P.(3)	V_{Ed} = 0.00 N.P.(3)	N.P.(4)	N.P.(4)	N.P.(8)	N.P.(9)	M_{Ed} = 0.00 N.P.(5)	N.P.(6)	N.P.(6)	**CUMPLE η = 1.2**
N2492/N2495	η = 2.6	N_{Ed} = 0.00 N.P.(7)	M_{Ed} = 0.00 N.P.(2)	M_{Ed} = 0.00 N.P.(2)	V_{Ed} = 0.00 N.P.(3)	V_{Ed} = 0.00 N.P.(3)	N.P.(4)	N.P.(4)	N.P.(8)	N.P.(9)	M_{Ed} = 0.00 N.P.(5)	N.P.(6)	N.P.(6)	**CUMPLE η = 2.6**
N2499/N2496	η = 3.9	N_{Ed} = 0.00 N.P.(7)	M_{Ed} = 0.00 N.P.(2)	M_{Ed} = 0.00 N.P.(2)	V_{Ed} = 0.00 N.P.(3)	V_{Ed} = 0.00 N.P.(3)	N.P.(4)	N.P.(4)	N.P.(8)	N.P.(9)	M_{Ed} = 0.00 N.P.(5)	N.P.(6)	N.P.(6)	**CUMPLE η = 3.9**
N2498/N2497	η = 2.5	N_{Ed} = 0.00 N.P.(7)	M_{Ed} = 0.00 N.P.(2)	M_{Ed} = 0.00 N.P.(2)	V_{Ed} = 0.00 N.P.(3)	V_{Ed} = 0.00 N.P.(3)	N.P.(4)	N.P.(4)	N.P.(8)	N.P.(9)	M_{Ed} = 0.00 N.P.(5)	N.P.(6)	N.P.(6)	**CUMPLE η = 2.5**
N2501/N2502	η = 4.4	N_{Ed} = 0.00 N.P.(7)	M_{Ed} = 0.00 N.P.(2)	M_{Ed} = 0.00 N.P.(2)	V_{Ed} = 0.00 N.P.(3)	V_{Ed} = 0.00 N.P.(3)	N.P.(4)	N.P.(4)	N.P.(8)	N.P.(9)	M_{Ed} = 0.00 N.P.(5)	N.P.(6)	N.P.(6)	**CUMPLE η = 4.4**
N2500/N2503	η = 6.1	N_{Ed} = 0.00 N.P.(7)	M_{Ed} = 0.00 N.P.(2)	M_{Ed} = 0.00 N.P.(2)	V_{Ed} = 0.00 N.P.(3)	V_{Ed} = 0.00 N.P.(3)	N.P.(4)	N.P.(4)	N.P.(8)	N.P.(9)	M_{Ed} = 0.00 N.P.(5)	N.P.(6)	N.P.(6)	**CUMPLE η = 6.1**
N2505/N2506	η = 3.2	N_{Ed} = 0.00 N.P.(7)	M_{Ed} = 0.00 N.P.(2)	M_{Ed} = 0.00 N.P.(2)	V_{Ed} = 0.00 N.P.(3)	V_{Ed} = 0.00 N.P.(3)	N.P.(4)	N.P.(4)	N.P.(8)	N.P.(9)	M_{Ed} = 0.00 N.P.(5)	N.P.(6)	N.P.(6)	**CUMPLE η = 3.2**
N2504/N2507	η = 4.7	N_{Ed} = 0.00 N.P.(7)	M_{Ed} = 0.00 N.P.(2)	M_{Ed} = 0.00 N.P.(2)	V_{Ed} = 0.00 N.P.(3)	V_{Ed} = 0.00 N.P.(3)	N.P.(4)	N.P.(4)	N.P.(8)	N.P.(9)	M_{Ed} = 0.00 N.P.(5)	N.P.(6)	N.P.(6)	**CUMPLE η = 4.7**
N2202/N2357	η = 11.0	N_{Ed} = 0.00 N.P.(7)	M_{Ed} = 0.00 N.P.(2)	M_{Ed} = 0.00 N.P.(2)	V_{Ed} = 0.00 N.P.(3)	V_{Ed} = 0.00 N.P.(3)	N.P.(4)	N.P.(4)	N.P.(8)	N.P.(9)	M_{Ed} = 0.00 N.P.(5)	N.P.(6)	N.P.(6)	**CUMPLE η = 11.0**
N2355/N2204	η = 11.7	N_{Ed} = 0.00 N.P.(7)	M_{Ed} = 0.00 N.P.(2)	M_{Ed} = 0.00 N.P.(2)	V_{Ed} = 0.00 N.P.(3)	V_{Ed} = 0.00 N.P.(3)	N.P.(4)	N.P.(4)	N.P.(8)	N.P.(9)	M_{Ed} = 0.00 N.P.(5)	N.P.(6)	N.P.(6)	**CUMPLE η = 11.7**
N2266/N2421	η = 7.0	N_{Ed} = 0.00 N.P.(7)	M_{Ed} = 0.00 N.P.(2)	M_{Ed} = 0.00 N.P.(2)	V_{Ed} = 0.00 N.P.(3)	V_{Ed} = 0.00 N.P.(3)	N.P.(4)	N.P.(4)	N.P.(8)	N.P.(9)	M_{Ed} = 0.00 N.P.(5)	N.P.(6)	N.P.(6)	**CUMPLE η = 7.0**
N2419/N2268	η = 7.5	N_{Ed} = 0.00 N.P.(7)	M_{Ed} = 0.00 N.P.(2)	M_{Ed} = 0.00 N.P.(2)	V_{Ed} = 0.00 N.P.(3)	V_{Ed} = 0.00 N.P.(3)	N.P.(4)	N.P.(4)	N.P.(8)	N.P.(9)	M_{Ed} = 0.00 N.P.(5)	N.P.(6)	N.P.(6)	**CUMPLE η = 7.5**
N2216/N2371	η = 13.0	N_{Ed} = 0.00 N.P.(7)	M_{Ed} = 0.00 N.P.(2)	M_{Ed} = 0.00 N.P.(2)	V_{Ed} = 0.00 N.P.(3)	V_{Ed} = 0.00 N.P.(3)	N.P.(4)	N.P.(4)	N.P.(8)	N.P.(9)	M_{Ed} = 0.00 N.P.(5)	N.P.(6)	N.P.(6)	**CUMPLE η = 13.0**
N2369/N2218	η = 21.5	N_{Ed} = 0.00 N.P.(7)	M_{Ed} = 0.00 N.P.(2)	M_{Ed} = 0.00 N.P.(2)	V_{Ed} = 0.00 N.P.(3)	V_{Ed} = 0.00 N.P.(3)	N.P.(4)	N.P.(4)	N.P.(8)	N.P.(9)	M_{Ed} = 0.00 N.P.(5)	N.P.(6)	N.P.(6)	**CUMPLE η = 21.5**
N2236/N2391	η = 10.5	N_{Ed} = 0.00 N.P.(7)	M_{Ed} = 0.00 N.P.(2)	M_{Ed} = 0.00 N.P.(2)	V_{Ed} = 0.00 N.P.(3)	V_{Ed} = 0.00 N.P.(3)	N.P.(4)	N.P.(4)	N.P.(8)	N.P.(9)	M_{Ed} = 0.00 N.P.(5)	N.P.(6)	N.P.(6)	**CUMPLE η = 10.5**
N2389/N2238	η = 10.8	N_{Ed} = 0.00 N.P.(7)	M_{Ed} = 0.00 N.P.(2)	M_{Ed} = 0.00 N.P.(2)	V_{Ed} = 0.00 N.P.(3)	V_{Ed} = 0.00 N.P.(3)	N.P.(4)	N.P.(4)	N.P.(8)	N.P.(9)	M_{Ed} = 0.00 N.P.(5)	N.P.(6)	N.P.(6)	**CUMPLE η = 10.8**
N2250/N2405	η = 8.8	N_{Ed} = 0.00 N.P.(7)	M_{Ed} = 0.00 N.P.(2)	M_{Ed} = 0.00 N.P.(2)	V_{Ed} = 0.00 N.P.(3)	V_{Ed} = 0.00 N.P.(3)	N.P.(4)	N.P.(4)	N.P.(8)	N.P.(9)	M_{Ed} = 0.00 N.P.(5)	N.P.(6)	N.P.(6)	**CUMPLE η = 8.8**
N2403/N2252	η = 8.8	N_{Ed} = 0.00 N.P.(7)	M_{Ed} = 0.00 N.P.(2)	M_{Ed} = 0.00 N.P.(2)	V_{Ed} = 0.00 N.P.(3)	V_{Ed} = 0.00 N.P.(3)	N.P.(4)	N.P.(4)	N.P.(8)	N.P.(9)	M_{Ed} = 0.00 N.P.(5)	N.P.(6)	N.P.(6)	**CUMPLE η = 8.8**
N2235/N2407	η = 8.2	N_{Ed} = 0.00 N.P.(7)	M_{Ed} = 0.00 N.P.(2)	M_{Ed} = 0.00 N.P.(2)	V_{Ed} = 0.00 N.P.(3)	V_{Ed} = 0.00 N.P.(3)	N.P.(4)	N.P.(4)	N.P.(8)	N.P.(9)	M_{Ed} = 0.00 N.P.(5)	N.P.(6)	N.P.(6)	**CUMPLE η = 8.2**
N2388/N2254	η = 8.1	N_{Ed} = 0.00 N.P.(7)	M_{Ed} = 0.00 N.P.(2)	M_{Ed} = 0.00 N.P.(2)	V_{Ed} = 0.00 N.P.(3)	V_{Ed} = 0.00 N.P.(3)	N.P.(4)	N.P.(4)	N.P.(8)	N.P.(9)	M_{Ed} = 0.00 N.P.(5)	N.P.(6)	N.P.(6)	**CUMPLE η = 8.1**
N2606/N2608	η = 2.1	N_{Ed} = 0.00 N.P.(7)	M_{Ed} = 0.00 N.P.(2)	M_{Ed} = 0.00 N.P.(2)	V_{Ed} = 0.00 N.P.(3)	V_{Ed} = 0.00 N.P.(3)	N.P.(4)	N.P.(4)	N.P.(8)	N.P.(9)	M_{Ed} = 0.00 N.P.(5)	N.P.(6)	N.P.(6)	**CUMPLE η = 2.1**
N2605/N2609	η = 1.7	N_{Ed} = 0.00 N.P.(7)	M_{Ed} = 0.00 N.P.(2)	M_{Ed} = 0.00 N.P.(2)	V_{Ed} = 0.00 N.P.(3)	V_{Ed} = 0.00 N.P.(3)	N.P.(4)	N.P.(4)	N.P.(8)	N.P.(9)	M_{Ed} = 0.00 N.P.(5)	N.P.(6)	N.P.(6)	**CUMPLE η = 1.7**
N2610/N2613	η = 41.3	N_{Ed} = 0.00 N.P.(7)	M_{Ed} = 0.00 N.P.(2)	M_{Ed} = 0.00 N.P.(2)	V_{Ed} = 0.00 N.P.(3)	V_{Ed} = 0.00 N.P.(3)	N.P.(4)	N.P.(4)	N.P.(8)	N.P.(9)	M_{Ed} = 0.00 N.P.(5)	N.P.(6)	N.P.(6)	**CUMPLE η = 41.3**
N2611/N2612	η = 12.4	N_{Ed} = 0.00 N.P.(7)	M_{Ed} = 0.00 N.P.(2)	M_{Ed} = 0.00 N.P.(2)	V_{Ed} = 0.00 N.P.(3)	V_{Ed} = 0.00 N.P.(3)	N.P.(4)	N.P.(4)	N.P.(8)	N.P.(9)	M_{Ed} = 0.00 N.P.(5)	N.P.(6)	N.P.(6)	**CUMPLE η = 12.4**
N2614/N2617	η = 21.5	N_{Ed} = 0.00 N.P.(7)	M_{Ed} = 0.00 N.P.(2)	M_{Ed} = 0.00 N.P.(2)	V_{Ed} = 0.00 N.P.(3)	V_{Ed} = 0.00 N.P.(3)	N.P.(4)	N.P.(4)	N.P.(8)	N.P.(9)	M_{Ed} = 0.00 N.P.(5)	N.P.(6)	N.P.(6)	**CUMPLE η = 21.5**
N2615/N2616	η = 8.4	N_{Ed} = 0.00 N.P.(7)	M_{Ed} = 0.00 N.P.(2)	M_{Ed} = 0.00 N.P.(2)	V_{Ed} = 0.00 N.P.(3)	V_{Ed} = 0.00 N.P.(3)	N.P.(4)	N.P.(4)	N.P.(8)	N.P.(9)	M_{Ed} = 0.00 N.P.(5)	N.P.(6)	N.P.(6)	**CUMPLE η = 8.4**
N2623/N2619	η = 12.8	N_{Ed} = 0.00 N.P.(7)	M_{Ed} = 0.00 N.P.(2)	M_{Ed} = 0.00 N.P.(2)	V_{Ed} = 0.00 N.P.(3)	V_{Ed} = 0.00 N.P.(3)	N.P.(4)	N.P.(4)	N.P.(8)	N.P.(9)	M_{Ed} = 0.00 N.P.(5)	N.P.(6)	N.P.(6)	**CUMPLE η = 12.8**

Documento visado electrónicamente con número: VA07290/22
Código de validación telemática TRLTDCFZ60T66IJ1. Comprobación: https://cogitivalencia.e-gestion.es/Validacion.aspx?CVT=TRLTDCFZ60T66IJ1

Listados

VISADO
COGITI
VALENCIA
VA07290/22
TRLTDCFZ60T66IJ1

Barras	COMPROBACIONES (CÓDIGO ESTRUCTURAL)													Estado
	N_t	N_c	M_Y	M_Z	V_Z	V_Y	M_YV_Z	M_ZV_Y	NM_YM_Z	$NM_YM_ZV_YV_Z$	M_t	M_tV_Z	M_tV_Y	
N2621/N2620	η = 6.4	N_{Ed} = 0.00 N.P.(7)	M_{Ed} = 0.00 N.P.(2)	M_{Ed} = 0.00 N.P.(2)	V_{Ed} = 0.00 N.P.(3)	V_{Ed} = 0.00 N.P.(3)	N.P.(4)	N.P.(4)	N.P.(8)	N.P.(9)	M_{Ed} = 0.00 N.P.(5)	N.P.(6)	N.P.(6)	**CUMPLE η = 6.4**
N2625/N2628	η = 6.9	N_{Ed} = 0.00 N.P.(7)	M_{Ed} = 0.00 N.P.(2)	M_{Ed} = 0.00 N.P.(2)	V_{Ed} = 0.00 N.P.(3)	V_{Ed} = 0.00 N.P.(3)	N.P.(4)	N.P.(4)	N.P.(8)	N.P.(9)	M_{Ed} = 0.00 N.P.(5)	N.P.(6)	N.P.(6)	**CUMPLE η = 6.9**
N2627/N2626	η = 4.3	N_{Ed} = 0.00 N.P.(7)	M_{Ed} = 0.00 N.P.(2)	M_{Ed} = 0.00 N.P.(2)	V_{Ed} = 0.00 N.P.(3)	V_{Ed} = 0.00 N.P.(3)	N.P.(4)	N.P.(4)	N.P.(8)	N.P.(9)	M_{Ed} = 0.00 N.P.(5)	N.P.(6)	N.P.(6)	**CUMPLE η = 4.3**
N2630/N2631	η = 5.7	N_{Ed} = 0.00 N.P.(7)	M_{Ed} = 0.00 N.P.(2)	M_{Ed} = 0.00 N.P.(2)	V_{Ed} = 0.00 N.P.(3)	V_{Ed} = 0.00 N.P.(3)	N.P.(4)	N.P.(4)	N.P.(8)	N.P.(9)	M_{Ed} = 0.00 N.P.(5)	N.P.(6)	N.P.(6)	**CUMPLE η = 5.7**
N2629/N2632	η = 8.1	N_{Ed} = 0.00 N.P.(7)	M_{Ed} = 0.00 N.P.(2)	M_{Ed} = 0.00 N.P.(2)	V_{Ed} = 0.00 N.P.(3)	V_{Ed} = 0.00 N.P.(3)	N.P.(4)	N.P.(4)	N.P.(8)	N.P.(9)	M_{Ed} = 0.00 N.P.(5)	N.P.(6)	N.P.(6)	**CUMPLE η = 8.1**
N2634/N2635	η = 3.3	N_{Ed} = 0.00 N.P.(7)	M_{Ed} = 0.00 N.P.(2)	M_{Ed} = 0.00 N.P.(2)	V_{Ed} = 0.00 N.P.(3)	V_{Ed} = 0.00 N.P.(3)	N.P.(4)	N.P.(4)	N.P.(8)	N.P.(9)	M_{Ed} = 0.00 N.P.(5)	N.P.(6)	N.P.(6)	**CUMPLE η = 3.3**
N2633/N2636	η = 4.7	N_{Ed} = 0.00 N.P.(7)	M_{Ed} = 0.00 N.P.(2)	M_{Ed} = 0.00 N.P.(2)	V_{Ed} = 0.00 N.P.(3)	V_{Ed} = 0.00 N.P.(3)	N.P.(4)	N.P.(4)	N.P.(8)	N.P.(9)	M_{Ed} = 0.00 N.P.(5)	N.P.(6)	N.P.(6)	**CUMPLE η = 4.7**
N2640/N2637	η = 2.9	N_{Ed} = 0.00 N.P.(7)	M_{Ed} = 0.00 N.P.(2)	M_{Ed} = 0.00 N.P.(2)	V_{Ed} = 0.00 N.P.(3)	V_{Ed} = 0.00 N.P.(3)	N.P.(4)	N.P.(4)	N.P.(8)	N.P.(9)	M_{Ed} = 0.00 N.P.(5)	N.P.(6)	N.P.(6)	**CUMPLE η = 2.9**
N2639/N2638	η = 1.9	N_{Ed} = 0.00 N.P.(7)	M_{Ed} = 0.00 N.P.(2)	M_{Ed} = 0.00 N.P.(2)	V_{Ed} = 0.00 N.P.(3)	V_{Ed} = 0.00 N.P.(3)	N.P.(4)	N.P.(4)	N.P.(8)	N.P.(9)	M_{Ed} = 0.00 N.P.(5)	N.P.(6)	N.P.(6)	**CUMPLE η = 1.9**
N2642/N2643	η = 3.0	N_{Ed} = 0.00 N.P.(7)	M_{Ed} = 0.00 N.P.(2)	M_{Ed} = 0.00 N.P.(2)	V_{Ed} = 0.00 N.P.(3)	V_{Ed} = 0.00 N.P.(3)	N.P.(4)	N.P.(4)	N.P.(8)	N.P.(9)	M_{Ed} = 0.00 N.P.(5)	N.P.(6)	N.P.(6)	**CUMPLE η = 3.0**
N2641/N2644	η = 4.4	N_{Ed} = 0.00 N.P.(7)	M_{Ed} = 0.00 N.P.(2)	M_{Ed} = 0.00 N.P.(2)	V_{Ed} = 0.00 N.P.(3)	V_{Ed} = 0.00 N.P.(3)	N.P.(4)	N.P.(4)	N.P.(8)	N.P.(9)	M_{Ed} = 0.00 N.P.(5)	N.P.(6)	N.P.(6)	**CUMPLE η = 4.4**
N2646/N2647	η = 1.6	N_{Ed} = 0.00 N.P.(7)	M_{Ed} = 0.00 N.P.(2)	M_{Ed} = 0.00 N.P.(2)	V_{Ed} = 0.00 N.P.(3)	V_{Ed} = 0.00 N.P.(3)	N.P.(4)	N.P.(4)	N.P.(8)	N.P.(9)	M_{Ed} = 0.00 N.P.(5)	N.P.(6)	N.P.(6)	**CUMPLE η = 1.6**
N2645/N2648	η = 3.1	N_{Ed} = 0.00 N.P.(7)	M_{Ed} = 0.00 N.P.(2)	M_{Ed} = 0.00 N.P.(2)	V_{Ed} = 0.00 N.P.(3)	V_{Ed} = 0.00 N.P.(3)	N.P.(4)	N.P.(4)	N.P.(8)	N.P.(9)	M_{Ed} = 0.00 N.P.(5)	N.P.(6)	N.P.(6)	**CUMPLE η = 3.1**
N2652/N2649	η = 4.8	N_{Ed} = 0.00 N.P.(7)	M_{Ed} = 0.00 N.P.(2)	M_{Ed} = 0.00 N.P.(2)	V_{Ed} = 0.00 N.P.(3)	V_{Ed} = 0.00 N.P.(3)	N.P.(4)	N.P.(4)	N.P.(8)	N.P.(9)	M_{Ed} = 0.00 N.P.(5)	N.P.(6)	N.P.(6)	**CUMPLE η = 4.8**
N2651/N2650	η = 3.1	N_{Ed} = 0.00 N.P.(7)	M_{Ed} = 0.00 N.P.(2)	M_{Ed} = 0.00 N.P.(2)	V_{Ed} = 0.00 N.P.(3)	V_{Ed} = 0.00 N.P.(3)	N.P.(4)	N.P.(4)	N.P.(8)	N.P.(9)	M_{Ed} = 0.00 N.P.(5)	N.P.(6)	N.P.(6)	**CUMPLE η = 3.1**
N2654/N2655	η = 5.3	N_{Ed} = 0.00 N.P.(7)	M_{Ed} = 0.00 N.P.(2)	M_{Ed} = 0.00 N.P.(2)	V_{Ed} = 0.00 N.P.(3)	V_{Ed} = 0.00 N.P.(3)	N.P.(4)	N.P.(4)	N.P.(8)	N.P.(9)	M_{Ed} = 0.00 N.P.(5)	N.P.(6)	N.P.(6)	**CUMPLE η = 5.3**
N2653/N2656	η = 7.0	N_{Ed} = 0.00 N.P.(7)	M_{Ed} = 0.00 N.P.(2)	M_{Ed} = 0.00 N.P.(2)	V_{Ed} = 0.00 N.P.(3)	V_{Ed} = 0.00 N.P.(3)	N.P.(4)	N.P.(4)	N.P.(8)	N.P.(9)	M_{Ed} = 0.00 N.P.(5)	N.P.(6)	N.P.(6)	**CUMPLE η = 7.0**
N2658/N2659	η = 4.0	N_{Ed} = 0.00 N.P.(7)	M_{Ed} = 0.00 N.P.(2)	M_{Ed} = 0.00 N.P.(2)	V_{Ed} = 0.00 N.P.(3)	V_{Ed} = 0.00 N.P.(3)	N.P.(4)	N.P.(4)	N.P.(8)	N.P.(9)	M_{Ed} = 0.00 N.P.(5)	N.P.(6)	N.P.(6)	**CUMPLE η = 4.0**
N2657/N2660	η = 5.5	N_{Ed} = 0.00 N.P.(7)	M_{Ed} = 0.00 N.P.(2)	M_{Ed} = 0.00 N.P.(2)	V_{Ed} = 0.00 N.P.(3)	V_{Ed} = 0.00 N.P.(3)	N.P.(4)	N.P.(4)	N.P.(8)	N.P.(9)	M_{Ed} = 0.00 N.P.(5)	N.P.(6)	N.P.(6)	**CUMPLE η = 5.5**
N2355/N2510	η = 3.5	N_{Ed} = 0.00 N.P.(7)	M_{Ed} = 0.00 N.P.(2)	M_{Ed} = 0.00 N.P.(2)	V_{Ed} = 0.00 N.P.(3)	V_{Ed} = 0.00 N.P.(3)	N.P.(4)	N.P.(4)	N.P.(8)	N.P.(9)	M_{Ed} = 0.00 N.P.(5)	N.P.(6)	N.P.(6)	**CUMPLE η = 3.5**
N2508/N2357	η = 13.5	N_{Ed} = 0.00 N.P.(7)	M_{Ed} = 0.00 N.P.(2)	M_{Ed} = 0.00 N.P.(2)	V_{Ed} = 0.00 N.P.(3)	V_{Ed} = 0.00 N.P.(3)	N.P.(4)	N.P.(4)	N.P.(8)	N.P.(9)	M_{Ed} = 0.00 N.P.(5)	N.P.(6)	N.P.(6)	**CUMPLE η = 13.5**
N2419/N2574	η = 7.0	N_{Ed} = 0.00 N.P.(7)	M_{Ed} = 0.00 N.P.(2)	M_{Ed} = 0.00 N.P.(2)	V_{Ed} = 0.00 N.P.(3)	V_{Ed} = 0.00 N.P.(3)	N.P.(4)	N.P.(4)	N.P.(8)	N.P.(9)	M_{Ed} = 0.00 N.P.(5)	N.P.(6)	N.P.(6)	**CUMPLE η = 7.0**
N2572/N2421	η = 8.4	N_{Ed} = 0.00 N.P.(7)	M_{Ed} = 0.00 N.P.(2)	M_{Ed} = 0.00 N.P.(2)	V_{Ed} = 0.00 N.P.(3)	V_{Ed} = 0.00 N.P.(3)	N.P.(4)	N.P.(4)	N.P.(8)	N.P.(9)	M_{Ed} = 0.00 N.P.(5)	N.P.(6)	N.P.(6)	**CUMPLE η = 8.4**
N2369/N2524	η = 6.9	N_{Ed} = 0.00 N.P.(7)	M_{Ed} = 0.00 N.P.(2)	M_{Ed} = 0.00 N.P.(2)	V_{Ed} = 0.00 N.P.(3)	V_{Ed} = 0.00 N.P.(3)	N.P.(4)	N.P.(4)	N.P.(8)	N.P.(9)	M_{Ed} = 0.00 N.P.(5)	N.P.(6)	N.P.(6)	**CUMPLE η = 6.9**
N2522/N2371	η = 20.9	N_{Ed} = 0.00 N.P.(7)	M_{Ed} = 0.00 N.P.(2)	M_{Ed} = 0.00 N.P.(2)	V_{Ed} = 0.00 N.P.(3)	V_{Ed} = 0.00 N.P.(3)	N.P.(4)	N.P.(4)	N.P.(8)	N.P.(9)	M_{Ed} = 0.00 N.P.(5)	N.P.(6)	N.P.(6)	**CUMPLE η = 20.9**
N2389/N2544	η = 4.4	N_{Ed} = 0.00 N.P.(7)	M_{Ed} = 0.00 N.P.(2)	M_{Ed} = 0.00 N.P.(2)	V_{Ed} = 0.00 N.P.(3)	V_{Ed} = 0.00 N.P.(3)	N.P.(4)	N.P.(4)	N.P.(8)	N.P.(9)	M_{Ed} = 0.00 N.P.(5)	N.P.(6)	N.P.(6)	**CUMPLE η = 4.4**
N2542/N2391	η = 6.2	N_{Ed} = 0.00 N.P.(7)	M_{Ed} = 0.00 N.P.(2)	M_{Ed} = 0.00 N.P.(2)	V_{Ed} = 0.00 N.P.(3)	V_{Ed} = 0.00 N.P.(3)	N.P.(4)	N.P.(4)	N.P.(8)	N.P.(9)	M_{Ed} = 0.00 N.P.(5)	N.P.(6)	N.P.(6)	**CUMPLE η = 6.2**
N2403/N2558	η = 5.0	N_{Ed} = 0.00 N.P.(7)	M_{Ed} = 0.00 N.P.(2)	M_{Ed} = 0.00 N.P.(2)	V_{Ed} = 0.00 N.P.(3)	V_{Ed} = 0.00 N.P.(3)	N.P.(4)	N.P.(4)	N.P.(8)	N.P.(9)	M_{Ed} = 0.00 N.P.(5)	N.P.(6)	N.P.(6)	**CUMPLE η = 5.0**
N2556/N2405	η = 7.6	N_{Ed} = 0.00 N.P.(7)	M_{Ed} = 0.00 N.P.(2)	M_{Ed} = 0.00 N.P.(2)	V_{Ed} = 0.00 N.P.(3)	V_{Ed} = 0.00 N.P.(3)	N.P.(4)	N.P.(4)	N.P.(8)	N.P.(9)	M_{Ed} = 0.00 N.P.(5)	N.P.(6)	N.P.(6)	**CUMPLE η = 7.6**
N2388/N2560	η = 5.1	N_{Ed} = 0.00 N.P.(7)	M_{Ed} = 0.00 N.P.(2)	M_{Ed} = 0.00 N.P.(2)	V_{Ed} = 0.00 N.P.(3)	V_{Ed} = 0.00 N.P.(3)	N.P.(4)	N.P.(4)	N.P.(8)	N.P.(9)	M_{Ed} = 0.00 N.P.(5)	N.P.(6)	N.P.(6)	**CUMPLE η = 5.1**
N2541/N2407	η = 4.1	N_{Ed} = 0.00 N.P.(7)	M_{Ed} = 0.00 N.P.(2)	M_{Ed} = 0.00 N.P.(2)	V_{Ed} = 0.00 N.P.(3)	V_{Ed} = 0.00 N.P.(3)	N.P.(4)	N.P.(4)	N.P.(8)	N.P.(9)	M_{Ed} = 0.00 N.P.(5)	N.P.(6)	N.P.(6)	**CUMPLE η = 4.1**
N2759/N2761	η = 2.4	N_{Ed} = 0.00 N.P.(7)	M_{Ed} = 0.00 N.P.(2)	M_{Ed} = 0.00 N.P.(2)	V_{Ed} = 0.00 N.P.(3)	V_{Ed} = 0.00 N.P.(3)	N.P.(4)	N.P.(4)	N.P.(8)	N.P.(9)	M_{Ed} = 0.00 N.P.(5)	N.P.(6)	N.P.(6)	**CUMPLE η = 2.4**
N2758/N2762	η = 2.7	N_{Ed} = 0.00 N.P.(7)	M_{Ed} = 0.00 N.P.(2)	M_{Ed} = 0.00 N.P.(2)	V_{Ed} = 0.00 N.P.(3)	V_{Ed} = 0.00 N.P.(3)	N.P.(4)	N.P.(4)	N.P.(8)	N.P.(9)	M_{Ed} = 0.00 N.P.(5)	N.P.(6)	N.P.(6)	**CUMPLE η = 2.7**
N2763/N2766	η = 40.5	N_{Ed} = 0.00 N.P.(7)	M_{Ed} = 0.00 N.P.(2)	M_{Ed} = 0.00 N.P.(2)	V_{Ed} = 0.00 N.P.(3)	V_{Ed} = 0.00 N.P.(3)	N.P.(4)	N.P.(4)	N.P.(8)	N.P.(9)	M_{Ed} = 0.00 N.P.(5)	N.P.(6)	N.P.(6)	**CUMPLE η = 40.5**
N2764/N2765	η = 12.9	N_{Ed} = 0.00 N.P.(7)	M_{Ed} = 0.00 N.P.(2)	M_{Ed} = 0.00 N.P.(2)	V_{Ed} = 0.00 N.P.(3)	V_{Ed} = 0.00 N.P.(3)	N.P.(4)	N.P.(4)	N.P.(8)	N.P.(9)	M_{Ed} = 0.00 N.P.(5)	N.P.(6)	N.P.(6)	**CUMPLE η = 12.9**
N2767/N2770	η = 23.3	N_{Ed} = 0.00 N.P.(7)	M_{Ed} = 0.00 N.P.(2)	M_{Ed} = 0.00 N.P.(2)	V_{Ed} = 0.00 N.P.(3)	V_{Ed} = 0.00 N.P.(3)	N.P.(4)	N.P.(4)	N.P.(8)	N.P.(9)	M_{Ed} = 0.00 N.P.(5)	N.P.(6)	N.P.(6)	**CUMPLE η = 23.3**
N2768/N2769	η = 9.1	N_{Ed} = 0.00 N.P.(7)	M_{Ed} = 0.00 N.P.(2)	M_{Ed} = 0.00 N.P.(2)	V_{Ed} = 0.00 N.P.(3)	V_{Ed} = 0.00 N.P.(3)	N.P.(4)	N.P.(4)	N.P.(8)	N.P.(9)	M_{Ed} = 0.00 N.P.(5)	N.P.(6)	N.P.(6)	**CUMPLE η = 9.1**

Documento visado electrónicamente con número: VA07290/22
Código de validación telemática TRLTDCFZ60T66IJ1. Comprobación: https://cogitivalencia.e-gestion.es/Validacion.aspx?CVT=TRLTDCFZ60T66IJ1

VISADO
COGITI
VALENCIA
VA07290/22
TRLTDCFZ60T66IJ1

Barras	COMPROBACIONES (CÓDIGO ESTRUCTURAL)													Estado
	N_t	N_c	M_Y	M_Z	V_Z	V_Y	M_YV_Z	M_ZV_Y	NM_YM_Z	$NM_YM_ZV_YV_Z$	M_t	M_tV_Z	M_tV_Y	
N2776/N2772	η = 14.4	N_{Ed} = 0.00 N.P.(7)	M_{Ed} = 0.00 N.P.(2)	M_{Ed} = 0.00 N.P.(2)	V_{Ed} = 0.00 N.P.(3)	V_{Ed} = 0.00 N.P.(3)	N.P.(4)	N.P.(4)	N.P.(8)	N.P.(9)	M_{Ed} = 0.00 N.P.(5)	N.P.(6)	N.P.(6)	**CUMPLE** η = 14.4
N2774/N2773	η = 7.1	N_{Ed} = 0.00 N.P.(7)	M_{Ed} = 0.00 N.P.(2)	M_{Ed} = 0.00 N.P.(2)	V_{Ed} = 0.00 N.P.(3)	V_{Ed} = 0.00 N.P.(3)	N.P.(4)	N.P.(4)	N.P.(8)	N.P.(9)	M_{Ed} = 0.00 N.P.(5)	N.P.(6)	N.P.(6)	**CUMPLE** η = 7.1
N2778/N2781	η = 8.3	N_{Ed} = 0.00 N.P.(7)	M_{Ed} = 0.00 N.P.(2)	M_{Ed} = 0.00 N.P.(2)	V_{Ed} = 0.00 N.P.(3)	V_{Ed} = 0.00 N.P.(3)	N.P.(4)	N.P.(4)	N.P.(8)	N.P.(9)	M_{Ed} = 0.00 N.P.(5)	N.P.(6)	N.P.(6)	**CUMPLE** η = 8.3
N2780/N2779	η = 5.5	N_{Ed} = 0.00 N.P.(7)	M_{Ed} = 0.00 N.P.(2)	M_{Ed} = 0.00 N.P.(2)	V_{Ed} = 0.00 N.P.(3)	V_{Ed} = 0.00 N.P.(3)	N.P.(4)	N.P.(4)	N.P.(8)	N.P.(9)	M_{Ed} = 0.00 N.P.(5)	N.P.(6)	N.P.(6)	**CUMPLE** η = 5.5
N2783/N2784	η = 7.1	N_{Ed} = 0.00 N.P.(7)	M_{Ed} = 0.00 N.P.(2)	M_{Ed} = 0.00 N.P.(2)	V_{Ed} = 0.00 N.P.(3)	V_{Ed} = 0.00 N.P.(3)	N.P.(4)	N.P.(4)	N.P.(8)	N.P.(9)	M_{Ed} = 0.00 N.P.(5)	N.P.(6)	N.P.(6)	**CUMPLE** η = 7.1
N2782/N2785	η = 9.7	N_{Ed} = 0.00 N.P.(7)	M_{Ed} = 0.00 N.P.(2)	M_{Ed} = 0.00 N.P.(2)	V_{Ed} = 0.00 N.P.(3)	V_{Ed} = 0.00 N.P.(3)	N.P.(4)	N.P.(4)	N.P.(8)	N.P.(9)	M_{Ed} = 0.00 N.P.(5)	N.P.(6)	N.P.(6)	**CUMPLE** η = 9.7
N2787/N2788	η = 4.3	N_{Ed} = 0.00 N.P.(7)	M_{Ed} = 0.00 N.P.(2)	M_{Ed} = 0.00 N.P.(2)	V_{Ed} = 0.00 N.P.(3)	V_{Ed} = 0.00 N.P.(3)	N.P.(4)	N.P.(4)	N.P.(8)	N.P.(9)	M_{Ed} = 0.00 N.P.(5)	N.P.(6)	N.P.(6)	**CUMPLE** η = 4.3
N2786/N2789	η = 5.9	N_{Ed} = 0.00 N.P.(7)	M_{Ed} = 0.00 N.P.(2)	M_{Ed} = 0.00 N.P.(2)	V_{Ed} = 0.00 N.P.(3)	V_{Ed} = 0.00 N.P.(3)	N.P.(4)	N.P.(4)	N.P.(8)	N.P.(9)	M_{Ed} = 0.00 N.P.(5)	N.P.(6)	N.P.(6)	**CUMPLE** η = 5.9
N2793/N2790	η = 3.4	N_{Ed} = 0.00 N.P.(7)	M_{Ed} = 0.00 N.P.(2)	M_{Ed} = 0.00 N.P.(2)	V_{Ed} = 0.00 N.P.(3)	V_{Ed} = 0.00 N.P.(3)	N.P.(4)	N.P.(4)	N.P.(8)	N.P.(9)	M_{Ed} = 0.00 N.P.(5)	N.P.(6)	N.P.(6)	**CUMPLE** η = 3.4
N2792/N2791	η = 2.2	N_{Ed} = 0.00 N.P.(7)	M_{Ed} = 0.00 N.P.(2)	M_{Ed} = 0.00 N.P.(2)	V_{Ed} = 0.00 N.P.(3)	V_{Ed} = 0.00 N.P.(3)	N.P.(4)	N.P.(4)	N.P.(8)	N.P.(9)	M_{Ed} = 0.00 N.P.(5)	N.P.(6)	N.P.(6)	**CUMPLE** η = 2.2
N2795/N2796	η = 3.7	N_{Ed} = 0.00 N.P.(7)	M_{Ed} = 0.00 N.P.(2)	M_{Ed} = 0.00 N.P.(2)	V_{Ed} = 0.00 N.P.(3)	V_{Ed} = 0.00 N.P.(3)	N.P.(4)	N.P.(4)	N.P.(8)	N.P.(9)	M_{Ed} = 0.00 N.P.(5)	N.P.(6)	N.P.(6)	**CUMPLE** η = 3.7
N2794/N2797	η = 5.3	N_{Ed} = 0.00 N.P.(7)	M_{Ed} = 0.00 N.P.(2)	M_{Ed} = 0.00 N.P.(2)	V_{Ed} = 0.00 N.P.(3)	V_{Ed} = 0.00 N.P.(3)	N.P.(4)	N.P.(4)	N.P.(8)	N.P.(9)	M_{Ed} = 0.00 N.P.(5)	N.P.(6)	N.P.(6)	**CUMPLE** η = 5.3
N2799/N2800	η = 2.2	N_{Ed} = 0.00 N.P.(7)	M_{Ed} = 0.00 N.P.(2)	M_{Ed} = 0.00 N.P.(2)	V_{Ed} = 0.00 N.P.(3)	V_{Ed} = 0.00 N.P.(3)	N.P.(4)	N.P.(4)	N.P.(8)	N.P.(9)	M_{Ed} = 0.00 N.P.(5)	N.P.(6)	N.P.(6)	**CUMPLE** η = 2.2
N2798/N2801	η = 3.9	N_{Ed} = 0.00 N.P.(7)	M_{Ed} = 0.00 N.P.(2)	M_{Ed} = 0.00 N.P.(2)	V_{Ed} = 0.00 N.P.(3)	V_{Ed} = 0.00 N.P.(3)	N.P.(4)	N.P.(4)	N.P.(8)	N.P.(9)	M_{Ed} = 0.00 N.P.(5)	N.P.(6)	N.P.(6)	**CUMPLE** η = 3.9
N2805/N2802	η = 5.9	N_{Ed} = 0.00 N.P.(7)	M_{Ed} = 0.00 N.P.(2)	M_{Ed} = 0.00 N.P.(2)	V_{Ed} = 0.00 N.P.(3)	V_{Ed} = 0.00 N.P.(3)	N.P.(4)	N.P.(4)	N.P.(8)	N.P.(9)	M_{Ed} = 0.00 N.P.(5)	N.P.(6)	N.P.(6)	**CUMPLE** η = 5.9
N2804/N2803	η = 3.8	N_{Ed} = 0.00 N.P.(7)	M_{Ed} = 0.00 N.P.(2)	M_{Ed} = 0.00 N.P.(2)	V_{Ed} = 0.00 N.P.(3)	V_{Ed} = 0.00 N.P.(3)	N.P.(4)	N.P.(4)	N.P.(8)	N.P.(9)	M_{Ed} = 0.00 N.P.(5)	N.P.(6)	N.P.(6)	**CUMPLE** η = 3.8
N2807/N2808	η = 6.3	N_{Ed} = 0.00 N.P.(7)	M_{Ed} = 0.00 N.P.(2)	M_{Ed} = 0.00 N.P.(2)	V_{Ed} = 0.00 N.P.(3)	V_{Ed} = 0.00 N.P.(3)	N.P.(4)	N.P.(4)	N.P.(8)	N.P.(9)	M_{Ed} = 0.00 N.P.(5)	N.P.(6)	N.P.(6)	**CUMPLE** η = 6.3
N2806/N2809	η = 8.4	N_{Ed} = 0.00 N.P.(7)	M_{Ed} = 0.00 N.P.(2)	M_{Ed} = 0.00 N.P.(2)	V_{Ed} = 0.00 N.P.(3)	V_{Ed} = 0.00 N.P.(3)	N.P.(4)	N.P.(4)	N.P.(8)	N.P.(9)	M_{Ed} = 0.00 N.P.(5)	N.P.(6)	N.P.(6)	**CUMPLE** η = 8.4
N2811/N2812	η = 4.8	N_{Ed} = 0.00 N.P.(7)	M_{Ed} = 0.00 N.P.(2)	M_{Ed} = 0.00 N.P.(2)	V_{Ed} = 0.00 N.P.(3)	V_{Ed} = 0.00 N.P.(3)	N.P.(4)	N.P.(4)	N.P.(8)	N.P.(9)	M_{Ed} = 0.00 N.P.(5)	N.P.(6)	N.P.(6)	**CUMPLE** η = 4.8
N2810/N2813	η = 6.5	N_{Ed} = 0.00 N.P.(7)	M_{Ed} = 0.00 N.P.(2)	M_{Ed} = 0.00 N.P.(2)	V_{Ed} = 0.00 N.P.(3)	V_{Ed} = 0.00 N.P.(3)	N.P.(4)	N.P.(4)	N.P.(8)	N.P.(9)	M_{Ed} = 0.00 N.P.(5)	N.P.(6)	N.P.(6)	**CUMPLE** η = 6.5
N2508/N2663	η = 4.8	N_{Ed} = 0.00 N.P.(7)	M_{Ed} = 0.00 N.P.(2)	M_{Ed} = 0.00 N.P.(2)	V_{Ed} = 0.00 N.P.(3)	V_{Ed} = 0.00 N.P.(3)	N.P.(4)	N.P.(4)	N.P.(8)	N.P.(9)	M_{Ed} = 0.00 N.P.(5)	N.P.(6)	N.P.(6)	**CUMPLE** η = 4.8
N2661/N2510	η = 18.2	N_{Ed} = 0.00 N.P.(7)	M_{Ed} = 0.00 N.P.(2)	M_{Ed} = 0.00 N.P.(2)	V_{Ed} = 0.00 N.P.(3)	V_{Ed} = 0.00 N.P.(3)	N.P.(4)	N.P.(4)	N.P.(8)	N.P.(9)	M_{Ed} = 0.00 N.P.(5)	N.P.(6)	N.P.(6)	**CUMPLE** η = 18.2
N2572/N2727	η = 10.6	N_{Ed} = 0.00 N.P.(7)	M_{Ed} = 0.00 N.P.(2)	M_{Ed} = 0.00 N.P.(2)	V_{Ed} = 0.00 N.P.(3)	V_{Ed} = 0.00 N.P.(3)	N.P.(4)	N.P.(4)	N.P.(8)	N.P.(9)	M_{Ed} = 0.00 N.P.(5)	N.P.(6)	N.P.(6)	**CUMPLE** η = 10.6
N2725/N2574	η = 13.5	N_{Ed} = 0.00 N.P.(7)	M_{Ed} = 0.00 N.P.(2)	M_{Ed} = 0.00 N.P.(2)	V_{Ed} = 0.00 N.P.(3)	V_{Ed} = 0.00 N.P.(3)	N.P.(4)	N.P.(4)	N.P.(8)	N.P.(9)	M_{Ed} = 0.00 N.P.(5)	N.P.(6)	N.P.(6)	**CUMPLE** η = 13.5
N2522/N2677	η = 8.3	N_{Ed} = 0.00 N.P.(7)	M_{Ed} = 0.00 N.P.(2)	M_{Ed} = 0.00 N.P.(2)	V_{Ed} = 0.00 N.P.(3)	V_{Ed} = 0.00 N.P.(3)	N.P.(4)	N.P.(4)	N.P.(8)	N.P.(9)	M_{Ed} = 0.00 N.P.(5)	N.P.(6)	N.P.(6)	**CUMPLE** η = 8.3
N2675/N2524	η = 29.6	N_{Ed} = 0.00 N.P.(7)	M_{Ed} = 0.00 N.P.(2)	M_{Ed} = 0.00 N.P.(2)	V_{Ed} = 0.00 N.P.(3)	V_{Ed} = 0.00 N.P.(3)	N.P.(4)	N.P.(4)	N.P.(8)	N.P.(9)	M_{Ed} = 0.00 N.P.(5)	N.P.(6)	N.P.(6)	**CUMPLE** η = 29.6
N2542/N2697	η = 7.1	N_{Ed} = 0.00 N.P.(7)	M_{Ed} = 0.00 N.P.(2)	M_{Ed} = 0.00 N.P.(2)	V_{Ed} = 0.00 N.P.(3)	V_{Ed} = 0.00 N.P.(3)	N.P.(4)	N.P.(4)	N.P.(8)	N.P.(9)	M_{Ed} = 0.00 N.P.(5)	N.P.(6)	N.P.(6)	**CUMPLE** η = 7.1
N2695/N2544	η = 6.5	N_{Ed} = 0.00 N.P.(7)	M_{Ed} = 0.00 N.P.(2)	M_{Ed} = 0.00 N.P.(2)	V_{Ed} = 0.00 N.P.(3)	V_{Ed} = 0.00 N.P.(3)	N.P.(4)	N.P.(4)	N.P.(8)	N.P.(9)	M_{Ed} = 0.00 N.P.(5)	N.P.(6)	N.P.(6)	**CUMPLE** η = 6.5
N2556/N2711	η = 8.7	N_{Ed} = 0.00 N.P.(7)	M_{Ed} = 0.00 N.P.(2)	M_{Ed} = 0.00 N.P.(2)	V_{Ed} = 0.00 N.P.(3)	V_{Ed} = 0.00 N.P.(3)	N.P.(4)	N.P.(4)	N.P.(8)	N.P.(9)	M_{Ed} = 0.00 N.P.(5)	N.P.(6)	N.P.(6)	**CUMPLE** η = 8.7
N2709/N2558	η = 13.2	N_{Ed} = 0.00 N.P.(7)	M_{Ed} = 0.00 N.P.(2)	M_{Ed} = 0.00 N.P.(2)	V_{Ed} = 0.00 N.P.(3)	V_{Ed} = 0.00 N.P.(3)	N.P.(4)	N.P.(4)	N.P.(8)	N.P.(9)	M_{Ed} = 0.00 N.P.(5)	N.P.(6)	N.P.(6)	**CUMPLE** η = 13.2
N2541/N2713	η = 7.0	N_{Ed} = 0.00 N.P.(7)	M_{Ed} = 0.00 N.P.(2)	M_{Ed} = 0.00 N.P.(2)	V_{Ed} = 0.00 N.P.(3)	V_{Ed} = 0.00 N.P.(3)	N.P.(4)	N.P.(4)	N.P.(8)	N.P.(9)	M_{Ed} = 0.00 N.P.(5)	N.P.(6)	N.P.(6)	**CUMPLE** η = 7.0
N2694/N2560	η = 4.8	N_{Ed} = 0.00 N.P.(7)	M_{Ed} = 0.00 N.P.(2)	M_{Ed} = 0.00 N.P.(2)	V_{Ed} = 0.00 N.P.(3)	V_{Ed} = 0.00 N.P.(3)	N.P.(4)	N.P.(4)	N.P.(8)	N.P.(9)	M_{Ed} = 0.00 N.P.(5)	N.P.(6)	N.P.(6)	**CUMPLE** η = 4.8
N2912/N2914	η = 2.8	N_{Ed} = 0.00 N.P.(7)	M_{Ed} = 0.00 N.P.(2)	M_{Ed} = 0.00 N.P.(2)	V_{Ed} = 0.00 N.P.(3)	V_{Ed} = 0.00 N.P.(3)	N.P.(4)	N.P.(4)	N.P.(8)	N.P.(9)	M_{Ed} = 0.00 N.P.(5)	N.P.(6)	N.P.(6)	**CUMPLE** η = 2.8
N2911/N2915	η = 3.9	N_{Ed} = 0.00 N.P.(7)	M_{Ed} = 0.00 N.P.(2)	M_{Ed} = 0.00 N.P.(2)	V_{Ed} = 0.00 N.P.(3)	V_{Ed} = 0.00 N.P.(3)	N.P.(4)	N.P.(4)	N.P.(8)	N.P.(9)	M_{Ed} = 0.00 N.P.(5)	N.P.(6)	N.P.(6)	**CUMPLE** η = 3.9
N2916/N2919	η = 42.7	N_{Ed} = 0.00 N.P.(7)	M_{Ed} = 0.00 N.P.(2)	M_{Ed} = 0.00 N.P.(2)	V_{Ed} = 0.00 N.P.(3)	V_{Ed} = 0.00 N.P.(3)	N.P.(4)	N.P.(4)	N.P.(8)	N.P.(9)	M_{Ed} = 0.00 N.P.(5)	N.P.(6)	N.P.(6)	**CUMPLE** η = 42.7
N2917/N2918	η = 13.1	N_{Ed} = 0.00 N.P.(7)	M_{Ed} = 0.00 N.P.(2)	M_{Ed} = 0.00 N.P.(2)	V_{Ed} = 0.00 N.P.(3)	V_{Ed} = 0.00 N.P.(3)	N.P.(4)	N.P.(4)	N.P.(8)	N.P.(9)	M_{Ed} = 0.00 N.P.(5)	N.P.(6)	N.P.(6)	**CUMPLE** η = 13.1
N2920/N2923	η = 24.2	N_{Ed} = 0.00 N.P.(7)	M_{Ed} = 0.00 N.P.(2)	M_{Ed} = 0.00 N.P.(2)	V_{Ed} = 0.00 N.P.(3)	V_{Ed} = 0.00 N.P.(3)	N.P.(4)	N.P.(4)	N.P.(8)	N.P.(9)	M_{Ed} = 0.00 N.P.(5)	N.P.(6)	N.P.(6)	**CUMPLE** η = 24.2

Documento visado electrónicamente con número: VA07290/22
Código de validación telemática TRLTDCFZ60T66IJ1. Comprobación: https://cogitivalencia.e-gestion.es/Validacion.aspx?CVT=TRLTDCFZ60T66IJ1

Listados

VISADO
COGITI
VALENCIA
VA07290/22
TRLTDCFZ60T66IJ1

Barras	COMPROBACIONES (CÓDIGO ESTRUCTURAL)													Estado
	N_t	N_c	M_Y	M_Z	V_Z	V_Y	M_YV_Z	M_ZV_Y	NM_YM_Z	$NM_YM_ZV_YV_Z$	M_t	M_tV_Z	M_tV_Y	
N2921/N2922	η = 9.7	N_{Ed} = 0.00 N.P.(7)	M_{Ed} = 0.00 N.P.(2)	M_{Ed} = 0.00 N.P.(2)	V_{Ed} = 0.00 N.P.(3)	V_{Ed} = 0.00 N.P.(3)	N.P.(4)	N.P.(4)	N.P.(8)	N.P.(9)	M_{Ed} = 0.00 N.P.(5)	N.P.(6)	N.P.(6)	**CUMPLE η = 9.7**
N2929/N2925	η = 21.9	N_{Ed} = 0.00 N.P.(7)	M_{Ed} = 0.00 N.P.(2)	M_{Ed} = 0.00 N.P.(2)	V_{Ed} = 0.00 N.P.(3)	V_{Ed} = 0.00 N.P.(3)	N.P.(4)	N.P.(4)	N.P.(8)	N.P.(9)	M_{Ed} = 0.00 N.P.(5)	N.P.(6)	N.P.(6)	**CUMPLE η = 21.9**
N2927/N2926	η = 8.5	N_{Ed} = 0.00 N.P.(7)	M_{Ed} = 0.00 N.P.(2)	M_{Ed} = 0.00 N.P.(2)	V_{Ed} = 0.00 N.P.(3)	V_{Ed} = 0.00 N.P.(3)	N.P.(4)	N.P.(4)	N.P.(8)	N.P.(9)	M_{Ed} = 0.00 N.P.(5)	N.P.(6)	N.P.(6)	**CUMPLE η = 8.5**
N2931/N2934	η = 8.5	N_{Ed} = 0.00 N.P.(7)	M_{Ed} = 0.00 N.P.(2)	M_{Ed} = 0.00 N.P.(2)	V_{Ed} = 0.00 N.P.(3)	V_{Ed} = 0.00 N.P.(3)	N.P.(4)	N.P.(4)	N.P.(8)	N.P.(9)	M_{Ed} = 0.00 N.P.(5)	N.P.(6)	N.P.(6)	**CUMPLE η = 8.5**
N2933/N2932	η = 3.7	N_{Ed} = 0.00 N.P.(7)	M_{Ed} = 0.00 N.P.(2)	M_{Ed} = 0.00 N.P.(2)	V_{Ed} = 0.00 N.P.(3)	V_{Ed} = 0.00 N.P.(3)	N.P.(4)	N.P.(4)	N.P.(8)	N.P.(9)	M_{Ed} = 0.00 N.P.(5)	N.P.(6)	N.P.(6)	**CUMPLE η = 3.7**
N2936/N2937	η = 4.5	N_{Ed} = 0.00 N.P.(7)	M_{Ed} = 0.00 N.P.(2)	M_{Ed} = 0.00 N.P.(2)	V_{Ed} = 0.00 N.P.(3)	V_{Ed} = 0.00 N.P.(3)	N.P.(4)	N.P.(4)	N.P.(8)	N.P.(9)	M_{Ed} = 0.00 N.P.(5)	N.P.(6)	N.P.(6)	**CUMPLE η = 4.5**
N2935/N2938	η = 9.5	N_{Ed} = 0.00 N.P.(7)	M_{Ed} = 0.00 N.P.(2)	M_{Ed} = 0.00 N.P.(2)	V_{Ed} = 0.00 N.P.(3)	V_{Ed} = 0.00 N.P.(3)	N.P.(4)	N.P.(4)	N.P.(8)	N.P.(9)	M_{Ed} = 0.00 N.P.(5)	N.P.(6)	N.P.(6)	**CUMPLE η = 9.5**
N2940/N2941	η = 3.3	N_{Ed} = 0.00 N.P.(7)	M_{Ed} = 0.00 N.P.(2)	M_{Ed} = 0.00 N.P.(2)	V_{Ed} = 0.00 N.P.(3)	V_{Ed} = 0.00 N.P.(3)	N.P.(4)	N.P.(4)	N.P.(8)	N.P.(9)	M_{Ed} = 0.00 N.P.(5)	N.P.(6)	N.P.(6)	**CUMPLE η = 3.3**
N2939/N2942	η = 6.0	N_{Ed} = 0.00 N.P.(7)	M_{Ed} = 0.00 N.P.(2)	M_{Ed} = 0.00 N.P.(2)	V_{Ed} = 0.00 N.P.(3)	V_{Ed} = 0.00 N.P.(3)	N.P.(4)	N.P.(4)	N.P.(8)	N.P.(9)	M_{Ed} = 0.00 N.P.(5)	N.P.(6)	N.P.(6)	**CUMPLE η = 6.0**
N2946/N2943	η = 4.7	N_{Ed} = 0.00 N.P.(7)	M_{Ed} = 0.00 N.P.(2)	M_{Ed} = 0.00 N.P.(2)	V_{Ed} = 0.00 N.P.(3)	V_{Ed} = 0.00 N.P.(3)	N.P.(4)	N.P.(4)	N.P.(8)	N.P.(9)	M_{Ed} = 0.00 N.P.(5)	N.P.(6)	N.P.(6)	**CUMPLE η = 4.7**
N2945/N2944	η = 2.8	N_{Ed} = 0.00 N.P.(7)	M_{Ed} = 0.00 N.P.(2)	M_{Ed} = 0.00 N.P.(2)	V_{Ed} = 0.00 N.P.(3)	V_{Ed} = 0.00 N.P.(3)	N.P.(4)	N.P.(4)	N.P.(8)	N.P.(9)	M_{Ed} = 0.00 N.P.(5)	N.P.(6)	N.P.(6)	**CUMPLE η = 2.8**
N2948/N2949	η = 3.9	N_{Ed} = 0.00 N.P.(7)	M_{Ed} = 0.00 N.P.(2)	M_{Ed} = 0.00 N.P.(2)	V_{Ed} = 0.00 N.P.(3)	V_{Ed} = 0.00 N.P.(3)	N.P.(4)	N.P.(4)	N.P.(8)	N.P.(9)	M_{Ed} = 0.00 N.P.(5)	N.P.(6)	N.P.(6)	**CUMPLE η = 3.9**
N2947/N2950	η = 6.4	N_{Ed} = 0.00 N.P.(7)	M_{Ed} = 0.00 N.P.(2)	M_{Ed} = 0.00 N.P.(2)	V_{Ed} = 0.00 N.P.(3)	V_{Ed} = 0.00 N.P.(3)	N.P.(4)	N.P.(4)	N.P.(8)	N.P.(9)	M_{Ed} = 0.00 N.P.(5)	N.P.(6)	N.P.(6)	**CUMPLE η = 6.4**
N2952/N2953	η = 3.0	N_{Ed} = 0.00 N.P.(7)	M_{Ed} = 0.00 N.P.(2)	M_{Ed} = 0.00 N.P.(2)	V_{Ed} = 0.00 N.P.(3)	V_{Ed} = 0.00 N.P.(3)	N.P.(4)	N.P.(4)	N.P.(8)	N.P.(9)	M_{Ed} = 0.00 N.P.(5)	N.P.(6)	N.P.(6)	**CUMPLE η = 3.0**
N2951/N2954	η = 5.0	N_{Ed} = 0.00 N.P.(7)	M_{Ed} = 0.00 N.P.(2)	M_{Ed} = 0.00 N.P.(2)	V_{Ed} = 0.00 N.P.(3)	V_{Ed} = 0.00 N.P.(3)	N.P.(4)	N.P.(4)	N.P.(8)	N.P.(9)	M_{Ed} = 0.00 N.P.(5)	N.P.(6)	N.P.(6)	**CUMPLE η = 5.0**
N2958/N2955	η = 6.4	N_{Ed} = 0.00 N.P.(7)	M_{Ed} = 0.00 N.P.(2)	M_{Ed} = 0.00 N.P.(2)	V_{Ed} = 0.00 N.P.(3)	V_{Ed} = 0.00 N.P.(3)	N.P.(4)	N.P.(4)	N.P.(8)	N.P.(9)	M_{Ed} = 0.00 N.P.(5)	N.P.(6)	N.P.(6)	**CUMPLE η = 6.4**
N2957/N2956	η = 2.5	N_{Ed} = 0.00 N.P.(7)	M_{Ed} = 0.00 N.P.(2)	M_{Ed} = 0.00 N.P.(2)	V_{Ed} = 0.00 N.P.(3)	V_{Ed} = 0.00 N.P.(3)	N.P.(4)	N.P.(4)	N.P.(8)	N.P.(9)	M_{Ed} = 0.00 N.P.(5)	N.P.(6)	N.P.(6)	**CUMPLE η = 2.5**
N2960/N2961	η = 3.9	N_{Ed} = 0.00 N.P.(7)	M_{Ed} = 0.00 N.P.(2)	M_{Ed} = 0.00 N.P.(2)	V_{Ed} = 0.00 N.P.(3)	V_{Ed} = 0.00 N.P.(3)	N.P.(4)	N.P.(4)	N.P.(8)	N.P.(9)	M_{Ed} = 0.00 N.P.(5)	N.P.(6)	N.P.(6)	**CUMPLE η = 3.9**
N2959/N2962	η = 8.6	N_{Ed} = 0.00 N.P.(7)	M_{Ed} = 0.00 N.P.(2)	M_{Ed} = 0.00 N.P.(2)	V_{Ed} = 0.00 N.P.(3)	V_{Ed} = 0.00 N.P.(3)	N.P.(4)	N.P.(4)	N.P.(8)	N.P.(9)	M_{Ed} = 0.00 N.P.(5)	N.P.(6)	N.P.(6)	**CUMPLE η = 8.6**
N2964/N2965	η = 3.0	N_{Ed} = 0.00 N.P.(7)	M_{Ed} = 0.00 N.P.(2)	M_{Ed} = 0.00 N.P.(2)	V_{Ed} = 0.00 N.P.(3)	V_{Ed} = 0.00 N.P.(3)	N.P.(4)	N.P.(4)	N.P.(8)	N.P.(9)	M_{Ed} = 0.00 N.P.(5)	N.P.(6)	N.P.(6)	**CUMPLE η = 3.0**
N2963/N2966	η = 6.4	N_{Ed} = 0.00 N.P.(7)	M_{Ed} = 0.00 N.P.(2)	M_{Ed} = 0.00 N.P.(2)	V_{Ed} = 0.00 N.P.(3)	V_{Ed} = 0.00 N.P.(3)	N.P.(4)	N.P.(4)	N.P.(8)	N.P.(9)	M_{Ed} = 0.00 N.P.(5)	N.P.(6)	N.P.(6)	**CUMPLE η = 6.4**
N2661/N2816	η = 15.9	N_{Ed} = 0.00 N.P.(7)	M_{Ed} = 0.00 N.P.(2)	M_{Ed} = 0.00 N.P.(2)	V_{Ed} = 0.00 N.P.(3)	V_{Ed} = 0.00 N.P.(3)	N.P.(4)	N.P.(4)	N.P.(8)	N.P.(9)	M_{Ed} = 0.00 N.P.(5)	N.P.(6)	N.P.(6)	**CUMPLE η = 15.9**
N2814/N2663	η = 30.5	N_{Ed} = 0.00 N.P.(7)	M_{Ed} = 0.00 N.P.(2)	M_{Ed} = 0.00 N.P.(2)	V_{Ed} = 0.00 N.P.(3)	V_{Ed} = 0.00 N.P.(3)	N.P.(4)	N.P.(4)	N.P.(8)	N.P.(9)	M_{Ed} = 0.00 N.P.(5)	N.P.(6)	N.P.(6)	**CUMPLE η = 30.5**
N2725/N2880	η = 19.3	N_{Ed} = 0.00 N.P.(7)	M_{Ed} = 0.00 N.P.(2)	M_{Ed} = 0.00 N.P.(2)	V_{Ed} = 0.00 N.P.(3)	V_{Ed} = 0.00 N.P.(3)	N.P.(4)	N.P.(4)	N.P.(8)	N.P.(9)	M_{Ed} = 0.00 N.P.(5)	N.P.(6)	N.P.(6)	**CUMPLE η = 19.3**
N2878/N2727	η = 23.8	N_{Ed} = 0.00 N.P.(7)	M_{Ed} = 0.00 N.P.(2)	M_{Ed} = 0.00 N.P.(2)	V_{Ed} = 0.00 N.P.(3)	V_{Ed} = 0.00 N.P.(3)	N.P.(4)	N.P.(4)	N.P.(8)	N.P.(9)	M_{Ed} = 0.00 N.P.(5)	N.P.(6)	N.P.(6)	**CUMPLE η = 23.8**
N2675/N2830	η = 19.7	N_{Ed} = 0.00 N.P.(7)	M_{Ed} = 0.00 N.P.(2)	M_{Ed} = 0.00 N.P.(2)	V_{Ed} = 0.00 N.P.(3)	V_{Ed} = 0.00 N.P.(3)	N.P.(4)	N.P.(4)	N.P.(8)	N.P.(9)	M_{Ed} = 0.00 N.P.(5)	N.P.(6)	N.P.(6)	**CUMPLE η = 19.7**
N2828/N2677	η = 42.5	N_{Ed} = 0.00 N.P.(7)	M_{Ed} = 0.00 N.P.(2)	M_{Ed} = 0.00 N.P.(2)	V_{Ed} = 0.00 N.P.(3)	V_{Ed} = 0.00 N.P.(3)	N.P.(4)	N.P.(4)	N.P.(8)	N.P.(9)	M_{Ed} = 0.00 N.P.(5)	N.P.(6)	N.P.(6)	**CUMPLE η = 42.5**
N2695/N2850	η = 24.3	N_{Ed} = 0.00 N.P.(7)	M_{Ed} = 0.00 N.P.(2)	M_{Ed} = 0.00 N.P.(2)	V_{Ed} = 0.00 N.P.(3)	V_{Ed} = 0.00 N.P.(3)	N.P.(4)	N.P.(4)	N.P.(8)	N.P.(9)	M_{Ed} = 0.00 N.P.(5)	N.P.(6)	N.P.(6)	**CUMPLE η = 24.3**
N2848/N2697	η = 12.4	N_{Ed} = 0.00 N.P.(7)	M_{Ed} = 0.00 N.P.(2)	M_{Ed} = 0.00 N.P.(2)	V_{Ed} = 0.00 N.P.(3)	V_{Ed} = 0.00 N.P.(3)	N.P.(4)	N.P.(4)	N.P.(8)	N.P.(9)	M_{Ed} = 0.00 N.P.(5)	N.P.(6)	N.P.(6)	**CUMPLE η = 12.4**
N2709/N2864	η = 25.7	N_{Ed} = 0.00 N.P.(7)	M_{Ed} = 0.00 N.P.(2)	M_{Ed} = 0.00 N.P.(2)	V_{Ed} = 0.00 N.P.(3)	V_{Ed} = 0.00 N.P.(3)	N.P.(4)	N.P.(4)	N.P.(8)	N.P.(9)	M_{Ed} = 0.00 N.P.(5)	N.P.(6)	N.P.(6)	**CUMPLE η = 25.7**
N2862/N2711	η = 25.2	N_{Ed} = 0.00 N.P.(7)	M_{Ed} = 0.00 N.P.(2)	M_{Ed} = 0.00 N.P.(2)	V_{Ed} = 0.00 N.P.(3)	V_{Ed} = 0.00 N.P.(3)	N.P.(4)	N.P.(4)	N.P.(8)	N.P.(9)	M_{Ed} = 0.00 N.P.(5)	N.P.(6)	N.P.(6)	**CUMPLE η = 25.2**
N2694/N2866	η = 22.8	N_{Ed} = 0.00 N.P.(7)	M_{Ed} = 0.00 N.P.(2)	M_{Ed} = 0.00 N.P.(2)	V_{Ed} = 0.00 N.P.(3)	V_{Ed} = 0.00 N.P.(3)	N.P.(4)	N.P.(4)	N.P.(8)	N.P.(9)	M_{Ed} = 0.00 N.P.(5)	N.P.(6)	N.P.(6)	**CUMPLE η = 22.8**
N2847/N2713	η = 14.7	N_{Ed} = 0.00 N.P.(7)	M_{Ed} = 0.00 N.P.(2)	M_{Ed} = 0.00 N.P.(2)	V_{Ed} = 0.00 N.P.(3)	V_{Ed} = 0.00 N.P.(3)	N.P.(4)	N.P.(4)	N.P.(8)	N.P.(9)	M_{Ed} = 0.00 N.P.(5)	N.P.(6)	N.P.(6)	**CUMPLE η = 14.7**
N3016/N3018	η = 1.4	N_{Ed} = 0.00 N.P.(7)	M_{Ed} = 0.00 N.P.(2)	M_{Ed} = 0.00 N.P.(2)	V_{Ed} = 0.00 N.P.(3)	V_{Ed} = 0.00 N.P.(3)	N.P.(4)	N.P.(4)	N.P.(8)	N.P.(9)	M_{Ed} = 0.00 N.P.(5)	N.P.(6)	N.P.(6)	**CUMPLE η = 1.4**
N3015/N3019	η = 3.3	N_{Ed} = 0.00 N.P.(7)	M_{Ed} = 0.00 N.P.(2)	M_{Ed} = 0.00 N.P.(2)	V_{Ed} = 0.00 N.P.(3)	V_{Ed} = 0.00 N.P.(3)	N.P.(4)	N.P.(4)	N.P.(8)	N.P.(9)	M_{Ed} = 0.00 N.P.(5)	N.P.(6)	N.P.(6)	**CUMPLE η = 3.3**
N3020/N3023	η = 14.6	N_{Ed} = 0.00 N.P.(7)	M_{Ed} = 0.00 N.P.(2)	M_{Ed} = 0.00 N.P.(2)	V_{Ed} = 0.00 N.P.(3)	V_{Ed} = 0.00 N.P.(3)	N.P.(4)	N.P.(4)	N.P.(8)	N.P.(9)	M_{Ed} = 0.00 N.P.(5)	N.P.(6)	N.P.(6)	**CUMPLE η = 14.6**
N3021/N3022	η = 13.1	N_{Ed} = 0.00 N.P.(7)	M_{Ed} = 0.00 N.P.(2)	M_{Ed} = 0.00 N.P.(2)	V_{Ed} = 0.00 N.P.(3)	V_{Ed} = 0.00 N.P.(3)	N.P.(4)	N.P.(4)	N.P.(8)	N.P.(9)	M_{Ed} = 0.00 N.P.(5)	N.P.(6)	N.P.(6)	**CUMPLE η = 13.1**

Documento visado electrónicamente con número: VA07290/22
Código de validación telemática TRLTDCFZ60T66IJ1. Comprobación: https://cogitivalencia.e-gestion.es/Validacion.aspx?CVT=TRLTDCFZ60T66IJ1

VISADO
COGITI
TRLTDCFZ60T66IJ1
Estado
VALENCIA
VA07290/22

Barras	COMPROBACIONES (CÓDIGO ESTRUCTURAL)													Estado
	N_t	N_c	M_Y	M_Z	V_Z	V_Y	M_YV_Z	M_ZV_Y	NM_YM_Z	$NM_YM_ZV_YV_Z$	M_t	M_tV_Z	M_tV_Y	
N3024/N3027	η = 9.7	N_{Ed} = 0.00 N.P.(7)	M_{Ed} = 0.00 N.P.(2)	M_{Ed} = 0.00 N.P.(2)	V_{Ed} = 0.00 N.P.(3)	V_{Ed} = 0.00 N.P.(3)	N.P.(4)	N.P.(4)	N.P.(8)	N.P.(9)	M_{Ed} = 0.00 N.P.(5)	N.P.(6)	N.P.(6)	**CUMPLE η = 9.7**
N3025/N3026	η = 8.6	N_{Ed} = 0.00 N.P.(7)	M_{Ed} = 0.00 N.P.(2)	M_{Ed} = 0.00 N.P.(2)	V_{Ed} = 0.00 N.P.(3)	V_{Ed} = 0.00 N.P.(3)	N.P.(4)	N.P.(4)	N.P.(8)	N.P.(9)	M_{Ed} = 0.00 N.P.(5)	N.P.(6)	N.P.(6)	**CUMPLE η = 8.6**
N3032/N3028	η = 10.3	N_{Ed} = 0.00 N.P.(7)	M_{Ed} = 0.00 N.P.(2)	M_{Ed} = 0.00 N.P.(2)	V_{Ed} = 0.00 N.P.(3)	V_{Ed} = 0.00 N.P.(3)	N.P.(4)	N.P.(4)	N.P.(8)	N.P.(9)	M_{Ed} = 0.00 N.P.(5)	N.P.(6)	N.P.(6)	**CUMPLE η = 10.3**
N3030/N3029	η = 6.4	N_{Ed} = 0.00 N.P.(7)	M_{Ed} = 0.00 N.P.(2)	M_{Ed} = 0.00 N.P.(2)	V_{Ed} = 0.00 N.P.(3)	V_{Ed} = 0.00 N.P.(3)	N.P.(4)	N.P.(4)	N.P.(8)	N.P.(9)	M_{Ed} = 0.00 N.P.(5)	N.P.(6)	N.P.(6)	**CUMPLE η = 6.4**
N3033/N3036	η = 21.9	N_{Ed} = 0.00 N.P.(7)	M_{Ed} = 0.00 N.P.(2)	M_{Ed} = 0.00 N.P.(2)	V_{Ed} = 0.00 N.P.(3)	V_{Ed} = 0.00 N.P.(3)	N.P.(4)	N.P.(4)	N.P.(8)	N.P.(9)	M_{Ed} = 0.00 N.P.(5)	N.P.(6)	N.P.(6)	**CUMPLE η = 21.9**
N3035/N3034	η = 22.0	N_{Ed} = 0.00 N.P.(7)	M_{Ed} = 0.00 N.P.(2)	M_{Ed} = 0.00 N.P.(2)	V_{Ed} = 0.00 N.P.(3)	V_{Ed} = 0.00 N.P.(3)	N.P.(4)	N.P.(4)	N.P.(8)	N.P.(9)	M_{Ed} = 0.00 N.P.(5)	N.P.(6)	N.P.(6)	**CUMPLE η = 22.0**
N3038/N3039	η = 27.6	N_{Ed} = 0.00 N.P.(7)	M_{Ed} = 0.00 N.P.(2)	M_{Ed} = 0.00 N.P.(2)	V_{Ed} = 0.00 N.P.(3)	V_{Ed} = 0.00 N.P.(3)	N.P.(4)	N.P.(4)	N.P.(8)	N.P.(9)	M_{Ed} = 0.00 N.P.(5)	N.P.(6)	N.P.(6)	**CUMPLE η = 27.6**
N3037/N3040	η = 27.9	N_{Ed} = 0.00 N.P.(7)	M_{Ed} = 0.00 N.P.(2)	M_{Ed} = 0.00 N.P.(2)	V_{Ed} = 0.00 N.P.(3)	V_{Ed} = 0.00 N.P.(3)	N.P.(4)	N.P.(4)	N.P.(8)	N.P.(9)	M_{Ed} = 0.00 N.P.(5)	N.P.(6)	N.P.(6)	**CUMPLE η = 27.9**
N3042/N3043	η = 15.2	N_{Ed} = 0.00 N.P.(7)	M_{Ed} = 0.00 N.P.(2)	M_{Ed} = 0.00 N.P.(2)	V_{Ed} = 0.00 N.P.(3)	V_{Ed} = 0.00 N.P.(3)	N.P.(4)	N.P.(4)	N.P.(8)	N.P.(9)	M_{Ed} = 0.00 N.P.(5)	N.P.(6)	N.P.(6)	**CUMPLE η = 15.2**
N3041/N3044	η = 15.7	N_{Ed} = 0.00 N.P.(7)	M_{Ed} = 0.00 N.P.(2)	M_{Ed} = 0.00 N.P.(2)	V_{Ed} = 0.00 N.P.(3)	V_{Ed} = 0.00 N.P.(3)	N.P.(4)	N.P.(4)	N.P.(8)	N.P.(9)	M_{Ed} = 0.00 N.P.(5)	N.P.(6)	N.P.(6)	**CUMPLE η = 15.7**
N3048/N3045	η = 10.2	N_{Ed} = 0.00 N.P.(7)	M_{Ed} = 0.00 N.P.(2)	M_{Ed} = 0.00 N.P.(2)	V_{Ed} = 0.00 N.P.(3)	V_{Ed} = 0.00 N.P.(3)	N.P.(4)	N.P.(4)	N.P.(8)	N.P.(9)	M_{Ed} = 0.00 N.P.(5)	N.P.(6)	N.P.(6)	**CUMPLE η = 10.2**
N3047/N3046	η = 9.1	N_{Ed} = 0.00 N.P.(7)	M_{Ed} = 0.00 N.P.(2)	M_{Ed} = 0.00 N.P.(2)	V_{Ed} = 0.00 N.P.(3)	V_{Ed} = 0.00 N.P.(3)	N.P.(4)	N.P.(4)	N.P.(8)	N.P.(9)	M_{Ed} = 0.00 N.P.(5)	N.P.(6)	N.P.(6)	**CUMPLE η = 9.1**
N3050/N3051	η = 15.3	N_{Ed} = 0.00 N.P.(7)	M_{Ed} = 0.00 N.P.(2)	M_{Ed} = 0.00 N.P.(2)	V_{Ed} = 0.00 N.P.(3)	V_{Ed} = 0.00 N.P.(3)	N.P.(4)	N.P.(4)	N.P.(8)	N.P.(9)	M_{Ed} = 0.00 N.P.(5)	N.P.(6)	N.P.(6)	**CUMPLE η = 15.3**
N3049/N3052	η = 15.8	N_{Ed} = 0.00 N.P.(7)	M_{Ed} = 0.00 N.P.(2)	M_{Ed} = 0.00 N.P.(2)	V_{Ed} = 0.00 N.P.(3)	V_{Ed} = 0.00 N.P.(3)	N.P.(4)	N.P.(4)	N.P.(8)	N.P.(9)	M_{Ed} = 0.00 N.P.(5)	N.P.(6)	N.P.(6)	**CUMPLE η = 15.8**
N3054/N3055	η = 9.0	N_{Ed} = 0.00 N.P.(7)	M_{Ed} = 0.00 N.P.(2)	M_{Ed} = 0.00 N.P.(2)	V_{Ed} = 0.00 N.P.(3)	V_{Ed} = 0.00 N.P.(3)	N.P.(4)	N.P.(4)	N.P.(8)	N.P.(9)	M_{Ed} = 0.00 N.P.(5)	N.P.(6)	N.P.(6)	**CUMPLE η = 9.0**
N3053/N3056	η = 10.5	N_{Ed} = 0.00 N.P.(7)	M_{Ed} = 0.00 N.P.(2)	M_{Ed} = 0.00 N.P.(2)	V_{Ed} = 0.00 N.P.(3)	V_{Ed} = 0.00 N.P.(3)	N.P.(4)	N.P.(4)	N.P.(8)	N.P.(9)	M_{Ed} = 0.00 N.P.(5)	N.P.(6)	N.P.(6)	**CUMPLE η = 10.5**
N3060/N3057	η = 14.6	N_{Ed} = 0.00 N.P.(7)	M_{Ed} = 0.00 N.P.(2)	M_{Ed} = 0.00 N.P.(2)	V_{Ed} = 0.00 N.P.(3)	V_{Ed} = 0.00 N.P.(3)	N.P.(4)	N.P.(4)	N.P.(8)	N.P.(9)	M_{Ed} = 0.00 N.P.(5)	N.P.(6)	N.P.(6)	**CUMPLE η = 14.6**
N3059/N3058	η = 15.0	N_{Ed} = 0.00 N.P.(7)	M_{Ed} = 0.00 N.P.(2)	M_{Ed} = 0.00 N.P.(2)	V_{Ed} = 0.00 N.P.(3)	V_{Ed} = 0.00 N.P.(3)	N.P.(4)	N.P.(4)	N.P.(8)	N.P.(9)	M_{Ed} = 0.00 N.P.(5)	N.P.(6)	N.P.(6)	**CUMPLE η = 15.0**
N3062/N3063	η = 25.7	N_{Ed} = 0.00 N.P.(7)	M_{Ed} = 0.00 N.P.(2)	M_{Ed} = 0.00 N.P.(2)	V_{Ed} = 0.00 N.P.(3)	V_{Ed} = 0.00 N.P.(3)	N.P.(4)	N.P.(4)	N.P.(8)	N.P.(9)	M_{Ed} = 0.00 N.P.(5)	N.P.(6)	N.P.(6)	**CUMPLE η = 25.7**
N3061/N3064	η = 24.6	N_{Ed} = 0.00 N.P.(7)	M_{Ed} = 0.00 N.P.(2)	M_{Ed} = 0.00 N.P.(2)	V_{Ed} = 0.00 N.P.(3)	V_{Ed} = 0.00 N.P.(3)	N.P.(4)	N.P.(4)	N.P.(8)	N.P.(9)	M_{Ed} = 0.00 N.P.(5)	N.P.(6)	N.P.(6)	**CUMPLE η = 24.6**
N3066/N3067	η = 19.8	N_{Ed} = 0.00 N.P.(7)	M_{Ed} = 0.00 N.P.(2)	M_{Ed} = 0.00 N.P.(2)	V_{Ed} = 0.00 N.P.(3)	V_{Ed} = 0.00 N.P.(3)	N.P.(4)	N.P.(4)	N.P.(8)	N.P.(9)	M_{Ed} = 0.00 N.P.(5)	N.P.(6)	N.P.(6)	**CUMPLE η = 19.8**
N3065/N3068	η = 19.1	N_{Ed} = 0.00 N.P.(7)	M_{Ed} = 0.00 N.P.(2)	M_{Ed} = 0.00 N.P.(2)	V_{Ed} = 0.00 N.P.(3)	V_{Ed} = 0.00 N.P.(3)	N.P.(4)	N.P.(4)	N.P.(8)	N.P.(9)	M_{Ed} = 0.00 N.P.(5)	N.P.(6)	N.P.(6)	**CUMPLE η = 19.1**
N2814/N2968	η = 72.0	N_{Ed} = 0.00 N.P.(7)	M_{Ed} = 0.00 N.P.(2)	M_{Ed} = 0.00 N.P.(2)	V_{Ed} = 0.00 N.P.(3)	V_{Ed} = 0.00 N.P.(3)	N.P.(4)	N.P.(4)	N.P.(8)	N.P.(9)	M_{Ed} = 0.00 N.P.(5)	N.P.(6)	N.P.(6)	**CUMPLE η = 72.0**
N2967/N2816	η = 16.8	N_{Ed} = 0.00 N.P.(7)	M_{Ed} = 0.00 N.P.(2)	M_{Ed} = 0.00 N.P.(2)	V_{Ed} = 0.00 N.P.(3)	V_{Ed} = 0.00 N.P.(3)	N.P.(4)	N.P.(4)	N.P.(8)	N.P.(9)	M_{Ed} = 0.00 N.P.(5)	N.P.(6)	N.P.(6)	**CUMPLE η = 16.8**
N2878/N3000	η = 19.7	N_{Ed} = 0.00 N.P.(7)	M_{Ed} = 0.00 N.P.(2)	M_{Ed} = 0.00 N.P.(2)	V_{Ed} = 0.00 N.P.(3)	V_{Ed} = 0.00 N.P.(3)	N.P.(4)	N.P.(4)	N.P.(8)	N.P.(9)	M_{Ed} = 0.00 N.P.(5)	N.P.(6)	N.P.(6)	**CUMPLE η = 19.7**
N2999/N2880	η = 63.4	N_{Ed} = 0.00 N.P.(7)	M_{Ed} = 0.00 N.P.(2)	M_{Ed} = 0.00 N.P.(2)	V_{Ed} = 0.00 N.P.(3)	V_{Ed} = 0.00 N.P.(3)	N.P.(4)	N.P.(4)	N.P.(8)	N.P.(9)	M_{Ed} = 0.00 N.P.(5)	N.P.(6)	N.P.(6)	**CUMPLE η = 63.4**
N2828/N2975	η = 30.9	N_{Ed} = 0.00 N.P.(7)	M_{Ed} = 0.00 N.P.(2)	M_{Ed} = 0.00 N.P.(2)	V_{Ed} = 0.00 N.P.(3)	V_{Ed} = 0.00 N.P.(3)	N.P.(4)	N.P.(4)	N.P.(8)	N.P.(9)	M_{Ed} = 0.00 N.P.(5)	N.P.(6)	N.P.(6)	**CUMPLE η = 30.9**
N2974/N2830	η = 10.6	N_{Ed} = 0.00 N.P.(7)	M_{Ed} = 0.00 N.P.(2)	M_{Ed} = 0.00 N.P.(2)	V_{Ed} = 0.00 N.P.(3)	V_{Ed} = 0.00 N.P.(3)	N.P.(4)	N.P.(4)	N.P.(8)	N.P.(9)	M_{Ed} = 0.00 N.P.(5)	N.P.(6)	N.P.(6)	**CUMPLE η = 10.6**
N2848/N2985	η = 53.2	N_{Ed} = 0.00 N.P.(7)	M_{Ed} = 0.00 N.P.(2)	M_{Ed} = 0.00 N.P.(2)	V_{Ed} = 0.00 N.P.(3)	V_{Ed} = 0.00 N.P.(3)	N.P.(4)	N.P.(4)	N.P.(8)	N.P.(9)	M_{Ed} = 0.00 N.P.(5)	N.P.(6)	N.P.(6)	**CUMPLE η = 53.2**
N2984/N2850	η = 11.0	N_{Ed} = 0.00 N.P.(7)	M_{Ed} = 0.00 N.P.(2)	M_{Ed} = 0.00 N.P.(2)	V_{Ed} = 0.00 N.P.(3)	V_{Ed} = 0.00 N.P.(3)	N.P.(4)	N.P.(4)	N.P.(8)	N.P.(9)	M_{Ed} = 0.00 N.P.(5)	N.P.(6)	N.P.(6)	**CUMPLE η = 11.0**
N2862/N2992	η = 11.8	N_{Ed} = 0.00 N.P.(7)	M_{Ed} = 0.00 N.P.(2)	M_{Ed} = 0.00 N.P.(2)	V_{Ed} = 0.00 N.P.(3)	V_{Ed} = 0.00 N.P.(3)	N.P.(4)	N.P.(4)	N.P.(8)	N.P.(9)	M_{Ed} = 0.00 N.P.(5)	N.P.(6)	N.P.(6)	**CUMPLE η = 11.8**
N2991/N2864	η = 18.3	N_{Ed} = 0.00 N.P.(7)	M_{Ed} = 0.00 N.P.(2)	M_{Ed} = 0.00 N.P.(2)	V_{Ed} = 0.00 N.P.(3)	V_{Ed} = 0.00 N.P.(3)	N.P.(4)	N.P.(4)	N.P.(8)	N.P.(9)	M_{Ed} = 0.00 N.P.(5)	N.P.(6)	N.P.(6)	**CUMPLE η = 18.3**
N2847/N2993	η = 30.0	N_{Ed} = 0.00 N.P.(7)	M_{Ed} = 0.00 N.P.(2)	M_{Ed} = 0.00 N.P.(2)	V_{Ed} = 0.00 N.P.(3)	V_{Ed} = 0.00 N.P.(3)	N.P.(4)	N.P.(4)	N.P.(8)	N.P.(9)	M_{Ed} = 0.00 N.P.(5)	N.P.(6)	N.P.(6)	**CUMPLE η = 30.0**
N2983/N2866	η = 22.3	N_{Ed} = 0.00 N.P.(7)	M_{Ed} = 0.00 N.P.(2)	M_{Ed} = 0.00 N.P.(2)	V_{Ed} = 0.00 N.P.(3)	V_{Ed} = 0.00 N.P.(3)	N.P.(4)	N.P.(4)	N.P.(8)	N.P.(9)	M_{Ed} = 0.00 N.P.(5)	N.P.(6)	N.P.(6)	**CUMPLE η = 22.3**
N2969/N2820	η = 20.3	η = 16.6	M_{Ed} = 0.00 N.P.(2)	M_{Ed} = 0.00 N.P.(2)	V_{Ed} = 0.00 N.P.(3)	V_{Ed} = 0.00 N.P.(3)	N.P.(4)	N.P.(4)	N.P.(8)	N.P.(9)	M_{Ed} = 0.00 N.P.(5)	N.P.(6)	N.P.(6)	**CUMPLE η = 20.3**
N2818/N2970	η = 28.0	η = 29.9	M_{Ed} = 0.00 N.P.(2)	M_{Ed} = 0.00 N.P.(2)	V_{Ed} = 0.00 N.P.(3)	V_{Ed} = 0.00 N.P.(3)	N.P.(4)	N.P.(4)	N.P.(8)	N.P.(9)	M_{Ed} = 0.00 N.P.(5)	N.P.(6)	N.P.(6)	**CUMPLE η = 29.9**
N2820/N2971	η = 32.1	N_{Ed} = 0.00 N.P.(7)	M_{Ed} = 0.00 N.P.(2)	M_{Ed} = 0.00 N.P.(2)	V_{Ed} = 0.00 N.P.(3)	V_{Ed} = 0.00 N.P.(3)	N.P.(4)	N.P.(4)	N.P.(8)	N.P.(9)	M_{Ed} = 0.00 N.P.(5)	N.P.(6)	N.P.(6)	**CUMPLE η = 32.1**

Documento visado electrónicamente con número: VA07290/22
Código de validación telemática TRLTDCFZ60T66IJ1. Comprobación: https://cogitivalencia.e-gestion.es/Validacion.aspx?CVT=TRLTDCFZ60T66IJ1

Listados

VISADO
COGITI
VALENCIA
VA07290/22
TRLTDCFZ60T66IJ1

Barras	COMPROBACIONES (CÓDIGO ESTRUCTURAL)													Estado
	N_t	N_c	M_Y	M_Z	V_Z	V_Y	M_YV_Z	M_ZV_Y	NM_YM_Z	$NM_YM_ZV_YV_Z$	M_t	M_tV_Z	M_tV_Y	
N2970/N2822	η = 34.7	N_{Ed} = 0.00 N.P.(7)	M_{Ed} = 0.00 N.P.(2)	M_{Ed} = 0.00 N.P.(2)	V_{Ed} = 0.00 N.P.(3)	V_{Ed} = 0.00 N.P.(3)	N.P.(4)	N.P.(4)	N.P.(8)	N.P.(9)	M_{Ed} = 0.00 N.P.(5)	N.P.(6)	N.P.(6)	**CUMPLE η = 34.7**
N2971/N2824	η = 55.1	N_{Ed} = 0.00 N.P.(7)	M_{Ed} = 0.00 N.P.(2)	M_{Ed} = 0.00 N.P.(2)	V_{Ed} = 0.00 N.P.(3)	V_{Ed} = 0.00 N.P.(3)	N.P.(4)	N.P.(4)	N.P.(8)	N.P.(9)	M_{Ed} = 0.00 N.P.(5)	N.P.(6)	N.P.(6)	**CUMPLE η = 55.1**
N2822/N2972	η = 25.7	N_{Ed} = 0.00 N.P.(7)	M_{Ed} = 0.00 N.P.(2)	M_{Ed} = 0.00 N.P.(2)	V_{Ed} = 0.00 N.P.(3)	V_{Ed} = 0.00 N.P.(3)	N.P.(4)	N.P.(4)	N.P.(8)	N.P.(9)	M_{Ed} = 0.00 N.P.(5)	N.P.(6)	N.P.(6)	**CUMPLE η = 25.7**
N2972/N2826	η = 35.4	η = 16.6	M_{Ed} = 0.00 N.P.(2)	M_{Ed} = 0.00 N.P.(2)	V_{Ed} = 0.00 N.P.(3)	V_{Ed} = 0.00 N.P.(3)	N.P.(4)	N.P.(4)	N.P.(8)	N.P.(9)	M_{Ed} = 0.00 N.P.(5)	N.P.(6)	N.P.(6)	**CUMPLE η = 35.4**
N2824/N2973	η = 17.3	η = 30.8	M_{Ed} = 0.00 N.P.(2)	M_{Ed} = 0.00 N.P.(2)	V_{Ed} = 0.00 N.P.(3)	V_{Ed} = 0.00 N.P.(3)	N.P.(4)	N.P.(4)	N.P.(8)	N.P.(9)	M_{Ed} = 0.00 N.P.(5)	N.P.(6)	N.P.(6)	**CUMPLE η = 30.8**
N2973/N2828	η = 67.3	N_{Ed} = 0.00 N.P.(7)	M_{Ed} = 0.00 N.P.(2)	M_{Ed} = 0.00 N.P.(2)	V_{Ed} = 0.00 N.P.(3)	V_{Ed} = 0.00 N.P.(3)	N.P.(4)	N.P.(4)	N.P.(8)	N.P.(9)	M_{Ed} = 0.00 N.P.(5)	N.P.(6)	N.P.(6)	**CUMPLE η = 67.3**
N2826/N2974	η = 25.8	N_{Ed} = 0.00 N.P.(7)	M_{Ed} = 0.00 N.P.(2)	M_{Ed} = 0.00 N.P.(2)	V_{Ed} = 0.00 N.P.(3)	V_{Ed} = 0.00 N.P.(3)	N.P.(4)	N.P.(4)	N.P.(8)	N.P.(9)	M_{Ed} = 0.00 N.P.(5)	N.P.(6)	N.P.(6)	**CUMPLE η = 25.8**
N2850/N2986	η = 62.2	N_{Ed} = 0.00 N.P.(7)	M_{Ed} = 0.00 N.P.(2)	M_{Ed} = 0.00 N.P.(2)	V_{Ed} = 0.00 N.P.(3)	V_{Ed} = 0.00 N.P.(3)	N.P.(4)	N.P.(4)	N.P.(8)	N.P.(9)	M_{Ed} = 0.00 N.P.(5)	N.P.(6)	N.P.(6)	**CUMPLE η = 62.2**
N2985/N2852	η = 18.2	N_{Ed} = 0.00 N.P.(7)	M_{Ed} = 0.00 N.P.(2)	M_{Ed} = 0.00 N.P.(2)	V_{Ed} = 0.00 N.P.(3)	V_{Ed} = 0.00 N.P.(3)	N.P.(4)	N.P.(4)	N.P.(8)	N.P.(9)	M_{Ed} = 0.00 N.P.(5)	N.P.(6)	N.P.(6)	**CUMPLE η = 18.2**
N2986/N2854	η = 10.3	η = 22.0	M_{Ed} = 0.00 N.P.(2)	M_{Ed} = 0.00 N.P.(2)	V_{Ed} = 0.00 N.P.(3)	V_{Ed} = 0.00 N.P.(3)	N.P.(4)	N.P.(4)	N.P.(8)	N.P.(9)	M_{Ed} = 0.00 N.P.(5)	N.P.(6)	N.P.(6)	**CUMPLE η = 22.0**
N2852/N2987	η = 29.0	η = 14.9	M_{Ed} = 0.00 N.P.(2)	M_{Ed} = 0.00 N.P.(2)	V_{Ed} = 0.00 N.P.(3)	V_{Ed} = 0.00 N.P.(3)	N.P.(4)	N.P.(4)	N.P.(8)	N.P.(9)	M_{Ed} = 0.00 N.P.(5)	N.P.(6)	N.P.(6)	**CUMPLE η = 29.0**
N2987/N2856	η = 15.4	N_{Ed} = 0.00 N.P.(7)	M_{Ed} = 0.00 N.P.(2)	M_{Ed} = 0.00 N.P.(2)	V_{Ed} = 0.00 N.P.(3)	V_{Ed} = 0.00 N.P.(3)	N.P.(4)	N.P.(4)	N.P.(8)	N.P.(9)	M_{Ed} = 0.00 N.P.(5)	N.P.(6)	N.P.(6)	**CUMPLE η = 15.4**
N2854/N2988	η = 37.6	N_{Ed} = 0.00 N.P.(7)	M_{Ed} = 0.00 N.P.(2)	M_{Ed} = 0.00 N.P.(2)	V_{Ed} = 0.00 N.P.(3)	V_{Ed} = 0.00 N.P.(3)	N.P.(4)	N.P.(4)	N.P.(8)	N.P.(9)	M_{Ed} = 0.00 N.P.(5)	N.P.(6)	N.P.(6)	**CUMPLE η = 37.6**
N2988/N2858	η = 16.6	N_{Ed} = 0.00 N.P.(7)	M_{Ed} = 0.00 N.P.(2)	M_{Ed} = 0.00 N.P.(2)	V_{Ed} = 0.00 N.P.(3)	V_{Ed} = 0.00 N.P.(3)	N.P.(4)	N.P.(4)	N.P.(8)	N.P.(9)	M_{Ed} = 0.00 N.P.(5)	N.P.(6)	N.P.(6)	**CUMPLE η = 16.6**
N2856/N2989	η = 24.9	N_{Ed} = 0.00 N.P.(7)	M_{Ed} = 0.00 N.P.(2)	M_{Ed} = 0.00 N.P.(2)	V_{Ed} = 0.00 N.P.(3)	V_{Ed} = 0.00 N.P.(3)	N.P.(4)	N.P.(4)	N.P.(8)	N.P.(9)	M_{Ed} = 0.00 N.P.(5)	N.P.(6)	N.P.(6)	**CUMPLE η = 24.9**
N2858/N2990	η = 11.8	η = 7.0	M_{Ed} = 0.00 N.P.(2)	M_{Ed} = 0.00 N.P.(2)	V_{Ed} = 0.00 N.P.(3)	V_{Ed} = 0.00 N.P.(3)	N.P.(4)	N.P.(4)	N.P.(8)	N.P.(9)	M_{Ed} = 0.00 N.P.(5)	N.P.(6)	N.P.(6)	**CUMPLE η = 11.8**
N2989/N2860	η = 6.6	η = 7.6	M_{Ed} = 0.00 N.P.(2)	M_{Ed} = 0.00 N.P.(2)	V_{Ed} = 0.00 N.P.(3)	V_{Ed} = 0.00 N.P.(3)	N.P.(4)	N.P.(4)	N.P.(8)	N.P.(9)	M_{Ed} = 0.00 N.P.(5)	N.P.(6)	N.P.(6)	**CUMPLE η = 7.6**
N2990/N2862	η = 31.4	N_{Ed} = 0.00 N.P.(7)	M_{Ed} = 0.00 N.P.(2)	M_{Ed} = 0.00 N.P.(2)	V_{Ed} = 0.00 N.P.(3)	V_{Ed} = 0.00 N.P.(3)	N.P.(4)	N.P.(4)	N.P.(8)	N.P.(9)	M_{Ed} = 0.00 N.P.(5)	N.P.(6)	N.P.(6)	**CUMPLE η = 31.4**
N2860/N2991	η = 25.4	N_{Ed} = 0.00 N.P.(7)	M_{Ed} = 0.00 N.P.(2)	M_{Ed} = 0.00 N.P.(2)	V_{Ed} = 0.00 N.P.(3)	V_{Ed} = 0.00 N.P.(3)	N.P.(4)	N.P.(4)	N.P.(8)	N.P.(9)	M_{Ed} = 0.00 N.P.(5)	N.P.(6)	N.P.(6)	**CUMPLE η = 25.4**
N2993/N2868	η = 39.9	N_{Ed} = 0.00 N.P.(7)	M_{Ed} = 0.00 N.P.(2)	M_{Ed} = 0.00 N.P.(2)	V_{Ed} = 0.00 N.P.(3)	V_{Ed} = 0.00 N.P.(3)	N.P.(4)	N.P.(4)	N.P.(8)	N.P.(9)	M_{Ed} = 0.00 N.P.(5)	N.P.(6)	N.P.(6)	**CUMPLE η = 39.9**
N2866/N2994	η = 46.8	N_{Ed} = 0.00 N.P.(7)	M_{Ed} = 0.00 N.P.(2)	M_{Ed} = 0.00 N.P.(2)	V_{Ed} = 0.00 N.P.(3)	V_{Ed} = 0.00 N.P.(3)	N.P.(4)	N.P.(4)	N.P.(8)	N.P.(9)	M_{Ed} = 0.00 N.P.(5)	N.P.(6)	N.P.(6)	**CUMPLE η = 46.8**
N2994/N2870	η = 28.3	η = 20.4	M_{Ed} = 0.00 N.P.(2)	M_{Ed} = 0.00 N.P.(2)	V_{Ed} = 0.00 N.P.(3)	V_{Ed} = 0.00 N.P.(3)	N.P.(4)	N.P.(4)	N.P.(8)	N.P.(9)	M_{Ed} = 0.00 N.P.(5)	N.P.(6)	N.P.(6)	**CUMPLE η = 28.3**
N2868/N2995	η = 24.5	η = 29.0	M_{Ed} = 0.00 N.P.(2)	M_{Ed} = 0.00 N.P.(2)	V_{Ed} = 0.00 N.P.(3)	V_{Ed} = 0.00 N.P.(3)	N.P.(4)	N.P.(4)	N.P.(8)	N.P.(9)	M_{Ed} = 0.00 N.P.(5)	N.P.(6)	N.P.(6)	**CUMPLE η = 29.0**
N2995/N2872	η = 43.0	N_{Ed} = 0.00 N.P.(7)	M_{Ed} = 0.00 N.P.(2)	M_{Ed} = 0.00 N.P.(2)	V_{Ed} = 0.00 N.P.(3)	V_{Ed} = 0.00 N.P.(3)	N.P.(4)	N.P.(4)	N.P.(8)	N.P.(9)	M_{Ed} = 0.00 N.P.(5)	N.P.(6)	N.P.(6)	**CUMPLE η = 43.0**
N2870/N2996	η = 29.6	N_{Ed} = 0.00 N.P.(7)	M_{Ed} = 0.00 N.P.(2)	M_{Ed} = 0.00 N.P.(2)	V_{Ed} = 0.00 N.P.(3)	V_{Ed} = 0.00 N.P.(3)	N.P.(4)	N.P.(4)	N.P.(8)	N.P.(9)	M_{Ed} = 0.00 N.P.(5)	N.P.(6)	N.P.(6)	**CUMPLE η = 29.6**
N2872/N2997	η = 18.0	N_{Ed} = 0.00 N.P.(7)	M_{Ed} = 0.00 N.P.(2)	M_{Ed} = 0.00 N.P.(2)	V_{Ed} = 0.00 N.P.(3)	V_{Ed} = 0.00 N.P.(3)	N.P.(4)	N.P.(4)	N.P.(8)	N.P.(9)	M_{Ed} = 0.00 N.P.(5)	N.P.(6)	N.P.(6)	**CUMPLE η = 18.0**
N2996/N2874	η = 52.5	N_{Ed} = 0.00 N.P.(7)	M_{Ed} = 0.00 N.P.(2)	M_{Ed} = 0.00 N.P.(2)	V_{Ed} = 0.00 N.P.(3)	V_{Ed} = 0.00 N.P.(3)	N.P.(4)	N.P.(4)	N.P.(8)	N.P.(9)	M_{Ed} = 0.00 N.P.(5)	N.P.(6)	N.P.(6)	**CUMPLE η = 52.5**
N2997/N2876	η = 28.7	η = 7.9	M_{Ed} = 0.00 N.P.(2)	M_{Ed} = 0.00 N.P.(2)	V_{Ed} = 0.00 N.P.(3)	V_{Ed} = 0.00 N.P.(3)	N.P.(4)	N.P.(4)	N.P.(8)	N.P.(9)	M_{Ed} = 0.00 N.P.(5)	N.P.(6)	N.P.(6)	**CUMPLE η = 28.7**
N2874/N2998	η = 6.0	η = 23.9	M_{Ed} = 0.00 N.P.(2)	M_{Ed} = 0.00 N.P.(2)	V_{Ed} = 0.00 N.P.(3)	V_{Ed} = 0.00 N.P.(3)	N.P.(4)	N.P.(4)	N.P.(8)	N.P.(9)	M_{Ed} = 0.00 N.P.(5)	N.P.(6)	N.P.(6)	**CUMPLE η = 23.9**
N2998/N2878	η = 60.2	N_{Ed} = 0.00 N.P.(7)	M_{Ed} = 0.00 N.P.(2)	M_{Ed} = 0.00 N.P.(2)	V_{Ed} = 0.00 N.P.(3)	V_{Ed} = 0.00 N.P.(3)	N.P.(4)	N.P.(4)	N.P.(8)	N.P.(9)	M_{Ed} = 0.00 N.P.(5)	N.P.(6)	N.P.(6)	**CUMPLE η = 60.2**
N2876/N2999	η = 16.9	N_{Ed} = 0.00 N.P.(7)	M_{Ed} = 0.00 N.P.(2)	M_{Ed} = 0.00 N.P.(2)	V_{Ed} = 0.00 N.P.(3)	V_{Ed} = 0.00 N.P.(3)	N.P.(4)	N.P.(4)	N.P.(8)	N.P.(9)	M_{Ed} = 0.00 N.P.(5)	N.P.(6)	N.P.(6)	**CUMPLE η = 16.9**
N2816/N2969	η = 44.2	N_{Ed} = 0.00 N.P.(7)	M_{Ed} = 0.00 N.P.(2)	M_{Ed} = 0.00 N.P.(2)	V_{Ed} = 0.00 N.P.(3)	V_{Ed} = 0.00 N.P.(3)	N.P.(4)	N.P.(4)	N.P.(8)	N.P.(9)	M_{Ed} = 0.00 N.P.(5)	N.P.(6)	N.P.(6)	**CUMPLE η = 44.2**
N2968/N2818	η = 26.0	N_{Ed} = 0.00 N.P.(7)	M_{Ed} = 0.00 N.P.(2)	M_{Ed} = 0.00 N.P.(2)	V_{Ed} = 0.00 N.P.(3)	V_{Ed} = 0.00 N.P.(3)	N.P.(4)	N.P.(4)	N.P.(8)	N.P.(9)	M_{Ed} = 0.00 N.P.(5)	N.P.(6)	N.P.(6)	**CUMPLE η = 26.0**
N3150/N3152	η = 4.0	N_{Ed} = 0.00 N.P.(7)	M_{Ed} = 0.00 N.P.(2)	M_{Ed} = 0.00 N.P.(2)	V_{Ed} = 0.00 N.P.(3)	V_{Ed} = 0.00 N.P.(3)	N.P.(4)	N.P.(4)	N.P.(8)	N.P.(9)	M_{Ed} = 0.00 N.P.(5)	N.P.(6)	N.P.(6)	**CUMPLE η = 4.0**
N3151/N3153	η = 3.7	N_{Ed} = 0.00 N.P.(7)	M_{Ed} = 0.00 N.P.(2)	M_{Ed} = 0.00 N.P.(2)	V_{Ed} = 0.00 N.P.(3)	V_{Ed} = 0.00 N.P.(3)	N.P.(4)	N.P.(4)	N.P.(8)	N.P.(9)	M_{Ed} = 0.00 N.P.(5)	N.P.(6)	N.P.(6)	**CUMPLE η = 3.7**
N3154/N3156	η = 10.5	N_{Ed} = 0.00 N.P.(7)	M_{Ed} = 0.00 N.P.(2)	M_{Ed} = 0.00 N.P.(2)	V_{Ed} = 0.00 N.P.(3)	V_{Ed} = 0.00 N.P.(3)	N.P.(4)	N.P.(4)	N.P.(8)	N.P.(9)	M_{Ed} = 0.00 N.P.(5)	N.P.(6)	N.P.(6)	**CUMPLE η = 10.5**
N3155/N3157	η = 10.2	N_{Ed} = 0.00 N.P.(7)	M_{Ed} = 0.00 N.P.(2)	M_{Ed} = 0.00 N.P.(2)	V_{Ed} = 0.00 N.P.(3)	V_{Ed} = 0.00 N.P.(3)	N.P.(4)	N.P.(4)	N.P.(8)	N.P.(9)	M_{Ed} = 0.00 N.P.(5)	N.P.(6)	N.P.(6)	**CUMPLE η = 10.2**

Documento visado electrónicamente con número: VA07290/22
Código de validación telemática TRLTDCFZ60T66IJ1. Comprobación: https://cogitivalencia.e-gestion.es/Validacion.aspx?CVT=TRLTDCFZ60T66IJ1

VISADO
COGITI
VALENCIA
VA07290/22
TRLTDCFZ60T66IJ1

Barras	COMPROBACIONES (CÓDIGO ESTRUCTURAL)													Estado
	N_t	N_c	M_Y	M_Z	V_Z	V_Y	M_YV_Z	M_ZV_Y	NM_YM_Z	$NM_YM_ZV_YV_Z$	M_t	M_tV_Z	M_tV_Y	
N3158/N3160	η = 6.9	N_{Ed} = 0.00 N.P.(7)	M_{Ed} = 0.00 N.P.(2)	M_{Ed} = 0.00 N.P.(2)	V_{Ed} = 0.00 N.P.(3)	V_{Ed} = 0.00 N.P.(3)	N.P.(4)	N.P.(4)	N.P.(8)	N.P.(9)	M_{Ed} = 0.00 N.P.(5)	N.P.(6)	N.P.(6)	**CUMPLE η = 6.9**
N3159/N3161	η = 7.9	N_{Ed} = 0.00 N.P.(7)	M_{Ed} = 0.00 N.P.(2)	M_{Ed} = 0.00 N.P.(2)	V_{Ed} = 0.00 N.P.(3)	V_{Ed} = 0.00 N.P.(3)	N.P.(4)	N.P.(4)	N.P.(8)	N.P.(9)	M_{Ed} = 0.00 N.P.(5)	N.P.(6)	N.P.(6)	**CUMPLE η = 7.9**
N3164/N3163	η = 0.6	N_{Ed} = 0.00 N.P.(7)	M_{Ed} = 0.00 N.P.(2)	M_{Ed} = 0.00 N.P.(2)	V_{Ed} = 0.00 N.P.(3)	V_{Ed} = 0.00 N.P.(3)	N.P.(4)	N.P.(4)	N.P.(8)	N.P.(9)	M_{Ed} = 0.00 N.P.(5)	N.P.(6)	N.P.(6)	**CUMPLE η = 0.6**
N3162/N3165	η = 1.5	N_{Ed} = 0.00 N.P.(7)	M_{Ed} = 0.00 N.P.(2)	M_{Ed} = 0.00 N.P.(2)	V_{Ed} = 0.00 N.P.(3)	V_{Ed} = 0.00 N.P.(3)	N.P.(4)	N.P.(4)	N.P.(8)	N.P.(9)	M_{Ed} = 0.00 N.P.(5)	N.P.(6)	N.P.(6)	**CUMPLE η = 1.5**
N3168/N3167	η = 11.5	N_{Ed} = 0.00 N.P.(7)	M_{Ed} = 0.00 N.P.(2)	M_{Ed} = 0.00 N.P.(2)	V_{Ed} = 0.00 N.P.(3)	V_{Ed} = 0.00 N.P.(3)	N.P.(4)	N.P.(4)	N.P.(8)	N.P.(9)	M_{Ed} = 0.00 N.P.(5)	N.P.(6)	N.P.(6)	**CUMPLE η = 11.5**
N3166/N3169	η = 12.0	N_{Ed} = 0.00 N.P.(7)	M_{Ed} = 0.00 N.P.(2)	M_{Ed} = 0.00 N.P.(2)	V_{Ed} = 0.00 N.P.(3)	V_{Ed} = 0.00 N.P.(3)	N.P.(4)	N.P.(4)	N.P.(8)	N.P.(9)	M_{Ed} = 0.00 N.P.(5)	N.P.(6)	N.P.(6)	**CUMPLE η = 12.0**
N3172/N3171	η = 23.7	N_{Ed} = 0.00 N.P.(7)	M_{Ed} = 0.00 N.P.(2)	M_{Ed} = 0.00 N.P.(2)	V_{Ed} = 0.00 N.P.(3)	V_{Ed} = 0.00 N.P.(3)	N.P.(4)	N.P.(4)	N.P.(8)	N.P.(9)	M_{Ed} = 0.00 N.P.(5)	N.P.(6)	N.P.(6)	**CUMPLE η = 23.7**
N3170/N3173	η = 21.9	N_{Ed} = 0.00 N.P.(7)	M_{Ed} = 0.00 N.P.(2)	M_{Ed} = 0.00 N.P.(2)	V_{Ed} = 0.00 N.P.(3)	V_{Ed} = 0.00 N.P.(3)	N.P.(4)	N.P.(4)	N.P.(8)	N.P.(9)	M_{Ed} = 0.00 N.P.(5)	N.P.(6)	N.P.(6)	**CUMPLE η = 21.9**
N3176/N3175	η = 18.8	N_{Ed} = 0.00 N.P.(7)	M_{Ed} = 0.00 N.P.(2)	M_{Ed} = 0.00 N.P.(2)	V_{Ed} = 0.00 N.P.(3)	V_{Ed} = 0.00 N.P.(3)	N.P.(4)	N.P.(4)	N.P.(8)	N.P.(9)	M_{Ed} = 0.00 N.P.(5)	N.P.(6)	N.P.(6)	**CUMPLE η = 18.8**
N3174/N3177	η = 18.6	N_{Ed} = 0.00 N.P.(7)	M_{Ed} = 0.00 N.P.(2)	M_{Ed} = 0.00 N.P.(2)	V_{Ed} = 0.00 N.P.(3)	V_{Ed} = 0.00 N.P.(3)	N.P.(4)	N.P.(4)	N.P.(8)	N.P.(9)	M_{Ed} = 0.00 N.P.(5)	N.P.(6)	N.P.(6)	**CUMPLE η = 18.6**
N3180/N3179	η = 5.1	N_{Ed} = 0.00 N.P.(7)	M_{Ed} = 0.00 N.P.(2)	M_{Ed} = 0.00 N.P.(2)	V_{Ed} = 0.00 N.P.(3)	V_{Ed} = 0.00 N.P.(3)	N.P.(4)	N.P.(4)	N.P.(8)	N.P.(9)	M_{Ed} = 0.00 N.P.(5)	N.P.(6)	N.P.(6)	**CUMPLE η = 5.1**
N3178/N3181	η = 5.1	N_{Ed} = 0.00 N.P.(7)	M_{Ed} = 0.00 N.P.(2)	M_{Ed} = 0.00 N.P.(2)	V_{Ed} = 0.00 N.P.(3)	V_{Ed} = 0.00 N.P.(3)	N.P.(4)	N.P.(4)	N.P.(8)	N.P.(9)	M_{Ed} = 0.00 N.P.(5)	N.P.(6)	N.P.(6)	**CUMPLE η = 5.1**
N3182/N3185	η = 4.5	N_{Ed} = 0.00 N.P.(7)	M_{Ed} = 0.00 N.P.(2)	M_{Ed} = 0.00 N.P.(2)	V_{Ed} = 0.00 N.P.(3)	V_{Ed} = 0.00 N.P.(3)	N.P.(4)	N.P.(4)	N.P.(8)	N.P.(9)	M_{Ed} = 0.00 N.P.(5)	N.P.(6)	N.P.(6)	**CUMPLE η = 4.5**
N3184/N3183	η = 5.2	N_{Ed} = 0.00 N.P.(7)	M_{Ed} = 0.00 N.P.(2)	M_{Ed} = 0.00 N.P.(2)	V_{Ed} = 0.00 N.P.(3)	V_{Ed} = 0.00 N.P.(3)	N.P.(4)	N.P.(4)	N.P.(8)	N.P.(9)	M_{Ed} = 0.00 N.P.(5)	N.P.(6)	N.P.(6)	**CUMPLE η = 5.2**
N3188/N3187	η = 1.1	N_{Ed} = 0.00 N.P.(7)	M_{Ed} = 0.00 N.P.(2)	M_{Ed} = 0.00 N.P.(2)	V_{Ed} = 0.00 N.P.(3)	V_{Ed} = 0.00 N.P.(3)	N.P.(4)	N.P.(4)	N.P.(8)	N.P.(9)	M_{Ed} = 0.00 N.P.(5)	N.P.(6)	N.P.(6)	**CUMPLE η = 1.1**
N3186/N3189	η = 0.2	N_{Ed} = 0.00 N.P.(7)	M_{Ed} = 0.00 N.P.(2)	M_{Ed} = 0.00 N.P.(2)	V_{Ed} = 0.00 N.P.(3)	V_{Ed} = 0.00 N.P.(3)	N.P.(4)	N.P.(4)	N.P.(8)	N.P.(9)	M_{Ed} = 0.00 N.P.(5)	N.P.(6)	N.P.(6)	**CUMPLE η = 0.2**
N3190/N3193	η = 11.3	N_{Ed} = 0.00 N.P.(7)	M_{Ed} = 0.00 N.P.(2)	M_{Ed} = 0.00 N.P.(2)	V_{Ed} = 0.00 N.P.(3)	V_{Ed} = 0.00 N.P.(3)	N.P.(4)	N.P.(4)	N.P.(8)	N.P.(9)	M_{Ed} = 0.00 N.P.(5)	N.P.(6)	N.P.(6)	**CUMPLE η = 11.3**
N3192/N3191	η = 14.0	N_{Ed} = 0.00 N.P.(7)	M_{Ed} = 0.00 N.P.(2)	M_{Ed} = 0.00 N.P.(2)	V_{Ed} = 0.00 N.P.(3)	V_{Ed} = 0.00 N.P.(3)	N.P.(4)	N.P.(4)	N.P.(8)	N.P.(9)	M_{Ed} = 0.00 N.P.(5)	N.P.(6)	N.P.(6)	**CUMPLE η = 14.0**
N3196/N3195	η = 3.7	N_{Ed} = 0.00 N.P.(7)	M_{Ed} = 0.00 N.P.(2)	M_{Ed} = 0.00 N.P.(2)	V_{Ed} = 0.00 N.P.(3)	V_{Ed} = 0.00 N.P.(3)	N.P.(4)	N.P.(4)	N.P.(8)	N.P.(9)	M_{Ed} = 0.00 N.P.(5)	N.P.(6)	N.P.(6)	**CUMPLE η = 3.7**
N3194/N3197	η = 6.6	N_{Ed} = 0.00 N.P.(7)	M_{Ed} = 0.00 N.P.(2)	M_{Ed} = 0.00 N.P.(2)	V_{Ed} = 0.00 N.P.(3)	V_{Ed} = 0.00 N.P.(3)	N.P.(4)	N.P.(4)	N.P.(8)	N.P.(9)	M_{Ed} = 0.00 N.P.(5)	N.P.(6)	N.P.(6)	**CUMPLE η = 6.6**
N3198/N3201	η = 9.8	N_{Ed} = 0.00 N.P.(7)	M_{Ed} = 0.00 N.P.(2)	M_{Ed} = 0.00 N.P.(2)	V_{Ed} = 0.00 N.P.(3)	V_{Ed} = 0.00 N.P.(3)	N.P.(4)	N.P.(4)	N.P.(8)	N.P.(9)	M_{Ed} = 0.00 N.P.(5)	N.P.(6)	N.P.(6)	**CUMPLE η = 9.8**
N3200/N3199	η = 11.7	N_{Ed} = 0.00 N.P.(7)	M_{Ed} = 0.00 N.P.(2)	M_{Ed} = 0.00 N.P.(2)	V_{Ed} = 0.00 N.P.(3)	V_{Ed} = 0.00 N.P.(3)	N.P.(4)	N.P.(4)	N.P.(8)	N.P.(9)	M_{Ed} = 0.00 N.P.(5)	N.P.(6)	N.P.(6)	**CUMPLE η = 11.7**
N3204/N3203	η = 3.7	N_{Ed} = 0.00 N.P.(7)	M_{Ed} = 0.00 N.P.(2)	M_{Ed} = 0.00 N.P.(2)	V_{Ed} = 0.00 N.P.(3)	V_{Ed} = 0.00 N.P.(3)	N.P.(4)	N.P.(4)	N.P.(8)	N.P.(9)	M_{Ed} = 0.00 N.P.(5)	N.P.(6)	N.P.(6)	**CUMPLE η = 3.7**
N3202/N3205	η = 4.9	N_{Ed} = 0.00 N.P.(7)	M_{Ed} = 0.00 N.P.(2)	M_{Ed} = 0.00 N.P.(2)	V_{Ed} = 0.00 N.P.(3)	V_{Ed} = 0.00 N.P.(3)	N.P.(4)	N.P.(4)	N.P.(8)	N.P.(9)	M_{Ed} = 0.00 N.P.(5)	N.P.(6)	N.P.(6)	**CUMPLE η = 4.9**
N3206/N3209	η = 2.2	N_{Ed} = 0.00 N.P.(7)	M_{Ed} = 0.00 N.P.(2)	M_{Ed} = 0.00 N.P.(2)	V_{Ed} = 0.00 N.P.(3)	V_{Ed} = 0.00 N.P.(3)	N.P.(4)	N.P.(4)	N.P.(8)	N.P.(9)	M_{Ed} = 0.00 N.P.(5)	N.P.(6)	N.P.(6)	**CUMPLE η = 2.2**
N3208/N3207	η = 4.9	N_{Ed} = 0.00 N.P.(7)	M_{Ed} = 0.00 N.P.(2)	M_{Ed} = 0.00 N.P.(2)	V_{Ed} = 0.00 N.P.(3)	V_{Ed} = 0.00 N.P.(3)	N.P.(4)	N.P.(4)	N.P.(8)	N.P.(9)	M_{Ed} = 0.00 N.P.(5)	N.P.(6)	N.P.(6)	**CUMPLE η = 4.9**
N3212/N3211	η = 1.5	N_{Ed} = 0.00 N.P.(7)	M_{Ed} = 0.00 N.P.(2)	M_{Ed} = 0.00 N.P.(2)	V_{Ed} = 0.00 N.P.(3)	V_{Ed} = 0.00 N.P.(3)	N.P.(4)	N.P.(4)	N.P.(8)	N.P.(9)	M_{Ed} = 0.00 N.P.(5)	N.P.(6)	N.P.(6)	**CUMPLE η = 1.5**
N3210/N3213	η = 1.0	N_{Ed} = 0.00 N.P.(7)	M_{Ed} = 0.00 N.P.(2)	M_{Ed} = 0.00 N.P.(2)	V_{Ed} = 0.00 N.P.(3)	V_{Ed} = 0.00 N.P.(3)	N.P.(4)	N.P.(4)	N.P.(8)	N.P.(9)	M_{Ed} = 0.00 N.P.(5)	N.P.(6)	N.P.(6)	**CUMPLE η = 1.0**
N3214/N3217	η = 6.8	N_{Ed} = 0.00 N.P.(7)	M_{Ed} = 0.00 N.P.(2)	M_{Ed} = 0.00 N.P.(2)	V_{Ed} = 0.00 N.P.(3)	V_{Ed} = 0.00 N.P.(3)	N.P.(4)	N.P.(4)	N.P.(8)	N.P.(9)	M_{Ed} = 0.00 N.P.(5)	N.P.(6)	N.P.(6)	**CUMPLE η = 6.8**
N3216/N3215	η = 7.9	N_{Ed} = 0.00 N.P.(7)	M_{Ed} = 0.00 N.P.(2)	M_{Ed} = 0.00 N.P.(2)	V_{Ed} = 0.00 N.P.(3)	V_{Ed} = 0.00 N.P.(3)	N.P.(4)	N.P.(4)	N.P.(8)	N.P.(9)	M_{Ed} = 0.00 N.P.(5)	N.P.(6)	N.P.(6)	**CUMPLE η = 7.9**
N3220/N3219	η = 1.2	N_{Ed} = 0.00 N.P.(7)	M_{Ed} = 0.00 N.P.(2)	M_{Ed} = 0.00 N.P.(2)	V_{Ed} = 0.00 N.P.(3)	V_{Ed} = 0.00 N.P.(3)	N.P.(4)	N.P.(4)	N.P.(8)	N.P.(9)	M_{Ed} = 0.00 N.P.(5)	N.P.(6)	N.P.(6)	**CUMPLE η = 1.2**
N3218/N3221	η = 0.8	N_{Ed} = 0.00 N.P.(7)	M_{Ed} = 0.00 N.P.(2)	M_{Ed} = 0.00 N.P.(2)	V_{Ed} = 0.00 N.P.(3)	V_{Ed} = 0.00 N.P.(3)	N.P.(4)	N.P.(4)	N.P.(8)	N.P.(9)	M_{Ed} = 0.00 N.P.(5)	N.P.(6)	N.P.(6)	**CUMPLE η = 0.8**
N3222/N3225	η = 18.9	N_{Ed} = 0.00 N.P.(7)	M_{Ed} = 0.00 N.P.(2)	M_{Ed} = 0.00 N.P.(2)	V_{Ed} = 0.00 N.P.(3)	V_{Ed} = 0.00 N.P.(3)	N.P.(4)	N.P.(4)	N.P.(8)	N.P.(9)	M_{Ed} = 0.00 N.P.(5)	N.P.(6)	N.P.(6)	**CUMPLE η = 18.9**
N3224/N3223	η = 18.1	N_{Ed} = 0.00 N.P.(7)	M_{Ed} = 0.00 N.P.(2)	M_{Ed} = 0.00 N.P.(2)	V_{Ed} = 0.00 N.P.(3)	V_{Ed} = 0.00 N.P.(3)	N.P.(4)	N.P.(4)	N.P.(8)	N.P.(9)	M_{Ed} = 0.00 N.P.(5)	N.P.(6)	N.P.(6)	**CUMPLE η = 18.1**
N3228/N3227	η = 6.2	N_{Ed} = 0.00 N.P.(7)	M_{Ed} = 0.00 N.P.(2)	M_{Ed} = 0.00 N.P.(2)	V_{Ed} = 0.00 N.P.(3)	V_{Ed} = 0.00 N.P.(3)	N.P.(4)	N.P.(4)	N.P.(8)	N.P.(9)	M_{Ed} = 0.00 N.P.(5)	N.P.(6)	N.P.(6)	**CUMPLE η = 6.2**
N3226/N3229	η = 8.1	N_{Ed} = 0.00 N.P.(7)	M_{Ed} = 0.00 N.P.(2)	M_{Ed} = 0.00 N.P.(2)	V_{Ed} = 0.00 N.P.(3)	V_{Ed} = 0.00 N.P.(3)	N.P.(4)	N.P.(4)	N.P.(8)	N.P.(9)	M_{Ed} = 0.00 N.P.(5)	N.P.(6)	N.P.(6)	**CUMPLE η = 8.1**
N3230/N3233	η = 19.5	N_{Ed} = 0.00 N.P.(7)	M_{Ed} = 0.00 N.P.(2)	M_{Ed} = 0.00 N.P.(2)	V_{Ed} = 0.00 N.P.(3)	V_{Ed} = 0.00 N.P.(3)	N.P.(4)	N.P.(4)	N.P.(8)	N.P.(9)	M_{Ed} = 0.00 N.P.(5)	N.P.(6)	N.P.(6)	**CUMPLE η = 19.5**

Documento visado electrónicamente con número: VA07290/22
Código de validación telemática TRLTDCFZ60T66IJ1. Comprobación: https://cogitivalencia.e-gestion.es/Validacion.aspx?CVT=TRLTDCFZ60T66IJ1

VISADO
COGITI
VALENCIA
VA07290/22
TRLTDCFZ60T66IJ1

Barras	COMPROBACIONES (CÓDIGO ESTRUCTURAL)													Estado
	N_t	N_c	M_Y	M_Z	V_Z	V_Y	M_YV_Z	M_ZV_Y	NM_YM_Z	$NM_YM_ZV_YV_Z$	M_t	M_tV_Z	M_tV_Y	
N3232/N3231	η = 20.4	N_{Ed} = 0.00 N.P.(7)	M_{Ed} = 0.00 N.P.(2)	M_{Ed} = 0.00 N.P.(2)	V_{Ed} = 0.00 N.P.(3)	V_{Ed} = 0.00 N.P.(3)	N.P.(4)	N.P.(4)	N.P.(8)	N.P.(9)	M_{Ed} = 0.00 N.P.(5)	N.P.(6)	N.P.(6)	**CUMPLE η = 20.4**
N3236/N3235	η = 7.9	N_{Ed} = 0.00 N.P.(7)	M_{Ed} = 0.00 N.P.(2)	M_{Ed} = 0.00 N.P.(2)	V_{Ed} = 0.00 N.P.(3)	V_{Ed} = 0.00 N.P.(3)	N.P.(4)	N.P.(4)	N.P.(8)	N.P.(9)	M_{Ed} = 0.00 N.P.(5)	N.P.(6)	N.P.(6)	**CUMPLE η = 7.9**
N3234/N3237	η = 8.9	N_{Ed} = 0.00 N.P.(7)	M_{Ed} = 0.00 N.P.(2)	M_{Ed} = 0.00 N.P.(2)	V_{Ed} = 0.00 N.P.(3)	V_{Ed} = 0.00 N.P.(3)	N.P.(4)	N.P.(4)	N.P.(8)	N.P.(9)	M_{Ed} = 0.00 N.P.(5)	N.P.(6)	N.P.(6)	**CUMPLE η = 8.9**
N3238/N3241	η = 10.2	N_{Ed} = 0.00 N.P.(7)	M_{Ed} = 0.00 N.P.(2)	M_{Ed} = 0.00 N.P.(2)	V_{Ed} = 0.00 N.P.(3)	V_{Ed} = 0.00 N.P.(3)	N.P.(4)	N.P.(4)	N.P.(8)	N.P.(9)	M_{Ed} = 0.00 N.P.(5)	N.P.(6)	N.P.(6)	**CUMPLE η = 10.2**
N3240/N3239	η = 10.0	N_{Ed} = 0.00 N.P.(7)	M_{Ed} = 0.00 N.P.(2)	M_{Ed} = 0.00 N.P.(2)	V_{Ed} = 0.00 N.P.(3)	V_{Ed} = 0.00 N.P.(3)	N.P.(4)	N.P.(4)	N.P.(8)	N.P.(9)	M_{Ed} = 0.00 N.P.(5)	N.P.(6)	N.P.(6)	**CUMPLE η = 10.0**
N3244/N3243	η = 2.6	N_{Ed} = 0.00 N.P.(7)	M_{Ed} = 0.00 N.P.(2)	M_{Ed} = 0.00 N.P.(2)	V_{Ed} = 0.00 N.P.(3)	V_{Ed} = 0.00 N.P.(3)	N.P.(4)	N.P.(4)	N.P.(8)	N.P.(9)	M_{Ed} = 0.00 N.P.(5)	N.P.(6)	N.P.(6)	**CUMPLE η = 2.6**
N3242/N3245	η = 2.8	N_{Ed} = 0.00 N.P.(7)	M_{Ed} = 0.00 N.P.(2)	M_{Ed} = 0.00 N.P.(2)	V_{Ed} = 0.00 N.P.(3)	V_{Ed} = 0.00 N.P.(3)	N.P.(4)	N.P.(4)	N.P.(8)	N.P.(9)	M_{Ed} = 0.00 N.P.(5)	N.P.(6)	N.P.(6)	**CUMPLE η = 2.8**

Notación:
- *λ_w: Abolladura del alma inducida por el ala comprimida*
- *N_t: Resistencia a tracción*
- *N_c: Resistencia a compresión*
- *M_Y: Resistencia a flexión eje Y*
- *M_Z: Resistencia a flexión eje Z*
- *V_Z: Resistencia a corte Z*
- *V_Y: Resistencia a corte Y*
- *M_YV_Z: Resistencia a momento flector Y y fuerza cortante Z combinados*
- *M_ZV_Y: Resistencia a momento flector Z y fuerza cortante Y combinados*
- *NM_YM_Z: Resistencia a flexión y axil combinados*
- *$NM_YM_ZV_YV_Z$: Resistencia a flexión, axil y cortante combinados*
- *M_t: Resistencia a torsión*
- *M_tV_Z: Resistencia a cortante Z y momento torsor combinados*
- *M_tV_Y: Resistencia a cortante Y y momento torsor combinados*
- *x: Distancia al origen de la barra*
- *η: Coeficiente de aprovechamiento (%)*
- *N.P.: No procede*

Comprobaciones que no proceden (N.P.):
- *(1) La comprobación no procede, ya que no hay axil de tracción.*
- *(2) La comprobación no procede, ya que no hay momento flector.*
- *(3) La comprobación no procede, ya que no hay esfuerzo cortante.*
- *(4) No hay interacción entre momento flector y esfuerzo cortante para ninguna combinación. Por lo tanto, la comprobación no procede.*
- *(5) La comprobación no procede, ya que no hay momento torsor.*
- *(6) No hay interacción entre momento torsor y esfuerzo cortante para ninguna combinación. Por lo tanto, la comprobación no procede.*
- *(7) La comprobación no procede, ya que no hay axil de compresión.*
- *(8) No hay interacción entre axil y momento flector ni entre momentos flectores en ambas direcciones para ninguna combinación. Por lo tanto, la comprobación no procede.*
- *(9) No hay interacción entre momento flector, axil y cortante para ninguna combinación. Por lo tanto, la comprobación no procede.*

Errores:
- *(1) No es posible realizar la comprobación, ya que el cortante es excesivo y agota la sección. Por lo tanto, no se puede comprobar la interacción entre flexión y cortante.*
- *(2) No es posible realizar la comprobación, ya que el cortante es excesivo y agota la sección. Por lo tanto, no se puede comprobar la interacción entre axil, momento flector y cortante.*

2.2.2. Sismo

Norma utilizada: NCSE-02

Norma de Construcción Sismorresistente NCSE-02

Método de cálculo: Análisis mediante espectros de respuesta (NCSE-02, 3.6.2)

2.2.2.1. Espectro de cálculo

Documento visado electrónicamente con número: VA07290/22
Código de validación telemática TRLTDCFZ60T66IJ1. Comprobación: https://cogitivalencia.e-gestion.es/Validacion.aspx?CVT=TRLTDCFZ60T66IJ1

VISADO
COGITI
VALENCIA
VA07290/22
TRLTDCFZ60T66IJ1

2.2.2.1.1. Espectro elástico de aceleraciones

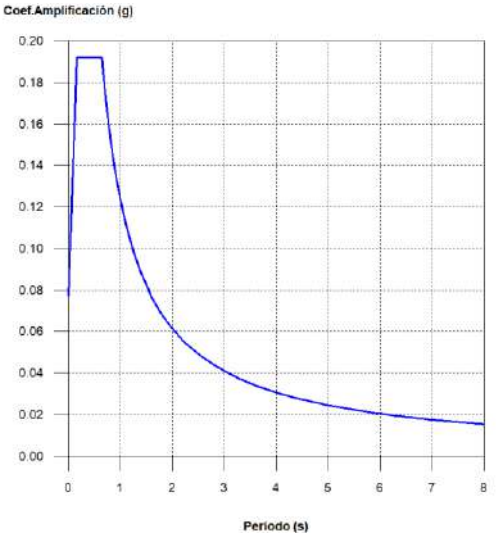

Coef.Amplificación:

Donde:

es el espectro normalizado de respuesta elástica.

El valor máximo de las ordenadas espectrales es 0.192 g.

NCSE-02 (2.2, 2.3 y 2.4)

Parámetros necesarios para la definición del espectro

a_c: Aceleración sísmica de cálculo (NCSE-02, 2.2) — **a_c** : *0.077* g

a_b: Aceleración básica (NCSE-02, 2.1 y Anejo 1) — **a_b** : *0.060* g
ρ: Coeficiente adimensional de riesgo — ρ : *1.00*
Tipo de construcción: Construcciones de importancia normal
S: Coeficiente de amplificación del terreno (NCSE-02, 2.2) — **S** : *1.28*

C: Coeficiente del terreno (NCSE-02, 2.4) — **C** : *1.60*
Tipo de suelo (NCSE-02, 2.4): Tipo III
a_b: Aceleración básica (NCSE-02, 2.1 y Anejo 1) — **a_b** : *0.060* g
ρ: Coeficiente adimensional de riesgo — ρ : *1.00*

ν: Coeficiente dependiente del amortiguamiento (NCSE-02, 2.5) — ν : *1.00*

Ω: Amortiguamiento (NCSE-02, Tabla 3.1) — Ω : *5.00* %
T_A: Periodo característico del espectro (NCSE-02, 2.3) — **T_A** : *0.16* s

K: Coeficiente de contribución (NCSE-02, 2.1 y Anejo 1) — **K** : *1.00*
C: Coeficiente del terreno (NCSE-02, 2.4) — **C** : *1.60*
Tipo de suelo (NCSE-02, 2.4): Tipo III

T_B: Periodo característico del espectro (NCSE-02, 2.3) — **T_B** : *0.64* s

Documento visado electrónicamente con número: VA07290/22
Código de validación telemática TRLTDCFZ60T66IJ1. Comprobación: https://cogitivalencia.e-gestion.es/Validacion.aspx?CVT=TRLTDCFZ60T66IJ1

VISADO
COGITI
VALENCIA
VA07290/22
TRLTDCFZ60T66IJ1

K: Coeficiente de contribución (NCSE-02, 2.1 y Anejo 1) **K** : *1.00*
C: Coeficiente del terreno (NCSE-02, 2.4) **C** : *1.60*
Tipo de suelo (NCSE-02, 2.4): Tipo III

2.2.2.1.2. Espectro de diseño de aceleraciones

El espectro de diseño sísmico se obtiene reduciendo el espectro elástico por el coeficiente (μ) correspondiente a cada dirección de análisis.

β: Coeficiente de respuesta **β** : *0.50*

ν: Coeficiente dependiente del amortiguamiento (NCSE-02, 2.5) **ν** : *1.00*

Ω: Amortiguamiento (NCSE-02, Tabla 3.1) **Ω** : *5.00* %
μ: Coeficiente de comportamiento por ductilidad (NCSE-02, 3.7.3.1) **μ** : *2.00*
Ductilidad (NCSE-02, Tabla 3.1): Ductilidad baja
a_c: Aceleración sísmica de cálculo (NCSE-02, 2.2) **a_c** : *0.077* g
K: Coeficiente de contribución (NCSE-02, 2.1 y Anejo 1) **K** : *1.00*
C: Coeficiente del terreno (NCSE-02, 2.4) **C** : *1.60*
T_A: Periodo característico del espectro (NCSE-02, 2.3) **T_A** : *0.16* s
T_B: Periodo característico del espectro (NCSE-02, 2.3) **T_B** : *0.64* s

NCSE-02 (3.6.2.2)

Documento visado electrónicamente con número: VA07290/22
Código de validación telemática TRLTDCFZ60T66IJ1. Comprobación: https://cogitivalencia.e-gestion.es/Validacion.aspx?CVT=TRLTDCFZ60T66IJ1

VISADO
COGITI
VALENCIA
VA07290/22
TRLTDCFZ60T66IJ1

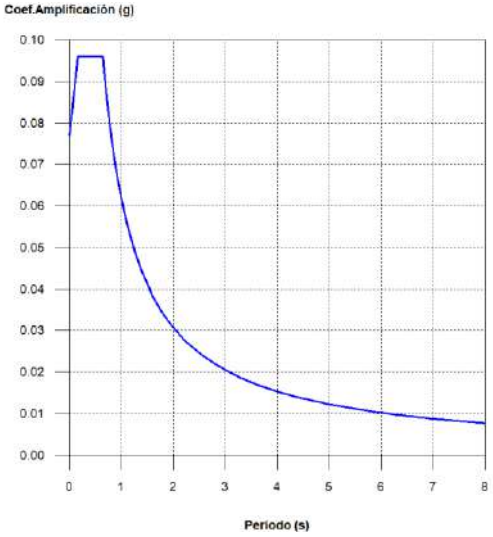

2.2.2.2. Coeficientes de participación

Modo	T	L_x	L_y	M_x	M_y	Hipótesis X(1)	Hipótesis Y(1)
Modo 1	1.195	0.1244	0.9922	0.34 %	23.57 %	R = 2 A = 0.505 m/s² D = 18.2541 mm	R = 2 A = 0.505 m/s² D = 18.2541 mm
Modo 2	0.585	0.0302	0.9995	0.03 %	41.66 %	R = 2 A = 0.942 m/s² D = 8.15064 mm	R = 2 A = 0.942 m/s² D = 8.15064 mm
Modo 3	0.569	0.0612	0.9981	0.1 %	28.56 %	R = 2 A = 0.942 m/s² D = 7.73341 mm	R = 2 A = 0.942 m/s² D = 7.73341 mm
Modo 4	0.507	0.9999	0.0158	53.15 %	0.01 %	R = 2 A = 0.942 m/s² D = 6.12523 mm	R = 2 A = 0.942 m/s² D = 6.12523 mm
Modo 5	0.498	0.011	0.9999	0 %	0.16 %	R = 2 A = 0.942 m/s² D = 5.90528 mm	R = 2 A = 0.942 m/s² D = 5.90528 mm
Modo 6	0.457	0.9928	0.1198	5.6 %	0.09 %	R = 2 A = 0.942 m/s² D = 4.98308 mm	R = 2 A = 0.942 m/s² D = 4.98308 mm
Modo 7	0.456	0.9999	0.0129	32.73 %	0.01 %	R = 2 A = 0.942 m/s² D = 4.96133 mm	R = 2 A = 0.942 m/s² D = 4.96133 mm
Total				91.95 %	94.06 %		

T: Periodo de vibración en segundos.

L_x, L_y: Coeficientes de participación normalizados en cada dirección del análisis.

M_x, M_y: Porcentaje de masa desplazada por cada modo en cada dirección del análisis.

R: Relación entre la aceleración de cálculo usando la ductilidad asignada a la estructura y la aceleración de cálculo obtenida sin ductilidad.

A: Aceleración de cálculo, incluyendo la ductilidad.

D: Coeficiente del modo. Equivale al desplazamiento máximo del grado de libertad dinámico.

Representación de los periodos modales

Documento visado electrónicamente con número: VA07290/22
Código de validación telemática TRLTDCFZ60T66IJ1. Comprobación: https://cogitivalencia.e-gestion.es/Validacion.aspx?CVT=TRLTDCFZ60T66IJ1

VISADO
COGITI
VALENCIA
VA07290/22
TRLTDCFZ60T66IJ1

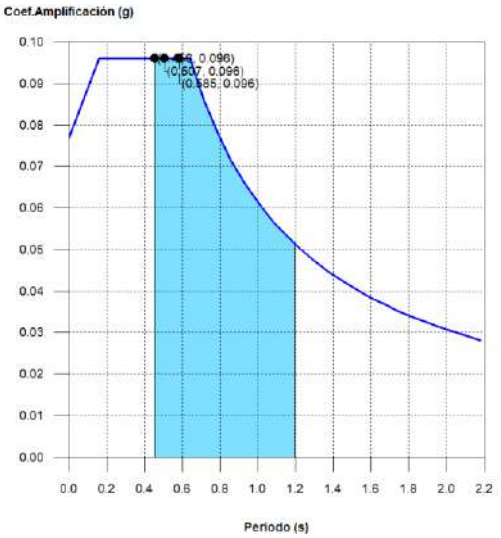

Se representa el rango de periodos abarcado por los modos estudiados, con indicación de los modos en los que se desplaza más del 30% de la masa:

Hipótesis Sismo 1		
Hipótesis modal	T (s)	A (g)
Modo 2	0.585	0.096
Modo 4	0.507	0.096
Modo 7	0.456	0.096

2.3. Uniones

Nota: Las uniones que no están correctamente definidas no se muestran en los listados.

2.3.1. Memoria de cálculo

2.3.1.1. Tipo 5

a) Detalle

Documento visado electrónicamente con número: VA07290/22
Código de validación telemática TRLTDCFZ60T66IJ1. Comprobación: https://cogitivalencia.e-gestion.es/Validacion.aspx?CVT=TRLTDCFZ60T66IJ1

VISADO
COGITI
VALENCIA
VA07290/22
TRLTDCFZ60T66IJ1

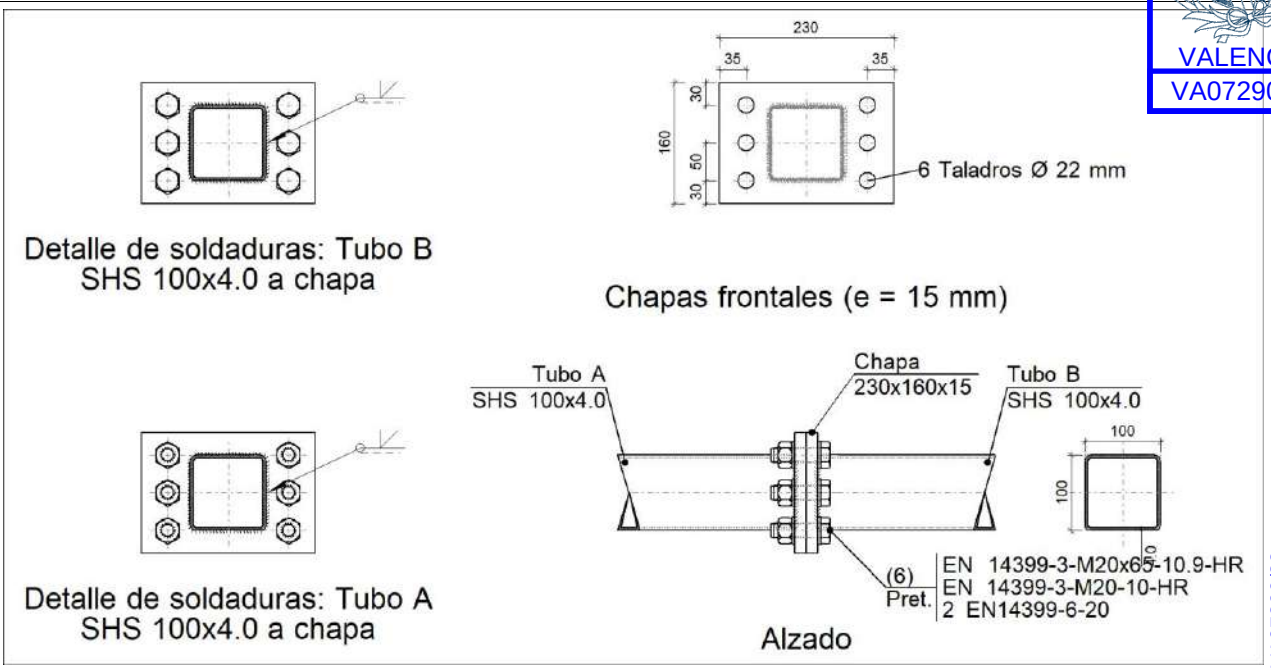

b) Descripción de los componentes de la unión

Elementos complementarios									
Pieza	Geometría				Taladros		Acero		
	Esquema	Ancho (mm)	Canto (mm)	Espesor (mm)	Cantidad	Diámetro (mm)	Tipo	f_y (MPa)	f_u (MPa)
Chapa	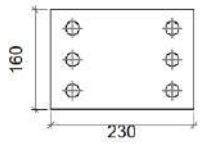	230	160	15	6	22	S275 (UNE-EN 10025-2)	275.0	410.0

Elementos de tornillería							
Descripción	Pretensado	Geometría			Acero		
		Esquema	Diámetro	Longitud (mm)	Clase	f_y (MPa)	f_u (MPa)
EN 14399-3-M20x65-10.9-HR EN 14399-3-M20-10-HR 2 EN14399-6-20	X	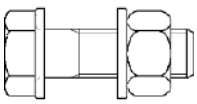	M20	65	10.9	900.0	1000.0

c) Comprobación

1) Tubo A SHS 100x4.0

Componente	Comprobación	Unidades	Pésimo	Resistente	Aprov. (%)
Pieza	Tracción	kN	22.01	113.14	19.45
Chapa de testa	Espesor mínimo	mm	15.00	6.44	42.96

Documento visado electrónicamente con número: VA07290/22
Código de validación telemática TRLTDCFZ60T66IJ1. Comprobación: https://cogitivalencia.e-gestion.es/Validacion.aspx?CVT=TRLTDCFZ60T66IJ1

VISADO
COGITI
VALENCIA
VA07290/22
TRLTDCFZ60T66IJ1

Componente	Comprobación	Unidades	Pésimo	Resistente	Aprov. (%)
	Espesor máximo	mm	15.00	2.86	0.00

Uniones soldadas

Comprobaciones geométricas			
Ref.	Tipo	Preparación de bordes (mm)	l (mm)
Soldadura del tubo a la chapa de testa	A tope en bisel simple	4	361
l: Longitud del cordón de soldadura			

Comprobación de resistencia									
Ref.	Tensión de Von Mises					Tensión normal		f_u (N/mm²)	β_w
	$\sigma_\perp$ (N/mm²)	$\tau_\perp$ (N/mm²)	$\tau_{\parallel}$ (N/mm²)	Valor (N/mm²)	Aprov. (%)	$\sigma_\perp$ (N/mm²)	Aprov. (%)		
Soldadura del tubo a la chapa de testa	La soldadura en bisel genera un cordón cuya resistencia es igual a la menor resistencia de las piezas a unir.							410.0	0.85

2) Tubo B SHS 100x4.0

Componente	Comprobación	Unidades	Pésimo	Resistente	Aprov. (%)
Pieza	Tracción	kN	22.01	113.14	19.45
Chapa de testa	Espesor mínimo	mm	15.00	6.44	42.96
	Espesor máximo	mm	15.00	2.86	0.00

Uniones soldadas

Comprobaciones geométricas			
Ref.	Tipo	Preparación de bordes (mm)	l (mm)
Soldadura del tubo a la chapa de testa	A tope en bisel simple	4	361
l: Longitud del cordón de soldadura			

Comprobación de resistencia									
Ref.	Tensión de Von Mises					Tensión normal		f_u (N/mm²)	β_w
	$\sigma_\perp$ (N/mm²)	$\tau_\perp$ (N/mm²)	$\tau_{\parallel}$ (N/mm²)	Valor (N/mm²)	Aprov. (%)	$\sigma_\perp$ (N/mm²)	Aprov. (%)		
Soldadura del tubo a la chapa de testa	La soldadura en bisel genera un cordón cuya resistencia es igual a la menor resistencia de las piezas a unir.							410.0	0.85

Comprobaciones para los tornillos

Documento visado electrónicamente con número: VA07290/22
Código de validación telemática TRLTDCFZ60T66IJ1. Comprobación: https://cogitivalencia.e-gestion.es/Validacion.aspx?CVT=TRLTDCFZ60T66IJ1

VISADO
COGITI
VALENCIA
VA07290/22
TRLTDCFZ60T66IJ1

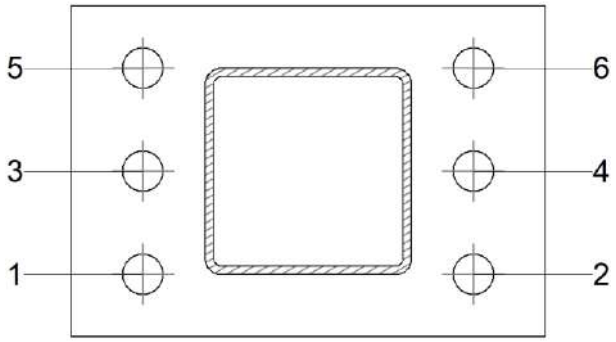

Disposición							
Tornillo	Denominación	d_0 (mm)	e_1 (mm)	e_2 (mm)	p_1 (mm)	p_2 (mm)	m (mm)
1	EN 14399-3-M20x65-10.9-HR	22.0	30	35	50	--	30.0
2	EN 14399-3-M20x65-10.9-HR	22.0	30	35	50	--	30.0
3	EN 14399-3-M20x65-10.9-HR	22.0	--	35	50	--	35.0
4	EN 14399-3-M20x65-10.9-HR	22.0	--	35	50	--	35.0
5	EN 14399-3-M20x65-10.9-HR	22.0	30	35	50	--	30.0
6	EN 14399-3-M20x65-10.9-HR	22.0	30	35	50	--	30.0

--: La comprobación no procede.

Resistencia										
Tornillo	Cortante				Tracción				Interacción tracción y deslizamiento	Aprov. Máx. (%)
	Comprobación	Pésimo (kN)	Resistente (kN)	Aprov. (%)	Comprobación	Pésimo (kN)	Resistente (kN)	Aprov. (%)	Aprov. (%)	
1	Deslizamiento	0.086	41.160	0.21	Vástago	156.506	176.400	88.72	0.21	88.72
	Aplastamiento	0.086	74.678	0.12	Punzonamiento	8.790	310.817	2.83		
2	Deslizamiento	0.049	41.160	0.12	Vástago	156.509	176.400	88.72	0.12	88.72
	Aplastamiento	0.049	95.531	0.05	Punzonamiento	8.836	310.817	2.84		
3	Deslizamiento	0.077	41.160	0.19	Vástago	156.404	176.400	88.66	0.19	88.66
	Aplastamiento	0.077	74.034	0.10	Punzonamiento	7.291	310.817	2.35		
4	Deslizamiento	0.034	41.160	0.08	Vástago	156.407	176.400	88.67	0.08	88.67
	Aplastamiento	0.034	74.071	0.05	Punzonamiento	7.337	310.817	2.36		

Documento visado electrónicamente con número: VA07290/22
Código de validación telemática TRLTDCFZ60T66IJ1. Comprobación: https://cogitivalencia.e-gestion.es/Validacion.aspx?CVT=TRLTDCFZ60T66IJ1

VISADO
COGITI
VALENCIA
VA07290/22
TRLTDCFZ60T66IJ1

Resistencia										
Tornillo	Cortante				Tracción				Interacción tracción y deslizamiento	Aprov. Máx. (%)
	Comprobación	Pésimo (kN)	Resistente (kN)	Aprov. (%)	Comprobación	Pésimo (kN)	Resistente (kN)	Aprov. (%)	Aprov. (%)	
5	Deslizamiento	0.081	41.160	0.20	Vástago	156.302	176.400	88.61	0.20	88.61
	Aplastamiento	0.081	69.217	0.12	Punzonamiento	5.791	310.817	1.86		
6	Deslizamiento	0.039	41.160	0.10	Vástago	156.306	176.400	88.61	0.10	88.61
	Aplastamiento	0.039	75.450	0.05	Punzonamiento	5.838	310.817	1.88		

d) Medición

Soldaduras				
f_u (MPa)	Ejecución	Tipo	Espesor de garganta (mm)	Longitud de cordones (mm)
410.0	En taller	A tope en bisel simple	4	722

Chapas				
Material	Tipo	Cantidad	Dimensiones (mm)	Peso (kg)
S275 (UNE-EN 10025-2)	Chapas	2	230x160x15	8.67
			Total	8.67

Elementos de tornillería			
Tipo	Material	Cantidad	Descripción
Tornillos	Clase 10.9	6	EN 14399-3-M20x65-HR
Tuercas	Clase 10	6	EN 14399-3-M20-HR
Arandelas	Dureza 300 HV	12	EN14399-6-20

2.3.1.2. Tipo 10

a) Detalle

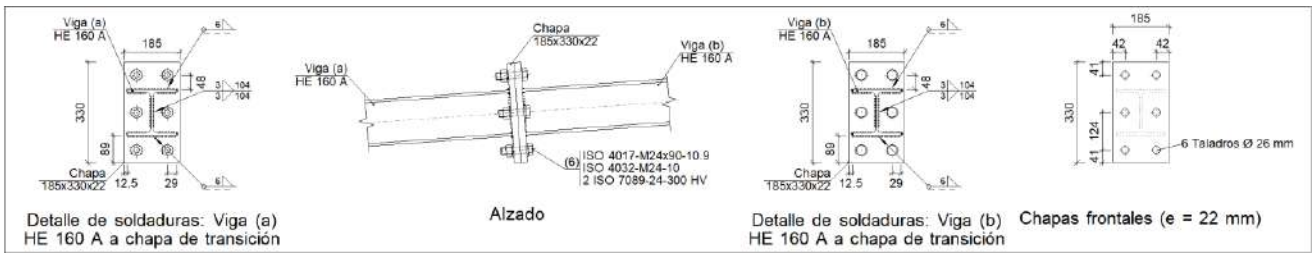

Documento visado electrónicamente con número: VA07290/22
Código de validación telemática TRLTDCFZ60T66IJ1. Comprobación: https://cogitivalencia.e-gestion.es/Validacion.aspx?CVT=TRLTDCFZ60T66IJ1

VISADO
COGITI
VALENCIA
VA07290/22
TRLTDCFZ60T66IJ1

b) Descripción de los componentes de la unión

Perfiles									
Pieza	Descripción	Geometría					Acero		
		Esquema	Canto total (mm)	Ancho del ala (mm)	Espesor del ala (mm)	Espesor del alma (mm)	Tipo	f_y (MPa)	f_u (MPa)
Viga	HE 160 A	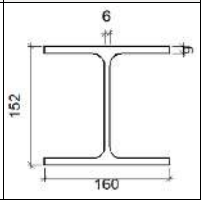	152	160	9	6	S275 (UNE-EN 10025-2)	275.0	410.0

Elementos complementarios									
Pieza	Geometría				Taladros		Acero		
	Esquema	Ancho (mm)	Canto (mm)	Espesor (mm)	Cantidad	Diámetro (mm)	Tipo	f_y (MPa)	f_u (MPa)
Chapa frontal	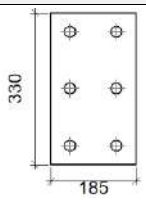	185	330	22	6	26	S275 (UNE-EN 10025-2)	275.0	410.0

Elementos de tornillería						
Descripción	Geometría			Acero		
	Esquema	Diámetro	Longitud (mm)	Clase	f_y (MPa)	f_u (MPa)
ISO 4017-M24x90-10.9 ISO 4032-M24-10 2 ISO 7089-24-300 HV	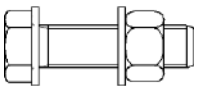	M24	90	10.9	900.0	1000.0

c) Comprobación

1) Viga (a) HE 160 A

Comprobaciones de resistencia					
Componente	Comprobación	Unidades	Pésimo	Resistente	Aprov. (%)
Chapa frontal	Tracción por flexión	kN	231.42	273.26	84.69
Ala	Aplastamiento	kN	322.12	377.14	85.41
	Tracción	kN	146.78	188.57	77.84
Alma	Tracción	kN	86.24	194.57	44.32

Uniones soldadas

Comprobaciones geométricas

Documento visado electrónicamente con número: VA07290/22
Código de validación telemática TRLTDCFZ60T66IJ1. Comprobación: https://cogitivalencia.e-gestion.es/Validacion.aspx?CVT=TRLTDCFZ60T66IJ1

VISADO
COGITI
VALENCIA
VA07290/22
TRLTDCFZ60T66IJ1

Ref.	Tipo	a (mm)	l (mm)	t (mm)	Ángulo (grados)
Soldadura del ala superior	En ángulo	6	160	9.0	90.00
Soldadura del alma	En ángulo	3	104	6.0	90.00
Soldadura del ala inferior	En ángulo	6	160	9.0	90.00

a: Espesor de garganta
l: Longitud del cordón de soldadura
t: Espesor de la pieza

Comprobación de resistencia

Ref.	Tensión de Von Mises					Tensión normal		f_u (N/mm²)	β_w
	$\sigma_\perp$ (N/mm²)	$\tau_\perp$ (N/mm²)	$\tau_{\parallel}$ (N/mm²)	Valor (N/mm²)	Aprov. (%)	$\sigma_\perp$ (N/mm²)	Aprov. (%)		
Soldadura del ala superior	170.5	170.5	0.0	340.9	88.35	170.5	57.74	410.0	0.85
Soldadura del alma	143.1	143.1	1.6	286.3	74.19	143.1	48.49	410.0	0.85
Soldadura del ala inferior	139.7	139.7	0.0	279.3	72.39	139.7	47.31	410.0	0.85

Rigidez rotacional inicial	Plano xy (kN·m/rad)	Plano xz (kN·m/rad)
Calculada para momentos positivos	30930.98	63724.37
Calculada para momentos negativos	30930.98	63724.37

Comportamiento de la unión para flexión simple en el plano xz

Documento visado electrónicamente con número: VA07290/22
Código de validación telemática TRLTDCFZ60T66IJ1. Comprobación: https://cogitivalencia.e-gestion.es/Validacion.aspx?CVT=TRLTDCFZ60T66IJ1

VISADO
COGITI
VALENCIA
VA07290/22
TRLTDCFZ60T66IJ1

Comportamiento de la unión para flexión simple en el plano xz

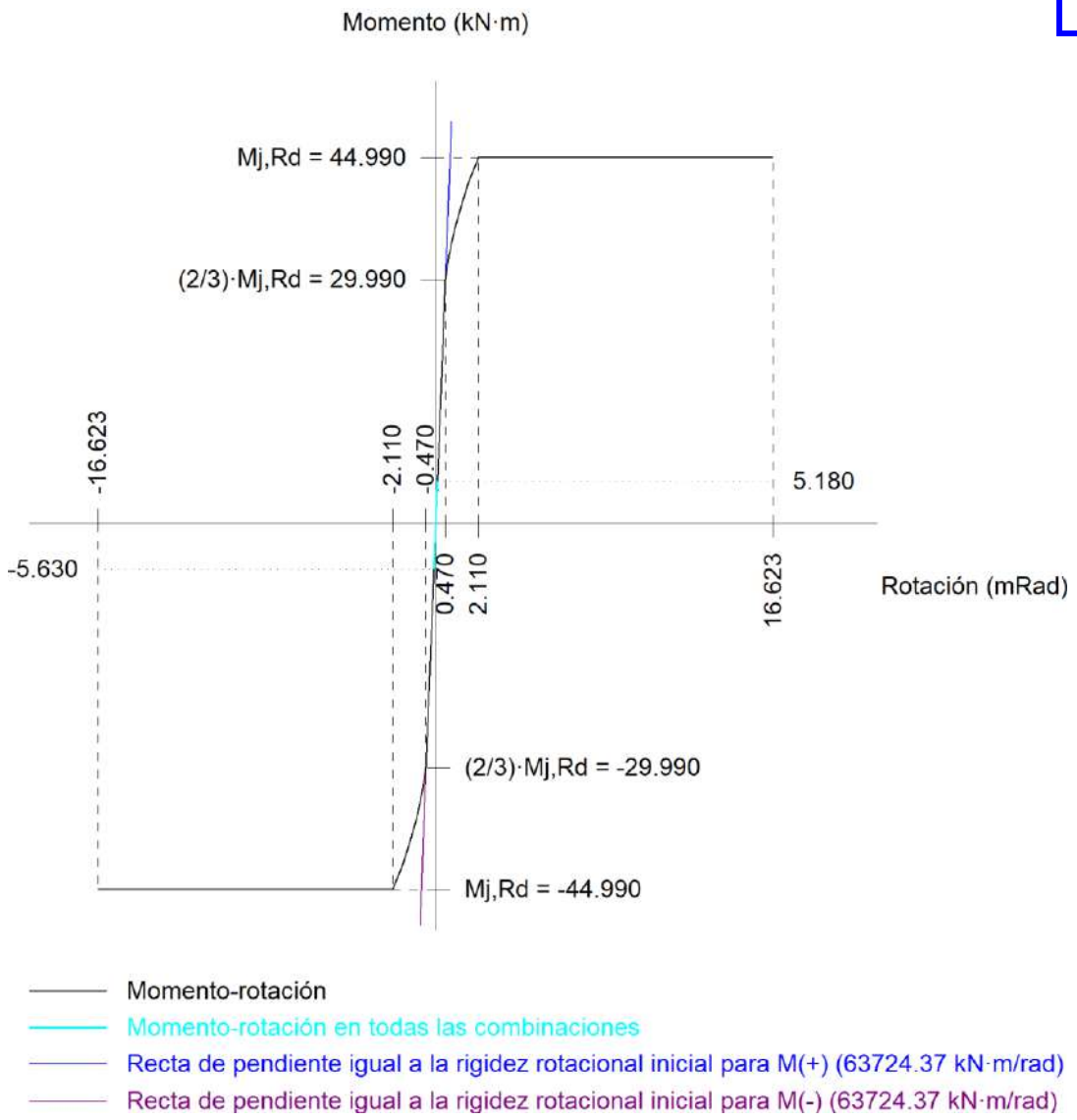

Comprobación	Unidades	Pésimo	Resistente	Aprov. (%)
Relación entre modos 1 y 3	--	0.54	1.80	29.87
Momento resistente	kNm	5.62	44.99	12.50
Capacidad de rotación	mRad	5.309	667	0.80

2) Viga (b) HE 160 A

Comprobaciones de resistencia					
Componente	Comprobación	Unidades	Pésimo	Resistente	Aprov. (%)
Chapa frontal	Tracción por flexión	kN	231.42	273.26	84.69
Ala	Compresión	kN	322.12	377.14	85.41
	Tracción	kN	146.78	188.57	77.84
Alma	Tracción	kN	86.24	194.57	44.32

Documento visado electrónicamente con número: VA07290/22
Código de validación telemática TRLTDCFZ60T66IJ1. Comprobación: https://cogitivalencia.e-gestion.es/Validacion.aspx?CVT=TRLTDCFZ60T66IJ1

VISADO
COGITI
VALENCIA
VA07290/22
TRLTDCFZ60T66IJ1

Uniones soldadas

Comprobaciones geométricas					
Ref.	Tipo	a (mm)	l (mm)	t (mm)	Ángulo (grados)
Soldadura del ala superior	En ángulo	6	160	9.0	90.00
Soldadura del alma	En ángulo	3	104	6.0	90.00
Soldadura del ala inferior	En ángulo	6	160	9.0	90.00

a: Espesor de garganta
l: Longitud del cordón de soldadura
t: Espesor de la pieza

Comprobación de resistencia									
Ref.	Tensión de Von Mises					Tensión normal		f_u (N/mm²)	β_w
	$\sigma_\perp$ (N/mm²)	$\tau_\perp$ (N/mm²)	$\tau_{\parallel}$ (N/mm²)	Valor (N/mm²)	Aprov. (%)	$\sigma_\perp$ (N/mm²)	Aprov. (%)		
Soldadura del ala superior	170.5	170.5	0.0	340.9	88.35	170.5	57.74	410.0	0.85
Soldadura del alma	143.1	143.1	1.6	286.3	74.19	143.1	48.49	410.0	0.85
Soldadura del ala inferior	139.7	139.7	0.0	279.3	72.39	139.7	47.31	410.0	0.85

Comprobaciones para los tornillos

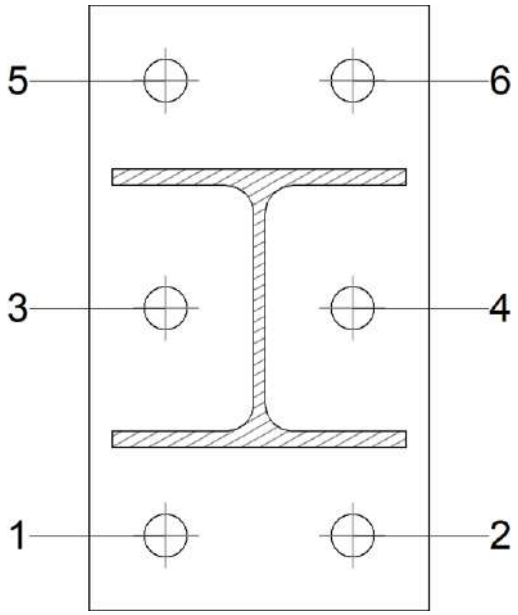

Disposición							
Tornillo	Denominación	d_0 (mm)	e_1 (mm)	e_2 (mm)	p_1 (mm)	p_2 (mm)	m (mm)
1	ISO 4017-M24x90-10.9	26.0	41	42	124	102	41.0
2	ISO 4017-M24x90-10.9	26.0	41	42	124	102	41.0
3	ISO 4017-M24x90-10.9	26.0	--	42	124	102	41.5
4	ISO 4017-M24x90-10.9	26.0	--	42	124	102	41.5
5	ISO 4017-M24x90-10.9	26.0	41	42	124	102	41.0
6	ISO 4017-M24x90-10.9	26.0	41	42	124	102	41.0

Documento visado electrónicamente con número: VA07290/22
Código de validación telemática TRLTDCFZ60T66IJ1. Comprobación: https://cogitivalencia.e-gestion.es/Validacion.aspx?CVT=TRLTDCFZ60T66IJ1

VISADO
COGITI
VALENCIA
VA07290/22
TRLTDCFZ60T66IJ1

Disposición							
Tornillo	Denominación	d_0 (mm)	e_1 (mm)	e_2 (mm)	p_1 (mm)	p_2 (mm)	n. (mm)

--: La comprobación no procede.

Resistencia										
Tornillo	Cortante				Tracción				Interacción tracción y cortante	Aprov. Máx. (%)
	Comprobación	Pésimo (kN)	Resistente (kN)	Aprov. (%)	Comprobación	Pésimo (kN)	Resistente (kN)	Aprov. (%)	Aprov. (%)	
1	Sección transversal	0.703	141.200	0.50	Vástago	151.429	254.160	59.58	42.67	59.58
	Aplastamiento	0.619	227.582	0.27	Punzonamiento	151.429	513.809	29.47		
2	Sección transversal	0.703	141.200	0.50	Vástago	148.859	254.160	58.57	41.95	58.57
	Aplastamiento	0.627	230.337	0.27	Punzonamiento	148.859	513.809	28.97		
3	Sección transversal	0.703	141.200	0.50	Vástago	126.535	254.160	49.79	35.68	49.79
	Aplastamiento	0.514	233.960	0.22	Punzonamiento	126.535	513.809	24.63		
4	Sección transversal	0.703	141.200	0.50	Vástago	124.601	254.160	49.02	35.13	49.02
	Aplastamiento	0.512	234.142	0.22	Punzonamiento	124.601	513.809	24.25		
5	Sección transversal	0.703	141.200	0.50	Vástago	184.816	254.160	72.72	52.06	72.72
	Aplastamiento	0.703	227.919	0.31	Punzonamiento	184.816	513.809	35.97		
6	Sección transversal	0.703	141.200	0.50	Vástago	182.246	254.160	71.71	51.33	71.71
	Aplastamiento	0.703	227.593	0.31	Punzonamiento	182.246	513.809	35.47		

Rigidez rotacional inicial	Plano xy (kN·m/rad)	Plano xz (kN·m/rad)
Calculada para momentos positivos	30930.98	63724.37
Calculada para momentos negativos	30930.98	63724.37

Comportamiento de la unión para flexión simple en el plano xz

Documento visado electrónicamente con número: VA07290/22
Código de validación telemática TRLTDCFZ60T66IJ1. Comprobación: https://cogitivalencia.e-gestion.es/Validacion.aspx?CVT=TRLTDCFZ60T66IJ1

VISADO
COGITI
VALENCIA
VA07290/22
TRLTDCFZ60T66IJ1

Comportamiento de la unión para flexión simple en el plano xz

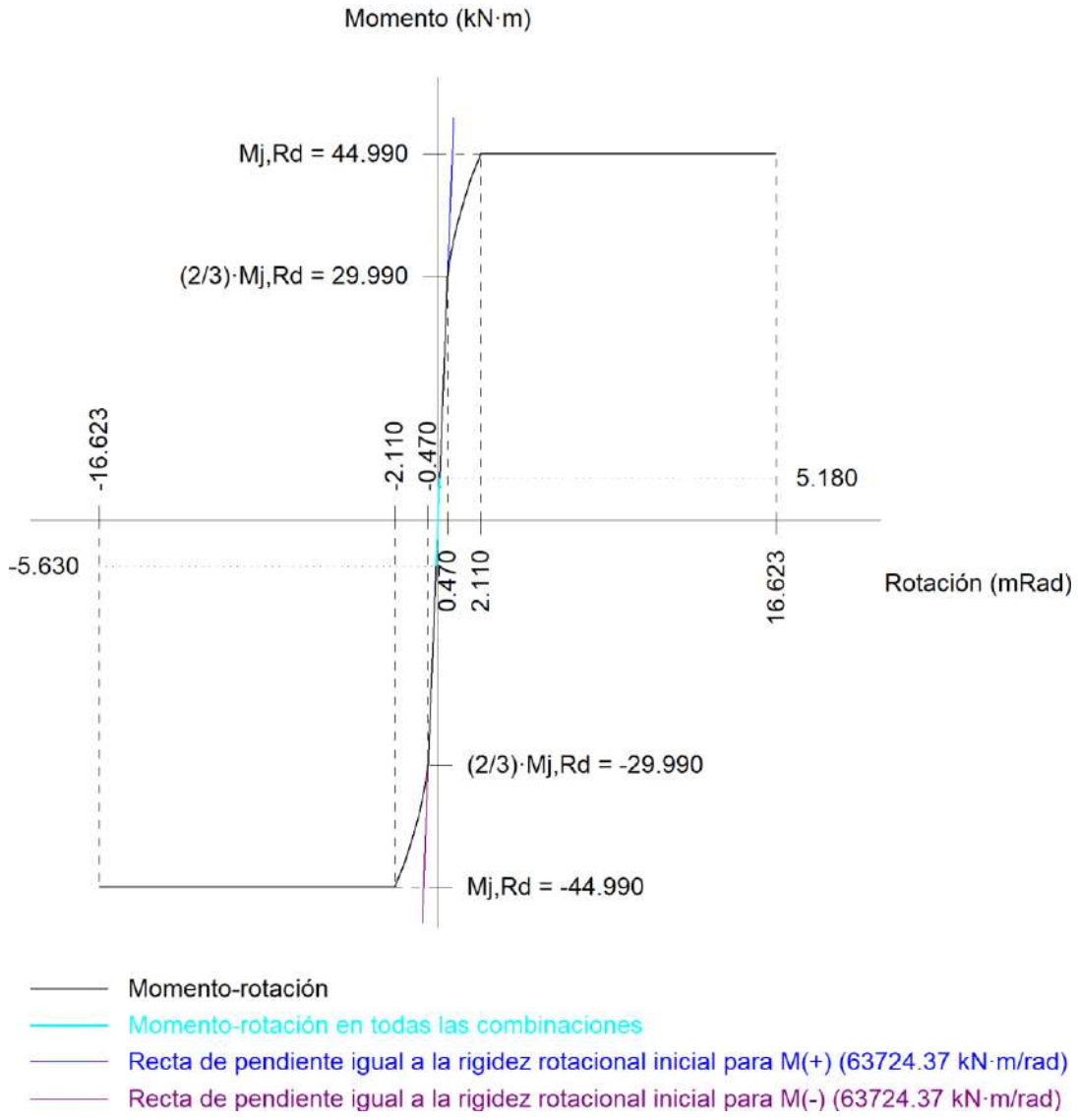

Comprobación	Unidades	Pésimo	Resistente	Aprov. (%)
Relación entre modos 1 y 3	--	0.54	1.80	29.87
Momento resistente	kNm	5.62	44.99	12.50
Capacidad de rotación	mRad	5.309	667	0.80

d) Medición

Soldaduras				
f_u (MPa)	Ejecución	Tipo	Espesor de garganta (mm)	Longitud de cordones (mm)
410.0	En taller	En ángulo	3	416
			6	1208

Documento visado electrónicamente con número: VA07290/22
Código de validación telemática TRLTDCFZ60T66IJ1. Comprobación: https://cogitivalencia.e-gestion.es/Validacion.aspx?CVT=TRLTDCFZ60T66IJ1

VISADO
COGITI
VALENCIA
VA07290/22
TRLTDCFZ60T66IJ1

Chapas				
Material	Tipo	Cantidad	Dimensiones (mm)	Peso (kg)
S275 (UNE-EN 10025-2)	Chapas	2	185x330x22	21.09
			Total	21.09

Elementos de tornillería			
Tipo	Material	Cantidad	Descripción
Tornillos	Clase 10.9	6	ISO 4017-M24x90
Tuercas	Clase 10	6	ISO 4032-M24
Arandelas	Dureza 300 HV	12	ISO 7089-24

2.3.1.3. Tipo 11

a) Detalle

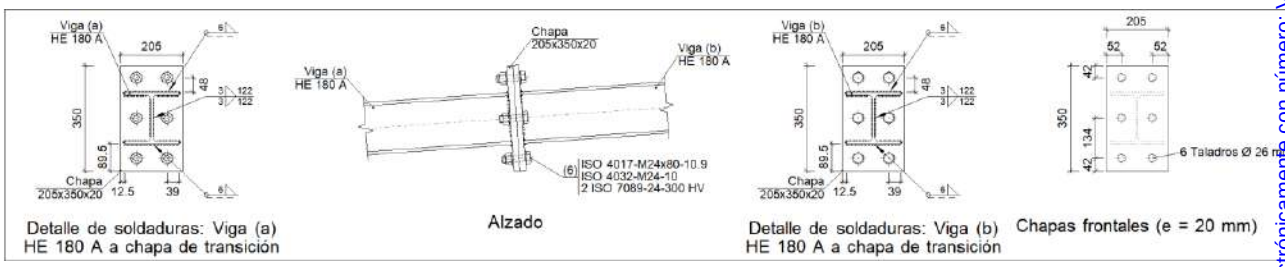

b) Descripción de los componentes de la unión

Perfiles									
Pieza	Descripción	Geometría					Acero		
		Esquema	Canto total (mm)	Ancho del ala (mm)	Espesor del ala (mm)	Espesor del alma (mm)	Tipo	f_y (MPa)	f_u (MPa)
Viga	HE 180 A	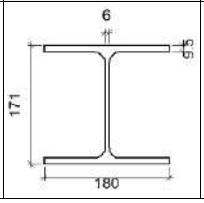	171	180	9.5	6	S275 (UNE-EN 10025-2)	275.0	410.0

Elementos complementarios									
Pieza	Geometría				Taladros		Acero		
	Esquema	Ancho (mm)	Canto (mm)	Espesor (mm)	Cantidad	Diámetro (mm)	Tipo	f_y (MPa)	f_u (MPa)
Chapa frontal	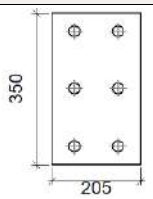	205	350	20	6	26	S275 (UNE-EN 10025-2)	275.0	410.0

Documento visado electrónicamente con número: VA07290/22
Código de validación telemática TRLTDCFZ60T66IJ1. Comprobación: https://cogitivalencia.e-gestion.es/Validacion.aspx?CVT=TRLTDCFZ60T66IJ1

VISADO
COGITI
VALENCIA
VA07290/22
TRLTDCFZ60T66IJ1

Elementos de tornillería						
Descripción	Geometría			Acero		
	Esquema	Diámetro	Longitud (mm)	Clase	f_y (MPa)	f_u (MPa)
ISO 4017-M24x80-10.9 ISO 4032-M24-10 2 ISO 7089-24-300 HV	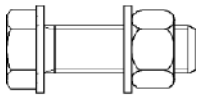	M24	80	10.9	900.0	1000.0

c) Comprobación

1) Viga (a) HE 180 A

Comprobaciones de resistencia					
Componente	Comprobación	Unidades	Pésimo	Resistente	Aprov. (%)
Chapa frontal	Tracción por flexión	kN	249.20	251.91	98.92
Ala	Aplastamiento	kN	260.00	447.86	58.05
	Tracción	kN	156.71	223.93	69.98
Alma	Tracción	kN	101.67	221.97	45.80

Uniones soldadas

Comprobaciones geométricas					
Ref.	Tipo	a (mm)	l (mm)	t (mm)	Ángulo (grados)
Soldadura del ala superior	En ángulo	6	180	9.5	90.00
Soldadura del alma	En ángulo	3	122	6.0	90.00
Soldadura del ala inferior	En ángulo	6	180	9.5	90.00

a: Espesor de garganta
l: Longitud del cordón de soldadura
t: Espesor de la pieza

Comprobación de resistencia									
Ref.	Tensión de Von Mises					Tensión normal		f_u (N/mm²)	β_w
	$\sigma_\perp$ (N/mm²)	$\tau_\perp$ (N/mm²)	$\tau_{\parallel}$ (N/mm²)	Valor (N/mm²)	Aprov. (%)	$\sigma_\perp$ (N/mm²)	Aprov. (%)		
Soldadura del ala superior	138.1	138.1	0.1	276.3	71.59	138.1	46.79	410.0	0.85
Soldadura del alma	133.4	133.4	1.6	266.7	69.12	133.4	45.18	410.0	0.85
Soldadura del ala inferior	163.2	163.2	0.1	326.3	84.57	163.2	55.27	410.0	0.85

Rigidez rotacional inicial	Plano xy (kN·m/rad)	Plano xz (kN·m/rad)
Calculada para momentos positivos	33788.68	71651.35
Calculada para momentos negativos	33788.68	71651.35

Comportamiento de la unión para flexión simple en el plano xz

Documento visado electrónicamente con número: VA07290/22
Código de validación telemática TRLTDCFZ60T66IJ1. Comprobación: https://cogitivalencia.e-gestion.es/Validacion.aspx?CVT=TRLTDCFZ60T66IJ1

VISADO
COGITI
VALENCIA
VA07290/22
TRLTDCFZ60T66IJ1

Comportamiento de la unión para flexión simple en el plano xz

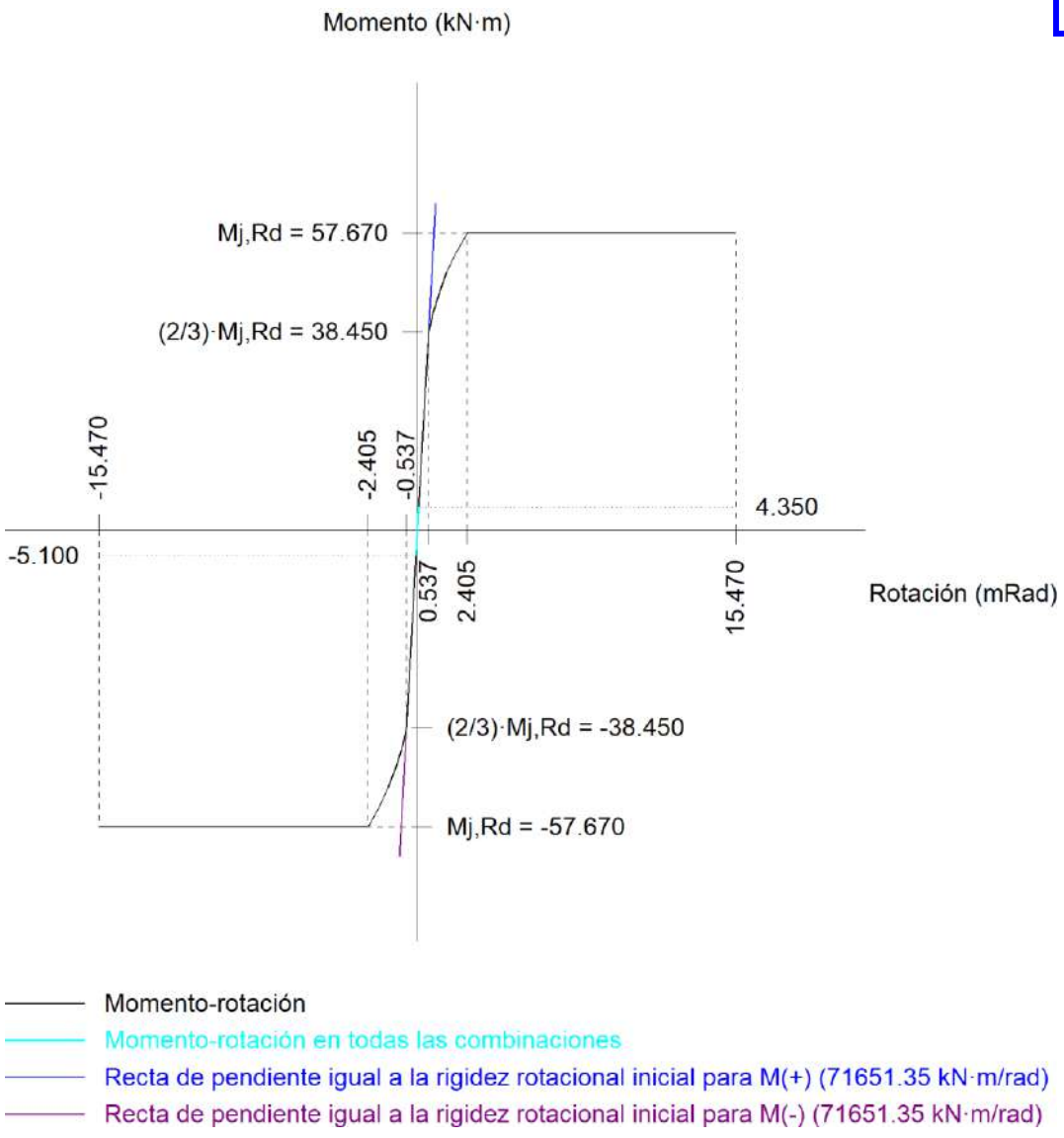

Comprobación	Unidades	Pésimo	Resistente	Aprov. (%)
Relación entre modos 1 y 3	--	0.50	1.80	27.53
Momento resistente	kNm	5.10	57.67	8.85
Capacidad de rotación	mRad	4.593	667	0.69

2) Viga (b) HE 180 A

Comprobaciones de resistencia					
Componente	Comprobación	Unidades	Pésimo	Resistente	Aprov. (%)
Chapa frontal	Tracción por flexión	kN	249.20	251.91	98.92
Ala	Compresión	kN	260.00	447.86	58.05
	Tracción	kN	156.71	223.93	69.98
Alma	Tracción	kN	101.67	221.97	45.80

Documento visado electrónicamente con número: VA07290/22
Código de validación telemática TRLTDCFZ60T66IJ1. Comprobación: https://cogitivalencia.e-gestion.es/Validacion.aspx?CVT=TRLTDCFZ60T66IJ1

VISADO
COGITI
VALENCIA
VA07290/22
TRLTDCFZ60T66IJ1

Uniones soldadas

Comprobaciones geométricas					
Ref.	Tipo	a (mm)	l (mm)	t (mm)	Ángulo (grados)
Soldadura del ala superior	En ángulo	6	180	9.5	90.00
Soldadura del alma	En ángulo	3	122	6.0	90.00
Soldadura del ala inferior	En ángulo	6	180	9.5	90.00

a: Espesor de garganta
l: Longitud del cordón de soldadura
t: Espesor de la pieza

Comprobación de resistencia									
Ref.	Tensión de Von Mises					Tensión normal		f_u (N/mm²)	β_w
	$\sigma_\perp$ (N/mm²)	$\tau_\perp$ (N/mm²)	$\tau_{\parallel}$ (N/mm²)	Valor (N/mm²)	Aprov. (%)	$\sigma_\perp$ (N/mm²)	Aprov. (%)		
Soldadura del ala superior	138.1	138.1	0.1	276.3	71.59	138.1	46.79	410.0	0.85
Soldadura del alma	133.4	133.4	1.6	266.7	69.12	133.4	45.18	410.0	0.85
Soldadura del ala inferior	163.2	163.2	0.1	326.3	84.57	163.2	55.27	410.0	0.85

Comprobaciones para los tornillos

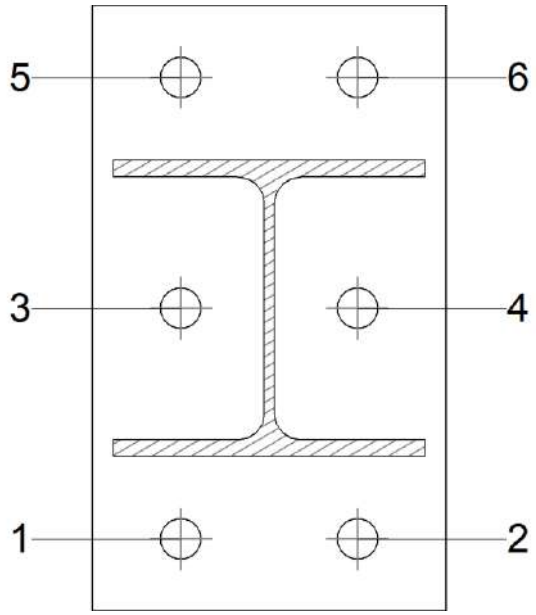

Disposición							
Tornillo	Denominación	d_0 (mm)	e_1 (mm)	e_2 (mm)	p_1 (mm)	p_2 (mm)	m (mm)
1	ISO 4017-M24x80-10.9	26.0	42	52	134	102	41.5
2	ISO 4017-M24x80-10.9	26.0	42	52	134	102	41.5
3	ISO 4017-M24x80-10.9	26.0	--	52	134	102	48.0
4	ISO 4017-M24x80-10.9	26.0	--	52	134	102	48.0
5	ISO 4017-M24x80-10.9	26.0	42	52	134	102	41.5
6	ISO 4017-M24x80-10.9	26.0	42	52	134	102	41.5

Documento visado electrónicamente con número: VA07290/22
Código de validación telemática TRLTDCFZ60T66IJ1. Comprobación: https://cogitivalencia.e-gestion.es/Validacion.aspx?CVT=TRLTDCFZ60T66IJ1

VISADO
COGITI
VALENCIA
VA07290/22
TRLTDCFZ60T66IJ1

Listados

Disposición							
Tornillo	Denominación	d_0 (mm)	e_1 (mm)	e_2 (mm)	p_1 (mm)	p_2 (mm)	n_h (mm)

--: La comprobación no procede.

Resistencia										
Tornillo	Cortante				Tracción				Interacción tracción y cortante	Aprov. Máx. (%)
	Comprobación	Pésimo (kN)	Resistente (kN)	Aprov. (%)	Comprobación	Pésimo (kN)	Resistente (kN)	Aprov. (%)	Aprov. (%)	
1	Sección transversal	0.756	141.200	0.54	Vástago	196.332	254.160	77.25	55.32	77.25
	Aplastamiento	0.644	211.248	0.31	Punzonamiento	196.332	467.100	42.03		
2	Sección transversal	0.754	141.200	0.53	Vástago	201.338	254.160	79.22	56.73	79.22
	Aplastamiento	0.639	210.320	0.30	Punzonamiento	201.338	467.100	43.10		
3	Sección transversal	0.806	141.200	0.57	Vástago	138.901	254.160	54.65	39.18	54.65
	Aplastamiento	0.806	387.748	0.21	Punzonamiento	138.901	467.100	29.74		
4	Sección transversal	0.753	141.200	0.53	Vástago	142.745	254.160	56.16	40.26	56.16
	Aplastamiento	0.753	393.600	0.19	Punzonamiento	142.745	467.100	30.56		
5	Sección transversal	2.724	141.200	1.93	Vástago	165.451	254.160	65.10	46.64	65.10
	Aplastamiento	2.724	210.479	1.29	Punzonamiento	165.451	467.100	35.42		
6	Sección transversal	1.146	141.200	0.81	Vástago	170.457	254.160	67.07	48.05	67.07
	Aplastamiento	1.146	209.814	0.55	Punzonamiento	170.457	467.100	36.49		

Rigidez rotacional inicial	Plano xy (kN·m/rad)	Plano xz (kN·m/rad)
Calculada para momentos positivos	33788.68	71651.35
Calculada para momentos negativos	33788.68	71651.35

Comportamiento de la unión para flexión simple en el plano xz

Documento visado electrónicamente con número: VA07290/22
Código de validación telemática TRLTDCFZ60T66IJ1. Comprobación: https://cogitivalencia.e-gestion.es/Validacion.aspx?CVT=TRLTDCFZ60T66IJ1

VISADO
COGITI
VALENCIA
VA07290/22
TRLTDCFZ60T66IJ1

Comportamiento de la unión para flexión simple en el plano xz

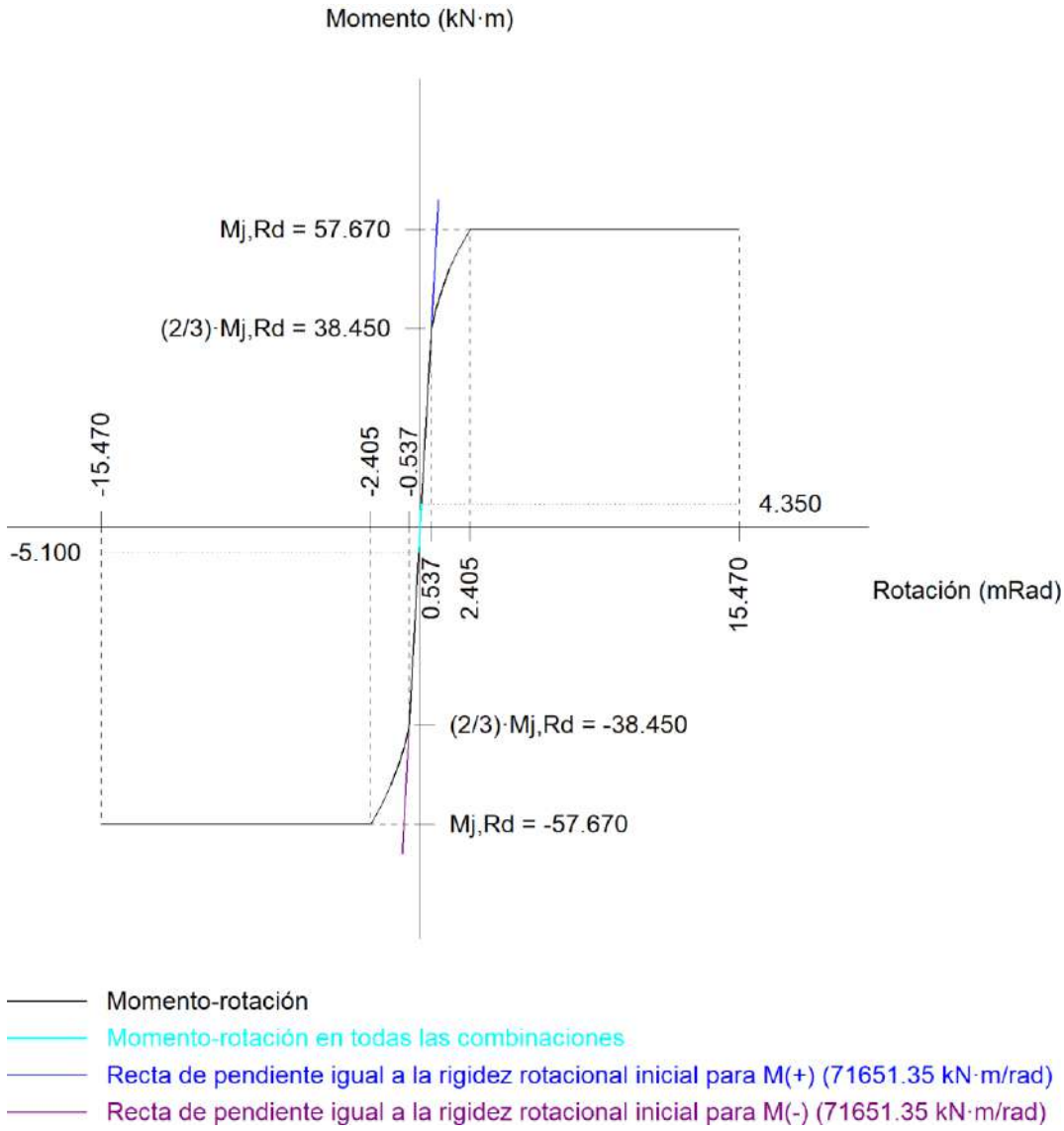

Comprobación	Unidades	Pésimo	Resistente	Aprov. (%)
Relación entre modos 1 y 3	--	0.50	1.80	27.53
Momento resistente	kNm	5.10	57.67	8.85
Capacidad de rotación	mRad	4.593	667	0.69

d) Medición

Soldaduras				
f_u (MPa)	Ejecución	Tipo	Espesor de garganta (mm)	Longitud de cordones (mm)
410.0	En taller	En ángulo	3	488
			6	1372

Documento visado electrónicamente con número: VA07290/22
Código de validación telemática TRLTDCFZ60T66IJ1. Comprobación: https://cogitivalencia.e-gestion.es/Validacion.aspx?CVT=TRLTDCFZ60T66IJ1

VISADO
COGITI
VALENCIA
VA07290/22
TRLTDCFZ60T66IJ1

Chapas				
Material	Tipo	Cantidad	Dimensiones (mm)	Peso (kg)
S275 (UNE-EN 10025-2)	Chapas	2	205x350x20	22.53
			Total	22.53

Elementos de tornillería			
Tipo	Material	Cantidad	Descripción
Tornillos	Clase 10.9	6	ISO 4017-M24x80
Tuercas	Clase 10	6	ISO 4032-M24
Arandelas	Dureza 300 HV	12	ISO 7089-24

2.3.1.4. Tipo 12

a) Detalle

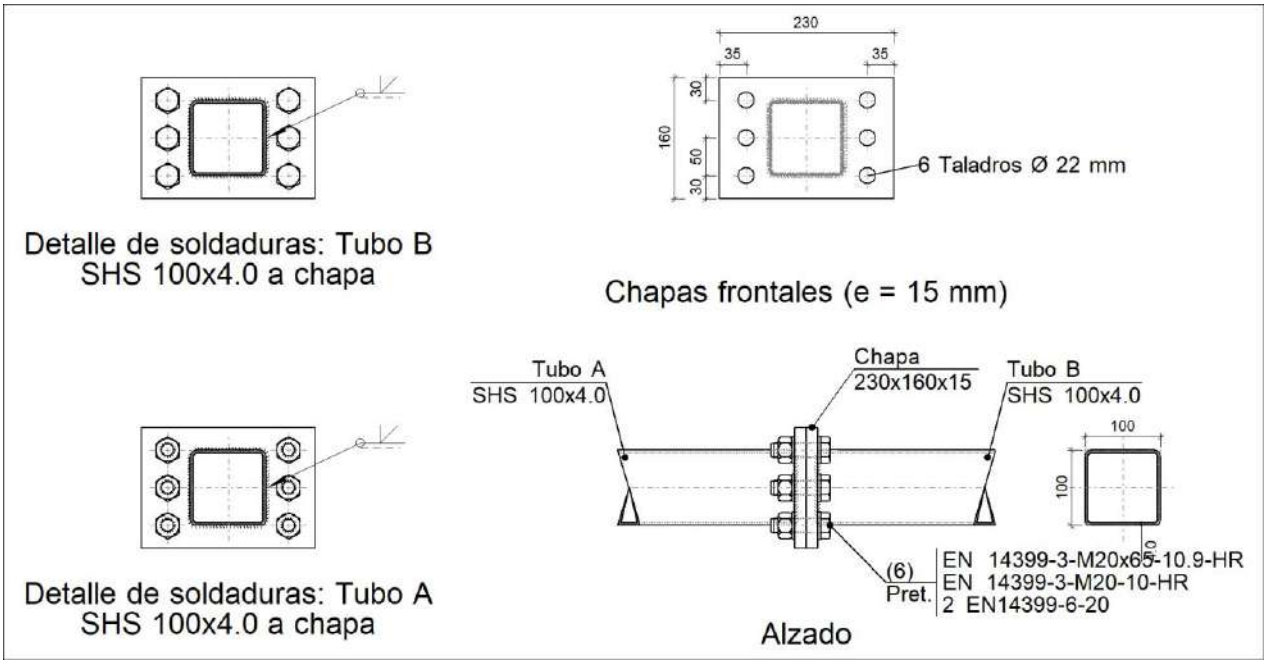

b) Descripción de los componentes de la unión

Elementos complementarios									
Pieza	Geometría				Taladros		Acero		
	Esquema	Ancho (mm)	Canto (mm)	Espesor (mm)	Cantidad	Diámetro (mm)	Tipo	f_y (MPa)	f_u (MPa)
Chapa	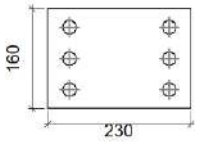	230	160	15	6	22	S275 (UNE-EN 10025-2)	275.0	410.0

Documento visado electrónicamente con número: VA07290/22
Código de validación telemática TRLTDCFZ60T66IJ1. Comprobación: https://cogitivalencia.e-gestion.es/Validacion.aspx?CVT=TRLTDCFZ60T66IJ1

VISADO
COGITI
VALENCIA
VA07290/22
TRLTDCFZ60T66IJ1

Elementos de tornillería							
Descripción	Pretensado	Geometría			Acero		
		Esquema	Diámetro	Longitud (mm)	Clase	f_y (MPa)	f_u (MPa)
EN 14399-3-M20x65-10.9-HR EN 14399-3-M20-10-HR 2 EN14399-6-20	X	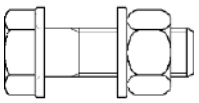	M20	65	10.9	900.0	1000.0

c) Comprobación

1) Tubo A SHS 100x4.0

Componente	Comprobación	Unidades	Pésimo	Resistente	Aprov. (%)
Pieza	Tracción	kN	83.09	113.14	73.44
Chapa de testa	Espesor mínimo	mm	15.00	11.59	77.25
	Espesor máximo	mm	15.00	2.98	0.00

Uniones soldadas

Comprobaciones geométricas			
Ref.	Tipo	Preparación de bordes (mm)	l (mm)
Soldadura del tubo a la chapa de testa	A tope en bisel simple	4	361
l: Longitud del cordón de soldadura			

Comprobación de resistencia									
Ref.	Tensión de Von Mises					Tensión normal		f_u (N/mm²)	β_w
	$\sigma_\perp$ (N/mm²)	$\tau_\perp$ (N/mm²)	$\tau_{\parallel}$ (N/mm²)	Valor (N/mm²)	Aprov. (%)	$\sigma_\perp$ (N/mm²)	Aprov. (%)		
Soldadura del tubo a la chapa de testa	La soldadura en bisel genera un cordón cuya resistencia es igual a la menor resistencia de las piezas a unir.							410.0	0.85

2) Tubo B SHS 100x4.0

Componente	Comprobación	Unidades	Pésimo	Resistente	Aprov. (%)
Pieza	Tracción	kN	83.09	113.14	73.44
Chapa de testa	Espesor mínimo	mm	15.00	11.59	77.25
	Espesor máximo	mm	15.00	2.98	0.00

Uniones soldadas

Comprobaciones geométricas			
Ref.	Tipo	Preparación de bordes (mm)	l (mm)
Soldadura del tubo a la chapa de testa	A tope en bisel simple	4	361

Documento visado electrónicamente con número: VA07290/22
Código de validación telemática TRLTDCFZ60T66IJ1. Comprobación: https://cogitivalencia.e-gestion.es/Validacion.aspx?CVT=TRLTDCFZ60T66IJ1

VISADO
COGITI
VALENCIA
VA07290/22
TRLTDCFZ60T66IJ1

Comprobaciones geométricas			
Ref.	Tipo	Preparación de bordes (mm)	l (mm)
l: Longitud del cordón de soldadura			

Comprobación de resistencia									
Ref.	Tensión de Von Mises					Tensión normal		f_u (N/mm²)	β_w
	$\sigma_\perp$ (N/mm²)	$\tau_\perp$ (N/mm²)	$\tau_{\parallel}$ (N/mm²)	Valor (N/mm²)	Aprov. (%)	$\sigma_\perp$ (N/mm²)	Aprov. (%)		
Soldadura del tubo a la chapa de testa	La soldadura en bisel genera un cordón cuya resistencia es igual a la menor resistencia de las piezas a unir.							410.0	0.85

Comprobaciones para los tornillos

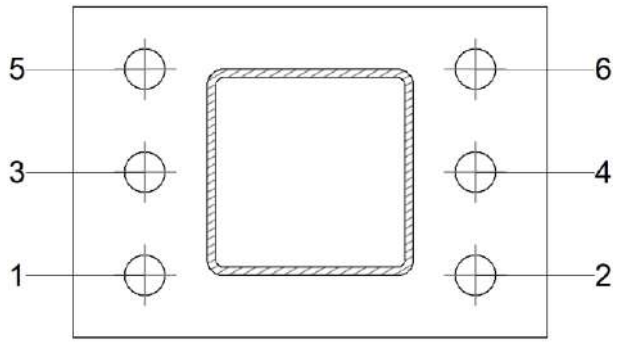

Disposición							
Tornillo	Denominación	d_0 (mm)	e_1 (mm)	e_2 (mm)	p_1 (mm)	p_2 (mm)	m (mm)
1	EN 14399-3-M20x65-10.9-HR	22.0	30	35	50	--	30.0
2	EN 14399-3-M20x65-10.9-HR	22.0	30	35	50	--	30.0
3	EN 14399-3-M20x65-10.9-HR	22.0	--	35	50	--	35.0
4	EN 14399-3-M20x65-10.9-HR	22.0	--	35	50	--	35.0
5	EN 14399-3-M20x65-10.9-HR	22.0	30	35	50	--	30.0
6	EN 14399-3-M20x65-10.9-HR	22.0	30	35	50	--	30.0
--: La comprobación no procede.							

Resistencia				
Tornillo	Cortante	Tracción	Interacción tracción y deslizamiento	Aprov. Máx. (%)

Documento visado electrónicamente con número: VA07290/22
Código de validación telemática TRLTDCFZ60T66IJ1. Comprobación: https://cogitivalencia.e-gestion.es/Validacion.aspx?CVT=TRLTDCFZ60T66IJ1

VISADO
COGITI
VALENCIA
VA07290/22
TRLTDCFZ60T66IJ1

	Comprobación	Pésimo (kN)	Resistente (kN)	Aprov. (%)	Comprobación	Pésimo (kN)	Resistente (kN)	Aprov. (%)	Aprov. (%)	
1	Deslizamiento	0.459	41.160	1.12	Vástago	157.835	176.400	89.48	1.15	89.48
	Aplastamiento	0.459	72.491	0.63	Punzonamiento	28.358	310.817	9.12		
2	Deslizamiento	0.423	41.160	1.03	Vástago	157.850	176.400	89.48	1.05	89.48
	Aplastamiento	0.423	72.085	0.59	Punzonamiento	28.573	310.817	9.19		
3	Deslizamiento	0.410	41.160	1.00	Vástago	157.776	176.400	89.44	1.02	89.44
	Aplastamiento	0.410	74.027	0.55	Punzonamiento	27.483	310.817	8.84		
4	Deslizamiento	0.381	41.160	0.93	Vástago	157.790	176.400	89.45	0.95	89.45
	Aplastamiento	0.381	74.035	0.51	Punzonamiento	27.697	310.817	8.91		
5	Deslizamiento	0.490	41.160	1.19	Vástago	157.716	176.400	89.41	1.22	89.41
	Aplastamiento	0.490	74.967	0.65	Punzonamiento	26.607	310.817	8.56		
6	Deslizamiento	0.457	41.160	1.11	Vástago	157.731	176.400	89.42	1.14	89.42
	Aplastamiento	0.457	74.996	0.61	Punzonamiento	26.821	310.817	8.63		

d) Medición

Soldaduras				
f_u (MPa)	Ejecución	Tipo	Espesor de garganta (mm)	Longitud de cordones (mm)
410.0	En taller	A tope en bisel simple	4	722

Chapas				
Material	Tipo	Cantidad	Dimensiones (mm)	Peso (kg)
S275 (UNE-EN 10025-2)	Chapas	2	230x160x15	8.67
			Total	8.67

Elementos de tornillería			
Tipo	Material	Cantidad	Descripción
Tornillos	Clase 10.9	6	EN 14399-3-M20x65-HR
Tuercas	Clase 10	6	EN 14399-3-M20-HR
Arandelas	Dureza 300 HV	12	EN14399-6-20

2.3.1.5. Tipo 14

Documento visado electrónicamente con número: VA07290/22
Código de validación telemática TRLTDCFZ60T66IJ1. Comprobación: https://cogitivalencia.e-gestion.es/Validacion.aspx?CVT=TRLTDCFZ60T66IJ1

VISADO
COGITI
VALENCIA
VA07290/22
TRLTDCFZ60T66IJ1

a) Detalle

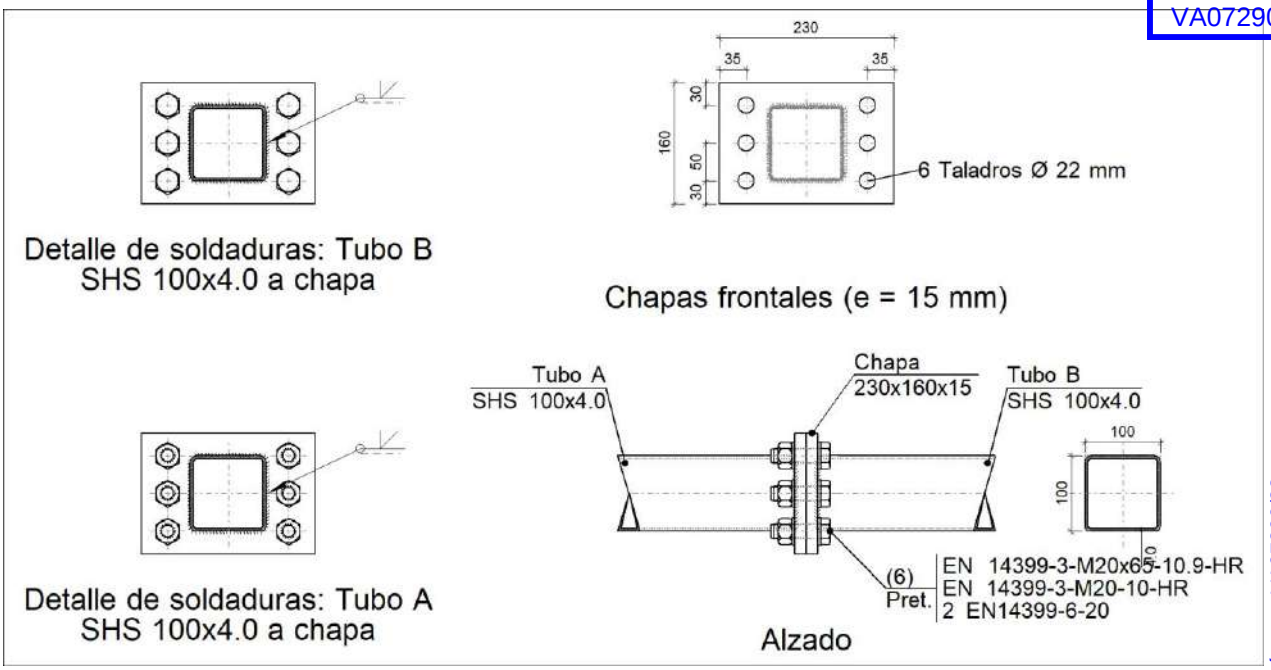

b) Descripción de los componentes de la unión

Elementos complementarios									
Pieza	Geometría				Taladros		Acero		
	Esquema	Ancho (mm)	Canto (mm)	Espesor (mm)	Cantidad	Diámetro (mm)	Tipo	f_y (MPa)	f_u (MPa)
Chapa	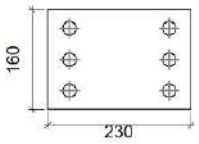	230	160	15	6	22	S275 (UNE-EN 10025-2)	275.0	410.0

Elementos de tornillería							
Descripción	Pretensado	Geometría			Acero		
		Esquema	Diámetro	Longitud (mm)	Clase	f_y (MPa)	f_u (MPa)
EN 14399-3-M20x65-10.9-HR EN 14399-3-M20-10-HR 2 EN14399-6-20	X	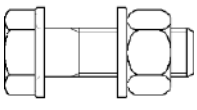	M20	65	10.9	900.0	1000.0

c) Comprobación

1) Tubo A SHS 100x4.0

Componente	Comprobación	Unidades	Pésimo	Resistente	Aprov. (%)

Documento visado electrónicamente con número: VA07290/22
Código de validación telemática TRLTDCFZ60T66IJ1. Comprobación: https://cogitivalencia.e-gestion.es/Validacion.aspx?CVT=TRLTDCFZ60T66IJ1

VISADO
COGITI
VALENCIA
VA07290/22
TRLTDCFZ60T66IJ1

Componente	Comprobación	Unidades	Pésimo	Resistente	Aprov. (%)
Pieza	Tracción	kN	103.32	113.14	91.32
Chapa de testa	Espesor mínimo	mm	15.00	12.89	85.92
	Espesor máximo	mm	15.00	6.07	0.00

Uniones soldadas

Comprobaciones geométricas			
Ref.	Tipo	Preparación de bordes (mm)	l (mm)
Soldadura del tubo a la chapa de testa	A tope en bisel simple	4	361
l: Longitud del cordón de soldadura			

Comprobación de resistencia									
Ref.	Tensión de Von Mises					Tensión normal		f_u (N/mm²)	β_w
	$\sigma_\perp$ (N/mm²)	$\tau_\perp$ (N/mm²)	$\tau_{\parallel}$ (N/mm²)	Valor (N/mm²)	Aprov. (%)	$\sigma_\perp$ (N/mm²)	Aprov. (%)		
Soldadura del tubo a la chapa de testa	La soldadura en bisel genera un cordón cuya resistencia es igual a la menor resistencia de las piezas a unir.							410.0	0.85

2) Tubo B SHS 100x4.0

Componente	Comprobación	Unidades	Pésimo	Resistente	Aprov. (%)
Pieza	Tracción	kN	103.32	113.14	91.32
Chapa de testa	Espesor mínimo	mm	15.00	12.89	85.92
	Espesor máximo	mm	15.00	6.07	0.00

Uniones soldadas

Comprobaciones geométricas			
Ref.	Tipo	Preparación de bordes (mm)	l (mm)
Soldadura del tubo a la chapa de testa	A tope en bisel simple	4	361
l: Longitud del cordón de soldadura			

Comprobación de resistencia									
Ref.	Tensión de Von Mises					Tensión normal		f_u (N/mm²)	β_w
	$\sigma_\perp$ (N/mm²)	$\tau_\perp$ (N/mm²)	$\tau_{\parallel}$ (N/mm²)	Valor (N/mm²)	Aprov. (%)	$\sigma_\perp$ (N/mm²)	Aprov. (%)		
Soldadura del tubo a la chapa de testa	La soldadura en bisel genera un cordón cuya resistencia es igual a la menor resistencia de las piezas a unir.							410.0	0.85

Comprobaciones para los tornillos

Documento visado electrónicamente con número: VA07290/22
Código de validación telemática TRLTDCFZ60T66IJ1. Comprobación: https://cogitivalencia.e-gestion.es/Validacion.aspx?CVT=TRLTDCFZ60T66IJ1

VISADO
COGITI
VALENCIA
VA07290/22
TRLTDCFZ60T66IJ1

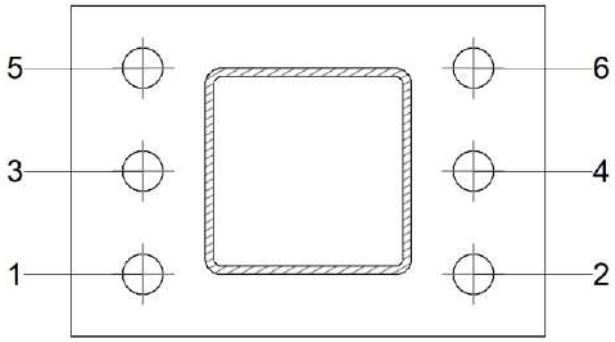

Disposición							
Tornillo	Denominación	d_0 (mm)	e_1 (mm)	e_2 (mm)	p_1 (mm)	p_2 (mm)	m (mm)
1	EN 14399-3-M20x65-10.9-HR	22.0	30	35	50	--	30.0
2	EN 14399-3-M20x65-10.9-HR	22.0	30	35	50	--	30.0
3	EN 14399-3-M20x65-10.9-HR	22.0	--	35	50	--	35.0
4	EN 14399-3-M20x65-10.9-HR	22.0	--	35	50	--	35.0
5	EN 14399-3-M20x65-10.9-HR	22.0	30	35	50	--	30.0
6	EN 14399-3-M20x65-10.9-HR	22.0	30	35	50	--	30.0

--: La comprobación no procede.

Resistencia										
Tornillo	Cortante				Tracción				Interacción tracción y deslizamiento	Aprov. Máx. (%)
	Comprobación	Pésimo (kN)	Resistente (kN)	Aprov. (%)	Comprobación	Pésimo (kN)	Resistente (kN)	Aprov. (%)	Aprov. (%)	
1	Deslizamiento	0.471	41.160	1.15	Vástago	158.309	176.400	89.74	1.18	89.74
	Aplastamiento	0.471	71.667	0.66	Punzonamiento	35.343	310.817	11.37		
2	Deslizamiento	0.507	41.160	1.23	Vástago	158.291	176.400	89.73	1.26	89.73
	Aplastamiento	0.507	72.080	0.70	Punzonamiento	35.066	310.817	11.28		
3	Deslizamiento	0.429	41.160	1.04	Vástago	158.248	176.400	89.71	1.07	89.71
	Aplastamiento	0.429	74.053	0.58	Punzonamiento	34.440	310.817	11.08		
4	Deslizamiento	0.457	41.160	1.11	Vástago	158.229	176.400	89.70	1.14	89.70
	Aplastamiento	0.457	74.043	0.62	Punzonamiento	34.163	310.817	10.99		

Documento visado electrónicamente con número: VA07290/22
Código de validación telemática TRLTDCFZ60T66IJ1. Comprobación: https://cogitivalencia.e-gestion.es/Validacion.aspx?CVT=TRLTDCFZ60T66IJ1

VISADO
COGITI
VALENCIA
VA07290/22
TRLTDCFZ60T66IJ1

Resistencia										
Tornillo	Cortante				Tracción				Interacción tracción y deslizamiento	Aprov. Máx. (%)
	Comprobación	Pésimo (kN)	Resistente (kN)	Aprov. (%)	Comprobación	Pésimo (kN)	Resistente (kN)	Aprov. (%)	Aprov. (%)	
5	Deslizamiento	0.522	41.160	1.27	Vástago	158.187	176.400	89.68	1.30	89.68
	Aplastamiento	0.522	75.071	0.70	Punzonamiento	33.537	310.817	10.79		
6	Deslizamiento	0.554	41.160	1.35	Vástago	158.168	176.400	89.66	1.38	89.66
	Aplastamiento	0.554	75.048	0.74	Punzonamiento	33.260	310.817	10.70		

d) Medición

Soldaduras				
f_u (MPa)	Ejecución	Tipo	Espesor de garganta (mm)	Longitud de cordones (mm)
410.0	En taller	A tope en bisel simple	4	722

Chapas				
Material	Tipo	Cantidad	Dimensiones (mm)	Peso (kg)
S275 (UNE-EN 10025-2)	Chapas	2	230x160x15	8.67
			Total	8.67

Elementos de tornillería			
Tipo	Material	Cantidad	Descripción
Tornillos	Clase 10.9	6	EN 14399-3-M20x65-HR
Tuercas	Clase 10	6	EN 14399-3-M20-HR
Arandelas	Dureza 300 HV	12	EN14399-6-20

Documento visado electrónicamente con número: VA07290/22
Código de validación telemática TRLTDCFZ60T66IJ1. Comprobación: https://cogitivalencia.e-gestion.es/Validacion.aspx?CVT=TRLTDCFZ60T66IJ1

VISADO
COGITI
VALENCIA
VA07290/22
TRLTDCFZ60T66IJ1

Documento visado electrónicamente con número: VA07290/22
Código de validación telemática TRLTDCFZ60T66IJ1. Comprobación: https://cogitivalencia.e-gestion.es/Validacion.aspx?CVT=TRLTDCFZ60T66IJ1

VISADO
COGITI
VALENCIA
VA07290/22
TRLTDCFZ60T66IJ1

A.2. Listado de cálculo. Correas.

Documento visado electrónicamente con número: VA07290/22
Código de validación telemática TRLTDCFZ60T66IJ1. Comprobación: https://cogitivalencia.e-gestion.es/Validacion.aspx?CVT=TRLTDCFZ60T66IJ1

VISADO
COGITI
VALENCIA
VA07290/22
TRLTDCFZ60T66IJ1

ÍNDICE

1. GEOMETRÍA 2
1.1. Nudos 2
1.2. Barras 18
1.2.1. Materiales utilizados 18
1.2.2. Descripción 19
1.2.3. Características mecánicas 59

2. RESULTADOS 61
2.1. Barras 61
2.1.1. Resistencia 61
2.1.2. Comprobaciones E.L.U. (Resumido) 76

Documento visado electrónicamente con número: VA07290/22
Código de validación telemática TRLTDCFZ60T66IJ1. Comprobación: https://cogitivalencia.e-gestion.es/Validacion.aspx?CVT=TRLTDCFZ60T66IJ1

VISADO
COGITI
VALENCIA
VA07290/22
TRLTDCFZ60T66IJ1

1. GEOMETRÍA

1.1. Nudos

Referencias:

Δ_x, Δ_y, Δ_z: Desplazamientos prescritos en ejes globales.

θ_x, θ_y, θ_z: Giros prescritos en ejes globales.

Cada grado de libertad se marca con 'X' si está coaccionado y, en caso contrario, con '-'.

Nudos

Referencia	Coordenadas			Vinculación exterior						Vinculación interior
	X (m)	Y (m)	Z (m)	Δ_x	Δ_y	Δ_z	θ_x	θ_y	θ_z	
N1675	1.097	0.000	6.923	-	-	-	-	-	-	Genérico
N1676	1.097	7.300	6.923	-	-	-	-	-	-	Genérico
N1677	1.097	14.600	6.923	-	-	-	-	-	-	Genérico
N1678	1.097	21.900	6.923	-	-	-	-	-	-	Genérico
N1679	1.097	29.200	6.923	-	-	-	-	-	-	Genérico
N1680	1.097	36.500	6.923	-	-	-	-	-	-	Genérico
N1681	1.097	43.800	6.923	-	-	-	-	-	-	Genérico
N1682	1.097	51.100	6.923	-	-	-	-	-	-	Genérico
N1683	1.097	58.400	6.923	-	-	-	-	-	-	Genérico
N1684	1.097	65.700	6.923	-	-	-	-	-	-	Genérico
N1685	2.195	7.300	6.845	-	-	-	-	-	-	Genérico
N1686	2.195	14.600	6.845	-	-	-	-	-	-	Genérico
N1687	2.195	0.000	6.845	-	-	-	-	-	-	Genérico
N1688	2.195	21.900	6.845	-	-	-	-	-	-	Genérico
N1689	2.195	29.200	6.845	-	-	-	-	-	-	Genérico
N1690	2.195	36.500	6.845	-	-	-	-	-	-	Genérico
N1691	2.195	43.800	6.845	-	-	-	-	-	-	Genérico
N1692	2.195	51.100	6.845	-	-	-	-	-	-	Genérico
N1693	2.195	58.400	6.845	-	-	-	-	-	-	Genérico
N1694	2.195	65.700	6.845	-	-	-	-	-	-	Genérico
N1695	3.292	7.300	6.768	-	-	-	-	-	-	Genérico
N1696	3.292	14.600	6.768	-	-	-	-	-	-	Genérico
N1697	3.292	0.000	6.768	-	-	-	-	-	-	Genérico
N1698	3.292	21.900	6.768	-	-	-	-	-	-	Genérico
N1699	3.292	29.200	6.768	-	-	-	-	-	-	Genérico
N1700	3.292	36.500	6.768	-	-	-	-	-	-	Genérico
N1701	3.292	43.800	6.768	-	-	-	-	-	-	Genérico
N1702	3.292	51.100	6.768	-	-	-	-	-	-	Genérico
N1703	3.292	58.400	6.768	-	-	-	-	-	-	Genérico
N1704	3.292	65.700	6.768	-	-	-	-	-	-	Genérico
N1705	4.389	7.300	6.691	-	-	-	-	-	-	Genérico
N1706	4.389	14.600	6.691	-	-	-	-	-	-	Genérico
N1707	4.389	0.000	6.691	-	-	-	-	-	-	Genérico
N1708	4.389	21.900	6.691	-	-	-	-	-	-	Genérico

Documento visado electrónicamente con número: VA07290/22
Código de validación telemática TRLTDCFZ60T66IJ1. Comprobación: https://cogitivalencia.e-gestion.es/Validacion.aspx?CVT=TRLTDCFZ60T66IJ1

VISADO
COGITI
VALENCIA
VA07290/22
TRLTDCFZ60T66IJ1

Nudos										
Referencia	Coordenadas			Vinculación exterior						Vinculación interior
	X (m)	Y (m)	Z (m)	Δ_x	Δ_y	Δ_z	θ_x	θ_y	θ_z	
N1709	4.389	29.200	6.691	-	-	-	-	-	-	Genérico
N1710	4.389	36.500	6.691	-	-	-	-	-	-	Genérico
N1711	4.389	43.800	6.691	-	-	-	-	-	-	Genérico
N1712	4.389	51.100	6.691	-	-	-	-	-	-	Genérico
N1713	4.389	58.400	6.691	-	-	-	-	-	-	Genérico
N1714	4.389	65.700	6.691	-	-	-	-	-	-	Genérico
N1715	5.486	7.300	6.614	-	-	-	-	-	-	Genérico
N1716	5.486	14.600	6.614	-	-	-	-	-	-	Genérico
N1717	5.486	0.000	6.614	-	-	-	-	-	-	Genérico
N1718	5.486	21.900	6.614	-	-	-	-	-	-	Genérico
N1719	5.486	29.200	6.614	-	-	-	-	-	-	Genérico
N1720	5.486	36.500	6.614	-	-	-	-	-	-	Genérico
N1721	5.486	43.800	6.614	-	-	-	-	-	-	Genérico
N1722	5.486	51.100	6.614	-	-	-	-	-	-	Genérico
N1723	5.486	58.400	6.614	-	-	-	-	-	-	Genérico
N1724	5.486	65.700	6.614	-	-	-	-	-	-	Genérico
N1725	6.584	7.300	6.536	-	-	-	-	-	-	Genérico
N1726	6.584	14.600	6.536	-	-	-	-	-	-	Genérico
N1727	6.584	0.000	6.536	-	-	-	-	-	-	Genérico
N1728	6.584	21.900	6.536	-	-	-	-	-	-	Genérico
N1729	6.584	29.200	6.536	-	-	-	-	-	-	Genérico
N1730	6.584	36.500	6.536	-	-	-	-	-	-	Genérico
N1731	6.584	43.800	6.536	-	-	-	-	-	-	Genérico
N1732	6.584	51.100	6.536	-	-	-	-	-	-	Genérico
N1733	6.584	58.400	6.536	-	-	-	-	-	-	Genérico
N1734	6.584	65.700	6.536	-	-	-	-	-	-	Genérico
N1735	7.681	7.300	6.459	-	-	-	-	-	-	Genérico
N1736	7.681	14.600	6.459	-	-	-	-	-	-	Genérico
N1737	7.681	0.000	6.459	-	-	-	-	-	-	Genérico
N1738	7.681	21.900	6.459	-	-	-	-	-	-	Genérico
N1739	7.681	29.200	6.459	-	-	-	-	-	-	Genérico
N1740	7.681	36.500	6.459	-	-	-	-	-	-	Genérico
N1741	7.681	43.800	6.459	-	-	-	-	-	-	Genérico
N1742	7.681	51.100	6.459	-	-	-	-	-	-	Genérico
N1743	7.681	58.400	6.459	-	-	-	-	-	-	Genérico
N1744	7.681	65.700	6.459	-	-	-	-	-	-	Genérico
N1745	8.778	7.300	6.382	-	-	-	-	-	-	Genérico
N1746	8.778	14.600	6.382	-	-	-	-	-	-	Genérico
N1747	8.778	0.000	6.382	-	-	-	-	-	-	Genérico
N1748	8.778	21.900	6.382	-	-	-	-	-	-	Genérico
N1749	8.778	29.200	6.382	-	-	-	-	-	-	Genérico
N1750	8.778	36.500	6.382	-	-	-	-	-	-	Genérico
N1751	8.778	43.800	6.382	-	-	-	-	-	-	Genérico
N1752	8.778	51.100	6.382	-	-	-	-	-	-	Genérico
N1753	8.778	58.400	6.382	-	-	-	-	-	-	Genérico

Documento visado electrónicamente con número: VA07290/22
Código de validación telemática TRLTDCFZ60T66IJ1. Comprobación: https://cogitivalencia.e-gestion.es/Validacion.aspx?CVT=TRLTDCFZ60T66IJ1

VISADO
COGITI
VALENCIA
VA07290/22
TRLTDCFZ60T66IJ1

Nudos

Referencia	Coordenadas			Vinculación exterior						Vinculación interior
	X (m)	Y (m)	Z (m)	Δ_x	Δ_y	Δ_z	θ_x	θ_y	θ_z	
N1754	8.778	65.700	6.382	-	-	-	-	-	-	Genérico
N1755	9.876	7.300	6.305	-	-	-	-	-	-	Genérico
N1756	9.876	14.600	6.305	-	-	-	-	-	-	Genérico
N1757	9.876	0.000	6.305	-	-	-	-	-	-	Genérico
N1758	9.876	21.900	6.305	-	-	-	-	-	-	Genérico
N1759	9.876	29.200	6.305	-	-	-	-	-	-	Genérico
N1760	9.876	36.500	6.305	-	-	-	-	-	-	Genérico
N1761	9.876	43.800	6.305	-	-	-	-	-	-	Genérico
N1762	9.876	51.100	6.305	-	-	-	-	-	-	Genérico
N1763	9.876	58.400	6.305	-	-	-	-	-	-	Genérico
N1764	9.876	65.700	6.305	-	-	-	-	-	-	Genérico
N1765	10.973	7.300	6.227	-	-	-	-	-	-	Genérico
N1766	10.973	14.600	6.227	-	-	-	-	-	-	Genérico
N1767	10.973	0.000	6.227	-	-	-	-	-	-	Genérico
N1768	10.973	21.900	6.227	-	-	-	-	-	-	Genérico
N1769	10.973	29.200	6.227	-	-	-	-	-	-	Genérico
N1770	10.973	36.500	6.227	-	-	-	-	-	-	Genérico
N1771	10.973	43.800	6.227	-	-	-	-	-	-	Genérico
N1772	10.973	51.100	6.227	-	-	-	-	-	-	Genérico
N1773	10.973	58.400	6.227	-	-	-	-	-	-	Genérico
N1774	10.973	65.700	6.227	-	-	-	-	-	-	Genérico
N1775	12.070	7.300	6.150	-	-	-	-	-	-	Genérico
N1776	12.070	14.600	6.150	-	-	-	-	-	-	Genérico
N1777	12.070	0.000	6.150	-	-	-	-	-	-	Genérico
N1778	12.070	21.900	6.150	-	-	-	-	-	-	Genérico
N1779	12.070	29.200	6.150	-	-	-	-	-	-	Genérico
N1780	12.070	36.500	6.150	-	-	-	-	-	-	Genérico
N1781	12.070	43.800	6.150	-	-	-	-	-	-	Genérico
N1782	12.070	51.100	6.150	-	-	-	-	-	-	Genérico
N1783	12.070	58.400	6.150	-	-	-	-	-	-	Genérico
N1784	12.070	65.700	6.150	-	-	-	-	-	-	Genérico
N1785	13.167	7.300	6.073	-	-	-	-	-	-	Genérico
N1786	13.167	14.600	6.073	-	-	-	-	-	-	Genérico
N1787	13.167	0.000	6.073	-	-	-	-	-	-	Genérico
N1788	13.167	21.900	6.073	-	-	-	-	-	-	Genérico
N1789	13.167	29.200	6.073	-	-	-	-	-	-	Genérico
N1790	13.167	36.500	6.073	-	-	-	-	-	-	Genérico
N1791	13.167	43.800	6.073	-	-	-	-	-	-	Genérico
N1792	13.167	51.100	6.073	-	-	-	-	-	-	Genérico
N1793	13.167	58.400	6.073	-	-	-	-	-	-	Genérico
N1794	13.167	65.700	6.073	-	-	-	-	-	-	Genérico
N1795	14.265	7.300	5.995	-	-	-	-	-	-	Genérico
N1796	14.265	14.600	5.995	-	-	-	-	-	-	Genérico
N1797	14.265	0.000	5.995	-	-	-	-	-	-	Genérico
N1798	14.265	21.900	5.995	-	-	-	-	-	-	Genérico

Documento visado electrónicamente con número: VA07290/22
Código de validación telemática TRLTDCFZ60T66IJ1. Comprobación: https://cogitivalencia.e-gestion.es/Validacion.aspx?CVT=TRLTDCFZ60T66IJ1

VISADO
COGITI
VALENCIA
VA07290/22
TRLTDCFZ60T66IJ1

Nudos										
Referencia	Coordenadas			Vinculación exterior						Vinculación interior
	X (m)	Y (m)	Z (m)	Δ_x	Δ_y	Δ_z	θ_x	θ_y	θ_z	
N1799	14.265	29.200	5.995	-	-	-	-	-	-	Genérico
N1800	14.265	36.500	5.995	-	-	-	-	-	-	Genérico
N1801	14.265	43.800	5.995	-	-	-	-	-	-	Genérico
N1802	14.265	51.100	5.995	-	-	-	-	-	-	Genérico
N1803	14.265	58.400	5.995	-	-	-	-	-	-	Genérico
N1804	14.265	65.700	5.995	-	-	-	-	-	-	Genérico
N1805	15.362	7.300	5.918	-	-	-	-	-	-	Genérico
N1806	15.362	14.600	5.918	-	-	-	-	-	-	Genérico
N1807	15.362	0.000	5.918	-	-	-	-	-	-	Genérico
N1808	15.362	21.900	5.918	-	-	-	-	-	-	Genérico
N1809	15.362	29.200	5.918	-	-	-	-	-	-	Genérico
N1810	15.362	36.500	5.918	-	-	-	-	-	-	Genérico
N1811	15.362	43.800	5.918	-	-	-	-	-	-	Genérico
N1812	15.362	51.100	5.918	-	-	-	-	-	-	Genérico
N1813	15.362	58.400	5.918	-	-	-	-	-	-	Genérico
N1814	15.362	65.700	5.918	-	-	-	-	-	-	Genérico
N1815	16.459	7.300	5.841	-	-	-	-	-	-	Genérico
N1816	16.459	14.600	5.841	-	-	-	-	-	-	Genérico
N1817	16.459	0.000	5.841	-	-	-	-	-	-	Genérico
N1818	16.459	21.900	5.841	-	-	-	-	-	-	Genérico
N1819	16.459	29.200	5.841	-	-	-	-	-	-	Genérico
N1820	16.459	36.500	5.841	-	-	-	-	-	-	Genérico
N1821	16.459	43.800	5.841	-	-	-	-	-	-	Genérico
N1822	16.459	51.100	5.841	-	-	-	-	-	-	Genérico
N1823	16.459	58.400	5.841	-	-	-	-	-	-	Genérico
N1824	16.459	65.700	5.841	-	-	-	-	-	-	Genérico
N1825	17.557	7.300	5.764	-	-	-	-	-	-	Genérico
N1826	17.557	14.600	5.764	-	-	-	-	-	-	Genérico
N1827	17.557	0.000	5.764	-	-	-	-	-	-	Genérico
N1828	17.557	21.900	5.764	-	-	-	-	-	-	Genérico
N1829	17.557	29.200	5.764	-	-	-	-	-	-	Genérico
N1830	17.557	36.500	5.764	-	-	-	-	-	-	Genérico
N1831	17.557	43.800	5.764	-	-	-	-	-	-	Genérico
N1832	17.557	51.100	5.764	-	-	-	-	-	-	Genérico
N1833	17.557	58.400	5.764	-	-	-	-	-	-	Genérico
N1834	17.557	65.700	5.764	-	-	-	-	-	-	Genérico
N1835	18.654	7.300	5.686	-	-	-	-	-	-	Genérico
N1836	18.654	14.600	5.686	-	-	-	-	-	-	Genérico
N1837	18.654	0.000	5.686	-	-	-	-	-	-	Genérico
N1838	18.654	21.900	5.686	-	-	-	-	-	-	Genérico
N1839	18.654	29.200	5.686	-	-	-	-	-	-	Genérico
N1840	18.654	36.500	5.686	-	-	-	-	-	-	Genérico
N1841	18.654	43.800	5.686	-	-	-	-	-	-	Genérico
N1842	18.654	51.100	5.686	-	-	-	-	-	-	Genérico
N1843	18.654	58.400	5.686	-	-	-	-	-	-	Genérico

Documento visado electrónicamente con número: VA07290/22
Código de validación telemática TRLTDCFZ60T66IJ1. Comprobación: https://cogitivalencia.e-gestion.es/Validacion.aspx?CVT=TRLTDCFZ60T66IJ1

VISADO
COGITI
VALENCIA
VA07290/22
TRLTDCFZ60T66IJ1

Nudos										
Referencia	Coordenadas			Vinculación exterior						Vinculación interior
	X (m)	Y (m)	Z (m)	Δ_x	Δ_y	Δ_z	θ_x	θ_y	θ_z	
N1844	18.654	65.700	5.686	-	-	-	-	-	-	Genérico
N1845	19.751	7.300	5.609	-	-	-	-	-	-	Genérico
N1846	19.751	14.600	5.609	-	-	-	-	-	-	Genérico
N1847	19.751	0.000	5.609	-	-	-	-	-	-	Genérico
N1848	19.751	21.900	5.609	-	-	-	-	-	-	Genérico
N1849	19.751	29.200	5.609	-	-	-	-	-	-	Genérico
N1850	19.751	36.500	5.609	-	-	-	-	-	-	Genérico
N1851	19.751	43.800	5.609	-	-	-	-	-	-	Genérico
N1852	19.751	51.100	5.609	-	-	-	-	-	-	Genérico
N1853	19.751	58.400	5.609	-	-	-	-	-	-	Genérico
N1854	19.751	65.700	5.609	-	-	-	-	-	-	Genérico
N1855	20.848	7.300	5.532	-	-	-	-	-	-	Genérico
N1856	20.848	14.600	5.532	-	-	-	-	-	-	Genérico
N1857	20.848	0.000	5.532	-	-	-	-	-	-	Genérico
N1858	20.848	21.900	5.532	-	-	-	-	-	-	Genérico
N1859	20.848	29.200	5.532	-	-	-	-	-	-	Genérico
N1860	20.848	36.500	5.532	-	-	-	-	-	-	Genérico
N1861	20.848	43.800	5.532	-	-	-	-	-	-	Genérico
N1862	20.848	51.100	5.532	-	-	-	-	-	-	Genérico
N1863	20.848	58.400	5.532	-	-	-	-	-	-	Genérico
N1864	20.848	65.700	5.532	-	-	-	-	-	-	Genérico
N1865	21.946	7.300	5.455	-	-	-	-	-	-	Genérico
N1866	21.946	14.600	5.455	-	-	-	-	-	-	Genérico
N1867	21.946	0.000	5.455	-	-	-	-	-	-	Genérico
N1868	21.946	21.900	5.455	-	-	-	-	-	-	Genérico
N1869	21.946	29.200	5.455	-	-	-	-	-	-	Genérico
N1870	21.946	36.500	5.455	-	-	-	-	-	-	Genérico
N1871	21.946	43.800	5.455	-	-	-	-	-	-	Genérico
N1872	21.946	51.100	5.455	-	-	-	-	-	-	Genérico
N1873	21.946	58.400	5.455	-	-	-	-	-	-	Genérico
N1874	21.946	65.700	5.455	-	-	-	-	-	-	Genérico
N1875	23.043	7.300	5.377	-	-	-	-	-	-	Genérico
N1876	23.043	14.600	5.377	-	-	-	-	-	-	Genérico
N1877	23.043	0.000	5.377	-	-	-	-	-	-	Genérico
N1878	23.043	21.900	5.377	-	-	-	-	-	-	Genérico
N1879	23.043	29.200	5.377	-	-	-	-	-	-	Genérico
N1880	23.043	36.500	5.377	-	-	-	-	-	-	Genérico
N1881	23.043	43.800	5.377	-	-	-	-	-	-	Genérico
N1882	23.043	51.100	5.377	-	-	-	-	-	-	Genérico
N1883	23.043	58.400	5.377	-	-	-	-	-	-	Genérico
N1884	23.043	65.700	5.377	-	-	-	-	-	-	Genérico
N1885	24.140	7.300	5.300	-	-	-	-	-	-	Genérico
N1886	24.140	14.600	5.300	-	-	-	-	-	-	Genérico
N1887	24.140	0.000	5.300	-	-	-	-	-	-	Genérico
N1888	24.140	21.900	5.300	-	-	-	-	-	-	Genérico

Documento visado electrónicamente con número: VA07290/22
Código de validación telemática TRLTDCFZ60T66IJ1. Comprobación: https://cogitivalencia.e-gestion.es/Validacion.aspx?CVT=TRLTDCFZ60T66IJ1

VISADO
COGITI
VALENCIA
VA07290/22
TRLTDCFZ60T66IJ1

Nudos										
Referencia	Coordenadas			Vinculación exterior						Vinculación interior
	X (m)	Y (m)	Z (m)	Δ_x	Δ_y	Δ_z	θ_x	θ_y	θ_z	
N1889	24.140	29.200	5.300	-	-	-	-	-	-	Genérico
N1890	24.140	36.500	5.300	-	-	-	-	-	-	Genérico
N1891	24.140	43.800	5.300	-	-	-	-	-	-	Genérico
N1892	24.140	51.100	5.300	-	-	-	-	-	-	Genérico
N1893	24.140	58.400	5.300	-	-	-	-	-	-	Genérico
N1894	24.140	65.700	5.300	-	-	-	-	-	-	Genérico
N1895	25.237	7.300	5.223	-	-	-	-	-	-	Genérico
N1896	25.237	14.600	5.223	-	-	-	-	-	-	Genérico
N1897	25.237	0.000	5.223	-	-	-	-	-	-	Genérico
N1898	25.237	21.900	5.223	-	-	-	-	-	-	Genérico
N1899	25.237	29.200	5.223	-	-	-	-	-	-	Genérico
N1900	25.237	36.500	5.223	-	-	-	-	-	-	Genérico
N1901	25.237	43.800	5.223	-	-	-	-	-	-	Genérico
N1902	25.237	51.100	5.223	-	-	-	-	-	-	Genérico
N1903	25.237	58.400	5.223	-	-	-	-	-	-	Genérico
N1904	25.237	65.700	5.223	-	-	-	-	-	-	Genérico
N1905	26.335	7.300	5.145	-	-	-	-	-	-	Genérico
N1906	26.335	14.600	5.145	-	-	-	-	-	-	Genérico
N1907	26.335	0.000	5.145	-	-	-	-	-	-	Genérico
N1908	26.335	21.900	5.145	-	-	-	-	-	-	Genérico
N1909	26.335	29.200	5.145	-	-	-	-	-	-	Genérico
N1910	26.335	36.500	5.145	-	-	-	-	-	-	Genérico
N1911	26.335	43.800	5.145	-	-	-	-	-	-	Genérico
N1912	26.335	51.100	5.145	-	-	-	-	-	-	Genérico
N1913	26.335	58.400	5.145	-	-	-	-	-	-	Genérico
N1914	26.335	65.700	5.145	-	-	-	-	-	-	Genérico
N1915	27.432	7.300	5.068	-	-	-	-	-	-	Genérico
N1916	27.432	14.600	5.068	-	-	-	-	-	-	Genérico
N1917	27.432	0.000	5.068	-	-	-	-	-	-	Genérico
N1918	27.432	21.900	5.068	-	-	-	-	-	-	Genérico
N1919	27.432	29.200	5.068	-	-	-	-	-	-	Genérico
N1920	27.432	36.500	5.068	-	-	-	-	-	-	Genérico
N1921	27.432	43.800	5.068	-	-	-	-	-	-	Genérico
N1922	27.432	51.100	5.068	-	-	-	-	-	-	Genérico
N1923	27.432	58.400	5.068	-	-	-	-	-	-	Genérico
N1924	27.432	65.700	5.068	-	-	-	-	-	-	Genérico
N1925	29.497	0.000	6.923	-	-	-	-	-	-	Genérico
N1926	29.497	7.300	6.923	-	-	-	-	-	-	Genérico
N1927	30.595	0.000	6.845	-	-	-	-	-	-	Genérico
N1928	30.595	7.300	6.845	-	-	-	-	-	-	Genérico
N1929	31.692	0.000	6.768	-	-	-	-	-	-	Genérico
N1930	31.692	7.300	6.768	-	-	-	-	-	-	Genérico
N1931	32.789	0.000	6.691	-	-	-	-	-	-	Genérico
N1932	32.789	7.300	6.691	-	-	-	-	-	-	Genérico
N1933	33.886	0.000	6.614	-	-	-	-	-	-	Genérico

Documento visado electrónicamente con número: VA07290/22
Código de validación telemática TRLTDCFZ60T66IJ1. Comprobación: https://cogitivalencia.e-gestion.es/Validacion.aspx?CVT=TRLTDCFZ60T66IJ1

VISADO
COGITI
VALENCIA
VA07290/22
TRLTDCFZ60T66IJ1

Nudos										
Referencia	Coordenadas			Vinculación exterior						Vinculación interior
	X (m)	Y (m)	Z (m)	Δ_x	Δ_y	Δ_z	θ_x	θ_y	θ_z	
N1934	33.886	7.300	6.614	-	-	-	-	-	-	Genérico
N1935	34.984	0.000	6.536	-	-	-	-	-	-	Genérico
N1936	34.984	7.300	6.536	-	-	-	-	-	-	Genérico
N1937	36.081	0.000	6.459	-	-	-	-	-	-	Genérico
N1938	36.081	7.300	6.459	-	-	-	-	-	-	Genérico
N1939	37.178	0.000	6.382	-	-	-	-	-	-	Genérico
N1940	37.178	7.300	6.382	-	-	-	-	-	-	Genérico
N1941	38.276	0.000	6.305	-	-	-	-	-	-	Genérico
N1942	38.276	7.300	6.305	-	-	-	-	-	-	Genérico
N1943	39.373	0.000	6.227	-	-	-	-	-	-	Genérico
N1944	39.373	7.300	6.227	-	-	-	-	-	-	Genérico
N1945	40.470	0.000	6.150	-	-	-	-	-	-	Genérico
N1946	40.470	7.300	6.150	-	-	-	-	-	-	Genérico
N1947	41.567	0.000	6.073	-	-	-	-	-	-	Genérico
N1948	41.567	7.300	6.073	-	-	-	-	-	-	Genérico
N1949	42.665	0.000	5.995	-	-	-	-	-	-	Genérico
N1950	42.665	7.300	5.995	-	-	-	-	-	-	Genérico
N1951	43.762	0.000	5.918	-	-	-	-	-	-	Genérico
N1952	43.762	7.300	5.918	-	-	-	-	-	-	Genérico
N1953	44.859	0.000	5.841	-	-	-	-	-	-	Genérico
N1954	44.859	7.300	5.841	-	-	-	-	-	-	Genérico
N1955	45.957	0.000	5.764	-	-	-	-	-	-	Genérico
N1956	45.957	7.300	5.764	-	-	-	-	-	-	Genérico
N1957	47.054	0.000	5.686	-	-	-	-	-	-	Genérico
N1958	47.054	7.300	5.686	-	-	-	-	-	-	Genérico
N1959	48.151	0.000	5.609	-	-	-	-	-	-	Genérico
N1960	48.151	7.300	5.609	-	-	-	-	-	-	Genérico
N1961	49.248	0.000	5.532	-	-	-	-	-	-	Genérico
N1962	49.248	7.300	5.532	-	-	-	-	-	-	Genérico
N1963	50.346	0.000	5.455	-	-	-	-	-	-	Genérico
N1964	50.346	7.300	5.455	-	-	-	-	-	-	Genérico
N1965	51.443	0.000	5.377	-	-	-	-	-	-	Genérico
N1966	51.443	7.300	5.377	-	-	-	-	-	-	Genérico
N1967	52.540	0.000	5.300	-	-	-	-	-	-	Genérico
N1968	52.540	7.300	5.300	-	-	-	-	-	-	Genérico
N1969	53.637	0.000	5.223	-	-	-	-	-	-	Genérico
N1970	53.637	7.300	5.223	-	-	-	-	-	-	Genérico
N1971	54.735	0.000	5.145	-	-	-	-	-	-	Genérico
N1972	54.735	7.300	5.145	-	-	-	-	-	-	Genérico
N1973	55.832	0.000	5.068	-	-	-	-	-	-	Genérico
N1974	55.832	7.300	5.068	-	-	-	-	-	-	Genérico
N1975	29.497	14.600	6.923	-	-	-	-	-	-	Genérico
N1976	30.595	14.600	6.845	-	-	-	-	-	-	Genérico
N1977	31.692	14.600	6.768	-	-	-	-	-	-	Genérico
N1978	32.789	14.600	6.691	-	-	-	-	-	-	Genérico

Documento visado electrónicamente con número: VA07290/22
Código de validación telemática TRLTDCFZ60T66IJ1. Comprobación: https://cogitivalencia.e-gestion.es/Validacion.aspx?CVT=TRLTDCFZ60T66IJ1

VISADO
COGITI
VALENCIA
VA07290/22
TRLTDCFZ60T66IJ1

Nudos										
Referencia	Coordenadas			Vinculación exterior						Vinculación interior
	X (m)	Y (m)	Z (m)	Δ_x	Δ_y	Δ_z	θ_x	θ_y	θ_z	
N1979	33.886	14.600	6.614	-	-	-	-	-	-	Genérico
N1980	34.984	14.600	6.536	-	-	-	-	-	-	Genérico
N1981	36.081	14.600	6.459	-	-	-	-	-	-	Genérico
N1982	37.178	14.600	6.382	-	-	-	-	-	-	Genérico
N1983	38.276	14.600	6.305	-	-	-	-	-	-	Genérico
N1984	39.373	14.600	6.227	-	-	-	-	-	-	Genérico
N1985	40.470	14.600	6.150	-	-	-	-	-	-	Genérico
N1986	41.567	14.600	6.073	-	-	-	-	-	-	Genérico
N1987	42.665	14.600	5.995	-	-	-	-	-	-	Genérico
N1988	43.762	14.600	5.918	-	-	-	-	-	-	Genérico
N1989	44.859	14.600	5.841	-	-	-	-	-	-	Genérico
N1990	45.957	14.600	5.764	-	-	-	-	-	-	Genérico
N1991	47.054	14.600	5.686	-	-	-	-	-	-	Genérico
N1992	48.151	14.600	5.609	-	-	-	-	-	-	Genérico
N1993	49.248	14.600	5.532	-	-	-	-	-	-	Genérico
N1994	50.346	14.600	5.455	-	-	-	-	-	-	Genérico
N1995	51.443	14.600	5.377	-	-	-	-	-	-	Genérico
N1996	52.540	14.600	5.300	-	-	-	-	-	-	Genérico
N1997	53.637	14.600	5.223	-	-	-	-	-	-	Genérico
N1998	54.735	14.600	5.145	-	-	-	-	-	-	Genérico
N1999	55.832	14.600	5.068	-	-	-	-	-	-	Empotrado
N2000	29.497	21.900	6.923	-	-	-	-	-	-	Genérico
N2001	30.595	21.900	6.845	-	-	-	-	-	-	Genérico
N2002	31.692	21.900	6.768	-	-	-	-	-	-	Genérico
N2003	32.789	21.900	6.691	-	-	-	-	-	-	Genérico
N2004	33.886	21.900	6.614	-	-	-	-	-	-	Genérico
N2005	34.984	21.900	6.536	-	-	-	-	-	-	Genérico
N2006	36.081	21.900	6.459	-	-	-	-	-	-	Genérico
N2007	37.178	21.900	6.382	-	-	-	-	-	-	Genérico
N2008	38.276	21.900	6.305	-	-	-	-	-	-	Genérico
N2009	39.373	21.900	6.227	-	-	-	-	-	-	Genérico
N2010	40.470	21.900	6.150	-	-	-	-	-	-	Genérico
N2011	41.567	21.900	6.073	-	-	-	-	-	-	Genérico
N2012	42.665	21.900	5.995	-	-	-	-	-	-	Genérico
N2013	43.762	21.900	5.918	-	-	-	-	-	-	Genérico
N2014	44.859	21.900	5.841	-	-	-	-	-	-	Genérico
N2015	45.957	21.900	5.764	-	-	-	-	-	-	Genérico
N2016	47.054	21.900	5.686	-	-	-	-	-	-	Genérico
N2017	48.151	21.900	5.609	-	-	-	-	-	-	Genérico
N2018	49.248	21.900	5.532	-	-	-	-	-	-	Genérico
N2019	50.346	21.900	5.455	-	-	-	-	-	-	Genérico
N2020	51.443	21.900	5.377	-	-	-	-	-	-	Genérico
N2021	52.540	21.900	5.300	-	-	-	-	-	-	Genérico
N2022	53.637	21.900	5.223	-	-	-	-	-	-	Genérico
N2023	54.735	21.900	5.145	-	-	-	-	-	-	Genérico

Documento visado electrónicamente con número: VA07290/22
Código de validación telemática TRLTDCFZ60T66IJ1. Comprobación: https://cogitivalencia.e-gestion.es/Validacion.aspx?CVT=TRLTDCFZ60T66IJ1

VISADO
COGITI
VALENCIA
VA07290/22
TRLTDCFZ60T66IJ1

Nudos										
Referencia	Coordenadas			Vinculación exterior						Vinculación interior
	X (m)	Y (m)	Z (m)	Δ_x	Δ_y	Δ_z	θ_x	θ_y	θ_z	
N2024	55.832	21.900	5.068	-	-	-	-	-	-	Genérico
N2025	29.497	29.200	6.923	-	-	-	-	-	-	Genérico
N2026	30.595	29.200	6.845	-	-	-	-	-	-	Genérico
N2027	31.692	29.200	6.768	-	-	-	-	-	-	Genérico
N2028	32.789	29.200	6.691	-	-	-	-	-	-	Genérico
N2029	33.886	29.200	6.614	-	-	-	-	-	-	Genérico
N2030	34.984	29.200	6.536	-	-	-	-	-	-	Genérico
N2031	36.081	29.200	6.459	-	-	-	-	-	-	Genérico
N2032	37.178	29.200	6.382	-	-	-	-	-	-	Genérico
N2033	38.276	29.200	6.305	-	-	-	-	-	-	Genérico
N2034	39.373	29.200	6.227	-	-	-	-	-	-	Genérico
N2035	40.470	29.200	6.150	-	-	-	-	-	-	Genérico
N2036	41.567	29.200	6.073	-	-	-	-	-	-	Genérico
N2037	42.665	29.200	5.995	-	-	-	-	-	-	Genérico
N2038	43.762	29.200	5.918	-	-	-	-	-	-	Genérico
N2039	44.859	29.200	5.841	-	-	-	-	-	-	Genérico
N2040	45.957	29.200	5.764	-	-	-	-	-	-	Genérico
N2041	47.054	29.200	5.686	-	-	-	-	-	-	Genérico
N2042	48.151	29.200	5.609	-	-	-	-	-	-	Genérico
N2043	49.248	29.200	5.532	-	-	-	-	-	-	Genérico
N2044	50.346	29.200	5.455	-	-	-	-	-	-	Genérico
N2045	51.443	29.200	5.377	-	-	-	-	-	-	Genérico
N2046	52.540	29.200	5.300	-	-	-	-	-	-	Genérico
N2047	53.637	29.200	5.223	-	-	-	-	-	-	Genérico
N2048	54.735	29.200	5.145	-	-	-	-	-	-	Genérico
N2049	55.832	29.200	5.068	-	-	-	-	-	-	Genérico
N2050	29.497	36.500	6.923	-	-	-	-	-	-	Genérico
N2051	30.595	36.500	6.845	-	-	-	-	-	-	Genérico
N2052	31.692	36.500	6.768	-	-	-	-	-	-	Genérico
N2053	32.789	36.500	6.691	-	-	-	-	-	-	Genérico
N2054	33.886	36.500	6.614	-	-	-	-	-	-	Genérico
N2055	34.984	36.500	6.536	-	-	-	-	-	-	Genérico
N2056	36.081	36.500	6.459	-	-	-	-	-	-	Genérico
N2057	37.178	36.500	6.382	-	-	-	-	-	-	Genérico
N2058	38.276	36.500	6.305	-	-	-	-	-	-	Genérico
N2059	39.373	36.500	6.227	-	-	-	-	-	-	Genérico
N2060	40.470	36.500	6.150	-	-	-	-	-	-	Genérico
N2061	41.567	36.500	6.073	-	-	-	-	-	-	Genérico
N2062	42.665	36.500	5.995	-	-	-	-	-	-	Genérico
N2063	43.762	36.500	5.918	-	-	-	-	-	-	Genérico
N2064	44.859	36.500	5.841	-	-	-	-	-	-	Genérico
N2065	45.957	36.500	5.764	-	-	-	-	-	-	Genérico
N2066	47.054	36.500	5.686	-	-	-	-	-	-	Genérico
N2067	48.151	36.500	5.609	-	-	-	-	-	-	Genérico
N2068	49.248	36.500	5.532	-	-	-	-	-	-	Genérico

Documento visado electrónicamente con número: VA07290/22
Código de validación telemática TRLTDCFZ60T66IJ1. Comprobación: https://cogitivalencia.e-gestion.es/Validacion.aspx?CVT=TRLTDCFZ60T66IJ1

VISADO
COGITI
VALENCIA
VA07290/22
TRLTDCFZ60T66IJ1

Nudos										
Referencia	Coordenadas			Vinculación exterior						Vinculación interior
	X (m)	Y (m)	Z (m)	Δ_x	Δ_y	Δ_z	θ_x	θ_y	θ_z	
N2069	50.346	36.500	5.455	-	-	-	-	-	-	Genérico
N2070	51.443	36.500	5.377	-	-	-	-	-	-	Genérico
N2071	52.540	36.500	5.300	-	-	-	-	-	-	Genérico
N2072	53.637	36.500	5.223	-	-	-	-	-	-	Genérico
N2073	54.735	36.500	5.145	-	-	-	-	-	-	Genérico
N2074	55.832	36.500	5.068	-	-	-	-	-	-	Genérico
N2075	29.497	43.800	6.923	-	-	-	-	-	-	Genérico
N2076	30.595	43.800	6.845	-	-	-	-	-	-	Genérico
N2077	31.692	43.800	6.768	-	-	-	-	-	-	Genérico
N2078	32.789	43.800	6.691	-	-	-	-	-	-	Genérico
N2079	33.886	43.800	6.614	-	-	-	-	-	-	Genérico
N2080	34.984	43.800	6.536	-	-	-	-	-	-	Genérico
N2081	36.081	43.800	6.459	-	-	-	-	-	-	Genérico
N2082	37.178	43.800	6.382	-	-	-	-	-	-	Genérico
N2083	38.276	43.800	6.305	-	-	-	-	-	-	Genérico
N2084	39.373	43.800	6.227	-	-	-	-	-	-	Genérico
N2085	40.470	43.800	6.150	-	-	-	-	-	-	Genérico
N2086	41.567	43.800	6.073	-	-	-	-	-	-	Genérico
N2087	42.665	43.800	5.995	-	-	-	-	-	-	Genérico
N2088	43.762	43.800	5.918	-	-	-	-	-	-	Genérico
N2089	44.859	43.800	5.841	-	-	-	-	-	-	Genérico
N2090	45.957	43.800	5.764	-	-	-	-	-	-	Genérico
N2091	47.054	43.800	5.686	-	-	-	-	-	-	Genérico
N2092	48.151	43.800	5.609	-	-	-	-	-	-	Genérico
N2093	49.248	43.800	5.532	-	-	-	-	-	-	Genérico
N2094	50.346	43.800	5.455	-	-	-	-	-	-	Genérico
N2095	51.443	43.800	5.377	-	-	-	-	-	-	Genérico
N2096	52.540	43.800	5.300	-	-	-	-	-	-	Genérico
N2097	53.637	43.800	5.223	-	-	-	-	-	-	Genérico
N2098	54.735	43.800	5.145	-	-	-	-	-	-	Genérico
N2099	55.832	43.800	5.068	-	-	-	-	-	-	Genérico
N2100	29.497	51.100	6.923	-	-	-	-	-	-	Genérico
N2101	30.595	51.100	6.845	-	-	-	-	-	-	Genérico
N2102	31.692	51.100	6.768	-	-	-	-	-	-	Genérico
N2103	32.789	51.100	6.691	-	-	-	-	-	-	Genérico
N2104	33.886	51.100	6.614	-	-	-	-	-	-	Genérico
N2105	34.984	51.100	6.536	-	-	-	-	-	-	Genérico
N2106	36.081	51.100	6.459	-	-	-	-	-	-	Genérico
N2107	37.178	51.100	6.382	-	-	-	-	-	-	Genérico
N2108	38.276	51.100	6.305	-	-	-	-	-	-	Genérico
N2109	39.373	51.100	6.227	-	-	-	-	-	-	Genérico
N2110	40.470	51.100	6.150	-	-	-	-	-	-	Genérico
N2111	41.567	51.100	6.073	-	-	-	-	-	-	Genérico
N2112	42.665	51.100	5.995	-	-	-	-	-	-	Genérico
N2113	43.762	51.100	5.918	-	-	-	-	-	-	Genérico

Documento visado electrónicamente con número: VA07290/22
Código de validación telemática TRLTDCFZ60T66IJ1. Comprobación: https://cogitivalencia.e-gestion.es/Validacion.aspx?CVT=TRLTDCFZ60T66IJ1

VISADO
COGITI
VALENCIA
VA07290/22
TRLTDCFZ60T66IJ1

Nudos										
Referencia	Coordenadas			Vinculación exterior						Vinculación interior
	X (m)	Y (m)	Z (m)	Δ_x	Δ_y	Δ_z	θ_x	θ_y	θ_z	
N2114	44.859	51.100	5.841	-	-	-	-	-	-	Genérico
N2115	45.957	51.100	5.764	-	-	-	-	-	-	Genérico
N2116	47.054	51.100	5.686	-	-	-	-	-	-	Genérico
N2117	48.151	51.100	5.609	-	-	-	-	-	-	Genérico
N2118	49.248	51.100	5.532	-	-	-	-	-	-	Genérico
N2119	50.346	51.100	5.455	-	-	-	-	-	-	Genérico
N2120	51.443	51.100	5.377	-	-	-	-	-	-	Genérico
N2121	52.540	51.100	5.300	-	-	-	-	-	-	Genérico
N2122	53.637	51.100	5.223	-	-	-	-	-	-	Genérico
N2123	54.735	51.100	5.145	-	-	-	-	-	-	Genérico
N2124	55.832	51.100	5.068	-	-	-	-	-	-	Genérico
N2125	29.497	58.400	6.923	-	-	-	-	-	-	Genérico
N2126	30.595	58.400	6.845	-	-	-	-	-	-	Genérico
N2127	31.692	58.400	6.768	-	-	-	-	-	-	Genérico
N2128	32.789	58.400	6.691	-	-	-	-	-	-	Genérico
N2129	33.886	58.400	6.614	-	-	-	-	-	-	Genérico
N2130	34.984	58.400	6.536	-	-	-	-	-	-	Genérico
N2131	36.081	58.400	6.459	-	-	-	-	-	-	Genérico
N2132	37.178	58.400	6.382	-	-	-	-	-	-	Genérico
N2133	38.276	58.400	6.305	-	-	-	-	-	-	Genérico
N2134	39.373	58.400	6.227	-	-	-	-	-	-	Genérico
N2135	40.470	58.400	6.150	-	-	-	-	-	-	Genérico
N2136	41.567	58.400	6.073	-	-	-	-	-	-	Genérico
N2137	42.665	58.400	5.995	-	-	-	-	-	-	Genérico
N2138	43.762	58.400	5.918	-	-	-	-	-	-	Genérico
N2139	44.859	58.400	5.841	-	-	-	-	-	-	Genérico
N2140	45.957	58.400	5.764	-	-	-	-	-	-	Genérico
N2141	47.054	58.400	5.686	-	-	-	-	-	-	Genérico
N2142	48.151	58.400	5.609	-	-	-	-	-	-	Genérico
N2143	49.248	58.400	5.532	-	-	-	-	-	-	Genérico
N2144	50.346	58.400	5.455	-	-	-	-	-	-	Genérico
N2145	51.443	58.400	5.377	-	-	-	-	-	-	Genérico
N2146	52.540	58.400	5.300	-	-	-	-	-	-	Genérico
N2147	53.637	58.400	5.223	-	-	-	-	-	-	Genérico
N2148	54.735	58.400	5.145	-	-	-	-	-	-	Genérico
N2149	55.832	58.400	5.068	-	-	-	-	-	-	Genérico
N2150	29.497	65.700	6.923	-	-	-	-	-	-	Genérico
N2151	30.595	65.700	6.845	-	-	-	-	-	-	Genérico
N2152	31.692	65.700	6.768	-	-	-	-	-	-	Genérico
N2153	32.789	65.700	6.691	-	-	-	-	-	-	Genérico
N2154	33.886	65.700	6.614	-	-	-	-	-	-	Genérico
N2155	34.984	65.700	6.536	-	-	-	-	-	-	Genérico
N2156	36.081	65.700	6.459	-	-	-	-	-	-	Genérico
N2157	37.178	65.700	6.382	-	-	-	-	-	-	Genérico
N2158	38.276	65.700	6.305	-	-	-	-	-	-	Genérico

Documento visado electrónicamente con número: VA07290/22
Código de validación telemática TRLTDCFZ60T66IJ1. Comprobación: https://cogitivalencia.e-gestion.es/Validacion.aspx?CVT=TRLTDCFZ60T66IJ1

VISADO
COGITI
VALENCIA
VA07290/22
TRLTDCFZ60T66IJ1

Nudos										
Referencia	Coordenadas			Vinculación exterior						Vinculación interior
	X (m)	Y (m)	Z (m)	Δ_x	Δ_y	Δ_z	θ_x	θ_y	θ_z	
N2159	39.373	65.700	6.227	-	-	-	-	-	-	Genérico
N2160	40.470	65.700	6.150	-	-	-	-	-	-	Genérico
N2161	41.567	65.700	6.073	-	-	-	-	-	-	Genérico
N2162	42.665	65.700	5.995	-	-	-	-	-	-	Genérico
N2163	43.762	65.700	5.918	-	-	-	-	-	-	Genérico
N2164	44.859	65.700	5.841	-	-	-	-	-	-	Genérico
N2165	45.957	65.700	5.764	-	-	-	-	-	-	Genérico
N2166	47.054	65.700	5.686	-	-	-	-	-	-	Genérico
N2167	48.151	65.700	5.609	-	-	-	-	-	-	Genérico
N2168	49.248	65.700	5.532	-	-	-	-	-	-	Genérico
N2169	50.346	65.700	5.455	-	-	-	-	-	-	Genérico
N2170	51.443	65.700	5.377	-	-	-	-	-	-	Genérico
N2171	52.540	65.700	5.300	-	-	-	-	-	-	Genérico
N2172	53.637	65.700	5.223	-	-	-	-	-	-	Genérico
N2173	54.735	65.700	5.145	-	-	-	-	-	-	Genérico
N2174	55.832	65.700	5.068	-	-	-	-	-	-	Genérico
N2175	57.897	0.000	6.923	-	-	-	-	-	-	Genérico
N2176	57.897	7.300	6.923	-	-	-	-	-	-	Genérico
N2177	58.995	0.000	6.845	-	-	-	-	-	-	Genérico
N2178	58.995	7.300	6.845	-	-	-	-	-	-	Genérico
N2179	60.092	0.000	6.768	-	-	-	-	-	-	Genérico
N2180	60.092	7.300	6.768	-	-	-	-	-	-	Genérico
N2181	61.189	0.000	6.691	-	-	-	-	-	-	Genérico
N2182	61.189	7.300	6.691	-	-	-	-	-	-	Genérico
N2183	62.286	0.000	6.614	-	-	-	-	-	-	Genérico
N2184	62.286	7.300	6.614	-	-	-	-	-	-	Genérico
N2185	63.384	0.000	6.536	-	-	-	-	-	-	Genérico
N2186	63.384	7.300	6.536	-	-	-	-	-	-	Genérico
N2187	64.481	0.000	6.459	-	-	-	-	-	-	Genérico
N2188	64.481	7.300	6.459	-	-	-	-	-	-	Genérico
N2189	65.578	0.000	6.382	-	-	-	-	-	-	Genérico
N2190	65.578	7.300	6.382	-	-	-	-	-	-	Genérico
N2191	66.676	0.000	6.305	-	-	-	-	-	-	Genérico
N2192	66.676	7.300	6.305	-	-	-	-	-	-	Genérico
N2193	67.773	0.000	6.227	-	-	-	-	-	-	Genérico
N2194	67.773	7.300	6.227	-	-	-	-	-	-	Genérico
N2195	68.870	0.000	6.150	-	-	-	-	-	-	Genérico
N2196	68.870	7.300	6.150	-	-	-	-	-	-	Genérico
N2197	69.967	0.000	6.073	-	-	-	-	-	-	Genérico
N2198	69.967	7.300	6.073	-	-	-	-	-	-	Genérico
N2199	71.065	0.000	5.995	-	-	-	-	-	-	Genérico
N2200	71.065	7.300	5.995	-	-	-	-	-	-	Genérico
N2201	72.162	0.000	5.918	-	-	-	-	-	-	Genérico
N2202	72.162	7.300	5.918	-	-	-	-	-	-	Genérico
N2203	73.259	0.000	5.841	-	-	-	-	-	-	Genérico

Documento visado electrónicamente con número: VA07290/22
Código de validación telemática TRLTDCFZ60T66IJ1. Comprobación: https://cogitivalencia.e-gestion.es/Validacion.aspx?CVT=TRLTDCFZ60T66IJ1

VISADO
COGITI
VALENCIA
VA07290/22
TRLTDCFZ60T66IJ1

Nudos										
Referencia	Coordenadas			Vinculación exterior						Vinculación interior
	X (m)	Y (m)	Z (m)	Δ_x	Δ_y	Δ_z	θ_x	θ_y	θ_z	
N2204	73.259	7.300	5.841	-	-	-	-	-	-	Genérico
N2205	74.357	0.000	5.764	-	-	-	-	-	-	Genérico
N2206	74.357	7.300	5.764	-	-	-	-	-	-	Genérico
N2207	75.454	0.000	5.686	-	-	-	-	-	-	Genérico
N2208	75.454	7.300	5.686	-	-	-	-	-	-	Genérico
N2209	76.551	0.000	5.609	-	-	-	-	-	-	Genérico
N2210	76.551	7.300	5.609	-	-	-	-	-	-	Genérico
N2211	77.648	0.000	5.532	-	-	-	-	-	-	Genérico
N2212	77.648	7.300	5.532	-	-	-	-	-	-	Genérico
N2213	78.746	0.000	5.455	-	-	-	-	-	-	Genérico
N2214	78.746	7.300	5.455	-	-	-	-	-	-	Genérico
N2215	79.843	0.000	5.377	-	-	-	-	-	-	Genérico
N2216	79.843	7.300	5.377	-	-	-	-	-	-	Genérico
N2217	80.940	0.000	5.300	-	-	-	-	-	-	Genérico
N2218	80.940	7.300	5.300	-	-	-	-	-	-	Genérico
N2219	82.037	0.000	5.223	-	-	-	-	-	-	Genérico
N2220	82.037	7.300	5.223	-	-	-	-	-	-	Genérico
N2221	83.135	0.000	5.145	-	-	-	-	-	-	Genérico
N2222	83.135	7.300	5.145	-	-	-	-	-	-	Genérico
N2223	84.232	0.000	5.068	-	-	-	-	-	-	Genérico
N2224	84.232	7.300	5.068	-	-	-	-	-	-	Genérico
N2225	57.897	14.600	6.923	-	-	-	-	-	-	Genérico
N2226	58.995	14.600	6.845	-	-	-	-	-	-	Genérico
N2227	60.092	14.600	6.768	-	-	-	-	-	-	Genérico
N2228	61.189	14.600	6.691	-	-	-	-	-	-	Genérico
N2229	62.286	14.600	6.614	-	-	-	-	-	-	Genérico
N2230	63.384	14.600	6.536	-	-	-	-	-	-	Genérico
N2231	64.481	14.600	6.459	-	-	-	-	-	-	Genérico
N2232	65.578	14.600	6.382	-	-	-	-	-	-	Genérico
N2233	66.676	14.600	6.305	-	-	-	-	-	-	Genérico
N2234	67.773	14.600	6.227	-	-	-	-	-	-	Genérico
N2235	68.870	14.600	6.150	-	-	-	-	-	-	Genérico
N2236	69.967	14.600	6.073	-	-	-	-	-	-	Genérico
N2237	71.065	14.600	5.995	-	-	-	-	-	-	Genérico
N2238	72.162	14.600	5.918	-	-	-	-	-	-	Genérico
N2239	73.259	14.600	5.841	-	-	-	-	-	-	Genérico
N2240	74.357	14.600	5.764	-	-	-	-	-	-	Genérico
N2241	75.454	14.600	5.686	-	-	-	-	-	-	Genérico
N2242	76.551	14.600	5.609	-	-	-	-	-	-	Genérico
N2243	77.648	14.600	5.532	-	-	-	-	-	-	Genérico
N2244	78.746	14.600	5.455	-	-	-	-	-	-	Genérico
N2245	79.843	14.600	5.377	-	-	-	-	-	-	Genérico
N2246	80.940	14.600	5.300	-	-	-	-	-	-	Genérico
N2247	82.037	14.600	5.223	-	-	-	-	-	-	Genérico
N2248	83.135	14.600	5.145	-	-	-	-	-	-	Genérico

Documento visado electrónicamente con número: VA07290/22
Código de validación telemática TRLTDCFZ60T66IJ1. Comprobación: https://cogitivalencia.e-gestion.es/Validacion.aspx?CVT=TRLTDCFZ60T66IJ1

VISADO
COGITI
VALENCIA
VA07290/22
TRLTDCFZ60T66IJ1

Nudos										
Referencia	Coordenadas			Vinculación exterior						Vinculación interior
	X (m)	Y (m)	Z (m)	Δ_x	Δ_y	Δ_z	θ_x	θ_y	θ_z	
N2249	84.232	14.600	5.068	-	-	-	-	-	-	Genérico
N2250	57.897	21.900	6.923	-	-	-	-	-	-	Genérico
N2251	58.995	21.900	6.845	-	-	-	-	-	-	Genérico
N2252	60.092	21.900	6.768	-	-	-	-	-	-	Genérico
N2253	61.189	21.900	6.691	-	-	-	-	-	-	Genérico
N2254	62.286	21.900	6.614	-	-	-	-	-	-	Genérico
N2255	63.384	21.900	6.536	-	-	-	-	-	-	Genérico
N2256	64.481	21.900	6.459	-	-	-	-	-	-	Genérico
N2257	65.578	21.900	6.382	-	-	-	-	-	-	Genérico
N2258	66.676	21.900	6.305	-	-	-	-	-	-	Genérico
N2259	67.773	21.900	6.227	-	-	-	-	-	-	Genérico
N2260	68.870	21.900	6.150	-	-	-	-	-	-	Genérico
N2261	69.967	21.900	6.073	-	-	-	-	-	-	Genérico
N2262	71.065	21.900	5.995	-	-	-	-	-	-	Genérico
N2263	72.162	21.900	5.918	-	-	-	-	-	-	Genérico
N2264	73.259	21.900	5.841	-	-	-	-	-	-	Genérico
N2265	74.357	21.900	5.764	-	-	-	-	-	-	Genérico
N2266	75.454	21.900	5.686	-	-	-	-	-	-	Genérico
N2267	76.551	21.900	5.609	-	-	-	-	-	-	Genérico
N2268	77.648	21.900	5.532	-	-	-	-	-	-	Genérico
N2269	78.746	21.900	5.455	-	-	-	-	-	-	Genérico
N2270	79.843	21.900	5.377	-	-	-	-	-	-	Genérico
N2271	80.940	21.900	5.300	-	-	-	-	-	-	Genérico
N2272	82.037	21.900	5.223	-	-	-	-	-	-	Genérico
N2273	83.135	21.900	5.145	-	-	-	-	-	-	Genérico
N2274	84.232	21.900	5.068	-	-	-	-	-	-	Genérico
N2275	57.897	29.200	6.923	-	-	-	-	-	-	Genérico
N2276	58.995	29.200	6.845	-	-	-	-	-	-	Genérico
N2277	60.092	29.200	6.768	-	-	-	-	-	-	Genérico
N2278	61.189	29.200	6.691	-	-	-	-	-	-	Genérico
N2279	62.286	29.200	6.614	-	-	-	-	-	-	Genérico
N2280	63.384	29.200	6.536	-	-	-	-	-	-	Genérico
N2281	64.481	29.200	6.459	-	-	-	-	-	-	Genérico
N2282	65.578	29.200	6.382	-	-	-	-	-	-	Genérico
N2283	66.676	29.200	6.305	-	-	-	-	-	-	Genérico
N2284	67.773	29.200	6.227	-	-	-	-	-	-	Genérico
N2285	68.870	29.200	6.150	-	-	-	-	-	-	Genérico
N2286	69.967	29.200	6.073	-	-	-	-	-	-	Genérico
N2287	71.065	29.200	5.995	-	-	-	-	-	-	Genérico
N2288	72.162	29.200	5.918	-	-	-	-	-	-	Genérico
N2289	73.259	29.200	5.841	-	-	-	-	-	-	Genérico
N2290	74.357	29.200	5.764	-	-	-	-	-	-	Genérico
N2291	75.454	29.200	5.686	-	-	-	-	-	-	Genérico
N2292	76.551	29.200	5.609	-	-	-	-	-	-	Genérico
N2293	77.648	29.200	5.532	-	-	-	-	-	-	Genérico

Documento visado electrónicamente con número: VA07290/22
Código de validación telemática TRLTDCFZ60T66IJ1. Comprobación: https://cogitivalencia.e-gestion.es/Validacion.aspx?CVT=TRLTDCFZ60T66IJ1

VISADO
COGITI
VALENCIA
VA07290/22
TRLTDCFZ60T66IJ1

Nudos										
Referencia	Coordenadas			Vinculación exterior						Vinculación interior
	X (m)	Y (m)	Z (m)	Δ_x	Δ_y	Δ_z	θ_x	θ_y	θ_z	
N2294	78.746	29.200	5.455	-	-	-	-	-	-	Genérico
N2295	79.843	29.200	5.377	-	-	-	-	-	-	Genérico
N2296	80.940	29.200	5.300	-	-	-	-	-	-	Genérico
N2297	82.037	29.200	5.223	-	-	-	-	-	-	Genérico
N2298	83.135	29.200	5.145	-	-	-	-	-	-	Genérico
N2299	84.232	29.200	5.068	-	-	-	-	-	-	Genérico
N2300	57.897	36.500	6.923	-	-	-	-	-	-	Genérico
N2301	58.995	36.500	6.845	-	-	-	-	-	-	Genérico
N2302	60.092	36.500	6.768	-	-	-	-	-	-	Genérico
N2303	61.189	36.500	6.691	-	-	-	-	-	-	Genérico
N2304	62.286	36.500	6.614	-	-	-	-	-	-	Genérico
N2305	63.384	36.500	6.536	-	-	-	-	-	-	Genérico
N2306	64.481	36.500	6.459	-	-	-	-	-	-	Genérico
N2307	65.578	36.500	6.382	-	-	-	-	-	-	Genérico
N2308	66.676	36.500	6.305	-	-	-	-	-	-	Genérico
N2309	67.773	36.500	6.227	-	-	-	-	-	-	Genérico
N2310	68.870	36.500	6.150	-	-	-	-	-	-	Genérico
N2311	69.967	36.500	6.073	-	-	-	-	-	-	Genérico
N2312	71.065	36.500	5.995	-	-	-	-	-	-	Genérico
N2313	72.162	36.500	5.918	-	-	-	-	-	-	Genérico
N2314	73.259	36.500	5.841	-	-	-	-	-	-	Genérico
N2315	74.357	36.500	5.764	-	-	-	-	-	-	Genérico
N2316	75.454	36.500	5.686	-	-	-	-	-	-	Genérico
N2317	76.551	36.500	5.609	-	-	-	-	-	-	Genérico
N2318	77.648	36.500	5.532	-	-	-	-	-	-	Genérico
N2319	78.746	36.500	5.455	-	-	-	-	-	-	Genérico
N2320	79.843	36.500	5.377	-	-	-	-	-	-	Genérico
N2321	80.940	36.500	5.300	-	-	-	-	-	-	Genérico
N2322	82.037	36.500	5.223	-	-	-	-	-	-	Genérico
N2323	83.135	36.500	5.145	-	-	-	-	-	-	Genérico
N2324	84.232	36.500	5.068	-	-	-	-	-	-	Genérico
N2325	57.897	43.800	6.923	-	-	-	-	-	-	Genérico
N2326	58.995	43.800	6.845	-	-	-	-	-	-	Genérico
N2327	60.092	43.800	6.768	-	-	-	-	-	-	Genérico
N2328	61.189	43.800	6.691	-	-	-	-	-	-	Genérico
N2329	62.286	43.800	6.614	-	-	-	-	-	-	Genérico
N2330	63.384	43.800	6.536	-	-	-	-	-	-	Genérico
N2331	64.481	43.800	6.459	-	-	-	-	-	-	Genérico
N2332	65.578	43.800	6.382	-	-	-	-	-	-	Genérico
N2333	66.676	43.800	6.305	-	-	-	-	-	-	Genérico
N2334	67.773	43.800	6.227	-	-	-	-	-	-	Genérico
N2335	68.870	43.800	6.150	-	-	-	-	-	-	Genérico
N2336	69.967	43.800	6.073	-	-	-	-	-	-	Genérico
N2337	71.065	43.800	5.995	-	-	-	-	-	-	Genérico
N2338	72.162	43.800	5.918	-	-	-	-	-	-	Genérico

Documento visado electrónicamente con número: VA07290/22
Código de validación telemática TRLTDCFZ60T66IJ1. Comprobación: https://cogitivalencia.e-gestion.es/Validacion.aspx?CVT=TRLTDCFZ60T66IJ1

VISADO
COGITI
VALENCIA
VA07290/22
TRLTDCFZ60T66IJ1

Nudos										
Referencia	Coordenadas			Vinculación exterior						Vinculación interior
	X (m)	Y (m)	Z (m)	Δ_x	Δ_y	Δ_z	θ_x	θ_y	θ_z	
N2339	73.259	43.800	5.841	-	-	-	-	-	-	Genérico
N2340	74.357	43.800	5.764	-	-	-	-	-	-	Genérico
N2341	75.454	43.800	5.686	-	-	-	-	-	-	Genérico
N2342	76.551	43.800	5.609	-	-	-	-	-	-	Genérico
N2343	77.648	43.800	5.532	-	-	-	-	-	-	Genérico
N2344	78.746	43.800	5.455	-	-	-	-	-	-	Genérico
N2345	79.843	43.800	5.377	-	-	-	-	-	-	Genérico
N2346	80.940	43.800	5.300	-	-	-	-	-	-	Genérico
N2347	82.037	43.800	5.223	-	-	-	-	-	-	Genérico
N2348	83.135	43.800	5.145	-	-	-	-	-	-	Genérico
N2349	84.232	43.800	5.068	-	-	-	-	-	-	Genérico
N2350	57.897	51.100	6.923	-	-	-	-	-	-	Genérico
N2351	58.995	51.100	6.845	-	-	-	-	-	-	Genérico
N2352	60.092	51.100	6.768	-	-	-	-	-	-	Genérico
N2353	61.189	51.100	6.691	-	-	-	-	-	-	Genérico
N2354	62.286	51.100	6.614	-	-	-	-	-	-	Genérico
N2355	63.384	51.100	6.536	-	-	-	-	-	-	Genérico
N2356	64.481	51.100	6.459	-	-	-	-	-	-	Genérico
N2357	65.578	51.100	6.382	-	-	-	-	-	-	Genérico
N2358	66.676	51.100	6.305	-	-	-	-	-	-	Genérico
N2359	67.773	51.100	6.227	-	-	-	-	-	-	Genérico
N2360	68.870	51.100	6.150	-	-	-	-	-	-	Genérico
N2361	69.967	51.100	6.073	-	-	-	-	-	-	Genérico
N2362	71.065	51.100	5.995	-	-	-	-	-	-	Genérico
N2363	72.162	51.100	5.918	-	-	-	-	-	-	Genérico
N2364	73.259	51.100	5.841	-	-	-	-	-	-	Genérico
N2365	74.357	51.100	5.764	-	-	-	-	-	-	Genérico
N2366	75.454	51.100	5.686	-	-	-	-	-	-	Genérico
N2367	76.551	51.100	5.609	-	-	-	-	-	-	Genérico
N2368	77.648	51.100	5.532	-	-	-	-	-	-	Genérico
N2369	78.746	51.100	5.455	-	-	-	-	-	-	Genérico
N2370	79.843	51.100	5.377	-	-	-	-	-	-	Genérico
N2371	80.940	51.100	5.300	-	-	-	-	-	-	Genérico
N2372	82.037	51.100	5.223	-	-	-	-	-	-	Genérico
N2373	83.135	51.100	5.145	-	-	-	-	-	-	Genérico
N2374	84.232	51.100	5.068	-	-	-	-	-	-	Genérico
N2375	57.897	58.400	6.923	-	-	-	-	-	-	Genérico
N2376	58.995	58.400	6.845	-	-	-	-	-	-	Genérico
N2377	60.092	58.400	6.768	-	-	-	-	-	-	Genérico
N2378	61.189	58.400	6.691	-	-	-	-	-	-	Genérico
N2379	62.286	58.400	6.614	-	-	-	-	-	-	Genérico
N2380	63.384	58.400	6.536	-	-	-	-	-	-	Genérico
N2381	64.481	58.400	6.459	-	-	-	-	-	-	Genérico
N2382	65.578	58.400	6.382	-	-	-	-	-	-	Genérico
N2383	66.676	58.400	6.305	-	-	-	-	-	-	Genérico

Documento visado electrónicamente con número: VA07290/22
Código de validación telemática TRLTDCFZ60T66IJ1. Comprobación: https://cogitivalencia.e-gestion.es/Validacion.aspx?CVT=TRLTDCFZ60T66IJ1

VISADO
COGITI
VALENCIA
VA07290/22
TRLTDCFZ60T66IJ1

Nudos										
Referencia	Coordenadas			Vinculación exterior						Vinculación interior
	X (m)	Y (m)	Z (m)	Δ_x	Δ_y	Δ_z	θ_x	θ_y	θ_z	
N2384	67.773	58.400	6.227	-	-	-	-	-	-	Genérico
N2385	68.870	58.400	6.150	-	-	-	-	-	-	Genérico
N2386	69.967	58.400	6.073	-	-	-	-	-	-	Genérico
N2387	71.065	58.400	5.995	-	-	-	-	-	-	Genérico
N2388	72.162	58.400	5.918	-	-	-	-	-	-	Genérico
N2389	73.259	58.400	5.841	-	-	-	-	-	-	Genérico
N2390	74.357	58.400	5.764	-	-	-	-	-	-	Genérico
N2391	75.454	58.400	5.686	-	-	-	-	-	-	Genérico
N2392	76.551	58.400	5.609	-	-	-	-	-	-	Genérico
N2393	77.648	58.400	5.532	-	-	-	-	-	-	Genérico
N2394	78.746	58.400	5.455	-	-	-	-	-	-	Genérico
N2395	79.843	58.400	5.377	-	-	-	-	-	-	Genérico
N2396	80.940	58.400	5.300	-	-	-	-	-	-	Genérico
N2397	82.037	58.400	5.223	-	-	-	-	-	-	Genérico
N2398	83.135	58.400	5.145	-	-	-	-	-	-	Genérico
N2399	84.232	58.400	5.068	-	-	-	-	-	-	Genérico
N2400	57.897	65.700	6.923	-	-	-	-	-	-	Genérico
N2401	58.995	65.700	6.845	-	-	-	-	-	-	Genérico
N2402	60.092	65.700	6.768	-	-	-	-	-	-	Genérico
N2403	61.189	65.700	6.691	-	-	-	-	-	-	Genérico
N2404	62.286	65.700	6.614	-	-	-	-	-	-	Genérico
N2405	63.384	65.700	6.536	-	-	-	-	-	-	Genérico
N2406	64.481	65.700	6.459	-	-	-	-	-	-	Genérico
N2407	65.578	65.700	6.382	-	-	-	-	-	-	Genérico
N2408	66.676	65.700	6.305	-	-	-	-	-	-	Genérico
N2409	67.773	65.700	6.227	-	-	-	-	-	-	Genérico
N2410	68.870	65.700	6.150	-	-	-	-	-	-	Genérico
N2411	69.967	65.700	6.073	-	-	-	-	-	-	Genérico
N2412	71.065	65.700	5.995	-	-	-	-	-	-	Genérico
N2413	72.162	65.700	5.918	-	-	-	-	-	-	Genérico
N2414	73.259	65.700	5.841	-	-	-	-	-	-	Genérico
N2415	74.357	65.700	5.764	-	-	-	-	-	-	Genérico
N2416	75.454	65.700	5.686	-	-	-	-	-	-	Genérico
N2417	76.551	65.700	5.609	-	-	-	-	-	-	Genérico
N2418	77.648	65.700	5.532	-	-	-	-	-	-	Genérico
N2419	78.746	65.700	5.455	-	-	-	-	-	-	Genérico
N2420	79.843	65.700	5.377	-	-	-	-	-	-	Genérico
N2421	80.940	65.700	5.300	-	-	-	-	-	-	Genérico
N2422	82.037	65.700	5.223	-	-	-	-	-	-	Genérico
N2423	83.135	65.700	5.145	-	-	-	-	-	-	Genérico
N2424	84.232	65.700	5.068	-	-	-	-	-	-	Genérico

1.2. Barras

Documento visado electrónicamente con número: VA07290/22
Código de validación telemática TRLTDCFZ60T66IJ1. Comprobación: https://cogitivalencia.e-gestion.es/Validacion.aspx?CVT=TRLTDCFZ60T66IJ1

VISADO
COGITI
VALENCIA
VA07290/22
TRLTDCFZ60T66IJ1

1.2.1. Materiales utilizados

Materiales utilizados							
Material		E (MPa)	ν	G (MPa)	f_y (MPa)	$\alpha_{\cdot t}$ (m/m°C)	γ (kN/m³)
Tipo	Designación						
Acero laminado	S275 (UNE-EN 10025-2)	210000.00	0.300	81000.00	275.00	0.000012	77.01

Notación:
E: Módulo de elasticidad
ν: Módulo de Poisson
G: Módulo de cortadura
f_y: Límite elástico
$\alpha_{\cdot t}$: Coeficiente de dilatación
γ: Peso específico

1.2.2. Descripción

Descripción									
Material		Barra (Ni/Nf)	Pieza (Ni/Nf)	Perfil(Serie)	Longitud (m)	β_{xy}	β_{xz}	$Lb_{Sup.}$ (m)	$Lb_{Inf.}$ (m)
Tipo	Designación								
Acero laminado	S275 (UNE-EN 10025-2)	N1676/N1675	N1676/N1675	RHS 220x100x4.0 (RHS)	7.300	0.00	0.90	-	5.840
		N1677/N1676	N1677/N1676	RHS 220x100x3.0 (RHS)	7.300	0.00	0.90	-	5.840
		N1678/N1677	N1678/N1677	RHS 220x100x3.0 (RHS)	7.300	0.00	0.90	-	5.840
		N1679/N1678	N1679/N1678	RHS 220x100x3.0 (RHS)	7.300	0.00	0.90	-	5.840
		N1680/N1679	N1680/N1679	RHS 220x100x3.0 (RHS)	7.300	0.00	0.90	-	5.840
		N1681/N1680	N1681/N1680	RHS 220x100x3.0 (RHS)	7.300	0.00	0.90	-	5.840
		N1682/N1681	N1682/N1681	RHS 220x100x3.0 (RHS)	7.300	0.00	0.90	-	5.840
		N1683/N1682	N1683/N1682	RHS 220x100x3.0 (RHS)	7.300	0.00	0.90	-	5.840
		N1684/N1683	N1684/N1683	RHS 220x100x4.0 (RHS)	7.300	0.00	0.90	-	5.840
		N1686/N1685	N1686/N1685	RHS 220x100x3.0 (RHS)	7.300	0.00	0.90	-	5.840
		N1685/N1687	N1685/N1687	RHS 220x100x4.0 (RHS)	7.300	0.00	0.90	-	5.840
		N1688/N1686	N1688/N1686	RHS 220x100x3.0 (RHS)	7.300	0.00	0.90	-	5.840
		N1689/N1688	N1689/N1688	RHS 220x100x3.0 (RHS)	7.300	0.00	0.90	-	5.840

Documento visado electrónicamente con número: VA07290/22
Código de validación telemática TRLTDCFZ60T66IJ1. Comprobación: https://cogitivalencia.e-gestion.es/Validacion.aspx?CVT=TRLTDCFZ60T66IJ1

VISADO
COGITI
VALENCIA
VA07290/22
TRLTDCFZ60T66IJ1

Listados

Descripción									
Material		Barra (Ni/Nf)	Pieza (Ni/Nf)	Perfil(Serie)	Longitud (m)	β_{xy}	β_{xz}	Lb_{Sup} (m)	Lb_{Inf} (m)
Tipo	Designación								
		N1690/N1689	N1690/N1689	RHS 220x100x3.0 (RHS)	7.300	0.00	0.90	-	5.840
		N1691/N1690	N1691/N1690	RHS 220x100x3.0 (RHS)	7.300	0.00	0.90	-	5.840
		N1692/N1691	N1692/N1691	RHS 220x100x3.0 (RHS)	7.300	0.00	0.90	-	5.840
		N1693/N1692	N1693/N1692	RHS 220x100x3.0 (RHS)	7.300	0.00	0.90	-	5.840
		N1694/N1693	N1694/N1693	RHS 220x100x4.0 (RHS)	7.300	0.00	0.90	-	5.840
		N1696/N1695	N1696/N1695	RHS 220x100x3.0 (RHS)	7.300	0.00	0.90	-	5.840
		N1695/N1697	N1695/N1697	RHS 220x100x4.0 (RHS)	7.300	0.00	0.90	-	5.840
		N1698/N1696	N1698/N1696	RHS 220x100x3.0 (RHS)	7.300	0.00	0.90	-	5.840
		N1699/N1698	N1699/N1698	RHS 220x100x3.0 (RHS)	7.300	0.00	0.90	-	5.840
		N1700/N1699	N1700/N1699	RHS 220x100x3.0 (RHS)	7.300	0.00	0.90	-	5.840
		N1701/N1700	N1701/N1700	RHS 220x100x3.0 (RHS)	7.300	0.00	0.90	-	5.840
		N1702/N1701	N1702/N1701	RHS 220x100x3.0 (RHS)	7.300	0.00	0.90	-	5.840
		N1703/N1702	N1703/N1702	RHS 220x100x3.0 (RHS)	7.300	0.00	0.90	-	5.840
		N1704/N1703	N1704/N1703	RHS 220x100x4.0 (RHS)	7.300	0.00	0.90	-	5.840
		N1706/N1705	N1706/N1705	RHS 220x100x3.0 (RHS)	7.300	0.00	0.90	-	5.840
		N1705/N1707	N1705/N1707	RHS 220x100x4.0 (RHS)	7.300	0.00	0.90	-	5.840
		N1708/N1706	N1708/N1706	RHS 220x100x3.0 (RHS)	7.300	0.00	0.90	-	5.840

Documento visado electrónicamente con número: VA07290/22
Código de validación telemática TRLTDCFZ60T66IJ1. Comprobación: https://cogitivalencia.e-gestion.es/Validacion.aspx?CVT=TRLTDCFZ60T66IJ1

VISADO
COGITI
VALENCIA
VA07290/22
TRLTDCFZ60T66IJ1

Listados

Descripción										
Material		Barra (Ni/Nf)	Pieza (Ni/Nf)	Perfil(Serie)	Longitud (m)	β_{xy}	β_{xz}	Lb Sup. (m)	Lb Inf. (m)
Tipo	Designación								
		N1709/N1708	N1709/N1708	RHS 220x100x3.0 (RHS)	7.300	0.00	0.90	-	5.840
		N1710/N1709	N1710/N1709	RHS 220x100x3.0 (RHS)	7.300	0.00	0.90	-	5.840
		N1711/N1710	N1711/N1710	RHS 220x100x3.0 (RHS)	7.300	0.00	0.90	-	5.840
		N1712/N1711	N1712/N1711	RHS 220x100x3.0 (RHS)	7.300	0.00	0.90	-	5.840
		N1713/N1712	N1713/N1712	RHS 220x100x3.0 (RHS)	7.300	0.00	0.90	-	5.840
		N1714/N1713	N1714/N1713	RHS 220x100x4.0 (RHS)	7.300	0.00	0.90	-	5.840
		N1716/N1715	N1716/N1715	RHS 220x100x3.0 (RHS)	7.300	0.00	0.90	-	5.840
		N1715/N1717	N1715/N1717	RHS 220x100x4.0 (RHS)	7.300	0.00	0.90	-	5.840
		N1718/N1716	N1718/N1716	RHS 220x100x3.0 (RHS)	7.300	0.00	0.90	-	5.840
		N1719/N1718	N1719/N1718	RHS 220x100x3.0 (RHS)	7.300	0.00	0.90	-	5.840
		N1720/N1719	N1720/N1719	RHS 220x100x3.0 (RHS)	7.300	0.00	0.90	-	5.840
		N1721/N1720	N1721/N1720	RHS 220x100x3.0 (RHS)	7.300	0.00	0.90	-	5.840
		N1722/N1721	N1722/N1721	RHS 220x100x3.0 (RHS)	7.300	0.00	0.90	-	5.840
		N1723/N1722	N1723/N1722	RHS 220x100x3.0 (RHS)	7.300	0.00	0.90	-	5.840
		N1724/N1723	N1724/N1723	RHS 220x100x4.0 (RHS)	7.300	0.00	0.90	-	5.840
		N1726/N1725	N1726/N1725	RHS 220x100x3.0 (RHS)	7.300	0.00	0.90	-	5.840
		N1725/N1727	N1725/N1727	RHS 220x100x4.0 (RHS)	7.300	0.00	0.90	-	5.840

Documento visado electrónicamente con número: VA07290/22
Código de validación telemática TRLTDCFZ60T66IJ1. Comprobación: https://cogitivalencia.e-gestion.es/Validacion.aspx?CVT=TRLTDCFZ60T66IJ1

VISADO
COGITI
VALENCIA
VA07290/22
TRLTDCFZ60T66IJ1

Listados

Descripción									
Material		Barra (Ni/Nf)	Pieza (Ni/Nf)	Perfil(Serie)	Longitud (m)	β_{xy}	β_{xz}	Lb_{Sup} (m)	Lb_{Inf} (m)
Tipo	Designación								
		N1728/N1726	N1728/N1726	RHS 220x100x3.0 (RHS)	7.300	0.00	0.90	-	5.840
		N1729/N1728	N1729/N1728	RHS 220x100x3.0 (RHS)	7.300	0.00	0.90	-	5.840
		N1730/N1729	N1730/N1729	RHS 220x100x3.0 (RHS)	7.300	0.00	0.90	-	5.840
		N1731/N1730	N1731/N1730	RHS 220x100x3.0 (RHS)	7.300	0.00	0.90	-	5.840
		N1732/N1731	N1732/N1731	RHS 220x100x3.0 (RHS)	7.300	0.00	0.90	-	5.840
		N1733/N1732	N1733/N1732	RHS 220x100x3.0 (RHS)	7.300	0.00	0.90	-	5.840
		N1734/N1733	N1734/N1733	RHS 220x100x4.0 (RHS)	7.300	0.00	0.90	-	5.840
		N1736/N1735	N1736/N1735	RHS 220x100x3.0 (RHS)	7.300	0.00	0.90	-	5.840
		N1735/N1737	N1735/N1737	RHS 220x100x4.0 (RHS)	7.300	0.00	0.90	-	5.840
		N1738/N1736	N1738/N1736	RHS 220x100x3.0 (RHS)	7.300	0.00	0.90	-	5.840
		N1739/N1738	N1739/N1738	RHS 220x100x3.0 (RHS)	7.300	0.00	0.90	-	5.840
		N1740/N1739	N1740/N1739	RHS 220x100x3.0 (RHS)	7.300	0.00	0.90	-	5.840
		N1741/N1740	N1741/N1740	RHS 220x100x3.0 (RHS)	7.300	0.00	0.90	-	5.840
		N1742/N1741	N1742/N1741	RHS 220x100x3.0 (RHS)	7.300	0.00	0.90	-	5.840
		N1743/N1742	N1743/N1742	RHS 220x100x3.0 (RHS)	7.300	0.00	0.90	-	5.840
		N1744/N1743	N1744/N1743	RHS 220x100x4.0 (RHS)	7.300	0.00	0.90	-	5.840
		N1746/N1745	N1746/N1745	RHS 220x100x3.0 (RHS)	7.300	0.00	0.90	-	5.840

Documento visado electrónicamente con número: VA07290/22
Código de validación telemática TRLTDCFZ60T66IJ1. Comprobación: https://cogitivalencia.e-gestion.es/Validacion.aspx?CVT=TRLTDCFZ60T66IJ1

VISADO
COGITI
VALENCIA
VA07290/22
TRLTDCFZ60T66IJ1

Descripción										
Material		Barra (Ni/Nf)	Pieza (Ni/Nf)	Perfil(Serie)	Longitud (m)	β_{xy}	β_{xz}	Lb Sup. (m)	Lb Inf. (m)
Tipo	Designación								
		N1745/N1747	N1745/N1747	RHS 220x100x4.0 (RHS)	7.300	0.00	0.90	-	5.840
		N1748/N1746	N1748/N1746	RHS 220x100x3.0 (RHS)	7.300	0.00	0.90	-	5.840
		N1749/N1748	N1749/N1748	RHS 220x100x3.0 (RHS)	7.300	0.00	0.90	-	5.840
		N1750/N1749	N1750/N1749	RHS 220x100x3.0 (RHS)	7.300	0.00	0.90	-	5.840
		N1751/N1750	N1751/N1750	RHS 220x100x3.0 (RHS)	7.300	0.00	0.90	-	5.840
		N1752/N1751	N1752/N1751	RHS 220x100x3.0 (RHS)	7.300	0.00	0.90	-	5.840
		N1753/N1752	N1753/N1752	RHS 220x100x3.0 (RHS)	7.300	0.00	0.90	-	5.840
		N1754/N1753	N1754/N1753	RHS 220x100x4.0 (RHS)	7.300	0.00	0.90	-	5.840
		N1756/N1755	N1756/N1755	RHS 220x100x3.0 (RHS)	7.300	0.00	0.90	-	5.840
		N1755/N1757	N1755/N1757	RHS 220x100x4.0 (RHS)	7.300	0.00	0.90	-	5.840
		N1758/N1756	N1758/N1756	RHS 220x100x3.0 (RHS)	7.300	0.00	0.90	-	5.840
		N1759/N1758	N1759/N1758	RHS 220x100x3.0 (RHS)	7.300	0.00	0.90	-	5.840
		N1760/N1759	N1760/N1759	RHS 220x100x3.0 (RHS)	7.300	0.00	0.90	-	5.840
		N1761/N1760	N1761/N1760	RHS 220x100x3.0 (RHS)	7.300	0.00	0.90	-	5.840
		N1762/N1761	N1762/N1761	RHS 220x100x3.0 (RHS)	7.300	0.00	0.90	-	5.840
		N1763/N1762	N1763/N1762	RHS 220x100x3.0 (RHS)	7.300	0.00	0.90	-	5.840
		N1764/N1763	N1764/N1763	RHS 220x100x4.0 (RHS)	7.300	0.00	0.90	-	5.840

Documento visado electrónicamente con número: VA07290/22
Código de validación telemática TRLTDCFZ60T66IJ1. Comprobación: https://cogitivalencia.e-gestion.es/Validacion.aspx?CVT=TRLTDCFZ60T66IJ1

VISADO
COGITI
VALENCIA
VA07290/22
TRLTDCFZ60T66IJ1

Listados

Descripción										
Material		Barra (Ni/Nf)	Pieza (Ni/Nf)	Perfil(Serie)	Longitud (m)	β_{xy}	β_{xz}	Lb_{Sup} (m)	Lb_{Inf} (m)
Tipo	Designación								
		N1766/N1765	N1766/N1765	RHS 220x100x3.0 (RHS)	7.300	0.00	0.90	-	5.840
		N1765/N1767	N1765/N1767	RHS 220x100x4.0 (RHS)	7.300	0.00	0.90	-	5.840
		N1768/N1766	N1768/N1766	RHS 220x100x3.0 (RHS)	7.300	0.00	0.90	-	5.840
		N1769/N1768	N1769/N1768	RHS 220x100x3.0 (RHS)	7.300	0.00	0.90	-	5.840
		N1770/N1769	N1770/N1769	RHS 220x100x3.0 (RHS)	7.300	0.00	0.90	-	5.840
		N1771/N1770	N1771/N1770	RHS 220x100x3.0 (RHS)	7.300	0.00	0.90	-	5.840
		N1772/N1771	N1772/N1771	RHS 220x100x3.0 (RHS)	7.300	0.00	0.90	-	5.840
		N1773/N1772	N1773/N1772	RHS 220x100x3.0 (RHS)	7.300	0.00	0.90	-	5.840
		N1774/N1773	N1774/N1773	RHS 220x100x4.0 (RHS)	7.300	0.00	0.90	-	5.840
		N1776/N1775	N1776/N1775	RHS 220x100x3.0 (RHS)	7.300	0.00	0.90	-	5.840
		N1775/N1777	N1775/N1777	RHS 220x100x4.0 (RHS)	7.300	0.00	0.90	-	5.840
		N1778/N1776	N1778/N1776	RHS 220x100x3.0 (RHS)	7.300	0.00	0.90	-	5.840
		N1779/N1778	N1779/N1778	RHS 220x100x3.0 (RHS)	7.300	0.00	0.90	-	5.840
		N1780/N1779	N1780/N1779	RHS 220x100x3.0 (RHS)	7.300	0.00	0.90	-	5.840
		N1781/N1780	N1781/N1780	RHS 220x100x3.0 (RHS)	7.300	0.00	0.90	-	5.840
		N1782/N1781	N1782/N1781	RHS 220x100x3.0 (RHS)	7.300	0.00	0.90	-	5.840
		N1783/N1782	N1783/N1782	RHS 220x100x3.0 (RHS)	7.300	0.00	0.90	-	5.840

Documento visado electrónicamente con número: VA07290/22
Código de validación telemática TRLTDCFZ60T66IJ1. Comprobación: https://cogitivalencia.e-gestion.es/Validacion.aspx?CVT=TRLTDCFZ60T66IJ1

VISADO
COGITI
VALENCIA
VA07290/22
TRLTDCFZ60T66IJ1

Descripción									
Material		Barra (Ni/Nf)	Pieza (Ni/Nf)	Perfil(Serie)	Longitud (m)	β_{xy}	β_{xz}	Lb sup. (m)	Lb inf. (m)
Tipo	Designación								
		N1784/N1783	N1784/N1783	RHS 220x100x4.0 (RHS)	7.300	0.00	0.90	-	5.840
		N1786/N1785	N1786/N1785	RHS 220x100x3.0 (RHS)	7.300	0.00	0.90	-	5.840
		N1785/N1787	N1785/N1787	RHS 220x100x4.0 (RHS)	7.300	0.00	0.90	-	5.840
		N1788/N1786	N1788/N1786	RHS 220x100x3.0 (RHS)	7.300	0.00	0.90	-	5.840
		N1789/N1788	N1789/N1788	RHS 220x100x3.0 (RHS)	7.300	0.00	0.90	-	5.840
		N1790/N1789	N1790/N1789	RHS 220x100x3.0 (RHS)	7.300	0.00	0.90	-	5.840
		N1791/N1790	N1791/N1790	RHS 220x100x3.0 (RHS)	7.300	0.00	0.90	-	5.840
		N1792/N1791	N1792/N1791	RHS 220x100x3.0 (RHS)	7.300	0.00	0.90	-	5.840
		N1793/N1792	N1793/N1792	RHS 220x100x3.0 (RHS)	7.300	0.00	0.90	-	5.840
		N1794/N1793	N1794/N1793	RHS 220x100x4.0 (RHS)	7.300	0.00	0.90	-	5.840
		N1796/N1795	N1796/N1795	RHS 220x100x3.0 (RHS)	7.300	0.00	0.90	-	5.840
		N1795/N1797	N1795/N1797	RHS 220x100x4.0 (RHS)	7.300	0.00	0.90	-	5.840
		N1798/N1796	N1798/N1796	RHS 220x100x3.0 (RHS)	7.300	0.00	0.90	-	5.840
		N1799/N1798	N1799/N1798	RHS 220x100x3.0 (RHS)	7.300	0.00	0.90	-	5.840
		N1800/N1799	N1800/N1799	RHS 220x100x3.0 (RHS)	7.300	0.00	0.90	-	5.840
		N1801/N1800	N1801/N1800	RHS 220x100x3.0 (RHS)	7.300	0.00	0.90	-	5.840
		N1802/N1801	N1802/N1801	RHS 220x100x3.0 (RHS)	7.300	0.00	0.90	-	5.840

Documento visado electrónicamente con número: VA07290/22
Código de validación telemática TRLTDCFZ60T66IJ1. Comprobación: https://cogitivalencia.e-gestion.es/Validacion.aspx?CVT=TRLTDCFZ60T66IJ1

VISADO
COGITI
VALENCIA
VA07290/22
TRLTDCFZ60T66IJ1

Descripción									
Material		Barra (Ni/Nf)	Pieza (Ni/Nf)	Perfil(Serie)	Longitud (m)	β_{xy}	β_{xz}	Lb_{Sup} (m)	Lb_{Inf} (m)
Tipo	Designación								
		N1803/N1802	N1803/N1802	RHS 220x100x3.0 (RHS)	7.300	0.00	0.90	-	5.840
		N1804/N1803	N1804/N1803	RHS 220x100x4.0 (RHS)	7.300	0.00	0.90	-	5.840
		N1806/N1805	N1806/N1805	RHS 220x100x3.0 (RHS)	7.300	0.00	0.90	-	5.840
		N1805/N1807	N1805/N1807	RHS 220x100x4.0 (RHS)	7.300	0.00	0.90	-	5.840
		N1808/N1806	N1808/N1806	RHS 220x100x3.0 (RHS)	7.300	0.00	0.90	-	5.840
		N1809/N1808	N1809/N1808	RHS 220x100x3.0 (RHS)	7.300	0.00	0.90	-	5.840
		N1810/N1809	N1810/N1809	RHS 220x100x3.0 (RHS)	7.300	0.00	0.90	-	5.840
		N1811/N1810	N1811/N1810	RHS 220x100x3.0 (RHS)	7.300	0.00	0.90	-	5.840
		N1812/N1811	N1812/N1811	RHS 220x100x3.0 (RHS)	7.300	0.00	0.90	-	5.840
		N1813/N1812	N1813/N1812	RHS 220x100x3.0 (RHS)	7.300	0.00	0.90	-	5.840
		N1814/N1813	N1814/N1813	RHS 220x100x4.0 (RHS)	7.300	0.00	0.90	-	5.840
		N1816/N1815	N1816/N1815	RHS 220x100x3.0 (RHS)	7.300	0.00	0.90	-	5.840
		N1815/N1817	N1815/N1817	RHS 220x100x4.0 (RHS)	7.300	0.00	0.90	-	5.840
		N1818/N1816	N1818/N1816	RHS 220x100x3.0 (RHS)	7.300	0.00	0.90	-	5.840
		N1819/N1818	N1819/N1818	RHS 220x100x3.0 (RHS)	7.300	0.00	0.90	-	5.840
		N1820/N1819	N1820/N1819	RHS 220x100x3.0 (RHS)	7.300	0.00	0.90	-	5.840
		N1821/N1820	N1821/N1820	RHS 220x100x3.0 (RHS)	7.300	0.00	0.90	-	5.840

Documento visado electrónicamente con número: VA07290/22
Código de validación telemática TRLTDCFZ60T66IJ1. Comprobación: https://cogitivalencia.e-gestion.es/Validacion.aspx?CVT=TRLTDCFZ60T66IJ1

VISADO
COGITI
VALENCIA
VA07290/22
TRLTDCFZ60T66IJ1

Descripción										
Material		Barra (Ni/Nf)	Pieza (Ni/Nf)	Perfil(Serie)	Longitud (m)	β_{xy}	β_{xz}	Lb sup. (m)	Lb inf. (m)
Tipo	Designación								
		N1822/N1821	N1822/N1821	RHS 220x100x3.0 (RHS)	7.300	0.00	0.90	-	5.840
		N1823/N1822	N1823/N1822	RHS 220x100x3.0 (RHS)	7.300	0.00	0.90	-	5.840
		N1824/N1823	N1824/N1823	RHS 220x100x4.0 (RHS)	7.300	0.00	0.90	-	5.840
		N1826/N1825	N1826/N1825	RHS 220x100x3.0 (RHS)	7.300	0.00	0.90	-	5.840
		N1825/N1827	N1825/N1827	RHS 220x100x4.0 (RHS)	7.300	0.00	0.90	-	5.840
		N1828/N1826	N1828/N1826	RHS 220x100x3.0 (RHS)	7.300	0.00	0.90	-	5.840
		N1829/N1828	N1829/N1828	RHS 220x100x3.0 (RHS)	7.300	0.00	0.90	-	5.840
		N1830/N1829	N1830/N1829	RHS 220x100x3.0 (RHS)	7.300	0.00	0.90	-	5.840
		N1831/N1830	N1831/N1830	RHS 220x100x3.0 (RHS)	7.300	0.00	0.90	-	5.840
		N1832/N1831	N1832/N1831	RHS 220x100x3.0 (RHS)	7.300	0.00	0.90	-	5.840
		N1833/N1832	N1833/N1832	RHS 220x100x3.0 (RHS)	7.300	0.00	0.90	-	5.840
		N1834/N1833	N1834/N1833	RHS 220x100x4.0 (RHS)	7.300	0.00	0.90	-	5.840
		N1836/N1835	N1836/N1835	RHS 220x100x3.0 (RHS)	7.300	0.00	0.90	-	5.840
		N1835/N1837	N1835/N1837	RHS 220x100x4.0 (RHS)	7.300	0.00	0.90	-	5.840
		N1838/N1836	N1838/N1836	RHS 220x100x3.0 (RHS)	7.300	0.00	0.90	-	5.840
		N1839/N1838	N1839/N1838	RHS 220x100x3.0 (RHS)	7.300	0.00	0.90	-	5.840
		N1840/N1839	N1840/N1839	RHS 220x100x3.0 (RHS)	7.300	0.00	0.90	-	5.840

Documento visado electrónicamente con número: VA07290/22
Código de validación telemática TRLTDCFZ60T66IJ1. Comprobación: https://cogitivalencia.e-gestion.es/Validacion.aspx?CVT=TRLTDCFZ60T66IJ1

VISADO
COGITI
VALENCIA
VA07290/22
TRLTDCFZ60T66IJ1

Listados

Descripción										
Material		Barra (Ni/Nf)	Pieza (Ni/Nf)	Perfil(Serie)	Longitud (m)	β_{xy}	β_{xz}	Lb_{Sup} (m)	Lb_{Inf} (m)
Tipo	Designación								
		N1841/N1840	N1841/N1840	RHS 220x100x3.0 (RHS)	7.300	0.00	0.90	-	5.840
		N1842/N1841	N1842/N1841	RHS 220x100x3.0 (RHS)	7.300	0.00	0.90	-	5.840
		N1843/N1842	N1843/N1842	RHS 220x100x3.0 (RHS)	7.300	0.00	0.90	-	5.840
		N1844/N1843	N1844/N1843	RHS 220x100x4.0 (RHS)	7.300	0.00	0.90	-	5.840
		N1846/N1845	N1846/N1845	RHS 220x100x3.0 (RHS)	7.300	0.00	0.90	-	5.840
		N1845/N1847	N1845/N1847	RHS 220x100x4.0 (RHS)	7.300	0.00	0.90	-	5.840
		N1848/N1846	N1848/N1846	RHS 220x100x3.0 (RHS)	7.300	0.00	0.90	-	5.840
		N1849/N1848	N1849/N1848	RHS 220x100x3.0 (RHS)	7.300	0.00	0.90	-	5.840
		N1850/N1849	N1850/N1849	RHS 220x100x3.0 (RHS)	7.300	0.00	0.90	-	5.840
		N1851/N1850	N1851/N1850	RHS 220x100x3.0 (RHS)	7.300	0.00	0.90	-	5.840
		N1852/N1851	N1852/N1851	RHS 220x100x3.0 (RHS)	7.300	0.00	0.90	-	5.840
		N1853/N1852	N1853/N1852	RHS 220x100x3.0 (RHS)	7.300	0.00	0.90	-	5.840
		N1854/N1853	N1854/N1853	RHS 220x100x4.0 (RHS)	7.300	0.00	0.90	-	5.840
		N1856/N1855	N1856/N1855	RHS 220x100x3.0 (RHS)	7.300	0.00	0.90	-	5.840
		N1855/N1857	N1855/N1857	RHS 220x100x4.0 (RHS)	7.300	0.00	0.90	-	5.840
		N1858/N1856	N1858/N1856	RHS 220x100x3.0 (RHS)	7.300	0.00	0.90	-	5.840
		N1859/N1858	N1859/N1858	RHS 220x100x3.0 (RHS)	7.300	0.00	0.90	-	5.840

Documento visado electrónicamente con número: VA07290/22
Código de validación telemática TRLTDCFZ60T66IJ1. Comprobación: https://cogitivalencia.e-gestion.es/Validacion.aspx?CVT=TRLTDCFZ60T66IJ1

VISADO
COGITI
VALENCIA
VA07290/22
TRLTDCFZ60T66IJ1

Descripción									
Material		Barra (Ni/Nf)	Pieza (Ni/Nf)	Perfil(Serie)	Longitud (m)	β_{xy}	β_{xz}	Lb sup. (m)	Lb inf. (m)
Tipo	Designación								
		N1860/N1859	N1860/N1859	RHS 220x100x3.0 (RHS)	7.300	0.00	0.90	-	5.840
		N1861/N1860	N1861/N1860	RHS 220x100x3.0 (RHS)	7.300	0.00	0.90	-	5.840
		N1862/N1861	N1862/N1861	RHS 220x100x3.0 (RHS)	7.300	0.00	0.90	-	5.840
		N1863/N1862	N1863/N1862	RHS 220x100x3.0 (RHS)	7.300	0.00	0.90	-	5.840
		N1864/N1863	N1864/N1863	RHS 220x100x4.0 (RHS)	7.300	0.00	0.90	-	5.840
		N1866/N1865	N1866/N1865	RHS 220x100x3.0 (RHS)	7.300	0.00	0.90	-	5.840
		N1865/N1867	N1865/N1867	RHS 220x100x4.0 (RHS)	7.300	0.00	0.90	-	5.840
		N1868/N1866	N1868/N1866	RHS 220x100x3.0 (RHS)	7.300	0.00	0.90	-	5.840
		N1869/N1868	N1869/N1868	RHS 220x100x3.0 (RHS)	7.300	0.00	0.90	-	5.840
		N1870/N1869	N1870/N1869	RHS 220x100x3.0 (RHS)	7.300	0.00	0.90	-	5.840
		N1871/N1870	N1871/N1870	RHS 220x100x3.0 (RHS)	7.300	0.00	0.90	-	5.840
		N1872/N1871	N1872/N1871	RHS 220x100x3.0 (RHS)	7.300	0.00	0.90	-	5.840
		N1873/N1872	N1873/N1872	RHS 220x100x3.0 (RHS)	7.300	0.00	0.90	-	5.840
		N1874/N1873	N1874/N1873	RHS 220x100x4.0 (RHS)	7.300	0.00	0.90	-	5.840
		N1876/N1875	N1876/N1875	RHS 220x100x3.0 (RHS)	7.300	0.00	0.90	-	5.840
		N1875/N1877	N1875/N1877	RHS 220x100x4.0 (RHS)	7.300	0.00	0.90	-	5.840
		N1878/N1876	N1878/N1876	RHS 220x100x3.0 (RHS)	7.300	0.00	0.90	-	5.840

Documento visado electrónicamente con número: VA07290/22
Código de validación telemática TRLTDCFZ60T66IJ1. Comprobación: https://cogitivalencia.e-gestion.es/Validacion.aspx?CVT=TRLTDCFZ60T66IJ1

VISADO
COGITI
VALENCIA
VA07290/22
TRLTDCFZ60T66IJ1

Listados

Descripción									
Material		Barra (Ni/Nf)	Pieza (Ni/Nf)	Perfil(Serie)	Longitud (m)	β_{xy}	β_{xz}	Lb_{Sup} (m)	Lb_{Inf} (m)
Tipo	Designación								
		N1879/N1878	N1879/N1878	RHS 220x100x3.0 (RHS)	7.300	0.00	0.90	-	5.840
		N1880/N1879	N1880/N1879	RHS 220x100x3.0 (RHS)	7.300	0.00	0.90	-	5.840
		N1881/N1880	N1881/N1880	RHS 220x100x3.0 (RHS)	7.300	0.00	0.90	-	5.840
		N1882/N1881	N1882/N1881	RHS 220x100x3.0 (RHS)	7.300	0.00	0.90	-	5.840
		N1883/N1882	N1883/N1882	RHS 220x100x3.0 (RHS)	7.300	0.00	0.90	-	5.840
		N1884/N1883	N1884/N1883	RHS 220x100x4.0 (RHS)	7.300	0.00	0.90	-	5.840
		N1886/N1885	N1886/N1885	RHS 220x100x3.0 (RHS)	7.300	0.00	0.90	-	5.840
		N1885/N1887	N1885/N1887	RHS 220x100x4.0 (RHS)	7.300	0.00	0.90	-	5.840
		N1888/N1886	N1888/N1886	RHS 220x100x3.0 (RHS)	7.300	0.00	0.90	-	5.840
		N1889/N1888	N1889/N1888	RHS 220x100x3.0 (RHS)	7.300	0.00	0.90	-	5.840
		N1890/N1889	N1890/N1889	RHS 220x100x3.0 (RHS)	7.300	0.00	0.90	-	5.840
		N1891/N1890	N1891/N1890	RHS 220x100x3.0 (RHS)	7.300	0.00	0.90	-	5.840
		N1892/N1891	N1892/N1891	RHS 220x100x3.0 (RHS)	7.300	0.00	0.90	-	5.840
		N1893/N1892	N1893/N1892	RHS 220x100x3.0 (RHS)	7.300	0.00	0.90	-	5.840
		N1894/N1893	N1894/N1893	RHS 220x100x4.0 (RHS)	7.300	0.00	0.90	-	5.840
		N1896/N1895	N1896/N1895	RHS 220x100x3.0 (RHS)	7.300	0.00	0.90	-	5.840
		N1895/N1897	N1895/N1897	RHS 220x100x4.0 (RHS)	7.300	0.00	0.90	-	5.840

Documento visado electrónicamente con número: VA07290/22
Código de validación telemática TRLTDCFZ60T66IJ1. Comprobación: https://cogitivalencia.e-gestion.es/Validacion.aspx?CVT=TRLTDCFZ60T66IJ1

VISADO
COGITI
VALENCIA
VA07290/22
TRLTDCFZ60T66IJ1

Descripción									
Material		Barra (Ni/Nf)	Pieza (Ni/Nf)	Perfil(Serie)	Longitud (m)	β_{xy}	β_{xz}	Lb sup. (m)	Lb inf. (m)
Tipo	Designación								
		N1898/N1896	N1898/N1896	RHS 220x100x3.0 (RHS)	7.300	0.00	0.90	-	5.840
		N1899/N1898	N1899/N1898	RHS 220x100x3.0 (RHS)	7.300	0.00	0.90	-	5.840
		N1900/N1899	N1900/N1899	RHS 220x100x3.0 (RHS)	7.300	0.00	0.90	-	5.840
		N1901/N1900	N1901/N1900	RHS 220x100x3.0 (RHS)	7.300	0.00	0.90	-	5.840
		N1902/N1901	N1902/N1901	RHS 220x100x3.0 (RHS)	7.300	0.00	0.90	-	5.840
		N1903/N1902	N1903/N1902	RHS 220x100x3.0 (RHS)	7.300	0.00	0.90	-	5.840
		N1904/N1903	N1904/N1903	RHS 220x100x4.0 (RHS)	7.300	0.00	0.90	-	5.840
		N1906/N1905	N1906/N1905	RHS 220x100x3.0 (RHS)	7.300	0.00	0.90	-	5.840
		N1905/N1907	N1905/N1907	RHS 220x100x4.0 (RHS)	7.300	0.00	0.90	-	5.840
		N1908/N1906	N1908/N1906	RHS 220x100x3.0 (RHS)	7.300	0.00	0.90	-	5.840
		N1909/N1908	N1909/N1908	RHS 220x100x3.0 (RHS)	7.300	0.00	0.90	-	5.840
		N1910/N1909	N1910/N1909	RHS 220x100x3.0 (RHS)	7.300	0.00	0.90	-	5.840
		N1911/N1910	N1911/N1910	RHS 220x100x3.0 (RHS)	7.300	0.00	0.90	-	5.840
		N1912/N1911	N1912/N1911	RHS 220x100x3.0 (RHS)	7.300	0.00	0.90	-	5.840
		N1913/N1912	N1913/N1912	RHS 220x100x3.0 (RHS)	7.300	0.00	0.90	-	5.840
		N1914/N1913	N1914/N1913	RHS 220x100x4.0 (RHS)	7.300	0.00	0.90	-	5.840
		N1916/N1915	N1916/N1915	RHS 220x100x3.0 (RHS)	7.300	0.00	0.90	-	5.840

Documento visado electrónicamente con número: VA07290/22
Código de validación telemática TRLTDCFZ60T66IJ1. Comprobación: https://cogitivalencia.e-gestion.es/Validacion.aspx?CVT=TRLTDCFZ60T66IJ1

Listados

VISADO
COGITI
VALENCIA
VA07290/22
TRLTDCFZ60T66IJ1

Descripción									
Material		Barra (Ni/Nf)	Pieza (Ni/Nf)	Perfil(Serie)	Longitud (m)	β_{xy}	β_{xz}	Lb_{Sup} (m)	Lb_{Inf} (m)
Tipo	Designación								
		N1915/N1917	N1915/N1917	RHS 220x100x4.0 (RHS)	7.300	0.00	0.90	-	5.840
		N1918/N1916	N1918/N1916	RHS 220x100x3.0 (RHS)	7.300	0.00	0.90	-	5.840
		N1919/N1918	N1919/N1918	RHS 220x100x3.0 (RHS)	7.300	0.00	0.90	-	5.840
		N1920/N1919	N1920/N1919	RHS 220x100x3.0 (RHS)	7.300	0.00	0.90	-	5.840
		N1921/N1920	N1921/N1920	RHS 220x100x3.0 (RHS)	7.300	0.00	0.90	-	5.840
		N1922/N1921	N1922/N1921	RHS 220x100x3.0 (RHS)	7.300	0.00	0.90	-	5.840
		N1923/N1922	N1923/N1922	RHS 220x100x3.0 (RHS)	7.300	0.00	0.90	-	5.840
		N1924/N1923	N1924/N1923	RHS 220x100x4.0 (RHS)	7.300	0.00	0.90	-	5.840
		N1926/N1925	N1926/N1925	RHS 220x100x4.0 (RHS)	7.300	0.00	0.90	-	5.840
		N1928/N1927	N1928/N1927	RHS 220x100x4.0 (RHS)	7.300	0.00	0.90	-	5.840
		N1930/N1929	N1930/N1929	RHS 220x100x4.0 (RHS)	7.300	0.00	0.90	-	5.840
		N1932/N1931	N1932/N1931	RHS 220x100x4.0 (RHS)	7.300	0.00	0.90	-	5.840
		N1934/N1933	N1934/N1933	RHS 220x100x4.0 (RHS)	7.300	0.00	0.90	-	5.840
		N1936/N1935	N1936/N1935	RHS 220x100x4.0 (RHS)	7.300	0.00	0.90	-	5.840
		N1938/N1937	N1938/N1937	RHS 220x100x4.0 (RHS)	7.300	0.00	0.90	-	5.840
		N1940/N1939	N1940/N1939	RHS 220x100x4.0 (RHS)	7.300	0.00	0.90	-	5.840
		N1942/N1941	N1942/N1941	RHS 220x100x4.0 (RHS)	7.300	0.00	0.90	-	5.840

Documento visado electrónicamente con número: VA07290/22
Código de validación telemática TRLTDCFZ60T66IJ1. Comprobación: https://cogitivalencia.e-gestion.es/Validacion.aspx?CVT=TRLTDCFZ60T66IJ1

VISADO
COGITI
VALENCIA
VA07290/22
TRLTDCFZ60T66IJ1

Descripción										
Material		Barra (Ni/Nf)	Pieza (Ni/Nf)	Perfil(Serie)	Longitud (m)	β_{xy}	β_{xz}	Lb sup. (m)	Lb inf. (m)
Tipo	Designación								
		N1944/N1943	N1944/N1943	RHS 220x100x4.0 (RHS)	7.300	0.00	0.90	-	5.840
		N1946/N1945	N1946/N1945	RHS 220x100x4.0 (RHS)	7.300	0.00	0.90	-	5.840
		N1948/N1947	N1948/N1947	RHS 220x100x4.0 (RHS)	7.300	0.00	0.90	-	5.840
		N1950/N1949	N1950/N1949	RHS 220x100x4.0 (RHS)	7.300	0.00	0.90	-	5.840
		N1952/N1951	N1952/N1951	RHS 220x100x4.0 (RHS)	7.300	0.00	0.90	-	5.840
		N1954/N1953	N1954/N1953	RHS 220x100x4.0 (RHS)	7.300	0.00	0.90	-	5.840
		N1956/N1955	N1956/N1955	RHS 220x100x4.0 (RHS)	7.300	0.00	0.90	-	5.840
		N1958/N1957	N1958/N1957	RHS 220x100x4.0 (RHS)	7.300	0.00	0.90	-	5.840
		N1960/N1959	N1960/N1959	RHS 220x100x4.0 (RHS)	7.300	0.00	0.90	-	5.840
		N1962/N1961	N1962/N1961	RHS 220x100x4.0 (RHS)	7.300	0.00	0.90	-	5.840
		N1964/N1963	N1964/N1963	RHS 220x100x4.0 (RHS)	7.300	0.00	0.90	-	5.840
		N1966/N1965	N1966/N1965	RHS 220x100x4.0 (RHS)	7.300	0.00	0.90	-	5.840
		N1968/N1967	N1968/N1967	RHS 220x100x4.0 (RHS)	7.300	0.00	0.90	-	5.840
		N1970/N1969	N1970/N1969	RHS 220x100x4.0 (RHS)	7.300	0.00	0.90	-	5.840
		N1972/N1971	N1972/N1971	RHS 220x100x4.0 (RHS)	7.300	0.00	0.90	-	5.840
		N1974/N1973	N1974/N1973	RHS 220x100x4.0 (RHS)	7.300	0.00	0.90	-	5.840
		N1975/N1926	N1975/N1926	RHS 220x100x3.0 (RHS)	7.300	0.00	0.90	-	5.840

Documento visado electrónicamente con número: VA07290/22
Código de validación telemática TRLTDCFZ60T66IJ1. Comprobación: https://cogitivalencia.e-gestion.es/Validacion.aspx?CVT=TRLTDCFZ60T66IJ1

VISADO
COGITI
VALENCIA
VA07290/22
TRLTDCFZ60T66IJ1

Listados

Descripción									
Material		Barra (Ni/Nf)	Pieza (Ni/Nf)	Perfil(Serie)	Longitud (m)	β_{xy}	β_{xz}	Lb_{Sup} (m)	Lb_{Inf} (m)
Tipo	Designación								
		N1976/N1928	N1976/N1928	RHS 220x100x3.0 (RHS)	7.300	0.00	0.90	-	5.840
		N1977/N1930	N1977/N1930	RHS 220x100x3.0 (RHS)	7.300	0.00	0.90	-	5.840
		N1978/N1932	N1978/N1932	RHS 220x100x3.0 (RHS)	7.300	0.00	0.90	-	5.840
		N1979/N1934	N1979/N1934	RHS 220x100x3.0 (RHS)	7.300	0.00	0.90	-	5.840
		N1980/N1936	N1980/N1936	RHS 220x100x3.0 (RHS)	7.300	0.00	0.90	-	5.840
		N1981/N1938	N1981/N1938	RHS 220x100x3.0 (RHS)	7.300	0.00	0.90	-	5.840
		N1982/N1940	N1982/N1940	RHS 220x100x3.0 (RHS)	7.300	0.00	0.90	-	5.840
		N1983/N1942	N1983/N1942	RHS 220x100x3.0 (RHS)	7.300	0.00	0.90	-	5.840
		N1984/N1944	N1984/N1944	RHS 220x100x3.0 (RHS)	7.300	0.00	0.90	-	5.840
		N1985/N1946	N1985/N1946	RHS 220x100x3.0 (RHS)	7.300	0.00	0.90	-	5.840
		N1986/N1948	N1986/N1948	RHS 220x100x3.0 (RHS)	7.300	0.00	0.90	-	5.840
		N1987/N1950	N1987/N1950	RHS 220x100x3.0 (RHS)	7.300	0.00	0.90	-	5.840
		N1988/N1952	N1988/N1952	RHS 220x100x3.0 (RHS)	7.300	0.00	0.90	-	5.840
		N1989/N1954	N1989/N1954	RHS 220x100x3.0 (RHS)	7.300	0.00	0.90	-	5.840
		N1990/N1956	N1990/N1956	RHS 220x100x3.0 (RHS)	7.300	0.00	0.90	-	5.840
		N1991/N1958	N1991/N1958	RHS 220x100x3.0 (RHS)	7.300	0.00	0.90	-	5.840
		N1992/N1960	N1992/N1960	RHS 220x100x3.0 (RHS)	7.300	0.00	0.90	-	5.840

Documento visado electrónicamente con número: VA07290/22
Código de validación telemática TRLTDCFZ60T66IJ1. Comprobación: https://cogitivalencia.e-gestion.es/Validacion.aspx?CVT=TRLTDCFZ60T66IJ1

VISADO
COGITI
VALENCIA
VA07290/22
TRLTDCFZ60T66IJ1

Descripción									
Material		Barra (Ni/Nf)	Pieza (Ni/Nf)	Perfil(Serie)	Longitud (m)	β_{xy}	β_{xz}	Lb sup. (m)	Lb inf. (m)
Tipo	Designación								
		N1993/N1962	N1993/N1962	RHS 220x100x3.0 (RHS)	7.300	0.00	0.90	-	5.840
		N1994/N1964	N1994/N1964	RHS 220x100x3.0 (RHS)	7.300	0.00	0.90	-	5.840
		N1995/N1966	N1995/N1966	RHS 220x100x3.0 (RHS)	7.300	0.00	0.90	-	5.840
		N1996/N1968	N1996/N1968	RHS 220x100x3.0 (RHS)	7.300	0.00	0.90	-	5.840
		N1997/N1970	N1997/N1970	RHS 220x100x3.0 (RHS)	7.300	0.00	0.90	-	5.840
		N1998/N1972	N1998/N1972	RHS 220x100x3.0 (RHS)	7.300	0.00	0.90	-	5.840
		N1999/N1974	N1999/N1974	RHS 220x100x3.0 (RHS)	7.300	0.00	0.90	-	5.840
		N2000/N1975	N2000/N1975	RHS 220x100x3.0 (RHS)	7.300	0.00	0.90	-	5.840
		N2001/N1976	N2001/N1976	RHS 220x100x3.0 (RHS)	7.300	0.00	0.90	-	5.840
		N2002/N1977	N2002/N1977	RHS 220x100x3.0 (RHS)	7.300	0.00	0.90	-	5.840
		N2003/N1978	N2003/N1978	RHS 220x100x3.0 (RHS)	7.300	0.00	0.90	-	5.840
		N2004/N1979	N2004/N1979	RHS 220x100x3.0 (RHS)	7.300	0.00	0.90	-	5.840
		N2005/N1980	N2005/N1980	RHS 220x100x3.0 (RHS)	7.300	0.00	0.90	-	5.840
		N2006/N1981	N2006/N1981	RHS 220x100x3.0 (RHS)	7.300	0.00	0.90	-	5.840
		N2007/N1982	N2007/N1982	RHS 220x100x3.0 (RHS)	7.300	0.00	0.90	-	5.840
		N2008/N1983	N2008/N1983	RHS 220x100x3.0 (RHS)	7.300	0.00	0.90	-	5.840
		N2009/N1984	N2009/N1984	RHS 220x100x3.0 (RHS)	7.300	0.00	0.90	-	5.840

Documento visado electrónicamente con número: VA07290/22
Código de validación telemática TRLTDCFZ60T66IJ1. Comprobación: https://cogitivalencia.e-gestion.es/Validacion.aspx?CVT=TRLTDCFZ60T66IJ1

VISADO
COGITI
VALENCIA
VA07290/22
TRLTDCFZ60T66IJ1

Listados

Descripción									
Material		Barra (Ni/Nf)	Pieza (Ni/Nf)	Perfil(Serie)	Longitud (m)	β_{xy}	β_{xz}	Lb_{Sup} (m)	Lb_{Inf} (m)
Tipo	Designación								
		N2010/N1985	N2010/N1985	RHS 220x100x3.0 (RHS)	7.300	0.00	0.90	-	5.840
		N2011/N1986	N2011/N1986	RHS 220x100x3.0 (RHS)	7.300	0.00	0.90	-	5.840
		N2012/N1987	N2012/N1987	RHS 220x100x3.0 (RHS)	7.300	0.00	0.90	-	5.840
		N2013/N1988	N2013/N1988	RHS 220x100x3.0 (RHS)	7.300	0.00	0.90	-	5.840
		N2014/N1989	N2014/N1989	RHS 220x100x3.0 (RHS)	7.300	0.00	0.90	-	5.840
		N2015/N1990	N2015/N1990	RHS 220x100x3.0 (RHS)	7.300	0.00	0.90	-	5.840
		N2016/N1991	N2016/N1991	RHS 220x100x3.0 (RHS)	7.300	0.00	0.90	-	5.840
		N2017/N1992	N2017/N1992	RHS 220x100x3.0 (RHS)	7.300	0.00	0.90	-	5.840
		N2018/N1993	N2018/N1993	RHS 220x100x3.0 (RHS)	7.300	0.00	0.90	-	5.840
		N2019/N1994	N2019/N1994	RHS 220x100x3.0 (RHS)	7.300	0.00	0.90	-	5.840
		N2020/N1995	N2020/N1995	RHS 220x100x3.0 (RHS)	7.300	0.00	0.90	-	5.840
		N2021/N1996	N2021/N1996	RHS 220x100x3.0 (RHS)	7.300	0.00	0.90	-	5.840
		N2022/N1997	N2022/N1997	RHS 220x100x3.0 (RHS)	7.300	0.00	0.90	-	5.840
		N2023/N1998	N2023/N1998	RHS 220x100x3.0 (RHS)	7.300	0.00	0.90	-	5.840
		N2024/N1999	N2024/N1999	RHS 220x100x3.0 (RHS)	7.300	0.00	0.90	-	5.840
		N2025/N2000	N2025/N2000	RHS 220x100x3.0 (RHS)	7.300	0.00	0.90	-	5.840
		N2026/N2001	N2026/N2001	RHS 220x100x3.0 (RHS)	7.300	0.00	0.90	-	5.840

Documento visado electrónicamente con número: VA07290/22
Código de validación telemática TRLTDCFZ60T66IJ1. Comprobación: https://cogitivalencia.e-gestion.es/Validacion.aspx?CVT=TRLTDCFZ60T66IJ1

VISADO
COGITI
VALENCIA
VA07290/22
TRLTDCFZ60T66IJ1

Descripción										
Material		Barra (Ni/Nf)	Pieza (Ni/Nf)	Perfil(Serie)	Longitud (m)	β_{xy}	β_{xz}	Lb sup. (m)	Lb inf. (m)	
Tipo	Designación									
		N2027/N2002	N2027/N2002	RHS 220x100x3.0 (RHS)	7.300	0.00	0.90	-	5.840	
		N2028/N2003	N2028/N2003	RHS 220x100x3.0 (RHS)	7.300	0.00	0.90	-	5.840	
		N2029/N2004	N2029/N2004	RHS 220x100x3.0 (RHS)	7.300	0.00	0.90	-	5.840	
		N2030/N2005	N2030/N2005	RHS 220x100x3.0 (RHS)	7.300	0.00	0.90	-	5.840	
		N2031/N2006	N2031/N2006	RHS 220x100x3.0 (RHS)	7.300	0.00	0.90	-	5.840	
		N2032/N2007	N2032/N2007	RHS 220x100x3.0 (RHS)	7.300	0.00	0.90	-	5.840	
		N2033/N2008	N2033/N2008	RHS 220x100x3.0 (RHS)	7.300	0.00	0.90	-	5.840	
		N2034/N2009	N2034/N2009	RHS 220x100x3.0 (RHS)	7.300	0.00	0.90	-	5.840	
		N2035/N2010	N2035/N2010	RHS 220x100x3.0 (RHS)	7.300	0.00	0.90	-	5.840	
		N2036/N2011	N2036/N2011	RHS 220x100x3.0 (RHS)	7.300	0.00	0.90	-	5.840	
		N2037/N2012	N2037/N2012	RHS 220x100x3.0 (RHS)	7.300	0.00	0.90	-	5.840	
		N2038/N2013	N2038/N2013	RHS 220x100x3.0 (RHS)	7.300	0.00	0.90	-	5.840	
		N2039/N2014	N2039/N2014	RHS 220x100x3.0 (RHS)	7.300	0.00	0.90	-	5.840	
		N2040/N2015	N2040/N2015	RHS 220x100x3.0 (RHS)	7.300	0.00	0.90	-	5.840	
		N2041/N2016	N2041/N2016	RHS 220x100x3.0 (RHS)	7.300	0.00	0.90	-	5.840	
		N2042/N2017	N2042/N2017	RHS 220x100x3.0 (RHS)	7.300	0.00	0.90	-	5.840	
		N2043/N2018	N2043/N2018	RHS 220x100x3.0 (RHS)	7.300	0.00	0.90	-	5.840	

Documento visado electrónicamente con número: VA07290/22
Código de validación telemática TRLTDCFZ60T66IJ1. Comprobación: https://cogitivalencia.e-gestion.es/Validacion.aspx?CVT=TRLTDCFZ60T66IJ1

VISADO
COGITI
VALENCIA
VA07290/22
TRLTDCFZ60T66IJ1

Descripción									
Material		Barra (Ni/Nf)	Pieza (Ni/Nf)	Perfil(Serie)	Longitud (m)	β_{xy}	β_{xz}	Lb_{Sup} (m)	Lb_{Inf} (m)
Tipo	Designación								
		N2044/N2019	N2044/N2019	RHS 220x100x3.0 (RHS)	7.300	0.00	0.90	-	5.840
		N2045/N2020	N2045/N2020	RHS 220x100x3.0 (RHS)	7.300	0.00	0.90	-	5.840
		N2046/N2021	N2046/N2021	RHS 220x100x3.0 (RHS)	7.300	0.00	0.90	-	5.840
		N2047/N2022	N2047/N2022	RHS 220x100x3.0 (RHS)	7.300	0.00	0.90	-	5.840
		N2048/N2023	N2048/N2023	RHS 220x100x3.0 (RHS)	7.300	0.00	0.90	-	5.840
		N2049/N2024	N2049/N2024	RHS 220x100x3.0 (RHS)	7.300	0.00	0.90	-	5.840
		N2050/N2025	N2050/N2025	RHS 220x100x3.0 (RHS)	7.300	0.00	0.90	-	5.840
		N2051/N2026	N2051/N2026	RHS 220x100x3.0 (RHS)	7.300	0.00	0.90	-	5.840
		N2052/N2027	N2052/N2027	RHS 220x100x3.0 (RHS)	7.300	0.00	0.90	-	5.840
		N2053/N2028	N2053/N2028	RHS 220x100x3.0 (RHS)	7.300	0.00	0.90	-	5.840
		N2054/N2029	N2054/N2029	RHS 220x100x3.0 (RHS)	7.300	0.00	0.90	-	5.840
		N2055/N2030	N2055/N2030	RHS 220x100x3.0 (RHS)	7.300	0.00	0.90	-	5.840
		N2056/N2031	N2056/N2031	RHS 220x100x3.0 (RHS)	7.300	0.00	0.90	-	5.840
		N2057/N2032	N2057/N2032	RHS 220x100x3.0 (RHS)	7.300	0.00	0.90	-	5.840
		N2058/N2033	N2058/N2033	RHS 220x100x3.0 (RHS)	7.300	0.00	0.90	-	5.840
		N2059/N2034	N2059/N2034	RHS 220x100x3.0 (RHS)	7.300	0.00	0.90	-	5.840
		N2060/N2035	N2060/N2035	RHS 220x100x3.0 (RHS)	7.300	0.00	0.90	-	5.840

Documento visado electrónicamente con número: VA07290/22
Código de validación telemática TRLTDCFZ60T66IJ1. Comprobación: https://cogitivalencia.e-gestion.es/Validacion.aspx?CVT=TRLTDCFZ60T66IJ1

VISADO
COGITI
VALENCIA
VA07290/22
TRLTDCFZ60T66IJ1

Descripción									
Material		Barra (Ni/Nf)	Pieza (Ni/Nf)	Perfil(Serie)	Longitud (m)	β_{xy}	β_{xz}	Lb sup. (m)	Lb inf. (m)
Tipo	Designación								
		N2061/N2036	N2061/N2036	RHS 220x100x3.0 (RHS)	7.300	0.00	0.90	-	5.840
		N2062/N2037	N2062/N2037	RHS 220x100x3.0 (RHS)	7.300	0.00	0.90	-	5.840
		N2063/N2038	N2063/N2038	RHS 220x100x3.0 (RHS)	7.300	0.00	0.90	-	5.840
		N2064/N2039	N2064/N2039	RHS 220x100x3.0 (RHS)	7.300	0.00	0.90	-	5.840
		N2065/N2040	N2065/N2040	RHS 220x100x3.0 (RHS)	7.300	0.00	0.90	-	5.840
		N2066/N2041	N2066/N2041	RHS 220x100x3.0 (RHS)	7.300	0.00	0.90	-	5.840
		N2067/N2042	N2067/N2042	RHS 220x100x3.0 (RHS)	7.300	0.00	0.90	-	5.840
		N2068/N2043	N2068/N2043	RHS 220x100x3.0 (RHS)	7.300	0.00	0.90	-	5.840
		N2069/N2044	N2069/N2044	RHS 220x100x3.0 (RHS)	7.300	0.00	0.90	-	5.840
		N2070/N2045	N2070/N2045	RHS 220x100x3.0 (RHS)	7.300	0.00	0.90	-	5.840
		N2071/N2046	N2071/N2046	RHS 220x100x3.0 (RHS)	7.300	0.00	0.90	-	5.840
		N2072/N2047	N2072/N2047	RHS 220x100x3.0 (RHS)	7.300	0.00	0.90	-	5.840
		N2073/N2048	N2073/N2048	RHS 220x100x3.0 (RHS)	7.300	0.00	0.90	-	5.840
		N2074/N2049	N2074/N2049	RHS 220x100x3.0 (RHS)	7.300	0.00	0.90	-	5.840
		N2075/N2050	N2075/N2050	RHS 220x100x3.0 (RHS)	7.300	0.00	0.90	-	5.840
		N2076/N2051	N2076/N2051	RHS 220x100x3.0 (RHS)	7.300	0.00	0.90	-	5.840
		N2077/N2052	N2077/N2052	RHS 220x100x3.0 (RHS)	7.300	0.00	0.90	-	5.840

Documento visado electrónicamente con número: VA07290/22
Código de validación telemática TRLTDCFZ60T66IJ1. Comprobación: https://cogitivalencia.e-gestion.es/Validacion.aspx?CVT=TRLTDCFZ60T66IJ1

VISADO
COGITI
VALENCIA
VA07290/22
TRLTDCFZ60T66IJ1

Descripción									
Material		Barra (Ni/Nf)	Pieza (Ni/Nf)	Perfil(Serie)	Longitud (m)	β_{xy}	β_{xz}	Lb_{Sup} (m)	Lb_{Inf} (m)
Tipo	Designación								
		N2078/N2053	N2078/N2053	RHS 220x100x3.0 (RHS)	7.300	0.00	0.90	-	5.840
		N2079/N2054	N2079/N2054	RHS 220x100x3.0 (RHS)	7.300	0.00	0.90	-	5.840
		N2080/N2055	N2080/N2055	RHS 220x100x3.0 (RHS)	7.300	0.00	0.90	-	5.840
		N2081/N2056	N2081/N2056	RHS 220x100x3.0 (RHS)	7.300	0.00	0.90	-	5.840
		N2082/N2057	N2082/N2057	RHS 220x100x3.0 (RHS)	7.300	0.00	0.90	-	5.840
		N2083/N2058	N2083/N2058	RHS 220x100x3.0 (RHS)	7.300	0.00	0.90	-	5.840
		N2084/N2059	N2084/N2059	RHS 220x100x3.0 (RHS)	7.300	0.00	0.90	-	5.840
		N2085/N2060	N2085/N2060	RHS 220x100x3.0 (RHS)	7.300	0.00	0.90	-	5.840
		N2086/N2061	N2086/N2061	RHS 220x100x3.0 (RHS)	7.300	0.00	0.90	-	5.840
		N2087/N2062	N2087/N2062	RHS 220x100x3.0 (RHS)	7.300	0.00	0.90	-	5.840
		N2088/N2063	N2088/N2063	RHS 220x100x3.0 (RHS)	7.300	0.00	0.90	-	5.840
		N2089/N2064	N2089/N2064	RHS 220x100x3.0 (RHS)	7.300	0.00	0.90	-	5.840
		N2090/N2065	N2090/N2065	RHS 220x100x3.0 (RHS)	7.300	0.00	0.90	-	5.840
		N2091/N2066	N2091/N2066	RHS 220x100x3.0 (RHS)	7.300	0.00	0.90	-	5.840
		N2092/N2067	N2092/N2067	RHS 220x100x3.0 (RHS)	7.300	0.00	0.90	-	5.840
		N2093/N2068	N2093/N2068	RHS 220x100x3.0 (RHS)	7.300	0.00	0.90	-	5.840
		N2094/N2069	N2094/N2069	RHS 220x100x3.0 (RHS)	7.300	0.00	0.90	-	5.840

Documento visado electrónicamente con número: VA07290/22
Código de validación telemática TRLTDCFZ60T66IJ1. Comprobación: https://cogitivalencia.e-gestion.es/Validacion.aspx?CVT=TRLTDCFZ60T66IJ1

VISADO
COGITI
VALENCIA
VA07290/22
TRLTDCFZ60T66IJ1

Descripción									
Material		Barra (Ni/Nf)	Pieza (Ni/Nf)	Perfil(Serie)	Longitud (m)	β_{xy}	β_{xz}	Lb Sup. (m)	Lb Inf. (m)
Tipo	Designación								
		N2095/N2070	N2095/N2070	RHS 220x100x3.0 (RHS)	7.300	0.00	0.90	-	5.840
		N2096/N2071	N2096/N2071	RHS 220x100x3.0 (RHS)	7.300	0.00	0.90	-	5.840
		N2097/N2072	N2097/N2072	RHS 220x100x3.0 (RHS)	7.300	0.00	0.90	-	5.840
		N2098/N2073	N2098/N2073	RHS 220x100x3.0 (RHS)	7.300	0.00	0.90	-	5.840
		N2099/N2074	N2099/N2074	RHS 220x100x3.0 (RHS)	7.300	0.00	0.90	-	5.840
		N2100/N2075	N2100/N2075	RHS 220x100x3.0 (RHS)	7.300	0.00	0.90	-	5.840
		N2101/N2076	N2101/N2076	RHS 220x100x3.0 (RHS)	7.300	0.00	0.90	-	5.840
		N2102/N2077	N2102/N2077	RHS 220x100x3.0 (RHS)	7.300	0.00	0.90	-	5.840
		N2103/N2078	N2103/N2078	RHS 220x100x3.0 (RHS)	7.300	0.00	0.90	-	5.840
		N2104/N2079	N2104/N2079	RHS 220x100x3.0 (RHS)	7.300	0.00	0.90	-	5.840
		N2105/N2080	N2105/N2080	RHS 220x100x3.0 (RHS)	7.300	0.00	0.90	-	5.840
		N2106/N2081	N2106/N2081	RHS 220x100x3.0 (RHS)	7.300	0.00	0.90	-	5.840
		N2107/N2082	N2107/N2082	RHS 220x100x3.0 (RHS)	7.300	0.00	0.90	-	5.840
		N2108/N2083	N2108/N2083	RHS 220x100x3.0 (RHS)	7.300	0.00	0.90	-	5.840
		N2109/N2084	N2109/N2084	RHS 220x100x3.0 (RHS)	7.300	0.00	0.90	-	5.840
		N2110/N2085	N2110/N2085	RHS 220x100x3.0 (RHS)	7.300	0.00	0.90	-	5.840
		N2111/N2086	N2111/N2086	RHS 220x100x3.0 (RHS)	7.300	0.00	0.90	-	5.840

Documento visado electrónicamente con número: VA07290/22
Código de validación telemática TRLTDCFZ60T66IJ1. Comprobación: https://cogitivalencia.e-gestion.es/Validacion.aspx?CVT=TRLTDCFZ60T66IJ1

VISADO
COGITI
VALENCIA
VA07290/22
TRLTDCFZ60T66IJ1

Listados

Descripción									
Material		Barra (Ni/Nf)	Pieza (Ni/Nf)	Perfil(Serie)	Longitud (m)	β_{xy}	β_{xz}	Lb_{Sup} (m)	Lb_{Inf} (m)
Tipo	Designación								
		N2112/N2087	N2112/N2087	RHS 220x100x3.0 (RHS)	7.300	0.00	0.90	-	5.840
		N2113/N2088	N2113/N2088	RHS 220x100x3.0 (RHS)	7.300	0.00	0.90	-	5.840
		N2114/N2089	N2114/N2089	RHS 220x100x3.0 (RHS)	7.300	0.00	0.90	-	5.840
		N2115/N2090	N2115/N2090	RHS 220x100x3.0 (RHS)	7.300	0.00	0.90	-	5.840
		N2116/N2091	N2116/N2091	RHS 220x100x3.0 (RHS)	7.300	0.00	0.90	-	5.840
		N2117/N2092	N2117/N2092	RHS 220x100x3.0 (RHS)	7.300	0.00	0.90	-	5.840
		N2118/N2093	N2118/N2093	RHS 220x100x3.0 (RHS)	7.300	0.00	0.90	-	5.840
		N2119/N2094	N2119/N2094	RHS 220x100x3.0 (RHS)	7.300	0.00	0.90	-	5.840
		N2120/N2095	N2120/N2095	RHS 220x100x3.0 (RHS)	7.300	0.00	0.90	-	5.840
		N2121/N2096	N2121/N2096	RHS 220x100x3.0 (RHS)	7.300	0.00	0.90	-	5.840
		N2122/N2097	N2122/N2097	RHS 220x100x3.0 (RHS)	7.300	0.00	0.90	-	5.840
		N2123/N2098	N2123/N2098	RHS 220x100x3.0 (RHS)	7.300	0.00	0.90	-	5.840
		N2124/N2099	N2124/N2099	RHS 220x100x3.0 (RHS)	7.300	0.00	0.90	-	5.840
		N2125/N2100	N2125/N2100	RHS 220x100x3.0 (RHS)	7.300	0.00	0.90	-	5.840
		N2126/N2101	N2126/N2101	RHS 220x100x3.0 (RHS)	7.300	0.00	0.90	-	5.840
		N2127/N2102	N2127/N2102	RHS 220x100x3.0 (RHS)	7.300	0.00	0.90	-	5.840
		N2128/N2103	N2128/N2103	RHS 220x100x3.0 (RHS)	7.300	0.00	0.90	-	5.840

Documento visado electrónicamente con número: VA07290/22
Código de validación telemática TRLTDCFZ60T66IJ1. Comprobación: https://cogitivalencia.e-gestion.es/Validacion.aspx?CVT=TRLTDCFZ60T66IJ1

VISADO
COGITI
VALENCIA
VA07290/22
TRLTDCFZ60T66IJ1

Descripción									
Material		Barra (Ni/Nf)	Pieza (Ni/Nf)	Perfil(Serie)	Longitud (m)	β_{xy}	β_{xz}	Lb Sup. (m)	Lb Inf. (m)
Tipo	Designación								
		N2129/N2104	N2129/N2104	RHS 220x100x3.0 (RHS)	7.300	0.00	0.90	-	5.840
		N2130/N2105	N2130/N2105	RHS 220x100x3.0 (RHS)	7.300	0.00	0.90	-	5.840
		N2131/N2106	N2131/N2106	RHS 220x100x3.0 (RHS)	7.300	0.00	0.90	-	5.840
		N2132/N2107	N2132/N2107	RHS 220x100x3.0 (RHS)	7.300	0.00	0.90	-	5.840
		N2133/N2108	N2133/N2108	RHS 220x100x3.0 (RHS)	7.300	0.00	0.90	-	5.840
		N2134/N2109	N2134/N2109	RHS 220x100x3.0 (RHS)	7.300	0.00	0.90	-	5.840
		N2135/N2110	N2135/N2110	RHS 220x100x3.0 (RHS)	7.300	0.00	0.90	-	5.840
		N2136/N2111	N2136/N2111	RHS 220x100x3.0 (RHS)	7.300	0.00	0.90	-	5.840
		N2137/N2112	N2137/N2112	RHS 220x100x3.0 (RHS)	7.300	0.00	0.90	-	5.840
		N2138/N2113	N2138/N2113	RHS 220x100x3.0 (RHS)	7.300	0.00	0.90	-	5.840
		N2139/N2114	N2139/N2114	RHS 220x100x3.0 (RHS)	7.300	0.00	0.90	-	5.840
		N2140/N2115	N2140/N2115	RHS 220x100x3.0 (RHS)	7.300	0.00	0.90	-	5.840
		N2141/N2116	N2141/N2116	RHS 220x100x3.0 (RHS)	7.300	0.00	0.90	-	5.840
		N2142/N2117	N2142/N2117	RHS 220x100x3.0 (RHS)	7.300	0.00	0.90	-	5.840
		N2143/N2118	N2143/N2118	RHS 220x100x3.0 (RHS)	7.300	0.00	0.90	-	5.840
		N2144/N2119	N2144/N2119	RHS 220x100x3.0 (RHS)	7.300	0.00	0.90	-	5.840
		N2145/N2120	N2145/N2120	RHS 220x100x3.0 (RHS)	7.300	0.00	0.90	-	5.840

Documento visado electrónicamente con número: VA07290/22
Código de validación telemática TRLTDCFZ60T66IJ1. Comprobación: https://cogitivalencia.e-gestion.es/Validacion.aspx?CVT=TRLTDCFZ60T66IJ1

VISADO
COGITI
VALENCIA
VA07290/22
TRLTDCFZ60T66IJ1

Descripción									
Material		Barra (Ni/Nf)	Pieza (Ni/Nf)	Perfil(Serie)	Longitud (m)	β_{xy}	β_{xz}	Lb_{Sup} (m)	Lb_{Inf} (m)
Tipo	Designación								
		N2146/N2121	N2146/N2121	RHS 220x100x3.0 (RHS)	7.300	0.00	0.90	-	5.840
		N2147/N2122	N2147/N2122	RHS 220x100x3.0 (RHS)	7.300	0.00	0.90	-	5.840
		N2148/N2123	N2148/N2123	RHS 220x100x3.0 (RHS)	7.300	0.00	0.90	-	5.840
		N2149/N2124	N2149/N2124	RHS 220x100x3.0 (RHS)	7.300	0.00	0.90	-	5.840
		N2150/N2125	N2150/N2125	RHS 220x100x4.0 (RHS)	7.300	0.00	0.90	-	5.840
		N2151/N2126	N2151/N2126	RHS 220x100x4.0 (RHS)	7.300	0.00	0.90	-	5.840
		N2152/N2127	N2152/N2127	RHS 220x100x4.0 (RHS)	7.300	0.00	0.90	-	5.840
		N2153/N2128	N2153/N2128	RHS 220x100x4.0 (RHS)	7.300	0.00	0.90	-	5.840
		N2154/N2129	N2154/N2129	RHS 220x100x4.0 (RHS)	7.300	0.00	0.90	-	5.840
		N2155/N2130	N2155/N2130	RHS 220x100x4.0 (RHS)	7.300	0.00	0.90	-	5.840
		N2156/N2131	N2156/N2131	RHS 220x100x4.0 (RHS)	7.300	0.00	0.90	-	5.840
		N2157/N2132	N2157/N2132	RHS 220x100x4.0 (RHS)	7.300	0.00	0.90	-	5.840
		N2158/N2133	N2158/N2133	RHS 220x100x4.0 (RHS)	7.300	0.00	0.90	-	5.840
		N2159/N2134	N2159/N2134	RHS 220x100x4.0 (RHS)	7.300	0.00	0.90	-	5.840
		N2160/N2135	N2160/N2135	RHS 220x100x4.0 (RHS)	7.300	0.00	0.90	-	5.840
		N2161/N2136	N2161/N2136	RHS 220x100x4.0 (RHS)	7.300	0.00	0.90	-	5.840
		N2162/N2137	N2162/N2137	RHS 220x100x4.0 (RHS)	7.300	0.00	0.90	-	5.840

Documento visado electrónicamente con número: VA07290/22
Código de validación telemática TRLTDCFZ60T66IJ1. Comprobación: https://cogitivalencia.e-gestion.es/Validacion.aspx?CVT=TRLTDCFZ60T66IJ1

VISADO
COGITI
VALENCIA
VA07290/22
TRLTDCFZ60T66IJ1

Descripción									
Material		Barra (Ni/Nf)	Pieza (Ni/Nf)	Perfil(Serie)	Longitud (m)	β_{xy}	β_{xz}	Lb Sup. (m)	Lb Inf. (m)
Tipo	Designación								
		N2163/N2138	N2163/N2138	RHS 220x100x4.0 (RHS)	7.300	0.00	0.90	-	5.840
		N2164/N2139	N2164/N2139	RHS 220x100x4.0 (RHS)	7.300	0.00	0.90	-	5.840
		N2165/N2140	N2165/N2140	RHS 220x100x4.0 (RHS)	7.300	0.00	0.90	-	5.840
		N2166/N2141	N2166/N2141	RHS 220x100x4.0 (RHS)	7.300	0.00	0.90	-	5.840
		N2167/N2142	N2167/N2142	RHS 220x100x4.0 (RHS)	7.300	0.00	0.90	-	5.840
		N2168/N2143	N2168/N2143	RHS 220x100x4.0 (RHS)	7.300	0.00	0.90	-	5.840
		N2169/N2144	N2169/N2144	RHS 220x100x4.0 (RHS)	7.300	0.00	0.90	-	5.840
		N2170/N2145	N2170/N2145	RHS 220x100x4.0 (RHS)	7.300	0.00	0.90	-	5.840
		N2171/N2146	N2171/N2146	RHS 220x100x4.0 (RHS)	7.300	0.00	0.90	-	5.840
		N2172/N2147	N2172/N2147	RHS 220x100x4.0 (RHS)	7.300	0.00	0.90	-	5.840
		N2173/N2148	N2173/N2148	RHS 220x100x4.0 (RHS)	7.300	0.00	0.90	-	5.840
		N2174/N2149	N2174/N2149	RHS 220x100x4.0 (RHS)	7.300	0.00	0.90	-	5.840
		N2176/N2175	N2176/N2175	RHS 220x100x4.0 (RHS)	7.300	0.00	0.90	-	5.840
		N2178/N2177	N2178/N2177	RHS 220x100x4.0 (RHS)	7.300	0.00	0.90	-	5.840
		N2180/N2179	N2180/N2179	RHS 220x100x4.0 (RHS)	7.300	0.00	0.90	-	5.840
		N2182/N2181	N2182/N2181	RHS 220x100x4.0 (RHS)	7.300	0.00	0.90	-	5.840
		N2184/N2183	N2184/N2183	RHS 220x100x4.0 (RHS)	7.300	0.00	0.90	-	5.840

Documento visado electrónicamente con número: VA07290/22
Código de validación telemática TRLTDCFZ60T66IJ1. Comprobación: https://cogitivalencia.e-gestion.es/Validacion.aspx?CVT=TRLTDCFZ60T66IJ1

VISADO
COGITI
VALENCIA
VA07290/22
TRLTDCFZ60T66IJ1

Listados

Descripción									
Material		Barra (Ni/Nf)	Pieza (Ni/Nf)	Perfil(Serie)	Longitud (m)	β_{xy}	β_{xz}	Lb_{Sup} (m)	Lb_{Inf} (m)
Tipo	Designación								
		N2186/N2185	N2186/N2185	RHS 220x100x4.0 (RHS)	7.300	0.00	0.90	-	5.840
		N2188/N2187	N2188/N2187	RHS 220x100x4.0 (RHS)	7.300	0.00	0.90	-	5.840
		N2190/N2189	N2190/N2189	RHS 220x100x4.0 (RHS)	7.300	0.00	0.90	-	5.840
		N2192/N2191	N2192/N2191	RHS 220x100x4.0 (RHS)	7.300	0.00	0.90	-	5.840
		N2194/N2193	N2194/N2193	RHS 220x100x4.0 (RHS)	7.300	0.00	0.90	-	5.840
		N2196/N2195	N2196/N2195	RHS 220x100x4.0 (RHS)	7.300	0.00	0.90	-	5.840
		N2198/N2197	N2198/N2197	RHS 220x100x4.0 (RHS)	7.300	0.00	0.90	-	5.840
		N2200/N2199	N2200/N2199	RHS 220x100x4.0 (RHS)	7.300	0.00	0.90	-	5.840
		N2202/N2201	N2202/N2201	RHS 220x100x4.0 (RHS)	7.300	0.00	0.90	-	5.840
		N2204/N2203	N2204/N2203	RHS 220x100x4.0 (RHS)	7.300	0.00	0.90	-	5.840
		N2206/N2205	N2206/N2205	RHS 220x100x4.0 (RHS)	7.300	0.00	0.90	-	5.840
		N2208/N2207	N2208/N2207	RHS 220x100x4.0 (RHS)	7.300	0.00	0.90	-	5.840
		N2210/N2209	N2210/N2209	RHS 220x100x4.0 (RHS)	7.300	0.00	0.90	-	5.840
		N2212/N2211	N2212/N2211	RHS 220x100x4.0 (RHS)	7.300	0.00	0.90	-	5.840
		N2214/N2213	N2214/N2213	RHS 220x100x4.0 (RHS)	7.300	0.00	0.90	-	5.840
		N2216/N2215	N2216/N2215	RHS 220x100x4.0 (RHS)	7.300	0.00	0.90	-	5.840
		N2218/N2217	N2218/N2217	RHS 220x100x4.0 (RHS)	7.300	0.00	0.90	-	5.840

Documento visado electrónicamente con número: VA07290/22
Código de validación telemática TRLTDCFZ60T66IJ1. Comprobación: https://cogitivalencia.e-gestion.es/Validacion.aspx?CVT=TRLTDCFZ60T66IJ1

VISADO
COGITI
VALENCIA
VA07290/22
TRLTDCFZ60T66IJ1

Descripción									
Material		Barra (Ni/Nf)	Pieza (Ni/Nf)	Perfil(Serie)	Longitud (m)	β_{xy}	β_{xz}	Lb Sup. (m)	Lb Inf. (m)
Tipo	Designación								
		N2220/N2219	N2220/N2219	RHS 220x100x4.0 (RHS)	7.300	0.00	0.90	-	5.840
		N2222/N2221	N2222/N2221	RHS 220x100x4.0 (RHS)	7.300	0.00	0.90	-	5.840
		N2224/N2223	N2224/N2223	RHS 220x100x4.0 (RHS)	7.300	0.00	0.90	-	5.840
		N2225/N2176	N2225/N2176	RHS 220x100x3.0 (RHS)	7.300	0.00	0.90	-	5.840
		N2226/N2178	N2226/N2178	RHS 220x100x3.0 (RHS)	7.300	0.00	0.90	-	5.840
		N2227/N2180	N2227/N2180	RHS 220x100x3.0 (RHS)	7.300	0.00	0.90	-	5.840
		N2228/N2182	N2228/N2182	RHS 220x100x3.0 (RHS)	7.300	0.00	0.90	-	5.840
		N2229/N2184	N2229/N2184	RHS 220x100x3.0 (RHS)	7.300	0.00	0.90	-	5.840
		N2230/N2186	N2230/N2186	RHS 220x100x3.0 (RHS)	7.300	0.00	0.90	-	5.840
		N2231/N2188	N2231/N2188	RHS 220x100x3.0 (RHS)	7.300	0.00	0.90	-	5.840
		N2232/N2190	N2232/N2190	RHS 220x100x3.0 (RHS)	7.300	0.00	0.90	-	5.840
		N2233/N2192	N2233/N2192	RHS 220x100x3.0 (RHS)	7.300	0.00	0.90	-	5.840
		N2234/N2194	N2234/N2194	RHS 220x100x3.0 (RHS)	7.300	0.00	0.90	-	5.840
		N2235/N2196	N2235/N2196	RHS 220x100x3.0 (RHS)	7.300	0.00	0.90	-	5.840
		N2236/N2198	N2236/N2198	RHS 220x100x3.0 (RHS)	7.300	0.00	0.90	-	5.840
		N2237/N2200	N2237/N2200	RHS 220x100x3.0 (RHS)	7.300	0.00	0.90	-	5.840
		N2238/N2202	N2238/N2202	RHS 220x100x3.0 (RHS)	7.300	0.00	0.90	-	5.840

Documento visado electrónicamente con número: VA07290/22
Código de validación telemática TRLTDCFZ60T66IJ1. Comprobación: https://cogitivalencia.e-gestion.es/Validacion.aspx?CVT=TRLTDCFZ60T66IJ1

VISADO
COGITI
VALENCIA
VA07290/22
TRLTDCFZ60T66IJ1

Listados

Descripción									
Material		Barra (Ni/Nf)	Pieza (Ni/Nf)	Perfil(Serie)	Longitud (m)	β_{xy}	β_{xz}	Lb_{Sup} (m)	Lb_{Inf} (m)
Tipo	Designación								
		N2239/N2204	N2239/N2204	RHS 220x100x3.0 (RHS)	7.300	0.00	0.90	-	5.840
		N2240/N2206	N2240/N2206	RHS 220x100x3.0 (RHS)	7.300	0.00	0.90	-	5.840
		N2241/N2208	N2241/N2208	RHS 220x100x3.0 (RHS)	7.300	0.00	0.90	-	5.840
		N2242/N2210	N2242/N2210	RHS 220x100x3.0 (RHS)	7.300	0.00	0.90	-	5.840
		N2243/N2212	N2243/N2212	RHS 220x100x3.0 (RHS)	7.300	0.00	0.90	-	5.840
		N2244/N2214	N2244/N2214	RHS 220x100x3.0 (RHS)	7.300	0.00	0.90	-	5.840
		N2245/N2216	N2245/N2216	RHS 220x100x3.0 (RHS)	7.300	0.00	0.90	-	5.840
		N2246/N2218	N2246/N2218	RHS 220x100x3.0 (RHS)	7.300	0.00	0.90	-	5.840
		N2247/N2220	N2247/N2220	RHS 220x100x3.0 (RHS)	7.300	0.00	0.90	-	5.840
		N2248/N2222	N2248/N2222	RHS 220x100x3.0 (RHS)	7.300	0.00	0.90	-	5.840
		N2249/N2224	N2249/N2224	RHS 220x100x3.0 (RHS)	7.300	0.00	0.90	-	5.840
		N2250/N2225	N2250/N2225	RHS 220x100x3.0 (RHS)	7.300	0.00	0.90	-	5.840
		N2251/N2226	N2251/N2226	RHS 220x100x3.0 (RHS)	7.300	0.00	0.90	-	5.840
		N2252/N2227	N2252/N2227	RHS 220x100x3.0 (RHS)	7.300	0.00	0.90	-	5.840
		N2253/N2228	N2253/N2228	RHS 220x100x3.0 (RHS)	7.300	0.00	0.90	-	5.840
		N2254/N2229	N2254/N2229	RHS 220x100x3.0 (RHS)	7.300	0.00	0.90	-	5.840
		N2255/N2230	N2255/N2230	RHS 220x100x3.0 (RHS)	7.300	0.00	0.90	-	5.840

Documento visado electrónicamente con número: VA07290/22
Código de validación telemática TRLTDCFZ60T66IJ1. Comprobación: https://cogitivalencia.e-gestion.es/Validacion.aspx?CVT=TRLTDCFZ60T66IJ1

VISADO
COGITI
VALENCIA
VA07290/22
TRLTDCFZ60T66IJ1

Descripción									
Material		Barra (Ni/Nf)	Pieza (Ni/Nf)	Perfil(Serie)	Longitud (m)	β_{xy}	β_{xz}	Lb sup. (m)	Lb inf. (m)
Tipo	Designación								
		N2256/N2231	N2256/N2231	RHS 220x100x3.0 (RHS)	7.300	0.00	0.90	-	5.840
		N2257/N2232	N2257/N2232	RHS 220x100x3.0 (RHS)	7.300	0.00	0.90	-	5.840
		N2258/N2233	N2258/N2233	RHS 220x100x3.0 (RHS)	7.300	0.00	0.90	-	5.840
		N2259/N2234	N2259/N2234	RHS 220x100x3.0 (RHS)	7.300	0.00	0.90	-	5.840
		N2260/N2235	N2260/N2235	RHS 220x100x3.0 (RHS)	7.300	0.00	0.90	-	5.840
		N2261/N2236	N2261/N2236	RHS 220x100x3.0 (RHS)	7.300	0.00	0.90	-	5.840
		N2262/N2237	N2262/N2237	RHS 220x100x3.0 (RHS)	7.300	0.00	0.90	-	5.840
		N2263/N2238	N2263/N2238	RHS 220x100x3.0 (RHS)	7.300	0.00	0.90	-	5.840
		N2264/N2239	N2264/N2239	RHS 220x100x3.0 (RHS)	7.300	0.00	0.90	-	5.840
		N2265/N2240	N2265/N2240	RHS 220x100x3.0 (RHS)	7.300	0.00	0.90	-	5.840
		N2266/N2241	N2266/N2241	RHS 220x100x3.0 (RHS)	7.300	0.00	0.90	-	5.840
		N2267/N2242	N2267/N2242	RHS 220x100x3.0 (RHS)	7.300	0.00	0.90	-	5.840
		N2268/N2243	N2268/N2243	RHS 220x100x3.0 (RHS)	7.300	0.00	0.90	-	5.840
		N2269/N2244	N2269/N2244	RHS 220x100x3.0 (RHS)	7.300	0.00	0.90	-	5.840
		N2270/N2245	N2270/N2245	RHS 220x100x3.0 (RHS)	7.300	0.00	0.90	-	5.840
		N2271/N2246	N2271/N2246	RHS 220x100x3.0 (RHS)	7.300	0.00	0.90	-	5.840
		N2272/N2247	N2272/N2247	RHS 220x100x3.0 (RHS)	7.300	0.00	0.90	-	5.840

Documento visado electrónicamente con número: VA07290/22
Código de validación telemática TRLTDCFZ60T66IJ1. Comprobación: https://cogitivalencia.e-gestion.es/Validacion.aspx?CVT=TRLTDCFZ60T66IJ1

VISADO
COGITI
VALENCIA
VA07290/22
TRLTDCFZ60T66IJ1

Descripción									
Material		Barra (Ni/Nf)	Pieza (Ni/Nf)	Perfil(Serie)	Longitud (m)	β_{xy}	β_{xz}	Lb_{Sup} (m)	Lb_{Inf} (m)
Tipo	Designación								
		N2273/N2248	N2273/N2248	RHS 220x100x3.0 (RHS)	7.300	0.00	0.90	-	5.840
		N2274/N2249	N2274/N2249	RHS 220x100x3.0 (RHS)	7.300	0.00	0.90	-	5.840
		N2275/N2250	N2275/N2250	RHS 220x100x3.0 (RHS)	7.300	0.00	0.90	-	5.840
		N2276/N2251	N2276/N2251	RHS 220x100x3.0 (RHS)	7.300	0.00	0.90	-	5.840
		N2277/N2252	N2277/N2252	RHS 220x100x3.0 (RHS)	7.300	0.00	0.90	-	5.840
		N2278/N2253	N2278/N2253	RHS 220x100x3.0 (RHS)	7.300	0.00	0.90	-	5.840
		N2279/N2254	N2279/N2254	RHS 220x100x3.0 (RHS)	7.300	0.00	0.90	-	5.840
		N2280/N2255	N2280/N2255	RHS 220x100x3.0 (RHS)	7.300	0.00	0.90	-	5.840
		N2281/N2256	N2281/N2256	RHS 220x100x3.0 (RHS)	7.300	0.00	0.90	-	5.840
		N2282/N2257	N2282/N2257	RHS 220x100x3.0 (RHS)	7.300	0.00	0.90	-	5.840
		N2283/N2258	N2283/N2258	RHS 220x100x3.0 (RHS)	7.300	0.00	0.90	-	5.840
		N2284/N2259	N2284/N2259	RHS 220x100x3.0 (RHS)	7.300	0.00	0.90	-	5.840
		N2285/N2260	N2285/N2260	RHS 220x100x3.0 (RHS)	7.300	0.00	0.90	-	5.840
		N2286/N2261	N2286/N2261	RHS 220x100x3.0 (RHS)	7.300	0.00	0.90	-	5.840
		N2287/N2262	N2287/N2262	RHS 220x100x3.0 (RHS)	7.300	0.00	0.90	-	5.840
		N2288/N2263	N2288/N2263	RHS 220x100x3.0 (RHS)	7.300	0.00	0.90	-	5.840
		N2289/N2264	N2289/N2264	RHS 220x100x3.0 (RHS)	7.300	0.00	0.90	-	5.840

Documento visado electrónicamente con número: VA07290/22
Código de validación telemática TRLTDCFZ60T66IJ1. Comprobación: https://cogitivalencia.e-gestion.es/Validacion.aspx?CVT=TRLTDCFZ60T66IJ1

VISADO
COGITI
VALENCIA
VA07290/22
TRLTDCFZ60T66IJ1

Descripción									
Material		Barra (Ni/Nf)	Pieza (Ni/Nf)	Perfil(Serie)	Longitud (m)	β_{xy}	β_{xz}	Lb sup. (m)	Lb inf. (m)
Tipo	Designación								
		N2290/N2265	N2290/N2265	RHS 220x100x3.0 (RHS)	7.300	0.00	0.90	-	5.840
		N2291/N2266	N2291/N2266	RHS 220x100x3.0 (RHS)	7.300	0.00	0.90	-	5.840
		N2292/N2267	N2292/N2267	RHS 220x100x3.0 (RHS)	7.300	0.00	0.90	-	5.840
		N2293/N2268	N2293/N2268	RHS 220x100x3.0 (RHS)	7.300	0.00	0.90	-	5.840
		N2294/N2269	N2294/N2269	RHS 220x100x3.0 (RHS)	7.300	0.00	0.90	-	5.840
		N2295/N2270	N2295/N2270	RHS 220x100x3.0 (RHS)	7.300	0.00	0.90	-	5.840
		N2296/N2271	N2296/N2271	RHS 220x100x3.0 (RHS)	7.300	0.00	0.90	-	5.840
		N2297/N2272	N2297/N2272	RHS 220x100x3.0 (RHS)	7.300	0.00	0.90	-	5.840
		N2298/N2273	N2298/N2273	RHS 220x100x3.0 (RHS)	7.300	0.00	0.90	-	5.840
		N2299/N2274	N2299/N2274	RHS 220x100x3.0 (RHS)	7.300	0.00	0.90	-	5.840
		N2300/N2275	N2300/N2275	RHS 220x100x3.0 (RHS)	7.300	0.00	0.90	-	5.840
		N2301/N2276	N2301/N2276	RHS 220x100x3.0 (RHS)	7.300	0.00	0.90	-	5.840
		N2302/N2277	N2302/N2277	RHS 220x100x3.0 (RHS)	7.300	0.00	0.90	-	5.840
		N2303/N2278	N2303/N2278	RHS 220x100x3.0 (RHS)	7.300	0.00	0.90	-	5.840
		N2304/N2279	N2304/N2279	RHS 220x100x3.0 (RHS)	7.300	0.00	0.90	-	5.840
		N2305/N2280	N2305/N2280	RHS 220x100x3.0 (RHS)	7.300	0.00	0.90	-	5.840
		N2306/N2281	N2306/N2281	RHS 220x100x3.0 (RHS)	7.300	0.00	0.90	-	5.840

Documento visado electrónicamente con número: VA07290/22
Código de validación telemática TRLTDCFZ60T66IJ1. Comprobación: https://cogitivalencia.e-gestion.es/Validacion.aspx?CVT=TRLTDCFZ60T66IJ1

VISADO
COGITI
VALENCIA
VA07290/22
TRLTDCFZ60T66IJ1

Listados

Descripción										
Material		Barra (Ni/Nf)	Pieza (Ni/Nf)	Perfil(Serie)	Longitud (m)	β_{xy}	β_{xz}	Lb_{Sup} (m)	Lb_{Inf} (m)
Tipo	Designación								
		N2307/N2282	N2307/N2282	RHS 220x100x3.0 (RHS)	7.300	0.00	0.90	-	5.840
		N2308/N2283	N2308/N2283	RHS 220x100x3.0 (RHS)	7.300	0.00	0.90	-	5.840
		N2309/N2284	N2309/N2284	RHS 220x100x3.0 (RHS)	7.300	0.00	0.90	-	5.840
		N2310/N2285	N2310/N2285	RHS 220x100x3.0 (RHS)	7.300	0.00	0.90	-	5.840
		N2311/N2286	N2311/N2286	RHS 220x100x3.0 (RHS)	7.300	0.00	0.90	-	5.840
		N2312/N2287	N2312/N2287	RHS 220x100x3.0 (RHS)	7.300	0.00	0.90	-	5.840
		N2313/N2288	N2313/N2288	RHS 220x100x3.0 (RHS)	7.300	0.00	0.90	-	5.840
		N2314/N2289	N2314/N2289	RHS 220x100x3.0 (RHS)	7.300	0.00	0.90	-	5.840
		N2315/N2290	N2315/N2290	RHS 220x100x3.0 (RHS)	7.300	0.00	0.90	-	5.840
		N2316/N2291	N2316/N2291	RHS 220x100x3.0 (RHS)	7.300	0.00	0.90	-	5.840
		N2317/N2292	N2317/N2292	RHS 220x100x3.0 (RHS)	7.300	0.00	0.90	-	5.840
		N2318/N2293	N2318/N2293	RHS 220x100x3.0 (RHS)	7.300	0.00	0.90	-	5.840
		N2319/N2294	N2319/N2294	RHS 220x100x3.0 (RHS)	7.300	0.00	0.90	-	5.840
		N2320/N2295	N2320/N2295	RHS 220x100x3.0 (RHS)	7.300	0.00	0.90	-	5.840
		N2321/N2296	N2321/N2296	RHS 220x100x3.0 (RHS)	7.300	0.00	0.90	-	5.840
		N2322/N2297	N2322/N2297	RHS 220x100x3.0 (RHS)	7.300	0.00	0.90	-	5.840
		N2323/N2298	N2323/N2298	RHS 220x100x3.0 (RHS)	7.300	0.00	0.90	-	5.840

Documento visado electrónicamente con número: VA07290/22
Código de validación telemática TRLTDCFZ60T66IJ1. Comprobación: https://cogitivalencia.e-gestion.es/Validacion.aspx?CVT=TRLTDCFZ60T66IJ1

VISADO
COGITI
VALENCIA
VA07290/22
TRLTDCFZ60T66IJ1

Descripción										
Material		Barra (Ni/Nf)	Pieza (Ni/Nf)	Perfil(Serie)	Longitud (m)	β_{xy}	β_{xz}	Lb sup. (m)	Lb inf. (m)
Tipo	Designación								
		N2324/N2299	N2324/N2299	RHS 220x100x3.0 (RHS)	7.300	0.00	0.90	-	5.840
		N2325/N2300	N2325/N2300	RHS 220x100x3.0 (RHS)	7.300	0.00	0.90	-	5.840
		N2326/N2301	N2326/N2301	RHS 220x100x3.0 (RHS)	7.300	0.00	0.90	-	5.840
		N2327/N2302	N2327/N2302	RHS 220x100x3.0 (RHS)	7.300	0.00	0.90	-	5.840
		N2328/N2303	N2328/N2303	RHS 220x100x3.0 (RHS)	7.300	0.00	0.90	-	5.840
		N2329/N2304	N2329/N2304	RHS 220x100x3.0 (RHS)	7.300	0.00	0.90	-	5.840
		N2330/N2305	N2330/N2305	RHS 220x100x3.0 (RHS)	7.300	0.00	0.90	-	5.840
		N2331/N2306	N2331/N2306	RHS 220x100x3.0 (RHS)	7.300	0.00	0.90	-	5.840
		N2332/N2307	N2332/N2307	RHS 220x100x3.0 (RHS)	7.300	0.00	0.90	-	5.840
		N2333/N2308	N2333/N2308	RHS 220x100x3.0 (RHS)	7.300	0.00	0.90	-	5.840
		N2334/N2309	N2334/N2309	RHS 220x100x3.0 (RHS)	7.300	0.00	0.90	-	5.840
		N2335/N2310	N2335/N2310	RHS 220x100x3.0 (RHS)	7.300	0.00	0.90	-	5.840
		N2336/N2311	N2336/N2311	RHS 220x100x3.0 (RHS)	7.300	0.00	0.90	-	5.840
		N2337/N2312	N2337/N2312	RHS 220x100x3.0 (RHS)	7.300	0.00	0.90	-	5.840
		N2338/N2313	N2338/N2313	RHS 220x100x3.0 (RHS)	7.300	0.00	0.90	-	5.840
		N2339/N2314	N2339/N2314	RHS 220x100x3.0 (RHS)	7.300	0.00	0.90	-	5.840
		N2340/N2315	N2340/N2315	RHS 220x100x3.0 (RHS)	7.300	0.00	0.90	-	5.840

Documento visado electrónicamente con número: VA07290/22
Código de validación telemática TRLTDCFZ60T66IJ1. Comprobación: https://cogitivalencia.e-gestion.es/Validacion.aspx?CVT=TRLTDCFZ60T66IJ1

VISADO
COGITI
VALENCIA
VA07290/22
TRLTDCFZ60T66IJ1

Descripción									
Material		Barra (Ni/Nf)	Pieza (Ni/Nf)	Perfil(Serie)	Longitud (m)	β_{xy}	β_{xz}	Lb_{Sup} (m)	Lb_{Inf} (m)
Tipo	Designación								
		N2341/N2316	N2341/N2316	RHS 220x100x3.0 (RHS)	7.300	0.00	0.90	-	5.840
		N2342/N2317	N2342/N2317	RHS 220x100x3.0 (RHS)	7.300	0.00	0.90	-	5.840
		N2343/N2318	N2343/N2318	RHS 220x100x3.0 (RHS)	7.300	0.00	0.90	-	5.840
		N2344/N2319	N2344/N2319	RHS 220x100x3.0 (RHS)	7.300	0.00	0.90	-	5.840
		N2345/N2320	N2345/N2320	RHS 220x100x3.0 (RHS)	7.300	0.00	0.90	-	5.840
		N2346/N2321	N2346/N2321	RHS 220x100x3.0 (RHS)	7.300	0.00	0.90	-	5.840
		N2347/N2322	N2347/N2322	RHS 220x100x3.0 (RHS)	7.300	0.00	0.90	-	5.840
		N2348/N2323	N2348/N2323	RHS 220x100x3.0 (RHS)	7.300	0.00	0.90	-	5.840
		N2349/N2324	N2349/N2324	RHS 220x100x3.0 (RHS)	7.300	0.00	0.90	-	5.840
		N2350/N2325	N2350/N2325	RHS 220x100x3.0 (RHS)	7.300	0.00	0.90	-	5.840
		N2351/N2326	N2351/N2326	RHS 220x100x3.0 (RHS)	7.300	0.00	0.90	-	5.840
		N2352/N2327	N2352/N2327	RHS 220x100x3.0 (RHS)	7.300	0.00	0.90	-	5.840
		N2353/N2328	N2353/N2328	RHS 220x100x3.0 (RHS)	7.300	0.00	0.90	-	5.840
		N2354/N2329	N2354/N2329	RHS 220x100x3.0 (RHS)	7.300	0.00	0.90	-	5.840
		N2355/N2330	N2355/N2330	RHS 220x100x3.0 (RHS)	7.300	0.00	0.90	-	5.840
		N2356/N2331	N2356/N2331	RHS 220x100x3.0 (RHS)	7.300	0.00	0.90	-	5.840
		N2357/N2332	N2357/N2332	RHS 220x100x3.0 (RHS)	7.300	0.00	0.90	-	5.840

Documento visado electrónicamente con número: VA07290/22
Código de validación telemática TRLTDCFZ60T66IJ1. Comprobación: https://cogitivalencia.e-gestion.es/Validacion.aspx?CVT=TRLTDCFZ60T66IJ1

VISADO
COGITI
VALENCIA
VA07290/22
TRLTDCFZ60T66IJ1

Descripción									
Material		Barra (Ni/Nf)	Pieza (Ni/Nf)	Perfil(Serie)	Longitud (m)	β_{xy}	β_{xz}	Lb sup. (m)	Lb inf. (m)
Tipo	Designación								
		N2358/N2333	N2358/N2333	RHS 220x100x3.0 (RHS)	7.300	0.00	0.90	-	5.840
		N2359/N2334	N2359/N2334	RHS 220x100x3.0 (RHS)	7.300	0.00	0.90	-	5.840
		N2360/N2335	N2360/N2335	RHS 220x100x3.0 (RHS)	7.300	0.00	0.90	-	5.840
		N2361/N2336	N2361/N2336	RHS 220x100x3.0 (RHS)	7.300	0.00	0.90	-	5.840
		N2362/N2337	N2362/N2337	RHS 220x100x3.0 (RHS)	7.300	0.00	0.90	-	5.840
		N2363/N2338	N2363/N2338	RHS 220x100x3.0 (RHS)	7.300	0.00	0.90	-	5.840
		N2364/N2339	N2364/N2339	RHS 220x100x3.0 (RHS)	7.300	0.00	0.90	-	5.840
		N2365/N2340	N2365/N2340	RHS 220x100x3.0 (RHS)	7.300	0.00	0.90	-	5.840
		N2366/N2341	N2366/N2341	RHS 220x100x3.0 (RHS)	7.300	0.00	0.90	-	5.840
		N2367/N2342	N2367/N2342	RHS 220x100x3.0 (RHS)	7.300	0.00	0.90	-	5.840
		N2368/N2343	N2368/N2343	RHS 220x100x3.0 (RHS)	7.300	0.00	0.90	-	5.840
		N2369/N2344	N2369/N2344	RHS 220x100x3.0 (RHS)	7.300	0.00	0.90	-	5.840
		N2370/N2345	N2370/N2345	RHS 220x100x3.0 (RHS)	7.300	0.00	0.90	-	5.840
		N2371/N2346	N2371/N2346	RHS 220x100x3.0 (RHS)	7.300	0.00	0.90	-	5.840
		N2372/N2347	N2372/N2347	RHS 220x100x3.0 (RHS)	7.300	0.00	0.90	-	5.840
		N2373/N2348	N2373/N2348	RHS 220x100x3.0 (RHS)	7.300	0.00	0.90	-	5.840
		N2374/N2349	N2374/N2349	RHS 220x100x3.0 (RHS)	7.300	0.00	0.90	-	5.840

Documento visado electrónicamente con número: VA07290/22
Código de validación telemática TRLTDCFZ60T66IJ1. Comprobación: https://cogitivalencia.e-gestion.es/Validacion.aspx?CVT=TRLTDCFZ60T66IJ1

VISADO
COGITI
VALENCIA
VA07290/22
TRLTDCFZ60T66IJ1

Descripción									
Material		Barra (Ni/Nf)	Pieza (Ni/Nf)	Perfil(Serie)	Longitud (m)	β_{xy}	β_{xz}	Lb_{Sup} (m)	Lb_{Inf} (m)
Tipo	Designación								
		N2375/N2350	N2375/N2350	RHS 220x100x3.0 (RHS)	7.300	0.00	0.90	-	5.840
		N2376/N2351	N2376/N2351	RHS 220x100x3.0 (RHS)	7.300	0.00	0.90	-	5.840
		N2377/N2352	N2377/N2352	RHS 220x100x3.0 (RHS)	7.300	0.00	0.90	-	5.840
		N2378/N2353	N2378/N2353	RHS 220x100x3.0 (RHS)	7.300	0.00	0.90	-	5.840
		N2379/N2354	N2379/N2354	RHS 220x100x3.0 (RHS)	7.300	0.00	0.90	-	5.840
		N2380/N2355	N2380/N2355	RHS 220x100x3.0 (RHS)	7.300	0.00	0.90	-	5.840
		N2381/N2356	N2381/N2356	RHS 220x100x3.0 (RHS)	7.300	0.00	0.90	-	5.840
		N2382/N2357	N2382/N2357	RHS 220x100x3.0 (RHS)	7.300	0.00	0.90	-	5.840
		N2383/N2358	N2383/N2358	RHS 220x100x3.0 (RHS)	7.300	0.00	0.90	-	5.840
		N2384/N2359	N2384/N2359	RHS 220x100x3.0 (RHS)	7.300	0.00	0.90	-	5.840
		N2385/N2360	N2385/N2360	RHS 220x100x3.0 (RHS)	7.300	0.00	0.90	-	5.840
		N2386/N2361	N2386/N2361	RHS 220x100x3.0 (RHS)	7.300	0.00	0.90	-	5.840
		N2387/N2362	N2387/N2362	RHS 220x100x3.0 (RHS)	7.300	0.00	0.90	-	5.840
		N2388/N2363	N2388/N2363	RHS 220x100x3.0 (RHS)	7.300	0.00	0.90	-	5.840
		N2389/N2364	N2389/N2364	RHS 220x100x3.0 (RHS)	7.300	0.00	0.90	-	5.840
		N2390/N2365	N2390/N2365	RHS 220x100x3.0 (RHS)	7.300	0.00	0.90	-	5.840
		N2391/N2366	N2391/N2366	RHS 220x100x3.0 (RHS)	7.300	0.00	0.90	-	5.840

Documento visado electrónicamente con número: VA07290/22
Código de validación telemática TRLTDCFZ60T66IJ1. Comprobación: https://cogitivalencia.e-gestion.es/Validacion.aspx?CVT=TRLTDCFZ60T66IJ1

VISADO
COGITI
VALENCIA
VA07290/22
TRLTDCFZ60T66IJ1

Descripción									
Material		Barra (Ni/Nf)	Pieza (Ni/Nf)	Perfil(Serie)	Longitud (m)	β_{xy}	β_{xz}	Lb sup. (m)	Lb inf. (m)
Tipo	Designación								
		N2392/N2367	N2392/N2367	RHS 220x100x3.0 (RHS)	7.300	0.00	0.90	-	5.840
		N2393/N2368	N2393/N2368	RHS 220x100x3.0 (RHS)	7.300	0.00	0.90	-	5.840
		N2394/N2369	N2394/N2369	RHS 220x100x3.0 (RHS)	7.300	0.00	0.90	-	5.840
		N2395/N2370	N2395/N2370	RHS 220x100x3.0 (RHS)	7.300	0.00	0.90	-	5.840
		N2396/N2371	N2396/N2371	RHS 220x100x3.0 (RHS)	7.300	0.00	0.90	-	5.840
		N2397/N2372	N2397/N2372	RHS 220x100x3.0 (RHS)	7.300	0.00	0.90	-	5.840
		N2398/N2373	N2398/N2373	RHS 220x100x3.0 (RHS)	7.300	0.00	0.90	-	5.840
		N2399/N2374	N2399/N2374	RHS 220x100x3.0 (RHS)	7.300	0.00	0.90	-	5.840
		N2400/N2375	N2400/N2375	RHS 220x100x4.0 (RHS)	7.300	0.00	0.90	-	5.840
		N2401/N2376	N2401/N2376	RHS 220x100x4.0 (RHS)	7.300	0.00	0.90	-	5.840
		N2402/N2377	N2402/N2377	RHS 220x100x4.0 (RHS)	7.300	0.00	0.90	-	5.840
		N2403/N2378	N2403/N2378	RHS 220x100x4.0 (RHS)	7.300	0.00	0.90	-	5.840
		N2404/N2379	N2404/N2379	RHS 220x100x4.0 (RHS)	7.300	0.00	0.90	-	5.840
		N2405/N2380	N2405/N2380	RHS 220x100x4.0 (RHS)	7.300	0.00	0.90	-	5.840
		N2406/N2381	N2406/N2381	RHS 220x100x4.0 (RHS)	7.300	0.00	0.90	-	5.840
		N2407/N2382	N2407/N2382	RHS 220x100x4.0 (RHS)	7.300	0.00	0.90	-	5.840
		N2408/N2383	N2408/N2383	RHS 220x100x4.0 (RHS)	7.300	0.00	0.90	-	5.840

Documento visado electrónicamente con número: VA07290/22
Código de validación telemática TRLTDCFZ60T66IJ1. Comprobación: https://cogitivalencia.e-gestion.es/Validacion.aspx?CVT=TRLTDCFZ60T66IJ1

VISADO
COGITI
VALENCIA
VA07290/22
TRLTDCFZ60T66IJ1

Listados

Descripción									
Material		Barra (Ni/Nf)	Pieza (Ni/Nf)	Perfil(Serie)	Longitud (m)	β_{xy}	β_{xz}	$Lb_{Sup.}$ (m)	$Lb_{Inf.}$ (m)
Tipo	Designación								
		N2409/N2384	N2409/N2384	RHS 220x100x4.0 (RHS)	7.300	0.00	0.90	-	5.840
		N2410/N2385	N2410/N2385	RHS 220x100x4.0 (RHS)	7.300	0.00	0.90	-	5.840
		N2411/N2386	N2411/N2386	RHS 220x100x4.0 (RHS)	7.300	0.00	0.90	-	5.840
		N2412/N2387	N2412/N2387	RHS 220x100x4.0 (RHS)	7.300	0.00	0.90	-	5.840
		N2413/N2388	N2413/N2388	RHS 220x100x4.0 (RHS)	7.300	0.00	0.90	-	5.840
		N2414/N2389	N2414/N2389	RHS 220x100x4.0 (RHS)	7.300	0.00	0.90	-	5.840
		N2415/N2390	N2415/N2390	RHS 220x100x4.0 (RHS)	7.300	0.00	0.90	-	5.840
		N2416/N2391	N2416/N2391	RHS 220x100x4.0 (RHS)	7.300	0.00	0.90	-	5.840
		N2417/N2392	N2417/N2392	RHS 220x100x4.0 (RHS)	7.300	0.00	0.90	-	5.840
		N2418/N2393	N2418/N2393	RHS 220x100x4.0 (RHS)	7.300	0.00	0.90	-	5.840
		N2419/N2394	N2419/N2394	RHS 220x100x4.0 (RHS)	7.300	0.00	0.90	-	5.840
		N2420/N2395	N2420/N2395	RHS 220x100x4.0 (RHS)	7.300	0.00	0.90	-	5.840
		N2421/N2396	N2421/N2396	RHS 220x100x4.0 (RHS)	7.300	0.00	0.90	-	5.840
		N2422/N2397	N2422/N2397	RHS 220x100x4.0 (RHS)	7.300	0.00	0.90	-	5.840
		N2423/N2398	N2423/N2398	RHS 220x100x4.0 (RHS)	7.300	0.00	0.90	-	5.840
		N2424/N2399	N2424/N2399	RHS 220x100x4.0 (RHS)	7.300	0.00	0.90	-	5.840

Notación:
Ni: Nudo inicial
Nf: Nudo final
β_{xy}: Coeficiente de pandeo en el plano 'XY'
β_{xz}: Coeficiente de pandeo en el plano 'XZ'
$Lb_{Sup.}$: Separación entre arriostramientos del ala superior
$Lb_{Inf.}$: Separación entre arriostramientos del ala inferior

Documento visado electrónicamente con número: VA07290/22
Código de validación telemática TRLTDCFZ60T66IJ1. Comprobación: https://cogitivalencia.e-gestion.es/Validacion.aspx?CVT=TRLTDCFZ60T66IJ1

VISADO
COGITI
VALENCIA
VA07290/22
TRLTDCFZ60T66IJ1

1.2.3. Características mecánicas

Tipos de pieza	
Ref.	Piezas
1	N1676/N1675, N1684/N1683, N1685/N1687, N1694/N1693, N1695/N1697, N1704/N1703, N1705/N1707, N1714/N1713, N1715/N1717, N1724/N1723, N1725/N1727, N1734/N1733, N1735/N1737, N1744/N1743, N1745/N1747, N1754/N1753, N1755/N1757, N1764/N1763, N1765/N1767, N1774/N1773, N1775/N1777, N1784/N1783, N1785/N1787, N1794/N1793, N1795/N1797, N1804/N1803, N1805/N1807, N1814/N1813, N1815/N1817, N1824/N1823, N1825/N1827, N1834/N1833, N1835/N1837, N1844/N1843, N1845/N1847, N1854/N1853, N1855/N1857, N1864/N1863, N1865/N1867, N1874/N1873, N1875/N1877, N1884/N1883, N1885/N1887, N1894/N1893, N1895/N1897, N1904/N1903, N1905/N1907, N1914/N1913, N1915/N1917, N1924/N1923, N1926/N1925, N1928/N1927, N1930/N1929, N1932/N1931, N1934/N1933, N1936/N1935, N1938/N1937, N1940/N1939, N1942/N1941, N1944/N1943, N1946/N1945, N1948/N1947, N1950/N1949, N1952/N1951, N1954/N1953, N1956/N1955, N1958/N1957, N1960/N1959, N1962/N1961, N1964/N1963, N1966/N1965, N1968/N1967, N1970/N1969, N1972/N1971, N1974/N1973, N2150/N2125, N2151/N2126, N2152/N2127, N2153/N2128, N2154/N2129, N2155/N2130, N2156/N2131, N2157/N2132, N2158/N2133, N2159/N2134, N2160/N2135, N2161/N2136, N2162/N2137, N2163/N2138, N2164/N2139, N2165/N2140, N2166/N2141, N2167/N2142, N2168/N2143, N2169/N2144, N2170/N2145, N2171/N2146, N2172/N2147, N2173/N2148, N2174/N2149, N2176/N2175, N2178/N2177, N2180/N2179, N2182/N2181, N2184/N2183, N2186/N2185, N2188/N2187, N2190/N2189, N2192/N2191, N2194/N2193, N2196/N2195, N2198/N2197, N2200/N2199, N2202/N2201, N2204/N2203, N2206/N2205, N2208/N2207, N2210/N2209, N2212/N2211, N2214/N2213, N2216/N2215, N2218/N2217, N2220/N2219, N2222/N2221, N2224/N2223, N2400/N2375, N2401/N2376, N2402/N2377, N2403/N2378, N2404/N2379, N2405/N2380, N2406/N2381, N2407/N2382, N2408/N2383, N2409/N2384, N2410/N2385, N2411/N2386, N2412/N2387, N2413/N2388, N2414/N2389, N2415/N2390, N2416/N2391, N2417/N2392, N2418/N2393, N2419/N2394, N2420/N2395, N2421/N2396, N2422/N2397, N2423/N2398 y N2424/N2399

Documento visado electrónicamente con número: VA07290/22
Código de validación telemática TRLTDCFZ60T66IJ1. Comprobación: https://cogitivalencia.e-gestion.es/Validacion.aspx?CVT=TRLTDCFZ60T66IJ1

VISADO
COGITI
VALENCIA
VA07290/22
TRLTDCFZ60T66IJ1

Tipos de pieza	
Ref.	Piezas
2	N1677/N1676, N1678/N1677, N1679/N1678, N1680/N1679, N1681/N1680, N1682/N1681, N1683/N1682, N1686/N1685, N1688/N1686, N1689/N1688, N1690/N1689, N1691/N1690, N1692/N1691, N1693/N1692, N1696/N1695, N1698/N1696, N1699/N1698, N1700/N1699, N1701/N1700, N1702/N1701, N1703/N1702, N1706/N1705, N1708/N1706, N1709/N1708, N1710/N1709, N1711/N1710, N1712/N1711, N1713/N1712, N1716/N1715, N1718/N1716, N1719/N1718, N1720/N1719, N1721/N1720, N1722/N1721, N1723/N1722, N1726/N1725, N1728/N1726, N1729/N1728, N1730/N1729, N1731/N1730, N1732/N1731, N1733/N1732, N1736/N1735, N1738/N1736, N1739/N1738, N1740/N1739, N1741/N1740, N1742/N1741, N1743/N1742, N1746/N1745, N1748/N1746, N1749/N1748, N1750/N1749, N1751/N1750, N1752/N1751, N1753/N1752, N1756/N1755, N1758/N1756, N1759/N1758, N1760/N1759, N1761/N1760, N1762/N1761, N1763/N1762, N1766/N1765, N1768/N1766, N1769/N1768, N1770/N1769, N1771/N1770, N1772/N1771, N1773/N1772, N1776/N1775, N1778/N1776, N1779/N1778, N1780/N1779, N1781/N1780, N1782/N1781, N1783/N1782, N1786/N1785, N1788/N1786, N1789/N1788, N1790/N1789, N1791/N1790, N1792/N1791, N1793/N1792, N1796/N1795, N1798/N1796, N1799/N1798, N1800/N1799, N1801/N1800, N1802/N1801, N1803/N1802, N1806/N1805, N1808/N1806, N1809/N1808, N1810/N1809, N1811/N1810, N1812/N1811, N1813/N1812, N1816/N1815, N1818/N1816, N1819/N1818, N1820/N1819, N1821/N1820, N1822/N1821, N1823/N1822, N1826/N1825, N1828/N1826, N1829/N1828, N1830/N1829, N1831/N1830, N1832/N1831, N1833/N1832, N1836/N1835, N1838/N1836, N1839/N1838, N1840/N1839, N1841/N1840, N1842/N1841, N1843/N1842, N1846/N1845, N1848/N1846, N1849/N1848, N1850/N1849, N1851/N1850, N1852/N1851, N1853/N1852, N1856/N1855, N1858/N1856, N1859/N1858, N1860/N1859, N1861/N1860, N1862/N1861, N1863/N1862, N1866/N1865, N1868/N1866, N1869/N1868, N1870/N1869, N1871/N1870, N1872/N1871, N1873/N1872, N1876/N1875, N1878/N1876, N1879/N1878, N1880/N1879, N1881/N1880, N1882/N1881, N1883/N1882, N1886/N1885, N1888/N1886, N1889/N1888, N1890/N1889, N1891/N1890, N1892/N1891, N1893/N1892, N1896/N1895, N1898/N1896, N1899/N1898, N1900/N1899, N1901/N1900, N1902/N1901, N1903/N1902, N1906/N1905, N1908/N1906, N1909/N1908, N1910/N1909, N1911/N1910, N1912/N1911, N1913/N1912, N1916/N1915, N1918/N1916, N1919/N1918, N1920/N1919, N1921/N1920, N1922/N1921, N1923/N1922, N1975/N1926, N1976/N1928, N1977/N1930, N1978/N1932, N1979/N1934, N1980/N1936, N1981/N1938, N1982/N1940, N1983/N1942, N1984/N1944, N1985/N1946, N1986/N1948, N1987/N1950, N1988/N1952, N1989/N1954, N1990/N1956, N1991/N1958, N1992/N1960, N1993/N1962, N1994/N1964, N1995/N1966, N1996/N1968, N1997/N1970, N1998/N1972, N1999/N1974, N2000/N1975, N2001/N1976, N2002/N1977, N2003/N1978, N2004/N1979, N2005/N1980, N2006/N1981, N2007/N1982, N2008/N1983, N2009/N1984, N2010/N1985, N2011/N1986, N2012/N1987, N2013/N1988, N2014/N1989, N2015/N1990, N2016/N1991, N2017/N1992, N2018/N1993, N2019/N1994, N2020/N1995, N2021/N1996, N2022/N1997, N2023/N1998, N2024/N1999, N2025/N2000, N2026/N2001, N2027/N2002, N2028/N2003, N2029/N2004, N2030/N2005, N2031/N2006, N2032/N2007, N2033/N2008, N2034/N2009, N2035/N2010, N2036/N2011, N2037/N2012, N2038/N2013, N2039/N2014, N2040/N2015, N2041/N2016, N2042/N2017, N2043/N2018, N2044/N2019, N2045/N2020, N2046/N2021, N2047/N2022, N2048/N2023, N2049/N2024, N2050/N2025, N2051/N2026, N2052/N2027, N2053/N2028, N2054/N2029, N2055/N2030, N2056/N2031, N2057/N2032, N2058/N2033, N2059/N2034, N2060/N2035, N2061/N2036, N2062/N2037, N2063/N2038, N2064/N2039, N2065/N2040, N2066/N2041, N2067/N2042, N2068/N2043, N2069/N2044, N2070/N2045, N2071/N2046, N2072/N2047, N2073/N2048, N2074/N2049, N2075/N2050, N2076/N2051, N2077/N2052, N2078/N2053, N2079/N2054, N2080/N2055, N2081/N2056, N2082/N2057, N2083/N2058, N2084/N2059, N2085/N2060, N2086/N2061, N2087/N2062, N2088/N2063, N2089/N2064, N2090/N2065, N2091/N2066, N2092/N2067, N2093/N2068, N2094/N2069, N2095/N2070, N2096/N2071, N2097/N2072, N2098/N2073, N2099/N2074, N2100/N2075, N2101/N2076, N2102/N2077, N2103/N2078, N2104/N2079, N2105/N2080, N2106/N2081, N2107/N2082, N2108/N2083, N2109/N2084, N2110/N2085, N2111/N2086, N2112/N2087, N2113/N2088, N2114/N2089, N2115/N2090, N2116/N2091, N2117/N2092, N2118/N2093, N2119/N2094, N2120/N2095, N2121/N2096, N2122/N2097, N2123/N2098, N2124/N2099, N2125/N2100, N2126/N2101, N2127/N2102, N2128/N2103, N2129/N2104, N2130/N2105, N2131/N2106, N2132/N2107, N2133/N2108, N2134/N2109, N2135/N2110, N2136/N2111, N2137/N2112, N2138/N2113, N2139/N2114, N2140/N2115, N2141/N2116, N2142/N2117, N2143/N2118, N2144/N2119, N2145/N2120, N2146/N2121, N2147/N2122, N2148/N2123, N2149/N2124, N2225/N2176, N2226/N2178, N2227/N2180, N2228/N2182, N2229/N2184, N2230/N2186, N2231/N2188, N2232/N2190, N2233/N2192, N2234/N2194, N2235/N2196, N2236/N2198, N2237/N2200, N2238/N2202, N2239/N2204, N2240/N2206, N2241/N2208, N2242/N2210, N2243/N2212, N2244/N2214, N2245/N2216, N2246/N2218, N2247/N2220, N2248/N2222, N2249/N2224, N2250/N2225, N2251/N2226, N2252/N2227, N2253/N2228, N2254/N2229, N2255/N2230, N2256/N2231, N2257/N2232, N2258/N2233, N2259/N2234, N2260/N2235, N2261/N2236, N2262/N2237, N2263/N2238, N2264/N2239,

Documento visado electrónicamente con número: VA07290/22
Código de validación telemática TRLTDCFZ60T66IJ1. Comprobación: https://cogitivalencia.e-gestion.es/Validacion.aspx?CVT=TRLTDCFZ60T66IJ1

VISADO
COGITI
VALENCIA
VA07290/22
TRLTDCFZ60T66IJ1

Características mecánicas									
Material		Ref.	Descripción	A (cm²)	Avy (cm²)	Avz (cm²)	Iyy (cm4)	Izz (cm4)	It (cm4)
Tipo	Designación								
Acero laminado	S275 (UNE-EN 10025-2)	1	RHS 220x100x4.0, (RHS)	24.54	6.40	14.40	1517.47	446.96	1118.79
		2	RHS 220x100x3.0, (RHS)	18.60	4.85	10.85	1167.72	346.13	856.28

Notación:
Ref.: Referencia
A: Área de la sección transversal
Avy: Área de cortante de la sección según el eje local 'Y'
Avz: Área de cortante de la sección según el eje local 'Z'
Iyy: Inercia de la sección alrededor del eje local 'Y'
Izz: Inercia de la sección alrededor del eje local 'Z'
It: Inercia a torsión
Las características mecánicas de las piezas corresponden a la sección en el punto medio de las mismas.

2. RESULTADOS

2.1. Barras

2.1.1. Resistencia

Referencias:

N: Esfuerzo axil (kN)
Vy: Esfuerzo cortante según el eje local Y de la barra. (kN)
Vz: Esfuerzo cortante según el eje local Z de la barra. (kN)
Mt: Momento torsor (kN·m)
My: Momento flector en el plano 'XZ' (giro de la sección respecto al eje local 'Y' de la barra). (kN·m)
Mz: Momento flector en el plano 'XY' (giro de la sección respecto al eje local 'Z' de la barra). (kN·m)

Los esfuerzos indicados son los correspondientes a la combinación pésima, es decir, aquella que demanda la máxima resistencia de la sección.

Origen de los esfuerzos pésimos:

- G: Sólo gravitatorias
- GV: Gravitatorias + viento
- GS: Gravitatorias + sismo
- GVS: Gravitatorias + viento + sismo

η: Aprovechamiento de la resistencia. La barra cumple con las condiciones de resistencia de la norma si se cumple que $\eta \leq 100$ %.

Comprobación de resistencia										
Barra	η (%)	Posición (m)	Esfuerzos pésimos						Origen	Estado
			N (kN)	Vy (kN)	Vz (kN)	Mt (kN·m)	My (kN·m)	Mz (kN·m)		
N1676/N1675	70.08	0.000	-1.184	0.207	-24.895	0.00	-31.18	0.19	GV	Cumple
N1677/N1676	91.51	7.300	-0.565	-0.154	21.960	0.00	-31.18	0.19	GV	Cumple
N1678/N1677	66.25	0.000	-0.440	0.158	-18.516	0.00	-22.54	0.18	GV	Cumple
N1679/N1678	66.26	7.300	-0.466	-0.163	18.376	0.00	-22.54	0.18	GV	Cumple

Documento visado electrónicamente con número: VA07290/22
Código de validación telemática TRLTDCFZ60T66IJ1. Comprobación: https://cogitivalencia.e-gestion.es/Validacion.aspx?CVT=TRLTDCFZ60T66IJ1

VISADO
COGITI
VALENCIA
VA07290/22
TRLTDCFZ60T66IJ1

Comprobación de resistencia										
Barra	η (%)	Posición (m)	Esfuerzos pésimos						Origen	Estado
			N (kN)	Vy (kN)	Vz (kN)	Mt (kN·m)	My (kN·m)	Mz (kN·m)		
N1680/N1679	65.52	0.000	-0.601	0.167	-18.335	0.00	-22.24	0.21	GV	Cumple
N1681/N1680	66.73	0.000	-0.721	0.166	-18.389	0.00	-22.65	0.20	GV	Cumple
N1682/N1681	66.77	7.300	-0.848	-0.163	18.560	0.00	-22.65	0.20	GV	Cumple
N1683/N1682	80.25	0.000	-0.801	0.153	-19.204	0.00	-27.34	0.13	GV	Cumple
N1684/N1683	61.29	7.300	-0.749	-0.200	22.304	0.00	-27.34	0.13	GV	Cumple
N1686/N1685	89.80	7.300	-0.508	-0.155	21.852	0.00	-30.59	0.20	GV	Cumple
N1685/N1687	68.49	0.000	-0.025	0.208	-24.815	0.00	-30.59	0.20	GV	Cumple
N1688/N1686	62.62	0.000	-1.841	0.159	-17.408	0.00	-21.13	0.18	GV	Cumple
N1689/N1688	62.49	7.300	-1.459	-0.164	17.347	0.00	-21.13	0.18	GV	Cumple
N1690/N1689	62.04	0.000	-0.705	0.168	-17.334	0.00	-21.03	0.21	GV	Cumple
N1691/N1690	63.28	0.000	0.090	0.167	-17.381	0.00	-21.39	0.20	GV	Cumple
N1692/N1691	63.40	7.300	0.672	-0.163	17.530	0.00	-21.39	0.20	GV	Cumple
N1693/N1692	75.11	0.000	0.691	0.154	-18.097	0.00	-25.52	0.14	GV	Cumple
N1694/N1693	57.35	7.300	0.386	-0.201	21.054	0.00	-25.52	0.14	GV	Cumple
N1696/N1695	55.11	7.300	-2.933	-0.110	13.705	0.00	-18.48	0.14	GV	Cumple
N1695/N1697	41.75	0.000	0.604	0.156	-15.625	0.00	-18.48	0.14	GV	Cumple
N1698/N1696	37.29	7.300	-9.030	-0.133	6.745	0.00	-9.42	0.19	GV	Cumple
N1699/N1698	27.93	0.000	1.390	0.057	7.763	0.00	9.38	0.07	GV	Cumple
N1700/N1699	27.93	7.300	1.411	-0.064	-7.676	0.00	9.38	0.07	GV	Cumple
N1701/N1700	28.00	0.000	1.466	0.065	7.677	0.00	9.38	0.08	GV	Cumple
N1702/N1701	27.84	7.300	0.689	-0.069	-7.708	0.00	9.38	0.08	GV	Cumple
N1703/N1702	30.65	0.000	-1.093	0.087	7.824	0.00	10.23	0.21	GV	Cumple
N1704/N1703	23.63	7.300	-2.232	-0.101	-8.936	0.00	10.23	0.21	GV	Cumple
N1706/N1705	77.63	7.300	-1.449	-0.145	19.416	0.00	-26.30	0.20	GV	Cumple
N1705/N1707	59.27	0.000	0.070	0.195	-21.910	0.00	-26.30	0.20	GV	Cumple
N1708/N1706	47.06	7.300	-0.962	-0.170	9.036	0.00	-15.83	0.25	GV	Cumple
N1709/N1708	34.42	0.000	1.090	0.071	9.598	0.00	11.60	0.09	GV	Cumple
N1710/N1709	34.40	7.300	0.972	-0.078	-9.451	0.00	11.60	0.09	GV	Cumple
N1711/N1710	34.24	0.000	0.834	0.079	9.444	0.00	11.54	0.09	GV	Cumple
N1712/N1711	34.15	7.300	0.395	-0.083	-9.478	0.00	11.54	0.09	GV	Cumple
N1713/N1712	37.19	0.000	-0.338	0.101	9.613	0.00	12.53	0.22	GV	Cumple
N1714/N1713	28.51	7.300	-0.777	-0.117	-11.013	0.00	12.53	0.22	GV	Cumple
N1716/N1715	86.91	7.300	0.118	-0.163	21.859	0.00	-29.45	0.23	GV	Cumple
N1715/N1717	66.10	0.000	-0.307	0.213	-24.658	0.00	-29.45	0.23	GV	Cumple
N1718/N1716	53.03	7.300	-0.073	-0.183	10.168	0.00	-17.96	0.26	GV	Cumple
N1719/N1718	39.05	0.000	0.651	0.079	10.938	0.00	13.21	0.10	GV	Cumple
N1720/N1719	39.05	7.300	0.634	-0.084	-10.766	0.00	13.21	0.10	GV	Cumple
N1721/N1720	38.89	0.000	0.562	0.085	10.758	0.00	13.15	0.10	GV	Cumple
N1722/N1721	38.87	7.300	0.455	-0.090	-10.796	0.00	13.15	0.10	GV	Cumple
N1723/N1722	42.54	0.000	0.365	0.107	10.940	0.00	14.20	0.22	GV	Cumple
N1724/N1723	32.53	7.300	0.481	-0.124	-12.555	0.00	14.20	0.22	GV	Cumple
N1726/N1725	60.85	7.300	-0.677	-0.134	15.970	0.00	-20.63	0.20	GV	Cumple
N1725/N1727	46.95	0.000	1.769	0.178	-18.237	0.00	-20.63	0.20	GV	Cumple
N1728/N1726	42.78	7.300	0.569	-0.150	7.796	0.00	-14.30	0.21	GV	Cumple
N1729/N1728	28.46	0.000	0.984	0.064	7.981	0.00	9.57	0.08	GV	Cumple

Documento visado electrónicamente con número: VA07290/22
Código de validación telemática TRLTDCFZ60T66IJ1. Comprobación: https://cogitivalencia.e-gestion.es/Validacion.aspx?CVT=TRLTDCFZ60T66IJ1

VISADO
COGITI
VALENCIA
VA07290/22
TRLTDCFZ60T66IJ1

Comprobación de resistencia										
Barra	η (%)	Posición (m)	Esfuerzos pésimos						Origen	Estado
			N (kN)	Vy (kN)	Vz (kN)	Mt (kN·m)	My (kN·m)	Mz (kN·m)		
N1730/N1729	28.55	7.300	1.421	-0.070	-7.802	0.00	9.57	0.08	GV	Cumple
N1731/N1730	28.34	0.000	1.713	0.070	7.788	0.00	9.48	0.08	GV	Cumple
N1732/N1731	28.39	7.300	1.994	-0.074	-7.791	0.00	9.48	0.08	GV	Cumple
N1733/N1732	28.97	0.000	1.900	0.090	7.792	0.00	9.48	0.19	GV	Cumple
N1734/N1733	21.55	7.300	-0.194	-0.106	-8.954	0.00	9.48	0.19	GV	Cumple
N1736/N1735	62.35	7.300	-0.653	-0.141	16.514	0.00	-21.13	0.22	GV	Cumple
N1735/N1737	48.11	0.000	1.592	0.185	-18.885	0.00	-21.13	0.22	GV	Cumple
N1738/N1736	44.86	7.300	0.498	-0.152	8.110	0.00	-15.03	0.20	GV	Cumple
N1739/N1738	29.62	0.000	0.942	0.067	8.327	0.00	9.97	0.08	GV	Cumple
N1740/N1739	29.70	7.300	1.331	-0.071	-8.130	0.00	9.97	0.08	GV	Cumple
N1741/N1740	29.47	7.300	1.574	-0.071	-8.118	0.00	9.87	0.08	GV	Cumple
N1742/N1741	29.51	7.300	1.802	-0.076	-8.115	0.00	9.87	0.08	GV	Cumple
N1743/N1742	29.65	0.000	1.723	0.090	8.097	0.00	9.74	0.19	GV	Cumple
N1744/N1743	22.59	3.194	-0.183	-0.016	-0.336	0.00	-10.08	-0.06	GV	Cumple
N1746/N1745	82.82	7.300	-0.108	-0.174	21.565	0.00	-28.16	0.28	GV	Cumple
N1745/N1747	63.42	0.000	-0.624	0.220	-24.482	0.00	-28.16	0.28	GV	Cumple
N1748/N1746	55.58	7.300	-0.520	-0.178	10.300	0.00	-18.82	0.22	GV	Cumple
N1749/N1748	39.06	0.000	0.848	0.079	10.983	0.00	13.20	0.10	GV	Cumple
N1750/N1749	39.06	7.300	0.855	-0.084	-10.762	0.00	13.20	0.10	GV	Cumple
N1751/N1750	38.80	0.000	0.785	0.085	10.749	0.00	13.11	0.10	GV	Cumple
N1752/N1751	38.76	7.300	0.578	-0.089	-10.768	0.00	13.11	0.10	GV	Cumple
N1753/N1752	40.32	0.000	0.246	0.102	10.821	0.00	13.49	0.20	GV	Cumple
N1754/N1753	30.87	7.300	0.582	-0.121	-12.457	0.00	13.49	0.20	GV	Cumple
N1756/N1755	75.24	7.300	-1.620	-0.175	21.065	0.00	-25.37	0.29	GV	Cumple
N1755/N1757	57.78	0.000	1.536	0.203	-21.203	0.00	-25.37	0.29	GV	Cumple
N1758/N1756	58.40	7.300	-1.571	-0.177	10.445	0.00	-19.68	0.22	GV	Cumple
N1759/N1758	39.32	0.000	1.736	0.080	11.017	0.00	13.22	0.10	GV	Cumple
N1760/N1759	39.33	7.300	1.776	-0.084	-10.763	0.00	13.22	0.10	GV	Cumple
N1761/N1760	38.92	7.300	1.835	-0.084	-10.752	0.00	13.07	0.10	GV	Cumple
N1762/N1761	39.54	0.000	1.915	0.081	10.787	0.00	13.33	0.07	GV	Cumple
N1763/N1762	39.55	7.300	1.983	-0.069	-10.935	0.00	13.33	0.07	GV	Cumple
N1764/N1763	26.98	7.300	-0.309	-0.111	-10.601	0.00	11.92	0.18	GV	Cumple
N1766/N1765	64.83	7.300	-2.630	-0.175	20.418	0.00	-21.70	0.28	GV	Cumple
N1765/N1767	49.91	0.000	3.564	0.178	-16.646	0.00	-21.70	0.28	GV	Cumple
N1768/N1766	61.61	7.300	-2.066	-0.175	10.623	0.00	-20.73	0.21	GV	Cumple
N1769/N1768	39.52	0.000	2.150	0.081	11.055	0.00	13.26	0.10	GV	Cumple
N1770/N1769	39.54	7.300	2.219	-0.084	-10.764	0.00	13.26	0.10	GV	Cumple
N1771/N1770	39.11	7.300	2.404	-0.084	-10.775	0.00	13.10	0.10	GV	Cumple
N1772/N1771	41.30	0.000	2.755	0.081	10.880	0.00	13.87	0.08	GV	Cumple
N1773/N1772	41.43	7.300	3.365	-0.072	-11.291	0.00	13.87	0.08	GV	Cumple
N1774/N1773	22.54	7.300	-1.358	-0.097	-8.021	0.00	9.86	0.16	GV	Cumple
N1776/N1775	81.27	7.300	-0.478	-0.184	21.423	0.00	-27.53	0.34	GV	Cumple
N1775/N1777	62.13	0.000	-0.588	0.227	-24.396	0.00	-27.53	0.34	GV	Cumple
N1778/N1776	56.84	7.300	-1.040	-0.173	10.363	0.00	-19.23	0.19	GV	Cumple
N1779/N1778	39.12	0.000	1.266	0.081	11.003	0.00	13.19	0.10	GV	Cumple

Documento visado electrónicamente con número: VA07290/22
Código de validación telemática TRLTDCFZ60T66IJ1. Comprobación: https://cogitivalencia.e-gestion.es/Validacion.aspx?CVT=TRLTDCFZ60T66IJ1

VISADO
COGITI
VALENCIA
VA07290/22
TRLTDCFZ60T66IJ1

Comprobación de resistencia										
Barra	η (%)	Posición (m)	Esfuerzos pésimos						Origen	Estado
			N (kN)	Vy (kN)	Vz (kN)	Mt (kN·m)	My (kN·m)	Mz (kN·m)		
N1780/N1779	39.11	7.300	1.233	-0.084	-10.759	0.00	13.19	0.10	GV	Cumple
N1781/N1780	38.81	0.000	1.123	0.084	10.746	0.00	13.09	0.10	GV	Cumple
N1782/N1781	38.76	7.300	0.877	-0.088	-10.756	0.00	13.09	0.10	GV	Cumple
N1783/N1782	39.25	0.000	0.439	0.098	10.766	0.00	13.16	0.17	GV	Cumple
N1784/N1783	30.05	3.194	0.669	-0.012	-0.477	0.00	-13.30	-0.09	GV	Cumple
N1786/N1785	78.53	7.300	-0.527	-0.186	20.771	0.00	-26.58	0.35	GV	Cumple
N1785/N1787	60.52	0.000	0.468	0.225	-23.684	0.00	-26.58	0.35	GV	Cumple
N1788/N1786	55.32	7.300	-0.143	-0.168	10.100	0.00	-18.82	0.17	GV	Cumple
N1789/N1788	37.93	0.000	1.229	0.080	10.674	0.00	12.78	0.09	GV	Cumple
N1790/N1789	37.98	7.300	1.485	-0.082	-10.429	0.00	12.78	0.09	GV	Cumple
N1791/N1790	37.71	0.000	1.606	0.083	10.415	0.00	12.68	0.10	GV	Cumple
N1792/N1791	37.72	7.300	1.624	-0.086	-10.421	0.00	12.68	0.10	GV	Cumple
N1793/N1792	37.87	0.000	1.444	0.095	10.415	0.00	12.64	0.16	GV	Cumple
N1794/N1793	29.20	3.194	0.308	-0.010	-0.446	0.00	-12.94	-0.10	GV	Cumple
N1796/N1795	38.68	7.300	-2.169	-0.136	11.166	0.00	-12.80	0.29	GV	Cumple
N1795/N1797	33.97	4.106	4.168	0.023	-0.334	0.00	14.80	-0.10	GV	Cumple
N1798/N1796	36.02	7.300	1.242	-0.113	6.055	0.00	-12.11	0.10	GV	Cumple
N1799/N1798	20.32	0.000	1.924	0.057	5.716	0.00	6.74	0.06	GV	Cumple
N1800/N1799	20.45	7.300	2.556	-0.058	-5.494	0.00	6.74	0.06	GV	Cumple
N1801/N1800	20.49	7.300	2.954	-0.059	-5.508	0.00	6.72	0.07	GV	Cumple
N1802/N1801	21.35	0.000	3.759	0.056	5.546	0.00	6.99	0.05	GV	Cumple
N1803/N1802	25.12	7.300	-3.719	-0.110	5.275	0.00	-6.51	0.14	GV	Cumple
N1804/N1803	17.20	3.194	2.347	-0.007	0.042	0.00	7.29	-0.16	GV	Cumple
N1806/N1805	81.83	7.300	-0.354	-0.197	21.452	0.00	-27.69	0.38	GV	Cumple
N1805/N1807	63.08	0.000	0.040	0.234	-24.418	0.00	-27.69	0.38	GV	Cumple
N1808/N1806	56.37	7.300	-0.335	-0.168	10.359	0.00	-19.18	0.16	GV	Cumple
N1809/N1808	39.11	0.000	1.150	0.083	11.004	0.00	13.19	0.10	GV	Cumple
N1810/N1809	39.15	7.300	1.348	-0.084	-10.760	0.00	13.19	0.10	GV	Cumple
N1811/N1810	38.87	0.000	1.424	0.084	10.746	0.00	13.09	0.10	GV	Cumple
N1812/N1811	38.86	7.300	1.346	-0.087	-10.758	0.00	13.09	0.10	GV	Cumple
N1813/N1812	39.40	0.000	1.041	0.093	10.775	0.00	13.21	0.14	GV	Cumple
N1814/N1813	30.03	7.300	0.510	-0.113	-12.419	0.00	13.21	0.14	GV	Cumple
N1816/N1815	82.67	7.300	-0.712	-0.201	21.499	0.00	-27.92	0.40	GV	Cumple
N1815/N1817	63.07	0.000	-0.371	0.236	-24.449	0.00	-27.92	0.40	GV	Cumple
N1818/N1816	56.26	7.300	-1.213	-0.166	10.343	0.00	-19.06	0.15	GV	Cumple
N1819/N1818	39.18	0.000	1.370	0.084	11.001	0.00	13.20	0.10	GV	Cumple
N1820/N1819	39.17	7.300	1.333	-0.084	-10.762	0.00	13.20	0.10	GV	Cumple
N1821/N1820	38.85	0.000	1.229	0.084	10.748	0.00	13.10	0.10	GV	Cumple
N1822/N1821	38.81	7.300	1.013	-0.087	-10.763	0.00	13.10	0.10	GV	Cumple
N1823/N1822	39.59	0.000	0.625	0.092	10.793	0.00	13.32	0.14	GV	Cumple
N1824/N1823	30.25	7.300	0.564	-0.112	-12.434	0.00	13.32	0.14	GV	Cumple
N1826/N1825	64.06	7.300	-3.013	-0.197	20.365	0.00	-21.30	0.37	GV	Cumple
N1825/N1827	49.36	0.000	3.486	0.185	-15.431	0.00	-21.30	0.37	GV	Cumple
N1828/N1826	61.47	7.300	-2.280	-0.166	10.638	0.00	-20.72	0.15	GV	Cumple
N1829/N1828	39.63	0.000	2.225	0.085	11.061	0.00	13.29	0.10	GV	Cumple

Documento visado electrónicamente con número: VA07290/22
Código de validación telemática TRLTDCFZ60T66IJ1. Comprobación: https://cogitivalencia.e-gestion.es/Validacion.aspx?CVT=TRLTDCFZ60T66IJ1

VISADO
COGITI
VALENCIA
VA07290/22
TRLTDCFZ60T66IJ1

Comprobación de resistencia										
Barra	η (%)	Posición (m)	Esfuerzos pésimos						Origen	Estado
			N (kN)	Vy (kN)	Vz (kN)	Mt (kN·m)	My (kN·m)	Mz (kN·m)		
N1830/N1829	39.65	7.300	2.306	-0.084	-10.770	0.00	13.29	0.10	GV	Cumple
N1831/N1830	39.12	7.300	2.524	-0.085	-10.777	0.00	13.09	0.10	GV	Cumple
N1832/N1831	41.64	0.000	2.937	0.083	10.895	0.00	13.95	0.09	GV	Cumple
N1833/N1832	41.79	7.300	3.657	-0.081	-11.345	0.00	13.95	0.09	GV	Cumple
N1834/N1833	21.82	7.300	-1.734	-0.086	-7.322	0.00	9.55	0.11	GV	Cumple
N1836/N1835	80.74	7.300	-1.445	-0.205	21.393	0.00	-27.15	0.42	GV	Cumple
N1835/N1837	62.12	0.000	0.775	0.228	-22.607	0.00	-27.15	0.42	GV	Cumple
N1838/N1836	56.35	7.300	-1.562	-0.163	10.360	0.00	-19.06	0.13	GV	Cumple
N1839/N1838	39.34	0.000	1.631	0.085	11.004	0.00	13.24	0.10	GV	Cumple
N1840/N1839	39.34	7.300	1.656	-0.084	-10.768	0.00	13.24	0.10	GV	Cumple
N1841/N1840	38.83	0.000	1.670	0.084	10.743	0.00	13.06	0.09	GV	Cumple
N1842/N1841	38.87	0.000	1.658	0.083	10.747	0.00	13.09	0.08	GV	Cumple
N1843/N1842	38.85	7.300	1.565	-0.080	-10.780	0.00	13.09	0.08	GV	Cumple
N1844/N1843	28.78	7.300	-0.054	-0.105	-11.381	0.00	12.82	0.12	GV	Cumple
N1846/N1845	86.01	7.300	-0.356	-0.210	21.747	0.00	-29.08	0.44	GV	Cumple
N1845/N1847	65.74	0.000	-0.407	0.241	-24.607	0.00	-29.08	0.44	GV	Cumple
N1848/N1846	54.16	7.300	-0.813	-0.162	10.253	0.00	-18.41	0.12	GV	Cumple
N1849/N1848	39.16	0.000	0.925	0.085	10.978	0.00	13.23	0.10	GV	Cumple
N1850/N1849	39.17	7.300	0.949	-0.084	-10.769	0.00	13.23	0.10	GV	Cumple
N1851/N1850	38.87	0.000	0.889	0.084	10.755	0.00	13.13	0.09	GV	Cumple
N1852/N1851	38.83	7.300	0.690	-0.086	-10.785	0.00	13.13	0.09	GV	Cumple
N1853/N1852	41.07	0.000	0.365	0.089	10.889	0.00	13.89	0.12	GV	Cumple
N1854/N1853	31.41	7.300	0.499	-0.109	-12.511	0.00	13.89	0.12	GV	Cumple
N1856/N1855	60.57	7.300	-1.392	-0.176	15.428	0.00	-20.27	0.40	GV	Cumple
N1855/N1857	46.64	0.000	0.264	0.201	-17.606	0.00	-20.27	0.40	GV	Cumple
N1858/N1856	40.07	7.300	-0.286	-0.125	7.514	0.00	-13.67	0.07	GV	Cumple
N1859/N1858	27.40	0.000	1.266	0.070	7.657	0.00	9.20	0.07	GV	Cumple
N1860/N1859	27.48	7.300	1.662	-0.067	-7.478	0.00	9.20	0.07	GV	Cumple
N1861/N1860	27.20	0.000	1.927	0.067	7.462	0.00	9.08	0.07	GV	Cumple
N1862/N1861	27.26	7.300	2.213	-0.069	-7.468	0.00	9.08	0.07	GV	Cumple
N1863/N1862	27.66	0.000	2.236	0.070	7.484	0.00	9.20	0.09	GV	Cumple
N1864/N1863	20.86	7.300	0.424	-0.089	-8.586	0.00	9.20	0.09	GV	Cumple
N1866/N1865	70.01	7.300	-1.256	-0.188	17.460	0.00	-23.50	0.42	GV	Cumple
N1865/N1867	53.88	0.000	0.092	0.214	-19.790	0.00	-23.50	0.42	GV	Cumple
N1868/N1866	43.17	7.300	-0.528	-0.135	8.277	0.00	-14.70	0.08	GV	Cumple
N1869/N1868	30.95	0.000	1.208	0.075	8.635	0.00	10.41	0.08	GV	Cumple
N1870/N1869	31.02	7.300	1.546	-0.072	-8.469	0.00	10.41	0.08	GV	Cumple
N1871/N1870	30.79	0.000	1.755	0.072	8.456	0.00	10.32	0.08	GV	Cumple
N1872/N1871	30.83	7.300	1.923	-0.074	-8.478	0.00	10.32	0.08	GV	Cumple
N1873/N1872	32.65	0.000	1.842	0.074	8.562	0.00	10.93	0.09	GV	Cumple
N1874/N1873	24.74	7.300	0.473	-0.094	-9.810	0.00	10.93	0.09	GV	Cumple
N1876/N1875	90.32	7.300	-0.958	-0.214	22.064	0.00	-30.46	0.46	GV	Cumple
N1875/N1877	68.83	0.000	-0.311	0.244	-24.796	0.00	-30.46	0.46	GV	Cumple
N1878/N1876	51.61	7.300	-1.530	-0.159	10.107	0.00	-17.47	0.10	GV	Cumple
N1879/N1878	39.15	0.000	0.779	0.086	10.928	0.00	13.23	0.10	GV	Cumple

Documento visado electrónicamente con número: VA07290/22
Código de validación telemática TRLTDCFZ60T66IJ1. Comprobación: https://cogitivalencia.e-gestion.es/Validacion.aspx?CVT=TRLTDCFZ60T66IJ1

VISADO
COGITI
VALENCIA
VA07290/22
TRLTDCFZ60T66IJ1

Comprobación de resistencia										
Barra	η (%)	Posición (m)	Esfuerzos pésimos						Origen	Estado
			N (kN)	Vy (kN)	Vz (kN)	Mt (kN·m)	My (kN·m)	Mz (kN·m)		
N1880/N1879	39.15	7.300	0.791	-0.084	-10.773	0.00	13.23	0.10	GV	Cumple
N1881/N1880	38.98	0.000	0.718	0.084	10.766	0.00	13.18	0.09	GV	Cumple
N1882/N1881	38.94	7.300	0.524	-0.085	-10.818	0.00	13.18	0.09	GV	Cumple
N1883/N1882	43.28	0.000	0.205	0.085	11.023	0.00	14.68	0.10	GV	Cumple
N1884/N1883	33.07	7.300	0.150	-0.108	-12.620	0.00	14.68	0.10	GV	Cumple
N1886/N1885	75.75	7.300	-1.950	-0.192	18.321	0.00	-25.37	0.42	GV	Cumple
N1885/N1887	57.49	0.000	-0.489	0.219	-20.622	0.00	-25.37	0.42	GV	Cumple
N1888/N1886	43.59	7.300	-4.257	-0.138	8.438	0.00	-14.48	0.08	GV	Cumple
N1889/N1888	32.04	0.000	0.770	0.077	8.925	0.00	10.81	0.08	GV	Cumple
N1890/N1889	31.93	7.300	0.246	-0.074	-8.798	0.00	10.81	0.08	GV	Cumple
N1891/N1890	31.76	0.000	0.132	0.074	8.791	0.00	10.76	0.08	GV	Cumple
N1892/N1891	31.82	7.300	0.431	-0.075	-8.833	0.00	10.76	0.08	GV	Cumple
N1893/N1892	35.56	0.000	1.082	0.076	9.001	0.00	11.99	0.09	GV	Cumple
N1894/N1893	27.14	7.300	0.880	-0.096	-10.281	0.00	11.99	0.09	GV	Cumple
N1896/N1895	63.09	7.300	-2.023	-0.174	15.118	0.00	-21.06	0.39	GV	Cumple
N1895/N1897	47.84	0.000	-0.568	0.198	-17.139	0.00	-21.06	0.39	GV	Cumple
N1898/N1896	38.36	7.300	-5.089	-0.120	8.044	0.00	-12.63	0.06	GV	Cumple
N1899/N1898	32.01	0.000	0.610	0.070	8.934	0.00	10.83	0.07	GV	Cumple
N1900/N1899	31.76	7.300	-0.129	-0.067	-8.870	0.00	10.83	0.07	GV	Cumple
N1901/N1900	31.93	0.000	-0.203	0.067	8.877	0.00	10.88	0.07	GV	Cumple
N1902/N1901	32.11	7.300	0.387	-0.068	-8.931	0.00	10.88	0.07	GV	Cumple
N1903/N1902	36.81	0.000	1.610	0.068	9.139	0.00	12.40	0.08	GV	Cumple
N1904/N1903	28.10	7.300	1.402	-0.087	-10.423	0.00	12.40	0.08	GV	Cumple
N1906/N1905	92.24	7.300	-0.808	-0.212	21.955	0.00	-31.15	0.44	GV	Cumple
N1905/N1907	70.27	0.000	-0.044	0.242	-24.891	0.00	-31.15	0.44	GV	Cumple
N1908/N1906	64.55	0.000	-1.363	0.178	-17.953	0.00	-21.81	0.22	GV	Cumple
N1909/N1908	64.56	7.300	-1.374	-0.168	17.843	0.00	-21.81	0.22	GV	Cumple
N1910/N1909	63.90	7.300	-1.119	-0.167	17.819	0.00	-21.62	0.21	GV	Cumple
N1911/N1910	64.91	0.000	-0.769	0.168	-17.871	0.00	-22.01	0.21	GV	Cumple
N1912/N1911	64.81	7.300	-0.473	-0.170	18.035	0.00	-22.01	0.21	GV	Cumple
N1913/N1912	78.05	0.000	-0.352	0.178	-18.652	0.00	-26.51	0.27	GV	Cumple
N1914/N1913	59.62	7.300	-0.251	-0.220	21.674	0.00	-26.51	0.27	GV	Cumple
N1916/N1915	88.25	7.300	-1.864	-0.202	20.759	0.00	-29.66	0.42	GV	Cumple
N1915/N1917	67.10	0.000	-0.767	0.232	-23.527	0.00	-29.66	0.42	GV	Cumple
N1918/N1916	63.05	0.000	-1.884	0.170	-17.472	0.00	-21.25	0.21	GV	Cumple
N1919/N1918	63.02	7.300	-1.791	-0.161	17.330	0.00	-21.25	0.21	GV	Cumple
N1920/N1919	62.21	7.300	-1.697	-0.160	17.297	0.00	-20.99	0.20	GV	Cumple
N1921/N1920	63.27	0.000	-1.530	0.161	-17.348	0.00	-21.37	0.20	GV	Cumple
N1922/N1921	63.19	7.300	-1.276	-0.162	17.512	0.00	-21.37	0.20	GV	Cumple
N1923/N1922	76.35	0.000	-0.864	0.169	-18.130	0.00	-25.88	0.25	GV	Cumple
N1924/N1923	58.19	7.300	-0.298	-0.210	21.064	0.00	-25.88	0.25	GV	Cumple
N1926/N1925	72.36	0.000	-2.895	0.227	-24.988	0.00	-31.85	0.33	GV	Cumple
N1928/N1927	72.11	0.000	0.375	0.227	-24.985	0.00	-31.83	0.32	GV	Cumple
N1930/N1929	46.28	0.000	-5.066	0.171	-15.840	0.00	-20.05	0.25	GV	Cumple
N1932/N1931	63.68	0.000	-2.051	0.209	-22.158	0.00	-28.11	0.29	GV	Cumple

Documento visado electrónicamente con número: VA07290/22
Código de validación telemática TRLTDCFZ60T66IJ1. Comprobación: https://cogitivalencia.e-gestion.es/Validacion.aspx?CVT=TRLTDCFZ60T66IJ1

VISADO
COGITI
VALENCIA
VA07290/22
TRLTDCFZ60T66IJ1

Comprobación de resistencia										
Barra	η (%)	Posición (m)	Esfuerzos pésimos						Origen	Estado
			N (kN)	Vy (kN)	Vz (kN)	Mt (kN·m)	My (kN·m)	Mz (kN·m)		
N1934/N1933	71.18	0.000	0.207	0.224	-24.932	0.00	-31.45	0.31	GV	Cumple
N1936/N1935	51.29	0.000	-0.354	0.187	-18.527	0.00	-22.76	0.27	GV	Cumple
N1938/N1937	52.61	0.000	-0.308	0.191	-19.188	0.00	-23.34	0.28	GV	Cumple
N1940/N1939	68.44	0.000	-0.159	0.227	-24.792	0.00	-30.43	0.33	GV	Cumple
N1942/N1941	62.74	0.000	0.394	0.208	-21.511	0.00	-27.63	0.32	GV	Cumple
N1944/N1943	54.50	0.000	1.022	0.183	-16.947	0.00	-23.90	0.31	GV	Cumple
N1946/N1945	66.81	0.000	-0.261	0.230	-24.687	0.00	-29.66	0.36	GV	Cumple
N1948/N1947	65.06	0.000	0.202	0.227	-23.963	0.00	-28.61	0.36	GV	Cumple
N1950/N1949	34.20	0.000	1.816	0.167	-13.376	0.00	-14.74	0.30	GV	Cumple
N1952/N1951	67.17	0.000	0.012	0.234	-24.669	0.00	-29.53	0.39	GV	Cumple
N1954/N1953	66.84	0.000	-0.208	0.236	-24.683	0.00	-29.63	0.40	GV	Cumple
N1956/N1955	52.50	0.000	1.463	0.184	-15.645	0.00	-22.87	0.37	GV	Cumple
N1958/N1957	65.13	0.000	0.281	0.227	-22.799	0.00	-28.55	0.41	GV	Cumple
N1960/N1959	68.43	0.000	-0.187	0.240	-24.778	0.00	-30.32	0.43	GV	Cumple
N1962/N1961	48.40	0.000	-0.243	0.199	-17.756	0.00	-21.36	0.38	GV	Cumple
N1964/N1963	55.29	0.000	-0.248	0.212	-19.918	0.00	-24.44	0.40	GV	Cumple
N1966/N1965	70.50	0.000	-0.192	0.241	-24.903	0.00	-31.24	0.44	GV	Cumple
N1968/N1967	58.88	0.000	-0.704	0.216	-20.708	0.00	-26.00	0.41	GV	Cumple
N1970/N1969	48.91	0.000	-0.963	0.195	-17.202	0.00	-21.52	0.38	GV	Cumple
N1972/N1971	71.58	0.000	0.006	0.239	-24.932	0.00	-31.45	0.42	GV	Cumple
N1974/N1973	67.45	0.000	-0.783	0.235	-23.545	0.00	-29.80	0.44	GV	Cumple
N1975/N1926	94.88	7.300	-3.096	-0.183	22.103	0.00	-31.85	0.33	GV	Cumple
N1976/N1928	93.96	7.300	-0.987	-0.181	22.118	0.00	-31.83	0.32	GV	Cumple
N1977/N1930	60.81	7.300	-5.384	-0.132	14.035	0.00	-20.05	0.25	GV	Cumple
N1978/N1932	83.70	7.300	-2.866	-0.165	19.792	0.00	-28.11	0.29	GV	Cumple
N1979/N1934	92.48	7.300	-0.173	-0.179	22.271	0.00	-31.45	0.31	GV	Cumple
N1980/N1936	67.25	7.300	-0.731	-0.148	16.406	0.00	-22.76	0.27	GV	Cumple
N1981/N1938	68.99	7.300	-0.749	-0.152	16.966	0.00	-23.34	0.28	GV	Cumple
N1982/N1940	89.58	7.300	-0.223	-0.183	22.025	0.00	-30.43	0.33	GV	Cumple
N1983/N1942	81.66	7.300	-0.936	-0.183	21.521	0.00	-27.63	0.32	GV	Cumple
N1984/N1944	70.94	7.300	-1.466	-0.181	20.862	0.00	-23.90	0.31	GV	Cumple
N1985/N1946	87.46	7.300	-0.339	-0.190	21.850	0.00	-29.66	0.36	GV	Cumple
N1986/N1948	84.40	7.300	-0.255	-0.189	21.180	0.00	-28.61	0.36	GV	Cumple
N1987/N1950	44.02	7.300	-0.974	-0.138	11.555	0.00	-14.74	0.30	GV	Cumple
N1988/N1952	87.12	7.300	-0.187	-0.198	21.819	0.00	-29.53	0.39	GV	Cumple
N1989/N1954	87.56	7.300	-0.474	-0.201	21.842	0.00	-29.63	0.40	GV	Cumple
N1990/N1956	68.21	7.300	-1.797	-0.196	20.678	0.00	-22.87	0.37	GV	Cumple
N1991/N1958	84.61	7.300	-0.896	-0.204	21.674	0.00	-28.55	0.41	GV	Cumple
N1992/N1960	89.58	7.300	-0.286	-0.208	21.997	0.00	-30.32	0.43	GV	Cumple
N1993/N1962	63.57	7.300	-0.941	-0.174	15.646	0.00	-21.36	0.38	GV	Cumple
N1994/N1964	72.58	7.300	-0.887	-0.186	17.646	0.00	-24.44	0.40	GV	Cumple
N1995/N1966	92.53	7.300	-0.902	-0.211	22.219	0.00	-31.24	0.44	GV	Cumple
N1996/N1968	77.50	7.300	-1.890	-0.190	18.443	0.00	-26.00	0.41	GV	Cumple
N1997/N1970	64.36	7.300	-1.978	-0.171	15.208	0.00	-21.52	0.38	GV	Cumple
N1998/N1972	93.02	7.300	-0.726	-0.209	22.013	0.00	-31.45	0.42	GV	Cumple

Documento visado electrónicamente con número: VA07290/22
Código de validación telemática TRLTDCFZ60T66IJ1. Comprobación: https://cogitivalencia.e-gestion.es/Validacion.aspx?CVT=TRLTDCFZ60T66IJ1

VISADO
COGITI
VALENCIA
VA07290/22
TRLTDCFZ60T66IJ1

Comprobación de resistencia										
Barra	η (%)	Posición (m)	Esfuerzos pésimos						Origen	Estado
			N (kN)	Vy (kN)	Vz (kN)	Mt (kN·m)	My (kN·m)	Mz (kN·m)		
N1999/N1974	88.72	7.300	-1.927	-0.225	20.781	0.00	-29.80	0.44	GV	Cumple
N2000/N1975	67.39	0.000	-3.266	0.165	-18.557	0.00	-22.60	0.18	GV	Cumple
N2001/N1976	63.37	0.000	-2.972	0.164	-17.488	0.00	-21.26	0.18	GV	Cumple
N2002/N1977	35.17	7.300	-9.156	-0.127	6.654	0.00	-8.87	0.16	GV	Cumple
N2003/N1978	44.31	7.300	-1.352	-0.164	8.917	0.00	-14.89	0.20	GV	Cumple
N2004/N1979	50.12	7.300	-0.603	-0.178	10.041	0.00	-16.95	0.21	GV	Cumple
N2005/N1980	39.07	7.300	-0.159	-0.146	7.667	0.00	-13.24	0.18	GV	Cumple
N2006/N1981	41.12	7.300	-0.159	-0.148	7.981	0.00	-13.94	0.17	GV	Cumple
N2007/N1982	52.32	7.300	-0.504	-0.176	10.173	0.00	-17.73	0.20	GV	Cumple
N2008/N1983	55.01	7.300	-0.948	-0.174	10.322	0.00	-18.61	0.20	GV	Cumple
N2009/N1984	58.24	7.300	-1.209	-0.174	10.506	0.00	-19.69	0.20	GV	Cumple
N2010/N1985	53.77	7.300	-0.658	-0.172	10.252	0.00	-18.23	0.18	GV	Cumple
N2011/N1986	52.50	7.300	-0.081	-0.168	9.996	0.00	-17.87	0.16	GV	Cumple
N2012/N1987	33.31	7.300	0.969	-0.113	5.958	0.00	-11.21	0.10	GV	Cumple
N2013/N1988	53.85	7.300	-0.223	-0.167	10.269	0.00	-18.33	0.15	GV	Cumple
N2014/N1989	53.81	7.300	-0.770	-0.166	10.259	0.00	-18.27	0.14	GV	Cumple
N2015/N1990	59.08	7.300	-1.395	-0.166	10.562	0.00	-20.00	0.15	GV	Cumple
N2016/N1991	54.27	7.300	-0.975	-0.163	10.292	0.00	-18.42	0.13	GV	Cumple
N2017/N1992	52.42	7.300	-0.605	-0.161	10.193	0.00	-17.83	0.12	GV	Cumple
N2018/N1993	38.62	7.300	-0.273	-0.125	7.464	0.00	-13.17	0.07	GV	Cumple
N2019/N1994	41.94	7.300	-0.474	-0.135	8.235	0.00	-14.28	0.08	GV	Cumple
N2020/N1995	50.57	7.300	-1.391	-0.159	10.073	0.00	-17.13	0.11	GV	Cumple
N2021/N1996	42.73	7.300	-3.992	-0.137	8.413	0.00	-14.21	0.08	GV	Cumple
N2022/N1997	37.70	7.300	-4.761	-0.119	8.026	0.00	-12.44	0.06	GV	Cumple
N2023/N1998	64.58	0.000	-1.449	0.178	-17.963	0.00	-21.81	0.22	GV	Cumple
N2024/N1999	63.05	0.000	-1.996	0.165	-17.473	0.00	-21.24	0.20	GV	Cumple
N2025/N2000	67.32	7.300	-3.036	-0.163	18.381	0.00	-22.60	0.18	GV	Cumple
N2026/N2001	63.31	7.300	-2.785	-0.164	17.360	0.00	-21.26	0.18	GV	Cumple
N2027/N2002	30.97	0.000	-5.938	0.128	-6.528	0.00	-7.95	0.16	GV	Cumple
N2028/N2003	35.02	0.000	3.393	0.073	9.570	0.00	11.65	0.08	GV	Cumple
N2029/N2004	39.36	0.000	1.350	0.079	10.911	0.00	13.27	0.09	GV	Cumple
N2030/N2005	28.70	0.000	1.153	0.066	7.956	0.00	9.65	0.07	GV	Cumple
N2031/N2006	29.88	0.000	1.039	0.067	8.304	0.00	10.06	0.07	GV	Cumple
N2032/N2007	39.29	0.000	0.702	0.079	10.962	0.00	13.29	0.09	GV	Cumple
N2033/N2008	39.47	0.000	1.081	0.080	10.999	0.00	13.33	0.09	GV	Cumple
N2034/N2009	39.64	0.000	1.309	0.081	11.039	0.00	13.37	0.09	GV	Cumple
N2035/N2010	39.31	0.000	0.773	0.081	10.988	0.00	13.29	0.09	GV	Cumple
N2036/N2011	38.11	0.000	0.709	0.080	10.662	0.00	12.89	0.09	GV	Cumple
N2037/N2012	20.46	0.000	1.174	0.057	5.705	0.00	6.84	0.06	GV	Cumple
N2038/N2013	39.29	0.000	0.656	0.083	10.995	0.00	13.30	0.09	GV	Cumple
N2039/N2014	39.33	0.000	0.816	0.084	10.993	0.00	13.30	0.09	GV	Cumple
N2040/N2015	39.70	0.000	1.321	0.085	11.054	0.00	13.39	0.09	GV	Cumple
N2041/N2016	39.44	0.000	0.972	0.085	10.997	0.00	13.32	0.09	GV	Cumple
N2042/N2017	39.30	0.000	0.569	0.085	10.973	0.00	13.30	0.09	GV	Cumple
N2043/N2018	27.50	0.000	0.824	0.070	7.653	0.00	9.26	0.07	GV	Cumple

Documento visado electrónicamente con número: VA07290/22
Código de validación telemática TRLTDCFZ60T66IJ1. Comprobación: https://cogitivalencia.e-gestion.es/Validacion.aspx?CVT=TRLTDCFZ60T66IJ1

VISADO
COGITI
VALENCIA
VA07290/22
TRLTDCFZ60T66IJ1

Comprobación de resistencia										
Barra	η (%)	Posición (m)	Esfuerzos pésimos						Origen	Estado
			N (kN)	Vy (kN)	Vz (kN)	Mt (kN·m)	My (kN·m)	Mz (kN·m)		
N2044/N2019	31.04	0.000	0.797	0.075	8.633	0.00	10.47	0.08	GV	Cumple
N2045/N2020	39.26	0.000	0.597	0.087	10.927	0.00	13.28	0.10	GV	Cumple
N2046/N2021	32.12	0.000	0.584	0.077	8.925	0.00	10.85	0.08	GV	Cumple
N2047/N2022	32.06	0.000	0.367	0.070	8.934	0.00	10.86	0.08	GV	Cumple
N2048/N2023	64.56	7.300	-1.414	-0.169	17.840	0.00	-21.81	0.22	GV	Cumple
N2049/N2024	63.03	7.300	-1.958	-0.160	17.327	0.00	-21.24	0.20	GV	Cumple
N2050/N2025	66.30	7.300	-2.827	-0.167	18.336	0.00	-22.25	0.21	GV	Cumple
N2051/N2026	62.61	7.300	-2.195	-0.167	17.339	0.00	-21.06	0.21	GV	Cumple
N2052/N2027	28.86	7.300	5.498	-0.063	-7.685	0.00	9.42	0.06	GV	Cumple
N2053/N2028	35.08	7.300	3.670	-0.077	-9.462	0.00	11.65	0.08	GV	Cumple
N2054/N2029	39.35	7.300	1.287	-0.084	-10.779	0.00	13.27	0.09	GV	Cumple
N2055/N2030	28.74	7.300	1.346	-0.069	-7.817	0.00	9.65	0.07	GV	Cumple
N2056/N2031	29.92	7.300	1.226	-0.071	-8.146	0.00	10.06	0.07	GV	Cumple
N2057/N2032	39.30	7.300	0.709	-0.084	-10.779	0.00	13.29	0.09	GV	Cumple
N2058/N2033	39.48	7.300	1.111	-0.084	-10.780	0.00	13.33	0.09	GV	Cumple
N2059/N2034	39.65	7.300	1.357	-0.084	-10.782	0.00	13.37	0.09	GV	Cumple
N2060/N2035	39.31	7.300	0.758	-0.084	-10.777	0.00	13.29	0.09	GV	Cumple
N2061/N2036	38.14	7.300	0.868	-0.082	-10.447	0.00	12.89	0.09	GV	Cumple
N2062/N2037	20.52	7.300	1.480	-0.058	-5.511	0.00	6.84	0.06	GV	Cumple
N2063/N2038	39.32	7.300	0.787	-0.084	-10.777	0.00	13.30	0.09	GV	Cumple
N2064/N2039	39.33	7.300	0.797	-0.084	-10.777	0.00	13.30	0.09	GV	Cumple
N2065/N2040	39.71	7.300	1.383	-0.084	-10.784	0.00	13.39	0.09	GV	Cumple
N2066/N2041	39.44	7.300	0.993	-0.084	-10.781	0.00	13.32	0.09	GV	Cumple
N2067/N2042	39.30	7.300	0.593	-0.084	-10.780	0.00	13.30	0.09	GV	Cumple
N2068/N2043	27.55	7.300	1.069	-0.067	-7.488	0.00	9.26	0.07	GV	Cumple
N2069/N2044	31.09	7.300	1.017	-0.072	-8.478	0.00	10.47	0.08	GV	Cumple
N2070/N2045	39.27	7.300	0.610	-0.084	-10.780	0.00	13.28	0.10	GV	Cumple
N2071/N2046	32.03	7.300	0.100	-0.074	-8.804	0.00	10.85	0.08	GV	Cumple
N2072/N2047	31.91	7.300	-0.323	-0.067	-8.874	0.00	10.86	0.08	GV	Cumple
N2073/N2048	63.93	7.300	-1.086	-0.167	17.822	0.00	-21.64	0.21	GV	Cumple
N2074/N2049	62.31	7.300	-1.914	-0.160	17.298	0.00	-21.00	0.20	GV	Cumple
N2075/N2050	67.42	0.000	-2.592	0.167	-18.393	0.00	-22.66	0.20	GV	Cumple
N2076/N2051	63.40	0.000	-1.451	0.167	-17.388	0.00	-21.42	0.20	GV	Cumple
N2077/N2052	28.97	0.000	5.611	0.065	7.686	0.00	9.43	0.08	GV	Cumple
N2078/N2053	34.93	0.000	3.566	0.079	9.453	0.00	11.58	0.09	GV	Cumple
N2079/N2054	39.14	0.000	1.152	0.085	10.767	0.00	13.19	0.10	GV	Cumple
N2080/N2055	28.41	0.000	1.498	0.071	7.797	0.00	9.51	0.08	GV	Cumple
N2081/N2056	29.52	0.000	1.368	0.072	8.124	0.00	9.90	0.09	GV	Cumple
N2082/N2057	38.87	0.000	0.656	0.085	10.757	0.00	13.13	0.10	GV	Cumple
N2083/N2058	38.69	7.300	1.149	-0.084	-10.746	0.00	13.05	0.10	GV	Cumple
N2084/N2059	38.84	7.300	1.478	-0.084	-10.770	0.00	13.08	0.10	GV	Cumple
N2085/N2060	38.76	0.000	0.696	0.085	10.750	0.00	13.10	0.10	GV	Cumple
N2086/N2061	37.60	0.000	0.951	0.083	10.418	0.00	12.68	0.10	GV	Cumple
N2087/N2062	20.17	7.300	1.703	-0.058	-5.506	0.00	6.70	0.07	GV	Cumple
N2088/N2063	38.76	0.000	0.846	0.085	10.748	0.00	13.09	0.10	GV	Cumple

Documento visado electrónicamente con número: VA07290/22
Código de validación telemática TRLTDCFZ60T66IJ1. Comprobación: https://cogitivalencia.e-gestion.es/Validacion.aspx?CVT=TRLTDCFZ60T66IJ1

VISADO
COGITI
VALENCIA
VA07290/22
TRLTDCFZ60T66IJ1

Comprobación de resistencia										
Barra	η (%)	Posición (m)	Esfuerzos pésimos						Origen	Estado
			N (kN)	Vy (kN)	Vz (kN)	Mt (kN·m)	My (kN·m)	Mz (kN·m)		
N2089/N2064	38.75	0.000	0.740	0.084	10.749	0.00	13.09	0.10	GV	Cumple
N2090/N2065	38.88	7.300	1.527	-0.085	-10.776	0.00	13.08	0.10	GV	Cumple
N2091/N2066	38.68	0.000	1.007	0.084	10.744	0.00	13.05	0.10	GV	Cumple
N2092/N2067	38.79	0.000	0.563	0.084	10.756	0.00	13.12	0.10	GV	Cumple
N2093/N2068	27.04	0.000	1.239	0.068	7.462	0.00	9.07	0.08	GV	Cumple
N2094/N2069	30.65	0.000	1.153	0.073	8.456	0.00	10.31	0.08	GV	Cumple
N2095/N2070	38.93	0.000	0.553	0.084	10.765	0.00	13.17	0.09	GV	Cumple
N2096/N2071	31.72	0.000	0.021	0.074	8.790	0.00	10.75	0.08	GV	Cumple
N2097/N2072	31.96	0.000	-0.362	0.067	8.877	0.00	10.88	0.07	GV	Cumple
N2098/N2073	64.87	0.000	-0.670	0.168	-17.871	0.00	-22.00	0.21	GV	Cumple
N2099/N2074	63.36	0.000	-1.789	0.161	-17.348	0.00	-21.37	0.20	GV	Cumple
N2100/N2075	67.36	7.300	-2.390	-0.164	18.573	0.00	-22.66	0.20	GV	Cumple
N2101/N2076	63.17	7.300	-0.735	-0.165	17.554	0.00	-21.42	0.20	GV	Cumple
N2102/N2077	28.78	7.300	4.676	-0.071	-7.733	0.00	9.43	0.08	GV	Cumple
N2103/N2078	34.80	7.300	2.936	-0.085	-9.503	0.00	11.58	0.09	GV	Cumple
N2104/N2079	39.09	7.300	0.942	-0.091	-10.819	0.00	13.19	0.10	GV	Cumple
N2105/N2080	28.45	7.300	1.698	-0.076	-7.812	0.00	9.51	0.08	GV	Cumple
N2106/N2081	29.56	7.300	1.542	-0.078	-8.133	0.00	9.90	0.09	GV	Cumple
N2107/N2082	38.84	7.300	0.505	-0.091	-10.783	0.00	13.13	0.10	GV	Cumple
N2108/N2083	39.14	0.000	1.197	0.078	10.775	0.00	13.26	0.06	GV	Cumple
N2109/N2084	40.89	0.000	1.703	0.078	10.872	0.00	13.82	0.06	GV	Cumple
N2110/N2085	38.73	7.300	0.551	-0.090	-10.761	0.00	13.10	0.10	GV	Cumple
N2111/N2086	37.60	7.300	0.981	-0.088	-10.423	0.00	12.68	0.10	GV	Cumple
N2112/N2087	20.99	0.000	2.200	0.054	5.546	0.00	6.99	0.04	GV	Cumple
N2113/N2088	38.75	7.300	0.820	-0.089	-10.756	0.00	13.09	0.10	GV	Cumple
N2114/N2089	38.72	7.300	0.611	-0.088	-10.759	0.00	13.09	0.10	GV	Cumple
N2115/N2090	41.45	0.000	1.791	0.082	10.900	0.00	13.98	0.08	GV	Cumple
N2116/N2091	38.80	0.000	1.005	0.081	10.753	0.00	13.13	0.07	GV	Cumple
N2117/N2092	38.77	7.300	0.445	-0.087	-10.779	0.00	13.12	0.10	GV	Cumple
N2118/N2093	27.09	7.300	1.451	-0.070	-7.462	0.00	9.07	0.08	GV	Cumple
N2119/N2094	30.68	7.300	1.277	-0.075	-8.472	0.00	10.31	0.08	GV	Cumple
N2120/N2095	38.90	7.300	0.404	-0.086	-10.812	0.00	13.17	0.09	GV	Cumple
N2121/N2096	31.78	7.300	0.327	-0.076	-8.828	0.00	10.75	0.08	GV	Cumple
N2122/N2097	32.07	7.300	0.219	-0.069	-8.928	0.00	10.88	0.07	GV	Cumple
N2123/N2098	64.76	7.300	-0.339	-0.170	18.035	0.00	-22.00	0.21	GV	Cumple
N2124/N2099	63.28	7.300	-1.557	-0.163	17.512	0.00	-21.37	0.20	GV	Cumple
N2125/N2100	81.69	0.000	-2.032	0.164	-19.251	0.00	-27.62	0.20	GV	Cumple
N2126/N2101	76.49	0.000	-0.341	0.163	-18.188	0.00	-26.05	0.20	GV	Cumple
N2127/N2102	33.18	0.000	2.137	0.084	7.942	0.00	10.95	0.17	GV	Cumple
N2128/N2103	40.13	0.000	1.667	0.098	9.742	0.00	13.33	0.19	GV	Cumple
N2129/N2104	45.04	0.000	0.701	0.105	11.078	0.00	15.07	0.20	GV	Cumple
N2130/N2105	31.51	0.000	1.807	0.090	7.932	0.00	10.39	0.18	GV	Cumple
N2131/N2106	32.27	0.000	1.648	0.091	8.237	0.00	10.66	0.18	GV	Cumple
N2132/N2107	42.97	0.000	0.240	0.103	10.959	0.00	14.41	0.19	GV	Cumple
N2133/N2108	39.15	7.300	1.245	-0.068	-10.802	0.00	13.26	0.06	GV	Cumple

Documento visado electrónicamente con número: VA07290/22
Código de validación telemática TRLTDCFZ60T66IJ1. Comprobación: https://cogitivalencia.e-gestion.es/Validacion.aspx?CVT=TRLTDCFZ60T66IJ1

VISADO
COGITI
VALENCIA
VA07290/22
TRLTDCFZ60T66IJ1

Listados

Comprobación de resistencia										
Barra	η (%)	Posición (m)	Esfuerzos pésimos						Origen	Estado
			N (kN)	Vy (kN)	Vz (kN)	Mt (kN·m)	My (kN·m)	Mz (kN·m)		
N2134/N2109	40.97	7.300	2.089	-0.070	-11.166	0.00	13.82	0.06	GV	Cumple
N2135/N2110	41.64	0.000	0.279	0.100	10.882	0.00	13.99	0.18	GV	Cumple
N2136/N2111	40.07	0.000	0.920	0.097	10.524	0.00	13.42	0.17	GV	Cumple
N2137/N2112	22.55	0.000	-2.570	0.115	-5.002	0.00	-5.85	0.16	GV	Cumple
N2138/N2113	41.37	0.000	0.659	0.096	10.867	0.00	13.90	0.15	GV	Cumple
N2139/N2114	41.43	0.000	0.373	0.095	10.877	0.00	13.96	0.15	GV	Cumple
N2140/N2115	41.54	7.300	2.245	-0.078	-11.270	0.00	13.98	0.08	GV	Cumple
N2141/N2116	39.64	0.000	0.958	0.092	10.769	0.00	13.33	0.13	GV	Cumple
N2142/N2117	42.41	0.000	0.230	0.091	10.945	0.00	14.34	0.13	GV	Cumple
N2143/N2118	28.71	0.000	1.583	0.073	7.532	0.00	9.59	0.10	GV	Cumple
N2144/N2119	33.55	0.000	1.305	0.078	8.602	0.00	11.26	0.10	GV	Cumple
N2145/N2120	44.09	0.000	0.132	0.089	11.055	0.00	14.94	0.11	GV	Cumple
N2146/N2121	36.20	0.000	0.997	0.079	9.025	0.00	12.20	0.10	GV	Cumple
N2147/N2122	37.27	0.000	1.464	0.071	9.157	0.00	12.55	0.09	GV	Cumple
N2148/N2123	78.32	0.000	-0.247	0.179	-18.666	0.00	-26.61	0.28	GV	Cumple
N2149/N2124	76.59	0.000	-1.123	0.170	-18.136	0.00	-25.92	0.26	GV	Cumple
N2150/N2125	62.26	7.300	-1.591	-0.210	22.341	0.00	-27.62	0.20	GV	Cumple
N2151/N2126	58.36	7.300	-0.002	-0.210	21.126	0.00	-26.05	0.20	GV	Cumple
N2152/N2127	25.12	7.300	0.628	-0.097	-9.035	0.00	10.95	0.17	GV	Cumple
N2153/N2128	30.51	7.300	0.670	-0.114	-11.123	0.00	13.33	0.19	GV	Cumple
N2154/N2129	34.38	7.300	0.413	-0.122	-12.674	0.00	15.07	0.20	GV	Cumple
N2155/N2130	23.94	7.300	0.905	-0.104	-9.078	0.00	10.39	0.18	GV	Cumple
N2156/N2131	24.53	7.300	0.808	-0.105	-9.444	0.00	10.66	0.18	GV	Cumple
N2157/N2132	32.85	7.300	0.266	-0.120	-12.583	0.00	14.41	0.19	GV	Cumple
N2158/N2133	29.23	7.300	0.056	-0.110	-10.724	0.00	12.82	0.18	GV	Cumple
N2159/N2134	24.28	7.300	-0.313	-0.097	-8.140	0.00	10.73	0.17	GV	Cumple
N2160/N2135	31.84	7.300	0.351	-0.118	-12.525	0.00	13.99	0.18	GV	Cumple
N2161/N2136	30.52	7.300	0.273	-0.115	-12.118	0.00	13.42	0.17	GV	Cumple
N2162/N2137	16.29	3.194	0.757	-0.006	0.137	0.00	6.99	-0.16	GV	Cumple
N2163/N2138	31.56	7.300	0.337	-0.115	-12.513	0.00	13.90	0.15	GV	Cumple
N2164/N2139	31.66	7.300	0.325	-0.114	-12.521	0.00	13.96	0.15	GV	Cumple
N2165/N2140	22.95	7.300	-0.873	-0.087	-7.400	0.00	10.13	0.12	GV	Cumple
N2166/N2141	30.15	7.300	0.014	-0.106	-11.451	0.00	13.33	0.13	GV	Cumple
N2167/N2142	32.42	7.300	0.285	-0.111	-12.573	0.00	14.34	0.13	GV	Cumple
N2168/N2143	21.77	7.300	0.500	-0.091	-8.639	0.00	9.59	0.10	GV	Cumple
N2169/N2144	25.51	7.300	0.476	-0.096	-9.855	0.00	11.26	0.10	GV	Cumple
N2170/N2145	33.68	7.300	0.044	-0.109	-12.656	0.00	14.94	0.11	GV	Cumple
N2171/N2146	27.65	7.300	0.937	-0.097	-10.309	0.00	12.20	0.10	GV	Cumple
N2172/N2147	28.49	7.300	1.497	-0.089	-10.444	0.00	12.55	0.09	GV	Cumple
N2173/N2148	59.83	7.300	-0.173	-0.221	21.687	0.00	-26.61	0.28	GV	Cumple
N2174/N2149	58.35	7.300	-0.463	-0.211	21.070	0.00	-25.92	0.26	GV	Cumple
N2176/N2175	71.90	0.000	-2.962	0.215	-24.971	0.00	-31.73	0.24	GV	Cumple
N2178/N2177	71.14	0.000	0.330	0.213	-24.947	0.00	-31.56	0.23	GV	Cumple
N2180/N2179	44.85	0.000	-3.857	0.159	-15.781	0.00	-19.62	0.16	GV	Cumple
N2182/N2181	62.08	0.000	-1.667	0.196	-22.077	0.00	-27.52	0.20	GV	Cumple

Documento visado electrónicamente con número: VA07290/22
Código de validación telemática TRLTDCFZ60T66IJ1. Comprobación: https://cogitivalencia.e-gestion.es/Validacion.aspx?CVT=TRLTDCFZ60T66IJ1

VISADO
COGITI
VALENCIA
VA07290/22
TRLTDCFZ60T66IJ1

Comprobación de resistencia										
Barra	η (%)	Posición (m)	Esfuerzos pésimos						Origen	Estado
			N (kN)	Vy (kN)	Vz (kN)	Mt (kN·m)	My (kN·m)	Mz (kN·m)		
N2184/N2183	68.79	0.000	-0.006	0.212	-24.830	0.00	-30.70	0.23	GV	Cumple
N2186/N2185	49.37	0.000	0.161	0.176	-18.405	0.00	-21.86	0.18	GV	Cumple
N2188/N2187	50.39	0.000	0.164	0.181	-19.045	0.00	-22.30	0.20	GV	Cumple
N2190/N2189	65.69	0.000	-0.409	0.215	-24.629	0.00	-29.24	0.25	GV	Cumple
N2192/N2191	59.58	0.000	1.114	0.198	-21.327	0.00	-26.28	0.25	GV	Cumple
N2194/N2193	51.16	0.000	2.668	0.173	-16.742	0.00	-22.40	0.24	GV	Cumple
N2196/N2195	63.08	0.000	-0.525	0.221	-24.462	0.00	-28.02	0.29	GV	Cumple
N2198/N2197	60.97	0.000	0.505	0.219	-23.722	0.00	-26.85	0.30	GV	Cumple
N2200/N2199	33.98	4.106	4.317	0.017	-0.346	0.00	14.76	-0.12	GV	Cumple
N2202/N2201	62.72	0.000	0.044	0.227	-24.406	0.00	-27.61	0.34	GV	Cumple
N2204/N2203	62.38	0.000	-0.368	0.230	-24.412	0.00	-27.65	0.36	GV	Cumple
N2206/N2205	48.40	0.000	4.826	0.179	-15.368	0.00	-20.84	0.33	GV	Cumple
N2208/N2207	60.63	0.000	1.173	0.224	-22.519	0.00	-26.51	0.38	GV	Cumple
N2210/N2209	64.01	0.000	-0.603	0.237	-24.501	0.00	-28.30	0.41	GV	Cumple
N2212/N2211	44.99	0.000	2.190	0.199	-17.491	0.00	-19.42	0.38	GV	Cumple
N2214/N2213	52.12	0.000	1.524	0.213	-19.670	0.00	-22.62	0.41	GV	Cumple
N2216/N2215	66.99	0.000	-0.678	0.244	-24.677	0.00	-29.59	0.46	GV	Cumple
N2218/N2217	56.60	0.000	1.700	0.221	-20.512	0.00	-24.57	0.44	GV	Cumple
N2220/N2219	47.42	0.000	3.075	0.202	-17.045	0.00	-20.37	0.42	GV	Cumple
N2222/N2221	69.23	0.000	-0.055	0.248	-24.821	0.00	-30.64	0.49	GV	Cumple
N2224/N2223	66.68	0.000	-0.850	0.241	-23.491	0.00	-29.40	0.48	GV	Cumple
N2225/N2176	94.37	7.300	-3.374	-0.167	22.079	0.00	-31.73	0.24	GV	Cumple
N2226/N2178	92.97	7.300	-1.176	-0.165	22.064	0.00	-31.56	0.23	GV	Cumple
N2227/N2180	59.28	7.300	-5.399	-0.116	13.949	0.00	-19.62	0.16	GV	Cumple
N2228/N2182	81.81	7.300	-3.083	-0.148	19.675	0.00	-27.52	0.20	GV	Cumple
N2229/N2184	90.15	7.300	-0.378	-0.163	22.123	0.00	-30.70	0.23	GV	Cumple
N2230/N2186	64.54	7.300	-1.139	-0.132	16.227	0.00	-21.86	0.18	GV	Cumple
N2231/N2188	65.84	7.300	-1.096	-0.137	16.757	0.00	-22.30	0.20	GV	Cumple
N2232/N2190	85.92	7.300	-0.280	-0.168	21.786	0.00	-29.24	0.25	GV	Cumple
N2233/N2192	77.75	7.300	-1.520	-0.169	21.251	0.00	-26.28	0.25	GV	Cumple
N2234/N2194	66.69	7.300	-2.435	-0.168	20.561	0.00	-22.40	0.24	GV	Cumple
N2235/N2196	82.54	7.300	-0.465	-0.178	21.521	0.00	-28.02	0.29	GV	Cumple
N2236/N2198	79.19	7.300	-0.461	-0.178	20.827	0.00	-26.85	0.30	GV	Cumple
N2237/N2200	38.77	7.300	-2.035	-0.128	11.184	0.00	-12.89	0.24	GV	Cumple
N2238/N2202	81.43	7.300	-0.306	-0.189	21.433	0.00	-27.61	0.34	GV	Cumple
N2239/N2204	81.73	7.300	-0.600	-0.193	21.444	0.00	-27.65	0.36	GV	Cumple
N2240/N2206	62.54	7.300	-2.831	-0.190	20.270	0.00	-20.84	0.33	GV	Cumple
N2241/N2208	78.72	7.300	-1.295	-0.200	21.261	0.00	-26.51	0.38	GV	Cumple
N2242/N2210	83.59	7.300	-0.098	-0.205	21.588	0.00	-28.30	0.41	GV	Cumple
N2243/N2212	57.86	7.300	-0.785	-0.173	15.252	0.00	-19.42	0.38	GV	Cumple
N2244/N2214	67.24	7.300	-0.698	-0.188	17.276	0.00	-22.62	0.41	GV	Cumple
N2245/N2216	87.62	7.300	-0.512	-0.216	21.880	0.00	-29.59	0.46	GV	Cumple
N2246/N2218	72.92	7.300	-0.475	-0.198	18.148	0.00	-24.57	0.44	GV	Cumple
N2247/N2220	60.55	7.300	-0.137	-0.182	14.969	0.00	-20.37	0.42	GV	Cumple
N2248/N2222	90.68	7.300	-0.292	-0.224	21.843	0.00	-30.64	0.49	GV	Cumple

Documento visado electrónicamente con número: VA07290/22
Código de validación telemática TRLTDCFZ60T66IJ1. Comprobación: https://cogitivalencia.e-gestion.es/Validacion.aspx?CVT=TRLTDCFZ60T66IJ1

VISADO
COGITI
VALENCIA
VA07290/22
TRLTDCFZ60T66IJ1

Comprobación de resistencia										
Barra	η (%)	Posición (m)	Esfuerzos pésimos						Origen	Estado
			N (kN)	Vy (kN)	Vz (kN)	Mt (kN·m)	My (kN·m)	Mz (kN·m)		
N2249/N2224	87.47	7.300	-1.350	-0.218	20.702	0.00	-29.40	0.48	GV	Cumple
N2250/N2225	67.50	0.000	-3.529	0.162	-18.553	0.00	-22.60	0.19	GV	Cumple
N2251/N2226	63.52	0.000	-3.381	0.162	-17.479	0.00	-21.26	0.19	GV	Cumple
N2252/N2227	36.13	7.300	-10.764	-0.131	6.670	0.00	-8.98	0.18	GV	Cumple
N2253/N2228	45.51	7.300	-2.482	-0.166	8.943	0.00	-15.16	0.23	GV	Cumple
N2254/N2229	51.28	7.300	-0.879	-0.180	10.075	0.00	-17.29	0.25	GV	Cumple
N2255/N2230	40.38	7.300	-0.208	-0.148	7.710	0.00	-13.65	0.21	GV	Cumple
N2256/N2231	42.63	7.300	-0.194	-0.151	8.032	0.00	-14.43	0.20	GV	Cumple
N2257/N2232	54.10	7.300	-0.710	-0.178	10.234	0.00	-18.29	0.23	GV	Cumple
N2258/N2233	57.10	7.300	-1.497	-0.177	10.390	0.00	-19.24	0.23	GV	Cumple
N2259/N2234	60.59	7.300	-1.926	-0.177	10.580	0.00	-20.39	0.22	GV	Cumple
N2260/N2235	56.16	7.300	-0.981	-0.173	10.334	0.00	-18.99	0.20	GV	Cumple
N2261/N2236	54.94	7.300	-0.086	-0.168	10.083	0.00	-18.69	0.19	GV	Cumple
N2262/N2237	35.98	7.300	1.300	-0.113	6.051	0.00	-12.07	0.11	GV	Cumple
N2263/N2238	56.52	7.300	-0.265	-0.168	10.367	0.00	-19.23	0.17	GV	Cumple
N2264/N2239	56.66	7.300	-1.094	-0.166	10.362	0.00	-19.19	0.16	GV	Cumple
N2265/N2240	62.13	7.300	-2.114	-0.166	10.669	0.00	-20.96	0.15	GV	Cumple
N2266/N2241	57.24	7.300	-1.390	-0.163	10.401	0.00	-19.39	0.13	GV	Cumple
N2267/N2242	55.19	7.300	-0.481	-0.161	10.304	0.00	-18.79	0.12	GV	Cumple
N2268/N2243	41.51	7.300	0.478	-0.123	7.574	0.00	-14.11	0.07	GV	Cumple
N2269/N2244	44.56	7.300	0.216	-0.132	8.342	0.00	-15.17	0.07	GV	Cumple
N2270/N2245	52.73	7.300	-0.785	-0.155	10.174	0.00	-17.95	0.09	GV	Cumple
N2271/N2246	44.57	7.300	-3.285	-0.133	8.502	0.00	-14.93	0.06	GV	Cumple
N2272/N2247	39.20	7.300	-4.240	-0.114	8.102	0.00	-13.03	0.03	GV	Cumple
N2273/N2248	64.30	0.000	-1.016	0.183	-17.918	0.00	-21.75	0.23	GV	Cumple
N2274/N2249	63.06	0.000	-2.081	0.176	-17.454	0.00	-21.22	0.22	GV	Cumple
N2275/N2250	67.43	7.300	-3.337	-0.164	18.382	0.00	-22.60	0.19	GV	Cumple
N2276/N2251	63.45	7.300	-3.166	-0.165	17.363	0.00	-21.26	0.19	GV	Cumple
N2277/N2252	31.17	0.000	-7.110	0.128	-6.525	0.00	-7.93	0.15	GV	Cumple
N2278/N2253	35.03	0.000	3.869	0.073	9.572	0.00	11.61	0.09	GV	Cumple
N2279/N2254	39.30	0.000	1.603	0.079	10.914	0.00	13.23	0.09	GV	Cumple
N2280/N2255	28.64	0.000	1.538	0.066	7.960	0.00	9.60	0.08	GV	Cumple
N2281/N2256	29.80	0.000	1.408	0.067	8.310	0.00	10.00	0.08	GV	Cumple
N2282/N2257	39.17	0.000	1.013	0.079	10.970	0.00	13.23	0.09	GV	Cumple
N2283/N2258	39.38	0.000	1.671	0.081	11.007	0.00	13.25	0.09	GV	Cumple
N2284/N2259	39.55	0.000	2.034	0.081	11.048	0.00	13.28	0.09	GV	Cumple
N2285/N2260	39.15	0.000	1.203	0.082	10.998	0.00	13.20	0.09	GV	Cumple
N2286/N2261	37.93	0.000	1.145	0.081	10.673	0.00	12.79	0.09	GV	Cumple
N2287/N2262	20.31	0.000	1.809	0.057	5.717	0.00	6.74	0.06	GV	Cumple
N2288/N2263	39.10	0.000	1.064	0.083	11.008	0.00	13.20	0.09	GV	Cumple
N2289/N2264	39.14	0.000	1.263	0.084	11.007	0.00	13.20	0.09	GV	Cumple
N2290/N2265	39.58	0.000	2.077	0.085	11.070	0.00	13.29	0.09	GV	Cumple
N2291/N2266	39.27	0.000	1.486	0.085	11.014	0.00	13.23	0.09	GV	Cumple
N2292/N2267	39.07	0.000	0.697	0.086	10.991	0.00	13.21	0.09	GV	Cumple
N2293/N2268	27.27	0.000	0.864	0.071	7.673	0.00	9.18	0.07	GV	Cumple

Documento visado electrónicamente con número: VA07290/22
Código de validación telemática TRLTDCFZ60T66IJ1. Comprobación: https://cogitivalencia.e-gestion.es/Validacion.aspx?CVT=TRLTDCFZ60T66IJ1

VISADO
COGITI
VALENCIA
VA07290/22
TRLTDCFZ60T66IJ1

Listados

Comprobación de resistencia										
Barra	η (%)	Posición (m)	Esfuerzos pésimos						Origen	Estado
			N (kN)	Vy (kN)	Vz (kN)	Mt (kN·m)	My (kN·m)	Mz (kN·m)		
N2294/N2269	30.83	0.000	0.800	0.076	8.653	0.00	10.40	0.08	GV	Cumple
N2295/N2270	39.04	0.000	0.413	0.088	10.947	0.00	13.22	0.09	GV	Cumple
N2296/N2271	31.89	0.000	0.129	0.079	8.944	0.00	10.80	0.08	GV	Cumple
N2297/N2272	31.76	0.000	-0.198	0.072	8.952	0.00	10.82	0.07	GV	Cumple
N2298/N2273	64.30	7.300	-1.024	-0.170	17.836	0.00	-21.75	0.23	GV	Cumple
N2299/N2274	63.06	7.300	-2.065	-0.163	17.326	0.00	-21.22	0.22	GV	Cumple
N2300/N2275	66.38	7.300	-3.159	-0.166	18.335	0.00	-22.24	0.20	GV	Cumple
N2301/N2276	62.65	7.300	-2.486	-0.167	17.337	0.00	-21.04	0.20	GV	Cumple
N2302/N2277	28.88	7.300	5.881	-0.064	-7.680	0.00	9.39	0.07	GV	Cumple
N2303/N2278	35.06	7.300	4.009	-0.078	-9.456	0.00	11.61	0.09	GV	Cumple
N2304/N2279	39.29	7.300	1.547	-0.084	-10.772	0.00	13.23	0.09	GV	Cumple
N2305/N2280	28.71	7.300	1.869	-0.070	-7.808	0.00	9.60	0.08	GV	Cumple
N2306/N2281	29.86	7.300	1.718	-0.071	-8.137	0.00	10.00	0.08	GV	Cumple
N2307/N2282	39.18	7.300	1.015	-0.084	-10.768	0.00	13.23	0.09	GV	Cumple
N2308/N2283	39.39	7.300	1.709	-0.084	-10.768	0.00	13.25	0.09	GV	Cumple
N2309/N2284	39.57	7.300	2.097	-0.084	-10.769	0.00	13.28	0.09	GV	Cumple
N2310/N2285	39.14	7.300	1.171	-0.084	-10.762	0.00	13.20	0.09	GV	Cumple
N2311/N2286	37.99	7.300	1.396	-0.082	-10.431	0.00	12.79	0.09	GV	Cumple
N2312/N2287	20.44	7.300	2.418	-0.058	-5.495	0.00	6.74	0.06	GV	Cumple
N2313/N2288	39.14	7.300	1.259	-0.084	-10.760	0.00	13.20	0.09	GV	Cumple
N2314/N2289	39.14	7.300	1.229	-0.084	-10.761	0.00	13.20	0.09	GV	Cumple
N2315/N2290	39.59	7.300	2.161	-0.084	-10.768	0.00	13.29	0.09	GV	Cumple
N2316/N2291	39.28	7.300	1.512	-0.084	-10.765	0.00	13.23	0.09	GV	Cumple
N2317/N2292	39.07	7.300	0.727	-0.084	-10.765	0.00	13.21	0.09	GV	Cumple
N2318/N2293	27.37	7.300	1.311	-0.068	-7.474	0.00	9.18	0.07	GV	Cumple
N2319/N2294	30.91	7.300	1.192	-0.072	-8.465	0.00	10.40	0.08	GV	Cumple
N2320/N2295	39.04	7.300	0.415	-0.084	-10.769	0.00	13.22	0.09	GV	Cumple
N2321/N2296	31.81	7.300	-0.485	-0.074	-8.795	0.00	10.80	0.08	GV	Cumple
N2322/N2297	31.99	7.300	-1.056	-0.067	-8.867	0.00	10.82	0.07	GV	Cumple
N2323/N2298	63.75	0.000	-0.727	0.166	-17.819	0.00	-21.62	0.20	GV	Cumple
N2324/N2299	62.31	7.300	-2.027	-0.160	17.295	0.00	-20.99	0.20	GV	Cumple
N2325/N2300	67.55	0.000	-2.957	0.167	-18.393	0.00	-22.67	0.20	GV	Cumple
N2326/N2301	63.47	0.000	-1.613	0.167	-17.388	0.00	-21.42	0.21	GV	Cumple
N2327/N2302	29.04	0.000	5.888	0.065	7.686	0.00	9.43	0.08	GV	Cumple
N2328/N2303	34.99	0.000	3.815	0.079	9.453	0.00	11.59	0.09	GV	Cumple
N2329/N2304	39.20	0.000	1.389	0.085	10.767	0.00	13.20	0.10	GV	Cumple
N2330/N2305	28.56	0.000	2.110	0.071	7.797	0.00	9.52	0.08	GV	Cumple
N2331/N2306	29.66	0.000	1.933	0.072	8.124	0.00	9.91	0.09	GV	Cumple
N2332/N2307	38.94	0.000	0.931	0.085	10.756	0.00	13.14	0.10	GV	Cumple
N2333/N2308	38.85	7.300	1.761	-0.084	-10.746	0.00	13.06	0.10	GV	Cumple
N2334/N2309	39.04	7.300	2.271	-0.084	-10.771	0.00	13.09	0.10	GV	Cumple
N2335/N2310	38.85	0.000	1.068	0.085	10.748	0.00	13.10	0.10	GV	Cumple
N2336/N2311	37.72	0.000	1.516	0.083	10.416	0.00	12.68	0.10	GV	Cumple
N2337/N2312	20.44	7.300	2.803	-0.058	-5.508	0.00	6.72	0.06	GV	Cumple
N2338/N2313	38.85	0.000	1.337	0.085	10.745	0.00	13.08	0.10	GV	Cumple

Documento visado electrónicamente con número: VA07290/22
Código de validación telemática TRLTDCFZ60T66IJ1. Comprobación: https://cogitivalencia.e-gestion.es/Validacion.aspx?CVT=TRLTDCFZ60T66IJ1

VISADO
COGITI
VALENCIA
VA07290/22
TRLTDCFZ60T66IJ1

Comprobación de resistencia										
Barra	η (%)	Posición (m)	Esfuerzos pésimos						Origen	Estado
			N (kN)	Vy (kN)	Vz (kN)	Mt (kN·m)	My (kN·m)	Mz (kN·m)		
N2339/N2314	38.81	0.000	1.130	0.085	10.746	0.00	13.09	0.10	GV	Cumple
N2340/N2315	39.10	7.300	2.374	-0.084	-10.781	0.00	13.10	0.10	GV	Cumple
N2341/N2316	38.82	7.300	1.530	-0.084	-10.746	0.00	13.06	0.10	GV	Cumple
N2342/N2317	38.77	0.000	0.684	0.084	10.750	0.00	13.10	0.10	GV	Cumple
N2343/N2318	27.13	7.300	1.588	-0.068	-7.462	0.00	9.07	0.08	GV	Cumple
N2344/N2319	30.64	0.000	1.431	0.073	8.449	0.00	10.29	0.08	GV	Cumple
N2345/N2320	38.82	0.000	0.354	0.084	10.759	0.00	13.15	0.09	GV	Cumple
N2346/N2321	31.64	0.000	-0.658	0.074	8.784	0.00	10.73	0.08	GV	Cumple
N2347/N2322	32.12	0.000	-1.207	0.067	8.871	0.00	10.85	0.07	GV	Cumple
N2348/N2323	64.71	0.000	-0.337	0.169	-17.867	0.00	-21.98	0.22	GV	Cumple
N2349/N2324	63.37	0.000	-1.900	0.162	-17.346	0.00	-21.36	0.21	GV	Cumple
N2350/N2325	67.48	7.300	-2.747	-0.165	18.573	0.00	-22.67	0.20	GV	Cumple
N2351/N2326	63.19	7.300	-0.782	-0.165	17.554	0.00	-21.42	0.21	GV	Cumple
N2352/N2327	28.82	7.300	4.802	-0.070	-7.736	0.00	9.43	0.08	GV	Cumple
N2353/N2328	34.84	7.300	3.088	-0.085	-9.507	0.00	11.59	0.09	GV	Cumple
N2354/N2329	39.15	7.300	1.130	-0.091	-10.825	0.00	13.20	0.10	GV	Cumple
N2355/N2330	28.61	7.300	2.368	-0.076	-7.817	0.00	9.52	0.08	GV	Cumple
N2356/N2331	29.70	7.300	2.153	-0.078	-8.139	0.00	9.91	0.09	GV	Cumple
N2357/N2332	38.90	7.300	0.707	-0.091	-10.789	0.00	13.14	0.10	GV	Cumple
N2358/N2333	39.17	0.000	1.829	0.078	10.770	0.00	13.23	0.06	GV	Cumple
N2359/N2334	40.99	0.000	2.604	0.078	10.867	0.00	13.79	0.06	GV	Cumple
N2360/N2335	38.80	7.300	0.838	-0.090	-10.764	0.00	13.10	0.10	GV	Cumple
N2361/N2336	37.72	7.300	1.536	-0.088	-10.425	0.00	12.68	0.10	GV	Cumple
N2362/N2337	21.25	0.000	3.585	0.055	5.546	0.00	6.99	0.03	GV	Cumple
N2363/N2338	38.84	7.300	1.270	-0.089	-10.754	0.00	13.08	0.10	GV	Cumple
N2364/N2339	38.76	7.300	0.921	-0.089	-10.755	0.00	13.09	0.10	GV	Cumple
N2365/N2340	41.73	0.000	2.775	0.081	10.906	0.00	14.02	0.07	GV	Cumple
N2366/N2341	39.03	0.000	1.528	0.081	10.762	0.00	13.18	0.07	GV	Cumple
N2367/N2342	38.73	7.300	0.512	-0.088	-10.767	0.00	13.10	0.10	GV	Cumple
N2368/N2343	27.24	0.000	1.868	0.065	7.470	0.00	9.13	0.06	GV	Cumple
N2369/N2344	30.68	7.300	1.613	-0.075	-8.457	0.00	10.29	0.08	GV	Cumple
N2370/N2345	38.79	7.300	0.232	-0.086	-10.797	0.00	13.15	0.09	GV	Cumple
N2371/N2346	31.61	7.300	-0.547	-0.076	-8.813	0.00	10.73	0.08	GV	Cumple
N2372/N2347	32.05	7.300	-0.951	-0.068	-8.914	0.00	10.85	0.07	GV	Cumple
N2373/N2348	64.62	7.300	-0.054	-0.172	18.022	0.00	-21.98	0.22	GV	Cumple
N2374/N2349	63.30	7.300	-1.661	-0.165	17.505	0.00	-21.36	0.21	GV	Cumple
N2375/N2350	81.60	0.000	-2.320	0.161	-19.245	0.00	-27.57	0.18	GV	Cumple
N2376/N2351	76.13	0.000	-0.323	0.160	-18.174	0.00	-25.95	0.17	GV	Cumple
N2377/N2352	32.94	0.000	2.285	0.087	7.925	0.00	10.81	0.20	GV	Cumple
N2378/N2353	39.72	0.000	1.784	0.102	9.719	0.00	13.14	0.22	GV	Cumple
N2379/N2354	44.46	0.000	0.820	0.109	11.047	0.00	14.82	0.23	GV	Cumple
N2380/N2355	30.84	0.000	2.355	0.093	7.894	0.00	10.07	0.21	GV	Cumple
N2381/N2356	31.42	0.000	2.150	0.094	8.191	0.00	10.29	0.21	GV	Cumple
N2382/N2357	41.86	0.000	0.338	0.107	10.904	0.00	13.98	0.22	GV	Cumple
N2383/N2358	39.18	7.300	1.889	-0.064	-10.865	0.00	13.23	0.06	GV	Cumple

Documento visado electrónicamente con número: VA07290/22
Código de validación telemática TRLTDCFZ60T66IJ1. Comprobación: https://cogitivalencia.e-gestion.es/Validacion.aspx?CVT=TRLTDCFZ60T66IJ1

VISADO
COGITI
VALENCIA
VA07290/22
TRLTDCFZ60T66IJ1

Comprobación de resistencia										
Barra	η (%)	Posición (m)	Esfuerzos pésimos						Origen	Estado
			N (kN)	Vy (kN)	Vz (kN)	Mt (kN·m)	My (kN·m)	Mz (kN·m)		
N2384/N2359	41.11	7.300	3.183	-0.067	-11.238	0.00	13.79	0.06	GV	Cumple
N2385/N2360	40.01	0.000	0.429	0.103	10.802	0.00	13.38	0.20	GV	Cumple
N2386/N2361	38.35	0.000	1.364	0.100	10.435	0.00	12.76	0.19	GV	Cumple
N2387/N2362	25.13	7.300	-3.538	-0.115	5.269	0.00	-6.51	0.15	GV	Cumple
N2388/N2363	39.39	0.000	0.988	0.099	10.766	0.00	13.17	0.17	GV	Cumple
N2389/N2364	39.33	0.000	0.544	0.097	10.771	0.00	13.20	0.16	GV	Cumple
N2390/N2365	41.88	7.300	3.472	-0.076	-11.382	0.00	14.02	0.07	GV	Cumple
N2391/N2366	39.01	7.300	1.445	-0.076	-10.831	0.00	13.18	0.07	GV	Cumple
N2392/N2367	40.10	0.000	0.241	0.092	10.827	0.00	13.54	0.13	GV	Cumple
N2393/N2368	27.22	7.300	1.783	-0.063	-7.504	0.00	9.13	0.06	GV	Cumple
N2394/N2369	31.38	0.000	1.467	0.077	8.489	0.00	10.51	0.10	GV	Cumple
N2395/N2370	42.00	0.000	0.059	0.087	10.948	0.00	14.25	0.10	GV	Cumple
N2396/N2371	33.98	0.000	-0.131	0.076	8.930	0.00	11.58	0.08	GV	Cumple
N2397/N2372	35.30	0.000	-0.197	0.067	9.077	0.00	12.05	0.06	GV	Cumple
N2398/N2373	77.37	0.000	-0.031	0.186	-18.609	0.00	-26.27	0.32	GV	Cumple
N2399/N2374	76.28	0.000	-1.245	0.179	-18.108	0.00	-25.75	0.31	GV	Cumple
N2400/N2375	62.15	7.300	-1.735	-0.207	22.335	0.00	-27.57	0.18	GV	Cumple
N2401/N2376	58.39	7.300	0.001	-0.207	21.112	0.00	-25.95	0.17	GV	Cumple
N2402/N2377	24.89	7.300	0.497	-0.101	-9.015	0.00	10.81	0.20	GV	Cumple
N2403/N2378	30.18	7.300	0.654	-0.118	-11.096	0.00	13.14	0.22	GV	Cumple
N2404/N2379	33.94	7.300	0.547	-0.125	-12.639	0.00	14.82	0.23	GV	Cumple
N2405/N2380	23.32	7.300	0.794	-0.107	-9.035	0.00	10.07	0.21	GV	Cumple
N2406/N2381	23.78	7.300	0.704	-0.109	-9.393	0.00	10.29	0.21	GV	Cumple
N2407/N2382	32.02	7.300	0.479	-0.124	-12.524	0.00	13.98	0.22	GV	Cumple
N2408/N2383	27.90	7.300	-0.118	-0.114	-10.657	0.00	12.33	0.21	GV	Cumple
N2409/N2384	23.22	7.300	-0.928	-0.100	-8.065	0.00	10.17	0.19	GV	Cumple
N2410/N2385	30.60	7.300	0.613	-0.121	-12.441	0.00	13.38	0.20	GV	Cumple
N2411/N2386	29.14	7.300	0.267	-0.117	-12.028	0.00	12.76	0.19	GV	Cumple
N2412/N2387	17.21	3.194	2.470	-0.004	0.047	0.00	7.27	-0.17	GV	Cumple
N2413/N2388	30.02	7.300	0.482	-0.117	-12.413	0.00	13.17	0.17	GV	Cumple
N2414/N2389	30.06	7.300	0.552	-0.116	-12.417	0.00	13.20	0.16	GV	Cumple
N2415/N2390	21.54	7.300	-2.502	-0.089	-7.293	0.00	9.34	0.13	GV	Cumple
N2416/N2391	28.23	7.300	-0.293	-0.107	-11.342	0.00	12.53	0.14	GV	Cumple
N2417/N2392	30.70	7.300	0.582	-0.112	-12.463	0.00	13.54	0.13	GV	Cumple
N2418/N2393	21.04	3.194	-0.676	-0.004	-0.290	0.00	-9.31	-0.10	GV	Cumple
N2419/N2394	23.66	7.300	-0.341	-0.095	-9.753	0.00	10.51	0.10	GV	Cumple
N2420/N2395	32.14	7.300	0.288	-0.108	-12.561	0.00	14.25	0.10	GV	Cumple
N2421/N2396	26.02	7.300	-0.412	-0.096	-10.225	0.00	11.58	0.08	GV	Cumple
N2422/N2397	27.07	7.300	-0.683	-0.085	-10.375	0.00	12.05	0.06	GV	Cumple
N2423/N2398	59.16	7.300	-0.146	-0.226	21.641	0.00	-26.27	0.32	GV	Cumple
N2424/N2399	58.10	7.300	-0.585	-0.218	21.047	0.00	-25.75	0.31	GV	Cumple

2.1.2. Comprobaciones E.L.U. (Resumido)

Barras	COMPROBACIONES (CÓDIGO ESTRUCTURAL)	Estado

Documento visado electrónicamente con número: VA07290/22
Código de validación telemática TRLTDCFZ60T66IJ1. Comprobación: https://cogitivalencia.e-gestion.es/Validacion.aspx?CVT=TRLTDCFZ60T66IJ1

VISADO
COGITI
VALENCIA
VA07290/22
TRLTDCFZ60T66IJ1

	λ_w	N_t	N_c	M_Y	M_Z	V_Z	V_Y	M_YV_Z	M_ZV_Y	NM_YM_Z	$NM_YM_ZV_YV_Z$	M_t	M_tV_Z	M_tV_Y	
N1676/N1675	x: 0 m $\lambda_w \leq \lambda_{w,máx}$ Cumple	$\eta = 0.1$	$\eta = 0.3$	x: 0 m $\eta = 69.4$	x: 0 m $\eta = 2.3$	x: 0 m $\eta = 9.7$	x: 0 m $\eta = 0.3$	x: 0 m $\eta < 0.1$	x: 0 m $\eta < 0.1$	x: 0 m $\eta = 70.1$	x: 0 m $\eta < 0.1$	$M_{Ed} = 0.00$ N.P.(1)	N.P.(2)	N.P.(2)	**CUMPLE** **$\eta = 70.1$**
N1677/N1676	$\lambda_w \leq \lambda_{w,máx}$ Cumple	$\eta < 0.1$	$\eta = 0.2$	x: 7.3 m $\eta = 90.7$	x: 7.3 m $\eta = 3.4$	x: 7.3 m $\eta = 12.2$	x: 7.3 m $\eta = 0.4$	$\eta < 0.1$	$\eta < 0.1$	x: 7.3 m $\eta = 91.5$	$\eta < 0.1$	$M_{Ed} = 0.00$ N.P.(1)	N.P.(2)	N.P.(2)	**CUMPLE** **$\eta = 91.5$**
N1678/N1677	$\lambda_w \leq \lambda_{w,máx}$ Cumple	$\eta < 0.1$	$\eta = 0.2$	x: 0 m $\eta = 65.6$	x: 7.3 m $\eta = 2.9$	x: 0 m $\eta = 10.3$	x: 7.3 m $\eta = 0.3$	$\eta < 0.1$	$\eta < 0.1$	x: 0 m $\eta = 66.3$	$\eta < 0.1$	$M_{Ed} = 0.00$ N.P.(1)	N.P.(2)	N.P.(2)	**CUMPLE** **$\eta = 66.3$**
N1679/N1678	$\lambda_w \leq \lambda_{w,máx}$ Cumple	$\eta < 0.1$	$\eta = 0.2$	x: 7.3 m $\eta = 65.6$	x: 0 m $\eta = 2.9$	x: 7.3 m $\eta = 10.2$	x: 0 m $\eta = 0.3$	$\eta < 0.1$	$\eta < 0.1$	x: 7.3 m $\eta = 66.3$	$\eta < 0.1$	$M_{Ed} = 0.00$ N.P.(1)	N.P.(2)	N.P.(2)	**CUMPLE** **$\eta = 66.3$**
N1680/N1679	$\lambda_w \leq \lambda_{w,máx}$ Cumple	$\eta < 0.1$	$\eta = 0.2$	x: 0 m $\eta = 64.7$	x: 7.3 m $\eta = 2.9$	x: 0 m $\eta = 10.2$	x: 7.3 m $\eta = 0.3$	$\eta < 0.1$	$\eta < 0.1$	x: 0 m $\eta = 65.5$	$\eta < 0.1$	$M_{Ed} = 0.00$ N.P.(1)	N.P.(2)	N.P.(2)	**CUMPLE** **$\eta = 65.5$**
N1681/N1680	$\lambda_w \leq \lambda_{w,máx}$ Cumple	$\eta < 0.1$	$\eta = 0.2$	x: 0 m $\eta = 65.9$	x: 0 m $\eta = 2.9$	x: 0 m $\eta = 10.2$	x: 0 m $\eta = 0.3$	$\eta < 0.1$	x: 0 m $\eta < 0.1$	x: 0 m $\eta = 66.7$	$\eta < 0.1$	$M_{Ed} = 0.00$ N.P.(1)	N.P.(2)	N.P.(2)	**CUMPLE** **$\eta = 66.7$**
N1682/N1681	$\lambda_w \leq \lambda_{w,máx}$ Cumple	$\eta = 0.1$	$\eta = 0.2$	x: 7.3 m $\eta = 65.9$	x: 7.3 m $\eta = 2.9$	x: 7.3 m $\eta = 10.3$	x: 7.3 m $\eta = 0.3$	$\eta < 0.1$	$\eta < 0.1$	x: 7.3 m $\eta = 66.8$	$\eta < 0.1$	$M_{Ed} = 0.00$ N.P.(1)	N.P.(2)	N.P.(2)	**CUMPLE** **$\eta = 66.8$**
N1683/N1682	$\lambda_w \leq \lambda_{w,máx}$ Cumple	$\eta = 0.1$	$\eta = 0.2$	x: 0 m $\eta = 79.6$	x: 0 m $\eta = 3.3$	x: 0 m $\eta = 10.6$	x: 0 m $\eta = 0.4$	$\eta < 0.1$	$\eta < 0.1$	x: 0 m $\eta = 80.2$	$\eta < 0.1$	$M_{Ed} = 0.00$ N.P.(1)	N.P.(2)	N.P.(2)	**CUMPLE** **$\eta = 80.2$**
N1684/N1683	x: 0.456 m $\lambda_w \leq \lambda_{w,máx}$ Cumple	$\eta = 0.1$	$\eta = 0.1$	x: 7.3 m $\eta = 60.8$	x: 7.3 m $\eta = 2.2$	x: 7.3 m $\eta = 8.7$	x: 7.3 m $\eta = 0.3$	x: 0.456 m $\eta < 0.1$	x: 0.456 m $\eta < 0.1$	x: 7.3 m $\eta = 61.3$	x: 0.456 m $\eta < 0.1$	$M_{Ed} = 0.00$ N.P.(1)	N.P.(2)	N.P.(2)	**CUMPLE** **$\eta = 61.3$**
N1686/N1685	$\lambda_w \leq \lambda_{w,máx}$ Cumple	$\eta = 0.1$	$\eta = 0.6$	x: 7.3 m $\eta = 89.0$	x: 7.3 m $\eta = 3.4$	x: 7.3 m $\eta = 12.1$	x: 7.3 m $\eta = 0.4$	$\eta < 0.1$	$\eta < 0.1$	x: 7.3 m $\eta = 89.8$	$\eta < 0.1$	$M_{Ed} = 0.00$ N.P.(1)	N.P.(2)	N.P.(2)	**CUMPLE** **$\eta = 89.8$**
N1685/N1687	x: 0 m $\lambda_w \leq \lambda_{w,máx}$ Cumple	$\eta < 0.1$	$\eta < 0.1$	x: 0 m $\eta = 68.0$	x: 0 m $\eta = 2.3$	x: 0 m $\eta = 9.7$	x: 0 m $\eta = 0.3$	x: 0 m $\eta < 0.1$	x: 0 m $\eta < 0.1$	x: 0 m $\eta = 68.5$	x: 0 m $\eta < 0.1$	$M_{Ed} = 0.00$ N.P.(1)	N.P.(2)	N.P.(2)	**CUMPLE** **$\eta = 68.5$**
N1688/N1686	$\lambda_w \leq \lambda_{w,máx}$ Cumple	$\eta = 0.2$	$\eta = 0.5$	x: 0 m $\eta = 61.5$	x: 7.3 m $\eta = 2.9$	x: 0 m $\eta = 9.6$	x: 7.3 m $\eta = 0.3$	$\eta < 0.1$	$\eta < 0.1$	x: 0 m $\eta = 62.6$	$\eta < 0.1$	$M_{Ed} = 0.00$ N.P.(1)	N.P.(2)	N.P.(2)	**CUMPLE** **$\eta = 62.6$**
N1689/N1688	$\lambda_w \leq \lambda_{w,máx}$ Cumple	$\eta = 0.2$	$\eta = 0.4$	x: 7.3 m $\eta = 61.5$	x: 0 m $\eta = 2.9$	x: 7.3 m $\eta = 9.6$	x: 0 m $\eta = 0.3$	$\eta < 0.1$	$\eta < 0.1$	x: 7.3 m $\eta = 62.5$	$\eta < 0.1$	$M_{Ed} = 0.00$ N.P.(1)	N.P.(2)	N.P.(2)	**CUMPLE** **$\eta = 62.5$**
N1690/N1689	$\lambda_w \leq \lambda_{w,máx}$ Cumple	$\eta = 0.2$	$\eta = 0.2$	x: 0 m $\eta = 61.2$	x: 7.3 m $\eta = 2.9$	x: 0 m $\eta = 9.6$	x: 7.3 m $\eta = 0.3$	$\eta < 0.1$	$\eta < 0.1$	x: 0 m $\eta = 62.0$	$\eta < 0.1$	$M_{Ed} = 0.00$ N.P.(1)	N.P.(2)	N.P.(2)	**CUMPLE** **$\eta = 62.0$**
N1691/N1690	$\lambda_w \leq \lambda_{w,máx}$ Cumple	$\eta = 0.1$	$\eta < 0.1$	x: 0 m $\eta = 62.2$	x: 0 m $\eta = 2.9$	x: 0 m $\eta = 9.6$	x: 0 m $\eta = 0.3$	$\eta < 0.1$	x: 0 m $\eta < 0.1$	x: 0 m $\eta = 63.3$	$\eta < 0.1$	$M_{Ed} = 0.00$ N.P.(1)	N.P.(2)	N.P.(2)	**CUMPLE** **$\eta = 63.3$**
N1692/N1691	$\lambda_w \leq \lambda_{w,máx}$ Cumple	$\eta = 0.2$	$N_{Ed} = 0.00$ N.P.(3)	x: 7.3 m $\eta = 62.2$	x: 7.3 m $\eta = 2.9$	x: 7.3 m $\eta = 9.7$	x: 7.3 m $\eta = 0.3$	$\eta < 0.1$	$\eta < 0.1$	x: 7.3 m $\eta = 63.4$	$\eta < 0.1$	$M_{Ed} = 0.00$ N.P.(1)	N.P.(2)	N.P.(2)	**CUMPLE** **$\eta = 63.4$**
N1693/N1692	$\lambda_w \leq \lambda_{w,máx}$ Cumple	$\eta = 0.1$	$N_{Ed} = 0.00$ N.P.(3)	x: 0 m $\eta = 74.3$	x: 0 m $\eta = 3.3$	x: 0 m $\eta = 10.0$	x: 0 m $\eta = 0.4$	$\eta < 0.1$	$\eta < 0.1$	x: 0 m $\eta = 75.1$	$\eta < 0.1$	$M_{Ed} = 0.00$ N.P.(1)	N.P.(2)	N.P.(2)	**CUMPLE** **$\eta = 75.1$**
N1694/N1693	x: 0.456 m $\lambda_w \leq \lambda_{w,máx}$ Cumple	$\eta = 0.1$	$\eta < 0.1$	x: 7.3 m $\eta = 56.8$	x: 7.3 m $\eta = 2.2$	x: 7.3 m $\eta = 8.2$	x: 7.3 m $\eta = 0.3$	x: 0.456 m $\eta < 0.1$	x: 0.456 m $\eta < 0.1$	x: 7.3 m $\eta = 57.4$	x: 0.456 m $\eta < 0.1$	$M_{Ed} = 0.00$ N.P.(1)	N.P.(2)	N.P.(2)	**CUMPLE** **$\eta = 57.4$**
N1696/N1695	$\lambda_w \leq \lambda_{w,máx}$ Cumple	$\eta = 0.5$	$\eta = 3.6$	x: 7.3 m $\eta = 53.8$	x: 7.3 m $\eta = 2.4$	x: 7.3 m $\eta = 7.6$	x: 7.3 m $\eta = 0.2$	$\eta < 0.1$	$\eta < 0.1$	x: 7.3 m $\eta = 55.1$	$\eta < 0.1$	$M_{Ed} = 0.00$ N.P.(1)	N.P.(2)	N.P.(2)	**CUMPLE** **$\eta = 55.1$**
N1695/N1697	x: 0 m $\lambda_w \leq \lambda_{w,máx}$ Cumple	$\eta = 0.1$	$\eta = 1.2$	x: 0 m $\eta = 41.1$	x: 0 m $\eta = 1.6$	x: 0 m $\eta = 6.1$	x: 0 m $\eta = 0.2$	x: 0 m $\eta < 0.1$	x: 0 m $\eta < 0.1$	x: 0 m $\eta = 41.7$	x: 0 m $\eta < 0.1$	$M_{Ed} = 0.00$ N.P.(1)	N.P.(2)	N.P.(2)	**CUMPLE** **$\eta = 41.7$**
N1698/N1696	$\lambda_w \leq \lambda_{w,máx}$ Cumple	$\eta = 0.5$	$\eta = 2.5$	x: 7.3 m $\eta = 34.7$	x: 7.3 m $\eta = 2.1$	x: 7.3 m $\eta = 4.4$	x: 7.3 m $\eta = 0.2$	$\eta < 0.1$	$\eta < 0.1$	x: 7.3 m $\eta = 37.3$	$\eta < 0.1$	$M_{Ed} = 0.00$ N.P.(1)	N.P.(2)	N.P.(2)	**CUMPLE** **$\eta = 37.3$**
N1699/N1698	$\lambda_w \leq \lambda_{w,máx}$ Cumple	$\eta = 0.3$	$\eta = 1.2$	x: 0 m $\eta = 27.3$	x: 0 m $\eta = 2.0$	x: 0 m $\eta = 4.3$	x: 0 m $\eta = 0.2$	$\eta < 0.1$	$\eta < 0.1$	x: 0 m $\eta = 27.9$	$\eta < 0.1$	$M_{Ed} = 0.00$ N.P.(1)	N.P.(2)	N.P.(2)	**CUMPLE** **$\eta = 27.9$**
N1700/N1699	$\lambda_w \leq \lambda_{w,máx}$ Cumple	$\eta = 0.3$	$\eta = 0.3$	x: 7.3 m $\eta = 27.3$	x: 7.3 m $\eta = 2.0$	x: 7.3 m $\eta = 4.3$	x: 7.3 m $\eta = 0.2$	$\eta < 0.1$	$\eta < 0.1$	x: 7.3 m $\eta = 27.9$	$\eta < 0.1$	$M_{Ed} = 0.00$ N.P.(1)	N.P.(2)	N.P.(2)	**CUMPLE** **$\eta = 27.9$**
N1701/N1700	$\lambda_w \leq \lambda_{w,máx}$ Cumple	$\eta = 0.6$	$\eta < 0.1$	x: 0 m $\eta = 27.3$	x: 0 m $\eta = 2.0$	x: 0 m $\eta = 4.3$	x: 0 m $\eta = 0.2$	$\eta < 0.1$	x: 0 m $\eta < 0.1$	x: 0 m $\eta = 28.0$	$\eta < 0.1$	$M_{Ed} = 0.00$ N.P.(1)	N.P.(2)	N.P.(2)	**CUMPLE** **$\eta = 28.0$**
N1702/N1701	$\lambda_w \leq \lambda_{w,máx}$ Cumple	$\eta = 1.2$	$N_{Ed} = 0.00$ N.P.(3)	x: 7.3 m $\eta = 27.3$	x: 7.3 m $\eta = 2.0$	x: 7.3 m $\eta = 4.3$	x: 7.3 m $\eta = 0.2$	$\eta < 0.1$	$\eta < 0.1$	x: 7.3 m $\eta = 27.8$	$\eta < 0.1$	$M_{Ed} = 0.00$ N.P.(1)	N.P.(2)	N.P.(2)	**CUMPLE** **$\eta = 27.8$**
N1703/N1702	$\lambda_w \leq \lambda_{w,máx}$ Cumple	$\eta = 2.2$	$\eta = 0.3$	x: 0 m $\eta = 29.8$	x: 0 m $\eta = 2.3$	x: 0 m $\eta = 4.3$	x: 0 m $\eta = 0.2$	$\eta < 0.1$	$\eta < 0.1$	x: 0 m $\eta = 30.7$	$\eta < 0.1$	$M_{Ed} = 0.00$ N.P.(1)	N.P.(2)	N.P.(2)	**CUMPLE** **$\eta = 30.7$**
N1704/N1703	x: 0.456 m $\lambda_w \leq \lambda_{w,máx}$ Cumple	$\eta = 1.3$	$\eta = 0.4$	x: 7.3 m $\eta = 22.8$	x: 7.3 m $\eta = 1.5$	x: 7.3 m $\eta = 3.5$	x: 7.3 m $\eta = 0.2$	x: 0.456 m $\eta < 0.1$	x: 0.456 m $\eta < 0.1$	x: 7.3 m $\eta = 23.6$	x: 0.456 m $\eta < 0.1$	$M_{Ed} = 0.00$ N.P.(1)	N.P.(2)	N.P.(2)	**CUMPLE** **$\eta = 23.6$**
N1706/N1705	$\lambda_w \leq \lambda_{w,máx}$ Cumple	$\eta = 0.3$	$\eta = 1.9$	x: 7.3 m $\eta = 76.5$	x: 7.3 m $\eta = 3.1$	x: 7.3 m $\eta = 10.8$	x: 7.3 m $\eta = 0.3$	$\eta < 0.1$	$\eta < 0.1$	x: 7.3 m $\eta = 77.6$	$\eta < 0.1$	$M_{Ed} = 0.00$ N.P.(1)	N.P.(2)	N.P.(2)	**CUMPLE** **$\eta = 77.6$**
N1705/N1707	x: 0 m $\lambda_w \leq \lambda_{w,máx}$ Cumple	$\eta < 0.1$	$\eta = 0.5$	x: 0 m $\eta = 58.5$	x: 0 m $\eta = 2.1$	x: 0 m $\eta = 8.5$	x: 0 m $\eta = 0.3$	x: 0 m $\eta < 0.1$	x: 0 m $\eta < 0.1$	x: 0 m $\eta = 59.3$	x: 0 m $\eta < 0.1$	$M_{Ed} = 0.00$ N.P.(1)	N.P.(2)	N.P.(2)	**CUMPLE** **$\eta = 59.3$**
N1708/N1706	$\lambda_w \leq \lambda_{w,máx}$ Cumple	$\eta = 0.3$	$\eta = 1.4$	x: 7.3 m $\eta = 46.1$	x: 7.3 m $\eta = 2.6$	x: 7.3 m $\eta = 5.5$	x: 7.3 m $\eta = 0.3$	$\eta < 0.1$	$\eta < 0.1$	x: 7.3 m $\eta = 47.1$	$\eta < 0.1$	$M_{Ed} = 0.00$ N.P.(1)	N.P.(2)	N.P.(2)	**CUMPLE** **$\eta = 47.1$**
N1709/N1708	$\lambda_w \leq \lambda_{w,máx}$ Cumple	$\eta = 0.2$	$\eta = 0.8$	x: 0 m $\eta = 33.8$	x: 0 m $\eta = 2.6$	x: 0 m $\eta = 5.3$	x: 0 m $\eta = 0.3$	$\eta < 0.1$	$\eta < 0.1$	x: 0 m $\eta = 34.4$	$\eta < 0.1$	$M_{Ed} = 0.00$ N.P.(1)	N.P.(2)	N.P.(2)	**CUMPLE** **$\eta = 34.4$**
N1710/N1709	$\lambda_w \leq \lambda_{w,máx}$ Cumple	$\eta = 0.2$	$\eta = 0.2$	x: 7.3 m $\eta = 33.8$	x: 7.3 m $\eta = 2.6$	x: 7.3 m $\eta = 5.2$	x: 7.3 m $\eta = 0.3$	$\eta < 0.1$	x: 0 m $\eta < 0.1$	x: 7.3 m $\eta = 34.4$	$\eta < 0.1$	$M_{Ed} = 0.00$ N.P.(1)	N.P.(2)	N.P.(2)	**CUMPLE** **$\eta = 34.4$**
N1711/N1710	$\lambda_w \leq \lambda_{w,máx}$ Cumple	$\eta = 0.3$	$\eta < 0.1$	x: 0 m $\eta = 33.6$	x: 0 m $\eta = 2.6$	x: 0 m $\eta = 5.2$	x: 0 m $\eta = 0.3$	$\eta < 0.1$	x: 0 m $\eta < 0.1$	x: 0 m $\eta = 34.2$	$\eta < 0.1$	$M_{Ed} = 0.00$ N.P.(1)	N.P.(2)	N.P.(2)	**CUMPLE** **$\eta = 34.2$**
N1712/N1711	$\lambda_w \leq \lambda_{w,máx}$ Cumple	$\eta = 0.6$	$N_{Ed} = 0.00$ N.P.(3)	x: 7.3 m $\eta = 33.6$	x: 7.3 m $\eta = 2.6$	x: 7.3 m $\eta = 5.3$	x: 7.3 m $\eta = 0.3$	$\eta < 0.1$	$\eta < 0.1$	x: 7.3 m $\eta = 34.1$	$\eta < 0.1$	$M_{Ed} = 0.00$ N.P.(1)	N.P.(2)	N.P.(2)	**CUMPLE** **$\eta = 34.1$**
N1713/N1712	$\lambda_w \leq \lambda_{w,máx}$ Cumple	$\eta = 1.0$	$\eta = 0.1$	x: 0 m $\eta = 36.5$	x: 0 m $\eta = 3.0$	x: 0 m $\eta = 5.3$	x: 0 m $\eta = 0.3$	$\eta < 0.1$	$\eta < 0.1$	x: 0 m $\eta = 37.2$	$\eta < 0.1$	$M_{Ed} = 0.00$ N.P.(1)	N.P.(2)	N.P.(2)	**CUMPLE** **$\eta = 37.2$**
N1714/N1713	x: 0.456 m $\lambda_w \leq \lambda_{w,máx}$ Cumple	$\eta = 0.6$	$\eta = 0.1$	x: 7.3 m $\eta = 27.9$	x: 7.3 m $\eta = 2.0$	x: 7.3 m $\eta = 4.3$	x: 7.3 m $\eta = 0.3$	x: 0.456 m $\eta < 0.1$	x: 0.456 m $\eta < 0.1$	x: 7.3 m $\eta = 28.5$	x: 0.456 m $\eta < 0.1$	$M_{Ed} = 0.00$ N.P.(1)	N.P.(2)	N.P.(2)	**CUMPLE** **$\eta = 28.5$**
N1716/N1715	$\lambda_w \leq \lambda_{w,máx}$ Cumple	$\eta = 0.1$	$\eta = 0.1$	x: 7.3 m $\eta = 85.7$	x: 7.3 m $\eta = 3.5$	x: 7.3 m $\eta = 12.1$	x: 7.3 m $\eta = 0.4$	$\eta < 0.1$	$\eta < 0.1$	x: 7.3 m $\eta = 86.9$	$\eta < 0.1$	$M_{Ed} = 0.00$ N.P.(1)	N.P.(2)	N.P.(2)	**CUMPLE** **$\eta = 86.9$**

Documento visado electrónicamente con número: VA07290/22
Código de validación telemática TRLTDCFZ60T66IJ1. Comprobación: https://cogitivalencia.e-gestion.es/Validacion.aspx?CVT=TRLTDCFZ60T66IJ1

VISADO
COGITI
VALENCIA
VA07290/22
TRLTDCFZ60T66IJ1

Barras	COMPROBACIONES (CÓDIGO ESTRUCTURAL)														Estado
	λ_w	N_t	N_c	M_Y	M_Z	V_Z	V_Y	M_YV_Z	M_ZV_Y	NM_YM_Z	$NM_YM_ZV_YV_Z$	M_t	M_tV_Z	M_tV_Y	
N1715/N1717	x: 0 m $\lambda_w \leq \lambda_{w,máx}$ Cumple	$\eta = 0.1$	$\eta = 0.1$	x: 0 m $\eta = 65.5$	x: 0 m $\eta = 2.3$	x: 0 m $\eta = 9.6$	x: 0 m $\eta = 0.3$	x: 0 m $\eta < 0.1$	x: 0 m $\eta < 0.1$	x: 0 m $\eta = 66.1$	x: 0 m $\eta < 0.1$	$M_{Ed} = 0.00$ N.P.(1)	N.P.(2)	N.P.(2)	**CUMPLE** **$\eta = 66.1$**
N1718/N1716	$\lambda_w \leq \lambda_{w,máx}$ Cumple	$\eta = 0.1$	$\eta = 0.2$	x: 7.3 m $\eta = 52.3$	x: 7.3 m $\eta = 2.9$	x: 7.3 m $\eta = 6.3$	x: 7.3 m $\eta = 0.3$	$\eta < 0.1$	$\eta < 0.1$	x: 7.3 m $\eta = 53.0$	$\eta < 0.1$	$M_{Ed} = 0.00$ N.P.(1)	N.P.(2)	N.P.(2)	**CUMPLE** **$\eta = 53.0$**
N1719/N1718	$\lambda_w \leq \lambda_{w,máx}$ Cumple	$\eta = 0.1$	$\eta = 0.3$	x: 0 m $\eta = 38.4$	x: 0 m $\eta = 2.9$	x: 0 m $\eta = 6.1$	x: 0 m $\eta = 0.3$	$\eta < 0.1$	$\eta < 0.1$	x: 0 m $\eta = 39.1$	$\eta < 0.1$	$M_{Ed} = 0.00$ N.P.(1)	N.P.(2)	N.P.(2)	**CUMPLE** **$\eta = 39.1$**
N1720/N1719	$\lambda_w \leq \lambda_{w,máx}$ Cumple	$\eta = 0.1$	$\eta = 0.3$	x: 7.3 m $\eta = 38.4$	x: 7.3 m $\eta = 2.9$	x: 7.3 m $\eta = 6.0$	x: 7.3 m $\eta = 0.3$	$\eta < 0.1$	x: 0 m $\eta < 0.1$	x: 7.3 m $\eta = 39.0$	$\eta < 0.1$	$M_{Ed} = 0.00$ N.P.(1)	N.P.(2)	N.P.(2)	**CUMPLE** **$\eta = 39.0$**
N1721/N1720	$\lambda_w \leq \lambda_{w,máx}$ Cumple	$\eta = 0.1$	$\eta = 0.2$	x: 0 m $\eta = 38.3$	x: 0 m $\eta = 2.9$	x: 0 m $\eta = 6.0$	x: 0 m $\eta = 0.3$	$\eta < 0.1$	x: 0 m $\eta < 0.1$	x: 0 m $\eta = 38.9$	$\eta < 0.1$	$M_{Ed} = 0.00$ N.P.(1)	N.P.(2)	N.P.(2)	**CUMPLE** **$\eta = 38.9$**
N1722/N1721	$\lambda_w \leq \lambda_{w,máx}$ Cumple	$\eta = 0.1$	$\eta = 0.2$	x: 7.3 m $\eta = 38.3$	x: 7.3 m $\eta = 2.9$	x: 7.3 m $\eta = 6.0$	x: 7.3 m $\eta = 0.3$	$\eta < 0.1$	$\eta < 0.1$	x: 7.3 m $\eta = 38.9$	$\eta < 0.1$	$M_{Ed} = 0.00$ N.P.(1)	N.P.(2)	N.P.(2)	**CUMPLE** **$\eta = 38.9$**
N1723/N1722	$\lambda_w \leq \lambda_{w,máx}$ Cumple	$\eta = 0.1$	$\eta = 0.2$	x: 0 m $\eta = 41.3$	x: 0 m $\eta = 3.4$	x: 0 m $\eta = 6.1$	x: 0 m $\eta = 0.4$	$\eta < 0.1$	$\eta < 0.1$	x: 0 m $\eta = 42.5$	$\eta < 0.1$	$M_{Ed} = 0.00$ N.P.(1)	N.P.(2)	N.P.(2)	**CUMPLE** **$\eta = 42.5$**
N1724/N1723	x: 0.456 m $\lambda_w \leq \lambda_{w,máx}$ Cumple	$\eta = 0.1$	$\eta = 0.1$	x: 7.3 m $\eta = 31.6$	x: 7.3 m $\eta = 2.2$	x: 7.3 m $\eta = 4.9$	x: 7.3 m $\eta = 0.3$	x: 0.456 m $\eta < 0.1$	x: 0.456 m $\eta < 0.1$	x: 7.3 m $\eta = 32.5$	x: 0.456 m $\eta < 0.1$	$M_{Ed} = 0.00$ N.P.(1)	N.P.(2)	N.P.(2)	**CUMPLE** **$\eta = 32.5$**
N1726/N1725	$\lambda_w \leq \lambda_{w,máx}$ Cumple	$\eta = 0.1$	$\eta = 0.2$	x: 7.3 m $\eta = 60.1$	x: 7.3 m $\eta = 2.7$	x: 7.3 m $\eta = 8.9$	x: 7.3 m $\eta = 0.3$	$\eta < 0.1$	$\eta < 0.1$	x: 7.3 m $\eta = 60.9$	$\eta < 0.1$	$M_{Ed} = 0.00$ N.P.(1)	N.P.(2)	N.P.(2)	**CUMPLE** **$\eta = 60.9$**
N1725/N1727	x: 0 m $\lambda_w \leq \lambda_{w,máx}$ Cumple	$\eta = 0.3$	$\eta = 0.6$	x: 0 m $\eta = 45.9$	x: 0 m $\eta = 1.8$	x: 0 m $\eta = 7.1$	x: 0 m $\eta = 0.3$	x: 0 m $\eta < 0.1$	x: 0 m $\eta < 0.1$	x: 0 m $\eta = 47.0$	x: 0 m $\eta < 0.1$	$M_{Ed} = 0.00$ N.P.(1)	N.P.(2)	N.P.(2)	**CUMPLE** **$\eta = 47.0$**
N1728/N1726	$\lambda_w \leq \lambda_{w,máx}$ Cumple	$\eta = 0.1$	$\eta = 0.1$	x: 7.3 m $\eta = 41.6$	x: 7.3 m $\eta = 2.3$	x: 7.3 m $\eta = 4.7$	x: 7.3 m $\eta = 0.3$	$\eta < 0.1$	$\eta < 0.1$	x: 7.3 m $\eta = 42.8$	$\eta < 0.1$	$M_{Ed} = 0.00$ N.P.(1)	N.P.(2)	N.P.(2)	**CUMPLE** **$\eta = 42.8$**
N1729/N1728	$\lambda_w \leq \lambda_{w,máx}$ Cumple	$\eta = 0.2$	$\eta = 0.3$	x: 0 m $\eta = 27.9$	x: 0 m $\eta = 2.3$	x: 0 m $\eta = 4.4$	x: 0 m $\eta = 0.3$	$\eta < 0.1$	$\eta < 0.1$	x: 0 m $\eta = 28.5$	$\eta < 0.1$	$M_{Ed} = 0.00$ N.P.(1)	N.P.(2)	N.P.(2)	**CUMPLE** **$\eta = 28.5$**
N1730/N1729	$\lambda_w \leq \lambda_{w,máx}$ Cumple	$\eta = 0.3$	$\eta = 0.5$	x: 7.3 m $\eta = 27.9$	x: 7.3 m $\eta = 2.3$	x: 7.3 m $\eta = 4.3$	x: 7.3 m $\eta = 0.3$	$\eta < 0.1$	x: 0 m $\eta < 0.1$	x: 7.3 m $\eta = 28.5$	$\eta < 0.1$	$M_{Ed} = 0.00$ N.P.(1)	N.P.(2)	N.P.(2)	**CUMPLE** **$\eta = 28.5$**
N1731/N1730	$\lambda_w \leq \lambda_{w,máx}$ Cumple	$\eta = 0.4$	$\eta = 0.8$	x: 0 m $\eta = 27.6$	x: 0 m $\eta = 2.3$	x: 0 m $\eta = 4.3$	x: 0 m $\eta = 0.3$	x: 0 m $\eta < 0.1$	x: 0 m $\eta < 0.1$	x: 0 m $\eta = 28.3$	x: 0 m $\eta < 0.1$	$M_{Ed} = 0.00$ N.P.(1)	N.P.(2)	N.P.(2)	**CUMPLE** **$\eta = 28.3$**
N1732/N1731	$\lambda_w \leq \lambda_{w,máx}$ Cumple	$\eta = 0.4$	$\eta = 1.0$	x: 7.3 m $\eta = 27.6$	x: 7.3 m $\eta = 2.3$	x: 7.3 m $\eta = 4.3$	x: 7.3 m $\eta = 0.3$	$\eta < 0.1$	$\eta < 0.1$	x: 7.3 m $\eta = 28.4$	$\eta < 0.1$	$M_{Ed} = 0.00$ N.P.(1)	N.P.(2)	N.P.(2)	**CUMPLE** **$\eta = 28.4$**
N1733/N1732	$\lambda_w \leq \lambda_{w,máx}$ Cumple	$\eta = 0.4$	$\eta = 1.0$	x: 0 m $\eta = 27.6$	x: 0 m $\eta = 2.6$	x: 0 m $\eta = 4.3$	x: 0 m $\eta = 0.3$	$\eta < 0.1$	$\eta < 0.1$	x: 0 m $\eta = 29.0$	$\eta < 0.1$	$M_{Ed} = 0.00$ N.P.(1)	N.P.(2)	N.P.(2)	**CUMPLE** **$\eta = 29.0$**
N1734/N1733	x: 0.456 m $\lambda_w \leq \lambda_{w,máx}$ Cumple	$\eta = 0.1$	$\eta = 0.2$	x: 3.194 m $\eta = 21.4$	x: 7.3 m $\eta = 1.7$	x: 7.3 m $\eta = 3.5$	x: 7.3 m $\eta = 0.3$	x: 0.456 m $\eta < 0.1$	x: 0.456 m $\eta < 0.1$	x: 7.3 m $\eta = 21.6$	x: 0.456 m $\eta < 0.1$	$M_{Ed} = 0.00$ N.P.(1)	N.P.(2)	N.P.(2)	**CUMPLE** **$\eta = 21.6$**
N1736/N1735	$\lambda_w \leq \lambda_{w,máx}$ Cumple	$\eta < 0.1$	$\eta = 0.2$	x: 7.3 m $\eta = 61.5$	x: 7.3 m $\eta = 2.8$	x: 7.3 m $\eta = 9.2$	x: 7.3 m $\eta = 0.3$	$\eta < 0.1$	$\eta < 0.1$	x: 7.3 m $\eta = 62.3$	$\eta < 0.1$	$M_{Ed} = 0.00$ N.P.(1)	N.P.(2)	N.P.(2)	**CUMPLE** **$\eta = 62.3$**
N1735/N1737	x: 0 m $\lambda_w \leq \lambda_{w,máx}$ Cumple	$\eta = 0.2$	$\eta = 0.5$	x: 0 m $\eta = 47.0$	x: 0 m $\eta = 1.9$	x: 0 m $\eta = 7.4$	x: 0 m $\eta = 0.3$	x: 0 m $\eta < 0.1$	x: 0 m $\eta < 0.1$	x: 0 m $\eta = 48.1$	x: 0 m $\eta < 0.1$	$M_{Ed} = 0.00$ N.P.(1)	N.P.(2)	N.P.(2)	**CUMPLE** **$\eta = 48.1$**
N1738/N1736	$\lambda_w \leq \lambda_{w,máx}$ Cumple	$\eta = 0.1$	$\eta = 0.1$	x: 7.3 m $\eta = 43.7$	x: 7.3 m $\eta = 2.3$	x: 7.3 m $\eta = 4.9$	x: 7.3 m $\eta = 0.3$	$\eta < 0.1$	$\eta < 0.1$	x: 7.3 m $\eta = 44.9$	$\eta < 0.1$	$M_{Ed} = 0.00$ N.P.(1)	N.P.(2)	N.P.(2)	**CUMPLE** **$\eta = 44.9$**
N1739/N1738	$\lambda_w \leq \lambda_{w,máx}$ Cumple	$\eta = 0.2$	$\eta = 0.3$	x: 0 m $\eta = 29.0$	x: 0 m $\eta = 2.3$	x: 0 m $\eta = 4.6$	x: 0 m $\eta = 0.3$	$\eta < 0.1$	$\eta < 0.1$	x: 0 m $\eta = 29.6$	$\eta < 0.1$	$M_{Ed} = 0.00$ N.P.(1)	N.P.(2)	N.P.(2)	**CUMPLE** **$\eta = 29.6$**
N1740/N1739	$\lambda_w \leq \lambda_{w,máx}$ Cumple	$\eta = 0.3$	$\eta = 0.5$	x: 7.3 m $\eta = 29.0$	x: 7.3 m $\eta = 2.3$	x: 7.3 m $\eta = 4.5$	x: 7.3 m $\eta = 0.3$	$\eta < 0.1$	x: 0 m $\eta < 0.1$	x: 7.3 m $\eta = 29.7$	$\eta < 0.1$	$M_{Ed} = 0.00$ N.P.(1)	N.P.(2)	N.P.(2)	**CUMPLE** **$\eta = 29.7$**
N1741/N1740	$\lambda_w \leq \lambda_{w,máx}$ Cumple	$\eta = 0.3$	$\eta = 0.7$	x: 7.3 m $\eta = 28.7$	x: 0 m $\eta = 2.3$	x: 7.3 m $\eta = 4.5$	x: 0 m $\eta = 0.3$	$\eta < 0.1$	x: 0 m $\eta < 0.1$	x: 7.3 m $\eta = 29.5$	$\eta < 0.1$	$M_{Ed} = 0.00$ N.P.(1)	N.P.(2)	N.P.(2)	**CUMPLE** **$\eta = 29.5$**
N1742/N1741	$\lambda_w \leq \lambda_{w,máx}$ Cumple	$\eta = 0.4$	$\eta = 0.8$	x: 0 m $\eta = 28.8$	x: 7.3 m $\eta = 2.3$	x: 0 m $\eta = 4.5$	x: 7.3 m $\eta = 0.3$	$\eta < 0.1$	$\eta < 0.1$	x: 7.3 m $\eta = 29.5$	$\eta < 0.1$	$M_{Ed} = 0.00$ N.P.(1)	N.P.(2)	N.P.(2)	**CUMPLE** **$\eta = 29.5$**
N1743/N1742	$\lambda_w \leq \lambda_{w,máx}$ Cumple	$\eta = 0.4$	$\eta = 0.8$	x: 7.3 m $\eta = 28.8$	x: 0 m $\eta = 2.7$	x: 7.3 m $\eta = 4.5$	x: 0 m $\eta = 0.3$	$\eta < 0.1$	$\eta < 0.1$	x: 0 m $\eta = 29.6$	$\eta < 0.1$	$M_{Ed} = 0.00$ N.P.(1)	N.P.(2)	N.P.(2)	**CUMPLE** **$\eta = 29.6$**
N1744/N1743	x: 0.456 m $\lambda_w \leq \lambda_{w,máx}$ Cumple	$\eta = 0.1$	$\eta = 0.2$	x: 3.194 m $\eta = 22.4$	x: 7.3 m $\eta = 1.8$	x: 7.3 m $\eta = 3.6$	x: 7.3 m $\eta = 0.3$	x: 0.456 m $\eta < 0.1$	x: 0.456 m $\eta < 0.1$	x: 3.194 m $\eta = 22.6$	x: 0.456 m $\eta < 0.1$	$M_{Ed} = 0.00$ N.P.(1)	N.P.(2)	N.P.(2)	**CUMPLE** **$\eta = 22.6$**
N1746/N1745	$\lambda_w \leq \lambda_{w,máx}$ Cumple	$\eta = 0.1$	$\eta = 0.1$	x: 7.3 m $\eta = 82.0$	x: 7.3 m $\eta = 3.5$	x: 7.3 m $\eta = 12.0$	x: 7.3 m $\eta = 0.4$	$\eta < 0.1$	$\eta < 0.1$	x: 7.3 m $\eta = 82.8$	$\eta < 0.1$	$M_{Ed} = 0.00$ N.P.(1)	N.P.(2)	N.P.(2)	**CUMPLE** **$\eta = 82.8$**
N1745/N1747	x: 0 m $\lambda_w \leq \lambda_{w,máx}$ Cumple	$\eta = 0.1$	$\eta = 0.1$	x: 0 m $\eta = 62.6$	x: 0 m $\eta = 2.3$	x: 0 m $\eta = 9.5$	x: 0 m $\eta = 0.3$	x: 0 m $\eta < 0.1$	x: 0 m $\eta < 0.1$	x: 0 m $\eta = 63.4$	x: 0 m $\eta < 0.1$	$M_{Ed} = 0.00$ N.P.(1)	N.P.(2)	N.P.(2)	**CUMPLE** **$\eta = 63.4$**
N1748/N1746	$\lambda_w \leq \lambda_{w,máx}$ Cumple	$\eta = 0.2$	$\eta = 0.3$	x: 7.3 m $\eta = 54.8$	x: 0 m $\eta = 2.8$	x: 7.3 m $\eta = 6.4$	x: 0 m $\eta = 0.3$	$\eta < 0.1$	$\eta < 0.1$	x: 7.3 m $\eta = 55.6$	$\eta < 0.1$	$M_{Ed} = 0.00$ N.P.(1)	N.P.(2)	N.P.(2)	**CUMPLE** **$\eta = 55.6$**
N1749/N1748	$\lambda_w \leq \lambda_{w,máx}$ Cumple	$\eta = 0.2$	$\eta = 0.3$	x: 0 m $\eta = 38.4$	x: 0 m $\eta = 2.9$	x: 0 m $\eta = 6.1$	x: 0 m $\eta = 0.3$	$\eta < 0.1$	$\eta < 0.1$	x: 0 m $\eta = 39.1$	$\eta < 0.1$	$M_{Ed} = 0.00$ N.P.(1)	N.P.(2)	N.P.(2)	**CUMPLE** **$\eta = 39.1$**
N1750/N1749	$\lambda_w \leq \lambda_{w,máx}$ Cumple	$\eta = 0.2$	$\eta = 0.3$	x: 7.3 m $\eta = 38.4$	x: 7.3 m $\eta = 2.9$	x: 7.3 m $\eta = 6.0$	x: 7.3 m $\eta = 0.3$	$\eta < 0.1$	x: 0 m $\eta < 0.1$	x: 7.3 m $\eta = 39.1$	$\eta < 0.1$	$M_{Ed} = 0.00$ N.P.(1)	N.P.(2)	N.P.(2)	**CUMPLE** **$\eta = 39.1$**
N1751/N1750	$\lambda_w \leq \lambda_{w,máx}$ Cumple	$\eta = 0.2$	$\eta = 0.3$	x: 0 m $\eta = 38.1$	x: 0 m $\eta = 2.9$	x: 0 m $\eta = 6.0$	x: 0 m $\eta = 0.3$	$\eta < 0.1$	x: 0 m $\eta < 0.1$	x: 0 m $\eta = 38.8$	$\eta < 0.1$	$M_{Ed} = 0.00$ N.P.(1)	N.P.(2)	N.P.(2)	**CUMPLE** **$\eta = 38.8$**
N1752/N1751	$\lambda_w \leq \lambda_{w,máx}$ Cumple	$\eta = 0.1$	$\eta = 0.2$	x: 7.3 m $\eta = 38.1$	x: 7.3 m $\eta = 2.9$	x: 7.3 m $\eta = 6.0$	x: 7.3 m $\eta = 0.3$	$\eta < 0.1$	$\eta < 0.1$	x: 7.3 m $\eta = 38.8$	$\eta < 0.1$	$M_{Ed} = 0.00$ N.P.(1)	N.P.(2)	N.P.(2)	**CUMPLE** **$\eta = 38.8$**
N1753/N1752	$\lambda_w \leq \lambda_{w,máx}$ Cumple	$\eta = 0.1$	$\eta = 0.1$	x: 0 m $\eta = 39.3$	x: 0 m $\eta = 3.5$	x: 0 m $\eta = 6.0$	x: 0 m $\eta = 0.4$	$\eta < 0.1$	$\eta < 0.1$	x: 0 m $\eta = 40.3$	$\eta < 0.1$	$M_{Ed} = 0.00$ N.P.(1)	N.P.(2)	N.P.(2)	**CUMPLE** **$\eta = 40.3$**
N1754/N1753	x: 0.456 m $\lambda_w \leq \lambda_{w,máx}$ Cumple	$\eta = 0.1$	$\eta = 0.1$	x: 7.3 m $\eta = 30.0$	x: 7.3 m $\eta = 2.3$	x: 7.3 m $\eta = 4.9$	x: 7.3 m $\eta = 0.3$	x: 0.456 m $\eta < 0.1$	x: 0.456 m $\eta < 0.1$	x: 7.3 m $\eta = 30.9$	x: 0.456 m $\eta < 0.1$	$M_{Ed} = 0.00$ N.P.(1)	N.P.(2)	N.P.(2)	**CUMPLE** **$\eta = 30.9$**
N1756/N1755	$\lambda_w \leq \lambda_{w,máx}$ Cumple	$\eta = 0.3$	$\eta = 0.5$	x: 7.3 m $\eta = 73.9$	x: 7.3 m $\eta = 3.3$	x: 7.3 m $\eta = 11.7$	x: 7.3 m $\eta = 0.4$	$\eta < 0.1$	$\eta < 0.1$	x: 7.3 m $\eta = 75.2$	$\eta < 0.1$	$M_{Ed} = 0.00$ N.P.(1)	N.P.(2)	N.P.(2)	**CUMPLE** **$\eta = 75.2$**

Documento visado electrónicamente con número: VA07290/22
Código de validación telemática TRLTDCFZ60T66IJ1. Comprobación: https://cogitivalencia.e-gestion.es/Validacion.aspx?CVT=TRLTDCFZ60T66IJ1

VISADO
COGITI
VALENCIA
VA07290/22
TRLTDCFZ60T66IJ1

Barras	COMPROBACIONES (CÓDIGO ESTRUCTURAL)														Estado
	λ_w	N_t	N_c	M_Y	M_Z	V_Z	V_Y	M_YV_Z	M_ZV_Y	NM_YM_Z	$NM_YM_ZV_YV_Z$	M_t	M_tV_Z	M_tV_Y	
N1755/N1757	x: 0 m $\lambda_w \leq \lambda_{w,máx}$ Cumple	$\eta = 0.2$	$\eta = 0.1$	x: 0 m $\eta = 56.4$	x: 0 m $\eta = 2.2$	x: 0 m $\eta = 8.3$	x: 0 m $\eta = 0.3$	x: 0 m $\eta < 0.1$	x: 0 m $\eta < 0.1$	x: 0 m $\eta = 57.8$	x: 0 m $\eta < 0.1$	$M_{Ed} = 0.00$ N.P.(1)	N.P.(2)	N.P.(2)	**CUMPLE** **$\eta = 57.8$**
N1758/N1756	$\lambda_w \leq \lambda_{w,máx}$ Cumple	$\eta = 0.3$	$\eta = 0.4$	x: 7.3 m $\eta = 57.3$	x: 7.3 m $\eta = 2.8$	x: 7.3 m $\eta = 6.5$	x: 7.3 m $\eta = 0.3$	$\eta < 0.1$	$\eta < 0.1$	x: 7.3 m $\eta = 58.4$	$\eta < 0.1$	$M_{Ed} = 0.00$ N.P.(1)	N.P.(2)	N.P.(2)	**CUMPLE** **$\eta = 58.4$**
N1759/N1758	$\lambda_w \leq \lambda_{w,máx}$ Cumple	$\eta = 0.4$	$\eta = 0.5$	x: 0 m $\eta = 38.5$	x: 0 m $\eta = 2.9$	x: 0 m $\eta = 6.1$	x: 0 m $\eta = 0.3$	$\eta < 0.1$	$\eta < 0.1$	x: 0 m $\eta = 39.3$	$\eta < 0.1$	$M_{Ed} = 0.00$ N.P.(1)	N.P.(2)	N.P.(2)	**CUMPLE** **$\eta = 39.3$**
N1760/N1759	$\lambda_w \leq \lambda_{w,máx}$ Cumple	$\eta = 0.4$	$\eta = 0.5$	x: 7.3 m $\eta = 38.5$	x: 7.3 m $\eta = 2.9$	x: 7.3 m $\eta = 6.0$	x: 7.3 m $\eta = 0.3$	$\eta < 0.1$	x: 0 m $\eta < 0.1$	x: 7.3 m $\eta = 39.3$	$\eta < 0.1$	$M_{Ed} = 0.00$ N.P.(1)	N.P.(2)	N.P.(2)	**CUMPLE** **$\eta = 39.3$**
N1761/N1760	$\lambda_w \leq \lambda_{w,máx}$ Cumple	$\eta = 0.4$	$\eta = 0.6$	x: 7.3 m $\eta = 38.1$	x: 0 m $\eta = 2.9$	x: 7.3 m $\eta = 6.0$	x: 0 m $\eta = 0.3$	$\eta < 0.1$	x: 0 m $\eta < 0.1$	x: 7.3 m $\eta = 38.9$	$\eta < 0.1$	$M_{Ed} = 0.00$ N.P.(1)	N.P.(2)	N.P.(2)	**CUMPLE** **$\eta = 38.9$**
N1762/N1761	$\lambda_w \leq \lambda_{w,máx}$ Cumple	$\eta = 0.4$	$\eta = 0.6$	x: 0 m $\eta = 38.8$	x: 7.3 m $\eta = 2.9$	x: 0 m $\eta = 6.0$	x: 7.3 m $\eta = 0.3$	$\eta < 0.1$	$\eta < 0.1$	x: 0 m $\eta = 39.5$	$\eta < 0.1$	$M_{Ed} = 0.00$ N.P.(1)	N.P.(2)	N.P.(2)	**CUMPLE** **$\eta = 39.5$**
N1763/N1762	$\lambda_w \leq \lambda_{w,máx}$ Cumple	$\eta = 0.4$	$\eta = 0.7$	x: 7.3 m $\eta = 38.8$	x: 0 m $\eta = 3.3$	x: 7.3 m $\eta = 6.1$	x: 0 m $\eta = 0.4$	$\eta < 0.1$	$\eta < 0.1$	x: 7.3 m $\eta = 39.6$	$\eta < 0.1$	$M_{Ed} = 0.00$ N.P.(1)	N.P.(2)	N.P.(2)	**CUMPLE** **$\eta = 39.6$**
N1764/N1763	x: 0.456 m $\lambda_w \leq \lambda_{w,máx}$ Cumple	$\eta = 0.1$	$\eta = 0.1$	x: 7.3 m $\eta = 26.5$	x: 7.3 m $\eta = 2.2$	x: 7.3 m $\eta = 4.1$	x: 7.3 m $\eta = 0.3$	x: 0.456 m $\eta < 0.1$	x: 0.456 m $\eta < 0.1$	x: 7.3 m $\eta = 27.0$	x: 0.456 m $\eta < 0.1$	$M_{Ed} = 0.00$ N.P.(1)	N.P.(2)	N.P.(2)	**CUMPLE** **$\eta = 27.0$**
N1766/N1765	$\lambda_w \leq \lambda_{w,máx}$ Cumple	$\eta = 0.5$	$\eta = 0.7$	x: 7.3 m $\eta = 63.2$	x: 7.3 m $\eta = 3.0$	x: 7.3 m $\eta = 11.3$	x: 7.3 m $\eta = 0.3$	$\eta < 0.1$	$\eta < 0.1$	x: 7.3 m $\eta = 64.8$	$\eta < 0.1$	$M_{Ed} = 0.00$ N.P.(1)	N.P.(2)	N.P.(2)	**CUMPLE** **$\eta = 64.8$**
N1765/N1767	x: 0 m $\lambda_w \leq \lambda_{w,máx}$ Cumple	$\eta = 0.6$	$\eta = 0.4$	x: 0 m $\eta = 48.3$	x: 0 m $\eta = 2.0$	x: 0 m $\eta = 6.5$	x: 0 m $\eta = 0.2$	x: 0 m $\eta < 0.1$	x: 0 m $\eta < 0.1$	x: 0 m $\eta = 49.9$	x: 0 m $\eta < 0.1$	$M_{Ed} = 0.00$ N.P.(1)	N.P.(2)	N.P.(2)	**CUMPLE** **$\eta = 49.9$**
N1768/N1766	$\lambda_w \leq \lambda_{w,máx}$ Cumple	$\eta = 0.4$	$\eta = 0.6$	x: 7.3 m $\eta = 60.3$	x: 7.3 m $\eta = 2.9$	x: 7.3 m $\eta = 6.5$	x: 7.3 m $\eta = 0.3$	$\eta < 0.1$	$\eta < 0.1$	x: 7.3 m $\eta = 61.6$	$\eta < 0.1$	$M_{Ed} = 0.00$ N.P.(1)	N.P.(2)	N.P.(2)	**CUMPLE** **$\eta = 61.6$**
N1769/N1768	$\lambda_w \leq \lambda_{w,máx}$ Cumple	$\eta = 0.4$	$\eta = 0.6$	x: 0 m $\eta = 38.6$	x: 0 m $\eta = 2.9$	x: 0 m $\eta = 6.1$	x: 0 m $\eta = 0.3$	$\eta < 0.1$	$\eta < 0.1$	x: 0 m $\eta = 39.5$	$\eta < 0.1$	$M_{Ed} = 0.00$ N.P.(1)	N.P.(2)	N.P.(2)	**CUMPLE** **$\eta = 39.5$**
N1770/N1769	$\lambda_w \leq \lambda_{w,máx}$ Cumple	$\eta = 0.5$	$\eta = 0.6$	x: 7.3 m $\eta = 38.6$	x: 7.3 m $\eta = 2.9$	x: 7.3 m $\eta = 6.0$	x: 7.3 m $\eta = 0.3$	$\eta < 0.1$	x: 0 m $\eta < 0.1$	x: 7.3 m $\eta = 39.5$	$\eta < 0.1$	$M_{Ed} = 0.00$ N.P.(1)	N.P.(2)	N.P.(2)	**CUMPLE** **$\eta = 39.5$**
N1771/N1770	$\lambda_w \leq \lambda_{w,máx}$ Cumple	$\eta = 0.5$	$\eta = 0.8$	x: 7.3 m $\eta = 38.1$	x: 0 m $\eta = 2.9$	x: 7.3 m $\eta = 6.0$	x: 0 m $\eta = 0.3$	$\eta < 0.1$	x: 0 m $\eta < 0.1$	x: 7.3 m $\eta = 39.1$	$\eta < 0.1$	$M_{Ed} = 0.00$ N.P.(1)	N.P.(2)	N.P.(2)	**CUMPLE** **$\eta = 39.1$**
N1772/N1771	$\lambda_w \leq \lambda_{w,máx}$ Cumple	$\eta = 0.6$	$\eta = 0.9$	x: 0 m $\eta = 40.4$	x: 7.3 m $\eta = 2.9$	x: 0 m $\eta = 6.0$	x: 7.3 m $\eta = 0.3$	$\eta < 0.1$	$\eta < 0.1$	x: 0 m $\eta = 41.3$	$\eta < 0.1$	$M_{Ed} = 0.00$ N.P.(1)	N.P.(2)	N.P.(2)	**CUMPLE** **$\eta = 41.3$**
N1773/N1772	$\lambda_w \leq \lambda_{w,máx}$ Cumple	$\eta = 0.7$	$\eta = 1.2$	x: 7.3 m $\eta = 40.4$	x: 0 m $\eta = 3.0$	x: 7.3 m $\eta = 6.3$	x: 0 m $\eta = 0.3$	$\eta < 0.1$	$\eta < 0.1$	x: 7.3 m $\eta = 41.4$	$\eta < 0.1$	$M_{Ed} = 0.00$ N.P.(1)	N.P.(2)	N.P.(2)	**CUMPLE** **$\eta = 41.4$**
N1774/N1773	x: 0.456 m $\lambda_w \leq \lambda_{w,máx}$ Cumple	$\eta = 0.3$	$\eta = 0.3$	x: 7.3 m $\eta = 21.9$	x: 7.3 m $\eta = 1.9$	x: 7.3 m $\eta = 3.1$	x: 7.3 m $\eta = 0.2$	x: 0.456 m $\eta < 0.1$	x: 0.456 m $\eta < 0.1$	x: 7.3 m $\eta = 22.5$	x: 0.456 m $\eta < 0.1$	$M_{Ed} = 0.00$ N.P.(1)	N.P.(2)	N.P.(2)	**CUMPLE** **$\eta = 22.5$**
N1776/N1775	$\lambda_w \leq \lambda_{w,máx}$ Cumple	$\eta = 0.2$	$\eta = 0.2$	x: 7.3 m $\eta = 80.1$	x: 7.3 m $\eta = 3.6$	x: 7.3 m $\eta = 11.9$	x: 7.3 m $\eta = 0.4$	$\eta < 0.1$	$\eta < 0.1$	x: 7.3 m $\eta = 81.3$	$\eta < 0.1$	$M_{Ed} = 0.00$ N.P.(1)	N.P.(2)	N.P.(2)	**CUMPLE** **$\eta = 81.3$**
N1775/N1777	x: 0 m $\lambda_w \leq \lambda_{w,máx}$ Cumple	$\eta = 0.1$	$\eta = 0.1$	x: 0 m $\eta = 61.2$	x: 0 m $\eta = 2.4$	x: 0 m $\eta = 9.5$	x: 0 m $\eta = 0.3$	x: 0 m $\eta < 0.1$	x: 0 m $\eta < 0.1$	x: 0 m $\eta = 62.1$	x: 0 m $\eta < 0.1$	$M_{Ed} = 0.00$ N.P.(1)	N.P.(2)	N.P.(2)	**CUMPLE** **$\eta = 62.1$**
N1778/N1776	$\lambda_w \leq \lambda_{w,máx}$ Cumple	$\eta = 0.3$	$\eta = 0.4$	x: 7.3 m $\eta = 56.0$	x: 0 m $\eta = 2.9$	x: 7.3 m $\eta = 6.4$	x: 0 m $\eta = 0.3$	$\eta < 0.1$	$\eta < 0.1$	x: 7.3 m $\eta = 56.8$	$\eta < 0.1$	$M_{Ed} = 0.00$ N.P.(1)	N.P.(2)	N.P.(2)	**CUMPLE** **$\eta = 56.8$**
N1779/N1778	$\lambda_w \leq \lambda_{w,máx}$ Cumple	$\eta = 0.3$	$\eta = 0.4$	x: 0 m $\eta = 38.4$	x: 7.3 m $\eta = 2.9$	x: 0 m $\eta = 6.1$	x: 7.3 m $\eta = 0.3$	$\eta < 0.1$	$\eta < 0.1$	x: 0 m $\eta = 39.1$	$\eta < 0.1$	$M_{Ed} = 0.00$ N.P.(1)	N.P.(2)	N.P.(2)	**CUMPLE** **$\eta = 39.1$**
N1780/N1779	$\lambda_w \leq \lambda_{w,máx}$ Cumple	$\eta = 0.3$	$\eta = 0.4$	x: 7.3 m $\eta = 38.4$	x: 7.3 m $\eta = 2.9$	x: 7.3 m $\eta = 6.0$	x: 7.3 m $\eta = 0.3$	$\eta < 0.1$	x: 0 m $\eta < 0.1$	x: 7.3 m $\eta = 39.1$	$\eta < 0.1$	$M_{Ed} = 0.00$ N.P.(1)	N.P.(2)	N.P.(2)	**CUMPLE** **$\eta = 39.1$**
N1781/N1780	$\lambda_w \leq \lambda_{w,máx}$ Cumple	$\eta = 0.2$	$\eta = 0.3$	x: 0 m $\eta = 38.1$	x: 0 m $\eta = 2.9$	x: 0 m $\eta = 6.0$	x: 0 m $\eta = 0.3$	$\eta < 0.1$	x: 0 m $\eta < 0.1$	x: 0 m $\eta = 38.8$	$\eta < 0.1$	$M_{Ed} = 0.00$ N.P.(1)	N.P.(2)	N.P.(2)	**CUMPLE** **$\eta = 38.8$**
N1782/N1781	$\lambda_w \leq \lambda_{w,máx}$ Cumple	$\eta = 0.2$	$\eta = 0.3$	x: 7.3 m $\eta = 38.1$	x: 7.3 m $\eta = 2.9$	x: 7.3 m $\eta = 6.0$	x: 7.3 m $\eta = 0.3$	$\eta < 0.1$	$\eta < 0.1$	x: 7.3 m $\eta = 38.8$	$\eta < 0.1$	$M_{Ed} = 0.00$ N.P.(1)	N.P.(2)	N.P.(2)	**CUMPLE** **$\eta = 38.8$**
N1783/N1782	$\lambda_w \leq \lambda_{w,máx}$ Cumple	$\eta = 0.1$	$\eta = 0.1$	x: 0 m $\eta = 38.3$	x: 0 m $\eta = 3.6$	x: 0 m $\eta = 6.0$	x: 0 m $\eta = 0.4$	$\eta < 0.1$	$\eta < 0.1$	x: 0 m $\eta = 39.2$	$\eta < 0.1$	$M_{Ed} = 0.00$ N.P.(1)	N.P.(2)	N.P.(2)	**CUMPLE** **$\eta = 39.2$**
N1784/N1783	x: 0.456 m $\lambda_w \leq \lambda_{w,máx}$ Cumple	$\eta = 0.1$	$\eta = 0.1$	x: 3.194 m $\eta = 29.6$	x: 7.3 m $\eta = 2.4$	x: 7.3 m $\eta = 4.8$	x: 7.3 m $\eta = 0.3$	x: 0.456 m $\eta < 0.1$	x: 0.456 m $\eta < 0.1$	x: 3.194 m $\eta = 30.1$	x: 0.456 m $\eta < 0.1$	$M_{Ed} = 0.00$ N.P.(1)	N.P.(2)	N.P.(2)	**CUMPLE** **$\eta = 30.1$**
N1786/N1785	$\lambda_w \leq \lambda_{w,máx}$ Cumple	$\eta = 0.1$	$\eta = 0.1$	x: 7.3 m $\eta = 77.4$	x: 7.3 m $\eta = 3.5$	x: 7.3 m $\eta = 11.5$	x: 7.3 m $\eta = 0.4$	$\eta < 0.1$	$\eta < 0.1$	x: 7.3 m $\eta = 78.5$	$\eta < 0.1$	$M_{Ed} = 0.00$ N.P.(1)	N.P.(2)	N.P.(2)	**CUMPLE** **$\eta = 78.5$**
N1785/N1787	x: 0 m $\lambda_w \leq \lambda_{w,máx}$ Cumple	$\eta = 0.1$	$\eta = 0.2$	x: 0 m $\eta = 59.1$	x: 0 m $\eta = 2.3$	x: 0 m $\eta = 9.2$	x: 0 m $\eta = 0.3$	x: 0 m $\eta < 0.1$	x: 0 m $\eta < 0.1$	x: 0 m $\eta = 60.5$	x: 0 m $\eta < 0.1$	$M_{Ed} = 0.00$ N.P.(1)	N.P.(2)	N.P.(2)	**CUMPLE** **$\eta = 60.5$**
N1788/N1786	$\lambda_w \leq \lambda_{w,máx}$ Cumple	$\eta = 0.2$	$\eta = 0.2$	x: 7.3 m $\eta = 54.8$	x: 0 m $\eta = 2.8$	x: 7.3 m $\eta = 6.2$	x: 0 m $\eta = 0.3$	$\eta < 0.1$	$\eta < 0.1$	x: 7.3 m $\eta = 55.3$	$\eta < 0.1$	$M_{Ed} = 0.00$ N.P.(1)	N.P.(2)	N.P.(2)	**CUMPLE** **$\eta = 55.3$**
N1789/N1788	$\lambda_w \leq \lambda_{w,máx}$ Cumple	$\eta = 0.3$	$\eta = 0.4$	x: 0 m $\eta = 37.2$	x: 7.3 m $\eta = 2.8$	x: 0 m $\eta = 5.9$	x: 7.3 m $\eta = 0.3$	$\eta < 0.1$	$\eta < 0.1$	x: 0 m $\eta = 37.9$	$\eta < 0.1$	$M_{Ed} = 0.00$ N.P.(1)	N.P.(2)	N.P.(2)	**CUMPLE** **$\eta = 37.9$**
N1790/N1789	$\lambda_w \leq \lambda_{w,máx}$ Cumple	$\eta = 0.3$	$\eta = 0.5$	x: 7.3 m $\eta = 37.2$	x: 7.3 m $\eta = 2.8$	x: 7.3 m $\eta = 5.8$	x: 7.3 m $\eta = 0.3$	$\eta < 0.1$	x: 0 m $\eta < 0.1$	x: 7.3 m $\eta = 38.0$	$\eta < 0.1$	$M_{Ed} = 0.00$ N.P.(1)	N.P.(2)	N.P.(2)	**CUMPLE** **$\eta = 38.0$**
N1791/N1790	$\lambda_w \leq \lambda_{w,máx}$ Cumple	$\eta = 0.3$	$\eta = 0.6$	x: 0 m $\eta = 36.9$	x: 0 m $\eta = 2.9$	x: 0 m $\eta = 5.8$	x: 0 m $\eta = 0.3$	$\eta < 0.1$	x: 0 m $\eta < 0.1$	x: 0 m $\eta = 37.7$	$\eta < 0.1$	$M_{Ed} = 0.00$ N.P.(1)	N.P.(2)	N.P.(2)	**CUMPLE** **$\eta = 37.7$**
N1792/N1791	$\lambda_w \leq \lambda_{w,máx}$ Cumple	$\eta = 0.3$	$\eta = 0.6$	x: 7.3 m $\eta = 36.9$	x: 7.3 m $\eta = 2.9$	x: 7.3 m $\eta = 5.8$	x: 7.3 m $\eta = 0.3$	$\eta < 0.1$	$\eta < 0.1$	x: 7.3 m $\eta = 37.7$	$\eta < 0.1$	$M_{Ed} = 0.00$ N.P.(1)	N.P.(2)	N.P.(2)	**CUMPLE** **$\eta = 37.7$**
N1793/N1792	$\lambda_w \leq \lambda_{w,máx}$ Cumple	$\eta = 0.3$	$\eta = 0.6$	x: 0 m $\eta = 36.8$	x: 0 m $\eta = 3.5$	x: 0 m $\eta = 5.8$	x: 0 m $\eta = 0.4$	$\eta < 0.1$	$\eta < 0.1$	x: 0 m $\eta = 37.9$	$\eta < 0.1$	$M_{Ed} = 0.00$ N.P.(1)	N.P.(2)	N.P.(2)	**CUMPLE** **$\eta = 37.9$**
N1794/N1793	x: 0.456 m $\lambda_w \leq \lambda_{w,máx}$ Cumple	$\eta < 0.1$	$\eta = 0.1$	x: 3.194 m $\eta = 28.8$	x: 7.3 m $\eta = 2.3$	x: 7.3 m $\eta = 4.7$	x: 7.3 m $\eta = 0.3$	x: 0.456 m $\eta < 0.1$	x: 0.456 m $\eta < 0.1$	x: 3.194 m $\eta = 29.2$	x: 0.456 m $\eta < 0.1$	$M_{Ed} = 0.00$ N.P.(1)	N.P.(2)	N.P.(2)	**CUMPLE** **$\eta = 29.2$**
N1796/N1795	$\lambda_w \leq \lambda_{w,máx}$ Cumple	$\eta = 0.4$	$\eta = 0.6$	x: 7.3 m $\eta = 37.3$	x: 7.3 m $\eta = 2.2$	x: 7.3 m $\eta = 6.2$	x: 7.3 m $\eta = 0.2$	$\eta < 0.1$	$\eta < 0.1$	x: 7.3 m $\eta = 38.7$	$\eta < 0.1$	$M_{Ed} = 0.00$ N.P.(1)	N.P.(2)	N.P.(2)	**CUMPLE** **$\eta = 38.7$**

Documento visado electrónicamente con número: VA07290/22
Código de validación telemática TRLTDCFZ60T66IJ1. Comprobación: https://cogitivalencia.e-gestion.es/Validacion.aspx?CVT=TRLTDCFZ60T66IJ1

VISADO
COGITI
VALENCIA
VA07290/22
TRLTDCFZ60T66IJ1

Barras	COMPROBACIONES (CÓDIGO ESTRUCTURAL)														Estado
	λ_w	N_t	N_c	M_Y	M_Z	V_Z	V_Y	M_YV_Z	M_ZV_Y	NM_YM_Z	$NM_YM_ZV_YV_Z$	M_t	M_tV_Z	M_tV_Y	
N1795/N1797	x: 0 m $\lambda_w \leq \lambda_{w,máx}$ Cumple	$\eta = 0.6$	$\eta = 1.2$	x: 4.106 m $\eta = 32.9$	x: 0 m $\eta = 1.5$	x: 0 m $\eta = 5.1$	x: 0 m $\eta = 0.2$	x: 0 m $\eta < 0.1$	x: 0 m $\eta < 0.1$	x: 4.106 m $\eta = 34.0$	x: 0 m $\eta < 0.1$	$M_{Ed} = 0.00$ N.P.(1)	N.P.(2)	N.P.(2)	**CUMPLE** **$\eta = 34.0$**
N1798/N1796	$\lambda_w \leq \lambda_{w,máx}$ Cumple	$\eta = 0.3$	$\eta = 0.1$	x: 7.3 m $\eta = 35.3$	x: 0 m $\eta = 1.8$	x: 7.3 m $\eta = 3.4$	x: 0 m $\eta = 0.2$	$\eta < 0.1$	$\eta < 0.1$	x: 7.3 m $\eta = 36.0$	$\eta < 0.1$	$M_{Ed} = 0.00$ N.P.(1)	N.P.(2)	N.P.(2)	**CUMPLE** **$\eta = 36.0$**
N1799/N1798	$\lambda_w \leq \lambda_{w,máx}$ Cumple	$\eta = 0.4$	$\eta = 0.4$	x: 0 m $\eta = 19.6$	x: 7.3 m $\eta = 1.8$	x: 0 m $\eta = 3.2$	x: 7.3 m $\eta = 0.2$	$\eta < 0.1$	$\eta < 0.1$	x: 0 m $\eta = 20.3$	$\eta < 0.1$	$M_{Ed} = 0.00$ N.P.(1)	N.P.(2)	N.P.(2)	**CUMPLE** **$\eta = 20.3$**
N1800/N1799	$\lambda_w \leq \lambda_{w,máx}$ Cumple	$\eta = 0.5$	$\eta = 0.8$	x: 7.3 m $\eta = 19.6$	x: 7.3 m $\eta = 1.7$	x: 7.3 m $\eta = 3.0$	x: 7.3 m $\eta = 0.2$	$\eta < 0.1$	x: 0 m $\eta < 0.1$	x: 7.3 m $\eta = 20.4$	$\eta < 0.1$	$M_{Ed} = 0.00$ N.P.(1)	N.P.(2)	N.P.(2)	**CUMPLE** **$\eta = 20.4$**
N1801/N1800	$\lambda_w \leq \lambda_{w,máx}$ Cumple	$\eta = 0.6$	$\eta = 1.1$	x: 7.3 m $\eta = 19.5$	x: 0 m $\eta = 1.8$	x: 7.3 m $\eta = 3.1$	x: 0 m $\eta = 0.2$	$\eta < 0.1$	x: 0 m $\eta < 0.1$	x: 7.3 m $\eta = 20.5$	$\eta < 0.1$	$M_{Ed} = 0.00$ N.P.(1)	N.P.(2)	N.P.(2)	**CUMPLE** **$\eta = 20.5$**
N1802/N1801	$\lambda_w \leq \lambda_{w,máx}$ Cumple	$\eta = 0.8$	$\eta = 1.6$	x: 0 m $\eta = 20.3$	x: 7.3 m $\eta = 1.8$	x: 0 m $\eta = 3.1$	x: 7.3 m $\eta = 0.2$	$\eta < 0.1$	$\eta < 0.1$	x: 0 m $\eta = 21.4$	$\eta < 0.1$	$M_{Ed} = 0.00$ N.P.(1)	N.P.(2)	N.P.(2)	**CUMPLE** **$\eta = 21.4$**
N1803/N1802	$\lambda_w \leq \lambda_{w,máx}$ Cumple	$\eta = 1.0$	$\eta = 2.2$	x: 7.3 m $\eta = 20.3$	x: 0 m $\eta = 2.3$	x: 7.3 m $\eta = 3.2$	x: 0 m $\eta = 0.2$	$\eta < 0.1$	$\eta < 0.1$	x: 7.3 m $\eta = 25.1$	$\eta < 0.1$	$M_{Ed} = 0.00$ N.P.(1)	N.P.(2)	N.P.(2)	**CUMPLE** **$\eta = 25.1$**
N1804/N1803	x: 0.456 m $\lambda_w \leq \lambda_{w,máx}$ Cumple	$\eta = 0.4$	$\eta = 0.4$	x: 3.194 m $\eta = 16.3$	x: 7.3 m $\eta = 1.5$	x: 7.3 m $\eta = 2.4$	x: 7.3 m $\eta = 0.2$	x: 0.456 m $\eta < 0.1$	x: 0.456 m $\eta < 0.1$	x: 3.194 m $\eta = 17.2$	x: 0.456 m $\eta < 0.1$	$M_{Ed} = 0.00$ N.P.(1)	N.P.(2)	N.P.(2)	**CUMPLE** **$\eta = 17.2$**
N1806/N1805	$\lambda_w \leq \lambda_{w,máx}$ Cumple	$\eta = 0.1$	$\eta = 0.1$	x: 7.3 m $\eta = 80.6$	x: 7.3 m $\eta = 3.6$	x: 7.3 m $\eta = 11.9$	x: 7.3 m $\eta = 0.4$	$\eta < 0.1$	$\eta < 0.1$	x: 7.3 m $\eta = 81.8$	$\eta < 0.1$	$M_{Ed} = 0.00$ N.P.(1)	N.P.(2)	N.P.(2)	**CUMPLE** **$\eta = 81.8$**
N1805/N1807	x: 0 m $\lambda_w \leq \lambda_{w,máx}$ Cumple	$\eta < 0.1$	$\eta < 0.1$	x: 0 m $\eta = 61.6$	x: 0 m $\eta = 2.4$	x: 0 m $\eta = 9.5$	x: 0 m $\eta = 0.3$	x: 0 m $\eta < 0.1$	x: 0 m $\eta < 0.1$	x: 0 m $\eta = 63.1$	x: 0 m $\eta < 0.1$	$M_{Ed} = 0.00$ N.P.(1)	N.P.(2)	N.P.(2)	**CUMPLE** **$\eta = 63.1$**
N1808/N1806	$\lambda_w \leq \lambda_{w,máx}$ Cumple	$\eta = 0.2$	$\eta = 0.3$	x: 7.3 m $\eta = 55.8$	x: 0 m $\eta = 3.0$	x: 7.3 m $\eta = 6.4$	x: 0 m $\eta = 0.4$	$\eta < 0.1$	$\eta < 0.1$	x: 7.3 m $\eta = 56.4$	$\eta < 0.1$	$M_{Ed} = 0.00$ N.P.(1)	N.P.(2)	N.P.(2)	**CUMPLE** **$\eta = 56.4$**
N1809/N1808	$\lambda_w \leq \lambda_{w,máx}$ Cumple	$\eta = 0.2$	$\eta = 0.4$	x: 0 m $\eta = 38.4$	x: 7.3 m $\eta = 3.0$	x: 0 m $\eta = 6.1$	x: 7.3 m $\eta = 0.3$	$\eta < 0.1$	$\eta < 0.1$	x: 0 m $\eta = 39.1$	$\eta < 0.1$	$M_{Ed} = 0.00$ N.P.(1)	N.P.(2)	N.P.(2)	**CUMPLE** **$\eta = 39.1$**
N1810/N1809	$\lambda_w \leq \lambda_{w,máx}$ Cumple	$\eta = 0.3$	$\eta = 0.5$	x: 7.3 m $\eta = 38.4$	x: 7.3 m $\eta = 2.9$	x: 7.3 m $\eta = 6.0$	x: 7.3 m $\eta = 0.3$	$\eta < 0.1$	x: 0 m $\eta < 0.1$	x: 7.3 m $\eta = 39.2$	$\eta < 0.1$	$M_{Ed} = 0.00$ N.P.(1)	N.P.(2)	N.P.(2)	**CUMPLE** **$\eta = 39.2$**
N1811/N1810	$\lambda_w \leq \lambda_{w,máx}$ Cumple	$\eta = 0.3$	$\eta = 0.5$	x: 0 m $\eta = 38.1$	x: 0 m $\eta = 2.9$	x: 0 m $\eta = 6.0$	x: 0 m $\eta = 0.3$	$\eta < 0.1$	x: 0 m $\eta < 0.1$	x: 0 m $\eta = 38.9$	$\eta < 0.1$	$M_{Ed} = 0.00$ N.P.(1)	N.P.(2)	N.P.(2)	**CUMPLE** **$\eta = 38.9$**
N1812/N1811	$\lambda_w \leq \lambda_{w,máx}$ Cumple	$\eta = 0.3$	$\eta = 0.5$	x: 7.3 m $\eta = 38.1$	x: 7.3 m $\eta = 2.9$	x: 7.3 m $\eta = 6.0$	x: 7.3 m $\eta = 0.4$	$\eta < 0.1$	$\eta < 0.1$	x: 7.3 m $\eta = 38.9$	$\eta < 0.1$	$M_{Ed} = 0.00$ N.P.(1)	N.P.(2)	N.P.(2)	**CUMPLE** **$\eta = 38.9$**
N1813/N1812	$\lambda_w \leq \lambda_{w,máx}$ Cumple	$\eta = 0.2$	$\eta = 0.4$	x: 0 m $\eta = 38.5$	x: 0 m $\eta = 3.7$	x: 0 m $\eta = 6.0$	x: 0 m $\eta = 0.4$	$\eta < 0.1$	$\eta < 0.1$	x: 0 m $\eta = 39.4$	$\eta < 0.1$	$M_{Ed} = 0.00$ N.P.(1)	N.P.(2)	N.P.(2)	**CUMPLE** **$\eta = 39.4$**
N1814/N1813	x: 0.456 m $\lambda_w \leq \lambda_{w,máx}$ Cumple	$\eta = 0.1$	$\eta = 0.1$	x: 3.194 m $\eta = 29.5$	x: 7.3 m $\eta = 2.4$	x: 7.3 m $\eta = 4.8$	x: 7.3 m $\eta = 0.3$	x: 0.456 m $\eta < 0.1$	x: 0.456 m $\eta < 0.1$	x: 7.3 m $\eta = 30.0$	x: 0.456 m $\eta < 0.1$	$M_{Ed} = 0.00$ N.P.(1)	N.P.(2)	N.P.(2)	**CUMPLE** **$\eta = 30.0$**
N1816/N1815	$\lambda_w \leq \lambda_{w,máx}$ Cumple	$\eta = 0.2$	$\eta = 0.2$	x: 7.3 m $\eta = 81.3$	x: 7.3 m $\eta = 3.7$	x: 7.3 m $\eta = 11.9$	x: 7.3 m $\eta = 0.4$	$\eta < 0.1$	$\eta < 0.1$	x: 7.3 m $\eta = 82.7$	$\eta < 0.1$	$M_{Ed} = 0.00$ N.P.(1)	N.P.(2)	N.P.(2)	**CUMPLE** **$\eta = 82.7$**
N1815/N1817	x: 0 m $\lambda_w \leq \lambda_{w,máx}$ Cumple	$\eta = 0.1$	$\eta = 0.1$	x: 0 m $\eta = 62.1$	x: 0 m $\eta = 2.4$	x: 0 m $\eta = 9.5$	x: 0 m $\eta = 0.3$	x: 0 m $\eta < 0.1$	x: 0 m $\eta < 0.1$	x: 0 m $\eta = 63.1$	x: 0 m $\eta < 0.1$	$M_{Ed} = 0.00$ N.P.(1)	N.P.(2)	N.P.(2)	**CUMPLE** **$\eta = 63.1$**
N1818/N1816	$\lambda_w \leq \lambda_{w,máx}$ Cumple	$\eta = 0.3$	$\eta = 0.4$	x: 7.3 m $\eta = 55.5$	x: 0 m $\eta = 3.0$	x: 7.3 m $\eta = 6.4$	x: 0 m $\eta = 0.4$	$\eta < 0.1$	$\eta < 0.1$	x: 7.3 m $\eta = 56.3$	$\eta < 0.1$	$M_{Ed} = 0.00$ N.P.(1)	N.P.(2)	N.P.(2)	**CUMPLE** **$\eta = 56.3$**
N1819/N1818	$\lambda_w \leq \lambda_{w,máx}$ Cumple	$\eta = 0.3$	$\eta = 0.4$	x: 0 m $\eta = 38.4$	x: 7.3 m $\eta = 3.0$	x: 0 m $\eta = 6.1$	x: 7.3 m $\eta = 0.3$	$\eta < 0.1$	$\eta < 0.1$	x: 0 m $\eta = 39.2$	$\eta < 0.1$	$M_{Ed} = 0.00$ N.P.(1)	N.P.(2)	N.P.(2)	**CUMPLE** **$\eta = 39.2$**
N1820/N1819	$\lambda_w \leq \lambda_{w,máx}$ Cumple	$\eta = 0.3$	$\eta = 0.4$	x: 7.3 m $\eta = 38.4$	x: 7.3 m $\eta = 2.9$	x: 7.3 m $\eta = 6.0$	x: 7.3 m $\eta = 0.3$	$\eta < 0.1$	x: 0 m $\eta < 0.1$	x: 7.3 m $\eta = 39.2$	$\eta < 0.1$	$M_{Ed} = 0.00$ N.P.(1)	N.P.(2)	N.P.(2)	**CUMPLE** **$\eta = 39.2$**
N1821/N1820	$\lambda_w \leq \lambda_{w,máx}$ Cumple	$\eta = 0.3$	$\eta = 0.4$	x: 0 m $\eta = 38.1$	x: 0 m $\eta = 2.9$	x: 0 m $\eta = 6.0$	x: 0 m $\eta = 0.3$	$\eta < 0.1$	x: 0 m $\eta < 0.1$	x: 0 m $\eta = 38.9$	$\eta < 0.1$	$M_{Ed} = 0.00$ N.P.(1)	N.P.(2)	N.P.(2)	**CUMPLE** **$\eta = 38.9$**
N1822/N1821	$\lambda_w \leq \lambda_{w,máx}$ Cumple	$\eta = 0.2$	$\eta = 0.3$	x: 7.3 m $\eta = 38.1$	x: 7.3 m $\eta = 2.9$	x: 7.3 m $\eta = 6.0$	x: 7.3 m $\eta = 0.4$	$\eta < 0.1$	$\eta < 0.1$	x: 7.3 m $\eta = 38.8$	$\eta < 0.1$	$M_{Ed} = 0.00$ N.P.(1)	N.P.(2)	N.P.(2)	**CUMPLE** **$\eta = 38.8$**
N1823/N1822	$\lambda_w \leq \lambda_{w,máx}$ Cumple	$\eta = 0.1$	$\eta = 0.2$	x: 0 m $\eta = 38.8$	x: 0 m $\eta = 3.7$	x: 0 m $\eta = 6.0$	x: 0 m $\eta = 0.4$	$\eta < 0.1$	$\eta < 0.1$	x: 0 m $\eta = 39.6$	$\eta < 0.1$	$M_{Ed} = 0.00$ N.P.(1)	N.P.(2)	N.P.(2)	**CUMPLE** **$\eta = 39.6$**
N1824/N1823	x: 0.456 m $\lambda_w \leq \lambda_{w,máx}$ Cumple	$\eta = 0.1$	$\eta = 0.1$	x: 7.3 m $\eta = 29.6$	x: 7.3 m $\eta = 2.5$	x: 7.3 m $\eta = 4.8$	x: 7.3 m $\eta = 0.3$	x: 0.456 m $\eta < 0.1$	x: 0.456 m $\eta < 0.1$	x: 7.3 m $\eta = 30.2$	x: 0.456 m $\eta < 0.1$	$M_{Ed} = 0.00$ N.P.(1)	N.P.(2)	N.P.(2)	**CUMPLE** **$\eta = 30.2$**
N1826/N1825	$\lambda_w \leq \lambda_{w,máx}$ Cumple	$\eta = 0.6$	$\eta = 0.8$	x: 7.3 m $\eta = 62.0$	x: 7.3 m $\eta = 3.0$	x: 7.3 m $\eta = 11.3$	x: 7.3 m $\eta = 0.3$	$\eta < 0.1$	$\eta < 0.1$	x: 7.3 m $\eta = 64.1$	$\eta < 0.1$	$M_{Ed} = 0.00$ N.P.(1)	N.P.(2)	N.P.(2)	**CUMPLE** **$\eta = 64.1$**
N1825/N1827	x: 0 m $\lambda_w \leq \lambda_{w,máx}$ Cumple	$\eta = 0.5$	$\eta = 0.4$	x: 0 m $\eta = 47.4$	x: 0 m $\eta = 2.0$	x: 0 m $\eta = 6.0$	x: 0 m $\eta = 0.2$	x: 0 m $\eta < 0.1$	x: 0 m $\eta < 0.1$	x: 0 m $\eta = 49.4$	x: 0 m $\eta < 0.1$	$M_{Ed} = 0.00$ N.P.(1)	N.P.(2)	N.P.(2)	**CUMPLE** **$\eta = 49.4$**
N1828/N1826	$\lambda_w \leq \lambda_{w,máx}$ Cumple	$\eta = 0.5$	$\eta = 0.6$	x: 7.3 m $\eta = 60.3$	x: 0 m $\eta = 2.9$	x: 7.3 m $\eta = 6.6$	x: 0 m $\eta = 0.3$	$\eta < 0.1$	$\eta < 0.1$	x: 7.3 m $\eta = 61.5$	$\eta < 0.1$	$M_{Ed} = 0.00$ N.P.(1)	N.P.(2)	N.P.(2)	**CUMPLE** **$\eta = 61.5$**
N1829/N1828	$\lambda_w \leq \lambda_{w,máx}$ Cumple	$\eta = 0.5$	$\eta = 0.6$	x: 0 m $\eta = 38.7$	x: 7.3 m $\eta = 2.9$	x: 0 m $\eta = 6.1$	x: 7.3 m $\eta = 0.3$	$\eta < 0.1$	$\eta < 0.1$	x: 0 m $\eta = 39.6$	$\eta < 0.1$	$M_{Ed} = 0.00$ N.P.(1)	N.P.(2)	N.P.(2)	**CUMPLE** **$\eta = 39.6$**
N1830/N1829	$\lambda_w \leq \lambda_{w,máx}$ Cumple	$\eta = 0.5$	$\eta = 0.7$	x: 7.3 m $\eta = 38.7$	x: 7.3 m $\eta = 2.9$	x: 7.3 m $\eta = 6.0$	x: 7.3 m $\eta = 0.3$	$\eta < 0.1$	x: 0 m $\eta < 0.1$	x: 7.3 m $\eta = 39.6$	$\eta < 0.1$	$M_{Ed} = 0.00$ N.P.(1)	N.P.(2)	N.P.(2)	**CUMPLE** **$\eta = 39.6$**
N1831/N1830	$\lambda_w \leq \lambda_{w,máx}$ Cumple	$\eta = 0.5$	$\eta = 0.8$	x: 7.3 m $\eta = 38.1$	x: 0 m $\eta = 2.9$	x: 7.3 m $\eta = 6.0$	x: 0 m $\eta = 0.3$	$\eta < 0.1$	x: 0 m $\eta < 0.1$	x: 7.3 m $\eta = 39.1$	$\eta < 0.1$	$M_{Ed} = 0.00$ N.P.(1)	N.P.(2)	N.P.(2)	**CUMPLE** **$\eta = 39.1$**
N1832/N1831	$\lambda_w \leq \lambda_{w,máx}$ Cumple	$\eta = 0.6$	$\eta = 1.0$	x: 0 m $\eta = 40.6$	x: 7.3 m $\eta = 2.9$	x: 0 m $\eta = 6.0$	x: 7.3 m $\eta = 0.3$	$\eta < 0.1$	$\eta < 0.1$	x: 0 m $\eta = 41.6$	$\eta < 0.1$	$M_{Ed} = 0.00$ N.P.(1)	N.P.(2)	N.P.(2)	**CUMPLE** **$\eta = 41.6$**
N1833/N1832	$\lambda_w \leq \lambda_{w,máx}$ Cumple	$\eta = 0.8$	$\eta = 1.3$	x: 7.3 m $\eta = 40.6$	x: 0 m $\eta = 3.1$	x: 7.3 m $\eta = 6.3$	x: 0 m $\eta = 0.3$	$\eta < 0.1$	$\eta < 0.1$	x: 7.3 m $\eta = 41.8$	$\eta < 0.1$	$M_{Ed} = 0.00$ N.P.(1)	N.P.(2)	N.P.(2)	**CUMPLE** **$\eta = 41.8$**
N1834/N1833	x: 0.456 m $\lambda_w \leq \lambda_{w,máx}$ Cumple	$\eta = 0.3$	$\eta = 0.3$	x: 7.3 m $\eta = 21.3$	x: 7.3 m $\eta = 2.0$	x: 7.3 m $\eta = 2.9$	x: 7.3 m $\eta = 0.2$	x: 0.456 m $\eta < 0.1$	x: 0.456 m $\eta < 0.1$	x: 7.3 m $\eta = 21.8$	x: 0.456 m $\eta < 0.1$	$M_{Ed} = 0.00$ N.P.(1)	N.P.(2)	N.P.(2)	**CUMPLE** **$\eta = 21.8$**
N1836/N1835	$\lambda_w \leq \lambda_{w,máx}$ Cumple	$\eta = 0.3$	$\eta = 0.4$	x: 7.3 m $\eta = 79.0$	x: 7.3 m $\eta = 3.5$	x: 7.3 m $\eta = 11.9$	x: 7.3 m $\eta = 0.4$	$\eta < 0.1$	$\eta < 0.1$	x: 7.3 m $\eta = 80.7$	$\eta < 0.1$	$M_{Ed} = 0.00$ N.P.(1)	N.P.(2)	N.P.(2)	**CUMPLE** **$\eta = 80.7$**

Documento visado electrónicamente con número: VA07290/22
Código de validación telemática TRLTDCFZ60T66IJ1. Comprobación: https://cogitivalencia.e-gestion.es/Validacion.aspx?CVT=TRLTDCFZ60T66IJ1

VISADO
COGITI
TRLTDCFZ60T66IJ1
VALENCIA
VA07290/22

Barras	COMPROBACIONES (CÓDIGO ESTRUCTURAL)														Estado
	λ_w	N_t	N_c	M_Y	M_Z	V_Z	V_Y	M_YV_Z	M_ZV_Y	NM_YM_Z	$NM_YM_ZV_YV_Z$	M_t	M_tV_Z	M_tV_Y	
N1835/N1837	x: 0 m $\lambda_w \leq \lambda_{w,máx}$ Cumple	η = 0.1	η = 0.1	x: 0 m η = 60.4	x: 0 m η = 2.3	x: 0 m η = 8.8	x: 0 m η = 0.3	x: 0 m η < 0.1	x: 0 m η < 0.1	x: 0 m η = 62.1	x: 0 m η < 0.1	M_{Ed} = 0.00 N.P.(1)	N.P.(2)	N.P.(2)	**CUMPLE** **η = 62.1**
N1838/N1836	$\lambda_w \leq \lambda_{w,máx}$ Cumple	η = 0.3	η = 0.4	x: 7.3 m η = 55.5	x: 0 m η = 3.0	x: 7.3 m η = 6.4	x: 0 m η = 0.4	η < 0.1	η < 0.1	x: 7.3 m η = 56.3	η < 0.1	M_{Ed} = 0.00 N.P.(1)	N.P.(2)	N.P.(2)	**CUMPLE** **η = 56.3**
N1839/N1838	$\lambda_w \leq \lambda_{w,máx}$ Cumple	η = 0.3	η = 0.5	x: 0 m η = 38.5	x: 7.3 m η = 3.0	x: 0 m η = 6.1	x: 7.3 m η = 0.3	η < 0.1	η < 0.1	x: 0 m η = 39.3	η < 0.1	M_{Ed} = 0.00 N.P.(1)	N.P.(2)	N.P.(2)	**CUMPLE** **η = 39.3**
N1840/N1839	$\lambda_w \leq \lambda_{w,máx}$ Cumple	η = 0.3	η = 0.5	x: 7.3 m η = 38.5	x: 7.3 m η = 2.9	x: 7.3 m η = 6.0	x: 7.3 m η = 0.3	η < 0.1	x: 0 m η < 0.1	x: 7.3 m η = 39.3	η < 0.1	M_{Ed} = 0.00 N.P.(1)	N.P.(2)	N.P.(2)	**CUMPLE** **η = 39.3**
N1841/N1840	$\lambda_w \leq \lambda_{w,máx}$ Cumple	η = 0.3	η = 0.5	x: 0 m η = 38.0	x: 0 m η = 2.9	x: 0 m η = 6.0	x: 0 m η = 0.3	η < 0.1	x: 0 m η < 0.1	x: 0 m η = 38.8	η < 0.1	M_{Ed} = 0.00 N.P.(1)	N.P.(2)	N.P.(2)	**CUMPLE** **η = 38.8**
N1842/N1841	$\lambda_w \leq \lambda_{w,máx}$ Cumple	η = 0.3	η = 0.5	x: 0 m η = 38.1	x: 7.3 m η = 2.9	x: 0 m η = 6.0	x: 7.3 m η = 0.3	η < 0.1	η < 0.1	x: 0 m η = 38.9	η < 0.1	M_{Ed} = 0.00 N.P.(1)	N.P.(2)	N.P.(2)	**CUMPLE** **η = 38.9**
N1843/N1842	$\lambda_w \leq \lambda_{w,máx}$ Cumple	η = 0.3	η = 0.5	x: 7.3 m η = 38.1	x: 0 m η = 3.6	x: 7.3 m η = 6.0	x: 0 m η = 0.4	η < 0.1	η < 0.1	x: 7.3 m η = 38.9	η < 0.1	M_{Ed} = 0.00 N.P.(1)	N.P.(2)	N.P.(2)	**CUMPLE** **η = 38.9**
N1844/N1843	x: 0.456 m $\lambda_w \leq \lambda_{w,máx}$ Cumple	η < 0.1	η = 0.1	x: 7.3 m η = 28.5	x: 7.3 m η = 2.4	x: 7.3 m η = 4.4	x: 7.3 m η = 0.3	x: 0.456 m η < 0.1	x: 0.456 m η < 0.1	x: 7.3 m η = 28.8	x: 0.456 m η < 0.1	M_{Ed} = 0.00 N.P.(1)	N.P.(2)	N.P.(2)	**CUMPLE** **η = 28.8**
N1846/N1845	$\lambda_w \leq \lambda_{w,máx}$ Cumple	η = 0.1	η = 0.2	x: 7.3 m η = 84.6	x: 7.3 m η = 3.7	x: 7.3 m η = 12.1	x: 7.3 m η = 0.4	η < 0.1	η < 0.1	x: 7.3 m η = 86.0	η < 0.1	M_{Ed} = 0.00 N.P.(1)	N.P.(2)	N.P.(2)	**CUMPLE** **η = 86.0**
N1845/N1847	x: 0 m $\lambda_w \leq \lambda_{w,máx}$ Cumple	η = 0.1	η = 0.1	x: 0 m η = 64.7	x: 0 m η = 2.4	x: 0 m η = 9.6	x: 0 m η = 0.3	x: 0 m η < 0.1	x: 0 m η < 0.1	x: 0 m η = 65.7	x: 0 m η < 0.1	M_{Ed} = 0.00 N.P.(1)	N.P.(2)	N.P.(2)	**CUMPLE** **η = 65.7**
N1848/N1846	$\lambda_w \leq \lambda_{w,máx}$ Cumple	η = 0.2	η = 0.3	x: 7.3 m η = 53.6	x: 0 m η = 3.0	x: 7.3 m η = 6.4	x: 0 m η = 0.4	η < 0.1	η < 0.1	x: 7.3 m η = 54.2	η < 0.1	M_{Ed} = 0.00 N.P.(1)	N.P.(2)	N.P.(2)	**CUMPLE** **η = 54.2**
N1849/N1848	$\lambda_w \leq \lambda_{w,máx}$ Cumple	η = 0.2	η = 0.3	x: 0 m η = 38.5	x: 7.3 m η = 3.0	x: 0 m η = 6.1	x: 7.3 m η = 0.3	η < 0.1	η < 0.1	x: 0 m η = 39.2	η < 0.1	M_{Ed} = 0.00 N.P.(1)	N.P.(2)	N.P.(2)	**CUMPLE** **η = 39.2**
N1850/N1849	$\lambda_w \leq \lambda_{w,máx}$ Cumple	η = 0.2	η = 0.4	x: 7.3 m η = 38.5	x: 7.3 m η = 2.9	x: 7.3 m η = 6.0	x: 0 m η = 0.3	η < 0.1	x: 0 m η < 0.1	x: 7.3 m η = 39.2	η < 0.1	M_{Ed} = 0.00 N.P.(1)	N.P.(2)	N.P.(2)	**CUMPLE** **η = 39.2**
N1851/N1850	$\lambda_w \leq \lambda_{w,máx}$ Cumple	η = 0.2	η = 0.3	x: 0 m η = 38.2	x: 0 m η = 2.9	x: 0 m η = 6.0	x: 0 m η = 0.3	η < 0.1	x: 0 m η < 0.1	x: 0 m η = 38.9	η < 0.1	M_{Ed} = 0.00 N.P.(1)	N.P.(2)	N.P.(2)	**CUMPLE** **η = 38.9**
N1852/N1851	$\lambda_w \leq \lambda_{w,máx}$ Cumple	η = 0.1	η = 0.3	x: 7.3 m η = 38.2	x: 7.3 m η = 2.9	x: 7.3 m η = 6.0	x: 7.3 m η = 0.4	η < 0.1	η < 0.1	x: 7.3 m η = 38.8	η < 0.1	M_{Ed} = 0.00 N.P.(1)	N.P.(2)	N.P.(2)	**CUMPLE** **η = 38.8**
N1853/N1852	$\lambda_w \leq \lambda_{w,máx}$ Cumple	η = 0.1	η = 0.1	x: 0 m η = 40.4	x: 0 m η = 3.8	x: 0 m η = 6.0	x: 0 m η = 0.4	η < 0.1	η < 0.1	x: 0 m η = 41.1	η < 0.1	M_{Ed} = 0.00 N.P.(1)	N.P.(2)	N.P.(2)	**CUMPLE** **η = 41.1**
N1854/N1853	x: 0.456 m $\lambda_w \leq \lambda_{w,máx}$ Cumple	η = 0.1	η = 0.1	x: 7.3 m η = 30.9	x: 7.3 m η = 2.5	x: 7.3 m η = 4.9	x: 7.3 m η = 0.3	x: 0.456 m η < 0.1	x: 0.456 m η < 0.1	x: 7.3 m η = 31.4	x: 0.456 m η < 0.1	M_{Ed} = 0.00 N.P.(1)	N.P.(2)	N.P.(2)	**CUMPLE** **η = 31.4**
N1856/N1855	$\lambda_w \leq \lambda_{w,máx}$ Cumple	η = 0.1	η = 0.4	x: 7.3 m η = 59.0	x: 7.3 m η = 3.1	x: 7.3 m η = 8.6	x: 7.3 m η = 0.3	η < 0.1	η < 0.1	x: 7.3 m η = 60.6	η < 0.1	M_{Ed} = 0.00 N.P.(1)	N.P.(2)	N.P.(2)	**CUMPLE** **η = 60.6**
N1855/N1857	x: 0 m $\lambda_w \leq \lambda_{w,máx}$ Cumple	η = 0.1	η = 0.5	x: 0 m η = 45.1	x: 0 m η = 2.0	x: 0 m η = 6.9	x: 0 m η = 0.3	x: 0 m η < 0.1	x: 0 m η < 0.1	x: 0 m η = 46.6	x: 0 m η < 0.1	M_{Ed} = 0.00 N.P.(1)	N.P.(2)	N.P.(2)	**CUMPLE** **η = 46.6**
N1858/N1856	$\lambda_w \leq \lambda_{w,máx}$ Cumple	η = 0.1	η = 0.3	x: 7.3 m η = 39.8	x: 0 m η = 2.3	x: 7.3 m η = 4.5	x: 0 m η = 0.3	η < 0.1	η < 0.1	x: 7.3 m η = 40.1	η < 0.1	M_{Ed} = 0.00 N.P.(1)	N.P.(2)	N.P.(2)	**CUMPLE** **η = 40.1**
N1859/N1858	$\lambda_w \leq \lambda_{w,máx}$ Cumple	η = 0.3	η = 0.4	x: 0 m η = 26.8	x: 7.3 m η = 2.3	x: 0 m η = 4.2	x: 7.3 m η = 0.3	η < 0.1	η < 0.1	x: 0 m η = 27.4	η < 0.1	M_{Ed} = 0.00 N.P.(1)	N.P.(2)	N.P.(2)	**CUMPLE** **η = 27.4**
N1860/N1859	$\lambda_w \leq \lambda_{w,máx}$ Cumple	η = 0.3	η = 0.7	x: 7.3 m η = 26.8	x: 7.3 m η = 2.2	x: 7.3 m η = 4.1	x: 0 m η = 0.3	η < 0.1	η < 0.1	x: 7.3 m η = 27.5	η < 0.1	M_{Ed} = 0.00 N.P.(1)	N.P.(2)	N.P.(2)	**CUMPLE** **η = 27.5**
N1861/N1860	$\lambda_w \leq \lambda_{w,máx}$ Cumple	η = 0.4	η = 0.9	x: 0 m η = 26.4	x: 0 m η = 2.2	x: 0 m η = 4.1	x: 0 m η = 0.3	η < 0.1	η < 0.1	x: 0 m η = 27.2	η < 0.1	M_{Ed} = 0.00 N.P.(1)	N.P.(2)	N.P.(2)	**CUMPLE** **η = 27.2**
N1862/N1861	$\lambda_w \leq \lambda_{w,máx}$ Cumple	η = 0.5	η = 1.1	x: 7.3 m η = 26.4	x: 7.3 m η = 2.2	x: 7.3 m η = 4.1	x: 7.3 m η = 0.3	η < 0.1	η < 0.1	x: 7.3 m η = 27.3	η < 0.1	M_{Ed} = 0.00 N.P.(1)	N.P.(2)	N.P.(2)	**CUMPLE** **η = 27.3**
N1863/N1862	$\lambda_w \leq \lambda_{w,máx}$ Cumple	η = 0.5	η = 1.2	x: 0 m η = 26.8	x: 0 m η = 2.9	x: 0 m η = 4.1	x: 0 m η = 0.3	η < 0.1	η < 0.1	x: 0 m η = 27.7	η < 0.1	M_{Ed} = 0.00 N.P.(1)	N.P.(2)	N.P.(2)	**CUMPLE** **η = 27.7**
N1864/N1863	x: 0.456 m $\lambda_w \leq \lambda_{w,máx}$ Cumple	η = 0.1	η = 0.3	x: 7.3 m η = 20.5	x: 7.3 m η = 1.9	x: 7.3 m η = 3.3	x: 7.3 m η = 0.3	x: 0.456 m η < 0.1	x: 0.456 m η < 0.1	x: 7.3 m η = 20.9	x: 0.456 m η < 0.1	M_{Ed} = 0.00 N.P.(1)	N.P.(2)	N.P.(2)	**CUMPLE** **η = 20.9**
N1866/N1865	$\lambda_w \leq \lambda_{w,máx}$ Cumple	η = 0.1	η = 0.4	x: 7.3 m η = 68.4	x: 7.3 m η = 3.3	x: 7.3 m η = 9.7	x: 7.3 m η = 0.3	η < 0.1	η < 0.1	x: 7.3 m η = 70.0	η < 0.1	M_{Ed} = 0.00 N.P.(1)	N.P.(2)	N.P.(2)	**CUMPLE** **η = 70.0**
N1865/N1867	x: 0 m $\lambda_w \leq \lambda_{w,máx}$ Cumple	η < 0.1	η = 0.4	x: 0 m η = 52.3	x: 0 m η = 2.2	x: 0 m η = 7.7	x: 0 m η = 0.3	x: 0 m η < 0.1	x: 0 m η < 0.1	x: 0 m η = 53.9	x: 0 m η < 0.1	M_{Ed} = 0.00 N.P.(1)	N.P.(2)	N.P.(2)	**CUMPLE** **η = 53.9**
N1868/N1866	$\lambda_w \leq \lambda_{w,máx}$ Cumple	η = 0.1	η = 0.3	x: 7.3 m η = 42.8	x: 0 m η = 2.6	x: 7.3 m η = 5.0	x: 0 m η = 0.3	η < 0.1	η < 0.1	x: 7.3 m η = 43.2	η < 0.1	M_{Ed} = 0.00 N.P.(1)	N.P.(2)	N.P.(2)	**CUMPLE** **η = 43.2**
N1869/N1868	$\lambda_w \leq \lambda_{w,máx}$ Cumple	η = 0.2	η = 0.4	x: 0 m η = 30.3	x: 7.3 m η = 2.6	x: 0 m η = 4.8	x: 7.3 m η = 0.3	η < 0.1	η < 0.1	x: 0 m η = 31.0	η < 0.1	M_{Ed} = 0.00 N.P.(1)	N.P.(2)	N.P.(2)	**CUMPLE** **η = 31.0**
N1870/N1869	$\lambda_w \leq \lambda_{w,máx}$ Cumple	η = 0.3	η = 0.6	x: 7.3 m η = 30.3	x: 0 m η = 2.4	x: 7.3 m η = 4.7	x: 0 m η = 0.3	η < 0.1	η < 0.1	x: 7.3 m η = 31.0	η < 0.1	M_{Ed} = 0.00 N.P.(1)	N.P.(2)	N.P.(2)	**CUMPLE** **η = 31.0**
N1871/N1870	$\lambda_w \leq \lambda_{w,máx}$ Cumple	η = 0.4	η = 0.8	x: 0 m η = 30.0	x: 0 m η = 2.4	x: 0 m η = 4.7	x: 0 m η = 0.3	η < 0.1	η < 0.1	x: 0 m η = 30.8	η < 0.1	M_{Ed} = 0.00 N.P.(1)	N.P.(2)	N.P.(2)	**CUMPLE** **η = 30.8**
N1872/N1871	$\lambda_w \leq \lambda_{w,máx}$ Cumple	η = 0.4	η = 1.0	x: 7.3 m η = 30.0	x: 7.3 m η = 2.4	x: 7.3 m η = 4.7	x: 7.3 m η = 0.3	η < 0.1	η < 0.1	x: 7.3 m η = 30.8	η < 0.1	M_{Ed} = 0.00 N.P.(1)	N.P.(2)	N.P.(2)	**CUMPLE** **η = 30.8**
N1873/N1872	$\lambda_w \leq \lambda_{w,máx}$ Cumple	η = 0.4	η = 1.0	x: 0 m η = 31.8	x: 0 m η = 3.2	x: 0 m η = 4.7	x: 0 m η = 0.3	η < 0.1	η < 0.1	x: 0 m η = 32.7	η < 0.1	M_{Ed} = 0.00 N.P.(1)	N.P.(2)	N.P.(2)	**CUMPLE** **η = 32.7**
N1874/N1873	x: 0.456 m $\lambda_w \leq \lambda_{w,máx}$ Cumple	η = 0.1	η = 0.2	x: 7.3 m η = 24.3	x: 7.3 m η = 2.1	x: 7.3 m η = 3.8	x: 7.3 m η = 0.3	x: 0.456 m η < 0.1	x: 0.456 m η < 0.1	x: 7.3 m η = 24.7	x: 0.456 m η < 0.1	M_{Ed} = 0.00 N.P.(1)	N.P.(2)	N.P.(2)	**CUMPLE** **η = 24.7**
N1876/N1875	$\lambda_w \leq \lambda_{w,máx}$ Cumple	η = 0.1	η = 0.3	x: 7.3 m η = 88.6	x: 7.3 m η = 3.7	x: 7.3 m η = 12.2	x: 7.3 m η = 0.4	η < 0.1	η < 0.1	x: 7.3 m η = 90.3	η < 0.1	M_{Ed} = 0.00 N.P.(1)	N.P.(2)	N.P.(2)	**CUMPLE** **η = 90.3**

Documento visado electrónicamente con número: VA07290/22
Código de validación telemática TRLTDCFZ60T66IJ1. Comprobación: https://cogitivalencia.e-gestion.es/Validacion.aspx?CVT=TRLTDCFZ60T66IJ1

VISADO
COGITI
VALENCIA
VA07290/22
TRLTDCFZ60T66IJ1

Barras	COMPROBACIONES (CÓDIGO ESTRUCTURAL)														Estado
	λ_w	N_t	N_c	M_Y	M_Z	V_Z	V_Y	M_YV_Z	M_ZV_Y	NM_YM_Z	$NM_YM_ZV_YV_Z$	M_t	M_tV_Z	M_tV_Y	
N1875/N1877	x: 0 m $\lambda_w \leq \lambda_{w,máx}$ Cumple	$\eta = 0.1$	$\eta = 0.1$	x: 0 m $\eta = 67.7$	x: 0 m $\eta = 2.5$	x: 0 m $\eta = 9.7$	x: 0 m $\eta = 0.3$	x: 0 m $\eta < 0.1$	x: 0 m $\eta < 0.1$	x: 0 m $\eta = 68.8$	x: 0 m $\eta < 0.1$	$M_{Ed} = 0.00$ N.P.(1)	N.P.(2)	N.P.(2)	**CUMPLE** **$\eta = 68.8$**
N1878/N1876	$\lambda_w \leq \lambda_{w,máx}$ Cumple	$\eta = 0.1$	$\eta = 0.4$	x: 7.3 m $\eta = 50.8$	x: 0 m $\eta = 3.1$	x: 7.3 m $\eta = 6.3$	x: 0 m $\eta = 0.4$	$\eta < 0.1$	$\eta < 0.1$	x: 7.3 m $\eta = 51.6$	$\eta < 0.1$	$M_{Ed} = 0.00$ N.P.(1)	N.P.(2)	N.P.(2)	**CUMPLE** **$\eta = 51.6$**
N1879/N1878	$\lambda_w \leq \lambda_{w,máx}$ Cumple	$\eta = 0.2$	$\eta = 0.4$	x: 0 m $\eta = 38.5$	x: 7.3 m $\eta = 3.1$	x: 0 m $\eta = 6.1$	x: 7.3 m $\eta = 0.3$	$\eta < 0.1$	$\eta < 0.1$	x: 0 m $\eta = 39.2$	$\eta < 0.1$	$M_{Ed} = 0.00$ N.P.(1)	N.P.(2)	N.P.(2)	**CUMPLE** **$\eta = 39.2$**
N1880/N1879	$\lambda_w \leq \lambda_{w,máx}$ Cumple	$\eta = 0.2$	$\eta = 0.4$	x: 7.3 m $\eta = 38.5$	x: 0 m $\eta = 2.9$	x: 7.3 m $\eta = 6.0$	x: 0 m $\eta = 0.3$	$\eta < 0.1$	$\eta < 0.1$	x: 7.3 m $\eta = 39.2$	$\eta < 0.1$	$M_{Ed} = 0.00$ N.P.(1)	N.P.(2)	N.P.(2)	**CUMPLE** **$\eta = 39.2$**
N1881/N1880	$\lambda_w \leq \lambda_{w,máx}$ Cumple	$\eta = 0.1$	$\eta = 0.4$	x: 0 m $\eta = 38.4$	x: 0 m $\eta = 2.9$	x: 0 m $\eta = 6.0$	x: 0 m $\eta = 0.3$	$\eta < 0.1$	$\eta < 0.1$	x: 0 m $\eta = 39.0$	$\eta < 0.1$	$M_{Ed} = 0.00$ N.P.(1)	N.P.(2)	N.P.(2)	**CUMPLE** **$\eta = 39.0$**
N1882/N1881	$\lambda_w \leq \lambda_{w,máx}$ Cumple	$\eta = 0.1$	$\eta = 0.3$	x: 7.3 m $\eta = 38.4$	x: 7.3 m $\eta = 2.9$	x: 7.3 m $\eta = 6.0$	x: 7.3 m $\eta = 0.4$	$\eta < 0.1$	$\eta < 0.1$	x: 7.3 m $\eta = 38.9$	$\eta < 0.1$	$M_{Ed} = 0.00$ N.P.(1)	N.P.(2)	N.P.(2)	**CUMPLE** **$\eta = 38.9$**
N1883/N1882	$\lambda_w \leq \lambda_{w,máx}$ Cumple	$\eta < 0.1$	$\eta = 0.2$	x: 0 m $\eta = 42.7$	x: 0 m $\eta = 3.8$	x: 0 m $\eta = 6.1$	x: 0 m $\eta = 0.4$	$\eta < 0.1$	$\eta < 0.1$	x: 0 m $\eta = 43.3$	$\eta < 0.1$	$M_{Ed} = 0.00$ N.P.(1)	N.P.(2)	N.P.(2)	**CUMPLE** **$\eta = 43.3$**
N1884/N1883	x: 0.456 m $\lambda_w \leq \lambda_{w,máx}$ Cumple	$\eta < 0.1$	$\eta = 0.1$	x: 7.3 m $\eta = 32.6$	x: 7.3 m $\eta = 2.5$	x: 7.3 m $\eta = 4.9$	x: 7.3 m $\eta = 0.3$	x: 0.456 m $\eta < 0.1$	x: 0.456 m $\eta < 0.1$	x: 7.3 m $\eta = 33.1$	x: 0.456 m $\eta < 0.1$	$M_{Ed} = 0.00$ N.P.(1)	N.P.(2)	N.P.(2)	**CUMPLE** **$\eta = 33.1$**
N1886/N1885	$\lambda_w \leq \lambda_{w,máx}$ Cumple	$\eta = 0.5$	$\eta = 1.8$	x: 7.3 m $\eta = 73.8$	x: 7.3 m $\eta = 3.3$	x: 7.3 m $\eta = 10.2$	x: 7.3 m $\eta = 0.3$	$\eta < 0.1$	$\eta < 0.1$	x: 7.3 m $\eta = 75.8$	$\eta < 0.1$	$M_{Ed} = 0.00$ N.P.(1)	N.P.(2)	N.P.(2)	**CUMPLE** **$\eta = 75.8$**
N1885/N1887	x: 0 m $\lambda_w \leq \lambda_{w,máx}$ Cumple	$\eta = 0.2$	$\eta = 0.6$	x: 0 m $\eta = 56.4$	x: 0 m $\eta = 2.2$	x: 0 m $\eta = 8.0$	x: 0 m $\eta = 0.3$	x: 0 m $\eta < 0.1$	x: 0 m $\eta < 0.1$	x: 0 m $\eta = 57.5$	x: 0 m $\eta < 0.1$	$M_{Ed} = 0.00$ N.P.(1)	N.P.(2)	N.P.(2)	**CUMPLE** **$\eta = 57.5$**
N1888/N1886	$\lambda_w \leq \lambda_{w,máx}$ Cumple	$\eta = 0.3$	$\eta = 1.5$	x: 7.3 m $\eta = 42.1$	x: 0 m $\eta = 2.6$	x: 7.3 m $\eta = 5.1$	x: 0 m $\eta = 0.3$	$\eta < 0.1$	$\eta < 0.1$	x: 7.3 m $\eta = 43.6$	$\eta < 0.1$	$M_{Ed} = 0.00$ N.P.(1)	N.P.(2)	N.P.(2)	**CUMPLE** **$\eta = 43.6$**
N1889/N1888	$\lambda_w \leq \lambda_{w,máx}$ Cumple	$\eta = 0.2$	$\eta = 1.3$	x: 0 m $\eta = 31.5$	x: 7.3 m $\eta = 2.6$	x: 0 m $\eta = 4.9$	x: 7.3 m $\eta = 0.3$	$\eta < 0.1$	$\eta < 0.1$	x: 0 m $\eta = 32.0$	$\eta < 0.1$	$M_{Ed} = 0.00$ N.P.(1)	N.P.(2)	N.P.(2)	**CUMPLE** **$\eta = 32.0$**
N1890/N1889	$\lambda_w \leq \lambda_{w,máx}$ Cumple	$\eta = 0.1$	$\eta = 1.2$	x: 7.3 m $\eta = 31.5$	x: 0 m $\eta = 2.4$	x: 7.3 m $\eta = 4.9$	x: 0 m $\eta = 0.3$	$\eta < 0.1$	$\eta < 0.1$	x: 7.3 m $\eta = 31.9$	$\eta < 0.1$	$M_{Ed} = 0.00$ N.P.(1)	N.P.(2)	N.P.(2)	**CUMPLE** **$\eta = 31.9$**
N1891/N1890	$\lambda_w \leq \lambda_{w,máx}$ Cumple	$\eta = 0.3$	$\eta = 1.0$	x: 0 m $\eta = 31.3$	x: 0 m $\eta = 2.5$	x: 0 m $\eta = 4.9$	x: 0 m $\eta = 0.3$	$\eta < 0.1$	$\eta < 0.1$	x: 0 m $\eta = 31.8$	$\eta < 0.1$	$M_{Ed} = 0.00$ N.P.(1)	N.P.(2)	N.P.(2)	**CUMPLE** **$\eta = 31.8$**
N1892/N1891	$\lambda_w \leq \lambda_{w,máx}$ Cumple	$\eta = 0.6$	$\eta = 0.8$	x: 7.3 m $\eta = 31.3$	x: 7.3 m $\eta = 2.5$	x: 7.3 m $\eta = 4.9$	x: 7.3 m $\eta = 0.3$	$\eta < 0.1$	$\eta < 0.1$	x: 7.3 m $\eta = 31.8$	$\eta < 0.1$	$M_{Ed} = 0.00$ N.P.(1)	N.P.(2)	N.P.(2)	**CUMPLE** **$\eta = 31.8$**
N1893/N1892	$\lambda_w \leq \lambda_{w,máx}$ Cumple	$\eta = 0.8$	$\eta = 0.7$	x: 0 m $\eta = 34.9$	x: 0 m $\eta = 3.3$	x: 0 m $\eta = 5.0$	x: 0 m $\eta = 0.3$	$\eta < 0.1$	$\eta < 0.1$	x: 0 m $\eta = 35.6$	$\eta < 0.1$	$M_{Ed} = 0.00$ N.P.(1)	N.P.(2)	N.P.(2)	**CUMPLE** **$\eta = 35.6$**
N1894/N1893	x: 0.456 m $\lambda_w \leq \lambda_{w,máx}$ Cumple	$\eta = 0.4$	$\eta = 0.3$	x: 7.3 m $\eta = 26.7$	x: 7.3 m $\eta = 2.2$	x: 7.3 m $\eta = 4.0$	x: 7.3 m $\eta = 0.3$	x: 0.456 m $\eta < 0.1$	x: 0.456 m $\eta < 0.1$	x: 7.3 m $\eta = 27.1$	x: 0.456 m $\eta < 0.1$	$M_{Ed} = 0.00$ N.P.(1)	N.P.(2)	N.P.(2)	**CUMPLE** **$\eta = 27.1$**
N1896/N1895	$\lambda_w \leq \lambda_{w,máx}$ Cumple	$\eta = 0.7$	$\eta = 2.4$	x: 7.3 m $\eta = 61.3$	x: 7.3 m $\eta = 3.1$	x: 7.3 m $\eta = 8.4$	x: 7.3 m $\eta = 0.3$	$\eta < 0.1$	$\eta < 0.1$	x: 7.3 m $\eta = 63.1$	$\eta < 0.1$	$M_{Ed} = 0.00$ N.P.(1)	N.P.(2)	N.P.(2)	**CUMPLE** **$\eta = 63.1$**
N1895/N1897	x: 0 m $\lambda_w \leq \lambda_{w,máx}$ Cumple	$\eta = 0.3$	$\eta = 0.8$	x: 0 m $\eta = 46.8$	x: 0 m $\eta = 2.0$	x: 0 m $\eta = 6.7$	x: 0 m $\eta = 0.2$	x: 0 m $\eta < 0.1$	x: 0 m $\eta < 0.1$	x: 0 m $\eta = 47.8$	x: 0 m $\eta < 0.1$	$M_{Ed} = 0.00$ N.P.(1)	N.P.(2)	N.P.(2)	**CUMPLE** **$\eta = 47.8$**
N1898/N1896	$\lambda_w \leq \lambda_{w,máx}$ Cumple	$\eta = 0.4$	$\eta = 2.0$	x: 7.3 m $\eta = 36.8$	x: 0 m $\eta = 2.3$	x: 7.3 m $\eta = 5.0$	x: 0 m $\eta = 0.3$	$\eta < 0.1$	$\eta < 0.1$	x: 7.3 m $\eta = 38.4$	$\eta < 0.1$	$M_{Ed} = 0.00$ N.P.(1)	N.P.(2)	N.P.(2)	**CUMPLE** **$\eta = 38.4$**
N1899/N1898	$\lambda_w \leq \lambda_{w,máx}$ Cumple	$\eta = 0.1$	$\eta = 1.6$	x: 0 m $\eta = 31.5$	x: 7.3 m $\eta = 2.3$	x: 0 m $\eta = 5.0$	x: 7.3 m $\eta = 0.3$	$\eta < 0.1$	$\eta < 0.1$	x: 0 m $\eta = 32.0$	$\eta < 0.1$	$M_{Ed} = 0.00$ N.P.(1)	N.P.(2)	N.P.(2)	**CUMPLE** **$\eta = 32.0$**
N1900/N1899	$\lambda_w \leq \lambda_{w,máx}$ Cumple	$\eta = 0.1$	$\eta = 1.4$	x: 7.3 m $\eta = 31.5$	x: 0 m $\eta = 2.1$	x: 7.3 m $\eta = 4.9$	x: 0 m $\eta = 0.3$	$\eta < 0.1$	x: 0 m $\eta < 0.1$	x: 7.3 m $\eta = 31.8$	$\eta < 0.1$	$M_{Ed} = 0.00$ N.P.(1)	N.P.(2)	N.P.(2)	**CUMPLE** **$\eta = 31.8$**
N1901/N1900	$\lambda_w \leq \lambda_{w,máx}$ Cumple	$\eta = 0.4$	$\eta = 1.1$	x: 0 m $\eta = 31.7$	x: 0 m $\eta = 2.2$	x: 0 m $\eta = 4.9$	x: 0 m $\eta = 0.3$	$\eta < 0.1$	$\eta < 0.1$	x: 0 m $\eta = 31.9$	$\eta < 0.1$	$M_{Ed} = 0.00$ N.P.(1)	N.P.(2)	N.P.(2)	**CUMPLE** **$\eta = 31.9$**
N1902/N1901	$\lambda_w \leq \lambda_{w,máx}$ Cumple	$\eta = 0.8$	$\eta = 1.0$	x: 7.3 m $\eta = 31.7$	x: 7.3 m $\eta = 2.2$	x: 7.3 m $\eta = 4.9$	x: 7.3 m $\eta = 0.3$	$\eta < 0.1$	$\eta < 0.1$	x: 7.3 m $\eta = 32.1$	$\eta < 0.1$	$M_{Ed} = 0.00$ N.P.(1)	N.P.(2)	N.P.(2)	**CUMPLE** **$\eta = 32.1$**
N1903/N1902	$\lambda_w \leq \lambda_{w,máx}$ Cumple	$\eta = 1.2$	$\eta = 0.9$	x: 0 m $\eta = 36.1$	x: 0 m $\eta = 2.9$	x: 0 m $\eta = 5.1$	x: 0 m $\eta = 0.3$	$\eta < 0.1$	$\eta < 0.1$	x: 0 m $\eta = 36.8$	$\eta < 0.1$	$M_{Ed} = 0.00$ N.P.(1)	N.P.(2)	N.P.(2)	**CUMPLE** **$\eta = 36.8$**
N1904/N1903	x: 0.456 m $\lambda_w \leq \lambda_{w,máx}$ Cumple	$\eta = 0.6$	$\eta = 0.4$	x: 7.3 m $\eta = 27.6$	x: 7.3 m $\eta = 1.9$	x: 7.3 m $\eta = 4.1$	x: 7.3 m $\eta = 0.2$	x: 0.456 m $\eta < 0.1$	x: 0.456 m $\eta < 0.1$	x: 7.3 m $\eta = 28.1$	x: 0.456 m $\eta < 0.1$	$M_{Ed} = 0.00$ N.P.(1)	N.P.(2)	N.P.(2)	**CUMPLE** **$\eta = 28.1$**
N1906/N1905	$\lambda_w \leq \lambda_{w,máx}$ Cumple	$\eta = 0.1$	$\eta = 0.2$	x: 7.3 m $\eta = 90.7$	x: 7.3 m $\eta = 3.7$	x: 7.3 m $\eta = 12.2$	x: 7.3 m $\eta = 0.4$	$\eta < 0.1$	$\eta < 0.1$	x: 7.3 m $\eta = 92.2$	$\eta < 0.1$	$M_{Ed} = 0.00$ N.P.(1)	N.P.(2)	N.P.(2)	**CUMPLE** **$\eta = 92.2$**
N1905/N1907	x: 0 m $\lambda_w \leq \lambda_{w,máx}$ Cumple	$\eta < 0.1$	$\eta < 0.1$	x: 0 m $\eta = 69.3$	x: 0 m $\eta = 2.4$	x: 0 m $\eta = 9.7$	x: 0 m $\eta = 0.3$	x: 0 m $\eta < 0.1$	x: 0 m $\eta < 0.1$	x: 0 m $\eta = 70.3$	x: 0 m $\eta < 0.1$	$M_{Ed} = 0.00$ N.P.(1)	N.P.(2)	N.P.(2)	**CUMPLE** **$\eta = 70.3$**
N1908/N1906	$\lambda_w \leq \lambda_{w,máx}$ Cumple	$\eta = 0.1$	$\eta = 0.5$	x: 0 m $\eta = 63.5$	x: 0 m $\eta = 3.1$	x: 0 m $\eta = 9.9$	x: 0 m $\eta = 0.4$	$\eta < 0.1$	$\eta < 0.1$	x: 0 m $\eta = 64.6$	$\eta < 0.1$	$M_{Ed} = 0.00$ N.P.(1)	N.P.(2)	N.P.(2)	**CUMPLE** **$\eta = 64.6$**
N1909/N1908	$\lambda_w \leq \lambda_{w,máx}$ Cumple	$\eta = 0.1$	$\eta = 0.5$	x: 7.3 m $\eta = 63.5$	x: 7.3 m $\eta = 3.1$	x: 7.3 m $\eta = 9.9$	x: 7.3 m $\eta = 0.3$	$\eta < 0.1$	$\eta < 0.1$	x: 7.3 m $\eta = 64.6$	$\eta < 0.1$	$M_{Ed} = 0.00$ N.P.(1)	N.P.(2)	N.P.(2)	**CUMPLE** **$\eta = 64.6$**
N1910/N1909	$\lambda_w \leq \lambda_{w,máx}$ Cumple	$\eta = 0.1$	$\eta = 0.5$	x: 7.3 m $\eta = 62.9$	x: 0 m $\eta = 2.9$	x: 7.3 m $\eta = 9.9$	x: 0 m $\eta = 0.3$	$\eta < 0.1$	x: 0 m $\eta < 0.1$	x: 7.3 m $\eta = 63.9$	$\eta < 0.1$	$M_{Ed} = 0.00$ N.P.(1)	N.P.(2)	N.P.(2)	**CUMPLE** **$\eta = 63.9$**
N1911/N1910	$\lambda_w \leq \lambda_{w,máx}$ Cumple	$\eta = 0.1$	$\eta = 0.5$	x: 0 m $\eta = 64.0$	x: 0 m $\eta = 2.9$	x: 0 m $\eta = 9.9$	x: 0 m $\eta = 0.3$	$\eta < 0.1$	x: 0 m $\eta < 0.1$	x: 0 m $\eta = 64.9$	$\eta < 0.1$	$M_{Ed} = 0.00$ N.P.(1)	N.P.(2)	N.P.(2)	**CUMPLE** **$\eta = 64.9$**
N1912/N1911	$\lambda_w \leq \lambda_{w,máx}$ Cumple	$\eta = 0.1$	$\eta = 0.4$	x: 7.3 m $\eta = 64.0$	x: 7.3 m $\eta = 2.9$	x: 7.3 m $\eta = 10.0$	x: 7.3 m $\eta = 0.4$	$\eta < 0.1$	$\eta < 0.1$	x: 7.3 m $\eta = 64.8$	$\eta < 0.1$	$M_{Ed} = 0.00$ N.P.(1)	N.P.(2)	N.P.(2)	**CUMPLE** **$\eta = 64.8$**
N1913/N1912	$\lambda_w \leq \lambda_{w,máx}$ Cumple	$\eta < 0.1$	$\eta = 0.2$	x: 0 m $\eta = 77.1$	x: 0 m $\eta = 3.8$	x: 0 m $\eta = 10.3$	x: 0 m $\eta = 0.4$	$\eta < 0.1$	$\eta < 0.1$	x: 0 m $\eta = 78.1$	$\eta < 0.1$	$M_{Ed} = 0.00$ N.P.(1)	N.P.(2)	N.P.(2)	**CUMPLE** **$\eta = 78.1$**
N1914/N1913	x: 0.456 m $\lambda_w \leq \lambda_{w,máx}$ Cumple	$N_{Ed} = 0.00$ N.P.(4)	$\eta = 0.1$	x: 7.3 m $\eta = 59.0$	x: 7.3 m $\eta = 2.5$	x: 7.3 m $\eta = 8.5$	x: 7.3 m $\eta = 0.3$	x: 0.456 m $\eta < 0.1$	x: 0.456 m $\eta < 0.1$	x: 7.3 m $\eta = 59.6$	x: 0.456 m $\eta < 0.1$	$M_{Ed} = 0.00$ N.P.(1)	N.P.(2)	N.P.(2)	**CUMPLE** **$\eta = 59.6$**
N1916/N1915	$\lambda_w \leq \lambda_{w,máx}$ Cumple	$\eta = 0.3$	$\eta = 0.6$	x: 7.3 m $\eta = 86.3$	x: 7.3 m $\eta = 3.5$	x: 7.3 m $\eta = 11.5$	x: 7.3 m $\eta = 0.4$	$\eta < 0.1$	$\eta < 0.1$	x: 7.3 m $\eta = 88.2$	$\eta < 0.1$	$M_{Ed} = 0.00$ N.P.(1)	N.P.(2)	N.P.(2)	**CUMPLE** **$\eta = 88.2$**

Documento visado electrónicamente con número: VA07290/22
Código de validación telemática TRLTDCFZ60T66IJ1. Comprobación: https://cogitivalencia.e-gestion.es/Validacion.aspx?CVT=TRLTDCFZ60T66IJ1

VISADO
COGITI
VALENCIA
VA07290/22
TRLTDCFZ60T66IJ1

Barras	COMPROBACIONES (CÓDIGO ESTRUCTURAL)														
	λ_w	N_t	N_c	M_Y	M_Z	V_Z	V_Y	M_YV_Z	M_ZV_Y	NM_YM_Z	$NM_YM_ZV_YV_Z$	M_t	M_tV_Z	M_tV_Y	Estado
N1915/N1917	x: 0 m $\lambda_w \leq \lambda_{w,máx}$ Cumple	η = 0.1	η = 0.2	x: 0 m η = 66.0	x: 0 m η = 2.3	x: 0 m η = 9.2	x: 0 m η = 0.3	x: 0 m η < 0.1	x: 0 m η < 0.1	x: 0 m η = 67.1	x: 0 m η < 0.1	M_{Ed} = 0.00 N.P.(1)	N.P.(2)	N.P.(2)	**CUMPLE** **η = 67.1**
N1918/N1916	$\lambda_w \leq \lambda_{w,máx}$ Cumple	η = 0.3	η = 0.5	x: 0 m η = 61.8	x: 0 m η = 2.9	x: 0 m η = 9.7	x: 0 m η = 0.3	η < 0.1	η < 0.1	x: 0 m η = 63.0	η < 0.1	M_{Ed} = 0.00 N.P.(1)	N.P.(2)	N.P.(2)	**CUMPLE** **η = 63.0**
N1919/N1918	$\lambda_w \leq \lambda_{w,máx}$ Cumple	η = 0.4	η = 0.5	x: 7.3 m η = 61.8	x: 7.3 m η = 2.9	x: 7.3 m η = 9.6	x: 7.3 m η = 0.3	η < 0.1	η < 0.1	x: 7.3 m η = 63.0	η < 0.1	M_{Ed} = 0.00 N.P.(1)	N.P.(2)	N.P.(2)	**CUMPLE** **η = 63.0**
N1920/N1919	$\lambda_w \leq \lambda_{w,máx}$ Cumple	η = 0.4	η = 0.5	x: 7.3 m η = 61.1	x: 0 m η = 2.7	x: 7.3 m η = 9.6	x: 0 m η = 0.3	η < 0.1	x: 0 m η < 0.1	x: 7.3 m η = 62.2	η < 0.1	M_{Ed} = 0.00 N.P.(1)	N.P.(2)	N.P.(2)	**CUMPLE** **η = 62.2**
N1921/N1920	$\lambda_w \leq \lambda_{w,máx}$ Cumple	η = 0.4	η = 0.4	x: 0 m η = 62.2	x: 0 m η = 2.8	x: 0 m η = 9.6	x: 0 m η = 0.3	η < 0.1	x: 0 m η < 0.1	x: 0 m η = 63.3	η < 0.1	M_{Ed} = 0.00 N.P.(1)	N.P.(2)	N.P.(2)	**CUMPLE** **η = 63.3**
N1922/N1921	$\lambda_w \leq \lambda_{w,máx}$ Cumple	η = 0.3	η = 0.4	x: 7.3 m η = 62.2	x: 7.3 m η = 2.8	x: 7.3 m η = 9.7	x: 7.3 m η = 0.3	η < 0.1	η < 0.1	x: 7.3 m η = 63.2	η < 0.1	M_{Ed} = 0.00 N.P.(1)	N.P.(2)	N.P.(2)	**CUMPLE** **η = 63.2**
N1923/N1922	$\lambda_w \leq \lambda_{w,máx}$ Cumple	η = 0.2	η = 0.3	x: 0 m η = 75.3	x: 0 m η = 3.6	x: 0 m η = 10.0	x: 0 m η = 0.4	η < 0.1	η < 0.1	x: 0 m η = 76.3	η < 0.1	M_{Ed} = 0.00 N.P.(1)	N.P.(2)	N.P.(2)	**CUMPLE** **η = 76.3**
N1924/N1923	x: 0.456 m $\lambda_w \leq \lambda_{w,máx}$ Cumple	η = 0.1	η = 0.1	x: 7.3 m η = 57.6	x: 7.3 m η = 2.4	x: 7.3 m η = 8.2	x: 7.3 m η = 0.3	x: 0.456 m η < 0.1	x: 0.456 m η < 0.1	x: 7.3 m η = 58.2	x: 0.456 m η < 0.1	M_{Ed} = 0.00 N.P.(1)	N.P.(2)	N.P.(2)	**CUMPLE** **η = 58.2**
N1926/N1925	x: 0 m $\lambda_w \leq \lambda_{w,máx}$ Cumple	η = 0.3	η = 0.5	x: 0 m η = 70.9	x: 0 m η = 2.3	x: 0 m η = 9.7	x: 0 m η = 0.3	x: 0 m η < 0.1	x: 0 m η < 0.1	x: 0 m η = 72.4	x: 0 m η < 0.1	M_{Ed} = 0.00 N.P.(1)	N.P.(2)	N.P.(2)	**CUMPLE** **η = 72.4**
N1928/N1927	x: 0 m $\lambda_w \leq \lambda_{w,máx}$ Cumple	η = 0.1	η < 0.1	x: 0 m η = 70.8	x: 0 m η = 2.3	x: 0 m η = 9.7	x: 0 m η = 0.3	x: 0 m η < 0.1	x: 0 m η < 0.1	x: 0 m η = 72.1	x: 0 m η < 0.1	M_{Ed} = 0.00 N.P.(1)	N.P.(2)	N.P.(2)	**CUMPLE** **η = 72.1**
N1930/N1929	x: 0 m $\lambda_w \leq \lambda_{w,máx}$ Cumple	η = 0.4	η = 1.5	x: 0 m η = 44.6	x: 0 m η = 1.6	x: 0 m η = 6.2	x: 0 m η = 0.2	x: 0 m η < 0.1	x: 0 m η < 0.1	x: 0 m η = 46.3	x: 0 m η < 0.1	M_{Ed} = 0.00 N.P.(1)	N.P.(2)	N.P.(2)	**CUMPLE** **η = 46.3**
N1932/N1931	x: 0 m $\lambda_w \leq \lambda_{w,máx}$ Cumple	η = 0.2	η = 0.7	x: 0 m η = 62.5	x: 0 m η = 2.1	x: 0 m η = 8.6	x: 0 m η = 0.3	x: 0 m η < 0.1	x: 0 m η < 0.1	x: 0 m η = 63.7	x: 0 m η < 0.1	M_{Ed} = 0.00 N.P.(1)	N.P.(2)	N.P.(2)	**CUMPLE** **η = 63.7**
N1934/N1933	x: 0 m $\lambda_w \leq \lambda_{w,máx}$ Cumple	η = 0.1	η < 0.1	x: 0 m η = 69.9	x: 0 m η = 2.3	x: 0 m η = 9.7	x: 0 m η = 0.3	x: 0 m η < 0.1	x: 0 m η < 0.1	x: 0 m η = 71.2	x: 0 m η < 0.1	M_{Ed} = 0.00 N.P.(1)	N.P.(2)	N.P.(2)	**CUMPLE** **η = 71.2**
N1936/N1935	x: 0 m $\lambda_w \leq \lambda_{w,máx}$ Cumple	η < 0.1	η = 0.4	x: 0 m η = 50.6	x: 0 m η = 1.8	x: 0 m η = 7.2	x: 0 m η = 0.3	x: 0 m η < 0.1	x: 0 m η < 0.1	x: 0 m η = 51.3	x: 0 m η < 0.1	M_{Ed} = 0.00 N.P.(1)	N.P.(2)	N.P.(2)	**CUMPLE** **η = 51.3**
N1938/N1937	x: 0 m $\lambda_w \leq \lambda_{w,máx}$ Cumple	η < 0.1	η = 0.4	x: 0 m η = 51.9	x: 0 m η = 1.9	x: 0 m η = 7.5	x: 0 m η = 0.3	x: 0 m η < 0.1	x: 0 m η < 0.1	x: 0 m η = 52.6	x: 0 m η < 0.1	M_{Ed} = 0.00 N.P.(1)	N.P.(2)	N.P.(2)	**CUMPLE** **η = 52.6**
N1940/N1939	x: 0 m $\lambda_w \leq \lambda_{w,máx}$ Cumple	η < 0.1	η < 0.1	x: 0 m η = 67.7	x: 0 m η = 2.3	x: 0 m η = 9.7	x: 0 m η = 0.3	x: 0 m η < 0.1	x: 0 m η < 0.1	x: 0 m η = 68.4	x: 0 m η < 0.1	M_{Ed} = 0.00 N.P.(1)	N.P.(2)	N.P.(2)	**CUMPLE** **η = 68.4**
N1942/N1941	x: 0 m $\lambda_w \leq \lambda_{w,máx}$ Cumple	η = 0.1	η < 0.1	x: 0 m η = 61.4	x: 0 m η = 2.2	x: 0 m η = 8.4	x: 0 m η = 0.3	x: 0 m η < 0.1	x: 0 m η < 0.1	x: 0 m η = 62.7	x: 0 m η < 0.1	M_{Ed} = 0.00 N.P.(1)	N.P.(2)	N.P.(2)	**CUMPLE** **η = 62.7**
N1944/N1943	x: 0 m $\lambda_w \leq \lambda_{w,máx}$ Cumple	η = 0.2	η = 0.1	x: 0 m η = 53.2	x: 0 m η = 2.0	x: 0 m η = 6.6	x: 0 m η = 0.2	x: 0 m η < 0.1	x: 0 m η < 0.1	x: 0 m η = 54.5	x: 0 m η < 0.1	M_{Ed} = 0.00 N.P.(1)	N.P.(2)	N.P.(2)	**CUMPLE** **η = 54.5**
N1946/N1945	x: 0 m $\lambda_w \leq \lambda_{w,máx}$ Cumple	η < 0.1	η < 0.1	x: 0 m η = 66.0	x: 0 m η = 2.4	x: 0 m η = 9.6	x: 0 m η = 0.3	x: 0 m η < 0.1	x: 0 m η < 0.1	x: 0 m η = 66.8	x: 0 m η < 0.1	M_{Ed} = 0.00 N.P.(1)	N.P.(2)	N.P.(2)	**CUMPLE** **η = 66.8**
N1948/N1947	x: 0 m $\lambda_w \leq \lambda_{w,máx}$ Cumple	η < 0.1	η = 0.1	x: 0 m η = 63.6	x: 0 m η = 2.3	x: 0 m η = 9.3	x: 0 m η = 0.3	x: 0 m η < 0.1	x: 0 m η < 0.1	x: 0 m η = 65.1	x: 0 m η < 0.1	M_{Ed} = 0.00 N.P.(1)	N.P.(2)	N.P.(2)	**CUMPLE** **η = 65.1**
N1950/N1949	x: 0 m $\lambda_w \leq \lambda_{w,máx}$ Cumple	η = 0.3	η = 0.9	x: 0 m η = 32.8	x: 0 m η = 1.5	x: 0 m η = 5.2	x: 0 m η = 0.2	x: 0 m η < 0.1	x: 0 m η < 0.1	x: 0 m η = 34.2	x: 0 m η < 0.1	M_{Ed} = 0.00 N.P.(1)	N.P.(2)	N.P.(2)	**CUMPLE** **η = 34.2**
N1952/N1951	x: 0 m $\lambda_w \leq \lambda_{w,máx}$ Cumple	η < 0.1	η < 0.1	x: 0 m η = 65.7	x: 0 m η = 2.4	x: 0 m η = 9.6	x: 0 m η = 0.3	x: 0 m η < 0.1	x: 0 m η < 0.1	x: 0 m η = 67.2	x: 0 m η < 0.1	M_{Ed} = 0.00 N.P.(1)	N.P.(2)	N.P.(2)	**CUMPLE** **η = 67.2**
N1954/N1953	x: 0 m $\lambda_w \leq \lambda_{w,máx}$ Cumple	η < 0.1	η < 0.1	x: 0 m η = 65.9	x: 0 m η = 2.4	x: 0 m η = 9.6	x: 0 m η = 0.3	x: 0 m η < 0.1	x: 0 m η < 0.1	x: 0 m η = 66.8	x: 0 m η < 0.1	M_{Ed} = 0.00 N.P.(1)	N.P.(2)	N.P.(2)	**CUMPLE** **η = 66.8**
N1956/N1955	x: 0 m $\lambda_w \leq \lambda_{w,máx}$ Cumple	η = 0.2	η = 0.2	x: 0 m η = 50.9	x: 0 m η = 1.9	x: 0 m η = 6.1	x: 0 m η = 0.2	x: 0 m η < 0.1	x: 0 m η < 0.1	x: 0 m η = 52.5	x: 0 m η < 0.1	M_{Ed} = 0.00 N.P.(1)	N.P.(2)	N.P.(2)	**CUMPLE** **η = 52.5**
N1958/N1957	x: 0 m $\lambda_w \leq \lambda_{w,máx}$ Cumple	η < 0.1	η < 0.1	x: 0 m η = 63.5	x: 0 m η = 2.3	x: 0 m η = 8.9	x: 0 m η = 0.3	x: 0 m η < 0.1	x: 0 m η < 0.1	x: 0 m η = 65.1	x: 0 m η < 0.1	M_{Ed} = 0.00 N.P.(1)	N.P.(2)	N.P.(2)	**CUMPLE** **η = 65.1**
N1960/N1959	x: 0 m $\lambda_w \leq \lambda_{w,máx}$ Cumple	η < 0.1	η < 0.1	x: 0 m η = 67.4	x: 0 m η = 2.4	x: 0 m η = 9.7	x: 0 m η = 0.3	x: 0 m η < 0.1	x: 0 m η < 0.1	x: 0 m η = 68.4	x: 0 m η < 0.1	M_{Ed} = 0.00 N.P.(1)	N.P.(2)	N.P.(2)	**CUMPLE** **η = 68.4**
N1962/N1961	x: 0 m $\lambda_w \leq \lambda_{w,máx}$ Cumple	η < 0.1	η = 0.4	x: 0 m η = 47.5	x: 0 m η = 2.0	x: 0 m η = 6.9	x: 0 m η = 0.3	x: 0 m η < 0.1	x: 0 m η < 0.1	x: 0 m η = 48.4	x: 0 m η < 0.1	M_{Ed} = 0.00 N.P.(1)	N.P.(2)	N.P.(2)	**CUMPLE** **η = 48.4**
N1964/N1963	x: 0 m $\lambda_w \leq \lambda_{w,máx}$ Cumple	η < 0.1	η = 0.3	x: 0 m η = 54.4	x: 0 m η = 2.1	x: 0 m η = 7.8	x: 0 m η = 0.3	x: 0 m η < 0.1	x: 0 m η < 0.1	x: 0 m η = 55.3	x: 0 m η < 0.1	M_{Ed} = 0.00 N.P.(1)	N.P.(2)	N.P.(2)	**CUMPLE** **η = 55.3**
N1966/N1965	x: 0 m $\lambda_w \leq \lambda_{w,máx}$ Cumple	η = 0.1	η < 0.1	x: 0 m η = 69.5	x: 0 m η = 2.4	x: 0 m η = 9.7	x: 0 m η = 0.3	x: 0 m η < 0.1	x: 0 m η < 0.1	x: 0 m η = 70.5	x: 0 m η < 0.1	M_{Ed} = 0.00 N.P.(1)	N.P.(2)	N.P.(2)	**CUMPLE** **η = 70.5**
N1968/N1967	x: 0 m $\lambda_w \leq \lambda_{w,máx}$ Cumple	η = 0.2	η = 0.7	x: 0 m η = 57.8	x: 0 m η = 2.1	x: 0 m η = 8.1	x: 0 m η = 0.3	x: 0 m η < 0.1	x: 0 m η < 0.1	x: 0 m η = 58.9	x: 0 m η < 0.1	M_{Ed} = 0.00 N.P.(1)	N.P.(2)	N.P.(2)	**CUMPLE** **η = 58.9**

Documento visado electrónicamente con número: VA07290/22
Código de validación telemática TRLTDCFZ60T66IJ1. Comprobación: https://cogitivalencia.e-gestion.es/Validacion.aspx?CVT=TRLTDCFZ60T66IJ1

VISADO
COGITI
VALENCIA
VA07290/22
TRLTDCFZ60T66IJ1

Barras	COMPROBACIONES (CÓDIGO ESTRUCTURAL)														Estado
	λ_w	N_t	N_c	M_Y	M_Z	V_Z	V_Y	M_YV_Z	M_ZV_Y	NM_YM_Z	$NM_YM_ZV_YV_Z$	M_t	M_tV_Z	M_tV_Y	
N1970/N1969	x: 0 m $\lambda_w \leq \lambda_{w,máx}$ Cumple	$\eta = 0.3$	$\eta = 1.0$	x: 0 m $\eta = 47.9$	x: 0 m $\eta = 1.9$	x: 0 m $\eta = 6.7$	x: 0 m $\eta = 0.2$	x: 0 m $\eta < 0.1$	x: 0 m $\eta < 0.1$	x: 0 m $\eta = 48.9$	x: 0 m $\eta < 0.1$	$M_{Ed} = 0.00$ N.P.(1)	N.P.(2)	N.P.(2)	**CUMPLE** **$\eta = 48.9$**
N1972/N1971	x: 0 m $\lambda_w \leq \lambda_{w,máx}$ Cumple	$\eta < 0.1$	$\eta < 0.1$	x: 0 m $\eta = 69.9$	x: 0 m $\eta = 2.4$	x: 0 m $\eta = 9.7$	x: 0 m $\eta = 0.3$	x: 0 m $\eta < 0.1$	x: 0 m $\eta < 0.1$	x: 0 m $\eta = 71.6$	x: 0 m $\eta < 0.1$	$M_{Ed} = 0.00$ N.P.(1)	N.P.(2)	N.P.(2)	**CUMPLE** **$\eta = 71.6$**
N1974/N1973	x: 0 m $\lambda_w \leq \lambda_{w,máx}$ Cumple	$\eta = 0.1$	$\eta = 0.2$	x: 0 m $\eta = 66.3$	x: 0 m $\eta = 2.3$	x: 0 m $\eta = 9.2$	x: 0 m $\eta = 0.3$	x: 0 m $\eta < 0.1$	x: 0 m $\eta < 0.1$	x: 0 m $\eta = 67.5$	x: 0 m $\eta < 0.1$	$M_{Ed} = 0.00$ N.P.(1)	N.P.(2)	N.P.(2)	**CUMPLE** **$\eta = 67.5$**
N1975/N1926	$\lambda_w \leq \lambda_{w,máx}$ Cumple	$\eta = 0.5$	$\eta = 0.9$	x: 7.3 m $\eta = 92.7$	x: 7.3 m $\eta = 3.6$	x: 7.3 m $\eta = 12.2$	x: 7.3 m $\eta = 0.4$	$\eta < 0.1$	$\eta < 0.1$	x: 7.3 m $\eta = 94.9$	$\eta < 0.1$	$M_{Ed} = 0.00$ N.P.(1)	N.P.(2)	N.P.(2)	**CUMPLE** **$\eta = 94.9$**
N1976/N1928	$\lambda_w \leq \lambda_{w,máx}$ Cumple	$\eta = 0.3$	$\eta = 0.7$	x: 7.3 m $\eta = 92.7$	x: 7.3 m $\eta = 3.5$	x: 7.3 m $\eta = 12.3$	x: 7.3 m $\eta = 0.4$	$\eta < 0.1$	$\eta < 0.1$	x: 7.3 m $\eta = 94.0$	$\eta < 0.1$	$M_{Ed} = 0.00$ N.P.(1)	N.P.(2)	N.P.(2)	**CUMPLE** **$\eta = 94.0$**
N1977/N1930	$\lambda_w \leq \lambda_{w,máx}$ Cumple	$\eta = 0.7$	$\eta = 3.5$	x: 7.3 m $\eta = 58.4$	x: 7.3 m $\eta = 2.4$	x: 7.3 m $\eta = 7.8$	x: 7.3 m $\eta = 0.2$	$\eta < 0.1$	$\eta < 0.1$	x: 7.3 m $\eta = 60.8$	$\eta < 0.1$	$M_{Ed} = 0.00$ N.P.(1)	N.P.(2)	N.P.(2)	**CUMPLE** **$\eta = 60.8$**
N1978/N1932	$\lambda_w \leq \lambda_{w,máx}$ Cumple	$\eta = 0.5$	$\eta = 1.9$	x: 7.3 m $\eta = 81.8$	x: 7.3 m $\eta = 3.2$	x: 7.3 m $\eta = 11.0$	x: 7.3 m $\eta = 0.3$	$\eta < 0.1$	$\eta < 0.1$	x: 7.3 m $\eta = 83.7$	$\eta < 0.1$	$M_{Ed} = 0.00$ N.P.(1)	N.P.(2)	N.P.(2)	**CUMPLE** **$\eta = 83.7$**
N1979/N1934	$\lambda_w \leq \lambda_{w,máx}$ Cumple	$\eta = 0.2$	$\eta = 0.2$	x: 7.3 m $\eta = 91.5$	x: 7.3 m $\eta = 3.5$	x: 7.3 m $\eta = 12.3$	x: 7.3 m $\eta = 0.4$	$\eta < 0.1$	$\eta < 0.1$	x: 7.3 m $\eta = 92.5$	$\eta < 0.1$	$M_{Ed} = 0.00$ N.P.(1)	N.P.(2)	N.P.(2)	**CUMPLE** **$\eta = 92.5$**
N1980/N1936	$\lambda_w \leq \lambda_{w,máx}$ Cumple	$\eta = 0.1$	$\eta = 0.2$	x: 7.3 m $\eta = 66.2$	x: 7.3 m $\eta = 2.8$	x: 7.3 m $\eta = 9.1$	x: 7.3 m $\eta = 0.3$	$\eta < 0.1$	$\eta < 0.1$	x: 7.3 m $\eta = 67.2$	$\eta < 0.1$	$M_{Ed} = 0.00$ N.P.(1)	N.P.(2)	N.P.(2)	**CUMPLE** **$\eta = 67.2$**
N1981/N1938	$\lambda_w \leq \lambda_{w,máx}$ Cumple	$\eta = 0.1$	$\eta = 0.2$	x: 7.3 m $\eta = 67.9$	x: 7.3 m $\eta = 2.8$	x: 7.3 m $\eta = 9.4$	x: 7.3 m $\eta = 0.3$	$\eta < 0.1$	$\eta < 0.1$	x: 7.3 m $\eta = 69.0$	$\eta < 0.1$	$M_{Ed} = 0.00$ N.P.(1)	N.P.(2)	N.P.(2)	**CUMPLE** **$\eta = 69.0$**
N1982/N1940	$\lambda_w \leq \lambda_{w,máx}$ Cumple	$\eta = 0.1$	$\eta = 0.2$	x: 7.3 m $\eta = 88.6$	x: 7.3 m $\eta = 3.5$	x: 7.3 m $\eta = 12.2$	x: 7.3 m $\eta = 0.4$	$\eta < 0.1$	$\eta < 0.1$	x: 7.3 m $\eta = 89.6$	$\eta < 0.1$	$M_{Ed} = 0.00$ N.P.(1)	N.P.(2)	N.P.(2)	**CUMPLE** **$\eta = 89.6$**
N1983/N1942	$\lambda_w \leq \lambda_{w,máx}$ Cumple	$\eta = 0.2$	$\eta = 0.3$	x: 7.3 m $\eta = 80.4$	x: 7.3 m $\eta = 3.3$	x: 7.3 m $\eta = 11.9$	x: 7.3 m $\eta = 0.4$	$\eta < 0.1$	$\eta < 0.1$	x: 7.3 m $\eta = 81.7$	$\eta < 0.1$	$M_{Ed} = 0.00$ N.P.(1)	N.P.(2)	N.P.(2)	**CUMPLE** **$\eta = 81.7$**
N1984/N1944	$\lambda_w \leq \lambda_{w,máx}$ Cumple	$\eta = 0.3$	$\eta = 0.4$	x: 7.3 m $\eta = 69.5$	x: 7.3 m $\eta = 3.0$	x: 7.3 m $\eta = 11.6$	x: 7.3 m $\eta = 0.3$	$\eta < 0.1$	$\eta < 0.1$	x: 7.3 m $\eta = 70.9$	$\eta < 0.1$	$M_{Ed} = 0.00$ N.P.(1)	N.P.(2)	N.P.(2)	**CUMPLE** **$\eta = 70.9$**
N1985/N1946	$\lambda_w \leq \lambda_{w,máx}$ Cumple	$\eta = 0.1$	$\eta = 0.2$	x: 7.3 m $\eta = 86.3$	x: 7.3 m $\eta = 3.6$	x: 7.3 m $\eta = 12.1$	x: 7.3 m $\eta = 0.4$	$\eta < 0.1$	$\eta < 0.1$	x: 7.3 m $\eta = 87.5$	$\eta < 0.1$	$M_{Ed} = 0.00$ N.P.(1)	N.P.(2)	N.P.(2)	**CUMPLE** **$\eta = 87.5$**
N1986/N1948	$\lambda_w \leq \lambda_{w,máx}$ Cumple	$\eta < 0.1$	$\eta = 0.1$	x: 7.3 m $\eta = 83.3$	x: 7.3 m $\eta = 3.5$	x: 7.3 m $\eta = 11.7$	x: 7.3 m $\eta = 0.4$	$\eta < 0.1$	$\eta < 0.1$	x: 7.3 m $\eta = 84.4$	$\eta < 0.1$	$M_{Ed} = 0.00$ N.P.(1)	N.P.(2)	N.P.(2)	**CUMPLE** **$\eta = 84.4$**
N1987/N1950	$\lambda_w \leq \lambda_{w,máx}$ Cumple	$\eta = 0.3$	$\eta = 0.3$	x: 7.3 m $\eta = 42.9$	x: 7.3 m $\eta = 2.3$	x: 7.3 m $\eta = 6.4$	x: 7.3 m $\eta = 0.2$	$\eta < 0.1$	$\eta < 0.1$	x: 7.3 m $\eta = 44.0$	$\eta < 0.1$	$M_{Ed} = 0.00$ N.P.(1)	N.P.(2)	N.P.(2)	**CUMPLE** **$\eta = 44.0$**
N1988/N1952	$\lambda_w \leq \lambda_{w,máx}$ Cumple	$\eta < 0.1$	$\eta = 0.1$	x: 7.3 m $\eta = 85.9$	x: 7.3 m $\eta = 3.6$	x: 7.3 m $\eta = 12.1$	x: 7.3 m $\eta = 0.4$	$\eta < 0.1$	$\eta < 0.1$	x: 7.3 m $\eta = 87.1$	$\eta < 0.1$	$M_{Ed} = 0.00$ N.P.(1)	N.P.(2)	N.P.(2)	**CUMPLE** **$\eta = 87.1$**
N1989/N1954	$\lambda_w \leq \lambda_{w,máx}$ Cumple	$\eta = 0.1$	$\eta = 0.2$	x: 7.3 m $\eta = 86.2$	x: 7.3 m $\eta = 3.6$	x: 7.3 m $\eta = 12.1$	x: 7.3 m $\eta = 0.4$	$\eta < 0.1$	$\eta < 0.1$	x: 7.3 m $\eta = 87.6$	$\eta < 0.1$	$M_{Ed} = 0.00$ N.P.(1)	N.P.(2)	N.P.(2)	**CUMPLE** **$\eta = 87.6$**
N1990/N1956	$\lambda_w \leq \lambda_{w,máx}$ Cumple	$\eta = 0.3$	$\eta = 0.5$	x: 7.3 m $\eta = 66.6$	x: 7.3 m $\eta = 3.0$	x: 7.3 m $\eta = 11.5$	x: 7.3 m $\eta = 0.3$	$\eta < 0.1$	$\eta < 0.1$	x: 7.3 m $\eta = 68.2$	$\eta < 0.1$	$M_{Ed} = 0.00$ N.P.(1)	N.P.(2)	N.P.(2)	**CUMPLE** **$\eta = 68.2$**
N1991/N1958	$\lambda_w \leq \lambda_{w,máx}$ Cumple	$\eta = 0.2$	$\eta = 0.2$	x: 7.3 m $\eta = 83.1$	x: 7.3 m $\eta = 3.5$	x: 7.3 m $\eta = 12.0$	x: 7.3 m $\eta = 0.4$	$\eta < 0.1$	$\eta < 0.1$	x: 7.3 m $\eta = 84.6$	$\eta < 0.1$	$M_{Ed} = 0.00$ N.P.(1)	N.P.(2)	N.P.(2)	**CUMPLE** **$\eta = 84.6$**
N1992/N1960	$\lambda_w \leq \lambda_{w,máx}$ Cumple	$\eta = 0.1$	$\eta = 0.2$	x: 7.3 m $\eta = 88.3$	x: 7.3 m $\eta = 3.7$	x: 7.3 m $\eta = 12.2$	x: 7.3 m $\eta = 0.4$	$\eta < 0.1$	$\eta < 0.1$	x: 7.3 m $\eta = 89.6$	$\eta < 0.1$	$M_{Ed} = 0.00$ N.P.(1)	N.P.(2)	N.P.(2)	**CUMPLE** **$\eta = 89.6$**
N1993/N1962	$\lambda_w \leq \lambda_{w,máx}$ Cumple	$\eta = 0.1$	$\eta = 0.3$	x: 7.3 m $\eta = 62.2$	x: 7.3 m $\eta = 3.0$	x: 7.3 m $\eta = 8.7$	x: 7.3 m $\eta = 0.3$	$\eta < 0.1$	$\eta < 0.1$	x: 7.3 m $\eta = 63.6$	$\eta < 0.1$	$M_{Ed} = 0.00$ N.P.(1)	N.P.(2)	N.P.(2)	**CUMPLE** **$\eta = 63.6$**
N1994/N1964	$\lambda_w \leq \lambda_{w,máx}$ Cumple	$\eta = 0.1$	$\eta = 0.2$	x: 7.3 m $\eta = 71.1$	x: 7.3 m $\eta = 3.1$	x: 7.3 m $\eta = 9.8$	x: 7.3 m $\eta = 0.3$	$\eta < 0.1$	$\eta < 0.1$	x: 7.3 m $\eta = 72.6$	$\eta < 0.1$	$M_{Ed} = 0.00$ N.P.(1)	N.P.(2)	N.P.(2)	**CUMPLE** **$\eta = 72.6$**
N1995/N1966	$\lambda_w \leq \lambda_{w,máx}$ Cumple	$\eta = 0.1$	$\eta = 0.3$	x: 7.3 m $\eta = 90.9$	x: 7.3 m $\eta = 3.7$	x: 7.3 m $\eta = 12.3$	x: 7.3 m $\eta = 0.4$	$\eta < 0.1$	$\eta < 0.1$	x: 7.3 m $\eta = 92.5$	$\eta < 0.1$	$M_{Ed} = 0.00$ N.P.(1)	N.P.(2)	N.P.(2)	**CUMPLE** **$\eta = 92.5$**
N1996/N1968	$\lambda_w \leq \lambda_{w,máx}$ Cumple	$\eta = 0.5$	$\eta = 2.0$	x: 7.3 m $\eta = 75.7$	x: 7.3 m $\eta = 3.2$	x: 7.3 m $\eta = 10.2$	x: 7.3 m $\eta = 0.3$	$\eta < 0.1$	$\eta < 0.1$	x: 7.3 m $\eta = 77.5$	$\eta < 0.1$	$M_{Ed} = 0.00$ N.P.(1)	N.P.(2)	N.P.(2)	**CUMPLE** **$\eta = 77.5$**
N1997/N1970	$\lambda_w \leq \lambda_{w,máx}$ Cumple	$\eta = 0.6$	$\eta = 2.7$	x: 7.3 m $\eta = 62.6$	x: 7.3 m $\eta = 2.9$	x: 7.3 m $\eta = 8.4$	x: 7.3 m $\eta = 0.3$	$\eta < 0.1$	$\eta < 0.1$	x: 7.3 m $\eta = 64.4$	$\eta < 0.1$	$M_{Ed} = 0.00$ N.P.(1)	N.P.(2)	N.P.(2)	**CUMPLE** **$\eta = 64.4$**
N1998/N1972	$\lambda_w \leq \lambda_{w,máx}$ Cumple	$\eta = 0.1$	$\eta = 0.3$	x: 7.3 m $\eta = 91.5$	x: 7.3 m $\eta = 3.7$	x: 7.3 m $\eta = 12.2$	x: 7.3 m $\eta = 0.4$	$\eta < 0.1$	$\eta < 0.1$	x: 7.3 m $\eta = 93.0$	$\eta < 0.1$	$M_{Ed} = 0.00$ N.P.(1)	N.P.(2)	N.P.(2)	**CUMPLE** **$\eta = 93.0$**
N1999/N1974	$\lambda_w \leq \lambda_{w,máx}$ Cumple	$\eta = 0.3$	$\eta = 0.6$	x: 7.3 m $\eta = 86.7$	x: 7.3 m $\eta = 3.5$	x: 7.3 m $\eta = 11.5$	x: 7.3 m $\eta = 0.4$	$\eta < 0.1$	$\eta < 0.1$	x: 7.3 m $\eta = 88.7$	$\eta < 0.1$	$M_{Ed} = 0.00$ N.P.(1)	N.P.(2)	N.P.(2)	**CUMPLE** **$\eta = 88.7$**
N2000/N1975	$\lambda_w \leq \lambda_{w,máx}$ Cumple	$\eta = 0.6$	$\eta = 0.9$	x: 0 m $\eta = 65.8$	x: 0 m $\eta = 2.8$	x: 0 m $\eta = 10.3$	x: 0 m $\eta = 0.3$	$\eta < 0.1$	$\eta < 0.1$	x: 0 m $\eta = 67.4$	$\eta < 0.1$	$M_{Ed} = 0.00$ N.P.(1)	N.P.(2)	N.P.(2)	**CUMPLE** **$\eta = 67.4$**
N2001/N1976	$\lambda_w \leq \lambda_{w,máx}$ Cumple	$\eta = 0.5$	$\eta = 0.8$	x: 0 m $\eta = 61.9$	x: 0 m $\eta = 2.8$	x: 0 m $\eta = 9.7$	x: 0 m $\eta = 0.3$	$\eta < 0.1$	$\eta < 0.1$	x: 0 m $\eta = 63.4$	$\eta < 0.1$	$M_{Ed} = 0.00$ N.P.(1)	N.P.(2)	N.P.(2)	**CUMPLE** **$\eta = 63.4$**
N2002/N1977	$\lambda_w \leq \lambda_{w,máx}$ Cumple	$\eta = 0.8$	$\eta = 2.6$	x: 7.3 m $\eta = 32.2$	x: 7.3 m $\eta = 1.9$	x: 7.3 m $\eta = 4.3$	x: 7.3 m $\eta = 0.2$	$\eta < 0.1$	$\eta < 0.1$	x: 7.3 m $\eta = 35.2$	$\eta < 0.1$	$M_{Ed} = 0.00$ N.P.(1)	N.P.(2)	N.P.(2)	**CUMPLE** **$\eta = 35.2$**
N2003/N1978	$\lambda_w \leq \lambda_{w,máx}$ Cumple	$\eta = 0.6$	$\eta = 1.5$	x: 7.3 m $\eta = 43.3$	x: 7.3 m $\eta = 2.5$	x: 7.3 m $\eta = 5.5$	x: 7.3 m $\eta = 0.3$	$\eta < 0.1$	$\eta < 0.1$	x: 7.3 m $\eta = 44.3$	$\eta < 0.1$	$M_{Ed} = 0.00$ N.P.(1)	N.P.(2)	N.P.(2)	**CUMPLE** **$\eta = 44.3$**
N2004/N1979	$\lambda_w \leq \lambda_{w,máx}$ Cumple	$\eta = 0.3$	$\eta = 0.4$	x: 7.3 m $\eta = 49.3$	x: 0 m $\eta = 2.8$	x: 7.3 m $\eta = 6.2$	x: 0 m $\eta = 0.3$	$\eta < 0.1$	$\eta < 0.1$	x: 7.3 m $\eta = 50.1$	$\eta < 0.1$	$M_{Ed} = 0.00$ N.P.(1)	N.P.(2)	N.P.(2)	**CUMPLE** **$\eta = 50.1$**
N2005/N1980	$\lambda_w \leq \lambda_{w,máx}$ Cumple	$\eta = 0.1$	$\eta = 0.2$	x: 7.3 m $\eta = 38.5$	x: 7.3 m $\eta = 2.2$	x: 7.3 m $\eta = 4.6$	x: 7.3 m $\eta = 0.3$	$\eta < 0.1$	$\eta < 0.1$	x: 7.3 m $\eta = 39.1$	$\eta < 0.1$	$M_{Ed} = 0.00$ N.P.(1)	N.P.(2)	N.P.(2)	**CUMPLE** **$\eta = 39.1$**
N2006/N1981	$\lambda_w \leq \lambda_{w,máx}$ Cumple	$\eta = 0.1$	$\eta = 0.2$	x: 7.3 m $\eta = 40.6$	x: 0 m $\eta = 2.3$	x: 7.3 m $\eta = 4.8$	x: 0 m $\eta = 0.3$	$\eta < 0.1$	$\eta < 0.1$	x: 7.3 m $\eta = 41.1$	$\eta < 0.1$	$M_{Ed} = 0.00$ N.P.(1)	N.P.(2)	N.P.(2)	**CUMPLE** **$\eta = 41.1$**
N2007/N1982	$\lambda_w \leq \lambda_{w,máx}$ Cumple	$\eta = 0.1$	$\eta = 0.3$	x: 7.3 m $\eta = 51.6$	x: 0 m $\eta = 2.9$	x: 7.3 m $\eta = 6.3$	x: 0 m $\eta = 0.3$	$\eta < 0.1$	$\eta < 0.1$	x: 7.3 m $\eta = 52.3$	$\eta < 0.1$	$M_{Ed} = 0.00$ N.P.(1)	N.P.(2)	N.P.(2)	**CUMPLE** **$\eta = 52.3$**
N2008/N1983	$\lambda_w \leq \lambda_{w,máx}$ Cumple	$\eta = 0.2$	$\eta = 0.3$	x: 7.3 m $\eta = 54.2$	x: 0 m $\eta = 2.8$	x: 7.3 m $\eta = 6.4$	x: 0 m $\eta = 0.3$	$\eta < 0.1$	$\eta < 0.1$	x: 7.3 m $\eta = 55.0$	$\eta < 0.1$	$M_{Ed} = 0.00$ N.P.(1)	N.P.(2)	N.P.(2)	**CUMPLE** **$\eta = 55.0$**
N2009/N1984	$\lambda_w \leq \lambda_{w,máx}$ Cumple	$\eta = 0.3$	$\eta = 0.4$	x: 7.3 m $\eta = 57.3$	x: 7.3 m $\eta = 2.9$	x: 7.3 m $\eta = 6.5$	x: 7.3 m $\eta = 0.3$	$\eta < 0.1$	$\eta < 0.1$	x: 7.3 m $\eta = 58.2$	$\eta < 0.1$	$M_{Ed} = 0.00$ N.P.(1)	N.P.(2)	N.P.(2)	**CUMPLE** **$\eta = 58.2$**
N2010/N1985	$\lambda_w \leq \lambda_{w,máx}$ Cumple	$\eta = 0.2$	$\eta = 0.3$	x: 7.3 m $\eta = 53.1$	x: 0 m $\eta = 2.9$	x: 7.3 m $\eta = 6.4$	x: 0 m $\eta = 0.3$	$\eta < 0.1$	$\eta < 0.1$	x: 7.3 m $\eta = 53.8$	$\eta < 0.1$	$M_{Ed} = 0.00$ N.P.(1)	N.P.(2)	N.P.(2)	**CUMPLE** **$\eta = 53.8$**

Documento visado electrónicamente con número: VA07290/22
Código de validación telemática TRLTDCFZ60T66IJ1. Comprobación: https://cogitivalencia.e-gestion.es/Validacion.aspx?CVT=TRLTDCFZ60T66IJ1

VISADO
COGITI
VALENCIA
VA07290/22
TRLTDCFZ60T66IJ1

Barras	COMPROBACIONES (CÓDIGO ESTRUCTURAL)															
	λ_w	N_t	N_c	M_Y	M_Z	V_Z	V_Y	M_YV_Z	M_ZV_Y	NM_YM_Z	$NM_YM_ZV_YV_Z$	M_t	M_tV_Z	M_tV_Y	Estado
N2011/N1986	$\lambda_w \leq \lambda_{w,máx}$ Cumple	$\eta = 0.1$	$\eta = 0.2$	x: 7.3 m $\eta = 52.0$	x: 0 m $\eta = 2.9$	x: 7.3 m $\eta = 6.2$	x: 0 m $\eta = 0.3$	$\eta < 0.1$	$\eta < 0.1$	x: 7.3 m $\eta = 52.5$	$\eta < 0.1$	$M_{Ed} = 0.00$ N.P.(1)	N.P.(2)	N.P.(2)	**CUMPLE $\eta = 52.0$**
N2012/N1987	$\lambda_w \leq \lambda_{w,máx}$ Cumple	$\eta = 0.2$	$\eta = 0.1$	x: 7.3 m $\eta = 32.6$	x: 0 m $\eta = 1.8$	x: 7.3 m $\eta = 3.4$	x: 0 m $\eta = 0.2$	$\eta < 0.1$	$\eta < 0.1$	x: 7.3 m $\eta = 33.3$	$\eta < 0.1$	$M_{Ed} = 0.00$ N.P.(1)	N.P.(2)	N.P.(2)	**CUMPLE $\eta = 33.3$**
N2013/N1988	$\lambda_w \leq \lambda_{w,máx}$ Cumple	$\eta = 0.1$	$\eta = 0.2$	x: 7.3 m $\eta = 53.3$	x: 0 m $\eta = 3.0$	x: 7.3 m $\eta = 6.4$	x: 0 m $\eta = 0.4$	$\eta < 0.1$	$\eta < 0.1$	x: 7.3 m $\eta = 53.8$	$\eta < 0.1$	$M_{Ed} = 0.00$ N.P.(1)	N.P.(2)	N.P.(2)	**CUMPLE $\eta = 53.8$**
N2014/N1989	$\lambda_w \leq \lambda_{w,máx}$ Cumple	$\eta = 0.2$	$\eta = 0.3$	x: 7.3 m $\eta = 53.2$	x: 0 m $\eta = 3.0$	x: 7.3 m $\eta = 6.4$	x: 0 m $\eta = 0.4$	$\eta < 0.1$	$\eta < 0.1$	x: 7.3 m $\eta = 53.8$	$\eta < 0.1$	$M_{Ed} = 0.00$ N.P.(1)	N.P.(2)	N.P.(2)	**CUMPLE $\eta = 53.8$**
N2015/N1990	$\lambda_w \leq \lambda_{w,máx}$ Cumple	$\eta = 0.3$	$\eta = 0.4$	x: 7.3 m $\eta = 58.2$	x: 0 m $\eta = 3.0$	x: 7.3 m $\eta = 6.5$	x: 0 m $\eta = 0.3$	$\eta < 0.1$	$\eta < 0.1$	x: 7.3 m $\eta = 59.1$	$\eta < 0.1$	$M_{Ed} = 0.00$ N.P.(1)	N.P.(2)	N.P.(2)	**CUMPLE $\eta = 59.1$**
N2016/N1991	$\lambda_w \leq \lambda_{w,máx}$ Cumple	$\eta = 0.2$	$\eta = 0.3$	x: 7.3 m $\eta = 53.6$	x: 0 m $\eta = 3.0$	x: 7.3 m $\eta = 6.4$	x: 0 m $\eta = 0.4$	$\eta < 0.1$	$\eta < 0.1$	x: 7.3 m $\eta = 54.3$	$\eta < 0.1$	$M_{Ed} = 0.00$ N.P.(1)	N.P.(2)	N.P.(2)	**CUMPLE $\eta = 54.3$**
N2017/N1992	$\lambda_w \leq \lambda_{w,máx}$ Cumple	$\eta = 0.1$	$\eta = 0.3$	x: 7.3 m $\eta = 51.9$	x: 0 m $\eta = 3.0$	x: 7.3 m $\eta = 6.3$	x: 0 m $\eta = 0.4$	$\eta < 0.1$	$\eta < 0.1$	x: 7.3 m $\eta = 52.4$	$\eta < 0.1$	$M_{Ed} = 0.00$ N.P.(1)	N.P.(2)	N.P.(2)	**CUMPLE $\eta = 52.4$**
N2018/N1993	$\lambda_w \leq \lambda_{w,máx}$ Cumple	$\eta = 0.1$	$\eta = 0.1$	x: 7.3 m $\eta = 38.3$	x: 0 m $\eta = 2.3$	x: 7.3 m $\eta = 4.4$	x: 0 m $\eta = 0.3$	$\eta < 0.1$	$\eta < 0.1$	x: 7.3 m $\eta = 38.6$	$\eta < 0.1$	$M_{Ed} = 0.00$ N.P.(1)	N.P.(2)	N.P.(2)	**CUMPLE $\eta = 38.6$**
N2019/N1994	$\lambda_w \leq \lambda_{w,máx}$ Cumple	$\eta = 0.1$	$\eta = 0.2$	x: 7.3 m $\eta = 41.6$	x: 0 m $\eta = 2.6$	x: 7.3 m $\eta = 5.0$	x: 0 m $\eta = 0.3$	$\eta < 0.1$	$\eta < 0.1$	x: 7.3 m $\eta = 41.9$	$\eta < 0.1$	$M_{Ed} = 0.00$ N.P.(1)	N.P.(2)	N.P.(2)	**CUMPLE $\eta = 41.9$**
N2020/N1995	$\lambda_w \leq \lambda_{w,máx}$ Cumple	$\eta = 0.1$	$\eta = 0.4$	x: 7.3 m $\eta = 49.8$	x: 0 m $\eta = 3.1$	x: 7.3 m $\eta = 6.3$	x: 0 m $\eta = 0.4$	$\eta < 0.1$	$\eta < 0.1$	x: 7.3 m $\eta = 50.6$	$\eta < 0.1$	$M_{Ed} = 0.00$ N.P.(1)	N.P.(2)	N.P.(2)	**CUMPLE $\eta = 50.6$**
N2021/N1996	$\lambda_w \leq \lambda_{w,máx}$ Cumple	$\eta = 0.3$	$\eta = 1.6$	x: 7.3 m $\eta = 41.3$	x: 0 m $\eta = 2.6$	x: 7.3 m $\eta = 5.1$	x: 0 m $\eta = 0.3$	$\eta < 0.1$	$\eta < 0.1$	x: 7.3 m $\eta = 42.7$	$\eta < 0.1$	$M_{Ed} = 0.00$ N.P.(1)	N.P.(2)	N.P.(2)	**CUMPLE $\eta = 42.7$**
N2022/N1997	$\lambda_w \leq \lambda_{w,máx}$ Cumple	$\eta = 0.4$	$\eta = 2.2$	x: 7.3 m $\eta = 36.2$	x: 0 m $\eta = 2.3$	x: 7.3 m $\eta = 5.0$	x: 0 m $\eta = 0.3$	$\eta < 0.1$	$\eta < 0.1$	x: 7.3 m $\eta = 37.7$	$\eta < 0.1$	$M_{Ed} = 0.00$ N.P.(1)	N.P.(2)	N.P.(2)	**CUMPLE $\eta = 37.7$**
N2023/N1998	$\lambda_w \leq \lambda_{w,máx}$ Cumple	$\eta = 0.1$	$\eta = 0.5$	x: 0 m $\eta = 63.5$	x: 0 m $\eta = 3.1$	x: 0 m $\eta = 10.0$	x: 0 m $\eta = 0.4$	$\eta < 0.1$	$\eta < 0.1$	x: 0 m $\eta = 64.6$	$\eta < 0.1$	$M_{Ed} = 0.00$ N.P.(1)	N.P.(2)	N.P.(2)	**CUMPLE $\eta = 64.6$**
N2024/N1999	$\lambda_w \leq \lambda_{w,máx}$ Cumple	$\eta = 0.4$	$\eta = 0.6$	x: 0 m $\eta = 61.8$	x: 0 m $\eta = 2.9$	x: 0 m $\eta = 9.7$	x: 0 m $\eta = 0.3$	$\eta < 0.1$	$\eta < 0.1$	x: 0 m $\eta = 63.0$	$\eta < 0.1$	$M_{Ed} = 0.00$ N.P.(1)	N.P.(2)	N.P.(2)	**CUMPLE $\eta = 63.0$**
N2025/N2000	$\lambda_w \leq \lambda_{w,máx}$ Cumple	$\eta = 0.6$	$\eta = 0.8$	x: 7.3 m $\eta = 65.8$	x: 0 m $\eta = 2.9$	x: 7.3 m $\eta = 10.2$	x: 0 m $\eta = 0.3$	$\eta < 0.1$	$\eta < 0.1$	x: 7.3 m $\eta = 67.3$	$\eta < 0.1$	$M_{Ed} = 0.00$ N.P.(1)	N.P.(2)	N.P.(2)	**CUMPLE $\eta = 67.3$**
N2026/N2001	$\lambda_w \leq \lambda_{w,máx}$ Cumple	$\eta = 0.6$	$\eta = 0.8$	x: 7.3 m $\eta = 61.9$	x: 0 m $\eta = 2.9$	x: 7.3 m $\eta = 9.6$	x: 0 m $\eta = 0.3$	$\eta < 0.1$	$\eta < 0.1$	x: 7.3 m $\eta = 63.3$	$\eta < 0.1$	$M_{Ed} = 0.00$ N.P.(1)	N.P.(2)	N.P.(2)	**CUMPLE $\eta = 63.3$**
N2027/N2002	$\lambda_w \leq \lambda_{w,máx}$ Cumple	$\eta = 1.0$	$\eta = 1.7$	x: 0 m $\eta = 27.4$	x: 0 m $\eta = 2.0$	x: 0 m $\eta = 4.3$	x: 0 m $\eta = 0.2$	$\eta < 0.1$	$\eta < 0.1$	x: 0 m $\eta = 31.0$	$\eta < 0.1$	$M_{Ed} = 0.00$ N.P.(1)	N.P.(2)	N.P.(2)	**CUMPLE $\eta = 31.0$**
N2028/N2003	$\lambda_w \leq \lambda_{w,máx}$ Cumple	$\eta = 0.7$	$\eta = 1.1$	x: 0 m $\eta = 33.9$	x: 0 m $\eta = 2.6$	x: 0 m $\eta = 5.3$	x: 0 m $\eta = 0.3$	$\eta < 0.1$	$\eta < 0.1$	x: 0 m $\eta = 35.0$	$\eta < 0.1$	$M_{Ed} = 0.00$ N.P.(1)	N.P.(2)	N.P.(2)	**CUMPLE $\eta = 35.0$**
N2029/N2004	$\lambda_w \leq \lambda_{w,máx}$ Cumple	$\eta = 0.3$	$\eta = 0.4$	x: 0 m $\eta = 38.6$	x: 0 m $\eta = 2.9$	x: 0 m $\eta = 6.0$	x: 0 m $\eta = 0.3$	$\eta < 0.1$	$\eta < 0.1$	x: 0 m $\eta = 39.4$	$\eta < 0.1$	$M_{Ed} = 0.00$ N.P.(1)	N.P.(2)	N.P.(2)	**CUMPLE $\eta = 39.4$**
N2030/N2005	$\lambda_w \leq \lambda_{w,máx}$ Cumple	$\eta = 0.2$	$\eta = 0.4$	x: 0 m $\eta = 28.1$	x: 0 m $\eta = 2.3$	x: 0 m $\eta = 4.4$	x: 0 m $\eta = 0.3$	$\eta < 0.1$	$\eta < 0.1$	x: 0 m $\eta = 28.7$	$\eta < 0.1$	$M_{Ed} = 0.00$ N.P.(1)	N.P.(2)	N.P.(2)	**CUMPLE $\eta = 28.7$**
N2031/N2006	$\lambda_w \leq \lambda_{w,máx}$ Cumple	$\eta = 0.2$	$\eta = 0.4$	x: 0 m $\eta = 29.3$	x: 0 m $\eta = 2.3$	x: 0 m $\eta = 4.6$	x: 0 m $\eta = 0.3$	$\eta < 0.1$	$\eta < 0.1$	x: 0 m $\eta = 29.9$	$\eta < 0.1$	$M_{Ed} = 0.00$ N.P.(1)	N.P.(2)	N.P.(2)	**CUMPLE $\eta = 29.9$**
N2032/N2007	$\lambda_w \leq \lambda_{w,máx}$ Cumple	$\eta = 0.1$	$\eta = 0.3$	x: 0 m $\eta = 38.7$	x: 0 m $\eta = 2.9$	x: 0 m $\eta = 6.1$	x: 0 m $\eta = 0.3$	$\eta < 0.1$	$\eta < 0.1$	x: 0 m $\eta = 39.3$	$\eta < 0.1$	$M_{Ed} = 0.00$ N.P.(1)	N.P.(2)	N.P.(2)	**CUMPLE $\eta = 39.3$**
N2033/N2008	$\lambda_w \leq \lambda_{w,máx}$ Cumple	$\eta = 0.2$	$\eta = 0.3$	x: 0 m $\eta = 38.8$	x: 0 m $\eta = 2.9$	x: 0 m $\eta = 6.1$	x: 0 m $\eta = 0.3$	$\eta < 0.1$	$\eta < 0.1$	x: 0 m $\eta = 39.5$	$\eta < 0.1$	$M_{Ed} = 0.00$ N.P.(1)	N.P.(2)	N.P.(2)	**CUMPLE $\eta = 39.5$**
N2034/N2009	$\lambda_w \leq \lambda_{w,máx}$ Cumple	$\eta = 0.3$	$\eta = 0.4$	x: 0 m $\eta = 38.9$	x: 0 m $\eta = 2.9$	x: 0 m $\eta = 6.1$	x: 0 m $\eta = 0.3$	$\eta < 0.1$	$\eta < 0.1$	x: 0 m $\eta = 39.6$	$\eta < 0.1$	$M_{Ed} = 0.00$ N.P.(1)	N.P.(2)	N.P.(2)	**CUMPLE $\eta = 39.6$**
N2035/N2010	$\lambda_w \leq \lambda_{w,máx}$ Cumple	$\eta = 0.2$	$\eta = 0.3$	x: 0 m $\eta = 38.7$	x: 7.3 m $\eta = 2.9$	x: 0 m $\eta = 6.1$	x: 7.3 m $\eta = 0.3$	$\eta < 0.1$	$\eta < 0.1$	x: 0 m $\eta = 39.3$	$\eta < 0.1$	$M_{Ed} = 0.00$ N.P.(1)	N.P.(2)	N.P.(2)	**CUMPLE $\eta = 39.3$**
N2036/N2011	$\lambda_w \leq \lambda_{w,máx}$ Cumple	$\eta = 0.1$	$\eta = 0.3$	x: 0 m $\eta = 37.5$	x: 7.3 m $\eta = 2.9$	x: 0 m $\eta = 5.9$	x: 7.3 m $\eta = 0.3$	$\eta < 0.1$	$\eta < 0.1$	x: 0 m $\eta = 38.1$	$\eta < 0.1$	$M_{Ed} = 0.00$ N.P.(1)	N.P.(2)	N.P.(2)	**CUMPLE $\eta = 38.1$**
N2037/N2012	$\lambda_w \leq \lambda_{w,máx}$ Cumple	$\eta = 0.2$	$\eta = 0.3$	x: 0 m $\eta = 19.9$	x: 7.3 m $\eta = 1.8$	x: 0 m $\eta = 3.2$	x: 7.3 m $\eta = 0.2$	$\eta < 0.1$	$\eta < 0.1$	x: 0 m $\eta = 20.5$	$\eta < 0.1$	$M_{Ed} = 0.00$ N.P.(1)	N.P.(2)	N.P.(2)	**CUMPLE $\eta = 20.5$**
N2038/N2013	$\lambda_w \leq \lambda_{w,máx}$ Cumple	$\eta = 0.1$	$\eta = 0.3$	x: 0 m $\eta = 38.7$	x: 7.3 m $\eta = 3.0$	x: 0 m $\eta = 6.1$	x: 7.3 m $\eta = 0.3$	$\eta < 0.1$	$\eta < 0.1$	x: 0 m $\eta = 39.3$	$\eta < 0.1$	$M_{Ed} = 0.00$ N.P.(1)	N.P.(2)	N.P.(2)	**CUMPLE $\eta = 39.3$**
N2039/N2014	$\lambda_w \leq \lambda_{w,máx}$ Cumple	$\eta = 0.2$	$\eta = 0.3$	x: 0 m $\eta = 38.7$	x: 7.3 m $\eta = 3.0$	x: 0 m $\eta = 6.1$	x: 7.3 m $\eta = 0.3$	$\eta < 0.1$	$\eta < 0.1$	x: 0 m $\eta = 39.3$	$\eta < 0.1$	$M_{Ed} = 0.00$ N.P.(1)	N.P.(2)	N.P.(2)	**CUMPLE $\eta = 39.3$**
N2040/N2015	$\lambda_w \leq \lambda_{w,máx}$ Cumple	$\eta = 0.3$	$\eta = 0.4$	x: 0 m $\eta = 39.0$	x: 7.3 m $\eta = 3.0$	x: 0 m $\eta = 6.1$	x: 7.3 m $\eta = 0.3$	$\eta < 0.1$	$\eta < 0.1$	x: 0 m $\eta = 39.7$	$\eta < 0.1$	$M_{Ed} = 0.00$ N.P.(1)	N.P.(2)	N.P.(2)	**CUMPLE $\eta = 39.7$**
N2041/N2016	$\lambda_w \leq \lambda_{w,máx}$ Cumple	$\eta = 0.2$	$\eta = 0.3$	x: 0 m $\eta = 38.8$	x: 7.3 m $\eta = 3.0$	x: 0 m $\eta = 6.1$	x: 7.3 m $\eta = 0.3$	$\eta < 0.1$	$\eta < 0.1$	x: 0 m $\eta = 39.4$	$\eta < 0.1$	$M_{Ed} = 0.00$ N.P.(1)	N.P.(2)	N.P.(2)	**CUMPLE $\eta = 39.4$**
N2042/N2017	$\lambda_w \leq \lambda_{w,máx}$ Cumple	$\eta = 0.1$	$\eta = 0.3$	x: 0 m $\eta = 38.7$	x: 7.3 m $\eta = 3.0$	x: 0 m $\eta = 6.1$	x: 7.3 m $\eta = 0.3$	$\eta < 0.1$	$\eta < 0.1$	x: 0 m $\eta = 39.3$	$\eta < 0.1$	$M_{Ed} = 0.00$ N.P.(1)	N.P.(2)	N.P.(2)	**CUMPLE $\eta = 39.3$**
N2043/N2018	$\lambda_w \leq \lambda_{w,máx}$ Cumple	$\eta = 0.2$	$\eta = 0.4$	x: 0 m $\eta = 27.0$	x: 7.3 m $\eta = 2.3$	x: 0 m $\eta = 4.2$	x: 7.3 m $\eta = 0.3$	$\eta < 0.1$	$\eta < 0.1$	x: 0 m $\eta = 27.5$	$\eta < 0.1$	$M_{Ed} = 0.00$ N.P.(1)	N.P.(2)	N.P.(2)	**CUMPLE $\eta = 27.5$**
N2044/N2019	$\lambda_w \leq \lambda_{w,máx}$ Cumple	$\eta = 0.2$	$\eta = 0.4$	x: 0 m $\eta = 30.5$	x: 7.3 m $\eta = 2.6$	x: 0 m $\eta = 4.8$	x: 7.3 m $\eta = 0.3$	$\eta < 0.1$	$\eta < 0.1$	x: 0 m $\eta = 31.0$	$\eta < 0.1$	$M_{Ed} = 0.00$ N.P.(1)	N.P.(2)	N.P.(2)	**CUMPLE $\eta = 31.0$**
N2045/N2020	$\lambda_w \leq \lambda_{w,máx}$ Cumple	$\eta = 0.1$	$\eta = 0.4$	x: 0 m $\eta = 38.7$	x: 7.3 m $\eta = 3.1$	x: 0 m $\eta = 6.1$	x: 7.3 m $\eta = 0.3$	$\eta < 0.1$	$\eta < 0.1$	x: 0 m $\eta = 39.3$	$\eta < 0.1$	$M_{Ed} = 0.00$ N.P.(1)	N.P.(2)	N.P.(2)	**CUMPLE $\eta = 39.3$**
N2046/N2021	$\lambda_w \leq \lambda_{w,máx}$ Cumple	$\eta = 0.1$	$\eta = 1.2$	x: 0 m $\eta = 31.6$	x: 7.3 m $\eta = 2.6$	x: 0 m $\eta = 4.9$	x: 7.3 m $\eta = 0.3$	$\eta < 0.1$	$\eta < 0.1$	x: 0 m $\eta = 32.1$	$\eta < 0.1$	$M_{Ed} = 0.00$ N.P.(1)	N.P.(2)	N.P.(2)	**CUMPLE $\eta = 32.1$**
N2047/N2022	$\lambda_w \leq \lambda_{w,máx}$ Cumple	$\eta = 0.1$	$\eta = 1.4$	x: 0 m $\eta = 31.6$	x: 7.3 m $\eta = 2.3$	x: 0 m $\eta = 5.0$	x: 7.3 m $\eta = 0.3$	$\eta < 0.1$	$\eta < 0.1$	x: 0 m $\eta = 32.1$	$\eta < 0.1$	$M_{Ed} = 0.00$ N.P.(1)	N.P.(2)	N.P.(2)	**CUMPLE $\eta = 32.1$**
N2048/N2023	$\lambda_w \leq \lambda_{w,máx}$ Cumple	$\eta = 0.1$	$\eta = 0.5$	x: 7.3 m $\eta = 63.5$	x: 7.3 m $\eta = 3.1$	x: 7.3 m $\eta = 9.9$	x: 7.3 m $\eta = 0.3$	$\eta < 0.1$	$\eta < 0.1$	x: 7.3 m $\eta = 64.6$	$\eta < 0.1$	$M_{Ed} = 0.00$ N.P.(1)	N.P.(2)	N.P.(2)	**CUMPLE $\eta = 64.6$**
N2049/N2024	$\lambda_w \leq \lambda_{w,máx}$ Cumple	$\eta = 0.4$	$\eta = 0.5$	x: 7.3 m $\eta = 61.8$	x: 7.3 m $\eta = 2.9$	x: 7.3 m $\eta = 9.6$	x: 7.3 m $\eta = 0.3$	$\eta < 0.1$	$\eta < 0.1$	x: 7.3 m $\eta = 63.0$	$\eta < 0.1$	$M_{Ed} = 0.00$ N.P.(1)	N.P.(2)	N.P.(2)	**CUMPLE $\eta = 63.0$**
N2050/N2025	$\lambda_w \leq \lambda_{w,máx}$ Cumple	$\eta = 0.6$	$\eta = 0.8$	x: 7.3 m $\eta = 64.8$	x: 7.3 m $\eta = 2.9$	x: 7.3 m $\eta = 10.2$	x: 7.3 m $\eta = 0.3$	$\eta < 0.1$	x: 0 m $\eta < 0.1$	x: 7.3 m $\eta = 66.3$	$\eta < 0.1$	$M_{Ed} = 0.00$ N.P.(1)	N.P.(2)	N.P.(2)	**CUMPLE $\eta = 66.3$**

Código de validación telemática TRLTDCFZ60T66IJ1. Comprobación: https://cogitivalencia.e-gestion.es/Validacion.aspx?CVT=TRLTDCFZ60T66IJ1
Documento visado electrónicamente con número VA07290/22

VISADO
COGITI
VALENCIA
VA07290/22
TRLTDCFZ60T66IJ1

Barras	COMPROBACIONES (CÓDIGO ESTRUCTURAL)														Estado
	λ_w	N_t	N_c	M_Y	M_Z	V_Z	V_Y	M_YV_Z	M_ZV_Y	NM_YM_Z	$NM_YM_ZV_YV_Z$	M_t	M_tV_Z	M_tV_Y	
N2051/N2026	$\lambda_w \leq \lambda_{w,máx}$ Cumple	$\eta = 0.6$	$\eta = 0.6$	x: 7.3 m $\eta = 61.3$	x: 7.3 m $\eta = 2.9$	x: 7.3 m $\eta = 9.6$	x: 7.3 m $\eta = 0.3$	$\eta < 0.1$	x: 0 m $\eta < 0.1$	x: 7.3 m $\eta = 62.6$	$\eta < 0.1$	$M_{Ed} = 0.00$ N.P.(1)	N.P.(2)	N.P.(2)	**CUMPLE $\eta = 62.6$**
N2052/N2027	$\lambda_w \leq \lambda_{w,máx}$ Cumple	$\eta = 1.1$	$\eta = 1.0$	x: 7.3 m $\eta = 27.4$	x: 7.3 m $\eta = 2.0$	x: 7.3 m $\eta = 4.3$	x: 7.3 m $\eta = 0.2$	$\eta < 0.1$	x: 0 m $\eta < 0.1$	x: 7.3 m $\eta = 28.9$	$\eta < 0.1$	$M_{Ed} = 0.00$ N.P.(1)	N.P.(2)	N.P.(2)	**CUMPLE $\eta = 28.9$**
N2053/N2028	$\lambda_w \leq \lambda_{w,máx}$ Cumple	$\eta = 0.8$	$\eta = 0.7$	x: 7.3 m $\eta = 33.9$	x: 7.3 m $\eta = 2.6$	x: 7.3 m $\eta = 5.2$	x: 7.3 m $\eta = 0.3$	$\eta < 0.1$	x: 0 m $\eta < 0.1$	x: 7.3 m $\eta = 35.1$	$\eta < 0.1$	$M_{Ed} = 0.00$ N.P.(1)	N.P.(2)	N.P.(2)	**CUMPLE $\eta = 35.1$**
N2054/N2029	$\lambda_w \leq \lambda_{w,máx}$ Cumple	$\eta = 0.3$	$\eta = 0.4$	x: 7.3 m $\eta = 38.6$	x: 7.3 m $\eta = 2.9$	x: 7.3 m $\eta = 6.0$	x: 7.3 m $\eta = 0.3$	$\eta < 0.1$	x: 0 m $\eta < 0.1$	x: 7.3 m $\eta = 39.3$	$\eta < 0.1$	$M_{Ed} = 0.00$ N.P.(1)	N.P.(2)	N.P.(2)	**CUMPLE $\eta = 39.3$**
N2055/N2030	$\lambda_w \leq \lambda_{w,máx}$ Cumple	$\eta = 0.3$	$\eta = 0.6$	x: 7.3 m $\eta = 28.1$	x: 7.3 m $\eta = 2.3$	x: 7.3 m $\eta = 4.3$	x: 7.3 m $\eta = 0.3$	$\eta < 0.1$	x: 0 m $\eta < 0.1$	x: 7.3 m $\eta = 28.7$	$\eta < 0.1$	$M_{Ed} = 0.00$ N.P.(1)	N.P.(2)	N.P.(2)	**CUMPLE $\eta = 28.7$**
N2056/N2031	$\lambda_w \leq \lambda_{w,máx}$ Cumple	$\eta = 0.3$	$\eta = 0.5$	x: 7.3 m $\eta = 29.3$	x: 7.3 m $\eta = 2.3$	x: 7.3 m $\eta = 4.5$	x: 7.3 m $\eta = 0.3$	$\eta < 0.1$	x: 0 m $\eta < 0.1$	x: 7.3 m $\eta = 29.9$	$\eta < 0.1$	$M_{Ed} = 0.00$ N.P.(1)	N.P.(2)	N.P.(2)	**CUMPLE $\eta = 29.9$**
N2057/N2032	$\lambda_w \leq \lambda_{w,máx}$ Cumple	$\eta = 0.1$	$\eta = 0.3$	x: 7.3 m $\eta = 38.7$	x: 7.3 m $\eta = 2.9$	x: 7.3 m $\eta = 6.0$	x: 7.3 m $\eta = 0.3$	$\eta < 0.1$	x: 0 m $\eta < 0.1$	x: 7.3 m $\eta = 39.3$	$\eta < 0.1$	$M_{Ed} = 0.00$ N.P.(1)	N.P.(2)	N.P.(2)	**CUMPLE $\eta = 39.3$**
N2058/N2033	$\lambda_w \leq \lambda_{w,máx}$ Cumple	$\eta = 0.2$	$\eta = 0.4$	x: 7.3 m $\eta = 38.8$	x: 7.3 m $\eta = 2.9$	x: 7.3 m $\eta = 6.0$	x: 7.3 m $\eta = 0.3$	$\eta < 0.1$	x: 0 m $\eta < 0.1$	x: 7.3 m $\eta = 39.5$	$\eta < 0.1$	$M_{Ed} = 0.00$ N.P.(1)	N.P.(2)	N.P.(2)	**CUMPLE $\eta = 39.5$**
N2059/N2034	$\lambda_w \leq \lambda_{w,máx}$ Cumple	$\eta = 0.3$	$\eta = 0.5$	x: 7.3 m $\eta = 38.9$	x: 7.3 m $\eta = 2.9$	x: 7.3 m $\eta = 6.0$	x: 7.3 m $\eta = 0.3$	$\eta < 0.1$	x: 0 m $\eta < 0.1$	x: 7.3 m $\eta = 39.6$	$\eta < 0.1$	$M_{Ed} = 0.00$ N.P.(1)	N.P.(2)	N.P.(2)	**CUMPLE $\eta = 39.6$**
N2060/N2035	$\lambda_w \leq \lambda_{w,máx}$ Cumple	$\eta = 0.2$	$\eta = 0.3$	x: 7.3 m $\eta = 38.7$	x: 7.3 m $\eta = 2.9$	x: 7.3 m $\eta = 6.0$	x: 7.3 m $\eta = 0.3$	$\eta < 0.1$	x: 0 m $\eta < 0.1$	x: 7.3 m $\eta = 39.3$	$\eta < 0.1$	$M_{Ed} = 0.00$ N.P.(1)	N.P.(2)	N.P.(2)	**CUMPLE $\eta = 39.3$**
N2061/N2036	$\lambda_w \leq \lambda_{w,máx}$ Cumple	$\eta = 0.2$	$\eta = 0.4$	x: 7.3 m $\eta = 37.5$	x: 7.3 m $\eta = 2.8$	x: 7.3 m $\eta = 5.8$	x: 7.3 m $\eta = 0.3$	$\eta < 0.1$	x: 0 m $\eta < 0.1$	x: 7.3 m $\eta = 38.1$	$\eta < 0.1$	$M_{Ed} = 0.00$ N.P.(1)	N.P.(2)	N.P.(2)	**CUMPLE $\eta = 38.1$**
N2062/N2037	$\lambda_w \leq \lambda_{w,máx}$ Cumple	$\eta = 0.3$	$\eta = 0.6$	x: 7.3 m $\eta = 19.9$	x: 7.3 m $\eta = 1.8$	x: 7.3 m $\eta = 3.1$	x: 7.3 m $\eta = 0.2$	$\eta < 0.1$	x: 0 m $\eta < 0.1$	x: 7.3 m $\eta = 20.5$	$\eta < 0.1$	$M_{Ed} = 0.00$ N.P.(1)	N.P.(2)	N.P.(2)	**CUMPLE $\eta = 20.5$**
N2063/N2038	$\lambda_w \leq \lambda_{w,máx}$ Cumple	$\eta = 0.2$	$\eta = 0.4$	x: 7.3 m $\eta = 38.7$	x: 7.3 m $\eta = 2.9$	x: 7.3 m $\eta = 6.0$	x: 7.3 m $\eta = 0.3$	$\eta < 0.1$	x: 0 m $\eta < 0.1$	x: 7.3 m $\eta = 39.3$	$\eta < 0.1$	$M_{Ed} = 0.00$ N.P.(1)	N.P.(2)	N.P.(2)	**CUMPLE $\eta = 39.3$**
N2064/N2039	$\lambda_w \leq \lambda_{w,máx}$ Cumple	$\eta = 0.2$	$\eta = 0.3$	x: 7.3 m $\eta = 38.7$	x: 7.3 m $\eta = 2.9$	x: 7.3 m $\eta = 6.0$	x: 7.3 m $\eta = 0.3$	$\eta < 0.1$	x: 0 m $\eta < 0.1$	x: 7.3 m $\eta = 39.3$	$\eta < 0.1$	$M_{Ed} = 0.00$ N.P.(1)	N.P.(2)	N.P.(2)	**CUMPLE $\eta = 39.3$**
N2065/N2040	$\lambda_w \leq \lambda_{w,máx}$ Cumple	$\eta = 0.3$	$\eta = 0.5$	x: 7.3 m $\eta = 39.0$	x: 7.3 m $\eta = 2.9$	x: 7.3 m $\eta = 6.0$	x: 7.3 m $\eta = 0.3$	$\eta < 0.1$	x: 0 m $\eta < 0.1$	x: 7.3 m $\eta = 39.7$	$\eta < 0.1$	$M_{Ed} = 0.00$ N.P.(1)	N.P.(2)	N.P.(2)	**CUMPLE $\eta = 39.7$**
N2066/N2041	$\lambda_w \leq \lambda_{w,máx}$ Cumple	$\eta = 0.2$	$\eta = 0.4$	x: 7.3 m $\eta = 38.8$	x: 7.3 m $\eta = 2.9$	x: 7.3 m $\eta = 6.0$	x: 7.3 m $\eta = 0.3$	$\eta < 0.1$	x: 0 m $\eta < 0.1$	x: 7.3 m $\eta = 39.4$	$\eta < 0.1$	$M_{Ed} = 0.00$ N.P.(1)	N.P.(2)	N.P.(2)	**CUMPLE $\eta = 39.4$**
N2067/N2042	$\lambda_w \leq \lambda_{w,máx}$ Cumple	$\eta = 0.1$	$\eta = 0.3$	x: 7.3 m $\eta = 38.7$	x: 7.3 m $\eta = 2.9$	x: 7.3 m $\eta = 6.0$	x: 7.3 m $\eta = 0.3$	$\eta < 0.1$	x: 0 m $\eta < 0.1$	x: 7.3 m $\eta = 39.3$	$\eta < 0.1$	$M_{Ed} = 0.00$ N.P.(1)	N.P.(2)	N.P.(2)	**CUMPLE $\eta = 39.3$**
N2068/N2043	$\lambda_w \leq \lambda_{w,máx}$ Cumple	$\eta = 0.2$	$\eta = 0.6$	x: 7.3 m $\eta = 27.0$	x: 7.3 m $\eta = 2.2$	x: 7.3 m $\eta = 4.2$	x: 7.3 m $\eta = 0.3$	$\eta < 0.1$	x: 0 m $\eta < 0.1$	x: 7.3 m $\eta = 27.6$	$\eta < 0.1$	$M_{Ed} = 0.00$ N.P.(1)	N.P.(2)	N.P.(2)	**CUMPLE $\eta = 27.6$**
N2069/N2044	$\lambda_w \leq \lambda_{w,máx}$ Cumple	$\eta = 0.2$	$\eta = 0.5$	x: 7.3 m $\eta = 30.5$	x: 7.3 m $\eta = 2.4$	x: 7.3 m $\eta = 4.7$	x: 0 m $\eta = 0.3$	$\eta < 0.1$	x: 0 m $\eta < 0.1$	x: 7.3 m $\eta = 31.1$	$\eta < 0.1$	$M_{Ed} = 0.00$ N.P.(1)	N.P.(2)	N.P.(2)	**CUMPLE $\eta = 31.1$**
N2070/N2045	$\lambda_w \leq \lambda_{w,máx}$ Cumple	$\eta = 0.1$	$\eta = 0.4$	x: 7.3 m $\eta = 38.7$	x: 0 m $\eta = 2.9$	x: 7.3 m $\eta = 6.0$	x: 0 m $\eta = 0.3$	$\eta < 0.1$	x: 0 m $\eta < 0.1$	x: 7.3 m $\eta = 39.3$	$\eta < 0.1$	$M_{Ed} = 0.00$ N.P.(1)	N.P.(2)	N.P.(2)	**CUMPLE $\eta = 39.3$**
N2071/N2046	$\lambda_w \leq \lambda_{w,máx}$ Cumple	$\eta = 0.1$	$\eta = 1.1$	x: 7.3 m $\eta = 31.6$	x: 0 m $\eta = 2.4$	x: 7.3 m $\eta = 4.9$	x: 0 m $\eta = 0.3$	$\eta < 0.1$	x: 0 m $\eta < 0.1$	x: 7.3 m $\eta = 32.0$	$\eta < 0.1$	$M_{Ed} = 0.00$ N.P.(1)	N.P.(2)	N.P.(2)	**CUMPLE $\eta = 32.0$**
N2072/N2047	$\lambda_w \leq \lambda_{w,máx}$ Cumple	$\eta = 0.1$	$\eta = 1.3$	x: 7.3 m $\eta = 31.6$	x: 0 m $\eta = 2.1$	x: 7.3 m $\eta = 4.9$	x: 0 m $\eta = 0.3$	$\eta < 0.1$	x: 0 m $\eta < 0.1$	x: 7.3 m $\eta = 31.9$	$\eta < 0.1$	$M_{Ed} = 0.00$ N.P.(1)	N.P.(2)	N.P.(2)	**CUMPLE $\eta = 31.9$**
N2073/N2048	$\lambda_w \leq \lambda_{w,máx}$ Cumple	$\eta = 0.1$	$\eta = 0.5$	x: 7.3 m $\eta = 63.0$	x: 0 m $\eta = 2.9$	x: 7.3 m $\eta = 9.9$	x: 0 m $\eta = 0.3$	$\eta < 0.1$	x: 0 m $\eta < 0.1$	x: 7.3 m $\eta = 63.9$	$\eta < 0.1$	$M_{Ed} = 0.00$ N.P.(1)	N.P.(2)	N.P.(2)	**CUMPLE $\eta = 63.9$**
N2074/N2049	$\lambda_w \leq \lambda_{w,máx}$ Cumple	$\eta = 0.4$	$\eta = 0.5$	x: 7.3 m $\eta = 61.1$	x: 7.3 m $\eta = 2.7$	x: 7.3 m $\eta = 9.6$	x: 7.3 m $\eta = 0.3$	$\eta < 0.1$	$\eta < 0.1$	x: 7.3 m $\eta = 62.3$	$\eta < 0.1$	$M_{Ed} = 0.00$ N.P.(1)	N.P.(2)	N.P.(2)	**CUMPLE $\eta = 62.3$**
N2075/N2050	$\lambda_w \leq \lambda_{w,máx}$ Cumple	$\eta = 0.6$	$\eta = 0.7$	x: 0 m $\eta = 66.0$	x: 0 m $\eta = 2.9$	x: 0 m $\eta = 10.2$	x: 0 m $\eta = 0.3$	$\eta < 0.1$	x: 0 m $\eta < 0.1$	x: 0 m $\eta = 67.4$	$\eta < 0.1$	$M_{Ed} = 0.00$ N.P.(1)	N.P.(2)	N.P.(2)	**CUMPLE $\eta = 67.4$**
N2076/N2051	$\lambda_w \leq \lambda_{w,máx}$ Cumple	$\eta = 0.5$	$\eta = 0.4$	x: 0 m $\eta = 62.3$	x: 0 m $\eta = 2.9$	x: 0 m $\eta = 9.6$	x: 0 m $\eta = 0.3$	$\eta < 0.1$	x: 0 m $\eta < 0.1$	x: 0 m $\eta = 63.4$	$\eta < 0.1$	$M_{Ed} = 0.00$ N.P.(1)	N.P.(2)	N.P.(2)	**CUMPLE $\eta = 63.4$**
N2077/N2052	$\lambda_w \leq \lambda_{w,máx}$ Cumple	$\eta = 1.2$	$\eta = 0.5$	x: 0 m $\eta = 27.4$	x: 0 m $\eta = 2.0$	x: 0 m $\eta = 4.3$	x: 0 m $\eta = 0.2$	$\eta < 0.1$	x: 0 m $\eta < 0.1$	x: 0 m $\eta = 29.0$	$\eta < 0.1$	$M_{Ed} = 0.00$ N.P.(1)	N.P.(2)	N.P.(2)	**CUMPLE $\eta = 29.0$**
N2078/N2053	$\lambda_w \leq \lambda_{w,máx}$ Cumple	$\eta = 0.7$	$\eta = 0.4$	x: 0 m $\eta = 33.7$	x: 0 m $\eta = 2.6$	x: 0 m $\eta = 5.2$	x: 0 m $\eta = 0.3$	$\eta < 0.1$	x: 0 m $\eta < 0.1$	x: 0 m $\eta = 34.9$	$\eta < 0.1$	$M_{Ed} = 0.00$ N.P.(1)	N.P.(2)	N.P.(2)	**CUMPLE $\eta = 34.9$**
N2079/N2054	$\lambda_w \leq \lambda_{w,máx}$ Cumple	$\eta = 0.2$	$\eta = 0.4$	x: 0 m $\eta = 38.4$	x: 0 m $\eta = 2.9$	x: 0 m $\eta = 6.0$	x: 0 m $\eta = 0.3$	$\eta < 0.1$	x: 0 m $\eta < 0.1$	x: 0 m $\eta = 39.1$	$\eta < 0.1$	$M_{Ed} = 0.00$ N.P.(1)	N.P.(2)	N.P.(2)	**CUMPLE $\eta = 39.1$**
N2080/N2055	$\lambda_w \leq \lambda_{w,máx}$ Cumple	$\eta = 0.3$	$\eta = 0.7$	x: 0 m $\eta = 27.7$	x: 0 m $\eta = 2.3$	x: 0 m $\eta = 4.3$	x: 0 m $\eta = 0.3$	$\eta < 0.1$	x: 0 m $\eta < 0.1$	x: 0 m $\eta = 28.4$	$\eta < 0.1$	$M_{Ed} = 0.00$ N.P.(1)	N.P.(2)	N.P.(2)	**CUMPLE $\eta = 28.4$**
N2081/N2056	$\lambda_w \leq \lambda_{w,máx}$ Cumple	$\eta = 0.3$	$\eta = 0.7$	x: 0 m $\eta = 28.8$	x: 0 m $\eta = 2.3$	x: 0 m $\eta = 4.5$	x: 0 m $\eta = 0.3$	$\eta < 0.1$	x: 0 m $\eta < 0.1$	x: 0 m $\eta = 29.5$	$\eta < 0.1$	$M_{Ed} = 0.00$ N.P.(1)	N.P.(2)	N.P.(2)	**CUMPLE $\eta = 29.5$**
N2082/N2057	$\lambda_w \leq \lambda_{w,máx}$ Cumple	$\eta = 0.1$	$\eta = 0.3$	x: 0 m $\eta = 38.2$	x: 0 m $\eta = 2.9$	x: 0 m $\eta = 6.0$	x: 0 m $\eta = 0.3$	$\eta < 0.1$	x: 0 m $\eta < 0.1$	x: 0 m $\eta = 38.9$	$\eta < 0.1$	$M_{Ed} = 0.00$ N.P.(1)	N.P.(2)	N.P.(2)	**CUMPLE $\eta = 38.9$**
N2083/N2058	$\lambda_w \leq \lambda_{w,máx}$ Cumple	$\eta = 0.2$	$\eta = 0.4$	x: 7.3 m $\eta = 38.0$	x: 0 m $\eta = 2.9$	x: 7.3 m $\eta = 6.0$	x: 0 m $\eta = 0.3$	$\eta < 0.1$	x: 0 m $\eta < 0.1$	x: 7.3 m $\eta = 38.7$	$\eta < 0.1$	$M_{Ed} = 0.00$ N.P.(1)	N.P.(2)	N.P.(2)	**CUMPLE $\eta = 38.7$**
N2084/N2059	$\lambda_w \leq \lambda_{w,máx}$ Cumple	$\eta = 0.3$	$\eta = 0.6$	x: 7.3 m $\eta = 38.1$	x: 7.3 m $\eta = 2.9$	x: 7.3 m $\eta = 6.0$	x: 7.3 m $\eta = 0.3$	$\eta < 0.1$	x: 0 m $\eta < 0.1$	x: 7.3 m $\eta = 38.8$	$\eta < 0.1$	$M_{Ed} = 0.00$ N.P.(1)	N.P.(2)	N.P.(2)	**CUMPLE $\eta = 38.8$**
N2085/N2060	$\lambda_w \leq \lambda_{w,máx}$ Cumple	$\eta = 0.1$	$\eta = 0.3$	x: 0 m $\eta = 38.1$	x: 0 m $\eta = 2.9$	x: 0 m $\eta = 6.0$	x: 0 m $\eta = 0.3$	$\eta < 0.1$	x: 0 m $\eta < 0.1$	x: 0 m $\eta = 38.8$	$\eta < 0.1$	$M_{Ed} = 0.00$ N.P.(1)	N.P.(2)	N.P.(2)	**CUMPLE $\eta = 38.8$**
N2086/N2061	$\lambda_w \leq \lambda_{w,máx}$ Cumple	$\eta = 0.2$	$\eta = 0.5$	x: 0 m $\eta = 36.9$	x: 0 m $\eta = 2.8$	x: 0 m $\eta = 5.8$	x: 0 m $\eta = 0.3$	$\eta < 0.1$	x: 0 m $\eta < 0.1$	x: 0 m $\eta = 37.6$	$\eta < 0.1$	$M_{Ed} = 0.00$ N.P.(1)	N.P.(2)	N.P.(2)	**CUMPLE $\eta = 37.6$**
N2087/N2062	$\lambda_w \leq \lambda_{w,máx}$ Cumple	$\eta = 0.3$	$\eta = 0.9$	x: 7.3 m $\eta = 19.5$	x: 0 m $\eta = 1.8$	x: 7.3 m $\eta = 3.1$	x: 0 m $\eta = 0.2$	$\eta < 0.1$	x: 0 m $\eta < 0.1$	x: 7.3 m $\eta = 20.2$	$\eta < 0.1$	$M_{Ed} = 0.00$ N.P.(1)	N.P.(2)	N.P.(2)	**CUMPLE $\eta = 20.2$**
N2088/N2063	$\lambda_w \leq \lambda_{w,máx}$ Cumple	$\eta = 0.2$	$\eta = 0.4$	x: 0 m $\eta = 38.1$	x: 0 m $\eta = 2.9$	x: 0 m $\eta = 6.0$	x: 0 m $\eta = 0.3$	$\eta < 0.1$	x: 0 m $\eta < 0.1$	x: 0 m $\eta = 38.8$	$\eta < 0.1$	$M_{Ed} = 0.00$ N.P.(1)	N.P.(2)	N.P.(2)	**CUMPLE $\eta = 38.8$**
N2089/N2064	$\lambda_w \leq \lambda_{w,máx}$ Cumple	$\eta = 0.2$	$\eta = 0.3$	x: 0 m $\eta = 38.1$	x: 0 m $\eta = 2.9$	x: 0 m $\eta = 6.0$	x: 0 m $\eta = 0.3$	$\eta < 0.1$	x: 0 m $\eta < 0.1$	x: 0 m $\eta = 38.7$	$\eta < 0.1$	$M_{Ed} = 0.00$ N.P.(1)	N.P.(2)	N.P.(2)	**CUMPLE $\eta = 38.7$**
N2090/N2065	$\lambda_w \leq \lambda_{w,máx}$ Cumple	$\eta = 0.3$	$\eta = 0.6$	x: 7.3 m $\eta = 38.1$	x: 0 m $\eta = 2.9$	x: 7.3 m $\eta = 6.0$	x: 0 m $\eta = 0.3$	$\eta < 0.1$	x: 0 m $\eta < 0.1$	x: 7.3 m $\eta = 38.9$	$\eta < 0.1$	$M_{Ed} = 0.00$ N.P.(1)	N.P.(2)	N.P.(2)	**CUMPLE $\eta = 38.9$**

Documento visado electrónicamente con número: VA07290/22
Código de validación telemática TRLTDCFZ60T66IJ1. Comprobación: https://cogitivalencia.e-gestion.es/Validacion.aspx?CVT=TRLTDCFZ60T66IJ1

VISADO
COGITI
VALENCIA
VA07290/22
TRLTDCFZ60T66IJ1

Barras	COMPROBACIONES (CÓDIGO ESTRUCTURAL)															Estado
	λ_w	N_t	N_c	M_Y	M_Z	V_Z	V_Y	M_YV_Z	M_ZV_Y	NM_YM_Z	$NM_YM_ZV_YV_Z$	M_t	M_tV_Z	M_tV_Y	
N2091/N2066	$\lambda_w \leq \lambda_{w,máx}$ Cumple	$\eta = 0.2$	$\eta = 0.4$	x: 0 m $\eta = 38.0$	x: 0 m $\eta = 2.9$	x: 0 m $\eta = 6.0$	x: 0 m $\eta = 0.3$	$\eta < 0.1$	x: 0 m $\eta < 0.1$	x: 0 m $\eta = 38.7$	$\eta < 0.1$	M_{Ed} = 0.00 N.P.(1)	N.P.(2)	N.P.(2)	**CUMPLE η = 38.0**
N2092/N2067	$\lambda_w \leq \lambda_{w,máx}$ Cumple	$\eta = 0.1$	$\eta = 0.3$	x: 0 m $\eta = 38.2$	x: 0 m $\eta = 2.9$	x: 0 m $\eta = 6.0$	x: 0 m $\eta = 0.3$	$\eta < 0.1$	x: 0 m $\eta < 0.1$	x: 0 m $\eta = 38.8$	$\eta < 0.1$	M_{Ed} = 0.00 N.P.(1)	N.P.(2)	N.P.(2)	**CUMPLE η = 38.8**
N2093/N2068	$\lambda_w \leq \lambda_{w,máx}$ Cumple	$\eta = 0.3$	$\eta = 0.7$	x: 0 m $\eta = 26.4$	x: 0 m $\eta = 2.2$	x: 0 m $\eta = 4.1$	x: 0 m $\eta = 0.3$	$\eta < 0.1$	x: 0 m $\eta < 0.1$	x: 0 m $\eta = 27.0$	$\eta < 0.1$	M_{Ed} = 0.00 N.P.(1)	N.P.(2)	N.P.(2)	**CUMPLE η = 27.0**
N2094/N2069	$\lambda_w \leq \lambda_{w,máx}$ Cumple	$\eta = 0.2$	$\eta = 0.7$	x: 0 m $\eta = 30.0$	x: 0 m $\eta = 2.4$	x: 0 m $\eta = 4.7$	x: 0 m $\eta = 0.3$	$\eta < 0.1$	x: 0 m $\eta < 0.1$	x: 0 m $\eta = 30.7$	$\eta < 0.1$	M_{Ed} = 0.00 N.P.(1)	N.P.(2)	N.P.(2)	**CUMPLE η = 30.7**
N2095/N2070	$\lambda_w \leq \lambda_{w,máx}$ Cumple	$\eta = 0.1$	$\eta = 0.4$	x: 0 m $\eta = 38.3$	x: 0 m $\eta = 2.9$	x: 0 m $\eta = 6.0$	x: 0 m $\eta = 0.3$	$\eta < 0.1$	x: 0 m $\eta < 0.1$	x: 0 m $\eta = 38.9$	$\eta < 0.1$	M_{Ed} = 0.00 N.P.(1)	N.P.(2)	N.P.(2)	**CUMPLE η = 38.9**
N2096/N2071	$\lambda_w \leq \lambda_{w,máx}$ Cumple	$\eta = 0.4$	$\eta = 0.9$	x: 0 m $\eta = 31.3$	x: 0 m $\eta = 2.5$	x: 0 m $\eta = 4.9$	x: 0 m $\eta = 0.3$	$\eta < 0.1$	x: 0 m $\eta < 0.1$	x: 0 m $\eta = 31.7$	$\eta < 0.1$	M_{Ed} = 0.00 N.P.(1)	N.P.(2)	N.P.(2)	**CUMPLE η = 31.7**
N2097/N2072	$\lambda_w \leq \lambda_{w,máx}$ Cumple	$\eta = 0.5$	$\eta = 1.1$	x: 0 m $\eta = 31.7$	x: 0 m $\eta = 2.2$	x: 0 m $\eta = 4.9$	x: 0 m $\eta = 0.3$	$\eta < 0.1$	x: 0 m $\eta < 0.1$	x: 0 m $\eta = 32.0$	$\eta < 0.1$	M_{Ed} = 0.00 N.P.(1)	N.P.(2)	N.P.(2)	**CUMPLE η = 32.0**
N2098/N2073	$\lambda_w \leq \lambda_{w,máx}$ Cumple	$\eta = 0.1$	$\eta = 0.4$	x: 0 m $\eta = 64.0$	x: 0 m $\eta = 2.9$	x: 0 m $\eta = 9.9$	x: 0 m $\eta = 0.3$	$\eta < 0.1$	x: 0 m $\eta < 0.1$	x: 0 m $\eta = 64.9$	$\eta < 0.1$	M_{Ed} = 0.00 N.P.(1)	N.P.(2)	N.P.(2)	**CUMPLE η = 64.9**
N2099/N2074	$\lambda_w \leq \lambda_{w,máx}$ Cumple	$\eta = 0.4$	$\eta = 0.5$	x: 0 m $\eta = 62.2$	x: 0 m $\eta = 2.8$	x: 0 m $\eta = 9.6$	x: 0 m $\eta = 0.3$	$\eta < 0.1$	$\eta < 0.1$	x: 0 m $\eta = 63.4$	$\eta < 0.1$	M_{Ed} = 0.00 N.P.(1)	N.P.(2)	N.P.(2)	**CUMPLE η = 63.4**
N2100/N2075	$\lambda_w \leq \lambda_{w,máx}$ Cumple	$\eta = 0.6$	$\eta = 0.7$	x: 7.3 m $\eta = 66.0$	x: 7.3 m $\eta = 2.9$	x: 7.3 m $\eta = 10.3$	x: 7.3 m $\eta = 0.3$	$\eta < 0.1$	$\eta < 0.1$	x: 7.3 m $\eta = 67.4$	$\eta < 0.1$	M_{Ed} = 0.00 N.P.(1)	N.P.(2)	N.P.(2)	**CUMPLE η = 67.4**
N2101/N2076	$\lambda_w \leq \lambda_{w,máx}$ Cumple	$\eta = 0.4$	$\eta = 0.2$	x: 7.3 m $\eta = 62.3$	x: 7.3 m $\eta = 2.9$	x: 7.3 m $\eta = 9.7$	x: 7.3 m $\eta = 0.3$	$\eta < 0.1$	$\eta < 0.1$	x: 7.3 m $\eta = 63.2$	$\eta < 0.1$	M_{Ed} = 0.00 N.P.(1)	N.P.(2)	N.P.(2)	**CUMPLE η = 63.2**
N2102/N2077	$\lambda_w \leq \lambda_{w,máx}$ Cumple	$\eta = 1.6$	$\eta = 0.5$	x: 7.3 m $\eta = 27.4$	x: 7.3 m $\eta = 2.0$	x: 7.3 m $\eta = 4.3$	x: 7.3 m $\eta = 0.2$	$\eta < 0.1$	$\eta < 0.1$	x: 7.3 m $\eta = 28.8$	$\eta < 0.1$	M_{Ed} = 0.00 N.P.(1)	N.P.(2)	N.P.(2)	**CUMPLE η = 28.8**
N2103/N2078	$\lambda_w \leq \lambda_{w,máx}$ Cumple	$\eta = 0.9$	$\eta = 0.3$	x: 7.3 m $\eta = 33.7$	x: 7.3 m $\eta = 2.6$	x: 7.3 m $\eta = 5.3$	x: 7.3 m $\eta = 0.3$	$\eta < 0.1$	$\eta < 0.1$	x: 7.3 m $\eta = 34.8$	$\eta < 0.1$	M_{Ed} = 0.00 N.P.(1)	N.P.(2)	N.P.(2)	**CUMPLE η = 34.8**
N2104/N2079	$\lambda_w \leq \lambda_{w,máx}$ Cumple	$\eta = 0.2$	$\eta = 0.3$	x: 7.3 m $\eta = 38.4$	x: 7.3 m $\eta = 2.9$	x: 7.3 m $\eta = 6.0$	x: 7.3 m $\eta = 0.3$	$\eta < 0.1$	$\eta < 0.1$	x: 7.3 m $\eta = 39.1$	$\eta < 0.1$	M_{Ed} = 0.00 N.P.(1)	N.P.(2)	N.P.(2)	**CUMPLE η = 39.1**
N2105/N2080	$\lambda_w \leq \lambda_{w,máx}$ Cumple	$\eta = 0.3$	$\eta = 0.9$	x: 7.3 m $\eta = 27.7$	x: 7.3 m $\eta = 2.3$	x: 7.3 m $\eta = 4.3$	x: 7.3 m $\eta = 0.3$	$\eta < 0.1$	$\eta < 0.1$	x: 7.3 m $\eta = 28.5$	$\eta < 0.1$	M_{Ed} = 0.00 N.P.(1)	N.P.(2)	N.P.(2)	**CUMPLE η = 28.5**
N2106/N2081	$\lambda_w \leq \lambda_{w,máx}$ Cumple	$\eta = 0.3$	$\eta = 0.8$	x: 7.3 m $\eta = 28.8$	x: 7.3 m $\eta = 2.3$	x: 7.3 m $\eta = 4.5$	x: 7.3 m $\eta = 0.3$	$\eta < 0.1$	$\eta < 0.1$	x: 7.3 m $\eta = 29.6$	$\eta < 0.1$	M_{Ed} = 0.00 N.P.(1)	N.P.(2)	N.P.(2)	**CUMPLE η = 29.6**
N2107/N2082	$\lambda_w \leq \lambda_{w,máx}$ Cumple	$\eta = 0.1$	$\eta = 0.2$	x: 7.3 m $\eta = 38.2$	x: 7.3 m $\eta = 2.9$	x: 7.3 m $\eta = 6.0$	x: 7.3 m $\eta = 0.3$	$\eta < 0.1$	$\eta < 0.1$	x: 7.3 m $\eta = 38.8$	$\eta < 0.1$	M_{Ed} = 0.00 N.P.(1)	N.P.(2)	N.P.(2)	**CUMPLE η = 38.8**
N2108/N2083	$\lambda_w \leq \lambda_{w,máx}$ Cumple	$\eta = 0.2$	$\eta = 0.5$	x: 0 m $\eta = 38.6$	x: 7.3 m $\eta = 2.9$	x: 0 m $\eta = 6.0$	x: 7.3 m $\eta = 0.3$	$\eta < 0.1$	$\eta < 0.1$	x: 0 m $\eta = 39.1$	$\eta < 0.1$	M_{Ed} = 0.00 N.P.(1)	N.P.(2)	N.P.(2)	**CUMPLE η = 39.1**
N2109/N2084	$\lambda_w \leq \lambda_{w,máx}$ Cumple	$\eta = 0.3$	$\eta = 0.7$	x: 0 m $\eta = 40.2$	x: 0 m $\eta = 2.9$	x: 0 m $\eta = 6.0$	x: 0 m $\eta = 0.3$	$\eta < 0.1$	$\eta < 0.1$	x: 0 m $\eta = 40.9$	$\eta < 0.1$	M_{Ed} = 0.00 N.P.(1)	N.P.(2)	N.P.(2)	**CUMPLE η = 40.9**
N2110/N2085	$\lambda_w \leq \lambda_{w,máx}$ Cumple	$\eta = 0.1$	$\eta = 0.2$	x: 7.3 m $\eta = 38.1$	x: 7.3 m $\eta = 2.9$	x: 7.3 m $\eta = 6.0$	x: 7.3 m $\eta = 0.3$	$\eta < 0.1$	$\eta < 0.1$	x: 7.3 m $\eta = 38.7$	$\eta < 0.1$	M_{Ed} = 0.00 N.P.(1)	N.P.(2)	N.P.(2)	**CUMPLE η = 38.7**
N2111/N2086	$\lambda_w \leq \lambda_{w,máx}$ Cumple	$\eta = 0.2$	$\eta = 0.5$	x: 7.3 m $\eta = 36.9$	x: 7.3 m $\eta = 2.8$	x: 7.3 m $\eta = 5.8$	x: 7.3 m $\eta = 0.3$	$\eta < 0.1$	$\eta < 0.1$	x: 7.3 m $\eta = 37.6$	$\eta < 0.1$	M_{Ed} = 0.00 N.P.(1)	N.P.(2)	N.P.(2)	**CUMPLE η = 37.6**
N2112/N2087	$\lambda_w \leq \lambda_{w,máx}$ Cumple	$\eta = 0.5$	$\eta = 1.3$	x: 0 m $\eta = 20.4$	x: 7.3 m $\eta = 1.8$	x: 0 m $\eta = 3.1$	x: 7.3 m $\eta = 0.2$	$\eta < 0.1$	$\eta < 0.1$	x: 0 m $\eta = 21.0$	$\eta < 0.1$	M_{Ed} = 0.00 N.P.(1)	N.P.(2)	N.P.(2)	**CUMPLE η = 21.0**
N2113/N2088	$\lambda_w \leq \lambda_{w,máx}$ Cumple	$\eta = 0.2$	$\eta = 0.4$	x: 7.3 m $\eta = 38.1$	x: 7.3 m $\eta = 2.9$	x: 7.3 m $\eta = 6.0$	x: 7.3 m $\eta = 0.3$	$\eta < 0.1$	$\eta < 0.1$	x: 7.3 m $\eta = 38.8$	$\eta < 0.1$	M_{Ed} = 0.00 N.P.(1)	N.P.(2)	N.P.(2)	**CUMPLE η = 38.8**
N2114/N2089	$\lambda_w \leq \lambda_{w,máx}$ Cumple	$\eta = 0.1$	$\eta = 0.2$	x: 7.3 m $\eta = 38.1$	x: 7.3 m $\eta = 2.9$	x: 7.3 m $\eta = 6.0$	x: 7.3 m $\eta = 0.3$	$\eta < 0.1$	$\eta < 0.1$	x: 7.3 m $\eta = 38.7$	$\eta < 0.1$	M_{Ed} = 0.00 N.P.(1)	N.P.(2)	N.P.(2)	**CUMPLE η = 38.7**
N2115/N2090	$\lambda_w \leq \lambda_{w,máx}$ Cumple	$\eta = 0.4$	$\eta = 0.7$	x: 0 m $\eta = 40.7$	x: 7.3 m $\eta = 2.9$	x: 0 m $\eta = 6.0$	x: 7.3 m $\eta = 0.3$	$\eta < 0.1$	$\eta < 0.1$	x: 0 m $\eta = 41.4$	$\eta < 0.1$	M_{Ed} = 0.00 N.P.(1)	N.P.(2)	N.P.(2)	**CUMPLE η = 41.4**
N2116/N2091	$\lambda_w \leq \lambda_{w,máx}$ Cumple	$\eta = 0.2$	$\eta = 0.4$	x: 0 m $\eta = 38.2$	x: 7.3 m $\eta = 2.9$	x: 0 m $\eta = 6.0$	x: 7.3 m $\eta = 0.3$	$\eta < 0.1$	$\eta < 0.1$	x: 0 m $\eta = 38.8$	$\eta < 0.1$	M_{Ed} = 0.00 N.P.(1)	N.P.(2)	N.P.(2)	**CUMPLE η = 38.8**
N2117/N2092	$\lambda_w \leq \lambda_{w,máx}$ Cumple	$\eta = 0.1$	$\eta = 0.2$	x: 7.3 m $\eta = 38.2$	x: 7.3 m $\eta = 2.9$	x: 7.3 m $\eta = 6.0$	x: 7.3 m $\eta = 0.4$	$\eta < 0.1$	$\eta < 0.1$	x: 7.3 m $\eta = 38.8$	$\eta < 0.1$	M_{Ed} = 0.00 N.P.(1)	N.P.(2)	N.P.(2)	**CUMPLE η = 38.8**
N2118/N2093	$\lambda_w \leq \lambda_{w,máx}$ Cumple	$\eta = 0.3$	$\eta = 0.9$	x: 7.3 m $\eta = 26.4$	x: 7.3 m $\eta = 2.2$	x: 7.3 m $\eta = 4.1$	x: 7.3 m $\eta = 0.3$	$\eta < 0.1$	$\eta < 0.1$	x: 7.3 m $\eta = 27.1$	$\eta < 0.1$	M_{Ed} = 0.00 N.P.(1)	N.P.(2)	N.P.(2)	**CUMPLE η = 27.1**
N2119/N2094	$\lambda_w \leq \lambda_{w,máx}$ Cumple	$\eta = 0.3$	$\eta = 0.8$	x: 7.3 m $\eta = 30.0$	x: 7.3 m $\eta = 2.4$	x: 7.3 m $\eta = 4.7$	x: 7.3 m $\eta = 0.3$	$\eta < 0.1$	$\eta < 0.1$	x: 7.3 m $\eta = 30.7$	$\eta < 0.1$	M_{Ed} = 0.00 N.P.(1)	N.P.(2)	N.P.(2)	**CUMPLE η = 30.7**
N2120/N2095	$\lambda_w \leq \lambda_{w,máx}$ Cumple	$\eta = 0.1$	$\eta = 0.3$	x: 7.3 m $\eta = 38.3$	x: 7.3 m $\eta = 2.9$	x: 7.3 m $\eta = 6.0$	x: 7.3 m $\eta = 0.4$	$\eta < 0.1$	$\eta < 0.1$	x: 7.3 m $\eta = 38.9$	$\eta < 0.1$	M_{Ed} = 0.00 N.P.(1)	N.P.(2)	N.P.(2)	**CUMPLE η = 38.9**
N2121/N2096	$\lambda_w \leq \lambda_{w,máx}$ Cumple	$\eta = 0.7$	$\eta = 0.8$	x: 7.3 m $\eta = 31.3$	x: 7.3 m $\eta = 2.5$	x: 7.3 m $\eta = 4.9$	x: 7.3 m $\eta = 0.3$	$\eta < 0.1$	$\eta < 0.1$	x: 7.3 m $\eta = 31.8$	$\eta < 0.1$	M_{Ed} = 0.00 N.P.(1)	N.P.(2)	N.P.(2)	**CUMPLE η = 31.8**
N2122/N2097	$\lambda_w \leq \lambda_{w,máx}$ Cumple	$\eta = 1.0$	$\eta = 0.9$	x: 7.3 m $\eta = 31.7$	x: 7.3 m $\eta = 2.2$	x: 7.3 m $\eta = 4.9$	x: 7.3 m $\eta = 0.3$	$\eta < 0.1$	$\eta < 0.1$	x: 7.3 m $\eta = 32.1$	$\eta < 0.1$	M_{Ed} = 0.00 N.P.(1)	N.P.(2)	N.P.(2)	**CUMPLE η = 32.1**
N2123/N2098	$\lambda_w \leq \lambda_{w,máx}$ Cumple	$\eta = 0.1$	$\eta = 0.3$	x: 7.3 m $\eta = 64.0$	x: 7.3 m $\eta = 2.9$	x: 7.3 m $\eta = 10.0$	x: 7.3 m $\eta = 0.4$	$\eta < 0.1$	$\eta < 0.1$	x: 7.3 m $\eta = 64.8$	$\eta < 0.1$	M_{Ed} = 0.00 N.P.(1)	N.P.(2)	N.P.(2)	**CUMPLE η = 64.8**
N2124/N2099	$\lambda_w \leq \lambda_{w,máx}$ Cumple	$\eta = 0.4$	$\eta = 0.5$	x: 7.3 m $\eta = 62.2$	x: 7.3 m $\eta = 2.8$	x: 7.3 m $\eta = 9.7$	x: 7.3 m $\eta = 0.3$	$\eta < 0.1$	$\eta < 0.1$	x: 7.3 m $\eta = 63.3$	$\eta < 0.1$	M_{Ed} = 0.00 N.P.(1)	N.P.(2)	N.P.(2)	**CUMPLE η = 63.3**
N2125/N2100	$\lambda_w \leq \lambda_{w,máx}$ Cumple	$\eta = 0.6$	$\eta = 0.6$	x: 0 m $\eta = 80.4$	x: 0 m $\eta = 3.5$	x: 0 m $\eta = 10.7$	x: 0 m $\eta = 0.4$	$\eta < 0.1$	$\eta < 0.1$	x: 0 m $\eta = 81.7$	$\eta < 0.1$	M_{Ed} = 0.00 N.P.(1)	N.P.(2)	N.P.(2)	**CUMPLE η = 81.7**
N2126/N2101	$\lambda_w \leq \lambda_{w,máx}$ Cumple	$\eta = 0.3$	$\eta = 0.1$	x: 0 m $\eta = 75.8$	x: 0 m $\eta = 3.5$	x: 0 m $\eta = 10.1$	x: 0 m $\eta = 0.4$	$\eta < 0.1$	$\eta < 0.1$	x: 0 m $\eta = 76.5$	$\eta < 0.1$	M_{Ed} = 0.00 N.P.(1)	N.P.(2)	N.P.(2)	**CUMPLE η = 76.5**
N2127/N2102	$\lambda_w \leq \lambda_{w,máx}$ Cumple	$\eta = 1.9$	$\eta = 0.3$	x: 0 m $\eta = 31.9$	x: 0 m $\eta = 2.3$	x: 0 m $\eta = 4.4$	x: 0 m $\eta = 0.2$	$\eta < 0.1$	$\eta < 0.1$	x: 0 m $\eta = 33.2$	$\eta < 0.1$	M_{Ed} = 0.00 N.P.(1)	N.P.(2)	N.P.(2)	**CUMPLE η = 33.2**
N2128/N2103	$\lambda_w \leq \lambda_{w,máx}$ Cumple	$\eta = 1.0$	$\eta = 0.2$	x: 0 m $\eta = 38.8$	x: 0 m $\eta = 3.1$	x: 0 m $\eta = 5.4$	x: 0 m $\eta = 0.3$	$\eta < 0.1$	$\eta < 0.1$	x: 0 m $\eta = 40.1$	$\eta < 0.1$	M_{Ed} = 0.00 N.P.(1)	N.P.(2)	N.P.(2)	**CUMPLE η = 40.1**
N2129/N2104	$\lambda_w \leq \lambda_{w,máx}$ Cumple	$\eta = 0.1$	$\eta = 0.3$	x: 0 m $\eta = 43.9$	x: 0 m $\eta = 3.5$	x: 0 m $\eta = 6.1$	x: 0 m $\eta = 0.4$	$\eta < 0.1$	$\eta < 0.1$	x: 0 m $\eta = 45.0$	$\eta < 0.1$	M_{Ed} = 0.00 N.P.(1)	N.P.(2)	N.P.(2)	**CUMPLE η = 45.0**
N2130/N2105	$\lambda_w \leq \lambda_{w,máx}$ Cumple	$\eta = 0.4$	$\eta = 1.0$	x: 0 m $\eta = 30.2$	x: 0 m $\eta = 2.7$	x: 0 m $\eta = 4.4$	x: 0 m $\eta = 0.3$	$\eta < 0.1$	$\eta < 0.1$	x: 0 m $\eta = 31.5$	$\eta < 0.1$	M_{Ed} = 0.00 N.P.(1)	N.P.(2)	N.P.(2)	**CUMPLE η = 31.5**

Código de validación telemática TRLTDCFZ60T66IJ1. Comprobación: https://cogitivalencia.e-gestion.es/Validacion.aspx?CVT=TRLTDCFZ60T66IJ1
Documento visado electrónicamente con número VA07290/22

VISADO
COGITI
VALENCIA
VA07290/22
TRLTDCFZ60T66IJ1

Barras	COMPROBACIONES (CÓDIGO ESTRUCTURAL)														Estado
	λ_w	N_t	N_c	M_Y	M_Z	V_Z	V_Y	M_YV_Z	M_ZV_Y	NM_YM_Z	$NM_YM_ZV_YV_Z$	M_t	M_tV_Z	M_tV_Y	
N2131/N2106	$\lambda_w \leq \lambda_{w,máx}$ Cumple	$\eta = 0.3$	$\eta = 0.8$	x: 0 m $\eta = 31.0$	x: 0 m $\eta = 2.8$	x: 0 m $\eta = 4.6$	x: 0 m $\eta = 0.3$	$\eta < 0.1$	$\eta < 0.1$	x: 0 m $\eta = 32.3$	$\eta < 0.1$	$M_{Ed} = 0.00$ N.P.(1)	N.P.(2)	N.P.(2)	**CUMPLE $\eta = 32.3$**
N2132/N2107	$\lambda_w \leq \lambda_{w,máx}$ Cumple	$\eta < 0.1$	$\eta = 0.1$	x: 0 m $\eta = 42.0$	x: 0 m $\eta = 3.5$	x: 0 m $\eta = 6.1$	x: 0 m $\eta = 0.4$	$\eta < 0.1$	$\eta < 0.1$	x: 0 m $\eta = 43.0$	$\eta < 0.1$	$M_{Ed} = 0.00$ N.P.(1)	N.P.(2)	N.P.(2)	**CUMPLE $\eta = 43.0$**
N2133/N2108	$\lambda_w \leq \lambda_{w,máx}$ Cumple	$\eta = 0.3$	$\eta = 0.5$	x: 7.3 m $\eta = 38.6$	x: 0 m $\eta = 3.3$	x: 7.3 m $\eta = 6.0$	x: 0 m $\eta = 0.4$	$\eta < 0.1$	$\eta < 0.1$	x: 7.3 m $\eta = 39.1$	$\eta < 0.1$	$M_{Ed} = 0.00$ N.P.(1)	N.P.(2)	N.P.(2)	**CUMPLE $\eta = 39.1$**
N2134/N2109	$\lambda_w \leq \lambda_{w,máx}$ Cumple	$\eta = 0.4$	$\eta = 0.9$	x: 7.3 m $\eta = 40.2$	x: 0 m $\eta = 3.0$	x: 7.3 m $\eta = 6.2$	x: 0 m $\eta = 0.3$	$\eta < 0.1$	$\eta < 0.1$	x: 7.3 m $\eta = 41.0$	$\eta < 0.1$	$M_{Ed} = 0.00$ N.P.(1)	N.P.(2)	N.P.(2)	**CUMPLE $\eta = 41.0$**
N2135/N2110	$\lambda_w \leq \lambda_{w,máx}$ Cumple	$\eta = 0.1$	$\eta = 0.1$	x: 0 m $\eta = 40.7$	x: 0 m $\eta = 3.6$	x: 0 m $\eta = 6.0$	x: 0 m $\eta = 0.4$	$\eta < 0.1$	$\eta < 0.1$	x: 0 m $\eta = 41.6$	$\eta < 0.1$	$M_{Ed} = 0.00$ N.P.(1)	N.P.(2)	N.P.(2)	**CUMPLE $\eta = 41.6$**
N2136/N2111	$\lambda_w \leq \lambda_{w,máx}$ Cumple	$\eta = 0.2$	$\eta = 0.5$	x: 0 m $\eta = 39.1$	x: 0 m $\eta = 3.5$	x: 0 m $\eta = 5.8$	x: 0 m $\eta = 0.4$	$\eta < 0.1$	$\eta < 0.1$	x: 0 m $\eta = 40.1$	$\eta < 0.1$	$M_{Ed} = 0.00$ N.P.(1)	N.P.(2)	N.P.(2)	**CUMPLE $\eta = 40.1$**
N2137/N2112	$\lambda_w \leq \lambda_{w,máx}$ Cumple	$\eta = 0.6$	$\eta = 1.8$	x: 7.3 m $\eta = 20.4$	x: 0 m $\eta = 2.2$	x: 7.3 m $\eta = 3.1$	x: 0 m $\eta = 0.2$	$\eta < 0.1$	$\eta < 0.1$	x: 0 m $\eta = 22.5$	$\eta < 0.1$	$M_{Ed} = 0.00$ N.P.(1)	N.P.(2)	N.P.(2)	**CUMPLE $\eta = 22.5$**
N2138/N2113	$\lambda_w \leq \lambda_{w,máx}$ Cumple	$\eta = 0.1$	$\eta = 0.4$	x: 0 m $\eta = 40.5$	x: 0 m $\eta = 3.7$	x: 0 m $\eta = 6.0$	x: 0 m $\eta = 0.4$	$\eta < 0.1$	$\eta < 0.1$	x: 0 m $\eta = 41.4$	$\eta < 0.1$	$M_{Ed} = 0.00$ N.P.(1)	N.P.(2)	N.P.(2)	**CUMPLE $\eta = 41.4$**
N2139/N2114	$\lambda_w \leq \lambda_{w,máx}$ Cumple	$\eta = 0.1$	$\eta = 0.2$	x: 0 m $\eta = 40.6$	x: 0 m $\eta = 3.7$	x: 0 m $\eta = 6.0$	x: 0 m $\eta = 0.4$	$\eta < 0.1$	$\eta < 0.1$	x: 0 m $\eta = 41.4$	$\eta < 0.1$	$M_{Ed} = 0.00$ N.P.(1)	N.P.(2)	N.P.(2)	**CUMPLE $\eta = 41.4$**
N2140/N2115	$\lambda_w \leq \lambda_{w,máx}$ Cumple	$\eta = 0.5$	$\eta = 1.0$	x: 7.3 m $\eta = 40.7$	x: 0 m $\eta = 3.0$	x: 7.3 m $\eta = 6.2$	x: 0 m $\eta = 0.3$	$\eta < 0.1$	$\eta < 0.1$	x: 7.3 m $\eta = 41.5$	$\eta < 0.1$	$M_{Ed} = 0.00$ N.P.(1)	N.P.(2)	N.P.(2)	**CUMPLE $\eta = 41.5$**
N2141/N2116	$\lambda_w \leq \lambda_{w,máx}$ Cumple	$\eta = 0.2$	$\eta = 0.4$	x: 0 m $\eta = 38.8$	x: 0 m $\eta = 3.6$	x: 0 m $\eta = 6.0$	x: 0 m $\eta = 0.4$	$\eta < 0.1$	$\eta < 0.1$	x: 0 m $\eta = 39.6$	$\eta < 0.1$	$M_{Ed} = 0.00$ N.P.(1)	N.P.(2)	N.P.(2)	**CUMPLE $\eta = 39.6$**
N2142/N2117	$\lambda_w \leq \lambda_{w,máx}$ Cumple	$\eta < 0.1$	$\eta = 0.1$	x: 0 m $\eta = 41.7$	x: 0 m $\eta = 3.8$	x: 0 m $\eta = 6.1$	x: 0 m $\eta = 0.4$	$\eta < 0.1$	$\eta < 0.1$	x: 0 m $\eta = 42.4$	$\eta < 0.1$	$M_{Ed} = 0.00$ N.P.(1)	N.P.(2)	N.P.(2)	**CUMPLE $\eta = 42.4$**
N2143/N2118	$\lambda_w \leq \lambda_{w,máx}$ Cumple	$\eta = 0.3$	$\eta = 1.0$	x: 0 m $\eta = 27.9$	x: 0 m $\eta = 2.9$	x: 0 m $\eta = 4.2$	x: 0 m $\eta = 0.3$	$\eta < 0.1$	$\eta < 0.1$	x: 0 m $\eta = 28.7$	$\eta < 0.1$	$M_{Ed} = 0.00$ N.P.(1)	N.P.(2)	N.P.(2)	**CUMPLE $\eta = 28.7$**
N2144/N2119	$\lambda_w \leq \lambda_{w,máx}$ Cumple	$\eta = 0.3$	$\eta = 0.9$	x: 0 m $\eta = 32.8$	x: 0 m $\eta = 3.2$	x: 0 m $\eta = 4.8$	x: 0 m $\eta = 0.3$	$\eta < 0.1$	$\eta < 0.1$	x: 0 m $\eta = 33.5$	$\eta < 0.1$	$M_{Ed} = 0.00$ N.P.(1)	N.P.(2)	N.P.(2)	**CUMPLE $\eta = 33.5$**
N2145/N2120	$\lambda_w \leq \lambda_{w,máx}$ Cumple	$\eta < 0.1$	$\eta = 0.2$	x: 0 m $\eta = 43.5$	x: 0 m $\eta = 3.8$	x: 0 m $\eta = 6.1$	x: 0 m $\eta = 0.4$	$\eta < 0.1$	$\eta < 0.1$	x: 0 m $\eta = 44.1$	$\eta < 0.1$	$M_{Ed} = 0.00$ N.P.(1)	N.P.(2)	N.P.(2)	**CUMPLE $\eta = 44.1$**
N2146/N2121	$\lambda_w \leq \lambda_{w,máx}$ Cumple	$\eta = 1.0$	$\eta = 0.7$	x: 0 m $\eta = 35.5$	x: 0 m $\eta = 3.3$	x: 0 m $\eta = 5.0$	x: 0 m $\eta = 0.3$	$\eta < 0.1$	$\eta < 0.1$	x: 0 m $\eta = 36.2$	$\eta < 0.1$	$M_{Ed} = 0.00$ N.P.(1)	N.P.(2)	N.P.(2)	**CUMPLE $\eta = 36.2$**
N2147/N2122	$\lambda_w \leq \lambda_{w,máx}$ Cumple	$\eta = 1.6$	$\eta = 0.8$	x: 0 m $\eta = 36.5$	x: 0 m $\eta = 2.8$	x: 0 m $\eta = 5.1$	x: 0 m $\eta = 0.3$	$\eta < 0.1$	$\eta < 0.1$	x: 0 m $\eta = 37.3$	$\eta < 0.1$	$M_{Ed} = 0.00$ N.P.(1)	N.P.(2)	N.P.(2)	**CUMPLE $\eta = 37.3$**
N2148/N2123	$\lambda_w \leq \lambda_{w,máx}$ Cumple	$\eta < 0.1$	$\eta = 0.2$	x: 0 m $\eta = 77.4$	x: 0 m $\eta = 3.8$	x: 0 m $\eta = 10.3$	x: 0 m $\eta = 0.4$	$\eta < 0.1$	$\eta < 0.1$	x: 0 m $\eta = 78.3$	$\eta < 0.1$	$M_{Ed} = 0.00$ N.P.(1)	N.P.(2)	N.P.(2)	**CUMPLE $\eta = 78.3$**
N2149/N2124	$\lambda_w \leq \lambda_{w,máx}$ Cumple	$\eta = 0.3$	$\eta = 0.4$	x: 0 m $\eta = 75.4$	x: 0 m $\eta = 3.6$	x: 0 m $\eta = 10.1$	x: 0 m $\eta = 0.3$	$\eta < 0.1$	$\eta < 0.1$	x: 0 m $\eta = 76.6$	$\eta < 0.1$	$M_{Ed} = 0.00$ N.P.(1)	N.P.(2)	N.P.(2)	**CUMPLE $\eta = 76.6$**
N2150/N2125	x: 0.456 m $\lambda_w \leq \lambda_{w,máx}$ Cumple	$\eta = 0.4$	$\eta = 0.3$	x: 7.3 m $\eta = 61.4$	x: 7.3 m $\eta = 2.3$	x: 7.3 m $\eta = 8.7$	x: 7.3 m $\eta = 0.3$	x: 0.456 m $\eta < 0.1$	x: 0.456 m $\eta < 0.1$	x: 7.3 m $\eta = 62.3$	x: 0.456 m $\eta < 0.1$	$M_{Ed} = 0.00$ N.P.(1)	N.P.(2)	N.P.(2)	**CUMPLE $\eta = 62.3$**
N2151/N2126	x: 0.456 m $\lambda_w \leq \lambda_{w,máx}$ Cumple	$\eta = 0.1$	$\eta < 0.1$	x: 7.3 m $\eta = 57.9$	x: 7.3 m $\eta = 2.3$	x: 7.3 m $\eta = 8.2$	x: 7.3 m $\eta = 0.3$	x: 0.456 m $\eta < 0.1$	x: 0.456 m $\eta < 0.1$	x: 7.3 m $\eta = 58.4$	x: 0.456 m $\eta < 0.1$	$M_{Ed} = 0.00$ N.P.(1)	N.P.(2)	N.P.(2)	**CUMPLE $\eta = 58.4$**
N2152/N2127	x: 0.456 m $\lambda_w \leq \lambda_{w,máx}$ Cumple	$\eta = 0.9$	$\eta = 0.1$	x: 7.3 m $\eta = 24.4$	x: 7.3 m $\eta = 1.5$	x: 7.3 m $\eta = 3.5$	x: 7.3 m $\eta = 0.2$	x: 0.456 m $\eta < 0.1$	x: 0.456 m $\eta < 0.1$	x: 7.3 m $\eta = 25.1$	x: 0.456 m $\eta < 0.1$	$M_{Ed} = 0.00$ N.P.(1)	N.P.(2)	N.P.(2)	**CUMPLE $\eta = 25.1$**
N2153/N2128	x: 0.456 m $\lambda_w \leq \lambda_{w,máx}$ Cumple	$\eta = 0.4$	$\eta = 0.1$	x: 7.3 m $\eta = 29.7$	x: 7.3 m $\eta = 2.1$	x: 7.3 m $\eta = 4.3$	x: 7.3 m $\eta = 0.3$	x: 0.456 m $\eta < 0.1$	x: 0.456 m $\eta < 0.1$	x: 7.3 m $\eta = 30.5$	x: 0.456 m $\eta < 0.1$	$M_{Ed} = 0.00$ N.P.(1)	N.P.(2)	N.P.(2)	**CUMPLE $\eta = 30.5$**
N2154/N2129	x: 0.456 m $\lambda_w \leq \lambda_{w,máx}$ Cumple	$\eta = 0.1$	$\eta = 0.1$	x: 7.3 m $\eta = 33.5$	x: 7.3 m $\eta = 2.3$	x: 7.3 m $\eta = 4.9$	x: 7.3 m $\eta = 0.3$	x: 0.456 m $\eta < 0.1$	x: 0.456 m $\eta < 0.1$	x: 7.3 m $\eta = 34.4$	x: 0.456 m $\eta < 0.1$	$M_{Ed} = 0.00$ N.P.(1)	N.P.(2)	N.P.(2)	**CUMPLE $\eta = 34.4$**
N2155/N2130	x: 0.456 m $\lambda_w \leq \lambda_{w,máx}$ Cumple	$\eta = 0.1$	$\eta = 0.3$	x: 7.3 m $\eta = 23.1$	x: 7.3 m $\eta = 1.8$	x: 7.3 m $\eta = 3.5$	x: 7.3 m $\eta = 0.3$	x: 0.456 m $\eta < 0.1$	x: 0.456 m $\eta < 0.1$	x: 7.3 m $\eta = 23.9$	x: 0.456 m $\eta < 0.1$	$M_{Ed} = 0.00$ N.P.(1)	N.P.(2)	N.P.(2)	**CUMPLE $\eta = 23.9$**
N2156/N2131	x: 0.456 m $\lambda_w \leq \lambda_{w,máx}$ Cumple	$\eta = 0.1$	$\eta = 0.2$	x: 7.3 m $\eta = 23.7$	x: 7.3 m $\eta = 1.8$	x: 7.3 m $\eta = 3.7$	x: 7.3 m $\eta = 0.3$	x: 0.456 m $\eta < 0.1$	x: 0.456 m $\eta < 0.1$	x: 7.3 m $\eta = 24.5$	x: 0.456 m $\eta < 0.1$	$M_{Ed} = 0.00$ N.P.(1)	N.P.(2)	N.P.(2)	**CUMPLE $\eta = 24.5$**
N2157/N2132	x: 0.456 m $\lambda_w \leq \lambda_{w,máx}$ Cumple	$\eta < 0.1$	$\eta = 0.1$	x: 7.3 m $\eta = 32.1$	x: 7.3 m $\eta = 2.3$	x: 7.3 m $\eta = 4.9$	x: 7.3 m $\eta = 0.3$	x: 0.456 m $\eta < 0.1$	x: 0.456 m $\eta < 0.1$	x: 7.3 m $\eta = 32.8$	x: 0.456 m $\eta < 0.1$	$M_{Ed} = 0.00$ N.P.(1)	N.P.(2)	N.P.(2)	**CUMPLE $\eta = 32.8$**
N2158/N2133	x: 0.456 m $\lambda_w \leq \lambda_{w,máx}$ Cumple	$\eta < 0.1$	$\eta = 0.1$	x: 7.3 m $\eta = 28.5$	x: 7.3 m $\eta = 2.2$	x: 7.3 m $\eta = 4.2$	x: 7.3 m $\eta = 0.3$	x: 0.456 m $\eta < 0.1$	x: 0.456 m $\eta < 0.1$	x: 7.3 m $\eta = 29.2$	x: 0.456 m $\eta < 0.1$	$M_{Ed} = 0.00$ N.P.(1)	N.P.(2)	N.P.(2)	**CUMPLE $\eta = 29.2$**
N2159/N2134	x: 0.456 m $\lambda_w \leq \lambda_{w,máx}$ Cumple	$\eta = 0.1$	$\eta = 0.2$	x: 7.3 m $\eta = 23.9$	x: 7.3 m $\eta = 1.9$	x: 7.3 m $\eta = 3.2$	x: 7.3 m $\eta = 0.2$	x: 0.456 m $\eta < 0.1$	x: 0.456 m $\eta < 0.1$	x: 7.3 m $\eta = 24.3$	x: 0.456 m $\eta < 0.1$	$M_{Ed} = 0.00$ N.P.(1)	N.P.(2)	N.P.(2)	**CUMPLE $\eta = 24.3$**
N2160/N2135	x: 0.456 m $\lambda_w \leq \lambda_{w,máx}$ Cumple	$\eta = 0.1$	$\eta = 0.1$	x: 7.3 m $\eta = 31.1$	x: 7.3 m $\eta = 2.4$	x: 7.3 m $\eta = 4.9$	x: 7.3 m $\eta = 0.3$	x: 0.456 m $\eta < 0.1$	x: 0.456 m $\eta < 0.1$	x: 7.3 m $\eta = 31.8$	x: 0.456 m $\eta < 0.1$	$M_{Ed} = 0.00$ N.P.(1)	N.P.(2)	N.P.(2)	**CUMPLE $\eta = 31.8$**
N2161/N2136	x: 0.456 m $\lambda_w \leq \lambda_{w,máx}$ Cumple	$\eta < 0.1$	$\eta = 0.1$	x: 7.3 m $\eta = 29.8$	x: 7.3 m $\eta = 2.3$	x: 7.3 m $\eta = 4.7$	x: 7.3 m $\eta = 0.3$	x: 0.456 m $\eta < 0.1$	x: 0.456 m $\eta < 0.1$	x: 7.3 m $\eta = 30.5$	x: 0.456 m $\eta < 0.1$	$M_{Ed} = 0.00$ N.P.(1)	N.P.(2)	N.P.(2)	**CUMPLE $\eta = 30.5$**
N2162/N2137	x: 0.456 m $\lambda_w \leq \lambda_{w,máx}$ Cumple	$\eta = 0.1$	$\eta = 0.2$	x: 3.194 m $\eta = 15.6$	x: 7.3 m $\eta = 1.5$	x: 7.3 m $\eta = 2.4$	x: 7.3 m $\eta = 0.2$	x: 0.456 m $\eta < 0.1$	x: 0.456 m $\eta < 0.1$	x: 3.194 m $\eta = 16.3$	x: 0.456 m $\eta < 0.1$	$M_{Ed} = 0.00$ N.P.(1)	N.P.(2)	N.P.(2)	**CUMPLE $\eta = 16.3$**
N2163/N2138	x: 0.456 m $\lambda_w \leq \lambda_{w,máx}$ Cumple	$\eta = 0.1$	$\eta = 0.1$	x: 7.3 m $\eta = 30.9$	x: 7.3 m $\eta = 2.4$	x: 7.3 m $\eta = 4.9$	x: 7.3 m $\eta = 0.3$	x: 0.456 m $\eta < 0.1$	x: 0.456 m $\eta < 0.1$	x: 7.3 m $\eta = 31.6$	x: 0.456 m $\eta < 0.1$	$M_{Ed} = 0.00$ N.P.(1)	N.P.(2)	N.P.(2)	**CUMPLE $\eta = 31.6$**
N2164/N2139	x: 0.456 m $\lambda_w \leq \lambda_{w,máx}$ Cumple	$\eta = 0.1$	$\eta = 0.1$	x: 7.3 m $\eta = 31.0$	x: 7.3 m $\eta = 2.4$	x: 7.3 m $\eta = 4.9$	x: 7.3 m $\eta = 0.3$	x: 0.456 m $\eta < 0.1$	x: 0.456 m $\eta < 0.1$	x: 7.3 m $\eta = 31.7$	x: 0.456 m $\eta < 0.1$	$M_{Ed} = 0.00$ N.P.(1)	N.P.(2)	N.P.(2)	**CUMPLE $\eta = 31.7$**

Documento visado electrónicamente con número: VA07290/22
Código de validación telemática TRLTDCFZ60T66IJ1. Comprobación: https://cogitivalencia.e-gestion.es/Validacion.aspx?CVT=TRLTDCFZ60T66IJ1

VISADO
COGITI
VALENCIA
VA07290/22
TRLTDCFZ60T66IJ1

Barras	COMPROBACIONES (CÓDIGO ESTRUCTURAL)														Estado
	λ_w	N_t	N_c	M_Y	M_Z	V_Z	V_Y	M_YV_Z	M_ZV_Y	NM_YM_Z	$NM_YM_ZV_YV_Z$	M_t	M_tV_Z	M_tV_Y	
N2165/N2140	x: 0.456 m $\lambda_w \leq \lambda_{w,máx}$ Cumple	$\eta = 0.1$	$\eta = 0.2$	x: 7.3 m $\eta = 22.5$	x: 7.3 m $\eta = 2.0$	x: 7.3 m $\eta = 2.9$	x: 7.3 m $\eta = 0.2$	x: 0.456 m $\eta < 0.1$	x: 0.456 m $\eta < 0.1$	x: 7.3 m $\eta = 23.0$	x: 0.456 m $\eta < 0.1$	$M_{Ed} = 0.00$ N.P.(1)	N.P.(2)	N.P.(2)	**CUMPLE** **$\eta = 23.0$**
N2166/N2141	x: 0.456 m $\lambda_w \leq \lambda_{w,máx}$ Cumple	$\eta < 0.1$	$\eta = 0.1$	x: 7.3 m $\eta = 29.6$	x: 7.3 m $\eta = 2.4$	x: 7.3 m $\eta = 4.5$	x: 7.3 m $\eta = 0.3$	x: 0.456 m $\eta < 0.1$	x: 0.456 m $\eta < 0.1$	x: 7.3 m $\eta = 30.1$	x: 0.456 m $\eta < 0.1$	$M_{Ed} = 0.00$ N.P.(1)	N.P.(2)	N.P.(2)	**CUMPLE** **$\eta = 30.1$**
N2167/N2142	x: 0.456 m $\lambda_w \leq \lambda_{w,máx}$ Cumple	$\eta < 0.1$	$\eta = 0.1$	x: 7.3 m $\eta = 31.9$	x: 7.3 m $\eta = 2.5$	x: 7.3 m $\eta = 4.9$	x: 7.3 m $\eta = 0.3$	x: 0.456 m $\eta < 0.1$	x: 0.456 m $\eta < 0.1$	x: 7.3 m $\eta = 32.4$	x: 0.456 m $\eta < 0.1$	$M_{Ed} = 0.00$ N.P.(1)	N.P.(2)	N.P.(2)	**CUMPLE** **$\eta = 32.4$**
N2168/N2143	x: 0.456 m $\lambda_w \leq \lambda_{w,máx}$ Cumple	$\eta = 0.1$	$\eta = 0.2$	x: 7.3 m $\eta = 21.3$	x: 7.3 m $\eta = 1.9$	x: 7.3 m $\eta = 3.4$	x: 7.3 m $\eta = 0.3$	x: 0.456 m $\eta < 0.1$	x: 0.456 m $\eta < 0.1$	x: 7.3 m $\eta = 21.8$	x: 0.456 m $\eta < 0.1$	$M_{Ed} = 0.00$ N.P.(1)	N.P.(2)	N.P.(2)	**CUMPLE** **$\eta = 21.8$**
N2169/N2144	x: 0.456 m $\lambda_w \leq \lambda_{w,máx}$ Cumple	$\eta = 0.1$	$\eta = 0.2$	x: 7.3 m $\eta = 25.0$	x: 7.3 m $\eta = 2.1$	x: 7.3 m $\eta = 3.8$	x: 7.3 m $\eta = 0.3$	x: 0.456 m $\eta < 0.1$	x: 0.456 m $\eta < 0.1$	x: 7.3 m $\eta = 25.5$	x: 0.456 m $\eta < 0.1$	$M_{Ed} = 0.00$ N.P.(1)	N.P.(2)	N.P.(2)	**CUMPLE** **$\eta = 25.5$**
N2170/N2145	x: 0.456 m $\lambda_w \leq \lambda_{w,máx}$ Cumple	$\eta < 0.1$	$\eta = 0.1$	x: 7.3 m $\eta = 33.2$	x: 7.3 m $\eta = 2.5$	x: 7.3 m $\eta = 4.9$	x: 7.3 m $\eta = 0.3$	x: 0.456 m $\eta < 0.1$	x: 0.456 m $\eta < 0.1$	x: 7.3 m $\eta = 33.7$	x: 0.456 m $\eta < 0.1$	$M_{Ed} = 0.00$ N.P.(1)	N.P.(2)	N.P.(2)	**CUMPLE** **$\eta = 33.7$**
N2171/N2146	x: 0.456 m $\lambda_w \leq \lambda_{w,máx}$ Cumple	$\eta = 0.6$	$\eta = 0.3$	x: 7.3 m $\eta = 27.1$	x: 7.3 m $\eta = 2.2$	x: 7.3 m $\eta = 4.0$	x: 7.3 m $\eta = 0.3$	x: 0.456 m $\eta < 0.1$	x: 0.456 m $\eta < 0.1$	x: 7.3 m $\eta = 27.7$	x: 0.456 m $\eta < 0.1$	$M_{Ed} = 0.00$ N.P.(1)	N.P.(2)	N.P.(2)	**CUMPLE** **$\eta = 27.7$**
N2172/N2147	x: 0.456 m $\lambda_w \leq \lambda_{w,máx}$ Cumple	$\eta = 0.9$	$\eta = 0.4$	x: 7.3 m $\eta = 27.9$	x: 7.3 m $\eta = 1.9$	x: 7.3 m $\eta = 4.1$	x: 7.3 m $\eta = 0.2$	x: 0.456 m $\eta < 0.1$	x: 0.456 m $\eta < 0.1$	x: 7.3 m $\eta = 28.5$	x: 0.456 m $\eta < 0.1$	$M_{Ed} = 0.00$ N.P.(1)	N.P.(2)	N.P.(2)	**CUMPLE** **$\eta = 28.5$**
N2173/N2148	x: 0.456 m $\lambda_w \leq \lambda_{w,máx}$ Cumple	$\eta < 0.1$	$\eta = 0.1$	x: 7.3 m $\eta = 59.2$	x: 7.3 m $\eta = 2.5$	x: 7.3 m $\eta = 8.5$	x: 7.3 m $\eta = 0.3$	x: 0.456 m $\eta < 0.1$	x: 0.456 m $\eta < 0.1$	x: 7.3 m $\eta = 59.8$	x: 0.456 m $\eta < 0.1$	$M_{Ed} = 0.00$ N.P.(1)	N.P.(2)	N.P.(2)	**CUMPLE** **$\eta = 59.8$**
N2174/N2149	x: 0.456 m $\lambda_w \leq \lambda_{w,máx}$ Cumple	$\eta = 0.1$	$\eta = 0.1$	x: 7.3 m $\eta = 57.7$	x: 7.3 m $\eta = 2.4$	x: 7.3 m $\eta = 8.2$	x: 7.3 m $\eta = 0.3$	x: 0.456 m $\eta < 0.1$	x: 0.456 m $\eta < 0.1$	x: 7.3 m $\eta = 58.3$	x: 0.456 m $\eta < 0.1$	$M_{Ed} = 0.00$ N.P.(1)	N.P.(2)	N.P.(2)	**CUMPLE** **$\eta = 58.3$**
N2176/N2175	x: 0 m $\lambda_w \leq \lambda_{w,máx}$ Cumple	$\eta = 0.4$	$\eta = 0.5$	x: 0 m $\eta = 70.6$	x: 0 m $\eta = 2.3$	x: 0 m $\eta = 9.7$	x: 0 m $\eta = 0.3$	x: 0 m $\eta < 0.1$	x: 0 m $\eta < 0.1$	x: 0 m $\eta = 71.9$	x: 0 m $\eta < 0.1$	$M_{Ed} = 0.00$ N.P.(1)	N.P.(2)	N.P.(2)	**CUMPLE** **$\eta = 71.9$**
N2178/N2177	x: 0 m $\lambda_w \leq \lambda_{w,máx}$ Cumple	$\eta = 0.1$	$\eta < 0.1$	x: 0 m $\eta = 70.2$	x: 0 m $\eta = 2.3$	x: 0 m $\eta = 9.7$	x: 0 m $\eta = 0.3$	x: 0 m $\eta < 0.1$	x: 0 m $\eta < 0.1$	x: 0 m $\eta = 71.1$	x: 0 m $\eta < 0.1$	$M_{Ed} = 0.00$ N.P.(1)	N.P.(2)	N.P.(2)	**CUMPLE** **$\eta = 71.1$**
N2180/N2179	x: 0 m $\lambda_w \leq \lambda_{w,máx}$ Cumple	$\eta = 0.3$	$\eta = 1.5$	x: 0 m $\eta = 43.6$	x: 0 m $\eta = 1.5$	x: 0 m $\eta = 6.2$	x: 0 m $\eta = 0.2$	x: 0 m $\eta < 0.1$	x: 0 m $\eta < 0.1$	x: 0 m $\eta = 44.8$	x: 0 m $\eta < 0.1$	$M_{Ed} = 0.00$ N.P.(1)	N.P.(2)	N.P.(2)	**CUMPLE** **$\eta = 44.8$**
N2182/N2181	x: 0 m $\lambda_w \leq \lambda_{w,máx}$ Cumple	$\eta = 0.2$	$\eta = 0.7$	x: 0 m $\eta = 61.2$	x: 0 m $\eta = 2.0$	x: 0 m $\eta = 8.6$	x: 0 m $\eta = 0.3$	x: 0 m $\eta < 0.1$	x: 0 m $\eta < 0.1$	x: 0 m $\eta = 62.1$	x: 0 m $\eta < 0.1$	$M_{Ed} = 0.00$ N.P.(1)	N.P.(2)	N.P.(2)	**CUMPLE** **$\eta = 62.1$**
N2184/N2183	x: 0 m $\lambda_w \leq \lambda_{w,máx}$ Cumple	$\eta = 0.1$	$\eta < 0.1$	x: 0 m $\eta = 68.3$	x: 0 m $\eta = 2.3$	x: 0 m $\eta = 9.7$	x: 0 m $\eta = 0.3$	x: 0 m $\eta < 0.1$	x: 0 m $\eta < 0.1$	x: 0 m $\eta = 68.8$	x: 0 m $\eta < 0.1$	$M_{Ed} = 0.00$ N.P.(1)	N.P.(2)	N.P.(2)	**CUMPLE** **$\eta = 68.8$**
N2186/N2185	x: 0 m $\lambda_w \leq \lambda_{w,máx}$ Cumple	$\eta < 0.1$	$\eta = 0.4$	x: 0 m $\eta = 48.6$	x: 0 m $\eta = 1.8$	x: 0 m $\eta = 7.2$	x: 0 m $\eta = 0.3$	x: 0 m $\eta < 0.1$	x: 0 m $\eta < 0.1$	x: 0 m $\eta = 49.4$	x: 0 m $\eta < 0.1$	$M_{Ed} = 0.00$ N.P.(1)	N.P.(2)	N.P.(2)	**CUMPLE** **$\eta = 49.4$**
N2188/N2187	x: 0 m $\lambda_w \leq \lambda_{w,máx}$ Cumple	$\eta < 0.1$	$\eta = 0.3$	x: 0 m $\eta = 49.6$	x: 0 m $\eta = 1.8$	x: 0 m $\eta = 7.4$	x: 0 m $\eta = 0.3$	x: 0 m $\eta < 0.1$	x: 0 m $\eta < 0.1$	x: 0 m $\eta = 50.4$	x: 0 m $\eta < 0.1$	$M_{Ed} = 0.00$ N.P.(1)	N.P.(2)	N.P.(2)	**CUMPLE** **$\eta = 50.4$**
N2190/N2189	x: 0 m $\lambda_w \leq \lambda_{w,máx}$ Cumple	$\eta = 0.1$	$\eta = 0.1$	x: 0 m $\eta = 65.0$	x: 0 m $\eta = 2.3$	x: 0 m $\eta = 9.6$	x: 0 m $\eta = 0.3$	x: 0 m $\eta < 0.1$	x: 0 m $\eta < 0.1$	x: 0 m $\eta = 65.7$	x: 0 m $\eta < 0.1$	$M_{Ed} = 0.00$ N.P.(1)	N.P.(2)	N.P.(2)	**CUMPLE** **$\eta = 65.7$**
N2192/N2191	x: 0 m $\lambda_w \leq \lambda_{w,máx}$ Cumple	$\eta = 0.2$	$\eta = 0.1$	x: 0 m $\eta = 58.5$	x: 0 m $\eta = 2.1$	x: 0 m $\eta = 8.3$	x: 0 m $\eta = 0.3$	x: 0 m $\eta < 0.1$	x: 0 m $\eta < 0.1$	x: 0 m $\eta = 59.6$	x: 0 m $\eta < 0.1$	$M_{Ed} = 0.00$ N.P.(1)	N.P.(2)	N.P.(2)	**CUMPLE** **$\eta = 59.6$**
N2194/N2193	x: 0 m $\lambda_w \leq \lambda_{w,máx}$ Cumple	$\eta = 0.4$	$\eta = 0.3$	x: 0 m $\eta = 49.8$	x: 0 m $\eta = 1.9$	x: 0 m $\eta = 6.5$	x: 0 m $\eta = 0.2$	x: 0 m $\eta < 0.1$	x: 0 m $\eta < 0.1$	x: 0 m $\eta = 51.2$	x: 0 m $\eta < 0.1$	$M_{Ed} = 0.00$ N.P.(1)	N.P.(2)	N.P.(2)	**CUMPLE** **$\eta = 51.2$**
N2196/N2195	x: 0 m $\lambda_w \leq \lambda_{w,máx}$ Cumple	$\eta = 0.1$	$\eta = 0.1$	x: 0 m $\eta = 62.3$	x: 0 m $\eta = 2.3$	x: 0 m $\eta = 9.5$	x: 0 m $\eta = 0.3$	x: 0 m $\eta < 0.1$	x: 0 m $\eta < 0.1$	x: 0 m $\eta = 63.1$	x: 0 m $\eta < 0.1$	$M_{Ed} = 0.00$ N.P.(1)	N.P.(2)	N.P.(2)	**CUMPLE** **$\eta = 63.1$**
N2198/N2197	x: 0 m $\lambda_w \leq \lambda_{w,máx}$ Cumple	$\eta = 0.1$	$\eta = 0.2$	x: 0 m $\eta = 59.7$	x: 0 m $\eta = 2.3$	x: 0 m $\eta = 9.3$	x: 0 m $\eta = 0.3$	x: 0 m $\eta < 0.1$	x: 0 m $\eta < 0.1$	x: 0 m $\eta = 61.0$	x: 0 m $\eta < 0.1$	$M_{Ed} = 0.00$ N.P.(1)	N.P.(2)	N.P.(2)	**CUMPLE** **$\eta = 61.0$**
N2200/N2199	x: 0 m $\lambda_w \leq \lambda_{w,máx}$ Cumple	$\eta = 0.7$	$\eta = 1.2$	x: 4.106 m $\eta = 32.8$	x: 0 m $\eta = 1.4$	x: 0 m $\eta = 5.1$	x: 0 m $\eta = 0.2$	x: 0 m $\eta < 0.1$	x: 0 m $\eta < 0.1$	x: 4.106 m $\eta = 34.0$	x: 0 m $\eta < 0.1$	$M_{Ed} = 0.00$ N.P.(1)	N.P.(2)	N.P.(2)	**CUMPLE** **$\eta = 34.0$**
N2202/N2201	x: 0 m $\lambda_w \leq \lambda_{w,máx}$ Cumple	$\eta < 0.1$	$\eta < 0.1$	x: 0 m $\eta = 61.4$	x: 0 m $\eta = 2.4$	x: 0 m $\eta = 9.5$	x: 0 m $\eta = 0.3$	x: 0 m $\eta < 0.1$	x: 0 m $\eta < 0.1$	x: 0 m $\eta = 62.7$	x: 0 m $\eta < 0.1$	$M_{Ed} = 0.00$ N.P.(1)	N.P.(2)	N.P.(2)	**CUMPLE** **$\eta = 62.7$**
N2204/N2203	x: 0 m $\lambda_w \leq \lambda_{w,máx}$ Cumple	$\eta = 0.1$	$\eta = 0.1$	x: 0 m $\eta = 61.5$	x: 0 m $\eta = 2.4$	x: 0 m $\eta = 9.5$	x: 0 m $\eta = 0.3$	x: 0 m $\eta < 0.1$	x: 0 m $\eta < 0.1$	x: 0 m $\eta = 62.4$	x: 0 m $\eta < 0.1$	$M_{Ed} = 0.00$ N.P.(1)	N.P.(2)	N.P.(2)	**CUMPLE** **$\eta = 62.4$**
N2206/N2205	x: 0 m $\lambda_w \leq \lambda_{w,máx}$ Cumple	$\eta = 0.8$	$\eta = 0.5$	x: 0 m $\eta = 46.4$	x: 0 m $\eta = 1.9$	x: 0 m $\eta = 6.0$	x: 0 m $\eta = 0.2$	x: 0 m $\eta < 0.1$	x: 0 m $\eta < 0.1$	x: 0 m $\eta = 48.4$	x: 0 m $\eta < 0.1$	$M_{Ed} = 0.00$ N.P.(1)	N.P.(2)	N.P.(2)	**CUMPLE** **$\eta = 48.4$**
N2208/N2207	x: 0 m $\lambda_w \leq \lambda_{w,máx}$ Cumple	$\eta = 0.2$	$\eta = 0.1$	x: 0 m $\eta = 59.0$	x: 0 m $\eta = 2.3$	x: 0 m $\eta = 8.8$	x: 0 m $\eta = 0.3$	x: 0 m $\eta < 0.1$	x: 0 m $\eta < 0.1$	x: 0 m $\eta = 60.6$	x: 0 m $\eta < 0.1$	$M_{Ed} = 0.00$ N.P.(1)	N.P.(2)	N.P.(2)	**CUMPLE** **$\eta = 60.6$**
N2210/N2209	x: 0 m $\lambda_w \leq \lambda_{w,máx}$ Cumple	$\eta = 0.1$	$\eta = 0.1$	x: 0 m $\eta = 63.0$	x: 0 m $\eta = 2.4$	x: 0 m $\eta = 9.6$	x: 0 m $\eta = 0.3$	x: 0 m $\eta < 0.1$	x: 0 m $\eta < 0.1$	x: 0 m $\eta = 64.0$	x: 0 m $\eta < 0.1$	$M_{Ed} = 0.00$ N.P.(1)	N.P.(2)	N.P.(2)	**CUMPLE** **$\eta = 64.0$**

Documento visado electrónicamente con número: VA07290/22
Código de validación telemática TRLTDCFZ60T66IJ1. Comprobación: https://cogitivalencia.e-gestion.es/Validacion.aspx?CVT=TRLTDCFZ60T66IJ1

VISADO
COGITI
VALENCIA
VA07290/22
TRLTDCFZ60T66IJ1

Barras	COMPROBACIONES (CÓDIGO ESTRUCTURAL)														Estado
	λ_w	N_t	N_c	M_Y	M_Z	V_Z	V_Y	M_YV_Z	M_ZV_Y	NM_YM_Z	$NM_YM_ZV_YV_Z$	M_t	M_tV_Z	M_tV_Y	
N2212/N2211	x: 0 m $\lambda_w \leq \lambda_{w,máx}$ Cumple	η = 0.3	η = 0.7	x: 0 m η = 43.2	x: 0 m η = 1.9	x: 0 m η = 6.8	x: 0 m η = 0.3	x: 0 m η < 0.1	x: 0 m η < 0.1	x: 0 m η = 45.0	x: 0 m η < 0.1	M_{Ed} = 0.00 N.P.(1)	N.P.(2)	N.P.(2)	**CUMPLE** **η = 45.0**
N2214/N2213	x: 0 m $\lambda_w \leq \lambda_{w,máx}$ Cumple	η = 0.2	η = 0.5	x: 0 m η = 50.3	x: 0 m η = 2.1	x: 0 m η = 7.7	x: 0 m η = 0.3	x: 0 m η < 0.1	x: 0 m η < 0.1	x: 0 m η = 52.1	x: 0 m η < 0.1	M_{Ed} = 0.00 N.P.(1)	N.P.(2)	N.P.(2)	**CUMPLE** **η = 52.1**
N2216/N2215	x: 0 m $\lambda_w \leq \lambda_{w,máx}$ Cumple	η = 0.1	η = 0.1	x: 0 m η = 65.8	x: 0 m η = 2.4	x: 0 m η = 9.6	x: 0 m η = 0.3	x: 0 m η < 0.1	x: 0 m η < 0.1	x: 0 m η = 67.0	x: 0 m η < 0.1	M_{Ed} = 0.00 N.P.(1)	N.P.(2)	N.P.(2)	**CUMPLE** **η = 67.0**
N2218/N2217	x: 0 m $\lambda_w \leq \lambda_{w,máx}$ Cumple	η = 0.3	η = 0.6	x: 0 m η = 54.6	x: 0 m η = 2.3	x: 0 m η = 8.0	x: 0 m η = 0.3	x: 0 m η < 0.1	x: 0 m η < 0.1	x: 0 m η = 56.6	x: 0 m η < 0.1	M_{Ed} = 0.00 N.P.(1)	N.P.(2)	N.P.(2)	**CUMPLE** **η = 56.6**
N2220/N2219	x: 0 m $\lambda_w \leq \lambda_{w,máx}$ Cumple	η = 0.5	η = 0.9	x: 0 m η = 45.3	x: 0 m η = 2.2	x: 0 m η = 6.6	x: 0 m η = 0.2	x: 0 m η < 0.1	x: 0 m η < 0.1	x: 0 m η = 47.4	x: 0 m η < 0.1	M_{Ed} = 0.00 N.P.(1)	N.P.(2)	N.P.(2)	**CUMPLE** **η = 47.4**
N2222/N2221	x: 0 m $\lambda_w \leq \lambda_{w,máx}$ Cumple	η < 0.1	η < 0.1	x: 0 m η = 68.1	x: 0 m η = 2.5	x: 0 m η = 9.7	x: 0 m η = 0.3	x: 0 m η < 0.1	x: 0 m η < 0.1	x: 0 m η = 69.2	x: 0 m η < 0.1	M_{Ed} = 0.00 N.P.(1)	N.P.(2)	N.P.(2)	**CUMPLE** **η = 69.2**
N2224/N2223	x: 0 m $\lambda_w \leq \lambda_{w,máx}$ Cumple	η = 0.1	η = 0.2	x: 0 m η = 65.4	x: 0 m η = 2.5	x: 0 m η = 9.2	x: 0 m η = 0.3	x: 0 m η < 0.1	x: 0 m η < 0.1	x: 0 m η = 66.7	x: 0 m η < 0.1	M_{Ed} = 0.00 N.P.(1)	N.P.(2)	N.P.(2)	**CUMPLE** **η = 66.7**
N2225/N2176	$\lambda_w \leq \lambda_{w,máx}$ Cumple	η = 0.6	η = 1.0	x: 7.3 m η = 92.3	x: 7.3 m η = 3.5	x: 7.3 m η = 12.2	x: 7.3 m η = 0.4	η < 0.1	η < 0.1	x: 7.3 m η = 94.4	η < 0.1	M_{Ed} = 0.00 N.P.(1)	N.P.(2)	N.P.(2)	**CUMPLE** **η = 94.4**
N2226/N2178	$\lambda_w \leq \lambda_{w,máx}$ Cumple	η = 0.4	η = 0.8	x: 7.3 m η = 91.8	x: 7.3 m η = 3.5	x: 7.3 m η = 12.2	x: 7.3 m η = 0.4	η < 0.1	η < 0.1	x: 7.3 m η = 93.0	η < 0.1	M_{Ed} = 0.00 N.P.(1)	N.P.(2)	N.P.(2)	**CUMPLE** **η = 93.0**
N2227/N2180	$\lambda_w \leq \lambda_{w,máx}$ Cumple	η = 0.8	η = 3.9	x: 7.3 m η = 57.1	x: 7.3 m η = 2.3	x: 7.3 m η = 7.7	x: 7.3 m η = 0.2	η < 0.1	η < 0.1	x: 7.3 m η = 59.3	η < 0.1	M_{Ed} = 0.00 N.P.(1)	N.P.(2)	N.P.(2)	**CUMPLE** **η = 59.3**
N2228/N2182	$\lambda_w \leq \lambda_{w,máx}$ Cumple	η = 0.5	η = 2.2	x: 7.3 m η = 80.1	x: 7.3 m η = 3.1	x: 7.3 m η = 10.9	x: 7.3 m η = 0.3	η < 0.1	η < 0.1	x: 7.3 m η = 81.8	η < 0.1	M_{Ed} = 0.00 N.P.(1)	N.P.(2)	N.P.(2)	**CUMPLE** **η = 81.8**
N2229/N2184	$\lambda_w \leq \lambda_{w,máx}$ Cumple	η = 0.2	η = 0.2	x: 7.3 m η = 89.4	x: 7.3 m η = 3.4	x: 7.3 m η = 12.3	x: 7.3 m η = 0.4	η < 0.1	η < 0.1	x: 7.3 m η = 90.2	η < 0.1	M_{Ed} = 0.00 N.P.(1)	N.P.(2)	N.P.(2)	**CUMPLE** **η = 90.2**
N2230/N2186	$\lambda_w \leq \lambda_{w,máx}$ Cumple	η = 0.2	η = 0.3	x: 7.3 m η = 63.6	x: 7.3 m η = 2.7	x: 7.3 m η = 9.0	x: 7.3 m η = 0.3	η < 0.1	η < 0.1	x: 7.3 m η = 64.5	η < 0.1	M_{Ed} = 0.00 N.P.(1)	N.P.(2)	N.P.(2)	**CUMPLE** **η = 64.5**
N2231/N2188	$\lambda_w \leq \lambda_{w,máx}$ Cumple	η = 0.1	η = 0.3	x: 7.3 m η = 64.9	x: 7.3 m η = 2.8	x: 7.3 m η = 9.3	x: 7.3 m η = 0.3	η < 0.1	η < 0.1	x: 7.3 m η = 65.8	η < 0.1	M_{Ed} = 0.00 N.P.(1)	N.P.(2)	N.P.(2)	**CUMPLE** **η = 65.8**
N2232/N2190	$\lambda_w \leq \lambda_{w,máx}$ Cumple	η = 0.1	η = 0.2	x: 7.3 m η = 85.1	x: 7.3 m η = 3.5	x: 7.3 m η = 12.1	x: 7.3 m η = 0.4	η < 0.1	η < 0.1	x: 7.3 m η = 85.9	η < 0.1	M_{Ed} = 0.00 N.P.(1)	N.P.(2)	N.P.(2)	**CUMPLE** **η = 85.9**
N2233/N2192	$\lambda_w \leq \lambda_{w,máx}$ Cumple	η = 0.3	η = 0.4	x: 7.3 m η = 76.5	x: 7.3 m η = 3.2	x: 7.3 m η = 11.8	x: 7.3 m η = 0.4	η < 0.1	η < 0.1	x: 7.3 m η = 77.7	η < 0.1	M_{Ed} = 0.00 N.P.(1)	N.P.(2)	N.P.(2)	**CUMPLE** **η = 77.7**
N2234/N2194	$\lambda_w \leq \lambda_{w,máx}$ Cumple	η = 0.5	η = 0.7	x: 7.3 m η = 65.2	x: 0 m η = 2.9	x: 7.3 m η = 11.4	x: 0 m η = 0.3	η < 0.1	η < 0.1	x: 7.3 m η = 66.7	η < 0.1	M_{Ed} = 0.00 N.P.(1)	N.P.(2)	N.P.(2)	**CUMPLE** **η = 66.7**
N2235/N2196	$\lambda_w \leq \lambda_{w,máx}$ Cumple	η = 0.2	η = 0.2	x: 7.3 m η = 81.5	x: 7.3 m η = 3.5	x: 7.3 m η = 11.9	x: 7.3 m η = 0.4	η < 0.1	η < 0.1	x: 7.3 m η = 82.5	η < 0.1	M_{Ed} = 0.00 N.P.(1)	N.P.(2)	N.P.(2)	**CUMPLE** **η = 82.5**
N2236/N2198	$\lambda_w \leq \lambda_{w,máx}$ Cumple	η = 0.1	η = 0.1	x: 7.3 m η = 78.2	x: 7.3 m η = 3.4	x: 7.3 m η = 11.5	x: 7.3 m η = 0.4	η < 0.1	η < 0.1	x: 7.3 m η = 79.2	η < 0.1	M_{Ed} = 0.00 N.P.(1)	N.P.(2)	N.P.(2)	**CUMPLE** **η = 79.2**
N2237/N2200	$\lambda_w \leq \lambda_{w,máx}$ Cumple	η = 0.4	η = 0.6	x: 7.3 m η = 37.5	x: 7.3 m η = 2.2	x: 7.3 m η = 6.2	x: 7.3 m η = 0.2	η < 0.1	η < 0.1	x: 7.3 m η = 38.8	η < 0.1	M_{Ed} = 0.00 N.P.(1)	N.P.(2)	N.P.(2)	**CUMPLE** **η = 38.8**
N2238/N2202	$\lambda_w \leq \lambda_{w,máx}$ Cumple	η = 0.1	η = 0.1	x: 7.3 m η = 80.3	x: 7.3 m η = 3.6	x: 7.3 m η = 11.9	x: 7.3 m η = 0.4	η < 0.1	η < 0.1	x: 7.3 m η = 81.4	η < 0.1	M_{Ed} = 0.00 N.P.(1)	N.P.(2)	N.P.(2)	**CUMPLE** **η = 81.4**
N2239/N2204	$\lambda_w \leq \lambda_{w,máx}$ Cumple	η = 0.2	η = 0.2	x: 7.3 m η = 80.5	x: 7.3 m η = 3.6	x: 7.3 m η = 11.9	x: 7.3 m η = 0.4	η < 0.1	η < 0.1	x: 7.3 m η = 81.7	η < 0.1	M_{Ed} = 0.00 N.P.(1)	N.P.(2)	N.P.(2)	**CUMPLE** **η = 81.7**
N2240/N2206	$\lambda_w \leq \lambda_{w,máx}$ Cumple	η = 0.5	η = 0.8	x: 0 m η = 61.0	x: 7.3 m η = 2.9	x: 7.3 m η = 11.2	x: 7.3 m η = 0.3	η < 0.1	η < 0.1	x: 7.3 m η = 62.5	η < 0.1	M_{Ed} = 0.00 N.P.(1)	N.P.(2)	N.P.(2)	**CUMPLE** **η = 62.5**
N2241/N2208	$\lambda_w \leq \lambda_{w,máx}$ Cumple	η = 0.3	η = 0.4	x: 7.3 m η = 77.2	x: 7.3 m η = 3.5	x: 7.3 m η = 11.8	x: 7.3 m η = 0.4	η < 0.1	η < 0.1	x: 7.3 m η = 78.7	η < 0.1	M_{Ed} = 0.00 N.P.(1)	N.P.(2)	N.P.(2)	**CUMPLE** **η = 78.7**
N2242/N2210	$\lambda_w \leq \lambda_{w,máx}$ Cumple	η = 0.1	η = 0.1	x: 7.3 m η = 82.4	x: 7.3 m η = 3.6	x: 7.3 m η = 12.0	x: 7.3 m η = 0.4	η < 0.1	η < 0.1	x: 7.3 m η = 83.6	η < 0.1	M_{Ed} = 0.00 N.P.(1)	N.P.(2)	N.P.(2)	**CUMPLE** **η = 83.6**
N2243/N2212	$\lambda_w \leq \lambda_{w,máx}$ Cumple	η = 0.1	η = 0.2	x: 7.3 m η = 56.5	x: 7.3 m η = 2.9	x: 7.3 m η = 8.5	x: 7.3 m η = 0.3	η < 0.1	η < 0.1	x: 7.3 m η = 57.9	η < 0.1	M_{Ed} = 0.00 N.P.(1)	N.P.(2)	N.P.(2)	**CUMPLE** **η = 57.9**
N2244/N2214	$\lambda_w \leq \lambda_{w,máx}$ Cumple	η = 0.1	η = 0.2	x: 7.3 m η = 65.8	x: 7.3 m η = 3.2	x: 7.3 m η = 9.6	x: 7.3 m η = 0.3	η < 0.1	η < 0.1	x: 7.3 m η = 67.2	η < 0.1	M_{Ed} = 0.00 N.P.(1)	N.P.(2)	N.P.(2)	**CUMPLE** **η = 67.2**
N2245/N2216	$\lambda_w \leq \lambda_{w,máx}$ Cumple	η < 0.1	η = 0.2	x: 7.3 m η = 86.1	x: 7.3 m η = 3.7	x: 7.3 m η = 12.1	x: 7.3 m η = 0.4	η < 0.1	η < 0.1	x: 7.3 m η = 87.6	η < 0.1	M_{Ed} = 0.00 N.P.(1)	N.P.(2)	N.P.(2)	**CUMPLE** **η = 87.6**
N2246/N2218	$\lambda_w \leq \lambda_{w,máx}$ Cumple	η = 0.4	η = 1.7	x: 7.3 m η = 71.5	x: 7.3 m η = 3.4	x: 7.3 m η = 10.1	x: 7.3 m η = 0.3	η < 0.1	η < 0.1	x: 7.3 m η = 72.9	η < 0.1	M_{Ed} = 0.00 N.P.(1)	N.P.(2)	N.P.(2)	**CUMPLE** **η = 72.9**
N2247/N2220	$\lambda_w \leq \lambda_{w,máx}$ Cumple	η = 0.6	η = 2.3	x: 7.3 m η = 59.3	x: 7.3 m η = 3.3	x: 7.3 m η = 8.3	x: 7.3 m η = 0.3	η < 0.1	η < 0.1	x: 7.3 m η = 60.5	η < 0.1	M_{Ed} = 0.00 N.P.(1)	N.P.(2)	N.P.(2)	**CUMPLE** **η = 60.5**
N2248/N2222	$\lambda_w \leq \lambda_{w,máx}$ Cumple	η = 0.1	η = 0.2	x: 7.3 m η = 89.2	x: 7.3 m η = 3.8	x: 7.3 m η = 12.1	x: 7.3 m η = 0.4	η < 0.1	η < 0.1	x: 7.3 m η = 90.7	η < 0.1	M_{Ed} = 0.00 N.P.(1)	N.P.(2)	N.P.(2)	**CUMPLE** **η = 90.7**
N2249/N2224	$\lambda_w \leq \lambda_{w,máx}$ Cumple	η = 0.3	η = 0.6	x: 7.3 m η = 85.6	x: 7.3 m η = 3.8	x: 7.3 m η = 11.5	x: 7.3 m η = 0.4	η < 0.1	η < 0.1	x: 7.3 m η = 87.5	η < 0.1	M_{Ed} = 0.00 N.P.(1)	N.P.(2)	N.P.(2)	**CUMPLE** **η = 87.5**
N2250/N2225	$\lambda_w \leq \lambda_{w,máx}$ Cumple	η = 0.6	η = 1.0	x: 0 m η = 65.8	x: 7.3 m η = 2.8	x: 0 m η = 10.3	x: 7.3 m η = 0.3	η < 0.1	η < 0.1	x: 0 m η = 67.5	η < 0.1	M_{Ed} = 0.00 N.P.(1)	N.P.(2)	N.P.(2)	**CUMPLE** **η = 67.5**
N2251/N2226	$\lambda_w \leq \lambda_{w,máx}$ Cumple	η = 0.6	η = 0.9	x: 0 m η = 61.9	x: 7.3 m η = 2.8	x: 0 m η = 9.7	x: 7.3 m η = 0.3	η < 0.1	η < 0.1	x: 0 m η = 63.5	η < 0.1	M_{Ed} = 0.00 N.P.(1)	N.P.(2)	N.P.(2)	**CUMPLE** **η = 63.5**
N2252/N2227	$\lambda_w \leq \lambda_{w,máx}$ Cumple	η = 1.0	η = 3.0	x: 7.3 m η = 32.8	x: 7.3 m η = 2.0	x: 7.3 m η = 4.4	x: 7.3 m η = 0.2	η < 0.1	η < 0.1	x: 7.3 m η = 36.1	η < 0.1	M_{Ed} = 0.00 N.P.(1)	N.P.(2)	N.P.(2)	**CUMPLE** **η = 36.1**
N2253/N2228	$\lambda_w \leq \lambda_{w,máx}$ Cumple	η = 0.8	η = 1.8	x: 7.3 m η = 44.1	x: 7.3 m η = 2.6	x: 7.3 m η = 5.5	x: 7.3 m η = 0.3	η < 0.1	η < 0.1	x: 7.3 m η = 45.5	η < 0.1	M_{Ed} = 0.00 N.P.(1)	N.P.(2)	N.P.(2)	**CUMPLE** **η = 45.5**
N2254/N2229	$\lambda_w \leq \lambda_{w,máx}$ Cumple	η = 0.3	η = 0.4	x: 7.3 m η = 50.3	x: 7.3 m η = 2.9	x: 7.3 m η = 6.3	x: 7.3 m η = 0.3	η < 0.1	η < 0.1	x: 7.3 m η = 51.3	η < 0.1	M_{Ed} = 0.00 N.P.(1)	N.P.(2)	N.P.(2)	**CUMPLE** **η = 51.3**

Documento visado electrónicamente con número: VA07290/22
Código de validación telemática TRLTDCFZ60T66IJ1. Comprobación: https://cogitivalencia.e-gestion.es/Validacion.aspx?CVT=TRLTDCFZ60T66IJ1

VISADO
COGITI
VALENCIA
VA07290/22
TRLTDCFZ60T66IJ1

Barras	COMPROBACIONES (CÓDIGO ESTRUCTURAL)															Estado
	λ_w	N_t	N_c	M_Y	M_Z	V_Z	V_Y	M_YV_Z	M_ZV_Y	NM_YM_Z	$NM_YM_ZV_YV_Z$	M_t	M_tV_Z	M_tV_Y	
N2255/N2230	$\lambda_w \leq \lambda_{w,máx}$ Cumple	$\eta = 0.2$	$\eta = 0.2$	x: 7.3 m $\eta = 39.7$	x: 7.3 m $\eta = 2.2$	x: 7.3 m $\eta = 4.6$	x: 7.3 m $\eta = 0.3$	$\eta < 0.1$	$\eta < 0.1$	x: 7.3 m $\eta = 40.4$	$\eta < 0.1$	M_{Ed} = 0.00 N.P.(1)	N.P.(2)	N.P.(2)	**CUMPLE η = 40.4**
N2256/N2231	$\lambda_w \leq \lambda_{w,máx}$ Cumple	$\eta = 0.2$	$\eta = 0.2$	x: 7.3 m $\eta = 42.0$	x: 7.3 m $\eta = 2.3$	x: 7.3 m $\eta = 4.8$	x: 7.3 m $\eta = 0.3$	$\eta < 0.1$	$\eta < 0.1$	x: 7.3 m $\eta = 42.6$	$\eta < 0.1$	M_{Ed} = 0.00 N.P.(1)	N.P.(2)	N.P.(2)	**CUMPLE η = 42.6**
N2257/N2232	$\lambda_w \leq \lambda_{w,máx}$ Cumple	$\eta = 0.2$	$\eta = 0.3$	x: 7.3 m $\eta = 53.2$	x: 0 m $\eta = 2.8$	x: 7.3 m $\eta = 6.4$	x: 0 m $\eta = 0.3$	$\eta < 0.1$	$\eta < 0.1$	x: 7.3 m $\eta = 54.1$	$\eta < 0.1$	M_{Ed} = 0.00 N.P.(1)	N.P.(2)	N.P.(2)	**CUMPLE η = 54.1**
N2258/N2233	$\lambda_w \leq \lambda_{w,máx}$ Cumple	$\eta = 0.3$	$\eta = 0.4$	x: 7.3 m $\eta = 56.0$	x: 7.3 m $\eta = 2.8$	x: 7.3 m $\eta = 6.4$	x: 7.3 m $\eta = 0.3$	$\eta < 0.1$	$\eta < 0.1$	x: 7.3 m $\eta = 57.1$	$\eta < 0.1$	M_{Ed} = 0.00 N.P.(1)	N.P.(2)	N.P.(2)	**CUMPLE η = 57.1**
N2259/N2234	$\lambda_w \leq \lambda_{w,máx}$ Cumple	$\eta = 0.4$	$\eta = 0.5$	x: 7.3 m $\eta = 59.3$	x: 7.3 m $\eta = 2.9$	x: 7.3 m $\eta = 6.5$	x: 7.3 m $\eta = 0.3$	$\eta < 0.1$	$\eta < 0.1$	x: 7.3 m $\eta = 60.6$	$\eta < 0.1$	M_{Ed} = 0.00 N.P.(1)	N.P.(2)	N.P.(2)	**CUMPLE η = 60.6**
N2260/N2235	$\lambda_w \leq \lambda_{w,máx}$ Cumple	$\eta = 0.2$	$\eta = 0.4$	x: 7.3 m $\eta = 55.3$	x: 0 m $\eta = 2.9$	x: 7.3 m $\eta = 6.4$	x: 0 m $\eta = 0.3$	$\eta < 0.1$	$\eta < 0.1$	x: 7.3 m $\eta = 56.2$	$\eta < 0.1$	M_{Ed} = 0.00 N.P.(1)	N.P.(2)	N.P.(2)	**CUMPLE η = 56.2**
N2261/N2236	$\lambda_w \leq \lambda_{w,máx}$ Cumple	$\eta = 0.1$	$\eta = 0.2$	x: 7.3 m $\eta = 54.4$	x: 0 m $\eta = 2.8$	x: 7.3 m $\eta = 6.2$	x: 0 m $\eta = 0.3$	$\eta < 0.1$	$\eta < 0.1$	x: 7.3 m $\eta = 54.9$	$\eta < 0.1$	M_{Ed} = 0.00 N.P.(1)	N.P.(2)	N.P.(2)	**CUMPLE η = 54.9**
N2262/N2237	$\lambda_w \leq \lambda_{w,máx}$ Cumple	$\eta = 0.3$	$\eta = 0.1$	x: 7.3 m $\eta = 35.1$	x: 0 m $\eta = 1.8$	x: 7.3 m $\eta = 3.4$	x: 0 m $\eta = 0.2$	$\eta < 0.1$	$\eta < 0.1$	x: 7.3 m $\eta = 36.0$	$\eta < 0.1$	M_{Ed} = 0.00 N.P.(1)	N.P.(2)	N.P.(2)	**CUMPLE η = 36.0**
N2263/N2238	$\lambda_w \leq \lambda_{w,máx}$ Cumple	$\eta = 0.2$	$\eta = 0.3$	x: 7.3 m $\eta = 56.0$	x: 0 m $\eta = 3.0$	x: 7.3 m $\eta = 6.4$	x: 0 m $\eta = 0.4$	$\eta < 0.1$	$\eta < 0.1$	x: 7.3 m $\eta = 56.5$	$\eta < 0.1$	M_{Ed} = 0.00 N.P.(1)	N.P.(2)	N.P.(2)	**CUMPLE η = 56.5**
N2264/N2239	$\lambda_w \leq \lambda_{w,máx}$ Cumple	$\eta = 0.3$	$\eta = 0.4$	x: 7.3 m $\eta = 55.9$	x: 0 m $\eta = 3.0$	x: 7.3 m $\eta = 6.4$	x: 0 m $\eta = 0.4$	$\eta < 0.1$	$\eta < 0.1$	x: 7.3 m $\eta = 56.7$	$\eta < 0.1$	M_{Ed} = 0.00 N.P.(1)	N.P.(2)	N.P.(2)	**CUMPLE η = 56.7**
N2265/N2240	$\lambda_w \leq \lambda_{w,máx}$ Cumple	$\eta = 0.4$	$\eta = 0.6$	x: 7.3 m $\eta = 61.0$	x: 0 m $\eta = 3.0$	x: 7.3 m $\eta = 6.6$	x: 0 m $\eta = 0.3$	$\eta < 0.1$	$\eta < 0.1$	x: 7.3 m $\eta = 62.1$	$\eta < 0.1$	M_{Ed} = 0.00 N.P.(1)	N.P.(2)	N.P.(2)	**CUMPLE η = 62.1**
N2266/N2241	$\lambda_w \leq \lambda_{w,máx}$ Cumple	$\eta = 0.3$	$\eta = 0.4$	x: 7.3 m $\eta = 56.4$	x: 0 m $\eta = 3.0$	x: 7.3 m $\eta = 6.4$	x: 0 m $\eta = 0.4$	$\eta < 0.1$	$\eta < 0.1$	x: 7.3 m $\eta = 57.2$	$\eta < 0.1$	M_{Ed} = 0.00 N.P.(1)	N.P.(2)	N.P.(2)	**CUMPLE η = 57.2**
N2267/N2242	$\lambda_w \leq \lambda_{w,máx}$ Cumple	$\eta = 0.1$	$\eta = 0.3$	x: 7.3 m $\eta = 54.7$	x: 0 m $\eta = 3.1$	x: 7.3 m $\eta = 6.4$	x: 0 m $\eta = 0.4$	$\eta < 0.1$	$\eta < 0.1$	x: 7.3 m $\eta = 55.2$	$\eta < 0.1$	M_{Ed} = 0.00 N.P.(1)	N.P.(2)	N.P.(2)	**CUMPLE η = 55.2**
N2268/N2243	$\lambda_w \leq \lambda_{w,máx}$ Cumple	$\eta = 0.1$	$\eta = 0.1$	x: 7.3 m $\eta = 41.1$	x: 0 m $\eta = 2.4$	x: 7.3 m $\eta = 4.5$	x: 0 m $\eta = 0.3$	$\eta < 0.1$	$\eta < 0.1$	x: 7.3 m $\eta = 41.5$	$\eta < 0.1$	M_{Ed} = 0.00 N.P.(1)	N.P.(2)	N.P.(2)	**CUMPLE η = 41.5**
N2269/N2244	$\lambda_w \leq \lambda_{w,máx}$ Cumple	$\eta = 0.1$	$\eta = 0.1$	x: 7.3 m $\eta = 44.2$	x: 0 m $\eta = 2.6$	x: 7.3 m $\eta = 5.0$	x: 0 m $\eta = 0.3$	$\eta < 0.1$	$\eta < 0.1$	x: 7.3 m $\eta = 44.6$	$\eta < 0.1$	M_{Ed} = 0.00 N.P.(1)	N.P.(2)	N.P.(2)	**CUMPLE η = 44.6**
N2270/N2245	$\lambda_w \leq \lambda_{w,máx}$ Cumple	$\eta = 0.1$	$\eta = 0.3$	x: 7.3 m $\eta = 52.2$	x: 0 m $\eta = 3.1$	x: 7.3 m $\eta = 6.3$	x: 0 m $\eta = 0.4$	$\eta < 0.1$	$\eta < 0.1$	x: 7.3 m $\eta = 52.7$	$\eta < 0.1$	M_{Ed} = 0.00 N.P.(1)	N.P.(2)	N.P.(2)	**CUMPLE η = 52.7**
N2271/N2246	$\lambda_w \leq \lambda_{w,máx}$ Cumple	$\eta = 0.3$	$\eta = 1.5$	x: 7.3 m $\eta = 43.5$	x: 0 m $\eta = 2.7$	x: 7.3 m $\eta = 5.2$	x: 0 m $\eta = 0.3$	$\eta < 0.1$	$\eta < 0.1$	x: 7.3 m $\eta = 44.6$	$\eta < 0.1$	M_{Ed} = 0.00 N.P.(1)	N.P.(2)	N.P.(2)	**CUMPLE η = 44.6**
N2272/N2247	$\lambda_w \leq \lambda_{w,máx}$ Cumple	$\eta = 0.4$	$\eta = 2.0$	x: 7.3 m $\eta = 37.9$	x: 0 m $\eta = 2.4$	x: 7.3 m $\eta = 5.1$	x: 0 m $\eta = 0.3$	$\eta < 0.1$	$\eta < 0.1$	x: 7.3 m $\eta = 39.2$	$\eta < 0.1$	M_{Ed} = 0.00 N.P.(1)	N.P.(2)	N.P.(2)	**CUMPLE η = 39.2**
N2273/N2248	$\lambda_w \leq \lambda_{w,máx}$ Cumple	$\eta = 0.1$	$\eta = 0.3$	x: 0 m $\eta = 63.3$	x: 0 m $\eta = 3.1$	x: 0 m $\eta = 9.9$	x: 0 m $\eta = 0.4$	$\eta < 0.1$	$\eta < 0.1$	x: 0 m $\eta = 64.3$	$\eta < 0.1$	M_{Ed} = 0.00 N.P.(1)	N.P.(2)	N.P.(2)	**CUMPLE η = 64.3**
N2274/N2249	$\lambda_w \leq \lambda_{w,máx}$ Cumple	$\eta = 0.5$	$\eta = 0.6$	x: 0 m $\eta = 61.7$	x: 0 m $\eta = 3.0$	x: 0 m $\eta = 9.7$	x: 0 m $\eta = 0.3$	$\eta < 0.1$	$\eta < 0.1$	x: 0 m $\eta = 63.1$	$\eta < 0.1$	M_{Ed} = 0.00 N.P.(1)	N.P.(2)	N.P.(2)	**CUMPLE η = 63.1**
N2275/N2250	$\lambda_w \leq \lambda_{w,máx}$ Cumple	$\eta = 0.7$	$\eta = 0.9$	x: 7.3 m $\eta = 65.8$	x: 0 m $\eta = 2.9$	x: 7.3 m $\eta = 10.2$	x: 0 m $\eta = 0.3$	$\eta < 0.1$	$\eta < 0.1$	x: 7.3 m $\eta = 67.4$	$\eta < 0.1$	M_{Ed} = 0.00 N.P.(1)	N.P.(2)	N.P.(2)	**CUMPLE η = 67.4**
N2276/N2251	$\lambda_w \leq \lambda_{w,máx}$ Cumple	$\eta = 0.6$	$\eta = 0.9$	x: 7.3 m $\eta = 61.9$	x: 0 m $\eta = 2.9$	x: 7.3 m $\eta = 9.6$	x: 0 m $\eta = 0.3$	$\eta < 0.1$	$\eta < 0.1$	x: 7.3 m $\eta = 63.4$	$\eta < 0.1$	M_{Ed} = 0.00 N.P.(1)	N.P.(2)	N.P.(2)	**CUMPLE η = 63.4**
N2277/N2252	$\lambda_w \leq \lambda_{w,máx}$ Cumple	$\eta = 1.1$	$\eta = 2.0$	x: 0 m $\eta = 27.3$	x: 0 m $\eta = 2.0$	x: 0 m $\eta = 4.3$	x: 0 m $\eta = 0.2$	$\eta < 0.1$	$\eta < 0.1$	x: 0 m $\eta = 31.2$	$\eta < 0.1$	M_{Ed} = 0.00 N.P.(1)	N.P.(2)	N.P.(2)	**CUMPLE η = 31.2**
N2278/N2253	$\lambda_w \leq \lambda_{w,máx}$ Cumple	$\eta = 0.8$	$\eta = 1.3$	x: 0 m $\eta = 33.8$	x: 0 m $\eta = 2.6$	x: 0 m $\eta = 5.3$	x: 0 m $\eta = 0.3$	$\eta < 0.1$	$\eta < 0.1$	x: 0 m $\eta = 35.0$	$\eta < 0.1$	M_{Ed} = 0.00 N.P.(1)	N.P.(2)	N.P.(2)	**CUMPLE η = 35.0**
N2279/N2254	$\lambda_w \leq \lambda_{w,máx}$ Cumple	$\eta = 0.3$	$\eta = 0.5$	x: 0 m $\eta = 38.5$	x: 0 m $\eta = 2.9$	x: 0 m $\eta = 6.0$	x: 0 m $\eta = 0.3$	$\eta < 0.1$	$\eta < 0.1$	x: 0 m $\eta = 39.3$	$\eta < 0.1$	M_{Ed} = 0.00 N.P.(1)	N.P.(2)	N.P.(2)	**CUMPLE η = 39.3**
N2280/N2255	$\lambda_w \leq \lambda_{w,máx}$ Cumple	$\eta = 0.3$	$\eta = 0.4$	x: 0 m $\eta = 27.9$	x: 0 m $\eta = 2.3$	x: 0 m $\eta = 4.4$	x: 0 m $\eta = 0.3$	$\eta < 0.1$	$\eta < 0.1$	x: 0 m $\eta = 28.6$	$\eta < 0.1$	M_{Ed} = 0.00 N.P.(1)	N.P.(2)	N.P.(2)	**CUMPLE η = 28.6**
N2281/N2256	$\lambda_w \leq \lambda_{w,máx}$ Cumple	$\eta = 0.3$	$\eta = 0.4$	x: 0 m $\eta = 29.1$	x: 0 m $\eta = 2.3$	x: 0 m $\eta = 4.6$	x: 0 m $\eta = 0.3$	$\eta < 0.1$	$\eta < 0.1$	x: 0 m $\eta = 29.8$	$\eta < 0.1$	M_{Ed} = 0.00 N.P.(1)	N.P.(2)	N.P.(2)	**CUMPLE η = 29.8**
N2282/N2257	$\lambda_w \leq \lambda_{w,máx}$ Cumple	$\eta = 0.2$	$\eta = 0.3$	x: 0 m $\eta = 38.5$	x: 0 m $\eta = 2.9$	x: 0 m $\eta = 6.1$	x: 0 m $\eta = 0.3$	$\eta < 0.1$	$\eta < 0.1$	x: 0 m $\eta = 39.2$	$\eta < 0.1$	M_{Ed} = 0.00 N.P.(1)	N.P.(2)	N.P.(2)	**CUMPLE η = 39.2**
N2283/N2258	$\lambda_w \leq \lambda_{w,máx}$ Cumple	$\eta = 0.3$	$\eta = 0.5$	x: 0 m $\eta = 38.6$	x: 0 m $\eta = 2.9$	x: 0 m $\eta = 6.1$	x: 0 m $\eta = 0.3$	$\eta < 0.1$	$\eta < 0.1$	x: 0 m $\eta = 39.4$	$\eta < 0.1$	M_{Ed} = 0.00 N.P.(1)	N.P.(2)	N.P.(2)	**CUMPLE η = 39.4**
N2284/N2259	$\lambda_w \leq \lambda_{w,máx}$ Cumple	$\eta = 0.4$	$\eta = 0.6$	x: 0 m $\eta = 38.7$	x: 0 m $\eta = 2.9$	x: 0 m $\eta = 6.1$	x: 0 m $\eta = 0.3$	$\eta < 0.1$	$\eta < 0.1$	x: 0 m $\eta = 39.6$	$\eta < 0.1$	M_{Ed} = 0.00 N.P.(1)	N.P.(2)	N.P.(2)	**CUMPLE η = 39.6**
N2285/N2260	$\lambda_w \leq \lambda_{w,máx}$ Cumple	$\eta = 0.2$	$\eta = 0.4$	x: 0 m $\eta = 38.4$	x: 0 m $\eta = 2.9$	x: 0 m $\eta = 6.1$	x: 0 m $\eta = 0.3$	$\eta < 0.1$	$\eta < 0.1$	x: 0 m $\eta = 39.1$	$\eta < 0.1$	M_{Ed} = 0.00 N.P.(1)	N.P.(2)	N.P.(2)	**CUMPLE η = 39.1**
N2286/N2261	$\lambda_w \leq \lambda_{w,máx}$ Cumple	$\eta = 0.2$	$\eta = 0.4$	x: 0 m $\eta = 37.2$	x: 7.3 m $\eta = 2.8$	x: 0 m $\eta = 5.9$	x: 7.3 m $\eta = 0.3$	$\eta < 0.1$	$\eta < 0.1$	x: 0 m $\eta = 37.9$	$\eta < 0.1$	M_{Ed} = 0.00 N.P.(1)	N.P.(2)	N.P.(2)	**CUMPLE η = 37.9**
N2287/N2262	$\lambda_w \leq \lambda_{w,máx}$ Cumple	$\eta = 0.4$	$\eta = 0.4$	x: 0 m $\eta = 19.6$	x: 7.3 m $\eta = 1.8$	x: 0 m $\eta = 3.2$	x: 7.3 m $\eta = 0.2$	$\eta < 0.1$	$\eta < 0.1$	x: 0 m $\eta = 20.3$	$\eta < 0.1$	M_{Ed} = 0.00 N.P.(1)	N.P.(2)	N.P.(2)	**CUMPLE η = 20.3**
N2288/N2263	$\lambda_w \leq \lambda_{w,máx}$ Cumple	$\eta = 0.2$	$\eta = 0.3$	x: 0 m $\eta = 38.4$	x: 7.3 m $\eta = 3.0$	x: 0 m $\eta = 6.1$	x: 7.3 m $\eta = 0.3$	$\eta < 0.1$	$\eta < 0.1$	x: 0 m $\eta = 39.1$	$\eta < 0.1$	M_{Ed} = 0.00 N.P.(1)	N.P.(2)	N.P.(2)	**CUMPLE η = 39.1**
N2289/N2264	$\lambda_w \leq \lambda_{w,máx}$ Cumple	$\eta = 0.3$	$\eta = 0.4$	x: 0 m $\eta = 38.4$	x: 7.3 m $\eta = 3.0$	x: 0 m $\eta = 6.1$	x: 7.3 m $\eta = 0.3$	$\eta < 0.1$	$\eta < 0.1$	x: 0 m $\eta = 39.1$	$\eta < 0.1$	M_{Ed} = 0.00 N.P.(1)	N.P.(2)	N.P.(2)	**CUMPLE η = 39.1**
N2290/N2265	$\lambda_w \leq \lambda_{w,máx}$ Cumple	$\eta = 0.4$	$\eta = 0.6$	x: 0 m $\eta = 38.7$	x: 7.3 m $\eta = 3.0$	x: 0 m $\eta = 6.1$	x: 7.3 m $\eta = 0.3$	$\eta < 0.1$	$\eta < 0.1$	x: 0 m $\eta = 39.6$	$\eta < 0.1$	M_{Ed} = 0.00 N.P.(1)	N.P.(2)	N.P.(2)	**CUMPLE η = 39.6**
N2291/N2266	$\lambda_w \leq \lambda_{w,máx}$ Cumple	$\eta = 0.3$	$\eta = 0.4$	x: 0 m $\eta = 38.5$	x: 7.3 m $\eta = 3.0$	x: 0 m $\eta = 6.1$	x: 7.3 m $\eta = 0.3$	$\eta < 0.1$	$\eta < 0.1$	x: 0 m $\eta = 39.3$	$\eta < 0.1$	M_{Ed} = 0.00 N.P.(1)	N.P.(2)	N.P.(2)	**CUMPLE η = 39.3**
N2292/N2267	$\lambda_w \leq \lambda_{w,máx}$ Cumple	$\eta = 0.1$	$\eta = 0.3$	x: 0 m $\eta = 38.5$	x: 7.3 m $\eta = 3.1$	x: 0 m $\eta = 6.1$	x: 7.3 m $\eta = 0.3$	$\eta < 0.1$	$\eta < 0.1$	x: 0 m $\eta = 39.1$	$\eta < 0.1$	M_{Ed} = 0.00 N.P.(1)	N.P.(2)	N.P.(2)	**CUMPLE η = 39.1**
N2293/N2268	$\lambda_w \leq \lambda_{w,máx}$ Cumple	$\eta = 0.2$	$\eta = 0.3$	x: 0 m $\eta = 26.7$	x: 7.3 m $\eta = 2.4$	x: 0 m $\eta = 4.3$	x: 7.3 m $\eta = 0.3$	$\eta < 0.1$	$\eta < 0.1$	x: 0 m $\eta = 27.3$	$\eta < 0.1$	M_{Ed} = 0.00 N.P.(1)	N.P.(2)	N.P.(2)	**CUMPLE η = 27.3**
N2294/N2269	$\lambda_w \leq \lambda_{w,máx}$ Cumple	$\eta = 0.2$	$\eta = 0.3$	x: 0 m $\eta = 30.3$	x: 7.3 m $\eta = 2.6$	x: 0 m $\eta = 4.8$	x: 7.3 m $\eta = 0.3$	$\eta < 0.1$	$\eta < 0.1$	x: 0 m $\eta = 30.8$	$\eta < 0.1$	M_{Ed} = 0.00 N.P.(1)	N.P.(2)	N.P.(2)	**CUMPLE η = 30.8**

Documento visado electrónicamente con número: VA07290/22
Código de validación telemática TRLTDCFZ60T66IJ1. Comprobación: https://cogitivalencia.e-gestion.es/Validacion.aspx?CVT=TRLTDCFZ60T66IJ1

VISADO
COGITI
VALENCIA
VA07290/22
TRLTDCFZ60T66IJ1

Barras	COMPROBACIONES (CÓDIGO ESTRUCTURAL)														Estado
	λ_w	N_t	N_c	M_Y	M_Z	V_Z	V_Y	M_YV_Z	M_ZV_Y	NM_YM_Z	$NM_YM_ZV_YV_Z$	M_t	M_tV_Z	M_tV_Y	
N2295/N2270	$\lambda_w \leq \lambda_{w,máx}$ Cumple	$\eta = 0.1$	$\eta = 0.3$	x: 0 m $\eta = 38.5$	x: 7.3 m $\eta = 3.1$	x: 0 m $\eta = 6.1$	x: 7.3 m $\eta = 0.3$	$\eta < 0.1$	$\eta < 0.1$	x: 0 m $\eta = 39.0$	$\eta < 0.1$	$M_{Ed} = 0.00$ N.P.(1)	N.P.(2)	N.P.(2)	**CUMPLE $\eta = 39.0$**
N2296/N2271	$\lambda_w \leq \lambda_{w,máx}$ Cumple	$\eta < 0.1$	$\eta = 1.0$	x: 0 m $\eta = 31.4$	x: 7.3 m $\eta = 2.7$	x: 0 m $\eta = 5.0$	x: 7.3 m $\eta = 0.3$	$\eta < 0.1$	$\eta < 0.1$	x: 0 m $\eta = 31.9$	$\eta < 0.1$	$M_{Ed} = 0.00$ N.P.(1)	N.P.(2)	N.P.(2)	**CUMPLE $\eta = 31.9$**
N2297/N2272	$\lambda_w \leq \lambda_{w,máx}$ Cumple	$\eta = 0.1$	$\eta = 1.2$	x: 0 m $\eta = 31.5$	x: 7.3 m $\eta = 2.4$	x: 0 m $\eta = 5.0$	x: 7.3 m $\eta = 0.3$	$\eta < 0.1$	$\eta < 0.1$	x: 0 m $\eta = 31.8$	$\eta < 0.1$	$M_{Ed} = 0.00$ N.P.(1)	N.P.(2)	N.P.(2)	**CUMPLE $\eta = 31.8$**
N2298/N2273	$\lambda_w \leq \lambda_{w,máx}$ Cumple	$\eta < 0.1$	$\eta = 0.4$	x: 7.3 m $\eta = 63.3$	x: 7.3 m $\eta = 3.1$	x: 7.3 m $\eta = 9.9$	x: 7.3 m $\eta = 0.4$	$\eta < 0.1$	$\eta < 0.1$	x: 7.3 m $\eta = 64.3$	$\eta < 0.1$	$M_{Ed} = 0.00$ N.P.(1)	N.P.(2)	N.P.(2)	**CUMPLE $\eta = 64.3$**
N2299/N2274	$\lambda_w \leq \lambda_{w,máx}$ Cumple	$\eta = 0.6$	$\eta = 0.6$	x: 7.3 m $\eta = 61.7$	x: 7.3 m $\eta = 3.0$	x: 7.3 m $\eta = 9.6$	x: 7.3 m $\eta = 0.3$	$\eta < 0.1$	$\eta < 0.1$	x: 7.3 m $\eta = 63.1$	$\eta < 0.1$	$M_{Ed} = 0.00$ N.P.(1)	N.P.(2)	N.P.(2)	**CUMPLE $\eta = 63.1$**
N2300/N2275	$\lambda_w \leq \lambda_{w,máx}$ Cumple	$\eta = 0.7$	$\eta = 0.9$	x: 7.3 m $\eta = 64.7$	x: 7.3 m $\eta = 2.9$	x: 7.3 m $\eta = 10.2$	x: 7.3 m $\eta = 0.3$	$\eta < 0.1$	$\eta < 0.1$	x: 7.3 m $\eta = 66.4$	$\eta < 0.1$	$M_{Ed} = 0.00$ N.P.(1)	N.P.(2)	N.P.(2)	**CUMPLE $\eta = 66.4$**
N2301/N2276	$\lambda_w \leq \lambda_{w,máx}$ Cumple	$\eta = 0.6$	$\eta = 0.7$	x: 7.3 m $\eta = 61.2$	x: 7.3 m $\eta = 2.9$	x: 7.3 m $\eta = 9.6$	x: 7.3 m $\eta = 0.3$	$\eta < 0.1$	$\eta < 0.1$	x: 7.3 m $\eta = 62.6$	$\eta < 0.1$	$M_{Ed} = 0.00$ N.P.(1)	N.P.(2)	N.P.(2)	**CUMPLE $\eta = 62.6$**
N2302/N2277	$\lambda_w \leq \lambda_{w,máx}$ Cumple	$\eta = 1.2$	$\eta = 1.1$	x: 7.3 m $\eta = 27.3$	x: 7.3 m $\eta = 2.0$	x: 7.3 m $\eta = 4.3$	x: 7.3 m $\eta = 0.2$	$\eta < 0.1$	$\eta < 0.1$	x: 7.3 m $\eta = 28.9$	$\eta < 0.1$	$M_{Ed} = 0.00$ N.P.(1)	N.P.(2)	N.P.(2)	**CUMPLE $\eta = 28.9$**
N2303/N2278	$\lambda_w \leq \lambda_{w,máx}$ Cumple	$\eta = 0.8$	$\eta = 0.8$	x: 7.3 m $\eta = 33.8$	x: 7.3 m $\eta = 2.6$	x: 7.3 m $\eta = 5.2$	x: 7.3 m $\eta = 0.3$	$\eta < 0.1$	$\eta < 0.1$	x: 7.3 m $\eta = 35.1$	$\eta < 0.1$	$M_{Ed} = 0.00$ N.P.(1)	N.P.(2)	N.P.(2)	**CUMPLE $\eta = 35.1$**
N2304/N2279	$\lambda_w \leq \lambda_{w,máx}$ Cumple	$\eta = 0.3$	$\eta = 0.5$	x: 7.3 m $\eta = 38.5$	x: 7.3 m $\eta = 2.9$	x: 7.3 m $\eta = 6.0$	x: 7.3 m $\eta = 0.3$	$\eta < 0.1$	$\eta < 0.1$	x: 7.3 m $\eta = 39.3$	$\eta < 0.1$	$M_{Ed} = 0.00$ N.P.(1)	N.P.(2)	N.P.(2)	**CUMPLE $\eta = 39.3$**
N2305/N2280	$\lambda_w \leq \lambda_{w,máx}$ Cumple	$\eta = 0.4$	$\eta = 0.6$	x: 7.3 m $\eta = 27.9$	x: 7.3 m $\eta = 2.3$	x: 7.3 m $\eta = 4.3$	x: 7.3 m $\eta = 0.3$	$\eta < 0.1$	$\eta < 0.1$	x: 7.3 m $\eta = 28.7$	$\eta < 0.1$	$M_{Ed} = 0.00$ N.P.(1)	N.P.(2)	N.P.(2)	**CUMPLE $\eta = 28.7$**
N2306/N2281	$\lambda_w \leq \lambda_{w,máx}$ Cumple	$\eta = 0.4$	$\eta = 0.6$	x: 7.3 m $\eta = 29.1$	x: 7.3 m $\eta = 2.3$	x: 7.3 m $\eta = 4.5$	x: 7.3 m $\eta = 0.3$	$\eta < 0.1$	$\eta < 0.1$	x: 7.3 m $\eta = 29.9$	$\eta < 0.1$	$M_{Ed} = 0.00$ N.P.(1)	N.P.(2)	N.P.(2)	**CUMPLE $\eta = 29.9$**
N2307/N2282	$\lambda_w \leq \lambda_{w,máx}$ Cumple	$\eta = 0.2$	$\eta = 0.3$	x: 7.3 m $\eta = 38.5$	x: 7.3 m $\eta = 2.9$	x: 7.3 m $\eta = 6.0$	x: 7.3 m $\eta = 0.3$	$\eta < 0.1$	x: 0 m $\eta < 0.1$	x: 7.3 m $\eta = 39.2$	$\eta < 0.1$	$M_{Ed} = 0.00$ N.P.(1)	N.P.(2)	N.P.(2)	**CUMPLE $\eta = 39.2$**
N2308/N2283	$\lambda_w \leq \lambda_{w,máx}$ Cumple	$\eta = 0.4$	$\eta = 0.5$	x: 7.3 m $\eta = 38.6$	x: 7.3 m $\eta = 2.9$	x: 7.3 m $\eta = 6.0$	x: 7.3 m $\eta = 0.3$	$\eta < 0.1$	x: 0 m $\eta < 0.1$	x: 7.3 m $\eta = 39.4$	$\eta < 0.1$	$M_{Ed} = 0.00$ N.P.(1)	N.P.(2)	N.P.(2)	**CUMPLE $\eta = 39.4$**
N2309/N2284	$\lambda_w \leq \lambda_{w,máx}$ Cumple	$\eta = 0.4$	$\eta = 0.6$	x: 7.3 m $\eta = 38.7$	x: 7.3 m $\eta = 2.9$	x: 7.3 m $\eta = 6.0$	x: 7.3 m $\eta = 0.3$	$\eta < 0.1$	x: 0 m $\eta < 0.1$	x: 7.3 m $\eta = 39.6$	$\eta < 0.1$	$M_{Ed} = 0.00$ N.P.(1)	N.P.(2)	N.P.(2)	**CUMPLE $\eta = 39.6$**
N2310/N2285	$\lambda_w \leq \lambda_{w,máx}$ Cumple	$\eta = 0.2$	$\eta = 0.4$	x: 7.3 m $\eta = 38.4$	x: 7.3 m $\eta = 2.9$	x: 7.3 m $\eta = 6.0$	x: 7.3 m $\eta = 0.3$	$\eta < 0.1$	x: 0 m $\eta < 0.1$	x: 7.3 m $\eta = 39.1$	$\eta < 0.1$	$M_{Ed} = 0.00$ N.P.(1)	N.P.(2)	N.P.(2)	**CUMPLE $\eta = 39.1$**
N2311/N2286	$\lambda_w \leq \lambda_{w,máx}$ Cumple	$\eta = 0.3$	$\eta = 0.5$	x: 7.3 m $\eta = 37.2$	x: 7.3 m $\eta = 2.8$	x: 7.3 m $\eta = 5.8$	x: 7.3 m $\eta = 0.3$	$\eta < 0.1$	x: 0 m $\eta < 0.1$	x: 7.3 m $\eta = 38.0$	$\eta < 0.1$	$M_{Ed} = 0.00$ N.P.(1)	N.P.(2)	N.P.(2)	**CUMPLE $\eta = 38.0$**
N2312/N2287	$\lambda_w \leq \lambda_{w,máx}$ Cumple	$\eta = 0.5$	$\eta = 0.8$	x: 7.3 m $\eta = 19.6$	x: 7.3 m $\eta = 1.8$	x: 7.3 m $\eta = 3.0$	x: 7.3 m $\eta = 0.2$	$\eta < 0.1$	x: 0 m $\eta < 0.1$	x: 7.3 m $\eta = 20.4$	$\eta < 0.1$	$M_{Ed} = 0.00$ N.P.(1)	N.P.(2)	N.P.(2)	**CUMPLE $\eta = 20.4$**
N2313/N2288	$\lambda_w \leq \lambda_{w,máx}$ Cumple	$\eta = 0.3$	$\eta = 0.4$	x: 7.3 m $\eta = 38.4$	x: 7.3 m $\eta = 2.9$	x: 7.3 m $\eta = 6.0$	x: 7.3 m $\eta = 0.3$	$\eta < 0.1$	x: 0 m $\eta < 0.1$	x: 7.3 m $\eta = 39.1$	$\eta < 0.1$	$M_{Ed} = 0.00$ N.P.(1)	N.P.(2)	N.P.(2)	**CUMPLE $\eta = 39.1$**
N2314/N2289	$\lambda_w \leq \lambda_{w,máx}$ Cumple	$\eta = 0.3$	$\eta = 0.4$	x: 7.3 m $\eta = 38.4$	x: 7.3 m $\eta = 2.9$	x: 7.3 m $\eta = 6.0$	x: 7.3 m $\eta = 0.3$	$\eta < 0.1$	x: 0 m $\eta < 0.1$	x: 7.3 m $\eta = 39.1$	$\eta < 0.1$	$M_{Ed} = 0.00$ N.P.(1)	N.P.(2)	N.P.(2)	**CUMPLE $\eta = 39.1$**
N2315/N2290	$\lambda_w \leq \lambda_{w,máx}$ Cumple	$\eta = 0.4$	$\eta = 0.7$	x: 7.3 m $\eta = 38.7$	x: 7.3 m $\eta = 2.9$	x: 7.3 m $\eta = 6.0$	x: 7.3 m $\eta = 0.3$	$\eta < 0.1$	x: 0 m $\eta < 0.1$	x: 7.3 m $\eta = 39.6$	$\eta < 0.1$	$M_{Ed} = 0.00$ N.P.(1)	N.P.(2)	N.P.(2)	**CUMPLE $\eta = 39.6$**
N2316/N2291	$\lambda_w \leq \lambda_{w,máx}$ Cumple	$\eta = 0.3$	$\eta = 0.5$	x: 7.3 m $\eta = 38.5$	x: 7.3 m $\eta = 2.9$	x: 7.3 m $\eta = 6.0$	x: 7.3 m $\eta = 0.3$	$\eta < 0.1$	x: 0 m $\eta < 0.1$	x: 7.3 m $\eta = 39.3$	$\eta < 0.1$	$M_{Ed} = 0.00$ N.P.(1)	N.P.(2)	N.P.(2)	**CUMPLE $\eta = 39.3$**
N2317/N2292	$\lambda_w \leq \lambda_{w,máx}$ Cumple	$\eta = 0.1$	$\eta = 0.3$	x: 7.3 m $\eta = 38.5$	x: 7.3 m $\eta = 2.9$	x: 7.3 m $\eta = 6.0$	x: 7.3 m $\eta = 0.3$	$\eta < 0.1$	x: 0 m $\eta < 0.1$	x: 7.3 m $\eta = 39.1$	$\eta < 0.1$	$M_{Ed} = 0.00$ N.P.(1)	N.P.(2)	N.P.(2)	**CUMPLE $\eta = 39.1$**
N2318/N2293	$\lambda_w \leq \lambda_{w,máx}$ Cumple	$\eta = 0.3$	$\eta = 0.6$	x: 7.3 m $\eta = 26.7$	x: 7.3 m $\eta = 2.2$	x: 7.3 m $\eta = 4.1$	x: 7.3 m $\eta = 0.3$	$\eta < 0.1$	x: 0 m $\eta < 0.1$	x: 7.3 m $\eta = 27.4$	$\eta < 0.1$	$M_{Ed} = 0.00$ N.P.(1)	N.P.(2)	N.P.(2)	**CUMPLE $\eta = 27.4$**
N2319/N2294	$\lambda_w \leq \lambda_{w,máx}$ Cumple	$\eta = 0.2$	$\eta = 0.5$	x: 7.3 m $\eta = 30.3$	x: 7.3 m $\eta = 2.4$	x: 7.3 m $\eta = 4.7$	x: 0 m $\eta = 0.3$	$\eta < 0.1$	x: 0 m $\eta < 0.1$	x: 7.3 m $\eta = 30.9$	$\eta < 0.1$	$M_{Ed} = 0.00$ N.P.(1)	N.P.(2)	N.P.(2)	**CUMPLE $\eta = 30.9$**
N2320/N2295	$\lambda_w \leq \lambda_{w,máx}$ Cumple	$\eta = 0.1$	$\eta = 0.3$	x: 7.3 m $\eta = 38.5$	x: 0 m $\eta = 2.9$	x: 7.3 m $\eta = 6.0$	x: 0 m $\eta = 0.3$	$\eta < 0.1$	x: 0 m $\eta < 0.1$	x: 7.3 m $\eta = 39.0$	$\eta < 0.1$	$M_{Ed} = 0.00$ N.P.(1)	N.P.(2)	N.P.(2)	**CUMPLE $\eta = 39.0$**
N2321/N2296	$\lambda_w \leq \lambda_{w,máx}$ Cumple	$\eta = 0.1$	$\eta = 0.8$	x: 7.3 m $\eta = 31.4$	x: 0 m $\eta = 2.4$	x: 7.3 m $\eta = 4.9$	x: 0 m $\eta = 0.3$	$\eta < 0.1$	x: 0 m $\eta < 0.1$	x: 7.3 m $\eta = 31.8$	$\eta < 0.1$	$M_{Ed} = 0.00$ N.P.(1)	N.P.(2)	N.P.(2)	**CUMPLE $\eta = 31.8$**
N2322/N2297	$\lambda_w \leq \lambda_{w,máx}$ Cumple	$\eta = 0.1$	$\eta = 0.9$	x: 7.3 m $\eta = 31.5$	x: 0 m $\eta = 2.1$	x: 7.3 m $\eta = 4.9$	x: 0 m $\eta = 0.3$	$\eta < 0.1$	x: 0 m $\eta < 0.1$	x: 7.3 m $\eta = 32.0$	$\eta < 0.1$	$M_{Ed} = 0.00$ N.P.(1)	N.P.(2)	N.P.(2)	**CUMPLE $\eta = 32.0$**
N2323/N2298	$\lambda_w \leq \lambda_{w,máx}$ Cumple	$\eta < 0.1$	$\eta = 0.3$	x: 0 m $\eta = 62.9$	x: 0 m $\eta = 2.9$	x: 0 m $\eta = 9.9$	x: 0 m $\eta = 0.3$	$\eta < 0.1$	x: 0 m $\eta < 0.1$	x: 0 m $\eta = 63.7$	$\eta < 0.1$	$M_{Ed} = 0.00$ N.P.(1)	N.P.(2)	N.P.(2)	**CUMPLE $\eta = 63.7$**
N2324/N2299	$\lambda_w \leq \lambda_{w,máx}$ Cumple	$\eta = 0.6$	$\eta = 0.6$	x: 7.3 m $\eta = 61.1$	x: 0 m $\eta = 2.7$	x: 7.3 m $\eta = 9.6$	x: 0 m $\eta = 0.3$	$\eta < 0.1$	$\eta < 0.1$	x: 7.3 m $\eta = 62.3$	$\eta < 0.1$	$M_{Ed} = 0.00$ N.P.(1)	N.P.(2)	N.P.(2)	**CUMPLE $\eta = 62.3$**
N2325/N2300	$\lambda_w \leq \lambda_{w,máx}$ Cumple	$\eta = 0.7$	$\eta = 0.8$	x: 0 m $\eta = 66.0$	x: 0 m $\eta = 2.9$	x: 0 m $\eta = 10.2$	x: 0 m $\eta = 0.3$	$\eta < 0.1$	x: 0 m $\eta < 0.1$	x: 0 m $\eta = 67.6$	$\eta < 0.1$	$M_{Ed} = 0.00$ N.P.(1)	N.P.(2)	N.P.(2)	**CUMPLE $\eta = 67.6$**
N2326/N2301	$\lambda_w \leq \lambda_{w,máx}$ Cumple	$\eta = 0.5$	$\eta = 0.5$	x: 0 m $\eta = 62.3$	x: 0 m $\eta = 2.9$	x: 0 m $\eta = 9.6$	x: 0 m $\eta = 0.3$	$\eta < 0.1$	x: 0 m $\eta < 0.1$	x: 0 m $\eta = 63.5$	$\eta < 0.1$	$M_{Ed} = 0.00$ N.P.(1)	N.P.(2)	N.P.(2)	**CUMPLE $\eta = 63.5$**
N2327/N2302	$\lambda_w \leq \lambda_{w,máx}$ Cumple	$\eta = 1.2$	$\eta = 0.6$	x: 0 m $\eta = 27.4$	x: 0 m $\eta = 2.0$	x: 0 m $\eta = 4.3$	x: 0 m $\eta = 0.2$	$\eta < 0.1$	x: 0 m $\eta < 0.1$	x: 0 m $\eta = 29.0$	$\eta < 0.1$	$M_{Ed} = 0.00$ N.P.(1)	N.P.(2)	N.P.(2)	**CUMPLE $\eta = 29.0$**
N2328/N2303	$\lambda_w \leq \lambda_{w,máx}$ Cumple	$\eta = 0.8$	$\eta = 0.5$	x: 0 m $\eta = 33.7$	x: 0 m $\eta = 2.6$	x: 0 m $\eta = 5.2$	x: 0 m $\eta = 0.3$	$\eta < 0.1$	x: 0 m $\eta < 0.1$	x: 0 m $\eta = 35.0$	$\eta < 0.1$	$M_{Ed} = 0.00$ N.P.(1)	N.P.(2)	N.P.(2)	**CUMPLE $\eta = 35.0$**
N2329/N2304	$\lambda_w \leq \lambda_{w,máx}$ Cumple	$\eta = 0.3$	$\eta = 0.4$	x: 0 m $\eta = 38.4$	x: 0 m $\eta = 2.9$	x: 0 m $\eta = 6.0$	x: 0 m $\eta = 0.3$	$\eta < 0.1$	x: 0 m $\eta < 0.1$	x: 0 m $\eta = 39.2$	$\eta < 0.1$	$M_{Ed} = 0.00$ N.P.(1)	N.P.(2)	N.P.(2)	**CUMPLE $\eta = 39.2$**
N2330/N2305	$\lambda_w \leq \lambda_{w,máx}$ Cumple	$\eta = 0.4$	$\eta = 0.9$	x: 0 m $\eta = 27.7$	x: 0 m $\eta = 2.3$	x: 0 m $\eta = 4.3$	x: 0 m $\eta = 0.3$	$\eta < 0.1$	x: 0 m $\eta < 0.1$	x: 0 m $\eta = 28.6$	$\eta < 0.1$	$M_{Ed} = 0.00$ N.P.(1)	N.P.(2)	N.P.(2)	**CUMPLE $\eta = 28.6$**
N2331/N2306	$\lambda_w \leq \lambda_{w,máx}$ Cumple	$\eta = 0.4$	$\eta = 0.8$	x: 0 m $\eta = 28.8$	x: 0 m $\eta = 2.3$	x: 0 m $\eta = 4.5$	x: 0 m $\eta = 0.3$	$\eta < 0.1$	x: 0 m $\eta < 0.1$	x: 0 m $\eta = 29.7$	$\eta < 0.1$	$M_{Ed} = 0.00$ N.P.(1)	N.P.(2)	N.P.(2)	**CUMPLE $\eta = 29.7$**
N2332/N2307	$\lambda_w \leq \lambda_{w,máx}$ Cumple	$\eta = 0.2$	$\eta = 0.3$	x: 0 m $\eta = 38.2$	x: 0 m $\eta = 2.9$	x: 0 m $\eta = 6.0$	x: 0 m $\eta = 0.3$	$\eta < 0.1$	x: 0 m $\eta < 0.1$	x: 0 m $\eta = 38.9$	$\eta < 0.1$	$M_{Ed} = 0.00$ N.P.(1)	N.P.(2)	N.P.(2)	**CUMPLE $\eta = 38.9$**
N2333/N2308	$\lambda_w \leq \lambda_{w,máx}$ Cumple	$\eta = 0.4$	$\eta = 0.6$	x: 7.3 m $\eta = 38.0$	x: 0 m $\eta = 2.9$	x: 7.3 m $\eta = 6.0$	x: 0 m $\eta = 0.3$	$\eta < 0.1$	x: 0 m $\eta < 0.1$	x: 7.3 m $\eta = 38.8$	$\eta < 0.1$	$M_{Ed} = 0.00$ N.P.(1)	N.P.(2)	N.P.(2)	**CUMPLE $\eta = 38.8$**
N2334/N2309	$\lambda_w \leq \lambda_{w,máx}$ Cumple	$\eta = 0.5$	$\eta = 0.7$	x: 7.3 m $\eta = 38.1$	x: 7.3 m $\eta = 2.9$	x: 7.3 m $\eta = 6.0$	x: 7.3 m $\eta = 0.3$	$\eta < 0.1$	x: 0 m $\eta < 0.1$	x: 7.3 m $\eta = 39.0$	$\eta < 0.1$	$M_{Ed} = 0.00$ N.P.(1)	N.P.(2)	N.P.(2)	**CUMPLE $\eta = 39.0$**

Documento visado electrónicamente con número: VA07290/22
Código de validación telemática TRLTDCFZ60T66IJ1. Comprobación: https://cogitivalencia.e-gestion.es/Validacion.aspx?CVT=TRLTDCFZ60T66IJ1

VISADO
COGITI
Estado
VALENCIA
VA07290/22
TRLTDCFZ60T66IJ1

Barras	COMPROBACIONES (CÓDIGO ESTRUCTURAL)														
	λ_w	N_t	N_c	M_Y	M_Z	V_Z	V_Y	M_YV_Z	M_ZV_Y	NM_YM_Z	$NM_YM_ZV_YV_Z$	M_t	M_tV_Z	M_tV_Y	Estado
N2335/N2310	$\lambda_w \leq \lambda_{w,máx}$ Cumple	$\eta = 0.2$	$\eta = 0.3$	x: 0 m $\eta = 38.1$	x: 0 m $\eta = 2.9$	x: 0 m $\eta = 6.0$	x: 0 m $\eta = 0.3$	$\eta < 0.1$	x: 0 m $\eta < 0.1$	x: 0 m $\eta = 38.9$	$\eta < 0.1$	M_{Ed} = 0.00 N.P.(1)	N.P.(2)	N.P.(2)	**CUMPLE η = 38.9**
N2336/N2311	$\lambda_w \leq \lambda_{w,máx}$ Cumple	$\eta = 0.3$	$\eta = 0.6$	x: 0 m $\eta = 36.9$	x: 0 m $\eta = 2.8$	x: 0 m $\eta = 5.8$	x: 0 m $\eta = 0.3$	$\eta < 0.1$	x: 0 m $\eta < 0.1$	x: 0 m $\eta = 37.7$	$\eta < 0.1$	M_{Ed} = 0.00 N.P.(1)	N.P.(2)	N.P.(2)	**CUMPLE η = 37.7**
N2337/N2312	$\lambda_w \leq \lambda_{w,máx}$ Cumple	$\eta = 0.6$	$\eta = 1.1$	x: 7.3 m $\eta = 19.5$	x: 0 m $\eta = 1.8$	x: 7.3 m $\eta = 3.1$	x: 0 m $\eta = 0.2$	$\eta < 0.1$	x: 0 m $\eta < 0.1$	x: 7.3 m $\eta = 20.4$	$\eta < 0.1$	M_{Ed} = 0.00 N.P.(1)	N.P.(2)	N.P.(2)	**CUMPLE η = 20.4**
N2338/N2313	$\lambda_w \leq \lambda_{w,máx}$ Cumple	$\eta = 0.3$	$\eta = 0.5$	x: 0 m $\eta = 38.1$	x: 0 m $\eta = 2.9$	x: 0 m $\eta = 6.0$	x: 0 m $\eta = 0.3$	$\eta < 0.1$	x: 0 m $\eta < 0.1$	x: 0 m $\eta = 38.9$	$\eta < 0.1$	M_{Ed} = 0.00 N.P.(1)	N.P.(2)	N.P.(2)	**CUMPLE η = 38.9**
N2339/N2314	$\lambda_w \leq \lambda_{w,máx}$ Cumple	$\eta = 0.2$	$\eta = 0.4$	x: 0 m $\eta = 38.1$	x: 0 m $\eta = 2.9$	x: 0 m $\eta = 6.0$	x: 0 m $\eta = 0.3$	$\eta < 0.1$	x: 0 m $\eta < 0.1$	x: 0 m $\eta = 38.8$	$\eta < 0.1$	M_{Ed} = 0.00 N.P.(1)	N.P.(2)	N.P.(2)	**CUMPLE η = 38.8**
N2340/N2315	$\lambda_w \leq \lambda_{w,máx}$ Cumple	$\eta = 0.5$	$\eta = 0.8$	x: 7.3 m $\eta = 38.1$	x: 7.3 m $\eta = 2.9$	x: 7.3 m $\eta = 6.0$	x: 0 m $\eta = 0.3$	$\eta < 0.1$	x: 0 m $\eta < 0.1$	x: 7.3 m $\eta = 39.1$	$\eta < 0.1$	M_{Ed} = 0.00 N.P.(1)	N.P.(2)	N.P.(2)	**CUMPLE η = 39.1**
N2341/N2316	$\lambda_w \leq \lambda_{w,máx}$ Cumple	$\eta = 0.3$	$\eta = 0.5$	x: 7.3 m $\eta = 38.0$	x: 0 m $\eta = 2.9$	x: 7.3 m $\eta = 6.0$	x: 0 m $\eta = 0.3$	$\eta < 0.1$	x: 0 m $\eta < 0.1$	x: 7.3 m $\eta = 38.8$	$\eta < 0.1$	M_{Ed} = 0.00 N.P.(1)	N.P.(2)	N.P.(2)	**CUMPLE η = 38.8**
N2342/N2317	$\lambda_w \leq \lambda_{w,máx}$ Cumple	$\eta = 0.1$	$\eta = 0.3$	x: 0 m $\eta = 38.1$	x: 0 m $\eta = 2.9$	x: 0 m $\eta = 6.0$	x: 0 m $\eta = 0.3$	$\eta < 0.1$	x: 0 m $\eta < 0.1$	x: 0 m $\eta = 38.8$	$\eta < 0.1$	M_{Ed} = 0.00 N.P.(1)	N.P.(2)	N.P.(2)	**CUMPLE η = 38.8**
N2343/N2318	$\lambda_w \leq \lambda_{w,máx}$ Cumple	$\eta = 0.3$	$\eta = 0.8$	x: 7.3 m $\eta = 26.4$	x: 0 m $\eta = 2.2$	x: 7.3 m $\eta = 4.1$	x: 0 m $\eta = 0.3$	$\eta < 0.1$	x: 0 m $\eta < 0.1$	x: 7.3 m $\eta = 27.1$	$\eta < 0.1$	M_{Ed} = 0.00 N.P.(1)	N.P.(2)	N.P.(2)	**CUMPLE η = 27.1**
N2344/N2319	$\lambda_w \leq \lambda_{w,máx}$ Cumple	$\eta = 0.3$	$\eta = 0.7$	x: 0 m $\eta = 29.9$	x: 0 m $\eta = 2.4$	x: 0 m $\eta = 4.7$	x: 0 m $\eta = 0.3$	$\eta < 0.1$	x: 0 m $\eta < 0.1$	x: 0 m $\eta = 30.6$	$\eta < 0.1$	M_{Ed} = 0.00 N.P.(1)	N.P.(2)	N.P.(2)	**CUMPLE η = 30.6**
N2345/N2320	$\lambda_w \leq \lambda_{w,máx}$ Cumple	$\eta = 0.1$	$\eta = 0.3$	x: 0 m $\eta = 38.3$	x: 0 m $\eta = 2.9$	x: 0 m $\eta = 6.0$	x: 0 m $\eta = 0.3$	$\eta < 0.1$	x: 0 m $\eta < 0.1$	x: 0 m $\eta = 38.8$	$\eta < 0.1$	M_{Ed} = 0.00 N.P.(1)	N.P.(2)	N.P.(2)	**CUMPLE η = 38.8**
N2346/N2321	$\lambda_w \leq \lambda_{w,máx}$ Cumple	$\eta = 0.3$	$\eta = 0.6$	x: 0 m $\eta = 31.2$	x: 0 m $\eta = 2.5$	x: 0 m $\eta = 4.9$	x: 0 m $\eta = 0.3$	$\eta < 0.1$	x: 0 m $\eta < 0.1$	x: 0 m $\eta = 31.6$	$\eta < 0.1$	M_{Ed} = 0.00 N.P.(1)	N.P.(2)	N.P.(2)	**CUMPLE η = 31.6**
N2347/N2322	$\lambda_w \leq \lambda_{w,máx}$ Cumple	$\eta = 0.3$	$\eta = 0.7$	x: 0 m $\eta = 31.6$	x: 0 m $\eta = 2.2$	x: 0 m $\eta = 4.9$	x: 0 m $\eta = 0.3$	$\eta < 0.1$	$\eta < 0.1$	x: 0 m $\eta = 32.1$	$\eta < 0.1$	M_{Ed} = 0.00 N.P.(1)	N.P.(2)	N.P.(2)	**CUMPLE η = 32.1**
N2348/N2323	$\lambda_w \leq \lambda_{w,máx}$ Cumple	$\eta < 0.1$	$\eta = 0.3$	x: 0 m $\eta = 64.0$	x: 0 m $\eta = 2.9$	x: 0 m $\eta = 9.9$	x: 0 m $\eta = 0.3$	$\eta < 0.1$	$\eta < 0.1$	x: 0 m $\eta = 64.7$	$\eta < 0.1$	M_{Ed} = 0.00 N.P.(1)	N.P.(2)	N.P.(2)	**CUMPLE η = 64.7**
N2349/N2324	$\lambda_w \leq \lambda_{w,máx}$ Cumple	$\eta = 0.6$	$\eta = 0.5$	x: 0 m $\eta = 62.2$	x: 0 m $\eta = 2.8$	x: 0 m $\eta = 9.6$	x: 0 m $\eta = 0.3$	$\eta < 0.1$	$\eta < 0.1$	x: 0 m $\eta = 63.4$	$\eta < 0.1$	M_{Ed} = 0.00 N.P.(1)	N.P.(2)	N.P.(2)	**CUMPLE η = 63.4**
N2350/N2325	$\lambda_w \leq \lambda_{w,máx}$ Cumple	$\eta = 0.7$	$\eta = 0.8$	x: 7.3 m $\eta = 66.0$	x: 7.3 m $\eta = 2.9$	x: 7.3 m $\eta = 10.3$	x: 7.3 m $\eta = 0.3$	$\eta < 0.1$	$\eta < 0.1$	x: 7.3 m $\eta = 67.5$	$\eta < 0.1$	M_{Ed} = 0.00 N.P.(1)	N.P.(2)	N.P.(2)	**CUMPLE η = 67.5**
N2351/N2326	$\lambda_w \leq \lambda_{w,máx}$ Cumple	$\eta = 0.4$	$\eta = 0.3$	x: 7.3 m $\eta = 62.3$	x: 7.3 m $\eta = 2.9$	x: 7.3 m $\eta = 9.7$	x: 7.3 m $\eta = 0.3$	$\eta < 0.1$	$\eta < 0.1$	x: 7.3 m $\eta = 63.2$	$\eta < 0.1$	M_{Ed} = 0.00 N.P.(1)	N.P.(2)	N.P.(2)	**CUMPLE η = 63.2**
N2352/N2327	$\lambda_w \leq \lambda_{w,máx}$ Cumple	$\eta = 1.8$	$\eta = 0.6$	x: 7.3 m $\eta = 27.4$	x: 7.3 m $\eta = 2.0$	x: 7.3 m $\eta = 4.3$	x: 7.3 m $\eta = 0.2$	$\eta < 0.1$	$\eta < 0.1$	x: 7.3 m $\eta = 28.8$	$\eta < 0.1$	M_{Ed} = 0.00 N.P.(1)	N.P.(2)	N.P.(2)	**CUMPLE η = 28.8**
N2353/N2328	$\lambda_w \leq \lambda_{w,máx}$ Cumple	$\eta = 1.0$	$\eta = 0.4$	x: 7.3 m $\eta = 33.7$	x: 7.3 m $\eta = 2.6$	x: 7.3 m $\eta = 5.3$	x: 7.3 m $\eta = 0.3$	$\eta < 0.1$	$\eta < 0.1$	x: 7.3 m $\eta = 34.8$	$\eta < 0.1$	M_{Ed} = 0.00 N.P.(1)	N.P.(2)	N.P.(2)	**CUMPLE η = 34.8**
N2354/N2329	$\lambda_w \leq \lambda_{w,máx}$ Cumple	$\eta = 0.2$	$\eta = 0.4$	x: 7.3 m $\eta = 38.4$	x: 7.3 m $\eta = 2.9$	x: 7.3 m $\eta = 6.0$	x: 7.3 m $\eta = 0.3$	$\eta < 0.1$	$\eta < 0.1$	x: 7.3 m $\eta = 39.2$	$\eta < 0.1$	M_{Ed} = 0.00 N.P.(1)	N.P.(2)	N.P.(2)	**CUMPLE η = 39.2**
N2355/N2330	$\lambda_w \leq \lambda_{w,máx}$ Cumple	$\eta = 0.5$	$\eta = 1.0$	x: 7.3 m $\eta = 27.7$	x: 7.3 m $\eta = 2.3$	x: 7.3 m $\eta = 4.3$	x: 7.3 m $\eta = 0.3$	$\eta < 0.1$	$\eta < 0.1$	x: 7.3 m $\eta = 28.6$	$\eta < 0.1$	M_{Ed} = 0.00 N.P.(1)	N.P.(2)	N.P.(2)	**CUMPLE η = 28.6**
N2356/N2331	$\lambda_w \leq \lambda_{w,máx}$ Cumple	$\eta = 0.4$	$\eta = 0.9$	x: 7.3 m $\eta = 28.8$	x: 7.3 m $\eta = 2.3$	x: 7.3 m $\eta = 4.5$	x: 7.3 m $\eta = 0.3$	$\eta < 0.1$	$\eta < 0.1$	x: 7.3 m $\eta = 29.7$	$\eta < 0.1$	M_{Ed} = 0.00 N.P.(1)	N.P.(2)	N.P.(2)	**CUMPLE η = 29.7**
N2357/N2332	$\lambda_w \leq \lambda_{w,máx}$ Cumple	$\eta = 0.1$	$\eta = 0.2$	x: 7.3 m $\eta = 38.2$	x: 7.3 m $\eta = 2.9$	x: 7.3 m $\eta = 6.0$	x: 7.3 m $\eta = 0.3$	$\eta < 0.1$	$\eta < 0.1$	x: 7.3 m $\eta = 38.9$	$\eta < 0.1$	M_{Ed} = 0.00 N.P.(1)	N.P.(2)	N.P.(2)	**CUMPLE η = 38.9**
N2358/N2333	$\lambda_w \leq \lambda_{w,máx}$ Cumple	$\eta = 0.4$	$\eta = 0.6$	x: 0 m $\eta = 38.5$	x: 7.3 m $\eta = 2.9$	x: 0 m $\eta = 6.0$	x: 7.3 m $\eta = 0.3$	$\eta < 0.1$	$\eta < 0.1$	x: 0 m $\eta = 39.2$	$\eta < 0.1$	M_{Ed} = 0.00 N.P.(1)	N.P.(2)	N.P.(2)	**CUMPLE η = 39.2**
N2359/N2334	$\lambda_w \leq \lambda_{w,máx}$ Cumple	$\eta = 0.5$	$\eta = 0.9$	x: 0 m $\eta = 40.1$	x: 0 m $\eta = 2.9$	x: 0 m $\eta = 6.0$	x: 0 m $\eta = 0.3$	$\eta < 0.1$	$\eta < 0.1$	x: 0 m $\eta = 41.0$	$\eta < 0.1$	M_{Ed} = 0.00 N.P.(1)	N.P.(2)	N.P.(2)	**CUMPLE η = 41.0**
N2360/N2335	$\lambda_w \leq \lambda_{w,máx}$ Cumple	$\eta = 0.2$	$\eta = 0.3$	x: 7.3 m $\eta = 38.1$	x: 7.3 m $\eta = 2.9$	x: 7.3 m $\eta = 6.0$	x: 7.3 m $\eta = 0.3$	$\eta < 0.1$	$\eta < 0.1$	x: 7.3 m $\eta = 38.8$	$\eta < 0.1$	M_{Ed} = 0.00 N.P.(1)	N.P.(2)	N.P.(2)	**CUMPLE η = 38.8**
N2361/N2336	$\lambda_w \leq \lambda_{w,máx}$ Cumple	$\eta = 0.3$	$\eta = 0.6$	x: 7.3 m $\eta = 36.9$	x: 7.3 m $\eta = 2.8$	x: 7.3 m $\eta = 5.8$	x: 7.3 m $\eta = 0.3$	$\eta < 0.1$	$\eta < 0.1$	x: 7.3 m $\eta = 37.7$	$\eta < 0.1$	M_{Ed} = 0.00 N.P.(1)	N.P.(2)	N.P.(2)	**CUMPLE η = 37.7**
N2362/N2337	$\lambda_w \leq \lambda_{w,máx}$ Cumple	$\eta = 0.7$	$\eta = 1.5$	x: 0 m $\eta = 20.3$	x: 7.3 m $\eta = 1.8$	x: 0 m $\eta = 3.1$	x: 7.3 m $\eta = 0.2$	$\eta < 0.1$	$\eta < 0.1$	x: 0 m $\eta = 21.3$	$\eta < 0.1$	M_{Ed} = 0.00 N.P.(1)	N.P.(2)	N.P.(2)	**CUMPLE η = 21.3**
N2363/N2338	$\lambda_w \leq \lambda_{w,máx}$ Cumple	$\eta = 0.3$	$\eta = 0.5$	x: 7.3 m $\eta = 38.1$	x: 7.3 m $\eta = 2.9$	x: 7.3 m $\eta = 6.0$	x: 7.3 m $\eta = 0.3$	$\eta < 0.1$	$\eta < 0.1$	x: 7.3 m $\eta = 38.8$	$\eta < 0.1$	M_{Ed} = 0.00 N.P.(1)	N.P.(2)	N.P.(2)	**CUMPLE η = 38.8**
N2364/N2339	$\lambda_w \leq \lambda_{w,máx}$ Cumple	$\eta = 0.2$	$\eta = 0.3$	x: 7.3 m $\eta = 38.1$	x: 7.3 m $\eta = 2.9$	x: 7.3 m $\eta = 6.0$	x: 7.3 m $\eta = 0.3$	$\eta < 0.1$	$\eta < 0.1$	x: 7.3 m $\eta = 38.8$	$\eta < 0.1$	M_{Ed} = 0.00 N.P.(1)	N.P.(2)	N.P.(2)	**CUMPLE η = 38.8**
N2365/N2340	$\lambda_w \leq \lambda_{w,máx}$ Cumple	$\eta = 0.6$	$\eta = 0.9$	x: 0 m $\eta = 40.8$	x: 7.3 m $\eta = 2.9$	x: 0 m $\eta = 6.0$	x: 7.3 m $\eta = 0.3$	$\eta < 0.1$	$\eta < 0.1$	x: 0 m $\eta = 41.7$	$\eta < 0.1$	M_{Ed} = 0.00 N.P.(1)	N.P.(2)	N.P.(2)	**CUMPLE η = 41.7**
N2366/N2341	$\lambda_w \leq \lambda_{w,máx}$ Cumple	$\eta = 0.3$	$\eta = 0.5$	x: 0 m $\eta = 38.4$	x: 7.3 m $\eta = 2.9$	x: 0 m $\eta = 6.0$	x: 7.3 m $\eta = 0.3$	$\eta < 0.1$	$\eta < 0.1$	x: 0 m $\eta = 39.0$	$\eta < 0.1$	M_{Ed} = 0.00 N.P.(1)	N.P.(2)	N.P.(2)	**CUMPLE η = 39.0**
N2367/N2342	$\lambda_w \leq \lambda_{w,máx}$ Cumple	$\eta = 0.1$	$\eta = 0.2$	x: 7.3 m $\eta = 38.1$	x: 7.3 m $\eta = 2.9$	x: 7.3 m $\eta = 6.0$	x: 7.3 m $\eta = 0.4$	$\eta < 0.1$	$\eta < 0.1$	x: 7.3 m $\eta = 38.7$	$\eta < 0.1$	M_{Ed} = 0.00 N.P.(1)	N.P.(2)	N.P.(2)	**CUMPLE η = 38.7**
N2368/N2343	$\lambda_w \leq \lambda_{w,máx}$ Cumple	$\eta = 0.4$	$\eta = 1.0$	x: 0 m $\eta = 26.6$	x: 7.3 m $\eta = 2.2$	x: 0 m $\eta = 4.1$	x: 7.3 m $\eta = 0.3$	$\eta < 0.1$	$\eta < 0.1$	x: 0 m $\eta = 27.2$	$\eta < 0.1$	M_{Ed} = 0.00 N.P.(1)	N.P.(2)	N.P.(2)	**CUMPLE η = 27.2**
N2369/N2344	$\lambda_w \leq \lambda_{w,máx}$ Cumple	$\eta = 0.3$	$\eta = 0.9$	x: 7.3 m $\eta = 29.9$	x: 7.3 m $\eta = 2.4$	x: 7.3 m $\eta = 4.7$	x: 7.3 m $\eta = 0.3$	$\eta < 0.1$	$\eta < 0.1$	x: 7.3 m $\eta = 30.7$	$\eta < 0.1$	M_{Ed} = 0.00 N.P.(1)	N.P.(2)	N.P.(2)	**CUMPLE η = 30.7**
N2370/N2345	$\lambda_w \leq \lambda_{w,máx}$ Cumple	$\eta < 0.1$	$\eta = 0.2$	x: 7.3 m $\eta = 38.3$	x: 7.3 m $\eta = 2.9$	x: 7.3 m $\eta = 6.0$	x: 7.3 m $\eta = 0.4$	$\eta < 0.1$	$\eta < 0.1$	x: 7.3 m $\eta = 38.8$	$\eta < 0.1$	M_{Ed} = 0.00 N.P.(1)	N.P.(2)	N.P.(2)	**CUMPLE η = 38.8**
N2371/N2346	$\lambda_w \leq \lambda_{w,máx}$ Cumple	$\eta = 0.6$	$\eta = 0.4$	x: 7.3 m $\eta = 31.2$	x: 7.3 m $\eta = 2.5$	x: 7.3 m $\eta = 4.9$	x: 7.3 m $\eta = 0.3$	$\eta < 0.1$	$\eta < 0.1$	x: 7.3 m $\eta = 31.6$	$\eta < 0.1$	M_{Ed} = 0.00 N.P.(1)	N.P.(2)	N.P.(2)	**CUMPLE η = 31.6**
N2372/N2347	$\lambda_w \leq \lambda_{w,máx}$ Cumple	$\eta = 0.8$	$\eta = 0.4$	x: 7.3 m $\eta = 31.6$	x: 7.3 m $\eta = 2.2$	x: 7.3 m $\eta = 4.9$	x: 7.3 m $\eta = 0.3$	$\eta < 0.1$	$\eta < 0.1$	x: 7.3 m $\eta = 32.1$	$\eta < 0.1$	M_{Ed} = 0.00 N.P.(1)	N.P.(2)	N.P.(2)	**CUMPLE η = 32.1**
N2373/N2348	$\lambda_w \leq \lambda_{w,máx}$ Cumple	$\eta < 0.1$	$\eta = 0.2$	x: 7.3 m $\eta = 64.0$	x: 7.3 m $\eta = 2.9$	x: 7.3 m $\eta = 10.0$	x: 7.3 m $\eta = 0.4$	$\eta < 0.1$	$\eta < 0.1$	x: 7.3 m $\eta = 64.6$	$\eta < 0.1$	M_{Ed} = 0.00 N.P.(1)	N.P.(2)	N.P.(2)	**CUMPLE η = 64.6**
N2374/N2349	$\lambda_w \leq \lambda_{w,máx}$ Cumple	$\eta = 0.6$	$\eta = 0.5$	x: 7.3 m $\eta = 62.2$	x: 7.3 m $\eta = 2.8$	x: 7.3 m $\eta = 9.7$	x: 7.3 m $\eta = 0.3$	$\eta < 0.1$	$\eta < 0.1$	x: 7.3 m $\eta = 63.3$	$\eta < 0.1$	M_{Ed} = 0.00 N.P.(1)	N.P.(2)	N.P.(2)	**CUMPLE η = 63.3**

Documento visado electrónicamente con número: VA07290/22
Código de validación telemática TRLTDCFZ60T66IJ1. Comprobación: https://cogitivalencia.e-gestion.es/Validacion.aspx?CVT=TRLTDCFZ60T66IJ1

VISADO
COGITI
VALENCIA
VA07290/22
TRLTDCFZ60T66IJ1

Barras	COMPROBACIONES (CÓDIGO ESTRUCTURAL)														Estado
	λ_w	N_t	N_c	M_Y	M_Z	V_Z	V_Y	M_YV_Z	M_ZV_Y	NM_YM_Z	$NM_YM_ZV_YV_Z$	M_t	M_tV_Z	M_tV_Y	
N2375/N2350	$\lambda_w \leq \lambda_{w,máx}$ Cumple	$\eta = 0.6$	$\eta = 0.7$	x: 0 m $\eta = 80.2$	x: 0 m $\eta = 3.4$	x: 0 m $\eta = 10.7$	x: 0 m $\eta = 0.4$	$\eta < 0.1$	$\eta < 0.1$	x: 0 m $\eta = 81.6$	$\eta < 0.1$	$M_{Ed} = 0.00$ N.P.(1)	N.P.(2)	N.P.(2)	**CUMPLE $\eta = 81.6$**
N2376/N2351	$\lambda_w \leq \lambda_{w,máx}$ Cumple	$\eta = 0.3$	$\eta = 0.1$	x: 0 m $\eta = 75.5$	x: 0 m $\eta = 3.4$	x: 0 m $\eta = 10.1$	x: 0 m $\eta = 0.4$	$\eta < 0.1$	$\eta < 0.1$	x: 0 m $\eta = 76.1$	$\eta < 0.1$	$M_{Ed} = 0.00$ N.P.(1)	N.P.(2)	N.P.(2)	**CUMPLE $\eta = 76.1$**
N2377/N2352	$\lambda_w \leq \lambda_{w,máx}$ Cumple	$\eta = 2.1$	$\eta = 0.4$	x: 0 m $\eta = 31.5$	x: 0 m $\eta = 2.3$	x: 0 m $\eta = 4.4$	x: 0 m $\eta = 0.2$	$\eta < 0.1$	$\eta < 0.1$	x: 0 m $\eta = 32.9$	$\eta < 0.1$	$M_{Ed} = 0.00$ N.P.(1)	N.P.(2)	N.P.(2)	**CUMPLE $\eta = 32.9$**
N2378/N2353	$\lambda_w \leq \lambda_{w,máx}$ Cumple	$\eta = 1.1$	$\eta = 0.3$	x: 0 m $\eta = 38.2$	x: 0 m $\eta = 3.0$	x: 0 m $\eta = 5.4$	x: 0 m $\eta = 0.3$	$\eta < 0.1$	$\eta < 0.1$	x: 0 m $\eta = 39.7$	$\eta < 0.1$	$M_{Ed} = 0.00$ N.P.(1)	N.P.(2)	N.P.(2)	**CUMPLE $\eta = 39.7$**
N2379/N2354	$\lambda_w \leq \lambda_{w,máx}$ Cumple	$\eta = 0.2$	$\eta = 0.3$	x: 0 m $\eta = 43.1$	x: 0 m $\eta = 3.4$	x: 0 m $\eta = 6.1$	x: 0 m $\eta = 0.4$	$\eta < 0.1$	$\eta < 0.1$	x: 0 m $\eta = 44.5$	$\eta < 0.1$	$M_{Ed} = 0.00$ N.P.(1)	N.P.(2)	N.P.(2)	**CUMPLE $\eta = 44.5$**
N2380/N2355	$\lambda_w \leq \lambda_{w,máx}$ Cumple	$\eta = 0.5$	$\eta = 1.1$	x: 0 m $\eta = 29.3$	x: 0 m $\eta = 2.6$	x: 0 m $\eta = 4.4$	x: 0 m $\eta = 0.3$	$\eta < 0.1$	$\eta < 0.1$	x: 0 m $\eta = 30.8$	$\eta < 0.1$	$M_{Ed} = 0.00$ N.P.(1)	N.P.(2)	N.P.(2)	**CUMPLE $\eta = 30.8$**
N2381/N2356	$\lambda_w \leq \lambda_{w,máx}$ Cumple	$\eta = 0.4$	$\eta = 0.9$	x: 0 m $\eta = 29.9$	x: 0 m $\eta = 2.7$	x: 0 m $\eta = 4.5$	x: 0 m $\eta = 0.3$	$\eta < 0.1$	$\eta < 0.1$	x: 0 m $\eta = 31.4$	$\eta < 0.1$	$M_{Ed} = 0.00$ N.P.(1)	N.P.(2)	N.P.(2)	**CUMPLE $\eta = 31.4$**
N2382/N2357	$\lambda_w \leq \lambda_{w,máx}$ Cumple	$\eta = 0.1$	$\eta = 0.1$	x: 0 m $\eta = 40.7$	x: 0 m $\eta = 3.4$	x: 0 m $\eta = 6.0$	x: 0 m $\eta = 0.4$	$\eta < 0.1$	$\eta < 0.1$	x: 0 m $\eta = 41.9$	$\eta < 0.1$	$M_{Ed} = 0.00$ N.P.(1)	N.P.(2)	N.P.(2)	**CUMPLE $\eta = 41.9$**
N2383/N2358	$\lambda_w \leq \lambda_{w,máx}$ Cumple	$\eta = 0.4$	$\eta = 0.7$	x: 7.3 m $\eta = 38.5$	x: 0 m $\eta = 3.2$	x: 7.3 m $\eta = 6.0$	x: 0 m $\eta = 0.4$	$\eta < 0.1$	$\eta < 0.1$	x: 7.3 m $\eta = 39.2$	$\eta < 0.1$	$M_{Ed} = 0.00$ N.P.(1)	N.P.(2)	N.P.(2)	**CUMPLE $\eta = 39.2$**
N2384/N2359	$\lambda_w \leq \lambda_{w,máx}$ Cumple	$\eta = 0.7$	$\eta = 1.1$	x: 7.3 m $\eta = 40.1$	x: 7.3 m $\eta = 2.9$	x: 7.3 m $\eta = 6.2$	x: 7.3 m $\eta = 0.3$	$\eta < 0.1$	$\eta < 0.1$	x: 7.3 m $\eta = 41.1$	$\eta < 0.1$	$M_{Ed} = 0.00$ N.P.(1)	N.P.(2)	N.P.(2)	**CUMPLE $\eta = 41.1$**
N2385/N2360	$\lambda_w \leq \lambda_{w,máx}$ Cumple	$\eta = 0.1$	$\eta = 0.1$	x: 0 m $\eta = 38.9$	x: 0 m $\eta = 3.5$	x: 0 m $\eta = 6.0$	x: 0 m $\eta = 0.4$	$\eta < 0.1$	$\eta < 0.1$	x: 0 m $\eta = 40.0$	$\eta < 0.1$	$M_{Ed} = 0.00$ N.P.(1)	N.P.(2)	N.P.(2)	**CUMPLE $\eta = 40.0$**
N2386/N2361	$\lambda_w \leq \lambda_{w,máx}$ Cumple	$\eta = 0.3$	$\eta = 0.6$	x: 0 m $\eta = 37.1$	x: 0 m $\eta = 3.4$	x: 0 m $\eta = 5.8$	x: 0 m $\eta = 0.4$	$\eta < 0.1$	$\eta < 0.1$	x: 0 m $\eta = 38.4$	$\eta < 0.1$	$M_{Ed} = 0.00$ N.P.(1)	N.P.(2)	N.P.(2)	**CUMPLE $\eta = 38.4$**
N2387/N2362	$\lambda_w \leq \lambda_{w,máx}$ Cumple	$\eta = 0.9$	$\eta = 2.1$	x: 7.3 m $\eta = 20.3$	x: 0 m $\eta = 2.2$	x: 7.3 m $\eta = 3.2$	x: 0 m $\eta = 0.2$	$\eta < 0.1$	$\eta < 0.1$	x: 7.3 m $\eta = 25.1$	$\eta < 0.1$	$M_{Ed} = 0.00$ N.P.(1)	N.P.(2)	N.P.(2)	**CUMPLE $\eta = 25.1$**
N2388/N2363	$\lambda_w \leq \lambda_{w,máx}$ Cumple	$\eta = 0.2$	$\eta = 0.4$	x: 0 m $\eta = 38.3$	x: 0 m $\eta = 3.6$	x: 0 m $\eta = 6.0$	x: 0 m $\eta = 0.4$	$\eta < 0.1$	$\eta < 0.1$	x: 0 m $\eta = 39.4$	$\eta < 0.1$	$M_{Ed} = 0.00$ N.P.(1)	N.P.(2)	N.P.(2)	**CUMPLE $\eta = 39.4$**
N2389/N2364	$\lambda_w \leq \lambda_{w,máx}$ Cumple	$\eta = 0.1$	$\eta = 0.2$	x: 0 m $\eta = 38.4$	x: 0 m $\eta = 3.6$	x: 0 m $\eta = 6.0$	x: 0 m $\eta = 0.4$	$\eta < 0.1$	$\eta < 0.1$	x: 0 m $\eta = 39.3$	$\eta < 0.1$	$M_{Ed} = 0.00$ N.P.(1)	N.P.(2)	N.P.(2)	**CUMPLE $\eta = 39.3$**
N2390/N2365	$\lambda_w \leq \lambda_{w,máx}$ Cumple	$\eta = 0.7$	$\eta = 1.2$	x: 7.3 m $\eta = 40.8$	x: 0 m $\eta = 3.0$	x: 7.3 m $\eta = 6.3$	x: 0 m $\eta = 0.3$	$\eta < 0.1$	$\eta < 0.1$	x: 7.3 m $\eta = 41.9$	$\eta < 0.1$	$M_{Ed} = 0.00$ N.P.(1)	N.P.(2)	N.P.(2)	**CUMPLE $\eta = 41.9$**
N2391/N2366	$\lambda_w \leq \lambda_{w,máx}$ Cumple	$\eta = 0.3$	$\eta = 0.5$	x: 7.3 m $\eta = 38.4$	x: 0 m $\eta = 3.6$	x: 7.3 m $\eta = 6.0$	x: 0 m $\eta = 0.4$	$\eta < 0.1$	$\eta < 0.1$	x: 7.3 m $\eta = 39.0$	$\eta < 0.1$	$M_{Ed} = 0.00$ N.P.(1)	N.P.(2)	N.P.(2)	**CUMPLE $\eta = 39.0$**
N2392/N2367	$\lambda_w \leq \lambda_{w,máx}$ Cumple	$\eta < 0.1$	$\eta = 0.1$	x: 0 m $\eta = 39.4$	x: 0 m $\eta = 3.7$	x: 0 m $\eta = 6.0$	x: 0 m $\eta = 0.4$	$\eta < 0.1$	$\eta < 0.1$	x: 0 m $\eta = 40.1$	$\eta < 0.1$	$M_{Ed} = 0.00$ N.P.(1)	N.P.(2)	N.P.(2)	**CUMPLE $\eta = 40.1$**
N2393/N2368	$\lambda_w \leq \lambda_{w,máx}$ Cumple	$\eta = 0.4$	$\eta = 1.0$	x: 7.3 m $\eta = 26.6$	x: 0 m $\eta = 2.9$	x: 7.3 m $\eta = 4.2$	x: 0 m $\eta = 0.3$	$\eta < 0.1$	$\eta < 0.1$	x: 7.3 m $\eta = 27.2$	$\eta < 0.1$	$M_{Ed} = 0.00$ N.P.(1)	N.P.(2)	N.P.(2)	**CUMPLE $\eta = 27.2$**
N2394/N2369	$\lambda_w \leq \lambda_{w,máx}$ Cumple	$\eta = 0.3$	$\eta = 0.9$	x: 0 m $\eta = 30.6$	x: 0 m $\eta = 3.2$	x: 0 m $\eta = 4.7$	x: 0 m $\eta = 0.3$	$\eta < 0.1$	$\eta < 0.1$	x: 0 m $\eta = 31.4$	$\eta < 0.1$	$M_{Ed} = 0.00$ N.P.(1)	N.P.(2)	N.P.(2)	**CUMPLE $\eta = 31.4$**
N2395/N2370	$\lambda_w \leq \lambda_{w,máx}$ Cumple	$\eta < 0.1$	$\eta = 0.2$	x: 0 m $\eta = 41.5$	x: 0 m $\eta = 3.8$	x: 0 m $\eta = 6.1$	x: 0 m $\eta = 0.4$	$\eta < 0.1$	$\eta < 0.1$	x: 0 m $\eta = 42.0$	$\eta < 0.1$	$M_{Ed} = 0.00$ N.P.(1)	N.P.(2)	N.P.(2)	**CUMPLE $\eta = 42.0$**
N2396/N2371	$\lambda_w \leq \lambda_{w,máx}$ Cumple	$\eta = 0.8$	$\eta = 0.3$	x: 0 m $\eta = 33.7$	x: 0 m $\eta = 3.3$	x: 0 m $\eta = 4.9$	x: 0 m $\eta = 0.3$	$\eta < 0.1$	$\eta < 0.1$	x: 0 m $\eta = 34.0$	$\eta < 0.1$	$M_{Ed} = 0.00$ N.P.(1)	N.P.(2)	N.P.(2)	**CUMPLE $\eta = 34.0$**
N2397/N2372	$\lambda_w \leq \lambda_{w,máx}$ Cumple	$\eta = 1.2$	$\eta = 0.3$	x: 0 m $\eta = 35.1$	x: 0 m $\eta = 2.9$	x: 0 m $\eta = 5.0$	x: 0 m $\eta = 0.3$	$\eta < 0.1$	$\eta < 0.1$	x: 0 m $\eta = 35.3$	$\eta < 0.1$	$M_{Ed} = 0.00$ N.P.(1)	N.P.(2)	N.P.(2)	**CUMPLE $\eta = 35.3$**
N2398/N2373	$\lambda_w \leq \lambda_{w,máx}$ Cumple	$\eta < 0.1$	$\eta = 0.1$	x: 0 m $\eta = 76.5$	x: 0 m $\eta = 3.9$	x: 0 m $\eta = 10.3$	x: 0 m $\eta = 0.4$	$\eta < 0.1$	$\eta < 0.1$	x: 0 m $\eta = 77.4$	$\eta < 0.1$	$M_{Ed} = 0.00$ N.P.(1)	N.P.(2)	N.P.(2)	**CUMPLE $\eta = 77.4$**
N2399/N2374	$\lambda_w \leq \lambda_{w,máx}$ Cumple	$\eta = 0.5$	$\eta = 0.3$	x: 0 m $\eta = 75.0$	x: 0 m $\eta = 3.7$	x: 0 m $\eta = 10.0$	x: 0 m $\eta = 0.4$	$\eta < 0.1$	$\eta < 0.1$	x: 0 m $\eta = 76.3$	$\eta < 0.1$	$M_{Ed} = 0.00$ N.P.(1)	N.P.(2)	N.P.(2)	**CUMPLE $\eta = 76.3$**
N2400/N2375	x: 0.456 m $\lambda_w \leq \lambda_{w,máx}$ Cumple	$\eta = 0.4$	$\eta = 0.4$	x: 7.3 m $\eta = 61.3$	x: 7.3 m $\eta = 2.2$	x: 7.3 m $\eta = 8.7$	x: 7.3 m $\eta = 0.3$	x: 0.456 m $\eta < 0.1$	x: 0.456 m $\eta < 0.1$	x: 7.3 m $\eta = 62.2$	x: 0.456 m $\eta < 0.1$	$M_{Ed} = 0.00$ N.P.(1)	N.P.(2)	N.P.(2)	**CUMPLE $\eta = 62.2$**
N2401/N2376	x: 0.456 m $\lambda_w \leq \lambda_{w,máx}$ Cumple	$\eta = 0.1$	$\eta < 0.1$	x: 7.3 m $\eta = 57.7$	x: 7.3 m $\eta = 2.2$	x: 7.3 m $\eta = 8.2$	x: 7.3 m $\eta = 0.3$	x: 0.456 m $\eta < 0.1$	x: 0.456 m $\eta < 0.1$	x: 7.3 m $\eta = 58.4$	x: 0.456 m $\eta < 0.1$	$M_{Ed} = 0.00$ N.P.(1)	N.P.(2)	N.P.(2)	**CUMPLE $\eta = 58.4$**
N2402/N2377	x: 0.456 m $\lambda_w \leq \lambda_{w,máx}$ Cumple	$\eta = 1.0$	$\eta = 0.1$	x: 7.3 m $\eta = 24.0$	x: 7.3 m $\eta = 1.5$	x: 7.3 m $\eta = 3.5$	x: 7.3 m $\eta = 0.2$	x: 0.456 m $\eta < 0.1$	x: 0.456 m $\eta < 0.1$	x: 7.3 m $\eta = 24.9$	x: 0.456 m $\eta < 0.1$	$M_{Ed} = 0.00$ N.P.(1)	N.P.(2)	N.P.(2)	**CUMPLE $\eta = 24.9$**
N2403/N2378	x: 0.456 m $\lambda_w \leq \lambda_{w,máx}$ Cumple	$\eta = 0.5$	$\eta = 0.1$	x: 7.3 m $\eta = 29.2$	x: 7.3 m $\eta = 2.0$	x: 7.3 m $\eta = 4.3$	x: 7.3 m $\eta = 0.3$	x: 0.456 m $\eta < 0.1$	x: 0.456 m $\eta < 0.1$	x: 7.3 m $\eta = 30.2$	x: 0.456 m $\eta < 0.1$	$M_{Ed} = 0.00$ N.P.(1)	N.P.(2)	N.P.(2)	**CUMPLE $\eta = 30.2$**
N2404/N2379	x: 0.456 m $\lambda_w \leq \lambda_{w,máx}$ Cumple	$\eta = 0.1$	$\eta = 0.1$	x: 7.3 m $\eta = 33.0$	x: 7.3 m $\eta = 2.2$	x: 7.3 m $\eta = 4.9$	x: 7.3 m $\eta = 0.3$	x: 0.456 m $\eta < 0.1$	x: 0.456 m $\eta < 0.1$	x: 7.3 m $\eta = 33.9$	x: 0.456 m $\eta < 0.1$	$M_{Ed} = 0.00$ N.P.(1)	N.P.(2)	N.P.(2)	**CUMPLE $\eta = 33.9$**
N2405/N2380	x: 0.456 m $\lambda_w \leq \lambda_{w,máx}$ Cumple	$\eta = 0.1$	$\eta = 0.2$	x: 7.3 m $\eta = 22.4$	x: 7.3 m $\eta = 1.7$	x: 7.3 m $\eta = 3.5$	x: 7.3 m $\eta = 0.3$	x: 0.456 m $\eta < 0.1$	x: 0.456 m $\eta < 0.1$	x: 7.3 m $\eta = 23.3$	x: 0.456 m $\eta < 0.1$	$M_{Ed} = 0.00$ N.P.(1)	N.P.(2)	N.P.(2)	**CUMPLE $\eta = 23.3$**
N2406/N2381	x: 0.456 m $\lambda_w \leq \lambda_{w,máx}$ Cumple	$\eta = 0.1$	$\eta = 0.2$	x: 7.3 m $\eta = 22.9$	x: 7.3 m $\eta = 1.8$	x: 7.3 m $\eta = 3.7$	x: 7.3 m $\eta = 0.3$	x: 0.456 m $\eta < 0.1$	x: 0.456 m $\eta < 0.1$	x: 7.3 m $\eta = 23.8$	x: 0.456 m $\eta < 0.1$	$M_{Ed} = 0.00$ N.P.(1)	N.P.(2)	N.P.(2)	**CUMPLE $\eta = 23.8$**
N2407/N2382	x: 0.456 m $\lambda_w \leq \lambda_{w,máx}$ Cumple	$\eta = 0.1$	$\eta = 0.1$	x: 7.3 m $\eta = 31.1$	x: 7.3 m $\eta = 2.2$	x: 7.3 m $\eta = 4.9$	x: 7.3 m $\eta = 0.3$	x: 0.456 m $\eta < 0.1$	x: 0.456 m $\eta < 0.1$	x: 7.3 m $\eta = 32.0$	x: 0.456 m $\eta < 0.1$	$M_{Ed} = 0.00$ N.P.(1)	N.P.(2)	N.P.(2)	**CUMPLE $\eta = 32.0$**
N2408/N2383	x: 0.456 m $\lambda_w \leq \lambda_{w,máx}$ Cumple	$\eta < 0.1$	$\eta = 0.1$	x: 7.3 m $\eta = 27.4$	x: 7.3 m $\eta = 2.1$	x: 7.3 m $\eta = 4.2$	x: 7.3 m $\eta = 0.3$	x: 0.456 m $\eta < 0.1$	x: 0.456 m $\eta < 0.1$	x: 7.3 m $\eta = 27.9$	x: 0.456 m $\eta < 0.1$	$M_{Ed} = 0.00$ N.P.(1)	N.P.(2)	N.P.(2)	**CUMPLE $\eta = 27.9$**
N2409/N2384	x: 0.456 m $\lambda_w \leq \lambda_{w,máx}$ Cumple	$\eta = 0.2$	$\eta = 0.2$	x: 7.3 m $\eta = 22.6$	x: 7.3 m $\eta = 1.9$	x: 7.3 m $\eta = 3.1$	x: 7.3 m $\eta = 0.2$	x: 0.456 m $\eta < 0.1$	x: 0.456 m $\eta < 0.1$	x: 7.3 m $\eta = 23.2$	x: 0.456 m $\eta < 0.1$	$M_{Ed} = 0.00$ N.P.(1)	N.P.(2)	N.P.(2)	**CUMPLE $\eta = 23.2$**

Documento visado electrónicamente con número: VA07290/22
Código de validación telemática TRLTDCFZ60T66IJ1. Comprobación: https://cogitivalencia.e-gestion.es/Validacion.aspx?CVT=TRLTDCFZ60T66IJ1

VISADO
COGITI
VALENCIA
VA07290/22
TRLTDCFZ60T66IJ1

Listados

Barras	COMPROBACIONES (CÓDIGO ESTRUCTURAL)															Estado
	λ_w	N_t	N_c	M_Y	M_Z	V_Z	V_Y	M_YV_Z	M_ZV_Y	NM_YM_Z	$NM_YM_ZV_YV_Z$	M_t	M_tV_Z	M_tV_Y	
N2410/N2385	x: 0.456 m $\lambda_w \leq \lambda_{w,máx}$ Cumple	$\eta = 0.1$	$\eta = 0.1$	x: 7.3 m $\eta = 29.8$	x: 7.3 m $\eta = 2.3$	x: 7.3 m $\eta = 4.9$	x: 7.3 m $\eta = 0.3$	x: 0.456 m $\eta < 0.1$	x: 0.456 m $\eta < 0.1$	x: 7.3 m $\eta = 30.6$	x: 0.456 m $\eta < 0.1$	$M_{Ed} = 0.00$ N.P.(1)	N.P.(2)	N.P.(2)	**CUMPLE** **$\eta = 30.6$**
N2411/N2386	x: 0.456 m $\lambda_w \leq \lambda_{w,máx}$ Cumple	$\eta < 0.1$	$\eta = 0.1$	x: 3.194 m $\eta = 28.7$	x: 7.3 m $\eta = 2.3$	x: 7.3 m $\eta = 4.7$	x: 7.3 m $\eta = 0.3$	x: 0.456 m $\eta < 0.1$	x: 0.456 m $\eta < 0.1$	x: 7.3 m $\eta = 29.1$	x: 0.456 m $\eta < 0.1$	$M_{Ed} = 0.00$ N.P.(1)	N.P.(2)	N.P.(2)	**CUMPLE** **$\eta = 29.1$**
N2412/N2387	x: 0.456 m $\lambda_w \leq \lambda_{w,máx}$ Cumple	$\eta = 0.4$	$\eta = 0.4$	x: 3.194 m $\eta = 16.2$	x: 7.3 m $\eta = 1.4$	x: 7.3 m $\eta = 2.4$	x: 7.3 m $\eta = 0.2$	x: 0.456 m $\eta < 0.1$	x: 0.456 m $\eta < 0.1$	x: 3.194 m $\eta = 17.2$	x: 0.456 m $\eta < 0.1$	$M_{Ed} = 0.00$ N.P.(1)	N.P.(2)	N.P.(2)	**CUMPLE** **$\eta = 17.2$**
N2413/N2388	x: 0.456 m $\lambda_w \leq \lambda_{w,máx}$ Cumple	$\eta = 0.1$	$\eta = 0.1$	x: 3.194 m $\eta = 29.6$	x: 7.3 m $\eta = 2.4$	x: 7.3 m $\eta = 4.8$	x: 7.3 m $\eta = 0.3$	x: 0.456 m $\eta < 0.1$	x: 0.456 m $\eta < 0.1$	x: 7.3 m $\eta = 30.0$	x: 0.456 m $\eta < 0.1$	$M_{Ed} = 0.00$ N.P.(1)	N.P.(2)	N.P.(2)	**CUMPLE** **$\eta = 30.0$**
N2414/N2389	x: 0.456 m $\lambda_w \leq \lambda_{w,máx}$ Cumple	$\eta = 0.1$	$\eta = 0.1$	x: 3.194 m $\eta = 29.5$	x: 7.3 m $\eta = 2.4$	x: 7.3 m $\eta = 4.8$	x: 7.3 m $\eta = 0.3$	x: 0.456 m $\eta < 0.1$	x: 0.456 m $\eta < 0.1$	x: 7.3 m $\eta = 30.1$	x: 0.456 m $\eta < 0.1$	$M_{Ed} = 0.00$ N.P.(1)	N.P.(2)	N.P.(2)	**CUMPLE** **$\eta = 30.1$**
N2415/N2390	x: 0.456 m $\lambda_w \leq \lambda_{w,máx}$ Cumple	$\eta = 0.4$	$\eta = 0.5$	x: 7.3 m $\eta = 20.8$	x: 7.3 m $\eta = 2.0$	x: 7.3 m $\eta = 2.8$	x: 7.3 m $\eta = 0.2$	x: 0.456 m $\eta < 0.1$	x: 0.456 m $\eta < 0.1$	x: 7.3 m $\eta = 21.5$	x: 0.456 m $\eta < 0.1$	$M_{Ed} = 0.00$ N.P.(1)	N.P.(2)	N.P.(2)	**CUMPLE** **$\eta = 21.5$**
N2416/N2391	x: 0.456 m $\lambda_w \leq \lambda_{w,máx}$ Cumple	$\eta = 0.1$	$\eta = 0.1$	x: 7.3 m $\eta = 27.9$	x: 7.3 m $\eta = 2.3$	x: 7.3 m $\eta = 4.4$	x: 7.3 m $\eta = 0.3$	x: 0.456 m $\eta < 0.1$	x: 0.456 m $\eta < 0.1$	x: 7.3 m $\eta = 28.2$	x: 0.456 m $\eta < 0.1$	$M_{Ed} = 0.00$ N.P.(1)	N.P.(2)	N.P.(2)	**CUMPLE** **$\eta = 28.2$**
N2417/N2392	x: 0.456 m $\lambda_w \leq \lambda_{w,máx}$ Cumple	$\eta = 0.1$	$\eta = 0.1$	x: 7.3 m $\eta = 30.1$	x: 7.3 m $\eta = 2.5$	x: 7.3 m $\eta = 4.9$	x: 7.3 m $\eta = 0.3$	x: 0.456 m $\eta < 0.1$	x: 0.456 m $\eta < 0.1$	x: 7.3 m $\eta = 30.7$	x: 0.456 m $\eta < 0.1$	$M_{Ed} = 0.00$ N.P.(1)	N.P.(2)	N.P.(2)	**CUMPLE** **$\eta = 30.7$**
N2418/N2393	x: 0.456 m $\lambda_w \leq \lambda_{w,máx}$ Cumple	$\eta = 0.1$	$\eta = 0.3$	x: 3.194 m $\eta = 20.7$	x: 7.3 m $\eta = 1.9$	x: 7.3 m $\eta = 3.3$	x: 7.3 m $\eta = 0.3$	x: 0.456 m $\eta < 0.1$	x: 0.456 m $\eta < 0.1$	x: 3.194 m $\eta = 21.0$	x: 0.456 m $\eta < 0.1$	$M_{Ed} = 0.00$ N.P.(1)	N.P.(2)	N.P.(2)	**CUMPLE** **$\eta = 21.0$**
N2419/N2394	x: 0.456 m $\lambda_w \leq \lambda_{w,máx}$ Cumple	$\eta = 0.1$	$\eta = 0.2$	x: 7.3 m $\eta = 23.4$	x: 7.3 m $\eta = 2.1$	x: 7.3 m $\eta = 3.8$	x: 7.3 m $\eta = 0.3$	x: 0.456 m $\eta < 0.1$	x: 0.456 m $\eta < 0.1$	x: 7.3 m $\eta = 23.7$	x: 0.456 m $\eta < 0.1$	$M_{Ed} = 0.00$ N.P.(1)	N.P.(2)	N.P.(2)	**CUMPLE** **$\eta = 23.7$**
N2420/N2395	x: 0.456 m $\lambda_w \leq \lambda_{w,máx}$ Cumple	$\eta < 0.1$	$\eta = 0.1$	x: 7.3 m $\eta = 31.7$	x: 7.3 m $\eta = 2.5$	x: 7.3 m $\eta = 4.9$	x: 7.3 m $\eta = 0.3$	x: 0.456 m $\eta < 0.1$	x: 0.456 m $\eta < 0.1$	x: 7.3 m $\eta = 32.1$	x: 0.456 m $\eta < 0.1$	$M_{Ed} = 0.00$ N.P.(1)	N.P.(2)	N.P.(2)	**CUMPLE** **$\eta = 32.1$**
N2421/N2396	x: 0.456 m $\lambda_w \leq \lambda_{w,máx}$ Cumple	$\eta = 0.4$	$\eta = 0.1$	x: 7.3 m $\eta = 25.8$	x: 7.3 m $\eta = 2.2$	x: 7.3 m $\eta = 4.0$	x: 7.3 m $\eta = 0.3$	x: 0.456 m $\eta < 0.1$	x: 0.456 m $\eta < 0.1$	x: 7.3 m $\eta = 26.0$	x: 0.456 m $\eta < 0.1$	$M_{Ed} = 0.00$ N.P.(1)	N.P.(2)	N.P.(2)	**CUMPLE** **$\eta = 26.0$**
N2422/N2397	x: 0.456 m $\lambda_w \leq \lambda_{w,máx}$ Cumple	$\eta = 0.7$	$\eta = 0.1$	x: 7.3 m $\eta = 26.8$	x: 7.3 m $\eta = 1.9$	x: 7.3 m $\eta = 4.0$	x: 7.3 m $\eta = 0.2$	x: 0.456 m $\eta < 0.1$	x: 0.456 m $\eta < 0.1$	x: 7.3 m $\eta = 27.1$	x: 0.456 m $\eta < 0.1$	$M_{Ed} = 0.00$ N.P.(1)	N.P.(2)	N.P.(2)	**CUMPLE** **$\eta = 27.1$**
N2423/N2398	x: 0.456 m $\lambda_w \leq \lambda_{w,máx}$ Cumple	$\eta < 0.1$	$\eta < 0.1$	x: 7.3 m $\eta = 58.4$	x: 7.3 m $\eta = 2.6$	x: 7.3 m $\eta = 8.4$	x: 7.3 m $\eta = 0.3$	x: 0.456 m $\eta < 0.1$	x: 0.456 m $\eta < 0.1$	x: 7.3 m $\eta = 59.2$	x: 0.456 m $\eta < 0.1$	$M_{Ed} = 0.00$ N.P.(1)	N.P.(2)	N.P.(2)	**CUMPLE** **$\eta = 59.2$**
N2424/N2399	x: 0.456 m $\lambda_w \leq \lambda_{w,máx}$ Cumple	$\eta = 0.2$	$\eta = 0.1$	x: 7.3 m $\eta = 57.3$	x: 7.3 m $\eta = 2.5$	x: 7.3 m $\eta = 8.2$	x: 7.3 m $\eta = 0.3$	x: 0.456 m $\eta < 0.1$	x: 0.456 m $\eta < 0.1$	x: 7.3 m $\eta = 58.1$	x: 0.456 m $\eta < 0.1$	$M_{Ed} = 0.00$ N.P.(1)	N.P.(2)	N.P.(2)	**CUMPLE** **$\eta = 58.1$**

Notación:
- *λ_w: Abolladura del alma inducida por el ala comprimida*
- *N_t: Resistencia a tracción*
- *N_c: Resistencia a compresión*
- *M_Y: Resistencia a flexión eje Y*
- *M_Z: Resistencia a flexión eje Z*
- *V_Z: Resistencia a corte Z*
- *V_Y: Resistencia a corte Y*
- *M_YV_Z: Resistencia a momento flector Y y fuerza cortante Z combinados*
- *M_ZV_Y: Resistencia a momento flector Z y fuerza cortante Y combinados*
- *NM_YM_Z: Resistencia a flexión y axil combinados*
- *$NM_YM_ZV_YV_Z$: Resistencia a flexión, axil y cortante combinados*
- *M_t: Resistencia a torsión*
- *M_tV_Z: Resistencia a cortante Z y momento torsor combinados*
- *M_tV_Y: Resistencia a cortante Y y momento torsor combinados*
- *x: Distancia al origen de la barra*
- *η: Coeficiente de aprovechamiento (%)*
- *N.P.: No procede*

Comprobaciones que no proceden (N.P.):
- *(1) La comprobación no procede, ya que no hay momento torsor.*
- *(2) No hay interacción entre momento torsor y esfuerzo cortante para ninguna combinación. Por lo tanto, la comprobación no procede.*
- *(3) La comprobación no procede, ya que no hay axil de compresión.*
- *(4) La comprobación no procede, ya que no hay axil de tracción.*

Documento visado electrónicamente con número: VA07290/22
Código de validación telemática TRLTDCFZ60T66IJ1. Comprobación: https://cogitivalencia.e-gestion.es/Validacion.aspx?CVT=TRLTDCFZ60T66IJ1

VISADO
COGITI
VALENCIA
VA07290/22
TRLTDCFZ60T66IJ1

Documento visado electrónicamente con número: VA07290/22
Código de validación telemática TRLTDCFZ60T66IJ1. Comprobación: https://cogitivalencia.e-gestion.es/Validacion.aspx?CVT=TRLTDCFZ60T66IJ1

VISADO
COGITI
VALENCIA
VA07290/22
TRLTDCFZ60T66IJ1

A.3. Listado de cálculo. Uniones

Documento visado electrónicamente con número: VA07290/22
Código de validación telemática TRLTDCFZ60T66IJ1. Comprobación: https://cogitivalencia.e-gestion.es/Validacion.aspx?CVT=TRLTDCFZ60T66IJ1

Proyecto:
Proyecto nº:
Autor:

VISADO
COGITI
VALENCIA
VA07290/22
TRLTDCFZ60T66IJ1

Datos del proyecto

Nombre del proyecto	
Número del Proyecto	
Autor	
Descripción	
Fecha	10/05/2021
Normativa de cálculo	EN

Material

Acero	S 275

Documento visado electrónicamente con número: VA07290/22
Código de validación telemática TRLTDCFZ60T66IJ1. Comprobación: https://cogitivalencia.e-gestion.es/Validacion.aspx?CVT=TRLTDCFZ60T66IJ1

Proyecto:
Proyecto nº:
Autor:

VISADO
COGITI
VALENCIA
VA07290/22
TRLTDCFZ60T66IJ1

Ítem del proyecto CON1

Diseño

Nombre	CON1
Descripción	
Análisis	Tensión, deformación/ Carga simplificada

Elementos estructurales

Nombre	Sección transversal	β – Dirección [°]	γ - Inclinación [°]	α - Rotación [°]	Desplazamiento ex [mm]	Desplazamiento ey [mm]	Desplazamiento ez [mm]	Fuerzas en
C	4 - HEB280	0,0	-90,0	0,0	0	0	0	Nudo
B1	7 - HEB180	0,0	-45,7	0,0	300	0	0	Nudo
B2	8 - HEA180	180,0	-4,0	0,0	100	0	0	Nudo

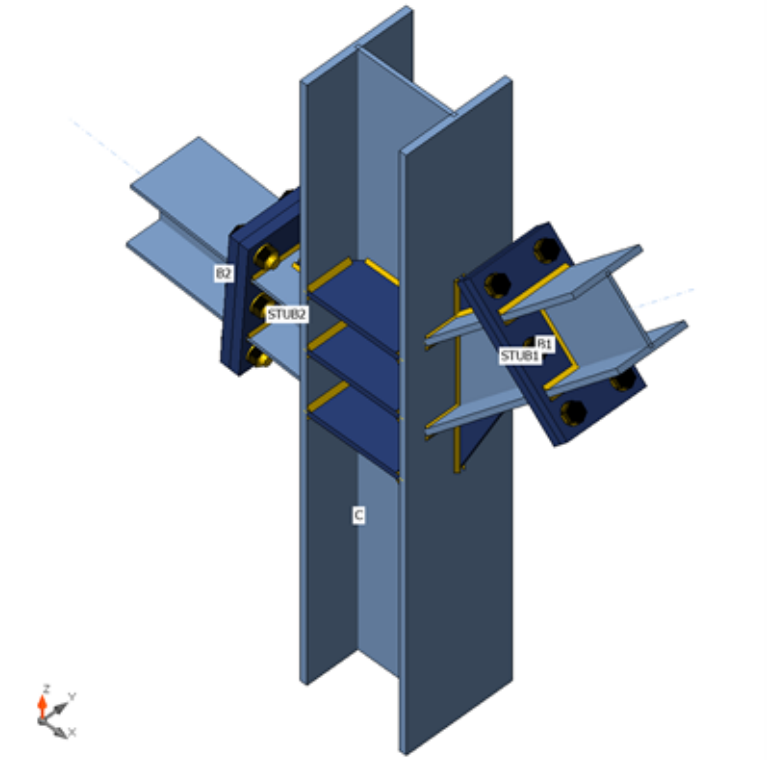

Secciones

Nombre	Material
4 - HEB280	S 275
7 - HEB180	S 275
8 - HEA180	S 275

Tornillos

Nombre	Conjunto de tornillo	Diámetro [mm]	fu [MPa]	Área bruta [mm^2]
M24 10.9	M24 10.9	24	1000,0	452

Documento visado electrónicamente con número: VA07290/22
Código de validación telemática TRLTDCFZ60T66IJ1. Comprobación: https://cogitivalencia.e-gestion.es/Validacion.aspx?CVT=TRLTDCFZ60T66IJ1

Proyecto:
Proyecto nº:
Autor:

VISADO
COGITI
VALENCIA
VA07290/22
TRLTDCFZ60T66IJ1

Cargas (No se requiere el equilibro)

Nombre	Elemento	N [kN]	Vy [kN]	Vz [kN]	Mx [kNm]	My [kNm]	Mz [kNm]
LE1	B1	-1073,4	0,0	-10,0	0,0	-31,0	0,0
	B2	-671,8	0,0	17,7	0,0	15,5	0,0
LE2	B1	868,1	0,0	10,4	0,0	26,4	0,0
	B2	630,7	0,0	-16,2	0,0	-16,2	0,0

Verificación

Resumen

Nombre	Valor	Estado
Análisis	100,0%	OK
Placas	0,2 < 5,0%	OK
Tornillos	88,8 < 100%	OK
Soldaduras	98,2 < 100%	OK
Pandeo	No calculado	

Documento visado electrónicamente con número: VA07290/22
Código de validación telemática TRLTDCFZ60T66IJ1. Comprobación: https://cogitivalencia.e-gestion.es/Validacion.aspx?CVT=TRLTDCFZ60T66IJ1

Proyecto:

Proyecto nº:

Autor:

VISADO
COGITI
VALENCIA
VA07290/22
TRLTDCFZ60T66IJ1

Placas

Nombre	Espesor [mm]	Cargas	σ_{Ed} [MPa]	ε_{Pl} [%]	σc_{Ed} [MPa]	Estado
C-bfl 1	18,0	LE1	104,5	0,0	0,0	OK
C-tfl 1	18,0	LE1	95,0	0,0	0,0	OK
C-w 1	10,5	LE1	205,9	0,0	0,0	OK
B1-bfl 1	14,0	LE2	191,4	0,0	0,0	OK
B1-tfl 1	14,0	LE2	275,4	0,2	0,0	OK
B1-w 1	8,5	LE2	211,5	0,0	0,0	OK
B2-bfl 1	9,5	LE2	275,3	0,1	0,0	OK
B2-tfl 1	9,5	LE2	169,0	0,0	0,0	OK
B2-w 1	6,0	LE1	228,2	0,0	0,0	OK
STUB1-bfl 1	14,0	LE2	203,7	0,0	0,0	OK
STUB1-tfl 1	14,0	LE2	275,4	0,2	0,0	OK
STUB1-w 1	8,5	LE1	223,0	0,0	0,0	OK
STUB2-bfl 1	9,5	LE2	275,2	0,1	0,0	OK
STUB2-tfl 1	9,5	LE2	185,1	0,0	0,0	OK
STUB2-w 1	6,0	LE1	221,4	0,0	0,0	OK
STUB1-EPa	25,0	LE2	275,2	0,1	49,5	OK
STUB1-EPb	25,0	LE2	275,2	0,1	49,5	OK
STIFF1a	15,0	LE1	108,0	0,0	0,0	OK
STIFF1b	15,0	LE1	108,0	0,0	0,0	OK
STIFF1c	15,0	LE1	100,4	0,0	0,0	OK
STIFF1d	15,0	LE1	100,4	0,0	0,0	OK
STUB2-EPa	25,0	LE2	275,0	0,0	36,6	OK
STUB2-EPb	25,0	LE2	275,0	0,0	36,6	OK
STIFF2a	15,0	LE1	136,3	0,0	0,0	OK
STIFF2b	15,0	LE1	136,3	0,0	0,0	OK
RIB1	12,0	LE1	157,0	0,0	0,0	OK
RIB2	12,0	LE1	265,7	0,1	0,0	OK
RIB3	12,0	LE1	275,1	0,1	0,0	OK
RIB4	12,0	LE1	132,2	0,0	0,0	OK

Datos de diseño

Material	f_y [MPa]	ε_{lim} [%]
S 275	275,0	5,0

Explicación del símbolo

ε_{Pl}	Deformación
σ_{Ed}	Ec. tensión
σc_{Ed}	Contact stress
f_y	Límite elástico
ε_{lim}	Límite de la deformación plástica

Documento visado electrónicamente con número: VA07290/22
Código de validación telemática TRLTDCFZ60T66IJ1. Comprobación: https://cogitivalencia.e-gestion.es/Validacion.aspx?CVT=TRLTDCFZ60T66IJ1

VISADO
COGITI
VALENCIA
VA07290/22
TRLTDCFZ60T66IJ1

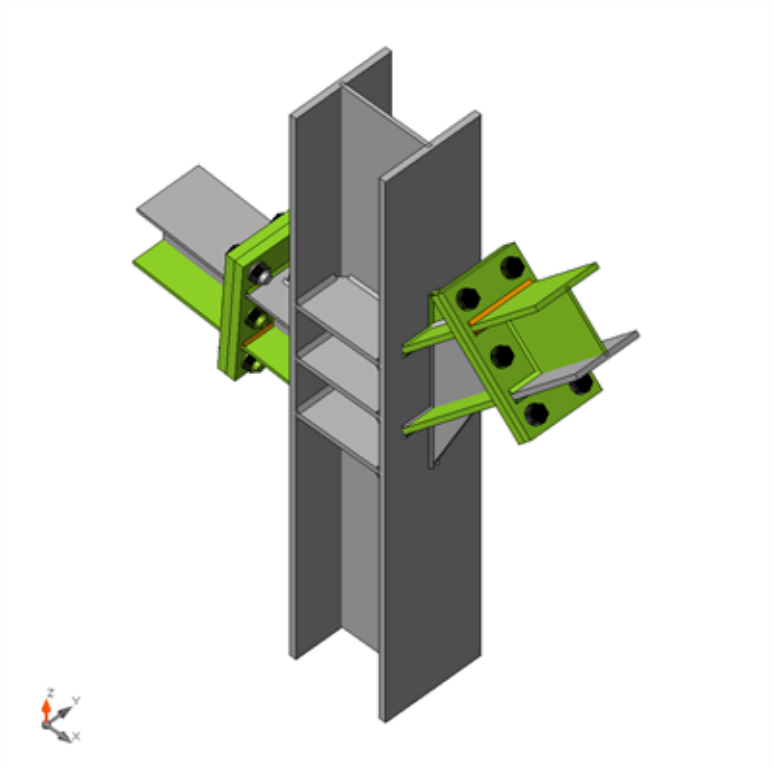

Verificación general, LE2

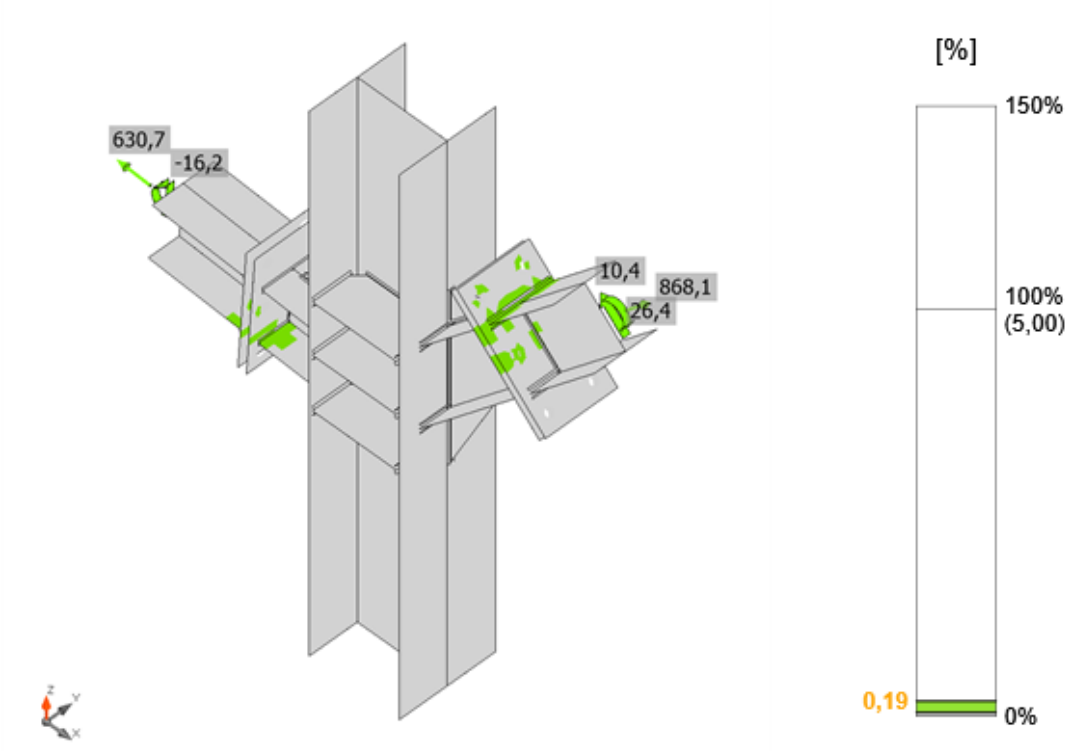

Verificación de deformación, LE2

Documento visado electrónicamente con número: VA07290/22
Código de validación telemática TRLTDCFZ60T66IJ1. Comprobación: https://cogitivalencia.e-gestion.es/Validacion.aspx?CVT=TRLTDCFZ60T66IJ1

Proyecto:

Proyecto nº:

Autor:

VISADO
COGITI
VALENCIA
VA07290/22
TRLTDCFZ60T66IJ1

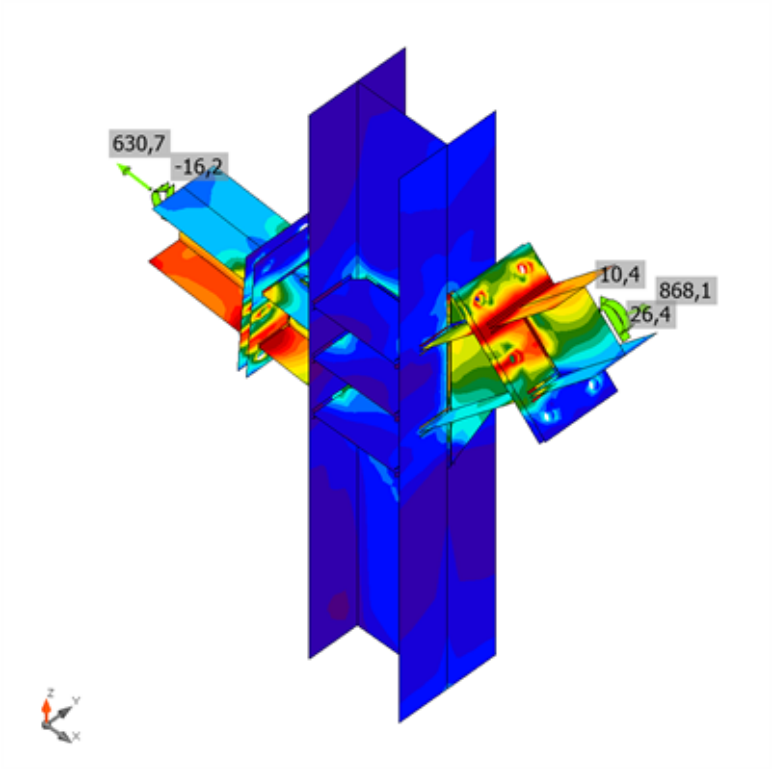

Tensión equivalente, LE2

Tornillos

	Nombre	Cargas	$F_{t,Ed}$ [kN]	V [kN]	Ut_t [%]	$F_{b,Rd}$ [kN]	Ut_s [%]	Ut_{ts} [%]	Estado
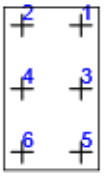	B1	LE2	219,9	1,6	86,5	264,8	1,1	62,9	OK
	B2	LE2	219,8	1,6	86,5	264,8	1,1	62,9	OK
	B3	LE2	225,6	2,0	88,8	516,0	1,4	64,8	OK
	B4	LE2	225,7	2,0	88,8	516,0	1,4	64,9	OK
	B5	LE2	68,0	1,6	26,7	265,1	1,1	20,2	OK
	B6	LE2	68,0	1,6	26,8	265,1	1,1	20,2	OK
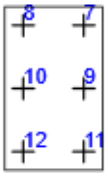	B7	LE2	49,5	2,3	19,5	264,8	1,6	15,5	OK
	B8	LE2	49,5	2,3	19,5	264,9	1,6	15,5	OK
	B9	LE2	164,9	3,0	64,9	516,0	2,1	48,5	OK
	B10	LE2	164,9	3,0	64,9	516,0	2,1	48,5	OK
	B11	LE2	155,8	2,9	61,3	265,1	2,0	45,8	OK
	B12	LE2	155,9	2,9	61,3	265,1	2,0	45,8	OK

Datos de diseño

Nombre	$F_{t,Rd}$ [kN]	$B_{p,Rd}$ [kN]	$F_{v,Rd}$ [kN]
M24 10.9 - 1	254,2	698,7	141,2

Documento visado electrónicamente con número: VA07290/22
Código de validación telemática TRLTDCFZ60T66IJ1. Comprobación: https://cogitivalencia.e-gestion.es/Validacion.aspx?CVT=TRLTDCFZ60T66IJ1

VISADO
COGITI
VALENCIA
VA07290/22
TRLTDCFZ60T66IJ1

Explicación del símbolo

$F_{t,Rd}$	Resistencia a tracción del tornillo EN 1993-1-8 tabla. 3.4
$F_{t,Ed}$	Fuerza de tracción
$B_{p,Rd}$	Resistencia al cortante perforante
V	Resultante de las fuerzas cortantes Vy, Vz en el tornillo.
$F_{v,Rd}$	Resistencia a cortante de los tornillos EN_1993-1-8 tabla 3.4
$F_{b,Rd}$	Resistencia al aplastamiento de la placa, según EN 1993-1-8 tab. 3.4
Ut_t	Utilización a tracción
Ut_s	Utilización a cortante

Documento visado electrónicamente con número: VA07290/22
Código de validación telemática TRLTDCFZ60T66IJ1. Comprobación: https://cogitivalencia.e-gestion.es/Validacion.aspx?CVT=TRLTDCFZ60T66IJ1

VISADO
COGITI
VALENCIA
VA07290/22
TRLTDCFZ60T66IJ1

Soldaduras (Redistribución plástica)

Ítem	Borde	Espesor de g. [mm]	Longitud [mm]	Cargas	$\sigma_{w,Ed}$ [MPa]	ε_{Pl} [%]	$\sigma_{\perp}$ [MPa]	$\tau_{\parallel}$ [MPa]	$\tau_{\perp}$ [MPa]	Ut [%]	Ut [%]	Estado
STUB1-EPa	B1-bfl 1	◢7,0◣	180	LE2	278,9	0,0	138,5	91,6	105,5	68,9	38,9	OK
		◢7,0◣	180	LE2	237,3	0,0	85,6	-47,6	-118,6	58,6	26,3	OK
STUB1-EPa	B1-tfl 1	◢7,0◣	180	LE2	397,1	0,3	177,7	83,9	187,1	98,1	94,5	OK
		◢7,0◣	180	LE2	396,9	0,2	187,6	-98,1	-176,5	98,1	77,0	OK
STUB1-EPa	B1-w 1	◢4,3◣	166	LE2	332,1	0,0	151,4	78,2	151,7	82,1	53,9	OK
		◢4,3◣	166	LE2	332,0	0,0	151,7	-78,3	-151,4	82,0	54,0	OK
STUB1-EPb	STUB1-bfl 1	◢7,0◣	180	LE2	286,6	0,0	143,8	-91,1	110,4	70,8	40,1	OK
		◢7,0◣	180	LE2	236,1	0,0	85,4	45,1	-118,8	58,3	25,8	OK
STUB1-EPb	STUB1-tfl 1	◢7,0◣	180	LE2	397,0	0,2	176,2	-88,4	185,4	98,1	94,8	OK
		◢7,0◣	180	LE2	396,9	0,2	184,8	105,1	-173,4	98,1	77,0	OK
STUB1-EPb	STUB1-w 1	◢4,3◣	166	LE1	330,4	0,0	-164,8	-22,3	-163,9	81,6	60,0	OK
		◢4,3◣	166	LE1	332,1	0,0	-164,2	23,0	165,1	82,1	60,1	OK
C-bfl 1	STUB1-bfl 1	◢7,0◣	180	LE1	279,3	0,0	-35,5	77,5	-140,0	69,0	51,6	OK
		◢7,0◣	180	LE1	130,9	0,0	-62,5	32,9	57,7	32,3	25,0	OK
C-bfl 1	STUB1-tfl 1	◢7,0◣	180	LE1	396,7	0,1	-33,9	14,3	-227,8	98,0	86,4	OK
		◢7,0◣	180	LE1	242,8	0,0	-121,5	-97,0	72,9	60,0	47,0	OK
C-bfl 1	STUB1-w 1	◢4,3◣	238	LE1	276,6	0,0	16,3	-158,6	16,3	68,4	47,8	OK
		◢4,3◣	238	LE1	276,7	0,0	16,2	158,6	-16,3	68,4	47,8	OK
C-bfl 1	STIFF1a	◢7,5◣	111	LE1	104,4	0,0	-54,5	-18,9	-47,8	25,8	13,3	OK
		◢7,5◣	111	LE1	55,9	0,0	-2,1	31,0	8,9	13,8	7,5	OK
C-w 1	STIFF1a	◢5,3◣	196	LE1	105,2	0,0	21,3	59,3	3,8	26,0	13,8	OK
		◢5,3◣	196	LE1	107,4	0,0	-25,2	-59,8	7,7	26,5	13,9	OK
C-tfl 1	STIFF1a	◢7,5◣	111	LE1	128,2	0,0	-57,8	-16,4	-64,0	31,7	16,6	OK
		◢7,5◣	111	LE1	169,7	0,0	-87,8	18,5	81,8	41,9	22,2	OK
C-bfl 1	STIFF1b	◢7,5◣	111	LE1	55,8	0,0	-2,1	-31,0	-8,9	13,8	7,5	OK
		◢7,5◣	111	LE1	104,4	0,0	-54,5	18,9	47,8	25,8	13,3	OK
C-w 1	STIFF1b	◢5,3◣	196	LE1	107,4	0,0	-25,2	59,8	-7,7	26,5	13,9	OK
		◢5,3◣	196	LE1	105,1	0,0	21,3	-59,3	-3,8	26,0	13,8	OK
C-tfl 1	STIFF1b	◢7,5◣	111	LE1	169,7	0,0	-87,8	-18,5	-81,8	41,9	22,2	OK
		◢7,5◣	111	LE1	128,2	0,0	-57,8	16,4	64,0	31,7	16,6	OK
C-bfl 1	STIFF1c	◢7,5◣	111	LE1	102,2	0,0	-58,4	-18,5	-44,7	25,2	11,6	OK
		◢7,5◣	111	LE1	58,0	0,0	-14,0	17,0	27,7	14,3	6,1	OK
C-w 1	STIFF1c	◢5,3◣	196	LE1	93,6	0,0	13,9	53,3	2,8	23,1	9,4	OK
		◢5,3◣	196	LE1	86,1	0,0	-16,9	-48,4	5,7	21,3	10,2	OK
C-tfl 1	STIFF1c	◢7,5◣	111	LE1	64,7	0,0	-25,5	5,2	-34,0	16,0	9,4	OK
		◢7,5◣	111	LE1	139,3	0,0	-75,8	3,2	67,4	34,4	17,6	OK
C-bfl 1	STIFF1d	◢7,5◣	111	LE1	58,0	0,0	-14,0	-17,0	-27,7	14,3	6,1	OK
		◢7,5◣	111	LE1	102,2	0,0	-58,4	18,5	44,7	25,2	11,6	OK
C-w 1	STIFF1d	◢5,3◣	196	LE1	86,1	0,0	-16,9	48,4	-5,7	21,3	10,2	OK
		◢5,3◣	196	LE1	93,6	0,0	13,9	-53,3	-2,8	23,1	9,4	OK
C-tfl 1	STIFF1d	◢7,5◣	111	LE1	139,3	0,0	-75,8	-3,2	-67,4	34,4	17,6	OK

Documento visado electrónicamente con número: VA07290/22
Código de validación telemática TRLTDCFZ60T66IJ1. Comprobación: https://cogitivalencia.e-gestion.es/Validacion.aspx?CVT=TRLTDCFZ60T66IJ1

Proyecto:

Proyecto nº:

Autor:

VISADO
COGITI
VALENCIA
VA07290/22
TRLTDCFZ60T66IJ1

Ítem	Borde	Espesor de g. [mm]	Longitud [mm]	Cargas	$\sigma_{w,Ed}$ [MPa]	ε_{Pl} [%]	$\sigma_{\perp}$ [MPa]	$\tau_{\parallel}$ [MPa]	$\tau_{\perp}$ [MPa]	Ut [%]	Ut$_c$ [%]	Estado
		◢7,5◣	111	LE1	64,7	0,0	-25,5	-5,2	34,0	16,0	9,4	OK
STUB2-EPa	B2-bfl 1	◢4,8◣	180	LE2	397,4	0,5	184,0	103,6	174,9	98,2	83,9	OK
		◢4,8◣	180	LE2	397,5	0,5	177,3	-90,2	-184,5	98,2	94,0	OK
STUB2-EPa	B2-tfl 1	◢4,8◣	180	LE2	266,5	0,0	103,8	59,4	128,7	65,9	29,8	OK
		◢4,8◣	180	LE2	283,7	0,0	135,2	-92,4	-110,4	70,1	38,4	OK
STUB2-EPa	B2-w 1	◢3,0◣	162	LE2	295,0	0,0	130,1	-78,2	131,3	72,9	52,4	OK
		◢3,0◣	162	LE2	297,3	0,0	130,6	82,7	-130,2	73,5	52,6	OK
STUB2-EPb	STUB2-bfl 1	◢4,8◣	180	LE2	397,2	0,3	181,3	-111,6	170,8	98,1	80,9	OK
		◢4,8◣	180	LE2	397,3	0,4	173,6	96,5	-182,3	98,2	93,3	OK
STUB2-EPb	STUB2-tfl 1	◢4,8◣	180	LE2	256,5	0,0	98,7	-58,8	123,4	63,4	27,7	OK
		◢4,8◣	180	LE2	292,0	0,0	139,2	94,0	-114,5	72,1	41,8	OK
STUB2-EPb	STUB2-w 1	◢3,0◣	162	LE1	310,1	0,0	-152,2	-33,9	-152,3	76,6	57,6	OK
		◢3,0◣	162	LE1	309,7	0,0	-152,6	33,7	151,9	76,5	57,5	OK
C-tfl 1	STUB2-bfl 1	◢4,8◣	180	LE1	278,2	0,0	-119,1	64,0	-130,3	68,7	54,6	OK
		◢4,8◣	180	LE1	262,6	0,0	-124,6	-67,2	115,3	64,9	51,8	OK
C-tfl 1	STUB2-tfl 1	◢4,8◣	180	LE1	168,6	0,0	-71,2	-48,5	-73,7	41,6	28,9	OK
		◢4,8◣	180	LE1	153,8	0,0	-68,2	44,0	66,4	38,0	26,7	OK
C-tfl 1	STUB2-w 1	◢3,0◣	162	LE1	236,8	0,0	-102,2	69,0	-102,2	58,5	47,1	OK
		◢3,0◣	162	LE1	236,8	0,0	-102,2	-69,0	102,2	58,5	47,1	OK
C-bfl 1	STIFF2a	◢7,5◣	111	LE1	191,9	0,0	-97,7	32,5	-89,7	47,4	24,7	OK
		◢7,5◣	111	LE1	95,3	0,0	-39,4	-16,2	47,4	23,6	14,4	OK
C-w 1	STIFF2a	◢5,3◣	196	LE1	107,7	0,0	-26,2	-58,8	-13,5	26,6	16,0	OK
		◢5,3◣	196	LE1	98,7	0,0	-0,1	55,6	12,8	24,4	14,5	OK
C-tfl 1	STIFF2a	◢7,5◣	111	LE1	60,6	0,0	-4,8	32,8	-11,7	15,0	5,5	OK
		◢7,5◣	111	LE1	85,7	0,0	-37,3	-32,6	30,3	21,2	9,0	OK
C-bfl 1	STIFF2b	◢7,5◣	111	LE1	95,4	0,0	-39,4	16,3	-47,4	23,6	14,4	OK
		◢7,5◣	111	LE1	191,9	0,0	-97,7	-32,5	89,7	47,4	24,7	OK
C-w 1	STIFF2b	◢5,3◣	196	LE1	98,8	0,0	-0,1	-55,6	-12,8	24,4	14,5	OK
		◢5,3◣	196	LE1	107,7	0,0	-26,2	58,8	13,5	26,6	16,0	OK
C-tfl 1	STIFF2b	◢7,5◣	111	LE1	85,7	0,0	-37,3	32,6	-30,3	21,2	9,0	OK
		◢7,5◣	111	LE1	60,6	0,0	-4,7	-32,8	11,7	15,0	5,5	OK
C-bfl 1	RIB1	◢6,0◣	150	LE1	146,6	0,0	-28,0	78,2	-28,0	36,2	22,7	OK
		◢6,0◣	150	LE1	146,6	0,0	-28,0	-78,2	28,0	36,2	22,7	OK
STUB1-bfl 1	RIB1	◢6,0◣	208	LE1	89,0	0,0	-10,4	49,9	10,4	22,0	15,8	OK
		◢6,0◣	208	LE1	89,0	0,0	-10,4	-49,9	-10,4	22,0	15,8	OK
C-tfl 1	RIB2	◢6,0◣	150	LE2	159,6	0,0	54,5	-67,2	54,6	39,4	32,8	OK
		◢6,0◣	150	LE2	159,6	0,0	54,5	67,3	-54,5	39,4	32,8	OK
STUB2-bfl 1	RIB2	◢4,8◣	150	LE1	378,9	0,0	-78,0	199,4	78,0	93,6	44,0	OK
		◢4,8◣	150	LE1	378,9	0,0	-78,0	-199,4	-78,0	93,6	44,0	OK
C-bfl 1	RIB3	◢6,0◣	100	LE1	364,3	0,0	-161,2	-97,9	-161,2	90,0	56,0	OK
		◢6,0◣	100	LE1	364,3	0,0	-161,3	97,9	161,2	90,0	56,0	OK
STUB1-tfl 1	RIB3	◢6,0◣	215	LE1	228,4	0,0	-31,1	-126,9	-31,1	56,4	29,3	OK
		◢6,0◣	215	LE1	228,4	0,0	-31,1	126,9	31,1	56,4	29,4	OK

Documento visado electrónicamente con número: VA07290/22
Código de validación telemática TRLTDCFZ60T66IJ1. Comprobación: https://cogitivalencia.e-gestion.es/Validacion.aspx?CVT=TRLTDCFZ60T66IJ1

VISADO
COGITI
VALENCIA
VA07290/22
TRLTDCFZ60T66IJ1

Ítem	Borde	Espesor de g. [mm]	Longitud [mm]	Cargas	$\sigma_{w,Ed}$ [MPa]	ε_{Pl} [%]	$\sigma_{\perp}$ [MPa]	$\tau_{\parallel}$ [MPa]	$\tau_{\perp}$ [MPa]	Ut [%]	Utc [%]	Estado
C-tfl 1	RIB4	◢6,0◣	150	LE1	107,0	0,0	-32,6	49,0	-32,6	26,4	21,3	OK
		◢6,0◣	150	LE1	107,0	0,0	-32,6	-49,0	32,6	26,4	21,3	OK
STUB2-tfl 1	RIB4	◢4,8◣	150	LE1	174,8	0,0	-39,6	-90,0	-39,6	43,2	24,5	OK
		◢4,8◣	150	LE1	174,8	0,0	-39,6	90,0	39,6	43,2	24,5	OK

Datos de diseño

	β_w [-]	$\sigma_{w,Rd}$ [MPa]	0.9 σ [MPa]
S 275	0,85	404,7	309,6

Explicación del símbolo

ε_{Pl}	Deformación
$\sigma_{w,Ed}$	Tensión equivalente
$\sigma_{w,Rd}$	Resistencia a tensión equivalente
$\sigma_{\perp}$	Tensión perpendicular
$\tau_{\parallel}$	Tensión cortante paralela al eje de la soldadura
$\tau_{\perp}$	Tensión normal perpendicular al eje de la soldadura
0.9 σ	Resistencia a tensión perpendicular - 0.9*fu/γM2
β_w	Factor de correlación EN 1993-1-8 tabla. 4.1
Ut	Utilización
Utc	Utilización de la capacidad de la soldadura

Pandeo

El análisis de pandeo no se ha calculado.

Configuración de la norma

Ítem	Valor	Unidad	Referencia
γ_{M0}	1,00	-	EN 1993-1-1: 6.1
γ_{M1}	1,00	-	EN 1993-1-1: 6.1
γ_{M2}	1,25	-	EN 1993-1-1: 6.1
γ_{M3}	1,25	-	EN 1993-1-8: 2.2
γ_{C}	1,50	-	EN 1992-1-1: 2.4.2.4
γ_{Inst}	1,20	-	EN 1992-4: Table 4.1
Coeficiente de unión βj	0,67	-	EN 1993-1-8: 6.2.5
Área efectiva - influencia del tamaño de la malla	0,10	-	
Coeficiente de fricción - hormigón	0,25	-	EN 1993-1-8
Coeficiente de fricción en la resistencia a deslizamiento	0,30	-	EN 1993-1-8 Pestaña 3.7
Deformación plástica límite	0,05	-	EN 1993-1-5
Evaluación de la tensión de la soldadura	Redistribución plástica		
Detallado	No		
Distancia entre tornillos [d]	2,20	-	EN 1993-1-8: Pestaña 3.3
Distancia entre tornillos y el borde [d0]	1,20	-	EN 1993-1-8: Pestaña 3.3
Resistencia al arrancamiento del cono de hormigón	Both		EN 1992-4: 7.2.1.4 and 7.2.2.5

Documento visado electrónicamente con número: VA07290/22
Código de validación telemática TRLTDCFZ60T66IJ1. Comprobación: https://cogitivalencia.e-gestion.es/Validacion.aspx?CVT=TRLTDCFZ60T66IJ1

VISADO
COGITI
VALENCIA
VA07290/22
TRLTDCFZ60T66IJ1

Ítem	Valor	Unidad	Referencia
Utilizar αb calculada en la verificación por aplastamiento.	Sí		EN 1993-1-8: Pestaña 3.4
Hormigón fisurado	Sí		EN 1992-4
Comprobación de la deformación local	No		CIDECT DG 1, 3 - 1.1
Deformación límite local	0,03	-	CIDECT DG 1, 3 - 1.1
No linealidad geométrica (GMNA)	Sí		Grandes deformaciones para secciones huecas
Sistema arriostrado	No		EN 1993-1-8: 5.2.2.5

Documento visado electrónicamente con número: VA07290/22
Código de validación telemática TRLTDCFZ60T66IJ1. Comprobación: https://cogitivalencia.e-gestion.es/Validacion.aspx?CVT=TRLTDCFZ60T66IJ1

Proyecto:
Proyecto nº:
Autor:

VISADO
COGITI
VALENCIA
VA07290/22
TRLTDCFZ60T66IJ1

Datos del proyecto

Nombre del proyecto	
Número del Proyecto	
Autor	
Descripción	
Fecha	10/05/2021
Normativa de cálculo	EN

Material

Acero	S 275

Documento visado electrónicamente con número: VA07290/22
Código de validación telemática TRLTDCFZ60T66IJ1. Comprobación: https://cogitivalencia.e-gestion.es/Validacion.aspx?CVT=TRLTDCFZ60T66IJ1

Proyecto:
Proyecto nº:
Autor:

VISADO
COGITI
VALENCIA
VA07290/22
TRLTDCFZ60T66IJ1

Ítem del proyecto CON1

Diseño

Nombre	CON1
Descripción	
Análisis	Tensión, deformación/ Carga simplificada

Elementos estructurales

Nombre	Sección transversal	β – Dirección [°]	γ - Inclinación [°]	α - Rotación [°]	Desplazamiento ex [mm]	Desplazamiento ey [mm]	Desplazamiento ez [mm]	Fuerzas en
C	6 - HEB280	0,0	-90,0	0,0	0	0	0	Nudo
B1	8 - HEA180	0,0	4,0	0,0	0	0	0	Nudo
B2	10 - HEA160	180,0	-4,0	0,0	0	0	0	Nudo
M4	9 - SHS120/120/10.0	180,0	48,3	0,0	0	0	0	Nudo

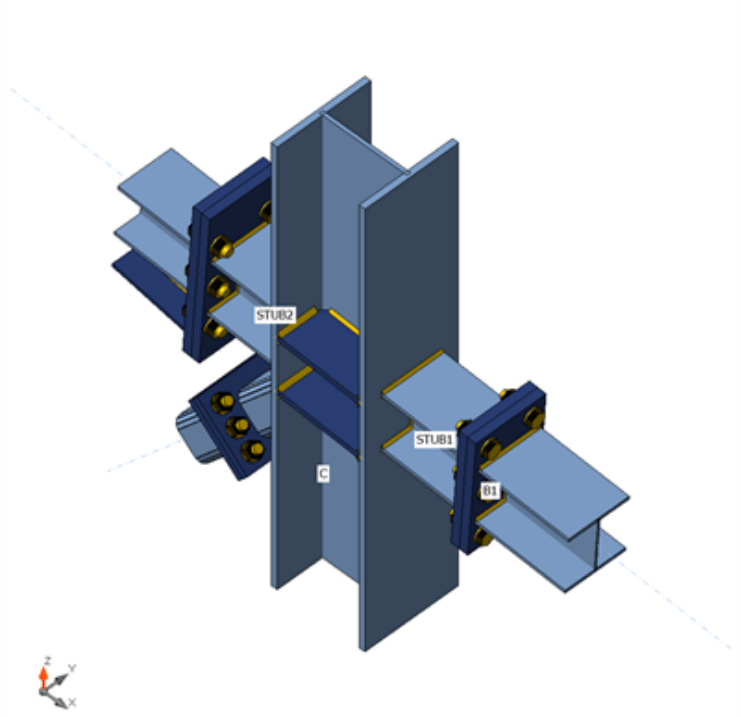

Secciones

Nombre	Material
6 - HEB280	S 275
8 - HEA180	S 275
10 - HEA160	S 275
9 - SHS120/120/10.0	S 275

Tornillos

Nombre	Conjunto de tornillo	Diámetro [mm]	fu [MPa]	Área bruta [mm^2]
M24 10.9	M24 10.9	24	1000,0	452

Documento visado electrónicamente con número: VA07290/22
Código de validación telemática TRLTDCFZ60T66IJ1. Comprobación: https://cogitivalencia.e-gestion.es/Validacion.aspx?CVT=TRLTDCFZ60T66IJ1

Proyecto:
Proyecto nº:
Autor:

VISADO
COGITI
VALENCIA
VA07290/22
TRLTDCFZ60T66IJ1

Cargas (No se requiere el equilibro)

Nombre	Elemento	N [kN]	Vy [kN]	Vz [kN]	Mx [kNm]	My [kNm]	Mz [kNm]
LE1	B1	-542,3	0,0	19,0	0,0	-20,9	0,0
	B2	-348,4	0,0	44,5	0,0	31,1	0,0
	M4	-320,7	0,0	-4,2	0,0	6,6	0,0
LE2	B1	618,7	0,0	-20,6	0,0	19,2	0,0
	B2	434,3	0,0	-35,5	0,0	-30,7	0,0
	M4	339,4	0,0	4,7	0,0	-7,5	0,0

Verificación

Resumen

Nombre	Valor	Estado
Análisis	100,0%	OK
Placas	0,5 < 5,0%	OK
Tornillos	73,5 < 100%	OK
Soldaduras	98,2 < 100%	OK
Pandeo	No calculado	

Documento visado electrónicamente con número: VA07290/22
Código de validación telemática TRLTDCFZ60T66IJ1. Comprobación: https://cogitivalencia.e-gestion.es/Validacion.aspx?CVT=TRLTDCFZ60T66IJ1

Proyecto:
Proyecto nº:
Autor:

VISADO
COGITI
VALENCIA
VA07290/22
TRLTDCFZ60T66IJ1

Placas

Nombre	Espesor [mm]	Cargas	σ_{Ed} [MPa]	ε_{Pl} [%]	σc_{Ed} [MPa]	Estado
C-bfl 1	18,0	LE1	116,6	0,0	0,0	OK
C-tfl 1	18,0	LE2	99,1	0,0	0,0	OK
C-w 1	10,5	LE1	253,6	0,0	0,0	OK
B1-bfl 1	9,5	LE2	196,3	0,0	0,0	OK
B1-tfl 1	9,5	LE2	273,3	0,1	0,0	OK
B1-w 1	6,0	LE2	170,1	0,0	0,0	OK
B2-bfl 1	9,0	LE2	275,3	0,1	0,0	OK
B2-tfl 1	9,0	LE2	83,0	0,0	0,0	OK
B2-w 1	6,0	LE2	107,8	0,0	0,0	OK
M4	10,0	LE2	275,9	0,4	0,0	OK
STUB1-bfl 1	9,5	LE2	182,2	0,0	0,0	OK
STUB1-tfl 1	9,5	LE2	272,8	0,1	0,0	OK
STUB1-w 1	6,0	LE2	195,6	0,0	0,0	OK
STUB2-bfl 1	9,5	LE2	275,3	0,2	0,0	OK
STUB2-tfl 1	9,5	LE1	121,8	0,0	0,0	OK
STUB2-w 1	6,0	LE2	234,5	0,0	0,0	OK
STUB3	10,0	LE2	276,0	0,5	0,0	OK
STUB1-EPa	25,0	LE2	249,8	0,0	29,0	OK
STUB1-EPb	25,0	LE2	249,4	0,0	29,0	OK
STIFF1a	15,0	LE2	179,3	0,0	0,0	OK
STIFF1b	15,0	LE2	179,4	0,0	0,0	OK
STIFF1c	15,0	LE2	128,9	0,0	0,0	OK
STIFF1d	15,0	LE2	128,9	0,0	0,0	OK
STUB2-EPa	25,0	LE2	275,1	0,1	30,3	OK
STUB2-EPb	25,0	LE2	265,5	0,0	30,3	OK
WID1a	12,0	LE2	150,7	0,0	0,0	OK
WID1b	9,0	LE2	202,3	0,0	0,0	OK
WID2	12,0	LE1	258,7	0,0	0,0	OK
STUB3-EPa	20,0	LE2	270,0	0,0	33,1	OK
STUB3-EPb	20,0	LE2	269,9	0,0	33,1	OK

Datos de diseño

Material	f_y [MPa]	ε_{lim} [%]
S 275	275,0	5,0

Explicación del símbolo

ε_{Pl}	Deformación
σ_{Ed}	Ec. tensión
σc_{Ed}	Contact stress
f_y	Límite elástico
ε_{lim}	Límite de la deformación plástica

Documento visado electrónicamente con número: VA07290/22
Código de validación telemática TRLTDCFZ60T66IJ1. Comprobación: https://cogitivalencia.e-gestion.es/Validacion.aspx?CVT=TRLTDCFZ60T66IJ1

VISADO
COGITI
VALENCIA
VA07290/22
TRLTDCFZ60T66IJ1

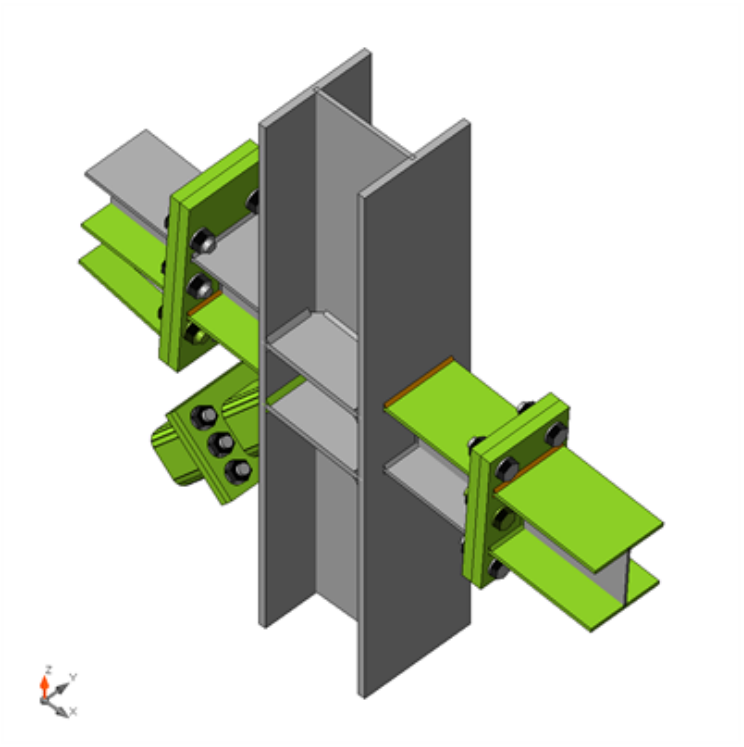

Verificación general, LE2

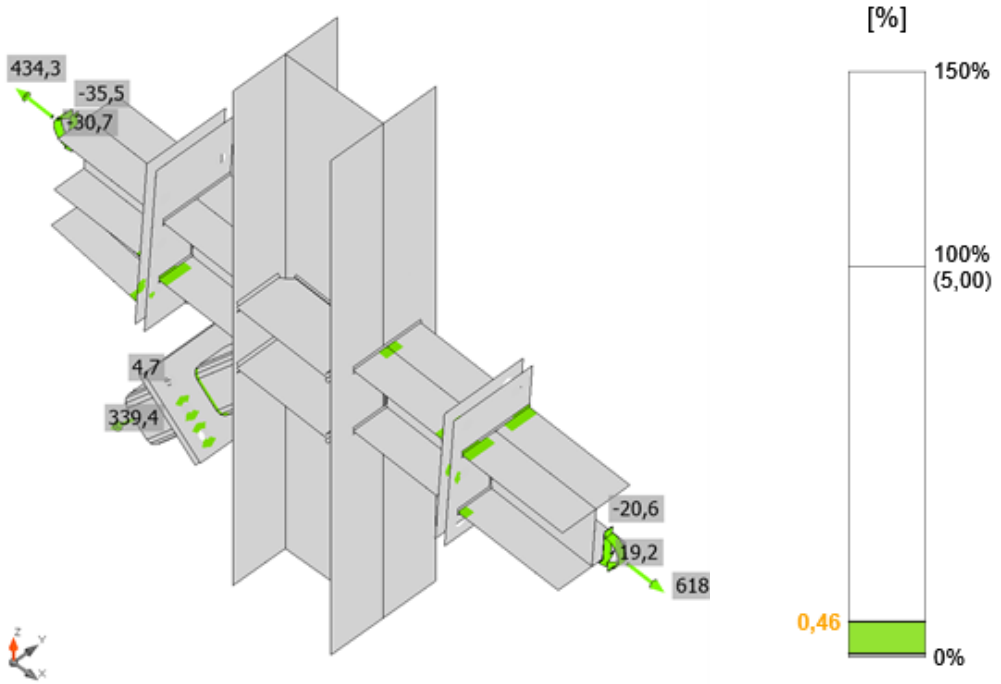

Verificación de deformación, LE2

Documento visado electrónicamente con número: VA07290/22
Código de validación telemática TRLTDCFZ60T66IJ1. Comprobación: https://cogitivalencia.e-gestion.es/Validacion.aspx?CVT=TRLTDCFZ60T66IJ1

VISADO
COGITI
VALENCIA
VA07290/22
TRLTDCFZ60T66IJ1

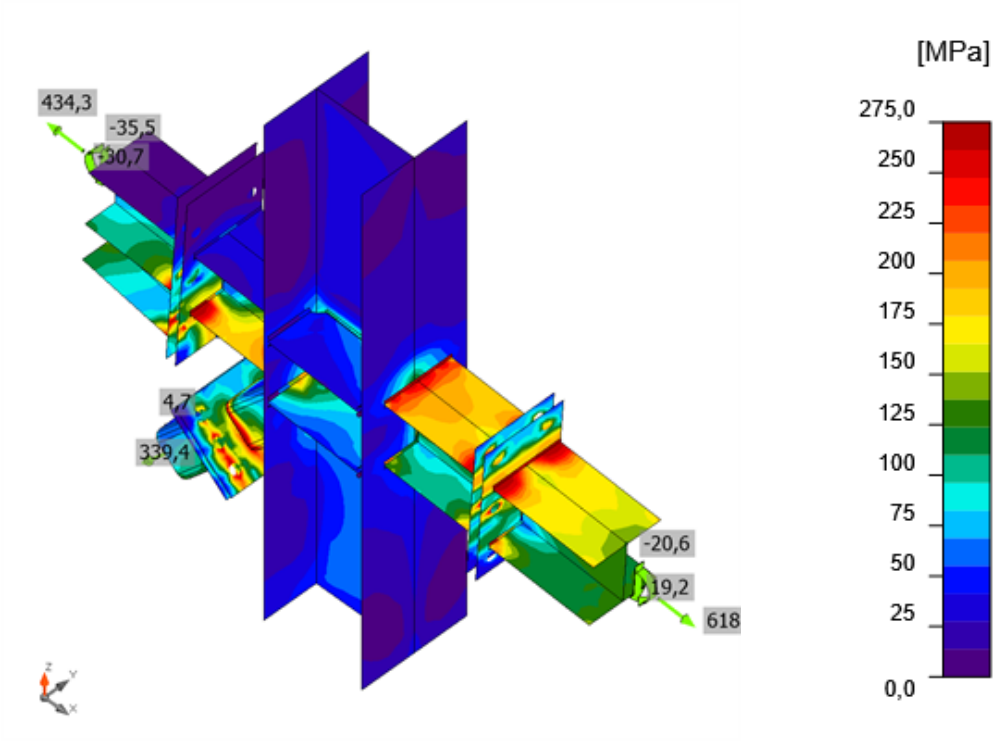

Tensión equivalente, LE2

Tornillos

	Nombre	Calidad	Cargas	$F_{t,Ed}$ [kN]	V [kN]	Ut_t [%]	$F_{b,Rd}$ [kN]	Ut_s [%]	Ut_{ts} [%]	Estado
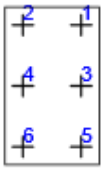	B1	M24 10.9 - 1	LE2	130,6	3,3	51,4	264,6	2,3	39,0	OK
	B2	M24 10.9 - 1	LE2	130,6	3,3	51,4	264,6	2,3	39,0	OK
	B3	M24 10.9 - 1	LE2	158,3	3,9	62,3	516,0	2,7	47,2	OK
	B4	M24 10.9 - 1	LE2	158,4	3,8	62,3	516,0	2,7	47,2	OK
	B5	M24 10.9 - 1	LE2	72,0	3,2	28,3	264,8	2,3	22,5	OK
	B6	M24 10.9 - 1	LE2	72,0	3,2	28,3	264,8	2,3	22,5	OK
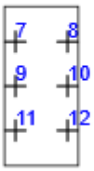	B7	M24 10.9 - 1	LE1	19,0	4,6	7,5	338,7	3,2	8,6	OK
	B8	M24 10.9 - 1	LE1	19,0	4,5	7,5	338,8	3,2	8,6	OK
	B9	M24 10.9 - 1	LE2	71,7	4,2	28,2	358,4	3,0	23,1	OK
	B10	M24 10.9 - 1	LE2	71,7	4,2	28,2	358,6	3,0	23,2	OK
	B11	M24 10.9 - 1	LE2	186,6	10,6	73,4	338,7	7,5	59,9	OK
	B12	M24 10.9 - 1	LE2	186,7	10,6	73,5	338,7	7,5	60,0	OK
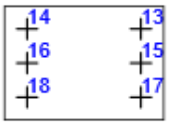	B13	M24 10.9 - 2	LE2	59,6	0,8	23,4	212,3	0,6	17,3	OK
	B14	M24 10.9 - 2	LE2	59,1	0,8	23,2	212,3	0,6	17,2	OK
	B15	M24 10.9 - 2	LE2	111,4	0,8	43,8	214,3	0,6	31,9	OK
	B16	M24 10.9 - 2	LE2	111,5	0,8	43,9	214,3	0,6	31,9	OK
	B17	M24 10.9 - 2	LE2	123,3	0,7	48,5	212,0	0,5	35,2	OK
	B18	M24 10.9 - 2	LE2	123,4	0,7	48,5	212,0	0,5	35,2	OK

Datos de diseño

Nombre	$F_{t,Rd}$ [kN]	$B_{p,Rd}$ [kN]	$F_{v,Rd}$ [kN]
M24 10.9 - 1	254,2	698,7	141,2
M24 10.9 - 2	254,2	558,9	141,2

Documento visado electrónicamente con número: VA07290/22
Código de validación telemática TRLTDCFZ60T66IJ1. Comprobación: https://cogitivalencia.e-gestion.es/Validacion.aspx?CVT=TRLTDCFZ60T66IJ1

Proyecto:

Proyecto nº:

Autor:

VISADO
COGITI
TRLTDCFZ60T66IJ1
VALENCIA
VA07290/22

Explicación del símbolo

$F_{t,Rd}$	Resistencia a tracción del tornillo EN 1993-1-8 tabla. 3.4
$F_{t,Ed}$	Fuerza de tracción
$B_{p,Rd}$	Resistencia al cortante perforante
V	Resultante de las fuerzas cortantes Vy, Vz en el tornillo.
$F_{v,Rd}$	Resistencia a cortante de los tornillos EN_1993-1-8 tabla 3.4
$F_{b,Rd}$	Resistencia al aplastamiento de la placa, según EN 1993-1-8 tab. 3.4
Ut_t	Utilización a tracción
Ut_s	Utilización a cortante

Documento visado electrónicamente con número: VA07290/22
Código de validación telemática TRLTDCFZ60T66IJ1. Comprobación: https://cogitivalencia.e-gestion.es/Validacion.aspx?CVT=TRLTDCFZ60T66IJ1

Proyecto:
Proyecto nº:
Autor:

VISADO
COGITI
VALENCIA
VA07290/22
TRLTDCFZ60T66IJ1

Soldaduras (Redistribución plástica)

Ítem	Borde	Espesor de g. [mm]	Longitud [mm]	Cargas	$\sigma_{w,Ed}$ [MPa]	ε_{Pl} [%]	$\sigma_{\perp}$ [MPa]	$\tau_{\parallel}$ [MPa]	$\tau_{\perp}$ [MPa]	Ut [%]	U_c [%]	Estado
STUB3-EPa	M4-w 1	10,0	70	LE1								OK
STUB3-EPa	M4-arc 1	10,0	10	LE1								OK
STUB3-EPa	M4-arc 2	10,0	10	LE1								OK
STUB3-EPa	M4-arc 3	10,0	10	LE1								OK
STUB3-EPa	M4-w 2	10,0	70	LE1								OK
STUB3-EPa	M4-arc 4	10,0	10	LE1								OK
STUB3-EPa	M4-arc 5	10,0	10	LE1								OK
STUB3-EPa	M4-arc 6	10,0	10	LE1								OK
STUB3-EPa	M4-w 3	10,0	70	LE1								OK
STUB3-EPa	M4-arc 7	10,0	10	LE1								OK
STUB3-EPa	M4-arc 8	10,0	10	LE1								OK
STUB3-EPa	M4-arc 9	10,0	10	LE1								OK
STUB3-EPa	M4-w 4	10,0	70	LE1								OK
STUB3-EPa	M4-arc 10	10,0	10	LE1								OK
STUB3-EPa	M4-arc 11	10,0	10	LE1								OK
STUB3-EPa	M4-arc 12	10,0	10	LE1								OK
STUB3-EPb	STUB3-w 1	10,0	70	LE1								OK
STUB3-EPb	STUB3-arc 1	10,0	10	LE1								OK
STUB3-EPb	STUB3-arc 2	10,0	10	LE1								OK
STUB3-EPb	STUB3-arc 3	10,0	10	LE1								OK
STUB3-EPb	STUB3-w 2	10,0	70	LE1								OK
STUB3-EPb	STUB3-arc 4	10,0	10	LE1								OK
STUB3-EPb	STUB3-arc 5	10,0	10	LE1								OK
STUB3-EPb	STUB3-arc 6	10,0	10	LE1								OK
STUB3-EPb	STUB3-w 3	10,0	70	LE1								OK
STUB3-EPb	STUB3-arc 7	10,0	10	LE1								OK
STUB3-EPb	STUB3-arc 8	10,0	10	LE1								OK
STUB3-EPb	STUB3-arc 9	10,0	10	LE1								OK
STUB3-EPb	STUB3-w 4	10,0	70	LE1								OK
STUB3-EPb	STUB3-arc 10	10,0	10	LE1								OK
STUB3-EPb	STUB3-arc 11	10,0	10	LE1								OK
STUB3-EPb	STUB3-arc 12	10,0	10	LE1								OK
C-tfl 1	STUB3-w 1	10,0	70	LE1								OK
C-tfl 1	STUB3-arc 1	10,0	11	LE1								OK
C-tfl 1	STUB3-arc 2	10,0	13	LE1								OK
C-tfl 1	STUB3-arc 3	10,0	15	LE1								OK
C-tfl 1	STUB3-w 2	10,0	105	LE1								OK
C-tfl 1	STUB3-arc 4	10,0	15	LE1								OK
C-tfl 1	STUB3-arc 5	10,0	13	LE1								OK
C-tfl 1	STUB3-arc 6	10,0	7	LE1								OK
C-tfl 1	STUB3-arc 7	10,0	7	LE1								OK
STUB2-bfl 1	STUB3-arc 6	9,5	3	LE1								OK
C-tfl 1	STUB3-arc 8	10,0	13	LE1								OK
C-tfl 1	STUB3-arc 9	10,0	15	LE1								OK
C-tfl 1	STUB3-w 4	10,0	105	LE1								OK

Documento visado electrónicamente con número: VA07290/22
Código de validación telemática TRLTDCFZ60T66IJ1. Comprobación: https://cogitivalencia.e-gestion.es/Validacion.aspx?CVT=TRLTDCFZ60T66IJ1

Proyecto:
Proyecto nº:
Autor:

VISADO
COGITI
Estado
VALENCIA
VA07290/22
TRLTDCFZ60T66IJ1

Ítem	Borde	Espesor de g. [mm]	Longitud [mm]	Cargas	$\sigma_{w,Ed}$ [MPa]	ε_{Pl} [%]	$\sigma_{\perp}$ [MPa]	$\tau_{\parallel}$ [MPa]	$\tau_{\perp}$ [MPa]	Ut [%]	U_c [%]	
C-tfl 1	STUB3-arc 10	10,0	15	LE1								OK
C-tfl 1	STUB3-arc 11	10,0	13	LE1								OK
C-tfl 1	STUB3-arc 12	10,0	11	LE1								OK
STUB2-bfl 1	STUB3-arc 7	9,5	3	LE1								OK
STUB2-bfl 1	STUB3-w 3	9,5	70	LE1								OK
STUB1-EPa	B1-bfl 1	◢4,8◣	180	LE2	351,2	0,0	166,5	104,5	144,7	86,8	49,0	OK
		◢4,8◣	180	LE2	341,1	0,0	140,4	-75,9	-162,7	84,3	45,8	OK
STUB1-EPa	B1-tfl 1	◢4,8◣	180	LE2	396,9	0,2	172,1	-93,2	184,2	98,1	81,4	OK
		◢4,8◣	180	LE2	396,8	0,1	183,0	112,4	-169,4	98,0	70,3	OK
STUB1-EPa	B1-w 1	◢3,0◣	162	LE2	247,4	0,0	122,1	15,3	123,3	61,1	42,2	OK
		◢3,0◣	162	LE2	250,5	0,0	117,9	40,9	-120,9	61,9	42,3	OK
STUB1-EPb	STUB1-bfl 1	◢4,8◣	180	LE2	334,6	0,0	157,2	-103,3	135,7	82,7	46,0	OK
		◢4,8◣	180	LE2	335,7	0,0	137,7	76,6	-159,3	83,0	45,8	OK
STUB1-EPb	STUB1-tfl 1	◢4,8◣	180	LE2	396,9	0,2	172,5	91,9	184,8	98,1	81,5	OK
		◢4,8◣	180	LE2	396,8	0,1	184,2	-109,8	-170,6	98,1	72,9	OK
STUB1-EPb	STUB1-w 1	◢3,0◣	162	LE2	271,4	0,0	128,6	-50,0	128,6	67,1	45,6	OK
		◢3,0◣	162	LE2	270,9	0,0	128,4	50,1	-128,3	66,9	45,8	OK
C-bfl 1	STUB1-bfl 1	◢4,8◣	180	LE2	218,1	0,0	96,3	-66,8	91,0	53,9	37,2	OK
		◢4,8◣	180	LE2	214,1	0,0	85,5	65,4	-92,6	52,9	31,2	OK
C-bfl 1	STUB1-tfl 1	◢4,8◣	180	LE2	390,0	0,0	244,0	-31,2	172,9	96,4	79,1	OK
		◢4,8◣	180	LE2	396,7	0,1	137,0	81,1	-199,1	98,0	73,4	OK
C-bfl 1	STUB1-w 1	◢3,0◣	162	LE2	212,3	0,0	105,8	9,1	105,9	52,5	45,3	OK
		◢3,0◣	162	LE2	212,3	0,0	105,9	-9,1	-105,9	52,5	45,3	OK
C-bfl 1	STIFF1a	◢7,5◣	111	LE2	162,3	0,0	83,8	23,6	76,7	40,1	22,8	OK
		◢7,5◣	111	LE2	90,8	0,0	37,3	-23,0	-41,9	22,4	12,9	OK
C-w 1	STIFF1a	◢5,3◣	196	LE2	99,2	0,0	-10,1	-56,3	8,4	24,5	15,1	OK
		◢5,3◣	196	LE2	111,4	0,0	31,5	60,3	-12,9	27,5	17,2	OK
C-tfl 1	STIFF1a	◢7,5◣	111	LE2	196,8	0,0	106,0	12,5	94,9	48,6	26,0	OK
		◢7,5◣	111	LE2	298,7	0,0	137,4	-38,9	-148,1	73,8	37,8	OK
C-bfl 1	STIFF1b	◢7,5◣	111	LE2	90,9	0,0	37,3	23,0	41,9	22,4	12,9	OK
		◢7,5◣	111	LE2	162,4	0,0	83,9	-23,6	-76,7	40,1	22,8	OK
C-w 1	STIFF1b	◢5,3◣	196	LE2	111,3	0,0	31,5	-60,3	12,9	27,5	17,2	OK
		◢5,3◣	196	LE2	99,2	0,0	-10,1	56,3	-8,5	24,5	15,1	OK
C-tfl 1	STIFF1b	◢7,5◣	111	LE2	299,3	0,0	137,6	38,8	148,4	73,9	37,8	OK
		◢7,5◣	111	LE2	197,1	0,0	106,3	-12,1	-95,0	48,7	25,9	OK
C-bfl 1	STIFF1c	◢7,5◣	111	LE2	213,4	0,0	102,5	-36,0	101,9	52,7	26,2	OK
		◢7,5◣	111	LE2	150,2	0,0	72,0	26,2	-71,5	37,1	19,0	OK
C-w 1	STIFF1c	◢5,3◣	196	LE2	98,8	0,0	22,4	55,0	7,9	24,4	19,7	OK
		◢5,3◣	196	LE1	100,0	0,0	4,2	57,4	-5,1	24,7	19,1	OK
C-tfl 1	STIFF1c	◢7,5◣	111	LE1	66,8	0,0	22,1	33,0	15,4	16,5	7,2	OK
		◢7,5◣	111	LE2	70,7	0,0	27,2	32,8	-18,5	17,5	9,2	OK
C-bfl 1	STIFF1d	◢7,5◣	111	LE2	150,3	0,0	72,0	-26,2	71,5	37,1	19,0	OK
		◢7,5◣	111	LE2	213,5	0,0	102,5	36,0	-101,9	52,7	26,2	OK
C-w 1	STIFF1d	◢5,3◣	196	LE1	100,0	0,0	4,2	-57,5	5,1	24,7	19,2	OK
		◢5,3◣	196	LE2	98,8	0,0	22,4	-55,0	-7,9	24,4	19,7	OK

Documento visado electrónicamente con número: VA07290/22
Código de validación telemática TRLTDCFZ60T66IJ1. Comprobación: https://cogitivalencia.e-gestion.es/Validacion.aspx?CVT=TRLTDCFZ60T66IJ1

Proyecto:
Proyecto nº:
Autor:

VISADO
COGITI
Estado
VALENCIA
VA07290/22
TRLTDCFZ60T66IJ1

Ítem	Borde	Espesor de g. [mm]	Longitud [mm]	Cargas	$\sigma_{w,Ed}$ [MPa]	ε_{Pl} [%]	$\sigma_{\perp}$ [MPa]	$\tau_{\parallel}$ [MPa]	$\tau_{\perp}$ [MPa]	Ut [%]	U_c [%]	
C-tfl 1	STIFF1d	◢7,5◣	111	LE2	70,7	0,0	27,2	-32,8	18,5	17,5	9,2	OK
		◢7,5◣	111	LE1	66,9	0,0	22,1	-33,0	-15,5	16,5	7,2	OK
STUB2-EPa	B2-bfl 1	◢4,5◣	160	LE2	397,1	0,3	154,6	118,1	175,1	98,1	68,6	OK
		◢4,5◣	160	LE2	397,2	0,4	175,7	-132,1	-157,6	98,2	74,3	OK
STUB2-EPa	B2-tfl 1	◢4,5◣	160	LE2	113,0	0,0	-64,2	21,1	-49,4	27,9	14,1	OK
		◢4,5◣	160	LE1	80,1	0,0	33,9	-16,8	-38,4	19,8	12,8	OK
STUB2-EPa	B2-w 1	◢3,0◣	143	LE2	175,3	0,0	86,4	-14,0	86,9	43,3	22,6	OK
		◢3,0◣	143	LE2	174,7	0,0	86,8	14,3	-86,3	43,2	22,9	OK
STUB2-EPb	STUB2-bfl 1	◢4,8◣	180	LE2	397,3	0,4	161,6	-104,8	181,4	98,2	66,7	OK
		◢4,8◣	180	LE2	397,4	0,5	181,5	122,4	-163,3	98,2	74,0	OK
STUB2-EPb	STUB2-tfl 1	◢4,8◣	180	LE1	74,6	0,0	34,2	-18,1	33,7	18,4	11,2	OK
		◢4,8◣	180	LE1	81,9	0,0	37,8	17,6	-38,1	20,2	13,7	OK
STUB2-EPb	STUB2-w 1	◢3,0◣	162	LE2	168,8	0,0	71,9	50,2	72,5	41,7	26,1	OK
		◢3,0◣	162	LE2	168,1	0,0	72,4	-50,7	-71,5	41,5	27,1	OK
C-tfl 1	STUB2-bfl 1	◢4,8◣	180	LE2	396,8	0,1	196,8	78,6	182,7	98,0	84,0	OK
		◢4,8◣	180	LE2	396,9	0,2	184,4	42,3	-198,4	98,1	84,2	OK
C-tfl 1	STUB2-tfl 1	◢4,8◣	180	LE1	174,7	0,0	86,9	43,3	76,1	43,2	23,2	OK
		◢4,8◣	180	LE1	139,8	0,0	49,9	47,5	-58,5	34,5	15,3	OK
C-tfl 1	STUB2-w 1	◢3,0◣	162	LE2	374,2	0,0	171,4	-85,7	171,8	92,5	51,1	OK
		◢3,0◣	162	LE2	373,4	0,0	171,8	84,9	-171,6	92,3	51,2	OK
STUB2-EPa	WID1a	◢6,0◣	120	LE2	214,8	0,0	104,3	18,7	106,8	53,1	37,0	OK
		◢6,0◣	120	LE2	213,1	0,0	107,6	-15,0	-105,1	52,7	36,7	OK
B2-bfl 1	WID1a	◢4,5◣	240	LE1	142,8	0,0	-33,6	72,9	-33,3	35,3	18,0	OK
		◢4,5◣	240	LE1	143,3	0,0	-33,4	-73,0	33,8	35,4	18,0	OK
WID1b	WID1a	◢4,5◣	241	LE1	177,6	0,0	-37,0	93,2	-36,9	43,9	25,0	OK
		◢4,5◣	241	LE1	177,7	0,0	-37,0	-93,3	36,9	43,9	25,0	OK
STUB2-EPa	WID1b	◢4,5◣	160	LE2	396,8	0,1	163,2	163,4	130,1	98,1	42,0	OK
		◢4,5◣	160	LE2	290,8	0,0	83,9	-106,2	-120,7	71,9	49,7	OK
STUB2-EPb	WID2	◢6,0◣	120	LE1	254,6	0,0	-100,6	90,5	-100,2	62,9	49,6	OK
		◢6,0◣	120	LE1	254,2	0,0	-100,1	-90,1	100,5	62,8	49,5	OK
STUB2-bfl 1	WID2	◢4,8◣	200	LE1	364,9	0,0	-64,8	-196,7	-65,5	90,2	42,1	OK
		◢4,8◣	200	LE1	366,3	0,0	-65,5	197,7	64,9	90,5	42,4	OK

Datos de diseño

	β_w [-]	$\sigma_{w,Rd}$ [MPa]	0.9 σ [MPa]
S 275	0,85	404,7	309,6

Documento visado electrónicamente con número: VA07290/22
Código de validación telemática TRLTDCFZ60T66IJ1. Comprobación: https://cogitivalencia.e-gestion.es/Validacion.aspx?CVT=TRLTDCFZ60T66IJ1

Proyecto:

Proyecto nº:

Autor:

VISADO
COGITI
VALENCIA
VA07290/22
TRLTDCFZ60T66IJ1

Explicación del símbolo

ε_{Pl}	Deformación
$\sigma_{w,Ed}$	Tensión equivalente
$\sigma_{w,Rd}$	Resistencia a tensión equivalente
$\sigma_{\perp}$	Tensión perpendicular
$\tau_{\parallel}$	Tensión cortante paralela al eje de la soldadura
$\tau_{\perp}$	Tensión normal perpendicular al eje de la soldadura
0.9 σ	Resistencia a tensión perpendicular - 0.9*fu/γM2
β_w	Factor de correlación EN 1993-1-8 tabla. 4.1
Ut	Utilización
Utc	Utilización de la capacidad de la soldadura

Pandeo

El análisis de pandeo no se ha calculado.

Configuración de la norma

Ítem	Valor	Unidad	Referencia
γ_{M0}	1,00	-	EN 1993-1-1: 6.1
γ_{M1}	1,00	-	EN 1993-1-1: 6.1
γ_{M2}	1,25	-	EN 1993-1-1: 6.1
γ_{M3}	1,25	-	EN 1993-1-8: 2.2
γ_C	1,50	-	EN 1992-1-1: 2.4.2.4
γ_{Inst}	1,20	-	EN 1992-4: Table 4.1
Coeficiente de unión βj	0,67	-	EN 1993-1-8: 6.2.5
Área efectiva - influencia del tamaño de la malla	0,10	-	
Coeficiente de fricción - hormigón	0,25	-	EN 1993-1-8
Coeficiente de fricción en la resistencia a deslizamiento	0,30	-	EN 1993-1-8 Pestaña 3.7
Deformación plástica límite	0,05	-	EN 1993-1-5
Evaluación de la tensión de la soldadura	Redistribución plástica		
Detallado	No		
Distancia entre tornillos [d]	2,20	-	EN 1993-1-8: Pestaña 3.3
Distancia entre tornillos y el borde [d0]	1,20	-	EN 1993-1-8: Pestaña 3.3
Resistencia al arrancamiento del cono de hormigón	Both		EN 1992-4: 7.2.1.4 and 7.2.2.5
Utilizar αb calculada en la verificación por aplastamiento.	Sí		EN 1993-1-8: Pestaña 3.4
Hormigón fisurado	Sí		EN 1992-4
Comprobación de la deformación local	No		CIDECT DG 1, 3 - 1.1
Deformación límite local	0,03	-	CIDECT DG 1, 3 - 1.1
No linealidad geométrica (GMNA)	Sí		Grandes deformaciones para secciones huecas
Sistema arriostrado	No		EN 1993-1-8: 5.2.2.5

Documento visado electrónicamente con número: VA07290/22
Código de validación telemática TRLTDCFZ60T66IJ1. Comprobación: https://cogitivalencia.e-gestion.es/Validacion.aspx?CVT=TRLTDCFZ60T66IJ1

Proyecto:
Proyecto nº:
Autor:

VISADO
COGITI
VALENCIA
VA07290/22
TRLTDCFZ60T66IJ1

Datos del proyecto

Nombre del proyecto	
Número del Proyecto	
Autor	
Descripción	
Fecha	12/05/2021
Normativa de cálculo	EN

Material

Acero	S 275

Documento visado electrónicamente con número: VA07290/22
Código de validación telemática TRLTDCFZ60T66IJ1. Comprobación: https://cogitivalencia.e-gestion.es/Validacion.aspx?CVT=TRLTDCFZ60T66IJ1

Proyecto:
Proyecto nº:
Autor:

VISADO
COGITI
TRLTDCFZ60T66IJ1
VALENCIA
VA07290/22

Ítem del proyecto CON1

Diseño

Nombre	CON1
Descripción	
Análisis	Tensión, deformación/ Carga simplificada

Elementos estructurales

Nombre	Sección transversal	β – Dirección [°]	γ - Inclinación [°]	α - Rotación [°]	Desplazamiento ex [mm]	Desplazamiento ey [mm]	Desplazamiento ez [mm]	Fuerzas en
C	3 - HEB280	0,0	90,0	0,0	0	0	0	Nudo
B	6 - HEA160	0,0	4,0	0,0	0	0	0	Nudo
M3	7 - SHS120/120/10.0	0,0	48,2	0,0	0	0	0	Nudo

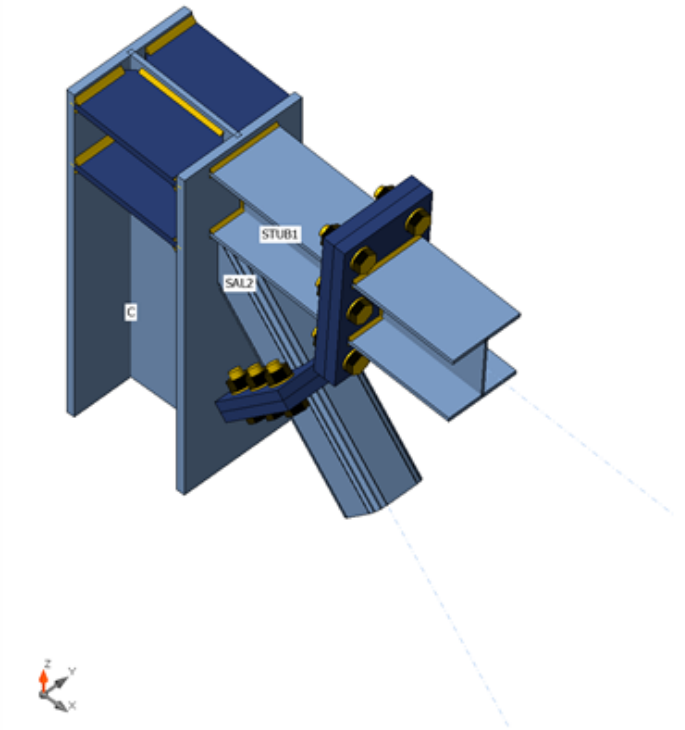

Secciones

Nombre	Material
3 - HEB280	S 275
6 - HEA160	S 275
7 - SHS120/120/10.0	S 275

Tornillos

Nombre	Conjunto de tornillo	Diámetro [mm]	fu [MPa]	Área bruta [mm^2]
M24 10.9	M24 10.9	24	1000,0	452

Documento visado electrónicamente con número: VA07290/22
Código de validación telemática TRLTDCFZ60T66IJ1. Comprobación: https://cogitivalencia.e-gestion.es/Validacion.aspx?CVT=TRLTDCFZ60T66IJ1

Proyecto:
Proyecto nº:
Autor:

VISADO
COGITI
VALENCIA
VA07290/22
TRLTDCFZ60T66IJ1

Cargas (No se requiere el equilibro)

Nombre	Elemento	N [kN]	Vy [kN]	Vz [kN]	Mx [kNm]	My [kNm]	Mz [kNm]
LE1	B	474,4	0,0	-8,3	0,0	14,8	0,0
	M3	-622,1	0,0	-3,9	0,0	5,6	0,0
LE2	B	-316,2	0,0	4,2	0,0	-9,3	0,0
	M3	419,9	0,0	3,1	0,0	-3,8	0,0

Verificación

Resumen

Nombre	Valor	Estado
Análisis	100,0%	OK
Placas	0,5 < 5,0%	OK
Tornillos	54,4 < 100%	OK
Soldaduras	98,1 < 100%	OK
Pandeo	No calculado	

Placas

Nombre	Espesor [mm]	Cargas	σ_{Ed} [MPa]	ε_{Pl} [%]	σc_{Ed} [MPa]	Estado
C-bfl 1	18,0	LE1	85,0	0,0	0,0	OK
C-tfl 1	18,0	LE1	145,6	0,0	0,0	OK
C-w 1	10,5	LE1	230,0	0,0	0,0	OK
B-bfl 1	9,0	LE1	180,1	0,0	0,0	OK
B-tfl 1	9,0	LE1	275,2	0,1	0,0	OK
B-w 1	6,0	LE1	166,0	0,0	0,0	OK
M3	10,0	LE2	276,1	0,5	0,0	OK
STUB1-bfl 1	9,0	LE1	172,0	0,0	0,0	OK
STUB1-tfl 1	9,0	LE1	275,2	0,1	0,0	OK
STUB1-w 1	6,0	LE1	183,6	0,0	0,0	OK
SAL2	10,0	LE2	276,2	0,5	0,0	OK
STUB1-EPa	25,0	LE1	201,4	0,0	26,0	OK
STUB1-EPb	25,0	LE1	203,7	0,0	26,0	OK
STIFF1a	15,0	LE1	111,0	0,0	0,0	OK
STIFF1b	15,0	LE1	110,5	0,0	0,0	OK
STIFF1c	15,0	LE1	142,9	0,0	0,0	OK
STIFF1d	15,0	LE1	142,9	0,0	0,0	OK
SAL2-EPa	20,0	LE2	275,1	0,1	28,2	OK
SAL2-EPb	20,0	LE2	275,1	0,1	28,2	OK

Datos de diseño

Material	f_y [MPa]	ε_{lim} [%]
S 275	275,0	5,0

Documento visado electrónicamente con número: VA07290/22
Código de validación telemática TRLTDCFZ60T66IJ1. Comprobación: https://cogitivalencia.e-gestion.es/Validacion.aspx?CVT=TRLTDCFZ60T66IJ1

Proyecto:

Proyecto nº:

Autor:

VISADO
COGITI
VALENCIA
VA07290/22
TRLTDCFZ60T66IJ1

Explicación del símbolo

ε_{Pl}	Deformación
σ_{Ed}	Ec. tensión
σc_{Ed}	Contact stress
f_y	Límite elástico
ε_{lim}	Límite de la deformación plástica

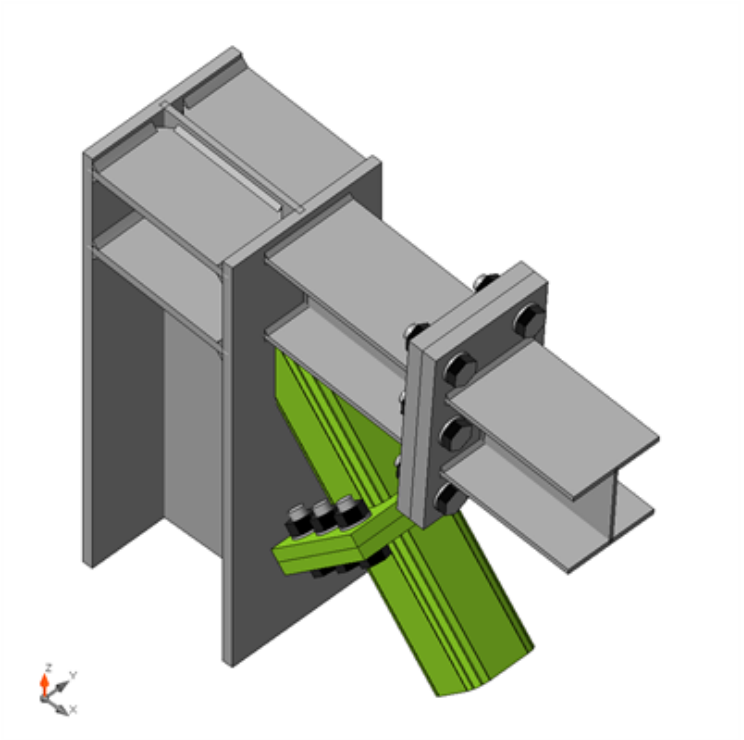

Verificación general, LE2

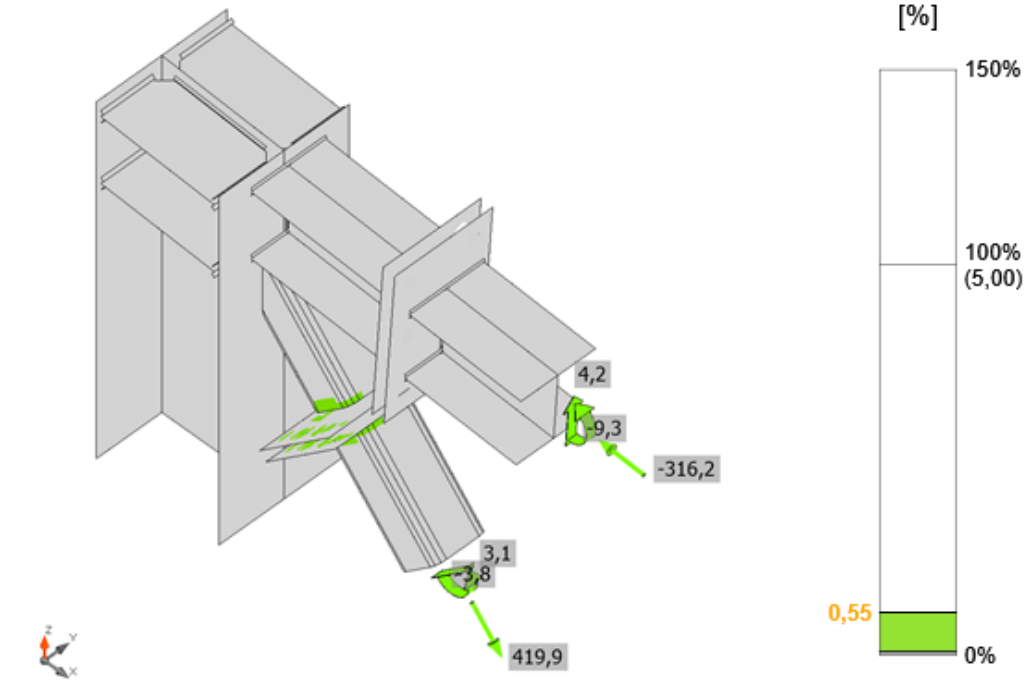

Verificación de deformación, LE2

Documento visado electrónicamente con número: VA07290/22
Código de validación telemática TRLTDCFZ60T66IJ1. Comprobación: https://cogitivalencia.e-gestion.es/Validacion.aspx?CVT=TRLTDCFZ60T66IJ1

Proyecto:

Proyecto nº:

Autor:

VISADO
COGITI
VALENCIA
VA07290/22
TRLTDCFZ60T66IJ1

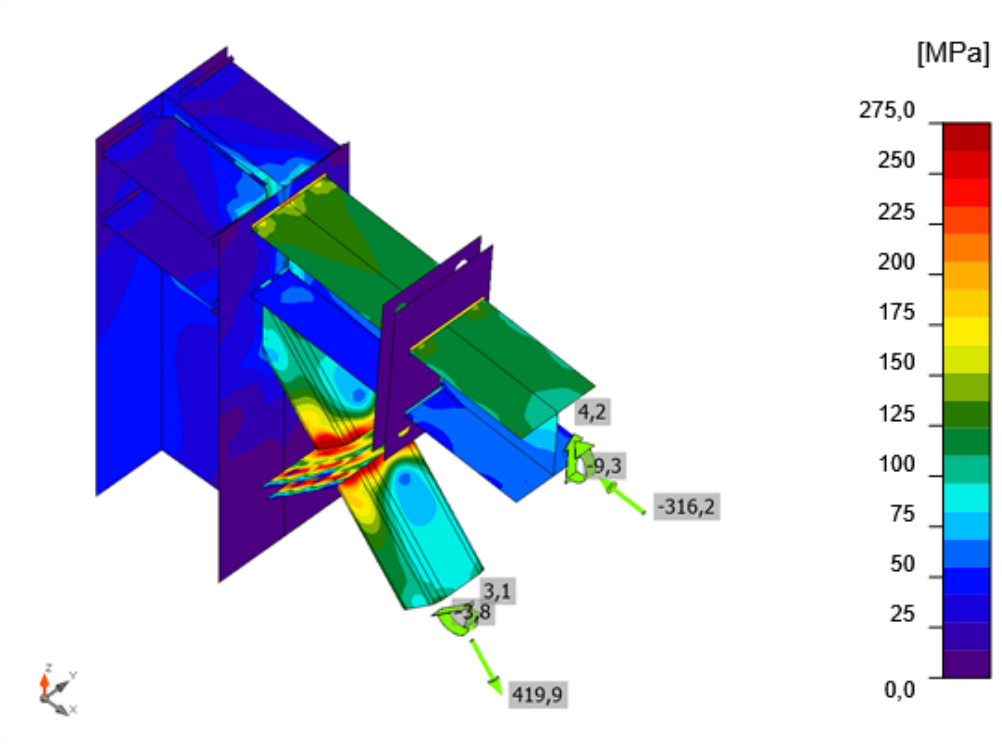

Tensión equivalente, LE2

Tornillos

	Nombre	Calidad	Cargas	$F_{t,Ed}$ [kN]	V [kN]	Ut_t [%]	$F_{b,Rd}$ [kN]	Ut_s [%]	Ut_{ts} [%]	Estado
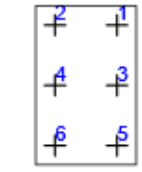	B1	M24 10.9 - 1	LE1	104,5	1,3	41,1	264,7	0,9	30,3	OK
	B2	M24 10.9 - 1	LE1	104,4	1,3	41,1	264,7	0,9	30,3	OK
	B3	M24 10.9 - 1	LE1	128,9	1,6	50,7	516,0	1,1	37,3	OK
	B4	M24 10.9 - 1	LE1	128,9	1,6	50,7	516,0	1,1	37,3	OK
	B5	M24 10.9 - 1	LE1	43,6	1,3	17,2	264,7	0,9	13,2	OK
	B6	M24 10.9 - 1	LE1	43,6	1,3	17,2	264,7	0,9	13,2	OK
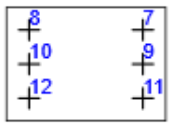	B7	M24 10.9 - 2	LE2	99,0	0,5	38,9	212,4	0,4	28,2	OK
	B8	M24 10.9 - 2	LE2	98,6	0,5	38,8	212,4	0,4	28,1	OK
	B9	M24 10.9 - 2	LE2	138,2	0,5	54,4	214,3	0,4	39,2	OK
	B10	M24 10.9 - 2	LE2	138,3	0,5	54,4	214,3	0,4	39,2	OK
	B11	M24 10.9 - 2	LE2	127,7	0,5	50,2	212,1	0,4	36,2	OK
	B12	M24 10.9 - 2	LE2	127,9	0,5	50,3	212,1	0,4	36,3	OK

Datos de diseño

Nombre	$F_{t,Rd}$ [kN]	$B_{p,Rd}$ [kN]	$F_{v,Rd}$ [kN]
M24 10.9 - 1	254,2	698,7	141,2
M24 10.9 - 2	254,2	558,9	141,2

Documento visado electrónicamente con número: VA07290/22
Código de validación telemática TRLTDCFZ60T66IJ1. Comprobación: https://cogitivalencia.e-gestion.es/Validacion.aspx?CVT=TRLTDCFZ60T66IJ1

Proyecto:

Proyecto nº:

Autor:

VISADO
COGITI
VALENCIA
VA07290/22
TRLTDCFZ60T66IJ1

Explicación del símbolo

$F_{t,Rd}$	Resistencia a tracción del tornillo EN 1993-1-8 tabla. 3.4
$F_{t,Ed}$	Fuerza de tracción
$B_{p,Rd}$	Resistencia al cortante perforante
V	Resultante de las fuerzas cortantes Vy, Vz en el tornillo.
$F_{v,Rd}$	Resistencia a cortante de los tornillos EN_1993-1-8 tabla 3.4
$F_{b,Rd}$	Resistencia al aplastamiento de la placa, según EN 1993-1-8 tab. 3.4
Ut_t	Utilización a tracción
Ut_s	Utilización a cortante

Documento visado electrónicamente con número: VA07290/22
Código de validación telemática TRLTDCFZ60T66IJ1. Comprobación: https://cogitivalencia.e-gestion.es/Validacion.aspx?CVT=TRLTDCFZ60T66IJ1

VISADO
COGITI
VALENCIA
VA07290/22
TRLTDCFZ60T66IJ1

Soldaduras (Redistribución plástica)

Ítem	Borde	Espesor de g. [mm]	Longitud [mm]	Cargas	$\sigma_{w,Ed}$ [MPa]	ε_{Pl} [%]	$\sigma_{\perp}$ [MPa]	$\tau_{\parallel}$ [MPa]	$\tau_{\perp}$ [MPa]	Ut [%]	Ut [%]	Estado
C-tfl 1	SAL2-arc 5	10,0	4	LE1								OK
SAL2-EPa	M3-w 1	10,0	70	LE1								OK
SAL2-EPa	M3-arc 1	10,0	10	LE1								OK
SAL2-EPa	M3-arc 2	10,0	10	LE1								OK
SAL2-EPa	M3-arc 3	10,0	10	LE1								OK
SAL2-EPa	M3-w 2	10,0	70	LE1								OK
SAL2-EPa	M3-arc 4	10,0	10	LE1								OK
SAL2-EPa	M3-arc 5	10,0	10	LE1								OK
SAL2-EPa	M3-arc 6	10,0	10	LE1								OK
SAL2-EPa	M3-w 3	10,0	70	LE1								OK
SAL2-EPa	M3-arc 7	10,0	10	LE1								OK
SAL2-EPa	M3-arc 8	10,0	10	LE1								OK
SAL2-EPa	M3-arc 9	10,0	10	LE1								OK
SAL2-EPa	M3-w 4	10,0	70	LE1								OK
SAL2-EPa	M3-arc 10	10,0	10	LE1								OK
SAL2-EPa	M3-arc 11	10,0	10	LE1								OK
SAL2-EPa	M3-arc 12	10,0	10	LE1								OK
SAL2-EPb	SAL2-w 1	10,0	70	LE1								OK
SAL2-EPb	SAL2-arc 1	10,0	10	LE1								OK
SAL2-EPb	SAL2-arc 2	10,0	10	LE1								OK
SAL2-EPb	SAL2-arc 3	10,0	10	LE1								OK
SAL2-EPb	SAL2-w 2	10,0	70	LE1								OK
SAL2-EPb	SAL2-arc 4	10,0	10	LE1								OK
SAL2-EPb	SAL2-arc 5	10,0	10	LE1								OK
SAL2-EPb	SAL2-arc 6	10,0	10	LE1								OK
SAL2-EPb	SAL2-w 3	10,0	70	LE1								OK
SAL2-EPb	SAL2-arc 7	10,0	10	LE1								OK
SAL2-EPb	SAL2-arc 8	10,0	10	LE1								OK
SAL2-EPb	SAL2-arc 9	10,0	10	LE1								OK
SAL2-EPb	SAL2-w 4	10,0	70	LE1								OK
SAL2-EPb	SAL2-arc 10	10,0	10	LE1								OK
SAL2-EPb	SAL2-arc 11	10,0	10	LE1								OK
SAL2-EPb	SAL2-arc 12	10,0	10	LE1								OK
C-tfl 1	SAL2-w 1	10,0	70	LE1								OK
C-tfl 1	SAL2-arc 1	10,0	11	LE1								OK
C-tfl 1	SAL2-arc 2	10,0	13	LE1								OK
C-tfl 1	SAL2-arc 3	10,0	15	LE1								OK
C-tfl 1	SAL2-w 2	10,0	105	LE1								OK
C-tfl 1	SAL2-arc 4	10,0	15	LE1								OK
C-tfl 1	SAL2-arc 8	10,0	4	LE1								OK
C-tfl 1	SAL2-arc 9	10,0	15	LE1								OK
C-tfl 1	SAL2-w 4	10,0	105	LE1								OK
C-tfl 1	SAL2-arc 10	10,0	15	LE1								OK
C-tfl 1	SAL2-arc 11	10,0	13	LE1								OK
C-tfl 1	SAL2-arc 12	10,0	11	LE1								OK

Documento visado electrónicamente con número: VA07290/22
Código de validación telemática TRLTDCFZ60T66IJ1. Comprobación: https://cogitivalencia.e-gestion.es/Validacion.aspx?CVT=TRLTDCFZ60T66IJ1

Proyecto:
Proyecto nº:
Autor:

VISADO
COGITI
VALENCIA
VA07290/22
TRLTDCFZ60T66IJ1

Ítem	Borde	Espesor de g. [mm]	Longitud [mm]	Cargas	$\sigma_{w,Ed}$ [MPa]	ε_{Pl} [%]	$\sigma_{\perp}$ [MPa]	$\tau_{\parallel}$ [MPa]	$\tau_{\perp}$ [MPa]	Ut [%]	Ut_c [%]	Estado
STUB1-bfl 1	SAL2-arc 5	9,0	9	LE1								OK
STUB1-bfl 1	SAL2-arc 6	9,0	11	LE1								OK
STUB1-bfl 1	SAL2-w 3	9,0	70	LE1								OK
STUB1-bfl 1	SAL2-arc 7	9,0	11	LE1								OK
STUB1-bfl 1	SAL2-arc 8	9,0	9	LE1								OK
STUB1-EPa	B-bfl 1	◢4,5◣	160	LE1	318,6	0,0	146,1	107,3	123,3	78,7	40,4	OK
		◢4,5◣	160	LE1	302,8	0,0	118,4	-78,0	-140,7	74,8	34,1	OK
STUB1-EPa	B-tfl 1	◢4,5◣	160	LE1	396,9	0,2	170,1	100,6	181,0	98,1	81,4	OK
		◢4,5◣	160	LE1	396,9	0,2	179,7	-116,6	-167,7	98,1	72,6	OK
STUB1-EPa	B-w 1	◢3,0◣	143	LE1	191,2	0,0	92,4	29,5	92,0	47,2	32,2	OK
		◢3,0◣	143	LE1	191,5	0,0	92,1	-29,1	-92,5	47,3	32,2	OK
STUB1-EPb	STUB1-bfl 1	◢4,5◣	160	LE1	310,6	0,0	141,5	-105,7	119,6	76,7	39,1	OK
		◢4,5◣	160	LE1	299,2	0,0	116,6	78,0	-138,6	73,9	34,2	OK
STUB1-EPb	STUB1-tfl 1	◢4,5◣	160	LE1	397,0	0,2	170,2	100,9	180,8	98,1	81,5	OK
		◢4,5◣	160	LE1	397,0	0,2	180,1	-114,9	-168,9	98,1	73,0	OK
STUB1-EPb	STUB1-w 1	◢3,0◣	143	LE1	201,8	0,0	91,9	-48,9	91,5	49,9	33,6	OK
		◢3,0◣	143	LE1	203,5	0,0	91,5	50,8	-91,8	50,3	33,8	OK
C-tfl 1	STUB1-bfl 1	◢4,5◣	160	LE1	140,5	0,0	-11,0	-63,2	50,4	34,7	24,5	OK
		◢4,5◣	160	LE1	185,2	0,0	15,1	-20,4	104,6	45,8	30,3	OK
C-tfl 1	STUB1-tfl 1	◢4,5◣	160	LE1	318,0	0,0	166,5	23,3	154,7	78,6	72,0	OK
		◢4,5◣	160	LE1	361,4	0,0	165,9	44,9	-179,9	89,3	71,0	OK
C-tfl 1	STUB1-w 1	◢3,0◣	143	LE1	228,6	0,0	110,5	33,7	110,5	56,5	40,6	OK
		◢3,0◣	143	LE1	228,9	0,0	110,7	-33,8	-110,6	56,5	40,6	OK
C-bfl 1	STIFF1a	◢7,5◣	111	LE1	37,3	0,0	19,3	-17,4	6,1	9,2	5,1	OK
		◢7,5◣	111	LE1	61,5	0,0	-36,2	10,2	26,8	15,2	8,5	OK
C-w 1	STIFF1a	◢5,3◣	196	LE1	56,3	0,0	48,3	-1,0	16,6	15,6	8,4	OK
		◢5,3◣	196	LE1	44,3	0,0	19,9	-22,9	0,2	11,0	5,8	OK
C-tfl 1	STIFF1a	◢7,5◣	111	LE1	115,1	0,0	-56,0	-22,8	-53,4	28,4	16,5	OK
		◢7,5◣	111	LE1	36,3	0,0	7,3	-18,0	9,9	9,0	7,2	OK
C-bfl 1	STIFF1b	◢7,5◣	111	LE1	61,4	0,0	-36,1	-10,1	-26,8	15,2	8,5	OK
		◢7,5◣	111	LE1	37,3	0,0	19,3	17,4	-6,1	9,2	5,1	OK
C-w 1	STIFF1b	◢5,3◣	196	LE1	44,2	0,0	19,9	22,8	-0,2	10,9	5,8	OK
		◢5,3◣	196	LE1	56,0	0,0	48,1	1,2	-16,5	15,5	8,3	OK
C-tfl 1	STIFF1b	◢7,5◣	111	LE1	36,3	0,0	6,9	17,9	-10,2	9,0	7,2	OK
		◢7,5◣	111	LE1	114,1	0,0	-55,5	22,8	52,8	28,2	16,4	OK
C-bfl 1	STIFF1c	◢7,5◣	111	LE1	70,5	0,0	26,2	30,3	22,5	17,4	8,8	OK
		◢7,5◣	111	LE1	60,9	0,0	-7,3	-34,5	5,5	15,0	6,4	OK
C-w 1	STIFF1c	◢5,3◣	196	LE1	101,1	0,0	-6,9	-57,4	-9,7	25,0	16,7	OK
		◢5,3◣	196	LE1	107,0	0,0	-13,4	60,4	10,5	26,4	19,3	OK
C-tfl 1	STIFF1c	◢7,5◣	111	LE1	142,0	0,0	63,3	21,4	70,2	35,1	16,7	OK
		◢7,5◣	111	LE1	229,1	0,0	120,1	-23,9	-110,1	56,6	25,6	OK
C-bfl 1	STIFF1d	◢7,5◣	111	LE1	60,8	0,0	-7,3	34,4	-5,6	15,0	6,4	OK
		◢7,5◣	111	LE1	70,4	0,0	26,2	-30,3	-22,5	17,4	8,8	OK
C-w 1	STIFF1d	◢5,3◣	196	LE1	106,9	0,0	-13,4	-60,4	-10,5	26,4	19,2	OK
		◢5,3◣	196	LE1	101,1	0,0	-6,9	57,4	9,7	25,0	16,7	OK

Documento visado electrónicamente con número: VA07290/22
Código de validación telemática TRLTDCFZ60T66IJ1. Comprobación: https://cogitivalencia.e-gestion.es/Validacion.aspx?CVT=TRLTDCFZ60T66IJ1

VISADO
COGITI
VALENCIA
VA07290/22
TRLTDCFZ60T66IJ1

Ítem	Borde	Espesor de g. [mm]	Longitud [mm]	Cargas	$\sigma_{w,Ed}$ [MPa]	ε_{Pl} [%]	$\sigma_{\perp}$ [MPa]	$\tau_{\parallel}$ [MPa]	$\tau_{\perp}$ [MPa]	Ut [%]	Ut_c [%]	Estado
C-tfl 1	STIFF1d	◢7,5◣	111	LE1	229,1	0,0	120,1	23,9	110,1	56,6	25,6	OK
		◢7,5◣	111	LE1	141,9	0,0	63,3	-21,3	-70,1	35,1	16,6	OK

Datos de diseño

	β_w [-]	$\sigma_{w,Rd}$ [MPa]	0.9 σ [MPa]
S 275	0,85	404,7	309,6

Explicación del símbolo

ε_{Pl}	Deformación
$\sigma_{w,Ed}$	Tensión equivalente
$\sigma_{w,Rd}$	Resistencia a tensión equivalente
$\sigma_{\perp}$	Tensión perpendicular
$\tau_{\parallel}$	Tensión cortante paralela al eje de la soldadura
$\tau_{\perp}$	Tensión normal perpendicular al eje de la soldadura
0.9 σ	Resistencia a tensión perpendicular - 0.9*fu/γM2
β_w	Factor de correlación EN 1993-1-8 tabla. 4.1
Ut	Utilización
Utc	Utilización de la capacidad de la soldadura

Pandeo

El análisis de pandeo no se ha calculado.

Configuración de la norma

Ítem	Valor	Unidad	Referencia
γ_{M0}	1,00	-	EN 1993-1-1: 6.1
γ_{M1}	1,00	-	EN 1993-1-1: 6.1
γ_{M2}	1,25	-	EN 1993-1-1: 6.1
γ_{M3}	1,25	-	EN 1993-1-8: 2.2
γ_C	1,50	-	EN 1992-1-1: 2.4.2.4
γ_{Inst}	1,20	-	EN 1992-4: Table 4.1
Coeficiente de unión βj	0,67	-	EN 1993-1-8: 6.2.5
Área efectiva - influencia del tamaño de la malla	0,10	-	
Coeficiente de fricción - hormigón	0,25	-	EN 1993-1-8
Coeficiente de fricción en la resistencia a deslizamiento	0,30	-	EN 1993-1-8 Pestaña 3.7
Deformación plástica límite	0,05	-	EN 1993-1-5
Evaluación de la tensión de la soldadura	Redistribución plástica		
Detallado	No		
Distancia entre tornillos [d]	2,20	-	EN 1993-1-8: Pestaña 3.3
Distancia entre tornillos y el borde [d0]	1,20	-	EN 1993-1-8: Pestaña 3.3
Resistencia al arrancamiento del cono de hormigón	Both		EN 1992-4: 7.2.1.4 and 7.2.2.5
Utilizar αb calculada en la verificación por aplastamiento.	Sí		EN 1993-1-8: Pestaña 3.4
Hormigón fisurado	Sí		EN 1992-4
Comprobación de la deformación local	No		CIDECT DG 1, 3 - 1.1
Deformación límite local	0,03	-	CIDECT DG 1, 3 - 1.1

Documento visado electrónicamente con número: VA07290/22
Código de validación telemática TRLTDCFZ60T66IJ1. Comprobación: https://cogitivalencia.e-gestion.es/Validacion.aspx?CVT=TRLTDCFZ60T66IJ1

VISADO
COGITI
VALENCIA
VA07290/22
TRLTDCFZ60T66IJ1

Ítem	Valor	Unidad	Referencia
No linealidad geométrica (GMNA)	Sí		Grandes deformaciones para secciones huecas
Sistema arriostrado	No		EN 1993-1-8: 5.2.2.5

Documento visado electrónicamente con número: VA07290/22
Código de validación telemática TRLTDCFZ60T66IJ1. Comprobación: https://cogitivalencia.e-gestion.es/Validacion.aspx?CVT=TRLTDCFZ60T66IJ1

Proyecto:
Proyecto nº:
Autor:

VISADO
COGITI
VALENCIA
VA07290/22
TRLTDCFZ60T66IJ1

Datos del proyecto

Nombre del proyecto	
Número del Proyecto	
Autor	
Descripción	
Fecha	10/05/2021
Normativa de cálculo	EN

Material

Acero	S 275

Documento visado electrónicamente con número: VA07290/22
Código de validación telemática TRLTDCFZ60T66IJ1. Comprobación: https://cogitivalencia.e-gestion.es/Validacion.aspx?CVT=TRLTDCFZ60T66IJ1

Proyecto:
Proyecto nº:
Autor:

VISADO
COGITI
VALENCIA
VA07290/22
TRLTDCFZ60T66IJ1

Ítem del proyecto CON1

Diseño

Nombre	CON1
Descripción	
Análisis	Tensión, deformación/ Carga simplificada

Elementos estructurales

Nombre	Sección transversal	β – Dirección [°]	γ - Inclinación [°]	α - Rotación [°]	Desplazamiento ex [mm]	Desplazamiento ey [mm]	Desplazamiento ez [mm]	Fuerzas en
C	4 - HEB280	0,0	-90,0	0,0	0	0	0	Nudo
B1	5 - HEB240	0,0	-45,7	0,0	300	0	0	Nudo
B2	6 - HEA240	180,0	-4,0	0,0	100	0	0	Nudo

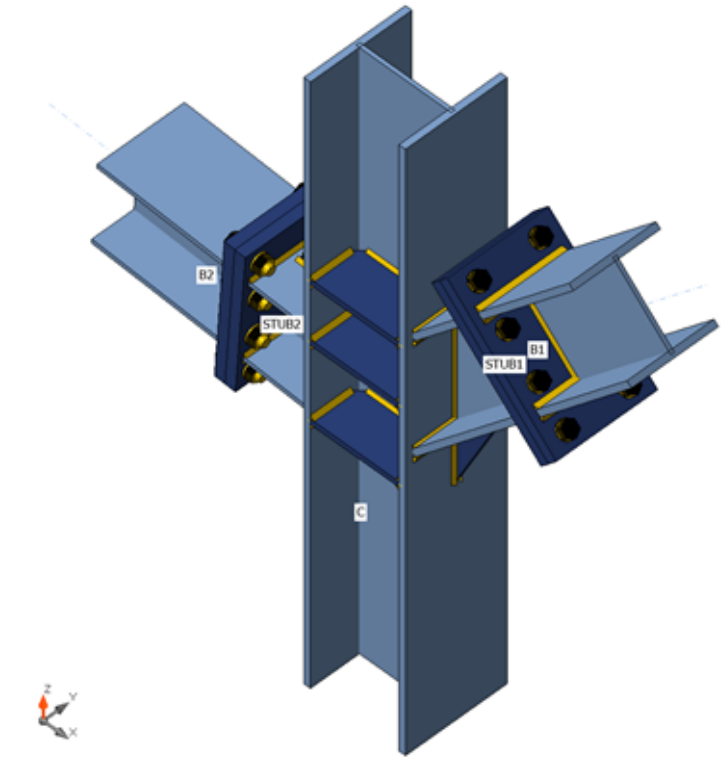

Secciones

Nombre	Material
4 - HEB280	S 275
5 - HEB240	S 275
6 - HEA240	S 275

Tornillos

Nombre	Conjunto de tornillo	Diámetro [mm]	fu [MPa]	Área bruta [mm^2]
M24 10.9	M24 10.9	24	1000,0	452

Documento visado electrónicamente con número: VA07290/22
Código de validación telemática TRLTDCFZ60T66IJ1. Comprobación: https://cogitivalencia.e-gestion.es/Validacion.aspx?CVT=TRLTDCFZ60T66IJ1

Proyecto:
Proyecto nº:
Autor:

VISADO
COGITI
TRLTDCFZ60T66IJ1
VALENCIA
VA07290/22

Cargas (No se requiere el equilibro)

Nombre	Elemento	N [kN]	Vy [kN]	Vz [kN]	Mx [kNm]	My [kNm]	Mz [kNm]
LE1	B1	-2114,5	0,0	-12,3	0,0	-72,9	0,0
	B2	-1391,5	0,0	44,1	0,0	36,4	0,0
LE2	B1	1407,4	0,0	16,7	0,0	64,3	0,0
	B2	817,5	0,0	-43,3	0,0	-40,9	0,0

Verificación

Resumen

Nombre	Valor	Estado
Análisis	100,0%	OK
Placas	1,0 < 5,0%	OK
Tornillos	95,2 < 100%	OK
Soldaduras	98,8 < 100%	OK
Pandeo	No calculado	

Documento visado electrónicamente con número: VA07290/22
Código de validación telemática TRLTDCFZ60T66IJ1. Comprobación: https://cogitivalencia.e-gestion.es/Validacion.aspx?CVT=TRLTDCFZ60T66IJ1

Proyecto:

Proyecto nº:

Autor:

VISADO
COGITI
VALENCIA
VA07290/22
TRLTDCFZ60T66IJ1

Placas

Nombre	Espesor [mm]	Cargas	σ_{Ed} [MPa]	ε_{Pl} [%]	σc_{Ed} [MPa]	Estado
C-bfl 1	18,0	LE1	202,1	0,0	0,0	OK
C-tfl 1	18,0	LE1	257,6	0,0	0,0	OK
C-w 1	10,5	LE1	275,6	0,3	0,0	OK
B1-bfl 1	17,0	LE2	208,0	0,0	0,0	OK
B1-tfl 1	17,0	LE2	275,5	0,3	0,0	OK
B1-w 1	10,0	LE1	275,3	0,1	0,0	OK
B2-bfl 1	12,0	LE2	275,4	0,2	0,0	OK
B2-tfl 1	12,0	LE1	122,5	0,0	0,0	OK
B2-w 1	7,5	LE1	275,0	0,0	0,0	OK
STUB1-bfl 1	17,0	LE2	222,0	0,0	0,0	OK
STUB1-tfl 1	17,0	LE2	275,5	0,2	0,0	OK
STUB1-w 1	10,0	LE1	275,5	0,2	0,0	OK
STUB2-bfl 1	12,0	LE2	275,3	0,1	0,0	OK
STUB2-tfl 1	12,0	LE1	151,5	0,0	0,0	OK
STUB2-w 1	7,5	LE1	265,5	0,0	0,0	OK
STUB1-EPa	30,0	LE2	275,2	0,1	33,3	OK
STUB1-EPb	30,0	LE2	275,2	0,1	33,3	OK
STIFF1a	15,0	LE1	192,4	0,0	0,0	OK
STIFF1b	15,0	LE1	192,4	0,0	0,0	OK
STIFF1c	15,0	LE1	203,2	0,0	0,0	OK
STIFF1d	15,0	LE1	203,2	0,0	0,0	OK
STUB2-EPa	29,0	LE2	225,6	0,0	48,0	OK
STUB2-EPb	29,0	LE2	224,8	0,0	48,0	OK
STIFF2a	15,0	LE1	251,3	0,0	0,0	OK
STIFF2b	15,0	LE1	251,3	0,0	0,0	OK
RIB1	12,0	LE1	269,1	0,1	0,0	OK
RIB2	12,0	LE1	276,2	0,6	0,0	OK
RIB3	12,0	LE1	277,1	1,0	0,0	OK
RIB4	12,0	LE1	259,3	0,1	0,0	OK

Datos de diseño

Material	f_y [MPa]	ε_{lim} [%]
S 275	275,0	5,0

Explicación del símbolo

ε_{Pl}	Deformación
σ_{Ed}	Ec. tensión
σc_{Ed}	Contact stress
f_y	Límite elástico
ε_{lim}	Límite de la deformación plástica

Documento visado electrónicamente con número: VA07290/22
Código de validación telemática TRLTDCFZ60T66IJ1. Comprobación: https://cogitivalencia.e-gestion.es/Validacion.aspx?CVT=TRLTDCFZ60T66IJ1

VISADO
COGITI
VALENCIA
VA07290/22
TRLTDCFZ60T66IJ1

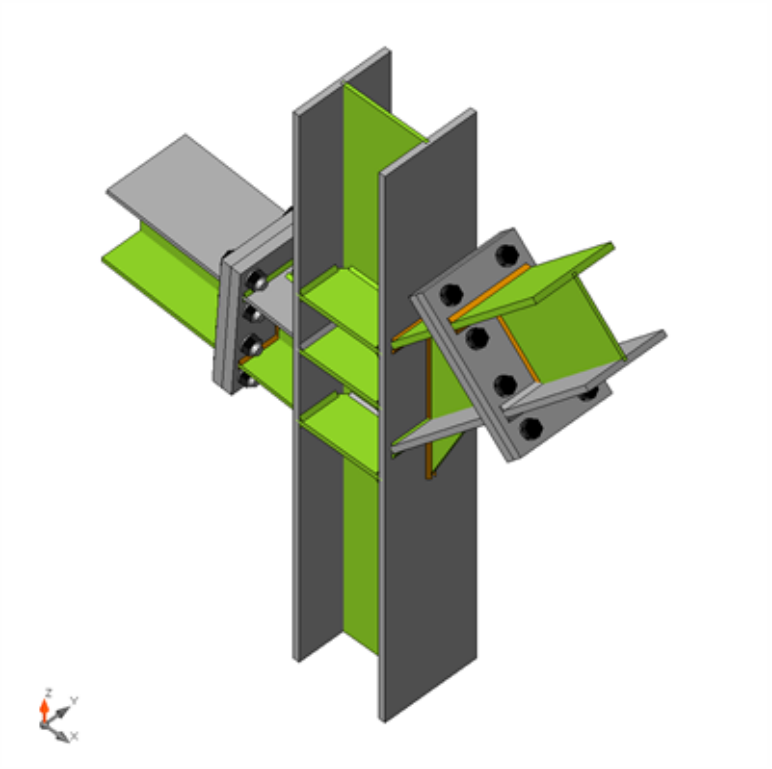

Verificación general, LE1

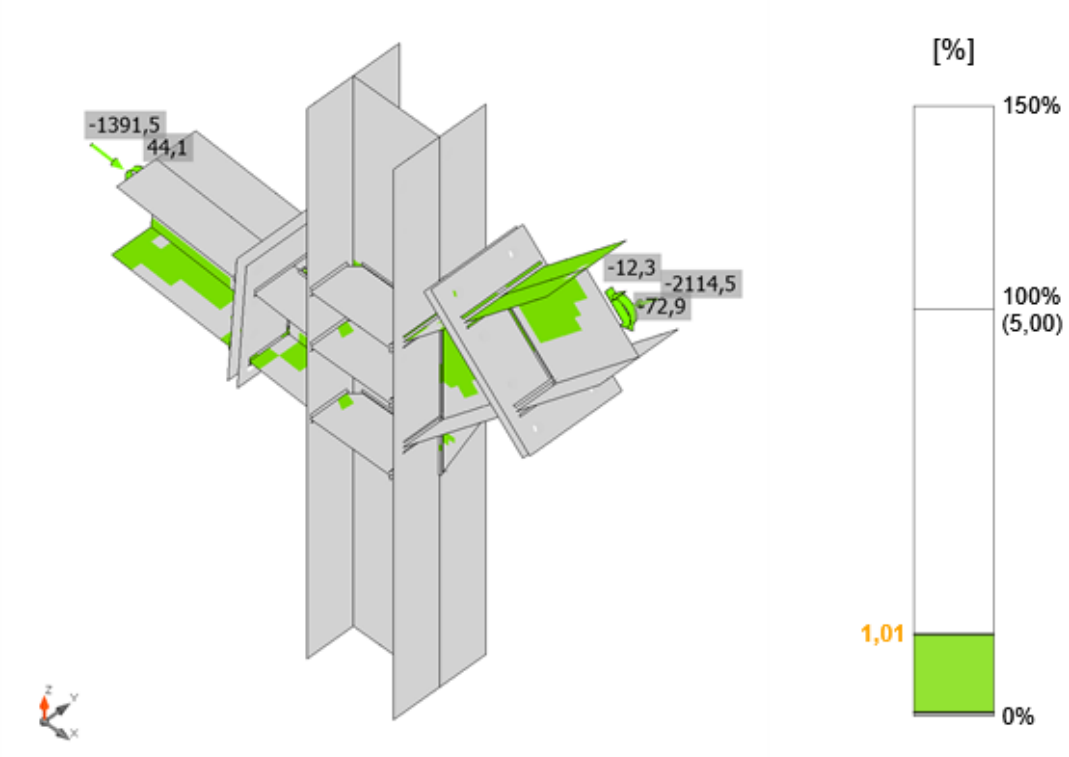

Verificación de deformación, LE1

Documento visado electrónicamente con número: VA07290/22
Código de validación telemática TRLTDCFZ60T66IJ1. Comprobación: https://cogitivalencia.e-gestion.es/Validacion.aspx?CVT=TRLTDCFZ60T66IJ1

VISADO
COGITI
VALENCIA
VA07290/22
TRLTDCFZ60T66IJ1

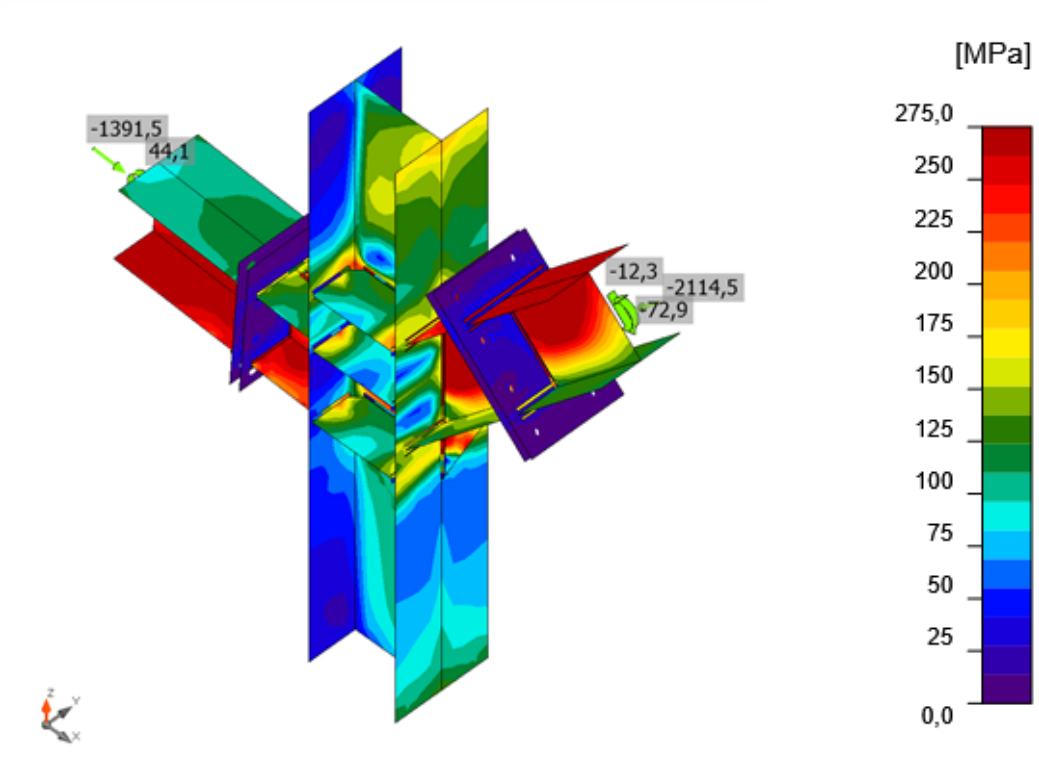

Tensión equivalente, LE1

Tornillos

	Nombre	Calidad	Cargas	$F_{t,Ed}$ [kN]	V [kN]	Ut_t [%]	$F_{b,Rd}$ [kN]	Ut_s [%]	Ut_{ts} [%]	Estado
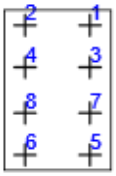	B1	M24 10.9 - 1	LE2	236,0	1,7	92,8	317,6	1,2	67,5	OK
	B2	M24 10.9 - 1	LE2	236,0	1,7	92,8	317,5	1,2	67,5	OK
	B3	M24 10.9 - 1	LE2	242,0	1,5	95,2	619,2	1,0	69,1	OK
	B4	M24 10.9 - 1	LE2	242,0	1,5	95,2	619,2	1,0	69,1	OK
	B5	M24 10.9 - 1	LE2	64,9	2,4	25,5	318,7	1,7	19,9	OK
	B6	M24 10.9 - 1	LE2	64,9	2,4	25,6	318,9	1,7	20,0	OK
	B7	M24 10.9 - 1	LE2	184,4	2,8	72,5	619,2	2,0	53,8	OK
	B8	M24 10.9 - 1	LE2	184,4	2,8	72,5	619,2	2,0	53,8	OK
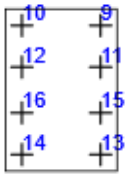	B9	M24 10.9 - 2	LE2	35,5	4,8	14,0	307,4	3,4	13,4	OK
	B10	M24 10.9 - 2	LE2	35,3	4,8	13,9	307,5	3,4	13,3	OK
	B11	M24 10.9 - 2	LE2	71,9	5,5	28,3	598,6	3,9	24,1	OK
	B12	M24 10.9 - 2	LE2	71,8	5,6	28,3	598,6	3,9	24,1	OK
	B13	M24 10.9 - 2	LE2	183,2	5,5	72,1	307,5	3,9	55,4	OK
	B14	M24 10.9 - 2	LE2	183,2	5,5	72,1	307,4	3,9	55,4	OK
	B15	M24 10.9 - 2	LE2	182,0	5,8	71,6	598,6	4,1	55,2	OK
	B16	M24 10.9 - 2	LE2	182,3	5,8	71,7	598,6	4,1	55,4	OK

Datos de diseño

Nombre	$F_{t,Rd}$ [kN]	$B_{p,Rd}$ [kN]	$F_{v,Rd}$ [kN]
M24 10.9 - 1	254,2	838,4	141,2
M24 10.9 - 2	254,2	810,5	141,2

Documento visado electrónicamente con número: VA07290/22
Código de validación telemática TRLTDCFZ60T66IJ1. Comprobación: https://cogitivalencia.e-gestion.es/Validacion.aspx?CVT=TRLTDCFZ60T66IJ1

VISADO
COGITI
VALENCIA
VA07290/22
TRLTDCFZ60T66IJ1

Explicación del símbolo

$F_{t,Rd}$	Resistencia a tracción del tornillo EN 1993-1-8 tabla. 3.4
$F_{t,Ed}$	Fuerza de tracción
$B_{p,Rd}$	Resistencia al cortante perforante
V	Resultante de las fuerzas cortantes Vy, Vz en el tornillo.
$F_{v,Rd}$	Resistencia a cortante de los tornillos EN_1993-1-8 tabla 3.4
$F_{b,Rd}$	Resistencia al aplastamiento de la placa, según EN 1993-1-8 tab. 3.4
Ut_t	Utilización a tracción
Ut_s	Utilización a cortante

Documento visado electrónicamente con número: VA07290/22
Código de validación telemática TRLTDCFZ60T66IJ1. Comprobación: https://cogitivalencia.e-gestion.es/Validacion.aspx?CVT=TRLTDCFZ60T66IJ1

VISADO
COGITI
VALENCIA
VA07290/22
TRLTDCFZ60T66IJ1

Soldaduras (Redistribución plástica)

Ítem	Borde	Espesor de g. [mm]	Longitud [mm]	Cargas	$\sigma_{w,Ed}$ [MPa]	ε_{Pl} [%]	$\sigma_{\perp}$ [MPa]	$\tau_{\parallel}$ [MPa]	$\tau_{\perp}$ [MPa]	Ut [%]	Ut [%]	Estado
STUB1-EPa	B1-bfl 1	◢8,5◣	240	LE2	289,5	0,0	143,6	91,4	112,8	71,5	42,5	OK
		◢8,5◣	240	LE2	221,3	0,0	82,1	-36,6	-112,9	54,7	26,3	OK
STUB1-EPa	B1-tfl 1	◢8,5◣	240	LE2	397,9	0,8	200,2	37,6	194,9	98,3	97,2	OK
		◢8,5◣	240	LE1	397,7	0,7	-198,0	-9,7	198,9	98,3	98,2	OK
STUB1-EPa	B1-w 1	◢5,0◣	223	LE1	397,0	0,3	-197,6	-22,1	-197,6	98,1	85,1	OK
		◢5,0◣	223	LE1	397,0	0,3	-197,4	22,5	197,6	98,1	85,1	OK
STUB1-EPb	STUB1-bfl 1	◢8,5◣	240	LE2	295,9	0,0	148,7	91,0	116,3	73,1	43,9	OK
		◢8,5◣	240	LE2	217,9	0,0	79,6	-34,3	-112,0	53,8	26,2	OK
STUB1-EPb	STUB1-tfl 1	◢8,5◣	240	LE1	399,2	1,6	-195,2	-10,8	-200,7	98,6	98,5	OK
		◢8,5◣	240	LE1	398,6	1,2	-204,8	-0,1	197,5	98,5	98,4	OK
STUB1-EPb	STUB1-w 1	◢5,0◣	223	LE1	399,8	1,9	-199,5	15,9	-199,4	98,8	82,2	OK
		◢5,0◣	223	LE1	399,8	2,0	-199,4	-15,8	199,4	98,8	82,3	OK
C-bfl 1	STUB1-bfl 1	◢8,5◣	240	LE1	382,7	0,0	-30,1	-98,9	-196,8	94,6	58,5	OK
		◢8,5◣	240	LE1	176,8	0,0	-89,9	37,1	79,7	43,7	30,3	OK
C-bfl 1	STUB1-tfl 1	◢8,5◣	240	LE1	397,2	0,3	-74,8	89,8	-206,5	98,1	98,1	OK
		◢8,5◣	240	LE1	307,0	0,0	-171,1	106,2	101,9	75,9	62,0	OK
C-bfl 1	STUB1-w 1	◢5,0◣	319	LE1	396,7	0,0	-171,8	-114,5	-171,8	98,0	72,5	OK
		◢5,0◣	319	LE1	396,7	0,0	-171,8	114,4	171,8	98,0	72,5	OK
C-bfl 1	STIFF1a	◢7,5◣	111	LE1	269,3	0,0	-140,3	-27,8	-129,8	66,6	35,7	OK
		◢7,5◣	111	LE1	127,0	0,0	-14,4	68,4	25,0	31,4	18,6	OK
C-w 1	STIFF1a	◢5,3◣	196	LE1	207,0	0,0	46,9	116,4	3,5	51,2	23,7	OK
		◢5,3◣	196	LE1	223,1	0,0	-72,4	-118,4	28,8	55,1	24,8	OK
C-tfl 1	STIFF1a	◢7,5◣	111	LE1	211,8	0,0	-90,8	-47,5	-99,7	52,3	37,5	OK
		◢7,5◣	111	LE1	276,4	0,0	-138,9	45,9	130,1	68,3	49,3	OK
C-bfl 1	STIFF1b	◢7,5◣	111	LE1	127,1	0,0	-14,4	-68,5	-25,0	31,4	18,6	OK
		◢7,5◣	111	LE1	269,5	0,0	-140,3	27,8	129,9	66,6	35,7	OK
C-w 1	STIFF1b	◢5,3◣	196	LE1	223,1	0,0	-72,5	118,4	-28,8	55,1	24,7	OK
		◢5,3◣	196	LE1	206,9	0,0	47,0	-116,3	-3,5	51,1	23,7	OK
C-tfl 1	STIFF1b	◢7,5◣	111	LE1	276,4	0,0	-138,9	-45,9	-130,1	68,3	49,3	OK
		◢7,5◣	111	LE1	211,8	0,0	-90,8	47,5	99,7	52,3	37,5	OK
C-bfl 1	STIFF1c	◢7,5◣	111	LE1	296,5	0,0	-173,0	-39,7	-133,3	73,3	30,9	OK
		◢7,5◣	111	LE1	122,1	0,0	-13,1	46,1	52,9	30,2	11,7	OK
C-w 1	STIFF1c	◢5,3◣	196	LE1	200,0	0,0	53,2	111,2	4,8	49,4	18,1	OK
		◢5,3◣	196	LE1	199,3	0,0	-65,5	-107,3	17,2	49,3	17,4	OK
C-tfl 1	STIFF1c	◢7,5◣	111	LE1	74,0	0,0	-28,9	2,4	-39,3	18,3	10,9	OK
		◢7,5◣	111	LE1	232,1	0,0	-122,4	11,3	113,3	57,3	38,6	OK
C-bfl 1	STIFF1d	◢7,5◣	111	LE1	122,2	0,0	-13,2	-46,0	-52,9	30,2	11,7	OK
		◢7,5◣	111	LE1	296,5	0,0	-173,0	39,8	133,2	73,3	30,9	OK
C-w 1	STIFF1d	◢5,3◣	196	LE1	199,3	0,0	-65,5	107,3	-17,2	49,2	17,4	OK
		◢5,3◣	196	LE1	199,9	0,0	53,2	-111,2	-4,8	49,4	18,1	OK
C-tfl 1	STIFF1d	◢7,5◣	111	LE1	232,0	0,0	-122,4	-11,3	-113,3	57,3	38,6	OK

Documento visado electrónicamente con número: VA07290/22
Código de validación telemática TRLTDCFZ60T66IJ1. Comprobación: https://cogitivalencia.e-gestion.es/Validacion.aspx?CVT=TRLTDCFZ60T66IJ1

Proyecto:

Proyecto nº:

Autor:

VISADO
COGITI
VALENCIA
VA07290/22
TRLTDCFZ60T66IJ1

Ítem	Borde	Espesor de g. [mm]	Longitud [mm]	Cargas	$\sigma_{w,Ed}$ [MPa]	ε_{Pl} [%]	$\sigma_{\perp}$ [MPa]	$\tau_{\parallel}$ [MPa]	$\tau_{\perp}$ [MPa]	Ut [%]	Ut$_c$ [%]	Estado
		◢7,5◣	111	LE1	73,9	0,0	-28,9	-2,4	39,2	18,3	10,9	OK
STUB2-EPa	B2-bfl 1	◢6,0◣	240	LE2	398,4	1,1	175,1	113,2	172,8	98,4	79,5	OK
		◢6,0◣	240	LE2	398,5	1,2	173,9	-108,7	-176,2	98,5	85,5	OK
STUB2-EPa	B2-tfl 1	◢6,0◣	240	LE1	181,2	0,0	-82,4	-43,0	-82,6	44,8	40,2	OK
		◢6,0◣	240	LE2	207,8	0,0	95,3	-73,9	-76,9	51,4	27,2	OK
STUB2-EPa	B2-w 1	◢3,8◣	218	LE1	350,7	0,0	-173,7	27,4	-173,7	86,7	71,9	OK
		◢3,8◣	218	LE1	350,8	0,0	-173,8	-27,0	173,8	86,7	72,0	OK
STUB2-EPb	STUB2-bfl 1	◢6,0◣	240	LE2	398,0	0,9	174,1	-118,0	169,7	98,4	77,7	OK
		◢6,0◣	240	LE2	398,2	1,0	171,5	110,3	-175,7	98,4	84,3	OK
STUB2-EPb	STUB2-tfl 1	◢6,0◣	240	LE1	170,8	0,0	-77,2	10,2	-87,4	42,2	37,3	OK
		◢6,0◣	240	LE1	254,5	0,0	-129,6	10,1	126,0	62,9	47,8	OK
STUB2-EPb	STUB2-w 1	◢3,8◣	218	LE1	396,6	0,0	-199,8	-2,9	-197,8	98,0	74,5	OK
		◢3,8◣	218	LE1	396,6	0,0	-196,7	2,1	198,8	98,0	74,5	OK
C-tfl 1	STUB2-bfl 1	◢6,0◣	240	LE1	327,9	0,0	-143,7	-55,2	-161,0	81,0	70,1	OK
		◢6,0◣	240	LE1	332,2	0,0	-165,8	67,3	151,9	82,1	69,3	OK
C-tfl 1	STUB2-tfl 1	◢6,0◣	240	LE1	201,3	0,0	-92,8	51,7	-89,2	49,7	35,8	OK
		◢6,0◣	240	LE1	171,4	0,0	-76,1	-40,2	79,1	42,4	33,0	OK
C-tfl 1	STUB2-w 1	◢3,8◣	219	LE1	265,3	0,0	-117,7	70,5	-117,8	65,5	54,9	OK
		◢3,8◣	219	LE1	265,3	0,0	-117,7	-70,5	117,8	65,5	54,9	OK
C-bfl 1	STIFF2a	◢7,5◣	111	LE1	335,6	0,0	-169,5	68,1	-152,7	82,9	58,5	OK
		◢7,5◣	111	LE1	147,8	0,0	-59,9	3,4	77,9	36,5	22,5	OK
C-w 1	STIFF2a	◢5,3◣	196	LE1	264,9	0,0	-67,1	-145,3	-28,1	65,5	29,9	OK
		◢5,3◣	196	LE1	227,3	0,0	-1,1	125,0	40,0	56,2	26,3	OK
C-tfl 1	STIFF2a	◢7,5◣	111	LE1	135,4	0,0	-20,4	65,3	-41,2	33,4	13,9	OK
		◢7,5◣	111	LE1	255,9	0,0	-128,6	-68,4	107,9	63,2	27,5	OK
C-bfl 1	STIFF2b	◢7,5◣	111	LE1	147,6	0,0	-59,8	-3,4	-77,8	36,5	22,5	OK
		◢7,5◣	111	LE1	335,4	0,0	-169,4	-68,0	152,7	82,9	58,5	OK
C-w 1	STIFF2b	◢5,3◣	196	LE1	227,2	0,0	-1,1	-124,9	-40,0	56,1	26,2	OK
		◢5,3◣	196	LE1	264,8	0,0	-67,1	145,2	28,1	65,4	29,9	OK
C-tfl 1	STIFF2b	◢7,5◣	111	LE1	255,8	0,0	-128,6	68,3	-107,9	63,2	27,5	OK
		◢7,5◣	111	LE1	135,3	0,0	-20,4	-65,3	41,2	33,4	13,9	OK
C-bfl 1	RIB1	◢6,0◣	150	LE1	396,6	0,0	-90,2	204,0	-90,1	98,0	51,6	OK
		◢6,0◣	150	LE1	396,6	0,0	-90,1	-204,0	90,1	98,0	51,6	OK
STUB1-bfl 1	RIB1	◢6,0◣	206	LE1	176,8	0,0	62,0	72,8	-62,0	43,7	29,3	OK
		◢6,0◣	206	LE1	176,8	0,0	62,0	-72,8	62,0	43,7	29,3	OK
C-tfl 1	RIB2	◢6,0◣	150	LE1	307,1	0,0	-97,5	136,9	-97,6	75,9	66,9	OK
		◢6,0◣	150	LE1	307,1	0,0	-97,6	-136,9	97,6	75,9	66,9	OK
STUB2-bfl 1	RIB2	◢6,0◣	150	LE1	318,4	0,0	-93,4	148,8	93,5	78,7	68,6	OK
		◢6,0◣	150	LE1	318,5	0,0	-93,5	-148,8	-93,5	78,7	68,6	OK
C-bfl 1	RIB3	◢6,0◣	100	LE1	398,4	1,1	-195,3	-45,5	-195,3	98,4	89,5	OK
		◢6,0◣	100	LE1	398,4	1,1	-195,4	45,5	195,2	98,4	89,5	OK
STUB1-tfl 1	RIB3	◢6,0◣	197	LE1	386,3	0,0	-95,9	193,6	95,9	95,4	51,9	OK
		◢6,0◣	197	LE1	386,4	0,0	-96,0	-193,6	-95,9	95,5	51,9	OK

Documento visado electrónicamente con número: VA07290/22
Código de validación telemática TRLTDCFZ60T66IJ1. Comprobación: https://cogitivalencia.e-gestion.es/Validacion.aspx?CVT=TRLTDCFZ60T66IJ1

VISADO
COGITI
VALENCIA
VA07290/22
TRLTDCFZ60T66IJ1

Ítem	Borde	Espesor de g. [mm]	Longitud [mm]	Cargas	$\sigma_{w,Ed}$ [MPa]	ε_{Pl} [%]	$\sigma_{\perp}$ [MPa]	$\tau_{\parallel}$ [MPa]	$\tau_{\perp}$ [MPa]	Ut [%]	Utc [%]	Estado
C-tfl 1	RIB4	◢6,0◣	150	LE1	317,9	0,0	-117,4	123,8	-117,4	78,6	45,3	OK
		◢6,0◣	150	LE1	317,9	0,0	-117,3	-123,7	117,4	78,5	45,3	OK
STUB2-tfl 1	RIB4	◢6,0◣	150	LE1	304,9	0,0	-96,5	-136,3	-96,4	75,3	44,6	OK
		◢6,0◣	150	LE1	304,8	0,0	-96,4	136,3	96,4	75,3	44,6	OK

Datos de diseño

	β_w [-]	$\sigma_{w,Rd}$ [MPa]	0.9 σ [MPa]
S 275	0,85	404,7	309,6

Explicación del símbolo

ε_{Pl}	Deformación
$\sigma_{w,Ed}$	Tensión equivalente
$\sigma_{w,Rd}$	Resistencia a tensión equivalente
$\sigma_{\perp}$	Tensión perpendicular
$\tau_{\parallel}$	Tensión cortante paralela al eje de la soldadura
$\tau_{\perp}$	Tensión normal perpendicular al eje de la soldadura
0.9 σ	Resistencia a tensión perpendicular - 0.9*fu/γM2
β_w	Factor de correlación EN 1993-1-8 tabla. 4.1
Ut	Utilización
Utc	Utilización de la capacidad de la soldadura

Pandeo

El análisis de pandeo no se ha calculado.

Configuración de la norma

Ítem	Valor	Unidad	Referencia
γ_{M0}	1,00	-	EN 1993-1-1: 6.1
γ_{M1}	1,00	-	EN 1993-1-1: 6.1
γ_{M2}	1,25	-	EN 1993-1-1: 6.1
γ_{M3}	1,25	-	EN 1993-1-8: 2.2
γ_{C}	1,50	-	EN 1992-1-1: 2.4.2.4
γ_{Inst}	1,20	-	EN 1992-4: Table 4.1
Coeficiente de unión βj	0,67	-	EN 1993-1-8: 6.2.5
Área efectiva - influencia del tamaño de la malla	0,10	-	
Coeficiente de fricción - hormigón	0,25	-	EN 1993-1-8
Coeficiente de fricción en la resistencia a deslizamiento	0,30	-	EN 1993-1-8 Pestaña 3.7
Deformación plástica límite	0,05	-	EN 1993-1-5
Evaluación de la tensión de la soldadura	Redistribución plástica		
Detallado	No		
Distancia entre tornillos [d]	2,20	-	EN 1993-1-8: Pestaña 3.3
Distancia entre tornillos y el borde [d0]	1,20	-	EN 1993-1-8: Pestaña 3.3
Resistencia al arrancamiento del cono de hormigón	Both		EN 1992-4: 7.2.1.4 and 7.2.2.5

Documento visado electrónicamente con número: VA07290/22
Código de validación telemática TRLTDCFZ60T66IJ1. Comprobación: https://cogitivalencia.e-gestion.es/Validacion.aspx?CVT=TRLTDCFZ60T66IJ1

VISADO
COGITI
VALENCIA
VA07290/22
TRLTDCFZ60T66IJ1

Ítem	Valor	Unidad	Referencia
Utilizar αb calculada en la verificación por aplastamiento.	Sí		EN 1993-1-8: Pestaña 3.4
Hormigón fisurado	Sí		EN 1992-4
Comprobación de la deformación local	No		CIDECT DG 1, 3 - 1.1
Deformación límite local	0,03	-	CIDECT DG 1, 3 - 1.1
No linealidad geométrica (GMNA)	Sí		Grandes deformaciones para secciones huecas
Sistema arriostrado	No		EN 1993-1-8: 5.2.2.5

Documento visado electrónicamente con número: VA07290/22
Código de validación telemática TRLTDCFZ60T66IJ1. Comprobación: https://cogitivalencia.e-gestion.es/Validacion.aspx?CVT=TRLTDCFZ60T66IJ1

Proyecto:
Proyecto nº:
Autor:

VISADO
COGITI
VALENCIA
VA07290/22
TRLTDCFZ60T66IJ1

Datos del proyecto

Nombre del proyecto	
Número del Proyecto	
Autor	
Descripción	
Fecha	10/05/2021
Normativa de cálculo	EN

Material

Acero	S 275

Documento visado electrónicamente con número: VA07290/22
Código de validación telemática TRLTDCFZ60T66IJ1. Comprobación: https://cogitivalencia.e-gestion.es/Validacion.aspx?CVT=TRLTDCFZ60T66IJ1

Proyecto:
Proyecto nº:
Autor:

VISADO
COGITI
TRLTDCFZ60T66IJ1
VALENCIA
VA07290/22

Ítem del proyecto CON1

Diseño

Nombre	CON1
Descripción	
Análisis	Tensión, deformación/ Carga simplificada

Elementos estructurales

Nombre	Sección transversal	β – Dirección [°]	γ - Inclinación [°]	α - Rotación [°]	Desplazamiento ex [mm]	Desplazamiento ey [mm]	Desplazamiento ez [mm]	Fuerzas en
C	6 - HEB280	0,0	-90,0	0,0	0	0	0	Nudo
B1	4 - HEA240	0,0	4,0	0,0	0	0	0	Nudo
B2	5 - HEA220	180,0	-4,0	0,0	0	0	0	Nudo
M4	7 - SHS150/150/12.5	180,0	48,3	0,0	0	0	0	Nudo

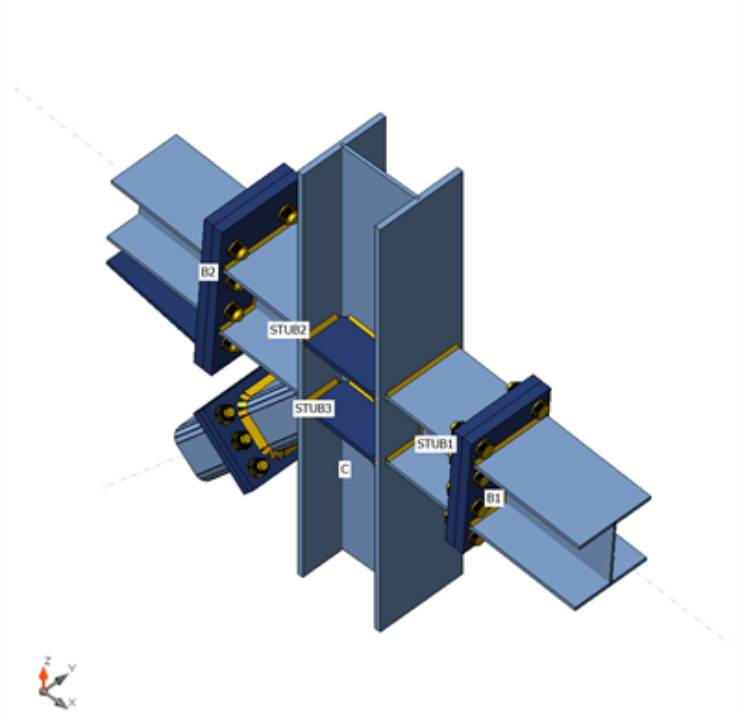

Secciones

Nombre	Material
6 - HEB280	S 275
4 - HEA240	S 275
5 - HEA220	S 275
7 - SHS150/150/12.5	S 275

Tornillos

Nombre	Conjunto de tornillo	Diámetro [mm]	fu [MPa]	Área bruta [mm^2]
M24 10.9	M24 10.9	24	1000,0	452

Documento visado electrónicamente con número: VA07290/22
Código de validación telemática TRLTDCFZ60T66IJ1. Comprobación: https://cogitivalencia.e-gestion.es/Validacion.aspx?CVT=TRLTDCFZ60T66IJ1

Proyecto:
Proyecto nº:
Autor:

VISADO
COGITI
VALENCIA
VA07290/22
TRLTDCFZ60T66IJ1

Cargas (No se requiere el equilibro)

Nombre	Elemento	N [kN]	Vy [kN]	Vz [kN]	Mx [kNm]	My [kNm]	Mz [kNm]
LE1	B1	-805,6	0,0	60,4	0,0	-28,9	0,0
	B2	-536,9	0,0	56,7	0,0	51,1	0,0
	M4	-441,5	0,0	-5,5	0,0	9,5	0,0
LE2	B1	1250,2	0,0	-78,6	0,0	34,9	0,0
	B2	885,3	0,0	-80,0	0,0	-74,4	0,0
	M4	670,8	0,0	7,8	0,0	-13,2	0,0

Verificación

Resumen

Nombre	Valor	Estado
Análisis	100,0%	OK
Placas	0,3 < 5,0%	OK
Tornillos	94,9 < 100%	OK
Soldaduras	98,5 < 100%	OK
Pandeo	No calculado	

Documento visado electrónicamente con número: VA07290/22
Código de validación telemática TRLTDCFZ60T66IJ1. Comprobación: https://cogitivalencia.e-gestion.es/Validacion.aspx?CVT=TRLTDCFZ60T66IJ1

Proyecto:
Proyecto nº:
Autor:

VISADO
COGITI
VALENCIA
VA07290/22
TRLTDCFZ60T66IJ1

Placas

Nombre	Espesor [mm]	Cargas	σ_{Ed} [MPa]	ε_{Pl} [%]	σc_{Ed} [MPa]	Estado
C-bfl 1	18,0	LE2	238,7	0,0	0,0	OK
C-tfl 1	18,0	LE2	193,3	0,0	0,0	OK
C-w 1	10,5	LE2	275,6	0,3	0,0	OK
B1-bfl 1	12,0	LE2	275,3	0,1	0,0	OK
B1-tfl 1	12,0	LE2	275,3	0,2	0,0	OK
B1-w 1	7,5	LE2	218,8	0,0	0,0	OK
B2-bfl 1	11,0	LE2	275,5	0,2	0,0	OK
B2-tfl 1	11,0	LE2	124,5	0,0	0,0	OK
B2-w 1	7,0	LE2	183,1	0,0	0,0	OK
M4	12,5	LE2	275,5	0,2	0,0	OK
STUB1-bfl 1	12,0	LE2	275,2	0,1	0,0	OK
STUB1-tfl 1	12,0	LE2	275,4	0,2	0,0	OK
STUB1-w 1	7,5	LE2	237,1	0,0	0,0	OK
STUB2-bfl 1	12,0	LE2	275,7	0,3	0,0	OK
STUB2-tfl 1	12,0	LE2	118,7	0,0	0,0	OK
STUB2-w 1	7,5	LE2	275,4	0,2	0,0	OK
STUB3	12,5	LE2	275,5	0,2	0,0	OK
STUB1-EPa	30,0	LE2	227,2	0,0	45,7	OK
STUB1-EPb	30,0	LE2	225,7	0,0	45,7	OK
STIFF1a	15,0	LE2	249,8	0,1	0,0	OK
STIFF1b	15,0	LE2	249,8	0,1	0,0	OK
STIFF1c	15,0	LE2	224,7	0,0	0,0	OK
STIFF1d	15,0	LE2	224,6	0,0	0,0	OK
STUB2-EPa	30,0	LE2	275,1	0,0	13,3	OK
STUB2-EPb	30,0	LE2	275,0	0,0	13,3	OK
WID1a	12,0	LE2	202,2	0,0	0,0	OK
WID1b	12,0	LE2	218,2	0,0	0,0	OK
WID2	12,0	LE2	275,1	0,1	0,0	OK
STUB3-EPa	25,0	LE2	275,3	0,1	65,4	OK
STUB3-EPb	25,0	LE2	275,3	0,1	65,4	OK

Datos de diseño

Material	f_y [MPa]	ε_{lim} [%]
S 275	275,0	5,0

Explicación del símbolo

ε_{Pl}	Deformación
σ_{Ed}	Ec. tensión
σc_{Ed}	Contact stress
f_y	Límite elástico
ε_{lim}	Límite de la deformación plástica

Documento visado electrónicamente con número: VA07290/22
Código de validación telemática TRLTDCFZ60T66IJ1. Comprobación: https://cogitivalencia.e-gestion.es/Validacion.aspx?CVT=TRLTDCFZ60T66IJ1

Proyecto:

Proyecto nº:

Autor:

VISADO
COGITI
VALENCIA
VA07290/22
TRLTDCFZ60T66IJ1

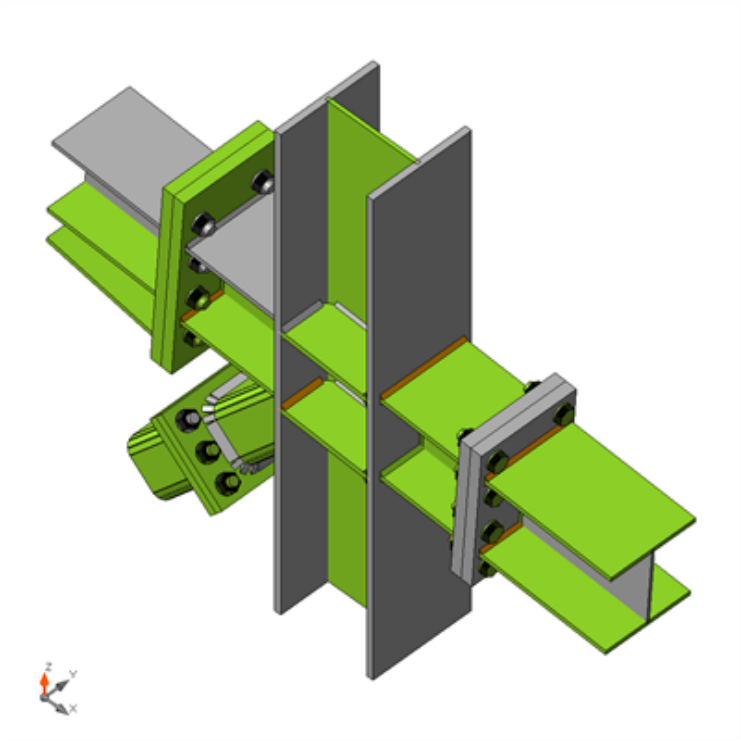

Verificación general, LE2

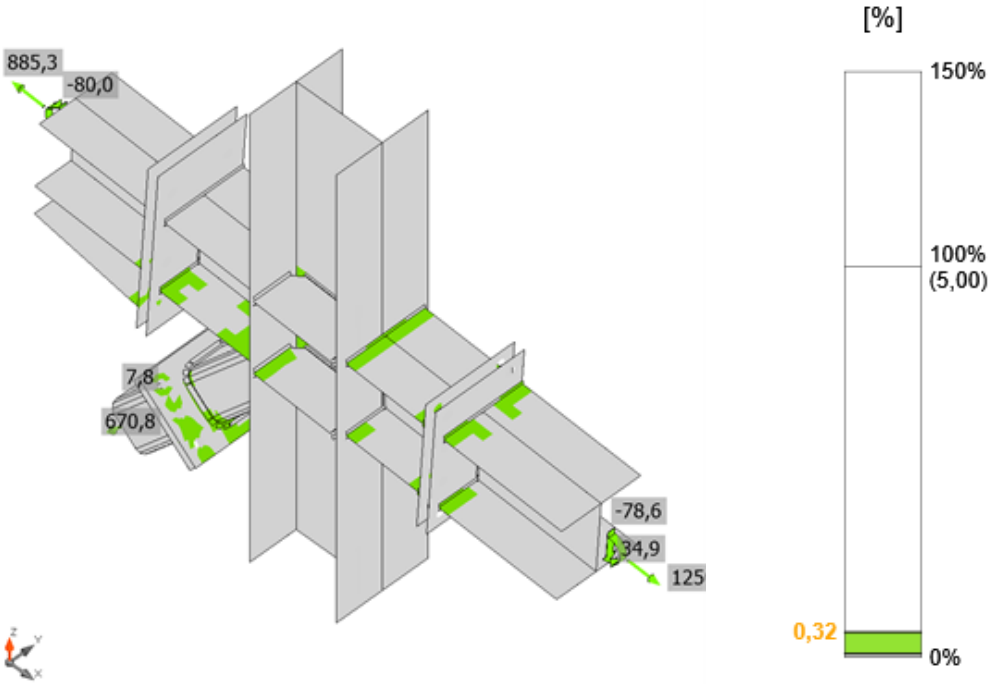

Verificación de deformación, LE2

Documento visado electrónicamente con número: VA07290/22
Código de validación telemática TRLTDCFZ60T66IJ1. Comprobación: https://cogitivalencia.e-gestion.es/Validacion.aspx?CVT=TRLTDCFZ60T66IJ1

Proyecto:
Proyecto nº:
Autor:

VISADO
COGITI
VALENCIA
VA07290/22
TRLTDCFZ60T66IJ1

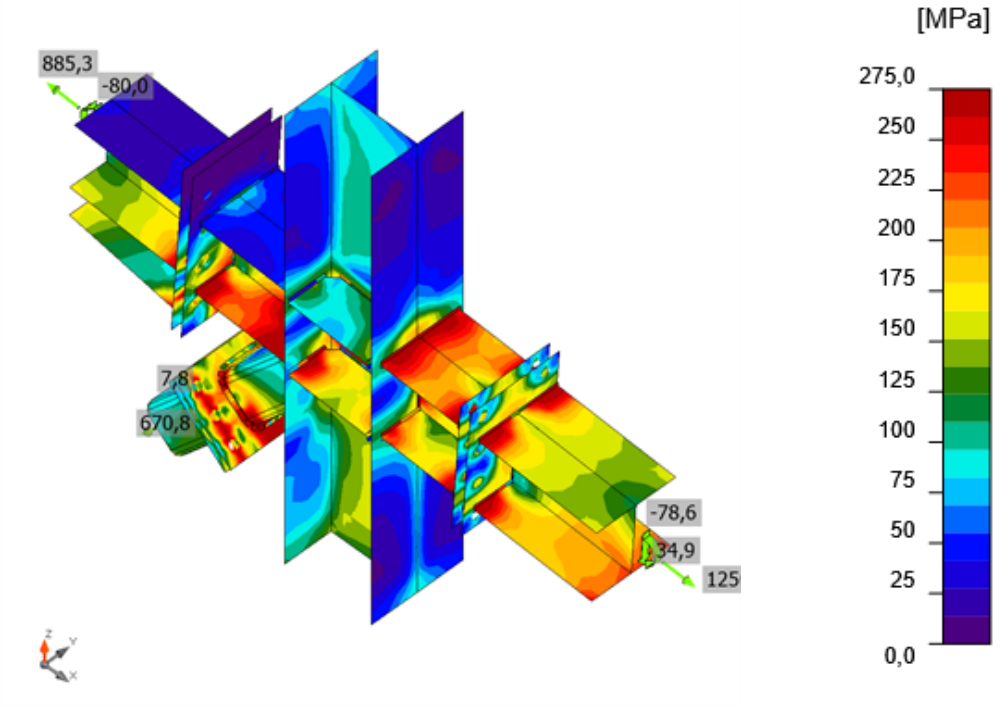

Tensión equivalente, LE2

Tornillos

	Nombre	Calidad	Cargas	$F_{t,Ed}$ [kN]	V [kN]	Ut_t [%]	$F_{b,Rd}$ [kN]	Ut_s [%]	Ut_{ts} [%]	Estado
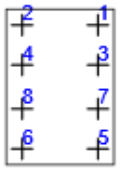	B1	M24 10.9 - 1	LE2	172,5	9,4	67,9	317,5	6,6	55,1	OK
	B2	M24 10.9 - 1	LE2	172,2	9,4	67,7	317,5	6,7	55,0	OK
	B3	M24 10.9 - 1	LE2	195,6	10,3	77,0	619,2	7,3	62,3	OK
	B4	M24 10.9 - 1	LE2	195,4	10,4	76,9	619,2	7,3	62,2	OK
	B5	M24 10.9 - 1	LE2	160,9	9,3	63,3	317,6	6,6	51,8	OK
	B6	M24 10.9 - 1	LE2	160,7	9,3	63,2	317,6	6,6	51,8	OK
	B7	M24 10.9 - 1	LE2	187,8	10,3	73,9	619,2	7,3	60,0	OK
	B8	M24 10.9 - 1	LE2	188,2	10,3	74,1	619,2	7,3	60,2	OK
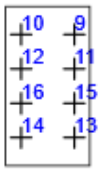	B9	M24 10.9 - 1	LE1	9,3	4,2	3,7	619,2	3,0	5,6	OK
	B10	M24 10.9 - 1	LE1	9,3	4,2	3,7	619,2	3,0	5,6	OK
	B11	M24 10.9 - 1	LE2	36,7	8,9	14,5	619,2	6,3	16,7	OK
	B12	M24 10.9 - 1	LE2	36,8	8,9	14,5	619,2	6,3	16,7	OK
	B13	M24 10.9 - 1	LE2	241,2	11,7	94,9	619,2	8,3	76,1	OK
	B14	M24 10.9 - 1	LE2	241,2	11,7	94,9	619,2	8,3	76,1	OK
	B15	M24 10.9 - 1	LE2	229,3	12,1	90,2	619,2	8,5	73,0	OK
	B16	M24 10.9 - 1	LE2	229,3	12,1	90,2	619,2	8,5	73,0	OK
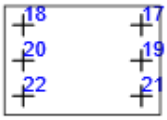	B17	M24 10.9 - 2	LE2	140,3	1,3	55,2	265,0	0,9	40,4	OK
	B18	M24 10.9 - 2	LE2	140,3	1,3	55,2	265,0	0,9	40,4	OK
	B19	M24 10.9 - 2	LE2	225,0	1,3	88,5	367,2	0,9	64,1	OK
	B20	M24 10.9 - 2	LE2	225,1	1,3	88,6	367,2	0,9	64,2	OK
	B21	M24 10.9 - 2	LE2	220,4	1,2	86,7	264,9	0,9	62,8	OK
	B22	M24 10.9 - 2	LE2	220,3	1,2	86,7	264,9	0,9	62,8	OK

Documento visado electrónicamente con número: VA07290/22
Código de validación telemática TRLTDCFZ60T66IJ1. Comprobación: https://cogitivalencia.e-gestion.es/Validacion.aspx?CVT=TRLTDCFZ60T66IJ1

Proyecto:

Proyecto nº:

Autor:

VISADO
COGITI
TRLTDCFZ60T66IJ1
VALENCIA
VA07290/22

Datos de diseño

Nombre	$F_{t,Rd}$ [kN]	$B_{p,Rd}$ [kN]	$F_{v,Rd}$ [kN]
M24 10.9 - 1	254,2	838,4	141,2
M24 10.9 - 2	254,2	698,7	141,2

Explicación del símbolo

$F_{t,Rd}$	Resistencia a tracción del tornillo EN 1993-1-8 tabla. 3.4
$F_{t,Ed}$	Fuerza de tracción
$B_{p,Rd}$	Resistencia al cortante perforante
V	Resultante de las fuerzas cortantes Vy, Vz en el tornillo.
$F_{v,Rd}$	Resistencia a cortante de los tornillos EN_1993-1-8 tabla 3.4
$F_{b,Rd}$	Resistencia al aplastamiento de la placa, según EN 1993-1-8 tab. 3.4
Ut_t	Utilización a tracción
Ut_s	Utilización a cortante

Documento visado electrónicamente con número: VA07290/22
Código de validación telemática TRLTDCFZ60T66IJ1. Comprobación: https://cogitivalencia.e-gestion.es/Validacion.aspx?CVT=TRLTDCFZ60T66IJ1

Proyecto:
Proyecto nº:
Autor:

VISADO
COGITI
VALENCIA
VA07290/22
TRLTDCFZ60T66IJ1

Soldaduras (Redistribución plástica)

Ítem	Borde	Espesor de g. [mm]	Longitud [mm]	Cargas	$\sigma_{w,Ed}$ [MPa]	ε_{Pl} [%]	$\sigma_{\perp}$ [MPa]	$\tau_{\parallel}$ [MPa]	$\tau_{\perp}$ [MPa]	Ut [%]	Ut [%]	Estado
STUB3-EPa	M4	◢12,5	505	LE2	348,1	0,1	231,1	-31,9	-146,9	0,0	0,0	OK
STUB3-EPb	STUB3	◢12,5	505	LE2	348,1	0,1	231,5	28,2	-147,4	0,0	0,0	OK
C-tfl 1	STUB3	◢12,5	420	LE2	349,8	1,3	98,0	0,0	-193,9	0,0	0,0	OK
STUB2-bfl 1	STUB3	◢12,0	199	LE2	273,1	0,0	77,6	106,2	-107,7	67,5	41,2	OK
STUB1-EPa	B1-bfl 1	◢6,0◣	240	LE2	398,0	0,9	175,8	114,3	171,6	98,4	74,6	OK
		◢6,0◣	240	LE2	398,0	0,8	170,8	-110,9	-175,4	98,3	74,3	OK
STUB1-EPa	B1-tfl 1	◢6,0◣	240	LE2	398,0	0,9	168,5	114,7	173,7	98,4	78,9	OK
		◢6,0◣	240	LE2	398,0	0,9	172,5	-122,4	-167,0	98,3	74,7	OK
STUB1-EPa	B1-w 1	◢3,8◣	218	LE2	244,5	0,0	115,1	-48,2	114,8	60,4	38,8	OK
		◢3,8◣	218	LE2	244,1	0,0	114,4	48,5	-114,7	60,3	39,0	OK
STUB1-EPb	STUB1-bfl 1	◢6,0◣	240	LE2	397,7	0,7	174,4	-121,6	166,7	98,3	72,3	OK
		◢6,0◣	240	LE2	397,8	0,8	170,8	107,1	-177,7	98,3	75,3	OK
STUB1-EPb	STUB1-tfl 1	◢6,0◣	240	LE2	398,4	1,1	169,5	-115,5	173,2	98,4	79,6	OK
		◢6,0◣	240	LE2	398,5	1,2	175,5	114,5	-171,9	98,5	78,6	OK
STUB1-EPb	STUB1-w 1	◢3,8◣	218	LE2	246,3	0,0	115,7	-49,5	115,4	60,9	40,5	OK
		◢3,8◣	218	LE2	245,6	0,0	114,8	49,5	-115,2	60,7	40,3	OK
C-bfl 1	STUB1-bfl 1	◢6,0◣	240	LE2	345,3	0,0	161,4	89,6	151,8	85,3	62,8	OK
		◢6,0◣	240	LE2	320,8	0,0	134,5	-81,3	-147,2	79,3	45,4	OK
C-bfl 1	STUB1-tfl 1	◢6,0◣	240	LE2	397,0	0,3	258,4	-32,9	170,9	98,1	90,8	OK
		◢6,0◣	240	LE2	397,1	0,3	104,0	87,3	-203,3	98,1	74,8	OK
C-bfl 1	STUB1-w 1	◢3,8◣	219	LE2	308,2	0,0	115,6	-117,6	115,6	76,1	56,3	OK
		◢3,8◣	219	LE2	308,6	0,0	116,0	117,6	-115,9	76,3	56,4	OK
C-bfl 1	STIFF1a	◢7,5◣	111	LE2	357,7	0,0	186,9	34,8	172,6	88,4	60,0	OK
		◢7,5◣	111	LE2	177,7	0,0	78,4	-30,2	-87,0	43,9	33,0	OK
C-w 1	STIFF1a	◢5,3◣	196	LE2	200,6	0,0	-2,9	-109,9	36,6	49,6	23,3	OK
		◢5,3◣	196	LE2	242,0	0,0	72,2	129,3	-32,6	59,8	26,7	OK
C-tfl 1	STIFF1a	◢7,5◣	111	LE2	331,2	0,0	165,9	3,0	165,4	81,8	56,1	OK
		◢7,5◣	111	LE2	396,8	0,1	182,6	-61,1	-194,0	98,1	81,6	OK
C-bfl 1	STIFF1b	◢7,5◣	111	LE2	177,7	0,0	78,4	30,2	87,0	43,9	33,0	OK
		◢7,5◣	111	LE2	357,7	0,0	186,9	-34,8	-172,6	88,4	60,0	OK
C-w 1	STIFF1b	◢5,3◣	196	LE2	242,0	0,0	72,2	-129,3	32,6	59,8	26,7	OK
		◢5,3◣	196	LE2	200,6	0,0	-2,9	109,9	-36,6	49,6	23,3	OK
C-tfl 1	STIFF1b	◢7,5◣	111	LE2	396,8	0,1	182,6	61,1	194,0	98,1	81,5	OK
		◢7,5◣	111	LE2	331,1	0,0	165,9	-3,0	-165,4	81,8	56,1	OK
C-bfl 1	STIFF1c	◢7,5◣	111	LE2	340,0	0,0	161,7	-69,6	158,0	84,0	54,0	OK
		◢7,5◣	111	LE2	201,1	0,0	89,3	52,6	-89,8	49,7	34,0	OK
C-w 1	STIFF1c	◢5,3◣	196	LE2	201,4	0,0	48,2	111,6	17,5	49,8	33,7	OK
		◢5,3◣	196	LE2	173,5	0,0	-12,6	-98,3	-18,1	42,9	30,7	OK
C-tfl 1	STIFF1c	◢7,5◣	111	LE2	99,5	0,0	-3,4	-57,3	3,5	24,6	12,0	OK
		◢7,5◣	111	LE2	167,2	0,0	78,2	53,7	-66,3	41,3	22,9	OK
C-bfl 1	STIFF1d	◢7,5◣	111	LE2	201,1	0,0	89,4	-52,5	89,8	49,7	33,9	OK
		◢7,5◣	111	LE2	340,0	0,0	161,7	69,6	-158,1	84,0	54,0	OK
C-w 1	STIFF1d	◢5,3◣	196	LE2	173,5	0,0	-12,6	98,2	18,1	42,9	30,7	OK

Documento visado electrónicamente con número: VA07290/22
Código de validación telemática TRLTDCFZ60T66IJ1. Comprobación: https://cogitivalencia.e-gestion.es/Validacion.aspx?CVT=TRLTDCFZ60T66IJ1

Proyecto:
Proyecto nº:
Autor:

VISADO
COGITI
VALENCIA
VA07290/22
TRLTDCFZ60T66IJ1

Ítem	Borde	Espesor de g. [mm]	Longitud [mm]	Cargas	$\sigma_{w,Ed}$ [MPa]	ε_{Pl} [%]	$\sigma_{\perp}$ [MPa]	$\tau_{\parallel}$ [MPa]	$\tau_{\perp}$ [MPa]	Ut [%]	Ut$_c$ [%]	Estado
		◢5,3◣	196	LE2	201,4	0,0	48,2	-111,5	-17,5	49,8	33,7	OK
C-tfl 1	STIFF1d	◢7,5◣	111	LE2	167,2	0,0	78,1	-53,7	66,3	41,3	22,9	OK
		◢7,5◣	111	LE2	99,5	0,0	-3,4	57,3	-3,5	24,6	12,0	OK
STUB2-EPa	B2-bfl 1	◢5,5◣	220	LE2	398,6	1,2	172,2	111,1	175,4	98,5	85,0	OK
		◢5,5◣	220	LE2	398,7	1,3	175,8	-112,7	-173,1	98,5	83,2	OK
STUB2-EPa	B2-tfl 1	◢5,5◣	220	LE2	162,4	0,0	-101,8	-24,4	-68,9	40,1	20,7	OK
		◢5,5◣	220	LE2	78,5	0,0	-3,1	-27,6	35,9	19,4	15,6	OK
STUB2-EPa	B2-w 1	◢3,5◣	199	LE2	284,8	0,0	142,2	15,1	141,7	70,4	48,9	OK
		◢3,5◣	199	LE2	285,3	0,0	141,8	-15,1	-142,1	70,5	48,9	OK
STUB2-EPb	STUB2-bfl 1	◢6,0◣	240	LE2	398,7	1,3	177,3	-97,9	181,5	98,5	81,4	OK
		◢6,0◣	240	LE2	398,8	1,3	181,6	102,7	-177,4	98,5	84,5	OK
STUB2-EPb	STUB2-tfl 1	◢6,0◣	240	LE2	111,6	0,0	-65,0	13,1	-50,7	27,6	14,8	OK
		◢6,0◣	240	LE2	65,7	0,0	-13,7	34,7	13,1	16,2	11,1	OK
STUB2-EPb	STUB2-w 1	◢3,8◣	218	LE2	251,8	0,0	125,9	9,6	125,6	62,2	40,9	OK
		◢3,8◣	218	LE2	252,2	0,0	125,5	-9,6	-125,9	62,3	40,9	OK
C-tfl 1	STUB2-bfl 1	◢6,0◣	240	LE2	398,8	1,3	192,8	26,7	199,8	98,5	98,3	OK
		◢6,0◣	240	LE2	396,8	0,1	162,3	-74,0	-195,5	98,1	98,0	OK
C-tfl 1	STUB2-tfl 1	◢6,0◣	240	LE2	228,5	0,0	-108,0	77,7	-86,4	56,5	21,2	OK
		◢6,0◣	240	LE2	130,0	0,0	-15,2	67,9	30,8	32,1	13,9	OK
C-tfl 1	STUB2-w 1	◢3,8◣	219	LE2	396,8	0,1	63,5	-217,0	63,5	98,0	86,0	OK
		◢3,8◣	219	LE2	396,8	0,1	63,4	217,0	-63,5	98,0	86,0	OK
STUB2-EPa	WID1a	◢6,0◣	120	LE2	207,5	0,0	102,2	21,2	102,1	51,3	39,3	OK
		◢6,0◣	120	LE2	208,0	0,0	102,3	-21,3	-102,4	51,4	39,3	OK
B2-bfl 1	WID1a	◢5,5◣	330	LE2	180,9	0,0	48,6	-88,4	47,9	44,7	31,8	OK
		◢5,5◣	330	LE2	182,0	0,0	48,3	88,6	-49,0	45,0	31,8	OK
WID1b	WID1a	◢6,0◣	332	LE2	214,5	0,0	47,6	-111,0	47,6	53,0	31,6	OK
		◢6,0◣	332	LE2	214,5	0,0	47,7	111,0	-47,6	53,0	31,6	OK
STUB2-EPa	WID1b	◢6,0◣	210	LE2	397,0	0,2	171,5	155,4	136,2	98,1	53,2	OK
		◢6,0◣	210	LE2	318,5	0,0	90,1	-112,1	-136,2	78,7	54,5	OK
STUB2-EPb	WID2	◢6,0◣	120	LE2	294,5	0,0	132,4	-74,5	132,4	72,8	54,9	OK
		◢6,0◣	120	LE2	294,4	0,0	132,2	74,5	-132,3	72,7	54,9	OK
STUB2-bfl 1	WID2	◢6,0◣	200	LE2	263,1	0,0	53,9	138,6	53,8	65,0	36,4	OK
		◢6,0◣	200	LE2	263,0	0,0	53,9	-138,6	-53,8	65,0	36,4	OK

Datos de diseño

	β_w [-]	$\sigma_{w,Rd}$ [MPa]	0.9 σ [MPa]
S 275	0,85	404,7	309,6

Documento visado electrónicamente con número: VA07290/22
Código de validación telemática TRLTDCFZ60T66IJ1. Comprobación: https://cogitivalencia.e-gestion.es/Validacion.aspx?CVT=TRLTDCFZ60T66IJ1

Proyecto:

Proyecto nº:

Autor:

VISADO
COGITI
VALENCIA
VA07290/22
TRLTDCFZ60T66IJ1

Explicación del símbolo

ε_{Pl}	Deformación
$\sigma_{w,Ed}$	Tensión equivalente
$\sigma_{w,Rd}$	Resistencia a tensión equivalente
$\sigma_{\perp}$	Tensión perpendicular
$\tau_{\parallel}$	Tensión cortante paralela al eje de la soldadura
$\tau_{\perp}$	Tensión normal perpendicular al eje de la soldadura
0.9 σ	Resistencia a tensión perpendicular - 0.9*fu/γM2
β_w	Factor de correlación EN 1993-1-8 tabla. 4.1
Ut	Utilización
Utc	Utilización de la capacidad de la soldadura

Pandeo

El análisis de pandeo no se ha calculado.

Configuración de la norma

Ítem	Valor	Unidad	Referencia
γ_{M0}	1,00	-	EN 1993-1-1: 6.1
γ_{M1}	1,00	-	EN 1993-1-1: 6.1
γ_{M2}	1,25	-	EN 1993-1-1: 6.1
γ_{M3}	1,25	-	EN 1993-1-8: 2.2
γ_C	1,50	-	EN 1992-1-1: 2.4.2.4
γ_{Inst}	1,20	-	EN 1992-4: Table 4.1
Coeficiente de unión βj	0,67	-	EN 1993-1-8: 6.2.5
Área efectiva - influencia del tamaño de la malla	0,10	-	
Coeficiente de fricción - hormigón	0,25	-	EN 1993-1-8
Coeficiente de fricción en la resistencia a deslizamiento	0,30	-	EN 1993-1-8 Pestaña 3.7
Deformación plástica límite	0,05	-	EN 1993-1-5
Evaluación de la tensión de la soldadura	Redistribución plástica		
Detallado	No		
Distancia entre tornillos [d]	2,20	-	EN 1993-1-8: Pestaña 3.3
Distancia entre tornillos y el borde [d0]	1,20	-	EN 1993-1-8: Pestaña 3.3
Resistencia al arrancamiento del cono de hormigón	Both		EN 1992-4: 7.2.1.4 and 7.2.2.5
Utilizar αb calculada en la verificación por aplastamiento.	Sí		EN 1993-1-8: Pestaña 3.4
Hormigón fisurado	Sí		EN 1992-4
Comprobación de la deformación local	No		CIDECT DG 1, 3 - 1.1
Deformación límite local	0,03	-	CIDECT DG 1, 3 - 1.1
No linealidad geométrica (GMNA)	Sí		Grandes deformaciones para secciones huecas
Sistema arriostrado	No		EN 1993-1-8: 5.2.2.5

Documento visado electrónicamente con número: VA07290/22
Código de validación telemática TRLTDCFZ60T66IJ1. Comprobación: https://cogitivalencia.e-gestion.es/Validacion.aspx?CVT=TRLTDCFZ60T66IJ1

Proyecto:
Proyecto nº:
Autor:

VISADO
COGITI
VALENCIA
VA07290/22
TRLTDCFZ60T66IJ1

Datos del proyecto

Nombre del proyecto	
Número del Proyecto	
Autor	
Descripción	
Fecha	12/05/2021
Normativa de cálculo	EN

Material

Acero	S 275

Documento visado electrónicamente con número: VA07290/22
Código de validación telemática TRLTDCFZ60T66IJ1. Comprobación: https://cogitivalencia.e-gestion.es/Validacion.aspx?CVT=TRLTDCFZ60T66IJ1

Proyecto:
Proyecto nº:
Autor:

VISADO
COGITI
VALENCIA
VA07290/22
TRLTDCFZ60T66IJ1

Ítem del proyecto CON1

Diseño

Nombre	CON1
Descripción	
Análisis	Tensión, deformación/ Carga simplificada

Elementos estructurales

Nombre	Sección transversal	β – Dirección [°]	γ - Inclinación [°]	α - Rotación [°]	Desplazamiento ex [mm]	Desplazamiento ey [mm]	Desplazamiento ez [mm]	Fuerzas en
C	3 - HEB280	0,0	90,0	0,0	0	0	0	Nudo
B	4 - HEA220	0,0	4,0	0,0	0	0	0	Nudo
M3	5 - SHS150/150/12.5	0,0	48,2	0,0	0	0	0	Nudo

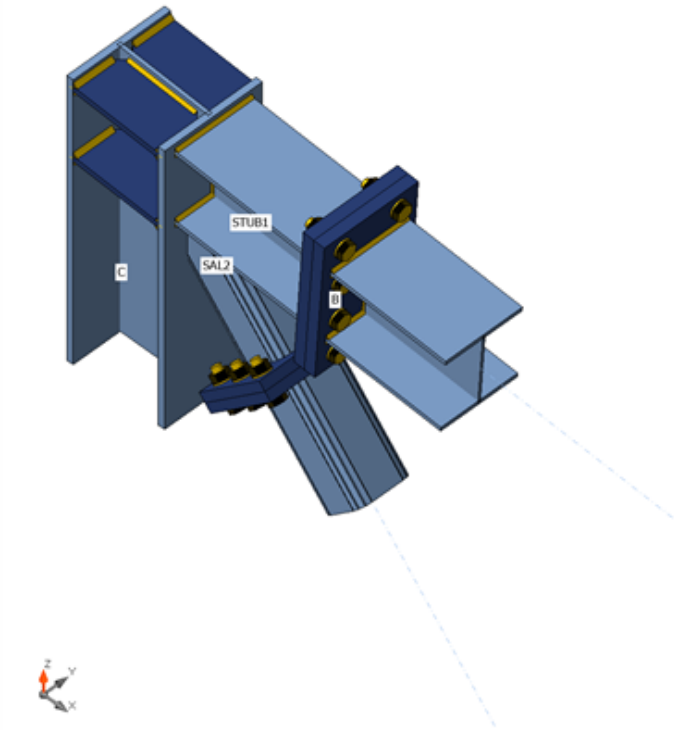

Secciones

Nombre	Material
3 - HEB280	S 275
4 - HEA220	S 275
5 - SHS150/150/12.5	S 275

Tornillos

Nombre	Conjunto de tornillo	Diámetro [mm]	fu [MPa]	Área bruta [mm^2]
M24 10.9	M24 10.9	24	1000,0	452

Documento visado electrónicamente con número: VA07290/22
Código de validación telemática TRLTDCFZ60T66IJ1. Comprobación: https://cogitivalencia.e-gestion.es/Validacion.aspx?CVT=TRLTDCFZ60T66IJ1

Proyecto:
Proyecto nº:
Autor:

VISADO
COGITI
VALENCIA
VA07290/22
TRLTDCFZ60T66IJ1

Cargas (No se requiere el equilibro)

Nombre	Elemento	N [kN]	Vy [kN]	Vz [kN]	Mx [kNm]	My [kNm]	Mz [kNm]
LE1	B	866,8	0,0	-38,8	0,0	47,6	0,0
	M3	-1158,3	0,0	-6,5	0,0	9,8	0,0
LE2	B	-596,1	0,0	24,2	0,0	-31,5	0,0
	M3	793,4	0,0	5,1	0,0	-6,9	0,0

Verificación

Resumen

Nombre	Valor	Estado
Análisis	100,0%	OK
Placas	2,2 < 5,0%	OK
Tornillos	91,0 < 100%	OK
Soldaduras	98,3 < 100%	OK
Pandeo	No calculado	

Placas

Nombre	Espesor [mm]	Cargas	σ_{Ed} [MPa]	ε_{Pl} [%]	σc_{Ed} [MPa]	Estado
C-bfl 1	18,0	LE1	275,1	0,0	0,0	OK
C-tfl 1	18,0	LE1	275,2	0,1	0,0	OK
C-w 1	10,5	LE1	277,6	1,3	0,0	OK
B-bfl 1	11,0	LE1	183,2	0,0	0,0	OK
B-tfl 1	11,0	LE1	269,7	0,1	0,0	OK
B-w 1	7,0	LE1	179,9	0,0	0,0	OK
M3	12,5	LE2	278,3	1,6	0,0	OK
STUB1-bfl 1	11,0	LE1	275,2	0,1	0,0	OK
STUB1-tfl 1	11,0	LE1	268,6	0,1	0,0	OK
STUB1-w 1	7,0	LE1	276,0	0,5	0,0	OK
SAL2	12,5	LE1	279,7	2,2	0,0	OK
STUB1-EPa	30,0	LE1	176,5	0,0	21,5	OK
STUB1-EPb	30,0	LE1	184,8	0,0	21,5	OK
STIFF1a	15,0	LE1	275,5	0,2	0,0	OK
STIFF1b	15,0	LE1	275,5	0,2	0,0	OK
STIFF1c	15,0	LE1	276,0	0,5	0,0	OK
STIFF1d	15,0	LE1	276,0	0,5	0,0	OK
SAL2-EPa	25,0	LE2	275,4	0,2	74,0	OK
SAL2-EPb	25,0	LE2	275,4	0,2	74,0	OK

Datos de diseño

Material	f_y [MPa]	ε_{lim} [%]
S 275	275,0	5,0

Documento visado electrónicamente con número: VA07290/22
Código de validación telemática TRLTDCFZ60T66IJ1. Comprobación: https://cogitivalencia.e-gestion.es/Validacion.aspx?CVT=TRLTDCFZ60T66IJ1

Proyecto:

Proyecto nº:

Autor:

VISADO
COGITI
VALENCIA
VA07290/22
TRLTDCFZ60T66IJ1

Explicación del símbolo

ε_{Pl}	Deformación
σ_{Ed}	Ec. tensión
σc_{Ed}	Contact stress
f_y	Límite elástico
ε_{lim}	Límite de la deformación plástica

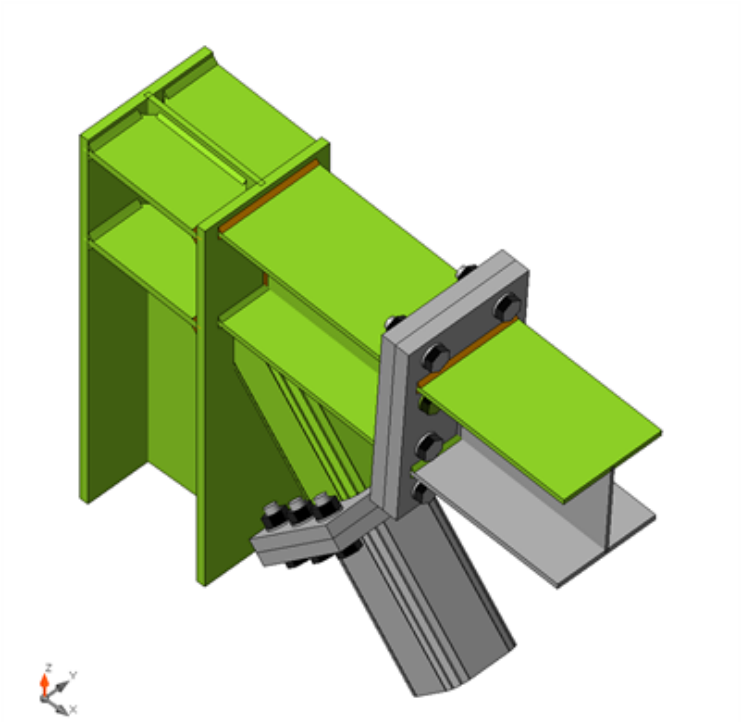

Verificación general, LE1

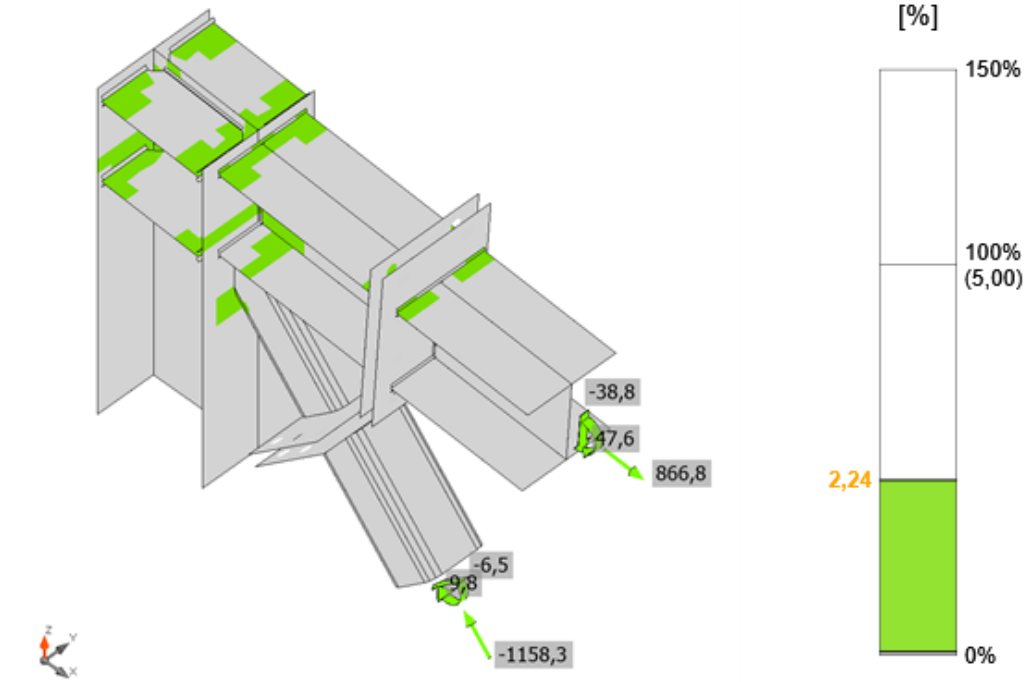

Verificación de deformación, LE1

Documento visado electrónicamente con número: VA07290/22
Código de validación telemática TRLTDCFZ60T66IJ1. Comprobación: https://cogitivalencia.e-gestion.es/Validacion.aspx?CVT=TRLTDCFZ60T66IJ1

Proyecto:

Proyecto nº:

Autor:

VISADO
COGITI
VALENCIA
VA07290/22
TRLTDCFZ60T66IJ1

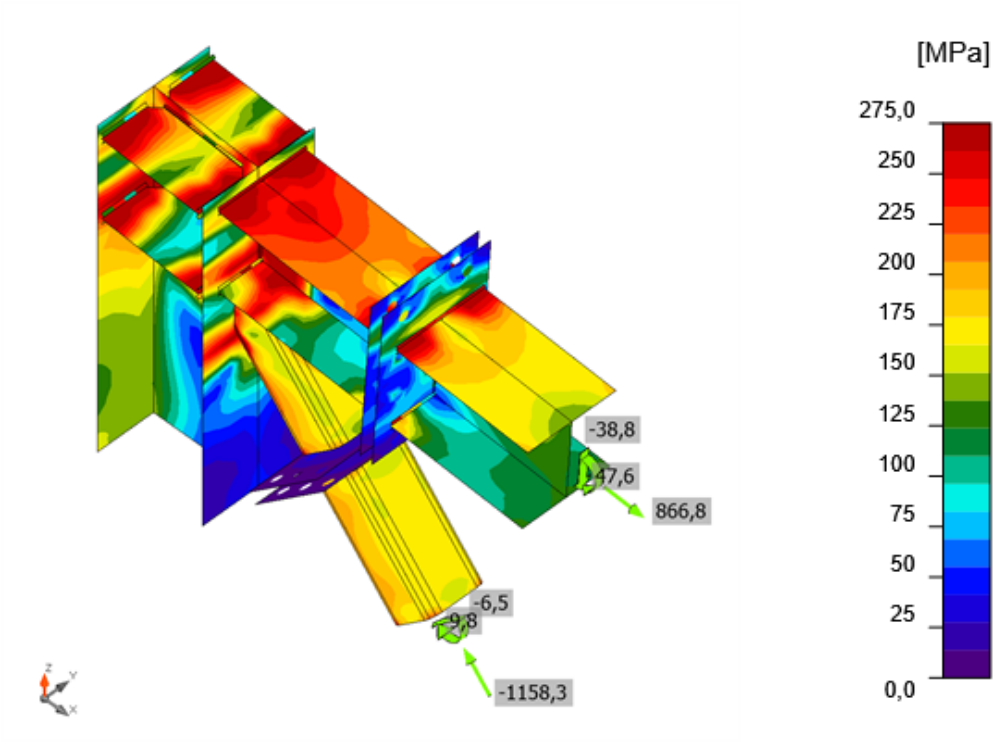

Tensión equivalente, LE1

Tornillos

	Nombre	Calidad	Cargas	$F_{t,Ed}$ [kN]	V [kN]	Ut_t [%]	$F_{b,Rd}$ [kN]	Ut_s [%]	Ut_{ts} [%]	Estado
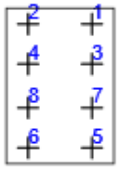	B1	M24 10.9 - 1	LE1	126,0	4,7	49,6	317,6	3,3	38,7	OK
	B2	M24 10.9 - 1	LE1	126,0	4,7	49,6	317,6	3,3	38,7	OK
	B3	M24 10.9 - 1	LE1	177,0	5,2	69,7	619,2	3,7	53,5	OK
	B4	M24 10.9 - 1	LE1	177,0	5,2	69,6	619,2	3,7	53,4	OK
	B5	M24 10.9 - 1	LE1	57,1	4,4	22,5	317,8	3,1	19,2	OK
	B6	M24 10.9 - 1	LE1	57,1	4,4	22,5	317,8	3,1	19,2	OK
	B7	M24 10.9 - 1	LE1	105,7	5,1	41,6	619,2	3,6	33,3	OK
	B8	M24 10.9 - 1	LE1	105,7	5,1	41,6	619,2	3,6	33,3	OK
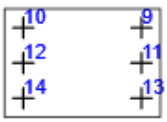	B9	M24 10.9 - 2	LE2	204,3	1,0	80,4	265,0	0,7	58,1	OK
	B10	M24 10.9 - 2	LE2	204,2	1,0	80,3	265,1	0,7	58,1	OK
	B11	M24 10.9 - 2	LE2	231,3	0,8	91,0	367,2	0,6	65,6	OK
	B12	M24 10.9 - 2	LE2	231,4	0,8	91,0	367,2	0,6	65,6	OK
	B13	M24 10.9 - 2	LE2	230,2	0,8	90,6	264,9	0,6	65,3	OK
	B14	M24 10.9 - 2	LE2	230,2	0,8	90,6	265,1	0,6	65,3	OK

Datos de diseño

Nombre	$F_{t,Rd}$ [kN]	$B_{p,Rd}$ [kN]	$F_{v,Rd}$ [kN]
M24 10.9 - 1	254,2	838,4	141,2
M24 10.9 - 2	254,2	698,7	141,2

Documento visado electrónicamente con número: VA07290/22
Código de validación telemática TRLTDCFZ60T66IJ1. Comprobación: https://cogitivalencia.e-gestion.es/Validacion.aspx?CVT=TRLTDCFZ60T66IJ1

Proyecto:

Proyecto nº:

Autor:

VISADO
COGITI
VALENCIA
VA07290/22
TRLTDCFZ60T66IJ1

Explicación del símbolo

$F_{t,Rd}$	Resistencia a tracción del tornillo EN 1993-1-8 tabla. 3.4
$F_{t,Ed}$	Fuerza de tracción
$B_{p,Rd}$	Resistencia al cortante perforante
V	Resultante de las fuerzas cortantes Vy, Vz en el tornillo.
$F_{v,Rd}$	Resistencia a cortante de los tornillos EN_1993-1-8 tabla 3.4
$F_{b,Rd}$	Resistencia al aplastamiento de la placa, según EN 1993-1-8 tab. 3.4
Ut_t	Utilización a tracción
Ut_s	Utilización a cortante

Documento visado electrónicamente con número: VA07290/22
Código de validación telemática TRLTDCFZ60T66IJ1. Comprobación: https://cogitivalencia.e-gestion.es/Validacion.aspx?CVT=TRLTDCFZ60T66IJ1

VISADO
COGITI
VALENCIA
VA07290/22
TRLTDCFZ60T66IJ1

Soldaduras (Redistribución plástica)

Ítem	Borde	Espesor de g. [mm]	Longitud [mm]	Cargas	$\sigma_{w,Ed}$ [MPa]	ε_{Pl} [%]	$\sigma_{\perp}$ [MPa]	$\tau_{\parallel}$ [MPa]	$\tau_{\perp}$ [MPa]	Ut [%]	Ut [%]	Estado
C-tfl 1	SAL2-w 2	12,5	107	LE1								OK
SAL2-EPa	M3-w 1	12,5	88	LE1								OK
SAL2-EPa	M3-arc 1	12,5	13	LE1								OK
SAL2-EPa	M3-arc 2	12,5	13	LE1								OK
SAL2-EPa	M3-arc 3	12,5	13	LE1								OK
SAL2-EPa	M3-w 2	12,5	87	LE1								OK
SAL2-EPa	M3-arc 4	12,5	13	LE1								OK
SAL2-EPa	M3-arc 5	12,5	13	LE1								OK
SAL2-EPa	M3-arc 6	12,5	13	LE1								OK
SAL2-EPa	M3-w 3	12,5	88	LE1								OK
SAL2-EPa	M3-arc 7	12,5	13	LE1								OK
SAL2-EPa	M3-arc 8	12,5	13	LE1								OK
SAL2-EPa	M3-arc 9	12,5	13	LE1								OK
SAL2-EPa	M3-w 4	12,5	88	LE1								OK
SAL2-EPa	M3-arc 10	12,5	13	LE1								OK
SAL2-EPa	M3-arc 11	12,5	13	LE1								OK
SAL2-EPa	M3-arc 12	12,5	13	LE1								OK
SAL2-EPb	SAL2-w 1	12,5	88	LE1								OK
SAL2-EPb	SAL2-arc 1	12,5	13	LE1								OK
SAL2-EPb	SAL2-arc 2	12,5	13	LE1								OK
SAL2-EPb	SAL2-arc 3	12,5	13	LE1								OK
SAL2-EPb	SAL2-w 2	12,5	87	LE1								OK
SAL2-EPb	SAL2-arc 4	12,5	13	LE1								OK
SAL2-EPb	SAL2-arc 5	12,5	13	LE1								OK
SAL2-EPb	SAL2-arc 6	12,5	13	LE1								OK
SAL2-EPb	SAL2-w 3	12,5	88	LE1								OK
SAL2-EPb	SAL2-arc 7	12,5	13	LE1								OK
SAL2-EPb	SAL2-arc 8	12,5	13	LE1								OK
SAL2-EPb	SAL2-arc 9	12,5	13	LE1								OK
SAL2-EPb	SAL2-w 4	12,5	88	LE1								OK
SAL2-EPb	SAL2-arc 10	12,5	13	LE1								OK
SAL2-EPb	SAL2-arc 11	12,5	13	LE1								OK
SAL2-EPb	SAL2-arc 12	12,5	13	LE1								OK
C-tfl 1	SAL2-w 1	12,5	88	LE1								OK
C-tfl 1	SAL2-arc 1	12,5	13	LE1								OK
C-tfl 1	SAL2-arc 2	12,5	16	LE1								OK
C-tfl 1	SAL2-arc 3	12,5	19	LE1								OK
C-tfl 1	SAL2-w 4	12,5	107	LE1								OK
C-tfl 1	SAL2-arc 10	12,5	19	LE1								OK
C-tfl 1	SAL2-arc 11	12,5	16	LE1								OK
C-tfl 1	SAL2-arc 12	12,5	13	LE1								OK
STUB1-bfl 1	SAL2-w 2	11,0	23	LE1								OK
STUB1-bfl 1	SAL2-arc 4	11,0	18	LE1								OK
STUB1-bfl 1	SAL2-arc 5	11,0	16	LE1								OK
STUB1-bfl 1	SAL2-arc 6	11,0	13	LE1								OK

Documento visado electrónicamente con número: VA07290/22
Código de validación telemática TRLTDCFZ60T66IJ1. Comprobación: https://cogitivalencia.e-gestion.es/Validacion.aspx?CVT=TRLTDCFZ60T66IJ1

Proyecto:
Proyecto nº:
Autor:

VISADO
COGITI
VALENCIA
VA07290/22
TRLTDCFZ60T66IJ1

Ítem	Borde	Espesor de g. [mm]	Longitud [mm]	Cargas	$\sigma_{w,Ed}$ [MPa]	ε_{Pl} [%]	$\sigma_{\perp}$ [MPa]	$\tau_{\parallel}$ [MPa]	$\tau_{\perp}$ [MPa]	Ut [%]	Ut_c [%]	Estado
STUB1-bfl 1	SAL2-w 3	11,0	88	LE1								OK
STUB1-bfl 1	SAL2-arc 7	11,0	13	LE1								OK
STUB1-bfl 1	SAL2-arc 8	11,0	16	LE1								OK
STUB1-bfl 1	SAL2-arc 9	11,0	18	LE1								OK
STUB1-bfl 1	SAL2-w 4	11,0	23	LE1								OK
STUB1-EPa	B-bfl 1	◢5,5◣	220	LE1	319,0	0,0	151,1	87,6	136,5	78,8	44,5	OK
		◢5,5◣	220	LE1	299,7	0,0	128,5	-62,9	-143,1	74,1	38,2	OK
STUB1-EPa	B-tfl 1	◢5,5◣	220	LE1	397,2	0,4	179,1	87,4	185,1	98,2	82,1	OK
		◢5,5◣	220	LE1	397,2	0,4	184,5	-97,6	-178,1	98,1	75,6	OK
STUB1-EPa	B-w 1	◢3,5◣	199	LE1	192,4	0,0	95,9	-9,3	95,8	47,5	32,9	OK
		◢3,5◣	199	LE1	192,5	0,0	95,9	9,2	-96,0	47,6	32,8	OK
STUB1-EPb	STUB1-bfl 1	◢5,5◣	220	LE1	299,5	0,0	140,1	-85,8	126,5	74,0	41,4	OK
		◢5,5◣	220	LE1	299,1	0,0	128,7	-63,7	-142,3	73,9	39,0	OK
STUB1-EPb	STUB1-tfl 1	◢5,5◣	220	LE1	397,3	0,5	179,8	88,7	184,3	98,2	83,0	OK
		◢5,5◣	220	LE1	397,3	0,4	184,4	-94,6	-179,8	98,2	79,4	OK
STUB1-EPb	STUB1-w 1	◢3,5◣	199	LE1	203,9	0,0	92,3	-50,2	92,2	50,4	34,9	OK
		◢3,5◣	199	LE1	204,0	0,0	92,2	50,2	-92,3	50,4	34,8	OK
C-tfl 1	STUB1-bfl 1	◢5,5◣	220	LE1	272,1	0,0	-141,5	43,4	-127,0	67,2	50,6	OK
		◢5,5◣	220	LE1	95,6	0,0	30,4	8,2	51,7	23,6	19,1	OK
C-tfl 1	STUB1-tfl 1	◢5,5◣	220	LE1	396,9	0,2	231,9	-48,6	179,5	98,1	91,9	OK
		◢5,5◣	220	LE1	396,9	0,2	127,6	-102,4	-191,3	98,1	83,4	OK
C-tfl 1	STUB1-w 1	◢3,5◣	199	LE1	396,6	0,0	31,8	226,0	31,8	98,0	72,9	OK
		◢3,5◣	199	LE1	396,6	0,0	31,8	-226,0	-31,8	98,0	72,9	OK
C-bfl 1	STIFF1a	◢7,5◣	111	LE1	171,2	0,0	124,0	-2,6	68,1	42,3	31,8	OK
		◢7,5◣	111	LE1	370,2	0,0	-207,8	33,3	173,7	91,5	51,7	OK
C-w 1	STIFF1a	◢5,3◣	196	LE1	200,2	0,0	-96,8	97,2	27,9	49,5	30,8	OK
		◢5,3◣	196	LE1	170,7	0,0	12,4	93,9	-29,0	42,2	28,9	OK
C-tfl 1	STIFF1a	◢7,5◣	111	LE1	390,2	0,0	-220,3	7,7	-185,8	96,4	57,9	OK
		◢7,5◣	111	LE1	248,1	0,0	164,2	21,5	-105,2	61,3	36,3	OK
C-bfl 1	STIFF1b	◢7,5◣	111	LE1	370,3	0,0	-207,8	-33,3	-173,8	91,5	51,7	OK
		◢7,5◣	111	LE1	171,2	0,0	124,0	2,6	-68,2	42,3	31,8	OK
C-w 1	STIFF1b	◢5,3◣	196	LE1	170,8	0,0	12,4	-93,9	29,0	42,2	28,9	OK
		◢5,3◣	196	LE1	200,1	0,0	-96,8	-97,2	-27,9	49,4	30,8	OK
C-tfl 1	STIFF1b	◢7,5◣	111	LE1	248,0	0,0	164,1	-21,5	105,2	61,3	36,3	OK
		◢7,5◣	111	LE1	390,4	0,0	-220,4	-7,6	185,9	96,5	57,9	OK
C-bfl 1	STIFF1c	◢7,5◣	111	LE1	305,5	0,0	134,2	68,9	142,7	75,5	47,5	OK
		◢7,5◣	111	LE1	185,5	0,0	-58,7	-66,8	76,5	45,8	33,7	OK
C-w 1	STIFF1c	◢5,3◣	196	LE1	204,9	0,0	67,3	-85,3	-72,2	50,6	39,2	OK
		◢5,3◣	196	LE1	318,6	0,0	79,9	173,0	42,0	78,7	52,5	OK
C-tfl 1	STIFF1c	◢7,5◣	111	LE1	197,6	0,0	89,1	17,3	100,4	48,8	34,1	OK
		◢7,5◣	111	LE1	397,8	0,7	222,2	1,3	-190,5	98,3	78,3	OK
C-bfl 1	STIFF1d	◢7,5◣	111	LE1	185,6	0,0	-58,7	66,8	-76,6	45,9	33,7	OK
		◢7,5◣	111	LE1	305,5	0,0	134,1	-69,0	-142,7	75,5	47,5	OK
C-w 1	STIFF1d	◢5,3◣	196	LE1	318,6	0,0	79,9	-173,0	-42,0	78,7	52,5	OK
		◢5,3◣	196	LE1	205,0	0,0	67,3	85,3	72,2	50,6	39,2	OK

Documento visado electrónicamente con número: VA07290/22
Código de validación telemática TRLTDCFZ60T66IJ1. Comprobación: https://cogitivalencia.e-gestion.es/Validacion.aspx?CVT=TRLTDCFZ60T66IJ1

VISADO
COGITI
Estado
VALENCIA
VA07290/22
TRLTDCFZ60T66IJ1

Ítem	Borde	Espesor de g. [mm]	Longitud [mm]	Cargas	$\sigma_{w,Ed}$ [MPa]	ε_{Pl} [%]	$\sigma_{\perp}$ [MPa]	$\tau_{\parallel}$ [MPa]	$\tau_{\perp}$ [MPa]	Ut [%]	Utc [%]	
C-tfl 1	STIFF1d	◢7,5◣	111	LE1	397,8	0,7	222,2	-1,3	190,5	98,3	78,3	OK
		◢7,5◣	111	LE1	197,7	0,0	89,1	-17,3	-100,4	48,8	34,2	OK

Datos de diseño

	β_w [-]	$\sigma_{w,Rd}$ [MPa]	0.9 σ [MPa]
S 275	0,85	404,7	309,6

Explicación del símbolo

ε_{Pl}	Deformación
$\sigma_{w,Ed}$	Tensión equivalente
$\sigma_{w,Rd}$	Resistencia a tensión equivalente
$\sigma_{\perp}$	Tensión perpendicular
$\tau_{\parallel}$	Tensión cortante paralela al eje de la soldadura
$\tau_{\perp}$	Tensión normal perpendicular al eje de la soldadura
0.9 σ	Resistencia a tensión perpendicular - 0.9*fu/γM2
β_w	Factor de correlación EN 1993-1-8 tabla. 4.1
Ut	Utilización
Utc	Utilización de la capacidad de la soldadura

Pandeo

El análisis de pandeo no se ha calculado.

Configuración de la norma

Ítem	Valor	Unidad	Referencia
γ_{M0}	1,00	-	EN 1993-1-1: 6.1
γ_{M1}	1,00	-	EN 1993-1-1: 6.1
γ_{M2}	1,25	-	EN 1993-1-1: 6.1
γ_{M3}	1,25	-	EN 1993-1-8: 2.2
γ_{C}	1,50	-	EN 1992-1-1: 2.4.2.4
γ_{Inst}	1,20	-	EN 1992-4: Table 4.1
Coeficiente de unión βj	0,67	-	EN 1993-1-8: 6.2.5
Área efectiva - influencia del tamaño de la malla	0,10	-	
Coeficiente de fricción - hormigón	0,25	-	EN 1993-1-8
Coeficiente de fricción en la resistencia a deslizamiento	0,30	-	EN 1993-1-8 Pestaña 3.7
Deformación plástica límite	0,05	-	EN 1993-1-5
Evaluación de la tensión de la soldadura	Redistribución plástica		
Detallado	No		
Distancia entre tornillos [d]	2,20	-	EN 1993-1-8: Pestaña 3.3
Distancia entre tornillos y el borde [d0]	1,20	-	EN 1993-1-8: Pestaña 3.3
Resistencia al arrancamiento del cono de hormigón	Both		EN 1992-4: 7.2.1.4 and 7.2.2.5
Utilizar αb calculada en la verificación por aplastamiento.	Sí		EN 1993-1-8: Pestaña 3.4
Hormigón fisurado	Sí		EN 1992-4
Comprobación de la deformación local	No		CIDECT DG 1, 3 - 1.1
Deformación límite local	0,03	-	CIDECT DG 1, 3 - 1.1

Documento visado electrónicamente con número: VA07290/22
Código de validación telemática TRLTDCFZ60T66IJ1. Comprobación: https://cogitivalencia.e-gestion.es/Validacion.aspx?CVT=TRLTDCFZ60T66IJ1

VISADO
COGITI
VALENCIA
VA07290/22
TRLTDCFZ60T66IJ1

Ítem	Valor	Unidad	Referencia
No linealidad geométrica (GMNA)	Sí		Grandes deformaciones para secciones huecas
Sistema arriostrado	No		EN 1993-1-8: 5.2.2.5

Documento visado electrónicamente con número: VA07290/22
Código de validación telemática TRLTDCFZ60T66IJ1. Comprobación: https://cogitivalencia.e-gestion.es/Validacion.aspx?CVT=TRLTDCFZ60T66IJ1

Proyecto:
Proyecto nº:
Autor:

VISADO
COGITI
VALENCIA
VA07290/22
TRLTDCFZ60T66IJ1

Datos del proyecto

Nombre del proyecto	
Número del Proyecto	
Autor	
Descripción	
Fecha	10/05/2021
Normativa de cálculo	EN

Material

Acero	S 275

Documento visado electrónicamente con número: VA07290/22
Código de validación telemática TRLTDCFZ60T66IJ1. Comprobación: https://cogitivalencia.e-gestion.es/Validacion.aspx?CVT=TRLTDCFZ60T66IJ1

Proyecto:
Proyecto nº:
Autor:

VISADO
COGITI
VALENCIA
VA07290/22
TRLTDCFZ60T66IJ1

Ítem del proyecto CON1

Diseño

Nombre	CON1
Descripción	
Análisis	Tensión, deformación/ Carga simplificada

Elementos estructurales

Nombre	Sección transversal	β – Dirección [°]	γ - Inclinación [°]	α - Rotación [°]	Desplazamiento ex [mm]	Desplazamiento ey [mm]	Desplazamiento ez [mm]	Fuerzas en
C	1 - CON1(HEA220)	0,0	0,0	0,0	0	0	0	Nudo
B	6 - SHS150/150/10.0	0,0	86,0	0,0	0	0	0	Nudo
M3	5 - SHS150/150/8.0	0,0	46,5	0,0	0	0	0	Nudo

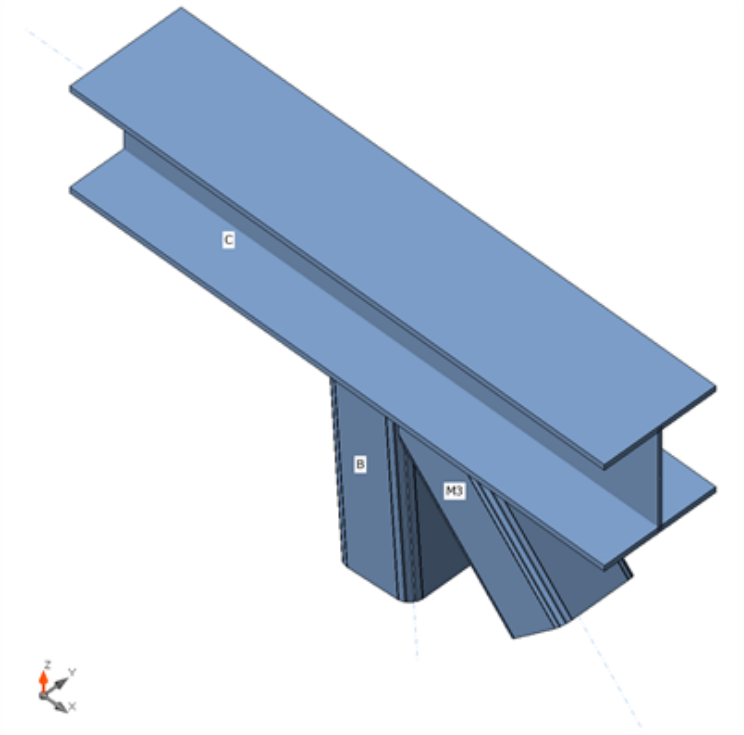

Secciones

Nombre	Material
1 - CON1(HEA220)	S 275
6 - SHS150/150/10.0	S 275
5 - SHS150/150/8.0	S 275

Documento visado electrónicamente con número: VA07290/22
Código de validación telemática TRLTDCFZ60T66IJ1. Comprobación: https://cogitivalencia.e-gestion.es/Validacion.aspx?CVT=TRLTDCFZ60T66IJ1

Proyecto:
Proyecto nº:
Autor:

VISADO
COGITI
VALENCIA
VA07290/22
TRLTDCFZ60T66IJ1

Cargas (No se requiere el equilibro)

Nombre	Elemento	N [kN]	Vy [kN]	Vz [kN]	Mx [kNm]	My [kNm]	Mz [kNm]
LE1	B	-563,2	3,6	0,0	0,0	0,0	-1,1
	M3	589,2	0,0	-2,6	0,0	1,6	0,0
LE2	B	375,8	-2,5	0,0	0,0	0,0	0,0
	M3	-386,2	0,0	2,1	0,0	-1,2	0,0

Verificación

Resumen

Nombre	Valor	Estado
Análisis	100,0%	OK
Placas	1,2 < 5,0%	OK
Pandeo	No calculado	

Placas

Nombre	Espesor [mm]	Cargas	σ_{Ed} [MPa]	ε_{Pl} [%]	σc_{Ed} [MPa]	Estado
C-bfl 1	11,0	LE1	275,0	0,0	0,0	OK
C-tfl 1	11,0	LE1	68,2	0,0	0,0	OK
C-w 1	7,0	LE1	275,9	0,5	0,0	OK
B	10,0	LE1	276,4	0,7	0,0	OK
M3	8,0	LE1	277,6	1,2	0,0	OK

Datos de diseño

Material	f_y [MPa]	ε_{lim} [%]
S 275	275,0	5,0

Explicación del símbolo

ε_{Pl}	Deformación
σ_{Ed}	Ec. tensión
σc_{Ed}	Contact stress
f_y	Límite elástico
ε_{lim}	Límite de la deformación plástica

Documento visado electrónicamente con número: VA07290/22
Código de validación telemática TRLTDCFZ60T66IJ1. Comprobación: https://cogitivalencia.e-gestion.es/Validacion.aspx?CVT=TRLTDCFZ60T66IJ1

Proyecto:

Proyecto nº:

Autor:

VISADO
COGITI
VALENCIA
VA07290/22
TRLTDCFZ60T66IJ1

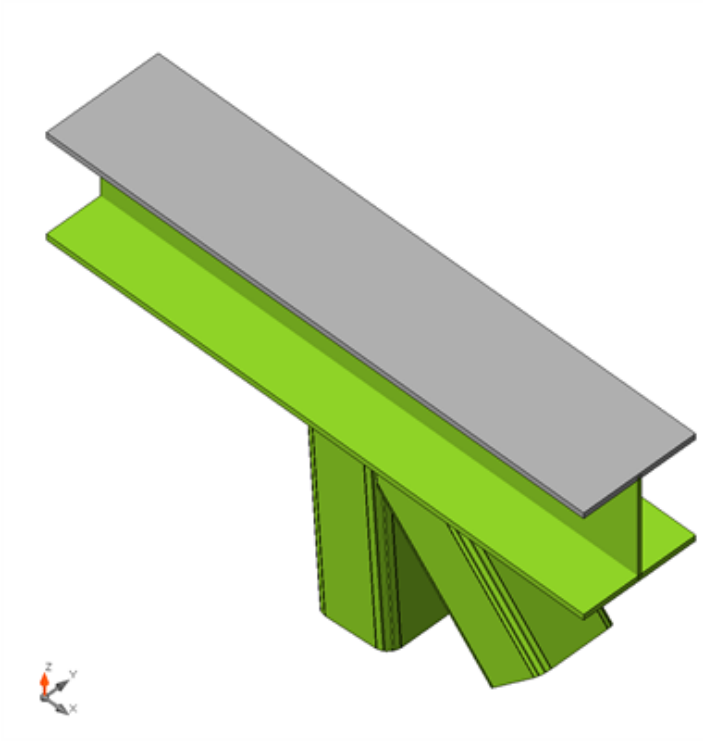

Verificación general, LE1

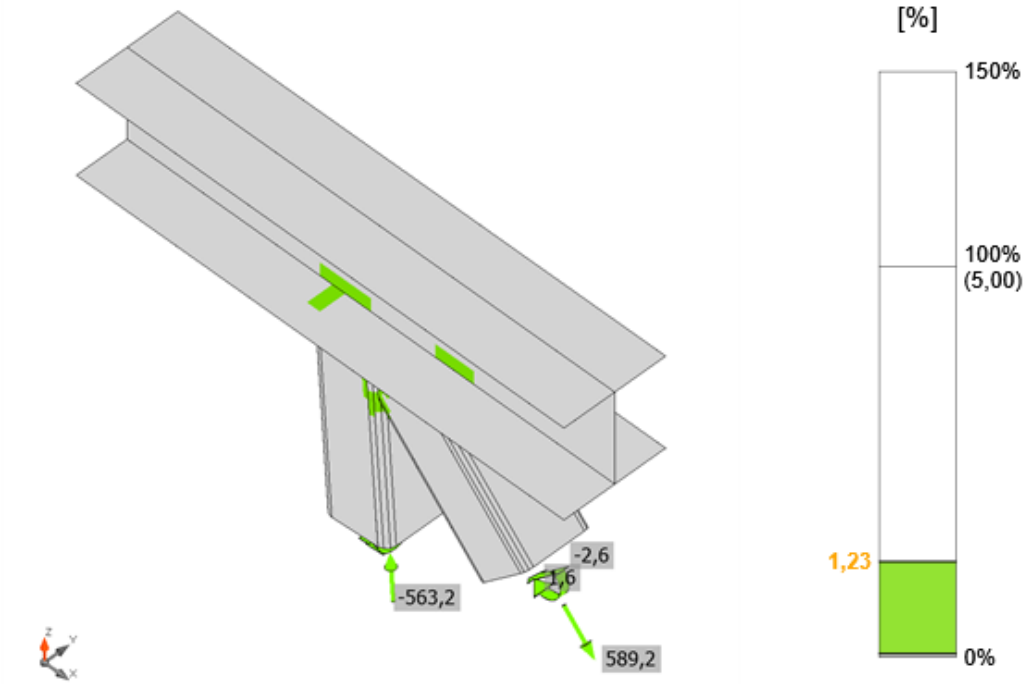

Verificación de deformación, LE1

Documento visado electrónicamente con número: VA07290/22
Código de validación telemática TRLTDCFZ60T66IJ1. Comprobación: https://cogitivalencia.e-gestion.es/Validacion.aspx?CVT=TRLTDCFZ60T66IJ1

VISADO
COGITI
VALENCIA
VA07290/22
TRLTDCFZ60T66IJ1

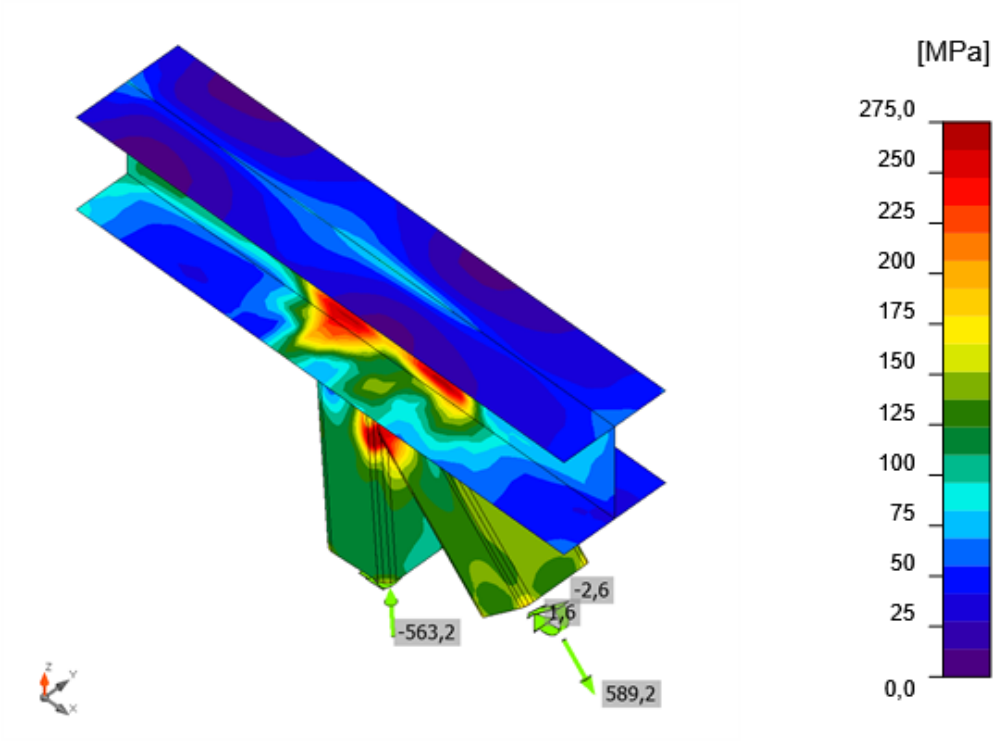

Tensión equivalente, LE1

Documento visado electrónicamente con número: VA07290/22
Código de validación telemática TRLTDCFZ60T66IJ1. Comprobación: https://cogitivalencia.e-gestion.es/Validacion.aspx?CVT=TRLTDCFZ60T66IJ1

Proyecto:

Proyecto nº:

Autor:

VISADO
COGITI
VALENCIA
VA07290/22
TRLTDCFZ60T66IJ1

Soldaduras (Se ha usado el máximo valor. Se recomienda redistribución plástica)

Ítem	Borde	Espesor de g. [mm]	Longitud [mm]	Cargas	$\sigma_{w,Ed}$ [MPa]	$\sigma_{\perp}$ [MPa]	$\tau_{\parallel}$ [MPa]	$\tau_{\perp}$ [MPa]	Ut [%]	Estado
C-bfl 1	B-w 1	10,0	100	LE1						OK
C-bfl 1	B-arc 1	10,0	10	LE1						OK
C-bfl 1	B-arc 2	10,0	10	LE1						OK
C-bfl 1	B-arc 3	10,0	10	LE1						OK
C-bfl 1	B-w 2	10,0	100	LE1						OK
C-bfl 1	B-arc 4	10,0	10	LE1						OK
C-bfl 1	B-arc 5	10,0	10	LE1						OK
C-bfl 1	B-arc 6	10,0	10	LE1						OK
C-bfl 1	B-w 3	10,0	100	LE1						OK
C-bfl 1	B-arc 7	10,0	10	LE1						OK
C-bfl 1	B-arc 8	10,0	10	LE1						OK
C-bfl 1	B-arc 9	10,0	10	LE1						OK
C-bfl 1	B-w 4	10,0	100	LE1						OK
C-bfl 1	B-arc 10	10,0	10	LE1						OK
C-bfl 1	B-arc 11	10,0	10	LE1						OK
C-bfl 1	B-arc 12	10,0	10	LE1						OK
C-bfl 1	M3-w 2	8,0	93	LE1						OK
C-bfl 1	M3-w 4	8,0	93	LE1						OK
C-bfl 1	M3-arc 4	8,0	11	LE1						OK
C-bfl 1	M3-arc 5	8,0	10	LE1						OK
C-bfl 1	M3-arc 6	8,0	9	LE1						OK
C-bfl 1	M3-w 3	8,0	110	LE1						OK
C-bfl 1	M3-arc 7	8,0	9	LE1						OK
C-bfl 1	M3-arc 8	8,0	10	LE1						OK
C-bfl 1	M3-arc 9	8,0	11	LE1						OK
B-w 3	M3-w 1	8,0	110	LE1						OK
B-w 3	M3-arc 1	8,0	9	LE1						OK
B-w 3	M3-arc 2	8,0	11	LE1						OK
B-w 3	M3-arc 3	8,0	13	LE1						OK
B-w 3	M3-w 2	8,0	67	LE1						OK
B-w 3	M3-w 4	8,0	67	LE1						OK
B-w 3	M3-arc 10	8,0	13	LE1						OK
B-w 3	M3-arc 11	8,0	11	LE1						OK
B-w 3	M3-arc 12	8,0	9	LE1						OK

Datos de diseño

	β_w [-]	$\sigma_{w,Rd}$ [MPa]	0.9 σ [MPa]
S 275	0,85	404,7	309,6

Documento visado electrónicamente con número: VA07290/22
Código de validación telemática TRLTDCFZ60T66IJ1. Comprobación: https://cogitivalencia.e-gestion.es/Validacion.aspx?CVT=TRLTDCFZ60T66IJ1

Proyecto:
Proyecto nº:
Autor:

VISADO
COGITI
VALENCIA
VA07290/22
TRLTDCFZ60T66IJ1

Explicación del símbolo

$\sigma_{w,Ed}$	Tensión equivalente
$\sigma_{w,Rd}$	Resistencia a tensión equivalente
$\sigma_{\perp}$	Tensión perpendicular
$\tau_{\parallel}$	Tensión cortante paralela al eje de la soldadura
$\tau_{\perp}$	Tensión normal perpendicular al eje de la soldadura
0.9 σ	Resistencia a tensión perpendicular - 0.9*fu/γM2
β_w	Factor de correlación EN 1993-1-8 tabla. 4.1
Ut	Utilización
Utc	Utilización de la capacidad de la soldadura

Pandeo

El análisis de pandeo no se ha calculado.

Configuración de la norma

Ítem	Valor	Unidad	Referencia
γ_{M0}	1,00	-	EN 1993-1-1: 6.1
γ_{M1}	1,00	-	EN 1993-1-1: 6.1
γ_{M2}	1,25	-	EN 1993-1-1: 6.1
γ_{M3}	1,25	-	EN 1993-1-8: 2.2
γ_C	1,50	-	EN 1992-1-1: 2.4.2.4
γ_{Inst}	1,20	-	EN 1992-4: Table 4.1
Coeficiente de unión βj	0,67	-	EN 1993-1-8: 6.2.5
Área efectiva - influencia del tamaño de la malla	0,10	-	
Coeficiente de fricción - hormigón	0,25	-	EN 1993-1-8
Coeficiente de fricción en la resistencia a deslizamiento	0,30	-	EN 1993-1-8 Pestaña 3.7
Deformación plástica límite	0,05	-	EN 1993-1-5
Evaluación de la tensión de la soldadura	Redistribución plástica		
Detallado	No		
Distancia entre tornillos [d]	2,20	-	EN 1993-1-8: Pestaña 3.3
Distancia entre tornillos y el borde [d0]	1,20	-	EN 1993-1-8: Pestaña 3.3
Resistencia al arrancamiento del cono de hormigón	Both		EN 1992-4: 7.2.1.4 and 7.2.2.5
Utilizar αb calculada en la verificación por aplastamiento.	Sí		EN 1993-1-8: Pestaña 3.4
Hormigón fisurado	Sí		EN 1992-4
Comprobación de la deformación local	No		CIDECT DG 1, 3 - 1.1
Deformación límite local	0,03	-	CIDECT DG 1, 3 - 1.1
No linealidad geométrica (GMNA)	Sí		Grandes deformaciones para secciones huecas
Sistema arriostrado	No		EN 1993-1-8: 5.2.2.5

Documento visado electrónicamente con número: VA07290/22
Código de validación telemática TRLTDCFZ60T66IJ1. Comprobación: https://cogitivalencia.e-gestion.es/Validacion.aspx?CVT=TRLTDCFZ60T66IJ1

Proyecto:
Proyecto nº:
Autor:

VISADO
COGITI
VALENCIA
VA07290/22
TRLTDCFZ60T66IJ1

Datos del proyecto

Nombre del proyecto	
Número del Proyecto	
Autor	
Descripción	
Fecha	10/05/2021
Normativa de cálculo	EN

Material

Acero	S 275

Documento visado electrónicamente con número: VA07290/22
Código de validación telemática TRLTDCFZ60T66IJ1. Comprobación: https://cogitivalencia.e-gestion.es/Validacion.aspx?CVT=TRLTDCFZ60T66IJ1

Proyecto:
Proyecto nº:
Autor:

VISADO
COGITI
VALENCIA
VA07290/22
TRLTDCFZ60T66IJ1

Ítem del proyecto CON1

Diseño

Nombre	CON1
Descripción	
Análisis	Tensión, deformación/ Carga simplificada

Elementos estructurales

Nombre	Sección transversal	β – Dirección [°]	γ - Inclinación [°]	α - Rotación [°]	Desplazamiento ex [mm]	Desplazamiento ey [mm]	Desplazamiento ez [mm]	Fuerzas en
C	4 - HEA240	0,0	-90,0	0,0	0	0	0	Nudo
B1	6 - HEB240	0,0	48,3	0,0	0	0	0	Tornillos
B2	7 - SHS150/150/10.0	180,0	4,0	0,0	0	0	0	Tornillos
M4	9 - SHS150/150/12.5	180,0	43,8	0,0	0	0	0	Tornillos

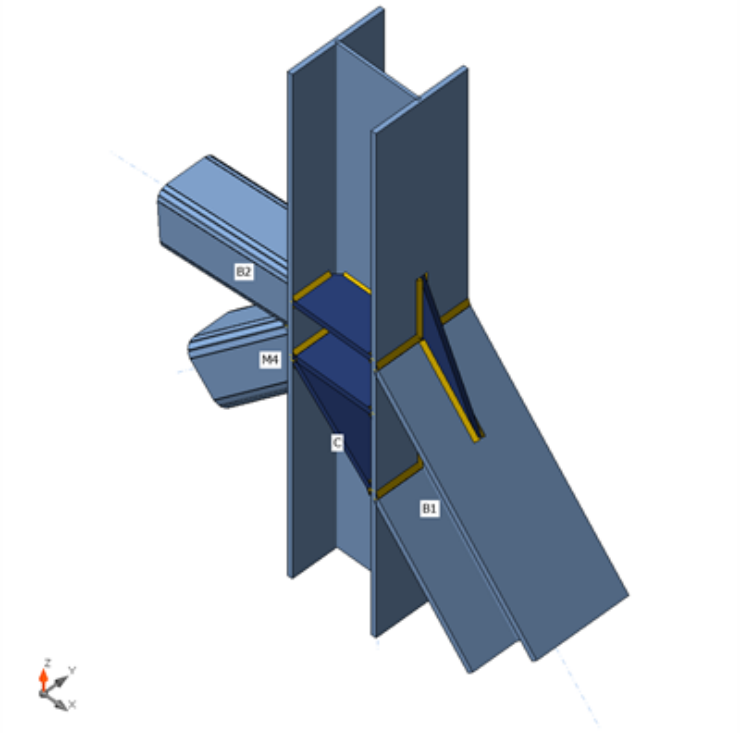

Secciones

Nombre	Material
4 - HEA240	S 275
6 - HEB240	S 275
7 - SHS150/150/10.0	S 275
9 - SHS150/150/12.5	S 275

Documento visado electrónicamente con número: VA07290/22
Código de validación telemática TRLTDCFZ60T66IJ1. Comprobación: https://cogitivalencia.e-gestion.es/Validacion.aspx?CVT=TRLTDCFZ60T66IJ1

Proyecto:
Proyecto nº:
Autor:

VISADO
COGITI
VALENCIA
VA07290/22
TRLTDCFZ60T66IJ1

Cargas (No se requiere el equilibro)

Nombre	Elemento	N [kN]	Vy [kN]	Vz [kN]	Mx [kNm]	My [kNm]	Mz [kNm]
LE1	B1	-2123,1	0,0	34,2	0,0	-73,4	-1,5
	B2	-564,0	3,6	0,0	0,0	0,0	5,1
	M4	-1234,1	0,0	-1,8	0,0	-3,1	0,0
LE2	B1	1420,8	0,0	-21,5	0,0	46,9	0,0
	B2	379,4	-4,6	0,0	0,0	0,0	-5,3
	M4	839,0	0,0	0,0	0,0	1,4	0,0

Verificación

Resumen

Nombre	Valor	Estado
Análisis	100,0%	OK
Placas	2,1 < 5,0%	OK
Soldaduras	98,3 < 100%	OK
Pandeo	No calculado	

Placas

Nombre	Espesor [mm]	Cargas	σ_{Ed} [MPa]	ε_{Pl} [%]	σc_{Ed} [MPa]	Estado
C-bfl 1	12,0	LE1	275,1	0,0	0,0	OK
C-tfl 1	12,0	LE1	275,1	0,0	0,0	OK
C-w 1	7,5	LE1	275,7	0,3	0,0	OK
B1-bfl 1	17,0	LE1	262,6	0,0	0,0	OK
B1-tfl 1	17,0	LE1	275,1	0,0	0,0	OK
B1-w 1	10,0	LE1	275,8	0,4	0,0	OK
B2	10,0	LE1	279,0	1,9	0,0	OK
M4	12,5	LE1	279,4	2,1	0,0	OK
STIFF1a	15,0	LE1	275,0	0,0	0,0	OK
STIFF1b	15,0	LE1	275,0	0,0	0,0	OK
RIGIDIZAR2a	15,0	LE1	234,3	0,0	0,0	OK
RIGIDIZAR2b	15,0	LE1	230,8	0,0	0,0	OK
RIGIDIZAR2c	15,0	LE1	207,5	0,0	0,0	OK
RIGIDIZAR2d	15,0	LE1	224,7	0,0	0,0	OK
RIB1	12,0	LE1	273,4	0,0	0,0	OK

Datos de diseño

Material	f_y [MPa]	ε_{lim} [%]
S 275	275,0	5,0

Explicación del símbolo

ε_{Pl}	Deformación
σ_{Ed}	Ec. tensión
σc_{Ed}	Contact stress
f_y	Límite elástico
ε_{lim}	Límite de la deformación plástica

Documento visado electrónicamente con número: VA07290/22
Código de validación telemática TRLTDCFZ60T66IJ1. Comprobación: https://cogitivalencia.e-gestion.es/Validacion.aspx?CVT=TRLTDCFZ60T66IJ1

VISADO
COGITI
VALENCIA
VA07290/22
TRLTDCFZ60T66IJ1

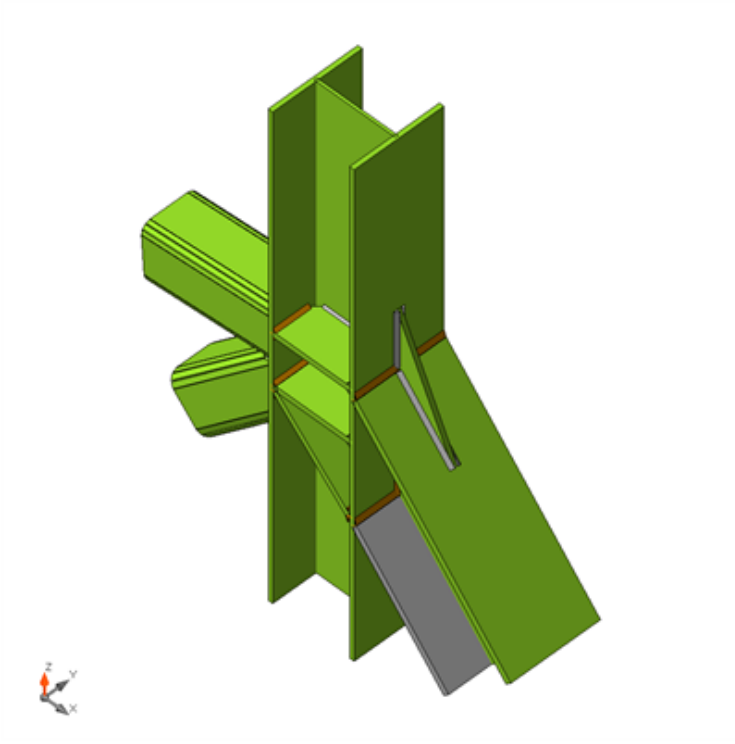

Verificación general, LE1

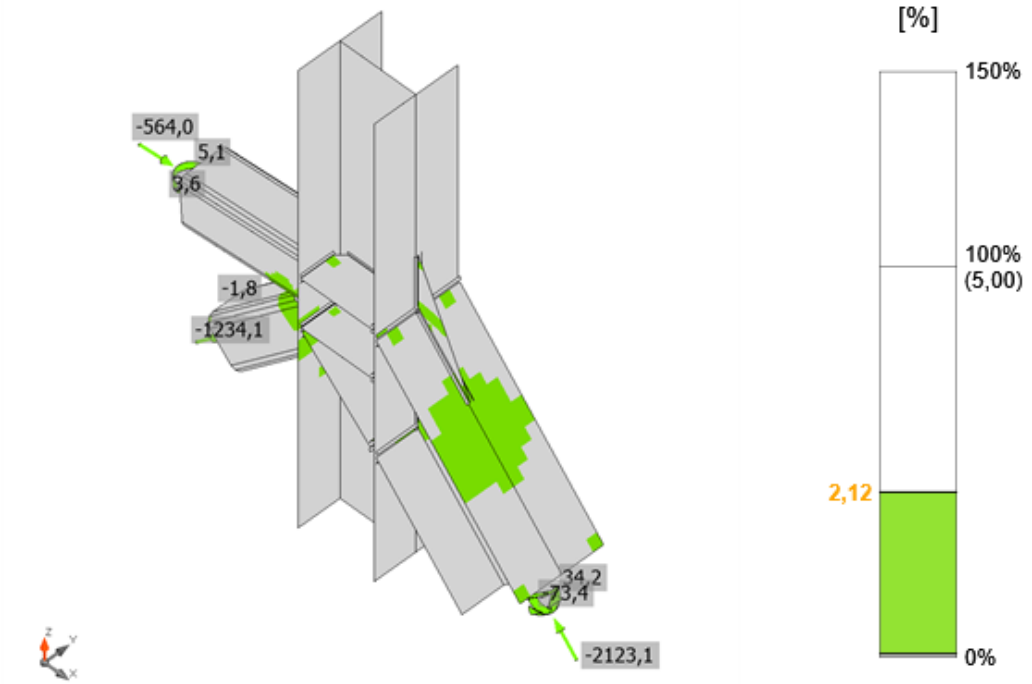

Verificación de deformación, LE1

Documento visado electrónicamente con número: VA07290/22
Código de validación telemática TRLTDCFZ60T66IJ1. Comprobación: https://cogitivalencia.e-gestion.es/Validacion.aspx?CVT=TRLTDCFZ60T66IJ1

VISADO
COGITI
VALENCIA
VA07290/22
TRLTDCFZ60T66IJ1

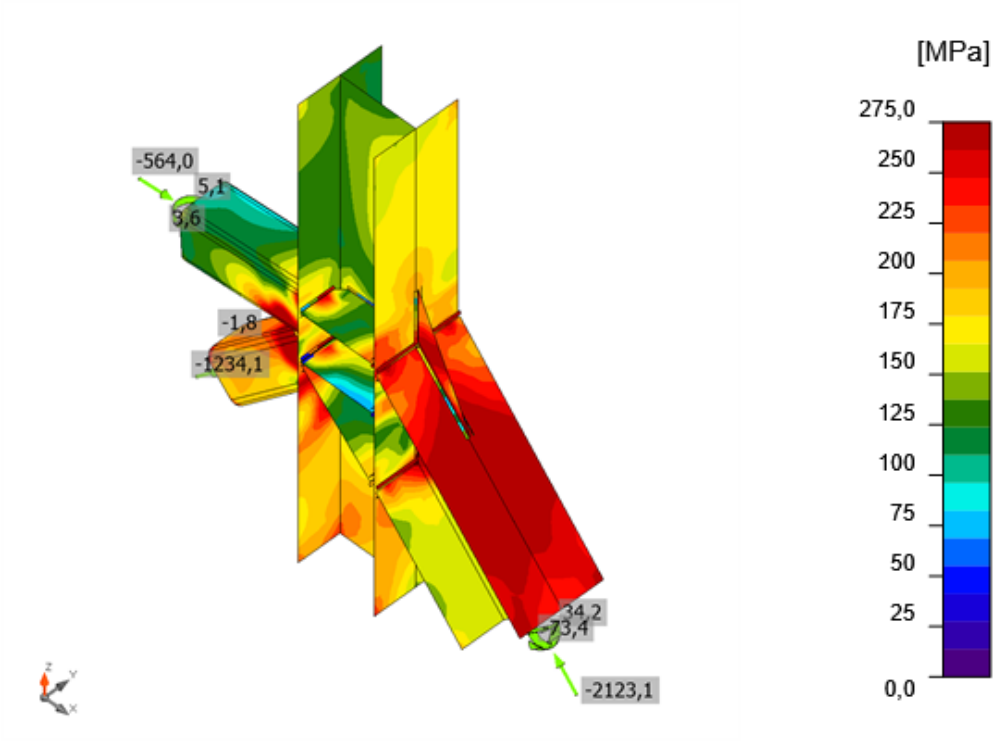

Tensión equivalente, LE1

Documento visado electrónicamente con número: VA07290/22
Código de validación telemática TRLTDCFZ60T66IJ1. Comprobación: https://cogitivalencia.e-gestion.es/Validacion.aspx?CVT=TRLTDCFZ60T66IJ1

Proyecto:
Proyecto nº:
Autor:

VISADO
COGITI
VALENCIA
VA07290/22
TRLTDCFZ60T66IJ1

Soldaduras (Redistribución plástica)

Ítem	Borde	Espesor de g. [mm]	Longitud [mm]	Cargas	$\sigma_{w,Ed}$ [MPa]	ε_{Pl} [%]	$\sigma_{\perp}$ [MPa]	$\tau_{\parallel}$ [MPa]	$\tau_{\perp}$ [MPa]	Ut [%]	Ut [%]	Estado
C-tfl 1	B2-w 1	10,0	100	LE1								OK
C-tfl 1	B2-arc 1	10,0	10	LE1								OK
C-tfl 1	B2-arc 2	10,0	10	LE1								OK
C-tfl 1	B2-arc 3	10,0	10	LE1								OK
C-tfl 1	B2-w 2	10,0	100	LE1								OK
C-tfl 1	B2-arc 4	10,0	10	LE1								OK
C-tfl 1	B2-arc 5	10,0	10	LE1								OK
C-tfl 1	B2-arc 6	10,0	10	LE1								OK
C-tfl 1	B2-w 3	10,0	100	LE1								OK
C-tfl 1	B2-arc 7	10,0	10	LE1								OK
C-tfl 1	B2-arc 8	10,0	10	LE1								OK
C-tfl 1	B2-arc 9	10,0	10	LE1								OK
C-tfl 1	B2-w 4	10,0	100	LE1								OK
C-tfl 1	B2-arc 10	10,0	10	LE1								OK
C-tfl 1	B2-arc 11	10,0	10	LE1								OK
C-tfl 1	B2-arc 12	10,0	10	LE1								OK
C-tfl 1	M4-w 1	12,0	88	LE1								OK
C-tfl 1	M4-arc 1	12,0	13	LE1								OK
C-tfl 1	M4-arc 2	12,0	16	LE1								OK
C-tfl 1	M4-arc 3	12,0	18	LE1								OK
C-tfl 1	M4-w 2	12,0	88	LE1								OK
C-tfl 1	M4-w 4	12,0	88	LE1								OK
C-tfl 1	M4-arc 10	12,0	18	LE1								OK
C-tfl 1	M4-arc 11	12,0	16	LE1								OK
C-tfl 1	M4-arc 12	12,0	13	LE1								OK
B2-w 1	M4-w 2	10,0	38	LE1								OK
B2-w 1	M4-arc 4	10,0	20	LE1								OK
B2-w 1	M4-arc 5	10,0	17	LE1								OK
B2-w 1	M4-arc 6	10,0	14	LE1								OK
B2-w 1	M4-w 3	10,0	88	LE1								OK
B2-w 1	M4-arc 7	10,0	14	LE1								OK
B2-w 1	M4-arc 8	10,0	17	LE1								OK
B2-w 1	M4-arc 9	10,0	20	LE1								OK
B2-w 1	M4-w 4	10,0	38	LE1								OK
C-bfl 1	B1-bfl 1	◢6,0◣	240	LE1	327,6	0,0	-170,3	128,3	-98,2	81,0	69,2	OK
		◢6,0◣	240	LE1	397,2	0,4	63,1	67,3	216,2	98,2	98,1	OK
C-bfl 1	B1-tfl 1	◢6,0◣	240	LE1	396,6	0,0	-289,5	127,5	-90,7	98,0	84,5	OK
		◢6,0◣	240	LE1	398,0	0,9	-136,2	85,1	198,5	98,3	98,3	OK
C-bfl 1	B1-w 1	◢5,0◣	335	LE1	396,9	0,2	-187,8	72,5	-188,4	98,1	81,8	OK
		◢5,0◣	335	LE1	396,9	0,2	-189,0	-71,8	188,3	98,1	81,9	OK
C-bfl 1	STIFF1a	◢6,0◣	95	LE1	396,7	0,1	-83,3	31,8	-221,7	98,0	92,9	OK
		◢6,0◣	95	LE1	194,5	0,0	-103,0	-83,7	45,4	48,1	38,1	OK
C-w 1	STIFF1a	◢3,8◣	231	LE1	188,3	0,0	-132,0	-20,9	-74,7	46,5	17,1	OK
		◢3,8◣	231	LE1	203,3	0,0	117,8	74,2	-60,3	50,2	26,5	OK
C-tfl 1	STIFF1a	◢6,0◣	95	LE1	180,3	0,0	-62,1	57,6	-78,9	44,6	30,3	OK

Documento visado electrónicamente con número: VA07290/22
Código de validación telemática TRLTDCFZ60T66IJ1. Comprobación: https://cogitivalencia.e-gestion.es/Validacion.aspx?CVT=TRLTDCFZ60T66IJ1

Proyecto:

Proyecto nº:

Autor:

VISADO
COGITI
ESTADO
VALENCIA
VA07290/22
TRLTDCFZ60T66IJ1

Ítem	Borde	Espesor de g. [mm]	Longitud [mm]	Cargas	$\sigma_{w,Ed}$ [MPa]	ε_{Pl} [%]	$\sigma_{\perp}$ [MPa]	$\tau_{\parallel}$ [MPa]	$\tau_{\perp}$ [MPa]	Ut [%]	Ut$_c$ [%]	
		◢6,0◣	95	LE1	397,2	0,3	-102,6	105,5	194,8	98,1	78,5	OK
C-bfl 1	STIFF1b	◢6,0◣	95	LE1	205,2	0,0	-113,8	86,2	-47,9	50,7	40,3	OK
		◢6,0◣	95	LE1	396,8	0,1	-85,4	-27,4	222,0	98,0	95,4	OK
C-w 1	STIFF1b	◢3,8◣	231	LE1	202,1	0,0	124,8	-65,7	64,1	49,9	24,2	OK
		◢3,8◣	231	LE1	189,0	0,0	-135,8	8,6	75,4	46,7	17,3	OK
C-tfl 1	STIFF1b	◢6,0◣	95	LE1	397,4	0,5	-112,1	-111,8	-189,6	98,2	87,0	OK
		◢6,0◣	95	LE1	208,4	0,0	-84,4	-60,4	91,9	51,5	33,7	OK
B1-tfl 1	RIB1	◢6,0◣	216	LE1	180,1	0,0	-15,3	102,5	14,9	44,5	32,9	OK
		◢6,0◣	216	LE1	178,3	0,0	-14,4	-101,5	-14,9	44,0	32,9	OK
C-bfl 1	RIGIDIZAR2a	◢6,0◣	95	LE1	373,1	0,0	-143,0	-124,9	-154,8	92,2	34,4	OK
		◢6,0◣	95	LE1	342,4	0,0	-135,7	132,8	123,8	84,6	29,2	OK
C-w 1	RIGIDIZAR2a	◢3,8◣	164	LE1	397,3	0,4	-37,6	223,1	-48,9	98,2	48,2	OK
		◢3,8◣	164	LE1	397,4	0,5	-56,6	-222,4	45,7	98,2	52,5	OK
C-tfl 1	RIGIDIZAR2a	◢6,0◣	95	LE1	345,7	0,0	-159,3	-10,4	-176,8	85,4	55,4	OK
		◢6,0◣	95	LE1	396,8	0,1	-189,0	87,3	181,6	98,0	76,7	OK
C-bfl 1	RIGIDIZAR2b	◢6,0◣	95	LE1	350,3	0,0	-137,8	-137,7	-124,9	86,5	30,2	OK
		◢6,0◣	95	LE1	378,0	0,0	-144,2	126,9	156,9	93,4	34,8	OK
C-w 1	RIGIDIZAR2b	◢3,8◣	164	LE1	397,4	0,5	-57,0	222,3	-46,1	98,2	55,0	OK
		◢3,8◣	164	LE1	397,4	0,5	-37,1	-223,2	48,5	98,2	51,0	OK
C-tfl 1	RIGIDIZAR2b	◢6,0◣	95	LE1	396,9	0,2	-190,4	-86,8	-181,4	98,1	78,4	OK
		◢6,0◣	95	LE1	392,0	0,0	-180,5	22,6	199,6	96,9	62,5	OK
C-bfl 1	RIGIDIZAR2c	◢6,0◣	95	LE1	202,1	0,0	-110,6	-8,5	-97,3	49,9	41,4	OK
		◢6,0◣	95	LE1	364,9	0,0	-164,6	-60,8	177,9	90,2	71,1	OK
C-w 1	RIGIDIZAR2c	◢3,8◣	164	LE1	202,0	0,0	-87,9	-89,3	-55,2	49,9	26,4	OK
		◢3,8◣	164	LE1	157,9	0,0	39,1	88,1	-6,4	39,0	25,0	OK
C-tfl 1	RIGIDIZAR2c	◢6,0◣	95	LE1	261,5	0,0	-113,7	34,9	-131,4	64,6	42,0	OK
		◢6,0◣	95	LE1	362,9	0,0	-173,8	43,8	178,7	89,7	55,8	OK
C-bfl 1	RIGIDIZAR2d	◢6,0◣	95	LE1	369,8	0,0	-166,6	54,9	-182,5	91,4	73,4	OK
		◢6,0◣	95	LE1	208,4	0,0	-114,3	20,9	98,4	51,5	44,6	OK
C-w 1	RIGIDIZAR2d	◢3,8◣	164	LE1	129,2	0,0	48,8	65,6	21,5	31,9	23,0	OK
		◢3,8◣	164	LE1	168,9	0,0	-91,7	59,8	55,9	41,7	24,8	OK
C-tfl 1	RIGIDIZAR2d	◢6,0◣	95	LE1	396,8	0,1	-185,7	-58,3	-193,9	98,0	68,5	OK
		◢6,0◣	95	LE1	310,6	0,0	-134,3	-37,0	157,4	76,8	49,3	OK
C-bfl 1	RIB1	◢6,0◣	150	LE1	238,9	0,0	-39,3	130,2	-39,5	59,0	44,7	OK
		◢6,0◣	150	LE1	242,1	0,0	-41,2	-131,5	40,9	59,8	44,7	OK

Datos de diseño

	β_w [-]	$\sigma_{w,Rd}$ [MPa]	0.9 σ [MPa]
S 275	0,85	404,7	309,6

Documento visado electrónicamente con número: VA07290/22
Código de validación telemática TRLTDCFZ60T66IJ1. Comprobación: https://cogitivalencia.e-gestion.es/Validacion.aspx?CVT=TRLTDCFZ60T66IJ1

Proyecto:

Proyecto nº:

Autor:

VISADO
COGITI
VALENCIA
VA07290/22
TRLTDCFZ60T66IJ1

Explicación del símbolo

ε_{Pl}	Deformación
$\sigma_{w,Ed}$	Tensión equivalente
$\sigma_{w,Rd}$	Resistencia a tensión equivalente
$\sigma_{\perp}$	Tensión perpendicular
$\tau_{\parallel}$	Tensión cortante paralela al eje de la soldadura
$\tau_{\perp}$	Tensión normal perpendicular al eje de la soldadura
0.9 σ	Resistencia a tensión perpendicular - 0.9*fu/γM2
β_w	Factor de correlación EN 1993-1-8 tabla. 4.1
Ut	Utilización
Utc	Utilización de la capacidad de la soldadura

Pandeo

El análisis de pandeo no se ha calculado.

Configuración de la norma

Ítem	Valor	Unidad	Referencia
γ_{M0}	1,00	-	EN 1993-1-1: 6.1
γ_{M1}	1,00	-	EN 1993-1-1: 6.1
γ_{M2}	1,25	-	EN 1993-1-1: 6.1
γ_{M3}	1,25	-	EN 1993-1-8: 2.2
γ_C	1,50	-	EN 1992-1-1: 2.4.2.4
γ_{Inst}	1,20	-	EN 1992-4: Table 4.1
Coeficiente de unión βj	0,67	-	EN 1993-1-8: 6.2.5
Área efectiva - influencia del tamaño de la malla	0,10	-	
Coeficiente de fricción - hormigón	0,25	-	EN 1993-1-8
Coeficiente de fricción en la resistencia a deslizamiento	0,30	-	EN 1993-1-8 Pestaña 3.7
Deformación plástica límite	0,05	-	EN 1993-1-5
Evaluación de la tensión de la soldadura	Redistribución plástica		
Detallado	No		
Distancia entre tornillos [d]	2,20	-	EN 1993-1-8: Pestaña 3.3
Distancia entre tornillos y el borde [d0]	1,20	-	EN 1993-1-8: Pestaña 3.3
Resistencia al arrancamiento del cono de hormigón	Both		EN 1992-4: 7.2.1.4 and 7.2.2.5
Utilizar αb calculada en la verificación por aplastamiento.	Sí		EN 1993-1-8: Pestaña 3.4
Hormigón fisurado	Sí		EN 1992-4
Comprobación de la deformación local	No		CIDECT DG 1, 3 - 1.1
Deformación límite local	0,03	-	CIDECT DG 1, 3 - 1.1
No linealidad geométrica (GMNA)	Sí		Grandes deformaciones para secciones huecas
Sistema arriostrado	No		EN 1993-1-8: 5.2.2.5

Documento visado electrónicamente con número: VA07290/22
Código de validación telemática TRLTDCFZ60T66IJ1. Comprobación: https://cogitivalencia.e-gestion.es/Validacion.aspx?CVT=TRLTDCFZ60T66IJ1

Proyecto:
Proyecto nº:
Autor:

VISADO
COGITI
VALENCIA
VA07290/22
TRLTDCFZ60T66IJ1

Datos del proyecto

Nombre del proyecto	
Número del Proyecto	
Autor	
Descripción	
Fecha	10/05/2021
Normativa de cálculo	EN

Material

Acero	S 275

Documento visado electrónicamente con número: VA07290/22
Código de validación telemática TRLTDCFZ60T66IJ1. Comprobación: https://cogitivalencia.e-gestion.es/Validacion.aspx?CVT=TRLTDCFZ60T66IJ1

Proyecto:
Proyecto nº:
Autor:

VISADO
COGITI
VALENCIA
VA07290/22
TRLTDCFZ60T66IJ1

Ítem del proyecto CON1

Diseño

Nombre	CON1
Descripción	
Análisis	Tensión, deformación/ Carga simplificada

Elementos estructurales

Nombre	Sección transversal	β – Dirección [°]	γ - Inclinación [°]	α - Rotación [°]	Desplazamiento ex [mm]	Desplazamiento ey [mm]	Desplazamiento ez [mm]	Fuerzas en
CH	4 - HEA240	0,0	0,0	0,0	0	0	0	Nudo
D1	5 - SHS120/120/4.0	0,0	-50,7	0,0	0	0	0	Nudo
D2	5 - SHS120/120/4.0	180,0	-46,2	0,0	0	0	0	Nudo
M4	6 - SHS120/120/5.0	180,0	-86,0	0,0	0	0	0	Nudo

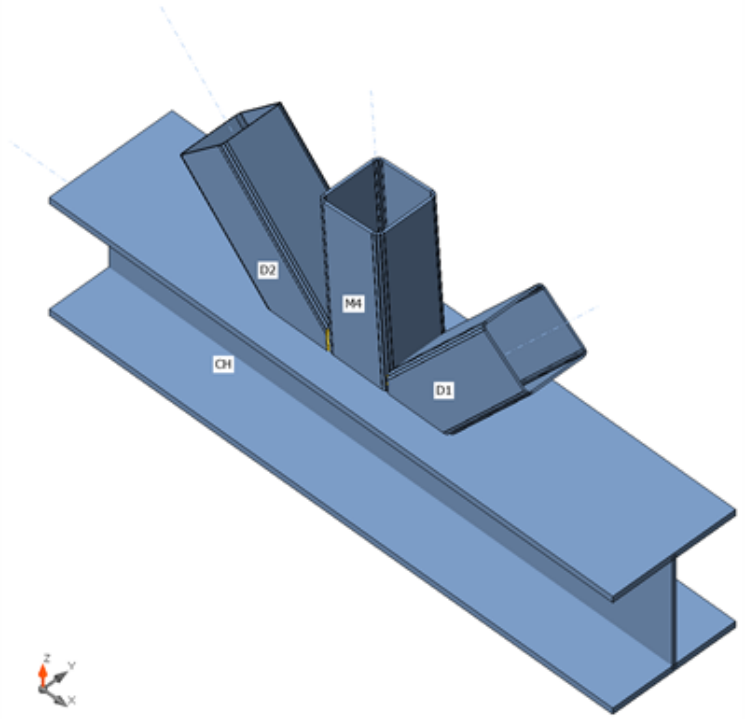

Secciones

Nombre	Material
4 - HEA240	S 275
5 - SHS120/120/4.0	S 275
6 - SHS120/120/5.0	S 275

Documento visado electrónicamente con número: VA07290/22
Código de validación telemática TRLTDCFZ60T66IJ1. Comprobación: https://cogitivalencia.e-gestion.es/Validacion.aspx?CVT=TRLTDCFZ60T66IJ1

Proyecto:
Proyecto nº:
Autor:

VISADO
COGITI
VALENCIA
VA07290/22
TRLTDCFZ60T66IJ1

Cargas (No se requiere el equilibro)

Nombre	Elemento	N [kN]	Vy [kN]	Vz [kN]	Mx [kNm]	My [kNm]	Mz [kNm]
LE1	D1	75,0	0,0	0,0	0,0	-1,1	0,0
	D2	-125,7	0,0	0,0	0,0	0,0	0,0
	M4	42,4	0,0	0,0	0,0	0,0	0,0
LE2	D1	-108,3	0,0	0,0	0,0	0,0	0,0
	D2	187,9	0,0	0,0	0,0	0,0	0,0
	M4	-60,1	0,0	0,0	0,0	0,0	0,0

Verificación

Resumen

Nombre	Valor	Estado
Análisis	100,0%	OK
Placas	0,1 < 5,0%	OK
Pandeo	No calculado	

Placas

Nombre	Espesor [mm]	Cargas	σ_{Ed} [MPa]	ε_{Pl} [%]	σc_{Ed} [MPa]	Estado
CH-bfl 1	12,0	LE2	17,2	0,0	0,0	OK
CH-tfl 1	12,0	LE2	85,9	0,0	0,0	OK
CH-w 1	7,5	LE2	120,2	0,0	0,0	OK
D1	4,0	LE2	235,8	0,0	0,0	OK
D2	4,0	LE2	275,2	0,1	0,0	OK
M4	5,0	LE2	275,1	0,1	0,0	OK

Datos de diseño

Material	f_y [MPa]	ε_{lim} [%]
S 275	275,0	5,0

Explicación del símbolo

ε_{Pl}	Deformación
σ_{Ed}	Ec. tensión
σc_{Ed}	Contact stress
f_y	Límite elástico
ε_{lim}	Límite de la deformación plástica

Documento visado electrónicamente con número: VA07290/22
Código de validación telemática TRLTDCFZ60T66IJ1. Comprobación: https://cogitivalencia.e-gestion.es/Validacion.aspx?CVT=TRLTDCFZ60T66IJ1

Proyecto:

Proyecto nº:

Autor:

VISADO
COGITI
VALENCIA
VA07290/22
TRLTDCFZ60T66IJ1

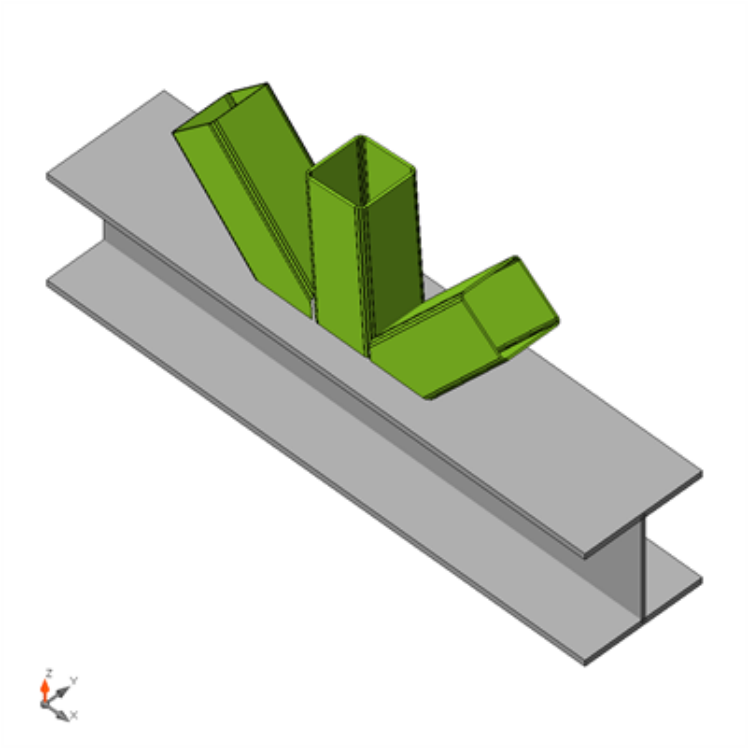

Verificación general, LE2

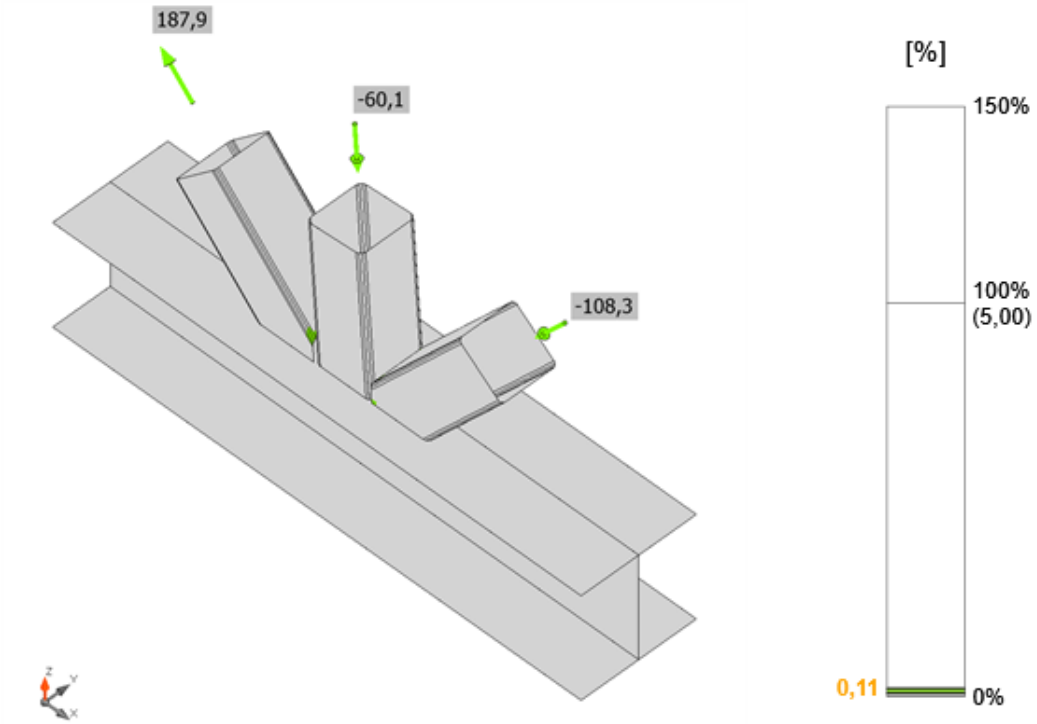

Verificación de deformación, LE2

Documento visado electrónicamente con número: VA07290/22
Código de validación telemática TRLTDCFZ60T66IJ1. Comprobación: https://cogitivalencia.e-gestion.es/Validacion.aspx?CVT=TRLTDCFZ60T66IJ1

VISADO
COGITI
VALENCIA
VA07290/22
TRLTDCFZ60T66IJ1

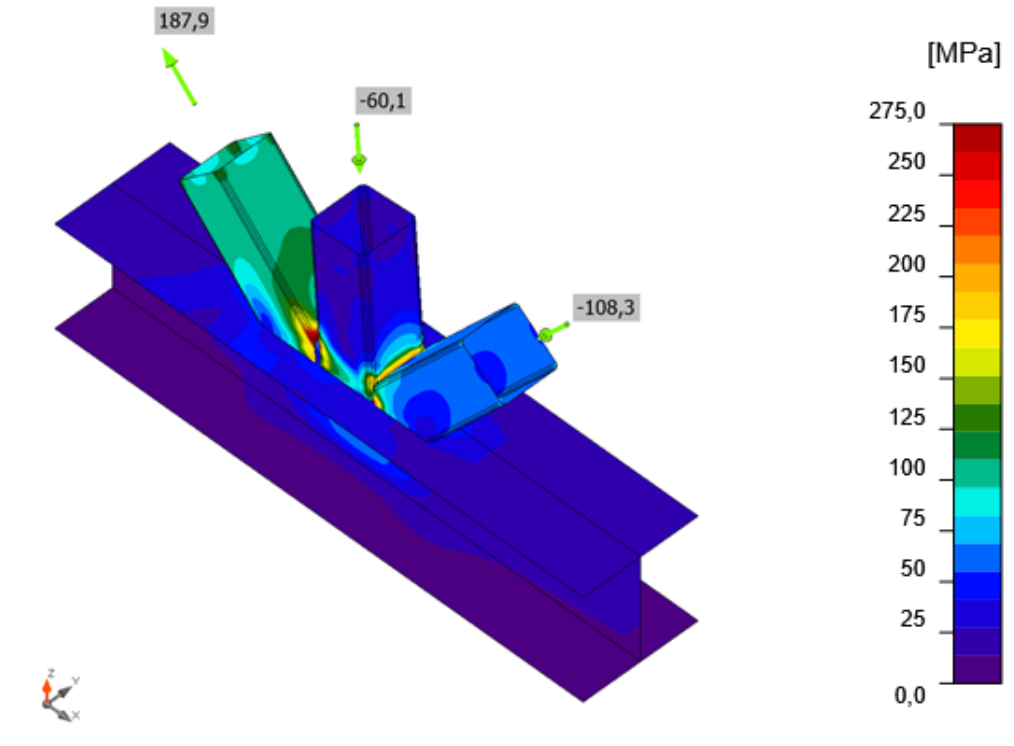

Tensión equivalente, LE2

Documento visado electrónicamente con número: VA07290/22
Código de validación telemática TRLTDCFZ60T66IJ1. Comprobación: https://cogitivalencia.e-gestion.es/Validacion.aspx?CVT=TRLTDCFZ60T66IJ1

Proyecto:

Proyecto nº:

Autor:

VISADO
COGITI
VALENCIA
VA07290/22
TRLTDCFZ60T66IJ1

Soldaduras (Se ha usado el máximo valor. Se recomienda redistribución plástica)

Ítem	Borde	Espesor de g. [mm]	Longitud [mm]	Cargas	$\sigma_{w,Ed}$ [MPa]	$\sigma_{\perp}$ [MPa]	$\tau_{\parallel}$ [MPa]	$\tau_{\perp}$ [MPa]	Ut [%]	Estado
CH-tfl 1	D1-w 1	4,0	100	LE1						OK
CH-tfl 1	D1-arc 1	4,0	4	LE1						OK
CH-tfl 1	D1-arc 2	4,0	5	LE1						OK
CH-tfl 1	D1-arc 3	4,0	5	LE1						OK
CH-tfl 1	D1-w 2	4,0	107	LE1						OK
CH-tfl 1	D1-w 4	4,0	107	LE1						OK
CH-tfl 1	D2-w 2	4,0	111	LE1						OK
CH-tfl 1	D2-w 4	4,0	111	LE1						OK
CH-tfl 1	D1-arc 10	4,0	5	LE1						OK
CH-tfl 1	D1-arc 11	4,0	5	LE1						OK
CH-tfl 1	D1-arc 12	4,0	4	LE1						OK
CH-tfl 1	D2-w 1	4,0	100	LE1						OK
CH-tfl 1	D2-arc 1	4,0	4	LE1						OK
CH-tfl 1	D2-arc 2	4,0	5	LE1						OK
CH-tfl 1	D2-arc 3	4,0	6	LE1						OK
CH-tfl 1	D2-arc 10	4,0	6	LE1						OK
CH-tfl 1	D2-arc 11	4,0	5	LE1						OK
CH-tfl 1	D2-arc 12	4,0	4	LE1						OK
CH-tfl 1	M4-w 1	5,0	95	LE1						OK
CH-tfl 1	M4-arc 1	5,0	5	LE1						OK
CH-tfl 1	M4-arc 2	5,0	5	LE1						OK
CH-tfl 1	M4-arc 3	5,0	5	LE1						OK
CH-tfl 1	M4-w 2	5,0	95	LE1						OK
CH-tfl 1	M4-arc 4	5,0	5	LE1						OK
CH-tfl 1	M4-arc 5	5,0	5	LE1						OK
CH-tfl 1	M4-arc 6	5,0	5	LE1						OK
CH-tfl 1	M4-w 3	5,0	95	LE1						OK
CH-tfl 1	M4-arc 7	5,0	5	LE1						OK
CH-tfl 1	M4-arc 8	5,0	5	LE1						OK
CH-tfl 1	M4-arc 9	5,0	5	LE1						OK
CH-tfl 1	M4-w 4	5,0	95	LE1						OK
CH-tfl 1	M4-arc 10	5,0	5	LE1						OK
CH-tfl 1	M4-arc 11	5,0	5	LE1						OK
CH-tfl 1	M4-arc 12	5,0	5	LE1						OK
M4-w 3	D1-w 2	4,0	25	LE1						OK
M4-w 3	D1-arc 4	4,0	6	LE1						OK
M4-w 3	D1-arc 5	4,0	5	LE1						OK
M4-w 3	D1-arc 6	4,0	4	LE1						OK
M4-w 3	D1-w 3	4,0	100	LE1						OK
M4-w 3	D1-arc 7	4,0	4	LE1						OK
M4-w 3	D1-arc 8	4,0	5	LE1						OK
M4-w 3	D1-arc 9	4,0	6	LE1						OK
M4-w 3	D1-w 4	4,0	25	LE1						OK
M4-w 1	D2-w 2	4,0	31	LE1						OK
M4-w 1	D2-arc 4	4,0	6	LE1						OK

Documento visado electrónicamente con número: VA07290/22
Código de validación telemática TRLTDCFZ60T66IJ1. Comprobación: https://cogitivalencia.e-gestion.es/Validacion.aspx?CVT=TRLTDCFZ60T66IJ1

VISADO
COGITI
Estado
VALENCIA
VA07290/22
TRLTDCFZ60T66IJ1

Ítem	Borde	Espesor de g. [mm]	Longitud [mm]	Cargas	$\sigma_{w,Ed}$ [MPa]	$\sigma_{\perp}$ [MPa]	$\tau_{\parallel}$ [MPa]	$\tau_{\perp}$ [MPa]	Ut [%]	
M4-w 1	D2-arc 5	4,0	5	LE1						OK
M4-w 1	D2-arc 6	4,0	4	LE1						OK
M4-w 1	D2-w 3	4,0	100	LE1						OK
M4-w 1	D2-arc 7	4,0	4	LE1						OK
M4-w 1	D2-arc 8	4,0	5	LE1						OK
M4-w 1	D2-arc 9	4,0	6	LE1						OK
M4-w 1	D2-w 4	4,0	31	LE1						OK

Datos de diseño

	β_w [-]	$\sigma_{w,Rd}$ [MPa]	0.9 σ [MPa]
S 275	0,85	404,7	309,6

Explicación del símbolo

$\sigma_{w,Ed}$	Tensión equivalente
$\sigma_{w,Rd}$	Resistencia a tensión equivalente
$\sigma_{\perp}$	Tensión perpendicular
$\tau_{\parallel}$	Tensión cortante paralela al eje de la soldadura
$\tau_{\perp}$	Tensión normal perpendicular al eje de la soldadura
0.9 σ	Resistencia a tensión perpendicular - 0.9*fu/γM2
β_w	Factor de correlación EN 1993-1-8 tabla. 4.1
Ut	Utilización
Utc	Utilización de la capacidad de la soldadura

Pandeo

El análisis de pandeo no se ha calculado.

Configuración de la norma

Ítem	Valor	Unidad	Referencia
γ_{M0}	1,00	-	EN 1993-1-1: 6.1
γ_{M1}	1,00	-	EN 1993-1-1: 6.1
γ_{M2}	1,25	-	EN 1993-1-1: 6.1
γ_{M3}	1,25	-	EN 1993-1-8: 2.2
γ_{C}	1,50	-	EN 1992-1-1: 2.4.2.4
γ_{Inst}	1,20	-	EN 1992-4: Table 4.1
Coeficiente de unión βj	0,67	-	EN 1993-1-8: 6.2.5
Área efectiva - influencia del tamaño de la malla	0,10	-	
Coeficiente de fricción - hormigón	0,25	-	EN 1993-1-8
Coeficiente de fricción en la resistencia a deslizamiento	0,30	-	EN 1993-1-8 Pestaña 3.7
Deformación plástica límite	0,05	-	EN 1993-1-5
Evaluación de la tensión de la soldadura	Redistribución plástica		
Detallado	No		
Distancia entre tornillos [d]	2,20	-	EN 1993-1-8: Pestaña 3.3
Distancia entre tornillos y el borde [d0]	1,20	-	EN 1993-1-8: Pestaña 3.3
Resistencia al arrancamiento del cono de hormigón	Both		EN 1992-4: 7.2.1.4 and 7.2.2.5

Documento visado electrónicamente con número: VA07290/22
Código de validación telemática TRLTDCFZ60T66IJ1. Comprobación: https://cogitivalencia.e-gestion.es/Validacion.aspx?CVT=TRLTDCFZ60T66IJ1

VISADO
COGITI
VALENCIA
VA07290/22
TRLTDCFZ60T66IJ1

Ítem	Valor	Unidad	Referencia
Utilizar αb calculada en la verificación por aplastamiento.	Sí		EN 1993-1-8: Pestaña 3.4
Hormigón fisurado	Sí		EN 1992-4
Comprobación de la deformación local	No		CIDECT DG 1, 3 - 1.1
Deformación límite local	0,03	-	CIDECT DG 1, 3 - 1.1
No linealidad geométrica (GMNA)	Sí		Grandes deformaciones para secciones huecas
Sistema arriostrado	No		EN 1993-1-8: 5.2.2.5

Documento visado electrónicamente con número: VA07290/22
Código de validación telemática TRLTDCFZ60T66IJ1. Comprobación: https://cogitivalencia.e-gestion.es/Validacion.aspx?CVT=TRLTDCFZ60T66IJ1

Proyecto:
Proyecto nº:
Autor:

VISADO
COGITI
VALENCIA
VA07290/22
TRLTDCFZ60T66IJ1

Datos del proyecto

Nombre del proyecto	
Número del Proyecto	
Autor	
Descripción	
Fecha	10/05/2021
Normativa de cálculo	EN

Material

Acero	S 275

Documento visado electrónicamente con número: VA07290/22
Código de validación telemática TRLTDCFZ60T66IJ1. Comprobación: https://cogitivalencia.e-gestion.es/Validacion.aspx?CVT=TRLTDCFZ60T66IJ1

Proyecto:
Proyecto nº:
Autor:

VISADO
COGITI
VALENCIA
VA07290/22
TRLTDCFZ60T66IJ1

Ítem del proyecto CON1

Diseño

Nombre	CON1
Descripción	
Análisis	Tensión, deformación/ Carga simplificada

Elementos estructurales

Nombre	Sección transversal	β – Dirección [°]	γ - Inclinación [°]	α - Rotación [°]	Desplazamiento ex [mm]	Desplazamiento ey [mm]	Desplazamiento ez [mm]	Fuerzas en
CH	4 - HEA220	0,0	0,0	0,0	0	0	0	Nudo
D1	5 - SHS120/120/5.0	0,0	86,0	0,0	0	0	0	Nudo

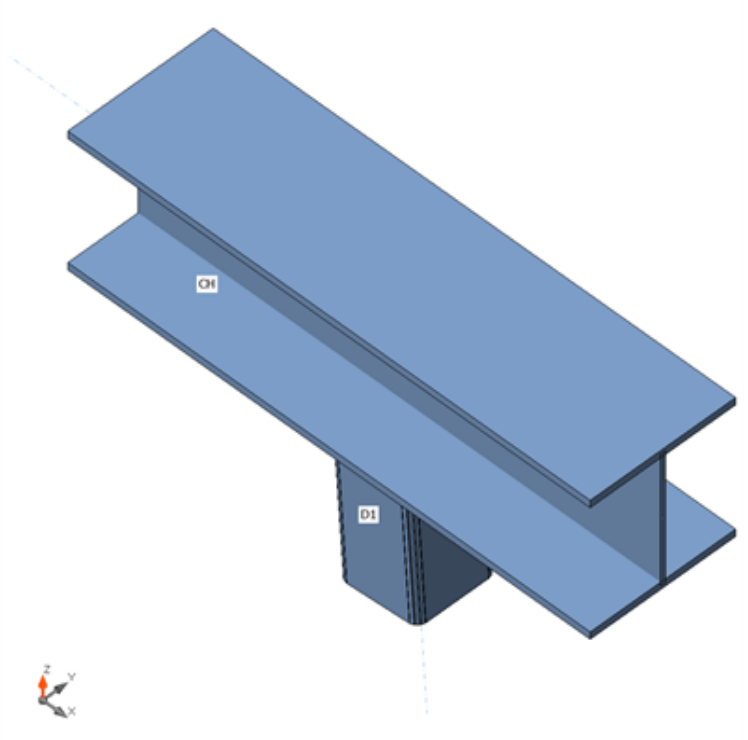

Secciones

Nombre	Material
4 - HEA220	S 275
5 - SHS120/120/5.0	S 275

Cargas (No se requiere el equilibro)

Nombre	Elemento	N [kN]	Vy [kN]	Vz [kN]	Mx [kNm]	My [kNm]	Mz [kNm]
LE1	D1	-63,4	0,0	0,0	0,0	0,0	0,0
LE2	D1	44,6	0,0	0,0	0,0	0,0	0,0

Documento visado electrónicamente con número: VA07290/22
Código de validación telemática TRLTDCFZ60T66IJ1. Comprobación: https://cogitivalencia.e-gestion.es/Validacion.aspx?CVT=TRLTDCFZ60T66IJ1

Proyecto:
Proyecto nº:
Autor:

VISADO
COGITI
VALENCIA
VA07290/22
TRLTDCFZ60T66IJ1

Verificación

Resumen

Nombre	Valor	Estado
Análisis	100,0%	OK
Placas	0,0 < 5,0%	OK
Pandeo	No calculado	

Placas

Nombre	Espesor [mm]	Cargas	σ_{Ed} [MPa]	ε_{Pl} [%]	σc_{Ed} [MPa]	Estado
CH-bfl 1	11,0	LE1	37,8	0,0	0,0	OK
CH-tfl 1	11,0	LE1	27,8	0,0	0,0	OK
CH-w 1	7,0	LE1	66,9	0,0	0,0	OK
D1	5,0	LE1	142,9	0,0	0,0	OK

Datos de diseño

Material	f_y [MPa]	ε_{lim} [%]
S 275	275,0	5,0

Explicación del símbolo

ε_{Pl}	Deformación
σ_{Ed}	Ec. tensión
σc_{Ed}	Contact stress
f_y	Límite elástico
ε_{lim}	Límite de la deformación plástica

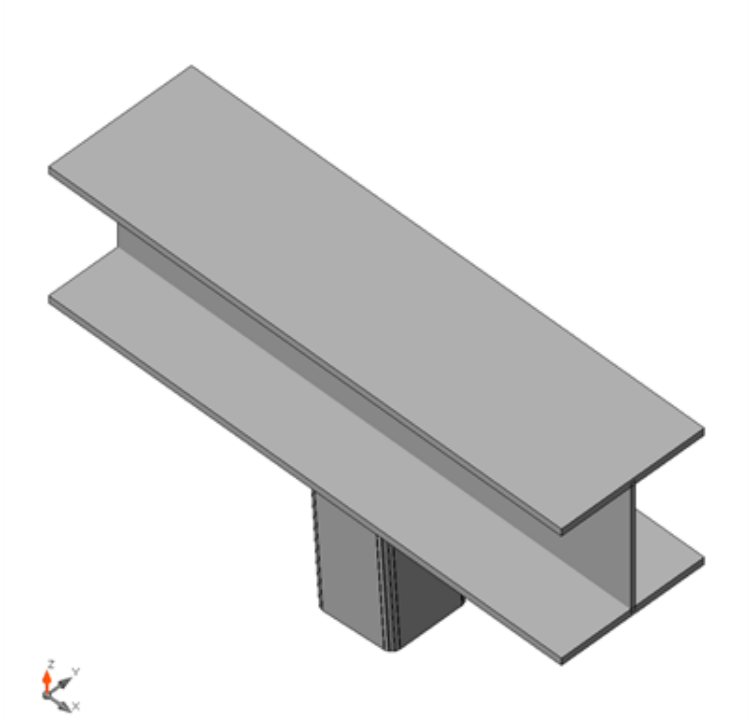

Verificación general, LE1

Documento visado electrónicamente con número: VA07290/22
Código de validación telemática TRLTDCFZ60T66IJ1. Comprobación: https://cogitivalencia.e-gestion.es/Validacion.aspx?CVT=TRLTDCFZ60T66IJ1

VISADO
COGITI
VALENCIA
VA07290/22
TRLTDCFZ60T66IJ1

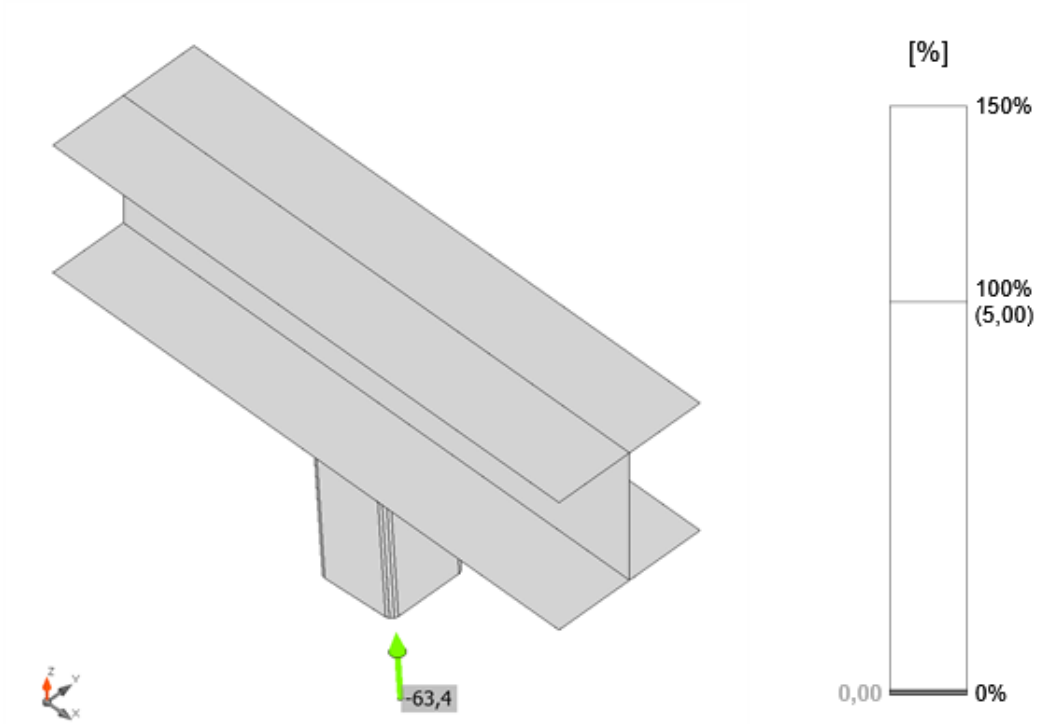

Verificación de deformación, LE1

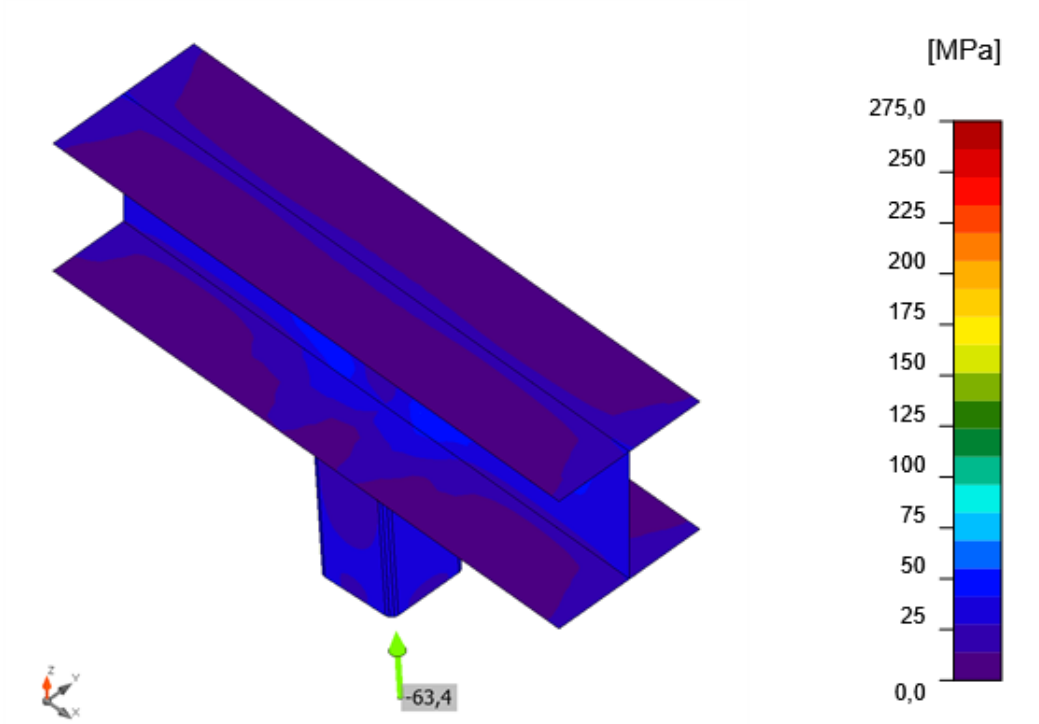

Tensión equivalente, LE1

Documento visado electrónicamente con número: VA07290/22
Código de validación telemática TRLTDCFZ60T66IJ1. Comprobación: https://cogitivalencia.e-gestion.es/Validacion.aspx?CVT=TRLTDCFZ60T66IJ1

VISADO
COGITI
VALENCIA
VA07290/22
TRLTDCFZ60T66IJ1

Soldaduras (Se ha usado el máximo valor. Se recomienda redistribución plástica)

Ítem	Borde	Espesor de g. [mm]	Longitud [mm]	Cargas	$\sigma_{w,Ed}$ [MPa]	$\sigma_{\perp}$ [MPa]	$\tau_{\parallel}$ [MPa]	$\tau_{\perp}$ [MPa]	Ut [%]	Estado
CH-bfl 1	D1-w 1	5,0	95	LE1						OK
CH-bfl 1	D1-arc 1	5,0	5	LE1						OK
CH-bfl 1	D1-arc 2	5,0	5	LE1						OK
CH-bfl 1	D1-arc 3	5,0	5	LE1						OK
CH-bfl 1	D1-w 2	5,0	95	LE1						OK
CH-bfl 1	D1-arc 4	5,0	5	LE1						OK
CH-bfl 1	D1-arc 5	5,0	5	LE1						OK
CH-bfl 1	D1-arc 6	5,0	5	LE1						OK
CH-bfl 1	D1-w 3	5,0	95	LE1						OK
CH-bfl 1	D1-arc 7	5,0	5	LE1						OK
CH-bfl 1	D1-arc 8	5,0	5	LE1						OK
CH-bfl 1	D1-arc 9	5,0	5	LE1						OK
CH-bfl 1	D1-w 4	5,0	95	LE1						OK
CH-bfl 1	D1-arc 10	5,0	5	LE1						OK
CH-bfl 1	D1-arc 11	5,0	5	LE1						OK
CH-bfl 1	D1-arc 12	5,0	5	LE1						OK

Datos de diseño

	β_w [-]	$\sigma_{w,Rd}$ [MPa]	0.9 σ [MPa]
S 275	0,85	404,7	309,6

Explicación del símbolo

$\sigma_{w,Ed}$	Tensión equivalente
$\sigma_{w,Rd}$	Resistencia a tensión equivalente
$\sigma_{\perp}$	Tensión perpendicular
$\tau_{\parallel}$	Tensión cortante paralela al eje de la soldadura
$\tau_{\perp}$	Tensión normal perpendicular al eje de la soldadura
0.9 σ	Resistencia a tensión perpendicular - 0.9*fu/γM2
β_w	Factor de correlación EN 1993-1-8 tabla. 4.1
Ut	Utilización
Utc	Utilización de la capacidad de la soldadura

Pandeo

El análisis de pandeo no se ha calculado.

Configuración de la norma

Ítem	Valor	Unidad	Referencia
γ_{M0}	1,00	-	EN 1993-1-1: 6.1
γ_{M1}	1,00	-	EN 1993-1-1: 6.1
γ_{M2}	1,25	-	EN 1993-1-1: 6.1
γ_{M3}	1,25	-	EN 1993-1-8: 2.2
γ_C	1,50	-	EN 1992-1-1: 2.4.2.4
γ_{Inst}	1,20	-	EN 1992-4: Table 4.1
Coeficiente de unión βj	0,67	-	EN 1993-1-8: 6.2.5

Documento visado electrónicamente con número: VA07290/22
Código de validación telemática TRLTDCFZ60T66IJ1. Comprobación: https://cogitivalencia.e-gestion.es/Validacion.aspx?CVT=TRLTDCFZ60T66IJ1

VISADO
COGITI
VALENCIA
VA07290/22
TRLTDCFZ60T66IJ1

Ítem	Valor	Unidad	Referencia
Área efectiva - influencia del tamaño de la malla	0,10	-	
Coeficiente de fricción - hormigón	0,25	-	EN 1993-1-8
Coeficiente de fricción en la resistencia a deslizamiento	0,30	-	EN 1993-1-8 Pestaña 3.7
Deformación plástica límite	0,05	-	EN 1993-1-5
Evaluación de la tensión de la soldadura	Redistribución plástica		
Detallado	No		
Distancia entre tornillos [d]	2,20	-	EN 1993-1-8: Pestaña 3.3
Distancia entre tornillos y el borde [d0]	1,20	-	EN 1993-1-8: Pestaña 3.3
Resistencia al arrancamiento del cono de hormigón	Both		EN 1992-4: 7.2.1.4 and 7.2.2.5
Utilizar αb calculada en la verificación por aplastamiento.	Sí		EN 1993-1-8: Pestaña 3.4
Hormigón fisurado	Sí		EN 1992-4
Comprobación de la deformación local	No		CIDECT DG 1, 3 - 1.1
Deformación límite local	0,03	-	CIDECT DG 1, 3 - 1.1
No linealidad geométrica (GMNA)	Sí		Grandes deformaciones para secciones huecas
Sistema arriostrado	No		EN 1993-1-8: 5.2.2.5

Documento visado electrónicamente con número: VA07290/22
Código de validación telemática TRLTDCFZ60T66IJ1. Comprobación: https://cogitivalencia.e-gestion.es/Validacion.aspx?CVT=TRLTDCFZ60T66IJ1

Proyecto:
Proyecto nº:
Autor:

VISADO
COGITI
VALENCIA
VA07290/22
TRLTDCFZ60T66IJ1

Datos del proyecto

Nombre del proyecto	
Número del Proyecto	
Autor	
Descripción	
Fecha	10/05/2021
Normativa de cálculo	EN

Material

Acero	S 275

Documento visado electrónicamente con número: VA07290/22
Código de validación telemática TRLTDCFZ60T66IJ1. Comprobación: https://cogitivalencia.e-gestion.es/Validacion.aspx?CVT=TRLTDCFZ60T66IJ1

Proyecto:
Proyecto nº:
Autor:

VISADO
COGITI
VALENCIA
VA07290/22
TRLTDCFZ60T66IJ1

Ítem del proyecto CON1

Diseño

Nombre	CON1
Descripción	
Análisis	Tensión, deformación/ Carga simplificada

Elementos estructurales

Nombre	Sección transversal	β – Dirección [°]	γ - Inclinación [°]	α - Rotación [°]	Desplazamiento ex [mm]	Desplazamiento ey [mm]	Desplazamiento ez [mm]	Fuerzas en
CH	4 - HEA240	0,0	0,0	0,0	0	0	0	Nudo
D2	7 - SHS150/150/8.0	180,0	-46,2	0,0	0	0	0	Nudo
M4	8 - SHS150/150/10.0	180,0	-86,0	0,0	0	0	0	Nudo

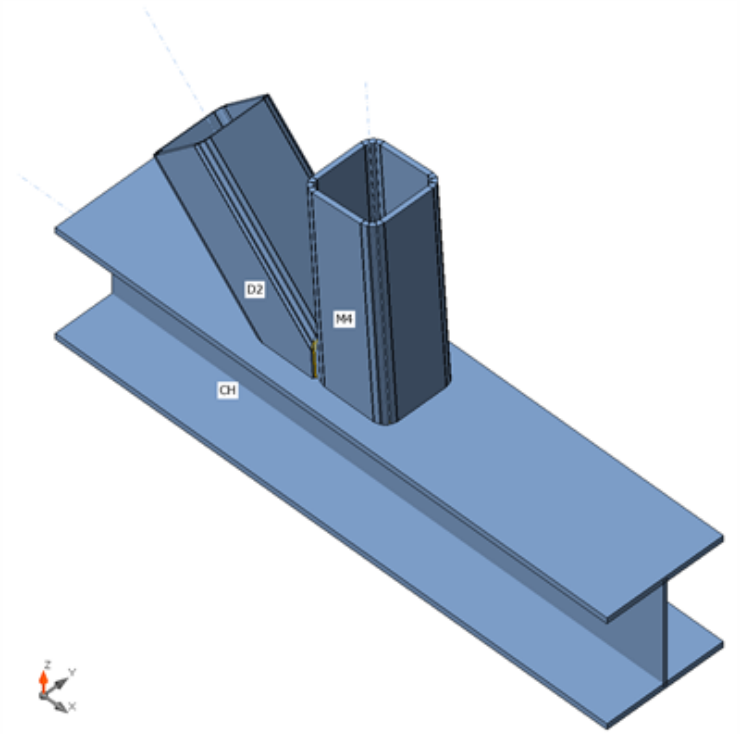

Secciones

Nombre	Material
4 - HEA240	S 275
7 - SHS150/150/8.0	S 275
8 - SHS150/150/10.0	S 275

Cargas (No se requiere el equilibro)

Nombre	Elemento	N [kN]	Vy [kN]	Vz [kN]	Mx [kNm]	My [kNm]	Mz [kNm]
LE1	D2	589,2	0,0	0,0	0,0	0,0	0,0
	M4	-533,4	0,0	0,0	0,0	0,0	0,0
LE2	D2	-386,6	0,0	0,0	0,0	0,0	0,0
	M4	355,8	0,0	0,0	0,0	0,0	0,0

Documento visado electrónicamente con número: VA07290/22
Código de validación telemática TRLTDCFZ60T66IJ1. Comprobación: https://cogitivalencia.e-gestion.es/Validacion.aspx?CVT=TRLTDCFZ60T66IJ1

Proyecto:
Proyecto nº:
Autor:

VISADO
COGITI
VALENCIA
VA07290/22
TRLTDCFZ60T66IJ1

Verificación

Resumen

Nombre	Valor	Estado
Análisis	100,0%	OK
Placas	0,5 < 5,0%	OK
Pandeo	No calculado	

Placas

Nombre	Espesor [mm]	Cargas	σ_{Ed} [MPa]	ε_{Pl} [%]	σc_{Ed} [MPa]	Estado
CH-bfl 1	12,0	LE1	53,2	0,0	0,0	OK
CH-tfl 1	12,0	LE1	188,1	0,0	0,0	OK
CH-w 1	7,5	LE1	275,2	0,1	0,0	OK
D2	8,0	LE1	276,1	0,5	0,0	OK
M4	10,0	LE1	275,7	0,4	0,0	OK

Datos de diseño

Material	f_y [MPa]	ε_{lim} [%]
S 275	275,0	5,0

Explicación del símbolo

ε_{Pl}	Deformación
σ_{Ed}	Ec. tensión
σc_{Ed}	Contact stress
f_y	Límite elástico
ε_{lim}	Límite de la deformación plástica

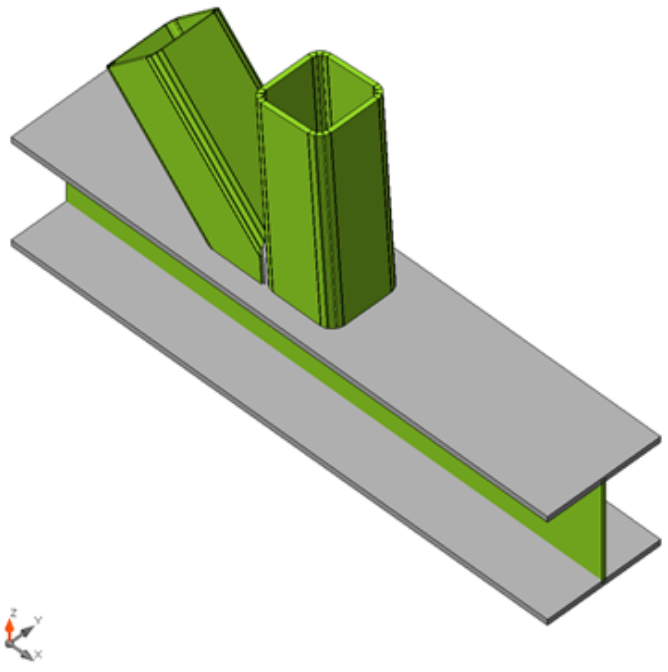

Verificación general, LE1

Documento visado electrónicamente con número: VA07290/22
Código de validación telemática TRLTDCFZ60T66IJ1. Comprobación: https://cogitivalencia.e-gestion.es/Validacion.aspx?CVT=TRLTDCFZ60T66IJ1

VISADO
COGITI
VALENCIA
VA07290/22
TRLTDCFZ60T66IJ1

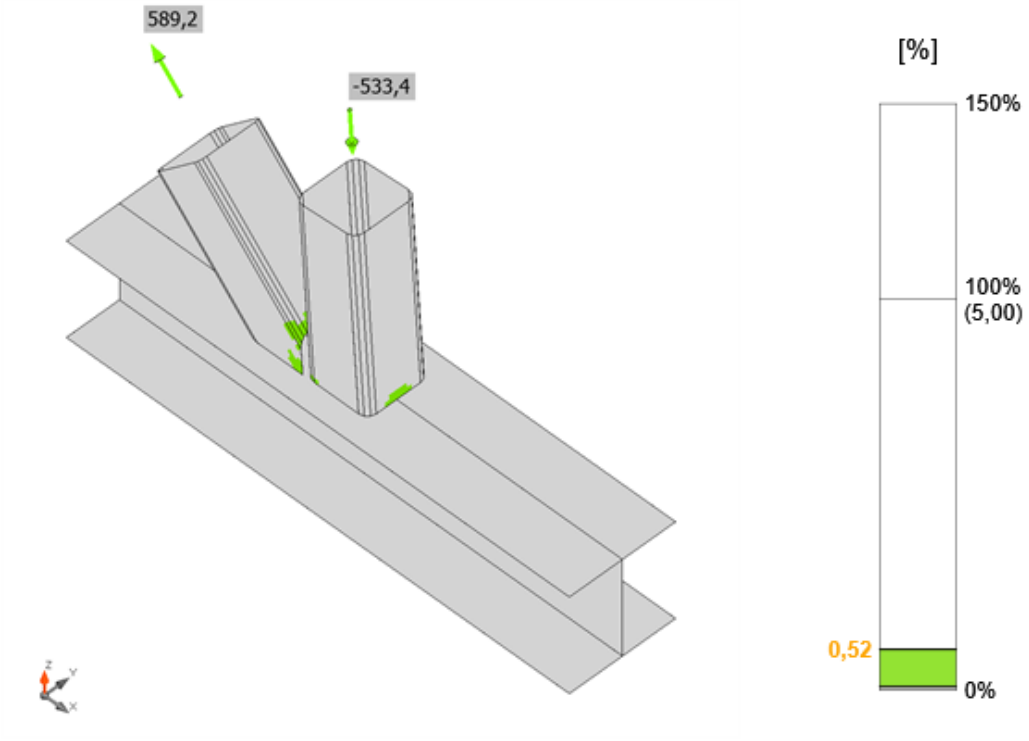

Verificación de deformación, LE1

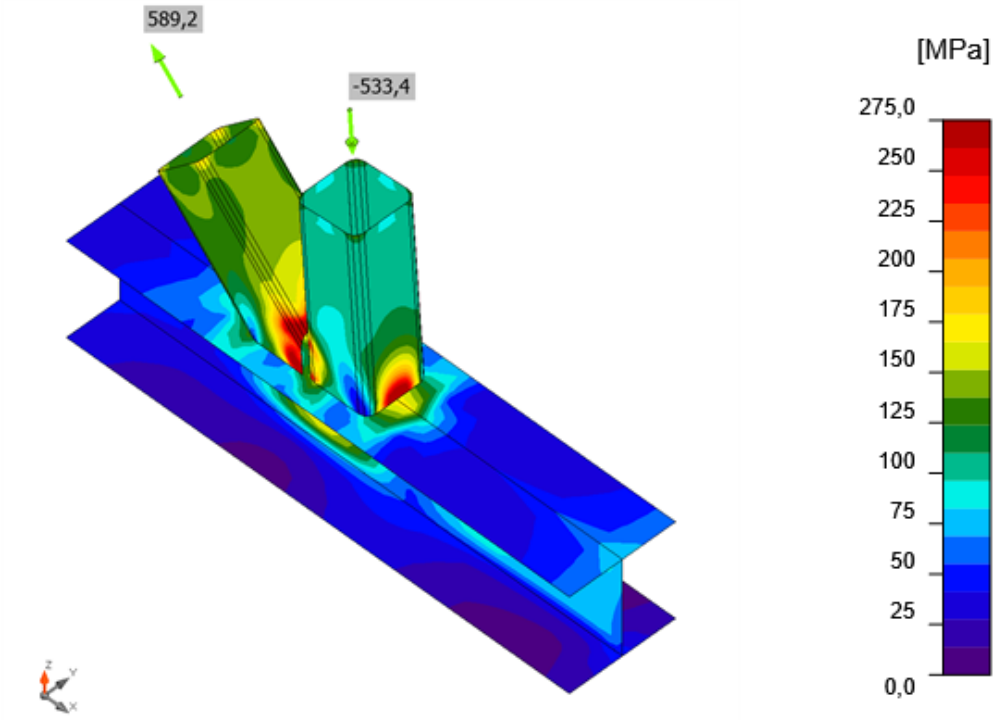

Tensión equivalente, LE1

Documento visado electrónicamente con número: VA07290/22
Código de validación telemática TRLTDCFZ60T66IJ1. Comprobación: https://cogitivalencia.e-gestion.es/Validacion.aspx?CVT=TRLTDCFZ60T66IJ1

Proyecto:
Proyecto nº:
Autor:

VISADO
COGITI
TRLTDCFZ60T66IJ1
VALENCIA
VA07290/22

Soldaduras (Se ha usado el máximo valor. Se recomienda redistribución plástica)

Ítem	Borde	Espesor de g. [mm]	Longitud [mm]	Cargas	$\sigma_{w,Ed}$ [MPa]	$\sigma_{\perp}$ [MPa]	$\tau_{\parallel}$ [MPa]	$\tau_{\perp}$ [MPa]	Ut [%]	Estado
CH-tfl 1	D2-w 1	8,0	110	LE1						OK
CH-tfl 1	D2-arc 1	8,0	9	LE1						OK
CH-tfl 1	D2-arc 2	8,0	10	LE1						OK
CH-tfl 1	D2-arc 3	8,0	11	LE1						OK
CH-tfl 1	D2-w 2	8,0	103	LE1						OK
CH-tfl 1	D2-w 4	8,0	103	LE1						OK
CH-tfl 1	D2-arc 10	8,0	11	LE1						OK
CH-tfl 1	D2-arc 11	8,0	10	LE1						OK
CH-tfl 1	D2-arc 12	8,0	9	LE1						OK
CH-tfl 1	M4-w 1	10,0	100	LE1						OK
CH-tfl 1	M4-arc 1	10,0	10	LE1						OK
CH-tfl 1	M4-arc 2	10,0	10	LE1						OK
CH-tfl 1	M4-arc 3	10,0	10	LE1						OK
CH-tfl 1	M4-w 2	10,0	100	LE1						OK
CH-tfl 1	M4-arc 4	10,0	10	LE1						OK
CH-tfl 1	M4-arc 5	10,0	10	LE1						OK
CH-tfl 1	M4-arc 6	10,0	10	LE1						OK
CH-tfl 1	M4-w 3	10,0	100	LE1						OK
CH-tfl 1	M4-arc 7	10,0	10	LE1						OK
CH-tfl 1	M4-arc 8	10,0	10	LE1						OK
CH-tfl 1	M4-arc 9	10,0	10	LE1						OK
CH-tfl 1	M4-w 4	10,0	100	LE1						OK
CH-tfl 1	M4-arc 10	10,0	10	LE1						OK
CH-tfl 1	M4-arc 11	10,0	10	LE1						OK
CH-tfl 1	M4-arc 12	10,0	10	LE1						OK
M4-w 1	D2-w 2	8,0	55	LE1						OK
M4-w 1	D2-arc 4	8,0	13	LE1						OK
M4-w 1	D2-arc 5	8,0	11	LE1						OK
M4-w 1	D2-arc 6	8,0	9	LE1						OK
M4-w 1	D2-w 3	8,0	110	LE1						OK
M4-w 1	D2-arc 7	8,0	9	LE1						OK
M4-w 1	D2-arc 8	8,0	11	LE1						OK
M4-w 1	D2-arc 9	8,0	13	LE1						OK
M4-w 1	D2-w 4	8,0	55	LE1						OK

Datos de diseño

	β_w [-]	$\sigma_{w,Rd}$ [MPa]	0.9 σ [MPa]
S 275	0,85	404,7	309,6

Documento visado electrónicamente con número: VA07290/22
Código de validación telemática TRLTDCFZ60T66IJ1. Comprobación: https://cogitivalencia.e-gestion.es/Validacion.aspx?CVT=TRLTDCFZ60T66IJ1

VISADO
COGITI
VALENCIA
VA07290/22
TRLTDCFZ60T66IJ1

Explicación del símbolo

$\sigma_{w,Ed}$	Tensión equivalente
$\sigma_{w,Rd}$	Resistencia a tensión equivalente
$\sigma_{\perp}$	Tensión perpendicular
$\tau_{\parallel}$	Tensión cortante paralela al eje de la soldadura
$\tau_{\perp}$	Tensión normal perpendicular al eje de la soldadura
0.9 σ	Resistencia a tensión perpendicular - 0.9*fu/γM2
β_w	Factor de correlación EN 1993-1-8 tabla. 4.1
Ut	Utilización
Utc	Utilización de la capacidad de la soldadura

Pandeo

El análisis de pandeo no se ha calculado.

Configuración de la norma

Ítem	Valor	Unidad	Referencia
γ_{M0}	1,00	-	EN 1993-1-1: 6.1
γ_{M1}	1,00	-	EN 1993-1-1: 6.1
γ_{M2}	1,25	-	EN 1993-1-1: 6.1
γ_{M3}	1,25	-	EN 1993-1-8: 2.2
γ_C	1,50	-	EN 1992-1-1: 2.4.2.4
γ_{Inst}	1,20	-	EN 1992-4: Table 4.1
Coeficiente de unión βj	0,67	-	EN 1993-1-8: 6.2.5
Área efectiva - influencia del tamaño de la malla	0,10	-	
Coeficiente de fricción - hormigón	0,25	-	EN 1993-1-8
Coeficiente de fricción en la resistencia a deslizamiento	0,30	-	EN 1993-1-8 Pestaña 3.7
Deformación plástica límite	0,05	-	EN 1993-1-5
Evaluación de la tensión de la soldadura	Redistribución plástica		
Detallado	No		
Distancia entre tornillos [d]	2,20	-	EN 1993-1-8: Pestaña 3.3
Distancia entre tornillos y el borde [d0]	1,20	-	EN 1993-1-8: Pestaña 3.3
Resistencia al arrancamiento del cono de hormigón	Both		EN 1992-4: 7.2.1.4 and 7.2.2.5
Utilizar αb calculada en la verificación por aplastamiento.	Sí		EN 1993-1-8: Pestaña 3.4
Hormigón fisurado	Sí		EN 1992-4
Comprobación de la deformación local	No		CIDECT DG 1, 3 - 1.1
Deformación límite local	0,03	-	CIDECT DG 1, 3 - 1.1
No linealidad geométrica (GMNA)	Sí		Grandes deformaciones para secciones huecas
Sistema arriostrado	No		EN 1993-1-8: 5.2.2.5

Documento visado electrónicamente con número: VA07290/22
Código de validación telemática TRLTDCFZ60T66IJ1. Comprobación: https://cogitivalencia.e-gestion.es/Validacion.aspx?CVT=TRLTDCFZ60T66IJ1

Proyecto:
Proyecto nº:
Autor:

VISADO
COGITI
VALENCIA
VA07290/22
TRLTDCFZ60T66IJ1

Datos del proyecto

Nombre del proyecto	
Número del Proyecto	
Autor	
Descripción	
Fecha	10/05/2021
Normativa de cálculo	EN

Material

Acero	S 275

Documento visado electrónicamente con número: VA07290/22
Código de validación telemática TRLTDCFZ60T66IJ1. Comprobación: https://cogitivalencia.e-gestion.es/Validacion.aspx?CVT=TRLTDCFZ60T66IJ1

Proyecto:
Proyecto nº:
Autor:

VISADO
COGITI
VALENCIA
VA07290/22
TRLTDCFZ60T66IJ1

Ítem del proyecto CON1

Diseño

Nombre	CON1
Descripción	
Análisis	Tensión, deformación/ Carga simplificada

Elementos estructurales

Nombre	Sección transversal	β – Dirección [°]	γ - Inclinación [°]	α - Rotación [°]	Desplazamiento ex [mm]	Desplazamiento ey [mm]	Desplazamiento ez [mm]	Fuerzas en
CH	4 - HEA240	0,0	0,0	0,0	0	0	0	Nudo
D2	7 - SHS150/150/8.0	180,0	-46,2	0,0	0	0	0	Nudo
M4	7 - SHS150/150/8.0	180,0	-86,0	0,0	0	0	0	Nudo

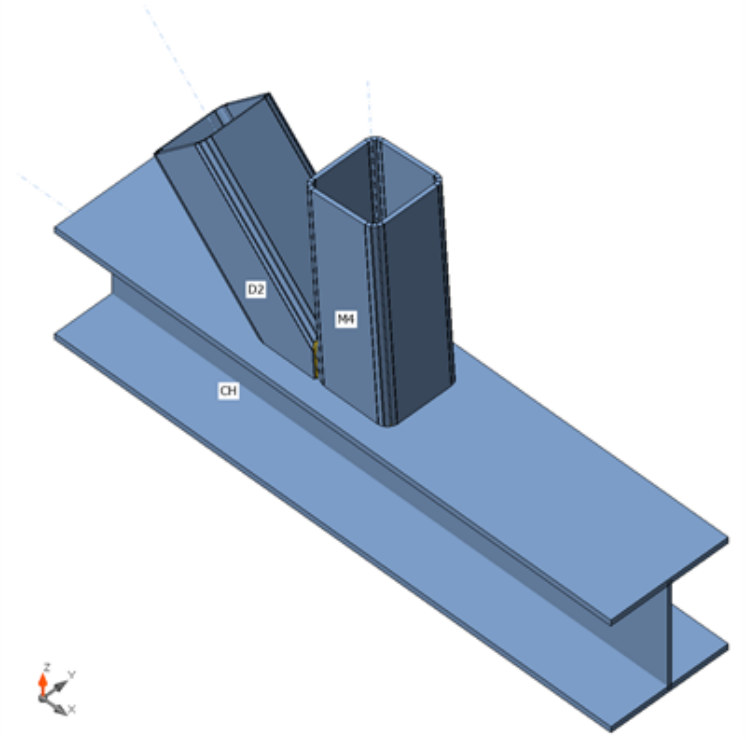

Secciones

Nombre	Material
4 - HEA240	S 275
7 - SHS150/150/8.0	S 275

Cargas (No se requiere el equilibro)

Nombre	Elemento	N [kN]	Vy [kN]	Vz [kN]	Mx [kNm]	My [kNm]	Mz [kNm]
LE1	D2	680,1	0,0	0,0	0,0	0,0	0,0
	M4	-466,0	0,0	0,0	0,0	0,0	0,0
LE2	D2	-451,1	0,0	0,0	0,0	0,0	0,0
	M4	312,4	0,0	0,0	0,0	0,0	0,0

Documento visado electrónicamente con número: VA07290/22
Código de validación telemática TRLTDCFZ60T66IJ1. Comprobación: https://cogitivalencia.e-gestion.es/Validacion.aspx?CVT=TRLTDCFZ60T66IJ1

Proyecto:
Proyecto nº:
Autor:

VISADO
COGITI
VALENCIA
VA07290/22
TRLTDCFZ60T66IJ1

Verificación

Resumen

Nombre	Valor	Estado
Análisis	100,0%	OK
Placas	1,4 < 5,0%	OK
Pandeo	No calculado	

Placas

Nombre	Espesor [mm]	Cargas	σ_{Ed} [MPa]	ε_{Pl} [%]	σc_{Ed} [MPa]	Estado
CH-bfl 1	12,0	LE1	42,5	0,0	0,0	OK
CH-tfl 1	12,0	LE1	243,9	0,0	0,0	OK
CH-w 1	7,5	LE1	275,0	0,0	0,0	OK
D2	8,0	LE1	277,9	1,4	0,0	OK
M4	8,0	LE1	275,6	0,3	0,0	OK

Datos de diseño

Material	f_y [MPa]	ε_{lim} [%]
S 275	275,0	5,0

Explicación del símbolo

ε_{Pl}	Deformación
σ_{Ed}	Ec. tensión
σc_{Ed}	Contact stress
f_y	Límite elástico
ε_{lim}	Límite de la deformación plástica

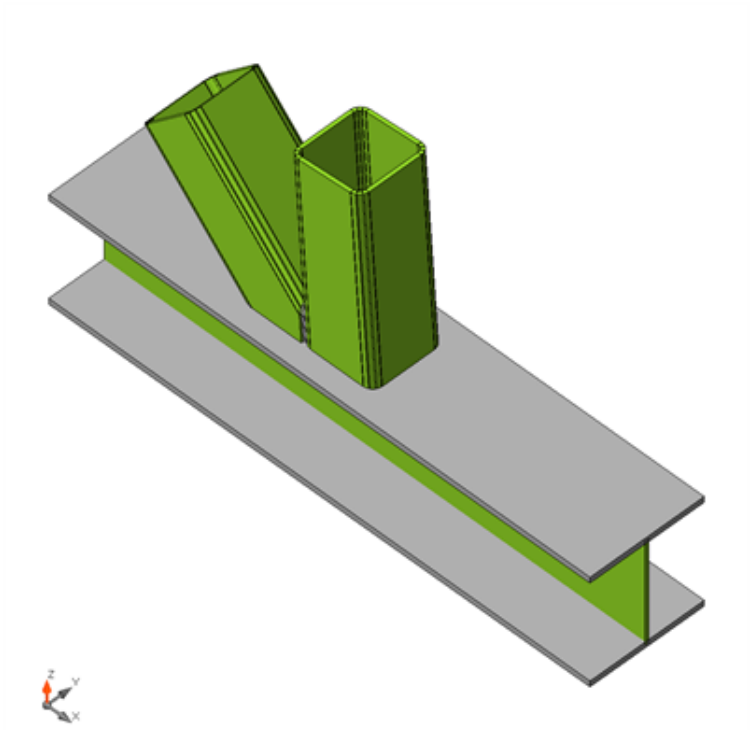

Verificación general, LE1

Documento visado electrónicamente con número: VA07290/22
Código de validación telemática TRLTDCFZ60T66IJ1. Comprobación: https://cogitivalencia.e-gestion.es/Validacion.aspx?CVT=TRLTDCFZ60T66IJ1

VISADO
COGITI
VALENCIA
VA07290/22
TRLTDCFZ60T66IJ1

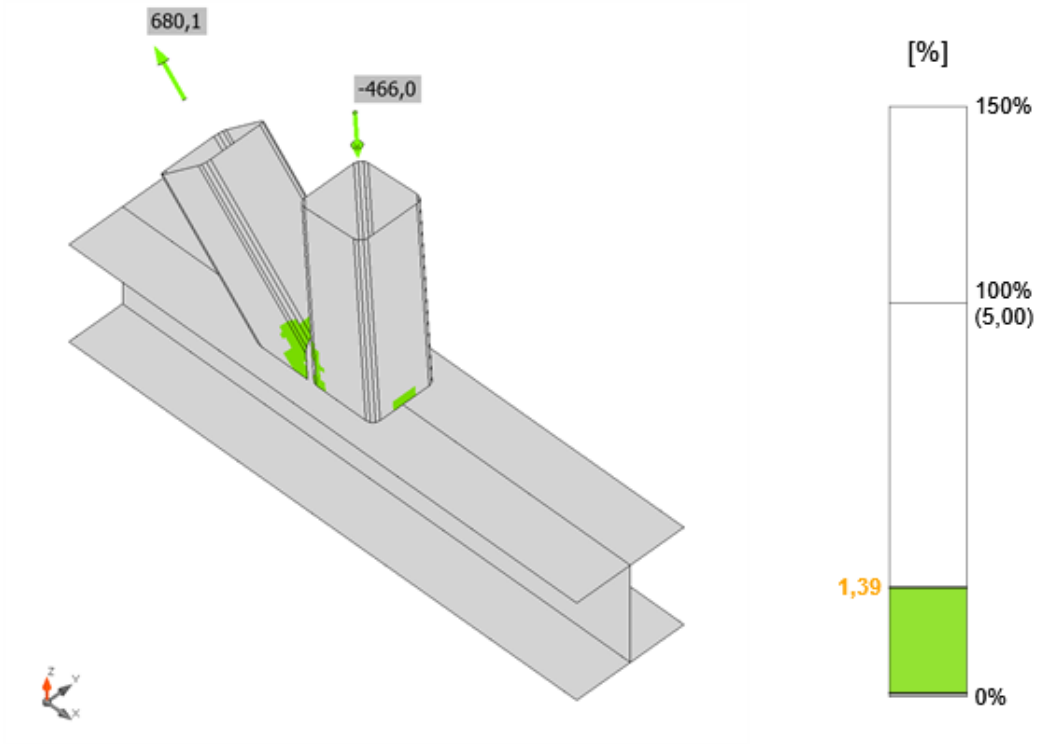

Verificación de deformación, LE1

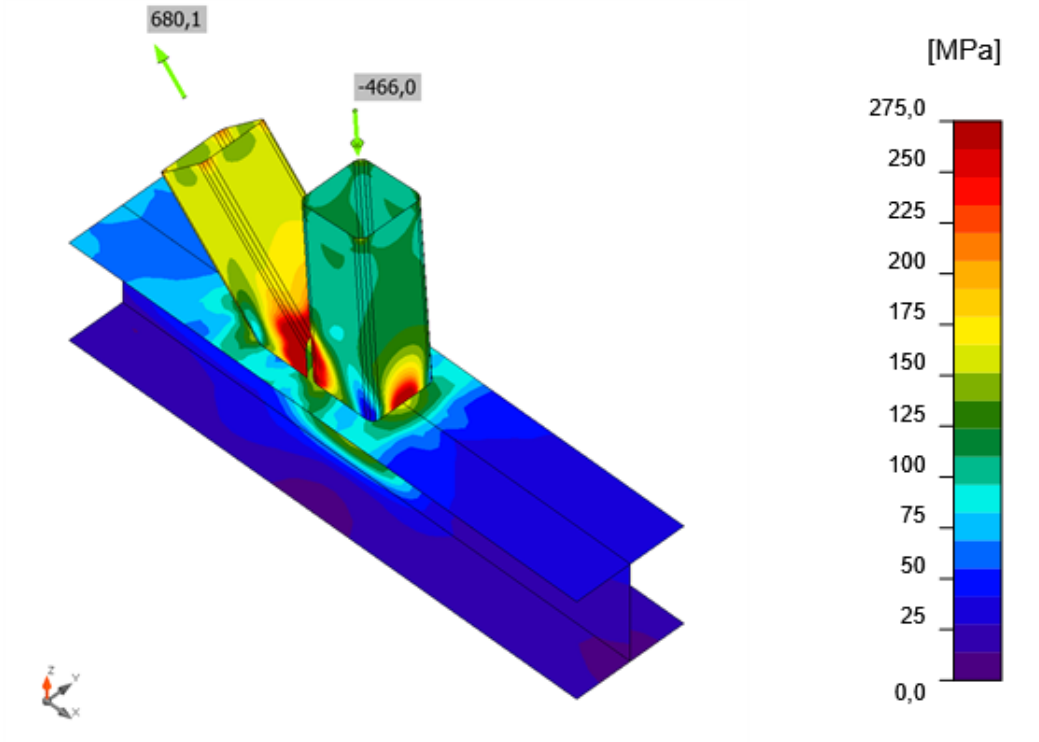

Tensión equivalente, LE1

Documento visado electrónicamente con número: VA07290/22
Código de validación telemática TRLTDCFZ60T66IJ1. Comprobación: https://cogitivalencia.e-gestion.es/Validacion.aspx?CVT=TRLTDCFZ60T66IJ1

Proyecto:

Proyecto nº:

Autor:

VISADO
COGITI
VALENCIA
VA07290/22
TRLTDCFZ60T66IJ1

Soldaduras (Se ha usado el máximo valor. Se recomienda redistribución plástica)

Ítem	Borde	Espesor de g. [mm]	Longitud [mm]	Cargas	$\sigma_{w,Ed}$ [MPa]	$\sigma_{\perp}$ [MPa]	$\tau_{\parallel}$ [MPa]	$\tau_{\perp}$ [MPa]	Ut [%]	Estado
CH-tfl 1	D2-w 1	8,0	110	LE1						OK
CH-tfl 1	D2-arc 1	8,0	9	LE1						OK
CH-tfl 1	D2-arc 2	8,0	10	LE1						OK
CH-tfl 1	D2-arc 3	8,0	11	LE1						OK
CH-tfl 1	D2-w 2	8,0	103	LE1						OK
CH-tfl 1	D2-w 4	8,0	103	LE1						OK
CH-tfl 1	D2-arc 10	8,0	11	LE1						OK
CH-tfl 1	D2-arc 11	8,0	10	LE1						OK
CH-tfl 1	D2-arc 12	8,0	9	LE1						OK
CH-tfl 1	M4-w 1	8,0	110	LE1						OK
CH-tfl 1	M4-arc 1	8,0	8	LE1						OK
CH-tfl 1	M4-arc 2	8,0	8	LE1						OK
CH-tfl 1	M4-arc 3	8,0	8	LE1						OK
CH-tfl 1	M4-w 2	8,0	110	LE1						OK
CH-tfl 1	M4-arc 4	8,0	8	LE1						OK
CH-tfl 1	M4-arc 5	8,0	8	LE1						OK
CH-tfl 1	M4-arc 6	8,0	8	LE1						OK
CH-tfl 1	M4-w 3	8,0	110	LE1						OK
CH-tfl 1	M4-arc 7	8,0	8	LE1						OK
CH-tfl 1	M4-arc 8	8,0	8	LE1						OK
CH-tfl 1	M4-arc 9	8,0	8	LE1						OK
CH-tfl 1	M4-w 4	8,0	110	LE1						OK
CH-tfl 1	M4-arc 10	8,0	8	LE1						OK
CH-tfl 1	M4-arc 11	8,0	8	LE1						OK
CH-tfl 1	M4-arc 12	8,0	8	LE1						OK
M4-w 1	D2-w 2	8,0	55	LE1						OK
M4-w 1	D2-arc 4	8,0	13	LE1						OK
M4-w 1	D2-arc 5	8,0	11	LE1						OK
M4-w 1	D2-arc 6	8,0	9	LE1						OK
M4-w 1	D2-w 3	8,0	110	LE1						OK
M4-w 1	D2-arc 7	8,0	9	LE1						OK
M4-w 1	D2-arc 8	8,0	11	LE1						OK
M4-w 1	D2-arc 9	8,0	13	LE1						OK
M4-w 1	D2-w 4	8,0	55	LE1						OK

Datos de diseño

	β_w [-]	$\sigma_{w,Rd}$ [MPa]	0.9 σ [MPa]
S 275	0,85	404,7	309,6

Documento vísado electrónicamente con número: VA07290/22
Código de validación telemática TRLTDCFZ60T66IJ1. Comprobación: https://cogitivalencia.e-gestion.es/Validacion.aspx?CVT=TRLTDCFZ60T66IJ1

Proyecto:

Proyecto nº:

Autor:

VISADO
COGITI
TRLTDCFZ60T66IJ1
VALENCIA
VA07290/22

Explicación del símbolo

$\sigma_{w,Ed}$	Tensión equivalente
$\sigma_{w,Rd}$	Resistencia a tensión equivalente
$\sigma_{\perp}$	Tensión perpendicular
$\tau_{\parallel}$	Tensión cortante paralela al eje de la soldadura
$\tau_{\perp}$	Tensión normal perpendicular al eje de la soldadura
0.9 σ	Resistencia a tensión perpendicular - 0.9*fu/γM2
β_w	Factor de correlación EN 1993-1-8 tabla. 4.1
Ut	Utilización
Utc	Utilización de la capacidad de la soldadura

Pandeo

El análisis de pandeo no se ha calculado.

Configuración de la norma

Ítem	Valor	Unidad	Referencia
γ_{M0}	1,00	-	EN 1993-1-1: 6.1
γ_{M1}	1,00	-	EN 1993-1-1: 6.1
γ_{M2}	1,25	-	EN 1993-1-1: 6.1
γ_{M3}	1,25	-	EN 1993-1-8: 2.2
γ_C	1,50	-	EN 1992-1-1: 2.4.2.4
γ_{Inst}	1,20	-	EN 1992-4: Table 4.1
Coeficiente de unión βj	0,67	-	EN 1993-1-8: 6.2.5
Área efectiva - influencia del tamaño de la malla	0,10	-	
Coeficiente de fricción - hormigón	0,25	-	EN 1993-1-8
Coeficiente de fricción en la resistencia a deslizamiento	0,30	-	EN 1993-1-8 Pestaña 3.7
Deformación plástica límite	0,05	-	EN 1993-1-5
Evaluación de la tensión de la soldadura	Redistribución plástica		
Detallado	No		
Distancia entre tornillos [d]	2,20	-	EN 1993-1-8: Pestaña 3.3
Distancia entre tornillos y el borde [d0]	1,20	-	EN 1993-1-8: Pestaña 3.3
Resistencia al arrancamiento del cono de hormigón	Both		EN 1992-4: 7.2.1.4 and 7.2.2.5
Utilizar αb calculada en la verificación por aplastamiento.	Sí		EN 1993-1-8: Pestaña 3.4
Hormigón fisurado	Sí		EN 1992-4
Comprobación de la deformación local	No		CIDECT DG 1, 3 - 1.1
Deformación límite local	0,03	-	CIDECT DG 1, 3 - 1.1
No linealidad geométrica (GMNA)	Sí		Grandes deformaciones para secciones huecas
Sistema arriostrado	No		EN 1993-1-8: 5.2.2.5

Documento visado electrónicamente con número: VA07290/22
Código de validación telemática TRLTDCFZ60T66IJ1. Comprobación: https://cogitivalencia.e-gestion.es/Validacion.aspx?CVT=TRLTDCFZ60T66IJ1

Proyecto:
Proyecto nº:
Autor:

VISADO
COGITI
VALENCIA
VA07290/22
TRLTDCFZ60T66IJ1

Datos del proyecto

Nombre del proyecto	
Número del Proyecto	
Autor	
Descripción	
Fecha	10/05/2021
Normativa de cálculo	EN

Material

Acero	S 275

Documento visado electrónicamente con número: VA07290/22
Código de validación telemática TRLTDCFZ60T66IJ1. Comprobación: https://cogitivalencia.e-gestion.es/Validacion.aspx?CVT=TRLTDCFZ60T66IJ1

Proyecto:
Proyecto nº:
Autor:

VISADO
COGITI
VALENCIA
VA07290/22
TRLTDCFZ60T66IJ1

Ítem del proyecto CON1

Diseño

Nombre	CON1
Descripción	
Análisis	Tensión, deformación/ Carga simplificada

Elementos estructurales

Nombre	Sección transversal	β – Dirección [°]	γ - Inclinación [°]	α - Rotación [°]	Desplazamiento ex [mm]	Desplazamiento ey [mm]	Desplazamiento ez [mm]	Fuerzas en
CH	4 - HEA220	0,0	0,0	0,0	0	0	0	Nudo
D1	8 - SHS150/150/10.0	0,0	86,0	0,0	0	0	0	Nudo
D2	6 - SHS150/150/8.0	0,0	46,2	0,0	0	0	0	Nudo

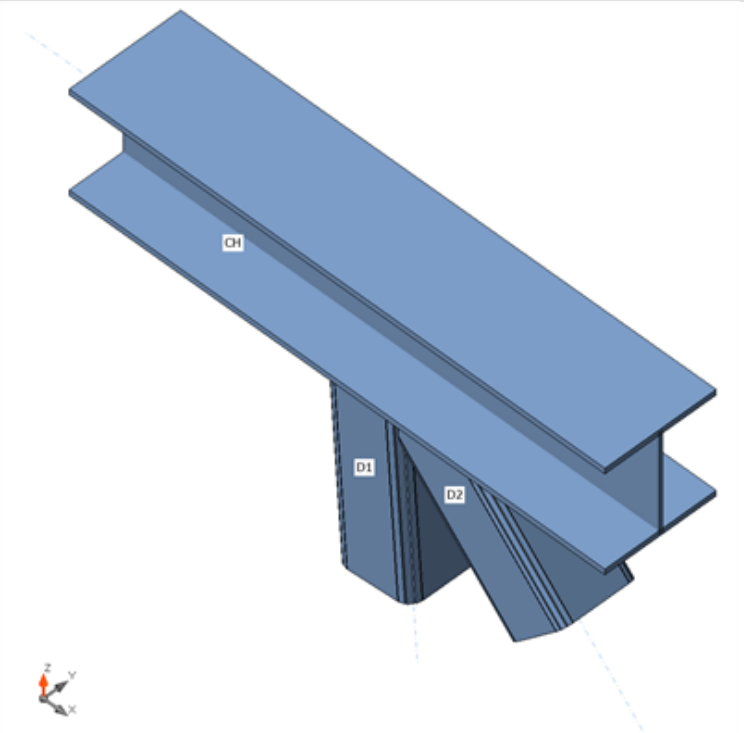

Secciones

Nombre	Material
4 - HEA220	S 275
8 - SHS150/150/10.0	S 275
6 - SHS150/150/8.0	S 275

Cargas (No se requiere el equilibro)

Nombre	Elemento	N [kN]	Vy [kN]	Vz [kN]	Mx [kNm]	My [kNm]	Mz [kNm]
LE1	D1	-532,6	0,0	0,0	0,0	0,0	0,0
	D2	680,1	0,0	0,0	0,0	0,0	0,0
LE2	D1	355,8	0,0	0,0	0,0	0,0	0,0
	D2	-451,1	0,0	0,0	0,0	0,0	0,0

Documento visado electrónicamente con número: VA07290/22
Código de validación telemática TRLTDCFZ60T66IJ1. Comprobación: https://cogitivalencia.e-gestion.es/Validacion.aspx?CVT=TRLTDCFZ60T66IJ1

Proyecto:
Proyecto nº:
Autor:

VISADO
COGITI
VALENCIA
VA07290/22
TRLTDCFZ60T66IJ1

Verificación

Resumen

Nombre	Valor	Estado
Análisis	100,0%	OK
Placas	2,5 < 5,0%	OK
Pandeo	No calculado	

Placas

Nombre	Espesor [mm]	Cargas	σ_{Ed} [MPa]	ε_{Pl} [%]	σc_{Ed} [MPa]	Estado
CH-bfl 1	11,0	LE1	235,4	0,0	0,0	OK
CH-tfl 1	11,0	LE1	37,1	0,0	0,0	OK
CH-w 1	7,0	LE1	275,0	0,0	0,0	OK
D1	10,0	LE1	276,7	0,8	0,0	OK
D2	8,0	LE1	280,2	2,5	0,0	OK

Datos de diseño

Material	f_y [MPa]	ε_{lim} [%]
S 275	275,0	5,0

Explicación del símbolo

ε_{Pl}	Deformación
σ_{Ed}	Ec. tensión
σc_{Ed}	Contact stress
f_y	Límite elástico
ε_{lim}	Límite de la deformación plástica

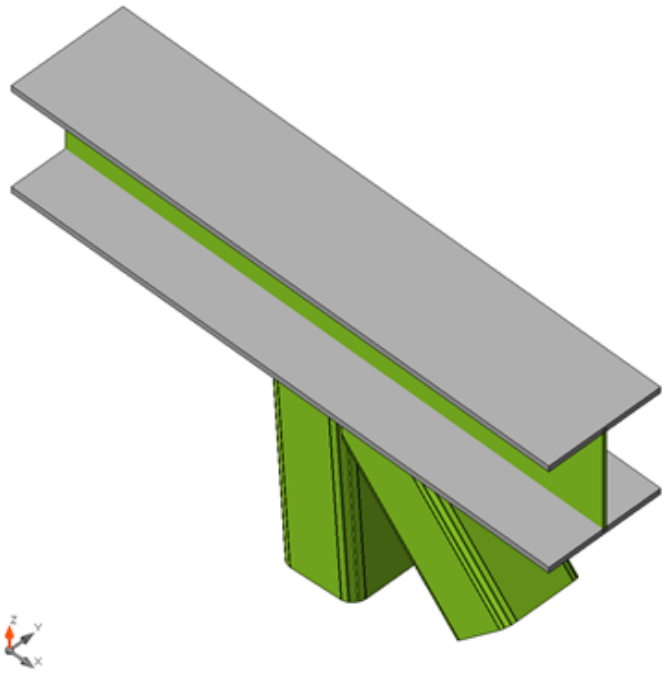

Verificación general, LE1

Documento visado electrónicamente con número: VA07290/22
Código de validación telemática TRLTDCFZ60T66IJ1. Comprobación: https://cogitivalencia.e-gestion.es/Validacion.aspx?CVT=TRLTDCFZ60T66IJ1

VISADO
COGITI
VALENCIA
VA07290/22
TRLTDCFZ60T66IJ1

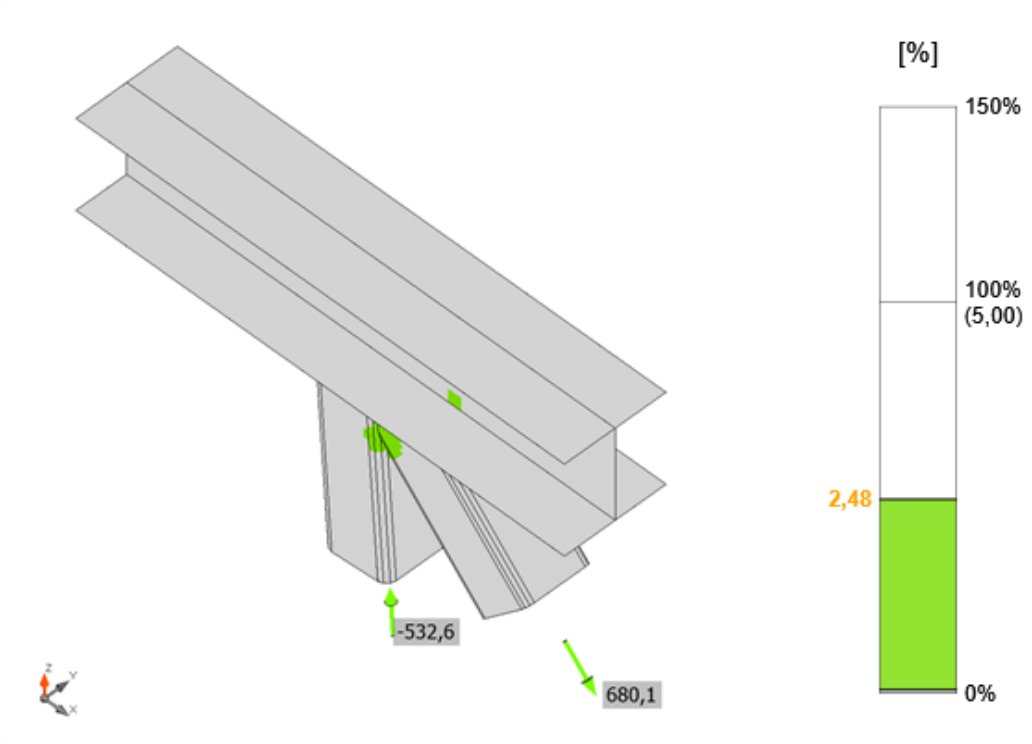

Verificación de deformación, LE1

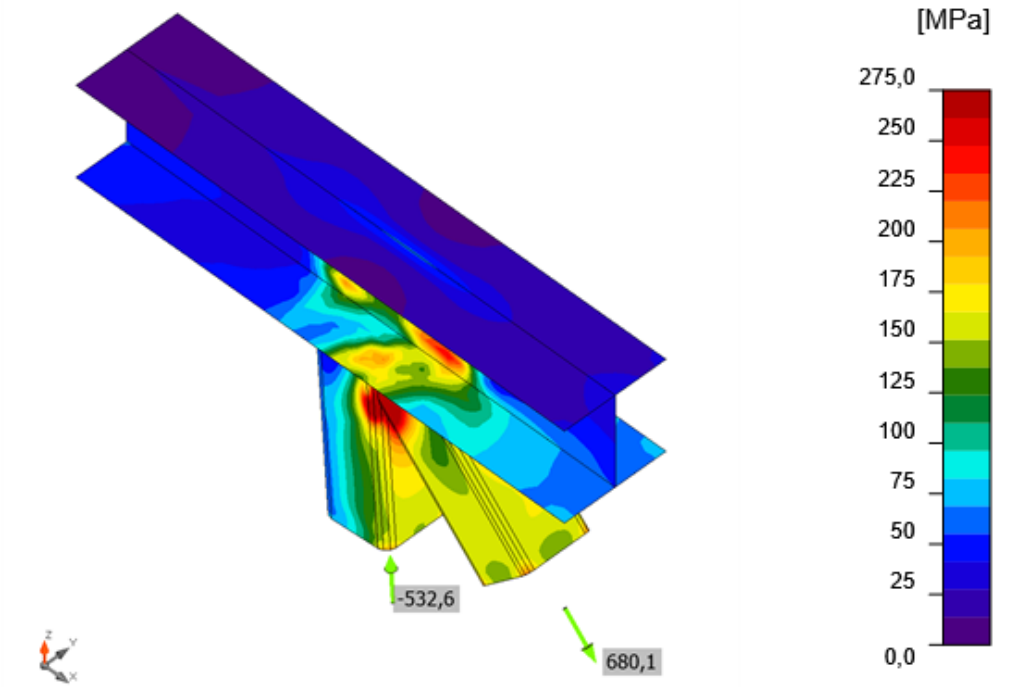

Tensión equivalente, LE1

Documento visado electrónicamente con número: VA07290/22
Código de validación telemática TRLTDCFZ60T66IJ1. Comprobación: https://cogitivalencia.e-gestion.es/Validacion.aspx?CVT=TRLTDCFZ60T66IJ1

Proyecto:
Proyecto nº:
Autor:

VISADO
COGITI
VALENCIA
VA07290/22
TRLTDCFZ60T66IJ1

Soldaduras (Se ha usado el máximo valor. Se recomienda redistribución plástica)

Ítem	Borde	Espesor de g. [mm]	Longitud [mm]	Cargas	$\sigma_{w,Ed}$ [MPa]	$\sigma_{\perp}$ [MPa]	$\tau_{\parallel}$ [MPa]	$\tau_{\perp}$ [MPa]	Ut [%]	Estado
CH-bfl 1	D1-w 1	10,0	100	LE1						OK
CH-bfl 1	D1-arc 1	10,0	10	LE1						OK
CH-bfl 1	D1-arc 2	10,0	10	LE1						OK
CH-bfl 1	D1-arc 3	10,0	10	LE1						OK
CH-bfl 1	D1-w 2	10,0	100	LE1						OK
CH-bfl 1	D1-arc 4	10,0	10	LE1						OK
CH-bfl 1	D1-arc 5	10,0	10	LE1						OK
CH-bfl 1	D1-arc 6	10,0	10	LE1						OK
CH-bfl 1	D1-w 3	10,0	100	LE1						OK
CH-bfl 1	D1-arc 7	10,0	10	LE1						OK
CH-bfl 1	D1-arc 8	10,0	10	LE1						OK
CH-bfl 1	D1-arc 9	10,0	10	LE1						OK
CH-bfl 1	D1-w 4	10,0	100	LE1						OK
CH-bfl 1	D1-arc 10	10,0	10	LE1						OK
CH-bfl 1	D1-arc 11	10,0	10	LE1						OK
CH-bfl 1	D1-arc 12	10,0	10	LE1						OK
CH-bfl 1	D2-w 2	8,0	94	LE1						OK
CH-bfl 1	D2-w 4	8,0	94	LE1						OK
CH-bfl 1	D2-arc 4	8,0	11	LE1						OK
CH-bfl 1	D2-arc 5	8,0	10	LE1						OK
CH-bfl 1	D2-arc 6	8,0	9	LE1						OK
CH-bfl 1	D2-w 3	8,0	110	LE1						OK
CH-bfl 1	D2-arc 7	8,0	9	LE1						OK
CH-bfl 1	D2-arc 8	8,0	10	LE1						OK
CH-bfl 1	D2-arc 9	8,0	11	LE1						OK
D1-w 3	D2-w 1	8,0	110	LE1						OK
D1-w 3	D2-arc 1	8,0	9	LE1						OK
D1-w 3	D2-arc 2	8,0	11	LE1						OK
D1-w 3	D2-arc 3	8,0	13	LE1						OK
D1-w 3	D2-w 2	8,0	65	LE1						OK
D1-w 3	D2-w 4	8,0	65	LE1						OK
D1-w 3	D2-arc 10	8,0	13	LE1						OK
D1-w 3	D2-arc 11	8,0	11	LE1						OK
D1-w 3	D2-arc 12	8,0	9	LE1						OK

Datos de diseño

	β_w [-]	$\sigma_{w,Rd}$ [MPa]	0.9 σ [MPa]
S 275	0,85	404,7	309,6

Documento visado electrónicamente con número: VA07290/22
Código de validación telemática TRLTDCFZ60T66IJ1. Comprobación: https://cogitivalencia.e-gestion.es/Validacion.aspx?CVT=TRLTDCFZ60T66IJ1

VISADO
COGITI
VALENCIA
VA07290/22
TRLTDCFZ60T66IJ1

Explicación del símbolo

$\sigma_{w,Ed}$	Tensión equivalente
$\sigma_{w,Rd}$	Resistencia a tensión equivalente
$\sigma_{\perp}$	Tensión perpendicular
$\tau_{\parallel}$	Tensión cortante paralela al eje de la soldadura
$\tau_{\perp}$	Tensión normal perpendicular al eje de la soldadura
0.9 σ	Resistencia a tensión perpendicular - 0.9*fu/γM2
β_w	Factor de correlación EN 1993-1-8 tabla. 4.1
Ut	Utilización
Utc	Utilización de la capacidad de la soldadura

Pandeo

El análisis de pandeo no se ha calculado.

Configuración de la norma

Ítem	Valor	Unidad	Referencia
γ_{M0}	1,00	-	EN 1993-1-1: 6.1
γ_{M1}	1,00	-	EN 1993-1-1: 6.1
γ_{M2}	1,25	-	EN 1993-1-1: 6.1
γ_{M3}	1,25	-	EN 1993-1-8: 2.2
γ_C	1,50	-	EN 1992-1-1: 2.4.2.4
γ_{Inst}	1,20	-	EN 1992-4: Table 4.1
Coeficiente de unión βj	0,67	-	EN 1993-1-8: 6.2.5
Área efectiva - influencia del tamaño de la malla	0,10	-	
Coeficiente de fricción - hormigón	0,25	-	EN 1993-1-8
Coeficiente de fricción en la resistencia a deslizamiento	0,30	-	EN 1993-1-8 Pestaña 3.7
Deformación plástica límite	0,05	-	EN 1993-1-5
Evaluación de la tensión de la soldadura	Redistribución plástica		
Detallado	No		
Distancia entre tornillos [d]	2,20	-	EN 1993-1-8: Pestaña 3.3
Distancia entre tornillos y el borde [d0]	1,20	-	EN 1993-1-8: Pestaña 3.3
Resistencia al arrancamiento del cono de hormigón	Both		EN 1992-4: 7.2.1.4 and 7.2.2.5
Utilizar αb calculada en la verificación por aplastamiento.	Sí		EN 1993-1-8: Pestaña 3.4
Hormigón fisurado	Sí		EN 1992-4
Comprobación de la deformación local	No		CIDECT DG 1, 3 - 1.1
Deformación límite local	0,03	-	CIDECT DG 1, 3 - 1.1
No linealidad geométrica (GMNA)	Sí		Grandes deformaciones para secciones huecas
Sistema arriostrado	No		EN 1993-1-8: 5.2.2.5

Documento visado electrónicamente con número: VA07290/22
Código de validación telemática TRLTDCFZ60T66IJ1. Comprobación: https://cogitivalencia.e-gestion.es/Validacion.aspx?CVT=TRLTDCFZ60T66IJ1

Proyecto:
Proyecto nº:
Autor:

VISADO
COGITI
VALENCIA
VA07290/22
TRLTDCFZ60T66IJ1

Datos del proyecto

Nombre del proyecto	
Número del Proyecto	
Autor	
Descripción	
Fecha	10/05/2021
Normativa de cálculo	EN

Material

Acero	S 275

Documento visado electrónicamente con número: VA07290/22
Código de validación telemática TRLTDCFZ60T66IJ1. Comprobación: https://cogitivalencia.e-gestion.es/Validacion.aspx?CVT=TRLTDCFZ60T66IJ1

Proyecto:
Proyecto nº:
Autor:

VISADO
COGITI
VALENCIA
VA07290/22
TRLTDCFZ60T66IJ1

Ítem del proyecto CON1

Diseño

Nombre	CON1
Descripción	
Análisis	Tensión, deformación/ Carga simplificada

Elementos estructurales

Nombre	Sección transversal	β – Dirección [°]	γ - Inclinación [°]	α - Rotación [°]	Desplazamiento ex [mm]	Desplazamiento ey [mm]	Desplazamiento ez [mm]	Fuerzas en
CH	4 - HEA220	0,0	0,0	0,0	0	0	0	Nudo
D1	6 - SHS150/150/8.0	0,0	86,0	0,0	0	0	0	Nudo
D2	9 - SHS120/120/6.3	0,0	46,2	0,0	0	0	0	Nudo

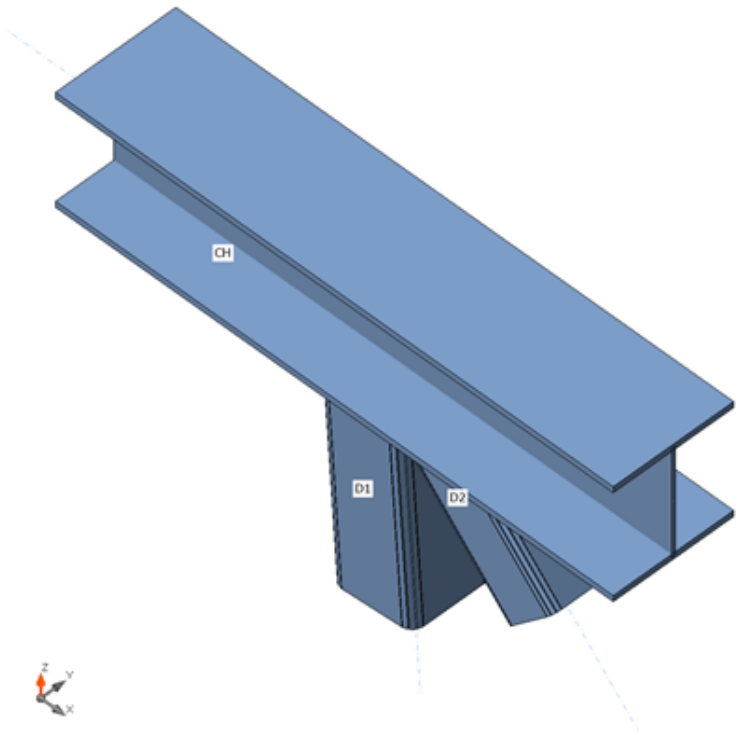

Secciones

Nombre	Material
4 - HEA220	S 275
6 - SHS150/150/8.0	S 275
9 - SHS120/120/6.3	S 275

Documento visado electrónicamente con número: VA07290/22
Código de validación telemática TRLTDCFZ60T66IJ1. Comprobación: https://cogitivalencia.e-gestion.es/Validacion.aspx?CVT=TRLTDCFZ60T66IJ1

Proyecto:
Proyecto nº:
Autor:

VISADO
COGITI
VALENCIA
VA07290/22
TRLTDCFZ60T66IJ1

Cargas (No se requiere el equilibro)

Nombre	Elemento	N [kN]	Vy [kN]	Vz [kN]	Mx [kNm]	My [kNm]	Mz [kNm]
LE1	D1	-465,2	0,0	0,0	0,0	0,0	0,0
	D2	554,2	0,0	0,0	0,0	0,0	0,0
LE2	D1	312,4	0,0	0,0	0,0	0,0	0,0
	D2	-366,7	0,0	0,0	0,0	0,0	0,0

Verificación

Resumen

Nombre	Valor	Estado
Análisis	100,0%	OK
Placas	1,5 < 5,0%	OK
Pandeo	No calculado	

Placas

Nombre	Espesor [mm]	Cargas	σ_{Ed} [MPa]	ε_{Pl} [%]	σc_{Ed} [MPa]	Estado
CH-bfl 1	11,0	LE1	191,9	0,0	0,0	OK
CH-tfl 1	11,0	LE1	39,6	0,0	0,0	OK
CH-w 1	7,0	LE1	262,1	0,0	0,0	OK
D1	8,0	LE1	276,1	0,5	0,0	OK
D2	6,3	LE1	278,2	1,5	0,0	OK

Datos de diseño

Material	f_y [MPa]	ε_{lim} [%]
S 275	275,0	5,0

Explicación del símbolo

ε_{Pl}	Deformación
σ_{Ed}	Ec. tensión
σc_{Ed}	Contact stress
f_y	Límite elástico
ε_{lim}	Límite de la deformación plástica

Documento visado electrónicamente con número: VA07290/22
Código de validación telemática TRLTDCFZ60T66IJ1. Comprobación: https://cogitivalencia.e-gestion.es/Validacion.aspx?CVT=TRLTDCFZ60T66IJ1

Proyecto:

Proyecto nº:

Autor:

VISADO
COGITI
VALENCIA
VA07290/22
TRLTDCFZ60T66IJ1

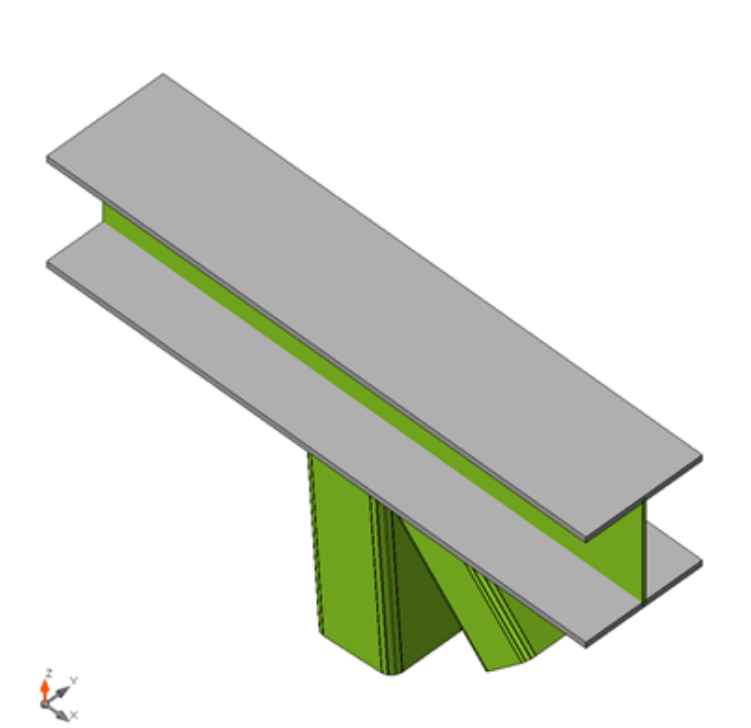

Verificación general, LE1

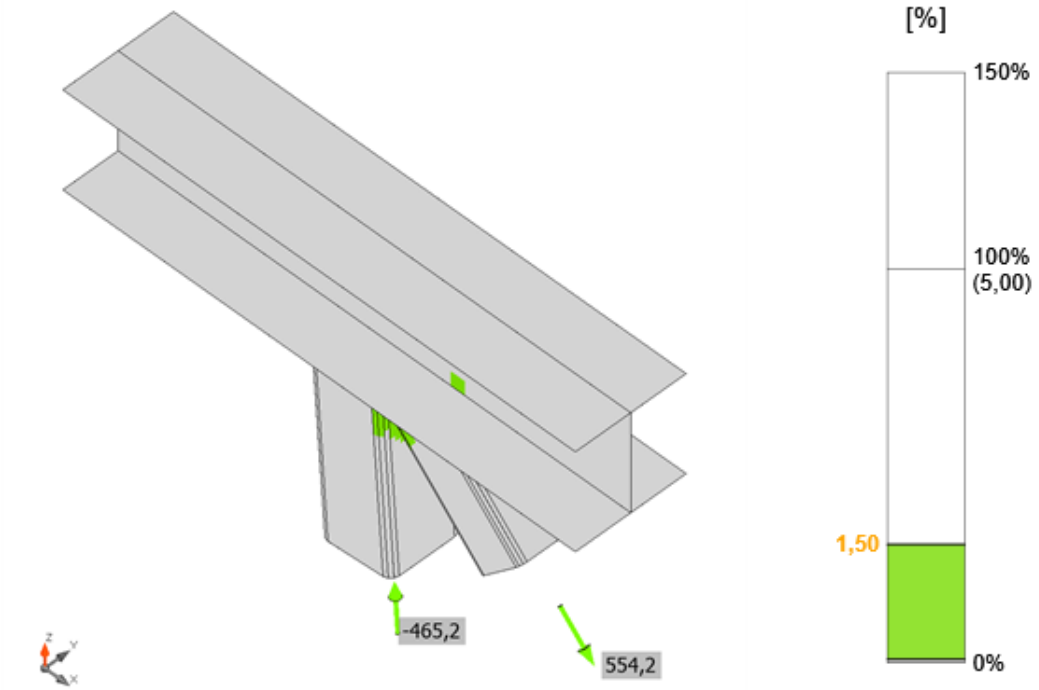

Verificación de deformación, LE1

Documento visado electrónicamente con número: VA07290/22
Código de validación telemática TRLTDCFZ60T66IJ1. Comprobación: https://cogitivalencia.e-gestion.es/Validacion.aspx?CVT=TRLTDCFZ60T66IJ1

Proyecto:

Proyecto nº:

Autor:

VISADO
COGITI
VALENCIA
VA07290/22
TRLTDCFZ60T66IJ1

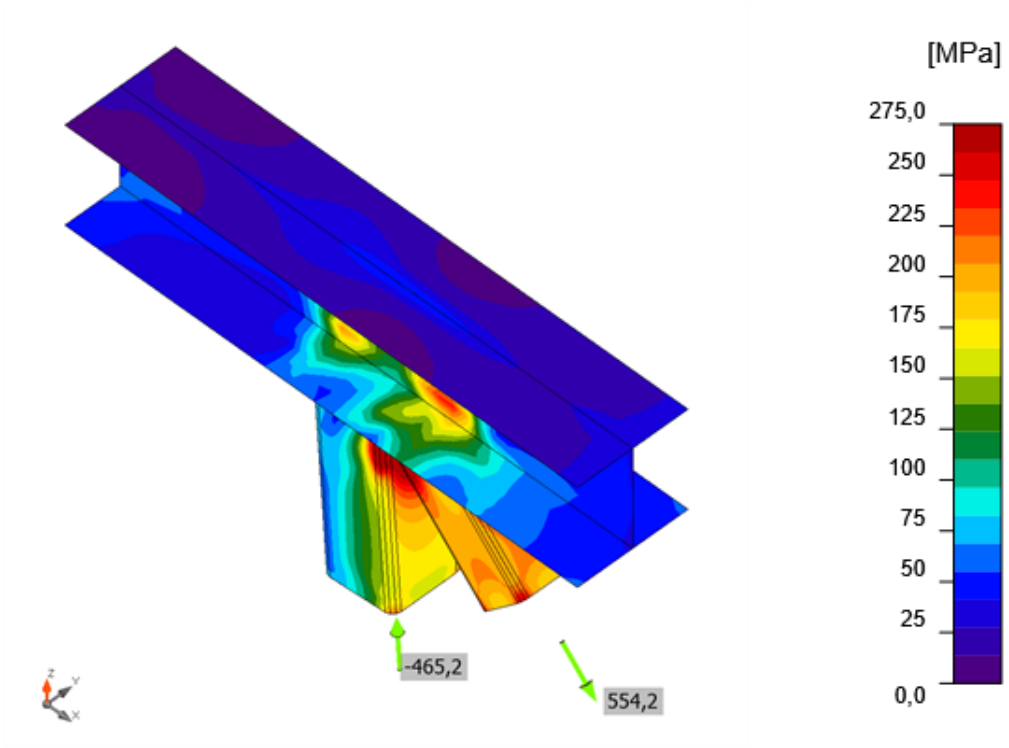

Tensión equivalente, LE1

Documento visado electrónicamente con número: VA07290/22
Código de validación telemática TRLTDCFZ60T66IJ1. Comprobación: https://cogitivalencia.e-gestion.es/Validacion.aspx?CVT=TRLTDCFZ60T66IJ1

Proyecto:

Proyecto nº:

Autor:

VISADO
COGITI
VALENCIA
VA07290/22
TRLTDCFZ60T66IJ1

Soldaduras (Se ha usado el máximo valor. Se recomienda redistribución plástica)

Ítem	Borde	Espesor de g. [mm]	Longitud [mm]	Cargas	$\sigma_{w,Ed}$ [MPa]	$\sigma_{\perp}$ [MPa]	$\tau_{\parallel}$ [MPa]	$\tau_{\perp}$ [MPa]	Ut [%]	Estado
CH-bfl 1	D1-w 1	8,0	110	LE1						OK
CH-bfl 1	D1-arc 1	8,0	8	LE1						OK
CH-bfl 1	D1-arc 2	8,0	8	LE1						OK
CH-bfl 1	D1-arc 3	8,0	8	LE1						OK
CH-bfl 1	D1-w 2	8,0	110	LE1						OK
CH-bfl 1	D1-arc 4	8,0	8	LE1						OK
CH-bfl 1	D1-arc 5	8,0	8	LE1						OK
CH-bfl 1	D1-arc 6	8,0	8	LE1						OK
CH-bfl 1	D1-w 3	8,0	110	LE1						OK
CH-bfl 1	D1-arc 7	8,0	8	LE1						OK
CH-bfl 1	D1-arc 8	8,0	8	LE1						OK
CH-bfl 1	D1-arc 9	8,0	8	LE1						OK
CH-bfl 1	D1-w 4	8,0	110	LE1						OK
CH-bfl 1	D1-arc 10	8,0	8	LE1						OK
CH-bfl 1	D1-arc 11	8,0	8	LE1						OK
CH-bfl 1	D1-arc 12	8,0	8	LE1						OK
CH-bfl 1	D2-w 2	6,3	79	LE1						OK
CH-bfl 1	D2-w 4	6,3	79	LE1						OK
CH-bfl 1	D2-arc 4	6,3	9	LE1						OK
CH-bfl 1	D2-arc 5	6,3	8	LE1						OK
CH-bfl 1	D2-arc 6	6,3	7	LE1						OK
CH-bfl 1	D2-w 3	6,3	89	LE1						OK
CH-bfl 1	D2-arc 7	6,3	7	LE1						OK
CH-bfl 1	D2-arc 8	6,3	8	LE1						OK
CH-bfl 1	D2-arc 9	6,3	9	LE1						OK
D1-w 3	D2-w 1	6,3	89	LE1						OK
D1-w 3	D2-arc 1	6,3	7	LE1						OK
D1-w 3	D2-arc 2	6,3	9	LE1						OK
D1-w 3	D2-arc 3	6,3	10	LE1						OK
D1-w 3	D2-w 2	6,3	49	LE1						OK
D1-w 3	D2-w 4	6,3	49	LE1						OK
D1-w 3	D2-arc 10	6,3	10	LE1						OK
D1-w 3	D2-arc 11	6,3	9	LE1						OK
D1-w 3	D2-arc 12	6,3	7	LE1						OK

Datos de diseño

	β_w [-]	$\sigma_{w,Rd}$ [MPa]	0.9 σ [MPa]
S 275	0,85	404,7	309,6

Documento visado electrónicamente con número: VA07290/22
Código de validación telemática TRLTDCFZ60T66IJ1. Comprobación: https://cogitivalencia.e-gestion.es/Validacion.aspx?CVT=TRLTDCFZ60T66IJ1

Proyecto:

Proyecto nº:

Autor:

VISADO
COGITI
VALENCIA
VA07290/22
TRLTDCFZ60T66IJ1

Explicación del símbolo

$\sigma_{w,Ed}$	Tensión equivalente
$\sigma_{w,Rd}$	Resistencia a tensión equivalente
$\sigma_{\perp}$	Tensión perpendicular
$\tau_{\parallel}$	Tensión cortante paralela al eje de la soldadura
$\tau_{\perp}$	Tensión normal perpendicular al eje de la soldadura
0.9 σ	Resistencia a tensión perpendicular - 0.9*fu/γM2
β_w	Factor de correlación EN 1993-1-8 tabla. 4.1
Ut	Utilización
Utc	Utilización de la capacidad de la soldadura

Pandeo

El análisis de pandeo no se ha calculado.

Configuración de la norma

Ítem	Valor	Unidad	Referencia
γ_{M0}	1,00	-	EN 1993-1-1: 6.1
γ_{M1}	1,00	-	EN 1993-1-1: 6.1
γ_{M2}	1,25	-	EN 1993-1-1: 6.1
γ_{M3}	1,25	-	EN 1993-1-8: 2.2
γ_C	1,50	-	EN 1992-1-1: 2.4.2.4
γ_{Inst}	1,20	-	EN 1992-4: Table 4.1
Coeficiente de unión βj	0,67	-	EN 1993-1-8: 6.2.5
Área efectiva - influencia del tamaño de la malla	0,10	-	
Coeficiente de fricción - hormigón	0,25	-	EN 1993-1-8
Coeficiente de fricción en la resistencia a deslizamiento	0,30	-	EN 1993-1-8 Pestaña 3.7
Deformación plástica límite	0,05	-	EN 1993-1-5
Evaluación de la tensión de la soldadura	Redistribución plástica		
Detallado	No		
Distancia entre tornillos [d]	2,20	-	EN 1993-1-8: Pestaña 3.3
Distancia entre tornillos y el borde [d0]	1,20	-	EN 1993-1-8: Pestaña 3.3
Resistencia al arrancamiento del cono de hormigón	Both		EN 1992-4: 7.2.1.4 and 7.2.2.5
Utilizar αb calculada en la verificación por aplastamiento.	Sí		EN 1993-1-8: Pestaña 3.4
Hormigón fisurado	Sí		EN 1992-4
Comprobación de la deformación local	No		CIDECT DG 1, 3 - 1.1
Deformación límite local	0,03	-	CIDECT DG 1, 3 - 1.1
No linealidad geométrica (GMNA)	Sí		Grandes deformaciones para secciones huecas
Sistema arriostrado	No		EN 1993-1-8: 5.2.2.5

Documento visado electrónicamente con número: VA07290/22
Código de validación telemática TRLTDCFZ60T66IJ1. Comprobación: https://cogitivalencia.e-gestion.es/Validacion.aspx?CVT=TRLTDCFZ60T66IJ1

Proyecto:
Proyecto nº:
Autor:

VISADO
COGITI
VALENCIA
VA07290/22
TRLTDCFZ60T66IJ1

Datos del proyecto

Nombre del proyecto	
Número del Proyecto	
Autor	
Descripción	
Fecha	07/05/2021
Normativa de cálculo	EN

Material

Acero	S 275

Documento visado electrónicamente con número: VA07290/22
Código de validación telemática TRLTDCFZ60T66IJ1. Comprobación: https://cogitivalencia.e-gestion.es/Validacion.aspx?CVT=TRLTDCFZ60T66IJ1

Proyecto:
Proyecto nº:
Autor:

VISADO
COGITI
VALENCIA
VA07290/22
TRLTDCFZ60T66IJ1

Ítem del proyecto Portico

Diseño

Nombre	Portico
Descripción	
Análisis	Tensión, deformación/ Carga simplificada

Elementos estructurales

Nombre	Sección transversal	β – Dirección [°]	γ - Inclinación [°]	α - Rotación [°]	Desplazamiento ex [mm]	Desplazamiento ey [mm]	Desplazamiento ez [mm]	Fuerzas en
C	5 - HEA240	0,0	90,0	0,0	0	0	0	Nudo
B	5 - HEA240	0,0	-90,0	0,0	0	0	0	Nudo

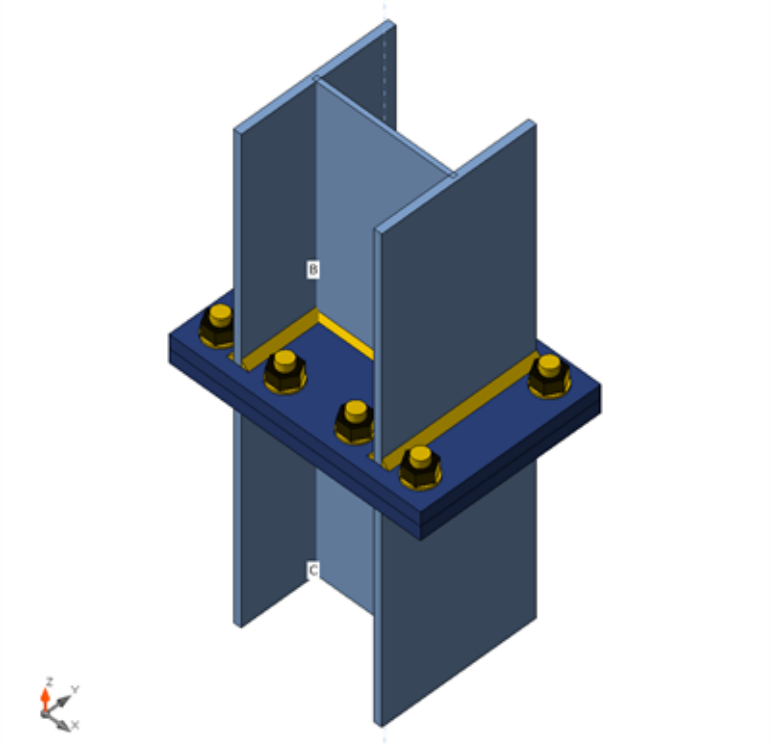

Secciones

Nombre	Material
5 - HEA240	S 275

Tornillos

Nombre	Conjunto de tornillo	Diámetro [mm]	fu [MPa]	Área bruta [mm^2]
M24 10.9	M24 10.9	24	1000,0	452

Documento visado electrónicamente con número: VA07290/22
Código de validación telemática TRLTDCFZ60T66IJ1. Comprobación: https://cogitivalencia.e-gestion.es/Validacion.aspx?CVT=TRLTDCFZ60T66IJ1

Proyecto:
Proyecto nº:
Autor:

VISADO
COGITI
VALENCIA
VA07290/22
TRLTDCFZ60T66IJ1

Cargas (No se requiere el equilibro)

Nombre	Elemento	N [kN]	Vy [kN]	Vz [kN]	Mx [kNm]	My [kNm]	Mz [kNm]
LE1	B	1263,0	0,0	0,0	0,0	-12,5	0,0
LE2	B	-821,0	0,0	0,0	0,0	19,1	0,0

Verificación

Resumen

Nombre	Valor	Estado
Análisis	100,0%	OK
Placas	0,8 < 5,0%	OK
Tornillos	90,3 < 100%	OK
Soldaduras	98,3 < 100%	OK
Pandeo	No calculado	

Placas

Nombre	Espesor [mm]	Cargas	σ_{Ed} [MPa]	ε_{Pl} [%]	σc_{Ed} [MPa]	Estado
C-bfl 1	12,0	LE1	275,8	0,4	0,0	OK
C-tfl 1	12,0	LE1	276,7	0,8	0,0	OK
C-w 1	7,5	LE1	183,7	0,0	0,0	OK
B-bfl 1	12,0	LE1	276,7	0,8	0,0	OK
B-tfl 1	12,0	LE1	275,8	0,4	0,0	OK
B-w 1	7,5	LE1	183,7	0,0	0,0	OK
PP1a	22,0	LE1	275,2	0,1	49,3	OK
PP1b	22,0	LE1	275,2	0,1	49,3	OK

Datos de diseño

Material	f_y [MPa]	ε_{lim} [%]
S 275	275,0	5,0

Explicación del símbolo

ε_{Pl}	Deformación
σ_{Ed}	Ec. tensión
σc_{Ed}	Contact stress
f_y	Límite elástico
ε_{lim}	Límite de la deformación plástica

Documento visado electrónicamente con número: VA07290/22
Código de validación telemática TRLTDCFZ60T66IJ1. Comprobación: https://cogitivalencia.e-gestion.es/Validacion.aspx?CVT=TRLTDCFZ60T66IJ1

Proyecto:

Proyecto nº:

Autor:

VISADO
COGITI
VALENCIA
VA07290/22
TRLTDCFZ60T66IJ1

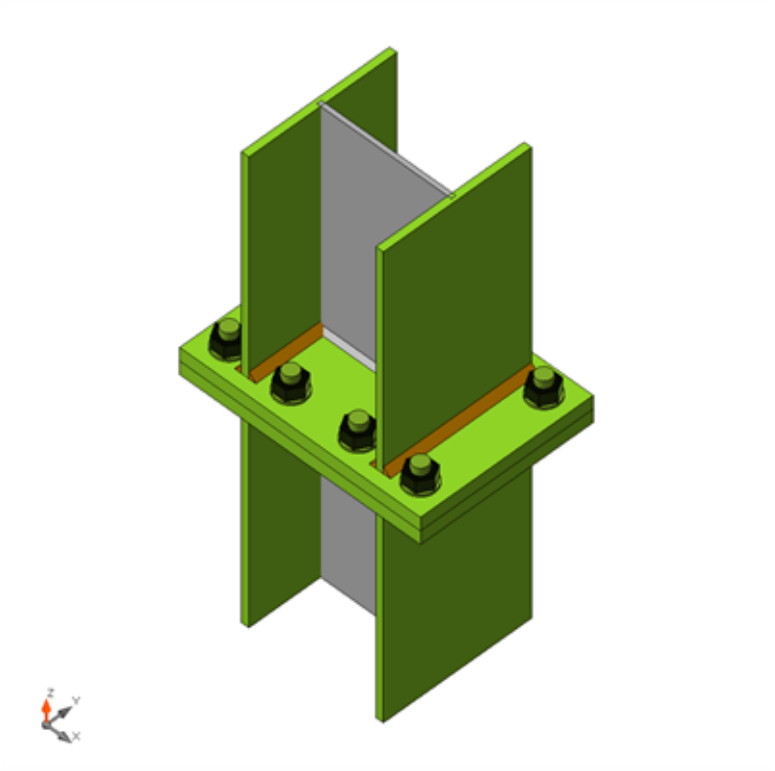

Verificación general, LE1

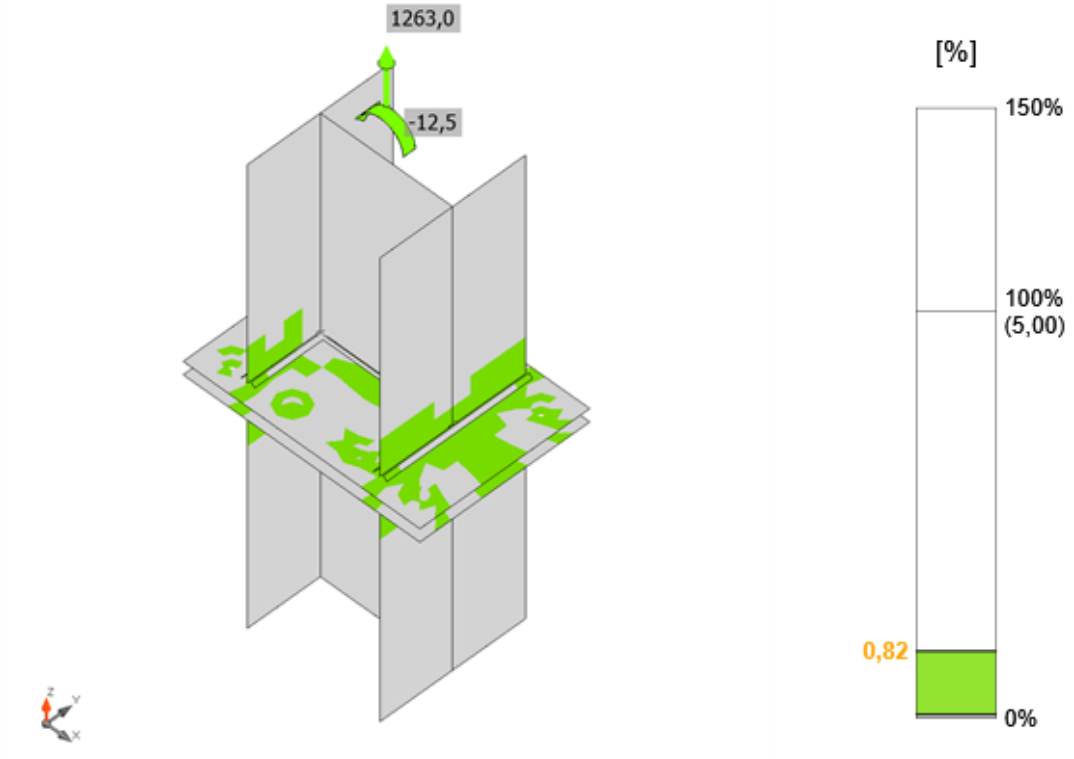

Verificación de deformación, LE1

Documento visado electrónicamente con número: VA07290/22
Código de validación telemática TRLTDCFZ60T66IJ1. Comprobación: https://cogitivalencia.e-gestion.es/Validacion.aspx?CVT=TRLTDCFZ60T66IJ1

VISADO
COGITI
VALENCIA
VA07290/22
TRLTDCFZ60T66IJ1

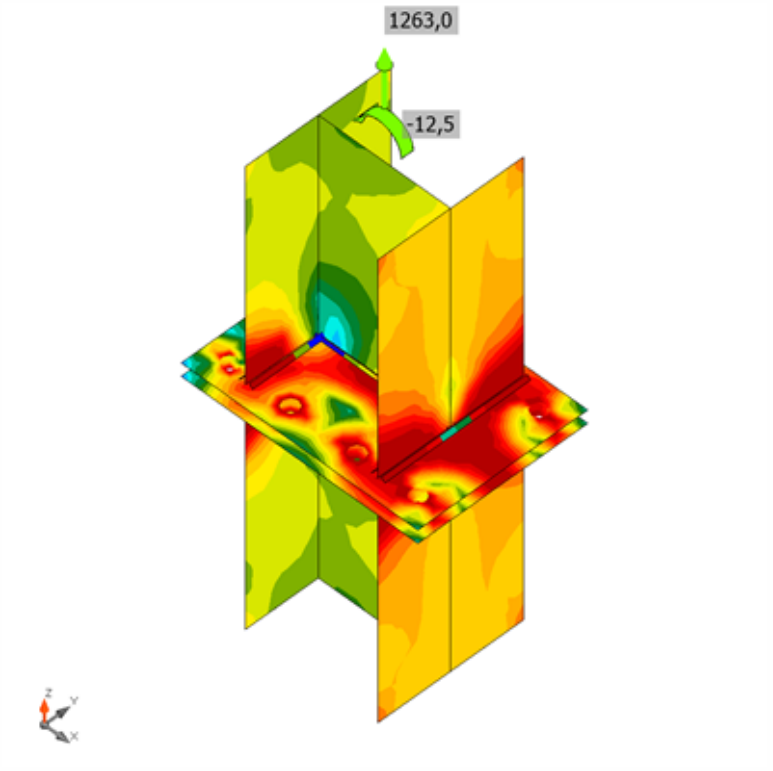

Tensión equivalente, LE1

Tornillos

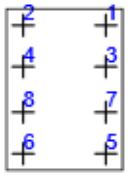

Nombre	Cargas	$F_{t,Ed}$ [kN]	V [kN]	Ut_t [%]	$F_{b,Rd}$ [kN]	Ut_s [%]	Ut_{ts} [%]	Estado
B1	LE1	228,9	0,0	90,1	315,7	0,0	64,4	OK
B2	LE1	228,9	0,1	90,1	233,0	0,0	64,4	OK
B3	LE1	229,6	0,0	90,3	312,0	0,0	64,5	OK
B4	LE1	229,6	0,1	90,3	333,8	0,0	64,6	OK
B5	LE1	175,0	0,0	68,9	269,3	0,0	49,2	OK
B6	LE1	174,8	0,0	68,8	259,2	0,0	49,1	OK
B7	LE1	205,9	0,0	81,0	344,9	0,0	57,9	OK
B8	LE1	205,1	0,0	80,7	454,1	0,0	57,7	OK

Datos de diseño

Nombre	$F_{t,Rd}$ [kN]	$B_{p,Rd}$ [kN]	$F_{v,Rd}$ [kN]
M24 10.9 - 1	254,2	614,8	141,2

Explicación del símbolo

$F_{t,Rd}$	Resistencia a tracción del tornillo EN 1993-1-8 tabla. 3.4
$F_{t,Ed}$	Fuerza de tracción
$B_{p,Rd}$	Resistencia al cortante perforante
V	Resultante de las fuerzas cortantes Vy, Vz en el tornillo.
$F_{v,Rd}$	Resistencia a cortante de los tornillos EN_1993-1-8 tabla 3.4
$F_{b,Rd}$	Resistencia al aplastamiento de la placa, según EN 1993-1-8 tab. 3.4
Ut_t	Utilización a tracción
Ut_s	Utilización a cortante

Documento visado electrónicamente con número: VA07290/22
Código de validación telemática TRLTDCFZ60T66IJ1. Comprobación: https://cogitivalencia.e-gestion.es/Validacion.aspx?CVT=TRLTDCFZ60T66IJ1

VISADO
COGITI
VALENCIA
VA07290/22
TRLTDCFZ60T66IJ1

Soldaduras (Redistribución plástica)

Ítem	Borde	Espesor de g. [mm]	Longitud [mm]	Cargas	$\sigma_{w,Ed}$ [MPa]	ε_{Pl} [%]	$\sigma_{\perp}$ [MPa]	$\tau_{\parallel}$ [MPa]	$\tau_{\perp}$ [MPa]	Ut [%]	Ut_c [%]	Estado
PP1a	C-bfl 1	◢8,0◣	240	LE1	397,2	0,4	167,8	135,1	157,9	98,1	60,4	OK
		◢8,0◣	240	LE1	397,1	0,3	159,8	-123,0	-170,1	98,1	57,2	OK
PP1a	C-tfl 1	◢8,0◣	240	LE1	397,7	0,7	160,3	131,4	164,0	98,3	72,3	OK
		◢8,0◣	240	LE1	397,7	0,7	163,4	-135,6	-159,5	98,3	68,0	OK
PP1a	C-w 1	◢5,0◣	218	LE1	197,2	0,0	98,6	4,9	98,5	48,7	28,5	OK
		◢5,0◣	218	LE1	196,8	0,0	98,4	-4,6	-98,3	48,6	28,2	OK
PP1b	B-bfl 1	◢8,0◣	240	LE1	397,7	0,7	163,3	135,6	159,6	98,3	68,5	OK
		◢8,0◣	240	LE1	397,7	0,7	160,2	-131,5	-164,0	98,3	72,2	OK
PP1b	B-tfl 1	◢8,0◣	240	LE1	397,1	0,3	159,8	123,0	170,1	98,1	57,2	OK
		◢8,0◣	240	LE1	397,2	0,4	167,7	-135,2	-157,9	98,1	60,2	OK
PP1b	B-w 1	◢5,0◣	218	LE1	197,2	0,0	98,5	-5,8	98,5	48,7	28,3	OK
		◢5,0◣	218	LE1	196,8	0,0	98,2	6,0	-98,3	48,6	28,2	OK

Datos de diseño

	β_w [-]	$\sigma_{w,Rd}$ [MPa]	0.9 σ [MPa]
S 275	0,85	404,7	309,6

Explicación del símbolo

ε_{Pl}	Deformación
$\sigma_{w,Ed}$	Tensión equivalente
$\sigma_{w,Rd}$	Resistencia a tensión equivalente
$\sigma_{\perp}$	Tensión perpendicular
$\tau_{\parallel}$	Tensión cortante paralela al eje de la soldadura
$\tau_{\perp}$	Tensión normal perpendicular al eje de la soldadura
0.9 σ	Resistencia a tensión perpendicular - 0.9*fu/γM2
β_w	Factor de correlación EN 1993-1-8 tabla. 4.1
Ut	Utilización
Utc	Utilización de la capacidad de la soldadura

Pandeo

El análisis de pandeo no se ha calculado.

Configuración de la norma

Ítem	Valor	Unidad	Referencia
γ_{M0}	1,00	-	EN 1993-1-1: 6.1
γ_{M1}	1,00	-	EN 1993-1-1: 6.1
γ_{M2}	1,25	-	EN 1993-1-1: 6.1
γ_{M3}	1,25	-	EN 1993-1-8: 2.2
γ_C	1,50	-	EN 1992-1-1: 2.4.2.4
γ_{Inst}	1,20	-	EN 1992-4: Table 4.1
Coeficiente de unión βj	0,67	-	EN 1993-1-8: 6.2.5

Documento visado electrónicamente con número: VA07290/22
Código de validación telemática TRLTDCFZ60T66IJ1. Comprobación: https://cogitivalencia.e-gestion.es/Validacion.aspx?CVT=TRLTDCFZ60T66IJ1

VISADO
COGITI
VALENCIA
VA07290/22
TRLTDCFZ60T66IJ1

Ítem	Valor	Unidad	Referencia
Área efectiva - influencia del tamaño de la malla	0,10	-	
Coeficiente de fricción - hormigón	0,25	-	EN 1993-1-8
Coeficiente de fricción en la resistencia a deslizamiento	0,30	-	EN 1993-1-8 Pestaña 3.7
Deformación plástica límite	0,05	-	EN 1993-1-5
Evaluación de la tensión de la soldadura	Redistribución plástica		
Detallado	No		
Distancia entre tornillos [d]	2,20	-	EN 1993-1-8: Pestaña 3.3
Distancia entre tornillos y el borde [d0]	1,20	-	EN 1993-1-8: Pestaña 3.3
Resistencia al arrancamiento del cono de hormigón	Both		EN 1992-4: 7.2.1.4 and 7.2.2.5
Utilizar αb calculada en la verificación por aplastamiento.	Sí		EN 1993-1-8: Pestaña 3.4
Hormigón fisurado	Sí		EN 1992-4
Comprobación de la deformación local	No		CIDECT DG 1, 3 - 1.1
Deformación límite local	0,00	-	CIDECT DG 1, 3 - 1.1
No linealidad geométrica (GMNA)	No		Grandes deformaciones para secciones huecas
Sistema arriostrado	No		EN 1993-1-8: 5.2.2.5

Documento visado electrónicamente con número: VA07290/22
Código de validación telemática TRLTDCFZ60T66IJ1. Comprobación: https://cogitivalencia.e-gestion.es/Validacion.aspx?CVT=TRLTDCFZ60T66IJ1

Proyecto:
Proyecto nº:
Autor:

VISADO
COGITI
VALENCIA
VA07290/22
TRLTDCFZ60T66IJ1

Datos del proyecto

Nombre del proyecto	
Número del Proyecto	
Autor	
Descripción	
Fecha	07/05/2021
Normativa de cálculo	EN

Material

Acero	S 275

Documento visado electrónicamente con número: VA07290/22
Código de validación telemática TRLTDCFZ60T66IJ1. Comprobación: https://cogitivalencia.e-gestion.es/Validacion.aspx?CVT=TRLTDCFZ60T66IJ1

Proyecto:
Proyecto nº:
Autor:

VISADO
COGITI
VALENCIA
VA07290/22
TRLTDCFZ60T66IJ1

Ítem del proyecto Portico

Diseño

Nombre	Portico
Descripción	
Análisis	Tensión, deformación/ Carga simplificada

Elementos estructurales

Nombre	Sección transversal	β – Dirección [°]	γ - Inclinación [°]	α - Rotación [°]	Desplazamiento ex [mm]	Desplazamiento ey [mm]	Desplazamiento ez [mm]	Fuerzas en
C	6 - HEA220	0,0	90,0	0,0	0	0	0	Nudo
B	6 - HEA220	0,0	-90,0	0,0	0	0	0	Nudo

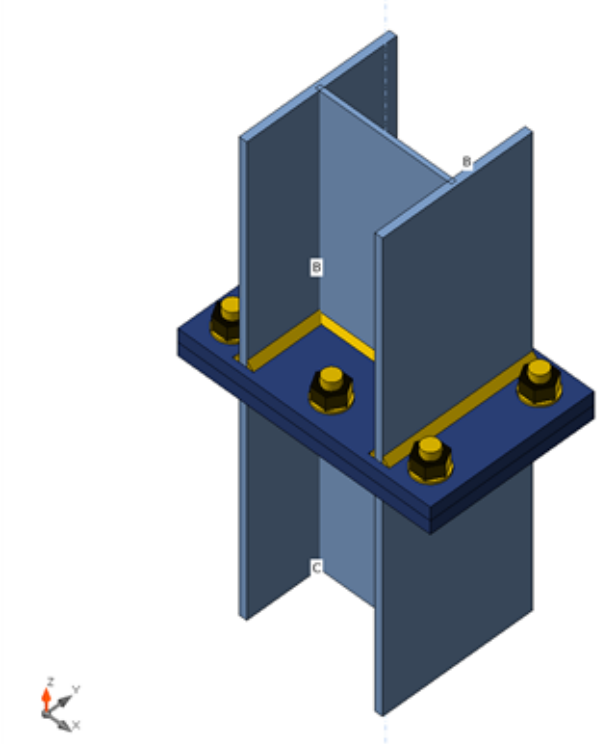

Secciones

Nombre	Material
6 - HEA220	S 275

Tornillos

Nombre	Conjunto de tornillo	Diámetro [mm]	fu [MPa]	Área bruta [mm^2]
M24 10.9	M24 10.9	24	1000,0	452

Documento visado electrónicamente con número: VA07290/22
Código de validación telemática TRLTDCFZ60T66IJ1. Comprobación: https://cogitivalencia.e-gestion.es/Validacion.aspx?CVT=TRLTDCFZ60T66IJ1

Proyecto:
Proyecto nº:
Autor:

VISADO
COGITI
VALENCIA
VA07290/22
TRLTDCFZ60T66IJ1

Cargas (No se requiere el equilibro)

Nombre	Elemento	N [kN]	Vy [kN]	Vz [kN]	Mx [kNm]	My [kNm]	Mz [kNm]
LE1	B	851,9	0,0	0,0	0,0	-14,8	0,0
LE2	B	-1314,7	0,0	0,0	0,0	16,5	0,0

Verificación

Resumen

Nombre	Valor	Estado
Análisis	100,0%	OK
Placas	0,2 < 5,0%	OK
Tornillos	89,9 < 100%	OK
Soldaduras	98,0 < 100%	OK
Pandeo	No calculado	

Placas

Nombre	Espesor [mm]	Cargas	σ_{Ed} [MPa]	ε_{Pl} [%]	σc_{Ed} [MPa]	Estado
C-bfl 1	11,0	LE1	225,9	0,0	0,0	OK
C-tfl 1	11,0	LE1	275,3	0,2	0,0	OK
C-w 1	7,0	LE2	246,3	0,0	0,0	OK
B-bfl 1	11,0	LE1	275,3	0,2	0,0	OK
B-tfl 1	11,0	LE1	226,1	0,0	0,0	OK
B-w 1	7,0	LE2	246,3	0,0	0,0	OK
PP1a	20,0	LE1	275,3	0,2	43,8	OK
PP1b	20,0	LE1	275,3	0,2	43,8	OK

Datos de diseño

Material	f_y [MPa]	ε_{lim} [%]
S 275	275,0	5,0

Explicación del símbolo

ε_{Pl}	Deformación
σ_{Ed}	Ec. tensión
σc_{Ed}	Contact stress
f_y	Límite elástico
ε_{lim}	Límite de la deformación plástica

Documento visado electrónicamente con número: VA07290/22
Código de validación telemática TRLTDCFZ60T66IJ1. Comprobación: https://cogitivalencia.e-gestion.es/Validacion.aspx?CVT=TRLTDCFZ60T66IJ1

VISADO
COGITI
VALENCIA
VA07290/22
TRLTDCFZ60T66IJ1

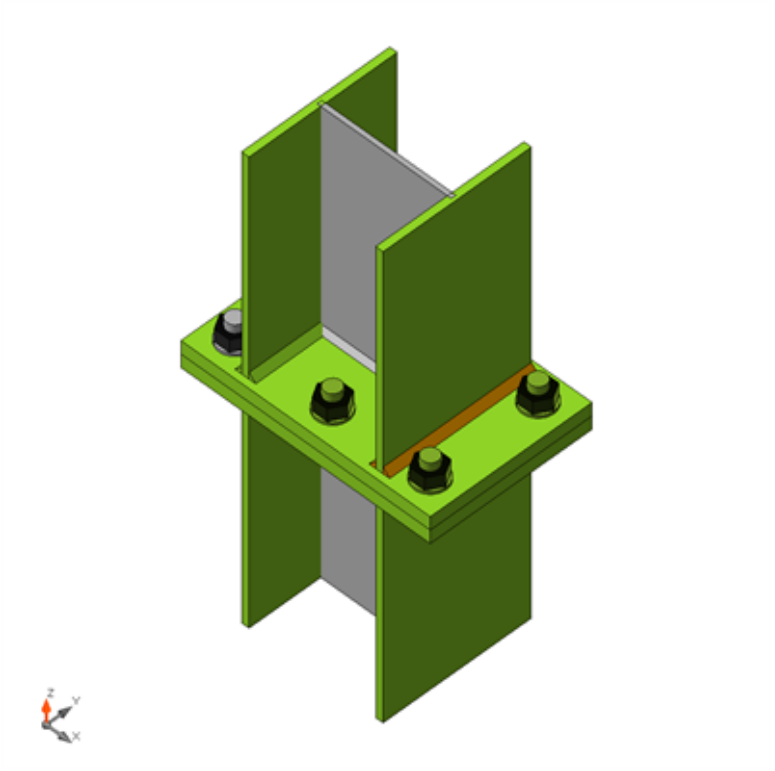

Verificación general, LE1

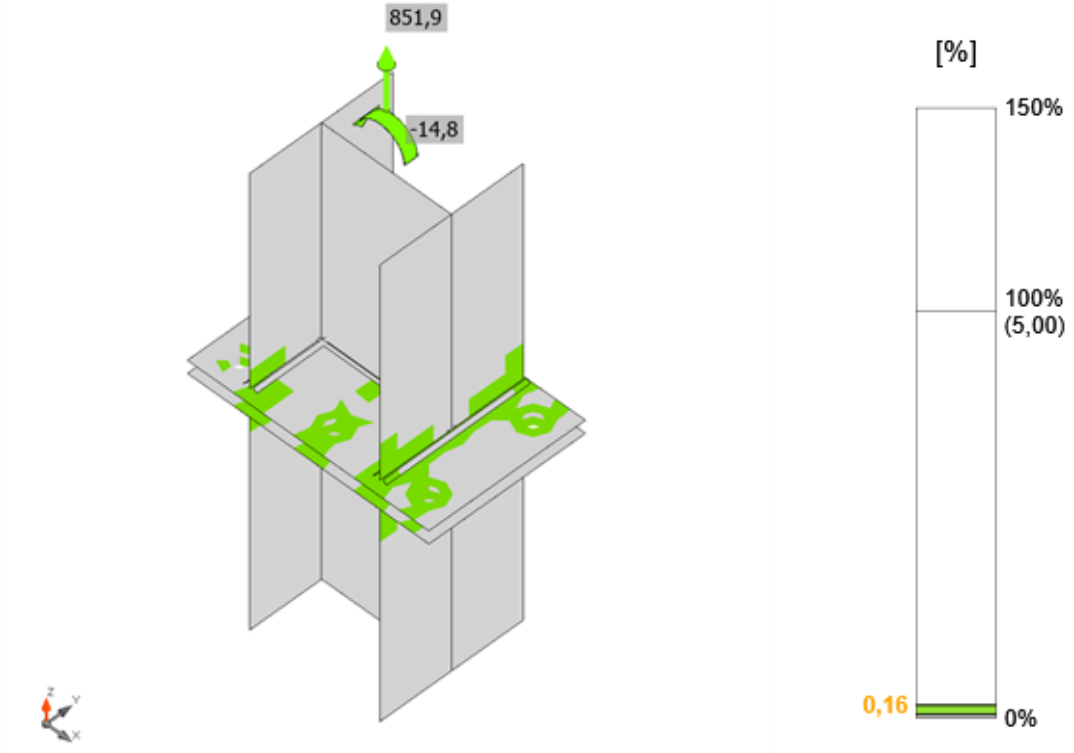

Verificación de deformación, LE1

Documento visado electrónicamente con número: VA07290/22
Código de validación telemática TRLTDCFZ60T66IJ1. Comprobación: https://cogitivalencia.e-gestion.es/Validacion.aspx?CVT=TRLTDCFZ60T66IJ1

VISADO
COGITI
VALENCIA
VA07290/22
TRLTDCFZ60T66IJ1

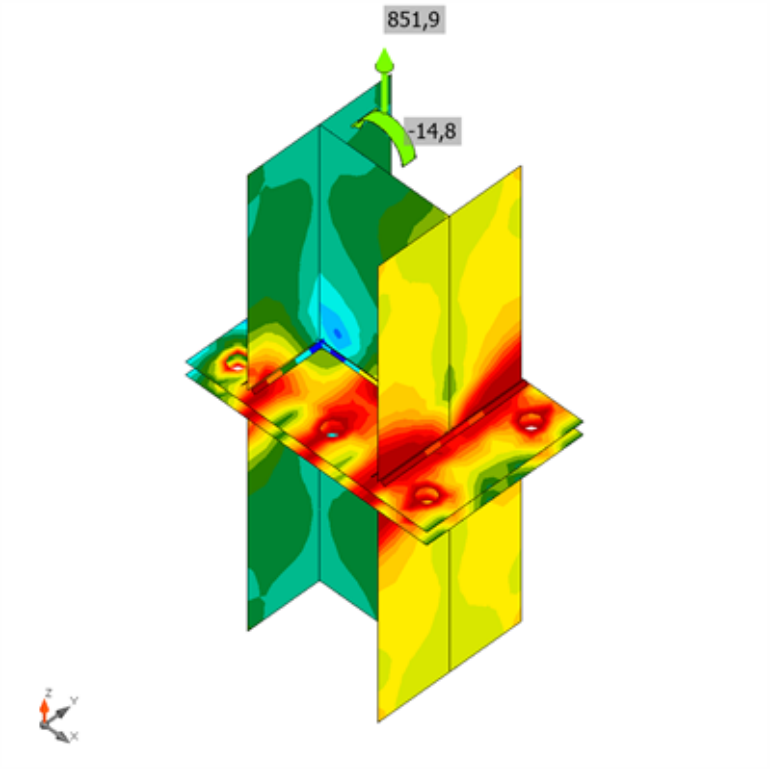

Tensión equivalente, LE1

Tornillos

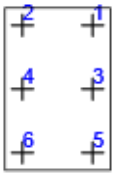

Nombre	Cargas	$F_{t,Ed}$ [kN]	V [kN]	Ut_t [%]	$F_{b,Rd}$ [kN]	Ut_s [%]	Ut_{ts} [%]	Estado
B1	LE1	228,5	0,0	89,9	219,0	0,0	64,2	OK
B2	LE1	228,4	0,0	89,9	257,2	0,0	64,2	OK
B3	LE1	178,2	0,0	70,1	412,8	0,0	50,1	OK
B4	LE1	178,2	0,0	70,1	220,3	0,0	50,1	OK
B5	LE1	148,3	0,0	58,3	412,8	0,0	41,7	OK
B6	LE1	148,4	0,0	58,4	412,8	0,0	41,7	OK

Datos de diseño

Nombre	$F_{t,Rd}$ [kN]	$B_{p,Rd}$ [kN]	$F_{v,Rd}$ [kN]
M24 10.9 - 1	254,2	558,9	141,2

Explicación del símbolo

$F_{t,Rd}$	Resistencia a tracción del tornillo EN 1993-1-8 tabla. 3.4
$F_{t,Ed}$	Fuerza de tracción
$B_{p,Rd}$	Resistencia al cortante perforante
V	Resultante de las fuerzas cortantes Vy, Vz en el tornillo.
$F_{v,Rd}$	Resistencia a cortante de los tornillos EN_1993-1-8 tabla 3.4
$F_{b,Rd}$	Resistencia al aplastamiento de la placa, según EN 1993-1-8 tab. 3.4
Ut_t	Utilización a tracción
Ut_s	Utilización a cortante

Documento visado electrónicamente con número: VA07290/22
Código de validación telemática TRLTDCFZ60T66IJ1. Comprobación: https://cogitivalencia.e-gestion.es/Validacion.aspx?CVT=TRLTDCFZ60T66IJ1

VISADO
COGITI
VALENCIA
VA07290/22
TRLTDCFZ60T66IJ1

Soldaduras (Redistribución plástica)

Ítem	Borde	Espesor de g. [mm]	Longitud [mm]	Cargas	$\sigma_{w,Ed}$ [MPa]	ε_{Pl} [%]	$\sigma_{\perp}$ [MPa]	$\tau_{\parallel}$ [MPa]	$\tau_{\perp}$ [MPa]	Ut [%]	Ut_c [%]	Estado
PP1a	C-bfl 1	◢7,0◣	220	LE1	286,9	0,0	139,2	-79,5	121,0	70,9	38,9	OK
		◢7,0◣	220	LE1	294,2	0,0	125,7	53,7	-143,9	72,7	44,2	OK
PP1a	C-tfl 1	◢7,0◣	220	LE1	396,7	0,1	177,1	-88,2	185,0	98,0	73,6	OK
		◢7,0◣	220	LE1	396,7	0,0	185,9	98,6	-176,6	98,0	57,4	OK
PP1a	C-w 1	◢5,0◣	199	LE2	236,7	0,0	-118,4	4,7	-118,2	58,5	51,5	OK
		◢5,0◣	199	LE2	236,4	0,0	-118,2	-4,7	118,1	58,4	51,5	OK
PP1b	B-bfl 1	◢7,0◣	220	LE1	396,7	0,0	185,8	-98,7	176,6	98,0	57,3	OK
		◢7,0◣	220	LE1	396,7	0,1	177,1	-88,8	-184,7	98,0	73,5	OK
PP1b	B-tfl 1	◢7,0◣	220	LE1	294,2	0,0	125,7	-53,7	143,9	72,7	44,1	OK
		◢7,0◣	220	LE1	287,0	0,0	139,3	79,5	-121,1	70,9	38,9	OK
PP1b	B-w 1	◢5,0◣	199	LE2	234,6	0,0	-117,3	-4,2	-117,2	58,0	51,5	OK
		◢5,0◣	199	LE2	234,4	0,0	-117,2	4,1	117,2	57,9	51,5	OK

Datos de diseño

	β_w [-]	$\sigma_{w,Rd}$ [MPa]	0.9 σ [MPa]
S 275	0,85	404,7	309,6

Explicación del símbolo

ε_{Pl}	Deformación
$\sigma_{w,Ed}$	Tensión equivalente
$\sigma_{w,Rd}$	Resistencia a tensión equivalente
$\sigma_{\perp}$	Tensión perpendicular
$\tau_{\parallel}$	Tensión cortante paralela al eje de la soldadura
$\tau_{\perp}$	Tensión normal perpendicular al eje de la soldadura
0.9 σ	Resistencia a tensión perpendicular - 0.9*fu/γM2
β_w	Factor de correlación EN 1993-1-8 tabla. 4.1
Ut	Utilización
Utc	Utilización de la capacidad de la soldadura

Pandeo

El análisis de pandeo no se ha calculado.

Configuración de la norma

Ítem	Valor	Unidad	Referencia
γ_{M0}	1,00	-	EN 1993-1-1: 6.1
γ_{M1}	1,00	-	EN 1993-1-1: 6.1
γ_{M2}	1,25	-	EN 1993-1-1: 6.1
γ_{M3}	1,25	-	EN 1993-1-8: 2.2
γ_C	1,50	-	EN 1992-1-1: 2.4.2.4
γ_{Inst}	1,20	-	EN 1992-4: Table 4.1
Coeficiente de unión βj	0,67	-	EN 1993-1-8: 6.2.5

Documento visado electrónicamente con número: VA07290/22
Código de validación telemática TRLTDCFZ60T66IJ1. Comprobación: https://cogitivalencia.e-gestion.es/Validacion.aspx?CVT=TRLTDCFZ60T66IJ1

VISADO
COGITI
VALENCIA
VA07290/22
TRLTDCFZ60T66IJ1

Ítem	Valor	Unidad	Referencia
Área efectiva - influencia del tamaño de la malla	0,10	-	
Coeficiente de fricción - hormigón	0,25	-	EN 1993-1-8
Coeficiente de fricción en la resistencia a deslizamiento	0,30	-	EN 1993-1-8 Pestaña 3.7
Deformación plástica límite	0,05	-	EN 1993-1-5
Evaluación de la tensión de la soldadura	Redistribución plástica		
Detallado	No		
Distancia entre tornillos [d]	2,20	-	EN 1993-1-8: Pestaña 3.3
Distancia entre tornillos y el borde [d0]	1,20	-	EN 1993-1-8: Pestaña 3.3
Resistencia al arrancamiento del cono de hormigón	Both		EN 1992-4: 7.2.1.4 and 7.2.2.5
Utilizar αb calculada en la verificación por aplastamiento.	Sí		EN 1993-1-8: Pestaña 3.4
Hormigón fisurado	Sí		EN 1992-4
Comprobación de la deformación local	No		CIDECT DG 1, 3 - 1.1
Deformación límite local	0,00	-	CIDECT DG 1, 3 - 1.1
No linealidad geométrica (GMNA)	No		Grandes deformaciones para secciones huecas
Sistema arriostrado	No		EN 1993-1-8: 5.2.2.5

Documento visado electrónicamente con número: VA07290/22
Código de validación telemática TRLTDCFZ60T66IJ1. Comprobación: https://cogitivalencia.e-gestion.es/Validacion.aspx?CVT=TRLTDCFZ60T66IJ1

Proyecto:
Proyecto nº:
Autor:

VISADO
COGITI
VALENCIA
VA07290/22
TRLTDCFZ60T66IJ1

Datos del proyecto

Nombre del proyecto	
Número del Proyecto	
Autor	
Descripción	
Fecha	07/05/2021
Normativa de cálculo	EN

Material

Acero	S 275

Documento visado electrónicamente con número: VA07290/22
Código de validación telemática TRLTDCFZ60T66IJ1. Comprobación: https://cogitivalencia.e-gestion.es/Validacion.aspx?CVT=TRLTDCFZ60T66IJ1

Proyecto:
Proyecto nº:
Autor:

VISADO
COGITI
VALENCIA
VA07290/22
TRLTDCFZ60T66IJ1

Ítem del proyecto Portico

Diseño

Nombre	Portico
Descripción	
Análisis	Tensión, deformación/ Carga simplificada

Elementos estructurales

Nombre	Sección transversal	β – Dirección [°]	γ - Inclinación [°]	α - Rotación [°]	Desplazamiento ex [mm]	Desplazamiento ey [mm]	Desplazamiento ez [mm]	Fuerzas en
C	4 - SHS120/120/5.0	0,0	90,0	0,0	0	0	0	Nudo
B	4 - SHS120/120/5.0	0,0	-90,0	0,0	0	0	0	Nudo

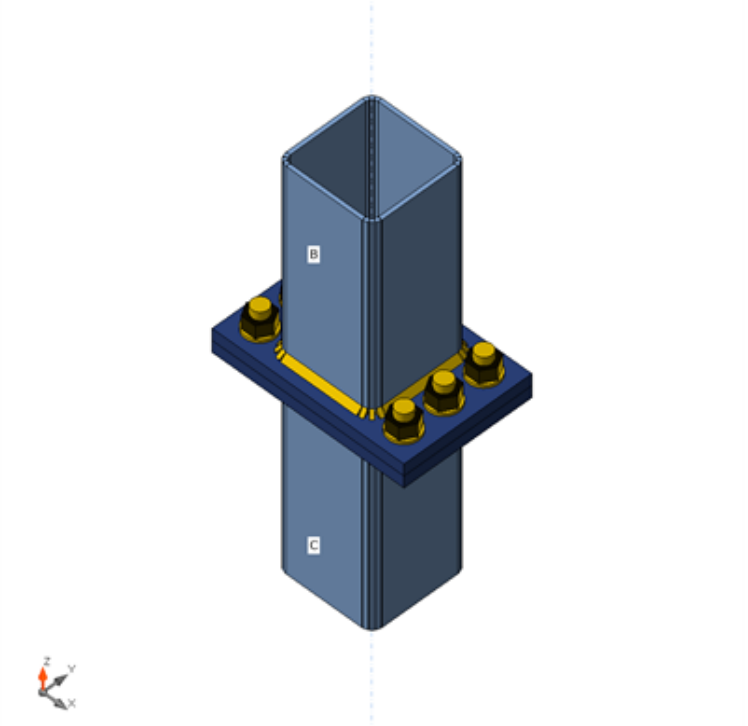

Secciones

Nombre	Material
4 - SHS120/120/5.0	S 275

Tornillos

Nombre	Conjunto de tornillo	Diámetro [mm]	fu [MPa]	Área bruta [mm^2]
M20 10.9	M20 10.9	20	1000,0	314

Cargas (No se requiere el equilibro)

Nombre	Elemento	N [kN]	Vy [kN]	Vz [kN]	Mx [kNm]	My [kNm]	Mz [kNm]
LE1	B	377,0	0,0	0,0	0,0	0,0	0,0
LE2	B	-252,0	0,0	0,0	0,0	0,0	0,0

Documento visado electrónicamente con número: VA07290/22
Código de validación telemática TRLTDCFZ60T66IJ1. Comprobación: https://cogitivalencia.e-gestion.es/Validacion.aspx?CVT=TRLTDCFZ60T66IJ1

Proyecto:
Proyecto nº:
Autor:

VISADO
COGITI
VALENCIA
VA07290/22
TRLTDCFZ60T66IJ1

Verificación

Resumen

Nombre	Valor	Estado
Análisis	100,0%	OK
Placas	1,0 < 5,0%	OK
Tornillos	72,8 < 100%	OK
Soldaduras	98,8 < 100%	OK
Pandeo	No calculado	
GMNA	No calculado	

Placas

Nombre	Espesor [mm]	Cargas	σ_{Ed} [MPa]	ε_{Pl} [%]	σc_{Ed} [MPa]	Estado
C	5,0	LE1	277,1	1,0	0,0	OK
B	5,0	LE1	277,1	1,0	0,0	OK
PP1a	15,0	LE1	275,4	0,2	41,9	OK
PP1b	15,0	LE1	275,4	0,2	41,9	OK

Datos de diseño

Material	f_y [MPa]	ε_{lim} [%]
S 275	275,0	5,0

Explicación del símbolo

ε_{Pl}	Deformación
σ_{Ed}	Ec. tensión
σc_{Ed}	Contact stress
f_y	Límite elástico
ε_{lim}	Límite de la deformación plástica

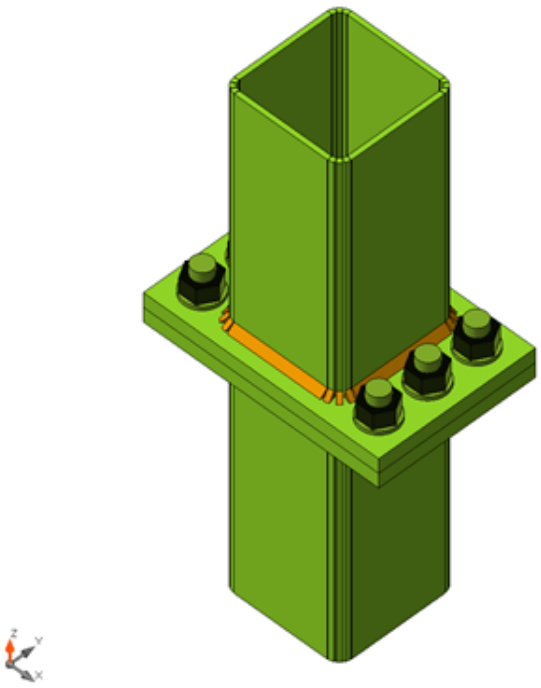

Documento visado electrónicamente con número: VA07290/22
Código de validación telemática TRLTDCFZ60T66IJ1. Comprobación: https://cogitivalencia.e-gestion.es/Validacion.aspx?CVT=TRLTDCFZ60T66IJ1

Proyecto:

Proyecto nº:

Autor:

VISADO
COGITI
VALENCIA
VA07290/22
TRLTDCFZ60T66IJ1

Verificación general, LE1

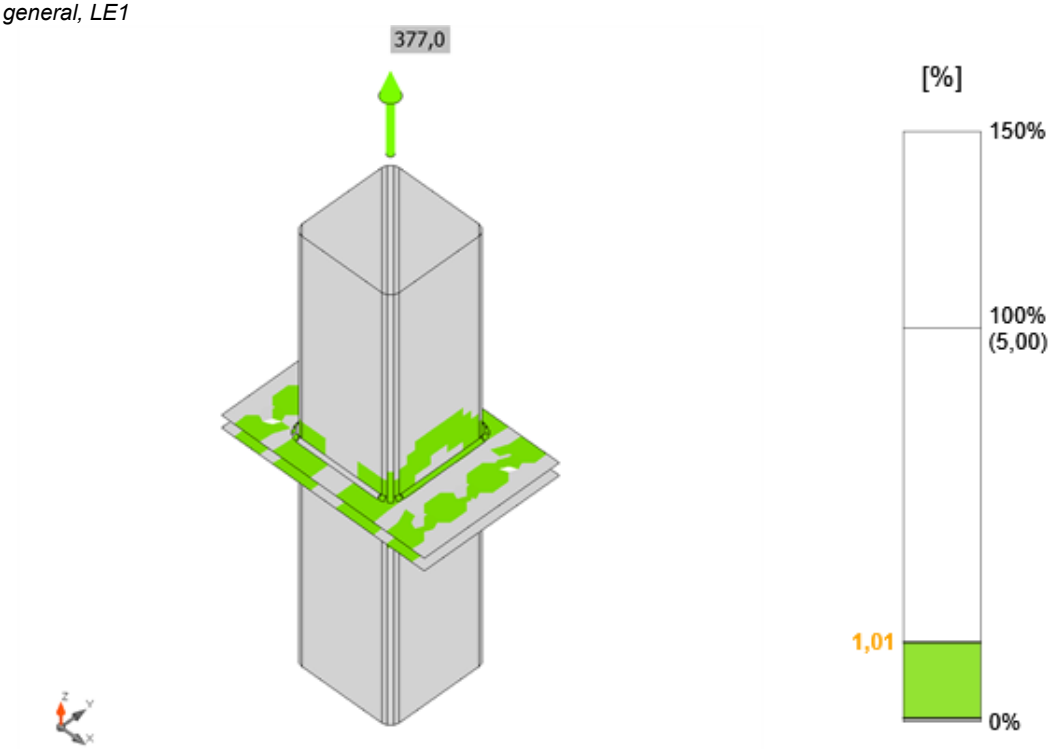

Verificación de deformación, LE1

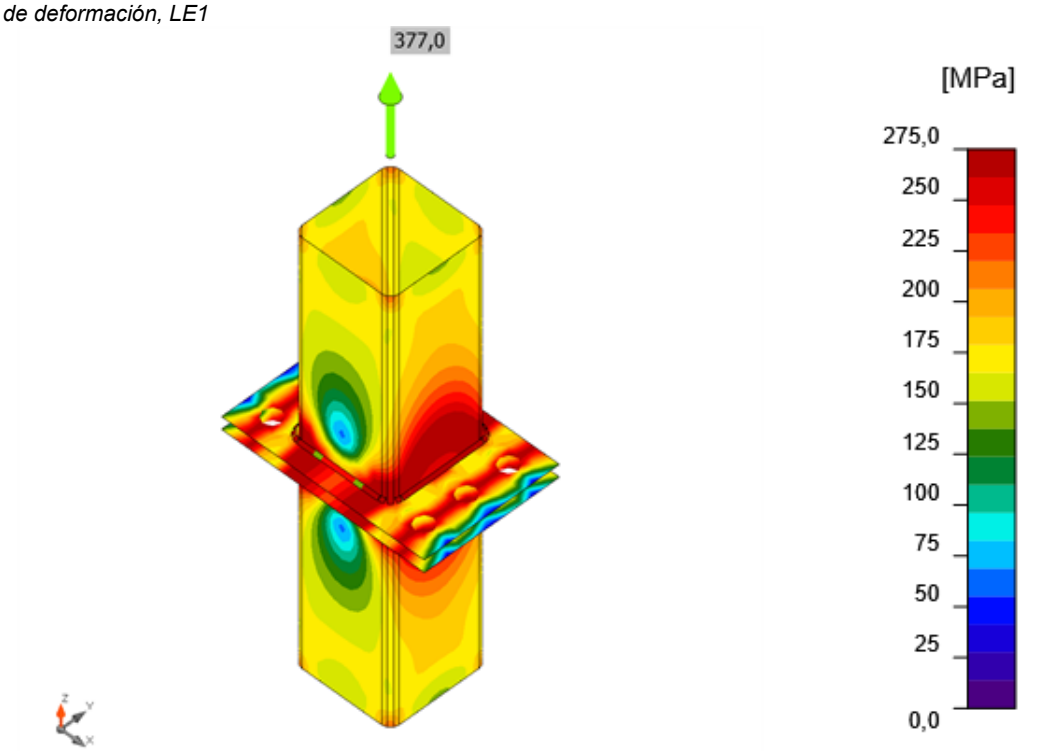

Tensión equivalente, LE1

Documento visado electrónicamente con número: VA07290/22
Código de validación telemática TRLTDCFZ60T66IJ1. Comprobación: https://cogitivalencia.e-gestion.es/Validacion.aspx?CVT=TRLTDCFZ60T66IJ1

Proyecto:
Proyecto nº:
Autor:

VISADO
COGITI
VALENCIA
VA07290/22
TRLTDCFZ60T66IJ1

Tornillos

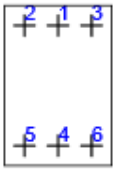

Nombre	Cargas	$F_{t,Ed}$ [kN]	V [kN]	Ut_t [%]	$F_{b,Rd}$ [kN]	Ut_s [%]	Ut_{ts} [%]	Estado
B1	LE1	128,4	0,0	72,8	258,0	0,0	52,0	OK
B2	LE1	123,0	0,0	69,8	258,0	0,0	49,8	OK
B3	LE1	123,1	0,0	69,8	258,0	0,0	49,8	OK
B4	LE1	128,4	0,0	72,8	258,0	0,0	52,0	OK
B5	LE1	123,1	0,0	69,8	258,0	0,0	49,8	OK
B6	LE1	123,1	0,0	69,8	258,0	0,0	49,8	OK

Datos de diseño

Nombre	$F_{t,Rd}$ [kN]	$B_{p,Rd}$ [kN]	$F_{v,Rd}$ [kN]
M20 10.9 - 1	176,4	326,0	98,0

Explicación del símbolo

$F_{t,Rd}$	Resistencia a tracción del tornillo EN 1993-1-8 tabla. 3.4
$F_{t,Ed}$	Fuerza de tracción
$B_{p,Rd}$	Resistencia al cortante perforante
V	Resultante de las fuerzas cortantes Vy, Vz en el tornillo.
$F_{v,Rd}$	Resistencia a cortante de los tornillos EN_1993-1-8 tabla 3.4
$F_{b,Rd}$	Resistencia al aplastamiento de la placa, según EN 1993-1-8 tab. 3.4
Ut_t	Utilización a tracción
Ut_s	Utilización a cortante

Soldaduras (Redistribución plástica)

Ítem	Borde	Espesor de g. [mm]	Longitud [mm]	Cargas	$\sigma_{w,Ed}$ [MPa]	ε_{Pl} [%]	$\sigma_{\perp}$ [MPa]	$\tau_{\parallel}$ [MPa]	$\tau_{\perp}$ [MPa]	Ut [%]	Ut_c [%]	Estado
PP1a	C	◢5,0	442	LE1	399,7	1,9	199,9	-1,8	-199,9	98,8	83,1	OK
PP1b	B	◢5,0	442	LE1	399,7	1,9	199,7	1,9	-199,9	98,8	83,1	OK

Datos de diseño

	β_w [-]	$\sigma_{w,Rd}$ [MPa]	0.9 σ [MPa]
S 275	0,85	404,7	309,6

Explicación del símbolo

ε_{Pl}	Deformación
$\sigma_{w,Ed}$	Tensión equivalente
$\sigma_{w,Rd}$	Resistencia a tensión equivalente
$\sigma_{\perp}$	Tensión perpendicular
$\tau_{\parallel}$	Tensión cortante paralela al eje de la soldadura
$\tau_{\perp}$	Tensión normal perpendicular al eje de la soldadura
0.9 σ	Resistencia a tensión perpendicular - 0.9*fu/γM2
β_w	Factor de correlación EN 1993-1-8 tabla. 4.1
Ut	Utilización
Utc	Utilización de la capacidad de la soldadura

Pandeo

El análisis de pandeo no se ha calculado.

Documento visado electrónicamente con número: VA07290/22
Código de validación telemática TRLTDCFZ60T66IJ1. Comprobación: https://cogitivalencia.e-gestion.es/Validacion.aspx?CVT=TRLTDCFZ60T66IJ1

Proyecto:

Proyecto nº:

Autor:

VISADO
COGITI
VALENCIA
VA07290/22
TRLTDCFZ60T66IJ1

Configuración de la norma

Ítem	Valor	Unidad	Referencia
γ_{M0}	1,00	-	EN 1993-1-1: 6.1
γ_{M1}	1,00	-	EN 1993-1-1: 6.1
γ_{M2}	1,25	-	EN 1993-1-1: 6.1
γ_{M3}	1,25	-	EN 1993-1-8: 2.2
γ_{C}	1,50	-	EN 1992-1-1: 2.4.2.4
γ_{Inst}	1,20	-	EN 1992-4: Table 4.1
Coeficiente de unión βj	0,67	-	EN 1993-1-8: 6.2.5
Área efectiva - influencia del tamaño de la malla	0,10	-	
Coeficiente de fricción - hormigón	0,25	-	EN 1993-1-8
Coeficiente de fricción en la resistencia a deslizamiento	0,30	-	EN 1993-1-8 Pestaña 3.7
Deformación plástica límite	0,05	-	EN 1993-1-5
Evaluación de la tensión de la soldadura	Redistribución plástica		
Detallado	No		
Distancia entre tornillos [d]	2,20	-	EN 1993-1-8: Pestaña 3.3
Distancia entre tornillos y el borde [d0]	1,20	-	EN 1993-1-8: Pestaña 3.3
Resistencia al arrancamiento del cono de hormigón	Both		EN 1992-4: 7.2.1.4 and 7.2.2.5
Utilizar αb calculada en la verificación por aplastamiento.	Sí		EN 1993-1-8: Pestaña 3.4
Hormigón fisurado	Sí		EN 1992-4
Comprobación de la deformación local	No		CIDECT DG 1, 3 - 1.1
Deformación límite local	0,00	-	CIDECT DG 1, 3 - 1.1
No linealidad geométrica (GMNA)	No		Grandes deformaciones para secciones huecas
Sistema arriostrado	No		EN 1993-1-8: 5.2.2.5

Documento visado electrónicamente con número: VA07290/22
Código de validación telemática TRLTDCFZ60T66IJ1. Comprobación: https://cogitivalencia.e-gestion.es/Validacion.aspx?CVT=TRLTDCFZ60T66IJ1

VISADO
COGITI
VALENCIA
VA07290/22
TRLTDCFZ60T66IJ1

ANEXO II.

EVACUACIÓN AGUAS PLUVIALES MEDIANTE SISTEMA PLUVIA INSTALADO SOBRE CUBIERTA DE CHAPA GRECADA.

Documento visado electrónicamente con número: VA07290/22
Código de validación telemática TRLTDCFZ60T66IJ1. Comprobación: https://cogitivalencia.e-gestion.es/Validacion.aspx?CVT=TRLTDCFZ60T66IJ1

VISADO
COGITI
VALENCIA
VA07290/22
TRLTDCFZ60T66IJ1

ÍNDICE

1.1. OBJETO 26
1.2. REGLAMENTACIÓN Y NORMAS TÉCNICAS CONSIDERADAS 26
1.3. DESCRIPCIÓN DEL SISTEMA GEBERIT PLUVIA 27
1.4. FUNCIONAMIENTO DEL SISTEMA 28
2. COMPONENTES DEL SISTEMA 29
2.1. SUMIDEROS SIFÓNICOS 29
2.2. TUBOS Y ACCESORIOS 31
2.3. FIJACIÓN DEL SISTEMA GEBERIT 31
2.4. CUBIERTA DE CHAPA 32
2.5. CANALÓN 32
3. INSTALACIÓN DEL SISTEMA 33
3.1. Puntos fijos 33
3.2. Sistema de fijación con Rail (Rígido) 34
4. DISEÑO Y DIMENSIONADO DEL SISTEMA 35
4.1. Determinación de la intensidad de lluvia 35
4.2. Dimensionado de los canalones 35
4.3. Cálculo del número de sumideros 36
4.4. Cálculo del sistema 36

Documento visado electrónicamente con número: VA07290/22
Código de validación telemática TRLTDCFZ60T66IJ1. Comprobación: https://cogitivalencia.e-gestion.es/Validacion.aspx?CVT=TRLTDCFZ60T66IJ1

VISADO
COGITI
VALENCIA
VA07290/22
TRLTDCFZ60T66IJ1

1. MEMORIA

1.1. OBJETO

El objeto del presente anexo es describir las instalaciones y condiciones técnicas reglamentarias mínimas para la ejecución de las instalaciones de saneamiento. Con ello se pretende describir la tipología de la instalación y especificar a la vez los detalles constructivos de todos sus componentes.

La instalación de saneamiento contemplará, en el caso que nos ocupa la red de pluviales.

Para el cálculo de todos los elementos integrantes de la instalación, tomaremos como referencia los caudales instantáneos mínimos en aparatos sanitarios, dados por el Código Técnico de la Edificación en su documento HS-5, para la instalación de saneamiento.

1.2. REGLAMENTACIÓN Y NORMAS TÉCNICAS CONSIDERADAS

En la redacción del presente anexo se han tenido en cuenta los reglamentos que a continuación se citan y que son los vigentes en el momento de su redacción:

- Código Técnico de la Edificación editado por el Ministerio de Vivienda y aprobado por el Real Decreto 0314/2006 de 17 de Marzo y sus modificaciones.
- Reglamento de Instalaciones Térmicas en los Edificios (RITE) y sus Instrucciones Técnicas Complementarias, según Real Decreto 1027/2007.
- Orden de 15 de Abril de 1.985 sobre Normas Técnicas de las griferías para utilizar en locales de higiene corporal, cocinas y lavaderos, y su homologación por el Ministerio de Industria y Energía.
- Reglamento Electrotécnico para Baja Tensión de 18 de Octubre de 2002, según Real Decreto 842/2002, de 2 de Agosto, y las Instrucciones Técnicas Complementarias al mismo.
- Ordenanzas municipales y datos suministrados por la compañía suministradora de agua.
- Ciertas indicaciones de las Normas DIN 1988.
- Norma Técnica MT, sobre Seguridad e Higiene en el Trabajo.
- Normas de protección contra retornos de agua de las Redes Públicas de Distribución.
- Normas para el Suministro de Agua por Aforo. Aprobadas por Resolución de la Dirección General de Energías y Combustibles de 27 de Julio de 1.972.
- Orden de la Presidencia de Gobierno de 16 de julio de 1.981, por la que se aprueban las Instrucciones Técnicas Complementarias denominadas IT.IC.
- Real Decreto 547/1979, de 20 de febrero, sobre modificación del anexo IV del Decreto 833/1975, de 8 de febrero, por el que se desarrolla la Ley de Protección del Ambiente Atmosférico.
- REAL DECRETO 865/2003, de 4 de julio, por el que se establecen los criterios higiénico-sanitarios para la prevención y control de la legionelosis.

Documento visado electrónicamente con número: VA07290/22
Código de validación telemática TRLTDCFZ60T66IJ1. Comprobación: https://cogitivalencia.e-gestion.es/Validacion.aspx?CVT=TRLTDCFZ60T66IJ1

VISADO
COGITI
VALENCIA
VA07290/22
TRLTDCFZ60T66IJ1

1.3. DESCRIPCIÓN DEL SISTEMA GEBERIT PLUVIA

La red de saneamiento de aguas pluviales se inicia en los sumideros instalados en los canalones situados sobre la cubierta de chapa grecada, los cuales conducen el agua hacia las bajantes.

El Sistema Geberit Pluvia®, es un sistema de evacuación de aguas pluviales que funciona por efecto sifónico desde la cubierta hasta el sistema subterráneo de saneamiento del edificio. El sistema es efectivo en cualquier tipo de cubierta, independientemente de su configuración formal (plana o con canalón), o de uso (transitable, no transitable, ajardinada, etc).

A diferencia de los sistemas convencionales, en los que los tubos contienen agua y aire, el sistema sifónico se calcula a tubo lleno. Este diseño permite la creación de un pistón hidráulico en la bajante que es el encargado de absorber al agua de una manera más eficaz.

Las ventajas frente al sistema convencional son las siguientes:

- Se utiliza un diámetro de tubo más pequeño que en el Sistema Convencional (aproximadamente D/2) para una misma dimensión de cubierta.

- No es necesario prever en el diseño de la instalación, alturas complementarias por las pendientes de la tubería, ya que en el Sistema Pluvia los colectores son horizontales.

- Se reduce el número de bajantes y arquetas, por lo que las conexiones al colector son menores.

- El sistema es autolimpiable, debido a la velocidad que lleva el flujo.

- Permite una gran versatilidad en los diseños de los edificios, gracias a los colectores si pendiente y a la posibilidad de ubicar las bajantes en los lugares más favorables para el proyecto.

El sistema Pluvia se compone de los siguientes elementos fabricados por Geberit:

- Sumideros sifónicos Geberit.

- Tubos y accesorios PE80 Geberit.

- Sistema de fijación del sistema sifónico Geberit Pluvia.



Documento visado electrónicamente con número: VA07290/22
Código de validación telemática TRLTDCFZ60T66IJ1. Comprobación: https://cogitivalencia.e-gestion.es/Validacion.aspx?CVT=TRLTDCFZ60T66IJ1

VISADO
COGITI
VALENCIA
VA07290/22
TRLTDCFZ60T66IJ1

1.4. FUNCIONAMIENTO DEL SISTEMA

En un sistema sifónico es fundamental el perfecto dimensionado de los tubos, para que pueda generarse un pistón hidráulico en la bajante.

La energía necesaria que posibilita el funcionamiento del sistema (presión negativa), se obtiene con la diferencia de altura entre el

sumidero que recibe las aguas pluviales y la conexión a la arqueta o red enterrada de evacuación.

El sistema aumenta su eficacia en la medida en la que la pluviometría real se aproxima a la de diseño. Durante una precipitación se observan diferentes fases que se explican a continuación:

En una fase inicial, cuando el caudal de agua de lluvia es todavía pequeño, el sistema funciona por gravedad (FASE I). Al aumentar el caudal, la sección de los tubos se va llenando y el aire tiende a eliminarse del sistema. En la siguiente fase, los sumideros sifónicos Geberit impiden la entrada de aire del exterior, empujando el agua existente y originando la típica formación de “olas” en los tubos horizontales (FASE II).

Según aumenta el caudal de agua, el aire que queda en el interior se transforma en burbujas (FASE III), aumentando la velocidad de salida y por tanto mejorando el rendimiento. Cuando se alcanza el caudal de diseño pluviométrico, los tubos están totalmente llenos y se obtiene el momento de máximo rendimiento (FASE IV).

Como puede comprobarse, el Sistema Pluvia está diseñado para adaptarse a las necesidades de cada momento, de forma que responde a los caudales existentes garantizando que la cubierta siempre se mantenga “seca”.

Documento visado electrónicamente con número: VA07290/22
Código de validación telemática TRLTDCFZ60T66IJ1. Comprobación: https://cogitivalencia.e-gestion.es/Validacion.aspx?CVT=TRLTDCFZ60T66IJ1

VISADO
COGITI
VALENCIA
VA07290/22
TRLTDCFZ60T66IJ1

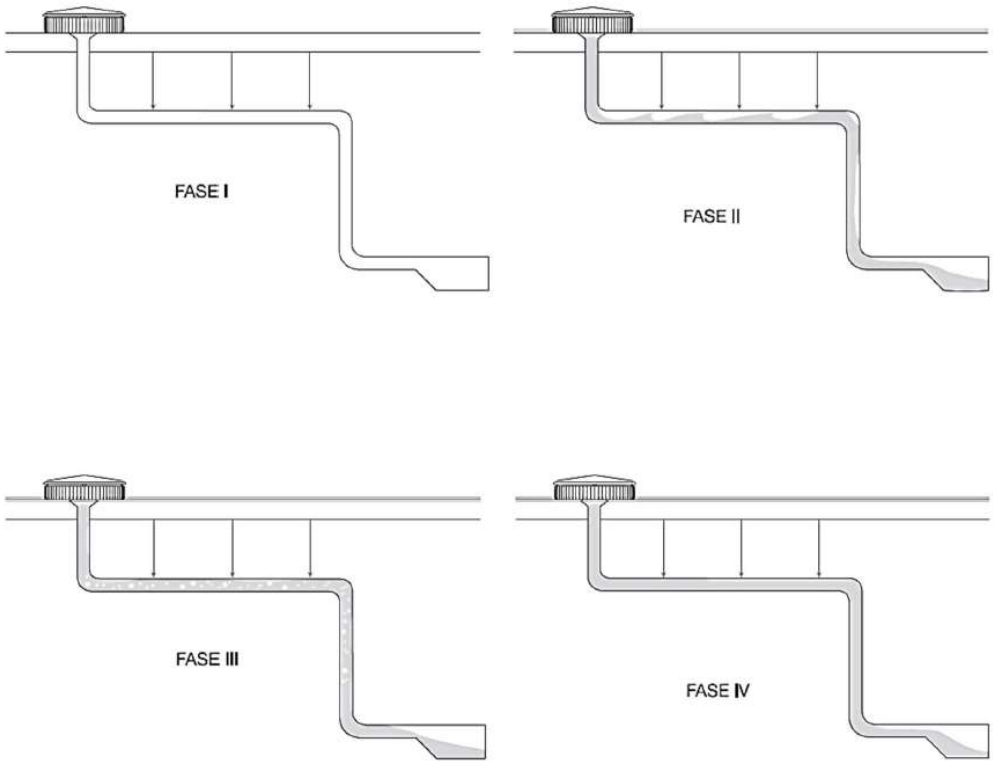

2. COMPONENTES DEL SISTEMA

2.1. SUMIDEROS SIFÓNICOS

La norma UNE-EN 1253 “Sumideros y sifones para edificios” define los requisitos que debe cumplir un sumidero sifónico (también llamado autocebante), para que pueda evacuar las aguas pluviales según define la norma UNE-EN 12056 para sistemas sifónicos.

Según los ensayos descritos, los sumideros sifónicos Geberit son los más eficaces del mercado en cuanto a su capacidad de evacuación en canalones, ya que superan con creces los requisitos de la norma UNE-EN 1253:

Documento visado electrónicamente con número: VA07290/22
Código de validación telemática TRLTDCFZ60T66IJ1. Comprobación: https://cogitivalencia.e-gestion.es/Validacion.aspx?CVT=TRLTDCFZ60T66IJ1

VISADO
COGITI
VALENCIA
VA07290/22
TRLTDCFZ60T66IJ1

Tabla 4
Caudales mínimos de los desagües de cubierta para sistemas de evacuación sifónicos

Diámetro nominal del manguito de salida del desagüe de cubierta		Caudal mínimo para una altura de agua de cobertura máxima *a* de 55 mm[a]
DN/DE	DN/DI	l/s
40		2,5
	40	3
50		4
	50	6
75	70	12
	75	14

[a] El caudal efectivo de un desagüe de cubierta, para un sistema de evacuación sifónico, depende de las condiciones específicas de instalación y de los resultados del cálculo del sistema aplicando el coeficiente de pérdida de carga hidráulica conforme a lo establecido en el apartado 11.3.3 del proyecto de Norma prEN 1253-2:2002.

En el cuadro adjunto, se muestran los valores de capacidad de los sumideros sifónicos Geberit con diámetro de salida 56, 75 y 90 mm. Estos datos están basados en los ensayos realizados en los laboratorios del Instituto de Ciencias de la Construcción Eduardo Torroja, único Organismo español que tiene otorgada la facultad de conceder el Documento de Idoneidad Técnico (DIT) y en el TÜV Rheinland LGA, según la norma UNE-EN 1253.

h* (mm)	Capacidad de los sumideros Geberit (l/s)		
	Salida ø 56 mm	Salida ø 75 mm	Salida ø 90 mm
5	0,5	0,6	0,7
15	2,4	1,6	3,3
25	5,5	3,4	7,3
35	7,8	8,5	12
45	9,2	14	17,4
55	12,5	16,1	23,7
60	13,8	16,4	24,7
75	14	19	25

**Altura de la lámina de agua*

Los componentes de un sumidero Geberit, son los siguientes:

- Cazoleta, compuesta por tapa y anillo protector.

- Deflector, responsable del cebado del sistema. Está diseñado con nervios radiales que evitan la entrada masiva de aire, al romper el curso natural del agua en forma de remolino.

- Elemento base, encargado de la conexión del sumidero a la cubierta y sobre el que se realiza la impermeabilización.

Documento visado electrónicamente con número: VA07290/22
Código de validación telemática TRLTDCFZ60T66IJ1. Comprobación: https://cogitivalencia.e-gestion.es/Validacion.aspx?CVT=TRLTDCFZ60T66IJ1

VISADO
COGITI
VALENCIA
VA07290/22
TRLTDCFZ60T66IJ1



2.2. TUBOS Y ACCESORIOS

Tubería y accesorios PE80 fabricados por Geberit, con diámetros comprendidos desde 40 mm hasta 315 mm. Por su sistema de unión mediante soldadura a testa o con manguitos electrosoldables, eliminan cualquier riesgo de fugas.

Las características del PE80 garantizan un comportamiento correcto para absorber las presiones negativas que provoca el sistema sifónico. Esto significa que podemos desarrollar trazados de líneas llegando hasta diámetros de 315 mm, sin ningún riesgo de producirse un efecto de 'implosión'.

Todos los accesorios son moldeados (codos, injertos, etc.) y nunca se fabrican con tramos de tubo in situ. De esta manera se garantiza una perfecta instalación y un rendimiento óptimo desde el punto de vista hidráulico.

2.3. FIJACIÓN DEL SISTEMA GEBERIT

Para la fijación del sistema se empleará el del tipo Fijación con rail, y con las que transmitiremos los esfuerzos desde la red de colectores hasta la estructura:

Fijación con raíl (rígido)

Para estructuras metálicas en las que los esfuerzos se transmiten a través del raíl.

Para el correcto funcionamiento del sistema, se deben controlar las dilataciones mediante la colocación de puntos fijos, para que bloqueen el movimiento longitudinal de los colectores.

Documento visado electrónicamente con número: VA07290/22
Código de validación telemática TRLTDCFZ60T66IJ1. Comprobación: https://cogitivalencia.e-gestion.es/Validacion.aspx?CVT=TRLTDCFZ60T66IJ1

VISADO
COGITI
VALENCIA
VA07290/22
TRLTDCFZ60T66IJ1

No se permiten las instalaciones de sistemas sifónicos sin puntos fijos, ya que la dilatación libre de los colectores sustentados exclusivamente por abrazaderas deslizantes, genera grandes problemas. En instalaciones sin puntos fijos, la pérdida de horizontalidad de los colectores, los fallos de impermeabilización en la cubierta por movimientos en los sumideros, el arrancamiento de abrazaderas y las fugas en las uniones, son muy comunes.

2.4. CUBIERTA DE CHAPA

Se trata de una cubierta realizada con chapa perfilada de acero grecada prelacada por la cara exterior de 0.6 mm. de espesor, con recubrimiento HDX 55 micras en cara superior, con nervios de 42 mm de altura de cresta, a una separación de entre 200mm. Con fijacion rígida colaborante a las correas la marquesina (tornillo auto-roscante o ganchos en acero inoxidable).

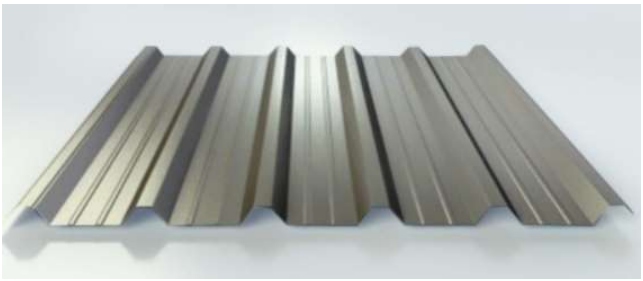

2.5. CANALÓN

Los sumideros sifónicos se instalarán sobre un canalón interior para cubierta inclinada, con chapa plegada de acero galvanizado prelacado, de 1,0 mm de espesor, 4 pliegues y dimensiones de 500mm de ancho y alas de 200mm.



Documento visado electrónicamente con número: VA07290/22
Código de validación telemática TRLTDCFZ60T66IJ1. Comprobación: https://cogitivalencia.e-gestion.es/Validacion.aspx?CVT=TRLTDCFZ60T66IJ1

VISADO
COGITI
VALENCIA
VA07290/22
TRLTDCFZ60T66IJ1

3. INSTALACIÓN DEL SISTEMA

3.1. PUNTOS FIJOS

Los puntos fijos tienen como misión impedir cualquier movimiento (longitudinal y transversal) en el colector de PE80, de manera que el tramo de tubo comprendido entre ellos, quede bloqueado. Se definen los siguientes tipos:

TIPOLOGÍA DE PUNTOS FIJOS				
PUNTO FIJO	**COMPONENTES**		**DIÁMETROS (mm)**	**TIPO DE FIJACIÓN**
TIPO I		Abrazadera de acero galvanizado con rosca de ½". Cinta electrosoldable.	ø 50 a 160 mm	*FIJACIÓN SIN RAIL (Montaje directo)*
TIPO II		Abrazadera de acero galvanizado con rosca de 1". Maguito de doble resalte.	ø 200 a 315 mm	*FIJACIÓN SIN RAIL (Montaje directo)*
TIPO III		Abrazadera PluviaFix de acero galvanizado. Cinta electrosoldable.	ø 50 a 200 mm	*FIJACIÓN CON RAIL (Rígido)*
TIPO IV		Abrazadera para raíl en C. Cintas electrosoldables.	ø 250 mm	*FIJACIÓN CON RAIL (Rígido)*
TIPO V		Dos abrazaderas para raíl en C. Cintas electrosoldables.	ø 315 mm	*FIJACIÓN CON RAIL (Rígido)*

Documento visado electrónicamente con número: VA07290/22
Código de validación telemática TRLTDCFZ60T66IJ1. Comprobación: https://cogitivalencia.e-gestion.es/Validacion.aspx?CVT=TRLTDCFZ60T66IJ1

VISADO
COGITI
VALENCIA
VA07290/22
TRLTDCFZ60T66IJ1

3.2. SISTEMA DE FIJACIÓN CON RAIL (RÍGIDO)

Las dilataciones del tubo son absorbidas por el sistema mediante la transmisión de los esfuerzos al tubo cuadrado de acero, montado en paralelo con la tubería. Para el cálculo de la dilatación longitudinal sólo se toma en cuenta el coeficiente de dilatación del acero.

Al utilizar este tipo de fijación, se pueden ignorar por completo los cambios de longitud en el rail Pluvia. Las dilataciones del tubo de PE80 se controlan con puntos fijos.



Elementos para la instalación

- Rail Pluvia

Es un tubo de sección cuadrada de acero galvanizado de dimensiones 30 x 30 x 2 mm. Se suministra en longitudes de 5 m.

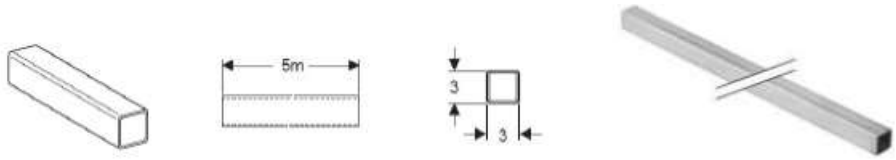

- Elemento unión raíles

Es un elemento de acero galvanizado que se emplea para unir dos raíles Pluvia. Lleva una rosca hembra de M10 para fijar a la estructura de la cubierta.

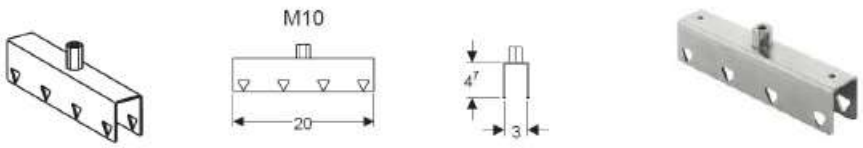

- Elemento anclaje para rail Pluvia

Elemento de acero galvanizado que incorpora rosca hembra M10. Se emplea para colgar el rail Pluvia de la estructura de la cubierta en un punto interior del mismo.

Documento visado electrónicamente con número: VA07290/22
Código de validación telemática TRLTDCFZ60T66IJ1. Comprobación: https://cogitivalencia.e-gestion.es/Validacion.aspx?CVT=TRLTDCFZ60T66IJ1

VISADO
COGITI
VALENCIA
VA07290/22
TRLTDCFZ60T66IJ1

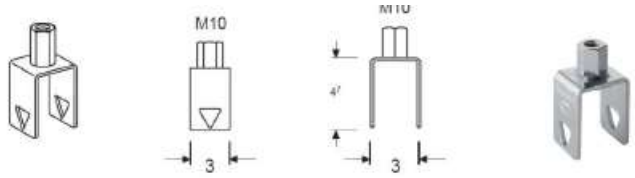

- Chaveta

Se emplea para fijar los elementos de anclaje, los de unión y las abrazaderas Pluvia al rail.

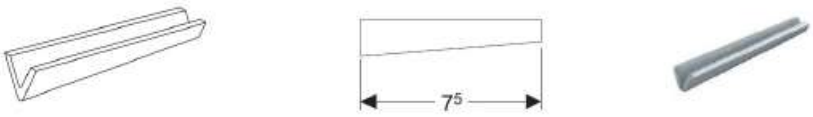

- Abrazaderas Pluvia

Abrazaderas fabricadas en acero galvanizado

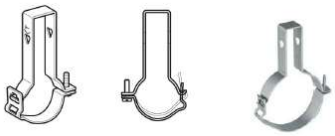

4. DISEÑO Y DIMENSIONADO DEL SISTEMA

4.1. DETERMINACIÓN DE LA INTENSIDAD DE LLUVIA

En el dimensionado de la instalación, se debe considerar el cálculo de la intensidad pluviométrica teniendo en cuenta el Período de Retorno y el Tiempo de Concentración, para ello se considerará el valor más exigente entre los obtenidos en los siguientes documentos:

a) Apartado 4.2 Dimensionado, del Código Técnico de la Edificación (CTE) DB Sección

HS 5. “Evacuación de aguas”.

b) “Máximas lluvias en la España Peninsular” editada por la Secretaría de Estado de Infraestructuras y Transportes de la Dirección General de Carreteras del Ministerio de Fomento (1990).

c) Instrucción de Carreteras 5.2.1.C “Drenaje superficial” (BOE nº 123, de 23 de mayo de 1990).

4.2. DIMENSIONADO DE LOS CANALONES

Se deben tener en cuenta los siguientes puntos:

Documento visado electrónicamente con número: VA07290/22
Código de validación telemática TRLTDCFZ60T66IJ1. Comprobación: https://cogitivalencia.e-gestion.es/Validacion.aspx?CVT=TRLTDCFZ60T66IJ1

VISADO
COGITI
VALENCIA
VA07290/22
TRLTDCFZ60T66IJ1

- La anchura deberá permitir un fácil mantenimiento del sumidero, para lo que se ha de tener en cuenta el diámetro de la cazoleta y el babero (consultar las cotas según tipo de sumidero).
- La altura debe cubrir totalmente el punto más alto de la cazoleta del sumidero (al menos 15 cm).
- En caso de no ser horizontal, se deben definir los puntos bajos para prever la colocación de los sumideros.
- Se ha de tener en cuenta la existencia de juntas de dilatación.
- Se aconseja definir la altura crítica del canalón (altura a la que no debe llegar la acumulación de agua bajo ningún concepto), para prever sistemas alternativos de seguridad.

4.3. CÁLCULO DEL NÚMERO DE SUMIDEROS

En función de la pluviometría de diseño, la superficie superficie y la geometría de la cubierta, se calcula el número de sumideros necesario para evacuar la cubierta. Para ello se tendrá que valorar el tipo de sumidero que mejor se adapte a las necesidades atendiendo a su capacidad y al uso de la cubierta.

Se tendrán en cuenta las directrices marcadas en la norma UNE-EN 12056-3:2000.

4.4. CÁLCULO DEL SISTEMA

Durante el proceso de cálculo se tienen en cuenta los siguientes factores:

- Caudal real a evacuar;

- Altura total y longitud del tubo;

- Pérdida de carga (Colebrook White);

- Comprobación de la velocidad (al menos 1.m/s para asegurar la autolimpieza);

- Comprobación de la presión negativa más desfavorable. Debido a las características del material de los tubos de PE80, la presión negativa no debe superar los 800 mbar.

La instalación se ha calculado para una **intensidad pluviométrica de 156mm/h**

Documento visado electrónicamente con número: VA07290/22
Código de validación telemática TRLTDCFZ60T66IJ1. Comprobación: https://cogitivalencia.e-gestion.es/Validacion.aspx?CVT=TRLTDCFZ60T66IJ1

VISADO
COGITI
VALENCIA
VA07290/22
TRLTDCFZ60T66IJ1

Lista hidráulica PSI+

Evacuación de aguas pluviales

Línea 1 - Bajante A

La garantía para el funcionamiento del sistema solo será válida si se utilizan únicamente los tubos y los accesorios de la serie Geberit Pluvia y si durante el montaje se ha respetado la información técnica actual aplicable de Geberit Pluvia, teniendo en cuenta las condiciones locales (normas, intensidad del agua de lluvia, etc.).

Tipo	Tr	d [mm]	L [m]	H [m]	V̇ nom [l/s]	V̇ [l/s]	v [m/s]	Zeta	L·R+Z [mbar]	p out [mbar]	ψ [%]
	1	200	0,20	0,14	173,6	172,8	8,2	1,0	260	0	76
	2	200	0,20	-	173,6	172,8	8,2	0,3	70	-8	76
↓	3	200	13,40	13,40	173,6	172,8	8,5	0,3	324	46	76
	4	250	7,70	-	173,6	172,8	5,4	0,5	106	-468	76
↓	5	250	3,80	3,80	173,6	172,8	5,4	0,3	57	-361	76
	6	250	8,69	-	173,6	172,8	5,4	0,3	90	-588	76
	7	250	17,37	-	151,9	151,1	4,3	0,2	92	-464	83
	8	250	17,37	-	130,2	129,4	3,5	0,2	63	-345	87
	9	250	17,37	-	108,5	107,7	2,8	0,2	44	-265	88
	10	200	17,37	-	86,8	86,0	3,6	0,3	89	-242	87
	11	200	17,37	-	65,1	64,3	2,6	0,2	46	-126	91
	12	200	17,37	-	43,4	42,6	1,6	0,1	19	-64	95
	13	160	17,37	-	21,7	21,7	1,4	0,1	19	-41	91
	14	110	1,00	1,00	21,7	21,7	3,0	0,6	29	-53	91
◈	15	90	0,11	0,11	21,7	21,7	4,4	0,9	82	-161	91
	16s12	110	1,00	1,00	21,7	20,9	2,6	2,0	72	-66	100
◈	17	90	0,11	0,11	21,7	20,9	3,9	0,9	70	-134	100
	18s11	110	1,00	1,00	21,7	21,7	3,2	1,1	54	-93	84
◈	19	90	0,11	0,11	21,7	21,7	4,8	0,9	89	-175	84
	20s10	90	1,00	1,00	21,7	21,7	5,2	0,7	93	-201	76
◈	21	90	0,11	0,11	21,7	21,7	5,2	0,8	86	-183	76
	22s9	75	1,00	1,00	21,7	21,7	6,2	0,9	199	-365	94
◈	23	90	0,11	0,11	21,7	21,7	4,3	1,0	88	-164	94

Documento visado electrónicamente con número: VA07290/22
Código de validación telemática TRLTDCFZ60T66IJ1. Comprobación: https://cogitivalencia.e-gestion.es/Validacion.aspx?CVT=TRLTDCFZ60T66IJ1

VISADO
COGITI
VALENCIA
VA07290/22
TRLTDCFZ60T66IJ1

Lista hidráulica PSI+

Evacuación de aguas pluviales

Tipo	Tr	d [mm]	L [m]	H [m]	V̇ nom [l/s]	V̇ [l/s]	v [m/s]	Zeta	L·R+Z [mbar]	p out [mbar]	Ψ [%]
	24s8	75	1,00	1,00	21,7	21,7	7,2	0,8	214	-439	80
◈	25	90	0,11	0,11	21,7	21,7	5,0	1,0	103	-194	80
	26s7	75	1,00	1,00	21,7	21,7	8,6	0,8	243	-542	67
◈	27	90	0,11	0,11	21,7	21,7	6,0	1,0	122	-235	67
	28s6	75	1,00	1,00	21,7	21,7	8,7	1,0	312	-637	**47**
◈	29	90	0,11	0,11	21,7	21,7	6,0	1,0	124	-239	**47**

	Unidades	Límite	Proyecto	Tr
Presión negativa máxima (d ≤ 160 mm)	mbar	-800	-637	28s6
Presión negativa máxima (d ≥ 200 mm) en tubos sin refuerzo	mbar	-450	-345	8
Presión negativa máxima (d ≥ 200 mm) en tubos con refuerzo	mbar	-800	-588	6
Velocidad de flujo mínima	m/s	0,7	1,4	13
Parte mínima de agua en mezcla de agua-aire (Ψ)	%	40	47	29
Caudal volumétrico mínimo en el sumidero	%	90	96	17

Tr	Tramo
d	Diámetro exterior
L	Longitud
H	Altura
V̇ nom	Caudal volumétrico nominal
V̇	Caudal volumétrico
v	Velocidad de flujo
Zeta	Valor Zeta
L·R+Z	Pérdida de carga por fricción en las tuberías y unitarias
p out	Presión final en el tramo
Ψ	Porcentaje de agua en la mezcla de agua-aire

Documento visado electrónicamente con número: VA07290/22
Código de validación telemática TRLTDCFZ60T66IJ1. Comprobación: https://cogitivalencia.e-gestion.es/Validacion.aspx?CVT=TRLTDCFZ60T66IJ1

VISADO
COGITI
VALENCIA
VA07290/22
TRLTDCFZ60T66IJ1

ANEXO III.

VIABILIDAD ESTRUCTURAL SILO EXISTENTE

Documento visado electrónicamente con número: VA07290/22
Código de validación telemática TRLTDCFZ60T66IJ1. Comprobación: https://cogitivalencia.e-gestion.es/Validacion.aspx?CVT=TRLTDCFZ60T66IJ1

VISADO
COGITI
VALENCIA
VA07290/22
TRLTDCFZ60T66IJ1

Índice general

1. INFORME TÉCNICO **3**
1.1. ANTECEDENTES . . . 3
1.2. OBJETO Y ALCANCE DEL INFORME . . . 4
1.3. METODOLOGÍA EMPLEADA Y DOCUMENTOS DE TRABAJO . . . 5
1.4. DESCRIPCIÓN GENERAL DE LA ESTRUCTURA Y CIMENTACIÓN . . . 8
1.5. CARACTERÍSTICAS DE LOS MATERIALES EN EL PROYECTO DE EJECUCIÓN 11
1.6. OBTENCIÓN DE ACCIONES . . . 12
1.7. ACCIONES PERMANENTES Y VARIABLES . . . 13
1.7.1. Cargas permanentes (G) . . . 13
1.7.2. Acciones variables (Q) . . . 13
1.8. ACCIÓN DEL VIENTO SOBRE LA ESTRUCTURA DEL SILO . . . 15
1.9. ACCIÓN SÍSMICA SOBRE LA ESTRUCTURA DEL SILO . . . 17
1.10. ESFUERZOS TÉRMICOS SOBRE LA ESTRUCTURA DEL SILO . . . 20
1.11. ACCIÓN DE LA NIEVE SOBRE LA ESTRUCTURA DEL SILO . . . 22
1.12. ACCIÓN DEBIDO A LA CENTRAL SOLAR FOTOVOLTAICA . . . 23
1.13. ACCIONES CONSIDERADAS EN EL PROYECTO PRESENTADO POR ROVER ALCISA . . . 33
1.14. COEFICIENTES DE SEGURIDAD E HIPÓTESIS DE CÁLCULO . . . 34
1.14.1. Materiales . . . 34
1.14.2. Estados Límite Últimos . . . 34
1.14.3. Estados Límite de Servicio . . . 34
1.14.4. Combinación de acciones . . . 35
1.14.5. Clase de exposición, recubrimiento, y fisuración . . . 37
1.15. MODELIZACIÓN DE LA ESTRUCTURA EN EL PROYECTO DE EJECUCIÓN . 38
1.16. MODELIZACIÓN DE LA ESTRUCTURA PARA ESTE ESTUDIO . . . 44
1.17. CÁLCULO PILARES EN EL PROYECTO DE EJECUCIÓN . . . 60
1.18. UNIÓN ESPERAS-CIMENTACIÓN . . . 62
1.19. SOLICITACIONES EN UNIÓN PILAR-CIMENTACIÓN . . . 64
1.19.1. Solicitaciones sin considerar la estructura metálica . . . 64
1.19.2. Solicitaciones considerando la estructura metálica . . . 65
1.20. COMPROBACIÓN DE PILARES . . . 67
1.21. CIMENTACIÓN Y PILOTAJE . . . 72
1.21.1. Geotécnia . . . 72
1.21.2. Proyecto de cimentación y pilotaje . . . 72
1.21.3. Modificaciones *as built* del proyecto de cimentación . . . 75
1.22. COMPROBACIÓN CIMENTACIÓN Y PILOTAJE . . . 79
1.23. DIMENSIONAMIENTO UNIÓN SILO-ESTRUCTURA METÁLICA . . . 80
1.24. CONCLUSIONES . . . 82

Documento visado electrónicamente con número: VA07290/22
Código de validación telemática TRLTDCFZ60T66IJ1. Comprobación: https://cogitivalencia.e-gestion.es/Validacion.aspx?CVT=TRLTDCFZ60T66IJ1

VISADO
COGITI
VALENCIA
VA07290/22
TRLTDCFZ60T66IJ1

Capítulo 1

INFORME TÉCNICO

1.1. ANTECEDENTES

La sociedad concesionaria Valencia Terminal Europa, S.A. (VTE), del grupo naviero Grimaldi, ha sido la promotora de las Obras del Silo Almacenamiento de Vehículos en el Dique del Este, en el Puerto de Valencia. Dicha obra consiste en una edificación prefabricada conformada por un entramado de pilares y vigas prefabricados y forjados de placa alveolar sin capa de compresión.

La cimentación es profunda debido a la baja calidad de los rellenos portuarios, mediante grupos de pilotes prefabricados hincados de hormigón armado y sus correspondientes encepados. Los encepados se arriostran entre sí perimetralmente y en la dirección menor.

El contratista elegido por el promotor VTE para la construcción de la obra fue la empresa ROVER ALCISA S.A., y esta sociedad mercantil contrató a PACADAR la estructura prefabricada y a KELLER el pilotaje mediante la hinca de pilotes prefabricados de hormigón armado.

Dado que tanto los forjados como la cubierta y las rampas están conformados por placas alveolares sin capa de compresión, se ha realizado la impermeabilización y asfaltado de la cubierta y las rampas laterales, la cubierta con una capa de 5 cm y las rampas con una capa de 8 cm. Estos trabajos han sido adjudicados a la empresa BECSA, S.A.U.

En la actualidad se plantea realizar en un futuro próximo, una central solar fotovoltaica en la cubierta del silo.



Figura 1.1: Vista silo almacenamiento de vehículos VTE.

Documento visado electrónicamente con número: VA07290/22
Código de validación telemática TRLTDCFZ60T66IJ1. Comprobación: https://cogitivalencia.e-gestion.es/Validacion.aspx?CVT=TRLTDCFZ60T66IJ1

VISADO
COGITI
VALENCIA
VA07290/22
TRLTDCFZ60T66IJ1

1.2. OBJETO Y ALCANCE DEL INFORME

Como se ha comentado en el apartado anterior, se plantea la posible instalación en cubierta de una central solar fotovoltaica en un futuro próximo.

El objeto del informe radicará en estudiar la viabilidad estructural del silo construido frente a las solicitaciones generadas por la ejecución de una instalación solar fotovoltaica en cubierta (placas y estructura soporte).

A tales efectos se verificará tanto la estructura prefabricada como la cimentación:

- En lo que se refiere a la estructura prefabricada se verificarán, bajo las nuevas solicitaciones que incorporan las acciones de la instalación solar fotovoltaica (pesos propios, carga muerta y sobrecargas), tanto las vigas de cubierta como los pilares, así como cualquier otro elemento afectado. La comprobación estructural se realizará tanto a ELU como a ELS según normativa vigente.
- En cuanto a la cimentación se harán las comprobaciones pertinentes tanto de los encepados como de los pilotes, teniendo en cuenta la casuística de lo realmente ejecutado en obra. Se obtendrán las combinaciones de acciones en la unión del pilar al encepado y con las solicitaciones obtenidas se verificarán los encepados y los pilotes correspondientes.
- En lo referente a la unión de la estructura de la central solar fotovoltaica con la estructura prefabricada, se estudiará la forma y efectos de dicha unión.



Figura 1.2: Cubierta silo almacenamiento de vehículos VTE.

Para la ejecución de las obras de impermeabilización y asfaltado de la cubierta y las rampas del silo de vehículos de VTE, fue necesario el tránsito y operación de equipos de transporte, extendido y compactación de aglomerado asfáltico. Ya se realizó en su día un informe técnico para la empresa BECSA, S.A.U., que estudiaba la viabilidad de la estructura y cimentación del silo de almacenamiento de vehículos a los efectos del paso de maquinaria y equipos pesados para el asfaltado de la cubierta y rampas.

Documento visado electrónicamente con número: VA07290/22
Código de validación telemática TRLTDCFZ60T66IJ1. Comprobación: https://cogitivalencia.e-gestion.es/Validacion.aspx?CVT=TRLTDCFZ60T66IJ1

VISADO
COGITI
VALENCIA
VA07290/22
TRLTDCFZ60T66IJ1

1.3. METODOLOGÍA EMPLEADA Y DOCUMENTOS DE TRABAJO

El trabajo se ha desarrollando con la siguiente metodología:

- Se separan conceptualmente los trabajos en dos líneas: por un lado, el análisis independiente de la estructura y por otro el análisis de la cimentación y pilotaje.
- En este documento se verifica la estructura y cimentación teniendo en cuenta las nuevas cargas en la misma debido a la instalación de una central solar fotovoltaica en cubierta y debido a la impermeabilización de la misma, así como de las rampas laterales.
- Para lograr lo anterior se han realizado los cálculos necesarios y se ha revisado tanto la documetación escrita como la gráfica correspondiente al proyecto de ejecución, más documentación aportada durante el transcurso de la obra que tuviera interés al respecto, así como la documentación "as built".
- En cuanto a los cálculos, se han verificado tanto las bases de cálculo, como realizado las comprobaciones pertinentes en base a los mismos. Se puede consultar con más detalle el alcance del informe de viabilidad en el apartado correspondiente.

En cuanto a los programas informáticos empleados en la revisión, estos han sido:

- Programa de elementos finitos SAP2000 v20, para la modelización de la estructura completa en 3D, con diferentes configuraciones de las uniones.
- Prontuario Informático del Hormigón Estructural 3.1.5.
- Idea StatiCa 8.
- Programas propios de cálculo seccional de hormigón armado y pretensado.
- Programas propios de cálculo de ménsulas.
- Programas propios de cálculo de placas alveolares pretensadas.

El trabajo se ha realizado en base a la siguiente documentación facilitada por Invercrea y ROVER ALCISA, y a la generada por el equipo revisor:

- Estudio geotécnico redactado por PRODEIN con ref. 16022. En el mismo se llevaron a cabo un total de 8 sondeos rotativos con recuperación continua de testigo entre los 40-45 m, 4 sondeos rotativos entre 20-34 m y 13 penetraciones dinámicas a rechazo.
- Pruebas de hinca de pilotes 400x400 mm, realizadas por P14
- Proyecto básico de licitación realizado por INVERCREA.
- Documentos de justificación del pilotaje entregados por el contratista ROVER ALCISA. Que incluye: Modelos de cálculo de Reacciones en cimentación para los módulos 1-2-3, calculadas por PACADAR; Nota técnica de pilotes prefabricados, realizada por KELLER; y listados de comprobación de esfuerzos en pilotes y Plano de Distribución de Pilotes Prefabricados, documentación elaborada por KELLER.
- Respuesta del contratista ROVER ALCISA a los requerimientos de aclaraciones e información complementaria, de fecha 16-03-18.
- Informe técnico de la cimentación del silo para almacenamiento de vehículos en dique del este Puerto de Valencia de fecha 29-03-18, redactado por Fernando González Vidosa y Ricardo Valiente Sanz.

Documento visado electrónicamente con número: VA07290/22
Código de validación telemática TRLTDCFZ60T66IJ1. Comprobación: https://cogitivalencia.e-gestion.es/Validacion.aspx?CVT=TRLTDCFZ60T66IJ1

VISADO
COGITI
VALENCIA
VA07290/22
TRLTDCFZ60T66IJ1

- Proyecto parcial primero de cimentación y pilotaje de fecha Abril 2018, presentado por ROVER ALCISA.
- Primer Avance revisión proyecto de construcción de fecha 23/04/2018.
- Segundo Avance revisión proyecto parcial de pilotaje y conclusiones reunión técnica 27.04.2018, de fecha 30/04/2018.
- RESPUESTAS AL DOCUMENTO: Segundo Avance revisión proyecto parcial de pilotaje y conclusiones reunión técnica 27.04.2018.
- Tercer Avance revisión proyecto parcial de pilotaje y conclusiones reunión técnica 27.04.2018, de fecha 18/05/2018.
- RESPUESTAS AL DOCUMENTO: Avance revisión parcial del proyecto ESTRUCTURA.
- Proyecto parcial segundo de estructura, revisión nº1, entregado el 27/06/2018 por ROVER ALCISA.
- Informe Revisión Proyecto Estructura de fecha 24/07/2018.
- Avance entrega de documentación de fecha 11/08/2018, presentado por ROVER ALCISA.
- Informe Técnico Contestación de fecha 19/08/2018.
- Proyecto parcial segundo de estructura, revisión nº2 de fecha 12/09/2018, presentado por ROVER ALCISA.
- Correo electrónico del 20/09/2018 del Autor del Proyecto.
- Proyecto parcial primero de cimentación y pilotaje con revisiones posteriores (revisión nº01 de 12/06/2018, revisión nº02 de 20/09/2018 y revisión nº3 de 17/10/2018).
- Documentación As-built con Memoria, Planos, Anexo 1-Pruebas dinámicas de carga, ensayos pet y justificación de refuerzos y Anexo 2-Informe cimentación SEG.
- INFORME TÉCNICO VIABILIDAD ESTRUCTURAL de fecha 26 de mayo de 2020, realizado por el Dr. Ingeniero Ferran Navarro Ferrer, que estudia la viabilidad estructural de la solución de la cubierta debido a la sobrecarga generada por la ejecución de un aglomerado asfáltico de 5 cm de espesor sobre las placas alveolares de cubierta en toda su superficie y de 8 cm sobre las rampas de acceso. En el mismo informe también se estudió las cargas correspondientes a una central solar fotovoltaica. Las cargas consideradas fueron 0,25 kN/m^2 para el peso propio de la estructura metálica y 0,25 kN/m^2 debido al peso de las placas solares.

Es necesario indicar que para la realización de este informe, aunque se ha consultado la información detallada con anterioridad, también se ha estudiado información y documentación adicional que no figura en la relación anterior, en función de la influencia e interés para el objeto y alcance de este informe.

El equipo de realización de esta informe de viabilidad ha estado compuesto por ingenieros con contrastada y dilatada experiencia en el campo de la estructuras, geotecnia y prefabricación, dirigidos por D. Ferran Navarro Ferrer. Ingeniero Industrial, Dr. en Ingeniería de la Construcción y Proyectos de Ingeniería Civil y Profesor UPV.

Documento visado electrónicamente con número: VA07290/22
Código de validación telemática TRLTDCFZ60T66IJ1. Comprobación: https://cogitivalencia.e-gestion.es/Validacion.aspx?CVT=TRLTDCFZ60T66IJ1

VISADO
COGITI
VALENCIA
VA07290/22
TRLTDCFZ60T66IJ1

La normativa utilizada para la revisión de la estructura es:

- Instrucción de Hormigón Estructural EHE-08.
- Código Técnico de la Edificación CTE:
  - DB-SE. Seguridad Estructural.
  - DB-SE-AE. Acciones en la edificación.
- Norma de Construcción Sismorresistente: Parte General y Edificación NSCE-02.

Documento visado electrónicamente con número: VA07290/22
Código de validación telemática TRLTDCFZ60T66IJ1. Comprobación: https://cogitivalencia.e-gestion.es/Validacion.aspx?CVT=TRLTDCFZ60T66IJ1

VISADO
COGITI
VALENCIA
VA07290/22
TRLTDCFZ60T66IJ1

1.4. DESCRIPCIÓN GENERAL DE LA ESTRUCTURA Y CIMENTACIÓN

La construcción realizada se trata de un silo para almacenar, durante un tiempo variable, vehículos autopropulsados que saldrán o entrarán en embarcaciones especializadas. El solar sobre el que se ha ubicado el almacén de automóviles tiene una superficie aproximada de 40.000 m^2, situados en la concesión de Valencia Terminal Europa en el Puerto de Valencia. Se encuentra en el muelle del dique Este, en su zona central. El dique Este fue construido a principios de los años 70 del siglo pasado, mientras que el muelle de este dique se construyó en el año 2005 (figura 1.3). Se pueden observar dos fotografías aéreas de dicho silo en la figura 1.1.



Figura 1.3: Dique Este Puerto Valencia, septiembre 2005 y mayo 2009.

Se trata de un edificio de planta rectangular de dimensiones aproximadas 256 x 156 m, con planta baja y cuatro forjados superiores, de modo que existan cinco niveles de almacenamiento de vehículos. La planta baja tiene una altura libre mínima de 4,74 m, lo que permite el almacenamiento de furgonetas y cabezas tractoras, en caso de ser necesario. Las plantas intermedias tienen limitada la altura de los vehículos que en ellas se pueden almacenar a 2,20 m. La planta de cubierta, sin techo que la cubra, también puede ser utilizada para almacenar vehículos de mayor altura, puesto que la estructura diseñada para las rampas de subida y/o bajada no limita el gálibo vertical.

Cada una de las plantas dispone de dos rampas de acceso, situadas en las caras menores del almacén y paralelas a ellas, de 8,70 m de anchura, medidos a ejes de pilares que las soportan. Teniendo en cuenta las rampas, la dimensión longitudinal del almacén en el sentido paralelo al muelle y dique, es de 273,40 m. Consta de 16 vanos centrales de 14,20 m cada uno de ellos, un vano en cada extremo de 14,15 metros, las dos rampas extremas de 8,70 m y los 0,25 m de los semianchos de los dos pilares que cierran el edificio longitudinalmente.

En cuanto a la dimensión transversal del almacén, la perpendicular a dique y muelle, el ancho del almacén se conforma con 19 vanos centrales de 7,30 m, un vano de 7,656 m en el lado Este, un vano de 9,424 m en el lado Oeste, y los 0,25 m de los pilares de cierre a cada lado. En total, 156,28 m. El almacén incluye tres escaleras peatonales a lo largo de la fachada paralela al muelle Este y cada una de las plantas tiene una pendiente uniforme del 0,755 %, con una limatesa horizontal a lo largo de la fachada Este y en dirección Este-Oeste, incluso la cubierta.

La estructura portante se ha ejecutado con elementos lineales prefabricados, de hormigón pretensado las vigas y las placas alveolares del forjado, y de hormigón armado los soportes. Los soportes se disponen, generalmente, sobre una malla regular de dimensiones 14,20 m en la dirección paralela al muelle, y 7,30 m en la dirección perpendicular al mismo. En la luz corta se sitúan vigas prefabricadas pretensadas en sección en T-invertida o en L, sobre las que apoyan las placas alveolares

Documento visado electrónicamente con número: VA07290/22
Código de validación telemática TRLTDCFZ60T66IJ1. Comprobación: https://cogitivalencia.e-gestion.es/Validacion.aspx?CVT=TRLTDCFZ60T66IJ1

VISADO
COGITI
VALENCIA
VA07290/22
TRLTDCFZ60T66IJ1

pretensadas de canto 35 *cm* sin capa de compresión, que conforman la superficie horizontal de cada planta. Las vigas apoyan en ménsulas existentes en los soportes a la altura de las tres primeras plantas y en cabeza de pilar en la planta de cubierta. También se disponen ménsulas en las caras de los pilares en las tres primeras plantas para apoyo de las placas.

Las rampas de subida y bajada también se resuelven con elementos de hormigón prefabricado, columnas de hormigón armado, vigas rectangulares perpendiculares al sentido de la rampa, y placas alveolares pretensadas de 25 *cm* de canto. La solución de las rampas ha venido condicionada por las necesidades en cuanto a pendientes de la empresa promotora y sus clientes. Las escaleras son también prefabricadas, al igual que los muros de apoyo de las mismas, en consonancia con todo el resto del almacén.

La cimentación es profunda debido a la baja calidad de los rellenos portuarios, mediante grupos de pilotes prefabricados hincados de hormigón armado y sus correspondientes encepados. Los encepados se arriostran entre sí perimetralmente y en la dirección menor.

Para minimizar los esfuerzos térmicos, se disponen dos juntas de dilatación trasversales en la estructura y una en sentido longitudinal, que dividen a la misma en seis bloques sensiblemente iguales. La distancia entre juntas es de 85 *m* como máximo. La solución constructiva de la junta es la habitual en este tipo de soluciones prefabricadas cuando se quiere evitar la duplicidad del soporte.

El esquema estructural es el denominado de esqueleto resistente, formado por columnas, vigas y placas alveolares de forjado. La estabilidad general se consigue con una solución estructural que, por efecto ménsula de las columnas, limita las deformaciones horizontales y transmite adecuadamente las acciones a la cimentación. La solución proyectada garantiza el monolitismo y la estabilidad de la estructura debido al:

- Empotramiento de las columnas a la cimentación. En este caso a los encepados de los pilotes. Se realiza mediante vainas corrugadas metálicas de las usadas en postensado en las que se introducen las barras salientes de las columnas y se rellenan de grout. Se dispone, generalmente, una longitud de vainas de 75 *cm*, suficiente para la transmisión de esfuerzos barra-grout, grout-vaina y vaina-hormigón y el diámetro previsto para las vainas permitirá las adecuadas tolerancias de fabricación y montaje.
- Columnas monolíticas fabricadas en toda su altura de sección 60x60 *cm* en planta baja y 50x50 *cm* en las restantes plantas, con las correspondientes ménsulas a nivel de forjado para recibir las vigas y las placas alveolares.
- Uniones entre vigas y columnas, mediante articulaciones con el mismo desplazamiento horizontal entre ambas, tanto para pesos propios como para sobrecargas.
- Y por último el efecto diafragma de los forjados de placas alveolares. En el sentido transversal a las vigas, se disponen vigas secundarias de arriostramiento, formadas por placas alveolares con rotura de dos alveolos en la zona de pilar y en las plantas 1ª, 2ª y 3ª. Estas placas se consideran por PACADAR como hiperestáticas a sobrecargas de uso y esfuerzos horizontales e isostáticas para pesos propios.

Hay que considerar, además, un análisis evolutivo de la estructura, al variar su modelo estructural, las acciones a las que está sometida y las propias características elasto-mecánicas del hormigón desde su fabricación hasta la finalización del montaje y realización de uniones en obra.

Una consideración adicional a tener en cuenta es la que se refiere a la capa de compresión. Aunque existe experiencia de construcciones con placa alveolar sin capa de compresión para esfuerzos sísmicos moderados, siempre funciona mejor para el efecto diafragma la existencia de capa de

Documento visado electrónicamente con número: VA07290/22
Código de validación telemática TRLTDCFZ60T66IJ1. Comprobación: https://cogitivalencia.e-gestion.es/Validacion.aspx?CVT=TRLTDCFZ60T66IJ1

VISADO
COGITI
VALENCIA
VA07290/22
TRLTDCFZ60T66IJ1

compresión sobre las placas alveolares. El tener uniones con un cierto grado de hiperestaticidad de las placas con los pilares, impiden el movimiento de las placas en el plano del forjado con lo que se comportará el forjado como un diafragma. También funciona de una manera más adecuada el forjado de placas con capa de compresión frente a la distribución de esfuerzos transversales, ya que a la capacidad de transmisión de esfuerzos de cizalla de las juntas entre placas alveolares, se añade la capa de compresión y el efecto pasador de la malla dispuesta en la misma.

La estructura posee un sistema de impermeabilización, pues el agua es el medio por el que se transportan los agentes agresivos para el hormigón armado y pretensado, además de aportar la humedad necesaria para el desarrollo de los procesos de corrosión de armaduras activas y pasivas.

Según información aportada por los técnicos de Invercrea, la no inclusión en el proyecto de capa de compresión y de impermeabilización específica fue una decisión del promotor para no incrementar los costes con elementos que no fueran estrictamente necesarios.

Debido a lo comentado en los párrafos anteriores se realizó una impermeabilización y asfaltado de la cubierta y de las rampas laterales .

Documento visado electrónicamente con número: VA07290/22
Código de validación telemática TRLTDCFZ60T66IJ1. Comprobación: https://cogitivalencia.e-gestion.es/Validacion.aspx?CVT=TRLTDCFZ60T66IJ1

VISADO
COGITI
VALENCIA
VA07290/22
TRLTDCFZ60T66IJ1

1.5. CARACTERÍSTICAS DE LOS MATERIALES EN EL PROYECTO DE EJECUCIÓN

En el proyecto de ejecución presentado por ROVER ALCISA, se dispone de un apartado, el 1.2.2. Características de los materiales a utilizar, donde se presenta la tabla siguiente de materiales a utilizar en la fabricación de los elementos prefabricados y en sus uniones y juntas ejecutadas "in situ".

PRODUCTO	HORMIGÓN	ACEROS
Elementos in situ. Juntas entre placas y pilar-viga.	HA-30/B/12/IIIa	B500SD
Elementos prefabricados armados. Pilares, vigas armadas, muros y escaleras.	HA-35/B/20/IIIa	B500SD
Elementos prefabricados con armadura activa. Vigas T inv. R y L.	HP-50/L/20/IIIa	Y1860S7 y B500SD
Elementos prefabricados con armadura activa. Placas alveolares canto 35 cm.	HP-45/S/12/IIIa	Y1860S7 e Y18060C
Elementos prefabricados con armadura activa. Placas alveolares canto 25 cm.	HP-45/S/12/IIIa	Y1860S7 e Y18060C
Elementos armados. Vigas Peto de longitud 13,66m.	HA-45/L/20/IIIa	Y1860S7 y B500SD

Figura 1.4: Tipología de hormigones y aceros empleados en la obra.

La carga unitaria de rotura de los aceros Y1860S7 y Y1860C es 1860 N/mm^2, siendo el límite elástico de los aceros de pretensado 1667 N/mm^2.

El acero pasivo utilizado en la fabricación de los elementos prefabricados y el colocado "in situ" es B500SD.

En el caso del hormigón empleado en la fabricación de los elementos prefabricados armados, este difiere en las vigas peto (HA-45) de los restantes elementos (HA-35): pilares, vigas armadas, muros y escaleras.

En cuanto al hormigón de las placas alveolares, la resistencia a compresión del hormigón es HP-45.

Se especifican las características del mortero sin retracción "grout" a utilizar en juntas y uniones.

Documento visado electrónicamente con número: VA07290/22
Código de validación telemática TRLTDCFZ60T66IJ1. Comprobación: https://cogitivalencia.e-gestion.es/Validacion.aspx?CVT=TRLTDCFZ60T66IJ1

VISADO
COGITI
VALENCIA
VA07290/22
TRLTDCFZ60T66IJ1

1.6. OBTENCIÓN DE ACCIONES

En los siguientes apartados definiremos los distintos tipos de acciones que afectaran al cálculo y dimensionamiento de la estructura. Siguiendo el CTE - SE - AE las podemos desglosar de la siguiente manera:

- G: Acciones permanentes:
  - PP: Peso propio de todos los elementos.
  - CM: cargas muertas.
  - P: Pretensado.
  - Acciones del terreno.
- Q: Acciones variables:
  - SC: sobrecarga de uso.
  - Acciones sobre barandillas y elementos divisorios.
  - Wx: viento en la dirección x.
  - Wy: viento en la dirección y.
  - Acciones térmicas
  - S: nieve.
- Acciones accidentales:
  - Sismo
  - Incendio
  - Impacto
  - Otras acciones accidentales

Se tendrán en cuenta las acciones sísmicas debido a que en esta zona, la aceleración sísmica básica a_b = 0,06 g, y por tanto, según el artículo 1.2.3 de la NCSE-02 es obligatoria la aplicación de la Norma Sismorresistente.

Basándonos en el libro *Estructuras de hormigón armado para edificios, de J.Calavera* y admitiendo una variación de temperatura de cálculo en la zona emplazamiento de la estructura de $\Delta t = T_s$ - T_m = 40 ^{o}C - 20 ^{o}C = 20 ^{o}C, tenemos una distancia admisible entre juntas de dilatación para el hormigón de 170 m. Se dispondrán juntas de dilatación a una distancia máxima de 90 metros.

Las cargas horizontales del viento, se aplicarán sobre pilares y muros, mientras que las verticales se aplicarán únicamente sobre las vigas y las placas alveolares.

Documento visado electrónicamente con número: VA07290/22
Código de validación telemática TRLTDCFZ60T66IJ1. Comprobación: https://cogitivalencia.e-gestion.es/Validacion.aspx?CVT=TRLTDCFZ60T66IJ1

VISADO
COGITI
VALENCIA
VA07290/22
TRLTDCFZ60T66IJ1

1.7. ACCIONES PERMANENTES Y VARIABLES

1.7.1. Cargas permanentes (G)

- *Peso propio de la estructura.*
  - Vigas T invertida 80x30+50x35: 6+4,38 kN/m.
  - Pilares 60x60: 9 kN/m y pilares 50x50: 6,25 kN/m.
  - Placas alveolares canto 350 mm (incluye junta entre placas): 4,36 kN/m^2.
  - Placas alveolares canto 250 mm (incluye junta entre placas): 3,55 kN/m^2
- *Cargas muertas*: En el proyecto original, no habían cargas muertas. En la propuesta que se está estudiando actualmente se tienen cargas muertas de 1,2 kN/m^2 en cubierta debido a los 5 cm de asfalto y de 1,92 kNm^2 en las rampas laterales (considerando el asfalto con un peso específico aparente de 24 kN/m^3).
- *Empuje*: No existe empuje activo del terreno.

El peso propio de las placas alveolares facilitado por PACADAR con junta llena es 4,36 y 3,55 kN/m^2 para las placas alveolares de canto 350 mm ELEMATIC y 250 mm PRENSOLAND-RESIMART respectivamente. También se han fabricado placas alveolares de canto 350 mm con otra sección, mediante tecnología PRENSOLAND-RESIMART, pero las mismas tienen un peso inferior (4,28 kN/m^2).

Las cargas variables debidas a la central solar fotovoltaica, se disponen como cargas puntuales situadas en cabeza de los pilares del silo donde apoyan los pilares de la estructura metálica que soporta la central solar fotovoltaica (que corresponde a pilares alternos del silo en ambas direcciones).

1.7.2. Acciones variables (Q)

- *Sobrecarga de uso*: Se adoptarán los valores de la tabla 3.1. del DB-SE-AE para zonas de tráfico y de aparcamiento para vehículos ligeros (peso total <30 kN).

Categoría de uso		Subcategorías de uso		Carga uniforme [kN/m²]	Carga concentrada [kN]
A	Zonas residenciales	A1	Viviendas y zonas de habitaciones en, hospitales y hoteles	2	2
		A2	Trasteros	3	2
B	Zonas administrativas			2	2
C	Zonas de acceso al público (con la excepción de las superficies pertenecientes a las categorías A, B, y D)	C1	Zonas con mesas y sillas	3	4
		C2	Zonas con asientos fijos	4	4
		C3	Zonas sin obstáculos que impidan el libre movimiento de las personas como vestíbulos de edificios públicos, administrativos, hoteles; salas de exposición en museos; etc.	5	4
		C4	Zonas destinadas a gimnasio u actividades físicas	5	7
		C5	Zonas de aglomeración (salas de conciertos, estadios, etc)	5	4
D	Zonas comerciales	D1	Locales comerciales	5	4
		D2	Supermercados, hipermercados o grandes superficies	5	7
E	Zonas de tráfico y de aparcamiento para vehículos ligeros (peso total < 30 kN)			2	20 (1)
F	Cubiertas transitables accesibles sólo privadamente (2)			1	2
G	Cubiertas accesibles únicamente para conservación (3)	G1	Cubiertas con inclinación inferior a 20º	1(4)	2
		G2	Cubiertas con inclinación superior a 40º	0	2

Figura 1.5: Sobrecargas de uso.

(1)Deben descomponerse en dos cargas concentradas de 10 kN separadas entre si 1,8 m. Alternativamente dichas cargas se podrán sustituir por una sobrecarga uniformemente distribuida

Documento visado electrónicamente con número: VA07290/22
Código de validación telemática TRLTDCFZ60T66IJ1. Comprobación: https://cogitivalencia.e-gestion.es/Validacion.aspx?CVT=TRLTDCFZ60T66IJ1

VISADO
COGITI
VALENCIA
VA07290/22
TRLTDCFZ60T66IJ1

en la totalidad de la zona de 3,0 kN/m^2 para el cálculo de elementos secundarios, como nervios o viguetas, doblemente apoyados, de 2,0 kN/m^2 para el de losas, forjados reticulados o nervios de forjados continuos, y de 1,0 kN/m^2 para el de elementos primarios como vigas, ábacos de soportes, soportes o zapatas. En el caso segundo, se considera una sobrecarga superficial de SC = 4 kN/m^2 para las placas alveolares y de 3 kN/m^2 para vigas, pilares y cimentación.

En las zonas de tráfico y aparcamiento, los parapetos, petos o barandillas y otros elementos que delimiten áreas accesibles para los vehículos deben resistir una fuerza horizontal, uniformemente distribuida sobre una longitud de 1 m, aplicada a 1,2 m de altura sobre el nivel de la superficie de rodadura o sobre el borde superior del elemento si éste está situado a menos altura, cuyo valor característico se definirá en el proyecto en función del uso específico y de las características del edificio, no siendo inferior a $q_k = 50\ kN$.

- *Acción del viento*: Se considerará como una carga repartida en superficie en todos los elementos exteriores expuestos y se aplicará sobre los pilares.
- *Esfuerzos térmicos*: Se considerarán los efectos globales sobre la estructura a partir de la variación de temperatura.
- *Nieve*: $q_n = 0{,}2\ kN/m^2$.

Al igual que las cargas permanentes, las cargas variables transmitidas por la estructura metálica a la cubierta del silo se disponen como cargas puntuales situadas en cabeza de los pilares del silo donde apoyan los pilares de la estructura metálica (que corresponde a pilares alternos del silo en ambas direcciones).

Documento visado electrónicamente con número: VA07290/22
Código de validación telemática TRLTDCFZ60T66IJ1. Comprobación: https://cogitivalencia.e-gestion.es/Validacion.aspx?CVT=TRLTDCFZ60T66IJ1

VISADO
COGITI
VALENCIA
VA07290/22
TRLTDCFZ60T66IJ1

1.8. ACCIÓN DEL VIENTO SOBRE LA ESTRUCTURA DEL SILO

La distribución y el valor de las presiones que ejerce el viento sobre un edificio y las fuerzas resultantes dependen de la forma y de las dimensiones de la construcción, de las características y de la permeabilidad de su superficie, así como de la dirección, de la intensidad y del racheo del viento. Para obtener la acción del viento se ha seguido el CTE DB SE-AE, aplicable a edificios situados a altitudes de hasta 2000 m y de esbeltez no superior a 6.

La acción de viento, en general una fuerza perpendicular a la superficie de cada punto expuesto, o presión estática, q_e puede expresarse como: $q_e = q_b \cdot c_e \cdot c_p$ siendo:

- q_b la presión dinámica del viento. De forma simplificada, como valor en cualquier punto del territorio español, puede adoptarse 0,5 kN/m^2. Pueden obtenerse valores más precisos mediante el anejo D, en función del emplazamiento geográfico de la obra. En nuestro caso q_b = 0,42 kN/m^2 al estar en Zona A. Además, este valor se podría corregir a la baja por un periodo de servicio inferior a 50 años.
- c_e el coeficiente de exposición, variable con la altura del punto considerado, en función del grado de aspereza del entorno donde se encuentra ubicada la construcción. Se determina de acuerdo con lo establecido en 3.3.3. y su valor se puede tomar de la tabla 3.4 (figura 1.6). En nuestro caso c_e = 3,3.
- c_p el coeficiente eólico o de presión, dependiente de la forma y orientación de la superficie respecto al viento, y en su caso, de la situación del punto respecto a los bordes de esa superficie; un valor negativo indica succión. Su valor se puede obtener del Anejo D del CTE DB SE-AE.

	Grado de aspereza del entorno	Altura del punto considerado (m)							
		3	6	9	12	15	18	24	30
I	Borde del mar o de un lago, con una superficie de agua en la dirección del viento de al menos 5 km de longitud	2,4	2,7	3,0	3,1	3,3	3,4	3,5	3,7
II	Terreno rural llano sin obstáculos ni arbolado de importancia	2,1	2,5	2,7	2,9	3,0	3,1	3,3	3,5
III	Zona rural accidentada o llana con algunos obstáculos aislados, como árboles o construcciones pequeñas	1,6	2,0	2,3	2,5	2,6	2,7	2,9	3,1
IV	Zona urbana en general, industrial o forestal	1,3	1,4	1,7	1,9	2,1	2,2	2,4	2,6
V	Centro de negocio de grandes ciudades, con profusión de edificios en altura	1,2	1,2	1,2	1,4	1,5	1,6	1,9	2,0

Figura 1.6: Valores del coeficiente de exposición Ce.

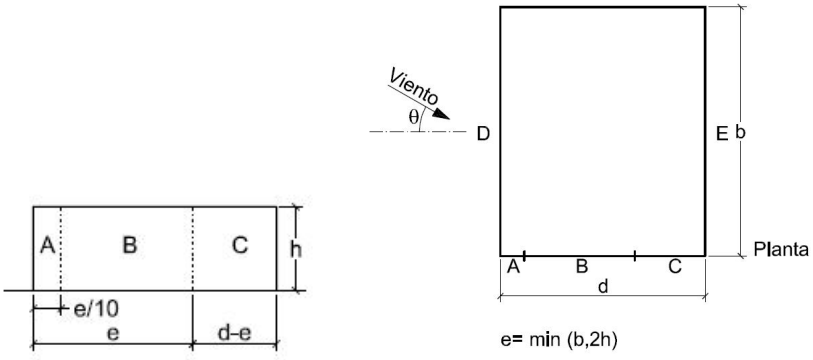

Figura 1.7: Presión en paramentos verticales.

Documento visado electrónicamente con número: VA07290/22
Código de validación telemática TRLTDCFZ60T66IJ1. Comprobación: https://cogitivalencia.e-gestion.es/Validacion.aspx?CVT=TRLTDCFZ60T66IJ1

VISADO
COGITI
VALENCIA
VA07290/22
TRLTDCFZ60T66IJ1

Sobrecargas viento:

Posición	**A**	**B**	**C**	**D**	**E**
kN/m^2	$-1,508$	$-1,005$	$-0,628$	$0,879$	$-0,377$

En edificios con cubierta plana la acción del viento sobre la misma, generalmente de succión, opera habitualmente del lado de la seguridad, y se puede despreciar.

Los edificios se comprobarán ante la acción del viento en todas direcciones, independientemente de la existencia de construcciones contiguas medianeras, aunque generalmente bastará la consideración en dos sensiblemente ortogonales cualesquiera. Para cada dirección se debe considerar la acción en los dos sentidos.

Documento visado electrónicamente con número: VA07290/22
Código de validación telemática TRLTDCFZ60T66IJ1. Comprobación: https://cogitivalencia.e-gestion.es/Validacion.aspx?CVT=TRLTDCFZ60T66IJ1

VISADO
COGITI
VALENCIA
VA07290/22
TRLTDCFZ60T66IJ1

1.9. ACCIÓN SÍSMICA SOBRE LA ESTRUCTURA DEL SILO

La normativa NCSE-02 establece como método de referencia para el cálculo sísmico el análisis de la estructura mediante espectros de respuesta, fundamentado en el análisis modal. A los efectos de los cálculos de las solicitaciones debidas al sismo se consideran las masas correspondientes a la propia estructura, las masas permanentes y una fracción de las restantes masas de valor 0,6 para el caso de sobrecargas de uso en aparcamiento.

El espectro de respuesta elástica se aplica al modelo de cálculo de acuerdo con las hipótesis de Newmark:

- SISMO X = 1,0 x Espectro X + 0,3 x Espectro Y + 0,3 x 0,7 x Espectro Z
- SISMO Y = 0,3 x Espectro X + 1,0 x Espectro Y + 0,3 x 0,7 x Espectro Z
- SISMO Z = 0,3 x Espectro X + 0,3 x Espectro Y + 0,7 x Espectro Z

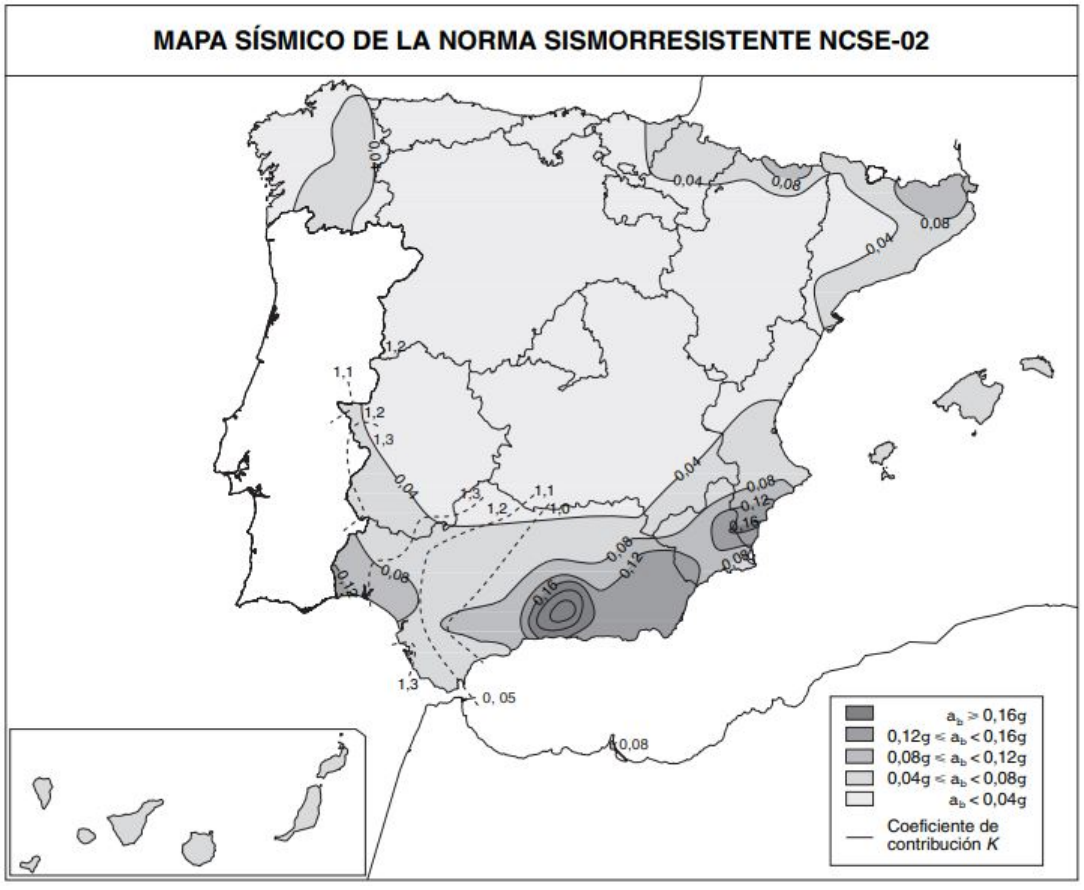

Figura 1.8: Mapa de aceleración sísmica.

El Instituto Geográfico Nacional actualizó en octubre de 2015 el Mapa de Peligrosidad Sísmica de España (figura 1.9), una actualización que aunque de momento no es obligatoria (a fecha de hoy todos los proyectos deben de regirse por la Norma NCSE-02 que data del año 2002), servirá en el futuro de base para la revisión y renovación del código sísmico español.

Documento visado electrónicamente con número: VA07290/22
Código de validación telemática TRLTDCFZ60T66IJ1. Comprobación: https://cogitivalencia.e-gestion.es/Validacion.aspx?CVT=TRLTDCFZ60T66IJ1

VISADO
COGITI
VALENCIA
VA07290/22
TRLTDCFZ60T66IJ1

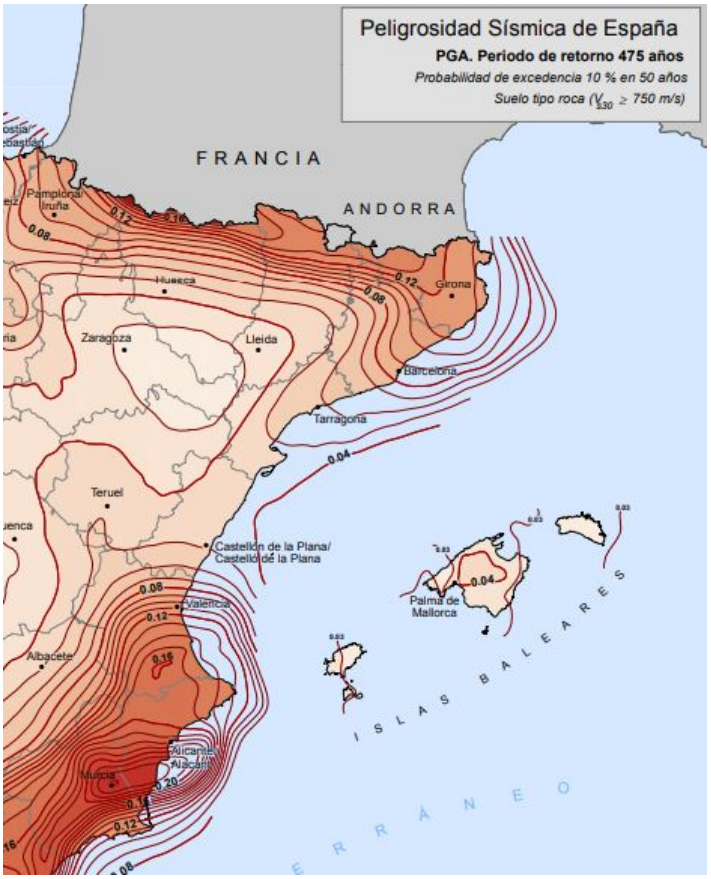

Figura 1.9: Mapa de Peligrosidad Sísmica de 2015 en términos de aceleración.

La aceleración sísmica de cálculo, a_c, se define mediante el producto: $a_c = S \cdot \rho \cdot a_b$ donde:

- a_b Aceleración sísmica básica definida en 2.1.
- ρ Coeficiente adimensional de riesgo, función de la probabilidad aceptable de que se exceda a_c en el período de vida para el que se proyecta la construcción. Toma los siguientes valores:
  - construcciones de importancia normal $\rho = 1{,}0$.
  - construcciones de importancia especial $\rho = 1{,}3$.
- S Coeficiente de amplificación del terreno.

La norma establece un espectro normalizado de respuesta elástica en la superficie libre del terreno (figura 1.10), para aceleraciones horizontales, correspondiente a un oscilador lineal simple con un amortiguamiento de referencia del 5 % respecto al crítico, definido por los siguientes valores:

- Si $T < T_A, \alpha(T) = 1 + 1{,}5\frac{T}{T_A}$
- Si $T_A \leq T \leq T_B, \alpha(T) = 2{,}5$
- Si $T > T_B, \alpha(T) = K\frac{C}{T}$

siendo:

- $\alpha(T)$ Valor del espectro normalizado de respuesta elástica.
- T Período propio del oscilador en segundos.
- K Coeficiente de contribución, referido en 2.1.

Documento visado electrónicamente con número: VA07290/22
Código de validación telemática TRLTDCFZ60T66IJ1. Comprobación: https://cogitivalencia.e-gestion.es/Validacion.aspx?CVT=TRLTDCFZ60T66IJ1

VISADO
COGITI
VALENCIA
VA07290/22
TRLTDCFZ60T66IJ1

- C Coeficiente del terreno, que tiene en cuenta las características geotécnicas del terreno de cimentación y se detalla en el apartado 2.4.
- T_A, T_B Períodos característicos del espectro de respuesta, de valores: $T_A = K\frac{C}{10}$ y $T_B = K\frac{C}{2}$.

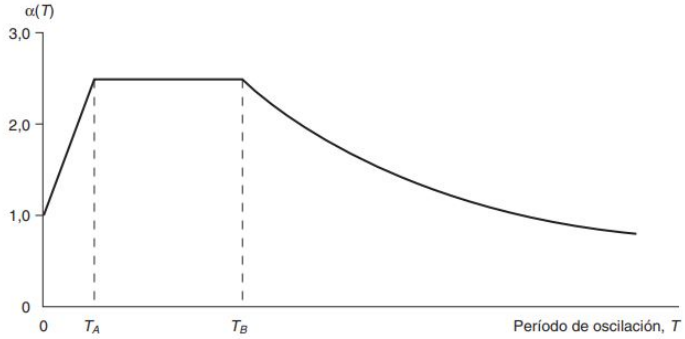

Figura 1.10: Espectro de respuesta elástica.

Para obtener el valor del coeficiente C de cálculo se determinarán los espesores e_1, e_2, e_3 y e_4 de terrenos de los tipos I, II, III y IV respectivamente, existentes en los 30 primeros metros bajo la superficie.

Se adoptará como valor de C el valor medio obtenido al ponderar los coeficientes C_i de cada estrato, tomados de la figura 1.11, con su espesor e_i, en metros, mediante la expresión: $C = \sum \frac{C_i \cdot e_i}{30}$.

Tipo de terreno	Coeficiente C
I	1,0
II	1,3
III	1,6
IV	2,0

Figura 1.11: Coeficiente de terreno.

Documento visado electrónicamente con número: VA07290/22
Código de validación telemática TRLTDCFZ60T66IJ1. Comprobación: https://cogitivalencia.e-gestion.es/Validacion.aspx?CVT=TRLTDCFZ60T66IJ1

VISADO
COGITI
VALENCIA
VA07290/22
TRLTDCFZ60T66IJ1

1.10. ESFUERZOS TÉRMICOS SOBRE LA ESTRUCTURA DEL SILO

Para minimizar los esfuerzos térmicos, se disponen tres juntas de dilatación, dos en sentido transversal y una en sentido longitudinal, obteniéndose 6 pastillas o bloques sensiblemente iguales, de dimensiones aproximadas 75,12 m x 85,20 m. La solución constructiva de las juntas es la habitual en estos casos, cuando se quiere evitar la duplicidad del soporte.

Los cálculos teóricos sobre juntas conducen a resultados diferentes del comportamiento real, debido a que las partes no estructurales del edificio y efectos de inercia térmica, producen que la estructura siga con cierto retraso los cambios de temperatura y aparezca un amortiguamiento parcial. Debido a esto, es razonable considerar como temperaturas máximas del ambiente, la media de las temperaturas máximas del mes.

Los efectos globales de la acción térmica pueden obtenerse a partir de la variación de la temperatura media de los elementos estructurales a partir de una temperatura de referencia que puede considerarse como la media del emplazamiento (Art 3.4.2. del CTE).

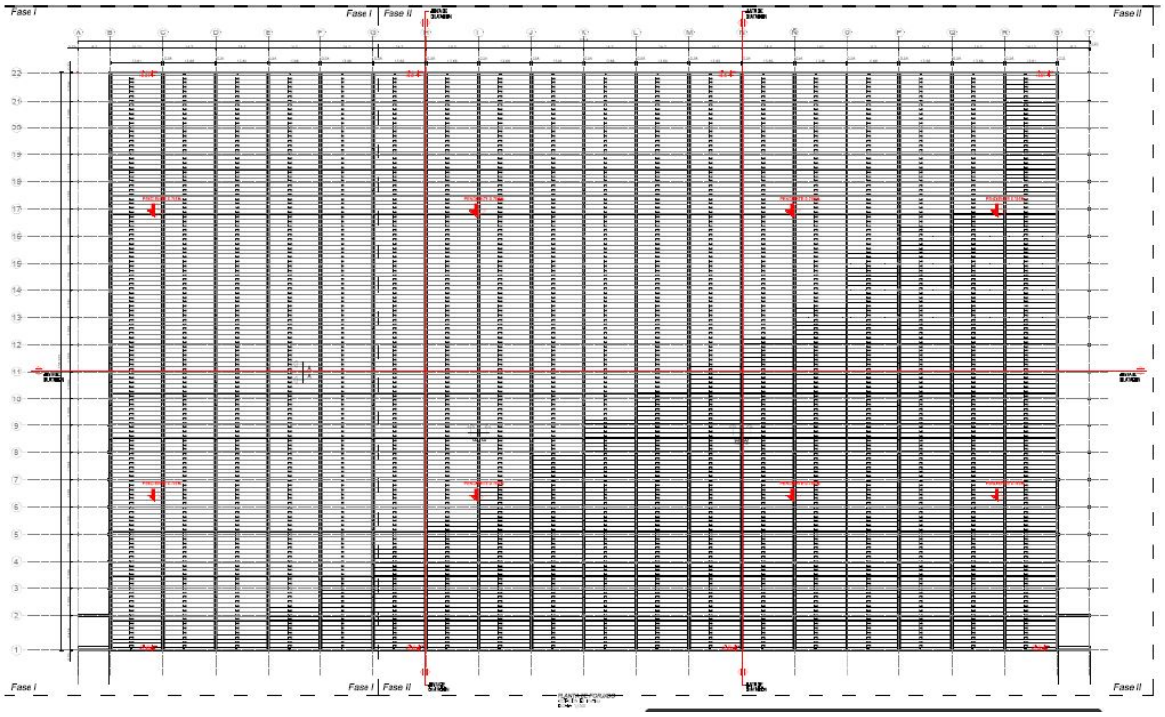

Figura 1.12: Plano de juntas de dilatación.

Documento visado electrónicamente con número: VA07290/22
Código de validación telemática TRLTDCFZ60T66IJ1. Comprobación: https://cogitivalencia.e-gestion.es/Validacion.aspx?CVT=TRLTDCFZ60T66IJ1

VISADO
COGITI
VALENCIA
VA07290/22
TRLTDCFZ60T66IJ1

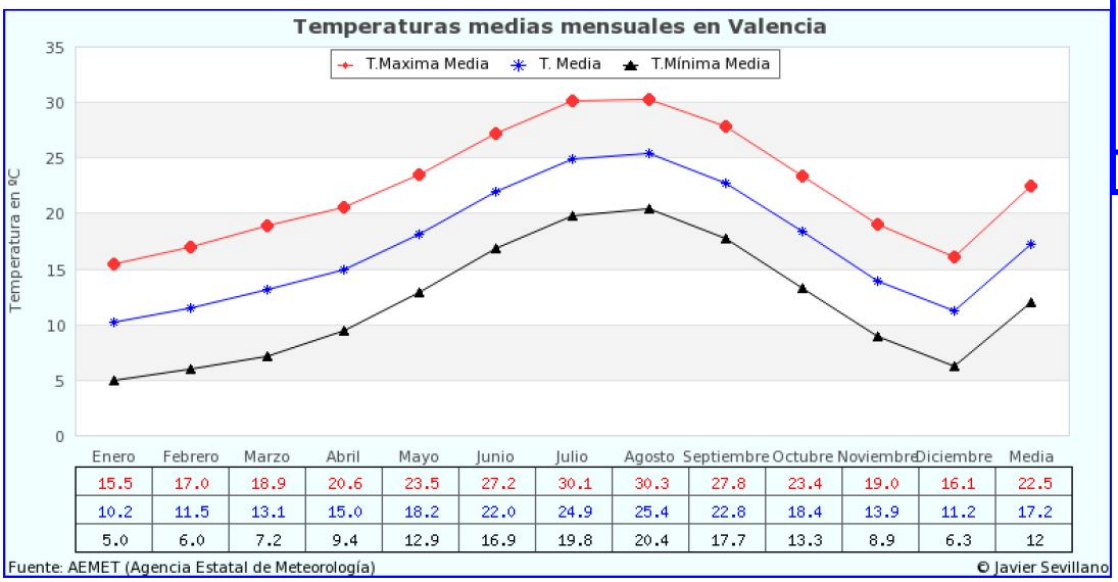

	Enero	Febrero	Marzo	Abril	Mayo	Junio	Julio	Agosto	Septiembre	Octubre	Noviembre	Diciembre	Media
T.Maxima Media	15.5	17.0	18.9	20.6	23.5	27.2	30.1	30.3	27.8	23.4	19.0	16.1	22.5
T. Media	10.2	11.5	13.1	15.0	18.2	22.0	24.9	25.4	22.8	18.4	13.9	11.2	17.2
T.Mínima Media	5.0	6.0	7.2	9.4	12.9	16.9	19.8	20.4	17.7	13.3	8.9	6.3	12

Figura 1.13: Temperaturas medias mensuales en Valencia.

Así pues, según la figura 1.13, tenemos las siguientes temperaturas:

- Temperatura media anual: 17,2 C.
- Temperatura máxima anual: 30,3 C.
- Temperatura mínima anual: 5,0 C.

Orientación de la superficie	Color de la superficie		
	Muy claro	Claro	Oscuro
Norte y Este	0 ºC	2 ºC	4 ºC
Sur y Oeste	18 ºC	30 ºC	42 ºC

Figura 1.14: Incremento de temperatura debido a la radiación solar.

Las variaciones térmicas de los elementos no sometidos a radiación son: $\Delta T+ = 30{,}3\text{-}17{,}2 = 13{,}1\ C$ y $\Delta T- = 17{,}2\text{-}5{,}0 = 12{,}2\ C$.

Las variaciones térmicas de los elementos sometidos a radiación son: $\Delta T+ = 30{,}3\text{-}17{,}2{+}18{,}0 = 31{,}1\ C$ y $\Delta T- = 17{,}2\text{-}5{,}0 = 12{,}2\ C$.

La solución propuesta para la instalación solar fotovoltaica tiene que estar diseñada para que los esfuerzos térmicos ocasionados sobre la estructura prefabricada sean mínimos. No se han modelado juntas de dilatación, ni dobles perfiles para independizar estructuras de cara a la dilatación del acero. La idea es ejecutar uniones con colisos que permitan el desplazamiento necesario de cada perfil.

Documento visado electrónicamente con número: VA07290/22
Código de validación telemática TRLTDCFZ60T66IJ1. Comprobación: https://cogitivalencia.e-gestion.es/Validacion.aspx?CVT=TRLTDCFZ60T66IJ1

VISADO
COGITI
VALENCIA
VA07290/22
TRLTDCFZ60T66IJ1

1.11. ACCIÓN DE LA NIEVE SOBRE LA ESTRUCTURA DEL SILO

El valor de la carga de nieve por unidad de superficie en proyección horizontal, q_n, puede tomarse como $q_n = \mu \cdot q_n$ siendo:

- μ coeficiente de forma de la cubierta según 3.5.3 ($\mu = 1$).
- S_k el valor característico de la carga de nieve sobre un terreno horizontal según 3.5.2 ($S_k = 0{,}2$)

con lo que $q_n = 0{,}2\ kN/m^2$.

Capital	Altitud m	s_k kN/m^2	Capital	Altitud m	s_k kN/m^2	Capital	Altitud m	s_k kN/m^2
Albacete	690	0,6	Guadalajara	680	0,6	Pontevedra	0	0,3
Alicante/Alacant	0	0,2	Huelva	0	0,2	Salamanca	780	0,5
Almería	0	0,2	Huesca	470	0,7	S.Sebastián/Donosita	0	0,3
Ávila	1.130	1,0	Jaén	570	0,4	Santander	0	0,3
Badajoz	180	0,2	León	820	1,2	Segovia	1.000	0,7
Barcelona	0	0,4	Lérida/Lleida	150	0,5	Sevilla	10	0,2
Bilbao / Bilbo	0	0,3	Logroño	380	0,6	Soria	1.090	0,9
Burgos	860	0,6	Lugo	470	0,7	Tarragona	0	0,4
Cáceres	440	0,4	Madrid	660	0,6	Tenerife	0	0,2
Cádiz	0	0,2	Málaga	0	0,2	Teruel	950	0,9
Castellón	0	0,2	Murcia	40	0,2	Toledo	550	0,5
Ciudad Real	640	0,6	Orense/Ourense	130	0,4	Valencia/València	0	0,2
Córdoba	100	0,2	Oviedo	230	0,5	Valladolid	690	0,4
Coruña/A Coruña	0	0,3	Palencia	740	0,4	Vitoria/Gasteiz	520	0,7
Cuenca	1.010	1,0	Palma de Mallorca	0	0,2	Zamora	650	0,4
Gerona / Girona	70	0,4	Palmas, Las	0	0,2	Zaragoza	210	0,5
Granada	690	0,5	Pamplona/Iruña	450	0,7	Ceuta y Melilla	0	0,2

Figura 1.15: Sobrecarga de nieve en capitales de provincia y ciudades autónomas.

Documento visado electrónicamente con número: VA07290/22
Código de validación telemática TRLTDCFZ60T66IJ1. Comprobación: https://cogitivalencia.e-gestion.es/Validacion.aspx?CVT=TRLTDCFZ60T66IJ1

VISADO
COGITI
VALENCIA
VA07290/22
TRLTDCFZ60T66IJ1

1.12. ACCIÓN DEBIDO A LA CENTRAL SOLAR FOTOVOLTAICA

La estructura metálica que soporta la central solar fotovoltaica en la cubierta del silo tiene sus pilares situados en cabeza de los pilares de hormigón de la estructura del silo de forma alternada en la dirección longitudinal del silo, y en todos los pilares en la dirección transversal del silo. Dado que los pilares metálicos apoyarán en las vigas prefabricadas, que su a vez apoyan en cabeza del pilar prefabricado, se deberá diseñar una unión que transmita los esfuerzos directamente en cabeza de los pilares prefabricados. Además, se tendrá que diseñar una unión articulada (con la mínima transmisión de momentos flectores), así como minimizar la incidencia de este apoyo en las vigas prefabricadas (por ejemplo a efectos de deformaciones impuestas y de momentos flectores negativos).

La conexión prevista entre los nuevos pilares metálicos y la cabeza del pilar debe ser articulada para no aplicar momentos flectores en la cabeza de los pilares existentes de hormigón. No obstante, se deberá contar con un momento flector adicional equivalente al 10 % de la capacidad de giro en la placa de anclaje. Todos los pilares son HEB 280 o HEB 320.

Esta estructura metálica esta formada por 20 porticos que cubren el eje longitudinal del silo. No obstante, se han modelizado 3 (con filas de pilares laterales y centrales), considerándose representativo de la estructura entera con las siguientes características:

- Distancia entre pórticos : 7,3 m.
- Luz de pórticos: 28,4 m.
- Tipo de pórtico: Diente de sierra.

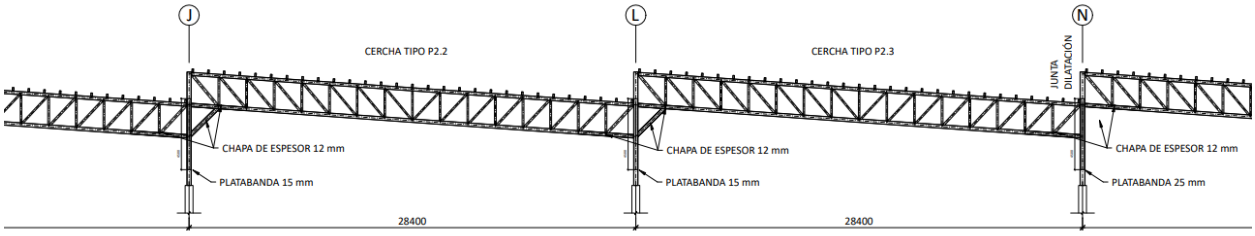

Figura 1.16: Ejemplo de pórtico.

Debido a esta estructura, se transmiten diferentes cargas en cabeza de pilar de la estructura del silo:

- Peso propio de la estructura metálica según modelo de barras creado en cype3d 2019 y peso propio estructura de correas de 0,07 kN/m^2 (Peso propio).
- Carga muerta debido a las placas solares fotovoltaicas de 0,22 kN/m^2 (SU fotovoltaica).
- Acción variable debido al viento de presión (V H1) y succión (V H2) según CTE.
- Acción variable debido a la nieve (N) según CTE.
- Sobrecarga de uso por tareas de mantenimiento de 0,4 kN/m^2 (Q), no concomitante.

Estas acciones se han proporcionan por el técnico proyectista D. Jesús Troyano García, Ingeniero Civil nº12.969, como las reacciones en base de cada uno de los pilares de la estructura metálica, que

Documento visado electrónicamente con número: VA07290/22
Código de validación telemática TRLTDCFZ60T66IJ1. Comprobación: https://cogitivalencia.e-gestion.es/Validacion.aspx?CVT=TRLTDCFZ60T66IJ1

VISADO
COGITI
VALENCIA
VA07290/22
TRLTDCFZ60T66IJ1

corresponderá en sentido inverso a las cargas actuantes sobre las cabezas de los pilares correspondientes de la estructura del silo. A continuación se muestra una captura del modelo de la estructura metálica en CYPE, y se adjunta el listado de las cargas recibidas.

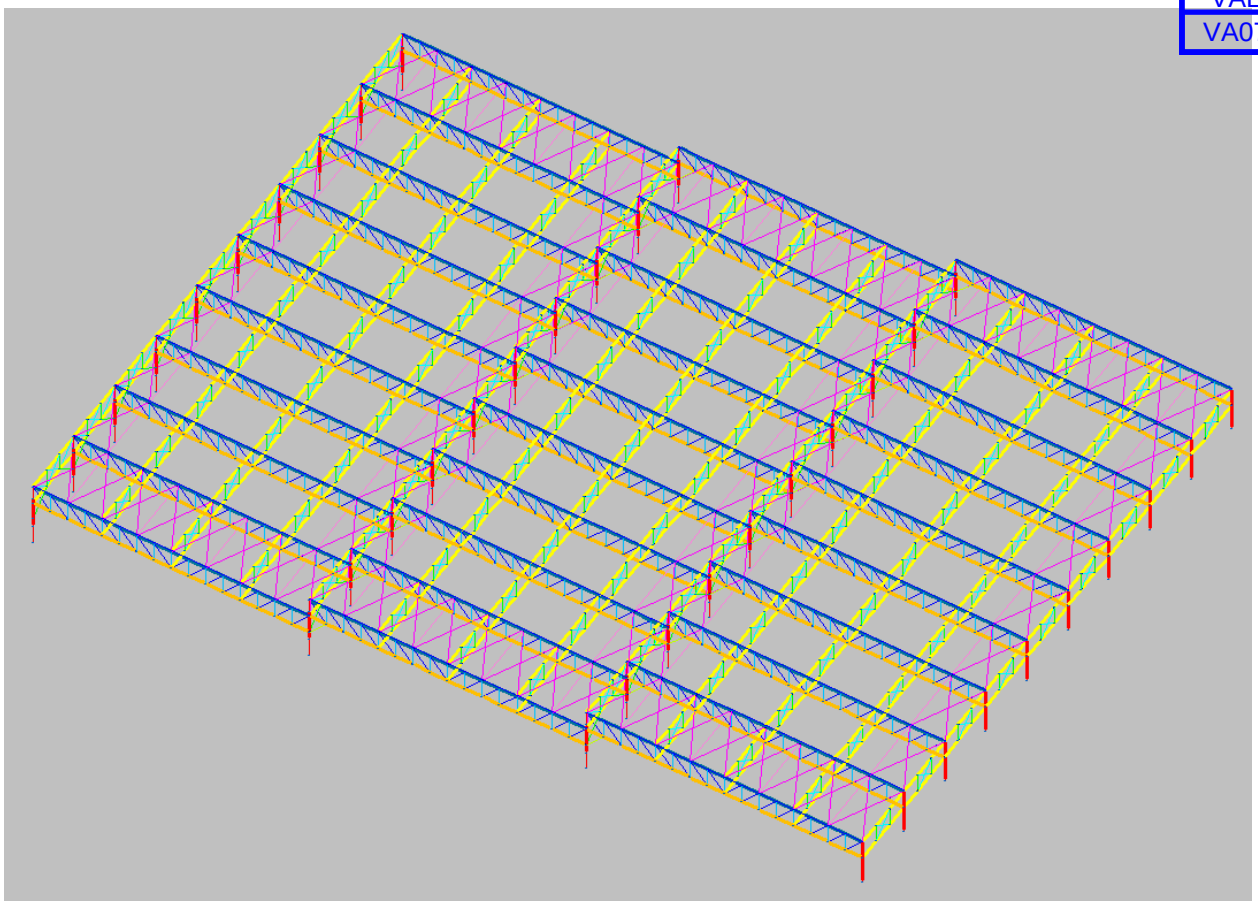

Figura 1.17: Modelo estructura metálica en CYPE.

Documento visado electrónicamente con número: VA07290/22
Código de validación telemática TRLTDCFZ60T66IJ1. Comprobación: https://cogitivalencia.e-gestion.es/Validacion.aspx?CVT=TRLTDCFZ60T66IJ1

VISADO
COGITI
VALENCIA
VA07290/22
TRLTDCFZ60T66IJ1

ÍNDICE

1. ESTRUCTURA

1.1. Resultados

1.1.1. Nudos

Documento visado electrónicamente con número: VA07290/22
Código de validación telemática TRLTDCFZ60T66IJ1. Comprobación: https://cogitivalencia.e-gestion.es/Validacion.aspx?CVT=TRLTDCFZ60T66IJ1

VISADO
COGITI
VALENCIA
VA07290/22
TRLTDCFZ60T66IJ1

1. ESTRUCTURA

1.1. Resultados

1.1.1. Nudos

1.1.1.1. Reacciones

Referencias:

Rx, Ry, Rz: Reacciones en nudos con desplazamientos coaccionados (fuerzas).
Mx, My, Mz: Reacciones en nudos con giros coaccionados (momentos).

1.1.1.1.1. Hipótesis

Reacciones en los nudos, por hipótesis

Referencia	Descripción	Reacciones en ejes globales					
		Rx (kN)	Ry (kN)	Rz (kN)	Mx (kN·m)	My (kN·m)	Mz (kN·m)
N1	Peso propio	2.788	0.256	36.591	-0.01	0.05	0.00
	CM SU Fotovoltaica	1.049	0.050	9.740	0.00	0.02	0.00
	Q (conservación)	1.907	0.091	17.709	0.00	0.03	0.00
	V (X) H1 (Presión)	5.051	0.166	41.783	0.00	0.12	0.00
	V (X) H2 (Presión)	4.722	0.146	11.307	-0.01	0.14	0.00
	V (X) H1 (Succión)	-14.137	-0.465	-116.948	0.01	-0.32	0.00
	V (X) H2 (Succión)	-13.215	-0.409	-31.647	0.02	-0.38	0.00
	N (EI)	0.953	0.046	8.854	0.00	0.02	0.00
N2	Peso propio	-1.033	0.025	80.308	0.00	0.02	0.00
	CM SU Fotovoltaica	-0.273	-0.051	25.110	0.00	0.01	0.00
	Q (conservación)	-0.496	-0.093	45.655	0.00	0.01	0.00
	V (X) H1 (Presión)	5.600	-0.160	66.901	0.01	0.11	0.00
	V (X) H2 (Presión)	5.293	-0.234	67.234	0.01	0.15	0.00
	V (X) H1 (Succión)	-15.674	0.447	-187.250	-0.02	-0.31	-0.01
	V (X) H2 (Succión)	-14.815	0.654	-188.181	-0.03	-0.43	-0.01
	N (EI)	-0.248	-0.047	22.827	0.00	0.01	0.00
N3	Peso propio	2.125	0.035	79.635	0.00	0.04	0.00
	CM SU Fotovoltaica	0.929	-0.043	24.773	0.00	0.02	0.00
	Q (conservación)	1.689	-0.078	45.042	0.00	0.03	0.00
	V (X) H1 (Presión)	8.288	-0.119	66.149	0.00	0.13	0.00
	V (X) H2 (Presión)	9.980	-0.225	66.682	0.01	0.20	0.01
	V (X) H1 (Succión)	-23.197	0.332	-185.144	-0.01	-0.36	-0.01
	V (X) H2 (Succión)	-27.934	0.630	-186.637	-0.02	-0.57	-0.02
	N (EI)	0.844	-0.039	22.521	0.00	0.02	0.00
N4	Peso propio	-3.375	0.171	34.187	0.00	0.01	0.00
	CM SU Fotovoltaica	-1.076	0.010	9.762	0.00	0.01	0.00
	Q (conservación)	-1.956	0.018	17.750	0.00	0.01	0.00
	V (X) H1 (Presión)	0.868	0.011	8.831	0.00	0.07	0.00
	V (X) H2 (Presión)	4.747	0.055	38.216	0.00	0.18	0.00
	V (X) H1 (Succión)	-2.429	-0.032	-24.717	0.00	-0.19	0.00
	V (X) H2 (Succión)	-13.285	-0.153	-106.964	0.00	-0.51	-0.01
	N (EI)	-0.978	0.009	8.875	0.00	0.01	0.00
N173	Peso propio	-4.355	0.060	52.889	0.00	0.00	0.00
	CM SU Fotovoltaica	-1.914	0.014	19.004	0.00	0.00	0.00
	Q (conservación)	-3.480	0.025	34.553	0.00	0.00	0.00
	V (X) H1 (Presión)	-0.686	0.021	16.775	0.00	0.05	0.00
	V (X) H2 (Presión)	2.068	0.074	77.777	0.00	0.16	0.00
	V (X) H1 (Succión)	1.921	-0.060	-46.952	0.00	-0.15	0.00
	V (X) H2 (Succión)	-5.788	-0.206	-217.690	0.00	-0.46	0.00

Documento visado electrónicamente con número: VA07290/22
Código de validación telemática TRLTDCFZ60T66IJ1. Comprobación: https://cogitivalencia.e-gestion.es/Validacion.aspx?CVT=TRLTDCFZ60T66IJ1

VISADO
COGITI
VALENCIA
VA07290/22
TRLTDCFZ60T66IJ1

Reacciones en los nudos, por hipótesis							
Referencia	Descripción	Reacciones en ejes globales					
		Rx (kN)	Ry (kN)	Rz (kN)	Mx (kN·m)	My (kN·m)	Mz (kN·m)
	N (EI)	-1.740	0.012	17.277	0.00	0.00	0.00
N174	Peso propio	2.305	-0.043	128.115	0.00	0.04	0.00
	CM SU Fotovoltaica	0.980	-0.029	48.988	0.00	0.02	0.00
	Q (conservación)	1.781	-0.052	89.070	0.00	0.04	0.00
	V (X) H1 (Presión)	9.680	-0.061	130.930	0.00	0.14	0.00
	V (X) H2 (Presión)	9.653	-0.155	131.551	0.01	0.20	0.00
	V (X) H1 (Succión)	-27.093	0.170	-366.462	-0.01	-0.40	0.00
	V (X) H2 (Succión)	-27.018	0.435	-368.200	-0.02	-0.57	0.01
	N (EI)	0.891	-0.026	44.535	0.00	0.02	0.00
N175	Peso propio	-1.247	-0.054	128.840	0.00	0.02	0.00
	CM SU Fotovoltaica	-0.563	-0.037	49.307	0.00	0.01	0.00
	Q (conservación)	-1.023	-0.068	89.650	0.00	0.01	0.00
	V (X) H1 (Presión)	6.199	-0.102	132.096	0.00	0.12	0.00
	V (X) H2 (Presión)	3.808	-0.167	131.492	0.01	0.14	0.00
	V (X) H1 (Succión)	-17.350	0.286	-369.725	-0.01	-0.34	0.00
	V (X) H2 (Succión)	-10.657	0.467	-368.035	-0.02	-0.40	0.00
	N (EI)	-0.511	-0.034	44.825	0.00	0.01	0.00
N177	Peso propio	3.192	0.062	56.854	0.00	0.06	0.00
	CM SU Fotovoltaica	1.407	0.024	18.852	0.00	0.02	0.00
	Q (conservación)	2.558	0.043	34.277	0.00	0.04	0.00
	V (X) H1 (Presión)	6.650	0.046	80.334	0.00	0.14	0.00
	V (X) H2 (Presión)	5.543	0.119	19.783	-0.01	0.15	0.00
	V (X) H1 (Succión)	-18.612	-0.129	-224.848	0.00	-0.40	0.01
	V (X) H2 (Succión)	-15.514	-0.333	-55.370	0.02	-0.43	0.01
	N (EI)	1.279	0.022	17.138	0.00	0.02	0.00
N278	Peso propio	-4.170	0.060	52.401	0.00	0.00	0.00
	CM SU Fotovoltaica	-1.887	0.021	19.326	0.00	0.00	0.00
	Q (conservación)	-3.431	0.039	35.139	0.00	0.00	0.00
	V (X) H1 (Presión)	-0.516	0.041	17.761	0.00	0.06	0.00
	V (X) H2 (Presión)	3.247	0.107	78.368	0.00	0.19	0.00
	V (X) H1 (Succión)	1.445	-0.113	-49.712	0.00	-0.17	0.00
	V (X) H2 (Succión)	-9.089	-0.300	-219.344	0.01	-0.53	0.01
	N (EI)	-1.716	0.019	17.569	0.00	0.00	0.00
N279	Peso propio	2.487	-0.053	126.398	0.00	0.05	0.00
	CM SU Fotovoltaica	1.152	-0.029	49.865	0.00	0.02	0.00
	Q (conservación)	2.094	-0.052	90.663	0.00	0.04	0.00
	V (X) H1 (Presión)	10.452	-0.051	133.356	0.00	0.15	0.00
	V (X) H2 (Presión)	11.177	-0.158	134.062	0.01	0.23	0.00
	V (X) H1 (Succión)	-29.254	0.143	-373.252	-0.01	-0.43	0.00
	V (X) H2 (Succión)	-31.283	0.443	-375.229	-0.02	-0.64	0.01
	N (EI)	1.047	-0.026	45.331	0.00	0.02	0.00
N280	Peso propio	-1.134	-0.060	127.216	0.00	0.02	0.00
	CM SU Fotovoltaica	-0.541	-0.036	50.300	0.00	0.01	0.00
	Q (conservación)	-0.984	-0.066	91.455	0.00	0.01	0.00
	V (X) H1 (Presión)	6.647	-0.091	134.569	0.00	0.13	0.00
	V (X) H2 (Presión)	4.768	-0.164	134.542	0.01	0.16	0.00
	V (X) H1 (Succión)	-18.603	0.254	-376.646	-0.01	-0.37	0.00
	V (X) H2 (Succión)	-13.345	0.459	-376.571	-0.02	-0.46	0.01
	N (EI)	-0.492	-0.033	45.728	0.00	0.01	0.00
N282	Peso propio	3.198	0.043	56.118	0.00	0.06	0.00

Documento visado electrónicamente con número: VA07290/22
Código de validación telemática TRLTDCFZ60T66IJ1. Comprobación: https://cogitivalencia.e-gestion.es/Validacion.aspx?CVT=TRLTDCFZ60T66IJ1

VISADO
COGITI
VALENCIA
VA07290/22
TRLTDCFZ60T66IJ1

Reacciones en los nudos, por hipótesis							
Referencia	Descripción	Reacciones en ejes globales					
		Rx (kN)	Ry (kN)	Rz (kN)	Mx (kN·m)	My (kN·m)	Mz (kN·m)
	CM SU Fotovoltaica	1.482	0.019	19.251	0.00	0.03	0.00
	Q (conservación)	2.695	0.035	35.002	0.00	0.05	0.00
	V (X) H1 (Presión)	6.962	0.017	81.862	0.00	0.15	0.00
	V (X) H2 (Presión)	6.032	0.119	20.710	-0.01	0.17	0.00
	V (X) H1 (Succión)	-19.485	-0.046	-229.124	0.00	-0.43	0.00
	V (X) H2 (Succión)	-16.883	-0.332	-57.967	0.02	-0.47	0.00
	N (EI)	1.348	0.017	17.501	0.00	0.02	0.00
N573	Peso propio	-4.763	0.052	45.527	0.00	0.01	0.00
	CM SU Fotovoltaica	-2.541	0.022	19.194	0.00	0.00	0.00
	Q (conservación)	-4.619	0.041	34.899	0.00	0.00	0.00
	V (X) H1 (Presión)	-2.018	0.041	17.282	0.00	0.06	0.00
	V (X) H2 (Presión)	1.139	0.108	78.010	0.00	0.20	0.00
	V (X) H1 (Succión)	5.648	-0.115	-48.372	0.00	-0.18	0.00
	V (X) H2 (Succión)	-3.187	-0.303	-218.344	0.01	-0.57	0.01
	N (EI)	-2.310	0.020	17.449	0.00	0.00	0.00
N574	Peso propio	2.377	-0.044	106.338	0.00	0.05	0.00
	CM SU Fotovoltaica	1.167	-0.022	48.608	0.00	0.03	0.00
	Q (conservación)	2.122	-0.039	88.377	0.00	0.05	0.00
	V (X) H1 (Presión)	11.380	-0.023	129.554	0.00	0.17	0.00
	V (X) H2 (Presión)	10.692	-0.131	130.086	0.01	0.24	0.00
	V (X) H1 (Succión)	-31.853	0.064	-362.612	0.00	-0.47	0.00
	V (X) H2 (Succión)	-29.926	0.368	-364.100	-0.02	-0.68	0.01
	N (EI)	1.061	-0.020	44.189	0.00	0.02	0.00
N575	Peso propio	-1.679	-0.052	107.042	0.00	0.02	0.00
	CM SU Fotovoltaica	-0.944	-0.030	48.985	0.00	0.01	0.00
	Q (conservación)	-1.716	-0.054	89.064	0.00	0.01	0.00
	V (X) H1 (Presión)	6.686	-0.063	130.635	0.00	0.14	0.00
	V (X) H2 (Presión)	2.615	-0.140	130.393	0.01	0.16	0.00
	V (X) H1 (Succión)	-18.713	0.175	-365.637	-0.01	-0.40	0.00
	V (X) H2 (Succión)	-7.320	0.393	-364.960	-0.02	-0.45	0.00
	N (EI)	-0.858	-0.027	44.532	0.00	0.01	0.00
N576	Peso propio	3.609	0.034	49.132	0.00	0.06	0.00
	CM SU Fotovoltaica	1.880	0.017	18.989	0.00	0.03	0.00
	Q (conservación)	3.418	0.031	34.525	0.00	0.05	0.00
	V (X) H1 (Presión)	8.607	0.002	81.080	0.00	0.17	0.00
	V (X) H2 (Presión)	6.869	0.119	19.979	-0.01	0.18	0.00
	V (X) H1 (Succión)	-24.091	-0.006	-226.936	0.00	-0.49	0.00
	V (X) H2 (Succión)	-19.225	-0.332	-55.918	0.01	-0.49	0.00
	N (EI)	1.709	0.015	17.262	0.00	0.03	0.00
N730	Peso propio	-4.740	0.036	45.713	0.00	0.01	0.00
	CM SU Fotovoltaica	-2.522	0.017	19.362	0.00	0.00	0.00
	Q (conservación)	-4.586	0.030	35.203	0.00	0.01	0.00
	V (X) H1 (Presión)	-2.085	0.027	17.786	0.00	0.06	0.00
	V (X) H2 (Presión)	1.643	0.080	78.422	0.00	0.22	0.00
	V (X) H1 (Succión)	5.837	-0.075	-49.782	0.00	-0.18	0.00
	V (X) H2 (Succión)	-4.599	-0.225	-219.497	0.01	-0.61	0.00
	N (EI)	-2.293	0.015	17.601	0.00	0.00	0.00
N731	Peso propio	2.490	-0.031	106.875	0.00	0.05	0.00
	CM SU Fotovoltaica	1.268	-0.015	49.101	0.00	0.03	0.00
	Q (conservación)	2.306	-0.026	89.275	0.00	0.05	0.00

Documento visado electrónicamente con número: VA07290/22
Código de validación telemática TRLTDCFZ60T66IJ1. Comprobación: https://cogitivalencia.e-gestion.es/Validacion.aspx?CVT=TRLTDCFZ60T66IJ1

VISADO
COGITI
VALENCIA
VA07290/22
TRLTDCFZ60T66IJ1

Reacciones en los nudos, por hipótesis							
Referencia	Descripción	Reacciones en ejes globales					
		Rx (kN)	Ry (kN)	Rz (kN)	Mx (kN·m)	My (kN·m)	Mz (kN·m)
	V (X) H1 (Presión)	11.607	0.000	131.023	0.00	0.17	0.00
	V (X) H2 (Presión)	11.414	-0.098	131.623	0.00	0.26	0.00
	V (X) H1 (Succión)	-32.487	-0.001	-366.722	0.00	-0.48	0.00
	V (X) H2 (Succión)	-31.946	0.276	-368.403	-0.01	-0.72	0.00
	N (EI)	1.153	-0.013	44.637	0.00	0.02	0.00
N732	Peso propio	-1.710	-0.041	107.671	0.00	0.02	0.00
	CM SU Fotovoltaica	-0.954	-0.024	49.541	0.00	0.01	0.00
	Q (conservación)	-1.734	-0.043	90.075	0.00	0.01	0.00
	V (X) H1 (Presión)	6.616	-0.037	132.241	0.00	0.14	0.00
	V (X) H2 (Presión)	2.957	-0.117	132.135	0.01	0.17	0.00
	V (X) H1 (Succión)	-18.519	0.103	-370.133	0.00	-0.40	0.00
	V (X) H2 (Succión)	-8.278	0.327	-369.835	-0.01	-0.47	0.00
	N (EI)	-0.867	-0.022	45.038	0.00	0.01	0.00
N733	Peso propio	3.676	0.026	49.280	0.00	0.06	0.00
	CM SU Fotovoltaica	1.934	0.012	19.185	0.00	0.03	0.00
	Q (conservación)	3.516	0.022	34.881	0.00	0.06	0.00
	V (X) H1 (Presión)	8.749	-0.020	81.789	0.00	0.18	0.00
	V (X) H2 (Presión)	7.142	0.105	20.523	0.00	0.18	0.00
	V (X) H1 (Succión)	-24.488	0.057	-228.921	0.00	-0.49	0.00
	V (X) H2 (Succión)	-19.990	-0.294	-57.443	0.01	-0.51	0.00
	N (EI)	1.758	0.011	17.440	0.00	0.03	0.00
N887	Peso propio	-4.704	0.025	45.711	0.00	0.01	0.00
	CM SU Fotovoltaica	-2.495	0.014	19.362	0.00	0.00	0.00
	Q (conservación)	-4.537	0.025	35.204	0.00	0.01	0.00
	V (X) H1 (Presión)	-2.100	0.019	17.822	0.00	0.06	0.00
	V (X) H2 (Presión)	1.851	0.064	78.377	0.00	0.22	0.00
	V (X) H1 (Succión)	5.877	-0.053	-49.883	0.00	-0.18	0.00
	V (X) H2 (Succión)	-5.181	-0.178	-219.371	0.01	-0.62	0.00
	N (EI)	-2.268	0.013	17.602	0.00	0.00	0.00
N888	Peso propio	2.535	-0.017	106.914	0.00	0.05	0.00
	CM SU Fotovoltaica	1.304	-0.004	49.118	0.00	0.03	0.00
	Q (conservación)	2.371	-0.008	89.306	0.00	0.05	0.00
	V (X) H1 (Presión)	11.619	0.035	131.049	0.00	0.17	0.00
	V (X) H2 (Presión)	11.649	-0.061	131.702	0.00	0.26	0.00
	V (X) H1 (Succión)	-32.520	-0.098	-366.796	0.00	-0.48	0.00
	V (X) H2 (Succión)	-32.606	0.170	-368.622	-0.01	-0.73	0.00
	N (EI)	1.185	-0.004	44.653	0.00	0.03	0.00
N889	Peso propio	-1.683	-0.029	107.726	0.00	0.02	0.00
	CM SU Fotovoltaica	-0.933	-0.016	49.574	0.00	0.01	0.00
	Q (conservación)	-1.696	-0.028	90.135	0.00	0.02	0.00
	V (X) H1 (Presión)	6.590	-0.006	132.346	0.00	0.14	0.00
	V (X) H2 (Presión)	3.142	-0.087	132.222	0.00	0.17	0.00
	V (X) H1 (Succión)	-18.445	0.016	-370.426	0.00	-0.40	0.00
	V (X) H2 (Succión)	-8.794	0.243	-370.080	-0.01	-0.48	0.00
	N (EI)	-0.848	-0.014	45.067	0.00	0.01	0.00
N890	Peso propio	3.691	0.022	49.272	0.00	0.06	0.00
	CM SU Fotovoltaica	1.945	0.012	19.174	0.00	0.03	0.00
	Q (conservación)	3.537	0.023	34.862	0.00	0.06	0.00
	V (X) H1 (Presión)	8.757	-0.032	81.765	0.00	0.18	0.00
	V (X) H2 (Presión)	7.212	0.107	20.490	0.00	0.19	0.00

Documento visado electrónicamente con número: VA07290/22
Código de validación telemática TRLTDCFZ60T66IJ1. Comprobación: https://cogitivalencia.e-gestion.es/Validacion.aspx?CVT=TRLTDCFZ60T66IJ1

VISADO
COGITI
VALENCIA
VA07290/22
TRLTDCFZ60T66IJ1

Reacciones en los nudos, por hipótesis

Referencia	Descripción	Reacciones en ejes globales					
		Rx (kN)	Ry (kN)	Rz (kN)	Mx (kN·m)	My (kN·m)	Mz (kN·m)
	V (X) H1 (Succión)	-24.509	0.089	-228.854	0.00	-0.49	0.00
	V (X) H2 (Succión)	-20.186	-0.300	-57.351	0.01	-0.52	0.00
	N (EI)	1.768	0.011	17.431	0.00	0.03	0.00
N1044	Peso propio	-4.704	0.015	45.715	0.00	0.01	0.00
	CM SU Fotovoltaica	-2.502	0.012	19.364	0.00	0.00	0.00
	Q (conservación)	-4.549	0.022	35.207	0.00	0.01	0.00
	V (X) H1 (Presión)	-2.225	0.014	17.856	0.00	0.06	0.00
	V (X) H2 (Presión)	1.683	0.050	78.433	0.00	0.22	0.00
	V (X) H1 (Succión)	6.226	-0.039	-49.977	0.00	-0.17	0.00
	V (X) H2 (Succión)	-4.710	-0.139	-219.527	0.01	-0.61	0.00
	N (EI)	-2.274	0.011	17.604	0.00	0.00	0.00
N1045	Peso propio	2.537	-0.004	106.940	0.00	0.05	0.00
	CM SU Fotovoltaica	1.296	0.005	49.125	0.00	0.03	0.00
	Q (conservación)	2.357	0.010	89.319	0.00	0.05	0.00
	V (X) H1 (Presión)	11.483	0.071	131.071	0.00	0.17	0.00
	V (X) H2 (Presión)	11.472	-0.024	131.702	0.00	0.26	0.00
	V (X) H1 (Succión)	-32.139	-0.198	-366.858	0.01	-0.47	0.00
	V (X) H2 (Succión)	-32.109	0.066	-368.622	0.00	-0.72	0.00
	N (EI)	1.178	0.005	44.659	0.00	0.03	0.00
N1046	Peso propio	-1.683	-0.018	107.746	0.00	0.02	0.00
	CM SU Fotovoltaica	-0.939	-0.008	49.575	0.00	0.01	0.00
	Q (conservación)	-1.707	-0.014	90.136	0.00	0.01	0.00
	V (X) H1 (Presión)	6.462	0.025	132.341	0.00	0.14	0.00
	V (X) H2 (Presión)	2.975	-0.056	132.224	0.00	0.17	0.00
	V (X) H1 (Succión)	-18.085	-0.071	-370.413	0.00	-0.39	0.00
	V (X) H2 (Succión)	-8.327	0.158	-370.084	-0.01	-0.47	0.00
	N (EI)	-0.853	-0.007	45.068	0.00	0.01	0.00
N1047	Peso propio	3.691	0.019	49.288	0.00	0.06	0.00
	CM SU Fotovoltaica	1.943	0.013	19.181	0.00	0.03	0.00
	Q (conservación)	3.533	0.024	34.875	0.00	0.06	0.00
	V (X) H1 (Presión)	8.720	-0.040	81.755	0.00	0.18	0.00
	V (X) H2 (Presión)	7.164	0.113	20.476	-0.01	0.18	0.00
	V (X) H1 (Succión)	-24.407	0.112	-228.825	-0.01	-0.49	0.00
	V (X) H2 (Succión)	-20.051	-0.315	-57.312	0.01	-0.51	0.00
	N (EI)	1.767	0.012	17.438	0.00	0.03	0.00
N1201	Peso propio	-4.745	0.001	45.755	0.00	0.01	0.00
	CM SU Fotovoltaica	-2.539	0.008	19.356	0.00	0.00	0.00
	Q (conservación)	-4.616	0.015	35.193	0.00	0.01	0.00
	V (X) H1 (Presión)	-2.470	0.007	17.838	0.00	0.06	0.00
	V (X) H2 (Presión)	1.097	0.028	78.582	0.00	0.21	0.00
	V (X) H1 (Succión)	6.915	-0.021	-49.926	0.00	-0.16	0.00
	V (X) H2 (Succión)	-3.071	-0.079	-219.944	0.01	-0.58	-0.01
	N (EI)	-2.308	0.008	17.596	0.00	0.00	0.00
N1202	Peso propio	2.497	0.009	107.120	0.00	0.05	0.00
	CM SU Fotovoltaica	1.242	0.015	49.136	0.00	0.03	0.00
	Q (conservación)	2.257	0.028	89.338	0.00	0.05	0.00
	V (X) H1 (Presión)	11.150	0.105	131.171	0.00	0.16	0.00
	V (X) H2 (Presión)	10.833	0.017	131.759	0.00	0.25	0.00
	V (X) H1 (Succión)	-31.207	-0.294	-367.137	0.01	-0.46	0.00
	V (X) H2 (Succión)	-30.320	-0.047	-368.781	0.00	-0.69	-0.01

Documento visado electrónicamente con número: VA07290/22
Código de validación telemática TRLTDCFZ60T66IJ1. Comprobación: https://cogitivalencia.e-gestion.es/Validacion.aspx?CVT=TRLTDCFZ60T66IJ1

VISADO
COGITI
VALENCIA
VA07290/22
TRLTDCFZ60T66IJ1

Reacciones en los nudos, por hipótesis							
Referencia	Descripción	Reacciones en ejes globales					
		Rx (kN)	Ry (kN)	Rz (kN)	Mx (kN·m)	My (kN·m)	Mz (kN·m)
	N (EI)	1.129	0.014	44.669	0.00	0.02	0.00
N1203	Peso propio	-1.714	-0.006	107.891	0.00	0.02	0.00
	CM SU Fotovoltaica	-0.965	0.001	49.543	0.00	0.01	0.00
	Q (conservación)	-1.755	0.002	90.078	0.00	0.01	0.00
	V (X) H1 (Presión)	6.202	0.060	132.330	0.00	0.14	0.00
	V (X) H2 (Presión)	2.447	-0.024	132.182	0.00	0.16	0.00
	V (X) H1 (Succión)	-17.359	-0.169	-370.382	0.01	-0.38	0.00
	V (X) H2 (Succión)	-6.849	0.067	-369.967	0.00	-0.44	0.00
	N (EI)	-0.877	0.001	45.039	0.00	0.01	0.00
N1204	Peso propio	3.683	0.014	49.424	0.00	0.06	0.00
	CM SU Fotovoltaica	1.926	0.013	19.210	0.00	0.03	0.00
	Q (conservación)	3.501	0.023	34.927	0.00	0.06	0.00
	V (X) H1 (Presión)	8.626	-0.050	81.827	0.00	0.17	0.00
	V (X) H2 (Presión)	6.980	0.117	20.499	-0.01	0.18	0.00
	V (X) H1 (Succión)	-24.143	0.140	-229.027	-0.01	-0.48	0.00
	V (X) H2 (Succión)	-19.536	-0.326	-57.375	0.01	-0.50	0.00
	N (EI)	1.751	0.011	17.464	0.00	0.03	0.00
N1358	Peso propio	-4.922	-0.022	46.276	0.00	0.00	0.00
	CM SU Fotovoltaica	-2.521	0.002	19.065	0.00	0.00	0.00
	Q (conservación)	-4.584	0.003	34.663	0.00	0.00	0.00
	V (X) H1 (Presión)	-2.523	0.001	16.902	0.00	0.05	0.00
	V (X) H2 (Presión)	0.112	0.000	78.113	0.00	0.18	0.00
	V (X) H1 (Succión)	7.062	-0.002	-47.306	0.00	-0.14	0.00
	V (X) H2 (Succión)	-0.314	0.000	-218.632	0.01	-0.51	0.00
	N (EI)	-2.292	0.002	17.332	0.00	0.00	0.00
N1359	Peso propio	2.330	0.007	108.757	0.00	0.05	0.00
	CM SU Fotovoltaica	1.086	0.015	48.314	0.00	0.02	0.00
	Q (conservación)	1.974	0.028	87.843	0.00	0.04	0.00
	V (X) H1 (Presión)	10.315	0.104	128.994	-0.01	0.15	0.00
	V (X) H2 (Presión)	9.508	0.026	129.330	0.00	0.22	0.00
	V (X) H1 (Succión)	-28.872	-0.290	-361.043	0.01	-0.43	0.00
	V (X) H2 (Succión)	-26.612	-0.074	-361.983	0.00	-0.63	-0.01
	N (EI)	0.987	0.014	43.921	0.00	0.02	0.00
N1360	Peso propio	-1.751	-0.008	109.327	0.00	0.02	0.00
	CM SU Fotovoltaica	-0.910	0.002	48.530	0.00	0.01	0.00
	Q (conservación)	-1.655	0.004	88.236	0.00	0.01	0.00
	V (X) H1 (Presión)	5.803	0.070	129.876	0.00	0.13	0.00
	V (X) H2 (Presión)	1.929	-0.019	128.997	0.00	0.14	0.00
	V (X) H1 (Succión)	-16.243	-0.197	-363.512	0.01	-0.36	-0.01
	V (X) H2 (Succión)	-5.400	0.054	-361.052	0.00	-0.40	-0.01
	N (EI)	-0.827	0.002	44.118	0.00	0.01	0.00
N1361	Peso propio	3.693	-0.005	50.197	0.00	0.06	0.00
	CM SU Fotovoltaica	1.843	0.002	18.858	0.00	0.03	0.00
	Q (conservación)	3.351	0.003	34.287	0.00	0.05	0.00
	V (X) H1 (Presión)	8.249	-0.095	80.350	0.00	0.16	0.00
	V (X) H2 (Presión)	6.520	0.097	19.820	0.00	0.17	0.00
	V (X) H1 (Succión)	-23.088	0.267	-224.893	-0.01	-0.46	-0.01
	V (X) H2 (Succión)	-18.250	-0.271	-55.475	0.01	-0.46	-0.01
	N (EI)	1.675	0.002	17.144	0.00	0.03	0.00
N1515	Peso propio	-3.159	-0.149	34.218	0.00	0.01	0.00

Documento visado electrónicamente con número: VA07290/22
Código de validación telemática TRLTDCFZ60T66IJ1. Comprobación: https://cogitivalencia.e-gestion.es/Validacion.aspx?CVT=TRLTDCFZ60T66IJ1

VISADO
COGITI
VALENCIA
VA07290/22
TRLTDCFZ60T66IJ1

Reacciones en los nudos, por hipótesis							
Referencia	Descripción	Reacciones en ejes globales					
		Rx (kN)	Ry (kN)	Rz (kN)	Mx (kN·m)	My (kN·m)	Mz (kN·m)
	CM SU Fotovoltaica	-0.924	-0.004	9.835	0.00	0.01	0.00
	Q (conservación)	-1.679	-0.007	17.882	0.00	0.02	0.00
	V (X) H1 (Presión)	0.956	-0.006	9.264	0.00	0.07	0.00
	V (X) H2 (Presión)	5.759	-0.023	38.153	0.00	0.20	0.00
	V (X) H1 (Succión)	-2.675	0.016	-25.930	0.00	-0.21	0.00
	V (X) H2 (Succión)	-16.119	0.063	-106.786	0.01	-0.57	0.00
	N (EI)	-0.840	-0.004	8.941	0.00	0.01	0.00
N1516	Peso propio	2.417	-0.061	80.361	0.00	0.05	0.00
	CM SU Fotovoltaica	1.161	0.033	25.298	0.00	0.02	0.00
	Q (conservación)	2.111	0.060	45.997	0.00	0.04	0.00
	V (X) H1 (Presión)	8.714	0.156	67.370	-0.01	0.13	0.00
	V (X) H2 (Presión)	11.134	0.121	68.682	0.00	0.22	-0.01
	V (X) H1 (Succión)	-24.391	-0.436	-188.564	0.02	-0.37	0.01
	V (X) H2 (Succión)	-31.163	-0.339	-192.236	0.01	-0.63	0.01
	N (EI)	1.056	0.030	22.999	0.00	0.02	0.00
N1517	Peso propio	-0.954	-0.072	81.249	0.00	0.02	0.00
	CM SU Fotovoltaica	-0.191	0.022	25.807	0.00	0.01	0.00
	Q (conservación)	-0.347	0.040	46.923	0.00	0.02	0.00
	V (X) H1 (Presión)	5.664	0.134	68.672	-0.01	0.12	0.00
	V (X) H2 (Presión)	5.898	0.076	69.677	0.00	0.17	0.00
	V (X) H1 (Succión)	-15.853	-0.374	-192.206	0.01	-0.32	0.00
	V (X) H2 (Succión)	-16.508	-0.213	-195.021	0.00	-0.47	0.01
	N (EI)	-0.174	0.020	23.461	0.00	0.01	0.00
N1518	Peso propio	2.905	-0.206	36.655	0.00	0.05	0.00
	CM SU Fotovoltaica	1.139	-0.030	9.860	0.00	0.02	0.00
	Q (conservación)	2.071	-0.055	17.928	0.00	0.04	0.00
	V (X) H1 (Presión)	5.254	-0.219	42.406	0.01	0.12	0.00
	V (X) H2 (Presión)	5.108	0.038	11.427	0.00	0.15	0.00
	V (X) H1 (Succión)	-14.706	0.613	-118.692	-0.02	-0.34	-0.01
	V (X) H2 (Succión)	-14.297	-0.105	-31.984	0.01	-0.42	0.00
	N (EI)	1.035	-0.027	8.964	0.00	0.02	0.00

Documento visado electrónicamente con número: VA07290/22
Código de validación telemática TRLTDCFZ60T66IJ1. Comprobación: https://cogitivalencia.e-gestion.es/Validacion.aspx?CVT=TRLTDCFZ60T66IJ1

VISADO
COGITI
VALENCIA
VA07290/22
TRLTDCFZ60T66IJ1

1.13. ACCIONES CONSIDERADAS EN EL PROYECTO PRESENTADO POR ROVER ALCISA

La acciones consecuencia de cargas gravitatorias tomadas en el proyecto de ejecución han sido revisadas y son correctas según el CTE DB-SE-AE Acciones en la edificación. La acción debido al viento, también es correcta, al igual que la carga debida a la nieve.

Pesos propios:	
Vigas y Pilares	25.00 KN/m³
Peso propio forjado de placa 35 cm con juntas.	4.36 KN/m2
Peso propio forjado de placa 20 cm con juntas.	3.55 KN/m2
Cargas Muertas:	
Carga muerta, pavimentos y rellenos.	0.00 KN/m2
Sobrecarga de Uso de aparcamiento con Ψ (0,7;0,7;0,6):	
Para Losas	4.00 KN/m2
Para Vigas y Pilares:	3.00 KN/m2
Sobrecarga de Nieve:	
Sobrecarga Nieve con Ψ (0,5;0,2;0)	0.20 KN/m2
Adicionalmente se comprueba en situación sísmica:	
Sobrecarga Uso de almacén con Ψ (0,7;0,7;1)	2.00 KN/m2
Concentrada simultánea:	20 KN

Figura 1.18: Cargas gravitatorias.

En cuanto a la acción térmica, había un error en la versión de 25/06/2018 (Revisión nº01) en el valor de la temperatura mínima anual tomado y, por consiguiente, en las variaciones térmicas. La temperatura mínima anual era $5^{o}C$, no 6. Este error ha quedado subsanado tomando el Autor del proyecto una tabla diferente de valores climatológicos obtenida de la página www.aemet.es. Con estos nuevos valores quedan justificados los esfuerzos térmicos introducidos en el programa SAP.

En el caso de la acción sísmica, el espectro elástico de respuesta considerado en el cálculo es adecuado, y en consecuencia, la acción sísmica se considera correctamente. Por petición expresa de los revisores, se realizan dos comprobaciones independientes de sismo:

- Con la sobrecarga más conservadora del CTE y coeficientes de simultaneidad de sobrecargas correspondientes a aparcamiento.
- Con los coeficientes de simultaneidad correspondientes a almacén y las sobrecargas menos conservadoras del CTE.

Dentro del proyecto presentado por ROVER ALCISA, los apartados 1.19 ANEJO C. RESULTADOS PARA USO APARCAMIENTO (1.18. ANEJO B. RESULTADOS PARA USO APARCAMIENTO en otra versión del proyecto de ejecución) se incluyen los resultados correspondientes al uso de aparcamiento con sus correspondientes solicitaciones en pilares, y en el 1.20 ANEJO D. RESULTADOS CON USO ALMACÉN (1.19 ANEJO C. RESULTADOS USO ALMACÉN en otra versión del proyecto), se incluye la comprobación a sismo con uso de almacén. Con ambas comprobaciones se trasladan las reacciones a cimentación y se realiza el cálculo y armado de pilares y de vigas secundarias o de arriostramiento. Estas solicitaciones en la base de pilares son las tenidas en cuenta para el cálculo de la cimentación: pilotes, encepados y riostras.

Documento visado electrónicamente con número: VA07290/22
Código de validación telemática TRLTDCFZ60T66IJ1. Comprobación: https://cogitivalencia.e-gestion.es/Validacion.aspx?CVT=TRLTDCFZ60T66IJ1

VISADO
COGITI
VALENCIA
VA07290/22
TRLTDCFZ60T66IJ1

1.14. COEFICIENTES DE SEGURIDAD E HIPÓTESIS DE CÁLCULO

1.14.1. Materiales

Se han incluido como coeficientes parciales de seguridad de los materiales para Estados Límites Últimos los citados en el art. 15º de la norma EHE-08 (Instrucción de Hormigón Estructural del Ministerio de Fomento).

Dado que la estructura está compuesta por elementos estructurales prefabricados con distintivo de calidad (tanto el elemento como los materiales empleados para su fabricación), y el montaje de esta se controlará con nivel intenso, los valores de los coeficientes parciales de seguridad de los materiales para el estudio de los Estados Límite Últimos son:

- Coeficiente parcial de seguridad del hormigón: $\gamma_c = 1,35$ para situación persistente o transitoria y $\gamma_c = 1,3$ para situación accidental.
- Coeficiente parcial de seguridad del acero: $\gamma_s = 1,10$ para situación persistente o transitoria y $\gamma_s = 1,00$ para situación accidental.

1.14.2. Estados Límite Últimos

Se han tomado como valores de los coeficientes parciales de seguridad para las acciones con efectos desfavorables, aplicables para la evaluación de los Estados Límites Últimos, los dispuestos en el artículo 12.1 de la norma EHE-08.

Situación permanente o transitoria desfavorable:

- Coeficiente de mayoración para las acciones permanentes: $\gamma_G = 1,35$
- Coeficiente de mayoración para las acciones variables: $\gamma_Q = 1,50$
- Coeficiente de mayoración para las acciones de pretensado: $\gamma_P = 1,00$

Situación accidental o sísmica desfavorable:

- Coeficiente de mayoración para acciones permanentes: $\gamma_G = 1,00$
- Coeficiente de mayoración para acciones variables: $\gamma_G = 1,00$
- Coeficiente de mayoración para acciones accidentales: $\gamma_G = 1,00$
- Coeficiente de mayoración para acciones de pretensado: $\gamma_G = 1,00$

1.14.3. Estados Límite de Servicio

Se han tomado como valores de los coeficientes parciales de seguridad para las acciones, aplicables para la evaluación de los Estados Límites Últimos, los dispuestos en el artículo 12.2 de la norma EHE-08.

Efecto favorable:

- Coeficiente de mayoración para acciones permanentes: $\gamma_G = 1,00$
- Coeficiente de mayoración para acciones variables: $\gamma_G = 0,00$
- Coeficiente de mayoración para acciones de pretensado (armadura pretesa): $\gamma_G = 0,95$

Documento visado electrónicamente con número: VA07290/22
Código de validación telemática TRLTDCFZ60T66IJ1. Comprobación: https://cogitivalencia.e-gestion.es/Validacion.aspx?CVT=TRLTDCFZ60T66IJ1

VISADO
COGITI
VALENCIA
VA07290/22
TRLTDCFZ60T66IJ1

Efecto desfavorable:

- Coeficiente de mayoración para acciones permanentes: $\gamma_G = 1,00$
- Coeficiente de mayoración para acciones variables: $\gamma_G = 1,00$
- Coeficiente de mayoración para acciones de pretensado (armadura pretesa): $\gamma_G = 1,05$

Tipo de verificación (1)	Tipo de acción	Situación persistente o transitoria desfavorable	favorable
Resistencia	Permanente		
	Peso propio, peso del terreno	1,35	0,80
	Empuje del terreno	1,35	0,70
	Presión del agua	1,20	0,90
	Variable	1,50	0
		desestabilizadora	**estabilizadora**
Estabilidad	Permanente		
	Peso propio, peso del terreno	1,10	0,90
	Empuje del terreno	1,35	0,80
	Presión del agua	1,05	0,95
	Variable	1,50	0

(1) Los coeficientes correspondientes a la verificación de la resistencia del terreno se establecen en el DB-SE-C

Figura 1.19: Coeficientes parciales de seguridad para las acciones.

1.14.4. Combinación de acciones

Para cada una de las situaciones de proyecto estudiadas se establecerán las posibles combinaciones de acciones. Cada combinación, en general, estará formada por las acciones permanentes, una acción variable determinante y una o varias acciones variables concomitantes. Cualquiera de las acciones variables puede ser determinante.

Para definir las combinaciones de acciones se tomarán los siguientes criterios, según artículo 13 de la EHE-08:

Estados Límite Últimos

- Situaciones persistentes o transitorias:

$$\sum_{j\geqslant 1} \gamma_{G,j} G_{k,j} + \sum_{j\geqslant 1} \gamma_{G*,j} G*_{k,j} + \gamma_p P_k + \gamma_{Q,1} Q_{k,1} + \sum_{i>1} \gamma_{Q,i} \psi_{0,i} Q_{k,i}$$

- Situaciones accidentales:

$$\sum_{j\geqslant 1} \gamma_{G,j} G_{k,j} + \sum_{j\geqslant 1} \gamma_{G*,j} G*_{k,j} + \gamma_p P_k + \gamma_A A_k + \gamma_{Q,1} \psi_{1,1} Q_{k,1} + \sum_{i>1} \gamma_{Q,i} \psi_{2,i} Q_{k,i}$$

- Situaciones sísmicas:

$$\sum_{j\geqslant 1} \gamma_{G,j} G_{k,j} + \sum_{j\geqslant 1} \gamma_{G*,j} G*_{k,j} + \gamma_p P_k + \gamma_A A_{E,k} + \sum_{i>1} \gamma_{Q,i} \psi_{2,i} Q_{k,i}$$

donde:

- $G_{k,j}$ = valor característico de las acciones permanentes.
- $G*_{k,j}$ = Valor característico de las acciones permanentes de valor no constante.
- P_k = Valor característico de la acción del pretensado.

Documento visado electrónicamente con número: VA07290/22
Código de validación telemática TRLTDCFZ60T66IJ1. Comprobación: https://cogitivalencia.e-gestion.es/Validacion.aspx?CVT=TRLTDCFZ60T66IJ1

VISADO
COGITI
VALENCIA
VA07290/22
TRLTDCFZ60T66IJ1

- $Q_{k,1}$ = Valor característico de la acción variable determinante.
- $\psi_{0,i}Q_{k,i}$ = Valor representativo de combinación de las acciones variables concomitantes
- $\psi_{1,1}Q_{k,1}$ = Valor representativo frecuente de la acción variable determinante.
- $\psi_{2,i}Q_{k,i}$ = Valores representativos cuasipermanentes de las acciones variables con la acción determinante o con la acción accidental.
- A_k = Valor característico de la acción accidental.
- $A_{E,k}$ = Valor característico de la acción sísmica.

Estados Límite de Servicio:

- Combinación poco probable o característica:

$$\sum_{j\geqslant 1}\gamma_{G,j}G_{k,j} + \sum_{j\geqslant 1}\gamma_{G*,j}G*_{k,j} + \gamma_p P_k + \gamma_{Q,1}Q_{k,1} + \sum_{i>1}\gamma_{Q,i}\psi_{0,i}Q_{k,i}$$

- Combinación frecuente:

$$\sum_{j\geqslant 1}\gamma_{G,j}G_{k,j} + \sum_{j\geqslant 1}\gamma_{G*,j}G*_{k,j} + \gamma_p P_k + \gamma_{Q,1}\psi_{1,1}Q_{k,1} + \sum_{i>1}\gamma_{Q,i}\psi_{2,i}Q_{k,i}$$

- Combinación cuasipermanente:

$$\sum_{j\geqslant 1}\gamma_{G,j}G_{k,j} + \sum_{j\geqslant 1}\gamma_{G*,j}G*_{k,j} + \gamma_p P_k + \sum_{i>1}\gamma_{Q,i}\psi_{2,i}Q_{k,i}$$

donde $\psi_{0,1}$, $\psi_{1,1}$ y $\psi_{2,i}$ se obtienen de la tabla de la figura 1.20.

	Ψ_0	Ψ_1	Ψ_2
Sobrecarga superficial de uso (Categorías según DB-SE-AE)			
•Zonas residenciales (Categoría A)	0,7	0,5	0,3
•Zonas administrativas (Categoría B)	0,7	0,5	0,3
•Zonas destinadas al público (Categoría C)	0,7	0,7	0,6
•Zonas comerciales (Categoría D)	0,7	0,7	0,6
•Zonas de tráfico y de aparcamiento de vehículos ligeros con un peso total inferior a 30 kN (Categoría F)	0,7	0,7	0,6
•Cubiertas transitables (Categoría G)		(1)	
•Cubiertas accesibles únicamente para mantenimiento (Categoría H)	0	0	0
Nieve			
•para altitudes > 1000 m	0,7	0,5	0,2
•para altitudes ≤ 1000 m	0,5	0,2	0
Viento	0,6	0,5	0
Temperatura	0,6	0,5	0
Acciones variables del terreno	0,7	0,7	0,7

(1) En las cubiertas transitables, se adoptarán los valores correspondientes al uso desde el que se accede.

Figura 1.20: Coeficientes de simultaneidad.

Adicionalmente se calcula la acción sísmica con la carga de 2 kN/m^2 más 20 kN y ψ_2=1, correspondiente al uso de almacén.

Documento visado electrónicamente con número: VA07290/22
Código de validación telemática TRLTDCFZ60T66IJ1. Comprobación: https://cogitivalencia.e-gestion.es/Validacion.aspx?CVT=TRLTDCFZ60T66IJ1

VISADO
COGITI
VALENCIA
VA07290/22
TRLTDCFZ60T66IJ1

1.14.5. Clase de exposición, recubrimiento, y fisuración

Se considera una clase general de exposición *marina aérea* con corrosión por cloruros con designación IIIa tanto para elementos interiores como exteriores.

Las disposiciones geométricas de las armaduras tanto activas como pasivas deben ser las previstas por la norma EHE en los artículos 37º y 42º. El recubrimiento geométrico mínimo debe ser para los elementos armados de 25 mm y para los pretensados de 30 mm, en función del tipo de cemento como se aprecia en la figura 1.21.

En el cálculo de fisuración se ha considerado la combinación de acciones cuasipermanentes en elementos armados, y combinación frecuente para elementos pretensados, con una sola acción variable (según el artículo 13.3).

- Para elementos prefabricados pretensados la abertura de fisura permitida por la EHE (5.1.1.2) bajo la combinación de acciones frecuentes es $w_k = 0$ estando toda la sección comprimida (ambiente IIIa).
- Para los elementos prefabricados armados la abertura de fisura permitida bajo la combinación de acciones cuasipermanentes es $w_k = 0{,}2\ mm$ (ambiente IIIa).

Hormigón	Cemento	Vida útil de proyecto (t_g) (años)	Clase general de exposición			
			IIIa	IIIb	IIIc	IV
Armado	CEM III/A, CEM III/B, CEM IV, CEM II/B-S, B-P, B-V, A-D u hormigón con adición de microsílice superior al 6% o de	50	25	30	35	35
		100	30	35	40	40
	Resto de cementos utilizables	50	45	40	*	*
		100	65	*	*	*
Pretensado	CEM II/A-D o bien con adición de humo de sílice superior al 6%	50	30	35	40	40
		100	35	40	45	45
	Resto de cementos utilizables, según el Artículo 26º	50	65	45	*	*
		100	*	*	*	*

Figura 1.21: Recubrimiento mínimo (mm) para la clase general de exposición III y IV en función del tipo de cemento.

Documento visado electrónicamente con número: VA07290/22
Código de validación telemática TRLTDCFZ60T66IJ1. Comprobación: https://cogitivalencia.e-gestion.es/Validacion.aspx?CVT=TRLTDCFZ60T66IJ1

VISADO
COGITI
VALENCIA
VA07290/22
TRLTDCFZ60T66IJ1

1.15. MODELIZACIÓN DE LA ESTRUCTURA EN EL PROYECTO DE EJECUCIÓN

La estructura ha sido dividida en 6 zonas o módulos para su modelización, que se corresponden con las juntas de dilatación. En la memoria de cálculo del proyecto de ejecución presentado, se estudian los 4 primeros módulos (1, 2, 3 y 4), ya que se consideran los módulos 5 y 6 simétricos a los primeros.

Los modelos considerados son:

- Modelo 1. Módulo 1 lateral inferior.
- Modelo 2. Módulo 2 lateral superior.
- Modelo 3. Módulo 3 central.
- Modelo 4.

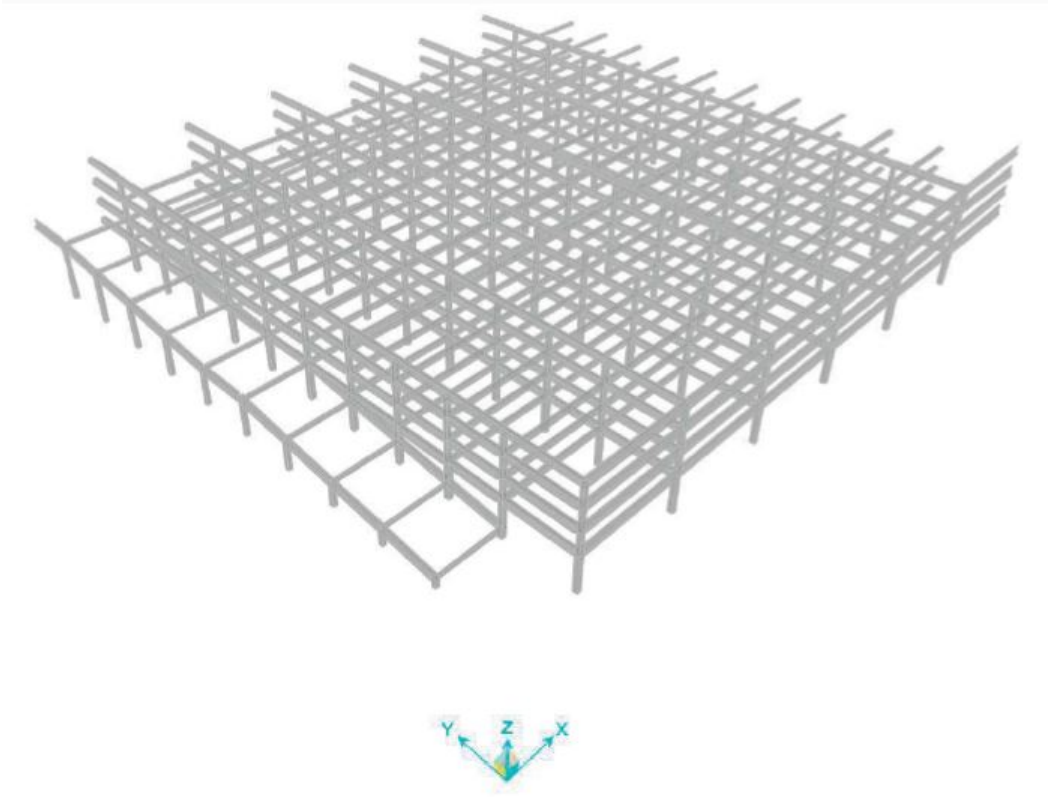

Figura 1.22: Bloque modelizado.

Documento visado electrónicamente con número: VA07290/22
Código de validación telemática TRLTDCFZ60T66IJ1. Comprobación: https://cogitivalencia.e-gestion.es/Validacion.aspx?CVT=TRLTDCFZ60T66IJ1

VISADO
COGITI
VALENCIA
VA07290/22
TRLTDCFZ60T66IJ1

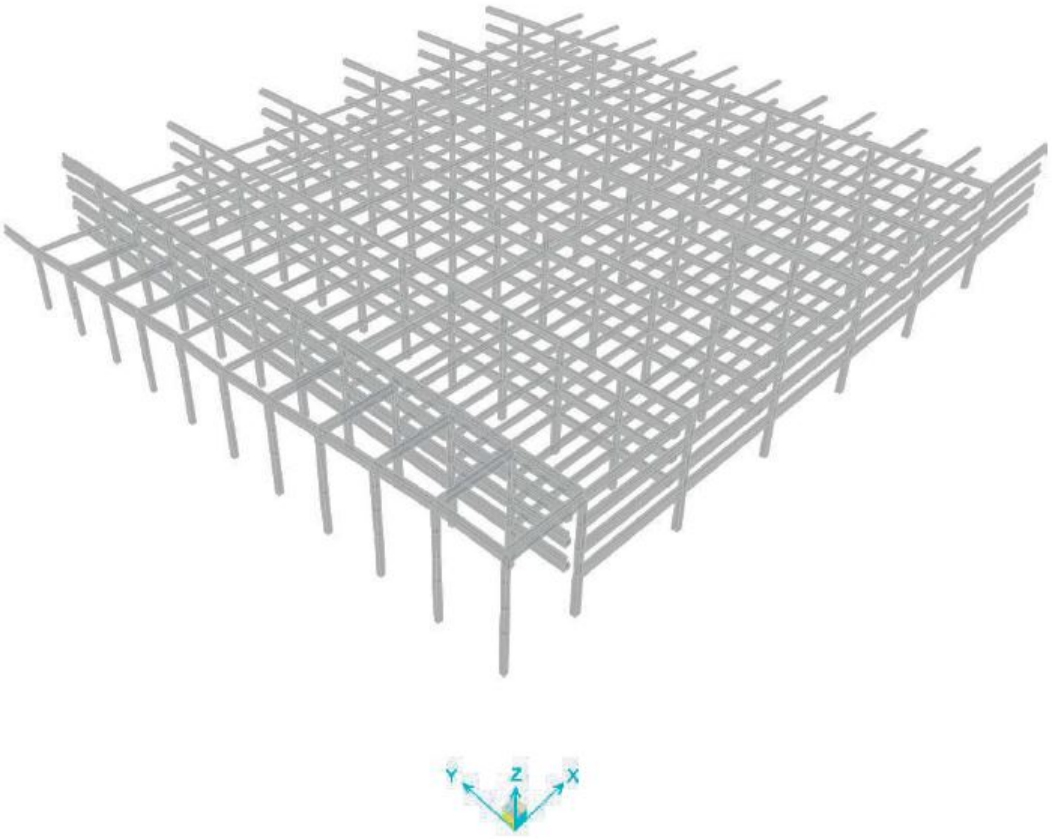

Figura 1.23: Bloque modelizado.

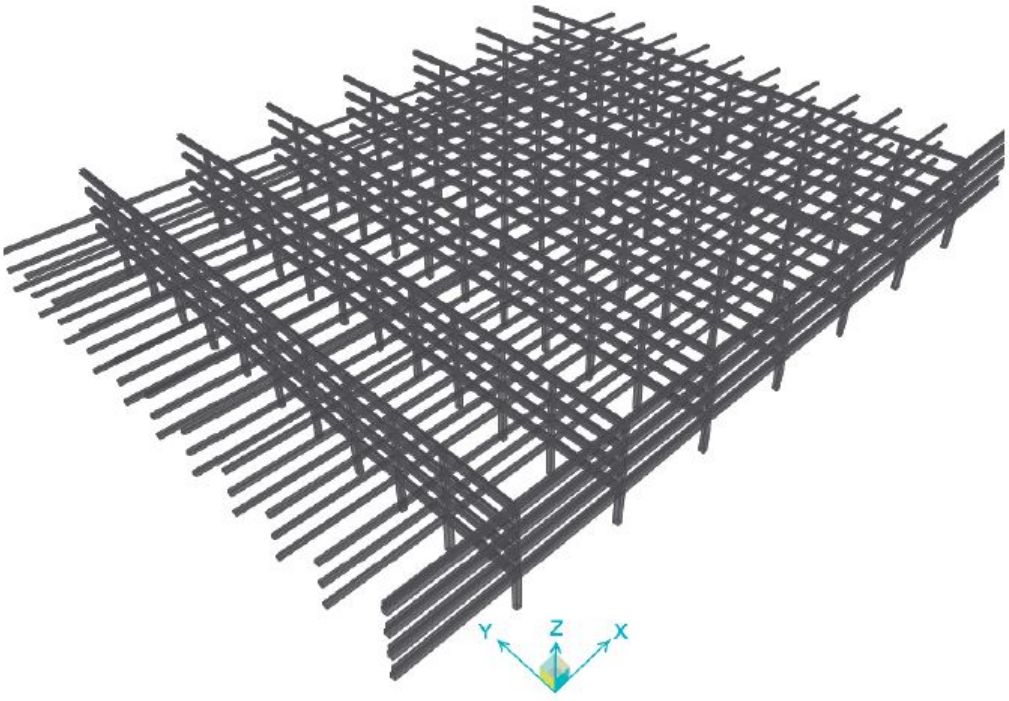

Figura 1.24: Bloque modelizado.

Según el Autor del proyecto:

1. Las combinaciones de acciones se han obtenido siguiendo el criterio de la norma EHE-08 en su artículo 13º, tanto para Estados Límites Últimos como de Servicio.

Documento visado electrónicamente con número: VA07290/22
Código de validación telemática TRLTDCFZ60T66IJ1. Comprobación: https://cogitivalencia.e-gestion.es/Validacion.aspx?CVT=TRLTDCFZ60T66IJ1

VISADO
COGITI
VALENCIA
VA07290/22
TRLTDCFZ60T66IJ1

2. Se han incluido como coeficientes parciales de seguridad para Estados Límites Últimos los citados en el articulo 15º de la EHE-08.

3. Para elementos prefabricados se han tomado los coeficientes correspondientes a un nivel de control intenso. Para el hormigón "in situ" de las juntas entre placas y cabezas de compresión de las vigas, también se considera nivel de control intenso en la toma de valores.

4. El estudio de los elementos que componen la estructura, considera sus distintas fases de ejecución, y estas son:

   - Fabricación.
   - Manipulación y transporte.
   - Fase constructiva.
   - Fase definitiva.

5. Los elementos pretensados utilizados poseen un pretensado interior, con armaduras pretesas y adherentes.

6. Las disposiciones geométricas de las armaduras tanto activas como pasivas son las previstas por la norma EHE-08 en los artículos 37º y 42º.

7. Los cálculos realizados comprenden las comprobaciones a Estados Límites Últimos y de Servicio.

8. Se ha considerado una clase general de exposición tipo IIIa para la estructura, cumpliendo los recubrimientos mínimos de todas las armaduras los artículos 37.2.4 y 37.2.5 de la EHE-08, siendo los recubrimientos de 40 mm para los elementos pretensados y de 30 mm para los elementos armados.

9. Las aberturas de fisuras, de acuerdo con el artículo 37.2.6 de la EHE-08 son menores a 0,2 mm en los elementos armados, y teniendo los elementos pretensados ausencia de descompresión en la fibra inferior. Para el cálculo de la fisura, cumpliendo el artículo 49.2.4 se considera la combinación de acciones frecuente para los elementos pretensados y la combinación de acciones cuasipermanente para los elementos armados, todo ello según el artículo 13.3 de la EHE-08.

10. La carga unitaria de rotura de los aceros activos es 1860 N/mm^2, siendo el límite elástico 1667 N/mm^2. Según la información que se facilita, la tensión inicial de tesado es de 1480 N/mm^2 para las vigas pretensadas y de 1320 N/mm^2 para las placas alveolares. Según la información facilitada más adelante, la tensión inicial de tesado es de 1480 N/mm^2 para las vigas pretensadas, de 1320 N/mm^2 para las placas alveolares de canto 25 cm y 1380 N/mm^2 para las placas alveolares de canto 35 cm fabricadas con tecnología PRENSOLAND-RESIMART.

11. La flecha viene definida como la suma de la flecha instantánea producida por todas las cargas y la flecha diferida debida a las cargas permanentes y cuasipermanetes.

El estudio de la estructura se ha llevado a cabo mediante el programa basado en elementos finitos SAP 2000 v19.2.1. Se ha realizado un análisis en segundo orden basado en la consideración del equilibrio de la estructura en su configuración deformada.

El modelo estructural estudiado para el cálculo de los distintos elementos (pilares, vigas, etc) contempla las vigas isostáticamente apoyadas. El Autor del proyecto afirma que esto está del lado de la seguridad, no siendo así para las vigas secundarias o de arriostramiento y para los pasadores y la armadura de las ménsulas.

Documento visado electrónicamente con número: VA07290/22
Código de validación telemática TRLTDCFZ60T66IJ1. Comprobación: https://cogitivalencia.e-gestion.es/Validacion.aspx?CVT=TRLTDCFZ60T66IJ1

VISADO
COGITI
VALENCIA
VA07290/22
TRLTDCFZ60T66IJ1

La definición de las acciones aisladas sin mayorar que intervienen en el cálculo son las de la figura 1.25.

- ✓ PP: Peso Propio, acción debida a pesos propios de pilares, vigas, forjado y cubierta.
- ✓ CM: Acción debida a cargas muertas. No existe en este proyecto.
- ✓ SC: Acción debida a las sobrecargas de uso de aparcamiento.
- ✓ V X: Acción debida al viento en la dirección X.
- ✓ V Y: Acción debida al viento en la dirección Y.
- ✓ S: Acción debida a la sobrecarga de nieve.
- ✓ TEMP +: Acción debida al incremento de temperatura.
- ✓ TEMP -: Acción debida al decremento de temperatura.
- ✓ SISMO X: Acción debida al efecto del sismo en la dirección X.
- ✓ SISMO Y: Acción debida al efecto del sismo en la dirección Y.

Figura 1.25: Definición de acciones.

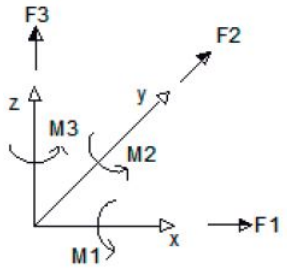

Figura 1.26: Dirección y signo esfuerzos.

Las unidades en que vienen expresados los esfuerzos son kN y m. El F1 corresponde a la reacción según el eje X, el F2 eje Y, el F3 eje Z, el M1 el momento alrededor del eje X, el M2 alrededor del eje Y y el M3 alrededor del eje Z. Los signos son los correspondientes a un sistema dextrógiro.

Las combinaciones más desfavorables para el cálculo de la cimentación son las de la figura 1.27. Los valores resultantes se encuentran en los anejos correspondientes dentro del proyecto de ROVER ALCISA, el Anejo B y C. Los valores opuestos a los efuerzos de los pilares en su base, permiten el dimensionamiento y comprobación de la cimentación.

Documento visado electrónicamente con número: VA07290/22
Código de validación telemática TRLTDCFZ60T66IJ1. Comprobación: https://cogitivalencia.e-gestion.es/Validacion.aspx?CVT=TRLTDCFZ60T66IJ1

VISADO
COGITI
VALENCIA
VA07290/22
TRLTDCFZ60T66IJ1

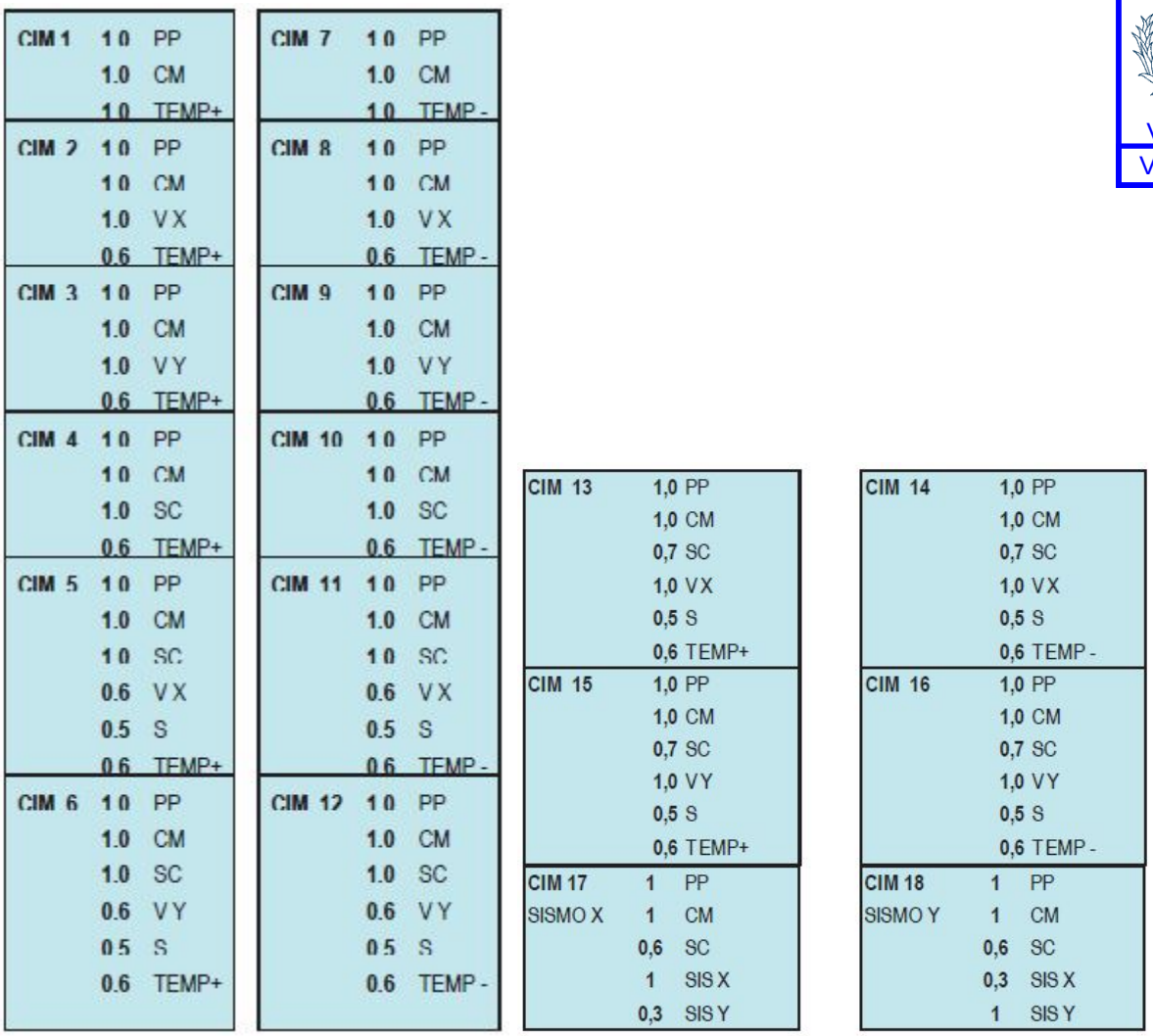

CIM 1	1.0	PP
	1.0	CM
	1.0	TEMP+
CIM 2	1.0	PP
	1.0	CM
	1.0	V X
	0.6	TEMP+
CIM 3	1.0	PP
	1.0	CM
	1.0	V Y
	0.6	TEMP+
CIM 4	1.0	PP
	1.0	CM
	1.0	SC
	0.6	TEMP+
CIM 5	1.0	PP
	1.0	CM
	1.0	SC
	0.6	V X
	0.5	S
	0.6	TEMP+
CIM 6	1.0	PP
	1.0	CM
	1.0	SC
	0.6	V Y
	0.5	S
	0.6	TEMP+

CIM 7	1.0	PP
	1.0	CM
	1.0	TEMP -
CIM 8	1.0	PP
	1.0	CM
	1.0	V X
	0.6	TEMP -
CIM 9	1.0	PP
	1.0	CM
	1.0	V Y
	0.6	TEMP -
CIM 10	1.0	PP
	1.0	CM
	1.0	SC
	0.6	TEMP -
CIM 11	1.0	PP
	1.0	CM
	1.0	SC
	0.6	V X
	0.5	S
	0.6	TEMP -
CIM 12	1.0	PP
	1.0	CM
	1.0	SC
	0.6	V Y
	0.5	S
	0.6	TEMP -

CIM 13	1,0	PP
	1,0	CM
	0,7	SC
	1,0	V X
	0,5	S
	0,6	TEMP+
CIM 15	1,0	PP
	1,0	CM
	0,7	SC
	1,0	V Y
	0,5	S
	0,6	TEMP+
CIM 17	1	PP
SISMO X	1	CM
	0,6	SC
	1	SIS X
	0,3	SIS Y

CIM 14	1,0	PP
	1,0	CM
	0,7	SC
	1,0	V X
	0,5	S
	0,6	TEMP -
CIM 16	1,0	PP
	1,0	CM
	0,7	SC
	1,0	V Y
	0,5	S
	0,6	TEMP -
CIM 18	1	PP
SISMO Y	1	CM
	0,6	SC
	0,3	SIS X
	1	SIS Y

Figura 1.27: Combinaciones para el cálculo de la cimentación en el proyecto de ejecución.

En cuanto a los núcleos de escaleras, los muros se calculan empotrados en la cimentación y con uniones isostáticas a las escaleras y las escaleras se calculan isostáticamente apoyadas.

Con respecto a lo afirmado por el Autor del Proyecto, comentar los siguientes aspectos:

- El recubrimiento mínimo de 40 mm indicado para los elementos pretensados, ni se corresponde con la documentación presentada en el propio proyecto, ni entendemos que cumple a ELS durabilidad.
- Por alguna documentación presentada en el propio proyecto (por ejemplo las Fichas de Características Técnicas del forjado), no queda claro si la tensión de tesado de las placas alveolares de 35 cm de canto fabricadas con la tecnología ELEMATIC, será de 1320 o de 1380 N/mm^2.
- No se indica el nivel de control para el hormigonado “in situ", aunque luego toma valores de control intenso.

Por lo señalado anteriormente se pidió aclaración al Autor del Proyecto, que contestó mediante un correo electrónico que se adjunta. Básicamente lo que se propone es modificar el proyecto en los términos que se plasman en las figuras 1.28, 1.29 y 1.30.

Documento visado electrónicamente con número: VA07290/22
Código de validación telemática TRLTDCFZ60T66IJ1. Comprobación: https://cogitivalencia.e-gestion.es/Validacion.aspx?CVT=TRLTDCFZ60T66IJ1

VISADO
COGITI
VALENCIA
VA07290/22
TRLTDCFZ60T66IJ1

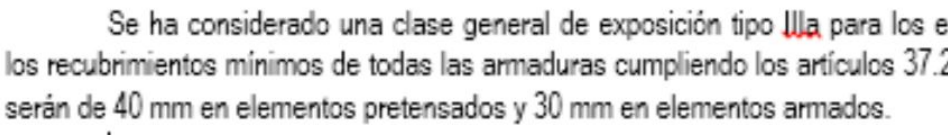
Se ha considerado una clase general de exposición tipo IIIa para los elementos prefabricados, los recubrimientos mínimos de todas las armaduras cumpliendo los artículos 37.2.4 y 37.2.5 de EHE-08, serán de 40 mm en elementos pretensados y 30 mm en elementos armados.

Figura 1.28: Redacción actual recubrimientos mínimos.

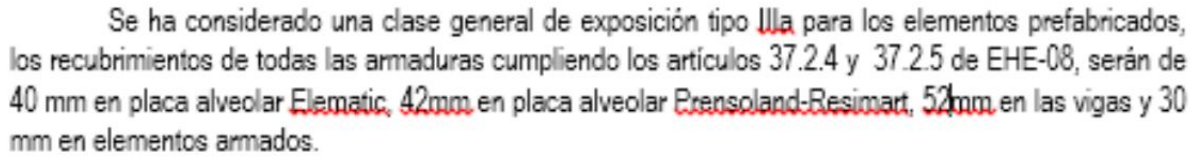
Se ha considerado una clase general de exposición tipo IIIa para los elementos prefabricados, los recubrimientos de todas las armaduras cumpliendo los artículos 37.2.4 y 37.2.5 de EHE-08, serán de 40 mm en placa alveolar Elematic, 42mm en placa alveolar Prensoland-Resimart, 52mm en las vigas y 30 mm en elementos armados.

Figura 1.29: Redacción modificada recubrimientos mínimos.

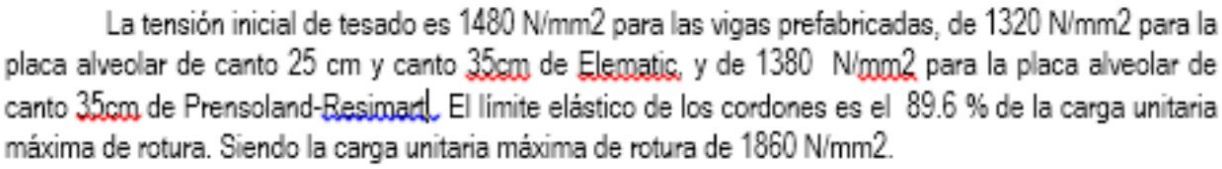
La tensión inicial de tesado es 1480 N/mm2 para las vigas prefabricadas, de 1320 N/mm2 para la placa alveolar de canto 25 cm y canto 35cm de Elematic, y de 1380 N/mm2 para la placa alveolar de canto 35cm de Prensoland-Resimart. El límite elástico de los cordones es el 89.6 % de la carga unitaria máxima de rotura. Siendo la carga unitaria máxima de rotura de 1860 N/mm2.

Figura 1.30: Redacción modificada tensiones de tesado.

La opinión del equipo revisor en su día, del que formaba parte el autor de este informe, es que no había justificación a mantener un recubrimiento de 40 mm en las placas ELEMATIC. Con respecto a la tensión de tesado, ni las Fichas de características técnicas que figuran en el proyecto, ni las Fichas de características técnicas enviadas por el Autor del Proyecto en el correo electrónico de 20/09/2018 cumplen lo afirmado en el párrafo anterior.

En cualquier caso, y a efectos de este informe de viabilidad estructural, vamos a tomar los valores existentes en las Fichas de característica técnicas de las placas alveolares para la comprobación de las mismas. En cuanto a las vigas de cubierta y rampas, vamos a tomar los valores que figuran en el proyecto de ejecución, así como los planos correspondientes a las mismas. Para la realización de comprobaciones adicionales se consulta la documentación gráfica del proyecto de ejecución y se considera una tensión de tesado de 1480 N/mm^2.

Documento visado electrónicamente con número: VA07290/22
Código de validación telemática TRLTDCFZ60T66IJ1. Comprobación: https://cogitivalencia.e-gestion.es/Validacion.aspx?CVT=TRLTDCFZ60T66IJ1

VISADO
COGITI
VALENCIA
VA07290/22
TRLTDCFZ60T66IJ1

1.16. MODELIZACIÓN DE LA ESTRUCTURA PARA ESTE ESTUDIO

El modelo empleado reproduce el comportamiento del bloque central lado cantil. Este tramo de estructura se ha supuesto representativo del comportamiento total de la estructura.

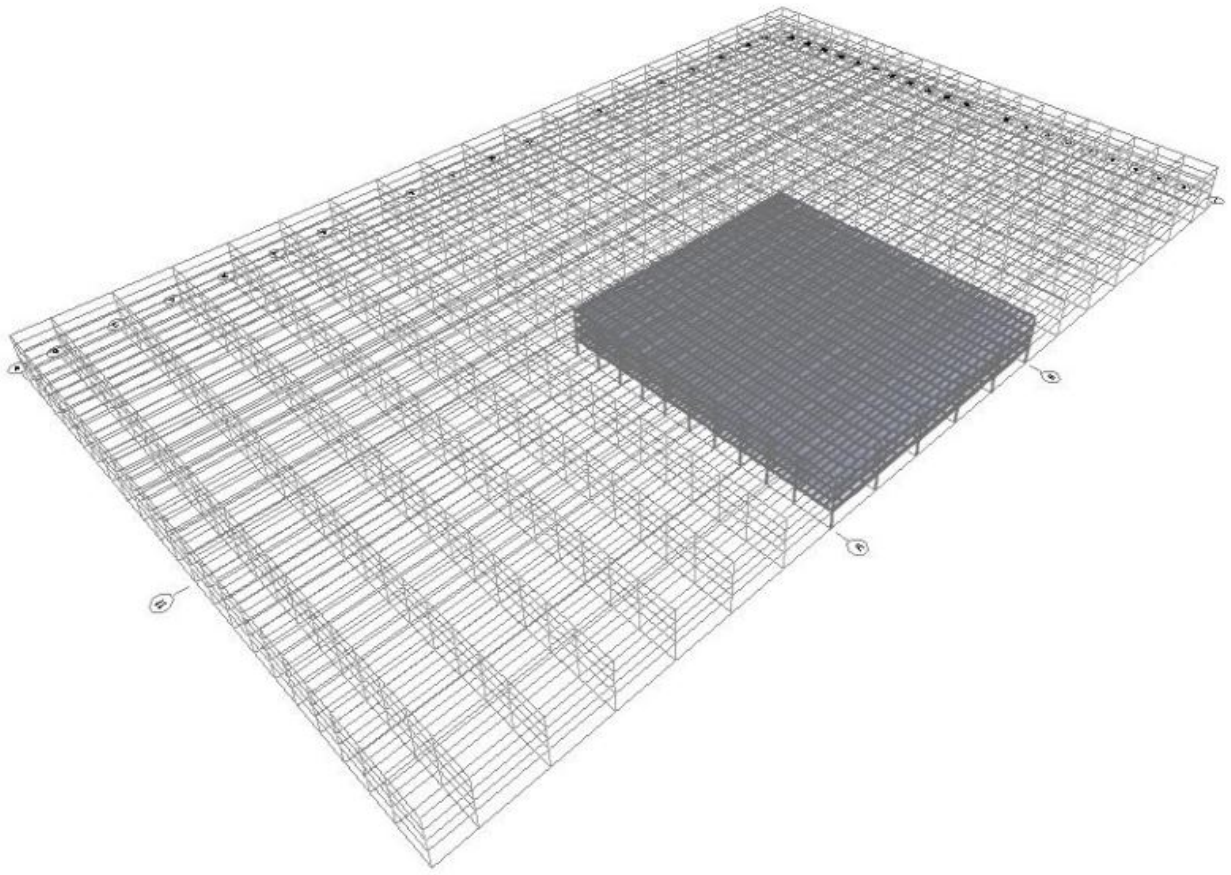

Figura 1.31: Bloque modelizado.

Está formado por diferentes tipos de elemento finitos que reproducen el comportamiento de los diferentes componentes de la estructura. Teniendo en cuenta que lo que se pretende es obtener solicitaciones en los pilares y en la cimentación, algunas simplificaciones se han podido asumir, en aras a aumentar la eficacia del modelo y reducir tiempos de cálculo.

El material siempre es hormigón armado o pretensado. Se ha supuesto comportamiento elástico y lineal caracterizado por el módulo de elasticidad secante y el coeficiente de Poisson de 0,2. Además, al material se le asigna un peso específico (25 kN/m^3) y una masa propia (2,5 t/m^3), que sirven para la evaluación de pesos propios, y modos de vibración, como se verá.

TABLE: Material Properties 02 - Basic Mechanical Properties						
Material	UnitWeight	UnitMass	E1	G12	U12	A1
Text	KN/m3	KN-s2/m4	KN/m2	KN/m2	Unitless	1/C
HA-35	25	2.5493	29778883.51	12407868.13	0.2	0.00001
HP-45	25	2.5493	31928428.91	13303512.05	0.2	0.00001

Figura 1.32: Propiedades mecánicas básicas de los materiales.

Documento visado electrónicamente con número: VA07290/22
Código de validación telemática TRLTDCFZ60T66IJ1. Comprobación: https://cogitivalencia.e-gestion.es/Validacion.aspx?CVT=TRLTDCFZ60T66IJ1

VISADO COGITI VALENCIA VA07290/22 TRLTDCFZ60T66IJ1

Se definen tres tipos de elementos lineales: columnas o pilares, vigas y placas en zona de pilares en las tres primeras plantas y uno de elementos bidimensionales planos: placas alveolares.

TABLE: Frame Section Properties 01 - General

SectionName	Material	Shape	t3	t2	Area	TorsConst	I33	I22
Text	Text	Text	m	m	m2	m4	m4	m4
COLUMNA_1	HA-35	Rectangular	0.5	0.5	0.25	0.008802	0.005208	0.005208
PLACA	HP-45	Rectangular	0.35	0.5	0.175	0.004058	0.001786	0.003646
VIGA_1	HP-45	PC Conc I Girder	0.65	0.8	0.415	0.019959	0.014276	0.016446

AS2	AS3	S33	S22	Z33	Z22	R33	R22
m2	m2	m3	m3	m3	m3	m	m
0.208333	0.208333	0.020833	0.020833	0.03125	0.03125	0.144338	0.144338
0.145833	0.145833	0.010208	0.014583	0.015313	0.021875	0.101036	0.144338
0.331761	0.377229	0.039334	0.041115	0.065305	0.069875	0.185474	0.199069

Figura 1.33: Propiedades sección.

Los pilares se modelizan como elementos lineales de 0,60x0,60 m de sección bruta en planta baja y de 0,50x0,50 m en las restantes plantas, con hormigón HA-35 y las vigas principales se modelizan también con elementos lineales a los que se ha dotado de la forma real que tienen, con hormigón HP-45.

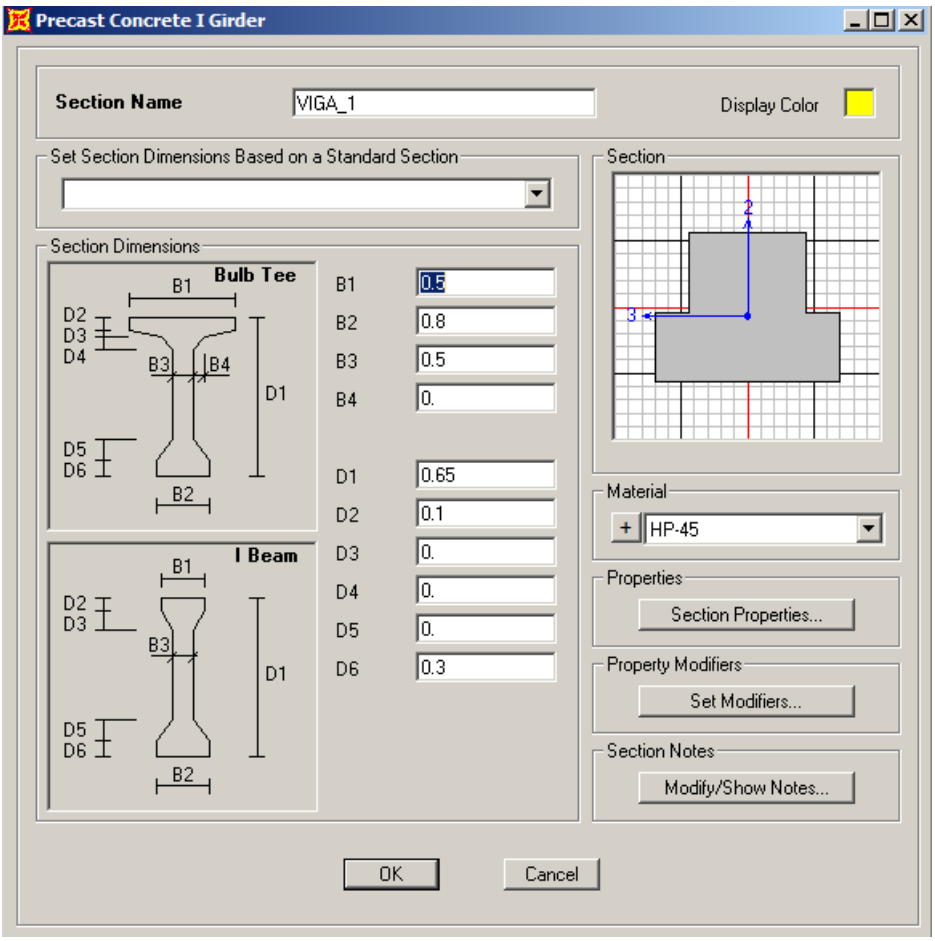

Figura 1.34: Viga.

Documento visado electrónicamente con número: VA07290/22
Código de validación telemática TRLTDCFZ60T66IJ1. Comprobación: https://cogitivalencia.e-gestion.es/Validacion.aspx?CVT=TRLTDCFZ60T66IJ1

VISADO
COGITI
VALENCIA
VA07290/22
TRLTDCFZ60T66IJ1

Las vigas se conectan a los pilares mediante elementos de apoyo tipo "link", que reproducen el apoyo simple sobre las ménsulas de estos últimos. Estos elementos permiten la transmisión de las fuerzas en el apoyo en las tres direcciones, y el momento torsor de la viga, pero independizan los momentos flectores en las dos direcciones en la viga.

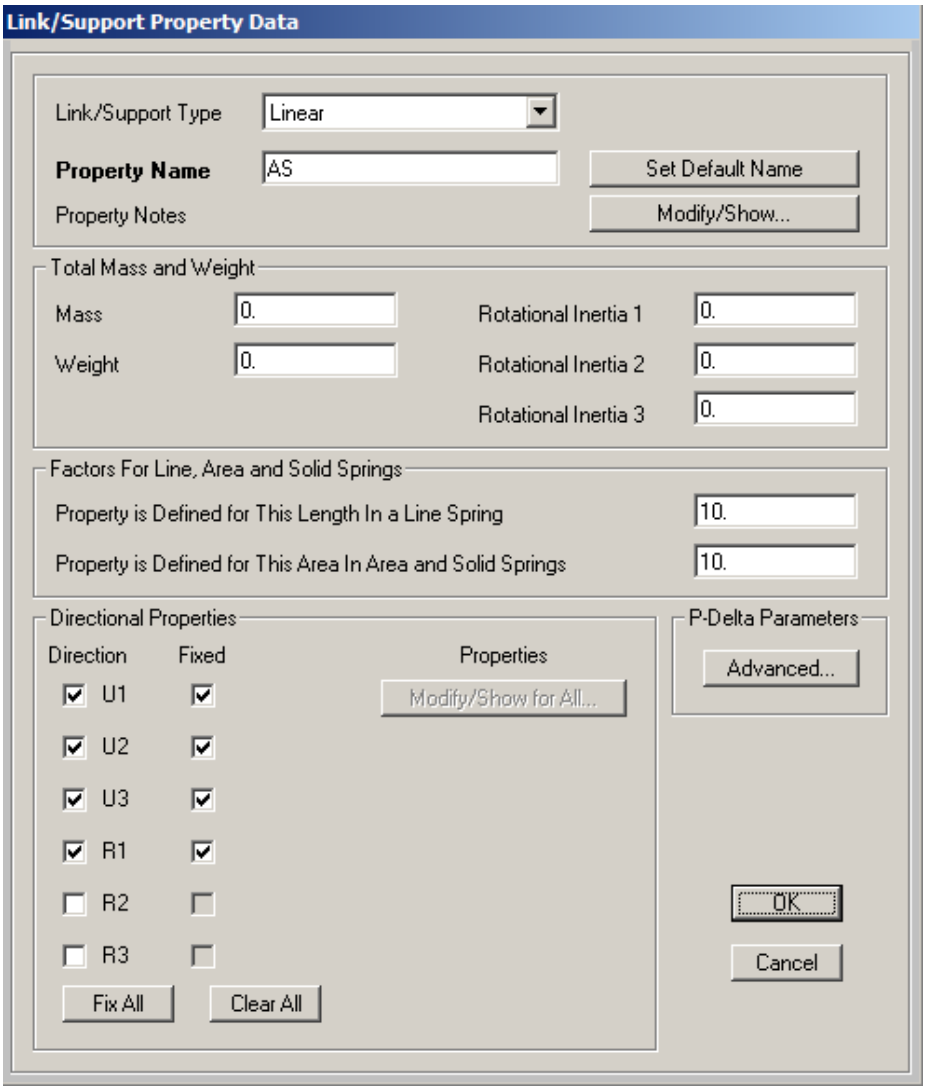

Figura 1.35: Propiedades elemento "link".

El forjado de placas alveolares se modeliza como una placa ortótropa con elementos finitos bidimensionales de cuatro nodos tipo "shell-thin", es decir, elementos sin deformación por cortante. Para ello se definen una placa de 0,35 m de canto constante y hormigón HP-45, a la que se aplican coeficientes correctores que determinan las áreas, inercias y masas a los valores reales del forjado.

La definición bruta del forjado es la que se indica en la figura 1.36.

TABLE: Area Section Properties

Section	Material	MatAngle	AreaType	Type	DrillDOF	Thickness	BendThick	Arc	InComp	CoordSys
Text	Text	Degrees	Text	Text	Yes/No	m	m	Degrees	Yes/No	Text
FORJADO_1	HP-45	0	Shell	Shell-Thin	Yes	0.35	0.35			

Figura 1.36: Modelización forjado placa alveolar.

Documento visado electrónicamente con número: VA07290/22
Código de validación telemática TRLTDCFZ60T66IJ1. Comprobación: https://cogitivalencia.e-gestion.es/Validacion.aspx?CVT=TRLTDCFZ60T66IJ1

VISADO COGITI VALENCIA VA07290/22 TRLTDCFZ60T66IJ1

Los multiplicadores que corrigen la definición de propiedades brutas es la siguiente (figura 1.37).

F11Mod	F22Mod	F12Mod	M11Mod	M22Mod	M12Mod	V13Mod	V23Mod	MMod	WMod
Unitless	Unitless	Unitless	Unitless	Unitless	Unitless	Unitless	Unitless	Unitless	Unitless
0.497143	0.497143	0.497143	0.8964	0.1	0.8964	0.497143	0.497143	0.4983	0.4983

Figura 1.37: Multiplicadores correctores propiedades placa.

De este modo los momentos de inercia que se consideran corresponden con los de la placa alveolar en la dirección principal, y se reducen en transversal para simular la unión por junta hormigonada entre placas. La masa y el área también se reducen para reflejar el peso y masa reales del forjado de placa.

Las placas se vinculan con las vigas principales mediante elementos "link", similares a los empleados en la vinculación viga-pilar. De este modo se liberan los momentos flectores en esa unión, reproduciendo el apoyo a media madera entre ambos.

Para tener en cuenta además que en las tres plantas inferiores la placa se va a macizar y se va a conectar a los pilares con armadura pasante a negativos, se añade un cuarto elemento, consistente en una viga de 0,5 m de anchura y 0,35 m de espesor que proporciona la masa y la rigidez adicional de este macizado. Estas vigas se vinculan completamente con los pilares a cortante, axil, torsión y flexión.

Las coacciones exteriores de la estructuras son empotramientos completos en la base de todos los pilares.

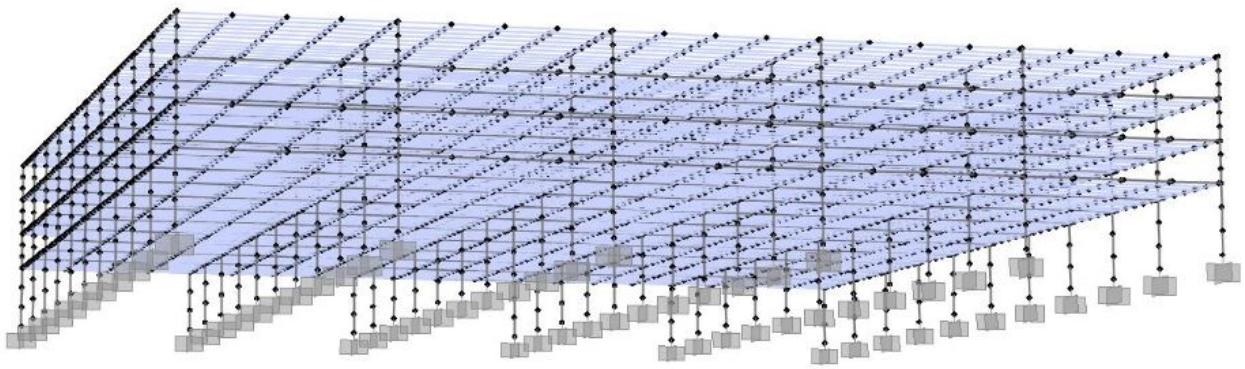

Figura 1.38: Bloque modelizado.

Documento visado electrónicamente con número: VA07290/22
Código de validación telemática TRLTDCFZ60T66IJ1. Comprobación: https://cogitivalencia.e-gestion.es/Validacion.aspx?CVT=TRLTDCFZ60T66IJ1

VISADO
COGITI
VALENCIA
VA07290/22
TRLTDCFZ60T66IJ1

La forma del modelo se representa en las figuras 1.39 y 1.40 que siguen a continuación.

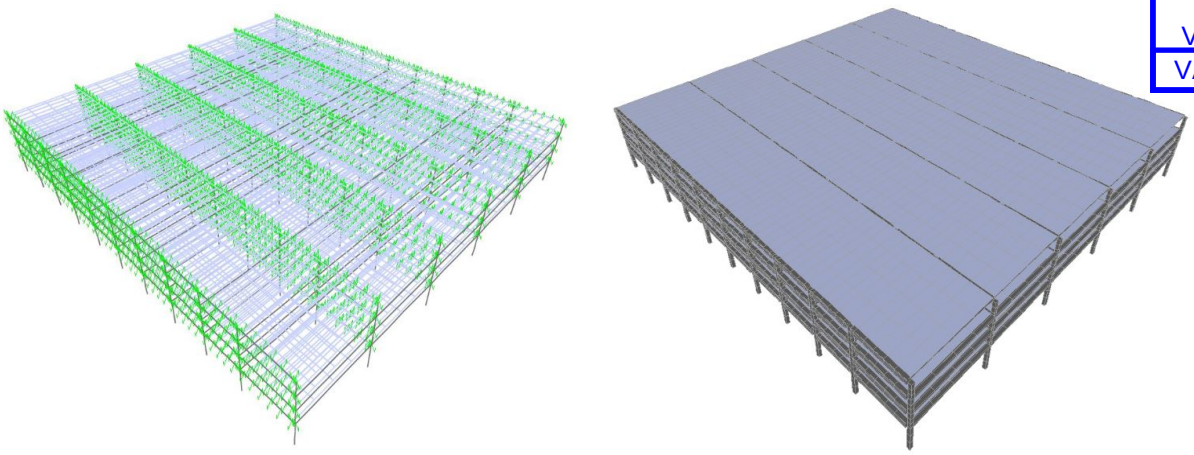

Figura 1.39: Modelo estructura.

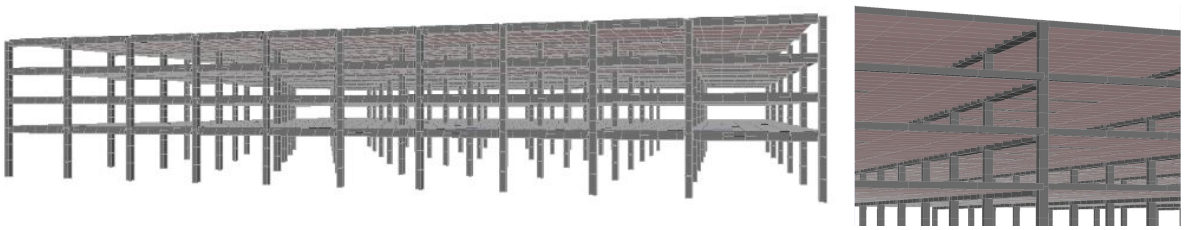

Figura 1.40: Modelo estructura.

En total, el modelo consta de 8261 nodos, 792 barras para modelizar los pilares, 1440 barras para modelizar las vigas principales, 4080 elementos planos para modelizar los forjados, 1848 barras para modelizar los enmacizados de las placas alveolares, y 3063 elementos link.

Las base de los pilares se han numerado según la cuadrícula de proyecto para facilitar su ubicación y la interpretación de resultados, como se aprecia en la figura 1.41.

Documento visado electrónicamente con número: VA07290/22
Código de validación telemática TRLTDCFZ60T66IJ1. Comprobación: https://cogitivalencia.e-gestion.es/Validacion.aspx?CVT=TRLTDCFZ60T66IJ1

VISADO
COGITI
VALENCIA
VA07290/22
TRLTDCFZ60T66IJ1

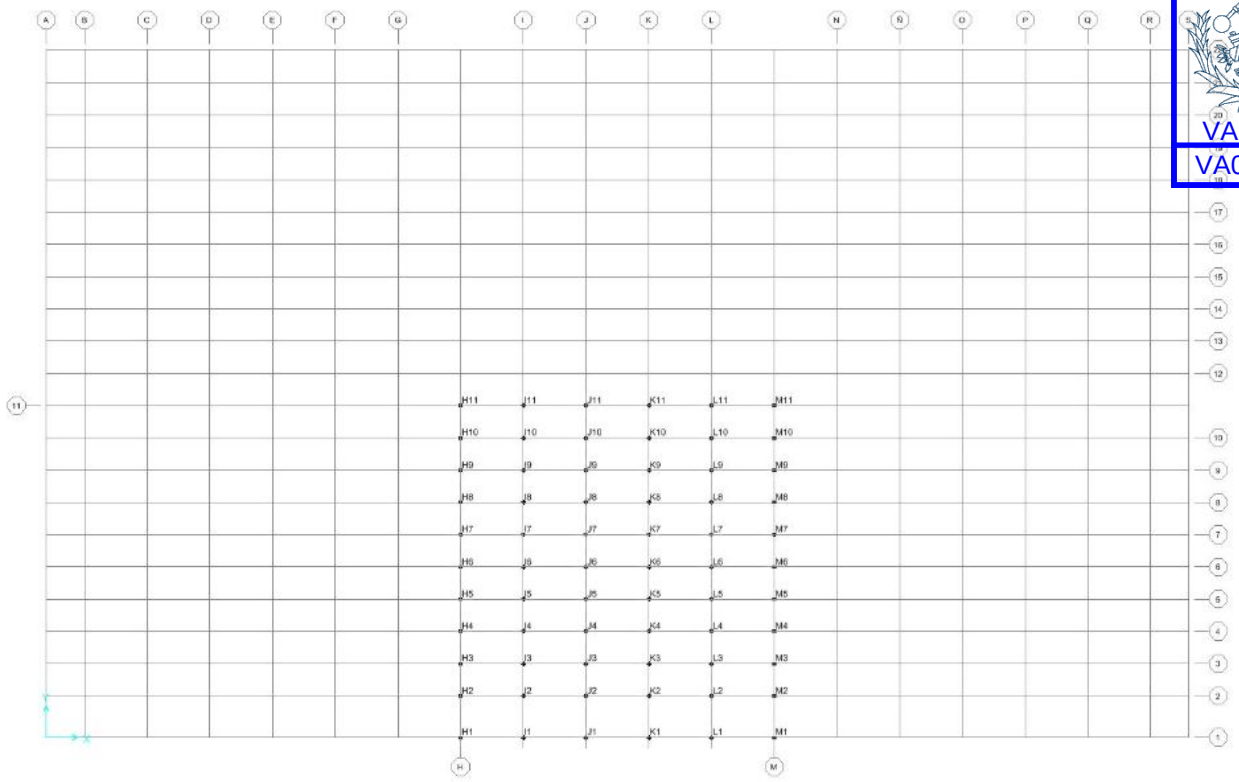

Figura 1.41: Numeración pilares.

Todo el modelo se ha implementado en SAP-2000 v20 desarrollado por Computers and Sstructures, Inc, de Berkeley (California) con el objetivo de obtener los esfuerzos sobre cada uno de los elementos que la componen.

Sobre este modelo se hacen actuar las cargas o acciones siguientes:

- Peso propio, obtenido a partir de las masas de cada elemento, supuesto siempre un peso específico del material de 25 kN/m^3.
- Sobrecargas de uso. Se han considerado los dos casos explicados en el capítulo de acciones . En el primer caso(C1) se ha supuesto una carga repartida de 2 kN/m^2 a toda la superficie de los forjados más dos carga puntuales de 10 kN cada una separadas 1,80 m entre sí (el modelo ha previsto puntos en esas posiciones para poder situar esta carga en su posición exacta). En un segundo caso (C2) se ha considerado una carga repartida de 3 kN/m^2 a toda la superficie de los forjados.

Documento visado electrónicamente con número: VA07290/22
Código de validación telemática TRLTDCFZ60T66IJ1. Comprobación: https://cogitivalencia.e-gestion.es/Validacion.aspx?CVT=TRLTDCFZ60T66IJ1

VISADO
COGITI
VALENCIA
VA07290/22
TRLTDCFZ60T66IJ1

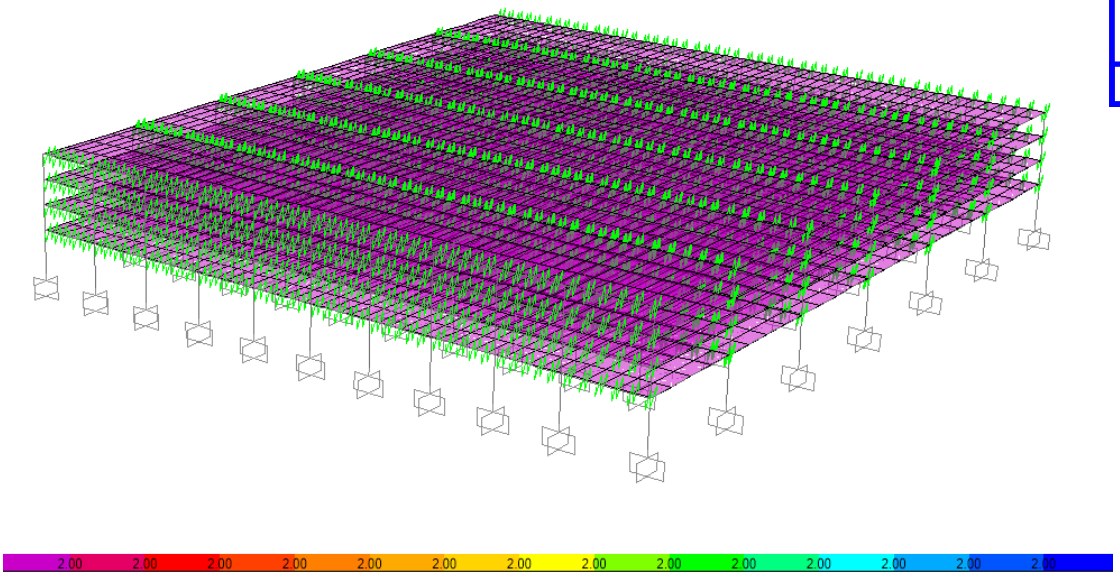

Figura 1.42: Sobrecarga uso superficial de 2 kN/m^2.

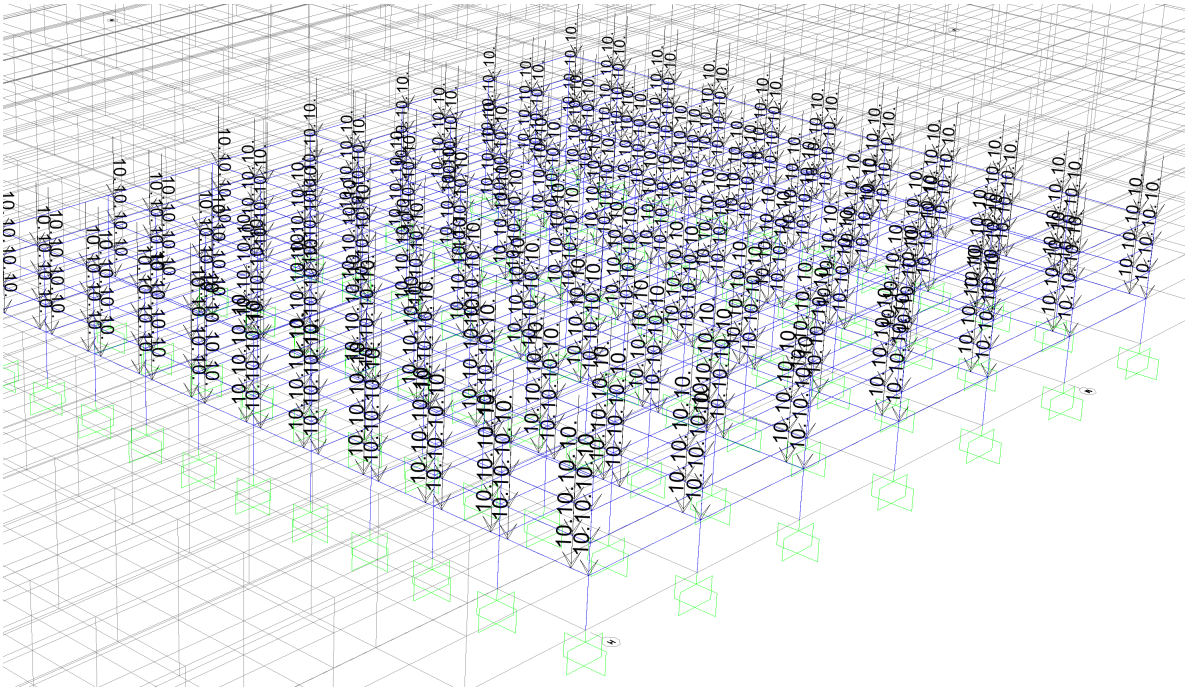

Figura 1.43: Sobrecarga de uso puntual 2 de 10 kN.

Documento visado electrónicamente con número: VA07290/22
Código de validación telemática TRLTDCFZ60T66IJ1. Comprobación: https://cogitivalencia.e-gestion.es/Validacion.aspx?CVT=TRLTDCFZ60T66IJ1

VISADO
COGITI
VALENCIA
VA07290/22
TRLTDCFZ60T66IJ1

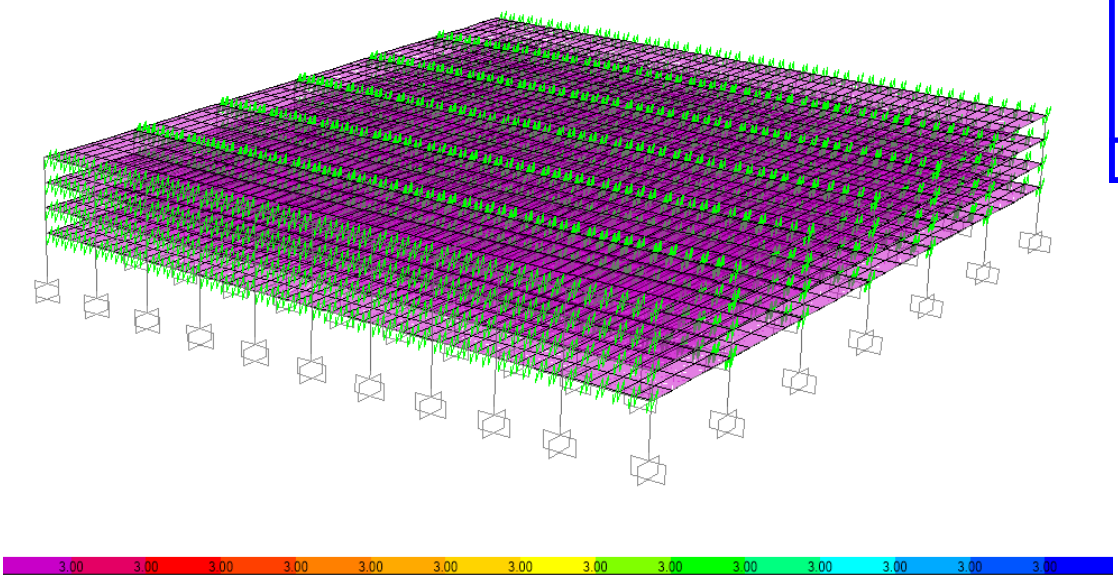

Figura 1.44: Sobrecarga uso superficial de 3 kN/m^2.

En el primer caso, la carga puntual a considerar es una por forjado. No obstante, dado que el objetivo del modelo es obtener cargas a la cimentación, las posiciones pésimas se producen con la carga actuando junto a cada pilar. En esta posición el efecto de la carga puntual no puede repartirse por la estructura, por lo que a efectos prácticos el resultado de considerar un caso de carga por cada posición y obtener la envolvente de todos ellos es similar al resultado que se obtiene situando simultáneamente la carga en todas las posicione consideradas en un solo caso de carga. Por simplicidad se ha procedido de este segundo modo.

Las cargas repartidas se han hecho actuar a toda la superficie simultáneamente. La nieve, supuesta como una carga repartida en el forjado superior de 0,2 kN/m^2.

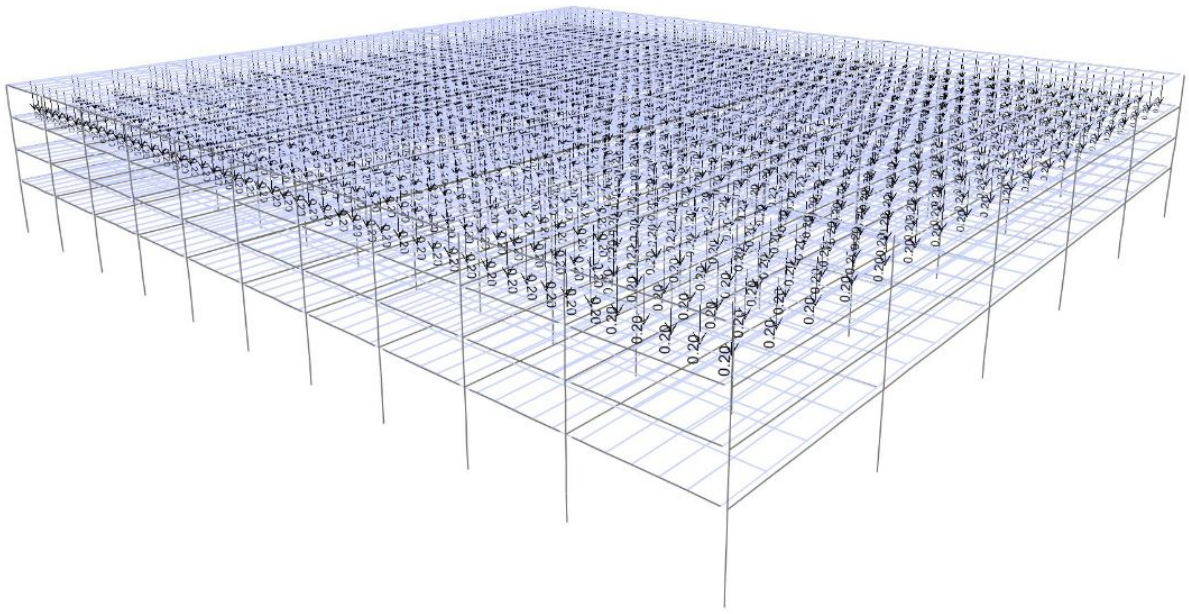

Figura 1.45: Sobrecarga de nieve de 0,2 kN/m^2.

En cuanto a la acción del viento, se hace actuar como una carga repartida lineal en los pilares

Documento visado electrónicamente con número: VA07290/22
Código de validación telemática TRLTDCFZ60T66IJ1. Comprobación: https://cogitivalencia.e-gestion.es/Validacion.aspx?CVT=TRLTDCFZ60T66IJ1

VISADO
COGITI
VALENCIA
VA07290/22
TRLTDCFZ60T66IJ1

de las fachadas. El valor de esta carga se obtiene a partir de las presiones y succiones en cada parte del edificio, supuestas las fachadas cerradas, y para la superficie de fachada tributaria a cada pilar. Se considera para este bloque una única dirección de viento, como se aprecia en la figura 1.46.

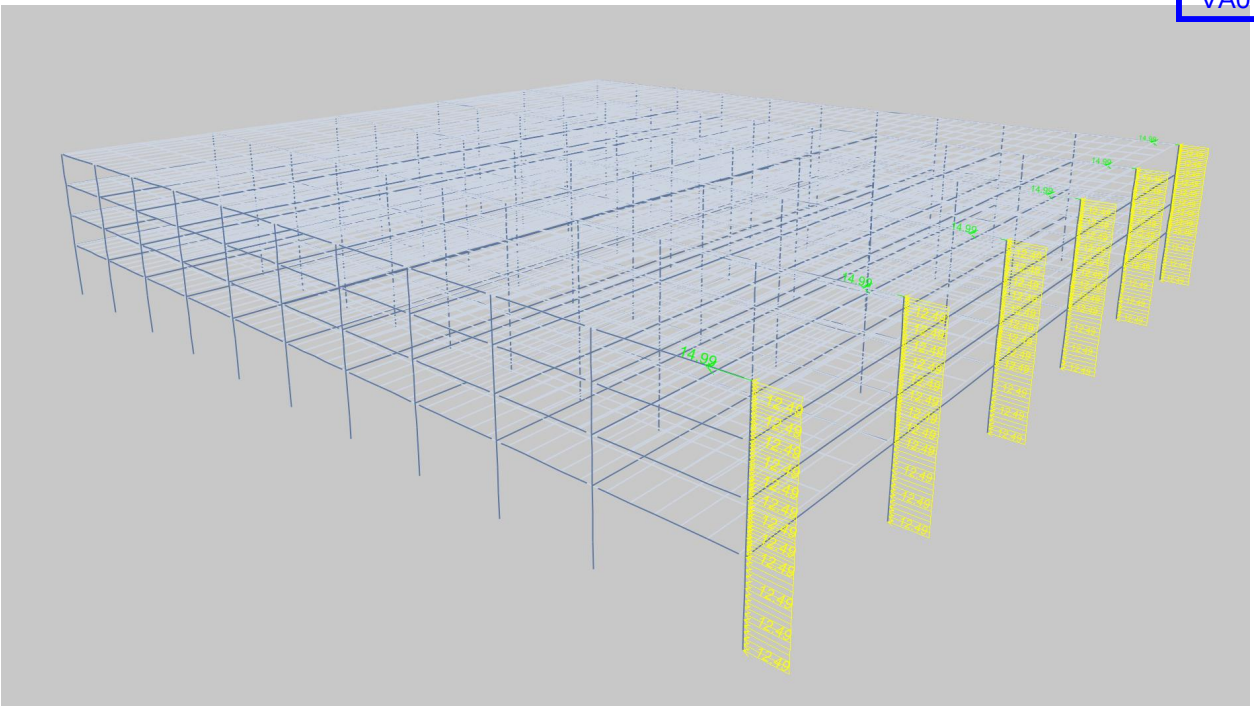

Figura 1.46: Viento.

En lo que se refiere a los esfuerzos térmicos, se ha considerado un calentamiento de toda la estructura de 13,2 ^{o}C y un enfriamiento de 12,1 ^{o}C. Además, en el caso del calentamiento se considera un incremento adicional de 18 ^{o}C en el forjado de cubierta debido a la insolación.

El sismo se ha tenido en cuenta mediante un cálculo modal espectral. Se han tomado 25 modos de vibración, y el espectro correspondiente a una aceleración sísmica de cálculo a_c de 0,078 g, con un coeficiente de terreno de $C = 1{,}6$. El espectro se describe en la figura 1.47.

Documento visado electrónicamente con número: VA07290/22
Código de validación telemática TRLTDCFZ60T66IJ1. Comprobación: https://cogitivalencia.e-gestion.es/Validacion.aspx?CVT=TRLTDCFZ60T66IJ1

VISADO
COGITI
VALENCIA
VA07290/22
TRLTDCFZ60T66IJ1

TABLE: Function - Response Spectrum - User			
Name	Period	Accel	FuncDamp
Text	Sec	Unitless	Unitless
SPECT006	0	0.7526	0.05
SPECT006	0.16	1.8816	
SPECT006	0.64	1.8816	
SPECT006	0.7	1.7221	
SPECT006	0.8	1.5068	
SPECT006	0.9	1.3394	
SPECT006	1	1.2055	
SPECT006	1.1	1.0959	
SPECT006	1.2	1.0045	
SPECT006	1.3	0.9273	
SPECT006	1.4	0.861	
SPECT006	1.5	0.8036	
SPECT006	1.6	0.7534	
SPECT006	1.7	0.7091	
SPECT006	1.8	0.6697	
SPECT006	1.9	0.6344	
SPECT006	2	0.6027	
SPECT006	2.1	0.574	
SPECT006	2.2	0.5479	
SPECT006	2.3	0.5241	
SPECT006	2.4	0.5023	
SPECT006	2.5	0.4822	
SPECT006	2.6	0.4636	
SPECT006	2.7	0.4465	
SPECT006	2.8	0.4305	
SPECT006	2.9	0.4157	
SPECT006	3	0.4018	
SPECT006	3.1	0.3889	
SPECT006	3.2	0.3767	
SPECT006	3.3	0.3653	
SPECT006	3.4	0.3545	
SPECT006	3.5	0.3444	
SPECT006	3.6	0.3348	
SPECT006	3.7	0.3258	
SPECT006	3.8	0.3172	
SPECT006	3.9	0.3091	
SPECT006	4	0.3014	

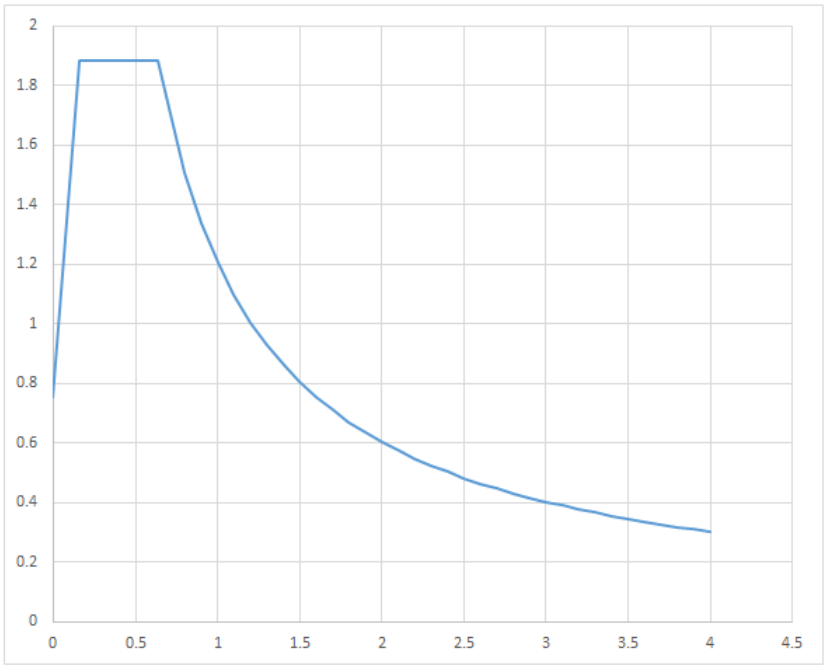

Figura 1.47: Espectro.

Para el sismo en vertical se aplica un espectro como el anterior pero reducido a un 70 %. Se asume que la masa a considerar es el 60 % de la correspondiente a la sobrecarga que conforma el primer modelo de sobrecarga de uso de los dos considerados, esto es, una masa repartida de 0,2 t/m^2 más dos puntuales de 1 t por forjado, que se posiciona en el centro del bloque (columna J6).

Los modos de vibración obtenidos son los que se muestran en la figura 1.48.

Documento visado electrónicamente con número: VA07290/22
Código de validación telemática TRLTDCFZ60T66IJ1. Comprobación: https://cogitivalencia.e-gestion.es/Validacion.aspx?CVT=TRLTDCFZ60T66IJ1

VISADO
COGITI
VALENCIA
VA07290/22
TRLTDCFZ60T66IJ1

TABLE: Modal Periods And Frequencies						
OutputCase	StepType	StepNum	Period	Frequency	CircFreq	Eigenvalue
Text	Text	Unitless	Sec	Cyc/sec	rad/sec	rad2/sec2
MODAL	Mode	1	2.2528	0.4439	2.7890	7.7785
MODAL	Mode	2	1.5368	0.6507	4.0884	16.7151
MODAL	Mode	3	1.5066	0.6638	4.1705	17.3928
MODAL	Mode	4	0.5544	1.8038	11.3336	128.4512
MODAL	Mode	5	0.4339	2.3045	14.4798	209.6646
MODAL	Mode	6	0.4204	2.3789	14.9473	223.4209
MODAL	Mode	7	0.3333	3.0005	18.8525	355.4152
MODAL	Mode	8	0.3305	3.0256	19.0105	361.4005
MODAL	Mode	9	0.3263	3.0643	19.2539	370.7114
MODAL	Mode	10	0.3216	3.1098	19.5394	381.7897
MODAL	Mode	11	0.3172	3.1527	19.8088	392.3901
MODAL	Mode	12	0.3167	3.1574	19.8386	393.5718
MODAL	Mode	13	0.3141	3.1833	20.0012	400.0480
MODAL	Mode	14	0.3139	3.1858	20.0167	400.6685
MODAL	Mode	15	0.3098	3.2280	20.2823	411.3734
MODAL	Mode	16	0.3052	3.2767	20.5881	423.8712
MODAL	Mode	17	0.3027	3.3035	20.7563	430.8248
MODAL	Mode	18	0.3011	3.3208	20.8653	435.3615
MODAL	Mode	19	0.3003	3.3305	20.9262	437.9061
MODAL	Mode	20	0.2984	3.3510	21.0551	443.3157
MODAL	Mode	21	0.2979	3.3569	21.0920	444.8735
MODAL	Mode	22	0.2976	3.3603	21.1136	445.7838
MODAL	Mode	23	0.2965	3.3730	21.1930	449.1412
MODAL	Mode	24	0.2960	3.3780	21.2244	450.4768
MODAL	Mode	25	0.2958	3.3809	21.2431	451.2697

Figura 1.48: Modos de vibración.

La masa movilizada con estos modos supera el 95 % de la total, luego se está tomando un número suficiente de modos. Los seis modos primeros de vibración obtenidos se representan en las figuras que siguen (figuras 1.49, 1.50 y 1.51).

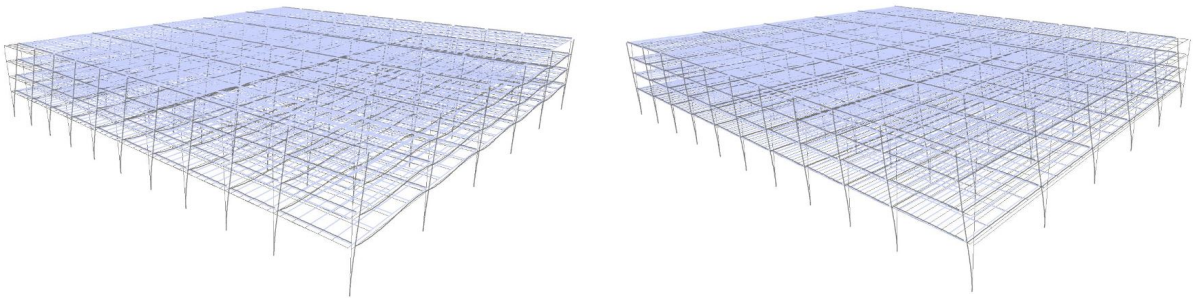

Figura 1.49: Modos de vibración 1 y 2.

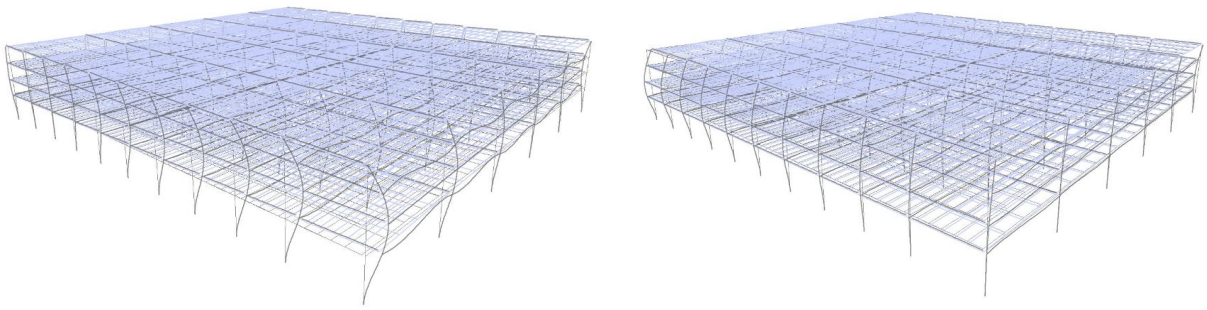

Figura 1.50: Modos de vibración 3 y 4.

Documento visado electrónicamente con número: VA07290/22
Código de validación telemática TRLTDCFZ60T66IJ1. Comprobación: https://cogitivalencia.e-gestion.es/Validacion.aspx?CVT=TRLTDCFZ60T66IJ1

VISADO
COGITI
VALENCIA
VA07290/22
TRLTDCFZ60T66IJ1

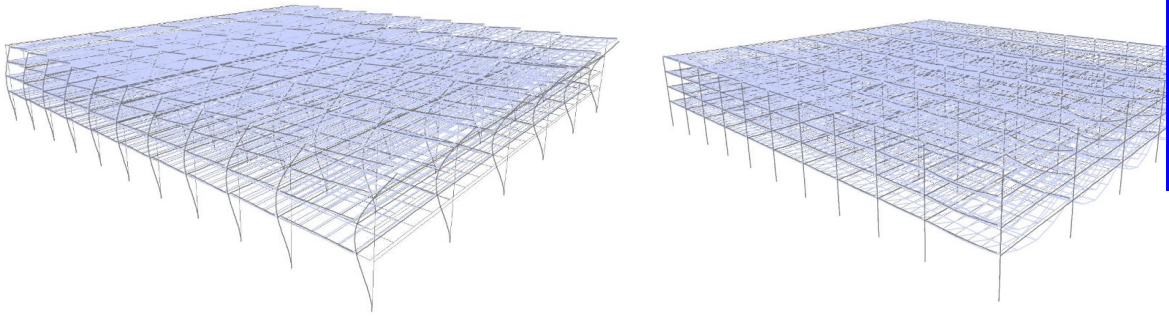

Figura 1.51: Modos de vibración 5 y 6.

El sismo se ha introducido en tres direcciones (Este-Oeste, Norte-Sur y vertical), combinadas con los criterios de la norma sismoresistente NCSE-02, que supone que en cada caso se toma toda la respuesta modal en esa dirección, y un 30 % de la respuesta modal en las dos direcciones ortogonales (figura 1.52).

TABLE: Modal Load Participation Ratios

OutputCase	ItemType	Item	Static	Dynamic
Text	Text	Text	Percent	Percent
Modal	Acceleration	UX	99.9631	96.6594
Modal	Acceleration	UY	99.9718	93.421
Modal	Acceleration	UZ	94.6958	63.0525

Figura 1.52: Sismo según NCSE-02.

Finalmente, las cargas transmitidas por la estructura metálica que soporta la central solar fotovoltaica, corresponderán a las cargas puntuales sobre cabeza de pilar de la estructura del silo (ver figuras 1.53, 1.54, 1.55, 1.56, 1.57, 1.58)

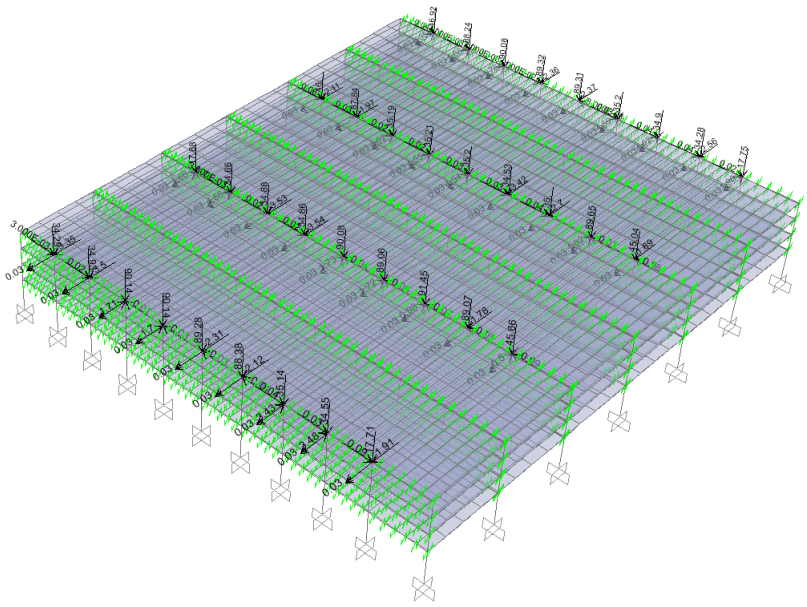

Figura 1.53: Peso propio de la estructura metálica

Documento visado electrónicamente con número: VA07290/22
Código de validación telemática TRLTDCFZ60T66IJ1. Comprobación: https://cogitivalencia.e-gestion.es/Validacion.aspx?CVT=TRLTDCFZ60T66IJ1

VISADO
COGITI
VALENCIA
VA07290/22
TRLTDCFZ60T66IJ1

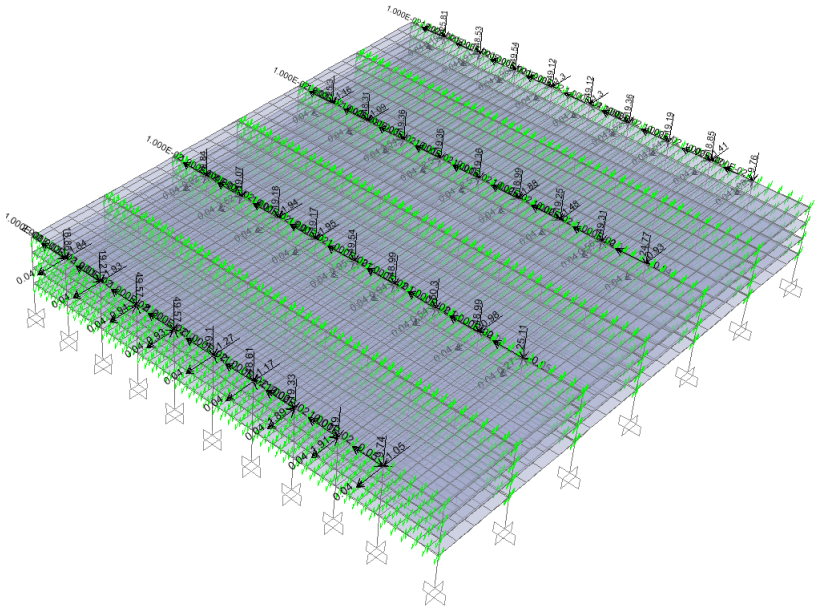

Figura 1.54: Carga muerta por placas fotovoltaicas

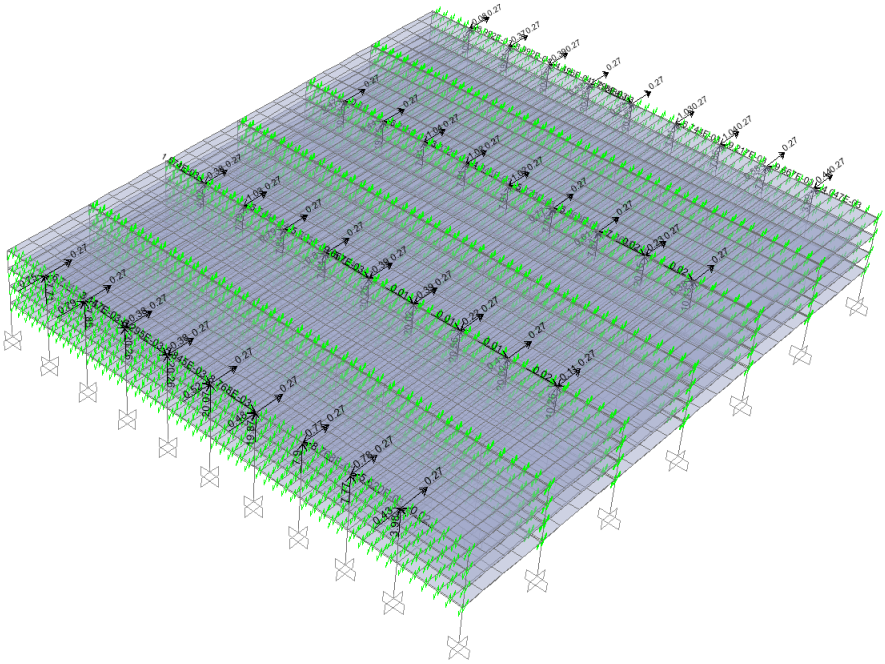

Figura 1.55: Sobrecarga de uso por tareas de mantenimiento

Documento visado electrónicamente con número: VA07290/22
Código de validación telemática TRLTDCFZ60T66IJ1. Comprobación: https://cogitivalencia.e-gestion.es/Validacion.aspx?CVT=TRLTDCFZ60T66IJ1

VISADO
COGITI
VALENCIA
VA07290/22
TRLTDCFZ60T66IJ1

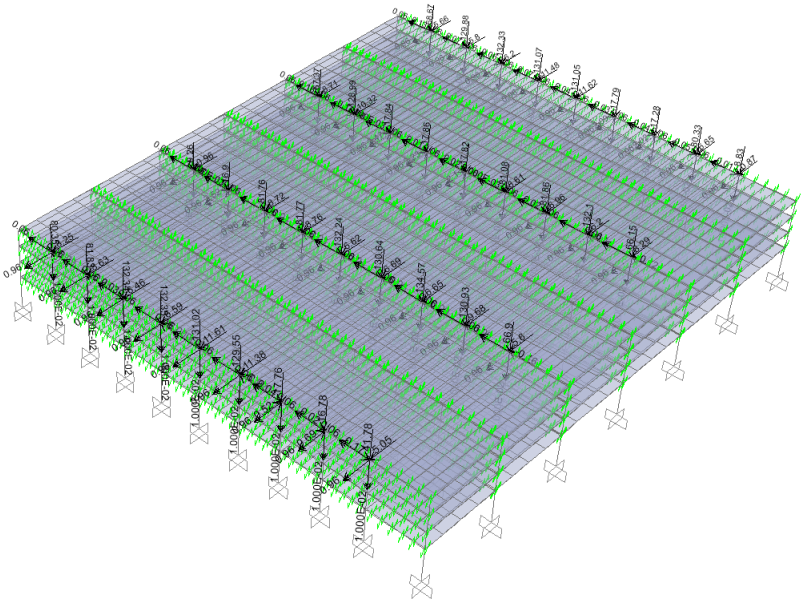

Figura 1.56: Acción del viento a presión sobre la estructura

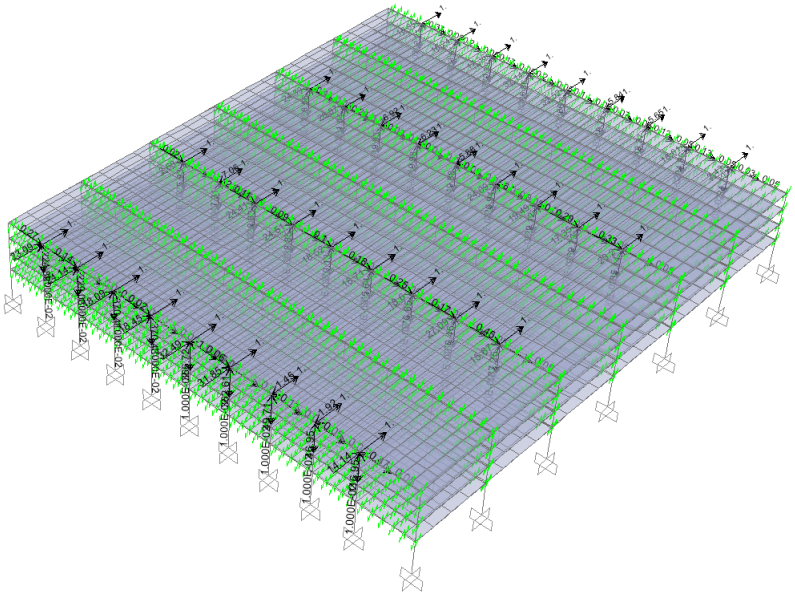

Figura 1.57: Acción del viento a succión sobre la estructura

Documento visado electrónicamente con número: VA07290/22
Código de validación telemática TRLTDCFZ60T66IJ1. Comprobación: https://cogitivalencia.e-gestion.es/Validacion.aspx?CVT=TRLTDCFZ60T66IJ1

VISADO
COGITI
VALENCIA
VA07290/22
TRLTDCFZ60T66IJ1

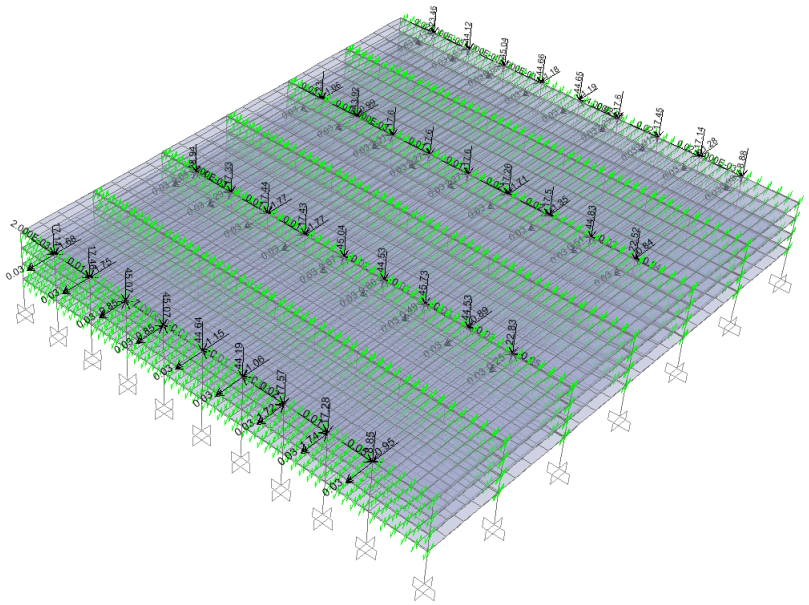

Figura 1.58: Acción de la nieve sobre la estructura

Estas acciones anteriores se combinan en tres grupos de combinaciones. Las combinaciones definidas con una C inicial (C-01 a C-10) proporcionan reacciones en base de pilares en situaciones características. Las definidas con una U inicial (U-01 a U-10) en situaciones ELU persistentes o transitorias, y las definidas con a S inicial (S-01 a S-06) en situaciones accidentales de sismo. Teniendo en cuenta los coeficientes de mayoración en ELS y ELU, y los coeficientes de combinación, se tienen las combinaciones de la tabla de las figuras 1.59 y 1.60. Como se observa en ambas figuras, las combinaciones definidas por valores impares (1.59) y y pares (1.60) continuas (por ejemplo U-1 y U-2) corresponden a la misma hipótesis de carga pero con casos de sobrecarga de uso diferente. Los valores impares corresponden a una sobrecarga de uso de de 2 kN/m^2 y dos cargas puntuales de 10 kN, mientras que los valores pares corresponden a una sobrecarga de uso de 3 kN/m^2.

CASO	Peso propio	Uso 1	Nieve	Viento	Termica (+)	Termica (-)	SISMO NS	SISMO EW	SISMO Vert
C-01	1	1	0.5	0.6	0.6	-	-	-	-
C-03	1	1	0.5	0.6	-	0.6	-	-	-
C-05	1	0.7	0.5	1	0.6	-	-	-	-
C-07	1	0.7	0.5	1	-	0.6	-	-	-
C-09	1	1	-	-	-	-	-	-	-
U-01	1.35	1.5	0.75	0.9	0.9	-	-	-	-
U-03	1.35	1.5	0.75	0.9	-	0.9	-	-	-
U-05	1.35	1.05	0.75	1.5	0.9	-	-	-	-
U-07	1.35	1.05	0.75	1.5	-	0.9	-	-	-
U-09	1.35	-	-	1.5	0.9	-	-	-	-
U-10	1.35	-	-	1.5	-	0.9	-	-	-
S-01	1	0.6	-	-	-	-	1	-	-
S-03	1	0.6	-	-	-	-	-	1	-
S-05	1	0.6	-	-	-	-	-	-	1

Figura 1.59: Combinaciones de las acciones sobrecarga uso de 2 kN/m^2 y dos cargas puntuales de 10 kN.

Documento visado electrónicamente con número: VA07290/22
Código de validación telemática TRLTDCFZ60T66IJ1. Comprobación: https://cogitivalencia.e-gestion.es/Validacion.aspx?CVT=TRLTDCFZ60T66IJ1

VISADO
COGITI
VALENCIA
VA07290/22
TRLTDCFZ60T66IJ1

CASO	Peso propio	Uso 1	Nieve	Viento	Termica (+)	Termica (-)	SISMO NS	SISMO EW	SISMO Vert
C-02	1	1	0.5	0.6	0.6	-	-	-	-
C-04	1	1	0.5	0.6	-	0.6	-	-	-
C-06	1	0.7	0.5	1	0.6	-	-	-	-
C-08	1	0.7	0.5	1	-	0.6	-	-	-
C-10	1	1	-	-	-	-	-	-	-
U-02	1.35	1.5	0.75	0.9	0.9	-	-	-	-
U-04	1.35	1.5	0.75	0.9	-	0.9	-	-	-
U-06	1.35	1.05	0.75	1.5	0.9	-	-	-	-
U-08	1.35	1.05	0.75	1.5	-	0.9	-	-	-
U-09	1.35	-	-	1.5	0.9	-	-	-	-
U-10	1.35	-	-	1.5	-	0.9	-	-	-
S-02	1	0.6	-	-	-	-	1	-	-
S-04	1	0.6	-	-	-	-	-	1	-
S-06	1	0.6	-	-	-	-	-	-	1

Figura 1.60: Combinaciones de las acciones sobrecarga uso de 3 kN/m^2

En el apartado correspondiente a a las solicitaciones en unión pilar-cimentación se muestran las reacciones en base de pilar para las diferentes combinaciones para los pilares J6 (con apoyo de la estructura metálica en cabeza de pilar) y K6 (sin apoyo de la estructura metálica en cabeza de pilar).

Documento visado electrónicamente con número: VA07290/22
Código de validación telemática TRLTDCFZ60T66IJ1. Comprobación: https://cogitivalencia.e-gestion.es/Validacion.aspx?CVT=TRLTDCFZ60T66IJ1

VISADO COGITI VALENCIA VA07290/22 TRLTDCFZ60T66IJ1

1.17. CÁLCULO PILARES EN EL PROYECTO DE EJECUCIÓN

Las bases de cálculo, acciones y combinaciones utilizadas en el cálculo de los pilares en el proyecto de ejecución presentado por ROVER ALCISA, S.A., eran correctas, así pues se consideraron suficientemente aproximadas para el cálculo de los pilares y para el proyecto de cimentación; aunque mantenían ligeras diferencias con nuestros resultados.

Los pilares fueron calculados con la combinación de acciones más desfavorable para el estado límite último, descritas en el apartado 1.7. Combinaciones para el cálculo de pilares. La armadura dispuesta para los pilares fue la estrictamente calculada en el proyecto presentado, mediante el módulo de armado del software comercial SAP 2000 v19.2.1, que dimensiona según el Eurocode 2-2004 Column Section Design.

COMB 11	1,35	PP	COMB 21	1,35	PP
	1,35	CM		1,35	CM
	1,5	TEMP +		1,5	TEMP -
COMB 12 Des VX	1	PP	COMB 12 Des VX	1	PP
	1	CM		1	CM
	1,5	VX		1,5	VX
	0,9	TEMP +		0,9	TEMP -
COMB 13 Des VY	1	PP	COMB 13 Des VY	1	PP
	1	CM		1	CM
	1,5	VY		1,5	VY
	0,9	TEMP +		0,9	TEMP -
COMB 14	1,35	PP	COMB 24	1,35	PP
	1,35	CM		1,35	CM
	1,5	SC		1,5	SC
	0,9	TEMP +		0,9	TEMP -
COMB 15 Vx	1,35	PP	COMB 25 Vx	1,35	PP
	1,35	CM		1,35	CM
	1,5	SC		1,5	SC
	0,9	VX		0,9	VX
	0,75	S		0,75	S
	0,9	TEMP +		0,9	TEMP -
COMB 16 Vy	1,35	PP	COMB 26 Vy	1,35	PP
	1,35	CM		1,35	CM
	1,5	SC		1,5	SC
	0,9	VY		0,9	VY
	0,75	S		0,75	S
	0,9	TEMP +		0,9	TEMP -
COMB 17 VX	1,35	PP	COMB 27 VX	1,35	PP
	1,35	CM		1,35	CM
	1,05	SC		1,05	SC
	1,5	VX		1,5	VX
	0,75	S		0,75	S
	0,9	TEMP +		0,9	TEMP -

Figura 1.61: Combinaciones cálculo pilares.

COMB 18 VY	1,35	PP	COMB 28 VY	1,35	PP
	1,35	CM		1,35	CM
	1,05	SC		1,05	SC
	1,5	VY		1,5	VY
	0,75	S		0,75	S
	0,9	TEMP +		0,9	TEMP -
COMB 19 VY	1	PP	COMB 29	1	PP
SISMO X	1	CM	SISMO Y	1	CM
	0,6	SC		0,6	SC
	1	SIS X		0,3	SIS X
	0,3	SIS Y		1	SIS Y

Figura 1.62: Combinaciones cálculo pilares.

Documento visado electrónicamente con número: VA07290/22
Código de validación telemática TRLTDCFZ60T66IJ1. Comprobación: https://cogitivalencia.e-gestion.es/Validacion.aspx?CVT=TRLTDCFZ60T66IJ1

VISADO
COGITI
VALENCIA
VA07290/22
TRLTDCFZ60T66IJ1

Pilares de 60x60 en planta baja y de 50x50 en plantas 1ª, 2ª y 3ª, con Hormigón HA-35
Armadura longitudinal: 4Ø32 + 4Ø25 (51.80cm2)
Estribos:
En general Ø8c/25 + Ø8c/25, con concentración de estribos en extremo sup. 50cm Ø8c/15+ Ø8c/25, y en ménsulas 150cm Ø8c/15+ Ø8c/25.

Pilares de 60x60 en planta baja y de 50x50 en junta de dilatación de ejes H y N, con Hormigón HA-35
Armadura longitudinal: 8Ø32 (64.34cm2)
Estribos:
En general Ø8c/25 + Ø8c/25, con concentración de estribos en extremo sup. 50cm Ø8c/15+ Ø8c/25, y en ménsulas 150cm Ø8c/15+ Ø8c/25.

Figura 1.63: Armados pilares sección 60x60+50x50.

Con las armaduras propuestas para los diferentes pilares, se calcula la capacidad resistente última de los mismos. Se definen dos tipos de armado para los pilares de sección 60x60+50x50:

- pilares armados con 8d32 (64,34 cm^2).
- pilares armados con 4d32+4d25 (51,80 cm^2).

Los pilares de rampa, de sección 50x50, se arman con 8d25 (39,27 cm^2).

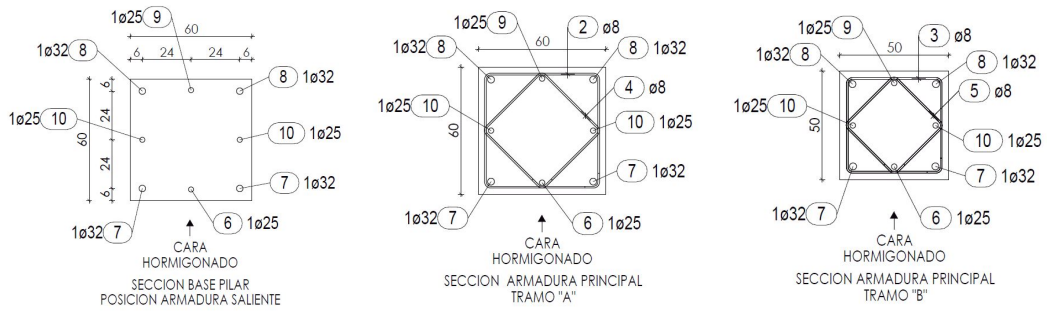

Figura 1.64: Secciones pilar con 51,80 cm^2 de acero.

La capacidad resistente última de los pilares es superior a los esfuerzos de flexión compuesta esviada a los que están solicitados los mismos en las diferentes hipótesis de carga. Los pilares también cumplen a esfuerzo cortante.

En los anejos siguientes del proyecto presentado por ROVER ALCISA se encuentran los valores de las reacciones y solicitación en pilares, en caso de lo que el Autor llama Uso Aparcamiento y Uso Almacén:

- ANEJO B. RESULTADOS PARA USO DE APARCAMIENTO.
- ANEJO C. RESULTADOS PARA USO DE ALMACÉN.

Documento visado electrónicamente con número: VA07290/22
Código de validación telemática TRLTDCFZ60T66IJ1. Comprobación: https://cogitivalencia.e-gestion.es/Validacion.aspx?CVT=TRLTDCFZ60T66IJ1

VISADO
COGITI
VALENCIA
VA07290/22
TRLTDCFZ60T66IJ1

1.18. UNIÓN ESPERAS-CIMENTACIÓN

Las comprobaciones realizadas en el proyecto para asegurar el correcto anclaje de las esperas salientes a las vainas dispuestas en la cimentación:

- Adherencia barra-grout.
- Adherencia vaina-hormigón.

son adecuadas, ya que la adherencia grout-vaina no es determinante.

Se comprueban los casos siguientes:

- Espera d25 de longitud 73 cm en vaina de d = 99 mm exterior.
- Espera d32 de longitud 73 cm en vaina de d = 109 mm exterior.
- Espera d20 de longitud 60 cm en vaina de d = 69 mm exterior.

Los valores de tensión de adherencia τ, suponiendo que las barras corrugadas están a su capacidad mecánica máxima son inferiores a 20 kg/cm^2 en la unión vaina-hormigón e inferiores a 75 kg/cm^2 en la unión barra-grout. Se proponen dos morteros grout de características similares que con la documentación aportada se consideran adecuados, tal y como justificamos en los párrafos posteriores.

Se adjuntan dos fichas técnicas de morteros grout de utilización habitual: el MasterFlow 765 de BASF y el Mapefill de MAPEI.

La información facilitada por Rover Alcisa, no da valores sobre la tensión de adherencia en el caso del mortero grout MasterFlow 765 de BASF. Sin embargo, sí que se facilitan valores de la tensión de adherencia para el caso del mortero grout Mapefill de MAPEI, siendo esta superior a los 25 MPa, según se aprecia en la figura 1.65, extraída de la propia ficha técnica de producto facilitada. Esta tensión de adherencia es extraordinariamente elevada y está muy por encima de los valores requeridos en este proyecto.

Resistencia al desplazamiento de las barras de acero - desplazamiento relativo a una carga de 75 kN (mm):	EN 1881	< 0,6	< 0,1
Tensión de adherencia de la barra cubierta con Mapefill (MPa):	EN1881 (*)	ninguno	> 25

Figura 1.65: Valor de la tensión de adherencia barra-grout Mapefill de MAPEI.

En cuanto al mortero grout MasterFlow 765 de BASF, de la información facilitada se corrobora que la resistencia al desplazamiento por estiramiento bajo carga para el ensayo de "pull out" según la norma EN 1881:2007: Productos y sistemas para la protección y reparación de estructuras de hormigón. Métodos de ensayo. Ensayo de los productos de sellado del anclaje por el método del arrancamiento, cumple un desplazamiento relativo menor a 0,6 mm para una fuerza de 75 kN (requisito de la norma EN 1504-6: Anclaje de barras de refuerzo). Así se puede consultar en la figura siguiente 1.66:

Documento visado electrónicamente con número: VA07290/22
Código de validación telemática TRLTDCFZ60T66IJ1. Comprobación: https://cogitivalencia.e-gestion.es/Validacion.aspx?CVT=TRLTDCFZ60T66IJ1

VISADO
COGITI
VALENCIA
VA07290/22
TRLTDCFZ60T66IJ1

MasterFlow 765:

Características de las prestaciones	Método de ensayo	Requisitos	Valores
Pull out	EN 1881	≤ 0,6 mm	Seco: 0,29 mm Húmedo: 0,17 mm

Figura 1.66: Desplazamiento relativo a una carga de 75 kN para el mortero grout MasterFlow 765 de BASF.

Dado que los morteros grout de BASF son de utilización habitual en prefabricación, disponemos de información adicional del producto MasterFlow 952 a la facilitada por Rover Alcisa, que nos permitirá obtener la tensión de adherencia última de la barra-grout. Esto era, en definitiva, el aspecto planteado en el Informe de Revisión.

De la información que se adjunta, relativa al MasterFlow 952, se puede ver que la carga de rotura está entorno a 125 kN, siendo la deformación para carga de 75 kN, menor a 0,6 mm. El ensayo se ha realizado mediante la aplicación de una fuerza a una barra de acero B500S de diámetro 16 mm alojada en un bloque de 40x40x25 cm confeccionado con hormigón y sobre el que se ha realizado un taladro de 30 mm de diámetro y una profundidad de $150 \pm 3mm$, en el que se coloca la barra de acero y se rellena con el mortero grout.

La sección de contacto barra-grout será $A_S = \pi \cdot 1,6 \cdot 15 = 75{,}39\ cm^2$. Así pues, tenemos una tensión al desplazamiento de 0,6 mm menor a $7500/75{,}39 = 99{,}48\ kg/cm^2$ y una tensión de rotura igual a $12000/75{,}39 = 159{,}17\ kg/cm^2$ (figura 1.67). Se concluye que los dos morteros son adecuados para las solicitaciones calculadas en este proyecto.

Tipo de soporte	Deformación a 75kN (en mm)	Carga máxima [kN]	Tipo de rotura producida
Seco-1	0,09	124,6	Tipo 2
Seco-2	0,36	123,1	Tipo 2
Seco-3	0,23	118,8	Tipo 2
Húmedo-1	0,35	122,0	Tipo 2
Húmedo-2	0,52	123,7	Tipo 2
Húmedo-3	0,40	123,4	Tipo 2

Figura 1.67: Ensayo "pull out" mortero grout MasterFlow 952.

Es de señalar que en otros apartados se presentan cálculos justificativos de anclaje barra-vaina en la unión entre escaleras y ménsulas de muros y en las barras salientes de las ménsulas de los pilares, también en fase de montaje.

Documento visado electrónicamente con número: VA07290/22
Código de validación telemática TRLTDCFZ60T66IJ1. Comprobación: https://cogitivalencia.e-gestion.es/Validacion.aspx?CVT=TRLTDCFZ60T66IJ1

VISADO
COGITI
VALENCIA
VA07290/22
TRLTDCFZ60T66IJ1

1.19. SOLICITACIONES EN UNIÓN PILAR-CIMENTACIÓN

Para la comprobación de los pilares y de la cimentación se verifican los esfuerzos obtenidos en el proyecto de ejecución, los esfuerzos obtenidos por el equipo revisor de dicho proyecto en fase de revisión y los esfuerzos obtenidos en los cálculos realizados en este informe, correspondientes a los anejos A y B de este informe (antes y después de introducir la estructura metálica que soporta la instalación solar fotovoltaica).

1.19.1. Solicitaciones sin considerar la estructura metálica

Tras realizar el modelo estructural sin la estructura metálica, se han obtenido las solicitaciones en la unión pilar-cimentación de los pilares J6 y K6. De estos cálculos, se observa en las figuras 1.68 y 1.69, todas las combinaciones de ELS (C-), ELU (U-) y SISMO (S-). En un rectángulo rojo se ha marcado la combinación de ELU más desfavorable para los dos casos de sobrecarga de uso (U-03 y U-04).

TABLE: Joint Reactions

Joint	OutputCase	CaseType	StepType	F1	F2	F3	M1	M2	M3
Text	Text	Text	Text	KN	KN	KN	KN-m	KN-m	KN-m
J6	C-01	Combination		19.399	-8.647	3322.854	69.6359	34.756	-0.0321
J6	C-02	Combination		19.76	-8.865	3649.319	73.2416	31.9717	-0.0361
J6	C-03	Combination		-12.954	-8.251	3324.3	68.1781	-64.2823	-0.042
J6	C-04	Combination		-12.592	-8.469	3650.765	71.7838	-67.0666	-0.046
J6	C-05	Combination		19.185	-12.855	3054.975	92.3339	36.4388	-0.0331
J6	C-06	Combination		19.438	-13.008	3283.501	94.8579	34.4898	-0.0359
J6	C-07	Combination		-13.168	-12.458	3056.422	90.876	-62.5995	-0.043
J6	C-08	Combination		-12.915	-12.611	3284.947	93.4	-64.5485	-0.0458
J6	C-09	Combination		2.487	-1.889	3313.708	30.8152	-17.0122	-0.0316
J6	C-10	Combination		2.849	-2.107	3640.173	34.4209	-19.7965	-0.0356
J6	U-01	Combination		28.835	-12.768	4621.164	101.1473	53.8666	-0.0448
J6	U-02	Combination		29.378	-13.095	5110.861	106.5559	49.6902	-0.0508
J6	U-03	Combination		-19.693	-12.173	4623.334	98.9605	-94.6908	-0.0597
J6	U-04	Combination		-19.151	-12.5	5113.03	104.3691	-98.8672	-0.0657
J6	U-05	Combination		28.515	-19.08	4219.346	135.1943	56.3909	-0.0463
J6	U-06	Combination		28.894	-19.309	4562.134	138.9803	53.4674	-0.0505
J6	U-07	Combination		-20.014	-18.485	4221.516	133.0075	-92.1666	-0.0611
J6	U-08	Combination		-19.634	-18.714	4564.303	136.7935	-95.09	-0.0654
J6	U-09	Combination		27.739	-18.518	3266.528	125.9222	62.144	-0.0366
J6	U-10	Combination		-20.79	-17.923	3268.698	123.7354	-86.4134	-0.0514
J6	S-01	Combinatior	Max	166.181	33.455	3049.677	238.1508	712.5673	1.7314
J6	S-01	Combinatior	Min	-161.796	-36.803	2863.396	-183.5376	-742.2229	-1.7872
J6	S-02	Combinatior	Max	166.398	33.324	3245.556	240.3142	710.8967	1.729
J6	S-02	Combinatior	Min	-161.579	-36.934	3059.275	-181.3742	-743.8934	-1.7896
J6	S-03	Combinatior	Max	51.402	114.613	3049.532	726.216	203.4457	0.6876
J6	S-03	Combinatior	Min	-47.018	-117.962	2863.541	-671.6028	-233.1013	-0.7434
J6	S-04	Combinatior	Max	166.398	33.324	3245.556	240.3142	710.8967	1.729
J6	S-04	Combinatior	Min	-161.579	-36.934	3059.275	-181.3742	-743.8934	-1.7896
J6	S-05	Combinatior	Max	51.452	33.251	3266.427	237.1241	203.5479	0.5181
J6	S-05	Combinatior	Min	-47.068	-36.599	2646.646	-182.5109	-233.2035	-0.5739
J6	S-06	Combinatior	Max	51.669	33.12	3462.305	239.2875	201.8773	0.5157
J6	S-06	Combinatior	Min	-46.851	-36.73	2842.525	-180.3474	-234.874	-0.5763

Figura 1.68: Esfuerzos obtenidos en base pilar J6 sin la estructura metálica.

Documento visado electrónicamente con número: VA07290/22
Código de validación telemática TRLTDCFZ60T66IJ1. Comprobación: https://cogitivalencia.e-gestion.es/Validacion.aspx?CVT=TRLTDCFZ60T66IJ1

VISADO
COGITI
VALENCIA
VA07290/22
TRLTDCFZ60T66IJ1

TABLE: Joint Reactions									
Joint	OutputCase	CaseType	StepType	F1	F2	F3	M1	M2	M3
Text	Text	Text	Text	KN	KN	KN	KN-m	KN-m	KN-m
K6	C-01	Combination		2.333	-8.646	3322.843	69.8949	-17.3155	-0.0391
K6	C-02	Combination		2.696	-8.866	3649.305	73.5358	-20.097	-0.0431
K6	C-03	Combination		2.414	-8.298	3324.309	68.5728	-17.1825	-0.0377
K6	C-04	Combination		2.777	-8.519	3650.771	72.2136	-19.964	-0.0419
K6	C-05	Combination		2.116	-12.856	3054.966	92.6047	-15.6402	-0.04
K6	C-06	Combination		2.37	-13.01	3283.489	95.1533	-17.5872	-0.0429
K6	C-07	Combination		2.197	-12.508	3056.432	91.2826	-15.5072	-0.0386
K6	C-08	Combination		2.451	-12.662	3284.955	93.8312	-17.4543	-0.0415
K6	C-09	Combination		2.365	-1.907	3313.71	31.0907	-17.2987	-0.0325
K6	C-10	Combination		2.727	-2.128	3640.172	34.7316	-20.0802	-0.0368
K6	U-01	Combination		3.256	-12.764	4621.146	101.5065	-24.1961	-0.0552
K6	U-02	Combination		3.8	-13.094	5110.84	106.9677	-28.3684	-0.0615
K6	U-03	Combination		3.377	-12.243	4623.346	99.5232	-23.9966	-0.053
K6	U-04	Combination		3.921	-12.573	5113.039	104.9845	-28.1689	-0.0594
K6	U-05	Combination		2.931	-19.079	4219.331	135.5711	-21.6831	-0.0565
K6	U-06	Combination		3.312	-19.31	4562.116	139.394	-24.6037	-0.061
K6	U-07	Combination		3.052	-18.558	4221.53	133.5879	-21.4837	-0.0544
K6	U-08	Combination		3.433	-18.789	4564.315	137.4108	-24.4043	-0.0589
K6	U-09	Combination		2.152	-18.512	3266.519	126.2149	-15.9402	-0.0465
K6	U-10	Combination		2.273	-17.99	3268.718	124.2317	-15.7407	-0.0443
K6	S-01	Combinatior	Max	166.148	33.352	3045.994	238.1485	712.4962	1.7723
K6	S-01	Combinatior	Min	-162.012	-36.733	2867.087	-183.0482	-742.7327	-1.8297
K6	S-02	Combinatior	Max	166.366	33.22	3241.871	240.333	710.8273	1.7697
K6	S-02	Combinatior	Min	-161.794	-36.865	3062.964	-180.8637	-744.4016	-1.8322
K6	S-03	Combinatior	Max	51.305	115.092	3045.846	729.4217	203.2211	0.6125
K6	S-03	Combinatior	Min	-47.169	-118.473	2867.234	-674.3213	-233.4576	-0.6699
K6	S-04	Combinatior	Max	166.366	33.22	3241.871	240.333	710.8273	1.7697
K6	S-04	Combinatior	Min	-161.794	-36.865	3062.964	-180.8637	-744.4016	-1.8322
K6	S-05	Combinatior	Max	51.356	33.364	3254.131	238.1632	203.3234	0.5209
K6	S-05	Combinatior	Min	-47.22	-36.745	2658.95	-183.0628	-233.5598	-0.5783
K6	S-06	Combinatior	Max	51.573	33.232	3450.008	240.3477	201.6544	0.5184
K6	S-06	Combinatior	Min	-47.002	-36.877	2854.827	-180.8783	-235.2287	-0.5809

Figura 1.69: Esfuerzos obtenidos en base pilar K6 sin la estructura metálica.

1.19.2. Solicitaciones considerando la estructura metálica

Adicionalmente, en las figura 1.70 se muestran todas las solicitaciones correspondientes a las diferentes combinaciones de acciones del pilar J6 (pilar más común donde apoya un pilar de la estructura metálica). No obstante, esta carga puede verse incrementada en ciertos pilares debido a la acción del viento. Al igual que en las figuras anteriores, se puede observar marcados en un rectángulo rojo la combinación de ELU más desfavorable para los dos casos de sobrecarga de uso (U-03 y U-04).

Documento visado electrónicamente con número: VA07290/22
Código de validación telemática TRLTDCFZ60T66IJ1. Comprobación: https://cogitivalencia.e-gestion.es/Validacion.aspx?CVT=TRLTDCFZ60T66IJ1

VISADO
COGITI
VALENCIA
VA07290/22
TRLTDCFZ60T66IJ1

TABLE: Joint Reactions

Joint	OutputCase	CaseType	F1	F2	F3	M1	M2	M3
Text	Text	Text	KN	KN	KN	KN-m	KN-m	KN-m
J6	C-01	Combination	20.581	-8.598	3700.71	70.2727	40.262	-0.0104
J6	C-01	Combination	15.21	-8.661	3402.19	69.9899	14.4557	-0.048
J6	C-02	Combination	20.943	-8.816	4027.175	73.8727	37.4776	-0.0144
J6	C-02	Combination	15.571	-8.879	3728.654	73.5899	11.6714	-0.0521
J6	C-03	Combination	-11.771	-8.202	3702.156	68.815	-58.7763	-0.0203
J6	C-03	Combination	-17.143	-8.264	3403.636	68.5322	-84.5826	-0.058
J6	C-04	Combination	-11.41	-8.42	4028.621	72.415	-61.5607	-0.0243
J6	C-04	Combination	-16.781	-8.482	3730.101	72.1322	-87.3669	-0.062
J6	C-05	Combination	21.33	-12.796	3470.564	93.1332	46.5688	0.0079
J6	C-05	Combination	12.377	-12.9	2973.03	92.6618	3.5584	-0.0549
J6	C-06	Combination	21.583	-12.949	3699.089	95.6531	44.6198	0.005
J6	C-06	Combination	12.631	-13.053	3201.555	95.1818	1.6093	-0.0578
J6	C-07	Combination	-11.023	-12.399	3472.011	91.6754	-52.4695	-0.0021
J6	C-07	Combination	-19.975	-12.504	2974.476	91.2041	-95.4799	-0.0649
J6	C-08	Combination	-10.769	-12.552	3700.536	94.1954	-54.4185	-0.0049
J6	C-08	Combination	-19.722	-12.657	3203.001	93.7241	-97.429	-0.0677
J6	C-09	Combination	2.286	-1.859	3590.78	31.2295	-18.1548	-0.0369
J6	C-10	Combination	2.648	-2.077	3917.245	34.8295	-20.9391	-0.0409
J6	U-01	Combination	30.63	-12.698	5153.714	102.0373	62.2493	-0.0117
J6	U-01	Combination	22.572	-12.792	4705.934	101.6132	23.5399	-0.0682
J6	U-02	Combination	31.172	-13.025	5643.411	107.4373	58.0728	-0.0177
J6	U-02	Combination	23.115	-13.12	5195.631	107.0132	19.3634	-0.0742
J6	U-03	Combination	-17.899	-12.104	5155.884	99.8507	-86.3081	-0.0266
J6	U-03	Combination	-25.956	-12.198	4708.103	99.4266	-125.0176	-0.0831
J6	U-04	Combination	-17.357	-12.431	5645.581	105.2507	-90.4846	-0.0326
J6	U-04	Combination	-25.414	-12.525	5197.8	104.8265	-129.194	-0.0891
J6	U-05	Combination	31.753	-18.995	4808.496	136.328	71.7096	0.0156
J6	U-05	Combination	18.324	-19.152	4062.194	135.621	7.1939	-0.0785
J6	U-06	Combination	32.132	-19.224	5151.283	140.108	68.7861	0.0114
J6	U-06	Combination	18.704	-19.381	4404.982	139.401	4.2704	-0.0828
J6	U-07	Combination	-16.776	-18.4	4810.665	134.1414	-76.8478	0.000765
J6	U-07	Combination	-30.205	-18.557	4064.364	133.4344	-141.3635	-0.0934
J6	U-08	Combination	-16.396	-18.629	5153.453	137.9214	-79.7714	-0.0035
J6	U-08	Combination	-29.825	-18.786	4407.152	137.2144	-144.2871	-0.0977
J6	U-09	Combination	31.092	-18.441	3771.083	127.0952	78.0132	0.0287
J6	U-09	Combination	17.663	-18.597	3024.782	126.3883	13.4975	-0.0655
J6	U-10	Combination	-17.436	-17.846	3773.253	124.9086	-70.5442	0.0139
J6	U-10	Combination	-30.865	-18.002	3026.951	124.2016	-135.06	-0.0803
J6	S-01	Combination	166.006	33.483	3307.21	238.5713	711.5519	1.7269
J6	S-01	Combination	-161.971	-36.774	3120.93	-183.1133	-743.2383	-1.7918
J6	S-02	Combination	166.223	33.352	3503.089	240.7313	709.8813	1.7245
J6	S-02	Combination	-161.754	-36.905	3316.808	-180.9533	-744.9089	-1.7942
J6	S-03	Combination	51.227	114.642	3307.066	726.632	202.4303	0.6831
J6	S-03	Combination	-47.192	-117.933	3121.074	-671.174	-234.1167	-0.7479
J6	S-04	Combination	51.444	114.511	3502.944	728.792	200.7597	0.6807
J6	S-04	Combination	-46.975	-118.063	3316.953	-669.0141	-235.7873	-0.7504
J6	S-05	Combination	51.278	33.279	3523.959	237.5445	202.5325	0.5136
J6	S-05	Combination	-47.243	-36.57	2904.181	-182.0866	-234.2189	-0.5784

Figura 1.70: Esfuerzos obtenidos en base pilar J6 con las estructura metálica.

Documento visado electrónicamente con número: VA07290/22
Código de validación telemática TRLTDCFZ60T66IJ1. Comprobación: https://cogitivalencia.e-gestion.es/Validacion.aspx?CVT=TRLTDCFZ60T66IJ1

VISADO
COGITI
VALENCIA
VA07290/22
TRLTDCFZ60T66IJ1

1.20. COMPROBACIÓN DE PILARES

Del modelo estructural realizado para esta comprobación, se obtienen las reacciones en base de pilar que servirán para la comprobación de los pilares.

Considerando las cargas recibidas en base del pilar J6 se verifica que los pilares existentes pueden soportar las solicitaciones tanto a compresión simple como a flexión esviada debido a las diferentes combinaciones de ELU como de SISMO.

Por un lado, la máxima resistencia a compresión simple en base del pilar (sin considerar la armadura) es de 8400 kN, muy superior a las cargas verticales recibidas.

Por otro lado, se verifica la flexión esviada mediante el Prontuario Informático de la EHE para las combinación de carga más desfavorable de ELU y SISMO.

Documento visado electrónicamente con número: VA07290/22
Código de validación telemática TRLTDCFZ60T66IJ1. Comprobación: https://cogitivalencia.e-gestion.es/Validacion.aspx?CVT=TRLTDCFZ60T66IJ1

VISADO
COGITI
VALENCIA
VA07290/22
TRLTDCFZ60T66IJ1

PRONTUARIO INFORMÁTICO DEL HORMIGÓN ESTRUCTURAL 3.1.9 SEGÚN EHE-08

Cátedra de Hormigón Estructural ETSICCPM - IECA

Obra: PILARES-casas
Fecha: 19/05/2021
Hora: 12:58:56

Cálculo de secciones a flexión compuesta esviada

1 Datos

- Materiales

```
Tipo de hormigón : HA-35
Tipo de acero    : B-500-S
fck [MPa]         = 35.00
fyk [MPa]         = 500.00
```
γ_c = 1.50
γ_s = 1.15

- Sección

```
Sección : PILARB-60X60
b [m] = 0.60
h [m] = 0.60
r [m] = 0.050

nº barras horizontales = 3
nº barras verticales   = 3
```

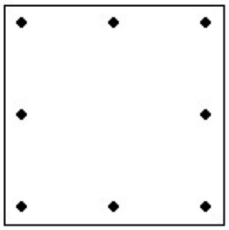

Documento visado electrónicamente con número: VA07290/22
Código de validación telemática TRLTDCFZ60T66IJ1. Comprobación: https://cogitivalencia.e-gestion.es/Validacion.aspx?CVT=TRLTDCFZ60T66IJ1

VISADO
COGITI
VALENCIA
VA07290/22
TRLTDCFZ60T66IJ1

2 Comprobación

Factor Arm. = 1.00
Nd [kN] = 5645.58
Mxd [kN·m] = 105.25
Myd [kN·m] = 90.48

Nu [kN] = 5645.58
Mxu [kN·m] = 658.4
Myu [kN·m] = 566.0
γ = 6.26

Arm. n°	Fija	Tipo	Diámetro [mm]	Area [cm2]	xi [m]	yi [m]	xf m]	yf [m]
1	NO	P	32.00	24.127	0.050	0.550	0.550	0.550
2	NO	P	32.00	24.127	0.050	0.050	0.550	0.050
3	NO	P	32.00	8.042	0.050	0.300	0.050	0.300
4	NO	P	32.00	8.042	0.550	0.300	0.550	0.300

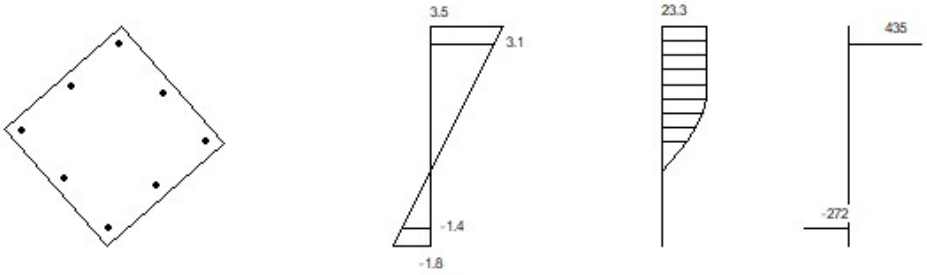

Plano de deformación de agotamiento

x [m] = 0.56
ß [°] = 41.6
1/r [1/m] ·1.E-3 = 6.3
ε_s ·1.E-3 = 3.5
ε_i ·1.E-3 = -1.8

Deformación y tensión de armaduras superior e inferior

Profundidad [m]	Deformación ·1.E^{-3}	Tensión [MPa]
0.07	3.1	435
0.78	-1.4	-272

Documento visado electrónicamente con número: VA07290/22
Código de validación telemática TRLTDCFZ60T66IJ1. Comprobación: https://cogitivalencia.e-gestion.es/Validacion.aspx?CVT=TRLTDCFZ60T66IJ1

VISADO
COGITI
VALENCIA
VA07290/22
TRLTDCFZ60T66IJ1

PRONTUARIO INFORMÁTICO DEL HORMIGÓN ESTRUCTURAL 3.1.9 SEGÚN EHE-08

Cátedra de Hormigón Estructural ETSICCPM - IECA

Obra: PILARES-casas
Fecha: 19/05/2021
Hora: 13:00:08

Cálculo de secciones a flexión compuesta esviada

1 Datos

- Materiales

```
Tipo de hormigón : HA-35
Tipo de acero    : B-500-S
fck [MPa]         = 35.00
fyk [MPa]         = 500.00
```

γ_c = 1.50

γ_s = 1.15

- Sección

```
Sección : PILARB-60X60
b [m] = 0.60
h [m] = 0.60
r [m] = 0.050

nº barras horizontales = 3
nº barras verticales   = 3
```

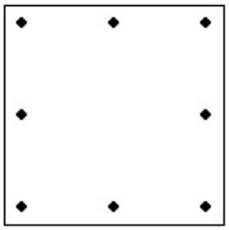

Documento visado electrónicamente con número: VA07290/22
Código de validación telemática TRLTDCFZ60T66IJ1. Comprobación: https://cogitivalencia.e-gestion.es/Validacion.aspx?CVT=TRLTDCFZ60T66IJ1

VISADO
COGITI
VALENCIA
VA07290/22
TRLTDCFZ60T66IJ1

2 Comprobación

Factor Arm. = 1.00
Nd [kN] = 3316.9
Mxd [kN·m] = 669.01
Myd [kN·m] = 235.78

Nu [kN] = 3316.9
Mxu [kN·m] = 952.9
Myu [kN·m] = 335.9
γ = 1.42

Arm. n°	Fija	Tipo	Diámetro [mm]	Area [cm2]	xi [m]	yi [m]	xf m]	yf [m]
1	NO	P	32.00	24.127	0.050	0.550	0.550	0.550
2	NO	P	32.00	24.127	0.050	0.050	0.550	0.050
3	NO	P	32.00	8.042	0.050	0.300	0.050	0.300
4	NO	P	32.00	8.042	0.550	0.300	0.550	0.300

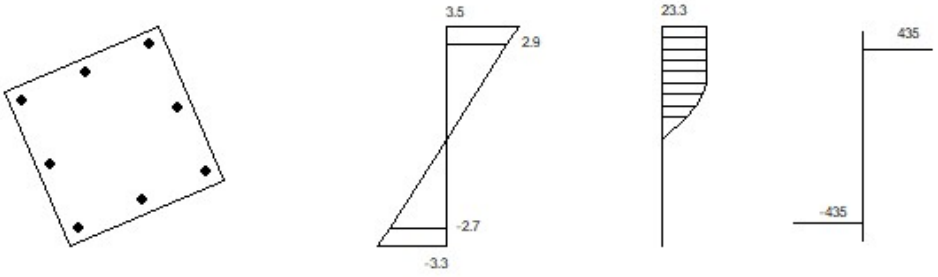

Plano de deformación de agotamiento

x [m] = 0.41
ß [°] = 23.5
1/r [1/m] ·1.E-3 = 8.6
ε_s ·1.E-3 = 3.5
ε_i ·1.E-3 = -3.3

Deformación y tensión de armaduras superior e inferior

Profundidad [m]	Deformación ·1.E^{-3}	Tensión [MPa]
0.07	2.9	435
0.72	-2.7	-435

Documento visado electrónicamente con número: VA07290/22
Código de validación telemática TRLTDCFZ60T66IJ1. Comprobación: https://cogitivalencia.e-gestion.es/Validacion.aspx?CVT=TRLTDCFZ60T66IJ1

VISADO
COGITI
VALENCIA
VA07290/22
TRLTDCFZ60T66IJ1

1.21. CIMENTACIÓN Y PILOTAJE

1.21.1. Geotécnia

El modelo geotécnico considerado para la solución propuesta en el proyecto de ejecución se ha basado en la información proporcionada en el estudio geotécnico de proyecto elaborado por PRODEIN. Se puede consultar en el ANEJO DE GEOTÉCNIA de este informe.

1.21.2. Proyecto de cimentación y pilotaje

En el Proyecto parcial primero de cimentación y pilotaje se definen las obras necesarias para la cimentación de la nave almacén que se ha realizado mediante la hinca de pilotes prefabricados en grupos de dos y tres pilotes de sección cuadrada de diferentes tamaños y longitudes. El total de los 946 pilotes proyectados se resume en los siguientes tipos:

- 2K350-1: 34 pilotes de 35 *cm* de lado, en grupos de 2, hincados hasta una profundidad aproximada de 34m, en la alineación 1 (lateral de lado dársena).
- 2K350-2: 118 pilotes de 35 *cm* de lado, en grupos de 2, hincados hasta una profundidad aproximada de 32m, en la alineación 22 y alineaciones B y S (lateral de lado dique y alineaciones transversales interiores bajo rampa).
- 2K350-3: 89 pilotes de 35 *cm* de lado, en grupos de 2, hincados hasta una profundidad aproximada de 24m, en las alineaciones A y T (transversales exteriores bajo rampa) y en escaleras.
- 3K350-1: 42 pilotes de 35 *cm* de lado, en grupos de 3, hincados hasta una profundidad aproximada de 34m, en la alineación 2 (segunda alineación de lado dársena).
- 3K350-2: 6 pilotes de 35 *cm* de lado, en grupos de 3 pilotes, hincados hasta una profundidad aproximada de 34 *m*, en la alineación 2 (segunda alineación de lado dársena). Los grupos de 3 están formados por 2 pilotes de 35 *cm* de lado más un tercer pilote de 40 *cm* de lado ejecutado en la fase de pruebas de dicha alineación.
- 2K400-1: 649 pilotes de 40 *cm* de lado, en grupos de 2 pilotes, hincados hasta una profundidad aproximada de 34 *m*, en el la zona central de la nave entre alineaciones 2 y 21 en sentido longitudinal, y C y R en sentido transversal. Se incluyen los 3 pilotes de la alineación 2 de la fase de pruebas mencionados anteriormente.
- 2K400-2: 8 pilotes de 40 *cm* de lado, en grupos de 2 pilotes, hincados hasta una profundidad aproximada de 32 *m*, en las esquinas de inicio de la rampa en la alineación 2, columnas A, B, S, y T.

Los grupos de 3 pilotes se requieren debido a la mayor longitud de los vanos entre las alineaciones 1 y 2 de lado dársena.

Documento visado electrónicamente con número: VA07290/22
Código de validación telemática TRLTDCFZ60T66IJ1. Comprobación: https://cogitivalencia.e-gestion.es/Validacion.aspx?CVT=TRLTDCFZ60T66IJ1

VISADO
COGITI
VALENCIA
VA07290/22
TRLTDCFZ60T66IJ1

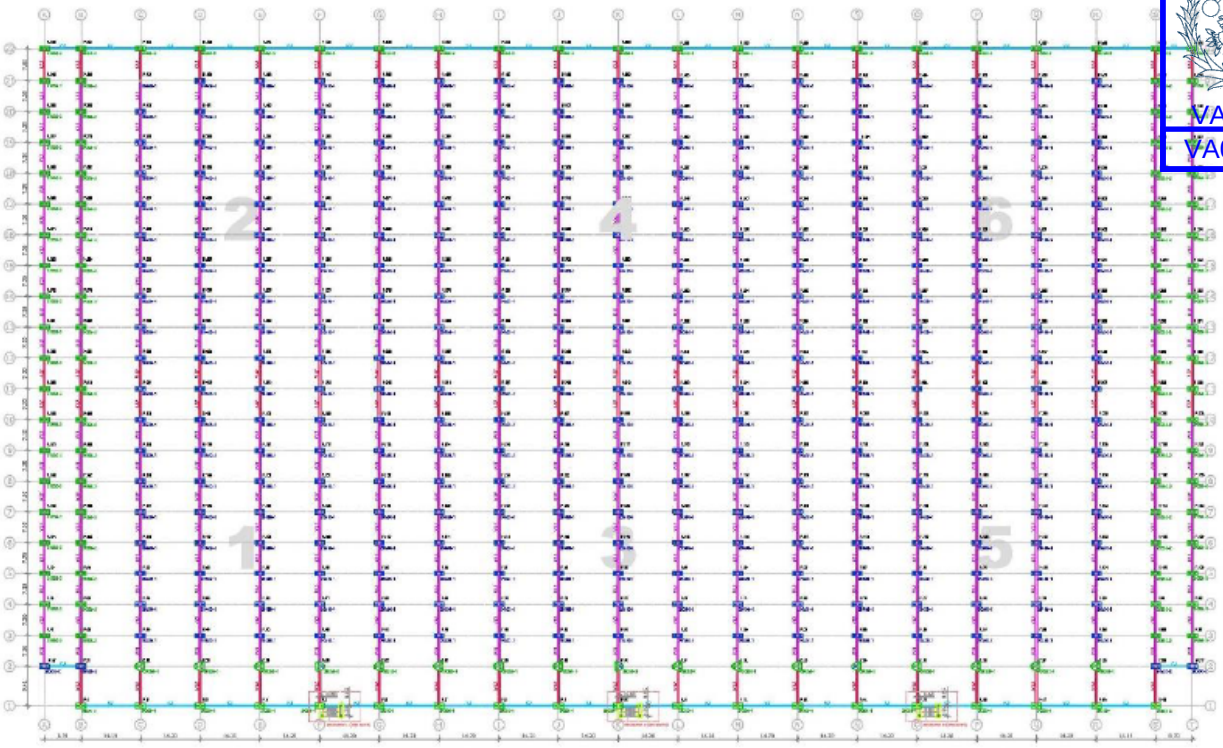

Figura 1.71: Planta de pilotaje

Puesto que los pilotes de grupos de 2 no tienen suficiente resistencia frente a momentos en sentido transversal al eje que une ambos pilotes, es necesaria la ejecución de vigas riostras de unión entre encepados en dicha dirección transversal. Las vigas riostras son de tres tipos:

- Vigas V1.1 de 55 *cm* de canto y 40 *cm* de ancho, entre alineaciones interiores de encepados en dirección transversal.
- Vigas V1.2 de 90 *cm* de canto y 40 *cm* de ancho, entre alineaciones exteriores y la siguiente alineación de encepados en dirección transversal.
- Vigas V3 de 40 *cm* de canto y 40 *cm* de ancho entre encepados en alineaciones exteriores en dirección longitudinal.

Las reacciones de la estructura que han de ser resistidas por la cimentación para cada uno de los 460 pilares que apoyan sobre la misma, han sido calculadas en el Proyecto parcial segundo de estructura.

Para la estimación de la longitud necesaria de pilotes, se han calculado las propiedades medias del terreno, incluyendo la ganancia de resistencia en terrenos cohesivos, y se han definido los grupos anteriores según las siguientes cargas admisibles verticales de diseño:

Documento visado electrónicamente con número: VA07290/22
Código de validación telemática TRLTDCFZ60T66IJ1. Comprobación: https://cogitivalencia.e-gestion.es/Validacion.aspx?CVT=TRLTDCFZ60T66IJ1

VISADO COGITI VALENCIA VA07290/22 TRLTDCFZ60T66IJ1

ESTADO LIMITE DE SERVICIO

				NIVEL 0 -A		NIVEL B1		NIVEL B2		NIVEL C.1		NIVEL C.2		NIVEL D			COEFICIENTE DE SEGURIDAD				
				RELLENOS Y ARCILLAS FANGOSAS		ARENAS LIMOSAS CON GRAVAS		ARENAS LIMOSAS CON GRAVAS		ARCILLAS LIMOSAS BLANDAS		ARCILLAS LIMOSAS MEDIAS		GRAVAS / ARENAS							
				0,00	15,60	7,25	1,50	12,82	0,80	4,88	8,60	15,11	6,50	12,96		736,0	2	2			
TIPO PILOTE	Sección (mm)	Area (cm2)	CARGA (Tn)	rf1 Tn/m2	L1 m	rf1 Tn/m2	L1 m	rf2 Tn/m2	L2 m	rf3 Tn/m2	L3 m	rf4 Tn/m2	L4 m	rf5 Tn/m2	L5_fuste (m)	qp5 Tn/m2	Qp (Tn)	Qf (Tn)	Qadm (Tn)	LONGITUD ESTIMADA PILOTE (m)	COMPROBACION Qadm ≥ CARGA
K350	350	1225,0	25	0,0	15,6	7,3	1,5	12,8	0,8	4,9	6,1	15,1	0,0	13,0	0	100,0	6	36	42	24	OK
K350	350	1225,0	135	0,0	15,6	7,3	1,5	12,8	0,8	4,9	8,6	15,1	5,5	13,0	0	736,0	45	102	147	32	OK
K350	350	1225,0	165	0,0	15,6	7,3	1,5	12,8	0,8	4,9	8,6	15,1	6,5	13,0	1	736,0	45	122	167	34	OK
K400	400	1600,0	25	0,0	15,6	7,3	1,5	12,8	0,8	4,9	6,1	15,1	0,0	13,0	0	100,0	8	41	49	24	OK
K400	400	1600,0	190	0,0	15,6	7,3	1,5	12,8	0,8	4,9	8,6	15,1	6,5	13,0	1	736,0	59	140	199	34	OK

ESTADO LIMITE ULTIMO

				NIVEL 0 -A		NIVEL B1		NIVEL B2		NIVEL C.1		NIVEL C.2		NIVEL D			COEFICIENTE DE SEGURIDAD				
				RELLENOS Y ARCILLAS FANGOSAS		ARENAS LIMOSAS CON GRAVAS		ARENAS LIMOSAS CON GRAVAS		ARCILLAS LIMOSAS BLANDAS		ARCILLAS LIMOSAS MEDIAS		GRAVAS / ARENAS							
				0,00	15,60	7,25	1,50	12,82	0,80	4,88	8,60	15,11	6,50	12,96		736,0	1,5	1,5			
TIPO PILOTE	Sección (mm)	Area (cm2)	CARGA (Tn)	rf1 Tn/m2	L1 m	rf1 Tn/m2	L1 m	rf2 Tn/m2	L2 m	rf3 Tn/m2	L3 m	rf4 Tn/m2	L4 m	rf5 Tn/m2	L5_fuste (m)	qp5 Tn/m2	Qp (Tn)	Qf (Tn)	Qadm (Tn)	LONGITUD PILOTE (m)	COMPROBACION Qadm ≥ CARGA
K350	350	1225,0	54	0,0	15,6	7,3	1,5	12,8	0,8	4,9	6,1	15,1	0,0	13,0	0	100,0	8	48	56	24	OK
K350	350	1225,0	160	0,0	15,6	7,3	1,5	12,8	0,8	4,9	8,6	15,1	5,5	13,0	0	736,0	60	136	197	32	OK
K350	350	1225,0	174	0,0	15,6	7,3	1,5	12,8	0,8	4,9	8,6	15,1	6,5	13,0	1	736,0	60	163	223	34	OK
K400	400	1600,0	54	0,0	15,6	7,3	1,5	12,8	0,8	4,9	6,1	15,1	0,0	13,0	0	100,0	11	54	65	24	OK
K400	400	1600,0	245	0,0	15,6	7,3	1,5	12,8	0,8	4,9	8,6	15,1	6,5	13,0	1	736,0	79	187	266	34	OK

Figura 1.72: Cargas admisibles de diseño y longitudes de pilotes

Para la verificación de la resistencia frente al hundimiento de los pilotes durante la ejecución de la hinca, se establece el siguiente procedimiento de aceptación de pilotes, descrito con mayor detalle en el Pliego de Condiciones del Proyecto parcial primero:

- Hinca del pilote hasta la profundidad de diseño y medición del rechazo de instalación.
- Medición del rechazo en rehinca transcurridos al menos 4 días desde la hinca.
- Si el rechazo en rehinca es inferior al calculado mediante la fórmula holandesa, el pilote se acepta.
- En caso contrario, se realiza prueba dinámica de carga, siendo necesaria la obtención de un coeficiente de seguridad de 2 frente a la carga de diseño del pilote. Si dicho coeficiente de seguridad es superior a 2, se acepta el pilote.
- Si el coeficiente de seguridad es inferior a 2 o el pilote está dañado, se realizará una propuesta de refuerzo mediante pilotes de descarga.

Documento visado electrónicamente con número: VA07290/22
Código de validación telemática TRLTDCFZ60T66IJ1. Comprobación: https://cogitivalencia.e-gestion.es/Validacion.aspx?CVT=TRLTDCFZ60T66IJ1

VISADO
COGITI
VALENCIA
VA07290/22
TRLTDCFZ60T66IJ1

KELLER

FORMULA HOLANDESA

170023250 GRIMALDI 18/09/2018

MARTILLO HIDRÁULICO DE 7 TONELADAS

SECCIÓN (mm)	Qadm (T)
350	25
350	135
350	165
400	25
400	187

$$Q_{adm} = \frac{M^2 \cdot H}{F \cdot e \cdot (P + M)}$$

siendo :

Qadm = carga admisible

M = peso de la maza del equipo de hinca (T) 7

H = altura de caída de la maza durante el control del rechazo (cm) 30

F = coeficiente de seguridad frente a la carga dinámica de hundimiento

P = peso del pilote

	SECCIÓN (mm)	LONG. PILOTE HINCADA (m)	P PESO PILOTE (T)	M PESO MAZA (T)	H ALTURA CAIDA MAZA (cm)	F COEF. SEGURIDAD	e RECHAZO 10 GOLPES (cm)	Qadm (T)
350	350	24	7,4	7	30	6	6,83	25
350	350	32	9,8	7	30	6	1,08	135
350	350	34	10,4	7	30	6	0,85	165
400	400	24	9,6	7	30	6	5,90	25
400	400	34	13,6	7	30	6	0,64	187

Figura 1.73: Tabla de máximos admisibles

Se comprueba también la resistencia estructural de los pilotes, encepados y vigas riostras tras el reparto de esfuerzos según las tres direcciones principales y los tres momentos que actúan en la base de pilares, para verificar el armado de los tres elementos, teniendo en cuenta en el cálculo la colaboración del terreno. Dicho cálculo de reparto de esfuerzos se ha realizado mediante un método analítico en el que se emplea una simplificación para los pilotes mediante una viga equivalente, y se ha comprobado mediante un modelo numérico Plaxis 3D para tener en cuenta el módulo de deformación del terreno y rigidez de pilotes y vigas riostras de manera conjunta.

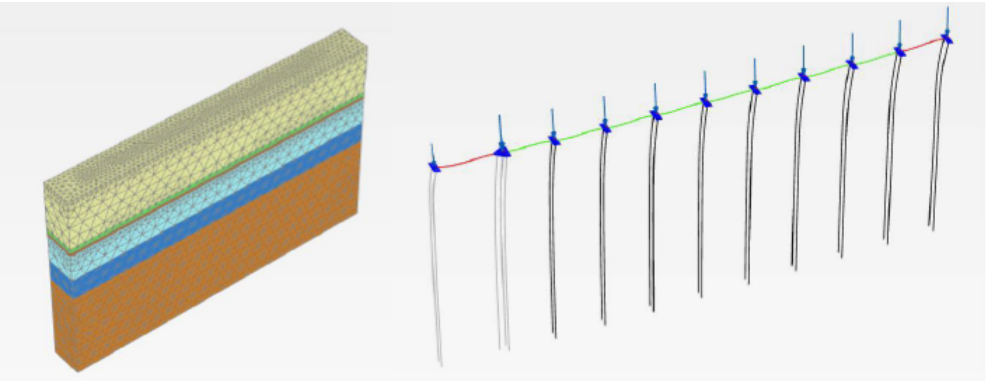

Figura 1.74: Tabla de máximos admisibles

1.21.3. Modificaciones *as built* del proyecto de cimentación

Pilotes de refuerzo

Durante el proceso de diseño de la cimentación, se realizó una optimización pasando de tres a dos pilotes por encepado, en todos los encepados excepto en la segunda alineación. Puesto que hubo un periodo de tiempo en el que quedaba pendiente determinar la longitud de los pilotes, que a su vez dependía del criterio de aceptación de los mismos, el subcontratista Keller decidió, para no detener la ejecución de los pilotes, hincar dos de los tres tramos de los pilotes, dejando el último

Documento visado electrónicamente con número: VA07290/22
Código de validación telemática TRLTDCFZ60T66IJ1. Comprobación: https://cogitivalencia.e-gestion.es/Validacion.aspx?CVT=TRLTDCFZ60T66IJ1

VISADO
COGITI
VALENCIA
VA07290/22
TRLTDCFZ60T66IJ1

tramo pendiente de dicha longitud final del diseño y del criterio de aceptación, por lo que en gran número de pilotes la hinca se realizó en dos fases.

Puesto que la optimización del número de pilotes resultaba en un margen de seguridad muy estricto, se decidió hacer un control al 100 % de los pilotes de la obra mediante la medición de rechazo en rehinca, y la realización de pruebas dinámicas de carga en todos aquellos pilotes que no cumpliesen con el rechazo calculado mediante la fórmula holandesa.

Se adjuntan en el Anexo 1 de la modificación "As Built" los informes de Keller con las pruebas dinámicas de carga realizadas sobre los pilotes con medición de rechazo superior a la determinada por la fórmula holandesa. También se ensayaron algunos pilotes adicionales que sí habían cumplido con el rechazo calculado con la fórmula holandesa para disponer de mayor información. Mediante estas pruebas se comprobó que debido a la heterogeneidad del terreno que daba lugar a valores de resistencia variables y a los daños detectados en algunos pilotes, iba a ser necesaria la ejecución de pilotes de descarga o refuerzo. De forma paralela, la Dirección Facultativa realizó también diversas campañas de pruebas dinámicas de carga sobre un número determinado de pilotes para una mejor caracterización de su comportamiento.

De acuerdo con el criterio de aceptación y rechazo de pilotes del Proyecto Parcial Primero de Cimentación, todos aquellos pilotes que incumplían el mismo, han requerido de la ejecución de pilotes de refuerzo o descarga, o pilotes de sustitución. Se adjunta también en el Anexo 1 de la modificación "As built" el informe de pruebas de integridad de pilotes.

Más concretamente, los casos en los que se han hincado pilotes adicionales son:

- Pilotes dañados.
- Pilotes con coeficiente de seguridad inferior a 2 en las pruebas dinámicas de carga.
- Pilotes con coeficiente de seguridad superior a 2 en las pruebas dinámicas de carga, pero con valor de rechazo en rehinca elevado, medida del lado de la seguridad.

De acuerdo con este criterio, se han ejecutado 82 pilotes adicionales, de los cuales:

- 47 han cumplido el criterio de aceptación ya que su medida de rechazo en rehinca ha sido inferior a la calculada mediante la fórmula holandésa.
- 6 pilotes no han cumplido dicho criterio de rechazo en rehinca o estaban dañados, por lo que se han reforzado o sustituido nuevamente.
- Por plazos de ejecución, 29 pilotes de refuerzo o sustitución, cuyo rechazo no ha podido ser medido en rehinca pero sí en instalación, han sido comprobados empleando la relación entre rechazo en instalación y rehinca del resto de pilotes ensayados durante la ejecución, tomando el percentil del 90 % para estimar el rechazo en rehinta a partir del rechazo en instalación. Mediante esta relación, se han aceptado 28 pilotes, quedando uno por comprobar.
- La resistencia del pilote restante, el 422,2 nuevo, ha sido justificada teniendo en cuenta la contribución de los pilotes originales a reforzar, de los cuales se contaba con ensayos de pruebas dinámicas de carga.

La disposición de los pilotes de refuerzo se realizó intentando mantener el centro geométrico de los pilotes del encepado resultante en el centro geométrico del encepado original. Se adjunta en el Anexo 1 de la modificación "As built" la justificación de la disposición de los pilotes de refuerzo de los primeros encepados reforzados.

Documento visado electrónicamente con número: VA07290/22
Código de validación telemática TRLTDCFZ60T66IJ1. Comprobación: https://cogitivalencia.e-gestion.es/Validacion.aspx?CVT=TRLTDCFZ60T66IJ1

VISADO
COGITI
VALENCIA
VA07290/22
TRLTDCFZ60T66IJ1

Se realizó un análisis independiente, por parte de una ingeniería especialista, de la cimentación y de las soluciones adoptadas mediante los pilotes de refuerzo, tanto en resistencia como integridad de los pilotes, cuyos resultados se detallan en el Anexo 2 de la modificación "A built": Informe Técnico Revisión cimentaciones almacén de vehículos, Terminal Europa, Grimaldi, Puerto de Valencia, realizado por SEG Ingeniería, con fecha de marzo de 2019. En dicho análisis se concluye que el criterio de aceptación de pilotes es correcto (medida de rechazo en rehinca y pruebas dinámicas de carga), que el control de la ejecución de la cimentación es adecuado, que las soluciones de refuerzo son suficientes y del lado de la seguridad, y que el conjunto de la cimentación con dichas medidas de refuerzo es válida.

Todos los pilotes ejecutados, tanto los iniciales como los de refuerzo o sustitución, quedan reflejados en el plano As Built 2.1, de distribución de pilotes. Además, la longitud finalmente ejecutada de cada uno de los pilotes se muestra en el plano As Built 4, longitudes de pilotes prefabricados.

Modificación de encepados

Los encepados del proyecto parcial han requerido modificaciones para su adaptación a los pilotes de refuerzo o descarga, o pilotes de sustitución.

Dichas modificaciones en planta y armado quedan reflejadas en los planos "As Built" 2.1, de Planta de distribución de pilotes, y 2.3, Armadura de encepados especiales.

En la siguiente tabla se resumen los tipos de encepados y el número de cada uno de ellos:

Documento visado electrónicamente con número: VA07290/22
Código de validación telemática TRLTDCFZ60T66IJ1. Comprobación: https://cogitivalencia.e-gestion.es/Validacion.aspx?CVT=TRLTDCFZ60T66IJ1

VISADO
COGITI
VALENCIA
VA07290/22
TRLTDCFZ60T66IJ1

Tipo de Encepado	As Built	Proyecto
2K350-1	8	17
2K350-2	43	59
2K350-3	40	40
2K400-1	278	323
2K400-2	4	4
3K350-1	14	14
3K350-2	3	3
2K400-3	1	-
3K350-3	7	-
3K350-4	1	-
3K350-5	9	-
3K350-6	1	-
3K350-7	1	-
3K350-9	1	-
3K350-11	1	-
3K400-1	1	-
3K400-2	1	-
3K400-3	1	-
3K400-4	8	-
3K400-5	25	-
3K400-6	2	-
3K400-7	1	-
4K400-1	1	-
4K400-2	2	-
4K400-3	1	-
4K400-4	1	-
4K400-5	1	-
4K350-9	1	-
4K350-10	2	-

Figura 1.75: Tabla de encepados de proyecto y encepados especiales

Modificación Modificación en vigas riostra

Debido a la presencia de bancos de tubos pre-existentes entre las alineaciones (A-F,3-4), y (A-M,18-19), a una cota variable que intersecta con las vigas riostras del Proyecto original, ha sido necesaria la ejecución de vigas riostras con un menor canto (25 y 35cm) y mayor anchura (50cm) en el tramo central de las mismas.

La justificación de dichas vigas riostras con sección reducida, se encuentra en el Anexo 3 de la modificación "As Built", Nota Técnica: Interferencias entre vigas riostras y canalizaciones existentes. La posición en planta de las vigas riostras especiales, y una sección longitudinal de las mismas, queda reflejada en el plano As Built 2.3, Vigas riostras y relleno de zanjas. La posición en vertical de las secciones reducidas a su paso por encima de los bancos de tubos, se muestra en los planos 2.4 y 2.5 de la modificación "As built", Secciones de vigas riostras.

Documento visado electrónicamente con número: VA07290/22
Código de validación telemática TRLTDCFZ60T66IJ1. Comprobación: https://cogitivalencia.e-gestion.es/Validacion.aspx?CVT=TRLTDCFZ60T66IJ1

VISADO
COGITI
VALENCIA
VA07290/22
TRLTDCFZ60T66IJ1

1.22. COMPROBACIÓN CIMENTACIÓN Y PILOTAJE

La cimentación es profunda debido a la baja calidad de los rellenos portuarios, mediante grupos de pilotes prefabricados hincados de hormigón armado y sus correspondientes encepados. Los encepados se arriostran entre sí perimetralmente y en la dirección menor.

En este informe, además de las cargas ya estudiadas en el proyecto de ejecución también se consideran las cargas debidas a la estructura metálica que soporta la instalación solar fotovoltaica facilitadas por el técnico proyectista D. Jesús Troyano García, Ingeniero Civil nº12.969, tal y como se indicaba en el INFORME TÉCNICO VIABILIDAD ESTRUCTURAL de fecha 26 de mayo de 2020, según el cual se señalaba que en el supuesto de no apoyar en la parte superior de todos los pilares, se tendría que comprobar la cimentación. Al igual que también se tendría que comprobar la cimentación cuando se haya definido la disposición concreta y exacta de la estructura y placas solares a efectos de la acción del viento. En definitiva, esto es uno de los objetivos del presente informe.

Del modelo de la estructura realizado para esta verificación, se obtienen las solicitaciones en base de pilar que servirán para la comprobación de la cimentación y el pilotaje. Como no todos los pilares reciben los esfuerzos de la estructura metálica en cabeza, tendremos el caso de los pilares que no reciben esfuerzos en cabeza (por ejemplo el K6), y los pilares que reciben esfuerzos en cabeza (por ejemplo el J6).

En las tablas 1.68 y 1.70 se observan las solicitaciones en base de pilar para el pilar J6, sin recibir esfuerzos en cabeza de pilar, y recibiendo esfuerzos en cabeza de pilar respectivamente. En el caso de considerar las sobrecargas para vehículos ligeros de 3 kN/m^2 en toda la superficie del silo (combinaciones de carga impares de las tablas 1.68 y 1.70) , cargas tenidas en cuenta en el proyecto presentado por ROVER ALCISA, la cimentación y pilotaje bajo los pilares cargados (como el J6) no cumple.

No obstante, en el caso de hacer una consideración menos conservadora para la sobrecarga de uso para vehículos ligeros formada por una carga repartida de 2 kN/m^2 y dos cargas puntuales de 10 kN (combinaciones de carga pares de las tablas 1.68 y 1.70), también aceptada por el Código Técnico en la Edificación CTE, la cimentación y el pilotaje cumplirían.

En la tabla 1.70 se observa que las solicitación vertical máximas recibidas en ELU sobre el pilar J6 corresponde a 5155,88 kN para el caso más favorable de sobrecarga de uso y 5645,58 kN para el caso más desfavorable de sobrecarga de uso. Además, en la figura 1.72 se observa que la carga admisible para un pilote de 40 cm de lado y hincado a 34 m es de 2660 kN en ELU.

La cimentación en la zona central de la nave (que corresponde a los pilares de estudio) está formada por 2 pilotes como los descritos anteriormente (2K400-1). Por lo tanto, la máxima carga admisible que se debería trasmitir a los pilotes para evitar el fallo en la cimentación debe ser 5320 kN, siendo menor a ambos supuestos de sobrecarga de uso.

Documento visado electrónicamente con número: VA07290/22
Código de validación telemática TRLTDCFZ60T66IJ1. Comprobación: https://cogitivalencia.e-gestion.es/Validacion.aspx?CVT=TRLTDCFZ60T66IJ1

VISADO
COGITI
VALENCIA
VA07290/22
TRLTDCFZ60T66IJ1

1.23. DIMENSIONAMIENTO UNIÓN SILO-ESTRUCTURA METÁLICA

Para el cálculo de la unión entre la estructura metálica y la estructura de hormigón se ha empleado el software IDEA StatiCa, versión 21.0.0.3277.

El diseño de la unión se ha realizado de forma que ésta se comporte como una articulación, impidiendo así la transmisión de esfuerzos flectores de empotramiento y reduciendo el empuje sobre la estructura de hormigón, solicitaciones que van en contra de la estabilidad de la estructura.

Dicha unión, tal y como se muestra en las figuras 1.76 y 1.77, se compone de dos partes:

- La parte inferior se trata de una placa de anclaje convencional mediante pernos que se anclan en el pilar. Este elemento es el encargado de transmitir los esfuerzos de axil y corte que provienen de la estructura metálica a los pilares de hormigón.
- La parte superior se compone de una placa soldada al pilar metálico junto con unos rigidizadores que garantizan la unión entre ambas partes y la correcta transmisión de esfuerzos.

Ambas partes se unen entre sí mediante un conjunto chapa-pasador capaz de resistir los esfuerzos de axil y de corte e impidiendo la transmisión de momentos.

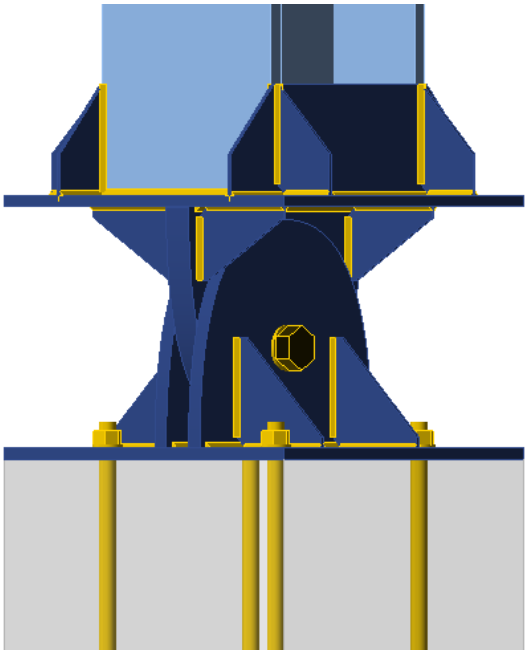

Figura 1.76: Detalle unión 1

Documento visado electrónicamente con número: VA07290/22
Código de validación telemática TRLTDCFZ60T66IJ1. Comprobación: https://cogitivalencia.e-gestion.es/Validacion.aspx?CVT=TRLTDCFZ60T66IJ1

VISADO
COGITI
VALENCIA
VA07290/22
TRLTDCFZ60T66IJ1

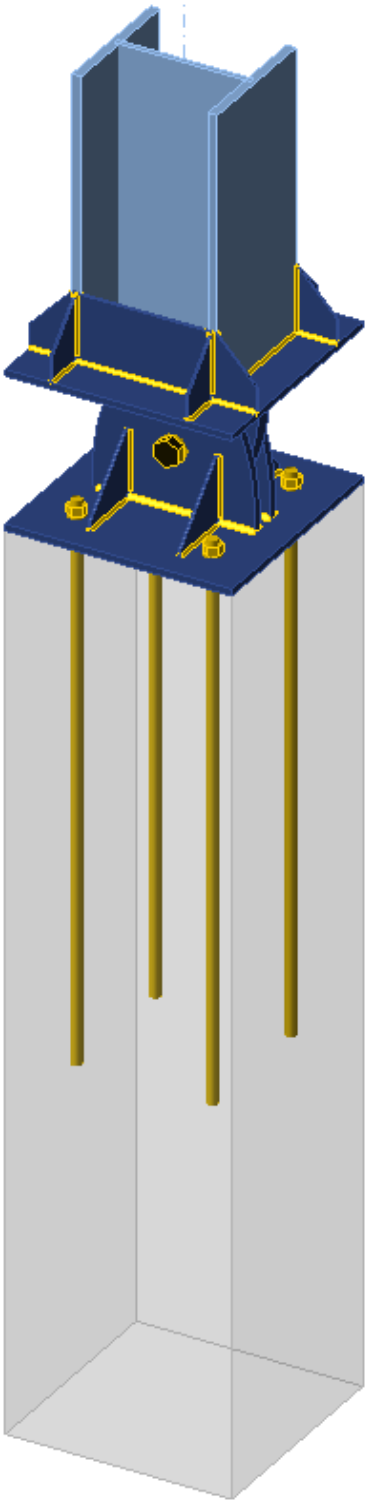

Figura 1.77: Detalle unión 2

Para los cálculos se han considerado las acciones de la estructura metálica proporcionadas por el técnico proyectista D. Jesús Troyano García, Ingeniero Civil nº12.969. Los cálculos realizados se muestra en el anejo D.

Documento visado electrónicamente con número: VA07290/22
Código de validación telemática TRLTDCFZ60T66IJ1. Comprobación: https://cogitivalencia.e-gestion.es/Validacion.aspx?CVT=TRLTDCFZ60T66IJ1

VISADO
COGITI
VALENCIA
VA07290/22
TRLTDCFZ60T66IJ1

1.24. CONCLUSIONES

Primeramente señalar que para la elaboración del presente informe se han tenido en cuenta las siguientes consideraciones:

- Las acciones consecuencia de cargas gravitatorias tomadas para este informe son las indicadas en el CTE DB-SE-AE Acciones en la Edificación. Para la categoría de uso F correspondiente a zonas de tráfico y aparcamiento para vehículos ligeros (peso total 30 kN) se estudian los dos casos de sobrecarga de uso contemplados por el Código Técnico de la Edificación (1. carga uniforme de $q_k = 3\ kN/m^2$, y 2. una carga uniforme $q_k = 2\ kN/m^2$ y dos cargas concentradas de $Q_k/2 = 10\ kN$ separadas 1,8 m y situadas en en la posición más desfavorable). Los coeficientes de simultaneidad tomados son los correspondientes a dicha categoría de uso (ψ_0=0,7, ψ_1=0,7, ψ_2=0,6). En el caso de algún país, como Bélgica, el documento nacional de aplicación del eurocódigo EN 1991-1-1 toma únicamente el valor de sobrecarga uniforme de $q_k = 2{,}5\ kN/m^2$.
- Los coeficientes parciales de seguridad para los materiales y para las acciones, tanto para la evaluación de los Estados Límites Últimos como para los Estados Límites de Servicio, son los dispuestos en la EHE-08.
- Las combinaciones de acciones tomadas siguen los criterios de la EHE-08.
- Se ha tomado una carga permanente por impermeabilización y asfaltado correspondiente a 5 cm de espesor en la cubierta y a 8 cm de espesor en las rampas (1,2 y 1,92 kN/m^2 respectivamente).
- Alternativamente, se ha considerado como sobrecarga de uso por almacenamiento de vehículos, las cargas de los mismos y su disposición facilitada por INVERCREA.
- Se han considerado las cargas facilitadas por el técnico proyectista D. Jesús Troyano García, Ingeniero Civil nº12.969 debido a la instalación solar fotovoltaica.

Las conclusiones principales que se pueden extraer del siguiente informe de JUSTIFICACIÓN CUMPLIMIENTO DE SOLUCIÓN ESTRUCTURAL DE CENTRAL SOLAR FOTOVOLTAICA en lo referente a la estructura y cimentación con respecto a las solicitaciones adicionales facilitadas por el técnico proyectista D. Jesús Troyano García, Ingeniero Civil nº12.969 debidas a la instalación solar fotovoltaica en la disposición proyectada:

- Las solicitaciones obtenidas en la verificación estructural sobre los pilares considerando la instalación solar fotovoltaica, son compatibles con los pilares existentes.
- Las solicitaciones obtenidas en la verificación estructural sobre la cimentación considerando la instalación solar fotovoltaica, es compatible considerando el caso de sobrecarga de uso por tráfico menos conservador (una carga uniforme $q_k = 2\ kN/m^2$ y dos cargas concentradas de $Q_k/2 = 10\ kN$ separadas 1,8 m y situadas en en la posición más desfavorable).
- La unión silo-estructura metálica diseñada es compatible con la estructura existente y garantiza la correcta transmisión de esfuerzos.
- Las sobrecargas de uso máximas previstas por el almacenamiento de los vehículos con las disposiciones propuestas son menos a $q_k = 2\ kN/m^2$.

Documento visado electrónicamente con número: VA07290/22
Código de validación telemática TRLTDCFZ60T66IJ1. Comprobación: https://cogitivalencia.e-gestion.es/Validacion.aspx?CVT=TRLTDCFZ60T66IJ1

VISADO
COGITI
VALENCIA
VA07290/22
TRLTDCFZ60T66IJ1

INSTALACIÓN DE PLANTA GENERACIÓN FOTOVOLTAICA SOBRE LA CUBIERTA DEL SILO DE VEHÍCULOS DE VALENCIA TERMINAL EUROPA, EN MUELLE DIQUE DEL ESTE, EN PUERTO DE VALENCIA.

ANEJO Nº8

Fichas técnicas

Documento visado electrónicamente con número: VA07290/22
Código de validación telemática TRLTDCFZ60T66IJ1. Comprobación: https://cogitivalencia.e-gestion.es/Validacion.aspx?CVT=TRLTDCFZ60T66IJ1

VISADO
COGITI
VALENCIA
VA07290/22
TRLTDCFZ60T66IJ1

Índice

1. OBJETO. 3

2. FICHAS..... 4

Documento visado electrónicamente con número: VA07290/22
Código de validación telemática TRLTDCFZ60T66IJ1. Comprobación: https://cogitivalencia.e-gestion.es/Validacion.aspx?CVT=TRLTDCFZ60T66IJ1

VISADO
COGITI
VALENCIA
VA07290/22
TRLTDCFZ60T66IJ1

1.1. OBJETO.

El presente anejo recoge las fichas de los equipos eléctricos y electrónicos del proyecto "INSTALACION DE PLANTA DE GENERACIÓN SOBRE LA CUBIERTA DEL SILO DE VEHICULOS DE VALENCIA TERMINAL EUROPA, EN MUELLE DIQUE DEL ESTE, EN PUERTO DE VALENCIA"

Documento visado electrónicamente con número: VA07290/22
Código de validación telemática TRLTDCFZ60T66IJ1. Comprobación: https://cogitivalencia.e-gestion.es/Validacion.aspx?CVT=TRLTDCFZ60T66IJ1

VISADO
COGITI
VALENCIA
VA07290/22
TRLTDCFZ60T66IJ1

1.2. FICHAS.

Documento visado electrónicamente con número: VA07290/22
Código de validación telemática TRLTDCFZ60T66IJ1. Comprobación: https://cogitivalencia.e-gestion.es/Validacion.aspx?CVT=TRLTDCFZ60T66IJ1

VISADO
COGITI
VALENCIA
VA07290/22
TRLTDCFZ60T66IJ1

www.jinkosolar.com

Building Your Trust in Solar

Tiger Pro 72HC

530-550 Watt

MONO-FACIAL MODULE

P-Type

Positive power tolerance of 0~+3%

IEC61215(2016), IEC61730(2016)

ISO9001:2015: Quality Management System

ISO14001:2015: Environment Management System

ISO45001:2018
Occupational health and safety management systems

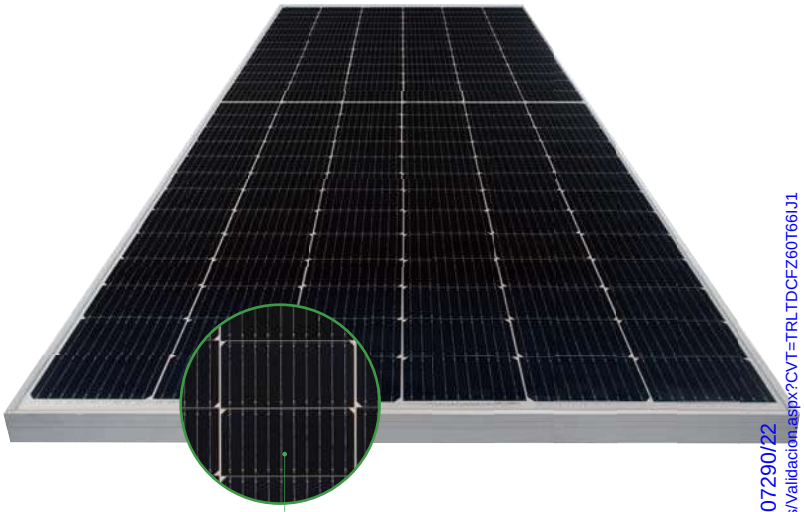

MBB HC Technology

Key Features

Multi Busbar Technology

Better light trapping and current collection to improve module power output and reliability.

Durability Against Extreme Environmental Conditions

High salt mist and ammonia resistance.

Reduced Hot Spot Loss

Optimized electrical design and lower operating current for reduced hot spot loss and better temperature coefficient.

Enhanced Mechanical Load

Certified to withstand: wind load (2400 Pascal) and snow load (5400 Pascal).

Longer Life-time Power Yield

0.55% annual power degradation and 25 year linear power warranty.

LINEAR PERFORMANCE WARRANTY

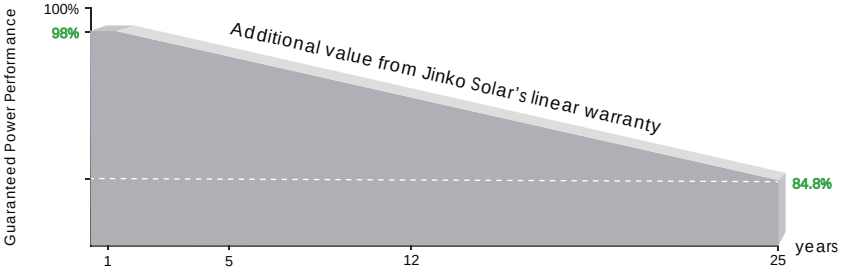

12 Year Product Warranty

25 Year Linear Power Warranty

0.55% Annual Degradation Over 25 years

Documento visado electrónicamente con número: VA07290/22
Código de validación telemática TRLTDCFZ60T66IJ1. Comprobación: https://cogitivalencia.e-gestion.es/Validacion.aspx?CVT=TRLTDCFZ60T66IJ1

VISADO
COGITI
TRLTDCFZ60T66IJ1
VALENCIA
VA07290/22

Engineering Drawings

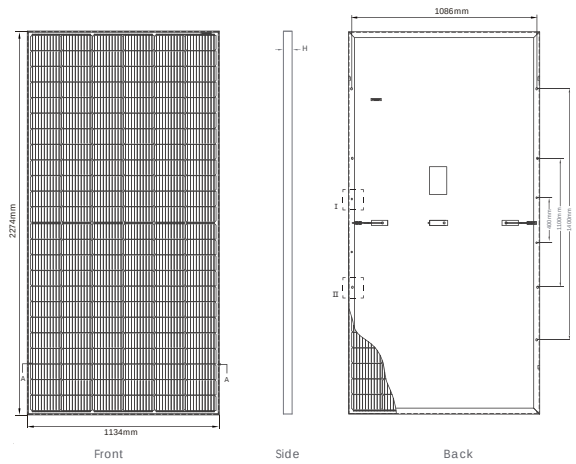

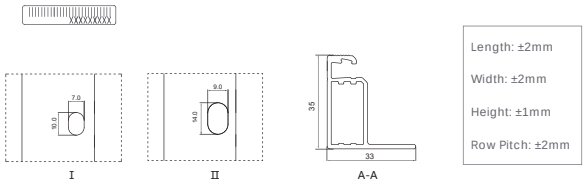

Length: ±2mm
Width: ±2mm
Height: ±1mm
Row Pitch: ±2mm

Electrical Performance & Temperature Dependence

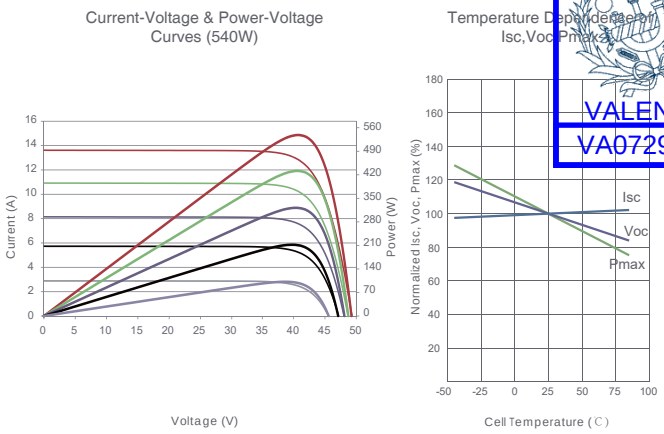

Mechanical Characteristics

Cell Type	P type Mono-crystalline
No. of cells	144 (6×24)
Dimensions	2274×1134×35mm (89.53×44.65×1.38 inch)
Weight	28.9 kg (63.7 lbs)
Front Glass	3.2mm,Anti-Reflection Coating, High Transmission, Low Iron, Tempered Glass
Frame	Anodized Aluminium Alloy
Junction Box	IP68 Rated
Output Cables	TUV 1×4.0mm² (+): 400mm , (-): 200mm or Customized Length

Packaging Configuration

(Two pallets = One stack)

31pcs/pallets, 62pcs/stack, 620pcs/ 40'HQ Container

SPECIFICATIONS

Module Type	JKM530M-72HL4 JKM530M-72HL4-V		JKM535M-72HL4 JKM535M-72HL4-V		JKM540M-72HL4 JKM540M-72HL4-V		JKM545M-72HL4 JKM545M-72HL4-V		JKM550M-72HL4 JKM550M-72HL4-V	
	STC	NOCT	STC	NOCT	STC	NOCT	STC	NOCT	STC	NOCT
Maximum Power (Pmax)	530Wp	394Wp	535Wp	398Wp	540Wp	402Wp	545Wp	405Wp	550Wp	409Wp
Maximum Power Voltage (Vmp)	40.56V	37.84V	40.63V	37.91V	40.70V	38.08V	40.80V	38.25V	40.90V	38.42V
Maximum Power Current (Imp)	13.07A	10.42A	13.17A	10.50A	13.27A	10.55A	13.36A	10.60A	13.45A	10.65A
Open-circuit Voltage (Voc)	49.26V	46.50V	49.34V	46.57V	49.42V	46.65V	49.52V	46.74V	49.62V	46.84V
Short-circuit Current (Isc)	13.71A	11.07A	13.79A	11.14A	13.85A	11.19A	13.94A	11.26A	14.03A	11.33A
Module Efficiency STC (%)	20.55%		20.75%		20.94%		21.13%		21.33%	
Operating Temperature(℃)	-40℃~+85℃									
Maximum system voltage	1000/1500VDC (IEC)									
Maximum series fuse rating	25A									
Power tolerance	0~+3%									
Temperature coefficients of Pmax	-0.35%/℃									
Temperature coefficients of Voc	-0.28%/℃									
Temperature coefficients of Isc	0.048%/℃									
Nominal operating cell temperature (NOCT)	45±2℃									

*STC: Irradiance 1000W/m² Cell Temperature 25°C AM=1.5

NOCT: Irradiance 800W/m² Ambient Temperature 20°C AM=1.5 Wind Speed 1m/s

©2020 Jinko Solar Co., Ltd. All rights reserved.
Specifications included in this datasheet are subject to change without notice.

Documento visado electrónicamente con número: VA07290/22
Código de validación telemática TRLTDCFZ60T66IJ1. Comprobación: https://cogitivalencia.e-gestion.es/Validacion.aspx?CVT=TRLTDCFZ60T66IJ1

VISADO
COGITI
VALENCIA
VA07290/22
TRLTDCFZ60T66IJ1

SUN2000-185KTL-H1
Smart String Inverter



9
MPP Trackers

99.0%
Max. Efficiency

String-level
Management

Smart I-V Curve
Diagnosis Supported

MBUS
Supported

Fuse Free
Design

Surge Arresters
for DC & AC

IP66
Protection

Efficiency Curve

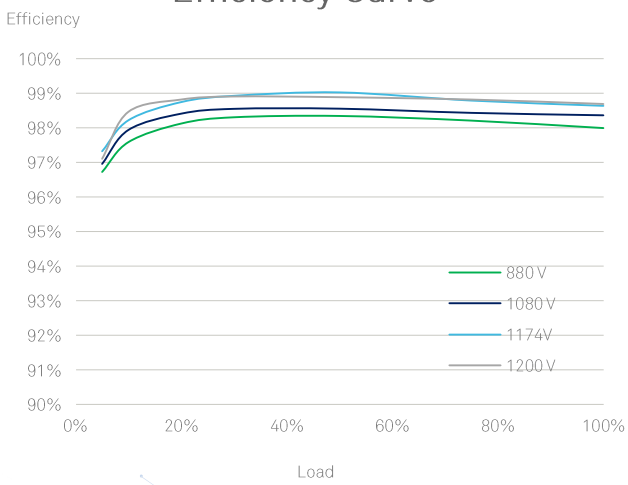

Circuit Diagram

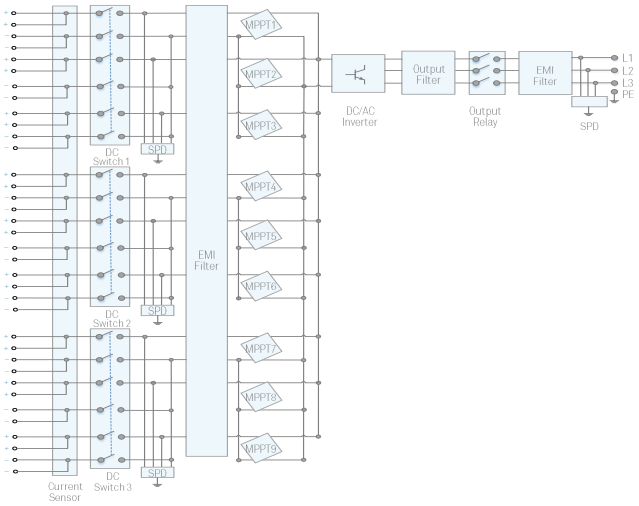

Documento visado electrónicamente con número: VA07290/22
Código de validación telemática TRLTDCFZ60T66IJ1. Comprobación: https://cogitivalencia.e-gestion.es/Validacion.aspx?CVT=TRLTDCFZ60T66IJ1

VISADO
COGITI
VALENCIA
VA07290/22
TRLTDCFZ60T66IJ1

SUN2000-185KTL-H1

Technical Specifications

Efficiency	
Max. Efficiency	99.03%
European Efficiency	98.69%
Input	
Max. Input Voltage	1,500 V
Max. Current per MPPT	26 A
Max. Short Circuit Current per MPPT	40 A
Start Voltage	550 V
MPPT Operating Voltage Range	500 V ~ 1,500 V
Nominal Input Voltage	1,080 V
Number of Inputs	18
Number of MPP Trackers	9
Output	
Nominal AC Active Power	185,000 W @25°C, 175,000 W @40°C
Max. AC Apparent Power	185,000 VA
Max. AC Active Power (cosφ=1)	185,000 W
Nominal Output Voltage	800 V, 3W + PE
Rated AC Grid Frequency	50 Hz / 60 Hz
Nominal Output Current	134.9A @25°C, 126.3 A @40°C
Max. Output Current	134.9 A
Adjustable Power Factor Range	0.8 LG ... 0.8 LD
Max. Total Harmonic Distortion	< 3%
Protection	
Input-side Disconnection Device	Yes
Anti-islanding Protection	Yes
AC Overcurrent Protection	Yes
DC Reverse-polarity Protection	Yes
PV-array String Fault Monitoring	Yes
DC Surge Arrester	Type II
AC Surge Arrester	Type II
DC Insulation Resistance Detection	Yes
Residual Current Monitoring Unit	Yes
Communication	
Display	LED Indicators, Bluetooth/WLAN + APP
USB	Yes
MBUS	Yes
RS485	Yes
General	
Dimensions (W x H x D)	1,035 x 700 x 365 mm (40.7 x 27.6 x 14.4 inch)
Weight (with mounting plate)	84 kg (185.2 lb.)
Operating Temperature Range	-25°C ~ 60°C (-13°F ~ 140°F)
Cooling Method	Smart Air Cooling
Max. Operating Altitude without Derating	4,000 m (13,123 ft.)
Relative Humidity	0 ~ 100%
DC Connector	Staubli MC4 EVO2
AC Connector	Waterproof Connector + OT/DT Terminal
Protection Degree	IP66
Topology	Transformerless
Standard Compliance (more available upon request)	
Certificate	EN 62109-1/-2, IEC 62109-1/-2, IEC 62920, EN 50530, IEC 62116, IEC 60068, IEC 61683
Grid Code	IEC 61727, IEC 62910, P.O. 12.3, RD 1699, RD 661, RD 413, RD 1565, RD 1663, UNE 206007-1, UNE 206006

Documento visado electrónicamente con número: VA07290/22
Código de validación telemática TRLTDCFZ60T66IJ1. Comprobación: https://cogitivalencia.e-gestion.es/Validacion.aspx?CVT=TRLTDCFZ60T66IJ1

exZhellent SOLAR

CABLES CORRIENTE CONTINUA
Conexión para paneles fotovoltaicos

VISADO
COGITI
VALENCIA
VA07290/22
TRLTDCFZ60T66IJ1



EXZHELLENT SOLAR ZZ-F (AS) 1.8 kV DC - 0.6/1 kV AC

Conductor : Conductor estañado clase 5 para servicio móvil (-F)
Aislación : Elastómero termoestable libre de halógenos (Z)
Cubierta : Elastómero termoestable libre de halógenos (Z)
Norma Constructiva : AENOR EA 0038
TÜV 2 Pfg 1169/08.2007 cables para paneles solares.

Norma Nac / Europea : UNE-EN 60332-1-2
UNE-EN 50226-2-4
UNE-EN 50267
UNE EN 61034-2

Internacional : IEC 60332-1-2
IEC 60332-3-24
IEC 60754
IEC 61034-2

30 AÑOS
VIDA ÚTIL GARANTIZADA

La serie de cables EXZHELLENT SOLAR (AS), está constituida por cables flexibles monoconductores de tensión 1,8 kV en corriente continúa (cc)

Son cables específicos para instalaciones solares fotovoltaicas (pV), capaces de soportar las extremas condiciones ambientales que se producen en este tipo de instalaciones.

Sus características principales son:
:: Servicio móvil.
:: Alta seguridad. **Especialmente diseñado para no dañar los paneles solares.**
:: Resistencia a la intemperie.
:: Trabajo a muy baja temperatura (-40°C)
:: Resistencia a la abrasión, el desgarro y los aceites y grasas industriales.
:: Endurecimiento térmico de los materiales para garantizar una **vida útil de 30 años.**

La temperatura máxima del conductor en servicio permanente es de 90°C, pudiendo soportar temperaturas de 120°C durante 20.000 horas

EXZHELLENT SOLAR ZZ-F (AS) 1.8 kV DC - 0.6/1 kV AC					
SECCIÓN	DIÁMETRO EXTERIOR	PESO	RADIO MÍNIMO CURVATURA	RESISTENCIA MAX DEL CONDUCTOR	INTENSIDAD AL AIRE / 40°C
mm²	mm	kg/Km	mm	Ohm/km	A
1x2,5	5,0	50	20	8,21	41
1x4	5,6	65	23	5,09	55
1x6	6,8	85	26	3,39	70
1x10	7,9	140	32	1,95	96
1x16	8,8	200	35	1,24	132

OTROS CALIBRES,REALIZAR CONSULTA A NUESTRO EQUIPO

Documento visado electrónicamente con número: VA07290/22
Código de validación telemática: TRLTDCFZ60T66IJ1. Comprobación: https://cogitivalencia.e-gestion.es/Validacion.aspx?CVT=TRLTDCFZ60T66IJ1

VISADO
COGITI
VALENCIA
TRLTDCFZ60T66IJ1
VA07290/22

PRISMA 310A

Opciones de integración con SmartLogger e inversores Huawei

Regulador de potencia para el autoconsumo

Con cumplimiento de los criterios de la UNE 217001-IN y RD 244/2019



Figura 1 PRISMA 310A - un controlador dinámico de potencia con inyección CERO compacto

Autoconsumo de electricidad sin excedentes

PRISMA 310A permite regular la potencia obtenida de fuentes renovables y aportar garantías físicas y lógicas para decidir qué potencia debemos o deseamos consumir de la red.

Integra en el mismo dispositivo un contador para la regulación instantánea y elimina la necesidad de otros componentes externos en la regulación de la potencia

- Permite la monitorización del consumo y la potencia instantánea de la instalación (4 cuadrantes)
- Puede utilizarse como contador del SMARTLOGGER
- **Incorpora siempre relé de desconexión de potencia fotovoltaica cuando la inyección de red persiste pasado un tiempo (Ajustable en milisegundos).**
- Puede ser utilizado por Smartlogger para el ajuste de la potencia fotovoltaica desde el propio dispositivo
- **Permite el envío de mensajes de regulación (PRISMA->Smartlogger) de la potencia fotovoltaica requerida**
- **El relé de desconexión+indicador luminoso actúa siempre (independientemente del regulador utilizado). La conexión de este relé a un contactor para la desconexión de la producción fotovoltaica depende de las necesidades de la instalación.**

El relé de desconexión identifica la inyección y es capaz de reaccionar en tiempos menores a los requeridos según informe UNE 217001-IN y Real Decreto 244/2019

Documento visado electrónicamente con número: VA07290/22
Código de validación telemática TRLTDCFZ60T66IJ1. Comprobación: https://cogitivalencia.e-gestion.es/Validacion.aspx?CVT=TRLTDCFZ60T66IJ1

VISADO
COGITI
VALENCIA
VA07290/22
TRLTDCFZ60T66IJ1

Descripción de la instalación

Tenemos por un lado el Smartlogger de Huawei



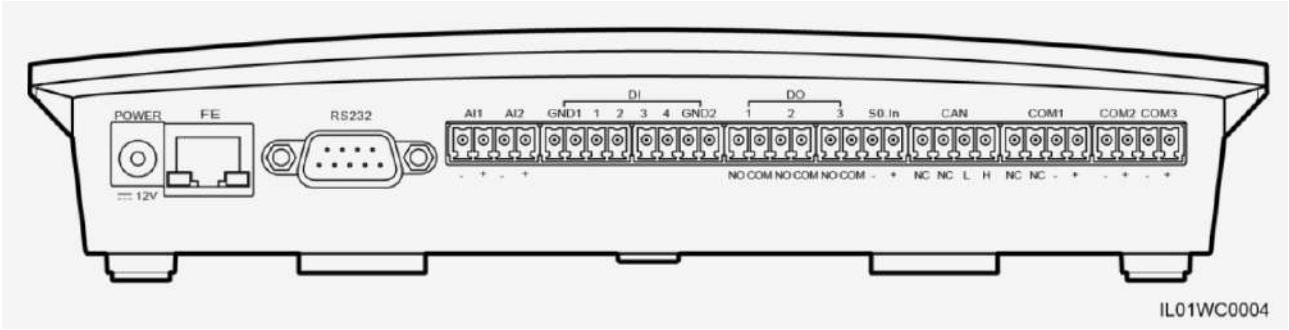

Utilizaremos en la integración:

-Ethernet: La vamos a usar para configurar el smarlogger y para conectarlo con el PRISMA para que éste último realice la regulación de potencia (requiere un switch habitualmente para conectarlo a Internet y proporcionar monitorización)

-Com1: Puerto RS485 para comunicar con el PRISMA comportandase como contador.

-Com2: Puerto RS485 para hablar con los inversores (el Smartlogger)

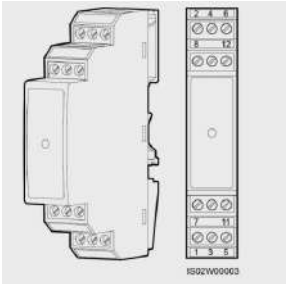

Utilizaremos el dispositivo RS485 signal SPD (incluido con el Smartlogger) para protección/aislamiento del bus (hasta 2)

Documento visado electrónicamente con número: VA07290/22
Código de validación telemática TRLTDCFZ60T66IJ1. Comprobación: https://cogitivalencia.e-gestion.es/Validacion.aspx?CVT=TRLTDCFZ60T66IJ1

VISADO
COGITI
TRLTDCFZ60T66IJ1
VALENCIA
VA07290/22

PRISMA 310A

Opciones de integración con SmartLogger e inversores Huawei

En un esquema tendremos la siguiente configuración:

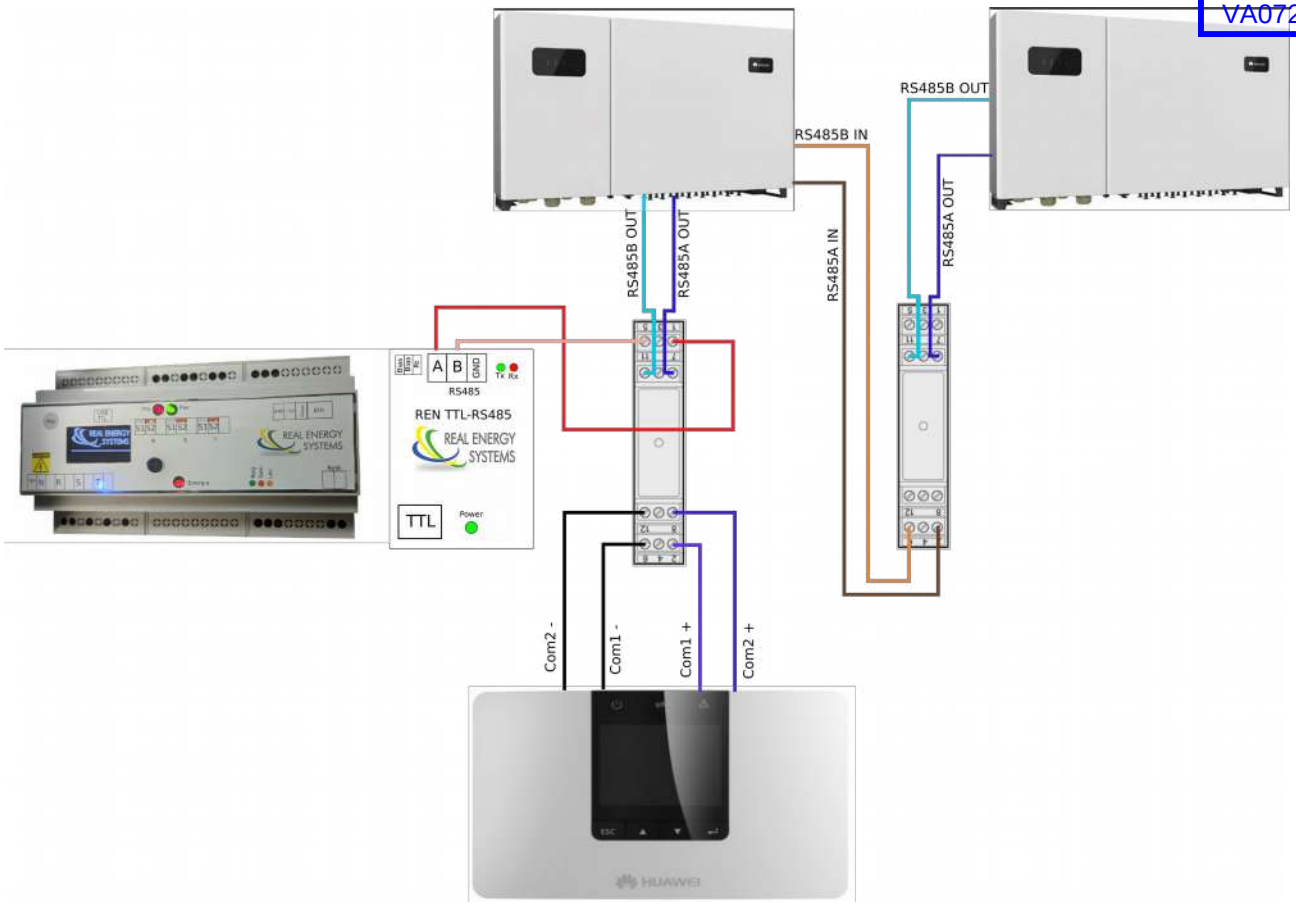

Donde además PRISMA+Smartlogger se encuentran conectados a la misma red Ethernet (o entre sí, cuando no se requiere otra conexión o Internet)

Documento visado electrónicamente con número: VA07290/22
Código de validación telemática TRLTDCFZ60T66IJ1. Comprobación: https://cogitivalencia.e-gestion.es/Validacion.aspx?CVT=TRLTDCFZ60T66IJ1

VISADO
COGITI
VALENCIA
VA07290/22
TRLTDCFZ60T66IJ1

Gestión de potencia

Es posible configurar los dispositivos para conseguir dos tipos distintos de regulación:

- Smartlogger lee los datos del PRISMA como contador y toma las decisiones necesarias para ajustar la potencia exportada. Para esta configuración:

  1. Siga los pasos de configuración referidos en el apartado de este mismo documento "Monitorización de consumos"
  2. Configure el dispositivo como contador de energía (ver apartado más adelante en este mismo documento)
  3. Configure el Smartlogger siguiendo las instrucciones de Huawei para su configuración en el control de la regulación de potencia

- PRISMA toma las decisiones apropiadas para la regulación de potencia y envía instrucciones al Smartlogger para su regulación.

Documento visado electrónicamente con número: VA07290/22
Código de validación telemática TRLTDCFZ60T66IJ1. Comprobación: https://cogitivalencia.e-gestion.es/Validacion.aspx?CVT=TRLTDCFZ60T66IJ1

VISADO
COGITI
TRLTDCFZ60T66IJ1
VALENCIA
VA07290/22

PRISMA 310A

Opciones de integración con SmartLogger e inversores Huawei

Regulación PRISMA->SMARTLOGGER

Esta será nuestro modo "preferido" al ser el que más rápidamente es capaz de trasladar al smartlogger las necesidades/realidad de regulación:

Preparación: Revisamos que todos los inversores están gestionados.

Accedemos mediante la IP a través de un navegador y en el puerto https (NO RESPONDE HTTP):

Ejemplo: https://192.168.0.10

Usaremos usuario Advanced user (contraseña por defecto "Changeme")

Para localizar los inversores (previo a este punto) seguir las instrucciones del fabricante (Maintenance->Connect Device->Auto Assign Address->Set Start Address to 1->Auto Assign Address)

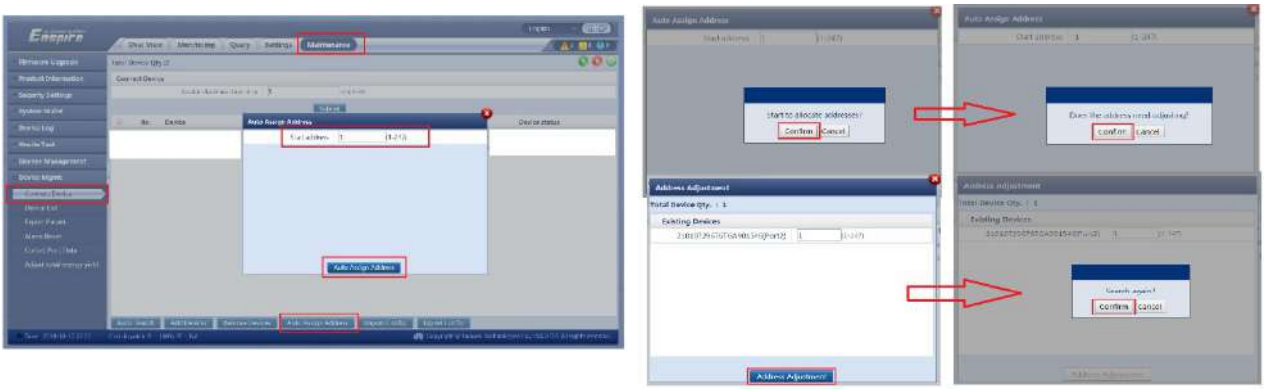

Podemos confirmar que todos los inversores están listos en "Monitoring"



Atención: En caso de no ver todos los inversores es posible que sea necesario alguna acción especial (Actualización del firmware, ...) Siga las instrucciones del fabricante,....

Documento visado electrónicamente con número: VA07290/22
Código de validación telemática TRLTDCFZ60T66IJ1. Comprobación: https://cogitivalencia.e-gestion.es/Validacion.aspx?CVT=TRLTDCFZ60T66IJ1

VISADO
COGITI
VALENCIA
VA07290/22
TRLTDCFZ60T66IJ1

Guía de configuración

Programar los inversores para que obedezcan las instrucciones del PRISMA

Special user → Settings → Active Power Control

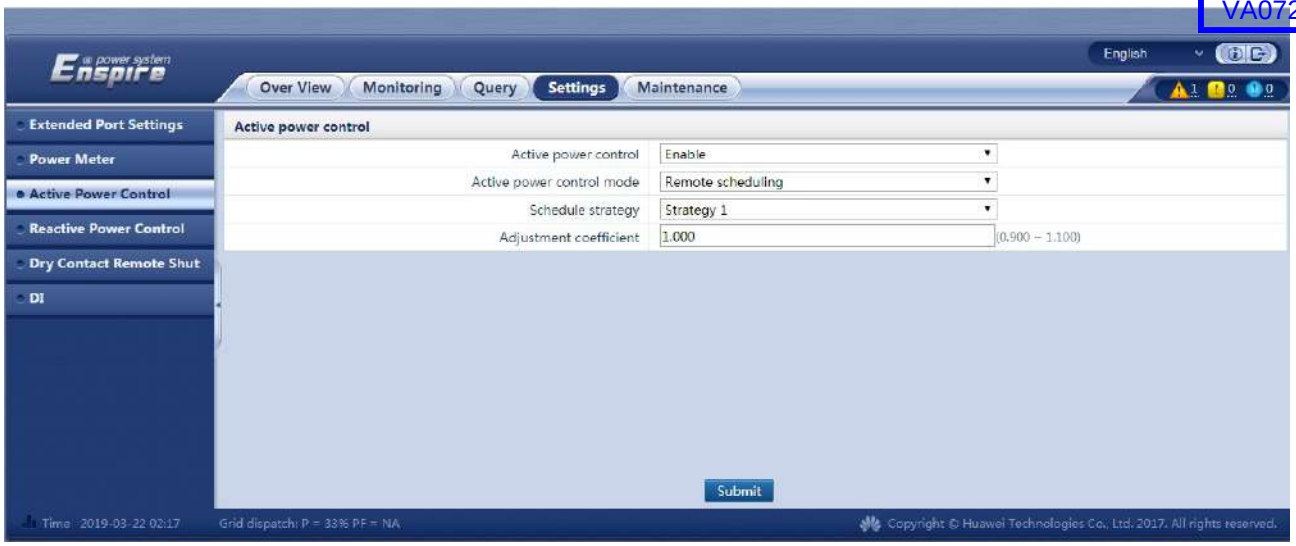

Configurar la comunicación modbuss TCP (y permitir comunicaciones desde el PRISMA)

En la pestaña advanced user →Settings → Comm. Pram. → Modbus TCP

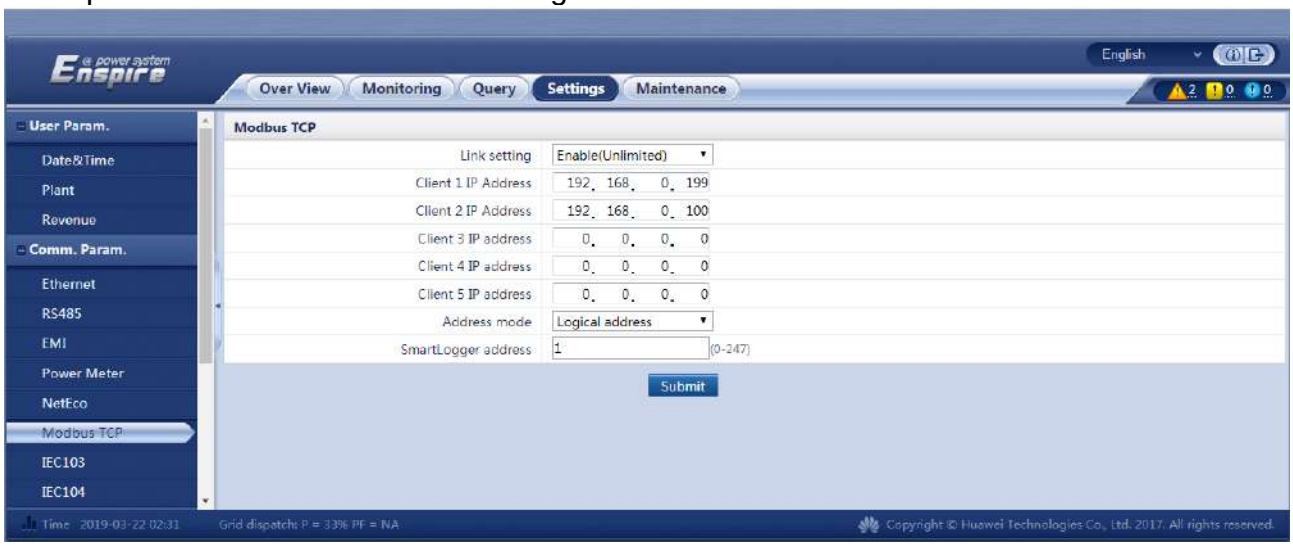

Suponemos aquí que el ordenador desde el que estamos accediendo tiene la dirección 192.168.0.100 y el PRISMA la dirección 192.168.0.199. Deberá adaptarlas de acuerdo a su configuración de red.

El SmartLogger address podremos que configurar el que queramos menos el 1 pero luego habrá que indicarlo también en el Prisma

Ahora vamos a configurar al inversor para que las ordenes de bajada sean instantáneas y no de manera gradual.

advanced user → Monitoring → seleccionamos el inversor → Running Param → Power Adjustment

Documento visado electrónicamente con número: VA07290/22
Código de validación telemática TRLTDCFZ60T66IJ1. Comprobación: https://cogitivalencia.e-gestion.es/Validacion.aspx?CVT=TRLTDCFZ60T66IJ1

VISADO
COGITI
VALENCIA
VA07290/22
TRLTDCFZ60T66IJ1

Ahí le ponemos la siguiente configuración

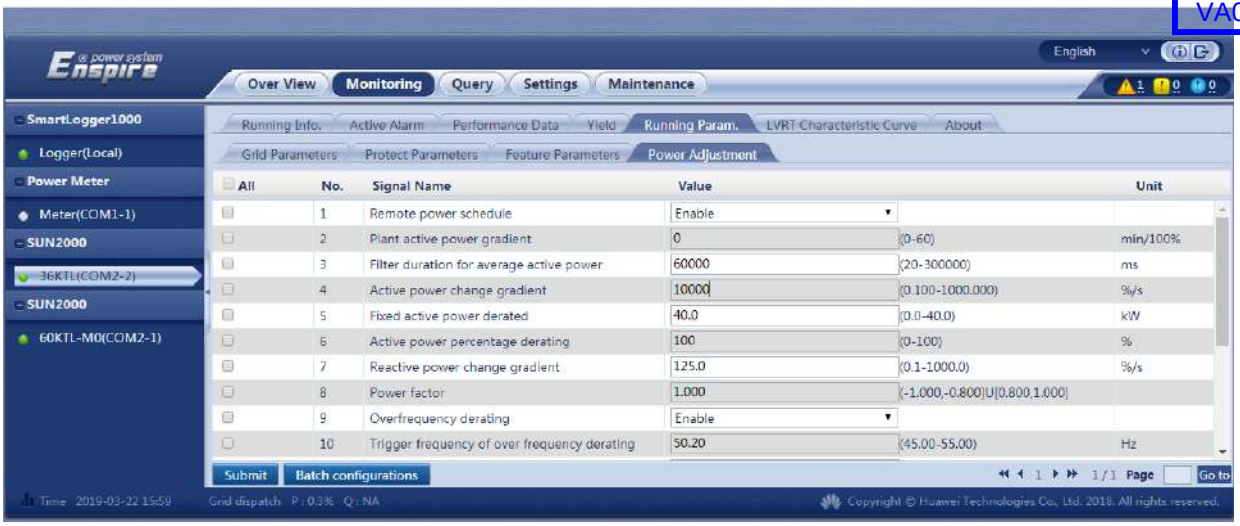

El parámetro que ajusta esto es el de Active power change gradient y hay que dejarlo en 1000 para que sea lo más rápido posible

Lo último que hay que configurar es que el inversor se vaya a 0 en caso de perder las comunicaciones.

advanced user → Monitoring → seleccionamos el inversor → Running Param → Freature parameters

Activamos la opciones de “Communication interruption shutdown” y la de “Communication resumed estartup”



Con esto los inversores ya estarían configurados para que hicieran la regulación de potencia

Documento visado electrónicamente con número: VA07290/22
Código de validación telemática TRLTDCFZ60T66IJ1. Comprobación: https://cogitivalencia.e-gestion.es/Validacion.aspx?CVT=TRLTDCFZ60T66IJ1

VISADO
COGITI
VALENCIA
VA07290/22
TRLTDCFZ60T66IJ1

Configuración del PRISMA para la regulación de potencia

Para que el Smartlogger reciba las instrucciones correctas de adecuación de la potencia requerida en la instalación es necesario:

1. Que el Smartlogger se encuentre en una IP fija y se encuentre configurado según las instrucciones previas.
2. Configurar los registros de control en el PRISMA. Esto puede hacerse, ya mediante la pantalla directamente (clave Inyección), ya con el programa Supervisor (descargable desde https://www.realenergysystems.com/descargas/index.php)

Aunque es posible ajustar los datos según las necesidades concretas de la instalación, un ejemplo típico de configuración es la siguiente:

.Generacion.Generador 1.Regulador=1
.Generacion.Generador 1.Dato.Factor=10,0
.Generacion.Generador 1.Dato.Desplazamiento=0,0
.Generacion.Generador 1.Dato.Tipo=0
.Generacion.Generador 1.Dato.Valor=0,0
.Generacion.Generador 1.Comunicacion.Tiempo Entre Mensajes Elevacion (ms)=1000
.Generacion.Generador 1.Comunicacion.Tiempo Entre Mensajes Descenso (ms)=250
.Generacion.Generador 1.IP Destino=192.168.0.10
.Generacion.Generador 1.Puerto=502
.Generacion.Generador 1.Timeout mensaje (ms)=2000
.Generacion.Generador 1.Id Esclavo=(esclavo que le hayamos indicado al smartlogger)
.Generacion.Generador 1.Funcion Escritura=6
.Generacion.Generador 1.Direccion Datos=40428
.Generacion.Generador 1.Refresco Datos (ms)=500
.Generacion.Generador 1.Direccion Enabled=0

Donde:

- Regulador asociado: es el elemento del PRISMA que determina la potencia requerida (es posible regular hasta tres dispositivos según tres lógicas distintas)
- Factor: Especificado en 10 porque el dispositivo recibe el requerimiento de potencia en valores de 0 a 1.000 (100,00%)
- Tipo: 0 (Tipo de dato que espera el Smartlogger)
- Tiempo entre mensajes de elevación: Los mensajes de elevación de potencia llevan un cierto retardo.
- Tiempo entre mensajes de Descenso: Mensajes de reducción de potencia se envían más rápido/con más prioridad que los de reducción.
- IP Destino: IP correspondiente al Smartlogger
- Puerto: 502 para comunicación Modbus
- Timeout mensaje: Tiempo para descartar un mensaje enviado y reintentar.
- Esclavo: Aquí pondremos el que le hayamos indicado al smartlogger (pag 6)
- Función Escritura: Tipo de mensaje de escritura esperado por Smartlogger
- Dirección Datos: 40428: Registro en el que se se espera la regulación requerida
- Refresco Datos: Recordatorio de potencia requerida (evita acción de "emergencia") en Smartlogger. Debe ser al menos la mitad del configurado en el Smartlogger
- Dirección Enabled: 0 (=>No requerida)

Documento visado electrónicamente con número: VA07290/22
Código de validación telemática TRLTDCFZ60T66IJ1. Comprobación: https://cogitivalencia.e-gestion.es/Validacion.aspx?CVT=TRLTDCFZ60T66IJ1

VISADO
COGITI
VALENCIA
VA07290/22
TRLTDCFZ60T66IJ1

Monitorización de consumos

El propósito es utilizar el PRISMA como dispositivo para la lectura de los consumos.

Estos datos puede luego opcionalmente, o ser utilizados por el Smartlogger para la regulación de la potencia de los inversores (solo cuando no se utilice PRISMA para esta función), o simplemente disponer de ellos para la monitorización.

Necesitamos configurar el PRISMA en el Smartlogger
ESTA CONFIGURACIÓN EXIGE LA UTILIZACIÓN DEL REN-TTL485 (ESTE COMPONENTE SE VENDE DE FORMA SEPARADA)

Para ello:

La conexión se llevara a cabo como se indica en el esquema (REN-TTL485 al bus RS485 del Smartlogger en un puerto distinto al de los inversores)

En el smartlogger habrá que poner la siguiente configuración:

advanced user → Maintenance → Connect Device → Add device

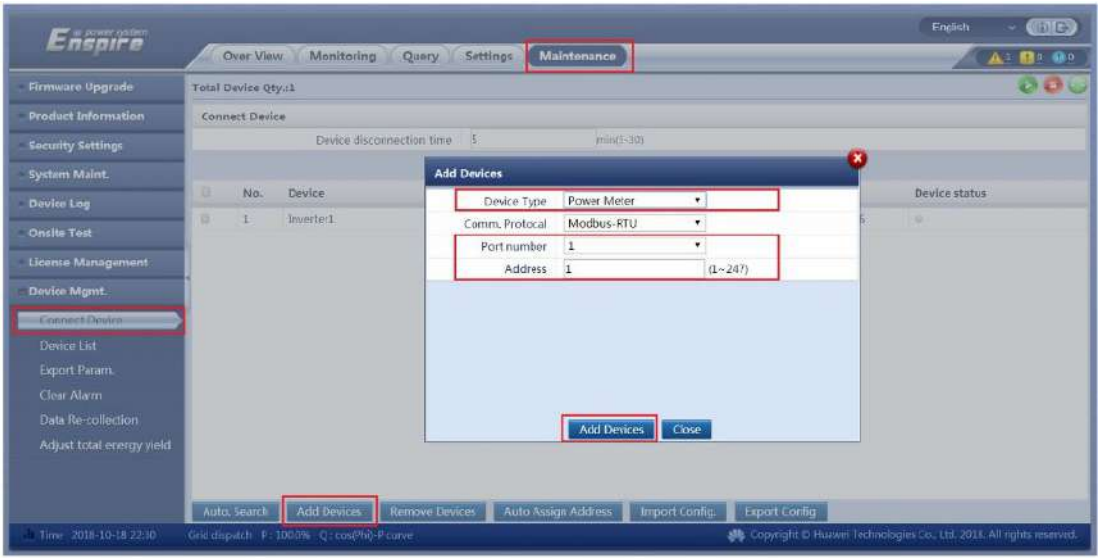

Especificando PowerMeter, Modbus RTU, Puerto 1 (en el que habíamos conectado) y dirección 1

Ahora hay que configurar los parámetros de la comunicación RS485
advanced user → settings → RS485

Documento visado electrónicamente con número: VA07290/22
Código de validación telemática TRLTDCFZ60T66IJ1. Comprobación: https://cogitivalencia.e-gestion.es/Validacion.aspx?CVT=TRLTDCFZ60T66IJ1

VISADO
COGITI
VALENCIA
VA07290/22
TRLTDCFZ60T66IJ1



Ahí podemos configurar los los parametros de los 3 “COM” del smartlogger, en nuestro caso para poder comunicar con el PRISMA se dejan los parametros en el COM 1 como se indica en la imagen
Una vez que le hemos creado el “power meter” (contador) tenemos que configurarlo

advanced user → settings → Power Meter

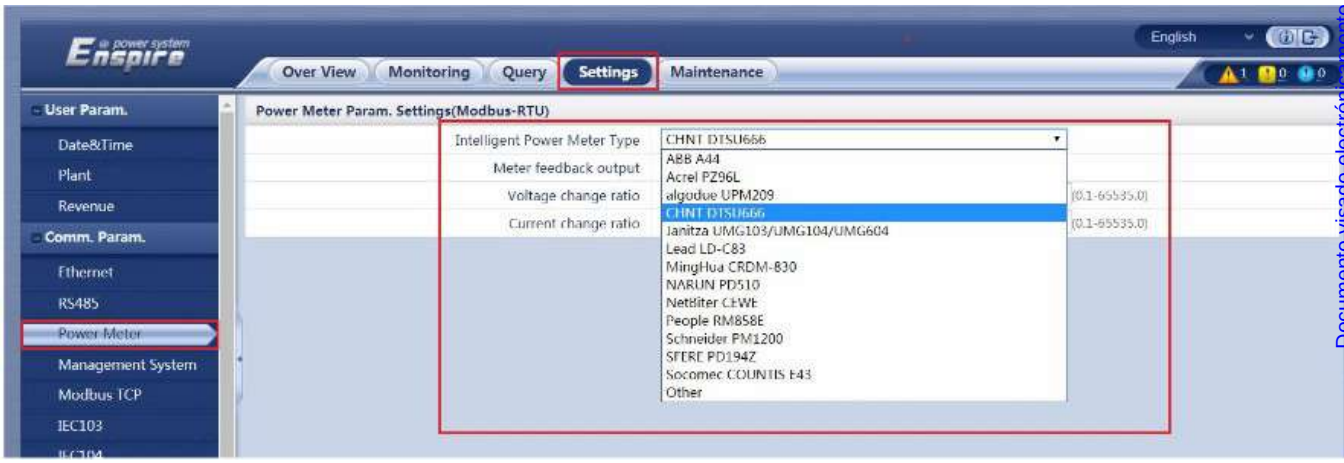

El único parámetro que le tenemos que marcar es la opción “Other” en la pestaña de Intelligent Power meter Type

Por último habrá que marcarles cuales son los parámetros. Pondremos:

Documento visado electrónicamente con número: VA07290/22
Código de validación telemática TRLTDCFZ60T66IJ1. Comprobación: https://cogitivalencia.e-gestion.es/Validacion.aspx?CVT=TRLTDCFZ60T66IJ1

VISADO
COGITI
VALENCIA
VA07290/22
TRLTDCFZ60T66IJ1

PRISMA 310A

Opciones de integración con SmartLogger e inversores Huawei

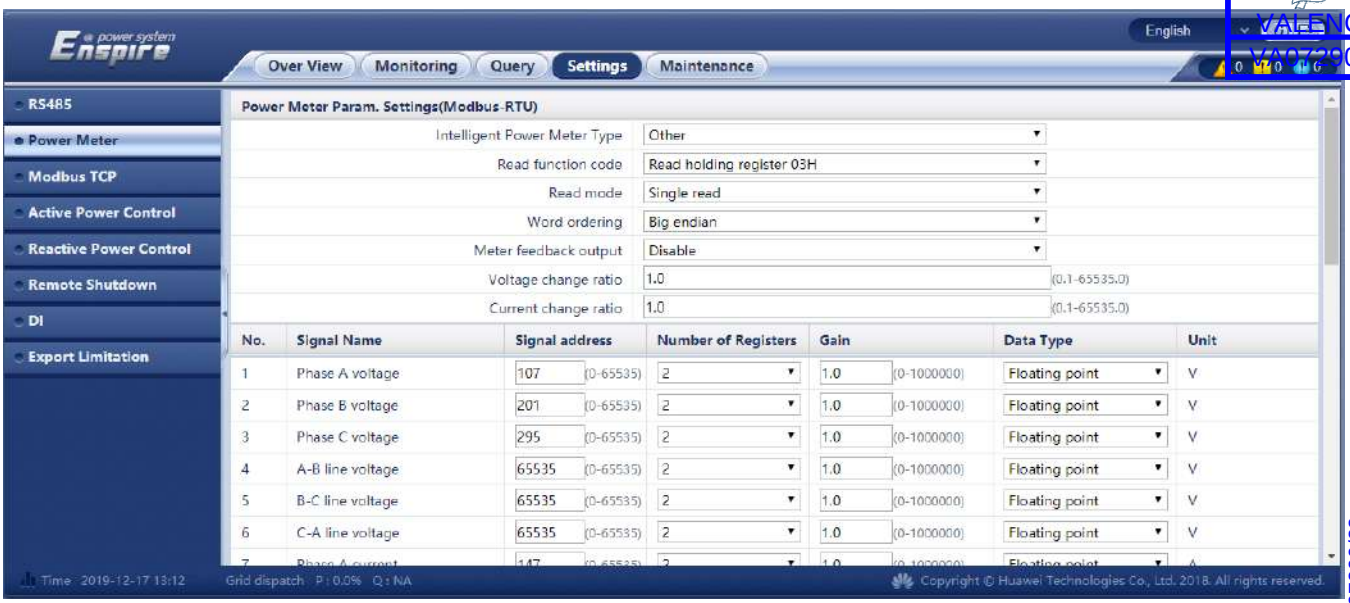



Para que el Smartlogger reciba los datos del PRISMA debemos asegurarnos que en el PRISMA tenemos la siguiente configuración:

.Comunicaciones.Serial.Baudios (10e-2)=96
.Comunicaciones.Serial.Modo=0
.Comunicaciones.Serial.Tiempo Minimo Entre Mensajes (ms)=1000
.Comunicaciones.Serial.Master=0

Documento visado electrónicamente con número: VA07290/22
Código de validación telemática TRLTDCFZ60T66IJ1. Comprobación: https://cogitivalencia.e-gestion.es/Validacion.aspx?CVT=TRLTDCFZ60T66IJ1

VISADO
COGITI
TRLTDCFZ60T66IJ1
VALENCIA
VA07290/22

SmartLogger3000A



Inteligente
Diseño de control de exportación inteligente cero

Seguro
Fácil de instalar en el sitio

Fiable
Protección contra sobretensiones

Especificaciones técnicas	SmartLogger3000A
	Gestión de dispositivos
Max. Número de dispositivos manejables	80
	Interfaz de comunicación
WAN	WAN x 1, 10 / 100 / 1000 Mbps
LAN	LAN x 1, 10 / 100 / 1000 Mbps
RS485	COM x 3, 1200 / 2400 / 4800 / 9600 / 19200 / 115200 bps, 1000 m
MBUS	MBUS x 1, 115.2 kbps, Compatible con PLC *OPCIONAL
2G / 3G / 4G [1]	LTE(FDD) : B1,B2,B3,B4,B5,B7,B8,B20 DC-HSPA+/HSPA+/HSPA/UMTS : 850/900/1900/2100 MHz GSM/GPRS/EDGE: 850/900/1800/1900 MHz [2]
Entrada / salida digital / analógica	DI x 4, DO x 2, AI x 4
DO activo	12V, 100mA (conexión con relé, sensor)
	Protocolo de comunicación
Ethernet	Modbus-TCP, IEC 60870-5-104
RS485	Modbus-RTU, IEC 60870-5-103 (estándar), DL / T645
	Interacción
LED	LED Indicator x 3 – RUN, ALM, 4G
WEB	Web incrustada
USB	USB 2.0 x 1
APP	Comunicación por WLAN para la puesta en servicio
	Ambiente
Rango de temperatura de operación	-40°C ~ 60°C
Temperatura de almacenaje	-40°C ~ 70°C
Humedad relativa (sin condensación)	5% ~ 95%
Max. Altitud de operación	4,000 m
	Alimentación
Fuente de alimentación de CA	100 V ~ 240 V, 50 Hz / 60 Hz
Fuente de alimentación de CC	12 V / 24 V
Consumo de energía	Típico 8 W, Max. 15 W
	Datos generales
Dimensiones (W x H x D)	225 x 160 x 44 mm (sin orejas de montaje y antena)
Peso	2 kg
Grado de protección	IP20
Opciones de instalación	Montaje en pared, montaje en riel DIN, montaje de mesa

*1 Al poner dentro de la caja de metal, se necesitará antena extendida.
*2 Para recomendada lista y datos de portadores en frecuencias compatibles, póngase en contacto con los distribuidores locales.

Documento visado electrónicamente con número: VA07290/22
Código de validación telemática TRLTDCFZ60T66IJ1. Comprobación: https://cogitivalencia.e-gestion.es/Validacion.aspx?CVT=TRLTDCFZ60T66IJ1

VISADO
COGITI
17
VALENCIA
VA07290/22
TRLTDCFZ60T66IJ1

Especificaciones Técnicas del Datasol MET

Las especificaciones técnicas del Datasol MET son las siguientes:

Especificaciones Técnicas Generales

Descripción	
Tensión de alimentación de la fuente externa **(*)**	Rango de tensión: 16 a 33 V_{DC}
Consumo	Medio: 20 mW / Máximo: 80 mA
Dimensiones	Ancho: 266mm. Alto: 266mm. Profundidad: 35mm.
Rango de temperatura de funcionamiento	-20ºC hasta +60ºC
Rango de temperatura de almacenamiento	-20ºC hasta +75ºC
Grado de protección	IP-65
Peso	1600g
Sistema de montaje	Fijación Hook / Fijación atornillada

(*) La alimentación está aislada del puerto de comunicaciones RS485.

Especificaciones Técnicas de Comunicaciones

Descripción	
Estándar	RS485 half duplex
Protocolo de comunicaciones	ATERSA o MODBUS RTU (autodetección)
Velocidad de transmisión **(*)**	9.600 / 19.200 / 38.400 / 57.600 / 115.200 bps
Distancia máxima	500m
Corriente de alimentación en reposo	10mA media
Modo	Esclavo. Solo responde bajo petición
Direcciones de nodo disponibles	01 a 99 equipos
Máximo número de nodos.	32
Nº de serie	10 dígitos
Cable de comunicaciones.	Utilizar dos pares trenzados de baja capacidad. Un par para datos (A y B) y otro para alimentación (+ y -). Los dos pares irán dentro del mismo apantallamiento del cable.
Conexión de la pantalla del cable de comunicaciones	Solo se conecta a tierra en el extremo del maestro. Sólo un punto.

(*) Velocidad de transmisión por defecto de fábrica 38.400 bps

Documento visado electrónicamente con número: VA07290/22
Código de validación telemática TRLTDCFZ60T66IJ1. Comprobación: https://cogitivalencia.e-gestion.es/Validacion.aspx?CVT=TRLTDCFZ60T66IJ1

VISADO
COGITI
VALENCIA
VA07290/22
TRLTDCFZ60T66IJ1

Especificaciones Técnicas de la Medida de Temperatura

Descripción	
Tipo de sensor	Pt100 (385)
Rango de medida de temperatura	-20ºC hasta +100ºC
Error máximo	±0.8ºC

Especificaciones Técnicas de la Medida de Radiación (*)

Descripción	
Tipo de sensor	2 Células Calibradas
Rango de medida	0 a 1400W/m²
Error intrínseco a la medida	±0.2%
Error de la medida del Patrón de Referencia (**)	±2%
Máximo error relativo	±2.2%

(*) La medida de radiación del MET incorpora compensación con la temperatura de célula.

(**) Patrón de referencia calibrado por el CIEMAT

Especificaciones Técnicas de la Medida de la velocidad

Descripción	
Conexión anemómetro	Borna 15, borna 16 y borna 2 (ó borna 5). Ver dibujo 9
Relación frecuencia/velocidad	Lineal 1.05Hz/km/h
Rango velocidad medible	2…140km/h

Documento visado electrónicamente con número: VA07290/22
Código de validación telemática TRLTDCFZ60T66IJ1. Comprobación: https://cogitivalencia.e-gestion.es/Validacion.aspx?CVT=TRLTDCFZ60T66IJ1

VISADO
COGITI
VALENCIA
VA07290/22
TRLTDCFZ60T66IJ1

Las especificaciones técnicas de los anemómetros son las siguientes:

Especificaciones Técnicas del Anemómetro (1)

Descripción	Anemo 4403 v2
Tipo de salida	Frecuencia (pulsos)
Tipo de contacto	reed
Rango velocidad medible	2…200km/h
Precisión	±2%
Relación frecuencia/velocidad	Lineal 1.05Hz/km/h
Dimensiones	124x124x139mm
Tª trabajo sin hielo	-20ºC…+80ºC
Tª almacenamiento	-35ºC…+85ºC
Peso	154g
Peso (con cable de 20 m.)	1265g
Estanqueidad	IP-65
Longitud del cable	20m

Especificaciones Técnicas del Anemómetro (2) (*)

Descripción	Anemo 4403 v3
Tipo de salida	Frecuencia (pulsos)
Tipo de contacto	reed
Rango velocidad medible	3…180km/h
Precisión	1km/h (3-15km/h) ±3% (15-180km/h)
Relación velocidad/ frecuencia	Lineal V(km/h)=0.8f(Hz)+3 ***(*)***
Dimensiones	125x1245139mm
Tª trabajo sin hielo	-20ºC…+80ºC
Tª almacenamiento	-35ºC…+85ºC
Peso	130g
Peso (con cable de 20 m.)	1420g
Estanqueidad	IP-65
Longitud del cable	20m

(*) Para este anemómetro, el valor de la medida de la velocidad del viento que proporciona el MET hay que multiplicarlo por un factor de corrección de 0.87

Documento visado electrónicamente con número: VA07290/22
Código de validación telemática TRLTDCFZ60T66IJ1. Comprobación: https://cogitivalencia.e-gestion.es/Validacion.aspx?CVT=TRLTDCFZ60T66IJ1

VISADO
COGITI
VALENCIA
VA07290/22
TRLTDCFZ60T66IJ1

CVM-A1500

Analizador de redes para panel con medida de parámetros de calidad de suministro



Descripción

CVM-A1500 es un analizador de redes con calidad de suministro con sistema SGE incorporado (Software de Gestión Energética). Su Servidor Web integrado (HTML5) permite al usuario el control total de su instalación a través de cualquier navegador web.

Ideal para su instalación en los puntos más relevantes o críticos de cualquier instalación eléctrica debido a la gran cantidad de variables eléctricas que monitoriza y registra (aproximadamente un año de datos con valores promedio, máximos y mínimos). Este captura eventos de calidad de suministro tales como sobretensiones, huecos, interrupciones (cada medio ciclo) y transitorios (según **IEC 61000-4-30** Clase A). Cualquier evento será capturado de inmediato junto a su forma de onda asociada (tanto en tensión como en corriente).

El equipo añade la medida de parámetros de calidad de suministro (definidos en la norma **EN 50160**) tales como Flicker, Coeficiente de desequilibrio (Kd) y asimetría (Ka) o la descomposición hasta el 63º armónico tanto en tensión como en corriente. Además es posible visualizar en tiempo real las formas de onda instantáneas de tensión y corriente a través de su función Osciloscopio.

Como valor añadido el **CVM-A1500** presenta en pantalla el número de eventos de calidad y transitorios por fase, junto con la descripción de la fase afectada, el nivel y duración de este junto con su forma de onda asociada. Además parte de estos eventos son mostrados en las gráficas de eventos CBEMA, ITIC y SEMI-F47.

El atractivo diseño del **CVM-A1500** permite la personalización de pantallas con variables definidas por el usuario para hacer más rápido el acceso a la información. Además el equipo permite la conexión con el software PowerStudio para almacenar de forma redundante toda su información en un servidor o PC de forma ilimitada.

- Formato 144 x 144 mm
- Software de Gestión Energética incluido (registro de datos históricos)
- Capturas de eventos, formas de onda y valores instantáneos
- Expandible de hasta 3 módulos (Entradas/Salidas y comunicaciones)
- Pantalla VGA a color y gran resolución
- Protección frontal IP 65 (con junta de estanqueidad)
- 5 Entradas de tensión + 4 Entradas de corriente ITF
- Precisión en Energías Clase 0,2S (**IEC 62053-22**)
- Fuente de alimentación universal AC/DC y opción en DC
- Punto de comunicaciones Ethernet (Web server) + RS-485 (protocolo Modbus RTU o BACnet)
- Personalización de los parámetros a mostrar por pantalla.
- 3 Tarifas (seleccionables por entrada digital o por comunicaciones RS-485)
- Registro de coste monetario y emisores de $kgCO_2$
- 2 Salidas a relé para alarmas + 2 Salidas a transistor para alarmas o generación de impulsos + 2 Entradas digitales con posibilidad de control sobre la selección de tarifas del equipo o control de estados lógicos y contaje de otros contadores.

Documento visado electrónicamente con número: VA07290/22
Código de validación telemática TRLTDCFZ60T66IJ1. Comprobación: https://cogitivalencia.e-gestion.es/Validacion.aspx?CVT=TRLTDCFZ60T66IJ1

VISADO
COGITI
VALENCIA
VA07290/22
TRLTDCFZ60T66IJ1

CVM-A1500

Analizador de redes para panel con medida de parámetros de calidad de suministro



Aplicaciones

- Control, monitorización y registro de la calidad de suministro en acometidas de Alta y Baja Tensión. Tanto en modo presencial como remoto gracias a su servidor WEB. Integración en sistemas SCADA mediante peticiones XML .
- 4 alarmas (2 por transistor y 2 por relé) totalmente programables de forma independiente según un valor bajo, alto, histéresis, retardos a conexión desconexión, estado de reposo normalmente abierto o cerrado y enclavamiento.
- Generación de impulsos mediante salidas a transistor, totalmente configurables de forma independiente sobre cualquier parámetro incremental (energías, costes, kgCO_2, horas tanto por contador total o como por tarifa).
- Convertidor a señales analógicas de cualquier parámetro instantáneo que el equipo mide o calcula, incorporando módulos de expansión con salidas analógicas.
- Visualizador de señales de proceso incorporando módulo de expansión de entradas analógicas, con posibilidad de reportarlas a sistemas SCADA mediante comunicaciones
- Control de maniobras de cargas eléctricas o señales de alarma por programación de las salidas de transistor o relé integradas o añadidas mediante módulos de expansión.
- Datalogger Integrado con servidor Web y XML (registro de datos históricos).

Características técnicas

Circuito de alimentación	Tensión de alimentación	85...265 Vc.a. / 120...300 Vc.c. 20...120 Vc.c. (modelo SDC)		
	Frecuencia c.a.	45...65 Hz		
	Consumo c.a.	max 29,4 V·A		
	Consumo c.c.	max 11,9 W max 13,8 W (modelo SDC)		
Circuito de medida de tensión	Rango de tensión	500 V_{f-n} - 866 V_{f-f} (funcional hasta 600 V_{f-n} / 1000V_{f-f})		
	Frecuencia	40...70 Hz		
	Margen de medida	7...200% de la U_n para U_n = 300 Vc.a. (f-n)		
	Sobretensión admisible	750 Vc.a.		
	Consumo máximo (corriente limitada)	<0,15 V·A		
Circuito de medida de corriente	Medida de corriente	4 (3 fases + 1 Neutro)		
	Corriente de entrada	.../5 A ó .../1 A ó .../250 mA		
	Corriente mínima en clase	250 mA		
	Corriente de arranque	10 mA		
	Margen de medida	0,2...200% I_n (.../5 A) 1...200% I_n (.../1 A) 4...200% I_n (.../250 mA)		
	Sobrecarga admisible	2 I_n A permanente, 100 A t < 1s		
	Consumo	< 0,9 V·A		
Relaciones máximas de transformación	Primario V: 500.000 (500 kV) Primario A: 999,9 a 1,0 (10 kA) en .../5 A y .../1 A, 63...2000 A en **MC** Prim V x Prim A < 900 MW			
Valor máximo contador (total)	Si (Primario A / Secundario A) < 1000 (2 GW)			
	Si (Primario A / Secundario A) ≥ 1000 (2 TW)			
Clase precisión		.../5 A	.../1 A	.../250 mA
	Tensión	0,1 ±1 dígito (20...600 $V_{c.a.}$)	0,1 ±1 dígito (20...600 $V_{c.a.}$)	0,1 ±1 dígito (20...600 $V_{c.a.}$)
	Tensión neutro	0,5 ±1 dígito (55...500 $V_{c.a.}$)	0,5 ±1 dígito (55...500 $V_{c.a.}$)	0,5 ±1 dígito (55...500 $V_{c.a.}$)
	Corriente	0,1 ±1 dígito (0,05...8 A)	0,1 ±1 dígito (0,01...1,2 A)	0,1 ±1 dígito (0,01...0,3 A)
	Corriente neutro	1 ±1 dígito (0,1...6 A)	1 ±1 dígito (0,05...1,2 A)	1 ±1 dígito (calculada)
	Potencia activa	0,2 ±2 dígitos	0,2 ±2 dígitos	0,5 ±2 dígitos
	Potencia reactiva	1 ±1 dígito (0,05...6 A)	1 ±1 dígito (0,01...1,2 A)	1 ±1 dígito (0,01...0,3 A)
	Energía activa	0,2S	0,5S	0,5S
	Energía reactiva	1	2	2
Visualización de armónicos	Tensión / Corriente	hasta 63°		

Documento visado electrónicamente con número: VA07290/22
Código de validación telemática TRLTDCFZ60T66IJ1. Comprobación: https://cogitivalencia.e-gestion.es/Validacion.aspx?CVT=TRLTDCFZ60T66IJ1

VISADO
COGITI
VALENCIA
VA07290/22
TRLTDCFZ60T66IJ1

CVM-A1500

Analizador de redes para panel con medida de parámetros de calidad de suministro



Características técnicas

Conexiones		
Entradas digitales	Selección de tarifas, estados o alarmas externas	
	Tipo	Contacto libre de potencial optoaislada
	Cantidad	2
	Corriente de activación	5 mA (15 V tensión máxima en contacto abierto)
	Aislamiento	4 kV
Salidas digitales	Generación impulsos o Alarma	
	Tipo	Transistor NPN
	Cantidad	2
	Tensión máxima de maniobra	48 V c.c.
	Intensidad máxima de maniobra	130 mA
	Frecuencia máxima	1 kHz
	Duración pulso (T_{on} / T_{off})	0,3 / 0,7 ms (1 ms de impulso completo)
	Alarmas	
	Tipo	Relé
	Cantidad	2
	Potencia máxima de maniobra	1500 W
	Tensión máxima contactos abiertos	250 V c.a.
	Intensidad máxima commutación	6 A
	Vida eléctrica (400V / 6A)	3 x 10^4 ciclos
	Vida mecánica	1 x 10^7 ciclos
Comunicaciones integradas	Protocolos	Modbus RTU / BACnet
	Velocidad	9600...115200
	bits, paridad, stop	8, n, 1 (configurable)
Condiciones ambientales	Temperatura de trabajo	-10...+50°C
	Humedad relativa	5...95%
	Altitud	2000 m
Características constructivas	Formato	Montaje en panel 144x144 mm
	Cota profundidad	1 módulo
	Protección para IP frontal	IP 40 (IP 65 con junta estanqueidad)
	Protección IP trasera	IP 30
Seguridad	Diseñado para instalaciones CAT III 300/520 V c.a. según **EN 61010** Protección frente al choque eléctrico por doble aislamiento clase II	
Normas	**IEC 62053-22**, **ANSI** (clase 0,2 S), **IEC 62053-24** (Clase 1) **/ ANSI C12.1** (Clase 2), clase A según **IEC 61000-4-30**, **IEC 61010**, **IEC 61000**, **UNE-EN 55022** Medida según **MID**,certificación **UL**, **IEC 61000-4-2**, **IEC 61000-4-3**, **IEC 61000-4-11**, **IEC 61000-4-4**, **IEC 61000-4-5**	

Referencias

144 x 144

Secundarios medida de corriente	Tipo	Código
.../5 ó .../1 A ó ...250 mA	**CVM-A1500-ITF-RS485-ICT2**	**M56311**
.../5 ó .../1 A ó ...250 mA	**CVM-A1500-SDC-ITF-485-ICT2***	**M5631100F0000**

* Alimentación 20...120 Vc.c.

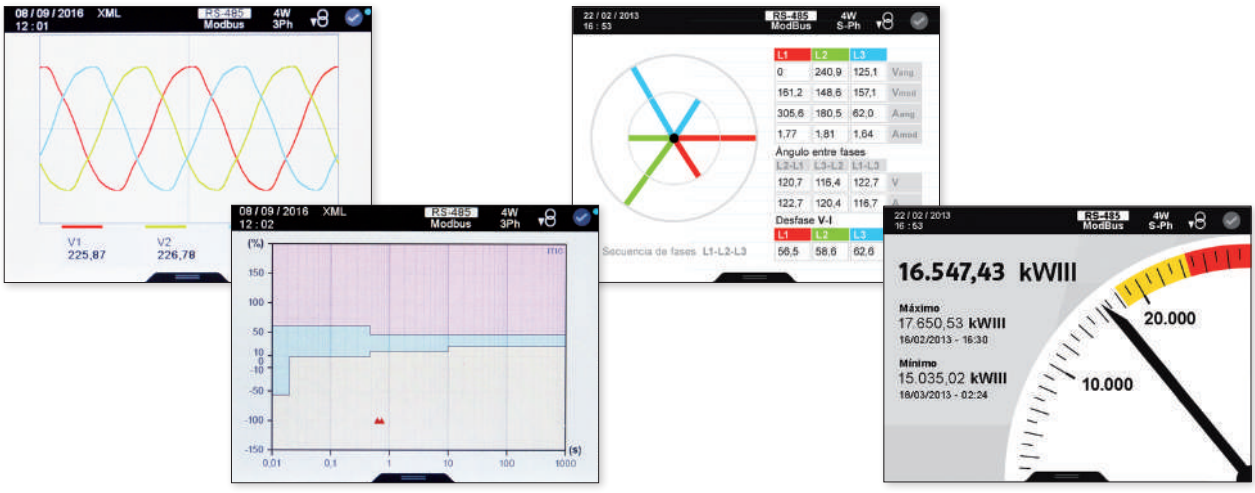

Documento visado electrónicamente con número: VA07290/22
Código de validación telemática TRLTDCFZ60T66IJ1. Comprobación: https://cogitivalencia.e-gestion.es/Validacion.aspx?CVT=TRLTDCFZ60T66IJ1

VISADO
COGITI
VALENCIA
VA07290/22
TRLTDCFZ60T66IJ1

CVM-A1500

Analizador de redes para panel con medida de parámetros de calidad de suministro

Módulos expandibles para CVM-A1500

Salidas	Entr. digitales	Entr. analógicas	Comunicación	Protocolo	Tipo	Código
8 Trans.(*)	8	-	-	-	**M-CVM-AB-8I-8OTR**	**M56E01**
8 relé	8	-	-	-	**M-CVM-AB-8I-8OR**	**M56E02**
8 (0/4...20mA)	-	4 (0/4...20mA)	-	-	**M-CVM-AB-4AI-8AO**	**M56E03**
-	-	-	Ethernet (Bridge RS-485)	Modbus/TCP	**M-CVM-AB-Modbus-TCPBridge**	**M56E05**
-	-	-	Ethernet (Bridge Ethernet)	Modbus/TCP	**M-CVM-AB-Modbus-Switch**	**M56E0A**
-	-	-	MBus	MBus	**M-CVM-AB-MBUS**	**M56E07**
-	-	-	LonWorks	**LonTalk ISO/IEC 14908 ANSI/EIA 7091**	**M-CVM-AB-LonWorks**	**M56E08**
-	-	-	-	Profibus/DP	**M-CVM-AB-Profibus**	**M56E09**

Descripción	Tipo	Código
Junta estanqueidad IP 65 para CVM-AB (144x144)	**IP65-AB-144**	**M5ZZ5V**

Dimensiones

CVM-A1500

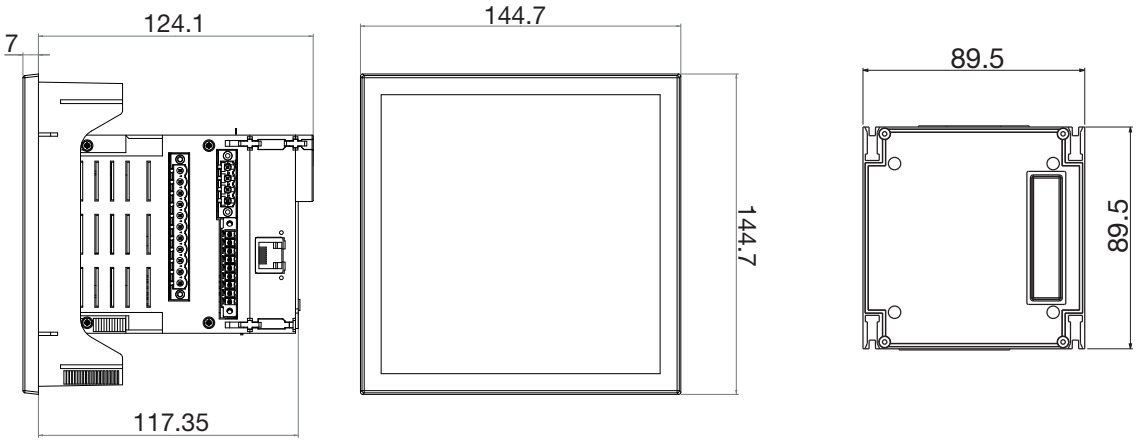

Cota de ventana: 138x138 mm

Nota: Otras opciones consultar el manual del producto

Documento visado electrónicamente con número: VA07290/22
Código de validación telemática TRLTDCFZ60T66IJ1. Comprobación: https://cogitivalencia.e-gestion.es/Validacion.aspx?CVT=TRLTDCFZ60T66IJ1

CVM-A1500

Analizador de redes para panel con medida de parámetros de calidad de suministro

VISADO
COGITI
VALENCIA
VA07290/22
TRLTDCFZ60T66IJ1

Conexiones

Medida trifásica con o sin transformador de tensión y transformadores de corriente.

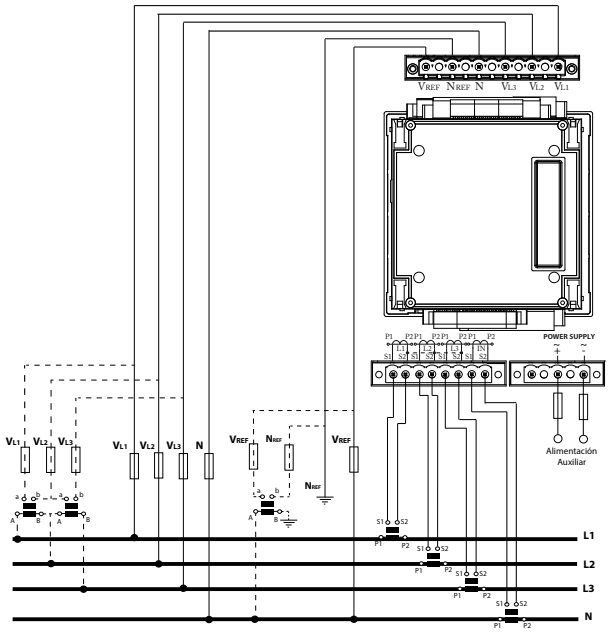

Medida trifásica con o sin transformador de tensión y transformadores tipo **MC3** (250 mA) + .../5 A para corriente de neutro.

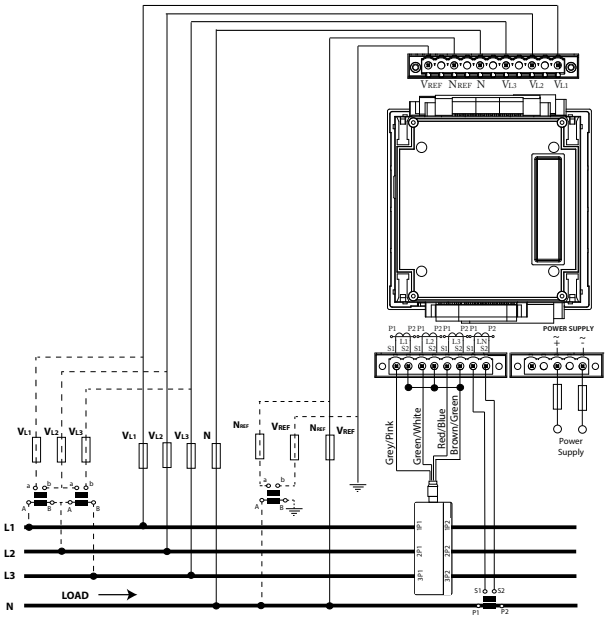

Medida directa fase-fase con transformadores de corriente

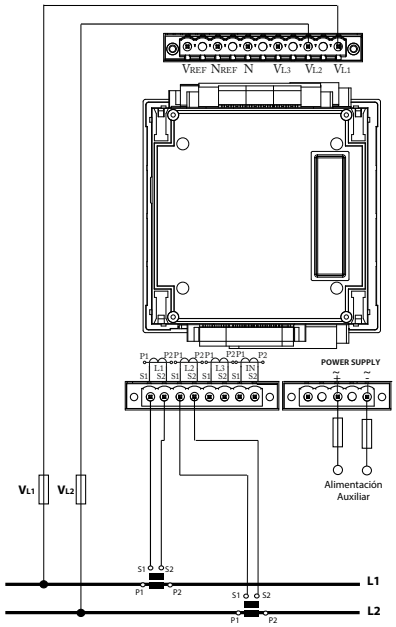

Medida en sistema monofásico con o sin transformador de tensión

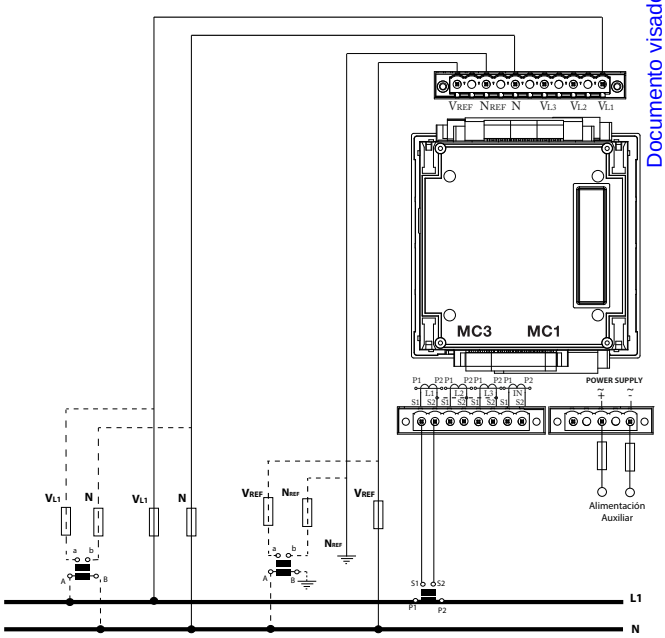

Nota: Otras opciones consultar el manual del producto

Documento visado electrónicamente con número: VA07290/22
Código de validación telemática TRLTDCFZ60T66IJ1. Comprobación: https://cogitivalencia.e-gestion.es/Validacion.aspx?CVT=TRLTDCFZ60T66IJ1

VISADO
COGITI
VALENCIA
VA07290/22
TRLTDCFZ60T66IJ1

1 Ud. CELDA CGMcosmos-L DE LÍNEA CON AISLAMIENTO Y CORTE EN SF_6



Celda de Media Tensión modular de entrada / salida de cables con las siguientes características particulares:

Valores Eléctricos

- Tensión asignada Ur: 24 kV
- Intensidad asignada: 400 A
- Intensidad de corta duración I_k: 16 kA eficaz – 40 kA cresta 1 s
- clase IAC AF/AFL (opcional): 16 kA 1 s

Construcción

Compartimentos individuales con separación metálica de embarrado – interruptor, de conexión de cables con pasatapas frontales con las 3 fases a la misma altura, mecanismo de maniobras, con esquema sinóptico del circuito principal en la cubierta, y expansión de gases inferior trasera.

Interruptor trifásico categoría E3 (5 CC) según norma IEC 60265-1 de corte en gas SF_6 de 3 posiciones **conectado – seccionado – puesto a tierra** con seccionador de puesta a tierra categoría E2 (5 CC) de capacidad de cierre sobre cortocircuito según norma IEC 62271-102. Ambas secuencias, interruptor y seccionador, ensayadas sobre un mismo elemento.

Mecanismo de maniobra operado mediante palanca, velocidad de accionamiento independiente del operador, manual tipo B con endurancia para el interruptor de clase M1, 1000 maniobras, según norma IEC / UNE-EN 60265-1. Intercambiable en obra en cualquier posición del interruptor sin necesidad de cortar servicio, incorporando elemento de sujeción del interruptor con el mecanismo retirado condenable por candado.

- Interruptor: 2 NA + 2 NC
- Seccionador de PaT: 1 NA + 1 NC

Indicación de posición segura del interruptor (ensayo de cadena cinemática según IEC 62271-102).

3 Pasatapas de 630 A, tipo C, según norma EN 50181 para conexión mediante terminales atornillables (*Ormazabal recomienda conectores Euromold*).

Conjunto de Unión formado por 3 adaptadores elastoméricos con control del campo eléctrico.

Seguridad

1 Indicador luminoso autoalimentado de presencia de tensión ekorVPIS de Ormazabal de acuerdo a norma IEC 61958.

1 Alarma sonora autoalimentada de prevención de puesta a tierra ekorSAS de Ormazabal que se activa cuando habiendo tensión eléctrica en la acometida de Media Tensión, se introduce la palanca en el acceso al eje de accionamiento del seccionador de puesta a tierra. Rango de funcionamiento de acuerdo a IEC 61958.

Protección de personas y bienes ante los efectos de un arco interno, según los criterios del Anexo A de la norma IEC 62271-200 en todos los compartimentos clase IAC AFL (opcional).

Dimensiones y Peso

- Ancho: ……..365 mm
- Alto: ……..1740 mm
- Fondo:……735 mm
- Peso: ……..100 kg.

Documento visado electrónicamente con número: VA07290/22
Código de validación telemática TRLTDCFZ60T66IJ1. Comprobación: https://cogitivalencia.e-gestion.es/Validacion.aspx?CVT=TRLTDCFZ60T66IJ1

VISADO
COGITI
VALENCIA
VA07290/22
TRLTDCFZ60T66IJ1

1 Ud. **CELDA MODULAR CGMcosmos-L de LÍNEA con aislamiento y corte en SF_6**



Celda de Media Tensión modular de entrada / salida de cables con las siguientes características particulares:

Valores Eléctricos

- Tensión asignada Ur:	24 kV
- Intensidad asignada:	**400 A**
- Intensidad de corta duración I_k:	16 kA eficaz – 40 kA cresta 1 s
- clase IAC AF/AFL (opcional):	16 kA 1 s

Construcción

Compartimentos individuales con separación metálica de embarrado – interruptor, de conexión de cables con pasatapas frontales con las 3 fases a la misma altura, mecanismo de maniobras, con esquema sinóptico del circuito principal en la cubierta, y expansión de gases inferior trasera.

Interruptor trifásico categoría E3 (5 CC) según norma IEC 60265-1 de corte en gas SF_6 de 3 posiciones **conectado – seccionado – puesto a tierra** con seccionador de puesta a tierra categoría E2 (5 CC) de capacidad de cierre sobre cortocircuito según norma IEC 62271-102. Ambas secuencias, interruptor y seccionador, ensayadas sobre un mismo elemento.

Mecanismo de maniobra operado mediante palanca, velocidad de accionamiento independiente del operador, con mando **motorizado 48 Vcc** tipo BM, con endurancia para el interruptor de clase M2, 5000 maniobras, según norma IEC / UNE-EN 60265-1 y para el seccionador de puesta a tierra de clase M0, 1000 maniobras. Intercambiable en obra en cualquier posición del interruptor sin necesidad de cortar servicio, incorporando elemento de sujeción del interruptor con el mecanismo retirado condenable por candado. Incorpora contactos de señalización de posición del interruptor – seccionador:

- Interruptor: 2 NA + 2 NC
- Seccionador de PaT: 1 NA + 1 NC

Indicación de posición segura del interruptor (ensayo de cadena cinemática según IEC 62271-102).

3 Pasatapas de 630 A, tipo C, según norma EN 50181 para conexión mediante terminales enchufables o atornillables (*Ormazabal recomienda conectores Euromold*).

Conjunto de Unión formado por 3 adaptadores elastoméricos con control del campo eléctrico.

Relé ekorRCI

Sistema de Control integrado con detección de paso de cortocircuitos y faltas a tierra tipo ekorRCI en celda de línea, marca ORMAZABAL, diseñado para instalaciones de telecontrol, con las siguientes características:

- Detección de cortocircuito entre fases desde 5 A a 1200 A.
- Detección de faltas fase-tierra de 0.5 A a 480 A
- Incorpora detección por curvas seleccionables para evitar indicaciones erróneas por corrientes capacitivas.
- Indicación presencia/ausencia trifásica de tensión.
- Función seccionalizador.
- Amperímetro. Medida de intensidades I1, I2, I3 e Io
- Medida de Intensidad con signo con clase mejor del 2% y 5P10 para In=500A
- Medida de tensión (V) con clase del 1,5% para el rango +/-10% de Un, incluyendo sensores y rele
- Medida de potencia activa (P) con un error máximo del 2%
- Medida de potencia reactiva (Q) con un error máximo del 2%

Documento visado electrónicamente con número: VA07290/22
Código de validación telemática TRLTDCFZ60T66IJ1. Comprobación: https://cogitivalencia.e-gestion.es/Validacion.aspx?CVT=TRLTDCFZ60T66IJ1

VISADO
COGITI
VALENCIA
VA07290/22
TRLTDCFZ60T66IJ1

- Captadores de intensidad y tensión instalados y comprobados en fábrica para evitar manipulación incorrecta en campo por terceros.
- Puerto de comunicaciones RS485 preparado para el telemando.
- Señales adicionales para telemando: Estado interruptor (A/C), estado seccionador PaT (A/C), maniobra interruptor, error interruptor…
- Alimentación auxiliar: De 24 Vdc a 125 Vdc.
- Display para tarado/consulta local.

El relé ekorRCI está orientado a las celdas de centros telemandados, alimentándose de la misma fuente que las motorizaciones y la RTU.

Se comunica en red RS485 mediante protocolo PROCOME eliminando el cableado tradicional de mangueras y contactos libres de potencial hacia la remota.

1 Kit de 3 toroidales con relación de transformación 1000/1 tipo Ormazabal, integrados en los pasatapas, con los siguientes rangos de medida:

Medida de fases: 5 A – 1200 A
Medida de tierra: 0.5 A – 480 A

Seguridad

1 Indicador luminoso autoalimentado de presencia de tensión ekorVPIS de Ormazabal de acuerdo a norma IEC 61958.

1 Alarma sonora autoalimentada de prevención de puesta a tierra ekorSAS de Ormazabal que se activa cuando habiendo tensión eléctrica en la acometida de Media Tensión, se introduce la palanca en el acceso al eje de accionamiento del seccionador de puesta a tierra. Rango de funcionamiento de acuerdo a IEC 61958.

Protección de personas y bienes ante los efectos de un arco interno, según los criterios del Anexo A de la norma IEC 62271-200 en todos los compartimentos clase IAC AFL (opcional).

Dimensiones y Peso

- Ancho: ……..365 mm
- Alto: ……..1740 mm
- Fondo:……735 mm
- Peso: ……..100 kg

Documento visado electrónicamente con número: VA07290/22
Código de validación telemática TRLTDCFZ60T66IJ1. Comprobación: https://cogitivalencia.e-gestion.es/Validacion.aspx?CVT=TRLTDCFZ60T66IJ1

VISADO
COGITI
VALENCIA
VA07290/22
TRLTDCFZ60T66IJ1

CELDA CGMcosmos-P de PROTECCIÓN Y MEDIDA DE TENSIÓN EN BARRAS, con aislamiento y corte en SF_6

1 Celda de Media Tensión modular de protección con fusibles para protección de transformadores con potencia igual o inferior a 2000 kVA, en función de la tensión de red, con las siguientes características particulares:



Valores Eléctricos

- Tensión asignada U_r: 24 kV
- Intensidad asignada: 400 A
- Intensidad de corta duración I_k: 16 kA eficaz – 40 kA cresta 1 s
- Intensidad de corta duración PaT: 1 kA eficaz – 2,5 kA cresta 1 s
- clase IAC AF/AFL (opcional): 20 kA 1 s

Construcción

Compartimentos individuales con separación metálica de embarrado – interruptor, de conexión de cables y compartimentos portafusible con pasatapas frontales con las 3 fases a la misma altura, mecanismo de maniobras, con esquema sinóptico del circuito principal en la cubierta, y expansión de gases inferior trasera.

Interruptor trifásico categoría E3 según norma IEC 60265-1 de corte en gas SF_6 de 3 posiciones **conectado – seccionado – puesto a tierra**, antes y después de los contactos de los fusibles, con seccionador de puesta a tierra categoría E2 (5 CC) de capacidad de cierre sobre cortocircuito según norma IEC 62271-102. Ambas secuencias, interruptor y seccionador, ensayadas sobre un mismo elemento.

Mecanismo de maniobra operado mediante palanca, velocidad de accionamiento independiente del operador, manual con retención tipo BR con bobina de disparo a 230 Vca y mecanismo de disparo combinado interruptor – fusible con intensidad de transferencia de 1600 A, según IEC 62271-105. Endurancia para el interruptor de clase M1, 1000 maniobras, según norma IEC 60265-1 y para el seccionador de puesta a tierra de clase M0, 1000 maniobras. Intercambiable en obra en cualquier posición del interruptor sin necesidad de cortar servicio, incorporando elemento de sujeción del interruptor con el mecanismo retirado condenable por candado. Incorpora un contacto de señalización de posición del interruptor – seccionador:

- Interruptor / Seccionador / Seccionador de PaT: 1 NAC

Compartimentos portafusibles independientes para cada fase aislados en gas situados en posición horizontal para fusibles limitadores de corriente de 24 kV, según IEC 60282-1.

Indicación de posición segura del interruptor (ensayo de cadena cinemática según IEC 62271-102).

3 TT. Relación 22.000V3 / 110V3 – 110:3, 25VA cl.0,5 , 25 VA, cl.3P

Conjunto de Unión formado por 3 adaptadores elastoméricos con control del campo eléctrico.

Seguridad

1 Indicador luminoso autoalimentado de presencia de tensión ekorVPIS de Ormazabal de acuerdo a norma IEC 61958.

Documento visado electrónicamente con número: VA07290/22
Código de validación telemática TRLTDCFZ60T66IJ1. Comprobación: https://cogitivalencia.e-gestion.es/Validacion.aspx?CVT=TRLTDCFZ60T66IJ1

VISADO
COGITI
VALENCIA
VA07290/22
TRLTDCFZ60T66IJ1

Protección de personas y bienes ante los efectos de un arco interno, según los criterios del Anexo A de la norma IEC 62271-200 en todos los compartimentos clase IAC AFL (opcional).

Dimensiones y Peso

- Ancho: ……..470 mm
- Alto: ……..1740 mm
- Fondo:……735 mm
- Peso: ……..150 kg

Documento visado electrónicamente con número: VA07290/22
Código de validación telemática TRLTDCFZ60T66IJ1. Comprobación: https://cogitivalencia.e-gestion.es/Validacion.aspx?CVT=TRLTDCFZ60T66IJ1

VISADO
COGITI
VALENCIA
VA07290/22
TRLTDCFZ60T66IJ1

1 Ud. CELDA CGMCOSMOS-V DE INTERRUPTOR AUTOMÁTICO CON AISLAMIENTO EN SF_6 Y CORTE EN VACÍO



Celda de Media Tensión modular de interruptor automático con las siguientes características particulares:

Valores Eléctricos

- Tensión asignada U_r: 24 kV
- Intensidad asignada: 400 A
- Intensidad de corta duración I_k: 16 kA eficaz – 40 kA cresta 1 s

Construcción

Compartimentos individuales con separación metálica de embarrado – seccionador / interruptor automático, de conexión de cables con pasatapas frontales con las 3 fases a la misma altura, mecanismo de maniobras, con esquema sinóptico del circuito principal en la cubierta, y expansión de gases inferior trasera.

Seccionador – Seccionador de puesta a tierra categoría E2 (5 CC) de capacidad de cierre sobre cortocircuito según norma IEC 62271-102.

Interruptor automático trifásico de corte en vacio según norma IEC 62271-100, secuencia nominal CO - 15 s – CO. Endurancia eléctrica a intensidad asignada de 2000 maniobras y 30 CC (50% DC).

Mecanismo de maniobra de seccionador operado mediante palanca, velocidad de accionamiento independiente del operador, manual tipo B con endurancia para el seccionador de 2000 maniobras, según norma IEC 62271-102. Intercambiable en obra en cualquier posición sin necesidad de cortar servicio, incorporando elemento de sujeción del seccionador con el mecanismo retirado condenable por candado.

Mecanismo de maniobra de interruptor automático accionado por resortes operado mediante botonera frontal y carga de muelles mediante palanca, manual tipo AV con bobinas de apertura y cierre. Endurancia M1, 2000 maniobras, según norma IEC / UNE-EN 62271-100.

Unidad de protección integrada en la celda **ekorRPG**, marca ORMAZABAL, con display digital para tarado / consulta local y comunicable (RS232 para configuración local, RS485 y fibra óptica opcional). Funciones de protección 50/51 + 50N/51N y disparo mediante señal externa. Incluye captadores de intensidad instalados en los pasatapas de la celda.

Indicación de posición segura (ensayo de cadena cinemática según IEC 62271-102).

3 Pasatapas apantallados tipo C, según norma EN 50181 para conexión mediante terminales atornillables (*Ormazabal recomienda conectores Euromold*).

Conjunto de Unión formado por 3 adaptadores elastoméricos con control del campo eléctrico.

Seguridad

1 Indicador luminoso autoalimentado de presencia de tensión ekorVPIS de Ormazabal de acuerdo a norma IEC 61958.

Protección de personas y bienes ante los efectos de un arco interno, según los criterios del Anexo A de la norma IEC 62271-200 en todos los compartimentos clase IAC AFL (opcional).

Documento visado electrónicamente con número: VA07290/22
Código de validación telemática TRLTDCFZ60T66IJ1. Comprobación: https://cogitivalencia.e-gestion.es/Validacion.aspx?CVT=TRLTDCFZ60T66IJ1

VISADO
COGITI
VALENCIA
VA07290/22
TRLTDCFZ60T66IJ1

Dimensiones y Peso

- Ancho: ……..480 mm
- Alto: ……..1740 mm
- Fondo:……845 mm
- Peso: ……240 kg



Unidad de Protección: *ekorRPG (incluída en celda de automático)*

Unidad digital de protección desarrollada para su aplicación en la función de protección general o transformadores de gran potencia. Aporta a la protección de fusibles protección contra sobrecargas y defectos fase-tierra de bajo valor. Es autoalimentado a partir de 5 A a través de transformadores de intensidad toroidales, comunicable y configurable por software con histórico de disparos.

- Características:

o Rango de potencias: hasta 15000 kVA
o Funciones de Protección:
o Sobreintensidad
o Fases (3 x 50/51)
o Neutro (50N / 51N)
o Neutro Sensible (50Ns / 51Ns) (s/modelo)
o Disparo exterior: Función de protección (49T)
o Detección de faltas a tierra desde 0,5 A
o Posibilidad de pruebas por primario y secundario
o Configurable por software (RS-232) y comunicable (RS-485)
o Histórico de disparos
o Medidas de intensidad: I1, I2, I3 e Io
o Contacto de salida para Test

- Elementos:

· Relé electrónico que dispone en su carátula frontal de teclas y display digital para realizar el ajuste y visualizar los parámetros de protección, medida y control. Para la comunicación dipone de un puerto frontal RS232 y en la parte trasera un puerto RS485 protocolo MODBUS (5 kV).
· Los sensores de intensidad son transformadores toroidales que tienen una relación de 1000 A / 1 A ó 300 A / 1 A. Para la opción de protección homopolar ultrasensible se coloca un toroidal adicional que abarca las tres fases. En el caso de que el equipo sea autoalimentado (desde 5 A por fase) se debe colocar 1 sensor adicional por fase.
· La tarjeta de de alimentación acondiciona la señal de los transformadores de autoalimentación y la convierte en una señal de CC para alimentar el relé de forma segura. Dispone de una entrada de 230 Vca para alimentación auxiliar exterior con un nivel de aislamiento de 10 kV.
· El disparador biestable es un actuador electromecánico de bajo consumo integrado en el mecanismo de maniobra del interruptor.

- Otras características:

· Ith/Idin = 20 kA /50 kA
· Temperatura = -10 ºC a 60 ºC
· Frecuencia = 50 Hz; 60 Hz ± 1 %
· Ensayos: - De aislamiento según 60255-5
- De compatibilidad electromagnética según CEI 60255-22-X, CEI 61000-4-X y EN 50081-2/55011
- Climáticos según CEI 60068-2-X

Documento visado electrónicamente con número: VA07290/22
Código de validación telemática TRLTDCFZ60T66IJ1. Comprobación: https://cogitivalencia.e-gestion.es/Validacion.aspx?CVT=TRLTDCFZ60T66IJ1

VISADO
COGITI
VALENCIA
VA07290/22
TRLTDCFZ60T66IJ1

- Mecánicos según CEI 60255-21-X
- De potencia según CEI 60265 y CEI 60056

Así mismo este producto cumple con la directiva de la Unión Europea sobre compatibilidad electromagnética 89/336/EEC y con la CEI 60255. Esta conformidad es resultado de un ensayo realizado según el artículo 10 de la directiva, y recogido en el protocolo B131-01-69-EE acorde a las normas genéricas EN 50081 y EN 50082.

TOROIDALES INSTALADOS EN LOS PASATAPAS

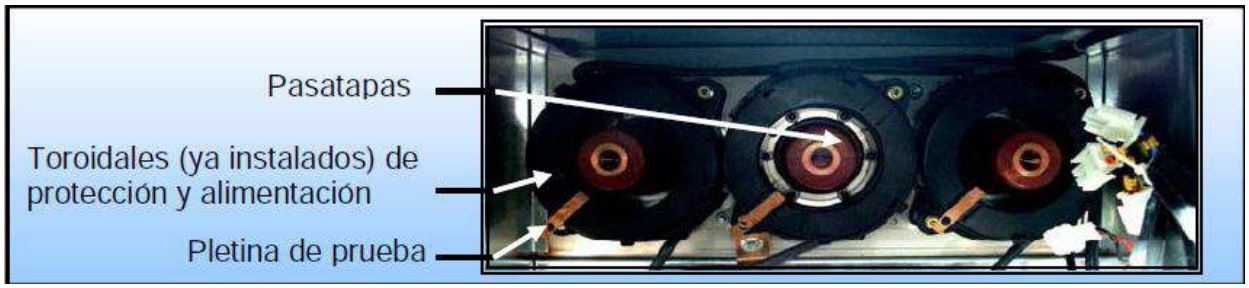

TARJETA DE ALIMENTACIÓN

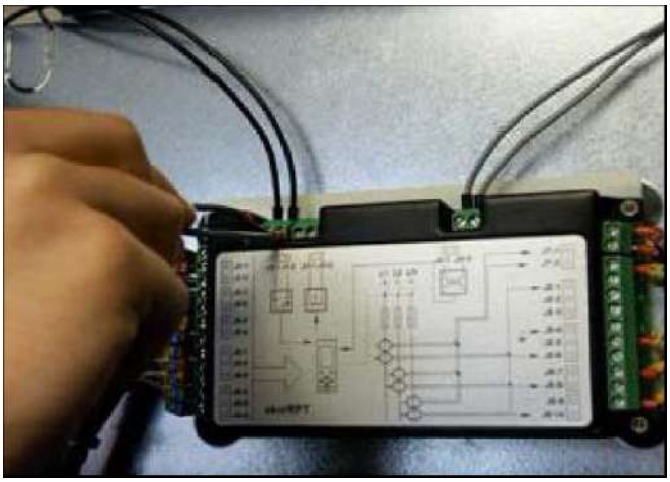

Documento visado electrónicamente con número: VA07290/22
Código de validación telemática TRLTDCFZ60T66IJ1. Comprobación: https://cogitivalencia.e-gestion.es/Validacion.aspx?CVT=TRLTDCFZ60T66IJ1

VISADO
COGITI
VALENCIA
VA07290/22
TRLTDCFZ60T66IJ1

1 Ud. CELDA CGMcosmos-M DE MEDIDA

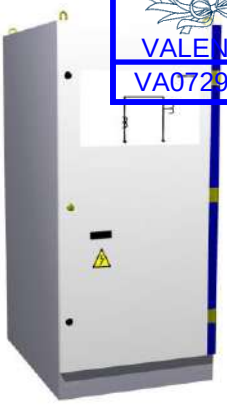

Celda de Media Tensión modular de medida con las siguientes características particulares:

Valores Eléctricos

- Tensión asignada U_r: 24 kV
- Intensidad asignada: 400 A

Construcción

Envolvente metálica destinada alojar los transformadores de medida de tensión e intensidad, permitiendo comunicar con el embarrado del conjunto general de celdas, mediante barras.

Dimensiones y Peso

- Ancho: ……..800 mm
- Alto: ……..1750 mm
- Fondo:……..…1025 mm
- Peso (vacia): …….165 kg

- Cerradura de enclavamiento de puerta.

Elementos Opcionales

- 3 Transformadores de tensión, de relación 22000:√3/110:√3 de 10 VA en clase 0.5.

- 3 Transformadores de intensidad, de relación X-X/5 A, de 10 VA en clase 0.5S.

Documento visado electrónicamente con número: VA07290/22
Código de validación telemática TRLTDCFZ60T66IJ1. Comprobación: https://cogitivalencia.e-gestion.es/Validacion.aspx?CVT=TRLTDCFZ60T66IJ1

ORMAZABAL

Especialistas en Media Tensión

VISADO
COGITI
VALENCIA
VA07290/22
TRLTDCFZ60T66IJ1

Centros de Transformación

PFU y PF
Edificios Tipo Caseta para Centros de Transformación
Hasta 36 kV



Documento visado electrónicamente con número: VA07290/22
Código de validación telemática TRLTDCFZ60T66IJ1. Comprobación: https://cogitivalencia.e-gestion.es/Validacion.aspx?CVT=TRLTDCFZ60T66IJ1

VISADO
COGITI
VALENCIA
VA07290/22
TRLTDCFZ60T66IJ1

PFU edificio monobloque tipo caseta para centros de transformación

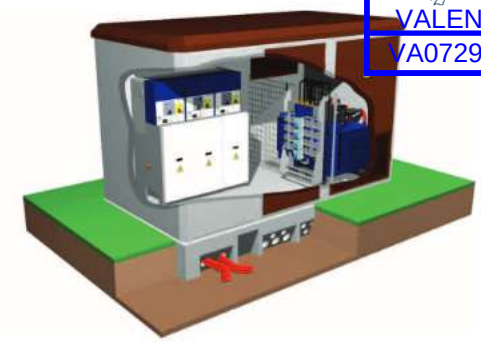

PRESENTACIÓN

El edificio **PFU** es una envolvente industrializada monobloque de hormigón tipo caseta para **Centros de Transformación** de **Ormazabal** de instalación en superficie y maniobra interior de hasta 36 kV.

COMPOSICIÓN

Los **Centros de Transformación** de **Ormazabal** en edificio **PFU** se componen de:

- Aparamenta de MT con aislamiento integral en gas: Sistema CGMCOSMOS (hasta 24 kV) y sistema CGM.3 (36 kV).
- Unidades de protección, control y medida (telemando, telemedida, control integrado, telegestión, etc.) de Ormazabal.
- Hasta 2 Transformadores de distribución de MT/BT de llenado integral en dieléctrico líquido de hasta 36 kV y 1000 kVA[1] de potencia unitaria.
- Aparamenta de BT: Cuadro/s de Baja Tensión de hasta 8 salidas por cuadro.
- Interconexiones directas por cable MT y BT.
- Circuito de puesta a tierra.
- Circuito de alumbrado y servicios auxiliares.
- Edificio monobloque de hormigón **PFU**.

(1) Para otros valores consultar a nuestro Departamento Técnico-Comercial.

CARACTERÍSTICAS

- **Edificio industrializado para Centro de Transformación:**
  - Capacidad para incorporar diferentes esquemas de distribución de MT.
  - Compuesto de envolvente monobloque (base y paredes) más cubierta amovible.
  - Variedad de acabados superficiales externos.
- **Hasta 2 Transformadores:**
  - Edificio ensayado para transformadores de hasta 36 kV y 1000 kVA.
  - Puerta frontal individual para cada transformador.
  - Delimitación del transformador mediante defensa de seguridad.
  - Fosos de recogida de dieléctrico líquido, con revestimiento resistente y estanco, diseñados y dimensionados teniendo en cuenta el volumen de dieléctrico líquido que puedan recibir.
  - Elementos de protección cortafuegos adicionales: lecho de guijarros sobre el foso de recogida de dieléctrico.
- **Ventilación:**
  - Por circulación natural de aire, clase 10, conseguida mediante rejillas instaladas en las paredes de la envolvente y en la puerta del transformador.
  - Ensayos y modelización de ventilación natural con transformadores Ormazabal, para la optimización de la vida útil de los mismos.
  - Bajo demanda: Estudios personalizados en función de los datos aportados por el cliente.
- **Accesos de peatón:**
  - Puerta/s frontal/es para la realización de maniobras y operaciones de mantenimiento.
  - Posibilidad de añadir una separación física entre las celdas de la Compañía Eléctrica y las del Cliente.
- **Entrada/salida de cables de MT y BT**
  - A través de orificios semiperforados en la base del edificio (frontal / lateral).
  - Entrada Auxiliar de acometida de Baja Tensión, situada en la pared frontal del edificio.



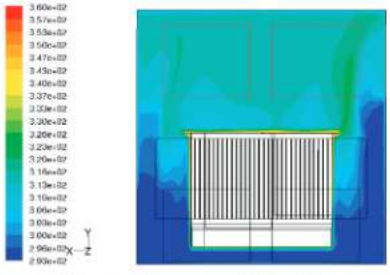

Simulación y modelización de ventilaciones

Documento visado electrónicamente con número: VA07290/22
Código de validación telemática TRLTDCFZ60T66IJ1. Comprobación: https://cogitivalencia.e-gestion.es/Validacion.aspx?CVT=TRLTDCFZ60T66IJ1

VISADO
COGITI
VALENCIA
VA07290/22
TRLTDCFZ60T66IJ1

Modelos PFU

DIMENSIONES EXTERIORES Y PESOS

PFU Hasta 24/36 kV

		PFU-3	PFU-4	PFU-5	PFU-7
Longitud	[mm]	3280	4460	6080	8080
Anchura	[mm]	2380	2380	2380	2380
Altura	[mm]	3045	3045	3045	3250
Altura vista	[mm]	2585	2585	2585	2790
Peso*	[kg]	10545	13465	17460	29090

Opcional: Cubierta sobreelevada para 36 kV, no aplicable a PFU-7
(Altura estándar +195 mm)
Dimensiones puerta de acceso peatonal: 900 (24 kV) /1100 (36 kV) x 2100 mm
Dimensiones puerta de transformadores: 1260 x 2100 mm
(*) Peso del edificio vacío con cubierta estándar y ventilación para 1000 kVA

CONFIGURACIONES ELÉCTRICAS

CONFIGURACIONES ELÉCTRICAS TIPO

PFU-3	2L + 1P + 1 Transformador + 1CBT
PFU-4	3L + 1V + 1 Transformador + 1CBT
PFU-5	2L+ 1S + 1P + 1M + 1 Transf. + 1CBT 2L + 2P + 2 Transformadores + 2CBT 3L + 2P + 2 Transformadores + 2CBT 3L + 1R+ 1P+ 1M + 1 Transformador + 1CBT 1L + 1V + 1M + 2P + 2 Transf. + 2CBT
PFU-7	5L+2P+2 Transf.+2 CBT 3L+1R+1V+1M+2P+2 Transf. + 2 CBT 3L+1R+1V+1M+2P+1 Transf. + 1CBT

Los PFU admiten telecontrol y telegestión de Ormazabal. Consultar a nuestro departamento Técnico-Comercial.
Donde: L = Celda / Función de Línea
P = Celda / Función de Protección con Fusibles
V = Celda / Función de Prot. con Int. Autom. de Vacío
S = Celda / Función de Interruptor Pasante
M = Celda / Función de Medida
CBT = Cuadro de Baja Tensión

APLICACIONES

Centros de Transformación Ormazabal

- Seguros
- Respetuosos con el Medio Ambiente
- Sostenibles
- Ergonómicos

en **Generación:**

- Parques eólicos
- Instalaciones fotovoltaicas
- Cogeneraciones
- etc.

en **Distribución:**

- Distribución publica y privada.
- Entornos industriales.
- Grandes infraestructuras: aeropuertos, ferrocarriles, autopistas, puertos, túneles,etc.
- Estaciones Depuradoras de Aguas
- Instalaciones con telemando incorporado.
- Instalaciones con telemedida.
- Posibilidad de Centros de Transformación a prueba de arco interno, clase IAC, mediante acuerdo fabricante-cliente.
- Soluciones prefabricadas según norma UNE-EN 62271-202, montadas de acuerdo a procedimientos controlados y ensayadas en fábrica.
- Asociación con una amplia gama de centros **Ormazabal** para la proyectos urbanísticos y soluciones técnicas: C.T. Prefabricados, Centros de Maniobra y Seccionamiento, etc.

➔ Nota: Para otras configuraciones consultar a nuestro Departamento Técnico-Comercial


PFU-3


PFU-4


PFU-5


PFU-7

Documento visado electrónicamente con número: VA07290/22
Código de validación telemática TRLTDCFZ60T66IJ1. Comprobación: https://cogitivalencia.e-gestion.es/Validacion.aspx?CVT=TRLTDCFZ60T66IJ1

VISADO
COGITI
VALENCIA
VA07290/22
TRLTDCFZ60T66IJ1



NORMAS APLICADAS

- Reglamento sobre Centrales Eléctricas, Subestaciones y Centros de Transformación (**RCE, Ministerio de Industria y Energía, Real Decreto 3275/1982**)
- Normas particulares de Compañía Eléctrica.

INSTALACIÓN

El edificio **PFU** se suministra totalmente montado de fábrica, lo que conlleva un proceso de instalación simple.

La factibilidad de realizar en fábrica íntegramente la instalación de la aparamenta eléctrica disminuye tiempos y ofrece una calidad uniforme.

➔ Nota: Para la realización de la excavación y la instalación solicitar la documentación técnica necesaria a nuestro Departamento Técnico-Comercial.
Es responsabilidad del instalador el cálculo y la realización de la red de tierras exterior



ADAPTACIÓN AL ENTORNO

Ormazabal dispone de diferentes tipos de acabados superficiales exteriores (colores, texturas y relieves) para los **PFU**, que les confiere una gran capacidad de armonización estética al entorno, integración y mimetización.

Con esto se consigue una mayor adaptación al conjunto de necesidades de la instalación, a la vez que se minimiza el impacto visual.

RAL 1015	RAL 8017
RAL 7002	RAL 9002
RAL 6003	RAL 1001
RAL 8022	RAL 1006
RAL 3022	RAL 8023

➔ Nota: Información ampliada en su catálogo correspondiente.













Documento visado electrónicamente con número: VA07290/22
Código de validación telemática TRLTDCFZ60T66IJ1. Comprobación: https://cogitivalencia.e-gestion.es/Validacion.aspx?CVT=TRLTDCFZ60T66IJ1

VISADO
COGITI
TRLTDCFZ60T66IJ1
VALENCIA
VA07290/22

PF edificio modular tipo caseta para centros de transformación



PRESENTACIÓN

El edificio **PF** es una envolvente modular de hormigón tipo caseta para **Centros de Transformación** de **Ormazabal** de instalación en superficie y maniobra interior de hasta 36 kV, constituidos por componentes independientes suministrados de fábrica e instalados de forma conjunta.

COMPOSICIÓN

Los **Centros de Transformación** de **Ormazabal** en edificio **PF** se componen de:

- Aparamenta de MT con aislamiento integral en gas: Sistema CGMCOSMOS (hasta 24 kV) y sistema CGM.3 (36 kV).
- Unidades de protección, control y medida (telemando, telemedida, control integrado, telegestión, etc.) de Ormazabal.
- Transformador/es de distribución de MT/BT de llenado integral en dieléctrico líquido de hasta 1000 kVA(1) de potencia unitaria.
- Aparamenta de BT: Cuadro/s de Baja Tensión de hasta 8 salidas por cuadro.
- Interconexiones directas por cable MT y BT.
- Circuito de puesta a tierra.
- Circuito de alumbrado y servicios auxiliares.
- Edificio modular de hormigón PF.

➔ (1) Para otros valores consultar a nuestro Departamento Técnico-Comercial.

NORMAS APLICADAS

- Reglamento sobre Centrales Eléctricas, Subestaciones y Centros de Transformación
- Normas particulares de Compañía Eléctrica

APLICACIONES

en **Generación**:

- Parques eólicos, Instalaciones fotovoltaicas, etc.

en **Distribución**:

- Centros de Reparto
- Centros de Transformación Ormazabal:
  - Distribución publica y privada.
  - Entornos industriales.
  - Grandes infraestructuras.
  - Instalaciones permanentes / temporales.
  - Instalaciones con telemedida.
  - Proyectos urbanisticos y soluciones técnicas asociados con C.T. Prefabricados, Centros de Maniobra y Seccionamiento, etc.

Modelos PF



PF-203/303



PF-2030/3030



PF-202/302



PF-2015/3015

PF Hasta 24 kV		Serie PF-201/301					Serie PF-2015/3015	
	Paneles:	PF-201	PF-202	PF-203	PF-204	PF-205	PF-2015	PF-2030
Longitud	[mm]	2620	4880	7240	9600	11960	3700	7240
Anchura	[mm]	2520	2620	2620	2620	2620	2620	2620
Altura	[mm]	3200	3200	3200	3200	3200	3200	3200
Altura vista	[mm]	2650	2650	2650	2650	2650	2650	2650
Peso*	[kg]	9000	26100	22500	29200	35900	13500	23550

PF Hasta 36 kV		Serie PF-201/301						Serie PF-2015/3015	
	Paneles:	PF-301	PF-302	PF-303	PF-304	PF-305	PF-3015	PF-3030	PF-3035
Longitud	[mm]	2620	4880	7240	9600	11960	3700	7240	8420
Anchura	[mm]	2520	2620	2620	2620	2620	2620	2620	2620
Altura	[mm]	3600	3600	3600	3600	3600	3600	3600	3600
Altura vista	[mm]	3050	3050	3050	3050	3050	3050	3050	3050
Peso*	[kg]	10000	17400	24100	31200	38300	15000	25650	28050

Dimensiones puerta de acceso personal: 900 (24 kV) / 1100 (36 kV) x 2100 mm.
Dimensiones puerta de transformador: 1260 x 2100 mm.
* Peso sin tener en cuenta las puertas, rejillas ni equipo eléctrico

Documento visado electrónicamente con número: VA07290/22
Código de validación telemática TRLTDCFZ60T66IJ1. Comprobación: https://cogitivalencia.e-gestion.es/Validacion.aspx?CVT=TRLTDCFZ60T66IJ1

ORMAZABAL

Especialistas en Media Tensión

VISADO
COGITI
VALENCIA
VA07290/22
TRLTDCFZ60T66IJ1

DEPARTAMENTO TÉCNICO-COMERCIAL

Tel: +34 91 695 92 00
Fax: +34 91 681 64 15

www.ormazabal.es



Documento visado electrónicamente con número: VA07290/22
Código de validación telemática TRLTDCFZ60T66IJ1. Comprobación: https://cogitivalencia.e-gestion.es/Validacion.aspx?CVT=TRLTDCFZ60T66IJ1

Productos, aplicaciones, soluciones:

- Aparamenta de distribución primaria
- Aparamenta de distribución secundaria
- Automatización, protección, telemando y comunicaciones en redes eléctricas
- Transformadores de distribución
- Cuadros de Baja Tensión
- Centros de transformación
- Aplicaciones de Media Tensión para energías renovables

Como consecuencia de la constante evolución de las normas y los nuevos diseños, las características de los elementos contenidos en este catálogo están sujetas a cambios sin previo aviso.

Estas características, así como la disponibilidad de los materiales, sólo tienen validez bajo la confirmación de nuestro departamento Técnico-Comercial.

CA-314-ES-1106

VISADO
COGITI
VALENCIA
VA07290/22
TRLTDCFZ60T66IJ1

TRAFO 1250KVA



TRANSFORMADOR MT / BT - ORGANIC

1 Transformador de potencia, marca ORMAZABAL, con dieléctrico líquido natural biodegradable tipo ORGANIC, norma UNE-21.428-1 y *"EcoDiseño EU-548-2014" TIER 2*. Con las siguientes características:

- Potencia nominal.....1.250 kVA
- Tensión primaria .....20 kV
- Tensión secundaria .....0.8 kV en Vacío.
- Regulación de tensión .....+2.5, +5, +7.5, +10%
- Grupo de conexión.....Dyn11
- Frecuencia.....50 Hz
- Tensión de corcocircuito .....6 %
- Peso estimado.....4.169 kg
- Dimensiones aprox. en mm.....Largo 1826 mm x Ancho 1166 mm x Altura Total 2166 mm
- Pérdidas en Vacío - Po:.....855 W.
- Pérdidas en carga - Pk:.....9.500 W.
- Bobinados MT / BT:.....Aluminio / Aluminio.
- Método refrigeración:.....ORGANIC (KNAN).
  Líquido aislante éster vegetal biodegradable, punto de combustión superior a 350 ºC.
- Ensayos de rutina según **IEC 60076-1**.

- Accesorios incluidos:
  Pasatapas MT enchufables.
  Pasabarras Unipolar BT.
  Ruedas.
  Dispositivo de vaciado y toma de muestras.
  Dispositivo de llenado.
  Termómetro
  2 Terminales de tierra en la cuba.
  Conmutador de regulación (maniobrable sin tensión).
  Placa de características.
  2 Cáncamos de elevación.
  4 Cáncamos de arriostramiento.
  4 Cáncamos de arrastre.

NOTA: La imagen mostrada es orientativa. Puede diferir en función de los accesorios incluidos.

Documento visado electrónicamente con número: VA07290/22
Código de validación telemática TRLTDCFZ60T66IJ1. Comprobación: https://cogitivalencia.e-gestion.es/Validacion.aspx?CV=TRLTDCFZ60T66IJ1

VISADO
COGITI
VALENCIA
VA07290/22
TRLTDCFZ60T66IJ1

TRAFO 1600KVA



TRANSFORMADOR MT / BT - ORGANIC

1 Transformador de potencia, marca ORMAZABAL, con dieléctrico líquido natural biodegradable tipo ORGANIC, norma UNE-21.428-1 y *"EcoDiseño EU-548-2014"*. Con las siguientes características:

- Potencia nominal.....1.600 kVA
- Tensión primaria……20 kV
- Tensión secundaria .....0.8 kV en Vacío.
- Regulación de tensión..... +2.5, +5, +7.5, +10%
- Grupo de conexión Dyn11
- Frecuencia ..... 50 Hz
- Tensión de corcocircuito ..... 6 %
- Peso estimado..... 5.100 kg
- Dimensiones aprox. en mm ..... Largo 2000 mm x Ancho 1250 x Altura Total 2060
- Pérdidas en Vacío - Po .....1.080 W.
- Pérdidas en carga - Pk ..... 12.000 W.
- Bobinados MT / BT ..... Aluminio / Aluminio.
- Método refrigeración .....ORGANIC (KNAN).
  Líquido aislante éster vegetal biodegradable, punto de combustión superior a 350 ºC.
- Ensayos de rutina según **IEC 60076-1**.

- Accesorios incluidos:
  Pasatapas MT enchufables.
  Pasabarras Unipolar BT.
  Ruedas.
  Dispositivo de vaciado y toma de muestras.
  Dispositivo de llenado.
  Termómetro
  2 Terminales de tierra en la cuba.
  Conmutador de regulación (maniobrable sin tensión).
  Placa de características.
  2 Cáncamos de elevación.
  4 Cáncamos de arriostramiento.
  4 Cáncamos de arrastre.

NOTA: La imagen mostrada es orientativa. Puede diferir en función de los accesorios incluidos.

Documento visado electrónicamente con número: VA07290/22
Código de validación telemática TRLTDCFZ60T66IJ1. Comprobación: https://cogitivalencia.e-gestion.es/Validacion.aspx?CVT=TRLTDCFZ60T66IJ1

VISADO
COGITI
VALENCIA
VA07290/22
TRLTDCFZ60T66IJ1

valenciaport
Autoridad Portuaria de Valencia

ESPECIFICACIONES TECNICAS

EQUIPO: Armario Comunicación SERVICIO:

OBRA: **Fotovoltaica** Nº ORDEN: EE –2020-0005 001

DESCRIPCIÓN

Armario que controla las comunicaciones entre la instalación de campo, el anillo de FO y el sistema centralizado de control, SCADA

La envolvente está formada por un panel metálico construidos en chapa de acero laminado de espesor de la caja de 1.5mm^2 , de 2.0 mm^2 en la puerta y de 3mm^2 en la placa de montaje. Grado de protección IP-66. Se deberá respetar un espacio de reserva y con las características siguientes:

TENSIÓN NOMINAL:

Circuito principal:	230 V ca
Circuito mando	24 V cc

LISTADO DE EQUIPOS

Ud.	DESCRIPCIÓN	REFERENCIA	MARCA
1	Armario metálico 760x760x300 + placa de montaje	1073.500	RITTAL
1	Ventilador 124x124 18m3/h 230V	3237.100	RITTAL
1	Filtro salida	3238.200	RITTAL
1	Termostato	3110.000	RITTAL
1	Portaesquemas DIN A4 (254x228x17mm)	2514.000	RITTAL
1	Interruptor automático II 16A; PC:6 KA; Curva C C60 N	5SL6216-7	SIEMENS
1	Interruptor diferencial 2P, clase AC, 25ª, 300mA	5SV4612-0	SIEMENS
2	Interruptor automático II 10A; PC:6 KA; Curva C C60 N	5SL6210-7	SIEMENS
3	Contacto auxiliar 1NA para interruptor auto.	5ST3010	SIEMENS
1	Base de enchufe 250V/16 A	A9A15310	SCHNEIDER
1	Sensor Inductivo NA	XS4P18PA340	SCHNEIDER
2	Cabeza piloto rojo	ZB4-BV043	SCHNEIDER
2	Cuerpo completo piloto rojo (base+led)	ZB4-BVB4	SCHNEIDER
1	Cabeza piloto verde	ZB4-BV033	SCHNEIDER
1	Cuerpo completo piloto verde (base+led)	ZB4-BVB3	SCHNEIDER
1	Cabeza piloto amarillo	ZB4-BV053	SCHNEIDER
1	Cuerpo completo piloto amarillo (base+led)	ZB4-BVB5	SCHNEIDER
1	Fuente alimentación 220Vac/24Vdc, 10A	6EP1334-2BA20	SIEMENS
1	DC-SAI 24V/ 15 A	6EP1931-2EC21	SIEMENS
1	Módulo de batería 24V/7Ah	6EP1935-6ME21	SIEMENS

Documento visado electrónicamente con número: VA07290/22
Código de validación telemática TRLTDCFZ60T66IJ1. Comprobación: https://cogitivalencia.e-gestion.es/Validacion.aspx?CVT=TRLTDCFZ60T66IJ1

VISADO
COGITI
VALENCIA
VA07290/22
TRLTDCFZ60T66IJ1

valenciaport
Autoridad Portuaria de Valencia

ESPECIFICACIONES TECNICAS

EQUIPO: Armario Comunicación SERVICIO:

OBRA: **Fotovoltaica** Nº ORDEN: EE –2020-0005 001

Ud.	DESCRIPCIÓN	REFERENCIA	MARCA
1	SWITCH XM408-8C. Comunicación con el anillo FO	6GK5408-8GS00-2AM2	SIEMENS
2	Transceptor de fibra óptica monomodo	6GK5992-1AM00-8AA0	SIEMENS

DISTRIBUCIÓN DE EQUIPOS EN PLACA

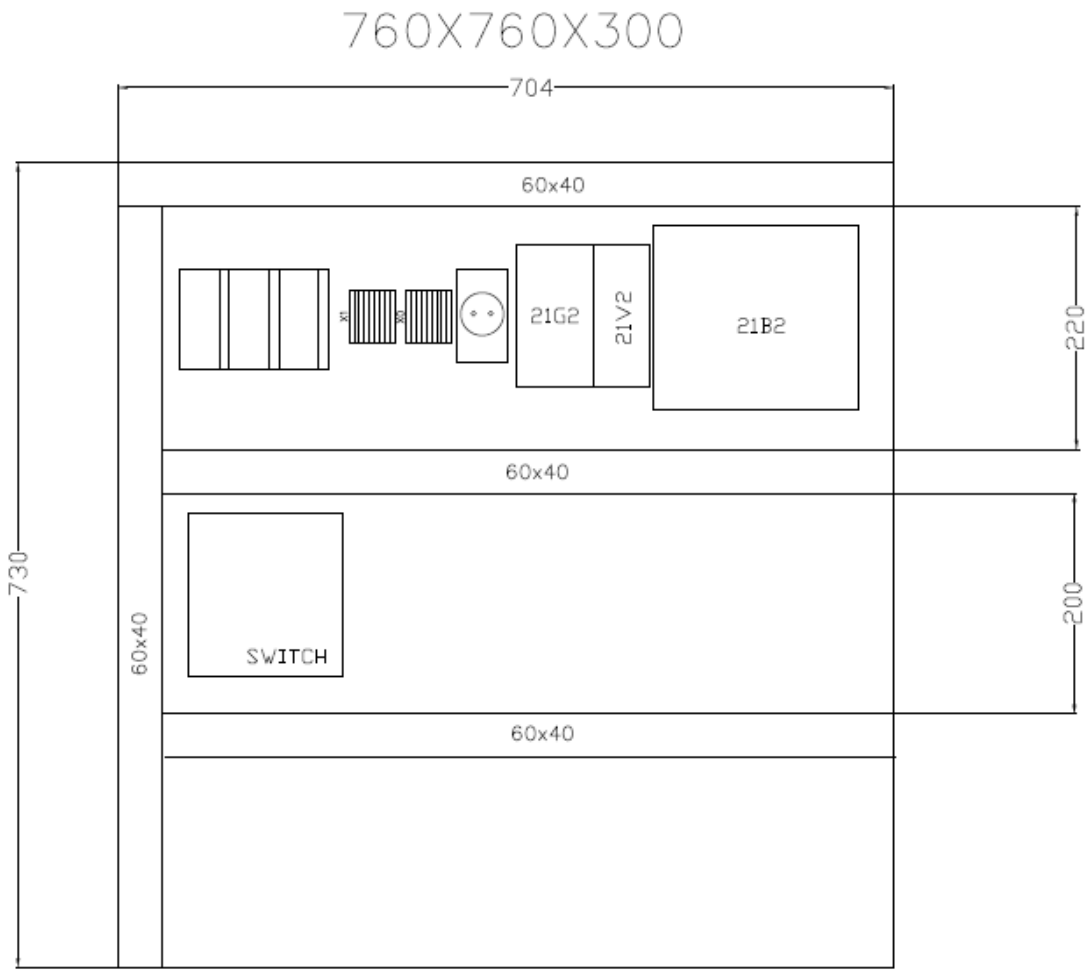

Documento visado electrónicamente con número: VA07290/22
Código de validación telemática TRLTDCFZ60T66IJ1. Comprobación: https://cogitivalencia.e-gestion.es/Validacion.aspx?CVT=TRLTDCFZ60T66IJ1

VISADO
COGITI
VALENCIA
VA07290/22
TRLTDCFZ60T66IJ1

valenciaport
Autoridad Portuaria de Valencia

ESPECIFICACIONES TECNICAS

EQUIPO: Armario Comunicación

SERVICIO:

OBRA: **Fotovoltaica**

Nº ORDEN: EE –2020-0005 001

DISTRIBUCIÓN EXTERIOR

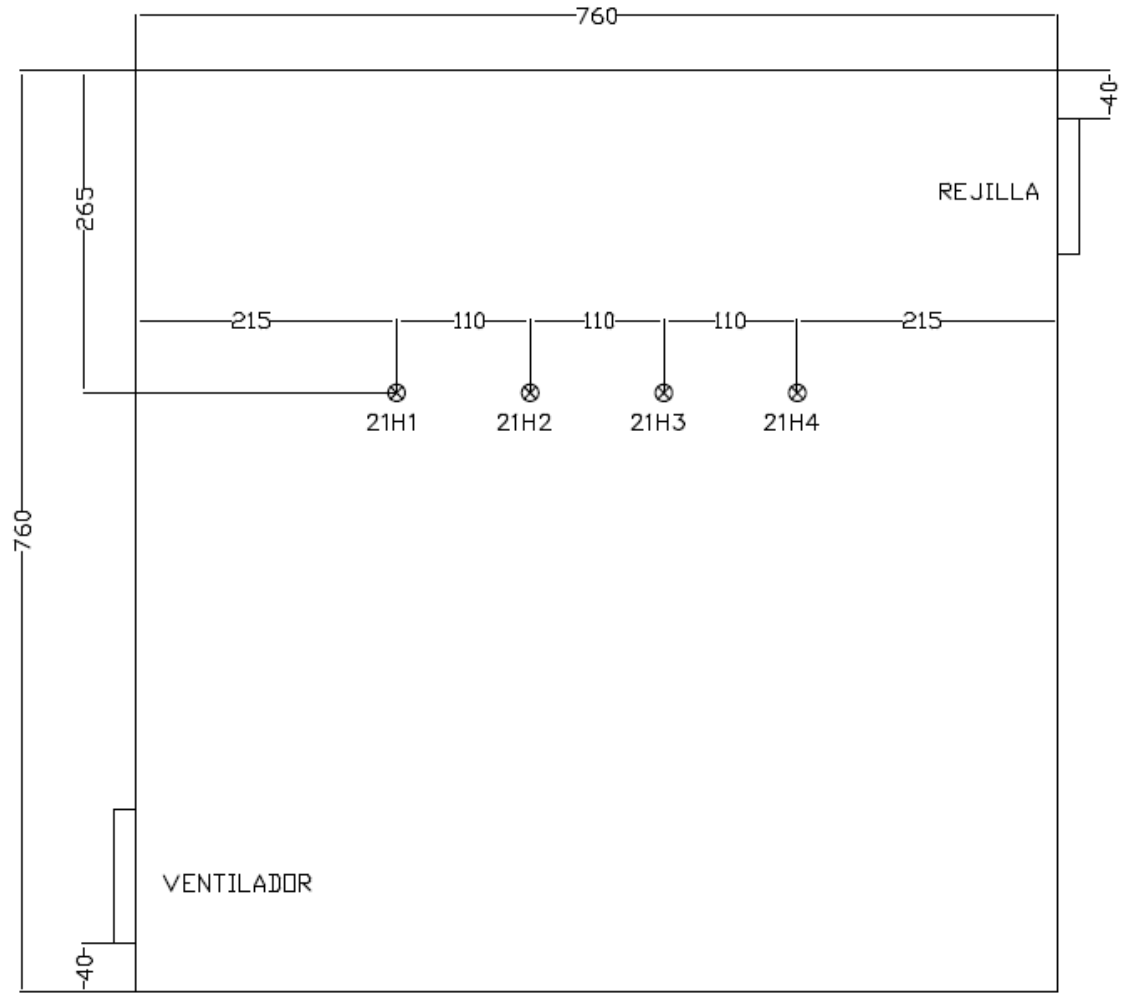

LEYENDA:

21H1: RED OK (Color Verde)

21H2: FALLO SAI (Color Rojo)

21H3: DISPARO MAGNETOTERMICO (Color Rojo)

21H4: PUERTA CERRADA (Color Amarillo)

Documento visado electrónicamente con número: VA07290/22
Código de validación telemática TRLTDCFZ60T66IJ1. Comprobación: https://cogitivalencia.e-gestion.es/Validacion.aspx?CVT=TRLTDCFZ60T66IJ1

VISADO
COGITI
VALENCIA
VA07290/22
TRLTDCFZ60T66IJ1

DISTRIBUCIÓN LATERAL

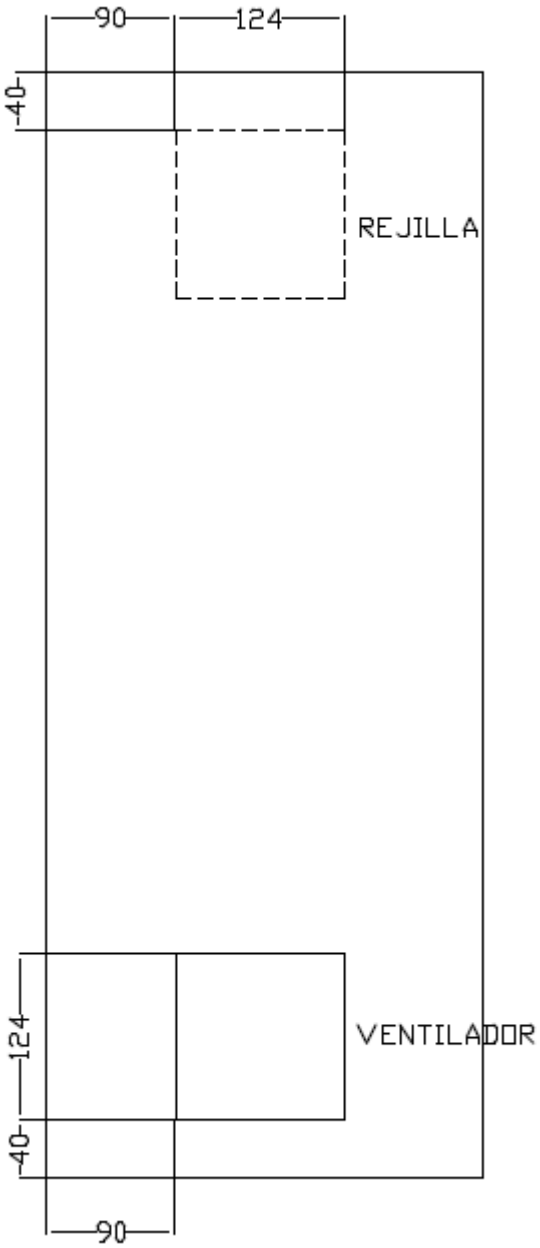

Documento visado electrónicamente con número: VA07290/22
Código de validación telemática TRLTDCFZ60T66IJ1. Comprobación: https://cogitivalencia.e-gestion.es/Validacion.aspx?CVT=TRLTDCFZ60T66IJ1

VISADO
COGITI
TRLTDCFZ60T66IJ1
VALENCIA
VA07290/22

OleveonF 15 B 4000-840 ET PC

TOC: 71213403

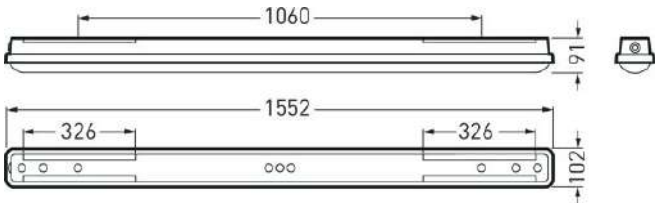



Características del producto y datos característicos

Áreas de aplicación	Locales húmedos|zonas exteriores cubiertas
Tipo de luminaria	Luminaria LED de superficie para locales húmedos IP66.
Tipos de montaje	Suspensión|Montaje de superficie
Óptica de la luminaria	Difusor de PC con prismas interiores.
Potencia conectada	28 W
Temperatura de color	4.000 K
Flujo luminoso nominal	3.900 lm
Rendimiento luminoso	139 lm/W
Vida útil	L80 (25 °C) = 50.000 h
Índice de reproducción cromática	80
Tolerancia cromática	3 SDCM
Clase fotobiológica	Grupo 0 - sin riesgo
Color de la luminaria	RAL7035 Gris luminoso
Cuerpo de luminaria	Cuerpo de luminaria de PC.
Especificación eléctrica	Con transformador electrónico, conmutable.
Tipo de conexión	Clema
tensión nominal	230 - 240 V
Coeficiente de distorsión armónica total (THD) < %	14 %
Marca IFS	Sí
Grado de protección	IP66
Grado de protección hacia el local	IP66
Clase de protección	I
Resistencia al impacto (IK)	IK08
Resistencia del hilo incandescente	850 °C
Temperatura ambiente	-20 - 35 °C
Longitud net	1.552 mm
Ancho-net	102 mm
Altura net	91 mm
Peso	2,5 kg

light distribution curve

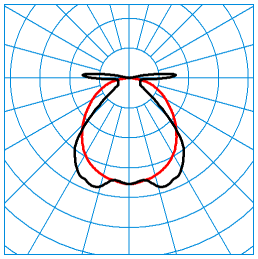

OleveonF B 1500 4000-840 PC
TX056190

C0 - C180
C90 - C270

UGR l = 22.8
UGR q = 18.2
DIN 5040: A40
UTE: 0,93 D + 0,07 T
CEN Flux Code: 56 85 95 93 100 0 0 11 7

Documento visado electrónicamente con número: VA07290/22
Código de validación telemática TRLTDCFZ60T66IJ1. Comprobación: https://cogitivalencia.e-gestion.es/Validacion.aspx?CVT=TRLTDCFZ60T66IJ1

Todos los datos técnicos, así como los valores de pesos y medidas, han sido sometidos a una cuidadosa comprobación, salvo errores. Las ilustraciones de productos sirven a título de ejemplo y pueden desviar del original. Nos reservamos el derecho de introd.

VISADO
COGITI
TRLTDCFZ60T66IJ1
VALENCIA
VA07290/22

Accesorios disponibles

Material	Denominación
ZBSB 6923200	Suspensión por cinta de acero, 1 m de largo, de acero inoxidable (1 par)
ZBATL2 6923300	Dispositivo antirrobo (Obligatorio para el montaje en la pared)
ZBMC 6923400	Estribo para un montaje suspendido
OleveonF ZLV/525/15 7129800	Cableado continuo de 5 conductores. Compuesto por 5 conductores individuales de 2,5 mm², resistencia al calor de hasta 105 °C.
Difusor OleveonF 1.5 PC embalado 7130100	Difusor de repuesto para OleveonF 1.5 PC.
Difusor OleveonF 1.5 PMMA embalado 7130200	Difusor de repuesto para Oleveon F 1.5 PMMA.
 **ZBWM** 7425600	Estribos de montaje inclinables para el montaje en pared o techo de las luminarias LED estancas

Texto descriptivo

Luminaria LED de superficie para locales húmedos IP66. Ventajoso en casos de exigencias elevadas a la seguridad mecánica. Cumple con DIN EN 10500. Las luminarias son aptas para las aplicaciones en las empresas de la industria alimentaria y de bebidas, certificadas según las especificaciones de HACCP, IFS versión 6 y/o de BRC Global Standard Food versión 7.. Luminaria con una temperatura superficial limitada según DIN EN 60598-2-24 apta para el uso en locales con riesgo de incendio particular. Con la técnica de cierre sin clips para el montaje sencillo y según el grado de protección del difusor de recubrimiento y del cuerpo de luminaria después de la conexión. Para un montaje en techos y paredes, así como para un montaje suspendido. Montaje en el techo a través de la abrazadera de fijación adjunta de acero inoxidable. Montaje suspendido es posible a través de unos accesorios opcionales. Difusor de PC con prismas interiores. Con una distribución extensiva y simétrica de las intensidades luminosas. Índice de deslumbramiento (EN 12464-1) unificado UGR < 25. Flujo luminoso de las luminarias 3900 lm, potencia conectada 28,00 W, rendimiento luminoso de la luminaria 139 lm/W. Color de luz color blanco neutro, temperatura del color (CCT) 4000 K, Tolerancia del color (incialmente MacAdam) ≤ 3 SDCM, indice de reproducción cromática general (CRI) R_a > 80. Vida útil nominal media L80(t_q 25 °C) = 50.000 h. Cuerpo de luminaria de PC. Cuerpo de luminaria, de color gris luz (RAL 7035). Con la técnica de cierre sin clips para el montaje sencillo y según el grado de protección del difusor de recubrimiento y del cuerpo de luminaria después de la conexión. Dimensiones (L x A): 1552 mm x 102 mm, altura de la luminaria 91 mm. Temperatura ambiental admisible de entre (ta): -20 °C - +35 °C. Clase de protección (EN 61140): I, grado de protección (DIN EN 60529): IP66, grado de la resistencia al impacto según IEC 62262: IK08, temperatura de prueba para el ensayo de hilo incandescente según IEC 60695-2-11: 850 °C. Con clema de conexión de tres polos de hasta 2,5 mm ^{2} . Con transformador electrónico, conmutable. La luminaria cumple con los requisitos fundamentales de las directivas de la UE y de la ley sobre la seguridad de los productos y lleva el marcado CE.

Accesorios para la serie:
Para el montaje horizontal en las paredes de la luminaria, deben utilizarse de forma obligatoria los accesorios ZBATL (dispositivo antirrobo). ZBATL2, TOC 69 23 300

Documento visado electrónicamente con número VA07290/22
Código de validación telemática TRLTDCFZ60T66IJ1. Comprobación: https://cogitivalencia.e-gestion.es/Validacion.aspx?CVT=TRLTDCFZ60T66IJ1

Todos los datos técnicos, así como los valores de pesos y medidas, han sido sometidos a una cuidadosa comprobación, salvo errores. Las ilustraciones de productos sirven a título de ejemplo y pueden desviar del original. Nos reservamos el derecho de introd.

VISADO
COGITI
VALENCIA
VA07290/22
TRLTDCFZ60T66IJ1

SIEMENS

Hoja de datos

6EP1334-2BA20



SITOP PSU100S/1AC/DC24V/10A

SITOP PSU100S 24 V/10 A
Fuente de alimentación
estabilizada entrada: AC 120/230
V salida: DC 24 V/10 A

Entrada	
Entrada	AC monofásica
● Observación	Cambio de rango automático
tensión de alimentación	
● 1 con AC valor nominal	120 V
● 2 con AC valor nominal	230 V
tensión de entrada	
● 1 con AC	85 ... 132 V
● 2 con AC	170 ... 264 V
Entrada de rango amplio	No
Resistencia a sobretensiones	2,3 x Ue nom, 1,3 ms
Respaldo de red	Con Ue = 93/187 V
Respaldo de red con la nom, mín.	20 ms; Con Ue = 93/187 V
Frecuencia nominal de red 1	50 Hz
Frecuencia nominal de red 2	60 Hz
Rango de frecuencia de red	47 ... 63 Hz
intensidad de entrada	
● con valor nominal de la tensión de entrada 120 V	4,49 A
● con valor nominal de la tensión de entrada 230 V	1,91 A
Limitación de la intensidad de conexión (+ 25 °C), máx.	60 A
I^2t, máx.	5,6 $A^2 \cdot s$
Fusible de entrada incorporado	T 6,3 A/250 V (no accesible)
Protección del cable de red (IEC 898)	Interruptor magnetotérmico recomendado: a partir de 10 A característica C
Salida	
Salida	Tensión continua estabilizada y aislada galvánicamente
Tensión nominal Us nom DC	24 V
Tolerancia total, estática ±	3 %
Compens. estática variación de red, aprox.	0,1 %
Compens. estática variación de carga, aprox.	1 %
Ondulación residual entre picos, máx.	150 mV
Ondulación residual entre picos, típ.	20 mV
Spikes entre picos, máx. (ancho de banda aprox. 20 MHz)	240 mV
Spikes entre picos, típ. (ancho de banda aprox. 20 MHz)	160 mV
Rango de ajuste	22,8 ... 28 V

Documento visado electrónicamente con número: VA07290/22
Código de validación telemática TRLTDCFZ60T66IJ1. Comprobación: https://cogitivalencia.e-gestion.es/Validacion.aspx?CVT=TRLTDCFZ60T66IJ1

Sujeto a cambios
© Copyright Siemens

VISADO
COGITI
VALENCIA
VA07290/22
TRLTDCFZ60T66IJ1

función del producto tensión de salida es ajustable	Sí
Ajuste de la tensión de salida	Mediante potenciómetro
Pantalla normal	LED verde para 24 V O.K.
Señalización	Contacto de relé (contacto NA, capacidad de carga de contactos 60 V DC/0,3 A) para 24 V O.K.
Comportamiento al conectar desconectar	Rebase transitorio de Ua < 3 %
Retardo de arranque, máx.	0,3 s
Subida de tensión, típ.	20 ms
Intensidad nominal Ia nom	10 A
Rango de intensidad	0 ... 12 A
● Observación	12 A a +45 °C; +60 ... +70 °C: Derating 3%/K
potencia activa entregada típico	288 W
intensidad de sobrecarga breve	
● con cortocircuito durante el arranque típico	32 A
● con cortocircuito en servicio típico	32 A
duración de la capacidad de sobrecarga con sobreintensidad	
● con cortocircuito durante el arranque	1 000 ms
● con cortocircuito en servicio	1 000 ms
Posibilidad de conex. en paralelo para aumento de potencia	Sí
Número de equipos conectables en paralelo para aumentar la potencia, unidades	2
Rendimiento	
Rendimiento con Ua nominal, Ia nominal, aprox.	90 %
Pérdidas con Ua nom, Ia nom, aprox.	25 W
Regulación	
Compens. dinám. variación de red (Ue nom ± 15%), máx.	0,3 %
Compens. dinám. variación de carga (Ia: 10/90/10%), Ua ± típ.	3 %
Tiempo de recuperación escalón de carga 10 a 90%, típ.	1 ms
Tiempo de recuperación escalón de carga 90 a 10%, típ.	1 ms
Protección y vigilancia	
Protección sobretensión en salida	en caso de error interno: Us < 33 V
Limitación de intensidad	12 ... 14,6 A
propiedad de la salida resistente a cortocircuitos	Sí
Prot. contra cortocircuito	Característica de intensidad constante
intensidad de cortocircuito sostenido valor eficaz	
● típico	14,6 A
capacidad de sobrecarga en caso de sobrecorriente con servicio normal	Admite sobrecarga de 150% de la nom hasta 5 s/min
Señalización de sobrecarga/cortocircuito	-
Seguridad	
Aislamiento galvánico primario secundario	Sí
aislamiento galvánico	Tensión de salida MBTS/SELV Us según EN 60950-1 y EN 50178
Clase de protección	Clase I
corriente de fuga	
● máx.	3,5 mA
● típico	0,8 mA
Grado di protección (EN 60529)	IP20
Homologaciones	
Marcado CE	Sí
Aprobación UL/cUL (CSA)	cULus-Listed (UL 508, CSA C22.2 No. 107.1), File E197259, cCSAus (CSA C22.2 No. 60950-1, UL 60950-1)
Protección contra explosiones	IECEx Ex nA nC IIC T4 Gc; ATEX (EX) II 3G Ex nA nC IIC T4 Gc; cULus Class I Div. 2 (ANSI/ISA-12.12.01-2007, CSA C22.2 No. 213-M1987) Group ABCD, T4; cCSAus (CSA C22.2 No. 213, ANSI/ISA-12.12.01) Class I, Div. 2, Group ABCD, T4
certificado de aptitud NEC Class 2	No
Homologación FM	-

Documento visado electrónicamente con número: VA07290/22
Código de validación telemática TRLTDCFZ60T66IJ1. Comprobación: https://cogitivalencia.e-gestion.es/Validacion.aspx?CVT=TRLTDCFZ60T66IJ1

© Copyright Siemens

VISADO
COGITI
TRLTDCFZ60T66IJ1
VALENCIA
VA07290/22

Homologación CB	Sí
certificado de aptitud homologación EAC	Sí
Homologación para la construcción naval	BV, DNV GL
CEM	
Emisión de interferencias	EN 55022 clase B
Limitación de armónicos en red	EN 61000-3-2
Inmunidad a interferencias	EN 61000-6-2
condiciones ambientales	
temperatura ambiente	
● durante el funcionamiento	-25 ... +70 °C
— Observación	Con convección natural
● durante el transporte	-40 ... +85 °C
● durante el almacenamiento	-40 ... +85 °C
Clase de humedad según EN 60721	Clase climática 3K3, 5 … 95% sin condensación
Mecánica	
Sistema de conexión	conexión por tornillo
Conexiones	
● entrada de red	L, N, PE: 1 borne de tornillo resp. para 0,5 ... 2,5 mm² monofilar/flexible
● salida	+, -: 2 bornes de tornillo resp. para 0,5 ... 2,5 mm²
● contactos auxiliares	Señales de respuesta: 2 bornes de tornillo para 0,5 … 2,5 mm²
● contacto de señalización	2 bornes de tornillo para 0,5 ... 2,5 mm²
anchura de la caja	70 mm
altura de la caja	125 mm
profundidad de la caja	120 mm
distancia que debe respetarse	
● arriba	50 mm
● abajo	50 mm
● izquierda	0 mm
● derecha	0 mm
Peso aprox.	0,8 kg
propiedad del producto de la caja carcasa disponible en hilera	Sí
Montaje	Sobre perfil normalizado EN 60715 35x7,5/15 por abroche
accesorios eléctricos	Módulo de respaldo
accesorios mecánicos	Plaquita de identificación 20 mm × 7 mm, turquesa pastel 3RT1900-1SB20
MTBF con 40 °C	1 614 510 h
notas adicionales	Siempre que no se diga lo contrario, son aplicables todos los datos para la tensión nominal de entrada y una temperatura ambiente de +25 °C

Documento visado electrónicamente con número: VA07290/22
Código de validación telemática TRLTDCFZ60T66IJ1. Comprobación: https://cogitivalencia.e-gestion.es/Validacion.aspx?CVT=TRLTDCFZ60T66IJ1

© Copyright Siemens

SIEMENS

VISADO
COGITI
TRLTDCFZ60T66IJ1
VALENCIA
VA07290/22

Hoja de datos

6GK5408-8GS00-2AM2



SCALANCE XM408-8C; managed IE Switch modular; 8 RJ45 10/100/1000 Mbits/s; 8 SFP 100/1000 Mbits/s; incluye 8 puertos combo; en total, 8 puertos aprovechable; ampliable a 24 puertos eléctricos u ópticos; montaje: perfil DIN/soporte S7, Dispositivo PROFINET IO; funciones de redundancia; Office características (RSTP, VLAN, IGMP,..); C-PLUG en el volumen de suministro; capa 3 con Key-Plug disponible

denominación del tipo de producto	**SCALANCE XM408-8C**
tasa de transferencia	
tasa de transferencia	10 Mbit/s, 100 Mbit/s, 1000 Mbit/s
número de puertos / máx.	24
interfaces / para comunicaciones / configuración máx. con aparatos modulares	
número de puertos eléctricos / máx.	24
número de puertos eléctricos / con PoE / máx.	16
número de puertos ópticos / máx.	24
interfaces / para comunicaciones / integrada	
número de conexiones eléctricas	
● para componentes de red o equipos terminales	8; RJ45 con collar de sujeción
número de puertos RJ45 a 10/100/1000 Mbits/s / integrada	
● con collar de sujeción	8
número de conexiones eléctricas	
● para SFP	8; Transceptor enchufable SFP 100 Mbits/s o 1000 Mbits/s
número de puertos combo / con interfaz RJ45 para transceptores enchufables ópticos	8; Transceptor enchufable SFP 100 Mbits/s o 1000 Mbits/s
número de módulos de extensión conectables	2
interfaces / para comunicaciones / enchufables	
número de puertos RJ45 a 10/100/1000 Mbits/s	
● con collar de sujeción	16
● con collar de sujeción / con PoE	16
número de puertos LC a 100 Mbits/s	
● para multimodo	24
● para monomodo (LD)	24
● para monomodo (LH+)	24
● para monomodo (ELH200)	24
número de puertos LC a 1000 Mbits/s	
● para multimodo	24
● para monomodo (LD)	24
● para monomodo (LH)	24
● para monomodo (LH+)	24
● para monomodo (ELH)	24
número de conexiones eléctricas	
● para SFP	24; Transceptor enchufable SFP 100 Mbits/s o 1000 Mbits/s
interfaces / otras	
número de conexiones eléctricas	

Documento visado electrónicamente con número: VA07290/22
Código de validación telemática TRLTDCFZ60T66IJ1. Comprobación: https://cogitivalencia.e-gestion.es/Validacion.aspx?CVT=TRLTDCFZ60T66IJ1

Sujeto a cambios
© Copyright Siemens

VISADO
COGITI
VALENCIA
VA07290/22
TRLTDCFZ60T66IJ1

• para consola de mando	1
• para fines de gestión	1
• para contacto de señalización	1
• para alimentación	1
tipo de conexión eléctrica	
• para consola de mando	RJ11
• para fines de gestión	RJ45
• para contacto de señalización	Bloque de bornes de 2 polos
• para alimentación	Bloque de bornes de 4 polos
número de interfaces de ampliación de extensión	2
tipo de soporte de datos intercambiable	
• C-PLUG/KEY-PLUG	Sí
propiedad del producto / módulos de interfaz hot swappable	Sí
entradas/salidas de señal	
tensión de empleo / de los contactos de señalización	
• con DC / valor nominal	24 V
intensidad de empleo / de los contactos de señalización	
• con DC / máx.	0,1 A
tensión de alimentación, consumo de corriente, pérdidas	
componente del producto / conexión para alimentación redundante	Sí
tipo de alimentación / fuente de alimentación redundante	No
potencia activa entregada / de PSE / con PoE	
• por puerto / máx.	30 W
• total / máx.	360 W
tipo de corriente / 1 / de la tensión de alimentación	DC
• tensión de alimentación / 1 / valor nominal	24 V
• pérdidas [W] / 1 / valor nominal	48 W
• tensión de alimentación / 1 / valor asignado	19,2 ... 28,8 V
• corriente consumida / 1 / máx.	2 A
• tipo de conexión eléctrica / 1 / para alimentación	Bloque de bornes de 4 polos
• componente del producto / 1 / protección con fusibles en entrada de alimentación	Sí
condiciones ambientales	
temperatura ambiente	
• durante el funcionamiento	-40 ... +70 °C
• durante el almacenamiento	-40 ... +85 °C
• durante el transporte	-40 ... +85 °C
humedad relativa del aire	
• con 25 °C / sin condensación / durante el funcionamiento / máx.	95 %
grado de protección IP	IP20
diseño, dimensiones y pesos	
forma constructiva	modular
anchura	140 mm
altura	147 mm
profundidad	125 mm
peso neto	1,15 kg
tipo de fijación	
• montaje en bastidor de 19"	No
• montaje sobre perfil DIN de 35 mm	Sí
• montaje en pared	No
• montaje en perfil soporte S7-300	Sí
• montaje en perfil soporte S7-1500	Sí
propiedades, funciones y componentes del producto / general	
conexión en cascada con topología en estrella	libre (sólo depende del tiempo de propagación de la señal)
funciones del producto / gestión, configuración, ajustes	

Documento visado electrónicamente con número: VA07290/22
Código de validación telemática TRLTDCFZ60T66IJ1. Comprobación: https://cogitivalencia.e-gestion.es/Validacion.aspx?CVT=TRLTDCFZ60T66IJ1

Sujeto a cambios
© Copyright Siemens

VISADO
COGITI
VALENCIA
VA07290/22
TRLTDCFZ60T66IJ1

función del producto	
• CLI	Sí
• gestión basada en web	Sí
• soporte de MIB	Sí
• TRAP vía e-mail	Sí
• configuración con STEP 7	Sí
• RMON	Sí
• Portmirroring	Sí
• Mirroring multipuerto	Sí
• CoS	Sí
• diagnóstico PROFINET IO	Sí
clase de conformidad PROFINET	B
función del producto / gestionada por switch	Sí
longitud de telegrama / con Ethernet / máx.	9216 byte
protocolo / soportado	
• Telnet	Sí
• HTTP	Sí
• HTTPS	Sí
• TFTP	Sí
• FTP	Sí
• BOOTP	Sí
• GMPR	Sí
• DCP	Sí
• LLDP	Sí
• SNMP v1	Sí
• SNMP v2	Sí
• SNMP v3	Sí
• IGMP (Snooping/Querier)	Sí
función de Identificación y Mantenimiento	
• I&M0 - Información específica del dispositivo	Sí
• I&M1 - ID de la instalación/ID de situación	Sí
funciones del producto / diagnóstico	
función del producto	
• Port Diagnostics	Sí
• Packet Size Statistics	Sí
• Packet Type Statistics	Sí
• Error Statistics	Sí
• SysLog	Sí
funciones del producto / VLAN	
función del producto	
• VLAN - port based	Sí
• VLAN - protocol based	Sí
• VLAN - IP based	Sí
• VLAN - dynamic	Sí
número VLAN / máx.	255
número VLAN - dynamic / máx.	255
protocolo / soportado / GVRP	Sí
funciones del producto / DHCP	
función del producto	
• cliente DHCP	Sí
• DHCP opción 82	Sí
• DHCP opción 66	Sí
• DHCP opción 67	Sí
funciones del producto / Routing	
servicio / Routing / observación	Routing de IP en combinación con KEY-PLUG XM-400
función del producto	
• IP-Routing estático	Sí
• IP-Routing estático IPv6	Sí

Documento visado electrónicamente con número: VA07290/22
Código de validación telemática TRLTDCFZ60T66IJ1. Comprobación: https://cogitivalencia.e-gestion.es/Validacion.aspx?CVT=TRLTDCFZ60T66IJ1

Sujeto a cambios
© Copyright Siemens

VISADO
COGITI
VALENCIA
VA07290/22
TRLTDCFZ60T66IJ1

• IP-Routing dinámico	Sí
• IP-Routing dinámico IPv6	Sí
protocolo / soportado	
• RIPv2	Sí
• RIPnG for IPv6	Sí
• OSPFv2	Sí
• OSPFv3 for IPv6	Sí
• VRRP	Sí
• VRRP for IPv6	Sí
funciones del producto / redundancia	
función del producto	
• redundancia de anillo	Sí
• procedimiento de redundancia HSR	Sí
• High Speed Redundancy Protocol (HRP) con gestor de redundancia	Sí
• High Speed Redundancy Protocol (HRP) con redundancia standby	Sí
protocolo / soportado / procedimiento de redundancia MRP	Sí
función del producto	
• Media Redundancy Protocol (MRP) con gestor de redundancia	Sí
• Media Redundancy Protocol Interconnection (MRP-I)	Sí
• procedimiento de redundancia STP	Sí
• procedimiento de redundancia RSTP	Sí
• procedimiento de redundancia RSTP+	Sí
• procedimiento de redundancia MSTP	Sí
• Passive Listening	Sí
protocolo / soportado	
• LACP	Sí
funciones del producto / seguridad	
función del producto	
• ACL - MAC based	Sí
• ACL - port/MAC based	Sí
• IEEE 802.1x (radio)	Sí
• Broadcast/Multicast/Unicast Limiter	Sí
• Broadcast Blocking	Sí
protocolo / soportado	
• SSH	Sí
funciones del producto / hora	
función del producto	
• soporte de SICLOCK	Sí
protocolo / soportado	
• NTP	Sí
• SNTP	Sí
normas, especificaciones, homologaciones	
norma	
• para FM	FM3611: Class 1, Divison 2, Group A, B, C, D / T4, Class 1, Zone 2, Group IIC, T4
• para seguridad / de CSA y UL	UL 508, UL 60950-1, CSA C22.2 Nr. 60950-1-03
• para emisión de perturbaciones	EN 61000-6-4 (Class A)
• para inmunidad a perturbaciones	EN 61000-6-2
MTBF	28 y
normas, especificaciones, homologaciones / CE	
certificado de aptitud / marcado CE	Sí
normas, especificaciones, homologaciones / entornos peligrosos	
norma / sobre zonas EX	EN 60079-0: 2009, EN60079-15: 2010, II 3 G Ex nA IIC T4 Gc, KEMA 07 ATEX 0145 X, IECEx DEK 14.0025X

Documento visado electrónicamente con número: VA07290/22
Código de validación telemática TRLTDCFZ60T66IJ1. Comprobación: https://cogitivalencia.e-gestion.es/Validacion.aspx?CVT=TRLTDCFZ60T66IJ1

© Copyright Siemens

VISADO
COGITI
TRLTDCFZ60T66IJ1
VALENCIA
VA07290/22

● de CSA y UL	ISA 12.12.01-2012 (Hazardous Location), Class 1 / Division 2 / Group A, B, C, D / T4, Class 1 / Zone 2 / Group IIC / T4
normas, especificaciones, homologaciones / otras	
certificado de aptitud	EN 61000-6-2, EN 61000-6-4
● C-Tick	Sí
● homologación KC	Sí
● aplicaciones ferroviarias según EN 50121-4	Sí
normas, especificaciones, homologaciones / clasificación naval	
sociedad de clasificación naval	
● American Bureau of Shipping Europe Ltd. (ABS)	Sí
● Bureau Veritas (BV)	Sí
● Det Norske Veritas (DNV)	No
● Germanischer Lloyd (GL)	No
● DNV GL	Sí
● Lloyds Register of Shipping (LRS)	Sí
● Nippon Kaiji Kyokai (NK)	Sí
● Polski Rejestr Statkow (PRS)	Sí
● Royal Institution of Naval Architects (RINA)	Sí
información adicional / enlaces de Internet	
enlace de Internet	
● a la página web: Comunicación industrial	http://www.siemens.com/simatic-net
● a la página web: Industry Mall	https://mall.industry.siemens.com
● a la página web: Centro de información y descarga	http://www.siemens.com/industry/infocenter
● a la página web: Archivo gráfico	http://automation.siemens.com/bilddb
● a la página web: CAx-Download-Manager	http://www.siemens.com/cax
● a la página web: Industry Online Support	https://support.industry.siemens.com
información de seguridad	
información de seguridad	Siemens suministra productos y soluciones con funciones de seguridad industrial que contribuyen al funcionamiento seguro de instalaciones, soluciones, máquinas, equipos y redes. Dichas funciones son un componente importante de un sistema global de seguridad industrial. En consideración de lo anterior, los productos y soluciones de Siemens son objeto de mejoras continuas. Por ello, le recomendamos que se informe periódicamente sobre las actualizaciones de nuestros productos. Para el funcionamiento seguro de los productos y soluciones de Siemens, es preciso tomar medidas de protección adecuadas (como el concepto de protección de células) e integrar cada componente en un sistema de seguridad industrial integral que incorpore los últimos avances tecnológicos. También deben tenerse en cuenta los productos de otros fabricantes que se estén utilizando. Encontrará más información sobre seguridad industrial en http://www.siemens.com/industrialsecurity. Si desea mantenerse al día de las actualizaciones de nuestros productos, regístrese para recibir un boletín de noticias específico del producto que desee. Encontrará más información en http://support.automation.siemens.com. (V3.4)

Última modificación: 18/12/2020

Documento visado electrónicamente con número: VA07290/22
Código de validación telemática TRLTDCFZ60T66IJ1. Comprobación: https://cogitivalencia.e-gestion.es/Validacion.aspx?CVT=TRLTDCFZ60T66IJ1

© Copyright Siemens

SIEMENS

VISADO
COGITI
TRLTDCFZ60T66IJ1
VALENCIA
VA07290/22

Hoja de datos

5ST3010



Auxiliar de mando, 1 NA+1 NC para interruptores LS 5SL, 5SY, 5SP
Interruptor incorporado 5TL1, FI/LS 5SU1, FI 5SV (con 5SU1 se necesita la unión con asa 5ST3805-1)

La versión	
nombre comercial del producto	SENTRON
designación del producto	Bloque de contactos aux.
tipo de producto	adosable
vida útil eléctrica (ciclos de maniobra) / típico	20 000
Voltaje	
tensión de aislamiento / valor asignado	440 V
resistencia a tensión de choque / valor asignado	4 kV
grado de protección IP	IP20
Detalles del producto	
componente del producto	
● interruptor auxiliar	Sí
número de interruptores de señal de fallo	0
número de contactos NC	1
número de contactos NA	1
número de contactos conmutados	0
ampliación del producto	Bloque de contactos auxiliares
Conexiones	
sección de conductor conectable	
● mín.	0,5 mm²
● máx.	2,5 mm²
par de apriete / con bornes de tornillo	
● máx.	0,5 N·m
tipo de secciones de conductor conectables / con cables AWG	24 ... 12
Diseño Mecánico	
altura	90 mm
anchura	9 mm
profundidad	70 mm
peso neto	55 g
Condiciones ambientales	
temperatura ambiente / durante el funcionamiento	
● mín.	-25 °C
● máx.	55 °C
temperatura ambiente / durante el almacenamiento	
● mínima admisible	-40 °C
● máxima admisible	75 °C

Documento visado electrónicamente con número: VA07290/22
Código de validación telemática TRLTDCFZ60T66IJ1. Comprobación: https://cogitivalencia.e-gestion.es/Validacion.aspx?CVT=TRLTDCFZ60T66IJ1

Sujeto a cambios
© Copyright Siemens

VISADO
COGITI
VALENCIA
VA07290/22
TRLTDCFZ60T66IJ1

General Product Approval					Declaration of Conformity
CCC	UR	VDE	Miscellaneous	EAC	

Test Certificates	Marine / Shipping		other	Railway	
Miscellaneous	LRS		Miscellaneous	Vibration and Shock	Confirmation

Más información

Information- and Downloadcenter (Catálogos, Folletos,…)
http://www.siemens.com/lowvoltage/catalogs
Industry Mall (sistema de pedido online)
https://mall.industry.siemens.com/mall/es/es/Catalog/product?mlfb=5ST3010
Service&Support (Manuales, certificados, características, FAQ,…)
https://support.industry.siemens.com/cs/ww/es/ps/5ST3010
Base de datos de imágenes (fotos de producto, dibujos acotados 2D, modelos 3D, esquemas de conexiones, …)
http://www.automation.siemens.com/bilddb/cax_en.aspx?mlfb=5ST3010
Tender specifications
http://www.siemens.com/specifications

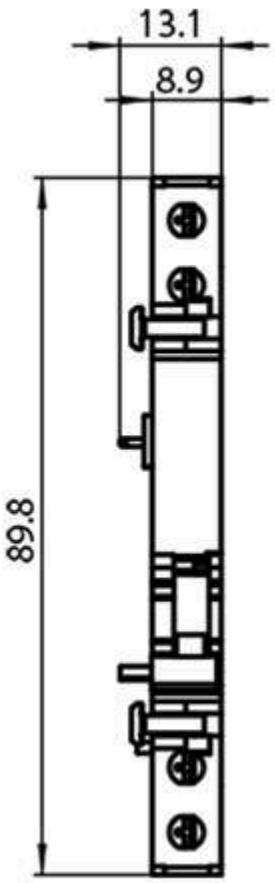

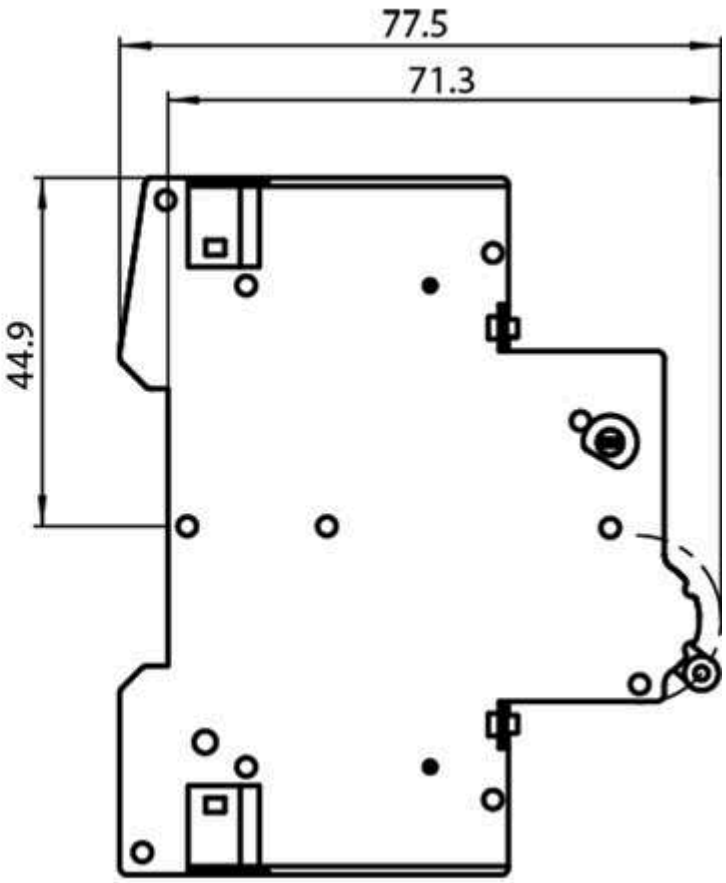

Documento visado electrónicamente con número: VA07290/22
Código de validación telemática TRLTDCFZ60T66IJ1. Comprobación: https://cogitivalencia.e-gestion.es/Validacion.aspx?CVT=TRLTDCFZ60T66IJ1

© Copyright Siemens

VISADO
COGITI
VALENCIA
VA07290/22
TRLTDCFZ60T66IJ1

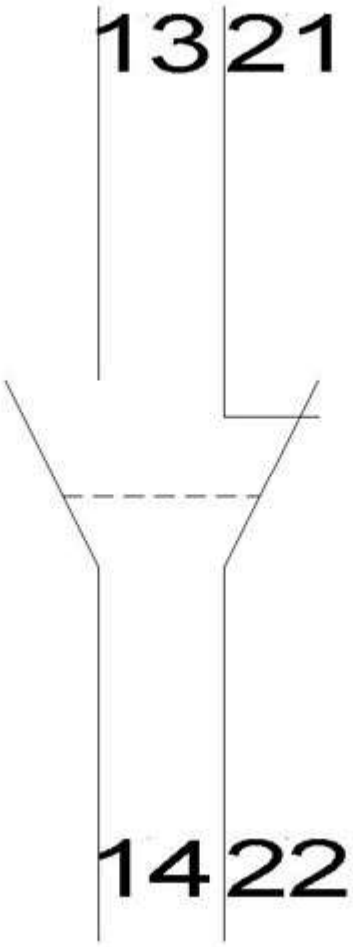

Documento visado electrónicamente con número: VA07290/22
Código de validación telemática TRLTDCFZ60T66IJ1. Comprobación: https://cogitivalencia.e-gestion.es/Validacion.aspx?CVT=TRLTDCFZ60T66IJ1

Sujeto a cambios
© Copyright Siemens

SIEMENS

VISADO
COGITI
TRLTDCFZ60T66IJ1
VALENCIA
VA07290/22

Hoja de datos

5SL62167



Automático magnetotérmico 400V 6kA, 2 polos, C, 16 A

La versión	
nombre comercial del producto	SENTRON
designación del producto	Pequeño interruptor automático
tipo de producto	PIA magnetotérmico 5SL
Datos técnicos generales	
número de polos	2
número de polos / observación	2P
clase de característica de disparo	C
vida útil mecánica (ciclos de maniobra) / típico	10 000
categoría de sobretensión	III
grado de contaminación	2
Voltaje	
tensión de aislamiento	
• con funcionamiento polifásico / con AC / valor asignado	440 V
La tensión de alimentación	
tipo de corriente	AC
intensidad de empleo / con AC / valor asignado	16 A
tensión de alimentación / con AC / valor asignado	400 V
tensión de empleo	
• con funcionamiento polifásico / con AC / máx.	440 V
• con DC / valor asignado / máx.	72 V
frecuencia de la tensión de alimentación	
• valor asignado	50 Hz
Clase de protección	
grado de protección IP	IP20, con conductores conectados
Capacidad de conmutación	
poder de corte, corriente	
• según EN 60898 / valor asignado	6 kA
• según IEC 60947-2 / valor asignado	6 kA
clase de limitación de energía	3
Disipación	
pérdidas [W] / con valor asignado de la intensidad / con AC / en estado operativo caliente / por polo	1,8 W
aptitud de uso	Residencial / infraestructuras
Detalles del producto	
función del producto / neutro maniobrable	No

Documento visado electrónicamente con número: VA07290/22
Código de validación telemática TRLTDCFZ60T66IJ1. Comprobación: https://cogitivalencia.e-gestion.es/Validacion.aspx?CVT=TRLTDCFZ60T66IJ1

Sujeto a cambios
© Copyright Siemens

VISADO
COGITI
VALENCIA
VA07290/22
TRLTDCFZ60T66IJ1

equipamiento del producto / protección contra contactos directos	Sí
propiedad del producto	
● libre de halógenos	Sí
● precintable	Sí
● sin silicona	Sí
ampliación del producto / incorporable / dispositivos complementarios	Sí

Conexiones	
sección de conductor conectable / monofilar	
● mín.	0,75 mm²
● máx.	25 mm²
sección de conductor conectable / multifilar	
● mín.	0,75 mm²
● máx.	25 mm²
sección de conductor conectable / alma flexible / con preparación de los extremos de cable	
● mín.	0,75 mm²
● máx.	25 mm²
par de apriete / con bornes de tornillo	
● mín.	2,5 N·m
● máx.	3 N·m

Diseño Mecánico	
altura	90 mm
anchura	36 mm
profundidad	76 mm
profundidad de montaje	70 mm
número de módulos de anchura	2
posición de montaje	según las necesidades del usuario
peso neto	230 g

Condiciones ambientales	
influencia de la temperatura ambiente	Transitoriamente +55 °C, máx. 95% humedad
temperatura ambiente	
● mín.	-25 °C
● máx.	45 °C
temperatura ambiente / durante el almacenamiento	
● mín.	-40 °C
● máx.	75 °C

Certificados	
designaciones de referencia	
● según EN 61346-2	F
● según IEC 81346-2:2009	F

General Product Approval

CEBEC VDE VDE TSE TSE EAC

Declaration of Conformity

CE EG-Konf.

Más información

Documento visado electrónicamente con número: VA07290/22
Código de validación telemática TRLTDCFZ60T66IJ1. Comprobación: https://cogitivalencia.e-gestion.es/Validacion.aspx?CVT=TRLTDCFZ60T66IJ1

© Copyright Siemens

VISADO
COGITI
VALENCIA
VA07290/22
TRLTDCFZ60T66IJ1

Information- and Downloadcenter (Catálogos, Folletos,…)
http://www.siemens.com/lowvoltage/catalogs
Industry Mall (sistema de pedido online)
https://mall.industry.siemens.com/mall/es/es/Catalog/product?mlfb=5SL6216-7
Service&Support (Manuales, certificados, características, FAQ,…)
https://support.industry.siemens.com/cs/ww/es/ps/5SL6216-7
Base de datos de imágenes (fotos de producto, dibujos acotados 2D, modelos 3D, esquemas de conexiones, …)
http://www.automation.siemens.com/bilddb/cax_en.aspx?mlfb=5SL6216-7
Tender specifications
http://www.siemens.com/specifications

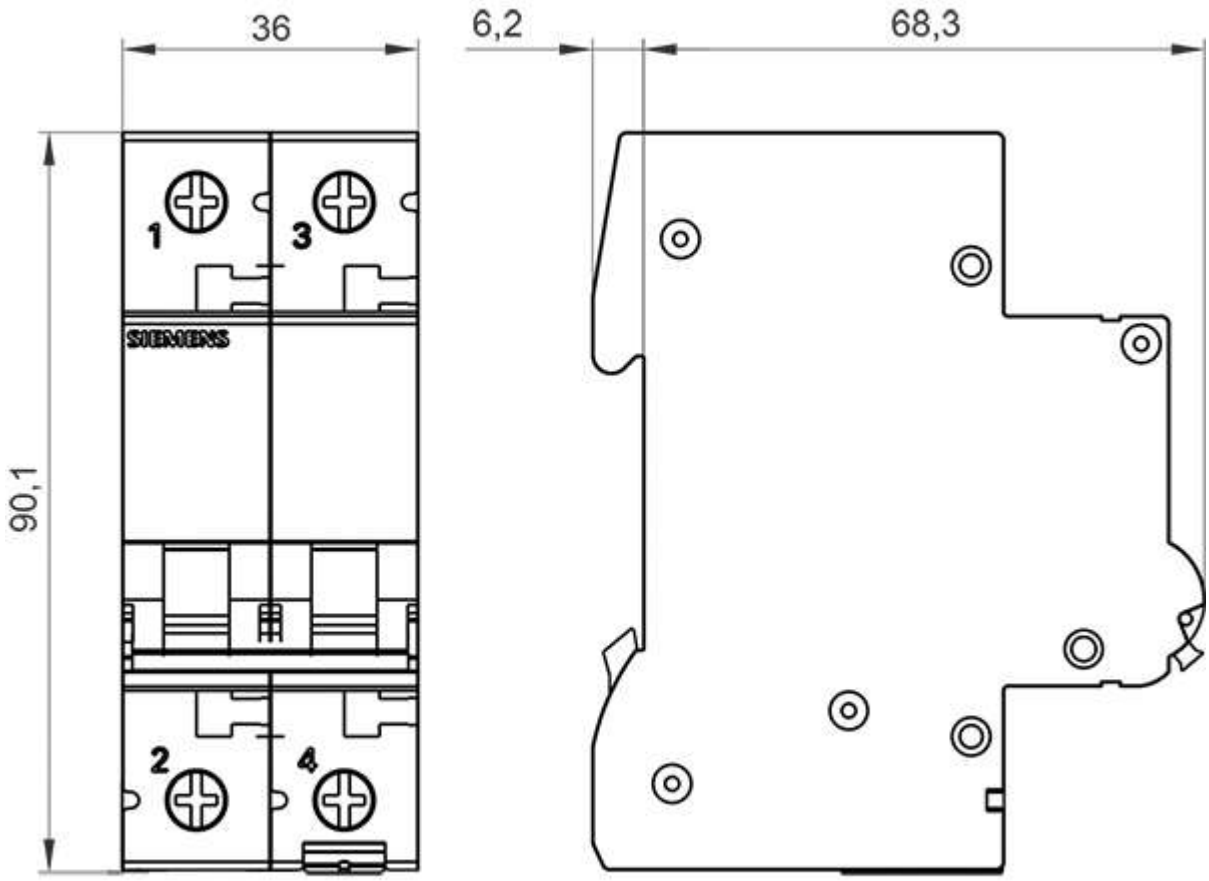

Documento visado electrónicamente con número: VA07290/22
Código de validación telemática TRLTDCFZ60T66IJ1. Comprobación: https://cogitivalencia.e-gestion.es/Validacion.aspx?CVT=TRLTDCFZ60T66IJ1

© Copyright Siemens

SIEMENS

VISADO
COGITI
VALENCIA
VA07290/22
TRLTDCFZ60T66IJ1

Hoja de datos

5SV46120



interruptor diferencial, 2 polos, Tipo AC, Entrada: 25 A, 300 mA, Un AC: 230 V

La versión	
nombre comercial del producto	SENTRON
designación del producto	Interruptor diferencial
tipo de producto	Sin retardo
Datos técnicos generales	
número de polos	2
tamaño para aparatos modulares / según DIN 43880	1
vida útil mecánica (ciclos de maniobra) / típico	10 000
corriente de cortocircuito / del fusible aguas arriba / máxima admisible	63 A
resistencia a cortocircuitos	10 kA
función de maniobra / retardo breve	No
categoría de sobretensión	III
La tensión de alimentación	
intensidad de empleo / con AC / valor asignado	25 A
tensión de alimentación	
● con AC / valor asignado	230/400 V
● para equipo de prueba / mín.	100 V
frecuencia de empleo	50 Hz
frecuencia de la tensión de alimentación / valor asignado	50 Hz
Clase de protección	
grado de protección IP	IP20, para montaje en distribuidor, con conductores conectados
Capacidad de conmutación	
poder de corte, corriente	
● según EN 60898 / valor asignado	0,5 kA
● según IEC 61008-1 / valor asignado	0,5 kA
Disipación	
pérdidas [W]	
● con valor asignado de la intensidad / con AC / en estado operativo caliente / por polo	0,6 W
● máx.	1,2 W
Electricidad	
corriente diferencial de disparo / valor asignado	300 mA
tipo de corriente de defecto	AC
intensidad de paso / admisible	5 200 kA
valor I2t / admisible	58 000 A²·s
intensidad de empleo	

Documento visado electrónicamente con número: VA07290/22
Código de validación telemática TRLTDCFZ60T66IJ1. Comprobación: https://cogitivalencia.e-gestion.es/Validacion.aspx?CVT=TRLTDCFZ60T66IJ1

Sujeto a cambios
© Copyright Siemens

VISADO
COGITI
VALENCIA
VA07290/22
TRLTDCFZ60T66IJ1

● con 40 °C / valor asignado	25 A
● con 45 °C / valor asignado	25 A
● con 50 °C / valor asignado	25 A
● con 55 °C / valor asignado	25 A
● con 60 °C / valor asignado	25 A
● con 65 °C / valor asignado	23,3 A
● con 70 °C / valor asignado	17,62 A
Detalles del producto	
propiedad del producto / sin silicona	Sí
ampliación del producto / incorporable / dispositivos complementarios	Sí
Conexiones	
sección de conductor conectable / monofilar	
● mín.	0,75 mm²
● máx.	35 mm²
sección de conductor conectable / multifilar	
● mín.	0,75 mm²
● máx.	35 mm²
par de apriete / con bornes de tornillo	
● mín.	2,5 N·m
● máx.	3 N·m
posición / del cable de conexión a red	Arriba o abajo
Diseño Mecánico	
altura	90 mm
anchura	36 mm
profundidad	70 mm
profundidad de montaje	70 mm
número de módulos de anchura	2
tipo de fijación	Perfil DIN (REG)
posición de montaje	según las necesidades del usuario
peso neto	196 g
Condiciones ambientales	
temperatura ambiente / durante el funcionamiento	
● mín.	-25 °C
● máx.	45 °C
temperatura ambiente / durante el almacenamiento	
● mínima admisible	-40 °C
● máxima admisible	75 °C
número de ciclos de test / para ensayo ambiental / según IEC 60068-2-30	28
Certificados	
designaciones de referencia	
● según EN 61346-2	F
● según IEC 81346-2:2009	F

General Product Approval

CCC IMQ VDE

Miscellaneous

EAC EAC

General Product Approval	EMC	Declaration of Conformity	other	Railway

Documento visado electrónicamente con número: VA07290/22
Código de validación telemática TRLTDCFZ60T66IJ1. Comprobación: https://cogitivalencia.e-gestion.es/Validacion.aspx?CVT=TRLTDCFZ60T66IJ1

© Copyright Siemens

VISADO
COGITI
VALENCIA
VA07290/22
TRLTDCFZ60T66IJ1

Más información

Information- and Downloadcenter (Catálogos, Folletos,…)
http://www.siemens.com/lowvoltage/catalogs
Industry Mall (sistema de pedido online)
https://mall.industry.siemens.com/mall/es/es/Catalog/product?mlfb=5SV4612-0
Service&Support (Manuales, certificados, características, FAQ,…)
https://support.industry.siemens.com/cs/ww/es/ps/5SV4612-0
Base de datos de imágenes (fotos de producto, dibujos acotados 2D, modelos 3D, esquemas de conexiones, …)
http://www.automation.siemens.com/bilddb/cax_en.aspx?mlfb=5SV4612-0
Tender specifications
http://www.siemens.com/specifications

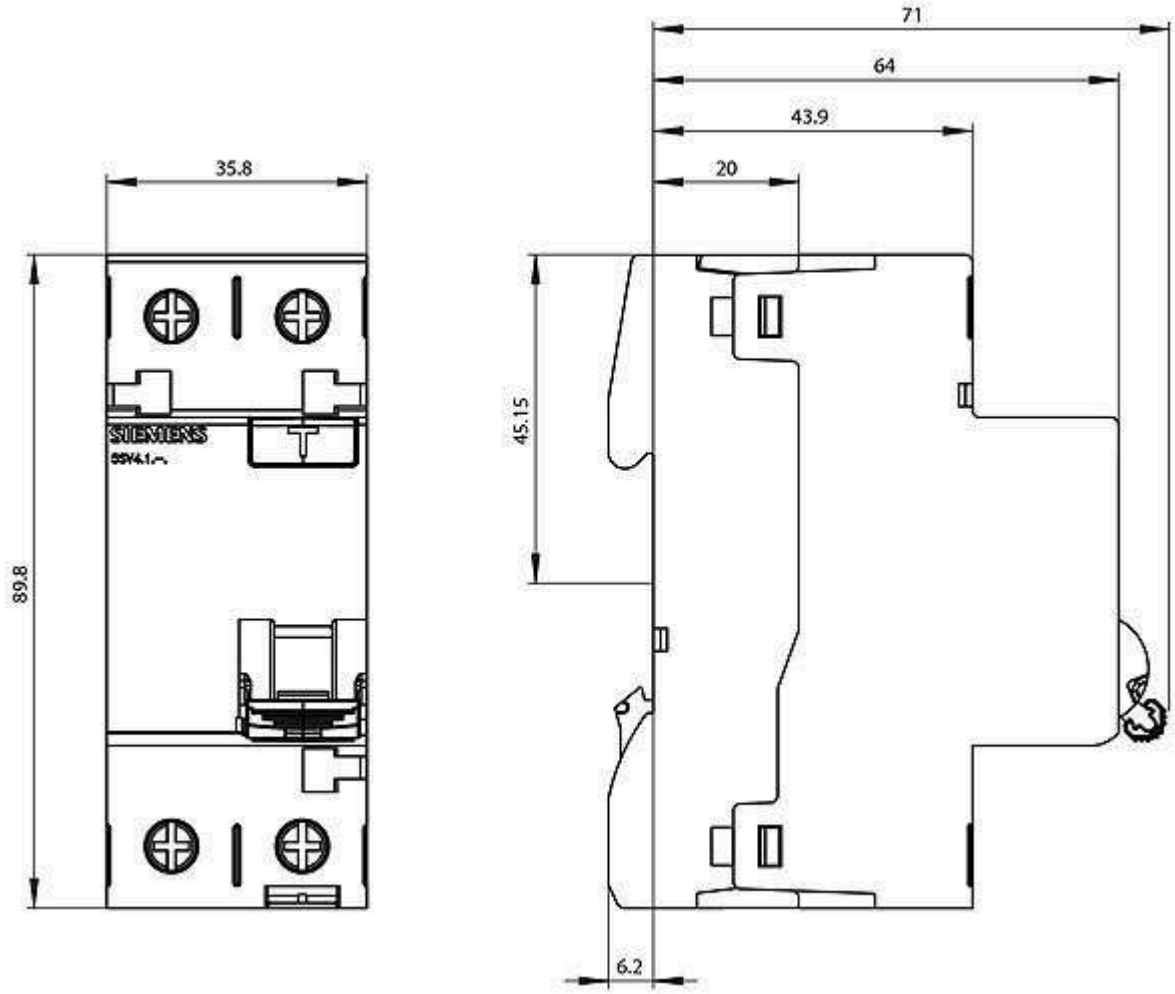

Documento visado electrónicamente con número: VA07290/22
Código de validación telemática TRLTDCFZ60T66IJ1. Comprobación: https://cogitivalencia.e-gestion.es/Validacion.aspx?CVT=TRLTDCFZ60T66IJ1

Sujeto a cambios
© Copyright Siemens

VISADO
COGITI
VALENCIA
VA07290/22
TRLTDCFZ60T66IJ1

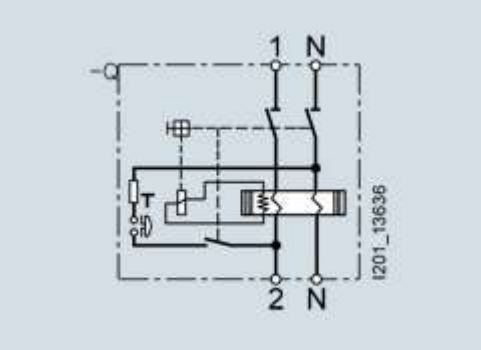

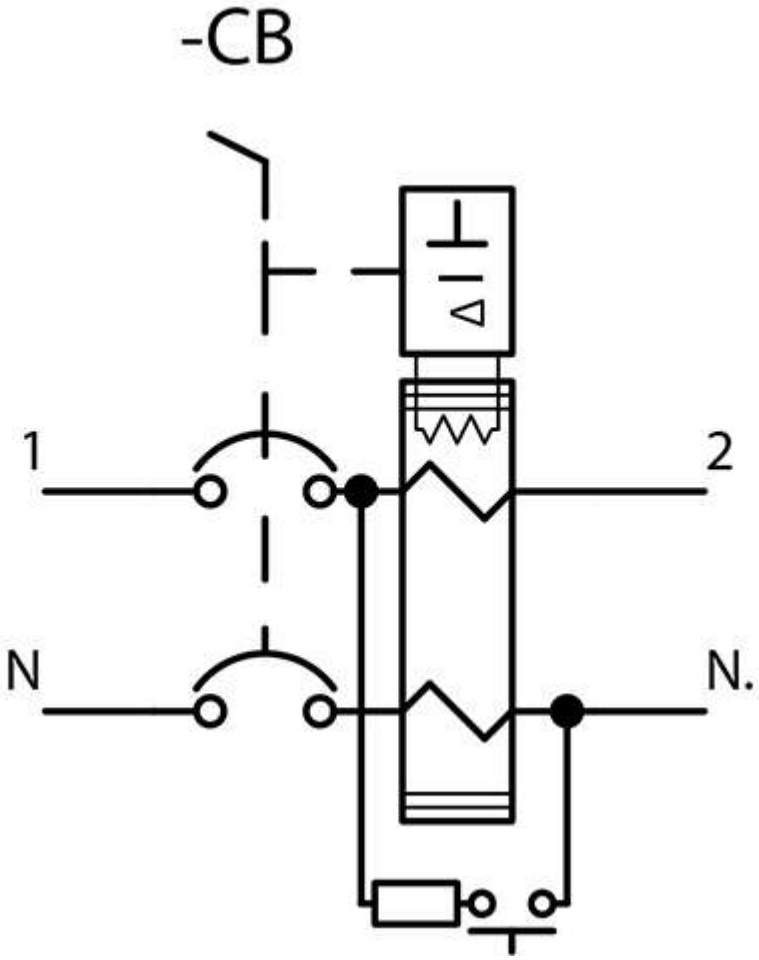

Documento visado electrónicamente con número: VA07290/22
Código de validación telemática TRLTDCFZ60T66IJ1. Comprobación: https://cogitivalencia.e-gestion.es/Validacion.aspx?CVT=TRLTDCFZ60T66IJ1

© Copyright Siemens

VISADO
COGITI
VALENCIA
VA07290/22
TRLTDCFZ60T66IJ1

SIEMENS

Hoja de datos 6EP1931-2EC21

SITOP MODULO SAI DC 15A SIN INTERF.
Módulo SITOP DC-USV 24 V/15 A SAI fuente de alimentación sin interfaz entrada: DC 24 V/16 A salida: DC 24 V/15 A



Entrada	
Tensión de alimentación con DC valor nominal	24 V
Forma de curva de la tensión en entrada	DC
Entrada rango de tensión	DC 22 ... 29 V
Valor de respuesta ajustable para tensión para conexión del respaldo preajustado	22,5 V
Valor de respuesta ajustable para tensión para conexión del respaldo	22 ... 25,5 V; ajustable en incrementos de 0,5 V
Corriente de entrada con valor nominal de la tensión de entrada 24 V valor nominal	15 A; + aprox. 1 A con batería descargada

Puenteo de fallos de red	
Tipo de acumulador de energía	con baterías
Tipo de puenteo de fallo de red	Depende de la batería conectada y la intensidad de carga. Ver en la tabla de selección los módulos de batería y los tiempos de autonomía, así como importantes indicaciones al respecto.
Corriente de carga	0,35 A, 0,7 A
Corriente de carga ajustable máx. Observación	ajuste de fábrica aprox. 0,7 A

Salida	
Tensión de salida	

Documento visado electrónicamente con número: VA07290/22
Código de validación telemática TRLTDCFZ60T66IJ1. Comprobación: https://cogitivalencia.e-gestion.es/Validacion.aspx?CVT=TRLTDCFZ60T66IJ1

Sujeto a cambios
© Copyright Siemens

VISADO
COGITI
VALENCIA
VA07290/22
TRLTDCFZ60T66IJ1

• con servicio normal con DC valor nominal	24 V
• con modo de respaldo con DC valor nominal	24 V
Fórmula de tensión de salida	Ue - aprox. 0,5 V
Retardo de arranque típico	1 s
Tiempo de subida de tensión de la tensión de salida típico	60 ms
Tensión de salida con modo de respaldo con DC	19 ... 28,5 V
Intensidad de salida	
• valor nominal	15 A
• con servicio normal	0 ... 15 A
• con modo de respaldo	0 ... 15 A
Corriente de pico	15,7 A
Propiedad de la salida resistente a cortocircuitos	Sí
potencia activa entregada típico	360 W

Rendimiento

Rendimiento [%]	
• con valor nominal de la tensión de salida con valor nominal de la intensidad de salida típico	96,2 %
• con alimentación por batería típico	96 %
Pérdidas [W]	
• con valor nominal de la tensión de salida con valor nominal de la intensidad de salida típico	14 W
• con alimentación por batería típico	15 W

Protección y vigilancia

Función del producto	
• Protección contra inversión de polaridad del acumulador de energía	Sí
• Protección contra inversión de polaridad en tensión de entrada	Sí

Señalización

Tipo de display	
• para funcionamiento normal	Funcionamiento normal: LED verde (correcto), contacto inversor aislado "Bat/o.k" en posición "o.k." ("o.k." significa: la tensión del alimentador de red es mayor que el umbral de conexión ajustado en el módulo DC-UPS); modo de respaldo no disponible: LED rojo (alarma), contacto inversor aislado "Alarm/Bat" en posición "Alarm"; requiere cambio de acumulador: LED rojo (alarma) intermitente con aprox. 0,25 Hz, contacto inversor aislado "Alarm/Bat" conmuta con aprox. 0,25 Hz; acumulador de energía > 85 %: LED verde (Bat>85%), contacto normalmente abierto aislado "Bat>85" cerrado; capacidad de carga de los contactos admisible: 60 V DC/1 A o 30 V AC/1 A

Documento visado electrónicamente con número: VA07290/22
Código de validación telemática TRLTDCFZ60T66IJ1. Comprobación: https://cogitivalencia.e-gestion.es/Validacion.aspx?CVT=TRLTDCFZ60T66IJ1

© Copyright Siemens

VISADO
COGITI
VALENCIA
VA07290/22
TRLTDCFZ60T66IJ1

• para modo de respaldo	Modo de respaldo: LED amarillo (Bat), contacto inversor aislado "o.k./Bat" en posición "Bat"; preadvertencia de tensión de acumulador < 20,4 V DC: LED rojo (alarma), contacto inversor aislado "Alarm/Bat" en posición "Alarm"; acumulador de energía > 85 %: LED verde (Bat>85%), contacto normalmente abierto aislado "Bat>85" cerrado

Puerto	
Componente del producto Interfaz de PC	No
Tipo de puerto	Ninguno

Seguridad	
Aislamiento galvánico entre entrada y salida	No
Clase de protección del material	Clase III
Certificado de aptitud	
• Marcado CE	Sí
• como homologación para EE. UU.	cULus-Listed (UL 508, CSA C22.2 No. 107.1), File E197259
• referido a ATEX	-
• C-Tick	No
Homologación naval	ABS, DNV GL
Grado de protección IP	IP20

CEM	
Norma	
• para emisión de perturbaciones	EN 55022 clase B
• para inmunidad a perturbaciones	EN 61000-6-2

condiciones ambientales	
Temperatura ambiente	
• durante el funcionamiento	-25 ... +60 °C; Con convección natural
• durante el transporte	-40 ... +85 °C
• durante el almacenamiento	-40 ... +85 °C
Categoría medioambiental según IEC 60721	Clase climática 3K3, 5 … 95% sin condensación

Mecánica	
Tipo de conexión eléctrica	conexión por tornillo
• en entrada	DC 24 V: 2 bornes de tornillo para 1 ... 4 mm²/17 ... 11 AWG
• en salida	DC 24 V: 4 bornes de tornillo para 1 ... 4 mm²/17 ... 11 AWG
• para módulo de batería	DC 24 V: 2 bornes de tornillo para 1 ... 4 mm²/17 ... 11 AWG
• para circuito de mando y señalización de estado	10 bornes de tornillo para 0,5 ... 2,5 mm²/20 ... 13 AWG
Anchura de la caja	50 mm
Altura de la caja	125 mm
Profundidad de la caja	125 mm
Distancia que debe respetarse	
• arriba	50 mm

Documento visado electrónicamente con número: VA07290/22
Código de validación telemática TRLTDCFZ60T66IJ1. Comprobación: https://cogitivalencia.e-gestion.es/Validacion.aspx?CVT=TRLTDCFZ60T66IJ1

© Copyright Siemens

VISADO
COGITI
TRLTDCFZ60T66IJ1
VALENCIA
VA07290/22

• abajo	50 mm
• izquierda	0 mm
• derecha	0 mm
Peso neto	0,4 kg
Propiedad del producto de la caja carcasa disponible en hilera	Sí
Tipo de fijación	Sobre perfil normalizado EN 60715 35x7,5/15 por abroche
Accesorios eléctricos	Módulo de batería
MTBF con 40 °C	791 139 h
Designaciones de referencia según IEC 81346-2:2009	T
notas adicionales	Siempre que no se diga lo contrario, son aplicables todos los datos para la tensión nominal de entrada y una temperatura ambiente de +25 °C

Documento visado electrónicamente con número: VA07290/22
Código de validación telemática TRLTDCFZ60T66IJ1. Comprobación: https://cogitivalencia.e-gestion.es/Validacion.aspx?CVT=TRLTDCFZ60T66IJ1

© Copyright Siemens

VISADO
COGITI
VALENCIA
VA07290/22
TRLTDCFZ60T66IJ1

SIEMENS

Hoja de datos

6EP1935-6ME21

SITOP, MOD. DE BATERIA 24 V/7 AH
Módulo de acumuladores SITOP 24 V/7 Ah con libres de mantenimiento acumuladores de plomo cerrados para Módulo SITOP DC-USV 6 A, 15 A y 40 A



Intensidad tensión de carga	
Tensión al final de la carga con DC	
• con -10 °C recomendada	29 V
• con 0 °C recomendada	28,4 V
• con 10 °C recomendada	27,8 V
• con 20 °C recomendada	27,3 V
• con 30 °C recomendada	26,8 V
• con 40 °C recomendada	26,6 V
• con 50 °C recomendada	26,3 V

Salida	
Corriente de carga permitida máx.	1,75 A
Tensión nominal Us nom DC	24 V

Protección	
Prot. contra cortocircuito	Fusible para batería 20 A/32 V (fusible plano FKS + portafusible)
Tipo de protección contra sobrecarga	Válvula de seguridad

Seguridad	
Clase de protección	Clase III

Documento visado electrónicamente con número: VA07290/22
Código de validación telemática TRLTDCFZ60T66IJ1. Comprobación: https://cogitivalencia.e-gestion.es/Validacion.aspx?CVT=TRLTDCFZ60T66IJ1

Sujeto a cambios
© Copyright Siemens

VISADO
COGITI
VALENCIA
VA07290/22
TRLTDCFZ60T66IJ1

Grado di protección (EN 60529)	IP00

Homologaciones

Marcado CE	Sí
Aprobación UL/cUL (CSA)	cURus-Recognized (UL 1778, CSA C22.2 No. 107.1), File E219627
Homologación para la construcción naval	DNV GL, ABS

condiciones ambientales

Datos de servicio Observación	En el almacenamiento, montaje y operación de baterías de plomo deberán observarse los reglamentos y normas DIN/VDE o las normativas vigentes en el país en cuestión (p.ej. VDE 0510 parte 2/EN 50272-2). La sala donde estén instaladas las baterías deberá disponer de un sistema de ventilación y extracción adecuado. Las posibles fuentes de chispas deberán estar a una distancia mínima de 50 cm.
Temperatura ambiente	
• durante el funcionamiento	-15 ... +50 °C
• durante el transporte	-20 ... +50 °C
• durante el almacenamiento	-20 ... +50 °C
pérdida de capacidad temporal relativa con 20 °C en un mes típico	3 %

Vida útil

Vida útil del acumulador de energía	
• típico Observación	reducción a un 80 % de la capacidad original (según EUROBAT)
• con 20 °C típico	4 y
• con 30 °C típico	2 y
• con 40 °C típico	1 y
• con 50 °C típico	0,5 y
Temperatura ambiente durante el almacenamiento Observación	Además de la temperatura de almacenamiento y servicio, existen otros factores que influyen decisivamente en la vida útil de la batería, como pueden ser el tiempo de almacenamiento y su estado de carga durante el mismo. Por eso se recomienda almacenar las baterías durante el menos tiempo posible, siempre cargadas al máximo y en un rango de temperatura de 0 a +20 °C.

Mecánica

Sistema de conexión	conexión por resorte
Conexión para alimentador de red	1 borne de conexión resp. de 0,08 ... 4 mm² para + BAT y - BAT
Componente del producto incluido en el volumen de suministro	Paquete con fusible FKS 20 A y 30 A
Anchura de la caja	186 mm
Altura de la caja	168 mm
Profundidad de la caja	121 mm
Ancho de montaje	206 mm
Altura de montaje	188 mm

Documento visado electrónicamente con número: VA07290/22
Código de validación telemática TRLTDCFZ60T66IJ1. Comprobación: https://cogitivalencia.e-gestion.es/Validacion.aspx?CVT=TRLTDCFZ60T66IJ1

© Copyright Siemens

VISADO
COGITI
TRLTDCFZ60T66IJ1
VALENCIA
VA07290/22

Peso aprox.	6 kg
Montaje	atornillable a superficie plana (ojo de cerradura para colgar en tornillos M4)
Número de células	12
Acumulador	7 A·h
notas adicionales	Siempre que no se diga lo contrario, son aplicables todos los datos para la tensión nominal de entrada y una temperatura ambiente de +25 °C

Documento visado electrónicamente con número: VA07290/22
Código de validación telemática TRLTDCFZ60T66IJ1. Comprobación: https://cogitivalencia.e-gestion.es/Validacion.aspx?CVT=TRLTDCFZ60T66IJ1

© Copyright Siemens

Rittal – The System.

Faster – better – everywhere.

VISADO
COGITI
VALENCIA
VA07290/22
TRLTDCFZ607766U1

Armario compacto AX Armario básico AX, chapa de acero – AX 1073.000

Date : 06-may-2021

Documento visado electrónicamente con número: VA07290/22
Código de validación telemática: TRLTDCFZ607766U1. Comprobación: https://cogitivalencia.e-gestion.es/Validacion.aspx?CVT=TRLTDCFZ607766U1

Armario compacto AX Armario básico AX, chapa de acero – AX 1073.000

created: 06.05.2021 on www.rittal.com/es-es

VISADO
COGITI
VALENCIA
VA07290/22
TRLTDCFZ60T66IJ1



Documento visado electrónicamente con número: VA07290/22
Código de validación telemática TRLTDCFZ60T66IJ1. Comprobación: https://cogitivalencia.e-gestion.es/Validacion.aspx?CVT=TRLTDCFZ60T66IJ1

Descripción producto

Material:	Caja: chapa de acero Puerta: chapa de acero, junta continua de poliuretano inyectado
Superficie:	Caja y puerta: imprimación por inmersión, exterior texturizado, pintura estructurada Placa de montaje: galvanizada
Color:	RAL 7035
Grado de protección IP según IEC 60 529:	IP 66
Tipo de comunicación según UL 50E:	Type 1, 3R, 4, 12
Código IK:	IK10
Unidad de envase:	Armario con puerta(s) Placa(s) entrada de cables en el suelo de la caja Placa de montaje Listón de puerta perforado Cierre: doble paletón 3 mm
Material básico:	Chapa de acero

Descripción producto

Dimensiones:	Anchura: 760 mm Altura: 760 mm Profundidad: 300 mm

© Rittal 2021

VISADO
COGITI
VALENCIA
VA07290/22
TRLTDCFZ60T66IJ1

Grosor del material:	Caja: 1,5 mm Puerta: 2 mm Placa de montaje: 2,5 mm
Placa de montaje:	Anchura: 705 mm Altura: 735 mm
Número puertas:	1
Bisagras a la derecha, intercambiables a izquierda:	sí
Nº de cierres de aldabilla:	2
Ejecución cierre:	Aldabilla
Nº de cierres:	2
Bombín de cierre:	Doble paletón 3 mm
Placa de entrada de cables, tamaño:	5
Placa de entrada de cables, cantidad:	2
Unidad de embalaje:	1 pza(s).
Peso/UE:	42 kg
EAN:	4028177813267
Código arancelario:	94032080
ETIM 7.0:	EC000261
ETIM 6.0:	EC000261
eCl@ss 8.0/8.1:	27180101
eCl@ss 6.0/6.1:	27180101
Descripción producto:	AX Armario compacto, An.Al.Pr.: 760x760x300 mm, chapa de acero, con placa de montaje, con una puerta, dos cierres de aldabilla

Aprobaciones

Aprobaciones:	Bureau Veritas DNV-GL

Documento visado electrónicamente con número: VA07290/22
Código de validación telemática TRLTDCFZ60T66IJ1. Comprobación: https://cogitivalencia.e-gestion.es/Validacion.aspx?CVT=TRLTDCFZ60T66IJ1

© Rittal 2021

	Lloyds Register of Shipping UL + C-UL
Certificados:	Certificate of manufacturer according to RMRS Grado de protección
Explicaciones:	Declaración de conformidad

VISADO
COGITI
VALENCIA
VA07290/22
TRLTDCFZ60T66IJ1

Documento visado electrónicamente con número: VA07290/22
Código de validación telemática TRLTDCFZ60T66IJ1. Comprobación: https://cogitivalencia.e-gestion.es/Validacion.aspx?CVT=TRLTDCFZ60T66IJ1

Ficha de producto
Características

A9A15310
Toma de corriente modular iPC 16 A Ue 250 V 2 P T KEMA VDE

PVR*: 17.37 EUR

VISADO
COGITI
VALENCIA
TRLTDCFZ60T66IJ1
VA07290/22



Principal

Estatus comercial	Comercializado
Gama de producto	Acti 9
Tipo de producto o componente	Toma
Modelo de dispositivo	IPC
Número de polos	2P+E
Estándar de salida	Alemán

Complementario

Corriente nominal (In)	16 A
Tensión asignada de empleo	250 V AC 50/60 Hz
Modo de montaje	Fijo
Soporte de montaje	Carril DIN simétrico o asimétrico
Pasos de 9 mm	5
Alto	84 mm
Ancho	45 mm
Profundidad	63 mm
Peso del producto	0.098 kg
Color	Blanco
Conexiones - terminales	Terminal tipo túnel 1 cable(s) rígido 10 mm² Terminal tipo túnel 1 cable(s) Flexible 6 mm²
Longitud de pelado de cable	13 mm
Par de apriete	1.2 N.m

Entorno

Normas	VDE 0620
Dos zócalos laterales	IP40 de acuerdo con IEC 60529 IP20 de acuerdo con IEC 60529
Interfaz de conexión y Canalis	IK03
Tropicalización	IEC 60068-1
Humedad relativa	95 % (55 °C)

Oferta sostenible

Estado de la Oferta sostenible	Producto no Green Premium
REACh	La referencia no contiene SVHC por encima del umbral

Garantía contractual

Período	18 meses

Documento visado electrónicamente con número: VA07290/22
Código característico: TRLTDCFZ60T66IJ1
Comprobación: https://cogitivalencia.e-gestion.es/Validacion.aspx?CVT=TRLTDCFZ60T66IJ1
La información disponible en este documento contiene descripciones generales y/o características técnicas de los productos adjuntos.
En razón de la evolución de las normativas y del material, las características indicadas por el texto y las imágenes de este documento no nos comprometen hasta después de una confirmación por parte de nuestros servicios.
Está en el deber de cada usuario o integrador de efectuar un completo y apropiado análisis de riesgos, evaluación y testo de los productos con respecto a la aplicación específica o uso de los productos.
Schneider Electric Industries SAS ni sus filiales comerciales se responsabilizan de la incorrecta interpretación de la información aquí contenida. *(C= A Consultar), Precios por 1 unidad. Los precios de las tarifas pueden sufrir variación y, por tanto, el material será siempre facturado a los precios y

Hoja de características del producto
Características

ZB4BV033
Cabeza piloto luminoso led verde

VISADO
COGITI
VALENCIA
VA07290/22
TRLTDCFZ60T66IJ1



Principal

Gama de producto	Harmony XB4
Tipo de producto o componente	Cabeza para piloto luminoso
Compatibilidad del producto	LED integrado
Nombre corto del dispositivo	ZB4
Material del bisel	Metal cromado plateado
Diámetro de montaje	22 mm
Se vende en cantidades indivisibles	1
Tipo de cabeza	Estándar
Forma de la cabeza de señalización	Circular
Tapa/Cabeza o color de la lente	Verde
Información adicional del operador	Con lente lisa

Complementario

Anchura global cad	29 mm
Altura global cad	29 mm
Profundidad global cad	30 mm
Peso del producto	0,026 kg
Resistencia a lavados de alta presión	7000000 Pa en 55 °C, distancia: 0,1 m
Código de composición eléctrica	P1 en montaje frontal con capacidad de sujeción: LED integrado P2 en montaje frontal con capacidad de sujeción: Led integrado y transformador
Presentación del dispositivo	Elemento básico

Entorno

Tratamiento de protección	TH
Temperatura ambiente de almacenamiento	-40…70 °C
Temperatura ambiente de funcionamiento	-40…70 °C

Documento visado electrónicamente con números: VA07290/22
Código de validación telemática TRLTDCFZ60T66IJ1. Comprobación: https://cogitivalencia.e-gestion.es/Validacion.aspx?CVT=TRLTDCFZ60T66IJ1
Aviso Legal: Esta documentación no pretende sustituir ni debe utilizarse para determinar la adecuación o fiabilidad de estos productos para aplicaciones específicas de los usuarios.

VISADO
COGITI
VALENCIA
VA07290/22
TRLTDCFZ60T66IJ1

Categoría de sobretensión	Class I conforming to IEC 60536
Grado de protección IP	IP66 conforming to IEC 60529 IP67 IP69 IP69K
Grado de protección nema	NEMA 13 NEMA 4X
Grado de protección IK	IK06 conforming to IEC 50102
Normas	JIS C8201-5-1 EN/IEC 60947-1 EN/IEC 60947-5-5 UL 508 CSA C22.2 No 14 EN/IEC 60947-5-1 EN/IEC 60947-5-4 JIS C8201-1
Resistencia a las vibraciones	5 gn (f = 2…500 Hz) acorde a IEC 60068-2-6
Resistencia a los choques	30 gn (duración 18 ms) para aceleración de media onda sinusoidal acorde a IEC 60068-2-27 50 gn (duración 11 ms) para aceleración de media onda sinusoidal acorde a IEC 60068-2-27

Unidades de embalaje

Tipo de unidad del paquete 1	PCE
Número de unidades en empaque	1
Peso del empaque (Lbs)	0,028 kg
Paquete 1 Altura	0,450 dm
Paquete 1 ancho	0,340 dm
Paquete 1 Longitud	0,540 dm
Tipo de unidad del paquete 2	BB1
Número de unidades en el paquete 2	5
Peso del paquete 2	1,14 kg
Paquete 2 Altura	3,4 cm
Ancho del paquete 2	4,5 cm
Longitud del paquete 2	26,5 cm
Tipo de unidad del paquete 3	S03
Número de unidades en el paquete 3	300
Paquete 3 Peso	8,785 kg
Paquete 3 Altura	30 cm
Ancho del paquete 3	30 cm
Paquete 3 Longitud	40 cm

Sostenibilidad de la oferta

Estado de oferta sostenible	Producto Green Premium
Reglamento REACh	Declaración de REACh
Conforme con REACh sin SVHC	Sí
Directiva RoHS UE	Cumplimiento proactivo (producto fuera del alcance de la normativa RoHS UE) Declaración RoHS UE
Sin metales pesados tóxicos	Sí
Sin mercurio	Sí
Información sobre exenciones de RoHS	Sí
Normativa de RoHS China	Declaración RoHS China
Comunicación ambiental	Perfil ambiental del producto
Perfil de circularidad	Información de fin de vida útil

Información Logística

País de Origen	ES

Documento visado electrónicamente con número: VA07290/22
Código de validación telemática TRLTDCFZ60T66IJ1. Comprobación: https://cogitivalencia.e-gestion.es/Validacion.aspx?CVT=TRLTDCFZ60T66IJ1

Garantía contractual

Periodo de garantía	18 months

VISADO
COGITI
VALENCIA
TRLTDCFZ60T66IJ1
VA07290/22

Documento visado electrónicamente con número: VA07290/22
Código de validación telemática TRLTDCFZ60T66IJ1. Comprobación: https://cogitivalencia.e-gestion.es/Validacion.aspx?CVT=TRLTDCFZ60T66IJ1

Hoja de características del producto ZB4BV033

Esquemas de dimensiones

VISADO
COGITI
VALENCIA
VA07290/22
TRLTDCFZ60T66IJ1

Dimensiones

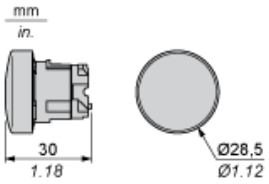

Documento visado electrónicamente con número: VA07290/22
Código de validación telemática TRLTDCFZ60T66IJ1. Comprobación: https://cogitivalencia.e-gestion.es/Validacion.aspx?CVT=TRLTDCFZ60T66IJ1

Hoja de características del producto ZB4BV033

Montaje y aislamiento

VISADO
COGITI
VALENCIA
VA07290/22
TRLTDCFZ60T66IJ1

Recorte de panel para pulsadores, conmutadores y luces de pilotos (orificios terminados, listos para la instalación)

Conexión mediante terminales con tornillo de presión, conectores enchufables o en placa de circuito impreso	Conexión mediante conectores Faston
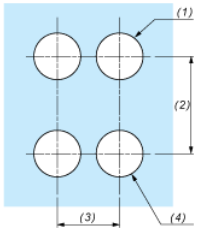	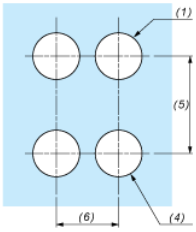

(1) Diámetro en soporte o panel terminado
(2) 40 mm mín. (1.57 in mín.)
(3) 30 mm mín. (1.18 in mín.)
(4) Ø 22,5 mm (0.89 in) recomendado (Ø 22,3 mm $_{0}^{+0,4}$ (0.88 in $_{0}^{+0.016}$)
(5) 45 mm mín. (1.78 in mín.)
(6) 32 mm mín. (1.26 in mín.)

Documento visado electrónicamente con número: VA07290/22
Código de validación telemática TRLTDCFZ60T66IJ1. Comprobación: https://cogitivalencia.e-gestion.es/Validacion.aspx?CVT=TRLTDCFZ60T66IJ1

VISADO
COGITI
VALENCIA
VA07290/22
TRLTDCFZ60T66IJ1

Pulsadores, conmutadores y pilotos para conexión de placa de circuito impreso

Troquelados del panel (vistos desde el lado del instalador)

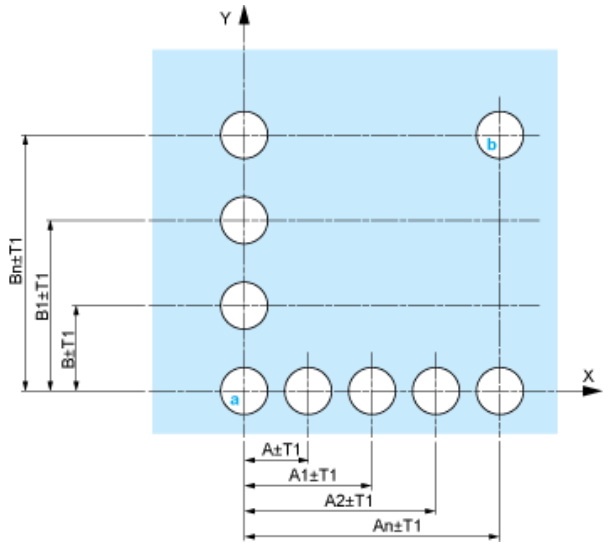

A: 30 mm mín. (1.18 in mín.)
B: 40 mm mín. (1.57 in mín.)

Troquelados de la placa de circuito impreso (vistos desde el lado del bloque eléctrico)

Dimensiones en mm

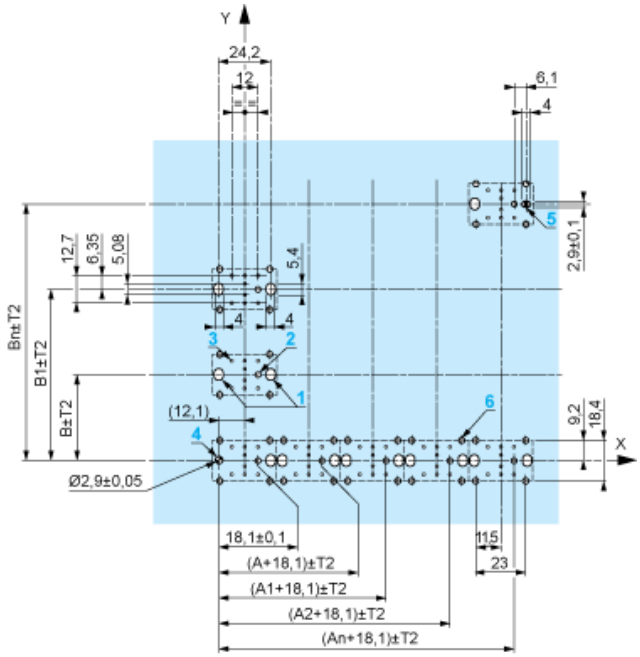

A: 30 mm mín.
B: 40 mm mín.

Documento visado electrónicamente con número: VA07290/22
Código de validación telemática TRLTDCFZ60T66IJ1. Comprobación: https://cogitivalencia.e-gestion.es/Validacion.aspx?CVT=TRLTDCFZ60T66IJ1

VISADO
COGITI
VALENCIA
VA07290/22
TRLTDCFZ60T66IJ1

Dimensiones en pulgadas

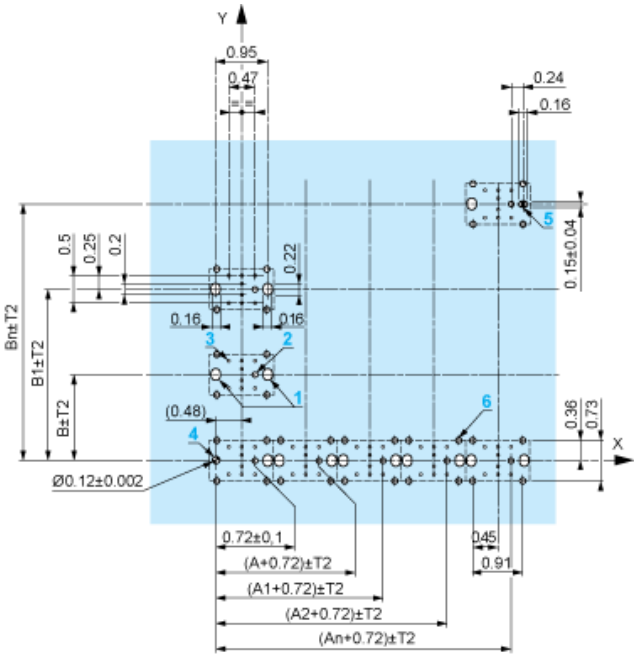

A: 1.18 in mín.
B: 1.57 in mín.

Tolerancias generales del panel y de la placa de circuito impreso

La tolerancia acumulada no puede ser superior a 0,3 mm (0.012 in): T1 + T2 = 0,3 mm máx.

Precauciones para la instalación

- Grosor mínimo de la placa del circuito: 1,6 mm (0.06 in)
- Diámetro de troquelado: 22,4 mm ± 0,1 (0.88 in ± 0.004)
- Orientación del cuerpo/anillo de fijación ZB4 BZ009: ± 2°30' (sin incluir los troquelados marcados con a y b).
- Par de apriete de tornillos ZBZ 006: 0,6 N.m (5.3 lbf.in) máx.
- Dejar espacio para un anillo de fijación/pilar ZB4 BZ079 y los tornillos de fijación:
  - cada 90 mm (3.54 in) horizontalmente (X), y 120 mm (4.72 in) verticalmente (Y).
  - con cada cabeza de conmutador de selección (ZB4 BD•, ZB4 BJ•, ZB4 BG•).

Los centros de taladros marcados con a y b están diagonalmente opuestos y deben alinearse con los centros marcados con 4 y 5.

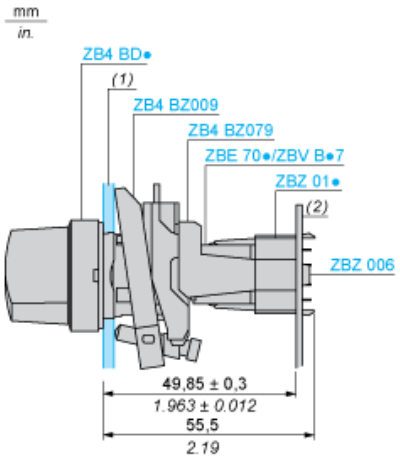

(1) Panel
(2) Placa de circuito impreso

Documento visado electrónicamente con número: VA07290/22
Código de validación telemática TRLTDCFZ60T66IJ1. Comprobación: https://cogitivalencia.e-gestion.es/Validacion.aspx?CVT=TRLTDCFZ60T66IJ1

VISADO
COGITI
VALENCIA
VA07290/22
TRLTDCFZ60T66IJ1

Montaje del adaptador (socket) ZBZ 01•

- 1 2 orificios alargados para el tornillo ZBZ 006
- 2 1 orificio de Ø 2,4 mm ± 0,05 (0.09 in ± 0.002) para centrar el adaptador ZBZ 01•
- 3 8 orificios de Ø 1,2 mm (0.05 in)
- 4 1 orificio de Ø 2,9 mm ± 0,05 (0.11 in ± 0.002) para alinear la placa de circuito impreso (con troquelado marcado con a)
- 5 1 orificio alargado para alinear la placa de circuito impreso (con troquelado marcado con b)
- 6 4 orificios Ø 2,4 mm (0.09 in) para encliquetar el adaptador ZBZ 01•

Las dimensiones An + 18,1 corresponden a los orificios de Ø 2,4 mm ± 0,05 (0.09 in ± 0.002) para centrar el adaptador ZBZ 01•.

Documento visado electrónicamente con número: VA07290/22
Código de validación telemática TRLTDCFZ60T66IJ1. Comprobación: https://cogitivalencia.e-gestion.es/Validacion.aspx?CVT=TRLTDCFZ60T66IJ1

VISADO
COGITI
VALENCIA
VA07290/22
TRLTDCFZ60T66IJ1

Composición eléctrica correspondiente a los códigos P1, P3, PF1, PR1 y PF2

Bloque luminoso



Documento visado electrónicamente con número: VA07290/22
Código de validación telemática TRLTDCFZ60T66IJ1. Comprobación: https://cogitivalencia.e-gestion.es/Validacion.aspx?CVT=TRLTDCFZ60T66IJ1

VISADO
COGITI
VALENCIA
VA07290/22
TRLTDCFZ60T66IJ1

Composición eléctrica correspondiente a los códigos M6 y P2

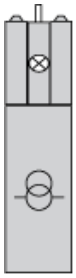

Documento visado electrónicamente con número: VA07290/22
Código de validación telemática TRLTDCFZ60T66IJ1. Comprobación: https://cogitivalencia.e-gestion.es/Validacion.aspx?CVT=TRLTDCFZ60T66IJ1

VISADO
COGITI
VALENCIA
VA07290/22
TRLTDCFZ60T66IJ1

Leyenda

Contacto único



Contacto doble



Bloque luminoso



Ubicación posible



Documento visado electrónicamente con número: VA07290/22
Código de validación telemática TRLTDCFZ60T66IJ1. Comprobación: https://cogitivalencia.e-gestion.es/Validacion.aspx?CVT=TRLTDCFZ60T66IJ1

Hoja de características del producto
Características

ZB4BV043
Cabeza piloto luminoso led rojo

VISADO
COGITI
VALENCIA
VA07290/22
TRLTDCFZ60T66IJ1



Principal

Gama de producto	Harmony XB4
Tipo de producto o componente	Cabeza para piloto luminoso
Compatibilidad del producto	LED integrado
Nombre corto del dispositivo	ZB4
Material del bisel	Metal cromado plateado
Diámetro de montaje	22 mm
Se vende en cantidades indivisibles	1
Tipo de cabeza	Estándar
Forma de la cabeza de señalización	Circular
Tapa/Cabeza o color de la lente	Rojo
Información adicional del operador	Con lente lisa

Complementario

Anchura global cad	29 mm
Altura global cad	29 mm
Profundidad global cad	30 mm
Peso del producto	0,026 kg
Resistencia a lavados de alta presión	7000000 Pa en 55 °C, distancia: 0,1 m
Código de composición eléctrica	P1 en montaje frontal con capacidad de sujeción: LED integrado P2 en montaje frontal con capacidad de sujeción: Led integrado y transformador
Presentación del dispositivo	Elemento básico

Entorno

Tratamiento de protección	TH
Temperatura ambiente de almacenamiento	-40…70 °C
Temperatura ambiente de funcionamiento	-40…70 °C

Documento visado electrónicamente con números: VA07290/22
Código de validación telemática TRLTDCFZ60T66IJ1. Comprobación: https://cogitivalencia.e-gestion.es/Validacion.aspx?CVT=TRLTDCFZ60T66IJ1
Aviso Legal: Esta documentación no pretende sustituir ni debe utilizarse para determinar la adecuación o fiabilidad de estos productos para aplicaciones específicas de los usuarios.

VISADO
COGITI
VALENCIA
VA07290/22
TRLTDCFZ60T66IJ1

Categoría de sobretensión	Class I conforming to IEC 60536
Grado de protección IP	IP66 conforming to IEC 60529 IP67 IP69 IP69K
Grado de protección nema	NEMA 13 NEMA 4X
Grado de protección IK	IK06 conforming to IEC 50102
Normas	EN/IEC 60947-5-1 EN/IEC 60947-5-4 UL 508 EN/IEC 60947-5-5 JIS C8201-5-1 CSA C22.2 No 14 EN/IEC 60947-1 JIS C8201-1
Resistencia a las vibraciones	5 gn (f = 2…500 Hz) acorde a IEC 60068-2-6
Resistencia a los choques	30 gn (duración 18 ms) para aceleración de media onda sinusoidal acorde a IEC 60068-2-27 50 gn (duración 11 ms) para aceleración de media onda sinusoidal acorde a IEC 60068-2-27

Unidades de embalaje

Tipo de unidad del paquete 1	PCE
Número de unidades en empaque	1
Peso del empaque (Lbs)	0,027 kg
Paquete 1 Altura	0,450 dm
Paquete 1 ancho	0,340 dm
Paquete 1 Longitud	0,540 dm
Tipo de unidad del paquete 2	BB1
Número de unidades en el paquete 2	5
Peso del paquete 2	137 g
Paquete 2 Altura	3,4 cm
Ancho del paquete 2	4,5 cm
Longitud del paquete 2	26,5 cm
Tipo de unidad del paquete 3	S03
Número de unidades en el paquete 3	300
Paquete 3 Peso	8,72 kg
Paquete 3 Altura	30 cm
Ancho del paquete 3	30 cm
Paquete 3 Longitud	40 cm

Sostenibilidad de la oferta

Estado de oferta sostenible	Producto Green Premium
Reglamento REACh	Declaración de REACh
Conforme con REACh sin SVHC	Sí
Directiva RoHS UE	Cumplimiento proactivo (producto fuera del alcance de la normativa RoHS UE) Declaración RoHS UE
Sin metales pesados tóxicos	Sí
Sin mercurio	Sí
Información sobre exenciones de RoHS	Sí
Normativa de RoHS China	Declaración RoHS China
Comunicación ambiental	Perfil ambiental del producto
Perfil de circularidad	Información de fin de vida útil

Información Logística

País de Origen	ES

Documento visado electrónicamente con número: VA07290/22
Código de validación telemática TRLTDCFZ60T66IJ1. Comprobación: https://cogitivalencia.e-gestion.es/Validacion.aspx?CVT=TRLTDCFZ60T66IJ1

Garantía contractual

Periodo de garantía	18 months

VISADO
COGITI
VALENCIA
TRLTDCFZ60T66IJ1
VA07290/22

Documento visado electrónicamente con número: VA07290/22
Código de validación telemática TRLTDCFZ60T66IJ1. Comprobación: https://cogitivalencia.e-gestion.es/Validacion.aspx?CVT=TRLTDCFZ60T66IJ1

Hoja de características del producto ZB4BV043

Esquemas de dimensiones

VISADO
COGITI
VALENCIA
VA07290/22
TRLTDCFZ60T66IJ1

Dimensiones

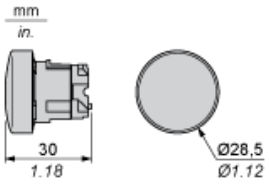

Documento visado electrónicamente con número: VA07290/22
Código de validación telemática TRLTDCFZ60T66IJ1. Comprobación: https://cogitivalencia.e-gestion.es/Validacion.aspx?CVT=TRLTDCFZ60T66IJ1

Hoja de características del producto ZB4BV043

Montaje y aislamiento

VISADO
COGITI
VALENCIA
VA07290/22
TRLTDCFZ60T66IJ1

Recorte de panel para pulsadores, conmutadores y luces de pilotos (orificios terminados, listos para la instalación)

Conexión mediante terminales con tornillo de presión, conectores enchufables o en placa de circuito impreso	Conexión mediante conectores Faston
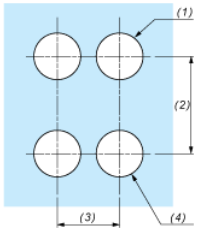	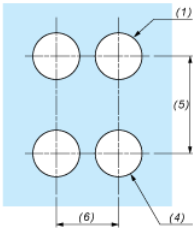

(1) Diámetro en soporte o panel terminado
(2) 40 mm mín. (1.57 in mín.)
(3) 30 mm mín. (1.18 in mín.)
(4) Ø 22,5 mm (0.89 in) recomendado (Ø 22,3 mm $_{0}^{+0,4}$ (0.88 in $_{0}^{+0.016}$)
(5) 45 mm mín. (1.78 in mín.)
(6) 32 mm mín. (1.26 in mín.)

Documento visado electrónicamente con número: VA07290/22
Código de validación telemática TRLTDCFZ60T66IJ1. Comprobación: https://cogitivalencia.e-gestion.es/Validacion.aspx?CVT=TRLTDCFZ60T66IJ1

Hoja de características del producto ZB4BV043

Montaje y aislamiento

VISADO
COGITI
VALENCIA
VA07290/22
TRLTDCFZ60T66IJ1

Pulsadores, conmutadores y pilotos para conexión de placa de circuito impreso

Troquelados del panel (vistos desde el lado del instalador)

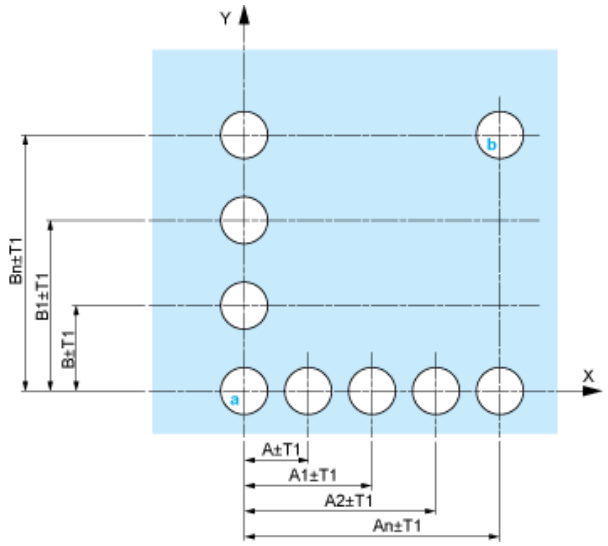

A: 30 mm mín. (1.18 in mín.)
B: 40 mm mín. (1.57 in mín.)

Troquelados de la placa de circuito impreso (vistos desde el lado del bloque eléctrico)

Dimensiones en mm

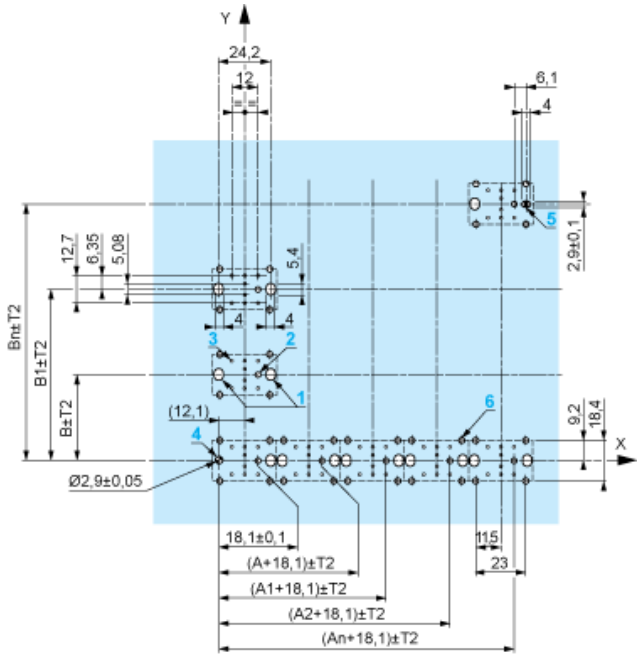

A: 30 mm mín.
B: 40 mm mín.

Documento visado electrónicamente con número: VA07290/22
Código de validación telemática TRLTDCFZ60T66IJ1. Comprobación: https://cogitivalencia.e-gestion.es/Validacion.aspx?CVT=TRLTDCFZ60T66IJ1

VISADO
COGITI
VALENCIA
VA07290/22
TRLTDCFZ60T66IJ1

Dimensiones en pulgadas

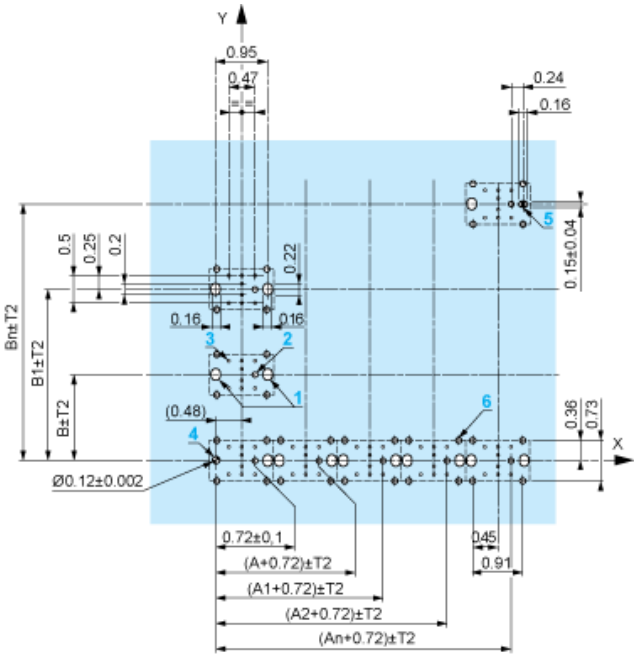

A: 1.18 in mín.
B: 1.57 in mín.

Tolerancias generales del panel y de la placa de circuito impreso

La tolerancia acumulada no puede ser superior a 0,3 mm (0.012 in): T1 + T2 = 0,3 mm máx.

Precauciones para la instalación

- Grosor mínimo de la placa del circuito: 1,6 mm (0.06 in)
- Diámetro de troquelado: 22,4 mm ± 0,1 (0.88 in ± 0.004)
- Orientación del cuerpo/anillo de fijación ZB4 BZ009: ± 2°30' (sin incluir los troquelados marcados con a y b).
- Par de apriete de tornillos ZBZ 006: 0,6 N.m (5.3 lbf.in) máx.
- Dejar espacio para un anillo de fijación/pilar ZB4 BZ079 y los tornillos de fijación:
  - cada 90 mm (3.54 in) horizontalmente (X), y 120 mm (4.72 in) verticalmente (Y).
  - con cada cabeza de conmutador de selección (ZB4 BD•, ZB4 BJ•, ZB4 BG•).

Los centros de taladros marcados con a y b están diagonalmente opuestos y deben alinearse con los centros marcados con 4 y 5.

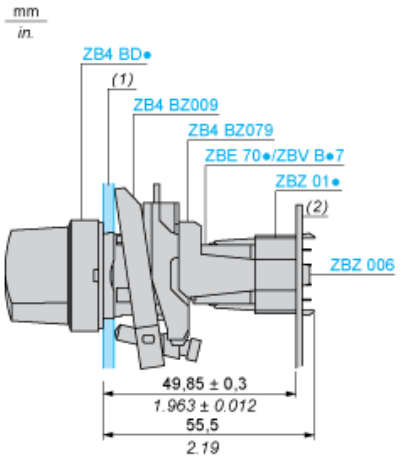

(1) Panel
(2) Placa de circuito impreso

Documento visado electrónicamente con número: VA07290/22
Código de validación telemática TRLTDCFZ60T66IJ1. Comprobación: https://cogitivalencia.e-gestion.es/Validacion.aspx?CVT=TRLTDCFZ60T66IJ1

VISADO
COGITI
VALENCIA
VA07290/22
TRLTDCFZ60T66IJ1

Montaje del adaptador (socket) ZBZ 01•

- 1 2 orificios alargados para el tornillo ZBZ 006
- 2 1 orificio de Ø 2,4 mm ± 0,05 (0.09 in ± 0.002) para centrar el adaptador ZBZ 01•
- 3 8 orificios de Ø 1,2 mm (0.05 in)
- 4 1 orificio de Ø 2,9 mm ± 0,05 (0.11 in ± 0.002) para alinear la placa de circuito impreso (con troquelado marcado con a)
- 5 1 orificio alargado para alinear la placa de circuito impreso (con troquelado marcado con b)
- 6 4 orificios Ø 2,4 mm (0.09 in) para encliquetar el adaptador ZBZ 01•

Las dimensiones An + 18,1 corresponden a los orificios de Ø 2,4 mm ± 0,05 (0.09 in ± 0.002) para centrar el adaptador ZBZ 01•.

Documento visado electrónicamente con número: VA07290/22
Código de validación telemática TRLTDCFZ60T66IJ1. Comprobación: https://cogitivalencia.e-gestion.es/Validacion.aspx?CVT=TRLTDCFZ60T66IJ1

VISADO
COGITI
VALENCIA
VA07290/22
TRLTDCFZ60T66IJ1

Composición eléctrica correspondiente a los códigos P1, P3, PF1, PR1 y PF2

Bloque luminoso



Documento visado electrónicamente con número: VA07290/22
Código de validación telemática TRLTDCFZ60T66IJ1. Comprobación: https://cogitivalencia.e-gestion.es/Validacion.aspx?CVT=TRLTDCFZ60T66IJ1

VISADO
COGITI
VALENCIA
VA07290/22
TRLTDCFZ60T66IJ1

Composición eléctrica correspondiente a los códigos M6 y P2

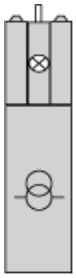

Documento visado electrónicamente con número: VA07290/22
Código de validación telemática TRLTDCFZ60T66IJ1. Comprobación: https://cogitivalencia.e-gestion.es/Validacion.aspx?CVT=TRLTDCFZ60T66IJ1

Hoja de características del producto ZB4BV043

Descripción técnica

VISADO
COGITI
VALENCIA
VA07290/22
TRLTDCFZ60T66IJ1

Leyenda

Contacto único



Contacto doble



Bloque luminoso



Ubicación posible



Documento visado electrónicamente con número: VA07290/22
Código de validación telemática TRLTDCFZ60T66IJ1. Comprobación: https://cogitivalencia.e-gestion.es/Validacion.aspx?CVT=TRLTDCFZ60T66IJ1

Hoja de características del producto
Características

ZB4BV053
Cabeza piloto luminoso led amarillo

VISADO
COGITI
TRLTDCFZ60T66IJ1
VALENCIA
VA07290/22



Principal

Gama de producto	Harmony XB4
Tipo de producto o componente	Cabeza para piloto luminoso
Compatibilidad del producto	LED integrado
Nombre corto del dispositivo	ZB4
Material del bisel	Metal cromado plateado
Diámetro de montaje	22 mm
Se vende en cantidades indivisibles	1
Tipo de cabeza	Estándar
Forma de la cabeza de señalización	Circular
Tapa/Cabeza o color de la lente	Naranja
Información adicional del operador	Con lente lisa

Complementario

Anchura global cad	29 mm
Altura global cad	29 mm
Profundidad global cad	30 mm
Peso del producto	0,026 kg
Resistencia a lavados de alta presión	7000000 Pa en 55 °C, distancia: 0,1 m
Código de composición eléctrica	P1 en montaje frontal con capacidad de sujeción: LED integrado P2 en montaje frontal con capacidad de sujeción: Led integrado y transformador
Presentación del dispositivo	Elemento básico

Entorno

Tratamiento de protección	TH
Temperatura ambiente de almacenamiento	-40…70 °C
Temperatura ambiente de funcionamiento	-40…70 °C

Documento visado electrónicamente con números: VA07290/22
Código de validación telemática TRLTDCFZ60T66IJ1. Comprobación: https://cogitivalencia.e-gestion.es/Validacion.aspx?CVT=TRLTDCFZ60T66IJ1
Aviso Legal: Esta documentación no pretende sustituir ni debe utilizarse para determinar la adecuación o fiabilidad de estos productos para aplicaciones específicas de los usuarios.

VISADO
COGITI
TRLTDCFZ60T66IJ1
VALENCIA
VA07290/22

Categoría de sobretensión	Class I conforming to IEC 60536
Grado de protección IP	IP66 conforming to IEC 60529 IP67 IP69 IP69K
Grado de protección nema	NEMA 13 NEMA 4X
Grado de protección IK	IK06 acorde a IEC 50102
Normas	EN/IEC 60947-1 EN/IEC 60947-5-5 EN/IEC 60947-5-4 EN/IEC 60947-5-1 CSA C22.2 No 14 JIS C8201-5-1 UL 508 JIS C8201-1
Resistencia a las vibraciones	5 gn (f= 2…500 Hz) conforming to IEC 60068-2-6
Resistencia a los choques	30 gn (duration = 18 ms) for half sine wave acceleration conforming to IEC 60068-2-27 50 gn (duration = 11 ms) for half sine wave acceleration conforming to IEC 60068-2-27

Unidades de embalaje

Tipo de unidad del paquete 1	PCE
Número de unidades en empaque	1
Peso del empaque (Lbs)	0,028 kg
Paquete 1 Altura	0,450 dm
Paquete 1 ancho	0,340 dm
Paquete 1 Longitud	0,540 dm
Tipo de unidad del paquete 2	BB1
Número de unidades en el paquete 2	5
Peso del paquete 2	1,14 kg
Paquete 2 Altura	3,4 cm
Ancho del paquete 2	4,5 cm
Longitud del paquete 2	26,5 cm
Tipo de unidad del paquete 3	S03
Número de unidades en el paquete 3	300
Paquete 3 Peso	8,75 kg
Paquete 3 Altura	30 cm
Ancho del paquete 3	30 cm
Paquete 3 Longitud	40 cm

Sostenibilidad de la oferta

Estado de oferta sostenible	Producto Green Premium
Reglamento REACh	Declaración de REACh
Conforme con REACh sin SVHC	Sí
Directiva RoHS UE	Cumplimiento proactivo (producto fuera del alcance de la normativa RoHS UE) Declaración RoHS UE
Sin metales pesados tóxicos	Sí
Sin mercurio	Sí
Información sobre exenciones de RoHS	Sí
Normativa de RoHS China	Declaración RoHS China
Comunicación ambiental	Perfil ambiental del producto
Perfil de circularidad	Información de fin de vida útil

Información Logística

País de Origen	ES

Documento visado electrónicamente con número: VA07290/22
Código de validación telemática TRLTDCFZ60T66IJ1. Comprobación: https://cogitivalencia.e-gestion.es/Validacion.aspx?CVT=TRLTDCFZ60T66IJ1

Garantía contractual

Periodo de garantía	18 months

VISADO
COGITI
VALENCIA
TRLTDCFZ60T66IJ1
VA07290/22

Documento visado electrónicamente con número: VA07290/22
Código de validación telemática TRLTDCFZ60T66IJ1. Comprobación: https://cogitivalencia.e-gestion.es/Validacion.aspx?CVT=TRLTDCFZ60T66IJ1

Hoja de características del producto ZB4BV053

Esquemas de dimensiones

VISADO
COGITI
VALENCIA
VA07290/22
TRLTDCFZ60T66IJ1

Dimensiones

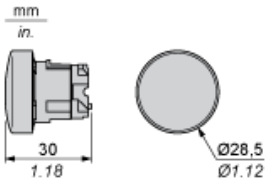

Documento visado electrónicamente con número: VA07290/22
Código de validación telemática TRLTDCFZ60T66IJ1. Comprobación: https://cogitivalencia.e-gestion.es/Validacion.aspx?CVT=TRLTDCFZ60T66IJ1

Hoja de características del producto ZB4BV053

Montaje y aislamiento

VISADO
COGITI
VALENCIA
VA07290/22
TRLTDCFZ60T66IJ1

Recorte de panel para pulsadores, conmutadores y luces de pilotos (orificios terminados, listos para la instalación)

Conexión mediante terminales con tornillo de presión, conectores enchufables o en placa de circuito impreso	Conexión mediante conectores Faston
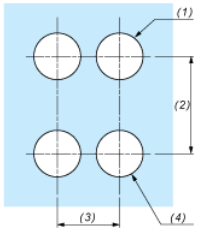	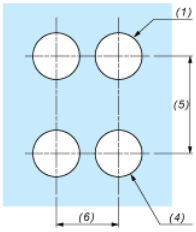

(1) Diámetro en soporte o panel terminado
(2) 40 mm mín. (1.57 in mín.)
(3) 30 mm mín. (1.18 in mín.)
(4) Ø 22,5 mm (0.89 in) recomendado (Ø 22,3 mm $_{0}^{+0,4}$ (0.88 in $_{0}^{+0.016}$)
(5) 45 mm mín. (1.78 in mín.)
(6) 32 mm mín. (1.26 in mín.)

Documento visado electrónicamente con número: VA07290/22
Código de validación telemática TRLTDCFZ60T66IJ1. Comprobación: https://cogitivalencia.e-gestion.es/Validacion.aspx?CVT=TRLTDCFZ60T66IJ1

Hoja de características del producto ZB4BV053

Montaje y aislamiento

VISADO
COGITI
VALENCIA
VA07290/22
TRLTDCFZ60T66IJ1

Pulsadores, conmutadores y pilotos para conexión de placa de circuito impreso

Troquelados del panel (vistos desde el lado del instalador)

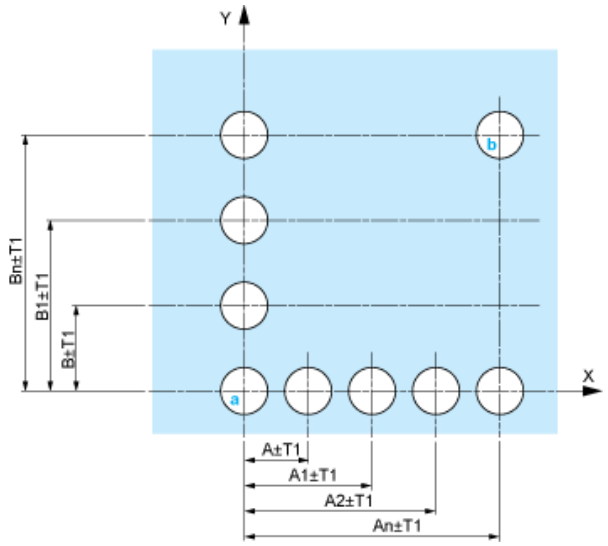

A: 30 mm mín. (1.18 in mín.)
B: 40 mm mín. (1.57 in mín.)

Troquelados de la placa de circuito impreso (vistos desde el lado del bloque eléctrico)

Dimensiones en mm

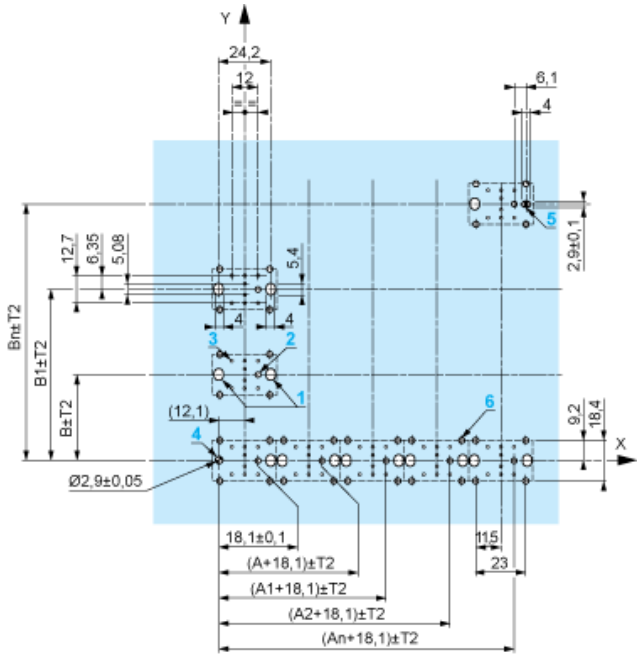

A: 30 mm mín.
B: 40 mm mín.

Documento visado electrónicamente con número: VA07290/22
Código de validación telemática TRLTDCFZ60T66IJ1. Comprobación: https://cogitivalencia.e-gestion.es/Validacion.aspx?CVT=TRLTDCFZ60T66IJ1

VISADO
COGITI
VALENCIA
VA07290/22
TRLTDCFZ60T66IJ1

Dimensiones en pulgadas

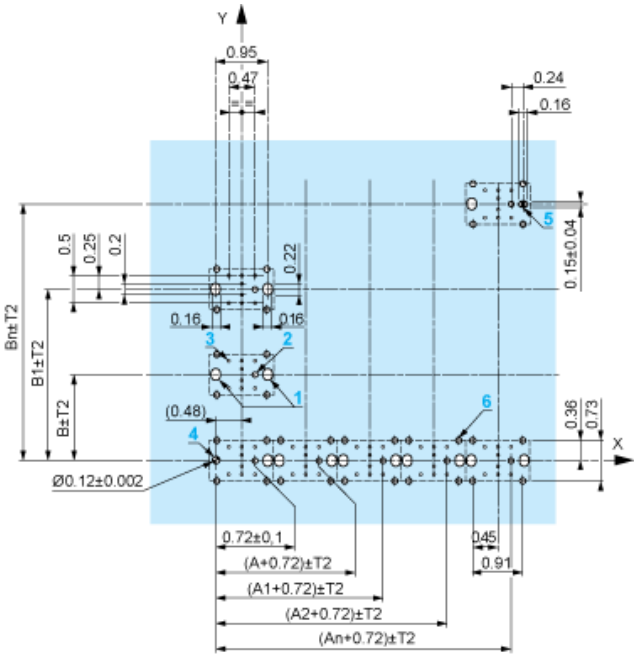

A: 1.18 in mín.
B: 1.57 in mín.

Tolerancias generales del panel y de la placa de circuito impreso

La tolerancia acumulada no puede ser superior a 0,3 mm (0.012 in): T1 + T2 = 0,3 mm máx.

Precauciones para la instalación

- Grosor mínimo de la placa del circuito: 1,6 mm (0.06 in)
- Diámetro de troquelado: 22,4 mm ± 0,1 (0.88 in ± 0.004)
- Orientación del cuerpo/anillo de fijación ZB4 BZ009: ± 2°30' (sin incluir los troquelados marcados con a y b).
- Par de apriete de tornillos ZBZ 006: 0,6 N.m (5.3 lbf.in) máx.
- Dejar espacio para un anillo de fijación/pilar ZB4 BZ079 y los tornillos de fijación:
  - cada 90 mm (3.54 in) horizontalmente (X), y 120 mm (4.72 in) verticalmente (Y).
  - con cada cabeza de conmutador de selección (ZB4 BD•, ZB4 BJ•, ZB4 BG•).

Los centros de taladros marcados con a y b están diagonalmente opuestos y deben alinearse con los centros marcados con 4 y 5.

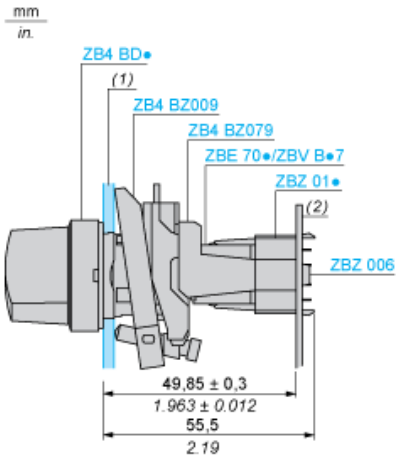

(1) Panel
(2) Placa de circuito impreso

Documento visado electrónicamente con número: VA07290/22
Código de validación telemática TRLTDCFZ60T66IJ1. Comprobación: https://cogitivalencia.e-gestion.es/Validacion.aspx?CVT=TRLTDCFZ60T66IJ1

VISADO
COGITI
VALENCIA
VA07290/22
TRLTDCFZ60T66IJ1

Montaje del adaptador (socket) ZBZ 01•

- 1 2 orificios alargados para el tornillo ZBZ 006
- 2 1 orificio de Ø 2,4 mm ± 0,05 (0.09 in ± 0.002) para centrar el adaptador ZBZ 01•
- 3 8 orificios de Ø 1,2 mm (0.05 in)
- 4 1 orificio de Ø 2,9 mm ± 0,05 (0.11 in ± 0.002) para alinear la placa de circuito impreso (con troquelado marcado con a)
- 5 1 orificio alargado para alinear la placa de circuito impreso (con troquelado marcado con b)
- 6 4 orificios Ø 2,4 mm (0.09 in) para encliquetar el adaptador ZBZ 01•

Las dimensiones An + 18,1 corresponden a los orificios de Ø 2,4 mm ± 0,05 (0.09 in ± 0.002) para centrar el adaptador ZBZ 01•.

Documento visado electrónicamente con número: VA07290/22
Código de validación telemática TRLTDCFZ60T66IJ1. Comprobación: https://cogitivalencia.e-gestion.es/Validacion.aspx?CVT=TRLTDCFZ60T66IJ1

VISADO
COGITI
VALENCIA
VA07290/22
TRLTDCFZ60T66IJ1

Composición eléctrica correspondiente a los códigos P1, P3, PF1, PR1 y PF2

Bloque luminoso



Documento visado electrónicamente con número: VA07290/22
Código de validación telemática TRLTDCFZ60T66IJ1. Comprobación: https://cogitivalencia.e-gestion.es/Validacion.aspx?CVT=TRLTDCFZ60T66IJ1

VISADO
COGITI
VALENCIA
VA07290/22
TRLTDCFZ60T66IJ1

Composición eléctrica correspondiente a los códigos M6 y P2

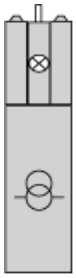

Documento visado electrónicamente con número: VA07290/22
Código de validación telemática TRLTDCFZ60T66IJ1. Comprobación: https://cogitivalencia.e-gestion.es/Validacion.aspx?CVT=TRLTDCFZ60T66IJ1

Hoja de características del producto ZB4BV053

Descripción técnica

VISADO
COGITI
VALENCIA
VA07290/22
TRLTDCFZ60T66IJ1

Leyenda

Contacto único



Contacto doble



Bloque luminoso



Ubicación posible



Documento visado electrónicamente con número: VA07290/22
Código de validación telemática TRLTDCFZ60T66IJ1. Comprobación: https://cogitivalencia.e-gestion.es/Validacion.aspx?CVT=TRLTDCFZ60T66IJ1

Hoja de características del producto

Características

XS4P18PA340

Sensor inductivo xs4 m18 - l36mm- pps - sn8mm - 12..24vdc - cable 2m

VISADO
COGITI
VALENCIA
VA07290/22
TRLTDCFZ60T66IJ1



Principal

Gama de producto	Telemecanique Inductive proximity sensors XS
Nombre de serie	Finalidad general
Tipo de sensor	Sensores de proximidad inductivo
Nombre de detector	XS4
Diseño del detector	M18 cilíndrico
Tamaño	36 mm
Tipo de cuerpo	Fijo
Capacidad de montaje empotrado	Montaje no empotrado
Material	Plástico
Tipo de señal de salida	Discreta
Técnica de cableado de detector	3 hilos
Distancia de detección nominal	8 mm
Función de salida digital	1 NA
Tipo circuito de salida	CC
Tipo de salida digital	PNP
Consecutivo, seguido, continuo, adosado	Cable
Longitud de cable	2 m
[Us] tensión de alimentación asignada	12...24 V DC con capacidad de sujeción: protección de polaridad inversa
Capacidad de conmutación en mA	<= 200 mA DC con capacidad de sujeción: protección de sobrecarga y cortocircuito
Grado de protección IP	Aislamiento doble IP68 acorde a IEC 60529

Complementario

Tipo de rosca	M18 x 1
Recorte de barrera	Frontal
Material frontal	PPS

Documento visado electrónicamente con números: VA07290/22
Código de validación telemática TRLTDCFZ60T66IJ1. Comprobación: https://cogitivalencia.e-gestion.es/Validacion.aspx?CVT=TRLTDCFZ60T66IJ1
Aviso Legal: Esta documentación no pretende sustituir ni debe utilizarse para determinar la adecuación o fiabilidad de estos productos para aplicaciones específicas de los usuarios.

VISADO
COGITI
VALENCIA
VA07290/22
TRLTDCFZ60T66IJ1

Material del envolvente	PPS
Zona operactiva	0…6,4 mm
Desplazamiento del diferencial	1..0,15% de Sr
Composición del cable	3 x 0,34 mm²
Material aislamiento cables	PvR
LED de estado	Estado de salida, estado 1 1 LED - tipo de cable: amarillo)
Límites de tensión de alimentación	10…36 V DC
Frecuencia de conmutación	<= 2.000 Hz
Maximum voltage drop	<2 V - tipo de cable: cerrado)
Consumo de corriente	<= 10 mA sin carga
Maximum delay first up	10 ms
Maximum delay response	0,15 ms
Maximum delay recovery	0,35 ms
Marcado	CE
Longitud roscada	25 mm
Altura	18 mm
Longitud	36 mm
Peso del producto	0,09 kg

Entorno

Certificaciones de producto	UL Ecolab ((*)) CSA
Temperatura ambiente de funcionamiento	-25…70 °C
Temperatura ambiente de almacenamiento	-40…85 °C
Resistencia a las vibraciones	25 gn amplitude = +/- 2 mm (f = 10…55 Hz) conforming to IEC 60068-2-6
Resistencia a los choques	50 gn for 11 ms conforming to IEC 60068-2-27

Unidades de embalaje

Tipo de unidad del paquete 1	PCE
Número de unidades en empaque	1
Peso del empaque (Lbs)	0,091 kg
Paquete 1 Altura	1,320 dm
Paquete 1 ancho	0,960 dm
Paquete 1 Longitud	0,420 dm
Tipo de unidad del paquete 2	BAG
Número de unidades en el paquete 2	1
Peso del paquete 2	91 g
Paquete 2 Altura	3 cm
Ancho del paquete 2	20 cm
Longitud del paquete 2	15 cm
Tipo de unidad del paquete 3	S03
Número de unidades en el paquete 3	44
Paquete 3 Peso	4,404 kg
Paquete 3 Altura	30 cm
Ancho del paquete 3	30 cm
Paquete 3 Longitud	40 cm

Sostenibilidad de la oferta

Estado de oferta sostenible	Producto Green Premium
Reglamento REACh	Declaración de REACh

Documento visado electrónicamente con número: VA07290/22
Código de validación telemática TRLTDCFZ60T66IJ1. Comprobación: https://cogitivalencia.e-gestion.es/Validacion.aspx?CVT=TRLTDCFZ60T66IJ1

Directiva RoHS UE	Cumplimiento proactivo (producto fuera del alcance de la normativa RoHS UE) Declaración RoHS UE
Sin mercurio	Sí
Información sobre exenciones de RoHS	Sí
Comunicación ambiental	Perfil ambiental del producto
Perfil de circularidad	Información de fin de vida útil

Información Logística

País de Origen	ES

Garantía contractual

Periodo de garantía	18 months

VISADO
COGITI
VALENCIA
VA07290/22
TRLTDCFZ60T66IJ1
Documento visado electrónicamente con número: VA07290/22
Código de validación telemática TRLTDCFZ60T66IJ1. Comprobación: https://cogitivalencia.e-gestion.es/Validacion.aspx?CVT=TRLTDCFZ60T66IJ1

Hoja de características del producto XS4P18PA340

Esquemas de dimensiones

VISADO
COGITI
VALENCIA
VA07290/22
TRLTDCFZ60T66IJ1

Dimensiones

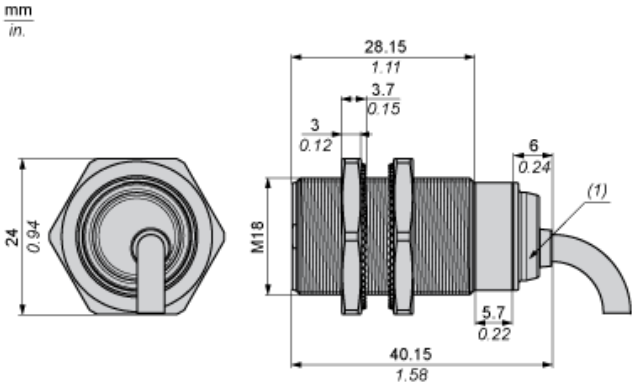

(1) LED

Documento visado electrónicamente con número: VA07290/22
Código de validación telemática TRLTDCFZ60T66IJ1. Comprobación: https://cogitivalencia.e-gestion.es/Validacion.aspx?CVT=TRLTDCFZ60T66IJ1

VISADO
COGITI
VALENCIA
VA07290/22
TRLTDCFZ60T66IJ1

Distancias mínimas de montaje

Lado a lado

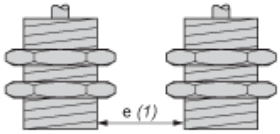

e (1) ≥ 32 mm (1.26 in)

Frente a frente

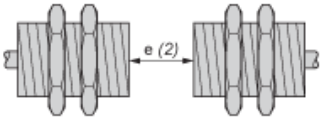

e(2) ≥ 96 mm (3.78 in)

Frente a un objeto metálico

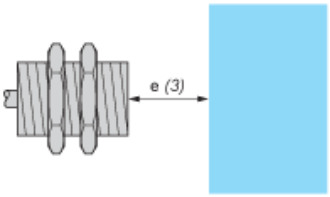

e(3) ≥ 24 mm (0.94 in)

Montaje en soporte de metal

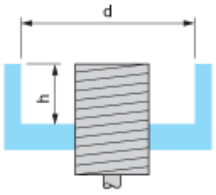

d ≥ 56 mm (2.20 in)
h ≥ 16 mm (0.63 in)

Documento visado electrónicamente con número: VA07290/22
Código de validación telemática TRLTDCFZ60T66IJ1. Comprobación: https://cogitivalencia.e-gestion.es/Validacion.aspx?CVT=TRLTDCFZ60T66IJ1

VISADO
COGITI
VALENCIA
VA07290/22
TRLTDCFZ60T66IJ1

Montaje

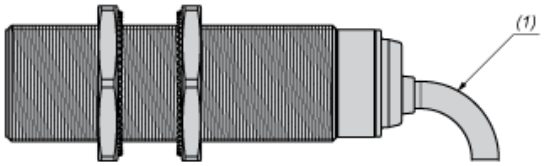

(1) Cable flexible: 4 × diámetro de cable externo

Documento visado electrónicamente con número: VA07290/22
Código de validación telemática TRLTDCFZ60T66IJ1. Comprobación: https://cogitivalencia.e-gestion.es/Validacion.aspx?CVT=TRLTDCFZ60T66IJ1

Hoja de características del producto XS4P18PA340

Conexiones y esquema

VISADO
COGITI
VALENCIA
VA07290/22
TRLTDCFZ60T66IJ1

Esquemas de cableado

PNP

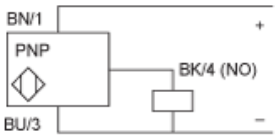

BU: Azul
BN: Marrón
BK: Negro

Documento visado electrónicamente con número: VA07290/22
Código de validación telemática TRLTDCFZ60T66IJ1. Comprobación: https://cogitivalencia.e-gestion.es/Validacion.aspx?CVT=TRLTDCFZ60T66IJ1

VISADO
COGITI
VALENCIA
VA07290/22
TRLTDCFZ60T66IJ1

Curvas de rendimiento

Blanco de acero estándar: 24×24×1 mm

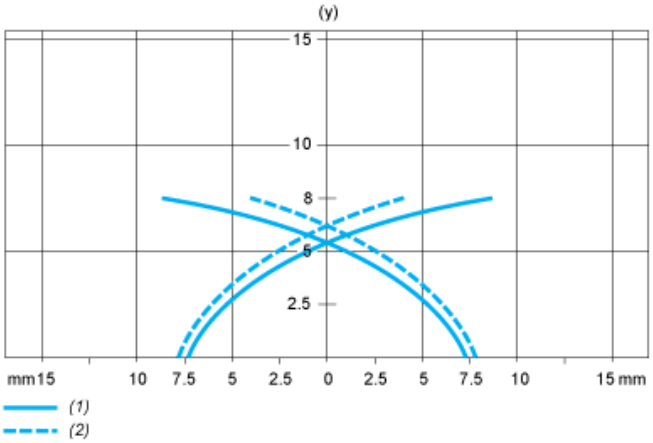

(1) Puntos de captura
(2) Puntos de caída (el objeto se acerca lateralmente)
(y) Distancia de detección en mm

Documento visado electrónicamente con número: VA07290/22
Código de validación telemática TRLTDCFZ60T66IJ1. Comprobación: https://cogitivalencia.e-gestion.es/Validacion.aspx?CVT=TRLTDCFZ60T66IJ1

VISADO
COGITI
VALENCIA
TRLTDCFZ60T66IJ1
VA07290/22

ficha técnica

central de 2 zonas en caja ABS

AE/C5-2P



Descripción

Centrales microprocesadas de atractivo diseño, fabricadas en ABS, según EN 54 partes 2 y 4.

Disponen de:

- 2 bucles de detección convencional con final de línea activo.
- Control de nivel de acceso mediante llave.
- 2 salidas vigiladas de evacuación.
- Relé de fuego (alarma general).
- Relé de avería general.
- Salida auxiliar de 24 Vcc.
- Teclado con 6 teclas para manejo.
- Modo "Prueba de zonas".
- Conexión/desconexión individual de zonas de detección y zonas de evacuación.
- 10 leds independientes para indicación de alarmas.
- Necesitan una única batería de 12V / 7Ah.
- Realizan una continua supervisión de todo el sistema: estado de las baterías, fallo de la CPU, estado de los bucles, alimentación de los bucles, estado de la fuente de alimentación, supervisión de sirenas, fallo de tierra, estado del bucle de sirenas. Dimensiones: 340 x 290 x 100. Peso: 2.5 Kg.

Características técnicas

Número máximo de detectores por zona:
Hasta 32 detectores convencionales y un número ilimitado de pulsadores (ver reglamentaciones locales).

Umbrales de zona

- 0 - 2 mA Avería de circuito abierto.
- 2 - 6 mA Reposo.
- 6 - 105 mA Alarma.
- 120 - Cortocircuito Avería por cortocircuito.

Alimentación

Alimentación de Red 230 Vca ± 10% Fusible 0.315A
Batería 1 x 12V (24V) 7Ah. Plomo-ácido sellada. Fusible 2A.

Corriente máxima de salida (con baterías cargadas) 0.7 A

Consumo corriente baterías en condiciónde fallo de red 50 mA

Salidas

Circuito Sirena 1 24V Fusible 0.315A

Circuito Sirena 2 24V Fusible 0.315A

Relés de Fuego y Avería : Contactos libres de tensión, 12V / 1A ó 24V / 0.5A , Tensión máxima 125V , Corriente máxima 2A.

Salida Auxiliar : 24Vcc - Fusible 0.315A
Cableado Zonas: 2 X 1.5 mm^2
Condiciones Ambientales Tª trabajo 0 a 40ºC
Tª almacenamiento -20 a 60ºC
Humedad 0 a 95% (sin condensación)

Documento visado electrónicamente con número: VA07290/22
Código de validación telemática TRLTDCFZ60T66IJ1. Comprobación: https://cogitivalencia.e-gestion.es/Validacion.aspx?CVT=TRLTDCFZ60T66IJ1

España: Madrid ● A Coruña ● Barcelona ● Valencia ● Sevilla ● Las Palmas
www aguilera es ● Sede central: 91 754 55 11

VISADO
COGITI
VALENCIA
VA07290/22
TRLTDCFZ60T66IJ1

ficha técnica

detector multisensor óptico/térmico

AE/C5-OPT



Descripción

Detector óptico de humos que opera según el principio de luz dispersa (efecto Tyndall). Está indicado para detectar los incendios en su primera fase de humos, antes de que se formen llamas o de que se produzcan aumentos peligrosos de temperatura.

Formado por una cámara oscura que incorpora un emisor y un receptor que detectan la presencia de partículas de humo en su interior, y un sensor de temperatura.

El detector dispone de 2 indicadores luminosos (LED) que indican de manera visible su estado de funcionamiento en reposo y alarma. Además puede ser conectado un indicador de acción remoto, conectándolo a la base del detector.

Una vez activado el detector, la alarma se queda enclavada, siendo necesario hacer un corte momentáneo de la alimentación para poder reponerlo. Fabricado según normas EN 54-7:2000 y EN 54-5:2000 . Respuesta térmica clase A2. Debido al método de detección de este tipo de detectores se recomienda su instalación en ambientes limpios.

Instalación

Montaje

La base del detector puede ser montada directamente sobre superficies de falso techo, o sobre cajas de empalmes eléctricos de forma octogonal (75mm, 90mm o 100mm), redondas (75mm) o cuadradas (100mm), sin necesidad de un adaptador mecánico.

Cableado

Desconecte la tensión de alimentación del bucle de detección antes de la instalación de la base del detector.

- Conectar el positivo de entrada del bucle de detección en el terminal 2 (positivo de entrada del bucle de detección). El terminal 2 dispone de dos conectores separados, uno para el bucle de entrada y el otro para el bucle de salida.
- Conectar el negativo de entrada del bucle de detección en el terminal 5 (negativo de entrada del bucle de detección). El terminal 5 dispone de dos conectores separados, uno para el bucle de entrada y el otro para el bucle de salida.
- Conectar el positivo de salida en el conector libre del terminal 2 con el positivo de entrada del terminal 2 de otro detector o con el final de línea. De este modo se permite la detección por línea abierta.
- Proceder con el negativo del bucle de detección de la misma manera indicada en el punto anterior pero con el terminal 5.
- Si se va a instalar un indicador de acción remoto, conectar el positivo del indicador al terminal 6 y el negativo al terminal 3.

Instalación del detector

- Colocar el detector en la base del detector, alineando las marcas tal y como se indica en la figura.
- Girar el detector en el sentido de las agujas del reloj hasta que quede bien acoplado, y las marcas largas de la base y del detector coincidan.
- Si el detector se coloca en la base, de modo que las marcas no coincidan, el detector funcionará, pero se invertirá la polaridad del indicador de acción, por lo que, según el modelo utilizado, el indicador puede no funcionar.
- Después de instalar todos los detectores vuelva a conectar la tensión de alimentación del bucle.
- El número máximo de detectores que pueden ser instalados en el mismo bucle de detección es de 30.

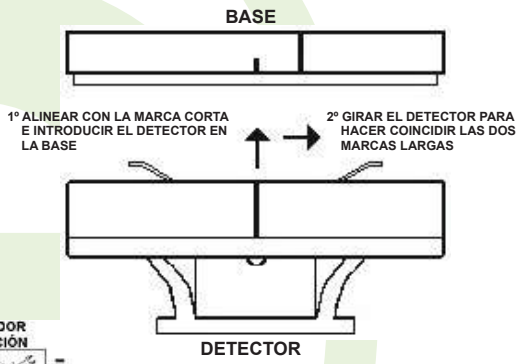

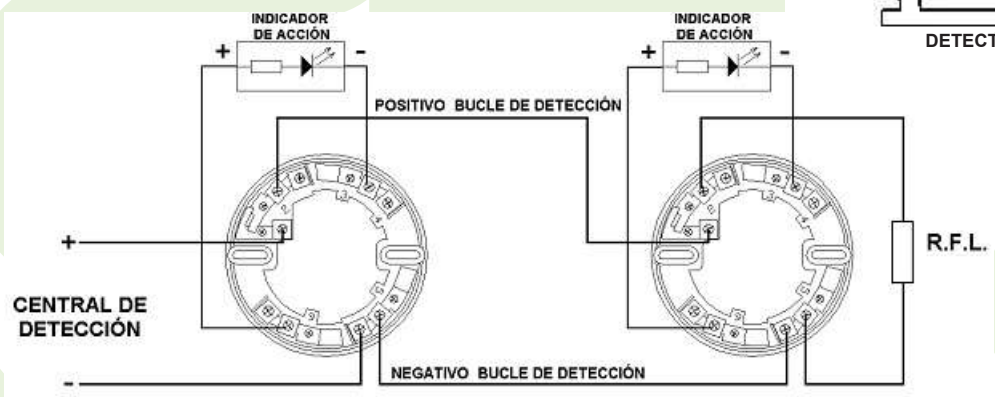

Documento visado electrónicamente con número: VA07290/22
Código de validación telemática TRLTDCFZ60T66IJ1. Comprobación: https://cogitivalencia.e-gestion.es/Validacion.aspx?CVT=TRLTDCFZ60T66IJ1

VISADO
COGITI
VALENCIA
VA07290/22
TRLTDCFZ60T66IJ1

ficha técnica

detector multisensor óptico/térmico

AE/C5-OPT

Precauciones

• Para prevenir la contaminación del detector, y la consecuente pérdida de garantía, mantenga puesta la tapa de protección hasta que el área donde se ha instalado el detector esté limpia y libre de polvo.
• La tapa de protección no asegura una protección total contra todo tipo de polvo o entrada de sustancias extrañas, por lo que se recomienda la retirada del detector de la base, si se van a realizar actividades de construcción (pintura, lijado,...) que puedan provocar polvo en suspensión.
• El detector no debe pintarse. La pintura puede tapar las entradas de aire de la cámara óptica modificando su funcionamiento y sensibilidad.
• La tapa de protección debe extraerse antes de la puesta en marcha del sistema.

Comprobación de funcionamiento

Los detectores deben probarse tras su instalación y seguir un mantenimiento periódico.

Antes de realizar pruebas de funcionamiento, notifique a la autoridad competente que se están realizando tareas de mantenimiento en el sistema de detección de incendios, y asegúrese de que todas las funciones de evacuación, maniobras y disparos de extinción automática están desactivados.

• Al quitar el detector de la base, la zona debe ponerse en estado de avería. Si no lo hace, compruebe el conexionado de la base del detector, comprobando que no hay dos o más cables conectados en el mismo conector del terminal 2.
• Compruebe que el detector está funcionando, observando que emite destellos de color verde cada 3~5 s. Si el detector no da destellos indica un fallo en el detector o en el conexionado.
• Prueba de humo.
Active el detector aplicando aerosol de prueba de detectores. Cuando una cantidad suficiente de humo haya entrado en la cámara el detector se pondrá en estado de alarma, activando los 2 led de color rojo de modo continuo.
• Prueba de calor:
Aplique un chorro de aire caliente a una temperatura entre 65°C y 80°C a unos centímetros de distancia. El detector debe activarse en un periodo de tiempo no superior a 30s, activando los 2 led de color rojo de modo continuo.
• Si tenemos conectado un indicador de acción remoto, también deberá iluminarse. Si no lo hace, revise el conexionado, y la posición del detector en la base, de modo que las marcas de la base y el detector coincidan.
• Para realizar pruebas en otro detector del mismo bucle , debe rearmar la zona, comprobando que se encuentra en estado de reposo.

Los detectores que no hayan superado las pruebas de funcionamiento deben ser sustituidos y reparados.

Una vez terminadas las pruebas, conecte nuevamente las funciones de evacuación, maniobras y disparos de extinción, y notifique a la autoridad competente que el sistema de detección de incendios está nuevamente en servicio.

Mantenimiento

El mantenimiento mínimo recomendado por detector consiste en una limpieza anual del polvo presente en la cabeza del detector, mediante la utilización de un compresor de aire, limpiando todas las entradas de aire de la cámara. Para una limpieza más exhaustiva, envíe el detector al fabricante.

No desmonte el detector o la cámara óptica. La apertura del detector provoca la pérdida de la garantía.

Características técnicas

Tensión de alimentación: 15 ~ 35Vcc
Consumo en reposo: 35 µA
Consumo en alarma: 70mA máximo
Cable de alimentación: 2 X 1.5 mm^2
Margen de temperaturas: -10ºC a +50º C temperatura ambiente.
Margen de humedad: Humedad relativa del 10% al 90% sin condensación.
Tiempo de estabilización: 60 s
Indicadores luminosos:
Funcionamiento:destellos verdes cada 3 ~ 5 s
Alarma: rojo fijo
Salida para alarma remota:
Indicador de acción tipo led, 6Vcc.
Dimensiones:
Ø: 99mm
Altura con la base incluida: 46mm + 15 mm del sensor de temperatura.
Material de la carcasa: ABS blanco.

LPCB Nº 512b/02

CE 0832
0832-CPD-0207

EN 54-7:2000 - EN 54-5:2000

AE/C5-OP

Documento visado electrónicamente con número: VA07290/22
Código de validación telemática TRLTDCFZ60T66IJ1. Comprobación: https://cogitivalencia.e-gestion.es/Validacion.aspx?CVT=TRLTDCFZ60T66IJ1

VISADO
COGITI
VALENCIA
VA07290/22
TRLTDCFZ60T66IJ1

INSTALACIÓN DE PLANTA GENERACIÓN FOTOVOLTAICA SOBRE LA CUBIERTA DEL SILO DE VEHÍCULOS DE VALENCIA TERMINAL EUROPA, EN MUELLE DIQUE DEL ESTE, EN PUERTO DE VALENCIA.

ANEJO Nº7

Programa de trabajos. Diagrama de Gantt

Documento visado electrónicamente con número: VA07290/22
Código de validación telemática TRLTDCFZ60T66IJ1. Comprobación: https://cogitivalencia.e-gestion.es/Validacion.aspx?CVT=TRLTDCFZ60T66IJ1

VISADO
COGITI
VALENCIA
VA07290/22
TRLTDCFZ60T66IJ1

Índice

1. INTRODUCCIÓN 3

2. LISTA DE ACTIVIDADES Y TIEMPOS 3

2.1. Lista de actividades 3

2.2. Tiempos asignados 3

3. DIAGRAMA DE GANTT 3

4. PLAZO DE EJECUCIÓN 3

Documento visado electrónicamente con número: VA07290/22
Código de validación telemática TRLTDCFZ60T66IJ1. Comprobación: https://cogitivalencia.e-gestion.es/Validacion.aspx?CVT=TRLTDCFZ60T66IJ1

VISADO
COGITI
VALENCIA
VA07290/22
TRLTDCFZ60T66IJ1

1.1. INTRODUCCIÓN

En este Anejo se pretende establecer un programa de ejecución de las obras, que permita fijar el plazo aproximado de las mismas. Este programa propuesto no es el único posible para la construcción con éxito de la obra proyectada. El plazo de ejecución variará según el número y composición de los equipos disponibles por el constructor.

El trabajo total se va a dividir en una serie de actividades elementales, a las que se les asigna un plazo de ejecución, en función de unos rendimientos aproximados. Con ello, se elaborará un diagrama de Gantt. Se consideran meses de cuatro semanas, semanas de cinco días y días de ocho horas.

1.2. LISTA DE ACTIVIDADES Y TIEMPOS

A continuación, se presentan las actividades elementales en que se ha dividido la obra, con sus respectivos plazos de ejecución aproximados.

1.2.1. Lista de actividades

Se realizarán las siguientes tareas:

1. Instalación fotovoltaica
2. Instalación eléctrica en BT
3. Instalación eléctrica en MT

1.2.2. Tiempos asignados

Los tiempos asignados a cada una de las tareas enumeradas en el apartado anterior están reflejados en el diagrama de Gantt adjunto. Dicha asignación se realizará teniendo en cuenta la medición correspondiente y el rendimiento esperado en la relación del trabajo.

Dadas las dimensiones de la obra, se realizan todos los trabajos de cada actuación en una sola fase.

1.3. DIAGRAMA DE GANTT

Para la ejecución del diagrama de barras se ha tenido en cuenta el posible solape de actividades en el tiempo, para la obtención del plazo de ejecución de la obra.

En la página siguiente se adjunta el diagrama de barras propuesto, el cual permitirá obtener el plazo total de ejecución estimado de la obra.

1.4. PLAZO DE EJECUCIÓN

A la vista del diagrama de Gantt, se estima un plazo de ejecución de:

VEINTICUATRO (24) meses

Documento visado electrónicamente con número: VA07290/22
Código de validación telemática TRLTDCFZ60T66IJ1. Comprobación: https://cogitivalencia.e-gestion.es/Validacion.aspx?CVT=TRLTDCFZ60T66IJ1

VISADO
COGITI
VALENCIA
VA07290/22
TRLTDCFZ60T66IJ1

Documento visado electrónicamente con número: VA07290/22
Código de validación telemática TRLTDCFZ60T66IJ1. Comprobación: https://cogitivalencia.e-gestion.es/Validacion.aspx?CVT=TRLTDCFZ60T66IJ1

Diagrama de Gantt

Id	Modo de tarea	Nombre de tarea	Duración	Comienzo	Fin
0		**220217_PLANNING INICIO OBRA FV**	**509 días**	**lun 28/02/22**	**jue 08/02/24**
1		**HITO CONCESIÓN LICENCIA DE OBRA**	0 días	lun 28/02/22	lun 28/02/22
2		**ACCIONES PREVIAS AL INICIO DE OBRA**	**4 días**	**lun 28/02/22**	**jue 03/03/22**
3		**Seguridad y Salud**	**4 días**	**lun 28/02/22**	**jue 03/03/22**
4		Designación de Coordinador Seguridad y Salu	0 días	lun 28/02/22	lun 28/02/22
5		Acta de aprobación PSS	2 días	lun 28/02/22	mar 01/03/22
6		Apertura del Centro de Trabajo	2 días	mié 02/03/22	jue 03/03/22
7		Habilitación Libro de Subcontratación	2 días	mié 02/03/22	jue 03/03/22
8		**TRABAJOS PREVIOS**	**15 días**	**vie 04/03/22**	**jue 24/03/22**
9		Desmontaje y demolición torres alumbrado	5 días	vie 04/03/22	jue 10/03/22
10		Impermeabilización	10 días	vie 11/03/22	jue 24/03/22
11		**INSTALACIÓN ESTRUCTURA METALICA**	**80 días**	**vie 25/03/22**	**jue 14/07/22**
12		Descarga y acopio de material	5 días	vie 25/03/22	jue 31/03/22
13		Montaje de estructura	60 días	vie 01/04/22	jue 23/06/22
14		Instalación chapa grecada	15 días	vie 24/06/22	jue 14/07/22
15		**EVACUACIÓN AGUAS PLUVIALES**	**30 días**	**vie 15/07/22**	**jue 25/08/22**
16		Evacuación aguas pluviales	30 días	vie 15/07/22	jue 25/08/22
17		**INSTALACIÓN ALUMBRADO MARQUESINAS**	**30 días**	**vie 15/07/22**	**jue 25/08/22**
18		Instalación alumbrado marquesinas	30 días	vie 15/07/22	jue 25/08/22
19		**FASE EJECUCIÓN INSTALACIÓN FV**	**203 días**	**vie 26/08/22**	**mar 06/06/23**
20		**Instalación FV**	**203 días**	**vie 26/08/22**	**mar 06/06/23**
21		Izaje de cargas, descarga y acopio	3 días	vie 26/08/22	mar 30/08/22
22		Montaje de módulos	200 días	mié 31/08/22	mar 06/06/23
23		**INSTALACIÓN ELÉCTRICA BT**	**63 días**	**vie 26/08/22**	**mar 22/11/22**
24		**Cubierta Silo coches**	**60 días**	**vie 26/08/22**	**jue 17/11/22**
25		Instalación de bandejas	15 días	vie 26/08/22	jue 15/09/22
26		Cableado CC	40 días	vie 16/09/22	jue 10/11/22
27		Puesta tierra estructura y módulos	1 día	vie 11/11/22	vie 11/11/22
28		Inversores	5 días	vie 11/11/22	jue 17/11/22
29		Cableado CA	4 días	vie 11/11/22	mié 16/11/22
30		Instalación cuadro AC MAIN (ubicado en CT)	1 día	vie 18/11/22	vie 18/11/22
31		Instalación célula calibrada	1 día	lun 21/11/22	lun 21/11/22
32		Instalación equipos antivertido y monitorización	1 día	mar 22/11/22	mar 22/11/22
33		**CENTRO DE TRANSFORMACIÓN INSTALACIÓN VCT-FV 043.1**	**8 días**	**vie 26/08/22**	**mar 06/09/22**
34		**Obra civil**	**5 días**	**vie 26/08/22**	**jue 01/09/22**
35		Acondicionamiento terreno	1 día	vie 26/08/22	vie 26/08/22
36		Herrajes CT	1 día	lun 29/08/22	lun 29/08/22
37		Puerta CT	1 día	mar 30/08/22	mar 30/08/22
38		Zanja conexión atarjea	2 días	mié 31/08/22	jue 01/09/22
39		**Alta tensión**	**3 días**	**vie 02/09/22**	**mar 06/09/22**
40		Instalación de Transformador	3 días	vie 02/09/22	mar 06/09/22
41		Instalación de Celdas MT	3 días	vie 02/09/22	mar 06/09/22
42		**CENTRO DE TRANSFORMACIÓN INSTALACIÓN VCT-FV 043.2**	**8 días**	**vie 26/08/22**	**mar 06/09/22**
43		**Obra civil**	**5 días**	**vie 26/08/22**	**jue 01/09/22**
44		Acondicionamiento terreno	1 día	vie 26/08/22	vie 26/08/22
45		Herrajes CT	1 día	lun 29/08/22	lun 29/08/22
46		Puerta CT	1 día	mar 30/08/22	mar 30/08/22
47		Zanja conexión atarjea	2 días	mié 31/08/22	jue 01/09/22
48		**Alta tensión**	**3 días**	**vie 02/09/22**	**mar 06/09/22**
49		Instalación de Transformador	3 días	vie 02/09/22	mar 06/09/22
50		Instalación de Celdas MT	3 días	vie 02/09/22	mar 06/09/22
51		**INSTALACIÓN VR-FV 043.1**	**4 días**	**vie 26/08/22**	**mié 31/08/22**
52		**Obra civil**	**2 días**	**vie 26/08/22**	**lun 29/08/22**
53		Acondicionamiento terreno	1 día	vie 26/08/22	vie 26/08/22
54		Zanja conexión atarjea	2 días	vie 26/08/22	lun 29/08/22
55		**Alta tensión**	**2 días**	**mar 30/08/22**	**mié 31/08/22**
56		Instalación cuadro AC MAIN	2 días	mar 30/08/22	mié 31/08/22
57		Armario comunicaciones	1 día	mar 30/08/22	mar 30/08/22
58		Smartlogger	1 día	mar 30/08/22	mar 30/08/22
59		**LSMT 20 KV**	**380 días**	**vie 26/08/22**	**jue 08/02/24**
60		Obra civil	380 días	vie 26/08/22	jue 08/02/24
61		Tendido cableado y conexión	1 día	vie 26/08/22	vie 26/08/22
62		**HITO FIN DE OBRA**	0 días	jue 08/02/24	jue 08/02/24

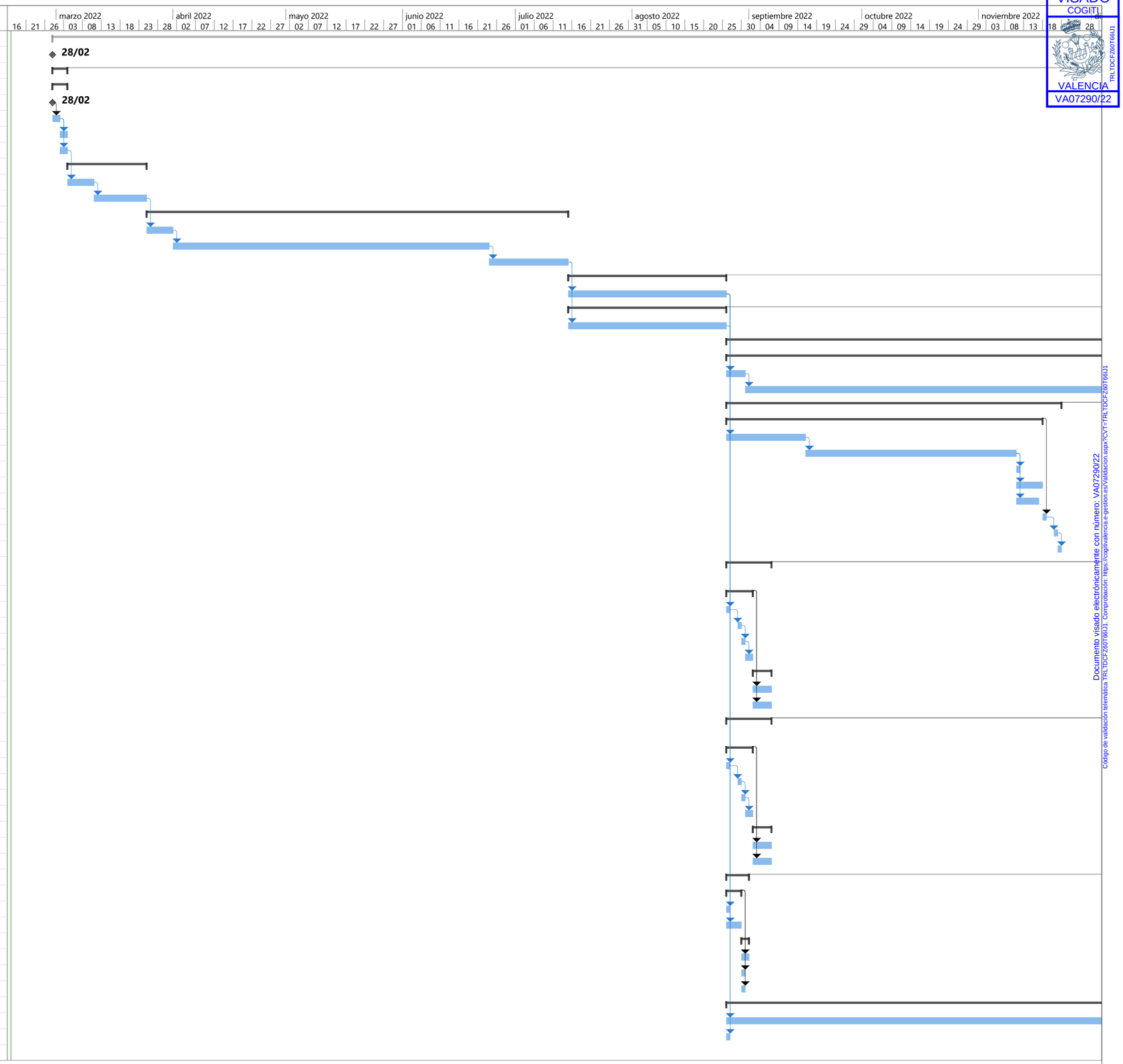

VISADO
COGITI
VALENCIA
VA07290/22
TRLTDCFZ60716011
Documento visado electrónicamente con número: VA07290/22
Código de validación telemática TRLTDCFZ60716011. Comprobación: https://cogitivalencia.e-gestion.es/Validacion.aspx?CVT=TRLTDCFZ60716011

Proyecto: 220217_PLANNING IN
Fecha: jue 17/02/22

Tarea	Resumen	Hito inactivo	solo duración	solo el comienzo	Hito externo	Progreso manual
División	Resumen del proyecto	Resumen inactivo	Informe de resumen manual	solo fin	Fecha límite	
Hito	Tarea inactiva	Tarea manual	Resumen manual	Tareas externas	Progreso	

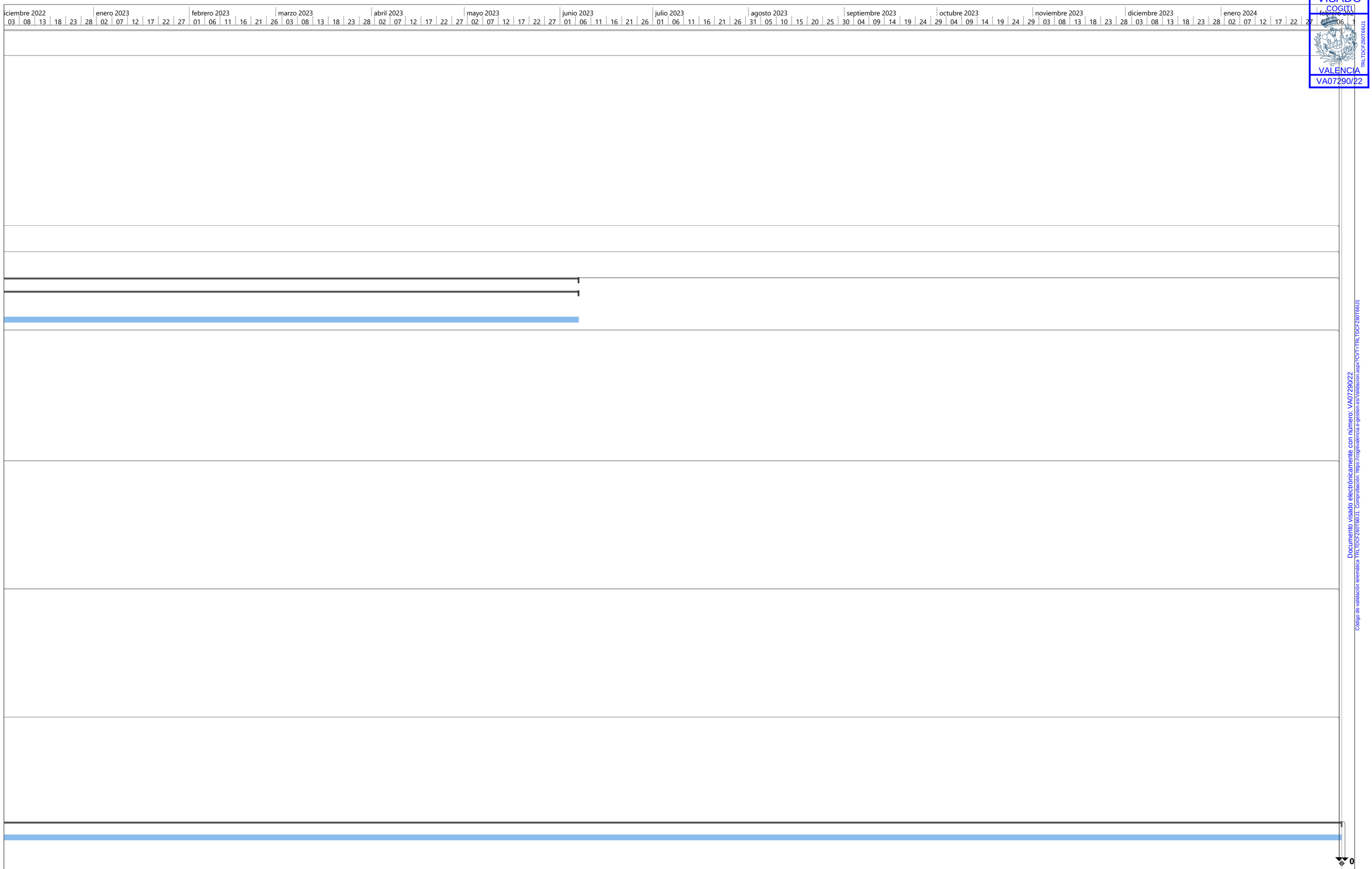

Tarea	Resumen	Hito inactivo	solo duración	solo el comienzo	Hito externo	Progreso manual
División	Resumen del proyecto	Resumen inactivo	Informe de resumen manual	solo fin	Fecha límite	
Hito	Tarea inactiva	Tarea manual	Resumen manual	Tareas externas	Progreso	

Proyecto: 220217_PLANNING IN
Fecha: jue 17/02/22

VISADO
COGITI
VALENCIA
VA07290/22
TRLTDCFZ60T66J1
Documento visado electrónicamente con número: VA07290/22
Código de validación telemática TRLTDCFZ60T66J1- Comprobación: https://cogitivalencia.e-gestion.es/Validacion.aspx?CVT=TRLTDCFZ60T66J1

VISADO
COGITI
VALENCIA
VA07290/22
TRLTDCFZ60T66IJ1

INSTALACIÓN DE PLANTA GENERACIÓN FOTOVOLTAICA SOBRE LA CUBIERTA DEL SILO DE VEHÍCULOS DE VALENCIA TERMINAL EUROPA, EN MUELLE DIQUE DEL ESTE, EN PUERTO DE VALENCIA.

ANEJO Nº8

Justificación de Precios

Documento visado electrónicamente con número: VA07290/22
Código de validación telemática TRLTDCFZ60T66IJ1. Comprobación: https://cogitivalencia.e-gestion.es/Validacion.aspx?CVT=TRLTDCFZ60T66IJ1

VISADO
COGITI
VALENCIA
VA07290/22
TRLTDCFZ60T66IJ1

1. COEFICIENTE K DE COSTES INDIRECTOS 3
1.1. Cálculo de Ci. 3
1.2. Cálculo de Cd. 3
1.3. Coeficiente de costes indirectos. 4
2. JUSTIFICACIÓN DE PRECIOS DE LA MANO DE OBRA. 4
3. JUSTIFICACIÓN DE PRECIOS DE LA MAQUINARIA. 7
4. JUSTIFICACIÓN DE PRECIOS DE LOS MATERIALES. 9
5. PRECIOS DESCOMPUESTOS. 15

Documento visado electrónicamente con número: VA07290/22
Código de validación telemática TRLTDCFZ60T66IJ1. Comprobación: https://cogitivalencia.e-gestion.es/Validacion.aspx?CVT=TRLTDCFZ60T66IJ1

VISADO
COGITI
VALENCIA
VA07290/22
TRLTDCFZ60T66IJ1

1.1. COEFICIENTE K DE COSTES INDIRECTOS

Según la O.M. del 12 de Junio de 1968, cada precio se obtiene mediante la aplicación de la expresión siguiente:

$$P = (1 + K/100) \times C$$

en la que:

P es el precio de ejecución.

K es el coeficiente de costes indirectos.

C es el coste directo de la unidad de obra.

El coeficiente K viene dado por la expresión:

$$K = K1 + K2$$

K1 es el coeficiente de imprevistos, cuyo valor es igual a 1 cuando se trata de obras terrestres.

K2 es el porcentaje resultante de la relación entre costes indirectos y directos.

$$K2 = (Ci/Cd) \times 100$$

donde:

Ci es el coste indirecto de la obra.

Cd es el coste directo de la obra.

1.1.1. Cálculo de Ci.

Para esta obra, cuya duración prevista se estima en 14 meses, se prevé los siguientes costes indirectos:

PERSONAL Y VARIOS	Dedicación	Nº de meses	Coste mensual (€)	Total (€)
Jefe de Obra-1	70%	24	3000	50.400,00 €
Jefe de Obra-2	70%	24	3000	50.400,00 €
Encargado de obra 1	100%	24	2000	48.000,00 €
Encargado de obra 2	100%	24	2000	48.000,00 €
Gastos de Oficina	100%	24	500	12.000,00 €
TOTAL COSTES INDIRECTOS				208.800,00 €

1.1.2. Cálculo de Cd.

Aplicando a las unidades del Proyecto los costes directos se estima un presupuesto de coste directo para la obra de 13.778.558,46 €.

Documento visado electrónicamente con número: VA07290/22
Código de validación telemática TRLTDCFZ60T66IJ1. Comprobación: https://cogitivalencia.e-gestion.es/Validacion.aspx?CVT=TRLTDCFZ60T66IJ1

VISADO
COGITI
VALENCIA
VA07290/22
TRLTDCFZ60T66IJ1

1.1.3. Coeficiente de costes indirectos.

De esta forma se tiene:

$$K2 = (208.800 / 13.778.558,46) \times 100 = 0.015$$

Por lo tanto:

$$K = 0,01 + 0,015 = 0,025 \rightarrow 2,5\ \%$$

que es el porcentaje que repercute en los precios de costes directos para obtener el precio total.

Todos los precios indicados en el Cuadro de Precios nº 1 del documento "Presupuesto" tienen incorporado este coeficiente del 2,5 % de costes indirectos.

1.2. JUSTIFICACIÓN DE PRECIOS DE LA MANO DE OBRA.

Se considera que los conceptos que constituyen el coste de la hora de trabajo son los siguientes:

Coste hora de trabajo=Coste anual total/Horas de trabajo al año.

Se entiende que el coste anual está compuesto por las retribuciones y las cargas sociales.

Se considera que las retribuciones incluyen los siguientes conceptos:

- Salario base.
- Plus de actividad
- Plus extrasalarial
- Pagas extras
- Participación de beneficios
- Importe de vacaciones

Se considera que las cargas sociales incluyen los siguientes conceptos:

- Régimen general de la seguridad social
- Desempleo
- Formación profesional
- Fondo de garantía salarial
- Seguro de accidentes.

Se considera que el número de horas de trabajo al año son: 220 días*8 h/día=1760 h/año.

Los costes de la mano de obra indicados están basados en el correspondiente convenio del sector de la construcción y obras públicas.

Documento visado electrónicamente con número: VA07290/22
Código de validación telemática TRLTDCFZ60T66IJ1. Comprobación: https://cogitivalencia.e-gestion.es/Validacion.aspx?CVT=TRLTDCFZ60T66IJ1

VISADO
COGITI
VALENCIA
VA07290/22
TRLTDCFZ60T66IJ1

MANO DE OBRA (PRESUPUESTO)

CÓDIGO	RESUMEN	UD.	PRECIO/UD.
A0121000	Oficial 1a	h	15,61
A0124000	Oficial 1a ferrallista	h	15,61
A012E000	Oficial 1a vidriero	h	15,34
A012H000	Oficial 1a electricista	h	16,22
A012M000	Oficial 1a montador	h	16,22
A0134000	Ayudante ferrallista	h	15,03
A013M000	Ayudante montador	h	15,26
A0140000	Peón	h	14,81
A0150000	Peón especialista	h	15,00
A01H4000	Peón p/SyS	h	14,81
MOOE11a	Especialista electricidad	h	14,10
MOOF.8a	Oficial 1ª fontanería	h	16,22

Documento visado electrónicamente con número: VA07290/22
Código de validación telemática TRLTDCFZ60T66IJ1. Comprobación: https://cogitivalencia.e-gestion.es/Validacion.aspx?CVT=TRLTDCFZ60T66IJ1

VISADO
COGITI
VALENCIA
VA07290/22
TRLTDCFZ60T66IJ1

1.3. JUSTIFICACIÓN DE PRECIOS DE LA MAQUINARIA.

Este coste horario incluye los siguientes componentes:

- Costes intrínsecos (proporcionales a la inversión):
- Amortización
- Intereses
- Seguros y otros gastos fijos (almacenamiento, impuestos, etc.)
- Mantenimiento, conservación y reparaciones.
- Costes complementarios:
    - Mano de obra.
    - Energía.
    - Lubricantes.
    - Neumáticos y su conservación y mantenimiento.

MAQUINARIA (PRESUPUESTO)

CÓDIGO	RESUMEN	UD.	PRECIO/UD.
MMMG12a	Grúa autopropulsada 12T	h	57,33

Documento visado electrónicamente con número: VA07290/22
Código de validación telemática TRLTDCFZ60T66IJ1. Comprobación: https://cogitivalencia.e-gestion.es/Validacion.aspx?CVT=TRLTDCFZ60T66IJ1

VISADO
COGITI
VALENCIA
VA07290/22
TRLTDCFZ60T66IJ1

1.4. JUSTIFICACIÓN DE PRECIOS DE LOS MATERIALES.

A continuación, se relaciona todos los materiales empleados en la obra con sus respectivos precios a pie de obra. Para su obtención se han tenido en cuenta tanto los costes de adquisición como los de transporte y pérdidas.

MATERIALES (PRESUPUESTO)

CÓDIGO	RESUMEN	UD.	PRECIO/UD.
ACBPFU	Cuadro fotovoltaica AC BOX AISI 316L	u	10.212,00
ACBPFUal	Cuadro fotovoltaica AC BOX AISI 316L	u	3.710,15
AVPFU	Sistema antivertido PRISMA 310A	u	2.750,00
B0A14200	Alambre recocido,D=1,3mm	kg	0,69
B0A41000	Tornillos,p/made.o tac.PVC	cu	2,11
B0B27000	Acero b/corrugada B 400 S	kg	0,45
B141511E	Casco seguridad dieléc. p/B.T.polietileno	u	15,46
B1421110	Gafas antiimp.st.,montura univ.,visor transp.c/empañam.	u	4,06
B1431101	Protector auditivo tapón espuma	u	0,19
B1456821	Guantes dieléc.p/B.T.,caucho,mangu.<1/2antebr.	u	45,46
B145K275	Guantes material aisl.,p/trabajos eléctricos,cl.0,logotipo rojo,	u	21,23
B1462242	Par botas seguridad,resist.humed.,piel rectif.,suela antidesl.an	u	13,55
B1463253	Par botas dieléc.,resist.humed.,piel rectif.,suela antidesl.s/herraje met.,puntera reforz.	u	105,65
B1481131	Mono trabajo,poliést./algod.,bols.ext.	u	18,04
B1485800	Chaleco reflectante,tiras reflect.cint./pec./espa.	u	15,97
B1487460	Impermeable chaq.+capu.+pant.,p/o.púb.,PVC sold.,e=0,4mm,viv.	u	10,70
B15B0001	Plataforma aisl. de base p/trab.cuad.eléct.dist.,S=100x100cm,e=3mm	u	43,39
B15B0002	Banqueta aisl.,patas fijas,p/trabaj.tensión	u	79,83
B15B0007	Pantalla aisl. p/trab.zon.infl.lín.eléc.	u	94,96
B7J5009A	Masilla sella.,poliuretano polimer.ráp. monocomp.	dm3	10,59
BBBA1500	Placa seguridad laboral,plancha acero lisa serigraf.,40x33cm	u	13,86
BBC12302	Cono plástico reflector h=50cm,2usos	u	15,01
BBC1A000	Cinta balizamiento reflectante	m	3,73
BBC1KJ04	Valla móvil metál.long.=2,5m,h=1m,4usos, p/SyS	m	15,89
BBL11102	Placa triangular,70cm pintura reflectante,2usos	u	22,39
BC1K1300	Espejo luna incolora,e=3mm	m2	16,36
BM311611	Extintor polvo seco,6kg,presión incorpo.pintado	u	26,18
BMY31000	P.p.elementos especiales p/extint.	u	0,19
BQU1531A	Alquiler módulo prefabricado sanitarios 3,7x2,3x2,3m,inst.lampis	mes	195,19
BQU1A50A	Alquiler módulo prefabricado vestidor 8,2x2,5x2,3m	mes	148,35
BQU1H53A	Alquiler módulo prefabricado comedor 6x2,3x2,6m,inst.lampist.	mes	152,15
BQU25700	Banco madera,3,5mx0,4m,p/5pers.p/4 usos	u	53,58
BQU27900	Mesa madera tablero melamina,3,5mx0,8m,p/10pers.p/4 usos	u	64,13
BQU2E002	Horno microondas,p/2usos	u	61,98
BQU2GF00	Recipiente p/basuras,100l	u	36,83
BQUA2100	Botiquín portátil urg.+contenido según orden.SyS	u	78,76
BQUA3100	Material sanitario botiquín+contenido según orden.SyS	u	51,40
MACBPFU	Cuadro fotovoltaica MAIN AC BOX AISI 316L	u	20.755,87
MET	Datasol MET	u	1.019,87
PIEC.16des	Cable desnudo 16mm2	m	3,78
PIEC.1daabd	Cable ZZ-F (AS) 1,8 kV DC sección 2x6mm2 Cu	m	1,35
PIEC.1fo	Cable de fibra óptica monomodo SM 24 fibras 9/125µm	m	2,80
PIEC.1utp	Cable de comunicaciones UTP	m	1,75
PIEC.224al	Cable XZ1Z (AS) sección 4x(2x240)+TT mm² Al	m	52,15
PIEC.35des	Cable desnudo 35mm2	m	6,35
PIEC.424al	Cable XZ1Z (AS) sección 4x(2x240)+TT mm² Al	m	89,98
PIEC.52dbd	Cable RZ1-K 0,6/1 kV (AS) sección 5x2,5 mm² Cu	m	4,95
PIEC.70dbd	Cable RZ1-K 0,6/1 kV (AS) sección 4x70+TT mm² Cu	m	50,09
PIEC.M25dbd	Tubo rígido de PVC enchufable M-25	m	4,25
PIET.2cmbb	Bandeja metálica inoxidable AISI 316L 60x200mm 30%acc	m	48,11
PIET.2tcmbb	Tapa para bandeja metálica inox 200mm	m	22,20
PIET.30cmbb	Bandeja metálica inoxidable AISI 316L 100x300mm 30%acc	m	66,61
PIET.3tcmbb	Tapa para bandeja metálica inox 200mm	m	37,10
PIET.60cmbb	Bandeja metálica inoxidable AISI 316L 100x600mm 30%acc	m	122,39
PIET.6tcmbb	Tapa para bandeja metálica inox 200mm	m	71,85
PISC100.1eg	Tubería HDPE 110mm	m	71,98
PISC160.1eg	Tubería HDPE 160mm	m	52,66
PISC200.1eg	Tubería HDPE 200mm	m	92,06
PISC250.1eg	Tubería HDPE 250mm	m	138,47
PISC75.1eg	Tubería HDPE 75mm	m	23,59
PISC90.1eg	Tubería HDPE 90mm	m	89,51
PLC004.01	Cuadro de PLC	u	8.611,00
PTT	Puente de tierra	u	35,15
PUEM.1c	Cable Al rígido HEPRZ1 12/20 KV 1x240	m	8,40
SMRTPFU	Smartlogger HUAWEI 3000A	u	1.205,00
U00.acl	Placas anclaje	u	315,00
U00.pint	Pintura anticorrosiva C5-M	m	33,00
U00.s275jr	Acero elaborado S275JR Estructural laminado	m	2,65

Documento visado electrónicamente con número: VA07290/22
Código de validación telemática TRLTDCFZ60T66IJ1. Comprobación: https://cogitivalencia.e-gestion.es/Validacion.aspx?CVT=TRLTDCFZ60T66IJ1

VISADO
COGITI
VALENCIA
VA07290/22
TRLTDCFZ60T66IJ1

U0005.ole	Luminaria estanca LED 28W 3.900lm IP66 OleveonF 1500	u	104,58
U001003.01	Ensayos de línea (LSMT)	u	700,00
U001003.dc	Realización de DC Test	u	1.440,00
U001003.pi	Pruebas de la instalación	u	960,00
U001003.vpc	Pruebas reglamentarias	u	300,00
U001005.01	Legalización LSMT	u	1.200,00
U001005.01ct	Legalización CT	u	1.000,00
U001005.asb	Doc AS BUILT	u	600,00
U001005.lfv	Legalización de la instaalción	u	1.200,00
U002002.01	Celda modular de línea	u	2.954,00
U002002.01mot	Celda modular de línea mot	u	3.854,00
U002003.01	Celda protección trafo	u	15.871,57
U002003.01m	Celda medida	u	8.590,05
U002003.ar	Analizador de redes	u	1.480,00
U002003.pf5	Edificio prefabricado PFU-5 c/pta lateral y ventilación forzada	u	7.847,25
U002003.pf7	Edificio prefabricado PFU-7 c/pta lateral y ventilación forzada	u	13.955,61
U002004.01	Cuadro de Comunicaciones	u	10.072,00
U002004.ttti	Transformadores medida	u	3.114,88
U002005.0125	Trasnformador trifásico 1600kva	u	18.771,58
U002005.0160	Trasnformador trifásico 1600kva	u	23.157,23
U002005.jin	Módulo fotovoltaico	u	203,36
U002005inv	Inversor trifasico Huawei	u	9.925,00
U002006.01	Cuadro BT 1600 KVA	u	4.220,00
U002009.01	Tierras exteriores. Tierra de protección	u	1.706,00
U00200EGR	GESTIÓN DE RESIDUOS	u	9.025,75
U002012.01	Puente de interconexión en MT	u	870,00
U002013.01	Puente de interconexión en BT 1600KVA	u	2.558,00
U002015.01i	Tierras interiores	u	820,00
U002018.01	Extintor 89B	u	50,00
U002018.B	Banqueta aislante	u	140,00
U002018.G	Guantes maniobra	u	85,00
U002018.pa	Placa reglamentaria Primeros Auxilios	u	10,00
U002018.pm	Placa reglamentaria Peligro de Muerte	u	10,00
U002453.01m	Celda protección y medida de tensión	u	7.987,58
U002ax006.01	Alimentación CS Auxiliares CT Generación	u	670,45
U00CC	CONTROL DE CALIDAD	u	5.700,00
UEB22001	COND. "Cu" S0Z1-K (AS+) DETEC-SIGNAL 500V 1x1,5 mm2	m	0,50
UEP01132	Detector optico-termico	u	36,61
UEP90002	Central 2 zonas	u	185,00
UEP9caux	Inst baja tensión CT	u	850,00
UT400.cnt	Juego 3 terminales MT 24 kV	u	694,31
Uart00.vt	Unión articulada	u	618,00
arq.cnt	Arquetas de profundidad 100x100cm	u	94,31
canal1.vt	Canalón de chapa prelacado 1mm	m	22,21
chpr06.vt	Chapa prelacada 0,6mm	m2	20,08
d1005.02	Desmontaje y demolición torre alumbrado	u	750,00
impcs.00	Impermeabilización y pavimento asfaltico	u	5.000,00
mc4	Conectores MC4	u	8,95
oczanja.1	Excavación de zanja	m	60,24
spb.vt	Soporte metálico para bajante	u	25,05
sumi25.vte	Sumidero pluvia	u	235,15
t5010	Terminal Cu T-50-10	u	5,18

Documento visado electrónicamente con número: VA07290/22
Código de validación telemática TRLTDCFZ60T66IJ1. Comprobación: https://cogitivalencia.e-gestion.es/Validacion.aspx?CVT=TRLTDCFZ60T66IJ1

VISADO
COGITI
VALENCIA
VA07290/22
TRLTDCFZ60T66IJ1

1.5. PRECIOS DESCOMPUESTOS.

En este apartado se justifica plenamente todos los precios incluidos en el Cuadro de precios nº 1, que hace referencia a la obra del presente proyecto.

Para cada unidad se especifican todos los sumandos que la componen: materiales, mano de obra y maquinaria, con inclusión de los precios auxiliares en cada caso, y se suman.

Por último, se incrementan en el 2,5 % correspondiente al coeficiente de gastos indirectos, como se justifica en apartados anteriores.

Documento visado electrónicamente con número: VA07290/22
Código de validación telemática TRLTDCFZ60T66IJ1. Comprobación: https://cogitivalencia.e-gestion.es/Validacion.aspx?CVT=TRLTDCFZ60T66IJ1

CUADRO DE DESCOMPUESTOS

CÓDIGO	RESUMEN	CANTIDAD	UD	PRECIO	SUBTOTAL	IMPORTE

01 TRABAJOS PREVIOS

01.01 **Demolición y retirada torres alumbrado** **u**

Desconexión, demolición y retirada de torres de alumbrado ubicadas en cubierta del silo por interferencia con la instalación fotovoltaica, sin recuperación de los mismos, incluso desmontajes de anclajes de sujección, desconexiones de la línea eléctrica en la luminaria y en la salida del cuadro correspondiente y limpieza, y p.p. de medios auxiliares, con medidas de protección colectivas. Adaptación necesaria de instalación eléctrica para gantizar la seguridad, empalmes o alimentación provisional en caso necesario. Incluyento su desconexión total y desvíos necesarios para dejar el resto de la instalación en perfecto estado de funcionamiento Retirada de material a lugar designado por la propiedad. Demolición de base de hormigón armado HA-30/B/20/IIIa, de dimensiones aproximadas de 1,80x1,80x1m, con armado formado por una malla cuadrada de 10/30 en los lados y cara inferior. Incluso retirada de escombros a pie de carga, con transporte a vertedero y con p.p. de medios auxiliares, con medidas de protección colectivas.

A0140000	Peón	2,000	h	14,81	29,62
A012H000	Oficial 1a electricista	1,000	h	16,22	16,22
%NAAA0150	Gastos auxiliares	0,458	%	1,50	0,69
d1005.02	Desmontaje y demolición torre alumbrado	1,000	u	750,00	750,00
	Suma la partida				796,53
	Costes indirectos			2,5%	19,91
	TOTAL PARTIDA				**816,44**

01.02 **Impermeabilización y pavimento asfaltico** **PA**

Partida alzada correspondiente a la impermeabilización de cubierta tras retirada de torres de alumbrado, consistente en:

Impermeabilización:
- Barrido y limpieza de superficie.
- Capa de imprimación con PROMULSIT con una dotación aproximada de 3 kg/m2
- Dos capas de ROADSEAL FIBRE con una dotación aproximada de 2 kg/m2 por capa. Compuesto de cargas minerales de granulometría controlada, una emulsión bituminosa de alta estabilidad y fibras sintéticas.

Pavimento Asfáltico:
- Extendido y compactación de una capa de regularización de la superficie de 3 a 4 cm de espesor medio de aglomerado asfáltico en caliente tipo AC8 BIN 35/0D.
- Riego de adherencia con emulsión modificada termoadherente C60 BP4TER.
- Extendido y compactación de una capa de rodadura de 2 – 3 cm de espesor medio tipo BBTM 11 A PMB 45/80-65 F con betún modificado.

Incluso p.p. de pequeño material, incluso medios auxiliares, totalmente terminado.

A0140000	Peón	16,000	h	14,81	236,96
%NAAA0150	Gastos auxiliares	2,370	%	1,50	3,56
impcs.00	Impermeabilización y pavimento asfaltico	1,000	u	5.000,00	5.000,00
	Suma la partida				5.240,52
	Costes indirectos			2,5%	131,01
	TOTAL PARTIDA				**5.371,53**

VISADO COGITI VALENCIA VA07290/22 TRLTDCFZ60T66IJ1
Documento visado electrónicamente con número: VA07290/22 Código de validación telemática TRLTDCFZ60T66IJ1. Comprobación: https://cogitivalencia.e-gestion.es/Validacion.aspx?CV=TRLTDCFZ60T66IJ1

VISADO
COGITI
TRLTDCFZ60T66IJ1
VALENCIA
VA07290/22

CÓDIGO	RESUMEN	CANTIDAD	UD	PRECIO	SUBTOTAL	IMPORTE
01.03	**Unión articulada**		**u**			

Suministro y montaje de enlace de estructura metálica con edificio existente, según detalle de planos, mediante unión arrticulada compuesta por dos partes:
La parte inferior se trata de una placa de anclaje convencional mediante pernos que se anclan en el pilar. Este elemento es el encargado de transmitir los esfuerzos de axil y corte que provienen de la estructura metálica a los pilares de hormigón.
La parte superior se compone de una placa soldada al pilar metálico junto con unos rigidizadores que garantizan la unión entre ambas partes y la correcta transmisión de esfuerzos.
Ambas partes se unen entre sí mediante un conjunto chapa-pasador capaz de resistir los esfuerzos de axil y de corte e impidiendo la transmisión de momentos.

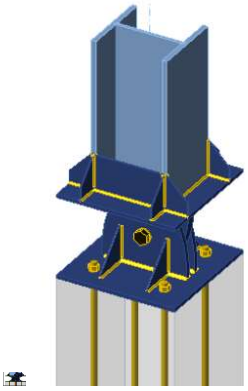

A0140000	Peón	1,000	h	14,81	14,81
%NAAA0150	Gastos auxiliares	0,148	%	1,50	0,22
Uart00.vt	Unión articulada	1,000	u	618,00	618,00

Suma la partida		633,03
Costes indirectos	2,5%	15,83
TOTAL PARTIDA		**648,86**

Documento visado electrónicamente con número: VA07290/22
Código de validación telemática TRLTDCFZ60T66IJ1. Comprobación: https://coogivalencia-gestion.es/Validacion.aspx?CVT=TRLTDCFZ60T66IJ1

CUADRO DE DESCOMPUESTOS

VISADO
COGITI
VALENCIA
VA07290/22
TRLTDCFZ60T66IJ1

CÓDIGO	RESUMEN	CANTIDAD	UD	PRECIO	SUBTOTAL	IMPORTE

02 ESTRUCTURA METÁLICA

02.01 **Acero elaborado S275JR Estructural Laminado** **kg**

Suministro y montaje de acero elaborado S275JR según UNE-EN 10025, colocado en estructura metálica atornillada, en edificio industrial o espacio abierto, en condiciones normales, mediante uniones atornilladas (según indicaciones de la Dirección Facultativa), incluyendo materiales de sujeción de paramentos, correas, zunchos, dinteles, cerchas, celosías, pilares, placas de anclaje, parte proporcional de soldaduras, cortes, piezas especiales, despuntes y ficha técnica del producto totalmente montado y colocado sobre soporte incluyendo taladros necesarios, incluyendo repaso de soldaduras y defectos en obra una vez instalada, según según SE-A del CTE.
En el precio unitario quedará incluido el incremento porcentual por despuntes y errores de laminación, asi como la tornilleria, rigidizadores y UNIONES, además de elementos secundarios de montaje .
El criterio de medición se realizará mediante el calculo de Kg/ml (utlizandose el prontuario EAE-2011), de las barras reflejadas en los planos de estructura de Taller aprobados por la D.F, no contabilizando elementos secundarios de montaje, rigidizadores, pletinas, etc
Incluido diseño y cálculo de todas las uniones con su correspondiente memoria de cálculo firmada por técnico competente y visada por el Colegio Oficial correspondiente.
Sobre los perfiles metálicos está prevista la aplicación de sistemas de pintura para soporte de acero al carbono de baja aleación con preparación de la superficie a chorro grado Sa 2½ (Véase la Norma ISO 8501-1) para aplicarción de tratamiento antioxidante C5-M

A0140000	Peón	0,050	h	14,81	0,74
%NAAA0150	Gastos auxiliares	0,007	%	1,50	0,01
U00.s275jr	Acero elaborado S275JR Estructural laminado	1,000	m	2,65	2,65
	Suma la partida				3,40
	Costes indirectos			2,5%	0,09
	TOTAL PARTIDA				**3,49**

02.02 **Pintura anticorrosiva C5-M ambiente marino** **m2**

Tratamiento superficial de protección anticorrosiva de la empresa Pinturas MONTÓ- en elementos de acero para garantizar durabilidad frente a ambiente marino C5-M según UNE-EN ISO 12944-6:1999:

El sistema para ambiente atmosférico C5-M con durabilidad alta, incluye:
Preparación de la superficie mediante chorreado grado Sa 2½ (Véase la Norma ISO 8501-1)
1 capa de 80 ìm secas de Imprimación M-Epox 70
1 capa de 160 ìm secas de Imprimación M-Epox-HB 40
2 capas de 40 ìm secas de Esmalte M-Thane 70-B
Total ENPS (espesor nominal de pel?cula seca) de 320 µm. +-10%
Aplicación de pintura de obligado cumplimiento segúnprescripción, control de aplicación y revisión de procesos de ejecución de la empresa Pinturas MONTÓ, realizada en TALLER.

A0140000	Peón	0,100	h	14,81	1,48
%NAAA0150	Gastos auxiliares	0,015	%	1,50	0,02
U00.pint	Pintura anticorrosiva C5-M	1,000	m	33,00	33,00
	Suma la partida				34,50
	Costes indirectos			2,5%	0,86
	TOTAL PARTIDA				**35,36**

02.03 **Suministro y colocación de placas de anclaje** **kg**

Suministro y colocación de placa de anclaje de acero post-installed. Totalmente colocada y perfectamente nivelada -previa aprobación por parte de la Dirección Facultativa del mortero grout el cual se incluye- preparada para el anclaje de os perfiles metálicos previstos en plano. Incluido limpieza y retirada de restos. Totalmente ejecutado. Acero INOXIDABLE . Anclaje químico compuesto por resina RE 500 V3 + Varilla roscada HAS-U A4 M24 y M20.

Se incluye en proyecto detalle para ver los diferentes tipos de placas, disposición y características de anclajes, incluso espesor de placas de anclaje y rigidizadores.

A0140000	Peón	1,000	h	14,81	14,81
%NAAA0150	Gastos auxiliares	0,148	%	1,50	0,22
U00.acl	Placas anclaje	1,000	u	315,00	315,00
	Suma la partida				330,03
	Costes indirectos			2,5%	8,25
	TOTAL PARTIDA				**338,28**

Documento visado electrónicamente con número: VA07290/22
Código de validación telemática TRLTDCFZ60T66IJ1. Comprobación: https://cogitivalencia.e-gestion.es/Validacion.aspx?CVT=TRLTDCFZ60T66IJ1

CUADRO DE DESCOMPUESTOS

VISADO
COGITI
VALENCIA
VA07290/22
TRLTDCFZ60T66IJ1

CÓDIGO	RESUMEN	CANTIDAD	UD	PRECIO	SUBTOTAL	IMPORTE

03 INSTALACIÓN FOTOVOLTAICA

03.01 EQUIPAMIENTO FOTOVOLTAICO

03.01.01 Módulo fotovoltaico Jinko JKM535M-72HL4 535 Wp u

Suministro y montaje de panel fotovoltaico modelo JKM535M-72HL4 de la marca Jinko o equivalente aprobado por DF. El módulo dispone de las siguientes características:

· Potencia nominal (Pmpp) …… 535 Wp
· Tolerancia potencia nominal ……+3%.
· Voltaje punto de máxima potencia (Vmpp) ……. 40,63 V.
· Corriente punto de máxima potencia (Impp) ……13,17 A.
· Voltaje en circuito abierto (Voc) ……49,34 V.
· Corriente de cortocircuito (Isc) ……13,79 A.
· Coef. temperatura de potencia máxima ……-0,35 %/ºC.
· Coef. temperatura tensión de circuito abierto ……-0,28 %/ºC.
· Coef. temperatura corriente de cortocircuito ……0,048 %/ºC.
· Maxima tensión del sistema 1.500Vdc

Las dimensiones de los módulos fotovoltaicos son las siguientes:

· Longitud ……2.274 mm.
· Anchura ……1134 mm.
· Espesor ……35 mm.

Con cable largo para conexion en posicion horizontal y conectores MC4. Resto de caracteristicas tecnicas según catalogo del Fabricante. Incluso bridas, piezas especiales, conexiones electricas, ayudas de albañileria, limpieza de materiales sobrantes, transportes, medios auxiliares de elevacion y replanteos. Todo ello instalado, verificaciones, ensayos, conexiones, enclavamientos, controles, pruebas, certificados y homologaciones. Totalmente instalado, incluso conexionado y anclaje a estructura.

A012H000	Oficial 1a electricista	0,500	h	16,22	8,11
MOOE11a	Especialista electricidad	0,500	h	14,10	7,05
%NAAA0150	Gastos auxiliares	0,152	%	1,50	0,23
U002005.jin	Módulo fotovoltaico	1,000	u	203,36	203,36
	Suma la partida				218,75
	Costes indirectos			2,5%	5,47
	TOTAL PARTIDA				**224,22**

03.01.02 Inversor trifasico Huawei SUN 2000-185KTL-H1 185 kW u

Suministro e instalacion de inversor fotovoltaico de conexion a red, modelo SUN 2000-185KTL-H1 de la marca HUAWEI o equivalente aprobado por DF. El inversor dispone de las siguientes características:

- Potencia nominal	185 kW
- Tensión nominal de salida	800 V 3F+PE
- Máxima tensión de entrada	1500 V
- Rango tensión MPPT	500-1500 V
- Máxima corriente por MPPT	26 A
- Máxima corriente de cortocircuito por MPPT	40 A
- Número de entradas	18
- Numero de seguimiento de MPP	9

Los inversores cumplen con la normativa europea aplicable a estos equipos, contando con todas las protecciones exigidas por el RD 1699/2011, de 18 de Noviembre:

- Protección de máxima y mínima tensión (1,1 y 0,85 Um, respectivamente)
- Protección de máxima y mínima frecuencia (51 y 49 Hz. respectivamente)
- Transformador de separación galvánica.
- Protección contra funcionamiento en modo isla.
- Protección contra sobretensiones.
- Control de aislamiento.

Incluso armario de acero inoxidable AISI 316L para protección frente a los agentes atmoféricos del Iinversor, piezas especiales, conexiones electricas, ayudas de albañileria, limpieza de materiales sobrantes, transportes, medios auxiliares de elevacion y replanteos. Todo ello instalado, verificaciones, ensayos, conexiones, enclavamientos, controles, pruebas, certificados y homologaciones. Totalmente instalado, incluso conexionado y puesto en marcha..

A012H000	Oficial 1a electricista	1,000	h	16,22	16,22
MOOE11a	Especialista electricidad	1,000	h	14,10	14,10
%NAAA0150	Gastos auxiliares	0,303	%	1,50	0,45
U002005inv	Inversor trifasico Huawei	1,000	u	9.925,00	9.925,00

Documento visado electrónicamente con número: VA07290/22
Código de validación telemática TRLTDCFZ60T66IJ1. Comprobación: https://cogitivalencia.e-gestion.es/Validacion.aspx?CVT=TRLTDCFZ60T66IJ1

CÓDIGO	RESUMEN	CANTIDAD	UD	PRECIO	SUBTOTAL	IMPORTE

Suma la partida 9.955,77
Costes indirectos 2,5% 248,89

TOTAL PARTIDA 10.204,66

03.02 INSTALACION ELECTRICA FOTOVOLTAICA

03.02.01 Cable ZZ-F (AS) 1,8 kV DC sección 2x6mm2 Cu m

Línea electrica construida mediante cable unipolar de cobre recocido tipo EXZHELLENT SOLAR ZZ-F, tensión nominal 0,6/1 kV, tensión máxima en corriente continua 1,8 kV, reacción al fuego clase Eca, con conductor de cobre recocido, flexible (clase 5), de 6 mm² de sección para positivo y negativo, aislamiento de elastómero reticulado, de tipo EI6, cubierta de elastómero reticulado, de tipo EM5, aislamiento clase II, de color negro, y con las siguientes características: no propagación de la llama, baja emisión de humos opacos, reducida emisión de gases tóxicos, libre de halógenos, nula emisión de gases corrosivos, resistencia a la absorción de agua, resistencia al frío, resistencia a los rayos ultravioleta, resistencia a los agentes químicos, resistencia a las grasas y aceites, resistencia a los golpes y resistencia a la abrasión. Según DKE/VDE AK 411.2.3. Instalado en canalización correspondiente, incluso p.p. de accesorios de fijación, terminales, tornillos. Incluso mano de obra, replanteos, limpieza previa, y ayudas de albañileria que se precisen, así como la utilización de herramientas y medios auxiliares que se precisen, manipulación, retirada de material sobrante y limpieza posterior etc. Se entiende material totalmente instalado y verificado.

MOOE11a	Especialista electricidad	0,100	h	14,10	1,41
A012H000	Oficial 1a electricista	0,060	h	16,22	0,97
%NAAA0150	Gastos auxiliares	0,024	%	1,50	0,04
PIEC.1daabd	Cable ZZ-F (AS) 1,8 kV DC sección 2x6mm2 Cu	1,000	m	1,35	1,35

Suma la partida 3,77
Costes indirectos 2,5% 0,09

TOTAL PARTIDA 3,86

03.02.02 Cable RZ1-K 0,6/1 kV (AS) sección 4x70+TT mm² Cu m

Línea electrica construida mediante cable unipolar de cobre recocido RZ1-K 0,6/1 kV (AS), reacción al fuego clase Cca-s1b,d1,a1, aislamiento de polietileno reticulado (XLPE), de tipo DIX3, cubierta de poliolefina termoplástica, de tipo Afumex Z1, de color verde, sección 70 mm² para fases y neutro y sección 35 mm² para tierra, de la marca Prysmian o equivalente aprobado por DF, no propagadores del incendio, con emisión de humos y opacidad reducida, libre de halogenos, s/ UNE 21.123-4, instalada en canalización correspondiente, incluso p.p. de accesorios de fijación, terminales, tornillos. Incluso mano de obra, replanteos, limpieza previa, y ayudas de albañileria que se precisen, así como la utilización de herramientas y medios auxiliares que se precisen, manipulación, retirada de material sobrante y limpieza posterior etc. Se entiende material totalmente instalado y verificado.

MOOE11a	Especialista electricidad	0,150	h	14,10	2,12
A012H000	Oficial 1a electricista	0,100	h	16,22	1,62
%NAAA0150	Gastos auxiliares	0,037	%	1,50	0,06
PIEC.70dbd	Cable RZ1-K 0,6/1 kV (AS) sección 4x70+TT mm² Cu	1,000	m	50,09	50,09

Suma la partida 53,89
Costes indirectos 2,5% 1,35

TOTAL PARTIDA 55,24

03.02.03 Cable XZ1Z (AS) sección 4x(2x240)+TT mm² Al m

Linea electrica construida mediante cable unipolar tipo AL XZ1 (S), tensión nominal 0,6/1 kV, de seguridad en caso de incendio (S), reacción al fuego clase Eca, con conductor de aluminio, rígido (clase 2), sección 2x240 mm² para fases y neutro y sección 240 mm² para tierra, de la marca Prysmian o equivalente aprobado por DF, aislamiento de polietileno reticulado (XLPE), de tipo DIX3, cubierta de material libre de halógenos, de tipo Flamex DMO1, y con las siguientes características: no propagación de la llama, baja emisión de humos opacos, libre de halógenos, nula emisión de gases corrosivos, resistencia a la absorción de agua, resistencia al frío, resistencia a los rayos ultravioleta, resistencia a los agentes químicos, resistencia a las grasas y aceites y resistencia a los golpes. Según HD 603-5X-1. Instalado en canalización correspondiente, incluso p.p. de accesorios de fijación, terminales, tornillos. Incluso mano de obra, replanteos, limpieza previa, y ayudas de albañileria que se precisen, así como la utilización de herramientas y medios auxiliares que se precisen, manipulación, retirada de material sobrante y limpieza posterior etc. Se entiende material totalmente instalado y verificado.

MOOE11a	Especialista electricidad	0,260	h	14,10	3,67
A012H000	Oficial 1a electricista	0,080	h	16,22	1,30
%NAAA0150	Gastos auxiliares	0,050	%	1,50	0,08
PIEC.224al	Cable XZ1Z (AS) sección 4x(2x240)+TT mm² Al	1,000	m	52,15	52,15

VISADO COGITI VALENCIA VA07290/22 TRLTDCFZ60T66IJ1
Documento visado electrónicamente con número: VA07290/22
Código de validación telemática TRLTDCFZ60T66IJ1. Comprobación: https://cogitivalencia.e-gestion.es/Validacion.aspx?CVT=TRLTDCFZ60T66IJ1

VISADO COGITI VALENCIA VA07290/22 TRLTDCFZ60T66IJ1

CÓDIGO	RESUMEN	CANTIDAD	UD	PRECIO	SUBTOTAL	IMPORTE
	Suma la partida					57,20
	Costes indirectos			2,5%		1,43
	TOTAL PARTIDA					**58,63**

03.02.04 **Cable XZ1Z (AS) sección 4x(4x240)+TT mm² Al** **m**

Linea electrica construida mediante cable unipolar tipo AL XZ1 (S), tensión nominal 0,6/1 kV, de seguridad en caso de incendio (S), reacción al fuego clase Eca, con conductor de aluminio, rígido (clase 2), sección 4x240 mm² para fases y neutro y sección 2x240 mm² para tierra, de la marca Prysmian o equivalente aprobado por DF, aislamiento de polietileno reticulado (XLPE), de tipo DIX3, cubierta de material libre de halógenos, de tipo Flamex DMO1, y con las siguientes características: no propagación de la llama, baja emisión de humos opacos, libre de halógenos, nula emisión de gases corrosivos, resistencia a la absorción de agua, resistencia al frío, resistencia a los rayos ultravioleta, resistencia a los agentes químicos, resistencia a las grasas y aceites y resistencia a los golpes. Según HD 603-5X-1. Instalado en canalización correspondiente, incluso p.p. de accesorios de fijación, terminales, tornillos. Incluso mano de obra, replanteos, limpieza previa, y ayudas de albañileria que se precisen, así como la utilización de herramientas y medios auxiliares que se precisen, manipulación, retirada de material sobrante y limpieza posterior etc. Se entiende material totalmente instalado y verificado.

MOOE11a	Especialista electricidad	0,340	h	14,10	4,79
A012H000	Oficial 1a electricista	0,120	h	16,22	1,95
%NAAA0150	Gastos auxiliares	0,067	%	1,50	0,10
PIEC.424al	Cable XZ1Z (AS) sección 4x(2x240)+TT mm² Al	1,000	m	89,98	89,98
	Suma la partida				96,82
	Costes indirectos			2,5%	2,42
	TOTAL PARTIDA				**99,24**

03.02.05 **Bandeja metálica inoxidable AISI 316L 60x200mm** **m**

Suministro y montaje de bandeja metálica de acero inoxidable AISI 316L, sin tapa, de dimensiones 60x200mm, del tipo Pemsaband de la marca PEMSA o equivalente aprobado por DF, para canalización eléctrica, incluido p.p. de uniones, curvas, codos, derivaciones y accesorios, asi como soportes, sujecciones, material auxiliar y ayudas en albaliñería, sin incluir cableado. Totalmente acabada, medida la unidad terminada.

MOOE11a	Especialista electricidad	0,100	h	14,10	1,41
A012H000	Oficial 1a electricista	0,100	h	16,22	1,62
%NAAA0150	Gastos auxiliares	0,030	%	1,50	0,05
PIET.2cmbb	Bandeja metálica inoxidable AISI 316L 60x200mm 30%acc	1,050	m	48,11	50,52
	Suma la partida				53,60
	Costes indirectos			2,5%	1,34
	TOTAL PARTIDA				**54,94**

03.02.06 **Bandeja metálica inoxidable AISI 316L 100x300mm** **m**

Suministro y montaje de bandeja metálica de acero inoxidable AISI 316L, sin tapa, de dimensiones 100x300mm, del tipo Pemsaband de la marca PEMSA o equivalente aprobado por DF, para canalización eléctrica, incluido p.p. de uniones, curvas, codos, derivaciones y accesorios, asi como soportes, sujecciones, material auxiliar y ayudas en albaliñería, sin incluir cableado. Totalmente acabada, medida la unidad terminada.

MOOE11a	Especialista electricidad	0,100	h	14,10	1,41
A012H000	Oficial 1a electricista	0,100	h	16,22	1,62
%NAAA0150	Gastos auxiliares	0,030	%	1,50	0,05
PIET.30cmbb	Bandeja metálica inoxidable AISI 316L 100x300mm 30%acc	1,050	m	66,61	69,94
	Suma la partida				73,02
	Costes indirectos			2,5%	1,83
	TOTAL PARTIDA				**74,85**

03.02.07 **Bandeja metálica inoxidable AISI 316L 100x600mm** **m**

Suministro y montaje de bandeja metálica de acero inoxidable AISI 316L, sin tapa, de dimensiones 100x600mm, del tipo Pemsaband de la marca PEMSA o equivalente aprobado por DF, para canalización eléctrica, incluido p.p. de uniones, curvas, codos, derivaciones y accesorios, asi como soportes, sujecciones, material auxiliar y ayudas en albaliñería, sin incluir cableado. Totalmente acabada, medida la unidad terminada.

MOOE11a	Especialista electricidad	0,120	h	14,10	1,69
A012H000	Oficial 1a electricista	0,100	h	16,22	1,62
%NAAA0150	Gastos auxiliares	0,033	%	1,50	0,05
PIET.60cmbb	Bandeja metálica inoxidable AISI 316L 100x600mm 30%acc	1,050	m	122,39	128,51

Documento visado electrónicamente con número: VA07290/22 Código de validación telemática TRLTDCFZ60T66IJ1. Comprobación: https://cogitivalencia.e-gestion.es/validacion.aspx?CVT=TRLTDCFZ60T66IJ1

CUADRO DE DESCOMPUESTOS

CÓDIGO	RESUMEN	CANTIDAD	UD	PRECIO	SUBTOTAL	IMPORTE
	Suma la partida					131,87
	Costes indirectos				2,5%	3,30
	TOTAL PARTIDA					**135,17**
03.02.08	**Tapa para bandeja metálica inox 200mm**		**m**			
	Suministro y montaje de tapa para bandeja portacables metálica de acero inoxidable de 200mm. Incluso p.p. de curvas, uniones, derivaciones, soportes, accesorios y pequeño material. Totalmente instalada, segun condiciones de proyecto.					
MOOE11a	Especialista electricidad	0,100	h	14,10	1,41	
%NAAA0150	Gastos auxiliares	0,014	%	1,50	0,02	
PIET.2tcmbb	Tapa para bandeja metálica inox 200mm	1,050	m	22,20	23,31	
	Suma la partida					24,74
	Costes indirectos				2,5%	0,62
	TOTAL PARTIDA					**25,36**
03.02.09	**Tapa para bandeja metálica inox 300mm**		**m**			
	Suministro y montaje de tapa para bandeja portacables metálica de acero inoxidable de 400mm. Incluso p.p. de curvas, uniones, derivaciones, soportes, accesorios y pequeño material. Totalmente instalada, segun condiciones de proyecto.					
MOOE11a	Especialista electricidad	0,100	h	14,10	1,41	
%NAAA0150	Gastos auxiliares	0,014	%	1,50	0,02	
PIET.3tcmbb	Tapa para bandeja metálica inox 200mm	1,050	m	37,10	38,96	
	Suma la partida					40,39
	Costes indirectos				2,5%	1,01
	TOTAL PARTIDA					**41,40**
03.02.10	**Tapa para bandeja metálica inox 600mm**		**m**			
	Suministro y montaje de tapa para bandeja portacables metálica de acero inoxidable de 600mm. Incluso p.p. de curvas, uniones, derivaciones, soportes, accesorios y pequeño material. Totalmente instalada, segun condiciones de proyecto.					
MOOE11a	Especialista electricidad	0,120	h	14,10	1,69	
%NAAA0150	Gastos auxiliares	0,017	%	1,50	0,03	
PIET.6tcmbb	Tapa para bandeja metálica inox 200mm	1,050	m	71,85	75,44	
	Suma la partida					77,16
	Costes indirectos				2,5%	1,93
	TOTAL PARTIDA					**79,09**
03.02.11	**Cable desnudo 35mm2**		**m**			
	Conductor de tierra de Cu desnudo de 35 mm² de sección para puesta a tierra de bandejas metálicas. Tendida en canalización al efecto. Incluso terminales, conexiones a bandeja cada 15 metros, pequeño material, etc.. . Totalmente instalado y conexionado.					
MOOE11a	Especialista electricidad	0,120	h	14,10	1,69	
%NAAA0150	Gastos auxiliares	0,017	%	1,50	0,03	
PIEC.35des	Cable desnudo 35mm2	1,000	m	6,35	6,35	
	Suma la partida					8,07
	Costes indirectos				2,5%	0,20
	TOTAL PARTIDA					**8,27**
03.02.12	**Cable desnudo 16mm2**		**m**			
	Conductor de tierra de Cu desnudo de 35 mm² de sección para puesta a tierra de bandejas metálicas. Tendida en canalización al efecto. Incluso terminales, conexiones a bandeja cada 15 metros, pequeño material, etc.. . Totalmente instalado y conexionado.					
MOOE11a	Especialista electricidad	0,100	h	14,10	1,41	
%NAAA0150	Gastos auxiliares	0,014	%	1,50	0,02	
PIEC.16des	Cable desnudo 16mm2	1,000	m	3,78	3,78	
	Suma la partida					5,21
	Costes indirectos				2,5%	0,13
	TOTAL PARTIDA					**5,34**
03.02.13	**Puente de tierra**		**u**			
	Suministro y montaje de puente para la puesta a tierra de la instalación.					
MOOE11a	Especialista electricidad	0,120	h	14,10	1,69	

VISADO
COGITI
VALENCIA
VA07290/22
TRLTDCFZ607T66I
Documento visado electrónicamente con número: VA07290/22
Código de validación telemática TRLTDCFZ607T66I. Comprobación: https://cogitivalencia.e-gestiones/Validacion.aspx?CVT=TRLTDCFZ607T66I

CUADRO DE DESCOMPUESTOS

VISADO
COGITI
VALENCIA
VA07290/22

CÓDIGO	RESUMEN	CANTIDAD	UD	PRECIO	SUBTOTAL	IMPORTE
A012H000	Oficial 1a electricista	0,060	h	16,22	0,97	
%NAAA0150	Gastos auxiliares	0,027	%	1,50	0,01	
PTT	Puente de tierra	1,000	u	35,15	35,15	
	Suma la partida					37,85
	Costes indirectos				2,5%	0,95
	TOTAL PARTIDA					**38,80**

03.02.14 **Terminal Cu T-50-10** **u**

Suministro y montaje de Terminal de cobre T-95-10. incluso p.p. de accesorios de fijación, terminales, tornillos. Incluso mano de obra, replanteos, limpieza previa, y ayudas de albañileria que se precisen, así como la utilización de herramientas y medios auxiliares que se precisen, manipulación, retirada de material sobrante y limpieza posterior etc. Se entiende material totalmente instalado y verificado.

MOOE11a	Especialista electricidad	0,100	h	14,10	1,41	
%NAAA0150	Gastos auxiliares	0,014	%	1,50	0,02	
t5010	Terminal Cu T-50-10	1,000	u	5,18	5,18	
	Suma la partida					6,61
	Costes indirectos				2,5%	0,17
	TOTAL PARTIDA					**6,78**

03.02.15 **Conectores MC4** **u**

Suministro y montaje de broches de conexion MC4 para conexionado de string con inversor. Totalmente instalado.

MOOE11a	Especialista electricidad	0,100	h	14,10	1,41	
%NAAA0150	Gastos auxiliares	0,014	%	1,50	0,02	
mc4	Conectores MC4	1,000	u	8,95	8,95	
	Suma la partida					10,38
	Costes indirectos				2,5%	0,26
	TOTAL PARTIDA					**10,64**

03.02.16 **Cuadro fotovoltaica AC BOX AISI 316L** **u**

Suministro y montaje de cuadro electrico AC BOX, de la marca Schneider Electric o equivalente aprobado por DF, serie Spacial, formado por armario de superficie de acero inoxidable 316L, elevada resistencia a la corrosión (entornos salinos o con cloro), con grado de protección IP66 e IK10. Conteniendo en su interior todos los elementos reflejados en esquemas de proyecto, cableado interno con punteras, con bornero, pletinas auxiliares de conexión, incluso limitador de sobretensiones de clase II. Certificación de ensayos, declaración CE y etiquetaje de circuitos. Totalmente montado y funcionando.

MOOE11a	Especialista electricidad	8,000	h	14,10	112,80	
A012H000	Oficial 1a electricista	8,000	h	16,22	129,76	
%NAAA0150	Gastos auxiliares	2,426	%	1,50	3,64	
ACBPFU	Cuadro fotovoltaica AC BOX AISI 316L	1,000	u	10.212,00	10.212,00	
	Suma la partida					10.458,20
	Costes indirectos				2,5%	261,46
	TOTAL PARTIDA					**10.719,66**

03.02.17 **Cuadro fotovoltaica MAIN AC BOX AISI 316L** **u**

Suministro y montaje de cuadro electrico MAIN AC BOX, de la marca Schneider Electric o equivalente aprobado por DF, serie Spacial, formado por armario de superficie de acero inoxidable 316L, elevada resistencia a la corrosión (entornos salinos o con cloro), con grado de protección IP66 e IK10. Conteniendo en su interior todos los elementos reflejados en esquemas de proyecto, cableado interno con punteras, con bornero, pletinas auxiliares de conexión, incluso limitador de sobretensiones de clase II. Certificación de ensayos, declaración CE y etiquetaje de circuitos. Totalmente montado y funcionando.

MOOE11a	Especialista electricidad	14,000	h	14,10	197,40	
A012H000	Oficial 1a electricista	14,000	h	16,22	227,08	
%NAAA0150	Gastos auxiliares	4,245	%	1,50	6,37	
MACBPFU	Cuadro fotovoltaica MAIN AC BOX AISI 316L	1,000	u	20.755,87	20.755,87	
	Suma la partida					21.186,72
	Costes indirectos				2,5%	529,67
	TOTAL PARTIDA					**21.716,39**

Documento visado electrónicamente con número: VA07290/22
Código de validación telemática TRLTDCFZ60T66IJ1. Comprobación: https://cogitivalencia.e-gestion.es/Validacion.aspx?CVT=TRLTDCFZ60T66IJ1

CUADRO DE DESCOMPUESTOS

VISADO
COGITI
VALENCIA
VA07290/22
TRLTDCFZ60T66IJ1

CÓDIGO	RESUMEN	CANTIDAD	UD	PRECIO	SUBTOTAL	IMPORTE
03.02.18	**Smartlogger HUAWEI 3000A**		**u**			
	Suministro, instalación e integración de sistema de control y supervisión para la gestión integral de la instalación de Fotovoltaica, SMARTLOGGER modelo 3000A de HUAWEI o equivalente aprovado por DF. Las características del equipo vienen indicadas en el anexo I. Incluso pp de accesorios para su correcta instalación. Medida la unidad totalmente instalada, integrada y funcionando.					
MOOE11a	Especialista electricidad	2,000	h	14,10	28,20	
A012H000	Oficial 1a electricista	2,000	h	16,22	32,44	
%NAAA0150	Gastos auxiliares	0,606	%	1,50	0,91	
SMRTPFU	Smartlogger HUAWEI 3000A	1,000	u	1.205,00	1.205,00	
	Suma la partida					1.266,55
	Costes indirectos			2,5%		31,66
	TOTAL PARTIDA					**1.298,21**
03.02.19	**Sistema antivertido PRISMA 310A**		**u**			
	Sistema antivertido a instalar proximo al módulo de contadores del cliente, modelo PRISMA 310A de RENESYS o equivalente aprobado por DF. Permite regular la potencia obtenida de fuentes renovables y aportar garantías físicas y lógicas para decidir qué potencia debemos o deseamos consumir de la red. Integra en el mismo dispositivo un contador para la regulación instantánea y elimina la necesidad de otros componentes externos en la regulación de la potencia. Con cumplimiento de los criterios de la UNE 217001-IN y RD 244/2019. Incluso parte proporcional de accesorios para su correcta instalacion. Medida la unidad, totalmente instalada y parametrizada según normas de la compañia suminitsradora de la zona y funcionando correctamente.					
MOOE11a	Especialista electricidad	4,000	h	14,10	56,40	
A012H000	Oficial 1a electricista	4,000	h	16,22	64,88	
%NAAA0150	Gastos auxiliares	1,213	%	1,50	1,82	
AVPFU	Sistema antivertido PRISMA 310A	1,000	u	2.750,00	2.750,00	
	Suma la partida					2.873,10
	Costes indirectos			2,5%		71,83
	TOTAL PARTIDA					**2.944,93**

Documento visado electrónicamente con número: VA07290/22
Código de validación telemática TRLTDCFZ60T66IJ1. Comprobación: https://legitivalencia.e-gestion.es/Validacion.aspx?CVT=TRLTDCFZ60T66IJ1

VISADO COGITI
VALENCIA
VA07290/22
TRLTDCFZ60T66IJ1

CÓDIGO	RESUMEN	CANTIDAD	UD	PRECIO	SUBTOTAL	IMPORTE

03.02.20 **Estación meteorológica MET** **u**

Suministro, montaje e integración de instrumento de medida modelo Sensor MET o Datasol MET, de la marca Aersa o equivalente aprobado por DF. Instrumento de medida electrónico de precisión que permite la medición de la radiación solar global sobre un plano, de la temperatura y de la velocidad del viento. En este equipo se dispone de una Célula Calibrada (o célula fotovoltaica de tecnología equivalente), de dos sondas de temperatura y de una entrada externa para la conexión de un anemómetro. Es el instrumento más adecuado para la adquisición de los parámetros más importantes en una central solar fotovoltaica (radiación solar, temperatura ambiente y velocidad del viento).
Todos estos datos son recogidos y enviados en formato digital vía RS485 con protocolo MODBUS.
La Célula Calibrada que incorpora el Datasol MET lleva incorporado un sensor de temperatura directamente sobre cada una de las células lo que permite corregir (compensar por temperatura) las desviaciones en la medida de la Radiación Solar, dando lecturas más precisas en todo el rango de radiación y temperatura.
El Datasol MET se fija a la estructura de los paneles, siempre con la misma inclinación que estos, bien mediante la fijación HOOK o mediante tornillería.
La medición de la radiación solar es fundamental en el cálculo de la producción energética y el rendimiento de las centrales fotovoltaicas mediante el Índice de Producción (PR Preformance Ratio). Este índice relaciona la potencia real de la instalación con la potencia calculada a través de la radiación solar que incide en la instalación. Esta circunstancia hace ideal la utilización de las Células Calibradas de ATERSA como instrumento de medida de la radiación solar.

*CARACTERÍSTICAS PRINCIPALES:
Medición de la radiación solar, 0 … 1400 W/mm2 . Compensación por temperatura.
Medida de la temperatura de célula (sonda incorporada), -20 130 ºC.
Medida de la temperatura ambiente a 4 hilos con sonda externa incluida, -20 130 ºC.
Entrada libre de potencial para la conexión del anemómetro, medida de la velocidad del viento entre 2 140 km/h (no se entrega el anemómetro junto con el sensor MET).
Tensión de alimentación nominal: 24 V dc. (*).
Rango alimentación auxiliar estándar: 6 28 V dc.
Consumo máximo: 90 mW.
Grado de Protección; IP54.
Rango de trabajo: -20 ºC y +50 ºC.
Sección de cable admisible en bornas: 0.22 mm2 a 1.5 mm2
Diámetro ext. cable admisible en prensaestopas: 4.5 mm y los 10 mm.
Comunicaciones vía RS485 (protocolo MODBUS (RTU)). Distancia máxima 500m.

*CARACTERÍSTICAS TÉCNICAS:
Medición radiación solar: 0 … 1400 W/mm2.
Medición Temperatura célula: -20 … 100 ºC.
Medición Temperatura ambiente: -20 … 100 ºC.
Medición velocidad del viento: 2 … 140 km/h.
Error de la medida de la radicación solar: ± 2.2 %.
Error de la medida de la temperatura: ± 0.8 ºC.
Error de la medida de la velocidad del viento: ± 3 % (15-140 km/h) y ± 1 km/h (2-140 km/h).

Todo ello instalado, verificaciones, ensayos, conexiones, enclavamientos, controles, pruebas, certificados y homologaciones. Totalmente instalado, incluso conexionado y puesto en marcha..

MOOE11a	Especialista electricidad	2,000	h	14,10	28,20	
A012H000	Oficial 1a electricista	2,000	h	16,22	32,44	
%NAAA0150	Gastos auxiliares	0,606	%	1,50	0,91	
MET	Datasol MET	1,000	u	1.019,87	1.019,87	
	Suma la partida					1.081,42
	Costes indirectos				2,5%	27,04
	TOTAL PARTIDA					**1.108,46**

03.02.21 **Realización de DC Test** **u**

Realización del DC test, utilizando equipo Seaward PV150 o similar, comprendiendo la medición de los valores de Voc, Isc, radiación, polaridad y aislamiento de polo positivo y negativo a tierra, de todos los strings. El procedimiento y los valores obtenidos deben ser acordes con la norma IEC 62446. Todos los datos obtenidos serán entregados antes de la conexión de la instalación, en archivos originales del equipo de medición.

A012H000	Oficial 1a electricista	1,000	h	16,22	16,22
MOOE11a	Especialista electricidad	1,000	h	14,10	14,10
%NAAA0150	Gastos auxiliares	0,303	%	1,50	0,45
U001003.dc	Realización de DC Test	1,000	u	1.440,00	1.440,00

Documento visado electrónicamente con número: VA07290/22
Código de validación telemática TRLTDCFZ60T66IJ1. Comprobación: https://cogitivalencia.e-gestion.es/Validacion.aspx?CVT=TRLTDCFZ60T66IJ1

VISADO
COGITI
VALENCIA
VA07290/22
TRLTDCFZ60T66IJ1

CÓDIGO	RESUMEN	CANTIDAD	UD	PRECIO	SUBTOTAL	IMPORTE
	Suma la partida					1.470,77
	Costes indirectos			2,5%		36,77
	TOTAL PARTIDA					**1.507,54**

03.02.22 **Integración sistema en SCADA** **u**

Horas de integración del sistema solar fotovoltaico y sistema de almacenamiento de energía mediante baterías en SCADA de control WINCC existente de la Autoridad Portuaria, que se ocupa de la visualización y manjeo de las instalaciones, monitorización de los estados y las alamrmas más importantes.

Se modificarán las pantallas existentes y se crearan otras nuevas para el acceso a la instalación de Fotovoltaica, entre otras:

Menú Principal.
Pantalla ubicación geográfica de las instalaciones del puerto
Pantalla de detalle Inversores
Pantalla de detalle Baterías

Se añadirán las nuevas variables en la tablas correspondientes:
- Añadir alarmas en alarmlogging
- Añadir Tagglogging
- Añadir variables en BBDD

Incluso pruebas de funcionamiento y puesta en marcga. Formación de operadores.

A012H000	Oficial 1a electricista	318,000	h	16,22	5.157,96
MOOE11a	Especialista electricidad	318,000	h	14,10	4.483,80
%NAAA0150	Gastos auxiliares	96,418	%	1,50	144,63
	Suma la partida				9.786,39
	Costes indirectos			2,5%	244,66
	TOTAL PARTIDA				**10.031,05**

03.02.23 **Cuadro de Comunicaciones (Estandarizado APV)** **u**

Suministro e instalación de Cuadro de comunicaciones, que incluye los siguientes elementos:

Envolvente metálica mural de medidas: 760x760x300mm, referencia 1073.500, marca RITTAL
Protección eléctrica general, formada por:
- Interruptor magnetotérmico 2P, 6kA, 16A, curva C, referencia: 5SL6216-7, marca SIEMENS
- Interruptor Diferencial, 2P, Clase AC, 25A, 300mA, referencia: 5SV4612-0, marca SIEMENS
- 2 uds. Interruptor magnetotérmico. 2P, 6kA, 10A, curva C, referencia; 5SL6210-7, marca SIEMENS
- 3 uds. Contacto auxiliar 1NA+1NC para interruptor automático, referencia: 5ST3010, marca SIEMENS
- Enchufe SHUKO 2P+T 16A, referencia: A9A15310, marca: MG
- Sensor inductivo para detección de puerta cerrada, referencia: XS4P18PA340, marca SCHNEIDER
- Piloto verde para señalización de tensión OK, referencia: ZB4-BV033 y ZB4-BVB3, marca: SCHNEIDER
- Piloto rojo para señalización de fallo térmico, referencia: ZB4-BV043 y ZB4-BVB4, marca: SCHNEIDER
- Piloto rojo para señalización de fallo SAI, referencia: ZB4-BV043 y ZB4-BVB4, marca: SCHNEIDER
- Piloto amarillo para señalización de puerta cerrada, referencia: ZB4-BV053 y ZB4-BVB5, marca: SCHNEIDER
- Fuente de alimentación de 10A, referencia: 6EP1334-2BA20, marca: SIEMENS
- Módulo cargador DC-SAI 24V / 15A, referencia: 6EP1931-2EC21, marca: SIEMENS
- Módulo de batería de 24V/ 7 Ah, referencia: 6EP1935-6ME21, marca: SIEMENS
- Switch de comunicaciones XM408-8C para la red de Giga, referencia: 6GK5408-8GS00-2AM2, marca: SIEMENS
- 2 uds. trasceptor de fibra óptica monomodo, referencia: 6GK5992-1AM00-8AA0, marca: SIEMENS

Totalmente instalado y funcionando.

A012H000	Oficial 1a electricista	6,000	h	16,22	97,32
MOOE11a	Especialista electricidad	6,000	h	14,10	84,60
A0140000	Peón	6,000	h	14,81	88,86
MMMG12a	Grúa autopropulsada 12T	1,000	h	57,33	57,33
%NAAA0150	Gastos auxiliares	3,281	%	1,50	4,92
U002004.01	Cuadro de Comunicaciones	1,000	u	10.072,00	10.072,00

Documento visado electrónicamente con número: VA07290/22
Código de validación telemática TRLTDCFZ60T66IJ1. Comprobación: https://cogitivalencia.es/pebes/Validacion.aspx?CVT=TRLTDCFZ60T66IJ1

VISADO COGITI VALENCIA VA07290/22 TRLTDCFZ60T66IJ1

CÓDIGO	RESUMEN	CANTIDAD	UD	PRECIO	SUBTOTAL	IMPORTE
				Suma la partida		10.405,03
				Costes indirectos	2,5%	260,13
				TOTAL PARTIDA		**10.665,16**

03.02.24 **Cable de comunicaciones UTP** **m**

Suministro e instalación de cable de datos de categoría 6 y Euroclase DCA, de tipo U/UTP, con conductor de cobre y cubierta de LSFH (Low Smoke Free of Halogen). Medido el ml, totalmente instalado y conexionado, incluyendo suministro y montaje de parte proporcional de etiquetas, bridas, conectores, puntas y demás accesorios necesarios para su correcta instalación, sin incluir canalización.

MOOE11a	Especialista electricidad	0,120	h	14,10	1,69
%NAAA0150	Gastos auxiliares	0,017	%	1,50	0,03
PIEC.1utp	Cable de comunicaciones UTP	1,000	m	1,75	1,75
				Suma la partida	3,47
				Costes indirectos 2,5%	0,09
				TOTAL PARTIDA	**3,56**

03.02.25 **Cable de fibra óptica monomodo SM 24 fibras 9/125µm** **m**

Instalación de cable fibra óptica monomodo 24 fibras SM, 9/125µm, tendido en bandeja métalica, según las especificaciónes de las normas correspondientes. Con cubierta antiroedores. Testeado. Incluso p.p. de adaptadores y pigtails, incluso tritubo de 40mm, pequeño material y medios auxiliares. Totalmente instalado, certificado el enlace permanente, comprobado y en correcto estado de funcionamiento.

MOOE11a	Especialista electricidad	0,120	h	14,10	1,69
A012H000	Oficial 1a electricista	0,060	h	16,22	0,97
%NAAA0150	Gastos auxiliares	0,027	%	1,50	0,04
PIEC.1fo	Cable de fibra óptica monomodo SM 24 fibras 9/125µm	1,000	m	2,80	2,80
				Suma la partida	5,50
				Costes indirectos 2,5%	0,14
				TOTAL PARTIDA	**5,64**

03.03 VARIOS

03.03.01 **Pruebas de la instalación** **u**

Pruebas de la instalacion fotovoltaica consistente en la comprobacion del megado de los cables, resistencias de puesta a tierra y de los inversores, tensiones en circuito abierto, tension e intensidad en funcionamiento, estado de las bornas de conexión. Realizado por organismo de control (OCA) y certificado. Verificaciones, ensayos, certificado, boletines del instalador y legalizacion de la instalacion en el organismo competente, pruebas segun plan de control de calidad y redaccion de informe de los resultados obtenidos, ayudas de albañileria, etc., y funcionando.

A012H000	Oficial 1a electricista	1,000	h	16,22	16,22
MOOE11a	Especialista electricidad	1,000	h	14,10	14,10
%NAAA0150	Gastos auxiliares	0,303	%	1,50	0,45
U001003.pi	Pruebas de la instalación	1,000	u	967,00	967,00
				Suma la partida	997,77
				Costes indirectos 2,5%	24,94
				TOTAL PARTIDA	**1.022,71**

03.03.02 **Legalización de la instalación** **u**

Legalizacion de la instalacion solar fotovoltaica en los diferentes organismos competentes, preparación de la documentación, pago de tasas, certificados de direccion de obra, certificados del instalador, tramitacion de la linea de evacuación y su inscripción definitiva.

U001005.lfv	Legalización de la instaalción	1,000	u	1.200,00	1.200,00
				Suma la partida	1.200,00
				Costes indirectos 2,5%	30,00
				TOTAL PARTIDA	**1.230,00**

03.03.03 **Documentación AS BUILT** **u**

Realizacion por parte de la contrata de la documentacion final de obra AS-BUILT y garantias de los productos según fabricante. Se entregará una copia a la propiedad en formato papel y electronico antes de la recepcion final del contrato, asi como un manual de uso y mantenimiento de la instalacion con todos los catalogos tecnicos y manuales de uso y mantenimiento de los equipos que componen la instalacion.

Documento visado electrónicamente con número: VA07290/22 Código de validación telemática TRLTDCFZ60T66IJ1. Comprobación: https://cogitivalencia.e-gestion.es/Validacion.aspx?CVT=TRLTDCFZ60T66IJ1

CUADRO DE DESCOMPUESTOS

CÓDIGO	RESUMEN	CANTIDAD	UD	PRECIO	SUBTOTAL	IMPORTE
U001005.asb	Doc AS BUILT	1,000	u	600,00	600,00	
					Suma la partida	600,00
					Costes indirectos 2,5%	15,00
					TOTAL PARTIDA	**615,00**

VISADO
COGITI
VALENCIA
VA07290/22
TRLTDCFZ60T66IJ1

Documento visado electrónicamente con número: VA07290/22
Código de validación telemática TRLTDCFZ60T66IJ1. Comprobación: https://cogitivalencia.e-gestion.es/Validacion.aspx?CVT=TRLTDCFZ60T66IJ1

CUADRO DE DESCOMPUESTOS

VISADO
COGITI
VALENCIA
VA07290/22
TRLTDCFZ60T66IJ1

CÓDIGO	RESUMEN	CANTIDAD	UD	PRECIO	SUBTOTAL	IMPORTE
04	**INSTALACIÓN CT GENERACIÓN PARTICULAR 2x1600 KVA V.C.T.-FV 043.1**					
04.01	**OBRA CIVIL**					
04.01.01	**Edificio prefabricado PFU-7 c/ ventilación forzada**		**u**			
	Edificio prefabricado constituido por una envolvente, de estructura monobloque, de hormigón armado, tipo PFU-7/20 de la marca Ormazabal o equivalente aprobado por DF, con ventilación forzada, de dimensiones generales aproximadas 8.100 mm de largo por 2200 mm de fondo por 2.500 mm de altura útil. Incluso cuadro electrico para alimentación de los servicios auxiliares, alumbrado interior, toma de corriente, extractores, termostato, central de incendios. Incluye el edificio y todos sus elementos exteriores según CEI 622171-202, transporte, montaje y accesorios					
A012H000	Oficial 1a electricista	4,000	h	16,22	64,88	
MOOE11a	Especialista electricidad	4,000	h	14,10	56,40	
A0140000	Peón	2,000	h	14,81	29,62	
MMMG12a	Grúa autopropulsada 12T	1,000	h	57,33	57,33	
%NAAA0150	Gastos auxiliares	2,082	%	1,50	3,12	
U002003.pf7	Edificio prefabricado PFU-7 c/pta lateral y ventilación forzada	1,000	u	13.955,61	13.955,61	
	Suma la partida					14.166,96
	Costes indirectos				2,5%	354,17
	TOTAL PARTIDA					**14.521,13**
04.02	**APARAMENTA ALTA TENSIÓN**					
04.02.01	**Celda de Interruptor de Linea CGMCOSMOS-I**		**u**			
	Suministro y montaje de celda de interruptor de línea modelo CGMCOSMOS-I de la marca Ormazabal o equivalente aprobado por DF, con interruptor-seccionador en SF6 de 400A con mando CIT manual, seccionador de puesta a tierra, juego de barras tripolar e indicadores testigo presencia de tensión instalados.					
A012H000	Oficial 1a electricista	4,000	h	16,22	64,88	
MOOE11a	Especialista electricidad	4,000	h	14,10	56,40	
A0140000	Peón	4,000	h	14,81	59,24	
MMMG12a	Grúa autopropulsada 12T	1,000	h	57,33	57,33	
%NAAA0150	Gastos auxiliares	2,379	%	1,50	3,57	
U002002.01	Celda modular de línea	1,000	u	2.954,00	2.954,00	
	Suma la partida					3.195,42
	Costes indirectos				2,5%	79,89
	TOTAL PARTIDA					**3.275,31**
04.02.02	**Celda de Protección CGMCOSMOS-V**		**u**			
	Suministro y montaje de celda con función disyuntor modelo CGMCOSMOS-V de la marca Ormazabal o equivalente aprobado por DF, con seccionador en SF6, relé de protección ekor.rpg, sistema de puesta a tierra, captadores de intensidad y enclavamientos instalados.					
A012H000	Oficial 1a electricista	8,000	h	16,22	129,76	
MOOE11a	Especialista electricidad	8,000	h	14,10	112,80	
A0140000	Peón	6,000	h	14,81	88,86	
MMMG12a	Grúa autopropulsada 12T	1,000	h	57,33	57,33	
%NAAA0150	Gastos auxiliares	3,888	%	1,50	5,83	
U002003.01	Celda protección trafo	1,000	u	15.871,57	15.871,57	
	Suma la partida					16.256,15
	Costes indirectos				2,5%	406,65
	TOTAL PARTIDA					**16.672,80**
04.02.03	**Celda de Medida CGMCOSMOS-M**		**u**			
	Suministro y montaje de celda de medida modelo CGMCOSMOS-M de la marca Ormazabal o equivalente aprobado por DF, equipada tres transformadores de intensidad y tres de tensión, de doble secundario, entrada y salida por cable seco, según características detalladas en memoria, instalados.					
A012H000	Oficial 1a electricista	6,000	h	16,22	97,32	
MOOE11a	Especialista electricidad	6,000	h	14,10	84,60	
A0140000	Peón	6,000	h	14,81	88,86	
MMMG12a	Grúa autopropulsada 12T	1,000	h	57,33	57,33	
%NAAA0150	Gastos auxiliares	3,281	%	1,50	4,92	
U002003.01m	Celda medida	1,000	u	8.590,05	8.590,05	
	Suma la partida					8.923,08
	Costes indirectos				2,5%	223,08
	TOTAL PARTIDA					**9.146,16**

Documento visado electrónicamente con número: VA07290/22
Código de validación telemática TRLTDCFZ60T66IJ1 comprobación: https://cogitivalencia.e-gestion.es/Validacion.aspx?CV=TRLTDCFZ60T66IJ1

VISADO
COGITI
VALENCIA
VA07290/22
TRLTDCFZ60T66IJ1

CÓDIGO	RESUMEN	CANTIDAD	UD	PRECIO	SUBTOTAL	IMPORTE
04.02.04	**Celda de Protección y medida de tensión CGMCOSMOS-P**		**u**			
	Suministro y montaje de celda de protección y medida de tensión en barras modelo CGMCOSMOS-P de la marca Ormazabal o equivalente aprobado por DF, con interruptor-seccionador en SF6 de 400A con mando CIT manual, seccionador de puesta a tierra, juego de barras tripolar e indicadores testigo presencia de tensión instalados. Equipada con tres tranaformadores de tensión. Totalmente instalado.					
A012H000	Oficial 1a electricista	6,000	h	16,22	97,32	
MOOE11a	Especialista electricidad	6,000	h	14,10	84,60	
A0140000	Peón	6,000	h	14,81	88,86	
MMMG12a	Grúa autopropulsada 12T	1,000	h	57,33	57,33	
%NAAA0150	Gastos auxiliares	3,281	%	1,50	4,92	
U002453.01m	Celda protección y medida de tensión	1,000	u	7.987,58	7.987,58	
	Suma la partida					8.320,61
	Costes indirectos			2,5%		208,02
	TOTAL PARTIDA					**8.528,63**
04.02.05	**Analizador de redes CVM-A 1500**		**u**			
	Suministro e instalación de analizador de redes para panel de medida indirecta, para panel en formato 96x96 o 144x144, modelo CVM-A1500 de la marca Circutor o equivalente aprobado por DF. Gran versatilidad en su modo de conexión para ser instalado en diferentes sistemas eléctricos con diversas configuraciones de conexión a red, Trifásico 3, 4 hilos, dos fases con o sin neutro, conexión ARON o conexión a red monofásica. Protección IP66 de larga durabilidad, teclado táctil retro-iluminado con tres teclas y la serigrafía de las teclas debe ser perpetua. El interfaz con el dispositivo para el acceso a la información completo y funcional para selección de datos a visualizar de forma rápida. Impide la configuración del equipo por personas ajenas a la instalación gracias a protección por contraseña o PIN. El dispositivo muestra por pantalla de forma clara parámetros trifásicos compuestos y por fase. El dispositivo muestra de forma clara dos medidas de consumo de energía, kWh procedentes de hasta tres distintas fuentes, con sus correspondientes conversiones a coste y emisiones en KgCO2 por pantalla. Dispone de dos salidas a transistor que podrán ser configuradas como Alarma por parámetros instantáneos que el equipo mide, o como generación de señal de impulsos relacionados con los consumos del equipo, ya sean kWh, Coste de la energía o Emisiones de CO2. Dispone de dos salidas a relé para ser configuradas como Alarma por parámetros instantáneos que el equipo mide. Integra comunicaciones RS485 con protocolo MODBUS y BACNET que pueden ser seleccionablesexpandible con hasta 4 módulos con diferentes opciones de entrada/salida o comunicaciones.permite el registro de datos con fecha y hora Dispone de servidor WEB integrado para monitorizar tanto datos en tiempo real como visualización de datos históricos en forma gráfica o de tabla en cualquier navegador de internet convencional Dispone de servidor XML integrado para comunicación e integración, tanto datos en tiempo real como visualización de datos históricos, en sistemas informáticos remotos. Incluso p.p. de material auxiliar. Totalmente instalado y funcionando.					
A012H000	Oficial 1a electricista	4,000	h	16,22	64,88	
MOOE11a	Especialista electricidad	4,000	h	14,10	56,40	
%NAAA0150	Gastos auxiliares	1,213	%	1,50	1,82	
U002003.ar	Analizador de redes	1,000	u	1.480,00	1.480,00	
	Suma la partida					1.603,10
	Costes indirectos			2,5%		40,08
	TOTAL PARTIDA					**1.643,18**
04.03	**APARAMENTA BAJA TENSIÓN**					
04.03.01	**Juego de Puentes de Cables AT**		**u**			
	Suministro e instalación de juego de puentes III de cables AT unipolares de aislamiento seco RHZ1, aislamiento 12/20 kV, de 95 mm2 en Al con sus correspondientes elementos de conexión.					
A012H000	Oficial 1a electricista	2,000	h	16,22	32,44	
MOOE11a	Especialista electricidad	2,000	h	14,10	28,20	
A0140000	Peón	1,000	h	14,81	14,81	
%NAAA0150	Gastos auxiliares	0,755	%	1,50	1,13	
U002012.01	Puente de interconexión en MT	1,000	u	870,00	870,00	
	Suma la partida					946,58
	Costes indirectos			2,5%		23,66
	TOTAL PARTIDA					**970,24**

Documento visado electrónicamente con número: VA07290/22
Código de validación telemática TRLTDCFZ60T66IJ1. Comprobación: https://cogitivalencia.e-gestion.es/Validacion.aspx?CVT=TRLTDCFZ60T66IJ1

VISADO COGITI VALENCIA VAQ7290/22 TRLTDCFZ60T66IJ1

CÓDIGO	RESUMEN	CANTIDAD	UD	PRECIO	SUBTOTAL	IMPORTE
04.03.02	**Juego de Puentes de Cables BT**		**u**			
	Suministro e instalación de juego de puentes de cables BT unipolares de aislamiento seco 0.6/1 kV de Cu, de 4x240mm² de sección para las fases y neutro y demás características según memoria.					
A012H000	Oficial 1a electricista	3,000	h	16,22	48,66	
MOOE11a	Especialista electricidad	3,000	h	14,10	42,30	
A0140000	Peón	1,000	h	14,81	14,81	
%NAAA0150	Gastos auxiliares	1,058	%	1,50	1,59	
U002013.01	Puente de interconexión en BT 1600KVA	1,000	u	2.558,00	2.558,00	
	Suma la partida					2.665,36
	Costes indirectos			2,5%		66,63
	TOTAL PARTIDA					**2.731,99**
04.03.03	**Cuadro protección salida BT**		**u**			
	Suministro e instalación de Cuadro de Baja Tensión modelo Prisma Plus de la marca Schneider Electric o equivalente aprobado por DF, para protección de salida de transformador conteniendo un interruptor automático modelo NS, tetrapolar, de calibre 1600 A regulable, con unidad de control micrologic 5.0A, incluso bancada. Totalmente instalado y funcionando.					
A012H000	Oficial 1a electricista	3,000	h	16,22	48,66	
MOOE11a	Especialista electricidad	3,000	h	14,10	42,30	
A0140000	Peón	2,000	h	14,81	29,62	
MMMG12a	Grúa autopropulsada 12T	2,000	h	57,33	114,66	
%NAAA0150	Gastos auxiliares	2,352	%	1,50	3,53	
U002006.01	Cuadro BT 1600 KVA	1,000	u	4.220,00	4.220,00	
	Suma la partida					4.458,77
	Costes indirectos			2,5%		111,47
	TOTAL PARTIDA					**4.570,24**
04.03.04	**Alimentación CS Auxiliares VCT-FV 043.1**		**u**			
	Suministro y montaje de alimentación electrica en BT al cuadro electrico de auxiliares del VCT-FV 043.1 desde CT de cliente, mediante cable unipolar de cobre recocido RZ1-K 0,6/1 kV (AS), reacción al fuego clase Cca-s1b,d1,a1, aislamiento de polietileno reticulado (XLPE), de tipo DIX3, cubierta de poliolefina termoplástica, de tipo Afumex Z1, de color verde, sección 6 mm² para fases, neutro y tierra (3x6mm2), de la marca Prysmian o equivalente aprobado por DF, no propagadores del incendio, con emisión de humos y opacidad reducida, libre de halogenos, s/ UNE 21.123-4, instalada bajo tubo tipo de PVC de 40mm de diámetro. incluso p.p. de accesorios de fijación, terminales, tornillos. Incluso mano de obra, replanteos, limpieza previa, y ayudas de albañileria que se precisen, así como la utilización de herramientas y medios auxiliares que se precisen, manipulación, retirada de material sobrante y limpieza posterior etc. Se entiende material totalmente instalado y verificado.					
A012H000	Oficial 1a electricista	2,000	h	16,22	32,44	
MOOE11a	Especialista electricidad	2,000	h	14,10	28,20	
A0140000	Peón	2,000	h	14,81	29,62	
%NAAA0150	Gastos auxiliares	0,903	%	1,50	1,35	
U002ax006.01	Alimentación CS Auxiliares CT Generación	1,000	u	670,45	670,45	
	Suma la partida					762,06
	Costes indirectos			2,5%		19,05
	TOTAL PARTIDA					**781,11**
04.04	**TRANSFORMADORES**					
04.04.01	**Transformador trifásico de 1600 KVA éster 0.80/20 kV**		**u**			
	Suministro e instalación de transformador trifásico elevador tipo refrigeración éster biodegradable, Ormazabal o equivalente aprobado por D.F, según Norma UNE 21538 y UNE 548/2014 de Ecodiseño. Bobinado AT continuo de gradiente lineal sin entrecapas. Bobinado BT con ensayo frecuencia industrial 10kV. Ensayos climáticos E3, C3, F1. Potencia nominal: 1600 kVA. Relación: 0.80/20 kV. Tensión secundaria vacío: 800 V. Tensión cortocircuito: 6%. Regulación: +/-2,5%, +/-5%, +/-10% . Grupo conexión: Dyn11. Dotado de equipo de sondas PT100 para protección térmica, bornero de conexión y termometro digital (conjunto proteccion termica tipo T que permite visualizar digitalmente las temperaturas de los bobinados) PARA PROTECCIÓN TÉRMICA DEL TRANSFORMADOR y sus conexiones a la alimentación y al elemento disparador de la protección correspondiente, debidamente protegidas contra sobreintensidades. Totalmente montado e instalado.					
A012H000	Oficial 1a electricista	8,000	h	16,22	129,76	
MOOE11a	Especialista electricidad	8,000	h	14,10	112,80	
A0140000	Peón	8,000	h	14,81	118,48	
MMMG12a	Grúa autopropulsada 12T	4,000	h	57,33	229,32	
%NAAA0150	Gastos auxiliares	5,904	%	1,50	8,86	

Documento visado electrónicamente con número: VAQ7290/22
Código de validación telemática TRLTDCFZ60T66IJ1. Comprobación: https://cogitivalencia.gestiona.com/Validacion.aspx?CVT=TRLTDCFZ60T66IJ1

VISADO
COGITI
VALENCIA
VA07290/22

CÓDIGO	RESUMEN	CANTIDAD	UD	PRECIO	SUBTOTAL	IMPORTE
U002005.0160	Trasnformador trifásico 1600kva	1,000	u	23.157,23	23.157,23	
	Suma la partida					23.756,45
	Costes indirectos				2,5%	593,91
	TOTAL PARTIDA					**24.350,36**

04.05 SISTEMA DE PUESTA A TIERRA

04.05.01 Tierras Exteriores de Servicio (Neutro) u

Suministro e instalación de tierras exteriores código 5/62 Unesa, incluyendo 6 picas de 2,00 m. de longitud, cable de cobre desnudo, cable de cobre aislado de 0,6/1kV y elementos de conexión, instalado, según se describe en proyecto.

TTPROT	Tierras Exteriores de Protección (Herrajes)	1,000	u	1.859,16	1.859,16	
TTINT	Tierras Interiores	1,000	u	850,77	850,77	
	Suma la partida					2.709,93
	Costes indirectos				2,5%	67,75
	TOTAL PARTIDA					**2.777,68**

04.05.02 Tierras Exteriores de Protección (Herrajes) u

Suministro e instalación de tierras exteriores código 40-30/5/42 Unesa, incluyendo 4 picas de 2,00 m. de longitud, cable de cobre desnudo, cable de cobre aislado de 0,6/1kV y elementos de conexión, instalado, según se describe en proyecto.

A012H000	Oficial 1a electricista	4,000	h	16,22	64,88	
MOOE11a	Especialista electricidad	4,000	h	14,10	56,40	
A0140000	Peón	2,000	h	14,81	29,62	
%NAAA0150	Gastos auxiliares	1,509	%	1,50	2,26	
U002009.01	Tierras exteriores. Tierra de protección	1,000	u	1.706,00	1.706,00	
	Suma la partida					1.859,16
	Costes indirectos				2,5%	46,48
	TOTAL PARTIDA					**1.905,64**

04.05.03 Tierras Interiores u

Suministro e instalación de tierras interiores para poner en continuidad con las tierras exteriores, formado por cable de 50mm2 de Cu desnudo para la tierra de protección y aislado para la de servicio, con sus conexiones y cajas de seccionamiento, instalado, según memoria.

A012H000	Oficial 1a electricista	1,000	h	16,22	16,22	
MOOE11a	Especialista electricidad	1,000	h	14,10	14,10	
%NAAA0150	Gastos auxiliares	0,303	%	1,50	0,45	
U002015.01i	Tierras interiores	1,000	u	820,00	820,00	
	Suma la partida					850,77
	Costes indirectos				2,5%	21,27
	TOTAL PARTIDA					**872,04**

04.06 VARIOS

04.06.01 Instalación baja tensión CT u

Instalación de baja tensión interior del centro de transformación, compuesta por lo siguientes elementos:

- Armario Cofret G de Schneider IP42 con puerta transparente, conteniendo en su interior la siguiente aparamenta.
- 1 Interruptor Magnetotermico de cabecera C60N 2P 32A
- 1 Interruptor diferencia de cabecera 2P 40A 300mA
- 1 Interruptor Magnetotermico C60N 2P 10A línea alumbrado
- 1 Interruptor Magnetotermico C60N 2P 16A línea toma de corriente
- 1 Interruptor Magnetotermico C60N 2P 16A línea otros usos
- 1 Interruptor Magnetotermico C60N 2P 16A línea otros usos

- Interruptor estanco 16A
- Toma de corriente estanca 16A Monofásica
- 2 Pantallas LED etsancas modelo WT120C LED60S/840 L1500 de Philips
- 1 Luminaria de emergencia estanca 150Lum
- Líneas 2x2,5mm² + TT H07Z1 y tubos PCV líbres de halógenos diametro 16, para instalación equipos, inlcuido medios de instalación y pequeño material.

Totalmente instalado, comprobado y funcionando.

A012H000	Oficial 1a electricista	4,000	h	16,22	64,88	
%NAAA0150	Gastos auxiliares	0,649	%	1,50	0,97	
UEP9caux	Inst baja tensión CT	1,000	u	850,00	850,00	

Documento visado electrónicamente con número VA07290/22
Código de validación telemática: TRLTDCFZ6TT66IJ1. Comprobación: https://cogitivalencia.gestion.es/Validacion.aspx?CVT=TRLTDCFZ6TT66IJ1

VISADO
COGITI
VALENCIA
VA07290/22
TRLTDCFZ60T66IJ1

CÓDIGO	RESUMEN	CANTIDAD	UD	PRECIO	SUBTOTAL	IMPORTE
	Suma la partida					915,85
	Costes indirectos			2,5%		22,90
	TOTAL PARTIDA					**938,75**

04.06.02 **Central incendios 2 zonas** **u**

Suministro y montaje de central microprocesada para detección de incendios, modelo AE/C5-2P de la marca Aguilera Electrónica o equivalente aprobado por DF, fabricada en ABS, según EN 54 partes 2 y 4.

Disponen de:
2 bucles de detección convencional con final de línea activo.
Control de nivel de acceso mediante llave.
2 salidas vigiladas de evacuación.
Relé de fuego (alarma general) y Relé de avería general.
Salida auxiliar de 24 Vcc.
Teclado con 6 teclas para manejo.
Modo "Prueba de zonas".
Conexión/desconexión individual de zonas de detección y zonas de evacuación.

10 leds independientes para indicación de alarmas.
Necesitan una única batería de 12V / 7Ah.
Continua supervisión de todo el sistema.
Dimensiones: 340 x 290 x 100. Peso: 2.5 Kg.

Totalmente instalado y funcionando.

A012H000	Oficial 1a electricista	0,800	h	16,22	12,98
%NAAA0150	Gastos auxiliares	0,130	%	1,50	0,20
UEP90002	Central 2 zonas	1,000	u	185,00	185,00
	Suma la partida				198,18
	Costes indirectos			2,5%	4,95
	TOTAL PARTIDA				**203,13**

04.06.03 **Detector optico-termico** **u**

Suministro y montaje de detector óptico de humos y térmico convencional modelo AE/C5-OPT de la marca Aguilera Electrónica o equivalente aprobado por DF. De ABS color blanco, formado por un elemento sensible a los humos claros, para alimentación de 12 a 30 Vcc, con doble led de activación e indicador de alarma color rojo, salida para piloto de señalización remota y base universal. Incluso elementos de fijación de la misma marca (clase A). Certificados LPCB según normas EN 54-5 y EN 54-7. Detectores de bajo perfil con diseño atractivo. Fabricados con tecnología SMD, disponen de doble indicador luminoso, salida de alarma remota y misma base intercambiable de fácil conexión. Zócalo y protector de polvo incluidos.

Conexión a 2 hilos.
Alimentación entre 15 y 35 Vcc.
Consumo: 35 mA (reposo), 80 mA (alarma).
Medidas: Ø 99 mm, altura con base incluida: 61 mm.

Totalmente instalado y funcionando.

A012H000	Oficial 1a electricista	0,800	h	16,22	12,98
%NAAA0150	Gastos auxiliares	0,130	%	1,50	0,20
UEP01132	Detector optico-termico	1,000	u	36,61	36,61
	Suma la partida				49,79
	Costes indirectos			2,5%	1,24
	TOTAL PARTIDA				**51,03**

04.06.04 **Cableado lazo 2x1,5mm2** **m**

Suministro y colocaci?n de linea de cable de cobre 2x1,5 mm2, flexible SZ1-K (AS+) de 300/500 V resistente al fuego (AS+), apantallado. Aislamiento de silicona. Libre de halógenos, no propagador de la llama ni del incendio, con baja emisi?n de gases t?xicos y nula emisi?n de gases corrosivos. Diseñado según UNE 211025. Tipo Afumex Firs detec-signal (AS+). Con un grado de protección mecánica 7 y con un incremento sobre el precio del tubo del 30% en concepto de uniones, accesorios y piezas especiales, totalmente instalado. Instalado bajo tubo de pvc rigido. Incluso p/p de accesorios de montaje de tipo HILTI, cajas de derivación, fichas de empalme y medios auxiliares. Totalmente instalado.

A012H000	Oficial 1a electricista	0,120	h	16,22	1,95
%NAAA0150	Gastos auxiliares	0,020	%	1,50	0,03
UEB22001	COND. "Cu" S0Z1-K (AS+) DETEC-SIGNAL 500V 1x1,5 mm2	2,000	m	0,50	1,00
	Suma la partida				2,98
	Costes indirectos			2,5%	0,07
	TOTAL PARTIDA				**3,05**

Documento visado electrónicamente con número: VA07290/22
Código de validación telemática TRLTDCFZ60T66IJ1. Comprobación: https://cogitivalencia.es/gestion/Validacion.aspx?CVT=TRLTDCFZ60T66IJ1

CUADRO DE DESCOMPUESTOS

CÓDIGO	RESUMEN	CANTIDAD	UD	PRECIO	SUBTOTAL	IMPORTE
04.06.05	**Extintor 89B**		**u**			
	Extintor de eficacia equivalente 89B, instalado.					
MOOE11a	Especialista electricidad	0,100	h	14,10	1,41	
A0140000	Peón	0,100	h	14,81	1,48	
%NAAA0150	Gastos auxiliares	0,029	%	1,50	0,04	
U002018.01	Extintor 89B	1,000	u	50,00	50,00	
	Suma la partida					52,93
	Costes indirectos			2,5%		1,32
	TOTAL PARTIDA					**54,25**
04.06.06	**Banqueta aislante**		**u**			
	Banqueta aislante para maniobrar aparamenta.					
MOOE11a	Especialista electricidad	0,100	h	14,10	1,41	
A0140000	Peón	0,100	h	14,81	1,48	
%NAAA0150	Gastos auxiliares	0,029	%	1,50	0,04	
U002018.B	Banqueta aislante	1,000	u	140,00	140,00	
	Suma la partida					142,93
	Costes indirectos			2,5%		3,57
	TOTAL PARTIDA					**146,50**
04.06.07	**Par de guantes de maniobra**		**u**			
	Par de guantes de maniobra					
MOOE11a	Especialista electricidad	0,100	h	14,10	1,41	
A0140000	Peón	0,100	h	14,81	1,48	
%NAAA0150	Gastos auxiliares	0,029	%	1,50	0,04	
U002018.G	Guantes maniobra	1,000	u	85,00	85,00	
	Suma la partida					87,93
	Costes indirectos			2,5%		2,20
	TOTAL PARTIDA					**90,13**
04.06.08	**Placa reglamentaria Peligro de Muerte**		**u**			
	Placa reglamentaria PELIGRO DE MUERTE, instaladas.					
MOOE11a	Especialista electricidad	0,100	h	14,10	1,41	
A0140000	Peón	0,100	h	14,81	1,48	
%NAAA0150	Gastos auxiliares	0,029	%	1,50	0,04	
U002018.pm	Placa reglamentaria Peligro de Muerte	1,000	u	10,00	10,00	
	Suma la partida					12,93
	Costes indirectos			2,5%		0,32
	TOTAL PARTIDA					**13,25**
04.06.09	**Placa reglamentaria Primeros Auxilios**		**u**			
	Placa reglamentaria PRIMEROS AUXILIOS, instalada.					
MOOE11a	Especialista electricidad	0,100	h	14,10	1,41	
A0140000	Peón	0,100	h	14,81	1,48	
%NAAA0150	Gastos auxiliares	0,029	%	1,50	0,04	
U002018.pa	Placa reglamentaria Primeros Auxilios	1,000	u	10,00	10,00	
	Suma la partida					12,93
	Costes indirectos			2,5%		0,32
	TOTAL PARTIDA					**13,25**
04.06.10	**Pruebas reglamentarias**		**u**			
	Pruebas reglamentarias de las Tensiones de Paso y Contacto de las tierras de Protección.					
A012H000	Oficial 1a electricista	2,000	h	16,22	32,44	
MOOE11a	Especialista electricidad	2,000	h	14,10	28,20	
%NAAA0150	Gastos auxiliares	0,606	%	1,50	0,91	
U001003.vpc	Pruebas reglamentarias	1,000	u	300,00	300,00	
	Suma la partida					361,55
	Costes indirectos			2,5%		9,04
	TOTAL PARTIDA					**370,59**

VISADO COGITI VALENCIA VA07290/22 TRLTDCFZ60T66IJ1
Documento visado electrónicamente con número: VA07290/22
Código de validación telemática: TRLTDCFZ60T66IJ1. Comprobación: https://ogitivalencia.e-gestion.es/Validacion.aspx?V=TRLTDCFZ60T66IJ1

CUADRO DE DESCOMPUESTOS

CÓDIGO	RESUMEN	CANTIDAD	UD	PRECIO	SUBTOTAL	IMPORTE
04.06.11	**Legalización instalación**		**u**			
	Legalización de la instalacion, consistente en la redacción del proyecto así como toda la documentación necesaria a presentar ante el Servicio Territorial de Industria de Valencia para su inscripción en el resgitro.					
U001005.01ct	Legalización CT	1,000	u	1.000,00	1.000,00	
	Suma la partida					1.000,00
	Costes indirectos				2,5%	25,00
	TOTAL PARTIDA					**1.025,00**

VISADO
COGITI
TRLTDCFZ60T66IJ1
VALENCIA
VA07290/22

Documento visado electrónicamente con número: VA07290/22
Código de validación telemática TRLTDCFZ60T66IJ1. Comprobación: https://cogitivalencia.e-gestion.es/Validacion.aspx?CVT=TRLTDCFZ60T66IJ1

VISADO
COGITI
VALENCIA
VA07290/22
TRLTDCFZ60T66IJ1

CÓDIGO	RESUMEN	CANTIDAD	UD	PRECIO	SUBTOTAL	IMPORTE
05	**INSTALACIÓN CT GENERACIÓN PARTICULAR 2x1250 KVA V.C.T.-FV 043.2**					
05.01	**OBRA CIVIL**					
05.01.01	**Edificio prefabricado PFU-7 c/ ventilación forzada**		**u**			
	Edificio prefabricado constituido por una envolvente, de estructura monobloque, de hormigón armado, tipo PFU-7/20 de la marca Ormazabal o equivalente aprobado por DF, con ventilación forzada, de dimensiones generales aproximadas 8.100 mm de largo por 2200 mm de fondo por 2.500 mm de altura útil. Incluso cuadro electrico para alimentación de los servicios auxiliares, alumbrado interior, toma de corriente, extractores, termostato, central de incendios. Incluye el edificio y todos sus elementos exteriores según CEI 622171-202, transporte, montaje y accesorios					
A012H000	Oficial 1a electricista	4,000	h	16,22	64,88	
MOOE11a	Especialista electricidad	4,000	h	14,10	56,40	
A0140000	Peón	2,000	h	14,81	29,62	
MMMG12a	Grúa autopropulsada 12T	1,000	h	57,33	57,33	
%NAAA0150	Gastos auxiliares	2,082	%	1,50	3,12	
U002003.pf7	Edificio prefabricado PFU-7 c/pta lateral y ventilación forzada	1,000	u	13.955,61	13.955,61	
	Suma la partida					14.166,96
	Costes indirectos			2,5%		354,17
	TOTAL PARTIDA					**14.521,13**
05.02	**APARAMENTA ALTA TENSIÓN**					
05.02.01	**Celda de Interruptor de Linea CGMCOSMOS-I**		**u**			
	Suministro y montaje de celda de interruptor de línea modelo CGMCOSMOS-I de la marca Ormazabal o equivalente aprobado por DF, con interruptor-seccionador en SF6 de 400A con mando CIT manual, seccionador de puesta a tierra, juego de barras tripolar e indicadores testigo presencia de tensión instalados.					
A012H000	Oficial 1a electricista	4,000	h	16,22	64,88	
MOOE11a	Especialista electricidad	4,000	h	14,10	56,40	
A0140000	Peón	4,000	h	14,81	59,24	
MMMG12a	Grúa autopropulsada 12T	1,000	h	57,33	57,33	
%NAAA0150	Gastos auxiliares	2,379	%	1,50	3,57	
U002002.01	Celda modular de línea	1,000	u	2.954,00	2.954,00	
	Suma la partida					3.195,42
	Costes indirectos			2,5%		79,89
	TOTAL PARTIDA					**3.275,31**
05.02.02	**Celda de Protección CGMCOSMOS-V**		**u**			
	Suministro y montaje de celda con función disyuntor modelo CGMCOSMOS-V de la marca Ormazabal o equivalente aprobado por DF, con seccionador en SF6, relé de protección ekor.rpg, sistema de puesta a tierra, captadores de intensidad y enclavamientos instalados.					
A012H000	Oficial 1a electricista	8,000	h	16,22	129,76	
MOOE11a	Especialista electricidad	8,000	h	14,10	112,80	
A0140000	Peón	6,000	h	14,81	88,86	
MMMG12a	Grúa autopropulsada 12T	1,000	h	57,33	57,33	
%NAAA0150	Gastos auxiliares	3,888	%	1,50	5,83	
U002003.01	Celda protección trafo	1,000	u	15.871,57	15.871,57	
	Suma la partida					16.256,15
	Costes indirectos			2,5%		406,65
	TOTAL PARTIDA					**16.672,80**
05.02.03	**Celda de Medida CGMCOSMOS-M**		**u**			
	Suministro y montaje de celda de medida modelo CGMCOSMOS-M de la marca Ormazabal o equivalente aprobado por DF, equipada tres transformadores de intensidad y tres de tensión, de doble secundario, entrada y salida por cable seco, según características detalladas en memoria, instalados.					
A012H000	Oficial 1a electricista	6,000	h	16,22	97,32	
MOOE11a	Especialista electricidad	6,000	h	14,10	84,60	
A0140000	Peón	6,000	h	14,81	88,86	
MMMG12a	Grúa autopropulsada 12T	1,000	h	57,33	57,33	
%NAAA0150	Gastos auxiliares	3,281	%	1,50	4,92	
U002003.01m	Celda medida	1,000	u	8.590,05	8.590,05	
	Suma la partida					8.923,08
	Costes indirectos			2,5%		223,08
	TOTAL PARTIDA					**9.146,16**

Documento visado electrónicamente con número: VA07290/22
Código de validación telemática TRLTDCFZ60T66IJ1 comprobación: https://cogitivalencia.e-gestion.es/Validacion.aspx?CV=TRLTDCFZ60T66IJ1

VISADO COGITI VALENCIA VA07290/22 TRLTDCFZ60T66IJ1

CÓDIGO	RESUMEN	CANTIDAD	UD	PRECIO	SUBTOTAL	IMPORTE
05.02.04	**Celda de Protección y medida de tensión CGMCOSMOS-P**		**u**			
	Suministro y montaje de celda de protección y medida de tensión en barras modelo CGMCOSMOS-P de la marca Ormazabal o equivalente aprobado por DF, con interruptor-seccionador en SF6 de 400A con mando CIT manual, seccionador de puesta a tierra, juego de barras tripolar e indicadores testigo presencia de tensión instalados. Equipada con tres tranaformadores de tensión. Totalmente instalado.					
A012H000	Oficial 1a electricista	6,000	h	16,22	97,32	
MOOE11a	Especialista electricidad	6,000	h	14,10	84,60	
A0140000	Peón	6,000	h	14,81	88,86	
MMMG12a	Grúa autopropulsada 12T	1,000	h	57,33	57,33	
%NAAA0150	Gastos auxiliares	3,281	%	1,50	4,92	
U002453.01m	Celda protección y medida de tensión	1,000	u	7.987,58	7.987,58	
	Suma la partida					8.320,61
	Costes indirectos			2,5%		208,02
	TOTAL PARTIDA					**8.528,63**
05.02.05	**Analizador de redes CVM-A 1500**		**u**			
	Suministro e instalación de analizador de redes para panel de medida indirecta, para panel en formato 96x96 o 144x144, modelo CVM-A1500 de la marca Circutor o equivalente aprobado por DF. Gran versatilidad en su modo de conexión para ser instalado en diferentes sistemas eléctricos con diversas configuraciones de conexión a red, Trifásico 3, 4 hilos, dos fases con o sin neutro, conexión ARON o conexión a red monofásica. Protección IP66 de larga durabilidad, teclado táctil retro-iluminado con tres teclas y la serigrafía de las teclas debe ser perpetua. El interfaz con el dispositivo para el acceso a la información completo y funcional para selección de datos a visualizar de forma rápida. Impide la configuración del equipo por personas ajenas a la instalación gracias a protección por contraseña o PIN. El dispositivo muestra por pantalla de forma clara parámetros trifásicos compuestos y por fase. El dispositivo muestra de forma clara dos medidas de consumo de energía, kWh procedentes de hasta tres distintas fuentes, con sus correspondientes conversiones a coste y emisiones en KgCO2 por pantalla. Dispone de dos salidas a transistor que podrán ser configuradas como Alarma por parámetros instantáneos que el equipo mide, o como generación de señal de impulsos relacionados con los consumos del equipo, ya sean kWh, Coste de la energía o Emisiones de CO2. Dispone de dos salidas a relé para ser configuradas como Alarma por parámetros instantáneos que el equipo mide. Integra comunicaciones RS485 con protocolo MODBUS y BACNET que pueden ser seleccionablesexpandible con hasta 4 módulos con diferentes opciones de entrada/salida o comunicaciones.permite el registro de datos con fecha y hora Dispone de servidor WEB integrado para monitorizar tanto datos en tiempo real como visualización de datos históricos en forma gráfica o de tabla en cualquier navegador de internet convencional Dispone de servidor XML integrado para comunicación e integración, tanto datos en tiempo real como visualización de datos históricos, en sistemas informáticos remotos. Incluso p.p. de material auxiliar. Totalmente instalado y funcionando.					
A012H000	Oficial 1a electricista	4,000	h	16,22	64,88	
MOOE11a	Especialista electricidad	4,000	h	14,10	56,40	
%NAAA0150	Gastos auxiliares	1,213	%	1,50	1,82	
U002003.ar	Analizador de redes	1,000	u	1.480,00	1.480,00	
	Suma la partida					1.603,10
	Costes indirectos			2,5%		40,08
	TOTAL PARTIDA					**1.643,18**
05.03	**APARAMENTA BAJA TENSIÓN**					
05.03.01	**Juego de Puentes de Cables AT**		**u**			
	Suministro e instalación de juego de puentes III de cables AT unipolares de aislamiento seco RHZ1, aislamiento 12/20 kV, de 95 mm2 en Al con sus correspondientes elementos de conexión.					
A012H000	Oficial 1a electricista	2,000	h	16,22	32,44	
MOOE11a	Especialista electricidad	2,000	h	14,10	28,20	
A0140000	Peón	1,000	h	14,81	14,81	
%NAAA0150	Gastos auxiliares	0,755	%	1,50	1,13	
U002012.01	Puente de interconexión en MT	1,000	u	870,00	870,00	
	Suma la partida					946,58
	Costes indirectos			2,5%		23,66
	TOTAL PARTIDA					**970,24**

Documento visado electrónicamente con número: VA07290/22 Código de validación telemática TRLTDCFZ60T66IJ1. Comprobación: https://cogitivalencia.e-gestion.es/Validacion.aspx?CVT=TRLTDCFZ60T66IJ1

VISADO COGITI VALENCIA VAQ7290/22 TRLTDCFZ60T66IJ1

CÓDIGO	RESUMEN	CANTIDAD	UD	PRECIO	SUBTOTAL	IMPORTE
05.03.02	**Juego de Puentes de Cables BT**		**u**			
	Suministro e instalación de juego de puentes de cables BT unipolares de aislamiento seco 0.6/1 kV de Cu, de 4x240mm² de sección para las fases y neutro y demás características según memoria.					
A012H000	Oficial 1a electricista	3,000	h	16,22	48,66	
MOOE11a	Especialista electricidad	3,000	h	14,10	42,30	
A0140000	Peón	1,000	h	14,81	14,81	
%NAAA0150	Gastos auxiliares	1,058	%	1,50	1,59	
U002013.01	Puente de interconexión en BT 1600KVA	1,000	u	2.558,00	2.558,00	
	Suma la partida					2.665,36
	Costes indirectos			2,5%		66,63
	TOTAL PARTIDA					**2.731,99**
05.03.03	**Cuadro protección salida BT**		**u**			
	Suministro e instalación de Cuadro de Baja Tensión modelo Prisma Plus de la marca Schneider Electric o equivalente aprobado por DF, para protección de salida de transformador conteniendo un interruptor automático modelo NS, tetrapolar, de calibre 1600 A regulable, con unidad de control micrologic 5.0A, incluso bancada. Totalmente instalado y funcionando.					
A012H000	Oficial 1a electricista	3,000	h	16,22	48,66	
MOOE11a	Especialista electricidad	3,000	h	14,10	42,30	
A0140000	Peón	2,000	h	14,81	29,62	
MMMG12a	Grúa autopropulsada 12T	2,000	h	57,33	114,66	
%NAAA0150	Gastos auxiliares	2,352	%	1,50	3,53	
U002006.01	Cuadro BT 1600 KVA	1,000	u	4.220,00	4.220,00	
	Suma la partida					4.458,77
	Costes indirectos			2,5%		111,47
	TOTAL PARTIDA					**4.570,24**
05.03.04	**Alimentación CS Auxiliares VCT-FV 043.1**		**u**			
	Suministro y montaje de alimentación electrica en BT al cuadro electrico de auxiliares del VCT-FV 043.1 desde CT de cliente, mediante cable unipolar de cobre recocido RZ1-K 0,6/1 kV (AS), reacción al fuego clase Cca-s1b,d1,a1, aislamiento de polietileno reticulado (XLPE), de tipo DIX3, cubierta de poliolefina termoplástica, de tipo Afumex Z1, de color verde, sección 6 mm² para fases, neutro y tierra (3x6mm2), de la marca Prysmian o equivalente aprobado por DF, no propagadores del incendio, con emisión de humos y opacidad reducida, libre de halogenos, s/ UNE 21.123-4, instalada bajo tubo tipo de PVC de 40mm de diámetro. incluso p.p. de accesorios de fijación, terminales, tornillos. Incluso mano de obra, replanteos, limpieza previa, y ayudas de albañileria que se precisen, así como la utilización de herramientas y medios auxiliares que se precisen, manipulación, retirada de material sobrante y limpieza posterior etc. Se entiende material totalmente instalado y verificado.					
A012H000	Oficial 1a electricista	2,000	h	16,22	32,44	
MOOE11a	Especialista electricidad	2,000	h	14,10	28,20	
A0140000	Peón	2,000	h	14,81	29,62	
%NAAA0150	Gastos auxiliares	0,903	%	1,50	1,35	
U002ax006.01	Alimentación CS Auxiliares CT Generación	1,000	u	670,45	670,45	
	Suma la partida					762,06
	Costes indirectos			2,5%		19,05
	TOTAL PARTIDA					**781,11**
05.04	**TRANSFORMADORES**					
05.04.01	**Transformador trifásico de 1250 KVA éster 0.80/20 kV**		**u**			
	Suministro e instalación de transformador trifásico elevador tipo refrigeración éster biodegradable, Ormazabal o equivalente aprobado por D.F, según Norma UNE 21538 y UNE 548/2014 de Ecodiseño. Bobinado AT continuo de gradiente lineal sin entrecapas. Bobinado BT con ensayo frecuencia industrial 10kV. Ensayos climáticos E3, C3, F1. Potencia nominal: 1250 kVA. Relación: 0.80/20 kV. Tensión secundaria vacío: 800 V. Tensión cortocircuito: 6%. Regulación: +/-2,5%, +/-5%, +/-10% . Grupo conexión: Dyn11. Dotado de equipo de sondas PT100 para protección térmica, bornero de conexión y termometro digital (conjunto proteccion termica tipo T que permite visualizar digitalmente las temperaturas de los bobinados) PARA PROTECCIÓN TÉRMICA DEL TRANSFORMADOR y sus conexiones a la alimentación y al elemento disparador de la protección correspondiente, debidamente protegidas contra sobreintensidades. Totalmente montado e instalado.					
A012H000	Oficial 1a electricista	8,000	h	16,22	129,76	
MOOE11a	Especialista electricidad	8,000	h	14,10	112,80	
A0140000	Peón	8,000	h	14,81	118,48	
MMMG12a	Grúa autopropulsada 12T	4,000	h	57,33	229,32	
%NAAA0150	Gastos auxiliares	5,904	%	1,50	8,86	

Documento visado electrónicamente con número: VAQ7290/22
Código de validación telemática TRLTDCFZ60T66IJ1. Comprobación: https://cogitivalencia.gestiona.com/Validacion.aspx?CVT=TRLTDCFZ60T66IJ1

VISADO
COGITI
VALENCIA
VA07290/22

CÓDIGO	RESUMEN	CANTIDAD	UD	PRECIO	SUBTOTAL	IMPORTE
U002005.0125	Trasnformador trifásico 1600kva	1,000	u	18.771,58	18.771,58	
	Suma la partida					19.370,80
	Costes indirectos				2,5%	484,27
	TOTAL PARTIDA					**19.855,07**

05.05 SISTEMA DE PUESTA A TIERRA

05.05.01 **Tierras Exteriores de Servicio (Neutro)** **u**

Suministro e instalación de tierras exteriores código 5/62 Unesa, incluyendo 6 picas de 2,00 m. de longitud, cable de cobre desnudo, cable de cobre aislado de 0,6/1kV y elementos de conexión, instalado, según se describe en proyecto.

TTPROT	Tierras Exteriores de Protección (Herrajes)	1,000	u	1.859,16	1.859,16	
TTINT	Tierras Interiores	1,000	u	850,77	850,77	
	Suma la partida					2.709,93
	Costes indirectos				2,5%	67,75
	TOTAL PARTIDA					**2.777,68**

05.05.02 **Tierras Exteriores de Protección (Herrajes)** **u**

Suministro e instalación de tierras exteriores código 40-30/5/42 Unesa, incluyendo 4 picas de 2,00 m. de longitud, cable de cobre desnudo, cable de cobre aislado de 0,6/1kV y elementos de conexión, instalado, según se describe en proyecto.

A012H000	Oficial 1a electricista	4,000	h	16,22	64,88	
MOOE11a	Especialista electricidad	4,000	h	14,10	56,40	
A0140000	Peón	2,000	h	14,81	29,62	
%NAAA0150	Gastos auxiliares	1,509	%	1,50	2,26	
U002009.01	Tierras exteriores. Tierra de protección	1,000	u	1.706,00	1.706,00	
	Suma la partida					1.859,16
	Costes indirectos				2,5%	46,48
	TOTAL PARTIDA					**1.905,64**

05.05.03 **Tierras Interiores** **u**

Suministro e instalación de tierras interiores para poner en continuidad con las tierras exteriores, formado por cable de 50mm2 de Cu desnudo para la tierra de protección y aislado para la de servicio, con sus conexiones y cajas de seccionamiento, instalado, según memoria.

A012H000	Oficial 1a electricista	1,000	h	16,22	16,22	
MOOE11a	Especialista electricidad	1,000	h	14,10	14,10	
%NAAA0150	Gastos auxiliares	0,303	%	1,50	0,45	
U002015.01i	Tierras interiores	1,000	u	820,00	820,00	
	Suma la partida					850,77
	Costes indirectos				2,5%	21,27
	TOTAL PARTIDA					**872,04**

05.06 VARIOS

05.06.01 **Instalación baja tensión CT** **u**

Instalación de baja tensión interior del centro de transformación, compuesta por lo siguientes elementos:

- Armario Cofret G de Schneider IP42 con puerta transparente, conteniendo en su interior la siguiente aparamenta.
- 1 Interruptor Magnetotermico de cabecera C60N 2P 32A
- 1 Interruptor diferencia de cabecera 2P 40A 300mA
- 1 Interruptor Magnetotermico C60N 2P 10A línea alumbrado
- 1 Interruptor Magnetotermico C60N 2P 16A línea toma de corriente
- 1 Interruptor Magnetotermico C60N 2P 16A línea otros usos
- 1 Interruptor Magnetotermico C60N 2P 16A línea otros usos

- Interruptor estanco 16A
- Toma de corriente estanca 16A Monofásica
- 2 Pantallas LED etsancas modelo WT120C LED60S/840 L1500 de Philips
- 1 Luminaria de emergencia estanca 150Lum
- Líneas 2x2,5mm² + TT H07Z1 y tubos PCV líbres de halógenos diametro 16, para instalación equipos, inlcuido medios de instalación y pequeño material.

Totalmente instalado, comprobado y funcionando.

A012H000	Oficial 1a electricista	4,000	h	16,22	64,88	
%NAAA0150	Gastos auxiliares	0,649	%	1,50	0,97	
UEP9caux	Inst baja tensión CT	1,000	u	850,00	850,00	

Documento visado electrónicamente con número VA07290/22
Código de validación telemática: TRLTDCFZ607T66IJ1. Comprobación: https://cogitivalencia.gestion.es/Validacion.aspx?CVT=TRLTDCFZ607T66IJ1

VISADO
COGITI
VALENCIA
VA07290/22
TRLTDCFZ60T66IJ1

CÓDIGO	RESUMEN	CANTIDAD	UD	PRECIO	SUBTOTAL	IMPORTE
	Suma la partida					915,85
	Costes indirectos			2,5%		22,90
	TOTAL PARTIDA					**938,75**

05.06.02 **Central incendios 2 zonas** **u**

Suministro y montaje de central microprocesada para detección de incendios, modelo AE/C5-2P de la marca Aguilera Electrónica o equivalente aprobado por DF, fabricada en ABS, según EN 54 partes 2 y 4.

Disponen de:
2 bucles de detección convencional con final de línea activo.
Control de nivel de acceso mediante llave.
2 salidas vigiladas de evacuación.
Relé de fuego (alarma general) y Relé de avería general.
Salida auxiliar de 24 Vcc.
Teclado con 6 teclas para manejo.
Modo "Prueba de zonas".
Conexión/desconexión individual de zonas de detección y zonas de evacuación.

10 leds independientes para indicación de alarmas.
Necesitan una única batería de 12V / 7Ah.
Continua supervisión de todo el sistema.
Dimensiones: 340 x 290 x 100. Peso: 2.5 Kg.

Totalmente instalado y funcionando.

A012H000	Oficial 1a electricista	0,800	h	16,22	12,98
%NAAA0150	Gastos auxiliares	0,130	%	1,50	0,20
UEP90002	Central 2 zonas	1,000	u	185,00	185,00
	Suma la partida				198,18
	Costes indirectos			2,5%	4,95
	TOTAL PARTIDA				**203,13**

05.06.03 **Detector optico-termico** **u**

Suministro y montaje de detector óptico de humos y térmico convencional modelo AE/C5-OPT de la marca Aguilera Electrónica o equivalente aprobado por DF. De ABS color blanco, formado por un elemento sensible a los humos claros, para alimentación de 12 a 30 Vcc, con doble led de activación e indicador de alarma color rojo, salida para piloto de señalización remota y base universal. Incluso elementos de fijación de la misma marca (clase A). Certificados LPCB según normas EN 54-5 y EN 54-7. Detectores de bajo perfil con diseño atractivo. Fabricados con tecnología SMD, disponen de doble indicador luminoso, salida de alarma remota y misma base intercambiable de fácil conexión. Zócalo y protector de polvo incluidos.

Conexión a 2 hilos.
Alimentación entre 15 y 35 Vcc.
Consumo: 35 mA (reposo), 80 mA (alarma).
Medidas: Ø 99 mm, altura con base incluida: 61 mm.

Totalmente instalado y funcionando.

A012H000	Oficial 1a electricista	0,800	h	16,22	12,98
%NAAA0150	Gastos auxiliares	0,130	%	1,50	0,20
UEP01132	Detector optico-termico	1,000	u	36,61	36,61
	Suma la partida				49,79
	Costes indirectos			2,5%	1,24
	TOTAL PARTIDA				**51,03**

05.06.04 **Cableado lazo 2x1,5mm2** **m**

Suministro y colocaci?n de linea de cable de cobre 2x1,5 mm2, flexible SZ1-K (AS+) de 300/500 V resistente al fuego (AS+), apantallado. Aislamiento de silicona. Libre de halógenos, no propagador de la llama ni del incendio, con baja emisi?n de gases t?xicos y nula emisi?n de gases corrosivos. Diseñado según UNE 211025. Tipo Afumex Firs detec-signal (AS+). Con un grado de protección mecánica 7 y con un incremento sobre el precio del tubo del 30% en concepto de uniones, accesorios y piezas especiales, totalmente instalado. Instalado bajo tubo de pvc rigido. Incluso p/p de accesorios de montaje de tipo HILTI, cajas de derivación, fichas de empalme y medios auxiliares. Totalmente instalado.

A012H000	Oficial 1a electricista	0,120	h	16,22	1,95
%NAAA0150	Gastos auxiliares	0,020	%	1,50	0,03
UEB22001	COND. "Cu" S0Z1-K (AS+) DETEC-SIGNAL 500V 1x1,5 mm2	2,000	m	0,50	1,00
	Suma la partida				2,98
	Costes indirectos			2,5%	0,07
	TOTAL PARTIDA				**3,05**

Documento visado electrónicamente con número: VA07290/22
Código de validación telemática TRLTDCFZ60T66IJ1. Comprobación: https://cogitivalencia.es/gestion/Validacion.aspx?CVT=TRLTDCFZ60T66IJ1

CUADRO DE DESCOMPUESTOS

CÓDIGO	RESUMEN	CANTIDAD	UD	PRECIO	SUBTOTAL	IMPORTE
05.06.05	**Extintor 89B**		**u**			
	Extintor de eficacia equivalente 89B, instalado.					
MOOE11a	Especialista electricidad	0,100	h	14,10	1,41	
A0140000	Peón	0,100	h	14,81	1,48	
%NAAA0150	Gastos auxiliares	0,029	%	1,50	0,04	
U002018.01	Extintor 89B	1,000	u	50,00	50,00	
	Suma la partida					52,93
	Costes indirectos			2,5%		1,32
	TOTAL PARTIDA					**54,25**
05.06.06	**Banqueta aislante**		**u**			
	Banqueta aislante para maniobrar aparamenta.					
MOOE11a	Especialista electricidad	0,100	h	14,10	1,41	
A0140000	Peón	0,100	h	14,81	1,48	
%NAAA0150	Gastos auxiliares	0,029	%	1,50	0,04	
U002018.B	Banqueta aislante	1,000	u	140,00	140,00	
	Suma la partida					142,93
	Costes indirectos			2,5%		3,57
	TOTAL PARTIDA					**146,50**
05.06.07	**Par de guantes de maniobra**		**u**			
	Par de guantes de maniobra					
MOOE11a	Especialista electricidad	0,100	h	14,10	1,41	
A0140000	Peón	0,100	h	14,81	1,48	
%NAAA0150	Gastos auxiliares	0,029	%	1,50	0,04	
U002018.G	Guantes maniobra	1,000	u	85,00	85,00	
	Suma la partida					87,93
	Costes indirectos			2,5%		2,20
	TOTAL PARTIDA					**90,13**
05.06.08	**Placa reglamentaria Peligro de Muerte**		**u**			
	Placa reglamentaria PELIGRO DE MUERTE, instaladas.					
MOOE11a	Especialista electricidad	0,100	h	14,10	1,41	
A0140000	Peón	0,100	h	14,81	1,48	
%NAAA0150	Gastos auxiliares	0,029	%	1,50	0,04	
U002018.pm	Placa reglamentaria Peligro de Muerte	1,000	u	10,00	10,00	
	Suma la partida					12,93
	Costes indirectos			2,5%		0,32
	TOTAL PARTIDA					**13,25**
05.06.09	**Placa reglamentaria Primeros Auxilios**		**u**			
	Placa reglamentaria PRIMEROS AUXILIOS, instalada.					
MOOE11a	Especialista electricidad	0,100	h	14,10	1,41	
A0140000	Peón	0,100	h	14,81	1,48	
%NAAA0150	Gastos auxiliares	0,029	%	1,50	0,04	
U002018.pa	Placa reglamentaria Primeros Auxilios	1,000	u	10,00	10,00	
	Suma la partida					12,93
	Costes indirectos			2,5%		0,32
	TOTAL PARTIDA					**13,25**
05.06.10	**Pruebas reglamentarias**		**u**			
	Pruebas reglamentarias de las Tensiones de Paso y Contacto de las tierras de Protección.					
A012H000	Oficial 1a electricista	2,000	h	16,22	32,44	
MOOE11a	Especialista electricidad	2,000	h	14,10	28,20	
%NAAA0150	Gastos auxiliares	0,606	%	1,50	0,91	
U001003.vpc	Pruebas reglamentarias	1,000	u	300,00	300,00	
	Suma la partida					361,55
	Costes indirectos			2,5%		9,04
	TOTAL PARTIDA					**370,59**

VISADO COGITI
TRLTDCFZ60T66IJ1
VALENCIA
VA07290/22
Documento visado electrónicamente con número: VA07290/22
Código de validación telemática: TRLTDCFZ60T66IJ1. Comprobación: https://cogitivalencia.e-gestion.es/Validacion.aspx?V=TRLTDCFZ60T66IJ1

CUADRO DE DESCOMPUESTOS

CÓDIGO	RESUMEN	CANTIDAD	UD	PRECIO	SUBTOTAL	IMPORTE
05.06.11	**Legalización instalación**		**u**			
	Legalización de la instalacion, consistente en la redacción del proyecto así como toda la documentación necesaria a presentar ante el Servicio Territorial de Industria de Valencia para su inscripción en el resgitro.					
U001005.01ct	Legalización CT	1,000	u	1.000,00	1.000,00	
	Suma la partida					1.000,00
	Costes indirectos				2,5%	25,00
	TOTAL PARTIDA					**1.025,00**

VISADO
COGITI
VALENCIA
VA07290/22
TRLTDCFZ60T66IJ1
Documento visado electrónicamente con número: VA07290/22
Código de validación telemática TRLTDCFZ60T66IJ1. Comprobación: https://cogitivalencia.e-gestion.es/Validacion.aspx?CVT=TRLTDCFZ60T66IJ1

CUADRO DE DESCOMPUESTOS

VISADO
COGITI
VALENCIA
VA07290/22
TRLTDCFZ60T66IJ1

CÓDIGO	RESUMEN	CANTIDAD	UD	PRECIO	SUBTOTAL	IMPORTE
06	**INSTALACIÓN PREFABRICADO PARA COMUNICACIONES V.R.-FV 043.1**					
06.01	**OBRA CIVIL**					
06.01.01	**Edificio prefabricado PFU-5**		**u**			
	Edificio prefabricado constituido por una envolvente, de estructura monobloque, de hormigón armado, tipo PFU-5 de la marca Ormazabal o equivalente aprobado por DF, con ventilación forzada, de dimensiones generales aproximadas 6080 mm de largo por 2380 mm de fondo por 2.585 mm de altura útil. Incluso cuadro electrico para alimentación de los servicios auxiliares, alumbrado interior, toma de corriente, extractores, termostato, central de incendios. Incluye el edificio y todos sus elementos exteriores según CEI 622171-202, transporte, montaje y accesorios					
A012H000	Oficial 1a electricista	4,000	h	16,22	64,88	
MOOE11a	Especialista electricidad	4,000	h	14,10	56,40	
A0140000	Peón	2,000	h	14,81	29,62	
MMMG12a	Grúa autopropulsada 12T	1,000	h	57,33	57,33	
%NAAA0150	Gastos auxiliares	2,082	%	1,50	3,12	
U002003.pf5	Edificio prefabricado PFU-5 c/pta lateral y ventilación forzada	1,000	u	7.847,25	7.847,25	
	Suma la partida					8.058,60
	Costes indirectos			2,5%		201,47
	TOTAL PARTIDA					**8.260,07**
06.02	**VARIOS**					
06.02.01	**Cuadro de Comunicaciones (Estandarizado APV)**		**u**			
	Suministro e instalación de Cuadro de comunicaciones, que incluye los siguientes elementos: Envolvente metálica mural de medidas: 760x760x300mm, referencia 1073.500, marca RITTAL Protección eléctrica general, formada por: - Interruptor magnetotérmico 2P, 6kA, 16A, curva C, referencia: 5SL6216-7, marca SIEMENS - Interruptor Diferencial, 2P, Clase AC, 25A, 300mA, referencia: 5SV4612-0, marca SIEMENS - 2 uds. Interruptor magnetotérmico. 2P, 6kA, 10A, curva C, referencia; 5SL6210-7, marca SIEMENS - 3 uds. Contacto auxiliar 1NA+1NC para interruptor automático, referencia: 5ST3010, marca SIEMENS - Enchufe SHUKO 2P+T 16A, referencia: A9A15310, marca: MG - Sensor inductivo para detección de puerta cerrada, referencia: XS4P18PA340, marca SCHNEIDER - Piloto verde para señalización de tensión OK, referencia: ZB4-BV033 y ZB4-BVB3, marca: SCHNEIDER - Piloto rojo para señalización de fallo térmico, referencia: ZB4-BV043 y ZB4-BVB4, marca: SCHNEIDER - Piloto rojo para señalización de fallo SAI, referencia: ZB4-BV043 y ZB4-BVB4, marca: SCHNEIDER - Piloto amarillo para señalización de puerta cerrada, referencia: ZB4-BV053 y ZB4-BVB5, marca: SCHNEIDER - Fuente de alimentación de 10A, referencia: 6EP1334-2BA20, marca: SIEMENS - Módulo cargador DC-SAI 24V / 15A, referencia: 6EP1931-2EC21, marca: SIEMENS - Módulo de batería de 24V/ 7 Ah, referencia: 6EP1935-6ME21, marca: SIEMENS - Switch de comunicaciones XM408-8C para la red de Giga, referencia: 6GK5408-8GS00-2AM2, marca: SIEMENS - 2 uds. trasceptor de fibra óptica monomodo, referencia: 6GK5992-1AM00-8AA0, marca: SIEMENS Totalmente instalado y funcionando.					
A012H000	Oficial 1a electricista	6,000	h	16,22	97,32	
MOOE11a	Especialista electricidad	6,000	h	14,10	84,60	
A0140000	Peón	6,000	h	14,81	88,86	
MMMG12a	Grúa autopropulsada 12T	1,000	h	57,33	57,33	
%NAAA0150	Gastos auxiliares	3,281	%	1,50	4,92	
U002004.01	Cuadro de Comunicaciones	1,000	u	10.072,00	10.072,00	
	Suma la partida					10.405,03
	Costes indirectos			2,5%		260,13
	TOTAL PARTIDA					**10.665,16**
06.02.02	**Nuevo Armario PLC c/periferia distribuida**		**u**			
	Suministro e instalación de Cuadro de PLC, alimentado a 230V que incluye los siguientes elementos:					

Documento visado electrónicamente con número: VA07290/22
Código de validación telemática TRLTDCFZ60T66IJ1. Comprobación: https://cogitivalencia.e-gestion.es/Validacion.aspx?CV=TRLTDCFZ60T66IJ1

VISADO
COGITI
VALENCIA
VA07290/22
TRLTDCFZ60T66IJ1

- Envolvente metálica de medidas: 1000x1000x300mm+PM (IP66), referencia 1110.500, marca RITTAL
- 1 Portaesquemas DIN A4 (254x228x17mm), referencia 2514.000, marca RITTAL

- 1 INT. 2P, MAGNETO, 6KA, 10A, CURVA, ref. C 5SL6210-7, marca SIEMENS
- 2 INT. 2P, MAGNETO, 6KA, 10A, CURVA C ref. 2514.000 marca RITTAL
- 2 INT. 1P, MAGNETO, 6KA, 10A, CURVA C ref. 5SL6110-7 marca SIEMENS

- 2 INTERR. AUXILIAR CORRIENTE 1C+1A, P. INTERR.PROT. T=70MM ref. 5SL6206-7 marca SIEMENS

- 2 TRANSFORMADOR 230/230, 250VA ref. PD250 marca POLYLUX

- ENCHUFE SHUKO 2P+T 16A ref. A9A15310 marca SCHNEIDER

- 1 SITOP, DC-SAI 24V / 15A, PARA USAR JUNTO CON MÓDULOS DE BATERÍA ref. 6EP1931-2EC21 marca SIEMENS

- 1 SITOP, MÓDULO DE BATERÍA DE 24V/ 7 AH, CON BATERÍAS SELLADAS DE PLOMO-ÁCIDO LIBRES DE MANTENIMIENTO ref. 6EP1935-6ME21 marca SIEMENS

- 1 SITOP SMART, PSU100S 24 V / 10 A FUENTE DE ALIMENTACIÓN ref. 6EP1334-2BA20 marca SIEMENS

- 1 SENSOR INDUCTIVO NA XS4P18PA340 ref. ZB4-BV033 marca SCHNEIDER

- 1 CABEZA PILOTO VERDE ref. ZB4-BV033 marca SCHNEIDER
- 1 CUERPO PILOTO VERDE 220 VAC ref. ZB4-BVM3 marca SCHNEIDER
- 2 CABEZA PILOTO ROJO ZB4-BV043 marca SCHNEIDER

- 2 CUERPO COMPLETO PILOTO ROJO (BASE+LED) ref. ZB4-BVB4 marca SCHNEIDER

- 1 CABEZA PILOTO VERDE ref. ZB4-BV033 marca SCHNEIDER

- 1 CUERPO COMPLETO PILOTO VERDE (BASE+LED) ref. ZB4-BVB3 marca SCHNEIDER

- 1 CABEZA PILOTO AMARILLO ref. ZB4-BV053 SCHNEIDER

- 1 CUERPO COMPLETO PILOTO AMARILLO (BASE+LED) ref. ZB4-BVB5 marca SCHNEIDER

- 5 PORTAETIQUETAS PILOTOS ZBY 6102 marca SCHNEIDER

- 1 POMO PUERTA CON LLAVE SZ2575 SZ2575 marca

- 1 FUENTE ALIMENTACION 220Vac/24Vdc, 10A 6P1334-2BA20 marca SIEMENS

- 1 DC-SAI 24V/ 15 A 6EP1931-2EC21 marca SIEMENS

- 1 MODULO DE BATERIA 24V/7Ah 6EP1935-6ME21 marca SIEMENS

- 1 CPU1512SP-1PN 6ES7512-1DK01-0AB0 marca SIEMENS
- 1 TARJETA DE MEMORIA 6ES7954-8LE03-0AA0 marca SIEMENS

- 2 MODULO 16 ED 6ES7131-6BH01-0BA0 marca SIEMENS
- 1 MODULO 16 SD 6ES7132-6BH01-0BA0 marca SIEMENS

- 1 MODULO 4 EA 6ES7134-6TD00-0CA1 marca SIEMENS
- 1 MODULO 4 SA 6ES7135-6HD00-0BA1 marca SIEMENS

- 1 BASE UNIT BU15-P16 6ES7193-6BP00-0BA0 marca SIEMENS
- 4 BASE UNIT BU15-P16 6ES7193-6BP00-DA0 marca SIEMENS

- 1 SWITCH ESCALANCE XM408-8C 6GK5408-8GS00-2AM2 marca SIEMENS

- 1 EXTENSION ESCALANCE XM400 6GK5400-8A500-8AP2 marca SIEMENS
- 12 PUERTO LC OPTICO 6GK5992-1AM00-8AA0 marca SIEMENS

Terminales de cobre a presión preaislados

- PUNTERAS 1.5 SIMPLES PKE1508 marca CEMBRE

- PUNTERAS 1.5 DOBLES PKT1508 marca CEMBRE

- PUNTERAS 2.5 SIMPLES PKE2508 marca CEMBRE

- Bornas 1020000000 marca WEIDMULLER

- Tapas bornas 1050000000 marca WEIDMULLER

- Separadores bornas 954000000 marca WEIDMULLER

- BARRA DE TIERRA BCT PLETINA 12X3

- PERFIL SIMÉTRICO 35X7,5 LISO, MOD.6AE 25 11 120 marca AEMSA

- REMACHES DIÁMETRO 3, 2x8 MULTIGRIP

- CANALETA 60x4 60.40.77 marca UNEX

Documento visado electrónicamente con número: VA07290/22
Código de validación telemática TRLTDCFZ60T66IJ1. Comprobación: https://cogitivalencia.e-gestion.es/Validacion.aspx?CVT=TRLTDCFZ60T66IJ1

VISADO
COGITI
VALENCIA
VA07290/22
TRLTDCFZ60T66IJ1

CÓDIGO	RESUMEN	CANTIDAD	UD	PRECIO	SUBTOTAL	IMPORTE

- CANALETA 60x60 60.60.77 marca UNEX
- CANALETA 40x40 40.40.77 marca UNEX
- BRIDAS BLANCAS PEQUEÑAS 2221 marca UNEX
- PEGATINA BRIDAS BLANCAS 1254 marca UNEX
- POMO PUERTA CON LLAVE SZ2575 marca RITTAL
- m. Espiral negra SP6N 7 a 40mm
- CABLE AZUL 1x1mm2 H05V-K 151A001.R200 TOP
- CABLE NEGRO 1x2.5mm2 HO7V-K ALSECURE
- SEÑALIZADORES CAB3 Numero 0 38210 marca LEGRAND
- SEÑALIZADORES CAB3 Numero 1 38211 marca LEGRAND
- SEÑALIZADORES CAB3 Numero 2 38212 marca LEGRAND
- SEÑALIZADORES CAB3 Numero 3 38213 marca LEGRAND
- SEÑALIZADORES CAB3 Numero 4 38214 marca LEGRAND
- SEÑALIZADORES CAB3 Numero 5 38215 marca LEGRAND
- SEÑALIZADORES CAB3 Numero 6 38216 marca LEGRAND
- SEÑALIZADORES CAB3 Numero 7 38217 marca LEGRAND
- SEÑALIZADORES CAB3 Numero 8 38218 marca LEGRAND
- SEÑALIZADORES CAB3 Numero 9 38219 marca LEGRAND

A instalar en armario de periferia disrtibuida

- 1 Cabecera comunicaciones IM 155-6 PN ST incluye módulo servidor, incluye adaptador de bus 2xRJ45 ref. 6ES7193-6AR00-0AA0 marca SIEMENS
- 1 Módulo de 16 Entradas Digitales, 24Vdc ref. 6ES7131-6BH01-0BA0 marca SIEMENS
- 1 Módulo de 16 Salidas Digitales, 24Vdc/0,5A 6ES7132-6BH01-0BA0 SIEMENS
- 1 Módulo de 4 Entradas Analógicas U/I, 2 hilos 6ES7134-6HD01-0DA0 marca SIEMENS
- 3 Base de conexión tipo BU A0, 16 Push-In 6ES7193-6BP00-0DA0 marca SIEMENS

Totalmente instalado y funcionando.

A012H000	Oficial 1a electricista	3,000	h	16,22	48,66
MOOE11a	Especialista electricidad	3,000	h	14,10	42,30
A0140000	Peón	3,000	h	14,81	44,43
MMMG12a	Grúa autopropulsada 12T	1,000	h	57,33	57,33
%NAAA0150	Gastos auxiliares	1,927	%	1,50	2,89
PLC004.01	Cuadro de PLC	1,000	u	8.611,00	8.611,00

Suma la partida 8.806,61
Costes indirectos 2,5% 220,17

TOTAL PARTIDA 9.026,78

06.02.03 **Instalación baja tensión CT** **u**

Instalación de baja tensión interior del centro de transformación, compuesta por lo siguientes elementos:

- Armario Cofret G de Schneider IP42 con puerta transparente, conteniendo en su interior la siguiente aparamenta.
- 1 Interruptor Magnetotermico de cabecera C60N 2P 32A
- 1 Interruptor diferencia de cabecera 2P 40A 300mA
- 1 Interruptor Magnetotermico C60N 2P 10A línea alumbrado
- 1 Interruptor Magnetotermico C60N 2P 16A línea toma de corriente
- 1 Interruptor Magnetotermico C60N 2P 16A línea otros usos
- 1 Interruptor Magnetotermico C60N 2P 16A línea otros usos

- Interruptor estanco 16A
- Toma de corriente estanca 16A Monofásica
- 2 Pantallas LED etsancas modelo WT120C LED60S/840 L1500 de Philips
- 1 Luminaria de emergencia estanca 150Lum
- Líneas 2x2,5mm² + TT H07Z1 y tubos PCV líbres de halógenos diametro 16, para instalación equipos, inlcuido medios de instalación y pequeño material.

Totalmente instalado, comprobado y funcionando.

Documento visado electrónicamente con número: VA07290/22
Código de validez telemática TRLTDCFZ60T66IJ1. Comprobación: https://cogitivalencia.e-gestion.es/Validacion.aspx?CVT=TRLTDCFZ60T66IJ1

VISADO
COGITI
VALENCIA
VA07290/22
TRLTDCFZ60T66IJ1

CÓDIGO	RESUMEN	CANTIDAD	UD	PRECIO	SUBTOTAL	IMPORTE
A012H000	Oficial 1a electricista	4,000	h	16,22	64,88	
%NAAA0150	Gastos auxiliares	0,649	%	1,50	0,97	
UEP9caux	Inst baja tensión CT	1,000	u	850,00	850,00	
	Suma la partida					915,85
	Costes indirectos			2,5%		22,90
	TOTAL PARTIDA					**938,75**

06.02.04 **Central incendios 2 zonas** **u**

Suministro y montaje de central microprocesada para detección de incendios, modelo AE/C5-2P de la marca Aguilera Electrónica o equivalente aprobado por DF, fabricada en ABS, según EN 54 partes 2 y 4.

Disponen de:
2 bucles de detección convencional con final de línea activo.
Control de nivel de acceso mediante llave.
2 salidas vigiladas de evacuación.
Relé de fuego (alarma general) y Relé de avería general.
Salida auxiliar de 24 Vcc.
Teclado con 6 teclas para manejo.
Modo "Prueba de zonas".
Conexión/desconexión individual de zonas de detección y zonas de evacuación.

10 leds independientes para indicación de alarmas.
Necesitan una única batería de 12V / 7Ah.
Continua supervisión de todo el sistema.
Dimensiones: 340 x 290 x 100. Peso: 2.5 Kg.

Totalmente instalado y funcionando.

A012H000	Oficial 1a electricista	0,800	h	16,22	12,98	
%NAAA0150	Gastos auxiliares	0,130	%	1,50	0,20	
UEP90002	Central 2 zonas	1,000	u	185,00	185,00	
	Suma la partida					198,18
	Costes indirectos			2,5%		4,95
	TOTAL PARTIDA					**203,13**

06.02.05 **Detector optico-termico** **u**

Suministro y montaje de detector óptico de humos y térmico convencional modelo AE/C5-OPT de la marca Aguilera Electrónica o equivalente aprobado por DF. De ABS color blanco, formado por un elemento sensible a los humos claros, para alimentación de 12 a 30 Vcc, con doble led de activación e indicador de alarma color rojo, salida para piloto de señalización remota y base universal. Incluso elementos de fijación de la misma marca (clase A). Certificados LPCB según normas EN 54-5 y EN 54-7. Detectores de bajo perfil con diseño atractivo. Fabricados con tecnología SMD, disponen de doble indicador luminoso, salida de alarma remota y misma base intercambiable de fácil conexión. Zócalo y protector de polvo incluidos.

Conexión a 2 hilos.
Alimentación entre 15 y 35 Vcc.
Consumo: 35 mA (reposo), 80 mA (alarma).
Medidas: Ø 99 mm, altura con base incluida: 61 mm.

Totalmente instalado y funcionando.

A012H000	Oficial 1a electricista	0,800	h	16,22	12,98	
%NAAA0150	Gastos auxiliares	0,130	%	1,50	0,20	
UEP01132	Detector optico-termico	1,000	u	36,61	36,61	
	Suma la partida					49,79
	Costes indirectos			2,5%		1,24
	TOTAL PARTIDA					**51,03**

06.02.06 **Cableado lazo 2x1,5mm2** **m**

Suministro y colocaci?n de linea de cable de cobre 2x1,5 mm2, flexible SZ1-K (AS+) de 300/500 V resistente al fuego (AS+), apantallado. Aislamiento de silicona. Libre de halógenos, no propagador de la llama ni del incendio, con baja emisi?n de gases t?xicos y nula emisi?n de gases corrosivos. Diseñado según UNE 211025. Tipo Afumex Firs detec-signal (AS+). Con un grado de protección mecánica 7 y con un incremento sobre el precio del tubo del 30% en concepto de uniones, accesorios y piezas especiales, totalmente instalado. Instalado bajo tubo de pvc rigido. Incluso p/p de accesorios de montaje de tipo HILTI, cajas de derivación, fichas de empalme y medios auxiliares. Totalmente instalado.

A012H000	Oficial 1a electricista	0,120	h	16,22	1,95	
%NAAA0150	Gastos auxiliares	0,020	%	1,50	0,03	
UEB22001	COND. "Cu" S0Z1-K (AS+) DETEC-SIGNAL 500V 1x1,5 mm2	2,000	m	0,50	1,00	

Documento visado electrónicamente con número: VA07290/22
Código de validación telemática TRLTDCFZ60T66IJ1. Comprobación: https://colvalencia.e-gestion.es/Validacion.aspx?CVT=TRLTDCFZ60T66IJ1

VISADO
COGITI
VALENCIA
VA07290/22
TRLTDCFZ60T66IJ1

CÓDIGO	RESUMEN	CANTIDAD	UD	PRECIO	SUBTOTAL	IMPORTE
	Suma la partida					2,93
	Costes indirectos				2,5%	0,07
	TOTAL PARTIDA					**3,05**
06.02.07	**Extintor 89B**		**u**			
	Extintor de eficacia equivalente 89B, instalado.					
MOOE11a	Especialista electricidad	0,100	h	14,10	1,41	
A0140000	Peón	0,100	h	14,81	1,48	
%NAAA0150	Gastos auxiliares	0,029	%	1,50	0,04	
U002018.01	Extintor 89B	1,000	u	50,00	50,00	
	Suma la partida					52,93
	Costes indirectos				2,5%	1,32
	TOTAL PARTIDA					**54,25**
06.02.08	**Legalización instalación**		**u**			
	Legalización de la instalacion, consistente en la redacción del proyecto así como toda la documentación necesaria a presentar ante el Servicio Territorial de Industria de Valencia para su inscripción en el resgitro.					
U001005.01ct	Legalización CT	1,000	u	1.000,00	1.000,00	
	Suma la partida					1.000,00
	Costes indirectos				2,5%	25,00
	TOTAL PARTIDA					**1.025,00**

Documento visado electrónicamente con número: VA07290/22
Código de validación telemática TRLTDCFZ60T66IJ1. Comprobación: https://cogitivalencia.e-gestion.es/ValidarCSV?CSVT=TRLTDCFZ60T66IJ1

CUADRO DE DESCOMPUESTOS

CÓDIGO	RESUMEN	CANTIDAD	UD	PRECIO	SUBTOTAL	IMPORTE
07	**ADECUACIÓN CT EXISTENTE V.C.T. 043**					
07.01	**APARAMENTA ALTA TENSIÓN**					
07.01.01	**Celda de Interruptor de Linea mot CGMCOSMOS-I**		**u**			
	Suministro y montaje de celda de interruptor de línea motorizada modelo CGMCOS-MOS-I de la marca Ormazabal o equivalente aprobado por DF, con interruptor-seccionador en SF6 de 400A con mando tipo BM motorizado 48 Vcc, seccionador de puesta a tierra, juego de barras tripolar e indicadores testigo presencia de tensión instalados.					
A012H000	Oficial 1a electricista	2,000	h	16,22	32,44	
MOOE11a	Especialista electricidad	2,000	h	14,10	28,20	
A0140000	Peón	1,000	h	14,81	14,81	
MMMG12a	Grúa autopropulsada 12T	1,000	h	57,33	57,33	
%NAAA0150	Gastos auxiliares	1,328	%	1,50	1,99	
U002002.01mot	Celda modular de línea mot	1,000	u	3.854,00	3.854,00	
	Suma la partida					3.988,77
	Costes indirectos			2,5%		99,72
	TOTAL PARTIDA					**4.088,49**

VISADO
COGITI
VALENCIA
VA07290/22
TRLTDCFZ60T66IJ1
Documento visado electrónicamente con número: VA07290/22
Código de validación telemática TRLTDCFZ60T66IJ1. Comprobación: https://cogitivalencia.e-gestion.es/Validacion.aspx?CVT=TRLTDCFZ60T66IJ1

CUADRO DE DESCOMPUESTOS

CÓDIGO	RESUMEN	CANTIDAD	UD	PRECIO	SUBTOTAL	IMPORTE

VISADO
COGITI
VALENCIA
VA07290/22
TRLTDCFZ60T66IJ1

08 ADECUACIÓN CT EXISTENTE C.D.D.

08.01 **Sustitución transformadores medida** **u**

Sustitución de transformadores de tensión y de intensidad existentes en la celda de medida modelo CGMCOSMOS-M de la marca Ormazabal o equivalente aprobado por DF, del Centro de Entrega propieda del cliente, por transformadores de medida de triple secundario, instalados y conectados.

A012H000	Oficial 1a electricista	3,000	h	16,22	48,66
MOOE11a	Especialista electricidad	3,000	h	14,10	42,30
%NAAA0150	Gastos auxiliares	0,910	%	1,50	1,37
U002004.ttti	Transformadores medida	1,000	u	3.114,88	3.114,88

Suma la partida			3.207,21
Costes indirectos		2,5%	80,18
TOTAL PARTIDA			**3.287,39**

08.02 **Cuadro de Comunicaciones (Estandarizado APV)** **u**

Suministro e instalación de Cuadro de comunicaciones, que incluye los siguientes elementos:

Envolvente metálica mural de medidas: 760x760x300mm, referencia 1073.500, marca RITTAL
Protección eléctrica general, formada por:
- Interruptor magnetotérmico 2P, 6kA, 16A, curva C, referencia: 5SL6216-7, marca SIEMENS
- Interruptor Diferencial, 2P, Clase AC, 25A, 300mA, referencia: 5SV4612-0, marca SIEMENS
- 2 uds. Interruptor magnetotérmico. 2P, 6kA, 10A, curva C, referencia; 5SL6210-7, marca SIEMENS
- 3 uds. Contacto auxiliar 1NA+1NC para interruptor automático, referencia: 5ST3010, marca SIEMENS
- Enchufe SHUKO 2P+T 16A, referencia: A9A15310, marca: MG
- Sensor inductivo para detección de puerta cerrada, referencia: XS4P18PA340, marca SCHNEIDER
- Piloto verde para señalización de tensión OK, referencia: ZB4-BV033 y ZB4-BVB3, marca: SCHNEIDER
- Piloto rojo para señalización de fallo térmico, referencia: ZB4-BV043 y ZB4-BVB4, marca: SCHNEIDER
- Piloto rojo para señalización de fallo SAI, referencia: ZB4-BV043 y ZB4-BVB4, marca: SCHNEIDER
- Piloto amarillo para señalización de puerta cerrada, referencia: ZB4-BV053 y ZB4-BVB5, marca: SCHNEIDER
- Fuente de alimentación de 10A, referencia: 6EP1334-2BA20, marca: SIEMENS
- Módulo cargador DC-SAI 24V / 15A, referencia: 6EP1931-2EC21, marca: SIEMENS
- Módulo de batería de 24V/ 7 Ah, referencia: 6EP1935-6ME21, marca: SIEMENS
- Switch de comunicaciones XM408-8C para la red de Giga, referencia: 6GK5408-8GS00-2AM2, marca: SIEMENS
- 2 uds. trasceptor de fibra óptica monomodo, referencia: 6GK5992-1AM00-8AA0, marca: SIEMENS

Totalmente instalado y funcionando.

A012H000	Oficial 1a electricista	6,000	h	16,22	97,32
MOOE11a	Especialista electricidad	6,000	h	14,10	84,60
A0140000	Peón	6,000	h	14,81	88,86
MMMG12a	Grúa autopropulsada 12T	1,000	h	57,33	57,33
%NAAA0150	Gastos auxiliares	3,281	%	1,50	4,92
U002004.01	Cuadro de Comunicaciones	1,000	u	10.072,00	10.072,00

Suma la partida			10.405,03
Costes indirectos		2,5%	260,13
TOTAL PARTIDA			**10.665,16**

Documento visado electrónicamente con número: VA07290/22
Código de validación telemática TRLTDCFZ60T66IJ1. Comprobación: https://cogitivalencia.e-gestion.es/Validacion.aspx?CVT=TRLTDCFZ60T66IJ1

CUADRO DE DESCOMPUESTOS

CÓDIGO	RESUMEN	CANTIDAD	UD	PRECIO	SUBTOTAL	IMPORTE

VISADO
COGITI
VALENCIA
VA07290/22
TRLTDCFZ60T66IJ1

09 INSTALACIÓN LSMT 20KV PARTICULAR

09.01 **LSMT 20 KV HEPRZ1 Al 3x(1x240) mm2** **m**

Suministro y tendido de línea subterránea de media tensión, compuesta por tres cables unipolares con aislamiento HEPRZ1 y conductor de aluminio 12/20 kV de 3x240 mm² sobre fondo de zanja bajo tubo sin su aportación y sobre bandeja portacables, incluida la parte proporcional de ayudas y piezas complementarias o especiales. Totalmente instalado y funcionando.

A012H000	Oficial 1a electricista	0,200	h	16,22	3,24
MOOE11a	Especialista electricidad	0,200	h	14,10	2,82
%NAAA0150	Gastos auxiliares	0,061	%	1,50	0,09
PUEM.1c	Cable Al rígido HEPRZ1 12/20 KV 1x240	3,150	m	8,40	26,46
	Suma la partida				32,61
	Costes indirectos			2,5%	0,82
	TOTAL PARTIDA				**33,43**

09.02 **Excavación de zanja** **m**

Excavación de zanja 0,70 x 1,20 m. de profundidad en terreno normal, realizada con medios mecánicos, incluido dos tubos de PVC de doble capa DN 160 mm, extendido a una capa de 30 cm de hormigón H200, cinta PVC amarilla 150 mm de señalización atención a la existencia del cable, colocación de esta, relleno y apisonado con tierras sobrantes

A012H000	Oficial 1a electricista	1,000	h	16,22	16,22
A0140000	Peón	1,000	h	14,81	14,81
%NAAA0150	Gastos auxiliares	0,310	%	1,50	0,47
oczanja.1	Excavación de zanja	1,000	m	60,24	60,24
	Suma la partida				91,74
	Costes indirectos			2,5%	2,29
	TOTAL PARTIDA				**94,03**

09.03 **Kit de 3 botellas terminales de 24kV** **u**

Kit de 3 botellas terminales de 24kV para conexión entre CT, para cable de sección 240mm², incluso terminal metálico para conexión y p.p. de pequeño material. Totalmente instalado.

A012H000	Oficial 1a electricista	2,000	h	16,22	32,44
%NAAA0150	Gastos auxiliares	0,324	%	1,50	0,49
UT400.cnt	Juego 3 terminales MT 24 kV	1,000	u	694,31	694,31
	Suma la partida				727,24
	Costes indirectos			2,5%	18,18
	TOTAL PARTIDA				**745,42**

09.04 **Arquetas de profundidad 100x100cm** **u**

Arquetas de profundidad 100x100cm, con tapa de fundición, todas las sujeciones de suministro, soportes y/o estructura necesarios para el montaje y la instalación en obra. Totalmente ejecutada.

A012H000	Oficial 1a electricista	2,000	h	16,22	32,44
%NAAA0150	Gastos auxiliares	0,324	%	1,50	0,49
arq.cnt	Arquetas de profundidad 100x100cm	1,000	u	94,31	94,31
	Suma la partida				127,24
	Costes indirectos			2,5%	3,18
	TOTAL PARTIDA				**130,42**

09.05 **Megado y rigidez eléctrica** **u**

Revisión y pruebas de megado y rigidez eléctrica de la instalación realizado por Organismo de Control Autorizado. Incluso suministro de certificado firmado.

A012H000	Oficial 1a electricista	1,000	h	16,22	16,22
MOOE11a	Especialista electricidad	1,000	h	14,10	14,10
%NAAA0150	Gastos auxiliares	0,303	%	1,50	0,45
U001003.01	Ensayos de línea (LSMT)	1,000	u	700,00	700,00
	Suma la partida				730,77
	Costes indirectos			2,5%	18,27
	TOTAL PARTIDA				**749,04**

Documento visado electrónicamente con número: VA07290/22
Código de validación telemática TRLTDCFZ60T66IJ1. Comprobación: https://cogitivalencia.e-gestion.es/Validacion.aspx?CVT=TRLTDCFZ60T66IJ1

CUADRO DE DESCOMPUESTOS

CÓDIGO	RESUMEN	CANTIDAD	UD	PRECIO	SUBTOTAL	IMPORTE
09.06	**Legalización instalación**		**u**			
	Legalización de la instalacion, consistente en la redacción del proyecto así como toda la documentación necesaria a presentar ante el Servicio Territorial de Industria de Valencia.					
U001005.01	Legalización LSMT	1,000	u	1.200,00	1.200,00	
	Suma la partida					1.200,00
	Costes indirectos				2,5%	30,00
	TOTAL PARTIDA					**1.230,00**

VISADO
COGITI
VALENCIA
VA07290/22
TRLTDCFZ60T66IJ1
Documento visado electrónicamente con número: VA07290/22
Código de validación telemática TRLTDCFZ60T66IJ1. Comprobación: https://cogitivalencia.e-gestion.es/Validacion.aspx?CVT=TRLTDCFZ60T66IJ1

CUADRO DE DESCOMPUESTOS

CÓDIGO	RESUMEN	CANTIDAD	UD	PRECIO	SUBTOTAL	IMPORTE

VISADO
COGITI
VALENCIA
VA07290/22
TRLTDCFZ60T66IJ1

10 INSTALACIÓN ALUMBRADO MARQUESINAS

10.01 **Cable RZ1-K 0,6/1 kV (AS) sección 5x2,5 mm² Cu** **m**

Línea electrica trifásica construida mediante cable RZ1-K 0,6/1 kV sección 5x2,5 mm² de la marca Prysmian o equivalente aprobado por DF, no propagadores del incendio, con emisión de humos y opacidad reducida, libre de halogenos, s/ UNE 21.123-4, instalada en canalización correspondiente, incluso p.p. de accesorios de fijación, terminales, tornillos. Incluso mano de obra, replanteos, limpieza previa, y ayudas de albañileria que se precisen, así como la utilización de herramientas y medios auxiliares que se precisen, manipulación, retirada de material sobrante y limpieza posterior etc. Se entiende material totalmente instalado y verificado.

MOOE11a	Especialista electricidad	0,100	h	14,10	1,41
A012H000	Oficial 1a electricista	0,050	h	16,22	0,81
%NAAA0150	Gastos auxiliares	0,022	%	1,50	0,03
PIEC.52dbd	Cable RZ1-K 0,6/1 kV (AS) sección 5x2,5 mm² Cu	1,000	m	4,95	4,95

Suma la partida			7,20
Costes indirectos		2,5%	0,18
TOTAL PARTIDA			**7,38**

10.02 **Luminaria estanca LED 28W 3.900lm IP66 OleveonF 1500** **u**

Suministro y montaje de luminaria estanca tipo LED, modelo OleveonF 15 B 4000-840 ET PC de la marca Trilux o equivalente aprobado por D.F., para montaje en techos y paredes, así como para un montaje suspendido. Flujo luminoso de las luminarias 3.900 lm, Potencia de las luminarias 28 W, rendimiento luminoso de la luminaria 139 lm/W. Color de luz color blanco neutro, temperatura del color (CCT) 4000 K, Índice de reproducción cromática general (CRI) Ra > 80. Vida útil nominal media L80(tq 25 °C) = 35.000 h. Cuerpo de luminaria de poliéster reforzado con fibra de vidrio, poco inflamable. Con entrada frontal y tapones pasahilos para la conexión a la red. Cuerpo de luminaria, de color gris luz, similar a RAL 7035. Dimensiones (L x A) 1552 mm x 102 mm, altura de la luminaria 91 mm. Temperatura ambiental admisible de entre (ta): -20 °C - +35 °C. Clase de protección (EN 61140): I, grado de protección (DIN EN 60529): IP66, grado de la resistencia al impacto según IEC 62262: IK08/5 J, temperatura de prueba para el ensayo de hilo incandescente según IEC 60695-2-11: 850 °C. Con transformador electrónico, conmutable. Incluso parte proporcional de conductor de Cu tipo 07Z1-K y tubo rígido hasta caja de conexión mas próxima. Comprende todos los trabajos, materiales y medios auxiliares necesarios para dejar la unidad completa, totalmente instalada, probada y en perfecto estado de funcionamiento, según Documentos de Proyecto, indicaciones de la D.F. y normativa vigente.

A012H000	Oficial 1a electricista	0,400	h	16,22	6,49
MOOE11a	Especialista electricidad	0,400	h	14,10	5,64
%NAAA0150	Gastos auxiliares	0,121	%	1,50	0,18
U0005.ole	Luminaria estanca LED 28W 3.900lm IP66 OleveonF 1500	1,000	u	101,59	101,59

Suma la partida			113,90
Costes indirectos		2,5%	2,85
TOTAL PARTIDA			**116,75**

10.03 **Tubo rígido de PVC enchufable M-25** **m**

Canalización electrica construida mediante tubo rígido de PVC enchufable, ø 25 mm, libre de halogenuros, no propagador de llama, grado protección al fuego V0, grado de protección mecánica 7. Incluso p.p. de cajas de derivación, abrazaderas y accesorios de sujección. Colocación y recuperación de cable guía y ayudas en albañiería en apertura de rozas, huecos o pasamuros. Totalmente instalado.

MOOE11a	Especialista electricidad	0,100	h	14,10	1,41
A012H000	Oficial 1a electricista	0,050	h	16,22	0,81
%NAAA0150	Gastos auxiliares	0,022	%	1,50	0,03
PIEC.M25dbd	Tubo rígido de PVC enchufable M-25	1,000	m	4,25	4,25

Suma la partida			6,50
Costes indirectos		2,5%	0,16
TOTAL PARTIDA			**6,66**

Documento visado electrónicamente con número: VA07290/22
Código de validación telemática: TRLTDCFZ60T66IJ1. Comprobación: https://cogitivalencia.e-gestion.es/Validacion.aspx?CVT=TRLTDCFZ60T66IJ1

CUADRO DE DESCOMPUESTOS

CÓDIGO	RESUMEN	CANTIDAD	UD	PRECIO	SUBTOTAL	IMPORTE
10.04	**Cuadro electrico ALUMBRADO**		**u**			
	Suministro y montaje de cuadro electrico, de la marca Schneider Electric o equivalente aprobado por DF, serie Spacial, formado por armario de superficie de acero inoxidable 316L, elevada resistencia a la corrosión (entornos salinos o con cloro), con grado de protección IP66 e IK10, para albergar en su interior las protecciones termicas y diferenciales de los circuitos de alumbrado de la cubierta del silo. Conteniendo en su interior todos los elementos reflejados en esquemas de proyecto, cableado interno con punteras, con bornero, pletinas auxiliares de conexión, incluso limitador de sobretensiones de clase II. Certificación de ensayos, declaración CE y etiquetaje de circuitos. Totalmente montado y funcionando.					
MOOE11a	Especialista electricidad	4,000	h	14,10	56,40	
A012H000	Oficial 1a electricista	4,000	h	16,22	64,88	
%NAAA0150	Gastos auxiliares	1,213	%	1,50	1,82	
ACBPFUal	Cuadro fotovoltaica AC BOX AISI 316L	1,000	u	3.710,15	3.710,15	
	Suma la partida					3.833,25
	Costes indirectos			2,5%		95,83
	TOTAL PARTIDA					**3.929,08**

VISADO
COGITI
VALENCIA
VA07290/22
TRLTDCFZ60T66IJ1
Documento visado electrónicamente con número: VA07290/22
Código de validación telemática TRLTDCFZ60T66IJ1. Comprobación: https://cogitivalencia.e-gestion.es/Validacion.aspx?CVT=TRLTDCFZ60T66IJ1

CUADRO DE DESCOMPUESTOS

CÓDIGO	RESUMEN	CANTIDAD	UD	PRECIO	SUBTOTAL	IMPORTE

11 EVACUACIÓN AGUAS PLUVIALES

11.01 **Sumidero Pluvia Geberit 25 l/s** **u**

Suministro y montaje de sumidero Geberit Pluvia de 25l/s, compatible con datos del proyecto, incluso accesorios, material auxiliar para montaje y sujeción a la obra, soportación, accesorios y piezas especiales. Incluidos medios de elevación. Totalmente instalado y en perfecto estado de funcionamiento.

MOOF.8a	Oficial 1ª fontanería	1,000	h	16,22	16,22	
%NAAA0150	Gastos auxiliares	0,162	%	1,50	0,24	
sumi25.vte	Sumidero pluvia	1,000	u	235,15	235,15	
	Suma la partida					251,61
	Costes indirectos				2,5%	6,29
	TOTAL PARTIDA					**257,90**

11.02 **Tubería HDPE 75mm** **m**

Suministro e instalación de tubería Ø 75 mm de PE 80 fabricado por Geberit, incluida parte proporcional de accesorios moldeados y fabricados por Geberit (injertos, codos, reducciones, manguitos electrosoldables, cintas electrosoldables, piezas especiales). Se incluyen elementos de fijación según estudio realizado. Instalación realizada con puntos fijos para control de la dilatación. Incluso material auxiliar para montaje y sujeción a la obra, soportación, accesorios y piezas especiales. Incluidos medios de elevación. Totalmente instalado y en perfecto estado de funcionamiento.

MOOF.8a	Oficial 1ª fontanería	0,600	h	16,22	9,73	
%NAAA0150	Gastos auxiliares	0,097	%	1,50	0,15	
PISC75.1eg	Tubería HDPE 75mm	1,000	m	23,59	23,59	
	Suma la partida					33,47
	Costes indirectos				2,5%	0,84
	TOTAL PARTIDA					**34,31**

11.03 **Tubería HDPE 90mm** **m**

Suministro e instalación de tubería Ø 90 mm de PE 80 fabricado por Geberit, incluida parte proporcional de accesorios moldeados y fabricados por Geberit (injertos, codos, reducciones, manguitos electrosoldables, cintas electrosoldables, piezas especiales). Se incluyen elementos de fijación según estudio realizado. Instalación realizada con puntos fijos para control de la dilatación. Incluso material auxiliar para montaje y sujeción a la obra, soportación, accesorios y piezas especiales. Incluidos medios de elevación. Totalmente instalado y en perfecto estado de funcionamiento.

MOOF.8a	Oficial 1ª fontanería	0,600	h	16,22	9,73	
%NAAA0150	Gastos auxiliares	0,097	%	1,50	0,15	
PISC90.1eg	Tubería HDPE 90mm	1,000	m	89,51	89,51	
	Suma la partida					99,39
	Costes indirectos				2,5%	2,48
	TOTAL PARTIDA					**101,87**

11.04 **Tubería HDPE 110mm** **m**

Suministro e instalación de tubería Ø 110 mm de PE 80 fabricado por Geberit, incluida parte proporcional de accesorios moldeados y fabricados por Geberit (injertos, codos, reducciones, manguitos electrosoldables, cintas electrosoldables, piezas especiales). Se incluyen elementos de fijación según estudio realizado. Instalación realizada con puntos fijos para control de la dilatación. Incluso material auxiliar para montaje y sujeción a la obra, soportación, accesorios y piezas especiales. Incluidos medios de elevación. Totalmente instalado y en perfecto estado de funcionamiento.

MOOF.8a	Oficial 1ª fontanería	0,600	h	16,22	9,73	
%NAAA0150	Gastos auxiliares	0,097	%	1,50	0,15	
PISC100.1eg	Tubería HDPE 110mm	1,000	m	71,98	71,98	
	Suma la partida					81,86
	Costes indirectos				2,5%	2,05
	TOTAL PARTIDA					**83,91**

11.05 **Tubería HDPE 160mm** **m**

Suministro e instalación de tubería Ø 160 mm de PE 80 fabricado por Geberit, incluida parte proporcional de accesorios moldeados y fabricados por Geberit (injertos, codos, reducciones, manguitos electrosoldables, cintas electrosoldables, piezas especiales). Se incluyen elementos de fijación según estudio realizado. Instalación realizada con puntos fijos para control de la dilatación. Incluso material auxiliar para montaje y sujeción a la obra, soportación, accesorios y piezas especiales. Incluidos medios de elevación. Totalmente instalado y en perfecto estado de funcionamiento.

MOOF.8a	Oficial 1ª fontanería	0,600	h	16,22	9,73	

VISADO COGITI VALENCIA VA07290/22 TRLTDCFZ60T66IJ1
Documento visado electrónicamente con número: VA07290/22 Código de validación telemática: TRLTDCFZ60T66IJ1. Comprobación: https://cogitivalencia.gestionts/Validacion.aspx?CVT=TRLTDCFZ60T66IJ1

CUADRO DE DESCOMPUESTOS

VISADO
COGITI
VALENCIA
VA07290/22

CÓDIGO	RESUMEN	CANTIDAD	UD	PRECIO	SUBTOTAL	IMPORTE
%NAAA0150	Gastos auxiliares	0,097	%	1,50	0,15	
PISC160.1eg	Tubería HDPE 160mm	1,000	m	52,66	52,66	
	Suma la partida					62,54
	Costes indirectos				2,5%	1,56
	TOTAL PARTIDA					**64,10**

11.06 **Tubería HDPE 200mm** **m**

Suministro e instalación de tubería Ø 200 mm de PE 80 fabricado por Geberit, incluida parte proporcional de accesorios moldeados y fabricados por Geberit (injertos, codos, reducciones, manguitos electrosoldables, cintas electrosoldables, piezas especiales). Se incluyen elementos de fijación según estudio realizado. Instalación realizada con puntos fijos para control de la dilatación. Incluso material auxiliar para montaje y sujeción a la obra, soportación, accesorios y piezas especiales. Incluidos medios de elevación. Totalmente instalado y en perfecto estado de funcionamiento.

MOOF.8a	Oficial 1ª fontanería	0,600	h	16,22	9,73	
%NAAA0150	Gastos auxiliares	0,097	%	1,50	0,15	
PISC200.1eg	Tubería HDPE 200mm	1,000	m	92,06	92,06	
	Suma la partida					101,94
	Costes indirectos				2,5%	2,55
	TOTAL PARTIDA					**104,49**

11.07 **Tubería HDPE 250mm** **m**

Suministro e instalación de tubería Ø 250 mm de PE 80 fabricado por Geberit, incluida parte proporcional de accesorios moldeados y fabricados por Geberit (injertos, codos, reducciones, manguitos electrosoldables, cintas electrosoldables, piezas especiales). Se incluyen elementos de fijación según estudio realizado. Instalación realizada con puntos fijos para control de la dilatación. Incluso material auxiliar para montaje y sujeción a la obra, soportación, accesorios y piezas especiales. Incluidos medios de elevación. Totalmente instalado y en perfecto estado de funcionamiento.

MOOF.8a	Oficial 1ª fontanería	1,000	h	16,22	16,22	
%NAAA0150	Gastos auxiliares	0,162	%	1,50	0,24	
PISC250.1eg	Tubería HDPE 250mm	1,000	m	138,47	138,47	
	Suma la partida					154,93
	Costes indirectos				2,5%	3,87
	TOTAL PARTIDA					**158,80**

11.08 **Cubierta chapa prelacada 0,6mm** **m2**

Suministro y montaje de cubierta completa realizada con chapa perfilada de acero grecada prelacada por la cara exterior de 0.6 mm. de espesor, con recubrimiento HDX 55 micras en cara superior, con nervios de 42 mm de altura de cresta, a una separación de entre 200mm. Con fijacion rígida colaborante a las correas la marquesina (tornillo auto-roscante o ganchos en acero inoxidable). , Parte proporcional de replanteo, preparación, solapes, juntas de dilatación, elementos de fijación, remates, accesorios, piezas especiales para resolución de puntos singulares, elementos de fijación y estanqueidad, cortes, sellados y resolución de encuentros con chapa prelacada de 0,60 mm y 500 mm de desarrollo medio. Incluso medios auxiliares y elementos de seguridad. Según norma NTE-QTG-7,9,10 y 11. Totalmente ejecutada y perfectamente estanca.

A0140000	Peón	0,150	h	14,81	2,22	
%NAAA0150	Gastos auxiliares	0,022	%	1,50	0,03	
chpr06.vt	Chapa prelacada 0,6mm	1,000	m2	20,08	20,08	
	Suma la partida					22,33
	Costes indirectos				2,5%	0,56
	TOTAL PARTIDA					**22,89**

11.09 **Canalón de chapa prelacado 1mm** **m**

Suministro y montaje de canalón interior para cubierta inclinada con chapa plegada de acero galvanizado prelacado, de 1,0 mm de espesor, de 500mm de ancho y 250mm de altura de alas. Incluso accesorios de fijación de las piezas a las placas y masilla de base neutra monocomponente, para sellado de juntas. Incluso accesorios de fijación de las chapas, tornillos autorroscantes, apertura y rematado de huecos y masilla de base neutra monocomponente, para sellado de juntas.

A0140000	Peón	0,150	h	14,81	2,22	
%NAAA0150	Gastos auxiliares	0,022	%	1,50	0,03	
canal1.vt	Canalón de chapa prelacado 1mm	1,000	m	22,21	22,21	
	Suma la partida					24,46
	Costes indirectos				2,5%	0,61
	TOTAL PARTIDA					**25,07**

Documento visado electrónicamente con número: VA07290/22
Código de validación telemática TRLTDCFZ60T66IJ1. Comprobación: https://cogitivalencia.e-gestion.es/Validacion.aspx?CVT=TRLTDCFZ60T66IJ1

CUADRO DE DESCOMPUESTOS

CÓDIGO	RESUMEN	CANTIDAD	UD	PRECIO	SUBTOTAL	IMPORTE
11.10	**Taladro placa alveolar**		**u**			
	Ejecución de hueco en placa alveolar, para paso de instalaciones, de superficie comprendida entre 0,35 m2 y 0,50 m2. Totalmente ejecutado incluida la retirada de escombros a vertedero y el posterior rematado de hueco una vez ejecutado el paso de instalaciones, garantizando la estanqueidad. Totalmente ejecutado					
A0140000	Peón	6,000	h	14,81	88,86	
%NAAA0150	Gastos auxiliares	0,889	%	1,50	1,33	
	Suma la partida					90,19
	Costes indirectos			2,5%		2,25
	TOTAL PARTIDA					**92,44**
11.11	**Soporte metálico para bajante**		**m**			
	Suministro y montaje de soporte metálico de acero galvanizado en forma de U, de 40x60x3mm, para instalación vertical de tubo HDPE de 315mm en el tramo de cubierta. Con perforaciones en el mismo, en las que se sujetan los elemenos de unión, así como los juegos de fijación a la varilla roscada para los puntos de anclaje y las abrazaderas deslizantes, acabado con imprimación antioxidante. Incluso elementos de fijación, torniellería y accesorios necesarios para su instalación. Medida por metro lineal.					
A0140000	Peón	0,150	h	14,81	2,22	
%NAAA0150	Gastos auxiliares	0,022	%	1,50	0,03	
spb.vt	Soporte metálico para bajante	1,000	u	25,05	25,05	
	Suma la partida					27,30
	Costes indirectos			2,5%		0,68
	TOTAL PARTIDA					**27,98**

VISADO
COGITI
TRLTDCFZ60T66IJ1
VALENCIA
VA07290/22
Documento visado electrónicamente con número: VA07290/22
Código de validación telemática TRLTDCFZ60T66IJ1. Comprobación: https://cogitivalencia.e-gestion.es/Validacion.aspx?CVT=TRLTDCFZ60T66IJ1

CUADRO DE DESCOMPUESTOS

CÓDIGO	RESUMEN	CANTIDAD	UD	PRECIO	SUBTOTAL	IMPORTE
12	**GESTIÓN DE RESIDUOS**					
12.01	**GESTIÓN DE RESIDUOS**		**pa**			
	ALMACENAMIENTO, MANEJO, SEPARACIÓN Y, EN SU CASO, OTRAS OPERACIONES DE GESTIÓN DE LOS RESIDUOS DE CONSTRUCCIÓN Y DEMOLICIÓN PARA EL ALCANCE DE LA OBRA, DE ACUERDO A LA NORMATIVA VIGENTE.					
U00200EGR	GESTIÓN DE RESIDUOS	1,000	u	9.025,75	9.025,75	
	Suma la partida					9.025,75
	Costes indirectos			2,5%		225,64
	TOTAL PARTIDA					**9.251,39**

VISADO
COGITI
VALENCIA
VA07290/22
TRLTDCFZ60T66IJ1
Documento visado electrónicamente con número: VA07290/22
Código de validación telemática TRLTDCFZ60T66IJ1. Comprobación: https://cogitivalencia.e-gestion.es/Validacion.aspx?CVT=TRLTDCFZ60T66IJ1

CUADRO DE DESCOMPUESTOS

CÓDIGO	RESUMEN	CANTIDAD	UD	PRECIO	SUBTOTAL	IMPORTE
13	**CONTROL DE CALIDAD**					
13.01	**CONTROL DE CALIDAD**		**pa**			
U00CC	CONTROL DE CALIDAD	1,000	u	5.700,00	5.700,00	
	Suma la partida					5.700,00
	Costes indirectos				2,5%	142,50
	TOTAL PARTIDA					**5.842,50**

VISADO
COGITI
VALENCIA
VA07290/22
TRLTDCFZ60T66IJ1
Documento visado electrónicamente con número: VA07290/22
Código de validación telemática TRLTDCFZ60T66IJ1. Comprobación: https://cogitivalencia.e-gestion.es/Validacion.aspx?CVT=TRLTDCFZ60T66IJ1

CUADRO DE DESCOMPUESTOS

CÓDIGO	RESUMEN	CANTIDAD	UD	PRECIO	SUBTOTAL	IMPORTE
14	**SEGURIDAD Y SALUD**					
14.01	**PROTECCIONES INDIVIDUALES**					
14.01.01	**CASCO SEGURIDAD,DIELÉC. P/B.T. POLIETILENO**		**u**			
	CASCO DE SEGURIDAD DIELÉCTRICO PARA BAJA TENSIÓN DE POLIETILENO, HOMOLOGADO SEGÚN UNE-EN 50365					
B141511E	Casco seguridad dieléc. p/B.T.polietileno	1,000	u	15,46	15,46	
	Suma la partida					15,46
	Costes indirectos			2,5%		0,39
	TOTAL PARTIDA					**15,85**
14.01.02	**GAFAS ANTIIMP.ST.,MONTURA UNIV.,VISOR TRANSP.C/EMPAÑAM.**		**u**			
	GAFAS DE SEGURIDAD ANTIIMPACTOS ESTÁNDAR, CON MONTURA UNIVERSAL, CON VISOR TRANSPARENTE Y TRATAMIENTO CONTRA EL EMPAÑAMIENTO, HOMOLOGADAS SEGÚN UNE-EN 167 Y UNE-EN 168					
B1421110	Gafas antiimp.st.,montura univ.,visor transp.c/empañam.	1,000	u	4,06	4,06	
	Suma la partida					4,06
	Costes indirectos			2,5%		0,10
	TOTAL PARTIDA					**4,16**
14.01.03	**PROTECTOR AUDITIVO TAPÓN ESPUMA**		**u**			
	PROTECTOR AUDITIVO DE TAPÓN DE ESPUMA, HOMOLOGADO SEGÚN UNE-EN 352-2 Y UNE-EN 458					
B1431101	Protector auditivo tapón espuma	1,000	u	0,19	0,19	
	TOTAL PARTIDA					**0,19**
14.01.04	**GUANTES MATERIAL AISL.,P/TRABAJOS ELÉCTRICOS,CL.0,LOGOTIPO ROJO,**		**u**			
	PAR DE GUANTES DE MATERIAL AISLANTE PARA TRABAJOS ELÉCTRICOS, CLASE 0, LOGOTIPO COLOR ROJO, TENSIÓN MÁXIMA 1000 V, HOMOLOGADOS SEGÚN UNE-EN 420					
B145K275	Guantes material aisl.,p/trabajos eléctricos,cl.0,logotipo rojo,	1,000	u	21,23	21,23	
	Suma la partida					21,23
	Costes indirectos			2,5%		0,53
	TOTAL PARTIDA					**21,76**
14.01.05	**GUANTES DIELÉC.P/B.T.,CAUCHO,MANGU.<1/2ANTEBR.**		**u**			
	PAR DE GUANTES DIELÉCTRICOS PARA BAJA TENSIÓN, DE CAUCHO, CON MANGUITOS HASTA MEDIO ANTEBRAZO					
B1456821	Guantes dieléc.p/B.T.,caucho,mangu.<1/2antebr.	1,000	u	45,46	45,46	
	Suma la partida					45,46
	Costes indirectos			2,5%		1,14
	TOTAL PARTIDA					**46,60**
14.01.06	**PAR BOTAS SEGURIDAD,RESIST.HUMED.,PIEL RECTIF.,SUELA ANTIDESL.AN**		**u**			
	PAR DE BOTAS DE SEGURIDAD RESISTENTES A LA HUMEDAD, DE PIEL RECTIFICADA, CON TOBILLERA ACOLCHADA, SUELA ANTIDESLIZANTE Y ANTIESTÁTICA, CUÑA AMORTIGUADORA PARA EL TALÓN, LENGÜETA DE FUELLE, DE DESPRENDIMIENTO RÁPIDO, CON PLANTILLAS Y PUNTERA METÁLICAS					
B1462242	Par botas seguridad,resist.humed.,piel rectif.,suela antidesl.an	1,000	u	13,55	13,55	
	Suma la partida					13,55
	Costes indirectos			2,5%		0,34
	TOTAL PARTIDA					**13,89**
14.01.07	**PAR BOTAS DIELÉC.,RESIST.HUMED.,PIEL RECTIF.,SUELA ANTIDESL.S/HERRAJE MET.,PUNTERA REFORZ.**		**u**			
	PAR DE BOTAS DIELÉCTRICAS RESISTENTES A LA HUMEDAD, DE PIEL RECTIFICADA, CON TOBILLERA ACOLCHADA SUELA ANTIDESLIZANTE Y ANTIESTÁTICA, CUÑA AMORTIGUADORA PARA EL TALÓN, LENGÜETA DE FUELLE, DE DESPRENDIMIENTO RÁPIDO, SIN HERRAJE METÁLICO, CON PUNTERA REFORZADA, HOMOLOGADAS SEGÚN DIN 4843					
B1463253	Par botas dieléc.,resist.humed.,piel rectif.,suela antidesl.s/herraje	1,000	u	105,65	105,65	

VISADO COGITI VALENCIA VA07290/22 TRLTDCFZ60T66IJ1
Documento visado electrónicamente con número: VA07290/22
Código de validación telemática TRLTDCFZ60T66IJ1. Comprobación: https://cogitivalencia.e-gestion.es/Validacion.aspx?CVT=TRLTDCFZ60T66IJ1

VISADO COGITI VALENCIA VA07290/22

CÓDIGO	RESUMEN	CANTIDAD	UD	PRECIO	SUBTOTAL	IMPORTE
	met.,puntera reforz.					
	Suma la partida					105,65
	Costes indirectos				2,5%	2,64
	TOTAL PARTIDA					**108,29**
14.01.08	**MONO TRABAJO,POLIÉST./ALGOD.,BOLS.EXT.**		**u**			
	MONO DE TRABAJO, DE POLIÉSTER Y ALGODÓN, CON BOLSILLOS EXTERIORES					
B1481131	Mono trabajo,poliést./algod.,bols.ext.	1,000	u	18,04	18,04	
	Suma la partida					18,04
	Costes indirectos				2,5%	0,45
	TOTAL PARTIDA					**18,49**
14.01.09	**CHALECO REFLECTANTE,TIRAS REFLECT.CINT./PEC./ESPA.**		**u**			
	CHALECO REFLECTANTE CON TIRAS REFLECTORAS EN LA CINTURA, EN EL PECHO Y EN LA ESPALDA, HOMOLOGADA SEGÚN UNE-EN 471					
B1485800	Chaleco reflectante,tiras reflect.cint./pec./espa.	1,000	u	15,97	15,97	
	Suma la partida					15,97
	Costes indirectos				2,5%	0,40
	TOTAL PARTIDA					**16,37**
14.01.10	**IMPERMEABLE CHAQ.+CAPU.+PANT.,P/O.PÚB.,PVC SOLD.,E=0,4MM,VIV.**		**u**			
	IMPERMEABLE CON CHAQUETA, CAPUCHA Y PANTALONES, PARA OBRAS PÚBLICAS, DE PVC SOLDADO DE 0,4 MM DE ESPESOR, DE COLOR VIVO, HOMOLOGADO SEGÚN UNE-EN 340					
B1487460	Impermeable chaq.+capu.+pant.,p/o.púb.,PVC sold.,e=0,4mm,viv.	1,000	u	10,70	10,70	
	Suma la partida					10,70
	Costes indirectos				2,5%	0,27
	TOTAL PARTIDA					**10,97**
14.02	**PROTECCIONES COLECTIVAS**					
14.02.01	**BRIGADA SEGUR.P/MANTENIM.+REPOS.PROTEC.**		**h**			
	BRIGADA DE SEGURIDAD PARA MANTENIMIENTO Y REPOSICIÓN DE LAS PROTECCIONES					
A0140000	Peón	1,000	h	14,81	14,81	
A0121000	Oficial 1a	1,000	h	15,61	15,61	
A%AUX001	Gastos auxiliares mano de obra	0,304	%	1,00	0,30	
	Suma la partida					30,72
	Costes indirectos				2,5%	0,77
	TOTAL PARTIDA					**31,49**
14.02.02	**PLACA PINTURA REFLECTANTE TRIANGULAR LADO=70CM,FIJ.MEC.+DESMONT.**		**u**			
	PLACA CON PINTURA REFLECTANTE TRIANGULAR DE 70 CM DE LADO, PARA SEÑALES DE TRÁFICO, FIJADA Y CON EL DESMONTAJE INCLUIDO					
BBL11102	Placa triangular,70cm pintura reflectante,2usos	1,000	u	22,39	22,39	
A0140000	Peón	1,000	h	14,81	14,81	
A%AUX001	Gastos auxiliares mano de obra	0,148	%	1,00	0,15	
	Suma la partida					37,35
	Costes indirectos				2,5%	0,93
	TOTAL PARTIDA					**38,28**
14.02.03	**PLACA SEGURIDAD LABORAL,ACERO SERIGRAF.,40X33CM,FIJ.MECÁNICAMENT**		**u**			
	PLACA DE SEÑALIZACIÓN DE SEGURIDAD LABORAL, DE PLANCHA DE ACERO LISA SERIGRAFIADA, DE 40X33 CM, FIJADA MECÁNICAMENTE Y CON EL DESMONTAJE INCLUIDO					
A0140000	Peón	0,150	h	14,81	2,22	
B0A41000	Tornillos,p/made.o tac.PVC	0,040	cu	2,11	0,08	
BBBA1500	Placa seguridad laboral,plancha acero lisa serigraf.,40x33cm	1,000	u	13,86	13,86	
A%AUX001	Gastos auxiliares mano de obra	0,022	%	1,00	0,02	

Documento visado electrónicamente con número: VA07290/22
Código de validación informática: TRLTDCFZ60T66IJ1. Comprobación: https://cogitivalencia.e-gestion.es/Validacion.aspx?CVT=TRLTDCFZ60T66IJ1

CUADRO DE DESCOMPUESTOS

CÓDIGO	RESUMEN	CANTIDAD	UD	PRECIO	SUBTOTAL	IMPORTE
	Suma la partida					16,13
	Costes indirectos				2,5%	0,40
	TOTAL PARTIDA					**16,53**
14.02.04	**CONO DE PLÁSTICO REFLECTOR H=50CM**		**u**			
	CONO DE PLÁSTICO REFLECTOR DE 50 CM DE ALTURA					
A0140000	Peón	0,020	h	14,81	0,30	
BBC12302	Cono plástico reflector h=50cm,2usos	1,000	u	15,01	15,01	
A%AUX001	Gastos auxiliares mano de obra	0,003	%	1,00	0,00	
	Suma la partida					15,31
	Costes indirectos				2,5%	0,38
	TOTAL PARTIDA					**15,69**
14.02.05	**CINTA BALIZAMIENTO REFLECTANTE,SOPORTE/5M,DESMONTAJE INCLU.**		**m**			
	CINTA DE BALIZAMIENTO REFLECTANTE, CON UN SOPORTE CADA 5 M Y CON EL DESMONTAJE INCLUIDO					
A0140000	Peón	0,065	h	14,81	0,96	
BBC1A000	Cinta balizamiento reflectante	1,000	m	3,73	3,73	
D0B27100	ACERO B/CORRUG.OBRA Y MANIPULADO TALLER B 400 S	0,120	kg	0,64	0,08	
A%AUX001	Gastos auxiliares mano de obra	0,010	%	1,00	0,01	
	Suma la partida					4,78
	Costes indirectos				2,5%	0,12
	TOTAL PARTIDA					**4,90**
14.02.06	**EXTINTOR POLVO SECO,6KG,PRESIÓN INCORPO.PINTADO,SOPORTE/DESMONT.**		**u**			
	EXTINTOR DE POLVO SECO, DE 6 KG DE CARGA, CON PRESIÓN INCORPORADA, PINTADO, CON SOPORTE EN LA PARED Y CON EL DESMONTAJE INCLUIDO					
A012M000	Oficial 1a montador	0,200	h	16,22	3,24	
A013M000	Ayudante montador	0,200	h	15,26	3,05	
BM311611	Extintor polvo seco,6kg,presión incorpo.pintado	1,000	u	26,18	26,18	
BMY31000	P.p.elementos especiales p/extint.	1,000	u	0,19	0,19	
A%AUX00150	Medios auxiliares	0,063	%	1,50	0,09	
	Suma la partida					32,75
	Costes indirectos				2,5%	0,82
	TOTAL PARTIDA					**33,57**
14.02.07	**PANTALLA AISL.P/TRAB.ZON.INFL.LÍN.ELÉC.**		**u**			
	PANTALLA AISLANTE PARA TRABAJOS EN ZONAS DE INFLUENCIA DE LÍNEAS ELÉCTRICAS EN TENSIÓN					
B15B0007	Pantalla aisl. p/trab.zon.infl.lín.eléc.	1,000	u	94,96	94,96	
	Suma la partida					94,96
	Costes indirectos				2,5%	2,37
	TOTAL PARTIDA					**97,33**
14.02.08	**PLATAFORMA AISL.,BASE P/TRAB.CUAD.ELÉCT.DIST.,100X100CM,E=3MM**		**u**			
	PLATAFORMA AISLANTE DE BASE PARA TRABAJO EN CUADROS ELÉCTRICOS DE DISTRIBUCIÓN DE 100X100 CM Y DE ESPESOR 3 MM					
B15B0001	Plataforma aisl. de base p/trab.cuad.eléct.dist.,S=100x100cm,e=3mm	1,000	u	43,39	43,39	
	Suma la partida					43,39
	Costes indirectos				2,5%	1,08
	TOTAL PARTIDA					**44,47**
14.02.09	**BANQUETA AISL.,PATAS FIJAS,P/TRABAJ.TENSIÓN**		**u**			
	BANQUETA AISLANTE DE PATAS FIJAS PARA TRABAJOS EN TENSIÓN, SEGÚN UNE 204001					
B15B0002	Banqueta aisl.,patas fijas,p/trabaj.tensión	1,000	u	79,83	79,83	
	Suma la partida					79,83
	Costes indirectos				2,5%	2,00
	TOTAL PARTIDA					**81,83**

VISADO
COGITI
VALENCIA
VA07290/22
TRLTDCFZ60T66IJ1
Documento visado electrónicamente con número: VA07290/22
Código de validación telemática TRLTDCFZ60T66IJ1. Comprobación: https://cogitivalencia.e-gestion.es/Validacion.aspx?CVT=TRLTDCFZ60T66IJ1

VISADO COGITI VALENCIA VA07290/22 TRLTDCFZ60T66IJ1

CÓDIGO	RESUMEN	CANTIDAD	UD	PRECIO	SUBTOTAL	IMPORTE
14.02.10	**VALLA MÓVIL METÁL.,LONG.=2,5M,H=1M,DESM.**		**m**			
	VALLA MÓVIL METÁLICA DE 2,5 M DE LONGITUD Y 1 M DE ALTURA Y CON EL DESMONTAJE INCLUIDO					
A01H4000	Peón p/SyS	0,060	h	14,81	0,89	
%NAAA0100	Gastos auxiliares	0,009	%	1,00	0,01	
BBC1KJ04	Valla móvil metál.long.=2,5m,h=1m,4usos, p/SyS	0,400	m	15,89	6,36	
	Suma la partida					7,26
	Costes indirectos				2,5%	0,18
	TOTAL PARTIDA					**7,44**
14.03	**INSTALACIONES DE HIGIENE Y BIENESTAR**					
14.03.01	**MÓDULO PREFABRICADO SANITARIOS 3,7X2,3X2,3M,INST.LAMPIST.,INST.E**		**mes**			
	MÓDULO PREFABRICADO DE SANITARIOS DE 3,7X2,3X2,3 M DE PANEL DE ACERO LACADO Y AISLAMIENTO DE POLIURETANO DE 35 MM DE ESPESOR, REVESTIMIENTO DE PAREDES CON TABLERO FENÓLICO, PAVIMENTO DE LAMAS DE ACERO GALVANIZADO, CON INSTALACIÓN DE LAMPISTERÍA, 1 LAVABO COLECTIVO CON 3 GRIFOS, 2 PLACAS TURCAS, 2 DUCHAS, ESPEJO Y COMPLEMENTOS DE BAÑO, CON INSTALACIÓN ELÉCTRICA, 1 PUNTO DE LUZ, INTERRUPTOR, ENCHUFES Y PROTECCIÓN DIFERENCIAL					
BQU1531A	Alquiler módulo prefabricado sanitarios 3,7x2,3x2,3m,inst.lampis	1,000	mes	195,19	195,19	
	Suma la partida					195,19
	Costes indirectos				2,5%	4,88
	TOTAL PARTIDA					**200,07**
14.03.02	**MÓDULO PREFABRICADO VESTIDOR 8,2X2,5X2,3M,INST.ELÉC.**		**mes**			
	MÓDULO PREFABRICADO DE VESTIDORES DE 8,2X2,5X2,3 M DE PANEL DE ACERO LACADO Y AISLAMIENTO DE POLIURETANO DE 35 MM DE ESPESOR, REVESTIMIENTO DE PAREDES CON TABLERO FENÓLICO, PAVIMENTO DE LAMAS DE ACERO GALVANIZADO CON AISLAMIENTO DE FIBRA DE VIDRIO Y TABLERO FENÓLICO, , CON INSTALACIÓN ELÉCTRICA, 1 PUNTO DE LUZ, INTERRUPTOR, ENCHUFES Y PROTECCIÓN DIFERENCIAL					
BQU1A50A	Alquiler módulo prefabricado vestidor 8,2x2,5x2,3m	1,000	mes	148,35	148,35	
	Suma la partida					148,35
	Costes indirectos				2,5%	3,71
	TOTAL PARTIDA					**152,06**
14.03.03	**MÓDULO PREFABRICADO COMEDOR 6X2,3X2,6M,INST.LAMPIST.,INST.ELÉC.**		**mes**			
	MÓDULO PREFABRICADO DE COMEDOR DE 6X2,3X2,6 M DE PANEL DE ACERO LACADO Y AISLAMIENTO DE 35 MM DE ESPESOR, REVESTIMIENTO DE PAREDES CON TABLERO FENÓLICO, PAVIMENTO DE LAMAS DE ACERO GALVANIZADO CON AISLAMIENTO DE FIBRA DE VIDRIO Y TABLERO FENÓLICO, CON INSTALACIÓN DE LAMPISTERÍA, FREGADERO DE 2 SENOS CON GRIFO Y ENCIMERA, CON INSTALACIÓN ELÉCTRICA, 1 PUNTO DE LUZ, INTERRUPTOR, ENCHUFES Y PROTECCIÓN DIFERENCIAL					
BQU1H53A	Alquiler módulo prefabricado comedor 6x2,3x2,6m,inst.lampist.	1,000	mes	152,15	152,15	
	Suma la partida					152,15
	Costes indirectos				2,5%	3,80
	TOTAL PARTIDA					**155,95**
14.03.04	**ESPEJO LUNA INCOLORA,E=3MM,ADHERIDO TABLERO MADERA**		**u**			
	ESPEJO DE LUNA INCOLORA DE 3 MM DE ESPESOR, COLOCADO ADHERIDO SOBRE TABLERO DE MADERA					
A012E000	Oficial 1a vidriero	1,000	h	15,34	15,34	
BC1K1300	Espejo luna incolora,e=3mm	1,000	m2	16,36	16,36	
B7J5009A	Masilla sella.,poliuretano polimer.ráp. monocomp.	0,105	dm3	10,59	1,11	
A%AUX00250	Medios auxiliares	0,153	%	2,50	0,38	
	Suma la partida					33,19
	Costes indirectos				2,5%	0,83
	TOTAL PARTIDA					**34,02**
14.03.05	**BANCO MADERA,3,5MX0,4M,P/5PERS.,COL.+DESMONT.INCLUIDO**		**u**			
	BANCO DE MADERA, DE 3,5 M DE LONGITUD Y 0,4 M DE ANCHURA, CON CAPACIDAD PARA 5 PERSONAS, COLOCADO Y CON EL DESMONTAJE INCLUIDO					
BQU25700	Banco madera,3,5mx0,4m,p/5pers.p/4 usos	0,250	u	53,58	13,40	

Documento visado electrónicamente con número: VA07290/22 Código validación telemática TRLTDCFZ60T66IJ1 Comprobación: https://cogitivalencia.e-gestion.es/validacion.aspx?CVT=TRLTDCFZ60T66IJ1

CUADRO DE DESCOMPUESTOS

CÓDIGO	RESUMEN	CANTIDAD	UD	PRECIO	SUBTOTAL	IMPORTE
A0140000	Peón	0,150	h	14,81	2,22	
A%AUX00250	Medios auxiliares	0,022	%	2,50	0,06	
				Suma la partida		15,63
				Costes indirectos	2,5%	0,39
				TOTAL PARTIDA		**16,07**

14.03.06 **MESA MADERA TABLERO MELAMINA,3,5MX0,8M,P/10PERS.,COL.+DESMONT.IN** **u**

MESA DE MADERA CON TABLERO DE MELAMINA, DE 3,5 M DE LONGITUD Y 0,8 M DE ANCHURA, CON CAPACIDAD PARA 10 PERSONAS, COLOCADA Y CON EL DESMONTAJE INCLUIDO

BQU27900	Mesa madera tablero melamina,3,5mx0,8m,p/10pers.p/4 usos	0,250	u	64,13	16,03	
A0140000	Peón	0,350	h	14,81	5,18	
A%AUX00250	Medios auxiliares	0,052	%	2,50	0,13	
				Suma la partida		21,34
				Costes indirectos	2,5%	0,53
				TOTAL PARTIDA		**21,87**

14.03.07 **HORNO MICROONDAS P/COMIDAS,COL.+DESMONT.INCLUIDO** **u**

HORNO MICROONDAS PARA CALENTAR COMIDAS, COLOCADO Y CON EL DESMONTAJE INCLUIDO

A0150000	Peón especialista	0,050	h	15,00	0,75	
BQU2E002	Horno microondas,p/2usos	1,000	u	61,98	61,98	
A%AUX00250	Medios auxiliares	0,008	%	2,50	0,02	
				Suma la partida		62,75
				Costes indirectos	2,5%	1,57
				TOTAL PARTIDA		**64,32**

14.03.08 **RECIPIENTE P/BASURAS,100L,COL.+DESMONT.INCLUIDO** **u**

RECIPIENTE PARA RECOGIDA DE BASURAS, DE 100 L DE CAPACIDAD, COLOCADO Y CON EL DESMONTAJE INCLUIDO

A0140000	Peón	0,100	h	14,81	1,48	
BQU2GF00	Recipiente p/basuras,100l	1,000	u	36,83	36,83	
A%AUX00250	Medios auxiliares	0,015	%	2,50	0,04	
				Suma la partida		38,35
				Costes indirectos	2,5%	0,96
				TOTAL PARTIDA		**39,31**

14.03.09 **MANO OBRA,LIMPIEZA+CONSERVACIÓN INSTALACIONES** **h**

MANO DE OBRA PARA LIMPIEZA Y CONSERVACIÓN DE LAS INSTALACIONES

A0140000	Peón	1,000	h	14,81	14,81	
A%AUX001	Gastos auxiliares mano de obra	0,148	%	1,00	0,15	
				Suma la partida		14,96
				Costes indirectos	2,5%	0,37
				TOTAL PARTIDA		**15,33**

14.03.10 **BOTIQUÍN PORTÁTIL URG.+CONTENIDO SEGÚN ORDEN.SYS** **u**

BOTIQUÍN PORTÁTIL DE URGENCIA, CON EL CONTENIDO ESTABLECIDO EN LA ORDENANZA GENERAL DE SEGURIDAD Y SALUD EN EL TREBAJO

BQUA2100	Botiquín portátil urg.+contenido según orden.SyS	1,000	u	78,76	78,76	
				Suma la partida		78,76
				Costes indirectos	2,5%	1,97
				TOTAL PARTIDA		**80,73**

14.03.11 **MATERIAL SANITARIO BOTIQUÍN+CONTENIDO SEGÚN ORDEN.SYS** **u**

MATERIAL SANITARIO PARA SURTIR UN BOTIQUÍN CON EL CONTENIDO ESTABLECIDO EN LA ORDENANZA GENERAL DE SEGURIDAD Y SALUD EN EL TREBAJO

BQUA3100	Material sanitario botiquín+contenido según orden.SyS	1,000	u	51,40	51,40	
				Suma la partida		51,40
				Costes indirectos	2,5%	1,29
				TOTAL PARTIDA		**52,69**

VISADO
COGITI
VALENCIA
VA07290/22
Documento visado electrónicamente con número: VA07290/22
Código de validación telemática TRLTDCFZ607T66iJ1. Comprobación: https://cogitivalencia.e-gestion.es/Validacion.aspx?CVT=TRLTDCFZ607T66iJ1

VISADO
COGITI
VALENCIA
VA07290/22
TRLTDCFZ60T66IJ1

INSTALACIÓN DE PLANTA GENERACIÓN FOTOVOLTAICA SOBRE LA CUBIERTA DEL SILO DE VEHÍCULOS DE VALENCIA TERMINAL EUROPA, EN MUELLE DIQUE DEL ESTE, EN PUERTO DE VALENCIA.

ANEJO Nº9

Estudio de Seguridad y Salud

Documento visado electrónicamente con número: VA07290/22
Código de validación telemática TRLTDCFZ60T66IJ1. Comprobación: https://cogitivalencia.e-gestion.es/Validacion.aspx?CVT=TRLTDCFZ60T66IJ1

VISADO
COGITI
VALENCIA
VA07290/22
TRLTDCFZ60T66IJ1

1. Justificación documental 5
1.1. Justificación del Estudio de Seguridad y Salud 5
1.2. Objetivos del Estudio de Seguridad y Salud 5
2. Descripción de la obra 6
2.1. Datos generales del proyecto y de la obra 6
2.2. Presupuesto, fechas y duración prevista de la obra 6
2.3. Intervención de otros agentes en la obra: Project Manager, OCT's y Suministradores 6
2.4. Tipología de la obra a construir 6
2.5. Descripción del estado actual del espacio donde se va a ejecutar la obra 9
2.6. Condiciones del entorno de la obra que influyen en la prevención de riesgos laborales 9
2.6.1. Objetivos prevencionistas 9
2.6.2. Condiciones de los accesos y vías de acceso a la obra 9
2.6.3. Localización geográfica de la obra 9
2.6.4. Líneas eléctricas aéreas en tensión 9
2.6.5. Interferencia con otras edificaciones 9
2.6.6. Servicios afectados por las obras 10
2.6.7. Actividades fuera del perímetro de la obra 10
2.6.8. Presencia de tráfico rodado y peatones 10
2.6.9. Daños a terceros 10
2.6.10. Condiciones climáticas y ambientales 10
2.6.11. Trabajos en obras que se encuentran insertas en el ámbito de un centro de trabajo y éste mantiene su actividad o están afectadas por actividades de otras empresas 10
2.6.12. Servicios de higiene y bienestar 11
3. Normas preventivas generales de la obra 11
4. Deberes, obligaciones y compromisos 12
5. Principios básicos de la actividad preventiva de esta obra 13
6. Gestión medioambiental 15
6.1. Sostenibilidad ambiental 15
6.1.1. Tratamiento de residuos 15
7. Prevención de riesgos de la obra 23
7.1. Método empleado en la evaluación de riesgos 23
7.2. Operaciones previas a la ejecución de la obra 25
7.2.1. Instalaciones provisionales de obra 25
7.2.2. Acceso a la obra de proveedores, servicios de mantenimiento y otros 25
7.3. Unidades de obra 27

Documento visado electrónicamente con número: VA07290/22
Código de validación telemática TRLTDCFZ60T66IJ1. Comprobación: https://cogitivalencia.e-gestion.es/Validacion.aspx?CVT=TRLTDCFZ60T66IJ1

VISADO
COGITI
VALENCIA
VA07290/22
TRLTDCFZ60T66IJ1

7.3.1. Replanteo estructura portante de módulos solares sobre cubierta 27
7.3.2. Montaje estructura de los módulos solares 28
7.3.3. Colocación de los módulos solares 30
7.3.4. Envolvente para instalación a la intemperie 32
7.3.5. Inversor de corriente para conexión a red 34
7.3.6. Instalación de componentes para transmisión de datos 36
7.3.7. Replanteo de líneas 37
7.3.8. Cableado eléctrico 38
7.3.9. Acometida a la red general 40
7.3.10. Trabajos eléctricos y puesta en marcha de la instalación 41
7.4. Maquinaria de obra y herramientas 43
7.4.1. Grúa autopropulsada 43
7.4.2. Carretilla elevadora 48
7.4.3. Camión grúa descarga 51
7.4.4. Camión grúa hidráulica telescópica 53
7.4.5. Eslingas textiles 54
7.4.6. Eslingas de cable 57
7.4.7. Eslingas de cadena 59
7.4.8. Cáncamos 62
7.4.9. Grilletes 63
7.4.10. Atornilladores eléctricos 65
7.4.11. Atornilladores de batería 66
7.4.12. Taladros eléctricos 67
7.4.13. Taladros de batería 68
7.4.14. Amoladoras 69
7.4.15. Cortadora metal 70
7.4.16. Alargadores eléctricos 71
7.4.17. Herramientas manuales 72
7.5. Medios auxiliares 76
7.5.1. Plataforma elevadora móvil de personal (PEMP) 76
8. Localización e identificación de trabajos especiales en la obra 79
9. Localización e identificación de trabajos que implican riesgos especiales (Anexo II RD 1627/1997) 80
10. Equipos de protección individual para trabajos en altura 81
10.1. Mantenimiento 82
11. Condiciones de seguridad y salud en los previsibles trabajos posteriores 83
11.1. Relación de previsibles trabajos posteriores 83

Documento visado electrónicamente con número: VA07290/22
Código de validación telemática TRLTDCFZ60T66IJ1. Comprobación: https://cogitivalencia.e-gestion.es/Validacion.aspx?CVT=TRLTDCFZ60T66IJ1

VISADO
COGITI
TRLTDCFZ60T66IJ1
VALENCIA
VA07290/22

11.2. Riesgos laborales que pueden aparecer 84
12. Recursos preventivos 84
13. Plan de emergencia 85
13.1. Medios técnicos 85
13.2. Medios humanos 85
13.3. Plan de evacuación 86
13.4. Prevención y extinción de incendios 87
13.5. Primeros auxilios 88
13.6. Prevención asistencial en caso de accidente 88
13.6.1. Acciones a seguir en caso de accidente 89
13.6.2. Comunicación inmediata en caso de accidente 90
13.6.3. Actuaciones administrativas en caso de accidente 90
13.6.4. Centros asistenciales y teléfonos de interés 90
14. Normativa de aplicación 94
15. Condiciones técnicas de los medios de protección 96
16. Condiciones técnicas de los equipos de trabajo 96
17. Organización de la seguridad 97
17.1. Coordinador de seguridad y salud 97
17.2. Plan de seguridad y salud 97
17.3. Libro de incidencias 98
17.4. Paralización de trabajos 99
17.5. Contratista y subcontratistas 99
17.6. Trabajadores autónomos 100
17.7. Trabajadores 101
17.8. Medidas para el control de acceso a obra 101
17.9. Formación e información 101
17.10. Vigilancia de la salud 102
17.11. Servicios de prevención de las empresas 102

Documento visado electrónicamente con número: VA07290/22
Código de validación telemática TRLTDCFZ60T66IJ1. Comprobación: https://cogitivalencia.e-gestion.es/Validacion.aspx?CVT=TRLTDCFZ60T66IJ1

VISADO
COGITI
VALENCIA
VA07290/22
TRLTDCFZ60T66IJ1

1. Justificación documental

1.1. Justificación del Estudio de Seguridad y Salud

Para dar cumplimiento a los requisitos establecidos en el Capítulo II del RD 1627/97 en el que se establece la obligatoriedad del Promotor durante la Fase de Proyecto a que se elabore un Estudio de Seguridad y Salud al darse alguno de estos supuestos:

a) Que el presupuesto de ejecución por contrata incluido en el proyecto de obra sea igual o superior a 75 millones de pesetas (450.759,08 €).

b) Que la duración estimada sea superior a 30 días laborales, empleándose en algún momento a más de 20 trabajadores simultáneamente.

c) Que el volumen de mano de obra estimada, entendiéndose por tal la suma de los días de trabajo del total de los trabajadores en la obra sea superior a 500.

d) las obras de túneles, galería, conducciones subterráneas y presas.

A la vista de los valores anteriormente expuestos y dadas las características del proyecto objeto, se deduce que el promotor está obligado a elaborar un Estudio de Seguridad y Salud, el cual se desarrolla en este documento.

1.2. Objetivos del Estudio de Seguridad y Salud

De acuerdo con las prescripciones establecidas por la Ley 31/1995, de Prevención de Riesgos Laborales, y en el RD 1627/97, sobre Disposiciones Mínimas de Seguridad y Salud en las Obras de Construcción, el objetivo de este Estudio de Seguridad y Salud es marcar las directrices básicas para que la empresa contratista mediante el Plan de seguridad desarrollado a partir de este Estudio, pueda dar cumplimiento a sus obligaciones en materia de prevención de riesgos laborales.

En el desarrollo de este documento se han identificado los riesgos de las diferentes Unidades de Obra, Máquinas y Equipos, evaluado la eficacia de las protecciones previstas a partir de los datos aportados por el Promotor y el Proyectista.

Se ha procurado que el desarrollo de este Estudio de Seguridad esté adaptado a las prácticas constructivas más habituales, así como a los medios técnicos y tecnologías del momento. Si el Contratista, a la hora de elaborar el Plan de Seguridad a partir de este documento, utiliza tecnologías novedosas, o procedimientos innovadores, deberá adecuar técnicamente el mismo.

Este Estudio de Seguridad y Salud es el instrumento aportado por el Promotor para dar cumplimiento al Artículo 7 del RD 171/2004, al entenderse que la "Información del empresario titular (Promotor) queda cumplida mediante el Estudio Básico o Estudio de Seguridad y Salud, en los términos establecidos en los artículos 5 y 6 del RD 1627/97".

Este "Estudio de Seguridad y Salud" es un capítulo más que deberá incluirse en el proyecto de obra, por ello deberá estar en la obra, junto con el resto de los documentos.

Este documento no sustituye al Plan de Seguridad.

Documento visado electrónicamente con número: VA07290/22
Código de validación telemática TRLTDCFZ60T66IJ1. Comprobación: https://cogitivalencia.e-gestion.es/Validacion.aspx?CVT=TRLTDCFZ60T66IJ1

VISADO
COGITI
VALENCIA
VA07290/22
TRLTDCFZ60T66IJ1

2. Descripción de la obra

2.1. Datos generales del proyecto y de la obra

Descripción del Proyecto y de la obra sobre la que se trabaja	INSTALACIÓN FOTOVOLTAICA SOBRE CUBIERTA DE SILO DE VEHICULOS DE VTE SUR EN PUERTO DE VALENCIA
Técnico autor del proyecto	Javier Coli Gilabert

2.2. Presupuesto, fechas y duración prevista de la obra

	PEC	PEM	Importe en Euros
Presupuesto de la obra		X	14.133.106,17 €

Fecha de inicio prevista	01/06/2022
Duración prevista	24 meses
Número medio de trabajadores	20 trabajadores

2.3. Intervención de otros agentes en la obra: Project Manager, OCT's y Suministradores

Suministradores

Los suministradores, son empresas que exclusivamente aportan materiales o equipos a las obras, no disponiendo en ningún momento de mano de obra en la misma, puesto que pasarían a ser subcontratistas.

Por tanto, son empresas que no pueden realizar ningún tipo de trabajo en la obra, a excepción de la carga y descarga de los materiales o equipos que suministra.

Relación de Medidas Preventivas que se tiene en cuenta en esta obra con relación a dichas figuras y funciones:

En general cualquier persona que visite la obra en especial las figuras anteriormente descritas, si está integrada en el proceso de ejecución de la misma, deberá ser recibida y acompañada por personal de obra, ser informada de los riesgos en la misma y dotársele de los equipos de protección individual mínimos y necesarios:

- Casco (obligatorio para circular por obra).
- Chaleco alta visibilidad.
- Botas o calzado apropiado.

2.4. Tipología de la obra a construir

La obra consiste en una instalación solar fotovoltaica que incluye los siguientes elementos:

- Montaje de estructuras.
- Montaje de módulos fotovoltaicos.
- Instalación eléctrica.

Documento visado electrónicamente con número: VA07290/22
Código de validación telemática TRLTDCFZ60T66IJ1. Comprobación: https://cogitivalencia.e-gestion.es/Validacion.aspx?CVT=TRLTDCFZ60T66IJ1

VISADO
COGITI
VALENCIA
VA07290/22
TRLTDCFZ60T66IJ1

La instalación proyectada se compondrá de un sistema fotovoltaico generador de electricidad. Dicho generador estará constituido por módulos fotovoltaicos conectados eléctricamente entre sí, en cuya salida de corriente continua se situará un inversor de potencia que dotará a la energía generada de las características necesarias para su consumo por el cliente en las condiciones que estipule la compañía distribuidora.

La instalación consistirá básicamente en la ejecución de una instalación fotovoltaica para autoconsumo, de 5.763,55 kWp. La instalación fotovoltaica estará constituida de 10.773 módulos fotovoltaicos de 535 Wp, instalados sobre estructura metálica inclinada a 4º y con orientación Sur.

Será necesaria la instalación de 27 inversores de 185 kWn, que se instalarán repartidos a lo largo de la cubierta metálica portante, tal y como se puede observar en los planos.

Una vez agrupada toda la potencia, se instalarán DOS Centros de Transformación de 2x1600kVA y 2x1250KVA respectivamente, para conseguir la señal en Alta tensión, a 20 kV, de tal manera que se pueda conectar directamente al Centro de Transformación existente V.C.T. 043 de 250KVA para aprovechar la energía generada en cualquier localización del puerto

Generador fotovoltaico

El panel solar previsto en la instalación será el Jinko Cheetah Plus JKM535M-72HL4 que está compuesto de 144 células de alta eficiencia de tecnología monocristalino garantizando una producción muy alta para instalaciones fotovoltaicas.

Para proteger las células contra las condiciones climáticas más adversas, las células están incrustadas entre una protección de cristal endurecido, templado de bajo contenido en hierro, de alta transmisividad; y láminas de TPT y EVA. Marco de aluminio anodizado, estético, estable, que proporciona alta resistencia al viento, a la carga de nieve y con unos accesos sencillos para el montaje. Los perfiles posteriores están equipados con agujeros de drenaje. De esta forma se elimina el riesgo de que el agua de nieve pueda acumularse en el interior del perfil y pueda congelarse produciendo daños. Cableado con sistema de conexión rápida tipo MC4. Certificados bajo IEC61215, TUV class II, CE, ISO9001:2000. La parte trasera está sellada con láminas PET. El laminado se encuentra en un marco de aluminio resistente y fácil de montar.

La planta albergará un total de 432 strings, repartidos de la siguiente forma:

- 405 strings conectando 25 paneles en cada uno.
- 27 strings conectando 24 paneles en cada uno.

Siendo un total de 10.773 paneles y una potencia pico del sistema generador de 5.763,55 kWp.

Inversores

Los módulos fotovoltaicos producen energía eléctrica en corriente continua (CC). La función de los equipos inversores es adaptar esa energía eléctrica de corriente continua (CC) a corriente alterna, modificando así mismo los niveles de tensión, en este caso a 800Vac. Además de generar una onda sinusoidal, los equipos inversores generan un sistema trifásico equilibrado, adaptando potencia generada a los sistemas convencionales de distribución de energía eléctrica.

Se utilizará una instalación descentralizada mediante inversores de string, repartidos uniformemente por la parcela, los inversores utilizados en la instalación serán el HUAWEI SUN2000-185KTL-H1 Inversor

Documento visado electrónicamente con número: VA07290/22
Código de validación telemática TRLTDCFZ60T66IJ1. Comprobación: https://cogitivalencia.e-gestion.es/Validacion.aspx?CVT=TRLTDCFZ60T66IJ1

VISADO
COGITI
VALENCIA
VA07290/22
TRLTDCFZ60T66IJ1

para conexión a red de 185 kWn preparados para trabajar con tensiones de hasta 1.500V en el lado de corriente continua.

El inversor opera automáticamente y controla el arranque y parada del mismo. Incorpora un sistema avanzado de seguimiento de la potencia máxima (MPPT) para maximizar la energía obtenida de los paneles fotovoltaicos. Para minimizar las pérdidas durante el proceso de inversión, usa tecnología de conmutación mediante transistores bipolares de puerta aislada (IGBT's). Se pueden paralelizar múltiples inversores para instalaciones de más potencia. Se instalarán un total de 8 inversores, con una potencia nominal total de planta de 4995 kWn.

El inversor está diseñado acorde con la normativa europea, cumple por lo tanto todos los requisitos CE, así como la normativa aplicable y está certificado por TÜV Rheinland.

Estructura soporte

La estructura metálica sobre la que se situarán los módulos fotovoltaicos se establece para sostener cada módulo en posición óptima de captación de radiación solar con una inclinación de 4º que optimice el rendimiento energético.
La estructura mantendrá una orientación SUR, sustentando los 10773 módulos que conforman la instalación. La estructura elegida será de Acero elaborado S235JRC según UNE-EN 10162, material resistente a la corrosión y con un buen compromiso calidad-precio.

Estará eléctricamente unida a una toma de tierra, y asegurará un buen contacto eléctrico entre el marco del módulo y la tierra para permitir la protección de las personas frente a posibles pérdidas de aislamiento en el generador.

Centro de transformación

Los centros de Transformación serán de 2x1600 kVA y 2x1250 kVA respectivamente, tipo interior (prefabricado en superficie) y con relación de transformación 0,8/20 kV.

Serán máquinas trifásicas elevadoras de tensión, siendo la tensión a la entrada de 800 V entre fases y la tensión a la salida de 20KV.

Se instalarán 2 casetas prefabricada de hormigón tipo PFU-7 de ORMAZABAL, con dos puertas peatonales para independizar los accesos a la parte de MT y a la parte de producción. Las casetas serán de dimensiones 7.900 x 2.200 y altura útil 2.450 mm..

Fases de ejecución de la instalación

Los pasos necesarios para la correcta ejecución de la instalación son los siguientes:

1) Montaje de estructura. Incluye la puesta en obra de los materiales, izado a cubierta, premontaje de la estructura y la sujeción de la misma a la cubierta de la nave.
2) Montaje de los módulos fotovoltaicos. Incluye la puesta en obra de los módulos, izado a cubierta y la fijación de los mismos a la estructura.
3) Cableado de continua. Incluye el cableado de los módulos fotovoltaicos entre sí, la colocación de cajas de derivación, el conexionado de los strings, la colocación de la caja de paralelos de continua con sus respectivas protecciones y el cableado de módulos fotovoltaicos a las cajas de protección y de estas a los inversores.
4) Instalación y conexionado del centro de transformación de generación.
5) Instalación y conexionado del sistema de almacenamiento.

Documento visado electrónicamente con número: VA07290/22
Código de validación telemática TRLTDCFZ60T66IJ1. Comprobación: https://cogitivalencia.e-gestion.es/Validacion.aspx?CVT=TRLTDCFZ60T66IJ1

VISADO
COGITI
VALENCIA
VA07290/22
TRLTDCFZ60T66IJ1

6) Pruebas. Incluye las mediciones y pruebas de la instalación.
7) Puesta en marcha. Incluye la conexión de la instalación a la red eléctrica. La conexión de la instalación la realiza la compañía eléctrica de distribución.

2.5. Descripción del estado actual del espacio donde se va a ejecutar la obra

La instalación solar fotovoltaica objeto del presente proyecto de construcción se ejecuta sobre la cubierta del Silo de Vehiculos de Valencia Terminal Este.

El edificio dispone de muros alrededor de la cubierta.

El acceso peatonal a la cubierta se realizará utilizando la escaleras definidas. En caso de ausencia de acceso fijo, el contratista definirá en el plan de seguridad un acceso temporal seguro mediante torre de andamio o similar.

2.6. Condiciones del entorno de la obra que influyen en la prevención de riesgos laborales

2.6.1. Objetivos prevencionistas

Un número elevado de accidentes en la obra son originados por las interferencias realizadas con las canalizaciones, conducciones e instalaciones que cruzan por la obra o están en sus inmediaciones.

En este apartado se especifican todas aquellas condiciones del entorno de la obra que hay que tener presente, - según el proyecto de obra - y que van a permitir valorar y delimitar los riesgos que pueden originar.

2.6.2. Condiciones de los accesos y vías de acceso a la obra

La obra se ubica en el interior del Puerto de Valencia.

2.6.3. Localización geográfica de la obra

Las coordenadas de esta obra son: UTM: 39.440366, -0.304180

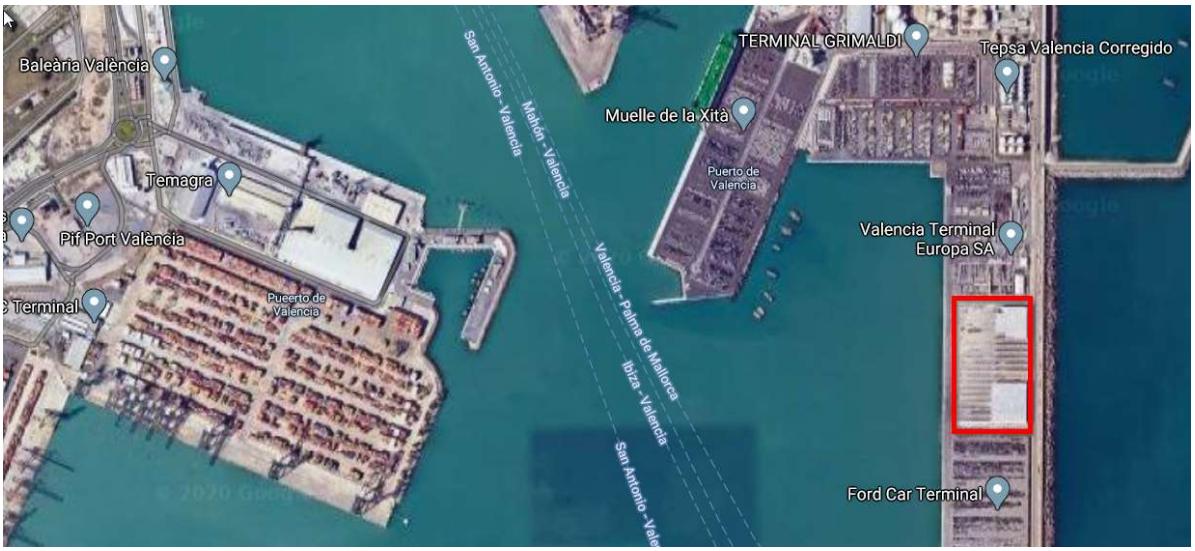

2.6.4. Líneas eléctricas aéreas en tensión

No se ha detectado ninguna línea aérea en el radio de acción.

2.6.5. Interferencia con otras edificaciones

No existen.

Documento visado electrónicamente con número: VA07290/22
Código de validación telemática TRLTDCFZ60T66IJ1. Comprobación: https://cogitivalencia.e-gestion.es/Validacion.aspx?CVT=TRLTDCFZ60T66IJ1

VISADO
COGITI
VALENCIA
VA07290/22
TRLTDCFZ60T66IJ1

2.6.6. Servicios afectados por las obras

El normal desarrollo de las actividades de la obra no interfiere ningún servicio público o privado, por lo que no se consideran riesgos derivados a estas situaciones.

2.6.7. Actividades fuera del perímetro de la obra

Fuera del recinto de la obra, no se van a realizar operaciones de ningún tipo.

2.6.8. Presencia de tráfico rodado y peatones

La nave industrial se encuentra dentro de las competencias de la Autoridad Portuaria y el tráfico tanto rodado como de peatones es el típico de este tipo de instalaciones.

- Tráfico rodado: afluencia de vehículos en horas punta, trasiego de furgonetas de reparto y camiones de tonelaje medio.
- Tráfico peatonal: el tráfico peatonal discurre por las aceras y se debe principalmente a los trabajadores que entran o salen de las instalaciones colindantes y de la propia nave industrial.

2.6.9. Daños a terceros

Los daños a terceros en esta obra se pueden presentar:

A nivel de suelo

Durante la utilización de grúa para el acopio y retirada de materiales en cubierta.

Para prevenir los riesgos sobre terceros derivados de estas actividades, se establecerá un perímetro de seguridad que se mantendrá mientras duren lo trabajos. Esta zona de seguridad tendrá en cuenta el área de acción de la grúa y su posicionamiento, y estará en todo momento señalizado y balizado.

Durante estos trabajos el recurso preventivo de la empresa contratista velará porque se cumplan las normas de seguridad en los trabajos de izado y se instauren y mantengan en todo momento las medidas que impidan que terceros entren en la zona de trabajo.

En cubierta

Se impedirá el acceso a la zona de trabajo de personas ajenas a la obra, señalizándose los accesos a la obra y prohibiéndose el paso a todo personal ajeno a la misma.

2.6.10. Condiciones climáticas y ambientales

Se deberá tener precaución al caminar por la cubierta si se encuentra mojada, ya sea por lluvia o por el rocío de la mañana, debido al riesgo de resbalones al tratarse de una cubierta muy resbaladiza al entrar en contacto con el agua.

No se deben realizar trabajos si las condiciones atmosféricas, sobre todo el viento así lo desaconsejan. Como regla general no se trabajará si llueve o si la velocidad del viento es superior a los 50 km/h, debiéndose retirar cualquier material o herramienta que pueda caer desde la cubierta.

2.6.11. Trabajos en obras que se encuentran insertas en el ámbito de un centro de trabajo y éste mantiene su actividad o están afectadas por actividades de otras empresas

Los trabajos objeto del presente proyecto se simultanearán con la actividad industrial desarrollada en la nave.

El recurso preventivo de la empresa contratista estará presente para vigilar que los riesgos no puedan verse agravados o modificados por la concurrencia de operaciones diversas que se desarrollan sucesiva o simultáneamente.

Documento visado electrónicamente con número: VA07290/22
Código de validación telemática TRLTDCFZ60T66IJ1. Comprobación: https://cogitivalencia.e-gestion.es/Validacion.aspx?CVT=TRLTDCFZ60T66IJ1

VISADO
COGITI
VALENCIA
VA07290/22
TRLTDCFZ60T66IJ1

2.6.12. Servicios de higiene y bienestar

En función del número máximo de operarios que se pueden encontrar en fase de obra, el contratista determinará en el plan de seguridad los elementos necesarios para las instalaciones de bienestar: inodoros, lavabos, urinarios, etc. Estos serán complementados por los elementos auxiliares necesarios toalleros, jaboneras, etc.

Las instalaciones para comer o preparar comidas podrán habilitarse en la propia obra, ser aledañas a la misma o, en su caso, utilizar establecimientos específicos para este menester.

Todas las instalaciones se mantendrán en perfecto estado de limpieza y conservación.

3. Normas preventivas generales de la obra

Normas generales

- Cumplir activamente las instrucciones y medidas preventivas que adopte el empresario.
- Velar por la seguridad propia y de las personas a quienes pueda afectar sus actividades desarrolladas.
- Utilizar, conforme a las instrucciones de seguridad recibidas, los medios y equipos asignados.
- Asistir a todas las actividades de formación acerca de prevención de riesgos laborales organizadas por el empresario.
- Consultar y dar cumplimiento a las indicaciones de la información sobre prevención de riesgos recibida del empresario.
- Cooperar para que en la obra se puedan garantizar unas condiciones de trabajo seguras.
- No consumir sustancias que puedan alterar la percepción de los riesgos en el trabajo.
- Comunicar verbalmente y, cuando sea necesario, por escrito, las instrucciones preventivas necesarias al personal subordinado.
- Acceder únicamente a las zonas de trabajo que ofrezcan las garantías de seguridad.
- Realizar únicamente aquellas actividades para las cuales se está cualificado y se dispone de las autorizaciones necesarias.
- No poner fuera de servicio y utilizar correctamente los medios de seguridad existentes en la obra.
- Informar inmediatamente a sus superiores de cualquier situación que pueda comportar un riesgo para la seguridad y salud de los trabajadores.
- Contribuir al cumplimiento de las obligaciones establecidas por la autoridad laboral competente.
- Respetar la señalización de seguridad colocada en la obra.
- No encender fuego en la obra.
- Utilizar la herramienta adecuada según el trabajo que se quiere realizar.
- En caso de producirse cualquier tipo de accidente, comunicar la situación inmediatamente a sus superiores.
- Conocer la situación de los extintores en la obra.
- No permanecer bajo cargas suspendidas.
- En zonas de circulación de maquinaria, utilizar los pasos previstos para trabajadores.
- Respetar los radios de seguridad de la maquinaria.
- Al levantar pesos, hacerlo con la espalda recta y realizar la fuerza con las piernas, nunca con la espalda.
- Lavarse las manos antes de comer, beber o fumar.
- Toda la maquinaria de obra matriculada que supere los 25 km/h, deberá tener pasada la ITV.

Protecciones individuales y colectivas

- Utilizar, de acuerdo con las instrucciones de seguridad recibidas en la obra, los equipos de protección individual y las protecciones colectivas.

Documento visado electrónicamente con número: VA07290/22
Código de validación telemática TRLTDCFZ60T66IJ1. Comprobación: https://cogitivalencia.e-gestion.es/Validacion.aspx?CVT=TRLTDCFZ60T66IJ1

VISADO
COGITI
VALENCIA
VA07290/22
TRLTDCFZ60T66IJ1

- En caso de no disponer de equipos de protección individual o de que se encuentren en mal estado, hay que pedir equipos nuevos a los responsables.
- Anteponer las medidas de protección colectivas frente a las individuales.
- Conservar en buen estado los equipos de protección individual y las protecciones colectivas.
- En caso de retirar una protección colectiva por necesidades, hay que volver a restituir lo antes posible.
- En zonas con riesgos de caída en altura, no iniciar los trabajos hasta la colocación de las protecciones colectivas.
- Para colocar las protecciones colectivas, utilizar sistemas seguros.

Maquinaria y equipos de trabajo

- Utilizar únicamente aquellos equipos y máquinas para los cuales se dispone de la cualificación y autorización necesarias.
- Utilizar estos equipos respetando las medidas de seguridad y las especificaciones indicadas por el fabricante.
- Al manipular una máquina o equipo, respetar la señalización interna de la obra.
- No utilizar la maquinaria para transportar a personal.
- Realizar los mantenimientos periódicos conforme las instrucciones del fabricante.
- Circular con precaución en las entradas y salidas de la obra.
- Vigilar la circulación y la actividad de los vehículos situados en el radio de trabajo de la máquina.

Orden y limpieza

- Mantener las zonas de trabajo limpias y ordenadas.
- Segregar y depositar los residuos en los contenedores habilitados en obra.
- Acopiar correctamente los escombros en la obra.
- Retirar los materiales caducados y en mal estado del almacén de la obra.
- Mantener las instalaciones de limpieza personal y de bienestar en las obras en condiciones higiénicas.

Instalaciones eléctricas

- Comprobar antes de la utilización, que las instalaciones eléctricas disponen de los elementos de protección necesarios.
- Mantener las puertas de los cuadros eléctricos cerradas siempre con llave.
- Mantener periódicamente todos los equipos eléctricos.
- Conectar debidamente a tierra los equipos que así lo requieran.
- Desconectar la instalación eléctrica antes de realizar reparaciones.
- Manipular los cuadros eléctricos y reparar instalaciones o circuitos únicamente si se está autorizado.

4. Deberes, obligaciones y compromisos

Según los Arts. 14 y 17, en el Capítulo III de la Ley de Prevención de Riesgos Laborales se establecen los siguientes puntos:

1. Los trabajadores tienen derecho a una protección eficaz en materia de seguridad y salud en el trabajo. El citado derecho supone la existencia de un correlativo deber del empresario de protección de los trabajadores frente a los riesgos laborales. Este deber de protección constituye, igualmente, un deber de las Administraciones Públicas respecto del personal a su servicio. Los derechos de información, consulta y participación, formación en materia preventiva, paralización de la actividad en caso de riesgo grave e inminente y vigilancia de su estado de salud, en los términos previstos en la presente Ley, forman parte del derecho de los trabajadores a una protección eficaz en materia de seguridad y salud en el trabajo.

Documento visado electrónicamente con número: VA07290/22
Código de validación telemática TRLTDCFZ60T66IJ1. Comprobación: https://cogitivalencia.e-gestion.es/Validacion.aspx?CVT=TRLTDCFZ60T66IJ1

VISADO
COGITI
VALENCIA
VA07290/22
TRLTDCFZ60T66IJ1

2. En cumplimiento del deber de protección, el empresario deberá garantizar la seguridad y la salud de los trabajadores a su servicio en todos los aspectos relacionados con el trabajo. A estos efectos, en el marco de sus responsabilidades, el empresario realizará la prevención de los riesgos laborales mediante la integración de la actividad preventiva en la empresa y la adopción de cuantas medidas sean necesarias para la protección de la seguridad y la salud de los trabajadores, con las especialidades que se recogen en los artículos siguientes en materia de plan de prevención de riesgos laborales, evaluación de riesgos, información, consulta y participación y formación de los trabajadores, actuación en casos de emergencia y de riesgo grave e inminente, vigilancia de la salud, y mediante la constitución de una organización y de los medios necesarios en los términos establecidos en el capítulo IV de esta ley.

El empresario desarrollará una acción permanente de seguimiento de la actividad preventiva con el fin de perfeccionar de manera continua las actividades de identificación, evaluación y control de los riesgos que no se hayan podido evitar y los niveles de protección existentes y dispondrá lo necesario para la adaptación de las medidas de prevención señaladas en el párrafo anterior a las modificaciones que puedan experimentar las circunstancias que incidan en la realización del trabajo.

3. El empresario deberá cumplir las obligaciones establecidas en la normativa sobre prevención de riesgos laborales.

4. Las obligaciones de los trabajadores establecidas en esta Ley, la atribución de funciones en materia de protección y prevención a trabajadores o Servicios de la empresa y el recurso al concierto con entidades especializadas para el desarrollo de actividades de prevención complementarán las acciones del empresario, sin que por ello le eximan del cumplimiento de su deber en esta materia, sin perjuicio de las acciones que pueda ejercitar, en su caso, contra cualquier otra persona.

5. El coste de las medidas relativas a la seguridad y la salud en el trabajo no deberá recaer en modo alguno sobre los trabajadores.

Equipos de trabajo y medios de protección.

1. El empresario adoptará las medidas necesarias con el fin de que los equipos de trabajo sean adecuados para el trabajo que deba realizarse y convenientemente adaptados a tal efecto, de forma que garanticen la seguridad y la salud de los trabajadores al utilizarlos. Cuando la utilización de un equipo de trabajo pueda presentar un riesgo específico para la seguridad y la salud de los trabajadores, el empresario adoptará las medidas necesarias con el fin de que:

a) La utilización del equipo de trabajo quede reservada a los encargados de dicha utilización.

b) Los trabajos de reparación, transformación, mantenimiento o conservación sean realizados por los trabajadores específicamente capacitados para ello.

2. El empresario deberá proporcionar a sus trabajadores equipos de protección individual adecuados para el desempeño de sus funciones y velar por el uso efectivo de los mismos cuando, por la naturaleza de los trabajos realizados, sean necesarios. Los equipos de protección individual deberán utilizarse cuando los riesgos no se puedan evitar o no puedan limitarse suficientemente por medios técnicos de protección colectiva o mediante medidas, métodos o procedimientos de organización del trabajo.

5. Principios básicos de la actividad preventiva de esta obra

De acuerdo con los Arts. 15 y 16 de la Ley de Prevención de Riesgos Laborales, se establece que:

1. El empresario aplicará las medidas que integran el deber general de prevención previsto en el capítulo anterior, con arreglo a los siguientes principios generales:

Documento visado electrónicamente con número: VA07290/22
Código de validación telemática TRLTDCFZ60T66IJ1. Comprobación: https://cogitivalencia.e-gestion.es/Validacion.aspx?CVT=TRLTDCFZ60T66IJ1

VISADO
COGITI
VALENCIA
VA07290/22
TRLTDCFZ60T66IJ1

a) Evitar los riesgos.

b) Evaluar los riesgos que no se puedan evitar.

c) Combatir los riesgos en su origen.

d) Adaptar el trabajo a la persona, en particular en lo que respecta a la concepción de los puestos de trabajo, así como a la elección de los equipos y los métodos de trabajo y de producción, con miras, en particular, a atenuar el trabajo monótono y repetitivo y a reducir los efectos del mismo en la salud.

e) Tener en cuenta la evolución de la técnica.

f) Sustituir lo peligroso por lo que entrañe poco o ningún peligro.

g) Planificar la prevención, buscando un conjunto coherente que integre en ella la técnica, la organización del trabajo, las condiciones de trabajo, las relaciones sociales y la influencia de los factores ambientales en el trabajo.

h) Adoptar medidas que antepongan la protección colectiva a la individual.

i) Dar las debidas instrucciones a los trabajadores.

2. El empresario tomará en consideración las capacidades profesionales de los trabajadores en materia de seguridad y salud en el momento de encomendarles las tareas.

3. El empresario adoptará las medidas necesarias a fin de garantizar que solo los trabajadores que hayan recibido información suficiente y adecuada puedan acceder a las zonas de riesgo grave y específico.

4. La efectividad de las medidas preventivas deberá prever las distracciones o imprudencias no temerarias que pudiera cometer el trabajador. Para su adopción se tendrán en cuenta los riesgos adicionales que pudieran implicar determinadas medidas preventivas; las cuales solo podrán adoptarse cuando la magnitud de dichos riesgos sea sustancialmente inferior a la de los que se pretende controlar y no existan alternativas más seguras.

5. Podrán concertar operaciones de seguro que tengan como fin garantizar como ámbito de cobertura la previsión de riesgos derivados del trabajo, la empresa respecto de sus trabajadores, los trabajadores autónomos respecto a ellos mismos y las sociedades cooperativas respecto a sus socios cuya actividad consista en la prestación de su trabajo personal.

Evaluación de los riesgos.

1. La prevención de riesgos laborales deberá integrarse en el sistema general de gestión de la empresa, tanto en el conjunto de sus actividades como en todos los niveles jerárquicos de ésta, a través de la implantación y aplicación de un plan de prevención de riesgos laborales a que se refiere el párrafo siguiente.

Este plan de prevención de riesgos laborales deberá incluir la estructura organizativa, las responsabilidades, las funciones, las prácticas, los procedimientos, los procesos y los recursos necesarios para realizar la acción de prevención de riesgos en la empresa, en los términos que reglamentariamente se establezcan.

2. Los instrumentos esenciales para la gestión y aplicación del plan de prevención de riesgos, que podrán ser llevados a cabo por fases de forma programada, son la evaluación de riesgos laborales y la planificación de la actividad preventiva a que se refieren los párrafos siguientes:

Documento visado electrónicamente con número: VA07290/22
Código de validación telemática TRLTDCFZ60T66IJ1. Comprobación: https://cogitivalencia.e-gestion.es/Validacion.aspx?CVT=TRLTDCFZ60T66IJ1

VISADO
COGITI
VALENCIA
VA07290/22
TRLTDCFZ60T66IJ1

a) El empresario deberá realizar una evaluación inicial de los riesgos para la seguridad y salud de los trabajadores, teniendo en cuenta, con carácter general, la naturaleza de la actividad, las características de los puestos de trabajo existentes y de los trabajadores que deban desempeñarlos. Igual evaluación deberá hacerse con ocasión de la elección de los equipos de trabajo, de las sustancias o preparados químicos y del acondicionamiento de los lugares de trabajo. La evaluación inicial tendrá en cuenta aquellas otras actuaciones que deban desarrollarse de conformidad con lo dispuesto en la normativa sobre protección de riesgos específicos y actividades de especial peligrosidad. La evaluación será actualizada cuando cambien las condiciones de trabajo y, en todo caso, se someterá a consideración y se revisará, si fuera necesario, con ocasión de los daños para la salud que se hayan producido.

Cuando el resultado de la evaluación lo hiciera necesario, el empresario realizará controles periódicos de las condiciones de trabajo y de la actividad de los trabajadores en la prestación de sus servicios, para detectar situaciones potencialmente peligrosas.

b) Si los resultados de la evaluación prevista en el párrafo a) pusieran de manifiesto situaciones de riesgo, el empresario realizará aquellas actividades preventivas necesarias para eliminar o reducir y controlar tales riesgos. Dichas actividades serán objeto de planificación por el empresario, incluyendo para cada actividad preventiva el plazo para llevarla a cabo, la designación de responsables y los recursos humanos y materiales necesarios para su ejecución.

El empresario deberá asegurarse de la efectiva ejecución de las actividades preventivas incluidas en la planificación, efectuando para ello un seguimiento continuo de la misma.

Las actividades de prevención deberán ser modificadas cuando se aprecie por el empresario, como consecuencia de los controles periódicos previstos en el párrafo a) anterior, su inadecuación a los fines de protección requeridos.

2 bis. Las empresas, en atención al número de trabajadores y a la naturaleza y peligrosidad de las actividades realizadas, podrán realizar el plan de prevención de riesgos laborales, la evaluación de riesgos y la planificación de la actividad preventiva de forma simplificada, siempre que ello no suponga una reducción del nivel de protección de la seguridad y salud de los trabajadores y en los términos que reglamentariamente se determinen.

3. Cuando se haya producido un daño para la salud de los trabajadores o cuando, con ocasión de la vigilancia de la salud prevista en el artículo 22, aparezcan indicios de que las medidas de prevención resultan insuficientes, el empresario llevará a cabo una investigación al respecto, a fin de detectar las causas de estos hechos.

6. Gestión medioambiental

6.1. Sostenibilidad ambiental

6.1.1. Tratamiento de residuos

Productos químicos - Etiquetado

Los productos químicos deben estar etiquetados y sus suministradores deben proporcionar las fichas de seguridad, que permitan tomar acciones frente a accidentes de diversa naturaleza, pero también frente al almacenamiento y vertido residual de los mismos.

Las fichas de seguridad estarán dispuestas en obra para consulta de todos los trabajadores.

Desde el 1 de diciembre de 2010, las sustancias químicas deben ser etiquetadas según las disposiciones del Reglamento CLP, (siglas en inglés de Clasificación, Etiquetado y Envasado), que supone la aplicación del sistema mundial armonizado de clasificación y etiquetado de productos químicos.

Documento visado electrónicamente con número: VA07290/22
Código de validación telemática TRLTDCFZ60T66IJ1. Comprobación: https://cogitivalencia.e-gestion.es/Validacion.aspx?CVT=TRLTDCFZ60T66IJ1

VISADO
COGITI
VALENCIA
VA07290/22
TRLTDCFZ60T66IJ1

Estas etiquetas conllevan nuevos pictogramas de peligro, una mención de advertencia y menciones de peligros.

La etiqueta identifica el producto y al responsable de su comercialización, así como, aporta información sobre los riesgos que presenta, principalmente desde el punto de vista de la seguridad y de las vías de entrada al organismo en caso de exposición, tal como se observa en la figura siguiente:

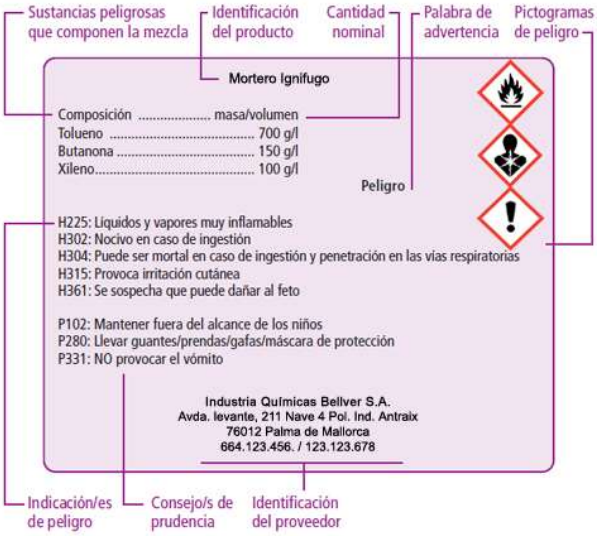

Los peligros más significativos están identificados por los símbolos (pictogramas) e indicaciones de peligro que se especifican en la imagen siguiente:



Las indicaciones de peligro o frases de riesgo describen la naturaleza de los peligros de una sustancia o mezcla peligrosa, incluyendo cuando proceda el grado o categoría de peligro.

Las indicaciones de peligro o frases de riesgo del antiguo reglamento europeo (frases R) se llaman ahora frases H y EUH12 con el Reglamento CLP.

Frases H y EUH12

Es importante destacar que, en general, las frases son muy similares, aunque pueden tener una redacción ligeramente distinta entre las frases de riesgo atribuidas en el RD 363/1995 (frases R) y las frases H y EUH correspondientes del etiquetado del Reglamento CLP.

Documento visado electrónicamente con número: VA07290/22
Código de validación telemática TRLTDCFZ60T66IJ1. Comprobación: https://cogitivalencia.e-gestion.es/Validacion.aspx?CVT=TRLTDCFZ60T66IJ1

VISADO
COGITI
VALENCIA
VA07290/22
TRLTDCFZ60T66IJ1

Por otro lado, el CLP no contempla todos los riesgos para el medio ambiente, excluyendo las indicaciones de peligro para los contaminantes de suelos y los atmosféricos, así como las indicaciones correspondientes a sustancias tóxicas, persistentes y bioacumulativas (TPB).

Frases P

Un consejo de prudencia es una frase que describe la medida o medidas recomendadas para minimizar o evitar los efectos adversos causados por la exposición a una sustancia o mezcla peligrosa durante su uso o eliminación.

Los anteriores consejos de prudencia (frases S) pasan a denominarse con el Reglamento CLP frases P, y se clasifican en cuatro grupos: prevención, respuesta, almacenamiento y eliminación.

Productos químicos - Tabla de correspondencias (orientativa) de las clases y pictogramas de peligro entre el antiguo Reglamento Europeo (RE) y el nuevo (CLP)

Se muestra en esta tabla de correspondencias (de carácter orientativo,) las clases y pictogramas de peligro entre el antiguo Reglamento Europeo (RE) y el nuevo Reglamento Europeo 1272/2008 (CLP), que regula la clasificación, etiquetado y envasado de sustancias y mezclas, y que pretende armonizar la clasificación y etiquetado a nivel global, ya que se basa en el Sistema Global Armonizado (SGA) de las Naciones Unidas.

PELIGROS FÍSICOS (RE)	PELIGROS FÍSICOS (CLP)	PICTOGRAMA DE PELIGRO RE	PICTOGRAMA DE PELIGRO CLP	PALABRA DE ADVERTENCIA
Explosivos	Explosivos		 / Sin pictograma	Peligro/Atención
Inflamables	Inflamables y muy inflamables		  / Sin pictograma	Peligro/Atención
Extremadamente inflamables	Extremadamente inflamables			Peligro
Comburentes	Comburentes			Peligro/Atención
	Gases a presión	No existe pictograma		Atención

PELIGROS FÍSICOS (RE)	PELIGROS FÍSICOS (CLP)	PICTOGRAMA DE PELIGRO RE	PICTOGRAMA DE PELIGRO CLP	PALABRA DE ADVERTENCIA
	Sustancias o mezclas autorreactivas*	No existe pictograma	 / Sin pictograma	Peligro/Atención/ sin palabra de advertencia
	Líquidos y sólidos pirofóricos	No existe pictograma		Peligro
	Sustancias y mezclas que experimentan calentamiento espontáneo. Sustancias y mezclas que, en contacto con el agua, desprenden gases inflamables	No existe pictograma		Peligro/Atención
	Peróxidos orgánicos	No existe pictograma	 / Sin pictograma	Peligro/Atención/ sin palabra de advertencia
	Corrosivos para los metales	No existe pictograma		

Documento visado electrónicamente con número: VA07290/22
Código de validación telemática TRLTDCFZ60T66IJ1. Comprobación: https://cogitivalencia.e-gestion.es/Validacion.aspx?CVT=TRLTDCFZ60T66IJ1

VISADO
COGITI
VALENCIA
VA07290/22
TRLTDCFZ60T66IJ1

PELIGROS PARA LA SALUD (RE)	PELIGROS PARA LA SALUD (CLP)	PICTOGRAMA DE PELIGRO RE	PICTOGRAMA DE PELIGRO CLP	PALABRA DE ADVERTENCIA
Irritantes	Irritación cutánea, ocular y vías respiratorias/ Puede provocar somnolencia o vértigo			Atención
Nocivos	Nocivos			Atención
Tóxicos	Tóxicos / Puede perjudicar a determinados órganos			Peligro / Atención
Muy tóxicos	Mortal por inhalación, ingestión o en contacto con la piel / Perjudica a determinados órganos			Peligro
Acumulativos	Puede provocar daños en los órganos tras exposiciones prolongadas o repetidas	No existe pictograma	No existe pictograma	
Corrosivos	Corrosión cutánea y ocular			Peligro
Sequedad y grietas piel	Sequedad y grietas piel	No existe pictograma	No existe pictograma	

PELIGROS PARA LA SALUD (RE)	PELIGROS PARA LA SALUD (CLP)	PICTOGRAMA DE PELIGRO RE	PICTOGRAMA DE PELIGRO CLP	PALABRA DE ADVERTENCIA
Neurotóxicos	Neurotóxicos			Peligro / Atención
Efectos irreversibles y graves	Efectos irreversibles y graves	No existe pictograma	No existe pictograma	
Sensibilizantes	Sensibilizantes respiratorios o cutáneos			Peligro/ Atención
Carcinogénicos, mutagénicos y tóxicos para la reproducción	Carcinogénicos, mutagénicos y tóxicos para la reproducción			Peligro/ Atención

PELIGROS PARA EL MEDIO AMBIENTE (RE)	PELIGROS PARA EL MEDIO AMBIENTE (CLP)	PICTOGRAMA DE PELIGRO RE	PICTOGRAMA DE PELIGRO CLP	PALABRA DE ADVERTENCIA
Peligrosos para el medio ambiente	Peligrosos para el medio acuático y ozono			Peligro/Atención/ sin palabra de advertencia

Productos químicos - Frases H y EUH

	INDICACIONES DE PELIGROS FÍSICOS
H200	Explosivo inestable.
H201	Explosivo; peligro de explosión en masa.
H202	Explosivo; grave peligro de proyección.
H203	Explosivo; peligro de incendio, de onda expansiva o de proyección.

Documento visado electrónicamente con número: VA07290/22
Código de validación telemática TRLTDCFZ60T66IJ1. Comprobación: https://cogitivalencia.e-gestion.es/Validacion.aspx?CVT=TRLTDCFZ60T66IJ1

VISADO
COGITI
VALENCIA
VA07290/22
TRLTDCFZ60T66IJ1

H204	Peligro de incendio o de proyección.
H205	Peligro de explosión en masa en caso de incendio.
H220	Gas extremadamente inflamable.
H221	Gas inflamable.
H222	Aerosol extremadamente inflamable.
H223	Aerosol inflamable.
H224	Líquido y vapores extremadamente inflamables.
H225	Líquido y vapores muy inflamables.
H226	Líquidos y vapores inflamables.
H228	Sólido inflamable.
H240	Peligro de explosión en caso de calentamiento.
H241	Peligro de incendio o explosión en caso de calentamiento.
H242	Peligro de incendio en caso de calentamiento.
H250	Se inflama espontáneamente en contacto con el aire.
H251	Se calienta espontáneamente; puede inflamarse.
H252	Se calienta espontáneamente en grandes cantidades; puede inflamarse.
H260	En contacto con agua desprende gases inflamables que pueden inflamarse espontáneamente.
H261	En contacto con el agua desprende gases inflamables.
H270	Puede provocar o agravar un incendio; comburente.
H271	Puede provocar un incendio o una explosión; muy comburente.
H272	Puede agravar un incendio; comburente.
H280	Contiene gas a presión; peligro de explosión en caso de calentamiento.
H281	Contiene un gas refrigerado; puede provocar quemaduras o lesiones criogénicas.
H290	Puede ser corrosivo para los metales.

	INDICACIONES DE PELIGRO PARA LA SALUD HUMANA
H300	Mortal en caso de ingestión.
H301	Tóxico en caso de ingestión.
H302	Nocivo en caso de ingestión.
H310	Mortal en contacto con la piel.
H311	Tóxico en contacto con la piel.
H312	Nocivo en contacto con la piel.
H314	Provoca quemaduras graves en la piel y lesiones oculares graves.
H315	Provoca irritación cutánea.
H317	Puede provocar una reacción alérgica en la piel.
H318	Provoca lesiones oculares graves.
H319	Provoca irritación ocular grave.
H330	Mortal en caso de inhalación.
H331	Tóxico en caso de inhalación.
H332	Nocivo en caso de inhalación.
H334	Puede provocar síntomas de alergia, asma o dificultades respiratorias en caso de inhalación.
H335	Puede irritar las vías respiratorias.
H336	Puede provocar somnolencia o vértigo.
H340	Puede provocar defectos genéticos *«Se indicará la vía de exposición si se ha demostrado concluyentemente que el peligro no se produce por ninguna otra vía».*
H341	Se sospecha que provoca defectos genéticos *«Se indicará la vía de exposición si se ha demostrado concluyentemente que el peligro no se produce por ninguna otra vía».*
H350	Puede provocar cáncer «Indíquese la vía de exposición si se ha demostrado concluyentemente que el peligro no se produce por ninguna otra vía».
H351	Se sospecha que provoca cáncer *«Indíquese la vía de exposición si se ha demostrado concluyentemente que el peligro no se produce por ninguna otra vía».*
H360	Puede perjudicar la fertilidad o dañar al feto «Indíquese el efecto específico si se conoce» «Indíquese la vía de exposición si se ha demostrado concluyentemente que el peligro no se produce por ninguna otra vía».
H361	Se sospecha que perjudica la fertilidad o daña al feto «Indíquese el efecto específico si se

Documento visado electrónicamente con número: VA07290/22
Código de validación telemática TRLTDCFZ60T66IJ1. Comprobación: https://cogitivalencia.e-gestion.es/Validacion.aspx?CVT=TRLTDCFZ60T66IJ1

VISADO
COGITI
VALENCIA
VA07290/22
TRLTDCFZ60T66IJ1

	conoce» «Indíquese la vía de exposición si se ha demostrado concluyentemente que el peligro no se produce por ninguna otra vía».
H362	Puede perjudicar a los niños alimentados con leche materna.
H370	Provoca daños en los órganos «O indíquense todos los órganos afectados, si se conocen» «Indíquese la vía de exposición si se ha demostrado concluyentemente que el peligro no se produce por ninguna otra vía».
H371	Puede provocar daños en los órganos *«O indíquense todos los órganos afectados, si se conocen» «Indíquese la vía de exposición si se ha demostrado concluyentemente que el peligro no se produce por ninguna otra vía».*
H372	Provoca daños en los órganos *«Indíquense todos los órganos afectados, si se conocen»* tras exposiciónes prolongadas o repetidas *«Indíquese la vía de exposición si se ha demostrado concluyentemente que el peligro no se produce por ninguna otra vía».*
H373	Puede provocar daños en los órganos *«Indíquense todos los órganos afectados, si se conocen»* tras exposiciónes prolongadas o repetidas *«Indíquese la vía de exposición si se ha demostrado concluyentemente que el peligro no se produce por ninguna otra vía».*
H400	Muy tóxico para los organismos acuáticos.
H410	Muy tóxico para los organismos acuáticos, con efectos nocivos duraderos.
H411	Tóxico para los organismos acuáticos, con efectos nocivos duraderos.
H412	Nocivo para los organismos acuáticos, con efectos nocivos duraderos.
H413	Puede ser nocivo para los organismos acuáticos, con efectos nocivos duraderos.

	FRASES EUH
EUH001	Explosivo en estado seco.
EUH006	Explosivo en contacto o sin contacto con el aire.
EUH014	Reacciona violentamente con el agua.
EUH018	Al usarlo pueden formarse mezclas aire-vapor explosivas o inflamables.
EUH019	Puede formar peróxidos explosivos.
EUH044	Riesgo de explosión al calentarlo en ambiente confinado.
EUH029	En contacto con agua libera gases tóxicos.
EUH031	En contacto con ácidos libera gases tóxicos.
EUH032	En contacto con ácidos libera gases muy tóxicos.
EUH066	La exposición repetida puede provocar sequedad o formación de grietas en la piel.
EUH070	Tóxico en contacto con los ojos.
EUH071	Corrosivo para las vías respiratorias.
EUH059	Peligroso para la capa de ozono.
EUH201	Contiene plomo. No utilizar en objetos que los niños puedan masticar o chupar
EUH202	Cianoacrilato. Peligro. Se adhiere a la piel y a los ojos en pocos segundos. Mantener fuera del alcance de los niños.
EUH203	Contiene cromo (VI). Puede provocar una reacción alérgica.
EUH204	Contiene isocianatos. Puede provocar una reacción alérgica.
EUH205	Contiene componentes epoxídicos. Puede provocar una reacción alérgica
EUH206	¡Atención! No utilizar junto con otros productos. Puede desprender gases peligrosos. (Cl)
EUH207	¡Atención! Contiene cadmio. Durante su utilización se desprenden vapores peligrosos. Ver la información facilitada por el fabricante. Seguir las instrucciones de seguridad
EUH208	Contiene (nombre de la sustancia sensibilizante). Puede provocar una reacción alérgica
EUH209	Puede inflamarse fácilmente al usarlo
EUH210	Puede solicitarse la ficha de datos de seguridad

Productos químicos - Frases P

	CONSEJOS DE PRUDENCIA
P101	Si se necesita consejo médico, tener a mano el envase o la etiqueta.
P102	Mantener fuera del alcance de los niños.
P103	Leer la etiqueta antes del uso.
	CONSEJOS DE PRUDENCIA DE PREVENCIÓN

Documento visado electrónicamente con número: VA07290/22
Código de validación telemática TRLTDCFZ60T66IJ1. Comprobación: https://cogitivalencia.e-gestion.es/Validacion.aspx?CVT=TRLTDCFZ60T66IJ1

VISADO
COGITI
VALENCIA
VA07290/22
TRLTDCFZ60T66IJ1

P201	Solicitar instrucciones especiales antes del uso.
P202	No manipular la sustancia antes de haber leído y comprendido todas las instrucciones de
P210	seguridad.
P211	Mantener alejado de fuentes de calor, chispas, llama abierta o superficies calientes. No
P220	fumar.
P221	No pulverizar sobre una llama abierta u otra fuente de ignición.
P222	Mantener o almacenar alejado de la ropa /…/ materiales combustibles.
P223	Tomar todas las precauciones necesarias para no mezclar con materias combustibles…
	No dejar que entre en contacto con el aire.
P230	Mantener alejado de cualquier posible contacto con el agua, pues reacciona violentamente
P231	y puede provocar una llamarada.
P232	Mantener humedecido con…
P233	Manipular en gas inerte.
P234	Proteger de la humedad.
P235	Mantener el recipiente herméticamente cerrado.
P240	Conservar únicamente en el recipiente original.
P241	Mantener en lugar fresco.
P242	Conectar a tierra/enlace equipotencial del recipiente y del equipo de recepción.
P243	Utilizar un material eléctrico, de ventilación o de iluminación /../ antideflagrante.
P244	Utilizar únicamente herramientas que no produzcan chispas.
P250	Tomar medidas de precaución contra descargas electrostáticas.
P251	Mantener las válvulas de reducción limpias de grasa y aceite.
P260	Evitar la abrasión/el choque /../ la fricción.
P261	Recipiente a presión: no perforar ni quemar, incluso después del uso.
P262	No respirar el polvo/el humo/el gas/la niebla/los vapores/el aerosol.
P263	Evitar respirar el polvo/el humo/el gas/la niebla/los vapores/el aerosol.
P264	Evitar el contacto con los ojos, la piel o la ropa.
P270	Evitar el contacto durante el embarazo/la lactancia.
P271	Lavarse … concienzudamente tras la manipulación.
P272	No comer, beber ni fumar durante su utilización.
P273	Utilizar únicamente en exteriores o en un lugar bien ventilado.
P280	Las prendas de trabajo contaminadas no podrán sacarse del lugar de trabajo.
P281	Evitar su liberación al medio ambiente.
P282	Llevar guantes/prendas/gafas/máscara de protección.
P283	Utilizar el equipo de protección individual obligatorio.
P284	Llevar guantes/gafas/máscara que aíslen del frío.
P285	Llevar prendas ignífugas/resistentes al fuego/resistentes a las llamas.
	Llevar equipo de protección respiratoria.
	En caso de ventilación insuficiente, llevar equipo de protección respiratoria.
P301	**CONSEJOS DE PRUDENCIA DE RESPUESTA**
P302	
P303	EN CASO DE INGESTIÓN:
P304	EN CASO DE CONTACTO CON LA PIEL:
P305	EN CASO DE CONTACTO CON LA PIEL (o el pelo):
P306	EN CASO DE INHALACIÓN:
P307	EN CASO DE CONTACTO CON LOS OJOS:
P308	EN CASO DE CONTACTO CON LA ROPA:
P309	EN CASO DE exposición:
P310	EN CASO DE exposición manifiesta o presunta:
P311	EN CASO DE exposición o malestar:
P312	Llamar inmediatamente a un CENTRO de información toxicológica o a un médico.
P313	Llamar a un CENTRO de información toxicológica o a un médico.
P314	Llamar a un CENTRO de información toxicológica o a un médico en caso de malestar.
P315	Consultar a un médico.
P320	Consultar a un médico en caso de malestar.
P321	Consultar a un médico inmediatamente.
P322	Se necesita urgentemente un tratamiento específico (ver … en esta etiqueta).
P330	Se necesita un tratamiento específico (ver … en esta etiqueta).
P331	Se necesitan medidas específicas (ver … en esta etiqueta).

Documento visado electrónicamente con número: VA07290/22
Código de validación telemática TRLTDCFZ60T66IJ1. Comprobación: https://cogitivalencia.e-gestion.es/Validacion.aspx?CVT=TRLTDCFZ60T66IJ1

VISADO
COGITI
VALENCIA
VA07290/22
TRLTDCFZ60T66IJ1

P332	Enjuagarse la boca.
P333	NO provocar el vómito.
P334	En caso de irritación cutánea:
P335	En caso de irritación o erupción cutánea:
P336	Sumergir en agua fresca/ aplicar compresas húmedas.
P337	Sacudir las partículas que se hayan depositado en la piel.
P338	Descongelar las partes heladas con agua tibia. No frotar la zona afectada.
P340	Si persiste la irritación ocular:
	Quitar las lentes de contacto, si lleva y resulta fácil. Seguir aclarando.
P341	Transportar a la víctima al exterior y mantenerla en reposo en una posición confortable para respirar.
P342	Si respira con dificultad, transportar a la víctima al exterior y mantenerla en reposo en una
P350	posición confortable para respirar.
P351	En caso de síntomas respiratorios:
P352	Lavar suavemente con agua y jabón abundantes.
P353	Aclarar cuidadosamente con agua durante varios minutos.
P360	Lavar con agua y jabón abundantes.
	Aclararse la piel con agua/ducharse.
P361	Aclarar inmediatamente con agua abundante las prendas y la piel contaminadas antes de
P362	quitarse la ropa.
P363	Quitarse inmediatamente las prendas contaminadas.
P370	Quitarse las prendas contaminadas y lavarlas antes de volver a usarlas.
P371	Lavar las prendas contaminadas antes de volverlas a utilizar.
P372	En caso de incendio:
P373	En caso de incendio importante y en grandes cantidades:
P374	Riesgo de explosión en caso de incendio.
P375	NO luchar contra el incendio cuando el fuego llega a los explosivos.
P376	Luchar contra el incendio desde una distancia razonable, tomando las precauciones
P377	habituales.
P378	Luchar contra el incendio a distancia, dado el riesgo de explosión.
P380	Detener la fuga, si no hay peligro en hacerlo.
P381	Fuga de gas en llamas: No apagar, salvo si la fuga puede detenerse sin peligro.
P390	Utilizar … para apagarlo.
P391	Evacuar la zona.
	Eliminar todas las fuentes de ignición si no hay peligro en hacerlo.
	Absorber el vertido para que no dañe otros materiales.
	Recoger el vertido.
P401	
P402	**CONSEJOS DE PRUDENCIA DE ALMACENAMIENTO**
P403	
P404	Almacenar …
P405	Almacenar en un lugar seco.
P406	Almacenar en un lugar bien ventilado.
P407	Almacenar en un recipiente cerrado.
P410	Guardar bajo llave.
P411	Almacenar en un recipiente resistente a la corrosión/… con revestimiento interior resistente.
P412	Dejar una separación entre los bloques/los palés de carga.
P413	Proteger de la luz del sol.
P420	Almacenar a temperaturas no superiores a … ºC/…ºF.
P422	No exponer a temperaturas superiores a 50 ºC/122 ºF.
	Almacenar las cantidades a granel superiores a … kg/… lbs a temperaturas no superiores a … ºC/…ºF.
	Almacenar alejado de otros materiales.
P501	Almacenar el contenido en …
	CONSEJOS DE PRUDENCIA DE ELIMINACIÓN
	Eliminar el contenido/el recipiente en …

Documento visado electrónicamente con número: VA07290/22
Código de validación telemática TRLTDCFZ60T66IJ1. Comprobación: https://cogitivalencia.e-gestion.es/Validacion.aspx?CVT=TRLTDCFZ60T66IJ1

VISADO
COGITI
VALENCIA
VA07290/22
TRLTDCFZ60T66IJ1

Productos químicos - Gestión de los residuos químicos

La gestión de los productos químicos en la obra alcanza incluso la propia gestión de sus residuos.

Debido a la diversa procedencia y a la multitud de productos químicos, en la gestión de los residuos se seguirán las especificaciones de las fichas de seguridad de los productos utilizados, que indican la forma de deshacerse de los residuos que se forman al terminar de usarlos ya que pueden comprometer, no solo el medio ambiente, sino también la seguridad de los trabajadores.

7. Prevención de riesgos de la obra

7.1. Método empleado en la evaluación de riesgos

El método empleado para la evaluación de riesgos permite realizar, mediante la apreciación directa de la situación, una evaluación de los riesgos para los que no existe una reglamentación específica.

1º Gravedad de las consecuencias:

La gravedad de las consecuencias que pueden causar ese peligro en forma de daño para el trabajador. Las consecuencias pueden ser ligeramente dañinas, dañinas o extremadamente dañinas. Ejemplos:

Ligeramente dañino	- Cortes y magulladuras pequeñas - Irritación de los ojos por polvo - Dolor de cabeza - Disconfort - Molestias e irritación
Dañino	- Cortes - Quemaduras - Conmociones - Torceduras importantes - Fracturas menores - Sordera - Asma - Dermatitis - Transtornos músculo-esqueléticos - Enfermedad que conduce a una incapacidad menor
Extremadamente dañino	- Amputaciones - Fracturas mayores - Intoxicaciones - Lesiones múltiples - Lesiones faciales - Cáncer y otras enfermedades crónicas que acorten severamente la vida

2º Probabilidad:

Una vez determinada la gravedad de las consecuencias, la probabilidad de que esa situación tenga lugar puede ser baja, media o alta.

Baja	Es muy raro que se produzca el daño
Media	El daño ocurrirá en algunas ocasiones
Alta	Siempre que se produzca esta situación, lo mas probable es que se produzca un daño

3º Evaluación:

Documento visado electrónicamente con número: VA07290/22
Código de validación telemática TRLTDCFZ60T66IJ1. Comprobación: https://cogitivalencia.e-gestion.es/Validacion.aspx?CVT=TRLTDCFZ60T66IJ1

VISADO
COGITI
VALENCIA
VA07290/22
TRLTDCFZ60T66IJ1

La combinación entre ambos factores permite evaluar el riesgo aplicando la tabla siguiente:

	Ligeramente dañino	**Dañino**	**Extremadamente dañino**
Probabilidad baja	Riesgo trivial	Riesgo tolerable	Riesgo moderado
Probabilidad media	Riesgo tolerable	Riesgo moderado	Riesgo importante
Probabilidad alta	Riesgo moderado	Riesgo importante	Riesgo intolerable

4º Control de riesgos:

Los riesgos serán controlados para mejorar las condiciones del trabajo siguiendo los siguientes criterios:

Riesgo	**¿Se deben tomar nuevas acciones preventivas?**	**¿Cuando hay que realizar las acciones preventivas?**
Trivial	No se requiere acción especifica	
Tolerable	No se necesita mejorar la acción preventiva. Se deben considerar situaciones más rentables o mejoras que no supongan una carga económica importante.	
Moderado	Se deben hacer esfuerzos para reducir el riesgo, determinando las inversiones precisas. Cuando el riesgo moderado esté asociado a consecuencias extremadamente dañinas, se deberá precisar mejor la probabilidad de que ocurra el daño para establecer la acción preventiva.	Fije un periodo de tiempo para implantar las medidas que reduzcan el riesgo.
Importante	Puede que se precisen recursos considerables para controlar el riesgo.	Si se está realizando el trabajo debe tomar medidas para reducir el riesgo en un tiempo inferior al de los riesgos moderados. NO debe comenzar el trabajo hasta que se haya reducido el riesgo.
Intolerable	Debe prohibirse el trabajo si no es posible reducir el riesgo, incluso con recursos limitados.	INMEDIATAMENTE: No debe comenzar ni continuar el trabajo hasta que se reduzca el riesgo.

Este método se aplica sobre cada unidad de obra analizada en esta memoria de seguridad y que se corresponde con el proceso constructivo de la obra, para permitir:

"*la Identificación y evaluación de riesgos, pero con la valoración de la eficacia de la prevención adoptada y aplicada*".

Es decir, los riesgos detectados inicialmente en cada unidad de obra, son analizados y evaluados eliminando o disminuyendo sus consecuencias, mediante la adopción de soluciones técnicas, organizativas, cambios en el proceso constructivo, adopción de medidas preventivas, utilización de protecciones colectivas, epis y señalización, hasta lograr un riesgo ***trivial, tolerable o moderado,*** y siendo ponderados mediante la aplicación de los criterios estadísticos de siniestrabilidad laboral publicados por la *Dirección General de Estadística del Ministerio de Trabajo y Asuntos Sociales*.

Documento visado electrónicamente con número: VA07290/22
Código de validación telemática TRLTDCFZ60T66IJ1. Comprobación: https://cogitivalencia.e-gestion.es/Validacion.aspx?CVT=TRLTDCFZ60T66IJ1

VISADO
COGITI
VALENCIA
VA07290/22
TRLTDCFZ60T66IJ1

7.2. Operaciones previas a la ejecución de la obra

Conforme el proyecto de obra y el Plan de la misma, se iniciarán las operaciones previas a la realización de las obras, procediendo a:

- La organización general de la obra: Vallado, señalización, desvíos de tráfico, accesos a la obra de peatones y de vehículos, etc.
- Realización de las acometidas provisionales de la obra.
- Colocación de los servicios de Higiene y Bienestar
- Reserva y acondicionamiento de espacios para acopio de materiales paletizados y a montón, tal como se grafía en el proyecto de obra.
- Acotación de las zonas de trabajo y reserva de espacios.
- Señalización de accesos a la obra.
- Con anterioridad al inicio de los trabajos, se establecerán las instrucciones de seguridad para la circulación de las personas por la obra.

7.2.1. Instalaciones provisionales de obra

Instalación eléctrica provisional

Se utilizarán los cuadros existentes en las naves.

Las salidas de los cuadros secundarios estarán protegidas con interruptores diferenciales y magnetotérmicos.

Instalación de protección contra incendios

Se habilitarán extintores en las cubiertas donde se realicen trabajos.

7.2.2. Acceso a la obra de proveedores, servicios de mantenimiento y otros

Los proveedores (suministradores de materiales y equipamiento de la obra), así como operarios de servicios de mantenimiento y cualquier otro personal que no siendo trabajador de ninguna empresa contratista o subcontratista de la obra y que acceda de modo ocasional a la obra tendrá el mismo tratamiento que cualquier persona que trabaje en la obra.

Los proveedores y suministradores son empresas que exclusivamente aportan materiales o equipos a las obras, no disponiendo en ningún momento de mano de obra en la misma, puesto que pasarían a ser subcontratistas.

Por tanto, son empresas que no pueden realizar ningún tipo de trabajo en la obra, a excepción de la carga y descarga de los materiales o equipos que suministra.

Los procedimientos que deberán seguir son:

- Preparación de operaciones de carga/descarga
- Afianzado y estabilización de la carga.
- Elevación y transporte de carga hasta el punto de descarga.
- Apilado o acopiado de carga.

Identificación y evaluación de riesgos con la valoración de la eficacia de la prevención adoptada y aplicada en esta unidad de obra

Riesgo	Probabilidad	Consecuencias	Calificación	Estado
- Caída de personas al mismo nivel	Baja	Ligeramente dañino	Trivial	Evitado
- Caída de objetos por desplome o derrumbamiento	Baja	Dañino	Tolerable	Evitado

Documento visado electrónicamente con número: VA07290/22
Código de validación telemática TRLTDCFZ60T66IJ1. Comprobación: https://cogitivalencia.e-gestion.es/Validacion.aspx?CVT=TRLTDCFZ60T66IJ1

VISADO
COGITI
VALENCIA
VA07290/22
TRLTDCFZ60T66IJ1

- Choques y golpes contra objetos móviles	Baja	Dañino	Tolerable	Evitado
- Atrapamiento o aplastamiento por o entre objetos	Baja	Dañino	Tolerable	Evitado
- Sobreesfuerzos, posturas forzadas o movimientos repetitivos	Baja	Ligeramente dañino	Trivial	Evitado

Medidas preventivas y protecciones técnicas adoptadas, tendentes a controlar y reducir los riesgos anteriores

Medidas preventivas

En general cualquier persona que visite la obra como proveedor o suministrador, deberá ser recibida y acompañada por personal de la obra, ser informada de los riesgos de carácter general de la misma y si los hubiera de los específicos del momento y disponer de los equipos de protección individual que se especifican. Todo ello se realizará mediante una site induction o charla de seguridad previa a la entrada a obra donde se expliquen los peligros del entorno y las normas de seguridad que deben cumplirse.

Será de su obligación el cumplir y hacer cumplir la normativa en materia de seguridad y salud.

Deberá respetar la señalización.

Deberá seguir las instrucciones en especial las del Encargado de obra relativas a la carga/descarga de los materiales.

Deberá respetar las protecciones colectivas de la obra.

Deberá utilizar los EPIs que le son de aplicación.

Deberá mantener la limpieza y orden en la obra.

Como está prohibido fumar en el ámbito de la obra, tiene prohibido fumar y encender fuego.

Deberá aparcar el vehículo en los puntos establecidos para ello, respetando el turno u orden de descarga.

No podrá abandonar el vehículo con el motor en marcha.

Al descender del vehículo deberá utilizar los EPIs definidos.

No podrá abandonar residuos (embalajes, cartonajes, plásticos, etc..) o restos de materiales rotos excepto en los lugares establecidos para ello.

Deberá cumplir el Plan de Prevención de riesgos de su empresa, para las operaciones correspondientes a la carga, descarga, manipulación de cargas, tránsito y transporte por obra, etc. En tal sentido podrá ser requerido su empresa a aportar la Evaluación de riesgos de las actividades relativas a dichas operaciones, si es que se considera necesario por los riesgos que entraña.

Deberán colaborar a mantener la limpieza y orden en la obra.

Equipos de protección individual

Relación de EPIs necesarios en esta unidad de obra, y cuya eficacia ha sido evaluada:

- Casco de seguridad (obligatorio para circular por obra).
- Chaleco alta visibilidad.
- Botas o calzado apropiado.

Documento visado electrónicamente con número: VA07290/22
Código de validación telemática TRLTDCFZ60T66IJ1. Comprobación: https://cogitivalencia.e-gestion.es/Validacion.aspx?CVT=TRLTDCFZ60T66IJ1

VISADO
COGITI
VALENCIA
VA07290/22
TRLTDCFZ60T66IJ1

7.3. Unidades de obra

7.3.1. Replanteo estructura portante de módulos solares sobre cubierta

Procedimiento

Se trazarán los ejes principales para el replanteo de la estructura portante de los paneles y módulos captadores solares sobre la cubierta, así como el trazado de instalaciones, mediante la colocación de puntos de referencia nivelados y el posterior marcado.

Identificación y evaluación de riesgos con la valoración de la eficacia de la prevención adoptada y aplicada en esta unidad de obra

Riesgo	Probabilidad	Consecuencias	Calificación	Estado
Caída de personas a distinto nivel	Media	Dañino	Moderado	Evitado
Caída de personas al mismo nivel	Baja	Dañino	Tolerable	Evitado
Caída de objetos en manipulación	Baja	Dañino	Tolerable	Evitado
Pisadas sobre objetos	Baja	Dañino	Tolerable	Evitado
Sobreesfuerzos, posturas forzadas o movimientos repetitivos	Baja	Ligeramente dañino	Trivial	Evitado

Medidas preventivas y protecciones técnicas adoptadas, tendentes a controlar y reducir los riesgos anteriores

Medidas preventivas

Los operarios tendrán los Equipos de Protección Individual correspondientes para la realización de las tareas sobre la cubierta.

Los operarios que realicen el replanteo estarán cualificados para esta tarea.

Los trabajos en altura estarán supervisados por una persona competente en la materia.

Se mantendrá la limpieza y orden en la cubierta.

Se suspenderán los trabajos en condiciones climáticas adversas.

Se suspenderán los trabajos cuando el viento sea superior a 50 Km/h.

Equipos de protección individual

Relación de EPIs necesarios en esta unidad de obra, y cuya eficacia ha sido evaluada:

- Casco de seguridad con barbuquejo
- Chaleco reflectante
- Arnés anticaídas
- Guantes de cuero
- Calzado de seguridad
- Ropa de trabajo

Actividades de vigilancia del recurso preventivo

Estas actividades de vigilancia servirán para garantizar el cumplimiento de los métodos de trabajo, de las medidas preventivas y del control del riesgo:

Documento visado electrónicamente con número: VA07290/22
Código de validación telemática TRLTDCFZ60T66IJ1. Comprobación: https://cogitivalencia.e-gestion.es/Validacion.aspx?CVT=TRLTDCFZ60T66IJ1

VISADO
COGITI
VALENCIA
VA07290/22
TRLTDCFZ60T66IJ1

- Comprobar que los operarios tienen los EPIS correspondientes para la realización de esta tarea, y que vendrán definidos en el Plan de Seguridad.
- Vigilar que utilizan, y además correctamente, los EPIS definidos anteriormente.
- Comprobar que en general se mantiene la limpieza y orden en la obra.
- Vigilar que se suspenden las operaciones cuando las condiciones climáticas son adversas o bien cuando el viento es superior a 50 Km/h.
- Comprobar que las zonas en las que haya que trabajar están suficientemente iluminadas.

7.3.2. Montaje estructura de los módulos solares

Procedimiento

La captación de la energía solar se realiza de forma colectiva, a través de un conjunto de captadores solares situados en la cubierta del edificio.

Se estudia en esta unidad de obra el procedimiento constructivo que incluye todas las operaciones para la instalación de la estructura del sistema, conforme se especifica en el proyecto de obra.

Se debe procurar que las superficies de apoyo de la estructura de las placas estén lo suficientemente lisas y limpias.

Comprobar antes que nada si la cubierta se encuentra en condiciones de soportar la carga de los diferentes elementos de la instalación: Estructura, Placas solares, etc.

Los paneles deberán estar correctamente anclados a la estructura, y esta a su vez fijada al edificio, siendo las estructuras capaces de poder resistir la carga de viento. Para ello es conveniente seguir las instrucciones del fabricante.

Colocar las estructuras de los paneles con la superficie de montaje orientada y con la inclinación marcada en el proyecto de obra.

Mantener una distancia de 1 metro como mínimo con respecto al borde de la cubierta y seguir todas las instrucciones de montaje especificadas por el fabricante.

Si la estructura o el sistema de paneles se debe conectar a tierra, deberá hacerse según las instrucciones de fabricante, y la conexión deberá hacerse en los puntos marcados por el mismo, o en su defecto en los pernos de anclaje.

Asegúrese que la conexión a tierra no se pueda soltar debido a las vibraciones o al viento.

Interconecte los cables eléctricos de los paneles, siempre después de la puesta a tierra, asegurándose antes de que no llevan corriente.

Identificación y evaluación de riesgos con la valoración de la eficacia de la prevención adoptada y aplicada en esta unidad de obra

Riesgo	Probabilidad	Consecuencias	Calificación	Estado
Caída de personas al mismo nivel	Media	Ligeramente dañino	Tolerable	Evitado
Caída de personas a distinto nivel	Media	Dañino	Moderado	Evitado
Cortes	Baja	Dañino	Tolerable	Evitado
Cizallamiento	Baja	Dañino	Tolerable	Evitado
Punzonamiento	Baja	Dañino	Tolerable	Evitado
Golpes por el manejo de las herramientas	Media	Ligeramente dañino	Tolerable	Evitado
Pisadas sobre objetos	Media	Ligeramente dañino	Tolerable	Evitado

Documento visado electrónicamente con número: VA07290/22
Código de validación telemática TRLTDCFZ60T66IJ1. Comprobación: https://cogitivalencia.e-gestion.es/Validacion.aspx?CVT=TRLTDCFZ60T66IJ1

VISADO
COGITI
VALENCIA
VA07290/22
TRLTDCFZ60T66IJ1

Caída de objetos	Baja	Extremadamente dañino	Moderado	Evitado
Sobreesfuerzos	Baja	Dañino	Tolerable	Evitado
Contacto directo	Baja	Dañino	Tolerable	Evitado
Contacto indirecto	Baja	Dañino	Tolerable	Evitado
Exposición a vientos durante el montaje de paneles	Baja	Dañino	Tolerable	Evitado

Medidas preventivas y protecciones técnicas adoptadas, tendentes a controlar y reducir los riesgos anteriores

Medidas preventivas

Los operarios tendrán los Equipos de Protección Individual correspondientes para la realización de las tareas.

Todas las operaciones de instalación y conexiones deberán ser realizadas por personal especializado.

Los trabajos estarán supervisados por una persona competente en la materia.

Se mantendrán limpios de cascotes y recortes los lugares de trabajo. Se limpiarán conforme se avance para evitar el riesgo de pisadas sobre objetos.

La iluminación de los tajos no será inferior a los 100 lux, medidos a 2 m del suelo.

Seguiremos las instrucciones del fabricante para el montaje de todos los componentes de la instalación.

No acopiaremos el material al borde del forjado o de la cubierta.

Se suspenderán los trabajos en condiciones climatológicas adversas.

Se suspenderán los trabajos con vientos superiores a 50 Km/h.

Se deberán seguir en todo momento las indicaciones marcadas por el proyecto de obra.

Usaremos guantes de seguridad en el manejo de los elementos de la estructura para evitar cortes.

Las herramientas y aparatos eléctricos empleados en la fijación de las placas estarán en perfectas condiciones de utilización, no presentando cortes, empalmes y su conexión se realizará con conectores certificados Macho-Hembra.

Antes de la conexión de la placa a la red eléctrica, comprobar que no hay elementos conectados a la red.

El transporte de elementos de la instalación por un solo hombre se realizará inclinando la carga hacia atrás, de tal forma, que el extremo que va por delante supere la altura de un hombre, en evitación de golpes y tropiezos con otros operarios en lugares poco iluminados (o iluminados a contraluz).

Equipos de protección individual

Relación de EPIs necesarios en esta unidad de obra, y cuya eficacia ha sido evaluada:

- Casco de seguridad con barbuquejo
- Chaleco reflectante
- Arnés anticaídas
- Calzado de seguridad
- Guantes de cuero

Documento visado electrónicamente con número: VA07290/22
Código de validación telemática TRLTDCFZ60T66IJ1. Comprobación: https://cogitivalencia.e-gestion.es/Validacion.aspx?CVT=TRLTDCFZ60T66IJ1

VISADO
COGITI
VALENCIA
VA07290/22
TRLTDCFZ60T66IJ1

- Guantes de goma
- Ropa de trabajo

Actividades de vigilancia del recurso preventivo

Estas actividades de vigilancia servirán para garantizar el cumplimiento de los métodos de trabajo, de las medidas preventivas y del control del riesgo:

- Comprobar que los operarios tienen los EPIS correspondientes para la realización de esta tarea, y que vendrán definidos en el Plan de Seguridad.
- Vigilar que utilizan, y además correctamente, los EPIS definidos anteriormente.
- Comprobar que todas las operaciones de instalación y conexiones se realizan por personal especializado.
- Comprobar que en general se mantiene la limpieza y orden en la obra.
- Comprobar que la iluminación en el tajo no es inferior a los 100 lux, medidos a 2 m del suelo.
- Vigilar que se suspenden los trabajos en condiciones climatológicas adversas.
- Vigilar que se suspenden los trabajos con vientos superiores a 50 Km/h.
- Comprobar que se siguen las instrucciones del fabricante para el montaje de todos los componentes de la instalación.
- Comprobar que no acopia material al borde del forjado o de la cubierta.
- Comprobar que las herramientas y aparatos eléctricos empleados en la fijación de la estructura y las placas están en perfectas condiciones de utilización, no presentando cortes, empalmes y su conexión se realiza con conectores certificados Macho-Hembra.
- Vigilar que antes de la conexión de la placa a la red eléctrica se comprueba que no hay elementos conectados a la red.
- Comprobar que el transporte de elementos de la instalación por un solo hombre se realiza inclinando la carga hacia atrás, de tal forma, que el extremo que va por delante supere la altura de un hombre, en evitación de golpes y tropiezos con otros operarios en lugares poco iluminados (o iluminados a contraluz).

7.3.3. Colocación de los módulos solares

Procedimiento

Procedimiento constructivo que incluye todas las operaciones para la instalación del sistema completo de módulos y paneles solares fotovoltaicos, conforme se especifica en el proyecto de obra.

Se incluyen las operaciones de anclajes de paneles a la estructura, la colocación de instalaciones eléctricas y las pruebas de servicio, para ello:

- Se debe procurar que las superficies de apoyo estén lo suficientemente lisas y limpias.
- Comprobar antes que nada si la estructura que va a sustentarlos se encuentra en condiciones de soportar la carga de los diferentes elementos de la instalación.
- Los paneles fotovoltaicos deberán ser correctamente anclados a la estructura portante de los mismos, siendo capaces de poder resistir la carga de viento. Para ello es conveniente seguir las instrucciones del fabricante.
- Se deberá colocar las placas manteniendo una distancia de 2 metros como mínimo con respecto al borde de la cubierta y siguiendo todas las instrucciones de montaje del fabricante.
- Se deberá ajustar los perfiles y anclajes al módulo solar, empleando exclusivamente los tornillos, anclajes y materiales de montaje proporcionados por el fabricante.
- Si el sistema fotovoltaico se debe conectar a tierra (según las instrucciones de fabricante), la conexión deberá hacerse en los puntos marcados por el mismo, o en su defecto en los pernos de anclaje.
- Asegúrese que la conexión a tierra no se pueda soltar debido a las vibraciones o al viento.

Documento visado electrónicamente con número: VA07290/22
Código de validación telemática TRLTDCFZ60T66IJ1. Comprobación: https://cogitivalencia.e-gestion.es/Validacion.aspx?CVT=TRLTDCFZ60T66IJ1

VISADO
COGITI
VALENCIA
VA07290/22
TRLTDCFZ60T66IJ1

- Interconecte los cables eléctricos después de la puesta a tierra, asegurándose antes de que no hay elementos conectados a la instalación.

Identificación y evaluación de riesgos con la valoración de la eficacia de la prevención adoptada y aplicada en esta unidad de obra

Riesgo	Probabilidad	Consecuencias	Calificación	Estado
Caída de personas al mismo nivel	Media	Ligeramente dañino	Tolerable	Evitado
Caída de personas a distinto nivel	Media	Dañino	Moderado	Evitado
Caída de objetos en manipulación	Media	Ligeramente dañino	Tolerable	Evitado
Caída de objetos desprendidos	Baja	Dañino	Tolerable	Evitado
Contactos eléctricos	Baja	Dañino	Tolerable	Evitado
Sobreesfuerzos, posturas inadecuadas o movimientos repetitivos	Media	Ligeramente dañino	Tolerable	Evitado
Exposición a vientos durante el montaje de paneles	Baja	Dañino	Tolerable	Evitado
Exposición a temperaturas ambientales extremas	Baja	Dañino	Tolerable	Evitado
Contacto con sustancias cáusticas	Baja	Dañino	Tolerable	Evitado
Golpes y cortes por objetos o herramientas	Baja	Dañino	Tolerable	Evitado
Pisadas sobre objetos	Baja	Dañino	Tolerable	Evitado
Proyección de fragmentos o partículas	Baja	Dañino	Tolerable	Evitado

Medidas preventivas y protecciones técnicas adoptadas, tendentes a controlar y reducir los riesgos anteriores

Medidas preventivas

No acopiaremos el material al borde de la cubierta, para evitar caída de los mismos.

Se suspenderán los trabajos en condiciones climatológicas adversas.

Se suspenderán los trabajos con vientos superiores a 50 Km/h.

Todas las operaciones de instalación y conexiones deberán ser realizadas por personal especializado.

Se deberán seguir en todo momento las indicaciones marcadas por el proyecto de obra.

Las herramientas y aparatos eléctricos empleados en la fijación de las placas estarán en perfectas condiciones de utilización, no presentando cortes, empalmes y su conexión se realizará con conectores certificados Macho-Hembra.

Seguiremos las instrucciones del fabricante para el montaje de placas.

Antes de la conexión de la placa a la red eléctrica, comprobar que no hay elementos conectados a la red.

Los operarios tendrán los Equipos de Protección Individual correspondientes para la realización de las tareas.

Los trabajos estarán supervisados por una persona competente en la materia.

Documento visado electrónicamente con número: VA07290/22
Código de validación telemática TRLTDCFZ60T66IJ1. Comprobación: https://cogitivalencia.e-gestion.es/Validacion.aspx?CVT=TRLTDCFZ60T66IJ1

VISADO
COGITI
VALENCIA
VA07290/22
TRLTDCFZ60T66IJ1

Se mantendrán limpios de cascotes y recortes los lugares de trabajo. Se limpiarán conforme se avance para evitar el riesgo de pisadas sobre objetos.

La iluminación de los tajos será de un mínimo de 100 lux medidos a una altura sobre el nivel del pavimento, en torno a los 2 m.

Equipos de protección individual

Relación de EPIs necesarios en esta unidad de obra, y cuya eficacia ha sido evaluada:

- Casco de seguridad con barbuquejo
- Chaleco reflectante.
- Arnés anticaídas
- Calzado de seguridad.
- Gafas de seguridad antiproyecciones.
- Guantes de cuero.
- Ropa de trabajo.
- Guantes de goma, o de PVC
- Arnés de seguridad (cuando sea necesario)

Actividades de vigilancia del recurso preventivo

Estas actividades de vigilancia servirán para garantizar el cumplimiento de los métodos de trabajo, de las medidas preventivas y del control del riesgo:

- Comprobar que los operarios tienen los EPIS correspondientes para la realización de esta tarea, y que vendrán definidos en el Plan de Seguridad.
- Vigilar que utilizan, y además correctamente, los EPIS definidos anteriormente.
- Comprobar que todas las operaciones de instalación y conexiones se realizan por personal especializado.
- Comprobar que en general se mantiene la limpieza y orden en la obra.
- Comprobar que la iluminación en el tajo no es inferior a los 100 lux, medidos a 2 m del suelo.
- Vigilar que se suspenden los trabajos en condiciones climatológicas adversas.
- Vigilar que se suspenden los trabajos con vientos superiores a 50 Km/h.
- Comprobar que se siguen las instrucciones del fabricante para el montaje de todos los componentes de la instalación.
- Comprobar que no acopia material al borde del forjado o de la cubierta.
- Comprobar que las herramientas y aparatos eléctricos empleados en la fijación de las placas están en perfectas condiciones de utilización, no presentando cortes, empalmes y su conexión se realiza con conectores certificados Macho-Hembra.
- Comprobar que el transporte de elementos de la instalación por un solo hombre se realiza inclinando la carga hacia atrás, de tal forma, que el extremo que va por delante supere la altura de un hombre, en evitación de golpes y tropiezos con otros operarios en lugares poco iluminados (o iluminados a contraluz).

7.3.4. Envolvente para instalación a la intemperie

Procedimiento

Se colocarán armarios envolventes, con el objeto de proteger los distintos dispositivos electrónicos y demás componentes de la instalación, de la intemperie.

- El armario envolvente será con tapa, de material aislante y autoextinguible.
- Permitirá la posibilidad de desconexión manual y dispondrá del Marcado CE conforme a directivas de Baja tensión.

Documento visado electrónicamente con número: VA07290/22
Código de validación telemática TRLTDCFZ60T66IJ1. Comprobación: https://cogitivalencia.e-gestion.es/Validacion.aspx?CVT=TRLTDCFZ60T66IJ1

VISADO
COGITI
VALENCIA
VA07290/22
TRLTDCFZ60T66IJ1

- Estará provista de sistema de entrada para conductores, orificios de salida para conductores unipolares, dispositivos de cierre, precintado, sujeción de tapa y fijación al muro.

Permitirá las protecciones:

- contra polarización inversa
- contra sobretensiones transitorias en la entrada y en la salida
- contra cortacircuitos y sobrecargas a la salida
- contra fallos de aislamiento
- protección anti-isla

La fijación del armario envolvente se realizará siguiendo las indicaciones del fabricante.

Identificación y evaluación de riesgos con la valoración de la eficacia de la prevención adoptada y aplicada en esta unidad de obra

Riesgo	Probabilidad	Consecuencias	Calificación	Estado
Caída de personas al mismo nivel	Media	Ligeramente dañino	Tolerable	Evitado
Caída de personas a distinto nivel	Media	Dañino	Moderado	Evitado
Caída de objetos por desplome o derrumbamiento	Baja	Ligeramente dañino	Trivial	Evitado
Caída de objetos en manipulación	Baja	Ligeramente dañino	Trivial	Evitado
Golpes y cortes por objetos o herramientas	Baja	Dañino	Tolerable	Evitado
Sobreesfuerzos, posturas forzadas o movimientos repetitivos	Baja	Ligeramente dañino	Trivial	Evitado

Documento visado electrónicamente con número: VA07290/22
Código de validación telemática TRLTDCFZ60T66IJ1. Comprobación: https://cogitivalencia.e-gestion.es/Validacion.aspx?CVT=TRLTDCFZ60T66IJ1

VISADO
COGITI
VALENCIA
VA07290/22
TRLTDCFZ60T66IJ1

Medidas preventivas y protecciones técnicas adoptadas, tendentes a controlar y reducir los riesgos anteriores

Medidas preventivas

Se esmerará el orden y la limpieza de la obra para evitar los riesgos de pisadas o tropezones.

Los tajos estarán bien iluminados, entre los 200-300 lux.

Se prohibirá el conexionado de cables, sin la utilización de las clavijas macho-hembra.

Acotaremos las zonas de trabajo para evitar accidentes.

Se suspenderán los trabajos en condiciones atmosféricas adversas.

Las herramientas a utilizar por los electricistas instaladores estarán protegidas con material aislante normalizado contra los contactos con la energía eléctrica.

Las pruebas de funcionamiento serán anunciadas a todo el personal de la obra antes de ser iniciadas, para evitar accidentes.

Antes de hacer entrar en carga a la instalación se hará una revisión en profundidad de las conexiones de mecanismos, protecciones y empalmes de los cuadros eléctricos directos o indirectos, de acuerdo con el Reglamento Electrotécnico de Baja Tensión.

Equipos de protección individual

Relación de EPIs necesarios en esta unidad de obra, y cuya eficacia ha sido evaluada:

- Casco de seguridad con barbuquejo
- Chaleco reflectante.
- Arnés anticaídas
- Calzado de seguridad.
- Ropa de trabajo.
- Guantes de goma aislantes.
- Comprobadores de tensión.
- Herramientas aislantes.

Actividades de vigilancia del recurso preventivo

Estas actividades de vigilancia servirán para garantizar el cumplimiento de los métodos de trabajo, de las medidas preventivas y del control del riesgo:

- Comprobar que los operarios tienen los EPIS correspondientes para la realización de esta tarea, y que vendrán definidos en el Plan de Seguridad.
- Vigilar que utilizan, y además correctamente, los EPIS definidos anteriormente.
- Comprobar que en general se mantiene la limpieza y orden en la obra.
- Vigilar que se suspenden las operaciones cuando las condiciones climáticas son adversas o bien cuando el viento es superior a 50 Km/h.
- Comprobar que las zonas en las que haya que trabajar están suficientemente iluminadas.

7.3.5. Inversor de corriente para conexión a red

Procedimiento

Documento visado electrónicamente con número: VA07290/22
Código de validación telemática TRLTDCFZ60T66IJ1. Comprobación: https://cogitivalencia.e-gestion.es/Validacion.aspx?CVT=TRLTDCFZ60T66IJ1

VISADO
COGITI
VALENCIA
VA07290/22
TRLTDCFZ60T66IJ1

Se incluye en esta unidad de obra las operaciones necesarias para la colocación del inversor de corriente (de amplio rango de tensión de entrada) que convierte la corriente continua proporcionada por el módulo solar fotovoltaico en corriente alterna, incluyendo en estas operaciones tanto el tendido de cables como el conexionado, según las especificaciones técnicas del proyecto de obra.

Identificación y evaluación de riesgos con la valoración de la eficacia de la prevención adoptada y aplicada en esta unidad de obra

Riesgo	Probabilidad	Consecuencias	Calificación	Estado
Caída de personas al mismo nivel	Media	Ligeramente dañino	Tolerable	Evitado
Caída de personas a distinto nivel	Media	Dañino	Moderado	Evitado
Caída de materiales o elementos en manipulación	Media	Ligeramente dañino	Tolerable	Evitado
Sobreesfuerzos o posturas inadecuadas	Baja	Dañino	Tolerable	Evitado
Contacto con sustancias nocivas o tóxicas	Baja	Dañino	Tolerable	Evitado
Contactos eléctricos	Baja	Dañino	Tolerable	Evitado
Golpes y cortes por objetos o herramientas	Baja	Dañino	Tolerable	Evitado
Pisadas sobre objetos	Baja	Dañino	Tolerable	Evitado

Medidas preventivas y protecciones técnicas adoptadas, tendentes a controlar y reducir los riesgos anteriores

Medidas preventivas

Se esmerará el orden y la limpieza de la obra para evitar los riesgos de pisadas o tropezones.

Los tajos estarán bien iluminados, entre los 200-300 lux.

Se prohibirá el conexionado de cables a los cuadros de suministro eléctrico de obra, sin la utilización de las clavijas macho-hembra.

Verificaremos el estado de los cables de las máquinas portátiles para evitar contactos eléctricos.

Las herramientas a utilizar por los electricistas instaladores estarán protegidas con material aislante normalizado contra los contactos con la energía eléctrica.

Las pruebas de funcionamiento serán anunciadas a todo el personal antes de ser iniciadas, para evitar accidentes.

Antes de hacer entrar en carga a la instalación se hará una revisión en profundidad de las conexiones de mecanismos, protecciones y empalmes de los cuadros eléctricos, de acuerdo con el Reglamento Electrotécnico de Baja Tensión.

Equipos de protección individual

Relación de EPIs necesarios en esta unidad de obra, y cuya eficacia ha sido evaluada:

- Casco de seguridad con barbuquejo
- Chaleco reflectante.
- Arnés anticaídas.
- Calzado de seguridad.
- Ropa de trabajo.
- Guantes de goma aislantes.

Documento visado electrónicamente con número: VA07290/22
Código de validación telemática TRLTDCFZ60T66IJ1. Comprobación: https://cogitivalencia.e-gestion.es/Validacion.aspx?CVT=TRLTDCFZ60T66IJ1

VISADO
COGITI
VALENCIA
VA07290/22
TRLTDCFZ60T66IJ1

- Comprobadores de tensión.
- Herramientas aislantes.

Actividades de vigilancia del recurso preventivo

Estas actividades de vigilancia servirán para garantizar el cumplimiento de los métodos de trabajo, de las medidas preventivas y del control del riesgo:

- Comprobar que los operarios tienen los EPIS correspondientes para la realización de esta tarea, y que vendrán definidos en el Plan de Seguridad.
- Vigilar que utilizan, y además correctamente, los EPIS definidos anteriormente.
- Comprobar que en general se mantiene la limpieza y orden en la obra.
- Vigilar que se suspenden las operaciones cuando las condiciones climáticas son adversas o bien cuando el viento es superior a 50 Km/h.
- Comprobar que las zonas en las que haya que trabajar están suficientemente iluminadas.

7.3.6. Instalación de componentes para transmisión de datos

Procedimiento

Se incluye en esta unidad de obra las operaciones necesarias para la colocación de la antena emisora, así como de los dispositivos electrónicos, incluyendo en estas operaciones tanto el tendido de cables como el conexionado, según las especificaciones técnicas del proyecto de obra.

Identificación y evaluación de riesgos con la valoración de la eficacia de la prevención adoptada y aplicada en esta unidad de obra

Riesgo	Probabilidad	Consecuencias	Calificación	Estado
Caída de personas al mismo nivel	Media	Ligeramente dañino	Tolerable	Evitado
Caída de personas a distinto nivel	Media	Dañino	Moderado	Evitado
Caída de materiales o elementos en manipulación	Media	Ligeramente dañino	Tolerable	Evitado
Sobreesfuerzos o posturas inadecuadas	Baja	Dañino	Tolerable	Evitado
Contactos eléctricos	Baja	Dañino	Tolerable	Evitado

Medidas preventivas y protecciones técnicas adoptadas, tendentes a controlar y reducir los riesgos anteriores

Medidas preventivas

Los tajos estarán bien iluminados, entre los 200-300 lux.

Se prohibirá el conexionado de cables a los cuadros de suministro eléctrico de obra, sin la utilización de las clavijas macho-hembra.

Verificaremos el estado de los cables de las máquinas portátiles para evitar contactos eléctricos.

Las herramientas a utilizar por los electricistas instaladores estarán protegidas con material aislante normalizado contra los contactos con la energía eléctrica.

Las pruebas de funcionamiento de los dispositivos electrónicos en general serán anunciadas a todo el personal antes de ser iniciadas, para evitar accidentes.

Equipos de protección individual

Documento visado electrónicamente con número: VA07290/22
Código de validación telemática TRLTDCFZ60T66IJ1. Comprobación: https://cogitivalencia.e-gestion.es/Validacion.aspx?CVT=TRLTDCFZ60T66IJ1

VISADO
COGITI
VALENCIA
VA07290/22
TRLTDCFZ60T66IJ1

Relación de EPIs necesarios en esta unidad de obra, y cuya eficacia ha sido evaluada:

- Casco de seguridad con barbuquejo.
- Chaleco reflectante.
- Arnés anticaídas.
- Calzado de seguridad.
- Ropa de trabajo.
- Guantes de goma aislantes.
- Comprobadores de tensión.
- Herramientas aislantes.

Actividades de vigilancia del recurso preventivo

Estas actividades de vigilancia servirán para garantizar el cumplimiento de los métodos de trabajo, de las medidas preventivas y del control del riesgo:

- Comprobar que los operarios tienen los EPIS correspondientes para la realización de esta tarea, y que vendrán definidos en el Plan de Seguridad.
- Vigilar que utilizan, y además correctamente, los EPIS definidos anteriormente.
- Comprobar que en general se mantiene la limpieza y orden en la obra.
- Vigilar que se suspenden las operaciones cuando las condiciones climáticas son adversas o bien cuando el viento es superior a 50 Km/h.
- Comprobar que las zonas en las que haya que trabajar están suficientemente iluminadas.

7.3.7. Replanteo de líneas

Procedimiento

Se trazarán los ejes principales para el replanteo de las líneas y cableado eléctrico de la instalación, mediante la colocación de puntos de referencia nivelados y el posterior marcado.

Identificación y evaluación de riesgos con la valoración de la eficacia de la prevención adoptada y aplicada en esta unidad de obra

Riesgo	Probabilidad	Consecuencias	Calificación	Estado
Caída de personas a distinto nivel	Media	Dañino	Moderado	Evitado
Caída de personas al mismo nivel	Baja	Dañino	Tolerable	Evitado
Choques y golpes contra objetos inmóviles	Baja	Ligeramente dañino	Trivial	Evitado
Sobreesfuerzos, posturas forzadas o movimientos repetitivos	Baja	Ligeramente dañino	Trivial	Evitado

Medidas preventivas y protecciones técnicas adoptadas, tendentes a controlar y reducir los riesgos anteriores

Medidas preventivas

Los operarios tendrán los Equipos de Protección Individual correspondientes para la realización de las tareas.

Los operarios que realicen el replanteo estarán cualificados para esta tarea.

Los trabajos estarán supervisados por una persona competente en la materia.

Se mantendrá la limpieza y orden en la obra.

Documento visado electrónicamente con número: VA07290/22
Código de validación telemática TRLTDCFZ60T66IJ1. Comprobación: https://cogitivalencia.e-gestion.es/Validacion.aspx?CVT=TRLTDCFZ60T66IJ1

VISADO
COGITI
VALENCIA
VA07290/22
TRLTDCFZ60T66IJ1

La iluminación de los tajos no será inferior a los 100 lux, medidos a 2 m del suelo.

Se suspenderán los trabajos en condiciones climáticas adversas.

Se suspenderán los trabajos cuando el viento sea superior a 50 Km/h.

Equipos de protección individual

Relación de EPIs necesarios en esta unidad de obra, y cuya eficacia ha sido evaluada:

- Casco de seguridad con barbuquejo
- Chaleco reflectante
- Arnés anticaídas
- Guantes de cuero
- Calzado de seguridad
- Ropa de trabajo

Actividades de vigilancia del recurso preventivo

Estas actividades de vigilancia servirán para garantizar el cumplimiento de los métodos de trabajo, de las medidas preventivas y del control del riesgo:

- Comprobar que los operarios tienen los EPIS correspondientes para la realización de ésta tarea, y que vendrán definidos en el Plan de Seguridad.
- Vigilar que utilizan, y además correctamente, los EPIS definidos anteriormente.
- Comprobar que en general se mantiene la limpieza y orden en la obra.
- Comprobar que las zonas en las que haya que trabajar están suficientemente iluminadas.

7.3.8. Cableado eléctrico

Procedimiento

Se incluye en esta unidad de obra las operaciones necesarias para la colocación del cableado eléctrico, tanto la colocación de tubos eléctricos de protección, tendido de cables y conexionado, por los itinerarios establecidos y según las especificaciones técnicas del proyecto de obra.

Identificación y evaluación de riesgos con la valoración de la eficacia de la prevención adoptada y aplicada en esta unidad de obra

Riesgo	Probabilidad	Consecuencias	Calificación	Estado
Caída de personas al mismo nivel	Media	Ligeramente dañino	Tolerable	Evitado
Caída de personas a distinto nivel	Media	Dañino	Moderado	Evitado
Caída de materiales o elementos en manipulación	Baja	Dañino	Tolerable	Evitado
Choques y golpes contra objetos inmóviles	Baja	Dañino	Tolerable	Evitado
Sobreesfuerzos o posturas inadecuadas	Baja	Dañino	Tolerable	Evitado
Contacto con sustancias nocivas o tóxicas	Baja	Dañino	Tolerable	Evitado
Contactos eléctricos	Baja	Dañino	Tolerable	Evitado
Iluminación inadecuada	Baja	Dañino	Tolerable	Evitado
Golpes y cortes por objetos o herramientas	Baja	Dañino	Tolerable	Evitado
Pisadas sobre objetos	Baja	Dañino	Tolerable	Evitado
Proyección de fragmentos o partículas	Media	Ligeramente dañino	Tolerable	Evitado

Documento visado electrónicamente con número: VA07290/22
Código de validación telemática TRLTDCFZ60T66IJ1. Comprobación: https://cogitivalencia.e-gestion.es/Validacion.aspx?CVT=TRLTDCFZ60T66IJ1

VISADO
COGITI
VALENCIA
VA07290/22
TRLTDCFZ60T66IJ1

Medidas preventivas y protecciones técnicas adoptadas, tendentes a controlar y reducir los riesgos anteriores

Medidas preventivas

Se esmerará el orden y la limpieza de la obra, para evitar los riesgos de pisadas o tropezones.

Los tajos estarán bien iluminados, entre los 200-300 lux.

Se prohibirá el conexionado de cables a los cuadros de suministro eléctrico de obra, sin la utilización de las clavijas macho-hembra.

Acotaremos las zonas de trabajo para evitar accidentes.

Verificaremos el estado de los cables de las máquinas portátiles para evitar contactos eléctricos.

Las herramientas a utilizar por los electricistas instaladores estarán protegidas con material aislante normalizado contra los contactos con la energía eléctrica.

Las pruebas de funcionamiento de la instalación eléctrica serán anunciadas a todo el personal de la obra antes de ser iniciadas, para evitar accidentes.

Antes de hacer entrar en carga a la instalación eléctrica se hará una revisión en profundidad de las conexiones de mecanismos, protecciones y empalmes de los cuadros generales eléctricos directos o indirectos, de acuerdo con el Reglamento Electrotécnico de Baja Tensión.

Equipos de protección individual

Relación de EPIs necesarios en esta unidad de obra, y cuya eficacia ha sido evaluada:

- Casco de seguridad con barbuquejo
- Chaleco reflectante.
- Arnés anticaídas.
- Calzado de seguridad.
- Gafas de seguridad antiproyecciones.
- Ropa de trabajo.
- Guantes de goma aislantes.
- Comprobadores de tensión.
- Herramientas aislantes.

Actividades de vigilancia del recurso preventivo

Estas actividades de vigilancia servirán para garantizar el cumplimiento de los métodos de trabajo, de las medidas preventivas y del control del riesgo:

- Comprobar que los operarios tienen los EPIS correspondientes para la realización de esta tarea, y que vendrán definidos en el Plan de Seguridad.
- Vigilar que utilizan, y además correctamente, los EPIS definidos anteriormente.
- Comprobar que en general se mantiene la limpieza y orden en la obra.
- Vigilar que se suspenden las operaciones cuando las condiciones climáticas son adversas o bien cuando el viento es superior a 50 Km/h.
- Comprobar que las zonas en las que haya que trabajar están suficientemente iluminadas.

Documento visado electrónicamente con número: VA07290/22
Código de validación telemática TRLTDCFZ60T66IJ1. Comprobación: https://cogitivalencia.e-gestion.es/Validacion.aspx?CVT=TRLTDCFZ60T66IJ1

VISADO
COGITI
VALENCIA
VA07290/22
TRLTDCFZ60T66IJ1

7.3.9. Acometida a la red general

Procedimiento

La acometida a la red, permitirá inyectar la energía solar fotovoltaica obtenida a partir de los diferentes elementos de la instalación, a cada una de las fases de la red general eléctrica.

Con anterioridad al conexionado, se habrán instalado debidamente los dispositivos seccionadores y de protección.

La acometida se realizará siguiendo las especificaciones del proyecto de la instalación solar, siempre en el interior de armarios envolventes, con el objeto de proteger los distintos dispositivos, la conexión y los componentes electrónicos, de todo personal ajeno.

Identificación y evaluación de riesgos con la valoración de la eficacia de la prevención adoptada y aplicada en esta unidad de obra

Riesgo	Probabilidad	Consecuencias	Calificación	Estado
Caída de personas al mismo nivel	Media	Ligeramente dañino	Tolerable	Evitado
Caída de personas a distinto nivel	Media	Dañino	Moderado	Evitado
Caída de objetos por desplome o derrumbamiento	Baja	Ligeramente dañino	Trivial	Evitado
Caída de objetos en manipulación	Baja	Ligeramente dañino	Trivial	Evitado
Golpes y cortes por objetos o herramientas	Baja	Dañino	Tolerable	Evitado
Sobreesfuerzos, posturas forzadas o movimientos repetitivos	Baja	Ligeramente dañino	Trivial	Evitado
Contactos eléctricos	Baja	Dañino	Tolerable	Evitado

Medidas preventivas y protecciones técnicas adoptadas, tendentes a controlar y reducir los riesgos anteriores

Medidas preventivas

Se esmerará el orden y la limpieza de la obra, para evitar los riesgos de pisadas o tropezones.

Acotaremos las zonas de trabajo para evitar accidentes.

Se suspenderán los trabajos en condiciones atmosféricas adversas.

Las herramientas a utilizar por los electricistas instaladores, estarán protegidas con material aislante normalizado contra los contactos con la energía eléctrica.

Las pruebas de funcionamiento y de conexionado a la red general eléctrica, serán anunciadas a todo el personal de la obra antes de ser iniciadas, para evitar accidentes.

Antes de hacer entrar en carga a la instalación se hará una revisión en profundidad de las conexiones de mecanismos, protecciones y empalmes de los cuadros eléctricos directos o indirectos, de acuerdo con el Reglamento Electrotécnico de Baja Tensión.

Equipos de protección individual

Relación de EPIs necesarios en esta unidad de obra, y cuya eficacia ha sido evaluada:

Documento visado electrónicamente con número: VA07290/22
Código de validación telemática TRLTDCFZ60T66IJ1. Comprobación: https://cogitivalencia.e-gestion.es/Validacion.aspx?CVT=TRLTDCFZ60T66IJ1

VISADO
COGITI
VALENCIA
VA07290/22
TRLTDCFZ60T66IJ1

- Casco de seguridad con barbuquejo
- Chaleco reflectante.
- Arnés anticaídas.
- Calzado de seguridad.
- Ropa de trabajo.
- Guantes de goma aislantes.
- Comprobadores de tensión.
- Herramientas aislantes.

Actividades de vigilancia del recurso preventivo

Estas actividades de vigilancia servirán para garantizar el cumplimiento de los métodos de trabajo, de las medidas preventivas y del control del riesgo:

- Comprobar que los operarios tienen los EPIS correspondientes para la realización de esta tarea, y que vendrán definidos en el Plan de Seguridad.
- Vigilar que utilizan, y además correctamente, los EPIS definidos anteriormente.
- Comprobar que en general se mantiene la limpieza y orden en la obra.
- Vigilar que se suspenden las operaciones cuando las condiciones climáticas son adversas o bien cuando el viento es superior a 50 Km/h.
- Comprobar que las zonas en las que haya que trabajar están suficientemente iluminadas.

7.3.10. Trabajos eléctricos y puesta en marcha de la instalación

Esta actividad comprende los trabajos necesarios para la puesta en marcha de la instalación.

Identificación y evaluación de riesgos con la valoración de la eficacia de la prevención adoptada y aplicada en esta unidad de obra

Riesgo	Probabilidad	Consecuencias	Calificación	Estado
Caída de personas al mismo nivel	Media	Ligeramente dañino	Tolerable	Evitado
Caída de personas a distinto nivel	Media	Dañino	Moderado	Evitado
Caída de materiales o elementos en manipulación	Baja	Dañino	Tolerable	Evitado
Choques y golpes contra objetos inmóviles	Baja	Dañino	Tolerable	Evitado
Sobreesfuerzos o posturas inadecuadas	Baja	Dañino	Tolerable	Evitado
Contacto con sustancias nocivas o tóxicas	Baja	Dañino	Tolerable	Evitado
Contactos eléctricos	Baja	Dañino	Tolerable	Evitado
Iluminación inadecuada	Baja	Dañino	Tolerable	Evitado
Golpes y cortes por objetos o herramientas	Baja	Dañino	Tolerable	Evitado
Pisadas sobre objetos	Baja	Dañino	Tolerable	Evitado
Proyección de fragmentos o partículas	Media	Ligeramente dañino	Tolerable	Evitado

Medidas preventivas y protecciones técnicas adoptadas, tendentes a controlar y reducir los riesgos anteriores

Medidas preventivas

Con carácter previo a la puesta en marcha de la instalación, se realizará una charla a todo el personal de la obra, con el fin de informar de la nueva condición de la obra (riesgo eléctrico). La site induction o charla de seguridad previa se modificará para tenerlo en cuenta.

Se esmerará el orden y la limpieza de la obra, para evitar los riesgos de pisadas o tropezones.

Documento visado electrónicamente con número: VA07290/22
Código de validación telemática TRLTDCFZ60T66IJ1. Comprobación: https://cogitivalencia.e-gestion.es/Validacion.aspx?CVT=TRLTDCFZ60T66IJ1

VISADO
COGITI
VALENCIA
VA07290/22
TRLTDCFZ60T66IJ1

Acotaremos las zonas de trabajo para evitar accidentes.

Se suspenderán los trabajos en condiciones atmosféricas adversas.

Las herramientas a utilizar por los electricistas instaladores estarán protegidas con material aislante normalizado contra los contactos con la energía eléctrica.

Las pruebas de funcionamiento y las maniobras, mediciones, ensayos y verificaciones serán anunciadas a todo el personal de la obra antes de ser iniciadas, para evitar accidentes.

Antes de hacer entrar en carga a la instalación se hará una revisión en profundidad de las conexiones de mecanismos, protecciones y empalmes de los cuadros eléctricos directos o indirectos, de acuerdo con el Reglamento Electrotécnico de Baja Tensión.

Los trabajos en tensión solamente se podrán realizar mediante empleo de los equipos de protección individual adecuados para proteger a los trabajadores frente al riesgo eléctrico.

Para trabajos en baja tensión se emplearán guantes aislantes adecuados para la tensión de trabajo.

Antes de poner en carga la instalación eléctrica se revisarán en profundidad las conexiones de mecanismos, protecciones y empalmes de todos los cuadros eléctricos, para comprobar el estricto cumplimiento de lo dispuesto en el vigente Reglamento Electrotécnico.

Sólo los trabajadores autorizados, y con la formación adecuada, podrán realizar trabajos en proximidad, mediciones, verificaciones y ensayos en las instalaciones de baja tensión.

Sólo los trabajadores cualificados podrán realizar trabajos en tensión y trabajos en proximidad, mediciones, verificaciones y ensayos en las instalaciones de alta tensión.

Equipos de protección individual

Relación de EPIs necesarios en esta unidad de obra, y cuya eficacia ha sido evaluada:

- Casco de seguridad con barbuquejo
- Chaleco reflectante.
- Arnés anticaídas
- Calzado de seguridad.
- Ropa de trabajo.
- Guantes de goma aislantes.
- Comprobadores de tensión.
- Herramientas aislantes.

Actividades de vigilancia del recurso preventivo

Estas actividades de vigilancia servirán para garantizar el cumplimiento de los métodos de trabajo, de las medidas preventivas y del control del riesgo:

- Comprobar que los operarios tienen los EPIS correspondientes para la realización de esta tarea, y que vendrán definidos en el Plan de Seguridad.
- Vigilar que el trabajador realiza las tareas cumpliendo con las actividades preventivas establecidas, como puede ser, entre otras, el uso apropiado de los equipos de protección individual.
- Verificar los dispositivos de seguridad y su funcionamiento.
- Verificar el acotamiento y señalización correcta de la zona: trabajos a realizar, zona con riesgo, prohibición de paso a persona ajena…

Documento visado electrónicamente con número: VA07290/22
Código de validación telemática TRLTDCFZ60T66IJ1. Comprobación: https://cogitivalencia.e-gestion.es/Validacion.aspx?CVT=TRLTDCFZ60T66IJ1

VISADO
COGITI
VALENCIA
VA07290/22
TRLTDCFZ60T66IJ1

- Si existen elementos en tensión cuyas zonas de peligro son accesibles deberá revisar las delimitaciones, la colocación y eficacia de protecciones de los elementos que permanecen en tensión y verificar si los trabajadores están informados al respecto.
- Vigilar que los trabajos son realizados por trabajadores cualificados y en concordancia con lo establecido en las instrucciones técnicas de seguridad para trabajos eléctricos.

7.4. Maquinaria de obra y herramientas

7.4.1. Grúa autopropulsada

Las grúas autopropulsadas se utilizarán para operaciones de elevación de cargas, colocación y puesta en obra de materiales y equipos.

En el más amplio sentido de su acepción consideramos grúa autopropulsada a todo conjunto formado por el vehículo portante, sobre ruedas o sobre orugas, el sistema de propulsión y dirección propios sobre cuyo chasis se acopla el aparato de elevación tipo pluma.

Identificación y evaluación de riesgos con la valoración de la eficacia de la prevención adoptada y aplicada en esta máquina

Riesgo	Probabilidad	Consecuencias	Calificación	Estado
- Vuelco de la grúa	Baja	Dañino	Tolerable	Evitado
- Atrapamientos	Baja	Dañino	Tolerable	Evitado
- Caídas al subir o al bajar	Media	Dañino	Moderado	Evitado
- Atropello de personas	Baja	Dañino	Tolerable	Evitado
- Desplome de la carga	Baja	Dañino	Tolerable	Evitado
- Golpes por la caída de paramentos	Baja	Dañino	Tolerable	Evitado
- Desplome de la estructura en montaje	Baja	Dañino	Tolerable	Evitado
- Quemaduras al hacer el mantenimiento	Baja	Dañino	Tolerable	Evitado
- Contacto eléctrico	Baja	Extremadamente dañino	Moderado	Evitado
- Contacto con objetos cortantes o punzantes	Baja	Dañino	Tolerable	Evitado
- Caída de objetos	Baja	Dañino	Tolerable	Evitado
- Choques	Baja	Dañino	Tolerable	Evitado
- Sobreesfuerzos	Alta	Ligeramente dañino	Moderado	Evitado
- Ruido	Baja	Dañino	Tolerable	Evitado

Medidas preventivas y protecciones técnicas adoptadas, tendentes a controlar y reducir los riesgos anteriores

Medidas preventivas

- La máquina dispondrá de marcado CE, declaración de conformidad y manual de instrucciones o en su defecto se habrá sometido a puesta en conformidad de acuerdo con lo que especifica el RD 1215/1997.
- Los operadores de esta máquina deberán estar debidamente acreditados y haber sido instruidos en las tareas a realizar en la obra.
- Antes de iniciar los trabajos, comprobar que todos los dispositivos de la máquina responden correctamente y están en perfecto estado.
- Antes de iniciar las maniobras de carga se comprobará la estabilidad del terreno donde colocar la grúa, se instalarán cuñas de inmovilización en las ruedas y se fijarán los gatos estabilizadores.

Documento visado electrónicamente con número: VA07290/22
Código de validación telemática TRLTDCFZ60T66IJ1. Comprobación: https://cogitivalencia.e-gestion.es/Validacion.aspx?CVT=TRLTDCFZ60T66IJ1

VISADO
COGITI
VALENCIA
VA07290/22
TRLTDCFZ60T66IJ1

- Las maniobras en la grúa serán dirigidas por un especialista.
- En caso de tener que desplegar el plumín de la grúa, esta operación será realizada única y exclusivamente por trabajadores pertenecientes a la empresa de la grúa, y conocedores del procedimiento de trabajo seguro.
- Los ganchos de la grúa tendrán cerradura de seguridad.
- Se prohibirá sobrepasar la carga máxima admisible.
- El gruista tendrá en todo momento la carga suspendida a la vista. Si eso no es posible las maniobras serán dirigidas por un especialista.
- Las rampas de circulación no superarán en ningún caso una inclinación superior al 20 por 100.
- Se prohibirá estacionar el camión a menos de 2 metros del borde superior de los taludes.
- Se prohibirá arrastrar cargas con el camión.
- Se prohibirá la permanencia de personas a distancias inferiores a los 5 metros del camión.
- Se prohibirá la permanencia de operarios bajo las cargas en suspensión.
- El conductor tendrá el certificado de capacitación correspondiente.
- La grúa autopropulsada tendrá al día el libro de mantenimiento.
- Se extremarán las precauciones durante las maniobras de suspensión de objetos estructurales para su colocación en obra, ya que habrán operarios trabajando en el lugar, y un pequeño movimiento inesperado puede provocar graves accidentes.
- No se trabajará en ningún caso con vientos superiores a los 50 Km. /h.

1º) Ante el riesgo de vuelco, se admite que una grúa es segura contra el riesgo de vuelco cuando, trabajando en la arista de vuelco más desfavorable, no vuelca en tanto se cumplen las condiciones impuestas por su constructor, entendiéndose por arista de vuelco más desfavorable aquélla de las líneas definidas por dos apoyos consecutivos cuya distancia a la vertical que pasa por el centro de gravedad de toda la máquina, es menor.

Esta distancia, para cada posición y alcance de la pluma, es más pequeña cuanto mayor es el ángulo que forma el plano horizontal con el definido por la plataforma base de la grúa y como el momento de vuelco tiene por valor el producto de dicha distancia por el peso total de la máquina, es de vital importancia que su nivelación sea adecuada para que el mínimo momento de vuelco que pueda resultar sobre la arista más desfavorable durante el giro de la pluma sea siempre superior al máximo momento de carga admisible, que en ningún caso deberá sobrepasarse.

Es por ello por lo que ante este riesgo deberá procederse actuando como sigue:

A) Sobre el terreno:

- Se comprobará que el terreno tiene consistencia suficiente para que los apoyos (orugas, ruedas o estabilizadores) no se hundan en el mismo durante la ejecución de las maniobras.
- El emplazamiento de la máquina se efectuará evitando las irregularidades del terreno y explanando su superficie si fuera preciso, al objeto de conseguir que la grúa quede perfectamente nivelada, nivelación que deberá ser verificada antes de iniciarse los trabajos que serán detenidos de forma inmediata si durante su ejecución se observa el hundimiento de algún apoyo.
- Si la transmisión de la carga se realiza a través de estabilizadores y el terreno es de constitución arcillosa o no ofrece garantías, es preferible ampliar el reparto de carga sobre el mismo aumentando la superficie de apoyo mediante bases constituidas por una o más capas de traviesas de ferrocarril o tablones, de al menos 80 Mm. de espesor y 1.000 mm. de longitud que se interpondrán entre terreno y estabilizadores cruzando ordenadamente, en el segundo supuesto, los tablones de cada capa sobre la anterior.

B) Sobre los apoyos:

Documento visado electrónicamente con número: VA07290/22
Código de validación telemática TRLTDCFZ60T66IJ1. Comprobación: https://cogitivalencia.e-gestion.es/Validacion.aspx?CVT=TRLTDCFZ60T66IJ1

VISADO
COGITI
VALENCIA
VA07290/22
TRLTDCFZ60T66IJ1

- Al trabajar con grúa sobre ruedas transmitiendo los esfuerzos al terreno a través de los neumáticos, se tendrá presente que en estas condiciones los constructores recomiendan generalmente mayor presión de inflado que la que deberán tener circulando, por lo que antes de pasar de una situación a otra es de gran importancia la corrección de presión con el fin de que en todo momento se adecuen a las normas establecidas por el fabricante.
- Asimismo en casos de transmisión de cargas a través de neumáticos, la suspensión del vehículo portante debe ser bloqueada con el objeto de que, al mantenerse rígida, se conserve la horizontalidad de la plataforma base en cualquier posición que adopte la flecha y para evitar movimientos imprevistos de aquél, además de mantenerse en servicio y bloqueado al freno de mano, se calzarán las ruedas de forma adecuada.
- Cuando la grúa móvil trabaja sobre estabilizadores, que es lo recomendable aún cuando el peso de la carga a elevar permita hacerlo sobre neumáticos, los brazos soportes de aquéllos deberán encontrarse extendidos en su máxima longitud y, manteniéndose la correcta horizontalidad de la máquina, se darán a los gatos la elevación necesaria para que los neumáticos queden totalmente separados del suelo.

C) En la maniobra:

- La ejecución segura de una maniobra exige el conocimiento del peso de la carga por lo que, de no ser previamente conocido, deberá obtenerse una aproximación por exceso, cubicándola y aplicándole un peso específico entre 7,85 y 8 Kg. /dm3 para aceros. Al peso de la carga se le sumará el de los elementos auxiliares (estrobos, grilletes, etc.).
- Conocido el peso de la carga, el gruista verificará en las tablas de trabajo, propias de cada grúa, que los ángulos de elevación y alcance de la flecha seleccionados son correctos, de no ser así deberá modificar alguno de dichos parámetros.
- En operaciones tales como rescate de vehículos accidentados, desmantelamiento de estructuras, etc., la maniobra debe realizarse poniendo en ella una gran atención pues si la carga está aprisionada y la tracción no se ejerce verticalmente, el propio ángulo de tiro puede ser causa de que sobre la arista de trabajo se produzca un momento de carga superior al máximo admisible.
- Por otra parte deben evitarse oscilaciones pendulares que, cuando la masa de la carga es grande, pueden adquirir amplitudes que pondrían en peligro la estabilidad de la máquina, por lo que en la ejecución de toda maniobra se adoptará como norma general que el movimiento de la carga a lo largo de aquella se realice de forma armoniosa, es decir sin movimientos bruscos pues la suavidad de movimientos o pasos que se siguen en su realización inciden más directamente en la estabilidad que la rapidez o lentitud con que se ejecuten.
- En cualquier caso, cuando el viento es excesivo el gruista interrumpirá temporalmente su trabajo y asegurará la flecha en posición de marcha del vehículo portante.

2º) Ante el riesgo de precipitación de la carga, como generalmente la caída de la carga se produce por enganche o estrobado defectuosos, por roturas de cables u otros elementos auxiliares (eslingas, ganchos, etc.) o como consecuencia del choque del extremo de la flecha o de la propia carga contra algún obstáculo por lo que para evitar que aquélla llegue a materializarse se adoptarán las siguientes medidas:

A) Respecto al estrobado y elementos auxiliares:

- El estrobado se realizará de manera que el reparto de carga sea homogéneo para que la pieza suspendida quede en equilibrio estable, evitándose el contacto de estrobos con aristas vivas mediante la utilización de salvacables. El ángulo que forman los estrobos entre sí no superará en ningún caso 120º debiéndose procurar que sea inferior a 90º. En todo caso deberá comprobarse en las correspondientes tablas, que la carga útil para el ángulo formado, es superior a la real.

Documento visado electrónicamente con número: VA07290/22
Código de validación telemática TRLTDCFZ60T66IJ1. Comprobación: https://cogitivalencia.e-gestion.es/Validacion.aspx?CVT=TRLTDCFZ60T66IJ1

VISADO
COGITI
VALENCIA
VA07290/22
TRLTDCFZ60T66IJ1

- Cada uno de los elementos auxiliares que se utilicen en las maniobras (eslingas, ganchos, grilletes, ranas, etc.) tendrán capacidad de carga suficiente para soportar, sin deformarse, las solicitaciones a las que estarán sometidos. Se desecharán aquellos cables cuyos hilos rotos, contados a lo largo de un tramo de cable de longitud inferior a ocho veces su diámetro, superen el 10 por ciento del total de los mismos.

B) Respecto a la zona de maniobra:

- Se entenderá por zona de maniobra todo el espacio que cubra la pluma en su giro o trayectoria, desde el punto de amarre de la carga hasta el de colocación. Esta zona deberá estar libre de obstáculos y previamente habrá sido señalizada y acotada para evitar el paso del personal, en tanto dure la maniobra.
- Si el paso de cargas suspendidas sobre las personas no pudiera evitarse, se emitirán señales previamente establecidas, generalmente sonoras, con el fin de que puedan ponerse a salvo de posibles desprendimientos de aquéllas.
- Cuando la maniobra se realiza en un lugar de acceso público, tal como una carretera, el vehículo-grúa dispondrá de luces intermitentes o giratorias de color amarillo-auto, situadas en su plano superior, que deberán permanecer encendidas únicamente durante el tiempo necesario para su ejecución y con el fin de hacerse visible a distancia, especialmente durante la noche.

C) Respecto a la ejecución del trabajo:

- En toda maniobra debe existir un encargado, con la formación y capacidad necesaria para poder dirigirla, que será responsable de su correcta ejecución, el cual podrá estar auxiliado por uno o varios ayudantes de maniobra, si su complejidad así lo requiere.
- El gruista solamente deberá obedecer las órdenes del encargado de maniobra y de los ayudantes, en su caso, quienes serán fácilmente identificables por distintivos o atuendos que los distingan de los restantes operarios.
- Las órdenes serán emitidas mediante un código de ademanes que deberán conocer perfectamente tanto el encargado de maniobra y sus ayudantes como el gruista, quién a su vez responderá por medio de señales acústicas o luminosas. Generalmente se utiliza el código de señales definido por la Norma UNE.
- Durante el izado de la carga se evitará que el gancho alcance la mínima distancia admisible al extremo de la flecha, con el fin de reducir lo máximo posible la actuación del dispositivo de Fin de Carrera, evitando así el desgaste prematuro de contactos que puede originar averías y accidentes.
- Cuando la maniobra requiere el desplazamiento del vehículo-grúa con la carga suspendida, es necesario que los maquinistas estén muy atentos a las condiciones del recorrido (terreno no muy seguro o con desnivel, cercanías de líneas eléctricas), mantengan las cargas lo más bajas posible, den numerosas y eficaces señales a su paso y estén atentos a la combinación de los efectos de la fuerza de inercia que puede imprimir el balanceo o movimiento de péndulo de la carga.

3º) Ante el riesgo eléctrico por presencia de líneas eléctricas debe evitarse que el extremo de la pluma, cables o la propia carga se aproxime a los conductores a una distancia menor de 5 m. si la tensión es igual o superior a 50 Kv. y a menos de 3 m. para tensiones inferiores. Para mayor seguridad se solicitará de la Compañía Eléctrica el corte del servicio durante el tiempo que requieran los trabajos y, de no ser factible, se protegerá la línea mediante una pantalla de protección.

En caso de contacto de la flecha o de cables con una línea eléctrica en tensión, como norma de seguridad el gruista deberá permanecer en la cabina hasta que la línea sea puesta fuera de servicio ya que en su interior no corre peligro de electrocución. No obstante si se viese absolutamente obligado a abandonarla,

Documento visado electrónicamente con número: VA07290/22
Código de validación telemática TRLTDCFZ60T66IJ1. Comprobación: https://cogitivalencia.e-gestion.es/Validacion.aspx?CVT=TRLTDCFZ60T66IJ1

VISADO
COGITI
VALENCIA
VA07290/22
TRLTDCFZ60T66IJ1

deberá hacerlo saltando con los pies juntos, lo más alejado posible de la máquina para evitar contacto simultaneo entre ésta y tierra.

MANTENIMIENTO PREVENTIVO:

- El mantenimiento adecuado de todo equipo industrial tiene como consecuencia directa una considerable reducción de averías, lo cual a su vez hace disminuir en la misma proporción la probabilidad de que se produzcan accidentes provocados por aquéllas. Tiene por ello gran importancia realizar el mantenimiento preventivo tanto de la propia máquina como de los elementos auxiliares en los que, como mínimo, constará de las siguientes actuaciones:

A) De la máquina:

- Además de seguir las instrucciones contenidas en el Manual de Mantenimiento en el que el constructor recomienda los tipos de aceites y líquidos hidráulicos que han de utilizarse y se indican las revisiones y plazos con que han de efectuarse, es de vital importancia revisar periódicamente los estabilizadores prestando particular atención a las partes soldadas por ser los puntos más débiles de estos elementos, que han de verse sometidos a esfuerzos de especial magnitud.

B) De los elementos auxiliares:

- Los elementos auxiliares tales como cables, cadenas y aparejos de elevación en uso deben ser examinados enteramente por persona competente por lo menos una vez cada seis meses.
- Con propósitos de identificación, de modo que puedan llevarse registros de tales exámenes, debe marcarse un número de referencia en cada elemento y en el caso de eslingas se fijará una marca o etiqueta de metal numerada. En el registro se indicará el número, distintivo o marca de cada cadena, cable o aparejo, la fecha y número del certificado de la prueba original, la fecha en que fue utilizado por primera vez, la fecha de cada examen así como las particularidades o defectos encontrados que afecten a la carga admisible de trabajo y las medidas tomadas para remediarlas.

Equipos de protección individual

Relación de EPIs necesarios y cuya eficacia ha sido evaluada:

- Casco de seguridad.
- Ropa de trabajo.
- Guantes de cuero.
- Calzado antideslizante.
- Ropa de abrigo (en tiempo frío).

Actividades de vigilancia del recurso preventivo

Estas actividades de vigilancia servirán para garantizar el cumplimiento de los métodos de trabajo, de las medidas preventivas y del control del riesgo:

- Comprobar que los operarios tienen los EPIS correspondientes para la realización las tareas, y que vendrán definidos en el Plan de Seguridad.
- Vigilar que utilizan, y además correctamente, los EPIS definidos anteriormente.
- Comprobar que los operarios que manipulan la máquina disponen del carné correspondiente y están cualificados para las tareas y operaciones a desarrollar en la obra.
- Comprobar que en general se mantiene la limpieza y orden en el tajo.
- Comprobar que el equipo posee -marcado CE-, cumple con la legislación específica que le es de aplicación y se instala, utiliza y mantiene de acuerdo con las instrucciones del fabricante.

Documento visado electrónicamente con número: VA07290/22
Código de validación telemática TRLTDCFZ60T66IJ1. Comprobación: https://cogitivalencia.e-gestion.es/Validacion.aspx?CVT=TRLTDCFZ60T66IJ1

VISADO
COGITI
VALENCIA
VA07290/22
TRLTDCFZ60T66IJ1

- Comprobar que la utilización de este equipo se efectúa de acuerdo con el manual de instrucciones del fabricante.
- Comprobar que las maniobras peligrosas o que entrañen riesgo, son dirigidas por un especialista.
- Comprobar que en caso de tener que que desplegar el plumín de la grúa, esta operación será realizada única y exclusivamente por trabajadores pertenecientes a la empresa de la grúa y conocedores del procedimiento de trabajo seguro.
- Vigilar que en ningún caso, se rebasa la carga máxima admisible.
- Comprobar que el libro de mantenimiento permanece al día.
- Comprobar que las zonas de operaciones peligrosas están debidamente señalizadas.
- Vigilar que no se trabaja con vientos superiores a 50 Km/h
- Comprobar que el operario que manipula el equipo ha recibido las instrucciones preventivas antes de sus actividades en la obra.
- Comprobar que las operaciones de mantenimiento se hacen con el motor parado, bloqueado el equipo y con los frenos en servicio.

7.4.2. Carretilla elevadora

Se utilizará en esta obra la carretilla elevadora para mover los materiales desde el punto de descarga hasta los distintos puntos donde van a utilizarse.

Identificación y evaluación de riesgos con la valoración de la eficacia de la prevención adoptada y aplicada en esta máquina

Riesgo	Probabilidad	Consecuencias	Calificación	Estado
- Atropello de personas	Baja	Extremadamente dañino	Moderado	Evitado
- Vuelcos	Baja	Extremadamente dañino	Moderado	Evitado
- Colisiones	Baja	Extremadamente dañino	Moderado	Evitado
- Atrapamientos	Baja	Extremadamente dañino	Moderado	Evitado
- Desprendimiento del material	Baja	Dañino	Tolerable	Evitado
- Vibraciones	Baja	Dañino	Tolerable	Evitado
- Ruido ambiental	Baja	Dañino	Tolerable	Evitado
- Polvo ambiental	Baja	Dañino	Tolerable	Evitado
- Caídas al subir o bajar del vehículo	Media	Dañino	Moderado	Evitado
- Contactos con energía eléctrica	Baja	Dañino	Tolerable	Evitado
- Quemaduras durante el mantenimiento	Baja	Dañino	Tolerable	Evitado
- Sobreesfuerzos	Alta	Ligeramente dañino	Moderado	Evitado

Medidas preventivas y protecciones técnicas adoptadas, tendentes a controlar y reducir los riesgos anteriores

Medidas preventivas

- La máquina dispondrá de marcado CE, declaración de conformidad y manual de instrucciones o en su defecto se habrá sometido a puesta en conformidad de acuerdo con lo que especifica el RD 1215/1997.
- Los operadores de esta máquina deberán estar debidamente acreditados y haber sido instruidos en las tareas a realizar en la obra.
- Antes de iniciar los trabajos, comprobar que todos los dispositivos de la máquina responden correctamente y están en perfecto estado.

Documento visado electrónicamente con número: VA07290/22
Código de validación telemática TRLTDCFZ60T66IJ1. Comprobación: https://cogitivalencia.e-gestion.es/Validacion.aspx?CVT=TRLTDCFZ60T66IJ1

VISADO
COGITI
VALENCIA
VA07290/22
TRLTDCFZ60T66IJ1

- El contratista se asegurará de que es manejada por trabajadores cuya competencia y conocimiento han sido adquiridos por medio de la educación, formación y experiencia práctica revelante.
- La utilización de este equipo se efectuará de acuerdo con el manual de instrucciones del fabricante. En caso de no disponer de dicho manual, deberá atenderse a las instrucciones elaboradas en el documento de adecuación del equipo al RD 1215/1997 redactado por personal competente.

A) Normas de manejo:

1. Manipulación de cargas:

- La manipulación de cargas debería efectuarse guardando siempre la relación dada por el fabricante entre la carga máxima y la altura a la que se ha de transportar y descargar.
- Recoger la carga y elevarla unos 15 cms. sobre el suelo para el transporte de la misma.
- Circular llevando el mástil inclinado el máximo hacia atrás.
- Situar la carretilla frente al lugar previsto y en posición precisa para depositar la carga.
- Elevar la carga hasta la altura necesaria manteniendo la carretilla frenada. Para alturas superiores a 4 mts. programar las alturas de descarga y carga con un sistema automatizado que compense la limitación visual que se produce a distancias altas.
- Avanzar la carretilla hasta que la carga se encuentre sobre el lugar de descarga.
- Situar las horquillas en posición horizontal y depositar la carga, separándose luego lentamente.
- Las mismas operaciones se efectuarán a la inversa en caso de desapilado.
- La circulación sin carga se deberá hacer con las horquillas bajas.

2. Circulación por rampas:

- La circulación por rampas o pendientes deberá seguir una serie de medidas que se describen a continuación:

  a) Si la pendiente tiene una inclinación inferior a la máxima de la horquilla (a < ß) se podrá circular de frente en el sentido de descenso, con la precaución de llevar el mástil en su inclinación máxima.

  b) Si el descenso se ha de realizar por pendientes superiores a la inclinación máxima de la horquilla (a > ß), el mismo se ha de realizar necesariamente marcha atrás.

  c) El ascenso se deberá hacer siempre marcha adelante.

B) Inspecciones previas a la puesta en marcha y conducción:

- Antes de iniciar la jornada el conductor debe realizar una inspección de la carretilla que contemple los puntos siguientes:

  a) Ruedas (banda de rodaje, presión, etc.).

  b) Fijación y estado de los brazos de la horquilla

  c) Inexistencia de fugas en el circuito hidráulico.

  d) Niveles de aceites diversos.

  e) Mandos en servicio.

  f) Protectores y dispositivos de seguridad.

Documento visado electrónicamente con número: VA07290/22
Código de validación telemática TRLTDCFZ60T66IJ1. Comprobación: https://cogitivalencia.e-gestion.es/Validacion.aspx?CVT=TRLTDCFZ60T66IJ1

VISADO
COGITI
VALENCIA
VA07290/22
TRLTDCFZ60T66IJ1

g) Frenos de pie y de mano.

h) Embrague, Dirección, etc.

i) Avisadores acústicos y luces.

- En caso de detectar alguna deficiencia deberá comunicarse al servicio de mantenimiento y no utilizarse hasta que no se haya reparado.
- Toda carretilla en la que se detecte deficiencia o se encuentre averiada deberá quedar claramente fuera de uso advirtiéndolo mediante señalización. Tal medida tiene especial importancia cuando la empresa realiza trabajo a turnos.

C) Normas generales de conducción y circulación:

- Se dan las siguientes reglas genéricas a aplicar por parte del conductor de la carretilla en la jornada de trabajo:

a) No conducir por parte de personas no autorizadas.

b) No permitir que suba ninguna persona en la carretilla.

c) Mirar en la dirección de avance y mantener la vista en el camino que recorre.

d) Disminuir la velocidad en cruces y lugares con poca visibilidad.

e) Circular por el lado de los pasillos de circulación previstos a tal efecto manteniendo una distancia prudencial con otros vehículos que le precedan y evitando adelantamientos.

f) Evitar paradas y arranques bruscos y virajes rápidos.

g) Transportar únicamente cargas preparadas correctamente y asegurarse que no chocará con techos, conductos, etc. por razón de altura de la carga en función de la altura de paso libre.

h) Deben respetarse las normas del código de circulación, especialmente en áreas en las que pueden encontrarse otros vehículos.

i) No transportar cargas que superen la capacidad nominal.

j) No circular por encima de los 20 Km/h. en espacios exteriores y 10 Km/h. en espacios interiores.

k) Cuando el conductor abandona su carretilla debe asegurarse de que las palancas están en punto muerto, motor parado, frenos echados, llave de contacto sacada o la toma de batería retirada. Si está la carretilla en pendiente se calzarán las ruedas.

l) Asimismo la horquilla se dejará en la posición más baja.

m) No guardar carburante ni trapos engrasados en la carretilla elevadora, se puede prender fuego.

n) Vigilar constantemente la presión de los neumáticos.

ñ) Tomar toda clase de precauciones al maniobrar con la carretilla elevadora.

Equipos de protección individual

Documento visado electrónicamente con número: VA07290/22
Código de validación telemática TRLTDCFZ60T66IJ1. Comprobación: https://cogitivalencia.e-gestion.es/Validacion.aspx?CVT=TRLTDCFZ60T66IJ1

VISADO
COGITI
VALENCIA
VA07290/22
TRLTDCFZ60T66IJ1

Relación de EPIs necesarios y cuya eficacia ha sido evaluada:

- Casco de seguridad (de uso obligatorio para abandonar la cabina).
- Ropa de trabajo.
- Guantes de cuero.
- Calzado antideslizante.
- Ropa de abrigo (en tiempo frío).

Actividades de vigilancia del recurso preventivo

Estas actividades de vigilancia servirán para garantizar el cumplimiento de los métodos de trabajo, de las medidas preventivas y del control del riesgo:

- Comprobar que los operarios tienen los EPIS correspondientes para la realización las tareas, y que vendrán definidos en el Plan de Seguridad.
- Vigilar que utilizan, y además correctamente, los EPIS definidos anteriormente.
- Comprobar que los operarios que manipulan la máquina disponen del carné correspondiente y están cualificados para las tareas y operaciones a desarrollar en la obra.
- Comprobar que en general se mantiene la limpieza y orden en el tajo.
- Comprobar que el equipo posee -marcado CE-, cumple con la legislación específica que le es de aplicación y se instala, utiliza y mantiene de acuerdo con las instrucciones del fabricante.
- Comprobar que la utilización de este equipo se efectúa de acuerdo con el manual de instrucciones del fabricante.
- Comprobar que las maniobras peligrosas o que entrañen riesgo, son dirigidas por un especialista.
- Vigilar que en ningún caso, se rebasa la carga máxima admisible.
- Comprobar que el libro de mantenimiento permanece al día.
- Comprobar que las zonas de operaciones peligrosas están debidamente señalizadas.
- Vigilar que no se trabaja con vientos superiores a 50 Km/h
- Comprobar que el operario que manipula el equipo ha recibido las instrucciones preventivas antes de sus actividades en la obra.
- Comprobar que las operaciones de mantenimiento se hacen con el motor parado, bloqueado el equipo y con los frenos en servicio.

7.4.3. Camión grúa descarga

Grúa sobre camión en el cual antes de iniciar las maniobras de descarga, se instalarán cuñas de inmovilización en las ruedas y se fijarán los gatos estabilizadores.

Lo utilizaremos en las operaciones de descarga de materiales en la obra.

Identificación y evaluación de riesgos con la valoración de la eficacia de la prevención adoptada y aplicada en esta máquina

Riesgo	Probabilidad	Consecuencias	Calificación	Estado
- Vuelco del camión	Baja	Extremadamente dañino	Moderado	Evitado
- Atrapamientos	Baja	Extremadamente dañino	Moderado	Evitado
- Caídas al subir o al bajar	Media	Dañino	Moderado	Evitado
- Atropello de personas	Baja	Extremadamente dañino	Moderado	Evitado
- Desplome de la carga	Media	Dañino	Moderado	Evitado
- Golpes por la caída de paramentos	Baja	Extremadamente dañino	Moderado	Evitado
- Desplome de la estructura en montaje	Baja	Extremadamente dañino	Moderado	Evitado

Documento visado electrónicamente con número: VA07290/22
Código de validación telemática TRLTDCFZ60T66IJ1. Comprobación: https://cogitivalencia.e-gestion.es/Validacion.aspx?CVT=TRLTDCFZ60T66IJ1

VISADO
COGITI
VALENCIA
VA07290/22
TRLTDCFZ60T66IJ1

- Quemaduras al hacer el mantenimiento	Baja	Dañino	Tolerable	Evitado

Medidas preventivas y protecciones técnicas adoptadas, tendentes a controlar y reducir los riesgos anteriores

Medidas preventivas

- La máquina dispondrá de marcado CE, declaración de conformidad y manual de instrucciones o en su defecto se habrá sometido a puesta en conformidad de acuerdo con lo que especifica el RD 1215/1997.
- Los operadores de esta máquina deberán estar debidamente acreditados y haber sido instruidos en las tareas a realizar en la obra.
- Antes de iniciar los trabajos, comprobar que todos los dispositivos de la máquina responden correctamente y están en perfecto estado.
- Las maniobras en la grúa serán dirigidas por un especialista.
- Los ganchos de la grúa tendrán cerradura de seguridad.
- Se prohibirá sobrepasar la carga máxima admisible.
- El gruista tendrá en todo momento la carga suspendida a la vista. Si eso no es posible las maniobras serán dirigidas por un especialista.
- Las rampas de circulación no superarán en ningún caso una inclinación superior al 20 por 100.
- Se prohibirá estacionar el camión a menos de 2 metros del borde superior de los taludes.
- Se prohibirá arrastrar cargas con el camión.
- Se prohibirá la permanencia de personas a distancias inferiores a los 5 metros del camión.
- Se prohibirá la permanencia de operarios bajo las cargas en suspensión.
- El conductor tendrá el certificado de capacitación correspondiente.
- Se extremarán las precauciones durante las maniobras de suspensión de objetos estructurales para su colocación en obra, ya que habrán operarios trabajando en el lugar, y un pequeño movimiento inesperado puede provocar graves accidentes.
- No se trabajará en ningún caso con vientos superiores a los 50 Km./h.

Equipos de protección individual

Relación de EPIs necesarios y cuya eficacia ha sido evaluada:

- Casco de seguridad (de uso obligatorio para abandonar la cabina).
- Ropa de trabajo.
- Guantes de cuero.
- Cinturón elástico antivibratorio.
- Calzado antideslizante.

Actividades de vigilancia del recurso preventivo

Estas actividades de vigilancia servirán para garantizar el cumplimiento de los métodos de trabajo, de las medidas preventivas y del control del riesgo:

- Comprobar que los operarios tienen los EPIS correspondientes para la realización las tareas, y que vendrán definidos en el Plan de Seguridad.
- Vigilar que utilizan, y además correctamente, los EPIS definidos anteriormente.
- Comprobar que los operarios que manipulan la máquina disponen del carné correspondiente y están cualificados para las tareas y operaciones a desarrollar en la obra.
- Comprobar que en general se mantiene la limpieza y orden en el tajo.
- Comprobar que el equipo posee -marcado CE-, cumple con la legislación específica que le es de aplicación y se instala, utiliza y mantiene de acuerdo con las instrucciones del fabricante.

Documento visado electrónicamente con número: VA07290/22
Código de validación telemática TRLTDCFZ60T66IJ1. Comprobación: https://cogitivalencia.e-gestion.es/Validacion.aspx?CVT=TRLTDCFZ60T66IJ1

VISADO
COGITI
VALENCIA
VA07290/22
TRLTDCFZ60T66IJ1

- Comprobar que la utilización de este equipo se efectúa de acuerdo con el manual de instrucciones del fabricante.
- Comprobar que las maniobras peligrosas o que entrañen riesgo, son dirigidas por un especialista.
- Vigilar que en ningún caso, se rebasa la carga máxima admisible.
- Comprobar que el libro de mantenimiento permanece al día.
- Comprobar que las zonas de operaciones peligrosas están debidamente señalizadas.
- Vigilar que no se trabaja con vientos superiores a 50 Km/h
- Comprobar que el operario que manipula el equipo ha recibido las instrucciones preventivas antes de sus actividades en la obra.
- Comprobar que las operaciones de mantenimiento se hacen con el motor parado, bloqueado el equipo y con los frenos en servicio.

7.4.4. Camión grúa hidráulica telescópica

Grúa sobre camión en el cual antes de iniciar las maniobras de carga, se instalarán cuñas de inmovilización en las ruedas y se fijarán los gatos estabilizadores.

Esta grúa ha sido elegida porque se considera que para la naturaleza de las operaciones a realizar en la obra es el medio más apropiado desde el punto de vista de la seguridad de manipulación de cargas.

Identificación y evaluación de riesgos con la valoración de la eficacia de la prevención adoptada y aplicada en esta máquina

Riesgo	Probabilidad	Consecuencias	Calificación	Estado
- Vuelco del camión	Baja	Extremadamente dañino	Moderado	Evitado
- Atrapamientos	Baja	Extremadamente dañino	Moderado	Evitado
- Caídas al subir o al bajar	Media	Dañino	Moderado	Evitado
- Atropello de personas	Baja	Extremadamente dañino	Moderado	Evitado
- Desplome de la carga	Media	Dañino	Moderado	Evitado
- Golpes por la caída de paramentos	Baja	Extremadamente dañino	Moderado	Evitado
- Desplome de la estructura en montaje	Baja	Extremadamente dañino	Moderado	Evitado
- Quemaduras al hacer el mantenimiento	Baja	Dañino	Tolerable	Evitado

Medidas preventivas y protecciones técnicas adoptadas, tendentes a controlar y reducir los riesgos anteriores

Medidas preventivas

- La máquina dispondrá de marcado CE, declaración de conformidad y manual de instrucciones o en su defecto se habrá sometido a puesta en conformidad de acuerdo con lo que especifica el RD 1215/1997.
- Los operadores de esta máquina deberán estar debidamente acreditados y haber sido instruidos en las tareas a realizar en la obra.
- Antes de iniciar los trabajos, comprobar que todos los dispositivos de la máquina responden correctamente y están en perfecto estado.
- Se comprobará la estabilidad del terreno donde colocar el equipo, se instalarán cuñas de inmovilización en las ruedas y en caso necesario se fijarán los gatos estabilizadores.
- Las maniobras en la grúa serán dirigidas por un especialista.
- Los ganchos de la grúa tendrán cerradura de seguridad.
- Se prohibirá sobrepasar la carga máxima admisible.

Documento visado electrónicamente con número: VA07290/22
Código de validación telemática TRLTDCFZ60T66IJ1. Comprobación: https://cogitivalencia.e-gestion.es/Validacion.aspx?CVT=TRLTDCFZ60T66IJ1

VISADO
COGITI
VALENCIA
VA07290/22
TRLTDCFZ60T66IJ1

- El gruista tendrá en todo momento la carga suspendida a la vista. Si eso no es posible las maniobras serán dirigidas por un especialista.
- Las rampas de circulación no superarán en ningún caso una inclinación superior al 20 por 100.
- Se prohibirá estacionar el camión a menos de 2 metros del borde superior de los taludes.
- Se prohibirá arrastrar cargas con el camión.
- Se prohibirá la permanencia de personas a distancias inferiores a los 5 metros del camión.
- Se prohibirá la permanencia de operarios bajo las cargas en suspensión.
- El conductor tendrá el certificado de capacitación correspondiente.
- Se extremarán las precauciones durante las maniobras de suspensión de objetos estructurales para su colocación en obra, ya que habrán operarios trabajando en el lugar, y un pequeño movimiento inesperado puede provocar graves accidentes.
- No se trabajará en ningún caso con vientos superiores a los 50 Km./h.

Equipos de protección individual

Relación de EPIs necesarios y cuya eficacia ha sido evaluada:

- Casco de seguridad (de uso obligatorio para abandonar la cabina).
- Ropa de trabajo.
- Guantes de cuero.
- Cinturón elástico antivibratorio.
- Calzado antideslizante.

Actividades de vigilancia del recurso preventivo

Estas actividades de vigilancia servirán para garantizar el cumplimiento de los métodos de trabajo, de las medidas preventivas y del control del riesgo:

- Comprobar que los operarios tienen los EPIS correspondientes para la realización las tareas, y que vendrán definidos en el Plan de Seguridad.
- Vigilar que utilizan, y además correctamente, los EPIS definidos anteriormente.
- Comprobar que los operarios que manipulan la máquina disponen del carné correspondiente y están cualificados para las tareas y operaciones a desarrollar en la obra.
- Comprobar que en general se mantiene la limpieza y orden en el tajo.
- Comprobar que el equipo posee -marcado CE-, cumple con la legislación específica que le es de aplicación y se instala, utiliza y mantiene de acuerdo con las instrucciones del fabricante.
- Comprobar que la utilización de este equipo se efectúa de acuerdo con el manual de instrucciones del fabricante.
- Comprobar que las maniobras peligrosas o que entrañen riesgo, son dirigidas por un especialista.
- Vigilar que en ningún caso, se rebasa la carga máxima admisible.
- Comprobar que el libro de mantenimiento permanece al día.
- Comprobar que las zonas de operaciones peligrosas están debidamente señalizadas.
- Vigilar que no se trabaja con vientos superiores a 50 Km/h
- Comprobar que el operario que manipula el equipo ha recibido las instrucciones preventivas antes de sus actividades en la obra.
- Comprobar que las operaciones de mantenimiento se hacen con el motor parado, bloqueado el equipo y con los frenos en servicio.

7.4.5. Eslingas textiles

Son accesorios de elevación flexibles utilizados en esta obra. Están formados por una cinta plana cosida o por una serie de hilos industriales de alta tenacidad recubiertos por un tejido tubular.

Documento visado electrónicamente con número: VA07290/22
Código de validación telemática TRLTDCFZ60T66IJ1. Comprobación: https://cogitivalencia.e-gestion.es/Validacion.aspx?CVT=TRLTDCFZ60T66IJ1

VISADO
COGITI
VALENCIA
VA07290/22
TRLTDCFZ60T66IJ1

Estos elementos van situados entre la carga y el gancho del aparato de elevación permitiendo realizar la operación de prensión de la carga.

Con el fin de realizar una selección correcta de la eslinga, es fundamental conocer el número de ellas que se van a utilizar de forma simultánea en la manipulación de una carga, así como el modo de sujeción al punto de prensión. Como buena práctica, se puede destacar que utilizar eslingas con terminales metálicos evita los aplastamientos de las gazas.

La carga máxima de utilización de las eslingas textiles viene identificada por una serie de colores de acuerdo a códigos internacionales, que son:

Factor de Modo (Fm)							
PATRON DE COLORES INTERNACIONAL PARA IDENTIFICACION CARGA DE TRABAJO		TIRO DIRECTO	LAZO	CANASTO			
				U	45°	90°	120°
		 Fm=1	 Fm=0,80	 Fm= 2	 Fm=1,80	 Fm=1,40	 Fm=1
SKYTN01	1000 KG./ 1TN	1000	800	2000	1800	1400	1000
SKYTN02	2000 KG./ 2TN	2000	1600	4000	3600	2800	2000
SKYTN03	3000 KG./ 3TN	3000	2400	6000	5400	4200	3000
SKYTN04	4000 KG./ 4TN	4000	3200	8000	7200	5600	4000
SKYTN05	5000 KG./ 5TN	5000	4000	10000	9000	7000	5000
SKYTN06	6000 KG./ 6TN	6000	4800	12000	10800	8400	6000

Identificación y evaluación de riesgos con la valoración de la eficacia de la prevención adoptada y aplicada en esta máquina

Riesgo	Probabilidad	Consecuencias	Calificación	Estado
- Caída de personas a distinto nivel	Baja	Dañino	Tolerable	Evitado
- Caída de personas al mismo nivel	Baja	Ligeramente dañino	Trivial	Evitado
- Caída de objetos en manipulación	Baja	Dañino	Tolerable	Evitado
- Atrapamiento o aplastamiento por o entre objetos	Baja	Dañino	Tolerable	Evitado
- Sobreesfuerzos, posturas forzadas o movimientos repetitivos	Baja	Ligeramente dañino	Trivial	Evitado
- Desprendimiento del material durante el izado	Baja	Dañino	Tolerable	Evitado
- Rotura de cuerdas, cables, cadenas o elementos de amarre	Baja	Dañino	Tolerable	Evitado
- Cortes y rozaduras	Baja	Dañino	Tolerable	Evitado
- Desplazamiento o vuelco del elemento de sustentación	Baja	Dañino	Tolerable	Evitado

Medidas preventivas y protecciones técnicas adoptadas, tendentes a controlar y reducir los riesgos anteriores

Documento visado electrónicamente con número: VA07290/22
Código de validación telemática TRLTDCFZ60T66IJ1. Comprobación: https://cogitivalencia.e-gestion.es/Validacion.aspx?CVT=TRLTDCFZ60T66IJ1

VISADO
COGITI
VALENCIA
VA07290/22
TRLTDCFZ60T66IJ1

Medidas preventivas

- Los operarios tendrán los Equipos de Protección Individual correspondientes para la realización de las tareas.
- Los trabajos estarán supervisados por una persona competente en la materia.
- Queda prohibido trabajar sin antes haber cubierto el riesgo de caída de altura.
- Se prohibirá la permanencia de operarios en las zonas de elevado de cargas durante las operaciones de izado.
- Se esmerará el orden y la limpieza durante la ejecución de los trabajos.
- Se suspenderán los trabajos en condiciones climatológicas adversas.
- Será preferente automatizar los procesos de elevación de cargas utilizando máquinas y equipos, frente a la elevación manual de cargas.
- Las condiciones de almacenamiento constituyen un aspecto clave cuando se trabaja con eslingas textiles, resultando imprescindible cumplir las siguientes condiciones:
  - Serán almacenadas en lugar seco y ventilado, sin exposición a radiación solar directa.
  - La zona del almacén no superará los 60 grados.
  - Se apoyarán en soportes adecuados sin aristas y evitando el contacto con el suelo.
  - En su transporte, irán en cajas y no colocadas sobre los bastidores del vehículo, expuestas al sol.
  - Se acopiarán en áreas de trabajo alejadas de zonas donde exista exposición a soldaduras u otras fuentes de emisión de radiaciones ultravioleta.
- Existen eslingas “de un solo uso”, también denominadas “eslingas no reutilizables”, diseñadas para sujetar la carga transportada en un vehículo en un solo viaje, no pudiendo ser utilizada posteriormente para operaciones de elevación, ni para transportes sucesivos. Este tipo de eslingas debe llevar en la etiqueta la frase de “no reutilizable” o de “un solo uso”.
- Por el alto riesgo que supone, si se emplean estas eslingas, debe hacerse hincapié, en la información y formación de los trabajadores, sobre los límites de uso y los riesgos de un empleo no previsto.
- Se deberán realizar pausas y descansos frecuentes en el trabajo, durante las operaciones de elevación manual de las cargas. En el supuesto de que la carga no se pueda evitar elevarla manualmente, se estudiará en la medida de lo posible que la carga que tengan que cargar los trabajadores se lo más reducida posible, tomando medidas tales como:
  - Reducir el peso unitario de la carga
  - Sustituir recipientes, contenedores y envases metálicos por otros más ligeros

Equipos de protección individual

Relación de EPIs necesarios y cuya eficacia ha sido evaluada:

- Casco de seguridad.
- Ropa de trabajo.
- Guantes de cuero.
- Calzado antideslizante.
- Ropa de abrigo (en tiempo frío).

Actividades de vigilancia del recurso preventivo

Estas actividades de vigilancia servirán para garantizar el cumplimiento de los métodos de trabajo, de las medidas preventivas y del control del riesgo:

Documento visado electrónicamente con número: VA07290/22
Código de validación telemática TRLTDCFZ60T66IJ1. Comprobación: https://cogitivalencia.e-gestion.es/Validacion.aspx?CVT=TRLTDCFZ60T66IJ1

VISADO
COGITI
VALENCIA
VA07290/22
TRLTDCFZ60T66IJ1

- Comprobar que disponen de los Equipos de Protección Individual correspondientes para la realización de las tareas y que los usan correctamente.
- Comprobar que se ha cubierto el riesgo de caídas a distinto nivel.
- Comprobar que se mantiene el orden y limpieza en la obra.
- Comprobar que se suspenden los trabajos en condiciones climatológicas adversas.
- Comprobar que preferentemente se automatizan los procesos de elevación de cargas utilizando máquinas y equipos, frente a la elevación manual de cargas.
- Comprobar que si no se puede evitar la elevación manual de las cargas, se estudian los procesos productivos con el fin de lograr que los recorridos de elevación sean lo más cortos posibles.
- Vigilar que se realizan pausas y descansos frecuentes en el trabajo, durante las operaciones de elevación manual de las cargas.
- Vigilar que la carga que tengan que cargar los trabajadores se lo más reducida posible.
- Comprobar la existencia de etiqueta de identificación en buen estado y con la información clara y legible sin nudos.
- Comprobar la ausencia de cortes o daños por rozadura en los bordes.
- Comprobar que no se observa existencia de desgaste, fisuras o roturas en la cinta.
- Comprobar la eslinga que no presenta alteración del color normal de su funda debido a altas temperaturas
- Comprobar que no presenta defectos ni corrosión debido al contacto con productos químicos (escamación de la eslinga al frotarla)

7.4.6. Eslingas de cable

Las eslingas de cable están constituidas por una serie de cordones dispuestos en hélice sobre un alma que puede ser textil, metálica o mixta.

Los cordones están formados por varios alambres dispuestos en una o varias capas.

Según el diámetro y la posición de estos elementos, se pueden obtener configuraciones diferentes, dando lugar a eslingas con idéntico diámetro.

Las gazas, ojales o anillos de las eslingas pueden presentar diferentes configuraciones de acuerdo a la composición y disposición de los alambres que la constituyen.

Las eslingas de cable pueden llevar o no guardacabos, siendo necesarios cuando se utilicen otros accesorios acoplados con el aparato de elevación.

Identificación y evaluación de riesgos con la valoración de la eficacia de la prevención adoptada y aplicada en esta máquina

Riesgo	Probabilidad	Consecuencias	Calificación	Estado
- Caída de personas a distinto nivel	Baja	Dañino	Tolerable	Evitado
- Caída de personas al mismo nivel	Baja	Ligeramente dañino	Trivial	Evitado
- Caída de objetos en manipulación	Baja	Dañino	Tolerable	Evitado
- Atrapamiento o aplastamiento por o entre objetos	Baja	Dañino	Tolerable	Evitado
- Sobreesfuerzos, posturas forzadas o movimientos repetitivos	Baja	Ligeramente dañino	Trivial	Evitado
- Desprendimiento del material durante el izado	Baja	Dañino	Tolerable	Evitado
- Rotura de cuerdas, cables, cadenas o elementos de amarre	Baja	Dañino	Tolerable	Evitado
- Cortes y rozaduras	Baja	Dañino	Tolerable	Evitado
- Desplazamiento o vuelco del elemento de sustentación	Baja	Dañino	Tolerable	Evitado

Documento visado electrónicamente con número: VA07290/22
Código de validación telemática TRLTDCFZ60T66IJ1. Comprobación: https://cogitivalencia.e-gestion.es/Validacion.aspx?CVT=TRLTDCFZ60T66IJ1

VISADO
COGITI
VALENCIA
VA07290/22
TRLTDCFZ60T66IJ1

Medidas preventivas y protecciones técnicas adoptadas, tendentes a controlar y reducir los riesgos anteriores

Medidas preventivas

- Los operarios tendrán los Equipos de Protección Individual correspondientes para la realización de las tareas.
- Los trabajos estarán supervisados por una persona competente en la materia.
- Queda prohibido trabajar sin antes haber cubierto el riesgo de caída de altura.
- Se prohibirá la permanencia de operarios en las zonas de elevado de cargas durante las operaciones de izado.
- Se esmerará el orden y la limpieza durante la ejecución de los trabajos.
- Se suspenderán los trabajos en condiciones climatológicas adversas.
- Será preferente automatizar los procesos de elevación de cargas utilizando máquinas y equipos, frente a la elevación manual de cargas.
- Cuando se utilicen grapas (abrazaderas), la separación entre las mismas debe ser de entre 6 a 8 veces el diámetro del cable.
- Las indicaciones del marcado de la placa de la eslinga deben ser legibles y estar colocadas en un lugar en el que no puedan desaparecer por causa del desgaste, ni poner en peligro la resistencia del accesorio.
- En las eslingas de “gaza cosida”, cuando el marcado sea físicamente imposible, las indicaciones de carga máxima de utilización deberán figurar en una placa u otro medio equivalente y estar firmemente fijadas al accesorio, no estando permitido marcarla con elementos plastificados.
- Para las eslingas de varios ramales, a la información sobre la C.M.U. se le deben añadir los ángulos de aplicación de las cargas:
    - C.M.U. para 0° a 45° con relación a la vertical (0° a 90° entre ramales).
    - C.M.U. para 45° a 60° con la vertical (90° a 120° entre ramales) si procede.
- Las eslingas de cable presentan limitaciones de uso en condiciones atmosféricas adversas, no debiendo sumergirse en soluciones ácidas ni ser expuestas a vapores ácidos. Para su empleo en ambientes marinos, exposición a metales en fusión o materias corrosivas, se deberá consultar al fabricante, previa evaluación por personal competente.
- Su utilización en equipos de elevación de personas, demanda un mayor nivel de seguridad y criterios específicos según el equipo a utilizar. En estos casos, se deberán consultar las normas armonizadas del equipo en cuestión.
- Se deberán realizar pausas y descansos frecuentes en el trabajo, durante las operaciones de elevación manual de las cargas. En el supuesto de que la carga no se pueda evitar elevarla manualmente, se estudiará en la medida de lo posible que la carga que tengan que cargar los trabajadores se lo más reducida posible, tomando medidas tales como:
    - Reducir el peso unitario de la carga
    - Sustituir recipientes, contenedores y envases metálicos por otros más ligeros

Equipos de protección individual

Relación de EPIs necesarios y cuya eficacia ha sido evaluada:

- Casco de seguridad.
- Ropa de trabajo.
- Guantes de cuero.
- Calzado antideslizante.
- Ropa de abrigo (en tiempo frío).

Documento visado electrónicamente con número: VA07290/22
Código de validación telemática TRLTDCFZ60T66IJ1. Comprobación: https://cogitivalencia.e-gestion.es/Validacion.aspx?CVT=TRLTDCFZ60T66IJ1

VISADO
COGITI
VALENCIA
VA07290/22
TRLTDCFZ60T66IJ1

Actividades de vigilancia del recurso preventivo

Estas actividades de vigilancia servirán para garantizar el cumplimiento de los métodos de trabajo, de las medidas preventivas y del control del riesgo:

- Comprobar que disponen de los Equipos de Protección Individual correspondientes para la realización de las tareas y que los usan correctamente.
- Comprobar que se ha cubierto el riesgo de caídas a distinto nivel.
- Comprobar que se mantiene el orden y limpieza en la obra.
- Comprobar que se suspenden los trabajos en condiciones climatológicas adversas.
- Comprobar que preferentemente se automatizan los procesos de elevación de cargas utilizando máquinas y equipos, frente a la elevación manual de cargas.
- Comprobar que si no se puede evitar la elevación manual de las cargas, se estudian los procesos productivos con el fin de lograr que los recorridos de elevación sean lo más cortos posibles.
- Vigilar que se realizan pausas y descansos frecuentes en el trabajo, durante las operaciones de elevación manual de las cargas.
- Vigilar que la carga que tengan que cargar los trabajadores se lo más reducida posible.
- Comprobar que dispone de placa con identificación legible de la carga.
- Comprobar que no presenta desgastes, deformaciones o fisuras en los accesorios de extremo superior o inferior.
- Comprobar que no presenta desgastes, deformación o fisuras en los casquillos.
- Comprobar que la rotura de alambres es siempre:
    - < 6 alambres rotos aleatoriamente en una longitud de 6d.
    - < 14 alambres rotos en una longitud aleatoria de 30d.
- Comprobar la ausencia de deformación del cable.
- Comprobar que el desgaste del cable no supera al 10% del diámetro nominal.
- Comprobar que no presenta picaduras en los alambres o falta de flexibilidad.
- Comprobar que no se observa decoloración de los alambres o falta de lubricación.
- Comprobar para casos de eslingas de cables de varios ramales que la longitud de los mismos son iguales.
- Comprobar que la eslinga utilizada es adecuada para el uso previsto (gama de temperaturas, exposición a productos qíimicos, etc.)

7.4.7. Eslingas de cadena

Las eslingas de cadenas están constituidas por eslabones unidos a unos accesorios en los extremos para amarrar cargas del gancho de un aparato de elevación. El medio de unión es un eslabón maestro.

Pueden constituirse con uno o varios ramales y también sin extremos o “eslingas sin fin”. La longitud de las mismas se mide entre apoyos.

Para determinar los puntos de prensión, es necesario conocer el esfuerzo de cada ramal según el ángulo de elevación. El coeficiente de seguridad para las eslingas de cadena es 4, siendo la carga de cualquier eslabón maestro igual al de la capacidad de la eslinga.

Se utilizarán en la obra por las características de las cargas a elevar.

Identificación y evaluación de riesgos con la valoración de la eficacia de la prevención adoptada y aplicada en esta máquina

Riesgo	Probabilidad	Consecuencias	Calificación	Estado
- Caída de personas a distinto nivel	Baja	Dañino	Tolerable	Evitado
- Caída de personas al mismo nivel	Baja	Ligeramente dañino	Trivial	Evitado
- Caída de objetos en manipulación	Baja	Dañino	Tolerable	Evitado

Documento visado electrónicamente con número: VA07290/22
Código de validación telemática TRLTDCFZ60T66IJ1. Comprobación: https://cogitivalencia.e-gestion.es/Validacion.aspx?CVT=TRLTDCFZ60T66IJ1

VISADO
COGITI
VALENCIA
VA07290/22
TRLTDCFZ60T66IJ1

- Atrapamiento o aplastamiento por o entre objetos	Baja	Dañino	Tolerable	Evitado
- Sobreesfuerzos, posturas forzadas o movimientos repetitivos	Baja	Ligeramente dañino	Trivial	Evitado
- Desprendimiento del material durante el izado	Baja	Dañino	Tolerable	Evitado
- Rotura de cadenas o elementos de amarre	Baja	Dañino	Tolerable	Evitado
- Cortes y rozaduras	Baja	Dañino	Tolerable	Evitado
- Desplazamiento o vuelco del elemento de sustentación	Baja	Dañino	Tolerable	Evitado

Medidas preventivas y protecciones técnicas adoptadas, tendentes a controlar y reducir los riesgos anteriores

Medidas preventivas

- Los operarios tendrán los Equipos de Protección Individual correspondientes para la realización de las tareas.
- Los trabajos estarán supervisados por una persona competente en la materia.
- Queda prohibido trabajar sin antes haber cubierto el riesgo de caída de altura.
- Se prohibirá la permanencia de operarios en las zonas de elevado de cargas durante las operaciones de izado.
- Se esmerará el orden y la limpieza durante la ejecución de los trabajos.
- Se suspenderán los trabajos en condiciones climatológicas adversas.
- Será preferente automatizar los procesos de elevación de cargas utilizando máquinas y equipos, frente a la elevación manual de cargas.
- Las eslingas de cadena deben ir marcadas. El marcado de clase deberá ser una cifra legible en hueco o en relieve cada 20 eslabones, o a intervalos de 1 metro como máximo. Asimismo, incorporarán una placa metálica con la siguiente información:
    - Marca del Fabricante.
    - N° o Letra que identifiquen la eslinga con el certificado correspondiente.
    - La carga máxima de utilización (C.M.U.).
    - El marcado CE.
- Los conectores de las eslingas de cadena deben tener las mismas identificaciones que la eslinga (marca fabricante, marcado CE, carga máxima de utilización, etc.).
- Otros factores a destacar en el uso de las eslingas de cadena son:
    - La presencia de ácidos, que puede requerir:
        - Reducir la carga de utilización al 50 % de la indicada en la eslinga.
        - Lavar posteriormente la eslinga de cadena con agua limpia.
        - Verificar diariamente el estado de la misma.
    - La modificación de la longitud de ramales y soldaduras:
        - No está permitido el uso de ramales de longitudes diferentes ni efectuar reparaciones de soldaduras sin autorización del fabricante.
    - Su utilización en ambientes donde existan temperaturas elevadas.
        - Hay fabricantes que han certificado eslingas para zonas de trabajo donde las temperaturas son elevadas. Estas se caracterizan porque cambian de color en función de la temperatura a la que están expuestas, lo que indica una referencia visual de exposición. En caso necesario en la obra, deberá recurrirse a estos fabricantes.
- La utilización de cadenas requiere que antes de su empleo, el trabajador compruebe su estado a fin de detectar daño o deterioro evidente, y en su caso, lo comunique para su sustitución y reparación o eliminación. Los defectos a verificar incluyen:
    - El marcado ilegible.

Documento visado electrónicamente con número: VA07290/22
Código de validación telemática TRLTDCFZ60T66IJ1. Comprobación: https://cogitivalencia.e-gestion.es/Validacion.aspx?CVT=TRLTDCFZ60T66IJ1

VISADO
COGITI
VALENCIA
VA07290/22
TRLTDCFZ60T66IJ1

    - Los alargamientos.
    - La deformaciones de los accesorios de extremo superior e inferior.
    - Los desgastes.
    - Las fisuras, corrosión excesiva, etc.
    - El pestillo de seguridad.
- Las eslingas de cadena deben almacenarse en:
    - Un lugar seco y ventilado.
    - Colocadas sobre soportes y no en contacto con el suelo.
    - Alejadas de atmósferas corrosivas.
- Se deberán realizar pausas y descansos frecuentes en el trabajo, durante las operaciones de elevación manual de las cargas. En el supuesto de que la carga no se pueda evitar elevarla manualmente, se estudiará en la medida de lo posible que la carga que tengan que cargar los trabajadores se lo más reducida posible, tomando medidas tales como:
    - Reducir el peso unitario de la carga
    - Sustituir recipientes, contenedores y envases metálicos por otros más ligeros

Equipos de protección individual

Relación de EPIs necesarios y cuya eficacia ha sido evaluada:

- Casco de seguridad.
- Ropa de trabajo.
- Guantes de cuero.
- Calzado antideslizante.
- Ropa de abrigo (en tiempo frío).

Actividades de vigilancia del recurso preventivo

Estas actividades de vigilancia servirán para garantizar el cumplimiento de los métodos de trabajo, de las medidas preventivas y del control del riesgo:

- Comprobar que disponen de los Equipos de Protección Individual correspondientes para la realización de las tareas y que los usan correctamente.
- Comprobar que se ha cubierto el riesgo de caídas a distinto nivel.
- Comprobar que se mantiene el orden y limpieza en la obra.
- Comprobar que se suspenden los trabajos en condiciones climatológicas adversas.
- Comprobar que preferentemente se automatizan los procesos de elevación de cargas utilizando máquinas y equipos, frente a la elevación manual de cargas.
- Comprobar que si no se puede evitar la elevación manual de las cargas, se estudian los procesos productivos con el fin de lograr que los recorridos de elevación sean lo más cortos posibles.
- Vigilar que se realizan pausas y descansos frecuentes en el trabajo, durante las operaciones de elevación manual de las cargas.
- Vigilar que la carga que tengan que cargar los trabajadores se lo más reducida posible.
- Comprobar que dispone de placa con identificación legible de la carga.
- Comprobar la identificación legible de la carga en la anilla del eslabón maestro.
- Comprobar que no presenta la cadena fisuras en los eslabones.
- Comprobar la ausencia de eslabones deformados.
- Comprobar que no se observan ramales de longitud diferente al resto.
- Comprobar que el alargamiento esta por debajo del 5%.
- Comprobar la falta de corrosión en los eslabones.
- Comprobar que no presenta “decoloración” por efectos térmicos.
- Comprobar el desgaste de los eslabones que no es superior al 10%
- Comprobar la abertura del gancho de la cadena que es inferior al 10% del valor nominal.

Documento visado electrónicamente con número: VA07290/22
Código de validación telemática TRLTDCFZ60T66IJ1. Comprobación: https://cogitivalencia.e-gestion.es/Validacion.aspx?CVT=TRLTDCFZ60T66IJ1

VISADO
COGITI
VALENCIA
VA07290/22
TRLTDCFZ60T66IJ1

- Comprobar el dispositivo de cierre de los ganchos que está en buen estado y con pestillo seguridad.

7.4.8. Cáncamos

Son accesorios para utilizar en la obra, ya que permiten realizar determinadas operaciones de elevación, como máquinas u otros objetos que no pueden ser elevados manualmente ni a través de otros útiles.

Estos accesorios, que pueden ser fijos o giratorios, deben seleccionarse considerando unos ángulos de elevación determinados en los procesos de trabajo.

Identificación y evaluación de riesgos con la valoración de la eficacia de la prevención adoptada y aplicada en esta máquina

Riesgo	Probabilidad	Consecuencias	Calificación	Estado
- Caída de objetos en manipulación	Baja	Dañino	Tolerable	Evitado
- Atrapamiento o aplastamiento por o entre objetos	Baja	Dañino	Tolerable	Evitado
- Sobreesfuerzos, posturas forzadas o movimientos repetitivos	Baja	Ligeramente dañino	Trivial	Evitado
- Desprendimiento del material durante el izado	Baja	Dañino	Tolerable	Evitado
- Rotura del elemento de elevación	Baja	Dañino	Tolerable	Evitado
- Cortes y rozaduras	Baja	Dañino	Tolerable	Evitado
- Desplazamiento o vuelco del elemento de sustentación	Baja	Dañino	Tolerable	Evitado

Medidas preventivas y protecciones técnicas adoptadas, tendentes a controlar y reducir los riesgos anteriores

Medidas preventivas

- Los operarios tendrán los Equipos de Protección Individual correspondientes para la realización de las tareas.
- Los trabajos estarán supervisados por una persona competente en la materia.
- Queda prohibido trabajar sin antes haber cubierto el riesgo de caída de altura.
- Se prohibirá la permanencia de operarios en las zonas de elevado de cargas durante las operaciones de izado.
- Se esmerará el orden y la limpieza durante la ejecución de los trabajos.
- Se suspenderán los trabajos en condiciones climatológicas adversas.
- Será preferente automatizar los procesos de elevación de cargas utilizando máquinas y equipos, frente a la elevación manual de cargas.
- Un criterio clave a tener en cuenta para la selección de un cáncamo, radica en la disponibilidad de grasa para evitar la acumulación de suciedad en el mecanismo interno, permitiendo que los movimientos de rotación sean más fáciles.
- El coeficiente de utilización de un cáncamo debe ser 5 como mínimo.
- Estos equipos deben llevar al menos la siguiente identificación:
  - Carga máxima de utilización en tiro vertical (C.M.U.).
  - Diámetro de la rosca.
  - Código de trazabilidad.
- El proveedor facilitará un certificado de conformidad con la norma EN 1677 y el manual de instrucciones del útil.

Documento visado electrónicamente con número: VA07290/22
Código de validación telemática TRLTDCFZ60T66IJ1. Comprobación: https://cogitivalencia.e-gestion.es/Validacion.aspx?CVT=TRLTDCFZ60T66IJ1

VISADO
COGITI
VALENCIA
VA07290/22
TRLTDCFZ60T66IJ1

- La utilización improvisada de cáncamos en trabajos de carga y descarga puede dar lugar a accidentes por su inadecuación con el sistema de sujeción. Es importante comprobar que la carga queda suficientemente sujeta y estable.

Equipos de protección individual

Relación de EPIs necesarios y cuya eficacia ha sido evaluada:

- Casco de seguridad.
- Ropa de trabajo.
- Guantes de cuero.
- Calzado antideslizante.
- Ropa de abrigo (en tiempo frío).

Actividades de vigilancia del recurso preventivo

Estas actividades de vigilancia servirán para garantizar el cumplimiento de los métodos de trabajo, de las medidas preventivas y del control del riesgo:

- Comprobar que disponen de los Equipos de Protección Individual correspondientes para la realización de las tareas y que los usan correctamente.
- Comprobar que se ha cubierto el riesgo de caídas a distinto nivel.
- Comprobar que se mantiene el orden y limpieza en la obra.
- Comprobar que se suspenden los trabajos en condiciones climatológicas adversas.
- Comprobar que preferentemente se automatizan los procesos de elevación de cargas utilizando máquinas y equipos, frente a la elevación manual de cargas.
- Comprobar que si no se puede evitar la elevación manual de las cargas, se estudian los procesos productivos con el fin de lograr que los recorridos de elevación sean lo más cortos posibles.
- Vigilar que se realizan pausas y descansos frecuentes en el trabajo, durante las operaciones de elevación manual de las cargas.
- Vigilar que la carga que tengan que cargar los trabajadores sea lo más reducida posible.
- Comprobar que el cáncamo es adecuado para las operaciones a realizar, y además trabaja de modo correcto.

7.4.9. Grilletes

Son equipos destinados en la obra para ser empleados de forma directa o conjuntamente con otros accesorios de elevación. En función de su forma, se distinguen dos tipos de grilletes: recto o de lira, estando constituidos ambos por acero forjado.

Dependiendo del pasador se pueden distinguir:

Tipo W- pasador roscado con un agujero en uno de sus extremos aplastado, que se atornilla en una de las cabezas del cuerpo.

Tipo X- pasador tipo tornillo con cabeza y tuerca hexagonales, y pasador de aletas.

La carga máxima de utilización viene indicada en el cuerpo del grillete, acompañada de las letras WLL que indican la capacidad de carga.

Identificación y evaluación de riesgos con la valoración de la eficacia de la prevención adoptada y aplicada en esta máquina

Riesgo	Probabilidad	Consecuencias	Calificación	Estado
- Caída de objetos en manipulación	Baja	Dañino	Tolerable	Evitado
- Atrapamiento o aplastamiento por o entre	Baja	Dañino	Tolerable	Evitado

Documento visado electrónicamente con número: VA07290/22
Código de validación telemática TRLTDCFZ60T66IJ1. Comprobación: https://cogitivalencia.e-gestion.es/Validacion.aspx?CVT=TRLTDCFZ60T66IJ1

VISADO
COGITI
VALENCIA
VA07290/22
TRLTDCFZ60T66IJ1

objetos				
- Sobreesfuerzos, posturas forzadas o movimientos repetitivos	Baja	Ligeramente dañino	Trivial	Evitado
- Desprendimiento del material durante el izado	Baja	Dañino	Tolerable	Evitado
- Rotura del elemento de elevación	Baja	Dañino	Tolerable	Evitado
- Cortes y rozaduras	Baja	Dañino	Tolerable	Evitado
- Desplazamiento o vuelco del elemento de sustentación	Baja	Dañino	Tolerable	Evitado

Medidas preventivas y protecciones técnicas adoptadas, tendentes a controlar y reducir los riesgos anteriores

Medidas preventivas

- Los operarios tendrán los Equipos de Protección Individual correspondientes para la realización de las tareas.
- Los trabajos estarán supervisados por una persona competente en la materia.
- Queda prohibido trabajar sin antes haber cubierto el riesgo de caída de altura.
- Se prohibirá la permanencia de operarios en las zonas de elevado de cargas durante las operaciones de izado.
- Se esmerará el orden y la limpieza durante la ejecución de los trabajos.
- Se suspenderán los trabajos en condiciones climatológicas adversas.
- Será preferente automatizar los procesos de elevación de cargas utilizando máquinas y equipos, frente a la elevación manual de cargas.
- Cada grillete debe venir identificado al menos con:
    - La Carga de utilización en toneladas. Ejemplo C.M.U. 4,75.
    - El número de la clase del grillete.
    - El Código de trazabilidad.
- Para la utilización segura de estos equipos, se deberán observar los siguientes parámetros:
    - Temperatura de trabajo: No se utilizarán grilletes para temperaturas superiores a los 200°C sin consultar al fabricante.
    - Productos químicos presentes en el entorno laboral: Se solicitará la autorización del fabricante si hay que sumergir el grillete en soluciones ácidas.
    - Forma de sujeción, en caso de ser acopladas con varias eslingas: Solo se podrán usar los grilletes de tipo lira.
    - Presencia de vibraciones: Para estos casos se recomienda que dispongan de pasadores de seguridad para evitar desenganches.
- Por otro lado, se debe disponer de instrucciones de utilización con los siguientes apartados:
    - Limitaciones de uso.
    - Sustitución de pasadores perdidos o dañados.
    - Inspección del grillete antes de su uso.
    - Evitar las aplicaciones en los que la carga es inestable.
    - Alineación correcta del grillete con la línea de carga.
- En determinadas ocasiones se detecta que los grilletes han sido tratados por el usuario, normalmente pintados o con algún tratamiento protector. Se recuerda que la normativa no permite tratamientos de galvanizado ni procedimientos similares, si estos no son controlados por el fabricante.

Equipos de protección individual

Relación de EPIs necesarios y cuya eficacia ha sido evaluada:

- Casco de seguridad.

Documento visado electrónicamente con número: VA07290/22
Código de validación telemática TRLTDCFZ60T66IJ1. Comprobación: https://cogitivalencia.e-gestion.es/Validacion.aspx?CVT=TRLTDCFZ60T66IJ1

VISADO
COGITI
VALENCIA
VA07290/22
TRLTDCFZ60T66IJ1

- Ropa de trabajo.
- Guantes de cuero.
- Calzado antideslizante.
- Ropa de abrigo (en tiempo frío).

Actividades de vigilancia del recurso preventivo

Estas actividades de vigilancia servirán para garantizar el cumplimiento de los métodos de trabajo, de las medidas preventivas y del control del riesgo:

- Comprobar que disponen de los Equipos de Protección Individual correspondientes para la realización de las tareas y que los usan correctamente.
- Comprobar que se ha cubierto el riesgo de caídas a distinto nivel.
- Comprobar que se mantiene el orden y limpieza en la obra.
- Comprobar que se suspenden los trabajos en condiciones climatológicas adversas.
- Comprobar que preferentemente se automatizan los procesos de elevación de cargas utilizando máquinas y equipos, frente a la elevación manual de cargas.
- Comprobar que si no se puede evitar la elevación manual de las cargas, se estudian los procesos productivos con el fin de lograr que los recorridos de elevación sean lo más cortos posibles.
- Vigilar que se realizan pausas y descansos frecuentes en el trabajo, durante las operaciones de elevación manual de las cargas.
- Vigilar que la carga que tengan que cargar los trabajadores sea lo más reducida posible.

7.4.10. Atornilladores eléctricos

Esta máquina se utilizará en diferentes operaciones de la obra porque sirve para atornillar en cualquier tipo de superficie.

Se utilizará a lo largo del proceso constructivo en diferentes unidades de obra.

Identificación y evaluación de riesgos con la valoración de la eficacia de la prevención adoptada y aplicada en esta máquina

Riesgo	Probabilidad	Consecuencias	Calificación	Estado
- Cortes	Baja	Ligeramente dañino	Trivial	Evitado
- Caída de objetos en manipulación	Baja	Dañino	Tolerable	Evitado
- Choques y golpes contra objetos inmóviles	Baja	Dañino	Tolerable	Evitado
- Sobreesfuerzos, posturas forzadas o movimientos repetitivos	Baja	Ligeramente dañino	Trivial	Evitado
- Proyección de fragmentos o partículas	Baja	Ligeramente dañino	Trivial	Evitado
- Contactos eléctricos	Baja	Dañino	Tolerable	Evitado

Medidas preventivas y protecciones técnicas adoptadas, tendentes a controlar y reducir los riesgos anteriores

Medidas preventivas

- A las zonas de trabajo se accederá siempre de modo seguro.
- La zona de trabajo estará siempre bien iluminada, siendo preferente la iluminación natural.
- Se mantendrá la limpieza y orden en la obra.
- Los operarios irán provistos de los EPIs, para garantizar la seguridad de sus operaciones por obra.
- Antes de utilizar el atornillador se debe conocer su manejo y adecuada utilización.

Documento visado electrónicamente con número: VA07290/22
Código de validación telemática TRLTDCFZ60T66IJ1. Comprobación: https://cogitivalencia.e-gestion.es/Validacion.aspx?CVT=TRLTDCFZ60T66IJ1

VISADO
COGITI
VALENCIA
VA07290/22
TRLTDCFZ60T66IJ1

- Verificaremos el estado de los cables para evitar contactos eléctricos.
- Se prohibirá el conexionado de cables a los cuadros de suministro eléctrico de obra, sin la utilización de las clavijas macho-hembra.
- Las mangueras de prolongación estarán exentas de empalmes y las conexiones se harán siempre mediante clavijas macho-hembra.
- Usar el equipo de protección individual establecido para estas operaciones.
- Cumplir las instrucciones de mantenimiento.

Equipos de protección individual

Relación de EPIs necesarios y cuya eficacia ha sido evaluada:

- Casco de seguridad.
- Guantes de trabajo.
- Gafas de seguridad antiproyecciones.

7.4.11. Atornilladores de batería

Esta máquina se utilizará en diferentes operaciones de la obra porque sirve para atornillar en cualquier tipo de superficie.

Su principal ventaja es su autonomía, al poder utilizarse sin necesidad de que exista un enchufe.

Se utilizará a lo largo del proceso constructivo en diferentes unidades de obra.

Identificación y evaluación de riesgos con la valoración de la eficacia de la prevención adoptada y aplicada en esta máquina

Riesgo	Probabilidad	Consecuencias	Calificación	Estado
- Cortes	Baja	Ligeramente dañino	Trivial	Evitado
- Caída de objetos en manipulación	Baja	Dañino	Tolerable	Evitado
- Choques y golpes contra objetos inmóviles	Baja	Dañino	Tolerable	Evitado
- Sobreesfuerzos, posturas forzadas o movimientos repetitivos	Baja	Ligeramente dañino	Trivial	Evitado
- Proyección de fragmentos o partículas	Baja	Ligeramente dañino	Trivial	Evitado

Medidas preventivas y protecciones técnicas adoptadas, tendentes a controlar y reducir los riesgos anteriores

Medidas preventivas

- A las zonas de trabajo se accederá siempre de modo seguro.
- La zona de trabajo estará siempre bien iluminada, siendo preferente la iluminación natural.
- Se mantendrá la limpieza y orden en la obra.
- Los operarios irán provistos de los EPIs, para garantizar la seguridad de sus operaciones por obra.
- Antes de utilizar el atornillador se debe conocer su manejo y adecuada utilización.
- Usar el equipo de protección individual establecido para estas operaciones.
- Cumplir las instrucciones de mantenimiento.

Equipos de protección individual

Relación de EPIs necesarios y cuya eficacia ha sido evaluada:

Documento visado electrónicamente con número: VA07290/22
Código de validación telemática TRLTDCFZ60T66IJ1. Comprobación: https://cogitivalencia.e-gestion.es/Validacion.aspx?CVT=TRLTDCFZ60T66IJ1

VISADO
COGITI
VALENCIA
VA07290/22
TRLTDCFZ60T66IJ1

- Casco de seguridad.
- Guantes de trabajo.
- Gafas de seguridad antiproyecciones.

7.4.12. Taladros eléctricos

Esta máquina la utilizaremos en la obra porque sirve para perforar o hacer agujeros (pasantes o ciegos) en cualquier material, utilizando siempre la broca adecuada al material a trabajar.

La velocidad de giro en el taladro eléctrico se regula con el gatillo, siendo muy útil poder ajustarla al material que se esté taladrando y al diámetro de la broca para un rendimiento óptimo.

Además del giro la broca tiene un movimiento de vaivén. Esto es imprescindible para taladrar con comodidad ladrillos, baldosas, etc.

Se utilizará a lo largo del proceso constructivo en diferentes unidades de obra.

Identificación y evaluación de riesgos con la valoración de la eficacia de la prevención adoptada y aplicada en esta máquina

Riesgo	Probabilidad	Consecuencias	Calificación	Estado
- Golpes y cortes por objetos o herramientas	Baja	Dañino	Tolerable	Evitado
- Proyección de fragmentos o partículas	Baja	Ligeramente dañino	Trivial	Evitado
- Sobreesfuerzos, posturas forzadas o movimientos repetitivos	Baja	Ligeramente dañino	Trivial	Evitado
- Contactos eléctricos	Baja	Dañino	Tolerable	Evitado

Medidas preventivas y protecciones técnicas adoptadas, tendentes a controlar y reducir los riesgos anteriores

Medidas preventivas

- A las zonas de trabajo se accederá siempre de modo seguro.
- La zona de trabajo estará siempre bien iluminada, siendo preferente la iluminación natural.
- Se mantendrá la limpieza y orden en la obra.
- La máquina dispondrá de marcado CE, declaración de conformidad y manual de instrucciones.
- Antes de iniciar los trabajos, comprobar que todos los dispositivos de la máquina responden correctamente y están en perfecto estado.
- Verificaremos el estado de los cables para evitar contactos eléctricos.
- Se prohibirá el conexionado de cables a los cuadros de suministro eléctrico de obra, sin la utilización de las clavijas macho-hembra.
- Las mangueras de prolongación estarán exentas de empalmes y las conexiones se harán siempre mediante clavijas macho-hembra.
- Se realizará una revisión ocular de la zona de trabajo y del circundante.
- Usar el equipo de protección personal establecido para estas operaciones.
- No efectuar reparaciones ni mantenimiento con la máquina en marcha.
- Comunicar cualquier anomalía en el funcionamiento de la máquina.
- Cumplir las instrucciones de mantenimiento y las recomendaciones del fabricante.
- No utilizar la máquina para otras operaciones para las que no ha sido concebida.

Equipos de protección individual

Relación de EPIs necesarios y cuya eficacia ha sido evaluada:

Documento visado electrónicamente con número: VA07290/22
Código de validación telemática TRLTDCFZ60T66IJ1. Comprobación: https://cogitivalencia.e-gestion.es/Validacion.aspx?CVT=TRLTDCFZ60T66IJ1

VISADO
COGITI
VALENCIA
VA07290/22
TRLTDCFZ60T66IJ1

- Mono de trabajo.
- Casco de seguridad.
- Calzado de seguridad.
- Guantes de trabajo.
- Gafas de seguridad antiproyecciones.

7.4.13. Taladros de batería

Esta máquina la utilizaremos en diferentes operaciones en la obra porque sirve para perforar o hacer agujeros (pasantes o ciegos) en cualquier material, utilizando siempre la broca adecuada al material a trabajar.

Su principal ventaja es su autonomía al poder utilizarse sin necesidad de que exista un enchufe.

Se utilizará a lo largo del proceso constructivo en diferentes unidades de obra.

Identificación y evaluación de riesgos con la valoración de la eficacia de la prevención adoptada y aplicada en esta máquina

Riesgo	Probabilidad	Consecuencias	Calificación	Estado
- Golpes y cortes por objetos o herramientas	Baja	Dañino	Tolerable	Evitado
- Proyección de fragmentos o partículas	Baja	Ligeramente dañino	Trivial	Evitado
- Sobreesfuerzos, posturas forzadas o movimientos repetitivos	Baja	Ligeramente dañino	Trivial	Evitado

Medidas preventivas y protecciones técnicas adoptadas, tendentes a controlar y reducir los riesgos anteriores

Medidas preventivas

- A las zonas de trabajo se accederá siempre de modo seguro.
- La zona de trabajo estará siempre bien iluminada, siendo preferente la iluminación natural.
- Se mantendrá la limpieza y orden en la obra.
- La máquina dispondrá de marcado CE, declaración de conformidad y manual de instrucciones.
- Antes de iniciar los trabajos, comprobar que todos los dispositivos de la máquina responden correctamente y están en perfecto estado.
- Se realizará una revisión ocular de la zona de trabajo y del circundante.
- Usar el equipo de protección personal establecido para estas operaciones.
- No efectuar reparaciones ni mantenimiento con la máquina en marcha.
- Comunicar cualquier anomalía en el funcionamiento de la máquina.
- Cumplir las instrucciones de mantenimiento y las recomendaciones del fabricante.
- No utilizar la máquina para otras operaciones para las que no ha sido concebida.

Equipos de protección individual

Relación de EPIs necesarios y cuya eficacia ha sido evaluada:

- Mono de trabajo.
- Casco de seguridad.
- Calzado de seguridad.
- Guantes de trabajo.
- Gafas de seguridad antiproyecciones.

Documento visado electrónicamente con número: VA07290/22
Código de validación telemática TRLTDCFZ60T66IJ1. Comprobación: https://cogitivalencia.e-gestion.es/Validacion.aspx?CVT=TRLTDCFZ60T66IJ1

VISADO
COGITI
VALENCIA
VA07290/22
TRLTDCFZ60T66IJ1

7.4.14. Amoladoras

Estas máquinas portátiles, son utilizadas en esta obra para cortar, pulir o abrillantar superficies rugosas.

Las amoladoras son máquinas muy versátiles, utilizadas en la construcción en múltiples operaciones.

Identificación y evaluación de riesgos con la valoración de la eficacia de la prevención adoptada y aplicada en esta máquina

Riesgo	Probabilidad	Consecuencias	Calificación	Estado
- Proyección de fragmentos o partículas	Baja	Dañino	Tolerable	Evitado
- Pisadas sobre objetos	Media	Ligeramente dañino	Tolerable	Evitado
- Contactos eléctricos	Baja	Dañino	Tolerable	Evitado
- Caídas al mismo o distinto nivel	Media	Dañino	Moderado	Evitado
- Golpes al trabajar piezas inestables	Baja	Dañino	Tolerable	Evitado
- Cortes	Media	Dañino	Moderado	Evitado
- Heridas	Baja	Dañino	Tolerable	Evitado
- Quemaduras	Baja	Dañino	Tolerable	Evitado
- Inhalación de polvo	Baja	Dañino	Tolerable	Evitado
- Exposición a ruido	Baja	Dañino	Tolerable	Evitado
- Exposición a vibraciones	Baja	Dañino	Tolerable	Evitado

Medidas preventivas y protecciones técnicas adoptadas, tendentes a controlar y reducir los riesgos anteriores

Medidas preventivas

- La máquina dispondrá de marcado CE, declaración de conformidad y manual de instrucciones.
- El personal encargado del manejo de la amoladora deberá ser experto en su uso.
- La amoladora deberá estar en buen estado para su funcionamiento.
- Se colocará adecuadamente la máquina cuando no trabaje.
- Verificaremos el estado de los cables para evitar contactos eléctricos.
- Se prohibirá el conexionado de cables a los cuadros de suministro eléctrico de obra, sin la utilización de las clavijas macho-hembra.
- Las mangueras de prolongación estarán exentas de empalmes y las conexiones se harán siempre mediante clavijas macho-hembra.
- Las mangueras eléctricas irán por puntos elevados, evitando ser arrastradas por el suelo.
- Se controlarán los diversos elementos de que se compone.
- La primera medida, y más elemental, es la elección de la máquina de acuerdo con el trabajo a efectuar, al disco adecuado a la tarea y al material a trabajar, y a los elementos auxiliares que pudieran ser necesarios.
- En ocasiones, los problemas pueden comenzar con el montaje de la muela en su emplazamiento. Es elemental la utilización de discos de diámetros y características adecuadas al trabajo a efectuar; respetar el sentido de rotación indicado sobre la misma, y utilizar correctamente los dispositivos de fijación del modo indicado por el fabricante. Es importante hacer rotar el disco manualmente para verificar que está bien centrado y no tiene roces con la carcasa de protección.
- Comprobar que el disco a utilizar está en buenas condiciones de uso. Debiendo almacenar los discos en lugares secos, sin sufrir golpes y siguiendo las indicaciones del fabricante.
- Utilizar siempre la cubierta protectora de la máquina.
- No sobrepasar la velocidad de rotación prevista e indicada en la muela.

Documento visado electrónicamente con número: VA07290/22
Código de validación telemática TRLTDCFZ60T66IJ1. Comprobación: https://cogitivalencia.e-gestion.es/Validacion.aspx?CVT=TRLTDCFZ60T66IJ1

VISADO
COGITI
VALENCIA
VA07290/22
TRLTDCFZ60T66IJ1

- Utilizar un diámetro de muela compatible con la potencia y características de la máquina.
- No someter el disco a sobreesfuerzos, laterales o de torsión, o por aplicación de una presión excesiva. Los resultados pueden ser nefastos: rotura del disco, sobrecalentamiento, pérdida de velocidad y de rendimiento, rechazo de la pieza o reacción de la máquina, pérdida de equilibrio, etc.
- En el caso de trabajar sobre piezas de pequeño tamaño o en equilibrio inestable, asegurar la pieza a trabajar, de modo que no sufran movimientos imprevistos durante la operación.
- Parar la máquina totalmente antes de posarla, en prevención de posibles daños al disco o movimientos incontrolados de la misma. Lo ideal sería disponer de soportes especiales próximos al puesto de trabajo.
- Al desarrollar trabajos con riesgo de caída de altura, asegurar siempre la postura de trabajo, ya que, en caso de pérdida de equilibrio por reacción incontrolada de la máquina, los efectos se pueden multiplicar.
- No utilizar la máquina en posturas que obliguen a mantenerla por encima del nivel de los hombros, ya que, en caso de pérdida de control, las lesiones pueden afectar a la cara, pecho o extremidades superiores.
- Situar la empuñadura lateral en función del trabajo a realizar, o utilizar una empuñadura de puente.
- En caso de utilización de platos de lijar, instalar en la empuñadura lateral la protección correspondiente para la mano.
- Para trabajos de precisión, utilizar soportes de mesa adecuados para la máquina, que permitan, además de fijar convenientemente la pieza, graduar la profundidad o inclinación del corte.
- Existen también guías acoplables a la máquina que permiten, en modo portátil, ejecutar trabajos de este tipo, obteniendo resultados precisos y evitando peligrosos esfuerzos laterales del disco; en muchos de estos casos será preciso ayudarse con una regla que nos defina netamente la trayectoria.
- Cuando no se utilice se guardará descargada en su alojamiento correspondiente.

Equipos de protección individual

Relación de EPIs necesarios y cuya eficacia ha sido evaluada:

- Ropa de trabajo.
- Casco de seguridad.
- Gafas de seguridad antiproyecciones.
- Protectores auditivos.
- Guantes de cuero.
- Mascarilla antipolvo.

7.4.15. Cortadora metal

El corte del metal en obra lo realizaremos con esta cortadora , cuyas posibilidades y versatilidad la hacen apropiadas para el corte de barras y perfilería.

Identificación y evaluación de riesgos con la valoración de la eficacia de la prevención adoptada y aplicada en esta máquina

Riesgo	Probabilidad	Consecuencias	Calificación	Estado
- Electrocución	Baja	Dañino	Tolerable	Evitado
- Atrapamientos con partes móviles	Baja	Extremadamente dañino	Moderado	Evitado
- Cortes y amputaciones	Media	Dañino	Moderado	Evitado

Documento visado electrónicamente con número: VA07290/22
Código de validación telemática TRLTDCFZ60T66IJ1. Comprobación: https://cogitivalencia.e-gestion.es/Validacion.aspx?CVT=TRLTDCFZ60T66IJ1

VISADO
COGITI
VALENCIA
VA07290/22
TRLTDCFZ60T66IJ1

- Proyección de fragmentos o partículas	Baja	Dañino	Tolerable	Evitado
- Rotura del disco	Baja	Dañino	Tolerable	Evitado
- Proyección de agua	Baja	Dañino	Tolerable	Evitado

Medidas preventivas y protecciones técnicas adoptadas, tendentes a controlar y reducir los riesgos anteriores

Medidas preventivas

- La máquina dispondrá de marcado CE, declaración de conformidad y manual de instrucciones.
- Como medida más elemental, es la correcta elección de la máquina de acuerdo con el trabajo a efectuar y a los elementos auxiliares que pudieran ser necesarios.
- Verificaremos el estado de los cables para evitar contactos eléctricos.
- Se prohibirá el conexionado de cables a los cuadros de suministro eléctrico de obra, sin la utilización de las clavijas macho-hembra.
- Las mangueras de prolongación estarán exentas de empalmes y las conexiones se harán siempre mediante clavijas macho-hembra.
- Las mangueras eléctricas irán por puntos elevados, evitando ser arrastradas por el suelo.
- No utilizar la máquina para otras operaciones para las que no ha sido concebida.
- Antes de iniciar los trabajos, comprobar que todos los dispositivos de la máquina responden correctamente y están en perfecto estado.
- Se realizará una revisión ocular de la zona de trabajo y del circundante.
- Usar el equipo de protección individual establecido para estas operaciones.
- No efectuar reparaciones ni mantenimiento con la máquina en marcha.
- Comunicar cualquier anomalía en el funcionamiento de la máquina.
- Cumplir las instrucciones de mantenimiento y las recomendaciones del fabricante.
- Parar la máquina totalmente antes de posarla, en prevención de posibles daños a la herramienta incontrolados de la misma. Lo ideal sería disponer de soportes especiales próximos al puesto de trabajo.
- Todos los elementos móviles irán provistos de sus protecciones.
- Se hará una conexión a tierra de la máquina.

Equipos de protección individual

Relación de EPIs necesarios y cuya eficacia ha sido evaluada:

- Casco de seguridad.
- Guantes de goma o PVC.
- Calzado apropiado
- Gafas de seguridad antiproyecciones.

7.4.16. Alargadores eléctricos

Los alargadores y mangueras eléctricas son utilizadas en esta obra para alimentar máquinas y equipos desde los lugares de trabajo hasta los cuadros eléctricos.

Identificación y evaluación de riesgos con la valoración de la eficacia de la prevención adoptada y aplicada en esta máquina

Riesgo	Probabilidad	Consecuencias	Calificación	Estado
- Caída de personas a distinto nivel	Baja	Dañino	Tolerable	Evitado
- Caída de personas al mismo nivel	Baja	Ligeramente dañino	Trivial	Evitado

Documento visado electrónicamente con número: VA07290/22
Código de validación telemática TRLTDCFZ60T66IJ1. Comprobación: https://cogitivalencia.e-gestion.es/Validacion.aspx?CVT=TRLTDCFZ60T66IJ1

VISADO
COGITI
VALENCIA
VA07290/22
TRLTDCFZ60T66IJ1

- Contactos eléctricos	Baja	Dañino	Tolerable	Evitado

Medidas preventivas y protecciones técnicas adoptadas, tendentes a controlar y reducir los riesgos anteriores

Medidas preventivas

- En esta obra solo se utilizarán alargadores y mangueras eléctricas que estén dotadas de dispositivos de conexión macho-hembra.
- Las conexiones a los cuadros y a las máquinas y equipos solo podrá hacerse mediante dispositivos macho-hembra.
- Todos los alargadores utilizados deberán ser con toma de tierra.
- Los alargadores eléctricos estarán exentos de empalmes. En caso de necesidad, los emplames se realizarán igualmente mediante conexiones macho-hembra.
- Las mangueras eléctricas irán siempre por puntos elevados, evitando ser arrastradas por el suelo.
- Antes de proceder a la utilización de un alargador eléctrico, deberá comprobarse su estado. En caso de presentar cortes o peladuras, etc. y a pesar de que estos en tal situación funcionen, siempre deberán retirarse para ser reparados.
- Antes de realizar las conexioness al cuadro eléctrico, comprobar que todos los dispositivos de la máquina a conectar responden correctamente y están en perfecto estado. Comprobar que el interruptor de accionamiento de la máquina no esté en posición de marcha.
- No efectuar reparaciones ni mantenimientos de los alargadores conectados a la red eléctrica.
- Las reparaciones solo serán realizadas por personal especializado, que cuente con los conocimientos y los medios adecuados para proceder a su reparación.
- Comunicar cualquier anomalía en el funcionamiento de un alargador eléctrico al jefe más inmediato. Hacerlo preferiblemente por medio del parte de trabajo.
- Se verificará periódicamente el estado de los cables, para evitar contactos eléctricos, en especial despues de un periodo de descanso largo o de haber estado expuesto a agentes atmosféricos.
- Los alargadores nunca deberán estar en contacto con agua, bien sean encharcamientos, agua de bidones, recipientes, balsas, etc. Si además están conectados a la red eléctrica, deberá inmediatamente desconectarse de la red y buscar un tendido alternativo que evite estas situaciones de peligro.

Equipos de protección individual

Relación de EPIs necesarios y cuya eficacia ha sido evaluada:

- Casco de seguridad.
- Ropa de trabajo.
- Calzado de seguridad.
- Guantes aislantes (para manipular los alargadores).

7.4.17. Herramientas manuales

Son herramientas cuyo funcionamiento se debe solamente al esfuerzo del operario que las utiliza, y en la obra se emplearán en diversas operaciones de naturaleza muy variada.

Identificación y evaluación de riesgos con la valoración de la eficacia de la prevención adoptada y aplicada en esta máquina

Riesgo	Probabilidad	Consecuencias	Calificación	Estado
- Golpes en las manos y los pies	Media	Ligeramente	Tolerable	Evitado

Documento visado electrónicamente con número: VA07290/22
Código de validación telemática TRLTDCFZ60T66IJ1. Comprobación: https://cogitivalencia.e-gestion.es/Validacion.aspx?CVT=TRLTDCFZ60T66IJ1

VISADO
COGITI
VALENCIA
VA07290/22
TRLTDCFZ60T66IJ1

		dañino		
- Lesiones oculares por partículas provenientes de los objetos que se trabajan y/o de la propia herramienta	Baja	Dañino	Tolerable	Evitado
- Cortes en las manos	Media	Dañino	Moderado	Evitado
- Proyección de fragmentos o partículas	Media	Dañino	Moderado	Evitado
- Caídas al mismo nivel	Media	Dañino	Moderado	Evitado
- Caídas a distinto nivel	Media	Extremadamente dañino	Importante	No eliminado
- Esguinces por sobreesfuerzos o gestos violentos	Media	Dañino	Moderado	Evitado

Medidas preventivas y protecciones técnicas adoptadas, tendentes a controlar y reducir los riesgos anteriores

Medidas preventivas

- Las herramientas manuales se utilizarán en aquellas tareas para las que han sido concebidas.
- Deberá hacerse una selección de la herramienta correcta para el trabajo a realizar.
- Deberá hacerse un mantenimiento adecuado de las herramientas para conservarlas en buen estado.
- Deberá evitar un entorno que dificulte su uso correcto.
- Se deberá guardar las herramientas en lugar seguro.
- Siempre que sea posible se hará una asignación personalizada de las herramientas.
- Antes de su uso se revisarán, desechándose las que no se encuentren en buen estado de conservación.
- Se mantendrán limpias de aceites, grasas y otras sustancias deslizantes.
- Para evitar caídas, cortes o riesgos análogos, se colocarán en portaherramientas o estantes adecuados.
- Durante su uso se evitará su depósito arbitrario por los suelos.
- Los trabajadores recibirán instrucciones concretas sobre el uso correcto de las herramientas que hayan de utilizar.

A) Alicates:

- Los alicates de corte lateral deben llevar una defensa sobre el filo de corte para evitar las lesiones producidas por el desprendimiento de los extremos cortos de alambre.
- Los alicates no deben utilizarse en lugar de las llaves, ya que sus mordazas son flexibles y frecuentemente resbalan. Además tienden a redondear los ángulos de las cabezas de los pernos y tuercas, dejando marcas de las mordazas sobre las superficies.
- No utilizar para cortar materiales más duros que las quijadas.
- Utilizar exclusivamente para sujetar, doblar o cortar.
- No colocar los dedos entre los mangos.
- No golpear piezas u objetos con los alicates.
- Mantenimiento: Engrasar periódicamente el pasador de la articulación.

B) Cinceles:

- No utilizar el cincel con cabeza plana, poco afilada o cóncava.
- No usar el cincel como palanca.
- Las esquinas de corte deben ser redondeadas si se usan para cortar.
- Deben estar limpios de rebabas.

Documento visado electrónicamente con número: VA07290/22
Código de validación telemática TRLTDCFZ60T66IJ1. Comprobación: https://cogitivalencia.e-gestion.es/Validacion.aspx?CVT=TRLTDCFZ60T66IJ1

VISADO
COGITI
VALENCIA
VA07290/22
TRLTDCFZ60T66IJ1

- Los cinceles deben ser lo suficientemente gruesos para que no se curven al ser golpeados. Se deben desechar los cinceles en mal estado utilizando sólo el que presente una curvatura de 3 cm de radio.
- Para uso normal, la colocación de una protección anular de goma puede ser una solución útil para evitar golpes en manos con el martillo de golpear.
- El martillo utilizado para golpearlo debe ser suficientemente pesado.

C) Destornilladores:

- El mango deberá estar en buen estado y amoldado a la mano con o superficies laterales prismáticas o con surcos o nervaduras para transmitir el esfuerzo de torsión de la muñeca.
- El destornillador ha de ser del tamaño adecuado al del tornillo a manipular.
- Desechar destornilladores con el mango roto, hoja doblada o la punta rota o retorcida pues ello puede hacer que se salga de la ranura originando lesiones en manos.
- Deberá utilizarse sólo para apretar o aflojar tornillos.
- No utilizar en lugar de punzones, cuñas, palancas o similares.
- Siempre que sea posible utilizar destornilladores de estrella.
- No debe sujetarse con las manos la pieza a trabajar sobre todo si es pequeña. En su lugar debe utilizarse un banco o superficie plana o sujetarla con un tornillo de banco.
- Emplear siempre que sea posible sistemas mecánicos de atornillado o desatornillado.

D) Llaves de boca fija y ajustable:

- Las quijadas y mecanismos deberán estar en perfecto estado.
- La cremallera y tornillo de ajuste deberán deslizar correctamente.
- El dentado de las quijadas deberá estar en buen estado.
- No de deberá desbastar las bocas de las llaves fijas pues se destemplan o pierden paralelismo las caras interiores.
- Las llaves deterioradas no se repararán, se deberán reponer.
- Se deberá efectuar la torsión girando hacia el operario, nunca empujando.
- Al girar asegurarse que los nudillos no se golpean contra algún objeto.
- Utilizar una llave de dimensiones adecuadas al perno o tuerca a apretar o desapretar.
- Se deberá utilizar la llave de forma que esté completamente abrazada y asentada a la tuerca y formando ángulo recto con el eje del tornillo que aprieta.
- No se debe sobrecargar la capacidad de una llave utilizando una prolongación de tubo sobre el mango, utilizar otra como alargo o golpear éste con un martillo.
- La llave de boca variable debe abrazar totalmente en su interior a la tuerca y debe girarse en la dirección que suponga que la fuerza la soporta la quijada fija. Tirar siempre de la llave evitando empujar sobre ella.
- Se deberá utilizar con preferencia la llave de boca fija en vez de la de boca ajustable.
- No se deberá utilizar las llaves para golpear.

E) Martillos y mazos:

- Las cabezas no deberá tener rebabas.
- Los mangos de madera (nogal o fresno) deberán ser de longitud proporcional al peso de la cabeza y sin astillas.
- La cabeza deberá estar fijada con cuñas introducidas oblicuamente respecto al eje de la cabeza del martillo de forma que la presión se distribuya uniformemente en todas las direcciones radiales.
- Se deberán desechar mangos reforzados con cuerdas o alambre.
- Antes de utilizar un martillo deberá asegurarse que el mango está perfectamente unido a la cabeza.

Documento visado electrónicamente con número: VA07290/22
Código de validación telemática TRLTDCFZ60T66IJ1. Comprobación: https://cogitivalencia.e-gestion.es/Validacion.aspx?CVT=TRLTDCFZ60T66IJ1

VISADO
COGITI
VALENCIA
VA07290/22
TRLTDCFZ60T66IJ1

- Deberá seleccionarse un martillo de tamaño y dureza adecuados para cada una de las superficies a golpear.
- Observar que la pieza a golpear se apoya sobre una base sólida no endurecida para evitar rebotes.
- Se debe procurar golpear sobre la superficie de impacto con toda la cara del martillo.
- En el caso de tener que golpear clavos, éstos se deben sujetar por la cabeza y no por el extremo.
- No golpear con un lado de la cabeza del martillo sobre un escoplo u otra herramienta auxiliar.
- No utilizar un martillo con el mango deteriorado o reforzado con cuerdas o alambres.
- No utilizar martillos con la cabeza floja o cuña suelta
- No utilizar un martillo para golpear otro o para dar vueltas a otras herramientas o como palanca.

F) Picos Rompedores y Troceadores:

- Se deberá mantener afiladas sus puntas y el mango sin astillas.
- El mango deberá ser acorde al peso y longitud del pico.
- Deberán tener la hoja bien adosada.
- No se deberá utilizar para golpear o romper superficies metálicas o para enderezar herramientas como el martillo o similares.
- No utilizar un pico con el mango dañado o sin él.
- Se deberán desechar picos con las puntas dentadas o estriadas.
- Se deberá mantener libre de otras personas la zona cercana al trabajo.

G) Sierras:

- Las sierras deben tener afilados los dientes con la misma inclinación para evitar flexiones alternativas y estar bien ajustados.
- Los mangos deberán estar bien fijados y en perfecto estado.
- La hoja deberá estar tensada.
- Antes de serrar se deberá fijar firmemente la pieza.
- Utilizar una sierra para cada trabajo con la hoja tensada (no excesivamente)
- Utilizar sierras de acero al tungsteno endurecido o semiflexible para metales blandos o semiduros con el siguiente número de dientes:
    - Hierro fundido, acero blando y latón: 14 dientes cada 25 cm.
    - Acero estructural y para herramientas: 18 dientes cada 25 cm.
    - Tubos de bronce o hierro, conductores metálicos: 24 dientes cada 25 cm.
    - Chapas, flejes, tubos de pared delgada, láminas: 32 dientes cada 25 cm.
- Instalar la hoja en la sierra teniendo en cuenta que los dientes deben estar alineados hacia la parte opuesta del mango.
- Utilizar la sierra cogiendo el mango con la mano derecha quedando el dedo pulgar en la parte superior del mismo y la mano izquierda el extremo opuesto del arco. El corte se realiza dando a ambas manos un movimiento de vaivén y aplicando presión contra la pieza cuando la sierra es desplazada hacia el frente dejando de presionar cuando se retrocede.
- Para serrar tubos o barras, deberá hacerse girando la pieza.

<u>Equipos de protección individual</u>

Relación de EPIs necesarios y cuya eficacia ha sido evaluada:

- Casco de seguridad.
- Gafas de seguridad antiproyecciones.
- Guantes de cuero.

Documento visado electrónicamente con número: VA07290/22
Código de validación telemática TRLTDCFZ60T66IJ1. Comprobación: https://cogitivalencia.e-gestion.es/Validacion.aspx?CVT=TRLTDCFZ60T66IJ1

VISADO
COGITI
VALENCIA
VA07290/22
TRLTDCFZ60T66IJ1

7.5. Medios auxiliares

7.5.1. Plataforma elevadora móvil de personal (PEMP)

Se utilizará en esta obra la "Plataforma elevadora" para posicionar a los operarios en los distintos puntos donde van a realizar operaciones.

La plataforma elevadora ofrece, al mismo tiempo, un sistema de elevación de personas y de plataforma de trabajo, de esta forma, evita la necesidad de utilizar otros medios auxiliares o de cualquier tipo de maquinaria de elevación.

Siguiendo las especificaciones del fabricante, tienen la posibilidad de transportar/elevar personas, tanto horizontal como verticalmente, y levantar la carga máxima establecida para la misma.

Identificación y evaluación de riesgos con la valoración de la eficacia de la prevención adoptada y aplicada en esta máquina

Riesgo	Probabilidad	Consecuencias	Calificación	Estado
- Atropello de personas	Baja	Extremadamente dañino	Moderado	Evitado
- Vuelcos	Baja	Extremadamente dañino	Moderado	Evitado
- Colisiones	Baja	Dañino	Tolerable	Evitado
- Atrapamientos	Baja	Extremadamente dañino	Moderado	Evitado
- Choque contra objetos o partes salientes del edificio	Baja	Dañino	Tolerable	Evitado
- Vibraciones	Baja	Dañino	Tolerable	Evitado
- Ruido ambiental	Baja	Dañino	Tolerable	Evitado
- Caídas al subir o bajar de la plataforma	Media	Dañino	Moderado	Evitado
- Contactos con energía eléctrica	Baja	Dañino	Tolerable	Evitado
- Quemaduras durante el mantenimiento	Baja	Dañino	Tolerable	Evitado
- Sobreesfuerzos	Alta	Ligeramente dañino	Moderado	Evitado
- Caída de personas a distinto nivel	Baja	Dañino	Tolerable	Evitado

Medidas preventivas y protecciones técnicas adoptadas, tendentes a controlar y reducir los riesgos anteriores

Medidas preventivas

- El personal encargado del manejo deberá tener conocimiento de su utilización.
- Comprobar que la herramienta a utilizar está en buenas condiciones de uso.
- No someter la herramienta a sobreesfuerzos ni operaciones para las que no ha sido diseñada. Los resultados pueden ser nefastos: rotura de la herramienta, proyección de partículas, quemaduras, cortes, etc.
- En el caso de trabajar sobre piezas de pequeño tamaño o en equilibrio inestable, asegurar la pieza a trabajar, de modo que no sufran movimientos imprevistos durante la operación.
- Seguir las indicaciones de las fichas de seguridad de los productos químicos utilizados en la termosoldadura.
- La máquina dispondrá de marcado CE, declaración de conformidad y manual de instrucciones o en su defecto se habrá sometido a puesta en conformidad de acuerdo con lo que especifica el RD 1215/1997.

Documento visado electrónicamente con número: VA07290/22
Código de validación telemática TRLTDCFZ60T66IJ1. Comprobación: https://cogitivalencia.e-gestion.es/Validacion.aspx?CVT=TRLTDCFZ60T66IJ1

VISADO
COGITI
VALENCIA
VA07290/22
TRLTDCFZ60T66IJ1

- Los operadores de esta máquina deberán estar debidamente acreditados y haber sido instruidos en las tareas a realizar en la obra.
- Antes de iniciar los trabajos, comprobar que todos los dispositivos de la máquina responden correctamente y están en perfecto estado.
- El contratista se asegurará de que es manejada por trabajadores cuya competencia y conocimiento han sido adquiridos por medio de la educación, formación y experiencia práctica revelante.
- La utilización de este equipo se efectuará de acuerdo con el manual de instrucciones del fabricante. En caso de no disponer de dicho manual, deberá atenderse a las instrucciones elaboradas en el documento de adecuación del equipo al RD 1215/1997 redactado por personal competente.
- Antes de iniciar las maniobras se comprobará la estabilidad del terreno donde colocar el equipo, se instalarán cuñas de inmovilización en las ruedas y en caso necesario se fijarán los gatos estabilizadores.
- En todo momento los operarios tendrán cubierto el riesgo de caídas a distinto nivel.

A) Normas de manejo:

- La manipulación de cargas debería efectuarse guardando siempre la relación dada por el fabricante entre la carga máxima y la altura a la que se ha de transportar y descargar.
- La circulación de la máquina para variar de posición deberá hacerse sin carga.

B) Inspecciones previas a la puesta en marcha y conducción:

- Antes de iniciar la jornada el conductor debe realizar una inspección de la plataforma que contemple los puntos siguientes:

  a) Ruedas (banda de rodaje, presión, etc.).

  b) Fijación y estado de los brazos.

  c) Inexistencia de fugas en el circuito hidráulico.

  d) Niveles de aceites diversos.

  e) Mandos en servicio.

  f) Protectores y dispositivos de seguridad.

  g) Frenos.

  h) Embrague, Dirección, etc.

  i) Avisadores acústicos y luces.

- En caso de detectar alguna deficiencia deberá comunicarse al servicio de mantenimiento y no utilizarse hasta que no se haya reparado.
- Toda plataforma en la que se detecte alguna deficiencia o se encuentre averiada deberá quedar claramente fuera de uso advirtiéndolo mediante señalización. Tal medida tiene especial importancia cuando la empresa realiza trabajo a turnos.

C) Normas generales de conducción y circulación:

- Se dan las siguientes reglas genéricas a aplicar por parte del operador de la plataforma en la jornada de trabajo:

  a) No operar con ella personas no autorizadas.

Documento visado electrónicamente con número: VA07290/22
Código de validación telemática TRLTDCFZ60T66IJ1. Comprobación: https://cogitivalencia.e-gestion.es/Validacion.aspx?CVT=TRLTDCFZ60T66IJ1

VISADO
COGITI
VALENCIA
VA07290/22
TRLTDCFZ60T66IJ1

b) No permitir que suba ninguna persona en la plataforma sin tener conocimiento de los riesgos que entraña.

c) Mirar siempre en la dirección de avance y mantener la vista en el camino que recorre durante la elevación de la plataforma.

d) Evitar paradas y arranques bruscos y virajes rápidos.

e) Transportar únicamente personas con la carga máxima establecida y preparada correctamente.

f) Asegurarse que no chocará con techos, conductos, etc. por razón de altura.

g) Cuando el operador abandona la plataforma debe asegurarse de queel motor esté parado, los frenos echados, llave de contacto sacada o la toma de batería retirada.

h) No guardar carburante ni trapos engrasados en la plataforma elevadora, se puede prender fuego.

i) Vigilar constantemente la presión de los neumáticos.

ñ) Tomar toda clase de precauciones al maniobrar con la plataforma elevadora.

Equipos de protección individual

Relación de EPIs necesarios y cuya eficacia ha sido evaluada:

- Casco de seguridad con barbuquejo
- Chaleco reflectante
- Arnés anticaídas
- Calzado de seguridad
- Guantes
- Ropa de trabajo

Actividades de vigilancia del recurso preventivo

Estas actividades de vigilancia servirán para garantizar el cumplimiento de los métodos de trabajo, de las medidas preventivas y del control del riesgo:

- Comprobar que los operarios tienen los EPIS correspondientes para la realización las tareas, y que vendrán definidos en el Plan de Seguridad.
- Vigilar que utilizan, y además correctamente, los EPIS definidos anteriormente.
- Comprobar que los operarios que manipulan la máquina están cualificados para las tareas y operaciones a desarrollar en la obra.
- Comprobar que en general se mantiene la limpieza y orden en el tajo.
- Comprobar que el equipo posee -marcado CE-, cumple con la legislación específica que le es de aplicación y se instala, utiliza y mantiene de acuerdo con las instrucciones del fabricante.
- Comprobar que la utilización de este equipo se efectúa de acuerdo con el manual de instrucciones del fabricante.
- Comprobar que las maniobras peligrosas o que entrañen riesgo, son dirigidas por un especialista.
- Vigilar que, en ningún caso, se rebasa la carga máxima admisible.
- Comprobar que el libro de mantenimiento permanece al día.
- Comprobar que las zonas de operaciones están debidamente señalizadas.
- Vigilar que no se trabaja con vientos superiores a 50 Km/h.
- Comprobar que el operario que manipula el equipo ha recibido las instrucciones preventivas antes de sus actividades en la obra.

Documento visado electrónicamente con número: VA07290/22
Código de validación telemática TRLTDCFZ60T66IJ1. Comprobación: https://cogitivalencia.e-gestion.es/Validacion.aspx?CVT=TRLTDCFZ60T66IJ1

VISADO
COGITI
VALENCIA
VA07290/22
TRLTDCFZ60T66IJ1

- Comprobar que las operaciones de mantenimiento se hacen con el motor parado, bloqueado el equipo y con los frenos en servicio.

8. Localización e identificación de trabajos especiales en la obra

Trabajos de carga y descarga de materiales

Las máquinas elevadoras, grúas, polipastos, carretillas elevadoras, etc., han de ser manejadas por personal especializado y responsable de su actuación. Antes de que una máquina elevadora efectúe un trabajo, el responsable revisará:

- Todos los cables, cadenas, cuerdas y eslingas.
- Los ganchos y los cierres de los mismos.
- El anclaje y/o apoyos del sistema de elevación.
- El sistema de elevación.
- Elementos del entorno que pudieran dificultar la maniobra para lo cual son útiles los pórticos de galibo.
- En las maniobras de elevación y tiro deben observarse las siguientes recomendaciones:
- No levantar la carga si las cadenas o cables están enredados.
- Antes de elevar la cargar, tensar las eslingas, levantar la carga 10 cm y comprobar su buen amarre y equilibrio.
- No se tocarán los cables con las manos.
- El transporte de la carga se realizará a la menor altura posible.
- Los vehículos y personas se situarán alejados de los posibles puntos de caída de la carga.
- Las maniobras de elevar y bajar serán siempre suaves y se efectuarán evitando tiros oblicuos. Los tiros en horizontal se harán utilizando elementos accesorios como poleas, tornos, etc.
- No permanecer bajo cargas suspendidas, ni en el entorno de movimiento de las máquinas.
- Todo equipo de elevación llevará marcada la capacidad máxima de carga y en ningún caso se sobrepasará ésta. Los mecanismos de elevación como “trácteles” o cabrestantes se anclarán de forma firme a elementos de estructura, evitando hacerlo sobre tuberías, postes o farolas o cualquier otro punto que no ofrezca suficientes garantías.

Aparejos de izar

- Los aparejos de izar (cables, eslingas, ganchos, etc.) serán de resistencia apropiada a la carga a manipular y estarán en buen estado de conservación.
- Los ganchos estarán dotados de pestillo de seguridad u otro dispositivo que evite la caída accidental de la carga.
- No se emplearán aparejos que presenten signos de deterioro. En especial, no se utilizarán cables de acero que presenten nudos, torceduras permanentes o aplastamientos.
- Se recomienda la utilización de eslingas textiles para no dañar el material a elevar (como el polietileno) o los recubrimientos (acero, fundición).
- Cuando las eslingas vayan a trabajar fuera de la vertical, se tendrá en cuenta la reducción sobre su capacidad máxima de carga en función del ángulo. Siempre que sea posible se trabajará con tantas eslingas como puntos de amarre sean necesarios.

Equipos de elevación

- Los equipos a utilizar serán adecuados a las características de los materiales a manipular.
- Las grúas móviles y demás vehículos dotados de brazo telescópico estarán debidamente apoyados antes de comenzar las operaciones de carga y descarga.
- Se prohíbe el desplazamiento de los equipos con cargas suspendidas, a excepción de las carretillas elevadoras de horquillas.

Documento visado electrónicamente con número: VA07290/22
Código de validación telemática TRLTDCFZ60T66IJ1. Comprobación: https://cogitivalencia.e-gestion.es/Validacion.aspx?CVT=TRLTDCFZ60T66IJ1

VISADO
COGITI
VALENCIA
VA07290/22
TRLTDCFZ60T66IJ1

- Estos equipos o vehículos estarán dotados de placa indicativa de la carga máxima que pueden izar en función del desplazamiento del brazo o pluma.
- No se moverán cargas de peso superior a su máxima carga permitida.

Manipulación de materiales

- Las operaciones de elevación y descenso de la carga se realizarán lentamente, evitando movimientos bruscos y en sentido vertical, para evitar balanceos.
- No se transportarán cargas por encima de lugares donde se encuentren los trabajadores.
- No se dejarán los aparejos de izar con cargas suspendidas.
- Cuando se observe que una carga no está sujeta establemente, se descenderá ésta procediéndose a su reenganche.
- Cuando los aparatos funcionen sin carga, el maquinista elevará el gancho lo suficiente para que pase libremente sobre las personas y objetos.
- Cuando no queden dentro del campo visual del maquinista todas las zonas por las que deben pasar las personas u objetos, se emplearán uno o varios trabajadores para efectuar las señales adecuadas para la correcta carga, desplazamiento y parada.

Condiciones de seguridad de los equipos

- Todas las máquinas u equipos de obra dispondrán de marcado CE, de manual de instrucciones y de libro de mantenimiento. Los operarios de las máquinas y equipos serán conocedores de los mismos, así como de su contenido, obrando de acuerdo con los mismos.
- Las grúas móviles, camiones con brazo telescópico y demás vehículos o equipos, dispondrán de los permisos, acreditaciones y homologaciones que les sean requeridos por la legislación vigente que les sea de aplicación.
- El personal encargado de su conducción y manipulación, dispondrá asimismo de las autorizaciones legales que les faculte para su uso.
- Estarán debidamente mantenidos y se revisarán periódicamente, estando al corriente de la I.T.V. (Inspección Técnica de Vehículos).

Medidas preventivas generales para la ejecución de los trabajos

- Los maquinistas, dispondrán de capacitación suficiente, tanto en formación como en experiencia.
- Nadie se podrá situar dentro del radio de acción de la máquina.
- En las máquinas solo podrá ir el maquinista, está prohibido llevar pasajeros.
- Utilizar únicamente máquinas y equipos de trabajo que estén en perfectas condiciones, con las revisiones preceptivas y respetando las recomendaciones del fabricante, especialmente en lo referente a la carga máxima.
- Los maquinistas no pasarán la carga suspendida sobre el personal, debiendo este último dejar paso.
- Los maquinistas deben evitar los movimientos bruscos, para reducir los movimientos de inercia de la carga suspendida al girar, parar, etc.

9. Localización e identificación de trabajos que implican riesgos especiales (Anexo II RD 1627/1997)

Relación no exhaustiva de los trabajos que implican riesgos especiales para la seguridad y la salud de los trabajadores. Anexo II del R.D. 1627/97.

1. Trabajos con riesgos especialmente graves de sepultamiento, hundimiento o caída de altura por las particulares características de la actividad desarrollada, los procedimientos aplicados, o el entorno del puesto de trabajo.

Documento visado electrónicamente con número: VA07290/22
Código de validación telemática TRLTDCFZ60T66IJ1. Comprobación: https://cogitivalencia.e-gestion.es/Validacion.aspx?CVT=TRLTDCFZ60T66IJ1

VISADO
COGITI
VALENCIA
VA07290/22
TRLTDCFZ60T66IJ1

2. Trabajos en los que la exposición a agentes químicos o biológicos suponga un riesgo de especial gravedad, o para los que la vigilancia especifica de la salud de los trabajadores sea legalmente exigible.

3. Trabajos con exposición a radiaciones ionizantes para los que la normativa específica obliga a la delimitación de zonas controladas o vigiladas.

4. Trabajos en la proximidad de líneas eléctricas de alta tensión.

5. Trabajos que expongan a riesgo de ahogamiento por inmersión.

6. Obras de excavación de túneles, pozos y otros trabajos que supongan movimientos de tierra subterráneos.

7. Trabajos realizados en inmersión con equipo subacuático.

8. Trabajos realizados en cajones de aire comprimido.

9. Trabajos que impliquen el uso de explosivos.

10. Trabajos que requieran montar o desmontar elementos prefabricados pesados.

Se considera la existencia de riesgo de caída de altura durante la elecución de todos los trabajos en las cubiertas, dándose las condiciones del apartado 1.

Para controlar el riesgo de caída a distinto nivel se utilizará protección colectiva perimetral y líneas de vida en los puntos donde la altura del antepecho no llegue a 1 metro de altura.

El recurso preventivo velará porque los medios de protección estén instalados y en buen estado.

10. Equipos de protección individual para trabajos en altura

	Para los trabajos en altura cada trabajador deberá hacer uso de un arnés anticaídas, anclado a línea de vida instalada.

Documento visado electrónicamente con número: VA07290/22
Código de validación telemática TRLTDCFZ60T66IJ1. Comprobación: https://cogitivalencia.e-gestion.es/Validacion.aspx?CVT=TRLTDCFZ60T66IJ1

VISADO
COGITI
VALENCIA
VA07290/22
TRLTDCFZ60T66IJ1

	Será preceptivo el uso de absorbedor de energía con cuerda de doble cabo con conector automático de fácil apertura (**tipo pinza, no mosquetón**).
	Para alcanzar las zonas que no permita las cuerdas se utilizará bloque retráctil **certificado para trabajar en posición horizontal factor 2**.

10.1. Mantenimiento

Se deberá llevar un programa de mantenimiento preventivo que lleve a cabo revisiones periódicas de todos los elementos relacionados con los sistemas de prevención de las caídas de altura sustituyéndolos cuando su estado así lo aconseje, siguiendo en todo caso las instrucciones de los fabricantes.

Los equipos serán sometidos a comprobaciones periódicas al menos cada 12 meses, además de ser mantenidos regularmente y verificados antes y después de cada utilización, ó cada vez que se entrega a una persona.

Cada usuario deberá de informar al responsable de las incidencias ocurridas y los defectos de que se haya percatado.

Para la conservación de los productos textiles (arneses, cuerdas, etc.) se tendrá en cuenta lo siguiente:

- Los productos textiles serán revisados en profundidad cada tres meses si el uso ha sido intensivo o en ambientes agresivos.
- Seguir siempre las indicaciones establecidas por el fabricante.
- Cualquier producto textil sucio debe ser lavado con agua fría utilizando detergentes neutros.
- Se aclararán con abundante agua (máximo 30º C) eliminando de esta manera todo el detergente.
- Posteriormente se secará en lugar sombreado, aireado y fresco.
- Evitar el contacto con agentes químicos agresivos.
- Evitar los rozamientos con materiales abrasivos o cortantes.
- Antes de utilizar cualquier equipo, realizar una comprobación de su estado, retirando todo aquel que se encuentre dañado o deteriorado. En el caso de cintas cosidas y arneses verificar el estado de las costuras.
- Respetar la vida útil de los equipos indicada por el fabricante. No obstante, hay que tener muy en cuenta el desgaste y deterioro de los mismos, lo que hace que su vida útil sea muy limitada.

Documento visado electrónicamente con número: VA07290/22
Código de validación telemática TRLTDCFZ60T66IJ1. Comprobación: https://cogitivalencia.e-gestion.es/Validacion.aspx?CVT=TRLTDCFZ60T66IJ1

VISADO
COGITI
VALENCIA
VA07290/22
TRLTDCFZ60T66IJ1

- Después de su utilización debe ser guardado y almacenado en un lugar seco, limpio, protegido de la luz y del polvo.
- Nunca guardar un producto textil húmedo, porque los hongos generados en ambientes húmedos pueden degenerar los tejidos.
- Después de una caída es necesario revisar concienzudamente los materiales implicados, sobre todo los textiles, retirando el material a la menor sospecha de daño.
- Evitar que los materiales estén sometidos a presiones (en el almacenaje, no pisarlos...)
- No lavarlos jamás con máquinas de alta presión que dañarían las fibras textiles.

Respecto a la conservación de productos metálicos:

- Evitar que los materiales sufran golpes. Un impacto puede provocar microfisuras internas no visibles a primera vista, que podrían desembocar en la fractura total con una carga ligera.
- Desechar cualquier material que haya sufrido un golpe importante.
- Vigilar posibles deformaciones, grietas, golpes...
- Eliminar rápidamente cualquier producto corrosivo, barro, cemento...
- Lubricar cierres y mecanismos para que funcionen correctamente.
- No manipular ni realizar ningún tipo de soldadura en los materiales.
- Evitar la oxidación de las hebillas de los arneses y los conectores, ya que puede debilitar su resistencia.

11. Condiciones de seguridad y salud en los previsibles trabajos posteriores

11.1. Relación de previsibles trabajos posteriores

La relación de previsibles trabajos posteriores viene marcada por la necesidad de llevar un mantenimiento de todos los elementos de la instalación fotovoltaica. Las actuaciones principales serían:

ANCLAJE DE ESTRUCTURA Y SOPORTE MÓDULOS

- Comprobar estado de corrosión, par galvánico entre aluminio-acero, par de apriete en puntos de unión y/o estado de las soldaduras de unión.
- Revisión de los anclajes.

MÓDULOS FV

- Comprobar cajas de conexiones.
- Sujeción de módulos fotovoltaicos.
- Limpieza de los módulos.

CABLEADO CC

- Comprobar el buen estado del cableado, defectos en los cables, correcto aislamiento de los mismos, etc.

CABLEADO TOMA TIERRA

- Comprobar que todos los elementos metálicos de la instalación están conectados a tierra mediante el cableado correspondiente.
- Comprobar que todas las conexiones de tierra están correctamente conectadas a los elementos que protegen, y libres de corrosión.

CUADRO CC

- Comprobación del estado de conservación de las envolventes, y correcta estanqueidad.

Documento visado electrónicamente con número: VA07290/22
Código de validación telemática TRLTDCFZ60T66IJ1. Comprobación: https://cogitivalencia.e-gestion.es/Validacion.aspx?CVT=TRLTDCFZ60T66IJ1

VISADO
COGITI
VALENCIA
VA07290/22
TRLTDCFZ60T66IJ1

- Comprobar que los fusibles y el interruptor de corte en carga se encuentren en buen estado.
- Comprobar el correcto anclaje y sujeción del cuadro.
- Comprobar apriete de los terminales.
- Comprobar voltaje y amperaje de las series en circuito cerrado y abierto.

INVERSOR

- Comprobar desperfecto por manipulación.
- Comprobar que la ventilación es la adecuada.
- Comprobar el par de apriete de las conexiones de CC y CA.
- Comprobar correcto funcionamiento de protecciones, maniobras y funciones.
- Limpieza interna y externa.

CABLEADO CA

- Comprobar el buen estado del cableado, defectos en los cables, correcto aislamiento de los mismos, etc.
- Comprobar que las bandejas están en buen estado.

INSTALACION DE PUESTA A TIERRA

- Comprobar que la instalación de puesta a tierra está realizada mediante las picas y el cableado necesario.
- Comprobar que todas las conexiones del cableado de toma de tierra están correctamente conectadas.

CUADRO PROTECCIÓN CA

- Comprobación del estado de conservación de las envolventes, y correcta estanqueidad.
- Comprobar que todas las conexiones están realizadas correctamente, así como el par de apriete de todos los terminales.
- Comprobar el buen funcionamiento del bloque diferencial e interruptor magnetotérmico.

11.2. Riesgos laborales que pueden aparecer

Para los trabajos de mantenimiento de la instalación se identifican dos riesgos principales:

- Riesgo eléctrico: inherente a los trabajos de mantenimiento de una instalación eléctrica. Por este motivo las empresas intervinientes deberán contar con personal autorizado y capacitado para realizar trabajos eléctricos.
- Caídas a distinto nivel en cubierta: las empresas que realicen mantenimiento deberán conocer la localización de las actuaciones a realizar en cubierta, dado que hay zonas donde el antepecho en inferior a 1 metro de altura. Para controlar este riesgo, el personal deberá utilizar un equipo anticaídas conectado a líneas de vida temporales. Este personal deberá tener la formación y capacitación necesaria para poder realizar trabajos en altura.

12. Recursos preventivos

Dadas las características de las obras de construcción y los riesgos previstos, en cumplimiento del artículo 4.3 de la Ley 54/2003 de 12 de diciembre, de reforma del marco normativo de la prevención de riesgos laborales, mediante el cual se incorpora el artículo 32 bis, Presencia de los recursos preventivos, a la Ley de Prevención de Riesgos Laborales, cada contratista deberá asignar la presencia de sus recursos preventivos en la obra.

Documento visado electrónicamente con número: VA07290/22
Código de validación telemática TRLTDCFZ60T66IJ1. Comprobación: https://cogitivalencia.e-gestion.es/Validacion.aspx?CVT=TRLTDCFZ60T66IJ1

VISADO
COGITI
VALENCIA
VA07290/22
TRLTDCFZ60T66IJ1

Se nombrará uno o varios recursos preventivos para vigilar el cumplimiento de las medidas de prevención establecidas en el plan de seguridad. El nombramiento se realizará con carácter previo al inicio de los trabajos.

13. Plan de emergencia

El plan de emergencia tiene por objeto organizar las personas que intervienen y sus medios de protección para intervenir en caso de emergencia. El fin que se persigue es el de poder responder de forma rápida, coordinada y eficaz para minimizar las consecuencias tanto humanas como materiales, que se derivan de toda situación de emergencia (incendio, explosión o amenaza de bomba). Para ello se disponen de dos tipos de medios:

- Medios técnicos: equipos de extinción de incendios, sistemas de comunicación
- Medios humanos: personal que desarrolla su actividad en las obras.

Los objetivos básicos contemplados en este plan de emergencia son:

- Combatir el siniestro en su fase inicial.
- Organizar la evacuación de personas y bienes.
- Prestar una primera ayuda a las posibles víctimas.
- Comunicar a los servicios externos la causa de la emergencia para su intervención.
- Cooperar con los Organismos Oficiales y Servicios Públicos.
- Restablecer la normalidad una vez controlado el siniestro.
- Coordinar todos los servicios.

13.1. Medios técnicos

Extintores portátiles

Los extintores estarán señalizados, se encontrarán en lugar visible y serán accesibles. Es conveniente retirar aquellos objetos que obstaculicen su acceso.

Comunicaciones

Estas se realizarán por medio de teléfonos móviles debido a las circunstancias y características de la obra y por ser la forma más rápida de realizar cualquier aviso.

13.2. Medios humanos

Para la correcta operatividad del plan de emergencia se precisa la definición de una estructura organizativa. Dicha estructura, estará constituida por mandos y equipos de actuación que posibiliten el correcto desarrollo de las acciones que se consideran necesarias.

Los diferentes equipos de emergencia son:

- Primera Intervención
- Jefe de emergencia y evacuación
- Primeros Auxilios
- Alarma y evacuación

Primera intervención

De forma general, el equipo de primera intervención estará constituido por todo el personal que desarrolle su trabajo en la zona de obras. Todo el personal deberá colaborar ejerciendo una labor de vigilancia que permita detectar cualquier anomalía posible productora de un incidente o accidente.

Las obligaciones generales en cuanto a prevención y extinción de incendios son:

Documento visado electrónicamente con número: VA07290/22
Código de validación telemática TRLTDCFZ60T66IJ1. Comprobación: https://cogitivalencia.e-gestion.es/Validacion.aspx?CVT=TRLTDCFZ60T66IJ1

VISADO
COGITI
VALENCIA
VA07290/22
TRLTDCFZ60T66IJ1

- Colaborar en la prevención y extinción de incendios.
- Estar informado del riesgo de incendio que presente su trabajo.
- Controlar la presencia de humos, chispas y puntos peligrosos.
- No cometer imprudencias ni negligencias.
- Comunicar cualquier incidente o anomalía a su jefe inmediato.

Si se produce un incendio, intentar combatirlo desde su descubrimiento mediante:

- Dar la alarma.
- Aplicar las consignas del plan de emergencia.
- Atacar el incendio con los medios de primera intervención disponibles mientras llegan refuerzos.
- Intervenir, si es posible, con acciones directas y rápidas (cortar la corriente localmente, cerrar llaves de paso de gas o líquidos combustibles, aislar materiales inflamables, etc.) para evitar en lo posible la extensión y agravamiento del incendio.
- Conocer la ubicación y las condiciones de utilización de los medios de primera intervención (extintores).

Jefe de Emergencia y Evacuación

Las funciones de esta figura recaerán sobre el responsable de la empresa en la obra o encargado.

Deberá coordinar todas las acciones con la máxima eficacia, utilizando para ello los medios humanos y técnicos disponibles.

Al margen de otros cometidos en materia de salud laboral será el máximo responsable de cuantas acciones se tomen en lo referente a la prevención y control de una emergencia.

Ante una situación de emergencia, realizará las siguientes funciones:

- Acudir al lugar del siniestro.
- Asumir la dirección y coordinación de los equipos de extinción y evacuación.
- Tomar decisiones sobre cuál es el medio más eficaz de extinción.
- Decidir la respuesta que se deberá tomar contra una emergencia a la vista de la situación creada por la misma.
- En el caso más probable de los que podrían darse, un incendio, las acciones a tomar:
- El incendio puede apagarse con los medios existentes en el tajo en este caso se darán las órdenes necesarias para lograr la extinción del incendio.
- Si el incendio no puede ser dominado, se habrá de avisar a los bomberos, guardia civil, protección civil, etc..
- Ante la gravedad de la situación se debe proceder a la evacuación. Para estos casos deberá dar personalmente la señal de evacuación.
- Llegados los bomberos será el encargado de darles información sobre la situación planteada, al mismo tiempo que se pone a las órdenes del Jefe de Bomberos, para colaborar con los medios disponibles si así se le requiere.
- Requerir la ayuda exterior para el control de la emergencia: Bomberos, policía municipal, protección civil, ambulancias, hospitales, etc.

13.3. Plan de evacuación

El plan de evacuación se articula ante la necesidad de desalojar totalmente. Esta situación se puede originar como consecuencia de alguna de las siguientes contingencias: Incendio, explosión, orden de la dirección o fuerzas de seguridad del estado.

Orden de evacuación

Documento visado electrónicamente con número: VA07290/22
Código de validación telemática TRLTDCFZ60T66IJ1. Comprobación: https://cogitivalencia.e-gestion.es/Validacion.aspx?CVT=TRLTDCFZ60T66IJ1

VISADO
COGITI
VALENCIA
VA07290/22
TRLTDCFZ60T66IJ1

Responsabilidad: ante una situación de emergencia general, la responsabilidad de ordenar la evacuación y avisar a los servicios de ayuda exterior recaerá en el jefe de emergencia o sustituto.

Fases: La orden de evacuación se podrá transmitir directamente o, si hay tiempo suficiente, precedida de un aviso de preparación. Siempre que la situación lo permita, será preferible dar un mensaje previo de preparación y, pasados unos minutos, el de evacuación. El mensaje de preparación deberá comunicarse al Equipo de Emergencia de forma personal y discreta.

Procedimiento de Evacuación

Declarada una situación de emergencia, el jefe de emergencia o sustituto asumirá la responsabilidad de ordenar evacuar total o parcialmente la zona de obras. En cualquier caso, se determinará el alcance de evacuación, la urgencia (con tiempo o sin tiempo) y establecimiento de servicios mínimos, si se precisan. Avisar a los servicios de ayuda más próximos si la emergencia puede afectarles.

El equipo de emergencia reaccionará a la orden de evacuación, comunicando ésta al personal de la zona afectada. Realizarán un barrido del área comprobando que no quedan rezagados, en aseos u otras zonas de la obra. En evacuación por incendio, verificando el desalojo y si la situación lo permite, es conveniente proceder al corte de fluido eléctrico general cuando así lo determine el jefe de emergencia o los servicios de ayuda exterior.

Punto de reunión

El personal evacuado se dirigirá a un punto de reunión establecido.

Llegada de los servicios de ayuda exterior

El jefe de emergencia les informará de la situación; asumiendo éstos el mando y actuaciones necesarias para el control de la emergencia. El personal desalojado permanecerá a disposición de los servicios de ayuda exterior (especialmente el jefe de emergencia), colaborando con estos, si su ayuda es requerida.

Finalizada la Emergencia

Previo informe favorable de los servicios de ayuda exterior, el jefe de emergencia ordenará restablecer los servicios cuando se comunique la situación de “todo seguro” y adoptará las medidas necesarias para evitar su repetición.

Una vez finalizada la situación de emergencia será el equipo de primera intervención o en su defecto el jefe de emergencia, el que se ocupe de retirar los extintores usados para su recarga inmediata, aunque sólo hayan sido vaciados parcialmente. Llevará un archivo histórico con los sucesos habidos, actuaciones seguidas y medidas adoptadas.

13.4. Prevención y extinción de incendios

Se deberá prever en obra un número suficiente de dispositivos apropiados de lucha contra incendios y en función de las características de la obra, dimensiones y usos de los locales y equipos que contengan, características físicas y químicas de las sustancias materiales que se hallen presentes y número máximo de personal que pueda hallarse en los lugares y locales de trabajo.

Queda prohibida la realización de hogueras, la utilización de mecheros, realización de soldaduras y asimilables en presencia de materiales inflamables, si antes no se dispone en el lugar de riesgo de un extintor idóneo para la extinción del posible incendio.

Se establece como método principal de extinción de incendios, el uso de extintores.

Extintores de incendios

Documento visado electrónicamente con número: VA07290/22
Código de validación telemática TRLTDCFZ60T66IJ1. Comprobación: https://cogitivalencia.e-gestion.es/Validacion.aspx?CVT=TRLTDCFZ60T66IJ1

VISADO
COGITI
VALENCIA
VA07290/22
TRLTDCFZ60T66IJ1

Los extintores serán revisados periódicamente y retimbrados, según lo recomendado por su fabricante. Serán cargados y retimbrados después de usarlos. Esta tarea será realizada por empresas autorizadas.

Normas de seguridad para la instalación y uso de los extintores de incendios

Se instalarán sobre patillas de cuelgue, sobre carro o sobre el suelo, según las necesidades de extinción previstas.

Se instalará la señalización oportuna para la localización de cada extintor. De manera general, sobre la vertical del lugar donde se ubique el extintor y en tamaño grande, se instalará una señal normalizada con el oportuno pictograma y, si se estima conveniente, la palabra "EXTINTOR".

Normas para uso del extintor de incendios

En caso de incendio, descuelgue el extintor.

Retire el pasador de la cabeza que inmoviliza el mando de accionamiento.

Póngase a sotavento; evite que las llamas o el humo vayan hacia usted.

Accione el extintor dirigiendo el chorro de manera racheada a la base de las llamas, hasta apagarlas o agotar el contenido.

Si observa que no puede dominar el incendio, pida que alguien avise al Servicio Municipal de Bomberos lo más rápidamente posible.

13.5. Primeros auxilios

Se consideran como primeros auxilios todas aquellas actuaciones y técnicas que permiten la atención inmediata del accidentado de forma rápida y adecuada hasta la llegada del equipo asistencial sanitario, con objeto de no agravar las lesiones producidas.

Ante una situación de emergencia y la necesidad de socorrer a un accidentado establecemos las siguientes consideraciones:

- Conservar la calma.
- Evitar aglomeraciones.
- Dominar la situación.
- No mover al accidentado hasta que no se haya hecho una valoración primaria de su situación.
- Examinar al accidentado (signos vitales: consciencia, respiración, pulso, hemorragias, fracturas, heridas) para determinar aquellas situaciones que pongan en peligro su vida, de igual forma se indicará cuando telefónicamente una descripción de la situación del herido con objeto de que las dotaciones sanitarias sean las necesarias (ambulancia de transporte, UVI móvil,...).
- Si está consciente tranquilizar al accidentado.
- Mantener al accidentado caliente.
- No dar nunca medicación.
- Valoración secundaria del accidentado.

13.6. Prevención asistencial en caso de accidente

Las empresas participantes en esta obra tendrán un servicio de prevención propio o ajeno. Cada servicio de prevención de cada empresa participante en esta obra es responsable de realizar la vigilancia de la salud en los términos recogidos en la legislación vigente.

Si el accidente es grave, muy grave o mortal, o afecta a más de 4 trabajadores (independiente de la empresa a la que pertenezcan), el Jefe de Obra lo notificará a la Autoridad Laboral en un plazo máximo

Documento visado electrónicamente con número: VA07290/22
Código de validación telemática TRLTDCFZ60T66IJ1. Comprobación: https://cogitivalencia.e-gestion.es/Validacion.aspx?CVT=TRLTDCFZ60T66IJ1

VISADO
COGITI
VALENCIA
VA07290/22
TRLTDCFZ60T66IJ1

de 24 horas mediante fax, telegrama u otro medio que asegure que quede constancia por escrito de dicha comunicación.

13.6.1. Acciones a seguir en caso de accidente

El accidente laboral se identifica con un fracaso en la prevención de riesgos por multitud de causas. Por ello, es posible que, pese a todo el esfuerzo desarrollado y nuestra intención preventiva, se produzca algún fracaso.

El jefe de emergencia aplicará los siguientes principios de socorro, en el caso de que ocurra un accidente laboral:

- El accidentado es lo primero. Se le atenderá de inmediato con el fin de evitar el agravamiento o progresión de las lesiones.
- En caso de caída desde altura o a distinto nivel y en el caso de accidente eléctrico, se supondrá siempre, que pueden existir lesiones graves, en consecuencia, se extremarán las precauciones de atención primaria en la obra, aplicando las técnicas especiales para la inmovilización del accidentado hasta la llegada de la ambulancia y de reanimación en el caso de accidente eléctrico.
- En caso de gravedad manifiesta, se evacuará al herido en camilla y ambulancia; se evitarán en lo posible según el buen criterio de las personas que atiendan primariamente al accidentado, la utilización de los transportes particulares, por lo que implican de riesgo e incomodidad para el accidentado.
- Se conocerá antes del comienzo de la obra la clínica de la mutua de accidentes de la empresa, en el caso de accidentes menos graves y sin necesidad de urgencias.
- Con el fin de que sea conocido por todas las personas participantes en la obra, se instalarán una serie de rótulos con caracteres visibles a 2 m de altura, en los que se suministra la información necesaria para conocer el centro asistencial, su dirección, teléfonos de contacto, etc.

El botiquín portátil, tendrá un contenido mínimo (conforme anexo VI.A.3 del Real Decreto 486/1997) que aquí se especifica:

- Desinfectantes y antisépticos autorizados
- Gasas estériles
- Algodón hidrófilo
- Venda
- Esparadrapo
- Apósitos adhesivos
- Tijeras
- Pinzas
- Guantes desechables

La Orden TAS/2947/2007, establece el contenido mínimo del botiquín, siendo los siguientes:

- Botella de agua oxigenada
- Botella de alcohol
- Paquete de algodón arrollado
- Sobres de gasas estériles
- Vendas
- Caja de tiritas
- Caja de bandas protectoras
- Esparadrapo Hipo Alérgico
- Tijera 11 cm cirugía
- Pinza 11 cm disección
- Povidona Yodada
- Suero fisiológico 5 ml

Documento visado electrónicamente con número: VA07290/22
Código de validación telemática TRLTDCFZ60T66IJ1. Comprobación: https://cogitivalencia.e-gestion.es/Validacion.aspx?CVT=TRLTDCFZ60T66IJ1

VISADO
COGITI
VALENCIA
VA07290/22
TRLTDCFZ60T66IJ1

- Venda Crepe 4 m × 5 cm
- Venda Crepe 4 m × 7 cm
- Pares de guantes látex

En el botiquín habrá un burns kit o kit para quemaduras.

13.6.2. Comunicación inmediata en caso de accidente

Accidentes de tipo leve

- Al Coordinador en materia de seguridad y salud durante la ejecución de la obra: de todos y de cada uno de ellos, con el fin de investigar sus causas y adoptar las correcciones oportunas.
- A la Dirección Facultativa de la obra: de todos y de cada uno de ellos, con el fin de investigar sus causas y adoptar las correcciones oportunas.
- A la Autoridad Laboral: en las formas que establece la legislación vigente en materia de accidentes laborales.

Accidentes de tipo grave

- Al Coordinador en materia de seguridad y salud durante la ejecución de la obra: de todos y de cada uno de ellos, con el fin de investigar sus causas y adoptar las correcciones oportunas.
- A la Dirección Facultativa de la obra: de forma inmediata, con el fin de investigar sus causas y adoptar las correcciones oportunas.
- A la Autoridad Laboral: en las formas que establece la legislación vigente en materia de accidentes laborales.

Accidentes mortales

- Al juzgado de guardia: para que pueda procederse al levantamiento del cadáver y a las investigaciones judiciales.
- Al Coordinador en materia de seguridad y salud durante la ejecución de la obra: de todos y de cada uno de ellos, con el fin de investigar sus causas y adoptar las correcciones oportunas.
- A la Dirección Facultativa de la obra: de forma inmediata, con el fin de investigar sus causas y adoptar las correcciones oportunas.
- A la Autoridad Laboral: en las formas que establece la legislación vigente en materia de accidentes laborales.

13.6.3. Actuaciones administrativas en caso de accidente

El Jefe de Obra en caso de accidente laboral, realizará las siguientes actuaciones administrativas:

Accidentes sin baja laboral: se compilarán en la “hoja oficial de accidentes de trabajo ocurridos sin baja médica”, que se presentará en la “entidad gestora” o “colaboradora”, en el plazo de los 5 primeros días del mes siguiente.

Accidentes con baja laboral: originarán un parte oficial de accidente de trabajo, que se presentará en la entidad gestora o colaboradora en el plazo de 5 días hábiles, contados a partir de la fecha del accidente.

Accidentes graves, muy graves y mortales, o que hayan afectado a 4 o más trabajadores: se comunicarán a la Autoridad Laboral, telegráficamente, telefónicamente o por fax, en el plazo de 24 horas contadas a partir de la fecha del siniestro.

13.6.4. Centros asistenciales y teléfonos de interés

A continuación, se incluye una lista de los teléfonos considerados de interés:

TELÉFONOS DE INTERÉS

Documento visado electrónicamente con número: VA07290/22
Código de validación telemática TRLTDCFZ60T66IJ1. Comprobación: https://cogitivalencia.e-gestion.es/Validacion.aspx?CVT=TRLTDCFZ60T66IJ1

VISADO
COGITI
VALENCIA
VA07290/22
TRLTDCFZ60T66IJ1

URGENCIAS MÉDICAS	112
BOMBEROS	080
POLICÍA NACIONAL	091
GUARDIA CIVIL	062

En caso de emergencia asistencial El Hospital más cercano es el HOSPITAL UNIVERSITARIO Y POLITÉCNICO LA FE

Avinguda de Fernando Abril Martorell, 106, 46026 Valencia

Teléfono: 961 24 40 00

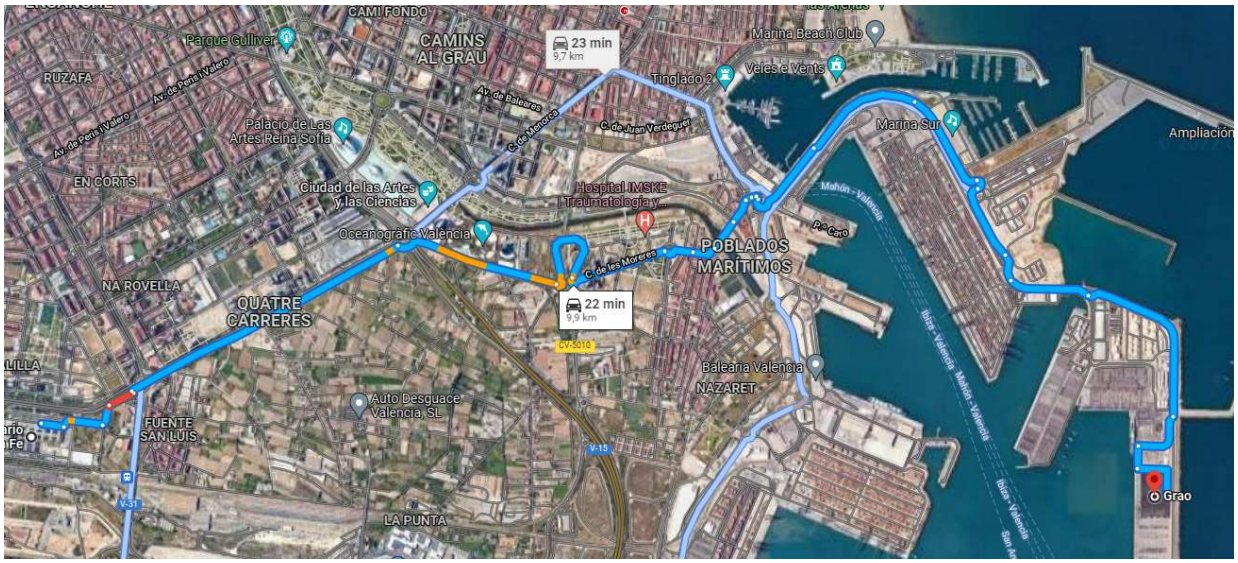

Documento visado electrónicamente con número: VA07290/22
Código de validación telemática TRLTDCFZ60T66IJ1. Comprobación: https://cogitivalencia.e-gestion.es/Validacion.aspx?CVT=TRLTDCFZ60T66IJ1

VISADO
COGITI
VALENCIA
VA07290/22
TRLTDCFZ60T66IJ1

INSTALACIÓN DE PLANTA GENERACIÓN FOTOVOLTAICA SOBRE LA CUBIERTA DEL SILO DE VEHÍCULOS DE VALENCIA TERMINAL EUROPA, EN MUELLE DIQUE DEL ESTE, EN PUERTO DE VALENCIA.

ANEJO Nº9

Estudio de Seguridad y Salud. Planos

Documento visado electrónicamente con número: VA07290/22
Código de validación telemática TRLTDCFZ60T66IJ1. Comprobación: https://cogitivalencia.e-gestion.es/Validacion.aspx?CVT=TRLTDCFZ60T66IJ1





VISADO
COGITI
VALENCIA
VA07290/22

REV.	FECHA	OBSERVACIONES	DIB.	REV.	AP.

Promotor:

valenciaport
Autoridad Portuaria de Valencia

Empresa Consultora:

grupotec

El ingeniero Técnico industrial
Colegiado nº: 9.613

Javier Coli Gilabert

ESTUDIO DE SEGURIDAD Y SALUD

INSTALACIÓN DE PLANTA GENERACIÓN FOTOVOLTAICA SOBRE LA CUBIERTA DEL SILO DE VEHÍCULOS DE VALENCIA TERMINAL EUROPA, EN MUELLE DIQUE DEL ESTE, EN PUERTO DE VALENCIA

Visado:

Situación:

VALENCIA

Denominación:

SITUACIÓN Y EMPLAZAMIENTO

Escala gráfica: 0.00

Escala:	Fecha:
S:E	FEBRERO 2022

Archivo:	Nº Plano:	Revisión:
P2001842_ES_01_ES-01.SIT	ES-01	SIT

Nº Encargo: P2.001842

Documento visado electrónicamente con número: VA07290/22
Código de validación telemática: TRLTDCF260T66U1. Comprobación: https://cogitivalencia.e-gestion.es/Validacion.aspx?CVT=TRLTDCF260T66U1

El presente documento es propiedad exclusiva de GRUPOTEC. Todos los derechos a su uso quedan reservados. Este, no podrá ser reproducido en forma alguna, total o parcialmente, comunicarlo a terceros, ni su información usada por personas, físicas o jurídicas, que no tengan los permisos necesarios expedidos por GRUPOTEC, para su Tramitación, Planificación Obra o Instalación.

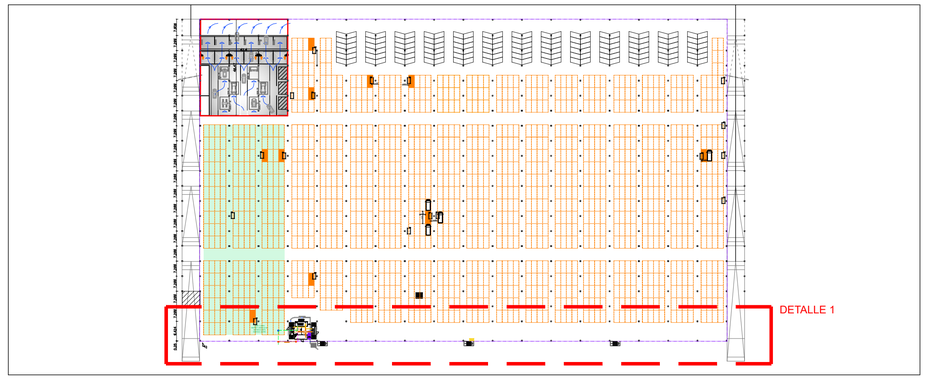

VISTA GENERAL PLANTA BAJA

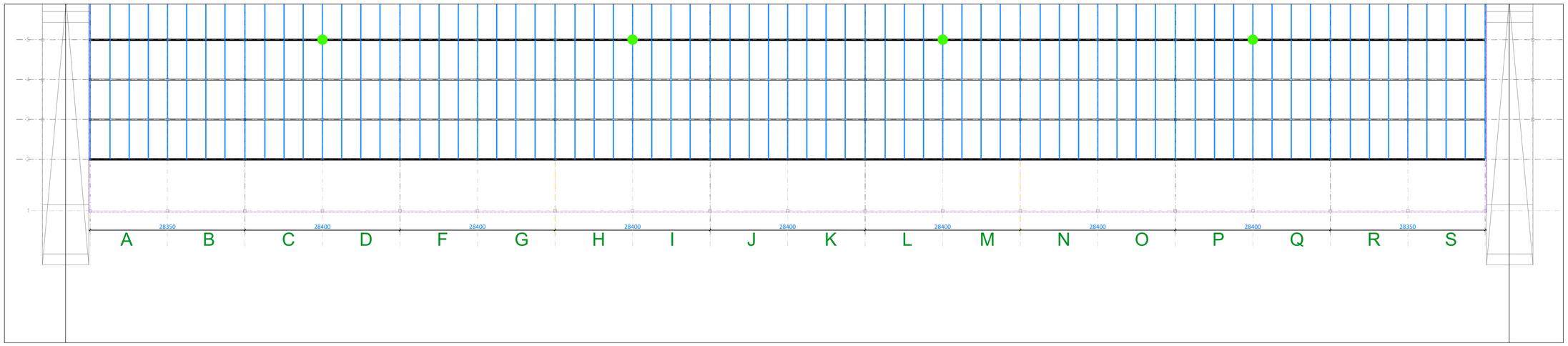

DETALLE PLANTA CUBIERTA
ESCALA: 1/400

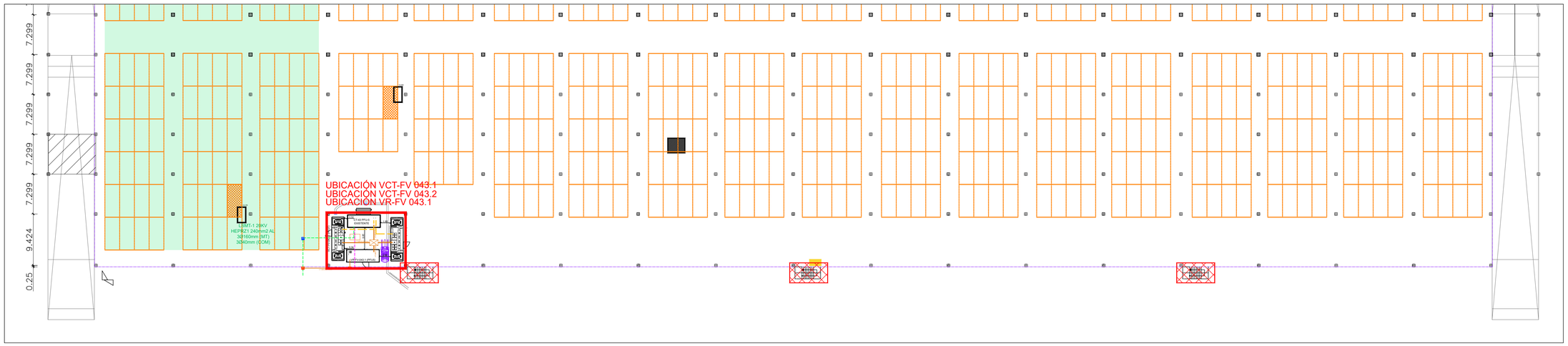
7.299
7.299
7.299
7.299
7.299
9.424
0.25
UBICACIÓN VCT-FV 043.1
UBICACIÓN VCT-FV 043.2
UBICACIÓN VR-FV 043.1
LSMT-1 24KV
HEPRZ1 240mm2 AL
3Ø165mm (MT)
3Ø340mm (COM)
CUADRO GENERAL DE PROTECCIÓN
CUADRO GENERAL DE PROTECCIÓN
CUADRO GENERAL DE PROTECCIÓN

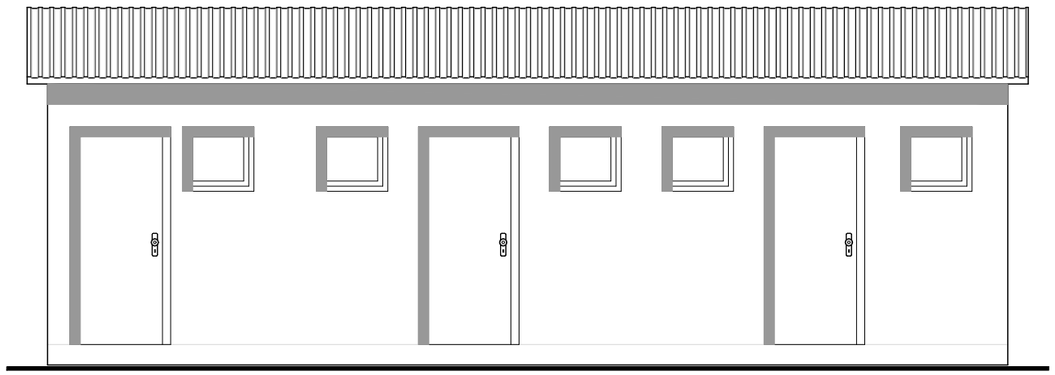

ALZADO PRINCIPAL

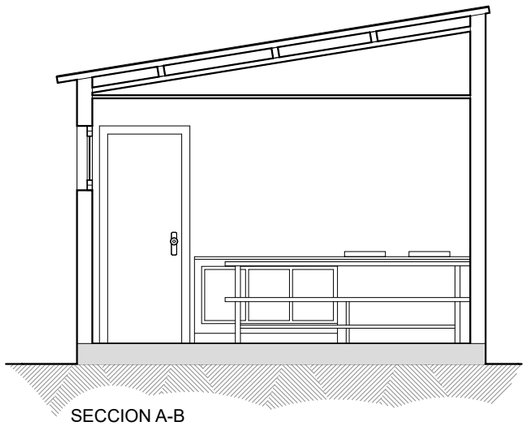

SECCION A-B

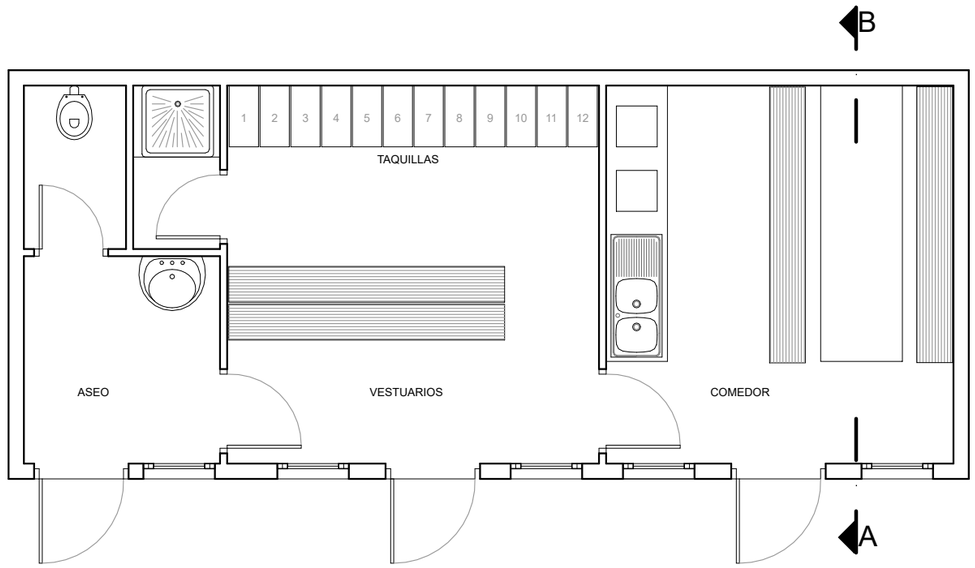

PLANTA

El presente documento es propiedad exclusiva de GRUPOTEC. Todos los derechos a su uso quedan reservados. Este, no podrá ser reproducido en forma alguna, total o parcialmente, comunicarlo a terceros, ni su información usada por personas, físicas o jurídicas, que no tengan los permisos necesarios expedidos por GRUPOTEC, para su Tramitación, Planificación Obra o instalación.

Promotor:

valenciaport
Autoridad Portuaria de Valencia

VISADO
COGITI
VALENCIA
VA07290/22
TRLTDCFZ60T66IJ1

Empresa Consultora:

grupotec

El ingeniero Técnico industrial
Colegiado nº: 9.613

Javier Coli Gilabert

ESTUDIO DE SEGURIDAD Y SALUD

INSTALACIÓN DE PLANTA GENERACIÓN FOTOVOLTAICA SOBRE LA CUBIERTA DEL SILO DE VEHÍCULOS DE VALENCIA TERMINAL EUROPA, EN MUELLE DIQUE DEL ESTE, EN PUERTO DE VALENCIA

Situación:

Valencia

Denominación:

INSTALACIONES PROVISIONALES
DE OBRA.
Instalaciones Higiénicas
CASETA DE OBRA

Escala gráfica: 0 0,6 1,2 1,8 2,4 3,0

Escala: 1:60 FORMATO A3

Fecha: FEBRERO 2022

Archivo: P2.001842_ES_01_ES-03

Nº Encargo: P2.001842

Nº Plano: ES-03

Visado:

Documento visado electrónicamente con fecha: VA07290/22
Código de validación telemática TRLTDCFZ60T66IJ1. Comprobación: https://cogitivalencia.e-gestion.es/Validacion.aspx?CVT=TRLTDCFZ60T66IJ1

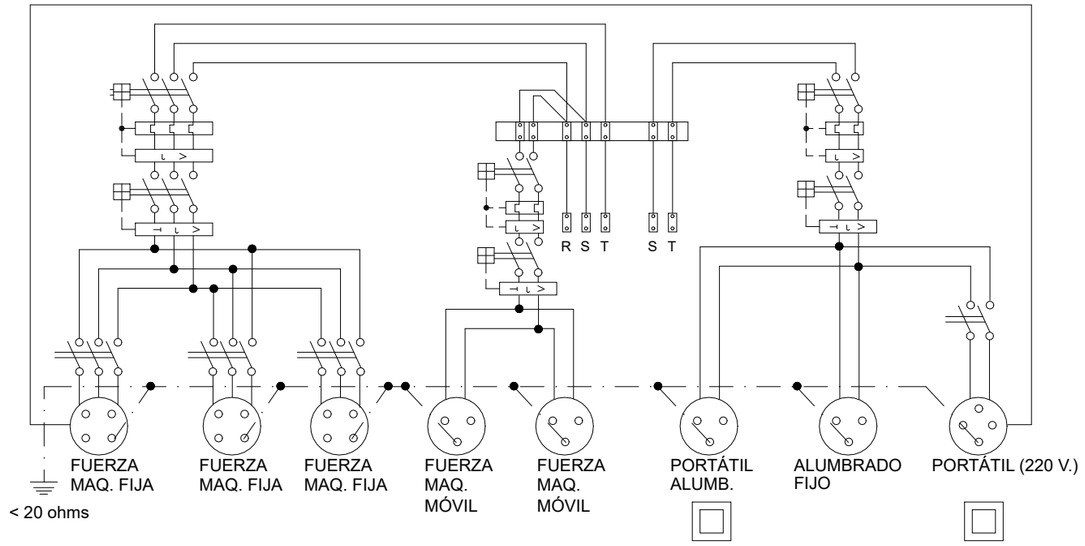

Cuadro con protección frente a cortocircuitos y corrientes de defecto.
Se instalará en las plantas o zonas en donde se precise su utilización.

ESQUEMA UNIFILAR DEL CUADRO ELÉCTRICO DE OBRA

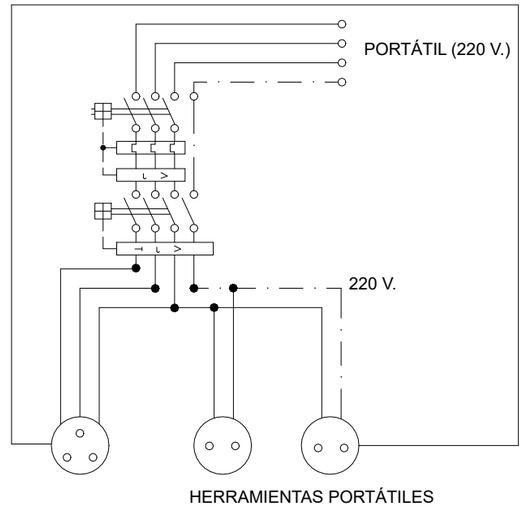

ESQUEMA UNIFILAR
DEL CUADRO AUXILIAR ELÉCTRICO DE OBRA
PARA MAQUINARIA PORTÁTIL.

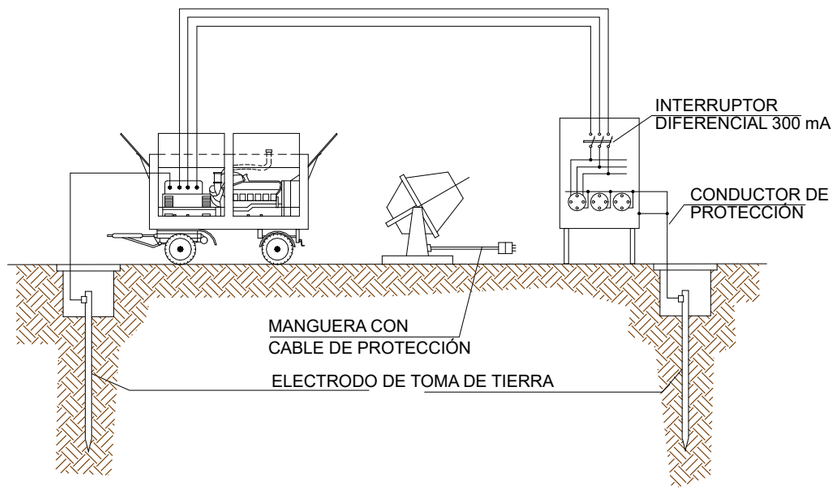

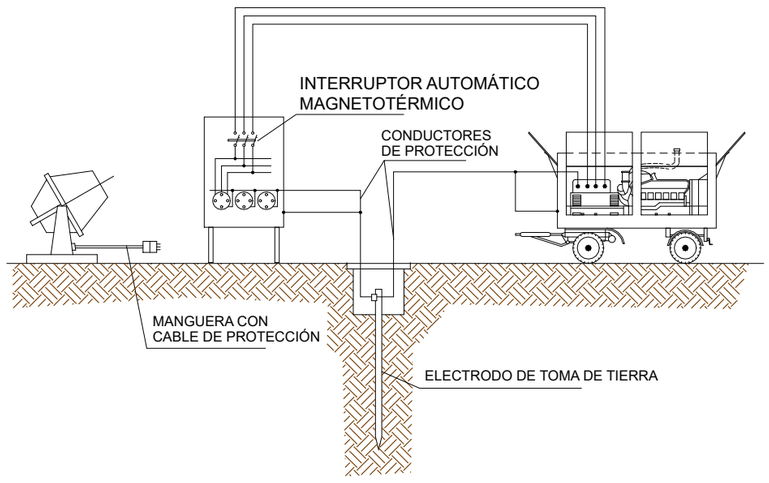

INSTALACIÓN DE GRUPOS ELECTRÓGENOS

El presente documento es propiedad exclusiva de GRUPOTEC. Todos los derechos a su uso quedan reservados. Este, no podrá ser reproducido en forma alguna, total o parcialmente, comunicarlo a terceros, ni su información usada por personas, físicas o jurídicas, que no tengan los permisos necesarios expedidos por GRUPOTEC, para su Tramitación, Planificación Obra o Instalación.

Promotor:

valenciaport
Autoridad Portuaria de Valencia

VISADO
COGITI
VALENCIA
TRLTDCFZ60T66IJ1
VA07290/22

Empresa Consultora:

grupotec

El ingeniero Técnico industrial
Colegiado nº: 9.613

Javier Coli Gilabert

ESTUDIO DE SEGURIDAD Y SALUD

INSTALACIÓN DE PLANTA GENERACIÓN FOTOVOLTAICA SOBRE LA CUBIERTA DEL SILO DE VEHÍCULOS DE VALENCIA TERMINAL EUROPA, EN MUELLE DIQUE DEL ESTE, EN PUERTO DE VALENCIA

Situación:

Valencia

Denominación:

INSTALACIONES PROVISIONALES
DE OBRA.
Protección Colecctiva
ELECTRICIDAD Y AGUA

Escala gráfica:

Escala: S/E — FORMATO A3

Fecha: FEBRERO 2022

Archivo: P2.001842_ES_01_ES-04

Nº Encargo: P2.001842

Nº Plano: ES-04

Visado:

Documento visado electrónicamente con fecha: VA07290/22
Código de validación telemática TRLTDCFZ60T66IJ1. Comprobación: https://cogitivalencia.e-gestion.es/Validacion.aspx?CVT=TRLTDCFZ60T66IJ1

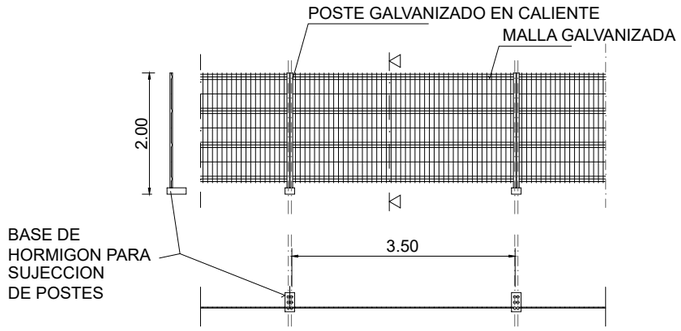

ALAMBRE HORIZONTAL Ø 4'5 mm.
ALAMBRE VERTICAL Ø 3'5 mm.
POSTES Ø 40 mm.

LAS UNIONES ENTRE POSTES SE REALIZARAN
MEDIANTE ACCESORIOS DE FIJACION INCORPORADOS

VALLA DE POSTES Y MALLA GALVANIZADA

BARANDILLA CON SOPORTE TIPO "SARGENTO"

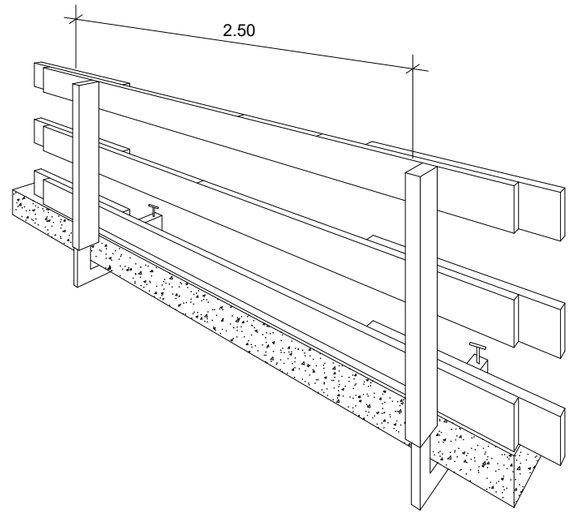

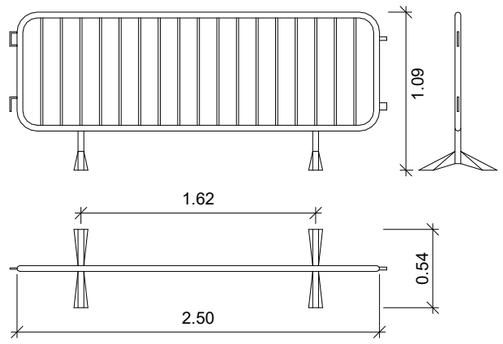

VALLA MOVIL DE PROTECCION
Y PROHIBICION DE PASO

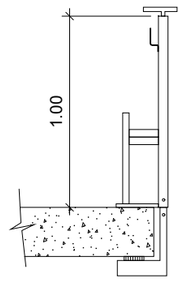

SOPORTE " TIPO - 3 "

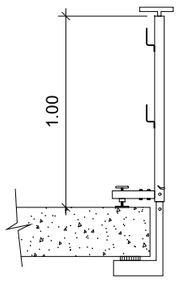

SOPORTE " TIPO - 1 "

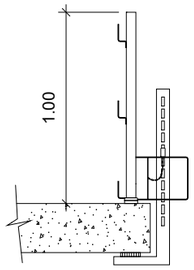

SOPORTE " TIPO - 2 "

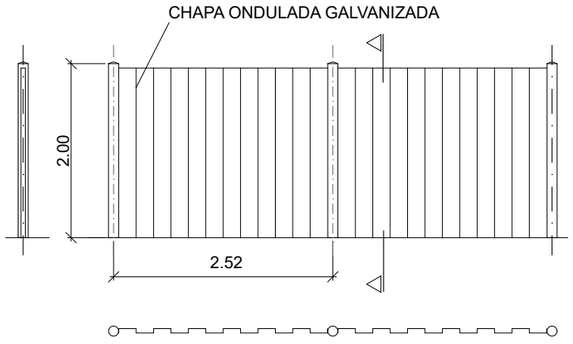

VALLA CON POSTES Y CHAPA GALVANIZADA

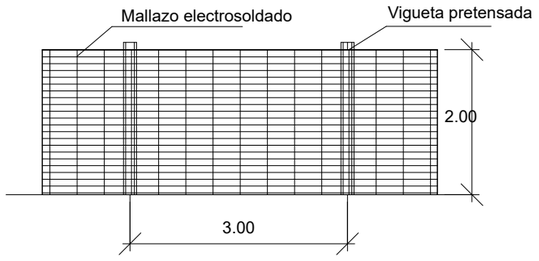

VALLA CON MALLAZO METALICO

Promotor:

valenciaport
Autoridad Portuaria de Valencia

VISADO
COGITI
VALENCIA
VA07290/22
TRLTDCFZ60T66IJ1

Empresa Consultora:

grupotec

El ingeniero Técnico industrial
Colegiado nº: 9.613

Javier Coli Gilabert

ESTUDIO DE SEGURIDAD Y SALUD

INSTALACIÓN DE PLANTA GENERACIÓN FOTOVOLTAICA SOBRE LA CUBIERTA DEL SILO DE VEHÍCULOS DE VALENCIA TERMINAL EUROPA, EN MUELLE DIQUE DEL ESTE, EN PUERTO DE VALENCIA

Situación:

Valencia

Denominación:

INSTALACIONES PROVISIONALES
DE OBRA.
Protección Colecctiva
VALLADOS

Escala gráfica:

Escala: S/E — FORMATO A3

Fecha: FEBRERO 2022

Archivo: P2.001842_ES_01_ES-05

Nº Encargo: P2.001842

Nº Plano: ES-05

Visado:

Documento visado electrónicamente con fecha: VA07290/22
Código de validación telemática TRLTDCFZ60T66IJ1. Comprobación: https://cogitivalencia.e-gestion.es/Validacion.aspx?CVT=TRLTDCFZ60T66IJ1

El presente documento es propiedad exclusiva de GRUPOTEC. Todos los derechos a su uso quedan reservados. Este, no podrá ser reproducido en forma alguna, total o parcialmente, comunicarlo a terceras, ni su información usada por personas, físicas o jurídicas, que no tengan los permisos necesarios expedidos por GRUPOTEC, para su Tramitación, Planificación Obra o Instalación.

TORRETAS PARA EL MONTAJE DE CUBIERTAS DE NAVE

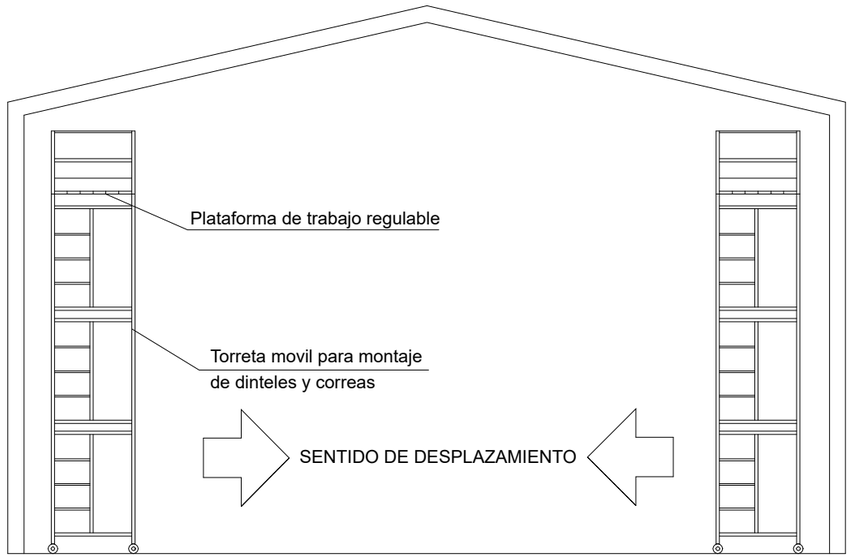

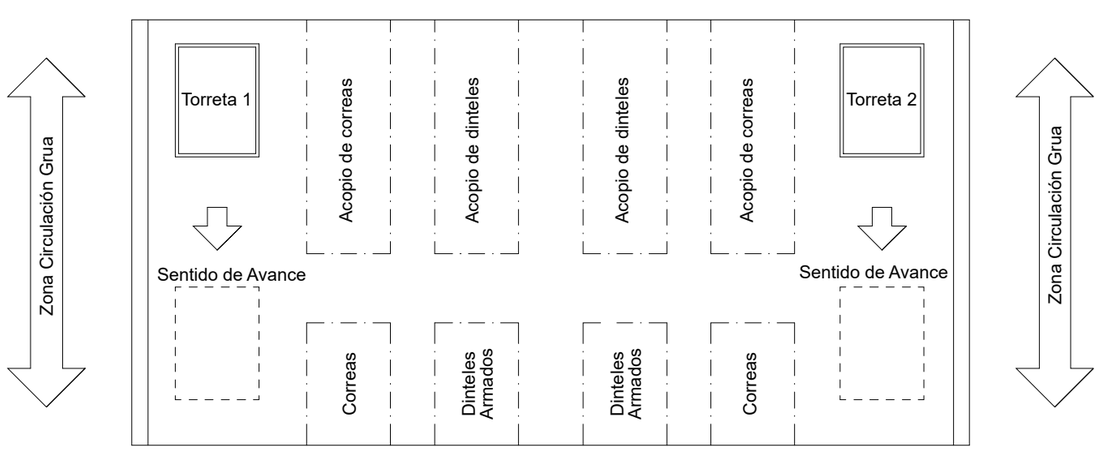

El presente documento es propiedad exclusiva de GRUPOTEC. Todos los derechos a su uso quedan reservados. Este, no podrá ser reproducido en forma alguna, total o parcialmente, comunicarlo a terceros, ni su información usada por personas, físicas o jurídicas, que no tengan los permisos necesarios expedidos por GRUPOTEC, para su Tramitación, Planificación Obra o Instalación.

Promotor:

valenciaport
Autoridad Portuaria de Valencia

VISADO
COGITI
VALENCIA
TRLTDCFZ60T66IJ1
VA07290/22

Empresa Consultora:

grupotec

El ingeniero Técnico industrial
Colegiado nº: 9.613

Javier Coli Gilabert

ESTUDIO DE SEGURIDAD Y SALUD

INSTALACIÓN DE PLANTA GENERACIÓN FOTOVOLTAICA SOBRE LA CUBIERTA DEL SILO DE VEHÍCULOS DE VALENCIA TERMINAL EUROPA, EN MUELLE DIQUE DEL ESTE, EN PUERTO DE VALENCIA

Situación:

Valencia

Denominación:

INSTALACIONES PROVISIONALES DE OBRA.
Protección en fase de estructura
TORRETAS PARA MONTAJE DE CUBIERTAS NAVE

Escala gráfica:

Escala:	FORMATO A3	Fecha:
S/E		FEBRERO 2022

Archivo: P2.001842_ES_01_ES-06

Nº Encargo: **P2.001842**

Nº Plano: **ES-06**

Visado:

Documento visado electrónicamente con fecha de visado: VA07290/22
Código de validación telemática TRLTDCFZ60T66IJ1. Comprobación: https://cogitivalencia.e-gestion.es/Validacion.aspx?CVT=TRLTDCFZ60T66IJ1

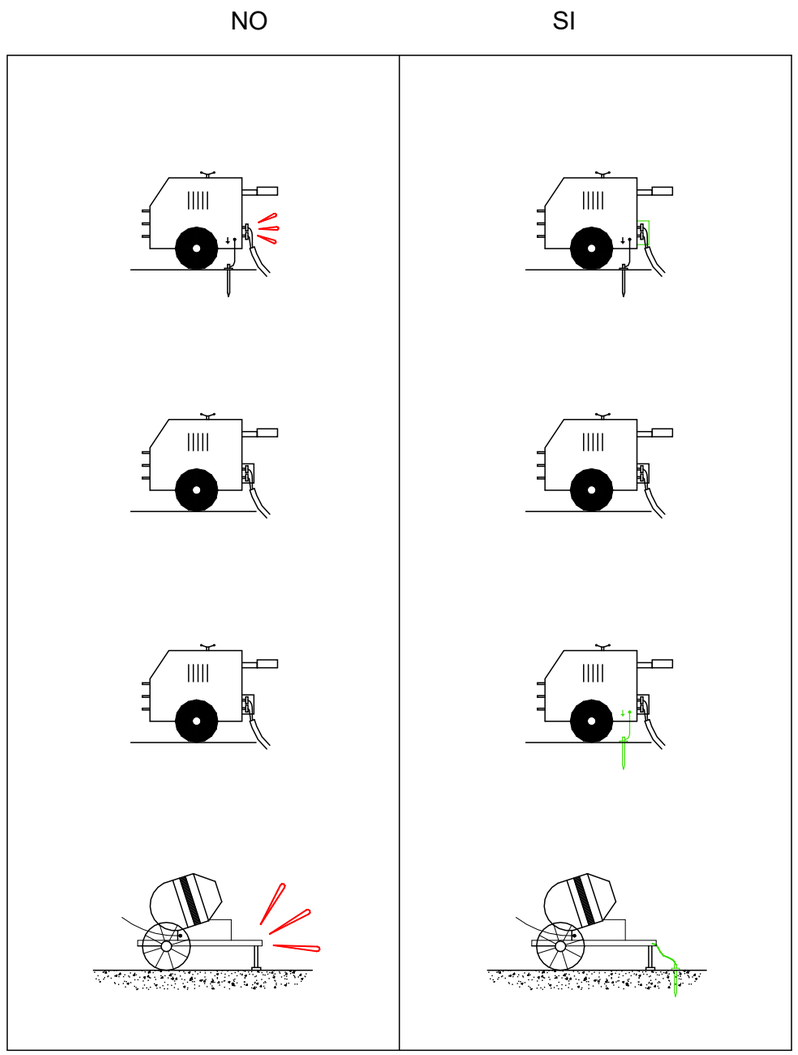

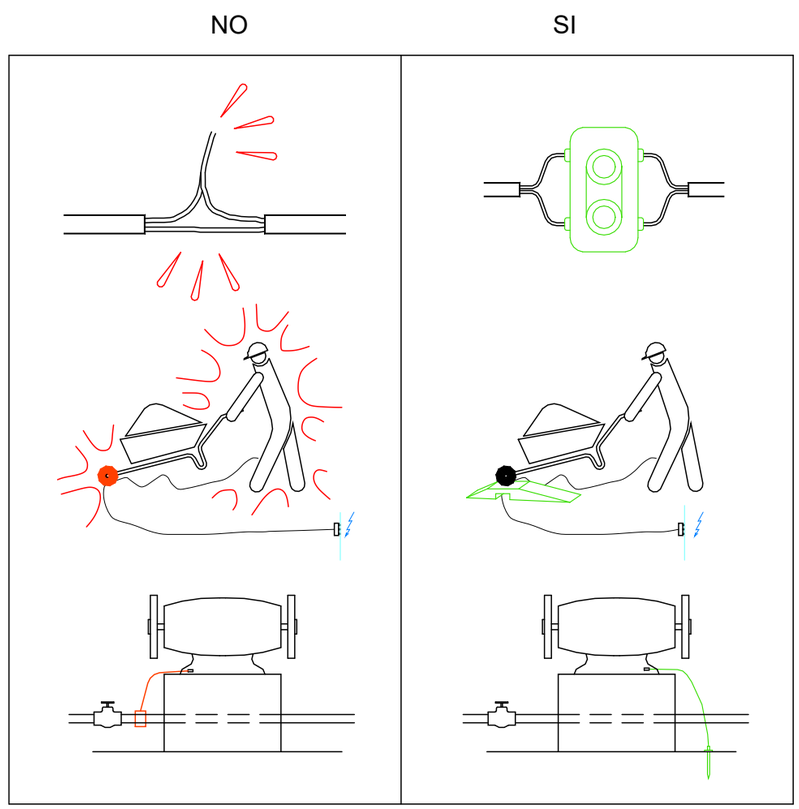

MEDIDAS GENERALES DE PROTECCION

El presente documento es propiedad exclusiva de GRUPOTEC. Todos los derechos a su uso quedan reservados. Este, no podrá ser reproducido en forma alguna, total o parcialmente, comunicado a terceras, ni su información usada por personas, físicas o jurídicas, que no tengan los permisos necesarios expedidos por GRUPOTEC, para su Tramitación, Planificación Obra o Instalación.

Promotor:

valenciaport
Autoridad Portuaria de Valencia

VISADO
COGITI
VALENCIA
TRLTDCFZ60T66IJ1
VA07290/22

Empresa Consultora:

grupotec

El ingeniero Técnico industrial
Colegiado nº: 9.613

Javier Coli Gilabert

ESTUDIO DE SEGURIDAD Y SALUD

INSTALACIÓN DE PLANTA GENERACIÓN FOTOVOLTAICA SOBRE LA CUBIERTA DEL SILO DE VEHÍCULOS DE VALENCIA TERMINAL EUROPA, EN MUELLE DIQUE DEL ESTE, EN PUERTO DE VALENCIA

Situación:

Valencia

Denominación:

INSTALACIONES PROVISIONALES DE OBRA. Protección Individual MEDIDAS PREVENTIVAS (3)

Escala gráfica:

Escala: S/E — FORMATO A3

Fecha: FEBRERO 2022

Archivo: P2.001842_ES_01_ES-07

Nº Encargo: **P2.001842**

Nº Plano: **ES-07**

Visado:

Documento visado electrónicamente con fecha: VA07290/22
Código de validación telemática TRLTDCFZ60T66IJ1. Comprobación: https://cogitivalencia.e-gestion.es/Validacion.aspx?CVT=TRLTDCFZ60T66IJ1

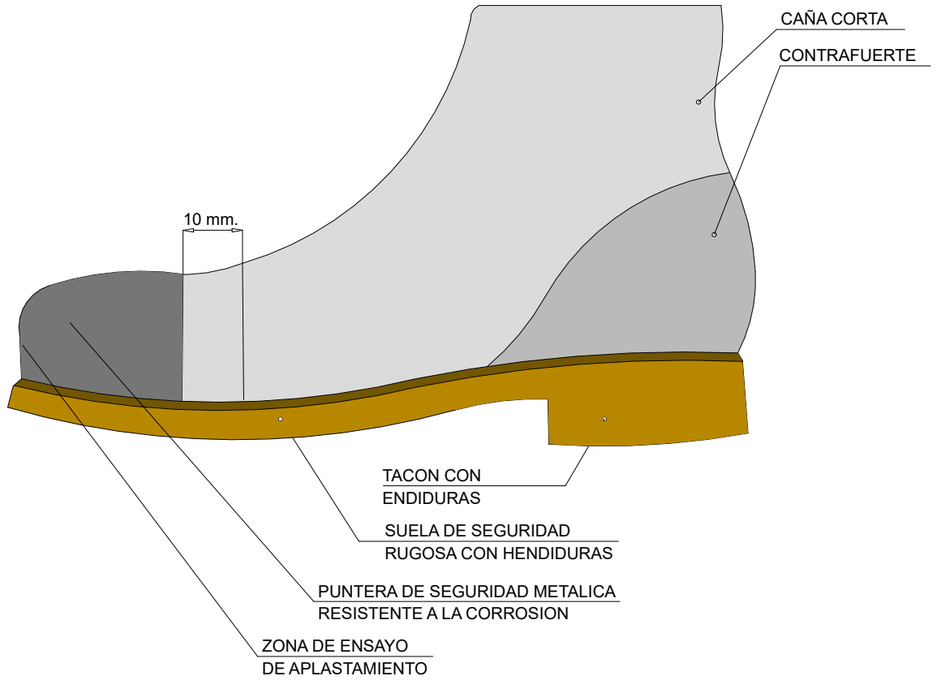

BOTAS DE SEGURIDAD CLASE III

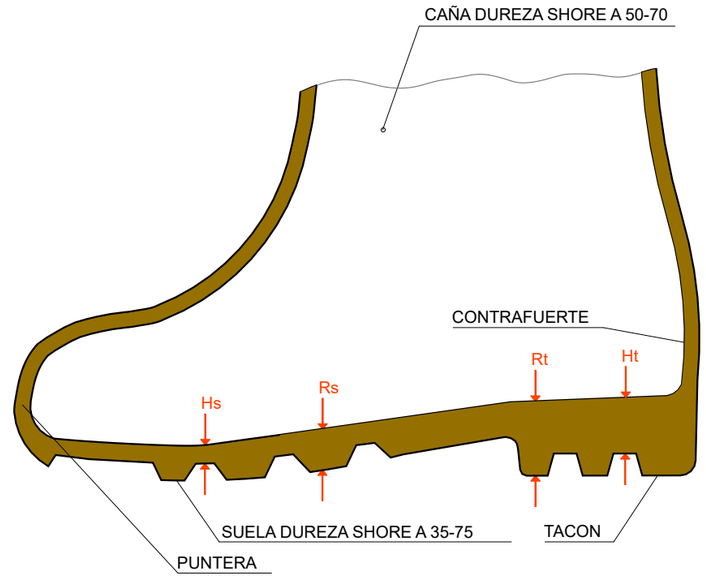

Hs	HENDIDURA DE LA SUELA	=	5 mm
Rs	RESALTE DE LA SUELA	=	9 mm
Ht	HENDIDURA DEL TACON	=	20 mm
Rt	RESALTE DEL TACON	=	25 mm

BOTA IMPERMEABLE AL AGUA
Y A LA HUMEDAD

El presente documento es propiedad exclusiva de GRUPOTEC. Todos los derechos a su uso quedan reservados. Este no podrá ser reproducido en forma alguna, total o parcialmente, comunicarlo a terceros, ni su información usada por personas, físicas o jurídicas, que no tengan los permisos necesarios expedidos por GRUPOTEC, para su Tramitación, Planificación Obra o Instalación.

Promotor:

valenciaport
Autoridad Portuaria de Valencia

VISADO
COGITI
VALENCIA
VA07290/22
TRLTDCFZ60T66IJ1

Empresa Consultora:

grupotec

El ingeniero Técnico industrial
Colegiado nº: 9.613

Javier Coli Gilabert

ESTUDIO DE SEGURIDAD Y SALUD

INSTALACIÓN DE PLANTA GENERACIÓN FOTOVOLTAICA SOBRE LA CUBIERTA DEL SILO DE VEHÍCULOS DE VALENCIA TERMINAL EUROPA, EN MUELLE DIQUE DEL ESTE, EN PUERTO DE VALENCIA

Situación:

Valencia

Denominación:

INSTALACIONES PROVISIONALES
DE OBRA.
Protección Individual
BOTAS DE SEGURIDAD

Escala gráfica:

Escala: S/E
FORMATO A3
Fecha: FEBRERO 2022

Archivo: P2.001842_ES_01_ES-08
Nº Encargo: P2.001842
Nº Plano: ES-08

Visado:

Documento visado electrónicamente con fecha: VA07290/22
Código de validación telemática TRLTDCFZ60T66IJ1. Comprobación: https://cogitivalencia.e-gestion.es/Validacion.aspx?CVT=TRLTDCFZ60T66IJ1

CASCO DE SEGURIDAD NO METALICO

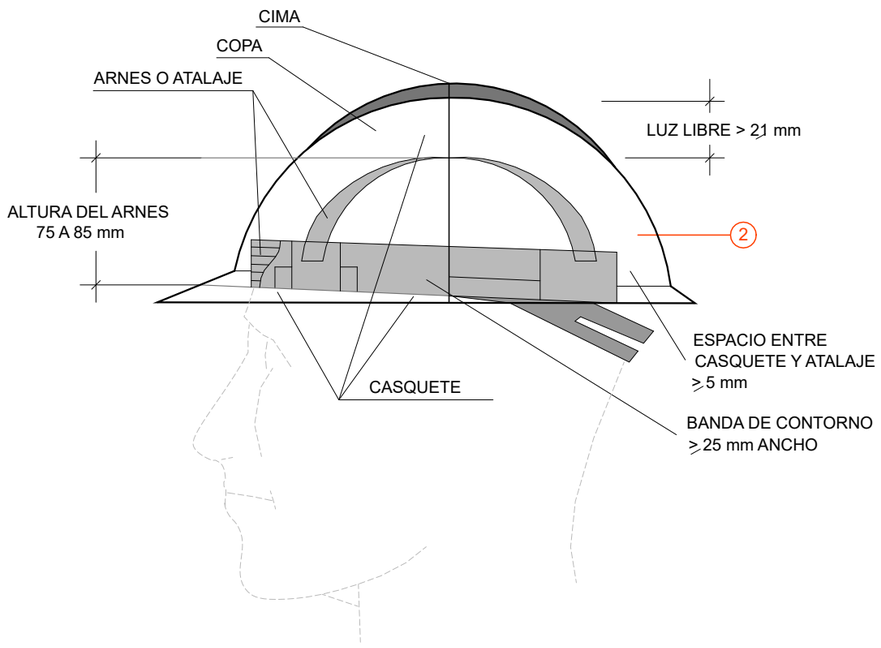

MASCARILLA ANTIPOLVO

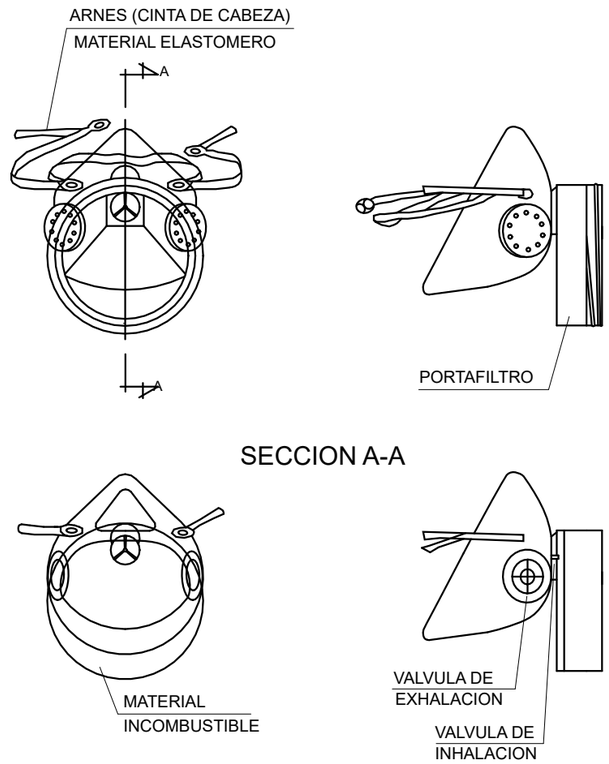

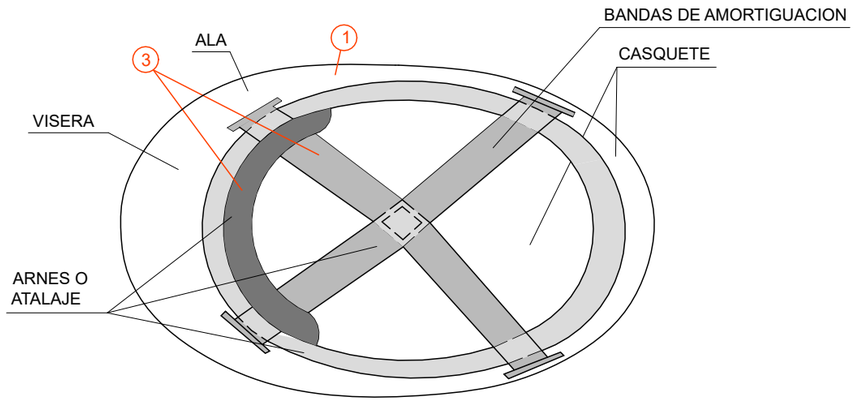

1 MATERIAL INCONBUSTIBLE, RESISTENTE A GRASAS, SALES Y AGUAS.
2 CLASE N AISLANTE A 1.000 V CLASE E-AT AISLANTE A 25.000 V
3 MATERIAL NO RIGIDO, HIDROFUGO, FACIL LIMPIEZA Y DESINFECCION.

El presente documento es propiedad exclusiva de GRUPOTEC. Todos los derechos a su uso quedan reservados. Este, no podrá ser reproducido en forma alguna, total o parcialmente, comunicarlo a terceros, ni su información usada por personas, físicas o jurídicas, que no tengan los permisos necesarios expedidos por GRUPOTEC, para su Tramitación, Planificación Obra o Instalación.

Promotor:

valenciaport
Autoridad Portuaria de Valencia

VISADO
COGITI
VALENCIA
TRLTDCFZ60T66IJ1
VA07290/22

Empresa Consultora:

grupotec

El ingeniero Técnico industrial
Colegiado nº: 9.613

Javier Coli Gilabert

ESTUDIO DE SEGURIDAD Y SALUD

INSTALACIÓN DE PLANTA GENERACIÓN FOTOVOLTAICA SOBRE LA CUBIERTA DEL SILO DE VEHÍCULOS DE VALENCIA TERMINAL EUROPA, EN MUELLE DIQUE DEL ESTE, EN PUERTO DE VALENCIA

Situación:

Valencia

Denominación:

INSTALACIONES PROVISIONALES DE OBRA.
Protección Individual
CASCO DE SEGURIDAD (No metálico) Y MASCARILLAS ANTIPOLVO

Escala gráfica:

Escala: FORMATO A3 — S/E

Fecha: FEBRERO 2022

Archivo: P2.001842_ES_01_ES-09

Nº Encargo: **P2.001842**

Nº Plano: **ES-09**

Visado:

Documento visado electrónicamente con fecha: VA07290/22
Código de validación telemática TRLTDCFZ60T66IJ1. Comprobación: https://cogitivalencia.e-gestion.es/Validacion.aspx?CVT=TRLTDCFZ60T66IJ1

GAFAS DE MONTURA TIPO UNIVERSAL CONTRA IMPACTOS

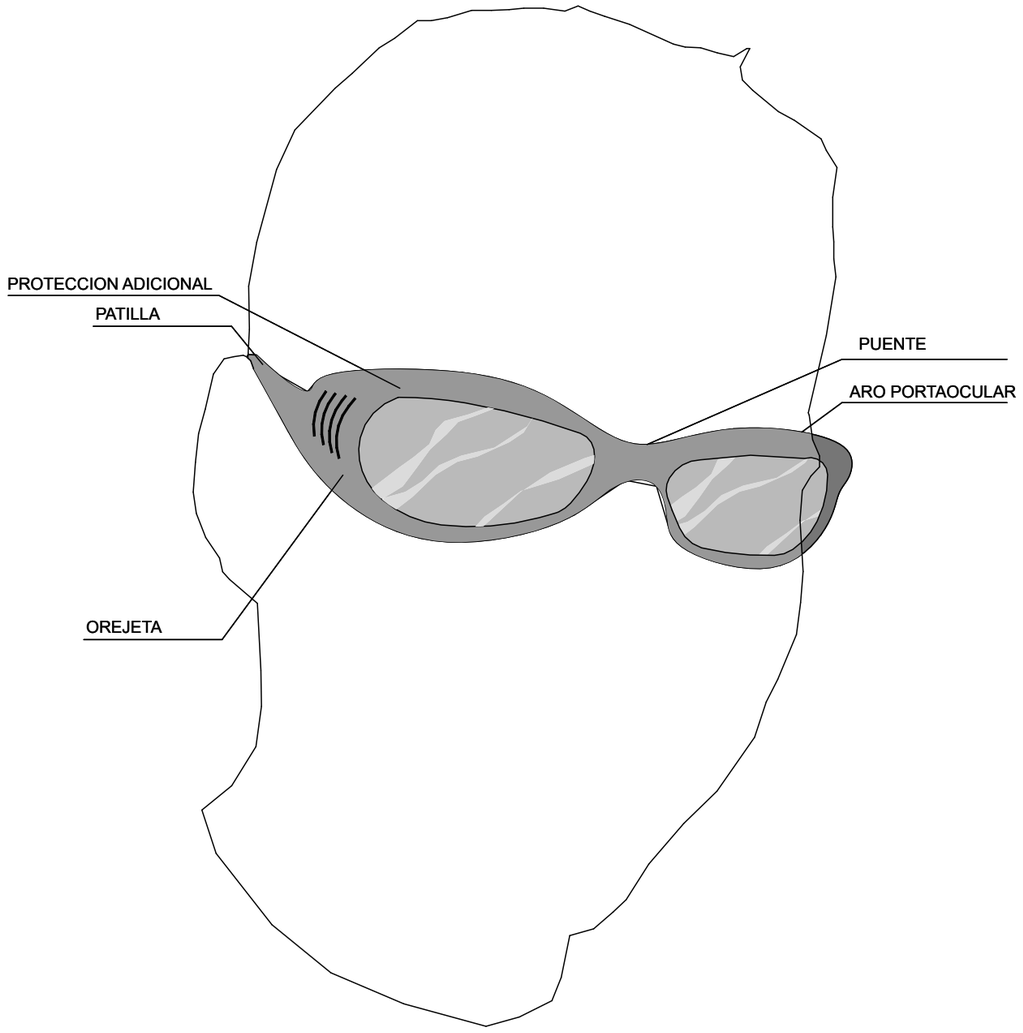

PATILLA DE SUJECCION TIPO ESPATULA

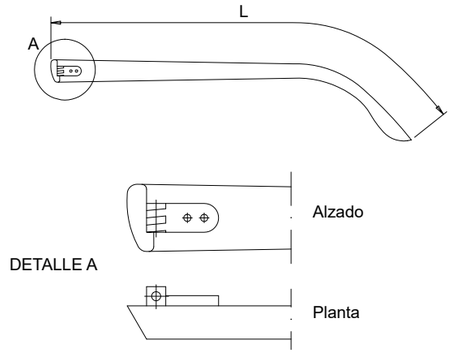

PATILLA DE SUJECCION TIPO CABLE

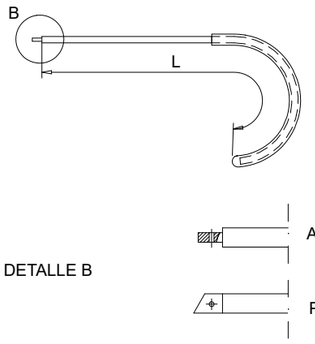

OCULARES

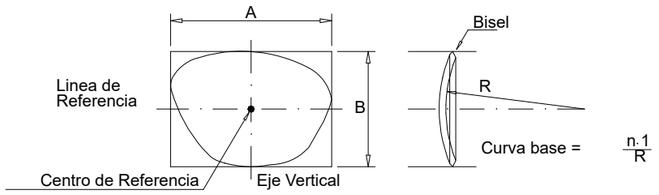

El presente documento es propiedad exclusiva de GRUPOTEC. Todos los derechos a su uso quedan reservados. Este, no podrá ser reproducido en forma alguna, total o parcialmente, comunicado a terceros, ni su información usada por personas, físicas o jurídicas, que no tengan los permisos necesarios expedidos por GRUPOTEC, para su Tramitación, Planificación Obra o Instalación.

Promotor:

valenciaport
Autoridad Portuaria de Valencia

VISADO
COGITI
VALENCIA
TRLTDCFZ60T66IJ1
VA07290/22

Empresa Consultora:

grupotec

El ingeniero Técnico industrial
Colegiado nº: 9.613

Javier Coli Gilabert

ESTUDIO DE SEGURIDAD Y SALUD

INSTALACIÓN DE PLANTA GENERACIÓN FOTOVOLTAICA SOBRE LA CUBIERTA DEL SILO DE VEHÍCULOS DE VALENCIA TERMINAL EUROPA, EN MUELLE DIQUE DEL ESTE, EN PUERTO DE VALENCIA

Situación:

Valencia

Denominación:

INSTALACIONES PROVISIONALES DE OBRA.
Protección Individual
GAFAS DE SEGURIDAD

Escala gráfica:

Escala: S/E | FORMATO A3 | Fecha: FEBRERO 2022

Archivo: P2.001842_ES_01_ES-10 | Nº Plano: ES-10

Nº Encargo: P2.001842

Visado:

Documento visado electrónicamente con número: VA07290/22
Código de validación telemática TRLTDCFZ60T66IJ1. Comprobación: https://cogitivalencia.e-gestion.es/Validacion.aspx?CVT=TRLTDCFZ60T66IJ1

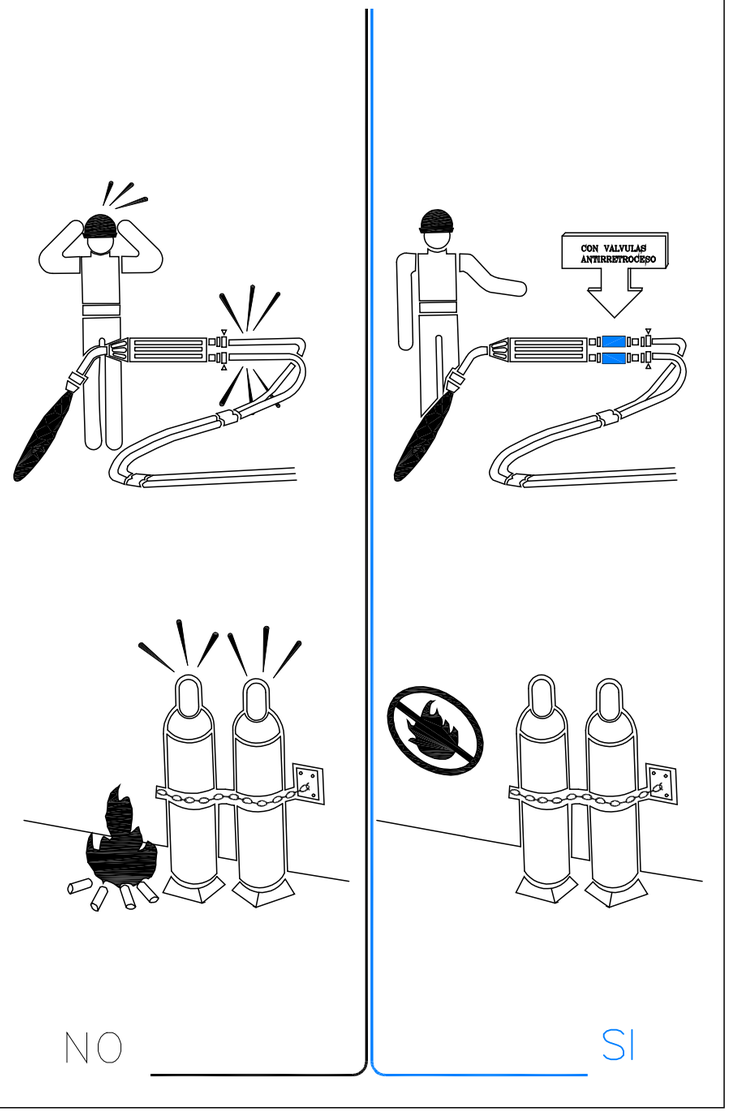

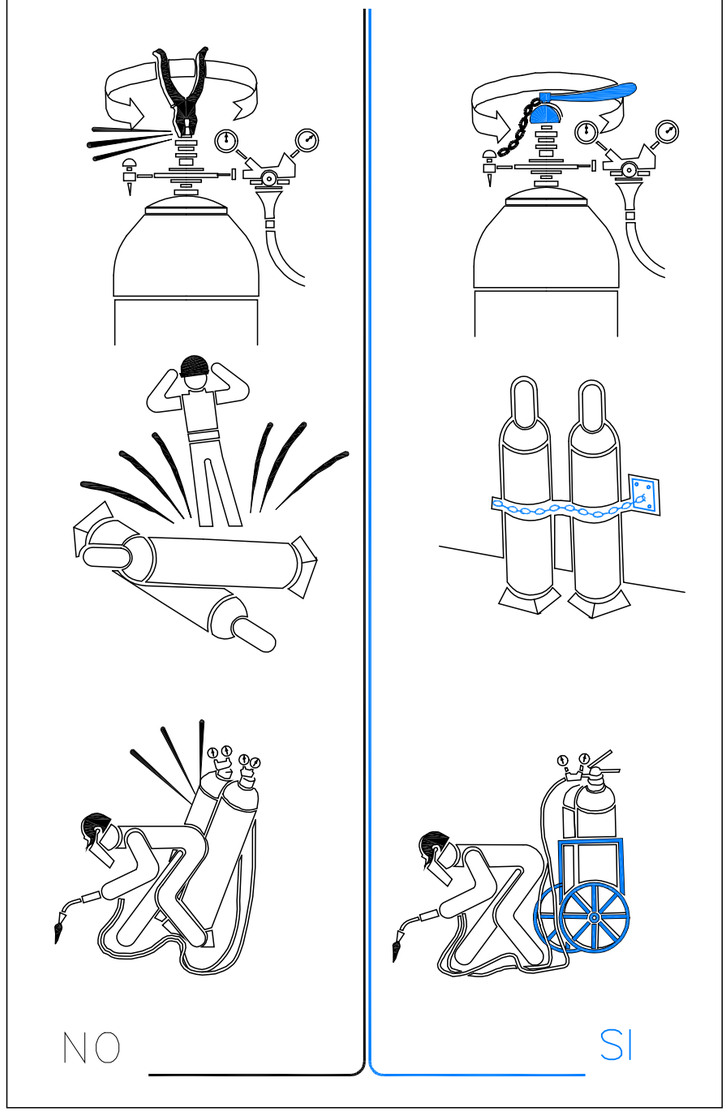

El presente documento es propiedad exclusiva de GRUPOTEC. Todos los derechos a su uso quedan reservados. Este, no podrá ser reproducido en forma alguna, total o parcialmente, comunicarlo a terceros, ni su información usada por personas, físicas o jurídicas, que no tengan los permisos necesarios expedidos por GRUPOTEC, para su Tramitación, Planificación Obra o instalación.

Promotor:

valenciaport
Autoridad Portuaria de Valencia

VISADO
COGITI
VALENCIA
TRLTDCFZ60T66IJ1
VA07290/22

Empresa Consultora:

grupotec

El ingeniero Técnico industrial
Colegiado nº: 9.613

Javier Coli Gilabert

ESTUDIO DE SEGURIDAD Y SALUD

INSTALACIÓN DE PLANTA GENERACIÓN FOTOVOLTAICA SOBRE LA CUBIERTA DEL SILO DE VEHÍCULOS DE VALENCIA TERMINAL EUROPA, EN MUELLE DIQUE DEL ESTE, EN PUERTO DE VALENCIA

Situación:

Valencia

Denominación:

INSTALACIONES PROVISIONALES
DE OBRA.
Protección Individual
SEGURIDAD SOPLETES

Escala gráfica:

Escala: S/E — FORMATO A3

Fecha: FEBRERO 2022

Archivo: P2.001842_ES_01_ES-11

Nº Encargo: **P2.001842**

Nº Plano: **ES-11**

Visado:

Documento visado electrónicamente con fecha: VA07290/22
Código de validación telemática TRLTDCFZ60T66IJ1. Comprobación: https://cogitivalencia.e-gestion.es/Validacion.aspx?CVT=TRLTDCFZ60T66IJ1

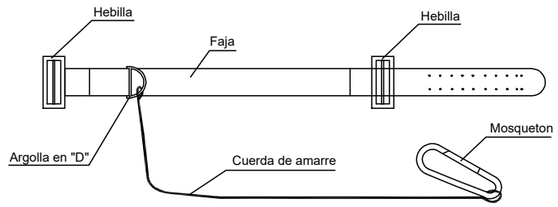

TIPO A-1

CONSTITUCION

FAJA Y PUNTO DE CONEXION

APLICACION

SUJETA AL INDIVIDUO EVITANDO LA CAIDA

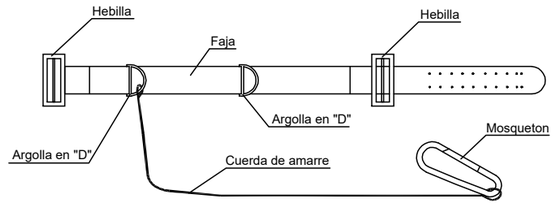

TIPO A-2

CONSTITUCION

FAJA Y DOS PUNTOS DE CONEXION

APLICACION

SUJETA AL INDIVIDUO EVITANDO LA CAIDA

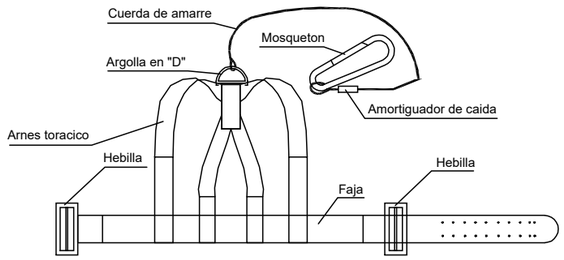

TIPO C-1

CONSTITUCION

ARNES TORACICO Y AMORTIGUADOR

APLICACION

EVITA LOS EFECTOS DE LA CAIDA
DANDO MAYOR MOVILIDAD

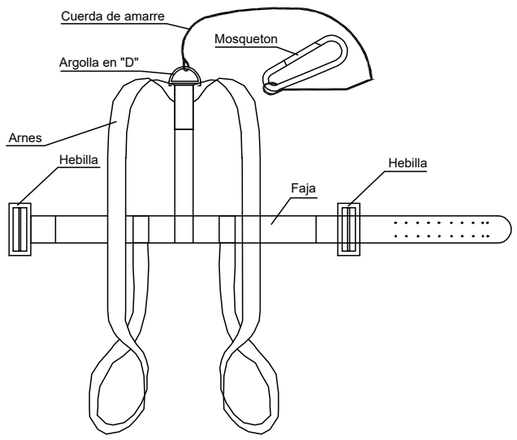

TIPO C-2

CONSTITUCION

ARNES COMPLETO Y AMORTIGUADOR

APLICACION

EVITA LOS EFECTOS DE LA CAIDA
DANDO MAYOR MOVILIDAD

El presente documento es propiedad exclusiva de GRUPOTEC. Todos los derechos a su uso quedan reservados. Este, no podrá ser reproducido en forma alguna, total o parcialmente, comunicarlo a terceras, ni su información usada por personas, físicas o jurídicas, que no tengan los permisos necesarios expedidos por GRUPOTEC, para su Tramitación, Planificación Obra o Instalación.

Promotor:

valenciaport
Autoridad Portuaria de Valencia

VISADO
COGITI
VALENCIA
TRLTDCFZ60T66IJ1
VA07290/22

Empresa Consultora:

grupotec

El ingeniero Técnico industrial
Colegiado nº: 9.613

Javier Coli Gilabert

ESTUDIO DE SEGURIDAD Y SALUD

INSTALACIÓN DE PLANTA GENERACIÓN FOTOVOLTAICA SOBRE LA CUBIERTA DEL SILO DE VEHÍCULOS DE VALENCIA TERMINAL EUROPA, EN MUELLE DIQUE DEL ESTE, EN PUERTO DE VALENCIA

Situación:

Valencia

Denominación:

INSTALACIONES PROVISIONALES DE OBRA. Protección Individual FAJAS Y ARNESES

Escala gráfica:

Escala:	FORMATO A3	Fecha:
S/E		FEBRERO 2022

Archivo: P2.001842_ES_01_ES-12

Nº Encargo: **P2.001842**

Nº Plano: **ES-12**

Visado:

Documento visado electrónicamente con número: VA07290/22
Código de validación telemática TRLTDCFZ60T66IJ1. Comprobación: https://cogitivalencia.e-gestion.es/Validacion.aspx?CVT=TRLTDCFZ60T66IJ1

ELEMENTOS LUMINOSOS

SIGNIFICADO DE LA SEÑAL	SÍMBOLO	COLORES DEL SÍMBOLO	COLORES DE SEGURIDAD	COLORES DE CONTRASTE	ELEMENTO DE SEÑALIZACIÓN
SEMÁFORO (TRICOLOR)		ROJO ÁMBAR VERDE	ROJO ÁMBAR VERDE	NEGRO	
LUZ ÁMBAR INTERMITENTE		ÁMBAR	ÁMBAR	NEGRO	
LUZ ÁMBAR ALTERNATIVAMENTE INTERMITENTE		ÁMBAR	ÁMBAR	ÁMBAR	
TRIPE LUZ ÁMBAR INTERMITENTE		ÁMBAR	ÁMBAR	ÁMBAR	
DISCO LUMINOSO MANUAL DE PASO PERMITIDO		BLANCO	AZUL	BLANCO	
DISCO LUMINOSO MANUAL DE STOP O PASO PERMITIDO	STOP	BLANCO	ROJO	BLANCO	
LÍNEA DE LUCES AMARILLAS FIJAS		ÁMBAR	ÁMBAR	ÁMBAR	
CASCADA LUMINOSA		ÁMBAR	ÁMBAR	ÁMBAR	
LUZ AMARILLA FIJA		ÁMBAR	ÁMBAR	ÁMBAR	
LUZ ROJA FIJA		ROJO	ROJO	ROJO	

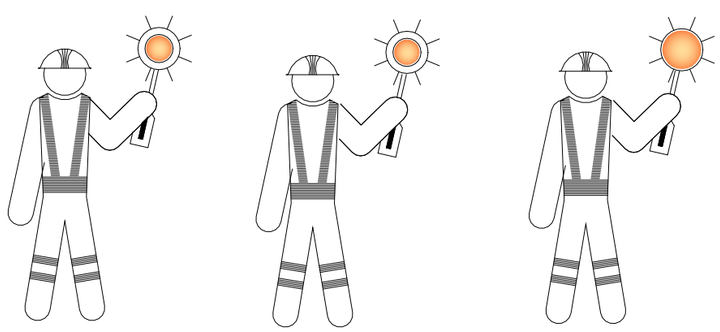

SEÑALES MANUALES

SIGNIFICADO DE LA SEÑAL	SÍMBOLO	COLORES DEL SÍMBOLO	COLORES DE SEGURIDAD	COLORES DE CONTRASTE	ELEMENTO DE SEÑALIZACIÓN
BANDERA ROJA		ROJO	ROJO	ROJO	
DISCO AZUL DE PASO PERMITIDO		BLANCO	AZUL	BLANCO	
DISCO DE STOP DE PASO PERMITIDO	STOP	BLANCO	ROJO	BLANCO	

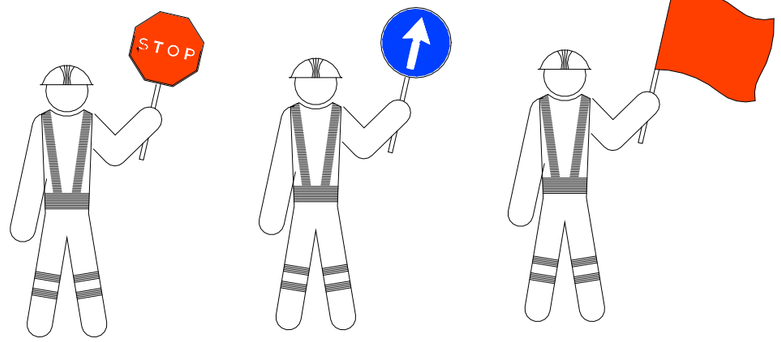

El presente documento es propiedad exclusiva de GRUPOTEC. Todos los derechos a su uso quedan reservados. Este, no podrá ser reproducido en forma alguna, total o parcialmente, comunicarlo a terceros, ni su información usada por personas, físicas o jurídicas, que no tengan los permisos necesarios expedidos por GRUPOTEC, para su Tramitación, Planificación Obra o Instalación.

Promotor:

valenciaport
Autoridad Portuaria de Valencia

VISADO
COGITI
VALENCIA
TRLTDCFZ60T66IJ1
VA07290/22

Empresa Consultora:

grupotec

El ingeniero Técnico industrial
Colegiado nº: 9.613

Javier Coli Gilabert

ESTUDIO DE SEGURIDAD Y SALUD

INSTALACIÓN DE PLANTA GENERACIÓN FOTOVOLTAICA SOBRE LA CUBIERTA DEL SILO DE VEHÍCULOS DE VALENCIA TERMINAL EUROPA, EN MUELLE DIQUE DEL ESTE, EN PUERTO DE VALENCIA

Situación:

Valencia

Denominación:

INSTALACIONES PROVISIONALES DE OBRA.
Señalización
ELEMENTOS LUMINOSOS

Escala gráfica:

Escala: S/E — FORMATO A3

Fecha: FEBRERO 2022

Archivo: P2.001842_ES_01_ES-13

Nº Encargo: P2.001842

Nº Plano: ES-13

Visado:

Documento visado electrónicamente con número: VA07290/22
Código de validación telemática TRLTDCFZ60T66IJ1. Comprobación: https://cogitivalencia.e-gestion.es/Validacion.aspx?CVT=TRLTDCFZ60T66IJ1

SIGNIFICADO DE LA SEÑAL	SÍMBOLO	COLORES			ELEMENTO DE SEÑALIZACIÓN
		DEL SÍMBOLO	DE SEGURIDAD	DE CONTRASTE	
PANEL DIRECCIONAL ALTO		ROJO	BLANCO	BLANCO	
PANEL DIRECCIONAL ESTRECHO		ROJO	BLANCO	BLANCO	
PANEL DOBLE DIRECCIONAL ALTO		ROJO	BLANCO	BLANCO	
PANEL DOBLE DIRECCIONAL ESTRECHO		ROJO	BLANCO	BLANCO	
PANEL DE ZONA EXCLUIDA AL TRAFICO		ROJO	BLANCO	BLANCO	
CONO		ROJO	BLANCO	BLANCO	

SIGNIFICADO DE LA SEÑAL	SÍMBOLO	COLORES			ELEMENTO DE SEÑALIZACIÓN
		DEL SÍMBOLO	DE SEGURIDAD	DE CONTRASTE	
PIQUETE		ROJO	BLANCO	BLANCO	
BALIZA DE BORDE DERECHO		ROJO	BLANCO	BLANCO	
BALIZA DE BORDE DERECHO		ROJO	BLANCO	BLANCO	
HITO DE BORDE REFLEXIVO Y LUMINISCENTE		NARANJA	NARANJA	NARANJA	
GUIRNALDA		ROJO BLANCO	ROJO BLANCO	ROJO BLANCO	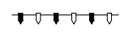



CINTA BALIZAMIENTO PLASTICO

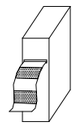



LAMPARA AUTONOMA FIJA INTERMITENTE

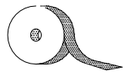

CINTA BALIZAMIENTO REFLECTANTE

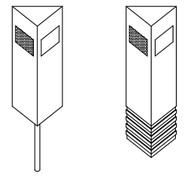

HITOS CAPTAFAROS PARA SENALIZACION LATERAL DE AUTOPISTA EN POLIETILENO



PANELES DIRECCIONALES PARA CURVAS



PANELES DIRECCIONALES PARA OBRAS



VALLA DE OBRAS MODELO 2

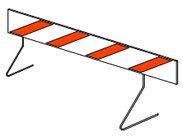

VALLA DE OBRAS MODELO 1

CORDON BALIZAMIENTO

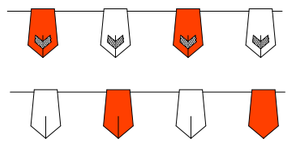

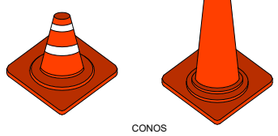

CONOS

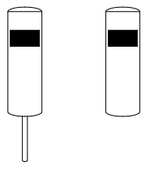

HITOS DE PVC

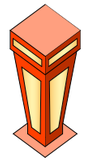

HITO LUMINOSO

El presente documento es propiedad exclusiva de GRUPOTEC. Todos los derechos a su uso quedan reservados. Este, no podrá ser reproducido en forma alguna, total o parcialmente, comunicarlo a terceros, ni su información usada por personas, físicas o jurídicas, que no tengan los permisos necesarios expedidos por GRUPOTEC, para su Tramitación, Planificación Obra o Instalación.

Promotor:

valenciaport
Autoridad Portuaria de Valencia

VISADO
COGITI
VALENCIA
TRLTDCFZ60T66IJ1
VA07290/22

Empresa Consultora:

grupotec

El ingeniero Técnico industrial
Colegiado nº: 9.613

Javier Coli Gilabert

ESTUDIO DE SEGURIDAD Y SALUD

INSTALACIÓN DE PLANTA GENERACIÓN FOTOVOLTAICA SOBRE LA CUBIERTA DEL SILO DE VEHÍCULOS DE VALENCIA TERMINAL EUROPA, EN MUELLE DIQUE DEL ESTE, EN PUERTO DE VALENCIA

Situación:

Valencia

Denominación:

INSTALACIONES PROVISIONALES DE OBRA. Señalización BALIZAMIENTO REFLECTANTE

Escala gráfica:

Escala: S/E — FORMATO A3 — Fecha: FEBRERO 2022

Archivo: P2.001842_ES_01_ES-14 — Nº Plano: **ES-14**

Nº Encargo: **P2.001842**

Visado:

Documento visado electrónicamente con fecha de visado: VA07290/22
Código de validación telemática TRLTDCFZ60T66IJ1. Comprobación: https://cogitivalencia.e-gestion.es/Validacion.aspx?CVT=TRLTDCFZ60T66IJ1

SIGNIFICADO DE LA SEÑAL	SÍMBOLO	COLORES			SEÑAL DE SEGURIDAD
		DEL SÍMBOLO	DE SEGURIDAD	DE CONTRASTE	
PROTECCIÓN OBLIGATORIA DE VÍAS RESPIRATORIAS		BLANCO	AZUL	BLANCO	
PROTECCIÓN OBLIGATORIA DE LA CABEZA		BLANCO	AZUL	BLANCO	
PROTECCIÓN OBLIGATORIA DEL OÍDO		BLANCO	AZUL	BLANCO	
PROTECCIÓN OBLIGATORIA DE LA VISTA		BLANCO	AZUL	BLANCO	
PROTECCIÓN OBLIGATORIA DE LAS MANOS		BLANCO	AZUL	BLANCO	
PROTECCIÓN OBLIGATORIA DE LOS PIES		BLANCO	AZUL	BLANCO	
USO OBLIGATORIO OBLIGATORIO DE PANTALLA		BLANCO	AZUL	BLANCO	
USO OBLIGATORIO DE PROTECTOR AJUSTABLE		BLANCO	AZUL	BLANCO	

SIGNIFICADO DE LA SEÑAL	SÍMBOLO	COLORES			SEÑAL DE SEGURIDAD
		DEL SÍMBOLO	DE SEGURIDAD	DE CONTRASTE	
USO OBLIGATORIO DE CINTURAS DE SEGURIDAD		BLANCO	AZUL	BLANCO	
USO OBLIGATORIO DE GAFAS O PANTALLA		BLANCO	AZUL	BLANCO	
OBLIGACIÓN DE LAVARSE LAS MANOS		BLANCO	AZUL	BLANCO	
USO OBLIGATORIO DE CALZADO ANTIESTATICO		BLANCO	AZUL	BLANCO	
EMPUJAR NO ARRASTRAR		BLANCO	AZUL	BLANCO	
USO OBLIGATORIO OBLIGATORIO DE PANTALLA		BLANCO	AZUL	BLANCO	
USO OBLIGATORIO DE PROTECTOR AJUSTABLE		BLANCO	AZUL	BLANCO	

Establecimiento de las dimensiones de una señal hasta una distancia de 50 metros:

$$S \geq \frac{L^2}{2000}$$

Siendo L la distancia en metros desde donde se puede ver la señal y S la superficie en metros de la señal

El presente documento es propiedad exclusiva de GRUPOTEC. Todos los derechos a su uso quedan reservados. Este, no podrá ser reproducido en forma alguna, total o parcialmente, comunicado a terceros, ni su información usada por personas, físicas o jurídicas, que no tengan los permisos necesarios expedidos por GRUPOTEC., para su Tramitación, Planificación Obra o Instalación.

Promotor:

valenciaport
Autoridad Portuaria de Valencia

VISADO
COGITI
VALENCIA
TRLTDCFZ60T66IJ1
VA07290/22

Empresa Consultora:

grupotec

El ingeniero Técnico industrial
Colegiado nº: 9.613

Javier Coli Gilabert

ESTUDIO DE SEGURIDAD Y SALUD

INSTALACIÓN DE PLANTA GENERACIÓN FOTOVOLTAICA SOBRE LA CUBIERTA DEL SILO DE VEHÍCULOS DE VALENCIA TERMINAL EUROPA, EN MUELLE DIQUE DEL ESTE, EN PUERTO DE VALENCIA

Situación:

Valencia

Denominación:

INSTALACIONES PROVISIONALES DE OBRA.
Señalización
SEÑALES DE OBLIGACION

Escala gráfica:

Escala: S/E — FORMATO A3 — Fecha: FEBRERO 2022

Archivo: P2.001842_ES_01_ES-15 — Nº Plano: **ES-15**

Nº Encargo: **P2.001842**

Visado:

Documento visado electrónicamente con fecha: VA07290/22
Código de validación telemática TRLTDCFZ60T66IJ1. Comprobación: https://cogitivalencia.e-gestion.es/Validacion.aspx?CVT=TRLTDCFZ60T66IJ1

TELEFONOS DE EMERGENCIA

DIRECCION DE LA OBRA

BOMBEROS

POLICIA NACIONAL

GUARDIA CIVIL

SERVICIO MEDICO
Dr. _____

MEDICO ASISTENCIAL PARA LA OBRA
Dr. _____

AMBULANCIAS

HOSPITALES

Establecimiento de las dimensiones de una señal hasta una distancia de 50 metros:

$$S \geq \frac{L^2}{2000}$$

Siendo L la distancia en metrosd desde donde se puede ve la señal y SD la superficie en metros de la señal.

SEÑALES DE SALVAMENTO

SIGNIFICADO DE LA SEÑAL	SIMBOLO	COLORES			SEÑAL DE SEGURIDAD
		DEL SIMBOLO	DE SEGURIDAD	DE CONTRASTE	
EQUIPO DE PRIMEROS AUXILIOS		BLANCO	VERDE	BLANCO	
LOCALIZACION DE PRIMEROS AUXILIOS		BLANCO	VERDE	BLANCO	
DIRECCION HACIA PRIMEROS AUXILIOS		BLANCO	VERDE	BLANCO	
LOCALIZACION SALIDA DE SOCORRO		BLANCO	VERDE	BLANCO	
DIRECCION HACIA SALIDA DE SOCORRO		BLANCO	VERDE	BLANCO	

El presente documento es propiedad exclusiva de GRUPOTEC. Todos los derechos a su uso quedan reservados. Este, no podrá ser reproducido en forma alguna, total o parcialmente, comunicarlo a terceras, ni su información usada por personas, físicas o jurídicas, que no tengan los permisos necesarios expedidos por GRUPOTEC, para su Tramitación, Planificación Obra o Instalación.

Promotor:

valenciaport
Autoridad Portuaria de Valencia

VISADO
COGITI
VALENCIA
TRLTDCFZ60T66IJ1
VA07290/22

Empresa Consultora:

grupotec

El ingeniero Técnico industrial
Colegiado nº: 9.613

Javier Coli Gilabert

ESTUDIO DE SEGURIDAD Y SALUD

INSTALACIÓN DE PLANTA GENERACIÓN FOTOVOLTAICA SOBRE LA CUBIERTA DEL SILO DE VEHÍCULOS DE VALENCIA TERMINAL EUROPA, EN MUELLE DIQUE DEL ESTE, EN PUERTO DE VALENCIA

Situación:

Valencia

Denominación:

INSTALACIONES PROVISIONALES DE OBRA.
Señalización
INFORMACIÓN Y SEÑALES DE SALVAMENTO.

Escala gráfica:

Escala: S/E — FORMATO A3 — Fecha: FEBRERO 2022

Archivo: P2.001842_ES_01_ES-16 — Nº Plano: ES-16

Nº Encargo: P2.001842

Visado:

Documento visado electrónicamente con número: VA07290/22
Código de validación telemática TRLTDCFZ60T66IJ1. Comprobación: https://cogitivalencia.e-gestion.es/Validacion.aspx?CVT=TRLTDCFZ60T66IJ1

SEÑALES DE PELIGRO

SEÑALIZACION

Clave	Señal	Denominación
TP-3		Semáforos
TP-13a		Curva peligrosa hacia la derecha
TP-13b		Curva peligrosa hacia la izquierda
TP-14a		Curvas peligrosas hacia la derecha
TP-14b		Curvas peligrosas hacia la izquierda
TP-15		Perfil irregular
TP-15a		Resalto
TP-15b		Baden
TP-17		Estrechamiento de calzada

Clave	Señal	Denominación
TP-17a		Estrechamiento de calzada por la derecha
TP-17b		Estrechamiento de calzada por la izquierda
TP-18		Obras
TP-19		Pavimento deslizante
TP-25		Circulación en los dos sentidos
TP-26		Desprendimiento
TP-28		Proyección de gravilla
TP-30		Escalón lateral
TP-50		Otros peligros

SEÑALES DE INDICACIÓN

SEÑALIZACION

Clave	Señal	Denominación
TS-52		Reducción de un carril por la derecha. (3 a 2)
TS-53		Reducción de un carril por la izquierda. (3 a 2)
TS-54		Reducción de un carril por la derecha. (2 a 1)
TS-55		Reducción de un carril por la izquierda. (2 a 1)
TS-60		Desvio de un carril por la calzada opuesta.
TS-61		Desvio de un carril por la calzada opuesta, manteniendo otro por la de las obras.
TS-62		Desvio de dos carriles por la calzada opuesta.

Clave	Señal	Denominación
TS-210		Cartel croquis.
TS-220		Preseñalización de direcciones.
TS-800		Distancia al comienzo de peligro o prescripción.
TS-810		Longitud del tramo peligroso o sujeto a prescripción.
TS-860		Panel genérico con la inscripción que corresponda.

El presente documento es propiedad exclusiva de GRUPOTEC. Todos los derechos a su uso quedan reservados. Este, no podrá ser reproducido en forma alguna, total o parcialmente, comunicarlo a terceros, ni su información usada por personas, físicas o jurídicas, que no tengan los permisos necesarios expedidos por GRUPOTEC, para su Tramitación, Planificación Obra o Instalación.

Promotor:

valenciaport
Autoridad Portuaria de Valencia

VISADO
COGITI
VALENCIA
TRLTDCFZ60T66IJ1
VA07290/22

Empresa Consultora:

grupotec

El ingeniero Técnico industrial
Colegiado nº: 9.613

Javier Coli Gilabert

ESTUDIO DE SEGURIDAD Y SALUD

INSTALACIÓN DE PLANTA GENERACIÓN FOTOVOLTAICA SOBRE LA CUBIERTA DEL SILO DE VEHÍCULOS DE VALENCIA TERMINAL EUROPA, EN MUELLE DIQUE DEL ESTE, EN PUERTO DE VALENCIA

Situación:

Valencia

Denominación:

INSTALACIONES PROVISIONALES DE OBRA.
Señalización
SEÑALES DE INDICACION Y DE PELIGRO

Escala gráfica:

Escala: S/E | FORMATO A3 | Fecha: FEBRERO 2022

Archivo: P2.001842_ES_01_ES-17 | Nº Plano: ES-17

Nº Encargo: P2.001842

Visado:

Documento visado electrónicamente con número: VA07290/22
Código de validación telemática TRLTDCFZ60T66IJ1. Comprobación: https://cogitivalencia.e-gestion.es/Validacion.aspx?CVT=TRLTDCFZ60T66IJ1

SEÑALES DE REGLAMENTACION Y PRIORIDAD

SEÑALIZACION

Clave	Señal	Denominación
TR-5		Prioridad al sentido contrario
TR-6		Prioridad respecto al sentido contrario
TR-101		Entrada prohibida
TR-106		Entrada prohibida vehículos destinados al transporte de mercancias
TR-201		Limitación de peso
TR-204		Limitación de anchura
TR-205		Limitación de altura
TR-301		Velocidad máxima
TR-302		Giro a la derecha prohibido
TR-303		Giro a la izquierda prohibido
TR-305		Adelantamiento prohibido

Clave	Señal	Denominación
TR-306		Adelantamiento prohibido a camiones
TR-308		Estacionamiento prohibido
TR-400a		Sentido obligatorio
TR-400b		Sentido obligatorio
TR-401a		Paso obligatorio
TR-401b		Paso obligatorio
TR-500		Fin de prohibiciones
TR-501		Fin de limitación de velocidad
TR-502		Fin de limitación de adelantamiento
TR-503		Fin de limitación de adelantamiento para camiones

El presente documento es propiedad exclusiva de GRUPOTEC. Todos los derechos a su uso quedan reservados. Este, no podrá ser reproducido en forma alguna, total o parcialmente, comunicarlo a terceros, ni su información usada por personas, físicas o jurídicas, que no tengan los permisos necesarios expedidos por GRUPOTEC, para su Tramitación, Planificación Obra o instalación.

Promotor:

valenciaport
Autoridad Portuaria de Valencia

VISADO
COGITI
VALENCIA
TRLTDCFZ60T66IJ1
VA07290/22

Empresa Consultora:

grupotec

El ingeniero Técnico industrial
Colegiado nº: 9.613

Javier Coli Gilabert

ESTUDIO DE SEGURIDAD Y SALUD

INSTALACIÓN DE PLANTA GENERACIÓN FOTOVOLTAICA SOBRE LA CUBIERTA DEL SILO DE VEHÍCULOS DE VALENCIA TERMINAL EUROPA, EN MUELLE DIQUE DEL ESTE, EN PUERTO DE VALENCIA

Situación:

Valencia

Denominación:

INSTALACIONES PROVISIONALES DE OBRA.
Señalización
SEÑALES DE REGLAMENTACION Y PRIORIDAD

Escala gráfica:

Escala: S/E — FORMATO A3

Fecha: FEBRERO 2022

Archivo: P2.001842_ES_01_ES-18

Nº Encargo: P2.001842

Nº Plano: ES-18

Visado:

Documento visado electrónicamente con fecha: VA07290/22
Código de validación telemática TRLTDCFZ60T66IJ1. Comprobación: https://cogitivalencia.e-gestion.es/Validacion.aspx?CVT=TRLTDCFZ60T66IJ1

VISADO
COGITI
VALENCIA
VA07290/22
TRLTDCFZ60T66IJ1

INSTALACIÓN DE PLANTA GENERACIÓN FOTOVOLTAICA SOBRE LA CUBIERTA DEL SILO DE VEHÍCULOS DE VALENCIA TERMINAL EUROPA, EN MUELLE DIQUE DEL ESTE, EN PUERTO DE VALENCIA.

ANEJO Nº9

Estudio de Seguridad y Salud. Pliego

Documento visado electrónicamente con número: VA07290/22
Código de validación telemática TRLTDCFZ60T66IJ1. Comprobación: https://cogitivalencia.e-gestion.es/Validacion.aspx?CVT=TRLTDCFZ60T66IJ1

VISADO
COGITI
VALENCIA
VA07290/22
TRLTDCFZ60T66IJ1

14. Normativa de aplicación

La ejecución de la obra estará regulada por la Normativa de obligada aplicación que a continuación se cita, siendo de obligado cumplimiento por las partes implicadas.

Esta relación de dichos textos legales no es exclusiva ni excluyente respecto de otra Normativa específica que pudiera encontrarse en vigor.

Ley 31/1995, de 8 de noviembre, de prevención de Riesgos Laborales.

Real Decreto 39/1997, de 17 de enero, por el que se aprueba el Reglamento de los Servicios de Prevención.

Real Decreto 1627/1997 de 24 de octubre, por el que se establecen las disposiciones mínimas de seguridad y salud en las obras de construcción.

Real Decreto 171/2004, de 30 de enero, por el que se desarrolla el artículo 24 de la Ley 31/1995, de 8 de noviembre, de Prevención de Riesgos Laborales, en materia de coordinación de actividades empresariales.

Equipos de protección individual

Real Decreto 159/1995, sobre condiciones para la comercialización y libre circulación intracomunitaria de los equipos de protección individual-EPI.

Real Decreto 773/1997 de 30 de mayo, sobre disposiciones mínimas de seguridad y salud relativas a la utilización por trabajadores de equipos de protección individual.

Equipos de trabajo

Real Decreto 1215/1997. Disposiciones mínimas de seguridad y salud para la utilización por los trabajadores de los equipos de trabajo.

Real Decreto 2177/2004, de 12 de noviembre, por el que se modifica el Real Decreto 1215/1997, de 18 de julio, por el que se establecen las disposiciones mínimas de seguridad y salud para la utilización por los trabajadores de los equipos de trabajo, en materia de trabajos temporales en altura.

Seguridad en máquinas

Real Decreto 2291/1985, de 8 noviembre, que aprueba el Reglamento de Aparatos de Elevación y Manutención.

Real Decreto 837/2003, de 27 de junio, por el que se aprueba el nuevo texto modificado y refundido de la Instrucción técnica complementaria "MIE-AEM-4" del Reglamento de aparatos de elevación y manutención, referente a grúas móviles autopropulsadas.

Real Decreto 1495/1986, modificación R.D. 830/1991, aprueba el Reglamento de Seguridad en las máquinas.

Real Decreto 1644/2008, de 10 de octubre, por el que se establecen las normas para la comercialización y puesta en servicio de las máquinas

Otras disposiciones de aplicación

Real Decreto 487/1997 Disposiciones mínimas de seguridad y salud relativas a la manipulación manual de cargas que entrañen riesgos, en particular dorsolumbares, para los trabajadores.

Documento visado electrónicamente con número: VA07290/22
Código de validación telemática TRLTDCFZ60T66IJ1. Comprobación: https://cogitivalencia.e-gestion.es/Validacion.aspx?CVT=TRLTDCFZ60T66IJ1

VISADO
COGITI
VALENCIA
VA07290/22
TRLTDCFZ60T66IJ1

Real Decreto 665/1997, de 12 de mayo, sobre la protección de los trabajadores contra los riesgos relacionados con la exposición a agentes cancerígenos durante el trabajo.

Real Decreto 374/2001, de 6 de abril, sobre la protección de la salud y seguridad de los trabajadores contra los riesgos relacionados con los agentes químicos durante el trabajo.

Real Decreto 614/2001, de 8 de junio, sobre disposiciones mínimas para la protección de la salud y seguridad de los trabajadores frente al riesgo eléctrico.

Reglamento electrotécnico de baja Tensión e Instrucciones Complementarias (2002).

Real Decreto 396/2006, de 31 de marzo, por el que se establecen las disposiciones mínimas de seguridad y salud aplicables a los trabajos con riesgo de exposición al amianto.

Real Decreto 1311/2005, de 4 de noviembre, sobre la protección de la salud y la seguridad de los trabajadores frente a los riesgos derivados o que puedan derivarse de la exposición a vibraciones mecánicas.

Real Decreto 286/2006, de 10 de marzo, sobre la protección de la salud y la seguridad de los trabajadores contra los riesgos relacionados con la exposición al ruido.

Ley 32/2006, de 18 de octubre, reguladora de la subcontratación en el Sector de la Construcción.

Real Decreto 1299/2006, de 10 de noviembre, por el que se aprueba el cuadro de enfermedades profesionales en el sistema de la Seguridad Social y se establecen criterios para su notificación y registro.

Orden TAS/1/2007, de 2 de enero, por la que se establece el modelo de parte de enfermedad profesional, se dictan normas para su elaboración y transmisión y se crea el correspondiente fichero de datos personales.

Real Decreto 1109/2007, de 24 de agosto, por el que se desarrolla la Ley 32/2006, de 18 de octubre, reguladora de la subcontratación en el Sector de la Construcción.

Real Decreto 327/2009, de 13 de marzo, por el que se modifica el Real Decreto 1109/2007, de 24 de agosto, por el que se desarrolla la Ley 32/2006, de 18 de octubre, reguladora de la subcontratación en el sector de la construcción.

Real Decreto 330/2009, de 13 de marzo, por el que se modifica el Real Decreto 1311/2005, de 4 de noviembre, sobre la protección de la salud y la seguridad de los trabajadores frente a los riesgos derivados o que puedan derivarse de la exposición a vibraciones mecánicas.

Ley 25/2009, de 22 de diciembre, de modificación de diversas leyes para su adaptación a la Ley sobre el libre acceso a las actividades de servicios y su ejercicio.

Real Decreto 337/2010, de 19 de marzo, por el que se modifican el Real Decreto 39/1997, de 17 de enero, por el que se aprueba el Reglamento de los Servicios de Prevención; el Real Decreto 1109/2007, de 24 de agosto, por el que se desarrolla la Ley 32/2006, de 18 de octubre, reguladora de la subcontratación en el sector de la construcción y el Real Decreto 1627/1997, de 24 de octubre, por el que se establecen disposiciones mínimas de seguridad y salud en obras de construcción.

Real Decreto 486/2010, de 23 de abril, sobre la protección de la salud y la seguridad de los trabajadores contra los riesgos relacionados con la exposición a radiaciones ópticas artificiales.

Orden TIN/1071/2010, de 27 de abril, sobre los requisitos y datos que deben reunir las comunicaciones de apertura o de reanudación de actividades en los centros de trabajo.

Documento visado electrónicamente con número: VA07290/22
Código de validación telemática TRLTDCFZ60T66IJ1. Comprobación: https://cogitivalencia.e-gestion.es/Validacion.aspx?CVT=TRLTDCFZ60T66IJ1

VISADO
COGITI
VALENCIA
VA07290/22
TRLTDCFZ60T66IJ1

Orden TIN/2504/2010, de 20 de septiembre, por la que es desarrolla el Real Decreto 39/1997, de 17 de enero, por el que se aprueba el Reglamento de los Servicios de Prevención, en lo que se ha referido a la acreditación de entidades especializadas como servicios de prevención, memoria de actividades preventiva y autorización para realizar la actividad de auditoría del sistema de prevención de las empresas.

Resolución de 5 de noviembre de 2010, de la Dirección General de Ordenación de la Seguridad Social, por la que es dictan instrucciones a las mutuas de accidentes de trabajo y enfermedades profesionales de la Seguridad Social en relación con la aplicación del artículo 32 de la Ley 31/1995, de 8 de noviembre, de Prevención de Riesgos Laborales, en la redacción dada por la disposición final sexta de la Ley 32/2010, de 5 agosto.

Real Decreto 843/2011, de 17 de junio, por el que se establecen los criterios básicos sobre la organización de recursos para desarrollar la actividad sanitaria de los servicios de prevención.

VI Convenio Colectivo General del Sector de la Construcción (2017).

III Convenio colectivo estatal de la industria, la tecnología y los servicios del sector del metal (2019).

15. Condiciones técnicas de los medios de protección

Todas las prendas de protección personal o elementos de protección colectiva tendrán fijado un periodo de vida útil, desechándose a su término.

Cuando por las circunstancias del trabajo se produzca un deterioro más rápido en una determinada prenda o equipo, se repondrá ésta, independientemente de la duración prevista o fecha de entrega. Toda prenda o equipo de protección que haya sufrido un trato límite, es decir, el máximo para el que fue concebido (por ejemplo, por un accidente), será desechado y repuesto al momento. Aquellas prendas que por su uso hayan adquirido más holguras o tolerancias de las admitidas por el fabricante, serán repuestas inmediatamente.

El uso de una prenda o equipo de protección nunca representará un riesgo en sí mismo.

16. Condiciones técnicas de los equipos de trabajo

El mantenimiento y reparación de las máquinas quedará, asimismo, a cargo de tal personal, el cual seguirá siempre las instrucciones señaladas por el fabricante de las máquinas.

Las operaciones de instalación y mantenimiento deberán registrarse documentalmente en los libros de registro pertinentes de cada máquina. De no existir estos libros para aquellas máquinas utilizadas con anterioridad en otras obras, antes de su utilización, deberán ser revisadas con profundidad por personal competente, asignándoles el mencionado libro de registro de incidencias. En cualquier caso, deberá atenderse también a lo dispuesto en el R.D. 1215/1997, de 18 de julio, por el que se establecen las disposiciones mínimas de seguridad y salud para la utilización por los trabajadores de los equipos de trabajo.

Las máquinas con ubicación variable deberán ser revisadas por personal experto antes de su uso en obra según las instrucciones proporcionadas por el fabricante.

El personal encargado del uso de las máquinas empleadas en obra deberá estar debidamente autorizado para ello, proporcionándosele las instrucciones concretas de uso.

Documento visado electrónicamente con número: VA07290/22
Código de validación telemática TRLTDCFZ60T66IJ1. Comprobación: https://cogitivalencia.e-gestion.es/Validacion.aspx?CVT=TRLTDCFZ60T66IJ1

VISADO
COGITI
VALENCIA
VA07290/22
TRLTDCFZ60T66IJ1

17. Organización de la seguridad

17.1. Coordinador de seguridad y salud

Esta figura de la Seguridad y Salud fue creada mediante los Artículos 3, 4, 5 y 6 de la Directiva 92/57 C.E.E. -Disposiciones mínimas de seguridad y salud que deben aplicarse a las obras de construcciones temporales o móviles-. El Real Decreto 1627/1997 de 24 de octubre transpone a nuestro Derecho Nacional esta normativa incluyendo en su ámbito de aplicación cualquier obra pública o privada en la que se realicen trabajos de construcción o ingeniería civil.

En el Artículo 3 del Real Decreto 1627/1997 se regula la figura de los Coordinadores en materia de seguridad y salud, cuyo texto se transcribe a continuación:

Artículo 3. Designación de los coordinadores en materia de seguridad y salud.

1. En las obras incluidas en el ámbito de aplicación del Real Decreto 1627/97, cuando en la elaboración del proyecto de obra intervengan varios proyectistas, el promotor (Empresario titular del centro de trabajo según RD 171/2004) designará un coordinador en materia de seguridad y de salud durante la elaboración del proyecto de obra.

2. Cuando en la ejecución de la obra intervenga más de una empresa, o una empresa y trabajadores autónomos o diversos trabajadores autónomos, el promotor (Empresario titular del centro de trabajo según RD 171/2004), antes del inicio de los trabajos o tan pronto como se constate dicha circunstancia, designará un coordinador en materia de seguridad y salud durante la ejecución de la obra.

3. La designación de los coordinadores en materia de seguridad y salud durante la elaboración del proyecto de obra y durante la ejecución de la obra podrá recaer en la misma persona.

4. La designación de los coordinadores no eximirá al promotor (Empresario titular del centro de trabajo según RD 171/2004) de sus responsabilidades.

En el artículo 8 del Real Decreto 1627/1997 igualmente se reflejan los principios generales aplicables al proyecto de obra.

Además, conforme se establece en el Real Decreto 1109/2007, el Coordinador de Seguridad deberá:

a) Con relación a las anotaciones en el libro de incidencias: Efectuada una anotación en el libro de incidencias, el Coordinador en materia de seguridad y salud durante la ejecución de la obra, la notificará al contratista afectado y a los representantes de los trabajadores de éste.

En el caso de que la anotación se refiera a cualquier incumplimiento de las advertencias u observaciones previamente anotadas en dicho libro por las personas facultadas para ello, remitirá una copia a la Inspección de Trabajo y Seguridad Social en el plazo de veinticuatro horas. En todo caso, especificará si la anotación efectuada supone una reiteración de una advertencia u observación anterior o si, por el contrario, se trata de una nueva observación.

17.2. Plan de seguridad y salud

El Artículo 7 del Real Decreto 1627/1997, cuyo texto se transcribe a continuación indica que cada empresa concurrente (contratista) elaborará un Plan de Seguridad y Salud en el trabajo. Este Plan deberá ser aprobado, antes del inicio de la obra, por el Coordinador en materia de seguridad y salud durante la ejecución de la obra:

Artículo 7. Plan de seguridad y salud en el trabajo.

1. En aplicación del estudio de seguridad y salud o, en su caso, del estudio básico, cada contratista elaborará un plan de seguridad y salud en el trabajo en el que se analicen, estudien, desarrollen y

Documento visado electrónicamente con número: VA07290/22
Código de validación telemática TRLTDCFZ60T66IJ1. Comprobación: https://cogitivalencia.e-gestion.es/Validacion.aspx?CVT=TRLTDCFZ60T66IJ1

VISADO
COGITI
VALENCIA
VA07290/22
TRLTDCFZ60T66IJ1

complementen las previsiones contenidas en el estudio o estudio básico, en función de su propio sistema de ejecución de la obra. En dicho plan se incluirán, en su caso, las propuestas de medidas alternativas de prevención que el contratista proponga con la correspondiente justificación técnica que no podrán implicar disminución de los niveles de protección previstos en el estudio o estudio básico.

En el caso de planes de seguridad y salud elaborados en aplicación del estudio de seguridad y salud las propuestas de medidas alternativas de prevención incluirán la valoración económica de las mismas, que no podrá implicar disminución del importe total, de acuerdo con el segundo párrafo del apartado 4 del artículo 5.

2. El plan de seguridad y salud deberá ser aprobado antes del inicio de la obra, por el coordinador en materia de seguridad y de salud durante la ejecución de la obra.

En el caso de obras de las Administraciones públicas el plan, con el correspondiente informe del coordinador en materia de seguridad y de salud durante la ejecución de la obra, se elevará para su aprobación a la Administración pública que haya adjudicado la obra.

Cuando no sea necesaria la designación de coordinador, las funciones que se le atribuyen en los párrafos anteriores serán asumidas por la dirección facultativa.

3. En relación con los puestos de trabajo en la obra el plan de seguridad y salud en el trabajo a que se refiere este artículo constituye el instrumento básico de ordenación de las actividades de identificación y, en su caso evaluación de los riesgos y planificación de la actividad preventiva a las que se refiere el capítulo ll del Real Decreto por el que se aprueba el Reglamento de los Servicios de Prevención.

4. El plan de seguridad y salud podrá ser modificado por el contratista en función del proceso de ejecución de la obra, de la evolución de los trabajos y de las posibles incidencias o modificaciones que puedan surgir a lo largo de la obra, pero siempre con la aprobación expresa en los términos del apartado 2. Quienes intervengan en la ejecución de la obra, así como las personas u órganos con responsabilidades en materia de prevención en las empresas intervinientes en la misma y los representantes de los trabajadores, podrán presentar por escrito y de forma razonada, las sugerencias y alternativas que estimen oportunas. A tal efecto, el plan de seguridad y salud estará en la obra a disposición permanente de los mismos.

5. Asimismo, el plan de seguridad y salud estará en la obra a disposición permanente de la dirección facultativa.

El Artículo 9 del Real Decreto 1627/1997 regula las obligaciones del Coordinador en materia de seguridad y salud durante la ejecución de la obra, y que ya han tratadas anteriormente en este mismo Pliego.

El Artículo 10 del Real Decreto 1627/1997 refleja los principios generales aplicables durante la ejecución de la obra.

17.3. Libro de incidencias

El Artículo 13 del Real Decreto 1627/97 y la Disposición final tercera del RD 1109/2007 Modificaciones del Real Decreto 1627/1997, regulan las funciones de este documento.

Dicho libro será habilitado y facilitado al efecto por el Colegio Profesional al que pertenezca el técnico que aprueba el Plan de Seguridad y Salud.

Conforme el RD 1109/2007 (Disposición final tercera), el Coordinador de Seguridad deberá:

Efectuada una anotación en el libro de incidencias, el coordinador en materia de seguridad y salud durante la ejecución de la obra o, cuando no sea necesaria la designación de coordinador, la dirección facultativa, deberán notificarla al contratista afectado y a los representantes de los trabajadores de éste.

Documento visado electrónicamente con número: VA07290/22
Código de validación telemática TRLTDCFZ60T66IJ1. Comprobación: https://cogitivalencia.e-gestion.es/Validacion.aspx?CVT=TRLTDCFZ60T66IJ1

VISADO
COGITI
VALENCIA
VA07290/22
TRLTDCFZ60T66IJ1

En el caso de que la anotación se refiera a cualquier incumplimiento de las advertencias u observaciones previamente anotadas en dicho libro por las personas facultadas para ello, así como en el supuesto a que se refiere el artículo siguiente, deberá remitirse una copia a la Inspección de Trabajo y Seguridad Social en el plazo de veinticuatro horas. En todo caso, deberá especificarse si la anotación efectuada supone una reiteración de una advertencia u observación anterior o si, por el contrario, se trata de una nueva observación.

Las anotaciones podrán ser efectuadas por la Dirección Facultativa de la obra, el Coordinador en materia de seguridad y salud durante la ejecución de la obra, el Empresario principal (contratistas) y empresas concurrentes (subcontratistas), los trabajadores autónomos, así como las personas u órganos con responsabilidades en materia de prevención en las empresas intervinientes en la obra, los representantes de los trabajadores y los técnicos de los órganos especializados en materia de seguridad y salud en el trabajo de las Administraciones Públicas competentes.

Las anotaciones estarán, únicamente relacionadas con el control y seguimiento y especialmente con la inobservancia de las medidas, instrucciones y recomendaciones preventivas recogidas en los Planes de Seguridad y Salud respectivos.

17.4. Paralización de trabajos

Sin perjuicio de lo previsto en los apartados 2 y 3 del artículo 21 y en el artículo 44 de la Ley de Prevención de Riesgos Laborales, cuando el Coordinador en materia de Seguridad y Salud durante la ejecución de la obra o cualquier otra persona integrada en la Dirección Facultativa observase incumplimiento de las medidas de Seguridad y Salud, advertirá a la Empresa Principal (Contratista) de ello, dejando constancia de tal incumplimiento en el libro de incidencias, cuando éste exista de acuerdo con lo dispuesto en el artículo 13, apartado 1º del Real Decreto 1627/1997, y quedando facultado para, en circunstancias de riesgo grave e inminente para la Seguridad y Salud de los trabajadores, disponer la paralización de los tajos o, en su caso, de la totalidad de la obra.

En el supuesto previsto anteriormente, la persona que hubiera ordenado la paralización deberá dar cuenta a los efectos oportunos a la Inspección de Trabajo y Seguridad Social correspondiente, a las empresas Concurrentes (contratistas y subcontratistas) afectadas por la paralización, así como a los representantes de los trabajadores de éstos.

17.5. Contratista y subcontratistas

Estarán obligados a:

a) Aplicar los principios de la acción preventiva que se recogen en el artículo 15 de la LPRL, antes relacionados, en particular al desarrollar las tareas o actividades indicadas en el subapartado precedente.
b) Cumplir y hacer cumplir a su personal lo establecido en el plan de seguridad y salud (evaluación de riesgos).
c) Cumplir la normativa en materia de prevención de riesgos laborales, teniendo en cuenta las actividades de coordinación de actividades empresariales previstas en el artículo 24 de la LPRL, así como cumplir las disposiciones mínimas establecidas en el anexo IV del RDDMSC (disposiciones sustantivas de seguridad y salud material que deben aplicarse en las obras), durante la ejecución de la obra.
d) Informar y proporcionar las instrucciones adecuadas a los trabajadores autónomos sobre todas las medidas que hayan de adoptarse en lo que se refiere a su seguridad y salud en la obra.
e) Atender las indicaciones y cumplir las instrucciones del coordinador en materia de seguridad y de salud durante la ejecución de la obra o, en su caso, de la dirección facultativa.
f) Acreditar que disponen de recursos humanos, en su nivel directivo y productivo, que cuentan con la formación necesaria en prevención de riesgos laborales, así como de una organización preventiva adecuada a la Ley 31/1995, de 8 de noviembre, de Prevención de Riesgos Laborales.

Documento visado electrónicamente con número: VA07290/22
Código de validación telemática TRLTDCFZ60T66IJ1. Comprobación: https://cogitivalencia.e-gestion.es/Validacion.aspx?CVT=TRLTDCFZ60T66IJ1

VISADO
COGITI
VALENCIA
VA07290/22
TRLTDCFZ60T66IJ1

g) Estar inscritos en el Registro de Empresas Acreditadas, que depende de la Comunidad Autónoma donde radique el domicilio social de la empresa contratista o subcontratista.
h) Vigilar el cumplimiento de la Ley 32/2006, de 18 de octubre, por las empresas subcontratistas y trabajadores autónomos con que contraten, en particular en lo que se refiere a las obligaciones de acreditación y registro reguladas en el artículo 4.2 y al régimen de la subcontratación regulado en el artículo 5 de la citada ley.
i) Las empresas subcontratistas deberán comunicar o trasladar al contratista, a través de sus respectivas empresas comitentes en caso de ser distintas a aquél, toda la información o documentación que afecte al contenido del capítulo II de la Ley 32/2006, de 18 de octubre.
j) El contratista deberá comunicar al coordinador de seguridad y salud y a los representantes de los trabajadores de las empresas incluidas en el ámbito de ejecución de su contrato que figuren en el Libro de Subcontratación, la subcontratación excepcional prevista en el artículo 5.3. de la Ley 32/2006, de 18 de agosto.
k) Cada contratista debe disponer de un Libro de Subcontratación, que permanecerá en todo momento en la obra.
l) Cada empresa debe disponer de la documentación o título que acredite la posesión de la maquinaria que utiliza y de cuanta documentación exija la legislación vigente.
m) Al margen de las obligaciones anteriores, los contratistas y subcontratistas serán responsables de la ejecución correcta de las medidas preventivas fijadas en el plan de seguridad y salud en lo relativo a las obligaciones que les correspondan a ellos directamente o, en su caso, a los trabajadores autónomos por ellos contratados. Se trata, por un lado, de una manifestación concreta del deber de cooperación, y, por otro, del deber «in vigilando» a que alude el artículo 24 de la LPRL.
n) Asimismo, deberán responder solidariamente de las consecuencias que se deriven del incumplimiento de las medidas previstas en el plan, de forma que la cadena de responsabilidades alcanza desde el empresario principal hasta el último subcontratista, pasando por los contratistas que hayan contratado a estos últimos.

17.6. Trabajadores autónomos

Estarán obligados a:

a) Aplicar los principios de la acción preventiva que se recogen en el artículo 15 de la LPRL, en particular al desarrollar las tareas o actividades relacionadas en el subapartado dedicado a las obligaciones del coordinador en materia de seguridad y salud durante la ejecución de la obra, al que nos remitimos.
b) Cumplir las disposiciones mínimas de seguridad y salud establecidas en el Anexo IV Disposiciones mínimas de seguridad y de salud que deberán aplicarse en las obras del Real Decreto 1627/1997 durante la ejecución de la obra.
c) Cumplir las obligaciones en materia de prevención de riesgos que establece para los trabajadores el artículo 29, apartados 1 y 2, de la LPRL. Se trata, en concreto, de usar adecuadamente las máquinas, aparatos, herramientas, sustancias peligrosas, equipos de transporte y, en general, cualesquiera otros medios con los que desarrollen su actividad y utilizar correctamente los medios y equipos de protección facilitados por el empresario, de acuerdo con las instrucciones recibidas de éste.
d) Ajustar su actuación en la obra conforme a los deberes de coordinación de actividades empresariales establecidos en el artículo 24 de la LPRL, debiendo participar en cualquier medida de actuación coordinada que se hubiera establecido.
e) Utilizar equipos de trabajo que se ajusten a lo dispuesto en el Real Decreto 1215/1997, de 18 de julio, por el que se establecen las disposiciones mínimas de seguridad y salud para la utilización por los trabajadores de los equipos de trabajo (cuyo texto y comentario encontrará el lector en los apartados XI-12 correspondientes del presente capítulo).

Documento visado electrónicamente con número: VA07290/22
Código de validación telemática TRLTDCFZ60T66IJ1. Comprobación: https://cogitivalencia.e-gestion.es/Validacion.aspx?CVT=TRLTDCFZ60T66IJ1

VISADO
COGITI
VALENCIA
VA07290/22
TRLTDCFZ60T66IJ1

f) Elegir y utilizar equipos de protección individual en los términos previstos en el Real Decreto 773/1997, de 30 de mayo, sobre disposiciones mínimas de seguridad y salud relativas a la utilización por los trabajadores de equipos de protección individual.
g) Atender las indicaciones y cumplir las instrucciones del coordinador en materia de seguridad y de salud durante la ejecución de la obra o, en su caso, de la dirección facultativa.
h) Cumplir lo establecido en el plan de seguridad y salud.

17.7. Trabajadores

Los contratistas y subcontratistas deberán garantizar que los trabajadores reciban una información adecuada y comprensible de todas las medidas que hayan de adoptarse en lo que se refiere a su seguridad y su salud en la obra.

Una copia del plan de seguridad y de sus posibles modificaciones, a los efectos de su conocimiento y seguimiento, será facilitada por el contratista a los representantes de los trabajadores en el centro de trabajo.

Los trabajadores están obligados a seguir las indicaciones especificadas en el plan, así como el uso de las medidas de protección que se les proporcione, debiendo pedir aquella protección que consideren necesaria y no se les ha facilitado.

17.8. Medidas para el control de acceso a obra

Habrá que distinguir entre trabajadores de la obra y otras personas que puedan acceder a la misma (técnicos, suministradores, visitas, etc.).

En relación con el acceso de los trabajadores a la obra, el control se debe realizar respecto de los trabajadores propios, así como sobre las empresas y trabajadores autónomos subcontratados.

No se debería autorizar el acceso a la obra de aquellos trabajadores que no cumplan los siguientes requisitos:

- Identificación del trabajador reflejando su nombre y apellidos, DNI, categoría profesional y empresa a la que pertenecen.
- Aportar el certificado de superación de los reconocimientos médicos del trabajador.
- Aportar el justificante de que el trabajador ha recibido la información sobre los riesgos y medidas preventivas a adoptar en la obra en cuestión y el justificante de la formación recibida por el trabajador.
- Aportar el justificante de que el trabajador ha recibido los equipos de protección individual precisos para el normal desarrollo de su trabajo.

Los suministradores tienen que poder acceder a la obra para entregar el material o la mercancía que les ha sido encargada. A tal efecto, el contratista impartirá las instrucciones oportunas para que solo accedan a aquellas zonas de la obra habilitadas y siempre dotados de los adecuados equipos de protección individual.

El Promotor, la Dirección Facultativa y los responsables de la empresa contratista, como intervinientes en la ejecución y dirección de las obras, deben poder acceder a la obra, pero para ello habrán de hacerlo con los equipos de protección individual exigibles.

17.9. Formación e información

La empresa entregará a cada trabajador la información necesaria de seguridad referente a su puesto de trabajo.

Además de la formación prevista en el vigente Convenio General de la Construcción o Conveno Colectico estatal del Metal, la Dirección de la empresa velará para que todo el personal que realice su cometido en

Documento visado electrónicamente con número: VA07290/22
Código de validación telemática TRLTDCFZ60T66IJ1. Comprobación: https://cogitivalencia.e-gestion.es/Validacion.aspx?CVT=TRLTDCFZ60T66IJ1

VISADO
COGITI
VALENCIA
VA07290/22
TRLTDCFZ60T66IJ1

cualquiera de las fases de la obra, sea instruido sobre las normas particulares que para la ejecución de cada tarea o para la utilización de cada máquina, sean requeridas.

17.10. Vigilancia de la salud

Al ingresar en la empresa y con la periodicidad reglamentaria todo trabajador deberá ser sometido a la práctica de un reconocimiento médico acorde a su puesto de trabajo.

17.11. Servicios de prevención de las empresas

Los servicios de prevención deberán estar en condiciones de proporcionar a la empresa el asesoramiento y apoyo que precise en función de los tipos de riesgo en ella existentes y en lo referente a:

a) El diseño, aplicación y coordinación de los planes y programas de actuación preventiva.
b) La evaluación de los factores de riesgo que puedan afectar a la seguridad y la salud de los trabajadores en los términos previstos en el artículo 16 de esta Ley.
c) La determinación de las prioridades en la adopción de las medidas preventivas adecuadas y la vigilancia de su eficacia.
d) La información y formación de los trabajadores.
e) La prestación de los primeros auxilios y planes de emergencia.
f) La vigilancia de la salud de los trabajadores en relación con los riesgos derivados del trabajo.

Documento visado electrónicamente con número: VA07290/22
Código de validación telemática TRLTDCFZ60T66IJ1. Comprobación: https://cogitivalencia.e-gestion.es/Validacion.aspx?CVT=TRLTDCFZ60T66IJ1

VISADO
COGITI
VALENCIA
VA07290/22
TRLTDCFZ60T66IJ1

INSTALACIÓN DE PLANTA GENERACIÓN FOTOVOLTAICA SOBRE LA CUBIERTA DEL SILO DE VEHÍCULOS DE VALENCIA TERMINAL EUROPA, EN MUELLE DIQUE DEL ESTE, EN PUERTO DE VALENCIA.

ANEJO Nº9

Estudio de Seguridad y Salud. Presupuesto

Documento visado electrónicamente con número: VA07290/22
Código de validación telemática TRLTDCFZ60T66IJ1. Comprobación: https://cogitivalencia.e-gestion.es/Validacion.aspx?CVT=TRLTDCFZ60T66IJ1

VISADO
COGITI
VALENCIA
VA07290/22
TRLTDCFZ60T66IJ1

INDICE

1. PRESUPUESTO

Documento visado electrónicamente con número: VA07290/22
Código de validación telemática TRLTDCFZ60T66IJ1. Comprobación: https://cogitivalencia.e-gestion.es/Validacion.aspx?CVT=TRLTDCFZ60T66IJ1

VISADO
COGITI
VALENCIA
VA07290/22
TRLTDCFZ60T66IJ1

1. Presupuesto

El presupuesto del Estudio de Seguridad y Salud está incluido en el capitulo 14 del Documento nº4 “Presupuesto” y asciende a 30.697.52 €.

Documento visado electrónicamente con número: VA07290/22
Código de validación telemática TRLTDCFZ60T66IJ1. Comprobación: https://cogitivalencia.e-gestion.es/Validacion.aspx?CVT=TRLTDCFZ60T66IJ1

VISADO
COGITI
VALENCIA
VA07290/22
TRLTDCFZ60T66IJ1

INSTALACIÓN DE PLANTA GENERACIÓN FOTOVOLTAICA SOBRE LA CUBIERTA DEL SILO DE VEHÍCULOS DE VALENCIA TERMINAL EUROPA, EN MUELLE DIQUE DEL ESTE, EN PUERTO DE VALENCIA.

ANEJO Nº10

Estudio Gestión Residuos

Documento visado electrónicamente con número: VA07290/22
Código de validación telemática TRLTDCFZ60T66IJ1. Comprobación: https://cogitivalencia.e-gestion.es/Validacion.aspx?CVT=TRLTDCFZ60T66IJ1

VISADO
COGITI
VALENCIA
VA07290/22
TRLTDCFZ60T66IJ1

Índice

1. MEMORIA INFORMATIVA DEL ESTUDIO 3
2. DEFINICIONES 3
3. IDENTIFICACIÓN DE AGENTES INTERVINIENTES 4
4. ESTIMACIÓN DE LA CANTIDAD DE LOS RESIDUOS DE CONSTRUCCIÓN QUE SE GENERARÁN EN LA OBRA 8
5. MEDIDAS PARA LA PREVENCIÓN DE RESIDUOS 14
6. OPERACIONES DE REUTILIZACIÓN, VALORACIÓN O ELIMINACIÓN A QUE SE DESTINARÁN LOS RESIDUOS QUE SE GENERARÁN EN LA OBRA 14
7. MEDIDAS PARA LA SEPARACIÓN DE LOS RESIDUOS EN OBRA 18
8. VALORACIÓN DEL COSTE PREVISTO DE LA GESTIÓN DE LOS RESIDUOS 18

Documento visado electrónicamente con número: VA07290/22
Código de validación telemática TRLTDCFZ60T66IJ1. Comprobación: https://cogitivalencia.e-gestion.es/Validacion.aspx?CVT=TRLTDCFZ60T66IJ1

VISADO
COGITI
VALENCIA
VA07290/22
TRLTDCFZ60T66IJ1

1. MEMORIA INFORMATIVA DEL ESTUDIO

Se redacta este Estudio de Gestión de Residuos de Construcción y Demolición en cumplimiento del Real Decreto 105/2008, de 1 Febrero, por el que se regula la producción y gestión de los residuos de construcción y de demolición que establece, en su artículo 5, entre las obligaciones del poseedor de residuos de construcción y demolición la de presentar a la propiedad un plan que refleje cómo llevará a cabo las obligaciones que le incumban en relación con los residuos de construcción y demolición que se vayan a producir en la obra, en particular las recogidas en los artículos 4 y 5 de dicho Real Decreto. Este plan, una vez aprobado por la dirección facultativa y aceptada por la propiedad, pasará a formar parte de los documentos contractuales de la obra.

2. DEFINICIONES

Para un mejor entendimiento de este documento se realizan las siguientes definiciones dentro del ámbito de la gestión de residuos en obras de construcción y demolición:

Residuo: Se define residuo a cualquier sustancia u objeto del que su poseedor se desprenda o del que tenga la intención u obligación de desprenderse.

Residuo peligroso: Son materias que en cualquier estado físico o químico contienen elementos o sustancias que pueden representar un peligro para el medio ambiente, la salud humana o los recursos naturales. En última instancia, se considerarán residuos peligrosos los indicados en la "Orden MAM/304/2002 por la que se publican las operaciones de valorización y eliminación de residuos y la lista europea de residuos" y en el resto de normativa nacional y comunitaria. También tendrán consideración de residuo peligroso los envases y recipientes que hayan contenido residuos o productos peligrosos.

Residuos no peligrosos: Todos aquellos residuos no catalogados como tales según la definición anterior.

Residuo inerte: Aquel residuo No Peligroso que no experimenta transformaciones físicas, químicas o biológicas significativas, no es soluble ni combustible, ni reacciona física ni químicamente ni de ninguna otra manera, no es biodegradable, no afecta negativamente a otras materias con las cuales entra en contacto de forma que pueda lugar a contaminación del medio ambiente o perjudicar a la salud humana.

Residuo de construcción y demolición: Cualquier sustancia u objeto que cumpliendo con la definición de residuo se genera en una obra de construcción y de demolición.

Código LER: Código de 6 dígitos para identificar un residuo según la Orden MAM/304/2002.

Productor de residuos: La persona física o jurídica titular de la licencia urbanística en una obra de construcción o demolición; en aquellas obras que no precisen de licencia urbanística, tendrá la consideración de productor de residuos la persona física o jurídica titular del bien inmueble objeto de una obra de construcción o demolición.

Documento visado electrónicamente con número: VA07290/22
Código de validación telemática TRLTDCFZ60T66IJ1. Comprobación: https://cogitivalencia.e-gestion.es/Validacion.aspx?CVT=TRLTDCFZ60T66IJ1

VISADO
COGITI
VALENCIA
VA07290/22
TRLTDCFZ60T66IJ1

Poseedor de residuos de construcción y demolición: la persona física o jurídica que tenga en su poder los residuos de construcción y demolición y que no ostente la condición de gestor de residuos. En todo caso, tendrá la consideración de poseedor la persona física o jurídica que ejecute la obra de construcción o demolición, tales como el constructor, los subcontratistas o los trabajadores autónomos.

En todo caso, no tendrán la consideración de poseedor de residuos de construcción y demolición los trabajadores por cuenta ajena.

Volumen aparente: volumen total de la masa de residuos en obra, espacio que ocupan acumulados sin compactar con los espacios vacíos que quedan incluidos entre medio. En última instancia, es el volumen que realmente ocupan en obra.

Volumen real: Volumen de la masa de los residuos sin contar espacios vacíos, es decir, entendiendo una teórica masa compactada de los mismos.

Gestor de residuos: La persona o entidad pública o privada que realice cualquiera de las operaciones que componen la gestión de los residuos, sea o no el productor de los mismos. Han de estar autorizados o registrados por el organismo autonómico correspondiente.

Destino final: Cualquiera de las operaciones de valorización y eliminación de residuos enumeradas en la "Orden MAM/304/2002 por la que se publican las operaciones de valorización y eliminación de residuos y la lista europea de residuos".

Reutilización: El empleo de un producto usado para el mismo fin para el que fue diseñado originariamente.

Reciclado: La transformación de los residuos, dentro de un proceso de producción para su fin inicial o para otros fines, incluido el compostaje y la biometanización, pero no la incineración con recuperación de energía.

Valorización: Todo procedimiento que permita el aprovechamiento de los recursos contenidos en los residuos sin poner en peligro la salud humana y sin utilizar métodos que puedan causar perjuicios al medio ambiente.

Eliminación: todo procedimiento dirigido, bien al vertido de los residuos o bien a su destrucción, total o parcial, realizado sin poner en peligro la salud humana y sin utilizar métodos que puedan causar perjuicios al medio ambiente.

Documento visado electrónicamente con número: VA07290/22
Código de validación telemática TRLTDCFZ60T66IJ1. Comprobación: https://cogitivalencia.e-gestion.es/Validacion.aspx?CVT=TRLTDCFZ60T66IJ1

3. IDENTIFICACIÓN DE AGENTES INTERVINIENTES

Los Agentes Intervinientes en la Gestión de los RCD de la presente obra serán: el Productor (Promotor), el Poseedor (Constructor) y el Gestor. A continuación, se describen las obligaciones de cada uno de ellos:

A) EL PRODUCTOR DE RESIDUOS DE CONSTRUCCIÓN

El Promotor es el PRODUCTOR DE RESIDUOS DE CONSTRUCCIÓN por ser la persona física o jurídica titular de la licencia urbanística en la obra de construcción o demolición. El

VISADO
COGITI
VALENCIA
VA07290/22
TRLTDCFZ60T66IJ1

productor de los residuos está obligado a disponer de la documentación que acredite que los residuos de construcción y demolición producidos en sus obras han sido gestionados, en su caso, en obra o entregados a una instalación de valorización o de eliminación para su tratamiento por gestor de residuos autorizado, en los términos recogidos en la legislación sobre residuos y, en particular, en el estudio de gestión de residuos de la obra o en sus modificaciones. La documentación correspondiente a cada año natural deberá mantenerse durante los cinco años siguientes.

El productor de los residuos deberá estar inscrito en el Registro de Productores de Residuos de la comunidad autónoma correspondiente.

B) EL POSEEDOR DE RESIDUOS DE CONSTRUCCIÓN

El contratista principal es el POSEEDOR DE RESIDUOS DE CONSTRUCCIÓN, por ser la persona física o jurídica que tiene en su poder los residuos de construcción y demolición y que no ostenta la condición de gestor de residuos. Tienen la consideración de poseedor la persona física o jurídica que ejecuta la obra de construcción o demolición, tales como el constructor, los subcontratistas o los trabajadores autónomos. No tendrán la consideración de poseedor de residuos de construcción y demolición los trabajadores por cuenta ajena.

El poseedor, la persona física o jurídica que ejecute la obra, estará obligada a presentar a la propiedad de la misma un PLAN DE GESTIÓN DE RESIDUOS DE CONSTRUCCIÓN que refleje cómo llevará a cabo las obligaciones que le incumban en relación con los residuos de construcción y demolición que se vayan a producir en la obra.

El plan, una vez aprobado por la Dirección Facultativa y aceptado por la propiedad, pasará a formar parte de los documentos contractuales de la obra.

El poseedor de residuos de construcción y demolición, cuando no proceda a gestionarlos por sí mismo, y sin perjuicio de los requerimientos del proyecto aprobado, estará obligado a entregarlos a un GESTOR DE RESIDUOS o a participar en un acuerdo voluntario o convenio de colaboración para su gestión. Los residuos de construcción y demolición se destinarán preferentemente, y por este orden, a operaciones de reutilización, reciclado o a otras formas de valorización.

La entrega de los residuos de construcción y demolición a un gestor por parte del poseedor habrá de constar en documento fehaciente, en el que figure, al menos, la identificación del poseedor y del productor, la obra de procedencia y, en su caso, el número de licencia de la obra, la cantidad, expresada en toneladas o en metros cúbicos, o en ambas unidades cuando sea posible, el tipo de residuos entregados, codificados con arreglo a la lista europea de residuos publicada por Orden MAM/304/2002, de 8 de febrero, o norma que la sustituya, y la identificación del gestor de las operaciones de destino.

Cuando el gestor al que el poseedor entregue los residuos de construcción y demolición efectúe únicamente operaciones de recogida, almacenamiento, transferencia o transporte, en

Documento visado electrónicamente con número: VA07290/22
Código de validación telemática TRLTDCFZ60T66IJ1. Comprobación: https://cogitivalencia.e-gestion.es/Validacion.aspx?CVT=TRLTDCFZ60T66IJ1

VISADO
COGITI
VALENCIA
VA07290/22
TRLTDCFZ60T66IJ1

el documento de entrega deberá figurar también el gestor de valorización o de eliminación ulterior al que se destinarán los residuos.

El poseedor de los residuos estará obligado, mientras se encuentren en su poder, a mantenerlos en condiciones adecuadas de higiene y seguridad, así como a evitar la mezcla de fracciones ya seleccionadas que impida o dificulte su posterior valorización o eliminación.

Los residuos de construcción y demolición deberán separarse en las siguientes fracciones, cuando, de forma individualizada para cada una de dichas fracciones, la cantidad prevista de generación para el total de la obra supere las siguientes cantidades:

- Hormigón: 80,00 tn.
- Ladrillos, tejas, cerámicos: 40,00 tn.
- Metal: 2,00 tn.
- Madera: 1,00 tn.
- Vidrio: 1,00 tn.
- Plástico: 0,50 tn.
- Papel y cartón:0,50 tn.

La separación en fracciones se llevará a cabo preferentemente por el poseedor de los residuos de construcción y demolición dentro de la obra en que se produzcan.

Cuando por falta de espacio físico en la obra no resulte técnicamente viable efectuar dicha separación en origen, el poseedor podrá encomendar la separación de fracciones a un gestor de residuos en una instalación de tratamiento de residuos de construcción y demolición externa a la obra. En este último caso, el poseedor deberá obtener del gestor de la instalación documentación acreditativa de que éste ha cumplido, en su nombre, la obligación recogida en el presente apartado.

El poseedor de los residuos de construcción y demolición estará obligado a sufragar los correspondientes costes de gestión y a entregar al productor los certificados y demás documentación acreditativa de la gestión de los residuos a que se hace referencia en el apartado 3, del Real Decreto 105/2008, la documentación correspondiente a cada año natural durante los cinco años siguientes.

C) GESTOR DE RESIDUOS DE CONSTRUCCIÓN

El GESTOR será la persona o entidad, pública o privada, que realice cualquiera de las operaciones que componen la recogida, el almacenamiento, el transporte, la valorización y la eliminación de los residuos, incluida la vigilancia de estas operaciones y la de los vertederos, después de su cierre, así como su restauración ambiental (GESTIÓN) de los residuos, sea o no el productor de los mismos.

Además de las recogidas en la legislación sobre residuos, el gestor de residuos de construcción y demolición cumplirá con las siguientes obligaciones:

a) En el supuesto de actividades de gestión sometidas a autorización por la legislación de residuos, llevar un registro en el que, como mínimo, figure la cantidad de residuos

Documento visado electrónicamente con número: VA07290/22
Código de validación telemática TRLTDCFZ60T66IJ1. Comprobación: https://cogitivalencia.e-gestion.es/Validacion.aspx?CVT=TRLTDCFZ60T66IJ1

VISADO
COGITI
VALENCIA
VA07290/22
TRLTDCFZ60T66IJ1

gestionados, expresada en toneladas y en metros cúbicos, el tipo de residuos, codificados con arreglo a la lista europea de residuos publicada por Orden MAM/304/2002, de 8 de febrero, o norma que la sustituya, la identificación del productor, del poseedor y de la obra de donde proceden, o del gestor, cuando procedan de otra operación anterior de gestión, el método de gestión aplicado, así como las cantidades, en toneladas y en metros cúbicos, y destinos de los productos y residuos resultantes de la actividad.

b) Poner a disposición de las administraciones públicas competentes, a petición de las mismas, la información contenida en el registro mencionado. La información referida a cada año natural deberá mantenerse durante los cinco años siguientes.

c) Extender al poseedor o al gestor que le entregue residuos de construcción y demolición, los certificados acreditativos de la gestión de los residuos recibidos, especificando el productor y, en su caso, el número de licencia de la obra de procedencia. Cuando se trate de un gestor que lleve a cabo una operación exclusivamente de recogida, almacenamiento, transferencia o transporte, deberá además transmitir al poseedor o al gestor que le entregó los residuos, los certificados de la operación de valorización o de eliminación subsiguiente a que fueron destinados los residuos.

d) En el supuesto de que carezca de autorización para gestionar residuos peligrosos, deberá disponer de un procedimiento de admisión de residuos en la instalación que asegure que, previamente al proceso de tratamiento, se detectarán y se separarán, almacenarán adecuadamente y derivarán a gestores autorizados de residuos peligrosos aquellos que tengan este carácter y puedan llegar a la instalación mezclados con residuos no peligrosos de construcción y demolición. Esta obligación se entenderá sin perjuicio de las responsabilidades en que pueda incurrir el productor, el poseedor o, en su caso, el gestor precedente que haya enviado dichos residuos a la instalación.

El gestor de los residuos deberá estar inscrito en el Registro General de Gestores Autorizados de Residuos de la comunidad autónoma correspondiente.

Las actividades de gestión de residuos peligrosos se regirán por la normativa y legislación específica correspondiente, y quedarán sujetas a la correspondiente autorización emitida por la entidad competente en Medio Ambiente.

Igualmente quedarán sometidas al régimen de autorización de la entidad competente en Medio Ambiente las actividades de gestión de residuos peligrosos consistentes en la recogida y el almacenamiento de este tipo de residuos, así como su transporte cuando se realice asumiendo el transportista la titularidad del residuo.

Cuando el transportista de residuos peligrosos sea un mero intermediario que realice esta actividad por cuenta de terceros, deberá notificarlo a entidad competente en Medio Ambiente.

Documento visado electrónicamente con número: VA07290/22
Código de validación telemática TRLTDCFZ60T66IJ1. Comprobación: https://cogitivalencia.e-gestion.es/Validacion.aspx?CVT=TRLTDCFZ60T66IJ1

VISADO
COGITI
VALENCIA
VA07290/22
TRLTDCFZ60T66IJ1

Los gestores que realicen actividades de recogida, almacenamiento y transporte quedarán sujetos a las obligaciones que, para la valorización y eliminación, se establezca la normativa sobre residuos correspondiente.

4. ESTIMACIÓN DE LA CANTIDAD DE LOS RESIDUOS DE CONSTRUCCIÓN QUE SE GENERARÁN EN LA OBRA

Se va a proceder a practicar una estimación de la cantidad, expresada en toneladas y en metros cúbicos, de los residuos de construcción que se generarán en la obra, codificados con arreglo a la lista europea de residuos, publicada por Orden MAM/304/ 2002 del Ministerio de Medio Ambiente, de 8 de febrero, por la que se publican las operaciones de valorización y eliminación de residuos y la lista europea de residuos:

Para el estudio, identificación y valorización de los Residuos de Construcción y Demolición, los clasificamos en dos categorías:

RCDs de Nivel I.- Residuos generados por el desarrollo de las obras de infraestructura de ámbito local o supramunicipal contenidas en los diferentes planes de actuación urbanística o planes de desarrollo de carácter regional, siendo resultado de los excedentes de excavación de los movimientos de tierra generados en el transcurso de dichas obras. Se trata, por tanto, de las tierras y materiales pétreos, no contaminados, procedentes de obras de excavación.

RCDs de Nivel II.- residuos generados principalmente en las actividades propias del sector de la construcción, de la demolición, de la reparación domiciliaria y de la implantación de servicios.

Son residuos no peligrosos que no experimentan transformaciones físicas, químicas o biológicas significativas.

Los residuos inertes no son solubles ni combustibles, ni reaccionan física ni químicamente ni de ninguna otra manera, ni son biodegradables, ni afectan negativamente a otras materias con las que entran en contacto de forma que puedan dar lugar a contaminación del medio ambiente o perjudicar a la salud humana. Se contemplan los residuos inertes procedentes de obras de construcción y demolición, incluidos los de obras menores de construcción y reparación domiciliaria sometidas a licencia municipal o no.

Los residuos que se generarán serán tan solo los marcados a continuación de la Lista Europea de Residuos (LER) establecida en la Orden MAM/304/2002. No se considerarán incluidos en el cómputo general los materiales que no superen 1m³ de aporte y no sean considerados peligrosos y requieran por tanto un tratamiento especial.

Documento visado electrónicamente con número: VA07290/22
Código de validación telemática TRLTDCFZ60T66IJ1. Comprobación: https://cogitivalencia.e-gestion.es/Validacion.aspx?CVT=TRLTDCFZ60T66IJ1

VISADO
COGITI
VALENCIA
VA07290/22
TRLTDCFZ60T66IJ1

	RCDs Nivel I	
	1. TIERRAS Y PÉTROS DE LA EXCAVACIÓN	
	17 05 04	Tierras y piedras distintas de las especificadas en el código 17 05 03
	17 05 06	Lodos de drenaje distintos de los especificados en el código 17 05 06
	17 05 08	Balasto de vías férreas distinto del especificado en el código 17 05 07
	RCD: Naturaleza no pétrea	
	1. Asfalto	
	17 03 02	Mezclas bituminosas distintas a las del código 17 03 01
	2. Madera	
X	17 02 01	Madera
	3. Metales	
	17 04 01	Cobre, bronce, latón
X	17 04 02	Aluminio
	17 04 03	Plomo
	17 04 04	Zinc
	17 04 05	Hierro y Acero
	17 04 06	Estaño
	17 04 06	Metales mezclados

Documento visado electrónicamente con número: VA07290/22
Código de validación telemática TRLTDCFZ60T66IJ1. Comprobación: https://cogitivalencia.e-gestion.es/Validacion.aspx?CVT=TRLTDCFZ60T66IJ1

VISADO
COGITI
VALENCIA
VA07290/22
TRLTDCFZ60T66IJ1

	17 04 11	Cables distintos de los especificados en el código 17 04 10
	4. Papel	
X	20 01 01	Papel y cartón
	5. Plástico	
X	17 02 03	Plástico
	6. Vidrio	
	17 02 02	Vidrio
	7. Yeso	
	17 08 02	Materiales de construcción a partir de yeso distintos a los del código 17 08 01
	RCD: Naturaleza pétrea	
	1. Arena Grava y otros áridos	
	01 04 08	Residuos de grava y rocas trituradas distintos de los mencionados en el código 01 04 07
	01 04 09	Residuos de arena y arcilla
	2. Hormigón	
	17 01 01	Hormigón
	3. Ladrillos, azulejos y otros cerámicos	
	17 01 02	Ladrillos
	17 01 03	Tejas y materiales cerámicos
	17 01 07	Mezclas de hormigón, ladrillos,

Documento visado electrónicamente con número: VA07290/22
Código de validación telemática TRLTDCFZ60T66IJ1. Comprobación: https://cogitivalencia.e-gestion.es/Validacion.aspx?CVT=TRLTDCFZ60T66IJ1

VISADO
COGITI
VALENCIA
VA07290/22
TRLTDCFZ60T66IJ1

		tejas y materiales cerámicos distintas de las especificadas en el código 1 7 01 06.
	4. Piedra	
	17 09 04	RDCs mezclados distintos a los de los códigos 17 09 01, 02 y 03
	RCD: Potencialmente peligrosos y otros	
	1. Basuras	
	20 02 01	Residuos biodegradables
	20 03 01	Mezcla de residuos municipales
	2. Potencialmente peligrosos y otros	
	17 01 06	mezcal de hormigón, ladrillos, tejas y materiales cerámicos con sustancias peligrosas (SP's)
	17 02 04	Madera, vidrio o plástico con sustancias peligrosas o contaminadas por ellas
	17 03 01	Mezclas bituminosas que contienen alquitrán de hulla
	17 03 03	Alquitrán de hulla y productos alquitranados
	17 04 09	Residuos metálicos contaminados con sustancias peligrosas
	17 04 10	Cables que contienen hidrocarburos, alquitrán de hulla y otras SP's
	17 06 01	Materiales de aislamiento que contienen Amianto

Documento visado electrónicamente con número: VA07290/22
Código de validación telemática TRLTDCFZ60T66IJ1. Comprobación: https://cogitivalencia.e-gestion.es/Validacion.aspx?CVT=TRLTDCFZ60T66IJ1

VISADO
COGITI
VALENCIA
VA07290/22
TRLTDCFZ60T66IJ1

	17 06 03	Otros materiales de aislamiento que contienen sustancias peligrosas
	17 06 05	Materiales de construcción que contienen Amianto
	17 08 01	Materiales de construcción a partir de yeso contaminados con SP's
	17 09 01	Residuos de construcción que contienen mercurio
	17 09 02	Residuos de construcción que contienen PCB's
	17 09 03	Otros residuos de construcción que contienen SP's
	17 06 04	Materiales de aislamientos distintos de los 17 06 01 y 03
	17 05 03	Tierras y piedras que contienen SP's
	17 05 05	Lodos de drenaje que contienen sustancias peligrosas
	17 05 07	Balastro de vías férreas que contienen sustancias peligrosas
	15 02 02	Absorbentes contaminados (trapos,)
	13 02 05	Aceites usados (minerales no clorados de motor,)
	16 01 07	Filtros de aceite
	20 01 21	Tubos fluorescentes
	16 06 04	Pilas alcalinas y salinas
	16 06 03	Pilas botón
	15 01 10	Envases vacíos de metal o plástico contaminado

Documento visado electrónicamente con número: VA07290/22
Código de validación telemática TRLTDCFZ60T66IJ1. Comprobación: https://cogitivalencia.e-gestion.es/Validacion.aspx?CVT=TRLTDCFZ60T66IJ1

VISADO
COGITI
VALENCIA
VA07290/22
TRLTDCFZ60T66IJ1

	08 01 11	Sobrantes de pintura o barnices
	14 06 03	Sobrantes de disolventes no halogenados
	07 07 01	Sobrantes de desencofrantes
	15 01 11	Aerosoles vacíos
	16 06 01	Baterías de plomo
	13 07 03	Hidrocarburos con agua
	17 09 04	RDCs mezclados distintos códigos 17 09 01, 02 y 03

Los residuos que se generarán en la obra correspondientes a las instalaciones de baja tensión proceden principalmente del embalaje de los siguientes equipos, en orden de mayor a menor residuos asociados:

- Embalaje de los módulos fotovoltaicos
- Embalaje de inversores
- Embalaje de cuadros
- Metales sobrantes de perfiles de la estructura

Módulos fotovoltaicos

N.º de módulos	Nº modulos / pallet	kg madera / pallet	kg cartón / pallet	kg plástico / pallet	kg madera	kg cartón	kg plástico
10.773	25	12	1,6	1,5	**5.172**	**689,60**	**646,50**

Los módulos fotovoltaicos por sus dimensiones no pueden transportarse en euro pallets, se utiliza para ello pallets de superficie igual a la del módulo.

Inversores

N.º de inversores	Nº inversores / pallet	kg madera / pallet	kg cartón / pallet	kg plástico / pallet	kg madera	kg cartón	kg plástico
27	8	8	1,6	1,2	**32**	**6,4**	**4,8**

Documento visado electrónicamente con número: VA07290/22
Código de validación telemática TRLTDCFZ60T66IJ1. Comprobación: https://cogitivalencia.e-gestion.es/Validacion.aspx?CVT=TRLTDCFZ60T66IJ1

VISADO
COGITI
VALENCIA
VA07290/22
TRLTDCFZ60T66IJ1

Cuadros

N.º de cuadros	Nº cuadros / pallet	kg madera / pallet	kg cartón / pallet	kg plástico / pallet	kg madera	kg cartón	kg plástico
11	8	8	1,6	1,5	**16**	**3,2**	**3**

Los perfiles de acero galvanizado correspondientes a la estructura llegan a la obra con las dimensiones exactas. No obstante, puede producirse sobrante de material. Se estima un total de 20 kg.

Por lo que se estima que la generación total de residuos en la construcción sea:

- Madera: 5220 kg
- Papel y cartón: 699,20 kg
- Plástico: 654,3 kg
- Metales: 20 kg

Lo que en volumen equivale a:

- Madera: 13,05 m3 (0,4 t/m3)
- Papel y cartón: 1,39 m3 (0,5 t/m3)
- Plástico: 2,18 m3 (0,3 t/m3)
- Metales: 0,015 m3 (1,3 t/m3)

5. MEDIDAS PARA LA PREVENCIÓN DE RESIDUOS

En la fase de proyecto de la obra se ha tenido en cuenta las alternativas de diseño y constructivas que generen menos residuos en la fase de construcción y de explotación, y aquellas que favorezcan el desmantelamiento ambientalmente correcto de la obra al final de su vida útil.

Los materiales derivados de los envasados como el Papel o Plástico, se solicitará de los suministradores el aporte en obra con el menor número de embalaje, renunciando al superfluo o decorativo.

6. OPERACIONES DE REUTILIZACIÓN, VALORACIÓN O ELIMINACIÓN A QUE SE DESTINARÁN LOS RESIDUOS QUE SE GENERARÁN EN LA OBRA

Las actividades de valorización de residuos reguladas se ajustarán a lo establecido en el proyecto de obra. En particular, la dirección facultativa de la obra deberá aprobar los medios previstos para dicha valorización in situ.

Documento visado electrónicamente con número: VA07290/22
Código de validación telemática TRLTDCFZ60T66IJ1. Comprobación: https://cogitivalencia.e-gestion.es/Validacion.aspx?CVT=TRLTDCFZ60T66IJ1

VISADO
COGITI
VALENCIA
VA07290/22
TRLTDCFZ60T66IJ1

El desarrollo de actividades de valorización de residuos de construcción y demolición requerirá autorización previa otorgada por la entidad competente en medioambiente, y seguirá las pautas definidas en la legislación específica sobre residuos.

La autorización podrá ser otorgada para una o varias de las operaciones que se vayan a realizar, y se otorgará por un plazo de tiempo determinado, pudiendo ser renovada por períodos sucesivos.

La autorización sólo se concederá previa inspección de las instalaciones en las que vaya a desarrollarse la actividad y comprobación de la cualificación de los técnicos responsables de su dirección y de que está prevista la adecuada formación profesional del personal encargado de su explotación.

En todo caso, estas actividades se llevarán a cabo sin poner en peligro la salud humana y sin utilizar procedimientos ni métodos que perjudiquen al medio ambiente y, en particular, al agua, al aire, al suelo, a la fauna o a la flora, sin provocar molestias por ruido ni olores y sin dañar el paisaje y los espacios naturales que gocen de algún tipo de protección de acuerdo con la legislación aplicable.

Los áridos reciclados obtenidos como producto de una operación de valorización de residuos de construcción y demolición deberán cumplir los requisitos técnicos y legales para el uso a que se destinen.

Se prohíbe el depósito en vertedero de residuos de construcción y demolición que no hayan sido sometidos a alguna operación de tratamiento previo. La anterior prohibición no se aplicará a los residuos inertes cuyo tratamiento sea técnicamente inviable, ni a los residuos de construcción y demolición cuyo tratamiento no contribuya a un desarrollo sostenible de la actividad de construcción, ni a reducir los peligros para la salud humana o el medio ambiente.

Cuando lo estime oportuno, la legislación de las comunidades autónomas podrá eximir de la aplicación del apartado anterior a los vertederos de residuos no peligrosos o inertes de construcción o demolición en poblaciones aisladas, siempre que el vertedero se destine a la eliminación de residuos generados únicamente en esa población aislada.

Los titulares de actividades en las que se desarrollen operaciones de recogida, transporte y almacenamiento de residuos no peligrosos de construcción y demolición deberán notificarlo a la entidad competente en materia medioambiental de la comunidad autónoma, pudiendo quedar sometidas a autorización para el ejercicio de estas actividades.

La utilización de residuos inertes procedentes de actividades de construcción o demolición en la restauración de un espacio ambientalmente degradado, en obras de acondicionamiento o relleno, podrá ser considerada una operación de valorización, y no una operación de eliminación de residuos en vertedero, cuando se cumplan los siguientes requisitos:

a) Que la entidad competente en materia medioambiental de la comunidad autónoma así lo haya declarado antes del inicio de las operaciones de gestión de los residuos.

Documento visado electrónicamente con número: VA07290/22
Código de validación telemática TRLTDCFZ60T66IJ1. Comprobación: https://cogitivalencia.e-gestion.es/Validacion.aspx?CVT=TRLTDCFZ60T66IJ1

VISADO
COGITI
VALENCIA
VA07290/22
TRLTDCFZ60T66IJ1

b) Que la operación se realice por un GESTOR de residuos sometido autorización administrativa de valorización de residuos. No se exigirá autorización de GESTOR de residuos para el uso de aquellos materiales obtenidos en una operación de valorización de residuos de construcción y demolición que no posean la calificación jurídica de residuo y cumplan los requisitos técnicos y legales para el uso al que se destinen.

c) Que el resultado de la operación sea la sustitución de recursos naturales que, en caso contrario, deberían haberse utilizado para cumplir el fin buscado con la obra de restauración, acondicionamiento o relleno.

Todo residuo potencialmente valorizable deberá ser destinado a este fin, evitando su eliminación.

La eliminación de los residuos se realizará, en todo caso, mediante sistemas que acrediten la máxima seguridad con la mejor tecnología disponible y se limitará a aquellos residuos o fracciones residuales no susceptibles de valorización de acuerdo con las mejores tecnologías disponibles.

Se procurará que la eliminación de residuos se realice en las instalaciones adecuadas más próximas y su establecimiento deberá permitir la autosuficiencia en la gestión de todos los residuos originados en su ámbito territorial.

Las operaciones de gestión de residuos se llevarán a cabo sin poner en peligro la salud humana y sin utilizar procedimientos ni métodos que puedan perjudicar el medio ambiente y, en particular, sin crear riesgos para el agua, el aire o el suelo, ni para la fauna o flora, sin provocar incomodidades por el ruido o los olores y sin atentar contra los paisajes y lugares de especial interés.

Queda prohibido el abandono, vertido o eliminación incontrolada de residuos, así como toda mezcla o dilución de los mismos que dificulte su gestión.

Sólo podrán depositarse en un vertedero, independientemente de su clase, aquellos residuos que hayan sido objeto de tratamiento. Esta disposición no se aplicará a los residuos inertes cuyo tratamiento sea técnicamente inviable o a aquellos residuos cuyo tratamiento no contribuya a impedir o reducir los peligros para el medio ambiente o para la salud humana.

Deberán distinguirse las siguientes clases de vertederos:

a) Vertedero para residuos peligrosos.

b) Vertedero para residuos no peligrosos.

c) Vertedero para residuos inertes.

Los residuos pueden ser gestionados por los productores o poseedores en los propios centros que se generan o en plantas externas, quedando sometidos al régimen de intervención administrativa establecido en la legislación aplicable en la comunidad autónoma, en función de la categoría del residuo de que se trate.

Documento visado electrónicamente con número: VA07290/22
Código de validación telemática TRLTDCFZ60T66IJ1. Comprobación: https://cogitivalencia.e-gestion.es/Validacion.aspx?CVT=TRLTDCFZ60T66IJ1

VISADO
COGITI
VALENCIA
VA07290/22
TRLTDCFZ60T66IJ1

Las operaciones de valorización y eliminación de residuos deberán estar autorizadas por la entidad competente en Medio Ambiente, que la concederá previa comprobación de las instalaciones en las que vaya a desarrollarse la actividad y sin perjuicio de las demás autorizaciones o licencias exigidas por otras disposiciones.

Estas autorizaciones, así como sus prórrogas, deberán concederse por tiempo determinado. En los supuestos de los residuos peligrosos, las prórrogas se concederán previa inspección de las instalaciones. En los restantes supuestos, la prórroga se entenderá concedida por anualidades, salvo manifestación expresa de los interesados o la administración.

Los gestores de los residuos deberán estar registrados ante la comunidad autónoma competente como gestores autorizados, y llevarán un registro documental en el que se harán constar la cantidad, naturaleza, origen, destino, frecuencia de recogida, método de valorización o eliminación de los residuos gestionados.

Cada comunidad autónoma establecerá reglamentariamente para cada tipo de actividad las operaciones de valorización y eliminación de residuos no peligrosos realizadas por los productores en sus propios centros de producción que podrán quedar exentas de autorización administrativa.

Estas operaciones estarán sujetas a la obligatoria notificación e inscripción en el Registro General de Gestores de Residuos.

Los titulares de actividades en las que se desarrollen operaciones de gestión de residuos no peligrosos distintas a la valorización o eliminación deberán notificarlo a la entidad competente en medio ambiente.

Las operaciones de eliminación consistentes en el depósito de residuos en vertederos deberán realizarse de conformidad con lo establecido en la legislación correspondiente, impidiendo o reduciendo cualquier riesgo para la salud humana, así como los efectos negativos en el medio ambiente y, en particular, la contaminación de las aguas superficiales, las aguas subterráneas, el suelo y el aire, incluido el efecto invernadero.

Los residuos que se vayan a depositar en un vertedero, independientemente de su clase, deberán cumplir con los criterios de admisión que se desarrollen reglamentariamente.

Los vertederos de residuos peligrosos podrán acoger solamente aquellos residuos peligrosos que cumplan con los requisitos fijados por la reglamentación.

Los vertederos de residuos no peligrosos podrán acoger:

a) Los Residuos urbanos o municipales;

b) Los Residuos no peligrosos de cualquier otro origen que cumplan los criterios de admisión de residuos en vertederos para residuos no peligrosos que se establecerán reglamentariamente.

c) Los Residuos no reactivos peligrosos, estables (por ejemplo solidificados o vitrificados), cuyo comportamiento de lixiviación sea equivalente al de los residuos no peligrosos mencionados en el apartado anterior y que cumplan con

Documento visado electrónicamente con número: VA07290/22
Código de validación telemática TRLTDCFZ60T66IJ1. Comprobación: https://cogitivalencia.e-gestion.es/Validacion.aspx?CVT=TRLTDCFZ60T66IJ1

VISADO
COGITI
VALENCIA
VA07290/22
TRLTDCFZ60T66IJ1

los pertinentes criterios de admisión que se establezcan al efecto. Dichos residuos peligrosos no se depositarán en compartimentos destinados a residuos no peligrosos biodegradables.

Los vertederos de residuos inertes sólo podrán acoger residuos inertes.

No se admitirán en los vertederos:

a) Residuos líquidos.

b) Residuos que, en condiciones de vertido, sean explosivos o corrosivos, oxidantes, fácilmente inflamables o inflamables.

c) Residuos de hospitales u otros residuos clínicos procedentes de establecimientos médicos o veterinarios y que sean infecciosos.

d) Neumáticos usados enteros, con exclusión de los neumáticos utilizados como material de ingeniería y neumáticos usados reducidos a tiras, con exclusión en ambos casos de los neumáticos de bicicleta y de los neumáticos cuyo diámetro sea superior a 1.400 milímetros.

e) Cualquier otro tipo de residuo que no cumpla los criterios de admisión que se establezcan de conformidad con la normativa comunitaria.

Queda prohibida la dilución o mezcla de residuos únicamente para cumplir los criterios de admisión de los residuos, ni antes ni durante las operaciones de vertido.

7. MEDIDAS PARA LA SEPARACIÓN DE LOS RESIDUOS EN OBRA

Dado que en algunos de los residuos se superan las fracciones indicadas en el punto 5 del RD 105/2008, será obligatorio separar los residuos por fracciones. La separación en fracciones se llevará a cabo preferentemente por el poseedor de los residuos de construcción dentro de la obra en que se produzcan.

8. VALORACIÓN DEL COSTE PREVISTO DE LA GESTIÓN DE LOS RESIDUOS

La valoración del coste previsto de la gestión correcta de los residuos de construcción y demolición, coste que formará parte del presupuesto del proyecto en capítulo aparte, se atendrá a la distinta tipología de los RCDs, definidos anteriormente.

Documento visado electrónicamente con número: VA07290/22
Código de validación telemática TRLTDCFZ60T66IJ1. Comprobación: https://cogitivalencia.e-gestion.es/Validacion.aspx?CVT=TRLTDCFZ60T66IJ1

VISADO
COGITI
VALENCIA
VA07290/22
TRLTDCFZ60T66IJ1

Se han tomado como costes de gestión de los residuos:

RCDs NATURALEZA NO PÉTREA	Volumen (m3)	Almacenamiento 14 meses	Transporte	Tratamiento
Madera	15,03	1800,00	150	1225,75
Papel y cartón	1,39	1800,00	150	0,00
Plástico	2,18	1800,00	150	0,00
Metales	0,015	1800,00	150	0,00
SUBTOTAL		7200,00	600,00	1225,75

TOTAL PRESUPUESTO GESTIÓN DE RESIDUOS	9.025,75

Documento visado electrónicamente con número: VA07290/22
Código de validación telemática TRLTDCFZ60T66IJ1. Comprobación: https://cogitivalencia.e-gestion.es/Validacion.aspx?CVT=TRLTDCFZ60T66IJ1

VISADO
COGITI
VALENCIA
VA07290/22
TRLTDCFZ60T66IJ1

INSTALACIÓN DE PLANTA GENERACIÓN FOTOVOLTAICA SOBRE LA CUBIERTA DEL SILO DE VEHÍCULOS DE VALENCIA TERMINAL EUROPA, EN MUELLE DIQUE DEL ESTE, EN PUERTO DE VALENCIA.

ANEJO Nº11

Control de calidad

Documento visado electrónicamente con número: VA07290/22
Código de validación telemática TRLTDCFZ60T66IJ1. Comprobación: https://cogitivalencia.e-gestion.es/Validacion.aspx?CVT=TRLTDCFZ60T66IJ1

VISADO
COGITI
VALENCIA
VA07290/22
TRLTDCFZ60T66IJ1

Índice

1. OBJETO 3
2. EL CONTROL DE RECEPCIÓN DE PRODUCTOS, EQUIPOS Y SISTEMAS 4
2.1 CONTROL DE LA DOCUMENTACIÓN DE LOS SUMINISTROS 5
2.2 CONTROL MEDIANTE DISTINTIVOS DE CALIDAD O EVALUACIONES TÉCNICAS DE CALIDAD 5
2.3 CONTROL MEDIANTE ENSAYOS 6
ENSAYOS EN VACÍO (COLD COMMISSIONING) 6
ENSAYOS EN CARGA (HOT COMMISSIONING) 6
2.4 CRITERIO GENERAL DE NO ACEPTACIÓN DE UN PRODUCTO 7
3. CONTROL DE EJECUCIÓN 8
4. CONTROL DE LA OBRA TERMINADA 8

Documento visado electrónicamente con número: VA07290/22
Código de validación telemática TRLTDCFZ60T66IJ1. Comprobación: https://cogitivalencia.e-gestion.es/Validacion.aspx?CVT=TRLTDCFZ60T66IJ1

VISADO
COGITI
VALENCIA
VA07290/22
TRLTDCFZ60T66IJ1

1. OBJETO

El Código Técnico de la Edificación (CTE) establece las exigencias básicas de calidad que deben cumplir los edificios, incluidas sus instalaciones, para satisfacer los requisitos básicos de seguridad y habitabilidad.

El CTE determina, además, que dichas exigencias básicas deben cumplirse en el proyecto, la construcción, el mantenimiento y la conservación de los edificios y sus instalaciones.

La comprobación del cumplimiento de estas exigencias básicas se determina mediante una serie de controles:

- el control de recepción en obra de los productos.
- el control de ejecución de la obra.
- el control de la obra terminada.

El Plan de Control de calidad de la obra a la que corresponde el presente proyecto será elaborado por el Director de la ejecución de la obra, el cual podrá completar/modificar el presente documento lo si lo considera oportuno atendiendo a las características del proyecto, a lo estipulado en el Pliego de condiciones, a las indicaciones del Director de Obra, a las disposiciones establecidas en el CTE y en las normas y reglamentos vigentes.

El Plan de Control se ajustará al esquema siguiente:

- el control de recepción en obra de los productos.
- el control de ejecución de la obra.
- el control de la obra terminada.
- Valoración económica

El control de recepción de productos, equipos y sistemas

En este apartado del Plan de control de calidad se remite a la consulta de prescripciones sobre los materiales del Pliego de condiciones, donde se establecen las condiciones de suministro; recepción y control; conservación, almacenamiento y manipulación; y recomendaciones para el uso en obra, de todos aquellos materiales utilizados en la obra.

El control de la ejecución

En este apartado se establecen las operaciones de control mínimas, a realizar durante la ejecución de cada unidad de obra, para cada una de las fases de ejecución establecidas en el Pliego de condiciones.

Documento visado electrónicamente con número: VA07290/22
Código de validación telemática TRLTDCFZ60T66IJ1. Comprobación: https://cogitivalencia.e-gestion.es/Validacion.aspx?CVT=TRLTDCFZ60T66IJ1

VISADO
COGITI
VALENCIA
VA07290/22
TRLTDCFZ60T66IJ1

El control de la obra terminada

En el apartado del Pliego del proyecto correspondiente a las Prescripciones sobre verificaciones en el edificio terminado se establecen las verificaciones y pruebas de servicio a realizar por la empresa constructora o instaladora, para comprobar las prestaciones finales del edificio; siendo a su cargo el coste de las mismas.

Se realizarán tanto las pruebas finales de servicio prescritas por la legislación aplicable, contenidas en el preceptivo CONTROL DE CALIDAD DE LA OBRA redactado por el director de ejecución de la obra, como las indicadas en el Pliego de Prescripciones Técnicas del proyecto y las que pudiera ordenar la Dirección Facultativa durante el transcurso de la obra.

Valoración

En este apartado se incluye el capítulo Control de Calidad y Ensayos del presupuesto de ejecución material del proyecto. En este capítulo se incluyen los ensayos o pruebas de servicio que deben ser realizados por entidades o laboratorios de control de calidad de la edificación, debidamente homologados y acreditados, distintos e independientes del constructor. Para ello:

- El director de la ejecución de la obra recopilará la documentación del control realizado, verificando que es conforme con lo establecido en el proyecto, sus anejos y modificaciones.
- El constructor recabará de los suministradores de productos y facilitará al director de obra y al director de la ejecución de la obra la documentación de los productos anteriormente señalada, así como sus instrucciones de uso y mantenimiento, y las garantías correspondientes cuando proceda;
- La documentación de calidad preparada por el constructor sobre cada una de las unidades de obra podrá servir, si así lo autorizara el director de la ejecución de la obra, como parte del control de calidad de la obra.

Una vez finalizada la obra, la documentación del seguimiento del control será depositada por el Director de la Ejecución de la Obra en el Colegio Profesional correspondiente o, en su caso, en la Administración Pública competente, que asegure su tutela y se comprometa a emitir certificaciones de su contenido a quienes acrediten un interés legítimo

2. EL CONTROL DE RECEPCIÓN DE PRODUCTOS, EQUIPOS Y SISTEMAS

Este apartado contempla los ensayos y determinaciones, aprobados por la Dirección Facultativa, a realizar a los productos, equipos y sistemas para garantizar que satisfacen las prestaciones y exigencias definidas en Proyecto. Los suministradores presentarán previamente los Documentos de Idoneidad, Marcado CE, Sello de Calidad o Ensayos de los

Documento visado electrónicamente con número: VA07290/22
Código de validación telemática TRLTDCFZ60T66IJ1. Comprobación: https://cogitivalencia.e-gestion.es/Validacion.aspx?CVT=TRLTDCFZ60T66IJ1

VISADO
COGITI
VALENCIA
VA07290/22
TRLTDCFZ60T66IJ1

materiales para el control de recepción en obra de los productos, equipos y sistemas que se suministren de acuerdo con el artículo 7.2 del CTE.

En correspondencia con el Proyecto, sus determinaciones, características y condiciones particulares, se propone el siguiente Control de recepción de productos, equipos y sistemas, el cual queda sujeto a las modificaciones en cuanto a criterios de muestreo que puedan ser introducidos por la Dirección Facultativa de las obras, comprendiendo:

- control de la documentación de los suministros según artículo 7.2.1 CTE
- control mediante distintivos de calidad o evaluaciones técnicas de idoneidad, según art. 7.2.2 CTE
- control mediante ensayos, conforme el artículo 7.2.3 CTE

2.1 CONTROL DE LA DOCUMENTACIÓN DE LOS SUMINISTROS

Los suministradores entregarán al constructor, quien los facilitará al director de la ejecución de la obra, los documentos de identificación del producto exigidos por la normativa de obligado cumplimiento y, en su caso, por el proyecto o por la dirección facultativa. Esta documentación comprenderá, al menos, los siguientes documentos:

- Los documentos de origen, hoja de suministro y etiquetado.
- El certificado de garantía del fabricante, firmado por persona física.
- Los documentos de conformidad o autorizaciones administrativas exigidas reglamentariamente, incluida la documentación correspondiente al marcado CE de los productos de construcción, cuando sea pertinente, de acuerdo con las disposiciones que sean transposición de las Directivas Europeas que afecten a los productos suministrados.

2.2 CONTROL MEDIANTE DISTINTIVOS DE CALIDAD O EVALUACIONES TÉCNICAS DE CALIDAD

El suministrador proporcionará la documentación precisa sobre:

- Los distintivos de calidad que ostenten los productos, equipos o sistemas suministrados, que aseguren las características técnicas de los mismos exigidas en el proyecto y documentará, en su caso, el reconocimiento oficial del distintivo de acuerdo con lo establecido en el artículo 5.2.3 del capítulo 2 del CTE.
- Las evaluaciones técnicas de idoneidad para el uso previsto de productos, equipos y sistemas innovadores, de acuerdo con lo establecido en el artículo 5.2.5 del capítulo 2 del CTE, y la constancia del mantenimiento de sus características técnicas.

Documento visado electrónicamente con número: VA07290/22
Código de validación telemática TRLTDCFZ60T66IJ1. Comprobación: https://cogitivalencia.e-gestion.es/Validacion.aspx?CVT=TRLTDCFZ60T66IJ1

VISADO
COGITI
VALENCIA
VA07290/22
TRLTDCFZ60T66IJ1

2.3 CONTROL MEDIANTE ENSAYOS

Para verificar el cumplimiento de las exigencias básicas del CTE puede ser necesario en determinados casos, realizar ensayos y pruebas sobre algunos productos, según lo establecido en la reglamentación vigente, o bien según lo especificado en el proyecto u ordenados por la dirección facultativa.

La realización de este control se efectuará de acuerdo con los criterios establecidos en el proyecto o indicados por la dirección facultativa sobre el muestreo del producto, los ensayos a realizar, los criterios de aceptación y rechazo y las acciones a adoptar.

ENSAYOS EN VACÍO (COLD COMMISSIONING)

Los ensayos en vacío son aquellos que se realizan en ausencia de tensión en la instalación. En este apartado se detallan los ensayos a realizar en cada una de las partes que forman la instalación fotovoltaica:

- Ensayos en strings (DC Test)
- Ensayos en el cable de agrupación
- Ensayos en el cableado de Inversor a Transformador
- Ensayo en el inversor
- Ensayos en el trasformador
- Ensayos en las celdas de MT
- Ensayos en el cableado Media Tensión

  En el caso del cable de Media Tensión, debido a su tensión de funcionamiento es necesario prestarle mayor atención. Se realizarán 3 ensayos distintos sobre el circuito, continuidad entre fases, resistencia de aislamiento y rigidez dieléctrica de la cubierta:

  - Continuidad entre fases
  - Resistencia de aislamiento
  - Rigidez dieléctrica de la cubierta

- Ensayos en el centro de entrada (Customer)
- Ensayos al sistema de puesta a tierra
- Se realizarán dos ensayos diferentes al sistema de puesta a tierra:
  - Continuidad eléctrica
  - Resistencia de tierra
- Ensayos en cable de comunicaciones

ENSAYOS EN CARGA (HOT COMMISSIONING)

Los ensayos en carga son aquellos que se realizan en presencia de tensión en la instalación. Entre ellos se incluyen pruebas de funcionamiento. A continuación, se detallan las pruebas necesarias en cada una de las partes de la instalación fotovoltaica.

Documento visado electrónicamente con número: VA07290/22
Código de validación telemática TRLTDCFZ60T66IJ1. Comprobación: https://cogitivalencia.e-gestion.es/Validacion.aspx?CVT=TRLTDCFZ60T66IJ1

VISADO
COGITI
VALENCIA
VA07290/22
TRLTDCFZ60T66IJ1

- Ensayos en el inversor
- Ensayos en las celdas de Media Tensión
- Ensayos en el centro de entrada (Customer)

  Dependiendo del país donde se encuentre la instalación, así como de la compañía eléctrica gestora de la red donde se conecte la misma, el número y tipo de pruebas variará. Estas pruebas se pueden diferenciar en dos grandes grupos:

    - Ensayo G59
    - Ensayo de interconexión con subestación de compañía (DNO)

- Ensayo al sistema de monitorización
- Prueba funcional de la instalación

  Habitualmente, con los ensayos descritos en el presente documento suele ser suficiente para certificar la instalación, incluyendo las certificaciones de los instaladores de cada una de las partes, pero se puede dar el caso en el que sea necesario entregar un documento donde se indiquen ciertas pruebas funcionales sobre los equipos, aunque el fabricante ya las haya hecho.

- Prueba funcional a los cuadros de agrupación

  En ocasiones, es posible que se exija una prueba funcional de los cuadros de agrupación, en ese caso, se deberá comprobar cada uno de los cuadros de agrupación definidos por el ingeniero de proyecto.

- Inspección termográfica

  Para verificar las conexiones realizadas en la instalación, así como puntos calientes, y no aparezcan problemas futuros en ellas, se realizará una inspección termográfica a las partes de la instalación que el ingeniero de proyecto indique.

- PR Test (Performance Ratio)

  Una vez que la instalación se encuentre a pleno rendimiento, se debe realizar el ensayo de rendimiento (PR Test). Tanto el valor esperado como el método de cálculo vienen definidos en el contrato con el cliente y variará con la instalación.

2.4 CRITERIO GENERAL DE NO ACEPTACIÓN DE UN PRODUCTO

El incumplimiento de alguna de las especificaciones de un producto, salvo demostración de que no suponga riesgo apreciable, tanto de las resistencias mecánicas como de la durabilidad, será condición suficiente para la no aceptación del producto y en su caso de la partida.

Documento visado electrónicamente con número: VA07290/22
Código de validación telemática TRLTDCFZ60T66IJ1. Comprobación: https://cogitivalencia.e-gestion.es/Validacion.aspx?CVT=TRLTDCFZ60T66IJ1

VISADO
COGITI
VALENCIA
VA07290/22
TRLTDCFZ60T66IJ1

3. CONTROL DE EJECUCIÓN

Durante la construcción, el director de la ejecución de la obra controlará la ejecución de cada unidad de obra verificando su replanteo, los materiales que se utilicen, la correcta ejecución y disposición de los elementos constructivos y de las instalaciones, así como las verificaciones y demás controles a realizar para comprobar su conformidad con lo indicado en el proyecto, la legislación aplicable, las normas de buena práctica constructiva y las instrucciones de la dirección facultativa.

En la recepción de la obra ejecutada pueden tenerse en cuenta las certificaciones de conformidad que ostenten los agentes que intervienen, así como las verificaciones que, en su caso, realicen las entidades de control de calidad de la edificación.

Se comprobará que se han adoptado las medidas necesarias para asegurar la compatibilidad entre los diferentes productos, elementos y sistemas constructivos

4. CONTROL DE LA OBRA TERMINADA

Con el fin de comprobar las prestaciones finales del edificio en la obra terminada deben realizarse las verificaciones y pruebas de servicio establecidas en el proyecto o por la dirección facultativa y las previstas en el CTE y resto de la legislación aplicable

Documento visado electrónicamente con número: VA07290/22
Código de validación telemática TRLTDCFZ60T66IJ1. Comprobación: https://cogitivalencia.e-gestion.es/Validacion.aspx?CVT=TRLTDCFZ60T66IJ1

VISADO
COGITI
VALENCIA
VA07290/22
TRLTDCFZ60T66IJ1

INSTALACIÓN DE PLANTA GENERACIÓN FOTOVOLTAICA SOBRE LA CUBIERTA DEL SILO DE VEHÍCULOS DE VALENCIA TERMINAL EUROPA, EN MUELLE DIQUE DEL ESTE, EN PUERTO DE VALENCIA.

DOCUMENTO 2.

PLANOS

Documento visado electrónicamente con número: VA07290/22
Código de validación telemática TRLTDCFZ60T66IJ1. Comprobación: https://cogitivalencia.e-gestion.es/Validacion.aspx?CVT=TRLTDCFZ60T66IJ1

VISADO
COGITI
VALENCIA
VA07290/22
TRLTDCFZ60T66IJ1

INDICE

2.1-SITUACIÓN Y EMPLAZAMIENTO. (**GEN01**)

2.2-IMPLANTACIÓN MÓDULOS FV. (**GEN02**)

2.3-IMPLANTACIÓN ALUMBRADO MARQUESINA. (**GEN03**)

2.4-CENTRO DE TRANSFORMACIÓN DE GENERACIÓN. (**GEN04**)

2.5-ESQUEMA UNIFILAR. (**GEN05**)

2.6-ESQUEMA COMUNICACIONES. (**GEN06**)

2.7-ESTRUCTURA METÁLICA PORTANTE (**GEN07**)

2.8-EVACUACUION AGUAS PLUVIALES (**GEN08**)

2.9- DETALLES I ENLACES UNIÓN ESTRUCTURA-EDIFICIO **(GEN09)**

2.10- DETALLES II ENLACES UNIÓN ESTRUCTURA-EDIFICIO **(GEN10)**

2.11- DETALLES III ENLACES UNIÓN ESTRUCTURA-EDIFICIO **(GEN11)**

Documento visado electrónicamente con número: VA07290/22
Código de validación telemática TRLTDCFZ60T66IJ1. Comprobación: https://cogitivalencia.e-gestion.es/Validacion.aspx?CVT=TRLTDCFZ60T66IJ1





VISADO
COGITI
VALENCIA
VA07290/22

REV.	FECHA	OBSERVACIONES	DIB.	REV.

Promotor:

valenciaport
Autoridad Portuaria de Valencia

Empresa Consultora:

grupotec

El Ingeniero Técnico industrial
Colegiado nº: 9.613

Javier Coli Gilabert

PROYECTO DE EJECUCIÓN

INSTALACIÓN DE PLANTA GENERACIÓN FOTOVOLTAICA SOBRE LA CUBIERTA DEL SILO DE VEHÍCULOS DE VALENCIA TERMINAL EUROPA, EN MUELLE DIQUE DEL ESTE, EN PUERTO DE VALENCIA

Visado:

Situación:

VALENCIA

Denominación:

SITUACIÓN Y EMPLAZAMIENTO

Escala gráfica: 0,00

Escala:	Fecha:
S:E	FEBRERO 2022

Archivo:	Nº Plano:	Revisión:
P2001728_PE_01_CONS1_R00_SITUACIÓN Y EMPLAZAMIENTO	GEN01	R00

Nº Encargo: P2.001728

Documento visado electrónicamente con número: VA07290/22
Código de validación telemática: TRLTDCF2509T6G11. Comprobación: https://cogitivalencia.e-gestion.es/Validacion.aspx?CVT=TRLTDCF2509T6G11

El presente documento es propiedad exclusiva de GRUPOTEC. Todos los derechos a su uso quedan reservados. Este no podrá ser reproducido en forma alguna, total o parcialmente, comunicado a terceros, ni su información usada por personas físicas o jurídicas, con un target de premisas inexistentes o excluidas por GRUPOTEC, para la formulación, financiación, oferta o ejecución.

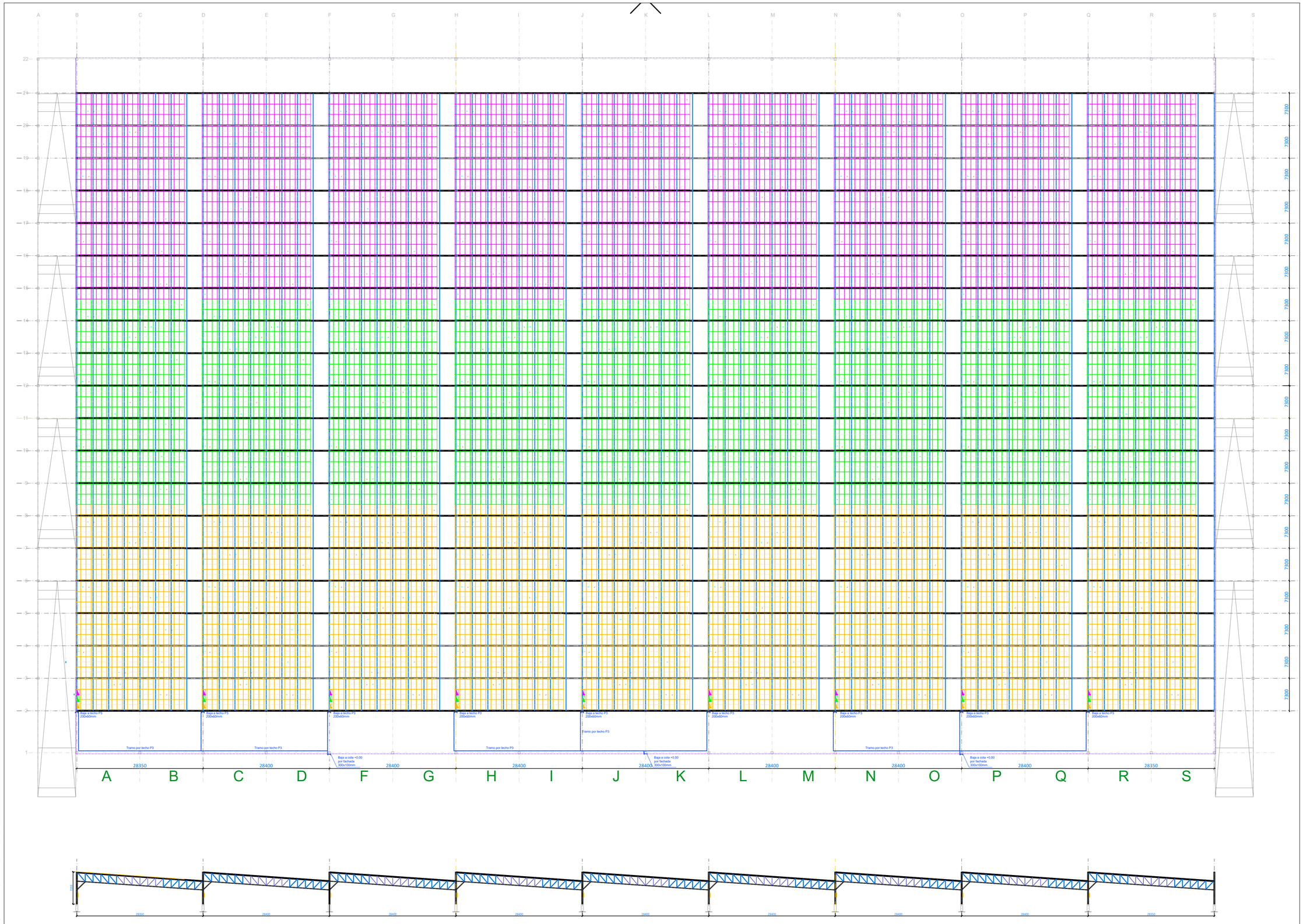

LEYENDA

- INVERSOR TIPO 1 (185 kWn)
- INVERSOR TIPO 2 (185 kWn)
- INVERSOR TIPO 3 (185 kWn)
- CUADRO ELÉCTRICO
- BANDEJA ELECTRICA

VISADO cogiti
VALENCIA
VA07290/22
Nº. COGITI 2001009031

REV.	FECHA	OBSERVACIONES	DIB.	REV.	APROB.

Promotor:

valenciaport
Autoridad Portuaria de Valencia

Empresa Consultora:

grupotec

El Ingeniero Técnico industrial
Colegiado nº: 9.613

Javier Coli Gilabert

PROYECTO DE EJECUCIÓN

INSTALACIÓN DE PLANTA GENERACIÓN FOTOVOLTAICA SOBRE LA CUBIERTA DEL SILO DE VEHÍCULOS DE VALENCIA TERMINAL EUROPA, EN MUELLE DIQUE DEL ESTE, EN PUERTO DE VALENCIA

Visado:

Situación:

VALENCIA

Denominación:

PLANTA CUBIERTA
-
PLAZAS (2,40x5,00)

Escala gráfica: 0,00 4,00 8,00 12,00 16,00 20,00

Escala: 1/400

Fecha: FEBRERO 2022

Archivo: P2001728_PE_01_GEN02_R00_PLANTA CUBIERTA IMPLANTACIÓN MODULOS.dwg

Nº Encargo: P2.001728

Nº Plano: GEN02

Revisión: R00

Documento visado electrónicamente con número: VA07290/22
Código de validación telemática TRLTDCF2907T6G11. Comprobación: https://ccgtvalencia.e-gestion.es/validacion.aspx?CVT=TRLTDCF2907T6G11

El presente documento es propiedad exclusiva de GRUPOTEC. Todos los derechos a su uso quedan reservados. Este no podrá ser reproducido en forma alguna, total o parcialmente, comunicado a terceros, ni su información usada por personas físicas o jurídicas, que no hayan sido previamente facultadas expresamente por GRUPOTEC, para su tramitación y finalización para la ejecución.

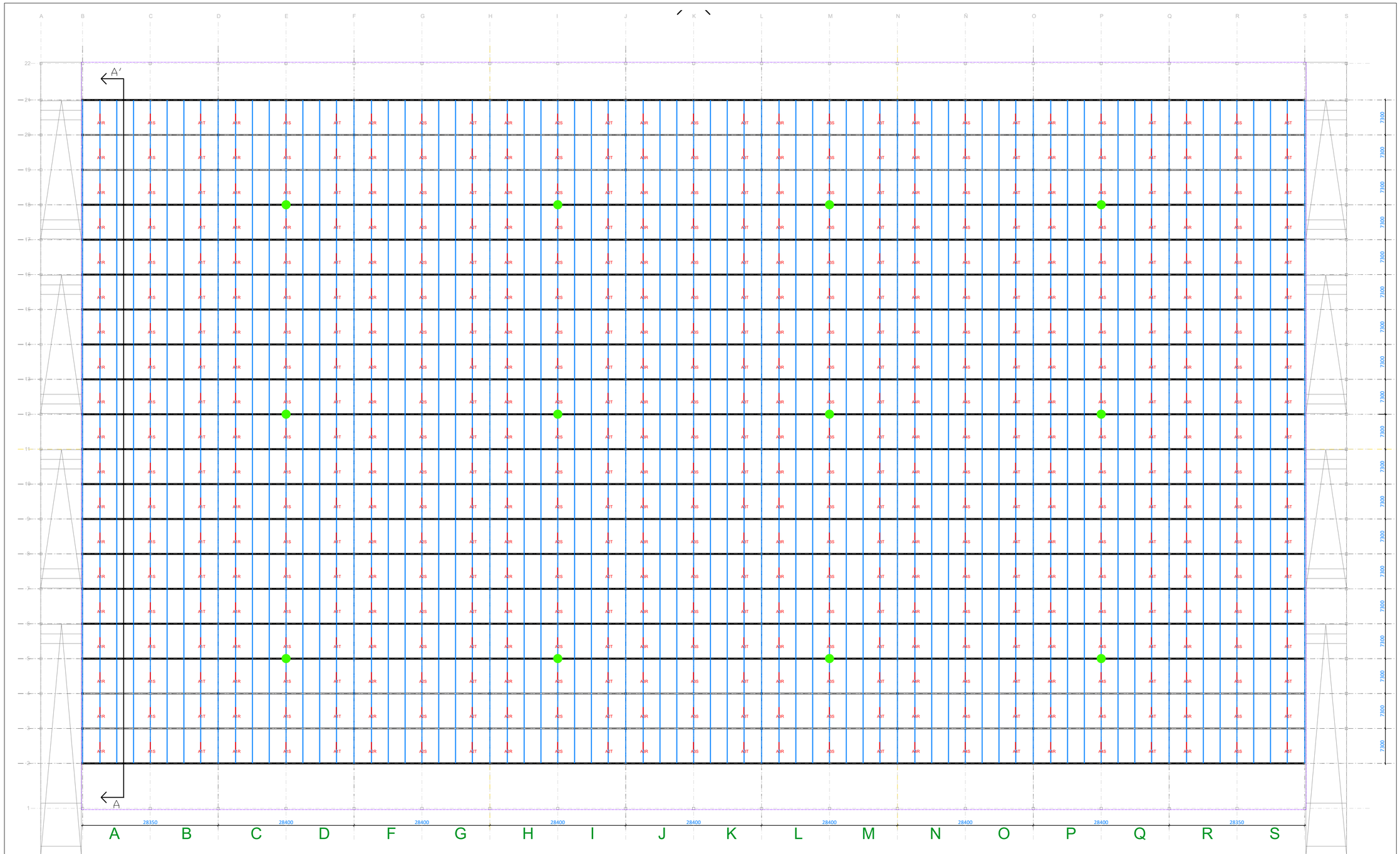

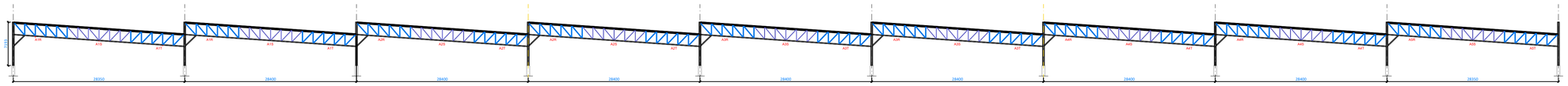

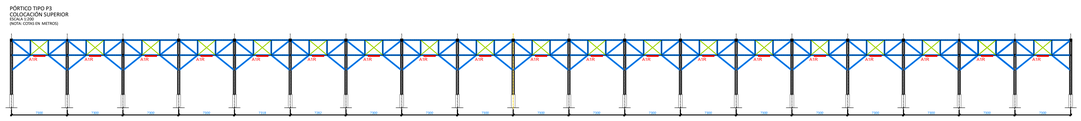

SECCIÓN A-A'

LEYENDA

- Columna alumbrado a desmontar
- Luminaria estanca LED 28W 3.900lm IP65 Modelo OleveonF 1500, de Triux

VISADO
COGITI
VALENCIA
VA07290/22

REV.	FECHA	OBSERVACIONES	DIB.	REV.	AP.

Promotor:

valenciaport
Autoridad Portuaria de Valencia

Empresa Consultora:

grupotec

El Ingeniero Técnico Industrial
Colegiado nº: 9.613

Javier Coli Gilabert

PROYECTO DE EJECUCIÓN

INSTALACIÓN DE PLANTA GENERACIÓN FOTOVOLTAICA SOBRE LA CUBIERTA DEL SILO DE VEHÍCULOS DE VALENCIA TERMINAL EUROPA, EN MUELLE DIQUE DEL ESTE, EN PUERTO DE VALENCIA

Visado:

Situación:

VALENCIA

Denominación:

PLANTA CUBIERTA.
ALUMBRADO MARQUESINAS

Escala gráfica: 0,00 4,00 8,00 12,00 16,00 20,00

Escala:	Fecha:
1/400	FEBRERO 2022

Archivo:	Nº Plano:	Revisión:
P2001728_PE_01_GEN03_R00_PLANTA CUBIERTA. ALUMBRADO	GEN03	R00

Nº Encargo: P2.001728

Documento visado electrónicamente con número: VA07290/22
Código de validación telemática TRLTDCFZ60T66U1. Comprobación: https://cogitivalencia.e-gestion.es/Validacion.aspx?CVT=TRLTDCFZ60T66U1

El presente documento es propiedad exclusiva de GRUPOTEC. Todos los derechos a su uso quedan reservados. Este, no podrá ser reproducido en forma alguna, total o parcialmente, comunicado a terceros, ni su información usada por personas, físicas o jurídicas, que no tengan los permisos necesarios expedidos por GRUPOTEC, para su Tramitación, Planificación, Obra o Instalación.

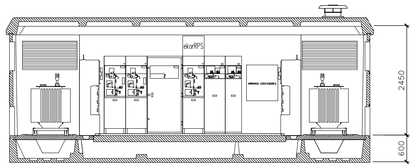

SECCION

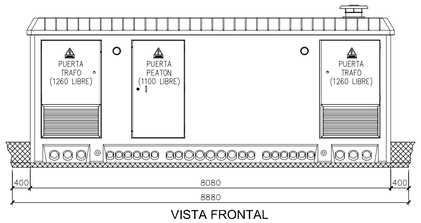

VISTA FRONTAL

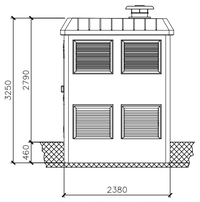

VISTA LATERAL DERECHA

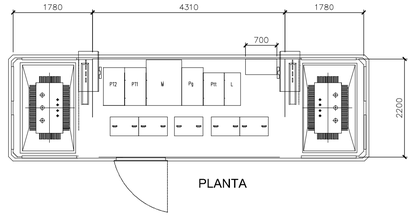

PLANTA

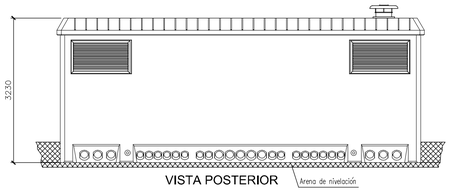

VISTA POSTERIOR

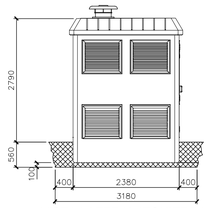

VISTA LATERAL IZQUIERDA

DETALLES VCT 043.1 Y VCT 043.2
ESCALA: S/E

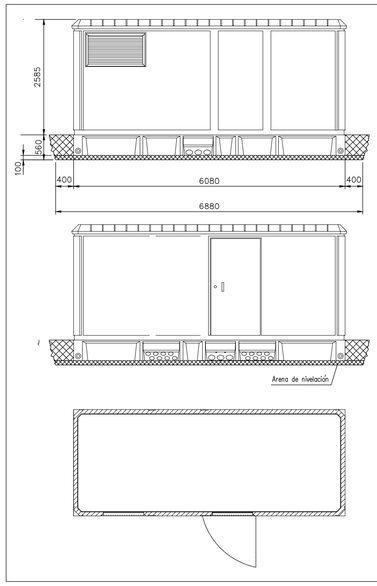

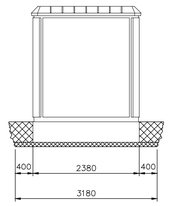

DETALLE VR-FV 043.1
ESCALA: S/E

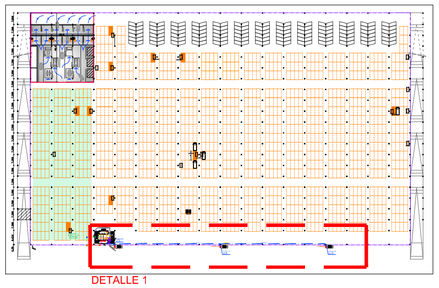

VISTA GENERAL PLANTA.
ZONA DE ACTUACIÓN

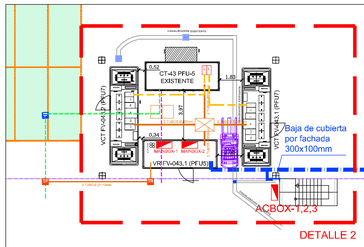

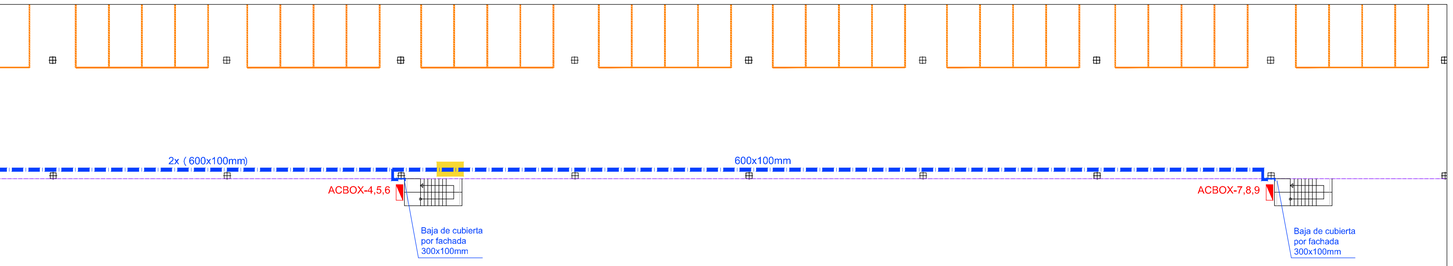

DETALLE 1
ESCALA: 1/100

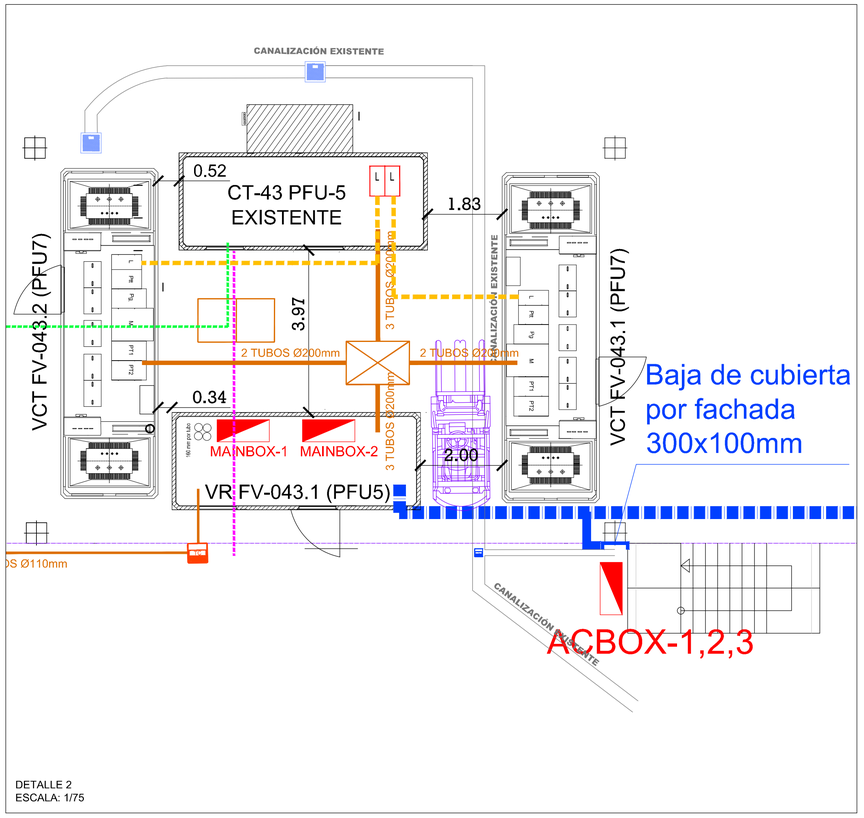

DETALLE 2
ESCALA: 1/75

TIERRA DE SERVICIO
Configuración: 5/62
Profundidad electrodo: 0.5 m
Separación picas: 3 m
4 picas en hilera unidas por un conductor horizontal
Sección conductor: 50 mm2
Diámetro picas: 14 mm
Longitud picas: 2

NOTA: El conductor de conexión será de cable aislado 0,6/1 kV de 50 mm² en Cu, bajo tubo de PVC con grado de protección mínimo al impacto IK—7 las picas será PL14—2000

NOTA: En el piso del Centro de Transformación se instalará un mallazo electrosoldado, con redondos de diámetro no inferior a 4 mm, formando una retícula de 0,10x0,10 m. Este mallazo se conectará como mínimo en dos puntos opuestos de la puesta a tierra de protección del Centro. Dicho mallazo estará cubierto por una capa de hormigón de 10 cm, como mínimo.Las puertas y rejillas metálicas que dan al exterior del centro no tendrán contacto eléctrico alguno con masas conductoras que, a causa de defectos o averías, sean susceptibles de quedar sometidas a tensión.

TIERRA DE PROTECCIÓN
Configuración:70-25/5/42
(Rectángulo de 7.0 m x 2,5 m)
Profundidad electrodo: 0.5 m
Sección conductor: 50 mm2
Diámetro picas: 14 mm
Longitud picas: 2

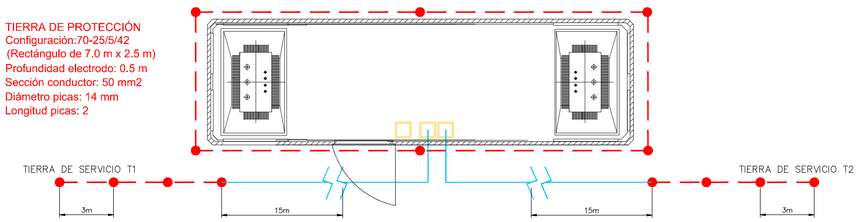

DETALLE TOMA DE TIERRA
ESCALA: S/E

Cable de Cu Desnudo 50mm2
Cable de Cu Aislado 1kV 50mm2

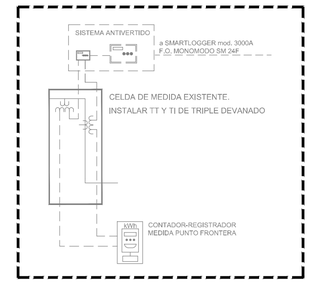

C.D.D. EXISTENTE

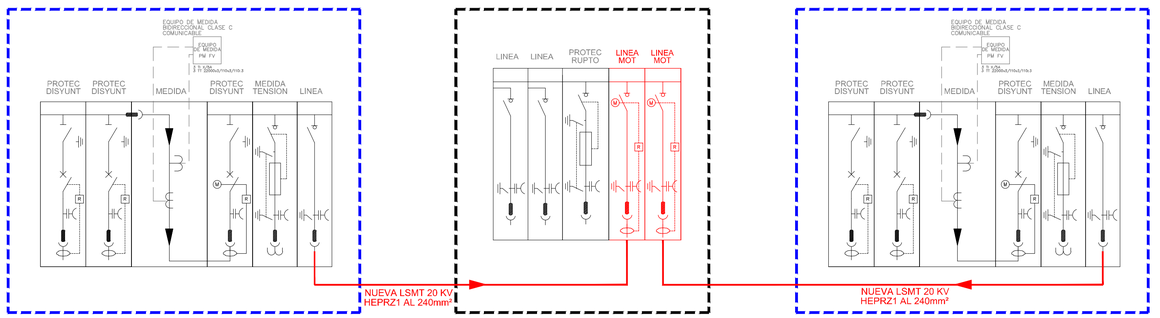

ESQUEMA UNIFILAR MT
ESCALA: S/E

LSMT 20KV HEPRZ1 240mm2 AL
Canalización MT existente
Canalización TC existente
Arqueta MT existente
Nueva Arqueta MT
Nuevas Canalizaciones
Nueva arqueta telecomunicaciones

VISADO
COGITI
VALENCIA
VA07290/22

El presente documento es propiedad exclusiva de GRUPOTEC. Todos los derechos a su uso quedan reservados. Este no podrá ser reproducido en forma alguna, total o parcialmente, comunicado a terceros, ni su información usada por persona, física o jurídicas, no vinculadas contractualmente a GRUPOTEC, para la formación de ofertas o ejecución de proyectos.

Documento visado electrónicamente con número: VA07290/22
Código de validación telemática TRLTDCT260716631. Comprobación: https://cogitivalencia.e-gestion.es/validacion.aspx?CVT=TRLTDCT260716631

REV.	FECHA	OBSERVACIONES	DIB.	REV.

Promotor:
valenciaport
Autoridad Portuaria de Valencia

Empresa Consultora:
grupotec

El Ingeniero Técnico Industrial
Colegiado nº: 9.613
Javier Coli Gilabert

PROYECTO DE EJECUCIÓN

INSTALACIÓN DE PLANTA GENERACIÓN FOTOVOLTAICA SOBRE LA CUBIERTA DEL SILO DE VEHÍCULOS DE VALENCIA TERMINAL EUROPA, EN MUELLE DIQUE DEL ESTE, EN PUERTO DE VALENCIA

Visado:

Situación:
VALENCIA

Denominación:
PLANTA BAJA. UBICACIÓN CT'S GENERACIÓN

Escala gráfica: 0,00

Escala: VARIAS
Fecha: FEBRERO 2022

Archivo: P2.001728_PF_01_GEN-04_R02_PLANTA-BAJA_CT
Nº Encargo: P2.001728
Nº Plano: GEN04
Revisión: R02

VISADO
COGITI
VALENCIA
VA07290/22
Nº. COL: 2007/09033

CENTRO DE ENTREGA EXISTENTE (CDD)

SISTEMA ANTIVERTIDO

CELDA DE MEDIDA EXISTENTE.
INSTALAR TT Y TI DE TRIPLE DEVANADO

CONTADOR REGISTRADOR MEDIDA EQUIPO PROPIETARIO

CT GENERACIÓN VCT 043.2 (NUEVO PREFABRICADO PFU-7)

TRAFO 3
1250 KVA
0,8/20KV

TRAFO 4
1250 KVA
0,8/20KV

NS1000N 1000 A Micro 5.0

PUENTES M.T.

NUEVA LSMT 20KV
HEPRZ1 AL 240mm²

CENTRO DE TRANSFORMACIÓN EXISTENTE
V.C.T.043 250 KVA
(no objeto del presente proyecto)

VR-FV 043.1 (NUEVO PREFABRICADO PFU-5)

MAIN AC BOX 2

LINEA XZ1Z (AS) 0´6/1KV 4x(4x240)mm² +T Al

NS1000N 1000 A Micro 5.3E

NG125H 3P/32 A 30mA AC

NG125H 4P/63 A

INV 630 A

RZ1-K (AS) 0´6/1KV 3x1,5mm² +T Cu

RZ1-K (AS) 0´6/1KV 4x16mm² +T Cu

PROTECCION RH Y MX

PRO40 TIPO II

LINEA XZ1Z (AS) 0´6/1KV 4x(2x240)mm² +T Al

AC BOX 1

NSX630N 630 A reg 0.9 Micro 2.3

NSX160F 160 A Micro. 2.2 R=56M

LINEA RZ1-K (AS) 0´6/1KV 4x70mm² +T Cu

SMARTLOGGER

INVERSOR-1 185 kW SUN2000-185KTL-H1

INVERSOR-2 185 kW SUN2000-185KTL-H1

INVERSOR-3 185 kW SUN2000-185KTL-H1

MODBUS RS485

Cable Solar ZZ-F (AS) 1,8 kV DC

PANELES SOLARES 535 Wp
16 STRINGS (2 STRINGS/ENTRADA)
25/24 PANELES POR STRING

AC BOX 2

INVERSOR-4 185 kW SUN2000-185KTL-H1

INVERSOR-5 185 kW SUN2000-185KTL-H1

INVERSOR-6 185 kW SUN2000-185KTL-H1

AC BOX 3

INVERSOR-7 185 kW SUN2000-185KTL-H1

INVERSOR-8 185 kW SUN2000-185KTL-H1

INVERSOR-9 185 kW SUN2000-185KTL-H1

AC BOX 4

INVERSOR-10 185 kW SUN2000-185KTL-H1

INVERSOR-11 185 kW SUN2000-185KTL-H1

INVERSOR-12 185 kW SUN2000-185KTL-H1

MODBUS RS485

NUEVA LSMT 20KV
HEPRZ1 AL 240mm²

CT GENERACIÓN VCT 043.1 (NUEVO PREFABRICADO PFU-7)

TRAFO 1
1600 KVA
0,8/20KV

TRAFO 2
1600 KVA
0,8/20KV

NS1600N 1600 A Micro 5.0

PUENTES M.T.

NUEVA LSMT 20KV
HEPRZ1 AL 240mm²

MODBUS RS485

MAIN AC BOX 1

LINEA XZ1Z (AS) 0´6/1KV 4x(4x240)mm² +T Al

NS1600N 1600 A Micro 5.3E

NG125H 3P/32 A 30mA AC

NG125H 4P/63 A

INV 630 A

RZ1-K (AS) 0´6/1KV 3x1,5mm² +T Cu

RZ1-K (AS) 0´6/1KV 4x16mm² +T Cu

PROTECCION RH Y MX

PRO40 TIPO II

LINEA XZ1Z (AS) 0´6/1KV 4x(2x240)mm² +T Al

AC BOX 5

NSX630N 630 A reg 0.9 Micro 2.3

NSX160F 160 A Micro. 2.2 R=56M

LINEA RZ1-K (AS) 0´6/1KV 4x70mm² +T Cu

INVERSOR-13 185 kW SUN2000-185KTL-H1

INVERSOR-14 185 kW SUN2000-185KTL-H1

INVERSOR-15 185 kW SUN2000-185KTL-H1

MODBUS RS485

Cable Solar ZZ-F (AS) 1,8 kV DC

PANELES SOLARES 535 Wp
16 STRINGS (2 STRINGS/ENTRADA)
25/24 PANELES POR STRING

AC BOX 6

INVERSOR-16 185 kW SUN2000-185KTL-H1

INVERSOR-17 185 kW SUN2000-185KTL-H1

INVERSOR-18 185 kW SUN2000-185KTL-H1

AC BOX 7

INVERSOR-19 185 kW SUN2000-185KTL-H1

INVERSOR-20 185 kW SUN2000-185KTL-H1

INVERSOR-21 185 kW SUN2000-185KTL-H1

AC BOX 8

INVERSOR-22 185 kW SUN2000-185KTL-H1

INVERSOR-23 185 kW SUN2000-185KTL-H1

INVERSOR-24 185 kW SUN2000-185KTL-H1

AC BOX 9

INVERSOR-25 185 kW SUN2000-185KTL-H1

INVERSOR-26 185 kW SUN2000-185KTL-H1

INVERSOR-27 185 kW SUN2000-185KTL-H1

MODBUS RS485

NOTAS:
- NO SE HA PREVISTO CUADROS DE AGRUPACION DE STRING.
- LA AGRUPACIÓN SE REALIZA EN EL PROPIO INVERSOR, EL CUAL DISPONE DE PROTECCIONES PARA CC, MEDIANTE FUSIBLES.
- LOS INVERSORES PROPUESTOS DISPONEN DE MONITORIZACIÓN POR ENTRADA DE STRING.

El presente documento es propiedad exclusiva de GRUPOTEC. Todos los derechos a su uso quedan reservados. Este no podrá ser reproducido en forma alguna, total o parcialmente, comunicado a terceros, ni su información usada por personas, físicas o jurídicas, sin la previa autorización expresa y escrita por GRUPOTEC, para la formulación y ejecución de una instalación.

Documento visado electrónicamente con número: VA07290/22
Código de validación electrónica: TPA.TDCT2007/6921. Comprobación: https://cogitalencia.e-gestion.es/validacion.aspx?CVT=TPA.TDCT2007/6921

REV.	FECHA	OBSERVACIONES	DIB.	REV.

Promotor:

valenciaport
Autoridad Portuaria de Valencia

Empresa Consultora:

grupotec

El Ingeniero Técnico industrial
Colegiado nº. 9.613

Javier Coli Gilabert

PROYECTO DE EJECUCIÓN

INSTALACIÓN DE PLANTA GENERACIÓN FOTOVOLTAICA SOBRE LA CUBIERTA DEL SILO DE VEHÍCULOS DE VALENCIA TERMINAL EUROPA, EN MUELLE DIQUE DEL ESTE, EN PUERTO DE VALENCIA

Visado:

Situación:

VALENCIA

Denominación:

ESQUEMA UNIFILAR

Escala gráfica: 0,00

Escala:	Fecha:
Sin escala	FEBRERO 2022

Archivo:	Nº Plano:	Revisión:
P2.001728_PF_01_GEN05_R00_ESQUEMA UNIFILAR	GEN05	R00

Nº Encargo: P2.001728

VR -FV 043.1
NUEVO EDIFICIO PREFABRICADO PFU-5

INVERSORES
HUAWEI SUN 2000-185KTL-H1

AC BOX5

AC BOX6

AC BOX7

AC BOX8

AC BOX9

MAIN AC BOX 2

CAMPO
FOTOVOLTAICO
MÓDULOS JINKO
JKM535M

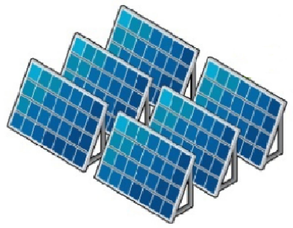

INVERSORES
HUAWEI SUN 2000-185KTL-H1

AC BOX1

AC BOX2

AC BOX3

AC BOX4

MAIN AC BOX 1

VR -FV 043.1
NUEVO EDIFICIO PREFABRICADO PFU-5

NUEVO ARMARIO
PLC CON PERIF.
DISTRIBUIDA

PLC

SMARTLOGGER
HUAWEI 3000A



NUEVO ARMARIO DE
COMUNICACIONES.
SWITCH XM408-8C

ETHERNET TCP/IP UTP CAT6

BUS RS485

F.O. MONOMODO 24FIBRAS

CENTRO DE ENTREGA EXISTENTE
C.D.D.

DISPOSITIVO ANTIVERTIDO
RENESYS 3000A



NUEVO ARMARIO DE
COMUNICACIONES.
SWITCH XM408-8C

ETHERNET TCP/IP UTP CAT6

V.R.-CDD

ARMARIO DE
COMUNICACIONES EXISTENTE
NUEVO SWITCH XM408-8C

V.R.-017

ARMARIO DE
COMUNICACIONES
EXISTENTE

F.O. MONOMODO 24FIBRAS

ANILLO INDUSTRIAL

F.O. MONOMODO 24FIBRAS

CABLE ELÉCTRICO

El presente documento es propiedad exclusiva de GRUPOTEC. Todos los derechos a su uso quedan reservados. Este no podrá ser reproducido en forma alguna, total o parcialmente, comunicado a terceros, ni su información usada por personas, física o jurídicas, que no tengan los permisos necesarios expedidos por GRUPOTEC, para su finalización, Planificación Obra o Instalación.

VISADO
COGITI
VALENCIA
VA07290/22
Nº. COL 109/0033

Documento visado electrónicamente con número VA07290/22
Código de validación telemática: TRLTDCF260716611. Comprobación: https://cogitivalencia.e-gestion.es/Validacion.aspx?CVT=TRLTDCF260716611

REV.	FECHA	OBSERVACIONES	DIB.	REV.	APR.

Promotor:

valenciaport
Autoridad Portuaria de Valencia

Empresa Consultora:

grupotec

El ingeniero Técnico industrial
Colegiado nº: 9.613

Javier Coll Gilabert

PROYECTO DE EJECUCIÓN

INSTALACIÓN DE PLANTA
GENERACIÓN FOTOVOLTAICA SOBRE
LA CUBIERTA DEL SILO DE
VEHÍCULOS DE VALENCIA TERMINAL
EUROPA, EN MUELLE DIQUE DEL
ESTE, EN PUERTO DE VALENCIA

Visado:

Situación:

VALENCIA

Denominación:

ESQUEMA COMUNICACIONES

Escala gráfica: 0,00

Escala:	Fecha:
S:E	FEBRERO 2022

Archivo:	Nº Plano:	Revisión:
P2.001728_PE_01_GEN06_R00_ESQUEMA CONTROL	GEN06	R00

Nº Encargo: P2.001728

VISADO
COGITI
VALENCIA
VA07290/22

PLANTA CUBIERTA
ESCALA 1:500
(NOTA: COTAS EN METROS)

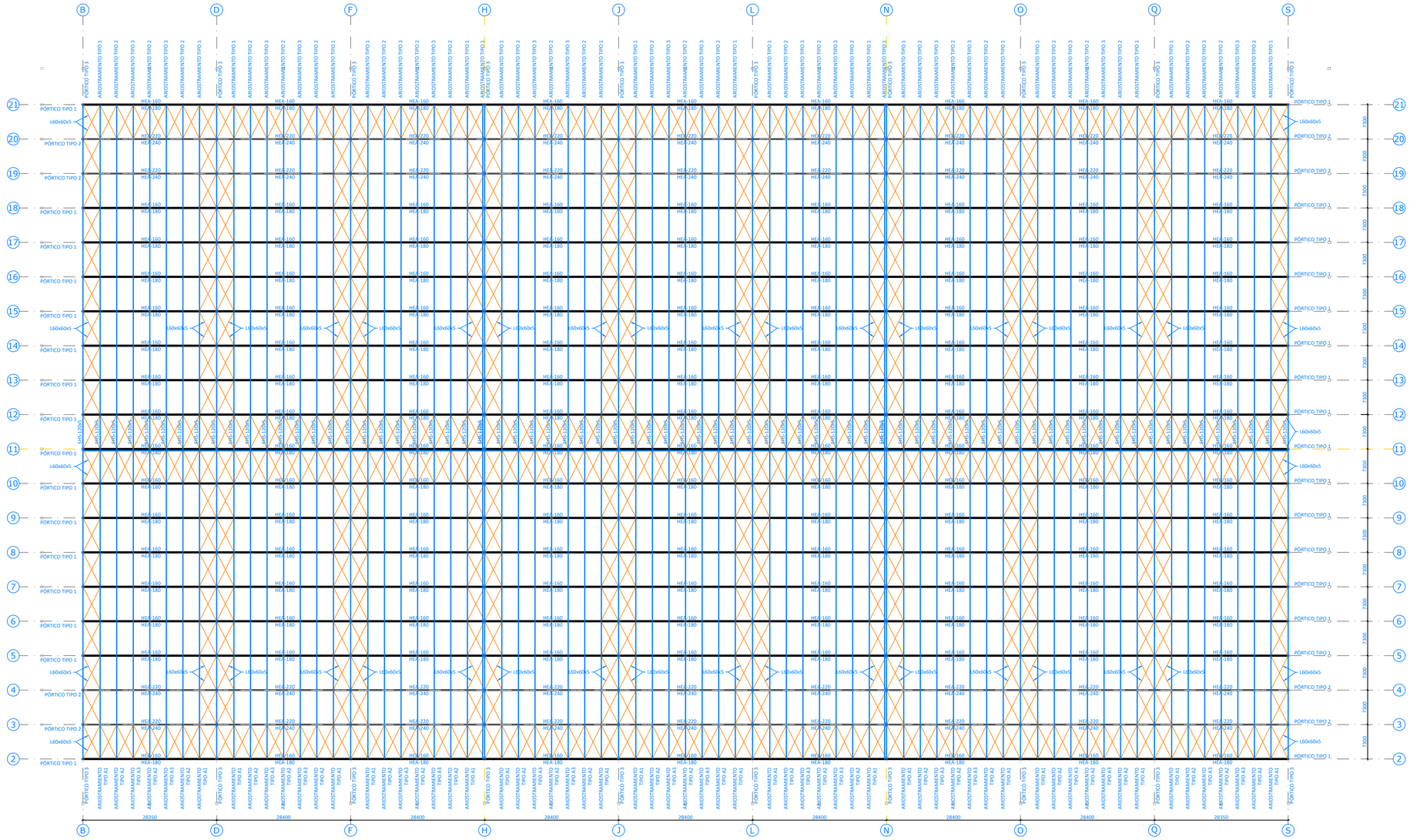

CUADRO DE CARACTERISTICAS DE ACERO ESTRUCTURAL (SEGUN EAE)		
PRODUCTO	TIPO	NORMA
LAMINADOS EN CALIENTE DE ACEROS NO ALEADOS Y PLACAS DE ANCLAJE	S275 JR	EAE
TORNILLOS Y TUERCAS DE A.R.	10.9	EAE
ELECTRODOS REVESTIDOS SOLDEO MANUAL POR ARCO	ISO 2560-A-E 42 0 B 1 2 H10 (1) ISO 2560-A-E 42 2 B 1 2 H5 (2)	UNE-EN ISO
ALAMBRE SOLDEO POR ARCO CON PROTECCION GASEOSA	ISO 14341-A-G 46 2 M	UNE-EN ISO

(1) ELECTRODOS DE USO GENERAL SALVO INDICACION EN LOS PLANOS
(2) ELECTRODOS CUYO USO SE INDICARA EN LOS PLANOS
TODAS LAS SOLDADURAS NO INDICADAS SERAN DE 0,4 EL ESPESOR MINIMO A UNIR, CUANDO SE SUELDE POR LOS DOS LADOS Y 0,7 EL ESPESOR MINIMO A UNIR, CUANDO SE SUELDE POR UNO.
NOMENCLATURA DE SOLDADURA SEGÚN NORMA UNE-EN 22553:1995
*TRATAMIENTO SUPERFICIAL: GRANALLADO SA21/2 CONFORME A ISO 8501-1
IMPRIMACIÓN, CAPA INTERMEDIA Y ACABADO DE AL MENOS 350MM CUMPLA CON CLASE 2 DE EJECUCIÓN Y AMBIENTE C5-M.

REV.	FECHA	OBSERVACIONES	DIB.	REV.

Promotor:

valenciaport
Autoridad Portuaria de Valencia

Empresa Consultora:

grupotec

El ingeniero Técnico industrial
Colegiado nº: 9.613

Javier Coll Gilabert

PROYECTO DE EJECUCIÓN

INSTALACIÓN DE PLANTA GENERACIÓN FOTOVOLTAICA SOBRE LA CUBIERTA DEL SILO DE VEHÍCULOS DE VALENCIA TERMINAL EUROPA, EN MUELLE DIQUE DEL ESTE, EN PUERTO DE VALENCIA

Visado:

Situación:

VALENCIA

Denominación:

PLANTA CUBIERTA GENERAL

Escala gráfica: 0,00 5,00 10,00 15,00 20,00 25,00

Escala: 1 : 500

Fecha: FEBRERO 2022

Archivo: P2.001728_PE_01_GEN07 ROO_ESTRUCTURA MET

Nº Encargo: P2.001728

Nº Plano: GEN07

Revisión: ROO

Documento visado electrónicamente con fecha 07/02/2022
Código de validación electrónica: TYA:TDCF2307769321. Comprobación: https://cogitiseguretat.e-gestion.es
El presente documento es propiedad exclusiva de GRUPOTEC. Todos los derechos a su uso quedan reservados. Este, no podrá ser reproducido en forma alguna, total o parcialmente, comunicado a terceros, ni su información usada por personas, físicas o jurídicas, que no cuenten con nuestra autorización expresa y escrita. GRUPOTEC no asumirá responsabilidad alguna por el uso indebido de esta información.

PLANTA CUBIERTA
ARRIOSTRAMIENTO - CORDÓN INFERIOR
ESCALA 1:500
(NOTA: COTAS EN METROS)

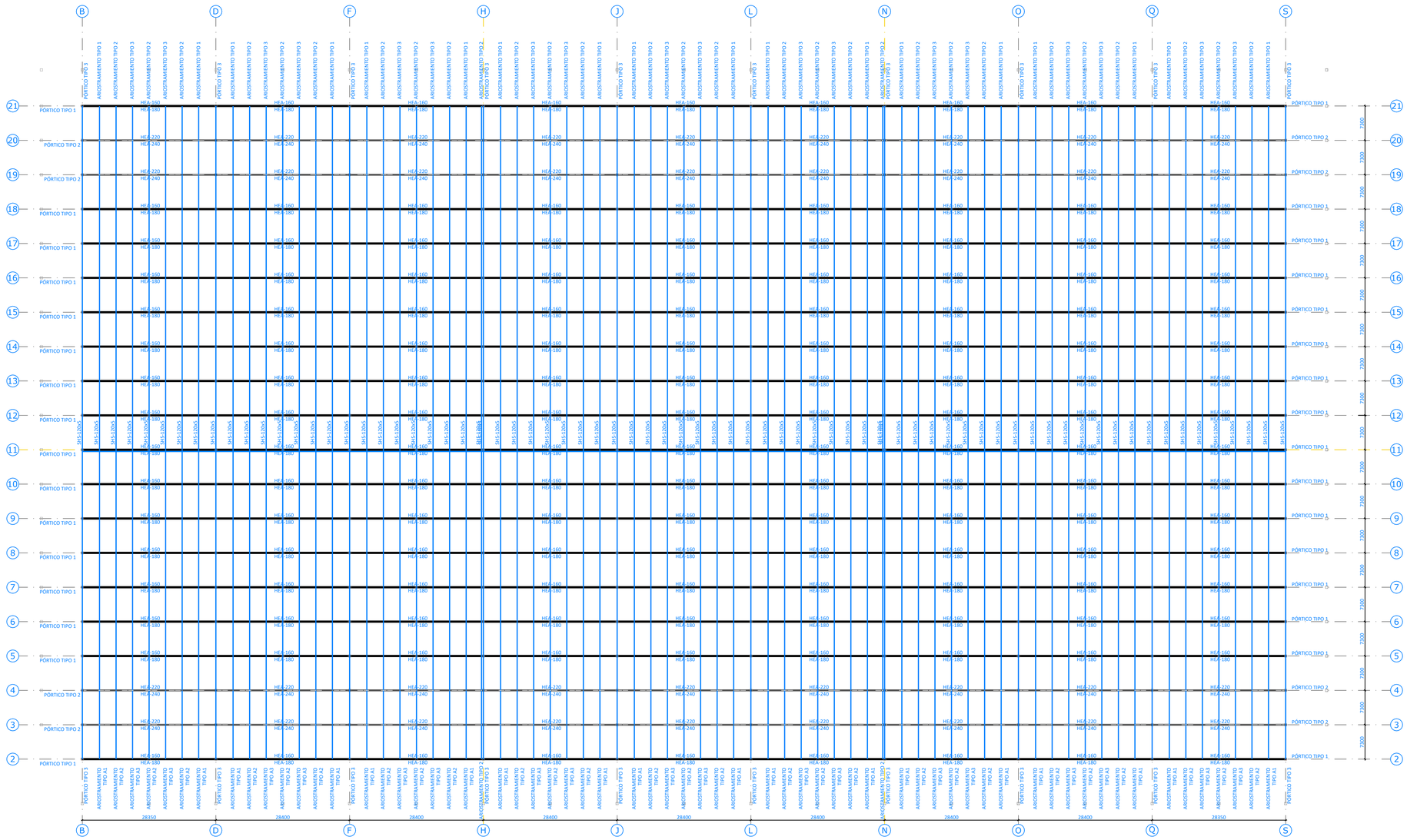

El presente documento es propiedad exclusiva de GRUPOTEC. Todos los derechos a su uso quedan reservados. Este no podrá ser copiado, reproducido, distribuido, comunicado públicamente, cedido o transformado, en todo o en parte, sin el consentimiento previo y por escrito de GRUPOTEC, salvo que la ley aplicable lo permita expresamente. Tampoco podrá ser objeto de explotación económica alguna por parte de terceros sin el consentimiento previo y por escrito de GRUPOTEC. Queda prohibido el uso de este documento para cualquier fin distinto del previsto en el contrato suscrito con GRUPOTEC, salvo que se hayan obtenido los permisos necesarios expedidos por GRUPOTEC, para su tramitación, Planificación Obra o Instalación.

VISADO
COGITI
VALENCIA
VA07290/22
Nº. COT-2500/0031

CUADRO DE CARACTERISTICAS DE ACERO ESTRUCTURAL (SEGUN EAE)		
PRODUCTO	TIPO	NORMA
LAMINADOS EN CALIENTE DE ACEROS NO ALEADOS Y PLACAS DE ANCLAJE	S275 JR	EAE
TORNILLOS Y TUERCAS DE A.R.	10.9	EAE
ELECTRODOS REVESTIDOS SOLDEO MANUAL POR ARCO	ISO 2560-A-E 42 0 B 1 2 H10 (1) ISO 2560-A-E 42 2 B 1 2 H5 (2)	UNE-EN ISO 2560
ALAMBRE SOLDEO POR ARCO CON PROTECCION GAS/EOA	ISO 14341-A-G 46 2 M	UNE-EN ISO 14341

(1) ELECTRODOS DE USO GENERAL SALVO INDICACION EN LOS PLANOS
(2) ELECTRODOS CUYO USO SE INDICARA EN LOS PLANOS
TODAS LAS SOLDADURAS NO INDICADAS SERAN DE 0,4 EL ESPESOR MINIMO A UNIR, CUANDO SE SUELDE POR LOS DOS LADOS Y 0,7 EL ESPESOR MINIMO A UNIR, CUANDO SE SUELDE POR UNO.
NOMENCLATURA DE SOLDADURA SEGUN NORMA UNE-EN 22553:1995
*TRATAMIENTO SUPERFICIAL: GRANALLADO SA21/2 CONFORME A ISO 8501-1, IMPRIMACIÓN, CAPA INTERMEDIA Y ACABADO DE AL MENOS 350MM QUE CUMPLA CON CLASE 2 DE EJECUCIÓN Y AMBIENTE C5-M.

REV.	FECHA	OBSERVACIONES	DIB.	REV.

Promotor:

valenciaport
Autoridad Portuaria de Valencia

Empresa Consultora:

grupotec

El ingeniero Técnico industrial
Colegiado nº: 9.613

Javier Coll Gilabert

PROYECTO DE EJECUCIÓN

INSTALACIÓN DE PLANTA GENERACIÓN FOTOVOLTAICA SOBRE LA CUBIERTA DEL SILO DE VEHÍCULOS DE VALENCIA TERMINAL EUROPA, EN MUELLE DIQUE DEL ESTE, EN PUERTO DE VALENCIA

Visado:

Situación:

VALENCIA

Denominación:

PLANTA CUBIERTA INFERIOR
ARRIOSTRAMIENTO-CORDÓN

Escala gráfica: 0,00 5,00 10,00 15,00 20,00 25,00

Escala:	Fecha:
1 : 500	FEBRERO 2022

Archivo:	Nº Plano:	Revisión:
P2.001728_PE_01_GEN07-R00_ESTRUCTURA.mdT	GEN07	R00

Nº Encargo: P2.001728

Documento visado electrónicamente con fecha 13/07/2022 y validez limitada a la edición del mismo.
Código de validación electrónica: TPA:TDCF2307E6921. Comprobación: https://cogitiwebservices.es/visadoselectronicos
Este documento visado electrónicamente con fecha 13/07/2022 y validez limitada a la edición del mismo. Código de validación electrónica: TPA:TDCF2307E6921. Comprobación: https://cogitiwebservices.es/visadoselectronicos

VISADO
COGITI
VALENCIA
VA07290/22
Nº. TSCF2507056031

PLANTA CUBIERTA
ARRIOSTRAMIENTO - CORDÓN SUPERIOR
ESCALA 1:500
(NOTA: COTAS EN METROS)

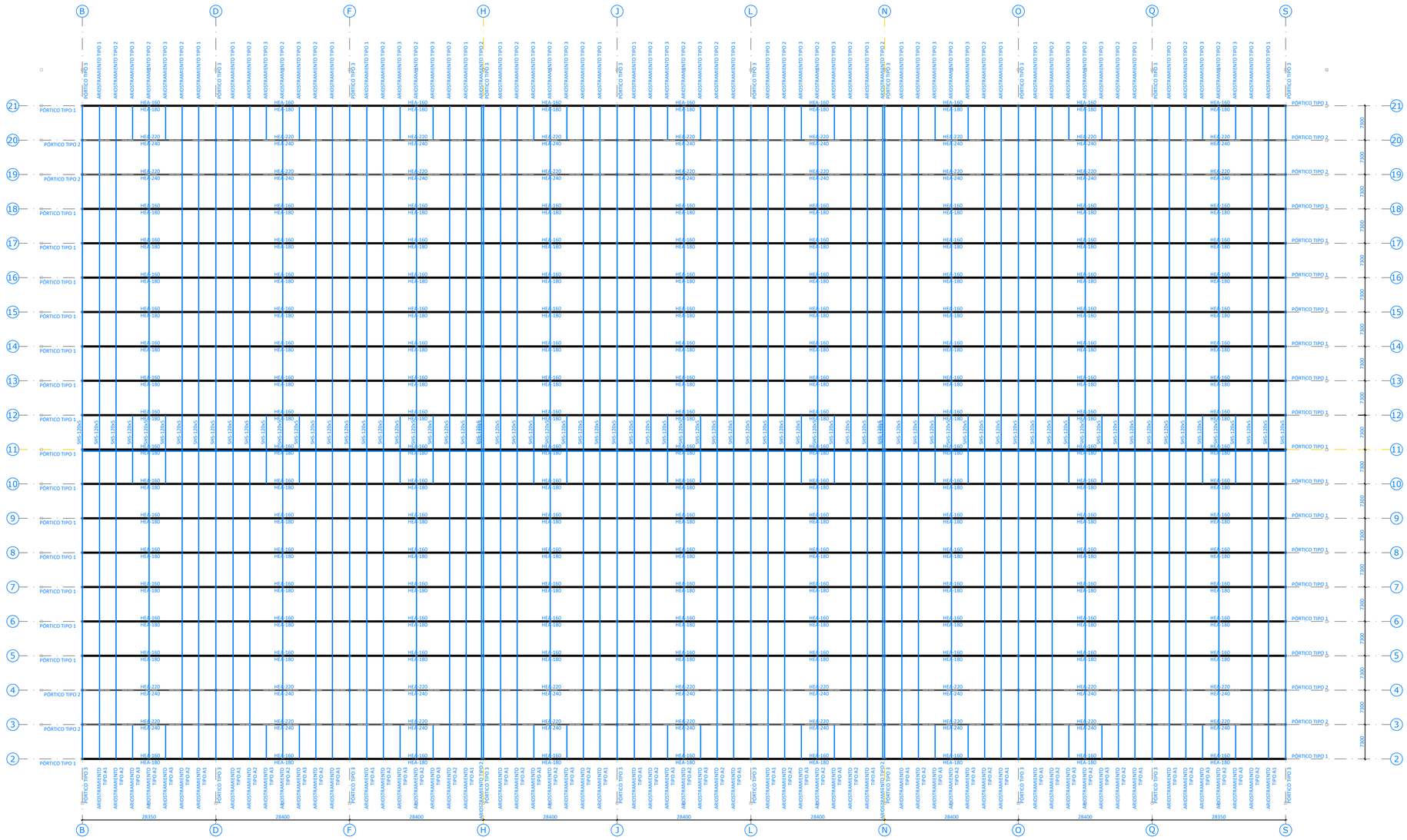

El presente documento es propiedad exclusiva de GRUPOTEC. Todos los derechos a su uso quedan reservados. Este no podrá ser copiado, reproducido, distribuido o comunicado públicamente, en todo o en parte, sin el previo consentimiento escrito de GRUPOTEC, salvo que se disponga de los permisos necesarios expedidos por GRUPOTEC, para su Tramitación, Planificación Obra o Instalación.

CUADRO DE CARACTERISTICAS DE ACERO ESTRUCTURAL (SEGUN EAE)		
PRODUCTO	TIPO	NORMA
LAMINADOS EN CALIENTE DE ACEROS NO ALEADOS Y PLACAS DE ANCLAJE	S275 JR	EAE
TORNILLOS Y TUERCAS DE A.R.	10.9	EAE
ELECTRODOS REVESTIDOS SOLDEO MANUAL POR ARCO	ISO 2560-A-E 42 0 B 1 2 H10 (1) ISO 2560-A-E 42 2 B 1 2 H5 (2)	UNE-EN ISO 2560
ALAMBRE SOLDEO POR ARCO CON PROTECCION GAS/EOA	ISO 14341-A-G 46 2 M	UNE-EN ISO 14341

(1) ELECTRODOS DE USO GENERAL SALVO INDICACION EN LOS PLANOS
(2) ELECTRODOS CUYO USO SE INDICARA EN LOS PLANOS
TODAS LAS SOLDADURAS NO INDICADAS SERAN DE 0,4 E ESPESOR MINIMO A UNIR, CUANDO SE SUELDE POR LOS DOS LADOS Y 0,7 E ESPESOR MINIMO A UNIR, CUANDO SE SUELDE POR UNO.
NOMENCLATURA DE SOLDADURA SEGUN NORMA UNE-EN 22553:1995
**TRATAMIENTO SUPERFICIAL: GRANALLADO SA2½/2 CONFORME A ISO 8501-1
IMPRIMACIÓN, CAPA INTERMEDIA Y ACABADO DE AL MENOS 350MM QUE CUMPLA CON CLASE 2 DE EJECUCIÓN Y AMBIENTE C5-M.

REV.	FECHA	OBSERVACIONES	DIB.	REV.	APR.

Promotor:

valenciaport
Autoridad Portuaria de Valencia

Empresa Consultora:

grupotec

El Ingeniero Técnico Industrial
Colegiado nº: 9.613

Javier Coli Gilabert

PROYECTO DE EJECUCIÓN

INSTALACIÓN DE PLANTA GENERACIÓN FOTOVOLTAICA SOBRE LA CUBIERTA DEL SILO DE VEHÍCULOS DE VALENCIA TERMINAL EUROPA, EN MUELLE DIQUE DEL ESTE, EN PUERTO DE VALENCIA

Visado:

Situación:

VALENCIA

Denominación:

PLANTA CUBIERTA SUPERIOR
ARRIOSTRAMIENTO-CORDÓN

Escala gráfica: 0,00 5,00 10,00 15,00 20,00 25,00

Escala: 1 : 500

Fecha: FEBRERO 2022

Archivo: P2.001728_PE_01_GEN07-R00_ESTRUCTURA.MET

Nº Encargo: P2.001728

Nº Plano: GEN07

Revisión: R00

Documento visado electrónicamente con número VA07290/22
Código de validación telemática: TSCF2507056031. Comprobación: https://cogitiapps.e-gestion.es/Validacion/ValidacionCOGITI.aspx

PLANTA CUBIERTA
CORREAS
ESCALA 1:500
(NOTA: COTAS EN METROS)

CORREA RHS 220x100x3

CORREA RHS 220x100x4

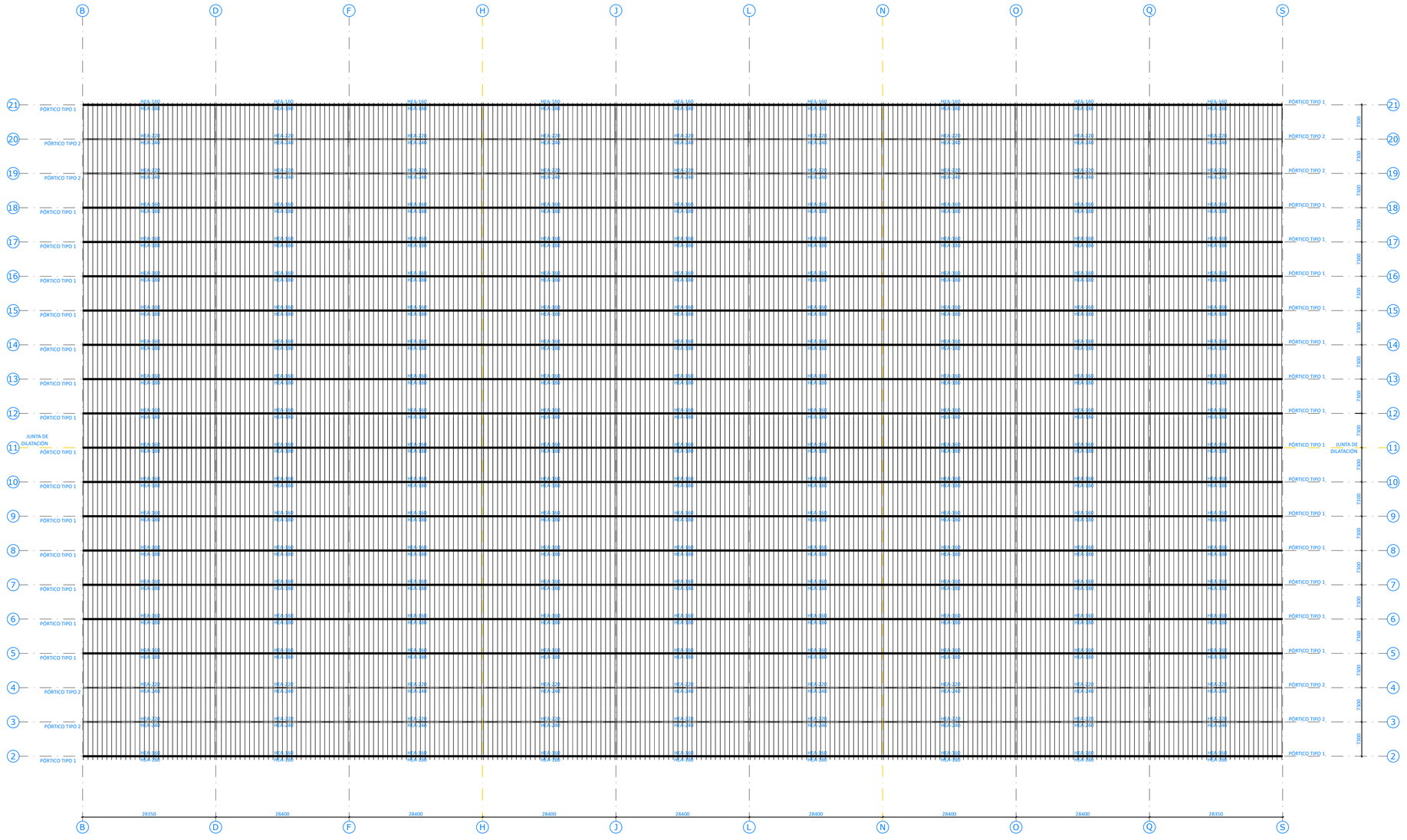

DETALLE MONTAJE CORREA SOBRE HEA-220
EN JUNTA DE DILATACIÓN
ESCALA 1:10
(NOTA: COTAS EN METROS)

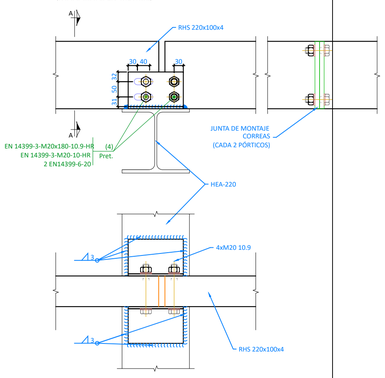

DETALLE MONTAJE CORREA SOBRE HEA-160
EN JUNTA DE DILATACIÓN
ESCALA 1:10
(NOTA: COTAS EN METROS)

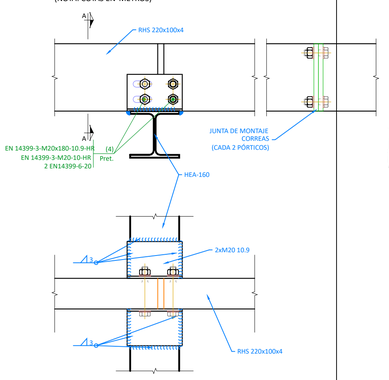

CUADRO DE CARACTERISTICAS DE ACERO ESTRUCTURAL (SEGÚN EAE)		
PRODUCTO	TIPO	NORMA
LAMINADOS EN CALIENTE DE ACEROS NO ALEADOS Y PLACAS DE ANCLAJE	S275 JR	EAE
TORNILLOS Y TUERCAS DE A.R.	10.9	EAE
ELECTRODOS REVESTIDOS SOLDEO MANUAL POR ARCO	ISO 2560-A-E 42 0 R 1 2 H10 (1) ISO 2560-A-E 42 2 B 1 2 H5 (2)	UNE-EN ISO 2560
ALAMBRE SOLDEO POR ARCO CON PROTECCION GASEOSA	ISO 14341-A-G 46 2 M	UNE-EN ISO 14341

(1) ELECTRODOS DE USO GENERAL SALVO INDICACION EN LOS PLANOS
(2) ELECTRODOS CUYO USO SE INDICARA EN LOS PLANOS
TODAS LAS SOLDADURAS NO INDICADAS SERÁN DE 0,7 EL ESPESOR MINIMO A UNIR, CUANDO SE SUELDE POR LOS DOS LADOS, Y 0,7 EL ESPESOR MINIMO MAS GRUESO, CUANDO SE SUELDE POR UN LADO
NOMENCLATURA DE SOLDADURA SEGÚN NORMA UNE-EN 22553:1995
**TRATAMIENTO SUPERFICIAL: GRANALLADO SA2½ (2 CONFORME A ISO 8501-1.
IMPRIMACIÓN, CAPA INTERMEDIA Y ACABADO DE AL MENOS 350MM QUE CUMPLA CON CLASE 2 DE EJECUCIÓN Y AMBIENTE C5-M.

DETALLE MONTAJE CORREA
SOBRE HEA-220
ESCALA 1:10
(NOTA: COTAS EN METROS)

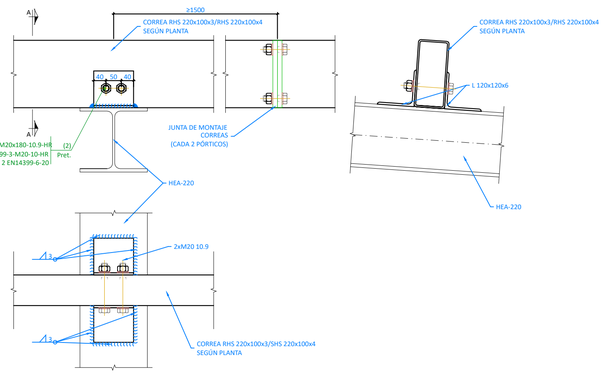

DETALLE MONTAJE CORREA
SOBRE HEA-160
ESCALA 1:10
(NOTA: COTAS EN METROS)

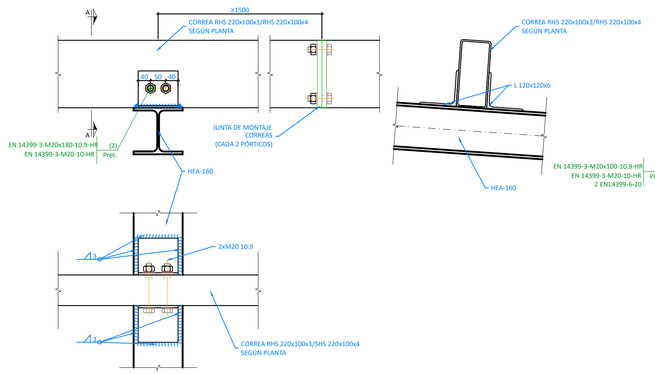

JUNTA DE MONTAJE CORREAS
ESCALA 1:10
(NOTA: COTAS EN METROS)

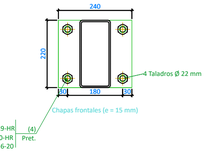

REV.	FECHA	OBSERVACIONES	DIB.	REV.	APR.

Promotor:

valenciaport
Autoridad Portuaria de Valencia

Empresa Consultora:

grupotec

El ingeniero Técnico industrial
Colegiado nº: 9.613

Javier Coll Gilabert

PROYECTO DE EJECUCIÓN

INSTALACIÓN DE PLANTA GENERACIÓN FOTOVOLTAICA SOBRE LA CUBIERTA DEL SILO DE VEHÍCULOS DE VALENCIA TERMINAL EUROPA, EN MUELLE DIQUE DEL ESTE, EN PUERTO DE VALENCIA

Visado:

Situación:

VALENCIA

Denominación:

PLANTA CUBIERTA
CORREAS

Escala gráfica: 0,00 5,00 10,00 15,00 20,00 25,00

Escala: 1 : 500

Fecha: FEBRERO 2022

Archivo: P2.001728_PE_01_GEN07-R00_ESTRUCTURA.MET

Nº Encargo: P2.001728

Nº Plano: GEN07

Revisión: R00

VISADO
COGITI
VALENCIA
VA07290/22
TRIL TDOC 2007/16011

Documento visado electrónicamente con número: VA07290/22
Fecha visado: 16/11/2022
Código de validación telemática: TRILTDOCF2007160111. Comprobación: https://cogitivalencia.e-gestion.es/validacion.aspx?CVT=TRILTDOCF2007160111

El presente documento es propiedad exclusiva de GRUPOTEC. Todos los derechos a su uso quedan reservados. Este no podrá ser copiado, reproducido, distribuido, comunicado públicamente, cedido o transformado, total o parcialmente, sin el consentimiento previo y por escrito de GRUPOTEC, salvo que se tengan los permisos necesarios excedidos por GRUPOTEC, para su Tramitación, Planificación Obra o Instalación.

ESTRUCTURA METÁLICA
PLANTA PILARES
ESCALA 1:500
(NOTA: COTAS EN METROS)

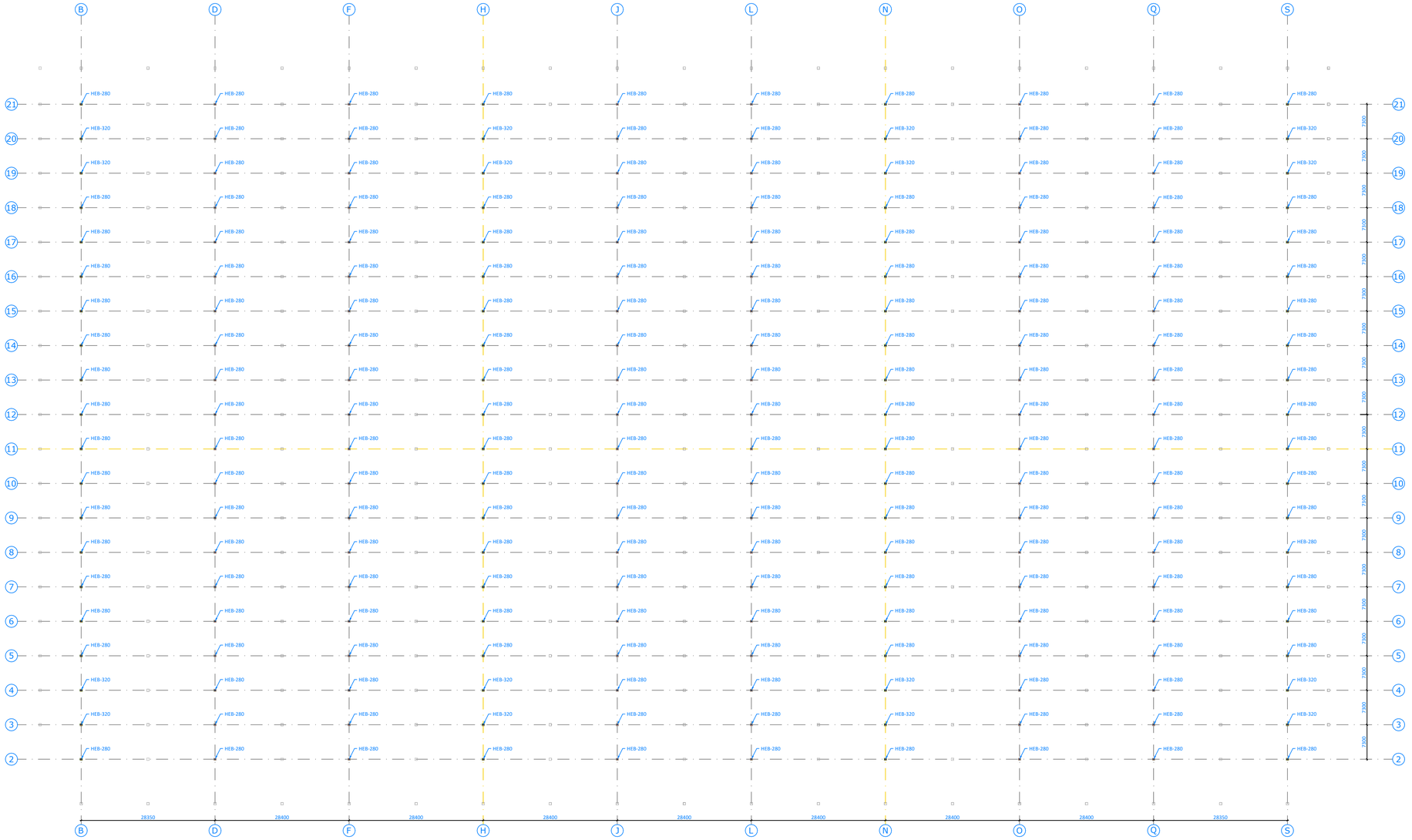

PLACA DE ANCLAJE
PILARES HEB-280
ESCALA 1:15
(NOTA: COTAS EN METROS)

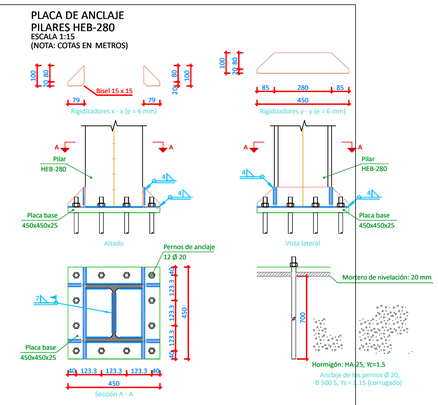

PLACA DE ANCLAJE
PILARES HEB-320
ESCALA 1:15
(NOTA: COTAS EN METROS)

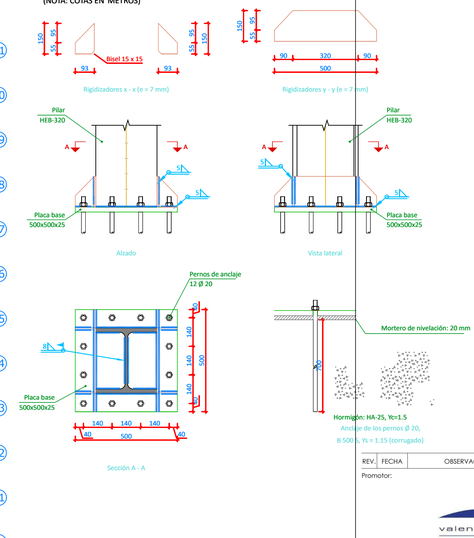

CUADRO DE CARACTERÍSTICAS DE ACERO ESTRUCTURAL (SEGUN EAE)		
PRODUCTO	TIPO	NORMA
LAMINADOS EN CALIENTE DE ACEROS NO ALEADOS Y PLACAS DE ANCLAJE	S275 JR	EAE
TORNILLOS Y TUERCAS DE A.R.	10.9	EAE
ELECTRODOS REVESTIDOS SOLDEO MANUAL POR ARCO	ISO 2560-A-E 42 0 R 1 2 H10 (1) ISO 2560-A-E 42 2 B 1 2 H5 (2)	UNE-EN ISO 2560
ALAMBRE SOLDEO POR ARCO CON PROTECCION GASEOSA	ISO 14341-A-G 46 2 M	UNE-EN ISO 14341

(1) ELECTRODOS DE USO GENERAL SALVO INDICACION EN LOS PLANOS
(2) ELECTRODOS CUYO USO SE INDICARA EN LOS PLANOS
TODAS LAS SOLDADURAS NO INDICADAS SERAN DE 0,4 EL ESPESOR MINIMO A UNIR, CUANDO SE SUELDE POR LOS DOS LADOS Y 0,7 EL ESPESOR MINIMO A UNIR, CUANDO SE SUELDE POR UNO.
NOMENCLATURA DE SOLDADURA SEGÚN NORMA UNE-EN 22553:1995
*TRATAMIENTO SUPERFICIAL: GRANALLADO SA21/2 CONFORME A ISO 8501-1. IMPRIMACIÓN, CAPA INTERMEDIA Y ACABADO DE AL MENOS 350MM QUE CUMPLA CON CLASE 2 DE EJECUCIÓN Y AMBIENTE C5-M.

El presente documento es propiedad exclusiva de GRUPOTEC. Todos los derechos a su uso quedan reservados. Este no podrá ser reproducido, distribuido, comunicado públicamente o utilizado, total o parcialmente, sin previo consentimiento por escrito de GRUPOTEC, salvo que no tengan los permisos necesarios expedidos por GRUPOTEC, para su Tramitación, Planificación, Obra o Instalación.

VISADO
COGITI
VALENCIA
VA07290/22
Nº. COL: 2500100031

REV.	FECHA	OBSERVACIONES	DIB.	REV.	APR.

Promotor:

valenciaport
Autoridad Portuaria de Valencia

Empresa Consultora:

grupotec

El ingeniero Técnico industrial
Colegiado nº: 9.613

Javier Coll Gilabert

PROYECTO DE EJECUCIÓN

INSTALACIÓN DE PLANTA GENERACIÓN FOTOVOLTAICA SOBRE LA CUBIERTA DEL SILO DE VEHÍCULOS DE VALENCIA TERMINAL EUROPA, EN MUELLE DIQUE DEL ESTE, EN PUERTO DE VALENCIA

Visado:

Situación:

VALENCIA

Denominación:

PLANTA CUBIERTA
PILARES

Escala gráfica: 0,00 5,00 10,00 15,00 20,00 25,00

Escala: 1 : 500

Fecha: FEBRERO 2022

Archivo: P2.001728_PE_01_GEN07-R00_ESTRUCTURA-MET

Nº Encargo: P2.001728

Nº Plano: GEN07

Revisión: R00

Documento visado electrónicamente con número: VA07290/22
Fecha visado: 07/06/22. Comprobación: https://cogitivalencia.e-gestion.es/validacion.aspx?CVT=TRLTDCF250700031
Código de validación telemática TRLTDCF250700031. Comprobación: https://cogitivalencia.e-gestion.es/validacion.aspx?CVT=TRLTDCF250700031

VISADO
COGITI
VALENCIA
VA07290/22

PÓRTICO TIPO P1
ESCALA 1:300
(NOTA: COTAS EN METROS)

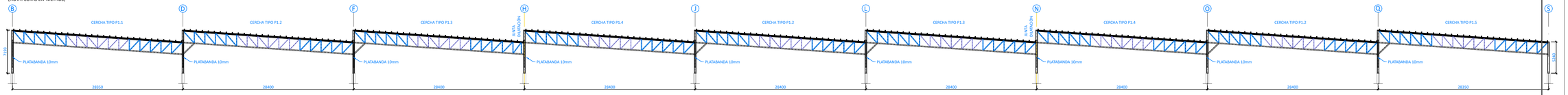

PÓRTICO TIPO P2
ESCALA 1:500
(NOTA: COTAS EN METROS)

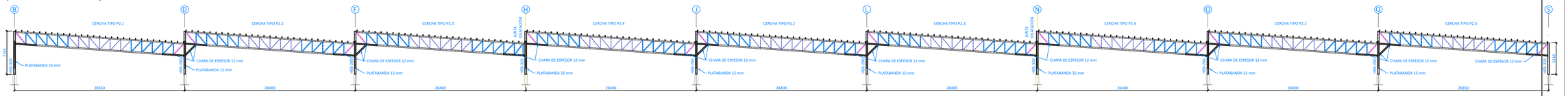

JUNTA DE MONTAJE
UNIÓN PERFIL INFERIOR T1
ESCALA 1:10
(NOTA: COTAS EN METROS)

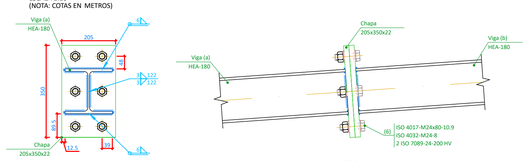

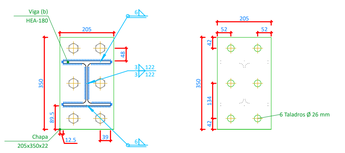

JUNTA DE MONTAJE
UNIÓN PERFIL SUPERIOR T1
ESCALA 1:10
(NOTA: COTAS EN METROS)

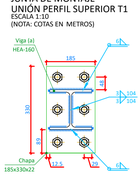

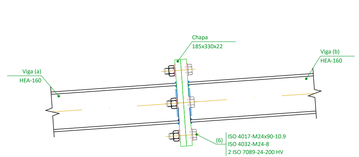

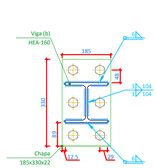

JUNTA DE MONTAJE
UNIÓN DIAGONAL T1
ESCALA 1:10
(NOTA: COTAS EN METROS)

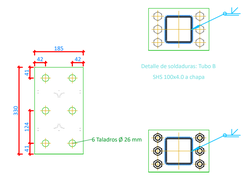

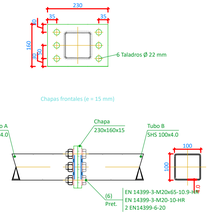

CUADRO DE CARACTERISTICAS DE ACERO ESTRUCTURAL (SEGUN EAE)		
PRODUCTO	TIPO	NORMA
LAMINADOS EN CALIENTE DE ACEROS NO ALEADOS PLACAS DE ANCLAJE	S275 JR	EAE
TORNILLOS Y TUERCAS DE A.R.	10.9	EAE
ELECTRODOS REVESTIDOS SOLDEO MANUAL POR ARCO	ISO 2560-A-E 42 0 B 1 2 H10 (1) ISO 2560-A-E 42 0 R 1 2 H5 (2)	UNE-EN ISO 2560
ALAMBRE SOLDEO POR ARCO CON PROTECCION GASEOSA	ISO 14341-A-G 46 2 M	UNE-EN ISO 14341

(1) ELECTRODOS DE USO GENERAL SALVO INDICACION EN LOS PLANOS
(2) ELECTRODOS CUYO USO SE INDICARA EN LOS PLANOS
TODAS LAS SOLDADURAS NO INDICADAS SERAN DE 0,4 EL ESPESOR MINIMO A UNIR, CUANDO SE SUELDE POR LOS DOS LADOS Y 0,7 EL ESPESOR MINIMO A UNIR, CUANDO SE SUELDE POR UNO.
NOMENCLATURA DE SOLDADURA SEGUN NORMA UNE-EN 22553:1995
**TRATAMIENTO DE PROTECCIÓN CONTRA LA CORROSIÓN SEGÚN ISO 8501-1: IMPRIMACIÓN, CAPA INTERMEDIA Y ACABADO DE AL MENOS 350µM QUE CUMPLA CON CLASE 2 DE EJECUCIÓN Y AMBIENTE C5-M.

REV.	FECHA	OBSERVACIONES	DIB.	REV.	APR.

Promotor:

valenciaport
Autoridad Portuaria de Valencia

Empresa Consultora:

grupotec

El Ingeniero Técnico Industrial
Colegiado nº: 9.613

Javier Coll Gilabert

PROYECTO DE EJECUCIÓN

INSTALACIÓN DE PLANTA GENERACIÓN FOTOVOLTAICA SOBRE LA CUBIERTA DEL SILO DE VEHÍCULOS DE VALENCIA TERMINAL EUROPA, EN MUELLE DIQUE DEL ESTE, EN PUERTO DE VALENCIA

Visado:

Situación:

VALENCIA

Denominación:

PÓRTICOS TIPO, DETALLES JUNTA DE MONTAJE, ALZADOS

Escala gráfica:

Escala: Varios
FORMATO A1
Fecha: FEBRERO 2022

Archivo: P2001728_PE_01_GEN07-RE05_ESTRUCTURA.MET
Nº Encargo: P2.001728
Nº Plano: GEN07
Revisión: R00

Documento visado electrónicamente con fecha: VA07290/22
Código de validación telemática: 5TU7CDSWTRMA
Este documento es propiedad exclusiva de GRUPOTEC. Todos los derechos a su uso quedan reservados. Ésta, no podrá ser reproducida en forma alguna, total o parcialmente, comunicada a terceros, ni la información usada por personas, física o jurídicas, no autorizadas, siendo el usuario el exclusivo responsable por cualquier daño y perjuicio. Derechos Reservados.

JUNTA DE MONTAJE
UNIÓN PERFIL SUPERIOR T2
ESCALA 1:10
(NOTA: COTAS EN METROS)

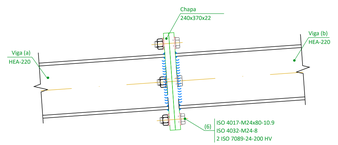

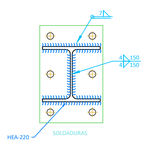

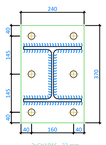

JUNTA DE MONTAJE
UNIÓN PERFIL INFERIOR T2
ESCALA 1:10
(NOTA: COTAS EN METROS)

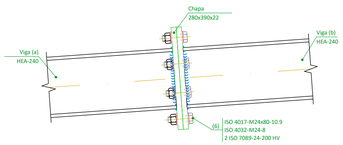

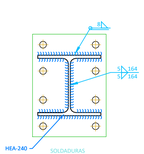

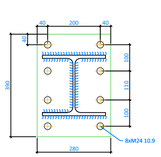

JUNTA DE MONTAJE
UNIÓN DIAGONAL T2
ESCALA 1:10
(NOTA: COTAS EN METROS)

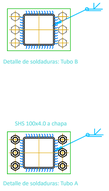

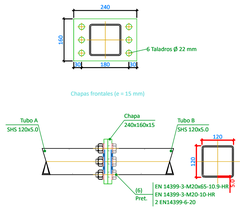

VISADO
COGITI
VALENCIA
VA07290/22
Nº. TDCF2907/6611

PÓRTICO TIPO P1
CERCHA TIPO P1.1
ESCALA 1:100
(NOTA: COTAS EN METROS)

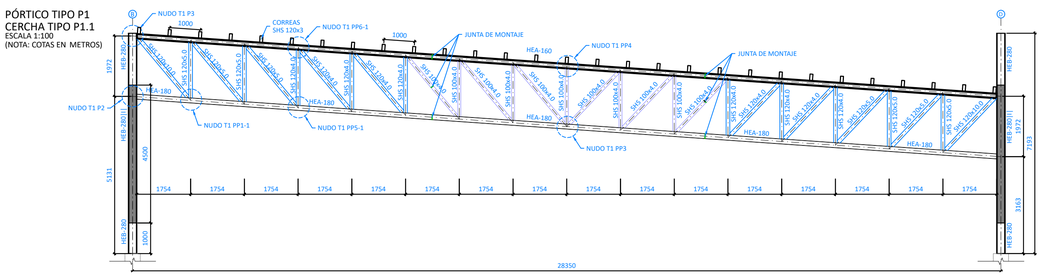

PÓRTICO TIPO P1
CERCHA TIPO P1.2
ESCALA 1:100
(NOTA: COTAS EN METROS)

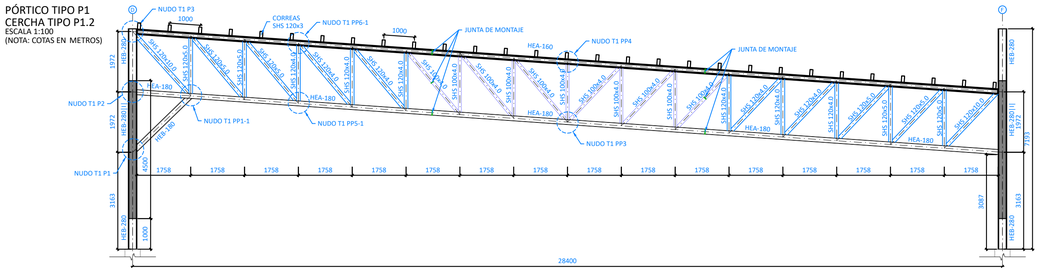

PÓRTICO TIPO P1
CERCHA TIPO P1.3
ESCALA 1:100
(NOTA: COTAS EN METROS)

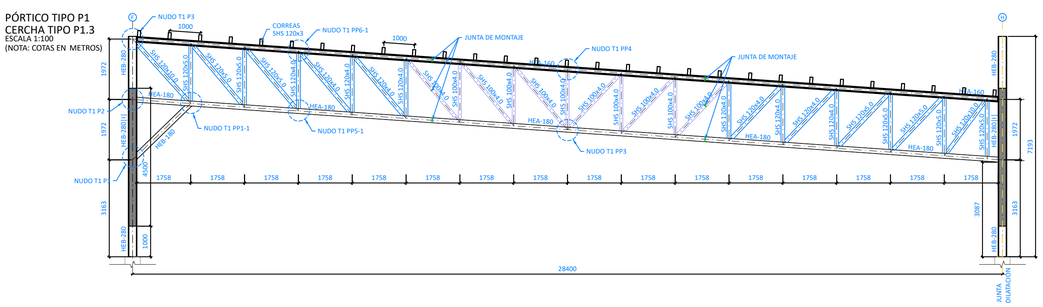

PÓRTICO TIPO P1
CERCHA TIPO P1.4
ESCALA 1:100
(NOTA: COTAS EN METROS)

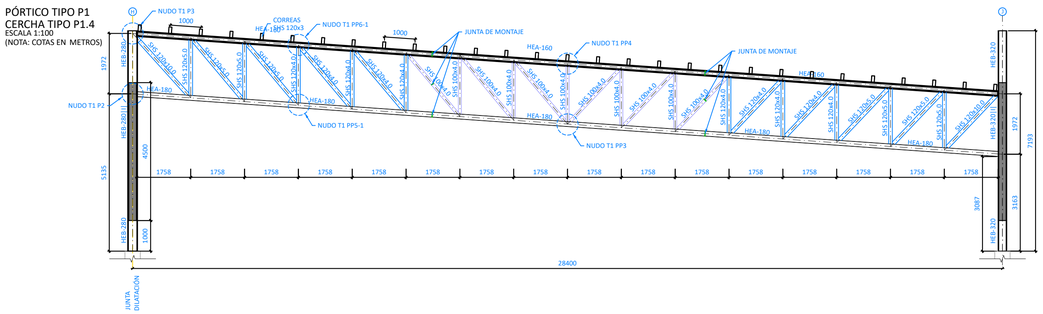

PÓRTICO TIPO P1
CERCHA TIPO P1.5
ESCALA 1:100
(NOTA: COTAS EN METROS)

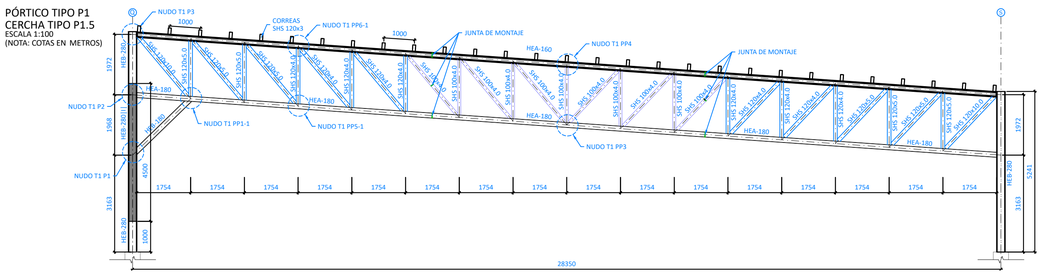

PÓRTICO TIPO P2
CERCHA TIPO P2.1
ESCALA 1:100
(NOTA: COTAS EN METROS)

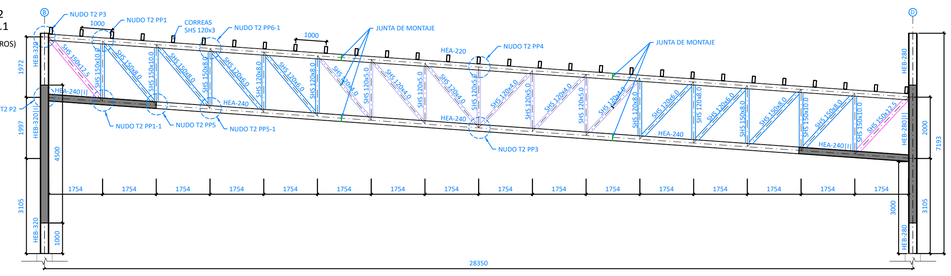

PÓRTICO TIPO P2
CERCHA TIPO P2.2
ESCALA 1:100
(NOTA: COTAS EN METROS)

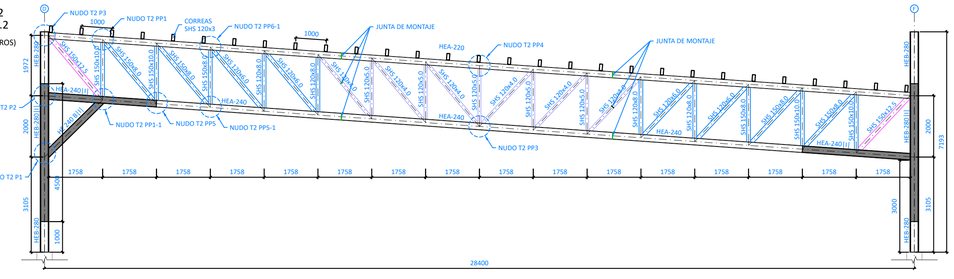

PÓRTICO TIPO P2
CERCHA TIPO P2.3
ESCALA 1:100
(NOTA: COTAS EN METROS)

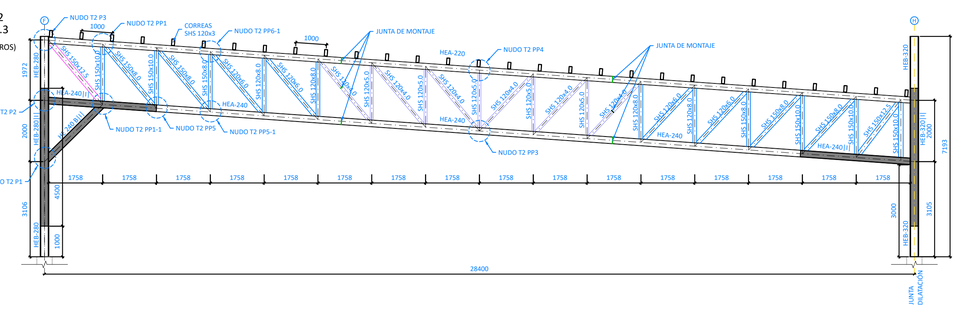

PÓRTICO TIPO P2
CERCHA TIPO P2.4
ESCALA 1:100
(NOTA: COTAS EN METROS)

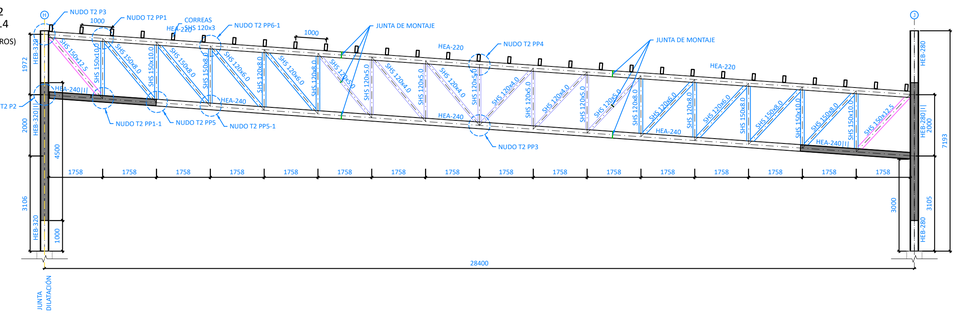

PÓRTICO TIPO P2
CERCHA TIPO P2.5
ESCALA 1:100
(NOTA: COTAS EN METROS)

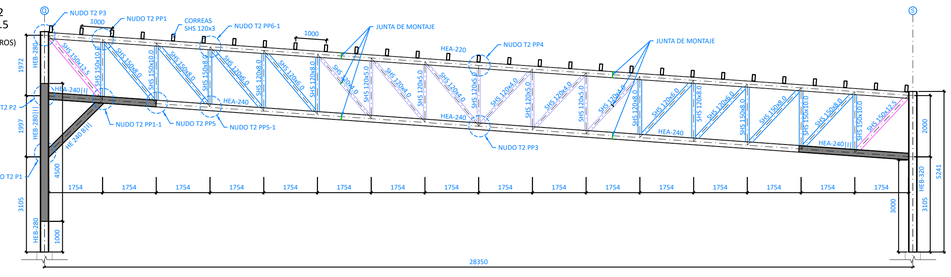

CUADRO DE CARACTERISTICAS DE ACERO ESTRUCTURAL (SEGUN EAE)		
PRODUCTO	TIPO	NORMA
LAMINADOS EN CALIENTE DE ACEROS NO ALEADOS Y PLACAS DE ANCLAJE	S275 JR	EAE
TORNILLOS Y TUERCAS DE A.R.	10.9	EAE
ELECTRODOS REVESTIDOS SOLDEO MANUAL POR ARCO	ISO 2560-A-E 42 0 B 1 2 H10 (1) ISO 2560-A-E 42 2 B 1 2 H5 (2)	UNE-EN ISO
ALAMBRE SOLDEO POR ARCO CON PROTECCION GASEOSA	ISO 14341-A-G 46 2 M	UNE-EN ISO

(1) ELECTRODOS DE USO GENERAL SALVO INDICACIÓN EN LOS PLANOS
(2) ELECTRODOS CUYO USO SE INDICARA EN LOS PLANOS
TODAS LAS SOLDADURAS NO INDICADAS SERAN DE 0,4 EL ESPESOR MINIMO A UNIR, CUANDO SE SUELDE POR LOS DOS LADOS Y 0,7 EL ESPESOR MINIMO A UNIR, CUANDO SE SUELDE POR UNO. (4)
NOMENCLATURA DE SOLDADURA SEGÚN NORMA UNE-EN 22553:1995
**TRATAMIENTO SUPERFICIAL: GRANALLADO SA21/2 CONFORME A ISO 8501-1
IMPRIMACIÓN, CAPA INTERMEDIA Y ACABADO DE AL MENOS 350MM CON CUMPLA CON CLASE 2 DE EJECUCIÓN Y AMBIENTE C5-M.

REV.	FECHA	OBSERVACIONES	DIB.	REV.	FECHA	OBSERVACIONES	DIB.

Promotor:

valenciaport
Autoridad Portuaria de Valencia

Empresa Consultora:

grupotec

El Ingeniero Técnico industrial
Colegiado nº: Y-413

Javier Coli Gilabert

PROYECTO DE EJECUCIÓN

INSTALACIÓN DE PLANTA GENERACIÓN FOTOVOLTAICA SOBRE LA CUBIERTA DEL SILO DE VEHÍCULOS DE VALENCIA TERMINAL EUROPA, EN MUELLE DIQUE DEL ESTE, EN PUERTO DE VALENCIA

Visado:

Situación:

VALENCIA

Denominación:

PÓRTICOS TIPO
CERCHAS TIPO

Escala gráfica: 0,00 1,00 2,00 3,00 4,00 5,00

Escala: 1 : 100

Fecha: FEBRERO 2022

Archivo: P2.001728_PE_01_GEN07-R00_ESTRUCTURA MET

Nº Encargo: P2.001728

Nº Plano: GEN07

Revisión: R00

Documento visado electrónicamente con fecha 03/04/2022
Código de validación telemática: TRLTDCF2907/6611. Colegiado: https://cogitiapps.e-gestion.es/Validacion/Validar.aspx?CVT:TRLTDCF2907/6611

El presente documento es propiedad exclusiva de GRUPOTEC. Todos los derechos a su uso quedan reservados. Este, no podrá ser cedido ni comunicado a terceros sin previa autorización escrita de GRUPOTEC. Queda prohibida su reproducción total o parcial, así como su tratamiento informático, distribución o transmisión por cualquier medio, electrónico, mecánico, por fotocopia, por grabación o cualquier otro, sin el previo consentimiento escrito de GRUPOTEC. Para su Tramitación, Planificación Obra o Instalación.

NUDO T1 P1
ESCALA 1:25
(NOTA: COTAS EN MILÍMETROS)

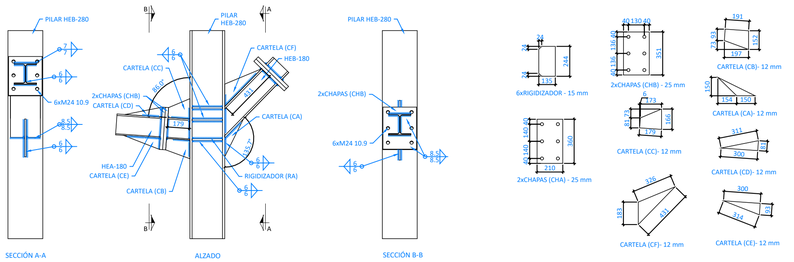

NUDO T1 P1 EN JUNTA
ESCALA 1:25
(NOTA: COTAS EN MILÍMETROS)

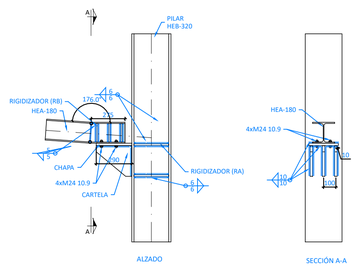

NUDO T1 PP4
ESCALA 1:25
(NOTA: COTAS EN MILÍMETROS)

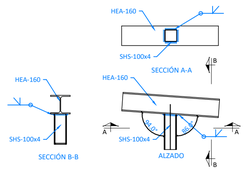

NUDO T1 P2
ESCALA 1:25
(NOTA: COTAS EN MILÍMETROS)

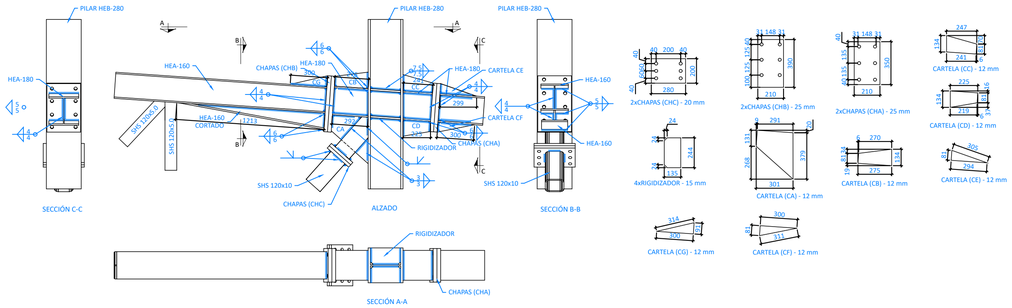

NUDO T1 P2 EN JUNTA
ESCALA 1:25
(NOTA: COTAS EN MILÍMETROS)

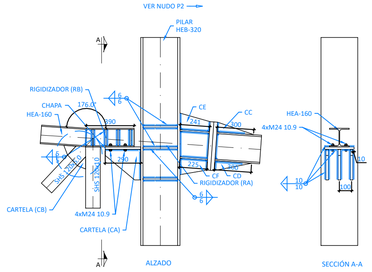

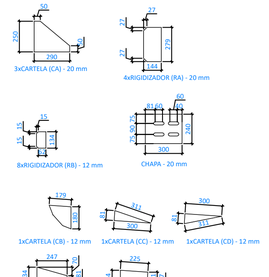

NUDO T1 PP5-1
ESCALA 1:25
(NOTA: COTAS EN MILÍMETROS)

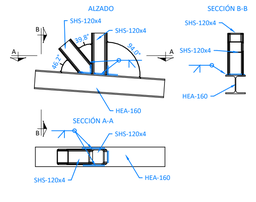

NUDO T1 PP1-1
ESCALA 1:25
(NOTA: COTAS EN MILÍMETROS)

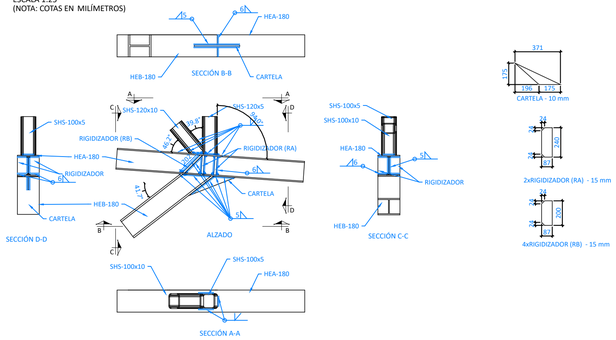

NUDO T2 P3
ESCALA 1:25
(NOTA: COTAS EN MILÍMETROS)

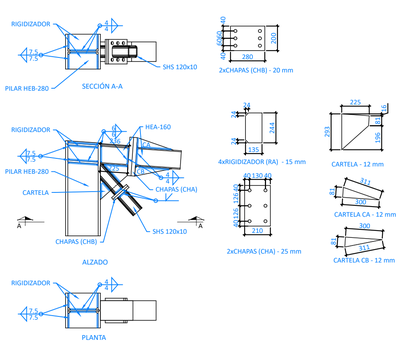

NUDO T1 PP3
ESCALA 1:25
(NOTA: COTAS EN MILÍMETROS)

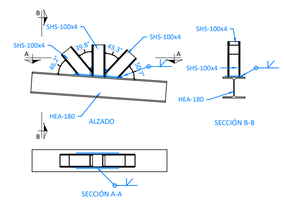

NUDO T1 PP6
ESCALA 1:25
(NOTA: COTAS EN MILÍMETROS)

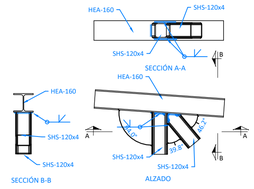

El presente documento es propiedad exclusiva de GRUPOTEC. Todos los derechos a su uso quedan reservados. Este no podrá ser cedido a terceros ni copiado o reproducido por cualquier medio sin el consentimiento previo y por escrito de GRUPOTEC. Queda prohibido el uso de los mismos para cualquier otro fin que no tengan los permisos necesarios expedidos por GRUPOTEC. para la Tramitación, Planificación Obra o Instalación.

VISADO
COGITI
VALENCIA
VA07290/22
Nº TDCF/2007/0031

CUADRO DE CARACTERISTICAS DE ACERO ESTRUCTURAL (SEGUN EAE)		
PRODUCTO	TIPO	NORMA
LAMINADOS EN CALIENTE DE ACEROS NO ALEADOS Y PLACAS DE ANCLAJE	S275 JR	EAE
TORNILLOS Y TUERCAS DE A.R.	10.9	EAE
ELECTRODOS REVESTIDOS SOLDEO MANUAL POR ARCO	ISO 2560-A-E 42 0 B 1 2 H10 (1) ISO 2560-A-E 42 2 B 1 2 H5 (2)	UNE-EN ISO 2560-A
ALAMBRE SOLDEO POR ARCO CON PROTECCION GAS/EOS4	ISO 14341-A-G 46 2 M	UNE-EN ISO 14341-A

(1) ELECTRODOS DE USO GENERAL SALVO INDICACION EN LOS PLANOS
(2) ELECTRODOS CUYO USO SE INDICARA EN LOS PLANOS
TODAS LAS SOLDADURAS NO INDICADAS SERAN DE 0,7 EL ESPESOR MINIMO A UNIR, CUANDO SE SUELDE POR LOS DOS LADOS Y 0,7 EL ESPESOR MINIMO A UNIR, CUANDO SE SUELDE POR UNO
NOMENCLATURA DE SOLDADURA SEGUN NORMA UNE-EN 22553:1995
*TRATAMIENTO SUPERFICIAL: GRANALLADO SA2½/2 CONFORME A ISO 8501-1
IMPRIMACIÓN, CAPA INTERMEDIA Y ACABADO DE AL MENOS 350MM QUE CUMPLA CON CLASE 2 DE EJECUCIÓN Y AMBIENTE C5-M.

REV.	FECHA	OBSERVACIONES	DIB.	REV.	APR.

Promotor:

valenciaport
Autoridad Portuaria de Valencia

Empresa Consultora:

grupotec

El ingeniero Técnico industrial
Colegiado nº: 9.613

Javier Coll Gilabert

PROYECTO DE EJECUCIÓN

INSTALACIÓN DE PLANTA GENERACIÓN FOTOVOLTAICA SOBRE LA CUBIERTA DEL SILO DE VEHÍCULOS DE VALENCIA TERMINAL EUROPA, EN MUELLE DIQUE DEL ESTE, EN PUERTO DE VALENCIA

Visado:

Situación:

VALENCIA

Denominación:

PÓRTICO TIPO 1 UNIONES

Escala gráfica:

Escala: Varios

Fecha: FEBRERO 2022

Archivo: P2.001728_PE_01_GEN07R00_ESTRUCTURA.MET

Nº Encargo: P2.001728

Nº Plano: GEN07

Revisión: R00

Documento visado electrónicamente con número VA07290/22
Código de validación telemática TRLTDCF/2007/0031. Comprobación: https://ooaplanos.e-gestion.es/Validacion.aspx?CSV=TRLTDCF2007/0031

VISADO
COGITI
VALENCIA
VA07290/22
Nº TDCP/260716/11

NUDO T2 P1
ESCALA 1:25
(NOTA: COTAS EN MILÍMETROS)

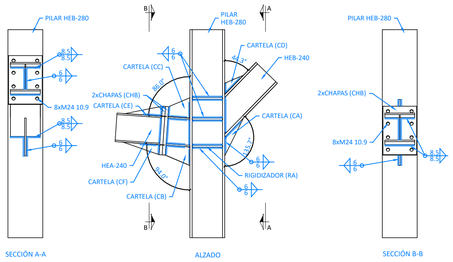

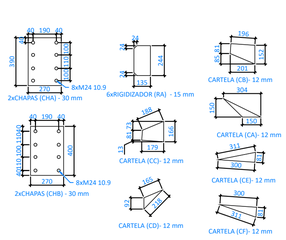

NUDO T2 P1 EN JUNTA
ESCALA 1:25
(NOTA: COTAS EN MILÍMETROS)

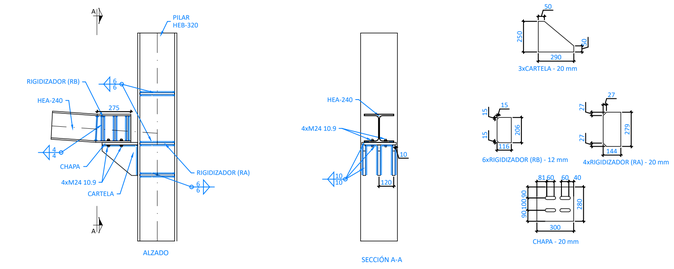

NUDO T2 P2
ESCALA 1:25
(NOTA: COTAS EN MILÍMETROS)

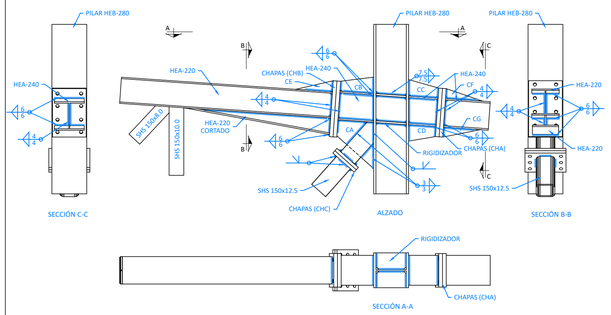

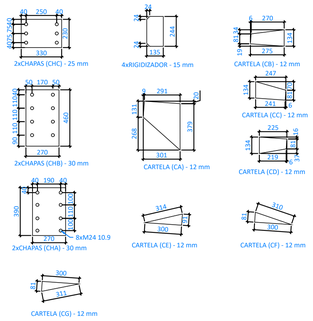

NUDO T2 P2 EN JUNTA
ESCALA 1:25
(NOTA: COTAS EN MILÍMETROS)

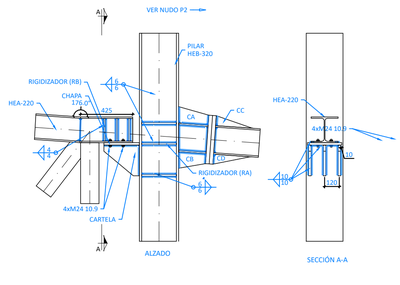

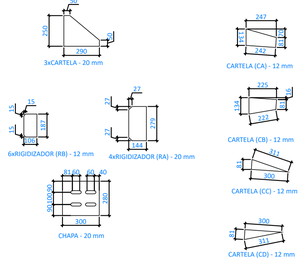

NUDO T2 PP4
ESCALA 1:25
(NOTA: COTAS EN MILÍMETROS)

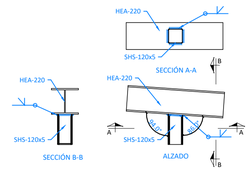

NUDO T2 PP5
ESCALA 1:25
(NOTA: COTAS EN MILÍMETROS)

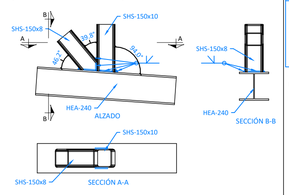

NUDO T2 PP1-1
ESCALA 1:25
(NOTA: COTAS EN MILÍMETROS)

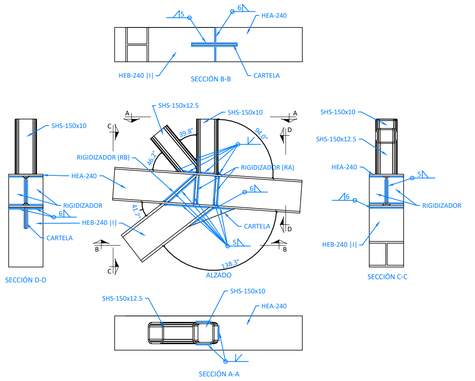

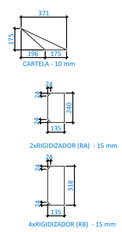

NUDO T2 PP1
ESCALA 1:25
(NOTA: COTAS EN MILÍMETROS)

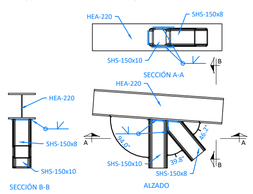

NUDO T2 P3
ESCALA 1:25
(NOTA: COTAS EN MILÍMETROS)

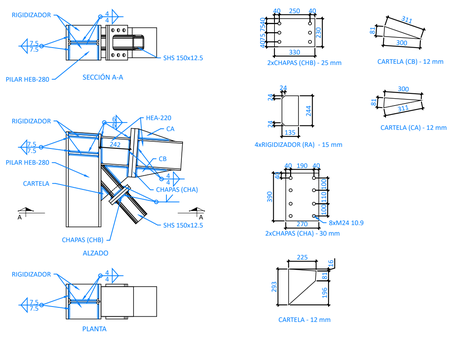

NUDO T2 PP3
ESCALA 1:25
(NOTA: COTAS EN MILÍMETROS)

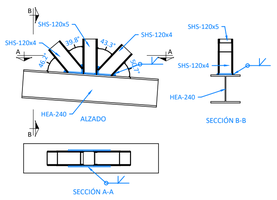

NUDO T2 PP5-1
ESCALA 1:25
(NOTA: COTAS EN MILÍMETROS)

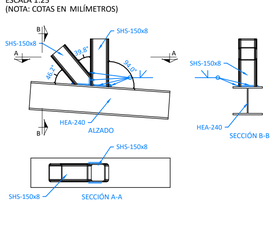

NUDO T2 PP6-1
ESCALA 1:25
(NOTA: COTAS EN MILÍMETROS)

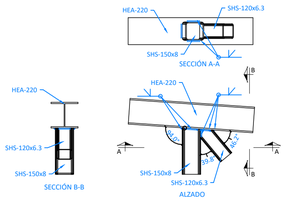

CUADRO DE CARACTERÍSTICAS DE ACERO ESTRUCTURAL (SEGÚN EAE)		
PRODUCTO	TIPO	NORMA
LAMINADOS EN CALIENTE DE ACEROS NO ALEADOS Y PLACAS DE ANCLAJE	S275 JR	EAE
TORNILLOS Y TUERCAS DE A.R.	10.9	EAE
ELECTRODOS REVESTIDOS SOLDEO MANUAL POR ARCO	ISO 2560-A-E 42 0 B 1 2 H10 (1) ISO 2560-A-E 42 2 B 1 2 H5 (2)	UNE-EN ISO 2560
ALAMBRE SOLDEO POR ARCO CON PROTECCION GAS/EOS4	ISO 14341-A-G 46 2 M	UNE-EN ISO 14341

(1) ELECTRODOS DE USO GENERAL SALVO INDICACION EN LOS PLANOS
(2) ELECTRODOS CUYO USO SE INDICARA EN LOS PLANOS
TODAS LAS SOLDADURAS NO INDICADAS SERAN DE 0,4 EL ESPESOR MINIMO A UNIR, CUANDO SE SUELDE POR LOS DOS LADOS Y 0,7 EL ESPESOR MINIMO A UNIR, CUANDO SE SUELDE POR UNO.
NOMENCLATURA DE SOLDADURA SEGUN NORMA UNE-EN 22553:1995
*TRATAMIENTO SUPERFICIAL: GRANALLADO SA2½/2 CONFORME A ISO 8501-1 IMPRIMACIÓN, CAPA INTERMEDIA Y ACABADO DE AL MENOS 350MM QUE CUMPLA CON CLASE 2 DE EJECUCIÓN Y AMBIENTE C5-M.

REV.	FECHA	OBSERVACIONES	DIB.	REV.	APR.

Promotor:

valenciaport
Autoridad Portuaria de Valencia

Empresa Consultora:

grupotec

El ingeniero Técnico industrial
Colegiado nº: 9.613

Javier Coll Gilabert

PROYECTO DE EJECUCIÓN

INSTALACIÓN DE PLANTA GENERACIÓN FOTOVOLTAICA SOBRE LA CUBIERTA DEL SILO DE VEHÍCULOS DE VALENCIA TERMINAL EUROPA, EN MUELLE DIQUE DEL ESTE, EN PUERTO DE VALENCIA

Visado:

Situación:

VALENCIA

Denominación:

PÓRTICO TIPO 2 UNIONES

Escala gráfica:

Escala:	Fecha:
Varios	FEBRERO 2022

Archivo:	Nº Plano:	Revisión:
P2.001728_PR_01_GEN07400_ESTRUCTURA.MET	GEN07	R00

Nº Encargo: P2.001728

Documento visado electrónicamente con número VA07290/22
Código de validación telemática: TRLTDCP260716611. Comprobación: https://cogitiaplicaciones.es/visadoweb/VisadoPDFTRLTDCP260716611
El presente documento es propiedad exclusiva de GRUPOTEC. Todos los derechos a su uso quedan reservados. Este no podrá ser copiado, reproducido, distribuido o comunicado públicamente, en cualquier forma o medio, sin el consentimiento previo y por escrito de GRUPOTEC, salvo que no hayan los permisos necesarios expedidos por GRUPOTEC, para su Tramitación, Planificación Obra o instalación.

VISADO
COGITI
VALENCIA
VA07290/22

PÓRTICO TIPO P1
ESCALA 1:300
(NOTA: COTAS EN METROS)

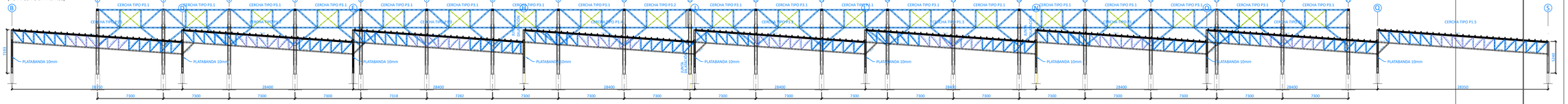

PÓRTICO TIPO P2
ESCALA 1:500
(NOTA: COTAS EN METROS)

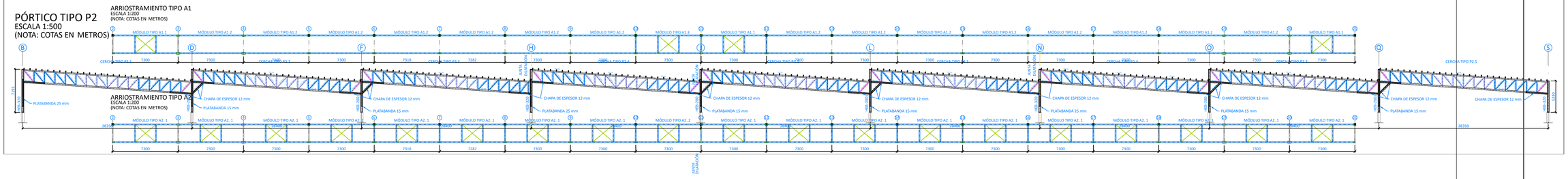

ARRIOSTRAMIENTO TIPO A3
ESCALA 1:200
(NOTA: COTAS EN METROS)

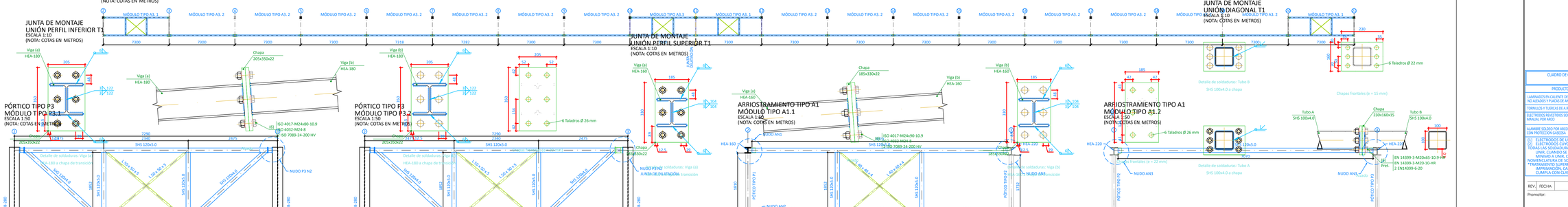

JUNTA DE MONTAJE
UNIÓN PERFIL INFERIOR T1
ESCALA 1:10
(NOTA: COTAS EN METROS)

PÓRTICO TIPO P3
MÓDULO TIPO P3.1
ESCALA 1:50
(NOTA: COTAS EN METROS)

PÓRTICO TIPO P3
MÓDULO TIPO P3.2
ESCALA 1:50
(NOTA: COTAS EN METROS)

JUNTA DE MONTAJE
UNIÓN PERFIL SUPERIOR T1
ESCALA 1:10
(NOTA: COTAS EN METROS)

ARRIOSTRAMIENTO TIPO A1
MÓDULO TIPO A1.1
ESCALA 1:50
(NOTA: COTAS EN METROS)

JUNTA DE MONTAJE
UNIÓN DIAGONAL T1
ESCALA 1:10
(NOTA: COTAS EN METROS)

ARRIOSTRAMIENTO TIPO A1
MÓDULO TIPO A1.2
ESCALA 1:50
(NOTA: COTAS EN METROS)

ARRIOSTRAMIENTO TIPO A1
MÓDULO TIPO A1.3
ESCALA 1:50
(NOTA: COTAS EN METROS)

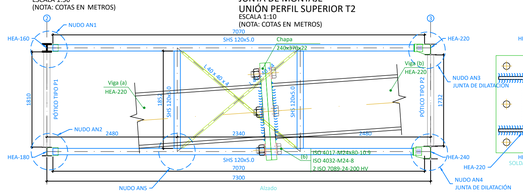

JUNTA DE MONTAJE
UNIÓN PERFIL SUPERIOR T2
ESCALA 1:10
(NOTA: COTAS EN METROS)

ARRIOSTRAMIENTO TIPO A2
MÓDULO TIPO A2.1
ESCALA 1:50
(NOTA: COTAS EN METROS)

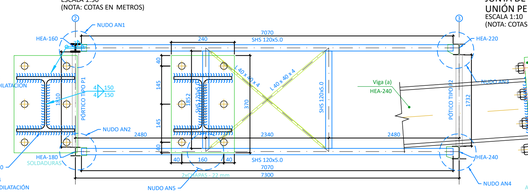

JUNTA DE MONTAJE
UNIÓN PERFIL INFERIOR T2
ESCALA 1:10
(NOTA: COTAS EN METROS)

ARRIOSTRAMIENTO TIPO A2
MÓDULO TIPO A2.2
ESCALA 1:50
(NOTA: COTAS EN METROS)

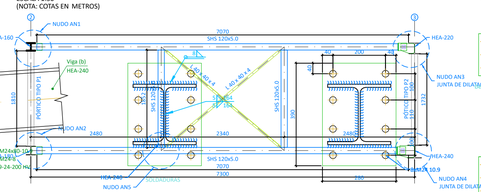

JUNTA DE MONTAJE
UNIÓN DIAGONAL T2
ESCALA 1:10
(NOTA: COTAS EN METROS)

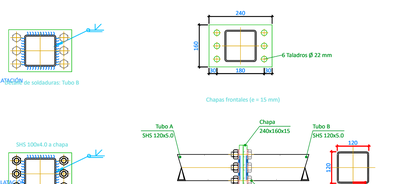

ARRIOSTRAMIENTO TIPO A3
MÓDULO TIPO A3.1
ESCALA 1:50
(NOTA: COTAS EN METROS)

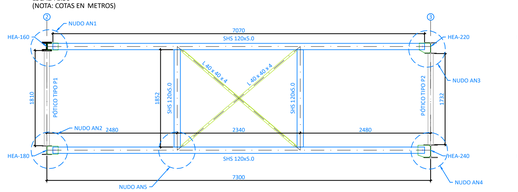

ARRIOSTRAMIENTO TIPO A3
MÓDULO TIPO A3.2
ESCALA 1:50
(NOTA: COTAS EN METROS)

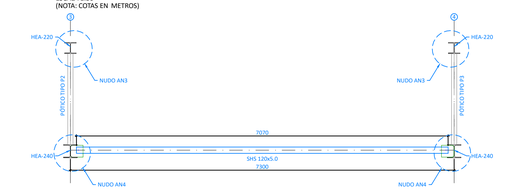

ARRIOSTRAMIENTO TIPO A3
MÓDULO TIPO A3.1
ESCALA 1:50
(NOTA: COTAS EN METROS)

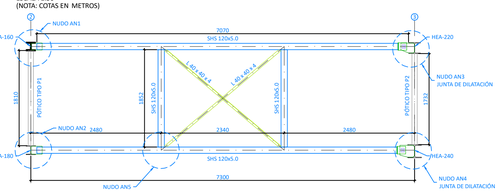

CUADRO DE CARACTERÍSTICAS DE ACERO ESTRUCTURAL (SEGÚN EAE)		
PRODUCTO	TIPO	NORMA
LAMINADOS EN CALIENTE DE ACEROS NO ALEADOS P.PLACAS DE ANCLAJE	S275 JR	EAE
TORNILLOS Y TUERCAS DE A.R.	10.9	EAE
ELECTRODOS REVESTIDOS SOLDEO MANUAL POR ARCO	ISO 2560-A-E 42 0 R 1 2 H10 (1) ISO 2560-A-E 42 0 B 1 2 H5 (2)	UNE-EN ISO 2560
ALAMBRE SOLDEO POR ARCO CON PROTECCION GASEOSA	ISO 14341-A-G 46 2 M	UNE-EN ISO 14341

(1) ELECTRODOS DE USO GENERAL SALVO INDICACIÓN EN LOS PLANOS
(2) ELECTRODOS CUYO USO SE INDICARA EN LOS PLANOS
TODAS LAS SOLDADURAS NO INDICADAS SERAN DE 0,4 EL ESPESOR MINIMO A UNIR, CUANDO SE SUELDE POR LOS DOS LADOS Y 0,7 EL ESPESOR MINIMO A UNIR, CUANDO SE SUELDE POR UNO.
NOMENCLATURA DE SOLDADURA SEGÚN NORMA UNE-EN 22553:1995
PROTECCIÓN: TODOS LOS ELEMENTOS METÁLICOS SE PROTEGERÁN SEGÚN ISO 8501-1. IMPRIMACIÓN, CAPA INTERMEDIA Y ACABADO DE AL MENOS 350MM QUE CUMPLA CON CLASE Z DE EJECUCIÓN Y AMBIENTE C5-M.

REV.	FECHA	OBSERVACIONES	DIB.	REV.	APR.

Promotor:

valenciaport
Autoridad Portuaria de Valencia

Empresa Consultora:

grupotec

El ingeniero técnico industrial
Colegiado nº: 9,613

Javier Coll Gilabert

PROYECTO DE EJECUCIÓN

INSTALACIÓN DE PLANTA GENERACIÓN FOTOVOLTAICA SOBRE LA CUBIERTA DEL SILO DE VEHÍCULOS DE VALENCIA TERMINAL EUROPA, EN MUELLE DIQUE DEL ESTE, EN PUERTO DE VALENCIA

Visado:

Situación:

VALENCIA

Denominación:

PÓRTICO TIPO 3
ARRIOSTRAMIENTO TIPO

Escala gráfica:

Escala: Varios
FORMATO A1
Fecha: FEBRERO 2022

Archivo: P2001728_PE_01_GAN07-R00_ESTRUCTURA.MET

Nº Encargo: P2.001728

Nº Plano: GEN07

Revisión: R00

Documento visado electrónicamente con fecha 14/07/2022 por el autor/es. Para verificar su autenticidad acceda a https://www.cogitiva.es/verificar-documento/ e introduzca el código de verificación (CSV) VA07290/22
Colegio de aparejadores y arquitectos técnicos de Valencia
El presente documento es propiedad exclusiva de GRUPOTEC. Todos los derechos a su uso quedan reservados. Esta, no podrá ser reproducida en forma alguna, total o parcialmente, comunicada a terceros, ni su información podrá ser usada por personas físicas o jurídicas, o entidades que directa o indirectamente sean competidoras con GRUPOTEC, sin la Autorización Previa y Escrita de la misma.

NUDO P3 N1
ESCALA 1:10
(NOTA: COTAS EN METROS)

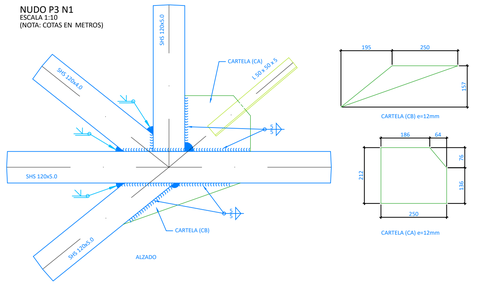

NUDO P3 N2
ESCALA 1:10
(NOTA: COTAS EN METROS)

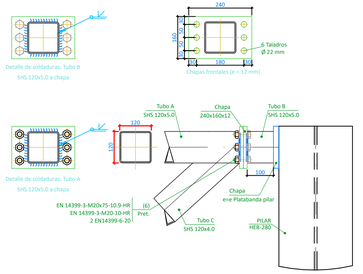

NUDO P3 N2 JUNTA DILATACIÓN
ESCALA 1:10
(NOTA: COTAS EN METROS)

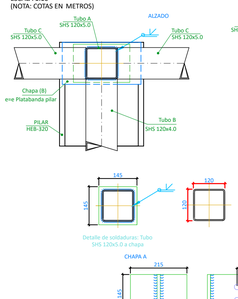

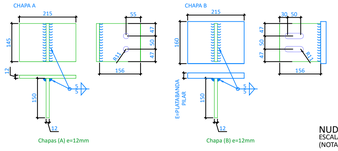

NUDO P3 N3
ESCALA 1:10
(NOTA: COTAS EN METROS)

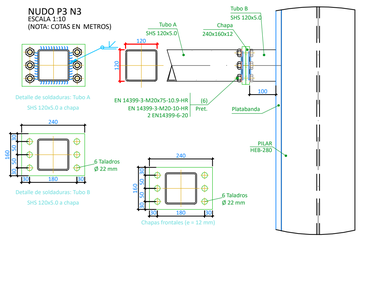

NUDO P3 N3 JUNTA DILATACIÓN
ESCALA 1:10
(NOTA: COTAS EN METROS)

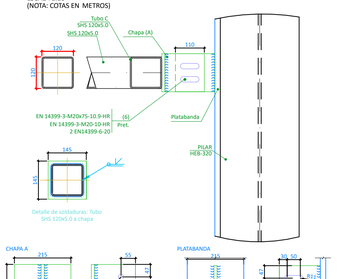

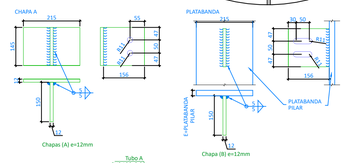

NUDO P3 N4
ESCALA 1:10
(NOTA: COTAS EN METROS)

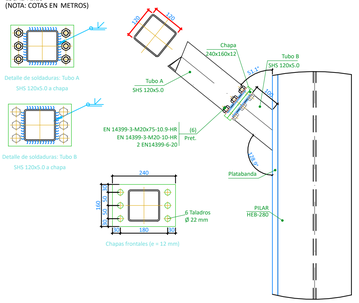

NUDO P3 N4 JUNTA DILATACIÓN
ESCALA 1:10
(NOTA: COTAS EN METROS)

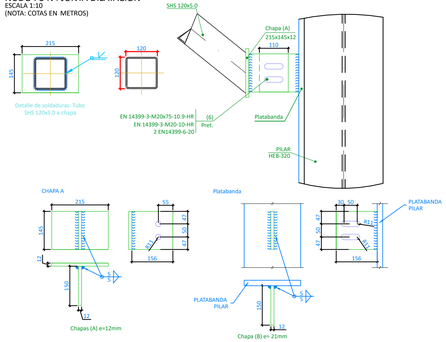

NUDO AN5
ESCALA 1:10
(NOTA: COTAS EN METROS)

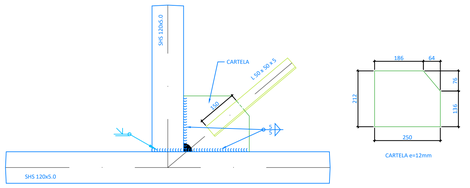

NUDO AN1
ESCALA 1:10
(NOTA: COTAS EN METROS)

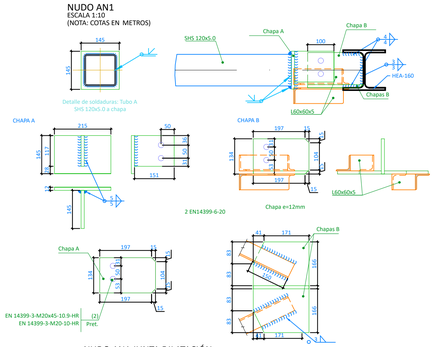

NUDO AN2
ESCALA 1:10
(NOTA: COTAS EN METROS)

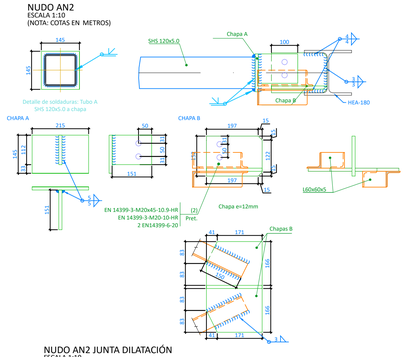

NUDO AN3
ESCALA 1:10
(NOTA: COTAS EN METROS)

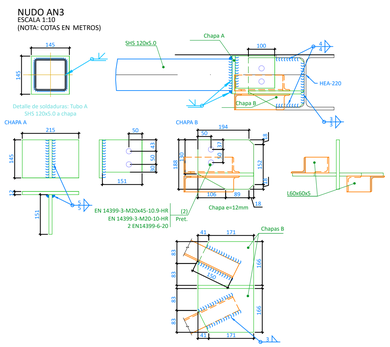

NUDO AN4
ESCALA 1:10
(NOTA: COTAS EN METROS)

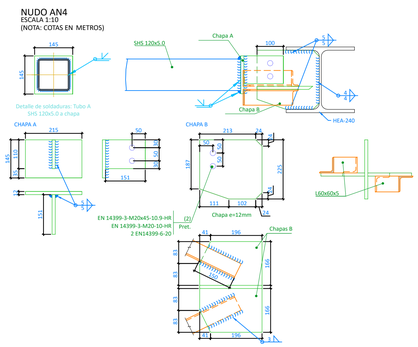

NUDO AN1 JUNTA DILATACIÓN
ESCALA 1:10
(NOTA: COTAS EN METROS)

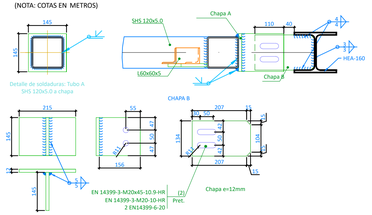

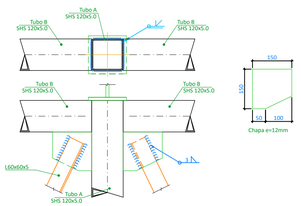

NUDO AN2 JUNTA DILATACIÓN
ESCALA 1:10
(NOTA: COTAS EN METROS)

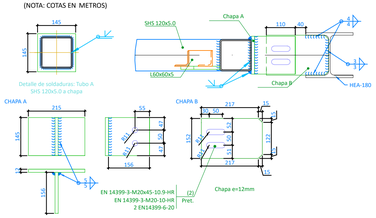

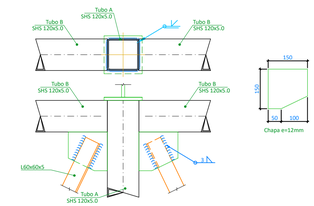

NUDO AN3 JUNTA DILATACIÓN
ESCALA 1:10
(NOTA: COTAS EN METROS)

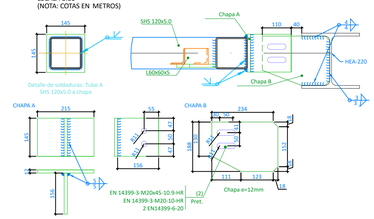

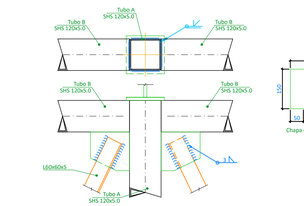

NUDO AN4 JUNTA DILATACIÓN
ESCALA 1:10
(NOTA: COTAS EN METROS)

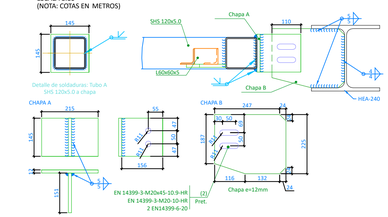

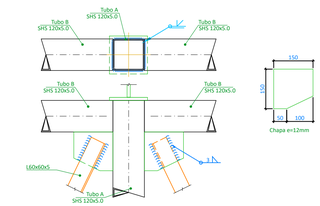

*NOTA: TODOS LOS PERFILES TUBULARES SE SOLDARÁN A TOPE CON PREPARACIÓN DE BORDE

CUADRO DE CARACTERISTICAS DE ACERO ESTRUCTURAL (SEGUN EAE)

PRODUCTO	TIPO	NORMA
LAMINADOS EN CALIENTE DE ACEROS NO ALEADOS FLACAS DE ANCLAJE	S275 JR	EAE
TORNILLOS Y TUERCAS DE A.R.	10.9	EAE
ELECTRODOS REVESTIDOS SOLDEO MANUAL POR ARCO	ISO 2560-A-E 42 0 B 1 2 H10 (1) ISO 2560-A-E 42 0 B 1 2 H5 (2)	UNE-EN ISO 2560
ALAMBRE SOLDEO POR ARCO CON PROTECCION GASEOSA	ISO 14341-A-G 46 2 M	UNE-EN ISO 14341

(1) ELECTRODOS DE USO GENERAL SALVO INDICACION EN LOS PLANOS
(2) ELECTRODOS CUYO USO SE INDICARA EN LOS PLANOS
TODAS LAS SOLDADURAS NO INDICADAS SERAN DE 0,4 EL ESPESOR MINIMO A UNIR, CUANDO SE SUELDE POR LOS DOS LADOS SERA 0,7 EL ESPESOR MINIMO A UNIR, CUANDO SE SUELDE POR UNO.
NOMENCLATURA DE SOLDADURA SEGUN NORMA UNE-EN 22553:1995
TRATAMIENTO DE PROTECCIÓN CONTRA LA CORROSIÓN SEGÚN ISO 8501-1. IMPRIMACIÓN, CAPA INTERMEDIA Y ACABADO DE AL MENOS 350MM QUE CUMPLA CON CLASE 2 DE EJECUCIÓN Y AMBIENTE C5-M.

REV.	FECHA	OBSERVACIONES	DIB.	REV.	APR.

Promotor:

valenciaport
Autoridad Portuaria de Valencia

Empresa Consultora:

grupotec

El Ingeniero Técnico industrial
Colegiado nº: 9.413

Javier Coll Gilabert

PROYECTO DE EJECUCIÓN

INSTALACIÓN DE PLANTA GENERACIÓN FOTOVOLTAICA SOBRE LA CUBIERTA DEL SILO DE VEHÍCULOS DE VALENCIA TERMINAL EUROPA, EN MUELLE DIQUE DEL ESTE, EN PUERTO DE VALENCIA

Visado:

Situación:

VALENCIA

Denominación:

PÓRTICO TIPO 3
ARRIOSTRAMIENTOS

Escala gráfica:

Escala: Varios
FORMATO A1
Fecha: FEBRERO 2022

Archivo: P2001728_PE_01_CONSTRUCCIONES_ESTRUCTURA.MET
Nº Encargo: P2.001728
Nº Plano: GEN07
Revisión: R00

VISADO
COGITI
VALENCIA
VA07290/22
Documento visado electrónicamente con fecha 07/04/2022
Código de validación electrónica: VA07290/22
El presente documento es propiedad exclusiva de GRUPOTEC, todos los derechos a su uso quedan reservados. Este no podrá ser reproducido en forma alguna, total o parcialmente, comunicado a terceros, ni su información usada por personas, físicas o jurídicas, no autorizadas y cualquier violación estará sometida a las sanciones previstas en la legislación vigente.

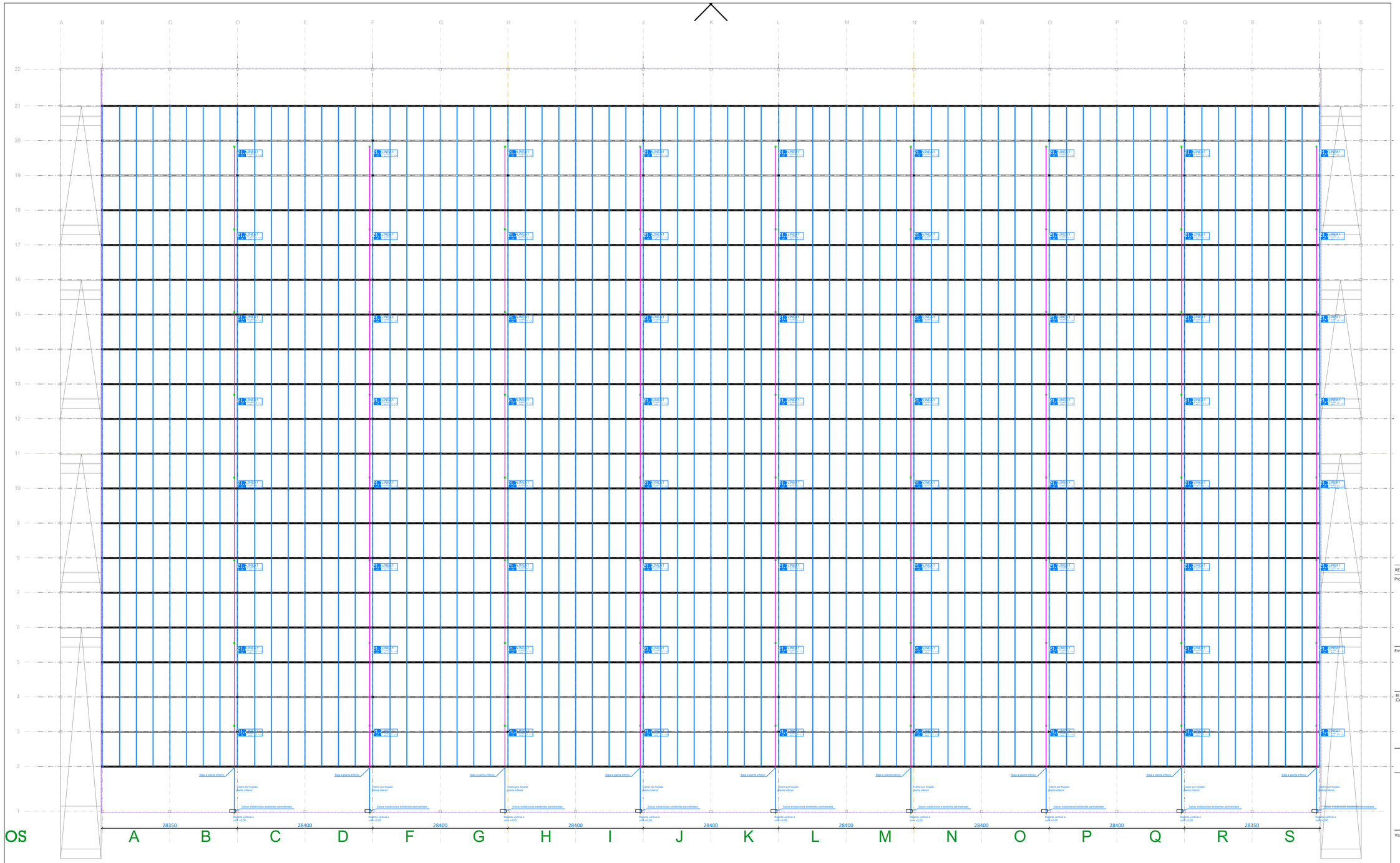

PÓRTICO TIPO P1
ESCALA 1:300
(NOTA: COTAS EN METROS)

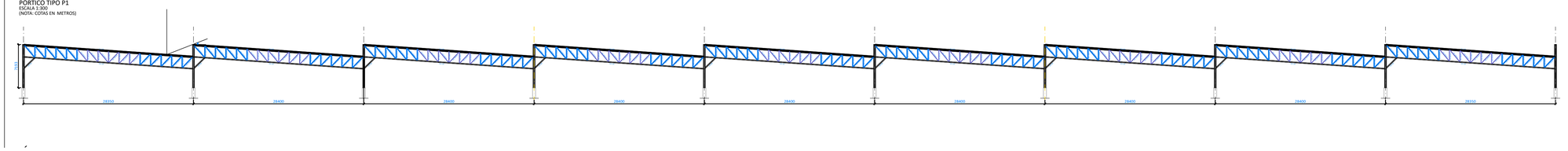

El presente documento es propiedad exclusiva de GRUPOTEC. Todos los derechos a su uso quedan reservados. Este, no podrá ser reproducido en forma alguna, total o parcialmente, comunicado a terceros, ni su información usada por personas, físicas o jurídicas, que no tengan su permiso expreso y escrito por GRUPOTEC, previa la tramitación correspondiente.

VISADO
COGITI
VALENCIA
VA07290/22
Nº. COT-2007/0033

Documento visado electrónicamente con número: VA07290/22
Código de validación telemática: TRLTDOCT2007/0033. Comprobación: https://cogitivalencia.e-gestion.es/validacion.aspx?CVT=TRLTDOCT2007/0033

REV.	FECHA	OBSERVACIONES	DIB.	REV.	APR.

Promotor:
valenciaport
Autoridad Portuaria de Valencia

Empresa Consultora:
grupotec

El Ingeniero Técnico Industrial
Colegiado nº: 9.613

Javier Coli Gilabert

PROYECTO DE EJECUCIÓN

INSTALACIÓN DE PLANTA GENERACIÓN FOTOVOLTAICA SOBRE LA CUBIERTA DEL SILO DE VEHÍCULOS DE VALENCIA TERMINAL EUROPA, EN MUELLE DIQUE DEL ESTE, EN PUERTO DE VALENCIA

Visado:

Situación:

VALENCIA

Denominación:

PLANTA CUBIERTA
EVACUACIÓN AGUAS PLUVIALES

Escala gráfica: 0,00 4,00 8,00 12,00 16,00 20,00

Escala: 1/400

Fecha: FEBRERO 2022

Archivo: P2.001728_PE_01_GEN08_RSE_SANEAMIENTO

Nº Encargo: P2.001728

Nº Plano: GEN08

Revisión: R0

PERFIL 1

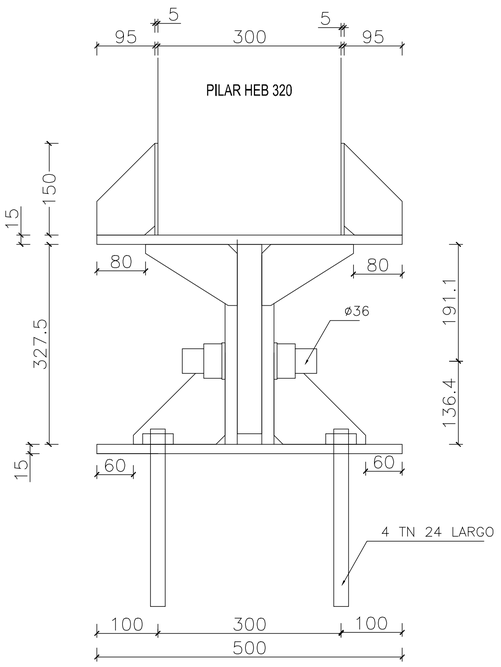

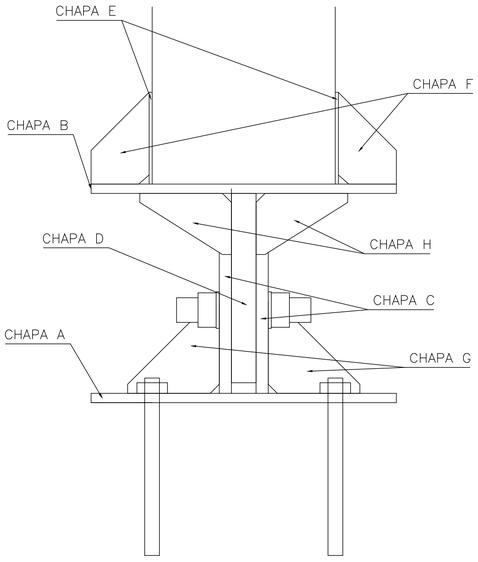

PERFIL 2

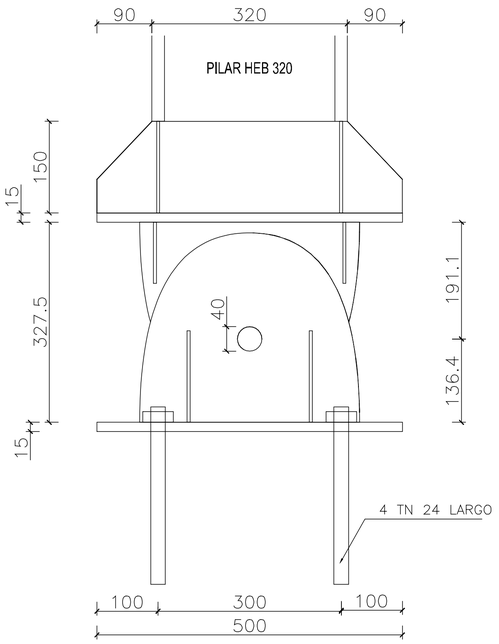

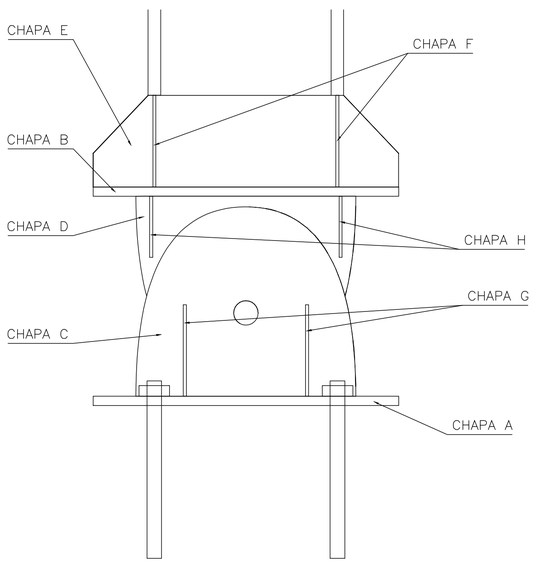

SECCIÓN A–A’

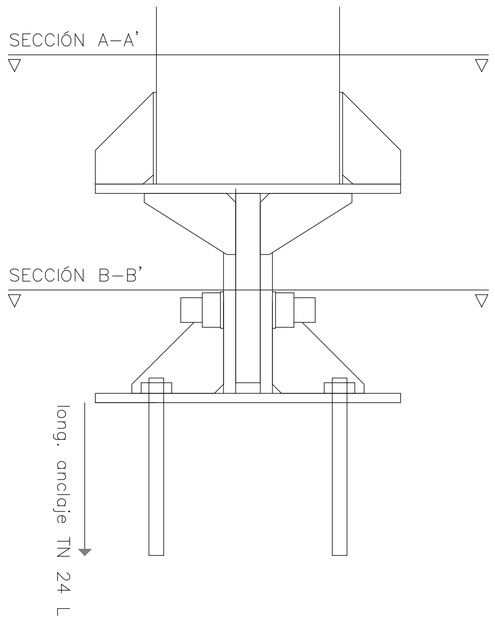

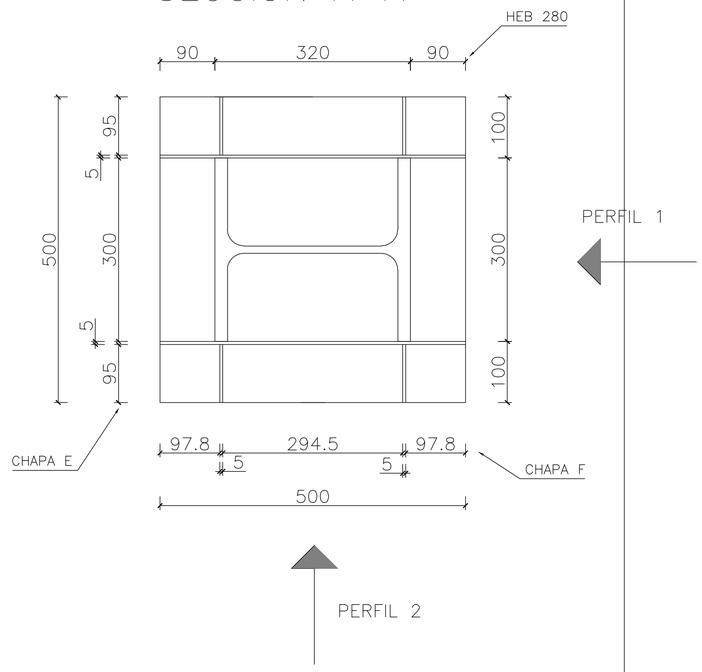

SECCIÓN B–B’

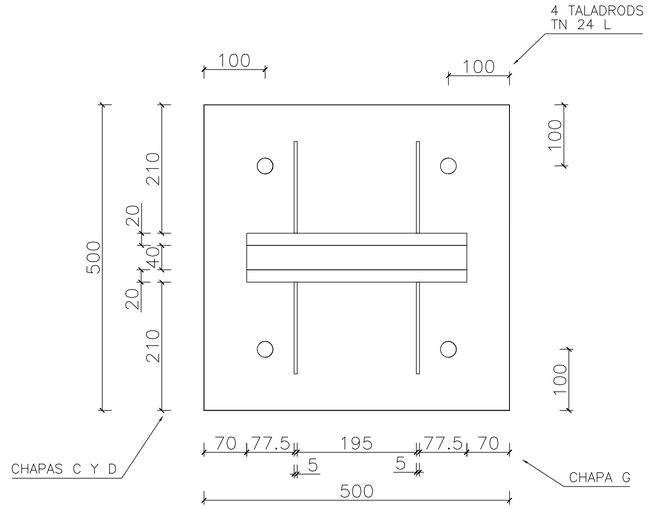

ACOTACIÓN EN milimetros

El presente documento es propiedad exclusiva de GRUPOTEC. Todos los derechos a su uso quedan reservados. Este no podrá ser reproducido en forma alguna, total o parcialmente, comunicado a terceros, ni su información usada por personas, física o jurídicas, sin contar con los permisos necesarios expedidos por GRUPOTEC, para la finalidad y manifestación objeto de utilización.

VISADO
COGITI
VALENCIA
VA07290/22
Nº. COGITI 109613
Documento visado electrónicamente con número: VA07290/22
Código de validación telemática: TRLTDCF250716611. Comprobación: https://cogitivalencia.e-gestion.es/Validacion.aspx?CVT=TRLTDCF250716611

REV.	FECHA	OBSERVACIONES	DIB.	REV.	APR.

Promotor:

valenciaport
Autoridad Portuaria de Valencia

Empresa Consultora:

grupotec

El Ingeniero Técnico Industrial
Colegiado nº: 9.613

Javier Coll Gilabert

PROYECTO DE EJECUCIÓN

INSTALACIÓN DE PLANTA
GENERACIÓN FOTOVOLTAICA SOBRE
LA CUBIERTA DEL SILO DE
VEHÍCULOS DE VALENCIA TERMINAL
EUROPA, EN MUELLE DIQUE DEL
ESTE, EN PUERTO DE VALENCIA

Visado:

Situación:

VALENCIA

Denominación:

DETALLES I

Escala gráfica: 0,00 5,00 10,00 15,00 20,00 30,00

Escala:	Fecha:
1/500	FEBRERO 2022

Archivo:	Nº Plano:	Revisión:
P2001728_PE_01_GENER_R00_DETALLES	GEN09	R0

Nº Encargo: P2.001728

PERFIL 1

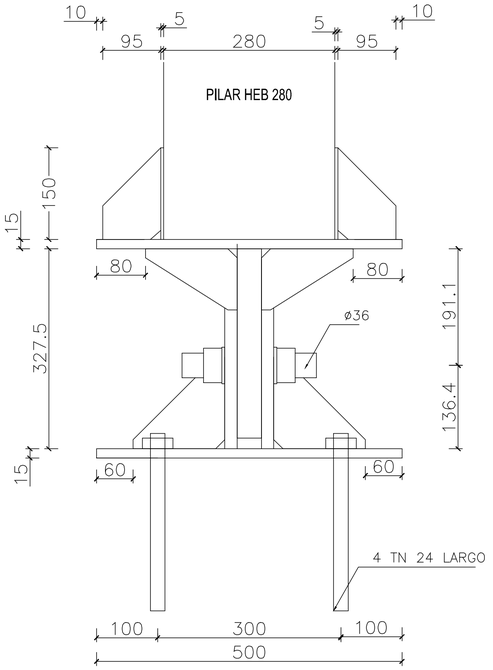

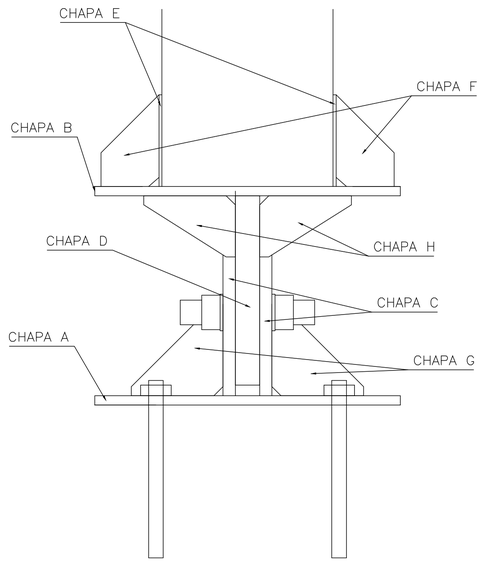

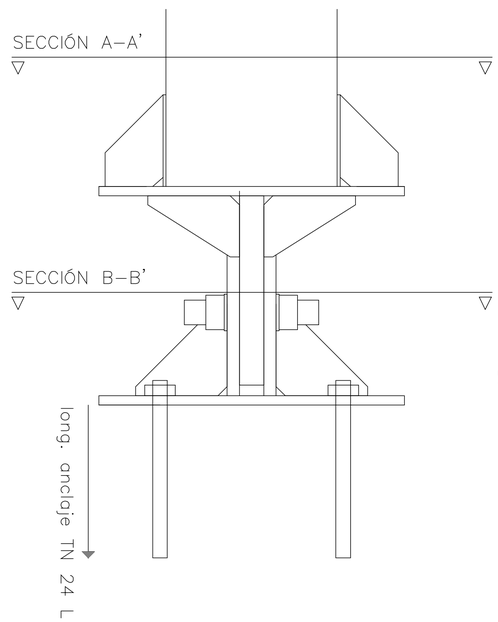

SECCIÓN A–A'

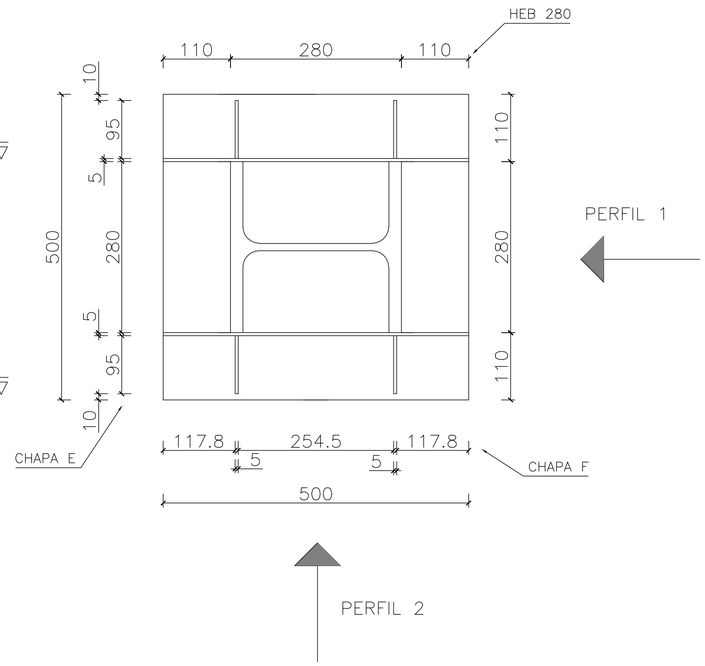

PERFIL 2

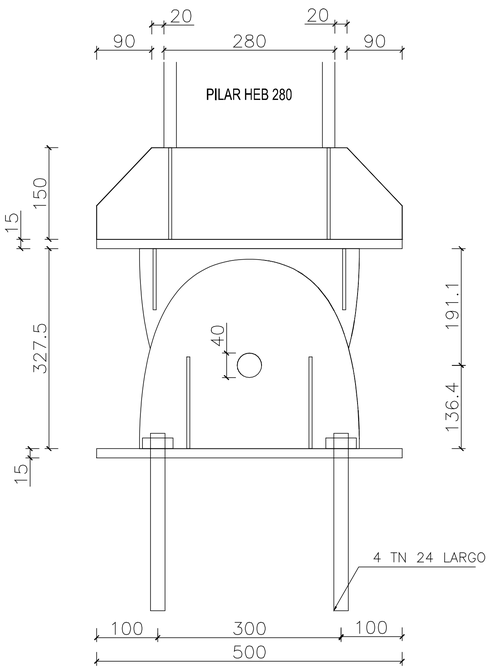

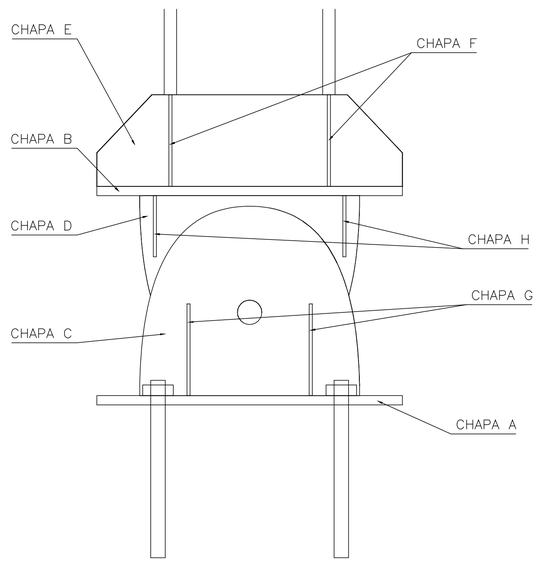

SECCIÓN B–B'

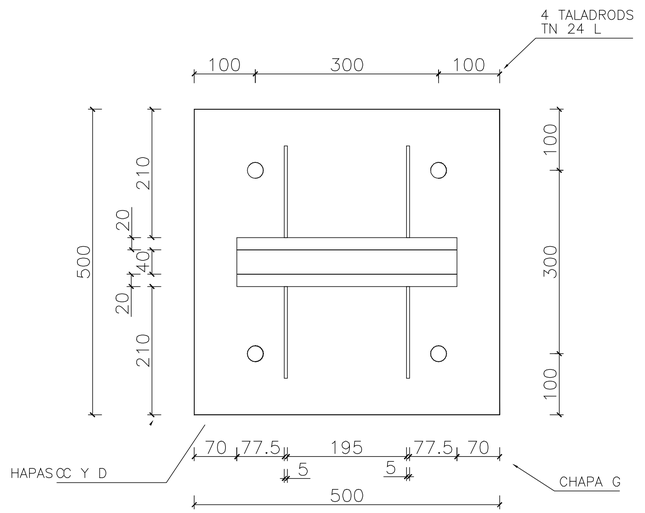

ACOTACIÓN EN milimetros

El presente documento es propiedad exclusiva de GRUPOTEC. Todos los derechos a su uso quedan reservados. Este no podrá ser reproducido en forma alguna, total o parcialmente, comunicado a terceros, ni su información usada por personas, físicas o jurídicas, que no tengan la previsible necesidad requerida expresada por GRUPOTEC para la formulación y realización clara y evaluación.

VISADO
COGITI
VALENCIA
VA07290/22
Nº. 1.TOC.2.0070933

Documento visado electrónicamente con número: VA07290/22
Código de validación electrónica: TIN.TOC.F.2007169211. Comprobación: https://cogitivalencia.e-gestion.es/Validacion.aspx?CVT=TIN.TOC.F.2007169211

REV.	FECHA	OBSERVACIONES	DIB.	REV.

Promotor:

valenciaport
Autoridad Portuaria de Valencia

Empresa Consultora:

grupotec

El Ingeniero Técnico industrial
Colegiado nº. 9.613

Javier Coli Gilabert

PROYECTO DE EJECUCIÓN

INSTALACIÓN DE PLANTA GENERACIÓN FOTOVOLTAICA SOBRE LA CUBIERTA DEL SILO DE VEHÍCULOS DE VALENCIA TERMINAL EUROPA, EN MUELLE DIQUE DEL ESTE, EN PUERTO DE VALENCIA

Visado:

Situación:

VALENCIA

Denominación:

DETALLES I

Escala gráfica: 0,00 5,00 10,00 15,00 20,00 30,00

Escala:	Fecha:
1/500	FEBRERO 2022

Archivo:	Nº Plano:	Revisión:
P2001728_PE_01_GEN10_R00_DETALLES I	GEN10	R0

Nº Encargo: P2.001728

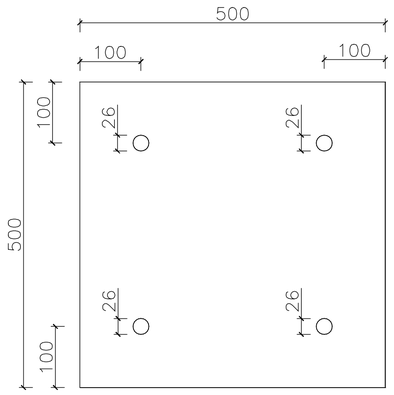

CHAPA A – 1 ud.

espesor = 15 mm

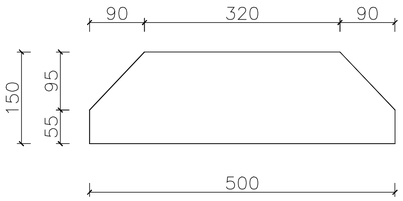

CHAPA E – 2 uds.

espesor = 5 mm

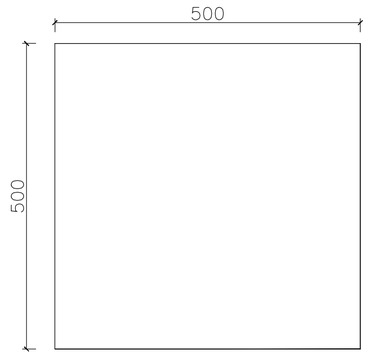

CHAPA B – 1 ud.

espesor = 15 mm

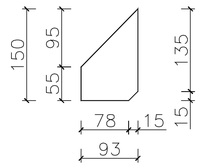

CHAPA F – 4 ud.

espesor = 5 mm

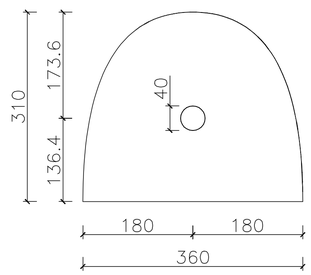

CHAPA C – 2 uds.

espesor = 20 mm

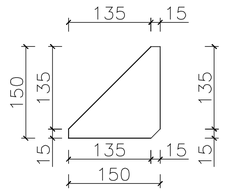

CHAPA G – 4 ud.

espesor = 5 mm

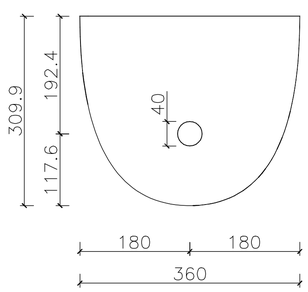

CHAPA D – 1 ud.

espesor = 40 mm

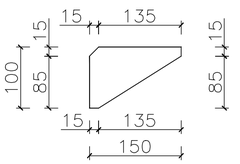

CHAPA H – 4 ud.

espesor = 5 mm

ACOTACIÓN EN milimetros

VISADO
COGITI
VALENCIA
VA07290/22

REV.	FECHA	OBSERVACIONES	DIB.	REV.	A

Promotor:

valenciaport
Autoridad Portuaria de Valencia

Empresa Consultora:

grupotec

El Ingeniero Técnico Industrial
Colegiado nº: 9.613

Javier Coli Gilabert

PROYECTO DE EJECUCIÓN

INSTALACIÓN DE PLANTA GENERACIÓN FOTOVOLTAICA SOBRE LA CUBIERTA DEL SILO DE VEHÍCULOS DE VALENCIA TERMINAL EUROPA, EN MUELLE DIQUE DEL ESTE, EN PUERTO DE VALENCIA

Visado:

Situación:

VALENCIA

Denominación:

DETALLES III

Escala gráfica: 0,00 5,00 10,00 15,00 20,00 30,00

Escala: 1/500

Fecha: FEBRERO 2022

Archivo: P2001728_PE_01_GEN11_R00_DETALLES.B

Nº Encargo: P2.001728

Nº Plano: GEN11

Revisión: R0

Documento visado electrónicamente con número: VA07290/22
Código de validación telemática: TRL:TDCF2607166U1. Comprobación: https://cogitivalencia.e-gestion.es/Validacion.aspx?CVT=TRL:TDCF2607166U1

El presente documento es propiedad exclusiva de GRUPOTEC. Todos los derechos a su uso quedan reservados. Este, no podrá ser reproducido en forma alguna, total o parcialmente, comunicado a terceros, ni su información usada por personas, físicas o jurídicas, que no tengan los permisos necesarios expedidos por GRUPOTEC, para su tramitación. Planificación Obra o Instalación.

VISADO
COGITI
VALENCIA
VA07290/22
TRLTDCFZ60T66IJ1

INSTALACIÓN DE PLANTA GENERACIÓN FOTOVOLTAICA SOBRE LA CUBIERTA DEL SILO DE VEHÍCULOS DE VALENCIA TERMINAL EUROPA, EN MUELLE DIQUE DEL ESTE, EN PUERTO DE VALENCIA.

DOCUMENTO 3.

PLIEGO DE PRESCRIPCIONES TÉCNICAS PARTICULARES

Documento visado electrónicamente con número: VA07290/22
Código de validación telemática TRLTDCFZ60T66IJ1. Comprobación: https://cogitivalencia.e-gestion.es/Validacion.aspx?CVT=TRLTDCFZ60T66IJ1

VISADO
COGITI
VALENCIA
VA07290/22
TRLTDCFZ60T66IJ1

Índice

CAPÍTULO I. OBJETO Y ALCANCE DEL PLIEGO. 4
Objeto 4
Definición 4
Ámbito de aplicación 4
Documentos que definen las obras 5
Compatibilidad y prelación de documentos 5
Documentos informativos 5
CAPÍTULO II. NORMATIVA. 7
Generalidades 7
Orden de preferencia para la aplicación de prescripciones 7
Normativa en materia de contratación 7
Accesibilidad 8
Instalaciones eléctricas 9
Seguridad y salud en el trabajo 10
Evaluación de impacto ambiental 13
Otras normativas y recomendaciones específicas 13
CAPÍTULO III. DESCRIPCIÓN DE LAS OBRAS 14
Emplazamiento de las obras 14
Descripción de las obras que comprende el proyecto 14
CAPÍTULO IV. PRESCRIPCIONES SOBRE LOS MATERIALES Y EQUIPOS 15
DISPOSICIONES GENERALES 15
Prescripciones generales 15
Materiales no especificados en el presente Pliego 16
Pruebas y ensayos de los materiales 16
Recepción de los materiales 17
Equipo de maquinaria y medios auxiliares 17
Equipos Principales 18
Responsabilidad del contratista 21
INSTALACIÓN SOLAR FOTOVOLTAICA 22
Panel Solar Fotovoltaico 22
Inversor Fotovoltaico 25
Baterías de Almacenamiento 29
Instalaciónes Eléctricas de Baja Tensión 33
Sistema Anti-Vertido 37
Estación meteorológica: 39
INSTALACIONES ELÉCTRICAS CENTRO TRANSFORMACIÓN. 41
Calidad de los Materiales 41
Norma de Ejecución de las Instalaciones 47
Pruebas Reglamentarias 47

Documento visado electrónicamente con número: VA07290/22
Código de validación telemática TRLTDCFZ60T66IJ1. Comprobación: https://cogitivalencia.e-gestion.es/Validacion.aspx?CVT=TRLTDCFZ60T66IJ1

VISADO
COGITI
VALENCIA
VA07290/22
TRLTDCFZ60T66IJ1

Condiciones de Uso, Mantenimiento y Seguridad 48
LÍNEA SUBTERRÁNEA DE MEDIA TENSIÓN 50
Calidad de los Materiales. 50
Normas de Ejecución de la Instalación. 51
Pruebas Reglamentarias 51
Condiciones de Uso, Mantenimiento y Seguridad 52
Certificados y Documentación 54
Libro de Órdenes 54
ESTRUCTURA 55
CAPÍTULO V. PRESCRIPCIONES EN CUANTO AL CONTROL DE CALIDAD DE LA PLANTA SOLAR FOTOVOLTAICA 64
DISPOSICIONES GENERALES 64
Condiciones generales de ejecución 64
Aportación de equipo o maquinaria 65
Replanteo 65
Ocupación de superficies 65
Circulación y señalización 66
Seguridad de los sistemas de ejecución 66
Seguro de responsabilidad civil 66
Instalaciones de la obra 67
Carga de vehículos 67
Coste de ejecución y calidad 67
Tolerancias 67
Acopios en obra 68
DISPOSICIONES ESPECÍFICAS DISEÑO Y CONSTRUCCIÓN PLANTA FV 68
Control de Calidad: Diseño FV Propuesto por el Contratista 68
Control de Calidad: Recepción de los Componentes Principales 70
Control de Calidad: Fase Construcción Planta FV 72
Control de Calidad: Comisionado Planta FV 74
Prueba de Funcionalidad y Puesta en Marcha 77

Documento visado electrónicamente con número: VA07290/22
Código de validación telemática TRLTDCFZ60T66IJ1. Comprobación: https://cogitivalencia.e-gestion.es/Validacion.aspx?CVT=TRLTDCFZ60T66IJ1

VISADO
COGITI
VALENCIA
VA07290/22
TRLTDCFZ60T66IJ1

CAPÍTULO I. Objeto y alcance del pliego.

Objeto

El objeto del presente proyecto es establecer las condiciones técnicas necesarias para la ejecución de una instalación fotovoltaica en modalidad de **AUTOCONSUMO SIN EXCEDENTES**. Dicha instalación incluye los siguientes cometidos:

I. Instalación fotovoltaica propiamente dicha, incluyendo:

- Ingeniería y dirección de obra.

- Acopio y aprovisionamiento de materiales.

- Transporte y carga/descarga de materiales.

- Montaje y conexionado del conjunto.

- Pruebas y puesta en marcha de la instalación.

El servicio se realizará en la modalidad llave en mano estando incluidos, por lo tanto, la totalidad de obras y elementos necesarios para el correcto funcionamiento de la instalación aunque no estén expresamente detallados en este proyecto. La instalación se realizará cumpliendo toda la normativa que afecte a instalaciones solares fotovoltaicas, y todos sus componentes deberán haber sido debidamente homologados por los organismos competentes.

Definición

El presente Pliego de Prescripciones Técnicas Particulares, constituye el conjunto de instrucciones, normas y especificaciones que definen todos los requisitos técnicos necesarios para la realización de las obras.

Ámbito de aplicación

El presente Pliego se aplicará a la construcción, dirección, control e inspección de las Obras del Proyecto de Instalación Fotovoltaica en modalidad de Autoconsumo sin excedentes y con Almacenamiento en las infraestructuras del puerto de Valencia.

Documento visado electrónicamente con número: VA07290/22
Código de validación telemática TRLTDCFZ60T66IJ1. Comprobación: https://cogitivalencia.e-gestion.es/Validacion.aspx?CVT=TRLTDCFZ60T66IJ1

VISADO
COGITI
VALENCIA
VA07290/22
TRLTDCFZ60T66IJ1

Documentos que definen las obras

Las obras a las que se refiere el presente Proyecto se definen en los documentos contractuales del Proyecto, que son los siguientes:

Documento nº 1: Memoria y Anejos de la Memoria.

Documento nº 2: Planos.

Documento nº 3: Pliego de Prescripciones Técnicas Particulares.

Documento nº 4: Presupuesto

Compatibilidad y prelación de documentos

Las omisiones que se adviertan en Planos y Pliego de Prescripciones Técnicas, o las descripciones erróneas de los detalles de la obra que sean manifiestamente indispensables para llevar a cabo el espíritu o intención expuestos en dichos documentos, o que por su uso o costumbre deban ser realizados, no sólo no eximirán al Contratista de la obligación de ejecutar estos detalles, omitidos o erróneamente descritos, sino que, por el contrario, deberán ser ejecutados como si hubieran sido completa y correctamente especificados en los Planos y Pliego de Prescripciones Técnicas.

En caso de contradicción entre los datos contenidos en el Documento nº 3, Pliego, o en el Documento nº 2, Planos, y los datos de los restantes documentos, prevalecerán los primeros (documentos nº 2 y 3). Si la contradicción existe entre los Planos y el presente Pliego prevalecerá lo prescrito en los Planos en relación a dimensiones, situación y replanteo de las obras y lo prescrito en el pliego en lo referente a calidades de los materiales y condiciones de ejecución de las obras (excepto si se dedujese lo contrario sin lugar a duda, del examen del resto de los documentos).

Lo omitido en el Pliego, y mencionado en los Planos o viceversa, habrá de ser ejecutado como si estuviese expuesto en ambos documentos, siempre que, a juicio del Director de Obra, quede suficientemente definida la unidad de obra correspondiente y ésta tenga precio en el Contrato.

Si hubiese contradicción entre el Pliego y el enunciado del Cuadro de Precios prevalecerá el más exigente de los dos.

Los precios incluidos en el Estudio de Seguridad y Salud se considerarán como si estuviesen incluidos en los Cuadros de precios.

Documentos informativos

Los datos incluidos en la Memoria y sus Anejos, son documentos de carácter informativo, salvo aquellas partes ya referidas en el apartado anterior.

Documento visado electrónicamente con número: VA07290/22
Código de validación telemática TRLTDCFZ60T66IJ1. Comprobación: https://cogitivalencia.e-gestion.es/Validacion.aspx?CVT=TRLTDCFZ60T66IJ1

VISADO
COGITI
VALENCIA
VA07290/22
TRLTDCFZ60T66IJ1

Dichos documentos representan una opinión fundada del Proyectista, y deben aceptarse tan sólo como complemento de la información que el Contratista debe adquirir directamente y con sus propios medios.

Por tanto, el Adjudicatario será responsable de los errores que se puedan derivar de su defecto o negligencia en la consecución de todos los datos que afecten al contrato, al planteamiento y a la ejecución de las obras.

Documento visado electrónicamente con número: VA07290/22
Código de validación telemática TRLTDCFZ60T66IJ1. Comprobación: https://cogitivalencia.e-gestion.es/Validacion.aspx?CVT=TRLTDCFZ60T66IJ1

VISADO
COGITI
VALENCIA
VA07290/22
TRLTDCFZ60T66IJ1

CAPÍTULO II. Normativa.

Generalidades

Para lo no especificado en el presente Pliego de Prescripciones Técnicas será de aplicación general lo prescrito en los documentos enunciados en los artículos siguientes y en su posterior revisión, actualización y modificación.

Serán de aplicación, asimismo, toda legislación y disposiciones oficiales vigentes relativas a la construcción y obras públicas que puedan afectar a los trabajos que se realicen en esta obra.

En el caso de que se presenten discrepancias entre algunas condiciones impuestas en las Normas señaladas, salvo manifestación expresa en contrario por parte del proyectista, se sobrentenderá que es válida la más restrictiva.

Las condiciones exigidas en el presente Pliego, deben entenderse como condiciones mínimas.

En cualquier caso, se entenderá que las citadas normas serán de aplicación en sus últimas versiones actualizadas y editadas.

El contratista por el hecho de presentar la oferta, declara tener conocimiento de todas las normas complementarias anteriormente reseñadas. Así mismo deberá atenerse a todas aquellas normas vigentes de aplicación en las obras comprendidas en el presente pliego, aunque no se detalle en la relación descrita, y a todas aquellas que se promulguen durante la ejecución de las obras.

Orden de preferencia para la aplicación de prescripciones

Para la aplicación y cumplimiento de las condiciones de este Pliego, así como para la interpretación de errores contradictorios u omisiones contenidas en el mismo, se seguirá tanto por parte de la Contrata adjudicataria, como por la de la Dirección Técnica de las Obras, el siguiente orden de preferencia: Leyes, Decretos, Órdenes Ministeriales, Reglamentos, Normas y Pliegos de Condiciones diversos por el orden de mayor a menor rango legal las disposiciones que hayan servido para su aplicación.

Normativa en materia de contratación

Ley 9/2017, de 8 de noviembre, de Contratos del Sector Público.

Real Decreto Legislativo 3/2011, de 14 de noviembre, por el que se aprueba el texto refundido de la Ley de Contratos del Sector Público.

Documento visado electrónicamente con número: VA07290/22
Código de validación telemática TRLTDCFZ60T66IJ1. Comprobación: https://cogitivalencia.e-gestion.es/Validacion.aspx?CVT=TRLTDCFZ60T66IJ1

VISADO
COGITI
VALENCIA
VA07290/22
TRLTDCFZ60T66IJ1

Real Decreto 817/2009, de 8 de mayo, por el que se desarrolla parcialmente la Ley 30/2007, de 30 de octubre, de Contratos del Sector Público.

Ley 9/2017, de 8 de noviembre, de Contratos del Sector Público, por la que se transponen al ordenamiento jurídico español las Directivas del Parlamento Europeo y del Consejo 2014/23/UE y 2014/24/UE, de 26 de febrero de 2014

Real Decreto 1098/01, de 12 de octubre de 2001 (BOE 26/10/01) por el que se aprueba el Reglamento General de la Ley de Contratos de las Administraciones Públicas. Corrección de errores en BOE 19/12/01.

En todo caso serán de aplicación las siguientes leyes, normas, pliegos e instrucciones: Ley de Contratos de Trabajo y Disposiciones Vigentes que regulen las relaciones patrono obrero, así como cualquier otra de carácter oficial que se dicte.

Accesibilidad

Ley 1/1998, de 5 de mayo, de accesibilidad y supresión de barreras arquitectónicas, urbanísticas y de comunicación de la Comunidad Valenciana.

Decreto 39/2004, de 5 de marzo, por el que se desarrolla la ley 1/1998, de 5 de mayo de 1998, de la Generalitat Valenciana, en materia de accesibilidad en la edificación de pública concurrencia y en el medio urbano.

Orden de 25 de mayo 2004, de 5 de marzo, del Gobierno valenciano, en materia de accesibilidad en la edificación de pública concurrencia.

Orden de 9 de junio de 2004, de la Conselleria de Territorio y Vivienda, por la que se desarrolla el Decreto 39/2004, de 5 de marzo (en materia de accesibilidad en el medio urbano), del Consell de la Generalitat, por el que se desarrolla la Ley 1/1998, de 5 de Mayo, de la Generalitat Valenciana, en materia de Accesibilidad y Supresión de Barreras Arquitectónicas, Urbanísticas y de la Comunicación, en concordancia con el art. 6 del Decreto 193/1988, de 12 de Diciembre, del Consell de la Generalitat Valenciana, (Normas para la Accesibilidad y eliminación de barreras arquitectónicas).

Real Decreto 173/2010, de 19 de febrero, por el que se modifica el Código Técnico de la Edificación, aprobado por el Real Decreto 314/2006, de 17 de marzo, en materia de accesibilidad y no discriminación de las personas con discapacidad.

Orden VIV/561/2010, de 1 de febrero, por la que se desarrolla el documento técnico de condiciones básicas de accesibilidad y no discriminación para el acceso y utilización de los espacios públicos urbanizados.

Ordenanza de Accesibilidad en el medio urbano del municipio de Valencia, en el que se condensa de forma clara y directa el objetivo subyacente de toda la actividad pública realizada en torno a la consecución de un ámbito libre de barreras para todos los ciudadanos, en pro de una garantía real y efectiva de una digna calidad de vida para todos.

Documento visado electrónicamente con número: VA07290/22
Código de validación telemática TRLTDCFZ60T66IJ1. Comprobación: https://cogitivalencia.e-gestion.es/Validacion.aspx?CVT=TRLTDCFZ60T66IJ1

VISADO
COGITI
VALENCIA
VA07290/22
TRLTDCFZ60T66IJ1

Instalaciones eléctricas

Reglamento electrotécnico de baja tensión e instrucciones reglamentarias aprobado por el RD842/2002 de 2 de agosto.

Real Decreto Ley 244/2019, de 5 de abril, por el que se regulan las condiciones administrativas, técnicas y económicas de las modalidades de suministro de energía eléctrica con autoconsumo y de producción con autoconsumo. El objetivo de este Real Decreto de Autoconsumo es regular estos aspectos que habían quedado abiertos tras la publicación del RDL 15/2018, relacionados con configuraciones de medida, condiciones administrativas y técnicas para conexión a red, los mecanismos de compensación de excedentes para las instalaciones de autoconsumo que se les permita, así como la organización de un registro de autoconsumo administrativo sencillo.

Real Decreto-ley 15/2018, de 5 de octubre, de medidas urgentes para la transición energética y la protección de los consumidores.

Real Decreto 1109/2007, de 24 de agosto, por el que se desarrolla la Ley 32/2006, de 18 de octubre, reguladora de la subcontratación en el Sector de la Construcción.

Ley 32/2006, de 18 de octubre, reguladora de la subcontratación en el Sector de la Construcción.

Decreto 314/2006, de 17 de marzo, por el que se aprueba el Código Técnico de la Edificación y sus modificaciones.

RCE, Orden de 6 de julio de 1984, BOE de 1/08/84 Instrucciones Técnicas Complementarias (MIE-RAT) del Reglamento sobre condiciones y garantías de seguridad en centrales eléctricas, subestaciones y centros de transformación.

ORDEN de 10 de marzo de 2000 por la que se modifican las Instrucciones Técnicas Complementarias MIE-RAT 01, MIE-RAT 02, MIE-RAT 06, MIE-RAT 14, MIE-RAT 15, MIE-RAT 16, MIE-RAT 17, MIE-RAT 18 y MIE-RAT19 del Reglamento sobre condiciones técnicas y garantías de seguridad en centrales eléctricas, subestaciones y centros de transformación. (BOE núm. 72, de 24 de marzo de 2000)

Instalaciones de electricidad. Normas tecnológicas de la edificación NTE-IE.

Reglamento de acometidas eléctricas.

Norma Tecnológica NTE-IEB/1974 (Decreto 3565/1972 de 23 de diciembre).

Real Decreto 846/2006, de 7 de julio (BOE núm. 186, de 5 de agosto de 2006).

Contenido mínimo en proyectos de industrias y de instalaciones industriales. (O. Industria, Comercio y Turismo, 17/7/89, DOGV 1.181, 13/11/89)

Reglamento de Aparatos de Elevación y Manutención de los mismos. (O.M. Industria, Comercio y Turismo, 12/9/91, BOE 223, 17/9/91) (R.D. 2291/1985, Industria y Energía, 8/11/85)

ORDEN 3/2015, de 18 de septiembre, de la Conselleria de Economía Sostenible, Sectores Productivos, Comercio y Trabajo, por la que se derogan diversas normas y

Documento visado electrónicamente con número: VA07290/22
Código de validación telemática TRLTDCFZ60T66IJ1. Comprobación: https://cogitivalencia.e-gestion.es/Validacion.aspx?CVT=TRLTDCFZ60T66IJ1

VISADO
COGITI
VALENCIA
VA07290/22
TRLTDCFZ60T66IJ1

resoluciones en materia de distribución de energía eléctrica. (DOCV núm. 7626 de 30.09.2015)

Real Decreto 2060/2008, de 12 de diciembre (BOE núm. 31, de 5 de febrero de 2009), por el que se aprueba el Reglamento de equipos a presión y sus instrucciones técnicas complementarias.

Reglamento de instalaciones de Protección contra incendios, desarrollo del R.D. 1942/1983 de 5/11/93. (Ministerio de Industria y Energía, O. M. 16/3/98 BOE 101, de 28/4/98)

Real Decreto 314/2006, de 17 de marzo (BOE núm. 74, de 28/3/2006) por el que se aprueba el Código Técnico de la Edificación.

Real Decreto 401/2003, de 4 de abril, (BOE núm. 115, de 14 de mayo de 2003,) por el que se aprueba el Reglamento regulador de las infraestructuras comunes de telecomunicaciones para el acceso a los servicios de telecomunicación en el interior de los edificios y de la actividad de instalación de equipos y sistemas de telecomunicaciones.

Documento visado electrónicamente con número: VA07290/22
Código de validación telemática TRLTDCFZ60T66IJ1. Comprobación: https://cogitivalencia.e-gestion.es/Validacion.aspx?CVT=TRLTDCFZ60T66IJ1

Seguridad y salud en el trabajo

GENERALES:

Ley 31/1995 de 8 de noviembre de Prevención de Riesgos Laborales y sus posteriores modificaciones.

Real Decreto 39/1997, de 17 de enero, por el que se aprueba el Reglamento de los Servicios de Prevención (BOE 31-1-97).

Real Decreto 1627/97 de 24 de octubre de 1997 por el que se establecen las Disposiciones Mínimas de Seguridad y de Salud en las Obras de Construcción (BOE 25-10-97).

R.D. 604/2006, de 19 de mayo, de modificación del R.D. 39/1997 y el R.D. 1627/1997 de disposiciones mínimas de seguridad y salud en las obras de construcción.

Real Decreto 1627/97 de 24 de octubre de 1997 por el que se establecen las Disposiciones Mínimas de Seguridad y de Salud en las Obras de Construcción (BOE 25-10-97).

Convenio Colectivo Provincial de la Construcción (a aplicar en la provincia donde se ejecute la obra). - Para la provincia de Valencia Convenio Colectivo de la Construcción y Obras Públicas (BOP 10/10/2012).

R.D. 485/1997, de 14 de abril. Disposiciones mínimas en materia de señalización de seguridad y salud en el trabajo (BOE 23-4-97).

R.D. 486/97, de 14 de abril. Disposiciones mínimas de seguridad y salud en los lugares de trabajo (BOE 23-4-97).

VISADO
COGITI
VALENCIA
VA07290/22
TRLTDCFZ60T66IJ1

R.D. 487/1997, de 14 de abril. Disposiciones mínimas de seguridad y salud relativas a la manipulación manual de cargas que entrañen riesgos, en particular dorsolumbares, para los trabajadores (BOE 23-4-97).

R.D. 488/1997, de 14 de abril. Disposiciones mínimas de seguridad y salud relativas al trabajo con equipos que incluyan pantallas de visualización (BOE 23-4-97).

R.D. 773/1997 de 30 de mayo, sobre disposiciones mínimas de seguridad y salud relativas a la utilización por trabajadores de equipos de protección individual (BOE 12-6-97).

R.D. 159/1.995, sobre condiciones para la comercialización y libre circulación intracomunitaria de los equipos de protección individual.

R.D. 1215/1997, de 18 de julio. Disposiciones mínimas de seguridad y salud para la utilización por los trabajadores de los equipos de trabajo (BOE 7-8-97).

Real Decreto Legislativo 2/2015, de 23 de octubre, por el que se aprueba el texto refundido de la Ley del Estatuto de los Trabajadores. (BOE 24/10/2015)

Ley 50/1998, de 30 de diciembre de Medidas Fiscales Administrativas y de Orden Social (BOE 31-12-1998). Los artículos 45, 47, 48 y 49 de la Ley 31/1995, son objeto de modificaciones.

Título II (Capítulos de I a VII): Condiciones Generales de los centros de trabajo y de los mecanismos y medidas de protección de la Ordenanza General de Seguridad e Higiene en el Trabajo (O.M. de 9 de marzo de 1.971).

Capítulo XVI: Seguridad e Higiene; sección 3ª de la Ordenanza de Trabajo de la Construcción, Vidrio y Cerámica (O.M. de 28 de agosto de 1.970).

Actividades molestas, insalubres, nocivas y peligrosas (Orden Ministerial de 15 de marzo de 1963).

Orden TIN/1071/2010, de 27 de abril (BOE núm. 106, de 1/5/2010), sobre los requisitos y datos que deben reunir las comunicaciones de apertura o de reanudación de actividades en los centros de trabajo.

Real Decreto 212/2002, de 22 de febrero, por el que se regulan las emisiones sonoras en el entorno debidas a determinadas máquinas de uso al aire libre

Real Decreto 1849/2000, de 10 de noviembre, por el que se derogan diferentes disposiciones en materia de normalización y homologación de productos industriales).

Real Decreto 393/2007, de 23 de marzo, por el que se aprueba la Norma Básica de Autoprotección de los centros, establecimientos y dependencias dedicados a actividades que puedan dar origen a situaciones de emergencia.

RUIDO:

Real Decreto 212/2002, de 22 de febrero, por el que se regulan las emisiones sonoras en el entorno debidas a determinadas máquinas de uso al aire libre.

Documento visado electrónicamente con número: VA07290/22
Código de validación telemática TRLTDCFZ60T66IJ1. Comprobación: https://cogitivalencia.e-gestion.es/Validacion.aspx?CVT=TRLTDCFZ60T66IJ1

VISADO
COGITI
VALENCIA
VA07290/22
TRLTDCFZ60T66IJ1

Real Decreto 286/2006, de 10 de marzo, sobre la protección de la salud y la seguridad de los trabajadores contra los riesgos relacionados con la exposición al ruido

R.D. 286/2006, de 10 de marzo, sobre la protección de la salud y la seguridad de los trabajadores contra los riesgos relacionados con la exposición al ruido.

O.M. de 17 de noviembre de 1989, relativa a las emisiones sonoras de las palas hidráulicas, palas de cables, topadoras frontales, las cargadoras y las palas cargadoras (BOE 1-12-89).

VIBRACIONES:

R.D. 1311/2005, de 4 de noviembre, sobre la protección de la salud y la seguridad de los trabajadores frente a los riesgos derivados o que puedan derivarse de la exposición a vibraciones mecánicas.

Real Decreto 842/2002, de 2 de agosto (BOE núm. 224, de 18/9/2002), por el que se aprueba el Reglamento electrotécnico para baja tensión.

ELÉCTRICO:

R.D. 614/2001 Disposiciones mínimas para la protección de la salud y seguridad de los trabajadores frente al riesgo eléctrico.

TRABAJOS EN ALTURA Y MAQUINARIA:

R.D. 2177/2004, de 12 de noviembre. Disposiciones mínimas de seguridad y salud para la utilización por los trabajadores de los equipos de trabajo, en materia de trabajos temporales en altura.

Real Decreto 1644/2008, de 10 de octubre, por el que se establecen las normas para la comercialización y puesta en servicio de las máquinas.

O.M. de 1 de septiembre de 1982 (BOE 12-11-82) por la que se aprueba la Instrucción Técnica Complementaria MIE-AP-7 sobre botellas y botellones de gases comprimidos, licuados y disueltos a presión, modificada por:

O.M. de 11 de julio de 1983 (BOE 22-7-83).

O.M. de 28 de marzo de 1985 (BOE 10-4-85).

O.M. de 13 de junio de 1985 (BOE 29-6-85).

O.M. de 3 de julio de 1987 (BOE 16-7-87).

O.M. de 21 de julio de 1992 (BOE 14-8-92).

R.D. 473/1988, de 30 de marzo (BOE 20-5-1988), por el que se establecen las disposiciones de aplicación de la Directiva 76/767/CEE sobre aparatos de presión.

R.D. 1495/1991, de 11 de octubre (BOE 11-10-91) por el que se establecen las disposiciones de aplicación de la Directiva 87/404/CEE sobre aparatos a presión rectificado posteriormente en:

Documento visado electrónicamente con número: VA07290/22
Código de validación telemática TRLTDCFZ60T66IJ1. Comprobación: https://cogitivalencia.e-gestion.es/Validacion.aspx?CVT=TRLTDCFZ60T66IJ1

VISADO
COGITI
VALENCIA
VA07290/22
TRLTDCFZ60T66IJ1

BOE nº 282 de 25-11-91 y modificado por el R.D. 2486/1994, de 23 de diciembre (BOE 24-1-1995).

Real Decreto 809/2021, de 21 de septiembre, por el que se aprueba el Reglamento de equipos a presión y sus instrucciones técnicas complementarias.

Real Decreto 709/2015, de 24 de julio, por el que se establecen los requisitos esenciales de seguridad para la comercialización de los equipos a presión.

Orden de 30 de junio de 1974 (BOE 9-8-74) para los aparatos elevadores de propulsión hidráulica.

R.D. 474/1988, de 30 de marzo (BOE 20-5-1988), por el que se aprueba el Reglamento de aparatos elevadores y de manejo mecánico en aplicación de la Directiva 84/528/CEE.

O.M. de 26 de mayo de 1989 (BOE 9-6-89) por la que se aprueba la Instrucción Técnica Complementaria MIE-AEM-3 referente a carretillas automotoras de manutención.

Real Decreto 837/2003, de 27 de junio, (BOE núm. 170, de 17/7/2003) por el que se aprueba el nuevo texto modificado y refundido de la Instrucción técnica complementaria "MIE-AEM-4" del Reglamento de aparatos de elevación y manutención, referente a grúas móviles autopropulsadas.

Evaluación de impacto ambiental

Real Decreto 656/2017, de 23 de junio, por el que se aprueba el Reglamento de Almacenamiento de Productos Químicos y sus Instrucciones Técnicas Complementarias MIE APQ 0 a 10

Ley 34/2007, de 15 de noviembre, de calidad del aire y protección de la atmósfera. (BOE núm. 275, de 16/11/2007).

Directiva 85/337/CEE del Consejo, de 27 de junio de 1985, relativa a la evaluación de los impactos sobre el medio ambiente de ciertas obras públicas y privadas (D.O.C.E. nº L 175 de 5/7/85).

Ley 21/2013, de 9 de diciembre, de evaluación ambiental (BOE núm. 296, de 11/12/ 2013).

Impacto Ambiental. (Ley 2/1989, 3/3/89, DOGV 1021, 8/3/89).

Reglamento para la ejecución de la Ley de la Generalitat Valenciana 2/1989, de 3 de marzo, de Impacto Ambiental. (D. 162/1990, 15/10/90, DOGV 1412, 30/10/90).

Ley 3/1995 Generalitat Valenciana, Vías pecuarias 23/3/95, BOE 71 de 24/3/95.

Otras normativas y recomendaciones específicas

Normas europeas UNE, UNE-EN e ISO, de control de calidad, fabricación o producción.

Documento visado electrónicamente con número: VA07290/22
Código de validación telemática TRLTDCFZ60T66IJ1. Comprobación: https://cogitivalencia.e-gestion.es/Validacion.aspx?CVT=TRLTDCFZ60T66IJ1

VISADO
COGITI
VALENCIA
VA07290/22
TRLTDCFZ60T66IJ1

CAPÍTULO III. Descripción de las obras

Emplazamiento de las obras

La materialización de las obras a las que se aplicarán las cláusulas del presente proyecto se realizará en el Puerto de Gandía.

Descripción de las obras que comprende el proyecto

En el Documento nº 1 MEMORIA y ANEJOS DE LA MEMORIA, del presente proyecto, se realiza una descripción exhaustiva de las obras que comprenden el presente Proyecto. Remitimos al lector a dicho documento para tener una concepción global de las obras.

Documento visado electrónicamente con número: VA07290/22
Código de validación telemática TRLTDCFZ60T66IJ1. Comprobación: https://cogitivalencia.e-gestion.es/Validacion.aspx?CVT=TRLTDCFZ60T66IJ1

VISADO
COGITI
VALENCIA
VA07290/22
TRLTDCFZ60T66IJ1

CAPÍTULO IV. Prescripciones sobre los materiales y equipos

Disposiciones generales

Prescripciones generales

En general son válidas todas las prescripciones referentes a las condiciones que deben satisfacer los materiales que figuran en las Instrucciones, Pliegos de Prescripciones y Normas Oficiales que reglamentan la recepción, transporte, manipulación y empleo de cada uno de los materiales que se utilizan en la ejecución de las obras, siempre que no prescriba lo contrario el presente Pliego, el cual prevalece.

Cada uno de los materiales cumplirá las condiciones que se especifican en los artículos siguientes, lo que deberá comprobarse mediante los ensayos correspondientes, si así lo ordena la Dirección de obra.

Para todos los materiales que intervengan en la obra el contratista propondrá los lugares de procedencia, factorías o marcas de los mismos, a la aprobación de la Dirección Facultativa. Ésta debe manifestarse en el plazo de siete (7) días naturales a partir del día de la propuesta, operando su silencio como aprobación. Los materiales procederán de factorías reconocidas, que garantizarán el cumplimiento para los suministros, de las especificaciones del presente capítulo.

Fijada la procedencia de los materiales se efectuarán las pruebas que la Dirección Facultativa disponga para comprobar que reúnen las condiciones estipuladas en los artículos siguientes. El Director establecerá también el procedimiento y/o certificaciones en el que deben realizarse las pruebas y deberá ser aprobada por la Dirección Facultativa.

El transporte, manipulación y empleo de los materiales se hará de forma que no queden alteradas sus características ni sufran ningún deterioro sus formas o dimensiones.

El transporte de los materiales hasta los lugares de acopio o empleo se efectuará en vehículos mecánicos adecuados para tal clase de materiales. Además de cumplir todas las disposiciones legales referentes al transporte, estarán provistos de los elementos que se precise para evitar cualquier alteración perjudicial del material transportado y su posible vertido sobre las rutas empleadas.

La procedencia y distancia de transporte que en los diferentes documentos del proyecto se consideran para los diferentes materiales no deben tomarse sino como aproximaciones para la estimación de los precios, sin que suponga prejuicio de su idoneidad ni aceptación para la ejecución de hecho de la obra, y no teniendo el Contratista derecho a reclamación ni indemnización de ningún tipo en el caso de deber utilizar materiales de otra procedencia o de error en la distancia, e incluso la no consideración de la misma.

Documento visado electrónicamente con número: VA07290/22
Código de validación telemática TRLTDCFZ60T66IJ1. Comprobación: https://cogitivalencia.e-gestion.es/Validacion.aspx?CVT=TRLTDCFZ60T66IJ1

VISADO
COGITI
VALENCIA
VA07290/22
TRLTDCFZ60T66IJ1

Los materiales se acopiarán en lugar y forma de modo que se conserven sus propiedades características. La Dirección Facultativa ordenará, cuando lo estime oportuno, la especial protección de los materiales que lo requieran.

Los materiales se almacenarán de tal forma que la calidad requerida para su utilización quede perfectamente asegurada, requisito que deberá ser comprobado por la Dirección de Obra, en el momento de su utilización.

No se procederá al empleo de los materiales sin que antes sean examinados y aceptados por la Dirección de Obra en los términos y formas que prescriba, salvo lo que disponga en contrario, para casos determinados, ésta misma.

Cuando por no reunir las condiciones exigidas en el presente Pliego sea rechazada cualquier partida de material por la Dirección de Obra, el Contratista deberá proceder a retirarla de obra en el plazo máximo de diez (10) días contados desde la fecha en que sea comunicado tal extremo.

Si no lo hiciera en dicho término, la Dirección de Obra podrá disponer la retirada del material rechazado por oficio y por cuenta y riesgo del Contratista.

Materiales no especificados en el presente Pliego

Todos aquellos materiales que no estando especificados en artículos del presente Pliego sean necesarios para la ejecución de las obras que comprende este Proyecto, serán de la mejor calidad, debiendo presentar el Contratista, para su aprobación por el Director de Obra, cuantos catálogos, informes y certificados del fabricante se estimen necesarios. Cuando la información requerida no se considere suficiente, el Director de Obra podrá exigir los ensayos oportunos que permitan obtener datos sobre la calidad de tales materiales.

El Director de Obra podrá rechazar estos materiales, si no reuniesen a su juicio las condiciones exigibles para conseguir debidamente el objeto que motiva su empleo.

Pruebas y ensayos de los materiales

Los ensayos, análisis y pruebas que deban realizarse en los materiales, se verificarán en el Laboratorio en caso necesario o pruebas “on site” que ordene el Director de Obra. El contratista podrá presenciar los análisis, ensayos y pruebas que se realicen, con autorización del Director de Obra. El número de ensayos a realizar será fijado por el Director de Obra, a modo de orientación.

Si las muestras cumplen satisfactoriamente los ensayos, las piezas representadas por ellas, que reúnan además las otras condiciones de forma, dimensiones, etc., señaladas en este pliego o en la oferta realizada por la contrata y aceptada por la propiedad, serán convenientemente marcadas y aceptadas por el Director de Obra.

Documento visado electrónicamente con número: VA07290/22
Código de validación telemática TRLTDCFZ60T66IJ1. Comprobación: https://cogitivalencia.e-gestion.es/Validacion.aspx?CVT=TRLTDCFZ60T66IJ1

VISADO
COGITI
VALENCIA
VA07290/22
TRLTDCFZ60T66IJ1

Si alguna de las muestras no reuniera las exigencias del ensayo, el Contratista podrá solicitar su reposición en el número de muestras adicionales que estime conveniente el Director de Obra, tomadas del mismo lote cada una de las que hubiera fallado. Si todas las muestras adicionales satisfacen los ensayos todos los elementos representados por ellas serán aceptados, y en caso contrario serán rechazados.

No obstante, el Director podrá ordenar que se verifiquen los ensayos y análisis de materiales y unidades de obra que en cada caso resulten pertinentes y los gastos que se originen**.**

Recepción de los materiales

Podrán desecharse todos aquellos materiales que no satisfagan las condiciones impuestas a cada uno de ellos, en particular en este Pliego.

El Contratista se atendrá, en todo caso, a lo que por escrito le ordene el Director de Obra para el cumplimento de las prescripciones del presente Pliego.

Si los materiales fueran defectuosos, pero aceptables a juicio de la Administración, se aplicarán con la rebaja de precio que la misma determine sin más opción por parte del Contratista que la de sustituirlos por otros que cumplan las condiciones de este Pliego.

La recepción de los materiales no excluye la responsabilidad del Contratista por la calidad de ellos, y quedará subsistente hasta que se reciban las obras en que dichos materiales se hayan empleado.

Equipo de maquinaria y medios auxiliares

El Contratista queda obligado a situar en las obras los equipos de maquinaria y medios auxiliares que se hubiese comprometido a aportar en la licitación o en el programa de trabajos.

El Director de Obra deberá aprobar los equipos de maquinaria y medios auxiliares necesarios para la ejecución de todas las unidades de obra.

Las máquinas y demás elementos de trabajo deberán estar en perfectas condiciones de funcionamiento y quedarán adscritas a la obra durante el curso de ejecución de las unidades en que deban utilizarse, no pudiendo ser retirados sin la autorización del Director de Obra.

Documento visado electrónicamente con número: VA07290/22
Código de validación telemática TRLTDCFZ60T66IJ1. Comprobación: https://cogitivalencia.e-gestion.es/Validacion.aspx?CVT=TRLTDCFZ60T66IJ1

VISADO
COGITI
VALENCIA
VA07290/22
TRLTDCFZ60T66IJ1

Equipos Principales

ESPECIFICACIONES TÉCNICAS DE EQUIPOS

Las especificaciones técnicas de los diferentes equipos a suministrar se encuentran descritas en sus correspondientes artículos del presente pliego de prescripciones técnica o en los cuadros de precios del proyecto.

PROTOCOLO DE ACEPTACIÓN DE EQUIPOS

El tratamiento de los diferentes equipos estará a lo dispuesto en el Protocolo de recepción y aceptación desarrolla en el Capítulo V del presente Pliego.

CONDICIONES QUE DEBEN CUMPLIR LOS PEDIDOS DE LOS EQUIPOS EN LA OBRA

La empresa constructora enviará a la Dirección Facultativa documentación original y completa de cada equipo, (aún en el caso de que fuera el previsto en proyecto). Esta documentación estará compuesta por:

Nombre del equipo que se piensa colocar en obra objeto de aceptación.

Función del equipo en la instalación general.

Ubicación en los planos del proyecto.

Datos del fabricante del equipo.

Especificaciones técnicas del equipo.

Catálogo y manuales del equipo mismo.

En un plazo máximo de 7 días, la Dirección Facultativa deberá estudiar el contenido de dicha documentación, ampliarla si lo cree conveniente y dar su conformidad a la empresa Contratista por escrito.

En caso de que la documentación aportada no resulte satisfactoria a juicio de la Dirección Facultativa, se enviará a la empresa Contratista un escrito, especificando las deficiencias encontradas a fin de que sean subsanadas en el menor tiempo posible.

La conformidad, por escrito, la recibirá el Jefe de Obra, el cual centralizará toda la información.

Cuando la empresa Contratista reciba el escrito de aceptación del equipo, notificará a la Dirección Facultativa la fecha de pedido, así como el plazo previsto de entrega del equipo en la obra.

La Dirección Facultativa entregará copia de los mismos a la Autoridad Portuaria en los informes mensuales de obra.

Documento visado electrónicamente con número: VA07290/22
Código de validación telemática TRLTDCFZ60T66IJ1. Comprobación: https://cogitivalencia.e-gestion.es/Validacion.aspx?CVT=TRLTDCFZ60T66IJ1

VISADO
COGITI
VALENCIA
VA07290/22
TRLTDCFZ60T66IJ1

CONDICIONES PARA LA ACEPTACIÓN DE CAMBIOS RESPECTO A LOS EQUIPOS PREVISTOS EN EL PROYECTO DE CONSTRUCCIÓN

En general, no se aceptarán cambios en los equipos previstos en el proyecto, que no garanticen una mejora de la calidad, de la seguridad o de la funcionabilidad.

El Contratista para solicitar la aceptación de un cambio, deberá proporcionar a la Dirección facultativa información detallada de:

Información común.

Nombre del equipo objeto de aceptación. (número y unidad según proyecto)

Función del equipo en la instalación.

Ubicación en los planos del proyecto.

Información requerida para cada uno de los equipos. (de proyecto y propuesto por el Contratista)

Precio del equipo. Indicar si se va a producir un incremento en el coste del proyecto y si es el caso indicar la cantidad, así como la porción del mismo que será asumida por el Contratista.

Datos del fabricante del equipo.

Características técnicas del equipo y justificación del cambio propuesto. Características técnicas del equipo propuesto en proyecto (serán obligatorias las que aparecen en el pliego de condiciones) y las del equipo propuesto por el Contratista. Cada una de las características donde aparezca una discrepancia deberá ser objeto de una justificación formal por parte del Contratista, presentando ventajas e inconvenientes, así como una valoración técnica de las ventajas que supondría el cambio.

La petición de cambio sólo se estudiará si viene firmada por el jefe de obra nombrado por la empresa constructora.

La Dirección Facultativa comunicará por escrito al Contratista la aceptación o no del cambio solicitado, y dispondrá en obra una copia de esta comunicación.

Caso de producirse algún cambio respecto a los equipos de proyecto la Dirección Facultativa lo hará constar en el informe mensual.

CONDICIONES PARA LA RECEPCIÓN EN OBRA DE LOS EQUIPOS

No se recibirá (con lo cual no se certificará) ningún equipo que no haya cumplido los requisitos del apartado 1º.

El Contratista habrá de comunicar a la Dirección Facultativa, con anterioridad a la llegada del equipo a obra, el lugar y condiciones de acopio del mismo (protección del sol, lluvia, etc.)

A su llegada a obra, el Contratista ha de haber presentado a la Dirección Facultativa el “Certificado de calidad”, acompañado de los correspondientes resultados de los ensayos

Documento visado electrónicamente con número: VA07290/22
Código de validación telemática TRLTDCFZ60T66IJ1. Comprobación: https://cogitivalencia.e-gestion.es/Validacion.aspx?CVT=TRLTDCFZ60T66IJ1

VISADO
COGITI
VALENCIA
VA07290/22
TRLTDCFZ60T66IJ1

realizados en fábrica, bien a propuesta del mismo fabricante o contemplado en el plan de control de calidad de la obra.

Todos los equipos deberán estar marcados de forma visible e indeleble con su placa de características.

La Dirección Facultativa cotejará los datos del equipo de llegada a obra con la documentación del equipo previamente presentada por el Contratista para formalizar el pedido.

Si se cumplen los apartados anteriores, la Dirección Facultativa emitirá un Acta de Recepción del equipo. Este Acta será necesaria para poder certificar el porcentaje por acopio en obra que fije el pliego de prescripciones técnicas del contrato.

La Dirección facultativa:

Dispondrá en obra de una copia de estas Actas.

En el informe mensual presentará un listado en que figuren los equipos recibidos en el mes y su origen, así como aquéllos que no estén recibidos.

CONDICIONES PARA LA ACEPTACIÓN DE LA INSTALACIÓN DEL EQUIPO

La Dirección facultativa verificará la correcta instalación del equipo de acuerdo con las especificaciones de proyecto y aquéllas adicionales que, a juicio de la Dirección Facultativa sean convenientes para garantizar su correcto funcionamiento.

La Dirección Facultativa supervisará el protocolo de pruebas, en vacío (Cold Commissioning) de los equipos a instalar en obra, presentado por el Contratista.

La Dirección Facultativa verificará el cumplimiento del protocolo propuesto a que se refiere el punto anterior.

Si el resultado de las pruebas es satisfactorio, la Dirección Facultativa emitirá un acta de Equipo instalado. Este Acta será necesaria para poder certificar el porcentaje correspondiente que fije el Pliego de prescripciones Técnicas del Contrato en cuanto al Montaje y Pruebas en vacío.

La Dirección Facultativa.

Dispondrá en obra de una copia de este Acta (y resultados de las pruebas).

En el informe mensual presentará un listado en el que figuren los equipos instalados y/o probados en el mes y su origen, así como aquellos que estén pendientes.

CONDICIONES PARA LA RECEPCIÓN (FUNCIONAMIENTO EN CARGA).

La Dirección Facultativa verificará el correcto funcionamiento del equipo.

La Dirección Facultativa supervisará el protocolo de pruebas en servicio (Hot Commissioning) de todos los equipos instalados, presentado por el Contratista.

La Dirección Facultativa verificará el cumplimiento del protocolo propuesto a que se refiere el punto anterior.

Documento visado electrónicamente con número: VA07290/22
Código de validación telemática TRLTDCFZ60T66IJ1. Comprobación: https://cogitivalencia.e-gestion.es/Validacion.aspx?CVT=TRLTDCFZ60T66IJ1

VISADO
COGITI
VALENCIA
VA07290/22
TRLTDCFZ60T66IJ1

Si el resultado de las pruebas es satisfactorio, la Dirección Facultativa emitirá un Acta de Equipos Recibidos (pudiéndose englobar en la misma acta tanto esta última como las dos anteriores). Este Acta será necesario para poder certificar el porcentaje correspondiente que fije el Pliego de Prescripciones Técnicas del Contrato en cuanto a Recepción de Equipos.

La Dirección Facultativa.

Dispondrá en obra de una copia de este Acta (y resultados de las pruebas).

En el informe mensual presentará un listado en el que figuren los equipos recibidos en el mes y a origen, así como aquellos pendientes.

DOCUMENTACIÓN

La documentación técnica mínima exigida para cada equipo instalado será la siguiente:

Una clara y comprensible descripción del equipo, de su instalación y montaje y del conexionado.

Planos de la instalación

Diagrama funcional del sistema

Esquema Unifilar de Baja tensión así como la Media tensión.

Manual de mantenimiento.

Lista de materiales y repuestos.

Declaración CE de conformidad, suministrada por el fabricante.

Normativas específicas IEC y/o UNE de aplicación para cada componente.

Responsabilidad del contratista

Si los materiales fueran defectuosos, pero aceptables a juicio de la Dirección de Obra, se recibirán con la rebaja de precios que ésta determine, a no ser que el Contratista prefiera sustituirlos por otros en perfectas condiciones.

La recepción de los materiales no excluye la responsabilidad del Contratista para la calidad de los mismos, que quedará subsistente hasta que se reciban definitivamente las obras en que se hayan empleado.

Documento visado electrónicamente con número: VA07290/22
Código de validación telemática TRLTDCFZ60T66IJ1. Comprobación: https://cogitivalencia.e-gestion.es/Validacion.aspx?CVT=TRLTDCFZ60T66IJ1

VISADO
COGITI
VALENCIA
VA07290/22
TRLTDCFZ60T66IJ1

Instalación Solar Fotovoltaica

A continuación se describen las especificaciones técnicas de los materiales y equipos principales que componen la instalación Fotovoltaica. En la ejecución de la instalación se admitirá la modificación de alguno de estos materiales o equipos por otros de características equivalentes, siempre que:

No afecte al correcto funcionamiento de la instalación fotovoltaica, ni suponga un decremento en la producción anual de electricidad.

Las características de los componentes tienen que ser equivalentes a los propuestos en este Pliego, en lo referente a materiales, características técnicas, certificaciones y garantías.

En todo caso, la aceptación definitiva de los cambios tiene que ser aprobada por la Dirección Facultativa.

Panel Solar Fotovoltaico

Todos los módulos de silicio cristalino deberán satisfacer las siguientes Certificaciones:

Certificaciones: IEC 61215 e IEC 61730.

TUV class II CE, ISO9001:2000.

Certificaciones: ISO 9001, ISO 14001 y OHSAS 18001.

así como estar cualificados laboratorio acreditado, lo que se demostrará mediante la presentación del certificado oficial correspondiente.

El módulo llevará de forma claramente visible en indeleble el modelo y nombre o logotipo del fabricante, así como una identificación individual o número de serie trazable a la fecha de fabricación.

Los módulos deberán llevar los diodos de derivación para evitar posibles averías de las células y sus circuitos por sombreados parciales y tendrán un grado de protección IP65.

Los marcos laterales serán de aluminio anodizado.

La potencia máxima y corriente de cortocircuito reales referidas a condiciones estándar deberán estar comprendidas en el margen del +3% de los correspondientes valores nominales de catálogo.

Por motivos de seguridad y para facilitar el mantenimiento y reparación del generador, se instalarán los elementos necesarios para la desconexión, de forma independiente y en

Documento visado electrónicamente con número: VA07290/22
Código de validación telemática TRLTDCFZ60T66IJ1. Comprobación: https://cogitivalencia.e-gestion.es/Validacion.aspx?CVT=TRLTDCFZ60T66IJ1

VISADO
COGITI
VALENCIA
VA07290/22
TRLTDCFZ60T66IJ1

ambos terminales, de cada una de las ramas del resto del generador. Los strings quedarán agrupados dentro del propio inversor, el cual dispondrá de las correspondientes protecciones, no existiendo por tanto cuadros de strings distribuidos.

El panel solar previsto en la instalación será el **Jinko Cheetah Plus JKM435M-78H-V** que está compuesto de 78 células de alta eficiencia de tecnología de Silicio MONOPERC.

Las **principales características eléctricas** del módulo seleccionado se detallan a continuación:

Potencia nominal (Pmpp)	435 Wp
Tolerancia potencia nominal	+3%
Voltaje punto de máxima potencia (Vmpp)	43,86 V
Corriente punto de máxima potencia (Impp)	9,92 A
Voltaje en circuito abierto (Voc)	52,36 V
Corriente de cortocircuito (Isc)	10,45 A
Coef. temperatura de potencia máxima	-0,36 %/ºC
Coef. temperatura tensión de circuito abierto	-0,28 %/ºC
Coef. temperatura corriente de cortocircuito	0,048 %/ºC
Máxima tensión del sistema	1.500Vdc

Dichas características están referidas a las condiciones estándar de medida (STC):

Temperatura de célula	25ºC
Radiación	1000 W/m2
Espectro	AM 1.5.

Las dimensiones de los módulos fotovoltaicos son las siguientes:

Longitud	2.163 mm
Anchura	995 mm

Documento visado electrónicamente con número: VA07290/22
Código de validación telemática TRLTDCFZ60T66IJ1. Comprobación: https://cogitivalencia.e-gestion.es/Validacion.aspx?CVT=TRLTDCFZ60T66IJ1

VISADO
COGITI
VALENCIA
VA07290/22
TRLTDCFZ60T66IJ1

Espesor	40 mm

A continuación requerimientos y/o certificaciones adicionales exigidos para el panel solar FV:

REQUERIMIENTOS GENERALES

Fabricantes del listado Tier 1 aceptados: Longi solar, Jinko solar, Trinasolar y Canadian solar.

Tecnolgía del Panel: Silicio MonoPERC, Half-Cut..

Rango de Potencias: 435Wp-450Wp.

Historial de la Compañía.

Historial del Panel y modelo propuesto.

Documentos de Garantía de Panel: Material y potencia.

Flash-Test y Electroluminiscencia de los paneles suministrados.

CERTIFICACIONES ADICIONALES PROPORCIONADAS POR EL FABRICANTE

IEC 61701:2011 – Salt mist corrosion testing of photovoltaic (PV) module.

IEC 62716:2013 – Photovoltaic (PV) modules – Ammonia corrosion testing.

IEC 60068-2-68:1994 – Environmental testing – art 2-68: Tests – Test L: Dust and Sand.

PID Test – IEC 62804 - DH chamber, at the rated voltage bias on the module datasheet (i.e. -1000V or -1500V), 85% RH, 85 °C, 300 hours, degradation <5%.

LID Test –60kWh/sqm, degradation <2%.

CERTIFICACIONES ADICIONALES PROPORCIONADAS POR ORGANISMOS INDEPENDIENTES AL FABRICANTE

IEC 61701:2011 – Salt mist corrosion testing of photovoltaic (PV) module.

IEC 62716:2013 – Photovoltaic (PV) modules – Ammonia corrosion testing.

IEC 60068-2-68:1994 – Environmental testing – art 2-68: Tests – Test L: Dust and Sand.

PID Test – IEC 62804 - DH chamber, at the rated voltage bias on the module datasheet (i.e. -1000V or -1500V), 85% RH, 85 °C, 300 hours, degradation <5%.

LID Test –60kWh/sqm, degradation <2%.

Documento visado electrónicamente con número: VA07290/22
Código de validación telemática TRLTDCFZ60T66IJ1. Comprobación: https://cogitivalencia.e-gestion.es/Validacion.aspx?CVT=TRLTDCFZ60T66IJ1

VISADO
COGITI
VALENCIA
VA07290/22
TRLTDCFZ60T66IJ1

IEC 61853-1:2011 – Photovoltaic (PV) module performance testing and energy rating – Part 1: Irradiance and temperature performance measurements and power rating.

IEC 61853-2:2016 – Photovoltaic (PV) module performance testing and energy rating – Part 2: Spectral responsivity, incidence angle and module operating temperature measurements.

Independent .PAN file generation by a reputable 3rd party lab.

CE Certificate of the product.

Documentation related to applicable recycling rerquirements (eg PV Cycle).

Inversor Fotovoltaico

Será del tipo adecuado para la conexión a red eléctrica, con una potencia de entrada variable para que sea capaz de extraer en todo momento la máxima potencia que el generador fotovoltaico puede proporcionar a lo largo de cada día.

Las características básicas del inversor serán las siguientes:

Principio de funcionamiento: fuente de corriente.

Autoconmutados.

Seguimiento automático del punto de máxima potencia del generador.

No funcionarán en isla o modo aislado.

El inversor cumplirá con las directivas comunitarias de Seguridad Eléctrica y Compatibilidad Electromagnética, incorporando protecciones frente a:

Cortocircuitos en alterna.

Tensión de red fuera de rango.

Frecuencia de red fuera de rango.

Sobretensiones, mediante varistores o similares.

Perturbaciones presentes en la red como microcortes, pulsos, defectos de ciclos, ausencia y retorno de red, etc.

El inversor incorporará, al menos, los controles manuales siguientes:

Encendido y apagado general del inversor.

Conexión y desconexión del inversor a la interfaz CA. Podrá ser externo al inversor.

Documento visado electrónicamente con número: VA07290/22
Código de validación telemática TRLTDCFZ60T66IJ1. Comprobación: https://cogitivalencia.e-gestion.es/Validacion.aspx?CVT=TRLTDCFZ60T66IJ1

VISADO
COGITI
VALENCIA
VA07290/22
TRLTDCFZ60T66IJ1

Las características eléctricas del inversor serán las siguientes:

El inversor seguirá entregando potencia a la red de forma continuada en condiciones de irradiancia solar un 10% superior a las CEM. Además soportará picos de magnitud un 30% superior a las CEM durante periodos de hasta 10 segundos.

El autoconsumo del inversor en modo nocturno ha de ser inferior al 0.5% de su potencia nominal.

El factor de potencia generada deberá ser superior a 0,95 entre el 25% y el 100% de su potencia nominal.

A partir de potencias mayores del 10% de su potencia nominal, el inversor deberá inyectar en red.

El inversor tendrá un grado de protección mínima IP20 para colocación en el interior de edificios y lugares inaccesibles, IP30 para colocación en el interior de edificios y lugares accesibles, y de IP65 para instalación a la intemperie.

El inversor estará garantizado para operación en las siguientes condiciones ambientales: entre 0º y 40º C de temperatura y entre 0% y 85% de humedad relativa.

Se instalará un extintor de CO2 de 89B de eficacia según el apartado 8.3 del reglamento contra incendios de establecimientos industriales. En el cual especifica que no se permite el empleo de agentes extintores conductores de la electricidad sobre fuegos que se desarrollan en presencia de aparatos, cuadros, conductores y otros elementos bajo tensión eléctrica superior a 24 V. La protección de estos se realizará con extintores de dióxido de carbono, o polvo seco BC o ABC.

Los inversores propuestos disponen de monitorización por entrada de string.

Los inversores se comunicarán entre si mediante protocolo RS485. Este protocolo también será el empleado para comunicar el Smartlogger a su vez con los inversores.

Las principales características del inversor SUN 2000-105KTL-H1 se detallan a continuación:

Documento visado electrónicamente con número: VA07290/22
Código de validación telemática TRLTDCFZ60T66IJ1. Comprobación: https://cogitivalencia.e-gestion.es/Validacion.aspx?CVT=TRLTDCFZ60T66IJ1

VISADO
COGITI
VALENCIA
VA07290/22
TRLTDCFZ60T66IJ1

Especificaciones técnicas:	**SUN2000-105KTL-H1**
	Eficiencia:
Eficiencia máxima	99.0%
Eficiencia europea	98.8%
	Entrada:
Máx. voltaje de entrada	1.500 V
Máx. corriente por MPPT	25 A
Máx. corriente de cortocircuito por MPPT	33 A
Voltaje de entrada inicial	650 V
Rango de voltaje de operación de MPPT	600 V – 1.500 V
Voltaje nominal de entrada	1.080 V
Máx. cantidad de entradas	12
Cantidad de MPPT	6
	Salida:
Potencia nominal activa de AC	105,000 W 40ºC
Máx. potencia aparente de AC	116,000 VA 25ºC
Má. Potencia activa de AC (cosφ=1)	116,000 W 25ºC
Voltaje nominal de salida	800 VAC, 3W+PE
Frecuencia nominal de red de AC	50 Hz /60 Hz
Corriente de salida nominal	75.8 A
Máx. corriente de salida	84.6 A
Factor de potencia ajustable	0.8 LG_0.8 LD
Máx. distorsión armónica total	<3%
	Protección:
Dispositivo de desconexión del lado de entrada	Si

Documento visado electrónicamente con número: VA07290/22
Código de validación telemática: TRLTDCFZ60T66IJ1. Comprobación: https://cogitivalencia.e-gestion.es/Validacion.aspx?CVT=TRLTDCFZ60T66IJ1

VISADO
COGITI
VALENCIA
VA07290/22
TRLTDCFZ60T66IJ1

Protección contra funcionamiento en isla	Si
Protección contra sobrecorriente de AC	Si
Protección contra polaridad inversa DC	Si
Monitoreo de fallas en strings de sistemas FV	Si
Protector contra sobrecorriente de DC	Tipo II
Protección contra sobrecorriente de AC	Tipo II
Detección de aislamiento de DC	Si
Unidad de Monitoreo de la Corriente Residual	Si
	Comunicación:
Visualización	Indicadores LED, Bluetooth + APP
RS485	Si
USB	Si
Comunicación por línea de alimentación eléctrica (PLC)	Si
	General:
Dimensiones (ancho x altura x profundidad)	1,075 x 605 x 310 mm (423 x 23,8 x 122 pulgadas)
Peso (con soporte de montaje)	79 kg (169.8 lb)
Rango de temperatura de operación	-25ºC – 60ºC (-13ºF – 140ºF)
Enfriamiento	Convección natural
Altitud de operación	4,000m (13,123 ft)
Humedad relativa	0 – 100%
Conector de DC	Amphenol UTX
Conector de AC	Terminal de PG resistente al agua + Arandela
Clase de protección	IP65
Topología	Sin transformador

Documento visado electrónicamente con número: VA07290/22
Código de validación telemática: TRLTDCFZ60T66IJ1. Comprobación: https://cogitivalencia.e-gestion.es/Validacion.aspx?CVT=TRLTDCFZ60T66IJ1

VISADO
COGITI
TRLTDCFZ60T66IJ1
VALENCIA
VA07290/22

A continuación requerimientos y/o certificaciones adicionales exigidos para el Inversor Solar:

REQUERIMIENTOS GENERALES

Selección fabricante Tier 1: SMA, FRONIUS, KACO, INGETEAM, HUAWEI.

Rangos de Potencia: 50-100kWp por inversor.

Historial de la Compañía e Historial del modelo de inversor propuesto.

Certificaciones: ISO 9001, ISO 14001 y OHSAS 18001.

Ficha Técnica del inversor propuesto.

Documento de Garantía del inversor con ampliación a 10 años.

Certificado de Conformidad emitido por TÜV u otro organismo autorizado.

Rendimiento máximo superior al 98.5%.

Disponibilidad de instalación de Kit de puesta a tierra en el polo negativo.

Compatibilidad de Gestión con Sistema de Almacenamiento propuesto y kit de Inyección 0.

Protección contra sobretensiones y descargas atmosféricas tanto en el lado AC como DC.

Propuesta de listado de Stock mínimo recomendado por el fabricante.

CERTIFICACIONES ADICIONALES PROPORCIONADAS POR EL FABRICANTE

IEC 62109-1/-2.

IEC 62116.

Sin transformador
Estándar (Más información disponible a pedido)
EN 62109-1/-2, IEC 62109-1/-2, IEC 62116, EN 50530, IEC 60068, IEC 61683, IEC 61727, UTE C15-721-1, RD 413, RD 1699, RD 661, RD 1565, P.O. 12.3, UNE 206007-1 IN, UNE 206006 IN, G59/3, CEI 0-16, VDE4120

Baterías de Almacenamiento

A continuación se muestra la ficha de almacenamiento propuesto:

Documento visado electrónicamente con número: VA07290/22
Código de validación telemática TRLTDCFZ60T66IJ1. Comprobación: https://cogitivalencia.e-gestion.es/Validacion.aspx?CVT=TRLTDCFZ60T66IJ1

VISADO
COGITI
VALENCIA
VA07290/22
TRLTDCFZ60T66IJ1

Model	**Alpha-CS**
System Specification:	
Nominal AC Power	500 kW
Max. AC Power	550 kVA
Battery Chemistry	LFP (LiFePO4
Application Environment	Indoor (Rack) / Outdoor (Container)
Warranty	3 Year Product Warranty, 10 Year Performance Warranty
Inverter Technical Specification:	
Max. AC Current	882 A
Nominal AC Voltage	360 V(3-phase 3 lines)
AC Voltage Range	3150 – 396 V
Phase	Three Phase
Rated Frequency	50 / 60 Hz
Power Factor at Nominal Power	>0.99
Power Factor Range	1 (lagging) – 1 (leading)
Battery Voltage Range	520 – 850 V
Max. Charging/Discharging Current	1077 A
Max. Charging/Discharging Power	560 kW
Backup	UPS (With ATS Module)
Dimension (W x D x H)	1005 x 1915 x 835 mm
Weight	800 kg
Certificate	CE, IEC 61727, IEC 62116, G59, BDEW, SGSF
Battery Inverter Technical Specification:	

Documento visado electrónicamente con número: VA07290/22
Código de validación telemática TRLTDCFZ60T66IJ1. Comprobación: https://cogitivalencia.e-gestion.es/Validacion.aspx?CVT=TRLTDCFZ60T66IJ1

VISADO
COGITI
VALENCIA
VA07290/22
TRLTDCFZ60T66IJ1

Module Model	M38210-S
Module Nominal Voltage	38.4 V
Cycle Life	≤6000
Module Capacity	8.1 kWh
Operating Temperature Range	-10 ºC – 50 ºC
Module Dimension (W x D x H)	332 x 570 x 223 mm
Max. Charging/Discharging Current	105 A (0.5C)
High Voltage Control Box Technical Specification:	
BMU Model	HV900105 (TOP BMU required with more than one duster)
DC Voltage Range	200 – 900 V
Nominal Output Current	105 A
Battery Modules Connection	8-20 M38210-S in series in one duster, dusters in parallel connection

Model	**M3810-S**
Physical:	
Battery Type	LFP (LiFePo4)
Cell Manufacturer	EVE
Systemn Weight	62 kg
Dimension (W x D x H)	332 x 570 x 223 mm
IP Protection	IP20
Warranty	3 Year Product Warranty, 10 Year Performance Warranty

Documento visado electrónicamente con número: VA07290/22
Código de validación telemática TRLTDCFZ60T66IJ1. Comprobación: https://cogitivalencia.e-gestion.es/Validacion.aspx?CVT=TRLTDCFZ60T66IJ1

VISADO
COGITI
VALENCIA
VA07290/22
TRLTDCFZ60T66IJ1

Electrical:	
Energy Capacity	8.1 kWh
Usable Capacity	7.3 kWh
Depth of Discharge (DoD)	90%
Nominal Voltage	38.4 V
Operating Voltage Range	36 – 43 V
Internal Resistence	≤ 10 mΩ
Cycle life	≥ 6000
Operation:	
Max. Charging Current	105 A (0.5C)
Max. Discharging Current	105 A (0.5C)
Operating Temperature Range	-10 ºC – 50 ºC
Humidity	15% - 85%
BMS:	
Modules Connection	6 – 20 series
Capacity	48.4 / 56.4 / 64.5 / 722.6 / 80.6 / 88.7 / 96.8 / 104.6 / 112.9 / 121.0 / 129.0 / 137.1 / 145.2 / 153.2 / 161.3 kWh
Power Consumption	<2 W (Work), <100 mW (Sleep)
Monitoring Parameters	System voltaje, current, cell voltaje, cell temperatura, PCBA temperature
Communication	CAN and RS-485 compatible
BMU Model	HV900105 (TOP BMU required with more than one duster)

A continuación requerimientos y/o certificaciones adicionales exigidos para las baterías de Almacenamiento:

Documento visado electrónicamente con número: VA07290/22
Código de validación telemática TRLTDCFZ60T66IJ1. Comprobación: https://cogitivalencia.e-gestion.es/Validacion.aspx?CVT=TRLTDCFZ60T66IJ1

VISADO
COGITI
VALENCIA
VA07290/22
TRLTDCFZ60T66IJ1

CERTIFICACIONES ADICIONALES PROPORCIONADAS POR EL FABRICANTE

UNE-EN IEC 63056:2020 Elementos secundarios y baterías que contienen electrolitos alcalinos u otros electrolitos no ácidos. Requisitos de seguridad para baterías de litio para su uso en sistemas de almacenamiento de energía eléctrica. (Ratificada por la Asociación Española de Normalización en julio de 2020.)

Instalaciónes Eléctricas de Baja Tensión

Todos los diseños y cálculos propuestos tienen que cumplir los requerimientos de la **UNE-HD 60364-7-712:2017:**Instalaciones eléctricas de baja tensión. Parte 7-712: Requisitos para instalaciones o emplazamientos especiales. Sistemas de alimentación solar fotovoltaica (FV), así como la **UNE-HD 60364-5-52:2014/A11:2018** Instalaciones eléctricas de baja tensión. Parte 5-52: Selección e instalación de equipos eléctricos. Canalizaciones.

Los positivos y negativos de cada grupo de módulos se conducirán separados y protegidos de acuerdo a la normativa vigente.

Los conductores serán de cobre y tendrán la sección adecuada para evitar caídas de tensión y calentamientos. Concretamente, para cualquier condición de trabajo, los conductores de la parte de DC deberán tener la sección suficiente para que la caída de tensión sea inferior del 1% y los de la parte AC para que la caída de tensión sea inferior del 0,5%, teniendo en ambos casos como referencia las tensiones correspondientes a cajas de conexiones.

Se incluirá toda la longitud de cable DC y AC. Deberá tener la longitud necesaria para no generar esfuerzos en los diversos elementos ni posibilidad de enganche por el tránsito normal de personas.

Todo el cableado de continua será de doble aislamiento y adecuado para su uso en intemperie, al aire o enterrado, de acuerdo con la norma UNE 21123.

Por instrucción de la Dirección General de Industria, en la que se indica que las canalizaciones en fotovoltaica al considerarse "locales mojados" por estar a la intemperie (Instrucción ITC-BT 30 punto 2), deben cumplir el punto 2.1 de esta ITC, relativo a las canalizaciones, debiendo ser éstas estancas. Este punto prevé la posibilidad de instalación de los conductores y cables aislados en el interior de tubos (punto 2.1.1) o en el interior de canales aislantes (punto 2.1.2). No se prevé la posibilidad de utilizar canales que no sean aislantes.

Documento visado electrónicamente con número: VA07290/22
Código de validación telemática TRLTDCFZ60T66IJ1. Comprobación: https://cogitivalencia.e-gestion.es/Validacion.aspx?CVT=TRLTDCFZ60T66IJ1

VISADO
COGITI
VALENCIA
VA07290/22
TRLTDCFZ60T66IJ1

Líneas de Baja Tensión de Corriente Continua:

Son las líneas trazadas desde las placas de módulos fotovoltaicos hasta su conexión con el inversor de corriente. Su protección se realizará por medio de fusibles con percutor de señalización de fusión. Los estados de fusión de los fusibles serán monitorizados por el propio inversor con objeto de optimizar el mantenimiento de las plantas.

El trazado de las mismas discurre a través de canal refrigerado de instalación al aire, por lo cual sus características térmicas serán calculadas de acuerdo a

La conexión entre placas se realiza en circuitos serie y paralelo según se define en el capítulo de cálculos justificativos, para adecuar las características de salida de los módulos fotovoltaicos a las necesidades propias de la entrada de corriente continua de los inversores, en los cuales se realizará la agrupación de string, no existiendo cajas de centralización distribuidas por la cubierta.

El conexionado de las mismas se realizará, según proceda:

Conexionado entre placas se realizará mediante los conectores rápidos incluidos en las placas; los conectores tendrán que quedar embridados a la estructura para evitar que entren en contacto directo con la cubierta.

Conexionado colector de placas. Se realizará en el interior los inversores, ya que como se indica anteriormente no existen cuadros de string distribuidos.

Conexionado colector de placas con armarios de inversores se realizará en el interior de los armarios.

El cable utilizado será:

DN ZZ-F (AS) 1,8 kV DC XX mm² Cu o similar, con certificación para 1500 V

Designación genérica:	DN 1,8 kV (2xS) mm2 (AS) Cu UNE 21123 o similar
Nº de conductores:	1 ó 2
Secciones:	desde 4 hasta 25 mm2.
Clase de conductor:	2 ó 5, de Cu s/UNE 21-022
Aislamiento tipo D:	Etileno-Propileno, s/UNE 21-123
Cubierta de tipo N:	Policloropreno del tipo SE1, s/UNE 21-123
Color de aislamiento:	Azul, gris, marrón y negro;
Color de la cubierta:	Negro

Documento visado electrónicamente con número: VA07290/22
Código de validación telemática TRLTDCFZ60T66IJ1. Comprobación: https://cogitivalencia.e-gestion.es/Validacion.aspx?CVT=TRLTDCFZ60T66IJ1

VISADO
COGITI
VALENCIA
VA07290/22
TRLTDCFZ60T66IJ1

Norma básica:	UNE 21-123 (Aislamiento seco)
Normas de ensayo:	
No propagación de la llama:	UNE EN 50265-2-1 ; IEC 60332-1 ; NFC 32070-C2
Tensión nominal CC:	1,8 kV
Tensión de ensayo:	3,5 kV 5 minutos, s/UNE 21-123, secc 3
Temp máxima de servicio:	90°C en el conductor
Temp máxima de cortocircuito:	250°C en el conductor
Temp mínima para el tendido:	10°C

Líneas de Baja Tensión de Corriente Alterna

Son las líneas trazadas desde el inversor de corriente hasta el Transformador de potencia, sus longitudes son extremadamente reducidas y se realizan en el interior de la envolvente de los Centros de Transformación. La protección se realizará por medio de interruptores automáticos magnetotérmicos

El cable utilizado será:

RV 0,6/1 kV 3x (1xXX) mm² K Cu o similar

Designación genérica:	RV 0,6/1 3x(S)+1/2xS mm2 K Cu UNE 21123 o similar
Nº de conductores:	3, 3,5 y 4
Secciones:	desde 6 hasta 240 mm2.
Clase de conductor:	1 ó 2, de Cu s/UNE 21-022
Aislamiento tipo R:	XLPE, tipo DIX3 según HD 603-1.
Cubierta de tipo V:	PVC, tipo DMV-18 según HD 603-1.
Color de aislamiento:	Amarillo/verde, azul, gris, marrón y negro;
Color de la cubierta:	Negro
Norma básica:	UNE 21-123 (Aislamiento seco)
Normas de ensayo:	
No propagación de la llama:	UNE EN 50265-2-1 ; IEC 60332-1 ; NFC 32070-C2

Documento visado electrónicamente con número: VA07290/22
Código de validación telemática TRLTDCFZ60T66IJ1. Comprobación: https://cogitivalencia.e-gestion.es/Validacion.aspx?CVT=TRLTDCFZ60T66IJ1

VISADO
COGITI
VALENCIA
VA07290/22
TRLTDCFZ60T66IJ1

No propagación de incendio:	UNE EN 50266-2-4; IEC 60332-3.
Emisión de halógenos:	UNE EN 50267-2-1; IEC 60754-1; Emisión ClH < 14%.
Tensión nominal:	Uo/U = 0,6/1 kV
Tensión de ensayo:	3,5 kV 5 minutos, s/UNE 21-123, secc 3
Temp máxima de servicio:	90°C en el conductor
Temp máxima de cortocircuito:	250°C en el conductor
Temp mínima para el tendido:	10°C

Protecciones

Todas las instalaciones cumplirán:

Con lo dispuesto en el RD 1699/2011 sobre protecciones en instalaciones fotovoltaicas conectadas a la red de baja tensión y con el esquema unifilar que aparece en la Resolución de 31 de mayo de 2001.

Todos los diseños y cálculos propuestos tienen que cumplir los requerimientos de la **UNE-HD 60364-7-712:2017:**Instalaciones eléctricas de baja tensión. Parte 7-712: Requisitos para instalaciones o emplazamientos especiales. Sistemas de alimentación solar fotovoltaica (FV),

El CTE, en el documento técnico HE5, en el apartado 3.2.3.3, establece que la parte de corriente continua de la instalación tendrá un grado de protección Clase II o aislamiento equivalente cuando se trate de emplazamiento accesible. Los materiales situados en la intemperie tendrán al menos un grado de protección IP65.

En conexiones a la red trifásicas las protecciones para la interconexión de máxima y mínima frecuencia y de máxima y mínima tensión serán para cada fase.

Canalizaciones

Estas canalizaciones de líneas subterráneas, deberán proyectarse teniendo en cuenta las siguientes consideraciones:

El radio de curvatura después de colocado el cable será como mínimo, 15 veces el diámetro. Los radios de curvatura en operaciones de tendido será superior a 20 veces su diámetro.

Documento visado electrónicamente con número: VA07290/22
Código de validación telemática TRLTDCFZ60T66IJ1. Comprobación: https://cogitivalencia.e-gestion.es/Validacion.aspx?CVT=TRLTDCFZ60T66IJ1

VISADO
COGITI
VALENCIA
VA07290/22
TRLTDCFZ60T66IJ1

Los cruces de calzadas serán perpendiculares al eje de la calzada o vial, procurando evitarlos, si es posible sin perjuicio del estudio económico de la instalación en proyecto, y si el terreno lo permite.

Puesta a tierra

Todas las instalaciones cumplirán con lo dispuesto en:

Con lo dispuesto en el RD 1699/2011 sobre protecciones en instalaciones fotovoltaicas conectadas a la red de baja tensión y con el esquema unifilar que aparece en la Resolución de 31 de mayo de 2001.

Todos los diseños y cálculos propuestos tienen que cumplir los requerimientos de la **UNE-HD 60364-7-712:2017:** Instalaciones eléctricas de baja tensión. Parte 7-712: Requisitos para instalaciones o emplazamientos especiales. Sistemas de alimentación solar fotovoltaica (FV),

Cuando el aislamiento galvánico entre la red de distribución de baja tensión y el generador fotovoltaico no se realice mediante un transformador de aislamiento, se justificarán los elementos utilizados para garantizar esta condición.

Todas las masas de la instalación fotovoltaica, tanto de la sección continua como de la alterna, estarán conectados a una única tierra. Esta tierra será independiente de la del neutro de la empresa distribuidora, de acuerdo con el Reglamento de Baja Tensión.

Armónicos y Compatibilidad Electromagnética

Todas las instalaciones cumplirán con lo dispuesto en:

El RD 1699/2011 (artículo 13) sobre armónicos y compatibilidad electromagnética en instalaciones fotovoltaicas conectadas a la red de baja tensión.

Sistema Anti-Vertido

PRISMA 310A

Opciones de integración con SmartLogger e inversores Huawei

Regulador de potencia para el autoconsumo

Con cumplimiento de los criterios de la UNE 217001-IN y RD 244/2019

Documento visado electrónicamente con número: VA07290/22
Código de validación telemática TRLTDCFZ60T66IJ1. Comprobación: https://cogitivalencia.e-gestion.es/Validacion.aspx?CVT=TRLTDCFZ60T66IJ1

VISADO
COGITI
VALENCIA
VA07290/22
TRLTDCFZ60T66IJ1



Figura 1 PRISMA 310A – un controlador dinámico de potencia con inyección CERO compacto

Autoconsumo de electricidad sin excedentes

PRISMA 310A permite regular la potencia obtenida de fuentes renovables y aportar garantías físicas y lógicas para decidir qué potencia debemos o deseamos consumir de la red.

Integra en el mismo dispositivo un contador para la regulación instantánea y elimina la necesidad de otros componentes externos en la regulación de la potencia.

- Permite la monitorización del consumo y la potencia instantánea de la instalación (4 cuadrantes).
- Puede utilizarse como contador del SMARTLOGGER.
- Incorpora siempre relé de desconexión de potencia fotovoltaica cuando la inyección de red persiste pasado un tiempo (Ajustable en milisegundos)
- Puede ser utilizado por Smartlogger para el ajuste de la potencia fotovoltaica desde el propio dispositivo.
- Permite el envío de mensajes de regulación (PRISMA->Smartlogger) de la potencia fotovoltaica requerida.
- El relé de desconexión+indicador luminoso actúa siempre (independientemente del regulador utilizado). La conexión de este relé a un contactor para la desconexión de la producción fotovoltaica depende de las necesidades de la instalación.

El relé de desconexión identifica la inyección y es capaz de reaacionar en tiempos menores a los requridos según informe UNE 217001-IN y Real Decreto 244/2019.

Documento visado electrónicamente con número: VA07290/22
Código de validación telemática TRLTDCFZ60T66IJ1. Comprobación: https://cogitivalencia.e-gestion.es/Validacion.aspx?CVT=TRLTDCFZ60T66IJ1

VISADO
COGITI
VALENCIA
VA07290/22
TRLTDCFZ60T66IJ1

Estación meteorológica:

Sensor MET

El sensor MET (o Datasol MET) es un instrumento de medida electrónico de precisión que permite la medición de la radiación solar global sobre un plano, de la temperatura y de la velocidad del viento.

En este equipo se dispone de una Célula Calibrada (o célula fotovoltaica de tecnología equivalente), de dos sondas de temperatura y de una entrada externa para la conexión de un anemómetro. Es el instrumento más adecuado para la adquisición de los parámetros más importantes en una central solar fotovoltaica (radiación solar, temperatura ambiente y velocidad del viento).

Todos estos datos son recogidos y enviados en formato digital vía RS485 con protocolo MODBUS.

La Célula Calibrada de ATERSA que incorpora el Datasol MET lleva incorporado un sensor de temperatura directamente sobre cada una de las células lo que permite corregir (compensar por temperatura) las desviaciones en la medida de la Radiación Solar, dando lecturas más precisas en todo el rango de radiación y temperatura.

Este producto viene acompañado de un certificado de calibración emitido por ATERSA. Para la calibración de estos instrumentos de medida se utilizan patrones de referencia calibrados en el CIEMAT lo que permite hacer trazable la medida de la radiación solar a los patrones de referencia internacionales.

El Datasol MET se fija a la estructura de los paneles, siempre con la misma inclinación que estos, bien mediante la fijación HOOK o mediante tornillería.

La medición de la radiación solar es fundamental en el cálculo de la producción energética y el rendimiento de las centrales fotovoltaicas mediante el Índice de Producción (PR – Preformance Ratio). Este índice relaciona la potencia real de la instalación con la potencia calculada a través de la radiación solar que incide en la instalación. Esta circunstancia hace ideal la utilización de las Células Calibradas de ATERSA como instrumento de medida de la radiación solar.

Características principales:

– Medición de la radiación solar, 0 … 1400 W/mm2 . Compensación por temperatura.

– Medida de la temperatura de célula (sonda incorporada), -20 – 130 ºC.

– Medida de la temperatura ambiente a 4 hilos con sonda externa incluida, -20 – 130 ºC.

Documento visado electrónicamente con número: VA07290/22
Código de validación telemática TRLTDCFZ60T66IJ1. Comprobación: https://cogitivalencia.e-gestion.es/Validacion.aspx?CVT=TRLTDCFZ60T66IJ1

VISADO
COGITI
VALENCIA
VA07290/22
TRLTDCFZ60T66IJ1

– Entrada libre de potencial para la conexión del anemómetro, medida de la velocidad del viento entre 2 – 140 km/h (no se entrega el anemómetro junto con el sensor MET).

– Tensión de alimentación nominal: 24 V dc. (*).

– Rango alimentación auxiliar estándar: 6 – 28 V dc.

– Consumo máximo: 90 mW.

– Grado de Protección; IP54.

– Rango de trabajo: -20 ºC y +50 ºC.

– Sección de cable admisible en bornas: 0.22 mm2 a 1.5 mm2

– Diámetro ext. cable admisible en prensaestopas: 4.5 mm y los 10 mm.

– Comunicaciones vía RS485 (protocolo MODBUS (RTU)). Distancia máxima 500m.

(*) La alimentación está aislada del puerto de comunicaciones RS485.

Características técnicas:

– Medición radiación solar: 0 … 1400 W/mm2.

– Medición Temperatura célula: -20 … 100 ºC.

– Medición Temperatura ambiente: -20 … 100 ºC.

– Medición velocidad del viento: 2 … 140 km/h.

– Error de la medida de la radicación solar: ± 2.2 %.

– Error de la medida de la temperatura: ± 0.8 ºC.

– Error de la medida de la velocidad del viento: ± 3 % (15-140 km/h) y ± 1 km/h (2-140 km/h).

Certificaciones:

Conforme a los estándares CE de seguridad eléctrica y compatibilidad electromagnética.

Fabricado en España.

Documento visado electrónicamente con número: VA07290/22
Código de validación telemática TRLTDCFZ60T66IJ1. Comprobación: https://cogitivalencia.e-gestion.es/Validacion.aspx?CVT=TRLTDCFZ60T66IJ1

VISADO
COGITI
VALENCIA
VA07290/22
TRLTDCFZ60T66IJ1

Fabricado según normas DIN EN ISO 9001:2000, OHSAS 18001: 2007 y DIN EN ISO 14001:2004.

Garantía:

Garantía de 2 años por defecto de material o de fabricación.

Instalaciones eléctricas Centro Transformación.

Calidad de los Materiales

OBRA CIVIL

El edificio destinado a alojar en su interior las instalaciones será una construcción prefabricada de hormigón modelo PFU.

Sus elementos constructivos son los descritos en el apartado correspondiente de la Memoria del presente proyecto.

De acuerdo con al Recomendación UNESA 1303-A, el edificio prefabricado estará construido de tal manera que, una vez instalado, su interior sea una superficie equipotencial.

La base del edificio será de hormigón armado con un mallazo equipotencial.

Todas las varillas metálicas embebidas en el hormigón que constituyan la armadura del sistema equipotencial, estarán unidas entre sí mediante soldaduras eléctricas. Las conexiones entre varillas metálicas pertenecientes a diferentes elementos, se efectuarán de forma que se consiga la equipotencialidad entre éstos.

Ningún elemento metálico unido al sistema equipotencial podrá ser accesible desde el exterior del edificio.

Todos los elementos metálicos del edificio que están expuestos al aire serán resistentes a la corrosión por su propia naturaleza, o llevarán el tratamiento protector adecuado que en el caso de ser galvanizado en caliente cumplirá con lo especificado en la RU.-6618-A.

APARAMENTA ALTA TENSIÓN

Las celdas a emplear serán de la serie COSMOS de ORMAZABAL, compuesta por celdas modulares equipadas de aparellaje fijo que utiliza el hexafluoruro de azufre como elemento de corte y extinción.

Serán celdas de interior y su grado de protección según la Norma 20-324-94 será IP 2X / IK08 en cuanto a la envolvente externa.

Documento visado electrónicamente con número: VA07290/22
Código de validación telemática TRLTDCFZ60T66IJ1. Comprobación: https://cogitivalencia.e-gestion.es/Validacion.aspx?CVT=TRLTDCFZ60T66IJ1

VISADO
COGITI
VALENCIA
VA07290/22
TRLTDCFZ60T66IJ1

Los cables se conexionarán desde la parte frontal de las cabinas. Los accionamientos manuales irán reagrupados en el frontal de la celda a una altura ergonómica a fin de facilitar la explotación.

El interruptor y el seccionador de puesta a tierra deberá ser un único aparato, de tres posiciones (cerrado, abierto y puesto a tierra) asegurando así la imposibilidad de cierre simultáneo de interruptor y seccionador de puesta a tierra.

El interruptor será en realidad interruptor-seccionador. La posición de seccionador abierto y seccionador de puesta a tierra cerrado serán visibles directamente a través de mirillas, a fin de conseguir una máxima seguridad de explotación en cuanto a la protección de personas se refiere.

CARACTERÍSTICAS CONSTRUCTIVAS.

Las celdas responderán en su concepción y fabricación a la definición de aparamenta bajo envolvente metálica compartimentada de acuerdo con la norma UNE-EN 62271-200.

Se deberán distinguir al menos los siguientes compartimentos, que se describen a continuación.

a) Compartimento de aparellaje.

b) Compartimento del juego de barras.

c) Compartimento de conexión de cables.

d) Compartimento de mandos.

e) Compartimento de control.

f) Compartimento de aparellaje.

Estará relleno de SF6 y sellado de por vida según se define en UNE-EN 62271-200. El sistema de sellado será comprobado individualmente en fabricación y no se requerirá ninguna manipulación del gas durante toda la vida útil de la instalación (hasta 30 años).

La presión relativa de llenado será de 0,4 bar.

Toda sobrepresión accidental originada en el interior del compartimento aparellaje estará limitada por la apertura de la parte posterior del cárter. Los gases serían canalizados hacia la parte posterior de la cabina sin ninguna manifestación o proyección en la parte frontal.

Documento visado electrónicamente con número: VA07290/22
Código de validación telemática TRLTDCFZ60T66IJ1. Comprobación: https://cogitivalencia.e-gestion.es/Validacion.aspx?CVT=TRLTDCFZ60T66IJ1

VISADO
COGITI
VALENCIA
VA07290/22
TRLTDCFZ60T66IJ1

Las maniobras de cierre y apertura de los interruptores y cierre de los seccionadores de puesta a tierra se efectuarán con la ayuda de un mecanismo de acción brusca independiente del operador.

El seccionador de puesta a tierra dentro del SF6, deberá tener un poder de cierre en cortocircuito de 40 kA.

El interruptor realizará las funciones de corte y seccionamiento.

g) Compartimento del juego de barras.

Se compondrá de tres barras aisladas de cobre conexionadas mediante tornillos de cabeza allen de M8. El par de apriete será de 2,8 mdaN.

h) Compartimento de conexión de cables.

Se podrán conectar cables secos y cables con aislamiento de papel impregnado.

Las extremidades de los cables serán:

- Simplificadas para cables secos.

- Termorretráctiles para cables de papel impregnado.

i) Compartimento de mando.

Contiene los mandos del interruptor y del seccionador de puesta a tierra, así como la señalización de presencia de tensión. Se podrán montar en obra los siguientes accesorios si se requieren posteriormente:

- Motorizaciones.

- Bobinas de cierre y/o apertura.

- Contactos auxiliares.

Este compartimento deberá ser accesible en tensión, pudiéndose motorizar, añadir accesorios o cambiar mandos manteniendo la tensión en el centro.

j) Compartimento de control.

En el caso de mandos motorizados, este compartimento estará equipado de bornas de conexión y fusibles de baja tensión. En cualquier caso, este compartimento será accesible con tensión tanto en barras como en los cables.

Documento visado electrónicamente con número: VA07290/22
Código de validación telemática TRLTDCFZ60T66IJ1. Comprobación: https://cogitivalencia.e-gestion.es/Validacion.aspx?CVT=TRLTDCFZ60T66IJ1

VISADO
COGITI
VALENCIA
VA07290/22
TRLTDCFZ60T66IJ1

CARACTERÍSTICAS ELÉCTRICAS.

- Tensión nominal: 24 kV.

- Nivel de aislamiento:

  a) a la frecuencia industrial de 50 Hz: 50 kV ef.1mn.

  b) a impulsos tipo rayo: 125 kV cresta.

- Intensidad nominal funciones línea: 400-630 A.

- Intensidad nominal otras funciones: 200/400 A.

- Intensidad de corta duración admisible: 16 kA ef. 1s.

INTERRUPTORES-SECCIONADORES.

En condiciones de servicio, además de las características eléctricas expuestas anteriormente, responderán a las exigencias siguientes:

- Poder de cierre nominal sobre cortocircuito: 40 kA cresta.

- Poder de corte nominal de transformador en vacío: 16 A.

- Poder de corte nominal de cables en vacío: 25 A.

- Poder de corte (sea por interruptor-fusibles o por interruptor automático):16 kA ef.

CORTACIRCUITOS-FUSIBLES.

En el caso de utilizar protección ruptofusibles, se utilizarán fusibles del modelo y calibre indicados en el capítulo de Cálculos de esta memoria. Sus dimensiones se corresponderán con las normas DIN-43.625.

PUESTA A TIERRA.

La conexión del circuito de puesta a tierra se realizará mediante pletinas de cobre de 25 x 5 mm. conectadas en la parte posterior superior de las cabinas formando un colector único.

Documento visado electrónicamente con número: VA07290/22
Código de validación telemática TRLTDCFZ60T66IJ1. Comprobación: https://cogitivalencia.e-gestion.es/Validacion.aspx?CVT=TRLTDCFZ60T66IJ1

VISADO
COGITI
VALENCIA
VA07290/22
TRLTDCFZ60T66IJ1

CENTRO DE TRANSFORMACIÓN

El transformador a instalar tendrá el neutro accesible en baja tensión y refrigeración natural mediante éster biodegradable, marca ORMAZABAL.

La tecnología empleada será la de llenado integral a fin de conseguir una mínima degradación del aceite por oxidación y absorción de humedad, así como unas dimensiones reducidas de la máquina y un mantenimiento mínimo.

Sus características mecánicas y eléctricas se ajustarán a la Norma UNE 21428 y al Reglamento Europeo (UE) 548/2014 de ecodiseño de transformadores, siendo las siguientes:

- Potencia nominal: 800 kVA.
- Tensión nominal primaria: 800 V.
- Tensión nominal secundaria: 20.000 V.
- Regulación en el secundario: +/-2,5%, +/-5%, +10%.
- Tensión de cortocircuito: 6 %.
- Grupo de conexión: Dyn11.
- Nivel de aislamiento:

  Tensión de ensayo a onda de choque: 1,2/50 s 125 kV.

  Tensión de ensayo a 50 Hz: 1 min, 50 kV.

(*)Tensiones según:

- UNE 21301
- UNE 21428

EQUIPOS DE MEDIDA

El equipo de medida estará compuesto de los transformadores de medida ubicados en la celda de medida de A.T. y el equipo de contadores de energía activa y reactiva ubicado en el armario de contadores, así como de sus correspondientes elementos de conexión, instalación y precintado.

Las características eléctricas de los diferentes elementos están especificada en la memoria.

Los transformadores de medida deberán tener las dimensiones adecuadas de forma que se puedan instalar en la celda de A.T. guardado las distancias correspondientes a su aislamiento. Por ello será preferible que sean suministrados por el propio fabricante de las celdas, ya instalados en la celda. En el caso de que los transformadores no sean suministrados por el fabricante de celdas se le deberá hacer la consulta sobre el modelo

Documento visado electrónicamente con número: VA07290/22
Código de validación telemática TRLTDCFZ60T66IJ1. Comprobación: https://cogitivalencia.e-gestion.es/Validacion.aspx?CVT=TRLTDCFZ60T66IJ1

VISADO
COGITI
VALENCIA
VA07290/22
TRLTDCFZ60T66IJ1

exacto de transformadores que se van a instalar a fin de tener la garantía de que las distancias de aislamiento, pletinas de interconexión, etc. serán las correctas.

Los contadores de energía activa y reactiva estarán homologados por el organismo competente. Sus características eléctricas están especificadas en la memoria

La interconexión entre los secundarios de los transformadores de medida y el equipo o módulo de contadores se realizará con cables de cobre de tipo termoplástico (tipo EVV-0.6/1kV) sin solución de continuidad entre los transformadores y bloques de pruebas.

El bloque de pruebas a instalar en los equipos de medida de 3 hilos será de 7 polos, 4 polos para el circuito de intensidades y 3 polos para el circuito de tensión, mientras que en el equipo de medida de 4 hilos se instalará un bloque de pruebas de 6 polos para el circuito de intensidades y otro bloque de pruebas de 4 polos para el de tensiones, según norma de la compañía NI 76.84.01.

Para cada transformador se instalará un cable bipolar que para los circuitos de tensión tendrá una sección mínima de 6 mm², y 6 mm² para los circuitos de intensidad.

Se instalará al mismo tiempo un Armario de Resistencias de carga, fabricado en chapa, cuya función sea la de consumir la potencia necesaria para que los transformadores trabajen como mínimo, al 25% de su carga de precisión en los casos en que las cargas conectadas al aparato (contadores, relés, etc.) no lleguen al mínimo necesario para garantizar la precisión de la medida

La instalación se realizará bajo un tubo flexo con envolvente metálica.

En general, para todo lo referente al montaje del equipo de medida, precintabilidad, grado de protección, etc. se tendrá en cuenta lo indicado a tal efecto en la normativa de la Compañía Suministradora

Documento visado electrónicamente con número: VA07290/22
Código de validación telemática TRLTDCFZ60T66IJ1. Comprobación: https://cogitivalencia.e-gestion.es/Validacion.aspx?CVT=TRLTDCFZ60T66IJ1

VISADO
COGITI
VALENCIA
VA07290/22
TRLTDCFZ60T66IJ1

Norma de Ejecución de las Instalaciones

Todas las normas de construcción e instalación del centro se ajustarán, en todo caso, a los planos, mediciones y calidades que se expresan, así como a las directrices que la Dirección Facultativa estime oportunas.

Además del cumplimiento de lo expuesto, las instalaciones se ajustarán a las normativas que le pudieran afectar, emanadas por organismos oficiales y en particular las de IBERDROLA.

El acopio de materiales se hará de forma que estos no sufran alteraciones durante su depósito en la obra, debiendo retirar y reemplazar todos los que hubieran sufrido alguna descomposición o defecto durante su estancia, manipulación o colocación en la obra.

Pruebas Reglamentarias

La aparamenta eléctrica que compone la instalación deberá ser sometida a los diferentes ensayos de tipo y de serie que contemplen las normas UNE o recomendaciones UNESA conforme a las cuales esté fabricada.

Asimismo, una vez ejecutada la instalación, se procederá, por parte de entidad acreditada por los organismos públicos competentes al efecto, a la medición reglamentaria de los siguientes valores:

- Resistencia de aislamiento de la instalación.

- Resistencia del sistema de puesta a tierra.

- Tensiones de paso y de contacto.

Documento visado electrónicamente con número: VA07290/22
Código de validación telemática TRLTDCFZ60T66IJ1. Comprobación: https://cogitivalencia.e-gestion.es/Validacion.aspx?CVT=TRLTDCFZ60T66IJ1

VISADO
COGITI
VALENCIA
VA07290/22
TRLTDCFZ60T66IJ1

Condiciones de Uso, Mantenimiento y Seguridad

Cualquier trabajo u operación a realizar en el centro (uso, maniobras, mantenimiento, mediciones, ensayos y verificaciones) se realizarán conforme a las disposiciones generales indicadas en el Real Decreto 614/2001, de 8 de junio, sobre disposiciones mínimas para la protección de la salud y seguridad de los trabajadores frente al riesgo eléctrico.

PREVENCIONES GENERALES.

1)- Queda terminantemente prohibida la entrada en el local de esta estación a toda persona ajena al servicio y siempre que el encargado del mismo se ausente, deberá dejarlo cerrado con llave.

2)- Se pondrán en sitio visible del local, y a su entrada, placas de aviso de "Peligro de muerte".

3)- En el interior del local no habrá más objetos que los destinados al servicio del centro de transformación, como banqueta, guantes, etc.

4)- No está permitido fumar ni encender cerillas ni cualquier otra clase de combustible en el interior del local del centro de transformación y en caso de incendio no se empleará nunca agua.

5)- No se tocará ninguna parte de la instalación en tensión, aunque se esté aislado.

6)- Todas las maniobras se efectuarán colocándose convenientemente sobre la banqueta.

7)- En sitio bien visible estarán colocadas las instrucciones relativas a los socorros que deben prestarse en los accidentes causados por electricidad, debiendo estar el personal instruido prácticamente a este respecto, para aplicarlas en caso necesario. También, y en sitio visible, debe figurar el presente Reglamento y esquema de todas las conexiones de la instalación, aprobado por la Consejería de Industria, a la que se pasará aviso en el caso de introducir alguna modificación en este centro de transformación, para su inspección y aprobación, en su caso.

PUESTA EN SERVICIO.

8)- Se conectará primero los seccionadores de alta y a continuación el interruptor de alta, dejando en vacío el transformador. Posteriormente, se conectará el interruptor general de baja, procediendo en último término a la maniobra de la red de baja tensión.

9)- Si al poner en servicio una línea se disparase el interruptor automático o hubiera fusión de cartuchos fusibles, antes de volver a conectar se reconocerá detenidamente la línea e instalaciones y, si se observase alguna irregularidad, se dará cuenta de modo inmediato a la empresa suministradora de energía.

Documento visado electrónicamente con número: VA07290/22
Código de validación telemática TRLTDCFZ60T66IJ1. Comprobación: https://cogitivalencia.e-gestion.es/Validacion.aspx?CVT=TRLTDCFZ60T66IJ1

VISADO
COGITI
VALENCIA
VA07290/22
TRLTDCFZ60T66IJ1

SEPARACIÓN DE SERVICIO.

10)- Se procederá en orden inverso al determinado en apartado 8, o sea, desconectando la red de baja tensión y separando después el interruptor de alta y seccionadores.

11)- Si el interruptor fuera automático, sus relés deben regularse por disparo instantáneo con sobrecarga proporcional a la potencia del transformador, según la clase de la instalación.

12)- A fin de asegurar un buen contacto en las mordazas de los fusibles y cuchillas de los interruptores así como en las bornas de fijación de las líneas de alta y de baja tensión, la limpieza se efectuará con la debida frecuencia. Si hubiera de intervenirse en la parte de línea comprendida entre la celda de entrada y seccionador aéreo exterior se avisará por escrito a la compañía suministradora de energía eléctrica para que corte la corriente en la línea alimentadora, no comenzando los trabajos sin la conformidad de ésta, que no restablecerá el servicio hasta recibir, con las debidas garantías, notificación de que la línea de alta se encuentra en perfectas condiciones, para la garantizar la seguridad de personas y cosas.

13)- La limpieza se hará sobre banqueta, con trapos perfectamente secos, y muy atentos a que el aislamiento que es necesario para garantizar la seguridad personal, sólo se consigue teniendo la banqueta en perfectas condiciones y sin apoyar en metales u otros materiales derivados a tierra.

PREVENCIONES ESPECIALES.

14)- No se modificarán los fusibles y al cambiarlos se emplearán de las mismas características de resistencia y curva de fusión.

15)- Para transformadores con líquido refrigerante (aceite éster vegetal) no podrá sobrepasarse un incremento relativo de 60K sobre la temperatura ambiente en dicho líquido. La máxima temperatura ambiente en funcionamiento normal está fijada, según norma CEI 76, en 40ºC, por lo que la temperatura del refrigerante en este caso no podrá superar la temperatura absoluta de 100ºC.

16)- Deben humedecerse con frecuencia las tomas de tierra. Se vigilará el buen estado de los aparatos, y cuando se observase alguna anomalía en el funcionamiento del centro de transformación, se pondrá en conocimiento de la compañía suministradora, para corregirla de acuerdo con ella.

Documento visado electrónicamente con número: VA07290/22
Código de validación telemática TRLTDCFZ60T66IJ1. Comprobación: https://cogitivalencia.e-gestion.es/Validacion.aspx?CVT=TRLTDCFZ60T66IJ1

VISADO
COGITI
VALENCIA
VA07290/22
TRLTDCFZ60T66IJ1

Línea subterránea de Media Tensión

Calidad de los Materiales.

Todos los materiales serán de los tipos "aceptados" por la Cía. Suministradora de Electricidad.

El aislamiento de los materiales de la instalación estará dimensionado como mínimo para la tensión más elevada de la red (Aislamiento pleno).

Los materiales siderúrgicos serán como mínimo de acero A-42b. Estarán galvanizados por inmersión en caliente con recubrimiento de zinc de 0,61 kg/m² como mínimo, debiendo ser capaces de soportar cuatro inmersiones en una solución de SO4 Cu al 20 % de una densidad de 1,18 a 18 ºC sin que el hierro quede al descubierto o coloreado parcialmente.

CONDUCTORES, EMPALMES Y APARAMENTA ELÉCTRICA

Los conductores utilizados en la red eléctrica estarán dimensionados para soportar la tensión de servicio y las botellas terminales y empalmes serán adecuados para el tipo de conductor empleado y aptos igualmente para la tensión de servicio.

El aislamiento de los materiales de la instalación estará dimensionado, como mínimo, para la tensión mas elevada de 24kV (Aislamiento pleno).

Los materiales empleados en las conexiones se adaptarán a las celdas empleadas tanto en el centro existente como en el CT proyectado.

El conductor empleado para el tendido de la línea será el denominado cable seco, tipo unipolar, con aislamiento en HEPRZ-1, con las siguientes características:

Tipo de conductor	unipolar 12/20 KV
Aislamiento	HEPRZ-1
Naturaleza y Sección	Al 1x240 mm2
Intensidad máxima admisible	365A
Resistencia kilométrica	0,125 ohmios/km
Reactancia kilométrica	0,106 ohmios/km
Formación de la línea	3x(1x240)mm² simple circuito

Documento visado electrónicamente con número: VA07290/22
Código de validación telemática TRLTDCFZ60T66IJ1. Comprobación: https://cogitivalencia.e-gestion.es/Validacion.aspx?CVT=TRLTDCFZ60T66IJ1

VISADO
COGITI
VALENCIA
VA07290/22
TRLTDCFZ60T66IJ1

Los empalmes para conductores con aislamiento seco podrán estar constituidos por un manguito metálico que realice la unión a presión de la parte conductora, sin debilitamiento de sección ni producción de vacíos superficiales.

El aislamiento podrá ser construido a base de cinta semiconductora interior, cinta autovulcanizable, cinta semiconductora capa exterior, cinta metálica de reconstitución de pantalla, cinta para compactar, trenza de tierra y nuevo encintado de compactación final, o utilizando materiales termorretráctiles, o premoldeados u otro sistema de eficacia equivalente. Los empalmes para conductores desnudos podrán ser de plena tracción de los denominados estirados, comprimidos o de varillas preformadas.

Normas de Ejecución de la Instalación.

El contratista efectuará en principio un reconocimiento sobre el terreno del trazado de la canalización, analizando los distintos pasos a ejecutar, y determinando la existencia de bocas de riego, servicios telefónicos, agua, etc..., con objeto de evitar posibles deterioros de estos servicios.

También se determinarán las protecciones precisas, todos los elementos de protección y señalización, los tendrá que tener dispuestos el contratista, antes de dar comienzo la obra.

MONTAJE DE CABLES DE MT

Los empalmes en caso necesario, se ejecutarán del tipo denominado reconstituido, siguiendo las normas del fabricante del cable. Se tendrá especial cuidado en no romper el papel al doblar las venas del cable, así como realizar los baños de aceite con la frecuencia necesaria para evitar coqueras. El corte de los rollos se hará por rasgado y no con tijeras o navajas.

Las botellas terminales, serán de los modelos aceptados por Iberdrola, siguiendo las normas del fabricante del cable para su ejecución. Se tendrá especial cuidado en las soldaduras, de forma que no queden poros, por donde pueda penetrar la humedad. El relleno de las botellas, se efectuará calentando previamente éstas, y de forma que la pasta rebase por la parte superior.

Los herrajes soporte de las botellas terminales, tendrán la debida fijación y resistencia mecánica, para soportar el peso de las botellas terminales y cable.

Pruebas Reglamentarias

La aparamenta eléctrica que compone la instalación deberá ser sometida a los diferentes ensayos de tipo y de serie que contemplen las normas UNE o recomendaciones UNESA conforme a las cuales esté fabricada.

Documento visado electrónicamente con número: VA07290/22
Código de validación telemática TRLTDCFZ60T66IJ1. Comprobación: https://cogitivalencia.e-gestion.es/Validacion.aspx?CVT=TRLTDCFZ60T66IJ1

VISADO
COGITI
VALENCIA
VA07290/22
TRLTDCFZ60T66IJ1

Asimismo, una vez ejecutada la instalación, se procederá, por parte de entidad acreditada por los organismos públicos competentes al efecto, a la medición reglamentaria de los siguientes valores:

- Resistencia de aislamiento de la instalación.

- Resistencia de puesta a tierra.

Condiciones de Uso, Mantenimiento y Seguridad

Tanto en los locales de inicio y final de línea, como en sus instalaciones afectas, se atenderán las siguientes condiciones de uso y seguridad.

PREVENCIONES GENERALES

Queda terminantemente prohibida la entrada en el local de esta estación a toda persona ajena al servicio y siempre que el encargado del mismo se ausente, deberá dejarlo cerrado con llave.

Se pondrán en sitio visible del local, y a su entrada, placas de aviso de "Peligro de muerte".

En el interior del local no habrá más objetos que los destinados al servicio del centro de transformación, como banqueta, guantes, etc.

No está permitido fumar ni encender cerillas ni cualquier otra clase de combustible en el interior del local del centro de transformación y en caso de incendio no se empleará nunca agua.

No se tocará ninguna parte de la instalación en tensión, aunque esté aislado.

Todas las maniobras se efectuarán colocándose convenientemente sobre la banqueta.

En sitio bien visible estarán colocadas las instrucciones relativas a los socorros que deben prestarse en los accidentes causados por electricidad, debiendo estar el personal instruido prácticamente a este respecto, para aplicarlas en caso necesario. También, y en sitio visible, debe figurar el presente Reglamento y esquema de todas las conexiones de la instalación, aprobado por la Consejería de Industria, a la que se pasará aviso en el caso de introducir alguna modificación en este centro de transformación, para su inspección y aprobación, en su caso.

Documento visado electrónicamente con número: VA07290/22
Código de validación telemática TRLTDCFZ60T66IJ1. Comprobación: https://cogitivalencia.e-gestion.es/Validacion.aspx?CVT=TRLTDCFZ60T66IJ1

VISADO
COGITI
VALENCIA
VA07290/22
TRLTDCFZ60T66IJ1

PUESTA EN SERVICIO

Se conectará primero los seccionadores de alta y a continuación el interruptor de alta dejando en vacío el transformador. Posteriormente, se conectará el interruptor general de baja, procediendo en último término a la maniobra de la red de baja tensión.

Si al poner en servicio una línea se disparase el interruptor automático o hubiera fusión de cartuchos fusibles, antes de volver a conectar se reconocerá detenidamente la línea e instalaciones y, si se observase alguna irregularidad, se dará cuenta de modo inmediato a la empresa suministradora de energía.

SEPARACIÓN DE SERVICIO

Se procederá en orden inverso al determinado en apartado anterior, o sea, desconectando la red de baja tensión y separando después el interruptor de alta y seccionadores.

Si el interruptor fuera automático, sus relés deben regularse por disparo instantáneo con sobrecarga proporcional a la potencia del transformador, según la clase de la instalación.

A fin de asegurar un buen contacto en las mordazas de los fusibles y cuchillas de los interruptores así como en las bornas de fijación de las líneas de alta y de baja tensión, la limpieza se efectuará con la debida frecuencia.

Si hubiera de intervenirse en la parte de línea comprendida entre la celda de entrada y seccionador aéreo exterior se avisará por escrito a la compañía suministradora de energía eléctrica para que corte la corriente en la línea alimentadora, no comenzando los trabajos sin la conformidad de ésta, que no restablecerá el servicio hasta recibir, con las debidas garantías, notificación de que la línea de alta se encuentra en perfectas condiciones, para garantizar la seguridad de personas y cosas.

La limpieza se hará sobre banqueta, con trapos perfectamente secos, y muy atentos a que el aislamiento que es necesario para garantizar la seguridad personal, sólo se consigue teniendo la banqueta en perfectas condiciones y sin apoyar en metales u otros materiales derivados a tierra.

Documento visado electrónicamente con número: VA07290/22
Código de validación telemática TRLTDCFZ60T66IJ1. Comprobación: https://cogitivalencia.e-gestion.es/Validacion.aspx?CVT=TRLTDCFZ60T66IJ1

VISADO
COGITI
VALENCIA
VA07290/22
TRLTDCFZ60T66IJ1

PREVENCIONES ESPECIALES

No se modificarán los fusibles y al cambiarlos se emplearán de las mismas características de resistencia y curva de fusión.

No debe de sobrepasar los 60°C la temperatura del líquido refrigerante, en los aparatos que lo tuvieran, y cuando se precise cambiarlo se empleará de la misma calidad y características.

Deben humedecerse con frecuencia las tomas de tierra. Se vigilará el buen estado de los aparatos, y cuando se observase alguna anomalía en el funcionamiento del centro de transformación, se pondrá en conocimiento de la compañía suministradora, para corregirla de acuerdo con ella.

Certificados y Documentación

Se aportará, para la tramitación de este proyecto ante los organismos públicos, la documentación siguiente:

- Autorización Administrativa.

- Proyecto, suscrito por técnico competente.

- Certificado de Dirección de Obra.

Libro de Órdenes

Es misión del contratista custodiar el Libro de Órdenes y seguimiento de la obra, y dar el enterado a las anotaciones que se practiquen en el mismo por parte del Director Facultativo.

El Contratista facilitará en la obra una oficina en la que existirá una mesa o tablero adecuado, en el que puedan extenderse y consultarse los planos. En dicha oficina tendrá siempre a disposición de la Dirección Facultativa:

• El Proyecto de la instalación completo, incluidos los complementos que en su caso redacte la Dirección Facultativa.

• La Licencia de Obras.

• El Libro de Órdenes y asistencias.

• El Plan de Seguridad e Higiene.

• El Libro de Incidencias.

Documento visado electrónicamente con número: VA07290/22
Código de validación telemática TRLTDCFZ60T66IJ1. Comprobación: https://cogitivalencia.e-gestion.es/Validacion.aspx?CVT=TRLTDCFZ60T66IJ1

VISADO
COGITI
VALENCIA
VA07290/22
TRLTDCFZ60T66IJ1

• La documentación de los seguros suscritos tanto para el personal como para daños a terceros.

En el libro de órdenes se anotará cualquier modificación o incidencia de interés durante la ejecución de la obra.

Estructura

ACEROS PARA ESTRUCTURAS METÁLICAS

Condiciones de suministro

Los aceros se deben transportar de una manera segura, de forma que no se produzcan deformaciones permanentes y los daños superficiales sean mínimos. Los componentes deben estar protegidos contra posibles daños en los puntos de eslingado (por donde se sujetan para izarlos).

Los componentes prefabricados que se almacenan antes del transporte o del montaje deben estar apilados por encima del terreno y sin contacto directo con éste. Debe evitarse cualquier acumulación de agua. Los componentes deben mantenerse limpios y colocados de forma que se eviten las deformaciones permanentes.

Se verificará que las piezas de acero que lleguen a obra acabadas con imprimación antioxidante tengan una preparación de superficies en grado SA21/2 según UNE-EN ISO 8501-1 y hayan recibido en taller dos manos de imprimación anticorrosiva, libre de plomo y de cromados, con un espesor mínimo de película seca de 35 micras por mano, excepto en la zona en que deban realizarse soldaduras en obra, en una distancia de 100 mm desde el borde de la soldadura.

Se verificará que las piezas de acero que lleguen a obra con acabado galvanizado tengan el recubrimiento de zinc homogéneo y continuo en toda su superficie, y no se aprecien grietas, exfoliaciones, ni desprendimientos en el mismo.

Recepción y control

Documentación de los suministros:

Para los productos planos:

- Salvo acuerdo en contrario, el estado de suministro de los productos planos de los tipos S235, S275 y S355 de grado JR queda a elección del fabricante.
- Si en el pedido se solicita inspección y ensayo, se deberá indicar:
- Tipo de inspección y ensayos (específicos o no específicos).
- El tipo de documento de la inspección.

Documento visado electrónicamente con número: VA07290/22
Código de validación telemática TRLTDCFZ60T66IJ1. Comprobación: https://cogitivalencia.e-gestion.es/Validacion.aspx?CVT=TRLTDCFZ60T66IJ1

VISADO
COGITI
VALENCIA
VA07290/22
TRLTDCFZ60T66IJ1

Para los productos largos:

- Salvo acuerdo en contrario, el estado de suministro de los productos largos de los tipos S235, S275 y S355 de grado JR queda a elección del fabricante.

Ensayos:

- La comprobación de las propiedades o características exigibles a este material se realiza según la normativa vigente.

Conservación, almacenamiento y manipulación

Si los materiales han estado almacenados durante un largo periodo de tiempo, o de una manera tal que pudieran haber sufrido un deterioro importante, deberán ser comprobados antes de ser utilizados, para asegurarse de que siguen cumpliendo con la norma de producto correspondiente. Los productos de acero resistentes a la corrosión atmosférica pueden requerir un chorreo ligero antes de su empleo para proporcionarles una base uniforme para la exposición a la intemperie.

El material deberá almacenarse en condiciones que cumplan las instrucciones de su fabricante, cuando se disponga de éstas.

Recomendaciones para su uso en obra

El material no deberá emplearse si se ha superado la vida útil en almacén especificada por su fabricante.

CONDICIONES PREVIAS QUE HAN DE CUMPLIRSE ANTES DE LA EJECUCIÓN DE LAS UNIDADES DE OBRA

DEL SOPORTE

Se establecen una serie de requisitos previos sobre el estado de las unidades de obra realizadas previamente, que pueden servir de soporte a la nueva unidad de obra.

AMBIENTALES

En determinadas condiciones climáticas (viento, lluvia, humedad, etc.) no podrán iniciarse los trabajos de ejecución de la unidad de obra, deberán interrumpirse o será necesario adoptar una serie de medidas protectoras.

DEL CONTRATISTA

En algunos casos, será necesaria la presentación al director de la ejecución de la obra de una serie de documentos por parte del contratista, que acrediten su cualificación, o la de

Documento visado electrónicamente con número: VA07290/22
Código de validación telemática TRLTDCFZ60T66IJ1. Comprobación: https://cogitivalencia.e-gestion.es/Validacion.aspx?CVT=TRLTDCFZ60T66IJ1

VISADO
COGITI
VALENCIA
VA07290/22
TRLTDCFZ60T66IJ1

la empresa por él subcontratada, para realizar cierto tipo de trabajos. Por ejemplo la puesta en obra de sistemas constructivos en posesión de un Documento de Idoneidad Técnica (DIT), deberán ser realizados por la propia empresa propietaria del DIT, o por empresas especializadas y cualificadas, reconocidas por ésta y bajo su control técnico.

PROCESO DE EJECUCIÓN

En este apartado se desarrolla el proceso de ejecución de cada unidad de obra, asegurando en cada momento las condiciones que permitan conseguir el nivel de calidad previsto para cada elemento constructivo en particular.

FASES DE EJECUCIÓN

Se enumeran, por orden de ejecución, las fases de las que consta el proceso de ejecución de la unidad de obra.

CONDICIONES DE TERMINACIÓN

En algunas unidades de obra se hace referencia a las condiciones en las que debe finalizarse una determinada unidad de obra, para que no interfiera negativamente en el proceso de ejecución del resto de unidades.

Una vez terminados los trabajos correspondientes a la ejecución de cada unidad de obra, el contratista retirará los medios auxiliares y procederá a la limpieza del elemento realizado y de las zonas de trabajo, recogiendo los restos de materiales y demás residuos originados por las operaciones realizadas para ejecutar la unidad de obra, siendo todos ellos clasificados, cargados y transportados a centro de reciclaje, vertedero específico o centro de acogida o transferencia.

PRUEBAS DE SERVICIO

En aquellas unidades de obra que sea necesario, se indican las pruebas de servicio a realizar por el propio contratista o empresa instaladora, cuyo coste se encuentra incluido en el propio precio de la unidad de obra.

Aquellas otras pruebas de servicio o ensayos que no están incluidos en el precio de la unidad de obra, y que es obligatoria su realización por medio de laboratorios acreditados se encuentran detalladas y presupuestadas, en el correspondiente capítulo X de Control de Calidad y Ensayos, del Presupuesto de Ejecución Material (PEM).

CONSERVACIÓN Y MANTENIMIENTO

En algunas unidades de obra se establecen las condiciones en que deben protegerse para la correcta conservación y mantenimiento en obra, hasta su recepción final.

Documento visado electrónicamente con número: VA07290/22
Código de validación telemática TRLTDCFZ60T66IJ1. Comprobación: https://cogitivalencia.e-gestion.es/Validacion.aspx?CVT=TRLTDCFZ60T66IJ1

VISADO
COGITI
VALENCIA
VA07290/22
TRLTDCFZ60T66IJ1

CRITERIO DE MEDICIÓN EN OBRA Y CONDICIONES DE ABONO

Indica cómo se comprobarán en obra las mediciones de Proyecto, una vez superados todos los controles de calidad y obtenida la aceptación final por parte del director de ejecución de la obra.

La medición del número de unidades de obra que ha de abonarse se realizará, en su caso, de acuerdo con las normas que establece este capítulo, tendrá lugar en presencia y con intervención del contratista, entendiendo que éste renuncia a tal derecho si, avisado oportunamente, no compareciese a tiempo. En tal caso, será válido el resultado que el director de ejecución de la obra consigne.

Todas las unidades de obra se abonarán a los precios establecidos en el Presupuesto. Dichos precios se abonarán por las unidades terminadas y ejecutadas con arreglo al presente Pliego de Condiciones Técnicas Particulares y Prescripciones en cuanto a la Ejecución por Unidad de Obra.

Estas unidades comprenden el suministro, cánones, transporte, manipulación y empleo de los materiales, maquinaria, medios auxiliares, mano de obra necesaria para su ejecución y costes indirectos derivados de estos conceptos, así como cuantas necesidades circunstanciales se requieran para la ejecución de la obra, tales como indemnizaciones por daños a terceros u ocupaciones temporales y costos de obtención de los permisos necesarios, así como de las operaciones necesarias para la reposición de servidumbres y servicios públicos o privados afectados tanto por el proceso de ejecución de las obras como por las instalaciones auxiliares.

Igualmente, aquellos conceptos que se especifican en la definición de cada unidad de obra, las operaciones descritas en el proceso de ejecución, los ensayos y pruebas de servicio y puesta en funcionamiento, inspecciones, permisos, boletines, licencias, tasas o similares.

No será de abono al contratista mayor volumen de cualquier tipo de obra que el definido en los planos o en las modificaciones autorizadas por la Dirección Facultativa. Tampoco le será abonado, en su caso, el coste de la restitución de la obra a sus dimensiones correctas, ni la obra que hubiese tenido que realizar por orden de la Dirección Facultativa para subsanar cualquier defecto de ejecución.

TERMINOLOGÍA APLICADA EN EL CRITERIO DE MEDICIÓN.

A continuación, se detalla el significado de algunos de los términos utilizados en los diferentes capítulos de obra.

Documento visado electrónicamente con número: VA07290/22
Código de validación telemática TRLTDCFZ60T66IJ1. Comprobación: https://cogitivalencia.e-gestion.es/Validacion.aspx?CVT=TRLTDCFZ60T66IJ1

VISADO
COGITI
VALENCIA
VA07290/22
TRLTDCFZ60T66IJ1

ESTRUCTURAS

Volumen teórico ejecutado. Será el volumen que resulte de considerar las dimensiones de las secciones teóricas especificadas en los planos de Proyecto, independientemente de que las secciones de los elementos estructurales hubieran quedado con mayores dimensiones.

ESTRUCTURAS METÁLICAS

Peso nominal medido. Serán los kg que resulten de aplicar a los elementos estructurales metálicos los pesos nominales que, según dimensiones y tipo de acero, figuren en tablas.

ESTRUCTURAS

REVESTIMIENTOS Y TRASDOSADOS

Unidad de obra DPINT: Pintura anticorrosiva C5 ambiente marino.

CARACTERÍSTICAS TÉCNICAS

Tratamiento superficial de protección anticorrosiva de la empresa Pinturas MONTÓ en elementos de acero para garantizar durabilidad frente a ambiente marino C5 según UNE-EN ISO 12944-6:1999.

El sistema para ambiente atmosférico C5 con durabilidad alta, incluye:

Preparación de la superficie mediante chorreado grado Sa 2½ (Véase la Norma ISO 8501-1)

1 capa de 80 µm secas de Imprimación M-Epox 70

1 capa de 160 µm secas de Imprimación M-Epox-HB 40

2 capas de 40 µm secas de Esmalte M-Thane 70-B

Total ENPS (espesor nominal de pelÍcula seca) de 320 µm. +-10%

Aplicación de pintura de obligado cumplimiento según prescripción, control de aplicación y revisión de procesos de ejecución de la empresa Pinturas MONTÓ o similar, realizada en TALLER.

Documento visado electrónicamente con número: VA07290/22
Código de validación telemática TRLTDCFZ60T66IJ1. Comprobación: https://cogitivalencia.e-gestion.es/Validacion.aspx?CVT=TRLTDCFZ60T66IJ1

VISADO
COGITI
VALENCIA
VA07290/22
TRLTDCFZ60T66IJ1

NORMATIVA DE APLICACIÓN

Ejecución:

UNE-EN 1090-2. Ejecución de estructuras de acero y aluminio. Parte 2: Requisitos técnicos para la ejecución de estructuras de acero.

UNE-EN ISO 12944: Pinturas y barnices. Protección de estructuras de acero frente a la corrosión mediante sistemas de pintura protectores.

Código Estructural.

CRITERIO DE MEDICIÓN EN PROYECTO

Superficie medida según documentación gráfica de Proyecto, con el mismo criterio que el soporte base.

CONDICIONES PREVIAS QUE HAN DE CUMPLIRSE ANTES DE LA EJECUCIÓN DE LAS UNIDADES DE OBRA

DEL SOPORTE

Se comprobará que el soporte está limpio, seco, exento de óxidos, polvo y grasas.

AMBIENTALES

Se suspenderán los trabajos cuando la temperatura ambiente sea inferior a 10°C o superior a 30°C, llueva, nieve, la velocidad del viento sea superior a 50 km/h o la humedad ambiental sea superior al 80%.

PROCESOS DE EJECUCIÓN
FASES DE EJECUCIÓN

Limpieza del soporte. Aplicación del producto.

CONDICIONES DE TERMINACIÓN

Las capas aplicadas serán uniformes y tendrán adherencia entre ellas y con el soporte.

CONSERVACIÓN Y MANTENIMIENTO

Se protegerá de la lluvia al menos durante las 3 horas siguientes a su aplicación.

CRITERIO DE MEDICIÓN EN OBRA Y CONDICIONES DE ABONO

Se medirá la superficie realmente ejecutada según especificaciones de Proyecto, con el mismo criterio que el soporte base.

Documento visado electrónicamente con número: VA07290/22
Código de validación telemática TRLTDCFZ60T66IJ1. Comprobación: https://cogitivalencia.e-gestion.es/Validacion.aspx?CVT=TRLTDCFZ60T66IJ1

VISADO
COGITI
VALENCIA
VA07290/22
TRLTDCFZ60T66IJ1

PRESCRIPCIONES SOBRE VERIFICACIONES EN EL EDIFICIO TERMINADO

De acuerdo con el "Real Decreto 314/2006. Código Técnico de la Edificación (CTE)", en la obra terminada, bien sobre el edificio en su conjunto, o bien sobre sus diferentes partes y sus instalaciones, totalmente terminadas, deben realizarse, además de las que puedan establecerse con carácter voluntario, las comprobaciones y pruebas de servicio previstas en el presente pliego, por parte del constructor, y a su cargo, independientemente de las ordenadas por la Dirección Facultativa y las exigidas por la legislación aplicable, que serán realizadas por laboratorio acreditado y cuyo coste se especifica detalladamente en el capítulo de Control de Calidad y Ensayos, del Presupuesto de Ejecución material (PEM) del proyecto.

ESTRUCTURAS

Una vez finalizada la ejecución de cada fase de la estructura, al entrar en carga se comprobará visualmente su eficaz comportamiento, verificando que no se producen deformaciones no previstas en el proyecto ni aparecen grietas en los elementos estructurales.

En caso contrario y cuando se aprecie algún problema, se deben realizar pruebas de carga, cuyo coste será a cargo de la empresa constructora, para evaluar la seguridad de la estructura, en su totalidad o de una parte de ella. Estas pruebas de carga se realizarán de acuerdo con un Plan de Ensayos que evalúe la viabilidad de las pruebas, por una organización con experiencia en este tipo de trabajos, dirigida por un técnico competente.

PRESCRIPCIONES EN RELACIÓN CON EL ALMACENAMIENTO, MANEJO, SEPARACIÓN Y OTRAS OPERACIONES DE GESTIÓN DE LOS RESIDUOS DE CONSTRUCCIÓN Y DEMOLICIÓN

El correspondiente Estudio de Gestión de los Residuos de Construcción y Demolición, contendrá las siguientes prescripciones en relación con el almacenamiento, manejo, separación y otras operaciones de gestión de los residuos de la obra:

El depósito temporal de los escombros se realizará en contenedores metálicos con la ubicación y condiciones establecidas en las ordenanzas municipales, o bien en sacos industriales con un volumen inferior a un metro cúbico, quedando debidamente señalizados y segregados del resto de residuos.

Documento visado electrónicamente con número: VA07290/22
Código de validación telemática TRLTDCFZ60T66IJ1. Comprobación: https://cogitivalencia.e-gestion.es/Validacion.aspx?CVT=TRLTDCFZ60T66IJ1

VISADO
COGITI
VALENCIA
VA07290/22
TRLTDCFZ60T66IJ1

Aquellos residuos valorizables, como maderas, plásticos, chatarra, etc., se depositarán en contenedores debidamente señalizados y segregados del resto de residuos, con el fin de facilitar su gestión.

Los contenedores deberán estar pintados con colores vivos, que sean visibles durante la noche, y deben contar con una banda de material reflectante de, al menos, 15 centímetros a lo largo de todo su perímetro, figurando de forma clara y legible la siguiente información:

Razón social.

Código de Identificación Fiscal (C.I.F.).

Número de teléfono del titular del contenedor/envase.

Número de inscripción en el Registro de Transportistas de Residuos del titular del contenedor.

Dicha información deberá quedar también reflejada a través de adhesivos o placas, en los envases industriales u otros elementos de contención.

El responsable de la obra a la que presta servicio el contenedor adoptará las medidas pertinentes para evitar que se depositen residuos ajenos a la misma. Los contenedores permanecerán cerrados o cubiertos fuera del horario de trabajo, con el fin de evitar el depósito de restos ajenos a la obra y el derramamiento de los residuos.

En el equipo de obra se deberán establecer los medios humanos, técnicos y procedimientos de separación que se dedicarán a cada tipo de RCD.

Se deberán cumplir las prescripciones establecidas en las ordenanzas municipales, los requisitos y condiciones de la licencia de obra, especialmente si obligan a la separación en origen de determinadas materias objeto de reciclaje o deposición, debiendo el constructor o el jefe de obra realizar una evaluación económica de las condiciones en las que es viable esta operación, considerando las posibilidades reales de llevarla a cabo, es decir, que la obra o construcción lo permita y que se disponga de plantas de reciclaje o gestores adecuados.

El constructor deberá efectuar un estricto control documental, de modo que los transportistas y gestores de RCD presenten los vales de cada retirada y entrega en destino final. En el caso de que los residuos se reutilicen en otras obras o proyectos de restauración, se deberá aportar evidencia documental del destino final.

Los restos derivados del lavado de las canaletas de las cubas de suministro de hormigón prefabricado serán considerados como residuos y gestionados como le corresponde (LER 17 01 01).

Documento visado electrónicamente con número: VA07290/22
Código de validación telemática TRLTDCFZ60T66IJ1. Comprobación: https://cogitivalencia.e-gestion.es/Validacion.aspx?CVT=TRLTDCFZ60T66IJ1

VISADO
COGITI
VALENCIA
VA07290/22
TRLTDCFZ60T66IJ1

Se evitará la contaminación mediante productos tóxicos o peligrosos de los materiales plásticos, restos de madera, acopios o contenedores de escombros, con el fin de proceder a su adecuada segregación.

Las tierras superficiales que puedan destinarse a jardinería o a la recuperación de suelos degradados, serán cuidadosamente retiradas y almacenadas durante el menor tiempo posible, dispuestas en caballones de altura no superior a 2 metros, evitando la humedad excesiva, su manipulación y su contaminación.

Documento visado electrónicamente con número: VA07290/22
Código de validación telemática TRLTDCFZ60T66IJ1. Comprobación: https://cogitivalencia.e-gestion.es/Validacion.aspx?CVT=TRLTDCFZ60T66IJ1

VISADO
COGITI
VALENCIA
VA07290/22
TRLTDCFZ60T66IJ1

CAPÍTULO V. Prescripciones en cuanto al Control de Calidad de la Planta Solar Fotovoltaica

Disposiciones generales

Condiciones generales de ejecución

Las obras se ejecutarán de acuerdo con las dimensiones e instrucciones de los planos, las prescripciones contenidas en este Pliego y las órdenes del Director de las Obras, quien resolverá las cuestiones que se planteen referentes a la interpretación y/o falta de definición.

La ejecución, control, medición y abono de las distintas unidades de obra se regirán por el artículo correspondiente del presente Pliego.

Todas las operaciones, dispositivos y unidades de obra serán adecuados en su ejecución y características al objeto del proyecto, y se entiende que serán de una calidad adecuada dentro de su clase, por lo que deberán garantizarse unas características idóneas de durabilidad, resistencia y acabado.

En consecuencia, aunque no sean objeto de mención específica en el presente pliego, todas las unidades de obra se ejecutarán siguiendo criterios constructivos exigentes, pudiendo requerir la Dirección de Obra cuantas pruebas y ensayos de control estime pertinentes al efecto.

Todas las especificaciones relativas a definición, materiales, ejecución, medición y abono de las diferentes unidades de obra vendrán reguladas por las de la correspondiente unidad de los Pliegos Generales vigentes en cuantos aspectos no queden específicamente concretados en el presente Pliego. La concreción de las características no definidas corresponde a la Dirección de Obra.

El documento de mayor rango contractual en lo que respecta a la ejecución, medición y abono de las unidades de obra es el Pliego de Condiciones.

Todo el personal que intervenga en la ejecución de la obra se considerará, para todos los efectos, como dependiente del Contratista.

El Director de la Obra se reserva el derecho de exigir la sustitución del personal del Contratista que diera lugar a quejas fundadas o que a juicio de aquel no reúna las condiciones de aptitud suficientes.

El Director de la Obra podrá advertir al Contratista, los defectos que se observen en materia de seguridad, señalización, orden, daños, etc., que aunque no afecten a la calidad

Documento visado electrónicamente con número: VA07290/22
Código de validación telemática TRLTDCFZ60T66IJ1. Comprobación: https://cogitivalencia.e-gestion.es/Validacion.aspx?CVT=TRLTDCFZ60T66IJ1

VISADO
COGITI
VALENCIA
VA07290/22
TRLTDCFZ60T66IJ1

de las instalaciones puedan dar lugar a incidentes, retrasos o paralizaciones, sanciones o molestias, e indirectamente perjudicar a las relaciones con las autoridades y el público, sin que ello suponga subrogarse en las responsabilidades que se pudieran derivar de dichos efectos.

Aportación de equipo o maquinaria

El equipo destinado a la obra deberá estar disponible en la misma con la suficiente antelación para que no se produzcan retrasos en el desarrollo de los trabajos por ese motivo.

Su potencia y capacidad será la adecuada para la obra a ejecutar dentro del plazo programado.

El equipo deberá mantenerse en todo momento en condiciones de trabajo satisfactorias haciéndose las reparaciones o sustituciones necesarias para ello.

Replanteo

El replanteo de las obras se efectuará basándose en las referencias situadas en el terreno y reflejadas en los planos, dejando sobre éste señales o referencias suplementarias, que tengan suficientes garantías de permanencia para que, durante la construcción, pueda fijarse con relación a ellas la situación en planta o altura de cualquier elemento o parte de las obras.

El Director de Obra podrá ordenar cuantos replanteos parciales estime necesarios durante el período de construcción y en sus diferentes fases al objeto de que las obras se ejecuten con arreglo al Proyecto, excepto en aquellas partes que sufran modificación por parte de la Administración, las cuales tendrán que ser aceptadas obligatoriamente por el Contratista.

El Contratista deberá disponer todos los materiales, equipos y mano de obra necesarios para efectuar los replanteos de detalle que aseguren que las obras se realicen en cotas, dimensiones y geometría conforme a planos, dentro de las tolerancias indicadas en el artículo correspondiente de este Pliego.

Todos los gastos ocasionados por los replanteos, a partir del momento de adjudicación de las obras, serán a cargo del Contratista. Los replanteos han de ser aprobados por el Director de Obra, extendiéndose el correspondiente Acta para cada uno de ellos.

Ocupación de superficies

Para la ejecución de las obras será preciso la ocupación temporal de superficies. Para ello, el Contratista de acuerdo con su programa de trabajos y medios de ejecución propondrá al Director de la Obra las superficies que precisa ocupar.

Documento visado electrónicamente con número: VA07290/22
Código de validación telemática TRLTDCFZ60T66IJ1. Comprobación: https://cogitivalencia.e-gestion.es/Validacion.aspx?CVT=TRLTDCFZ60T66IJ1

VISADO
COGITI
VALENCIA
VA07290/22
TRLTDCFZ60T66IJ1

El Director de la Obra y la Propiedad estudiarán la posibilidad y autorizarán su ocupación, o modificarán la propuesta, debiendo ser ésta aceptada por el Contratista, sin que ello pueda significar una variación en el precio o en el plazo de ejecución.

Las superficies ocupadas lo serán libres de cargo para el Contratista y su ocupación tendrá carácter precario y provisional, y finalizará automáticamente al concluir los trabajos que la motivaron.

En el caso de tener que modificar la superficie ocupada o tener que cambiar de emplazamiento, todos los gastos que se produzcan serán por cuenta del Contratista.

Durante la ocupación de superficies, éstas se mantendrán, por el Contratista y a su cargo, perfectamente señalizadas y valladas.

Al concluir la ocupación deberán dejarse en perfecto estado de limpieza, libre de obstáculos y reparados los desperfectos que se hubieran podido producir.

Todos los gastos que se produzcan por estos motivos serán cargados al Contratista.

Circulación y señalización

Todas las operaciones necesarias para la ejecución de las obras deberán llevarse a cabo de forma que no cause perturbación innecesaria o impropia a la circulación de vehículos ni a las propiedades contiguas.

La ejecución de las obras que exija necesaria e imprescindiblemente el corte de la circulación, deberá ser aprobada por el Director de la Obra, independiente y previamente a la tramitación de los oportunos permisos y licencias ante las Instancias Competentes.

Los gastos que se originen por este motivo, así como por la señalización de las obras, serán a cargo del Contratista.

Seguridad de los sistemas de ejecución

El Contratista, al redactar su programa de trabajos y forma de ejecución de las unidades de obra, deberá considerar que los sistemas de ejecución ofrezcan las máximas garantías y seguridades para reducir al mínimo los posibles accidentes y daños a las propiedades y servicios.

Por este motivo, cualquier sistema de trabajo, antes de su empleo, deberá proponerse al Director de la Obra.

Seguro de responsabilidad civil

El Contratista, antes de iniciar la ejecución de las obras, deberá contratar a su cargo un seguro contra todo daño, pérdida o lesión que pueda producirse a cualquier persona o

Documento visado electrónicamente con número: VA07290/22
Código de validación telemática TRLTDCFZ60T66IJ1. Comprobación: https://cogitivalencia.e-gestion.es/Validacion.aspx?CVT=TRLTDCFZ60T66IJ1

VISADO
COGITI
VALENCIA
VA07290/22
TRLTDCFZ60T66IJ1

bien, a causa de la ejecución de las obras o en cumplimiento del contrato. En todo caso, el Contratista queda obligado a la supervisión por parte del Ingeniero Director de las Obras por sí mismo, o a través del Gabinete jurídico que estime oportuno, de la póliza suscrita, atendiendo a la posibilidad de que bien a través de las coberturas contratadas o mediante cláusula adicional, se garantice que la Propiedad no se vea obligada a desembolso alguno como responsable civil subsidiaria en caso de ser precisas indemnizaciones.

Instalaciones de la obra

El Contratista deberá someter al Director de las Obras, dentro del plazo que figure en el Plan de Obra, el proyecto de sus instalaciones en el que se fijará la ubicación de la oficina, equipo, instalaciones de maquinaria, línea de suministro de energía eléctrica y cuantos elementos sean necesarios para el normal desarrollo de las obras. A este respecto, deberá sujetarse a las prescripciones legales vigentes. El Director de Obra podrá variar la situación de las instalaciones propuestas por el contratista.

En el plazo máximo de quince (15) días, a contar desde el comienzo de las obras, deberá poner a disposición del Director de Obra y de su personal, un local debidamente acondicionado y con la superficie suficiente, con objeto de que pueda ser utilizado como oficina y sala de reunión.

Carga de vehículos

Los vehículos no circularán en ningún caso con cargas superiores a las autorizadas como transporte general para cada uno de ellos, bien sea en tráfico ordinario o extravial.

En cargas de difícil control se admitirán tolerancias puntuales de hasta el cinco por ciento (5%) de la autorizada, por lo que respecto a la obra, si bien ésta, obviamente, no exime de las responsabilidades que puedan existir en cuanto a regulación del transporte.

Los excesos de carga que puedan producirse por encima de las tolerancias indicadas, no serán objeto de abono.

Coste de ejecución y calidad

Las indicaciones sobre control de calidad en las diferentes unidades de obra podrán ser incrementadas en su intensidad, positiva o negativamente, o variadas por indicación de la Dirección de obra, debiendo ser aceptado por el Contratista, sin que surja reclamación por su parte, ni le da derecho a indemnización alguna.

Tolerancias

Cuando en alguna unidad de obra se admitan tolerancias, lo serán en cuanto a la ejecución, no siendo de abono sino lo realmente ejecutado, y como límite superior las secciones o elementos teóricos.

Documento visado electrónicamente con número: VA07290/22
Código de validación telemática TRLTDCFZ60T66IJ1. Comprobación: https://cogitivalencia.e-gestion.es/Validacion.aspx?CVT=TRLTDCFZ60T66IJ1

VISADO
COGITI
VALENCIA
VA07290/22
TRLTDCFZ60T66IJ1

Lo mismo cabe indicar cuando como medición se mide lo realmente ejecutado, debiéndose entender que este valor jamás podrá superar, salvo indicación expresa de la Dirección de Obra, las mediciones correspondientes a las dimensiones teóricas.

Acopios en obra

Se establecerá una zona de ocupación temporal para acopio provisional de materiales.

En los casos en que en alguna de las partes existiera algún obstáculo (acequia, camino, etc.) se tomará una franja en la parte libre.

Cuando no se pudiera disponer de estas zonas de ocupación, se habilitarán zonas de acopio provisionales de tal forma que a la finalización de las obras, el Contratista restituirá a su estado inicial la zona ocupada provisionalmente, siendo los costes de todo ello por cuenta del Contratista.

Disposiciones Específicas Diseño y Construcción Planta FV

Control de Calidad: Diseño FV Propuesto por el Contratista

A continuación se resumen los Criterios Generales requeridos en la fase del diseño de la Planta Solar FV:

Layout Propuesto

Disposición de los Paneles Solares en cubierta; la disposición de los paneles deberá permitir:

Proceso de Montaje en el que no se pisen los paneles solares durante la fase de construcción.

En la fase de Operación y Mantenimiento; que permita la limpieza (u otro preventivo/correctivo) sin tener que pisar los paneles solares FVs.

Sombras y horizonte cercano. Se tienen que evitar utilizar “zonas” susceptible de proyección de sombras por elementos Arquitectónicos/Constructivos así como sombras debidas al horizonte cercano.

Ubicación de los Inversores FVs. La ubicación propuesta es en el prefabricado previsto para la ubicación del CT y celdas de MT. Se tiene que respetar todas las recomendaciones del Fabricante de inversores respecto al montaje y distancias de seguridad.

Documento visado electrónicamente con número: VA07290/22
Código de validación telemática TRLTDCFZ60T66IJ1. Comprobación: https://cogitivalencia.e-gestion.es/Validacion.aspx?CVT=TRLTDCFZ60T66IJ1

VISADO
COGITI
VALENCIA
VA07290/22
TRLTDCFZ60T66IJ1

Elementos de seguridad. El layout propuesto para las líneas de vida u otros elementos de protección no deberá interferir sobre el rendimiento de la planta solar así como en las labores de Operación y Mantenimiento.

Instalación eléctrica DC

Cálculo de Caída de Tensión en la parte DC: el circuito más desfavorable no podrá superar el 1.5% en condiciones STC aplicando la norma UNE-HD-5-52:2014/A11:2018 Instalaciones eléctricas de baja tensión. Parte 5-52: Selección e instalación de equipos eléctricos. Canalizaciones.

Configuración Eléctrica DC: La configuración debe cumplir:

Con una premisa básica de independizar eléctricamente los circuitos DC de las distintas vertientes de la Cubierta para evitar “mistmatching” utilizando entradas MPPT independientes en el inversor FV.

La **configuración de nº de paneles en serie y nº de strings en paralelo** tiene que ser compatible con los parámetros de funcionamiento en la parte de DC del inversor elegido teniendo en cuenta los valores ambientales más desfavorables de la ubicación del proyecto.

Ratio de kWp/kWn: Se evitará utilizar ratios de sobrepotencia superiores al 15% sobre potencia nominal de los inversores.

Respecto a la Canalización de la potencia DC desde los Strings hasta el inversor:

El “Cosido” de los paneles solares tiene que discurrir por debajo del panel, utilizando los elementos de sujeción necesarios para evitar un deterioro prematuro de los cables y conectores.

Los conectores no pueden quedar en contacto directamente la cubierta.

Las canalizaciones utilizadas hasta la caseta de Inversores tendrán un trazado óptimo y unas características que eviten la exposición directa al sol.

Instalación eléctrica AC

Cálculo de Caída de Tensión en la parte AC: el circuito más desfavorable no podrá superar el 1% utilizando condiciones STC y aplicando la norma UNE-HD-5-52:2014/A11:2018 Instalaciones eléctricas de baja tensión. Parte 5-52: Selección e instalación de equipos eléctricos. Canalizaciones.

Documento visado electrónicamente con número: VA07290/22
Código de validación telemática TRLTDCFZ60T66IJ1. Comprobación: https://cogitivalencia.e-gestion.es/Validacion.aspx?CVT=TRLTDCFZ60T66IJ1

VISADO
COGITI
VALENCIA
VA07290/22
TRLTDCFZ60T66IJ1

Estructura Soporte Paneles FVs

La Estructura deberá cumplir con toda la normativa aplicable: Eurocódigo y CTE. Además se deberá aportar Certificado de Cálculo estructural de la solución propuesta.

El diseño de la estructura y sus elementos de anclaje: Deben ser compatibles con las características de la cubierta y sus elementos de anclaje deben asegurar la estanqueidad durante la vida útil de la Planta Solar.

El Fabricante del panel solar debe aprobar expresamente el sistema de anclaje propuesto por el fabricante de estructura e indicar el "par de apriete" recomendado para evitar problemas de microfisuras internas en el panel solar.

Control de Calidad: Recepción de los Componentes Principales

CONTROL DE CALIDAD A LA RECEPCIÓN DE MATERIAL

a) Panel Solar Fotovoltaico.

A la recepción de los pallets con los Paneles Solares se realizarán los siguientes Controles por Entidad Independiente:

a. **Inspección Visual Pallets**: Se verificará que todas las Cajas estén en buen estado y no presenten abolladuras, golpes, consistencia del cartón inadecuada, etc, debido a un mal almacenamiento previo o mala manipulación del material.

   i. Muestra: Todos los Pallets.

   ii. Criterio de Aceptación: No se aceptará ningún pallet en mal estado.

b. **Inspección de los Paneles Solares:**

   Muestra acorde a **la norma UNE 2859-1**:

   1. Tamaño del lote: Correspondiente a los paneles de un pallet.
   2. Tipo de inspección: Especial
   3. Nivel de Inspección: S-1
   4. Muestra por pallet de módulos FV: 2 módulos FVs

Documento visado electrónicamente con número: VA07290/22
Código de validación telemática TRLTDCFZ60T66IJ1. Comprobación: https://cogitivalencia.e-gestion.es/Validacion.aspx?CVT=TRLTDCFZ60T66IJ1

VISADO
COGITI
VALENCIA
VA07290/22
TRLTDCFZ60T66IJ1

5. AQL aplicado por tipo de Fallo acorde a las especificaciones del fabricante del panel solar FV:
    a. Critical/Major: 0
    b. Minor: 1

Con la muestra seleccionada, se realizarán los siguientes controles:

Inspección Visual acorde a la norma IEC 61215 y 61646; los criterios de Aceptación aplicados serán los mismos que los aplicados por el fabricante de paneles solares.

Electroluminiscencia "Dark room" con equipamiento con la suficiente resolución para la identificación de los defectos. La tipología de fallo y categorización tendrá que ser proporcionada por el fabricante de paneles solares. La norma de referencia para el ensayo y análisis debe ser acorde a la IEC TS 60904-13: 2018.

En caso de rechazo del lote (en este caso cada lote es un pallet de paneles FVs), el Contratista tendrá que reponerlos sin coste adicional para la propiedad.

c. **Verificación del Flash-list proporcionados por el fabricante de paneles FVs;** se comprobará que todos los paneles cumplen con la tolerancia de potencia y el criterio de clasificación de corrientes.

b) Estructura.

A la recepción de la estructura:

a. **Inspección Visual**: Se verificará que toda la estructura no presente golpes, rozaduras que puedan comprometer su integridad.

b. Se **inspeccionará del 5%** de cada elemento que componga la estructura (incluyendo tornillería):

    i. Verificación de dimensiones y tolerancias.

    ii. Verificación de espesor del galvanizado en caliente; **nivel de corrosión exigido es C5.**

c. **Se verificará que la estructura cumple las normas:**

    i. UNE-EN 1090-2 "Ejecución de estructuras de Acero y Aluminio".

Documento visado electrónicamente con número: VA07290/22
Código de validación telemática TRLTDCFZ60T66IJ1. Comprobación: https://cogitivalencia.e-gestion.es/Validacion.aspx?CVT=TRLTDCFZ60T66IJ1

VISADO
COGITI
VALENCIA
VA07290/22
TRLTDCFZ60T66IJ1

ii. UNE-EN ISO 1461:2010 “Recubrimientos de galvanización en caliente sobre piezas de hierro y acero. Especificaciones y métodos de ensayo”.

iii. UNE-EN 1179:2004 “Zinc y aleaciones de zinc. Zinc primario”.

iv. UNE-EN ISO 14713-1:2017 “Recubrimientos de zinc. Directrices y recomendaciones para la protección frente a la corrosión de las estructuras de hierro y acero. Parte 1: Principios generales de diseño y resistencia a la corrosión.”

v. UNE-EN ISO 14713-2:2020 “Directrices y recomendaciones para la protección frente a la corrosión de las estructuras de hierro y acero. Recubrimientos de zinc. Parte 2: Galvanización en caliente.”

c) Inversores.

A la recepción de los Inversores:

a. **Inspección Visual**: Se verificará que todos los inversores llegan en buen estado y sin desperfectos en su embalaje.

Control de Calidad: Fase Construcción Planta FV

El Contratista debe aportar el **Plan de Calidad** propuesto en la fase de Construcción de la Planta Solar FV, este debe contemplar, al menos, para las Fases de Montaje Mecánico y Eléctrico:

MONTAJE MECANICO

Procedimiento de Montaje Mecánico. El Contratista deberá proponer el Procedimiento de Montaje de los Paneles Solares, contemplando:

Flujo de trabajo, identificando los puntos críticos para la correcta manipulación e instalación de los Paneles solares.

Cumplimiento de las recomendaciones del Manual de Montaje de Estructura y Paneles Solares proporcionado por los fabricantes.

Especificación de las herramientas a utilizar para el anclaje de los paneles con la Estructura.

Inspecciones durante el proceso de Montaje:

Alineamientos estructura.

Documento visado electrónicamente con número: VA07290/22
Código de validación telemática TRLTDCFZ60T66IJ1. Comprobación: https://cogitivalencia.e-gestion.es/Validacion.aspx?CVT=TRLTDCFZ60T66IJ1

VISADO
COGITI
VALENCIA
VA07290/22
TRLTDCFZ60T66IJ1

Control de Par de apriete de todos los elementos, con especial atención del anclaje de los paneles a la estructura y de la estructura a elemento estructural de la cubierta.

Control de Anclajes.

Verificación de la estanquidad de los anclajes, antes del montaje de los paneles solares FVs.

Registros de control propuestos para cada punto crítico y/o inspección realizada.

Control de las “No conformidades” y justificación técnica de cada solución propuesta.

Organigrama propuesto para el Control de Calidad, en cada fase, e identificación del Interlocutor con la propiedad.

Dossier de Calidad. Al Final del Montaje Mecánico, y antes de la firma del PAC, el Contratista debe aportar el Dossier de calidad que contenga:

Procedimiento de Montaje mecánico.

Inspecciones y resultados durante el proceso de montaje.

Fichas Técnicas de todos los componentes.

Manuales de montaje de los componentes principales.

MONTAJE ELÉCTRICO

Procedimiento de Montaje Eléctrico. El Contratista deberá proponer el Procedimiento de Montaje de Eléctrico, contemplando:

Flujo de trabajo, identificando los puntos críticos para el correcto conexionado en DC y AC.

Cumplimiento de las Especificaciones de la norma UNE-HD 60364-7-712:2017: Instalaciones eléctricas de baja tensión. Parte 7-712: Requisitos para instalaciones o emplazamientos especiales. Sistemas de alimentación solar fotovoltaica (FV),

Cumplimiento de las recomendaciones del Manual de Montaje de Paneles Solares proporcionado por el fabricante.

Cumplimiento de las recomendaciones del Manual de Montaje de los Inversores Solares proporcionado por el fabricante.

Inspecciones durante el proceso de Montaje Eléctrico:

Documento visado electrónicamente con número: VA07290/22
Código de validación telemática TRLTDCFZ60T66IJ1. Comprobación: https://cogitivalencia.e-gestion.es/Validacion.aspx?CVT=TRLTDCFZ60T66IJ1

VISADO
COGITI
VALENCIA
VA07290/22
TRLTDCFZ60T66IJ1

Ensayos y verificaciones en la parte DC (identificación de Circuitos, verificación de los Conexionados, medidas de aislamiento, polaridad, medida de la puesta a tierra; así como los exigidos por Industria para la puesta en marcha de las instalaciones).

Ensayos y verificaciones en la parte AC (identificación de Circuitos, verificación de los Conexionados, medidas de aislamiento, medida de la puesta a tierra; así como los exigidos por Industria para la puesta en marcha de las instalaciones).

Registros de control propuestos para cada punto crítico y/o inspección realizada.

Control de las “No conformidades” y justificación técnica de cada solución propuesta.

Organigrama propuesto para el Control de Calidad, en cada fase, e identificación del Interlocutor con la propiedad.

Dossier de Calidad. Al Final del Montaje Eléctrico, y antes de la firma del PAC, el Contratista debe aportar el Dossier de calidad recogida en los apartados anteriores.

Control de Calidad: Comisionado Planta FV

A la finalización del Montaje Mecánico-Eléctrico de la Planta Solar FV y antes de la Firma de Aceptación Provisional de las Instalaciones hay que realizar y ser aprobada por la Dirección Facultativa:

COLD COMMISSIONING: ENSAYOS CON LA PLANTA FV SIN ENERGIZAR

A continuación listado de pruebas a realizar por Entidad independiente al Contratista:

Curvas I-V. Se deberá realizar para el 100% de los Strings la Curva I-V:

Radiación estable >700W/m2

Utilización de sonda de temperatura PT100 adherida al folio trasero.

Equipo Calibrado con una incertidumbre de medida máxima del **±5%.**

Tienen que estar los paneles limpios.

Otros Requerimientos:

Procedimiento acorde a la norma IEC 60904-1.

Las mediciones de irradiancia deben realizarse utilizando un dispositivo fotovoltaico de referencia, encapsulado y calibrado de acuerdo con IEC 60904-2 o IEC 60904-6, o un piranómetro. El dispositivo FV de referencia debe estar acoplado espectralmente a la muestra bajo prueba o se debe hacer una corrección por desacoplamiento espectral de

Documento visado electrónicamente con número: VA07290/22
Código de validación telemática TRLTDCFZ60T66IJ1. Comprobación: https://cogitivalencia.e-gestion.es/Validacion.aspx?CVT=TRLTDCFZ60T66IJ1

VISADO
COGITI
VALENCIA
VA07290/22
TRLTDCFZ60T66IJ1

acuerdo con IEC 60904-7. La corriente de cortocircuito del dispositivo de referencia debe ser lineal como se define en la norma IEC60904-10 en el rango de irradiancia de interés.

La precisión del procedimiento de corrección con irradiancia y temperatura debe verificarse de acuerdo con IEC 60891.

Criterio de Aceptación:

La diferencia entre Potencia proporcionada por el fabricante solar y la potencia medida en condiciones “Outdoor”debe ser inferior al 5%.

Electroluminiscencia. Se deberá realizar para el 100% de los Strings Electroluminiscencia para determinar la existencia de micro-cracks, cracks, u otros fallos que puedan afectar al rendimiento de la planta solar FV.

Norma de referencia para los ensayos y análisis: IEC TS 60904-13: 2018.

Criterio de Aceptación:

Defectos Critical y Major. Tendrán que ser sustituidos sin cargo adicional a la Propiedad.

Defectos Minor. Se estudiará su evolución entre el Certificado de Aceptación provisional y el Certificado de Aceptación definitiva para evaluar su progreso y determinar la necesidad de Sustitución.

Inspección Visual. Se deberá realizar para el 100% de la Instalación FV, Inspección Visual:

Paneles Solares FVs.

Estructura.

Inversores.

Instalación Eléctrica BT y MT.

Sistema Batería.

Estación Meteorológica (Sensores de radiación, sensores de suciedad, etc).

Sistema de Monitorización y Comunicaciones.

Sistema Anti-Vertido.

Medidas de Seguridad.

Documento visado electrónicamente con número: VA07290/22
Código de validación telemática TRLTDCFZ60T66IJ1. Comprobación: https://cogitivalencia.e-gestion.es/Validacion.aspx?CVT=TRLTDCFZ60T66IJ1

VISADO
COGITI
VALENCIA
VA07290/22
TRLTDCFZ60T66IJ1

Criterio de Aceptación:

Las especificaciones, la instalación y los trabajos realizados relacionados con los equipos y las tareas se corresponden con las especificaciones del proyecto.

No queda ningún elemento desinstalado que suponga una reducción de la potencia producida o evacuada de la instalación con respecto a la demanda suscrita.

La lista de trabajos secundarios pendientes tiene un valor inferior al 1% del valor en el contrato.

HOT COMMISSIONING: ENSAYOS CON LA PLANTA ENERGIZADA

A la finalización del Montaje Mecánico-Eléctrico de la Planta Solar FV y antes de la Firma de Aceptación Provisional de las Instalaciones hay que realizar y ser aprobada por la Dirección Facultativa:

A continuación listado de pruebas a realizar por Entidad independiente al Contratista:

a) **Termografías.** Se deberá realizar para el 100% de los Strings:

   a. Radiación estable >700W/m2

   b. Tienen que estar los paneles limpios.

   c. Otros Requerimientos:

      i. Personal cualificado con conocimientos especializados en sistemas eléctricos a partir de formación acreditada y más de dos años de experiencia, según los procedimientos establecidos en IEC TS 62446-3: 2017.

      ii. En caso de realización con Dron, considerar además:

Establecer una altura de Vuelo entre 20-30m.

Emisividad, que califica cuánta radiación se emite en comparación con un cuerpo negro. Los valores típicos de emisividad son 0,85 para el vidrio y 0,95 para la lámina posterior de polímero, respectivamente, si el ángulo de visión está entre 90 ° - 60 ° (vidrio) y 90 ° - 45 ° (polímero).

Temperatura reflejada para compensar la radiación reflejada en el objeto.

Temperatura y humedad atmosférica.

Criterio de Aceptación:

Documento visado electrónicamente con número: VA07290/22
Código de validación telemática TRLTDCFZ60T66IJ1. Comprobación: https://cogitivalencia.e-gestion.es/Validacion.aspx?CVT=TRLTDCFZ60T66IJ1

VISADO
COGITI
VALENCIA
VA07290/22
TRLTDCFZ60T66IJ1

Los módulos fotovoltaicos serán rechazados por las siguientes razones:

La temperatura no se encuentra dentro del rango dado por el fabricante del módulo fotovoltaico.

Hay un punto caliente en el módulo. Un punto caliente es un área con un gradiente de temperatura superior a 20ºC.

Hay áreas inactivas o con patrones indicadores de PID, que afectan la potencia indicada por el fabricante.

Prueba de Funcionalidad y Puesta en Marcha

Esta prueba tiene como objetivo comprobar que la planta cumple con la disponibilidad y funcionalidad durante 10 días consecutivos para proceder a la aceptación provisional y debe realizarse una vez que se ha verificado la terminación de los trabajos de Construcción y se han realizado de manera satisfactoria los tests previos de comisionado indicados en el Capítulo V del presente documento.

CONSIDERACIONES INICIALES

La Dirección Facultativa, determinara la fecha de comienzo de las pruebas una vez se haya verificado:

La disponibilidad de todos los permisos necesarios (Ayuntamiento, Industria, Autoridad Portuaria, Compañía distribuidora).

La disponibilidad de todos los equipos principales, auxiliares y de comunicación para la evaluación correcta de la prueba.

Sistema Anti-vertido instalado y operativo.

Sistema SCADA operativo al 100% recogiendo correctamente todos los parámetros y señales para la puesta en Marcha.

Todas las pruebas de Calidad durante las Fases de Construcción y Comisionado han sido superadas satisfactoriamente.

La propiedad ha recibido el Dossier de Calidad.

Está disponible el stock mínimo para la fase de O&M.

La lista de pendientes (No conformidades menores) no supera el 1% del valor de la licitación.

Documento visado electrónicamente con número: VA07290/22
Código de validación telemática TRLTDCFZ60T66IJ1. Comprobación: https://cogitivalencia.e-gestion.es/Validacion.aspx?CVT=TRLTDCFZ60T66IJ1

VISADO
COGITI
VALENCIA
VA07290/22
TRLTDCFZ60T66IJ1

DURACIÓN DE LA PRUEBA

La duración mínima de la prueba deberá ser de 10 días consecutivos completos con las siguientes consideraciones:

a) El periodo de la muestra es de 10 minutos: Ts = 10 min.

b) El registro diario de los periodos para la muestra comenzará cuando la irradiancia en el plano de los módulos sea superior a 100 W/m2 y los inversores estén produciendo energía.

c) Los sensores para esta prueba y el sistema de monitorización deberán estar calibrados y ser capaces de registrar sus variables con una granularidad de al menos 30 segundos. Los valores a utilizar serán las medias de estos valores en el periodo de la muestra.

d) La disponibilidad de la planta debe ser del 100% durante la prueba.

e) La disponibilidad del SCADA y los instrumentos de medida meteorológicos debe ser del 100%.

f) El periodo de pruebas nunca se podrá extender por más de 15 días. En caso contrario, se repetirá toda la prueba por completo.

g) El registro diario de los períodos para la muestra acabará cuando los inversores dejen de producir energía y la irradiancia en el plano de los módulos sea inferior a 100 W/m2.

CRITERIO DE ACEPTACIÓN

La disponibilidad se medirá en a la salida de los inversores de acuerdo a la siguiente fórmula:

$$Disponibilidad\ Planta = \frac{T_{Salida\ de\ energía}}{T_{Total\ durante\ test}}$$

Donde:

- **Tsalida de energía:** es el tiempo total en horas durante el cual la entrada de potencia en corriente continua de todos los inversores del proyecto está operativa y la medida en el plano del colector del piranómetro es igual o superior a 100 w/m2.

Documento visado electrónicamente con número: VA07290/22
Código de validación telemática TRLTDCFZ60T66IJ1. Comprobación: https://cogitivalencia.e-gestion.es/Validacion.aspx?CVT=TRLTDCFZ60T66IJ1

VISADO
COGITI
VALENCIA
VA07290/22
TRLTDCFZ60T66IJ1

- **TTotal durante test:** es el tiempo total en horas durante la cual los piranómetros están registrando una irradiancia media igual o superior a 100 W/m2.

Si la prueba se ve interrumpida debido exclusivamente a razones fuera del control del Contratista (como un incidente en el sistema eléctrico, o cargas bajas que impidan el arranque de todos los equipos), entonces la medida de disponibilidad será interrumpida durante ese periodo y será retomada una vez se solucione el problema que causó la interrupción.

Documento visado electrónicamente con número: VA07290/22
Código de validación telemática TRLTDCFZ60T66IJ1. Comprobación: https://cogitivalencia.e-gestion.es/Validacion.aspx?CVT=TRLTDCFZ60T66IJ1

VISADO
COGITI
VALENCIA
VA07290/22
TRLTDCFZ60T66IJ1

INSTALACIÓN DE PLANTA GENERACIÓN FOTOVOLTAICA SOBRE LA CUBIERTA DEL SILO DE VEHÍCULOS DE VALENCIA TERMINAL EUROPA, EN MUELLE DIQUE DEL ESTE, EN PUERTO DE VALENCIA.

DOCUMENTO 4.

Presupuesto

Documento visado electrónicamente con número: VA07290/22
Código de validación telemática TRLTDCFZ60T66IJ1. Comprobación: https://cogitivalencia.e-gestion.es/Validacion.aspx?CVT=TRLTDCFZ60T66IJ1

VISADO
COGITI
VALENCIA
VA07290/22
TRLTDCFZ60T66IJ1

Índice

4.1 MEDICIONES

4.2. CUADROS DE PRECIOS

4.2.1. CUADRO DE PRECIOS Nº1

4.2.2. CUADRO DE PRECIOS Nº2

4.3. PRESUPUESTOS PARCIALES ORDENADOS POR CAPITULO

4.3.1. PRESUPUESTO GENERAL

4.3.2. RESUMEN DEL PRESUPUESTO

Documento visado electrónicamente con número: VA07290/22
Código de validación telemática TRLTDCFZ60T66IJ1. Comprobación: https://cogitivalencia.e-gestion.es/Validacion.aspx?CVT=TRLTDCFZ60T66IJ1

VISADO
COGITI
VALENCIA
VA07290/22
TRLTDCFZ60T66IJ1

Documento visado electrónicamente con número: VA07290/22
Código de validación telemática TRLTDCFZ60T66IJ1. Comprobación: https://cogitivalencia.e-gestion.es/Validacion.aspx?CVT=TRLTDCFZ60T66IJ1

4.1 MEDICIONES

PRESUPUESTO

CÓDIGO	RESUMEN	CANTIDAD

VISADO
COGITI
VALENCIA
VA07290/22
TRLTDCFZ60T66IJ1

01 TRABAJOS PREVIOS

01.01 **u** **Demolición y retirada torres alumbrado** **12,00**

Desconexión, demolición y retirada de torres de alumbrado ubicadas en cubierta del silo por interferencia con la instalación fotovoltaica, sin recuperación de los mismos, incluso desmontajes de anclajes de sujección, desconexiones de la línea eléctrica en la luminaria y en la salida del cuadro correspondiente y limpieza, y p.p. de medios auxiliares, con medidas de protección colectivas. Adaptación necesaria de instalación eléctrica para gantizar la seguridad, empalmes o alimentación provisional en caso necesario. Incluyento su desconexión total y desvíos necesarios para dejar el resto de la instalación en perfecto estado de funcionamiento Retirada de material a lugar designado por la propiedad. Demolición de base de hormigón armado HA-30/B/20/IIIa, de dimensiones aproximadas de 1,80x1,80x1m, con armado formado por una malla cuadrada de 10/30 en los lados y cara inferior. Incluso retirada de escombros a pie de carga, con transporte a vertedero y con p.p. de medios auxiliares, con medidas de protección colectivas.

01.02 **PA** **Impermeabilización y pavimento asfaltico** **1,00**

Partida alzada correspondiente a la impermeabilización de cubierta tras retirada de torres de alumbrado, consistente en:

Impermeabilización:
- Barrido y limpieza de superficie.
- Capa de imprimación con PROMULSIT con una dotación aproximada de 3 kg/m2
- Dos capas de ROADSEAL FIBRE con una dotación aproximada de 2 kg/m2 por capa. Compuesto de cargas minerales de granulometría controlada, una emulsión bituminosa de alta estabilidad y fibras sintéticas.

Pavimento Asfáltico:
- Extendido y compactación de una capa de regularización de la superficie de 3 a 4 cm de espesor medio de aglomerado asfáltico en caliente tipo AC8 BIN 35/0D.
- Riego de adherencia con emulsión modificada termoadherente C60 BP4TER.
- Extendido y compactación de una capa de rodadura de 2 – 3 cm de espesor medio tipo BBTM 11 A PMB 45/80-65 F con betún modificado.

Incluso p.p. de pequeño material, incluso medios auxiliares, totalmente terminado.

01.03 **u** **Unión articulada** **20,00**

Suministro y montaje de enlace de estructura metálica con edificio existente, según detalle de planos, mediante unión arrticulada compuesta por dos partes:
La parte inferior se trata de una placa de anclaje convencional mediante pernos que se anclan en el pilar. Este elemento es el encargado de transmitir los esfuerzos de axil y corte que provienen de la estructura metálica a los pilares de hormigón.
La parte superior se compone de una placa soldada al pilar metálico junto con unos rigidizadores que garantizan la unión entre ambas partes y la correcta transmisión de esfuerzos.
Ambas partes se unen entre sí mediante un conjunto chapa-pasador capaz de resistir los esfuerzos de axil y de corte e impidiendo la transmisión de momentos.

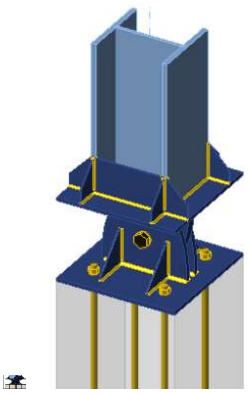

Documento visado electrónicamente con número: VA07290/22
Código de validación telemática TRLTDCFZ60T66IJ1. Comprobación: https://cogitivalencia.e-gestion.es/Validacion.aspx?CVT=TRLTDCFZ60T66IJ1

CÓDIGO	RESUMEN	CANTIDAD

VISADO
COGITI
VALENCIA
VA07290/22
TRLTDCFZ60T66IJ1

02 ESTRUCTURA METÁLICA

02.01 **kg** **Acero elaborado S275JR Estructural Laminado** **2.054.419,00**

Suministro y montaje de acero elaborado S275JR según UNE-EN 10025, colocado en estructura metálica atornillada, en edificio industrial o espacio abierto, en condiciones normales, mediante uniones atornilladas (según indicaciones de la Dirección Facultativa), incluyendo materiales de sujeción de paramentos, correas, zunchos, dinteles, cerchas, celosías, pilares, placas de anclaje, parte proporcional de soldaduras, cortes, piezas especiales, despuntes y ficha técnica del producto totalmente montado y colocado sobre soporte incluyendo taladros necesarios, incluyendo repaso de soldaduras y defectos en obra una vez instalada, según según SE-A del CTE.
En el precio unitario quedará incluido el incremento porcentual por despuntes y errores de laminación, asi como la tornilleria, rigidizadores y UNIONES, además de elementos secundarios de montaje .
El criterio de medición se realizará mediante el calculo de Kg/ml (utlizandose el prontuario EAE-2011), de las barras reflejadas en los planos de estructura de Taller aprobados por la D.F, no contabilizando elementos secundarios de montaje, rigidizadores, pletinas, etc
Incluido diseño y cálculo de todas las uniones con su correspondiente memoria de cálculo firmada por técnico competente y visada por el Colegio Oficial correspondiente.
Sobre los perfiles metálicos está prevista la aplicación de sistemas de pintura para soporte de acero al carbono de baja aleación con preparación de la superficie a chorro grado Sa 2½ (Véase la Norma ISO 8501-1) para aplicarción de tratamiento antioxidante C5-M

02.02 **m2** **Pintura anticorrosiva C5-M ambiente marino** **47.647,00**

Tratamiento superficial de protección anticorrosiva de la empresa Pinturas MONTÓ- en elementos de acero para garantizar durabilidad frente a ambiente marino C5-M según UNE-EN ISO 12944-6:1999:

El sistema para ambiente atmosférico C5-M con durabilidad alta, incluye:
Preparación de la superficie mediante chorreado grado Sa 2½ (Véase la Norma ISO 8501-1)
1 capa de 80 ìm secas de Imprimación M-Epox 70
1 capa de 160 ìm secas de Imprimación M-Epox-HB 40
2 capas de 40 ìm secas de Esmalte M-Thane 70-B
Total ENPS (espesor nominal de pel?cula seca) de 320 µm. +-10%
Aplicación de pintura de obligado cumplimiento segúnprescripción, control de aplicación y revisión de procesos de ejecución de la empresa Pinturas MONTÓ, realizada en TALLER.

02.03 **kg** **Suministro y colocación de placas de anclaje** **200,00**

Suministro y colocación de placa de anclaje de acero post-installed. Totalmente colocada y perfectamente nivelada -previa aprobación por parte de la Dirección Facultativa del mortero grout el cual se incluye- preparada para el anclaje de os perfiles metálicos previstos en plano. Incluido limpieza y retirada de restos. Totalmente ejecutado. Acero INOXIDABLE . Anclaje químico compuesto por resina RE 500 V3 + Varilla roscada HAS-U A4 M24 y M20.

Se incluye en proyecto detalle para ver los diferentes tipos de placas, disposición y características de anclajes, incluso espesor de placas de anclaje y rigidizadores.

Documento visado electrónicamente con número: VA07290/22
Código de validación telemática TRLTDCFZ60T66IJ1. Comprobación: https://cogitivalencia.e-gestion.es/Validacion.aspx?CVT=TRLTDCFZ60T66IJ1

VISADO
COGITI
VALENCIA
VA07290/22
TRLTDCFZ60T66IJ1

CÓDIGO	RESUMEN	CANTIDAD
03	**INSTALACIÓN FOTOVOLTAICA**	
03.01	**EQUIPAMIENTO FOTOVOLTAICO**	
03.01.01	**u Módulo fotovoltaico Jinko JKM535M-72HL4 535 Wp**	**10.773,00**

Suministro y montaje de panel fotovoltaico modelo JKM535M-72HL4 de la marca Jinko o equivalente aprobado por DF. El módulo dispone de las siguientes características:

· Potencia nominal (Pmpp) ..... 535 Wp
· Tolerancia potencia nominal .....+3%.
· Voltaje punto de máxima potencia (Vmpp) ..... 40,63 V.
· Corriente punto de máxima potencia (Impp) .....13,17 A.
· Voltaje en circuito abierto (Voc) .....49,34 V.
· Corriente de cortocircuito (Isc) .....13,79 A.
· Coef. temperatura de potencia máxima .....-0,35 %/ºC.
· Coef. temperatura tensión de circuito abierto .....-0,28 %/ºC.
· Coef. temperatura corriente de cortocircuito .....0,048 %/ºC.
· Maxima tensión del sistema 1.500Vdc

Las dimensiones de los módulos fotovoltaicos son las siguientes:

· Longitud .....2.274 mm.
· Anchura .....1134 mm.
· Espesor .....35 mm.

Con cable largo para conexion en posicion horizontal y conectores MC4. Resto de caracteristicas tecnicas según catalogo del Fabricante. Incluso bridas, piezas especiales, conexiones electricas, ayudas de albañileria, limpieza de materiales sobrantes, transportes, medios auxiliares de elevacion y replanteos. Todo ello instalado, verificaciones, ensayos, conexiones, enclavamientos, controles, pruebas, certificados y homologaciones. Totalmente instalado, incluso conexionado y anclaje a estructura.

03.01.02	**u Inversor trifasico Huawei SUN 2000-185KTL-H1 185 kW**	**27,00**

Suministro e instalacion de inversor fotovoltaico de conexion a red, modelo SUN 2000-185KTL-H1 de la marca HUAWEI o equivalente aprobado por DF. El inversor dispone de las siguientes características:

- Potencia nominal	185 kW
- Tensión nominal de salida	800 V 3F+PE
- Máxima tensión de entrada	1500 V
- Rango tensión MPPT	500-1500 V
- Máxima corriente por MPPT	26 A
- Máxima corriente de cortocircuito por MPPT	40 A
- Número de entradas	18
- Numero de seguimiento de MPP	9

Los inversores cumplen con la normativa europea aplicable a estos equipos, contando con todas las protecciones exigidas por el RD 1699/2011, de 18 de Noviembre:

- Protección de máxima y mínima tensión (1,1 y 0,85 Um, respectivamente)
- Protección de máxima y mínima frecuencia (51 y 49 Hz. respectivamente)
- Transformador de separación galvánica.
- Protección contra funcionamiento en modo isla.
- Protección contra sobretensiones.
- Control de aislamiento.

Incluso armario de acero inoxidable AISI 316L para protección frente a los agentes atmoféricos del Iinversor, piezas especiales, conexiones electricas, ayudas de albañileria, limpieza de materiales sobrantes, transportes, medios auxiliares de elevacion y replanteos. Todo ello instalado, verificaciones, ensayos, conexiones, enclavamientos, controles, pruebas, certificados y homologaciones. Totalmente instalado, incluso conexionado y puesto en marcha..

Documento visado electrónicamente con número: VA07290/22
Código de validación telemática TRLTDCFZ60T66IJ1. Comprobación: https://cogitivalencia.e-gestion.es/Validacion.aspx?CVT=TRLTDCFZ60T66IJ1

VISADO
COGITI
VALENCIA
VA07290/22
TRLTDCFZ60T66IJ1

CÓDIGO	RESUMEN	CANTIDAD
03.02	**INSTALACION ELECTRICA FOTOVOLTAICA**	
03.02.01	**m Cable ZZ-F (AS) 1,8 kV DC sección 2x6mm2 Cu** Línea electrica construida mediante cable unipolar de cobre recocido tipo EXZHELLENT SOLAR ZZ-F, tensión nominal 0,6/1 kV, tensión máxima en corriente continua 1,8 kV, reacción al fuego clase Eca, con conductor de cobre recocido, flexible (clase 5), de 6 mm² de sección para positivo y negativo, aislamiento de elastómero reticulado, de tipo EI6, cubierta de elastómero reticulado, de tipo EM5, aislamiento clase II, de color negro, y con las siguientes características: no propagación de la llama, baja emisión de humos opacos, reducida emisión de gases tóxicos, libre de halógenos, nula emisión de gases corrosivos, resistencia a la absorción de agua, resistencia al frío, resistencia a los rayos ultravioleta, resistencia a los agentes químicos, resistencia a las grasas y aceites, resistencia a los golpes y resistencia a la abrasión. Según DKE/VDE AK 411.2.3. Instalado en canalización correspondiente, incluso p.p. de accesorios de fijación, terminales, tornillos. Incluso mano de obra, replanteos, limpieza previa, y ayudas de albañileria que se precisen, así como la utilización de herramientas y medios auxiliares que se precisen, manipulación, retirada de material sobrante y limpieza posterior etc. Se entiende material totalmente instalado y verificado.	**34.560,00**
03.02.02	**m Cable RZ1-K 0,6/1 kV (AS) sección 4x70+TT mm² Cu** Línea electrica construida mediante cable unipolar de cobre recocido RZ1-K 0,6/1 kV (AS), reacción al fuego clase Cca-s1b,d1,a1, aislamiento de polietileno reticulado (XLPE), de tipo DIX3, cubierta de poliolefina termoplástica, de tipo Afumex Z1, de color verde, sección 70 mm² para fases y neutro y sección 35 mm² para tierra, de la marca Prysmian o equivalente aprobado por DF, no propagadores del incendio, con emisión de humos y opacidad reducida, libre de halogenos, s/ UNE 21.123-4, instalada en canalización correspondiente, incluso p.p. de accesorios de fijación, terminales, tornillos. Incluso mano de obra, replanteos, limpieza previa, y ayudas de albañileria que se precisen, así como la utilización de herramientas y medios auxiliares que se precisen, manipulación, retirada de material sobrante y limpieza posterior etc. Se entiende material totalmente instalado y verificado.	**2.295,00**
03.02.03	**m Cable XZ1Z (AS) sección 4x(2x240)+TT mm² Al** Linea electrica construida mediante cable unipolar tipo AL XZ1 (S), tensión nominal 0,6/1 kV, de seguridad en caso de incendio (S), reacción al fuego clase Eca, con conductor de aluminio, rígido (clase 2), sección 2x240 mm² para fases y neutro y sección 240 mm² para tierra, de la marca Prysmian o equivalente aprobado por DF, aislamiento de polietileno reticulado (XLPE), de tipo DIX3, cubierta de material libre de halógenos, de tipo Flamex DMO1, y con las siguientes características: no propagación de la llama, baja emisión de humos opacos, libre de halógenos, nula emisión de gases corrosivos, resistencia a la absorción de agua, resistencia al frío, resistencia a los rayos ultravioleta, resistencia a los agentes químicos, resistencia a las grasas y aceites y resistencia a los golpes. Según HD 603-5X-1. Instalado en canalización correspondiente, incluso p.p. de accesorios de fijación, terminales, tornillos. Incluso mano de obra, replanteos, limpieza previa, y ayudas de albañileria que se precisen, así como la utilización de herramientas y medios auxiliares que se precisen, manipulación, retirada de material sobrante y limpieza posterior etc. Se entiende material totalmente instalado y verificado.	**930,00**
03.02.04	**m Cable XZ1Z (AS) sección 4x(4x240)+TT mm² Al** Linea electrica construida mediante cable unipolar tipo AL XZ1 (S), tensión nominal 0,6/1 kV, de seguridad en caso de incendio (S), reacción al fuego clase Eca, con conductor de aluminio, rígido (clase 2), sección 4x240 mm² para fases y neutro y sección 2x240 mm² para tierra, de la marca Prysmian o equivalente aprobado por DF, aislamiento de polietileno reticulado (XLPE), de tipo DIX3, cubierta de material libre de halógenos, de tipo Flamex DMO1, y con las siguientes características: no propagación de la llama, baja emisión de humos opacos, libre de halógenos, nula emisión de gases corrosivos, resistencia a la absorción de agua, resistencia al frío, resistencia a los rayos ultravioleta, resistencia a los agentes químicos, resistencia a las grasas y aceites y resistencia a los golpes. Según HD 603-5X-1. Instalado en canalización correspondiente, incluso p.p. de accesorios de fijación, terminales, tornillos. Incluso mano de obra, replanteos, limpieza previa, y ayudas de albañileria que se precisen, así como la utilización de herramientas y medios auxiliares que se precisen, manipulación, retirada de material sobrante y limpieza posterior etc. Se entiende material totalmente instalado y verificado.	**100,00**
03.02.05	**m Bandeja metálica inoxidable AISI 316L 60x200mm** Suministro y montaje de bandeja metálica de acero inoxidable AISI 316L, sin tapa, de dimensiones 60x200mm, del tipo Pemsaband de la marca PEMSA o equivalente aprobado por DF, para canalización eléctrica, incluido p.p. de uniones, curvas, codos, derivaciones y accesorios, asi como soportes, sujecciones, material auxiliar y ayudas en albaliñería, sin incluir cableado. Totalmente acabada, medida la unidad terminada.	**1.890,00**

Documento visado electrónicamente con número: VA07290/22
Código de validación telemática TRLTDCFZ60T66IJ1. Comprobación: https://cogitivalencia.e-gestion.es/Validacion.aspx?CVT=TRLTDCFZ60T66IJ1

VISADO
COGITI
VALENCIA
VA07290/22
TRLTDCFZ60T66IJ1

CÓDIGO	RESUMEN	CANTIDAD
03.02.06	**m Bandeja metálica inoxidable AISI 316L 100x300mm** Suministro y montaje de bandeja metálica de acero inoxidable AISI 316L, sin tapa, de dimensiones 100x300mm, del tipo Pemsaband de la marca PEMSA o equivalente aprobado por DF, para canalización eléctrica, incluido p.p. de uniones, curvas, codos, derivaciones y accesorios, asi como soportes, sujecciones, material auxiliar y ayudas en albaliñería, sin incluir cableado. Totalmente acabada, medida la unidad terminada.	120,00
03.02.07	**m Bandeja metálica inoxidable AISI 316L 100x600mm** Suministro y montaje de bandeja metálica de acero inoxidable AISI 316L, sin tapa, de dimensiones 100x600mm, del tipo Pemsaband de la marca PEMSA o equivalente aprobado por DF, para canalización eléctrica, incluido p.p. de uniones, curvas, codos, derivaciones y accesorios, asi como soportes, sujecciones, material auxiliar y ayudas en albaliñería, sin incluir cableado. Totalmente acabada, medida la unidad terminada.	310,00
03.02.08	**m Tapa para bandeja metálica inox 200mm** Suministro y montaje de tapa para bandeja portacables metálica de acero inoxidable de 200mm. Incluso p.p. de curvas, uniones, derivaciones, soportes, accesorios y pequeño material. Totalmente instalada, segun condiciones de proyecto.	1.890,00
03.02.09	**m Tapa para bandeja metálica inox 300mm** Suministro y montaje de tapa para bandeja portacables metálica de acero inoxidable de 400mm. Incluso p.p. de curvas, uniones, derivaciones, soportes, accesorios y pequeño material. Totalmente instalada, segun condiciones de proyecto.	120,00
03.02.10	**m Tapa para bandeja metálica inox 600mm** Suministro y montaje de tapa para bandeja portacables metálica de acero inoxidable de 600mm. Incluso p.p. de curvas, uniones, derivaciones, soportes, accesorios y pequeño material. Totalmente instalada, segun condiciones de proyecto.	310,00
03.02.11	**m Cable desnudo 35mm2** Conductor de tierra de Cu desnudo de 35 mm² de sección para puesta a tierra de bandejas metálicas. Tendida en canalización al efecto. Incluso terminales, conexiones a bandeja cada 15 metros, pequeño material, etc.. . Totalmente instalado y conexionado.	2.320,00
03.02.12	**m Cable desnudo 16mm2** Conductor de tierra de Cu desnudo de 35 mm² de sección para puesta a tierra de bandejas metálicas. Tendida en canalización al efecto. Incluso terminales, conexiones a bandeja cada 15 metros, pequeño material, etc.. . Totalmente instalado y conexionado.	2.320,00
03.02.13	**u Puente de tierra** Suministro y montaje de puente para la puesta a tierra de la instalación.	1,00
03.02.14	**u Terminal Cu T-50-10** Suministro y montaje de Terminal de cobre T-95-10. incluso p.p. de accesorios de fijación, terminales, tornillos. Incluso mano de obra, replanteos, limpieza previa, y ayudas de albañileria que se precisen, así como la utilización de herramientas y medios auxiliares que se precisen, manipulación, retirada de material sobrante y limpieza posterior etc. Se entiende material totalmente instalado y verificado.	432,00
03.02.15	**u Conectores MC4** Suministro y montaje de broches de conexion MC4 para conexionado de string con inversor. Totalmente instalado.	1.728,00
03.02.16	**u Cuadro fotovoltaica AC BOX AISI 316L** Suministro y montaje de cuadro electrico AC BOX, de la marca Schneider Electric o equivalente aprobado por DF, serie Spacial, formado por armario de superficie de acero inoxidable 316L, elevada resistencia a la corrosión (entornos salinos o con cloro), con grado de protección IP66 e IK10. Conteniendo en su interior todos los elementos reflejados en esquemas de proyecto, cableado interno con punteras, con bornero, pletinas auxiliares de conexión, incluso limitador de sobretensiones de clase II. Certificación de ensayos, declaración CE y etiquetaje de circuitos. Totalmente montado y funcionando.	9,00

Documento visado electrónicamente con número: VA07290/22
Código de validación telemática TRLTDCFZ60T66IJ1. Comprobación: https://cogitivalencia.e-gestion.es/Validacion.aspx?CVT=TRLTDCFZ60T66IJ1

CÓDIGO	RESUMEN	CANTIDAD
03.02.17	u **Cuadro fotovoltaica MAIN AC BOX AISI 316L** Suministro y montaje de cuadro electrico MAIN AC BOX, de la marca Schneider Electric o equivalente aprobado por DF, serie Spacial, formado por armario de superficie de acero inoxidable 316L, elevada resistencia a la corrosión (entornos salinos o con cloro), con grado de protección IP66 e IK10. Conteniendo en su interior todos los elementos reflejados en esquemas de proyecto, cableado interno con punteras, con bornero, pletinas auxiliares de conexión, incluso limitador de sobretensiones de clase II. Certificación de ensayos, declaración CE y etiquetaje de circuitos. Totalmente montado y funcionando.	2,00
03.02.18	u **Smartlogger HUAWEI 3000A** Suministro, instalación e integración de sistema de control y supervisión para la gestión integral de la instalación de Fotovoltaica, SMARTLOGGER modelo 3000A de HUAWEI o equivalente aprovado por DF. Las características del equipo vienen indicadas en el anexo I. Incluso pp de accesorios para su correcta instalación. Medida la unidada totalmente instalada, integrada y funcionando.	1,00
03.02.19	u **Sistema antivertido PRISMA 310A** Sistema antivertido a instalar proximo al módulo de contadores del cliente, modelo PRISMA 310A de RENESYS o equivalente aprobado por DF. Permite regular la potencia obtenida de fuentes renovables y aportar garantías físicas y lógicas para decidir qué potencia debemos o deseamos consumir de la red. Integra en el mismo dispositivo un contador para la regulación instantánea y elimina la necesidad de otros componentes externos en la regulación de la potencia. Con cumplimiento de los criterios de la UNE 217001-IN y RD 244/2019. Incluso parte proporcional de accesorios para su correcta instalacion. Medida la unidad, totalmente instalada y parametrizada según normas de la compañia suminitsradora de la zona y funcionando correctamente.	1,00

VISADO
COGITI
VALENCIA
VA07290/22
TRLTDCFZ60T66IJ1

Documento visado electrónicamente con número: VA07290/22
Código de validación telemática TRLTDCFZ60T66IJ1. Comprobación: https://cogitivalencia.e-gestion.es/Validacion.aspx?CVT=TRLTDCFZ60T66IJ1

PRESUPUESTO

CÓDIGO	RESUMEN	CANTIDAD

03.02.20 **u** **Estación meteorológica MET** **2,00**

Suministro, montaje e integración de instrumento de medida modelo Sensor MET o Datasol MET, de la marca Aersa o equivalente aprobado por DF. Instrumento de medida electrónico de precisión que permite la medición de la radiación solar global sobre un plano, de la temperatura y de la velocidad del viento. En este equipo se dispone de una Célula Calibrada (o célula fotovoltaica de tecnología equivalente), de dos sondas de temperatura y de una entrada externa para la conexión de un anemómetro. Es el instrumento más adecuado para la adquisición de los parámetros más importantes en una central solar fotovoltaica (radiación solar, temperatura ambiente y velocidad del viento).
Todos estos datos son recogidos y enviados en formato digital vía RS485 con protocolo MODBUS.
La Célula Calibrada que incorpora el Datasol MET lleva incorporado un sensor de temperatura directamente sobre cada una de las células lo que permite corregir (compensar por temperatura) las desviaciones en la medida de la Radiación Solar, dando lecturas más precisas en todo el rango de radiación y temperatura.
El Datasol MET se fija a la estructura de los paneles, siempre con la misma inclinación que estos, bien mediante la fijación HOOK o mediante tornillería.
La medición de la radiación solar es fundamental en el cálculo de la producción energética y el rendimiento de las centrales fotovoltaicas mediante el Índice de Producción (PR Preformance Ratio). Este índice relaciona la potencia real de la instalación con la potencia calculada a través de la radiación solar que incide en la instalación. Esta circunstancia hace ideal la utilización de las Células Calibradas de ATERSA como instrumento de medida de la radiación solar.

*CARACTERÍSTICAS PRINCIPALES:
Medición de la radiación solar, 0 … 1400 W/mm2 . Compensación por temperatura.
Medida de la temperatura de célula (sonda incorporada), -20 130 ºC.
Medida de la temperatura ambiente a 4 hilos con sonda externa incluida, -20 130 ºC.
Entrada libre de potencial para la conexión del anemómetro, medida de la velocidad del viento entre 2 140 km/h (no se entrega el anemómetro junto con el sensor MET).
Tensión de alimentación nominal: 24 V dc. (*).
Rango alimentación auxiliar estándar: 6 28 V dc.
Consumo máximo: 90 mW.
Grado de Protección; IP54.
Rango de trabajo: -20 ºC y +50 ºC.
Sección de cable admisible en bornas: 0.22 mm2 a 1.5 mm2
Diámetro ext. cable admisible en prensaestopas: 4.5 mm y los 10 mm.
Comunicaciones vía RS485 (protocolo MODBUS (RTU)). Distancia máxima 500m.

*CARACTERÍSTICAS TÉCNICAS:
Medición radiación solar: 0 … 1400 W/mm2.
Medición Temperatura célula: -20 … 100 ºC.
Medición Temperatura ambiente: -20 … 100 ºC.
Medición velocidad del viento: 2 … 140 km/h.
Error de la medida de la radicación solar: ± 2.2 %.
Error de la medida de la temperatura: ± 0.8 ºC.
Error de la medida de la velocidad del viento: ± 3 % (15-140 km/h) y ± 1 km/h (2-140 km/h).

Todo ello instalado, verificaciones, ensayos, conexiones, enclavamientos, controles, pruebas, certificados y homologaciones. Totalmente instalado, incluso conexionado y puesto en marcha..

03.02.21 **u** **Realización de DC Test** **1,00**

Realización del DC test, utilizando equipo Seaward PV150 o similar, comprendiendo la medición de los valores de Voc, Isc, radiación, polaridad y aislamiento de polo positivo y negativo a tierra, de todos los strings. El procedimiento y los valores obtenidos deben ser acordes con la norma IEC 62446. Todos los datos obtenidos serán entregados antes de la conexión de la instalación, en archivos originales del equipo de medición.

VISADO
COGITI
VALENCIA
VA07290/22
TRLTDCFZ60T66IJ1
Documento visado electrónicamente con número: VA07290/22
Código de validación telemática TRLTDCFZ60T66IJ1. Comprobación: https://cogitivalencia.e-gestion.es/Validacion.aspx?CVT=TRLTDCFZ60T66IJ1

VISADO
COGITI
VALENCIA
VA07290/22
TRLTDCFZ60T66IJ1

CÓDIGO	RESUMEN	CANTIDAD
03.02.22	u **Integración sistema en SCADA**	1,00

Horas de integración del sistema solar fotovoltaico y sistema de almacenamiento de energía mediante baterías en SCADA de control WINCC existente de la Autoridad Portuaria, que se ocupa de la visualización y manjeo de las instalaciones, monitorización de los estados y las alamrmas más importantes.

Se modificarán las pantallas existentes y se crearan otras nuevas para el acceso a la instalación de Fotovoltaica, entre otras:

Menú Principal.
Pantalla ubicación geográfica de las instalaciones del puerto
Pantalla de detalle Inversores
Pantalla de detalle Baterías

Se añadirán las nuevas variables en la tablas correspondientes:
- Añadir alarmas en alarmlogging
- Añadir Tagglogging
- Añadir variables en BBDD

Incluso pruebas de funcionamiento y puesta en marcga. Formación de operadores.

03.02.23	u **Cuadro de Comunicaciones (Estandarizado APV)**	1,00

Suministro e instalación de Cuadro de comunicaciones, que incluye los siguientes elementos:

Envolvente metálica mural de medidas: 760x760x300mm, referencia 1073.500, marca RITTAL
Protección eléctrica general, formada por:
- Interruptor magnetotérmico 2P, 6kA, 16A, curva C, referencia: 5SL6216-7, marca SIEMENS
- Interruptor Diferencial, 2P, Clase AC, 25A, 300mA, referencia: 5SV4612-0, marca SIEMENS
- 2 uds. Interruptor magnetotérmico. 2P, 6kA, 10A, curva C, referencia; 5SL6210-7, marca SIEMENS
- 3 uds. Contacto auxiliar 1NA+1NC para interruptor automático, referencia: 5ST3010, marca SIEMENS
- Enchufe SHUKO 2P+T 16A, referencia: A9A15310, marca: MG
- Sensor inductivo para detección de puerta cerrada, referencia: XS4P18PA340, marca SCHNEIDER
- Piloto verde para señalización de tensión OK, referencia: ZB4-BV033 y ZB4-BVB3, marca: SCHNEIDER
- Piloto rojo para señalización de fallo térmico, referencia: ZB4-BV043 y ZB4-BVB4, marca: SCHNEIDER
- Piloto rojo para señalización de fallo SAI, referencia: ZB4-BV043 y ZB4-BVB4, marca: SCHNEIDER
- Piloto amarillo para señalización de puerta cerrada, referencia: ZB4-BV053 y ZB4-BVB5, marca: SCHNEIDER
- Fuente de alimentación de 10A, referencia: 6EP1334-2BA20, marca: SIEMENS
- Módulo cargador DC-SAI 24V / 15A, referencia: 6EP1931-2EC21, marca: SIEMENS
- Módulo de batería de 24V/ 7 Ah, referencia: 6EP1935-6ME21, marca: SIEMENS
- Switch de comunicaciones XM408-8C para la red de Giga, referencia: 6GK5408-8GS00-2AM2, marca: SIEMENS
- 2 uds. trasceptor de fibra óptica monomodo, referencia: 6GK5992-1AM00-8AA0, marca: SIEMENS

Totalmente instalado y funcionando.

03.02.24	m **Cable de comunicaciones UTP**	200,00

Suministro e instalación de cable de datos de categoría 6 y Euroclase DCA, de tipo U/UTP, con conductor de cobre y cubierta de LSFH (Low Smoke Free of Halogen). Medido el ml, totalmente instalado y conexionado, incluyendo suministro y montaje de parte proporcional de etiquetas, bridas, conectores, puntas y demás accesorios necesarios para su correcta instalación, sin incluir canalización.

03.02.25	m **Cable de fibra óptica monomodo SM 24 fibras 9/125µm**	1.725,00

Instalación de cable fibra óptica monomodo 24 fibras SM, 9/125µm, tendido en bandeja métalica, según las especificaciónes de las normas correspondientes. Con cubierta antiroedores. Testeado. Incluso p.p. de adaptadores y pigtails, incluso tritubo de 40mm, pequeño material y medios auxiliares. Totalmente instalado, certificado el enlace permanente, comprobado y en correcto estado de funcionamiento.

Documento visado electrónicamente con número: VA07290/22
Código de validación telemática TRLTDCFZ60T66IJ1. Comprobación: https://cogitivalencia.e-gestion.es/Validacion.aspx?CVT=TRLTDCFZ60T66IJ1

CÓDIGO	RESUMEN	CANTIDAD

VISADO
COGITI
VALENCIA
VA07290/22
TRLTDCFZ60T66IJ1

03.03 VARIOS

03.03.01 **u** **Pruebas de la instalación** **1,00**

Pruebas de la instalacion fotovoltaica consistente en la comprobacion del megado de los cables, resistencias de puesta a tierra y de los inversores, tensiones en circuito abierto, tension e intensidad en funcionamiento, estado de las bornas de conexión. Realizado por organismo de control (OCA) y certificado. Verificaciones, ensayos, certificado, boletines del instalador y legalizacion de la instalacion en el organismo competente, pruebas segun plan de control de calidad y redaccion de informe de los resultados obtenidos, ayudas de albañileria, etc., y funcionando.

03.03.02 **u** **Legalización de la instalación** **1,00**

Legalizacion de la instalacion solar fotovoltaica en los diferentes organismos competentes, preparación de la documentación, pago de tasas, certificados de direccion de obra, certificados del instalador, tramitacion de la linea de evacuación y su inscripción definitiva.

03.03.03 **u** **Documentación AS BUILT** **1,00**

Realizacion por parte de la contrata de la documentacion final de obra AS-BUILT y garantias de los productos según fabricante. Se entregará una copia a la propiedad en formato papel y electronico antes de la recepcion final del contrato, asi como un manual de uso y mantenimiento de la instalacion con todos los catalogos tecnicos y manuales de uso y mantenimiento de los equipos que componen la instalacion.

Documento visado electrónicamente con número: VA07290/22
Código de validación telemática TRLTDCFZ60T66IJ1. Comprobación: https://cogitivalencia.e-gestion.es/Validacion.aspx?CVT=TRLTDCFZ60T66IJ1

VISADO
COGITI
VALENCIA
VA07290/22
TRLTDCFZ60T66IJ1

CÓDIGO	RESUMEN	CANTIDAD
04	**INSTALACIÓN CT GENERACIÓN PARTICULAR 2x1600 KVA V.C.T.-FV 043.1**	
04.01	**OBRA CIVIL**	
04.01.01	u **Edificio prefabricado PFU-7 c/ ventilación forzada**	1,00
	Edificio prefabricado constituido por una envolvente, de estructura monobloque, de hormigón armado, tipo PFU-7/20 de la marca Ormazabal o equivalente aprobado por DF, con ventilación forzada, de dimensiones generales aproximadas 8.100 mm de largo por 2200 mm de fondo por 2.500 mm de altura útil. Incluso cuadro electrico para alimentación de los servicios auxiliares, alumbrado interior, toma de corriente, extractores, termostato, central de incendios. Incluye el edificio y todos sus elementos exteriores según CEI 622171-202, transporte, montaje y accesorios	
04.02	**APARAMENTA ALTA TENSIÓN**	
04.02.01	u **Celda de Interruptor de Linea CGMCOSMOS-I**	1,00
	Suministro y montaje de celda de interruptor de línea modelo CGMCOSMOS-I de la marca Ormazabal o equivalente aprobado por DF, con interruptor-seccionador en SF6 de 400A con mando CIT manual, seccionador de puesta a tierra, juego de barras tripolar e indicadores testigo presencia de tensión instalados.	
04.02.02	u **Celda de Protección CGMCOSMOS-V**	3,00
	Suministro y montaje de celda con función disyuntor modelo CGMCOSMOS-V de la marca Ormazabal o equivalente aprobado por DF, con seccionador en SF6, relé de protección ekor.rpg, sistema de puesta a tierra, captadores de intensidad y enclavamientos instalados.	
04.02.03	u **Celda de Medida CGMCOSMOS-M**	1,00
	Suministro y montaje de celda de medida modelo CGMCOSMOS-M de la marca Ormazabal o equivalente aprobado por DF, equipada tres transformadores de intensidad y tres de tensión, de doble secundario, entrada y salida por cable seco, según características detalladas en memoria, instalados.	
04.02.04	u **Celda de Protección y medida de tensión CGMCOSMOS-P**	1,00
	Suministro y montaje de celda de protección y medida de tensión en barras modelo CGMCOSMOS-P de la marca Ormazabal o equivalente aprobado por DF, con interruptor-seccionador en SF6 de 400A con mando CIT manual, seccionador de puesta a tierra, juego de barras tripolar e indicadores testigo presencia de tensión instalados. Equipada con tres tranaformadores de tensión. Totalmente instalado.	
04.02.05	u **Analizador de redes CVM-A 1500**	1,00
	Suministro e instalación de analizador de redes para panel de medida indirecta, para panel en formato 96x96 o 144x144, modelo CVM-A1500 de la marca Circutor o equivalente aprobado por DF. Gran versatilidad en su modo de conexión para ser instalado en diferentes sistemas eléctricos con diversas configuraciones de conexión a red, Trifásico 3, 4 hilos, dos fases con o sin neutro, conexión ARON o conexión a red monofásica. Protección IP66 de larga durabilidad, teclado táctil retro-iluminado con tres teclas y la serigrafía de las teclas debe ser perpetua. El interfaz con el dispositivo para el acceso a la información completo y funcional para selección de datos a visualizar de forma rápida. Impide la configuración del equipo por personas ajenas a la instalación gracias a protección por contraseña o PIN. El dispositivo muestra por pantalla de forma clara parámetros trifásicos compuestos y por fase. El dispositivo muestra de forma clara dos medidas de consumo de energía, kWh procedentes de hasta tres distintas fuentes, con sus correspondientes conversiones a coste y emisiones en KgCO2 por pantalla. Dispone de dos salidas a transistor que podrán ser configuradas como Alarma por parámetros instantáneos que el equipo mide, o como generación de señal de impulsos relacionados con los consumos del equipo, ya sean kWh, Coste de la energía o Emisiones de CO2. Dispone de dos salidas a relé para ser configuradas como Alarma por parámetros instantáneos que el equipo mide. Integra comunicaciones RS485 con protocolo MODBUS y BACNET que pueden ser seleccionablesexpandible con hasta 4 módulos con diferentes opciones de entrada/salida o comunicaciones.permite el registro de datos con fecha y hora Dispone de servidor WEB integrado para monitorizar tanto datos en tiempo real como visualización de datos históricos en forma gráfica o de tabla en cualquier navegador de internet convencional Dispone de servidor XML integrado para comunicación e integración, tanto datos en tiempo real como visualización de datos históricos, en sistemas informáticos remotos. Incluso p.p. de material auxiliar. Totalmente instalado y funcionando.	

Documento visado electrónicamente con número: VA07290/22
Código de validación telemática TRLTDCFZ60T66IJ1. Comprobación: https://cogitivalencia.e-gestion.es/Validacion.aspx?CVT=TRLTDCFZ60T66IJ1

VISADO
COGITI
VALENCIA
VA07290/22
TRLTDCFZ60T66IJ1

CÓDIGO	RESUMEN	CANTIDAD
04.03	**APARAMENTA BAJA TENSIÓN**	
04.03.01	u **Juego de Puentes de Cables AT** Suministro e instalación de juego de puentes III de cables AT unipolares de aislamiento seco RHZ1, aislamiento 12/20 kV, de 95 mm2 en Al con sus correspondientes elementos de conexión.	2,00
04.03.02	u **Juego de Puentes de Cables BT** Suministro e instalación de juego de puentes de cables BT unipolares de aislamiento seco 0.6/1 kV de Cu, de 4x240mm² de sección para las fases y neutro y demás características según memoria.	2,00
04.03.03	u **Cuadro protección salida BT** Suministro e instalación de Cuadro de Baja Tensión modelo Prisma Plus de la marca Schneider Electric o equivalente aprobado por DF, para protección de salida de transformador conteniendo un interruptor automático modelo NS, tetrapolar, de calibre 1600 A regulable, con unidad de control micrologic 5.0A, incluso bancada. Totalmente instalado y funcionando.	2,00
04.03.04	u **Alimentación CS Auxiliares VCT-FV 043.1** Suministro y montaje de alimentación electrica en BT al cuadro electrico de auxiliares del VCT-FV 043.1 desde CT de cliente, mediante cable unipolar de cobre recocido RZ1-K 0,6/1 kV (AS), reacción al fuego clase Cca-s1b,d1,a1, aislamiento de polietileno reticulado (XLPE), de tipo DIX3, cubierta de poliolefina termoplástica, de tipo Afumex Z1, de color verde, sección 6 mm² para fases, neutro y tierra (3x6mm2), de la marca Prysmian o equivalente aprobado por DF, no propagadores del incendio, con emisión de humos y opacidad reducida, libre de halogenos, s/ UNE 21.123-4, instalada bajo tubo tipo de PVC de 40mm de diámetro. incluso p.p. de accesorios de fijación, terminales, tornillos. Incluso mano de obra, replanteos, limpieza previa, y ayudas de albañileria que se precisen, así como la utilización de herramientas y medios auxiliares que se precisen, manipulación, retirada de material sobrante y limpieza posterior etc. Se entiende material totalmente instalado y verificado.	1,00
04.04	**TRANSFORMADORES**	
04.04.01	u **Transformador trifásico de 1600 KVA éster 0.80/20 kV** Suministro e instalación de transformador trifásico elevador tipo refrigeración éster biodegradable, Ormazabal o equivalente aprobado por D.F, según Norma UNE 21538 y UNE 548/2014 de Ecodiseño. Bobinado AT continuo de gradiente lineal sin entrecapas. Bobinado BT con ensayo frecuencia industrial 10kV. Ensayos climáticos E3, C3, F1. Potencia nominal: 1600 kVA. Relación: 0.80/20 kV. Tensión secundaria vacío: 800 V. Tensión cortocircuito: 6%. Regulación: +/-2,5%, +/-5%, +/-10% . Grupo conexión: Dyn11. Dotado de equipo de sondas PT100 para protección térmica, bornero de conexión y termometro digital (conjunto proteccion termica tipo T que permite visualizar digitalmente las temperaturas de los bobinados) PARA PROTECCIÓN TÉRMICA DEL TRANSFORMADOR y sus conexiones a la alimentación y al elemento disparador de la protección correspondiente, debidamente protegidas contra sobreintensidades. Totalmente montado e instalado.	2,00
04.05	**SISTEMA DE PUESTA A TIERRA**	
04.05.01	u **Tierras Exteriores de Servicio (Neutro)** Suministro e instalación de tierras exteriores código 5/62 Unesa, incluyendo 6 picas de 2,00 m. de longitud, cable de cobre desnudo, cable de cobre aislado de 0,6/1kV y elementos de conexión, instalado, según se describe en proyecto.	1,00
04.05.02	u **Tierras Exteriores de Protección (Herrajes)** Suministro e instalación de tierras exteriores código 40-30/5/42 Unesa, incluyendo 4 picas de 2,00 m. de longitud, cable de cobre desnudo, cable de cobre aislado de 0,6/1kV y elementos de conexión, instalado, según se describe en proyecto.	1,00
04.05.03	u **Tierras Interiores** Suministro e instalación de tierras interiores para poner en continuidad con las tierras exteriores, formado por cable de 50mm2 de Cu desnudo para la tierra de protección y aislado para la de servicio, con sus conexiones y cajas de seccionamiento, instalado, según memoria.	1,00

Documento visado electrónicamente con número: VA07290/22
Código de validación telemática TRLTDCFZ60T66IJ1. Comprobación: https://cogitivalencia.e-gestion.es/Validacion.aspx?CVT=TRLTDCFZ60T66IJ1

VISADO
COGITI
VALENCIA
VA07290/22
TRLTDCFZ60T66IJ1

CÓDIGO	RESUMEN	CANTIDAD

04.06 VARIOS

04.06.01 **u** **Instalación baja tensión CT** **1,00**

Instalación de baja tensión interior del centro de transformación, compuesta por lo siguientes elementos:

- Armario Cofret G de Schneider IP42 con puerta transparente, conteniendo en su interior la siguiente aparamenta.
- 1 Interruptor Magnetotermico de cabecera C60N 2P 32A
- 1 Interruptor diferencia de cabecera 2P 40A 300mA
- 1 Interruptor Magnetotermico C60N 2P 10A línea alumbrado
- 1 Interruptor Magnetotermico C60N 2P 16A línea toma de corriente
- 1 Interruptor Magnetotermico C60N 2P 16A línea otros usos
- 1 Interruptor Magnetotermico C60N 2P 16A línea otros usos

- Interruptor estanco 16A
- Toma de corriente estanca 16A Monofásica
- 2 Pantallas LED etsancas modelo WT120C LED60S/840 L1500 de Philips
- 1 Luminaria de emergencia estanca 150Lum
- Líneas 2x2,5mm² + TT H07Z1 y tubos PCV líbres de halógenos diametro 16, para instalación equipos, inlcuido medios de instalación y pequeño material.

Totalmente instalado, comprobado y funcionando.

04.06.02 **u** **Central incendios 2 zonas** **1,00**

Suministro y montaje de central microprocesada para detección de incendios, modelo AE/C5-2P de la marca Aguilera Electrónica o equivalente aprobado por DF, fabricada en ABS, según EN 54 partes 2 y 4.

Disponen de:
2 bucles de detección convencional con final de línea activo.
Control de nivel de acceso mediante llave.
2 salidas vigiladas de evacuación.
Relé de fuego (alarma general) y Relé de avería general.
Salida auxiliar de 24 Vcc.
Teclado con 6 teclas para manejo.
Modo "Prueba de zonas".
Conexión/desconexión individual de zonas de detección y zonas de evacuación.

10 leds independientes para indicación de alarmas.
Necesitan una única batería de 12V / 7Ah.
Continua supervisión de todo el sistema.
Dimensiones: 340 x 290 x 100. Peso: 2.5 Kg.

Totalmente instalado y funcionando.

04.06.03 **u** **Detector optico-termico** **2,00**

Suministro y montaje de detector óptico de humos y térmico convencional modelo AE/C5-OPT de la marca Aguilera Electrónica o equivalente aprobado por DF. De ABS color blanco, formado por un elemento sensible a los humos claros, para alimentación de 12 a 30 Vcc, con doble led de activación e indicador de alarma color rojo, salida para piloto de señalización remota y base universal. Incluso elementos de fijación de la misma marca (clase A). Certificados LPCB según normas EN 54-5 y EN 54-7. Detectores de bajo perfil con diseño atractivo. Fabricados con tecnología SMD, disponen de doble indicador luminoso, salida de alarma remota y misma base intercambiable de fácil conexión. Zócalo y protector de polvo incluidos.

Conexión a 2 hilos.
Alimentación entre 15 y 35 Vcc.
Consumo: 35 mA (reposo), 80 mA (alarma).
Medidas: Ø 99 mm, altura con base incluida: 61 mm.

Totalmente instalado y funcionando.

04.06.04 **m** **Cableado lazo 2x1,5mm2** **20,00**

Suministro y colocaci?n de linea de cable de cobre 2x1,5 mm2, flexible SZ1-K (AS+) de 300/500 V resistente al fuego (AS+), apantallado. Aislamiento de silicona. Libre de halógenos, no propagador de la llama ni del incendio, con baja emisi?n de gases t?xicos y nula emisi?n de gases corrosivos. Diseñado según UNE 211025. Tipo Afumex Firs detec-signal (AS+). Con un grado de protección mecánica 7 y con un incremento sobre el precio del tubo del 30% en concepto de uniones, accesorios y piezas especiales, totalmente instalado. Instalado bajo tubo de pvc rigido. Incluso p/p de accesorios de montaje de tipo HILTI, cajas de derivación, fichas de empalme y medios auxiliares. Totalmente instalado.

Documento visado electrónicamente con número: VA07290/22
Código de validación telemática TRLTDCFZ60T66IJ1. Comprobación: https://cogitivalencia.e-gestion.es/Validacion.aspx?CVT=TRLTDCFZ60T66IJ1

VISADO
COGITI
VALENCIA
VA07290/22
TRLTDCFZ60T66IJ1

CÓDIGO	RESUMEN	CANTIDAD
04.06.05	u **Extintor 89B** Extintor de eficacia equivalente 89B, instalado.	1,00
04.06.06	u **Banqueta aislante** Banqueta aislante para maniobrar aparamenta.	1,00
04.06.07	u **Par de guantes de maniobra** Par de guantes de maniobra	1,00
04.06.08	u **Placa reglamentaria Peligro de Muerte** Placa reglamentaria PELIGRO DE MUERTE, instaladas.	2,00
04.06.09	u **Placa reglamentaria Primeros Auxilios** Placa reglamentaria PRIMEROS AUXILIOS, instalada.	1,00
04.06.10	u **Pruebas reglamentarias** Pruebas reglamentarias de las Tensiones de Paso y Contacto de las tierras de Protección.	1,00
04.06.11	u **Legalización instalación** Legalización de la instalacion, consistente en la redacción del proyecto así como toda la documentación necesaria a presentar ante el Servicio Territorial de Industria de Valencia para su inscripción en el resgitro.	1,00

Documento visado electrónicamente con número: VA07290/22
Código de validación telemática TRLTDCFZ60T66IJ1. Comprobación: https://cogitivalencia.e-gestion.es/Validacion.aspx?CVT=TRLTDCFZ60T66IJ1

VISADO
COGITI
VALENCIA
VA07290/22
TRLTDCFZ60T66IJ1

CÓDIGO	RESUMEN	CANTIDAD
05	**INSTALACIÓN CT GENERACIÓN PARTICULAR 2x1250 KVA V.C.T.-FV 043.2**	
05.01	**OBRA CIVIL**	
05.01.01	**u Edificio prefabricado PFU-7 c/ ventilación forzada**	**1,00**
	Edificio prefabricado constituido por una envolvente, de estructura monobloque, de hormigón armado, tipo PFU-7/20 de la marca Ormazabal o equivalente aprobado por DF, con ventilación forzada, de dimensiones generales aproximadas 8.100 mm de largo por 2200 mm de fondo por 2.500 mm de altura útil. Incluso cuadro electrico para alimentación de los servicios auxiliares, alumbrado interior, toma de corriente, extractores, termostato, central de incendios. Incluye el edificio y todos sus elementos exteriores según CEI 622171-202, transporte, montaje y accesorios	
05.02	**APARAMENTA ALTA TENSIÓN**	
05.02.01	**u Celda de Interruptor de Linea CGMCOSMOS-I**	**1,00**
	Suministro y montaje de celda de interruptor de línea modelo CGMCOSMOS-I de la marca Ormazabal o equivalente aprobado por DF, con interruptor-seccionador en SF6 de 400A con mando CIT manual, seccionador de puesta a tierra, juego de barras tripolar e indicadores testigo presencia de tensión instalados.	
05.02.02	**u Celda de Protección CGMCOSMOS-V**	**3,00**
	Suministro y montaje de celda con función disyuntor modelo CGMCOSMOS-V de la marca Ormazabal o equivalente aprobado por DF, con seccionador en SF6, relé de protección ekor.rpg, sistema de puesta a tierra, captadores de intensidad y enclavamientos instalados.	
05.02.03	**u Celda de Medida CGMCOSMOS-M**	**1,00**
	Suministro y montaje de celda de medida modelo CGMCOSMOS-M de la marca Ormazabal o equivalente aprobado por DF, equipada tres transformadores de intensidad y tres de tensión, de doble secundario, entrada y salida por cable seco, según características detalladas en memoria, instalados.	
05.02.04	**u Celda de Protección y medida de tensión CGMCOSMOS-P**	**1,00**
	Suministro y montaje de celda de protección y medida de tensión en barras modelo CGMCOSMOS-P de la marca Ormazabal o equivalente aprobado por DF, con interruptor-seccionador en SF6 de 400A con mando CIT manual, seccionador de puesta a tierra, juego de barras tripolar e indicadores testigo presencia de tensión instalados. Equipada con tres tranaformadores de tensión. Totalmente instalado.	
05.02.05	**u Analizador de redes CVM-A 1500**	**1,00**
	Suministro e instalación de analizador de redes para panel de medida indirecta, para panel en formato 96x96 o 144x144, modelo CVM-A1500 de la marca Circutor o equivalente aprobado por DF. Gran versatilidad en su modo de conexión para ser instalado en diferentes sistemas eléctricos con diversas configuraciones de conexión a red, Trifásico 3, 4 hilos, dos fases con o sin neutro, conexión ARON o conexión a red monofásica. Protección IP66 de larga durabilidad, teclado táctil retro-iluminado con tres teclas y la serigrafía de las teclas debe ser perpetua. El interfaz con el dispositivo para el acceso a la información completo y funcional para selección de datos a visualizar de forma rápida. Impide la configuración del equipo por personas ajenas a la instalación gracias a protección por contraseña o PIN. El dispositivo muestra por pantalla de forma clara parámetros trifásicos compuestos y por fase. El dispositivo muestra de forma clara dos medidas de consumo de energía, kWh procedentes de hasta tres distintas fuentes, con sus correspondientes conversiones a coste y emisiones en KgCO2 por pantalla. Dispone de dos salidas a transistor que podrán ser configuradas como Alarma por parámetros instantáneos que el equipo mide, o como generación de señal de impulsos relacionados con los consumos del equipo, ya sean kWh, Coste de la energía o Emisiones de CO2. Dispone de dos salidas a relé para ser configuradas como Alarma por parámetros instantáneos que el equipo mide. Integra comunicaciones RS485 con protocolo MODBUS y BACNET que pueden ser seleccionablesexpandible con hasta 4 módulos con diferentes opciones de entrada/salida o comunicaciones.permite el registro de datos con fecha y hora Dispone de servidor WEB integrado para monitorizar tanto datos en tiempo real como visualización de datos históricos en forma gráfica o de tabla en cualquier navegador de internet convencional Dispone de servidor XML integrado para comunicación e integración, tanto datos en tiempo real como visualización de datos históricos, en sistemas informáticos remotos. Incluso p.p. de material auxiliar. Totalmente instalado y funcionando.	

Documento visado electrónicamente con número: VA07290/22
Código de validación telemática TRLTDCFZ60T66IJ1. Comprobación: https://cogitivalencia.e-gestion.es/Validacion.aspx?CVT=TRLTDCFZ60T66IJ1

VISADO
COGITI
VALENCIA
VA07290/22
TRLTDCFZ60T66IJ1

CÓDIGO	RESUMEN	CANTIDAD
05.03	**APARAMENTA BAJA TENSIÓN**	
05.03.01	u **Juego de Puentes de Cables AT** Suministro e instalación de juego de puentes III de cables AT unipolares de aislamiento seco RHZ1, aislamiento 12/20 kV, de 95 mm2 en Al con sus correspondientes elementos de conexión.	2,00
05.03.02	u **Juego de Puentes de Cables BT** Suministro e instalación de juego de puentes de cables BT unipolares de aislamiento seco 0.6/1 kV de Cu, de 4x240mm² de sección para las fases y neutro y demás características según memoria.	2,00
05.03.03	u **Cuadro protección salida BT** Suministro e instalación de Cuadro de Baja Tensión modelo Prisma Plus de la marca Schneider Electric o equivalente aprobado por DF, para protección de salida de transformador conteniendo un interruptor automático modelo NS, tetrapolar, de calibre 1600 A regulable, con unidad de control micrologic 5.0A, incluso bancada. Totalmente instalado y funcionando.	2,00
05.03.04	u **Alimentación CS Auxiliares VCT-FV 043.1** Suministro y montaje de alimentación electrica en BT al cuadro electrico de auxiliares del VCT-FV 043.1 desde CT de cliente, mediante cable unipolar de cobre recocido RZ1-K 0,6/1 kV (AS), reacción al fuego clase Cca-s1b,d1,a1, aislamiento de polietileno reticulado (XLPE), de tipo DIX3, cubierta de poliolefina termoplástica, de tipo Afumex Z1, de color verde, sección 6 mm² para fases, neutro y tierra (3x6mm2), de la marca Prysmian o equivalente aprobado por DF, no propagadores del incendio, con emisión de humos y opacidad reducida, libre de halogenos, s/ UNE 21.123-4, instalada bajo tubo tipo de PVC de 40mm de diámetro. incluso p.p. de accesorios de fijación, terminales, tornillos. Incluso mano de obra, replanteos, limpieza previa, y ayudas de albañileria que se precisen, así como la utilización de herramientas y medios auxiliares que se precisen, manipulación, retirada de material sobrante y limpieza posterior etc. Se entiende material totalmente instalado y verificado.	1,00
05.04	**TRANSFORMADORES**	
05.04.01	u **Transformador trifásico de 1250 KVA éster 0.80/20 kV** Suministro e instalación de transformador trifásico elevador tipo refrigeración éster biodegradable, Ormazabal o equivalente aprobado por D.F, según Norma UNE 21538 y UNE 548/2014 de Ecodiseño. Bobinado AT continuo de gradiente lineal sin entrecapas. Bobinado BT con ensayo frecuencia industrial 10kV. Ensayos climáticos E3, C3, F1. Potencia nominal: 1250 kVA. Relación: 0.80/20 kV. Tensión secundaria vacío: 800 V. Tensión cortocircuito: 6%. Regulación: +/-2,5%, +/-5%, +/-10% . Grupo conexión: Dyn11. Dotado de equipo de sondas PT100 para protección térmica, bornero de conexión y termometro digital (conjunto proteccion termica tipo T que permite visualizar digitalmente las temperaturas de los bobinados) PARA PROTECCIÓN TÉRMICA DEL TRANSFORMADOR y sus conexiones a la alimentación y al elemento disparador de la protección correspondiente, debidamente protegidas contra sobreintensidades. Totalmente montado e instalado.	2,00
05.05	**SISTEMA DE PUESTA A TIERRA**	
05.05.01	u **Tierras Exteriores de Servicio (Neutro)** Suministro e instalación de tierras exteriores código 5/62 Unesa, incluyendo 6 picas de 2,00 m. de longitud, cable de cobre desnudo, cable de cobre aislado de 0,6/1kV y elementos de conexión, instalado, según se describe en proyecto.	1,00
05.05.02	u **Tierras Exteriores de Protección (Herrajes)** Suministro e instalación de tierras exteriores código 40-30/5/42 Unesa, incluyendo 4 picas de 2,00 m. de longitud, cable de cobre desnudo, cable de cobre aislado de 0,6/1kV y elementos de conexión, instalado, según se describe en proyecto.	1,00
05.05.03	u **Tierras Interiores** Suministro e instalación de tierras interiores para poner en continuidad con las tierras exteriores, formado por cable de 50mm2 de Cu desnudo para la tierra de protección y aislado para la de servicio, con sus conexiones y cajas de seccionamiento, instalado, según memoria.	1,00

Documento visado electrónicamente con número: VA07290/22
Código de validación telemática TRLTDCFZ60T66IJ1. Comprobación: https://cogitivalencia.e-gestion.es/Validacion.aspx?CVT=TRLTDCFZ60T66IJ1

VISADO
COGITI
VALENCIA
VA07290/22
TRLTDCFZ60T66IJ1

CÓDIGO	RESUMEN	CANTIDAD

05.06 VARIOS

05.06.01 **u** **Instalación baja tensión CT** **1,00**

Instalación de baja tensión interior del centro de transformación, compuesta por lo siguientes elementos:

- Armario Cofret G de Schneider IP42 con puerta transparente, conteniendo en su interior la siguiente aparamenta.
- 1 Interruptor Magnetotermico de cabecera C60N 2P 32A
- 1 Interruptor diferencia de cabecera 2P 40A 300mA
- 1 Interruptor Magnetotermico C60N 2P 10A línea alumbrado
- 1 Interruptor Magnetotermico C60N 2P 16A línea toma de corriente
- 1 Interruptor Magnetotermico C60N 2P 16A línea otros usos
- 1 Interruptor Magnetotermico C60N 2P 16A línea otros usos

- Interruptor estanco 16A
- Toma de corriente estanca 16A Monofásica
- 2 Pantallas LED etsancas modelo WT120C LED60S/840 L1500 de Philips
- 1 Luminaria de emergencia estanca 150Lum
- Líneas 2x2,5mm² + TT H07Z1 y tubos PCV líbres de halógenos diametro 16, para instalación equipos, inlcuido medios de instalación y pequeño material.

Totalmente instalado, comprobado y funcionando.

05.06.02 **u** **Central incendios 2 zonas** **1,00**

Suministro y montaje de central microprocesada para detección de incendios, modelo AE/C5-2P de la marca Aguilera Electrónica o equivalente aprobado por DF, fabricada en ABS, según EN 54 partes 2 y 4.

Disponen de:
2 bucles de detección convencional con final de línea activo.
Control de nivel de acceso mediante llave.
2 salidas vigiladas de evacuación.
Relé de fuego (alarma general) y Relé de avería general.
Salida auxiliar de 24 Vcc.
Teclado con 6 teclas para manejo.
Modo "Prueba de zonas".
Conexión/desconexión individual de zonas de detección y zonas de evacuación.

10 leds independientes para indicación de alarmas.
Necesitan una única batería de 12V / 7Ah.
Continua supervisión de todo el sistema.
Dimensiones: 340 x 290 x 100. Peso: 2.5 Kg.

Totalmente instalado y funcionando.

05.06.03 **u** **Detector optico-termico** **2,00**

Suministro y montaje de detector óptico de humos y térmico convencional modelo AE/C5-OPT de la marca Aguilera Electrónica o equivalente aprobado por DF. De ABS color blanco, formado por un elemento sensible a los humos claros, para alimentación de 12 a 30 Vcc, con doble led de activación e indicador de alarma color rojo, salida para piloto de señalización remota y base universal. Incluso elementos de fijación de la misma marca (clase A). Certificados LPCB según normas EN 54-5 y EN 54-7. Detectores de bajo perfil con diseño atractivo. Fabricados con tecnología SMD, disponen de doble indicador luminoso, salida de alarma remota y misma base intercambiable de fácil conexión. Zócalo y protector de polvo incluidos.

Conexión a 2 hilos.
Alimentación entre 15 y 35 Vcc.
Consumo: 35 mA (reposo), 80 mA (alarma).
Medidas: Ø 99 mm, altura con base incluida: 61 mm.

Totalmente instalado y funcionando.

05.06.04 **m** **Cableado lazo 2x1,5mm2** **20,00**

Suministro y colocaci?n de linea de cable de cobre 2x1,5 mm2, flexible SZ1-K (AS+) de 300/500 V resistente al fuego (AS+), apantallado. Aislamiento de silicona. Libre de halógenos, no propagador de la llama ni del incendio, con baja emisi?n de gases t?xicos y nula emisi?n de gases corrosivos. Diseñado según UNE 211025. Tipo Afumex Firs detec-signal (AS+). Con un grado de protección mecánica 7 y con un incremento sobre el precio del tubo del 30% en concepto de uniones, accesorios y piezas especiales, totalmente instalado. Instalado bajo tubo de pvc rigido. Incluso p/p de accesorios de montaje de tipo HILTI, cajas de derivación, fichas de empalme y medios auxiliares. Totalmente instalado.

Documento visado electrónicamente con número: VA07290/22
Código de validación telemática TRLTDCFZ60T66IJ1. Comprobación: https://cogitivalencia.e-gestion.es/Validacion.aspx?CVT=TRLTDCFZ60T66IJ1

VISADO
COGITI
VALENCIA
VA07290/22
TRLTDCFZ60T66IJ1

CÓDIGO	RESUMEN	CANTIDAD
05.06.05	u **Extintor 89B** Extintor de eficacia equivalente 89B, instalado.	1,00
05.06.06	u **Banqueta aislante** Banqueta aislante para maniobrar aparamenta.	1,00
05.06.07	u **Par de guantes de maniobra** Par de guantes de maniobra	1,00
05.06.08	u **Placa reglamentaria Peligro de Muerte** Placa reglamentaria PELIGRO DE MUERTE, instaladas.	2,00
05.06.09	u **Placa reglamentaria Primeros Auxilios** Placa reglamentaria PRIMEROS AUXILIOS, instalada.	1,00
05.06.10	u **Pruebas reglamentarias** Pruebas reglamentarias de las Tensiones de Paso y Contacto de las tierras de Protección.	1,00
05.06.11	u **Legalización instalación** Legalización de la instalacion, consistente en la redacción del proyecto así como toda la documentación necesaria a presentar ante el Servicio Territorial de Industria de Valencia para su inscripción en el resgitro.	1,00

Documento visado electrónicamente con número: VA07290/22
Código de validación telemática TRLTDCFZ60T66IJ1. Comprobación: https://cogitivalencia.e-gestion.es/Validacion.aspx?CVT=TRLTDCFZ60T66IJ1

CÓDIGO	RESUMEN	CANTIDAD

VISADO
COGITI
VALENCIA
VA07290/22
TRLTDCFZ60T66IJ1

06 INSTALACIÓN PREFABRICADO PARA COMUNICACIONES V.R.-FV 043.1

06.01 OBRA CIVIL

06.01.01 u **Edificio prefabricado PFU-5** **1,00**

Edificio prefabricado constituido por una envolvente, de estructura monobloque, de hormigón armado, tipo PFU-5 de la marca Ormazabal o equivalente aprobado por DF, con ventilación forzada, de dimensiones generales aproximadas 6080 mm de largo por 2380 mm de fondo por 2.585 mm de altura útil. Incluso cuadro electrico para alimentación de los servicios auxiliares, alumbrado interior, toma de corriente, extractores, termostato, central de incendios. Incluye el edificio y todos sus elementos exteriores según CEI 622171-202, transporte, montaje y accesorios

06.02 VARIOS

06.02.01 u **Cuadro de Comunicaciones (Estandarizado APV)** **1,00**

Suministro e instalación de Cuadro de comunicaciones, que incluye los siguientes elementos:

Envolvente metálica mural de medidas: 760x760x300mm, referencia 1073.500, marca RITTAL
Protección eléctrica general, formada por:
- Interruptor magnetotérmico 2P, 6kA, 16A, curva C, referencia: 5SL6216-7, marca SIEMENS
- Interruptor Diferencial, 2P, Clase AC, 25A, 300mA, referencia: 5SV4612-0, marca SIEMENS
- 2 uds. Interruptor magnetotérmico. 2P, 6kA, 10A, curva C, referencia; 5SL6210-7, marca SIEMENS
- 3 uds. Contacto auxiliar 1NA+1NC para interruptor automático, referencia: 5ST3010, marca SIEMENS
- Enchufe SHUKO 2P+T 16A, referencia: A9A15310, marca: MG
- Sensor inductivo para detección de puerta cerrada, referencia: XS4P18PA340, marca SCHNEIDER
- Piloto verde para señalización de tensión OK, referencia: ZB4-BV033 y ZB4-BVB3, marca: SCHNEIDER
- Piloto rojo para señalización de fallo térmico, referencia: ZB4-BV043 y ZB4-BVB4, marca: SCHNEIDER
- Piloto rojo para señalización de fallo SAI, referencia: ZB4-BV043 y ZB4-BVB4, marca: SCHNEIDER
- Piloto amarillo para señalización de puerta cerrada, referencia: ZB4-BV053 y ZB4-BVB5, marca: SCHNEIDER
- Fuente de alimentación de 10A, referencia: 6EP1334-2BA20, marca: SIEMENS
- Módulo cargador DC-SAI 24V / 15A, referencia: 6EP1931-2EC21, marca: SIEMENS
- Módulo de batería de 24V/ 7 Ah, referencia: 6EP1935-6ME21, marca: SIEMENS
- Switch de comunicaciones XM408-8C para la red de Giga, referencia: 6GK5408-8GS00-2AM2, marca: SIEMENS
- 2 uds. trasceptor de fibra óptica monomodo, referencia: 6GK5992-1AM00-8AA0, marca: SIEMENS

Totalmente instalado y funcionando.

06.02.02 u **Nuevo Armario PLC c/periferia distribuida** **1,00**

Suministro e instalación de Cuadro de PLC, alimentado a 230V que incluye los siguientes elementos:

- Envolvente metálica de medidas: 1000x1000x300mm+PM (IP66), referencia 1110.500, marca RITTAL
- 1 Portaesquemas DIN A4 (254x228x17mm), referencia 2514.000, marca RITTAL
- 1 INT. 2P, MAGNETO, 6KA, 10A, CURVA, ref. C 5SL6210-7, marca SIEMENS
- 2 INT. 2P, MAGNETO, 6KA, 10A, CURVA C ref. 2514.000 marca RITTAL
- 2 INT. 1P, MAGNETO, 6KA, 10A, CURVA C ref. 5SL6110-7 marca SIEMENS
- 2 INTERR. AUXILIAR CORRIENTE 1C+1A, P. INTERR.PROT. T=70MM ref. 5SL6206-7 marca SIEMENS
- 2 TRANSFORMADOR 230/230, 250VA ref. PD250 marca POLYLUX
- ENCHUFE SHUKO 2P+T 16A ref. A9A15310 marca SCHNEIDER
- 1 SITOP, DC-SAI 24V / 15A, PARA USAR JUNTO CON MÓDULOS DE BATERÍA ref. 6EP1931-2EC21 marca SIEMENS
- 1 SITOP, MÓDULO DE BATERÍA DE 24V/ 7 AH, CON BATERÍAS SELLADAS DE PLOMO-ÁCIDO LIBRES DE MANTENIMIENTO ref. 6EP1935-6ME21 marca SIEMENS

Documento visado electrónicamente con número: VA07290/22
Código de validación telemática TRLTDCFZ60T66IJ1. Comprobación: https://cogitivalencia.e-gestion.es/Validacion.aspx?CVT=TRLTDCFZ60T66IJ1

CÓDIGO	RESUMEN	CANTIDAD

VISADO
COGITI
VALENCIA
VA07290/22
TRLTDCFZ60T66IJ1

- 1 SITOP SMART, PSU100S 24 V / 10 A FUENTE DE ALIMENTACIÓN ref. 6EP1334-2BA20 marca SIEMENS

- 1 SENSOR INDUCTIVO NA XS4P18PA340 ref. ZB4-BV033 marca SCHNEIDER

- 1 CABEZA PILOTO VERDE ref. ZB4-BV033 marca SCHNEIDER
- 1 CUERPO PILOTO VERDE 220 VAC ref. ZB4-BVM3 marca SCHNEIDER
- 2 CABEZA PILOTO ROJO ZB4-BV043 marca SCHNEIDER

- 2 CUERPO COMPLETO PILOTO ROJO (BASE+LED) ref. ZB4-BVB4 marca SCHNEIDER

- 1 CABEZA PILOTO VERDE ref. ZB4-BV033 marca SCHNEIDER

- 1 CUERPO COMPLETO PILOTO VERDE (BASE+LED) ref. ZB4-BVB3 marca SCHNEIDER

- 1 CABEZA PILOTO AMARILLO ref. ZB4-BV053 SCHNEIDER

- 1 CUERPO COMPLETO PILOTO AMARILLO (BASE+LED) ref. ZB4-BVB5 marca SCHNEIDER

- 5 PORTAETIQUETAS PILOTOS ZBY 6102 marca SCHNEIDER

- 1 POMO PUERTA CON LLAVE SZ2575 SZ2575 marca

- 1 FUENTE ALIMENTACION 220Vac/24Vdc, 10A 6P1334-2BA20 marca SIEMENS

- 1 DC-SAI 24V/ 15 A 6EP1931-2EC21 marca SIEMENS

- 1 MODULO DE BATERIA 24V/7Ah 6EP1935-6ME21 marca SIEMENS

- 1 CPU1512SP-1PN 6ES7512-1DK01-0AB0 marca SIEMENS
- 1 TARJETA DE MEMORIA 6ES7954-8LE03-0AA0 marca SIEMENS

- 2 MODULO 16 ED 6ES7131-6BH01-0BA0 marca SIEMENS
- 1 MODULO 16 SD 6ES7132-6BH01-0BA0 marca SIEMENS

- 1 MODULO 4 EA 6ES7134-6TD00-0CA1 marca SIEMENS
- 1 MODULO 4 SA 6ES7135-6HD00-0BA1 marca SIEMENS

- 1 BASE UNIT BU15-P16 6ES7193-6BP00-0BA0 marca SIEMENS
- 4 BASE UNIT BU15-P16 6ES7193-6BP00-DA0 marca SIEMENS

- 1 SWITCH ESCALANCE XM408-8C 6GK5408-8GS00-2AM2 marca SIEMENS

- 1 EXTENSION ESCALANCE XM400 6GK5400-8A500-8AP2 marca SIEMENS
- 12 PUERTO LC OPTICO 6GK5992-1AM00-8AA0 marca SIEMENS

Terminales de cobre a presión preaislados

- PUNTERAS 1.5 SIMPLES PKE1508 marca CEMBRE

- PUNTERAS 1.5 DOBLES PKT1508 marca CEMBRE

- PUNTERAS 2.5 SIMPLES PKE2508 marca CEMBRE

- Bornas 1020000000 marca WEIDMULLER

- Tapas bornas 1050000000 marca WEIDMULLER

- Separadores bornas 954000000 marca WEIDMULLER

- BARRA DE TIERRA BCT PLETINA 12X3

- PERFIL SIMÉTRICO 35X7,5 LISO, MOD.6AE 25 11 120 marca AEMSA

- REMACHES DIÁMETRO 3, 2x8 MULTIGRIP

- CANALETA 60x4 60.40.77 marca UNEX
- CANALETA 60x60 60.60.77 marca UNEX

- CANALETA 40x40 40.40.77 marca UNEX
- BRIDAS BLANCAS PEQUEÑAS 2221 marca UNEX

- PEGATINA BRIDAS BLANCAS 1254 marca UNEX

- POMO PUERTA CON LLAVE SZ2575 marca RITTAL

- m. Espiral negra SP6N 7 a 40mm

- CABLE AZUL 1x1mm2 H05V-K 151A001.R200 TOP

- CABLE NEGRO 1x2.5mm2 HO7V-K ALSECURE

- SEÑALIZADORES CAB3 Numero 0 38210 marca LEGRAND

- SEÑALIZADORES CAB3 Numero 1 38211 marca LEGRAND

- SEÑALIZADORES CAB3 Numero 2 38212 marca LEGRAND

- SEÑALIZADORES CAB3 Numero 3 38213 marca LEGRAND

- SEÑALIZADORES CAB3 Numero 4 38214 marca LEGRAND

- SEÑALIZADORES CAB3 Numero 5 38215 marca LEGRAND

- SEÑALIZADORES CAB3 Numero 6 38216 marca LEGRAND

Documento visado electrónicamente con número: VA07290/22
Código de validación telemática TRLTDCFZ60T66IJ1. Comprobación: https://cogitivalencia.e-gestion.es/Validacion.aspx?CVT=TRLTDCFZ60T66IJ1

CÓDIGO	RESUMEN	CANTIDAD

VISADO
COGITI
VALENCIA
VA07290/22
TRLTDCFZ60T66IJ1

- SEÑALIZADORES CAB3 Numero 7 38217 marca LEGRAND
- SEÑALIZADORES CAB3 Numero 8 38218 marca LEGRAND
- SEÑALIZADORES CAB3 Numero 9 38219 marca LEGRAND

A instalar en armario de periferia disrtibuida

- 1 Cabecera comunicaciones IM 155-6 PN ST incluye módulo servidor, incluye adaptador de bus 2xRJ45 ref. 6ES7193-6AR00-0AA0 marca SIEMENS
- 1 Módulo de 16 Entradas Digitales, 24Vdc ref. 6ES7131-6BH01-0BA0 marca SIEMENS
- 1 Módulo de 16 Salidas Digitales, 24Vdc/0,5A 6ES7132-6BH01-0BA0 SIEMENS
- 1 Módulo de 4 Entradas Analógicas U/I, 2 hilos 6ES7134-6HD01-0DA0 marca SIEMENS
- 3 Base de conexión tipo BU A0, 16 Push-In 6ES7193-6BP00-0DA0 marca SIEMENS

Totalmente instalado y funcionando.

06.02.03 **u** **Instalación baja tensión CT** **1,00**

Instalación de baja tensión interior del centro de transformación, compuesta por lo siguientes elementos:

- Armario Cofret G de Schneider IP42 con puerta transparente, conteniendo en su interior la siguiente aparamenta.
- 1 Interruptor Magnetotermico de cabecera C60N 2P 32A
- 1 Interruptor diferencia de cabecera 2P 40A 300mA
- 1 Interruptor Magnetotermico C60N 2P 10A línea alumbrado
- 1 Interruptor Magnetotermico C60N 2P 16A línea toma de corriente
- 1 Interruptor Magnetotermico C60N 2P 16A línea otros usos
- 1 Interruptor Magnetotermico C60N 2P 16A línea otros usos

- Interruptor estanco 16A
- Toma de corriente estanca 16A Monofásica
- 2 Pantallas LED etsancas modelo WT120C LED60S/840 L1500 de Philips
- 1 Luminaria de emergencia estanca 150Lum
- Líneas 2x2,5mm² + TT H07Z1 y tubos PCV líbres de halógenos diametro 16, para instalación equipos, inlcuido medios de instalación y pequeño material.

Totalmente instalado, comprobado y funcionando.

06.02.04 **u** **Central incendios 2 zonas** **1,00**

Suministro y montaje de central microprocesada para detección de incendios, modelo AE/C5-2P de la marca Aguilera Electrónica o equivalente aprobado por DF, fabricada en ABS, según EN 54 partes 2 y 4.

Disponen de:
2 bucles de detección convencional con final de línea activo.
Control de nivel de acceso mediante llave.
2 salidas vigiladas de evacuación.
Relé de fuego (alarma general) y Relé de avería general.
Salida auxiliar de 24 Vcc.
Teclado con 6 teclas para manejo.
Modo "Prueba de zonas".
Conexión/desconexión individual de zonas de detección y zonas de evacuación.

10 leds independientes para indicación de alarmas.
Necesitan una única batería de 12V / 7Ah.
Continua supervisión de todo el sistema.
Dimensiones: 340 x 290 x 100. Peso: 2.5 Kg.

Totalmente instalado y funcionando.

Documento visado electrónicamente con número: VA07290/22
Código de validación telemática TRLTDCFZ60T66IJ1. Comprobación: https://cogitivalencia.e-gestion.es/Validacion.aspx?CVT=TRLTDCFZ60T66IJ1

VISADO
COGITI
VALENCIA
VA07290/22
TRLTDCFZ60T66IJ1

CÓDIGO	RESUMEN	CANTIDAD
06.02.05	**u Detector optico-termico**	2,00

Suministro y montaje de detector óptico de humos y térmico convencional modelo AE/C5-OPT de la marca Aguilera Electrónica o equivalente aprobado por DF. De ABS color blanco, formado por un elemento sensible a los humos claros, para alimentación de 12 a 30 Vcc, con doble led de activación e indicador de alarma color rojo, salida para piloto de señalización remota y base universal. Incluso elementos de fijación de la misma marca (clase A). Certificados LPCB según normas EN 54-5 y EN 54-7. Detectores de bajo perfil con diseño atractivo. Fabricados con tecnología SMD, disponen de doble indicador luminoso, salida de alarma remota y misma base intercambiable de fácil conexión. Zócalo y protector de polvo incluidos.

Conexión a 2 hilos.
Alimentación entre 15 y 35 Vcc.
Consumo: 35 mA (reposo), 80 mA (alarma).
Medidas: Ø 99 mm, altura con base incluida: 61 mm.

Totalmente instalado y funcionando.

06.02.06	**m Cableado lazo 2x1,5mm2**	20,00

Suministro y colocaci?n de linea de cable de cobre 2x1,5 mm2, flexible SZ1-K (AS+) de 300/500 V resistente al fuego (AS+), apantallado. Aislamiento de silicona. Libre de halógenos, no propagador de la llama ni del incendio, con baja emisi?n de gases t?xicos y nula emisi?n de gases corrosivos. Diseñado según UNE 211025. Tipo Afumex Firs detec-signal (AS+). Con un grado de protección mecánica 7 y con un incremento sobre el precio del tubo del 30% en concepto de uniones, accesorios y piezas especiales, totalmente instalado. Instalado bajo tubo de pvc rigido. Incluso p/p de accesorios de montaje de tipo HILTI, cajas de derivación, fichas de empalme y medios auxiliares. Totalmente instalado.

06.02.07	**u Extintor 89B**	1,00

Extintor de eficacia equivalente 89B, instalado.

06.02.08	**u Legalización instalación**	1,00

Legalización de la instalacion, consistente en la redacción del proyecto así como toda la documentación necesaria a presentar ante el Servicio Territorial de Industria de Valencia para su inscripción en el resgitro.

Documento visado electrónicamente con número: VA07290/22
Código de validación telemática TRLTDCFZ60T66IJ1. Comprobación: https://cogitivalencia.e-gestion.es/Validacion.aspx?CVT=TRLTDCFZ60T66IJ1

CÓDIGO	RESUMEN	CANTIDAD
07	**ADECUACIÓN CT EXISTENTE V.C.T. 043**	
07.01	**APARAMENTA ALTA TENSIÓN**	
07.01.01	**u Celda de Interruptor de Linea mot CGMCOSMOS-I**	**2,00**
	Suministro y montaje de celda de interruptor de línea motorizada modelo CGMCOSMOS-I de la marca Ormazabal o equivalente aprobado por DF, con interruptor-seccionador en SF6 de 400A con mando tipo BM motorizado 48 Vcc, seccionador de puesta a tierra, juego de barras tripolar e indicadores testigo presencia de tensión instalados.	

VISADO
COGITI
VALENCIA
VA07290/22
TRLTDCFZ60T66IJ1

Documento visado electrónicamente con número: VA07290/22
Código de validación telemática TRLTDCFZ60T66IJ1. Comprobación: https://cogitivalencia.e-gestion.es/Validacion.aspx?CVT=TRLTDCFZ60T66IJ1

CÓDIGO	RESUMEN	CANTIDAD

VISADO
COGITI
VALENCIA
VA07290/22
TRLTDCFZ60T66IJ1

08 ADECUACIÓN CT EXISTENTE C.D.D.

08.01 **u** **Sustitución transformadores medida** **1,00**

Sustitución de transformadores de tensión y de intensidad existentes en la celda de medida modelo CGMCOSMOS-M de la marca Ormazabal o equivalente aprobado por DF, del Centro de Entrega propieda del cliente, por transformadores de medida de triple secundario, instalados y conectados.

08.02 **u** **Cuadro de Comunicaciones (Estandarizado APV)** **1,00**

Suministro e instalación de Cuadro de comunicaciones, que incluye los siguientes elementos:

Envolvente metálica mural de medidas: 760x760x300mm, referencia 1073.500, marca RITTAL
Protección eléctrica general, formada por:
- Interruptor magnetotérmico 2P, 6kA, 16A, curva C, referencia: 5SL6216-7, marca SIEMENS
- Interruptor Diferencial, 2P, Clase AC, 25A, 300mA, referencia: 5SV4612-0, marca SIEMENS
- 2 uds. Interruptor magnetotérmico. 2P, 6kA, 10A, curva C, referencia; 5SL6210-7, marca SIEMENS
- 3 uds. Contacto auxiliar 1NA+1NC para interruptor automático, referencia: 5ST3010, marca SIEMENS
- Enchufe SHUKO 2P+T 16A, referencia: A9A15310, marca: MG
- Sensor inductivo para detección de puerta cerrada, referencia: XS4P18PA340, marca SCHNEIDER
- Piloto verde para señalización de tensión OK, referencia: ZB4-BV033 y ZB4-BVB3, marca: SCHNEIDER
- Piloto rojo para señalización de fallo térmico, referencia: ZB4-BV043 y ZB4-BVB4, marca: SCHNEIDER
- Piloto rojo para señalización de fallo SAI, referencia: ZB4-BV043 y ZB4-BVB4, marca: SCHNEIDER
- Piloto amarillo para señalización de puerta cerrada, referencia: ZB4-BV053 y ZB4-BVB5, marca: SCHNEIDER
- Fuente de alimentación de 10A, referencia: 6EP1334-2BA20, marca: SIEMENS
- Módulo cargador DC-SAI 24V / 15A, referencia: 6EP1931-2EC21, marca: SIEMENS
- Módulo de batería de 24V/ 7 Ah, referencia: 6EP1935-6ME21, marca: SIEMENS
- Switch de comunicaciones XM408-8C para la red de Giga, referencia: 6GK5408-8GS00-2AM2, marca: SIEMENS
- 2 uds. trasceptor de fibra óptica monomodo, referencia: 6GK5992-1AM00-8AA0, marca: SIEMENS

Totalmente instalado y funcionando.

Documento visado electrónicamente con número: VA07290/22
Código de validación telemática TRLTDCFZ60T66IJ1. Comprobación: https://cogitivalencia.e-gestion.es/Validacion.aspx?CVT=TRLTDCFZ60T66IJ1

PRESUPUESTO

CÓDIGO	RESUMEN	CANTIDAD

09 INSTALACIÓN LSMT 20KV PARTICULAR

09.01 m **LSMT 20 KV HEPRZ1 Al 3x(1x240) mm2** — **40,00**

Suministro y tendido de línea subterránea de media tensión, compuesta por tres cables unipolares con aislamiento HEPRZ1 y conductor de aluminio 12/20 kV de 3x240 mm² sobre fondo de zanja bajo tubo sin su aportación y sobre bandeja portacables, incluida la parte proporcional de ayudas y piezas complementarias o especiales. Totalmente instalado y funcionando.

09.02 m **Excavación de zanja** — **20,00**

Excavación de zanja 0,70 x 1,20 m. de profundidad en terreno normal, realizada con medios mecánicos, incluido dos tubos de PVC de doble capa DN 160 mm, extendido a una capa de 30 cm de hormigón H200, cinta PVC amarilla 150 mm de señalización atención a la existencia del cable, colocación de esta, relleno y apisonado con tierras sobrantes

09.03 u **Kit de 3 botellas terminales de 24kV** — **4,00**

Kit de 3 botellas terminales de 24kV para conexión entre CT, para cable de sección 240mm², incluso terminal metálico para conexión y p.p. de pequeño material. Totalmente instalado.

09.04 u **Arquetas de profundidad 100x100cm** — **2,00**

Arquetas de profundidad 100x100cm, con tapa de fundición, todas las sujeciones de suministro, soportes y/o estructura necesarios para el montaje y la instalación en obra. Totalmente ejecutada.

09.05 u **Megado y rigidez eléctrica** — **2,00**

Revisión y pruebas de megado y rigidez eléctrica de la instalación realizado por Organismo de Control Autorizado. Incluso suministro de certificado firmado.

09.06 u **Legalización instalación** — **1,00**

Legalización de la instalacion, consistente en la redacción del proyecto así como toda la documentación necesaria a presentar ante el Servicio Territorial de Industria de Valencia.

VISADO
COGITI
VALENCIA
VA07290/22
TRLTDCFZ60T66IJ1
Documento visado electrónicamente con número: VA07290/22
Código de validación telemática TRLTDCFZ60T66IJ1. Comprobación: https://cogitivalencia.e-gestion.es/Validacion.aspx?CVT=TRLTDCFZ60T66IJ1

VISADO
COGITI
VALENCIA
VA07290/22
TRLTDCFZ60T66IJ1

CÓDIGO	RESUMEN	CANTIDAD
10	**INSTALACIÓN ALUMBRADO MARQUESINAS**	
10.01	**m Cable RZ1-K 0,6/1 kV (AS) sección 5x2,5 mm² Cu** Línea electrica trifásica construida mediante cable RZ1-K 0,6/1 kV sección 5x2,5 mm² de la marca Prysmian o equivalente aprobado por DF, no propagadores del incendio, con emisión de humos y opacidad reducida, libre de halogenos, s/ UNE 21.123-4, instalada en canalización correspondiente, incluso p.p. de accesorios de fijación, terminales, tornillos. Incluso mano de obra, replanteos, limpieza previa, y ayudas de albañileria que se precisen, así como la utilización de herramientas y medios auxiliares que se precisen, manipulación, retirada de material sobrante y limpieza posterior etc. Se entiende material totalmente instalado y verificado.	**6.075,00**
10.02	**u Luminaria estanca LED 28W 3.900lm IP66 OleveonF 1500** Suministro y montaje de luminaria estanca tipo LED, modelo OleveonF 15 B 4000-840 ET PC de la marca Trilux o equivalente aprobado por D.F., para montaje en techos y paredes, así como para un montaje suspendido. Flujo luminoso de las luminarias 3.900 lm, Potencia de las luminarias 28 W, rendimiento luminoso de la luminaria 139 lm/W. Color de luz color blanco neutro, temperatura del color (CCT) 4000 K, Índice de reproducción cromática general (CRI) Ra > 80. Vida útil nominal media L80(tq 25 °C) = 35.000 h. Cuerpo de luminaria de poliéster reforzado con fibra de vidrio, poco inflamable. Con entrada frontal y tapones pasahilos para la conexión a la red. Cuerpo de luminaria, de color gris luz, similar a RAL 7035. Dimensiones (L x A) 1552 mm x 102 mm, altura de la luminaria 91 mm. Temperatura ambiental admisible de entre (ta): -20 °C - +35 °C. Clase de protección (EN 61140): I, grado de protección (DIN EN 60529): IP66, grado de la resistencia al impacto según IEC 62262: IK08/5 J, temperatura de prueba para el ensayo de hilo incandescente según IEC 60695-2-11: 850 °C. Con transformador electrónico, conmutable. Incluso parte proporcional de conductor de Cu tipo 07Z1-K y tubo rígido hasta caja de conexión mas próxima. Comprende todos los trabajos, materiales y medios auxiliares necesarios para dejar la unidad completa, totalmente instalada, probada y en perfecto estado de funcionamiento, según Documentos de Proyecto, indicaciones de la D.F. y normativa vigente.	**513,00**
10.03	**m Tubo rígido de PVC enchufable M-25** Canalización electrica construida mediante tubo rígido de PVC enchufable, ø 25 mm, libre de halogenuros, no propagador de llama, grado protección al fuego V0, grado de protección mecánica 7. Incluso p.p. de cajas de derivación, abrazaderas y accesorios de sujección. Colocación y recuperación de cable guía y ayudas en albaliñería en apertura de rozas, huecos o pasamuros. Totalmente instalado.	**6.075,00**
10.04	**u Cuadro electrico ALUMBRADO** Suministro y montaje de cuadro electrico, de la marca Schneider Electric o equivalente aprobado por DF, serie Spacial, formado por armario de superficie de acero inoxidable 316L, elevada resistencia a la corrosión (entornos salinos o con cloro), con grado de protección IP66 e IK10, para albergar en su interior las protecciones termicas y diferenciales de los circuitos de alumbrado de la cubierta del silo. Conteniendo en su interior todos los elementos reflejados en esquemas de proyecto, cableado interno con punteras, con bornero, pletinas auxiliares de conexión, incluso limitador de sobretensiones de clase II. Certificación de ensayos, declaración CE y etiquetaje de circuitos. Totalmente montado y funcionando.	**1,00**

Documento visado electrónicamente con número: VA07290/22
Código de validación telemática TRLTDCFZ60T66IJ1. Comprobación: https://cogitivalencia.e-gestion.es/Validacion.aspx?CVT=TRLTDCFZ60T66IJ1

CÓDIGO	RESUMEN	CANTIDAD

11 EVACUACIÓN AGUAS PLUVIALES

11.01 **u** **Sumidero Pluvia Geberit 25 l/s** **72,00**

Suministro y montaje de sumidero Geberit Pluvia de 25l/s, compatible con datos del proyecto, incluso accesorios, material auxiliar para montaje y sujeción a la obra, soportación, accesorios y piezas especiales. Incluidos medios de elevación. Totalmente instalado y en perfecto estado de funcionamiento.

11.02 **m** **Tubería HDPE 75mm** **36,00**

Suministro e instalación de tubería Ø 75 mm de PE 80 fabricado por Geberit, incluida parte proporcional de accesorios moldeados y fabricados por Geberit (injertos, codos, reducciones, manguitos electrosoldables, cintas electrosoldables, piezas especiales). Se incluyen elementos de fijación según estudio realizado. Instalación realizada con puntos fijos para control de la dilatación. Incluso material auxiliar para montaje y sujeción a la obra, soportación, accesorios y piezas especiales. Incluidos medios de elevación. Totalmente instalado y en perfecto estado de funcionamiento.

11.03 **m** **Tubería HDPE 90mm** **9,00**

Suministro e instalación de tubería Ø 90 mm de PE 80 fabricado por Geberit, incluida parte proporcional de accesorios moldeados y fabricados por Geberit (injertos, codos, reducciones, manguitos electrosoldables, cintas electrosoldables, piezas especiales). Se incluyen elementos de fijación según estudio realizado. Instalación realizada con puntos fijos para control de la dilatación. Incluso material auxiliar para montaje y sujeción a la obra, soportación, accesorios y piezas especiales. Incluidos medios de elevación. Totalmente instalado y en perfecto estado de funcionamiento.

11.04 **m** **Tubería HDPE 110mm** **27,00**

Suministro e instalación de tubería Ø 110 mm de PE 80 fabricado por Geberit, incluida parte proporcional de accesorios moldeados y fabricados por Geberit (injertos, codos, reducciones, manguitos electrosoldables, cintas electrosoldables, piezas especiales). Se incluyen elementos de fijación según estudio realizado. Instalación realizada con puntos fijos para control de la dilatación. Incluso material auxiliar para montaje y sujeción a la obra, soportación, accesorios y piezas especiales. Incluidos medios de elevación. Totalmente instalado y en perfecto estado de funcionamiento.

11.05 **m** **Tubería HDPE 160mm** **156,30**

Suministro e instalación de tubería Ø 160 mm de PE 80 fabricado por Geberit, incluida parte proporcional de accesorios moldeados y fabricados por Geberit (injertos, codos, reducciones, manguitos electrosoldables, cintas electrosoldables, piezas especiales). Se incluyen elementos de fijación según estudio realizado. Instalación realizada con puntos fijos para control de la dilatación. Incluso material auxiliar para montaje y sujeción a la obra, soportación, accesorios y piezas especiales. Incluidos medios de elevación. Totalmente instalado y en perfecto estado de funcionamiento.

11.06 **m** **Tubería HDPE 200mm** **593,20**

Suministro e instalación de tubería Ø 200 mm de PE 80 fabricado por Geberit, incluida parte proporcional de accesorios moldeados y fabricados por Geberit (injertos, codos, reducciones, manguitos electrosoldables, cintas electrosoldables, piezas especiales). Se incluyen elementos de fijación según estudio realizado. Instalación realizada con puntos fijos para control de la dilatación. Incluso material auxiliar para montaje y sujeción a la obra, soportación, accesorios y piezas especiales. Incluidos medios de elevación. Totalmente instalado y en perfecto estado de funcionamiento.

11.07 **m** **Tubería HDPE 250mm** **650,70**

Suministro e instalación de tubería Ø 250 mm de PE 80 fabricado por Geberit, incluida parte proporcional de accesorios moldeados y fabricados por Geberit (injertos, codos, reducciones, manguitos electrosoldables, cintas electrosoldables, piezas especiales). Se incluyen elementos de fijación según estudio realizado. Instalación realizada con puntos fijos para control de la dilatación. Incluso material auxiliar para montaje y sujeción a la obra, soportación, accesorios y piezas especiales. Incluidos medios de elevación. Totalmente instalado y en perfecto estado de funcionamiento.

VISADO
COGITI
VALENCIA
VA07290/22
TRLTDCFZ60T66IJ1

Documento visado electrónicamente con número: VA07290/22
Código de validación telemática TRLTDCFZ60T66IJ1. Comprobación: https://cogitivalencia.e-gestion.es/Validacion.aspx?CVT=TRLTDCFZ60T66IJ1

VISADO
COGITI
VALENCIA
VA07290/22
TRLTDCFZ60T66IJ1

CÓDIGO	RESUMEN	CANTIDAD
11.08	**m2 Cubierta chapa prelacada 0,6mm** Suministro y montaje de cubierta completa realizada con chapa perfilada de acero grecada prelacada por la cara exterior de 0.6 mm. de espesor, con recubrimiento HDX 55 micras en cara superior, con nervios de 42 mm de altura de cresta, a una separación de entre 200mm. Con fijacion rígida colaborante a las correas la marquesina (tornillo auto-roscante o ganchos en acero inoxidable). , Parte proporcional de replanteo, preparación, solapes, juntas de dilatación, elementos de fijación, remates, accesorios, piezas especiales para resolución de puntos singulares, elementos de fijación y estanqueidad, cortes, sellados y resolución de encuentros con chapa prelacada de 0,60 mm y 500 mm de desarrollo medio. Incluso medios auxiliares y elementos de seguridad. Según norma NTE-QTG-7,9,10 y 11. Totalmente ejecutada y perfectamente estanca.	39.150,00
11.09	**m Canalón de chapa prelacado 1mm** Suministro y montaje de canalón interior para cubierta inclinada con chapa plegada de acero galvanizado prelacado, de 1,0 mm de espesor, de 500mm de ancho y 250mm de altura de alas. Incluso accesorios de fijación de las piezas a las placas y masilla de base neutra monocomponente, para sellado de juntas. Incluso accesorios de fijación de las chapas, tornillos autorroscantes, apertura y rematado de huecos y masilla de base neutra monocomponente, para sellado de juntas.	1.260,00
11.10	**u Taladro placa alveolar** Ejecución de hueco en placa alveolar, para paso de instalaciones, de superficie comprendida entre 0,35 m2 y 0,50 m2. Totalmente ejecutado incluida la retirada de escombros a vertedero y el posterior rematado de hueco una vez ejecutado el paso de instalaciones, garantizando la estanqueidad. Totalmente ejecutado	9,00
11.11	**m Soporte metálico para bajante** Suministro y montaje de soporte metálico de acero galvanizado en forma de U, de 40x60x3mm, para instalación vertical de tubo HDPE de 315mm en el tramo de cubierta. Con perforaciones en el mismo, en las que se sujetan los elemenos de unión, así como los juegos de fijación a la varilla roscada para los puntos de anclaje y las abrazaderas deslizantes, acabado con imprimación antioxidante. Incluso elementos de fijación, torniellería y accesorios necesarios para su instalación. Medida por metro lineal.	72,00

Documento visado electrónicamente con número: VA07290/22
Código de validación telemática TRLTDCFZ60T66IJ1. Comprobación: https://cogitivalencia.e-gestion.es/Validacion.aspx?CVT=TRLTDCFZ60T66IJ1

CÓDIGO	RESUMEN	CANTIDAD
12	**GESTIÓN DE RESIDUOS**	
12.01	**pa GESTIÓN DE RESIDUOS** ALMACENAMIENTO, MANEJO, SEPARACIÓN Y, EN SU CASO, OTRAS OPERACIONES DE GESTIÓN DE LOS RESIDUOS DE CONSTRUCCIÓN Y DEMOLICIÓN PARA EL ALCANCE DE LA OBRA, DE ACUERDO A LA NORMATIVA VIGENTE.	**1,00**

VISADO
COGITI
VALENCIA
VA07290/22
TRLTDCFZ60T66IJ1

Documento visado electrónicamente con número: VA07290/22
Código de validación telemática TRLTDCFZ60T66IJ1. Comprobación: https://cogitivalencia.e-gestion.es/Validacion.aspx?CVT=TRLTDCFZ60T66IJ1

PRESUPUESTO

CÓDIGO	RESUMEN		CANTIDAD
13	**CONTROL DE CALIDAD**		
13.01	pa	CONTROL DE CALIDAD	1,00

VISADO
COGITI
VALENCIA
VA07290/22
TRLTDCFZ60T66IJ1

Documento visado electrónicamente con número: VA07290/22
Código de validación telemática TRLTDCFZ60T66IJ1. Comprobación: https://cogitivalencia.e-gestion.es/Validacion.aspx?CVT=TRLTDCFZ60T66IJ1

VISADO
COGITI
VALENCIA
VA07290/22
TRLTDCFZ60T66IJ1

CÓDIGO	RESUMEN	CANTIDAD
14	**SEGURIDAD Y SALUD**	
14.01	**PROTECCIONES INDIVIDUALES**	
14.01.01	**u CASCO SEGURIDAD,DIELÉC. P/B.T. POLIETILENO** CASCO DE SEGURIDAD DIELÉCTRICO PARA BAJA TENSIÓN DE POLIETILENO, HOMOLOGADO SEGÚN UNE-EN 50365	**40,00**
14.01.02	**u GAFAS ANTIIMP.ST.,MONTURA UNIV.,VISOR TRANSP.C/EMPAÑAM.** GAFAS DE SEGURIDAD ANTIIMPACTOS ESTÁNDAR, CON MONTURA UNIVERSAL, CON VISOR TRANSPARENTE Y TRATAMIENTO CONTRA EL EMPAÑAMIENTO, HOMOLOGADAS SEGÚN UNE-EN 167 Y UNE-EN 168	**40,00**
14.01.03	**u PROTECTOR AUDITIVO TAPÓN ESPUMA** PROTECTOR AUDITIVO DE TAPÓN DE ESPUMA, HOMOLOGADO SEGÚN UNE-EN 352-2 Y UNE-EN 458	**40,00**
14.01.04	**u GUANTES MATERIAL AISL.,P/TRABAJOS ELÉCTRICOS,CL.0,LOGOTIPO ROJO,** PAR DE GUANTES DE MATERIAL AISLANTE PARA TRABAJOS ELÉCTRICOS, CLASE 0, LOGOTIPO COLOR ROJO, TENSIÓN MÁXIMA 1000 V, HOMOLOGADOS SEGÚN UNE-EN 420	**40,00**
14.01.05	**u GUANTES DIELÉC.P/B.T.,CAUCHO,MANGU.<1/2ANTEBR.** PAR DE GUANTES DIELÉCTRICOS PARA BAJA TENSIÓN, DE CAUCHO, CON MANGUITOS HASTA MEDIO ANTEBRAZO	**40,00**
14.01.06	**u PAR BOTAS SEGURIDAD,RESIST.HUMED.,PIEL RECTIF.,SUELA ANTIDESL.AN** PAR DE BOTAS DE SEGURIDAD RESISTENTES A LA HUMEDAD, DE PIEL RECTIFICADA, CON TOBILLERA ACOLCHADA, SUELA ANTIDESLIZANTE Y ANTIESTÁTICA, CUÑA AMORTIGUADORA PARA EL TALÓN, LENGÜETA DE FUELLE, DE DESPRENDIMIENTO RÁPIDO, CON PLANTILLAS Y PUNTERA METÁLICAS	**40,00**
14.01.07	**u PAR BOTAS DIELÉC.,RESIST.HUMED.,PIEL RECTIF.,SUELA ANTIDESL.S/HERRAJE MET.,PUNTERA REFORZ.** PAR DE BOTAS DIELÉCTRICAS RESISTENTES A LA HUMEDAD, DE PIEL RECTIFICADA, CON TOBILLERA ACOLCHADA SUELA ANTIDESLIZANTE Y ANTIESTÁTICA, CUÑA AMORTIGUADORA PARA EL TALÓN, LENGÜETA DE FUELLE, DE DESPRENDIMIENTO RÁPIDO, SIN HERRAJE METÁLICO, CON PUNTERA REFORZADA, HOMOLOGADAS SEGÚN DIN 4843	**40,00**
14.01.08	**u MONO TRABAJO,POLIÉST./ALGOD.,BOLS.EXT.** MONO DE TRABAJO, DE POLIÉSTER Y ALGODÓN, CON BOLSILLOS EXTERIORES	**40,00**
14.01.09	**u CHALECO REFLECTANTE,TIRAS REFLECT.CINT./PEC./ESPA.** CHALECO REFLECTANTE CON TIRAS REFLECTORAS EN LA CINTURA, EN EL PECHO Y EN LA ESPALDA, HOMOLOGADA SEGÚN UNE-EN 471	**40,00**
14.01.10	**u IMPERMEABLE CHAQ.+CAPU.+PANT.,P/O.PÚB.,PVC SOLD.,E=0,4MM,VIV.** IMPERMEABLE CON CHAQUETA, CAPUCHA Y PANTALONES, PARA OBRAS PÚBLICAS, DE PVC SOLDADO DE 0,4 MM DE ESPESOR, DE COLOR VIVO, HOMOLOGADO SEGÚN UNE-EN 340	**40,00**
14.02	**PROTECCIONES COLECTIVAS**	
14.02.01	**h BRIGADA SEGUR.P/MANTENIM.+REPOS.PROTEC.** BRIGADA DE SEGURIDAD PARA MANTENIMIENTO Y REPOSICIÓN DE LAS PROTECCIONES	**30,00**
14.02.02	**u PLACA PINTURA REFLECTANTE TRIANGULAR LADO=70CM,FIJ.MEC.+DESMONT.** PLACA CON PINTURA REFLECTANTE TRIANGULAR DE 70 CM DE LADO, PARA SEÑALES DE TRÁFICO, FIJADA Y CON EL DESMONTAJE INCLUIDO	**25,00**
14.02.03	**u PLACA SEGURIDAD LABORAL,ACERO SERIGRAF.,40X33CM,FIJ.MECÁNICAMENT** PLACA DE SEÑALIZACIÓN DE SEGURIDAD LABORAL, DE PLANCHA DE ACERO LISA SERIGRAFIADA, DE 40X33 CM, FIJADA MECÁNICAMENTE Y CON EL DESMONTAJE INCLUIDO	**45,00**

Documento visado electrónicamente con número: VA07290/22
Código de validación telemática TRLTDCFZ60T66IJ1. Comprobación: https://cogitivalencia.e-gestion.es/Validacion.aspx?CVT=TRLTDCFZ60T66IJ1

VISADO
COGITI
VALENCIA
VA07290/22
TRLTDCFZ60T66IJ1

CÓDIGO	RESUMEN	CANTIDAD
14.02.04	u **CONO DE PLÁSTICO REFLECTOR H=50CM** CONO DE PLÁSTICO REFLECTOR DE 50 CM DE ALTURA	150,00
14.02.05	m **CINTA BALIZAMIENTO REFLECTANTE,SOPORTE/5M,DESMONTAJE INCLU.** CINTA DE BALIZAMIENTO REFLECTANTE, CON UN SOPORTE CADA 5 M Y CON EL DESMONTAJE INCLUIDO	1.500,00
14.02.06	u **EXTINTOR POLVO SECO,6KG,PRESIÓN INCORPO.PINTADO,SOPORTE/DESMONT.** EXTINTOR DE POLVO SECO, DE 6 KG DE CARGA, CON PRESIÓN INCORPORADA, PINTADO, CON SOPORTE EN LA PARED Y CON EL DESMONTAJE INCLUIDO	4,00
14.02.07	u **PANTALLA AISL.P/TRAB.ZON.INFL.LÍN.ELÉC.** PANTALLA AISLANTE PARA TRABAJOS EN ZONAS DE INFLUENCIA DE LÍNEAS ELÉCTRICAS EN TENSIÓN	4,00
14.02.08	u **PLATAFORMA AISL.,BASE P/TRAB.CUAD.ELÉCT.DIST.,100X100CM,E=3MM** PLATAFORMA AISLANTE DE BASE PARA TRABAJO EN CUADROS ELÉCTRICOS DE DISTRIBUCIÓN DE 100X100 CM Y DE ESPESOR 3 MM	4,00
14.02.09	u **BANQUETA AISL.,PATAS FIJAS,P/TRABAJ.TENSIÓN** BANQUETA AISLANTE DE PATAS FIJAS PARA TRABAJOS EN TENSIÓN, SEGÚN UNE 204001	4,00
14.02.10	m **VALLA MÓVIL METÁL.,LONG.=2,5M,H=1M,DESM.** VALLA MÓVIL METÁLICA DE 2,5 M DE LONGITUD Y 1 M DE ALTURA Y CON EL DESMONTAJE INCLUIDO	400,00
14.03	**INSTALACIONES DE HIGIENE Y BIENESTAR**	
14.03.01	mes **MÓDULO PREFABRICADO SANITARIOS 3,7X2,3X2,3M,INST.LAMPIST.,INST.E** MÓDULO PREFABRICADO DE SANITARIOS DE 3,7X2,3X2,3 M DE PANEL DE ACERO LACADO Y AISLAMIENTO DE POLIURETANO DE 35 MM DE ESPESOR, REVESTIMIENTO DE PAREDES CON TABLERO FENÓLICO, PAVIMENTO DE LAMAS DE ACERO GALVANIZADO, CON INSTALACIÓN DE LAMPISTERÍA, 1 LAVABO COLECTIVO CON 3 GRIFOS, 2 PLACAS TURCAS, 2 DUCHAS, ESPEJO Y COMPLEMENTOS DE BAÑO, CON INSTALACIÓN ELÉCTRICA, 1 PUNTO DE LUZ, INTERRUPTOR, ENCHUFES Y PROTECCIÓN DIFERENCIAL	6,00
14.03.02	mes **MÓDULO PREFABRICADO VESTIDOR 8,2X2,5X2,3M,INST.ELÉC.** MÓDULO PREFABRICADO DE VESTIDORES DE 8,2X2,5X2,3 M DE PANEL DE ACERO LACADO Y AISLAMIENTO DE POLIURETANO DE 35 MM DE ESPESOR, REVESTIMIENTO DE PAREDES CON TABLERO FENÓLICO, PAVIMENTO DE LAMAS DE ACERO GALVANIZADO CON AISLAMIENTO DE FIBRA DE VIDRIO Y TABLERO FENÓLICO, , CON INSTALACIÓN ELÉCTRICA, 1 PUNTO DE LUZ, INTERRUPTOR, ENCHUFES Y PROTECCIÓN DIFERENCIAL	6,00
14.03.03	mes **MÓDULO PREFABRICADO COMEDOR 6X2,3X2,6M,INST.LAMPIST.,INST.ELÉC.** MÓDULO PREFABRICADO DE COMEDOR DE 6X2,3X2,6 M DE PANEL DE ACERO LACADO Y AISLAMIENTO DE 35 MM DE ESPESOR, REVESTIMIENTO DE PAREDES CON TABLERO FENÓLICO, PAVIMENTO DE LAMAS DE ACERO GALVANIZADO CON AISLAMIENTO DE FIBRA DE VIDRIO Y TABLERO FENÓLICO, CON INSTALACIÓN DE LAMPISTERÍA, FREGADERO DE 2 SENOS CON GRIFO Y ENCIMERA, CON INSTALACIÓN ELÉCTRICA, 1 PUNTO DE LUZ, INTERRUPTOR, ENCHUFES Y PROTECCIÓN DIFERENCIAL	6,00
14.03.04	u **ESPEJO LUNA INCOLORA,E=3MM,ADHERIDO TABLERO MADERA** ESPEJO DE LUNA INCOLORA DE 3 MM DE ESPESOR, COLOCADO ADHERIDO SOBRE TABLERO DE MADERA	6,00
14.03.05	u **BANCO MADERA,3,5MX0,4M,P/5PERS.,COL.+DESMONT.INCLUIDO** BANCO DE MADERA, DE 3,5 M DE LONGITUD Y 0,4 M DE ANCHURA, CON CAPACIDAD PARA 5 PERSONAS, COLOCADO Y CON EL DESMONTAJE INCLUIDO	6,00

Documento visado electrónicamente con número: VA07290/22
Código de validación telemática TRLTDCFZ60T66IJ1. Comprobación: https://cogitivalencia.e-gestion.es/Validacion.aspx?CVT=TRLTDCFZ60T66IJ1

VISADO
COGITI
VALENCIA
VA07290/22
TRLTDCFZ60T66IJ1

CÓDIGO	RESUMEN	CANTIDAD
14.03.06	u **MESA MADERA TABLERO MELAMINA,3,5MX0,8M,P/10PERS.,COL.+DESMONT.IN** MESA DE MADERA CON TABLERO DE MELAMINA, DE 3,5 M DE LONGITUD Y 0,8 M DE ANCHURA, CON CAPACIDAD PARA 10 PERSONAS, COLOCADA Y CON EL DESMONTAJE INCLUIDO	1,00
14.03.07	u **HORNO MICROONDAS P/COMIDAS,COL.+DESMONT.INCLUIDO** HORNO MICROONDAS PARA CALENTAR COMIDAS, COLOCADO Y CON EL DESMONTAJE INCLUIDO	1,00
14.03.08	u **RECIPIENTE P/BASURAS,100L,COL.+DESMONT.INCLUIDO** RECIPIENTE PARA RECOGIDA DE BASURAS, DE 100 L DE CAPACIDAD, COLOCADO Y CON EL DESMONTAJE INCLUIDO	1,00
14.03.09	h **MANO OBRA,LIMPIEZA+CONSERVACIÓN INSTALACIONES** MANO DE OBRA PARA LIMPIEZA Y CONSERVACIÓN DE LAS INSTALACIONES	22,00
14.03.10	u **BOTIQUÍN PORTÁTIL URG.+CONTENIDO SEGÚN ORDEN.SYS** BOTIQUÍN PORTÁTIL DE URGENCIA, CON EL CONTENIDO ESTABLECIDO EN LA ORDENANZA GENERAL DE SEGURIDAD Y SALUD EN EL TREBAJO	2,00
14.03.11	u **MATERIAL SANITARIO BOTIQUÍN+CONTENIDO SEGÚN ORDEN.SYS** MATERIAL SANITARIO PARA SURTIR UN BOTIQUÍN CON EL CONTENIDO ESTABLECIDO EN LA ORDENANZA GENERAL DE SEGURIDAD Y SALUD EN EL TREBAJO	2,00

Documento visado electrónicamente con número: VA07290/22
Código de validación telemática TRLTDCFZ60T66IJ1. Comprobación: https://cogitivalencia.e-gestion.es/Validacion.aspx?CVT=TRLTDCFZ60T66IJ1

VISADO
COGITI
VALENCIA
VA07290/22
TRLTDCFZ60T66IJ1

Documento visado electrónicamente con número: VA07290/22
Código de validación telemática TRLTDCFZ60T66IJ1. Comprobación: https://cogitivalencia.e-gestion.es/Validacion.aspx?CVT=TRLTDCFZ60T66IJ1

4.2. CUADROS DE PRECIOS

VISADO
COGITI
VALENCIA
VA07290/22
TRLTDCFZ60T66IJ1

Documento visado electrónicamente con número: VA07290/22
Código de validación telemática TRLTDCFZ60T66IJ1. Comprobación: https://cogitivalencia.e-gestion.es/Validacion.aspx?CVT=TRLTDCFZ60T66IJ1

4.2.1. CUADRO DE PRECIOS Nº1

CUADRO DE PRECIOS 1

VISADO
COGITI
VALENCIA
VA07290/22
TRLTDCFZ60766IJ1

CÓDIGO	UD	RESUMEN	PRECIO

01 TRABAJOS PREVIOS

01.01 **u** **Demolición y retirada torres alumbrado** **816,44**

Desconexión, demolición y retirada de torres de alumbrado ubicadas en cubierta del silo por interferencia con la instalación fotovoltaica, sin recuperación de los mismos, incluso desmontajes de anclajes de sujección, desconexiones de la línea eléctrica en la luminaria y en la salida del cuadro correspondiente y limpieza, y p.p. de medios auxiliares, con medidas de protección colectivas. Adaptación necesaria de instalación eléctrica para gantizar la seguridad, empalmes o alimentación provisional en caso necesario. Incluyento su desconexión total y desvíos necesarios para dejar el resto de la instalación en perfecto estado de funcionamiento Retirada de material a lugar designado por la propiedad. Demolición de base de hormigón armado HA-30/B/20/IIIa, de dimensiones aproximadas de 1,80x1,80x1m, con armado formado por una malla cuadrada de 10/30 en los lados y cara inferior. Incluso retirada de escombros a pie de carga, con transporte a vertedero y con p.p. de medios auxiliares, con medidas de protección colectivas.

OCHOCIENTOS DIECISÉIS EUROS con CUARENTA Y CUATRO CÉNTIMOS

01.02 **PA** **Impermeabilización y pavimento asfaltico** **5.371,53**

Partida alzada correspondiente a la impermeabilización de cubierta tras retirada de torres de alumbrado, consistente en:

Impermeabilización:
- Barrido y limpieza de superficie.
- Capa de imprimación con PROMULSIT con una dotación aproximada de 3 kg/m2
- Dos capas de ROADSEAL FIBRE con una dotación aproximada de 2 kg/m2 por capa. Compuesto de cargas minerales de granulometría controlada, una emulsión bituminosa de alta estabilidad y fibras sintéticas.

Pavimento Asfáltico:
- Extendido y compactación de una capa de regularización de la superficie de 3 a 4 cm de espesor medio de aglomerado asfáltico en caliente tipo AC8 BIN 35/0D.
- Riego de adherencia con emulsión modificada termoadherente C60 BP4TER.
- Extendido y compactación de una capa de rodadura de 2 – 3 cm de espesor medio tipo BBTM 11 A PMB 45/80-65 F con betún modificado.

Incluso p.p. de pequeño material, incluso medios auxiliares, totalmente terminado.

CINCO MIL TRESCIENTOS SETENTA Y UN EUROS con CINCUENTA Y TRES CÉNTIMOS

01.03 **u** **Unión articulada** **648,86**

Suministro y montaje de enlace de estructura metálica con edificio existente, según detalle de planos, mediante unión arrticulada compuesta por dos partes:
La parte inferior se trata de una placa de anclaje convencional mediante pernos que se anclan en el pilar. Este elemento es el encargado de transmitir los esfuerzos de axil y corte que provienen de la estructura metálica a los pilares de hormigón.
La parte superior se compone de una placa soldada al pilar metálico junto con unos rigidizadores que garantizan la unión entre ambas partes y la correcta transmisión de esfuerzos.
Ambas partes se unen entre sí mediante un conjunto chapa-pasador capaz de resistir los esfuerzos de axil y de corte e impidiendo la transmisión de momentos.

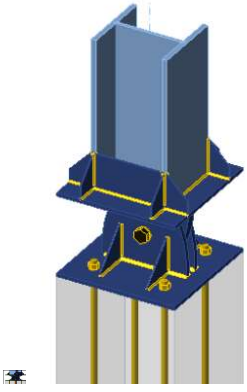

SEISCIENTOS CUARENTA Y OCHO EUROS con

Documento visado electrónicamente con número: VA07290/22
Código de validación telemática TRLTDCFZ60766IJ1. Comprobación: https://cogitivalencia.e-gestion.es/Validacion.aspx?CVT=TRLTDCFZ60766IJ1

CÓDIGO	UD	RESUMEN	PRECIO
		OCHENTA Y SEIS CÉNTIMOS	

VISADO
COGITI
VALENCIA
VA07290/22
TRLTDCFZ60T66IJ1

Documento visado electrónicamente con número: VA07290/22
Código de validación telemática TRLTDCFZ60T66IJ1. Comprobación: https://cogitivalencia.e-gestion.es/Validacion.aspx?CVT=TRLTDCFZ60T66IJ1

VISADO
COGITI
VALENCIA
VA07290/22
TRLTDCFZ60T66IJ1

CÓDIGO	UD	RESUMEN	PRECIO

02 ESTRUCTURA METÁLICA

02.01 **kg** **Acero elaborado S275JR Estructural Laminado** **3,40**

Suministro y montaje de acero elaborado S275JR según UNE-EN 10025, colocado en estructura metálica atornillada, en edificio industrial o espacio abierto, en condiciones normales, mediante uniones atornilladas (según indicaciones de la Dirección Facultativa), incluyendo materiales de sujeción de paramentos, correas, zunchos, dinteles, cerchas, celosías, pilares, placas de anclaje, parte proporcional de soldaduras, cortes, piezas especiales, despuntes y ficha técnica del producto totalmente montado y colocado sobre soporte incluyendo taladros necesarios, incluyendo repaso de soldaduras y defectos en obra una vez instalada, según según SE-A del CTE.
En el precio unitario quedará incluido el incremento porcentual por despuntes y errores de laminación, asi como la tornilleria, rigidizadores y UNIONES, además de elementos secundarios de montaje .
El criterio de medición se realizará mediante el calculo de Kg/ml (utlizandose el prontuario EAE-2011), de las barras reflejadas en los planos de estructura de Taller aprobados por la D.F, no contabilizando elementos secundarios de montaje, rigidizadores, pletinas, etc
Incluido diseño y cálculo de todas las uniones con su correspondiente memoria de cálculo firmada por técnico competente y visada por el Colegio Oficial correspondiente.
Sobre los perfiles metálicos está prevista la aplicación de sistemas de pintura para soporte de acero al carbono de baja aleación con preparación de la superficie a chorro grado Sa 2½ (Véase la Norma ISO 8501-1) para aplicarción de tratamiento antioxidante C5-M

TRES EUROS con CUARENTA Y NUEVE CÉNTIMOS

02.02 **m2** **Pintura anticorrosiva C5-M ambiente marino** **35,36**

Tratamiento superficial de protección anticorrosiva de la empresa Pinturas MONTÓen elementos de acero para garantizar durabilidad frente a ambiente marino C5-M según UNE-EN ISO 12944-6:1999:

El sistema para ambiente atmosférico C5-M con durabilidad alta, incluye:
Preparación de la superficie mediante chorreado grado Sa 2½ (Véase la Norma ISO 8501-1)
1 capa de 80 ìm secas de Imprimación M-Epox 70
1 capa de 160 ìm secas de Imprimación M-Epox-HB 40
2 capas de 40 ìm secas de Esmalte M-Thane 70-B
Total ENPS (espesor nominal de pel?cula seca) de 320 µm. +-10%
Aplicación de pintura de obligado cumplimiento segúnprescripción, control de aplicación y revisión de procesos de ejecución de la empresa Pinturas MONTÓ, realizada en TALLER.

TREINTA Y CINCO EUROS con TREINTA Y SEIS CÉNTIMOS

02.03 **kg** **Suministro y colocación de placas de anclaje** **338,28**

Suministro y colocación de placa de anclaje de acero post-installed. Totalmente colocada y perfectamente nivelada -previa aprobación por parte de la Dirección Facultativa del mortero grout el cual se incluye- preparada para el anclaje de os perfiles metálicos previstos en plano. Incluido limpieza y retirada de restos. Totalmente ejecutado. Acero INOXIDABLE . Anclaje químico compuesto por resina RE 500 V3 + Varilla roscada HAS-U A4 M24 y M20.

Se incluye en proyecto detalle para ver los diferentes tipos de placas, disposición y características de anclajes, incluso espesor de placas de anclaje y rigidizadores.

TRESCIENTOS TREINTA Y OCHO EUROS con VEINTIOCHO CÉNTIMOS

Documento visado electrónicamente con número: VA07290/22
Código de validación telemática: TRLTDCFZ60T66IJ1. Comprobación: https://cogitivalencia.e-gestion.es/validacion.aspx?CVT=TRLTDCFZ60T66IJ1

VISADO
COGITI
VALENCIA
VA07290/22
TRLTDCFZ60T66IJ1

CÓDIGO	UD	RESUMEN	PRECIO

03 INSTALACIÓN FOTOVOLTAICA

03.01 EQUIPAMIENTO FOTOVOLTAICO

03.01.01 **u** **Módulo fotovoltaico Jinko JKM535M-72HL4 535 Wp** **224,22**

Suministro y montaje de panel fotovoltaico modelo JKM535M-72HL4 de la marca Jinko o equivalente aprobado por DF. El módulo dispone de las siguientes características:

· Potencia nominal (Pmpp) …….…… 535 Wp
· Tolerancia potencia nominal ……..…+3%.
· Voltaje punto de máxima potencia (Vmpp) ……. 40,63 V.
· Corriente punto de máxima potencia (Impp) ……..13,17 A.
· Voltaje en circuito abierto (Voc) ……49,34 V.
· Corriente de cortocircuito (Isc) ……13,79 A.
· Coef. temperatura de potencia máxima ……-0,35 %/ºC.
· Coef. temperatura tensión de circuito abierto ……..-0,28 %/ºC.
· Coef. temperatura corriente de cortocircuito ……0,048 %/ºC.
· Maxima tensión del sistema 1.500Vdc

Las dimensiones de los módulos fotovoltaicos son las siguientes:

· Longitud ……2.274 mm.
· Anchura ……1134 mm.
· Espesor ……35 mm.

Con cable largo para conexion en posicion horizontal y conectores MC4. Resto de caracteristicas tecnicas según catalogo del Fabricante. Incluso bridas, piezas especiales, conexiones electricas, ayudas de albañileria, limpieza de materiales sobrantes, transportes, medios auxiliares de elevacion y replanteos. Todo ello instalado, verificaciones, ensayos, conexiones, enclavamientos, controles, pruebas, certificados y homologaciones. Totalmente instalado, incluso conexionado y anclaje a estructura.

DOSCIENTOS VEINTICUATRO EUROS con VEINTIDÓS CÉNTIMOS

03.01.02 **u** **Inversor trifasico Huawei SUN 2000-185KTL-H1 185 kW** **19.204,66**

Suministro e instalacion de inversor fotovoltaico de conexion a red, modelo SUN 2000-185KTL-H1 de la marca HUAWEI o equivalente aprobado por DF. El inversor dispone de las siguientes características:

- Potencia nominal	185 kW
- Tensión nominal de salida	800 V 3F+PE
- Máxima tensión de entrada	1500 V
- Rango tensión MPPT	500-1500 V
- Máxima corriente por MPPT	26 A
- Máxima corriente de cortocircuito por MPPT	40 A
- Número de entradas	18
- Numero de seguimiento de MPP	9

Los inversores cumplen con la normativa europea aplicable a estos equipos, contando con todas las protecciones exigidas por el RD 1699/2011, de 18 de Noviembre:

- Protección de máxima y mínima tensión (1,1 y 0,85 Um, respectivamente)
- Protección de máxima y mínima frecuencia (51 y 49 Hz. respectivamente)
- Transformador de separación galvánica.
- Protección contra funcionamiento en modo isla.
- Protección contra sobretensiones.
- Control de aislamiento.

Incluso armario de acero inoxidable AISI 316L para protección frente a los agentes atmoféricos del Iinversor, piezas especiales, conexiones electricas, ayudas de albañileria, limpieza de materiales sobrantes, transportes, medios auxiliares de elevacion y replanteos. Todo ello instalado, verificaciones, ensayos, conexiones, enclavamientos, controles, pruebas, certificados y homologaciones. Totalmente instalado, incluso conexionado y puesto en marcha..

DIEZ MIL DOSCIENTOS CUATRO EUROS con SESENTA Y SEIS CÉNTIMOS

Documento visado electrónicamente con número: VA07290/22
Código de validación telemática TRLTDCFZ60T66IJ1. Comprobación: https://cogitivalencia.e-gestion.es/Validacion.aspx?CVT=TRLTDCFZ60T66IJ1

VISADO
COGITI
VALENCIA
VA07290/22
TRLTDCFZ60T66IJ1

CÓDIGO	UD	RESUMEN	PRECIO

03.02 INSTALACION ELECTRICA FOTOVOLTAICA

03.02.01 **m** **Cable ZZ-F (AS) 1,8 kV DC sección 2x6mm2 Cu** **3,86**

Línea electrica construida mediante cable unipolar de cobre recocido tipo EXZ-HELLENT SOLAR ZZ-F, tensión nominal 0,6/1 kV, tensión máxima en corriente continua 1,8 kV, reacción al fuego clase Eca, con conductor de cobre recocido, flexible (clase 5), de 6 mm² de sección para positivo y negativo, aislamiento de elastómero reticulado, de tipo EI6, cubierta de elastómero reticulado, de tipo EM5, aislamiento clase II, de color negro, y con las siguientes características: no propagación de la llama, baja emisión de humos opacos, reducida emisión de gases tóxicos, libre de halógenos, nula emisión de gases corrosivos, resistencia a la absorción de agua, resistencia al frío, resistencia a los rayos ultravioleta, resistencia a los agentes químicos, resistencia a las grasas y aceites, resistencia a los golpes y resistencia a la abrasión. Según DKE/VDE AK 411.2.3. Instalado en canalización correspondiente, incluso p.p. de accesorios de fijación, terminales, tornillos. Incluso mano de obra, replanteos, limpieza previa, y ayudas de albañileria que se precisen, así como la utilización de herramientas y medios auxiliares que se precisen, manipulación, retirada de material sobrante y limpieza posterior etc. Se entiende material totalmente instalado y verificado.

TRES EUROS con OCHENTA Y SEIS CÉNTIMOS

03.02.02 **m** **Cable RZ1-K 0,6/1 kV (AS) sección 4x70+TT mm² Cu** **55,24**

Línea electrica construida mediante cable unipolar de cobre recocido RZ1-K 0,6/1 kV (AS), reacción al fuego clase Cca-s1b,d1,a1, aislamiento de polietileno reticulado (XLPE), de tipo DIX3, cubierta de poliolefina termoplástica, de tipo Afumex Z1, de color verde, sección 70 mm² para fases y neutro y sección 35 mm² para tierra, de la marca Prysmian o equivalente aprobado por DF, no propagadores del incendio, con emisión de humos y opacidad reducida, libre de halogenos, s/ UNE 21.123-4, instalada en canalización correspondiente, incluso p.p. de accesorios de fijación, terminales, tornillos. Incluso mano de obra, replanteos, limpieza previa, y ayudas de albañileria que se precisen, así como la utilización de herramientas y medios auxiliares que se precisen, manipulación, retirada de material sobrante y limpieza posterior etc. Se entiende material totalmente instalado y verificado.

CINCUENTA Y CINCO EUROS con VEINTICUATRO CÉNTIMOS

03.02.03 **m** **Cable XZ1Z (AS) sección 4x(2x240)+TT mm² Al** **58,63**

Linea electrica construida mediante cable unipolar tipo AL XZ1 (S), tensión nominal 0,6/1 kV, de seguridad en caso de incendio (S), reacción al fuego clase Eca, con conductor de aluminio, rígido (clase 2), sección 2x240 mm² para fases y neutro y sección 240 mm² para tierra, de la marca Prysmian o equivalente aprobado por DF, aislamiento de polietileno reticulado (XLPE), de tipo DIX3, cubierta de material libre de halógenos, de tipo Flamex DMO1, y con las siguientes características: no propagación de la llama, baja emisión de humos opacos, libre de halógenos, nula emisión de gases corrosivos, resistencia a la absorción de agua, resistencia al frío, resistencia a los rayos ultravioleta, resistencia a los agentes químicos, resistencia a las grasas y aceites y resistencia a los golpes. Según HD 603-5X-1. Instalado en canalización correspondiente, incluso p.p. de accesorios de fijación, terminales, tornillos. Incluso mano de obra, replanteos, limpieza previa, y ayudas de albañileria que se precisen, así como la utilización de herramientas y medios auxiliares que se precisen, manipulación, retirada de material sobrante y limpieza posterior etc. Se entiende material totalmente instalado y verificado.

CINCUENTA Y OCHO EUROS con SESENTA Y TRES CÉNTIMOS

03.02.04 **m** **Cable XZ1Z (AS) sección 4x(4x240)+TT mm² Al** **99,24**

Linea electrica construida mediante cable unipolar tipo AL XZ1 (S), tensión nominal 0,6/1 kV, de seguridad en caso de incendio (S), reacción al fuego clase Eca, con conductor de aluminio, rígido (clase 2), sección 4x240 mm² para fases y neutro y sección 2x240 mm² para tierra, de la marca Prysmian o equivalente aprobado por DF, aislamiento de polietileno reticulado (XLPE), de tipo DIX3, cubierta de material libre de halógenos, de tipo Flamex DMO1, y con las siguientes características: no propagación de la llama, baja emisión de humos opacos, libre de halógenos, nula emisión de gases corrosivos, resistencia a la absorción de agua, resistencia al frío, resistencia a los rayos ultravioleta, resistencia a los agentes químicos, resistencia a las grasas y aceites y resistencia a los golpes. Según HD 603-5X-1. Instalado en canalización correspondiente, incluso p.p. de accesorios de fijación, terminales, tornillos. Incluso mano de obra, replanteos, limpieza previa, y ayudas de albañileria que se precisen, así como la utilización de herramientas y medios auxiliares que se precisen, manipulación, retirada de material sobrante y limpieza posterior etc. Se entiende material totalmente instalado y verificado.

Documento visado electrónicamente con número: VA07290/22
Código de validación telemática TRLTDCFZ60T66IJ1. Comprobación: https://cogitivalencia.e-gestion.es/Validacion.aspx?CVT=TRLTDCFZ60T66IJ1

VISADO
COGITI
VALENCIA
VA07290/22
TRLTDCFZ60T66IJ1

CÓDIGO	UD	RESUMEN	PRECIO
		NOVENTA Y NUEVE EUROS con VEINTICUATRO CÉNTIMOS	
03.02.05	m	**Bandeja metálica inoxidable AISI 316L 60x200mm** Suministro y montaje de bandeja metálica de acero inoxidable AISI 316L, sin tapa, de dimensiones 60x200mm, del tipo Pemsaband de la marca PEMSA o equivalente aprobado por DF, para canalización eléctrica, incluido p.p. de uniones, curvas, codos, derivaciones y accesorios, asi como soportes, sujecciones, material auxiliar y ayudas en albaliñería, sin incluir cableado. Totalmente acabada, medida la unidad terminada.	54,94
		CINCUENTA Y CUATRO EUROS con NOVENTA Y CUATRO CÉNTIMOS	
03.02.06	m	**Bandeja metálica inoxidable AISI 316L 100x300mm** Suministro y montaje de bandeja metálica de acero inoxidable AISI 316L, sin tapa, de dimensiones 100x300mm, del tipo Pemsaband de la marca PEMSA o equivalente aprobado por DF, para canalización eléctrica, incluido p.p. de uniones, curvas, codos, derivaciones y accesorios, asi como soportes, sujecciones, material auxiliar y ayudas en albaliñería, sin incluir cableado. Totalmente acabada, medida la unidad terminada.	74,85
		SETENTA Y CUATRO EUROS con OCHENTA Y CINCO CÉNTIMOS	
03.02.07	m	**Bandeja metálica inoxidable AISI 316L 100x600mm** Suministro y montaje de bandeja metálica de acero inoxidable AISI 316L, sin tapa, de dimensiones 100x600mm, del tipo Pemsaband de la marca PEMSA o equivalente aprobado por DF, para canalización eléctrica, incluido p.p. de uniones, curvas, codos, derivaciones y accesorios, asi como soportes, sujecciones, material auxiliar y ayudas en albaliñería, sin incluir cableado. Totalmente acabada, medida la unidad terminada.	135,17
		CIENTO TREINTA Y CINCO EUROS con DIECISIETE CÉNTIMOS	
03.02.08	m	**Tapa para bandeja metálica inox 200mm** Suministro y montaje de tapa para bandeja portacables metálica de acero inoxidable de 200mm. Incluso p.p. de curvas, uniones, derivaciones, soportes, accesorios y pequeño material. Totalmente instalada, segun condiciones de proyecto.	25,36
		VEINTICINCO EUROS con TREINTA Y SEIS CÉNTIMOS	
03.02.09	m	**Tapa para bandeja metálica inox 300mm** Suministro y montaje de tapa para bandeja portacables metálica de acero inoxidable de 400mm. Incluso p.p. de curvas, uniones, derivaciones, soportes, accesorios y pequeño material. Totalmente instalada, segun condiciones de proyecto.	41,40
		CUARENTA Y UN EUROS con CUARENTA CÉNTIMOS	
03.02.10	m	**Tapa para bandeja metálica inox 600mm** Suministro y montaje de tapa para bandeja portacables metálica de acero inoxidable de 600mm. Incluso p.p. de curvas, uniones, derivaciones, soportes, accesorios y pequeño material. Totalmente instalada, segun condiciones de proyecto.	49,09
		SETENTA Y NUEVE EUROS con NUEVE CÉNTIMOS	
03.02.11	m	**Cable desnudo 35mm2** Conductor de tierra de Cu desnudo de 35 mm² de sección para puesta a tierra de bandejas metálicas. Tendida en canalización al efecto. Incluso terminales, conexiones a bandeja cada 15 metros, pequeño material, etc.. . Totalmente instalado y conexionado.	8,27
		OCHO EUROS con VEINTISIETE CÉNTIMOS	
03.02.12	m	**Cable desnudo 16mm2** Conductor de tierra de Cu desnudo de 35 mm² de sección para puesta a tierra de bandejas metálicas. Tendida en canalización al efecto. Incluso terminales, conexiones a bandeja cada 15 metros, pequeño material, etc.. . Totalmente instalado y conexionado.	5,34
		CINCO EUROS con TREINTA Y CUATRO CÉNTIMOS	

Documento visado electrónicamente con número: VA07290/22
Código de validación telemática TRLTDCFZ60T66IJ1 comprobación: https://coqitivalencia.e-gestion.es/Validacion.aspx?CVT=TRLTDCFZ60T66IJ1

VISADO
COGITI
VALENCIA
VA07290/22
TRDCFZ60T66IJ1

CÓDIGO	UD	RESUMEN	PRECIO
03.02.13	u	**Puente de tierra**	38,80
		Suministro y montaje de puente para la puesta a tierra de la instalación.	
		TREINTA Y OCHO EUROS con OCHENTA CÉNTIMOS	
03.02.14	u	**Terminal Cu T-50-10**	6,78
		Suministro y montaje de Terminal de cobre T-95-10. incluso p.p. de accesorios de fijación, terminales, tornillos. Incluso mano de obra, replanteos, limpieza previa, y ayudas de albañileria que se precisen, así como la utilización de herramientas y medios auxiliares que se precisen, manipulación, retirada de material sobrante y limpieza posterior etc. Se entiende material totalmente instalado y verificado.	
		SEIS EUROS con SETENTA Y OCHO CÉNTIMOS	
03.02.15	u	**Conectores MC4**	10,64
		Suministro y montaje de broches de conexion MC4 para conexionado de string con inversor. Totalmente instalado.	
		DIEZ EUROS con SESENTA Y CUATRO CÉNTIMOS	
03.02.16	u	**Cuadro fotovoltaica AC BOX AISI 316L**	10.719,66
		Suministro y montaje de cuadro electrico AC BOX, de la marca Schneider Electric o equivalente aprobado por DF, serie Spacial, formado por armario de superficie de acero inoxidable 316L, elevada resistencia a la corrosión (entornos salinos o con cloro), con grado de protección IP66 e IK10. Conteniendo en su interior todos los elementos reflejados en esquemas de proyecto, cableado interno con punteras, con bornero, pletinas auxiliares de conexión, incluso limitador de sobretensiones de clase II. Certificación de ensayos, declaración CE y etiquetaje de circuitos. Totalmente montado y funcionando.	
		DIEZ MIL SETECIENTOS DIECINUEVE EUROS con SESENTA Y SEIS CÉNTIMOS	
03.02.17	u	**Cuadro fotovoltaica MAIN AC BOX AISI 316L**	21.716,39
		Suministro y montaje de cuadro electrico MAIN AC BOX, de la marca Schneider Electric o equivalente aprobado por DF, serie Spacial, formado por armario de superficie de acero inoxidable 316L, elevada resistencia a la corrosión (entornos salinos o con cloro), con grado de protección IP66 e IK10. Conteniendo en su interior todos los elementos reflejados en esquemas de proyecto, cableado interno con punteras, con bornero, pletinas auxiliares de conexión, incluso limitador de sobretensiones de clase II. Certificación de ensayos, declaración CE y etiquetaje de circuitos. Totalmente montado y funcionando.	
		VEINTIÚN MIL SETECIENTOS DIECISÉIS EUROS con TREINTA Y NUEVE CÉNTIMOS	
03.02.18	u	**Smartlogger HUAWEI 3000A**	1.298,21
		Suministro, instalación e integración de sistema de control y supervisión para la gestión integral de la instalación de Fotovoltaica, SMARTLOGGER modelo 3000A de HUAWEI o equivalente aprovado por DF. Las características del equipo vienen indicadas en el anexo I. Incluso pp de accesorios para su correcta instalación. Medida la unidada totalmente instalada, integrada y funcionando.	
		MIL DOSCIENTOS NOVENTA Y OCHO EUROS con VEINTIÚN CÉNTIMOS	
03.02.19	u	**Sistema antivertido PRISMA 310A**	2.944,93
		Sistema antivertido a instalar proximo al módulo de contadores del cliente, modelo PRISMA 310A de RENESYS o equivalente aprobado por DF. Permite regular la potencia obtenida de fuentes renovables y aportar garantías físicas y lógicas para decidir qué potencia debemos o deseamos consumir de la red. Integra en el mismo dispositivo un contador para la regulación instantánea y elimina la necesidad de otros componentes externos en la regulación de la potencia. Con cumplimiento de los criterios de la UNE 217001-IN y RD 244/2019. Incluso parte proporcional de accesorios para su correcta instalacion. Medida la unidad, totalmente instalada y parametrizada según normas de la compañia suminitsradora de la zona y funcionando correctamente.	
		DOS MIL NOVECIENTOS CUARENTA Y CUATRO EUROS con NOVENTA Y TRES CÉNTIMOS	

Documento visado electrónicamente con número: VA07290/22
Código de validación telemática TRDCFZ60T66IJ1. Comprobación: https://cogitivalencia.e-gestion.es/Validacion.aspx?CVT=TRDCFZ60T66IJ1

VISADO
COGITI
VALENCIA
VA07290/22
TRLTDCFZ60T66IJ1

CÓDIGO	UD	RESUMEN	PRECIO
03.02.20	u	**Estación meteorológica MET**	1.108,46

Suministro, montaje e integración de instrumento de medida modelo Sensor MET o Datasol MET, de la marca Aersa o equivalente aprobado por DF. Instrumento de medida electrónico de precisión que permite la medición de la radiación solar global sobre un plano, de la temperatura y de la velocidad del viento. En este equipo se dispone de una Célula Calibrada (o célula fotovoltaica de tecnología equivalente), de dos sondas de temperatura y de una entrada externa para la conexión de un anemómetro. Es el instrumento más adecuado para la adquisición de los parámetros más importantes en una central solar fotovoltaica (radiación solar, temperatura ambiente y velocidad del viento).
Todos estos datos son recogidos y enviados en formato digital vía RS485 con protocolo MODBUS.
La Célula Calibrada que incorpora el Datasol MET lleva incorporado un sensor de temperatura directamente sobre cada una de las células lo que permite corregir (compensar por temperatura) las desviaciones en la medida de la Radiación Solar, dando lecturas más precisas en todo el rango de radiación y temperatura.
El Datasol MET se fija a la estructura de los paneles, siempre con la misma inclinación que estos, bien mediante la fijación HOOK o mediante tornillería.
La medición de la radiación solar es fundamental en el cálculo de la producción energética y el rendimiento de las centrales fotovoltaicas mediante el Índice de Producción (PR Preformance Ratio). Este índice relaciona la potencia real de la instalación con la potencia calculada a través de la radiación solar que incide en la instalación. Esta circunstancia hace ideal la utilización de las Células Calibradas de ATERSA como instrumento de medida de la radiación solar.

*CARACTERÍSTICAS PRINCIPALES:
Medición de la radiación solar, 0 … 1400 W/mm2 . Compensación por temperatura.
Medida de la temperatura de célula (sonda incorporada), -20 130 ºC.
Medida de la temperatura ambiente a 4 hilos con sonda externa incluida, -20 130 ºC.
Entrada libre de potencial para la conexión del anemómetro, medida de la velocidad del viento entre 2 140 km/h (no se entrega el anemómetro junto con el sensor MET).
Tensión de alimentación nominal: 24 V dc. (*).
Rango alimentación auxiliar estándar: 6 28 V dc.
Consumo máximo: 90 mW.
Grado de Protección; IP54.
Rango de trabajo: -20 ºC y +50 ºC.
Sección de cable admisible en bornas: 0.22 mm2 a 1.5 mm2
Diámetro ext. cable admisible en prensaestopas: 4.5 mm y los 10 mm.
Comunicaciones vía RS485 (protocolo MODBUS (RTU)). Distancia máxima 500m.

*CARACTERÍSTICAS TÉCNICAS:
Medición radiación solar: 0 … 1400 W/mm2.
Medición Temperatura célula: -20 … 100 ºC.
Medición Temperatura ambiente: -20 … 100 ºC.
Medición velocidad del viento: 2 … 140 km/h.
Error de la medida de la radicación solar: ± 2.2 %.
Error de la medida de la temperatura: ± 0.8 ºC.
Error de la medida de la velocidad del viento: ± 3 % (15-140 km/h) y ± 1 km/h (2-140 km/h).

Todo ello instalado, verificaciones, ensayos, conexiones, enclavamientos, controles, pruebas, certificados y homologaciones. Totalmente instalado, incluso conexionado y puesto en marcha..

MIL CIENTO OCHO EUROS con CUARENTA Y SEIS CÉNTIMOS

03.02.21	u	**Realización de DC Test**	1.507,54

Realización del DC test, utilizando equipo Seaward PV150 o similar, comprendiendo la medición de los valores de Voc, Isc, radiación, polaridad y aislamiento de polo positivo y negativo a tierra, de todos los strings. El procedimiento y los valores obtenidos deben ser acordes con la norma IEC 62446. Todos los datos obtenidos serán entregados antes de la conexión de la instalación, en archivos originales del equipo de medición.

MIL QUINIENTOS SIETE EUROS con CINCUENTA Y CUATRO CÉNTIMOS

Documento visado electrónicamente con número: VA07290/22
Código de validación telemática TRLTDCFZ60T66IJ1. Comprobación: https://cogitivalencia.e-gestion.es/Validacion.aspx?CVT=TRLTDCFZ60T66IJ1

VISADO
COGITI
VALENCIA
VA07290/22
TRLTDCFZ60T66IJ1

CÓDIGO	UD	RESUMEN	PRECIO
03.02.22	u	**Integración sistema en SCADA**	10.031,06

Horas de integración del sistema solar fotovoltaico y sistema de almacenamiento de energía mediante baterías en SCADA de control WINCC existente de la Autoridad Portuaria, que se ocupa de la visualización y manjeo de las instalaciones, monitorización de los estados y las alamrmas más importantes.

Se modificarán las pantallas existentes y se crearan otras nuevas para el acceso a la instalación de Fotovoltaica, entre otras:

Menú Principal.
Pantalla ubicación geográfica de las instalaciones del puerto
Pantalla de detalle Inversores
Pantalla de detalle Baterías

Se añadirán las nuevas variables en la tablas correspondientes:
- Añadir alarmas en alarmlogging
- Añadir Tagglogging
- Añadir variables en BBDD

Incluso pruebas de funcionamiento y puesta en marcga. Formación de operadores.

DIEZ MIL TREINTA Y UN EUROS con CINCO CÉNTIMOS

03.02.23	u	**Cuadro de Comunicaciones (Estandarizado APV)**	10.665,16

Suministro e instalación de Cuadro de comunicaciones, que incluye los siguientes elementos:

Envolvente metálica mural de medidas: 760x760x300mm, referencia 1073.500, marca RITTAL
Protección eléctrica general, formada por:
- Interruptor magnetotérmico 2P, 6kA, 16A, curva C, referencia: 5SL6216-7, marca SIEMENS
- Interruptor Diferencial, 2P, Clase AC, 25A, 300mA, referencia: 5SV4612-0, marca SIEMENS
- 2 uds. Interruptor magnetotérmico. 2P, 6kA, 10A, curva C, referencia; 5SL6210-7, marca SIEMENS
- 3 uds. Contacto auxiliar 1NA+1NC para interruptor automático, referencia: 5ST3010, marca SIEMENS
- Enchufe SHUKO 2P+T 16A, referencia: A9A15310, marca: MG
- Sensor inductivo para detección de puerta cerrada, referencia: XS4P18PA340, marca SCHNEIDER
- Piloto verde para señalización de tensión OK, referencia: ZB4-BV033 y ZB4-BVB3, marca: SCHNEIDER
- Piloto rojo para señalización de fallo térmico, referencia: ZB4-BV043 y ZB4-BVB4, marca: SCHNEIDER
- Piloto rojo para señalización de fallo SAI, referencia: ZB4-BV043 y ZB4-BVB4, marca: SCHNEIDER
- Piloto amarillo para señalización de puerta cerrada, referencia: ZB4-BV053 y ZB4-BVB5, marca: SCHNEIDER
- Fuente de alimentación de 10A, referencia: 6EP1334-2BA20, marca: SIEMENS
- Módulo cargador DC-SAI 24V / 15A, referencia: 6EP1931-2EC21, marca: SIEMENS
- Módulo de batería de 24V/ 7 Ah, referencia: 6EP1935-6ME21, marca: SIEMENS
- Switch de comunicaciones XM408-8C para la red de Giga, referencia: 6GK5408-8GS00-2AM2, marca: SIEMENS
- 2 uds. trasceptor de fibra óptica monomodo, referencia: 6GK5992-1AM00-8AA0, marca: SIEMENS

Totalmente instalado y funcionando.

DIEZ MIL SEISCIENTOS SESENTA Y CINCO EUROS con DIECISÉIS CÉNTIMOS

03.02.24	m	**Cable de comunicaciones UTP**	3,56

Suministro e instalación de cable de datos de categoría 6 y Euroclase DCA, de tipo U/UTP, con conductor de cobre y cubierta de LSFH (Low Smoke Free of Halogen). Medido el ml, totalmente instalado y conexionado, incluyendo suministro y montaje de parte proporcional de etiquetas, bridas, conectores, puntas y demás accesorios necesarios para su correcta instalación, sin incluir canalización.

TRES EUROS con CINCUENTA Y SEIS CÉNTIMOS

Documento visado electrónicamente con número: VA07290/22
Código de validación telemática TRLTDCFZ60T66IJ1. Comprobación: https://cogitivalencia.e-gestion.es/Validacion.aspx?CSV=TRLTDCFZ60T66IJ1

VISADO
COGITI
VALENCIA
VA07290/22
TRLTDCFZ60T66IJ1

CÓDIGO	UD	RESUMEN	PRECIO
03.02.25	m	**Cable de fibra óptica monomodo SM 24 fibras 9/125µm**	5,64

Instalación de cable fibra óptica monomodo 24 fibras SM, 9/125µm, tendido en bandeja métalica, según las especificaciónes de las normas correspondientes. Con cubierta antiroedores. Testeado. Incluso p.p. de adaptadores y pigtails, incluso tritubo de 40mm, pequeño material y medios auxiliares. Totalmente instalado, certificado el enlace permanente, comprobado y en correcto estado de funcionamiento.

CINCO EUROS con SESENTA Y CUATRO CENTIMOS

03.03 VARIOS

03.03.01 u **Pruebas de la instalación** 1.022,71

Pruebas de la instalacion fotovoltaica consistente en la comprobacion del megado de los cables, resistencias de puesta a tierra y de los inversores, tensiones en circuito abierto, tension e intensidad en funcionamiento, estado de las bornas de conexión. Realizado por organismo de control (OCA) y certificado. Verificaciones, ensayos, certificado, boletines del instalador y legalizacion de la instalacion en el organismo competente, pruebas segun plan de control de calidad y redaccion de informe de los resultados obtenidos, ayudas de albañileria, etc., y funcionando.

MIL VEINTIDÓS EUROS con SETENTA Y UN CÉNTIMOS

03.03.02 u **Legalización de la instalación** 1.230,00

Legalizacion de la instalacion solar fotovoltaica en los diferentes organismos competentes, preparación de la documentación, pago de tasas, certificados de direccion de obra, certificados del instalador, tramitacion de la linea de evacuación y su inscripción definitiva.

MIL DOSCIENTOS TREINTA EUROS

03.03.03 u **Documentación AS BUILT** 615,00

Realizacion por parte de la contrata de la documentacion final de obra AS-BUILT y garantias de los productos según fabricante. Se entregará una copia a la propiedad en formato papel y electronico antes de la recepcion final del contrato, asi como un manual de uso y mantenimiento de la instalacion con todos los catalogos tecnicos y manuales de uso y mantenimiento de los equipos que componen la instalacion.

SEISCIENTOS QUINCE EUROS

Documento visado electrónicamente con número: VA07290/22.
Código de validación telemática TRLTDCFZ60T66IJ1. Comprobación: https://cogitivalencia.e-gestion.es/Validacion.aspx?CVT=TRLTDCFZ60T66IJ1

VISADO
COGITI
VALENCIA
VA07290/22
TRLTDCFZ60T66IJ1

CÓDIGO	UD	RESUMEN	PRECIO

04 INSTALACIÓN CT GENERACIÓN PARTICULAR 2x1600 KVA V.C.T.-FV 043.1

04.01 OBRA CIVIL

04.01.01 u **Edificio prefabricado PFU-7 c/ ventilación forzada** **14.521,13**

Edificio prefabricado constituido por una envolvente, de estructura monobloque, de hormigón armado, tipo PFU-7/20 de la marca Ormazabal o equivalente aprobado por DF, con ventilación forzada, de dimensiones generales aproximadas 8.100 mm de largo por 2200 mm de fondo por 2.500 mm de altura útil. Incluso cuadro electrico para alimentación de los servicios auxiliares, alumbrado interior, toma de corriente, extractores, termostato, central de incendios. Incluye el edificio y todos sus elementos exteriores según CEI 622171-202, transporte, montaje y accesorios

CATORCE MIL QUINIENTOS VEINTIÚN EUROS con TRECE CÉNTIMOS

04.02 APARAMENTA ALTA TENSIÓN

04.02.01 u **Celda de Interruptor de Linea CGMCOSMOS-I** **3.275,31**

Suministro y montaje de celda de interruptor de línea modelo CGMCOSMOS-I de la marca Ormazabal o equivalente aprobado por DF, con interruptor-seccionador en SF6 de 400A con mando CIT manual, seccionador de puesta a tierra, juego de barras tripolar e indicadores testigo presencia de tensión instalados.

TRES MIL DOSCIENTOS SETENTA Y CINCO EUROS con TREINTA Y UN CÉNTIMOS

04.02.02 u **Celda de Protección CGMCOSMOS-V** **16.672,80**

Suministro y montaje de celda con función disyuntor modelo CGMCOSMOS-V de la marca Ormazabal o equivalente aprobado por DF, con seccionador en SF6, relé de protección ekor.rpg, sistema de puesta a tierra, captadores de intensidad y enclavamientos instalados.

DIECISÉIS MIL SEISCIENTOS SETENTA Y DOS EUROS con OCHENTA CÉNTIMOS

04.02.03 u **Celda de Medida CGMCOSMOS-M** **9.146,16**

Suministro y montaje de celda de medida modelo CGMCOSMOS-M de la marca Ormazabal o equivalente aprobado por DF, equipada tres transformadores de intensidad y tres de tensión, de doble secundario, entrada y salida por cable seco, según características detalladas en memoria, instalados.

NUEVE MIL CIENTO CUARENTA Y SEIS EUROS con DIECISÉIS CÉNTIMOS

04.02.04 u **Celda de Protección y medida de tensión CGMCOSMOS-P** **8.528,63**

Suministro y montaje de celda de protección y medida de tensión en barras modelo CGMCOSMOS-P de la marca Ormazabal o equivalente aprobado por DF, con interruptor-seccionador en SF6 de 400A con mando CIT manual, seccionador de puesta a tierra, juego de barras tripolar e indicadores testigo presencia de tensión instalados. Equipada con tres tranaformadores de tensión. Totalmente instalado.

OCHO MIL QUINIENTOS VEINTIOCHO EUROS con SESENTA Y TRES CÉNTIMOS

Documento visado electrónicamente con número: VA07290/22
Código de validación telemática TRLTDCFZ60T66IJ1. Comprobación: https://coitivalencia.e-gestion.es/validacion.aspx?CVT=TRLTDCFZ60T66IJ1

VISADO
COGITI
VALENCIA
VA07290/22
TRLTDCFZ60T66IJ1

CÓDIGO	UD	RESUMEN	PRECIO
04.02.05	u	**Analizador de redes CVM-A 1500**	1.643,18

Suministro e instalación de analizador de redes para panel de medida indirecta, para panel en formato 96x96 o 144x144, modelo CVM-A1500 de la marca Circutor o equivalente aprobado por DF. Gran versatilidad en su modo de conexión para ser instalado en diferentes sistemas eléctricos con diversas configuraciones de conexión a red, Trifásico 3, 4 hilos, dos fases con o sin neutro, conexión ARON o conexión a red monofásica. Protección IP66 de larga durabilidad, teclado táctil retro-iluminado con tres teclas y la serigrafía de las teclas debe ser perpetua.
El interfaz con el dispositivo para el acceso a la información completo y funcional para selección de datos a visualizar de forma rápida. Impide la configuración del equipo por personas ajenas a la instalación gracias a protección por contraseña o PIN. El dispositivo muestra por pantalla de forma clara parámetros trifásicos compuestos y por fase.
El dispositivo muestra de forma clara dos medidas de consumo de energía, kWh procedentes de hasta tres distintas fuentes, con sus correspondientes conversiones a coste y emisiones en KgCO2 por pantalla.
Dispone de dos salidas a transistor que podrán ser configuradas como Alarma por parámetros instantáneos que el equipo mide, o como generación de señal de impulsos relacionados con los consumos del equipo, ya sean kWh, Coste de la energía o Emisiones de CO2.
Dispone de dos salidas a relé para ser configuradas como Alarma por parámetros instantáneos que el equipo mide.
Integra comunicaciones RS485 con protocolo MODBUS y BACNET que pueden ser seleccionablesexpandible con hasta 4 módulos con diferentes opciones de entrada/salida o comunicaciones.permite el registro de datos con fecha y hora
Dispone de servidor WEB integrado para monitorizar tanto datos en tiempo real como visualización de datos históricos en forma gráfica o de tabla en cualquier navegador de internet convencional
Dispone de servidor XML integrado para comunicación e integración, tanto datos en tiempo real como visualización de datos históricos, en sistemas informáticos remotos.
Incluso p.p. de material auxiliar. Totalmente instalado y funcionando.

MIL SEISCIENTOS CUARENTA Y TRES EUROS con DIECIOCHO CÉNTIMOS

04.03 APARAMENTA BAJA TENSIÓN

04.03.01	u	**Juego de Puentes de Cables AT**	970,24

Suministro e instalación de juego de puentes III de cables AT unipolares de aislamiento seco RHZ1, aislamiento 12/20 kV, de 95 mm2 en Al con sus correspondientes elementos de conexión.

NOVECIENTOS SETENTA EUROS con VEINTICUATRO CÉNTIMOS

04.03.02	u	**Juego de Puentes de Cables BT**	2.731,99

Suministro e instalación de juego de puentes de cables BT unipolares de aislamiento seco 0.6/1 kV de Cu, de 4x240mm² de sección para las fases y neutro y demás características según memoria.

DOS MIL SETECIENTOS TREINTA Y UN EUROS con NOVENTA Y NUEVE CÉNTIMOS

04.03.03	u	**Cuadro protección salida BT**	4.570,24

Suministro e instalación de Cuadro de Baja Tensión modelo Prisma Plus de la marca Schneider Electric o equivalente aprobado por DF, para protección de salida de transformador conteniendo un interruptor automático modelo NS, tetrapolar, de calibre 1600 A regulable, con unidad de control micrologic 5.0A, incluso bancada. Totalmente instalado y funcionando.

CUATRO MIL QUINIENTOS SETENTA EUROS con VEINTICUATRO CÉNTIMOS

Documento visado electrónicamente con número: VA07290/22
Código de validación telemática TRLTDCFZ60T66IJ1. Comprobación: https://cogitivalencia.e-gestion.es/Validacion.aspx?CVT=TRLTDCFZ60T66IJ1

VISADO
COGITI
VALENCIA
VA07290/22
TRLTDCFZ60T66IJ1

CÓDIGO	UD	RESUMEN	PRECIO
04.03.04	u	**Alimentación CS Auxiliares VCT-FV 043.1**	781,11

Suministro y montaje de alimentación electrica en BT al cuadro electrico de auxiliares del VCT-FV 043.1 desde CT de cliente, mediante cable unipolar de cobre recocido RZ1-K 0,6/1 kV (AS), reacción al fuego clase Cca-s1b,d1,a1, aislamiento de polietileno reticulado (XLPE), de tipo DIX3, cubierta de poliolefina termoplástica, de tipo Afumex Z1, de color verde, sección 6 mm² para fases, neutro y tierra (3x6mm2), de la marca Prysmian o equivalente aprobado por DF, no propagadores del incendio, con emisión de humos y opacidad reducida, libre de halogenos, s/ UNE 21.123-4, instalada bajo tubo tipo de PVC de 40mm de diámetro. incluso p.p. de accesorios de fijación, terminales, tornillos. Incluso mano de obra, replanteos, limpieza previa, y ayudas de albañileria que se precisen, así como la utilización de herramientas y medios auxiliares que se precisen, manipulación, retirada de material sobrante y limpieza posterior etc. Se entiende material totalmente instalado y verificado.

SETECIENTOS OCHENTA Y UN EUROS con ONCE CÉNTIMOS

04.04 TRANSFORMADORES

04.04.01	u	**Transformador trifásico de 1600 KVA éster 0.80/20 kV**	24.350,36

Suministro e instalación de transformador trifásico elevador tipo refrigeración éster biodegradable, Ormazabal o equivalente aprobado por D.F, según Norma UNE 21538 y UNE 548/2014 de Ecodiseño. Bobinado AT continuo de gradiente lineal sin entrecapas. Bobinado BT con ensayo frecuencia industrial 10kV. Ensayos climáticos E3, C3, F1. Potencia nominal: 1600 kVA. Relación: 0.80/20 kV. Tensión secundaria vacío: 800 V. Tensión cortocircuito: 6%. Regulación: +/-2,5%, +/-5%, +/-10% . Grupo conexión: Dyn11. Dotado de equipo de sondas PT100 para protección térmica, bornero de conexión y termometro digital (conjunto proteccion termica tipo T que permite visualizar digitalmente las temperaturas de los bobinados) PARA PROTECCIÓN TÉRMICA DEL TRANSFORMADOR y sus conexiones a la alimentación y al elemento disparador de la protección correspondiente, debidamente protegidas contra sobreintensidades. Totalmente montado e instalado.

VEINTICUATRO MIL TRESCIENTOS CINCUENTA EUROS con TREINTA Y SEIS CÉNTIMOS

04.05 SISTEMA DE PUESTA A TIERRA

04.05.01	u	**Tierras Exteriores de Servicio (Neutro)**	2.777,68

Suministro e instalación de tierras exteriores código 5/62 Unesa, incluyendo 6 picas de 2,00 m. de longitud, cable de cobre desnudo, cable de cobre aislado de 0,6/1kV y elementos de conexión, instalado, según se describe en proyecto.

DOS MIL SETECIENTOS SETENTA Y SIETE EUROS con SESENTA Y OCHO CÉNTIMOS

04.05.02	u	**Tierras Exteriores de Protección (Herrajes)**	4.905,64

Suministro e instalación de tierras exteriores código 40-30/5/42 Unesa, incluyendo 4 picas de 2,00 m. de longitud, cable de cobre desnudo, cable de cobre aislado de 0,6/1kV y elementos de conexión, instalado, según se describe en proyecto.

MIL NOVECIENTOS CINCO EUROS con SESENTA Y CUATRO CÉNTIMOS

04.05.03	u	**Tierras Interiores**	872,04

Suministro e instalación de tierras interiores para poner en continuidad con las tierras exteriores, formado por cable de 50mm2 de Cu desnudo para la tierra de protección y aislado para la de servicio, con sus conexiones y cajas de seccionamiento, instalado, según memoria.

OCHOCIENTOS SETENTA Y DOS EUROS con CUATRO CÉNTIMOS

Documento visado electrónicamente con número: VA07290/22
Código de validación telemática TRLTDCFZ60T66IJ1. Comprobación: https://cogitivalencia.e-gestion.es/Validacion.aspx?CVT=TRLTDCFZ60T66IJ1

VISADO
COGITI
VALENCIA
VA07290/22
TRLTDCFZ60T66IJ1

CÓDIGO	UD	RESUMEN	PRECIO

04.06 VARIOS

04.06.01 **u** **Instalación baja tensión CT** **938,76**

Instalación de baja tensión interior del centro de transformación, compuesta por lo siguientes elementos:

- Armario Cofret G de Schneider IP42 con puerta transparente, conteniendo en su interior la siguiente aparamenta.
- 1 Interruptor Magnetotermico de cabecera C60N 2P 32A
- 1 Interruptor diferencia de cabecera 2P 40A 300mA
- 1 Interruptor Magnetotermico C60N 2P 10A línea alumbrado
- 1 Interruptor Magnetotermico C60N 2P 16A línea toma de corriente
- 1 Interruptor Magnetotermico C60N 2P 16A línea otros usos
- 1 Interruptor Magnetotermico C60N 2P 16A línea otros usos

- Interruptor estanco 16A
- Toma de corriente estanca 16A Monofásica
- 2 Pantallas LED etsancas modelo WT120C LED60S/840 L1500 de Philips
- 1 Luminaria de emergencia estanca 150Lum
- Líneas 2x2,5mm² + TT H07Z1 y tubos PCV líbres de halógenos diametro 16, para instalación equipos, inlcuido medios de instalación y pequeño material.

Totalmente instalado, comprobado y funcionando.

NOVECIENTOS TREINTA Y OCHO EUROS con SETENTA Y CINCO CÉNTIMOS

04.06.02 **u** **Central incendios 2 zonas** **203,13**

Suministro y montaje de central microprocesada para detección de incendios, modelo AE/C5-2P de la marca Aguilera Electrónica o equivalente aprobado por DF, fabricada en ABS, según EN 54 partes 2 y 4.

Disponen de:
2 bucles de detección convencional con final de línea activo.
Control de nivel de acceso mediante llave.
2 salidas vigiladas de evacuación.
Relé de fuego (alarma general) y Relé de avería general.
Salida auxiliar de 24 Vcc.
Teclado con 6 teclas para manejo.
Modo "Prueba de zonas".
Conexión/desconexión individual de zonas de detección y zonas de evacuación.
10 leds independientes para indicación de alarmas.
Necesitan una única batería de 12V / 7Ah.
Continua supervisión de todo el sistema.
Dimensiones: 340 x 290 x 100. Peso: 2.5 Kg.

Totalmente instalado y funcionando.

DOSCIENTOS TRES EUROS con TRECE CÉNTIMOS

04.06.03 **u** **Detector optico-termico** **51,03**

Suministro y montaje de detector óptico de humos y térmico convencional modelo AE/C5-OPT de la marca Aguilera Electrónica o equivalente aprobado por DF. De ABS color blanco, formado por un elemento sensible a los humos claros, para alimentación de 12 a 30 Vcc, con doble led de activación e indicador de alarma color rojo, salida para piloto de señalización remota y base universal. Incluso elementos de fijación de la misma marca (clase A). Certificados LPCB según normas EN 54-5 y EN 54-7. Detectores de bajo perfil con diseño atractivo. Fabricados con tecnología SMD, disponen de doble indicador luminoso, salida de alarma remota y misma base intercambiable de fácil conexión. Zócalo y protector de polvo incluidos.

Conexión a 2 hilos.
Alimentación entre 15 y 35 Vcc.
Consumo: 35 mA (reposo), 80 mA (alarma).
Medidas: Ø 99 mm, altura con base incluida: 61 mm.

Totalmente instalado y funcionando.

CINCUENTA Y UN EUROS con TRES CÉNTIMOS

Documento visado electrónicamente con número: VA07290/22
Código de validación telemática: TRLTDCFZ60T66IJ1. Comprobación: https://cogitivalencia.e-gestion.es/ValidaciOnline.aspx?CVT=TRLTDCFZ60T66IJ1

VISADO
COGITI
VALENCIA
VA07290/22
TRLTDCFZ60T66IJ1

CÓDIGO	UD	RESUMEN	PRECIO
04.06.04	m	**Cableado lazo 2x1,5mm2** Suministro y colocaci?n de linea de cable de cobre 2x1,5 mm2, flexible SZ1-K (AS+) de 300/500 V resistente al fuego (AS+), apantallado. Aislamiento de silicona. Libre de halógenos, no propagador de la llama ni del incendio, con baja emisi?n de gases t?xicos y nula emisi?n de gases corrosivos. Diseñado según UNE 211025. Tipo Afumex Firs detec-signal (AS+). Con un grado de protección mecánica 7 y con un incremento sobre el precio del tubo del 30% en concepto de uniones, accesorios y piezas especiales, totalmente instalado. Instalado bajo tubo de pvc rigido. Incluso p/p de accesorios de montaje de tipo HILTI, cajas de derivación, fichas de empalme y medios auxiliares. Totalmente instalado. TRES EUROS con CINCO CÉNTIMOS	3,05
04.06.05	u	**Extintor 89B** Extintor de eficacia equivalente 89B, instalado. CINCUENTA Y CUATRO EUROS con VEINTICINCO CÉNTIMOS	54,25
04.06.06	u	**Banqueta aislante** Banqueta aislante para maniobrar aparamenta. CIENTO CUARENTA Y SEIS EUROS con CINCUENTA CÉNTIMOS	146,50
04.06.07	u	**Par de guantes de maniobra** Par de guantes de maniobra NOVENTA EUROS con TRECE CÉNTIMOS	90,13
04.06.08	u	**Placa reglamentaria Peligro de Muerte** Placa reglamentaria PELIGRO DE MUERTE, instaladas. TRECE EUROS con VEINTICINCO CÉNTIMOS	13,25
04.06.09	u	**Placa reglamentaria Primeros Auxilios** Placa reglamentaria PRIMEROS AUXILIOS, instalada. TRECE EUROS con VEINTICINCO CÉNTIMOS	13,25
04.06.10	u	**Pruebas reglamentarias** Pruebas reglamentarias de las Tensiones de Paso y Contacto de las tierras de Protección. TRESCIENTOS SETENTA EUROS con CINCUENTA Y NUEVE CÉNTIMOS	370,59
04.06.11	u	**Legalización instalación** Legalización de la instalacion, consistente en la redacción del proyecto así como toda la documentación necesaria a presentar ante el Servicio Territorial de Industria de Valencia para su inscripción en el resgitro. MIL VEINTICINCO EUROS	1.025,00

Documento visado electrónicamente con número: VA07290/22
Código de validación telemática: TRLTDCFZ60T66IJ1. Comprobación: https://cogitivalencia.e-gestion.es/Validacion.aspx?CVT=TRLTDCFZ60T66IJ1

VISADO
COGITI
VALENCIA
VA07290/22
TRLTDCFZ60T66IJ1

CÓDIGO	UD	RESUMEN	PRECIO

05 INSTALACIÓN CT GENERACIÓN PARTICULAR 2x1250 KVA V.C.T.-FV 043.2

05.01 OBRA CIVIL

05.01.01 u **Edificio prefabricado PFU-7 c/ ventilación forzada** **14.521,13**

Edificio prefabricado constituido por una envolvente, de estructura monobloque, de hormigón armado, tipo PFU-7/20 de la marca Ormazabal o equivalente aprobado por DF, con ventilación forzada, de dimensiones generales aproximadas 8.100 mm de largo por 2200 mm de fondo por 2.500 mm de altura útil. Incluso cuadro electrico para alimentación de los servicios auxiliares, alumbrado interior, toma de corriente, extractores, termostato, central de incendios. Incluye el edificio y todos sus elementos exteriores según CEI 622171-202, transporte, montaje y accesorios

CATORCE MIL QUINIENTOS VEINTIÚN EUROS con TRECE CÉNTIMOS

05.02 APARAMENTA ALTA TENSIÓN

05.02.01 u **Celda de Interruptor de Linea CGMCOSMOS-I** **3.275,31**

Suministro y montaje de celda de interruptor de línea modelo CGMCOSMOS-I de la marca Ormazabal o equivalente aprobado por DF, con interruptor-seccionador en SF6 de 400A con mando CIT manual, seccionador de puesta a tierra, juego de barras tripolar e indicadores testigo presencia de tensión instalados.

TRES MIL DOSCIENTOS SETENTA Y CINCO EUROS con TREINTA Y UN CÉNTIMOS

05.02.02 u **Celda de Protección CGMCOSMOS-V** **16.672,80**

Suministro y montaje de celda con función disyuntor modelo CGMCOSMOS-V de la marca Ormazabal o equivalente aprobado por DF, con seccionador en SF6, relé de protección ekor.rpg, sistema de puesta a tierra, captadores de intensidad y enclavamientos instalados.

DIECISÉIS MIL SEISCIENTOS SETENTA Y DOS EUROS con OCHENTA CÉNTIMOS

05.02.03 u **Celda de Medida CGMCOSMOS-M** **9.146,16**

Suministro y montaje de celda de medida modelo CGMCOSMOS-M de la marca Ormazabal o equivalente aprobado por DF, equipada tres transformadores de intensidad y tres de tensión, de doble secundario, entrada y salida por cable seco, según características detalladas en memoria, instalados.

NUEVE MIL CIENTO CUARENTA Y SEIS EUROS con DIECISÉIS CÉNTIMOS

05.02.04 u **Celda de Protección y medida de tensión CGMCOSMOS-P** **8.528,63**

Suministro y montaje de celda de protección y medida de tensión en barras modelo CGMCOSMOS-P de la marca Ormazabal o equivalente aprobado por DF, con interruptor-seccionador en SF6 de 400A con mando CIT manual, seccionador de puesta a tierra, juego de barras tripolar e indicadores testigo presencia de tensión instalados. Equipada con tres tranaformadores de tensión. Totalmente instalado.

OCHO MIL QUINIENTOS VEINTIOCHO EUROS con SESENTA Y TRES CÉNTIMOS

Documento visado electrónicamente con número: VA07290/22
Código de validación telemática TRLTDCFZ60T66IJ1. Comprobación: https://coavalencia.e-gestion.es/validacion.aspx?CVT=TRLTDCFZ60T66IJ1

VISADO
COGITI
VALENCIA
VA07290/22
TRLTDCFZ60T66IJ1

CÓDIGO	UD	RESUMEN	PRECIO
05.02.05	u	**Analizador de redes CVM-A 1500**	1.643,18

Suministro e instalación de analizador de redes para panel de medida indirecta, para panel en formato 96x96 o 144x144, modelo CVM-A1500 de la marca Circutor o equivalente aprobado por DF. Gran versatilidad en su modo de conexión para ser instalado en diferentes sistemas eléctricos con diversas configuraciones de conexión a red, Trifásico 3, 4 hilos, dos fases con o sin neutro, conexión ARON o conexión a red monofásica. Protección IP66 de larga durabilidad, teclado táctil retro-iluminado con tres teclas y la serigrafía de las teclas debe ser perpetua.
El interfaz con el dispositivo para el acceso a la información completo y funcional para selección de datos a visualizar de forma rápida. Impide la configuración del equipo por personas ajenas a la instalación gracias a protección por contraseña o PIN. El dispositivo muestra por pantalla de forma clara parámetros trifásicos compuestos y por fase.
El dispositivo muestra de forma clara dos medidas de consumo de energía, kWh procedentes de hasta tres distintas fuentes, con sus correspondientes conversiones a coste y emisiones en KgCO2 por pantalla.
Dispone de dos salidas a transistor que podrán ser configuradas como Alarma por parámetros instantáneos que el equipo mide, o como generación de señal de impulsos relacionados con los consumos del equipo, ya sean kWh, Coste de la energía o Emisiones de CO2.
Dispone de dos salidas a relé para ser configuradas como Alarma por parámetros instantáneos que el equipo mide.
Integra comunicaciones RS485 con protocolo MODBUS y BACNET que pueden ser seleccionablesexpandible con hasta 4 módulos con diferentes opciones de entrada/salida o comunicaciones.permite el registro de datos con fecha y hora
Dispone de servidor WEB integrado para monitorizar tanto datos en tiempo real como visualización de datos históricos en forma gráfica o de tabla en cualquier navegador de internet convencional
Dispone de servidor XML integrado para comunicación e integración, tanto datos en tiempo real como visualización de datos históricos, en sistemas informáticos remotos.
Incluso p.p. de material auxiliar. Totalmente instalado y funcionando.

MIL SEISCIENTOS CUARENTA Y TRES EUROS con DIECIOCHO CÉNTIMOS

05.03 APARAMENTA BAJA TENSIÓN

05.03.01	u	**Juego de Puentes de Cables AT**	970,24

Suministro e instalación de juego de puentes III de cables AT unipolares de aislamiento seco RHZ1, aislamiento 12/20 kV, de 95 mm2 en Al con sus correspondientes elementos de conexión.

NOVECIENTOS SETENTA EUROS con VEINTICUATRO CÉNTIMOS

05.03.02	u	**Juego de Puentes de Cables BT**	2.731,99

Suministro e instalación de juego de puentes de cables BT unipolares de aislamiento seco 0.6/1 kV de Cu, de 4x240mm² de sección para las fases y neutro y demás características según memoria.

DOS MIL SETECIENTOS TREINTA Y UN EUROS con NOVENTA Y NUEVE CÉNTIMOS

05.03.03	u	**Cuadro protección salida BT**	4.570,24

Suministro e instalación de Cuadro de Baja Tensión modelo Prisma Plus de la marca Schneider Electric o equivalente aprobado por DF, para protección de salida de transformador conteniendo un interruptor automático modelo NS, tetrapolar, de calibre 1600 A regulable, con unidad de control micrologic 5.0A, incluso bancada. Totalmente instalado y funcionando.

CUATRO MIL QUINIENTOS SETENTA EUROS con VEINTICUATRO CÉNTIMOS

Documento visado electrónicamente con número: VA07290/22
Código de validación telemática TRLTDCFZ60T66IJ1. Comprobación: https://cogitivalencia.e-gestion.es/Validacion.aspx?CVT=TRLTDCFZ60T66IJ1

VISADO
COGITI
VALENCIA
VA07290/22
TRLTDCFZ60T66IJ1

CÓDIGO	UD	RESUMEN	PRECIO
05.03.04	u	**Alimentación CS Auxiliares VCT-FV 043.1**	781,11

Suministro y montaje de alimentación electrica en BT al cuadro electrico de auxiliares del VCT-FV 043.1 desde CT de cliente, mediante cable unipolar de cobre recocido RZ1-K 0,6/1 kV (AS), reacción al fuego clase Cca-s1b,d1,a1, aislamiento de polietileno reticulado (XLPE), de tipo DIX3, cubierta de poliolefina termoplástica, de tipo Afumex Z1, de color verde, sección 6 mm² para fases, neutro y tierra (3x6mm2), de la marca Prysmian o equivalente aprobado por DF, no propagadores del incendio, con emisión de humos y opacidad reducida, libre de halogenos, s/ UNE 21.123-4, instalada bajo tubo tipo de PVC de 40mm de diámetro. incluso p.p. de accesorios de fijación, terminales, tornillos. Incluso mano de obra, replanteos, limpieza previa, y ayudas de albañileria que se precisen, así como la utilización de herramientas y medios auxiliares que se precisen, manipulación, retirada de material sobrante y limpieza posterior etc. Se entiende material totalmente instalado y verificado.

SETECIENTOS OCHENTA Y UN EUROS con ONCE CÉNTIMOS

05.04 TRANSFORMADORES

05.04.01	u	**Transformador trifásico de 1250 KVA éster 0.80/20 kV**	19.855,07

Suministro e instalación de transformador trifásico elevador tipo refrigeración éster biodegradable, Ormazabal o equivalente aprobado por D.F, según Norma UNE 21538 y UNE 548/2014 de Ecodiseño. Bobinado AT continuo de gradiente lineal sin entrecapas. Bobinado BT con ensayo frecuencia industrial 10kV. Ensayos climáticos E3, C3, F1. Potencia nominal: 1250 kVA. Relación: 0.80/20 kV. Tensión secundaria vacío: 800 V. Tensión cortocircuito: 6%. Regulación: +/-2,5%, +/-5%, +/-10% . Grupo conexión: Dyn11. Dotado de equipo de sondas PT100 para protección térmica, bornero de conexión y termometro digital (conjunto proteccion termica tipo T que permite visualizar digitalmente las temperaturas de los bobinados) PARA PROTECCIÓN TÉRMICA DEL TRANSFORMADOR y sus conexiones a la alimentación y al elemento disparador de la protección correspondiente, debidamente protegidas contra sobreintensidades. Totalmente montado e instalado.

DIECINUEVE MIL OCHOCIENTOS CINCUENTA Y CINCO EUROS con SIETE CÉNTIMOS

05.05 SISTEMA DE PUESTA A TIERRA

05.05.01	u	**Tierras Exteriores de Servicio (Neutro)**	2.777,68

Suministro e instalación de tierras exteriores código 5/62 Unesa, incluyendo 6 picas de 2,00 m. de longitud, cable de cobre desnudo, cable de cobre aislado de 0,6/1kV y elementos de conexión, instalado, según se describe en proyecto.

DOS MIL SETECIENTOS SETENTA Y SIETE EUROS con SESENTA Y OCHO CÉNTIMOS

05.05.02	u	**Tierras Exteriores de Protección (Herrajes)**	1.905,64

Suministro e instalación de tierras exteriores código 40-30/5/42 Unesa, incluyendo 4 picas de 2,00 m. de longitud, cable de cobre desnudo, cable de cobre aislado de 0,6/1kV y elementos de conexión, instalado, según se describe en proyecto.

MIL NOVECIENTOS CINCO EUROS con SESENTA Y CUATRO CÉNTIMOS

05.05.03	u	**Tierras Interiores**	872,04

Suministro e instalación de tierras interiores para poner en continuidad con las tierras exteriores, formado por cable de 50mm2 de Cu desnudo para la tierra de protección y aislado para la de servicio, con sus conexiones y cajas de seccionamiento, instalado, según memoria.

OCHOCIENTOS SETENTA Y DOS EUROS con CUATRO CÉNTIMOS

Documento visado electrónicamente con número: VA07290/22
Código de validación telemática TRLTDCFZ60T66IJ1. Comprobación: https://coavalencia.e-gestion.es/Validacion.aspx?CVT=TRLTDCFZ60T66IJ1

VISADO
COGITI
VALENCIA
VA07290/22
TRLTDCFZ60T66IJ1

CÓDIGO	UD	RESUMEN	PRECIO

05.06 VARIOS

05.06.01 **u** **Instalación baja tensión CT** **938,76**

Instalación de baja tensión interior del centro de transformación, compuesta por lo siguientes elementos:

- Armario Cofret G de Schneider IP42 con puerta transparente, conteniendo en su interior la siguiente aparamenta.
- 1 Interruptor Magnetotermico de cabecera C60N 2P 32A
- 1 Interruptor diferencia de cabecera 2P 40A 300mA
- 1 Interruptor Magnetotermico C60N 2P 10A línea alumbrado
- 1 Interruptor Magnetotermico C60N 2P 16A línea toma de corriente
- 1 Interruptor Magnetotermico C60N 2P 16A línea otros usos
- 1 Interruptor Magnetotermico C60N 2P 16A línea otros usos

- Interruptor estanco 16A
- Toma de corriente estanca 16A Monofásica
- 2 Pantallas LED etsancas modelo WT120C LED60S/840 L1500 de Philips
- 1 Luminaria de emergencia estanca 150Lum
- Líneas 2x2,5mm² + TT H07Z1 y tubos PCV líbres de halógenos diametro 16, para instalación equipos, inlcuido medios de instalación y pequeño material.

Totalmente instalado, comprobado y funcionando.

NOVECIENTOS TREINTA Y OCHO EUROS con SETENTA Y CINCO CÉNTIMOS

05.06.02 **u** **Central incendios 2 zonas** **203,13**

Suministro y montaje de central microprocesada para detección de incendios, modelo AE/C5-2P de la marca Aguilera Electrónica o equivalente aprobado por DF, fabricada en ABS, según EN 54 partes 2 y 4.

Disponen de:
2 bucles de detección convencional con final de línea activo.
Control de nivel de acceso mediante llave.
2 salidas vigiladas de evacuación.
Relé de fuego (alarma general) y Relé de avería general.
Salida auxiliar de 24 Vcc.
Teclado con 6 teclas para manejo.
Modo "Prueba de zonas".
Conexión/desconexión individual de zonas de detección y zonas de evacuación.
10 leds independientes para indicación de alarmas.
Necesitan una única batería de 12V / 7Ah.
Continua supervisión de todo el sistema.
Dimensiones: 340 x 290 x 100. Peso: 2.5 Kg.

Totalmente instalado y funcionando.

DOSCIENTOS TRES EUROS con TRECE CÉNTIMOS

05.06.03 **u** **Detector optico-termico** **51,03**

Suministro y montaje de detector óptico de humos y térmico convencional modelo AE/C5-OPT de la marca Aguilera Electrónica o equivalente aprobado por DF. De ABS color blanco, formado por un elemento sensible a los humos claros, para alimentación de 12 a 30 Vcc, con doble led de activación e indicador de alarma color rojo, salida para piloto de señalización remota y base universal. Incluso elementos de fijación de la misma marca (clase A). Certificados LPCB según normas EN 54-5 y EN 54-7. Detectores de bajo perfil con diseño atractivo. Fabricados con tecnología SMD, disponen de doble indicador luminoso, salida de alarma remota y misma base intercambiable de fácil conexión. Zócalo y protector de polvo incluidos.

Conexión a 2 hilos.
Alimentación entre 15 y 35 Vcc.
Consumo: 35 mA (reposo), 80 mA (alarma).
Medidas: Ø 99 mm, altura con base incluida: 61 mm.

Totalmente instalado y funcionando.

CINCUENTA Y UN EUROS con TRES CÉNTIMOS

Documento visado electrónicamente con número: VA07290/22
Código de validación telemática: TRLTDCFZ60T66IJ1. Comprobación: https://cogitivalencia.e-gestion.es/ValidaciOnline.aspx?CVT=TRLTDCFZ60T66IJ1

VISADO
COGITI
VALENCIA
VA07290/22
TRLTDCFZ60T66IJ1

CÓDIGO	UD	RESUMEN	PRECIO
05.06.04	m	**Cableado lazo 2x1,5mm2** Suministro y colocaci?n de linea de cable de cobre 2x1,5 mm2, flexible SZ1-K (AS+) de 300/500 V resistente al fuego (AS+), apantallado. Aislamiento de silicona. Libre de halógenos, no propagador de la llama ni del incendio, con baja emisi?n de gases t?xicos y nula emisi?n de gases corrosivos. Diseñado según UNE 211025. Tipo Afumex Firs detec-signal (AS+). Con un grado de protección mecánica 7 y con un incremento sobre el precio del tubo del 30% en concepto de uniones, accesorios y piezas especiales, totalmente instalado. Instalado bajo tubo de pvc rigido. Incluso p/p de accesorios de montaje de tipo HILTI, cajas de derivación, fichas de empalme y medios auxiliares. Totalmente instalado. TRES EUROS con CINCO CÉNTIMOS	3,05
05.06.05	u	**Extintor 89B** Extintor de eficacia equivalente 89B, instalado. CINCUENTA Y CUATRO EUROS con VEINTICINCO CÉNTIMOS	54,25
05.06.06	u	**Banqueta aislante** Banqueta aislante para maniobrar aparamenta. CIENTO CUARENTA Y SEIS EUROS con CINCUENTA CÉNTIMOS	146,50
05.06.07	u	**Par de guantes de maniobra** Par de guantes de maniobra NOVENTA EUROS con TRECE CÉNTIMOS	90,13
05.06.08	u	**Placa reglamentaria Peligro de Muerte** Placa reglamentaria PELIGRO DE MUERTE, instaladas. TRECE EUROS con VEINTICINCO CÉNTIMOS	13,25
05.06.09	u	**Placa reglamentaria Primeros Auxilios** Placa reglamentaria PRIMEROS AUXILIOS, instalada. TRECE EUROS con VEINTICINCO CÉNTIMOS	13,25
05.06.10	u	**Pruebas reglamentarias** Pruebas reglamentarias de las Tensiones de Paso y Contacto de las tierras de Protección. TRESCIENTOS SETENTA EUROS con CINCUENTA Y NUEVE CÉNTIMOS	370,59
05.06.11	u	**Legalización instalación** Legalización de la instalacion, consistente en la redacción del proyecto así como toda la documentación necesaria a presentar ante el Servicio Territorial de Industria de Valencia para su inscripción en el resgitro. MIL VEINTICINCO EUROS	1.025,00

Documento visado electrónicamente con número: VA07290/22
Código de validación telemática: TRLTDCFZ60T66IJ1. Comprobación: https://cogitivalencia.e-gestion.es/Validacion.aspx?CVT=TRLTDCFZ60T66IJ1

VISADO
COGITI
VALENCIA
VA07290/22
TRLTDCFZ60T66IJ1

CÓDIGO	UD	RESUMEN	PRECIO

06 INSTALACIÓN PREFABRICADO PARA COMUNICACIONES V.R.-FV 043.1

06.01 OBRA CIVIL

06.01.01 **u** **Edificio prefabricado PFU-5** **8.260,07**

Edificio prefabricado constituido por una envolvente, de estructura monobloque, de hormigón armado, tipo PFU-5 de la marca Ormazabal o equivalente aprobado por DF, con ventilación forzada, de dimensiones generales aproximadas 6080 mm de largo por 2380 mm de fondo por 2.585 mm de altura útil. Incluso cuadro electrico para alimentación de los servicios auxiliares, alumbrado interior, toma de corriente, extractores, termostato, central de incendios. Incluye el edificio y todos sus elementos exteriores según CEI 622171-202, transporte, montaje y accesorios

OCHO MIL DOSCIENTOS SESENTA EUROS con SIETE CÉNTIMOS

06.02 VARIOS

06.02.01 **u** **Cuadro de Comunicaciones (Estandarizado APV)** **10.665,16**

Suministro e instalación de Cuadro de comunicaciones, que incluye los siguientes elementos:

Envolvente metálica mural de medidas: 760x760x300mm, referencia 1073.500, marca RITTAL
Protección eléctrica general, formada por:
- Interruptor magnetotérmico 2P, 6kA, 16A, curva C, referencia: 5SL6216-7, marca SIEMENS
- Interruptor Diferencial, 2P, Clase AC, 25A, 300mA, referencia: 5SV4612-0, marca SIEMENS
- 2 uds. Interruptor magnetotérmico. 2P, 6kA, 10A, curva C, referencia; 5SL6210-7, marca SIEMENS
- 3 uds. Contacto auxiliar 1NA+1NC para interruptor automático, referencia: 5ST3010, marca SIEMENS
- Enchufe SHUKO 2P+T 16A, referencia: A9A15310, marca: MG
- Sensor inductivo para detección de puerta cerrada, referencia: XS4P18PA340, marca SCHNEIDER
- Piloto verde para señalización de tensión OK, referencia: ZB4-BV033 y ZB4-BVB3, marca: SCHNEIDER
- Piloto rojo para señalización de fallo térmico, referencia: ZB4-BV043 y ZB4-BVB4, marca: SCHNEIDER
- Piloto rojo para señalización de fallo SAI, referencia: ZB4-BV043 y ZB4-BVB4, marca: SCHNEIDER
- Piloto amarillo para señalización de puerta cerrada, referencia: ZB4-BV053 y ZB4-BVB5, marca: SCHNEIDER
- Fuente de alimentación de 10A, referencia: 6EP1334-2BA20, marca: SIEMENS
- Módulo cargador DC-SAI 24V / 15A, referencia: 6EP1931-2EC21, marca: SIEMENS
- Módulo de batería de 24V/ 7 Ah, referencia: 6EP1935-6ME21, marca: SIEMENS
- Switch de comunicaciones XM408-8C para la red de Giga, referencia: 6GK5408-8GS00-2AM2, marca: SIEMENS
- 2 uds. trasceptor de fibra óptica monomodo, referencia: 6GK5992-1AM00-8AA0, marca: SIEMENS

Totalmente instalado y funcionando.

DIEZ MIL SEISCIENTOS SESENTA Y CINCO EUROS con DIECISÉIS CÉNTIMOS

06.02.02 **u** **Nuevo Armario PLC c/periferia distribuida** **9.026,78**

Suministro e instalación de Cuadro de PLC, alimentado a 230V que incluye los siguientes elementos:

- Envolvente metálica de medidas: 1000x1000x300mm+PM (IP66), referencia 1110.500, marca RITTAL
- 1 Portaesquemas DIN A4 (254x228x17mm), referencia 2514.000, marca RITTAL

- 1 INT. 2P, MAGNETO, 6KA, 10A, CURVA, ref. C 5SL6210-7, marca SIEMENS
- 2 INT. 2P, MAGNETO, 6KA, 10A, CURVA C ref. 2514.000 marca RITTAL
- 2 INT. 1P, MAGNETO, 6KA, 10A, CURVA C ref. 5SL6110-7 marca SIEMENS

- 2 INTERR. AUXILIAR CORRIENTE 1C+1A, P. INTERR.PROT. T=70MM ref. 5SL6206-7 marca SIEMENS

- 2 TRANSFORMADOR 230/230, 250VA ref. PD250 marca POLYLUX

- ENCHUFE SHUKO 2P+T 16A ref. A9A15310 marca SCHNEIDER

Documento visado electrónicamente con número: VA07290/22
Código de validación telemática TRLTDCFZ60T66IJ1. Comprobación: https://cogitivalencia.e-gestion.es/Validacion.aspx?CVT=TRLTDCFZ60T66IJ1

CÓDIGO	UD	RESUMEN	PRECIO

VISADO
COGITI
VALENCIA
VA07290/22
TRLTDCFZ60T66IJ1

- 1 SITOP, DC-SAI 24V / 15A, PARA USAR JUNTO CON MÓDULOS DE BATERÍA ref. 6EP1931-2EC21 marca SIEMENS

- 1 SITOP, MÓDULO DE BATERÍA DE 24V/ 7 AH, CON BATERÍAS SELLADAS DE PLOMO-ÁCIDO LIBRES DE MANTENIMIENTO ref. 6EP1935-6ME21 marca SIEMENS

- 1 SITOP SMART, PSU100S 24 V / 10 A FUENTE DE ALIMENTACIÓN ref. 6EP1334-2BA20 marca SIEMENS

- 1 SENSOR INDUCTIVO NA XS4P18PA340 ref. ZB4-BV033 marca SCHNEIDER

- 1 CABEZA PILOTO VERDE ref. ZB4-BV033 marca SCHNEIDER
- 1 CUERPO PILOTO VERDE 220 VAC ref. ZB4-BVM3 marca SCHNEIDER
- 2 CABEZA PILOTO ROJO ZB4-BV043 marca SCHNEIDER

- 2 CUERPO COMPLETO PILOTO ROJO (BASE+LED) ref. ZB4-BVB4 marca SCHNEIDER

- 1 CABEZA PILOTO VERDE ref. ZB4-BV033 marca SCHNEIDER

- 1 CUERPO COMPLETO PILOTO VERDE (BASE+LED) ref. ZB4-BVB3 marca SCHNEIDER

- 1 CABEZA PILOTO AMARILLO ref. ZB4-BV053 SCHNEIDER

- 1 CUERPO COMPLETO PILOTO AMARILLO (BASE+LED) ref. ZB4-BVB5 marca SCHNEIDER

- 5 PORTAETIQUETAS PILOTOS ZBY 6102 marca SCHNEIDER

- 1 POMO PUERTA CON LLAVE SZ2575 SZ2575 marca

- 1 FUENTE ALIMENTACION 220Vac/24Vdc, 10A 6P1334-2BA20 marca SIEMENS

- 1 DC-SAI 24V/ 15 A 6EP1931-2EC21 marca SIEMENS

- 1 MODULO DE BATERIA 24V/7Ah 6EP1935-6ME21 marca SIEMENS

- 1 CPU1512SP-1PN 6ES7512-1DK01-0AB0 marca SIEMENS
- 1 TARJETA DE MEMORIA 6ES7954-8LE03-0AA0 marca SIEMENS

- 2 MODULO 16 ED 6ES7131-6BH01-0BA0 marca SIEMENS
- 1 MODULO 16 SD 6ES7132-6BH01-0BA0 marca SIEMENS

- 1 MODULO 4 EA 6ES7134-6TD00-0CA1 marca SIEMENS
- 1 MODULO 4 SA 6ES7135-6HD00-0BA1 marca SIEMENS

- 1 BASE UNIT BU15-P16 6ES7193-6BP00-0BA0 marca SIEMENS
- 4 BASE UNIT BU15-P16 6ES7193-6BP00-DA0 marca SIEMENS

- 1 SWITCH ESCALANCE XM408-8C 6GK5408-8GS00-2AM2 marca SIEMENS

- 1 EXTENSION ESCALANCE XM400 6GK5400-8A500-8AP2 marca SIEMENS
- 12 PUERTO LC OPTICO 6GK5992-1AM00-8AA0 marca SIEMENS

Terminales de cobre a presión preaislados

- PUNTERAS 1.5 SIMPLES PKE1508 marca CEMBRE

- PUNTERAS 1.5 DOBLES PKT1508 marca CEMBRE

- PUNTERAS 2.5 SIMPLES PKE2508 marca CEMBRE

- Bornas 1020000000 marca WEIDMULLER

- Tapas bornas 1050000000 marca WEIDMULLER

- Separadores bornas 954000000 marca WEIDMULLER

- BARRA DE TIERRA BCT PLETINA 12X3

- PERFIL SIMÉTRICO 35X7,5 LISO, MOD.6AE 25 11 120 marca AEMSA

- REMACHES DIÁMETRO 3, 2x8 MULTIGRIP

- CANALETA 60x4 60.40.77 marca UNEX
- CANALETA 60x60 60.60.77 marca UNEX

- CANALETA 40x40 40.40.77 marca UNEX
- BRIDAS BLANCAS PEQUEÑAS 2221 marca UNEX

- PEGATINA BRIDAS BLANCAS 1254 marca UNEX

- POMO PUERTA CON LLAVE SZ2575 marca RITTAL

- m. Espiral negra SP6N 7 a 40mm

- CABLE AZUL 1x1mm2 H05V-K 151A001.R200 TOP

- CABLE NEGRO 1x2.5mm2 HO7V-K ALSECURE

Documento visado electrónicamente con número: VA07290/22
Código de validación telemática TRLTDCFZ60T66IJ1. Comprobación: https://cogitivalencia.e-gestion.es/Validacion.aspx?CVT=TRLTDCFZ60T66IJ1

VISADO COGITI
VALENCIA
VA07290/22
TRLTDCFZ60T66IJ1

CÓDIGO	UD	RESUMEN	PRECIO

- SEÑALIZADORES CAB3 Numero 0 38210 marca LEGRAND
- SEÑALIZADORES CAB3 Numero 1 38211 marca LEGRAND
- SEÑALIZADORES CAB3 Numero 2 38212 marca LEGRAND
- SEÑALIZADORES CAB3 Numero 3 38213 marca LEGRAND
- SEÑALIZADORES CAB3 Numero 4 38214 marca LEGRAND
- SEÑALIZADORES CAB3 Numero 5 38215 marca LEGRAND
- SEÑALIZADORES CAB3 Numero 6 38216 marca LEGRAND
- SEÑALIZADORES CAB3 Numero 7 38217 marca LEGRAND
- SEÑALIZADORES CAB3 Numero 8 38218 marca LEGRAND
- SEÑALIZADORES CAB3 Numero 9 38219 marca LEGRAND

A instalar en armario de periferia disrtibuida

- 1 Cabecera comunicaciones IM 155-6 PN ST incluye módulo servidor, incluye adaptador de bus 2xRJ45 ref. 6ES7193-6AR00-0AA0 marca SIEMENS
- 1 Módulo de 16 Entradas Digitales, 24Vdc ref. 6ES7131-6BH01-0BA0 marca SIEMENS
- 1 Módulo de 16 Salidas Digitales, 24Vdc/0,5A 6ES7132-6BH01-0BA0 SIEMENS
- 1 Módulo de 4 Entradas Analógicas U/I, 2 hilos 6ES7134-6HD01-0DA0 marca SIEMENS
- 3 Base de conexión tipo BU A0, 16 Push-In 6ES7193-6BP00-0DA0 marca SIEMENS

Totalmente instalado y funcionando.

NUEVE MIL VEINTISÉIS EUROS con SETENTA Y OCHO CÉNTIMOS

06.02.03 **u** **Instalación baja tensión CT** **938,75**

Instalación de baja tensión interior del centro de transformación, compuesta por lo siguientes elementos:

- Armario Cofret G de Schneider IP42 con puerta transparente, conteniendo en su interior la siguiente aparamenta.
- 1 Interruptor Magnetotermico de cabecera C60N 2P 32A
- 1 Interruptor diferencia de cabecera 2P 40A 300mA
- 1 Interruptor Magnetotermico C60N 2P 10A línea alumbrado
- 1 Interruptor Magnetotermico C60N 2P 16A línea toma de corriente
- 1 Interruptor Magnetotermico C60N 2P 16A línea otros usos
- 1 Interruptor Magnetotermico C60N 2P 16A línea otros usos

- Interruptor estanco 16A
- Toma de corriente estanca 16A Monofásica
- 2 Pantallas LED etsancas modelo WT120C LED60S/840 L1500 de Philips
- 1 Luminaria de emergencia estanca 150Lum
- Líneas 2x2,5mm² + TT H07Z1 y tubos PCV líbres de halógenos diametro 16, para instalación equipos, inlcuido medios de instalación y pequeño material.

Totalmente instalado, comprobado y funcionando.

NOVECIENTOS TREINTA Y OCHO EUROS con SETENTA Y CINCO CÉNTIMOS

Documento visado electrónicamente con número: VA07290/22
Código de validación telemática TRLTDCFZ60T66IJ1. Comprobación en https://cogitivalencia.e-gestion.es/Validacion.aspx?CVT=TRLTDCFZ60T66IJ1

VISADO
COGITI
VALENCIA
VA07290/22
TRLTDCFZ60T66IJ1

CÓDIGO	UD	RESUMEN	PRECIO
06.02.04	u	**Central incendios 2 zonas**	203,13

Suministro y montaje de central microprocesada para detección de incendios, modelo AE/C5-2P de la marca Aguilera Electrónica o equivalente aprobado por DF, fabricada en ABS, según EN 54 partes 2 y 4.

Disponen de:
2 bucles de detección convencional con final de línea activo.
Control de nivel de acceso mediante llave.
2 salidas vigiladas de evacuación.
Relé de fuego (alarma general) y Relé de avería general.
Salida auxiliar de 24 Vcc.
Teclado con 6 teclas para manejo.
Modo "Prueba de zonas".
Conexión/desconexión individual de zonas de detección y zonas de evacuación.
10 leds independientes para indicación de alarmas.
Necesitan una única batería de 12V / 7Ah.
Continua supervisión de todo el sistema.
Dimensiones: 340 x 290 x 100. Peso: 2.5 Kg.

Totalmente instalado y funcionando.

DOSCIENTOS TRES EUROS con TRECE CÉNTIMOS

06.02.05	u	**Detector optico-termico**	51,03

Suministro y montaje de detector óptico de humos y térmico convencional modelo AE/C5-OPT de la marca Aguilera Electrónica o equivalente aprobado por DF. De ABS color blanco, formado por un elemento sensible a los humos claros, para alimentación de 12 a 30 Vcc, con doble led de activación e indicador de alarma color rojo, salida para piloto de señalización remota y base universal. Incluso elementos de fijación de la misma marca (clase A). Certificados LPCB según normas EN 54-5 y EN 54-7. Detectores de bajo perfil con diseño atractivo. Fabricados con tecnología SMD, disponen de doble indicador luminoso, salida de alarma remota y misma base intercambiable de fácil conexión. Zócalo y protector de polvo incluidos.

Conexión a 2 hilos.
Alimentación entre 15 y 35 Vcc.
Consumo: 35 mA (reposo), 80 mA (alarma).
Medidas: Ø 99 mm, altura con base incluida: 61 mm.

Totalmente instalado y funcionando.

CINCUENTA Y UN EUROS con TRES CÉNTIMOS

06.02.06	m	**Cableado lazo 2x1,5mm2**	3,05

Suministro y colocaci?n de linea de cable de cobre 2x1,5 mm2, flexible SZ1-K (AS+) de 300/500 V resistente al fuego (AS+), apantallado. Aislamiento de silicona. Libre de halógenos, no propagador de la llama ni del incendio, con baja emisi?n de gases t?xicos y nula emisi?n de gases corrosivos. Diseñado según UNE 211025. Tipo Afumex Firs detec-signal (AS+). Con un grado de protección mecánica 7 y con un incremento sobre el precio del tubo del 30% en concepto de uniones, accesorios y piezas especiales, totalmente instalado. Instalado bajo tubo de pvc rigido. Incluso p/p de accesorios de montaje de tipo HILTI, cajas de derivación, fichas de empalme y medios auxiliares. Totalmente instalado.

TRES EUROS con CINCO CÉNTIMOS

06.02.07	u	**Extintor 89B**	54,25

Extintor de eficacia equivalente 89B, instalado.

CINCUENTA Y CUATRO EUROS con VEINTICINCO CÉNTIMOS

06.02.08	u	**Legalización instalación**	1.025,00

Legalización de la instalacion, consistente en la redacción del proyecto así como toda la documentación necesaria a presentar ante el Servicio Territorial de Industria de Valencia para su inscripción en el resgitro.

MIL VEINTICINCO EUROS

Documento visado electrónicamente con número: VA07290/22
Código de validación telemática TRLTDCFZ60T66IJ1. Comprobación: https://cogitivalencia.e-gestion.es/Validacion.aspx?CV=TRLTDCFZ60T66IJ1

CÓDIGO	UD	RESUMEN	PRECIO

07 ADECUACIÓN CT EXISTENTE V.C.T. 043

07.01 APARAMENTA ALTA TENSIÓN

07.01.01 **u** **Celda de Interruptor de Linea mot CGMCOSMOS-I** **2.088,49**

Suministro y montaje de celda de interruptor de línea motorizada modelo CGM-COSMOS-I de la marca Ormazabal o equivalente aprobado por DF, con interruptor-seccionador en SF6 de 400A con mando tipo BM motorizado 48 Vcc, seccionador de puesta a tierra, juego de barras tripolar e indicadores testigo presencia de tensión instalados.

CUATRO MIL OCHENTA Y OCHO EUROS con CUARENTA Y NUEVE CÉNTIMOS

VISADO
COGITI
VALENCIA
VA07290/22
TRLTDCFZ60T66IJ1

Documento visado electrónicamente con número: VA07290/22
Código de validación telemática TRLTDCFZ60T66IJ1. Comprobación: https://cogitivalencia.e-gestion.es/Validacion.aspx?CVT=TRLTDCFZ60T66IJ1

VISADO
COGITI
VALENCIA
VA07290/22
TRLTDCFZ60T66IJ1

CÓDIGO	UD	RESUMEN	PRECIO

08 ADECUACIÓN CT EXISTENTE C.D.D.

08.01 **u** **Sustitución transformadores medida** **3.287,39**

Sustitución de transformadores de tensión y de intensidad existentes en la celda de medida modelo CGMCOSMOS-M de la marca Ormazabal o equivalente aprobado por DF, del Centro de Entrega propieda del cliente, por transformadores de medida de triple secundario, instalados y conectados.

TRES MIL DOSCIENTOS OCHENTA Y SIETE EUROS con TREINTA Y NUEVE CÉNTIMOS

08.02 **u** **Cuadro de Comunicaciones (Estandarizado APV)** **10.665,16**

Suministro e instalación de Cuadro de comunicaciones, que incluye los siguientes elementos:

Envolvente metálica mural de medidas: 760x760x300mm, referencia 1073.500, marca RITTAL
Protección eléctrica general, formada por:
- Interruptor magnetotérmico 2P, 6kA, 16A, curva C, referencia: 5SL6216-7, marca SIEMENS
- Interruptor Diferencial, 2P, Clase AC, 25A, 300mA, referencia: 5SV4612-0, marca SIEMENS
- 2 uds. Interruptor magnetotérmico. 2P, 6kA, 10A, curva C, referencia; 5SL6210-7, marca SIEMENS
- 3 uds. Contacto auxiliar 1NA+1NC para interruptor automático, referencia: 5ST3010, marca SIEMENS
- Enchufe SHUKO 2P+T 16A, referencia: A9A15310, marca: MG
- Sensor inductivo para detección de puerta cerrada, referencia: XS4P18PA340, marca SCHNEIDER
- Piloto verde para señalización de tensión OK, referencia: ZB4-BV033 y ZB4-BVB3, marca: SCHNEIDER
- Piloto rojo para señalización de fallo térmico, referencia: ZB4-BV043 y ZB4-BVB4, marca: SCHNEIDER
- Piloto rojo para señalización de fallo SAI, referencia: ZB4-BV043 y ZB4-BVB4, marca: SCHNEIDER
- Piloto amarillo para señalización de puerta cerrada, referencia: ZB4-BV053 y ZB4-BVB5, marca: SCHNEIDER
- Fuente de alimentación de 10A, referencia: 6EP1334-2BA20, marca: SIEMENS
- Módulo cargador DC-SAI 24V / 15A, referencia: 6EP1931-2EC21, marca: SIEMENS
- Módulo de batería de 24V/ 7 Ah, referencia: 6EP1935-6ME21, marca: SIEMENS
- Switch de comunicaciones XM408-8C para la red de Giga, referencia: 6GK5408-8GS00-2AM2, marca: SIEMENS
- 2 uds. trasceptor de fibra óptica monomodo, referencia: 6GK5992-1AM00-8AA0, marca: SIEMENS

Totalmente instalado y funcionando.

DIEZ MIL SEISCIENTOS SESENTA Y CINCO EUROS con DIECISÉIS CÉNTIMOS

Documento visado electrónicamente con número: VA07290/22
Código de validación telemática: TRLTDCFZ60T66IJ1. Comprobación: https://cogitivalencia.e-gestion.es/Validacion.aspx?CVT=TRLTDCFZ60T66IJ1

VISADO
COGITI
VALENCIA
VA07290/22
TRLTDCFZ60T66IJ1

CÓDIGO	UD	RESUMEN	PRECIO
09		**INSTALACIÓN LSMT 20KV PARTICULAR**	
09.01	**m**	**LSMT 20 KV HEPRZ1 Al 3x(1x240) mm2**	**33,43**
		Suministro y tendido de línea subterránea de media tensión, compuesta por tres cables unipolares con aislamiento HEPRZ1 y conductor de aluminio 12/20 kV de 3x240 mm² sobre fondo de zanja bajo tubo sin su aportación y sobre bandeja portacables, incluida la parte proporcional de ayudas y piezas complementarias o especiales. Totalmente instalado y funcionando.	
		TREINTA Y TRES EUROS con CUARENTA Y TRES CÉNTIMOS	
09.02	**m**	**Excavación de zanja**	**94,03**
		Excavación de zanja 0,70 x 1,20 m. de profundidad en terreno normal, realizada con medios mecánicos, incluido dos tubos de PVC de doble capa DN 160 mm, extendido a una capa de 30 cm de hormigón H200, cinta PVC amarilla 150 mm de señalización atención a la existencia del cable, colocación de esta, relleno y apisonado con tierras sobrantes	
		NOVENTA Y CUATRO EUROS con TRES CÉNTIMOS	
09.03	**u**	**Kit de 3 botellas terminales de 24kV**	**745,42**
		Kit de 3 botellas terminales de 24kV para conexión entre CT, para cable de sección 240mm², incluso terminal metálico para conexión y p.p. de pequeño material. Totalmente instalado.	
		SETECIENTOS CUARENTA Y CINCO EUROS con CUARENTA Y DOS CÉNTIMOS	
09.04	**u**	**Arquetas de profundidad 100x100cm**	**130,42**
		Arquetas de profundidad 100x100cm, con tapa de fundición, todas las sujeciones de suministro, soportes y/o estructura necesarios para el montaje y la instalación en obra. Totalmente ejecutada.	
		CIENTO TREINTA EUROS con CUARENTA Y DOS CÉNTIMOS	
09.05	**u**	**Megado y rigidez eléctrica**	**749,04**
		Revisión y pruebas de megado y rigidez eléctrica de la instalación realizado por Organismo de Control Autorizado. Incluso suministro de certificado firmado.	
		SETECIENTOS CUARENTA Y NUEVE EUROS con CUATRO CÉNTIMOS	
09.06	**u**	**Legalización instalación**	**1.230,00**
		Legalización de la instalacion, consistente en la redacción del proyecto así como toda la documentación necesaria a presentar ante el Servicio Territorial de Industria de Valencia.	
		MIL DOSCIENTOS TREINTA EUROS	

Documento visado electrónicamente con número: VA07290/22
Código de validación telemática TRLTDCFZ60T66IJ1. Comprobación: https://cogitivalencia.e-gestion.es/Validacion.aspx?CVT=TRLTDCFZ60T66IJ1

VISADO
COGITI
VALENCIA
VA07290/22
TRLTDCFZ60T66IJ1

CÓDIGO	UD	RESUMEN	PRECIO

10 INSTALACIÓN ALUMBRADO MARQUESINAS

10.01 m **Cable RZ1-K 0,6/1 kV (AS) sección 5x2,5 mm² Cu** 7,38

Línea electrica trifásica construida mediante cable RZ1-K 0,6/1 kV sección 5x2,5 mm² de la marca Prysmian o equivalente aprobado por DF, no propagadores del incendio, con emisión de humos y opacidad reducida, libre de halogenos, s/ UNE 21.123-4, instalada en canalización correspondiente, incluso p.p. de accesorios de fijación, terminales, tornillos. Incluso mano de obra, replanteos, limpieza previa, y ayudas de albañileria que se precisen, así como la utilización de herramientas y medios auxiliares que se precisen, manipulación, retirada de material sobrante y limpieza posterior etc. Se entiende material totalmente instalado y verificado.

SIETE EUROS con TREINTA Y OCHO CÉNTIMOS

10.02 u **Luminaria estanca LED 28W 3.900lm IP66 OleveonF 1500** 116,75

Suministro y montaje de luminaria estanca tipo LED, modelo OleveonF 15 B 4000-840 ET PC de la marca Trilux o equivalente aprobado por D.F., para montaje en techos y paredes, así como para un montaje suspendido. Flujo luminoso de las luminarias 3.900 lm, Potencia de las luminarias 28 W, rendimiento luminoso de la luminaria 139 lm/W. Color de luz color blanco neutro, temperatura del color (CCT) 4000 K, Índice de reproducción cromática general (CRI) Ra > 80. Vida útil nominal media L80(tq 25 °C) = 35.000 h. Cuerpo de luminaria de poliéster reforzado con fibra de vidrio, poco inflamable. Con entrada frontal y tapones pasahilos para la conexión a la red. Cuerpo de luminaria, de color gris luz, similar a RAL 7035. Dimensiones (L x A) 1552 mm x 102 mm, altura de la luminaria 91 mm. Temperatura ambiental admisible de entre (ta): -20 °C - +35 °C. Clase de protección (EN 61140): I, grado de protección (DIN EN 60529): IP66, grado de la resistencia al impacto según IEC 62262: IK08/5 J, temperatura de prueba para el ensayo de hilo incandescente según IEC 60695-2-11: 850 °C. Con transformador electrónico, conmutable. Incluso parte proporcional de conductor de Cu tipo 07Z1-K y tubo rígido hasta caja de conexión mas próxima. Comprende todos los trabajos, materiales y medios auxiliares necesarios para dejar la unidad completa, totalmente instalada, probada y en perfecto estado de funcionamiento, según Documentos de Proyecto, indicaciones de la D.F. y normativa vigente.

CIENTO DIECISÉIS EUROS con SETENTA Y CINCO CÉNTIMOS

10.03 m **Tubo rígido de PVC enchufable M-25** 6,66

Canalización electrica construida mediante tubo rígido de PVC enchufable, ø 25 mm, libre de halogenuros, no propagador de llama, grado protección al fuego V0, grado de protección mecánica 7. Incluso p.p. de cajas de derivación, abrazaderas y accesorios de sujección. Colocación y recuperación de cable guía y ayudas en albaliñería en apertura de rozas, huecos o pasamuros. Totalmente instalado.

SEIS EUROS con SESENTA Y SEIS CÉNTIMOS

10.04 u **Cuadro electrico ALUMBRADO** 3.929,08

Suministro y montaje de cuadro electrico, de la marca Schneider Electric o equivalente aprobado por DF, serie Spacial, formado por armario de superficie de acero inoxidable 316L, elevada resistencia a la corrosión (entornos salinos o con cloro), con grado de protección IP66 e IK10, para albergar en su interior las protecciones termicas y diferenciales de los circuitos de alumbrado de la cubierta del silo. Conteniendo en su interior todos los elementos reflejados en esquemas de proyecto, cableado interno con punteras, con bornero, pletinas auxiliares de conexión, incluso limitador de sobretensiones de clase II. Certificación de ensayos, declaración CE y etiquetaje de circuitos. Totalmente montado y funcionando.

TRES MIL NOVECIENTOS VEINTINUEVE EUROS con OCHO CÉNTIMOS

Documento visado electrónicamente con número: VA07290/22
Código de validación telemática: TRLTDCFZ60T66IJ1. Comprobación: https://cogitivalencia.e-gestion.es/Validacion.aspx?CVT=TRLTDCFZ60T66IJ1

VISADO
COGITI
VALENCIA
VA07290/22
TRLTDCFZ60T66IJ1

CÓDIGO	UD	RESUMEN	PRECIO

11 EVACUACIÓN AGUAS PLUVIALES

11.01 **u** **Sumidero Pluvia Geberit 25 l/s** **257,90**

Suministro y montaje de sumidero Geberit Pluvia de 25l/s, compatible con datos del proyecto, incluso accesorios, material auxiliar para montaje y sujeción a la obra, soportación, accesorios y piezas especiales. Incluidos medios de elevación. Totalmente instalado y en perfecto estado de funcionamiento.

DOSCIENTOS CINCUENTA Y SIETE EUROS con NOVENTA CÉNTIMOS

11.02 **m** **Tubería HDPE 75mm** **34,31**

Suministro e instalación de tubería Ø 75 mm de PE 80 fabricado por Geberit, incluida parte proporcional de accesorios moldeados y fabricados por Geberit (injertos, codos, reducciones, manguitos electrosoldables, cintas electrosoldables, piezas especiales). Se incluyen elementos de fijación según estudio realizado. Instalación realizada con puntos fijos para control de la dilatación. Incluso material auxiliar para montaje y sujeción a la obra, soportación, accesorios y piezas especiales. Incluidos medios de elevación. Totalmente instalado y en perfecto estado de funcionamiento.

TREINTA Y CUATRO EUROS con TREINTA Y UN CÉNTIMOS

11.03 **m** **Tubería HDPE 90mm** **101,87**

Suministro e instalación de tubería Ø 90 mm de PE 80 fabricado por Geberit, incluida parte proporcional de accesorios moldeados y fabricados por Geberit (injertos, codos, reducciones, manguitos electrosoldables, cintas electrosoldables, piezas especiales). Se incluyen elementos de fijación según estudio realizado. Instalación realizada con puntos fijos para control de la dilatación. Incluso material auxiliar para montaje y sujeción a la obra, soportación, accesorios y piezas especiales. Incluidos medios de elevación. Totalmente instalado y en perfecto estado de funcionamiento.

CIENTO UN EUROS con OCHENTA Y SIETE CÉNTIMOS

11.04 **m** **Tubería HDPE 110mm** **83,91**

Suministro e instalación de tubería Ø 110 mm de PE 80 fabricado por Geberit, incluida parte proporcional de accesorios moldeados y fabricados por Geberit (injertos, codos, reducciones, manguitos electrosoldables, cintas electrosoldables, piezas especiales). Se incluyen elementos de fijación según estudio realizado. Instalación realizada con puntos fijos para control de la dilatación. Incluso material auxiliar para montaje y sujeción a la obra, soportación, accesorios y piezas especiales. Incluidos medios de elevación. Totalmente instalado y en perfecto estado de funcionamiento.

OCHENTA Y TRES EUROS con NOVENTA Y UN CÉNTIMOS

11.05 **m** **Tubería HDPE 160mm** **64,10**

Suministro e instalación de tubería Ø 160 mm de PE 80 fabricado por Geberit, incluida parte proporcional de accesorios moldeados y fabricados por Geberit (injertos, codos, reducciones, manguitos electrosoldables, cintas electrosoldables, piezas especiales). Se incluyen elementos de fijación según estudio realizado. Instalación realizada con puntos fijos para control de la dilatación. Incluso material auxiliar para montaje y sujeción a la obra, soportación, accesorios y piezas especiales. Incluidos medios de elevación. Totalmente instalado y en perfecto estado de funcionamiento.

SESENTA Y CUATRO EUROS con DIEZ CÉNTIMOS

11.06 **m** **Tubería HDPE 200mm** **104,49**

Suministro e instalación de tubería Ø 200 mm de PE 80 fabricado por Geberit, incluida parte proporcional de accesorios moldeados y fabricados por Geberit (injertos, codos, reducciones, manguitos electrosoldables, cintas electrosoldables, piezas especiales). Se incluyen elementos de fijación según estudio realizado. Instalación realizada con puntos fijos para control de la dilatación. Incluso material auxiliar para montaje y sujeción a la obra, soportación, accesorios y piezas especiales. Incluidos medios de elevación. Totalmente instalado y en perfecto estado de funcionamiento.

CIENTO CUATRO EUROS con CUARENTA Y NUEVE CÉNTIMOS

Documento visado electrónicamente con número: VA07290/22
Código de validación telemática: TRLTDCFZ60T66IJ1. Comprobación: https://coag.valencia.e-gestion.es/Validacion.aspx?CVT=TRLTDCFZ60T66IJ1

VISADO
COGITI
VALENCIA
VA07290/22
TRLTDCFZ60T66IJ1

CÓDIGO	UD	RESUMEN	PRECIO
11.07	m	**Tubería HDPE 250mm**	158,80

Suministro e instalación de tubería Ø 250 mm de PE 80 fabricado por Geberit, incluida parte proporcional de accesorios moldeados y fabricados por Geberit (injertos, codos, reducciones, manguitos electrosoldables, cintas electrosoldables, piezas especiales). Se incluyen elementos de fijación según estudio realizado. Instalación realizada con puntos fijos para control de la dilatación. Incluso material auxiliar para montaje y sujeción a la obra, soportación, accesorios y piezas especiales. Incluidos medios de elevación. Totalmente instalado y en perfecto estado de funcionamiento.

CIENTO CINCUENTA Y OCHO EUROS con OCHENTA CÉNTIMOS

11.08	m2	**Cubierta chapa prelacada 0,6mm**	22,89

Suministro y montaje de cubierta completa realizada con chapa perfilada de acero grecada prelacada por la cara exterior de 0.6 mm. de espesor, con recubrimiento HDX 55 micras en cara superior, con nervios de 42 mm de altura de cresta, a una separación de entre 200mm. Con fijacion rígida colaborante a las correas la marquesina (tornillo auto-roscante o ganchos en acero inoxidable). , Parte proporcional de replanteo, preparación, solapes, juntas de dilatación, elementos de fijación, remates, accesorios, piezas especiales para resolución de puntos singulares, elementos de fijación y estanqueidad, cortes, sellados y resolución de encuentros con chapa prelacada de 0,60 mm y 500 mm de desarrollo medio. Incluso medios auxiliares y elementos de seguridad. Según norma NTE-QTG-7,9,10 y 11. Totalmente
ejecutada y perfectamente estanca.

VEINTIDÓS EUROS con OCHENTA Y NUEVE CÉNTIMOS

11.09	m	**Canalón de chapa prelacado 1mm**	25,07

Suministro y montaje de canalón interior para cubierta inclinada con chapa plegada de acero galvanizado prelacado, de 1,0 mm de espesor, de 500mm de ancho y 250mm de altura de alas. Incluso accesorios de fijación de las piezas a las placas y masilla de base neutra monocomponente, para sellado de juntas. Incluso accesorios de fijación de las chapas, tornillos autorroscantes, apertura y rematado de huecos y masilla de base neutra monocomponente, para sellado de juntas.

VEINTICINCO EUROS con SIETE CÉNTIMOS

11.10	u	**Taladro placa alveolar**	92,44

Ejecución de hueco en placa alveolar, para paso de instalaciones, de superficie comprendida entre 0,35 m2 y 0,50 m2. Totalmente ejecutado incluida la retirada de escombros a vertedero y el posterior rematado de hueco una vez ejecutado el paso de instalaciones, garantizando la estanqueidad. Totalmente ejecutado

NOVENTA Y DOS EUROS con CUARENTA Y CUATRO CÉNTIMOS

11.11	m	**Soporte metálico para bajante**	27,98

Suministro y montaje de soporte metálico de acero galvanizado en forma de U, de 40x60x3mm, para instalación vertical de tubo HDPE de 315mm en el tramo de cubierta. Con perforaciones en el mismo, en las que se sujetan los elemenos de unión, así como los juegos de fijación a la varilla roscada para los puntos de anclaje y las abrazaderas deslizantes, acabado con imprimación antioxidante. Incluso elementos de fijación, torniellería y accesorios necesarios para su instalación. Medida por metro lineal.

VEINTISIETE EUROS con NOVENTA Y OCHO CÉNTIMOS

Documento visado electrónicamente con número: VA07290/22
Código de validación telemática: TRLTDCFZ60T66IJ1. Comprobación: https://cogitivalencia.e-gestion.es/validacion.aspx?CVT=TRLTDCFZ60T66IJ1

CÓDIGO	UD	RESUMEN	PRECIO

12 GESTIÓN DE RESIDUOS

12.01 **pa** **GESTIÓN DE RESIDUOS** **9.251,39**

ALMACENAMIENTO, MANEJO, SEPARACIÓN Y, EN SU CASO, OTRAS OPERACIONES DE GESTIÓN DE LOS RESIDUOS DE CONSTRUCCIÓN Y DEMOLICIÓN PARA EL ALCANCE DE LA OBRA, DE ACUERDO A LA NORMATIVA VIGENTE.

NUEVE MIL DOSCIENTOS CINCUENTA Y UN EUROS con TREINTA Y NUEVE CÉNTIMOS

VISADO
COGITI
VALENCIA
VA07290/22
TRLTDCFZ60T66IJ1

Documento visado electrónicamente con número: VA07290/22
Código de validación telemática TRLTDCFZ60T66IJ1. Comprobación: https://cogitivalencia.e-gestion.es/Validacion.aspx?CVT=TRLTDCFZ60T66IJ1

CÓDIGO	UD	RESUMEN	PRECIO
13		**CONTROL DE CALIDAD**	
13.01	pa	CONTROL DE CALIDAD	5.342,50
		CINCO MIL OCHOCIENTOS CUARENTA Y DOS EUROS con CINCUENTA CÉNTIMOS	

VISADO
COGITI
VALENCIA
VA07290/22
TRLTDCFZ60T66IJ1

Documento visado electrónicamente con número: VA07290/22
Código de validación telemática TRLTDCFZ60T66IJ1. Comprobación: https://cogitivalencia.e-gestion.es/Validacion.aspx?CVT=TRLTDCFZ60T66IJ1

VISADO
COGITI
VALENCIA
VA07290/22
TRLTDCFZ60T66IJ1

CÓDIGO	UD	RESUMEN	PRECIO
14		**SEGURIDAD Y SALUD**	
14.01		**PROTECCIONES INDIVIDUALES**	
14.01.01	**u**	**CASCO SEGURIDAD,DIELÉC. P/B.T. POLIETILENO**	**15,85**
		CASCO DE SEGURIDAD DIELÉCTRICO PARA BAJA TENSIÓN DE POLIETILENO, HOMOLOGADO SEGÚN UNE-EN 50365	
		QUINCE EUROS con OCHENTA Y CINCO CÉNTIMOS	
14.01.02	**u**	**GAFAS ANTIIMP.ST.,MONTURA UNIV.,VISOR TRANSP.C/EMPAÑAM.**	**4,16**
		GAFAS DE SEGURIDAD ANTIIMPACTOS ESTÁNDAR, CON MONTURA UNIVERSAL, CON VISOR TRANSPARENTE Y TRATAMIENTO CONTRA EL EMPAÑAMIENTO, HOMOLOGADAS SEGÚN UNE-EN 167 Y UNE-EN 168	
		CUATRO EUROS con DIECISÉIS CÉNTIMOS	
14.01.03	**u**	**PROTECTOR AUDITIVO TAPÓN ESPUMA**	**0,19**
		PROTECTOR AUDITIVO DE TAPÓN DE ESPUMA, HOMOLOGADO SEGÚN UNE-EN 352-2 Y UNE-EN 458	
		CERO EUROS con DIECINUEVE CÉNTIMOS	
14.01.04	**u**	**GUANTES MATERIAL AISL.,P/TRABAJOS ELÉCTRICOS,CL.0,LOGOTIPO ROJO,**	**21,76**
		PAR DE GUANTES DE MATERIAL AISLANTE PARA TRABAJOS ELÉCTRICOS, CLASE 0, LOGOTIPO COLOR ROJO, TENSIÓN MÁXIMA 1000 V, HOMOLOGADOS SEGÚN UNE-EN 420	
		VEINTIÚN EUROS con SETENTA Y SEIS CÉNTIMOS	
14.01.05	**u**	**GUANTES DIELÉC.P/B.T.,CAUCHO,MANGU.<1/2ANTEBR.**	**46,60**
		PAR DE GUANTES DIELÉCTRICOS PARA BAJA TENSIÓN, DE CAUCHO, CON MANGUITOS HASTA MEDIO ANTEBRAZO	
		CUARENTA Y SEIS EUROS con SESENTA CÉNTIMOS	
14.01.06	**u**	**PAR BOTAS SEGURIDAD,RESIST.HUMED.,PIEL RECTIF.,SUELA ANTIDESL.AN**	**13,89**
		PAR DE BOTAS DE SEGURIDAD RESISTENTES A LA HUMEDAD, DE PIEL RECTIFICADA, CON TOBILLERA ACOLCHADA, SUELA ANTIDESLIZANTE Y ANTIESTÁTICA, CUÑA AMORTIGUADORA PARA EL TALÓN, LENGÜETA DE FUELLE, DE DESPRENDIMIENTO RÁPIDO, CON PLANTILLAS Y PUNTERA METÁLICAS	
		TRECE EUROS con OCHENTA Y NUEVE CÉNTIMOS	
14.01.07	**u**	**PAR BOTAS DIELÉC.,RESIST.HUMED.,PIEL RECTIF.,SUELA ANTIDESL.S/HERRAJE MET.,PUNTERA REFORZ.**	**108,29**
		PAR DE BOTAS DIELÉCTRICAS RESISTENTES A LA HUMEDAD, DE PIEL RECTIFICADA, CON TOBILLERA ACOLCHADA SUELA ANTIDESLIZANTE Y ANTIESTÁTICA, CUÑA AMORTIGUADORA PARA EL TALÓN, LENGÜETA DE FUELLE, DE DESPRENDIMIENTO RÁPIDO, SIN HERRAJE METÁLICO, CON PUNTERA REFORZADA, HOMOLOGADAS SEGÚN DIN 4843	
		CIENTO OCHO EUROS con VEINTINUEVE CÉNTIMOS	
14.01.08	**u**	**MONO TRABAJO,POLIÉST./ALGOD.,BOLS.EXT.**	**18,49**
		MONO DE TRABAJO, DE POLIÉSTER Y ALGODÓN, CON BOLSILLOS EXTERIORES	
		DIECIOCHO EUROS con CUARENTA Y NUEVE CÉNTIMOS	
14.01.09	**u**	**CHALECO REFLECTANTE,TIRAS REFLECT.CINT./PEC./ESPA.**	**16,37**
		CHALECO REFLECTANTE CON TIRAS REFLECTORAS EN LA CINTURA, EN EL PECHO Y EN LA ESPALDA, HOMOLOGADA SEGÚN UNE-EN 471	
		DIECISÉIS EUROS con TREINTA Y SIETE CÉNTIMOS	
14.01.10	**u**	**IMPERMEABLE CHAQ.+CAPU.+PANT.,P/O.PÚB.,PVC SOLD.,E=0,4MM,VIV.**	**10,97**
		IMPERMEABLE CON CHAQUETA, CAPUCHA Y PANTALONES, PARA OBRAS PÚBLICAS, DE PVC SOLDADO DE 0,4 MM DE ESPESOR, DE COLOR VIVO, HOMOLOGADO SEGÚN UNE-EN 340	
		DIEZ EUROS con NOVENTA Y SIETE CÉNTIMOS	

Documento visado electrónicamente con número: VA07290/22
Código de validación telemática TRLTDCFZ60T66IJ1. Comprobación: https://cogitivalencia.e-gestion.es/Validacion.aspx?CV=TRLTDCFZ60T66IJ1

VISADO
COGITI
VALENCIA
VA07290/22
TRLTDCFZ60T66IJ1

CÓDIGO	UD	RESUMEN	PRECIO
14.02		**PROTECCIONES COLECTIVAS**	
14.02.01	**h**	**BRIGADA SEGUR.P/MANTENIM.+REPOS.PROTEC.**	**31,49**
		BRIGADA DE SEGURIDAD PARA MANTENIMIENTO Y REPOSICIÓN DE LAS PROTECCIONES	
		TREINTA Y UN EUROS con CUARENTA Y NUEVE CÉNTIMOS	
14.02.02	**u**	**PLACA PINTURA REFLECTANTE TRIANGULAR LADO=70CM,FIJ.MEC.+DESMONT.**	**38,28**
		PLACA CON PINTURA REFLECTANTE TRIANGULAR DE 70 CM DE LADO, PARA SEÑALES DE TRÁFICO, FIJADA Y CON EL DESMONTAJE INCLUIDO	
		TREINTA Y OCHO EUROS con VEINTIOCHO CÉNTIMOS	
14.02.03	**u**	**PLACA SEGURIDAD LABORAL,ACERO SERIGRAF.,40X33CM,FIJ.MECÁNICAMENT**	**16,58**
		PLACA DE SEÑALIZACIÓN DE SEGURIDAD LABORAL, DE PLANCHA DE ACERO LISA SERIGRAFIADA, DE 40X33 CM, FIJADA MECÁNICAMENTE Y CON EL DESMONTAJE INCLUIDO	
		DIECISÉIS EUROS con CINCUENTA Y OCHO CÉNTIMOS	
14.02.04	**u**	**CONO DE PLÁSTICO REFLECTOR H=50CM**	**15,69**
		CONO DE PLÁSTICO REFLECTOR DE 50 CM DE ALTURA	
		QUINCE EUROS con SESENTA Y NUEVE CÉNTIMOS	
14.02.05	**m**	**CINTA BALIZAMIENTO REFLECTANTE,SOPORTE/5M,DESMONTAJE INCLU.**	**4,90**
		CINTA DE BALIZAMIENTO REFLECTANTE, CON UN SOPORTE CADA 5 M Y CON EL DESMONTAJE INCLUIDO	
		CUATRO EUROS con NOVENTA CÉNTIMOS	
14.02.06	**u**	**EXTINTOR POLVO SECO,6KG,PRESIÓN INCORPO.PINTADO,SOPORTE/DESMONT.**	**33,57**
		EXTINTOR DE POLVO SECO, DE 6 KG DE CARGA, CON PRESIÓN INCORPORADA, PINTADO, CON SOPORTE EN LA PARED Y CON EL DESMONTAJE INCLUIDO	
		TREINTA Y TRES EUROS con CINCUENTA Y SIETE CÉNTIMOS	
14.02.07	**u**	**PANTALLA AISL.P/TRAB.ZON.INFL.LÍN.ELÉC.**	**97,33**
		PANTALLA AISLANTE PARA TRABAJOS EN ZONAS DE INFLUENCIA DE LÍNEAS ELÉCTRICAS EN TENSIÓN	
		NOVENTA Y SIETE EUROS con TREINTA Y TRES CÉNTIMOS	
14.02.08	**u**	**PLATAFORMA AISL.,BASE P/TRAB.CUAD.ELÉCT.DIST.,100X100CM,E=3MM**	**44,47**
		PLATAFORMA AISLANTE DE BASE PARA TRABAJO EN CUADROS ELÉCTRICOS DE DISTRIBUCIÓN DE 100X100 CM Y DE ESPESOR 3 MM	
		CUARENTA Y CUATRO EUROS con CUARENTA Y SIETE CÉNTIMOS	
14.02.09	**u**	**BANQUETA AISL.,PATAS FIJAS,P/TRABAJ.TENSIÓN**	**81,83**
		BANQUETA AISLANTE DE PATAS FIJAS PARA TRABAJOS EN TENSIÓN, SEGÚN UNE 204001	
		OCHENTA Y UN EUROS con OCHENTA Y TRES CÉNTIMOS	
14.02.10	**m**	**VALLA MÓVIL METÁL.,LONG.=2,5M,H=1M,DESM.**	**7,44**
		VALLA MÓVIL METÁLICA DE 2,5 M DE LONGITUD Y 1 M DE ALTURA Y CON EL DESMONTAJE INCLUIDO	
		SIETE EUROS con CUARENTA Y CUATRO CÉNTIMOS	

Documento visado electrónicamente con número: VA07290/22
Código de validación telemática TRLTDCFZ60T66IJ1. Comprobación: https://cogitivalencia.e-gestion.es/Validacion.aspx?CV=TRLTDCFZ60T66IJ1

VISADO
COGITI
VALENCIA
VA07290/22
TRLTDCFZ60T66IJ1

CÓDIGO	UD	RESUMEN	PRECIO
14.03		**INSTALACIONES DE HIGIENE Y BIENESTAR**	
14.03.01	**mes**	**MÓDULO PREFABRICADO SANITARIOS 3,7X2,3X2,3M,INST.LAMPIST.,INST.E**	**200,07**
		MÓDULO PREFABRICADO DE SANITARIOS DE 3,7X2,3X2,3 M DE PANEL DE ACERO LACADO Y AISLAMIENTO DE POLIURETANO DE 35 MM DE ESPESOR, REVESTIMIENTO DE PAREDES CON TABLERO FENÓLICO, PAVIMENTO DE LAMAS DE ACERO GALVANIZADO, CON INSTALACIÓN DE LAMPISTERÍA, 1 LAVABO COLECTIVO CON 3 GRIFOS, 2 PLACAS TURCAS, 2 DUCHAS, ESPEJO Y COMPLEMENTOS DE BAÑO, CON INSTALACIÓN ELÉCTRICA, 1 PUNTO DE LUZ, INTERRUPTOR, ENCHUFES Y PROTECCIÓN DIFERENCIAL	
		DOSCIENTOS EUROS con SIETE CÉNTIMOS	
14.03.02	**mes**	**MÓDULO PREFABRICADO VESTIDOR 8,2X2,5X2,3M,INST.ELÉC.**	**152,06**
		MÓDULO PREFABRICADO DE VESTIDORES DE 8,2X2,5X2,3 M DE PANEL DE ACERO LACADO Y AISLAMIENTO DE POLIURETANO DE 35 MM DE ESPESOR, REVESTIMIENTO DE PAREDES CON TABLERO FENÓLICO, PAVIMENTO DE LAMAS DE ACERO GALVANIZADO CON AISLAMIENTO DE FIBRA DE VIDRIO Y TABLERO FENÓLICO, , CON INSTALACIÓN ELÉCTRICA, 1 PUNTO DE LUZ, INTERRUPTOR, ENCHUFES Y PROTECCIÓN DIFERENCIAL	
		CIENTO CINCUENTA Y DOS EUROS con SEIS CÉNTIMOS	
14.03.03	**mes**	**MÓDULO PREFABRICADO COMEDOR 6X2,3X2,6M,INST.LAMPIST.,INST.ELÉC.**	**155,95**
		MÓDULO PREFABRICADO DE COMEDOR DE 6X2,3X2,6 M DE PANEL DE ACERO LACADO Y AISLAMIENTO DE 35 MM DE ESPESOR, REVESTIMIENTO DE PAREDES CON TABLERO FENÓLICO, PAVIMENTO DE LAMAS DE ACERO GALVANIZADO CON AISLAMIENTO DE FIBRA DE VIDRIO Y TABLERO FENÓLICO, CON INSTALACIÓN DE LAMPISTERÍA, FREGADERO DE 2 SENOS CON GRIFO Y ENCIMERA, CON INSTALACIÓN ELÉCTRICA, 1 PUNTO DE LUZ, INTERRUPTOR, ENCHUFES Y PROTECCIÓN DIFERENCIAL	
		CIENTO CINCUENTA Y CINCO EUROS con NOVENTA Y CINCO CÉNTIMOS	
14.03.04	**u**	**ESPEJO LUNA INCOLORA,E=3MM,ADHERIDO TABLERO MADERA**	**34,02**
		ESPEJO DE LUNA INCOLORA DE 3 MM DE ESPESOR, COLOCADO ADHERIDO SOBRE TABLERO DE MADERA	
		TREINTA Y CUATRO EUROS con DOS CÉNTIMOS	
14.03.05	**u**	**BANCO MADERA,3,5MX0,4M,P/5PERS.,COL.+DESMONT.INCLUIDO**	**16,07**
		BANCO DE MADERA, DE 3,5 M DE LONGITUD Y 0,4 M DE ANCHURA, CON CAPACIDAD PARA 5 PERSONAS, COLOCADO Y CON EL DESMONTAJE INCLUIDO	
		DIECISÉIS EUROS con SIETE CÉNTIMOS	
14.03.06	**u**	**MESA MADERA TABLERO MELAMINA,3,5MX0,8M,P/10PERS.,COL.+DESMONT.IN**	**21,87**
		MESA DE MADERA CON TABLERO DE MELAMINA, DE 3,5 M DE LONGITUD Y 0,8 M DE ANCHURA, CON CAPACIDAD PARA 10 PERSONAS, COLOCADA Y CON EL DESMONTAJE INCLUIDO	
		VEINTIÚN EUROS con OCHENTA Y SIETE CÉNTIMOS	
14.03.07	**u**	**HORNO MICROONDAS P/COMIDAS,COL.+DESMONT.INCLUIDO**	**64,32**
		HORNO MICROONDAS PARA CALENTAR COMIDAS, COLOCADO Y CON EL DESMONTAJE INCLUIDO	
		SESENTA Y CUATRO EUROS con TREINTA Y DOS CÉNTIMOS	
14.03.08	**u**	**RECIPIENTE P/BASURAS,100L,COL.+DESMONT.INCLUIDO**	**39,31**
		RECIPIENTE PARA RECOGIDA DE BASURAS, DE 100 L DE CAPACIDAD, COLOCADO Y CON EL DESMONTAJE INCLUIDO	
		TREINTA Y NUEVE EUROS con TREINTA Y UN CÉNTIMOS	
14.03.09	**h**	**MANO OBRA,LIMPIEZA+CONSERVACIÓN INSTALACIONES**	**15,33**
		MANO DE OBRA PARA LIMPIEZA Y CONSERVACIÓN DE LAS INSTALACIONES	
		QUINCE EUROS con TREINTA Y TRES CÉNTIMOS	

Documento visado electrónicamente con número: VA07290/22
Código de validación telemática TRLTDCFZ60T66IJ1. Comprobación: https://cogitivalencia.e-gestion.es/Validacion.aspx?CVT=TRLTDCFZ60T66IJ1

VISADO
COGITI
VALENCIA
VA07290/22
TRLTDCFZ60T66IJ1

CÓDIGO	UD	RESUMEN	PRECIO
14.03.10	u	**BOTIQUÍN PORTÁTIL URG.+CONTENIDO SEGÚN ORDEN.SYS**	80,73
		BOTIQUÍN PORTÁTIL DE URGENCIA, CON EL CONTENIDO ESTABLECIDO EN LA ORDENANZA GENERAL DE SEGURIDAD Y SALUD EN EL TREBAJO	
		OCHENTA EUROS con SETENTA Y TRES CÉNTIMOS	
14.03.11	u	**MATERIAL SANITARIO BOTIQUÍN+CONTENIDO SEGÚN ORDEN.SYS**	52,69
		MATERIAL SANITARIO PARA SURTIR UN BOTIQUÍN CON EL CONTENIDO ESTABLECIDO EN LA ORDENANZA GENERAL DE SEGURIDAD Y SALUD EN EL TREBAJO	
		CINCUENTA Y DOS EUROS con SESENTA Y NUEVE CÉNTIMOS	

Documento visado electrónicamente con número: VA07290/22
Código de validación telemática TRLTDCFZ60T66IJ1. Comprobación: https://cogitivalencia.e-gestion.es/Validacion.aspx?CVT=TRLTDCFZ60T66IJ1

VISADO
COGITI
VALENCIA
VA07290/22
TRLTDCFZ60T66IJ1

Documento visado electrónicamente con número: VA07290/22
Código de validación telemática TRLTDCFZ60T66IJ1. Comprobación: https://cogitivalencia.e-gestion.es/Validacion.aspx?CVT=TRLTDCFZ60T66IJ1

4.2.2. CUADRO DE PRECIOS Nº2

CUADRO DE PRECIOS 2

CÓDIGO	UD	RESUMEN	PRECIO

VISADO
COGITI
VALENCIA
VA07290/22
TRLTDCFZ60T66IJ1

01 TRABAJOS PREVIOS

01.01 **u** **Demolición y retirada torres alumbrado**

Desconexión, demolición y retirada de torres de alumbrado ubicadas en cubierta del silo por interferencia con la instalación fotovoltaica, sin recuperación de los mismos, incluso desmontajes de anclajes de sujección, desconexiones de la línea eléctrica en la luminaria y en la salida del cuadro correspondiente y limpieza, y p.p. de medios auxiliares, con medidas de protección colectivas. Adaptación necesaria de instalación eléctrica para gantizar la seguridad, empalmes o alimentación provisional en caso necesario. Incluyento su desconexión total y desvíos necesarios para dejar el resto de la instalación en perfecto estado de funcionamiento Retirada de material a lugar designado por la propiedad. Demolición de base de hormigón armado HA-30/B/20/IIIa, de dimensiones aproximadas de 1,80x1,80x1m, con armado formado por una malla cuadrada de 10/30 en los lados y cara inferior. Incluso retirada de escombros a pie de carga, con transporte a vertedero y con p.p. de medios auxiliares, con medidas de protección colectivas.

Mano de obra		45,84
Resto de obra y materiales		770,69
Suma la partida		796,53
Costes indirectos	2,5%	19,91
TOTAL PARTIDA		**816,44**

01.02 **PA** **Impermeabilización y pavimento asfaltico**

Partida alzada correspondiente a la impermeabilización de cubierta tras retirada de torres de alumbrado, consistente en:

Impermeabilización:
- Barrido y limpieza de superficie.
- Capa de imprimación con PROMULSIT con una dotación aproximada de 3 kg/m2
- Dos capas de ROADSEAL FIBRE con una dotación aproximada de 2 kg/m2 por capa. Compuesto de cargas minerales de granulometría controlada, una emulsión bituminosa de alta estabilidad y fibras sintéticas.

Pavimento Asfáltico:
- Extendido y compactación de una capa de regularización de la superficie de 3 a 4 cm de espesor medio de aglomerado asfáltico en caliente tipo AC8 BIN 35/0D.
- Riego de adherencia con emulsión modificada termoadherente C60 BP4TER.
- Extendido y compactación de una capa de rodadura de 2 – 3 cm de espesor medio tipo BBTM 11 A PMB 45/80-65 F con betún modificado.

Incluso p.p. de pequeño material, incluso medios auxiliares, totalmente terminado.

Mano de obra		236,96
Resto de obra y materiales		5.003,56
Suma la partida		5.240,52
Costes indirectos	2,5%	131,01
TOTAL PARTIDA		**5.371,53**

Documento visado electrónicamente con número: VA07290/22
Código de validación: TRLTDCFZ60T66IJ1. Comprobación: https://cogitivalencia.e-gestion.es/Validacion.aspx?CV=TRLTDCFZ60T66IJ1

VISADO
COGITI
VALENCIA
VA07290/22
TRLTDCFZ60T66IJ1

CÓDIGO	UD	RESUMEN	PRECIO

01.03 **u** **Unión articulada**

Suministro y montaje de enlace de estructura metálica con edificio existente, según detalle de planos, mediante unión arrticulada compuesta por dos partes:
La parte inferior se trata de una placa de anclaje convencional mediante pernos que se anclan en el pilar. Este elemento es el encargado de transmitir los esfuerzos de axil y corte que provienen de la estructura metálica a los pilares de hormigón.
La parte superior se compone de una placa soldada al pilar metálico junto con unos rigidizadores que garantizan la unión entre ambas partes y la correcta transmisión de esfuerzos.
Ambas partes se unen entre sí mediante un conjunto chapa-pasador capaz de resistir los esfuerzos de axil y de corte e impidiendo la transmisión de momentos.

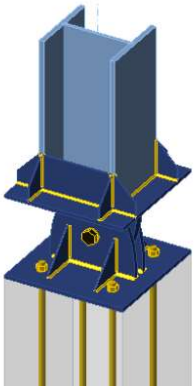

Mano de obra		4,81
Resto de obra y materiales		628,22
Suma la partida		633,03
Costes indirectos	2,5%	15,83
TOTAL PARTIDA		**648,86**

Documento visado electrónicamente con número: VA07290/22
Código de validación telemática TRLTDCFZ60T66IJ1. Comprobación: https://colvalencia.e-gestion.es/Validacion.aspx?CVT=TRLTDCFZ60T66IJ1

VISADO
COGITI
VALENCIA
VA07290/22
TRLTDCFZ60T66IJ1

CÓDIGO	UD	RESUMEN	PRECIO

02 ESTRUCTURA METÁLICA

02.01 **kg** **Acero elaborado S275JR Estructural Laminado**

Suministro y montaje de acero elaborado S275JR según UNE-EN 10025, colocado en estructura metálica atornillada, en edificio industrial o espacio abierto, en condiciones normales, mediante uniones atornilladas (según indicaciones de la Dirección Facultativa), incluyendo materiales de sujeción de paramentos, correas, zunchos, dinteles, cerchas, celosías, pilares, placas de anclaje, parte proporcional de soldaduras, cortes, piezas especiales, despuntes y ficha técnica del producto totalmente montado y colocado sobre soporte incluyendo taladros necesarios, incluyendo repaso de soldaduras y defectos en obra una vez instalada, según según SE-A del CTE.
En el precio unitario quedará incluido el incremento porcentual por despuntes y errores de laminación, asi como la tornilleria, rigidizadores y UNIONES, además de elementos secundarios de montaje .
El criterio de medición se realizará mediante el calculo de Kg/ml (utlizandose el prontuario EAE-2011), de las barras reflejadas en los planos de estructura de Taller aprobados por la D.F, no contabilizando elementos secundarios de montaje, rigidizadores, pletinas, etc
Incluido diseño y cálculo de todas las uniones con su correspondiente memoria de cálculo firmada por técnico competente y visada por el Colegio Oficial correspondiente.
Sobre los perfiles metálicos está prevista la aplicación de sistemas de pintura para soporte de acero al carbono de baja aleación con preparación de la superficie a chorro grado Sa 2½ (Véase la Norma ISO 8501-1) para aplicarción de tratamiento antioxidante C5-M

Mano de obra		0,74
Resto de obra y materiales		2,66
Suma la partida		3,40
Costes indirectos	2,5%	0,09
TOTAL PARTIDA		**3,49**

02.02 **m2** **Pintura anticorrosiva C5-M ambiente marino**

Tratamiento superficial de protección anticorrosiva de la empresa Pinturas MONTÓen elementos de acero para garantizar durabilidad frente a ambiente marino C5-M según UNE-EN ISO 12944-6:1999:

El sistema para ambiente atmosférico C5-M con durabilidad alta, incluye:
Preparación de la superficie mediante chorreado grado Sa 2½ (Véase la Norma ISO 8501-1)
1 capa de 80 ìm secas de Imprimación M-Epox 70
1 capa de 160 ìm secas de Imprimación M-Epox-HB 40
2 capas de 40 ìm secas de Esmalte M-Thane 70-B
Total ENPS (espesor nominal de pel?cula seca) de 320 µm. +-10%
Aplicación de pintura de obligado cumplimiento segúnprescripción, control de aplicación y revisión de procesos de ejecución de la empresa Pinturas MONTÓ, realizada en TALLER.

Mano de obra		1,48
Resto de obra y materiales		33,02
Suma la partida		34,50
Costes indirectos	2,5%	0,86
TOTAL PARTIDA		**35,36**

02.03 **kg** **Suministro y colocación de placas de anclaje**

Suministro y colocación de placa de anclaje de acero post-installed. Totalmente colocada y perfectamente nivelada -previa aprobación por parte de la Dirección Facultativa del mortero grout el cual se incluye- preparada para el anclaje de os perfiles metálicos previstos en plano. Incluido limpieza y retirada de restos. Totalmente ejecutado. Acero INOXIDABLE . Anclaje químico compuesto por resina RE 500 V3 + Varilla roscada HAS-U A4 M24 y M20.

Se incluye en proyecto detalle para ver los diferentes tipos de placas, disposición y características de anclajes, incluso espesor de placas de anclaje y rigidizadores.

Mano de obra		14,81
Resto de obra y materiales		315,22
Suma la partida		330,03
Costes indirectos	2,5%	8,25
TOTAL PARTIDA		**338,28**

Documento visado electrónicamente con número: VA07290/22
Código de validación telemática TRLTDCFZ60T66IJ1. Comprobación: https://cogitivalencia.e-gestion.es/Validacion.aspx?CVT=TRLTDCFZ60T66IJ1

VISADO
COGITI
VALENCIA
VA07290/22
TRLTDCFZ60T66IJ1

CÓDIGO	UD	RESUMEN	PRECIO

03 INSTALACIÓN FOTOVOLTAICA

03.01 EQUIPAMIENTO FOTOVOLTAICO

03.01.01 **u** **Módulo fotovoltaico Jinko JKM535M-72HL4 535 Wp**

Suministro y montaje de panel fotovoltaico modelo JKM535M-72HL4 de la marca Jinko o equivalente aprobado por DF. El módulo dispone de las siguientes características:

· Potencia nominal (Pmpp) …….. 535 Wp
· Tolerancia potencia nominal ……..+3%.
· Voltaje punto de máxima potencia (Vmpp) ……. 40,63 V.
· Corriente punto de máxima potencia (Impp) ……..13,17 A.
· Voltaje en circuito abierto (Voc) ……49,34 V.
· Corriente de cortocircuito (Isc) ……13,79 A.
· Coef. temperatura de potencia máxima ……-0,35 %/ºC.
· Coef. temperatura tensión de circuito abierto ……..-0,28 %/ºC.
· Coef. temperatura corriente de cortocircuito ……0,048 %/ºC.
· Maxima tensión del sistema 1.500Vdc

Las dimensiones de los módulos fotovoltaicos son las siguientes:

· Longitud ……2.274 mm.
· Anchura ……1134 mm.
· Espesor ……35 mm.

Con cable largo para conexion en posicion horizontal y conectores MC4. Resto de caracteristicas tecnicas según catalogo del Fabricante. Incluso bridas, piezas especiales, conexiones electricas, ayudas de albañileria, limpieza de materiales sobrantes, transportes, medios auxiliares de elevacion y replanteos. Todo ello instalado, verificaciones, ensayos, conexiones, enclavamientos, controles, pruebas, certificados y homologaciones. Totalmente instalado, incluso conexionado y anclaje a estructura.

Mano de obra		15,16
Resto de obra y materiales		203,59
Suma la partida		218,75
Costes indirectos	2,5%	5,47
TOTAL PARTIDA		**224,22**

03.01.02 **u** **Inversor trifasico Huawei SUN 2000-185KTL-H1 185 kW**

Suministro e instalacion de inversor fotovoltaico de conexion a red, modelo SUN 2000-185KTL-H1 de la marca HUAWEI o equivalente aprobado por DF. El inversor dispone de las siguientes características:

- Potencia nominal	185 kW
- Tensión nominal de salida	800 V 3F+PE
- Máxima tensión de entrada	1500 V
- Rango tensión MPPT	500-1500 V
- Máxima corriente por MPPT	26 A
- Máxima corriente de cortocircuito por MPPT	40 A
- Número de entradas	18
- Numero de seguimiento de MPP	9

Los inversores cumplen con la normativa europea aplicable a estos equipos, contando con todas las protecciones exigidas por el RD 1699/2011, de 18 de Noviembre:

- Protección de máxima y mínima tensión (1,1 y 0,85 Um, respectivamente)
- Protección de máxima y mínima frecuencia (51 y 49 Hz. respectivamente)
- Transformador de separación galvánica.
- Protección contra funcionamiento en modo isla.
- Protección contra sobretensiones.
- Control de aislamiento.

Incluso armario de acero inoxidable AISI 316L para protección frente a los agentes atmoféricos del Iinversor, piezas especiales, conexiones electricas, ayudas de albañileria, limpieza de materiales sobrantes, transportes, medios auxiliares de elevacion y replanteos. Todo ello instalado, verificaciones, ensayos, conexiones, enclavamientos, controles, pruebas, certificados y homologaciones. Totalmente instalado, incluso conexionado y puesto en marcha..

Mano de obra		30,32
Resto de obra y materiales		9.925,45
Suma la partida		9.955,77
Costes indirectos	2,5%	248,89
TOTAL PARTIDA		**10.204,66**

Documento visado electrónicamente con número: VA07290/22
Código de validación telemática TRLTDCFZ60T66IJ1. Comprobar en: https://cogitivalencia.e-gestion.es/Validacion.aspx?CVT=TRLTDCFZ60T66IJ1

CÓDIGO	UD	RESUMEN	PRECIO

VISADO
COGITI
VALENCIA
VA07290/22
TRLTDCFZ60T66IJ1

03.02 INSTALACION ELECTRICA FOTOVOLTAICA

03.02.01 **m** **Cable ZZ-F (AS) 1,8 kV DC sección 2x6mm2 Cu**

Línea electrica construida mediante cable unipolar de cobre recocido tipo EXZ-HELLENT SOLAR ZZ-F, tensión nominal 0,6/1 kV, tensión máxima en corriente continua 1,8 kV, reacción al fuego clase Eca, con conductor de cobre recocido, flexible (clase 5), de 6 mm² de sección para positivo y negativo, aislamiento de elastómero reticulado, de tipo EI6, cubierta de elastómero reticulado, de tipo EM5, aislamiento clase II, de color negro, y con las siguientes características: no propagación de la llama, baja emisión de humos opacos, reducida emisión de gases tóxicos, libre de halógenos, nula emisión de gases corrosivos, resistencia a la absorción de agua, resistencia al frío, resistencia a los rayos ultravioleta, resistencia a los agentes químicos, resistencia a las grasas y aceites, resistencia a los golpes y resistencia a la abrasión. Según DKE/VDE AK 411.2.3. Instalado en canalización correspondiente, incluso p.p. de accesorios de fijación, terminales, tornillos. Incluso mano de obra, replanteos, limpieza previa, y ayudas de albañileria que se precisen, así como la utilización de herramientas y medios auxiliares que se precisen, manipulación, retirada de material sobrante y limpieza posterior etc. Se entiende material totalmente instalado y verificado.

Mano de obra		2,38
Resto de obra y materiales		1,39
Suma la partida		3,77
Costes indirectos	2,5%	0,09
TOTAL PARTIDA		**3,86**

03.02.02 **m** **Cable RZ1-K 0,6/1 kV (AS) sección 4x70+TT mm² Cu**

Línea electrica construida mediante cable unipolar de cobre recocido RZ1-K 0,6/1 kV (AS), reacción al fuego clase Cca-s1b,d1,a1, aislamiento de polietileno reticulado (XLPE), de tipo DIX3, cubierta de poliolefina termoplástica, de tipo Afumex Z1, de color verde, sección 70 mm² para fases y neutro y sección 35 mm² para tierra, de la marca Prysmian o equivalente aprobado por DF, no propagadores del incendio, con emisión de humos y opacidad reducida, libre de halogenos, s/ UNE 21.123-4, instalada en canalización correspondiente, incluso p.p. de accesorios de fijación, terminales, tornillos. Incluso mano de obra, replanteos, limpieza previa, y ayudas de albañileria que se precisen, así como la utilización de herramientas y medios auxiliares que se precisen, manipulación, retirada de material sobrante y limpieza posterior etc. Se entiende material totalmente instalado y verificado.

Mano de obra		3,74
Resto de obra y materiales		50,15
Suma la partida		53,89
Costes indirectos	2,5%	1,35
TOTAL PARTIDA		**55,24**

03.02.03 **m** **Cable XZ1Z (AS) sección 4x(2x240)+TT mm² Al**

Linea electrica construida mediante cable unipolar tipo AL XZ1 (S), tensión nominal 0,6/1 kV, de seguridad en caso de incendio (S), reacción al fuego clase Eca, con conductor de aluminio, rígido (clase 2), sección 2x240 mm² para fases y neutro y sección 240 mm² para tierra, de la marca Prysmian o equivalente aprobado por DF, aislamiento de polietileno reticulado (XLPE), de tipo DIX3, cubierta de material libre de halógenos, de tipo Flamex DMO1, y con las siguientes características: no propagación de la llama, baja emisión de humos opacos, libre de halógenos, nula emisión de gases corrosivos, resistencia a la absorción de agua, resistencia al frío, resistencia a los rayos ultravioleta, resistencia a los agentes químicos, resistencia a las grasas y aceites y resistencia a los golpes. Según HD 603-5X-1. Instalado en canalización correspondiente, incluso p.p. de accesorios de fijación, terminales, tornillos. Incluso mano de obra, replanteos, limpieza previa, y ayudas de albañileria que se precisen, así como la utilización de herramientas y medios auxiliares que se precisen, manipulación, retirada de material sobrante y limpieza posterior etc. Se entiende material totalmente instalado y verificado.

Mano de obra		4,97
Resto de obra y materiales		52,23
Suma la partida		57,20
Costes indirectos	2,5%	1,43
TOTAL PARTIDA		**58,63**

Documento visado electrónicamente con número: VA07290/22
Código de validación telemática TRLTDCFZ60T66IJ1. Comprobación: https://cogitivalencia.e-gestion.es/Validacion.aspx?CVT=TRLTDCFZ60T66IJ1

VISADO
COGITI
VALENCIA
VA07290/22
TRLTDCFZ60T66IJ1

CÓDIGO	UD	RESUMEN	PRECIO

03.02.04 **m** **Cable XZ1Z (AS) sección 4x(4x240)+TT mm² Al**

Linea electrica construida mediante cable unipolar tipo AL XZ1 (S), tensión nominal 0,6/1 kV, de seguridad en caso de incendio (S), reacción al fuego clase Eca, con conductor de aluminio, rígido (clase 2), sección 4x240 mm² para fases y neutro y sección 2x240 mm² para tierra, de la marca Prysmian o equivalente aprobado por DF, aislamiento de polietileno reticulado (XLPE), de tipo DIX3, cubierta de material libre de halógenos, de tipo Flamex DMO1, y con las siguientes características: no propagación de la llama, baja emisión de humos opacos, libre de halógenos, nula emisión de gases corrosivos, resistencia a la absorción de agua, resistencia al frío, resistencia a los rayos ultravioleta, resistencia a los agentes químicos, resistencia a las grasas y aceites y resistencia a los golpes. Según HD 603-5X-1. Instalado en canalización correspondiente, incluso p.p. de accesorios de fijación, terminales, tornillos. Incluso mano de obra, replanteos, limpieza previa, y ayudas de albañileria que se precisen, así como la utilización de herramientas y medios auxiliares que se precisen, manipulación, retirada de material sobrante y limpieza posterior etc. Se entiende material totalmente instalado y verificado.

Mano de obra		6,74
Resto de obra y materiales		90,08
Suma la partida		96,82
Costes indirectos	2,5%	2,42
TOTAL PARTIDA		**99,24**

03.02.05 **m** **Bandeja metálica inoxidable AISI 316L 60x200mm**

Suministro y montaje de bandeja metálica de acero inoxidable AISI 316L, sin tapa, de dimensiones 60x200mm, del tipo Pemsaband de la marca PEMSA o equivalente aprobado por DF, para canalización eléctrica, incluido p.p. de uniones, curvas, codos, derivaciones y accesorios, asi como soportes, sujecciones, material auxiliar y ayudas en albaliñería, sin incluir cableado. Totalmente acabada, medida la unidad terminada.

Mano de obra		3,03
Resto de obra y materiales		50,57
Suma la partida		53,60
Costes indirectos	2,5%	1,34
TOTAL PARTIDA		**54,94**

03.02.06 **m** **Bandeja metálica inoxidable AISI 316L 100x300mm**

Suministro y montaje de bandeja metálica de acero inoxidable AISI 316L, sin tapa, de dimensiones 100x300mm, del tipo Pemsaband de la marca PEMSA o equivalente aprobado por DF, para canalización eléctrica, incluido p.p. de uniones, curvas, codos, derivaciones y accesorios, asi como soportes, sujecciones, material auxiliar y ayudas en albaliñería, sin incluir cableado. Totalmente acabada, medida la unidad terminada.

Mano de obra		3,03
Resto de obra y materiales		69,99
Suma la partida		73,02
Costes indirectos	2,5%	1,83
TOTAL PARTIDA		**74,85**

03.02.07 **m** **Bandeja metálica inoxidable AISI 316L 100x600mm**

Suministro y montaje de bandeja metálica de acero inoxidable AISI 316L, sin tapa, de dimensiones 100x600mm, del tipo Pemsaband de la marca PEMSA o equivalente aprobado por DF, para canalización eléctrica, incluido p.p. de uniones, curvas, codos, derivaciones y accesorios, asi como soportes, sujecciones, material auxiliar y ayudas en albaliñería, sin incluir cableado. Totalmente acabada, medida la unidad terminada.

Mano de obra		3,31
Resto de obra y materiales		128,56
Suma la partida		131,87
Costes indirectos	2,5%	3,30
TOTAL PARTIDA		**135,17**

03.02.08 **m** **Tapa para bandeja metálica inox 200mm**

Suministro y montaje de tapa para bandeja portacables metálica de acero inoxidable de 200mm. Incluso p.p. de curvas, uniones, derivaciones, soportes, accesorios y pequeño material. Totalmente instalada, segun condiciones de proyecto.

Mano de obra		1,41
Resto de obra y materiales		23,33
Suma la partida		24,74
Costes indirectos	2,5%	0,62

Documento visado electrónicamente con número: VA07290/22
Código de validación telemática: TRLTDCFZ60T66IJ1. Comprobación: https://cogitivalencia.e-gestion.es/Validacion.aspx?CV=TRLTDCFZ60T66IJ1

VISADO
COGITI
VALENCIA
VA07290/22
TRLTDCFZ60T66IJ1

CÓDIGO	UD	RESUMEN		PRECIO
		TOTAL PARTIDA		**25,36**
03.02.09	**m**	**Tapa para bandeja metálica inox 300mm**		
		Suministro y montaje de tapa para bandeja portacables metálica de acero inoxidable de 400mm. Incluso p.p. de curvas, uniones, derivaciones, soportes, accesorios y pequeño material. Totalmente instalada, segun condiciones de proyecto.		
		Mano de obra		1,41
		Resto de obra y materiales		38,98
		Suma la partida		40,39
		Costes indirectos	2,5%	1,01
		TOTAL PARTIDA		**41,40**
03.02.10	**m**	**Tapa para bandeja metálica inox 600mm**		
		Suministro y montaje de tapa para bandeja portacables metálica de acero inoxidable de 600mm. Incluso p.p. de curvas, uniones, derivaciones, soportes, accesorios y pequeño material. Totalmente instalada, segun condiciones de proyecto.		
		Mano de obra		1,69
		Resto de obra y materiales		75,47
		Suma la partida		77,16
		Costes indirectos	2,5%	1,93
		TOTAL PARTIDA		**79,09**
03.02.11	**m**	**Cable desnudo 35mm2**		
		Conductor de tierra de Cu desnudo de 35 mm² de sección para puesta a tierra de bandejas metálicas. Tendida en canalización al efecto. Incluso terminales, conexiones a bandeja cada 15 metros, pequeño material, etc.. . Totalmente instalado y conexionado.		
		Mano de obra		1,69
		Resto de obra y materiales		6,38
		Suma la partida		8,07
		Costes indirectos	2,5%	0,20
		TOTAL PARTIDA		**8,27**
03.02.12	**m**	**Cable desnudo 16mm2**		
		Conductor de tierra de Cu desnudo de 35 mm² de sección para puesta a tierra de bandejas metálicas. Tendida en canalización al efecto. Incluso terminales, conexiones a bandeja cada 15 metros, pequeño material, etc.. . Totalmente instalado y conexionado.		
		Mano de obra		1,41
		Resto de obra y materiales		3,80
		Suma la partida		5,21
		Costes indirectos	2,5%	0,13
		TOTAL PARTIDA		**5,34**
03.02.13	**u**	**Puente de tierra**		
		Suministro y montaje de puente para la puesta a tierra de la instalación.		
		Mano de obra		2,66
		Resto de obra y materiales		35,19
		Suma la partida		37,85
		Costes indirectos	2,5%	0,95
		TOTAL PARTIDA		**38,80**
03.02.14	**u**	**Terminal Cu T-50-10**		
		Suministro y montaje de Terminal de cobre T-95-10. incluso p.p. de accesorios de fijación, terminales, tornillos. Incluso mano de obra, replanteos, limpieza previa, y ayudas de albañileria que se precisen, así como la utilización de herramientas y medios auxiliares que se precisen, manipulación, retirada de material sobrante y limpieza posterior etc. Se entiende material totalmente instalado y verificado.		
		Mano de obra		1,41
		Resto de obra y materiales		5,20
		Suma la partida		6,61
		Costes indirectos	2,5%	0,17
		TOTAL PARTIDA		**6,78**

Documento visado electrónicamente con número: VA07290/22
Código de validación telemática TRLTDCFZ60T66IJ1. Comprobación: https://cogitivalencia.e-gestion.es/Validacion.aspx?CVT=TRLTDCFZ60T66IJ1

VISADO
COGITI
VALENCIA
VA07290/22
TRLTDCFZ60T66IJ1

CÓDIGO	UD	RESUMEN	PRECIO

03.02.15 **u** **Conectores MC4**

Suministro y montaje de broches de conexion MC4 para conexionado de string con inversor. Totalmente instalado.

Mano de obra		1,41
Resto de obra y materiales		8,97
Suma la partida		10,38
Costes indirectos	2,5%	0,26
TOTAL PARTIDA		**10,64**

03.02.16 **u** **Cuadro fotovoltaica AC BOX AISI 316L**

Suministro y montaje de cuadro electrico AC BOX, de la marca Schneider Electric o equivalente aprobado por DF, serie Spacial, formado por armario de superficie de acero inoxidable 316L, elevada resistencia a la corrosión (entornos salinos o con cloro), con grado de protección IP66 e IK10. Conteniendo en su interior todos los elementos reflejados en esquemas de proyecto, cableado interno con punteras, con bornero, pletinas auxiliares de conexión, incluso limitador de sobretensiones de clase II. Certificación de ensayos, declaración CE y etiquetaje de circuitos. Totalmente montado y funcionando.

Mano de obra		242,56
Resto de obra y materiales		10.215,64
Suma la partida		10.458,20
Costes indirectos	2,5%	261,46
TOTAL PARTIDA		**10.719,66**

03.02.17 **u** **Cuadro fotovoltaica MAIN AC BOX AISI 316L**

Suministro y montaje de cuadro electrico MAIN AC BOX, de la marca Schneider Electric o equivalente aprobado por DF, serie Spacial, formado por armario de superficie de acero inoxidable 316L, elevada resistencia a la corrosión (entornos salinos o con cloro), con grado de protección IP66 e IK10. Conteniendo en su interior todos los elementos reflejados en esquemas de proyecto, cableado interno con punteras, con bornero, pletinas auxiliares de conexión, incluso limitador de sobretensiones de clase II. Certificación de ensayos, declaración CE y etiquetaje de circuitos. Totalmente montado y funcionando.

Mano de obra		424,48
Resto de obra y materiales		26.762,24
Suma la partida		27.186,72
Costes indirectos	2,5%	529,67
TOTAL PARTIDA		**27.716,39**

03.02.18 **u** **Smartlogger HUAWEI 3000A**

Suministro, instalación e integración de sistema de control y supervisión para la gestión integral de la instalación de Fotovoltaica, SMARTLOGGER modelo 3000A de HUAWEI o equivalente aprovado por DF. Las características del equipo vienen indicadas en el anexo I. Incluso pp de accesorios para su correcta instalación. Medida la unidada totalmente instalada, integrada y funcionando.

Mano de obra		60,64
Resto de obra y materiales		1.205,91
Suma la partida		1.266,55
Costes indirectos	2,5%	31,66
TOTAL PARTIDA		**1.298,21**

03.02.19 **u** **Sistema antivertido PRISMA 310A**

Sistema antivertido a instalar proximo al módulo de contadores del cliente, modelo PRISMA 310A de RENESYS o equivalente aprobado por DF. Permite regular la potencia obtenida de fuentes renovables y aportar garantías físicas y lógicas para decidir qué potencia debemos o deseamos consumir de la red. Integra en el mismo dispositivo un contador para la regulación instantánea y elimina la necesidad de otros componentes externos en la regulación de la potencia. Con cumplimiento de los criterios de la UNE 217001-IN y RD 244/2019. Incluso parte proporcional de accesorios para su correcta instalacion. Medida la unidad, totalmente instalada y parametrizada según normas de la compañia suminitsradora de la zona y funcionando correctamente.

Mano de obra		121,28
Resto de obra y materiales		2.751,82
Suma la partida		2.873,10
Costes indirectos	2,5%	71,83
TOTAL PARTIDA		**2.944,93**

Documento visado electrónicamente con número: VA07290/22
Código de validación telemática TRLTDCFZ60T66IJ1 Comprobación en https://cogitivalencia.e-gestion.es/Validacion.aspx?TRLTDCFZ60T66IJ1

VISADO
COGITI
VALENCIA
VA07290/22
TRLTDCFZ60T66IJ1

CÓDIGO	UD	RESUMEN	PRECIO

03.02.20 **u** **Estación meteorológica MET**

Suministro, montaje e integración de instrumento de medida modelo Sensor MET o Datasol MET, de la marca Aersa o equivalente aprobado por DF. Instrumento de medida electrónico de precisión que permite la medición de la radiación solar global sobre un plano, de la temperatura y de la velocidad del viento. En este equipo se dispone de una Célula Calibrada (o célula fotovoltaica de tecnología equivalente), de dos sondas de temperatura y de una entrada externa para la conexión de un anemómetro. Es el instrumento más adecuado para la adquisición de los parámetros más importantes en una central solar fotovoltaica (radiación solar, temperatura ambiente y velocidad del viento).
Todos estos datos son recogidos y enviados en formato digital vía RS485 con protocolo MODBUS.
La Célula Calibrada que incorpora el Datasol MET lleva incorporado un sensor de temperatura directamente sobre cada una de las células lo que permite corregir (compensar por temperatura) las desviaciones en la medida de la Radiación Solar, dando lecturas más precisas en todo el rango de radiación y temperatura.
El Datasol MET se fija a la estructura de los paneles, siempre con la misma inclinación que estos, bien mediante la fijación HOOK o mediante tornillería.
La medición de la radiación solar es fundamental en el cálculo de la producción energética y el rendimiento de las centrales fotovoltaicas mediante el Índice de Producción (PR Preformance Ratio). Este índice relaciona la potencia real de la instalación con la potencia calculada a través de la radiación solar que incide en la instalación. Esta circunstancia hace ideal la utilización de las Células Calibradas de ATERSA como instrumento de medida de la radiación solar.

*CARACTERÍSTICAS PRINCIPALES:
Medición de la radiación solar, 0 … 1400 W/mm2 . Compensación por temperatura.
Medida de la temperatura de célula (sonda incorporada), -20 130 ºC.
Medida de la temperatura ambiente a 4 hilos con sonda externa incluida, -20 130 ºC.
Entrada libre de potencial para la conexión del anemómetro, medida de la velocidad del viento entre 2 140 km/h (no se entrega el anemómetro junto con el sensor MET).
Tensión de alimentación nominal: 24 V dc. (*).
Rango alimentación auxiliar estándar: 6 28 V dc.
Consumo máximo: 90 mW.
Grado de Protección; IP54.
Rango de trabajo: -20 ºC y +50 ºC.
Sección de cable admisible en bornas: 0.22 mm2 a 1.5 mm2
Diámetro ext. cable admisible en prensaestopas: 4.5 mm y los 10 mm.
Comunicaciones vía RS485 (protocolo MODBUS (RTU)). Distancia máxima 500m.

*CARACTERÍSTICAS TÉCNICAS:
Medición radiación solar: 0 … 1400 W/mm2.
Medición Temperatura célula: -20 … 100 ºC.
Medición Temperatura ambiente: -20 … 100 ºC.
Medición velocidad del viento: 2 … 140 km/h.
Error de la medida de la radicación solar: ± 2.2 %.
Error de la medida de la temperatura: ± 0.8 ºC.
Error de la medida de la velocidad del viento: ± 3 % (15-140 km/h) y ± 1 km/h (2-140 km/h).

Todo ello instalado, verificaciones, ensayos, conexiones, enclavamientos, controles, pruebas, certificados y homologaciones. Totalmente instalado, incluso conexionado y puesto en marcha..

Mano de obra		60,64
Resto de obra y materiales		1.020,78
Suma la partida		1.081,42
Costes indirectos	2,5%	27,04
TOTAL PARTIDA		**1.108,46**

03.02.21 **u** **Realización de DC Test**

Realización del DC test, utilizando equipo Seaward PV150 o similar, comprendiendo la medición de los valores de Voc, Isc, radiación, polaridad y aislamiento de polo positivo y negativo a tierra, de todos los strings. El procedimiento y los valores obtenidos deben ser acordes con la norma IEC 62446. Todos los datos obtenidos serán entregados antes de la conexión de la instalación, en archivos originales del equipo de medición.

Mano de obra		30,32
Resto de obra y materiales		1.440,45
Suma la partida		1.470,77
Costes indirectos	2,5%	36,77
TOTAL PARTIDA		**1.507,54**

Documento visado electrónicamente con número: VA07290/22
Código de validación telemática TRLTDCFZ60T66IJ1. Comprobación: https://cogitivalencia.e-gestion.es/Validacion.aspx?CVT=TRLTDCFZ60T66IJ1

VISADO
COGITI
VALENCIA
VA07290/22
TRLTDCFZ60T66IJ1

CÓDIGO	UD	RESUMEN	PRECIO

03.02.22 **u** **Integración sistema en SCADA**

Horas de integración del sistema solar fotovoltaico y sistema de almacenamiento de energía mediante baterías en SCADA de control WINCC existente de la Autoridad Portuaria, que se ocupa de la visualización y manjeo de las instalaciones, monitorización de los estados y las alamrmas más importantes.

Se modificarán las pantallas existentes y se crearan otras nuevas para el acceso a la instalación de Fotovoltaica, entre otras:

Menú Principal.
Pantalla ubicación geográfica de las instalaciones del puerto
Pantalla de detalle Inversores
Pantalla de detalle Baterías

Se añadirán las nuevas variables en la tablas correspondientes:
- Añadir alarmas en alarmlogging
- Añadir Tagglogging
- Añadir variables en BBDD

Incluso pruebas de funcionamiento y puesta en marcga. Formación de operadores.

Mano de obra		9.641,76
Resto de obra y materiales		144,63
Suma la partida		9.786,39
Costes indirectos	2,5%	244,66
TOTAL PARTIDA		**10.031,05**

03.02.23 **u** **Cuadro de Comunicaciones (Estandarizado APV)**

Suministro e instalación de Cuadro de comunicaciones, que incluye los siguientes elementos:

Envolvente metálica mural de medidas: 760x760x300mm, referencia 1073.500, marca RITTAL
Protección eléctrica general, formada por:
- Interruptor magnetotérmico 2P, 6kA, 16A, curva C, referencia: 5SL6216-7, marca SIEMENS
- Interruptor Diferencial, 2P, Clase AC, 25A, 300mA, referencia: 5SV4612-0, marca SIEMENS
- 2 uds. Interruptor magnetotérmico. 2P, 6kA, 10A, curva C, referencia; 5SL6210-7, marca SIEMENS
- 3 uds. Contacto auxiliar 1NA+1NC para interruptor automático, referencia: 5ST3010, marca SIEMENS
- Enchufe SHUKO 2P+T 16A, referencia: A9A15310, marca: MG
- Sensor inductivo para detección de puerta cerrada, referencia: XS4P18PA340, marca SCHNEIDER
- Piloto verde para señalización de tensión OK, referencia: ZB4-BV033 y ZB4-BVB3, marca: SCHNEIDER
- Piloto rojo para señalización de fallo térmico, referencia: ZB4-BV043 y ZB4-BVB4, marca: SCHNEIDER
- Piloto rojo para señalización de fallo SAI, referencia: ZB4-BV043 y ZB4-BVB4, marca: SCHNEIDER
- Piloto amarillo para señalización de puerta cerrada, referencia: ZB4-BV053 y ZB4-BVB5, marca: SCHNEIDER
- Fuente de alimentación de 10A, referencia: 6EP1334-2BA20, marca: SIEMENS
- Módulo cargador DC-SAI 24V / 15A, referencia: 6EP1931-2EC21, marca: SIEMENS
- Módulo de batería de 24V/ 7 Ah, referencia: 6EP1935-6ME21, marca: SIEMENS
- Switch de comunicaciones XM408-8C para la red de Giga, referencia: 6GK5408-8GS00-2AM2, marca: SIEMENS
- 2 uds. trasceptor de fibra óptica monomodo, referencia: 6GK5992-1AM00-8AA0, marca: SIEMENS

Totalmente instalado y funcionando.

Mano de obra		270,78
Maquinaria		57,33
Resto de obra y materiales		10.076,92
Suma la partida		10.405,03
Costes indirectos	2,5%	260,13
TOTAL PARTIDA		**10.665,16**

Documento visado electrónicamente con número: VA07290/22 y código: TRLTDCFZ60T66IJ1
Código de validación telemática TRLTDCFZ60T66IJ1. Comprobación: https://cogitivalencia.e-gestion.es/ValidacionPDF.aspx

VISADO COGITI VALENCIA VA07290/22 TRLTDCFZ60T66IJ1

CÓDIGO	UD	RESUMEN	PRECIO

03.02.24 **m** **Cable de comunicaciones UTP**

Suministro e instalación de cable de datos de categoría 6 y Euroclase DCA, de tipo U/UTP, con conductor de cobre y cubierta de LSFH (Low Smoke Free of Halogen). Medido el ml, totalmente instalado y conexionado, incluyendo suministro y montaje de parte proporcional de etiquetas, bridas, conectores, puntas y demás accesorios necesarios para su correcta instalación, sin incluir canalización.

Mano de obra		1,69
Resto de obra y materiales		1,78
Suma la partida		3,47
Costes indirectos	2,5%	0,09
TOTAL PARTIDA		**3,56**

03.02.25 **m** **Cable de fibra óptica monomodo SM 24 fibras 9/125µm**

Instalación de cable fibra óptica monomodo 24 fibras SM, 9/125µm, tendido en bandeja métalica, según las especificaciónes de las normas correspondientes. Con cubierta antiroedores. Testeado. Incluso p.p. de adaptadores y pigtails, incluso tritubo de 40mm, pequeño material y medios auxiliares. Totalmente instalado, certificado el enlace permanente, comprobado y en correcto estado de funcionamiento.

Mano de obra		2,66
Resto de obra y materiales		2,84
Suma la partida		5,50
Costes indirectos	2,5%	0,14
TOTAL PARTIDA		**5,64**

03.03 VARIOS

03.03.01 **u** **Pruebas de la instalación**

Pruebas de la instalacion fotovoltaica consistente en la comprobacion del megado de los cables, resistencias de puesta a tierra y de los inversores, tensiones en circuito abierto, tension e intensidad en funcionamiento, estado de las bornas de conexión. Realizado por organismo de control (OCA) y certificado. Verificaciones, ensayos, certificado, boletines del instalador y legalizacion de la instalacion en el organismo competente, pruebas segun plan de control de calidad y redaccion de informe de los resultados obtenidos, ayudas de albañileria, etc., y funcionando.

Mano de obra		30,32
Resto de obra y materiales		967,45
Suma la partida		997,77
Costes indirectos	2,5%	24,94
TOTAL PARTIDA		**1.022,71**

03.03.02 **u** **Legalización de la instalación**

Legalizacion de la instalacion solar fotovoltaica en los diferentes organismos competentes, preparación de la documentación, pago de tasas, certificados de direccion de obra, certificados del instalador, tramitacion de la linea de evacuación y su inscripción definitiva.

Resto de obra y materiales		1.200,00
Suma la partida		1.200,00
Costes indirectos	2,5%	30,00
TOTAL PARTIDA		**1.230,00**

03.03.03 **u** **Documentación AS BUILT**

Realizacion por parte de la contrata de la documentacion final de obra AS-BUILT y garantias de los productos según fabricante. Se entregará una copia a la propiedad en formato papel y electronico antes de la recepcion final del contrato, asi como un manual de uso y mantenimiento de la instalacion con todos los catalogos tecnicos y manuales de uso y mantenimiento de los equipos que componen la instalacion.

Resto de obra y materiales		600,00
Suma la partida		600,00
Costes indirectos	2,5%	15,00
TOTAL PARTIDA		**615,00**

Documento visado electrónicamente con número: VA07290/22 Código de validación telemática: TRLTDCFZ60T66IJ1. Comprobación: https://cogitivalencia.e-gestion.es/Validacion.aspx?CVT=TRLTDCFZ60T66IJ1

VISADO
COGITI
VALENCIA
VA07290/22
TRLTDCFZ60T66IJ1

CÓDIGO	UD	RESUMEN	PRECIO

04 INSTALACIÓN CT GENERACIÓN PARTICULAR 2x1600 KVA V.C.T.-FV 043.1

04.01 OBRA CIVIL

04.01.01 **u** **Edificio prefabricado PFU-7 c/ ventilación forzada**

Edificio prefabricado constituido por una envolvente, de estructura monobloque, de hormigón armado, tipo PFU-7/20 de la marca Ormazabal o equivalente aprobado por DF, con ventilación forzada, de dimensiones generales aproximadas 8.100 mm de largo por 2200 mm de fondo por 2.500 mm de altura útil. Incluso cuadro electrico para alimentación de los servicios auxiliares, alumbrado interior, toma de corriente, extractores, termostato, central de incendios. Incluye el edificio y todos sus elementos exteriores según CEI 622171-202, transporte, montaje y accesorios

Mano de obra		150,90
Maquinaria		57,33
Resto de obra y materiales		13.958,73
Suma la partida		14.166,96
Costes indirectos	2,5%	354,17
TOTAL PARTIDA		**14.521,13**

04.02 APARAMENTA ALTA TENSIÓN

04.02.01 **u** **Celda de Interruptor de Linea CGMCOSMOS-I**

Suministro y montaje de celda de interruptor de línea modelo CGMCOSMOS-I de la marca Ormazabal o equivalente aprobado por DF, con interruptor-seccionador en SF6 de 400A con mando CIT manual, seccionador de puesta a tierra, juego de barras tripolar e indicadores testigo presencia de tensión instalados.

Mano de obra		180,52
Maquinaria		57,33
Resto de obra y materiales		1.957,57
Suma la partida		2.195,42
Costes indirectos	2,5%	54,89
TOTAL PARTIDA		**2.275,31**

04.02.02 **u** **Celda de Protección CGMCOSMOS-V**

Suministro y montaje de celda con función disyuntor modelo CGMCOSMOS-V de la marca Ormazabal o equivalente aprobado por DF, con seccionador en SF6, relé de protección ekor.rpg, sistema de puesta a tierra, captadores de intensidad y enclavamientos instalados.

Mano de obra		331,42
Maquinaria		57,33
Resto de obra y materiales		15.877,40
Suma la partida		16.266,15
Costes indirectos	2,5%	406,65
TOTAL PARTIDA		**16.672,80**

04.02.03 **u** **Celda de Medida CGMCOSMOS-M**

Suministro y montaje de celda de medida modelo CGMCOSMOS-M de la marca Ormazabal o equivalente aprobado por DF, equipada tres transformadores de intensidad y tres de tensión, de doble secundario, entrada y salida por cable seco, según características detalladas en memoria, instalados.

Mano de obra		270,78
Maquinaria		57,33
Resto de obra y materiales		8.594,97
Suma la partida		8.923,08
Costes indirectos	2,5%	223,08
TOTAL PARTIDA		**9.146,16**

04.02.04 **u** **Celda de Protección y medida de tensión CGMCOSMOS-P**

Suministro y montaje de celda de protección y medida de tensión en barras modelo CGMCOSMOS-P de la marca Ormazabal o equivalente aprobado por DF, con interruptor-seccionador en SF6 de 400A con mando CIT manual, seccionador de puesta a tierra, juego de barras tripolar e indicadores testigo presencia de tensión instalados. Equipada con tres tranaformadores de tensión. Totalmente instalado.

Mano de obra		270,78
Maquinaria		57,33
Resto de obra y materiales		7.992,50
Suma la partida		8.320,61
Costes indirectos	2,5%	208,02

Documento visado electrónicamente con número: VA07290/22
Código de validación telemática: TRLTDCFZ60T66IJ1. Comprobación: https://coitivalencia.cogiti.es/Validacion.aspx?CVT=TRLTDCFZ60T66IJ1

VISADO
COGITI
VALENCIA
VA07290/22
TRLTDCFZ60T66IJ1

CÓDIGO	UD	RESUMEN	PRECIO
		TOTAL PARTIDA	**8.528,63**

04.02.05 u **Analizador de redes CVM-A 1500**

Suministro e instalación de analizador de redes para panel de medida indirecta, para panel en formato 96x96 o 144x144, modelo CVM-A1500 de la marca Circutor o equivalente aprobado por DF. Gran versatilidad en su modo de conexión para ser instalado en diferentes sistemas eléctricos con diversas configuraciones de conexión a red, Trifásico 3, 4 hilos, dos fases con o sin neutro, conexión ARON o conexión a red monofásica. Protección IP66 de larga durabilidad, teclado táctil retro-iluminado con tres teclas y la serigrafía de las teclas debe ser perpetua.
El interfaz con el dispositivo para el acceso a la información completo y funcional para selección de datos a visualizar de forma rápida. Impide la configuración del equipo por personas ajenas a la instalación gracias a protección por contraseña o PIN. El dispositivo muestra por pantalla de forma clara parámetros trifásicos compuestos y por fase.
El dispositivo muestra de forma clara dos medidas de consumo de energía, kWh procedentes de hasta tres distintas fuentes, con sus correspondientes conversiones a coste y emisiones en KgCO2 por pantalla.
Dispone de dos salidas a transistor que podrán ser configuradas como Alarma por parámetros instantáneos que el equipo mide, o como generación de señal de impulsos relacionados con los consumos del equipo, ya sean kWh, Coste de la energía o Emisiones de CO2.
Dispone de dos salidas a relé para ser configuradas como Alarma por parámetros instantáneos que el equipo mide.
Integra comunicaciones RS485 con protocolo MODBUS y BACNET que pueden ser seleccionablesexpandible con hasta 4 módulos con diferentes opciones de entrada/salida o comunicaciones.permite el registro de datos con fecha y hora
Dispone de servidor WEB integrado para monitorizar tanto datos en tiempo real como visualización de datos históricos en forma gráfica o de tabla en cualquier navegador de internet convencional
Dispone de servidor XML integrado para comunicación e integración, tanto datos en tiempo real como visualización de datos históricos, en sistemas informáticos remotos.
Incluso p.p. de material auxiliar. Totalmente instalado y funcionando.

Mano de obra		121,28
Resto de obra y materiales		481,82
Suma la partida		603,10
Costes indirectos	2,5%	40,08
TOTAL PARTIDA		**643,18**

04.03 APARAMENTA BAJA TENSIÓN

04.03.01 u **Juego de Puentes de Cables AT**

Suministro e instalación de juego de puentes III de cables AT unipolares de aislamiento seco RHZ1, aislamiento 12/20 kV, de 95 mm2 en Al con sus correspondientes elementos de conexión.

Mano de obra		75,45
Resto de obra y materiales		871,13
Suma la partida		946,58
Costes indirectos	2,5%	23,66
TOTAL PARTIDA		**970,24**

04.03.02 u **Juego de Puentes de Cables BT**

Suministro e instalación de juego de puentes de cables BT unipolares de aislamiento seco 0.6/1 kV de Cu, de 4x240mm² de sección para las fases y neutro y demás características según memoria.

Mano de obra		105,77
Resto de obra y materiales		2.559,59
Suma la partida		2.665,36
Costes indirectos	2,5%	66,63
TOTAL PARTIDA		**2.731,99**

04.03.03 u **Cuadro protección salida BT**

Suministro e instalación de Cuadro de Baja Tensión modelo Prisma Plus de la marca Schneider Electric o equivalente aprobado por DF, para protección de salida de transformador conteniendo un interruptor automático modelo NS, tetrapolar, de calibre 1600 A regulable, con unidad de control micrologic 5.0A, incluso bancada. Totalmente instalado y funcionando.

Mano de obra		120,58
Maquinaria		114,66
Resto de obra y materiales		4.223,53

Documento visado electrónicamente con número: VA07290/22
Código de validación: TRLTDCFZ60T66IJ1. Comprobación: https://cogitivalencia.e-gestion.es/Validacion.aspx?CVT=TRLTDCFZ60T66IJ1

VISADO COGITI VALENCIA VA07290/22 TRLTDCFZ0T66J1

CÓDIGO	UD	RESUMEN		PRECIO
		Suma la partida		4.458,77
		Costes indirectos	2,5%	111,47
		TOTAL PARTIDA		**4.570,24**

04.03.04 u **Alimentación CS Auxiliares VCT-FV 043.1**

Suministro y montaje de alimentación electrica en BT al cuadro electrico de auxiliares del VCT-FV 043.1 desde CT de cliente, mediante cable unipolar de cobre recocido RZ1-K 0,6/1 kV (AS), reacción al fuego clase Cca-s1b,d1,a1, aislamiento de polietileno reticulado (XLPE), de tipo DIX3, cubierta de poliolefina termoplástica, de tipo Afumex Z1, de color verde, sección 6 mm² para fases, neutro y tierra (3x6mm2), de la marca Prysmian o equivalente aprobado por DF, no propagadores del incendio, con emisión de humos y opacidad reducida, libre de halogenos, s/ UNE 21.123-4, instalada bajo tubo tipo de PVC de 40mm de diámetro. incluso p.p. de accesorios de fijación, terminales, tornillos. Incluso mano de obra, replanteos, limpieza previa, y ayudas de albañileria que se precisen, así como la utilización de herramientas y medios auxiliares que se precisen, manipulación, retirada de material sobrante y limpieza posterior etc. Se entiende material totalmente instalado y verificado.

Mano de obra		90,26
Resto de obra y materiales		671,80
Suma la partida		762,06
Costes indirectos	2,5%	19,05
TOTAL PARTIDA		**781,11**

04.04 TRANSFORMADORES

04.04.01 u **Transformador trifásico de 1600 KVA éster 0.80/20 kV**

Suministro e instalación de transformador trifásico elevador tipo refrigeración éster biodegradable, Ormazabal o equivalente aprobado por D.F, según Norma UNE 21538 y UNE 548/2014 de Ecodiseño. Bobinado AT continuo de gradiente lineal sin entrecapas. Bobinado BT con ensayo frecuencia industrial 10kV. Ensayos climáticos E3, C3, F1. Potencia nominal: 1600 kVA. Relación: 0.80/20 kV. Tensión secundaria vacío: 800 V. Tensión cortocircuito: 6%. Regulación: +/-2,5%, +/-5%, +/-10% . Grupo conexión: Dyn11. Dotado de equipo de sondas PT100 para protección térmica, bornero de conexión y termometro digital (conjunto proteccion termica tipo T que permite visualizar digitalmente las temperaturas de los bobinados) PARA PROTECCIÓN TÉRMICA DEL TRANSFORMADOR y sus conexiones a la alimentación y al elemento disparador de la protección correspondiente, debidamente protegidas contra sobreintensidades. Totalmente montado e instalado.

Mano de obra		361,04
Maquinaria		229,32
Resto de obra y materiales		23.166,09
Suma la partida		23.756,45
Costes indirectos	2,5%	593,91
TOTAL PARTIDA		**24.350,36**

04.05 SISTEMA DE PUESTA A TIERRA

04.05.01 u **Tierras Exteriores de Servicio (Neutro)**

Suministro e instalación de tierras exteriores código 5/62 Unesa, incluyendo 6 picas de 2,00 m. de longitud, cable de cobre desnudo, cable de cobre aislado de 0,6/1kV y elementos de conexión, instalado, según se describe en proyecto.

Mano de obra		181,22
Resto de obra y materiales		2.528,71
Suma la partida		2.709,93
Costes indirectos	2,5%	67,75
TOTAL PARTIDA		**2.777,68**

04.05.02 u **Tierras Exteriores de Protección (Herrajes)**

Suministro e instalación de tierras exteriores código 40-30/5/42 Unesa, incluyendo 4 picas de 2,00 m. de longitud, cable de cobre desnudo, cable de cobre aislado de 0,6/1kV y elementos de conexión, instalado, según se describe en proyecto.

Mano de obra		150,90
Resto de obra y materiales		1.708,26
Suma la partida		1.859,16
Costes indirectos	2,5%	46,48
TOTAL PARTIDA		**1.905,64**

Documento visado electrónicamente con número: VA07290/22
Código de validación telemática TRLTDCFZ0T66J1 - Comprobación: https://cogitivalencia.e-gestion.es/Validacion.aspx?CT=TRLTDCFZ0T66J1

VISADO
COGITI
VALENCIA
VA07290/22
TRLTDCFZ60T66IJ1

CÓDIGO	UD	RESUMEN	PRECIO

04.05.03 **u** **Tierras Interiores**

Suministro e instalación de tierras interiores para poner en continuidad con las tierras exteriores, formado por cable de 50mm2 de Cu desnudo para la tierra de protección y aislado para la de servicio, con sus conexiones y cajas de seccionamiento, instalado, según memoria.

Mano de obra		30,32
Resto de obra y materiales		820,45
Suma la partida		850,77
Costes indirectos	2,5%	21,27
TOTAL PARTIDA		**872,04**

04.06 VARIOS

04.06.01 **u** **Instalación baja tensión CT**

Instalación de baja tensión interior del centro de transformación, compuesta por lo siguientes elementos:

- Armario Cofret G de Schneider IP42 con puerta transparente, conteniendo en su interior la siguiente aparamenta.
- 1 Interruptor Magnetotermico de cabecera C60N 2P 32A
- 1 Interruptor diferencia de cabecera 2P 40A 300mA
- 1 Interruptor Magnetotermico C60N 2P 10A línea alumbrado
- 1 Interruptor Magnetotermico C60N 2P 16A línea toma de corriente
- 1 Interruptor Magnetotermico C60N 2P 16A línea otros usos
- 1 Interruptor Magnetotermico C60N 2P 16A línea otros usos

- Interruptor estanco 16A
- Toma de corriente estanca 16A Monofásica
- 2 Pantallas LED etsancas modelo WT120C LED60S/840 L1500 de Philips
- 1 Luminaria de emergencia estanca 150Lum
- Líneas 2x2,5mm² + TT H07Z1 y tubos PCV líbres de halógenos diametro 16, para instalación equipos, inlcuido medios de instalación y pequeño material.

Totalmente instalado, comprobado y funcionando.

Mano de obra		64,88
Resto de obra y materiales		850,97
Suma la partida		915,85
Costes indirectos	2,5%	22,90
TOTAL PARTIDA		**938,75**

04.06.02 **u** **Central incendios 2 zonas**

Suministro y montaje de central microprocesada para detección de incendios, modelo AE/C5-2P de la marca Aguilera Electrónica o equivalente aprobado por DF, fabricada en ABS, según EN 54 partes 2 y 4.

Disponen de:
2 bucles de detección convencional con final de línea activo.
Control de nivel de acceso mediante llave.
2 salidas vigiladas de evacuación.
Relé de fuego (alarma general) y Relé de avería general.
Salida auxiliar de 24 Vcc.
Teclado con 6 teclas para manejo.
Modo "Prueba de zonas".
Conexión/desconexión individual de zonas de detección y zonas de evacuación.
10 leds independientes para indicación de alarmas.
Necesitan una única batería de 12V / 7Ah.
Continua supervisión de todo el sistema.
Dimensiones: 340 x 290 x 100. Peso: 2.5 Kg.

Totalmente instalado y funcionando.

Mano de obra		12,98
Resto de obra y materiales		185,20
Suma la partida		198,18
Costes indirectos	2,5%	4,95
TOTAL PARTIDA		**203,13**

Documento visado electrónicamente con número: VA07290/22
Código de validación telemática TRLTDCFZ60T66IJ1. Comprobación: https://cogitivalencia.e-gestion.es/Validacion.aspx?CVT=TRLTDCFZ60T66IJ1

VISADO
COGITI
VALENCIA
VA07290/22
TRLTDCFZ60T66IJ1

CÓDIGO	UD	RESUMEN	PRECIO

04.06.03 **u** **Detector optico-termico**

Suministro y montaje de detector óptico de humos y térmico convencional modelo AE/C5-OPT de la marca Aguilera Electrónica o equivalente aprobado por DF. De ABS color blanco, formado por un elemento sensible a los humos claros, para alimentación de 12 a 30 Vcc, con doble led de activación e indicador de alarma color rojo, salida para piloto de señalización remota y base universal. Incluso elementos de fijación de la misma marca (clase A). Certificados LPCB según normas EN 54-5 y EN 54-7. Detectores de bajo perfil con diseño atractivo. Fabricados con tecnología SMD, disponen de doble indicador luminoso, salida de alarma remota y misma base intercambiable de fácil conexión. Zócalo y protector de polvo incluidos.

Conexión a 2 hilos.
Alimentación entre 15 y 35 Vcc.
Consumo: 35 mA (reposo), 80 mA (alarma).
Medidas: Ø 99 mm, altura con base incluida: 61 mm.

Totalmente instalado y funcionando.

Mano de obra		12,98
Resto de obra y materiales		36,81
Suma la partida		49,79
Costes indirectos	2,5%	1,24
TOTAL PARTIDA		**51,03**

04.06.04 **m** **Cableado lazo 2x1,5mm2**

Suministro y colocaci?n de linea de cable de cobre 2x1,5 mm2, flexible SZ1-K (AS+) de 300/500 V resistente al fuego (AS+), apantallado. Aislamiento de silicona. Libre de halógenos, no propagador de la llama ni del incendio, con baja emisi?n de gases t?xicos y nula emisi?n de gases corrosivos. Diseñado según UNE 211025. Tipo Afumex Firs detec-signal (AS+). Con un grado de protección mecánica 7 y con un incremento sobre el precio del tubo del 30% en concepto de uniones, accesorios y piezas especiales, totalmente instalado. Instalado bajo tubo de pvc rigido. Incluso p/p de accesorios de montaje de tipo HILTI, cajas de derivación, fichas de empalme y medios auxiliares. Totalmente instalado.

Mano de obra		1,95
Resto de obra y materiales		1,03
Suma la partida		2,98
Costes indirectos	2,5%	0,07
TOTAL PARTIDA		**3,05**

04.06.05 **u** **Extintor 89B**

Extintor de eficacia equivalente 89B, instalado.

Mano de obra		2,89
Resto de obra y materiales		50,04
Suma la partida		52,93
Costes indirectos	2,5%	1,32
TOTAL PARTIDA		**54,25**

04.06.06 **u** **Banqueta aislante**

Banqueta aislante para maniobrar aparamenta.

Mano de obra		2,89
Resto de obra y materiales		140,04
Suma la partida		142,93
Costes indirectos	2,5%	3,57
TOTAL PARTIDA		**146,50**

04.06.07 **u** **Par de guantes de maniobra**

Par de guantes de maniobra

Mano de obra		2,89
Resto de obra y materiales		85,04
Suma la partida		87,93
Costes indirectos	2,5%	2,20
TOTAL PARTIDA		**90,13**

04.06.08 **u** **Placa reglamentaria Peligro de Muerte**

Placa reglamentaria PELIGRO DE MUERTE, instaladas.

Mano de obra		2,89
Resto de obra y materiales		10,04

Documento visado electrónicamente con número: VA07290/22
Código de validación telemática: TRLTDCFZ60T66IJ1. Comprobación: https://cogitivalencia.e-gestion.es/Validacion.aspx?CVT=TRLTDCFZ60T66IJ1

CÓDIGO	UD	RESUMEN		PRECIO
		Suma la partida		12,93
		Costes indirectos	2,5%	0,32
		TOTAL PARTIDA		**13,25**
04.06.09	**u**	**Placa reglamentaria Primeros Auxilios**		
		Placa reglamentaria PRIMEROS AUXILIOS, instalada.		
		Mano de obra		2,89
		Resto de obra y materiales		10,04
		Suma la partida		12,93
		Costes indirectos	2,5%	0,32
		TOTAL PARTIDA		**13,25**
04.06.10	**u**	**Pruebas reglamentarias**		
		Pruebas reglamentarias de las Tensiones de Paso y Contacto de las tierras de Protección.		
		Mano de obra		60,64
		Resto de obra y materiales		300,91
		Suma la partida		361,55
		Costes indirectos	2,5%	9,04
		TOTAL PARTIDA		**370,59**
04.06.11	**u**	**Legalización instalación**		
		Legalización de la instalacion, consistente en la redacción del proyecto así como toda la documentación necesaria a presentar ante el Servicio Territorial de Industria de Valencia para su inscripción en el resgitro.		
		Resto de obra y materiales		1.000,00
		Suma la partida		1.000,00
		Costes indirectos	2,5%	25,00
		TOTAL PARTIDA		**1.025,00**

VISADO
COGITI
VALENCIA
VA07290/22
TRLTDCFZ60T66IJ1
Documento visado electrónicamente con número: VA07290/22
Código de validación telemática TRLTDCFZ60T66IJ1. Comprobación: https://cogitivalencia.es/gestiones/Validacion.aspx?CV=TRLTDCFZ60T66IJ1

VISADO
COGITI
VALENCIA
VA07290/22
TRLTDCFZ60T66IJ1

CÓDIGO	UD	RESUMEN	PRECIO

05 INSTALACIÓN CT GENERACIÓN PARTICULAR 2x1250 KVA V.C.T.-FV 043.2

05.01 OBRA CIVIL

05.01.01 u **Edificio prefabricado PFU-7 c/ ventilación forzada**

Edificio prefabricado constituido por una envolvente, de estructura monobloque, de hormigón armado, tipo PFU-7/20 de la marca Ormazabal o equivalente aprobado por DF, con ventilación forzada, de dimensiones generales aproximadas 8.100 mm de largo por 2200 mm de fondo por 2.500 mm de altura útil. Incluso cuadro electrico para alimentación de los servicios auxiliares, alumbrado interior, toma de corriente, extractores, termostato, central de incendios. Incluye el edificio y todos sus elementos exteriores según CEI 622171-202, transporte, montaje y accesorios

Mano de obra		150,90
Maquinaria		57,33
Resto de obra y materiales		13.958,73
Suma la partida		14.166,96
Costes indirectos	2,5%	354,17
TOTAL PARTIDA		**14.521,13**

05.02 APARAMENTA ALTA TENSIÓN

05.02.01 u **Celda de Interruptor de Linea CGMCOSMOS-I**

Suministro y montaje de celda de interruptor de línea modelo CGMCOSMOS-I de la marca Ormazabal o equivalente aprobado por DF, con interruptor-seccionador en SF6 de 400A con mando CIT manual, seccionador de puesta a tierra, juego de barras tripolar e indicadores testigo presencia de tensión instalados.

Mano de obra		130,52
Maquinaria		57,33
Resto de obra y materiales		2.957,57
Suma la partida		3.145,42
Costes indirectos	2,5%	79,89
TOTAL PARTIDA		**3.275,31**

05.02.02 u **Celda de Protección CGMCOSMOS-V**

Suministro y montaje de celda con función disyuntor modelo CGMCOSMOS-V de la marca Ormazabal o equivalente aprobado por DF, con seccionador en SF6, relé de protección ekor.rpg, sistema de puesta a tierra, captadores de intensidad y enclavamientos instalados.

Mano de obra		331,42
Maquinaria		57,33
Resto de obra y materiales		15.877,40
Suma la partida		16.266,15
Costes indirectos	2,5%	406,65
TOTAL PARTIDA		**16.672,80**

05.02.03 u **Celda de Medida CGMCOSMOS-M**

Suministro y montaje de celda de medida modelo CGMCOSMOS-M de la marca Ormazabal o equivalente aprobado por DF, equipada tres transformadores de intensidad y tres de tensión, de doble secundario, entrada y salida por cable seco, según características detalladas en memoria, instalados.

Mano de obra		270,78
Maquinaria		57,33
Resto de obra y materiales		8.594,97
Suma la partida		8.923,08
Costes indirectos	2,5%	223,08
TOTAL PARTIDA		**9.146,16**

05.02.04 u **Celda de Protección y medida de tensión CGMCOSMOS-P**

Suministro y montaje de celda de protección y medida de tensión en barras modelo CGMCOSMOS-P de la marca Ormazabal o equivalente aprobado por DF, con interruptor-seccionador en SF6 de 400A con mando CIT manual, seccionador de puesta a tierra, juego de barras tripolar e indicadores testigo presencia de tensión instalados. Equipada con tres tranaformadores de tensión. Totalmente instalado.

Mano de obra		270,78
Maquinaria		57,33
Resto de obra y materiales		7.992,50
Suma la partida		8.320,61
Costes indirectos	2,5%	208,02

Documento visado electrónicamente con número: VA07290/22
Código de validación telemática: TRLTDCFZ60T66IJ1. Comprobación: https://coitivalencia.cogiti.es/Validacion.aspx?CVT=TRLTDCFZ60T66IJ1

VISADO
COGITI
VALENCIA
VA07290/22
TRLTDCFZ60T66IJ1

CÓDIGO	UD	RESUMEN	PRECIO
		TOTAL PARTIDA	**8.528,63**

05.02.05 u **Analizador de redes CVM-A 1500**

Suministro e instalación de analizador de redes para panel de medida indirecta, para panel en formato 96x96 o 144x144, modelo CVM-A1500 de la marca Circutor o equivalente aprobado por DF. Gran versatilidad en su modo de conexión para ser instalado en diferentes sistemas eléctricos con diversas configuraciones de conexión a red, Trifásico 3, 4 hilos, dos fases con o sin neutro, conexión ARON o conexión a red monofásica. Protección IP66 de larga durabilidad, teclado táctil retro-iluminado con tres teclas y la serigrafía de las teclas debe ser perpetua.
El interfaz con el dispositivo para el acceso a la información completo y funcional para selección de datos a visualizar de forma rápida. Impide la configuración del equipo por personas ajenas a la instalación gracias a protección por contraseña o PIN. El dispositivo muestra por pantalla de forma clara parámetros trifásicos compuestos y por fase.
El dispositivo muestra de forma clara dos medidas de consumo de energía, kWh procedentes de hasta tres distintas fuentes, con sus correspondientes conversiones a coste y emisiones en KgCO2 por pantalla.
Dispone de dos salidas a transistor que podrán ser configuradas como Alarma por parámetros instantáneos que el equipo mide, o como generación de señal de impulsos relacionados con los consumos del equipo, ya sean kWh, Coste de la energía o Emisiones de CO2.
Dispone de dos salidas a relé para ser configuradas como Alarma por parámetros instantáneos que el equipo mide.
Integra comunicaciones RS485 con protocolo MODBUS y BACNET que pueden ser seleccionablesexpandible con hasta 4 módulos con diferentes opciones de entrada/salida o comunicaciones.permite el registro de datos con fecha y hora
Dispone de servidor WEB integrado para monitorizar tanto datos en tiempo real como visualización de datos históricos en forma gráfica o de tabla en cualquier navegador de internet convencional
Dispone de servidor XML integrado para comunicación e integración, tanto datos en tiempo real como visualización de datos históricos, en sistemas informáticos remotos.
Incluso p.p. de material auxiliar. Totalmente instalado y funcionando.

Mano de obra		121,28
Resto de obra y materiales		481,82
Suma la partida		603,10
Costes indirectos	2,5%	40,08
TOTAL PARTIDA		**643,18**

05.03 APARAMENTA BAJA TENSIÓN

05.03.01 u **Juego de Puentes de Cables AT**

Suministro e instalación de juego de puentes III de cables AT unipolares de aislamiento seco RHZ1, aislamiento 12/20 kV, de 95 mm2 en Al con sus correspondientes elementos de conexión.

Mano de obra		75,45
Resto de obra y materiales		871,13
Suma la partida		946,58
Costes indirectos	2,5%	23,66
TOTAL PARTIDA		**970,24**

05.03.02 u **Juego de Puentes de Cables BT**

Suministro e instalación de juego de puentes de cables BT unipolares de aislamiento seco 0.6/1 kV de Cu, de 4x240mm² de sección para las fases y neutro y demás características según memoria.

Mano de obra		105,77
Resto de obra y materiales		2.559,59
Suma la partida		2.665,36
Costes indirectos	2,5%	66,63
TOTAL PARTIDA		**2.731,99**

05.03.03 u **Cuadro protección salida BT**

Suministro e instalación de Cuadro de Baja Tensión modelo Prisma Plus de la marca Schneider Electric o equivalente aprobado por DF, para protección de salida de transformador conteniendo un interruptor automático modelo NS, tetrapolar, de calibre 1600 A regulable, con unidad de control micrologic 5.0A, incluso bancada. Totalmente instalado y funcionando.

Mano de obra		120,58
Maquinaria		114,66
Resto de obra y materiales		4.223,53

Documento visado electrónicamente con número: VA07290/22
Código de verificación electrónica: TRLTDCFZ60T66IJ1. Comprobación: https://cogitivalencia.e-gestion.es/Validacion.aspx?CVT=TRLTDCFZ60T66IJ1

VISADO
COGITI
VALENCIA
VA07290/22
TRLTDCFZ0T66J1

CÓDIGO	UD	RESUMEN		PRECIO
		Suma la partida		4.458,77
		Costes indirectos	2,5%	111,47
		TOTAL PARTIDA		**4.570,24**

05.03.04 u **Alimentación CS Auxiliares VCT-FV 043.1**

Suministro y montaje de alimentación electrica en BT al cuadro electrico de auxiliares del VCT-FV 043.1 desde CT de cliente, mediante cable unipolar de cobre recocido RZ1-K 0,6/1 kV (AS), reacción al fuego clase Cca-s1b,d1,a1, aislamiento de polietileno reticulado (XLPE), de tipo DIX3, cubierta de poliolefina termoplástica, de tipo Afumex Z1, de color verde, sección 6 mm² para fases, neutro y tierra (3x6mm2), de la marca Prysmian o equivalente aprobado por DF, no propagadores del incendio, con emisión de humos y opacidad reducida, libre de halogenos, s/ UNE 21.123-4, instalada bajo tubo tipo de PVC de 40mm de diámetro. incluso p.p. de accesorios de fijación, terminales, tornillos. Incluso mano de obra, replanteos, limpieza previa, y ayudas de albañileria que se precisen, así como la utilización de herramientas y medios auxiliares que se precisen, manipulación, retirada de material sobrante y limpieza posterior etc. Se entiende material totalmente instalado y verificado.

Mano de obra		90,26
Resto de obra y materiales		671,80
Suma la partida		762,06
Costes indirectos	2,5%	19,05
TOTAL PARTIDA		**781,11**

05.04 TRANSFORMADORES

05.04.01 u **Transformador trifásico de 1250 KVA éster 0.80/20 kV**

Suministro e instalación de transformador trifásico elevador tipo refrigeración éster biodegradable, Ormazabal o equivalente aprobado por D.F, según Norma UNE 21538 y UNE 548/2014 de Ecodiseño. Bobinado AT continuo de gradiente lineal sin entrecapas. Bobinado BT con ensayo frecuencia industrial 10kV. Ensayos climáticos E3, C3, F1. Potencia nominal: 1250 kVA. Relación: 0.80/20 kV. Tensión secundaria vacío: 800 V. Tensión cortocircuito: 6%. Regulación: +/-2,5%, +/-5%, +/-10% . Grupo conexión: Dyn11. Dotado de equipo de sondas PT100 para protección térmica, bornero de conexión y termometro digital (conjunto proteccion termica tipo T que permite visualizar digitalmente las temperaturas de los bobinados) PARA PROTECCIÓN TÉRMICA DEL TRANSFORMADOR y sus conexiones a la alimentación y al elemento disparador de la protección correspondiente, debidamente protegidas contra sobreintensidades. Totalmente montado e instalado.

Mano de obra		361,04
Maquinaria		229,32
Resto de obra y materiales		18.780,44
Suma la partida		19.370,80
Costes indirectos	2,5%	484,27
TOTAL PARTIDA		**19.855,07**

05.05 SISTEMA DE PUESTA A TIERRA

05.05.01 u **Tierras Exteriores de Servicio (Neutro)**

Suministro e instalación de tierras exteriores código 5/62 Unesa, incluyendo 6 picas de 2,00 m. de longitud, cable de cobre desnudo, cable de cobre aislado de 0,6/1kV y elementos de conexión, instalado, según se describe en proyecto.

Mano de obra		181,22
Resto de obra y materiales		2.528,71
Suma la partida		2.709,93
Costes indirectos	2,5%	67,75
TOTAL PARTIDA		**2.777,68**

05.05.02 u **Tierras Exteriores de Protección (Herrajes)**

Suministro e instalación de tierras exteriores código 40-30/5/42 Unesa, incluyendo 4 picas de 2,00 m. de longitud, cable de cobre desnudo, cable de cobre aislado de 0,6/1kV y elementos de conexión, instalado, según se describe en proyecto.

Mano de obra		150,90
Resto de obra y materiales		1.708,26
Suma la partida		1.859,16
Costes indirectos	2,5%	46,48
TOTAL PARTIDA		**1.905,64**

Documento visado electrónicamente con número: VA07290/22
Código de validación telemática TRLTDCFZ0T66J1 Comprobación: https://cogitivalencia.e-gestion.es/Validacion.aspx?CT=TRLTDCFZ0T66J1

VISADO
COGITI
VALENCIA
VA07290/22
TRLTDCFZ60T66IJ1

CÓDIGO	UD	RESUMEN	PRECIO

05.05.03 **u** **Tierras Interiores**

Suministro e instalación de tierras interiores para poner en continuidad con las tierras exteriores, formado por cable de 50mm2 de Cu desnudo para la tierra de protección y aislado para la de servicio, con sus conexiones y cajas de seccionamiento, instalado, según memoria.

Mano de obra		30,32
Resto de obra y materiales		820,45
Suma la partida		850,77
Costes indirectos	2,5%	21,27
TOTAL PARTIDA		**872,04**

05.06 VARIOS

05.06.01 **u** **Instalación baja tensión CT**

Instalación de baja tensión interior del centro de transformación, compuesta por lo siguientes elementos:

- Armario Cofret G de Schneider IP42 con puerta transparente, conteniendo en su interior la siguiente aparamenta.
- 1 Interruptor Magnetotermico de cabecera C60N 2P 32A
- 1 Interruptor diferencia de cabecera 2P 40A 300mA
- 1 Interruptor Magnetotermico C60N 2P 10A línea alumbrado
- 1 Interruptor Magnetotermico C60N 2P 16A línea toma de corriente
- 1 Interruptor Magnetotermico C60N 2P 16A línea otros usos
- 1 Interruptor Magnetotermico C60N 2P 16A línea otros usos

- Interruptor estanco 16A
- Toma de corriente estanca 16A Monofásica
- 2 Pantallas LED etsancas modelo WT120C LED60S/840 L1500 de Philips
- 1 Luminaria de emergencia estanca 150Lum
- Líneas 2x2,5mm² + TT H07Z1 y tubos PCV líbres de halógenos diametro 16, para instalación equipos, inlcuido medios de instalación y pequeño material.

Totalmente instalado, comprobado y funcionando.

Mano de obra		64,88
Resto de obra y materiales		850,97
Suma la partida		915,85
Costes indirectos	2,5%	22,90
TOTAL PARTIDA		**938,75**

05.06.02 **u** **Central incendios 2 zonas**

Suministro y montaje de central microprocesada para detección de incendios, modelo AE/C5-2P de la marca Aguilera Electrónica o equivalente aprobado por DF, fabricada en ABS, según EN 54 partes 2 y 4.

Disponen de:
2 bucles de detección convencional con final de línea activo.
Control de nivel de acceso mediante llave.
2 salidas vigiladas de evacuación.
Relé de fuego (alarma general) y Relé de avería general.
Salida auxiliar de 24 Vcc.
Teclado con 6 teclas para manejo.
Modo "Prueba de zonas".
Conexión/desconexión individual de zonas de detección y zonas de evacuación.
10 leds independientes para indicación de alarmas.
Necesitan una única batería de 12V / 7Ah.
Continua supervisión de todo el sistema.
Dimensiones: 340 x 290 x 100. Peso: 2.5 Kg.

Totalmente instalado y funcionando.

Mano de obra		12,98
Resto de obra y materiales		185,20
Suma la partida		198,18
Costes indirectos	2,5%	4,95
TOTAL PARTIDA		**203,13**

Documento visado electrónicamente con número: VA07290/22
Código de validación telemática TRLTDCFZ60T66IJ1. Comprobación: https://cogitivalencia.e-gestion.es/Validacion.aspx?CVT=TRLTDCFZ60T66IJ1

VISADO
COGITI
VALENCIA
VA07290/22
TRLTDCFZ60T66IJ1

CÓDIGO	UD	RESUMEN	PRECIO

05.06.03 **u** **Detector optico-termico**

Suministro y montaje de detector óptico de humos y térmico convencional modelo AE/C5-OPT de la marca Aguilera Electrónica o equivalente aprobado por DF. De ABS color blanco, formado por un elemento sensible a los humos claros, para alimentación de 12 a 30 Vcc, con doble led de activación e indicador de alarma color rojo, salida para piloto de señalización remota y base universal. Incluso elementos de fijación de la misma marca (clase A). Certificados LPCB según normas EN 54-5 y EN 54-7. Detectores de bajo perfil con diseño atractivo. Fabricados con tecnología SMD, disponen de doble indicador luminoso, salida de alarma remota y misma base intercambiable de fácil conexión. Zócalo y protector de polvo incluidos.

Conexión a 2 hilos.
Alimentación entre 15 y 35 Vcc.
Consumo: 35 mA (reposo), 80 mA (alarma).
Medidas: Ø 99 mm, altura con base incluida: 61 mm.

Totalmente instalado y funcionando.

Mano de obra		12,98
Resto de obra y materiales		36,81
Suma la partida		49,79
Costes indirectos	2,5%	1,24
TOTAL PARTIDA		**51,03**

05.06.04 **m** **Cableado lazo 2x1,5mm2**

Suministro y colocaci?n de linea de cable de cobre 2x1,5 mm2, flexible SZ1-K (AS+) de 300/500 V resistente al fuego (AS+), apantallado. Aislamiento de silicona. Libre de halógenos, no propagador de la llama ni del incendio, con baja emisi?n de gases t?xicos y nula emisi?n de gases corrosivos. Diseñado según UNE 211025. Tipo Afumex Firs detec-signal (AS+). Con un grado de protección mecánica 7 y con un incremento sobre el precio del tubo del 30% en concepto de uniones, accesorios y piezas especiales, totalmente instalado. Instalado bajo tubo de pvc rigido. Incluso p/p de accesorios de montaje de tipo HILTI, cajas de derivación, fichas de empalme y medios auxiliares. Totalmente instalado.

Mano de obra		1,95
Resto de obra y materiales		1,03
Suma la partida		2,98
Costes indirectos	2,5%	0,07
TOTAL PARTIDA		**3,05**

05.06.05 **u** **Extintor 89B**

Extintor de eficacia equivalente 89B, instalado.

Mano de obra		2,89
Resto de obra y materiales		50,04
Suma la partida		52,93
Costes indirectos	2,5%	1,32
TOTAL PARTIDA		**54,25**

05.06.06 **u** **Banqueta aislante**

Banqueta aislante para maniobrar aparamenta.

Mano de obra		2,89
Resto de obra y materiales		140,04
Suma la partida		142,93
Costes indirectos	2,5%	3,57
TOTAL PARTIDA		**146,50**

05.06.07 **u** **Par de guantes de maniobra**

Par de guantes de maniobra

Mano de obra		2,89
Resto de obra y materiales		85,04
Suma la partida		87,93
Costes indirectos	2,5%	2,20
TOTAL PARTIDA		**90,13**

05.06.08 **u** **Placa reglamentaria Peligro de Muerte**

Placa reglamentaria PELIGRO DE MUERTE, instaladas.

Mano de obra		2,89
Resto de obra y materiales		10,04

Documento visado electrónicamente con número: VA07290/22
Código de validación telemática: TRLTDCFZ60T66IJ1. Comprobación: https://cogitivalencia.e-gestion.es/Validacion.aspx?CVT=TRLTDCFZ60T66IJ1

CÓDIGO	UD	RESUMEN		PRECIO
		Suma la partida		12,93
		Costes indirectos	2,5%	0,32
		TOTAL PARTIDA		**13,25**
05.06.09	**u**	**Placa reglamentaria Primeros Auxilios**		
		Placa reglamentaria PRIMEROS AUXILIOS, instalada.		
		Mano de obra		2,89
		Resto de obra y materiales		10,04
		Suma la partida		12,93
		Costes indirectos	2,5%	0,32
		TOTAL PARTIDA		**13,25**
05.06.10	**u**	**Pruebas reglamentarias**		
		Pruebas reglamentarias de las Tensiones de Paso y Contacto de las tierras de Protección.		
		Mano de obra		60,64
		Resto de obra y materiales		300,91
		Suma la partida		361,55
		Costes indirectos	2,5%	9,04
		TOTAL PARTIDA		**370,59**
05.06.11	**u**	**Legalización instalación**		
		Legalización de la instalacion, consistente en la redacción del proyecto así como toda la documentación necesaria a presentar ante el Servicio Territorial de Industria de Valencia para su inscripción en el resgitro.		
		Resto de obra y materiales		1.000,00
		Suma la partida		1.000,00
		Costes indirectos	2,5%	25,00
		TOTAL PARTIDA		**1.025,00**

VISADO COGITI VALENCIA VA07290/22 TRLTDCFZ60T66IJ1
Documento visado electrónicamente con número: VA07290/22
Código de validación telemática TRLTDCFZ60T66IJ1. Comprobación: https://cogitivalencia.es/tramites/Validacion.aspx?CV=TRLTDCFZ60T66IJ1

VISADO
COGITI
VALENCIA
VA07290/22
TRLTDCFZ60T66IJ1

CÓDIGO	UD	RESUMEN	PRECIO

06 INSTALACIÓN PREFABRICADO PARA COMUNICACIONES V.R.-FV 043.1

06.01 OBRA CIVIL

06.01.01 **u** **Edificio prefabricado PFU-5**

Edificio prefabricado constituido por una envolvente, de estructura monobloque, de hormigón armado, tipo PFU-5 de la marca Ormazabal o equivalente aprobado por DF, con ventilación forzada, de dimensiones generales aproximadas 6080 mm de largo por 2380 mm de fondo por 2.585 mm de altura útil. Incluso cuadro electrico para alimentación de los servicios auxiliares, alumbrado interior, toma de corriente, extractores, termostato, central de incendios. Incluye el edificio y todos sus elementos exteriores según CEI 622171-202, transporte, montaje y accesorios

Mano de obra		150,90
Maquinaria		57,33
Resto de obra y materiales		7.850,37
Suma la partida		8.058,60
Costes indirectos	2,5%	201,47
TOTAL PARTIDA		**8.260,07**

06.02 VARIOS

06.02.01 **u** **Cuadro de Comunicaciones (Estandarizado APV)**

Suministro e instalación de Cuadro de comunicaciones, que incluye los siguientes elementos:

Envolvente metálica mural de medidas: 760x760x300mm, referencia 1073.500, marca RITTAL
Protección eléctrica general, formada por:
- Interruptor magnetotérmico 2P, 6kA, 16A, curva C, referencia: 5SL6216-7, marca SIEMENS
- Interruptor Diferencial, 2P, Clase AC, 25A, 300mA, referencia: 5SV4612-0, marca SIEMENS
- 2 uds. Interruptor magnetotérmico. 2P, 6kA, 10A, curva C, referencia; 5SL6210-7, marca SIEMENS
- 3 uds. Contacto auxiliar 1NA+1NC para interruptor automático, referencia: 5ST3010, marca SIEMENS
- Enchufe SHUKO 2P+T 16A, referencia: A9A15310, marca: MG
- Sensor inductivo para detección de puerta cerrada, referencia: XS4P18PA340, marca SCHNEIDER
- Piloto verde para señalización de tensión OK, referencia: ZB4-BV033 y ZB4-BVB3, marca: SCHNEIDER
- Piloto rojo para señalización de fallo térmico, referencia: ZB4-BV043 y ZB4-BVB4, marca: SCHNEIDER
- Piloto rojo para señalización de fallo SAI, referencia: ZB4-BV043 y ZB4-BVB4, marca: SCHNEIDER
- Piloto amarillo para señalización de puerta cerrada, referencia: ZB4-BV053 y ZB4-BVB5, marca: SCHNEIDER
- Fuente de alimentación de 10A, referencia: 6EP1334-2BA20, marca: SIEMENS
- Módulo cargador DC-SAI 24V / 15A, referencia: 6EP1931-2EC21, marca: SIEMENS
- Módulo de batería de 24V/ 7 Ah, referencia: 6EP1935-6ME21, marca: SIEMENS
- Switch de comunicaciones XM408-8C para la red de Giga, referencia: 6GK5408-8GS00-2AM2, marca: SIEMENS
- 2 uds. trasceptor de fibra óptica monomodo, referencia: 6GK5992-1AM00-8AA0, marca: SIEMENS

Totalmente instalado y funcionando.

Mano de obra		270,78
Maquinaria		57,33
Resto de obra y materiales		10.076,92
Suma la partida		10.405,03
Costes indirectos	2,5%	260,13
TOTAL PARTIDA		**10.665,16**

06.02.02 **u** **Nuevo Armario PLC c/periferia distribuida**

Suministro e instalación de Cuadro de PLC, alimentado a 230V que incluye los siguientes elementos:

- Envolvente metálica de medidas: 1000x1000x300mm+PM (IP66), referencia 1110.500, marca RITTAL
- 1 Portaesquemas DIN A4 (254x228x17mm), referencia 2514.000, marca RITTAL
- 1 INT. 2P, MAGNETO, 6KA, 10A, CURVA, ref. C 5SL6210-7, marca SIE-

Documento visado electrónicamente con número: VA07290/22
Código de validación telemática TRLTDCFZ60T66IJ1. Comprobación: https://cogitivalencia.e-gestion.es/Validacion.aspx?CVT=TRLTDCFZ60T66IJ1

VISADO
COGITI
VALENCIA
VA07290/22
TRLTDCFZ60T66IJ1

CÓDIGO	UD	RESUMEN	PRECIO

MENS
- 2 INT. 2P, MAGNETO, 6KA, 10A, CURVA C ref. 2514.000 marca RITTAL
- 2 INT. 1P, MAGNETO, 6KA, 10A, CURVA C ref. 5SL6110-7 marca SIEMENS

- 2 INTERR. AUXILIAR CORRIENTE 1C+1A, P. INTERR.PROT. T=70MM ref. 5SL6206-7 marca SIEMENS

- 2 TRANSFORMADOR 230/230, 250VA ref. PD250 marca POLYLUX

- ENCHUFE SHUKO 2P+T 16A ref. A9A15310 marca SCHNEIDER

- 1 SITOP, DC-SAI 24V / 15A, PARA USAR JUNTO CON MÓDULOS DE BATERÍA ref. 6EP1931-2EC21 marca SIEMENS

- 1 SITOP, MÓDULO DE BATERÍA DE 24V/ 7 AH, CON BATERÍAS SELLADAS DE PLOMO-ÁCIDO LIBRES DE MANTENIMIENTO ref. 6EP1935-6ME21 marca SIEMENS

- 1 SITOP SMART, PSU100S 24 V / 10 A FUENTE DE ALIMENTACIÓN ref. 6EP1334-2BA20 marca SIEMENS

- 1 SENSOR INDUCTIVO NA XS4P18PA340 ref. ZB4-BV033 marca SCHNEIDER

- 1 CABEZA PILOTO VERDE ref. ZB4-BV033 marca SCHNEIDER
- 1 CUERPO PILOTO VERDE 220 VAC ref. ZB4-BVM3 marca SCHNEIDER
- 2 CABEZA PILOTO ROJO ZB4-BV043 marca SCHNEIDER

- 2 CUERPO COMPLETO PILOTO ROJO (BASE+LED) ref. ZB4-BVB4 marca SCHNEIDER

- 1 CABEZA PILOTO VERDE ref. ZB4-BV033 marca SCHNEIDER

- 1 CUERPO COMPLETO PILOTO VERDE (BASE+LED) ref. ZB4-BVB3 marca SCHNEIDER

- 1 CABEZA PILOTO AMARILLO ref. ZB4-BV053 SCHNEIDER

- 1 CUERPO COMPLETO PILOTO AMARILLO (BASE+LED) ref. ZB4-BVB5 marca SCHNEIDER

- 5 PORTAETIQUETAS PILOTOS ZBY 6102 marca SCHNEIDER

- 1 POMO PUERTA CON LLAVE SZ2575 SZ2575 marca

- 1 FUENTE ALIMENTACION 220Vac/24Vdc, 10A 6P1334-2BA20 marca SIEMENS

- 1 DC-SAI 24V/ 15 A 6EP1931-2EC21 marca SIEMENS

- 1 MODULO DE BATERIA 24V/7Ah 6EP1935-6ME21 marca SIEMENS

- 1 CPU1512SP-1PN 6ES7512-1DK01-0AB0 marca SIEMENS
- 1 TARJETA DE MEMORIA 6ES7954-8LE03-0AA0 marca SIEMENS

- 2 MODULO 16 ED 6ES7131-6BH01-0BA0 marca SIEMENS
- 1 MODULO 16 SD 6ES7132-6BH01-0BA0 marca SIEMENS

- 1 MODULO 4 EA 6ES7134-6TD00-0CA1 marca SIEMENS
- 1 MODULO 4 SA 6ES7135-6HD00-0BA1 marca SIEMENS

- 1 BASE UNIT BU15-P16 6ES7193-6BP00-0BA0 marca SIEMENS
- 4 BASE UNIT BU15-P16 6ES7193-6BP00-DA0 marca SIEMENS

- 1 SWITCH ESCALANCE XM408-8C 6GK5408-8GS00-2AM2 marca SIEMENS

- 1 EXTENSION ESCALANCE XM400 6GK5400-8A500-8AP2 marca SIEMENS
- 12 PUERTO LC OPTICO 6GK5992-1AM00-8AA0 marca SIEMENS

Terminales de cobre a presión preaislados

- PUNTERAS 1.5 SIMPLES PKE1508 marca CEMBRE

- PUNTERAS 1.5 DOBLES PKT1508 marca CEMBRE

- PUNTERAS 2.5 SIMPLES PKE2508 marca CEMBRE

- Bornas 1020000000 marca WEIDMULLER

- Tapas bornas 1050000000 marca WEIDMULLER

- Separadores bornas 954000000 marca WEIDMULLER

- BARRA DE TIERRA BCT PLETINA 12X3

- PERFIL SIMÉTRICO 35X7,5 LISO, MOD.6AE 25 11 120 marca AEMSA

- REMACHES DIÁMETRO 3, 2x8 MULTIGRIP

- CANALETA 60x4 60.40.77 marca UNEX
- CANALETA 60x60 60.60.77 marca UNEX

Documento visado electrónicamente con número: VA07290/22
Código de validación telemática TRLTDCFZ60T66IJ1. Comprobación: https://cogitivalencia.e-gestion.es/Validacion.aspx?CVT=TRLTDCFZ60T66IJ1

VISADO
COGITI
VALENCIA
VA07290/22
TRLTDCFZ60T66IJ1

CÓDIGO	UD	RESUMEN	PRECIO

- CANALETA 40x40 40.40.77 marca UNEX
- BRIDAS BLANCAS PEQUEÑAS 2221 marca UNEX
- PEGATINA BRIDAS BLANCAS 1254 marca UNEX
- POMO PUERTA CON LLAVE SZ2575 marca RITTAL
- m. Espiral negra SP6N 7 a 40mm
- CABLE AZUL 1x1mm2 H05V-K 151A001.R200 TOP
- CABLE NEGRO 1x2.5mm2 HO7V-K ALSECURE
- SEÑALIZADORES CAB3 Numero 0 38210 marca LEGRAND
- SEÑALIZADORES CAB3 Numero 1 38211 marca LEGRAND
- SEÑALIZADORES CAB3 Numero 2 38212 marca LEGRAND
- SEÑALIZADORES CAB3 Numero 3 38213 marca LEGRAND
- SEÑALIZADORES CAB3 Numero 4 38214 marca LEGRAND
- SEÑALIZADORES CAB3 Numero 5 38215 marca LEGRAND
- SEÑALIZADORES CAB3 Numero 6 38216 marca LEGRAND
- SEÑALIZADORES CAB3 Numero 7 38217 marca LEGRAND
- SEÑALIZADORES CAB3 Numero 8 38218 marca LEGRAND
- SEÑALIZADORES CAB3 Numero 9 38219 marca LEGRAND

A instalar en armario de periferia disrtibuida

- 1 Cabecera comunicaciones IM 155-6 PN ST incluye módulo servidor, incluye adaptador de bus 2xRJ45 ref. 6ES7193-6AR00-0AA0 marca SIEMENS
- 1 Módulo de 16 Entradas Digitales, 24Vdc ref. 6ES7131-6BH01-0BA0 marca SIEMENS
- 1 Módulo de 16 Salidas Digitales, 24Vdc/0,5A 6ES7132-6BH01-0BA0 SIEMENS
- 1 Módulo de 4 Entradas Analógicas U/I, 2 hilos 6ES7134-6HD01-0DA0 marca SIEMENS
- 3 Base de conexión tipo BU A0, 16 Push-In 6ES7193-6BP00-0DA0 marca SIEMENS

Totalmente instalado y funcionando.

Mano de obra		135,39
Maquinaria		57,33
Resto de obra y materiales		8.633,89
Suma la partida		8.826,61
Costes indirectos	2,5%	220,17
TOTAL PARTIDA		**9.026,78**

06.02.03 **u** **Instalación baja tensión CT**

Instalación de baja tensión interior del centro de transformación, compuesta por lo siguientes elementos:

- Armario Cofret G de Schneider IP42 con puerta transparente, conteniendo en su interior la siguiente aparamenta.
- 1 Interruptor Magnetotermico de cabecera C60N 2P 32A
- 1 Interruptor diferencia de cabecera 2P 40A 300mA
- 1 Interruptor Magnetotermico C60N 2P 10A línea alumbrado
- 1 Interruptor Magnetotermico C60N 2P 16A línea toma de corriente
- 1 Interruptor Magnetotermico C60N 2P 16A línea otros usos
- 1 Interruptor Magnetotermico C60N 2P 16A línea otros usos

- Interruptor estanco 16A
- Toma de corriente estanca 16A Monofásica
- 2 Pantallas LED etsancas modelo WT120C LED60S/840 L1500 de Philips
- 1 Luminaria de emergencia estanca 150Lum
- Líneas 2x2,5mm² + TT H07Z1 y tubos PCV líbres de halógenos diametro 16, para instalación equipos, inlcuido medios de instalación y pequeño material.

Totalmente instalado, comprobado y funcionando.

Mano de obra	64,88
Resto de obra y materiales	850,97
Suma la partida	915,85

Documento visado electrónicamente con número: VA07290/22
Código de validación: TRLTDCFZ60T66IJ1. Comprobación: https://cogitivalencia.e-gestion.es/Validacion.aspx?CVT=TRLTDCFZ60T66IJ1

VISADO
COGITI
VALENCIA
VA07290/22
TRLTDCFZ60T66IJ1

CÓDIGO	UD	RESUMEN		PRECIO
		Costes indirectos	2,5%	22,90
		TOTAL PARTIDA		**938,75**

06.02.04 u **Central incendios 2 zonas**

Suministro y montaje de central microprocesada para detección de incendios, modelo AE/C5-2P de la marca Aguilera Electrónica o equivalente aprobado por DF, fabricada en ABS, según EN 54 partes 2 y 4.

Disponen de:
2 bucles de detección convencional con final de línea activo.
Control de nivel de acceso mediante llave.
2 salidas vigiladas de evacuación.
Relé de fuego (alarma general) y Relé de avería general.
Salida auxiliar de 24 Vcc.
Teclado con 6 teclas para manejo.
Modo "Prueba de zonas".
Conexión/desconexión individual de zonas de detección y zonas de evacuación.
10 leds independientes para indicación de alarmas.
Necesitan una única batería de 12V / 7Ah.
Continua supervisión de todo el sistema.
Dimensiones: 340 x 290 x 100. Peso: 2.5 Kg.

Totalmente instalado y funcionando.

Mano de obra		12,98
Resto de obra y materiales		185,20
Suma la partida		198,18
Costes indirectos	2,5%	4,95
TOTAL PARTIDA		**203,13**

06.02.05 u **Detector optico-termico**

Suministro y montaje de detector óptico de humos y térmico convencional modelo AE/C5-OPT de la marca Aguilera Electrónica o equivalente aprobado por DF. De ABS color blanco, formado por un elemento sensible a los humos claros, para alimentación de 12 a 30 Vcc, con doble led de activación e indicador de alarma color rojo, salida para piloto de señalización remota y base universal. Incluso elementos de fijación de la misma marca (clase A). Certificados LPCB según normas EN 54-5 y EN 54-7. Detectores de bajo perfil con diseño atractivo. Fabricados con tecnología SMD, disponen de doble indicador luminoso, salida de alarma remota y misma base intercambiable de fácil conexión. Zócalo y protector de polvo incluidos.

Conexión a 2 hilos.
Alimentación entre 15 y 35 Vcc.
Consumo: 35 mA (reposo), 80 mA (alarma).
Medidas: Ø 99 mm, altura con base incluida: 61 mm.

Totalmente instalado y funcionando.

Mano de obra		12,98
Resto de obra y materiales		36,81
Suma la partida		49,79
Costes indirectos	2,5%	1,24
TOTAL PARTIDA		**51,03**

06.02.06 m **Cableado lazo 2x1,5mm2**

Suministro y colocaci?n de linea de cable de cobre 2x1,5 mm2, flexible SZ1-K (AS+) de 300/500 V resistente al fuego (AS+), apantallado. Aislamiento de silicona. Libre de halógenos, no propagador de la llama ni del incendio, con baja emisi?n de gases t?xicos y nula emisi?n de gases corrosivos. Diseñado según UNE 211025. Tipo Afumex Firs detec-signal (AS+). Con un grado de protección mecánica 7 y con un incremento sobre el precio del tubo del 30% en concepto de uniones, accesorios y piezas especiales, totalmente instalado. Instalado bajo tubo de pvc rigido. Incluso p/p de accesorios de montaje de tipo HILTI, cajas de derivación, fichas de empalme y medios auxiliares. Totalmente instalado.

Mano de obra		1,95
Resto de obra y materiales		1,03
Suma la partida		2,98
Costes indirectos	2,5%	0,07
TOTAL PARTIDA		**3,05**

06.02.07 u **Extintor 89B**

Extintor de eficacia equivalente 89B, instalado.

Mano de obra	2,89
Resto de obra y materiales	50,04

Documento visado electrónicamente con número: VA07290/22
Código de validación telemática: TRLTDCFZ60T66IJ1. Comprobación: https://cogitivalencia.e-gestion.es/validacion?CVT=TRLTDCFZ60T66IJ1

CÓDIGO	UD	RESUMEN	PRECIO

VISADO
COGITI
VALENCIA
VA07290/22
TRLTDCFZ60T66IJ1

Suma la partida		52,93
Costes indirectos	2,5%	1,32
TOTAL PARTIDA		**54,26**

06.02.08 **u** **Legalización instalación**

Legalización de la instalacion, consistente en la redacción del proyecto así como toda la documentación necesaria a presentar ante el Servicio Territorial de Industria de Valencia para su inscripción en el resgitro.

Resto de obra y materiales		1.000,00
Suma la partida		1.000,00
Costes indirectos	2,5%	25,00
TOTAL PARTIDA		**1.025,00**

Documento visado electrónicamente con número: VA07290/22
Código de validación telemática TRLTDCFZ60T66IJ1. Comprobación: https://cogitivalencia.e-gestion.es/Validacion.aspx?CVT=TRLTDCFZ60T66IJ1

CÓDIGO	UD	RESUMEN	PRECIO

VISADO
COGITI
VALENCIA
VA07290/22
TRLTDCFZ60T66IJ1

07 ADECUACIÓN CT EXISTENTE V.C.T. 043

07.01 APARAMENTA ALTA TENSIÓN

07.01.01 **u** **Celda de Interruptor de Linea mot CGMCOSMOS-I**

Suministro y montaje de celda de interruptor de línea motorizada modelo CGM-COSMOS-I de la marca Ormazabal o equivalente aprobado por DF, con interruptor-seccionador en SF6 de 400A con mando tipo BM motorizado 48 Vcc, seccionador de puesta a tierra, juego de barras tripolar e indicadores testigo presencia de tensión instalados.

Mano de obra		75,45
Maquinaria		57,33
Resto de obra y materiales		3.855,99
Suma la partida		3.988,77
Costes indirectos	2,5%	99,72
TOTAL PARTIDA		**4.088,49**

Documento visado electrónicamente con número: VA07290/22
Código de validación telemática TRLTDCFZ60T66IJ1. Comprobación: https://cogitivalencia.e-gestion.es/Validacion.aspx?CVT=TRLTDCFZ60T66IJ1

VISADO
COGITI
VALENCIA
VA07290/22
TRLTDCFZ60T66IJ1

CÓDIGO	UD	RESUMEN	PRECIO

08 ADECUACIÓN CT EXISTENTE C.D.D.

08.01 **u** **Sustitución transformadores medida**

Sustitución de transformadores de tensión y de intensidad existentes en la celda de medida modelo CGMCOSMOS-M de la marca Ormazabal o equivalente aprobado por DF, del Centro de Entrega propieda del cliente, por transformadores de medida de triple secundario, instalados y conectados.

Mano de obra		90,96
Resto de obra y materiales		3.116,25
Suma la partida		3.207,21
Costes indirectos	2,5%	80,18
TOTAL PARTIDA		**3.287,39**

08.02 **u** **Cuadro de Comunicaciones (Estandarizado APV)**

Suministro e instalación de Cuadro de comunicaciones, que incluye los siguientes elementos:

Envolvente metálica mural de medidas: 760x760x300mm, referencia 1073.500, marca RITTAL
Protección eléctrica general, formada por:
- Interruptor magnetotérmico 2P, 6kA, 16A, curva C, referencia: 5SL6216-7, marca SIEMENS
- Interruptor Diferencial, 2P, Clase AC, 25A, 300mA, referencia: 5SV4612-0, marca SIEMENS
- 2 uds. Interruptor magnetotérmico. 2P, 6kA, 10A, curva C, referencia; 5SL6210-7, marca SIEMENS
- 3 uds. Contacto auxiliar 1NA+1NC para interruptor automático, referencia: 5ST3010, marca SIEMENS
- Enchufe SHUKO 2P+T 16A, referencia: A9A15310, marca: MG
- Sensor inductivo para detección de puerta cerrada, referencia: XS4P18PA340, marca SCHNEIDER
- Piloto verde para señalización de tensión OK, referencia: ZB4-BV033 y ZB4-BVB3, marca: SCHNEIDER
- Piloto rojo para señalización de fallo térmico, referencia: ZB4-BV043 y ZB4-BVB4, marca: SCHNEIDER
- Piloto rojo para señalización de fallo SAI, referencia: ZB4-BV043 y ZB4-BVB4, marca: SCHNEIDER
- Piloto amarillo para señalización de puerta cerrada, referencia: ZB4-BV053 y ZB4-BVB5, marca: SCHNEIDER
- Fuente de alimentación de 10A, referencia: 6EP1334-2BA20, marca: SIEMENS
- Módulo cargador DC-SAI 24V / 15A, referencia: 6EP1931-2EC21, marca: SIEMENS
- Módulo de batería de 24V/ 7 Ah, referencia: 6EP1935-6ME21, marca: SIEMENS
- Switch de comunicaciones XM408-8C para la red de Giga, referencia: 6GK5408-8GS00-2AM2, marca: SIEMENS
- 2 uds. trasceptor de fibra óptica monomodo, referencia: 6GK5992-1AM00-8AA0, marca: SIEMENS

Totalmente instalado y funcionando.

Mano de obra		270,78
Maquinaria		317,33
Resto de obra y materiales		10.076,92
Suma la partida		10.465,03
Costes indirectos	2,5%	260,13
TOTAL PARTIDA		**10.665,16**

Documento visado electrónicamente con número: VA07290/22
Código de verificación telemática TRLTDCFZ60T66IJ1. Comprobación: https://cogitivalencia.e-gestion.es/Validacion.aspx?CVT=TRLTDCFZ60T66IJ1

VISADO
COGITI
VALENCIA
VA07290/22
TRLTDCFZ60T66IJ1

CÓDIGO	UD	RESUMEN	PRECIO

09 INSTALACIÓN LSMT 20KV PARTICULAR

09.01 m **LSMT 20 KV HEPRZ1 Al 3x(1x240) mm2**

Suministro y tendido de línea subterránea de media tensión, compuesta por tres cables unipolares con aislamiento HEPRZ1 y conductor de aluminio 12/20 kV de 3x240 mm² sobre fondo de zanja bajo tubo sin su aportación y sobre bandeja portacables, incluida la parte proporcional de ayudas y piezas complementarias o especiales. Totalmente instalado y funcionando.

Mano de obra		6,06
Resto de obra y materiales		26,55
Suma la partida		32,61
Costes indirectos	2,5%	0,82
TOTAL PARTIDA		**33,43**

09.02 m **Excavación de zanja**

Excavación de zanja 0,70 x 1,20 m. de profundidad en terreno normal, realizada con medios mecánicos, incluido dos tubos de PVC de doble capa DN 160 mm, extendido a una capa de 30 cm de hormigón H200, cinta PVC amarilla 150 mm de señalización atención a la existencia del cable, colocación de esta, relleno y apisonado con tierras sobrantes

Mano de obra		31,03
Resto de obra y materiales		60,71
Suma la partida		91,74
Costes indirectos	2,5%	2,29
TOTAL PARTIDA		**94,03**

09.03 u **Kit de 3 botellas terminales de 24kV**

Kit de 3 botellas terminales de 24kV para conexión entre CT, para cable de sección 240mm², incluso terminal metálico para conexión y p.p. de pequeño material. Totalmente instalado.

Mano de obra		32,44
Resto de obra y materiales		694,80
Suma la partida		727,24
Costes indirectos	2,5%	18,18
TOTAL PARTIDA		**745,42**

09.04 u **Arquetas de profundidad 100x100cm**

Arquetas de profundidad 100x100cm, con tapa de fundición, todas las sujeciones de suministro, soportes y/o estructura necesarios para el montaje y la instalación en obra. Totalmente ejecutada.

Mano de obra		32,44
Resto de obra y materiales		94,80
Suma la partida		127,24
Costes indirectos	2,5%	3,18
TOTAL PARTIDA		**130,42**

09.05 u **Megado y rigidez eléctrica**

Revisión y pruebas de megado y rigidez eléctrica de la instalación realizado por Organismo de Control Autorizado. Incluso suministro de certificado firmado.

Mano de obra		30,32
Resto de obra y materiales		700,45
Suma la partida		730,77
Costes indirectos	2,5%	18,27
TOTAL PARTIDA		**749,04**

09.06 u **Legalización instalación**

Legalización de la instalacion, consistente en la redacción del proyecto así como toda la documentación necesaria a presentar ante el Servicio Territorial de Industria de Valencia.

Resto de obra y materiales		1.200,00
Suma la partida		1.200,00
Costes indirectos	2,5%	30,00
TOTAL PARTIDA		**1.230,00**

Documento visado electrónicamente con número: VA07290/22
Código de validación telemática: TRLTDCFZ60T66IJ1. Comprobación: https://cogitivalencia.e-gestion.es/Validacion.aspx?CV=TRLTDCFZ60T66IJ1

VISADO
COGITI
VALENCIA
VA07290/22
TRLTDCFZ60T66IJ1

CÓDIGO	UD	RESUMEN	PRECIO

10 INSTALACIÓN ALUMBRADO MARQUESINAS

10.01 **m** **Cable RZ1-K 0,6/1 kV (AS) sección 5x2,5 mm² Cu**

Línea electrica trifásica construida mediante cable RZ1-K 0,6/1 kV sección 5x2,5 mm² de la marca Prysmian o equivalente aprobado por DF, no propagadores del incendio, con emisión de humos y opacidad reducida, libre de halogenos, s/ UNE 21.123-4, instalada en canalización correspondiente, incluso p.p. de accesorios de fijación, terminales, tornillos. Incluso mano de obra, replanteos, limpieza previa, y ayudas de albañileria que se precisen, así como la utilización de herramientas y medios auxiliares que se precisen, manipulación, retirada de material sobrante y limpieza posterior etc. Se entiende material totalmente instalado y verificado.

Mano de obra		2,22
Resto de obra y materiales		4,98
Suma la partida		7,20
Costes indirectos	2,5%	0,18
TOTAL PARTIDA		**7,38**

10.02 **u** **Luminaria estanca LED 28W 3.900lm IP66 OleveonF 1500**

Suministro y montaje de luminaria estanca tipo LED, modelo OleveonF 15 B 4000-840 ET PC de la marca Trilux o equivalente aprobado por D.F., para montaje en techos y paredes, así como para un montaje suspendido. Flujo luminoso de las luminarias 3.900 lm, Potencia de las luminarias 28 W, rendimiento luminoso de la luminaria 139 lm/W. Color de luz color blanco neutro, temperatura del color (CCT) 4000 K, Índice de reproducción cromática general (CRI) Ra > 80. Vida útil nominal media L80(tq 25 °C) = 35.000 h. Cuerpo de luminaria de poliéster reforzado con fibra de vidrio, poco inflamable. Con entrada frontal y tapones pasahilos para la conexión a la red. Cuerpo de luminaria, de color gris luz, similar a RAL 7035. Dimensiones (L x A) 1552 mm x 102 mm, altura de la luminaria 91 mm. Temperatura ambiental admisible de entre (ta): -20 °C - +35 °C. Clase de protección (EN 61140): I, grado de protección (DIN EN 60529): IP66, grado de la resistencia al impacto según IEC 62262: IK08/5 J, temperatura de prueba para el ensayo de hilo incandescente según IEC 60695-2-11: 850 °C. Con transformador electrónico, conmutable. Incluso parte proporcional de conductor de Cu tipo 07Z1-K y tubo rígido hasta caja de conexión mas próxima. Comprende todos los trabajos, materiales y medios auxiliares necesarios para dejar la unidad completa, totalmente instalada, probada y en perfecto estado de funcionamiento, según Documentos de Proyecto, indicaciones de la D.F. y normativa vigente.

Mano de obra		12,13
Resto de obra y materiales		101,77
Suma la partida		113,90
Costes indirectos	2,5%	2,85
TOTAL PARTIDA		**116,75**

10.03 **m** **Tubo rígido de PVC enchufable M-25**

Canalización electrica construida mediante tubo rígido de PVC enchufable, ø 25 mm, libre de halogenuros, no propagador de llama, grado protección al fuego V0, grado de protección mecánica 7. Incluso p.p. de cajas de derivación, abrazaderas y accesorios de sujección. Colocación y recuperación de cable guía y ayudas en albaliñería en apertura de rozas, huecos o pasamuros. Totalmente instalado.

Mano de obra		2,22
Resto de obra y materiales		4,28
Suma la partida		6,50
Costes indirectos	2,5%	0,16
TOTAL PARTIDA		**6,66**

10.04 **u** **Cuadro electrico ALUMBRADO**

Suministro y montaje de cuadro electrico, de la marca Schneider Electric o equivalente aprobado por DF, serie Spacial, formado por armario de superficie de acero inoxidable 316L, elevada resistencia a la corrosión (entornos salinos o con cloro), con grado de protección IP66 e IK10, para albergar en su interior las protecciones termicas y diferenciales de los circuitos de alumbrado de la cubierta del silo. Conteniendo en su interior todos los elementos reflejados en esquemas de proyecto, cableado interno con punteras, con bornero, pletinas auxiliares de conexión, incluso limitador de sobretensiones de clase II. Certificación de ensayos, declaración CE y etiquetaje de circuitos. Totalmente montado y funcionando.

Mano de obra		121,28
Resto de obra y materiales		3.711,97

Documento visado electrónicamente con número: VA07290/22
Código de validación telemática TRLTDCFZ60T66IJ1. Comprobación: https://cogitivalencia.e-gestion.es/Validacion.aspx?CVT=TRLTDCFZ60T66IJ1

CÓDIGO	UD	RESUMEN	PRECIO
		Suma la partida	3.833,25
		Costes indirectos 2,5%	95,83
		TOTAL PARTIDA	**3.929,08**

VISADO
COGITI
VALENCIA
VA07290/22
TRLTDCFZ60T66IJ1

Documento visado electrónicamente con número: VA07290/22
Código de validación telemática TRLTDCFZ60T66IJ1. Comprobación: https://cogitivalencia.e-gestion.es/Validacion.aspx?CVT=TRLTDCFZ60T66IJ1

VISADO
COGITI
VALENCIA
VA07290/22
TRLTDCFZ60T66IJ1

CÓDIGO	UD	RESUMEN	PRECIO

11 EVACUACIÓN AGUAS PLUVIALES

11.01 **u** **Sumidero Pluvia Geberit 25 l/s**

Suministro y montaje de sumidero Geberit Pluvia de 25l/s, compatible con datos del proyecto, incluso accesorios, material auxiliar para montaje y sujeción a la obra, soportación, accesorios y piezas especiales. Incluidos medios de elevación. Totalmente instalado y en perfecto estado de funcionamiento.

Mano de obra		16,22
Resto de obra y materiales		235,39
Suma la partida		251,61
Costes indirectos	2,5%	6,29
TOTAL PARTIDA		**257,90**

11.02 **m** **Tubería HDPE 75mm**

Suministro e instalación de tubería Ø 75 mm de PE 80 fabricado por Geberit, incluida parte proporcional de accesorios moldeados y fabricados por Geberit (injertos, codos, reducciones, manguitos electrosoldables, cintas electrosoldables, piezas especiales). Se incluyen elementos de fijación según estudio realizado. Instalación realizada con puntos fijos para control de la dilatación. Incluso material auxiliar para montaje y sujeción a la obra, soportación, accesorios y piezas especiales. Incluidos medios de elevación. Totalmente instalado y en perfecto estado de funcionamiento.

Mano de obra		9,73
Resto de obra y materiales		23,74
Suma la partida		33,47
Costes indirectos	2,5%	0,84
TOTAL PARTIDA		**34,31**

11.03 **m** **Tubería HDPE 90mm**

Suministro e instalación de tubería Ø 90 mm de PE 80 fabricado por Geberit, incluida parte proporcional de accesorios moldeados y fabricados por Geberit (injertos, codos, reducciones, manguitos electrosoldables, cintas electrosoldables, piezas especiales). Se incluyen elementos de fijación según estudio realizado. Instalación realizada con puntos fijos para control de la dilatación. Incluso material auxiliar para montaje y sujeción a la obra, soportación, accesorios y piezas especiales. Incluidos medios de elevación. Totalmente instalado y en perfecto estado de funcionamiento.

Mano de obra		9,73
Resto de obra y materiales		89,66
Suma la partida		99,39
Costes indirectos	2,5%	2,48
TOTAL PARTIDA		**101,87**

11.04 **m** **Tubería HDPE 110mm**

Suministro e instalación de tubería Ø 110 mm de PE 80 fabricado por Geberit, incluida parte proporcional de accesorios moldeados y fabricados por Geberit (injertos, codos, reducciones, manguitos electrosoldables, cintas electrosoldables, piezas especiales). Se incluyen elementos de fijación según estudio realizado. Instalación realizada con puntos fijos para control de la dilatación. Incluso material auxiliar para montaje y sujeción a la obra, soportación, accesorios y piezas especiales. Incluidos medios de elevación. Totalmente instalado y en perfecto estado de funcionamiento.

Mano de obra		9,73
Resto de obra y materiales		72,13
Suma la partida		81,86
Costes indirectos	2,5%	2,05
TOTAL PARTIDA		**83,91**

11.05 **m** **Tubería HDPE 160mm**

Suministro e instalación de tubería Ø 160 mm de PE 80 fabricado por Geberit, incluida parte proporcional de accesorios moldeados y fabricados por Geberit (injertos, codos, reducciones, manguitos electrosoldables, cintas electrosoldables, piezas especiales). Se incluyen elementos de fijación según estudio realizado. Instalación realizada con puntos fijos para control de la dilatación. Incluso material auxiliar para montaje y sujeción a la obra, soportación, accesorios y piezas especiales. Incluidos medios de elevación. Totalmente instalado y en perfecto estado de funcionamiento.

Mano de obra		9,73
Resto de obra y materiales		52,81
Suma la partida		62,54

Documento visado electrónicamente con número: VA07290/22
Código de validación telemática TRLTDCFZ60T66IJ1. Comprobación: https://cogitivalencia.e-gestion.es/Validation.aspx?CVT=TRLTDCFZ60T66IJ1

VISADO
COGITI
VALENCIA
VA07290/22
TRLTDCFZ60T66IJ1

CÓDIGO	UD	RESUMEN		PRECIO
		Costes indirectos	2,5%	1,56
		TOTAL PARTIDA		**64,10**

11.06 **m** **Tubería HDPE 200mm**

Suministro e instalación de tubería Ø 200 mm de PE 80 fabricado por Geberit, incluida parte proporcional de accesorios moldeados y fabricados por Geberit (injertos, codos, reducciones, manguitos electrosoldables, cintas electrosoldables, piezas especiales). Se incluyen elementos de fijación según estudio realizado. Instalación realizada con puntos fijos para control de la dilatación. Incluso material auxiliar para montaje y sujeción a la obra, soportación, accesorios y piezas especiales. Incluidos medios de elevación. Totalmente instalado y en perfecto estado de funcionamiento.

Mano de obra		9,73
Resto de obra y materiales		92,21
Suma la partida		101,94
Costes indirectos	2,5%	2,55
TOTAL PARTIDA		**104,49**

11.07 **m** **Tubería HDPE 250mm**

Suministro e instalación de tubería Ø 250 mm de PE 80 fabricado por Geberit, incluida parte proporcional de accesorios moldeados y fabricados por Geberit (injertos, codos, reducciones, manguitos electrosoldables, cintas electrosoldables, piezas especiales). Se incluyen elementos de fijación según estudio realizado. Instalación realizada con puntos fijos para control de la dilatación. Incluso material auxiliar para montaje y sujeción a la obra, soportación, accesorios y piezas especiales. Incluidos medios de elevación. Totalmente instalado y en perfecto estado de funcionamiento.

Mano de obra		16,22
Resto de obra y materiales		138,71
Suma la partida		154,93
Costes indirectos	2,5%	3,87
TOTAL PARTIDA		**158,80**

11.08 **m2** **Cubierta chapa prelacada 0,6mm**

Suministro y montaje de cubierta completa realizada con chapa perfilada de acero grecada prelacada por la cara exterior de 0.6 mm. de espesor, con recubrimiento HDX 55 micras en cara superior, con nervios de 42 mm de altura de cresta, a una separación de entre 200mm. Con fijacion rígida colaborante a las correas la marquesina (tornillo auto-roscante o ganchos en acero inoxidable). , Parte proporcional de replanteo, preparación, solapes, juntas de dilatación, elementos de fijación, remates, accesorios, piezas especiales para resolución de puntos singulares, elementos de fijación y estanqueidad, cortes, sellados y resolución de encuentros con chapa prelacada de 0,60 mm y 500 mm de desarrollo medio. Incluso medios auxiliares y elementos de seguridad. Según norma NTE-QTG-7,9,10 y 11. Totalmente
ejecutada y perfectamente estanca.

Mano de obra		2,22
Resto de obra y materiales		20,11
Suma la partida		22,33
Costes indirectos	2,5%	0,56
TOTAL PARTIDA		**22,89**

11.09 **m** **Canalón de chapa prelacado 1mm**

Suministro y montaje de canalón interior para cubierta inclinada con chapa plegada de acero galvanizado prelacado, de 1,0 mm de espesor, de 500mm de ancho y 250mm de altura de alas. Incluso accesorios de fijación de las piezas a las placas y masilla de base neutra monocomponente, para sellado de juntas. Incluso accesorios de fijación de las chapas, tornillos autorroscantes, apertura y rematado de huecos y masilla de base neutra monocomponente, para sellado de juntas.

Mano de obra		2,22
Resto de obra y materiales		22,24
Suma la partida		24,46
Costes indirectos	2,5%	0,61
TOTAL PARTIDA		**25,07**

11.10 **u** **Taladro placa alveolar**

Ejecución de hueco en placa alveolar, para paso de instalaciones, de superficie comprendida entre 0,35 m2 y 0,50 m2. Totalmente ejecutado incluida la retirada de escombros a vertedero y el posterior rematado de hueco una vez ejecutado el paso de instalaciones, garantizando la estanqueidad. Totalmente ejecutado

Documento visado electrónicamente con número: VA07290/22
Código de validación electrónica TRLTDCFZ60T66IJ1. Comprobación: https://cogitiprofesional.es/Validacion.aspx?CVT=TRLTDCFZ60T66IJ1

CÓDIGO	UD	RESUMEN	PRECIO

Mano de obra		88,86
Resto de obra y materiales		1,33
Suma la partida		90,19
Costes indirectos	2,5%	2,25
TOTAL PARTIDA		**92,44**

VISADO
COGITI
VALENCIA
VA07290/22
TRLTDCFZ60T66IJ1

11.11 **m** **Soporte metálico para bajante**

Suministro y montaje de soporte metálico de acero galvanizado en forma de U, de 40x60x3mm, para instalación vertical de tubo HDPE de 315mm en el tramo de cubierta. Con perforaciones en el mismo, en las que se sujetan los elemenos de unión, así como los juegos de fijación a la varilla roscada para los puntos de anclaje y las abrazaderas deslizantes, acabado con imprimación antioxidante. Incluso elementos de fijación, torniellería y accesorios necesarios para su instalación. Medida por metro lineal.

Mano de obra		2,22
Resto de obra y materiales		25,08
Suma la partida		27,30
Costes indirectos	2,5%	0,68
TOTAL PARTIDA		**27,98**

Documento visado electrónicamente con número: VA07290/22
Código de validación telemática TRLTDCFZ60T66IJ1. Comprobación: https://cogitivalencia.e-gestion.es/Validacion.aspx?CVT=TRLTDCFZ60T66IJ1

CÓDIGO	UD	RESUMEN	PRECIO

12 GESTIÓN DE RESIDUOS

12.01 **pa** **GESTIÓN DE RESIDUOS**

ALMACENAMIENTO, MANEJO, SEPARACIÓN Y, EN SU CASO, OTRAS OPERACIONES DE GESTIÓN DE LOS RESIDUOS DE CONSTRUCCIÓN Y DEMOLICIÓN PARA EL ALCANCE DE LA OBRA, DE ACUERDO A LA NORMATIVA VIGENTE.

Resto de obra y materiales		9.025,75
Suma la partida		9.025,75
Costes indirectos	2,5%	225,64
TOTAL PARTIDA		**9.251,39**

VISADO
COGITI
VALENCIA
VA07290/22
TRLTDCFZ60T66IJ1

Documento visado electrónicamente con número: VA07290/22
Código de validación telemática TRLTDCFZ60T66IJ1. Comprobación: https://cogitivalencia.e-gestion.es/Validacion.aspx?CVT=TRLTDCFZ60T66IJ1

CUADRO DE PRECIOS 2

CÓDIGO	UD	RESUMEN	PRECIO
13		**CONTROL DE CALIDAD**	
13.01	**pa**	**CONTROL DE CALIDAD**	
		Resto de obra y materiales	5.700,00
		Suma la partida	5.700,00
		Costes indirectos 2,5%	142,50
		TOTAL PARTIDA	**5.842,50**

VISADO
COGITI
VALENCIA
VA07290/22
TRLTDCFZ60T66IJ1
Documento visado electrónicamente con número: VA07290/22
Código de validación telemática TRLTDCFZ60T66IJ1. Comprobación: https://cogitivalencia.e-gestion.es/Validacion.aspx?CVT=TRLTDCFZ60T66IJ1

CÓDIGO	UD	RESUMEN	PRECIO

14 SEGURIDAD Y SALUD

14.01 PROTECCIONES INDIVIDUALES

14.01.01 **u** **CASCO SEGURIDAD,DIELÉC. P/B.T. POLIETILENO**

CASCO DE SEGURIDAD DIELÉCTRICO PARA BAJA TENSIÓN DE POLIETILENO, HOMOLOGADO SEGÚN UNE-EN 50365

Resto de obra y materiales		15,46
Suma la partida		15,46
Costes indirectos	2,5%	0,39
TOTAL PARTIDA		**15,85**

14.01.02 **u** **GAFAS ANTIIMP.ST.,MONTURA UNIV.,VISOR TRANSP.C/EMPAÑAM.**

GAFAS DE SEGURIDAD ANTIIMPACTOS ESTÁNDAR, CON MONTURA UNIVERSAL, CON VISOR TRANSPARENTE Y TRATAMIENTO CONTRA EL EMPAÑAMIENTO, HOMOLOGADAS SEGÚN UNE-EN 167 Y UNE-EN 168

Resto de obra y materiales		4,06
Suma la partida		4,06
Costes indirectos	2,5%	0,10
TOTAL PARTIDA		**4,16**

14.01.03 **u** **PROTECTOR AUDITIVO TAPÓN ESPUMA**

PROTECTOR AUDITIVO DE TAPÓN DE ESPUMA, HOMOLOGADO SEGÚN UNE-EN 352-2 Y UNE-EN 458

Resto de obra y materiales		0,19
TOTAL PARTIDA		**0,19**

14.01.04 **u** **GUANTES MATERIAL AISL.,P/TRABAJOS ELÉCTRICOS,CL.0,LOGOTIPO ROJO,**

PAR DE GUANTES DE MATERIAL AISLANTE PARA TRABAJOS ELÉCTRICOS, CLASE 0, LOGOTIPO COLOR ROJO, TENSIÓN MÁXIMA 1000 V, HOMOLOGADOS SEGÚN UNE-EN 420

Resto de obra y materiales		21,23
Suma la partida		21,23
Costes indirectos	2,5%	0,53
TOTAL PARTIDA		**21,76**

14.01.05 **u** **GUANTES DIELÉC.P/B.T.,CAUCHO,MANGU.<1/2ANTEBR.**

PAR DE GUANTES DIELÉCTRICOS PARA BAJA TENSIÓN, DE CAUCHO, CON MANGUITOS HASTA MEDIO ANTEBRAZO

Resto de obra y materiales		45,46
Suma la partida		45,46
Costes indirectos	2,5%	1,14
TOTAL PARTIDA		**46,60**

14.01.06 **u** **PAR BOTAS SEGURIDAD,RESIST.HUMED.,PIEL RECTIF.,SUELA ANTIDESL.AN**

PAR DE BOTAS DE SEGURIDAD RESISTENTES A LA HUMEDAD, DE PIEL RECTIFICADA, CON TOBILLERA ACOLCHADA, SUELA ANTIDESLIZANTE Y ANTIESTÁTICA, CUÑA AMORTIGUADORA PARA EL TALÓN, LENGÜETA DE FUELLE, DE DESPRENDIMIENTO RÁPIDO, CON PLANTILLAS Y PUNTERA METÁLICAS

Resto de obra y materiales		13,55
Suma la partida		13,55
Costes indirectos	2,5%	0,34
TOTAL PARTIDA		**13,89**

14.01.07 **u** **PAR BOTAS DIELÉC.,RESIST.HUMED.,PIEL RECTIF.,SUELA ANTIDESL.S/HERRAJE MET.,PUNTERA REFORZ.**

PAR DE BOTAS DIELÉCTRICAS RESISTENTES A LA HUMEDAD, DE PIEL RECTIFICADA, CON TOBILLERA ACOLCHADA SUELA ANTIDESLIZANTE Y ANTIESTÁTICA, CUÑA AMORTIGUADORA PARA EL TALÓN, LENGÜETA DE FUELLE, DE DESPRENDIMIENTO RÁPIDO, SIN HERRAJE METÁLICO, CON PUNTERA REFORZADA, HOMOLOGADAS SEGÚN DIN 4843

Resto de obra y materiales		105,65
Suma la partida		105,65
Costes indirectos	2,5%	2,64

VISADO COGITI VALENCIA VA07290/22 TRLTDCFZ60T66IJ1

Documento visado electrónicamente con número: VA07290/22 Código de validación telemática: TRLTDCFZ60T66IJ1. Comprobación: https://cogitivalencia.e-gestion.es/Validacion.aspx?CV=TRLTDCFZ60T66IJ1

VISADO
COGITI
VALENCIA
VA07290/22
TRLTDCFZ60T66IJ1

CÓDIGO	UD	RESUMEN		PRECIO
		TOTAL PARTIDA		**108,29**
14.01.08	**u**	**MONO TRABAJO,POLIÉST./ALGOD.,BOLS.EXT.**		
		MONO DE TRABAJO, DE POLIÉSTER Y ALGODÓN, CON BOLSILLOS EXTERIORES		
		Resto de obra y materiales		18,04
		Suma la partida		18,04
		Costes indirectos	2,5%	0,45
		TOTAL PARTIDA		**18,49**
14.01.09	**u**	**CHALECO REFLECTANTE,TIRAS REFLECT.CINT./PEC./ESPA.**		
		CHALECO REFLECTANTE CON TIRAS REFLECTORAS EN LA CINTURA, EN EL PECHO Y EN LA ESPALDA, HOMOLOGADA SEGÚN UNE-EN 471		
		Resto de obra y materiales		15,97
		Suma la partida		15,97
		Costes indirectos	2,5%	0,40
		TOTAL PARTIDA		**16,37**
14.01.10	**u**	**IMPERMEABLE CHAQ.+CAPU.+PANT.,P/O.PÚB.,PVC SOLD.,E=0,4MM,VIV.**		
		IMPERMEABLE CON CHAQUETA, CAPUCHA Y PANTALONES, PARA OBRAS PÚBLICAS, DE PVC SOLDADO DE 0,4 MM DE ESPESOR, DE COLOR VIVO, HOMOLOGADO SEGÚN UNE-EN 340		
		Resto de obra y materiales		10,70
		Suma la partida		10,70
		Costes indirectos	2,5%	0,27
		TOTAL PARTIDA		**10,97**
14.02		**PROTECCIONES COLECTIVAS**		
14.02.01	**h**	**BRIGADA SEGUR.P/MANTENIM.+REPOS.PROTEC.**		
		BRIGADA DE SEGURIDAD PARA MANTENIMIENTO Y REPOSICIÓN DE LAS PROTECCIONES		
		Mano de obra		30,42
		Resto de obra y materiales		0,30
		Suma la partida		30,72
		Costes indirectos	2,5%	0,77
		TOTAL PARTIDA		**31,49**
14.02.02	**u**	**PLACA PINTURA REFLECTANTE TRIANGULAR LADO=70CM,FIJ.MEC.+DESMONT.**		
		PLACA CON PINTURA REFLECTANTE TRIANGULAR DE 70 CM DE LADO, PARA SEÑALES DE TRÁFICO, FIJADA Y CON EL DESMONTAJE INCLUIDO		
		Mano de obra		14,81
		Resto de obra y materiales		22,54
		Suma la partida		37,35
		Costes indirectos	2,5%	0,93
		TOTAL PARTIDA		**38,28**
14.02.03	**u**	**PLACA SEGURIDAD LABORAL,ACERO SERIGRAF.,40X33CM,FIJ.MECÁNICAMENT**		
		PLACA DE SEÑALIZACIÓN DE SEGURIDAD LABORAL, DE PLANCHA DE ACERO LISA SERIGRAFIADA, DE 40X33 CM, FIJADA MECÁNICAMENTE Y CON EL DESMONTAJE INCLUIDO		
		Mano de obra		2,22
		Resto de obra y materiales		13,96
		Suma la partida		16,18
		Costes indirectos	2,5%	0,40
		TOTAL PARTIDA		**16,58**
14.02.04	**u**	**CONO DE PLÁSTICO REFLECTOR H=50CM**		
		CONO DE PLÁSTICO REFLECTOR DE 50 CM DE ALTURA		
		Mano de obra		0,30
		Resto de obra y materiales		15,01
		Suma la partida		15,31
		Costes indirectos	2,5%	0,38
		TOTAL PARTIDA		**15,69**

Documento visado electrónicamente con número: VA07290/22
Código de validación telemática: TRLTDCFZ60T66IJ1. Comprobación: https://cogitivalencia.e-gestiones/Validacion.aspx?CVT=TRLTDCFZ60T66IJ1

VISADO
COGITI
VALENCIA
VA07290/22
DCFZ60T66IJ1

CÓDIGO	UD	RESUMEN		PRECIO
14.02.05	**m**	**CINTA BALIZAMIENTO REFLECTANTE,SOPORTE/5M,DESMONTAJE INCLU.**		
		CINTA DE BALIZAMIENTO REFLECTANTE, CON UN SOPORTE CADA 5 M Y CON EL DESMONTAJE INCLUIDO		
		Mano de obra		0,93
		Resto de obra y materiales		3,80
		Suma la partida		4,73
		Costes indirectos	2,5%	0,12
		TOTAL PARTIDA		**4,90**
14.02.06	**u**	**EXTINTOR POLVO SECO,6KG,PRESIÓN INCORPO.PINTADO,SOPORTE/DESMONT.**		
		EXTINTOR DE POLVO SECO, DE 6 KG DE CARGA, CON PRESIÓN INCORPORADA, PINTADO, CON SOPORTE EN LA PARED Y CON EL DESMONTAJE INCLUIDO		
		Mano de obra		6,29
		Resto de obra y materiales		26,46
		Suma la partida		32,75
		Costes indirectos	2,5%	0,82
		TOTAL PARTIDA		**33,57**
14.02.07	**u**	**PANTALLA AISL.P/TRAB.ZON.INFL.LÍN.ELÉC.**		
		PANTALLA AISLANTE PARA TRABAJOS EN ZONAS DE INFLUENCIA DE LÍNEAS ELÉCTRICAS EN TENSIÓN		
		Resto de obra y materiales		94,96
		Suma la partida		94,96
		Costes indirectos	2,5%	2,37
		TOTAL PARTIDA		**97,33**
14.02.08	**u**	**PLATAFORMA AISL.,BASE P/TRAB.CUAD.ELÉCT.DIST.,100X100CM,E=3MM**		
		PLATAFORMA AISLANTE DE BASE PARA TRABAJO EN CUADROS ELÉCTRICOS DE DISTRIBUCIÓN DE 100X100 CM Y DE ESPESOR 3 MM		
		Resto de obra y materiales		43,39
		Suma la partida		43,39
		Costes indirectos	2,5%	1,08
		TOTAL PARTIDA		**44,47**
14.02.09	**u**	**BANQUETA AISL.,PATAS FIJAS,P/TRABAJ.TENSIÓN**		
		BANQUETA AISLANTE DE PATAS FIJAS PARA TRABAJOS EN TENSIÓN, SEGÚN UNE 204001		
		Resto de obra y materiales		79,83
		Suma la partida		79,83
		Costes indirectos	2,5%	2,00
		TOTAL PARTIDA		**81,83**
14.02.10	**m**	**VALLA MÓVIL METÁL.,LONG.=2,5M,H=1M,DESM.**		
		VALLA MÓVIL METÁLICA DE 2,5 M DE LONGITUD Y 1 M DE ALTURA Y CON EL DESMONTAJE INCLUIDO		
		Mano de obra		0,89
		Resto de obra y materiales		6,37
		Suma la partida		7,26
		Costes indirectos	2,5%	0,18
		TOTAL PARTIDA		**7,44**

14.03 INSTALACIONES DE HIGIENE Y BIENESTAR

14.03.01	**mes**	**MÓDULO PREFABRICADO SANITARIOS 3,7X2,3X2,3M,INST.LAMPIST.,INST.E**		
		MÓDULO PREFABRICADO DE SANITARIOS DE 3,7X2,3X2,3 M DE PANEL DE ACERO LACADO Y AISLAMIENTO DE POLIURETANO DE 35 MM DE ESPESOR, REVESTIMIENTO DE PAREDES CON TABLERO FENÓLICO, PAVIMENTO DE LAMAS DE ACERO GALVANIZADO, CON INSTALACIÓN DE LAMPISTERÍA, 1 LAVABO COLECTIVO CON 3 GRIFOS, 2 PLACAS TURCAS, 2 DUCHAS, ESPEJO Y COMPLEMENTOS DE BAÑO, CON INSTALACIÓN ELÉCTRICA, 1 PUNTO DE LUZ, INTERRUPTOR, ENCHUFES Y PROTECCIÓN DIFERENCIAL		
		Resto de obra y materiales		195,19
		Suma la partida		195,19

Documento visado electrónicamente con número VA07290/22
Código de validación telemática: TRLTDCFZ60T66IJ1. Comprobación: https://cogitivalencia.e-gestion.es/validacion.aspx?CVT=TRLTDCFZ60T66IJ1

VISADO COGITI VALENCIA VA07290/22 TRLTDCFZ60T66IJ1

CÓDIGO	UD	RESUMEN		PRECIO
		Costes indirectos	2,5%	4,83
		TOTAL PARTIDA		**200,07**

14.03.02 **mes** **MÓDULO PREFABRICADO VESTIDOR 8,2X2,5X2,3M,INST.ELÉC.**

MÓDULO PREFABRICADO DE VESTIDORES DE 8,2X2,5X2,3 M DE PANEL DE ACERO LACADO Y AISLAMIENTO DE POLIURETANO DE 35 MM DE ESPESOR, REVESTIMIENTO DE PAREDES CON TABLERO FENÓLICO, PAVIMENTO DE LAMAS DE ACERO GALVANIZADO CON AISLAMIENTO DE FIBRA DE VIDRIO Y TABLERO FENÓLICO, , CON INSTALACIÓN ELÉCTRICA, 1 PUNTO DE LUZ, INTERRUPTOR, ENCHUFES Y PROTECCIÓN DIFERENCIAL

Resto de obra y materiales		148,35
Suma la partida		148,35
Costes indirectos	2,5%	3,71
TOTAL PARTIDA		**152,06**

14.03.03 **mes** **MÓDULO PREFABRICADO COMEDOR 6X2,3X2,6M,INST.LAMPIST.,INST.ELÉC.**

MÓDULO PREFABRICADO DE COMEDOR DE 6X2,3X2,6 M DE PANEL DE ACERO LACADO Y AISLAMIENTO DE 35 MM DE ESPESOR, REVESTIMIENTO DE PAREDES CON TABLERO FENÓLICO, PAVIMENTO DE LAMAS DE ACERO GALVANIZADO CON AISLAMIENTO DE FIBRA DE VIDRIO Y TABLERO FENÓLICO, CON INSTALACIÓN DE LAMPISTERÍA, FREGADERO DE 2 SENOS CON GRIFO Y ENCIMERA, CON INSTALACIÓN ELÉCTRICA, 1 PUNTO DE LUZ, INTERRUPTOR, ENCHUFES Y PROTECCIÓN DIFERENCIAL

Resto de obra y materiales		152,15
Suma la partida		152,15
Costes indirectos	2,5%	3,80
TOTAL PARTIDA		**155,95**

14.03.04 **u** **ESPEJO LUNA INCOLORA,E=3MM,ADHERIDO TABLERO MADERA**

ESPEJO DE LUNA INCOLORA DE 3 MM DE ESPESOR, COLOCADO ADHERIDO SOBRE TABLERO DE MADERA

Mano de obra		5,34
Resto de obra y materiales		27,85
Suma la partida		33,19
Costes indirectos	2,5%	0,83
TOTAL PARTIDA		**34,02**

14.03.05 **u** **BANCO MADERA,3,5MX0,4M,P/5PERS.,COL.+DESMONT.INCLUIDO**

BANCO DE MADERA, DE 3,5 M DE LONGITUD Y 0,4 M DE ANCHURA, CON CAPACIDAD PARA 5 PERSONAS, COLOCADO Y CON EL DESMONTAJE INCLUIDO

Mano de obra		2,22
Resto de obra y materiales		13,46
Suma la partida		15,68
Costes indirectos	2,5%	0,39
TOTAL PARTIDA		**16,07**

14.03.06 **u** **MESA MADERA TABLERO MELAMINA,3,5MX0,8M,P/10PERS.,COL.+DESMONT.IN**

MESA DE MADERA CON TABLERO DE MELAMINA, DE 3,5 M DE LONGITUD Y 0,8 M DE ANCHURA, CON CAPACIDAD PARA 10 PERSONAS, COLOCADA Y CON EL DESMONTAJE INCLUIDO

Mano de obra		5,18
Resto de obra y materiales		16,16
Suma la partida		21,34
Costes indirectos	2,5%	0,53
TOTAL PARTIDA		**21,87**

14.03.07 **u** **HORNO MICROONDAS P/COMIDAS,COL.+DESMONT.INCLUIDO**

HORNO MICROONDAS PARA CALENTAR COMIDAS, COLOCADO Y CON EL DESMONTAJE INCLUIDO

Mano de obra		0,75
Resto de obra y materiales		62,00
Suma la partida		62,75
Costes indirectos	2,5%	1,57
TOTAL PARTIDA		**64,32**

Documento visado electrónicamente con número: VA07290/22
Código de validación telemática: TRLTDCFZ60T66IJ1. Comprobación: https://cogitivalencia.e-gestiones/Validacion.aspx?CVT=TRLTDCFZ60T66IJ1

VISADO
COGITI
VALENCIA
VA07290/22

CÓDIGO	UD	RESUMEN		PRECIO
14.03.08	**u**	**RECIPIENTE P/BASURAS,100L,COL.+DESMONT.INCLUIDO**		
		RECIPIENTE PARA RECOGIDA DE BASURAS, DE 100 L DE CAPACIDAD, COLOCADO Y CON EL DESMONTAJE INCLUIDO		
		Mano de obra		1,48
		Resto de obra y materiales		36,87
		Suma la partida		38,35
		Costes indirectos	2,5%	0,96
		TOTAL PARTIDA		**39,31**
14.03.09	**h**	**MANO OBRA,LIMPIEZA+CONSERVACIÓN INSTALACIONES**		
		MANO DE OBRA PARA LIMPIEZA Y CONSERVACIÓN DE LAS INSTALACIONES		
		Mano de obra		14,81
		Resto de obra y materiales		0,15
		Suma la partida		14,96
		Costes indirectos	2,5%	0,37
		TOTAL PARTIDA		**15,33**
14.03.10	**u**	**BOTIQUÍN PORTÁTIL URG.+CONTENIDO SEGÚN ORDEN.SYS**		
		BOTIQUÍN PORTÁTIL DE URGENCIA, CON EL CONTENIDO ESTABLECIDO EN LA ORDENANZA GENERAL DE SEGURIDAD Y SALUD EN EL TREBAJO		
		Resto de obra y materiales		78,76
		Suma la partida		78,76
		Costes indirectos	2,5%	1,97
		TOTAL PARTIDA		**80,73**
14.03.11	**u**	**MATERIAL SANITARIO BOTIQUÍN+CONTENIDO SEGÚN ORDEN.SYS**		
		MATERIAL SANITARIO PARA SURTIR UN BOTIQUÍN CON EL CONTENIDO ESTABLECIDO EN LA ORDENANZA GENERAL DE SEGURIDAD Y SALUD EN EL TREBAJO		
		Resto de obra y materiales		51,40
		Suma la partida		51,40
		Costes indirectos	2,5%	1,29
		TOTAL PARTIDA		**52,69**

Documento visado electrónicamente con número: VA07290/22
Código de validación telemática TRLTDCFZ60T66IJ1. Comprobación: https://cogitivalencia.e-gestiones/Validacion.aspx?CVT=TRLTDCFZ60T66IJ1

VISADO
COGITI
VALENCIA
VA07290/22
TRLTDCFZ60T66IJ1

Documento visado electrónicamente con número: VA07290/22
Código de validación telemática TRLTDCFZ60T66IJ1. Comprobación: https://cogitivalencia.e-gestion.es/Validacion.aspx?CVT=TRLTDCFZ60T66IJ1

4.3. PRESUPUESTOS PARCIALES ORDENADOS POR CAPITULO

VISADO
COGITI
VALENCIA
VA07290/22
TRLTDCFZ60T66IJ1

Documento visado electrónicamente con número: VA07290/22
Código de validación telemática TRLTDCFZ60T66IJ1. Comprobación: https://cogitivalencia.e-gestion.es/Validacion.aspx?CVT=TRLTDCFZ60T66IJ1

4.3.1. PRESUPUESTO GENERAL

PRESUPUESTO

CÓDIGO	RESUMEN	CANTIDAD	PRECIO	IMPORTE

VISADO
COGITI
VALENCIA
VA07290/22
TRLTDCFZ60T66IJ1

01 TRABAJOS PREVIOS

01.01 **u** **Demolición y retirada torres alumbrado** — 12,00 — 816,44 — 9.797,28

Desconexión, demolición y retirada de torres de alumbrado ubicadas en cubierta del silo por interferencia con la instalación fotovoltaica, sin recuperación de los mismos, incluso desmontajes de anclajes de sujección, desconexiones de la línea eléctrica en la luminaria y en la salida del cuadro correspondiente y limpieza, y p.p. de medios auxiliares, con medidas de protección colectivas. Adaptación necesaria de instalación eléctrica para gantizar la seguridad, empalmes o alimentación provisional en caso necesario. Incluyento su desconexión total y desvíos necesarios para dejar el resto de la instalación en perfecto estado de funcionamiento Retirada de material a lugar designado por la propiedad. Demolición de base de hormigón armado HA-30/B/20/IIIa, de dimensiones aproximadas de 1,80x1,80x1m, con armado formado por una malla cuadrada de 10/30 en los lados y cara inferior. Incluso retirada de escombros a pie de carga, con transporte a vertedero y con p.p. de medios auxiliares, con medidas de protección colectivas.

01.02 **PA** **Impermeabilización y pavimento asfaltico** — 1,00 — 5.371,53 — 5.371,53

Partida alzada correspondiente a la impermeabilización de cubierta tras retirada de torres de alumbrado, consistente en:

Impermeabilización:
- Barrido y limpieza de superficie.
- Capa de imprimación con PROMULSIT con una dotación aproximada de 3 kg/m2
- Dos capas de ROADSEAL FIBRE con una dotación aproximada de 2 kg/m2 por capa. Compuesto de cargas minerales de granulometría controlada, una emulsión bituminosa de alta estabilidad y fibras sintéticas.

Pavimento Asfáltico:
- Extendido y compactación de una capa de regularización de la superficie de 3 a 4 cm de espesor medio de aglomerado asfáltico en caliente tipo AC8 BIN 35/0D.
- Riego de adherencia con emulsión modificada termoadherente C60 BP4TER.
- Extendido y compactación de una capa de rodadura de 2 – 3 cm de espesor medio tipo BBTM 11 A PMB 45/80-65 F con betún modificado.

Incluso p.p. de pequeño material, incluso medios auxiliares, totalmente terminado.

01.03 **u** **Unión articulada** — 20,00 — 648,86 — 12.977,20

Suministro y montaje de enlace de estructura metálica con edificio existente, según detalle de planos, mediante unión arrticulada compuesta por dos partes:
La parte inferior se trata de una placa de anclaje convencional mediante pernos que se anclan en el pilar. Este elemento es el encargado de transmitir los esfuerzos de axil y corte que provienen de la estructura metálica a los pilares de hormigón.
La parte superior se compone de una placa soldada al pilar metálico junto con unos rigidizadores que garantizan la unión entre ambas partes y la correcta transmisión de esfuerzos.
Ambas partes se unen entre sí mediante un conjunto chapa-pasador capaz de resistir los esfuerzos de axil y de corte e impidiendo la transmisión de momentos.

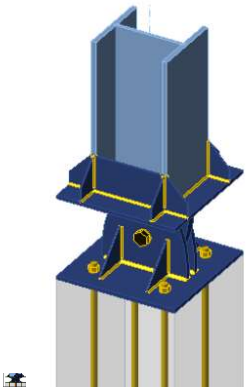

TOTAL 01 ..... **28.146,01**

Documento visado electrónicamente con número: VA07290/22
Código de validación telemática TRLTDCFZ60T66IJ1. Comprobación: https://cogitivalencia.e-gestion.es/Validacion.aspx?CVT=TRLTDCFZ60T66IJ1

PRESUPUESTO

CÓDIGO	RESUMEN	CANTIDAD	PRECIO	IMPORTE

VISADO
COGITI
VALENCIA
VA07290/22
TRLTDCFZ60T66IJ1

02 ESTRUCTURA METÁLICA

02.01 **kg** **Acero elaborado S275JR Estructural Laminado** — 2.054.419,00 — 3,49 — 7.168.922,31

Suministro y montaje de acero elaborado S275JR según UNE-EN 10025, colocado en estructura metálica atornillada, en edificio industrial o espacio abierto, en condiciones normales, mediante uniones atornilladas (según indicaciones de la Dirección Facultativa), incluyendo materiales de sujeción de paramentos, correas, zunchos, dinteles, cerchas, celosías, pilares, placas de anclaje, parte proporcional de soldaduras, cortes, piezas especiales, despuntes y ficha técnica del producto totalmente montado y colocado sobre soporte incluyendo taladros necesarios, incluyendo repaso de soldaduras y defectos en obra una vez instalada, según según SE-A del CTE.
En el precio unitario quedará incluido el incremento porcentual por despuntes y errores de laminación, asi como la tornilleria, rigidizadores y UNIONES, además de elementos secundarios de montaje .
El criterio de medición se realizará mediante el calculo de Kg/ml (utlizandose el prontuario EAE-2011), de las barras reflejadas en los planos de estructura de Taller aprobados por la D.F, no contabilizando elementos secundarios de montaje, rigidizadores, pletinas, etc
Incluido diseño y cálculo de todas las uniones con su correspondiente memoria de cálculo firmada por técnico competente y visada por el Colegio Oficial correspondiente.
Sobre los perfiles metálicos está prevista la aplicación de sistemas de pintura para soporte de acero al carbono de baja aleación con preparación de la superficie a chorro grado Sa 2½ (Véase la Norma ISO 8501-1) para aplicarción de tratamiento antioxidante C5-M

02.02 **m2** **Pintura anticorrosiva C5-M ambiente marino** — 47.647,00 — 35,36 — 1.684.797,92

Tratamiento superficial de protección anticorrosiva de la empresa Pinturas MONTÓ- en elementos de acero para garantizar durabilidad frente a ambiente marino C5-M según UNE-EN ISO 12944-6:1999:

El sistema para ambiente atmosférico C5-M con durabilidad alta, incluye:
Preparación de la superficie mediante chorreado grado Sa 2½ (Véase la Norma ISO 8501-1)
1 capa de 80 ìm secas de Imprimación M-Epox 70
1 capa de 160 ìm secas de Imprimación M-Epox-HB 40
2 capas de 40 ìm secas de Esmalte M-Thane 70-B
Total ENPS (espesor nominal de pel?cula seca) de 320 µm. +-10%
Aplicación de pintura de obligado cumplimiento segúnprescripción, control de aplicación y revisión de procesos de ejecución de la empresa Pinturas MONTÓ, realizada en TALLER.

02.03 **kg** **Suministro y colocación de placas de anclaje** — 200,00 — 338,28 — 67.656,00

Suministro y colocación de placa de anclaje de acero post-installed. Totalmente colocada y perfectamente nivelada -previa aprobación por parte de la Dirección Facultativa del mortero grout el cual se incluye- preparada para el anclaje de os perfiles metálicos previstos en plano. Incluido limpieza y retirada de restos. Totalmente ejecutado. Acero INOXIDABLE . Anclaje químico compuesto por resina RE 500 V3 + Varilla roscada HAS-U A4 M24 y M20.

Se incluye en proyecto detalle para ver los diferentes tipos de placas, disposición y características de anclajes, incluso espesor de placas de anclaje y rigidizadores.

TOTAL 02 ..... 8.922.376,23

Documento visado electrónicamente con número: VA07290/22
Código de validación telemática TRLTDCFZ60T66IJ1. Comprobación: https://cogitivalencia.e-gestion.es/Validacion.aspx?CVT=TRLTDCFZ60T66IJ1

PRESUPUESTO

CÓDIGO	RESUMEN	CANTIDAD	PRECIO	IMPORTE

VISADO COGITI
VALENCIA
VA07290/22
TRLTDCFZ60T66IJ1

03 INSTALACIÓN FOTOVOLTAICA

03.01 EQUIPAMIENTO FOTOVOLTAICO

03.01.01 **u** **Módulo fotovoltaico Jinko JKM535M-72HL4 535 Wp** — 10.773,00 — 224,22 — 2.415.522,06

Suministro y montaje de panel fotovoltaico modelo JKM535M-72HL4 de la marca Jinko o equivalente aprobado por DF. El módulo dispone de las siguientes características:

· Potencia nominal (Pmpp) ..... 535 Wp
· Tolerancia potencia nominal .....+3%.
· Voltaje punto de máxima potencia (Vmpp) ..... 40,63 V.
· Corriente punto de máxima potencia (Impp) .....13,17 A.
· Voltaje en circuito abierto (Voc) .....49,34 V.
· Corriente de cortocircuito (Isc) .....13,79 A.
· Coef. temperatura de potencia máxima .....-0,35 %/ºC.
· Coef. temperatura tensión de circuito abierto .....-0,28 %/ºC.
· Coef. temperatura corriente de cortocircuito .....0,048 %/ºC.
· Maxima tensión del sistema 1.500Vdc

Las dimensiones de los módulos fotovoltaicos son las siguientes:

· Longitud .....2.274 mm.
· Anchura .....1134 mm.
· Espesor .....35 mm.

Con cable largo para conexion en posicion horizontal y conectores MC4. Resto de caracteristicas tecnicas según catalogo del Fabricante. Incluso bridas, piezas especiales, conexiones electricas, ayudas de albañileria, limpieza de materiales sobrantes, transportes, medios auxiliares de elevacion y replanteos. Todo ello instalado, verificaciones, ensayos, conexiones, enclavamientos, controles, pruebas, certificados y homologaciones. Totalmente instalado, incluso conexionado y anclaje a estructura.

03.01.02 **u** **Inversor trifasico Huawei SUN 2000-185KTL-H1 185 kW** — 27,00 — 10.204,66 — 275.525,82

Suministro e instalacion de inversor fotovoltaico de conexion a red, modelo SUN 2000-185KTL-H1 de la marca HUAWEI o equivalente aprobado por DF. El inversor dispone de las siguientes características:

- Potencia nominal	185 kW
- Tensión nominal de salida	800 V 3F+PE
- Máxima tensión de entrada	1500 V
- Rango tensión MPPT	500-1500 V
- Máxima corriente por MPPT	26 A
- Máxima corriente de cortocircuito por MPPT	40 A
- Número de entradas	18
- Numero de seguimiento de MPP	9

Los inversores cumplen con la normativa europea aplicable a estos equipos, contando con todas las protecciones exigidas por el RD 1699/2011, de 18 de Noviembre:

- Protección de máxima y mínima tensión (1,1 y 0,85 Um, respectivamente)
- Protección de máxima y mínima frecuencia (51 y 49 Hz. respectivamente)
- Transformador de separación galvánica.
- Protección contra funcionamiento en modo isla.
- Protección contra sobretensiones.
- Control de aislamiento.

Incluso armario de acero inoxidable AISI 316L para protección frente a los agentes atmoféricos del Iinversor, piezas especiales, conexiones electricas, ayudas de albañileria, limpieza de materiales sobrantes, transportes, medios auxiliares de elevacion y replanteos. Todo ello instalado, verificaciones, ensayos, conexiones, enclavamientos, controles, pruebas, certificados y homologaciones. Totalmente instalado, incluso conexionado y puesto en marcha..

TOTAL 03.01 ..... 2.691.047,88

Documento visado electrónicamente con número: VA07290/22
Código de validación telemática TRLTDCFZ60T66IJ1. Comprobación: https://cogitivalencia.e-gestion.es/Validacion.aspx?CVT=TRLTDCFZ60T66IJ1

PRESUPUESTO

CÓDIGO	RESUMEN	CANTIDAD	PRECIO	IMPORTE
03.02	**INSTALACION ELECTRICA FOTOVOLTAICA**			
03.02.01	**m Cable ZZ-F (AS) 1,8 kV DC sección 2x6mm2 Cu** Línea electrica construida mediante cable unipolar de cobre recocido tipo EXZHELLENT SOLAR ZZ-F, tensión nominal 0,6/1 kV, tensión máxima en corriente continua 1,8 kV, reacción al fuego clase Eca, con conductor de cobre recocido, flexible (clase 5), de 6 mm² de sección para positivo y negativo, aislamiento de elastómero reticulado, de tipo EI6, cubierta de elastómero reticulado, de tipo EM5, aislamiento clase II, de color negro, y con las siguientes características: no propagación de la llama, baja emisión de humos opacos, reducida emisión de gases tóxicos, libre de halógenos, nula emisión de gases corrosivos, resistencia a la absorción de agua, resistencia al frío, resistencia a los rayos ultravioleta, resistencia a los agentes químicos, resistencia a las grasas y aceites, resistencia a los golpes y resistencia a la abrasión. Según DKE/VDE AK 411.2.3. Instalado en canalización correspondiente, incluso p.p. de accesorios de fijación, terminales, tornillos. Incluso mano de obra, replanteos, limpieza previa, y ayudas de albañileria que se precisen, así como la utilización de herramientas y medios auxiliares que se precisen, manipulación, retirada de material sobrante y limpieza posterior etc. Se entiende material totalmente instalado y verificado.	34.560,00	3,86	133.401,60
03.02.02	**m Cable RZ1-K 0,6/1 kV (AS) sección 4x70+TT mm² Cu** Línea electrica construida mediante cable unipolar de cobre recocido RZ1-K 0,6/1 kV (AS), reacción al fuego clase Cca-s1b,d1,a1, aislamiento de polietileno reticulado (XLPE), de tipo DIX3, cubierta de poliolefina termoplástica, de tipo Afumex Z1, de color verde, sección 70 mm² para fases y neutro y sección 35 mm² para tierra, de la marca Prysmian o equivalente aprobado por DF, no propagadores del incendio, con emisión de humos y opacidad reducida, libre de halogenos, s/ UNE 21.123-4, instalada en canalización correspondiente, incluso p.p. de accesorios de fijación, terminales, tornillos. Incluso mano de obra, replanteos, limpieza previa, y ayudas de albañileria que se precisen, así como la utilización de herramientas y medios auxiliares que se precisen, manipulación, retirada de material sobrante y limpieza posterior etc. Se entiende material totalmente instalado y verificado.	2.295,00	55,24	126.775,80
03.02.03	**m Cable XZ1Z (AS) sección 4x(2x240)+TT mm² Al** Linea electrica construida mediante cable unipolar tipo AL XZ1 (S), tensión nominal 0,6/1 kV, de seguridad en caso de incendio (S), reacción al fuego clase Eca, con conductor de aluminio, rígido (clase 2), sección 2x240 mm² para fases y neutro y sección 240 mm² para tierra, de la marca Prysmian o equivalente aprobado por DF, aislamiento de polietileno reticulado (XLPE), de tipo DIX3, cubierta de material libre de halógenos, de tipo Flamex DMO1, y con las siguientes características: no propagación de la llama, baja emisión de humos opacos, libre de halógenos, nula emisión de gases corrosivos, resistencia a la absorción de agua, resistencia al frío, resistencia a los rayos ultravioleta, resistencia a los agentes químicos, resistencia a las grasas y aceites y resistencia a los golpes. Según HD 603-5X-1. Instalado en canalización correspondiente, incluso p.p. de accesorios de fijación, terminales, tornillos. Incluso mano de obra, replanteos, limpieza previa, y ayudas de albañileria que se precisen, así como la utilización de herramientas y medios auxiliares que se precisen, manipulación, retirada de material sobrante y limpieza posterior etc. Se entiende material totalmente instalado y verificado.	930,00	58,63	54.525,90
03.02.04	**m Cable XZ1Z (AS) sección 4x(4x240)+TT mm² Al** Linea electrica construida mediante cable unipolar tipo AL XZ1 (S), tensión nominal 0,6/1 kV, de seguridad en caso de incendio (S), reacción al fuego clase Eca, con conductor de aluminio, rígido (clase 2), sección 4x240 mm² para fases y neutro y sección 2x240 mm² para tierra, de la marca Prysmian o equivalente aprobado por DF, aislamiento de polietileno reticulado (XLPE), de tipo DIX3, cubierta de material libre de halógenos, de tipo Flamex DMO1, y con las siguientes características: no propagación de la llama, baja emisión de humos opacos, libre de halógenos, nula emisión de gases corrosivos, resistencia a la absorción de agua, resistencia al frío, resistencia a los rayos ultravioleta, resistencia a los agentes químicos, resistencia a las grasas y aceites y resistencia a los golpes. Según HD 603-5X-1. Instalado en canalización correspondiente, incluso p.p. de accesorios de fijación, terminales, tornillos. Incluso mano de obra, replanteos, limpieza previa, y ayudas de albañileria que se precisen, así como la utilización de herramientas y medios auxiliares que se precisen, manipulación, retirada de material sobrante y limpieza posterior etc. Se entiende material totalmente instalado y verificado.	100,00	99,24	9.924,00
03.02.05	**m Bandeja metálica inoxidable AISI 316L 60x200mm** Suministro y montaje de bandeja metálica de acero inoxidable AISI 316L, sin tapa, de dimensiones 60x200mm, del tipo Pemsaband de la marca PEMSA o equivalente aprobado por DF, para canalización eléctrica, incluido p.p. de uniones, curvas, codos, derivaciones y accesorios, asi como soportes, sujecciones, material auxiliar y ayudas en albaliñería, sin incluir cableado. Totalmente acabada, medida la unidad terminada.	1.890,00	54,94	103.836,60

VISADO COGITI
VALENCIA
VA07290/22
TRLTDCFZ60T66IJ1
Documento visado electrónicamente con número: VA07290/22
Código de validación telemática TRLTDCFZ60T66IJ1. Comprobación: https://cogitivalencia.e-gestion.es/Validacion.aspx?CVT=TRLTDCFZ60T66IJ1

PRESUPUESTO

CÓDIGO	RESUMEN	CANTIDAD	PRECIO	IMPORTE
03.02.06	**m Bandeja metálica inoxidable AISI 316L 100x300mm** Suministro y montaje de bandeja metálica de acero inoxidable AISI 316L, sin tapa, de dimensiones 100x300mm, del tipo Pemsaband de la marca PEMSA o equivalente aprobado por DF, para canalización eléctrica, incluido p.p. de uniones, curvas, codos, derivaciones y accesorios, asi como soportes, sujecciones, material auxiliar y ayudas en albaliñería, sin incluir cableado. Totalmente acabada, medida la unidad terminada.	120,00	74,85	8.982,00
03.02.07	**m Bandeja metálica inoxidable AISI 316L 100x600mm** Suministro y montaje de bandeja metálica de acero inoxidable AISI 316L, sin tapa, de dimensiones 100x600mm, del tipo Pemsaband de la marca PEMSA o equivalente aprobado por DF, para canalización eléctrica, incluido p.p. de uniones, curvas, codos, derivaciones y accesorios, asi como soportes, sujecciones, material auxiliar y ayudas en albaliñería, sin incluir cableado. Totalmente acabada, medida la unidad terminada.	310,00	135,17	41.902,70
03.02.08	**m Tapa para bandeja metálica inox 200mm** Suministro y montaje de tapa para bandeja portacables metálica de acero inoxidable de 200mm. Incluso p.p. de curvas, uniones, derivaciones, soportes, accesorios y pequeño material. Totalmente instalada, segun condiciones de proyecto.	1.890,00	25,36	47.930,40
03.02.09	**m Tapa para bandeja metálica inox 300mm** Suministro y montaje de tapa para bandeja portacables metálica de acero inoxidable de 400mm. Incluso p.p. de curvas, uniones, derivaciones, soportes, accesorios y pequeño material. Totalmente instalada, segun condiciones de proyecto.	120,00	41,40	4.968,00
03.02.10	**m Tapa para bandeja metálica inox 600mm** Suministro y montaje de tapa para bandeja portacables metálica de acero inoxidable de 600mm. Incluso p.p. de curvas, uniones, derivaciones, soportes, accesorios y pequeño material. Totalmente instalada, segun condiciones de proyecto.	310,00	79,09	24.517,90
03.02.11	**m Cable desnudo 35mm2** Conductor de tierra de Cu desnudo de 35 mm² de sección para puesta a tierra de bandejas metálicas. Tendida en canalización al efecto. Incluso terminales, conexiones a bandeja cada 15 metros, pequeño material, etc.. . Totalmente instalado y conexionado.	2.320,00	8,27	19.186,40
03.02.12	**m Cable desnudo 16mm2** Conductor de tierra de Cu desnudo de 35 mm² de sección para puesta a tierra de bandejas metálicas. Tendida en canalización al efecto. Incluso terminales, conexiones a bandeja cada 15 metros, pequeño material, etc.. . Totalmente instalado y conexionado.	2.320,00	5,34	12.388,80
03.02.13	**u Puente de tierra** Suministro y montaje de puente para la puesta a tierra de la instalación.	1,00	38,80	38,80
03.02.14	**u Terminal Cu T-50-10** Suministro y montaje de Terminal de cobre T-95-10. incluso p.p. de accesorios de fijación, terminales, tornillos. Incluso mano de obra, replanteos, limpieza previa, y ayudas de albañileria que se precisen, así como la utilización de herramientas y medios auxiliares que se precisen, manipulación, retirada de material sobrante y limpieza posterior etc. Se entiende material totalmente instalado y verificado.	432,00	6,78	2.928,96
03.02.15	**u Conectores MC4** Suministro y montaje de broches de conexion MC4 para conexionado de string con inversor. Totalmente instalado.	1.728,00	10,64	18.385,92
03.02.16	**u Cuadro fotovoltaica AC BOX AISI 316L** Suministro y montaje de cuadro electrico AC BOX, de la marca Schneider Electric o equivalente aprobado por DF, serie Spacial, formado por armario de superficie de acero inoxidable 316L, elevada resistencia a la corrosión (entornos salinos o con cloro), con grado de protección IP66 e IK10. Conteniendo en su interior todos los elementos reflejados en esquemas de proyecto, cableado interno con punteras, con bornero, pletinas auxiliares de conexión, incluso limitador de sobretensiones de clase II. Certificación de ensayos, declaración CE y etiquetaje de circuitos. Totalmente montado y funcionando.	9,00	10.719,66	96.476,94

VISADO COGITI VALENCIA VA07290/22 TRLTDCFZ60T66IJ1
Documento visado electrónicamente con número: VA07290/22
Código de validación telemática: TRLTDCFZ60T66IJ1. Comprobación: https://cogitivalencia.e-gestion.es/Validacion.aspx?CV=TRLTDCFZ60T66IJ1

PRESUPUESTO

CÓDIGO	RESUMEN	CANTIDAD	PRECIO	IMPORTE
03.02.17	**u Cuadro fotovoltaica MAIN AC BOX AISI 316L** Suministro y montaje de cuadro electrico MAIN AC BOX, de la marca Schneider Electric o equivalente aprobado por DF, serie Spacial, formado por armario de superficie de acero inoxidable 316L, elevada resistencia a la corrosión (entornos salinos o con cloro), con grado de protección IP66 e IK10. Conteniendo en su interior todos los elementos reflejados en esquemas de proyecto, cableado interno con punteras, con bornero, pletinas auxiliares de conexión, incluso limitador de sobretensiones de clase II. Certificación de ensayos, declaración CE y etiquetaje de circuitos. Totalmente montado y funcionando.	2,00	21.716,39	43.432,78
03.02.18	**u Smartlogger HUAWEI 3000A** Suministro, instalación e integración de sistema de control y supervisión para la gestión integral de la instalación de Fotovoltaica, SMARTLOGGER modelo 3000A de HUAWEI o equivalente aprovado por DF. Las características del equipo vienen indicadas en el anexo I. Incluso pp de accesorios para su correcta instalación. Medida la unidada totalmente instalada, integrada y funcionando.	1,00	1.298,21	1.298,21
03.02.19	**u Sistema antivertido PRISMA 310A** Sistema antivertido a instalar proximo al módulo de contadores del cliente, modelo PRISMA 310A de RENESYS o equivalente aprobado por DF. Permite regular la potencia obtenida de fuentes renovables y aportar garantías físicas y lógicas para decidir qué potencia debemos o deseamos consumir de la red. Integra en el mismo dispositivo un contador para la regulación instantánea y elimina la necesidad de otros componentes externos en la regulación de la potencia. Con cumplimiento de los criterios de la UNE 217001-IN y RD 244/2019. Incluso parte proporcional de accesorios para su correcta instalacion. Medida la unidad, totalmente instalada y parametrizada según normas de la compañia suminitsradora de la zona y funcionando correctamente.	1,00	2.944,93	2.944,93

VISADO COGITI
VALENCIA
VA07290/22
TRLTDCFZ60T66IJ1
Documento visado electrónicamente con número: VA07290/22
Código de validación telemática TRLTDCFZ60T66IJ1. Comprobación: https://cogitivalencia.e-gestion.es/Validacion.aspx?CVT=TRLTDCFZ60T66IJ1

PRESUPUESTO

CÓDIGO	RESUMEN	CANTIDAD	PRECIO	IMPORTE
03.02.20	u **Estación meteorológica MET**	2,00	1.108,46	2.216,92

Suministro, montaje e integración de instrumento de medida modelo Sensor MET o Datasol MET, de la marca Aersa o equivalente aprobado por DF. Instrumento de medida electrónico de precisión que permite la medición de la radiación solar global sobre un plano, de la temperatura y de la velocidad del viento. En este equipo se dispone de una Célula Calibrada (o célula fotovoltaica de tecnología equivalente), de dos sondas de temperatura y de una entrada externa para la conexión de un anemómetro. Es el instrumento más adecuado para la adquisición de los parámetros más importantes en una central solar fotovoltaica (radiación solar, temperatura ambiente y velocidad del viento).
Todos estos datos son recogidos y enviados en formato digital vía RS485 con protocolo MODBUS.
La Célula Calibrada que incorpora el Datasol MET lleva incorporado un sensor de temperatura directamente sobre cada una de las células lo que permite corregir (compensar por temperatura) las desviaciones en la medida de la Radiación Solar, dando lecturas más precisas en todo el rango de radiación y temperatura.
El Datasol MET se fija a la estructura de los paneles, siempre con la misma inclinación que estos, bien mediante la fijación HOOK o mediante tornillería.
La medición de la radiación solar es fundamental en el cálculo de la producción energética y el rendimiento de las centrales fotovoltaicas mediante el Índice de Producción (PR Preformance Ratio). Este índice relaciona la potencia real de la instalación con la potencia calculada a través de la radiación solar que incide en la instalación. Esta circunstancia hace ideal la utilización de las Células Calibradas de ATERSA como instrumento de medida de la radiación solar.

*CARACTERÍSTICAS PRINCIPALES:
Medición de la radiación solar, 0 … 1400 W/mm2 . Compensación por temperatura.
Medida de la temperatura de célula (sonda incorporada), -20 130 ºC.
Medida de la temperatura ambiente a 4 hilos con sonda externa incluida, -20 130 ºC.
Entrada libre de potencial para la conexión del anemómetro, medida de la velocidad del viento entre 2 140 km/h (no se entrega el anemómetro junto con el sensor MET).
Tensión de alimentación nominal: 24 V dc. (*).
Rango alimentación auxiliar estándar: 6 28 V dc.
Consumo máximo: 90 mW.
Grado de Protección; IP54.
Rango de trabajo: -20 ºC y +50 ºC.
Sección de cable admisible en bornas: 0.22 mm2 a 1.5 mm2
Diámetro ext. cable admisible en prensaestopas: 4.5 mm y los 10 mm.
Comunicaciones vía RS485 (protocolo MODBUS (RTU)). Distancia máxima 500m.

*CARACTERÍSTICAS TÉCNICAS:
Medición radiación solar: 0 … 1400 W/mm2.
Medición Temperatura célula: -20 … 100 ºC.
Medición Temperatura ambiente: -20 … 100 ºC.
Medición velocidad del viento: 2 … 140 km/h.
Error de la medida de la radicación solar: ± 2.2 %.
Error de la medida de la temperatura: ± 0.8 ºC.
Error de la medida de la velocidad del viento: ± 3 % (15-140 km/h) y ± 1 km/h (2-140 km/h).

Todo ello instalado, verificaciones, ensayos, conexiones, enclavamientos, controles, pruebas, certificados y homologaciones. Totalmente instalado, incluso conexionado y puesto en marcha..

03.02.21	u **Realización de DC Test**	1,00	1.507,54	1.507,54

Realización del DC test, utilizando equipo Seaward PV150 o similar, comprendiendo la medición de los valores de Voc, Isc, radiación, polaridad y aislamiento de polo positivo y negativo a tierra, de todos los strings. El procedimiento y los valores obtenidos deben ser acordes con la norma IEC 62446. Todos los datos obtenidos serán entregados antes de la conexión de la instalación, en archivos originales del equipo de medición.

VISADO COGITI
VALENCIA
VA07290/22
TRLTDCFZ60T66IJ1
Documento visado electrónicamente con número: VA07290/22
Código de validación telemática TRLTDCFZ60T66IJ1. Comprobación: https://cogitivalencia.e-gestion.es/Validacion.aspx?CVT=TRLTDCFZ60T66IJ1

VISADO COGITI
VALENCIA
VA07290/22
TRLTDCFZ60T66IJ1

CÓDIGO	RESUMEN	CANTIDAD	PRECIO	IMPORTE
03.02.22	u **Integración sistema en SCADA**	1,00	10.031,05	10.031,05

Horas de integración del sistema solar fotovoltaico y sistema de almacenamiento de energía mediante baterías en SCADA de control WINCC existente de la Autoridad Portuaria, que se ocupa de la visualización y manjeo de las instalaciones, monitorización de los estados y las alamrmas más importantes.

Se modificarán las pantallas existentes y se crearan otras nuevas para el acceso a la instalación de Fotovoltaica, entre otras:

Menú Principal.
Pantalla ubicación geográfica de las instalaciones del puerto
Pantalla de detalle Inversores
Pantalla de detalle Baterías

Se añadirán las nuevas variables en la tablas correspondientes:
- Añadir alarmas en alarmlogging
- Añadir Tagglogging
- Añadir variables en BBDD

Incluso pruebas de funcionamiento y puesta en marcga. Formación de operadores.

03.02.23	u **Cuadro de Comunicaciones (Estandarizado APV)**	1,00	10.665,16	10.665,16

Suministro e instalación de Cuadro de comunicaciones, que incluye los siguientes elementos:

Envolvente metálica mural de medidas: 760x760x300mm, referencia 1073.500, marca RITTAL
Protección eléctrica general, formada por:
- Interruptor magnetotérmico 2P, 6kA, 16A, curva C, referencia: 5SL6216-7, marca SIEMENS
- Interruptor Diferencial, 2P, Clase AC, 25A, 300mA, referencia: 5SV4612-0, marca SIEMENS
- 2 uds. Interruptor magnetotérmico. 2P, 6kA, 10A, curva C, referencia; 5SL6210-7, marca SIEMENS
- 3 uds. Contacto auxiliar 1NA+1NC para interruptor automático, referencia: 5ST3010, marca SIEMENS
- Enchufe SHUKO 2P+T 16A, referencia: A9A15310, marca: MG
- Sensor inductivo para detección de puerta cerrada, referencia: XS4P18PA340, marca SCHNEIDER
- Piloto verde para señalización de tensión OK, referencia: ZB4-BV033 y ZB4-BVB3, marca: SCHNEIDER
- Piloto rojo para señalización de fallo térmico, referencia: ZB4-BV043 y ZB4-BVB4, marca: SCHNEIDER
- Piloto rojo para señalización de fallo SAI, referencia: ZB4-BV043 y ZB4-BVB4, marca: SCHNEIDER
- Piloto amarillo para señalización de puerta cerrada, referencia: ZB4-BV053 y ZB4-BVB5, marca: SCHNEIDER
- Fuente de alimentación de 10A, referencia: 6EP1334-2BA20, marca: SIEMENS
- Módulo cargador DC-SAI 24V / 15A, referencia: 6EP1931-2EC21, marca: SIEMENS
- Módulo de batería de 24V/ 7 Ah, referencia: 6EP1935-6ME21, marca: SIEMENS
- Switch de comunicaciones XM408-8C para la red de Giga, referencia: 6GK5408-8GS00-2AM2, marca: SIEMENS
- 2 uds. trasceptor de fibra óptica monomodo, referencia: 6GK5992-1AM00-8AA0, marca: SIEMENS

Totalmente instalado y funcionando.

03.02.24	m **Cable de comunicaciones UTP**	200,00	3,56	712,00

Suministro e instalación de cable de datos de categoría 6 y Euroclase DCA, de tipo U/UTP, con conductor de cobre y cubierta de LSFH (Low Smoke Free of Halogen). Medido el ml, totalmente instalado y conexionado, incluyendo suministro y montaje de parte proporcional de etiquetas, bridas, conectores, puntas y demás accesorios necesarios para su correcta instalación, sin incluir canalización.

03.02.25	m **Cable de fibra óptica monomodo SM 24 fibras 9/125µm**	1.725,00	5,64	9.729,00

Instalación de cable fibra óptica monomodo 24 fibras SM, 9/125µm, tendido en bandeja métalica, según las especificaciónes de las normas correspondientes. Con cubierta antiroedores. Testeado. Incluso p.p. de adaptadores y pigtails, incluso tritubo de 40mm, pequeño material y medios auxiliares. Totalmente instalado, certificado el enlace permanente, comprobado y en correcto estado de funcionamiento.

TOTAL 03.02..... 788.708,31

Documento visado electrónicamente con número: VA07290/22
Código de validación telemática TRLTDCFZ60T66IJ1. Comprobación: https://cogitivalencia.e-gestion.es/Validacion.aspx?CVT=TRLTDCFZ60T66IJ1

VISADO
COGITI
VALENCIA
VA07290/22
TRLTDCFZ60T66IJ1

CÓDIGO	RESUMEN		CANTIDAD	PRECIO	IMPORTE
03.03	**VARIOS**				
03.03.01	**Pruebas de la instalación**	u	1,00	1.022,71	1.022,71
	Pruebas de la instalacion fotovoltaica consistente en la comprobacion del megado de los cables, resistencias de puesta a tierra y de los inversores, tensiones en circuito abierto, tension e intensidad en funcionamiento, estado de las bornas de conexión. Realizado por organismo de control (OCA) y certificado. Verificaciones, ensayos, certificado, boletines del instalador y legalizacion de la instalacion en el organismo competente, pruebas segun plan de control de calidad y redaccion de informe de los resultados obtenidos, ayudas de albañileria, etc., y funcionando.				
03.03.02	**Legalización de la instalación**	u	1,00	1.230,00	1.230,00
	Legalizacion de la instalacion solar fotovoltaica en los diferentes organismos competentes, preparación de la documentación, pago de tasas, certificados de direccion de obra, certificados del instalador, tramitacion de la linea de evacuación y su inscripción definitiva.				
03.03.03	**Documentación AS BUILT**	u	1,00	615,00	615,00
	Realizacion por parte de la contrata de la documentacion final de obra AS-BUILT y garantias de los productos según fabricante. Se entregará una copia a la propiedad en formato papel y electronico antes de la recepcion final del contrato, asi como un manual de uso y mantenimiento de la instalacion con todos los catalogos tecnicos y manuales de uso y mantenimiento de los equipos que componen la instalacion.				
	TOTAL 03.03				**2.867,71**
	TOTAL 03				**3.482.623,90**

Documento visado electrónicamente con número VA07290/22
Código de validación telemática TRLTDCFZ60T66IJ1. Comprobación: https://cogitivalencia.e-gestion.es/Validacion.aspx?CVT=TRLTDCFZ60T66IJ1

PRESUPUESTO

CÓDIGO	RESUMEN	CANTIDAD	PRECIO	IMPORTE
04	**INSTALACIÓN CT GENERACIÓN PARTICULAR 2x1600 KVA V.C.T.-FV 043.1**			
04.01	**OBRA CIVIL**			
04.01.01	**u Edificio prefabricado PFU-7 c/ ventilación forzada** Edificio prefabricado constituido por una envolvente, de estructura monobloque, de hormigón armado, tipo PFU-7/20 de la marca Ormazabal o equivalente aprobado por DF, con ventilación forzada, de dimensiones generales aproximadas 8.100 mm de largo por 2200 mm de fondo por 2.500 mm de altura útil. Incluso cuadro electrico para alimentación de los servicios auxiliares, alumbrado interior, toma de corriente, extractores, termostato, central de incendios. Incluye el edificio y todos sus elementos exteriores según CEI 622171-202, transporte, montaje y accesorios	1,00	14.521,13	14.521,13
	TOTAL 04.01			**14.521,13**
04.02	**APARAMENTA ALTA TENSIÓN**			
04.02.01	**u Celda de Interruptor de Linea CGMCOSMOS-I** Suministro y montaje de celda de interruptor de línea modelo CGMCOSMOS-I de la marca Ormazabal o equivalente aprobado por DF, con interruptor-seccionador en SF6 de 400A con mando CIT manual, seccionador de puesta a tierra, juego de barras tripolar e indicadores testigo presencia de tensión instalados.	1,00	3.275,31	3.275,31
04.02.02	**u Celda de Protección CGMCOSMOS-V** Suministro y montaje de celda con función disyuntor modelo CGMCOSMOS-V de la marca Ormazabal o equivalente aprobado por DF, con seccionador en SF6, relé de protección ekor.rpg, sistema de puesta a tierra, captadores de intensidad y enclavamientos instalados.	3,00	16.672,80	50.018,40
04.02.03	**u Celda de Medida CGMCOSMOS-M** Suministro y montaje de celda de medida modelo CGMCOSMOS-M de la marca Ormazabal o equivalente aprobado por DF, equipada tres transformadores de intensidad y tres de tensión, de doble secundario, entrada y salida por cable seco, según características detalladas en memoria, instalados.	1,00	9.146,16	9.146,16
04.02.04	**u Celda de Protección y medida de tensión CGMCOSMOS-P** Suministro y montaje de celda de protección y medida de tensión en barras modelo CGMCOSMOS-P de la marca Ormazabal o equivalente aprobado por DF, con interruptor-seccionador en SF6 de 400A con mando CIT manual, seccionador de puesta a tierra, juego de barras tripolar e indicadores testigo presencia de tensión instalados. Equipada con tres tranaformadores de tensión. Totalmente instalado.	1,00	8.528,63	8.528,63
04.02.05	**u Analizador de redes CVM-A 1500** Suministro e instalación de analizador de redes para panel de medida indirecta, para panel en formato 96x96 o 144x144, modelo CVM-A1500 de la marca Circutor o equivalente aprobado por DF. Gran versatilidad en su modo de conexión para ser instalado en diferentes sistemas eléctricos con diversas configuraciones de conexión a red, Trifásico 3, 4 hilos, dos fases con o sin neutro, conexión ARON o conexión a red monofásica. Protección IP66 de larga durabilidad, teclado táctil retro-iluminado con tres teclas y la serigrafía de las teclas debe ser perpetua. El interfaz con el dispositivo para el acceso a la información completo y funcional para selección de datos a visualizar de forma rápida. Impide la configuración del equipo por personas ajenas a la instalación gracias a protección por contraseña o PIN. El dispositivo muestra por pantalla de forma clara parámetros trifásicos compuestos y por fase. El dispositivo muestra de forma clara dos medidas de consumo de energía, kWh procedentes de hasta tres distintas fuentes, con sus correspondientes conversiones a coste y emisiones en KgCO2 por pantalla. Dispone de dos salidas a transistor que podrán ser configuradas como Alarma por parámetros instantáneos que el equipo mide, o como generación de señal de impulsos relacionados con los consumos del equipo, ya sean kWh, Coste de la energía o Emisiones de CO2. Dispone de dos salidas a relé para ser configuradas como Alarma por parámetros instantáneos que el equipo mide. Integra comunicaciones RS485 con protocolo MODBUS y BACNET que pueden ser seleccionablesexpandible con hasta 4 módulos con diferentes opciones de entrada/salida o comunicaciones.permite el registro de datos con fecha y hora Dispone de servidor WEB integrado para monitorizar tanto datos en tiempo real como visualización de datos históricos en forma gráfica o de tabla en cualquier navegador de internet convencional Dispone de servidor XML integrado para comunicación e integración, tanto datos en tiempo real como visualización de datos históricos, en sistemas informáticos remotos. Incluso p.p. de material auxiliar. Totalmente instalado y funcionando.	1,00	1.643,18	1.643,18

VISADO COGITI
VALENCIA
VA07290/22
TRLTDCFZ60T66IJ1
Documento visado electrónicamente con número: VA07290/22
Código de validación telemática TRLTDCFZ60T66IJ1. Comprobación: https://cogitivalencia.e-gestion.es/Validacion.aspx?CVT=TRLTDCFZ60T66IJ1

VISADO COGITI VALENCIA VA07290/22 TRLTDCFZ60T66J1

CÓDIGO	RESUMEN	CANTIDAD	PRECIO	IMPORTE
	TOTAL 04.02			**72.611,53**
04.03	**APARAMENTA BAJA TENSIÓN**			
04.03.01	u **Juego de Puentes de Cables AT** Suministro e instalación de juego de puentes III de cables AT unipolares de aislamiento seco RHZ1, aislamiento 12/20 kV, de 95 mm2 en Al con sus correspondientes elementos de conexión.	2,00	970,24	1.940,48
04.03.02	u **Juego de Puentes de Cables BT** Suministro e instalación de juego de puentes de cables BT unipolares de aislamiento seco 0.6/1 kV de Cu, de 4x240mm² de sección para las fases y neutro y demás características según memoria.	2,00	2.731,99	5.463,98
04.03.03	u **Cuadro protección salida BT** Suministro e instalación de Cuadro de Baja Tensión modelo Prisma Plus de la marca Schneider Electric o equivalente aprobado por DF, para protección de salida de transformador conteniendo un interruptor automático modelo NS, tetrapolar, de calibre 1600 A regulable, con unidad de control micrologic 5.0A, incluso bancada. Totalmente instalado y funcionando.	2,00	4.570,24	9.140,48
04.03.04	u **Alimentación CS Auxiliares VCT-FV 043.1** Suministro y montaje de alimentación electrica en BT al cuadro electrico de auxiliares del VCT-FV 043.1 desde CT de cliente, mediante cable unipolar de cobre recocido RZ1-K 0,6/1 kV (AS), reacción al fuego clase Cca-s1b,d1,a1, aislamiento de polietileno reticulado (XLPE), de tipo DIX3, cubierta de poliolefina termoplástica, de tipo Afumex Z1, de color verde, sección 6 mm² para fases, neutro y tierra (3x6mm2), de la marca Prysmian o equivalente aprobado por DF, no propagadores del incendio, con emisión de humos y opacidad reducida, libre de halogenos, s/ UNE 21.123-4, instalada bajo tubo tipo de PVC de 40mm de diámetro. incluso p.p. de accesorios de fijación, terminales, tornillos. Incluso mano de obra, replanteos, limpieza previa, y ayudas de albañileria que se precisen, así como la utilización de herramientas y medios auxiliares que se precisen, manipulación, retirada de material sobrante y limpieza posterior etc. Se entiende material totalmente instalado y verificado.	1,00	781,11	781,11
	TOTAL 04.03			**17.326,05**
04.04	**TRANSFORMADORES**			
04.04.01	u **Transformador trifásico de 1600 KVA éster 0.80/20 kV** Suministro e instalación de transformador trifásico elevador tipo refrigeración éster biodegradable, Ormazabal o equivalente aprobado por D.F, según Norma UNE 21538 y UNE 548/2014 de Ecodiseño. Bobinado AT continuo de gradiente lineal sin entrecapas. Bobinado BT con ensayo frecuencia industrial 10kV. Ensayos climáticos E3, C3, F1. Potencia nominal: 1600 kVA. Relación: 0.80/20 kV. Tensión secundaria vacío: 800 V. Tensión cortocircuito: 6%. Regulación: +/-2,5%, +/-5%, +/-10% . Grupo conexión: Dyn11. Dotado de equipo de sondas PT100 para protección térmica, bornero de conexión y termometro digital (conjunto proteccion termica tipo T que permite visualizar digitalmente las temperaturas de los bobinados) PARA PROTECCIÓN TÉRMICA DEL TRANSFORMADOR y sus conexiones a la alimentación y al elemento disparador de la protección correspondiente, debidamente protegidas contra sobreintensidades. Totalmente montado e instalado.	2,00	24.350,36	48.700,72
	TOTAL 04.04			**48.700,72**
04.05	**SISTEMA DE PUESTA A TIERRA**			
04.05.01	u **Tierras Exteriores de Servicio (Neutro)** Suministro e instalación de tierras exteriores código 5/62 Unesa, incluyendo 6 picas de 2,00 m. de longitud, cable de cobre desnudo, cable de cobre aislado de 0,6/1kV y elementos de conexión, instalado, según se describe en proyecto.	1,00	2.777,68	2.777,68
04.05.02	u **Tierras Exteriores de Protección (Herrajes)** Suministro e instalación de tierras exteriores código 40-30/5/42 Unesa, incluyendo 4 picas de 2,00 m. de longitud, cable de cobre desnudo, cable de cobre aislado de 0,6/1kV y elementos de conexión, instalado, según se describe en proyecto.	1,00	1.905,64	1.905,64
04.05.03	u **Tierras Interiores** Suministro e instalación de tierras interiores para poner en continuidad con las tierras exteriores, formado por cable de 50mm2 de Cu desnudo para la tierra de protección y aislado para la de servicio, con sus conexiones y cajas de seccionamiento, instalado, según memoria.	1,00	872,04	872,04

Documento visado electrónicamente con número: VA07290/22
Código de validación telemática TRLTDCFZ60T66J1. Comprobación: https://cogitivalencia.e-gestion.es/Validacion.aspx?CO=TRLTDCFZ60T66J1

VISADO COGITI VALENCIA VA07290/22

CÓDIGO	RESUMEN	CANTIDAD	PRECIO	IMPORTE
	TOTAL 04.05			**5.555,36**
04.06	**VARIOS**			
04.06.01	**u Instalación baja tensión CT** Instalación de baja tensión interior del centro de transformación, compuesta por lo siguientes elementos: - Armario Cofret G de Schneider IP42 con puerta transparente, conteniendo en su interior la siguiente aparamenta. - 1 Interruptor Magnetotermico de cabecera C60N 2P 32A - 1 Interruptor diferencia de cabecera 2P 40A 300mA - 1 Interruptor Magnetotermico C60N 2P 10A línea alumbrado - 1 Interruptor Magnetotermico C60N 2P 16A línea toma de corriente - 1 Interruptor Magnetotermico C60N 2P 16A línea otros usos - 1 Interruptor Magnetotermico C60N 2P 16A línea otros usos - Interruptor estanco 16A - Toma de corriente estanca 16A Monofásica - 2 Pantallas LED etsancas modelo WT120C LED60S/840 L1500 de Philips - 1 Luminaria de emergencia estanca 150Lum - Líneas 2x2,5mm² + TT H07Z1 y tubos PCV líbres de halógenos diametro 16, para instalación equipos, inlcuido medios de instalación y pequeño material. Totalmente instalado, comprobado y funcionando.	**1,00**	**938,75**	**938,75**
04.06.02	**u Central incendios 2 zonas** Suministro y montaje de central microprocesada para detección de incendios, modelo AE/C5-2P de la marca Aguilera Electrónica o equivalente aprobado por DF, fabricada en ABS, según EN 54 partes 2 y 4. Disponen de: 2 bucles de detección convencional con final de línea activo. Control de nivel de acceso mediante llave. 2 salidas vigiladas de evacuación. Relé de fuego (alarma general) y Relé de avería general. Salida auxiliar de 24 Vcc. Teclado con 6 teclas para manejo. Modo "Prueba de zonas". Conexión/desconexión individual de zonas de detección y zonas de evacuación. 10 leds independientes para indicación de alarmas. Necesitan una única batería de 12V / 7Ah. Continua supervisión de todo el sistema. Dimensiones: 340 x 290 x 100. Peso: 2.5 Kg. Totalmente instalado y funcionando.	**1,00**	**203,13**	**203,13**
04.06.03	**u Detector optico-termico** Suministro y montaje de detector óptico de humos y térmico convencional modelo AE/C5-OPT de la marca Aguilera Electrónica o equivalente aprobado por DF. De ABS color blanco, formado por un elemento sensible a los humos claros, para alimentación de 12 a 30 Vcc, con doble led de activación e indicador de alarma color rojo, salida para piloto de señalización remota y base universal. Incluso elementos de fijación de la misma marca (clase A). Certificados LPCB según normas EN 54-5 y EN 54-7. Detectores de bajo perfil con diseño atractivo. Fabricados con tecnología SMD, disponen de doble indicador luminoso, salida de alarma remota y misma base intercambiable de fácil conexión. Zócalo y protector de polvo incluidos. Conexión a 2 hilos. Alimentación entre 15 y 35 Vcc. Consumo: 35 mA (reposo), 80 mA (alarma). Medidas: Ø 99 mm, altura con base incluida: 61 mm. Totalmente instalado y funcionando.	**2,00**	**51,03**	**102,06**
04.06.04	**m Cableado lazo 2x1,5mm2** Suministro y colocaci?n de linea de cable de cobre 2x1,5 mm2, flexible SZ1-K (AS+) de 300/500 V resistente al fuego (AS+), apantallado. Aislamiento de silicona. Libre de halógenos, no propagador de la llama ni del incendio, con baja emisi?n de gases t?xicos y nula emisi?n de gases corrosivos. Diseñado según UNE 211025. Tipo Afumex Firs detec-signal (AS+). Con un grado de protección mecánica 7 y con un incremento sobre el precio del tubo del 30% en concepto de uniones, accesorios y piezas especiales, totalmente instalado. Instalado bajo tubo de pvc rigido. Incluso p/p de accesorios de montaje de tipo HILTI, cajas de derivación, fichas de empalme y medios auxiliares. Totalmente instalado.	**20,00**	**3,05**	**61,00**

Documento visado electrónicamente con número: VA07290/22
Código de validación telemática TRLTDCFZ60T66IJ1. Comprobación: https://cogitivalencia.e-gestion.es/Validacion.aspx?CVT=TRLTDCFZ60T66IJ1

VISADO
COGITI
VALENCIA
VA07290/22
TRLTDCFZ60T66IJ1

CÓDIGO	RESUMEN	CANTIDAD	PRECIO	IMPORTE
04.06.05	u **Extintor 89B** Extintor de eficacia equivalente 89B, instalado.	1,00	54,25	54,25
04.06.06	u **Banqueta aislante** Banqueta aislante para maniobrar aparamenta.	1,00	146,50	146,50
04.06.07	u **Par de guantes de maniobra** Par de guantes de maniobra	1,00	90,13	90,13
04.06.08	u **Placa reglamentaria Peligro de Muerte** Placa reglamentaria PELIGRO DE MUERTE, instaladas.	2,00	13,25	26,50
04.06.09	u **Placa reglamentaria Primeros Auxilios** Placa reglamentaria PRIMEROS AUXILIOS, instalada.	1,00	13,25	13,25
04.06.10	u **Pruebas reglamentarias** Pruebas reglamentarias de las Tensiones de Paso y Contacto de las tierras de Protección.	1,00	370,59	370,59
04.06.11	u **Legalización instalación** Legalización de la instalacion, consistente en la redacción del proyecto así como toda la documentación necesaria a presentar ante el Servicio Territorial de Industria de Valencia para su inscripción en el resgitro.	1,00	1.025,00	1.025,00
	TOTAL 04.06			**3.031,16**
	TOTAL 04			**161.746,10**

Documento visado electrónicamente con número VA07290/22
Código de validación telemática TRLTDCFZ60T66IJ1. Comprobación: https://cogitivalencia.gestion.es/Validacion.aspx?CVT=TRLTDCFZ60T66IJ1

VISADO COGITI
VALENCIA
VA07290/22
TRLTDCFZ60T66IJ1

CÓDIGO	RESUMEN	CANTIDAD	PRECIO	IMPORTE
05	**INSTALACIÓN CT GENERACIÓN PARTICULAR 2x1250 KVA V.C.T.-FV 043.2**			
05.01	**OBRA CIVIL**			
05.01.01	u **Edificio prefabricado PFU-7 c/ ventilación forzada** Edificio prefabricado constituido por una envolvente, de estructura monobloque, de hormigón armado, tipo PFU-7/20 de la marca Ormazabal o equivalente aprobado por DF, con ventilación forzada, de dimensiones generales aproximadas 8.100 mm de largo por 2200 mm de fondo por 2.500 mm de altura útil. Incluso cuadro electrico para alimentación de los servicios auxiliares, alumbrado interior, toma de corriente, extractores, termostato, central de incendios. Incluye el edificio y todos sus elementos exteriores según CEI 622171-202, transporte, montaje y accesorios	1,00	14.521,13	14.521,13
	TOTAL 05.01			**14.521,13**
05.02	**APARAMENTA ALTA TENSIÓN**			
05.02.01	u **Celda de Interruptor de Linea CGMCOSMOS-I** Suministro y montaje de celda de interruptor de línea modelo CGMCOSMOS-I de la marca Ormazabal o equivalente aprobado por DF, con interruptor-seccionador en SF6 de 400A con mando CIT manual, seccionador de puesta a tierra, juego de barras tripolar e indicadores testigo presencia de tensión instalados.	1,00	3.275,31	3.275,31
05.02.02	u **Celda de Protección CGMCOSMOS-V** Suministro y montaje de celda con función disyuntor modelo CGMCOSMOS-V de la marca Ormazabal o equivalente aprobado por DF, con seccionador en SF6, relé de protección ekor.rpg, sistema de puesta a tierra, captadores de intensidad y enclavamientos instalados.	3,00	16.672,80	50.018,40
05.02.03	u **Celda de Medida CGMCOSMOS-M** Suministro y montaje de celda de medida modelo CGMCOSMOS-M de la marca Ormazabal o equivalente aprobado por DF, equipada tres transformadores de intensidad y tres de tensión, de doble secundario, entrada y salida por cable seco, según características detalladas en memoria, instalados.	1,00	9.146,16	9.146,16
05.02.04	u **Celda de Protección y medida de tensión CGMCOSMOS-P** Suministro y montaje de celda de protección y medida de tensión en barras modelo CGMCOSMOS-P de la marca Ormazabal o equivalente aprobado por DF, con interruptor-seccionador en SF6 de 400A con mando CIT manual, seccionador de puesta a tierra, juego de barras tripolar e indicadores testigo presencia de tensión instalados. Equipada con tres tranaformadores de tensión. Totalmente instalado.	1,00	8.528,63	8.528,63
05.02.05	u **Analizador de redes CVM-A 1500** Suministro e instalación de analizador de redes para panel de medida indirecta, para panel en formato 96x96 o 144x144, modelo CVM-A1500 de la marca Circutor o equivalente aprobado por DF. Gran versatilidad en su modo de conexión para ser instalado en diferentes sistemas eléctricos con diversas configuraciones de conexión a red, Trifásico 3, 4 hilos, dos fases con o sin neutro, conexión ARON o conexión a red monofásica. Protección IP66 de larga durabilidad, teclado táctil retro-iluminado con tres teclas y la serigrafía de las teclas debe ser perpetua. El interfaz con el dispositivo para el acceso a la información completo y funcional para selección de datos a visualizar de forma rápida. Impide la configuración del equipo por personas ajenas a la instalación gracias a protección por contraseña o PIN. El dispositivo muestra por pantalla de forma clara parámetros trifásicos compuestos y por fase. El dispositivo muestra de forma clara dos medidas de consumo de energía, kWh procedentes de hasta tres distintas fuentes, con sus correspondientes conversiones a coste y emisiones en KgCO2 por pantalla. Dispone de dos salidas a transistor que podrán ser configuradas como Alarma por parámetros instantáneos que el equipo mide, o como generación de señal de impulsos relacionados con los consumos del equipo, ya sean kWh, Coste de la energía o Emisiones de CO2. Dispone de dos salidas a relé para ser configuradas como Alarma por parámetros instantáneos que el equipo mide. Integra comunicaciones RS485 con protocolo MODBUS y BACNET que pueden ser seleccionablesexpandible con hasta 4 módulos con diferentes opciones de entrada/salida o comunicaciones.permite el registro de datos con fecha y hora Dispone de servidor WEB integrado para monitorizar tanto datos en tiempo real como visualización de datos históricos en forma gráfica o de tabla en cualquier navegador de internet convencional Dispone de servidor XML integrado para comunicación e integración, tanto datos en tiempo real como visualización de datos históricos, en sistemas informáticos remotos. Incluso p.p. de material auxiliar. Totalmente instalado y funcionando.	1,00	1.643,18	1.643,18

Documento visado electrónicamente con número: VA07290/22
Código de validación telemática TRLTDCFZ60T66IJ1. Comprobación: https://cogitivalencia.e-gestion.es/Validacion.aspx?CVT=TRLTDCFZ60T66IJ1

VISADO COGITI VALENCIA VA07290/22 TRLTDCFZ60T66J1

CÓDIGO	RESUMEN	CANTIDAD	PRECIO	IMPORTE
	TOTAL 05.02			**72.611,53**
05.03	**APARAMENTA BAJA TENSIÓN**			
05.03.01	u **Juego de Puentes de Cables AT** Suministro e instalación de juego de puentes III de cables AT unipolares de aislamiento seco RHZ1, aislamiento 12/20 kV, de 95 mm2 en Al con sus correspondientes elementos de conexión.	2,00	970,24	1.940,48
05.03.02	u **Juego de Puentes de Cables BT** Suministro e instalación de juego de puentes de cables BT unipolares de aislamiento seco 0.6/1 kV de Cu, de 4x240mm² de sección para las fases y neutro y demás características según memoria.	2,00	2.731,99	5.463,98
05.03.03	u **Cuadro protección salida BT** Suministro e instalación de Cuadro de Baja Tensión modelo Prisma Plus de la marca Schneider Electric o equivalente aprobado por DF, para protección de salida de transformador conteniendo un interruptor automático modelo NS, tetrapolar, de calibre 1600 A regulable, con unidad de control micrologic 5.0A, incluso bancada. Totalmente instalado y funcionando.	2,00	4.570,24	9.140,48
05.03.04	u **Alimentación CS Auxiliares VCT-FV 043.1** Suministro y montaje de alimentación electrica en BT al cuadro electrico de auxiliares del VCT-FV 043.1 desde CT de cliente, mediante cable unipolar de cobre recocido RZ1-K 0,6/1 kV (AS), reacción al fuego clase Cca-s1b,d1,a1, aislamiento de polietileno reticulado (XLPE), de tipo DIX3, cubierta de poliolefina termoplástica, de tipo Afumex Z1, de color verde, sección 6 mm² para fases, neutro y tierra (3x6mm2), de la marca Prysmian o equivalente aprobado por DF, no propagadores del incendio, con emisión de humos y opacidad reducida, libre de halogenos, s/ UNE 21.123-4, instalada bajo tubo tipo de PVC de 40mm de diámetro. incluso p.p. de accesorios de fijación, terminales, tornillos. Incluso mano de obra, replanteos, limpieza previa, y ayudas de albañileria que se precisen, así como la utilización de herramientas y medios auxiliares que se precisen, manipulación, retirada de material sobrante y limpieza posterior etc. Se entiende material totalmente instalado y verificado.	1,00	781,11	781,11
	TOTAL 05.03			**17.326,05**
05.04	**TRANSFORMADORES**			
05.04.01	u **Transformador trifásico de 1250 KVA éster 0.80/20 kV** Suministro e instalación de transformador trifásico elevador tipo refrigeración éster biodegradable, Ormazabal o equivalente aprobado por D.F, según Norma UNE 21538 y UNE 548/2014 de Ecodiseño. Bobinado AT continuo de gradiente lineal sin entrecapas. Bobinado BT con ensayo frecuencia industrial 10kV. Ensayos climáticos E3, C3, F1. Potencia nominal: 1250 kVA. Relación: 0.80/20 kV. Tensión secundaria vacío: 800 V. Tensión cortocircuito: 6%. Regulación: +/-2,5%, +/-5%, +/-10% . Grupo conexión: Dyn11. Dotado de equipo de sondas PT100 para protección térmica, bornero de conexión y termometro digital (conjunto proteccion termica tipo T que permite visualizar digitalmente las temperaturas de los bobinados) PARA PROTECCIÓN TÉRMICA DEL TRANSFORMADOR y sus conexiones a la alimentación y al elemento disparador de la protección correspondiente, debidamente protegidas contra sobreintensidades. Totalmente montado e instalado.	2,00	19.855,07	39.710,14
	TOTAL 05.04			**39.710,14**
05.05	**SISTEMA DE PUESTA A TIERRA**			
05.05.01	u **Tierras Exteriores de Servicio (Neutro)** Suministro e instalación de tierras exteriores código 5/62 Unesa, incluyendo 6 picas de 2,00 m. de longitud, cable de cobre desnudo, cable de cobre aislado de 0,6/1kV y elementos de conexión, instalado, según se describe en proyecto.	1,00	2.777,68	2.777,68
05.05.02	u **Tierras Exteriores de Protección (Herrajes)** Suministro e instalación de tierras exteriores código 40-30/5/42 Unesa, incluyendo 4 picas de 2,00 m. de longitud, cable de cobre desnudo, cable de cobre aislado de 0,6/1kV y elementos de conexión, instalado, según se describe en proyecto.	1,00	1.905,64	1.905,64
05.05.03	u **Tierras Interiores** Suministro e instalación de tierras interiores para poner en continuidad con las tierras exteriores, formado por cable de 50mm2 de Cu desnudo para la tierra de protección y aislado para la de servicio, con sus conexiones y cajas de seccionamiento, instalado, según memoria.	1,00	872,04	872,04

Documento visado electrónicamente con número: VA07290/22
Código de validación telemática TRLTDCFZ60T66J1. Comprobación: https://cogitivalencia.e-gestion.es/Validacion.aspx?CO=TRLTDCFZ60T66J1

CÓDIGO	RESUMEN	CANTIDAD	PRECIO	IMPORTE
	TOTAL 05.05.....			**5.555,36**
05.06	**VARIOS**			
05.06.01	**u Instalación baja tensión CT** Instalación de baja tensión interior del centro de transformación, compuesta por lo siguientes elementos: - Armario Cofret G de Schneider IP42 con puerta transparente, conteniendo en su interior la siguiente aparamenta. - 1 Interruptor Magnetotermico de cabecera C60N 2P 32A - 1 Interruptor diferencia de cabecera 2P 40A 300mA - 1 Interruptor Magnetotermico C60N 2P 10A línea alumbrado - 1 Interruptor Magnetotermico C60N 2P 16A línea toma de corriente - 1 Interruptor Magnetotermico C60N 2P 16A línea otros usos - 1 Interruptor Magnetotermico C60N 2P 16A línea otros usos - Interruptor estanco 16A - Toma de corriente estanca 16A Monofásica - 2 Pantallas LED etsancas modelo WT120C LED60S/840 L1500 de Philips - 1 Luminaria de emergencia estanca 150Lum - Líneas 2x2,5mm² + TT H07Z1 y tubos PCV líbres de halógenos diametro 16, para instalación equipos, inlcuido medios de instalación y pequeño material. Totalmente instalado, comprobado y funcionando.	**1,00**	**938,75**	**938,75**
05.06.02	**u Central incendios 2 zonas** Suministro y montaje de central microprocesada para detección de incendios, modelo AE/C5-2P de la marca Aguilera Electrónica o equivalente aprobado por DF, fabricada en ABS, según EN 54 partes 2 y 4. Disponen de: 2 bucles de detección convencional con final de línea activo. Control de nivel de acceso mediante llave. 2 salidas vigiladas de evacuación. Relé de fuego (alarma general) y Relé de avería general. Salida auxiliar de 24 Vcc. Teclado con 6 teclas para manejo. Modo "Prueba de zonas". Conexión/desconexión individual de zonas de detección y zonas de evacuación. 10 leds independientes para indicación de alarmas. Necesitan una única batería de 12V / 7Ah. Continua supervisión de todo el sistema. Dimensiones: 340 x 290 x 100. Peso: 2.5 Kg. Totalmente instalado y funcionando.	**1,00**	**203,13**	**203,13**
05.06.03	**u Detector optico-termico** Suministro y montaje de detector óptico de humos y térmico convencional modelo AE/C5-OPT de la marca Aguilera Electrónica o equivalente aprobado por DF. De ABS color blanco, formado por un elemento sensible a los humos claros, para alimentación de 12 a 30 Vcc, con doble led de activación e indicador de alarma color rojo, salida para piloto de señalización remota y base universal. Incluso elementos de fijación de la misma marca (clase A). Certificados LPCB según normas EN 54-5 y EN 54-7. Detectores de bajo perfil con diseño atractivo. Fabricados con tecnología SMD, disponen de doble indicador luminoso, salida de alarma remota y misma base intercambiable de fácil conexión. Zócalo y protector de polvo incluidos. Conexión a 2 hilos. Alimentación entre 15 y 35 Vcc. Consumo: 35 mA (reposo), 80 mA (alarma). Medidas: Ø 99 mm, altura con base incluida: 61 mm. Totalmente instalado y funcionando.	**2,00**	**51,03**	**102,06**
05.06.04	**m Cableado lazo 2x1,5mm2** Suministro y colocaci?n de linea de cable de cobre 2x1,5 mm2, flexible SZ1-K (AS+) de 300/500 V resistente al fuego (AS+), apantallado. Aislamiento de silicona. Libre de halógenos, no propagador de la llama ni del incendio, con baja emisi?n de gases t?xicos y nula emisi?n de gases corrosivos. Diseñado según UNE 211025. Tipo Afumex Firs detec-signal (AS+). Con un grado de protección mecánica 7 y con un incremento sobre el precio del tubo del 30% en concepto de uniones, accesorios y piezas especiales, totalmente instalado. Instalado bajo tubo de pvc rigido. Incluso p/p de accesorios de montaje de tipo HILTI, cajas de derivación, fichas de empalme y medios auxiliares. Totalmente instalado.	**20,00**	**3,05**	**61,00**

VISADO COGITI
VALENCIA
VA07290/22
TRLTDCFZ60T66J1
Documento visado electrónicamente con número: VA07290/22
Código de validación telemática TRLTDCFZ60T66J1. Comprobación: https://cogitivalencia.e-gestion.es/Validacion.aspx?CVT=TRLTDCFZ60T66J1

VISADO
COGITI
VALENCIA
VA07290/22
TRLTDCFZ60T66IJ1

CÓDIGO	RESUMEN	CANTIDAD	PRECIO	IMPORTE
05.06.05	u **Extintor 89B**	1,00	54,25	54,25
	Extintor de eficacia equivalente 89B, instalado.			
05.06.06	u **Banqueta aislante**	1,00	146,50	146,50
	Banqueta aislante para maniobrar aparamenta.			
05.06.07	u **Par de guantes de maniobra**	1,00	90,13	90,13
	Par de guantes de maniobra			
05.06.08	u **Placa reglamentaria Peligro de Muerte**	2,00	13,25	26,50
	Placa reglamentaria PELIGRO DE MUERTE, instaladas.			
05.06.09	u **Placa reglamentaria Primeros Auxilios**	1,00	13,25	13,25
	Placa reglamentaria PRIMEROS AUXILIOS, instalada.			
05.06.10	u **Pruebas reglamentarias**	1,00	370,59	370,59
	Pruebas reglamentarias de las Tensiones de Paso y Contacto de las tierras de Protección.			
05.06.11	u **Legalización instalación**	1,00	1.025,00	1.025,00
	Legalización de la instalacion, consistente en la redacción del proyecto así como toda la documentación necesaria a presentar ante el Servicio Territorial de Industria de Valencia para su inscripción en el resgitro.			
	TOTAL 05.06			**3.031,16**
	TOTAL 05			**152.755,52**

Documento visado electrónicamente con número VA07290/22
Código de validación telemática TRLTDCFZ60T66IJ1. Comprobación: https://cogitivalencia.gestion.es/Validacion.aspx?CVT=TRLTDCFZ60T66IJ1

PRESUPUESTO

CÓDIGO	RESUMEN	CANTIDAD	PRECIO	IMPORTE
06	**INSTALACIÓN PREFABRICADO PARA COMUNICACIONES V.R.-FV 043.1**			
06.01	**OBRA CIVIL**			
06.01.01	**u Edificio prefabricado PFU-5**	**1,00**	**8.260,07**	**8.260,07**
	Edificio prefabricado constituido por una envolvente, de estructura monobloque, de hormigón armado, tipo PFU-5 de la marca Ormazabal o equivalente aprobado por DF, con ventilación forzada, de dimensiones generales aproximadas 6080 mm de largo por 2380 mm de fondo por 2.585 mm de altura útil. Incluso cuadro electrico para alimentación de los servicios auxiliares, alumbrado interior, toma de corriente, extractores, termostato, central de incendios. Incluye el edificio y todos sus elementos exteriores según CEI 622171-202, transporte, montaje y accesorios			
	TOTAL 06.01			**8.260,07**
06.02	**VARIOS**			
06.02.01	**u Cuadro de Comunicaciones (Estandarizado APV)**	**1,00**	**10.665,16**	**10.665,16**
	Suministro e instalación de Cuadro de comunicaciones, que incluye los siguientes elementos: Envolvente metálica mural de medidas: 760x760x300mm, referencia 1073.500, marca RITTAL Protección eléctrica general, formada por: - Interruptor magnetotérmico 2P, 6kA, 16A, curva C, referencia: 5SL6216-7, marca SIEMENS - Interruptor Diferencial, 2P, Clase AC, 25A, 300mA, referencia: 5SV4612-0, marca SIEMENS - 2 uds. Interruptor magnetotérmico. 2P, 6kA, 10A, curva C, referencia; 5SL6210-7, marca SIEMENS - 3 uds. Contacto auxiliar 1NA+1NC para interruptor automático, referencia: 5ST3010, marca SIEMENS - Enchufe SHUKO 2P+T 16A, referencia: A9A15310, marca: MG - Sensor inductivo para detección de puerta cerrada, referencia: XS4P18PA340, marca SCHNEIDER - Piloto verde para señalización de tensión OK, referencia: ZB4-BV033 y ZB4-BVB3, marca: SCHNEIDER - Piloto rojo para señalización de fallo térmico, referencia: ZB4-BV043 y ZB4-BVB4, marca: SCHNEIDER - Piloto rojo para señalización de fallo SAI, referencia: ZB4-BV043 y ZB4-BVB4, marca: SCHNEIDER - Piloto amarillo para señalización de puerta cerrada, referencia: ZB4-BV053 y ZB4-BVB5, marca: SCHNEIDER - Fuente de alimentación de 10A, referencia: 6EP1334-2BA20, marca: SIEMENS - Módulo cargador DC-SAI 24V / 15A, referencia: 6EP1931-2EC21, marca: SIEMENS - Módulo de batería de 24V/ 7 Ah, referencia: 6EP1935-6ME21, marca: SIEMENS - Switch de comunicaciones XM408-8C para la red de Giga, referencia: 6GK5408-8GS00-2AM2, marca: SIEMENS - 2 uds. trasceptor de fibra óptica monomodo, referencia: 6GK5992-1AM00-8AA0, marca: SIEMENS Totalmente instalado y funcionando.			
06.02.02	**u Nuevo Armario PLC c/periferia distribuida**	**1,00**	**9.026,78**	**9.026,78**
	Suministro e instalación de Cuadro de PLC, alimentado a 230V que incluye los siguientes elementos: - Envolvente metálica de medidas: 1000x1000x300mm+PM (IP66), referencia 1110.500, marca RITTAL - 1 Portaesquemas DIN A4 (254x228x17mm), referencia 2514.000, marca RITTAL - 1 INT. 2P, MAGNETO, 6KA, 10A, CURVA, ref. C 5SL6210-7, marca SIEMENS - 2 INT. 2P, MAGNETO, 6KA, 10A, CURVA C ref. 2514.000 marca RITTAL - 2 INT. 1P, MAGNETO, 6KA, 10A, CURVA C ref. 5SL6110-7 marca SIEMENS - 2 INTERR. AUXILIAR CORRIENTE 1C+1A, P. INTERR.PROT. T=70MM ref. 5SL6206-7 marca SIEMENS - 2 TRANSFORMADOR 230/230, 250VA ref. PD250 marca POLYLUX - ENCHUFE SHUKO 2P+T 16A ref. A9A15310 marca SCHNEIDER - 1 SITOP, DC-SAI 24V / 15A, PARA USAR JUNTO CON MÓDULOS DE BATERÍA ref. 6EP1931-2EC21 marca SIEMENS - 1 SITOP, MÓDULO DE BATERÍA DE 24V/ 7 AH, CON BATERÍAS SELLADAS DE PLOMO-ÁCIDO LIBRES DE MANTENIMIENTO ref. 6EP1935-6ME21 marca SIE-			

VISADO COGITI
VALENCIA
VA07290/22
TRLTDCFZ60T66IJ1
Documento visado electrónicamente con número: VA07290/22
Código de validación telemática TRLTDCFZ60T66IJ1. Comprobación: https://cogitivalencia.e-gestion.es/Validacion.aspx?CVT=TRLTDCFZ60T66IJ1

CÓDIGO	RESUMEN	CANTIDAD	PRECIO	IMPORTE

VISADO COGITI
VALENCIA
VA07290/22
TRLTDCFZ60T66IJ1

MENS

- 1 SITOP SMART, PSU100S 24 V / 10 A FUENTE DE ALIMENTACIÓN ref. 6EP1334-2BA20 marca SIEMENS

- 1 SENSOR INDUCTIVO NA XS4P18PA340 ref. ZB4-BV033 marca SCHNEIDER

- 1 CABEZA PILOTO VERDE ref. ZB4-BV033 marca SCHNEIDER
- 1 CUERPO PILOTO VERDE 220 VAC ref. ZB4-BVM3 marca SCHNEIDER
- 2 CABEZA PILOTO ROJO ZB4-BV043 marca SCHNEIDER

- 2 CUERPO COMPLETO PILOTO ROJO (BASE+LED) ref. ZB4-BVB4 marca SCHNEIDER

- 1 CABEZA PILOTO VERDE ref. ZB4-BV033 marca SCHNEIDER

- 1 CUERPO COMPLETO PILOTO VERDE (BASE+LED) ref. ZB4-BVB3 marca SCHNEIDER

- 1 CABEZA PILOTO AMARILLO ref. ZB4-BV053 SCHNEIDER

- 1 CUERPO COMPLETO PILOTO AMARILLO (BASE+LED) ref. ZB4-BVB5 marca SCHNEIDER

- 5 PORTAETIQUETAS PILOTOS ZBY 6102 marca SCHNEIDER

- 1 POMO PUERTA CON LLAVE SZ2575 SZ2575 marca

- 1 FUENTE ALIMENTACION 220Vac/24Vdc, 10A 6P1334-2BA20 marca SIEMENS

- 1 DC-SAI 24V/ 15 A 6EP1931-2EC21 marca SIEMENS

- 1 MODULO DE BATERIA 24V/7Ah 6EP1935-6ME21 marca SIEMENS

- 1 CPU1512SP-1PN 6ES7512-1DK01-0AB0 marca SIEMENS
- 1 TARJETA DE MEMORIA 6ES7954-8LE03-0AA0 marca SIEMENS

- 2 MODULO 16 ED 6ES7131-6BH01-0BA0 marca SIEMENS
- 1 MODULO 16 SD 6ES7132-6BH01-0BA0 marca SIEMENS

- 1 MODULO 4 EA 6ES7134-6TD00-0CA1 marca SIEMENS
- 1 MODULO 4 SA 6ES7135-6HD00-0BA1 marca SIEMENS

- 1 BASE UNIT BU15-P16 6ES7193-6BP00-0BA0 marca SIEMENS
- 4 BASE UNIT BU15-P16 6ES7193-6BP00-DA0 marca SIEMENS

- 1 SWITCH ESCALANCE XM408-8C 6GK5408-8GS00-2AM2 marca SIEMENS

- 1 EXTENSION ESCALANCE XM400 6GK5400-8A500-8AP2 marca SIEMENS
- 12 PUERTO LC OPTICO 6GK5992-1AM00-8AA0 marca SIEMENS

Terminales de cobre a presión preaislados

- PUNTERAS 1.5 SIMPLES PKE1508 marca CEMBRE

- PUNTERAS 1.5 DOBLES PKT1508 marca CEMBRE

- PUNTERAS 2.5 SIMPLES PKE2508 marca CEMBRE

- Bornas 1020000000 marca WEIDMULLER

- Tapas bornas 1050000000 marca WEIDMULLER

- Separadores bornas 954000000 marca WEIDMULLER

- BARRA DE TIERRA BCT PLETINA 12X3

- PERFIL SIMÉTRICO 35X7,5 LISO, MOD.6AE 25 11 120 marca AEMSA

- REMACHES DIÁMETRO 3, 2x8 MULTIGRIP

- CANALETA 60x4 60.40.77 marca UNEX
- CANALETA 60x60 60.60.77 marca UNEX

- CANALETA 40x40 40.40.77 marca UNEX
- BRIDAS BLANCAS PEQUEÑAS 2221 marca UNEX

- PEGATINA BRIDAS BLANCAS 1254 marca UNEX

- POMO PUERTA CON LLAVE SZ2575 marca RITTAL

- m. Espiral negra SP6N 7 a 40mm

- CABLE AZUL 1x1mm2 H05V-K 151A001.R200 TOP

- CABLE NEGRO 1x2.5mm2 HO7V-K ALSECURE

- SEÑALIZADORES CAB3 Numero 0 38210 marca LEGRAND

- SEÑALIZADORES CAB3 Numero 1 38211 marca LEGRAND

- SEÑALIZADORES CAB3 Numero 2 38212 marca LEGRAND

- SEÑALIZADORES CAB3 Numero 3 38213 marca LEGRAND

- SEÑALIZADORES CAB3 Numero 4 38214 marca LEGRAND

- SEÑALIZADORES CAB3 Numero 5 38215 marca LEGRAND

Documento visado electrónicamente con número: VA07290/22
Código de validación telemática TRLTDCFZ60T66IJ1. Comprobación: https://cogitivalencia.e-gestion.es/Validacion.aspx?CVT=TRLTDCFZ60T66IJ1

VISADO COGITI
VALENCIA
VA07290/22
TRLTDCFZ60T66IJ1

CÓDIGO	RESUMEN	CANTIDAD	PRECIO	IMPORTE
	- SEÑALIZADORES CAB3 Numero 6 38216 marca LEGRAND - SEÑALIZADORES CAB3 Numero 7 38217 marca LEGRAND - SEÑALIZADORES CAB3 Numero 8 38218 marca LEGRAND - SEÑALIZADORES CAB3 Numero 9 38219 marca LEGRAND A instalar en armario de periferia disrtibuida - 1 Cabecera comunicaciones IM 155-6 PN ST incluye módulo servidor, incluye adaptador de bus 2xRJ45 ref. 6ES7193-6AR00-0AA0 marca SIEMENS - 1 Módulo de 16 Entradas Digitales, 24Vdc ref. 6ES7131-6BH01-0BA0 marca SIEMENS - 1 Módulo de 16 Salidas Digitales, 24Vdc/0,5A 6ES7132-6BH01-0BA0 SIEMENS - 1 Módulo de 4 Entradas Analógicas U/I, 2 hilos 6ES7134-6HD01-0DA0 marca SIEMENS - 3 Base de conexión tipo BU A0, 16 Push-In 6ES7193-6BP00-0DA0 marca SIEMENS Totalmente instalado y funcionando.			
06.02.03	**u Instalación baja tensión CT** Instalación de baja tensión interior del centro de transformación, compuesta por lo siguientes elementos: - Armario Cofret G de Schneider IP42 con puerta transparente, conteniendo en su interior la siguiente aparamenta. - 1 Interruptor Magnetotermico de cabecera C60N 2P 32A - 1 Interruptor diferencia de cabecera 2P 40A 300mA - 1 Interruptor Magnetotermico C60N 2P 10A línea alumbrado - 1 Interruptor Magnetotermico C60N 2P 16A línea toma de corriente - 1 Interruptor Magnetotermico C60N 2P 16A línea otros usos - 1 Interruptor Magnetotermico C60N 2P 16A línea otros usos - Interruptor estanco 16A - Toma de corriente estanca 16A Monofásica - 2 Pantallas LED etsancas modelo WT120C LED60S/840 L1500 de Philips - 1 Luminaria de emergencia estanca 150Lum - Líneas 2x2,5mm² + TT H07Z1 y tubos PCV líbres de halógenos diametro 16, para instalación equipos, inlcuido medios de instalación y pequeño material. Totalmente instalado, comprobado y funcionando.	1,00	938,75	938,75
06.02.04	**u Central incendios 2 zonas** Suministro y montaje de central microprocesada para detección de incendios, modelo AE/C5-2P de la marca Aguilera Electrónica o equivalente aprobado por DF, fabricada en ABS, según EN 54 partes 2 y 4. Disponen de: 2 bucles de detección convencional con final de línea activo. Control de nivel de acceso mediante llave. 2 salidas vigiladas de evacuación. Relé de fuego (alarma general) y Relé de avería general. Salida auxiliar de 24 Vcc. Teclado con 6 teclas para manejo. Modo "Prueba de zonas". Conexión/desconexión individual de zonas de detección y zonas de evacuación. 10 leds independientes para indicación de alarmas. Necesitan una única batería de 12V / 7Ah. Continua supervisión de todo el sistema. Dimensiones: 340 x 290 x 100. Peso: 2.5 Kg. Totalmente instalado y funcionando.	1,00	203,13	203,13

Documento visado electrónicamente con número: VA07290/22
Código de validación telemática TRLTDCFZ60T66IJ1. Comprobación: https://cogitivalencia.e-gestion.es/ValidacionDoc.aspx?CVT=TRLTDCFZ60T66IJ1

VISADO COGITI
VALENCIA
VA07290/22
TRLTDCFZ60T66IJ1

CÓDIGO	RESUMEN	CANTIDAD	PRECIO	IMPORTE
06.02.05	**u Detector optico-termico**	2,00	51,03	102,06
	Suministro y montaje de detector óptico de humos y térmico convencional modelo AE/C5-OPT de la marca Aguilera Electrónica o equivalente aprobado por DF. De ABS color blanco, formado por un elemento sensible a los humos claros, para alimentación de 12 a 30 Vcc, con doble led de activación e indicador de alarma color rojo, salida para piloto de señalización remota y base universal. Incluso elementos de fijación de la misma marca (clase A). Certificados LPCB según normas EN 54-5 y EN 54-7. Detectores de bajo perfil con diseño atractivo. Fabricados con tecnología SMD, disponen de doble indicador luminoso, salida de alarma remota y misma base intercambiable de fácil conexión. Zócalo y protector de polvo incluidos. Conexión a 2 hilos. Alimentación entre 15 y 35 Vcc. Consumo: 35 mA (reposo), 80 mA (alarma). Medidas: Ø 99 mm, altura con base incluida: 61 mm. Totalmente instalado y funcionando.			
06.02.06	**m Cableado lazo 2x1,5mm2**	20,00	3,05	61,00
	Suministro y colocaci?n de linea de cable de cobre 2x1,5 mm2, flexible SZ1-K (AS+) de 300/500 V resistente al fuego (AS+), apantallado. Aislamiento de silicona. Libre de halógenos, no propagador de la llama ni del incendio, con baja emisi?n de gases t?xicos y nula emisi?n de gases corrosivos. Diseñado según UNE 211025. Tipo Afumex Firs detec-signal (AS+). Con un grado de protección mecánica 7 y con un incremento sobre el precio del tubo del 30% en concepto de uniones, accesorios y piezas especiales, totalmente instalado. Instalado bajo tubo de pvc rigido. Incluso p/p de accesorios de montaje de tipo HILTI, cajas de derivación, fichas de empalme y medios auxiliares. Totalmente instalado.			
06.02.07	**u Extintor 89B**	1,00	54,25	54,25
	Extintor de eficacia equivalente 89B, instalado.			
06.02.08	**u Legalización instalación**	1,00	1.025,00	1.025,00
	Legalización de la instalacion, consistente en la redacción del proyecto así como toda la documentación necesaria a presentar ante el Servicio Territorial de Industria de Valencia para su inscripción en el resgitro.			
	TOTAL 06.02			**22.076,13**
	TOTAL 06			**30.336,20**

Documento visado electrónicamente con número: VA07290/22
Código de validación telemática TRLTDCFZ60T66IJ1. Comprobación: https://cogitivalencia.e-gestiones/Validacion.aspx?CVT=TRLTDCFZ60T66IJ1

CÓDIGO	RESUMEN	CANTIDAD	PRECIO	IMPORTE
07	**ADECUACIÓN CT EXISTENTE V.C.T. 043**			
07.01	**APARAMENTA ALTA TENSIÓN**			
07.01.01	**u Celda de Interruptor de Linea mot CGMCOSMOS-I** Suministro y montaje de celda de interruptor de línea motorizada modelo CGMCOSMOS-I de la marca Ormazabal o equivalente aprobado por DF, con interruptor-seccionador en SF6 de 400A con mando tipo BM motorizado 48 Vcc, seccionador de puesta a tierra, juego de barras tripolar e indicadores testigo presencia de tensión instalados.	2,00	4.088,49	8.176,98
	TOTAL 07.01			**8.176,98**
	TOTAL 07			**8.176,98**

VISADO COGITI VALENCIA VA07290/22
TRLTDCFZ60T66IJ1
Documento visado electrónicamente con número: VA07290/22
Código de validación telemática TRLTDCFZ60T66IJ1. Comprobación: https://cogitivalencia.e-gestion.es/Validacion.aspx?CVT=TRLTDCFZ60T66IJ1

VISADO
COGITI
VALENCIA
VA07290/22
TRLTDCFZ60T66IJ1

CÓDIGO	RESUMEN	CANTIDAD	PRECIO	IMPORTE
08	**ADECUACIÓN CT EXISTENTE C.D.D.**			
08.01	**u Sustitución transformadores medida**	**1,00**	**3.287,39**	**3.287,39**
	Sustitución de transformadores de tensión y de intensidad existentes en la celda de medida modelo CGMCOSMOS-M de la marca Ormazabal o equivalente aprobado por DF, del Centro de Entrega propieda del cliente, por transformadores de medida de triple secundario, instalados y conectados.			
08.02	**u Cuadro de Comunicaciones (Estandarizado APV)**	**1,00**	**10.665,16**	**10.665,16**
	Suministro e instalación de Cuadro de comunicaciones, que incluye los siguientes elementos: Envolvente metálica mural de medidas: 760x760x300mm, referencia 1073.500, marca RITTAL Protección eléctrica general, formada por: - Interruptor magnetotérmico 2P, 6kA, 16A, curva C, referencia: 5SL6216-7, marca SIEMENS - Interruptor Diferencial, 2P, Clase AC, 25A, 300mA, referencia: 5SV4612-0, marca SIEMENS - 2 uds. Interruptor magnetotérmico. 2P, 6kA, 10A, curva C, referencia; 5SL6210-7, marca SIEMENS - 3 uds. Contacto auxiliar 1NA+1NC para interruptor automático, referencia: 5ST3010, marca SIEMENS - Enchufe SHUKO 2P+T 16A, referencia: A9A15310, marca: MG - Sensor inductivo para detección de puerta cerrada, referencia: XS4P18PA340, marca SCHNEIDER - Piloto verde para señalización de tensión OK, referencia: ZB4-BV033 y ZB4-BVB3, marca: SCHNEIDER - Piloto rojo para señalización de fallo térmico, referencia: ZB4-BV043 y ZB4-BVB4, marca: SCHNEIDER - Piloto rojo para señalización de fallo SAI, referencia: ZB4-BV043 y ZB4-BVB4, marca: SCHNEIDER - Piloto amarillo para señalización de puerta cerrada, referencia: ZB4-BV053 y ZB4-BVB5, marca: SCHNEIDER - Fuente de alimentación de 10A, referencia: 6EP1334-2BA20, marca: SIEMENS - Módulo cargador DC-SAI 24V / 15A, referencia: 6EP1931-2EC21, marca: SIEMENS - Módulo de batería de 24V/ 7 Ah, referencia: 6EP1935-6ME21, marca: SIEMENS - Switch de comunicaciones XM408-8C para la red de Giga, referencia: 6GK5408-8GS00-2AM2, marca: SIEMENS - 2 uds. trasceptor de fibra óptica monomodo, referencia: 6GK5992-1AM00-8AA0, marca: SIEMENS Totalmente instalado y funcionando.			
	TOTAL 08			**13.952,55**

Documento visado electrónicamente con número: VA07290/22
Código de validación telemática TRLTDCFZ60T66IJ1. Comprobación: https://cogitivalencia.e-gestion.es/Validacion.aspx?CVT=TRLTDCFZ60T66IJ1

PRESUPUESTO

CÓDIGO	RESUMEN	CANTIDAD	PRECIO	IMPORTE
09	**INSTALACIÓN LSMT 20KV PARTICULAR**			
09.01	**m LSMT 20 KV HEPRZ1 Al 3x(1x240) mm2** Suministro y tendido de línea subterránea de media tensión, compuesta por tres cables unipolares con aislamiento HEPRZ1 y conductor de aluminio 12/20 kV de 3x240 mm² sobre fondo de zanja bajo tubo sin su aportación y sobre bandeja portacables, incluida la parte proporcional de ayudas y piezas complementarias o especiales. Totalmente instalado y funcionando.	40,00	33,43	1.337,20
09.02	**m Excavación de zanja** Excavación de zanja 0,70 x 1,20 m. de profundidad en terreno normal, realizada con medios mecánicos, incluido dos tubos de PVC de doble capa DN 160 mm, extendido a una capa de 30 cm de hormigón H200, cinta PVC amarilla 150 mm de señalización atención a la existencia del cable, colocación de esta, relleno y apisonado con tierras sobrantes	20,00	94,03	1.880,60
09.03	**u Kit de 3 botellas terminales de 24kV** Kit de 3 botellas terminales de 24kV para conexión entre CT, para cable de sección 240mm², incluso terminal metálico para conexión y p.p. de pequeño material. Totalmente instalado.	4,00	745,42	2.981,68
09.04	**u Arquetas de profundidad 100x100cm** Arquetas de profundidad 100x100cm, con tapa de fundición, todas las sujeciones de suministro, soportes y/o estructura necesarios para el montaje y la instalación en obra. Totalmente ejecutada.	2,00	130,42	260,84
09.05	**u Megado y rigidez eléctrica** Revisión y pruebas de megado y rigidez eléctrica de la instalación realizado por Organismo de Control Autorizado. Incluso suministro de certificado firmado.	2,00	749,04	1.498,08
09.06	**u Legalización instalación** Legalización de la instalacion, consistente en la redacción del proyecto así como toda la documentación necesaria a presentar ante el Servicio Territorial de Industria de Valencia.	1,00	1.230,00	1.230,00
	TOTAL 09			**9.188,40**

VISADO COGITI
VALENCIA
VA07290/22
TRLTDCFZ607T66IJ1
Documento visado electrónicamente con número: VA07290/22
Código de validación telemática TRLTDCFZ607T66IJ1. Comprobación: https://cogitivalencia.e-gestion.es/Validacion.aspx?CSV=TRLTDCFZ607T66IJ1

VISADO COGITI VALENCIA VA07290/22 TRLTDCFZ60T66IJ1

CÓDIGO	RESUMEN	CANTIDAD	PRECIO	IMPORTE
10	**INSTALACIÓN ALUMBRADO MARQUESINAS**			
10.01	**m Cable RZ1-K 0,6/1 kV (AS) sección 5x2,5 mm² Cu** Línea electrica trifásica construida mediante cable RZ1-K 0,6/1 kV sección 5x2,5 mm² de la marca Prysmian o equivalente aprobado por DF, no propagadores del incendio, con emisión de humos y opacidad reducida, libre de halogenos, s/ UNE 21.123-4, instalada en canalización correspondiente, incluso p.p. de accesorios de fijación, terminales, tornillos. Incluso mano de obra, replanteos, limpieza previa, y ayudas de albañileria que se precisen, así como la utilización de herramientas y medios auxiliares que se precisen, manipulación, retirada de material sobrante y limpieza posterior etc. Se entiende material totalmente instalado y verificado.	6.075,00	7,38	44.833,50
10.02	**u Luminaria estanca LED 28W 3.900lm IP66 OleveonF 1500** Suministro y montaje de luminaria estanca tipo LED, modelo OleveonF 15 B 4000-840 ET PC de la marca Trilux o equivalente aprobado por D.F., para montaje en techos y paredes, así como para un montaje suspendido. Flujo luminoso de las luminarias 3.900 lm, Potencia de las luminarias 28 W, rendimiento luminoso de la luminaria 139 lm/W. Color de luz color blanco neutro, temperatura del color (CCT) 4000 K, Índice de reproducción cromática general (CRI) Ra > 80. Vida útil nominal media L80(tq 25 °C) = 35.000 h. Cuerpo de luminaria de poliéster reforzado con fibra de vidrio, poco inflamable. Con entrada frontal y tapones pasahilos para la conexión a la red. Cuerpo de luminaria, de color gris luz, similar a RAL 7035. Dimensiones (L x A) 1552 mm x 102 mm, altura de la luminaria 91 mm. Temperatura ambiental admisible de entre (ta): -20 °C - +35 °C. Clase de protección (EN 61140): I, grado de protección (DIN EN 60529): IP66, grado de la resistencia al impacto según IEC 62262: IK08/5 J, temperatura de prueba para el ensayo de hilo incandescente según IEC 60695-2-11: 850 °C. Con transformador electrónico, conmutable. Incluso parte proporcional de conductor de Cu tipo 07Z1-K y tubo rígido hasta caja de conexión mas próxima. Comprende todos los trabajos, materiales y medios auxiliares necesarios para dejar la unidad completa, totalmente instalada, probada y en perfecto estado de funcionamiento, según Documentos de Proyecto, indicaciones de la D.F. y normativa vigente.	513,00	116,75	59.892,75
10.03	**m Tubo rígido de PVC enchufable M-25** Canalización electrica construida mediante tubo rígido de PVC enchufable, ø 25 mm, libre de halogenuros, no propagador de llama, grado protección al fuego V0, grado de protección mecánica 7. Incluso p.p. de cajas de derivación, abrazaderas y accesorios de sujección. Colocación y recuperación de cable guía y ayudas en albaliñería en apertura de rozas, huecos o pasamuros. Totalmente instalado.	6.075,00	6,66	40.459,50
10.04	**u Cuadro electrico ALUMBRADO** Suministro y montaje de cuadro electrico, de la marca Schneider Electric o equivalente aprobado por DF, serie Spacial, formado por armario de superficie de acero inoxidable 316L, elevada resistencia a la corrosión (entornos salinos o con cloro), con grado de protección IP66 e IK10, para albergar en su interior las protecciones termicas y diferenciales de los circuitos de alumbrado de la cubierta del silo. Conteniendo en su interior todos los elementos reflejados en esquemas de proyecto, cableado interno con punteras, con bornero, pletinas auxiliares de conexión, incluso limitador de sobretensiones de clase II. Certificación de ensayos, declaración CE y etiquetaje de circuitos. Totalmente montado y funcionando.	1,00	3.929,08	3.929,08
	TOTAL 10			**149.114,83**

Documento visado electrónicamente con número: VA07290/22
Código de validación telemática TRLTDCFZ60T66IJ1. Comprobación: https://cogitivalencia.e-gestion.es/Validacion.aspx?CVT=TRLTDCFZ60T66IJ1

VISADO COGITI
VALENCIA
VA07290/22
TRLTDCFZ607T66IJ1

CÓDIGO	RESUMEN	CANTIDAD	PRECIO	IMPORTE
11	**EVACUACIÓN AGUAS PLUVIALES**			
11.01	**u Sumidero Pluvia Geberit 25 l/s** Suministro y montaje de sumidero Geberit Pluvia de 25l/s, compatible con datos del proyecto, incluso accesorios, material auxiliar para montaje y sujeción a la obra, soportación, accesorios y piezas especiales. Incluidos medios de elevación. Totalmente instalado y en perfecto estado de funcionamiento.	**72,00**	**257,90**	**18.568,80**
11.02	**m Tubería HDPE 75mm** Suministro e instalación de tubería Ø 75 mm de PE 80 fabricado por Geberit, incluida parte proporcional de accesorios moldeados y fabricados por Geberit (injertos, codos, reducciones, manguitos electrosoldables, cintas electrosoldables, piezas especiales). Se incluyen elementos de fijación según estudio realizado. Instalación realizada con puntos fijos para control de la dilatación. Incluso material auxiliar para montaje y sujeción a la obra, soportación, accesorios y piezas especiales. Incluidos medios de elevación. Totalmente instalado y en perfecto estado de funcionamiento.	**36,00**	**34,31**	**1.235,16**
11.03	**m Tubería HDPE 90mm** Suministro e instalación de tubería Ø 90 mm de PE 80 fabricado por Geberit, incluida parte proporcional de accesorios moldeados y fabricados por Geberit (injertos, codos, reducciones, manguitos electrosoldables, cintas electrosoldables, piezas especiales). Se incluyen elementos de fijación según estudio realizado. Instalación realizada con puntos fijos para control de la dilatación. Incluso material auxiliar para montaje y sujeción a la obra, soportación, accesorios y piezas especiales. Incluidos medios de elevación. Totalmente instalado y en perfecto estado de funcionamiento.	**9,00**	**101,87**	**916,83**
11.04	**m Tubería HDPE 110mm** Suministro e instalación de tubería Ø 110 mm de PE 80 fabricado por Geberit, incluida parte proporcional de accesorios moldeados y fabricados por Geberit (injertos, codos, reducciones, manguitos electrosoldables, cintas electrosoldables, piezas especiales). Se incluyen elementos de fijación según estudio realizado. Instalación realizada con puntos fijos para control de la dilatación. Incluso material auxiliar para montaje y sujeción a la obra, soportación, accesorios y piezas especiales. Incluidos medios de elevación. Totalmente instalado y en perfecto estado de funcionamiento.	**27,00**	**83,91**	**2.265,57**
11.05	**m Tubería HDPE 160mm** Suministro e instalación de tubería Ø 160 mm de PE 80 fabricado por Geberit, incluida parte proporcional de accesorios moldeados y fabricados por Geberit (injertos, codos, reducciones, manguitos electrosoldables, cintas electrosoldables, piezas especiales). Se incluyen elementos de fijación según estudio realizado. Instalación realizada con puntos fijos para control de la dilatación. Incluso material auxiliar para montaje y sujeción a la obra, soportación, accesorios y piezas especiales. Incluidos medios de elevación. Totalmente instalado y en perfecto estado de funcionamiento.	**156,30**	**64,10**	**10.018,83**
11.06	**m Tubería HDPE 200mm** Suministro e instalación de tubería Ø 200 mm de PE 80 fabricado por Geberit, incluida parte proporcional de accesorios moldeados y fabricados por Geberit (injertos, codos, reducciones, manguitos electrosoldables, cintas electrosoldables, piezas especiales). Se incluyen elementos de fijación según estudio realizado. Instalación realizada con puntos fijos para control de la dilatación. Incluso material auxiliar para montaje y sujeción a la obra, soportación, accesorios y piezas especiales. Incluidos medios de elevación. Totalmente instalado y en perfecto estado de funcionamiento.	**593,20**	**104,49**	**61.983,47**
11.07	**m Tubería HDPE 250mm** Suministro e instalación de tubería Ø 250 mm de PE 80 fabricado por Geberit, incluida parte proporcional de accesorios moldeados y fabricados por Geberit (injertos, codos, reducciones, manguitos electrosoldables, cintas electrosoldables, piezas especiales). Se incluyen elementos de fijación según estudio realizado. Instalación realizada con puntos fijos para control de la dilatación. Incluso material auxiliar para montaje y sujeción a la obra, soportación, accesorios y piezas especiales. Incluidos medios de elevación. Totalmente instalado y en perfecto estado de funcionamiento.	**650,70**	**158,80**	**103.331,16**

Documento visado electrónicamente con número: VA07290/22
Código de validación telemática TRLTDCFZ607T66IJ1. Comprobación: https://cogitivalencia.e-gestion.es/Validacion.aspx?CVT=TRLTDCFZ607T66IJ1

PRESUPUESTO

CÓDIGO	RESUMEN	CANTIDAD	PRECIO	IMPORTE
11.08	**m2 Cubierta chapa prelacada 0,6mm** Suministro y montaje de cubierta completa realizada con chapa perfilada de acero grecada prelacada por la cara exterior de 0.6 mm. de espesor, con recubrimiento HDX 55 micras en cara superior, con nervios de 42 mm de altura de cresta, a una separación de entre 200mm. Con fijacion rígida colaborante a las correas la marquesina (tornillo auto-roscante o ganchos en acero inoxidable). , Parte proporcional de replanteo, preparación, solapes, juntas de dilatación, elementos de fijación, remates, accesorios, piezas especiales para resolución de puntos singulares, elementos de fijación y estanqueidad, cortes, sellados y resolución de encuentros con chapa prelacada de 0,60 mm y 500 mm de desarrollo medio. Incluso medios auxiliares y elementos de seguridad. Según norma NTE-QTG-7,9,10 y 11. Totalmente ejecutada y perfectamente estanca.	39.150,00	22,89	896.143,50
11.09	**m Canalón de chapa prelacado 1mm** Suministro y montaje de canalón interior para cubierta inclinada con chapa plegada de acero galvanizado prelacado, de 1,0 mm de espesor, de 500mm de ancho y 250mm de altura de alas. Incluso accesorios de fijación de las piezas a las placas y masilla de base neutra monocomponente, para sellado de juntas. Incluso accesorios de fijación de las chapas, tornillos autorroscantes, apertura y rematado de huecos y masilla de base neutra monocomponente, para sellado de juntas.	1.260,00	25,07	31.588,20
11.10	**u Taladro placa alveolar** Ejecución de hueco en placa alveolar, para paso de instalaciones, de superficie comprendida entre 0,35 m2 y 0,50 m2. Totalmente ejecutado incluida la retirada de escombros a vertedero y el posterior rematado de hueco una vez ejecutado el paso de instalaciones, garantizando la estanqueidad. Totalmente ejecutado	9,00	92,44	831,96
11.11	**m Soporte metálico para bajante** Suministro y montaje de soporte metálico de acero galvanizado en forma de U, de 40x60x3mm, para instalación vertical de tubo HDPE de 315mm en el tramo de cubierta. Con perforaciones en el mismo, en las que se sujetan los elemenos de unión, así como los juegos de fijación a la varilla roscada para los puntos de anclaje y las abrazaderas deslizantes, acabado con imprimación antioxidante. Incluso elementos de fijación, torniellería y accesorios necesarios para su instalación. Medida por metro lineal.	72,00	27,98	2.014,56
	TOTAL 11			**1.128.898,04**

VISADO COGITI VALENCIA VA07290/22
TRLTDCFZ60T66IJ1
Documento visado electrónicamente con número: VA07290/22
Código de validación telemática TRLTDCFZ60T66IJ1. Comprobación en https://cogitivalencia.e-gestion.es/validacion.aspx?CVT=TRLTDCFZ60T66IJ1

VISADO
COGITI
VALENCIA
VA07290/22
TRLTDCFZ60T66IJ1

CÓDIGO	RESUMEN	CANTIDAD	PRECIO	IMPORTE
12	**GESTIÓN DE RESIDUOS**			
12.01	pa **GESTIÓN DE RESIDUOS** ALMACENAMIENTO, MANEJO, SEPARACIÓN Y, EN SU CASO, OTRAS OPERACIONES DE GESTIÓN DE LOS RESIDUOS DE CONSTRUCCIÓN Y DEMOLICIÓN PARA EL ALCANCE DE LA OBRA, DE ACUERDO A LA NORMATIVA VIGENTE.	1,00	9.251,39	9.251,39
	TOTAL 12			**9.251,39**

Documento visado electrónicamente con número: VA07290/22
Código de validación telemática TRLTDCFZ60T66IJ1. Comprobación: https://cogitivalencia.e-gestion.es/Validacion.aspx?CVT=TRLTDCFZ60T66IJ1

PRESUPUESTO

CÓDIGO	RESUMEN		CANTIDAD	PRECIO	IMPORTE
13	**CONTROL DE CALIDAD**				
13.01	pa	CONTROL DE CALIDAD	1,00	5.842,50	5.842,50
		TOTAL 13			**5.842,50**

VISADO
COGITI
VALENCIA
VA07290/22
TRLTDCFZ60T66IJ1
Documento visado electrónicamente con número: VA07290/22
Código de validación telemática TRLTDCFZ60T66IJ1. Comprobación: https://cogitivalencia.e-gestion.es/Validacion.aspx?CVT=TRLTDCFZ60T66IJ1

VISADO COGITI VALENCIA VA07290/22 TRLTDCFZ60T66IJ1

CÓDIGO	RESUMEN		CANTIDAD	PRECIO	IMPORTE
14	**SEGURIDAD Y SALUD**				
14.01	**PROTECCIONES INDIVIDUALES**				
14.01.01	**CASCO SEGURIDAD,DIELÉC. P/B.T. POLIETILENO** CASCO DE SEGURIDAD DIELÉCTRICO PARA BAJA TENSIÓN DE POLIETILENO, HOMOLOGADO SEGÚN UNE-EN 50365	u	40,00	15,85	634,00
14.01.02	**GAFAS ANTIIMP.ST.,MONTURA UNIV.,VISOR TRANSP.C/EMPAÑAM.** GAFAS DE SEGURIDAD ANTIIMPACTOS ESTÁNDAR, CON MONTURA UNIVERSAL, CON VISOR TRANSPARENTE Y TRATAMIENTO CONTRA EL EMPAÑAMIENTO, HOMOLOGADAS SEGÚN UNE-EN 167 Y UNE-EN 168	u	40,00	4,16	166,40
14.01.03	**PROTECTOR AUDITIVO TAPÓN ESPUMA** PROTECTOR AUDITIVO DE TAPÓN DE ESPUMA, HOMOLOGADO SEGÚN UNE-EN 352-2 Y UNE-EN 458	u	40,00	0,19	7,60
14.01.04	**GUANTES MATERIAL AISL.,P/TRABAJOS ELÉCTRICOS,CL.0,LOGOTIPO ROJO,** PAR DE GUANTES DE MATERIAL AISLANTE PARA TRABAJOS ELÉCTRICOS, CLASE 0, LOGOTIPO COLOR ROJO, TENSIÓN MÁXIMA 1000 V, HOMOLOGADOS SEGÚN UNE-EN 420	u	40,00	21,76	870,40
14.01.05	**GUANTES DIELÉC.P/B.T.,CAUCHO,MANGU.<1/2ANTEBR.** PAR DE GUANTES DIELÉCTRICOS PARA BAJA TENSIÓN, DE CAUCHO, CON MANGUITOS HASTA MEDIO ANTEBRAZO	u	40,00	46,60	1.864,00
14.01.06	**PAR BOTAS SEGURIDAD,RESIST.HUMED.,PIEL RECTIF.,SUELA ANTIDESL.AN** PAR DE BOTAS DE SEGURIDAD RESISTENTES A LA HUMEDAD, DE PIEL RECTIFICADA, CON TOBILLERA ACOLCHADA, SUELA ANTIDESLIZANTE Y ANTIESTÁTICA, CUÑA AMORTIGUADORA PARA EL TALÓN, LENGÜETA DE FUELLE, DE DESPRENDIMIENTO RÁPIDO, CON PLANTILLAS Y PUNTERA METÁLICAS	u	40,00	13,89	555,60
14.01.07	**PAR BOTAS DIELÉC.,RESIST.HUMED.,PIEL RECTIF.,SUELA ANTIDESL.S/HERRAJE MET.,PUNTERA REFORZ.** PAR DE BOTAS DIELÉCTRICAS RESISTENTES A LA HUMEDAD, DE PIEL RECTIFICADA, CON TOBILLERA ACOLCHADA SUELA ANTIDESLIZANTE Y ANTIESTÁTICA, CUÑA AMORTIGUADORA PARA EL TALÓN, LENGÜETA DE FUELLE, DE DESPRENDIMIENTO RÁPIDO, SIN HERRAJE METÁLICO, CON PUNTERA REFORZADA, HOMOLOGADAS SEGÚN DIN 4843	u	40,00	108,29	4.331,60
14.01.08	**MONO TRABAJO,POLIÉST./ALGOD.,BOLS.EXT.** MONO DE TRABAJO, DE POLIÉSTER Y ALGODÓN, CON BOLSILLOS EXTERIORES	u	40,00	18,49	739,60
14.01.09	**CHALECO REFLECTANTE,TIRAS REFLECT.CINT./PEC./ESPA.** CHALECO REFLECTANTE CON TIRAS REFLECTORAS EN LA CINTURA, EN EL PECHO Y EN LA ESPALDA, HOMOLOGADA SEGÚN UNE-EN 471	u	40,00	16,37	654,80
14.01.10	**IMPERMEABLE CHAQ.+CAPU.+PANT.,P/O.PÚB.,PVC SOLD.,E=0,4MM,VIV.** IMPERMEABLE CON CHAQUETA, CAPUCHA Y PANTALONES, PARA OBRAS PÚBLICAS, DE PVC SOLDADO DE 0,4 MM DE ESPESOR, DE COLOR VIVO, HOMOLOGADO SEGÚN UNE-EN 340	u	40,00	10,97	438,80
	TOTAL 14.01				**10.262,80**
14.02	**PROTECCIONES COLECTIVAS**				
14.02.01	**BRIGADA SEGUR.P/MANTENIM.+REPOS.PROTEC.** BRIGADA DE SEGURIDAD PARA MANTENIMIENTO Y REPOSICIÓN DE LAS PROTECCIONES	h	30,00	31,49	944,70
14.02.02	**PLACA PINTURA REFLECTANTE TRIANGULAR LADO=70CM,FIJ.MEC.+DESMONT.** PLACA CON PINTURA REFLECTANTE TRIANGULAR DE 70 CM DE LADO, PARA SEÑALES DE TRÁFICO, FIJADA Y CON EL DESMONTAJE INCLUIDO	u	25,00	38,28	957,00

Documento visado electrónicamente con número: VA07290/22. Código de validación telemática TRLTDCFZ60T66IJ1. Comprobación: https://cogitivalencia.e-gestion.es/Validacion.aspx?CVT=TRLTDCFZ60T66IJ1

VISADO COGITI VALENCIA VA07290/22

CÓDIGO	RESUMEN	CANTIDAD	PRECIO	IMPORTE
14.02.03	u **PLACA SEGURIDAD LABORAL,ACERO SERIGRAF.,40X33CM,FIJ.MECÁNICAMENT** PLACA DE SEÑALIZACIÓN DE SEGURIDAD LABORAL, DE PLANCHA DE ACERO LISA SERIGRAFIADA, DE 40X33 CM, FIJADA MECÁNICAMENTE Y CON EL DESMONTAJE INCLUIDO	45,00	16,58	746,10
14.02.04	u **CONO DE PLÁSTICO REFLECTOR H=50CM** CONO DE PLÁSTICO REFLECTOR DE 50 CM DE ALTURA	150,00	15,69	2.353,50
14.02.05	m **CINTA BALIZAMIENTO REFLECTANTE,SOPORTE/5M,DESMONTAJE INCLU.** CINTA DE BALIZAMIENTO REFLECTANTE, CON UN SOPORTE CADA 5 M Y CON EL DESMONTAJE INCLUIDO	1.500,00	4,90	7.350,00
14.02.06	u **EXTINTOR POLVO SECO,6KG,PRESIÓN INCORPO.PINTADO,SOPORTE/DESMONT.** EXTINTOR DE POLVO SECO, DE 6 KG DE CARGA, CON PRESIÓN INCORPORADA, PINTADO, CON SOPORTE EN LA PARED Y CON EL DESMONTAJE INCLUIDO	4,00	33,57	134,28
14.02.07	u **PANTALLA AISL.P/TRAB.ZON.INFL.LÍN.ELÉC.** PANTALLA AISLANTE PARA TRABAJOS EN ZONAS DE INFLUENCIA DE LÍNEAS ELÉCTRICAS EN TENSIÓN	4,00	97,33	389,32
14.02.08	u **PLATAFORMA AISL.,BASE P/TRAB.CUAD.ELÉCT.DIST.,100X100CM,E=3MM** PLATAFORMA AISLANTE DE BASE PARA TRABAJO EN CUADROS ELÉCTRICOS DE DISTRIBUCIÓN DE 100X100 CM Y DE ESPESOR 3 MM	4,00	44,47	177,88
14.02.09	u **BANQUETA AISL.,PATAS FIJAS,P/TRABAJ.TENSIÓN** BANQUETA AISLANTE DE PATAS FIJAS PARA TRABAJOS EN TENSIÓN, SEGÚN UNE 204001	4,00	81,83	327,32
14.02.10	m **VALLA MÓVIL METÁL.,LONG.=2,5M,H=1M,DESM.** VALLA MÓVIL METÁLICA DE 2,5 M DE LONGITUD Y 1 M DE ALTURA Y CON EL DESMONTAJE INCLUIDO	400,00	7,44	2.976,00
	TOTAL 14.02			**16.356,10**
14.03	**INSTALACIONES DE HIGIENE Y BIENESTAR**			
14.03.01	mes **MÓDULO PREFABRICADO SANITARIOS 3,7X2,3X2,3M,INST.LAMPIST.,INST.E** MÓDULO PREFABRICADO DE SANITARIOS DE 3,7X2,3X2,3 M DE PANEL DE ACERO LACADO Y AISLAMIENTO DE POLIURETANO DE 35 MM DE ESPESOR, REVESTIMIENTO DE PAREDES CON TABLERO FENÓLICO, PAVIMENTO DE LAMAS DE ACERO GALVANIZADO, CON INSTALACIÓN DE LAMPISTERÍA, 1 LAVABO COLECTIVO CON 3 GRIFOS, 2 PLACAS TURCAS, 2 DUCHAS, ESPEJO Y COMPLEMENTOS DE BAÑO, CON INSTALACIÓN ELÉCTRICA, 1 PUNTO DE LUZ, INTERRUPTOR, ENCHUFES Y PROTECCIÓN DIFERENCIAL	6,00	200,07	1.200,42
14.03.02	mes **MÓDULO PREFABRICADO VESTIDOR 8,2X2,5X2,3M,INST.ELÉC.** MÓDULO PREFABRICADO DE VESTIDORES DE 8,2X2,5X2,3 M DE PANEL DE ACERO LACADO Y AISLAMIENTO DE POLIURETANO DE 35 MM DE ESPESOR, REVESTIMIENTO DE PAREDES CON TABLERO FENÓLICO, PAVIMENTO DE LAMAS DE ACERO GALVANIZADO CON AISLAMIENTO DE FIBRA DE VIDRIO Y TABLERO FENÓLICO, , CON INSTALACIÓN ELÉCTRICA, 1 PUNTO DE LUZ, INTERRUPTOR, ENCHUFES Y PROTECCIÓN DIFERENCIAL	6,00	152,06	912,36
14.03.03	mes **MÓDULO PREFABRICADO COMEDOR 6X2,3X2,6M,INST.LAMPIST.,INST.ELÉC.** MÓDULO PREFABRICADO DE COMEDOR DE 6X2,3X2,6 M DE PANEL DE ACERO LACADO Y AISLAMIENTO DE 35 MM DE ESPESOR, REVESTIMIENTO DE PAREDES CON TABLERO FENÓLICO, PAVIMENTO DE LAMAS DE ACERO GALVANIZADO CON AISLAMIENTO DE FIBRA DE VIDRIO Y TABLERO FENÓLICO, CON INSTALACIÓN DE LAMPISTERÍA, FREGADERO DE 2 SENOS CON GRIFO Y ENCIMERA, CON INSTALACIÓN ELÉCTRICA, 1 PUNTO DE LUZ, INTERRUPTOR, ENCHUFES Y PROTECCIÓN DIFERENCIAL	6,00	155,95	935,70
14.03.04	u **ESPEJO LUNA INCOLORA,E=3MM,ADHERIDO TABLERO MADERA** ESPEJO DE LUNA INCOLORA DE 3 MM DE ESPESOR, COLOCADO ADHERIDO SOBRE TABLERO DE MADERA	6,00	34,02	204,12

Documento visado electrónicamente con número: VA07290/22
Código de validación telemática TRLTDCFZ60T66IJ1. Comprobación: https://cogitivalencia.e-gestion.es/Validacion.aspx?CVT=TRLTDCFZ60T66IJ1

VISADO
COGITI
VALENCIA
VA07290/22
TRLTDCFZ60T66IJ1

CÓDIGO	RESUMEN	CANTIDAD	PRECIO	IMPORTE
14.03.05	u **BANCO MADERA,3,5MX0,4M,P/5PERS.,COL.+DESMONT.INCLUIDO** BANCO DE MADERA, DE 3,5 M DE LONGITUD Y 0,4 M DE ANCHURA, CON CAPACIDAD PARA 5 PERSONAS, COLOCADO Y CON EL DESMONTAJE INCLUIDO	6,00	16,07	96,42
14.03.06	u **MESA MADERA TABLERO MELAMINA,3,5MX0,8M,P/10PERS.,COL.+DESMONT.IN** MESA DE MADERA CON TABLERO DE MELAMINA, DE 3,5 M DE LONGITUD Y 0,8 M DE ANCHURA, CON CAPACIDAD PARA 10 PERSONAS, COLOCADA Y CON EL DESMONTAJE INCLUIDO	1,00	21,87	21,87
14.03.07	u **HORNO MICROONDAS P/COMIDAS,COL.+DESMONT.INCLUIDO** HORNO MICROONDAS PARA CALENTAR COMIDAS, COLOCADO Y CON EL DESMONTAJE INCLUIDO	1,00	64,32	64,32
14.03.08	u **RECIPIENTE P/BASURAS,100L,COL.+DESMONT.INCLUIDO** RECIPIENTE PARA RECOGIDA DE BASURAS, DE 100 L DE CAPACIDAD, COLOCADO Y CON EL DESMONTAJE INCLUIDO	1,00	39,31	39,31
14.03.09	h **MANO OBRA,LIMPIEZA+CONSERVACIÓN INSTALACIONES** MANO DE OBRA PARA LIMPIEZA Y CONSERVACIÓN DE LAS INSTALACIONES	22,00	15,33	337,26
14.03.10	u **BOTIQUÍN PORTÁTIL URG.+CONTENIDO SEGÚN ORDEN.SYS** BOTIQUÍN PORTÁTIL DE URGENCIA, CON EL CONTENIDO ESTABLECIDO EN LA ORDENANZA GENERAL DE SEGURIDAD Y SALUD EN EL TREBAJO	2,00	80,73	161,46
14.03.11	u **MATERIAL SANITARIO BOTIQUÍN+CONTENIDO SEGÚN ORDEN.SYS** MATERIAL SANITARIO PARA SURTIR UN BOTIQUÍN CON EL CONTENIDO ESTABLECIDO EN LA ORDENANZA GENERAL DE SEGURIDAD Y SALUD EN EL TREBAJO	2,00	52,69	105,38
	TOTAL 14.03			**4.078,62**
	TOTAL 14			**30.597,52**
	TOTAL			**14.133.106,17**

Documento visado electrónicamente con número: VA07290/22
Código de validación telemática TRLTDCFZ60T66IJ1. Comprobación: http://cogitiv.valencia.e-gestion.es/Validacion.aspx?CVT=TRLTDCFZ60T66IJ1

VISADO
COGITI
VALENCIA
VA07290/22
TRLTDCFZ60T66IJ1

Documento visado electrónicamente con número: VA07290/22
Código de validación telemática TRLTDCFZ60T66IJ1. Comprobación: https://cogitivalencia.e-gestion.es/Validacion.aspx?CVT=TRLTDCFZ60T66IJ1

4.3.2. RESUMEN DEL PRESUPUESTO

VISADO
COGITI
VALENCIA
VA07290/22
TRLTDCFZ60T66IJ1

RESUMEN DE PRESUPUESTO

CAPÍTULO	RESUMEN	IMPORTE	%
01	TRABAJOS PREVIOS	28.146,01	0,20
02	ESTRUCTURA METÁLICA	8.922.376,23	63,13
03	INSTALACIÓN FOTOVOLTAICA	3.482.623,90	24,64
04	INSTALACIÓN CT GENERACIÓN PARTICULAR 2x1600 KVA V.C.T.-FV 043.1	161.746,10	1,14
05	INSTALACIÓN CT GENERACIÓN PARTICULAR 2x1250 KVA V.C.T.-FV 043.2	152.755,52	1,08
06	INSTALACIÓN PREFABRICADO PARA COMUNICACIONES V.R.-FV 043.1	30.336,20	0,21
07	ADECUACIÓN CT EXISTENTE V.C.T. 043	8.176,98	0,06
08	ADECUACIÓN CT EXISTENTE C.D.D.	13.952,55	0,10
09	INSTALACIÓN LSMT 20KV PARTICULAR	9.188,40	0,07
10	INSTALACIÓN ALUMBRADO MARQUESINAS	149.114,83	1,06
11	EVACUACIÓN AGUAS PLUVIALES	1.128.898,04	7,99
12	GESTIÓN DE RESIDUOS	9.251,39	0,07
13	CONTROL DE CALIDAD	5.842,50	0,04
14	SEGURIDAD Y SALUD	30.697,52	0,22

		PRESUPUESTO DE EJECUCIÓN MATERIAL	**14.133.106,17**
13,00	% Gastos generales.....	1.837.303,80	
6,00	% Beneficio industrial....	847.986,37	
	Suma de G.G.+B.I.		2.685.290,17
		PRESUPUESTO TOTAL	**16.818.396,34**

Asciende el presupuesto a la expresada cantidad de DIECISEIS MILLONES OCHOCIENTOS DIECIOCHO MIL TRESCIENTOS NOVENTA Y SEIS EUROS con TREINTA Y CUATRO CÉNTIMOS

21% IVA		3.531.863,23
	PRESUPUESTO TOTAL (CON IVA)	**20.350.259,57**

Asciende el presupuesto a la expresada cantidad de VEINTE MILLONES TRESCIENTOS CINCUENTA MIL DOSCIENTOS CINCUENTA Y NUEVE EUROS con CINCUENTA Y SIETE CÉNTIMOS

Valencia, 17 de Febrero de 2022

EL INGENIERO TÉCNICO INDUSTRIAL



Fdo: Javier Coli Gilabert

Colegiado nº 9.613

Documento visado electrónicamente con número: VA07290/22
Código de validación telemática TRLTDCFZ60T66IJ1. Comprobación: https://cogitivalencia.e-gestion.es/Validacion.aspx?CVT=TRLTDCFZ60T66IJ1